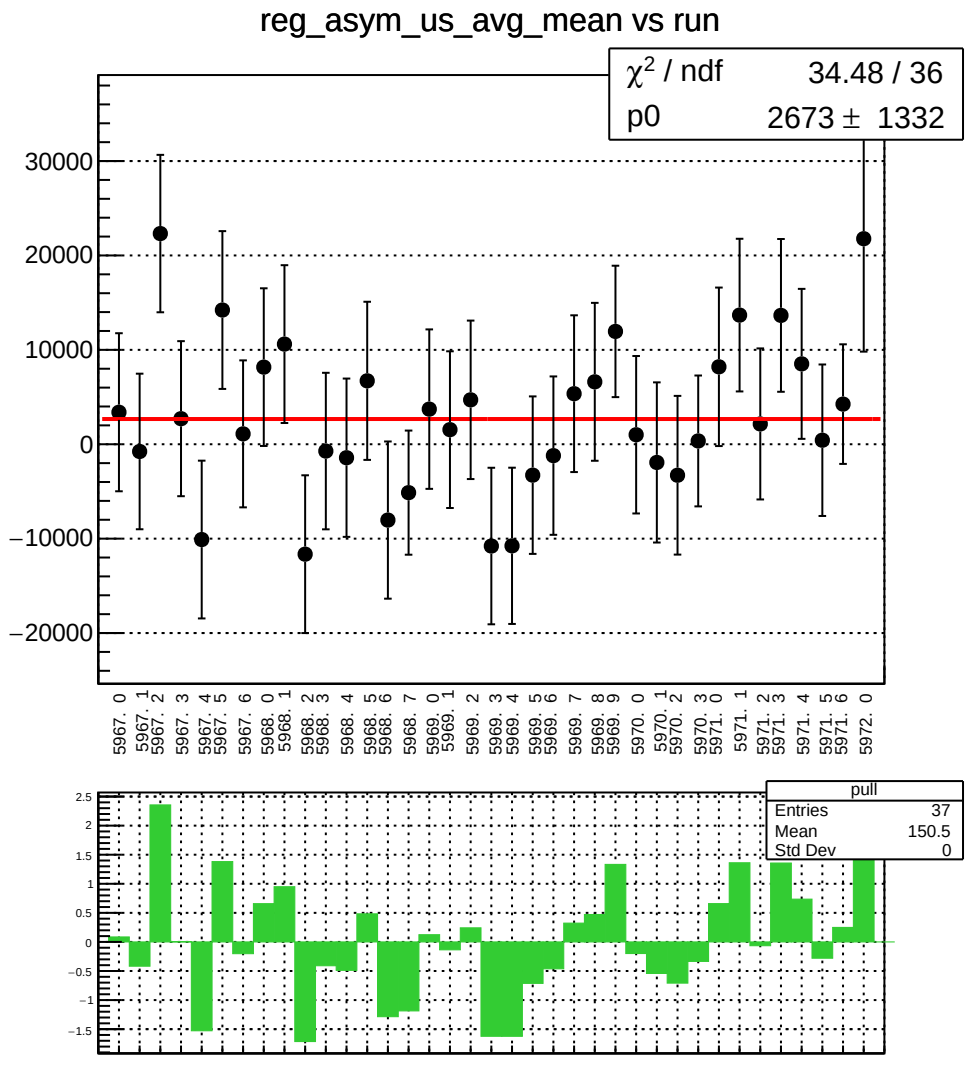
reg_asym_us_avg_mean vs run
χ² / ndf 34.48 / 36
p0 2673 ± 1332
30000
20000
10000
0
−10000
−20000
5967. 0
5967. 1
5967. 2
5967. 3
5967. 4
5967. 5
5967. 6
5968. 0
5968. 1
5968. 2
5968. 3
5968. 4
5968. 5
5968. 6
5968. 7
5969. 0
5969. 1
5969. 2
5969. 3
5969. 4
5969. 5
5969. 6
5969. 7
5969. 8
5969. 9
5970. 0
5970. 1
5970. 2
5970. 3
5971. 0
5971. 1
5971. 2
5971. 3
5971. 4
5971. 5
5971. 6
5972. 0
pull
Entries 37
Mean 150.5
Std Dev 0
2.5
2
1.5
1
0.5
0
−0.5
−1
−1.5

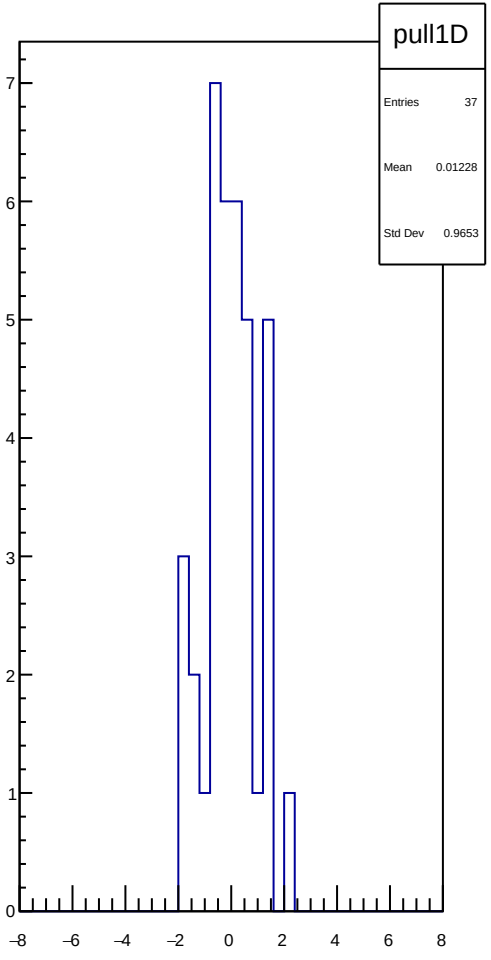
pull1D
Entries 37
Mean 0.01228
Std Dev 0.9653
7
6
5
4
3
2
1
0
−8
−6
−4
−2
0
2
4
6
8

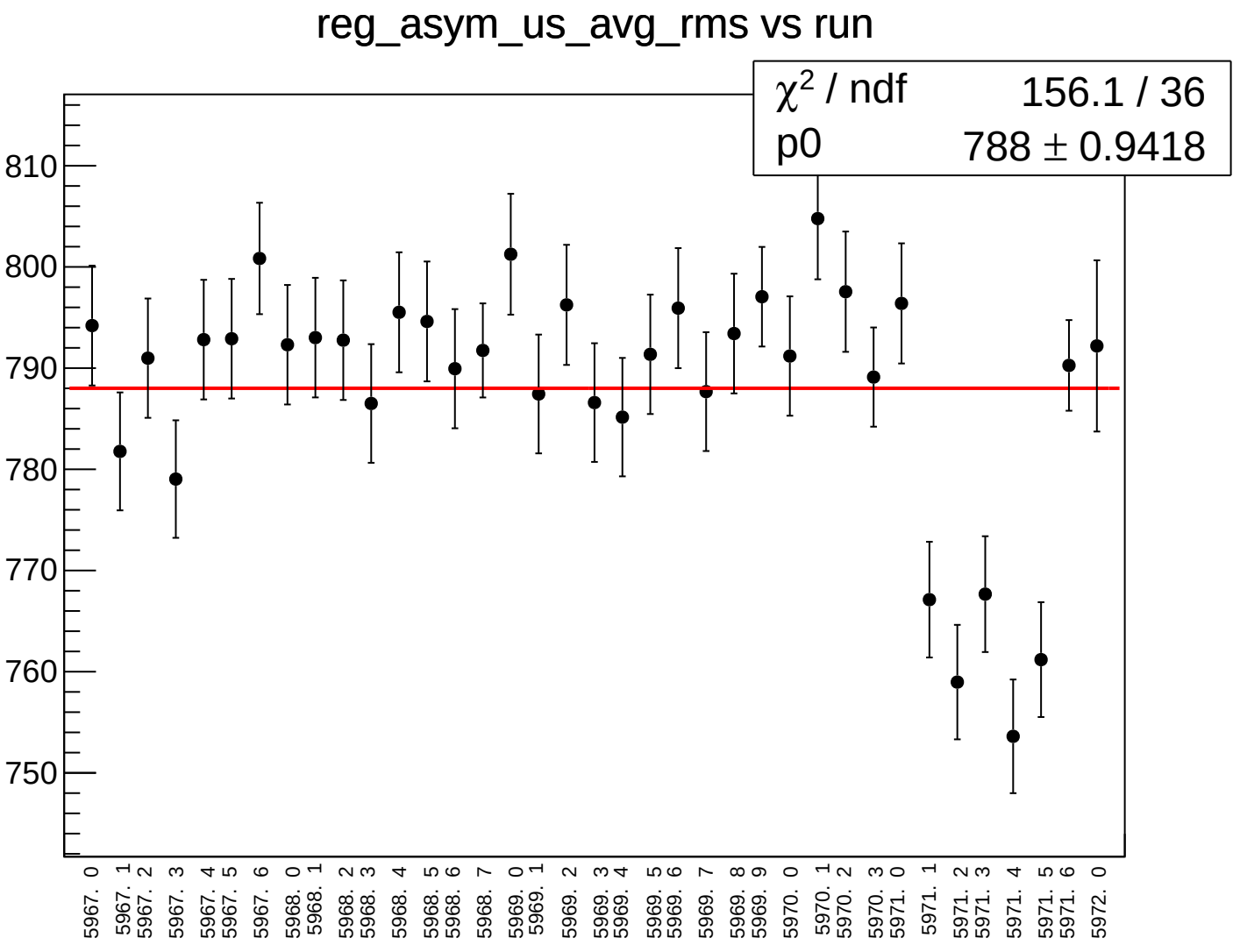
reg_asym_us_avg_rms vs run
χ^2 / ndf 156.1 / 36
p0 788 ± 0.9418
810
800
790
780
770
760
750
5967. 0
5967. 1
5967. 2
5967. 3
5967. 4
5967. 5
5967. 6
5968. 0
5968. 1
5968. 2
5968. 3
5968. 4
5968. 5
5968. 6
5968. 7
5969. 0
5969. 1
5969. 2
5969. 3
5969. 4
5969. 5
5969. 6
5969. 7
5969. 8
5969. 9
5970. 0
5970. 1
5970. 2
5970. 3
5971. 0
5971. 1
5971. 2
5971. 3
5971. 4
5971. 5
5971. 6
5972. 0

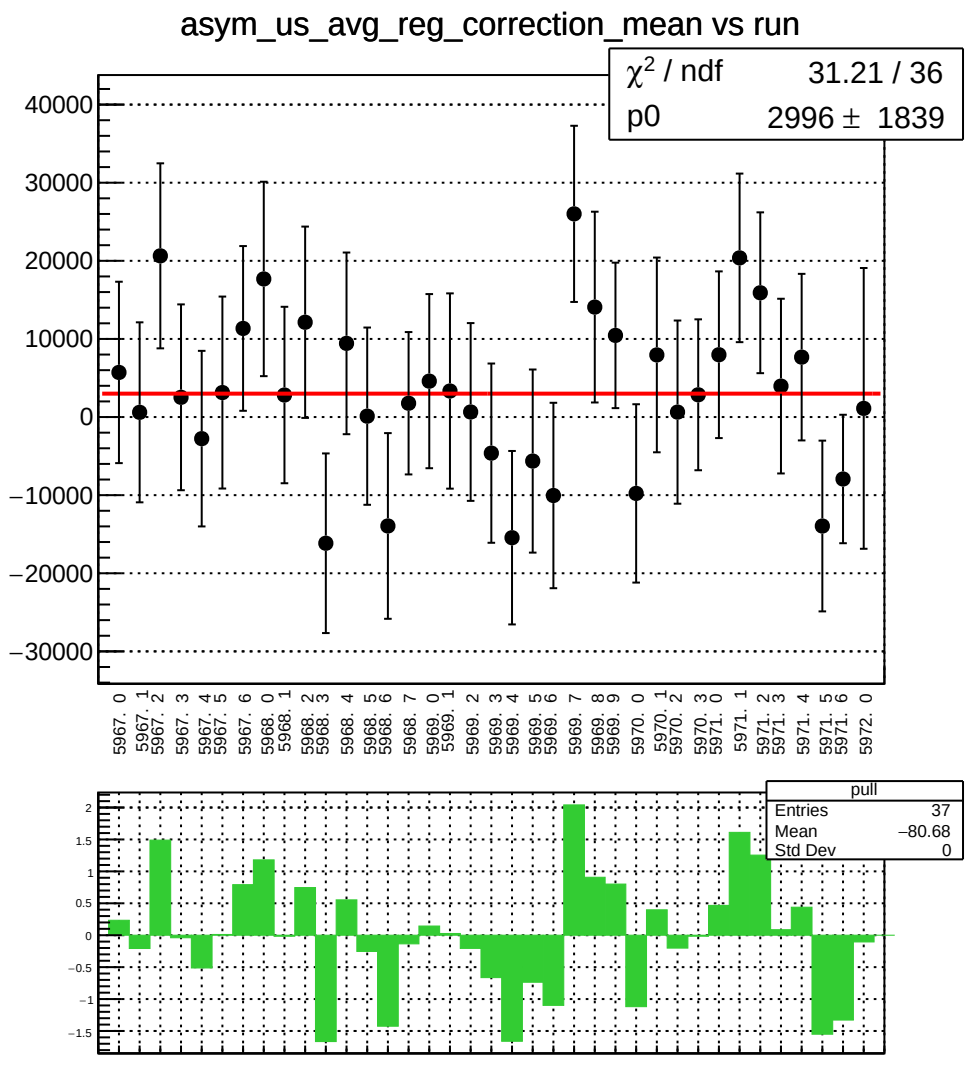
asym_us_avg_reg_correction_mean vs run
χ² / ndf 31.21 / 36
p0 2996 ± 1839
40000
30000
20000
10000
0
−10000
−20000
−30000
5967. 0
5967. 1
5967. 2
5967. 3
5967. 4
5967. 5
5967. 6
5968. 0
5968. 1
5968. 2
5968. 3
5968. 4
5968. 5
5968. 6
5968. 7
5969. 0
5969. 1
5969. 2
5969. 3
5969. 4
5969. 5
5969. 6
5969. 7
5969. 8
5969. 9
5970. 0
5970. 1
5970. 2
5970. 3
5971. 0
5971. 1
5971. 2
5971. 3
5971. 4
5971. 5
5971. 6
5972. 0
pull
Entries 37
Mean −80.68
Std Dev 0
2
1.5
1
0.5
0
−0.5
−1
−1.5
pull1D
Entries 37
Mean 0.006498
Std Dev 0.9184
9
8
7
6
5
4
3
2
1
0
−8
−6
−4
−2
0
2
4
6
8

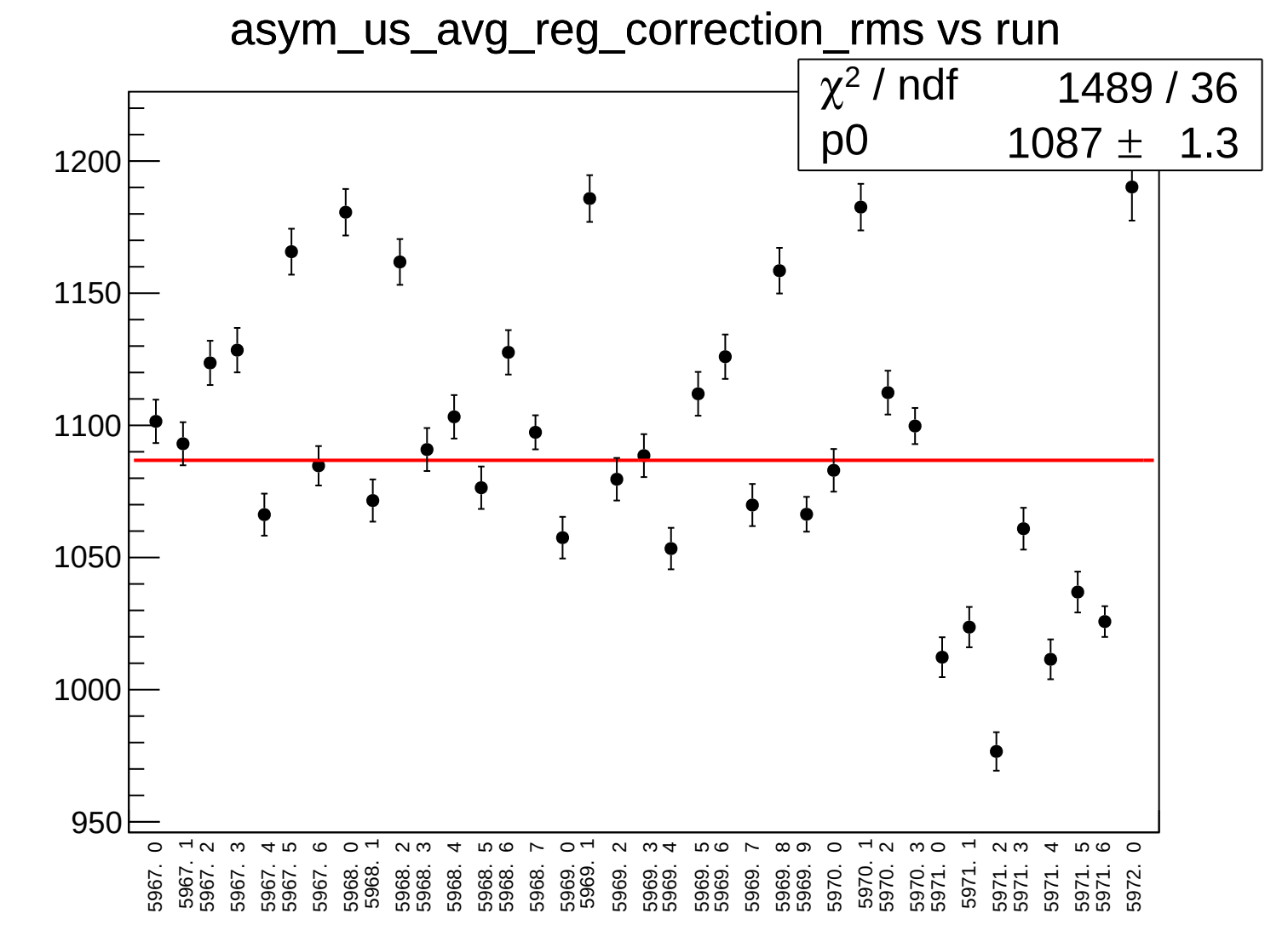
asym_us_avg_reg_correction_rms vs run
χ² / ndf 1489 / 36
p0 1087 ± 1.3
1200
1150
1100
1050
1000
950
5967. 0
5967. 1
5967. 2
5967. 3
5967. 4
5967. 5
5967. 6
5968. 0
5968. 1
5968. 2
5968. 3
5968. 4
5968. 5
5968. 6
5968. 7
5969. 0
5969. 1
5969. 2
5969. 3
5969. 4
5969. 5
5969. 6
5969. 7
5969. 8
5969. 9
5970. 0
5970. 1
5970. 2
5970. 3
5971. 0
5971. 1
5971. 2
5971. 3
5971. 4
5971. 5
5971. 6
5972. 0

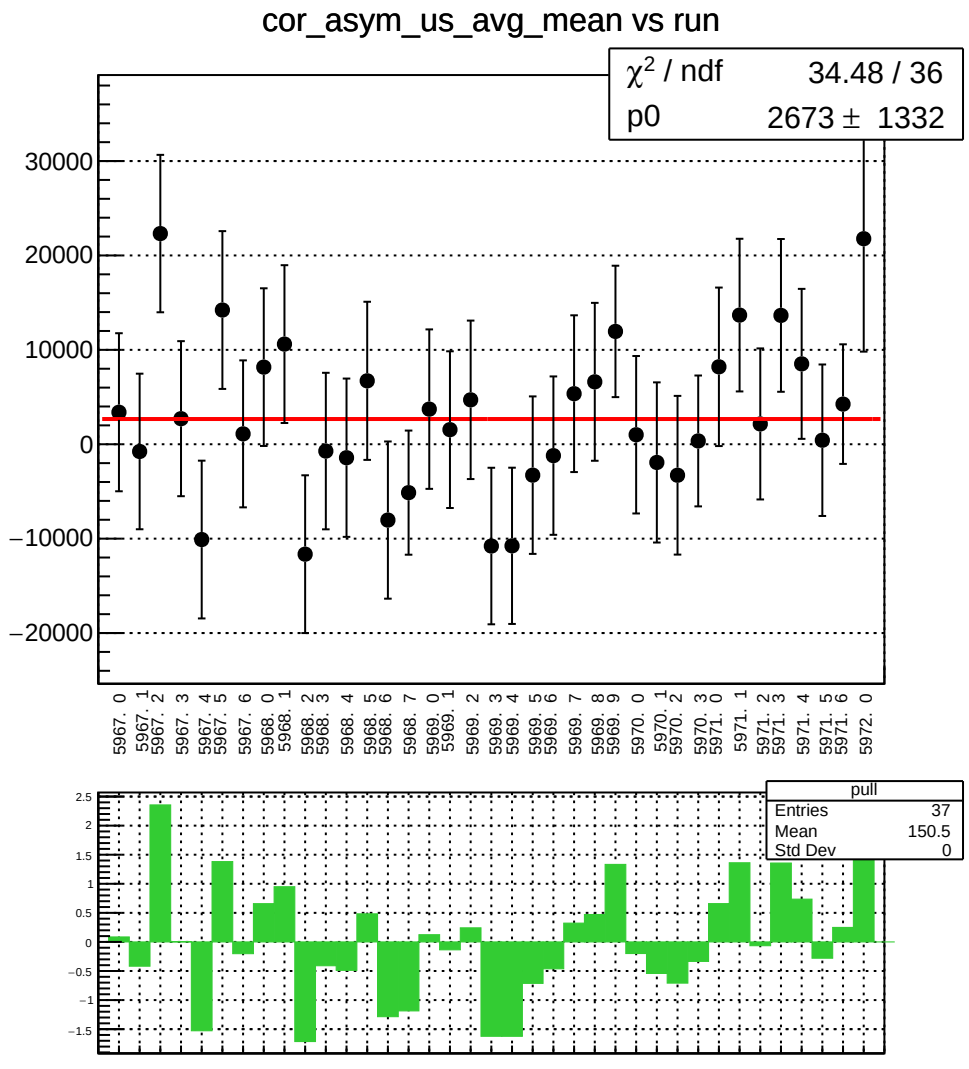
cor_asym_us_avg_mean vs run
χ² / ndf 34.48 / 36
p0 2673 ± 1332
30000
20000
10000
0
−10000
−20000
5967. 0
5967. 1
5967. 2
5967. 3
5967. 4
5967. 5
5967. 6
5968. 0
5968. 1
5968. 2
5968. 3
5968. 4
5968. 5
5968. 6
5968. 7
5969. 0
5969. 1
5969. 2
5969. 3
5969. 4
5969. 5
5969. 6
5969. 7
5969. 8
5969. 9
5970. 0
5970. 1
5970. 2
5970. 3
5971. 0
5971. 1
5971. 2
5971. 3
5971. 4
5971. 5
5971. 6
5972. 0
pull
Entries 37
Mean 150.5
Std Dev 0
2.5
2
1.5
1
0.5
0
−0.5
−1
−1.5

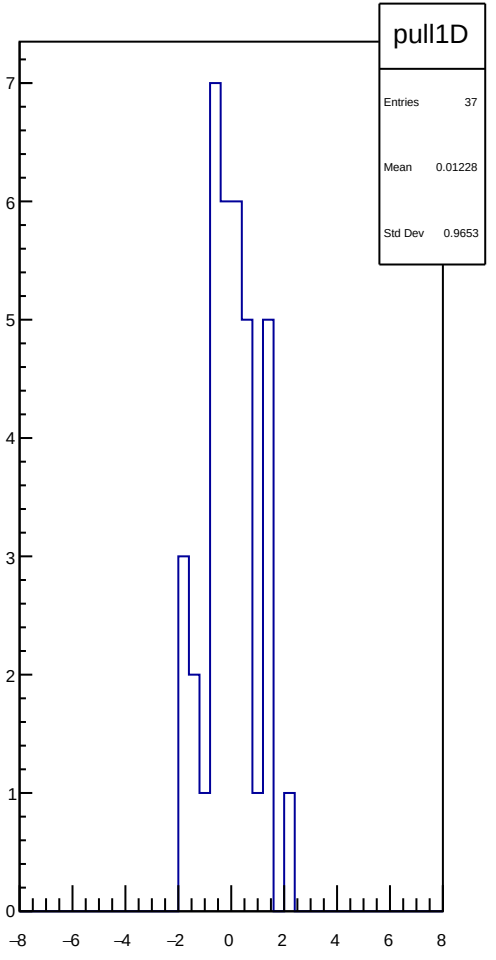
pull1D
Entries 37
Mean 0.01228
Std Dev 0.9653
7
6
5
4
3
2
1
0
−8
−6
−4
−2
0
2
4
6
8

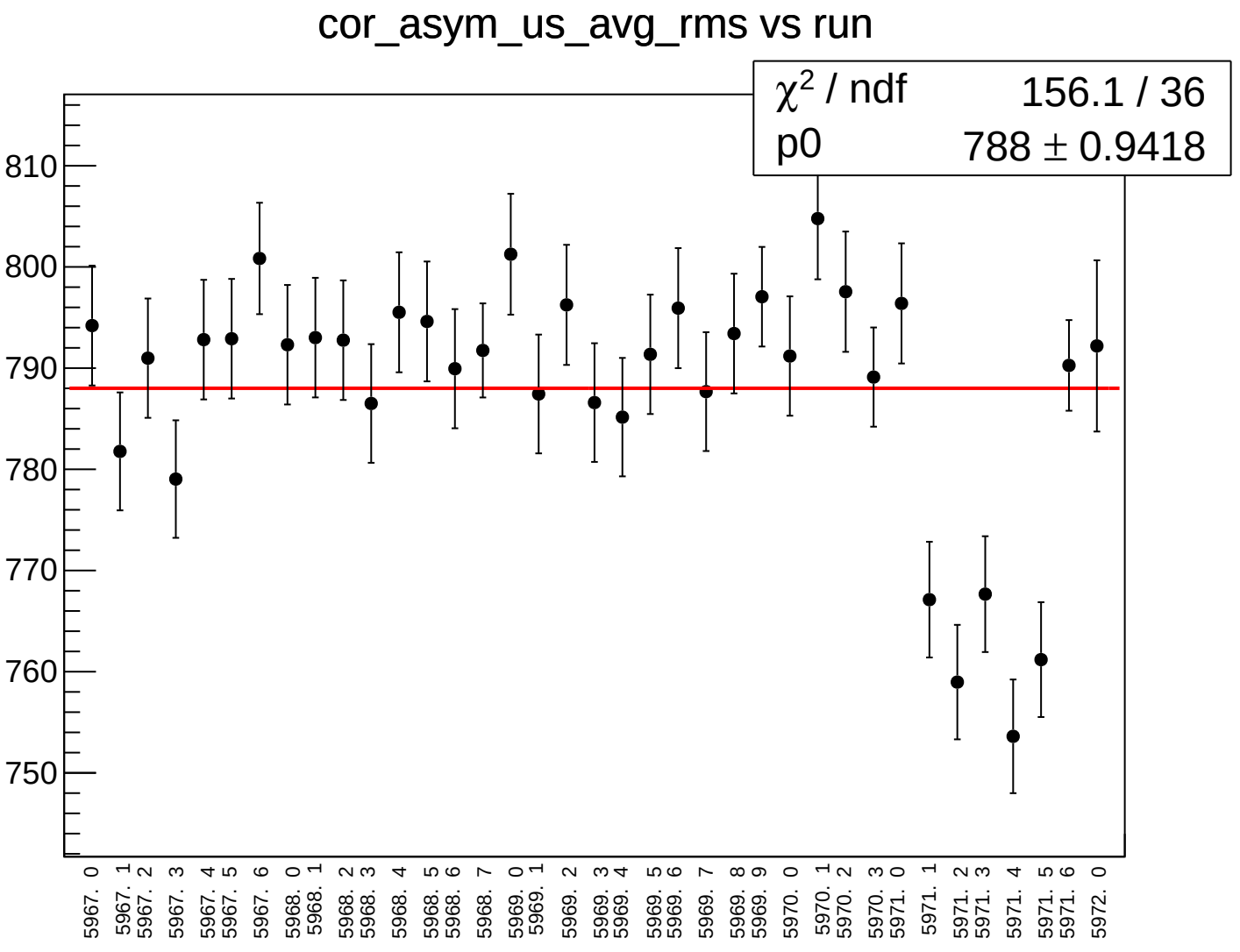
cor_asym_us_avg_rms vs run
χ^2 / ndf 156.1 / 36
p0 788 ± 0.9418
810
800
790
780
770
760
750
5967. 0
5967. 1
5967. 2
5967. 3
5967. 4
5967. 5
5967. 6
5968. 0
5968. 1
5968. 2
5968. 3
5968. 4
5968. 5
5968. 6
5968. 7
5969. 0
5969. 1
5969. 2
5969. 3
5969. 4
5969. 5
5969. 6
5969. 7
5969. 8
5969. 9
5970. 0
5970. 1
5970. 2
5970. 3
5971. 0
5971. 1
5971. 2
5971. 3
5971. 4
5971. 5
5971. 6
5972. 0

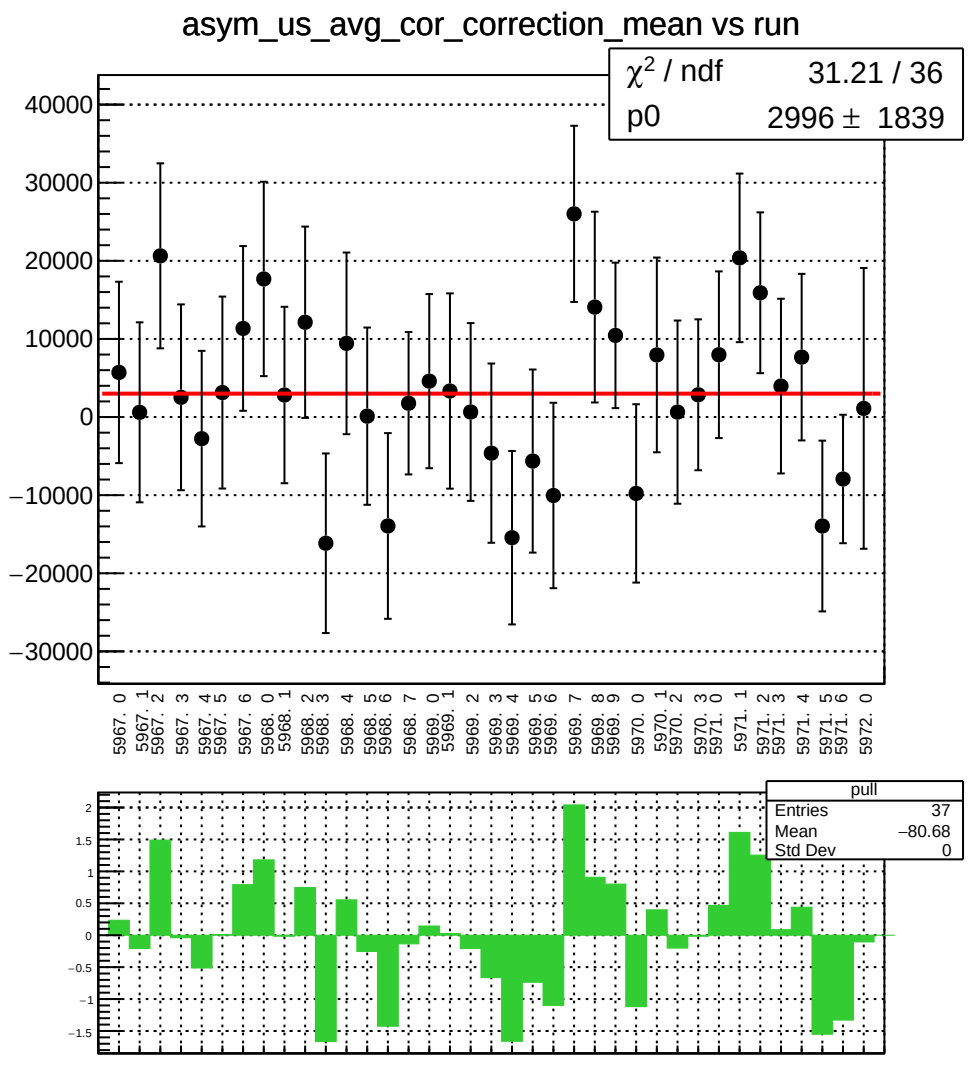
asym_us_avg_cor_correction_mean vs run
χ² / ndf 31.21 / 36
p0 2996 ± 1839
40000
30000
20000
10000
0
−10000
−20000
−30000
5967. 0
5967. 1
5967. 2
5967. 3
5967. 4
5967. 5
5967. 6
5968. 0
5968. 1
5968. 2
5968. 3
5968. 4
5968. 5
5968. 6
5968. 7
5969. 0
5969. 1
5969. 2
5969. 3
5969. 4
5969. 5
5969. 6
5969. 7
5969. 8
5969. 9
5970. 0
5970. 1
5970. 2
5970. 3
5971. 0
5971. 1
5971. 2
5971. 3
5971. 4
5971. 5
5971. 6
5972. 0
pull
Entries 37
Mean −80.68
Std Dev 0
2
1.5
1
0.5
0
−0.5
−1
−1.5
pull1D
Entries 37
Mean 0.006498
Std Dev 0.9184
9
8
7
6
5
4
3
2
1
0
−8
−6
−4
−2
0
2
4
6
8

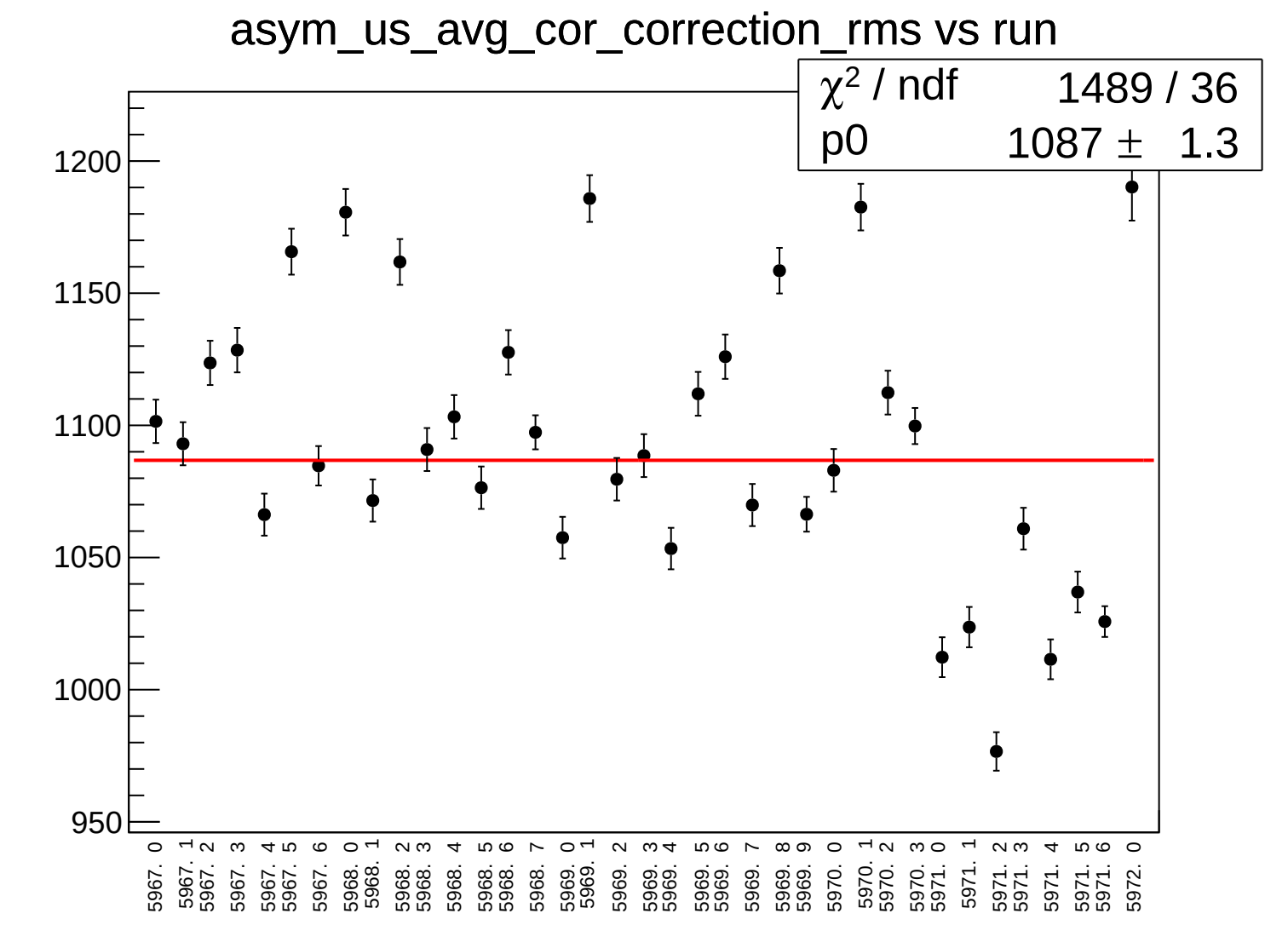
asym_us_avg_cor_correction_rms vs run
χ² / ndf 1489 / 36
p0 1087 ± 1.3
1200
1150
1100
1050
1000
950
5967. 0
5967. 1
5967. 2
5967. 3
5967. 4
5967. 5
5967. 6
5968. 0
5968. 1
5968. 2
5968. 3
5968. 4
5968. 5
5968. 6
5968. 7
5969. 0
5969. 1
5969. 2
5969. 3
5969. 4
5969. 5
5969. 6
5969. 7
5969. 8
5969. 9
5970. 0
5970. 1
5970. 2
5970. 3
5971. 0
5971. 1
5971. 2
5971. 3
5971. 4
5971. 5
5971. 6
5972. 0

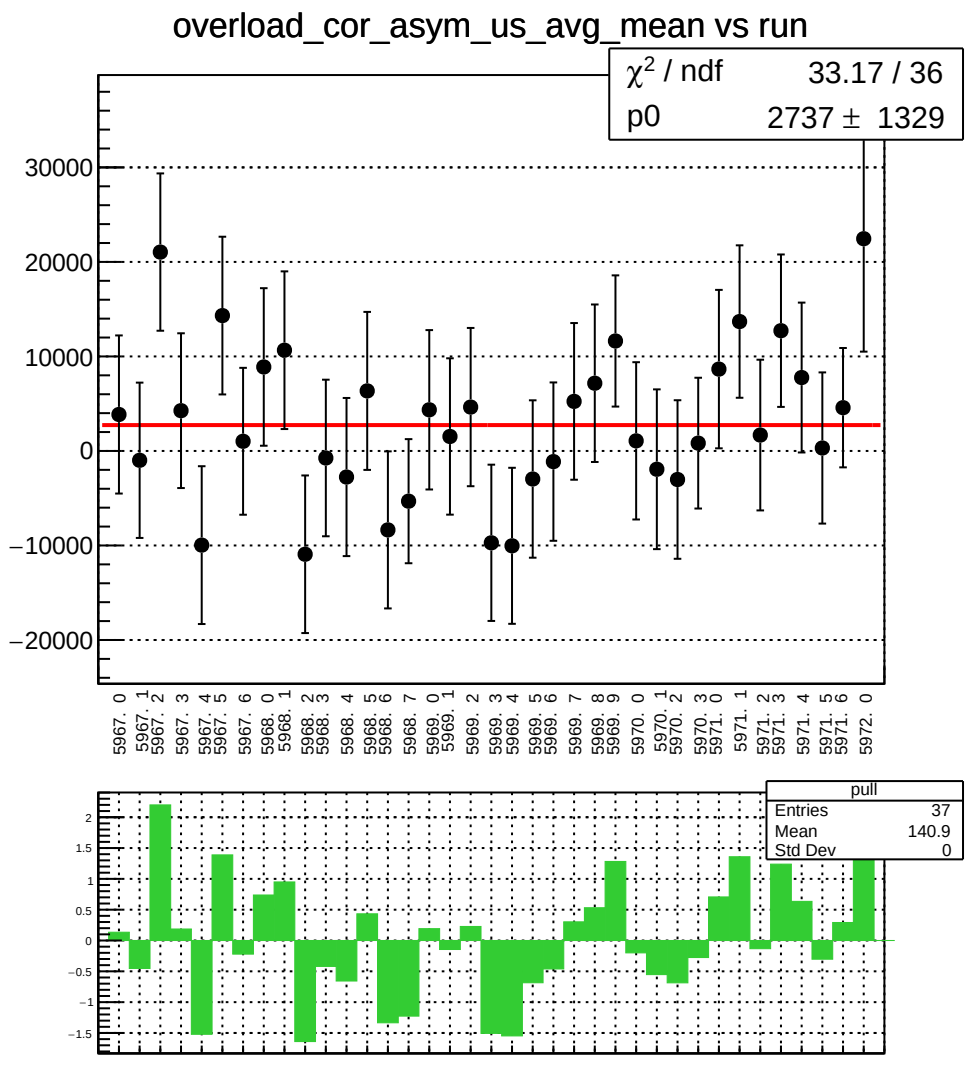
overload_cor_asym_us_avg_mean vs run
χ² / ndf 33.17 / 36
p0 2737 ± 1329
30000
20000
10000
0
−10000
−20000
5967. 0
5967. 1
5967. 2
5967. 3
5967. 4
5967. 5
5967. 6
5968. 0
5968. 1
5968. 2
5968. 3
5968. 4
5968. 5
5968. 6
5968. 7
5969. 0
5969. 1
5969. 2
5969. 3
5969. 4
5969. 5
5969. 6
5969. 7
5969. 8
5969. 9
5970. 0
5970. 1
5970. 2
5970. 3
5971. 0
5971. 1
5971. 2
5971. 3
5971. 4
5971. 5
5971. 6
5972. 0
pull
Entries 37
Mean 140.9
Std Dev 0
2
1.5
1
0.5
0
−0.5
−1
−1.5
pull1D
Entries 37
Mean 0.01287
Std Dev 0.9467
7
6
5
4
3
2
1
0
−8
−6
−4
−2
0
2
4
6
8

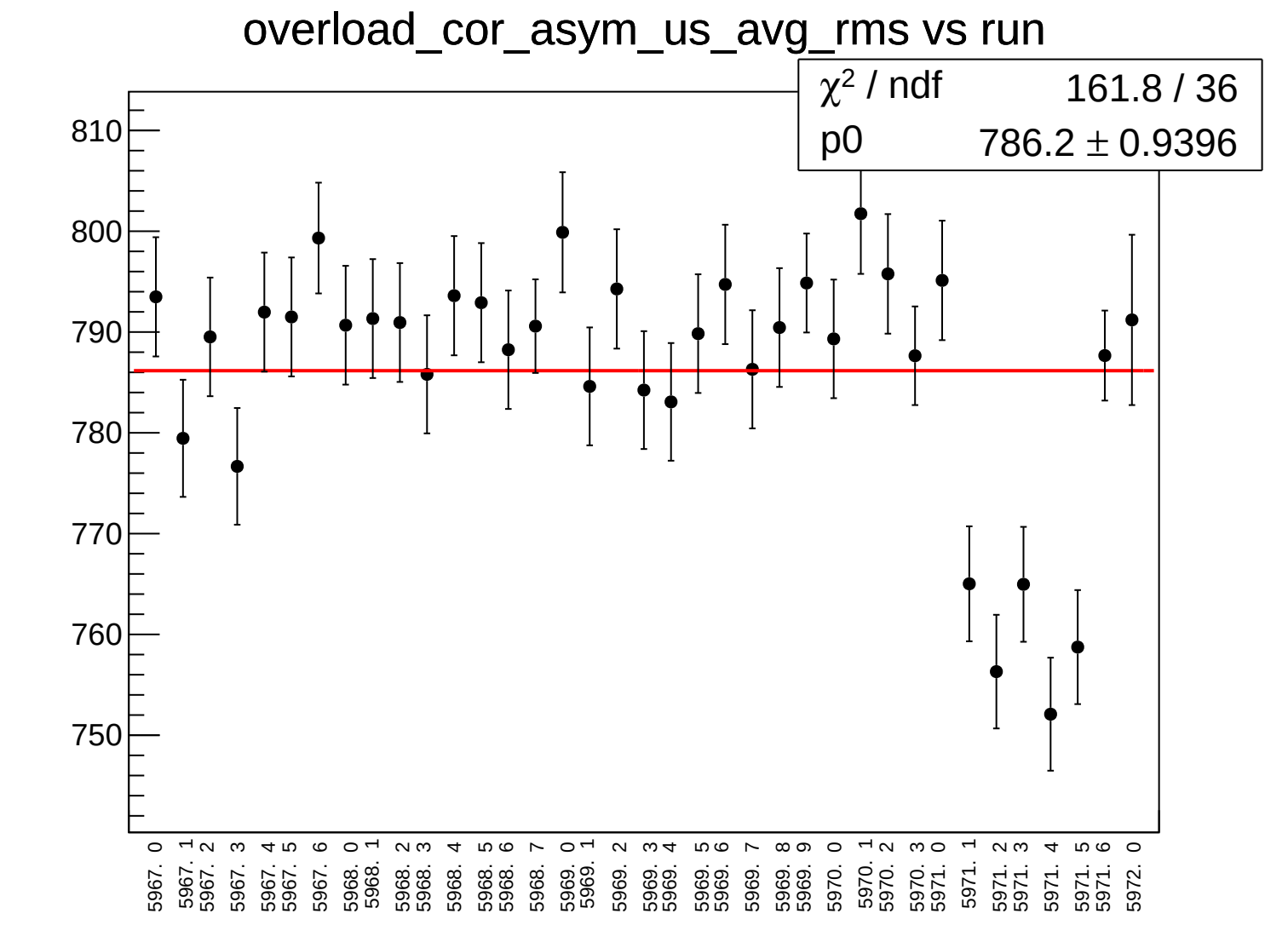
overload_cor_asym_us_avg_rms vs run
χ² / ndf 161.8 / 36
p0 786.2 ± 0.9396
810
800
790
780
770
760
750
5967. 0
5967. 1
5967. 2
5967. 3
5967. 4
5967. 5
5967. 6
5968. 0
5968. 1
5968. 2
5968. 3
5968. 4
5968. 5
5968. 6
5968. 7
5969. 0
5969. 1
5969. 2
5969. 3
5969. 4
5969. 5
5969. 6
5969. 7
5969. 8
5969. 9
5970. 0
5970. 1
5970. 2
5970. 3
5971. 0
5971. 1
5971. 2
5971. 3
5971. 4
5971. 5
5971. 6
5972. 0

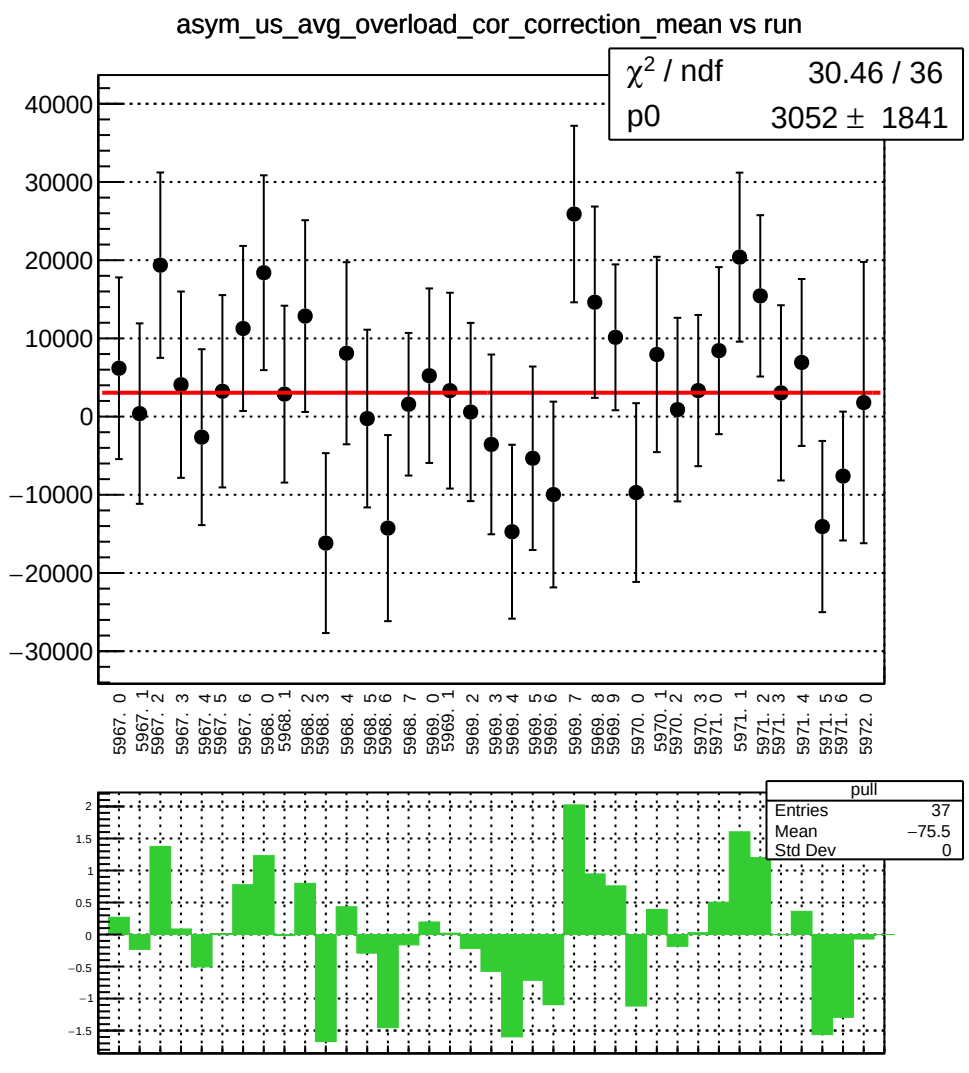
asym_us_avg_overload_cor_correction_mean vs run
χ² / ndf 30.46 / 36
p0 3052 ± 1841
40000
30000
20000
10000
0
−10000
−20000
−30000
5967. 0
5967. 1
5967. 2
5967. 3
5967. 4
5967. 5
5967. 6
5968. 0
5968. 1
5968. 2
5968. 3
5968. 4
5968. 5
5968. 6
5968. 7
5969. 0
5969. 1
5969. 2
5969. 3
5969. 4
5969. 5
5969. 6
5969. 7
5969. 8
5969. 9
5970. 0
5970. 1
5970. 2
5970. 3
5971. 0
5971. 1
5971. 2
5971. 3
5971. 4
5971. 5
5971. 6
5972. 0
pull
Entries 37
Mean −75.5
Std Dev 0
2
1.5
1
0.5
0
−0.5
−1
−1.5
pull1D
Entries 37
Mean 0.007218
Std Dev 0.9073
8
7
6
5
4
3
2
1
0
−8
−6
−4
−2
0
2
4
6
8

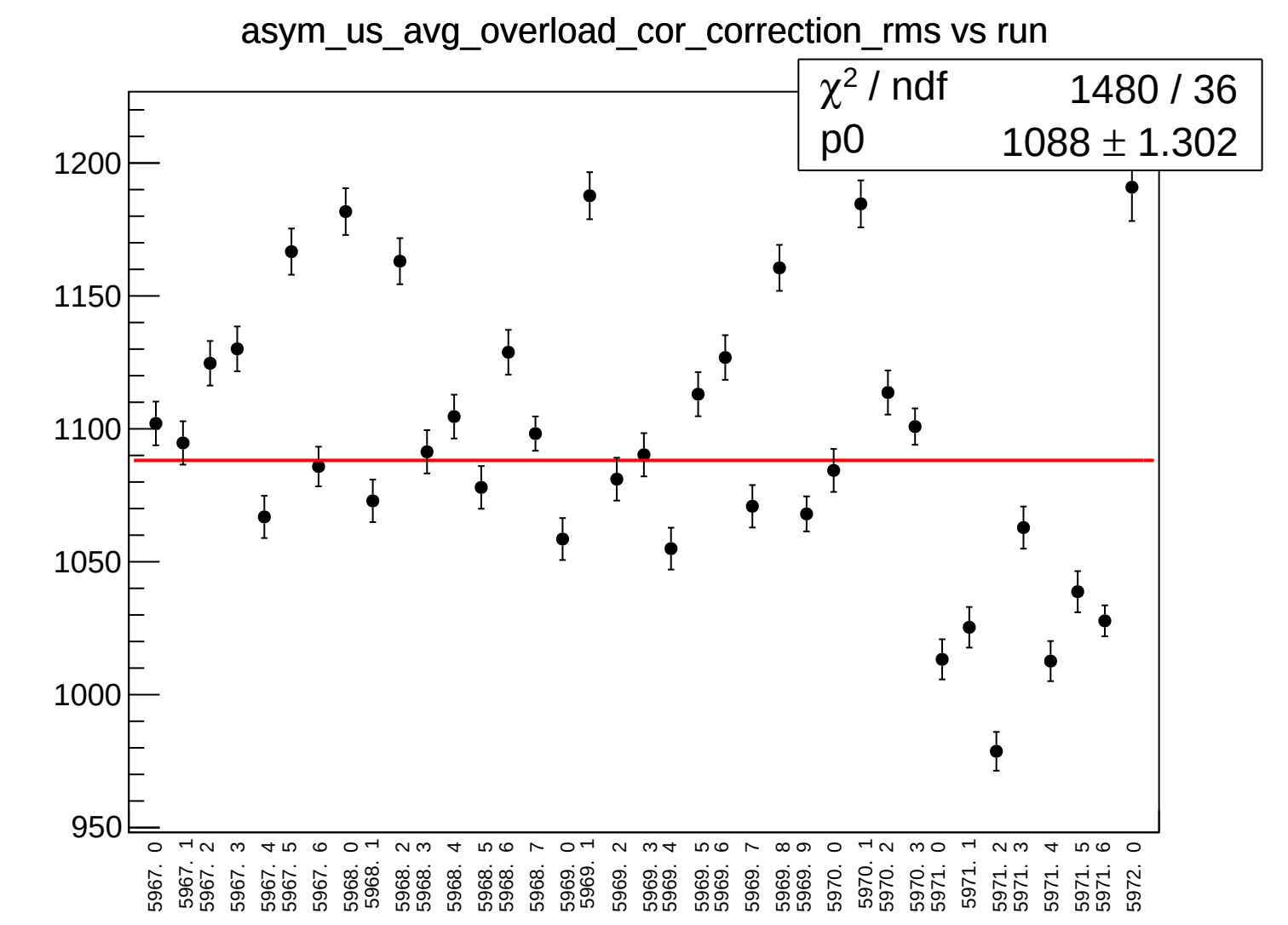
asym_us_avg_overload_cor_correction_rms vs run
χ² / ndf 1480 / 36
p0 1088 ± 1.302
1200
1150
1100
1050
1000
950
5967. 0
5967. 1
5967. 2
5967. 3
5967. 4
5967. 5
5967. 6
5968. 0
5968. 1
5968. 2
5968. 3
5968. 4
5968. 5
5968. 6
5968. 7
5969. 0
5969. 1
5969. 2
5969. 3
5969. 4
5969. 5
5969. 6
5969. 7
5969. 8
5969. 9
5970. 0
5970. 1
5970. 2
5970. 3
5971. 0
5971. 1
5971. 2
5971. 3
5971. 4
5971. 5
5971. 6
5972. 0

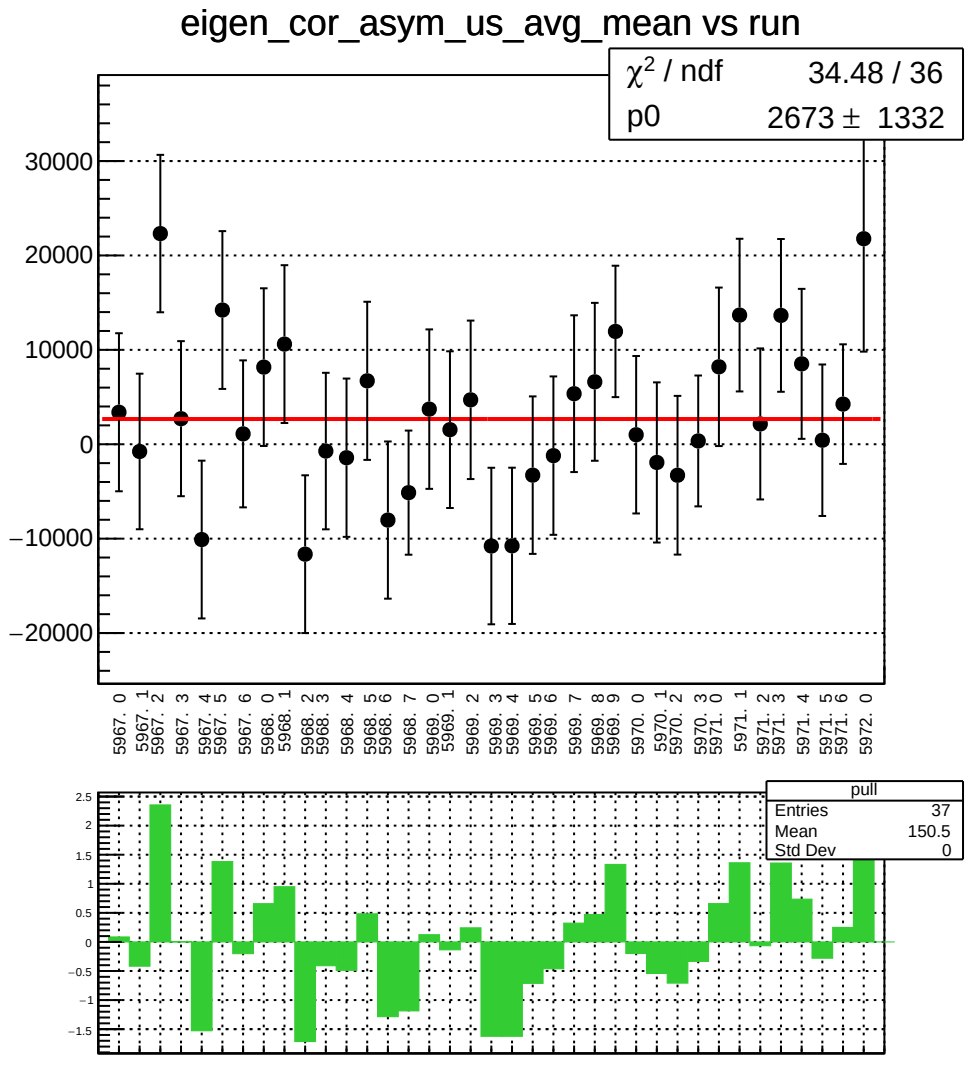
eigen_cor_asym_us_avg_mean vs run
χ² / ndf 34.48 / 36
p0 2673 ± 1332
30000
20000
10000
0
−10000
−20000
5967. 0
5967. 1
5967. 2
5967. 3
5967. 4
5967. 5
5967. 6
5968. 0
5968. 1
5968. 2
5968. 3
5968. 4
5968. 5
5968. 6
5968. 7
5969. 0
5969. 1
5969. 2
5969. 3
5969. 4
5969. 5
5969. 6
5969. 7
5969. 8
5969. 9
5970. 0
5970. 1
5970. 2
5970. 3
5971. 0
5971. 1
5971. 2
5971. 3
5971. 4
5971. 5
5971. 6
5972. 0
pull
Entries 37
Mean 150.5
Std Dev 0
2.5
2
1.5
1
0.5
0
−0.5
−1
−1.5

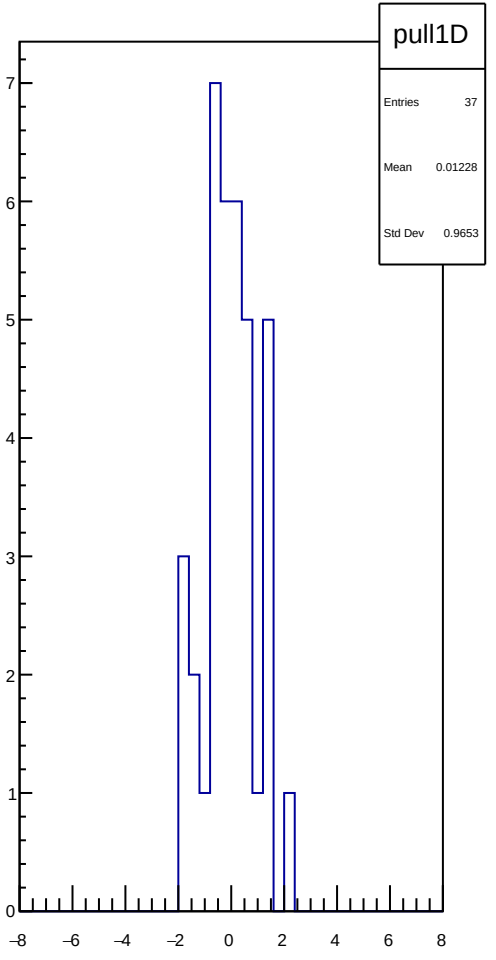
pull1D
Entries 37
Mean 0.01228
Std Dev 0.9653
7
6
5
4
3
2
1
0
−8
−6
−4
−2
0
2
4
6
8

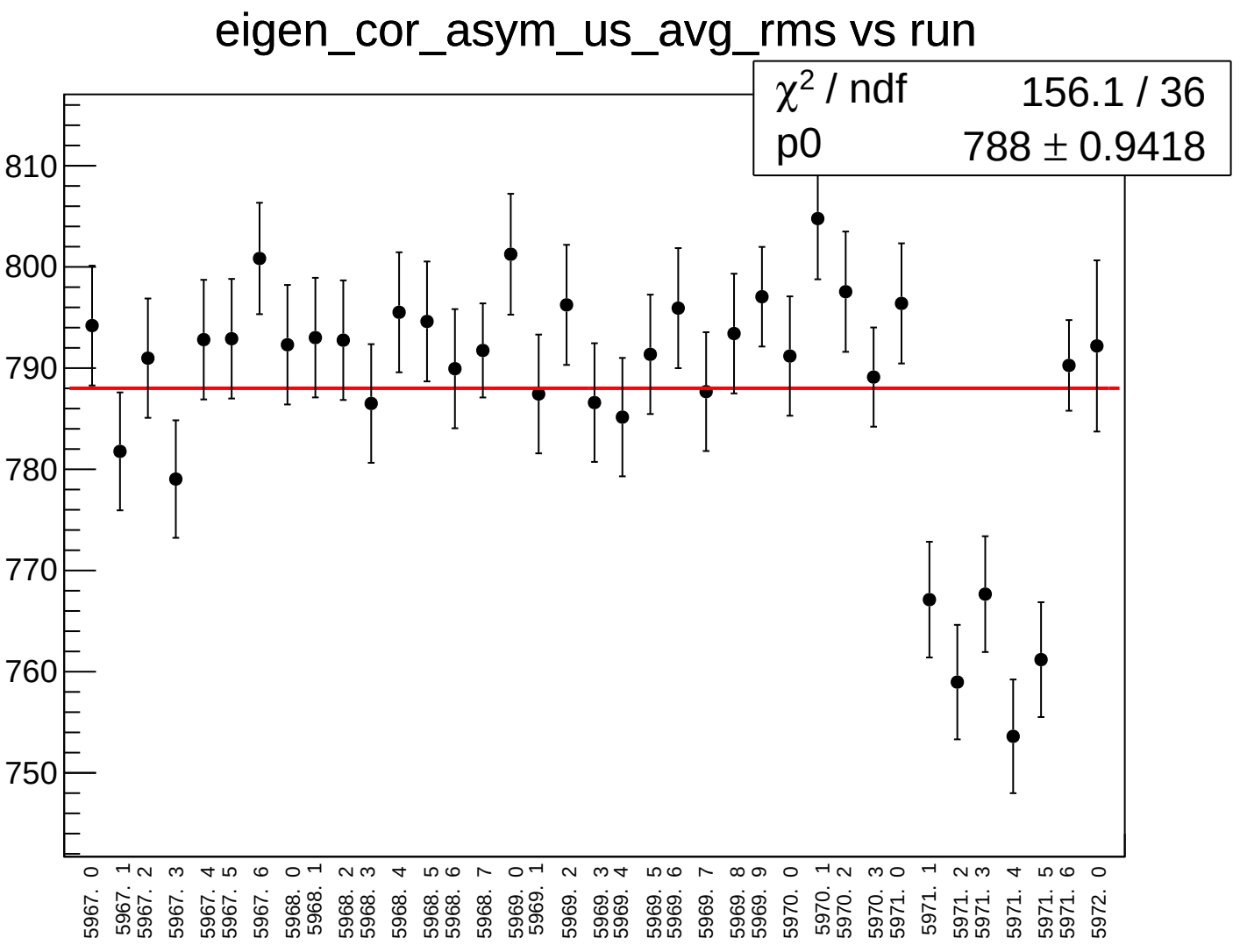
eigen_cor_asym_us_avg_rms vs run
χ² / ndf 156.1 / 36
p0 788 ± 0.9418
810
800
790
780
770
760
750
5967. 0
5967. 1
5967. 2
5967. 3
5967. 4
5967. 5
5967. 6
5968. 0
5968. 1
5968. 2
5968. 3
5968. 4
5968. 5
5968. 6
5968. 7
5969. 0
5969. 1
5969. 2
5969. 3
5969. 4
5969. 5
5969. 6
5969. 7
5969. 8
5969. 9
5970. 0
5970. 1
5970. 2
5970. 3
5971. 0
5971. 1
5971. 2
5971. 3
5971. 4
5971. 5
5971. 6
5972. 0

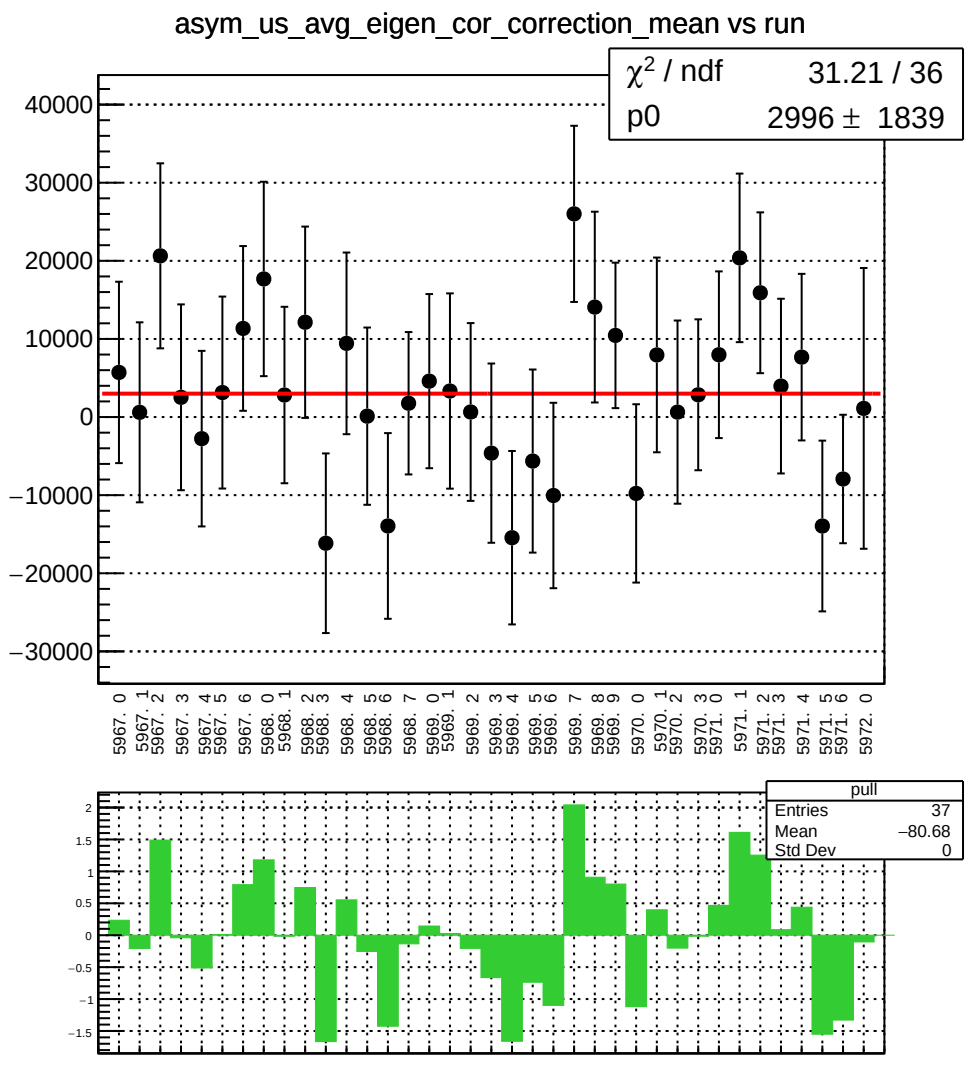
asym_us_avg_eigen_cor_correction_mean vs run
χ² / ndf 31.21 / 36
p0 2996 ± 1839
40000
30000
20000
10000
0
−10000
−20000
−30000
5967. 0
5967. 1
5967. 2
5967. 3
5967. 4
5967. 5
5967. 6
5968. 0
5968. 1
5968. 2
5968. 3
5968. 4
5968. 5
5968. 6
5968. 7
5969. 0
5969. 1
5969. 2
5969. 3
5969. 4
5969. 5
5969. 6
5969. 7
5969. 8
5969. 9
5970. 0
5970. 1
5970. 2
5970. 3
5971. 0
5971. 1
5971. 2
5971. 3
5971. 4
5971. 5
5971. 6
5972. 0
pull
Entries 37
Mean −80.68
Std Dev 0
2
1.5
1
0.5
0
−0.5
−1
−1.5

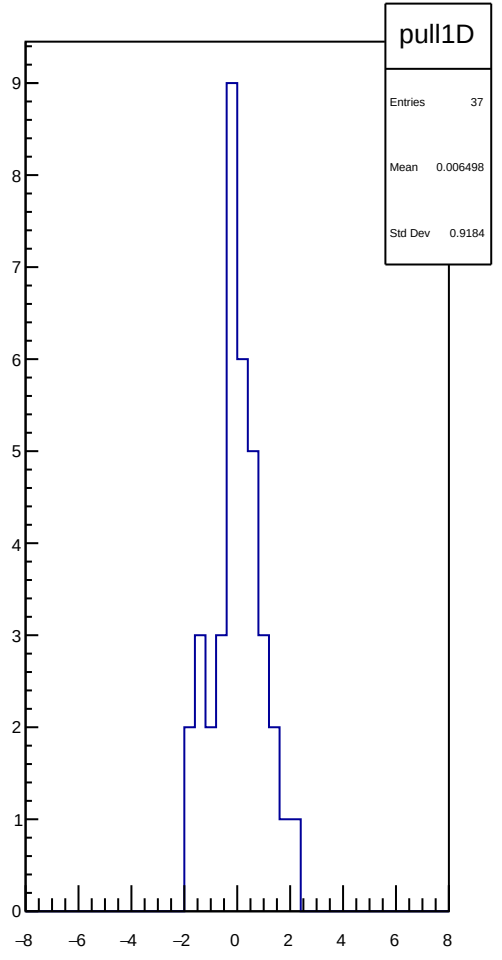
pull1D
Entries 37
Mean 0.006498
Std Dev 0.9184
9
8
7
6
5
4
3
2
1
0
−8
−6
−4
−2
0
2
4
6
8

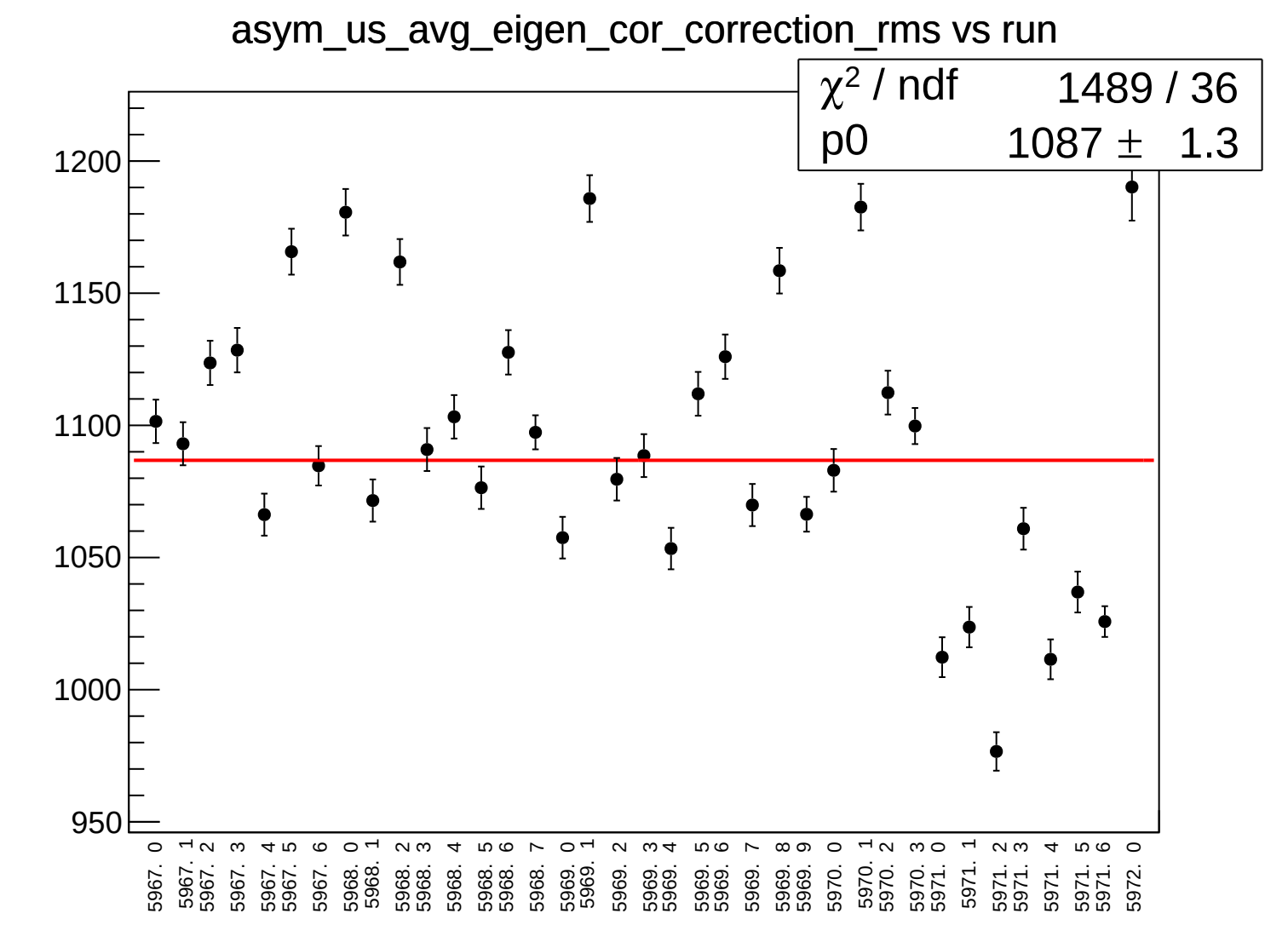
asym_us_avg_eigen_cor_correction_rms vs run
χ² / ndf 1489 / 36
p0 1087 ± 1.3
1200
1150
1100
1050
1000
950
5967. 0
5967. 1
5967. 2
5967. 3
5967. 4
5967. 5
5967. 6
5968. 0
5968. 1
5968. 2
5968. 3
5968. 4
5968. 5
5968. 6
5968. 7
5969. 0
5969. 1
5969. 2
5969. 3
5969. 4
5969. 5
5969. 6
5969. 7
5969. 8
5969. 9
5970. 0
5970. 1
5970. 2
5970. 3
5971. 0
5971. 1
5971. 2
5971. 3
5971. 4
5971. 5
5971. 6
5972. 0

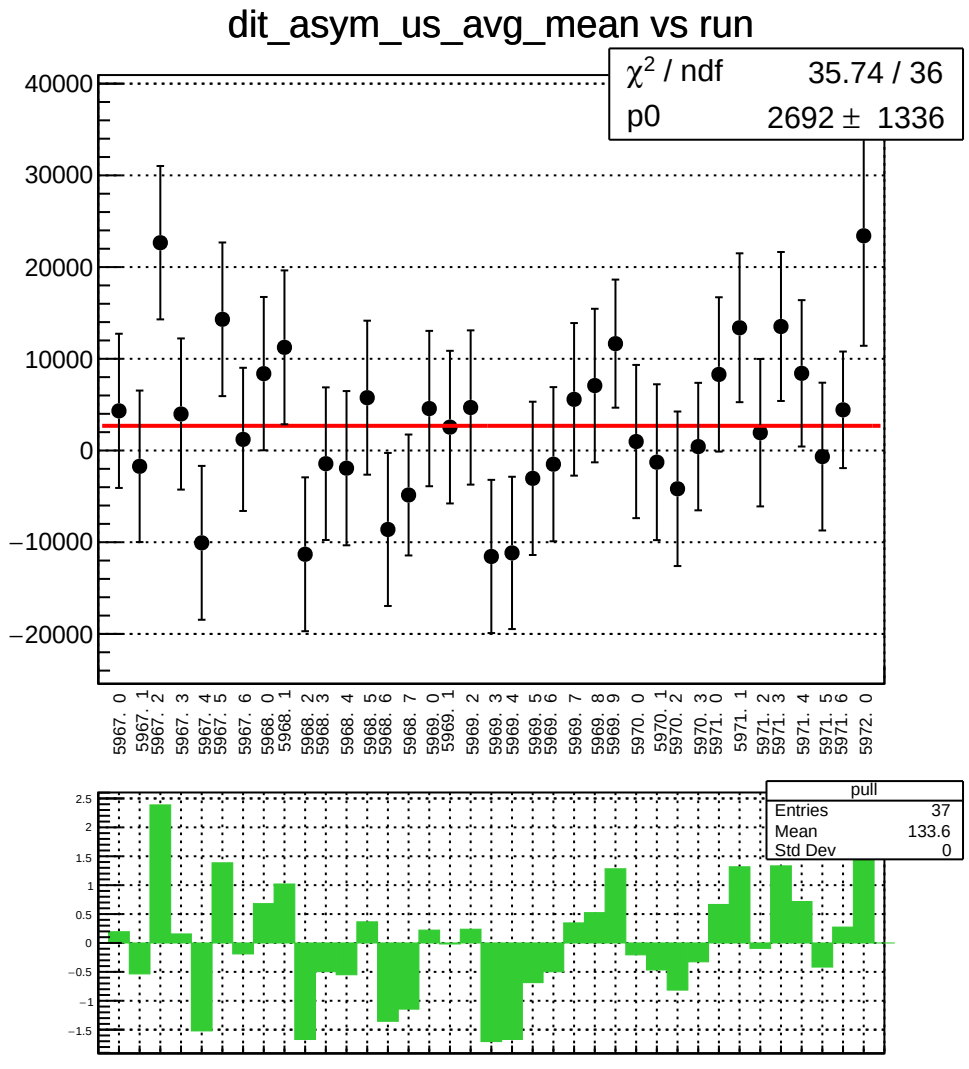
dit_asym_us_avg_mean vs run
χ² / ndf 35.74 / 36
p0 2692 ± 1336
40000
30000
20000
10000
0
−10000
−20000
5967. 0
5967. 1
5967. 2
5967. 3
5967. 4
5967. 5
5967. 6
5968. 0
5968. 1
5968. 2
5968. 3
5968. 4
5968. 5
5968. 6
5968. 7
5969. 0
5969. 1
5969. 2
5969. 3
5969. 4
5969. 5
5969. 6
5969. 7
5969. 8
5969. 9
5970. 0
5970. 1
5970. 2
5970. 3
5971. 0
5971. 1
5971. 2
5971. 3
5971. 4
5971. 5
5971. 6
5972. 0
pull
Entries 37
Mean 133.6
Std Dev 0
2.5
2
1.5
1
0.5
0
−0.5
−1
−1.5
pull1D
Entries 37
Mean 0.01312
Std Dev 0.9828
7
6
5
4
3
2
1
0
−8
−6
−4
−2
0
2
4
6
8

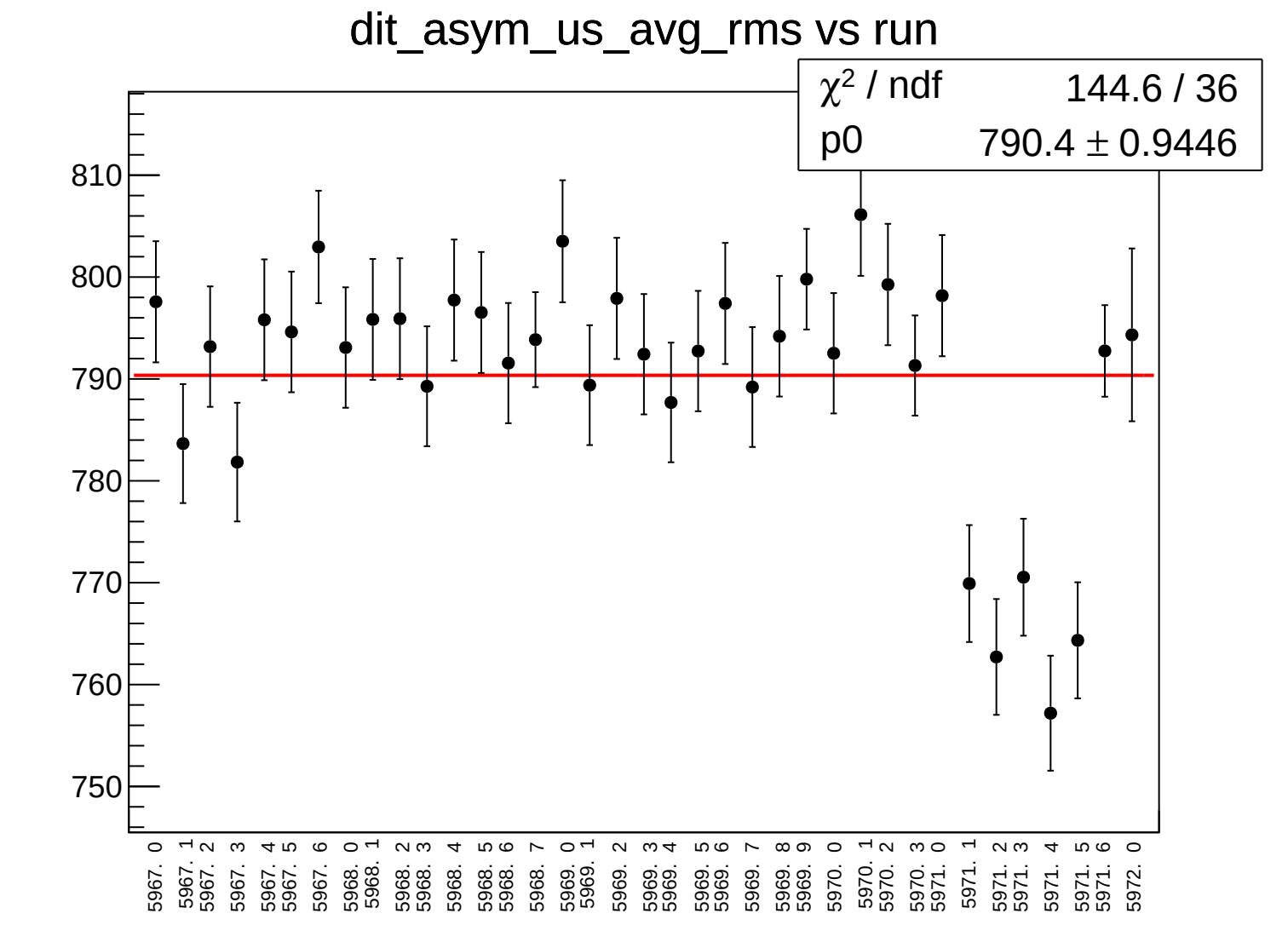
dit_asym_us_avg_rms vs run
χ² / ndf 144.6 / 36
p0 790.4 ± 0.9446
810
800
790
780
770
760
750
5967. 0
5967. 1
5967. 2
5967. 3
5967. 4
5967. 5
5967. 6
5968. 0
5968. 1
5968. 2
5968. 3
5968. 4
5968. 5
5968. 6
5968. 7
5969. 0
5969. 1
5969. 2
5969. 3
5969. 4
5969. 5
5969. 6
5969. 7
5969. 8
5969. 9
5970. 0
5970. 1
5970. 2
5970. 3
5971. 0
5971. 1
5971. 2
5971. 3
5971. 4
5971. 5
5971. 6
5972. 0

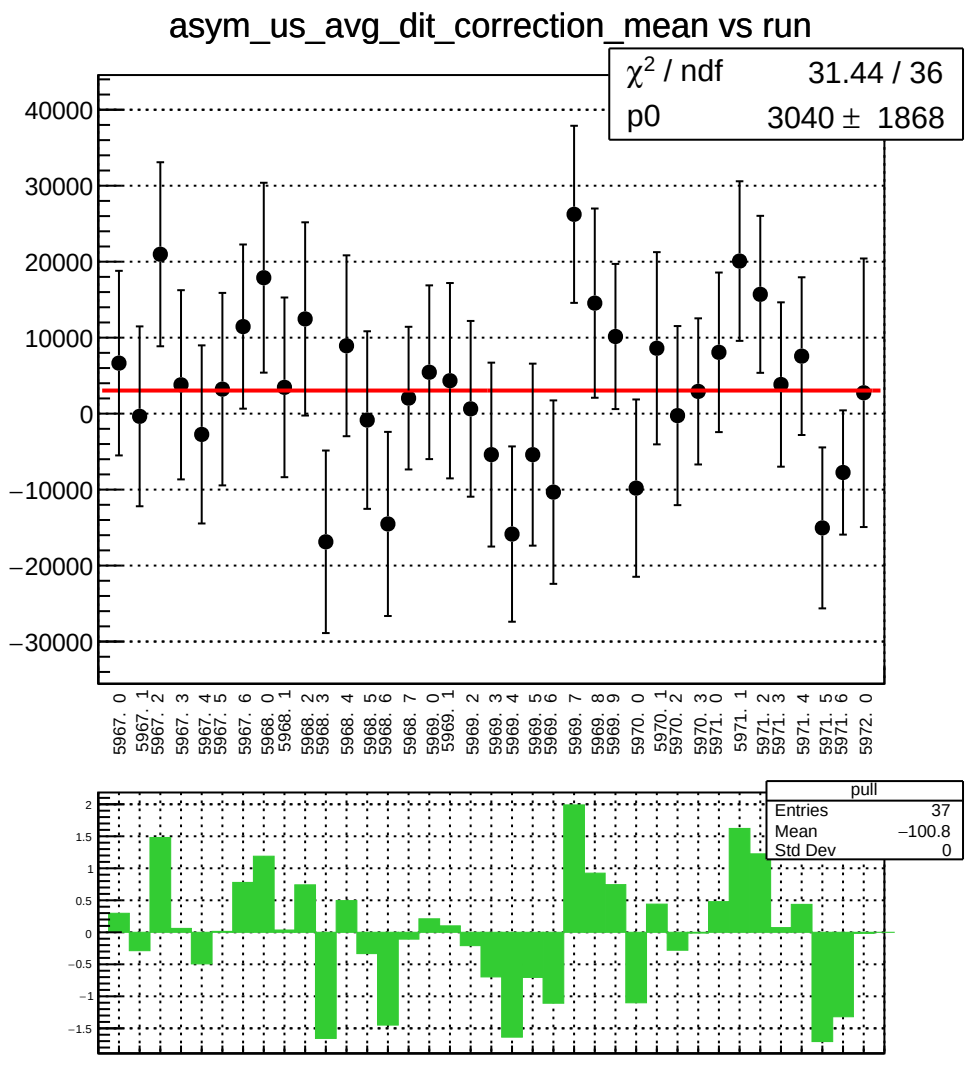
asym_us_avg_dit_correction_mean vs run
χ² / ndf 31.44 / 36
p0 3040 ± 1868
40000
30000
20000
10000
0
−10000
−20000
−30000
5967. 0
5967. 1
5967. 2
5967. 3
5967. 4
5967. 5
5967. 6
5968. 0
5968. 1
5968. 2
5968. 3
5968. 4
5968. 5
5968. 6
5968. 7
5969. 0
5969. 1
5969. 2
5969. 3
5969. 4
5969. 5
5969. 6
5969. 7
5969. 8
5969. 9
5970. 0
5970. 1
5970. 2
5970. 3
5971. 0
5971. 1
5971. 2
5971. 3
5971. 4
5971. 5
5971. 6
5972. 0
pull
Entries 37
Mean −100.8
Std Dev 0
2
1.5
1
0.5
0
−0.5
−1
−1.5
pull1D
Entries 37
Mean 0.006097
Std Dev 0.9219
7
6
5
4
3
2
1
0
−8
−6
−4
−2
0
2
4
6
8

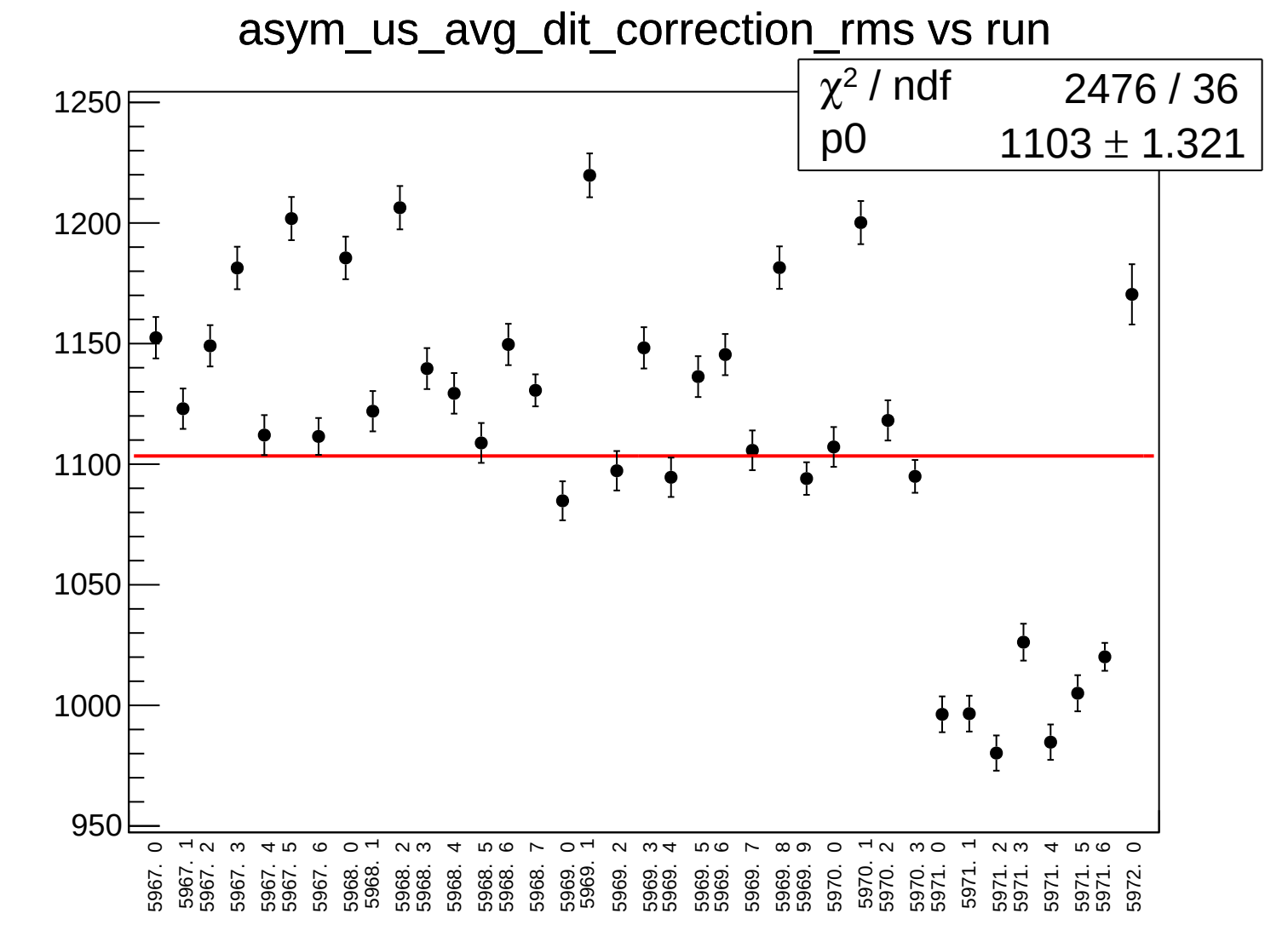
asym_us_avg_dit_correction_rms vs run
χ² / ndf 2476 / 36
p0 1103 ± 1.321
1250
1200
1150
1100
1050
1000
950
5967. 0
5967. 1
5967. 2
5967. 3
5967. 4
5967. 5
5967. 6
5968. 0
5968. 1
5968. 2
5968. 3
5968. 4
5968. 5
5968. 6
5968. 7
5969. 0
5969. 1
5969. 2
5969. 3
5969. 4
5969. 5
5969. 6
5969. 7
5969. 8
5969. 9
5970. 0
5970. 1
5970. 2
5970. 3
5971. 0
5971. 1
5971. 2
5971. 3
5971. 4
5971. 5
5971. 6
5972. 0

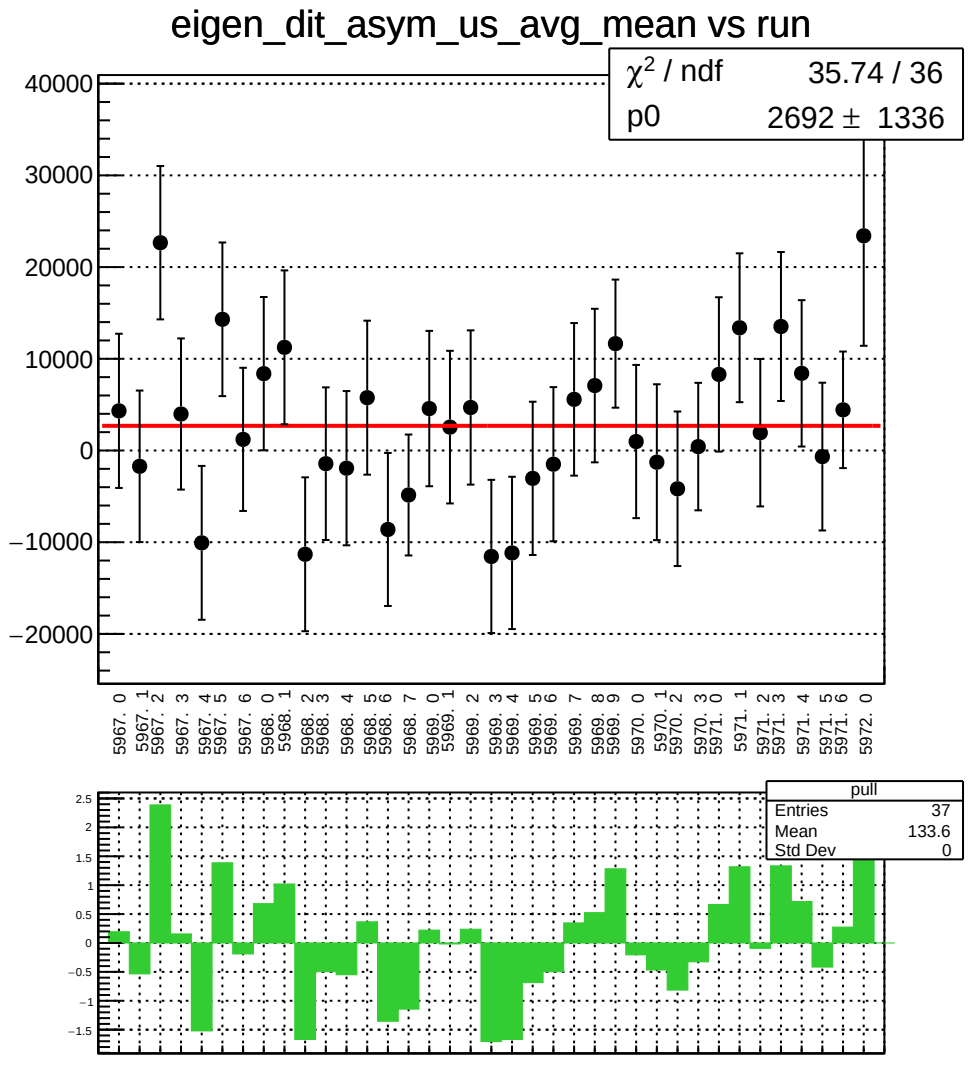
eigen_dit_asym_us_avg_mean vs run
χ² / ndf 35.74 / 36
p0 2692 ± 1336
40000
30000
20000
10000
0
−10000
−20000
5967. 0
5967. 1
5967. 2
5967. 3
5967. 4
5967. 5
5967. 6
5968. 0
5968. 1
5968. 2
5968. 3
5968. 4
5968. 5
5968. 6
5968. 7
5969. 0
5969. 1
5969. 2
5969. 3
5969. 4
5969. 5
5969. 6
5969. 7
5969. 8
5969. 9
5970. 0
5970. 1
5970. 2
5970. 3
5971. 0
5971. 1
5971. 2
5971. 3
5971. 4
5971. 5
5971. 6
5972. 0
pull
Entries 37
Mean 133.6
Std Dev 0
2.5
2
1.5
1
0.5
0
−0.5
−1
−1.5
pull1D
Entries 37
Mean 0.01312
Std Dev 0.9828
7
6
5
4
3
2
1
0
−8
−6
−4
−2
0
2
4
6
8

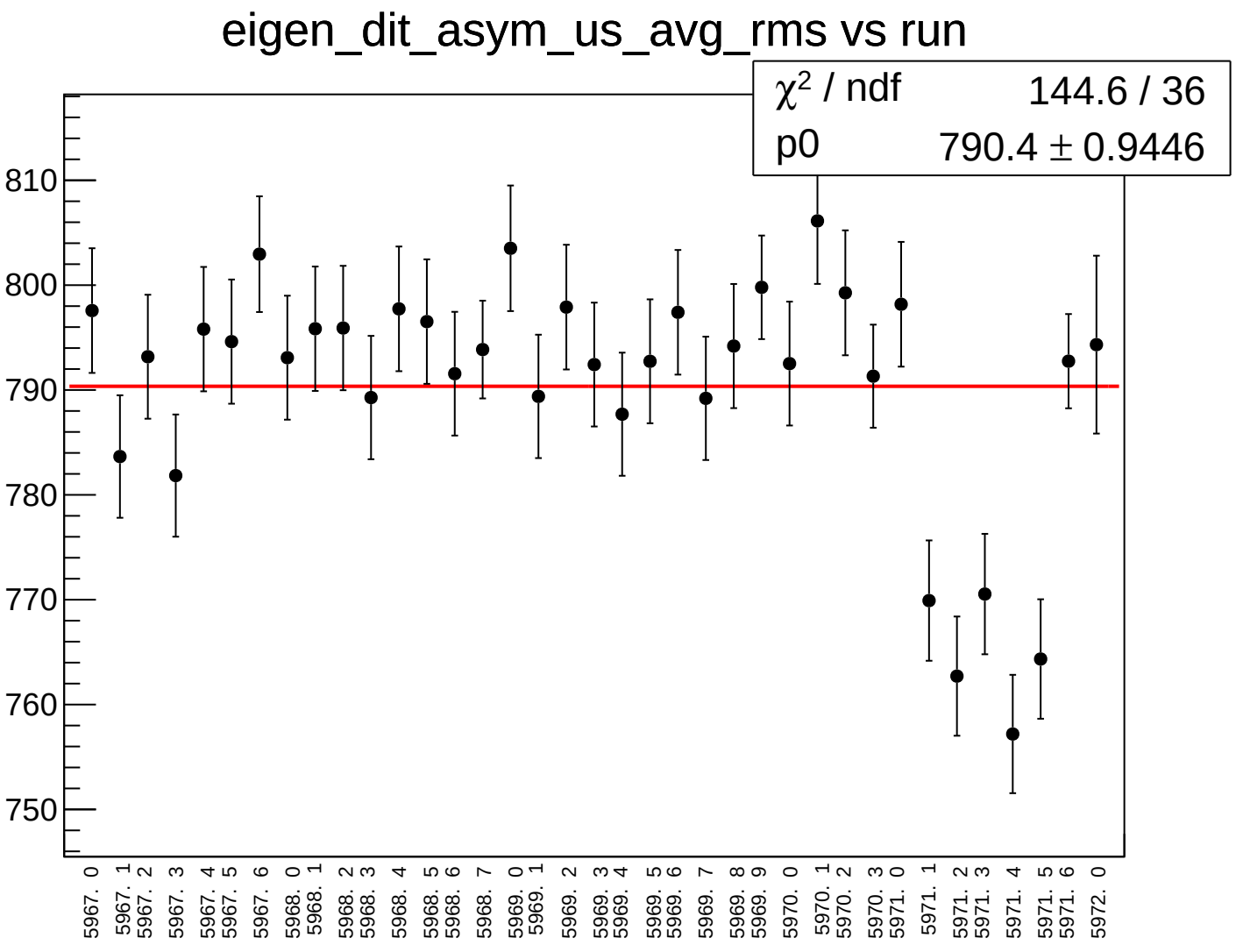
eigen_dit_asym_us_avg_rms vs run
χ² / ndf 144.6 / 36
p0 790.4 ± 0.9446
810
800
790
780
770
760
750
5967. 0
5967. 1
5967. 2
5967. 3
5967. 4
5967. 5
5967. 6
5968. 0
5968. 1
5968. 2
5968. 3
5968. 4
5968. 5
5968. 6
5968. 7
5969. 0
5969. 1
5969. 2
5969. 3
5969. 4
5969. 5
5969. 6
5969. 7
5969. 8
5969. 9
5970. 0
5970. 1
5970. 2
5970. 3
5971. 0
5971. 1
5971. 2
5971. 3
5971. 4
5971. 5
5971. 6
5972. 0

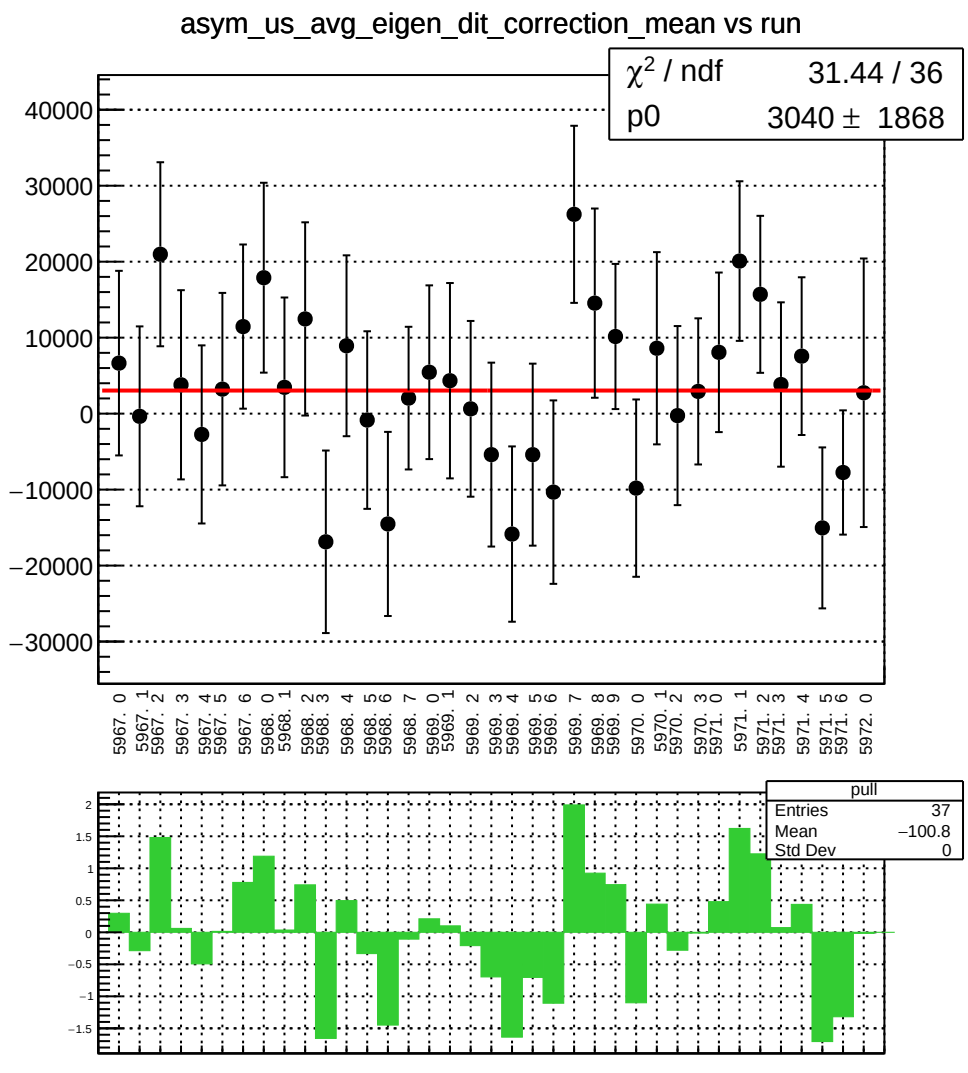
asym_us_avg_eigen_dit_correction_mean vs run
χ² / ndf 31.44 / 36
p0 3040 ± 1868
40000
30000
20000
10000
0
−10000
−20000
−30000
5967. 0
5967. 1
5967. 2
5967. 3
5967. 4
5967. 5
5967. 6
5968. 0
5968. 1
5968. 2
5968. 3
5968. 4
5968. 5
5968. 6
5968. 7
5969. 0
5969. 1
5969. 2
5969. 3
5969. 4
5969. 5
5969. 6
5969. 7
5969. 8
5969. 9
5970. 0
5970. 1
5970. 2
5970. 3
5971. 0
5971. 1
5971. 2
5971. 3
5971. 4
5971. 5
5971. 6
5972. 0
pull
Entries 37
Mean −100.8
Std Dev 0
2
1.5
1
0.5
0
−0.5
−1
−1.5
pull1D
Entries 37
Mean 0.006097
Std Dev 0.9219
7
6
5
4
3
2
1
0
−8
−6
−4
−2
0
2
4
6
8

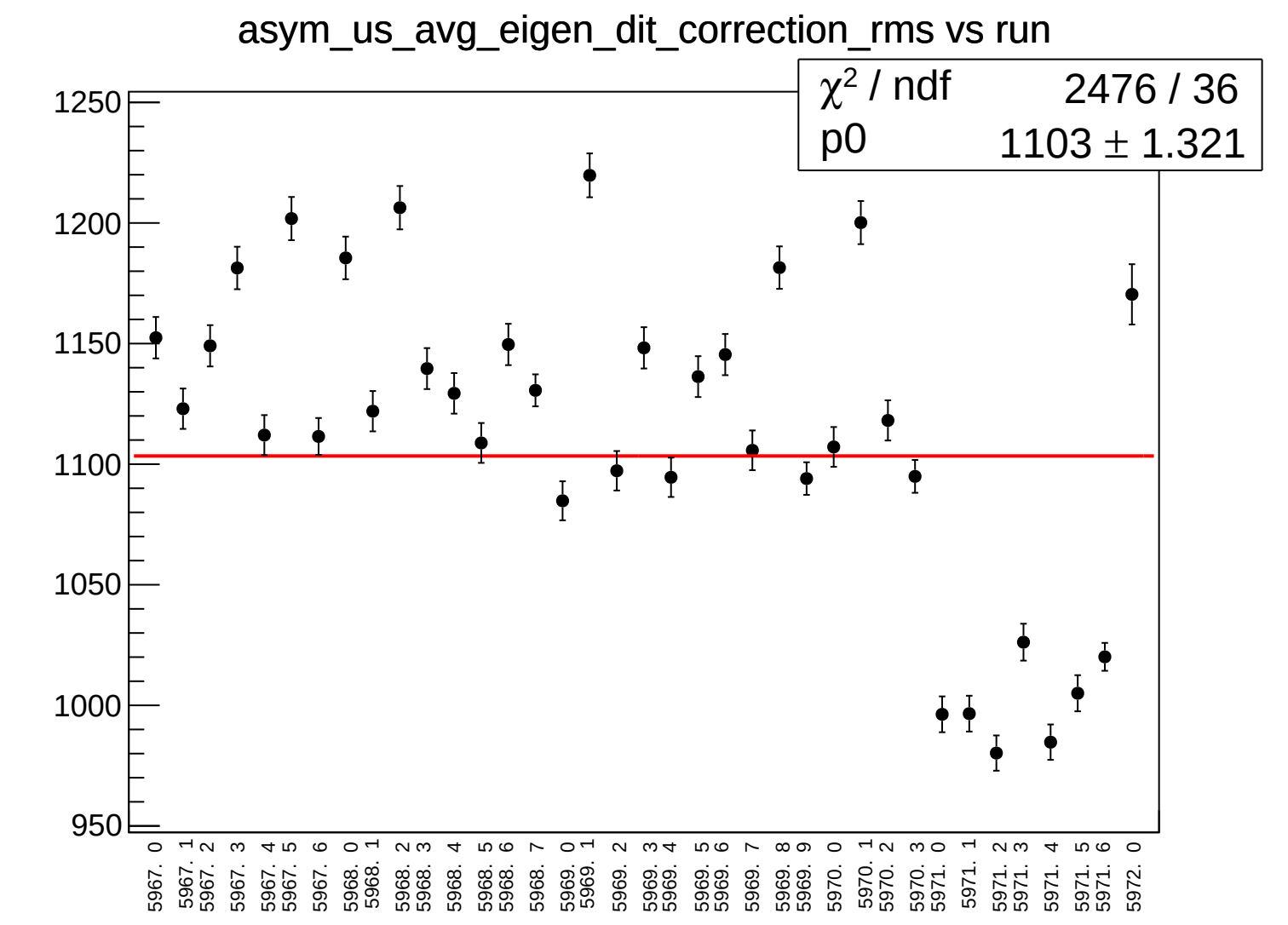
asym_us_avg_eigen_dit_correction_rms vs run
χ² / ndf 2476 / 36
p0 1103 ± 1.321
1250
1200
1150
1100
1050
1000
950
5967. 0
5967. 1
5967. 2
5967. 3
5967. 4
5967. 5
5967. 6
5968. 0
5968. 1
5968. 2
5968. 3
5968. 4
5968. 5
5968. 6
5968. 7
5969. 0
5969. 1
5969. 2
5969. 3
5969. 4
5969. 5
5969. 6
5969. 7
5969. 8
5969. 9
5970. 0
5970. 1
5970. 2
5970. 3
5971. 0
5971. 1
5971. 2
5971. 3
5971. 4
5971. 5
5971. 6
5972. 0

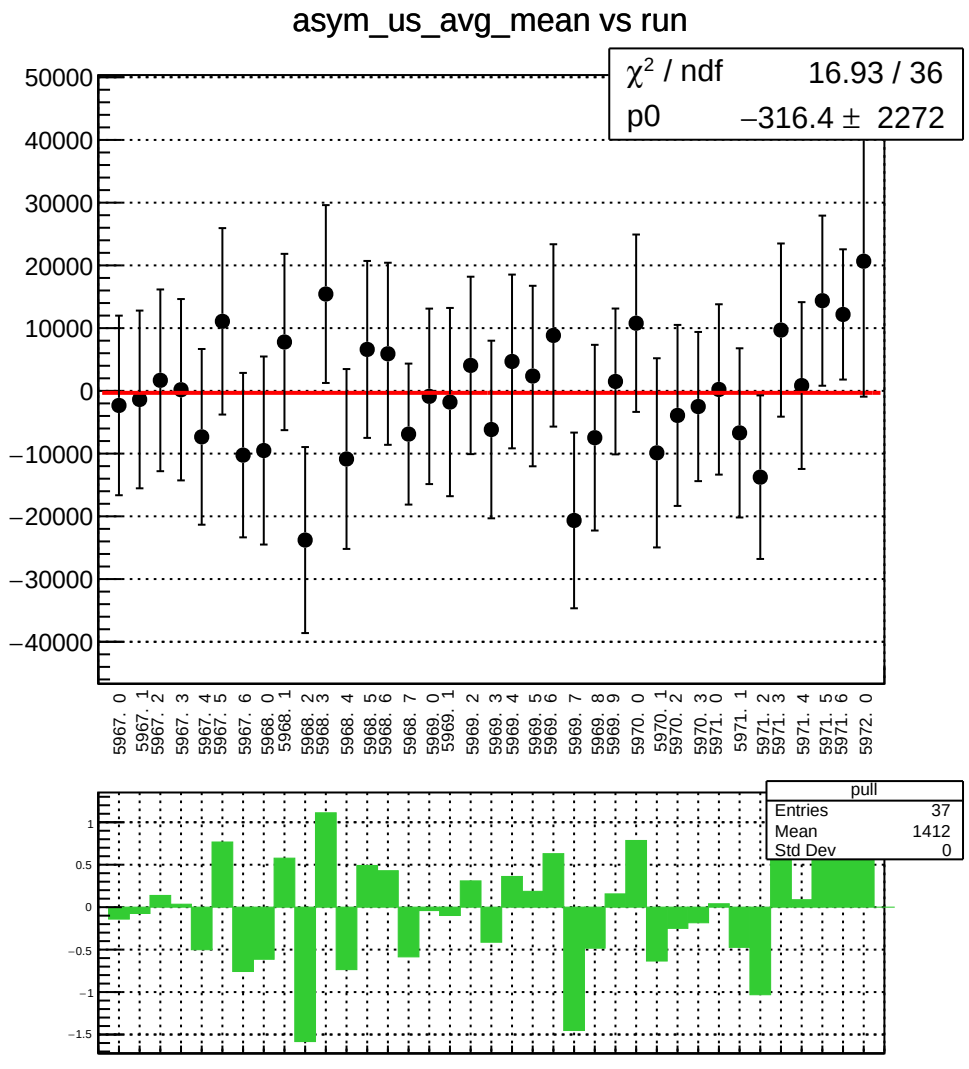
asym_us_avg_mean vs run
χ² / ndf 16.93 / 36
p0 −316.4 ± 2272
50000
40000
30000
20000
10000
0
−10000
−20000
−30000
−40000
5967. 0
5967. 1
5967. 2
5967. 3
5967. 4
5967. 5
5967. 6
5968. 0
5968. 1
5968. 2
5968. 3
5968. 4
5968. 5
5968. 6
5968. 7
5969. 0
5969. 1
5969. 2
5969. 3
5969. 4
5969. 5
5969. 6
5969. 7
5969. 8
5969. 9
5970. 0
5970. 1
5970. 2
5970. 3
5971. 0
5971. 1
5971. 2
5971. 3
5971. 4
5971. 5
5971. 6
5972. 0
pull
Entries 37
Mean 1412
Std Dev 0
1
0.5
0
−0.5
−1
−1.5

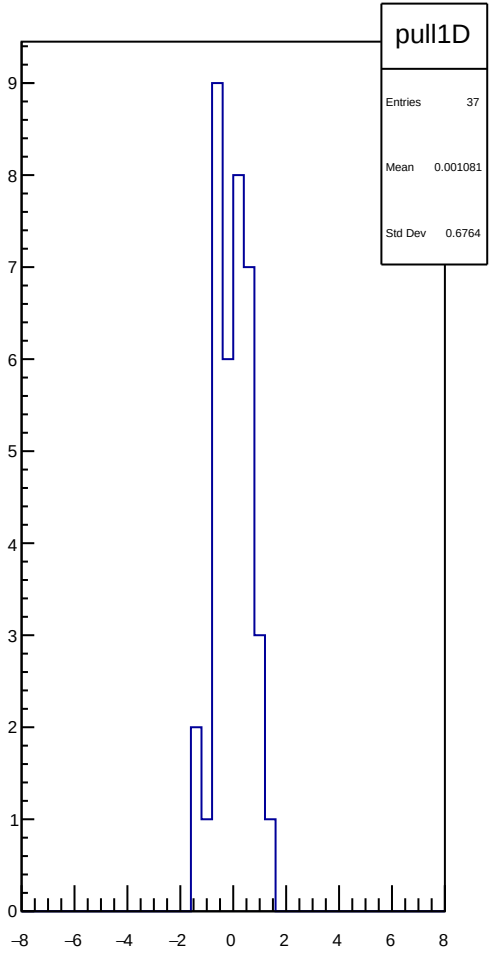
pull1D
Entries 37
Mean 0.001081
Std Dev 0.6764
9
8
7
6
5
4
3
2
1
0
−8
−6
−4
−2
0
2
4
6
8

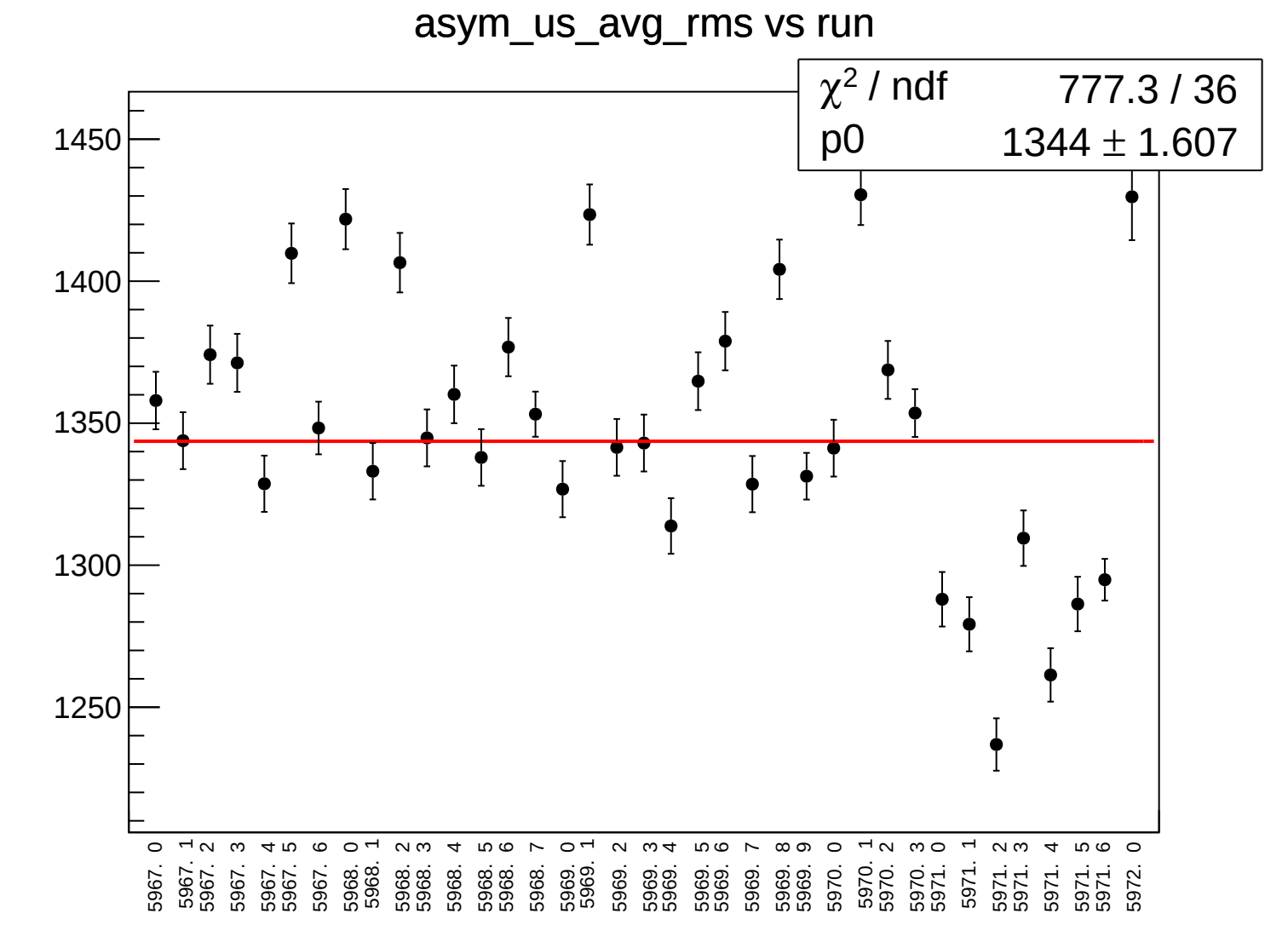
asym_us_avg_rms vs run
χ² / ndf 777.3 / 36
p0 1344 ± 1.607
1450
1400
1350
1300
1250
5967. 0
5967. 1
5967. 2
5967. 3
5967. 4
5967. 5
5967. 6
5968. 0
5968. 1
5968. 2
5968. 3
5968. 4
5968. 5
5968. 6
5968. 7
5969. 0
5969. 1
5969. 2
5969. 3
5969. 4
5969. 5
5969. 6
5969. 7
5969. 8
5969. 9
5970. 0
5970. 1
5970. 2
5970. 3
5971. 0
5971. 1
5971. 2
5971. 3
5971. 4
5971. 5
5971. 6
5972. 0

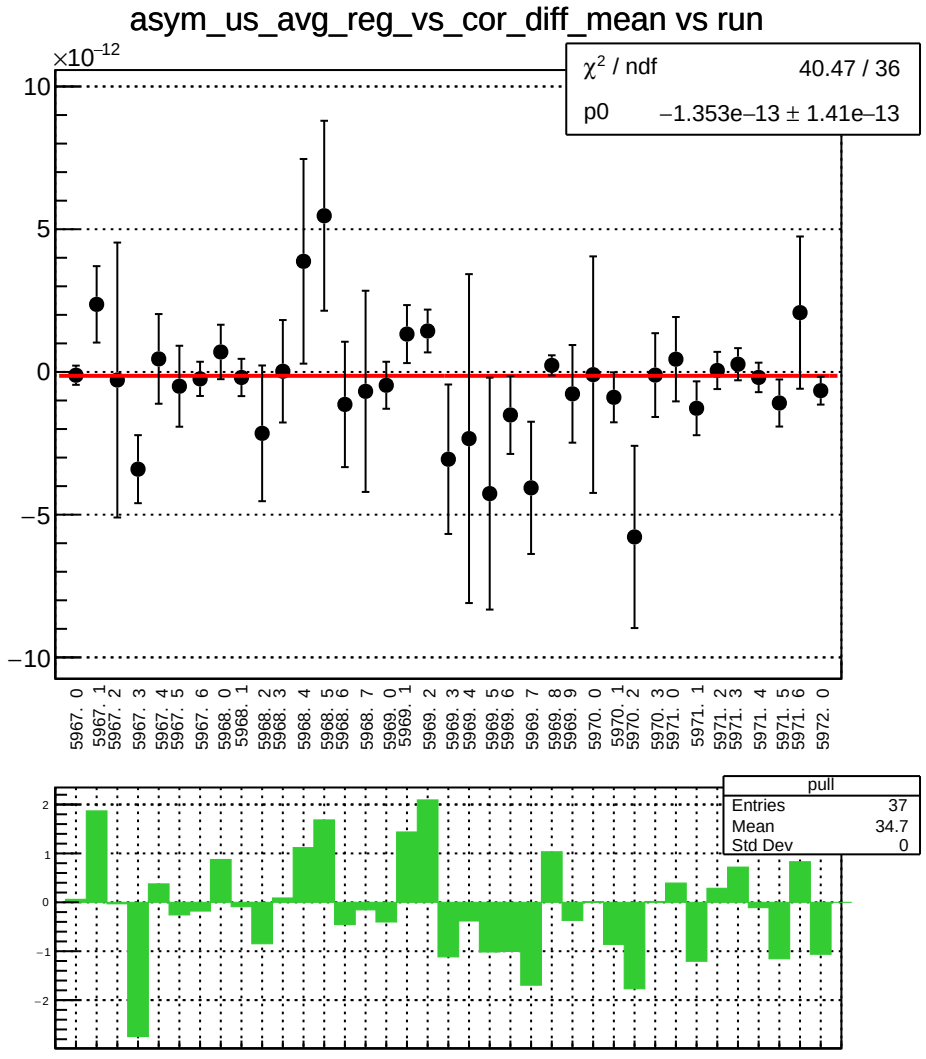
asym_us_avg_reg_vs_cor_diff_mean vs run
×10⁻¹²
χ² / ndf 40.47 / 36
p0 −1.353e−13 ± 1.41e−13
10
5
0
−5
−10
5967. 0
5967. 1
5967. 2
5967. 3
5967. 4
5967. 5
5967. 6
5968. 0
5968. 1
5968. 2
5968. 3
5968. 4
5968. 5
5968. 6
5968. 7
5969. 0
5969. 1
5969. 2
5969. 3
5969. 4
5969. 5
5969. 6
5969. 7
5969. 8
5969. 9
5970. 0
5970. 1
5970. 2
5970. 3
5971. 0
5971. 1
5971. 2
5971. 3
5971. 4
5971. 5
5971. 6
5972. 0
pull
Entries 37
Mean 34.7
Std Dev 0
2
1
0
−1
−2

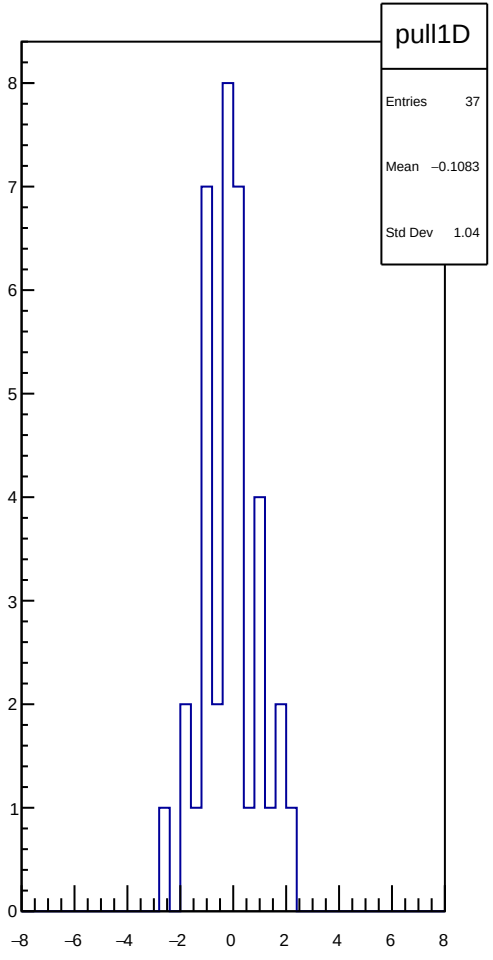
pull1D
Entries 37
Mean −0.1083
Std Dev 1.04
8
7
6
5
4
3
2
1
0
−8
−6
−4
−2
0
2
4
6
8

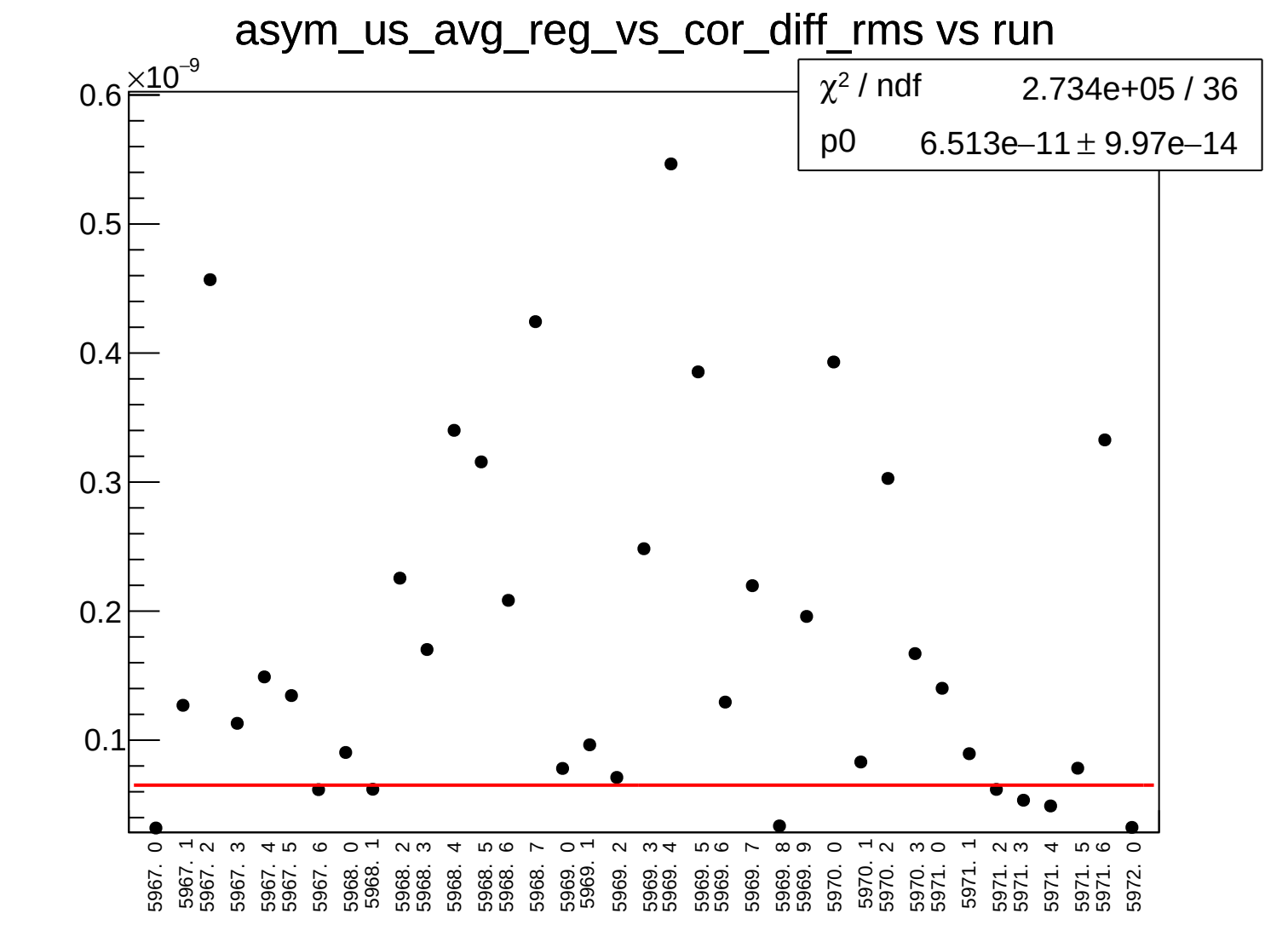
asym_us_avg_reg_vs_cor_diff_rms vs run
×10⁻⁹
χ² / ndf 2.734e+05 / 36
p0 6.513e−11 ± 9.97e−14
0.6
0.5
0.4
0.3
0.2
0.1
5967. 0
5967. 1
5967. 2
5967. 3
5967. 4
5967. 5
5967. 6
5968. 0
5968. 1
5968. 2
5968. 3
5968. 4
5968. 5
5968. 6
5968. 7
5969. 0
5969. 1
5969. 2
5969. 3
5969. 4
5969. 5
5969. 6
5969. 7
5969. 8
5969. 9
5970. 0
5970. 1
5970. 2
5970. 3
5971. 0
5971. 1
5971. 2
5971. 3
5971. 4
5971. 5
5971. 6
5972. 0

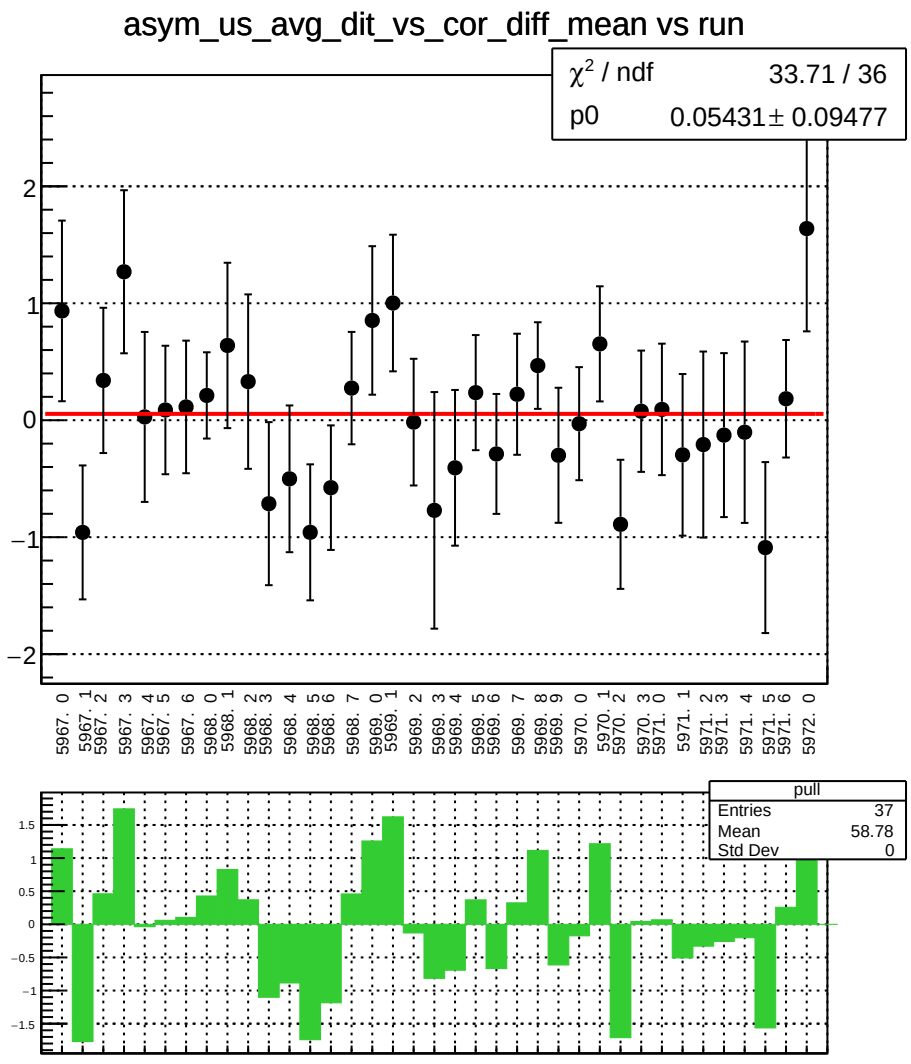
asym_us_avg_dit_vs_cor_diff_mean vs run
χ² / ndf 33.71 / 36
p0 0.05431 ± 0.09477
pull
Entries 37
Mean 58.78
Std Dev 0

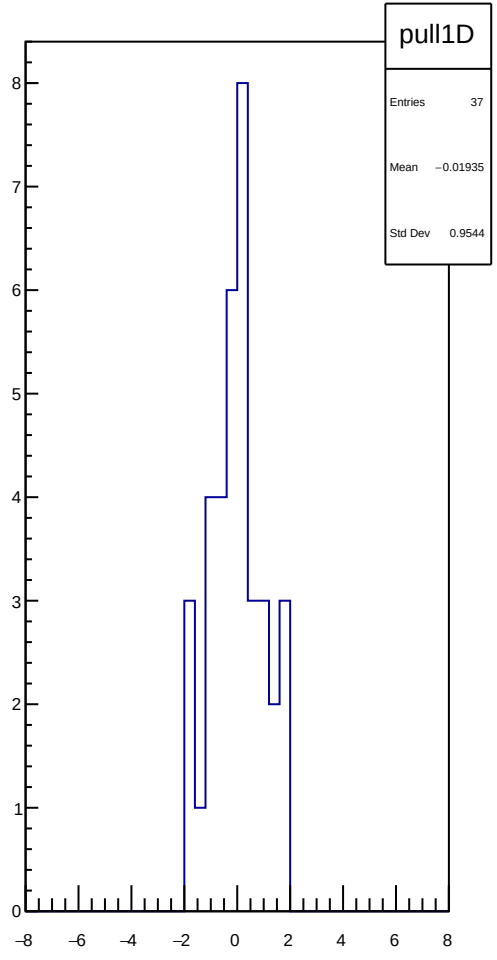
pull1D
Entries 37
Mean −0.01935
Std Dev 0.9544

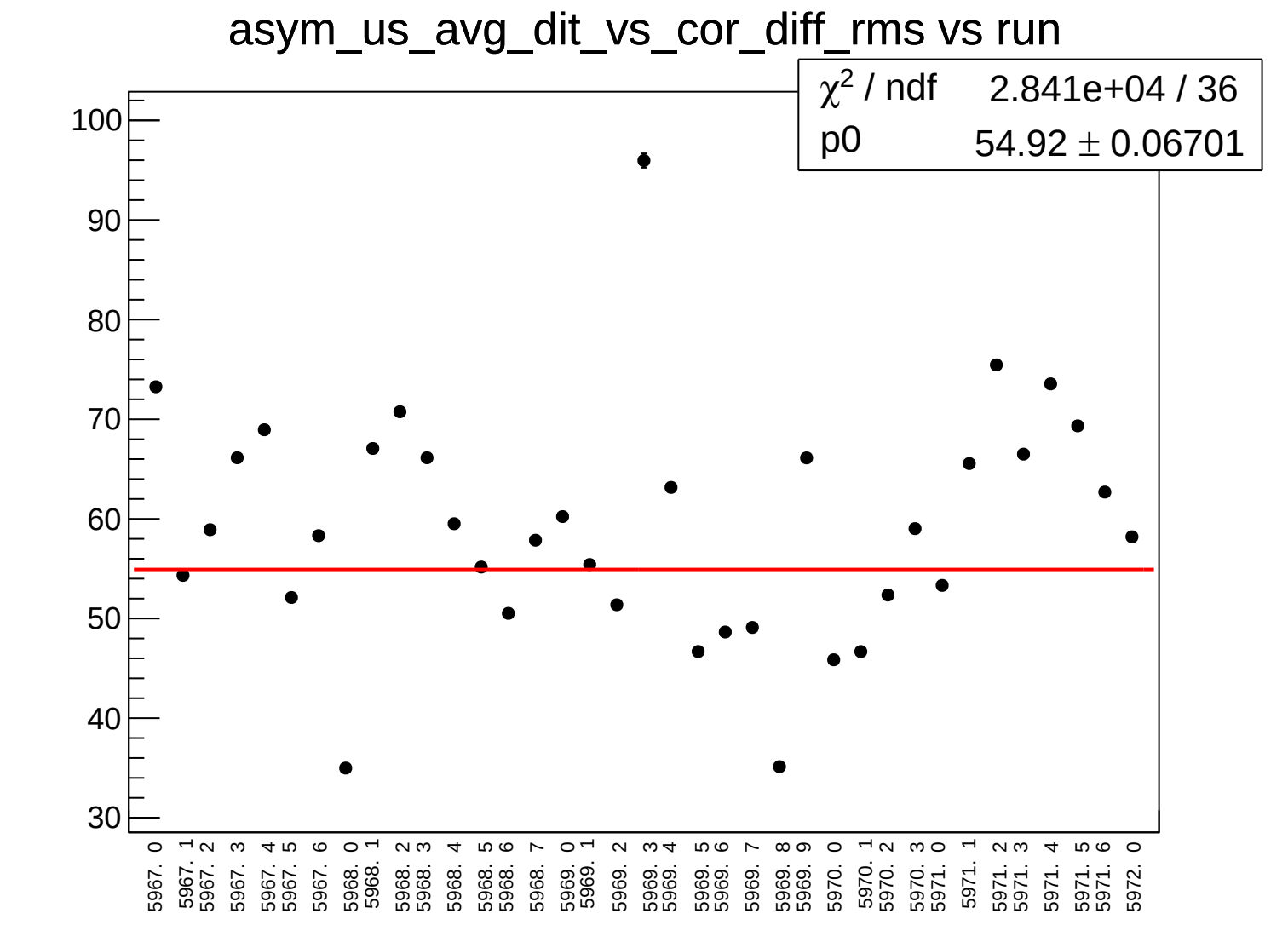
asym_us_avg_dit_vs_cor_diff_rms vs run
χ² / ndf 2.841e+04 / 36
p0 54.92 ± 0.06701
100
90
80
70
60
50
40
30
5967. 0
5967. 1
5967. 2
5967. 3
5967. 4
5967. 5
5967. 6
5968. 0
5968. 1
5968. 2
5968. 3
5968. 4
5968. 5
5968. 6
5968. 7
5969. 0
5969. 1
5969. 2
5969. 3
5969. 4
5969. 5
5969. 6
5969. 7
5969. 8
5969. 9
5970. 0
5970. 1
5970. 2
5970. 3
5971. 0
5971. 1
5971. 2
5971. 3
5971. 4
5971. 5
5971. 6
5972. 0

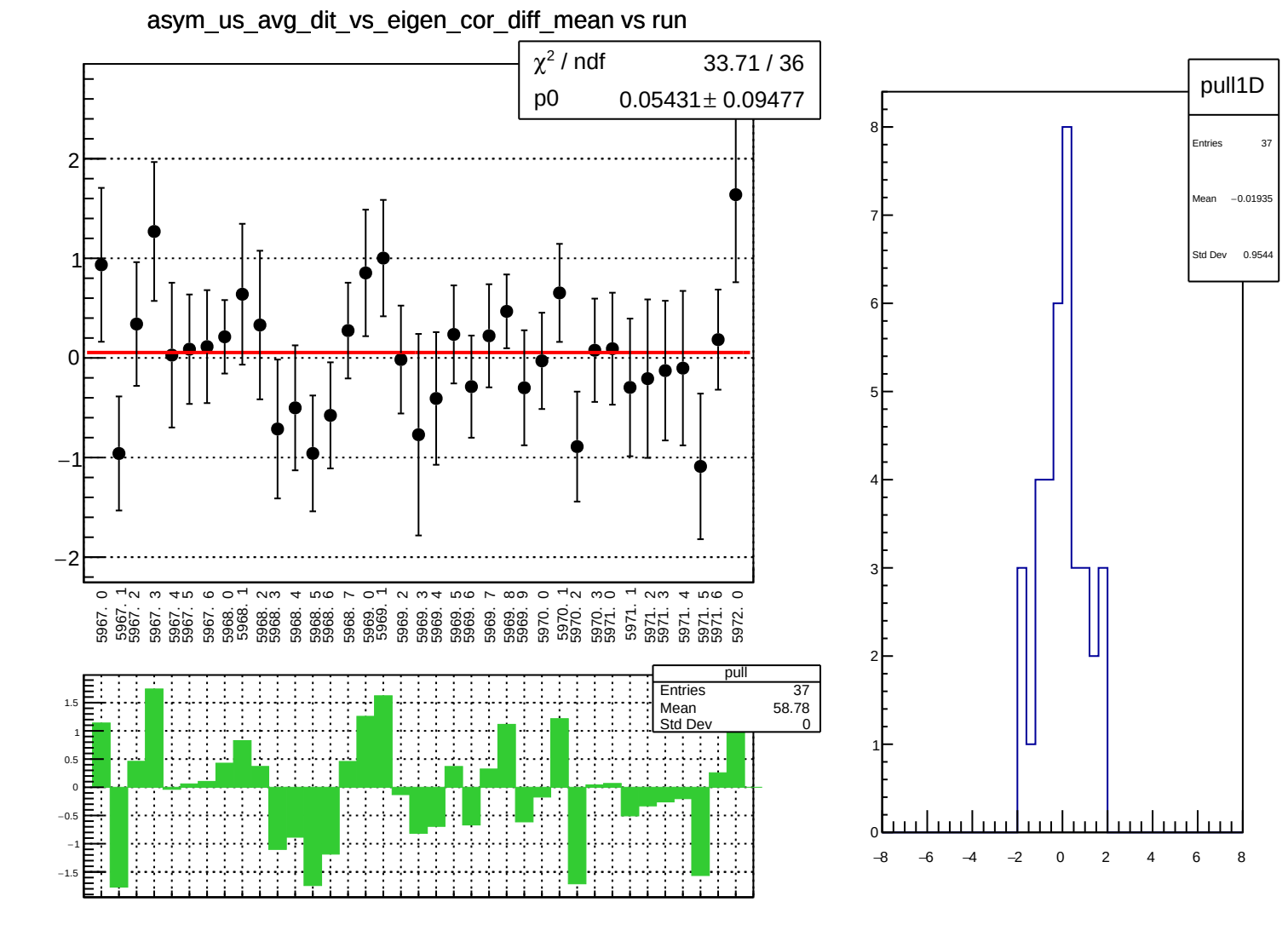
asym_us_avg_dit_vs_eigen_cor_diff_mean vs run
χ² / ndf 33.71 / 36
p0 0.05431 ± 0.09477
pull
Entries 37
Mean 58.78
Std Dev 0
pull1D
Entries 37
Mean −0.01935
Std Dev 0.9544

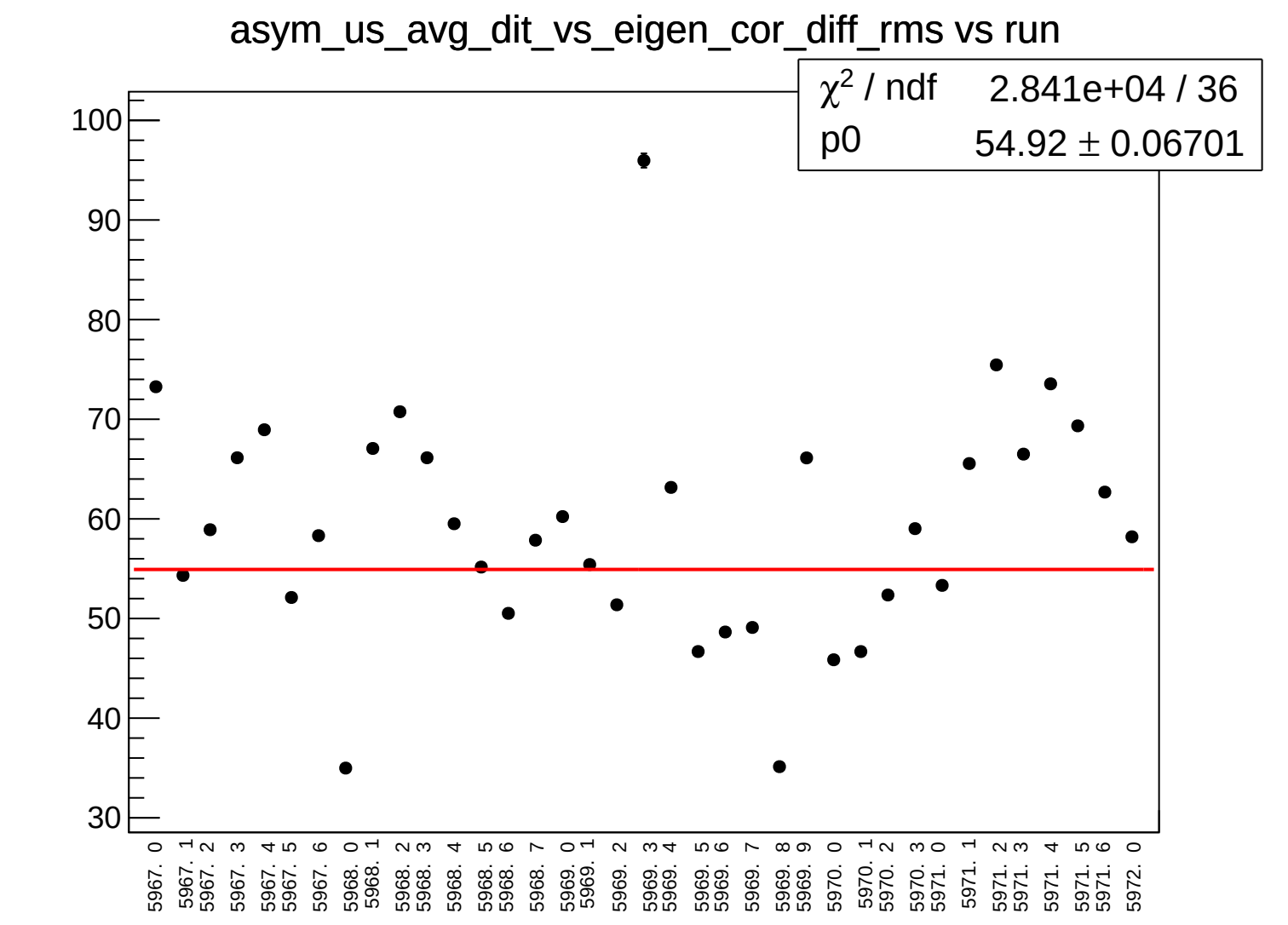
asym_us_avg_dit_vs_eigen_cor_diff_rms vs run
χ² / ndf 2.841e+04 / 36
p0 54.92 ± 0.06701
100
90
80
70
60
50
40
30
5967. 0
5967. 1
5967. 2
5967. 3
5967. 4
5967. 5
5967. 6
5968. 0
5968. 1
5968. 2
5968. 3
5968. 4
5968. 5
5968. 6
5968. 7
5969. 0
5969. 1
5969. 2
5969. 3
5969. 4
5969. 5
5969. 6
5969. 7
5969. 8
5969. 9
5970. 0
5970. 1
5970. 2
5970. 3
5971. 0
5971. 1
5971. 2
5971. 3
5971. 4
5971. 5
5971. 6
5972. 0

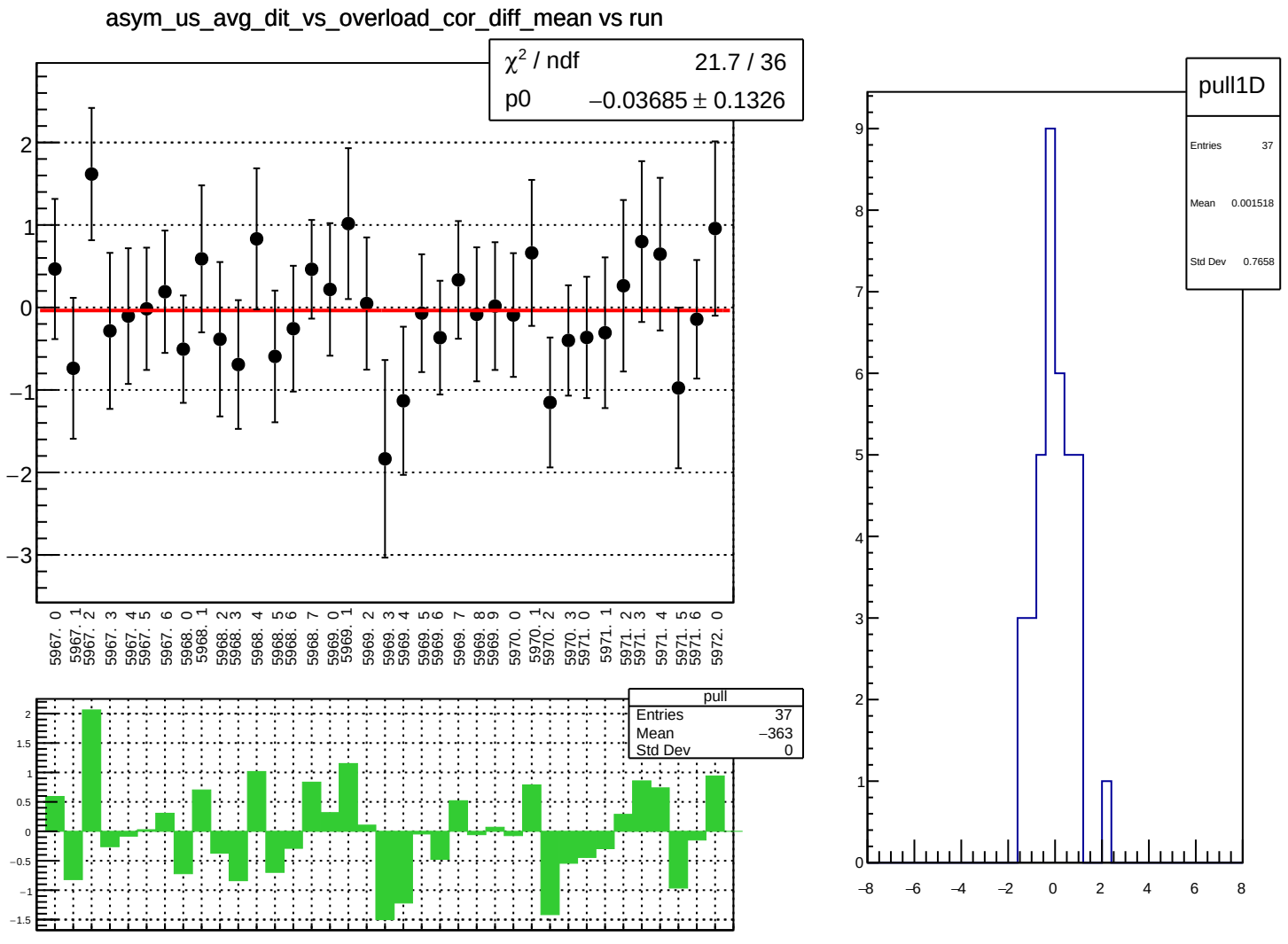
asym_us_avg_dit_vs_overload_cor_diff_mean vs run
χ² / ndf 21.7 / 36
p0 −0.03685 ± 0.1326
pull
Entries 37
Mean −363
Std Dev 0
pull1D
Entries 37
Mean 0.001518
Std Dev 0.7658

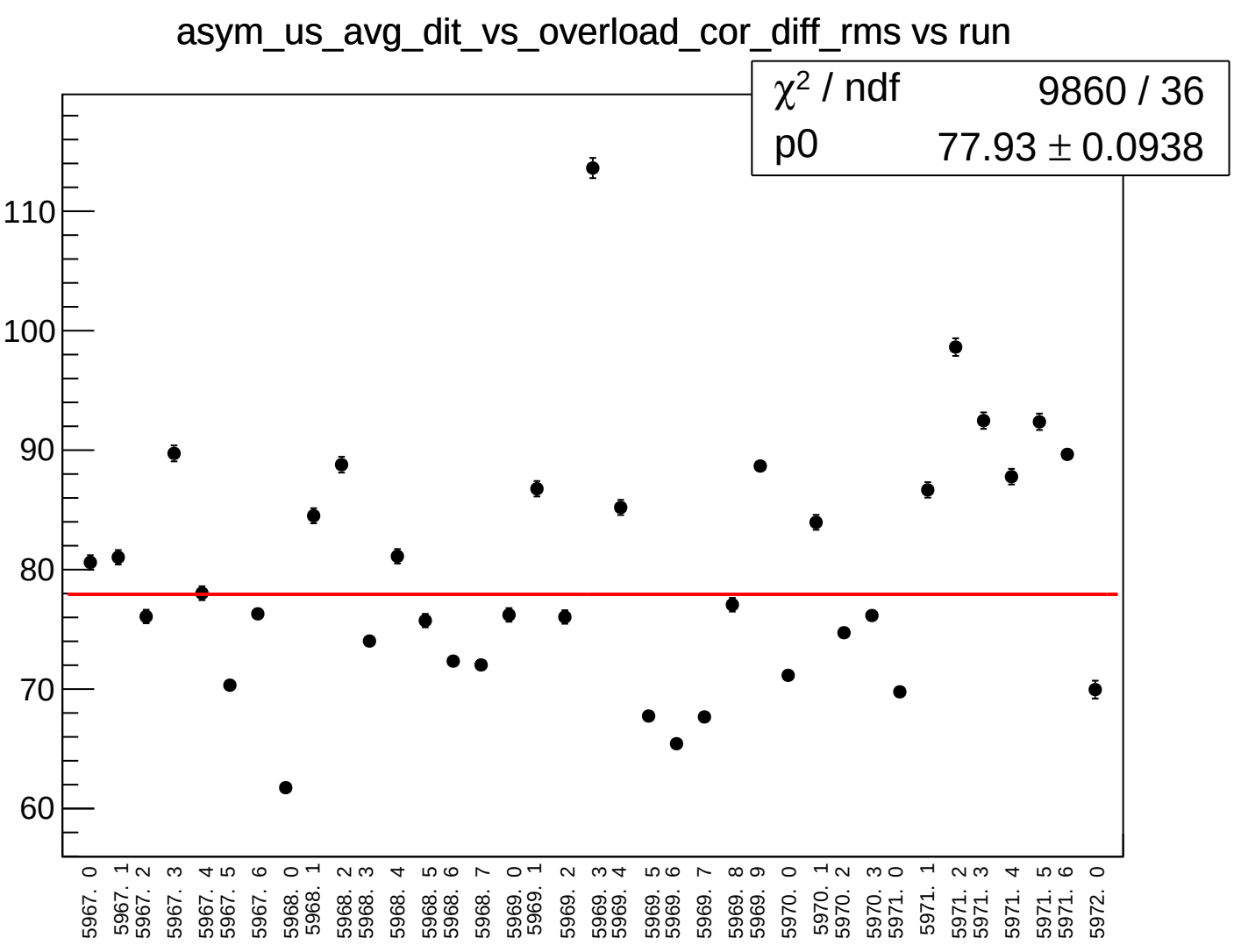
asym_us_avg_dit_vs_overload_cor_diff_rms vs run
χ² / ndf 9860 / 36
p0 77.93 ± 0.0938
110
100
90
80
70
60
5967. 0
5967. 1
5967. 2
5967. 3
5967. 4
5967. 5
5967. 6
5968. 0
5968. 1
5968. 2
5968. 3
5968. 4
5968. 5
5968. 6
5968. 7
5969. 0
5969. 1
5969. 2
5969. 3
5969. 4
5969. 5
5969. 6
5969. 7
5969. 8
5969. 9
5970. 0
5970. 1
5970. 2
5970. 3
5971. 0
5971. 1
5971. 2
5971. 3
5971. 4
5971. 5
5971. 6
5972. 0

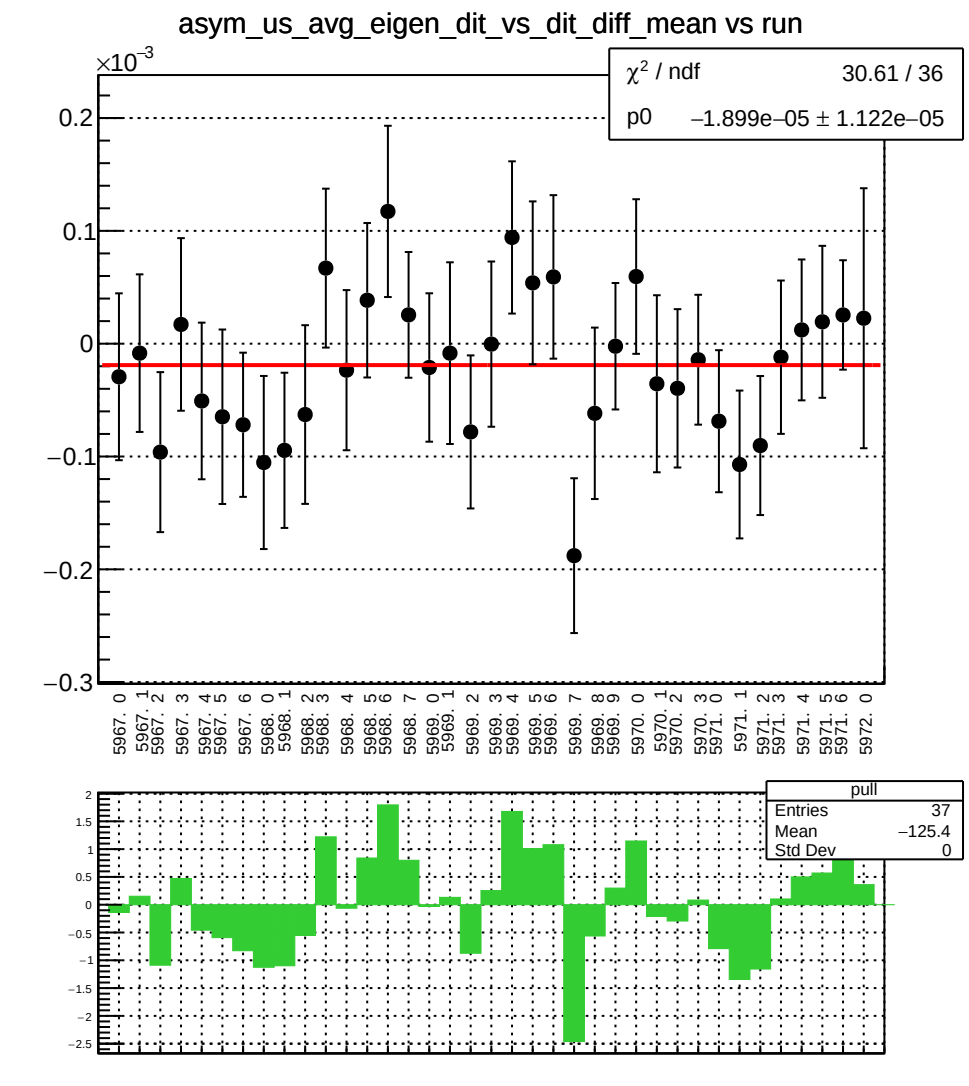
asym_us_avg_eigen_dit_vs_dit_diff_mean vs run
×10^−3
χ² / ndf 30.61 / 36
p0 −1.899e−05 ± 1.122e−05
0.2
0.1
0
−0.1
−0.2
−0.3
5967. 0
5967. 1
5967. 2
5967. 3
5967. 4
5967. 5
5967. 6
5968. 0
5968. 1
5968. 2
5968. 3
5968. 4
5968. 5
5968. 6
5968. 7
5969. 0
5969. 1
5969. 2
5969. 3
5969. 4
5969. 5
5969. 6
5969. 7
5969. 8
5969. 9
5970. 0
5970. 1
5970. 2
5970. 3
5971. 0
5971. 1
5971. 2
5971. 3
5971. 4
5971. 5
5971. 6
5972. 0
pull
Entries 37
Mean −125.4
Std Dev 0
2
1.5
1
0.5
0
−0.5
−1
−1.5
−2
−2.5

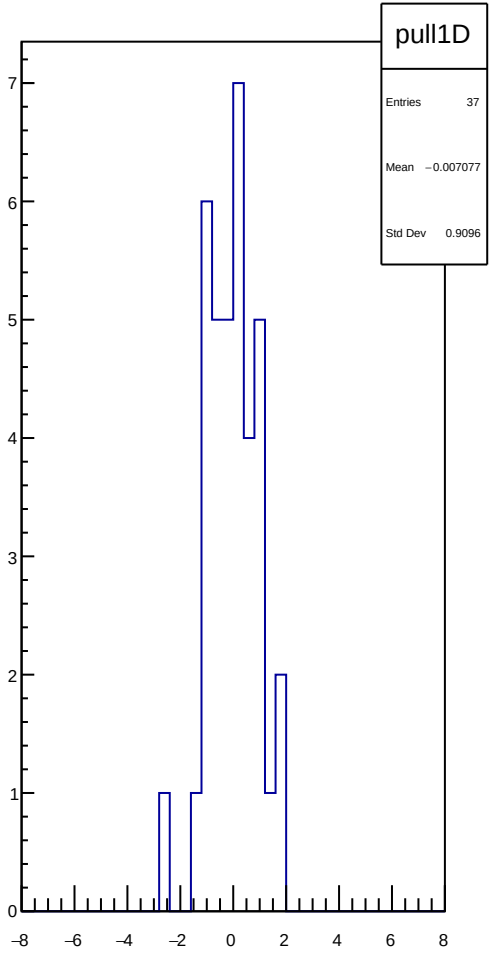
pull1D
Entries 37
Mean −0.007077
Std Dev 0.9096
7
6
5
4
3
2
1
0
−8
−6
−4
−2
0
2
4
6
8

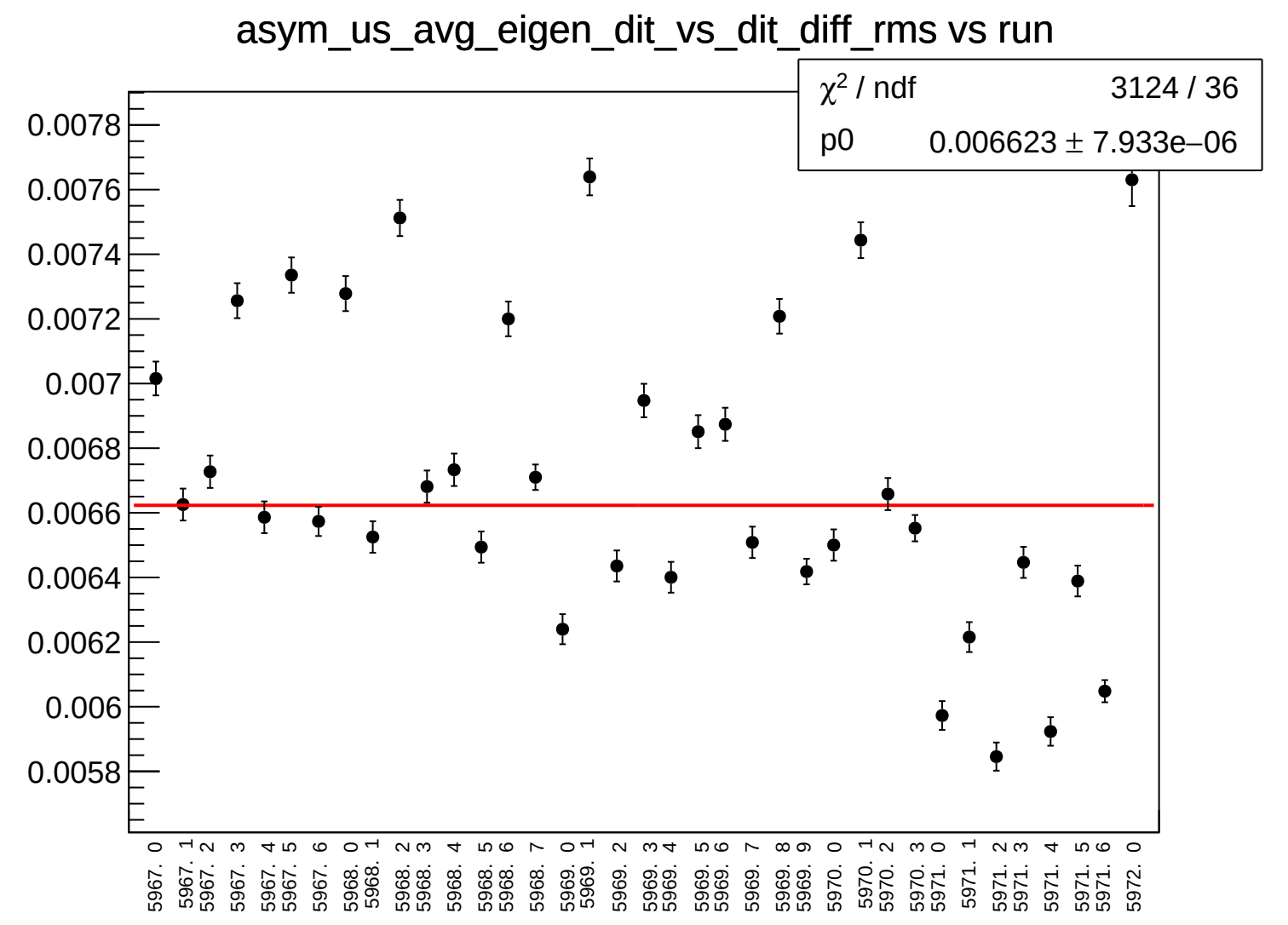
asym_us_avg_eigen_dit_vs_dit_diff_rms vs run
χ² / ndf 3124 / 36
p0 0.006623 ± 7.933e−06
0.0078
0.0076
0.0074
0.0072
0.007
0.0068
0.0066
0.0064
0.0062
0.006
0.0058
5967. 0
5967. 1
5967. 2
5967. 3
5967. 4
5967. 5
5967. 6
5968. 0
5968. 1
5968. 2
5968. 3
5968. 4
5968. 5
5968. 6
5968. 7
5969. 0
5969. 1
5969. 2
5969. 3
5969. 4
5969. 5
5969. 6
5969. 7
5969. 8
5969. 9
5970. 0
5970. 1
5970. 2
5970. 3
5971. 0
5971. 1
5971. 2
5971. 3
5971. 4
5971. 5
5971. 6
5972. 0

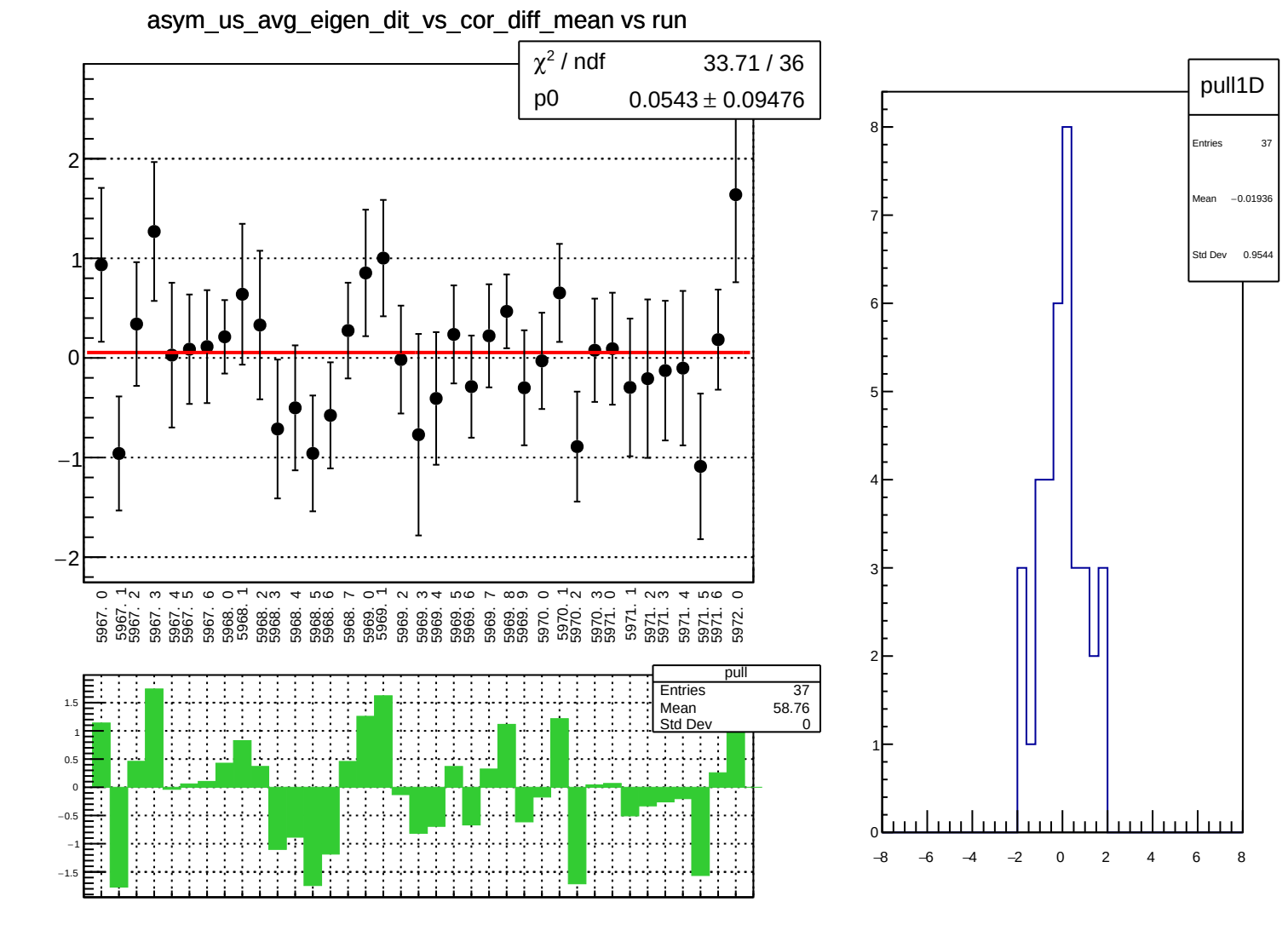
asym_us_avg_eigen_dit_vs_cor_diff_mean vs run
χ² / ndf 33.71 / 36
p0 0.0543 ± 0.09476
pull
Entries 37
Mean 58.76
Std Dev 0
pull1D
Entries 37
Mean −0.01936
Std Dev 0.9544

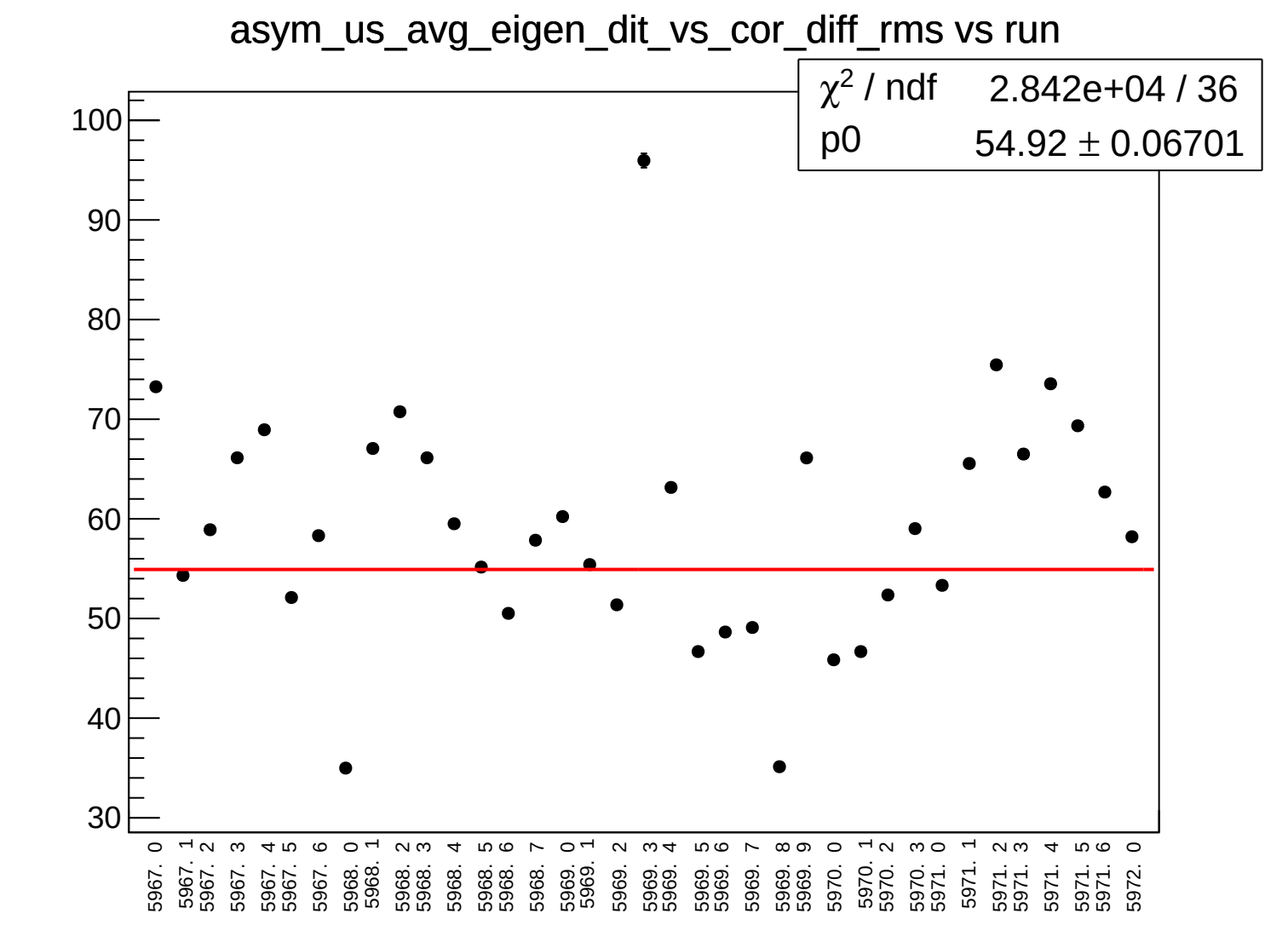
asym_us_avg_eigen_dit_vs_cor_diff_rms vs run
χ² / ndf 2.842e+04 / 36
p0 54.92 ± 0.06701
100
90
80
70
60
50
40
30
5967. 0
5967. 1
5967. 2
5967. 3
5967. 4
5967. 5
5967. 6
5968. 0
5968. 1
5968. 2
5968. 3
5968. 4
5968. 5
5968. 6
5968. 7
5969. 0
5969. 1
5969. 2
5969. 3
5969. 4
5969. 5
5969. 6
5969. 7
5969. 8
5969. 9
5970. 0
5970. 1
5970. 2
5970. 3
5971. 0
5971. 1
5971. 2
5971. 3
5971. 4
5971. 5
5971. 6
5972. 0

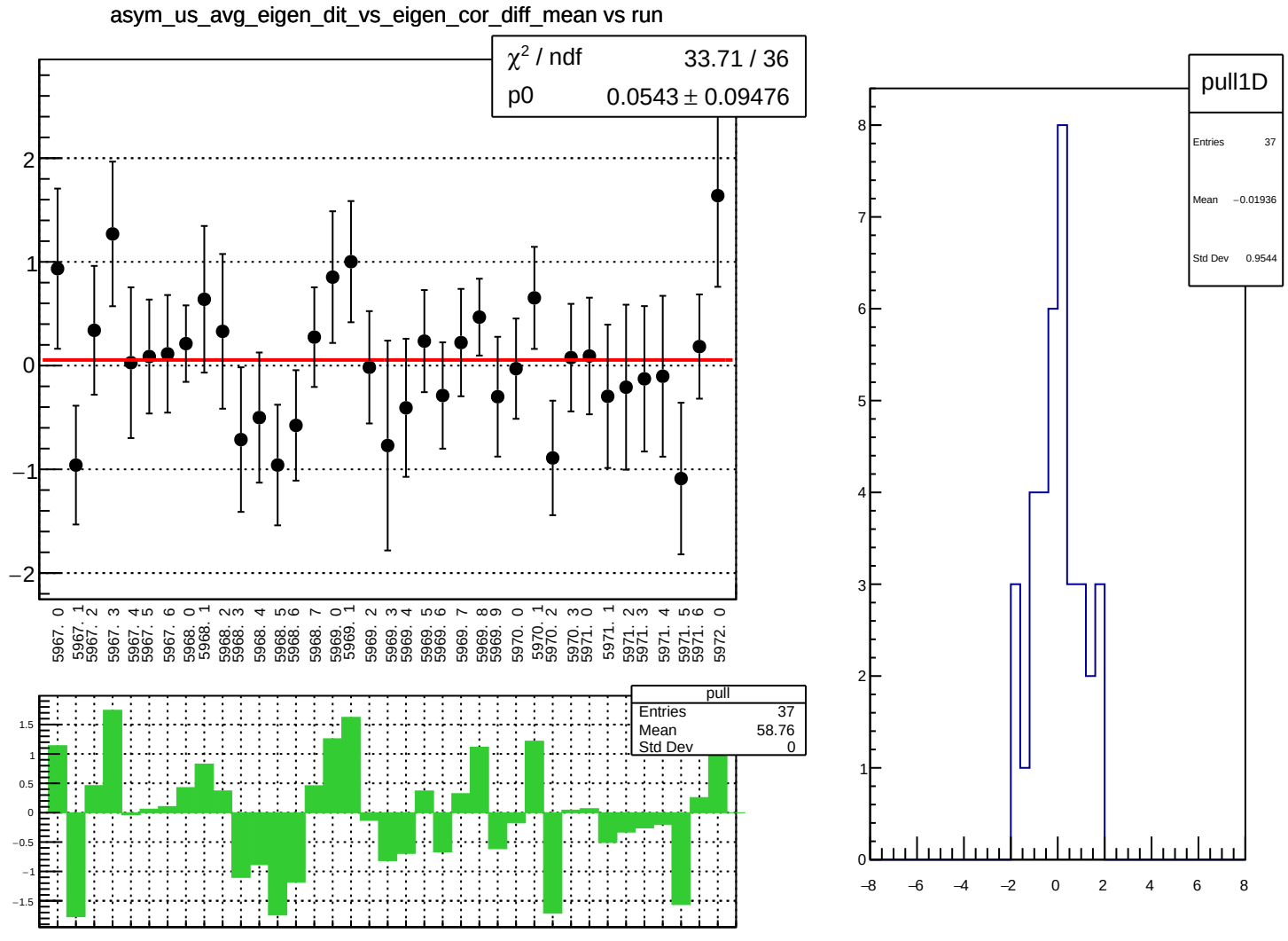
asym_us_avg_eigen_dit_vs_eigen_cor_diff_mean vs run
χ² / ndf 33.71 / 36
p0 0.0543 ± 0.09476
pull
Entries 37
Mean 58.76
Std Dev 0
pull1D
Entries 37
Mean −0.01936
Std Dev 0.9544

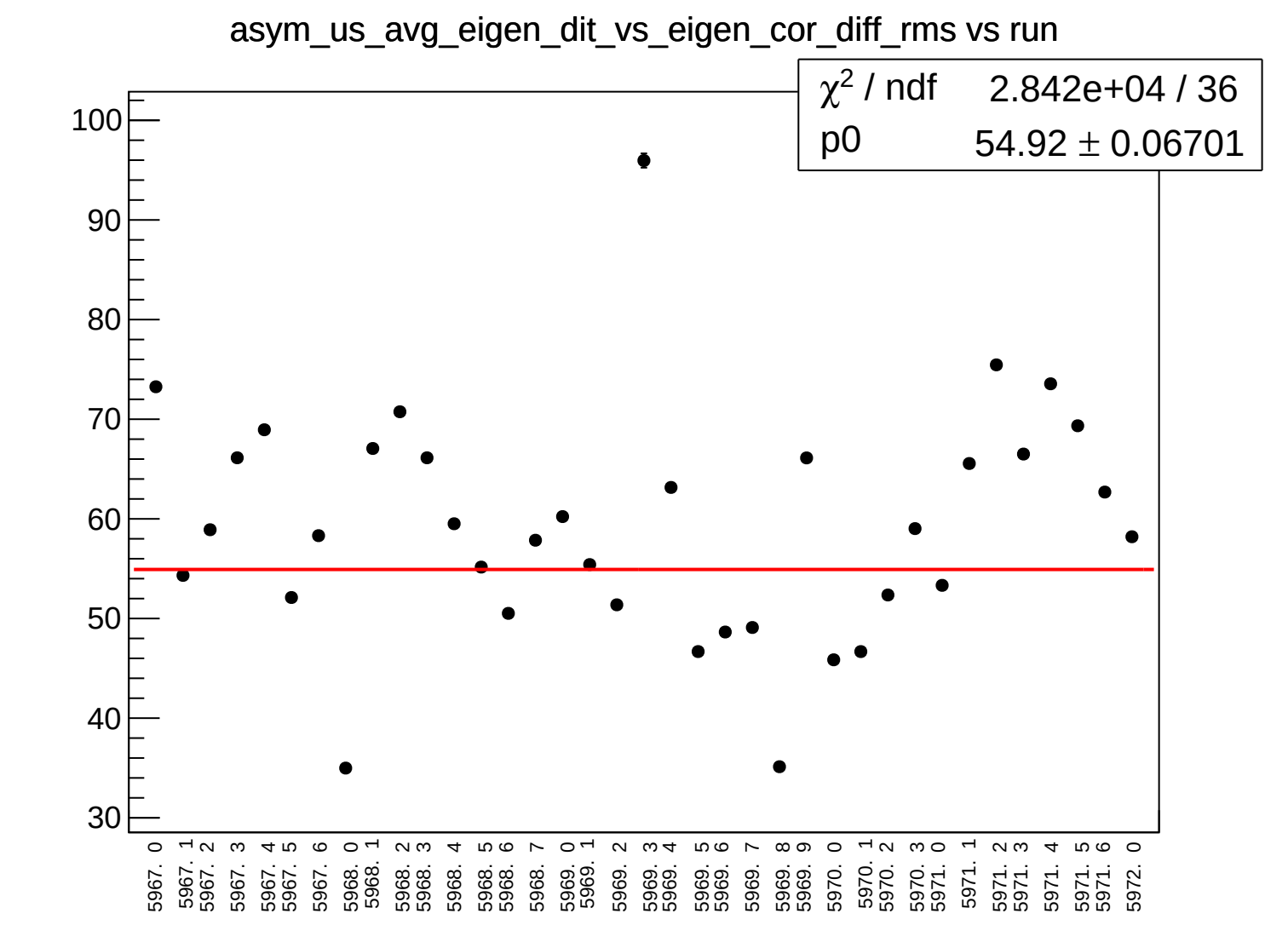
asym_us_avg_eigen_dit_vs_eigen_cor_diff_rms vs run
χ² / ndf 2.842e+04 / 36
p0 54.92 ± 0.06701
100
90
80
70
60
50
40
30
5967. 0
5967. 1
5967. 2
5967. 3
5967. 4
5967. 5
5967. 6
5968. 0
5968. 1
5968. 2
5968. 3
5968. 4
5968. 5
5968. 6
5968. 7
5969. 0
5969. 1
5969. 2
5969. 3
5969. 4
5969. 5
5969. 6
5969. 7
5969. 8
5969. 9
5970. 0
5970. 1
5970. 2
5970. 3
5971. 0
5971. 1
5971. 2
5971. 3
5971. 4
5971. 5
5971. 6
5972. 0

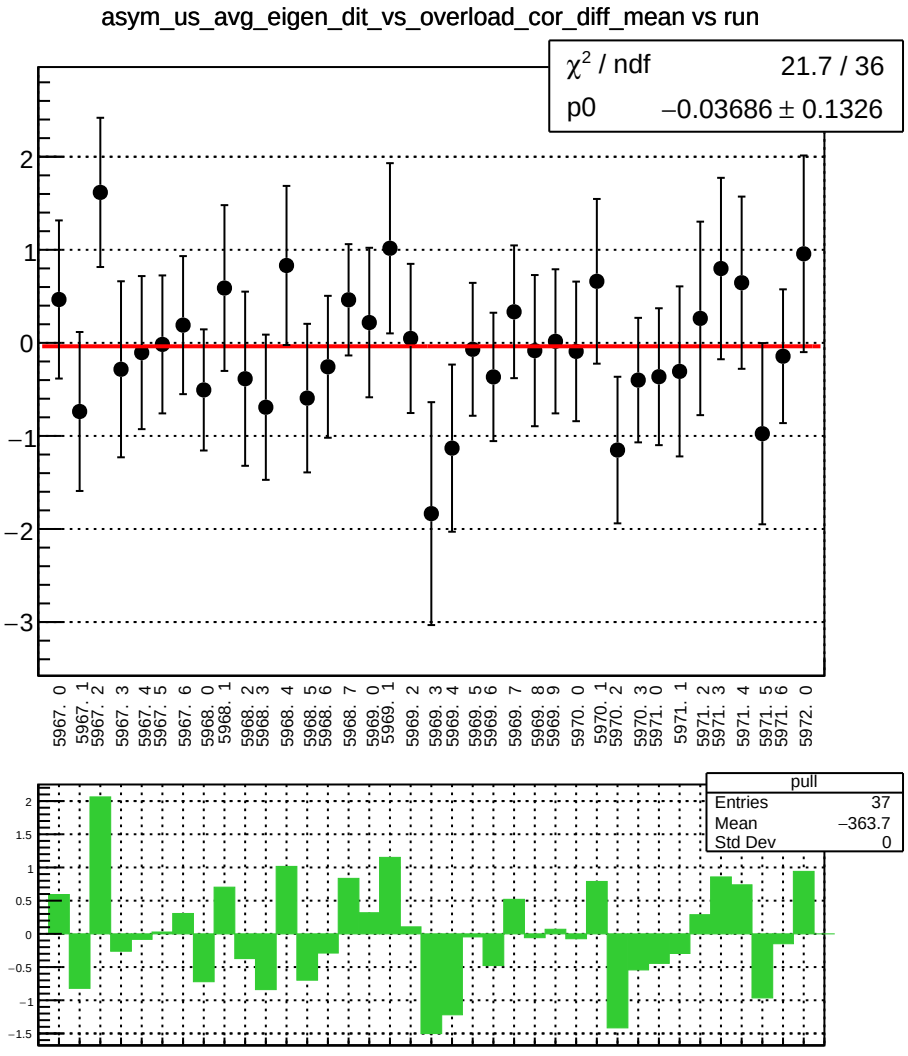
asym_us_avg_eigen_dit_vs_overload_cor_diff_mean vs run
χ² / ndf 21.7 / 36
p0 −0.03686 ± 0.1326
pull
Entries 37
Mean −363.7
Std Dev 0

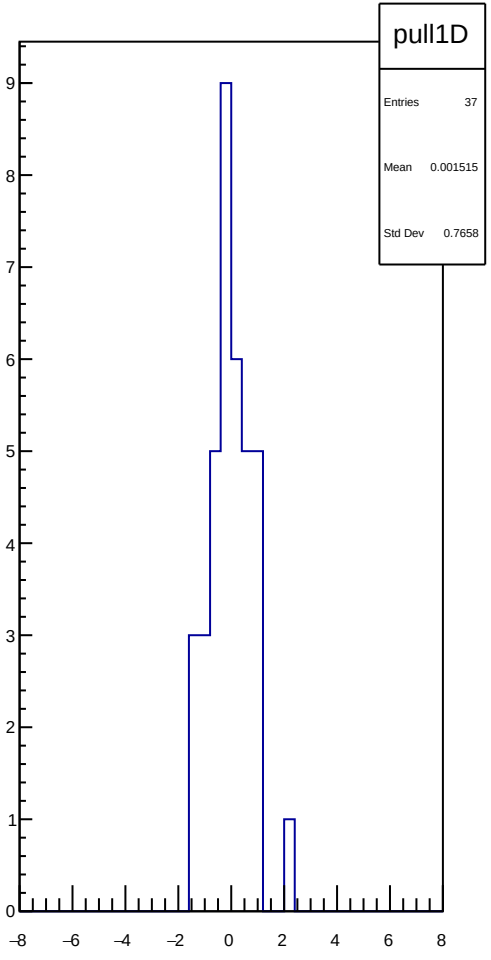
pull1D
Entries 37
Mean 0.001515
Std Dev 0.7658

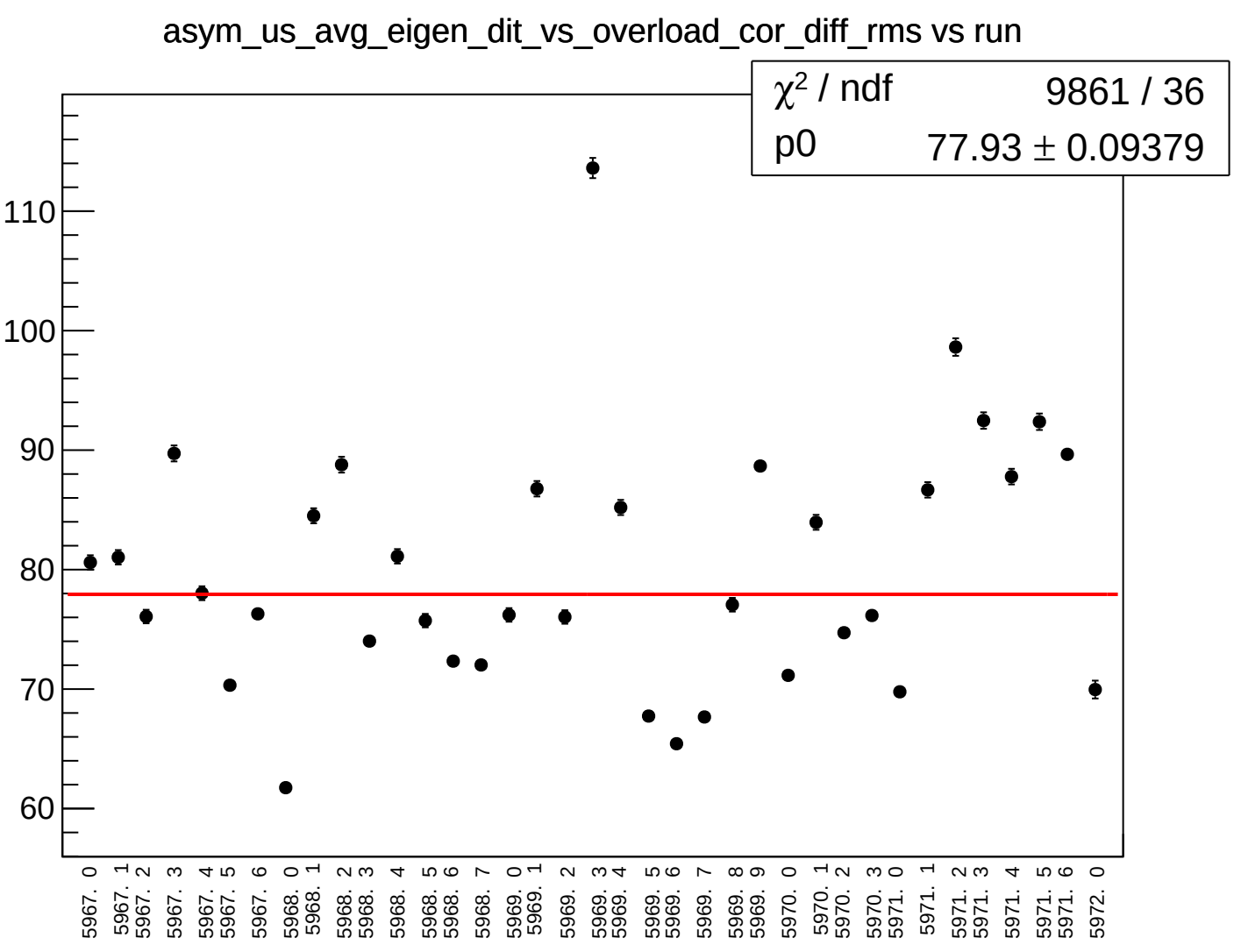
asym_us_avg_eigen_dit_vs_overload_cor_diff_rms vs run
χ² / ndf 9861 / 36
p0 77.93 ± 0.09379
110
100
90
80
70
60
5967. 0
5967. 1
5967. 2
5967. 3
5967. 4
5967. 5
5967. 6
5968. 0
5968. 1
5968. 2
5968. 3
5968. 4
5968. 5
5968. 6
5968. 7
5969. 0
5969. 1
5969. 2
5969. 3
5969. 4
5969. 5
5969. 6
5969. 7
5969. 8
5969. 9
5970. 0
5970. 1
5970. 2
5970. 3
5971. 0
5971. 1
5971. 2
5971. 3
5971. 4
5971. 5
5971. 6
5972. 0

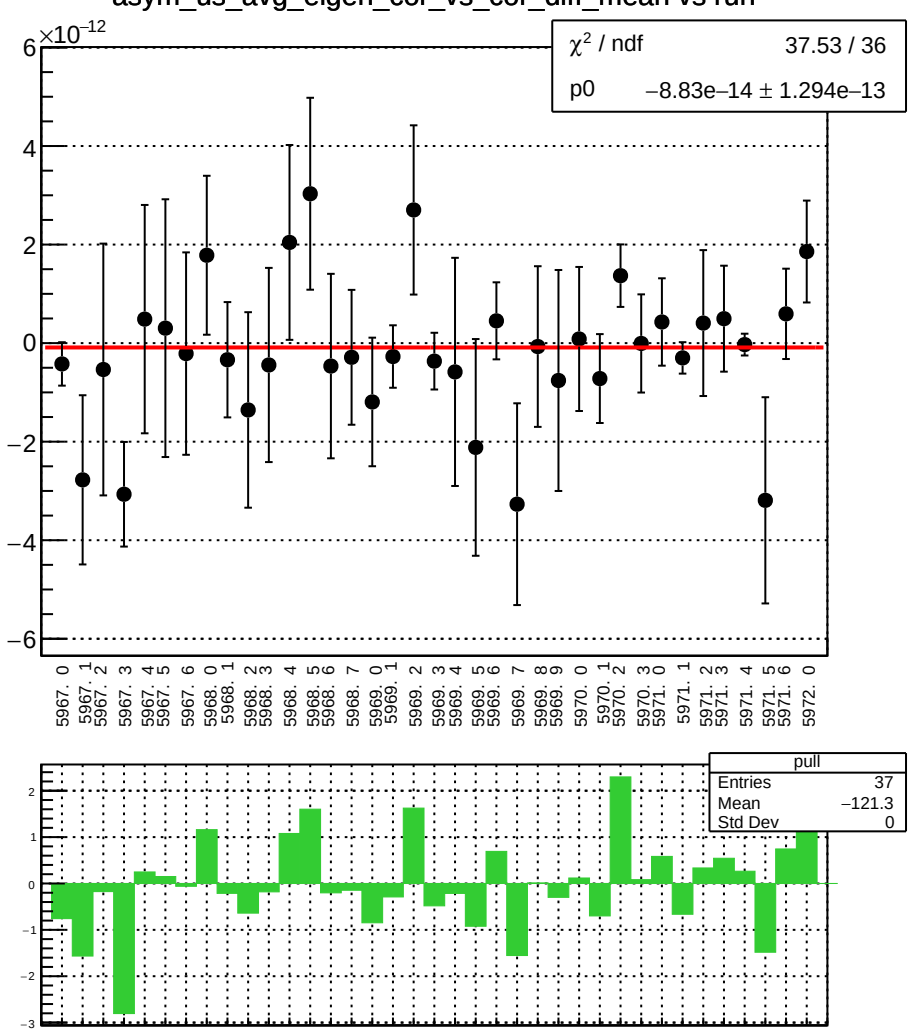
asym_us_avg_eigen_cor_vs_cor_diff_mean vs run
×10⁻¹²
χ² / ndf 37.53 / 36
p0 −8.83e−14 ± 1.294e−13
pull
Entries 37
Mean −121.3
Std Dev 0

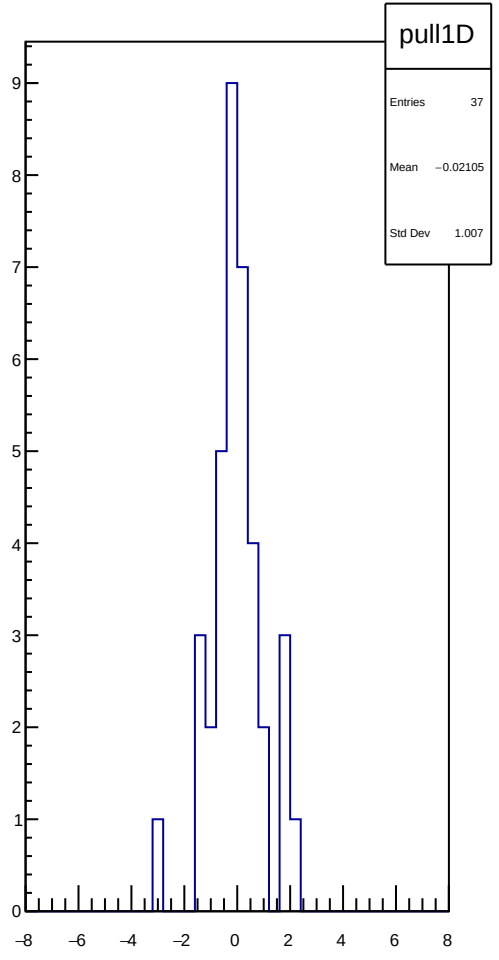
pull1D
Entries 37
Mean −0.02105
Std Dev 1.007

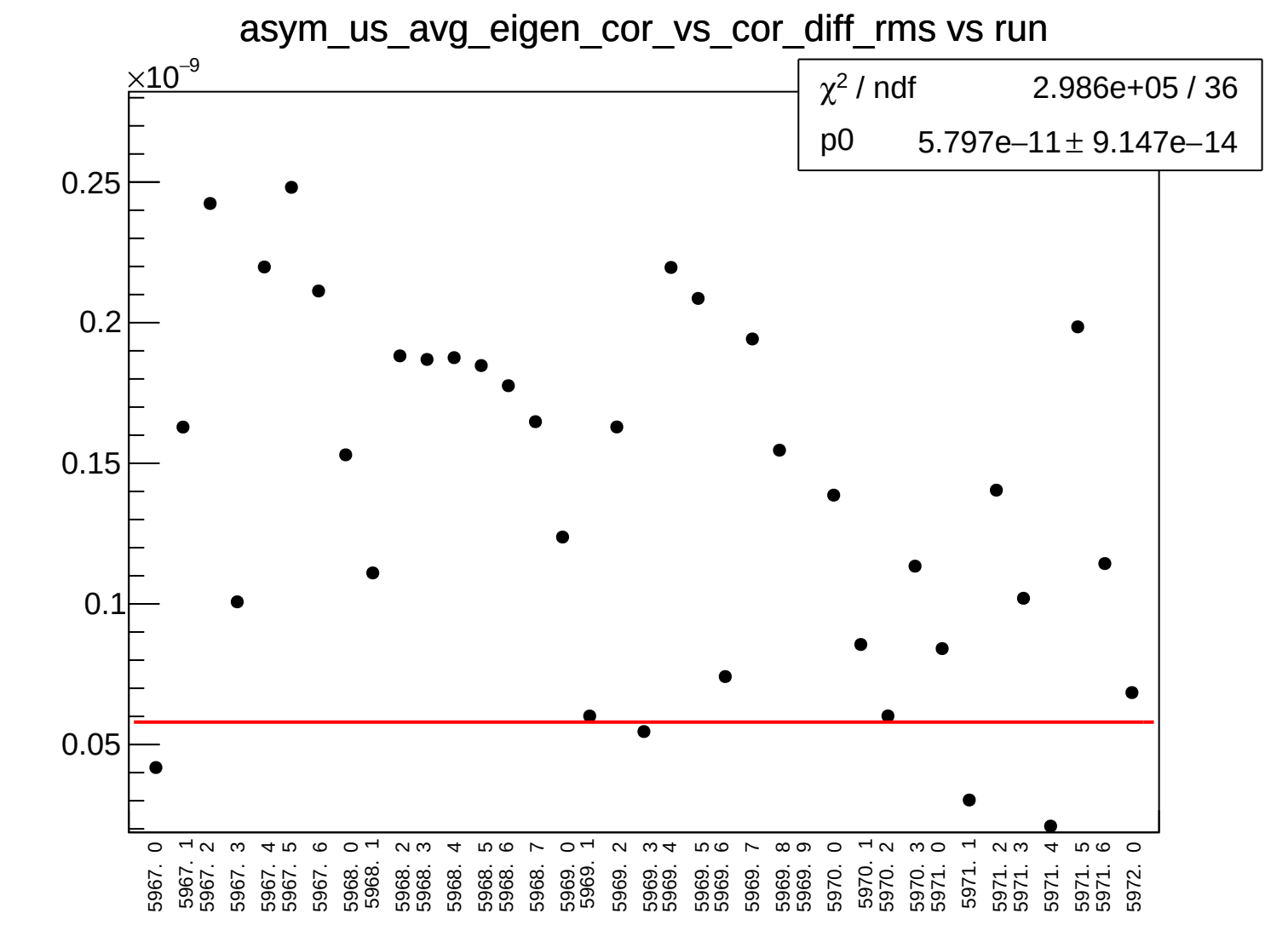
asym_us_avg_eigen_cor_vs_cor_diff_rms vs run
×10⁻⁹
χ² / ndf 2.986e+05 / 36
p0 5.797e−11 ± 9.147e−14
0.25
0.2
0.15
0.1
0.05
5967. 0
5967. 1
5967. 2
5967. 3
5967. 4
5967. 5
5967. 6
5968. 0
5968. 1
5968. 2
5968. 3
5968. 4
5968. 5
5968. 6
5968. 7
5969. 0
5969. 1
5969. 2
5969. 3
5969. 4
5969. 5
5969. 6
5969. 7
5969. 8
5969. 9
5970. 0
5970. 1
5970. 2
5970. 3
5971. 0
5971. 1
5971. 2
5971. 3
5971. 4
5971. 5
5971. 6
5972. 0

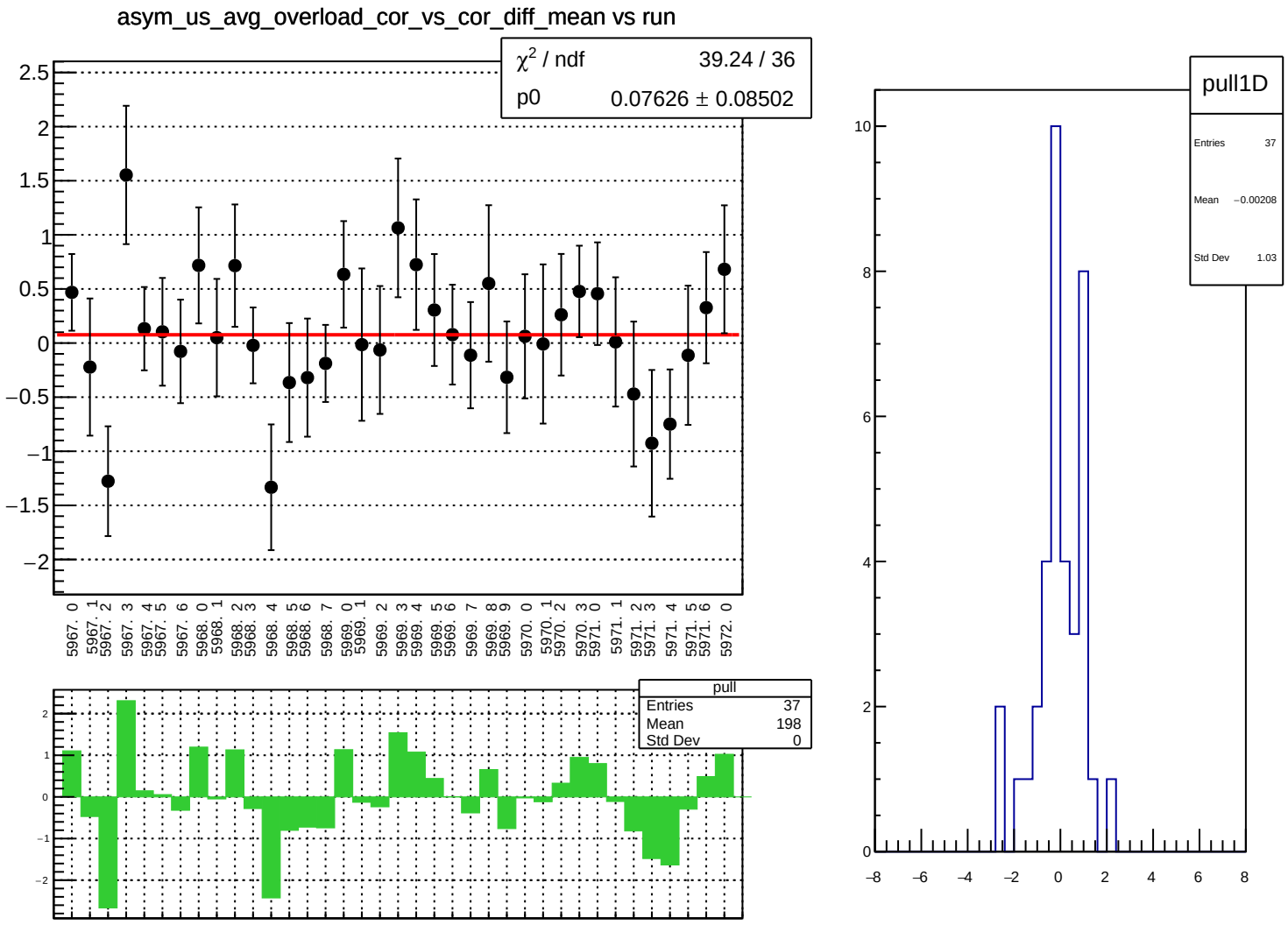
asym_us_avg_overload_cor_vs_cor_diff_mean vs run
χ² / ndf 39.24 / 36
p0 0.07626 ± 0.08502
pull
Entries 37
Mean 198
Std Dev 0
pull1D
Entries 37
Mean −0.00208
Std Dev 1.03

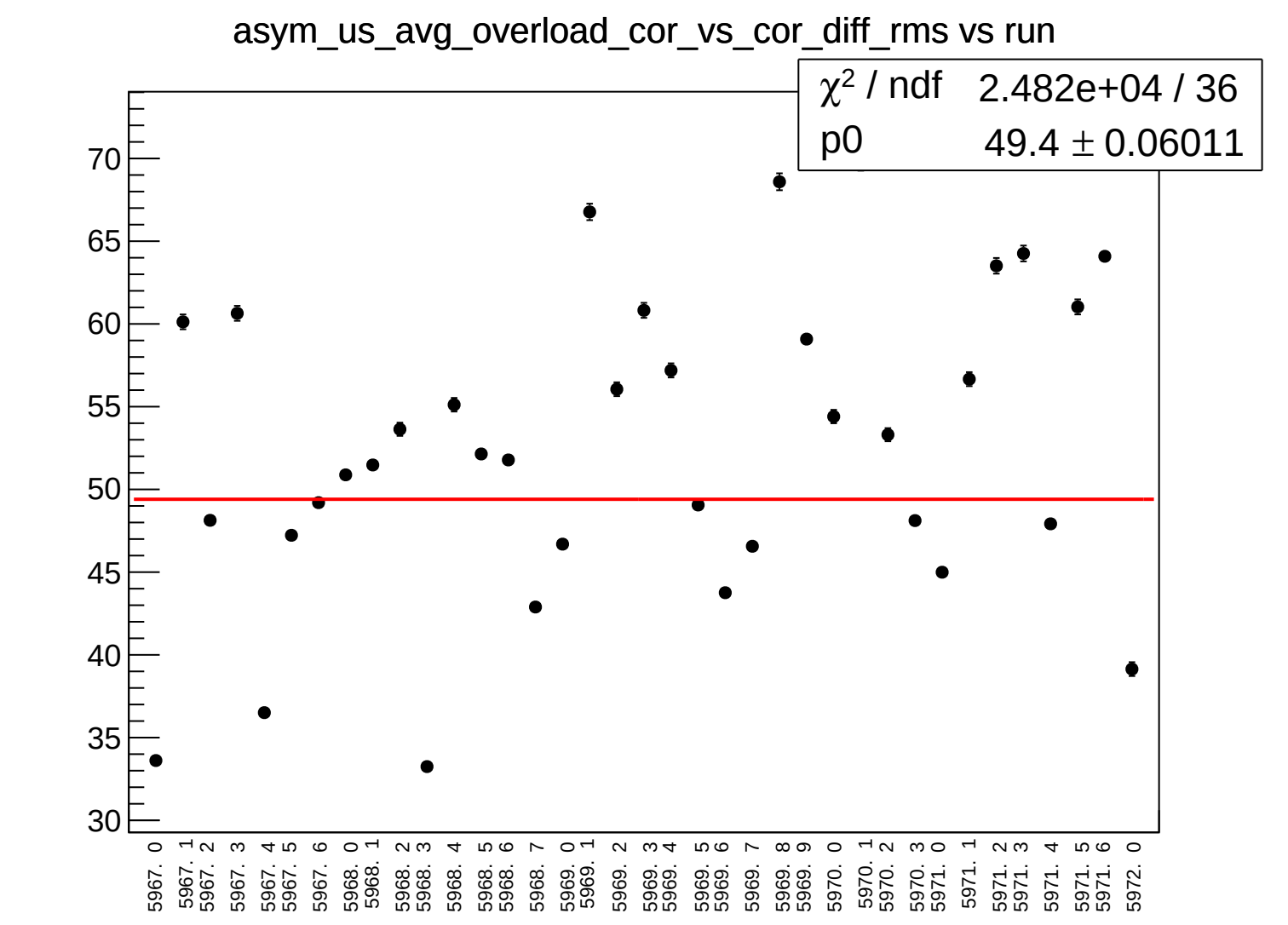
asym_us_avg_overload_cor_vs_cor_diff_rms vs run
χ² / ndf 2.482e+04 / 36
p0 49.4 ± 0.06011
70
65
60
55
50
45
40
35
30
5967. 0
5967. 1
5967. 2
5967. 3
5967. 4
5967. 5
5967. 6
5968. 0
5968. 1
5968. 2
5968. 3
5968. 4
5968. 5
5968. 6
5968. 7
5969. 0
5969. 1
5969. 2
5969. 3
5969. 4
5969. 5
5969. 6
5969. 7
5969. 8
5969. 9
5970. 0
5970. 1
5970. 2
5970. 3
5971. 0
5971. 1
5971. 2
5971. 3
5971. 4
5971. 5
5971. 6
5972. 0

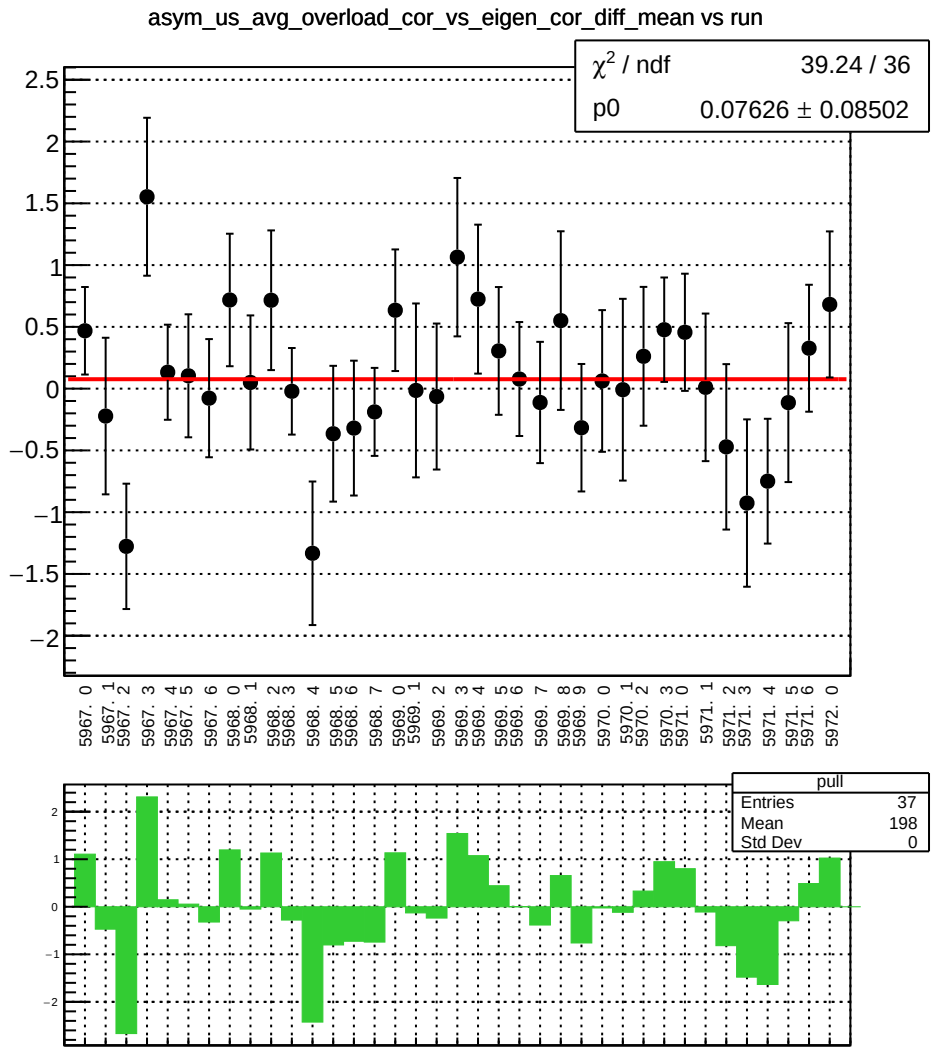
asym_us_avg_overload_cor_vs_eigen_cor_diff_mean vs run
χ² / ndf 39.24 / 36
p0 0.07626 ± 0.08502
pull
Entries 37
Mean 198
Std Dev 0

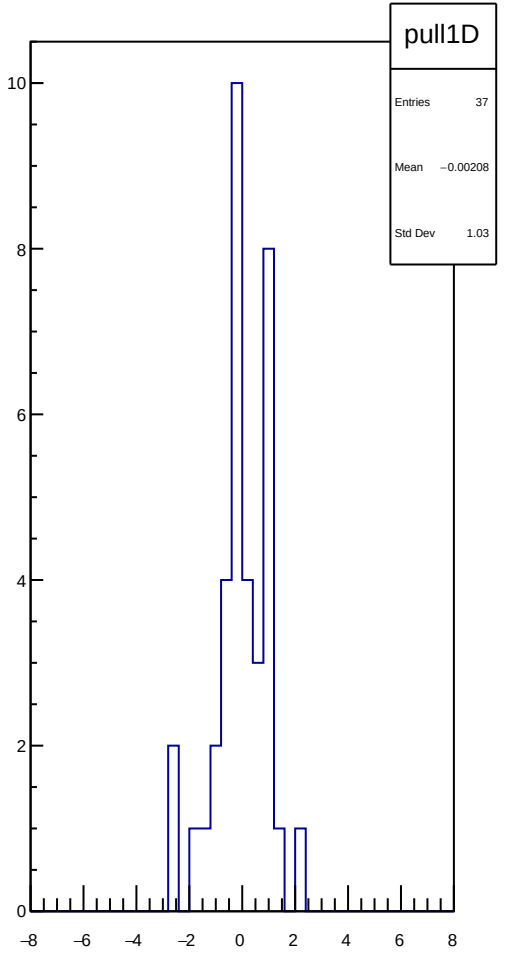
pull1D
Entries 37
Mean −0.00208
Std Dev 1.03

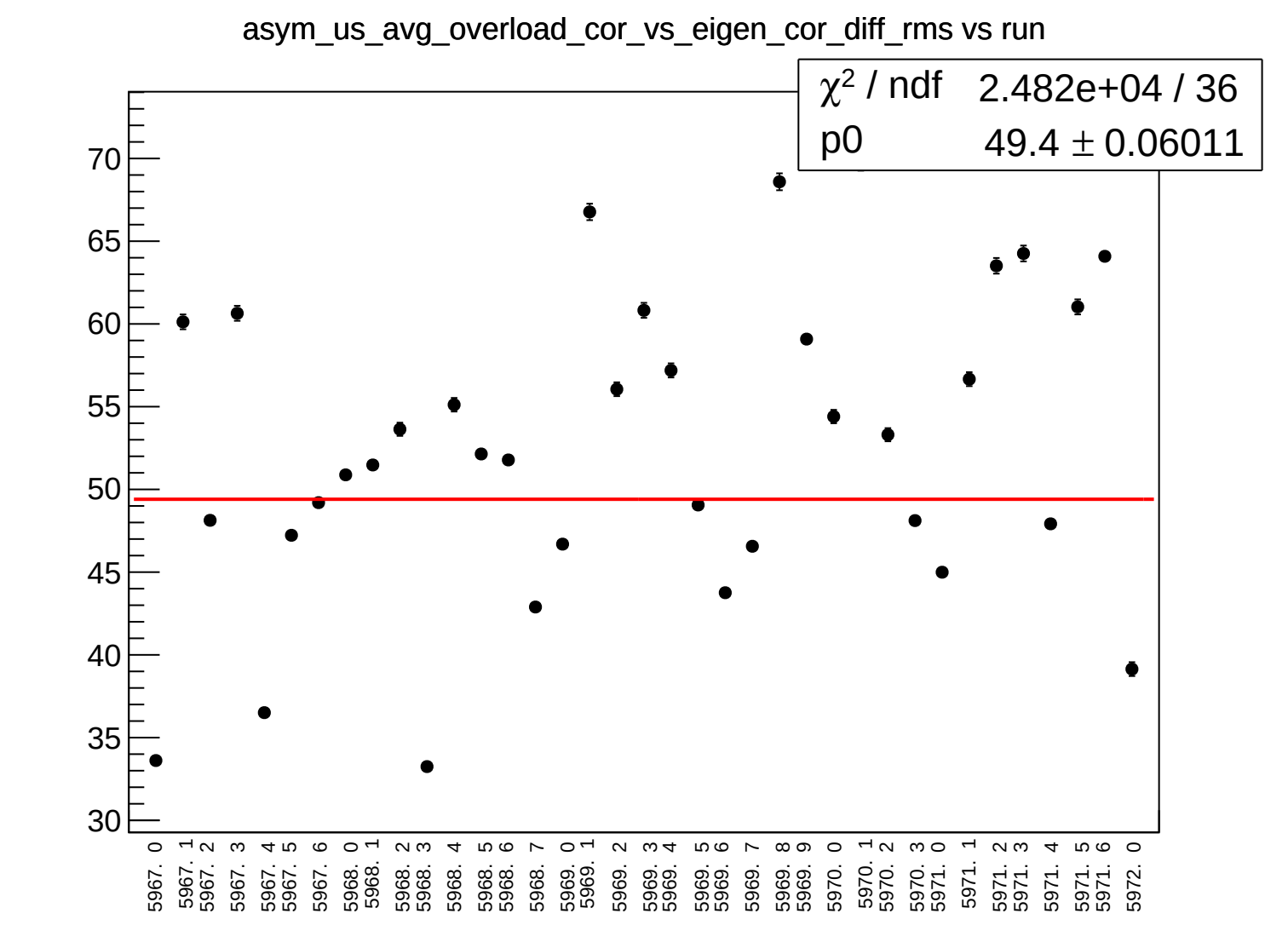
asym_us_avg_overload_cor_vs_eigen_cor_diff_rms vs run
χ² / ndf 2.482e+04 / 36
p0 49.4 ± 0.06011
70
65
60
55
50
45
40
35
30
5967. 0
5967. 1
5967. 2
5967. 3
5967. 4
5967. 5
5967. 6
5968. 0
5968. 1
5968. 2
5968. 3
5968. 4
5968. 5
5968. 6
5968. 7
5969. 0
5969. 1
5969. 2
5969. 3
5969. 4
5969. 5
5969. 6
5969. 7
5969. 8
5969. 9
5970. 0
5970. 1
5970. 2
5970. 3
5971. 0
5971. 1
5971. 2
5971. 3
5971. 4
5971. 5
5971. 6
5972. 0

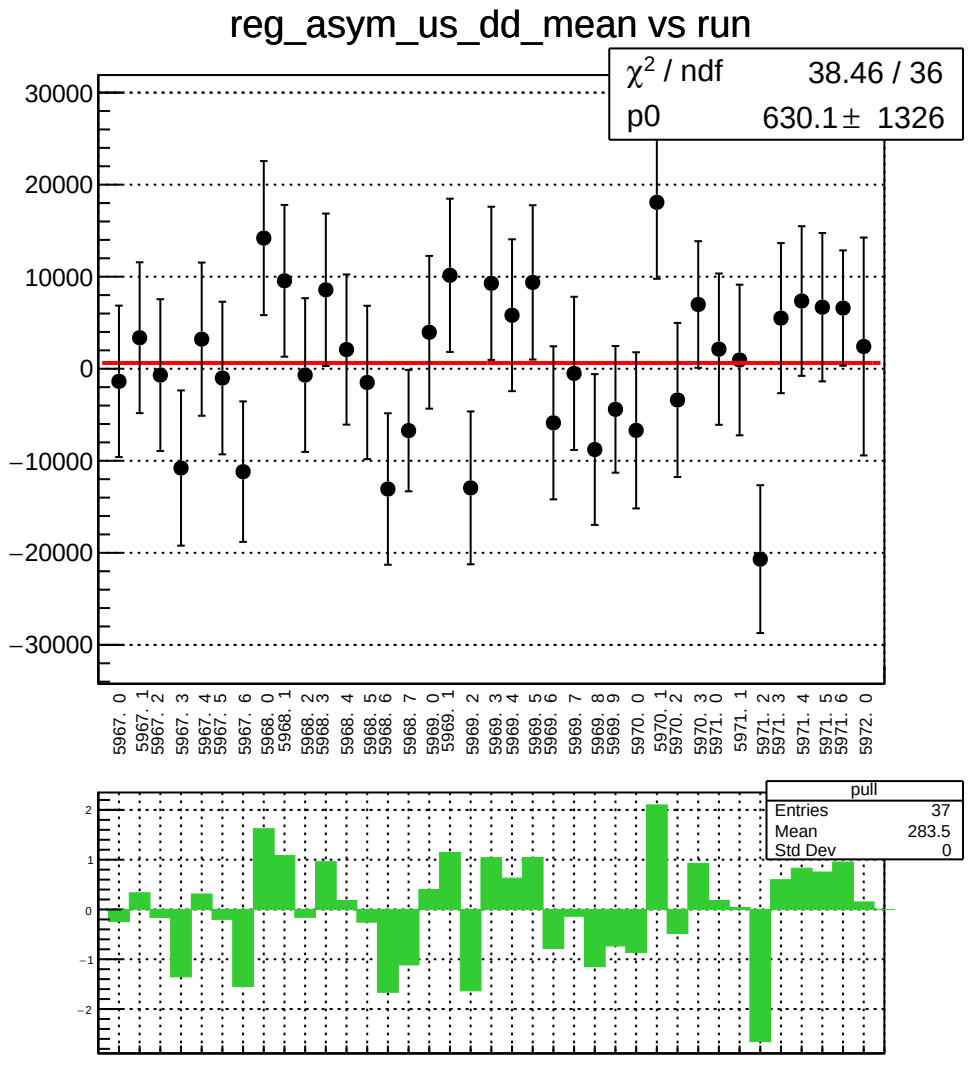
reg_asym_us_dd_mean vs run
χ² / ndf 38.46 / 36
p0 630.1 ± 1326
30000
20000
10000
0
−10000
−20000
−30000
5967. 0
5967. 1
5967. 2
5967. 3
5967. 4
5967. 5
5967. 6
5968. 0
5968. 1
5968. 2
5968. 3
5968. 4
5968. 5
5968. 6
5968. 7
5969. 0
5969. 1
5969. 2
5969. 3
5969. 4
5969. 5
5969. 6
5969. 7
5969. 8
5969. 9
5970. 0
5970. 1
5970. 2
5970. 3
5971. 0
5971. 1
5971. 2
5971. 3
5971. 4
5971. 5
5971. 6
5972. 0
pull
Entries 37
Mean 283.5
Std Dev 0
2
1
0
−1
−2

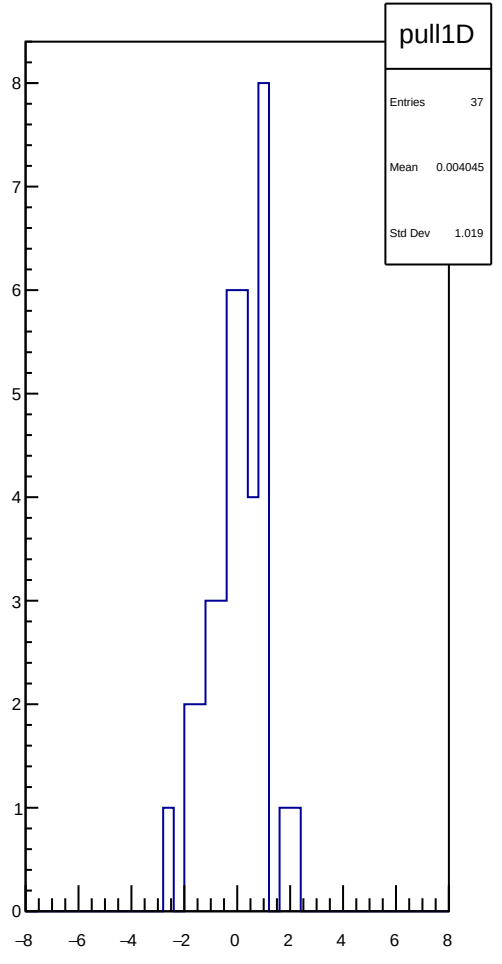
pull1D
Entries 37
Mean 0.004045
Std Dev 1.019
8
7
6
5
4
3
2
1
0
−8
−6
−4
−2
0
2
4
6
8

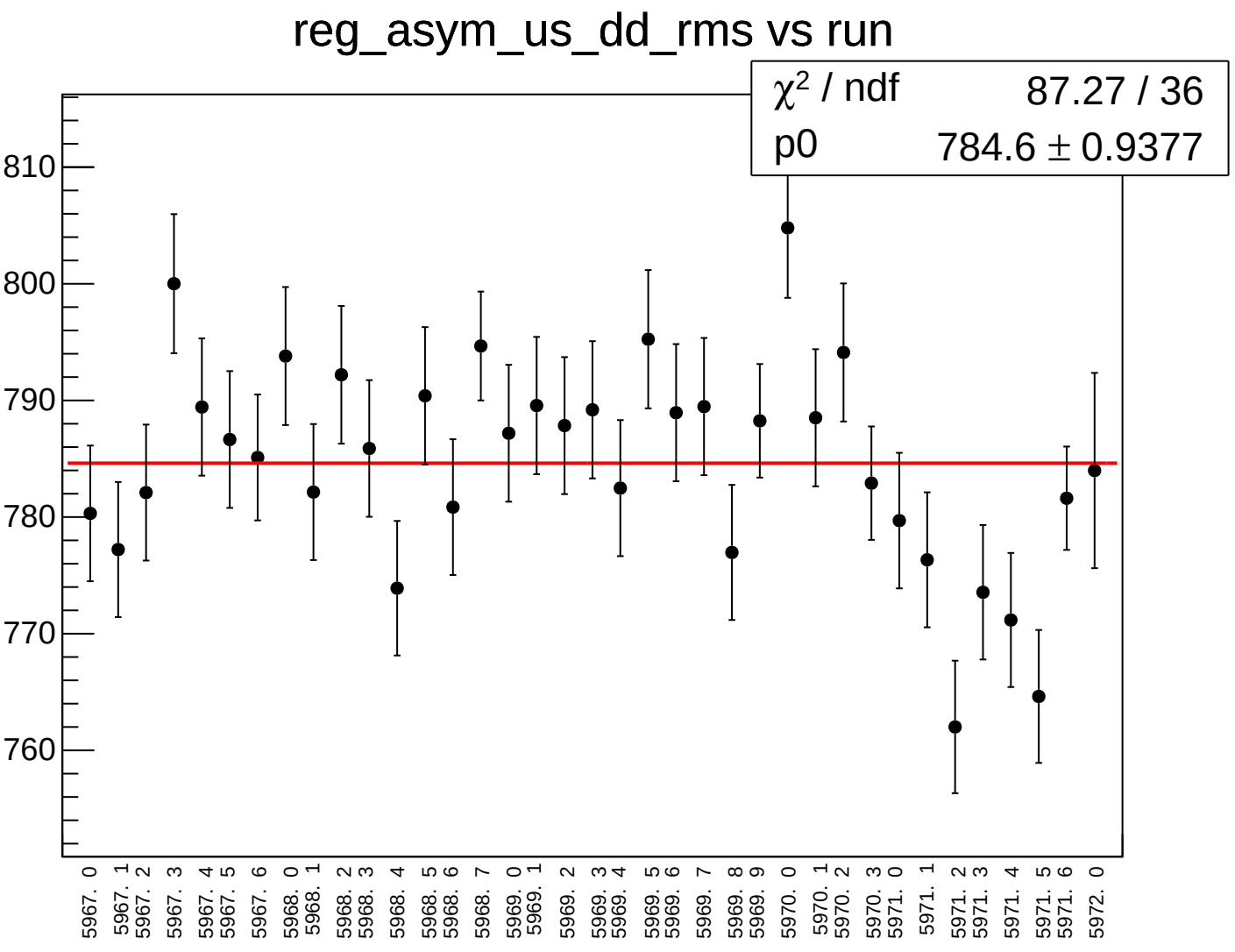
reg_asym_us_dd_rms vs run
χ² / ndf 87.27 / 36
p0 784.6 ± 0.9377
810
800
790
780
770
760
5967. 0
5967. 1
5967. 2
5967. 3
5967. 4
5967. 5
5967. 6
5968. 0
5968. 1
5968. 2
5968. 3
5968. 4
5968. 5
5968. 6
5968. 7
5969. 0
5969. 1
5969. 2
5969. 3
5969. 4
5969. 5
5969. 6
5969. 7
5969. 8
5969. 9
5970. 0
5970. 1
5970. 2
5970. 3
5971. 0
5971. 1
5971. 2
5971. 3
5971. 4
5971. 5
5971. 6
5972. 0

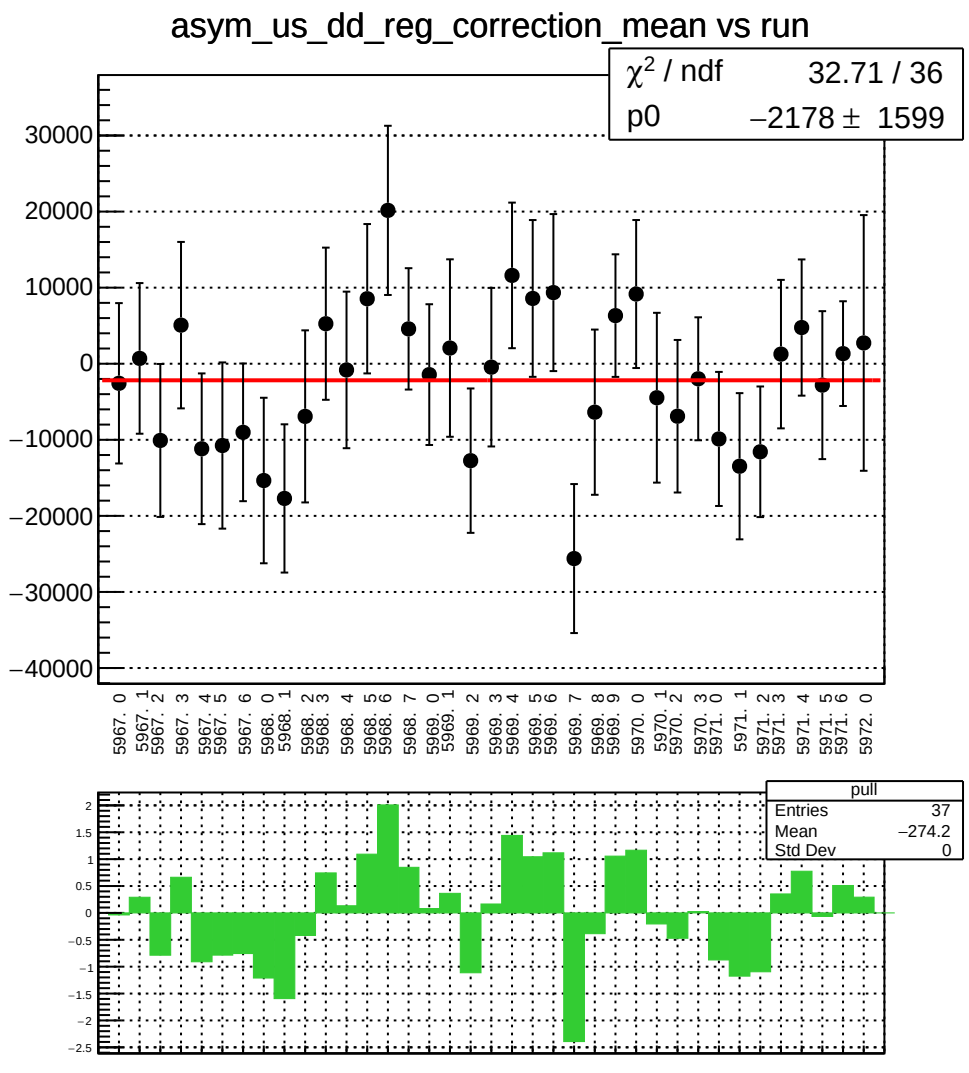
asym_us_dd_reg_correction_mean vs run
χ² / ndf 32.71 / 36
p0 −2178 ± 1599
30000
20000
10000
0
−10000
−20000
−30000
−40000
5967. 0
5967. 1
5967. 2
5967. 3
5967. 4
5967. 5
5967. 6
5968. 0
5968. 1
5968. 2
5968. 3
5968. 4
5968. 5
5968. 6
5968. 7
5969. 0
5969. 1
5969. 2
5969. 3
5969. 4
5969. 5
5969. 6
5969. 7
5969. 8
5969. 9
5970. 0
5970. 1
5970. 2
5970. 3
5971. 0
5971. 1
5971. 2
5971. 3
5971. 4
5971. 5
5971. 6
5972. 0
pull
Entries 37
Mean −274.2
Std Dev 0
2
1.5
1
0.5
0
−0.5
−1
−1.5
−2
−2.5

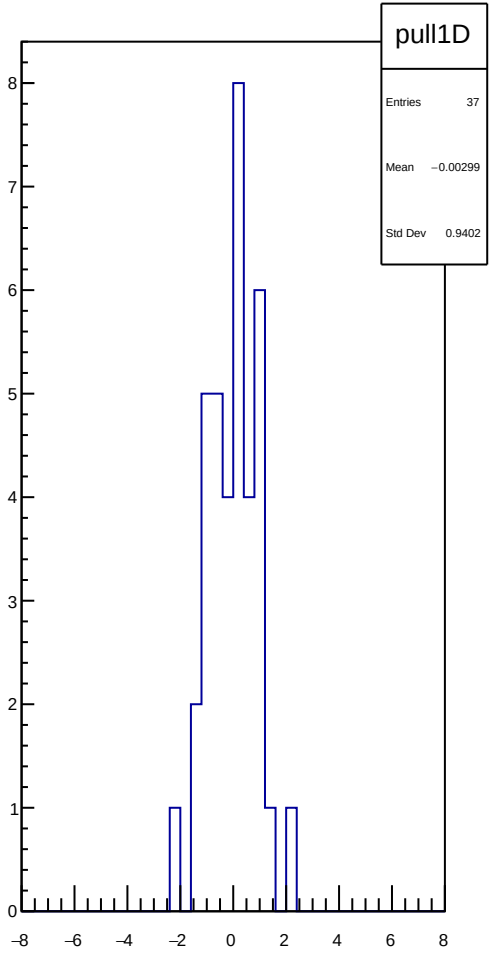
pull1D
Entries 37
Mean −0.00299
Std Dev 0.9402
8
7
6
5
4
3
2
1
0
−8
−6
−4
−2
0
2
4
6
8

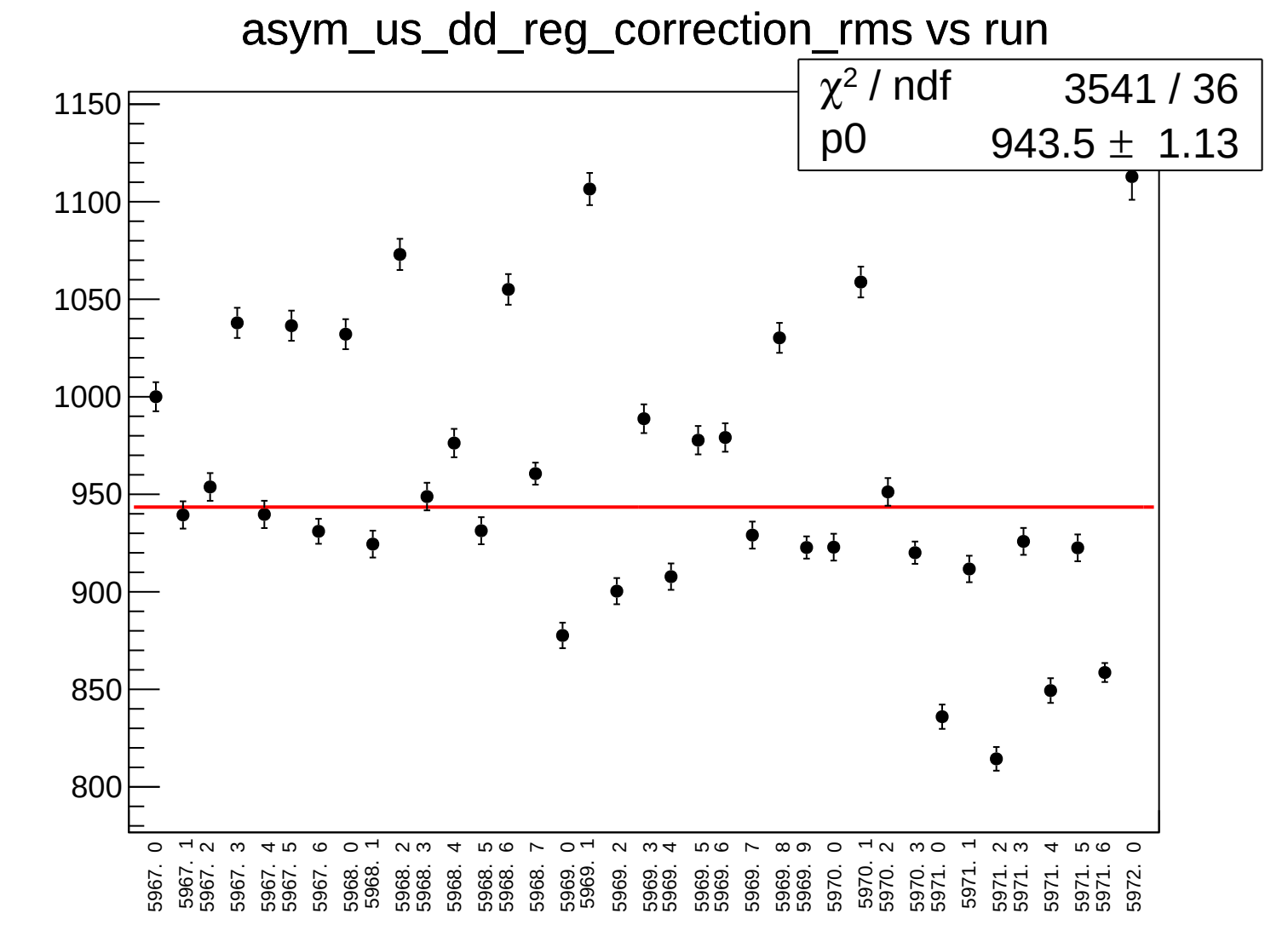
asym_us_dd_reg_correction_rms vs run
χ² / ndf 3541 / 36
p0 943.5 ± 1.13
1150
1100
1050
1000
950
900
850
800
5967. 0
5967. 1
5967. 2
5967. 3
5967. 4
5967. 5
5967. 6
5968. 0
5968. 1
5968. 2
5968. 3
5968. 4
5968. 5
5968. 6
5968. 7
5969. 0
5969. 1
5969. 2
5969. 3
5969. 4
5969. 5
5969. 6
5969. 7
5969. 8
5969. 9
5970. 0
5970. 1
5970. 2
5970. 3
5971. 0
5971. 1
5971. 2
5971. 3
5971. 4
5971. 5
5971. 6
5972. 0

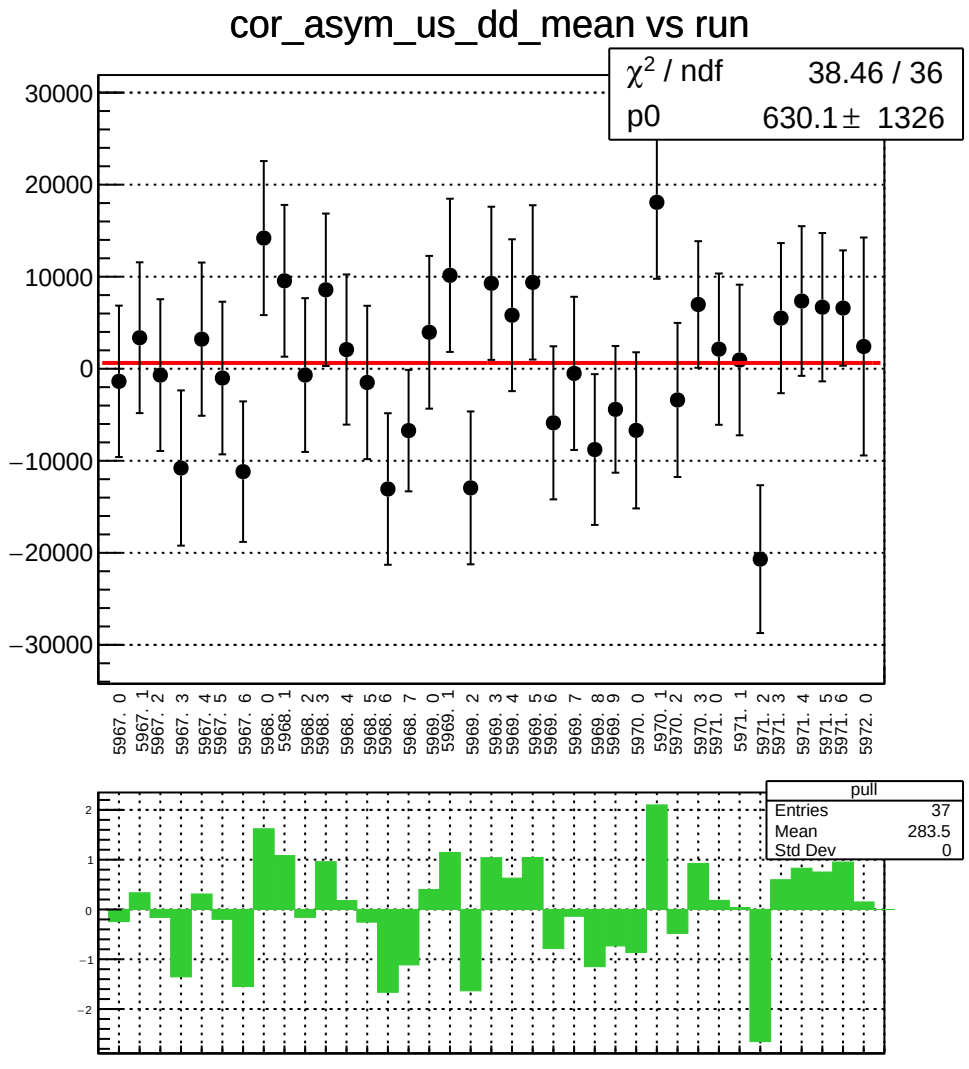
cor_asym_us_dd_mean vs run
χ² / ndf 38.46 / 36
p0 630.1 ± 1326
30000
20000
10000
0
−10000
−20000
−30000
5967. 0
5967. 1
5967. 2
5967. 3
5967. 4
5967. 5
5967. 6
5968. 0
5968. 1
5968. 2
5968. 3
5968. 4
5968. 5
5968. 6
5968. 7
5969. 0
5969. 1
5969. 2
5969. 3
5969. 4
5969. 5
5969. 6
5969. 7
5969. 8
5969. 9
5970. 0
5970. 1
5970. 2
5970. 3
5971. 0
5971. 1
5971. 2
5971. 3
5971. 4
5971. 5
5971. 6
5972. 0
pull
Entries 37
Mean 283.5
Std Dev 0
2
1
0
−1
−2

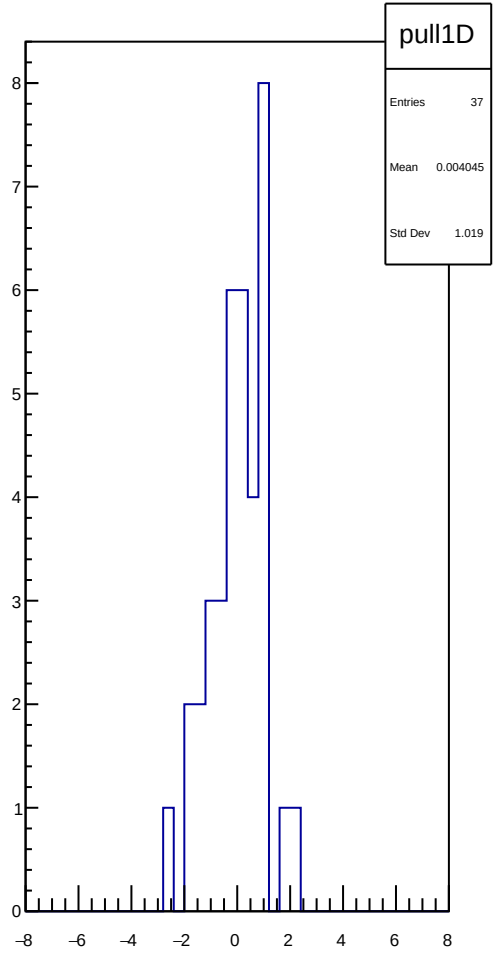
pull1D
Entries 37
Mean 0.004045
Std Dev 1.019
8
7
6
5
4
3
2
1
0
−8
−6
−4
−2
0
2
4
6
8

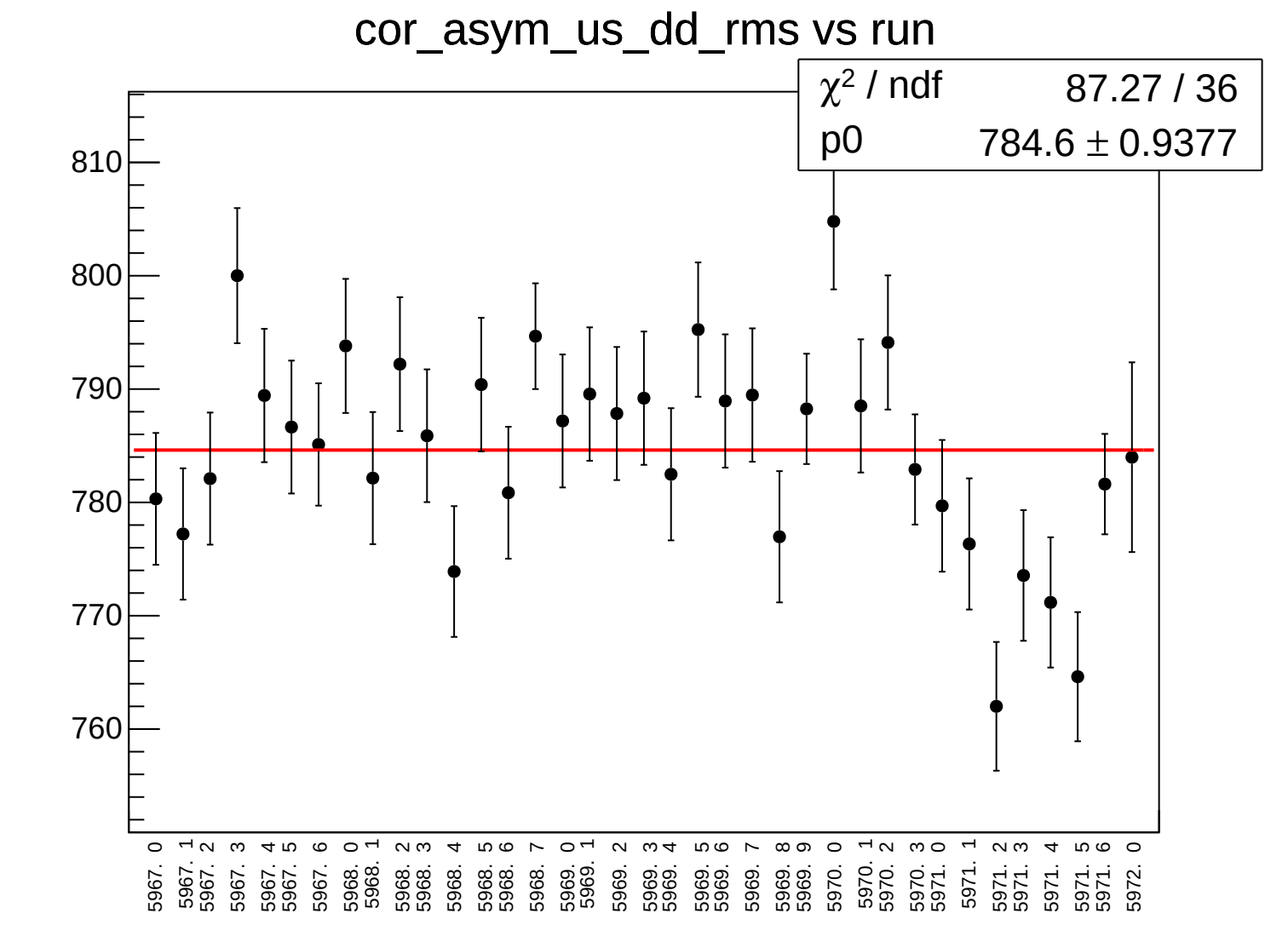
cor_asym_us_dd_rms vs run
χ² / ndf 87.27 / 36
p0 784.6 ± 0.9377
810
800
790
780
770
760
5967. 0
5967. 1
5967. 2
5967. 3
5967. 4
5967. 5
5967. 6
5968. 0
5968. 1
5968. 2
5968. 3
5968. 4
5968. 5
5968. 6
5968. 7
5969. 0
5969. 1
5969. 2
5969. 3
5969. 4
5969. 5
5969. 6
5969. 7
5969. 8
5969. 9
5970. 0
5970. 1
5970. 2
5970. 3
5971. 0
5971. 1
5971. 2
5971. 3
5971. 4
5971. 5
5971. 6
5972. 0

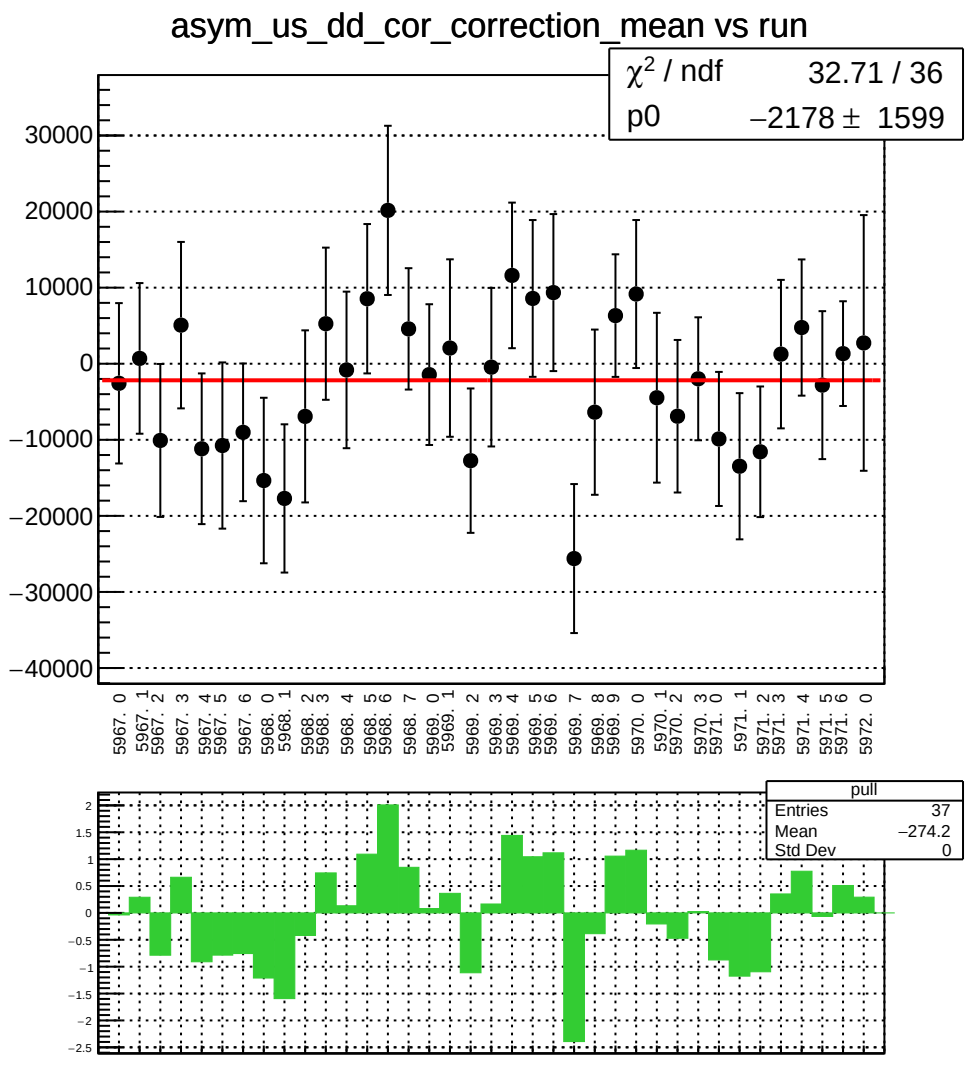
asym_us_dd_cor_correction_mean vs run
χ² / ndf 32.71 / 36
p0 −2178 ± 1599
30000
20000
10000
0
−10000
−20000
−30000
−40000
5967. 0
5967. 1
5967. 2
5967. 3
5967. 4
5967. 5
5967. 6
5968. 0
5968. 1
5968. 2
5968. 3
5968. 4
5968. 5
5968. 6
5968. 7
5969. 0
5969. 1
5969. 2
5969. 3
5969. 4
5969. 5
5969. 6
5969. 7
5969. 8
5969. 9
5970. 0
5970. 1
5970. 2
5970. 3
5971. 0
5971. 1
5971. 2
5971. 3
5971. 4
5971. 5
5971. 6
5972. 0
pull
Entries 37
Mean −274.2
Std Dev 0
2
1.5
1
0.5
0
−0.5
−1
−1.5
−2
−2.5

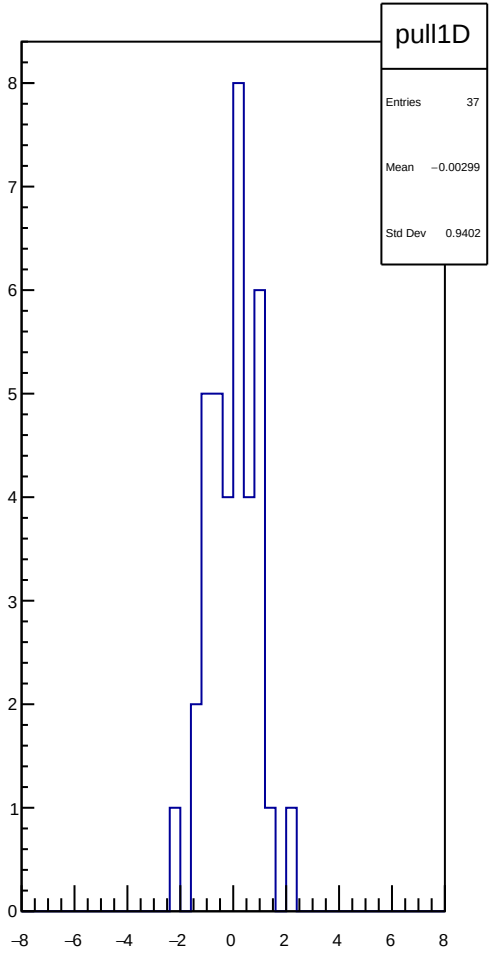
pull1D
Entries 37
Mean −0.00299
Std Dev 0.9402
8
7
6
5
4
3
2
1
0
−8
−6
−4
−2
0
2
4
6
8

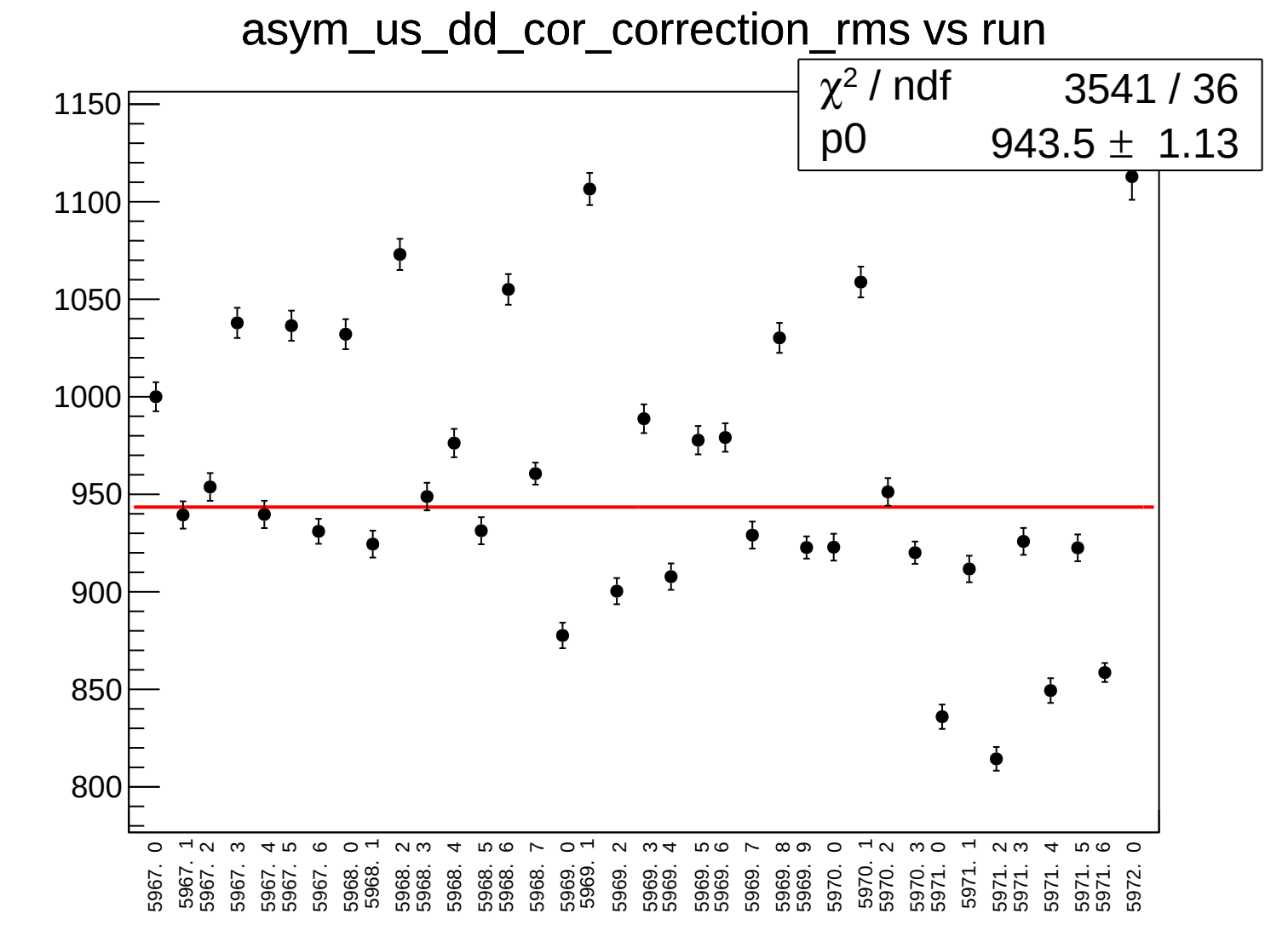
asym_us_dd_cor_correction_rms vs run
χ² / ndf 3541 / 36
p0 943.5 ± 1.13
1150
1100
1050
1000
950
900
850
800
5967. 0
5967. 1
5967. 2
5967. 3
5967. 4
5967. 5
5967. 6
5968. 0
5968. 1
5968. 2
5968. 3
5968. 4
5968. 5
5968. 6
5968. 7
5969. 0
5969. 1
5969. 2
5969. 3
5969. 4
5969. 5
5969. 6
5969. 7
5969. 8
5969. 9
5970. 0
5970. 1
5970. 2
5970. 3
5971. 0
5971. 1
5971. 2
5971. 3
5971. 4
5971. 5
5971. 6
5972. 0

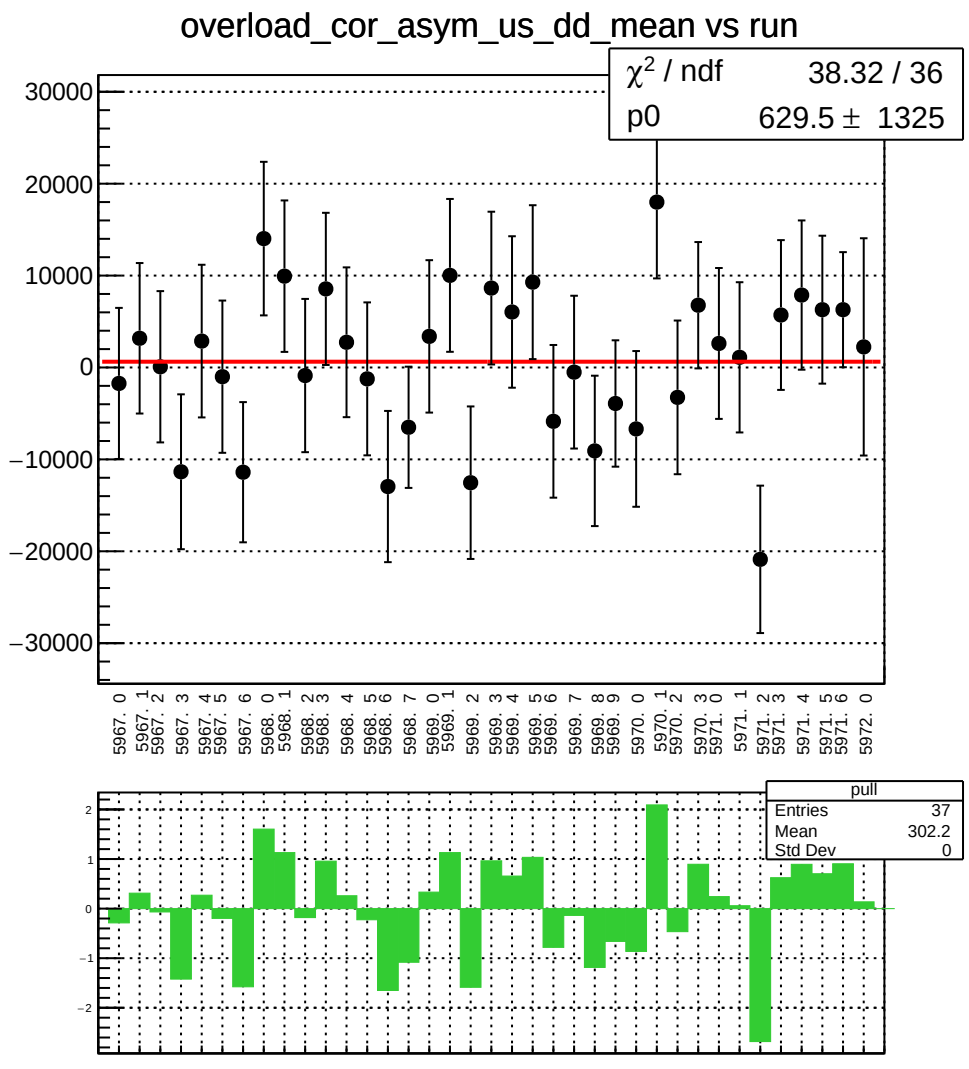
overload_cor_asym_us_dd_mean vs run
χ² / ndf 38.32 / 36
p0 629.5 ± 1325
30000
20000
10000
0
−10000
−20000
−30000
5967. 0
5967. 1
5967. 2
5967. 3
5967. 4
5967. 5
5967. 6
5968. 0
5968. 1
5968. 2
5968. 3
5968. 4
5968. 5
5968. 6
5968. 7
5969. 0
5969. 1
5969. 2
5969. 3
5969. 4
5969. 5
5969. 6
5969. 7
5969. 8
5969. 9
5970. 0
5970. 1
5970. 2
5970. 3
5971. 0
5971. 1
5971. 2
5971. 3
5971. 4
5971. 5
5971. 6
5972. 0
pull
Entries 37
Mean 302.2
Std Dev 0
2
1
0
−1
−2

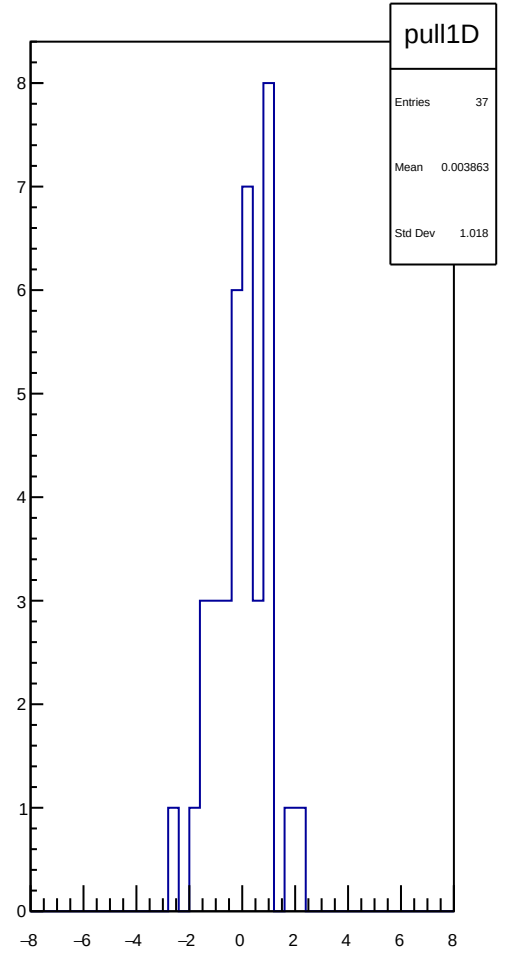
pull1D
Entries 37
Mean 0.003863
Std Dev 1.018
8
7
6
5
4
3
2
1
0
−8
−6
−4
−2
0
2
4
6
8

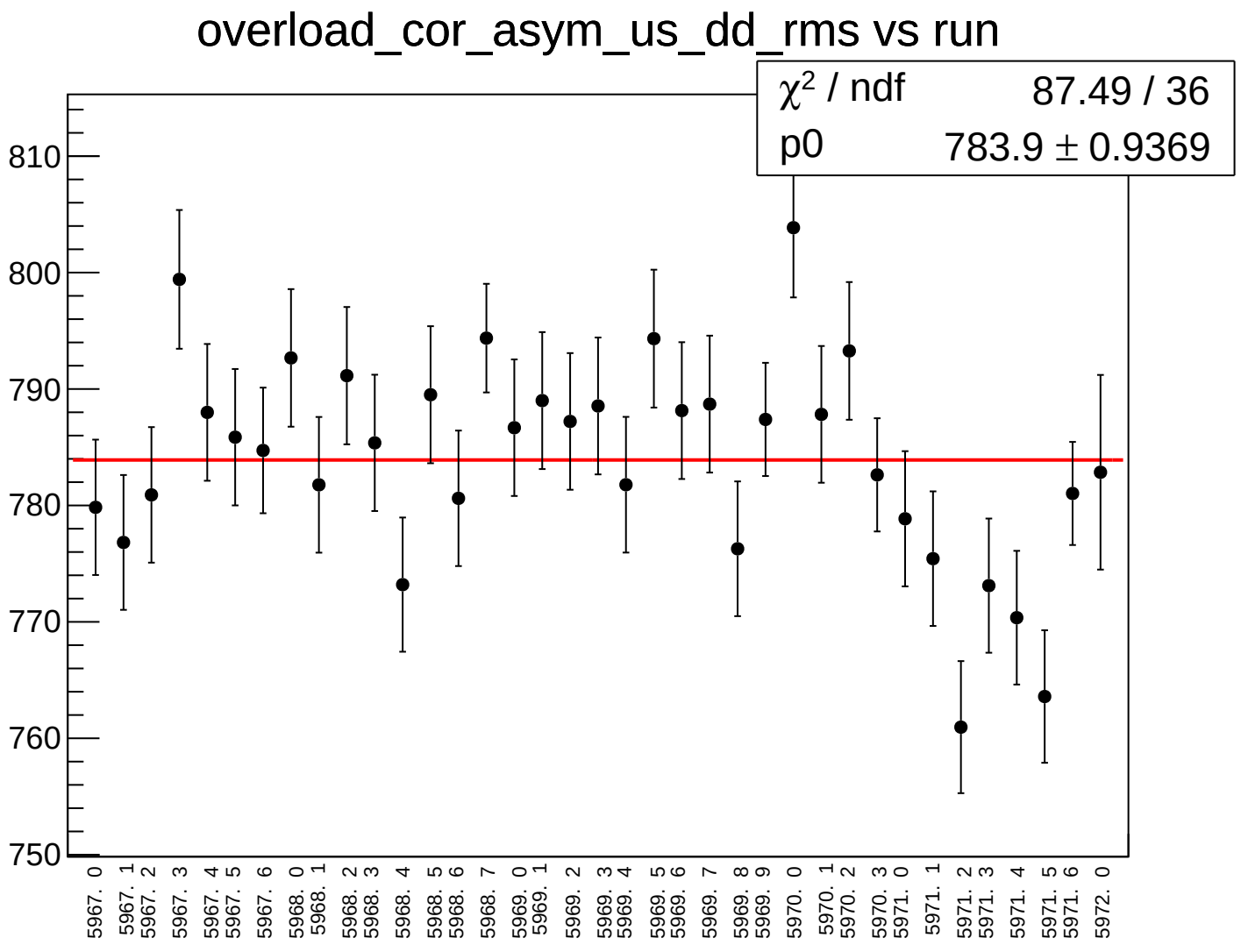
overload_cor_asym_us_dd_rms vs run
χ² / ndf 87.49 / 36
p0 783.9 ± 0.9369
810
800
790
780
770
760
750
5967. 0
5967. 1
5967. 2
5967. 3
5967. 4
5967. 5
5967. 6
5968. 0
5968. 1
5968. 2
5968. 3
5968. 4
5968. 5
5968. 6
5968. 7
5969. 0
5969. 1
5969. 2
5969. 3
5969. 4
5969. 5
5969. 6
5969. 7
5969. 8
5969. 9
5970. 0
5970. 1
5970. 2
5970. 3
5971. 0
5971. 1
5971. 2
5971. 3
5971. 4
5971. 5
5971. 6
5972. 0

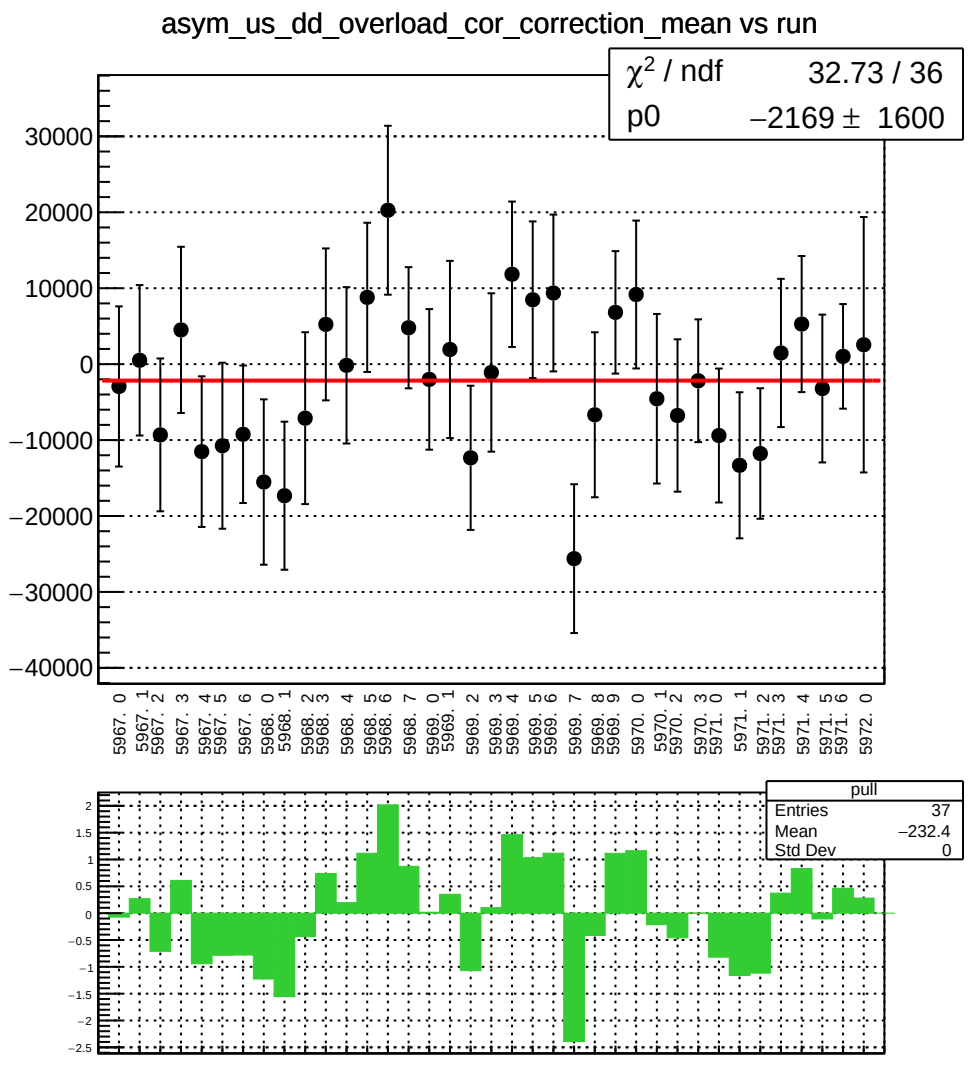
asym_us_dd_overload_cor_correction_mean vs run
χ² / ndf 32.73 / 36
p0 −2169 ± 1600
30000
20000
10000
0
−10000
−20000
−30000
−40000
5967. 0
5967. 1
5967. 2
5967. 3
5967. 4
5967. 5
5967. 6
5968. 0
5968. 1
5968. 2
5968. 3
5968. 4
5968. 5
5968. 6
5968. 7
5969. 0
5969. 1
5969. 2
5969. 3
5969. 4
5969. 5
5969. 6
5969. 7
5969. 8
5969. 9
5970. 0
5970. 1
5970. 2
5970. 3
5971. 0
5971. 1
5971. 2
5971. 3
5971. 4
5971. 5
5971. 6
5972. 0
pull
Entries 37
Mean −232.4
Std Dev 0
2
1.5
1
0.5
0
−0.5
−1
−1.5
−2
−2.5
pull1D
Entries 37
Mean −0.003567
Std Dev 0.9405
7
6
5
4
3
2
1
0
−8
−6
−4
−2
0
2
4
6
8

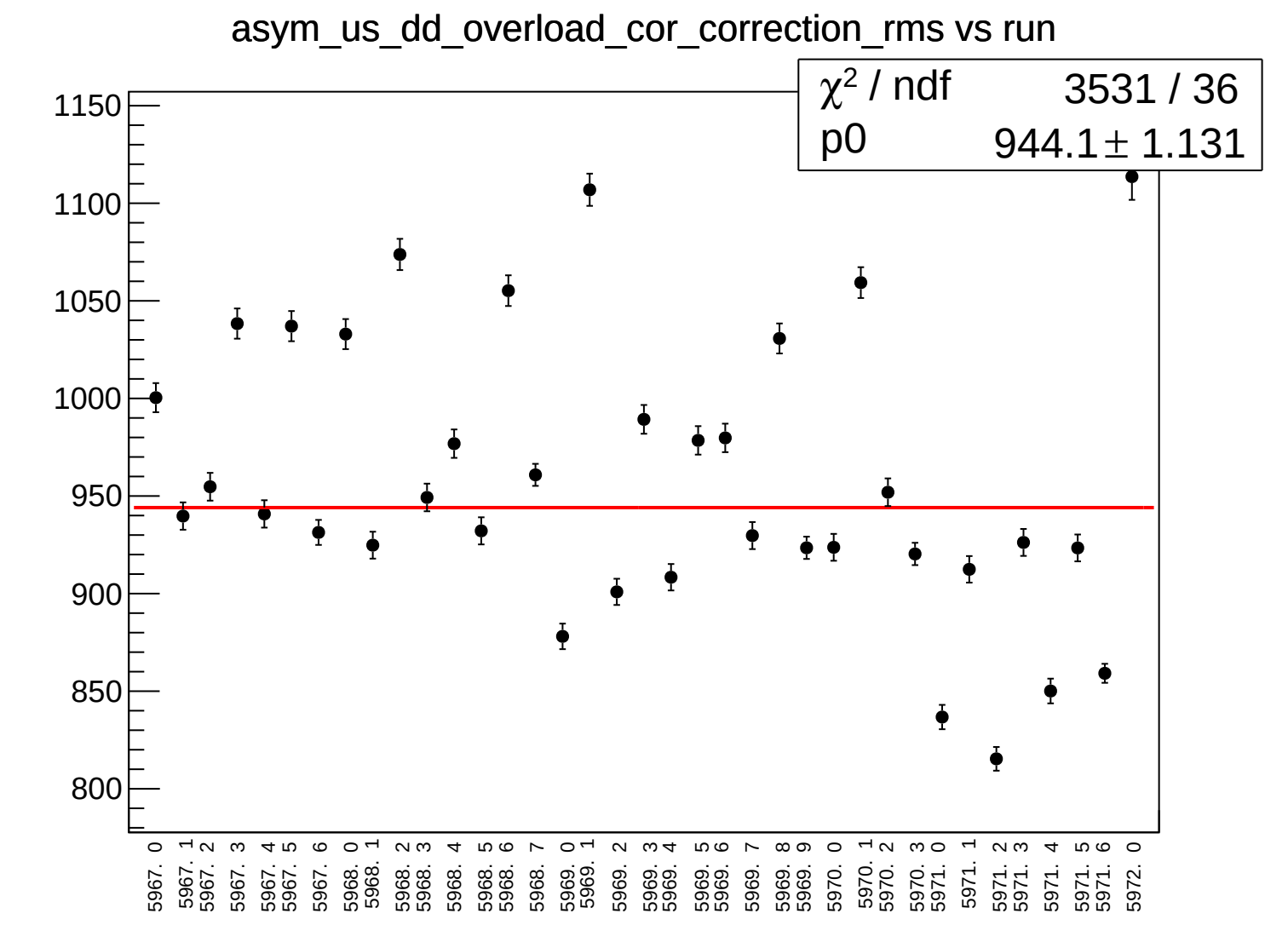
asym_us_dd_overload_cor_correction_rms vs run
χ² / ndf 3531 / 36
p0 944.1 ± 1.131
1150
1100
1050
1000
950
900
850
800
5967. 0
5967. 1
5967. 2
5967. 3
5967. 4
5967. 5
5967. 6
5968. 0
5968. 1
5968. 2
5968. 3
5968. 4
5968. 5
5968. 6
5968. 7
5969. 0
5969. 1
5969. 2
5969. 3
5969. 4
5969. 5
5969. 6
5969. 7
5969. 8
5969. 9
5970. 0
5970. 1
5970. 2
5970. 3
5971. 0
5971. 1
5971. 2
5971. 3
5971. 4
5971. 5
5971. 6
5972. 0

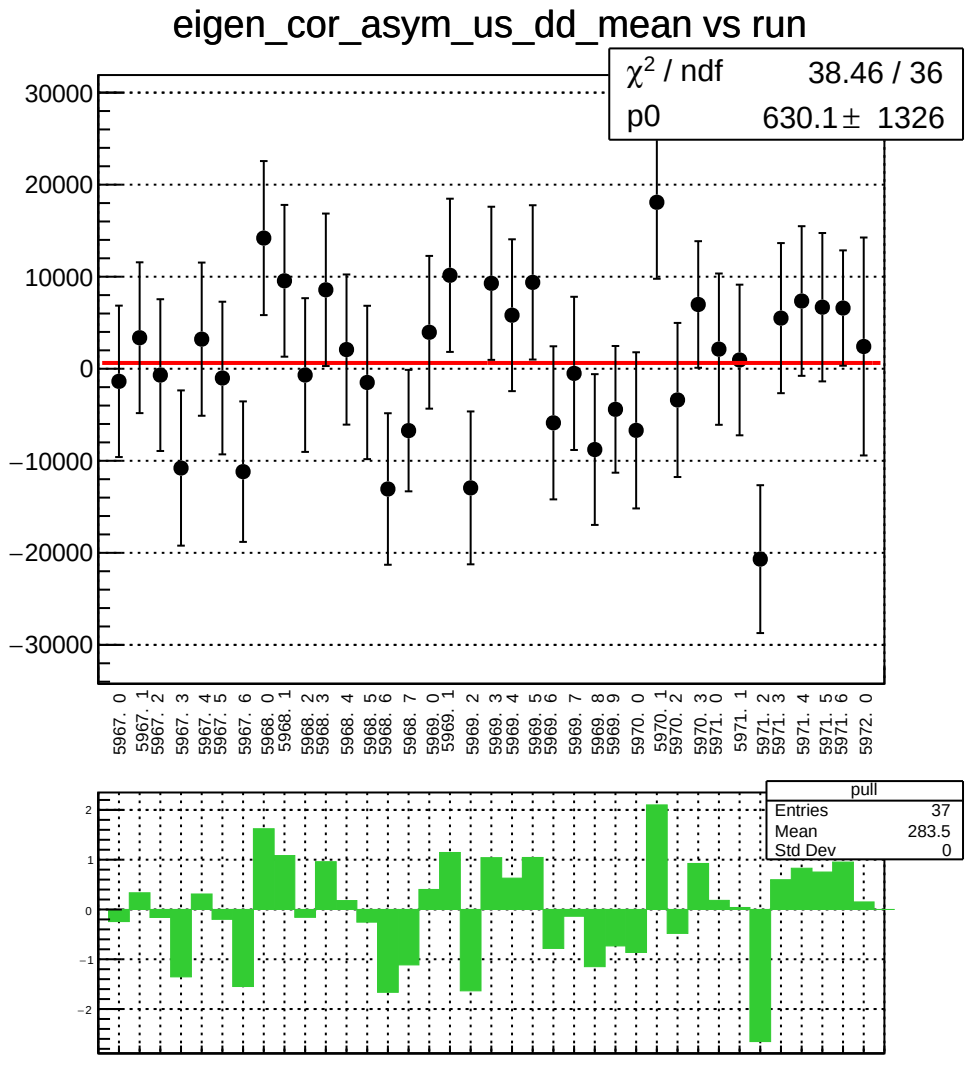
eigen_cor_asym_us_dd_mean vs run
χ² / ndf 38.46 / 36
p0 630.1 ± 1326
30000
20000
10000
0
−10000
−20000
−30000
5967. 0
5967. 1
5967. 2
5967. 3
5967. 4
5967. 5
5967. 6
5968. 0
5968. 1
5968. 2
5968. 3
5968. 4
5968. 5
5968. 6
5968. 7
5969. 0
5969. 1
5969. 2
5969. 3
5969. 4
5969. 5
5969. 6
5969. 7
5969. 8
5969. 9
5970. 0
5970. 1
5970. 2
5970. 3
5971. 0
5971. 1
5971. 2
5971. 3
5971. 4
5971. 5
5971. 6
5972. 0
pull
Entries 37
Mean 283.5
Std Dev 0
2
1
0
−1
−2

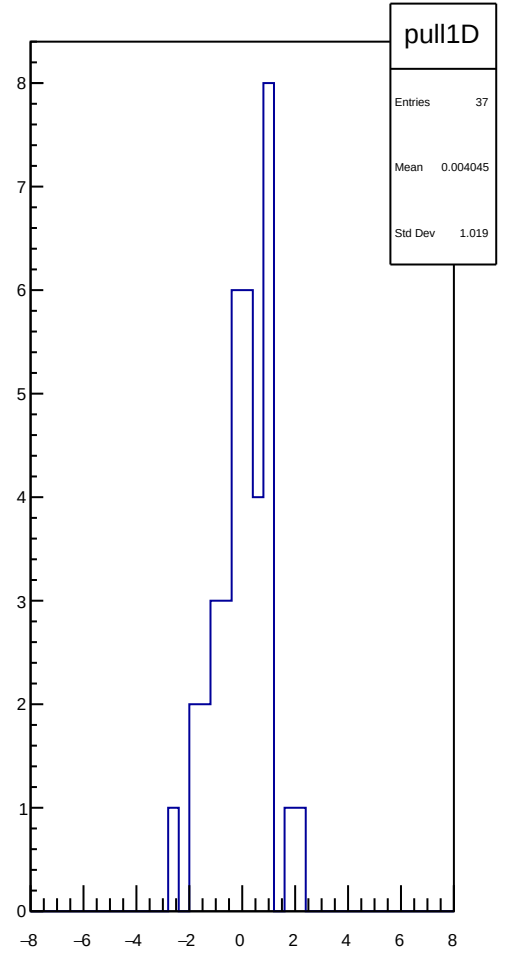
pull1D
Entries 37
Mean 0.004045
Std Dev 1.019
8
7
6
5
4
3
2
1
0
−8
−6
−4
−2
0
2
4
6
8

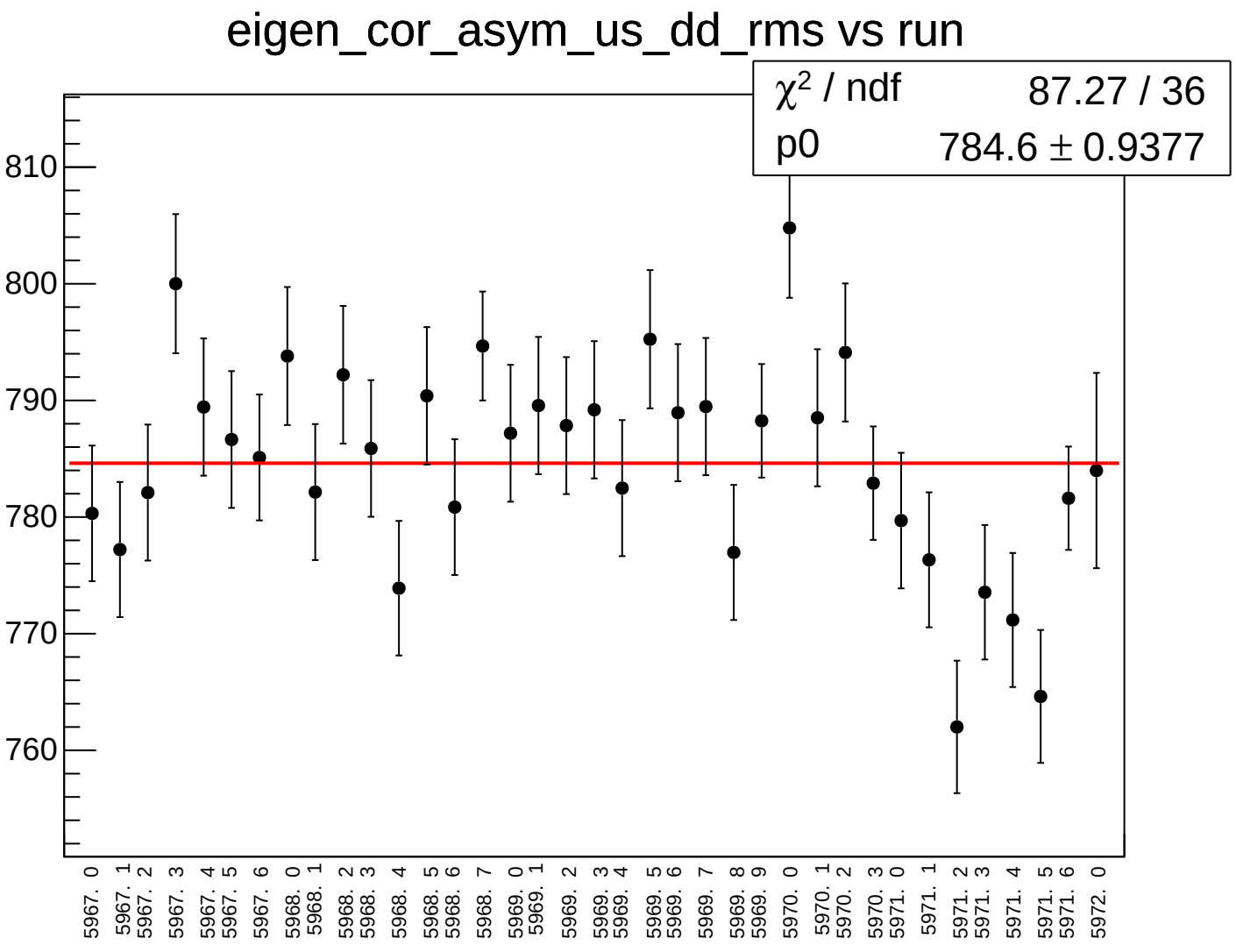
eigen_cor_asym_us_dd_rms vs run
χ² / ndf 87.27 / 36
p0 784.6 ± 0.9377
810
800
790
780
770
760
5967. 0
5967. 1
5967. 2
5967. 3
5967. 4
5967. 5
5967. 6
5968. 0
5968. 1
5968. 2
5968. 3
5968. 4
5968. 5
5968. 6
5968. 7
5969. 0
5969. 1
5969. 2
5969. 3
5969. 4
5969. 5
5969. 6
5969. 7
5969. 8
5969. 9
5970. 0
5970. 1
5970. 2
5970. 3
5971. 0
5971. 1
5971. 2
5971. 3
5971. 4
5971. 5
5971. 6
5972. 0

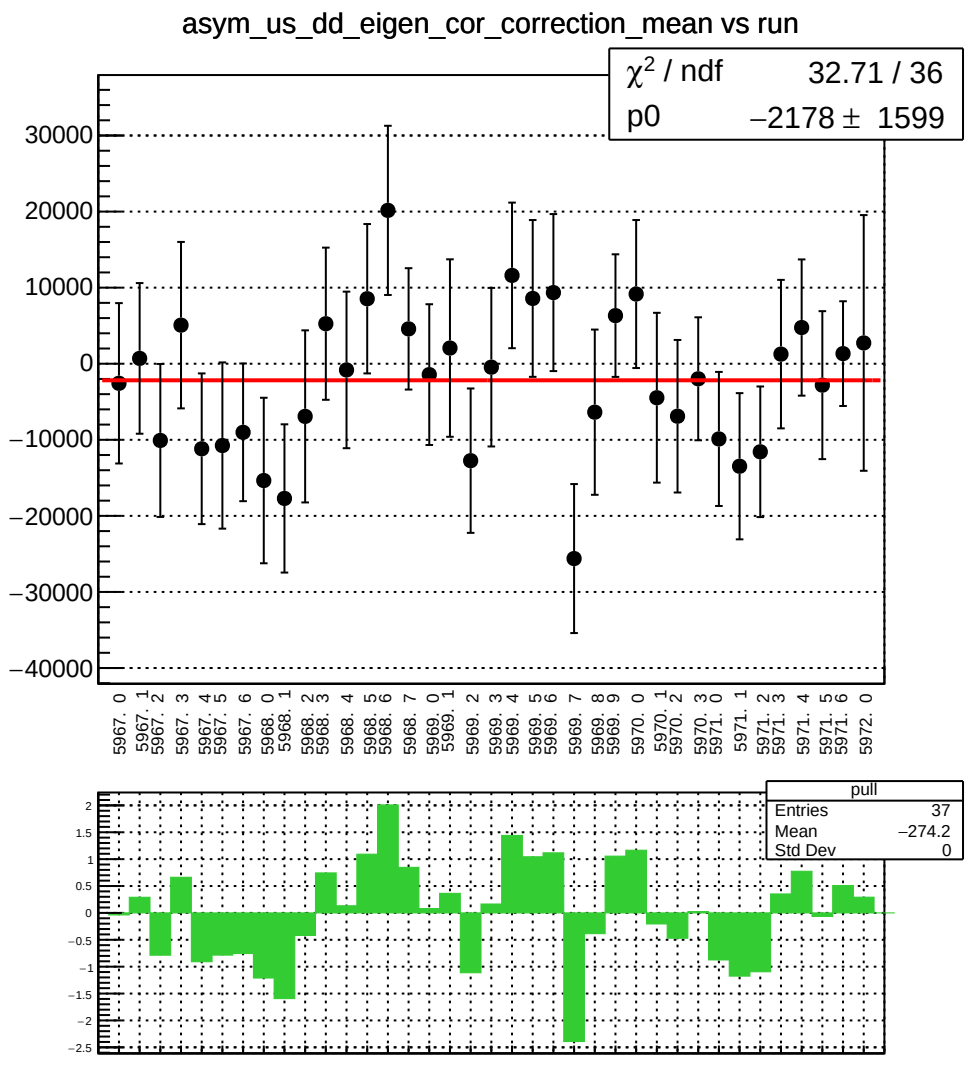
asym_us_dd_eigen_cor_correction_mean vs run
χ² / ndf 32.71 / 36
p0 −2178 ± 1599
30000
20000
10000
0
−10000
−20000
−30000
−40000
5967. 0
5967. 1
5967. 2
5967. 3
5967. 4
5967. 5
5967. 6
5968. 0
5968. 1
5968. 2
5968. 3
5968. 4
5968. 5
5968. 6
5968. 7
5969. 0
5969. 1
5969. 2
5969. 3
5969. 4
5969. 5
5969. 6
5969. 7
5969. 8
5969. 9
5970. 0
5970. 1
5970. 2
5970. 3
5971. 0
5971. 1
5971. 2
5971. 3
5971. 4
5971. 5
5971. 6
5972. 0
pull
Entries 37
Mean −274.2
Std Dev 0
2
1.5
1
0.5
0
−0.5
−1
−1.5
−2
−2.5

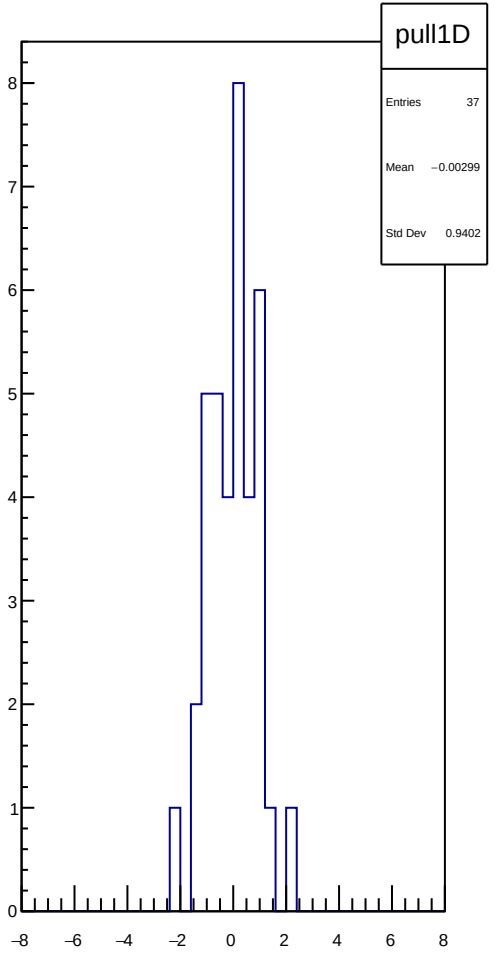
pull1D
Entries 37
Mean −0.00299
Std Dev 0.9402
8
7
6
5
4
3
2
1
0
−8
−6
−4
−2
0
2
4
6
8

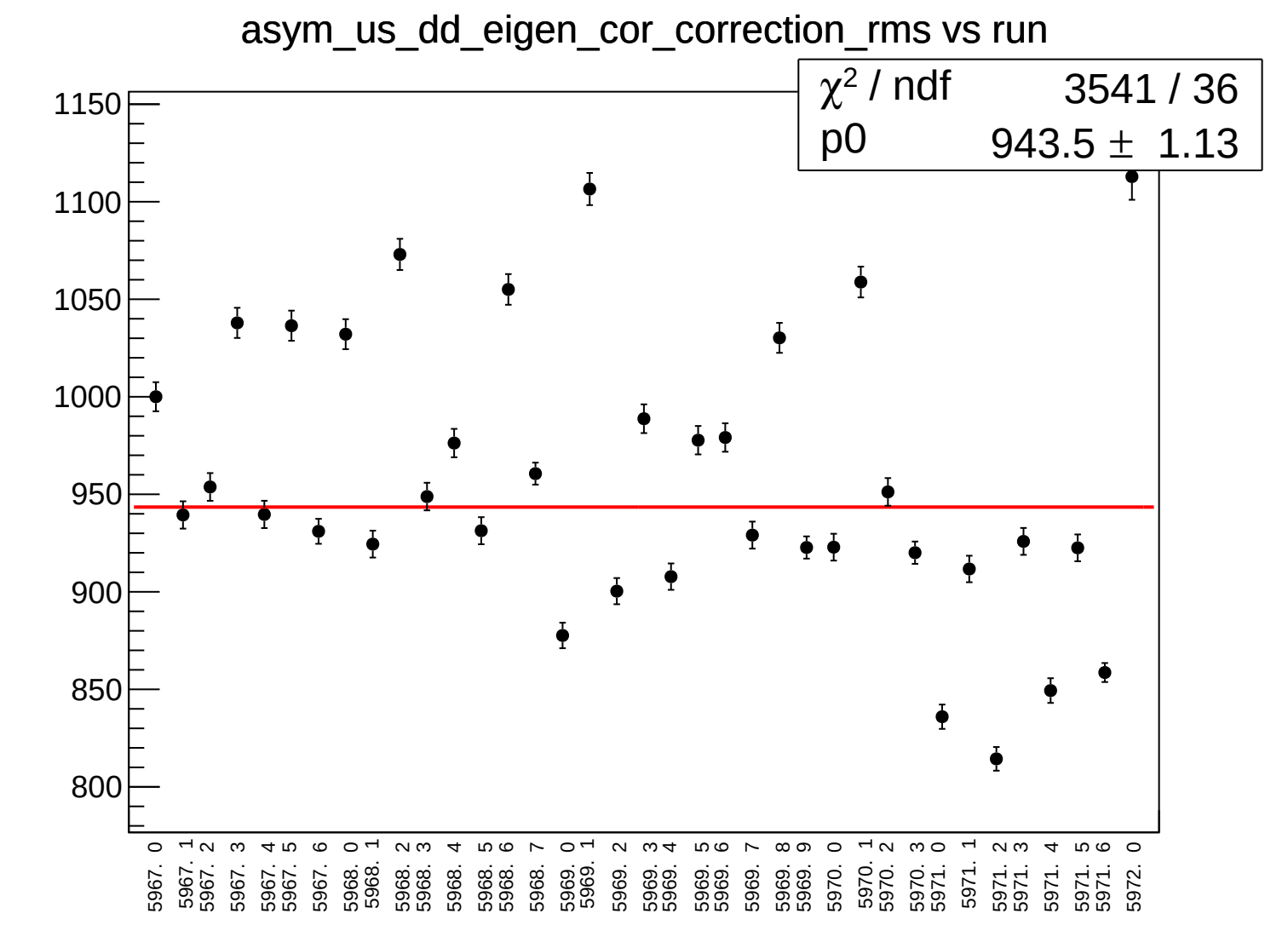
asym_us_dd_eigen_cor_correction_rms vs run
χ² / ndf 3541 / 36
p0 943.5 ± 1.13
1150
1100
1050
1000
950
900
850
800
5967. 0
5967. 1
5967. 2
5967. 3
5967. 4
5967. 5
5967. 6
5968. 0
5968. 1
5968. 2
5968. 3
5968. 4
5968. 5
5968. 6
5968. 7
5969. 0
5969. 1
5969. 2
5969. 3
5969. 4
5969. 5
5969. 6
5969. 7
5969. 8
5969. 9
5970. 0
5970. 1
5970. 2
5970. 3
5971. 0
5971. 1
5971. 2
5971. 3
5971. 4
5971. 5
5971. 6
5972. 0

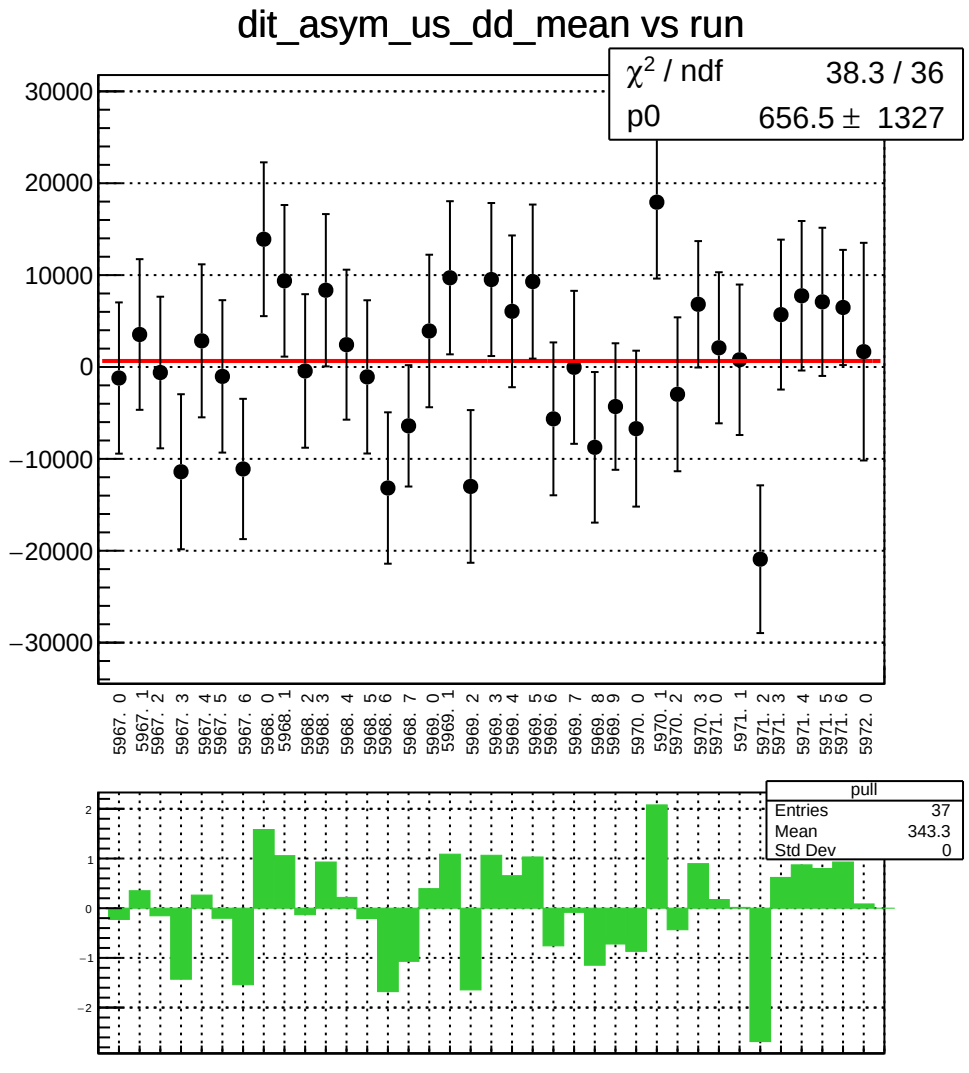
dit_asym_us_dd_mean vs run
χ² / ndf 38.3 / 36
p0 656.5 ± 1327
30000
20000
10000
0
−10000
−20000
−30000
5967. 0
5967. 1
5967. 2
5967. 3
5967. 4
5967. 5
5967. 6
5968. 0
5968. 1
5968. 2
5968. 3
5968. 4
5968. 5
5968. 6
5968. 7
5969. 0
5969. 1
5969. 2
5969. 3
5969. 4
5969. 5
5969. 6
5969. 7
5969. 8
5969. 9
5970. 0
5970. 1
5970. 2
5970. 3
5971. 0
5971. 1
5971. 2
5971. 3
5971. 4
5971. 5
5971. 6
5972. 0
pull
Entries 37
Mean 343.3
Std Dev 0
2
1
0
−1
−2

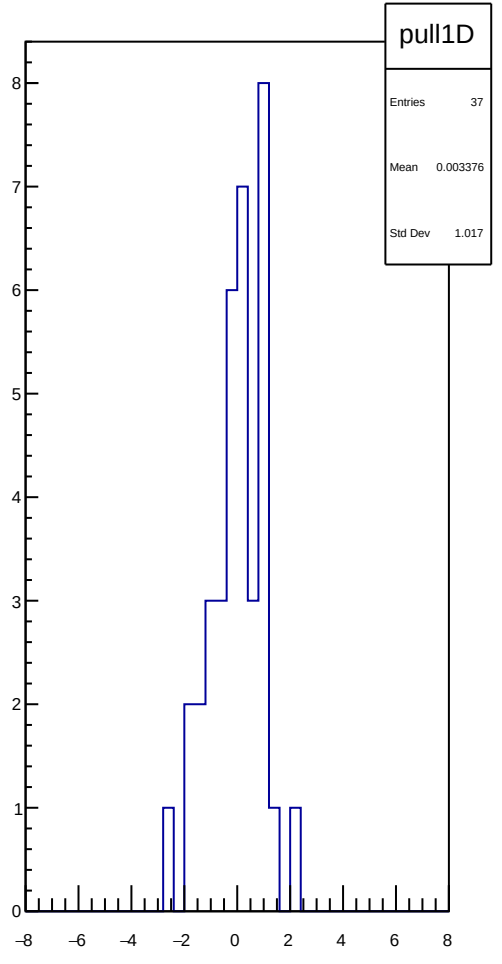
pull1D
Entries 37
Mean 0.003376
Std Dev 1.017
8
7
6
5
4
3
2
1
0
−8
−6
−4
−2
0
2
4
6
8

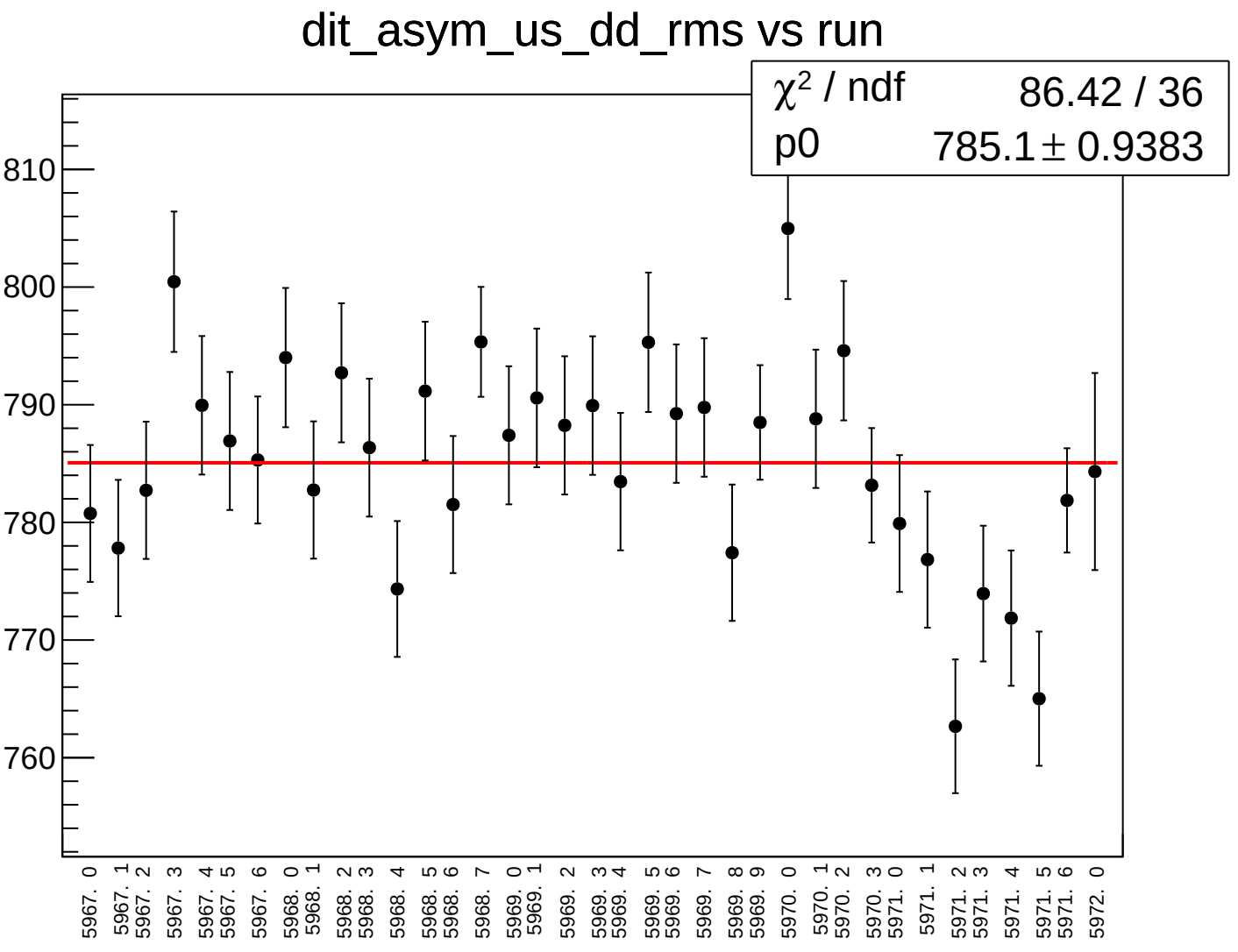
dit_asym_us_dd_rms vs run
χ² / ndf 86.42 / 36
p0 785.1 ± 0.9383
810
800
790
780
770
760
5967. 0
5967. 1
5967. 2
5967. 3
5967. 4
5967. 5
5967. 6
5968. 0
5968. 1
5968. 2
5968. 3
5968. 4
5968. 5
5968. 6
5968. 7
5969. 0
5969. 1
5969. 2
5969. 3
5969. 4
5969. 5
5969. 6
5969. 7
5969. 8
5969. 9
5970. 0
5970. 1
5970. 2
5970. 3
5971. 0
5971. 1
5971. 2
5971. 3
5971. 4
5971. 5
5971. 6
5972. 0

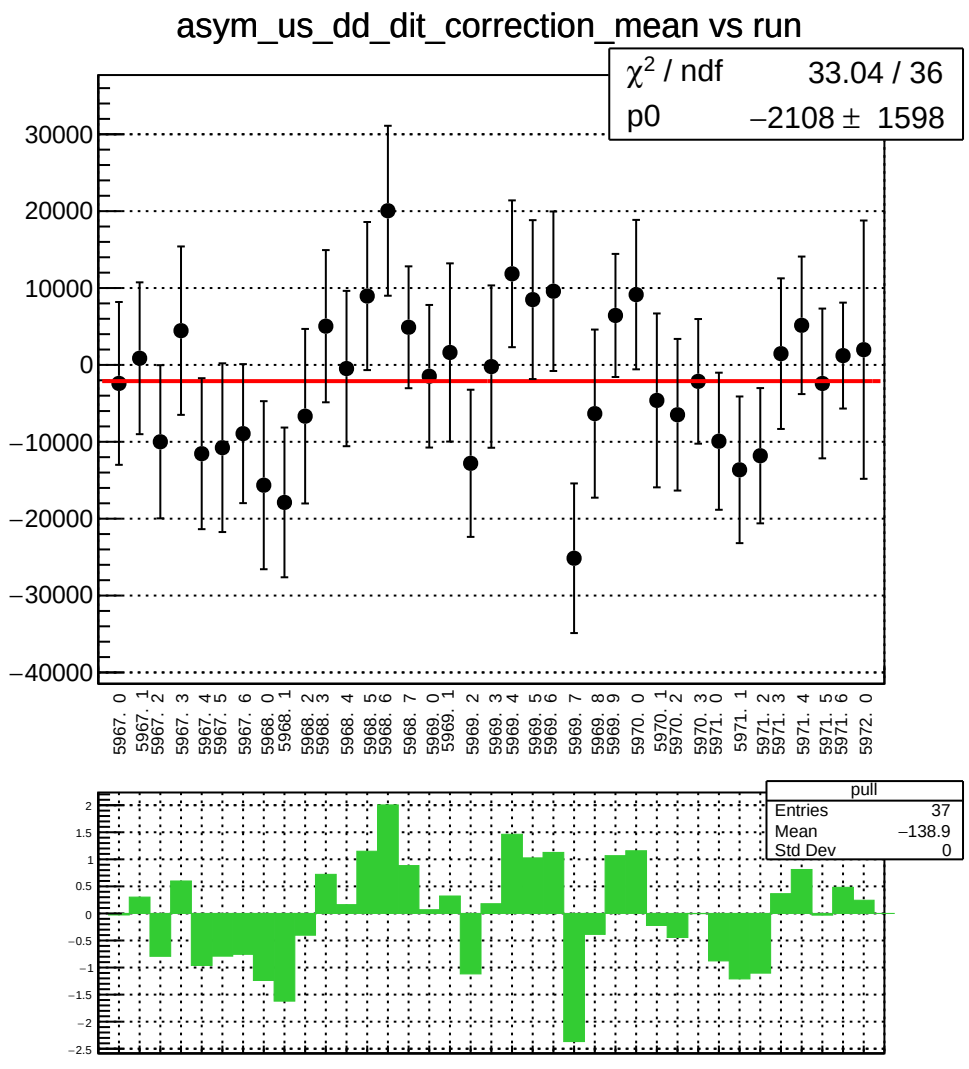
asym_us_dd_dit_correction_mean vs run
χ² / ndf 33.04 / 36
p0 −2108 ± 1598
pull
Entries 37
Mean −138.9
Std Dev 0
pull1D
Entries 37
Mean −0.00571
Std Dev 0.945

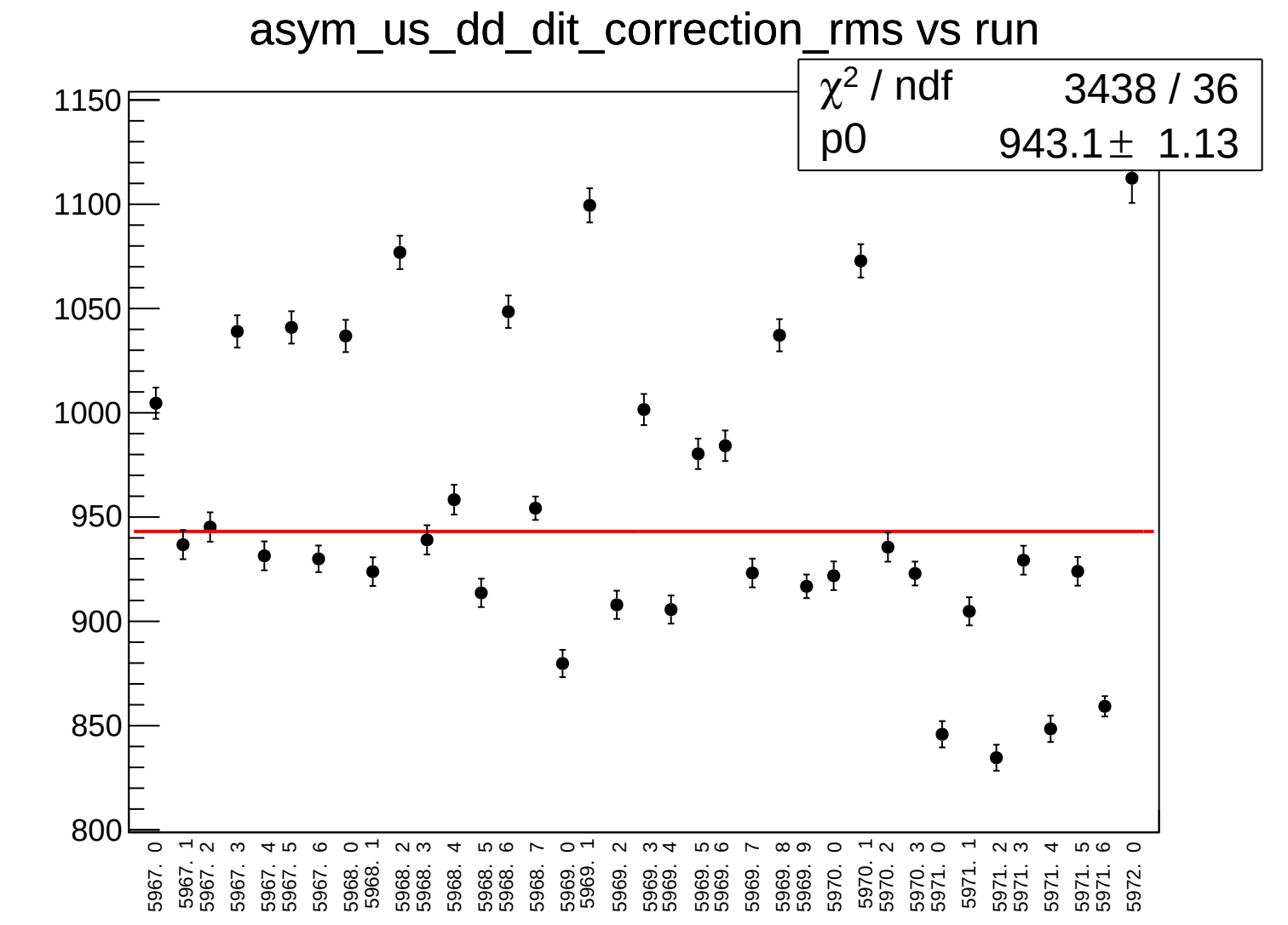
asym_us_dd_dit_correction_rms vs run
χ² / ndf 3438 / 36
p0 943.1 ± 1.13
1150
1100
1050
1000
950
900
850
800
5967. 0
5967. 1
5967. 2
5967. 3
5967. 4
5967. 5
5967. 6
5968. 0
5968. 1
5968. 2
5968. 3
5968. 4
5968. 5
5968. 6
5968. 7
5969. 0
5969. 1
5969. 2
5969. 3
5969. 4
5969. 5
5969. 6
5969. 7
5969. 8
5969. 9
5970. 0
5970. 1
5970. 2
5970. 3
5971. 0
5971. 1
5971. 2
5971. 3
5971. 4
5971. 5
5971. 6
5972. 0

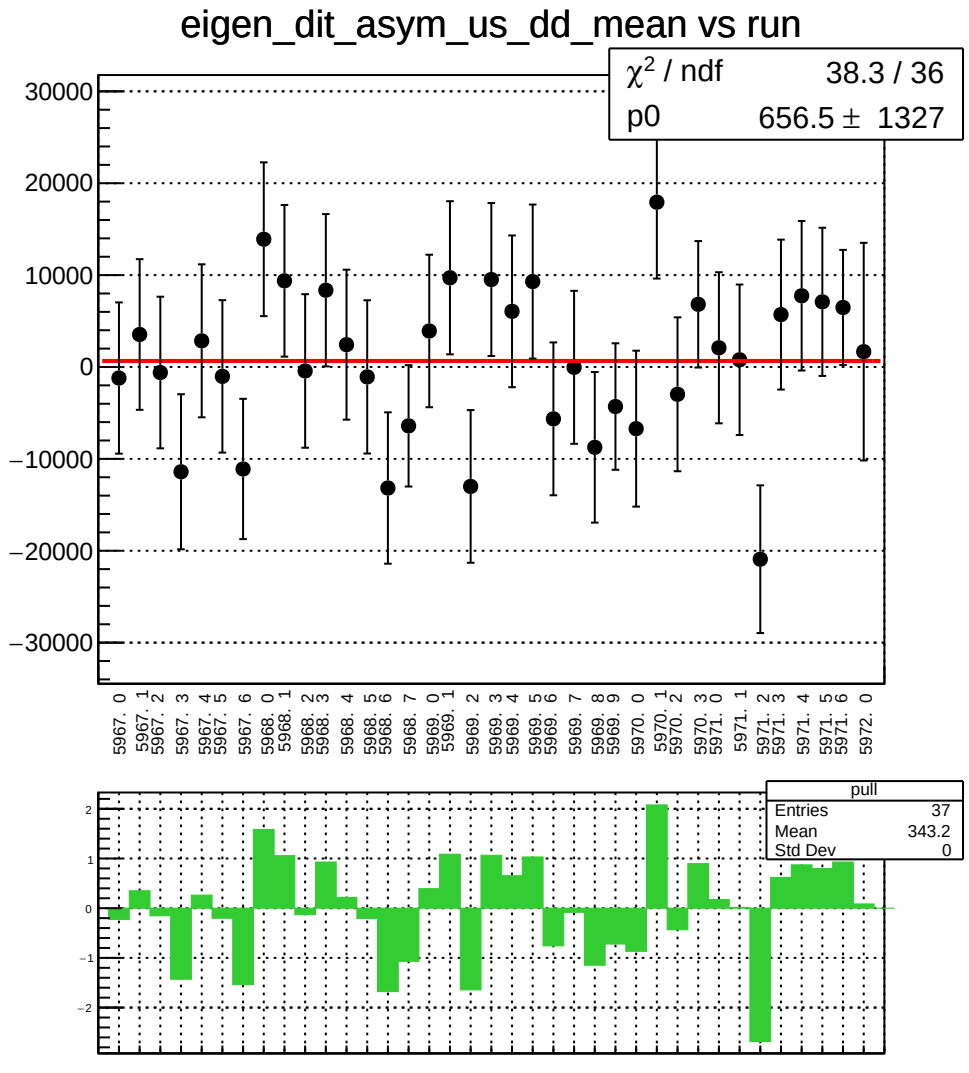
eigen_dit_asym_us_dd_mean vs run
χ² / ndf 38.3 / 36
p0 656.5 ± 1327
30000
20000
10000
0
−10000
−20000
−30000
5967. 0
5967. 1
5967. 2
5967. 3
5967. 4
5967. 5
5967. 6
5968. 0
5968. 1
5968. 2
5968. 3
5968. 4
5968. 5
5968. 6
5968. 7
5969. 0
5969. 1
5969. 2
5969. 3
5969. 4
5969. 5
5969. 6
5969. 7
5969. 8
5969. 9
5970. 0
5970. 1
5970. 2
5970. 3
5971. 0
5971. 1
5971. 2
5971. 3
5971. 4
5971. 5
5971. 6
5972. 0
pull
Entries 37
Mean 343.2
Std Dev 0
2
1
0
−1
−2
pull1D
Entries 37
Mean 0.003376
Std Dev 1.017
8
7
6
5
4
3
2
1
0
−8
−6
−4
−2
0
2
4
6
8

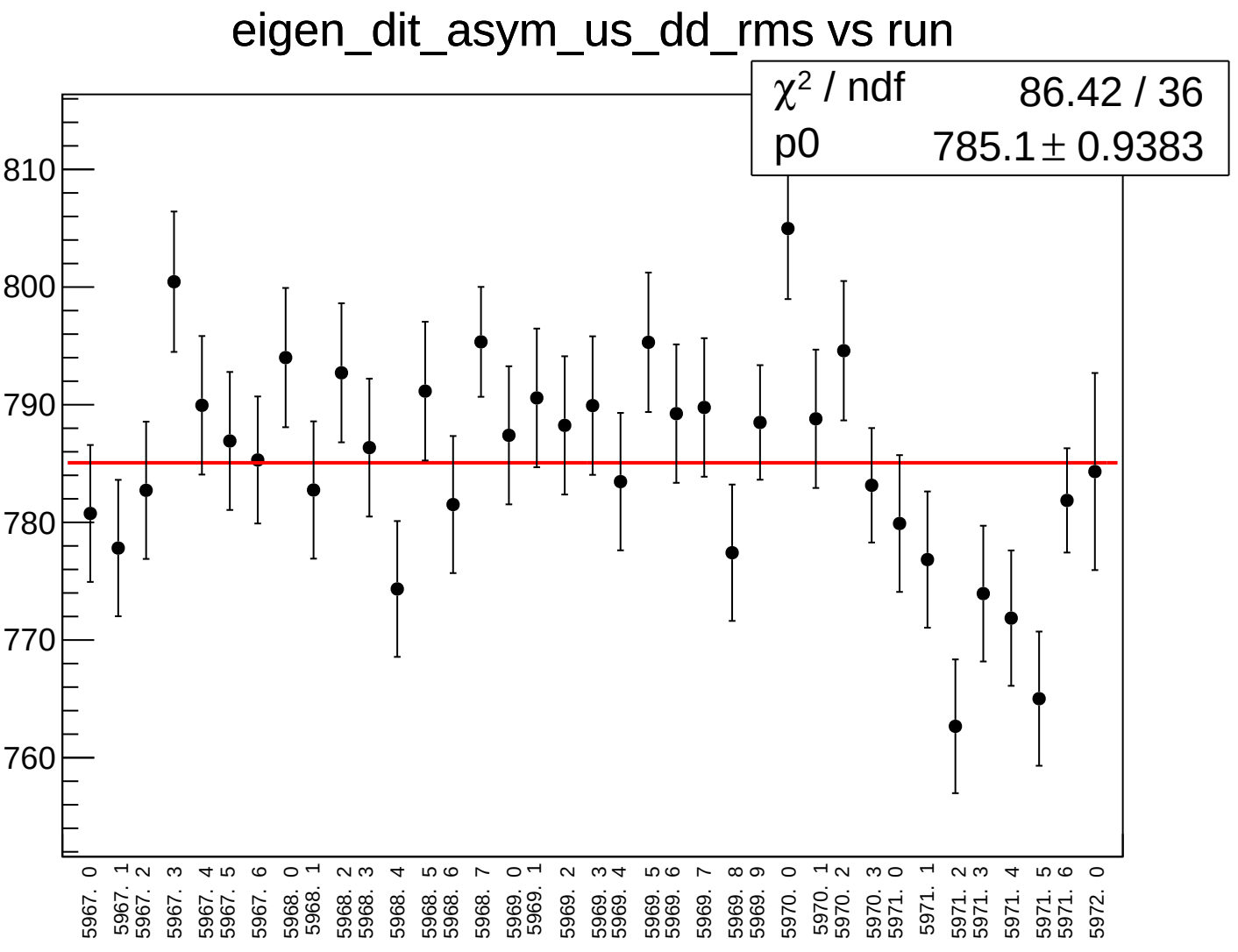
eigen_dit_asym_us_dd_rms vs run
χ² / ndf 86.42 / 36
p0 785.1 ± 0.9383
810
800
790
780
770
760
5967. 0
5967. 1
5967. 2
5967. 3
5967. 4
5967. 5
5967. 6
5968. 0
5968. 1
5968. 2
5968. 3
5968. 4
5968. 5
5968. 6
5968. 7
5969. 0
5969. 1
5969. 2
5969. 3
5969. 4
5969. 5
5969. 6
5969. 7
5969. 8
5969. 9
5970. 0
5970. 1
5970. 2
5970. 3
5971. 0
5971. 1
5971. 2
5971. 3
5971. 4
5971. 5
5971. 6
5972. 0

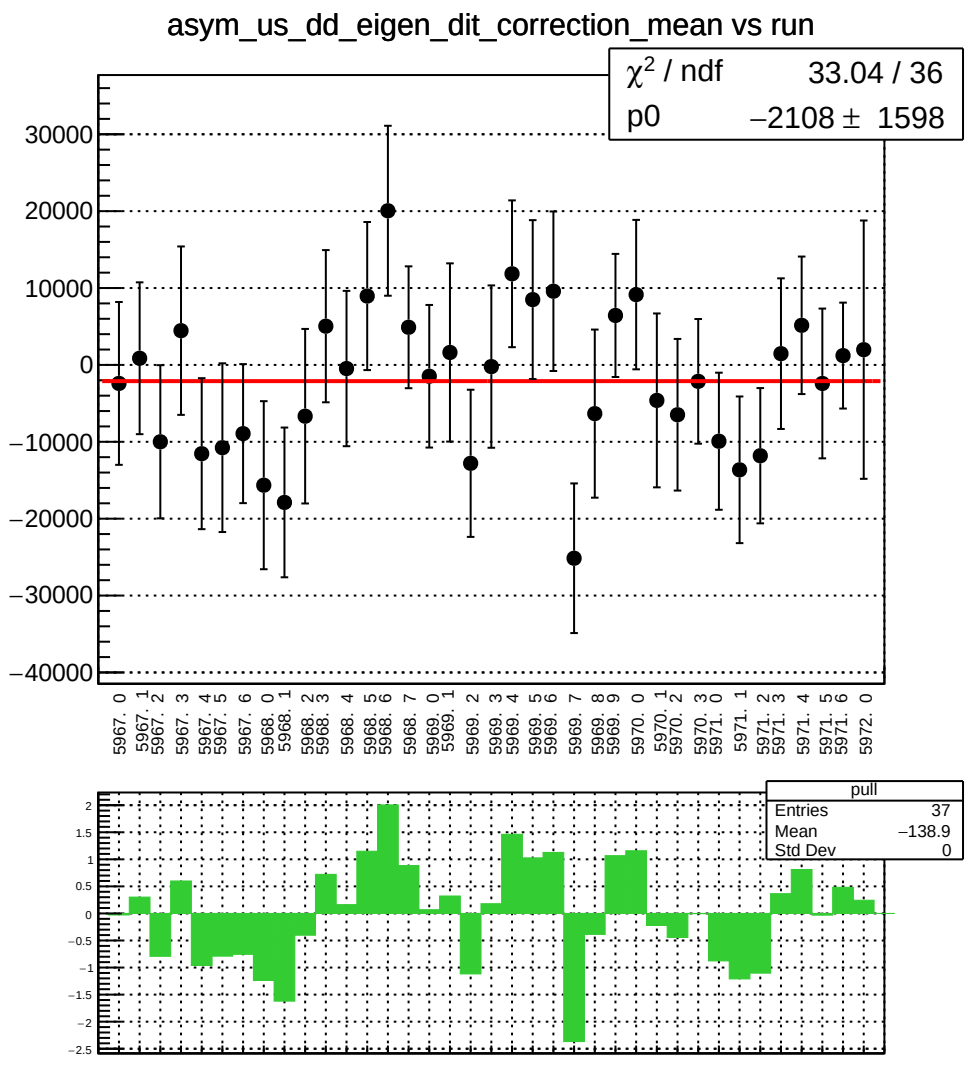
asym_us_dd_eigen_dit_correction_mean vs run
χ² / ndf 33.04 / 36
p0 −2108 ± 1598
30000
20000
10000
0
−10000
−20000
−30000
−40000
5967. 0
5967. 1
5967. 2
5967. 3
5967. 4
5967. 5
5967. 6
5968. 0
5968. 1
5968. 2
5968. 3
5968. 4
5968. 5
5968. 6
5968. 7
5969. 0
5969. 1
5969. 2
5969. 3
5969. 4
5969. 5
5969. 6
5969. 7
5969. 8
5969. 9
5970. 0
5970. 1
5970. 2
5970. 3
5971. 0
5971. 1
5971. 2
5971. 3
5971. 4
5971. 5
5971. 6
5972. 0
pull
Entries 37
Mean −138.9
Std Dev 0
2
1.5
1
0.5
0
−0.5
−1
−1.5
−2
−2.5

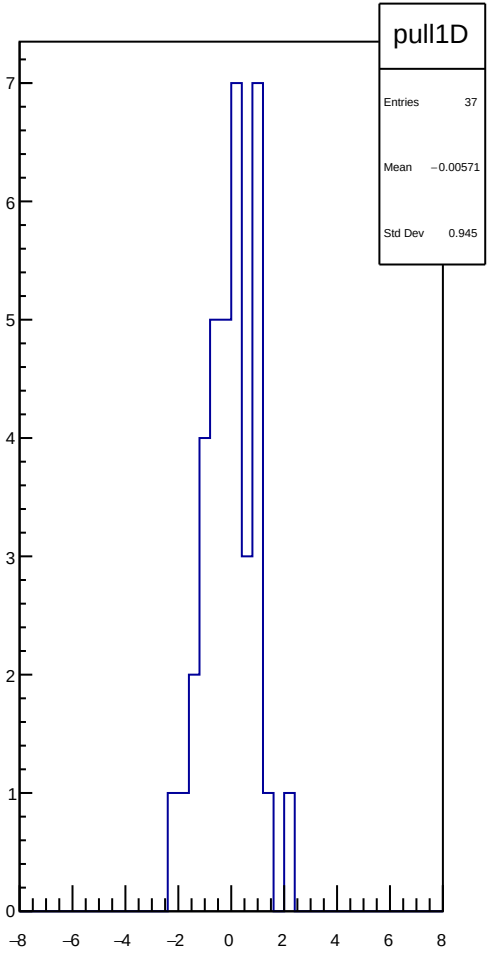
pull1D
Entries 37
Mean −0.00571
Std Dev 0.945
7
6
5
4
3
2
1
0
−8
−6
−4
−2
0
2
4
6
8

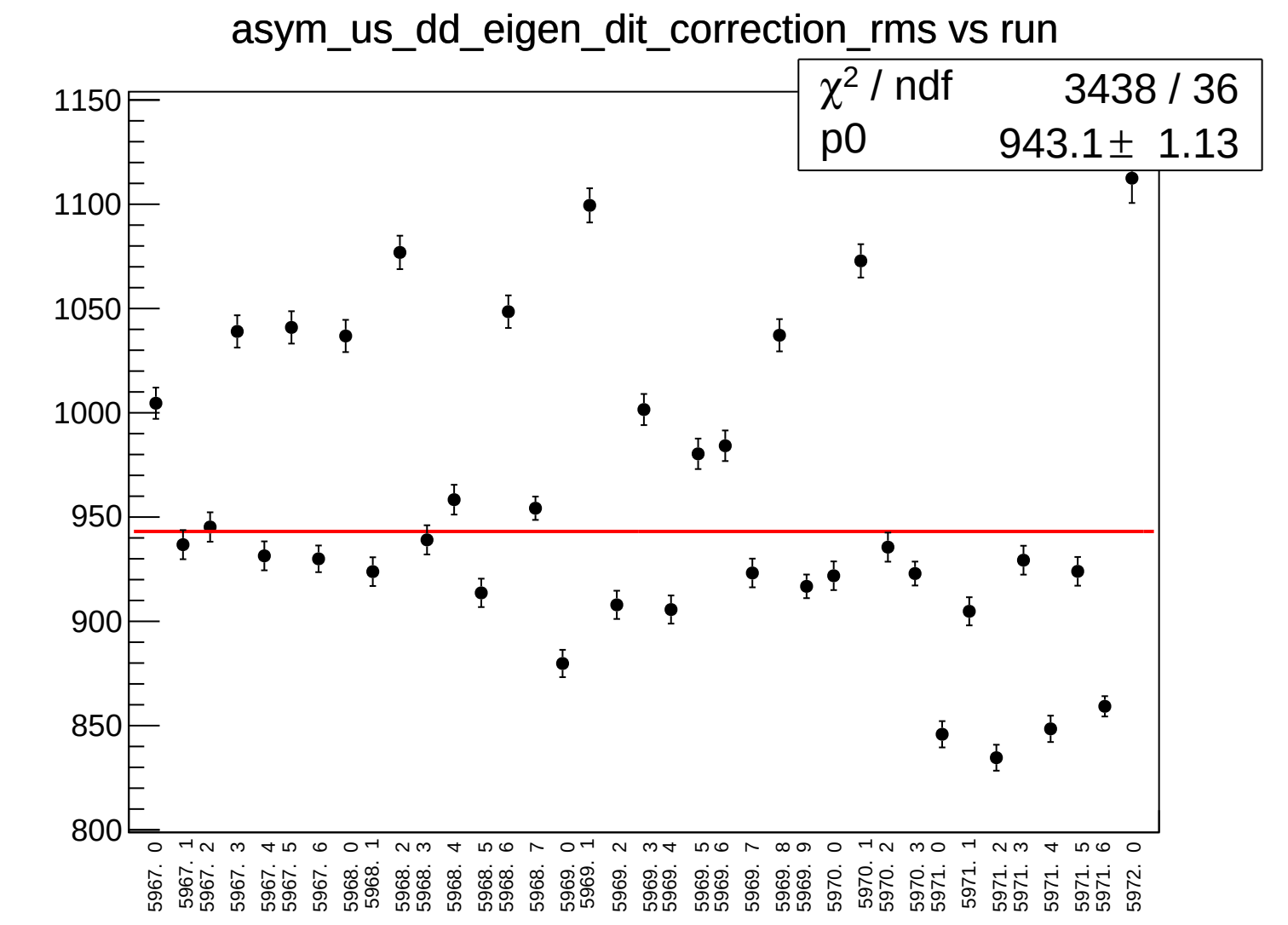
asym_us_dd_eigen_dit_correction_rms vs run
χ² / ndf 3438 / 36
p0 943.1 ± 1.13
1150
1100
1050
1000
950
900
850
800
5967. 0
5967. 1
5967. 2
5967. 3
5967. 4
5967. 5
5967. 6
5968. 0
5968. 1
5968. 2
5968. 3
5968. 4
5968. 5
5968. 6
5968. 7
5969. 0
5969. 1
5969. 2
5969. 3
5969. 4
5969. 5
5969. 6
5969. 7
5969. 8
5969. 9
5970. 0
5970. 1
5970. 2
5970. 3
5971. 0
5971. 1
5971. 2
5971. 3
5971. 4
5971. 5
5971. 6
5972. 0

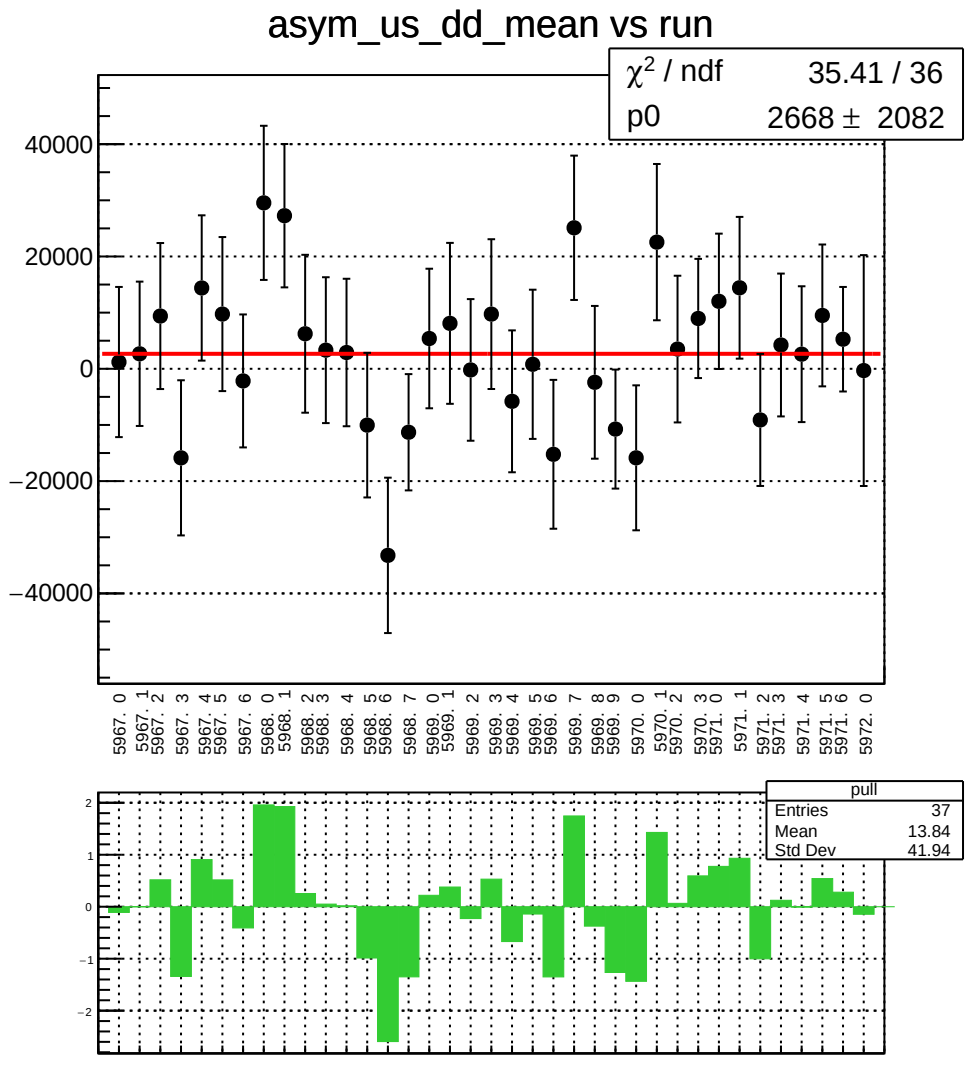
asym_us_dd_mean vs run
χ² / ndf 35.41 / 36
p0 2668 ± 2082
40000
20000
0
−20000
−40000
5967. 0
5967. 1
5967. 2
5967. 3
5967. 4
5967. 5
5967. 6
5968. 0
5968. 1
5968. 2
5968. 3
5968. 4
5968. 5
5968. 6
5968. 7
5969. 0
5969. 1
5969. 2
5969. 3
5969. 4
5969. 5
5969. 6
5969. 7
5969. 8
5969. 9
5970. 0
5970. 1
5970. 2
5970. 3
5971. 0
5971. 1
5971. 2
5971. 3
5971. 4
5971. 5
5971. 6
5972. 0
pull
Entries 37
Mean 13.84
Std Dev 41.94
2
1
0
−1
−2

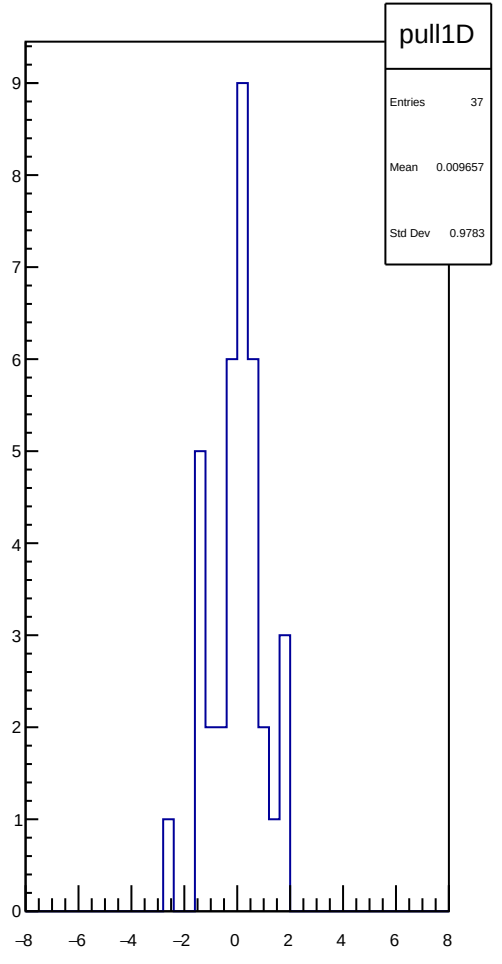
pull1D
Entries 37
Mean 0.009657
Std Dev 0.9783
9
8
7
6
5
4
3
2
1
0
−8
−6
−4
−2
0
2
4
6
8

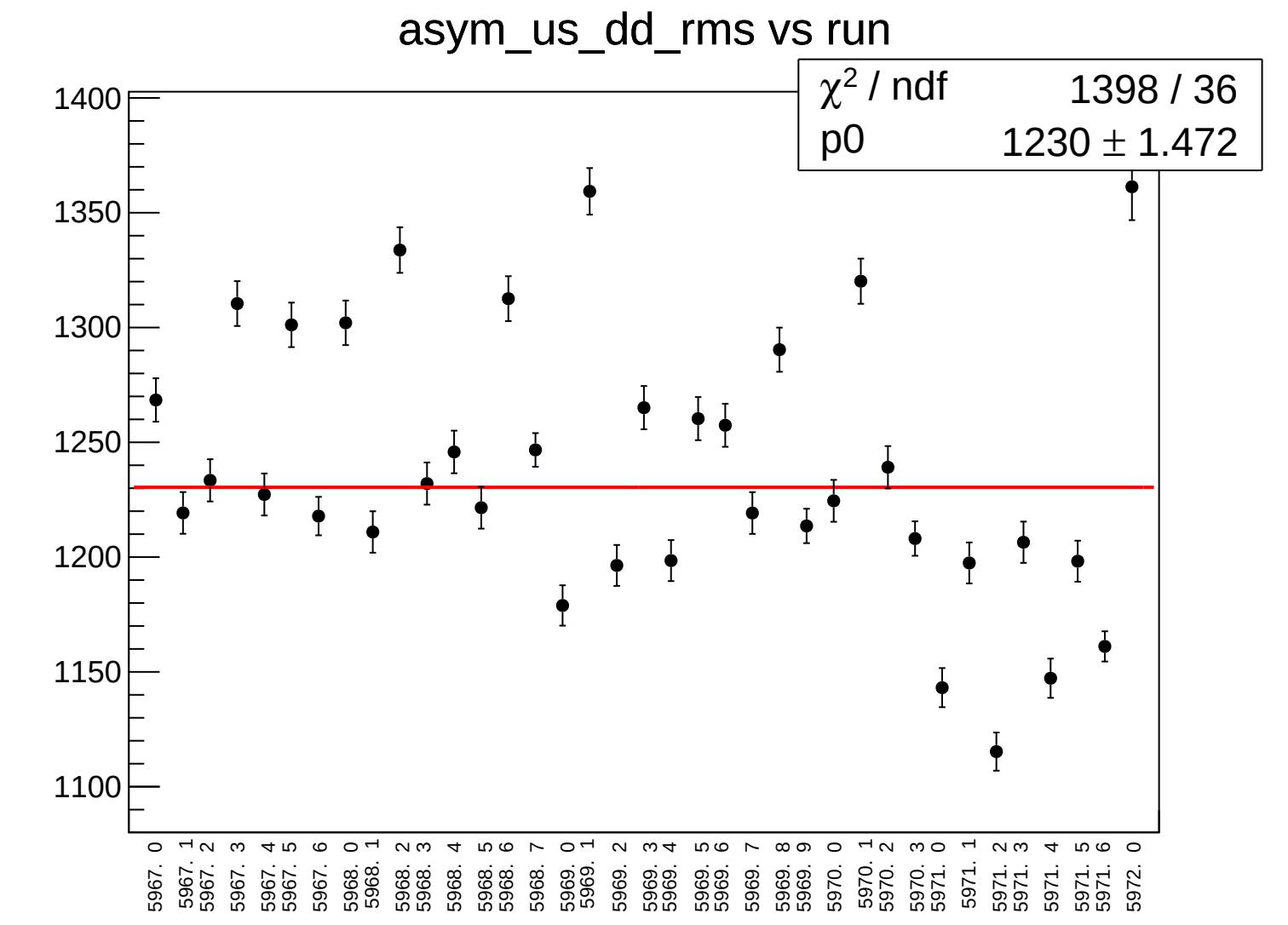
asym_us_dd_rms vs run
χ² / ndf 1398 / 36
p0 1230 ± 1.472
1400
1350
1300
1250
1200
1150
1100
5967. 0
5967. 1
5967. 2
5967. 3
5967. 4
5967. 5
5967. 6
5968. 0
5968. 1
5968. 2
5968. 3
5968. 4
5968. 5
5968. 6
5968. 7
5969. 0
5969. 1
5969. 2
5969. 3
5969. 4
5969. 5
5969. 6
5969. 7
5969. 8
5969. 9
5970. 0
5970. 1
5970. 2
5970. 3
5971. 0
5971. 1
5971. 2
5971. 3
5971. 4
5971. 5
5971. 6
5972. 0

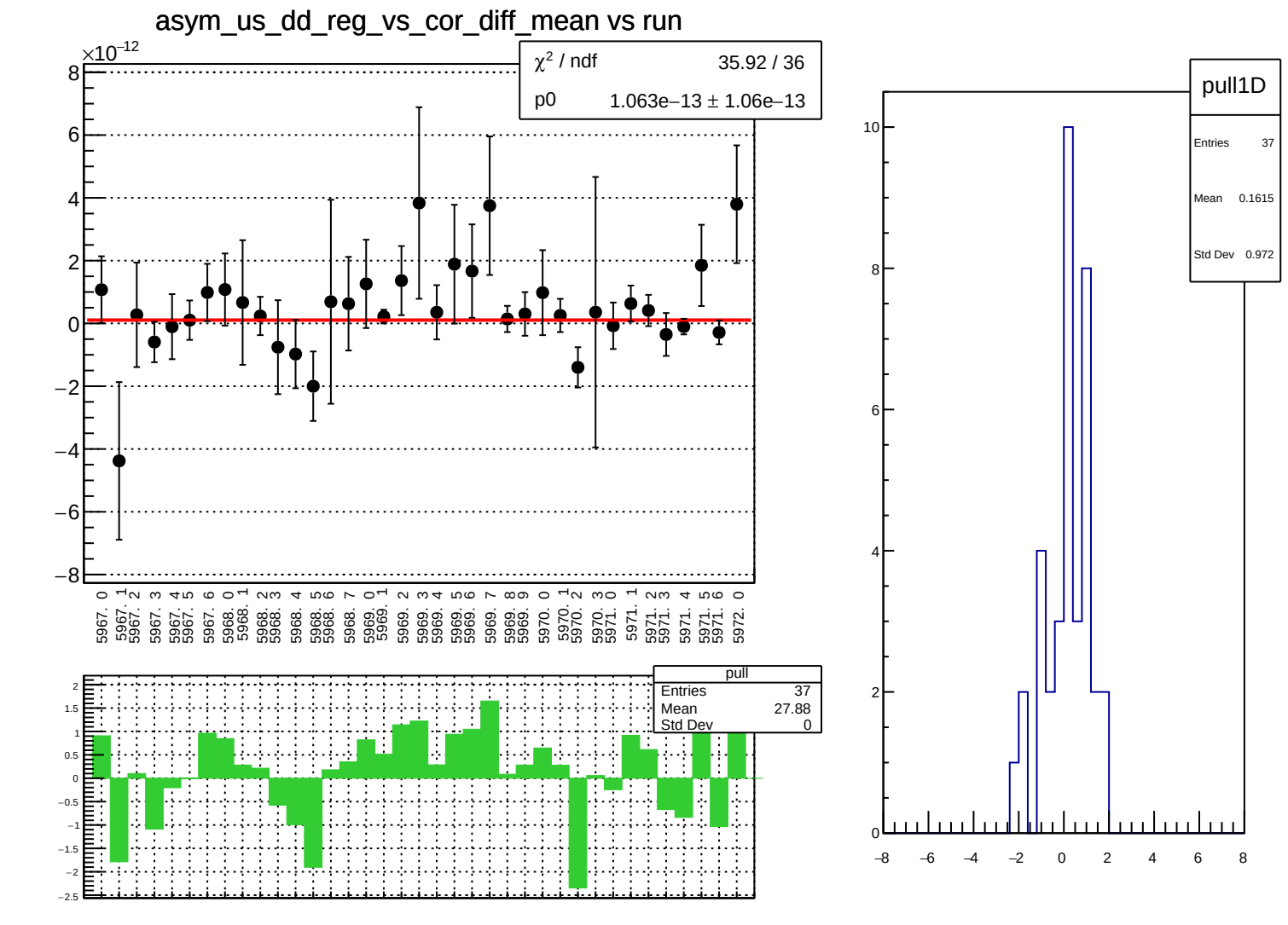
asym_us_dd_reg_vs_cor_diff_mean vs run
×10^−12
χ² / ndf 35.92 / 36
p0 1.063e−13 ± 1.06e−13
pull
Entries 37
Mean 27.88
Std Dev 0
pull1D
Entries 37
Mean 0.1615
Std Dev 0.972

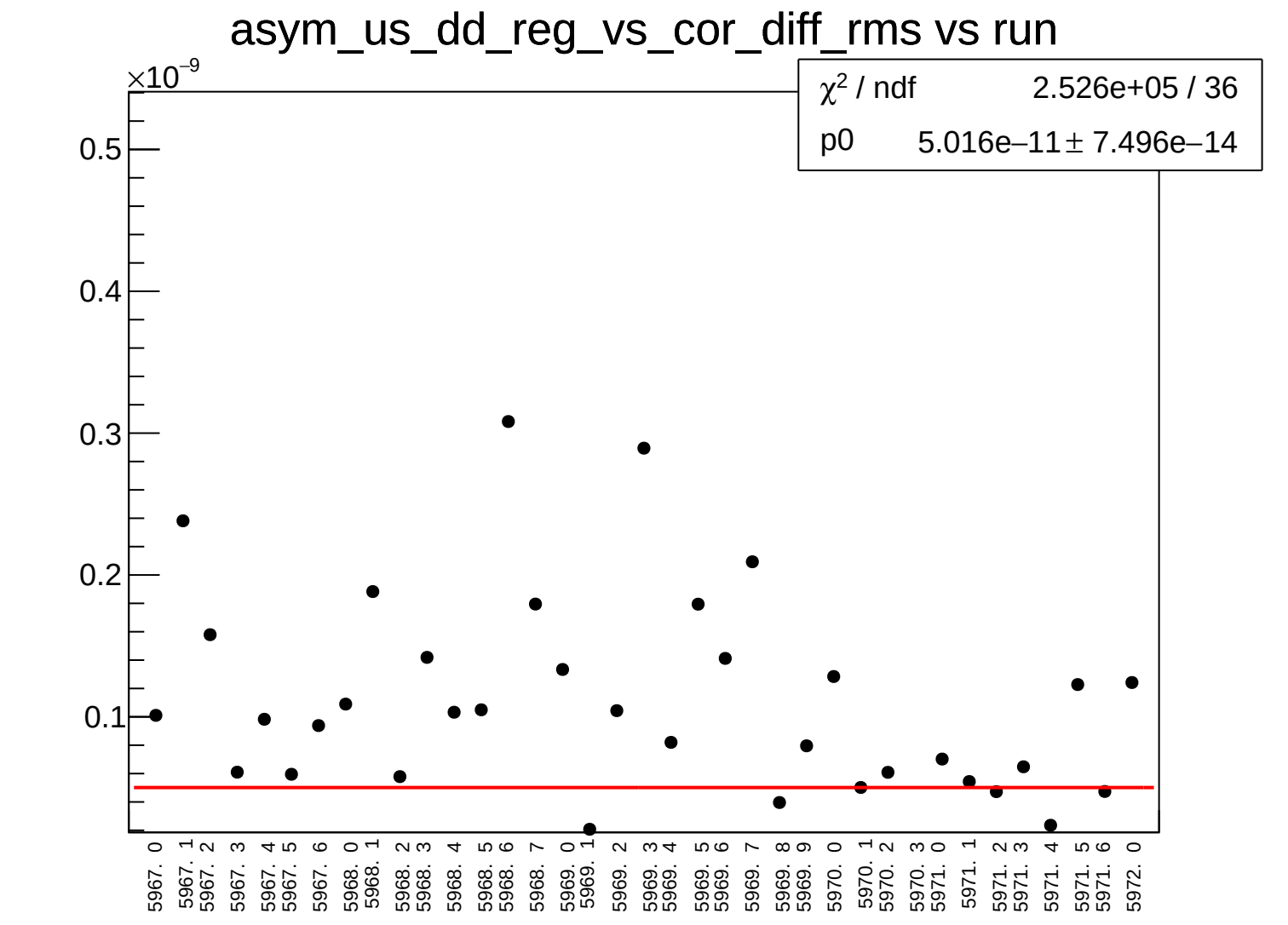
asym_us_dd_reg_vs_cor_diff_rms vs run
×10⁻⁹
χ² / ndf 2.526e+05 / 36
p0 5.016e−11 ± 7.496e−14
0.5
0.4
0.3
0.2
0.1
5967. 0
5967. 1
5967. 2
5967. 3
5967. 4
5967. 5
5967. 6
5968. 0
5968. 1
5968. 2
5968. 3
5968. 4
5968. 5
5968. 6
5968. 7
5969. 0
5969. 1
5969. 2
5969. 3
5969. 4
5969. 5
5969. 6
5969. 7
5969. 8
5969. 9
5970. 0
5970. 1
5970. 2
5970. 3
5971. 0
5971. 1
5971. 2
5971. 3
5971. 4
5971. 5
5971. 6
5972. 0

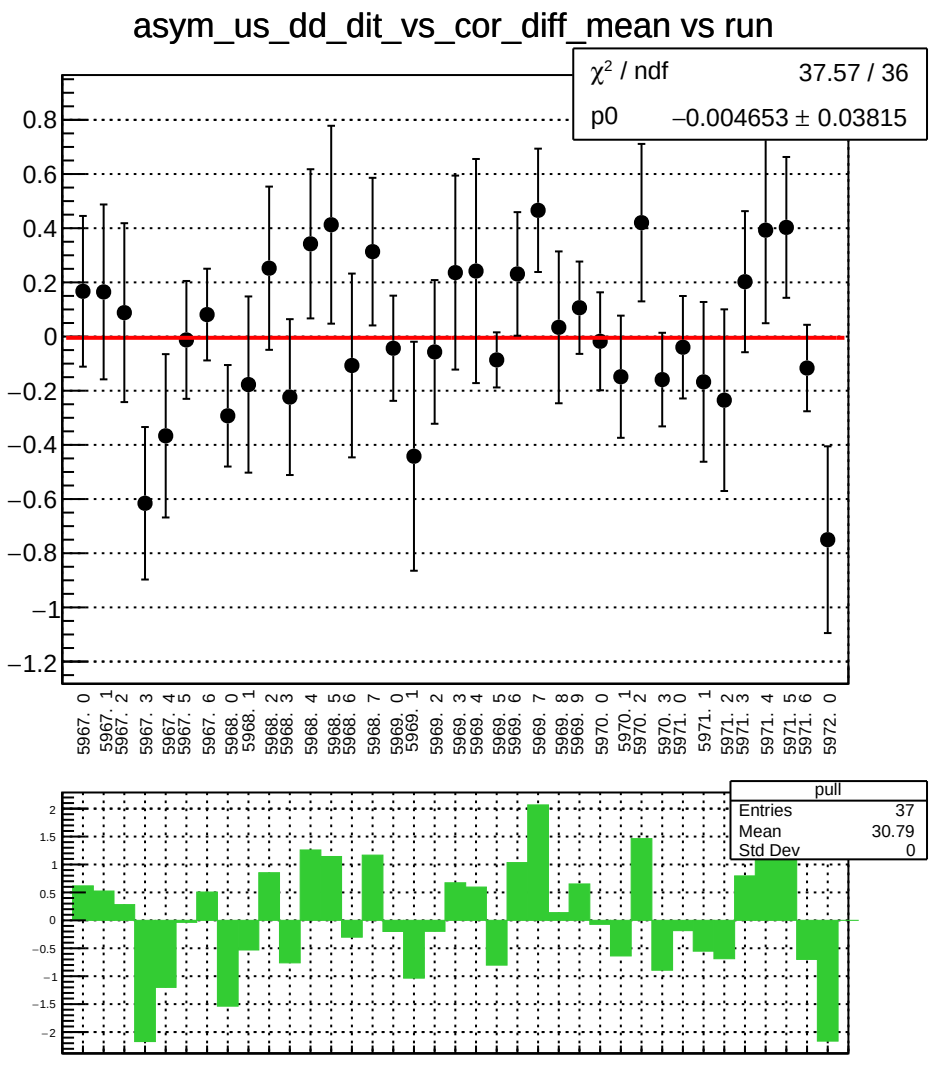
asym_us_dd_dit_vs_cor_diff_mean vs run
χ² / ndf 37.57 / 36
p0 −0.004653 ± 0.03815
pull
Entries 37
Mean 30.79
Std Dev 0

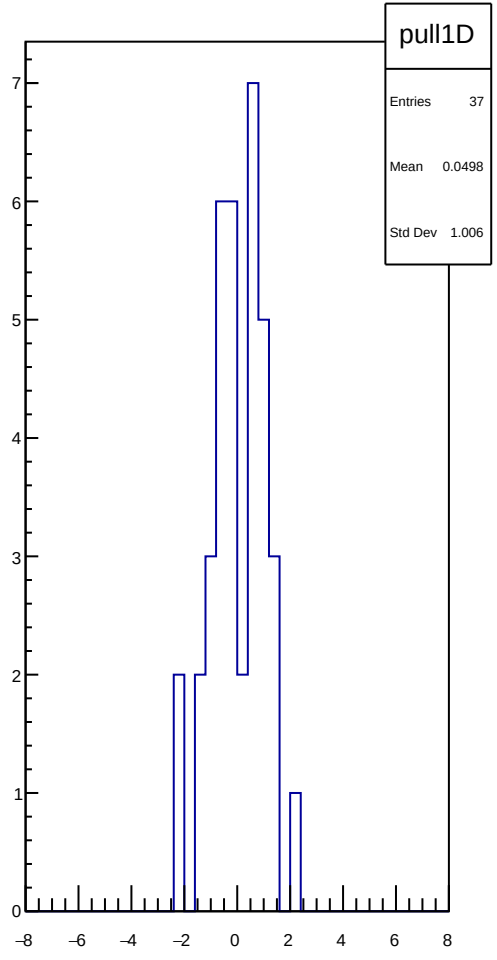
pull1D
Entries 37
Mean 0.0498
Std Dev 1.006

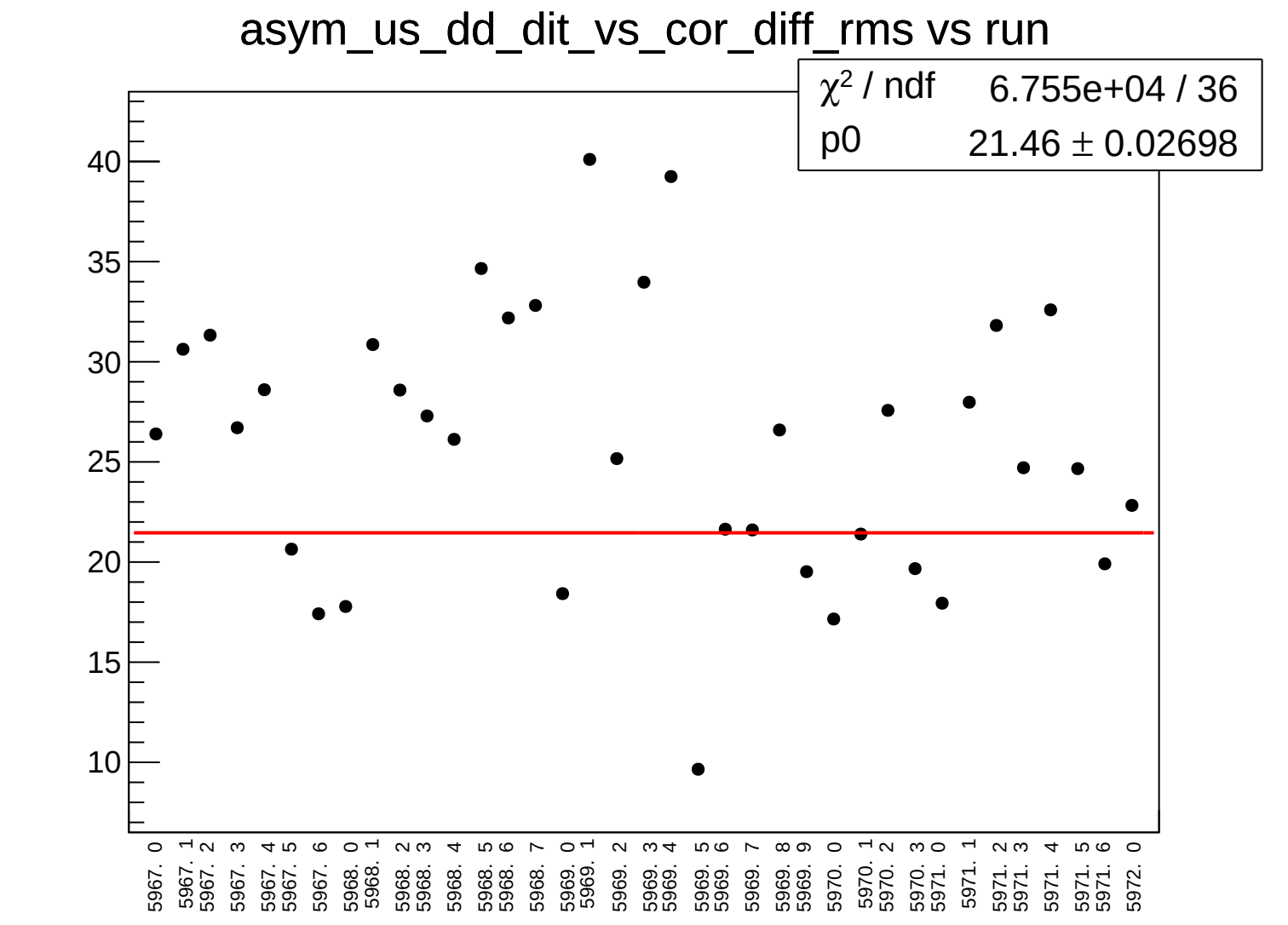
asym_us_dd_dit_vs_cor_diff_rms vs run
χ² / ndf 6.755e+04 / 36
p0 21.46 ± 0.02698
40
35
30
25
20
15
10
5967. 0
5967. 1
5967. 2
5967. 3
5967. 4
5967. 5
5967. 6
5968. 0
5968. 1
5968. 2
5968. 3
5968. 4
5968. 5
5968. 6
5968. 7
5969. 0
5969. 1
5969. 2
5969. 3
5969. 4
5969. 5
5969. 6
5969. 7
5969. 8
5969. 9
5970. 0
5970. 1
5970. 2
5970. 3
5971. 0
5971. 1
5971. 2
5971. 3
5971. 4
5971. 5
5971. 6
5972. 0

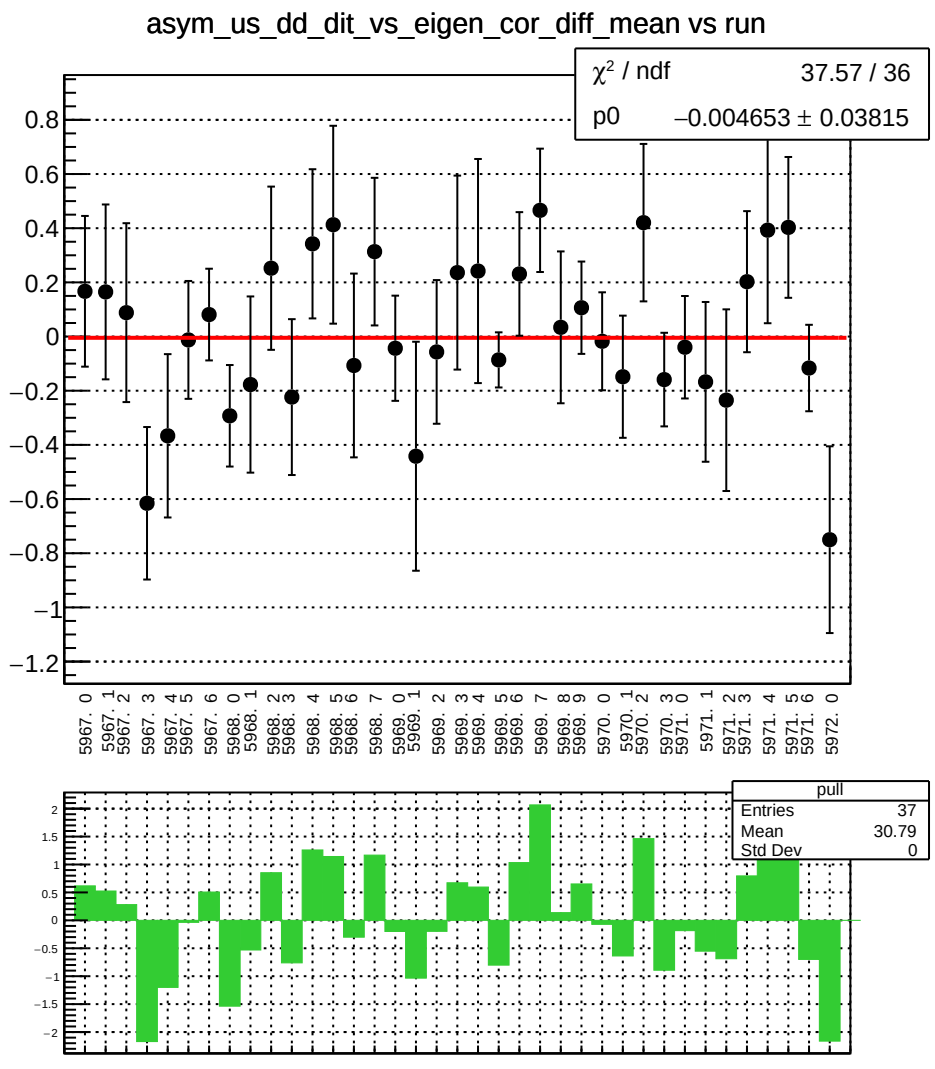
asym_us_dd_dit_vs_eigen_cor_diff_mean vs run
χ² / ndf 37.57 / 36
p0 −0.004653 ± 0.03815
pull
Entries 37
Mean 30.79
Std Dev 0

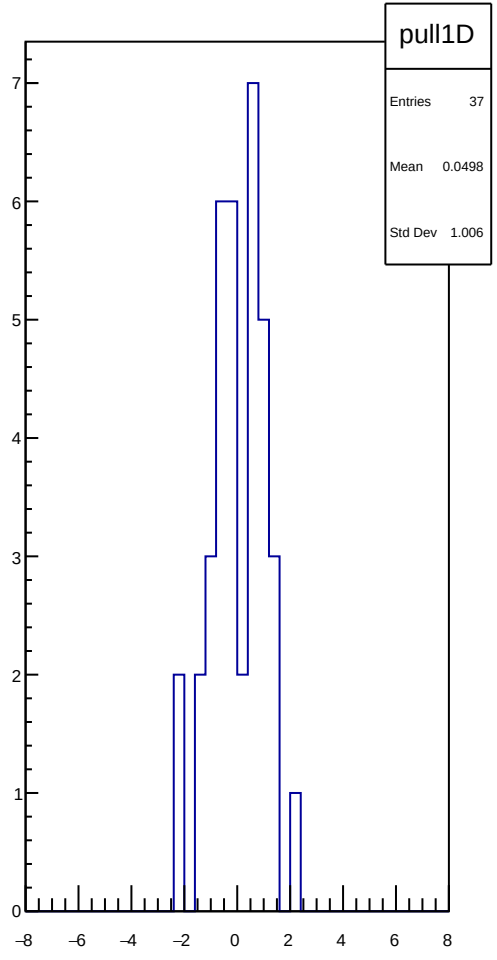
pull1D
Entries 37
Mean 0.0498
Std Dev 1.006

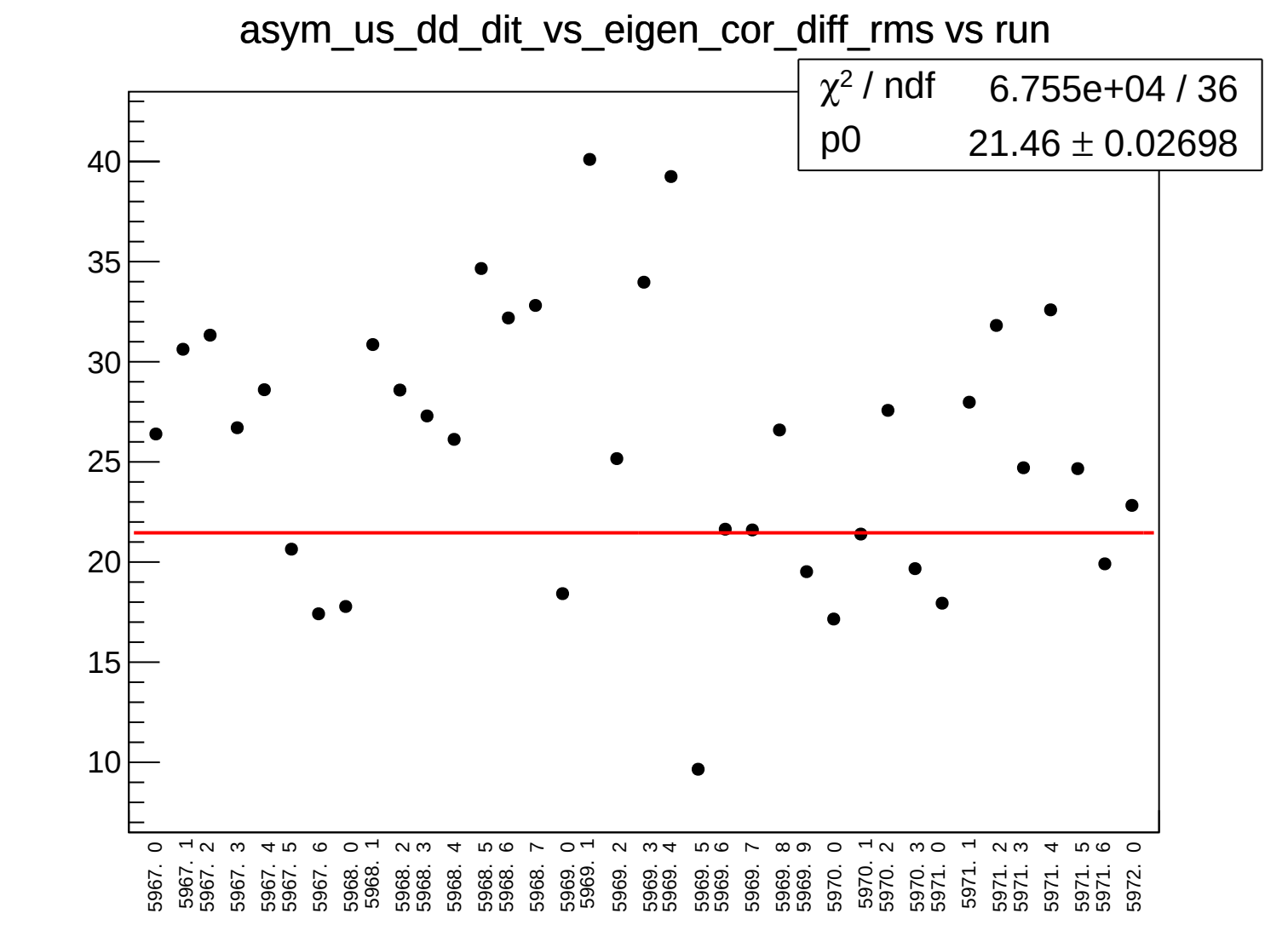
asym_us_dd_dit_vs_eigen_cor_diff_rms vs run
χ² / ndf 6.755e+04 / 36
p0 21.46 ± 0.02698
40
35
30
25
20
15
10
5967. 0
5967. 1
5967. 2
5967. 3
5967. 4
5967. 5
5967. 6
5968. 0
5968. 1
5968. 2
5968. 3
5968. 4
5968. 5
5968. 6
5968. 7
5969. 0
5969. 1
5969. 2
5969. 3
5969. 4
5969. 5
5969. 6
5969. 7
5969. 8
5969. 9
5970. 0
5970. 1
5970. 2
5970. 3
5971. 0
5971. 1
5971. 2
5971. 3
5971. 4
5971. 5
5971. 6
5972. 0

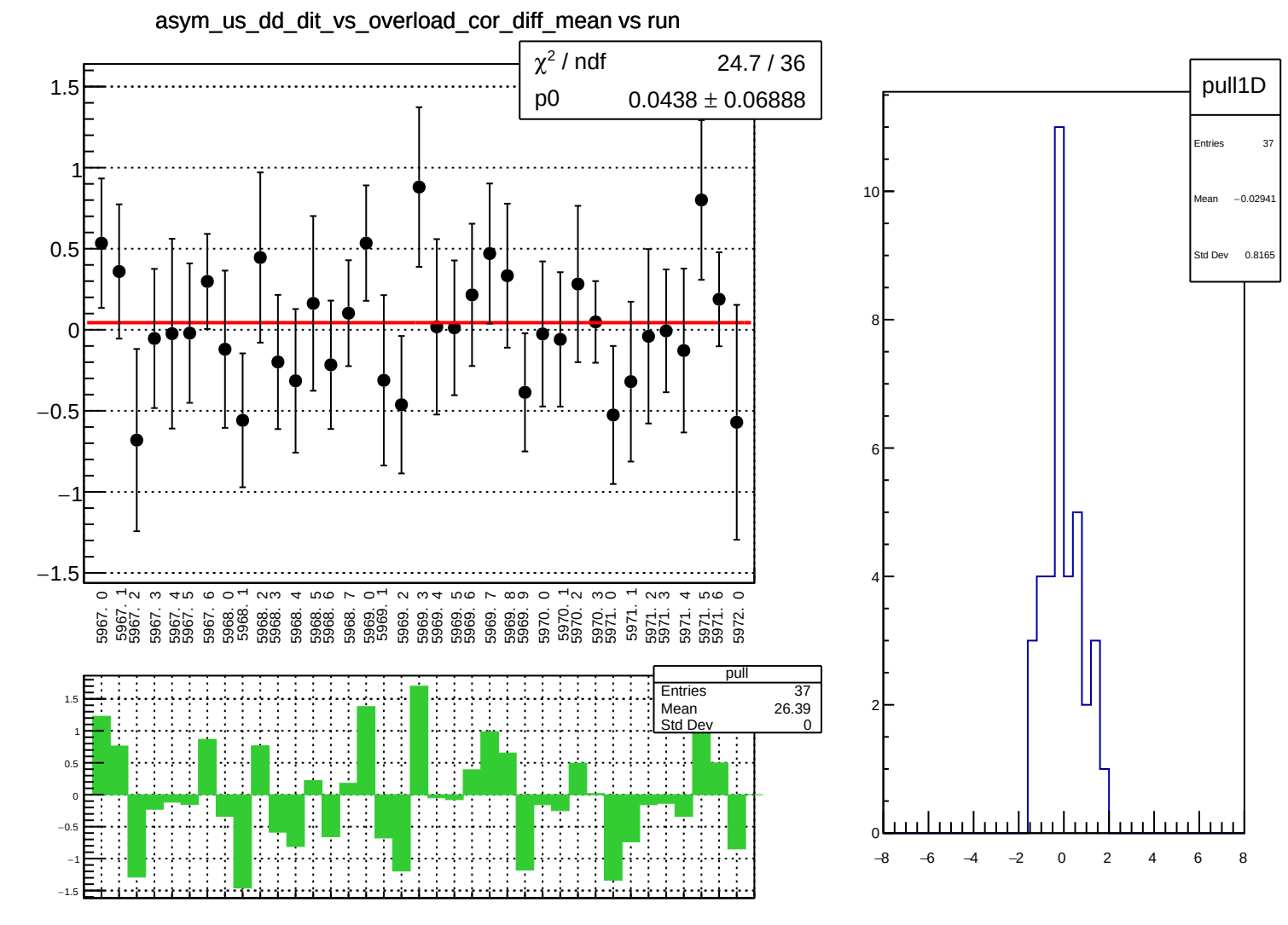
asym_us_dd_dit_vs_overload_cor_diff_mean vs run
χ² / ndf 24.7 / 36
p0 0.0438 ± 0.06888
pull
Entries 37
Mean 26.39
Std Dev 0
pull1D
Entries 37
Mean −0.02941
Std Dev 0.8165

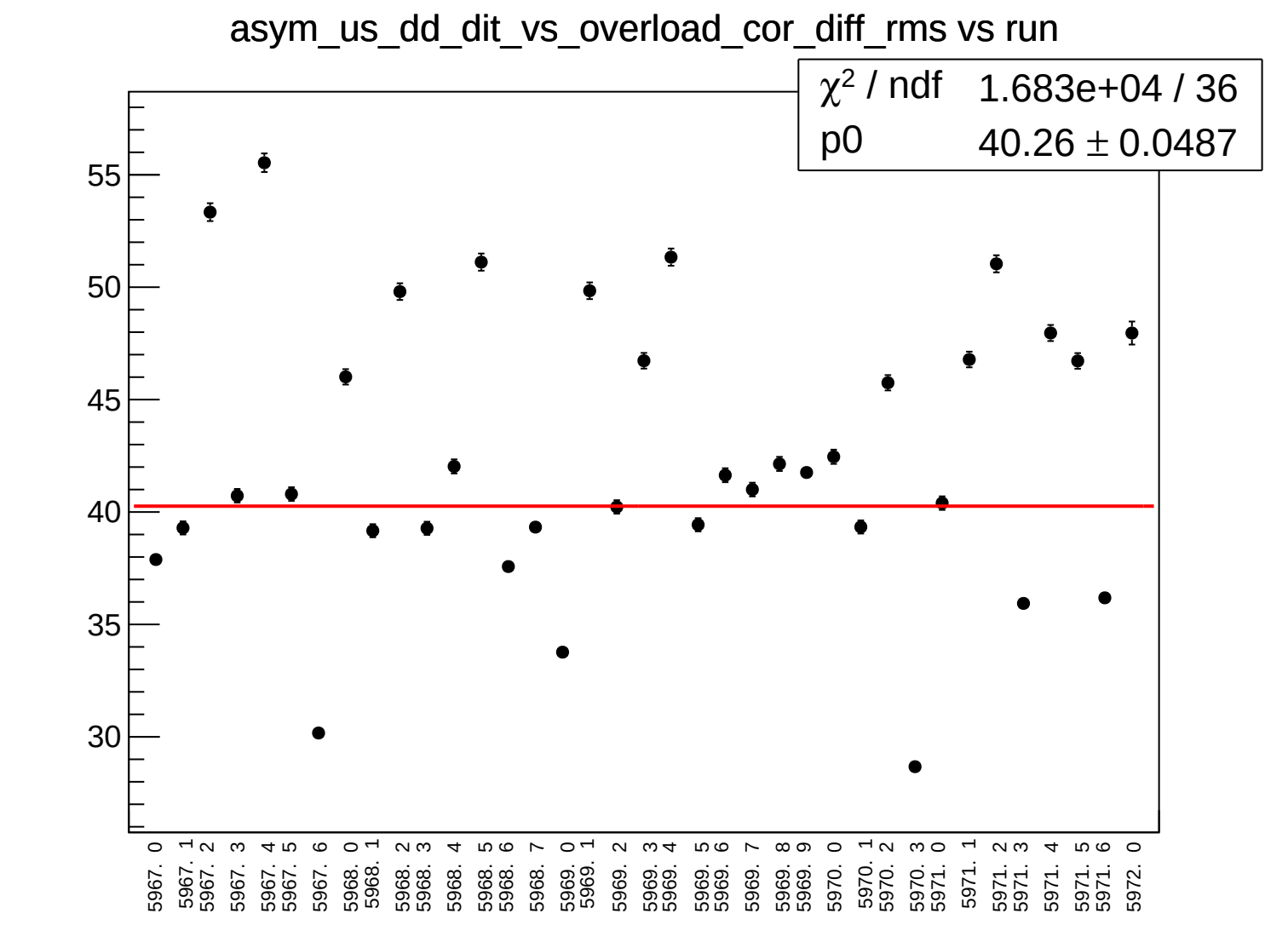
asym_us_dd_dit_vs_overload_cor_diff_rms vs run
χ² / ndf 1.683e+04 / 36
p0 40.26 ± 0.0487
55
50
45
40
35
30
5967. 0
5967. 1
5967. 2
5967. 3
5967. 4
5967. 5
5967. 6
5968. 0
5968. 1
5968. 2
5968. 3
5968. 4
5968. 5
5968. 6
5968. 7
5969. 0
5969. 1
5969. 2
5969. 3
5969. 4
5969. 5
5969. 6
5969. 7
5969. 8
5969. 9
5970. 0
5970. 1
5970. 2
5970. 3
5971. 0
5971. 1
5971. 2
5971. 3
5971. 4
5971. 5
5971. 6
5972. 0

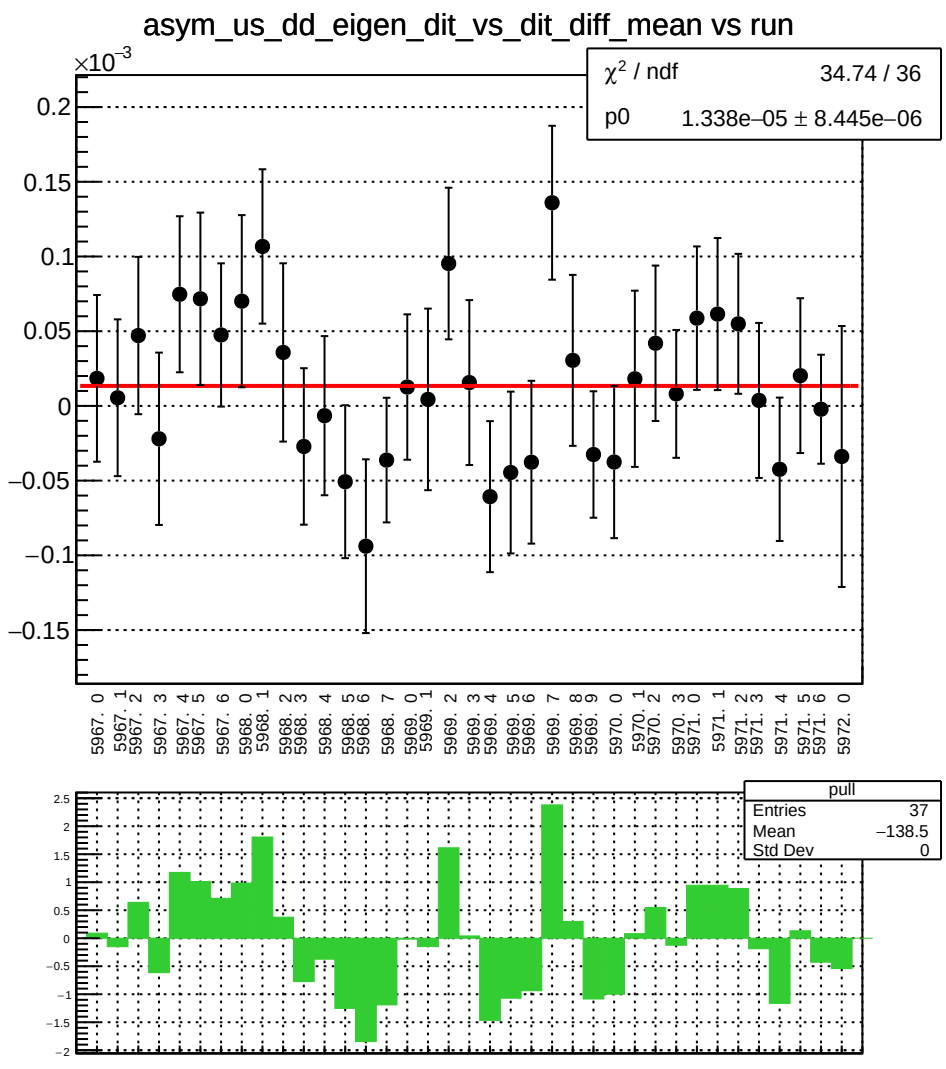
asym_us_dd_eigen_dit_vs_dit_diff_mean vs run
×10⁻³
χ² / ndf 34.74 / 36
p0 1.338e−05 ± 8.445e−06
0.2
0.15
0.1
0.05
0
−0.05
−0.1
−0.15
5967. 0
5967. 1
5967. 2
5967. 3
5967. 4
5967. 5
5967. 6
5968. 0
5968. 1
5968. 2
5968. 3
5968. 4
5968. 5
5968. 6
5968. 7
5969. 0
5969. 1
5969. 2
5969. 3
5969. 4
5969. 5
5969. 6
5969. 7
5969. 8
5969. 9
5970. 0
5970. 1
5970. 2
5970. 3
5971. 0
5971. 1
5971. 2
5971. 3
5971. 4
5971. 5
5971. 6
5972. 0
pull
Entries 37
Mean −138.5
Std Dev 0
2.5
2
1.5
1
0.5
0
−0.5
−1
−1.5
−2

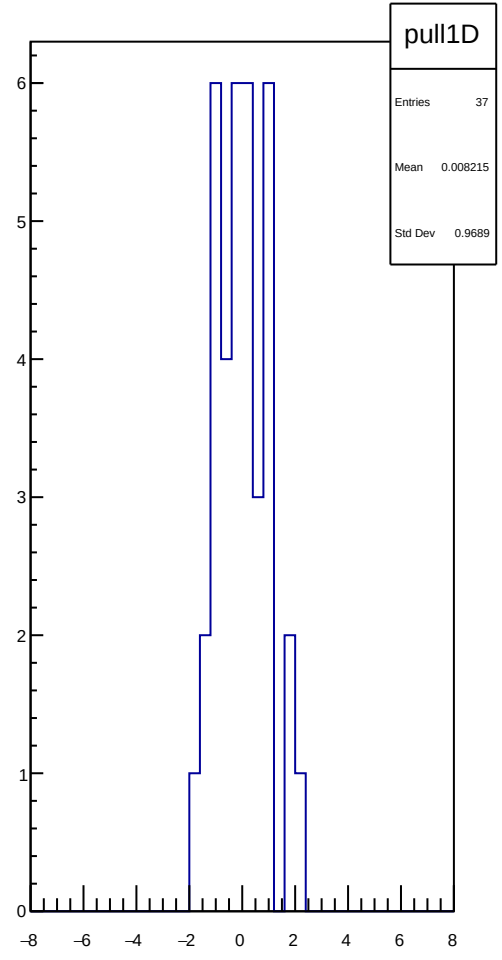
pull1D
Entries 37
Mean 0.008215
Std Dev 0.9689
6
5
4
3
2
1
0
−8
−6
−4
−2
0
2
4
6
8

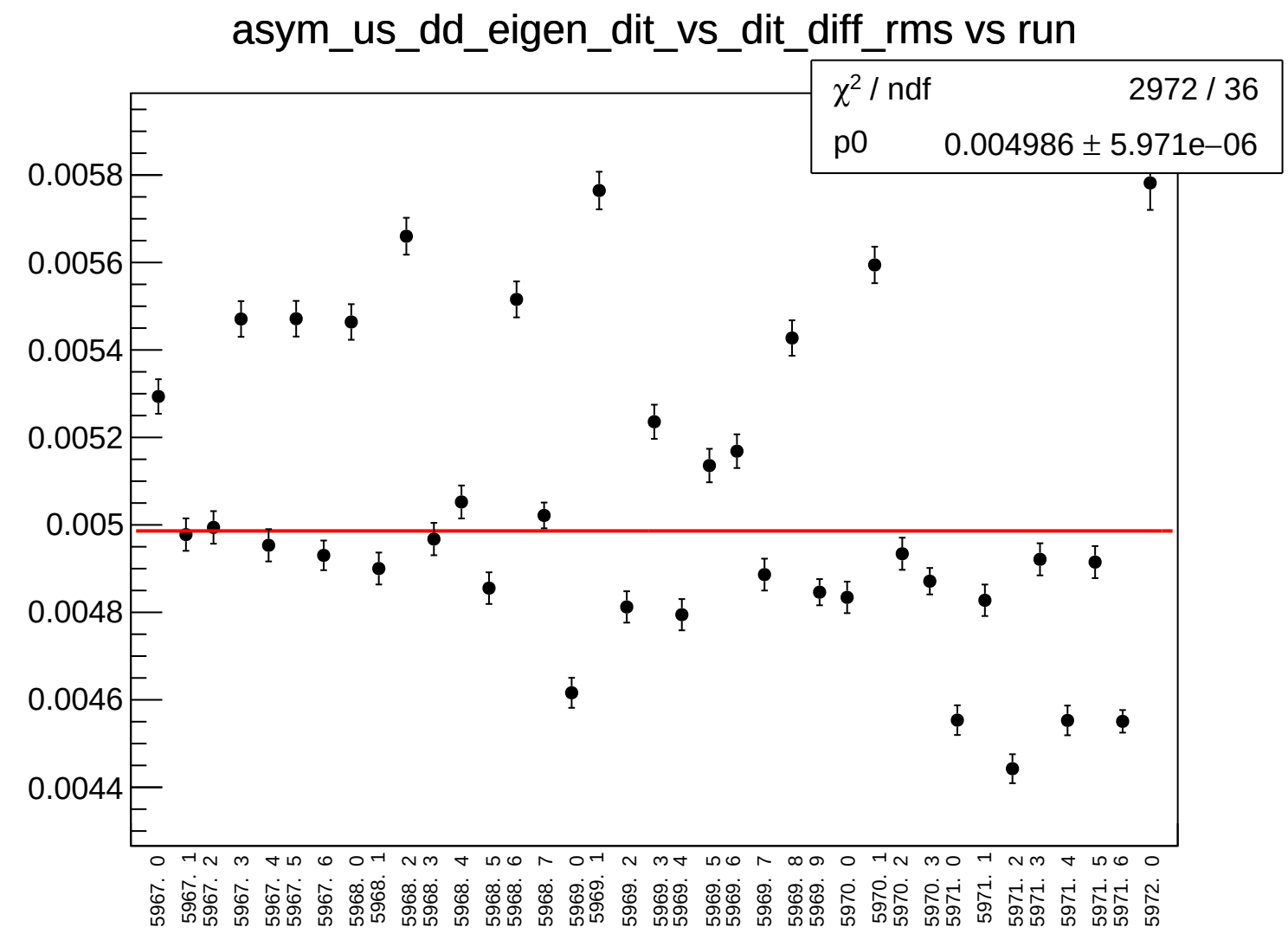
asym_us_dd_eigen_dit_vs_dit_diff_rms vs run
χ² / ndf 2972 / 36
p0 0.004986 ± 5.971e−06
0.0058
0.0056
0.0054
0.0052
0.005
0.0048
0.0046
0.0044
5967. 0
5967. 1
5967. 2
5967. 3
5967. 4
5967. 5
5967. 6
5968. 0
5968. 1
5968. 2
5968. 3
5968. 4
5968. 5
5968. 6
5968. 7
5969. 0
5969. 1
5969. 2
5969. 3
5969. 4
5969. 5
5969. 6
5969. 7
5969. 8
5969. 9
5970. 0
5970. 1
5970. 2
5970. 3
5971. 0
5971. 1
5971. 2
5971. 3
5971. 4
5971. 5
5971. 6
5972. 0

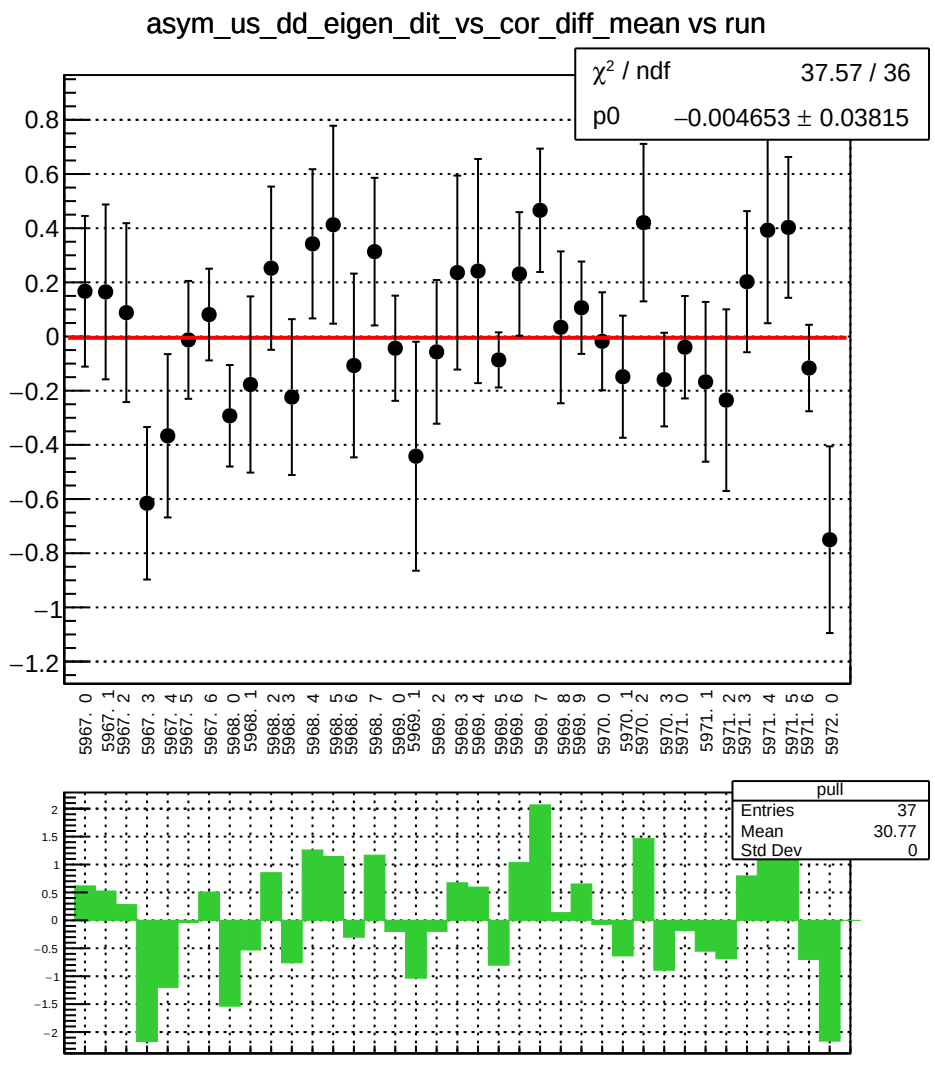
asym_us_dd_eigen_dit_vs_cor_diff_mean vs run
χ² / ndf 37.57 / 36
p0 −0.004653 ± 0.03815
pull
Entries 37
Mean 30.77
Std Dev 0

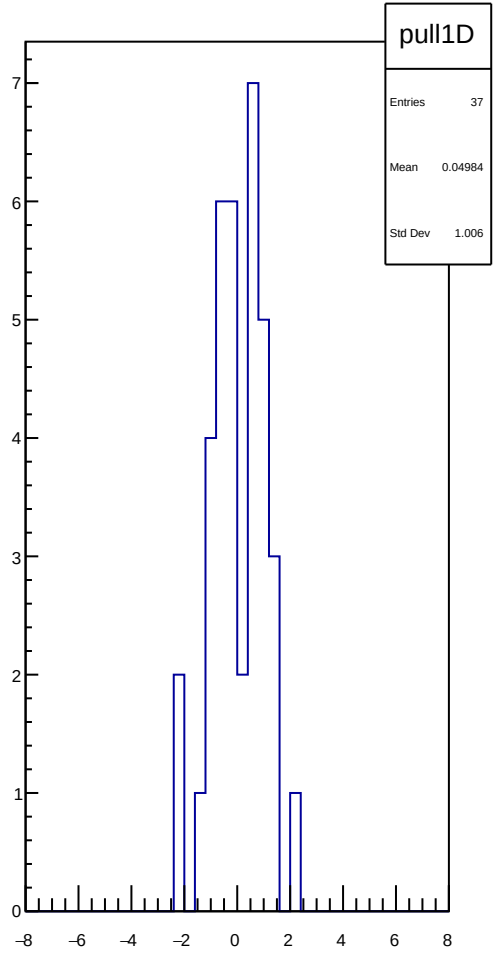
pull1D
Entries 37
Mean 0.04984
Std Dev 1.006

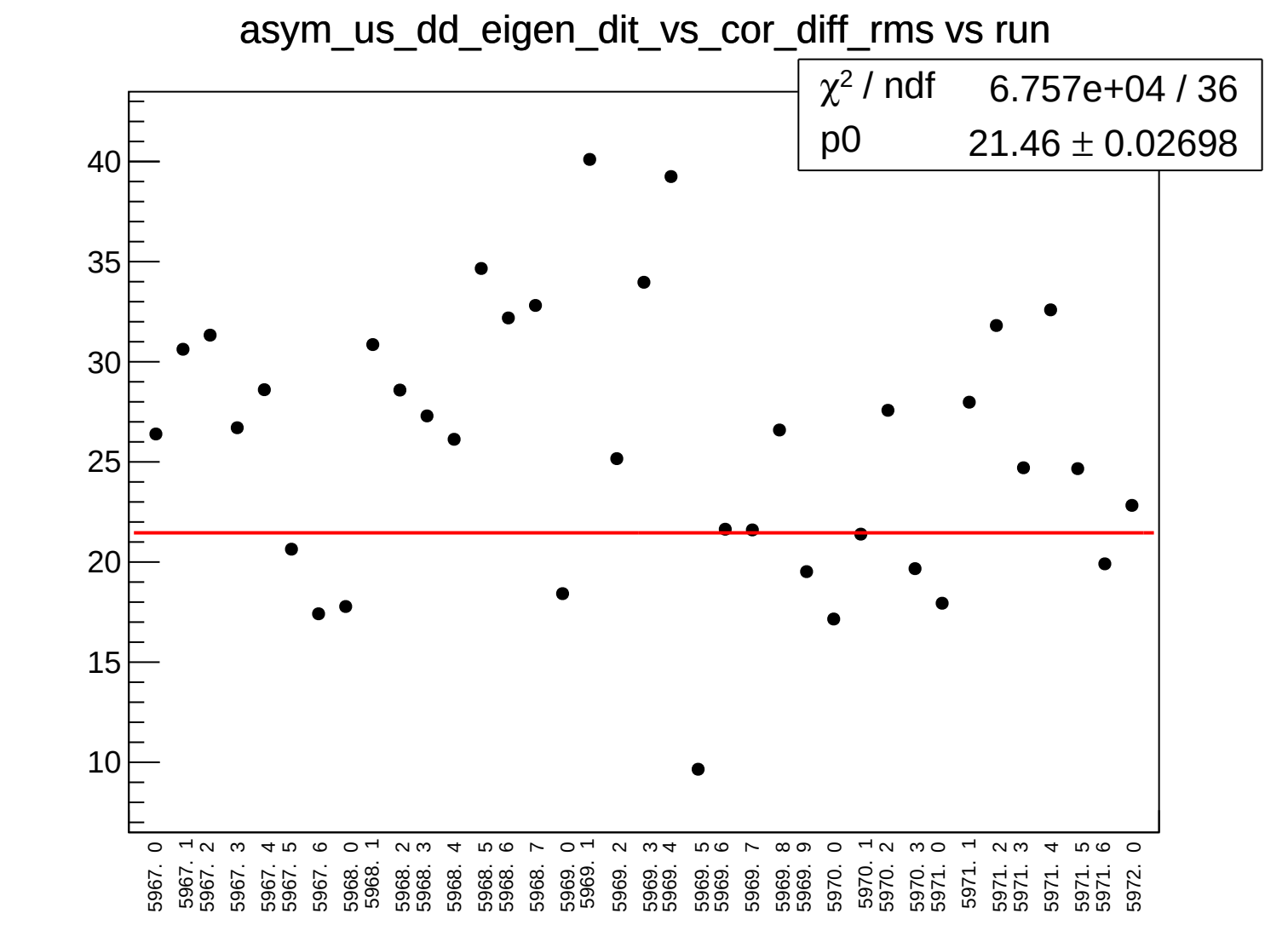
asym_us_dd_eigen_dit_vs_cor_diff_rms vs run
χ² / ndf 6.757e+04 / 36
p0 21.46 ± 0.02698
40
35
30
25
20
15
10
5967. 0
5967. 1
5967. 2
5967. 3
5967. 4
5967. 5
5967. 6
5968. 0
5968. 1
5968. 2
5968. 3
5968. 4
5968. 5
5968. 6
5968. 7
5969. 0
5969. 1
5969. 2
5969. 3
5969. 4
5969. 5
5969. 6
5969. 7
5969. 8
5969. 9
5970. 0
5970. 1
5970. 2
5970. 3
5971. 0
5971. 1
5971. 2
5971. 3
5971. 4
5971. 5
5971. 6
5972. 0

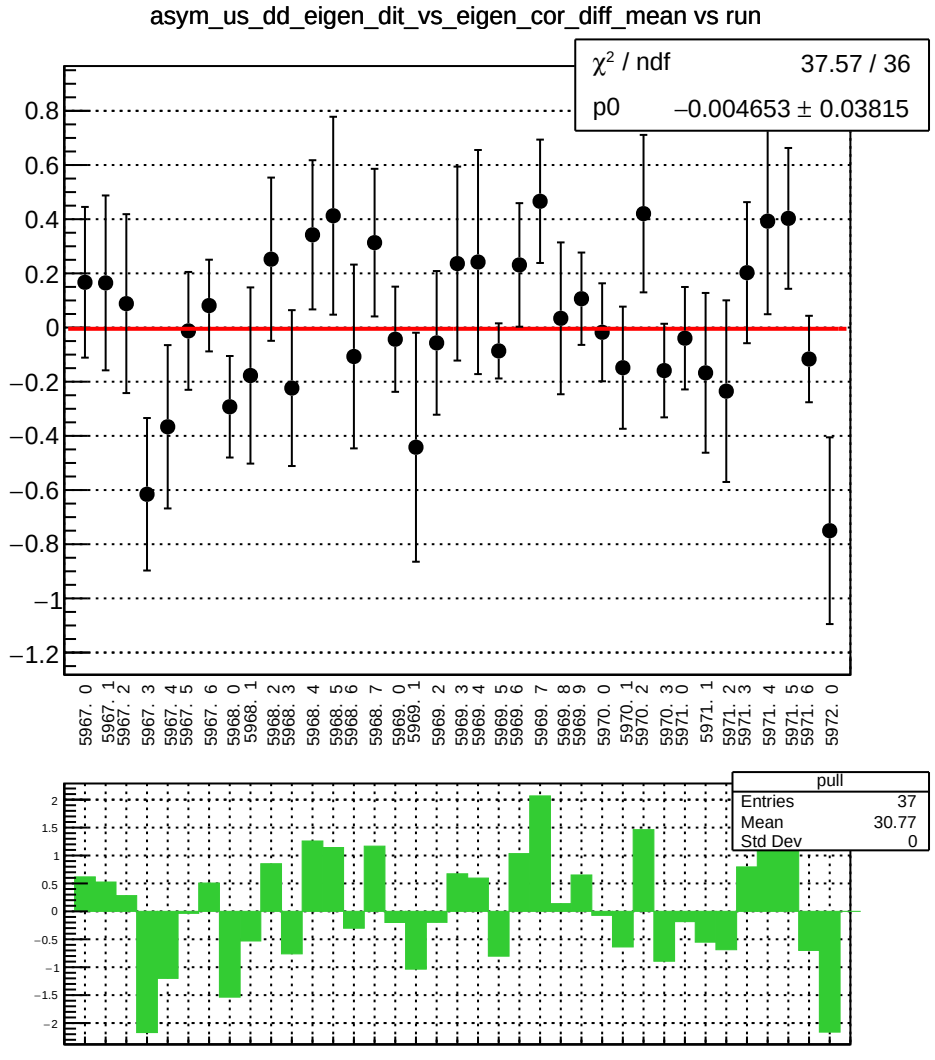
asym_us_dd_eigen_dit_vs_eigen_cor_diff_mean vs run
χ² / ndf 37.57 / 36
p0 −0.004653 ± 0.03815
pull
Entries 37
Mean 30.77
Std Dev 0

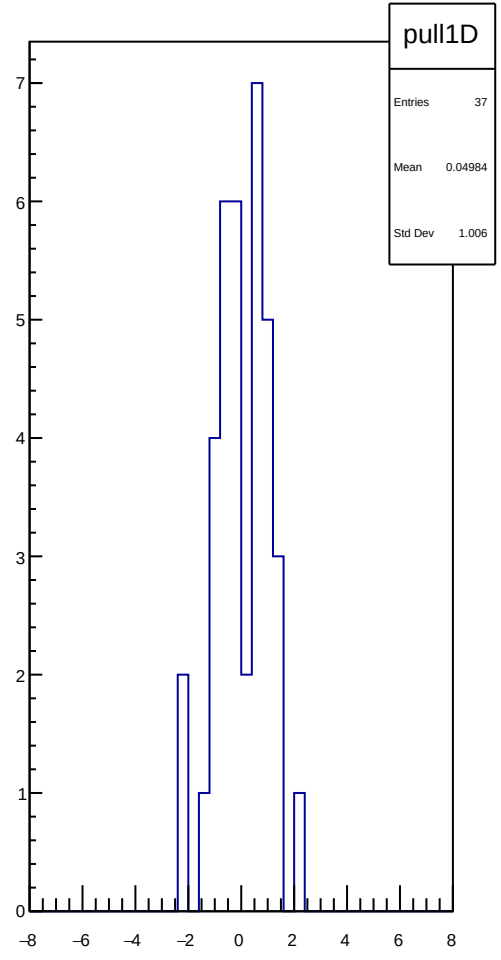
pull1D
Entries 37
Mean 0.04984
Std Dev 1.006

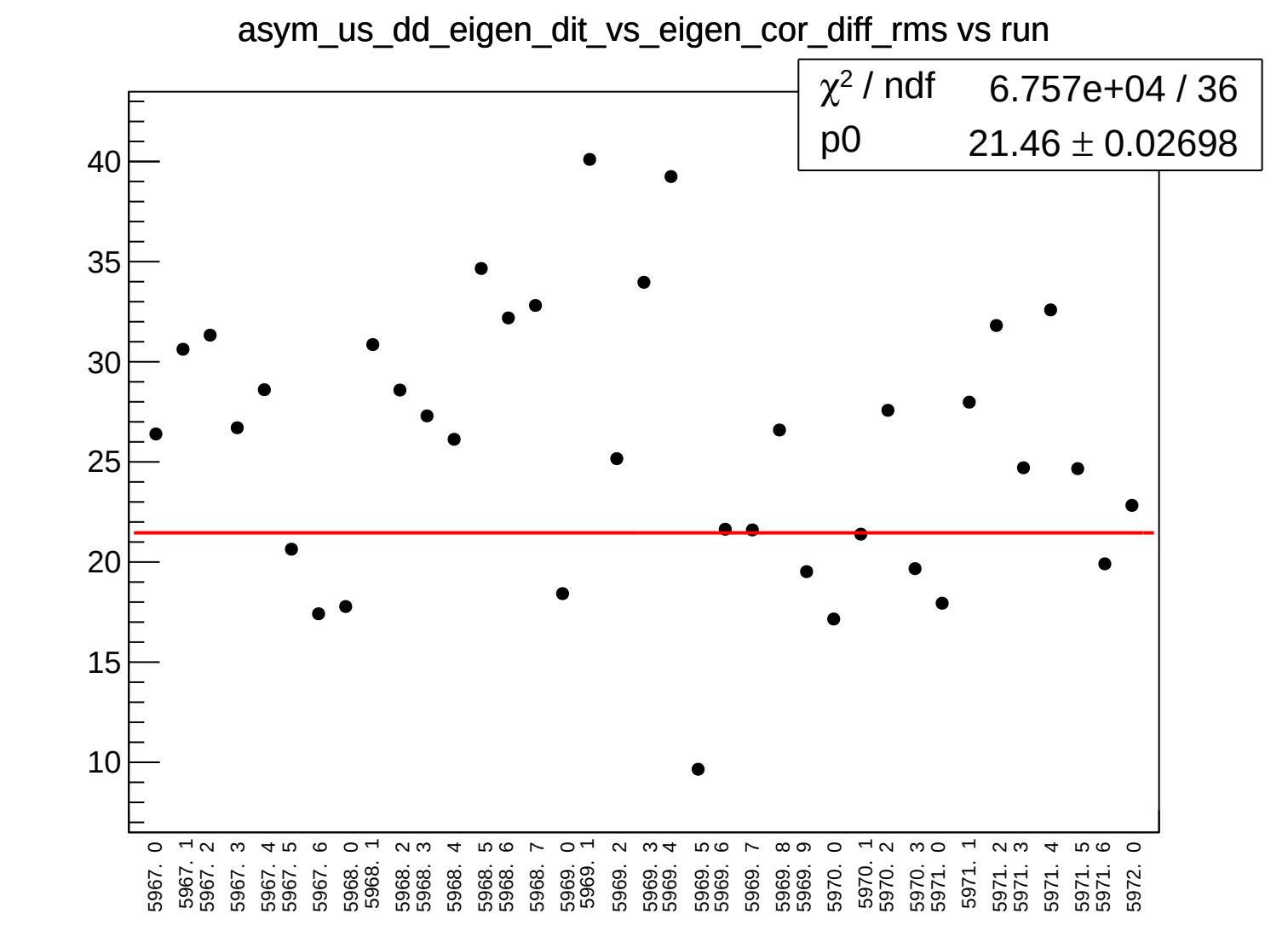
asym_us_dd_eigen_dit_vs_eigen_cor_diff_rms vs run
χ² / ndf 6.757e+04 / 36
p0 21.46 ± 0.02698
40
35
30
25
20
15
10
5967. 0
5967. 1
5967. 2
5967. 3
5967. 4
5967. 5
5967. 6
5968. 0
5968. 1
5968. 2
5968. 3
5968. 4
5968. 5
5968. 6
5968. 7
5969. 0
5969. 1
5969. 2
5969. 3
5969. 4
5969. 5
5969. 6
5969. 7
5969. 8
5969. 9
5970. 0
5970. 1
5970. 2
5970. 3
5971. 0
5971. 1
5971. 2
5971. 3
5971. 4
5971. 5
5971. 6
5972. 0

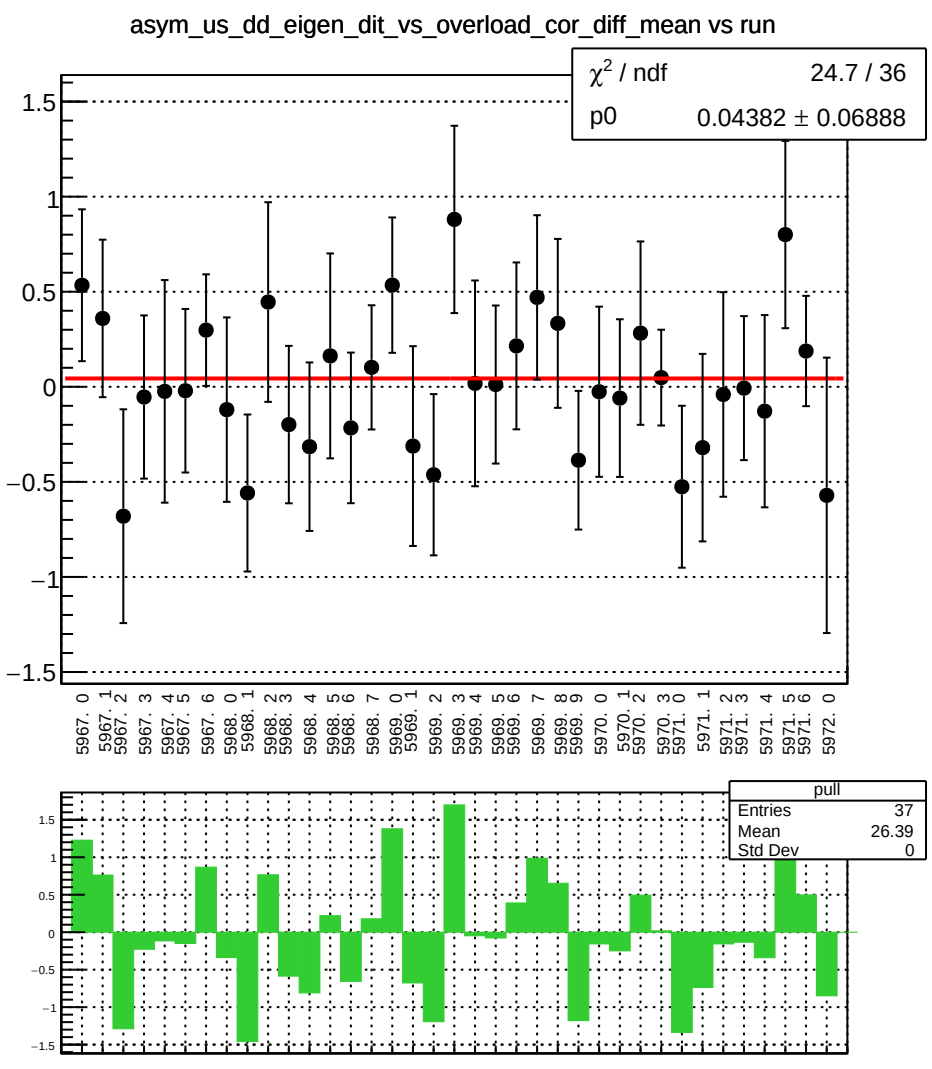
asym_us_dd_eigen_dit_vs_overload_cor_diff_mean vs run
χ² / ndf 24.7 / 36
p0 0.04382 ± 0.06888
pull
Entries 37
Mean 26.39
Std Dev 0

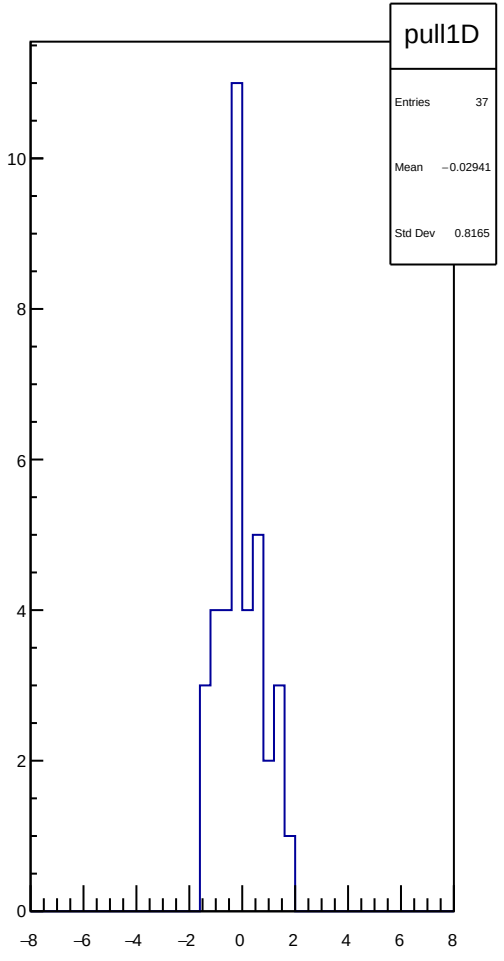
pull1D
Entries 37
Mean −0.02941
Std Dev 0.8165

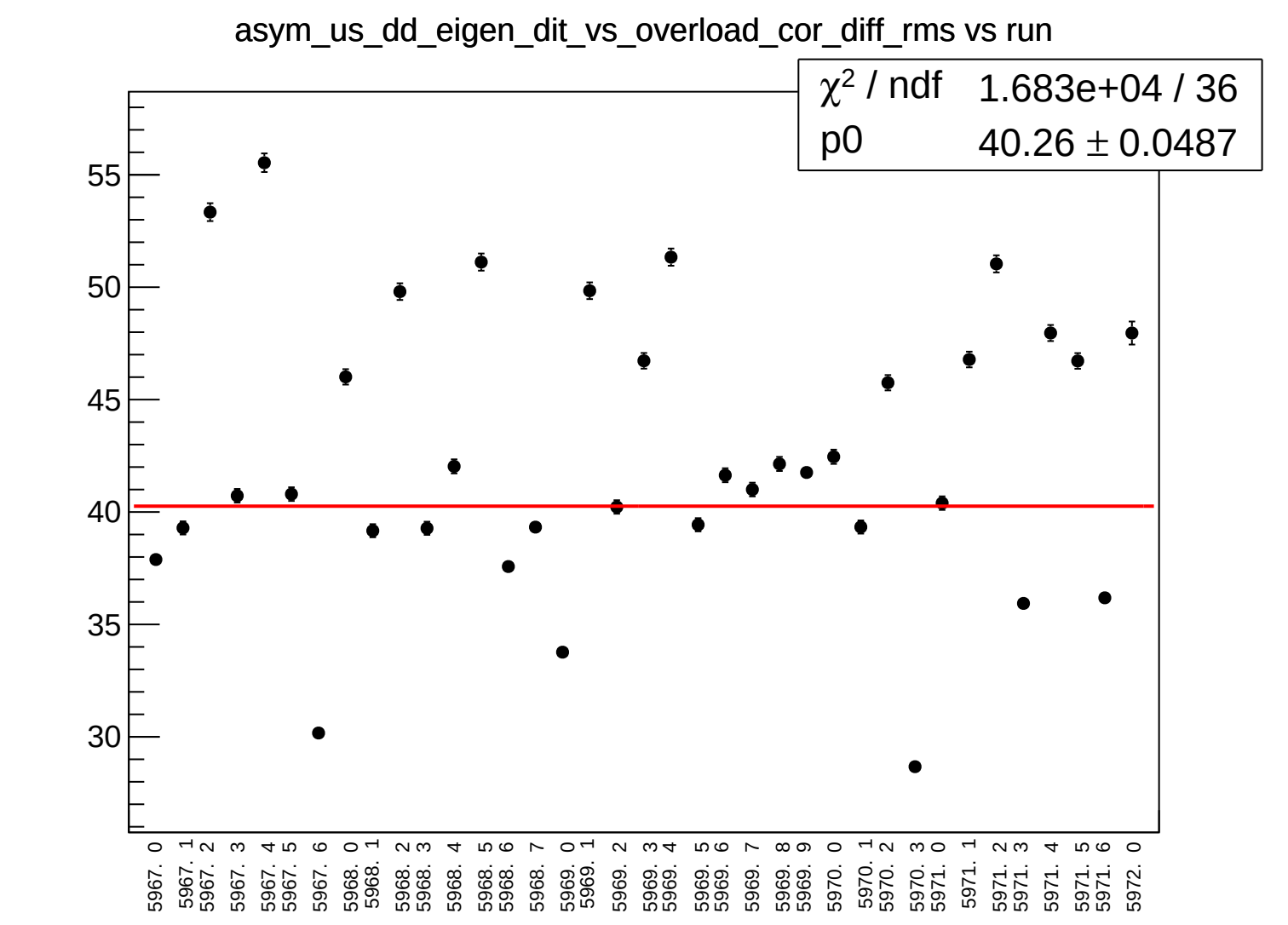
asym_us_dd_eigen_dit_vs_overload_cor_diff_rms vs run
χ² / ndf 1.683e+04 / 36
p0 40.26 ± 0.0487
55
50
45
40
35
30
5967. 0
5967. 1
5967. 2
5967. 3
5967. 4
5967. 5
5967. 6
5968. 0
5968. 1
5968. 2
5968. 3
5968. 4
5968. 5
5968. 6
5968. 7
5969. 0
5969. 1
5969. 2
5969. 3
5969. 4
5969. 5
5969. 6
5969. 7
5969. 8
5969. 9
5970. 0
5970. 1
5970. 2
5970. 3
5971. 0
5971. 1
5971. 2
5971. 3
5971. 4
5971. 5
5971. 6
5972. 0

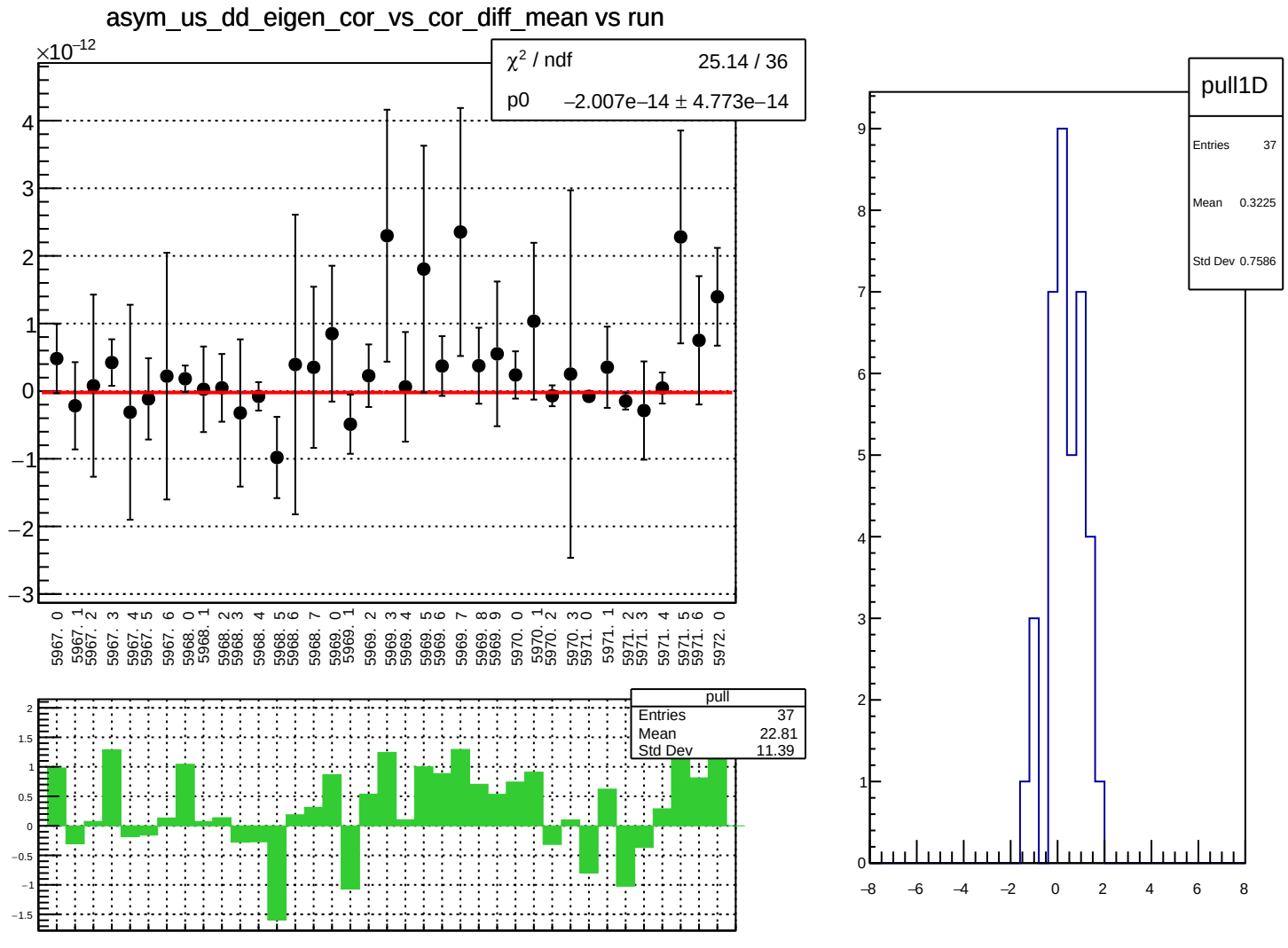
asym_us_dd_eigen_cor_vs_cor_diff_mean vs run
×10⁻¹²
χ² / ndf 25.14 / 36
p0 −2.007e−14 ± 4.773e−14
pull
Entries 37
Mean 22.81
Std Dev 11.39
pull1D
Entries 37
Mean 0.3225
Std Dev 0.7586

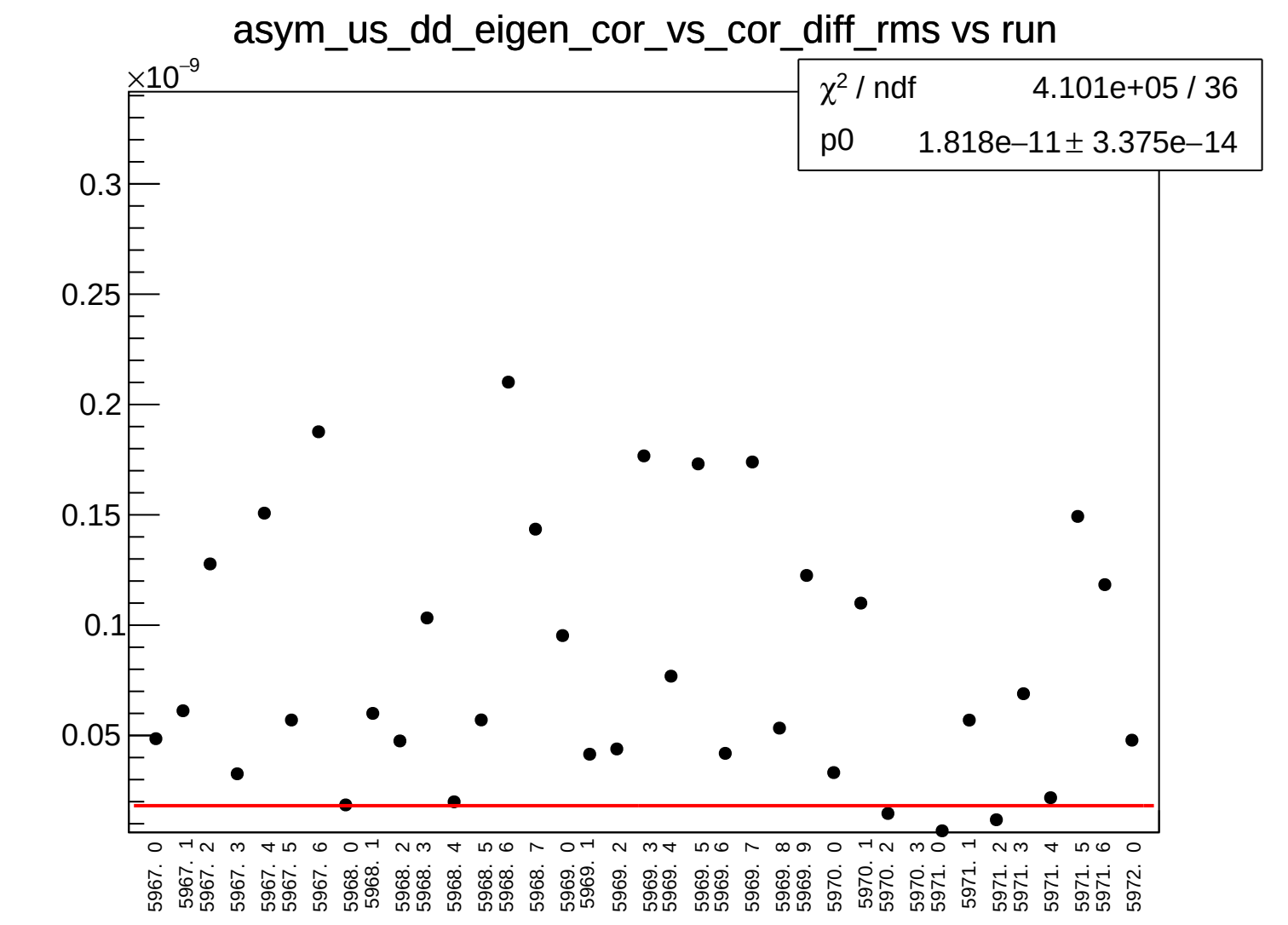
asym_us_dd_eigen_cor_vs_cor_diff_rms vs run
×10⁻⁹
χ² / ndf 4.101e+05 / 36
p0 1.818e−11 ± 3.375e−14
0.3
0.25
0.2
0.15
0.1
0.05
5967. 0
5967. 1
5967. 2
5967. 3
5967. 4
5967. 5
5967. 6
5968. 0
5968. 1
5968. 2
5968. 3
5968. 4
5968. 5
5968. 6
5968. 7
5969. 0
5969. 1
5969. 2
5969. 3
5969. 4
5969. 5
5969. 6
5969. 7
5969. 8
5969. 9
5970. 0
5970. 1
5970. 2
5970. 3
5971. 0
5971. 1
5971. 2
5971. 3
5971. 4
5971. 5
5971. 6
5972. 0

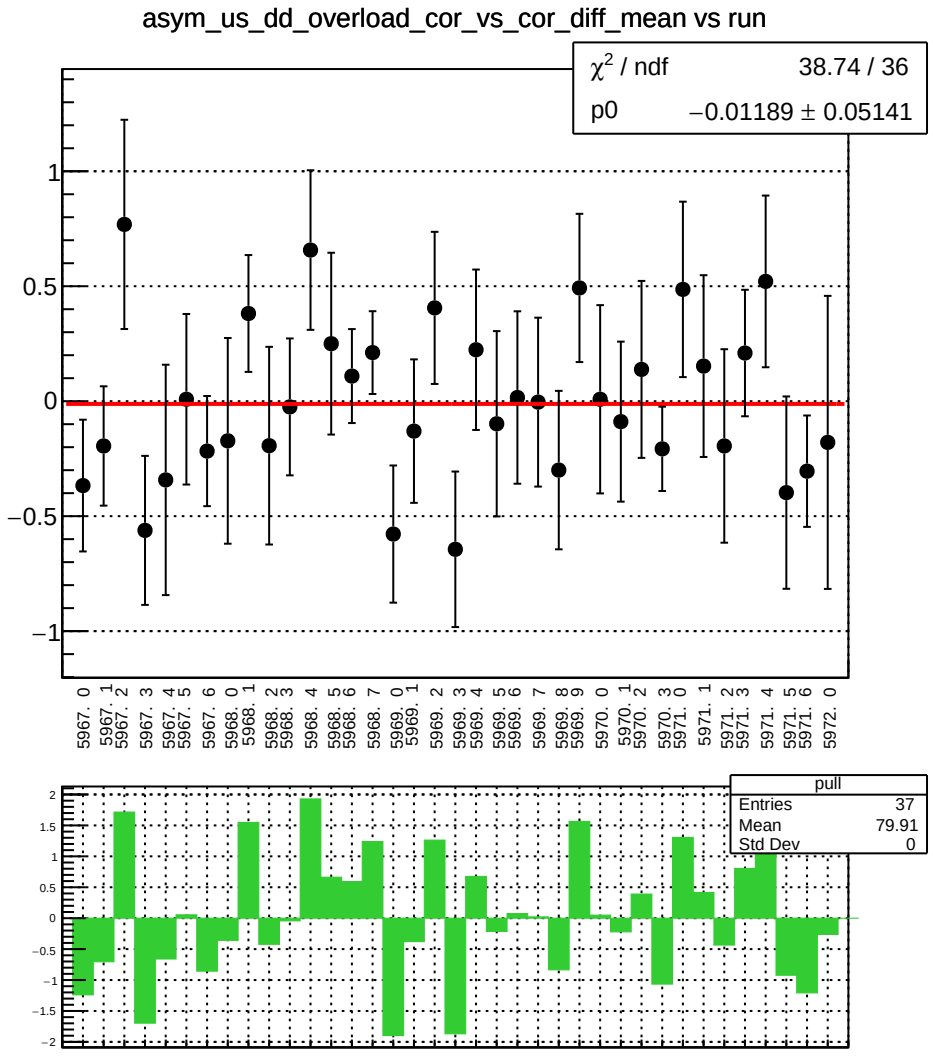
asym_us_dd_overload_cor_vs_cor_diff_mean vs run
χ² / ndf 38.74 / 36
p0 −0.01189 ± 0.05141
pull
Entries 37
Mean 79.91
Std Dev 0

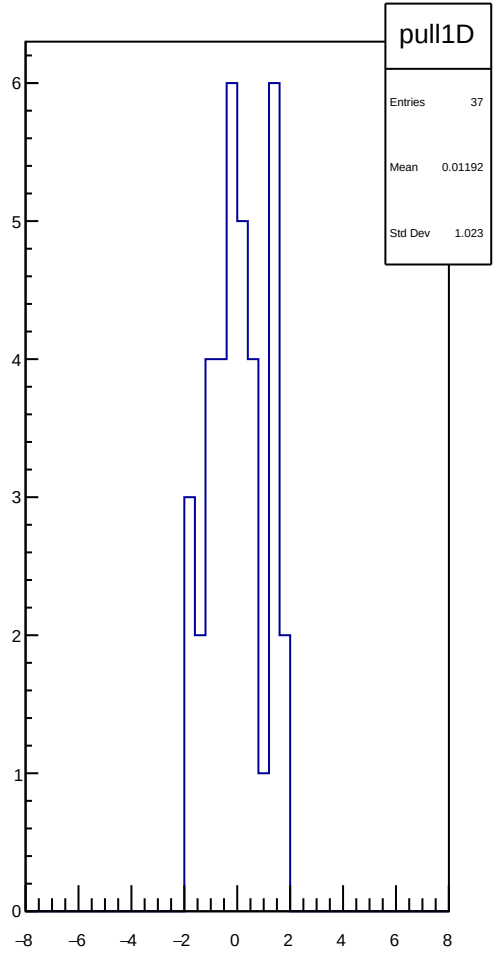
pull1D
Entries 37
Mean 0.01192
Std Dev 1.023

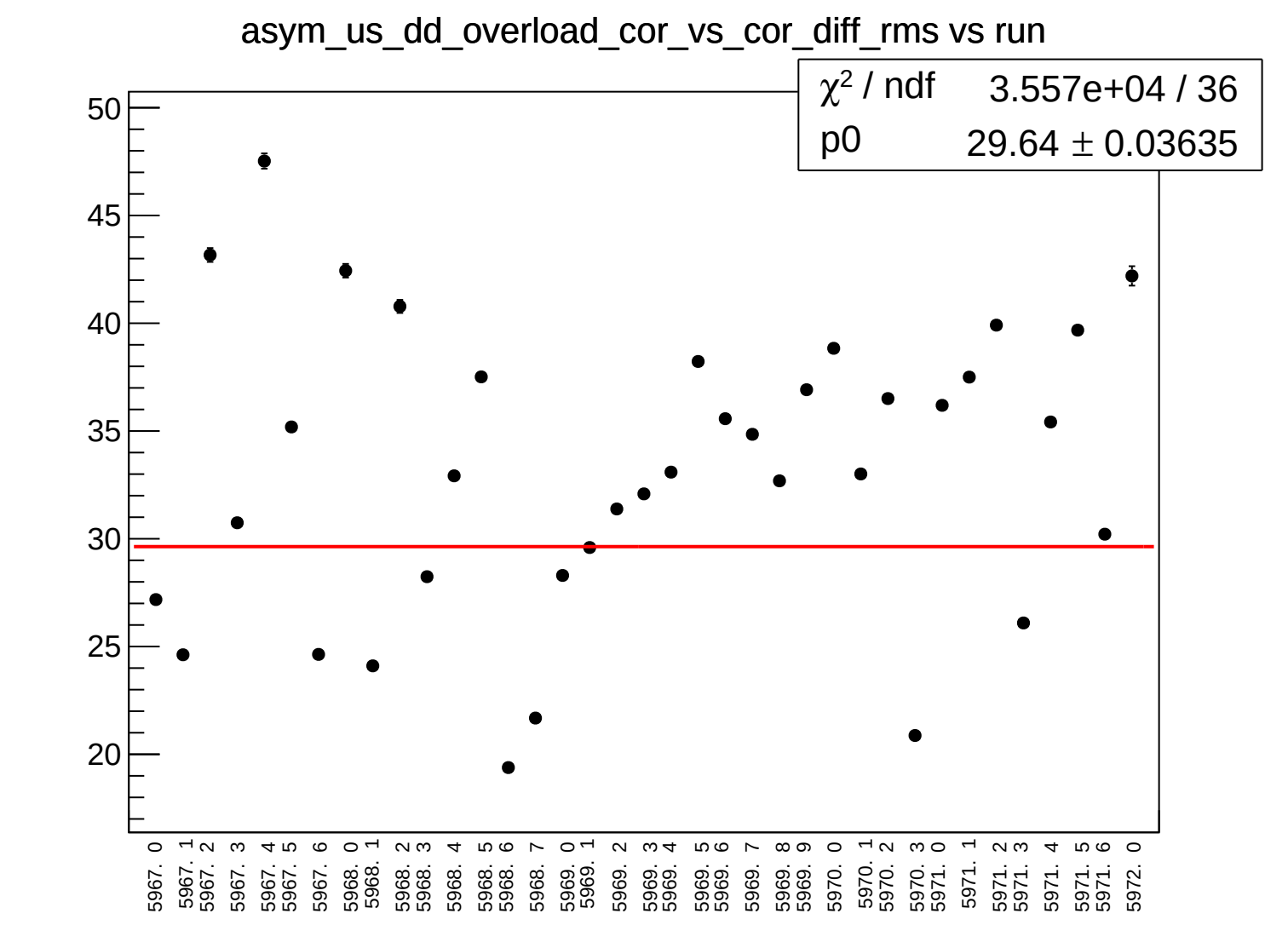
asym_us_dd_overload_cor_vs_cor_diff_rms vs run
χ² / ndf 3.557e+04 / 36
p0 29.64 ± 0.03635
50
45
40
35
30
25
20
5967. 0
5967. 1
5967. 2
5967. 3
5967. 4
5967. 5
5967. 6
5968. 0
5968. 1
5968. 2
5968. 3
5968. 4
5968. 5
5968. 6
5968. 7
5969. 0
5969. 1
5969. 2
5969. 3
5969. 4
5969. 5
5969. 6
5969. 7
5969. 8
5969. 9
5970. 0
5970. 1
5970. 2
5970. 3
5971. 0
5971. 1
5971. 2
5971. 3
5971. 4
5971. 5
5971. 6
5972. 0

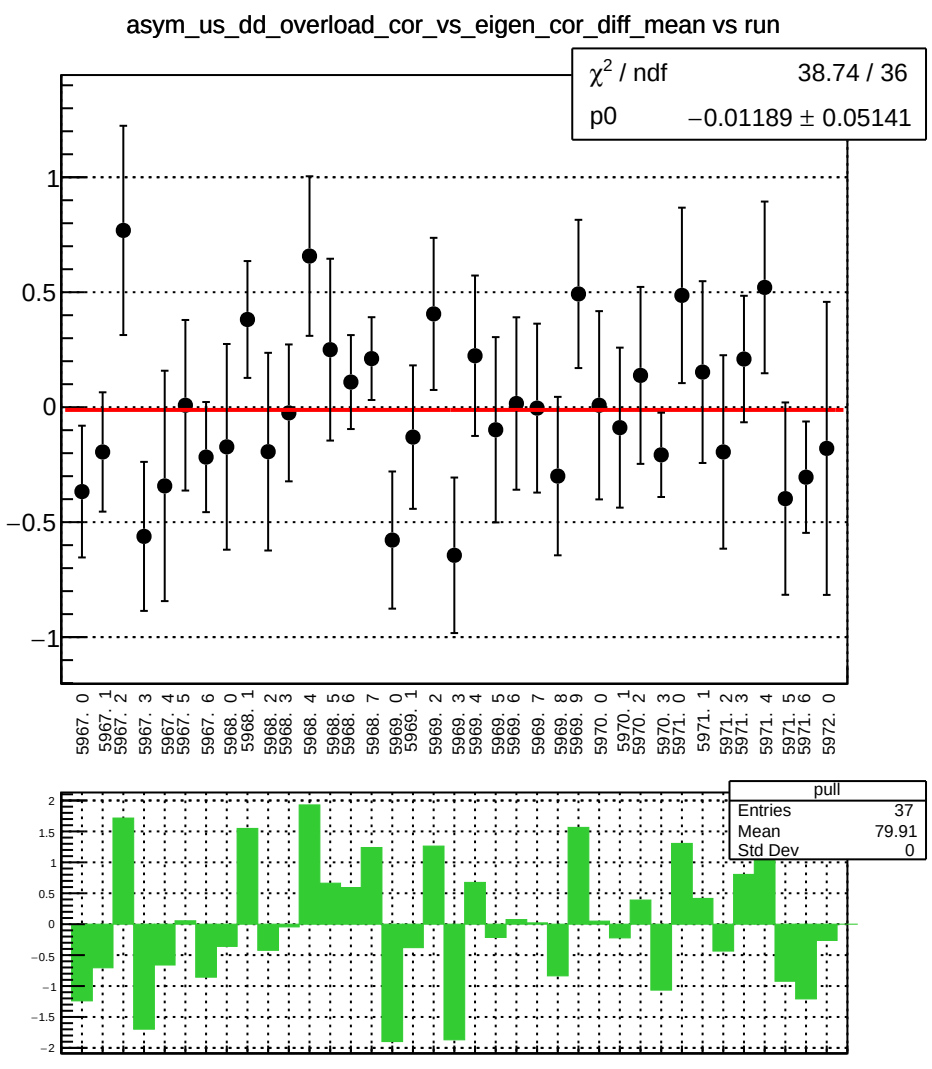
asym_us_dd_overload_cor_vs_eigen_cor_diff_mean vs run
χ² / ndf 38.74 / 36
p0 −0.01189 ± 0.05141
1
0.5
0
−0.5
−1
5967. 0
5967. 1
5967. 2
5967. 3
5967. 4
5967. 5
5967. 6
5968. 0
5968. 1
5968. 2
5968. 3
5968. 4
5968. 5
5968. 6
5968. 7
5969. 0
5969. 1
5969. 2
5969. 3
5969. 4
5969. 5
5969. 6
5969. 7
5969. 8
5969. 9
5970. 0
5970. 1
5970. 2
5970. 3
5971. 0
5971. 1
5971. 2
5971. 3
5971. 4
5971. 5
5971. 6
5972. 0
pull
Entries 37
Mean 79.91
Std Dev 0
2
1.5
1
0.5
0
−0.5
−1
−1.5
−2

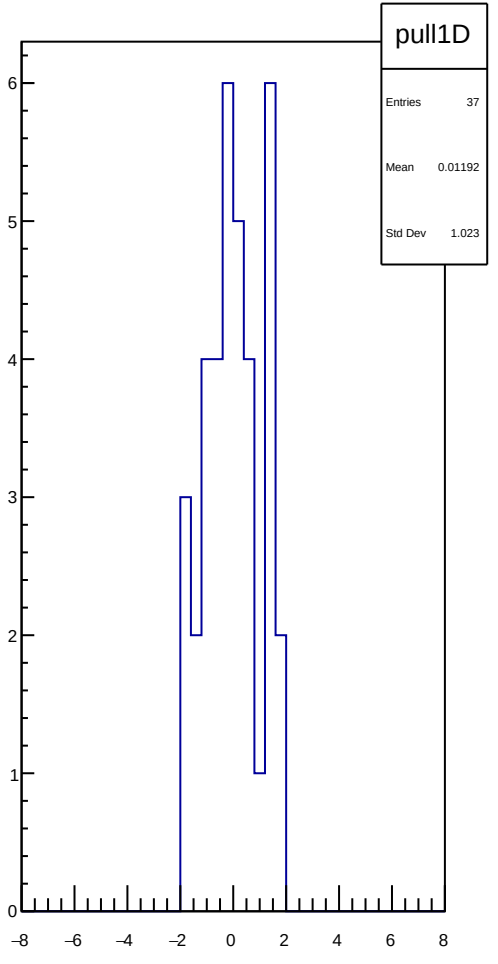
pull1D
Entries 37
Mean 0.01192
Std Dev 1.023
6
5
4
3
2
1
0
−8
−6
−4
−2
0
2
4
6
8

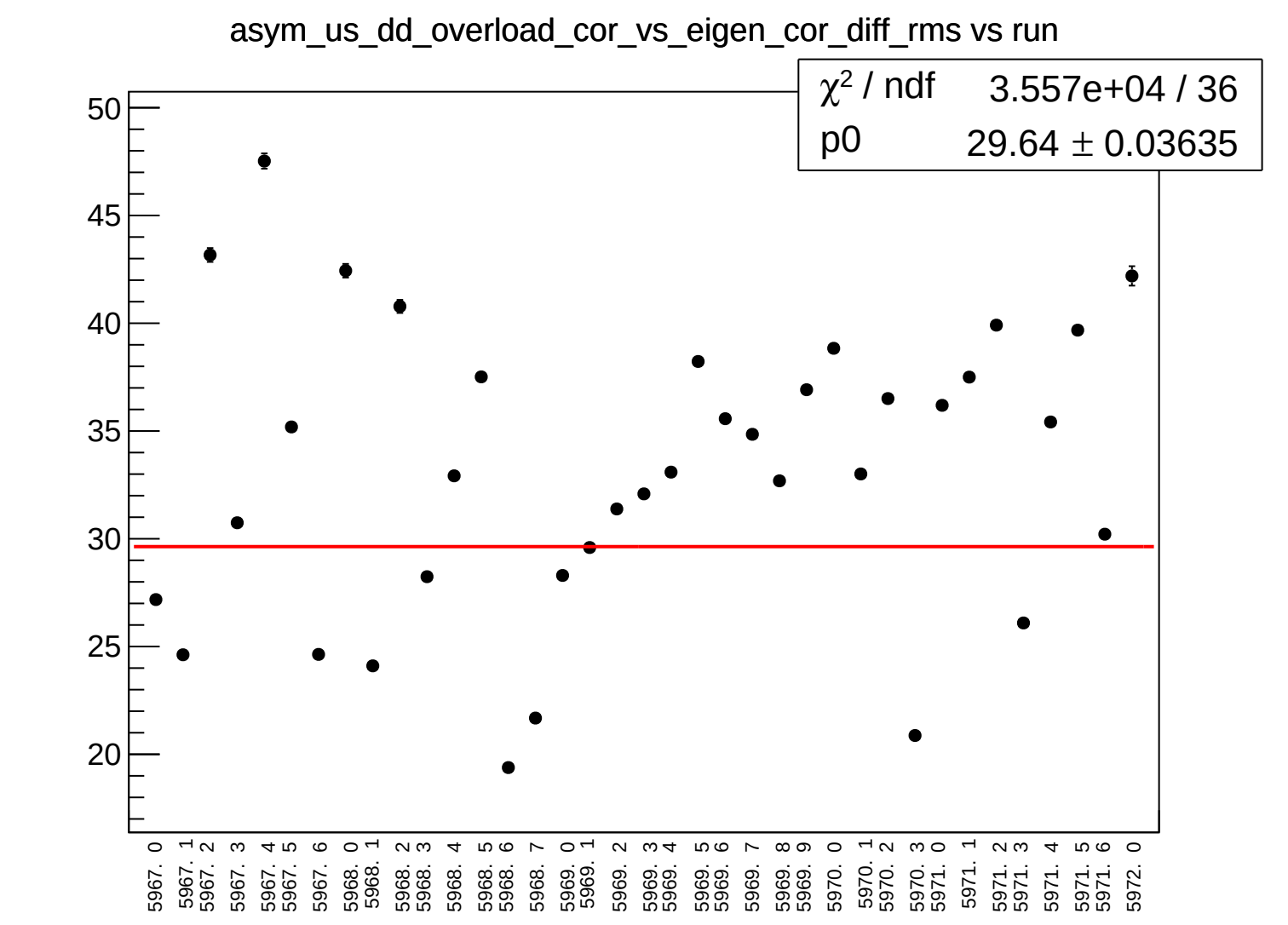
asym_us_dd_overload_cor_vs_eigen_cor_diff_rms vs run
χ² / ndf 3.557e+04 / 36
p0 29.64 ± 0.03635
50
45
40
35
30
25
20
5967. 0
5967. 1
5967. 2
5967. 3
5967. 4
5967. 5
5967. 6
5968. 0
5968. 1
5968. 2
5968. 3
5968. 4
5968. 5
5968. 6
5968. 7
5969. 0
5969. 1
5969. 2
5969. 3
5969. 4
5969. 5
5969. 6
5969. 7
5969. 8
5969. 9
5970. 0
5970. 1
5970. 2
5970. 3
5971. 0
5971. 1
5971. 2
5971. 3
5971. 4
5971. 5
5971. 6
5972. 0

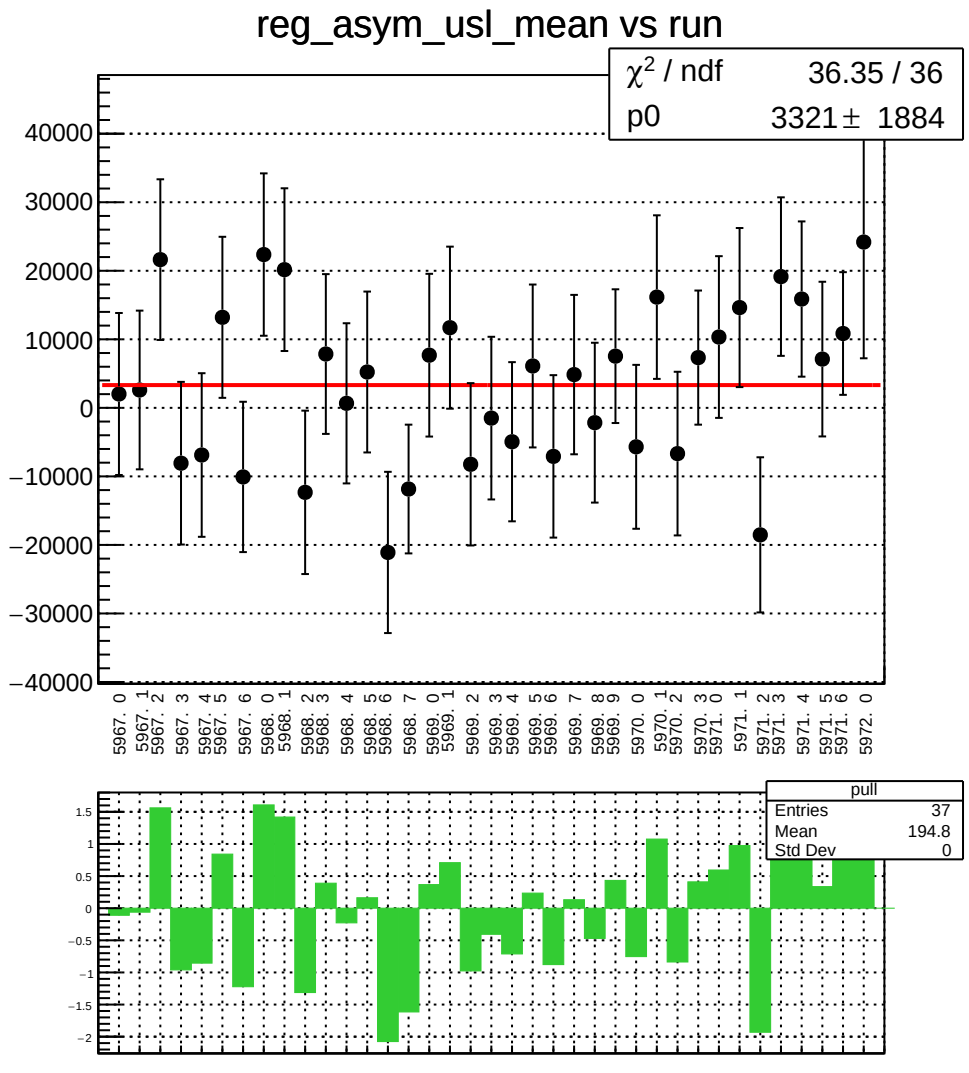
reg_asym_usl_mean vs run
χ² / ndf 36.35 / 36
p0 3321 ± 1884
pull
Entries 37
Mean 194.8
Std Dev 0
pull1D
Entries 37
Mean 0.01064
Std Dev 0.9911

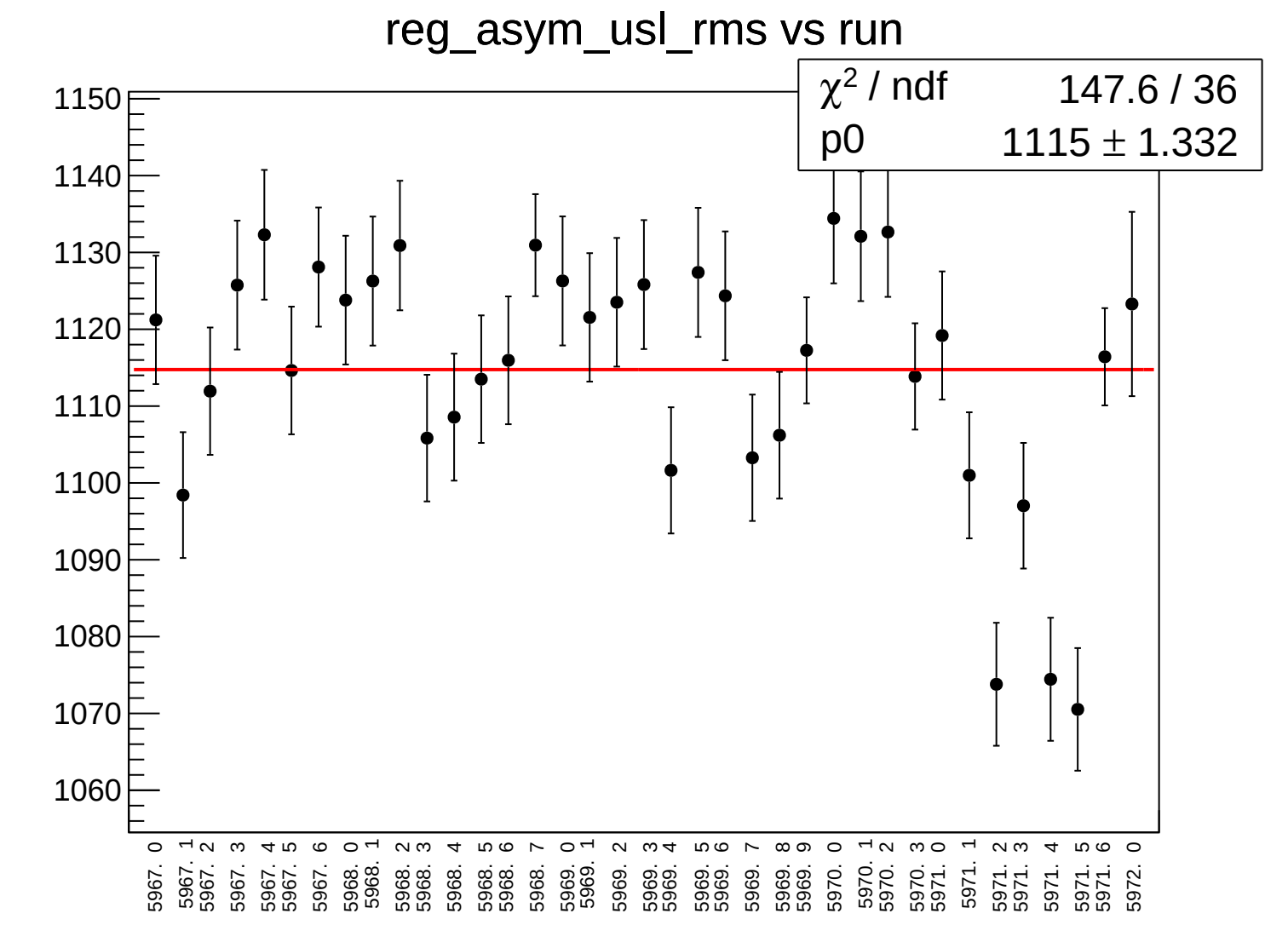
reg_asym_usl_rms vs run
χ² / ndf 147.6 / 36
p0 1115 ± 1.332
1150
1140
1130
1120
1110
1100
1090
1080
1070
1060
5967. 0
5967. 1
5967. 2
5967. 3
5967. 4
5967. 5
5967. 6
5968. 0
5968. 1
5968. 2
5968. 3
5968. 4
5968. 5
5968. 6
5968. 7
5969. 0
5969. 1
5969. 2
5969. 3
5969. 4
5969. 5
5969. 6
5969. 7
5969. 8
5969. 9
5970. 0
5970. 1
5970. 2
5970. 3
5971. 0
5971. 1
5971. 2
5971. 3
5971. 4
5971. 5
5971. 6
5972. 0

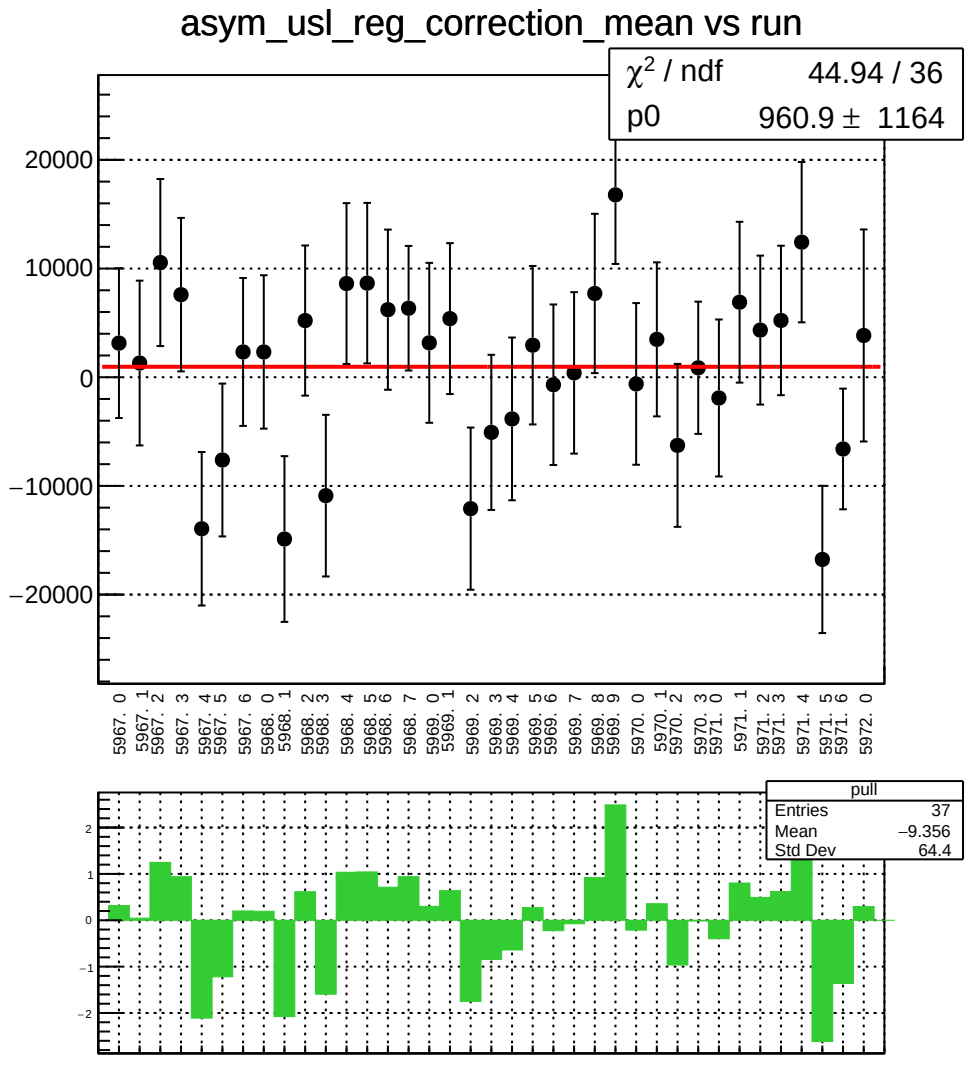
asym_usl_reg_correction_mean vs run
χ² / ndf 44.94 / 36
p0 960.9 ± 1164
20000
10000
0
−10000
−20000
5967. 0
5967. 1
5967. 2
5967. 3
5967. 4
5967. 5
5967. 6
5968. 0
5968. 1
5968. 2
5968. 3
5968. 4
5968. 5
5968. 6
5968. 7
5969. 0
5969. 1
5969. 2
5969. 3
5969. 4
5969. 5
5969. 6
5969. 7
5969. 8
5969. 9
5970. 0
5970. 1
5970. 2
5970. 3
5971. 0
5971. 1
5971. 2
5971. 3
5971. 4
5971. 5
5971. 6
5972. 0
pull
Entries 37
Mean −9.356
Std Dev 64.4
2
1
0
−1
−2

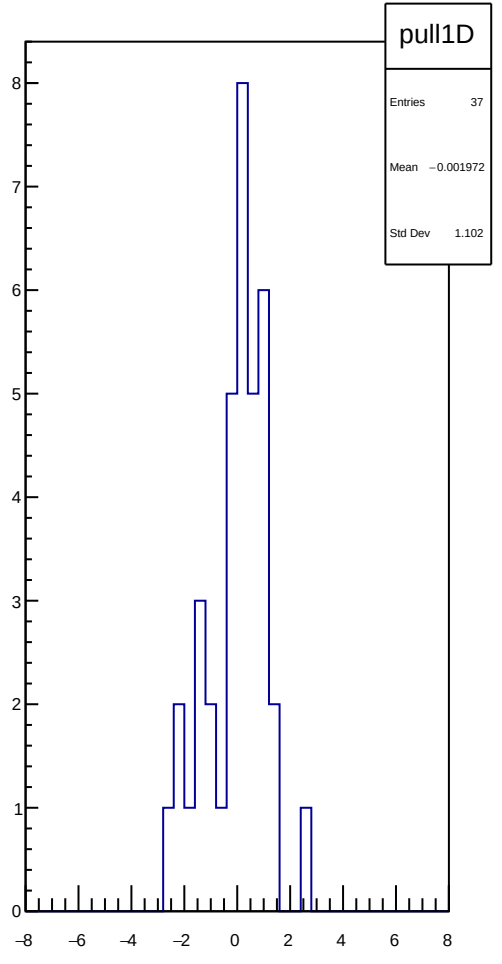
pull1D
Entries 37
Mean −0.001972
Std Dev 1.102
8
7
6
5
4
3
2
1
0
−8
−6
−4
−2
0
2
4
6
8

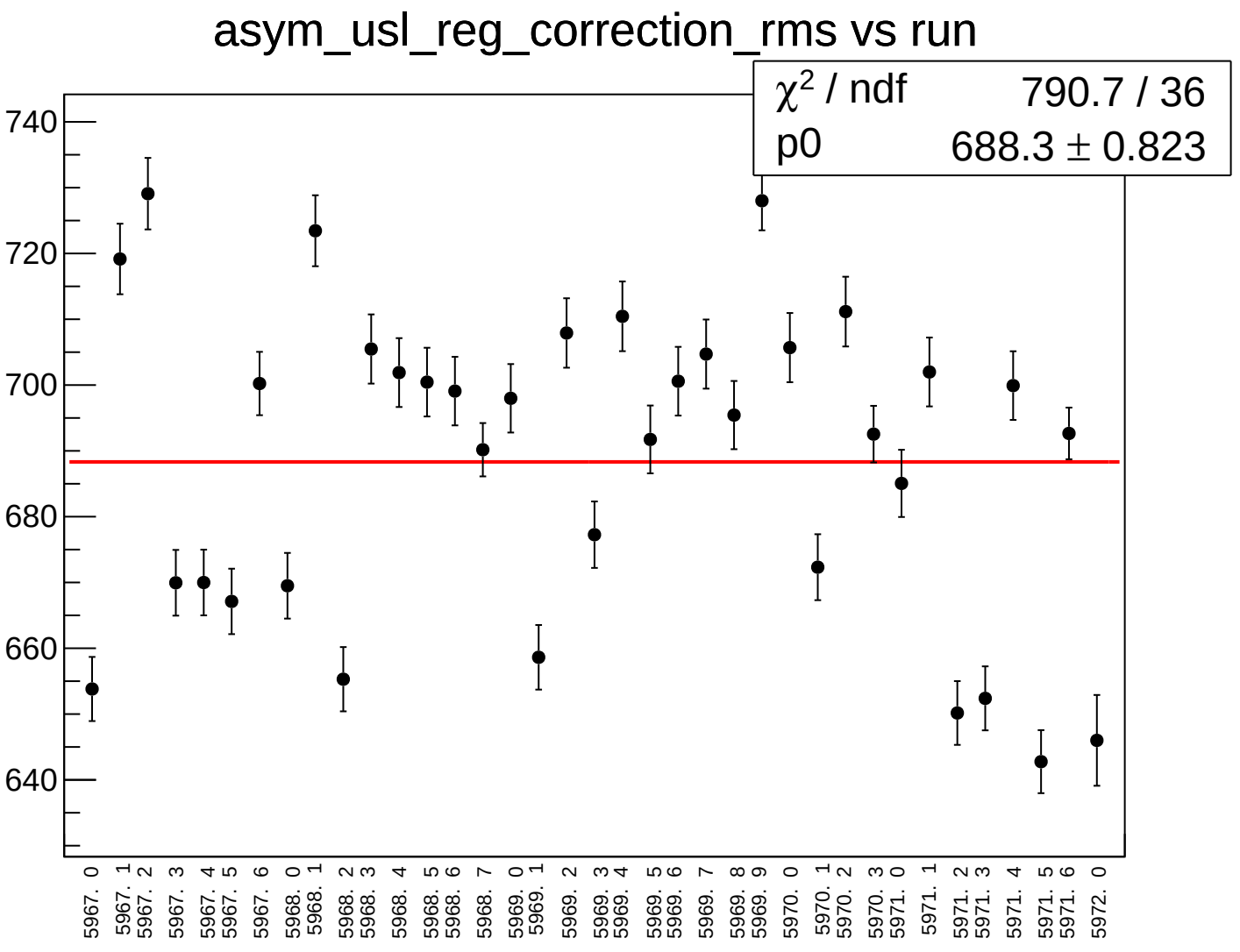
asym_usl_reg_correction_rms vs run
χ² / ndf 790.7 / 36
p0 688.3 ± 0.823
740
720
700
680
660
640
5967. 0
5967. 1
5967. 2
5967. 3
5967. 4
5967. 5
5967. 6
5968. 0
5968. 1
5968. 2
5968. 3
5968. 4
5968. 5
5968. 6
5968. 7
5969. 0
5969. 1
5969. 2
5969. 3
5969. 4
5969. 5
5969. 6
5969. 7
5969. 8
5969. 9
5970. 0
5970. 1
5970. 2
5970. 3
5971. 0
5971. 1
5971. 2
5971. 3
5971. 4
5971. 5
5971. 6
5972. 0

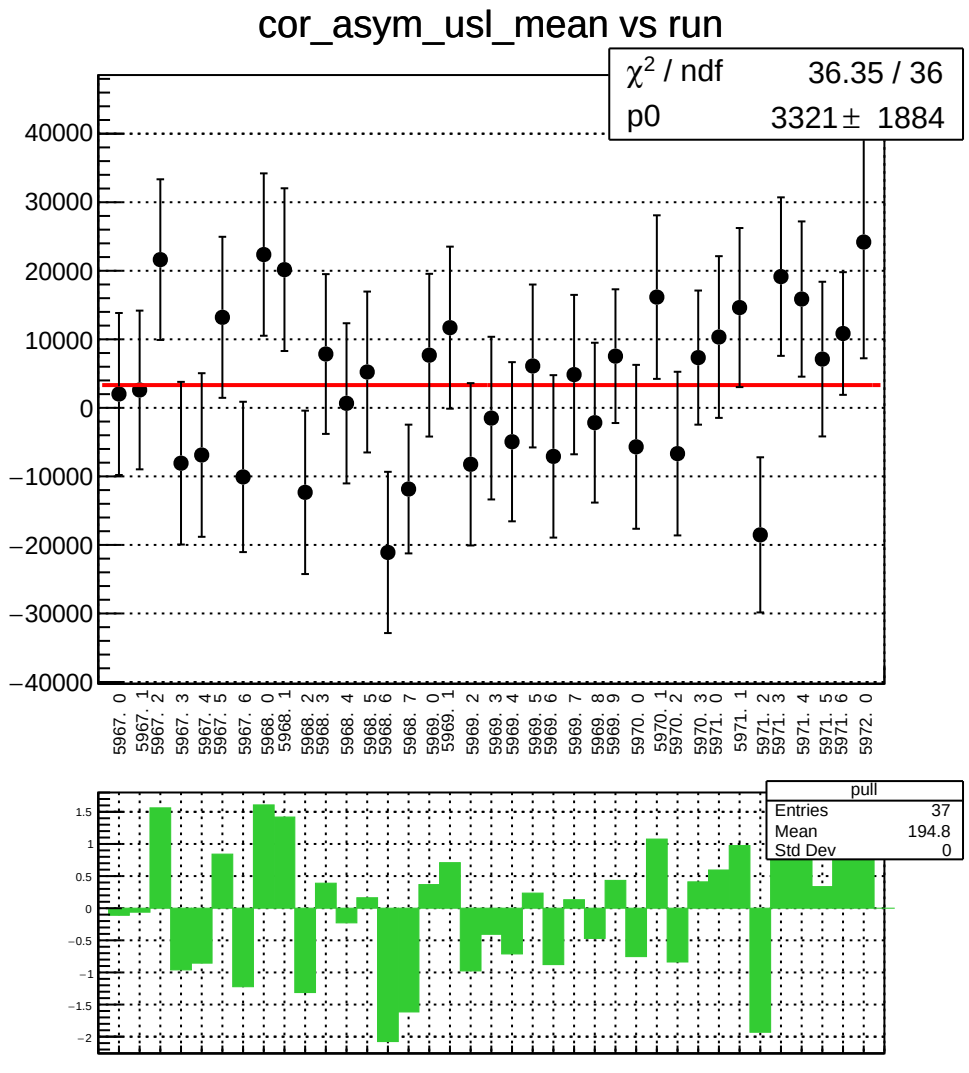
cor_asym_usl_mean vs run
χ^2 / ndf 36.35 / 36
p0 3321 ± 1884
40000
30000
20000
10000
0
−10000
−20000
−30000
−40000
5967. 0
5967. 1
5967. 2
5967. 3
5967. 4
5967. 5
5967. 6
5968. 0
5968. 1
5968. 2
5968. 3
5968. 4
5968. 5
5968. 6
5968. 7
5969. 0
5969. 1
5969. 2
5969. 3
5969. 4
5969. 5
5969. 6
5969. 7
5969. 8
5969. 9
5970. 0
5970. 1
5970. 2
5970. 3
5971. 0
5971. 1
5971. 2
5971. 3
5971. 4
5971. 5
5971. 6
5972. 0
pull
Entries 37
Mean 194.8
Std Dev 0
1.5
1
0.5
0
−0.5
−1
−1.5
−2

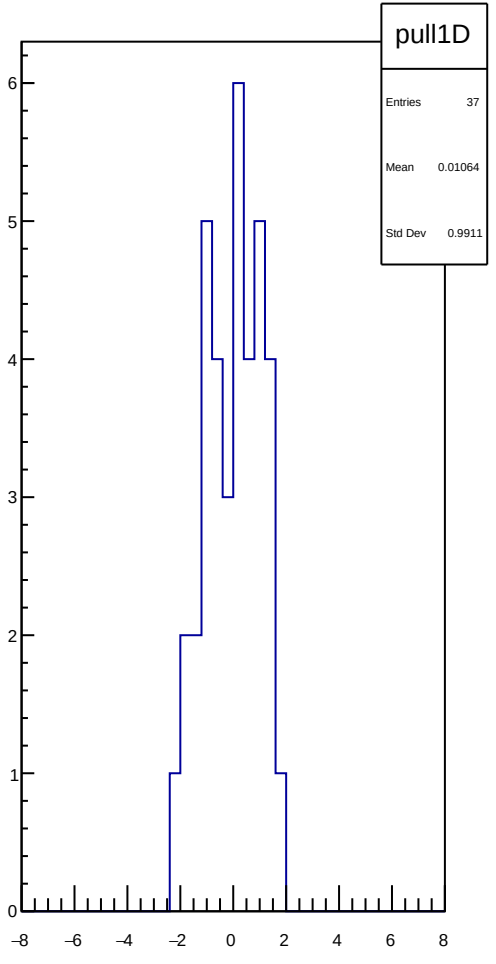
pull1D
Entries 37
Mean 0.01064
Std Dev 0.9911
6
5
4
3
2
1
0
−8
−6
−4
−2
0
2
4
6
8

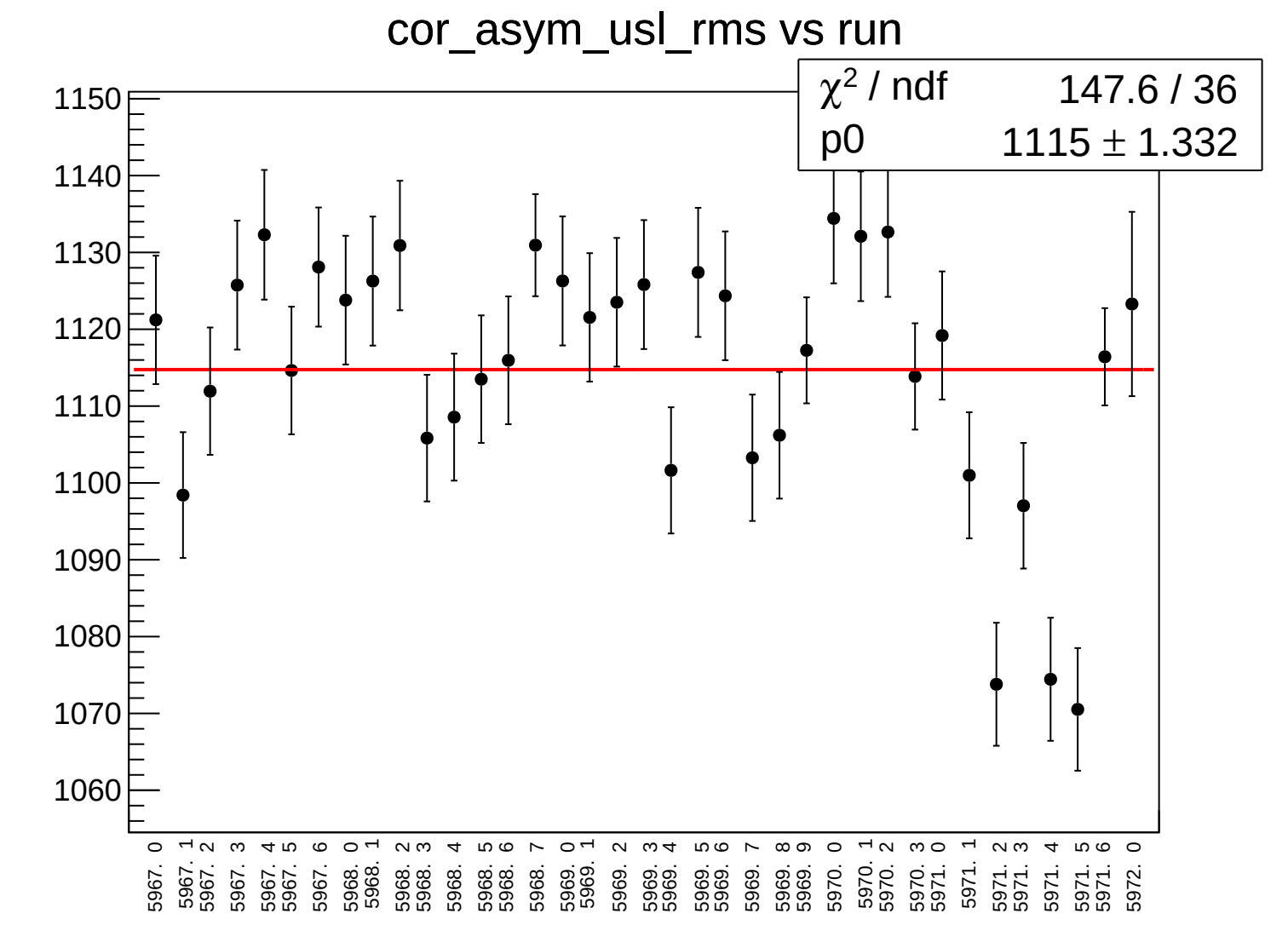
cor_asym_usl_rms vs run
χ² / ndf 147.6 / 36
p0 1115 ± 1.332
1150
1140
1130
1120
1110
1100
1090
1080
1070
1060
5967. 0
5967. 1
5967. 2
5967. 3
5967. 4
5967. 5
5967. 6
5968. 0
5968. 1
5968. 2
5968. 3
5968. 4
5968. 5
5968. 6
5968. 7
5969. 0
5969. 1
5969. 2
5969. 3
5969. 4
5969. 5
5969. 6
5969. 7
5969. 8
5969. 9
5970. 0
5970. 1
5970. 2
5970. 3
5971. 0
5971. 1
5971. 2
5971. 3
5971. 4
5971. 5
5971. 6
5972. 0

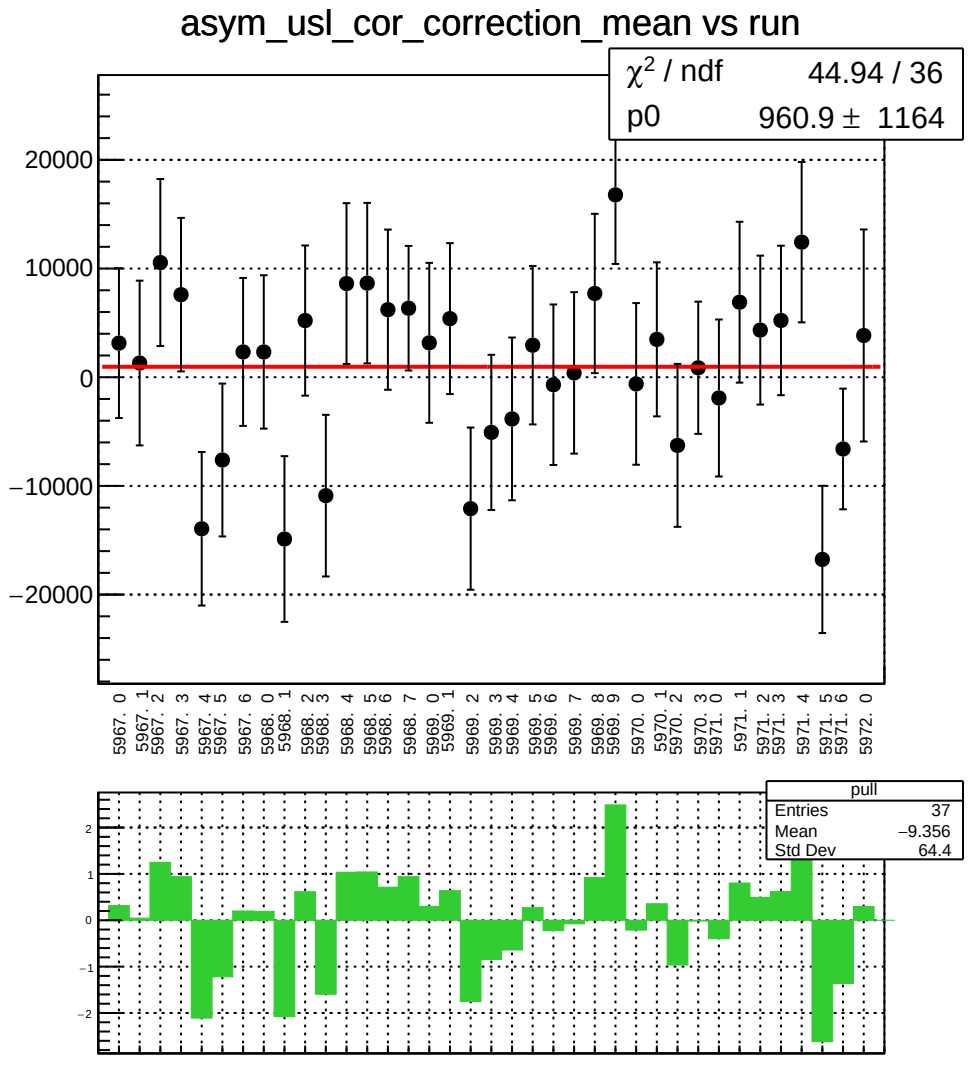
asym_usl_cor_correction_mean vs run
χ² / ndf 44.94 / 36
p0 960.9 ± 1164
20000
10000
0
−10000
−20000
5967. 0
5967. 1
5967. 2
5967. 3
5967. 4
5967. 5
5967. 6
5968. 0
5968. 1
5968. 2
5968. 3
5968. 4
5968. 5
5968. 6
5968. 7
5969. 0
5969. 1
5969. 2
5969. 3
5969. 4
5969. 5
5969. 6
5969. 7
5969. 8
5969. 9
5970. 0
5970. 1
5970. 2
5970. 3
5971. 0
5971. 1
5971. 2
5971. 3
5971. 4
5971. 5
5971. 6
5972. 0
pull
Entries 37
Mean −9.356
Std Dev 64.4
2
1
0
−1
−2

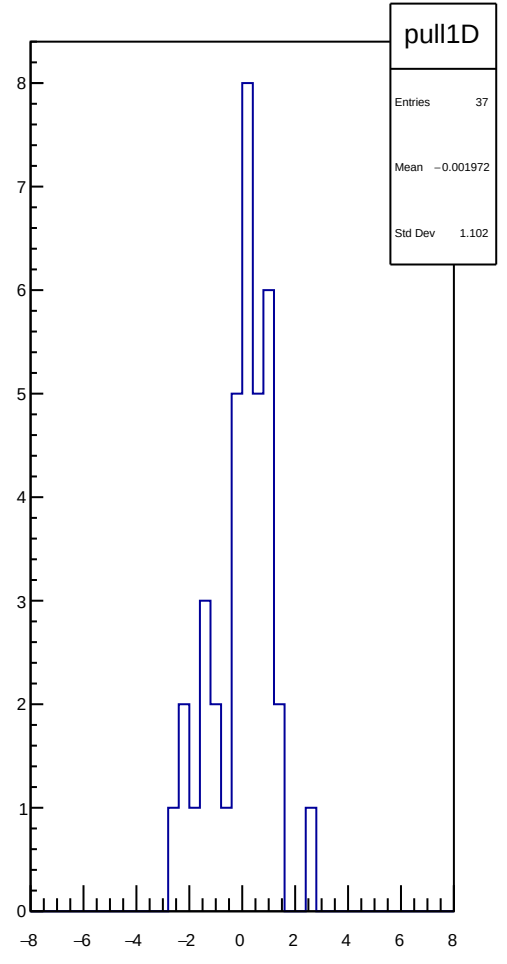
pull1D
Entries 37
Mean −0.001972
Std Dev 1.102
8
7
6
5
4
3
2
1
0
−8
−6
−4
−2
0
2
4
6
8

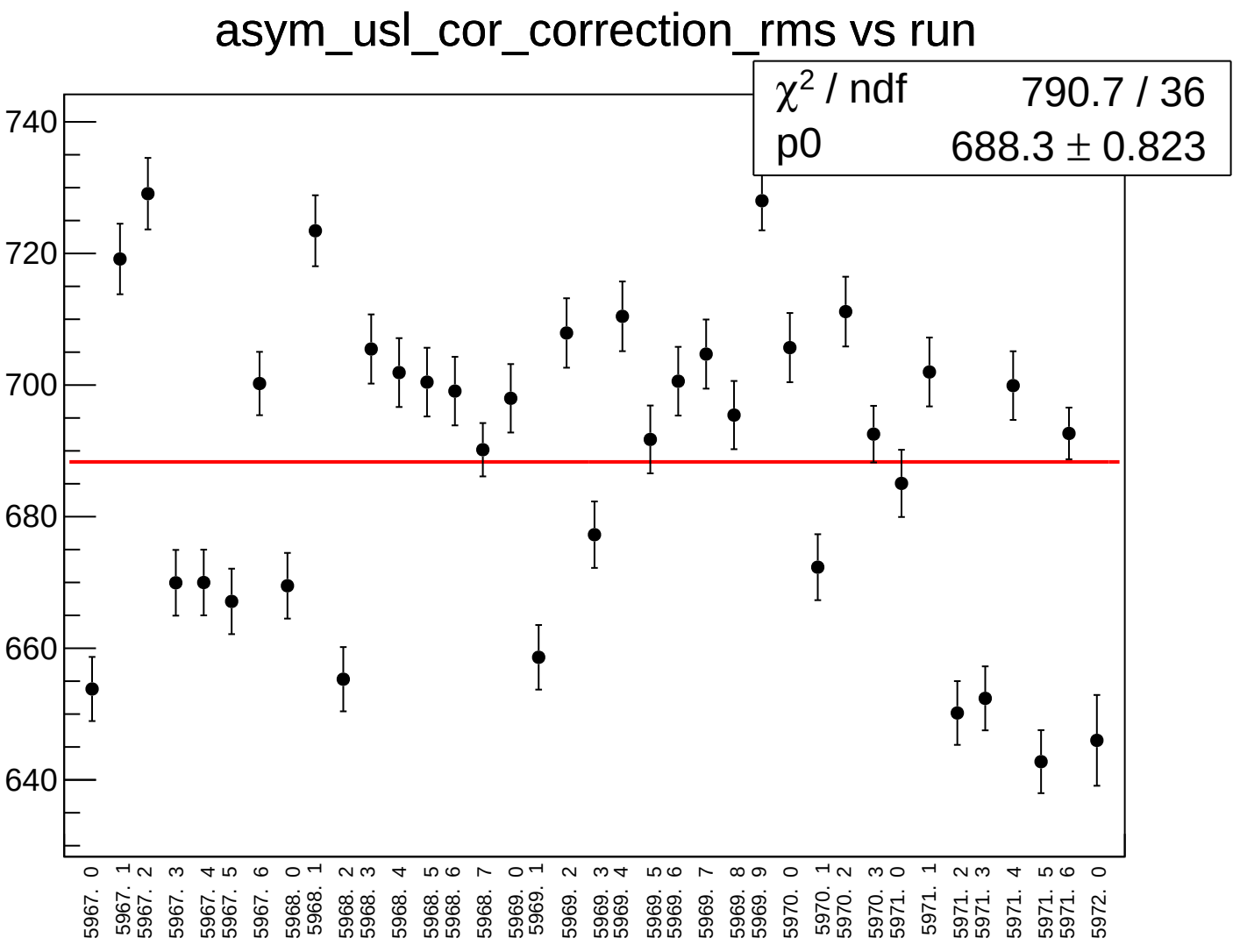
asym_usl_cor_correction_rms vs run
χ² / ndf 790.7 / 36
p0 688.3 ± 0.823
740
720
700
680
660
640
5967. 0
5967. 1
5967. 2
5967. 3
5967. 4
5967. 5
5967. 6
5968. 0
5968. 1
5968. 2
5968. 3
5968. 4
5968. 5
5968. 6
5968. 7
5969. 0
5969. 1
5969. 2
5969. 3
5969. 4
5969. 5
5969. 6
5969. 7
5969. 8
5969. 9
5970. 0
5970. 1
5970. 2
5970. 3
5971. 0
5971. 1
5971. 2
5971. 3
5971. 4
5971. 5
5971. 6
5972. 0

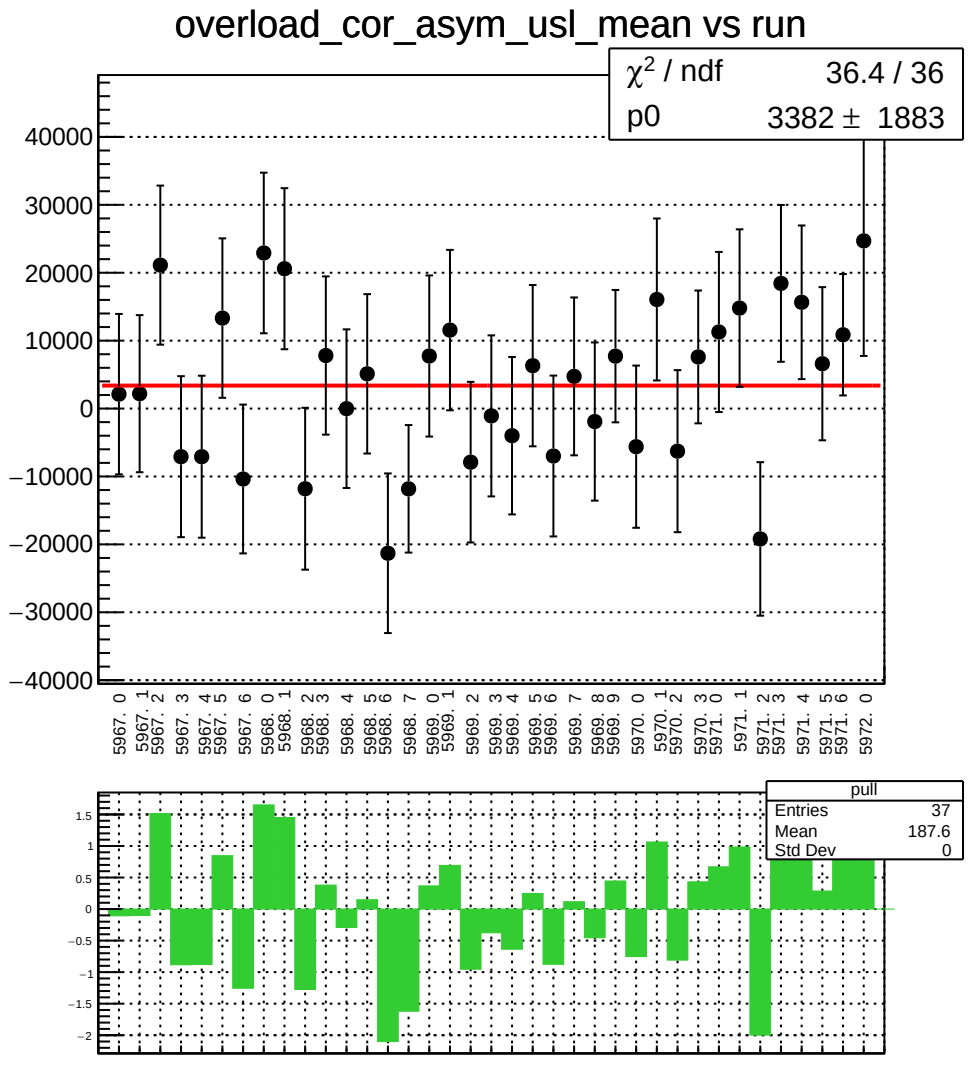
overload_cor_asym_usl_mean vs run
χ² / ndf 36.4 / 36
p0 3382 ± 1883
40000
30000
20000
10000
0
−10000
−20000
−30000
−40000
5967. 0
5967. 1
5967. 2
5967. 3
5967. 4
5967. 5
5967. 6
5968. 0
5968. 1
5968. 2
5968. 3
5968. 4
5968. 5
5968. 6
5968. 7
5969. 0
5969. 1
5969. 2
5969. 3
5969. 4
5969. 5
5969. 6
5969. 7
5969. 8
5969. 9
5970. 0
5970. 1
5970. 2
5970. 3
5971. 0
5971. 1
5971. 2
5971. 3
5971. 4
5971. 5
5971. 6
5972. 0
pull
Entries 37
Mean 187.6
Std Dev 0
1.5
1
0.5
0
−0.5
−1
−1.5
−2

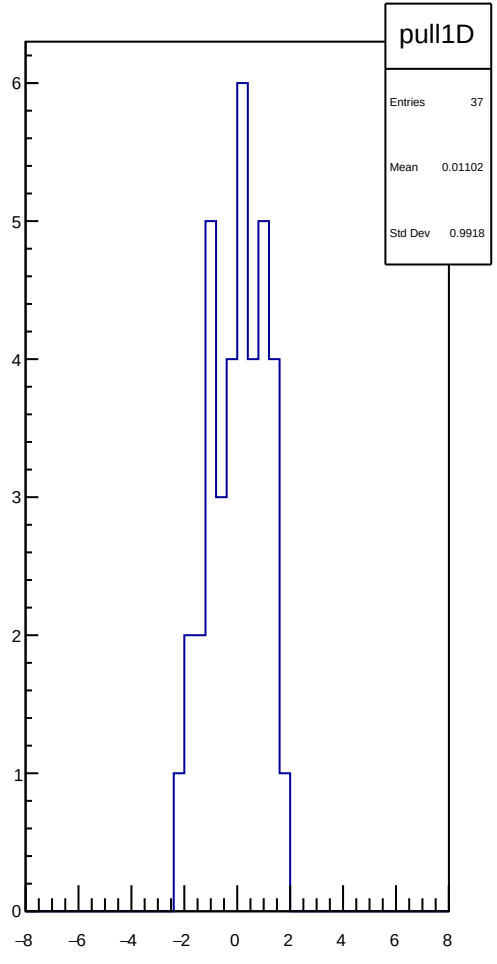
pull1D
Entries 37
Mean 0.01102
Std Dev 0.9918
6
5
4
3
2
1
0
−8
−6
−4
−2
0
2
4
6
8

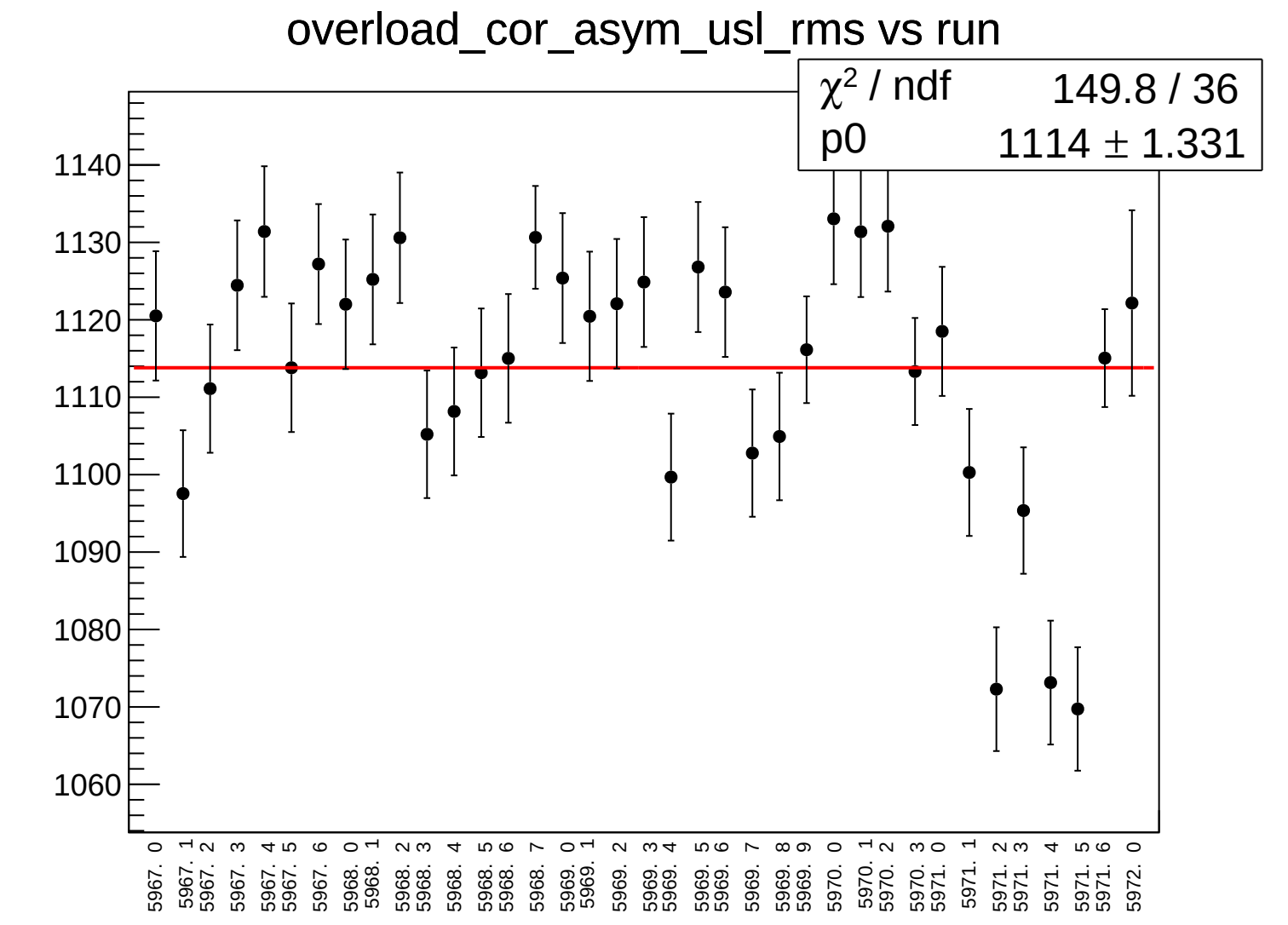
overload_cor_asym_usl_rms vs run
χ² / ndf 149.8 / 36
p0 1114 ± 1.331
1140
1130
1120
1110
1100
1090
1080
1070
1060
5967. 0
5967. 1
5967. 2
5967. 3
5967. 4
5967. 5
5967. 6
5968. 0
5968. 1
5968. 2
5968. 3
5968. 4
5968. 5
5968. 6
5968. 7
5969. 0
5969. 1
5969. 2
5969. 3
5969. 4
5969. 5
5969. 6
5969. 7
5969. 8
5969. 9
5970. 0
5970. 1
5970. 2
5970. 3
5971. 0
5971. 1
5971. 2
5971. 3
5971. 4
5971. 5
5971. 6
5972. 0

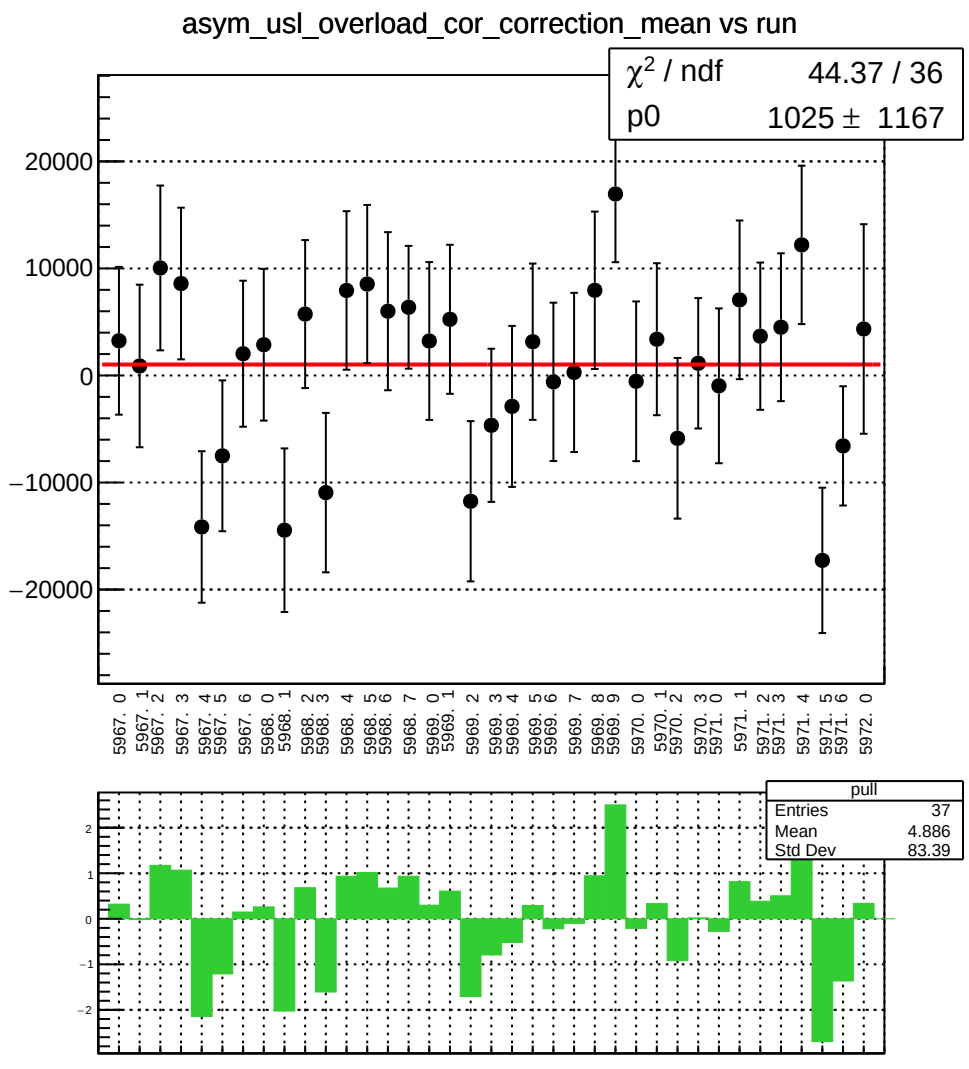
asym_usl_overload_cor_correction_mean vs run
χ² / ndf 44.37 / 36
p0 1025 ± 1167
20000
10000
0
−10000
−20000
5967. 0
5967. 1
5967. 2
5967. 3
5967. 4
5967. 5
5967. 6
5968. 0
5968. 1
5968. 2
5968. 3
5968. 4
5968. 5
5968. 6
5968. 7
5969. 0
5969. 1
5969. 2
5969. 3
5969. 4
5969. 5
5969. 6
5969. 7
5969. 8
5969. 9
5970. 0
5970. 1
5970. 2
5970. 3
5971. 0
5971. 1
5971. 2
5971. 3
5971. 4
5971. 5
5971. 6
5972. 0
pull
Entries 37
Mean 4.886
Std Dev 83.39
2
1
0
−1
−2

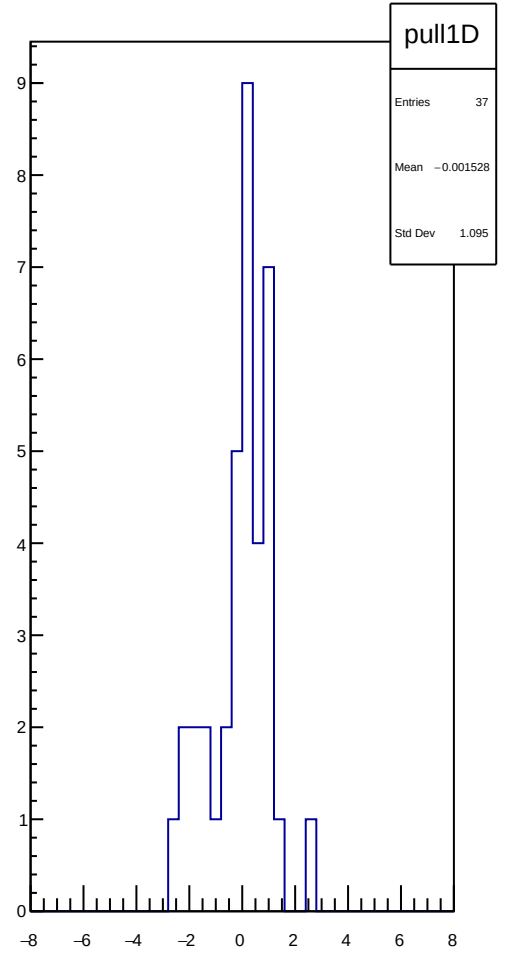
pull1D
Entries 37
Mean −0.001528
Std Dev 1.095
9
8
7
6
5
4
3
2
1
0
−8
−6
−4
−2
0
2
4
6
8

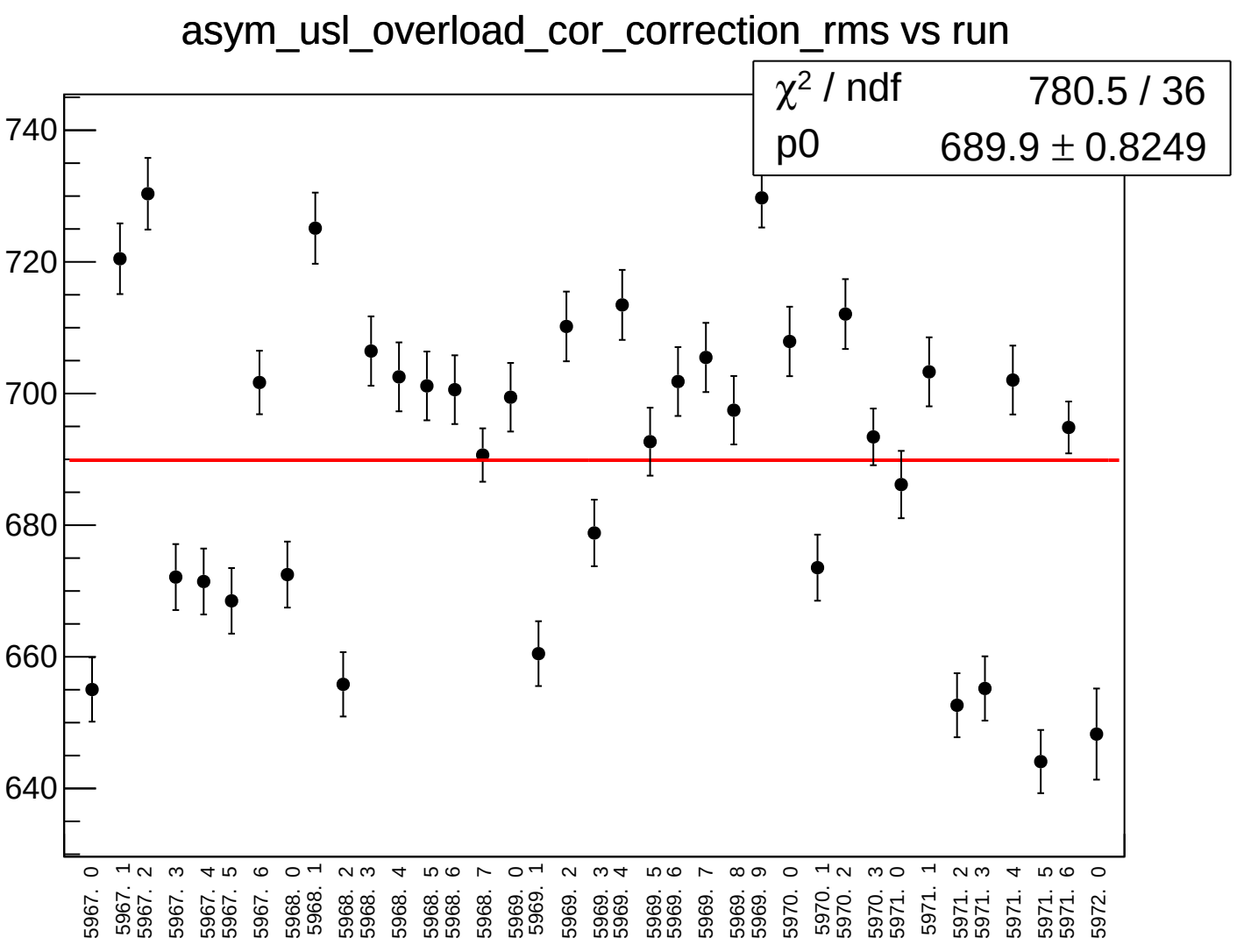
asym_usl_overload_cor_correction_rms vs run
χ² / ndf 780.5 / 36
p0 689.9 ± 0.8249
740
720
700
680
660
640
5967. 0
5967. 1
5967. 2
5967. 3
5967. 4
5967. 5
5967. 6
5968. 0
5968. 1
5968. 2
5968. 3
5968. 4
5968. 5
5968. 6
5968. 7
5969. 0
5969. 1
5969. 2
5969. 3
5969. 4
5969. 5
5969. 6
5969. 7
5969. 8
5969. 9
5970. 0
5970. 1
5970. 2
5970. 3
5971. 0
5971. 1
5971. 2
5971. 3
5971. 4
5971. 5
5971. 6
5972. 0

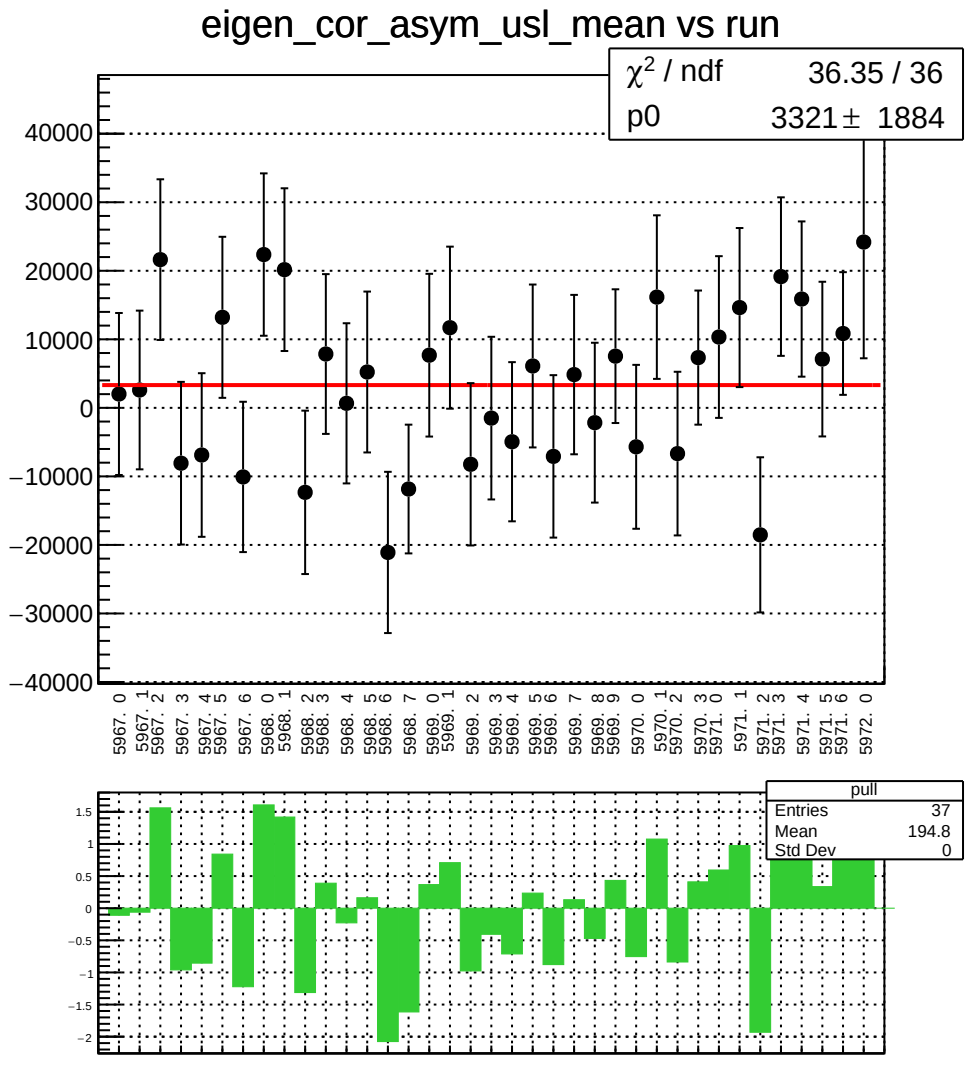
eigen_cor_asym_usl_mean vs run
χ² / ndf 36.35 / 36
p0 3321 ± 1884
pull
Entries 37
Mean 194.8
Std Dev 0

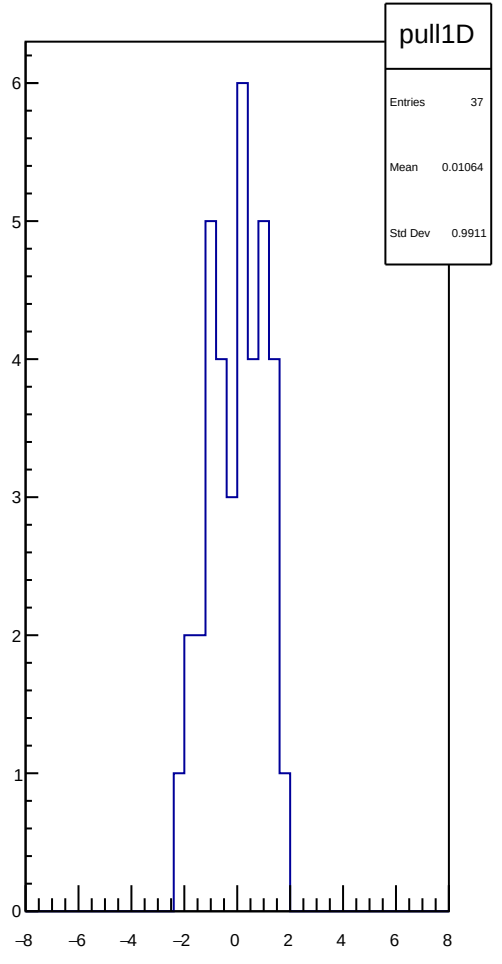
pull1D
Entries 37
Mean 0.01064
Std Dev 0.9911

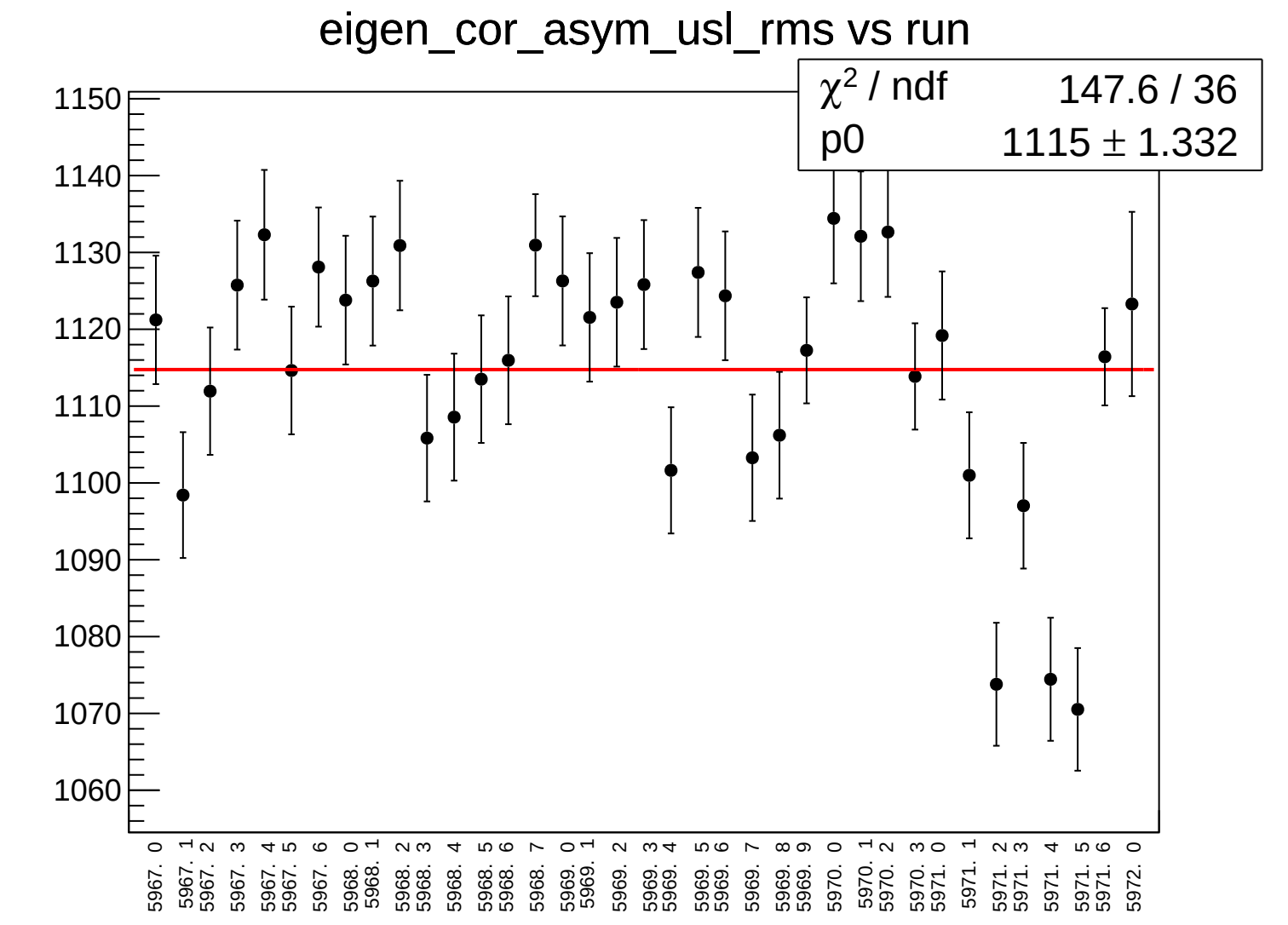
eigen_cor_asym_usl_rms vs run
χ² / ndf 147.6 / 36
p0 1115 ± 1.332
1150
1140
1130
1120
1110
1100
1090
1080
1070
1060
5967. 0
5967. 1
5967. 2
5967. 3
5967. 4
5967. 5
5967. 6
5968. 0
5968. 1
5968. 2
5968. 3
5968. 4
5968. 5
5968. 6
5968. 7
5969. 0
5969. 1
5969. 2
5969. 3
5969. 4
5969. 5
5969. 6
5969. 7
5969. 8
5969. 9
5970. 0
5970. 1
5970. 2
5970. 3
5971. 0
5971. 1
5971. 2
5971. 3
5971. 4
5971. 5
5971. 6
5972. 0

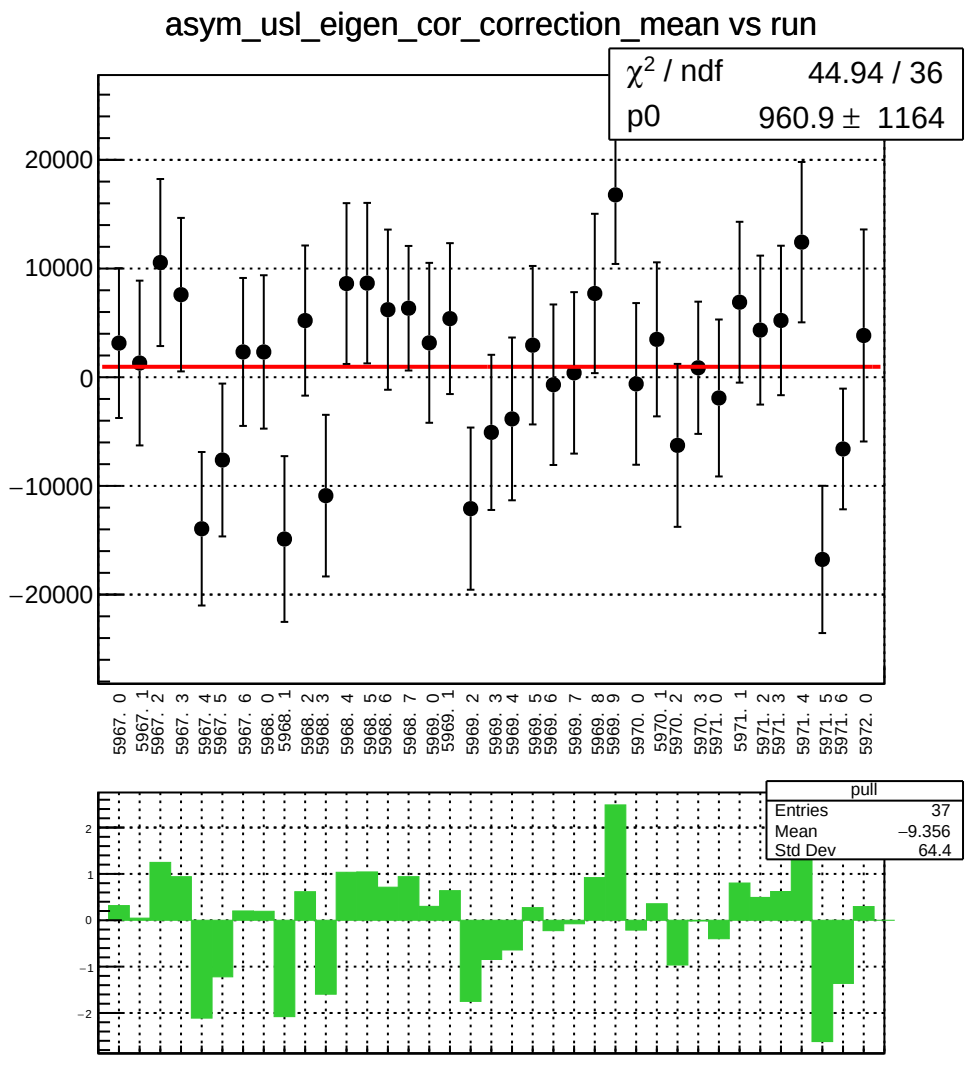
asym_usl_eigen_cor_correction_mean vs run
χ² / ndf 44.94 / 36
p0 960.9 ± 1164
20000
10000
0
−10000
−20000
5967. 0
5967. 1
5967. 2
5967. 3
5967. 4
5967. 5
5967. 6
5968. 0
5968. 1
5968. 2
5968. 3
5968. 4
5968. 5
5968. 6
5968. 7
5969. 0
5969. 1
5969. 2
5969. 3
5969. 4
5969. 5
5969. 6
5969. 7
5969. 8
5969. 9
5970. 0
5970. 1
5970. 2
5970. 3
5971. 0
5971. 1
5971. 2
5971. 3
5971. 4
5971. 5
5971. 6
5972. 0
pull
Entries 37
Mean −9.356
Std Dev 64.4
2
1
0
−1
−2

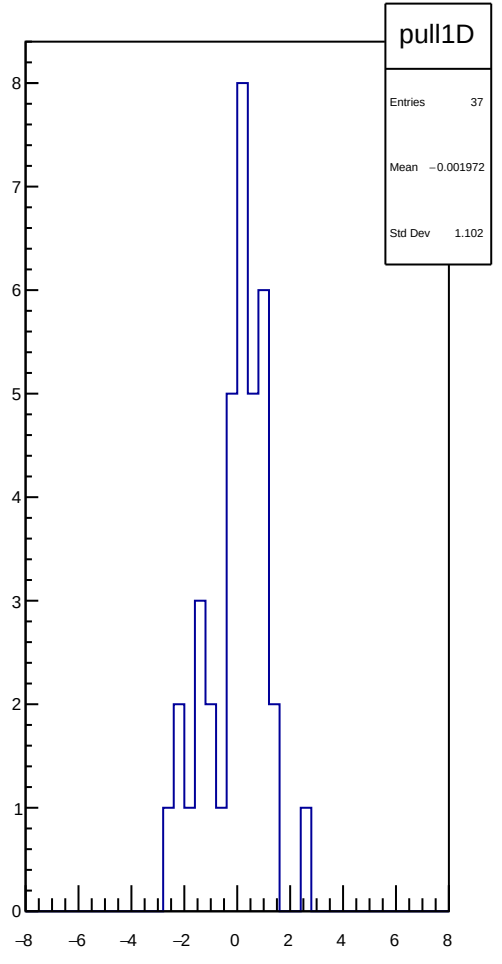
pull1D
Entries 37
Mean −0.001972
Std Dev 1.102
8
7
6
5
4
3
2
1
0
−8
−6
−4
−2
0
2
4
6
8

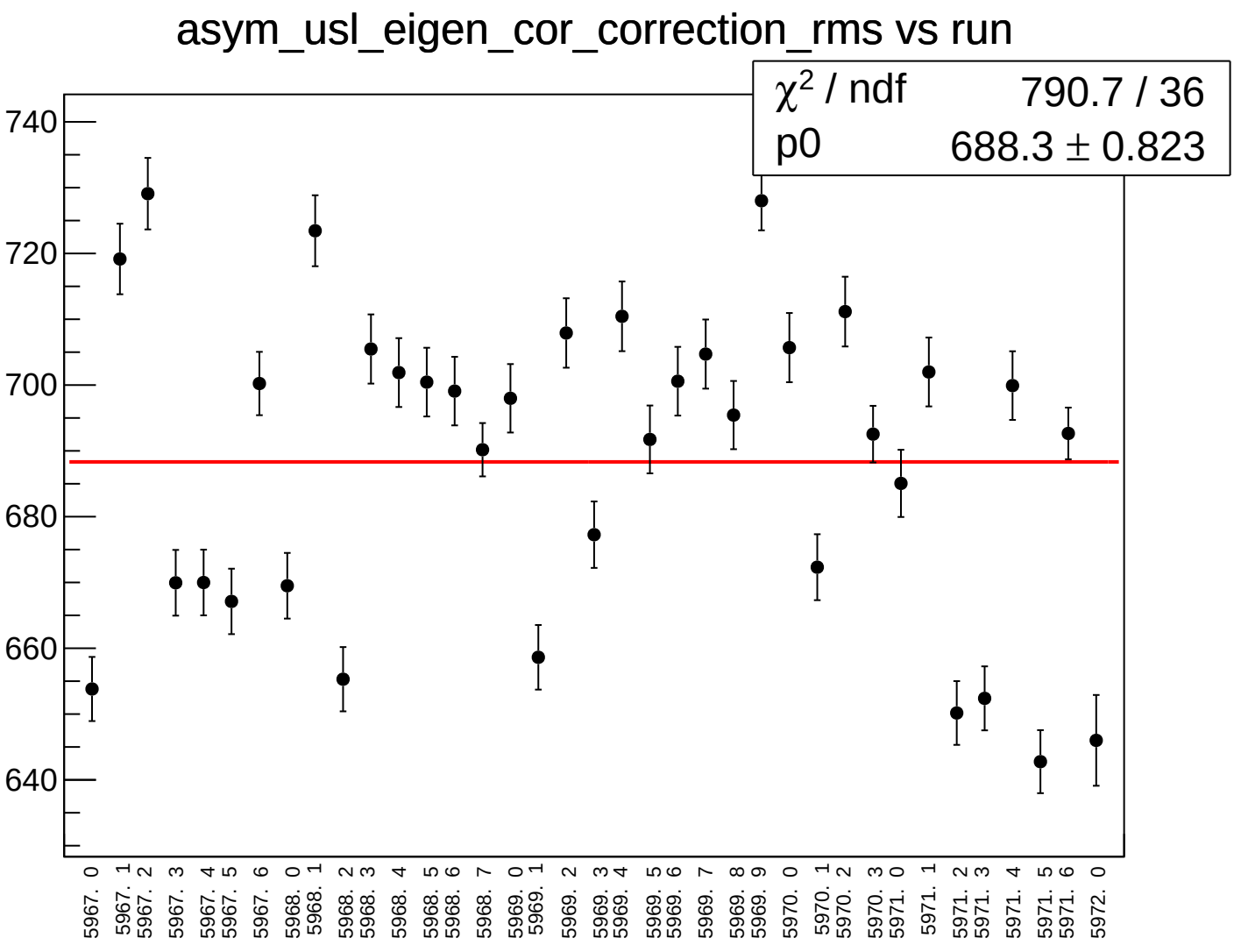
asym_usl_eigen_cor_correction_rms vs run
χ² / ndf 790.7 / 36
p0 688.3 ± 0.823
740
720
700
680
660
640
5967. 0
5967. 1
5967. 2
5967. 3
5967. 4
5967. 5
5967. 6
5968. 0
5968. 1
5968. 2
5968. 3
5968. 4
5968. 5
5968. 6
5968. 7
5969. 0
5969. 1
5969. 2
5969. 3
5969. 4
5969. 5
5969. 6
5969. 7
5969. 8
5969. 9
5970. 0
5970. 1
5970. 2
5970. 3
5971. 0
5971. 1
5971. 2
5971. 3
5971. 4
5971. 5
5971. 6
5972. 0

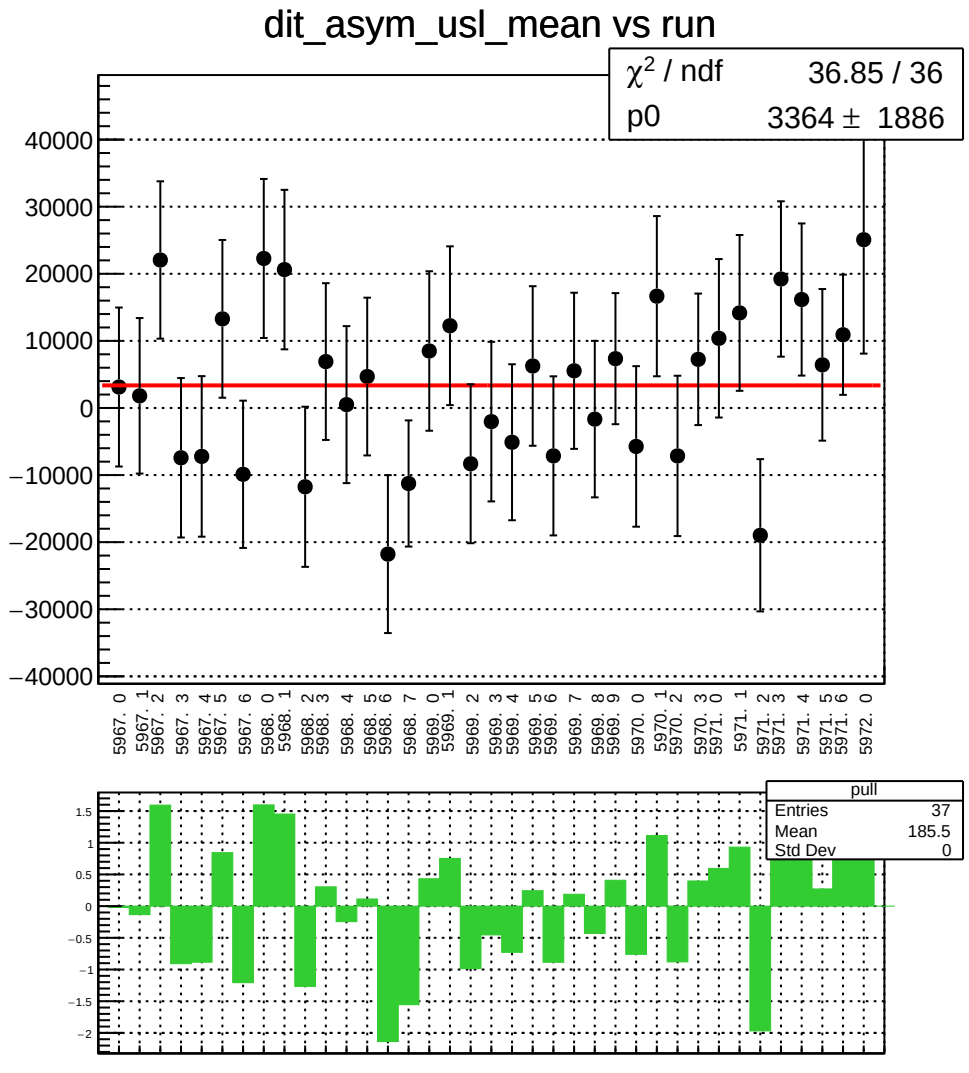
dit_asym_usl_mean vs run
χ² / ndf 36.85 / 36
p0 3364 ± 1886
pull
Entries 37
Mean 185.5
Std Dev 0

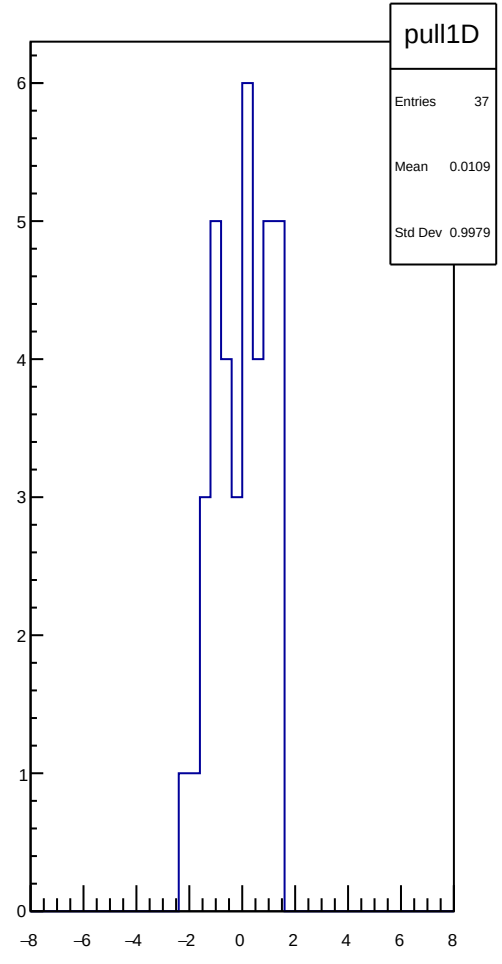
pull1D
Entries 37
Mean 0.0109
Std Dev 0.9979

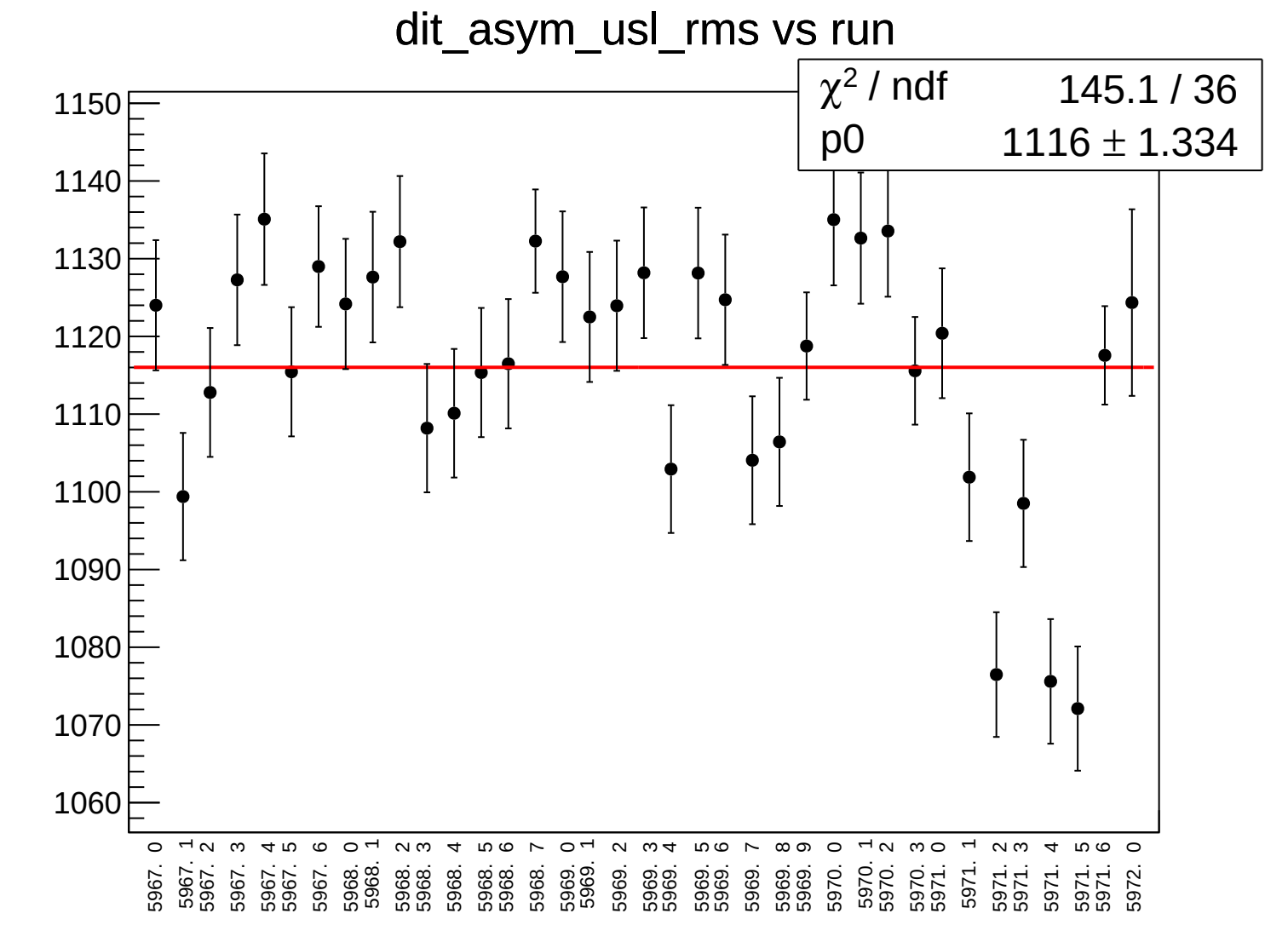
dit_asym_usl_rms vs run
χ² / ndf 145.1 / 36
p0 1116 ± 1.334
1150
1140
1130
1120
1110
1100
1090
1080
1070
1060
5967. 0
5967. 1
5967. 2
5967. 3
5967. 4
5967. 5
5967. 6
5968. 0
5968. 1
5968. 2
5968. 3
5968. 4
5968. 5
5968. 6
5968. 7
5969. 0
5969. 1
5969. 2
5969. 3
5969. 4
5969. 5
5969. 6
5969. 7
5969. 8
5969. 9
5970. 0
5970. 1
5970. 2
5970. 3
5971. 0
5971. 1
5971. 2
5971. 3
5971. 4
5971. 5
5971. 6
5972. 0

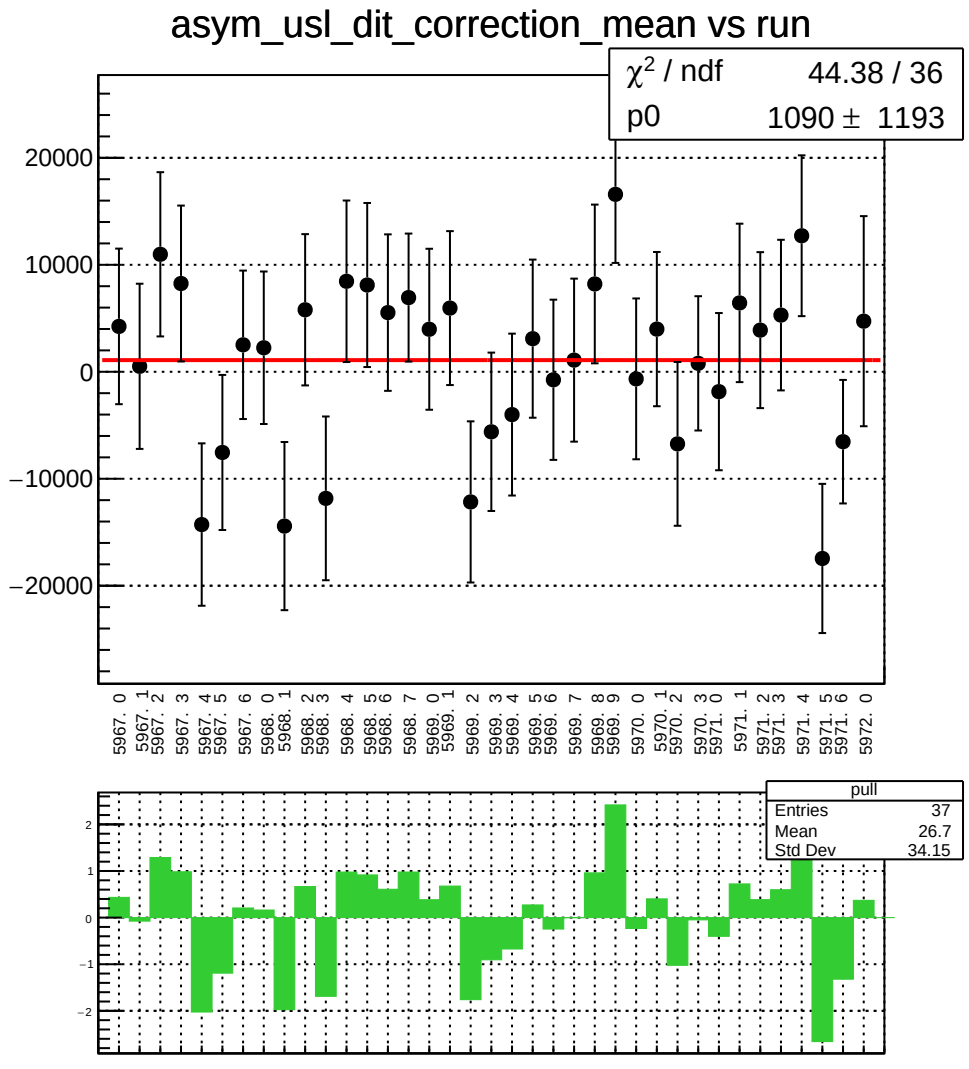
asym_usl_dit_correction_mean vs run
χ² / ndf 44.38 / 36
p0 1090 ± 1193
20000
10000
0
−10000
−20000
5967. 0
5967. 1
5967. 2
5967. 3
5967. 4
5967. 5
5967. 6
5968. 0
5968. 1
5968. 2
5968. 3
5968. 4
5968. 5
5968. 6
5968. 7
5969. 0
5969. 1
5969. 2
5969. 3
5969. 4
5969. 5
5969. 6
5969. 7
5969. 8
5969. 9
5970. 0
5970. 1
5970. 2
5970. 3
5971. 0
5971. 1
5971. 2
5971. 3
5971. 4
5971. 5
5971. 6
5972. 0
pull
Entries 37
Mean 26.7
Std Dev 34.15
2
1
0
−1
−2

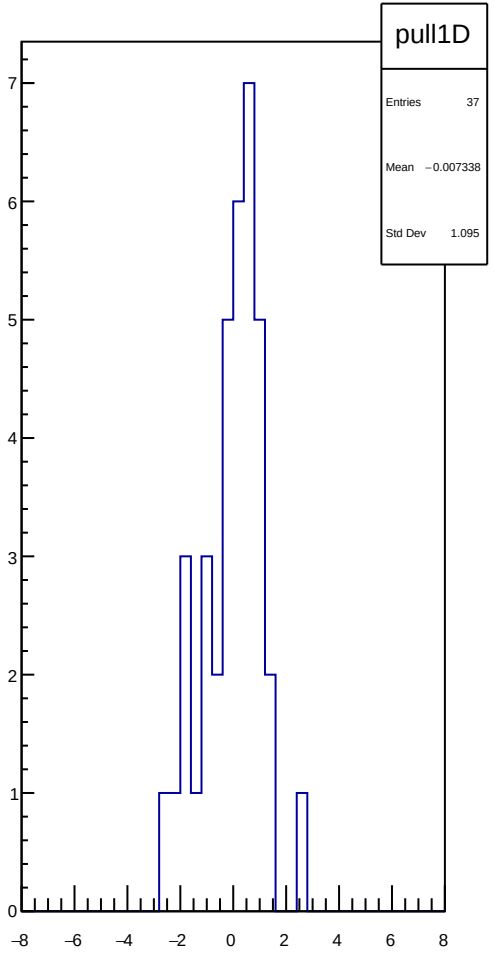
pull1D
Entries 37
Mean −0.007338
Std Dev 1.095
7
6
5
4
3
2
1
0
−8
−6
−4
−2
0
2
4
6
8

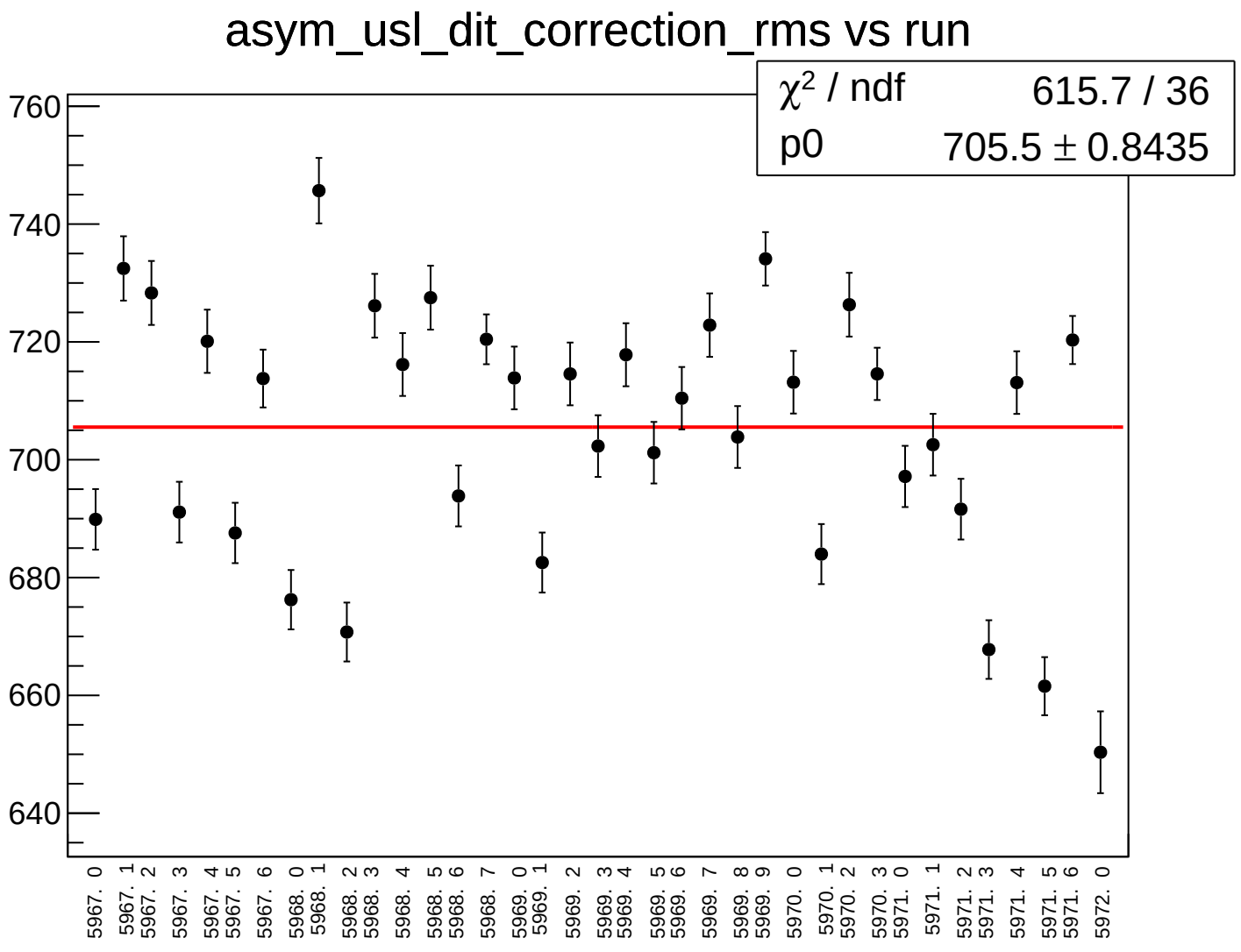
asym_usl_dit_correction_rms vs run
χ² / ndf 615.7 / 36
p0 705.5 ± 0.8435
760
740
720
700
680
660
640
5967. 0
5967. 1
5967. 2
5967. 3
5967. 4
5967. 5
5967. 6
5968. 0
5968. 1
5968. 2
5968. 3
5968. 4
5968. 5
5968. 6
5968. 7
5969. 0
5969. 1
5969. 2
5969. 3
5969. 4
5969. 5
5969. 6
5969. 7
5969. 8
5969. 9
5970. 0
5970. 1
5970. 2
5970. 3
5971. 0
5971. 1
5971. 2
5971. 3
5971. 4
5971. 5
5971. 6
5972. 0

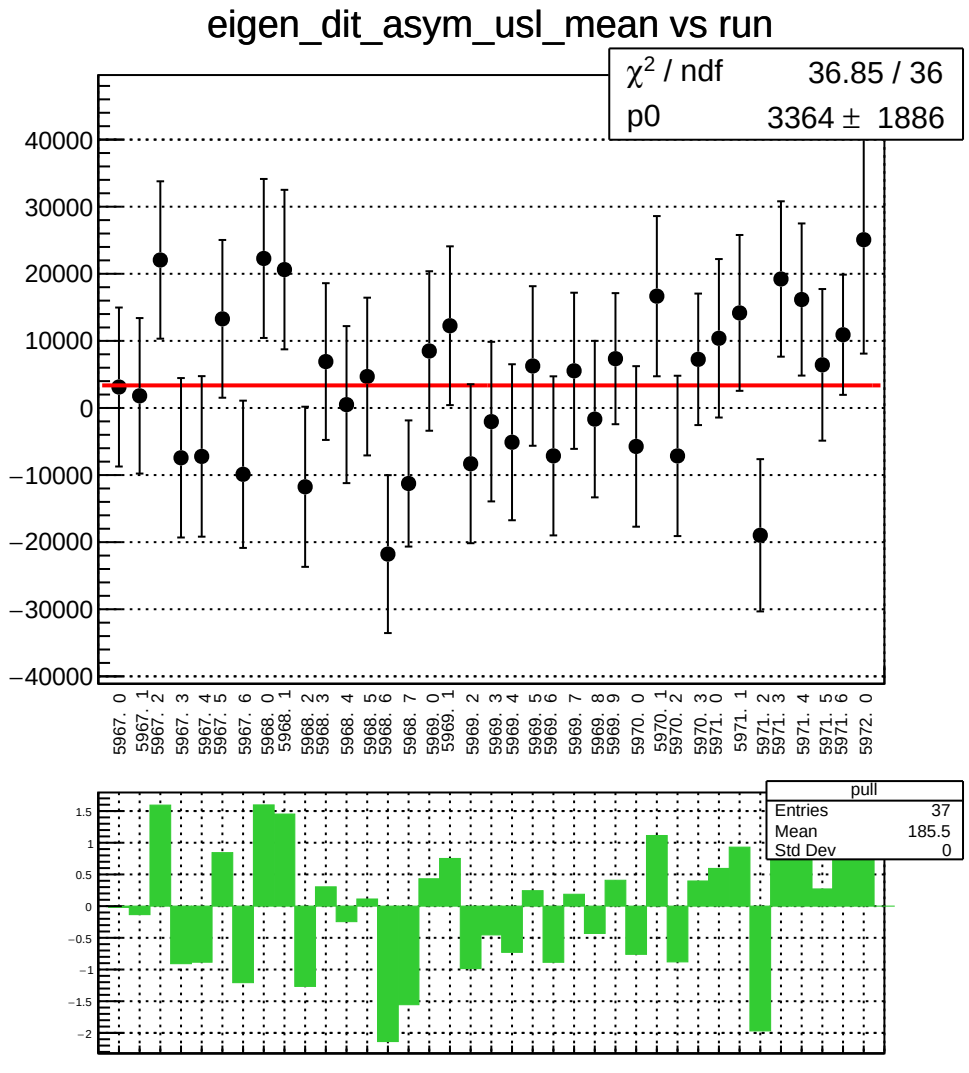
eigen_dit_asym_usl_mean vs run
χ² / ndf 36.85 / 36
p0 3364 ± 1886
pull
Entries 37
Mean 185.5
Std Dev 0
pull1D
Entries 37
Mean 0.0109
Std Dev 0.9979

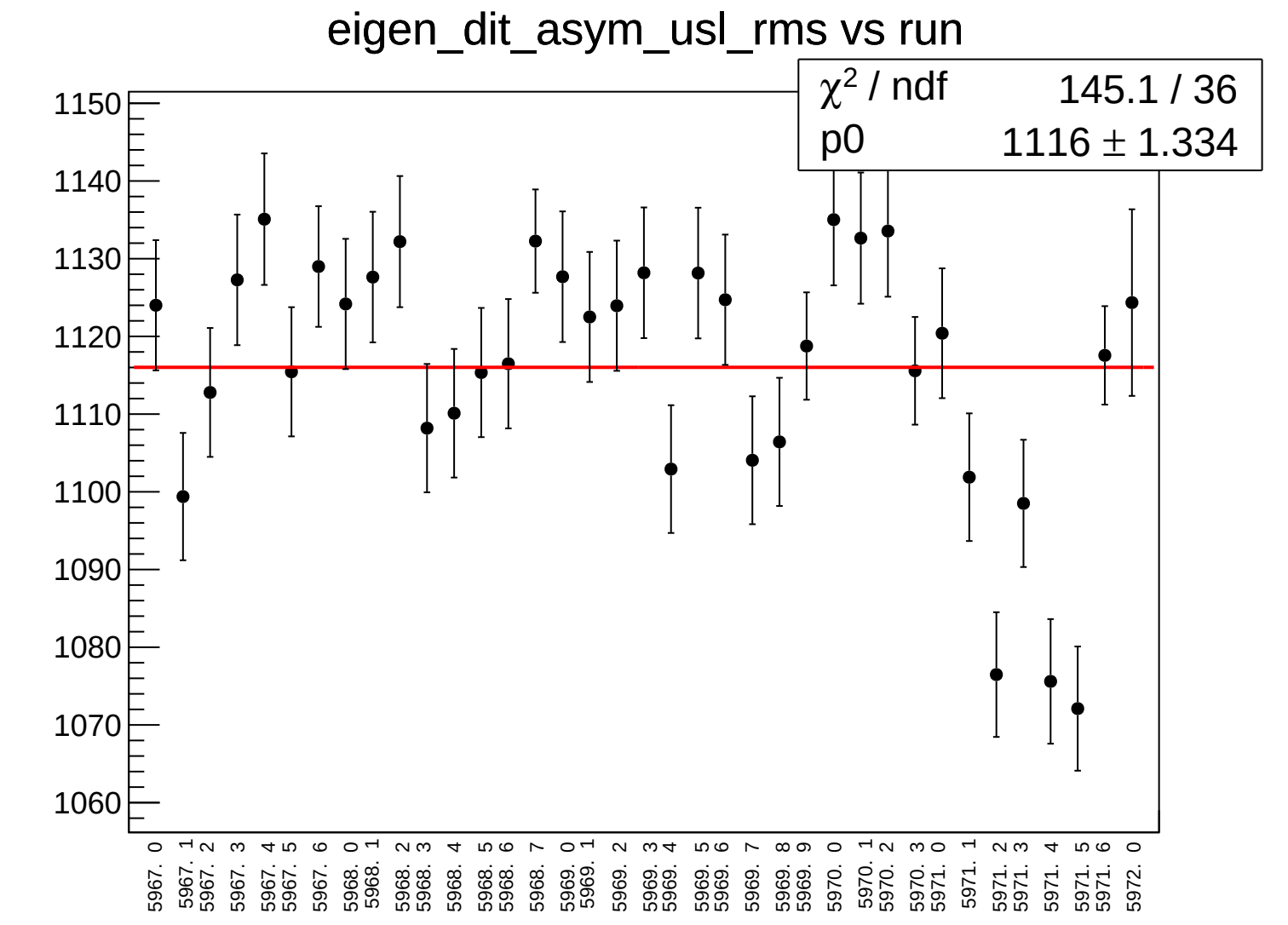
eigen_dit_asym_usl_rms vs run
χ² / ndf 145.1 / 36
p0 1116 ± 1.334
1150
1140
1130
1120
1110
1100
1090
1080
1070
1060
5967. 0
5967. 1
5967. 2
5967. 3
5967. 4
5967. 5
5967. 6
5968. 0
5968. 1
5968. 2
5968. 3
5968. 4
5968. 5
5968. 6
5968. 7
5969. 0
5969. 1
5969. 2
5969. 3
5969. 4
5969. 5
5969. 6
5969. 7
5969. 8
5969. 9
5970. 0
5970. 1
5970. 2
5970. 3
5971. 0
5971. 1
5971. 2
5971. 3
5971. 4
5971. 5
5971. 6
5972. 0

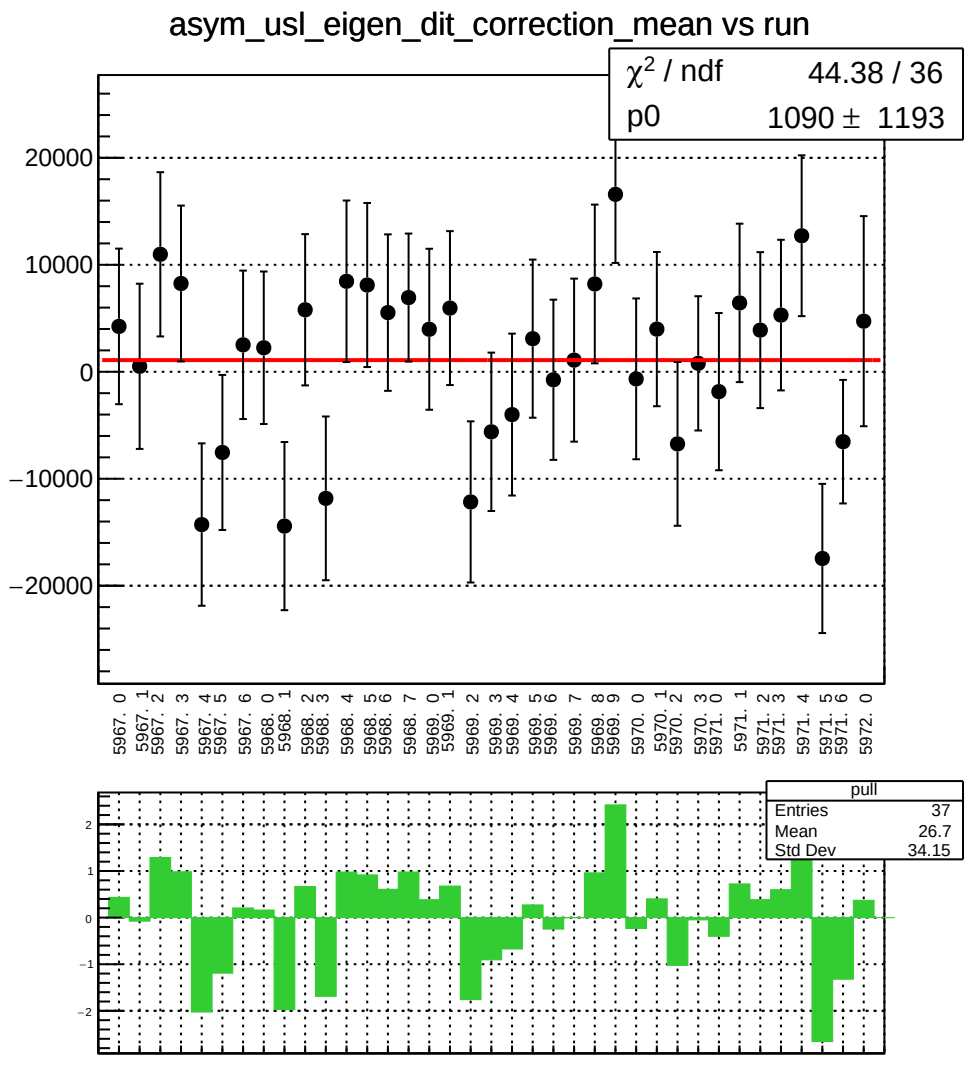
asym_usl_eigen_dit_correction_mean vs run
χ² / ndf 44.38 / 36
p0 1090 ± 1193
20000
10000
0
−10000
−20000
5967. 0
5967. 1
5967. 2
5967. 3
5967. 4
5967. 5
5967. 6
5968. 0
5968. 1
5968. 2
5968. 3
5968. 4
5968. 5
5968. 6
5968. 7
5969. 0
5969. 1
5969. 2
5969. 3
5969. 4
5969. 5
5969. 6
5969. 7
5969. 8
5969. 9
5970. 0
5970. 1
5970. 2
5970. 3
5971. 0
5971. 1
5971. 2
5971. 3
5971. 4
5971. 5
5971. 6
5972. 0
pull
Entries 37
Mean 26.7
Std Dev 34.15
2
1
0
−1
−2
pull1D
Entries 37
Mean −0.007338
Std Dev 1.095
7
6
5
4
3
2
1
0
−8
−6
−4
−2
0
2
4
6
8

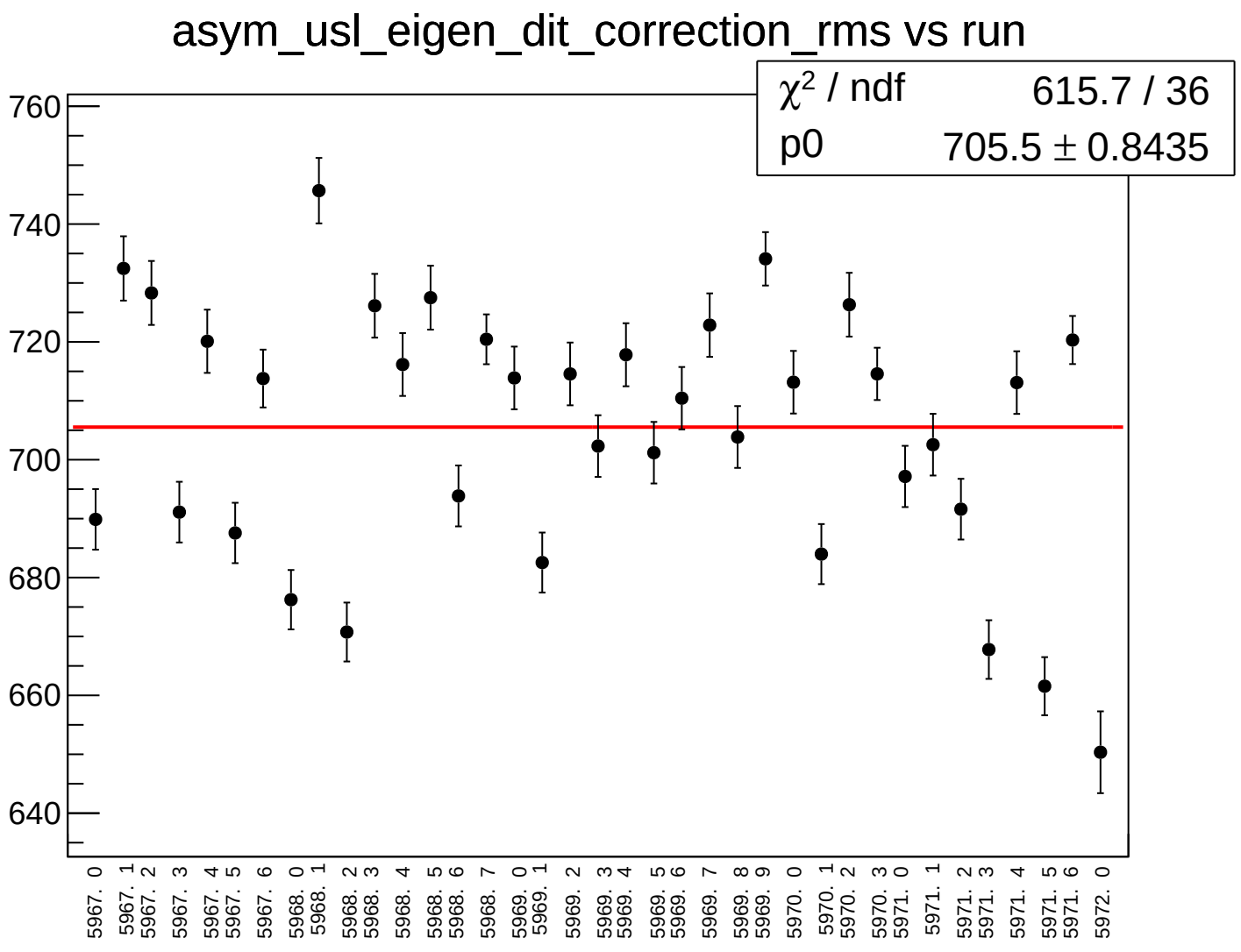
asym_usl_eigen_dit_correction_rms vs run
χ² / ndf 615.7 / 36
p0 705.5 ± 0.8435
760
740
720
700
680
660
640
5967. 0
5967. 1
5967. 2
5967. 3
5967. 4
5967. 5
5967. 6
5968. 0
5968. 1
5968. 2
5968. 3
5968. 4
5968. 5
5968. 6
5968. 7
5969. 0
5969. 1
5969. 2
5969. 3
5969. 4
5969. 5
5969. 6
5969. 7
5969. 8
5969. 9
5970. 0
5970. 1
5970. 2
5970. 3
5971. 0
5971. 1
5971. 2
5971. 3
5971. 4
5971. 5
5971. 6
5972. 0

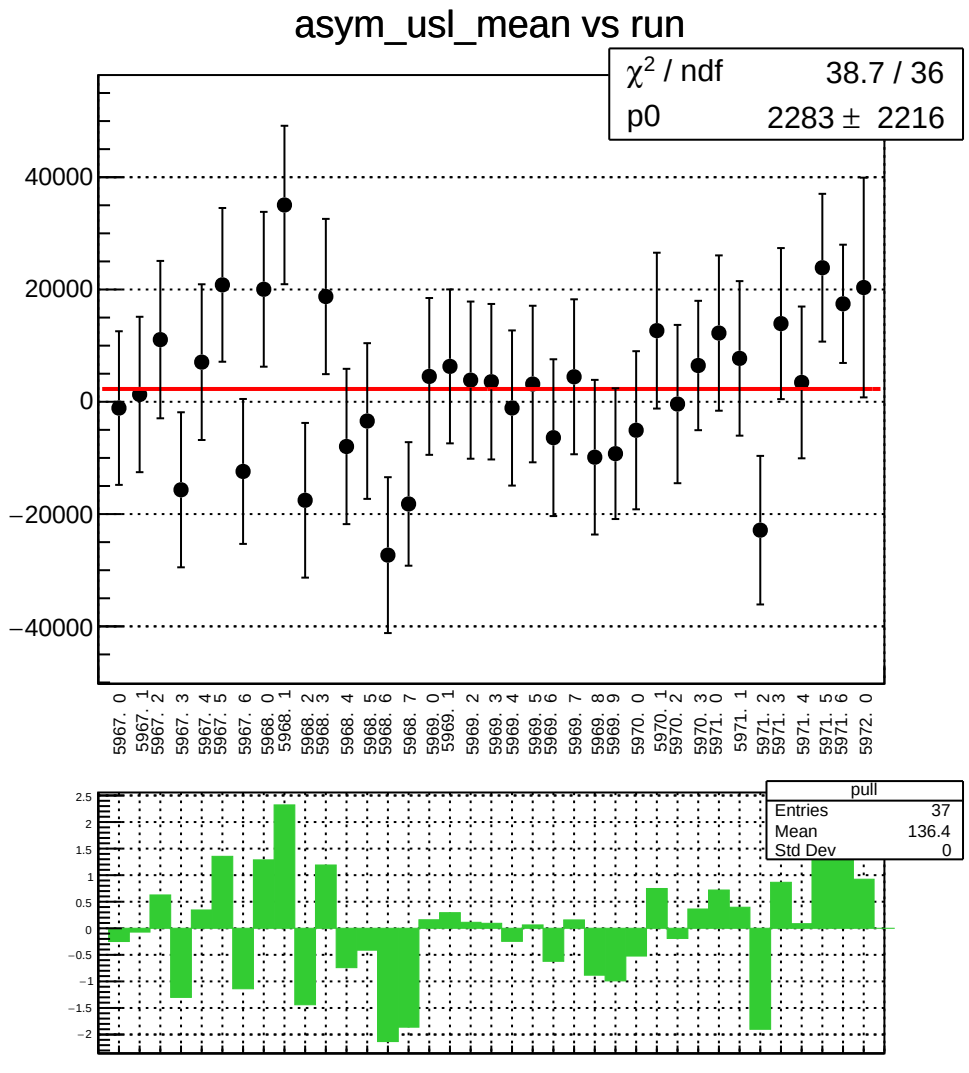
asym_usl_mean vs run
χ² / ndf 38.7 / 36
p0 2283 ± 2216
40000
20000
0
−20000
−40000
5967. 0
5967. 1
5967. 2
5967. 3
5967. 4
5967. 5
5967. 6
5968. 0
5968. 1
5968. 2
5968. 3
5968. 4
5968. 5
5968. 6
5968. 7
5969. 0
5969. 1
5969. 2
5969. 3
5969. 4
5969. 5
5969. 6
5969. 7
5969. 8
5969. 9
5970. 0
5970. 1
5970. 2
5970. 3
5971. 0
5971. 1
5971. 2
5971. 3
5971. 4
5971. 5
5971. 6
5972. 0
pull
Entries 37
Mean 136.4
Std Dev 0
2.5
2
1.5
1
0.5
0
−0.5
−1
−1.5
−2

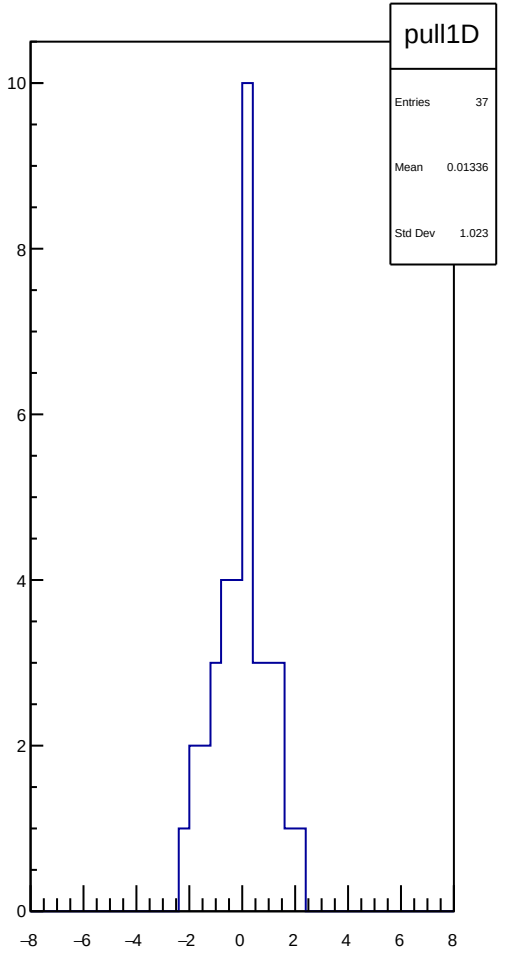
pull1D
Entries 37
Mean 0.01336
Std Dev 1.023
10
8
6
4
2
0
−8
−6
−4
−2
0
2
4
6
8

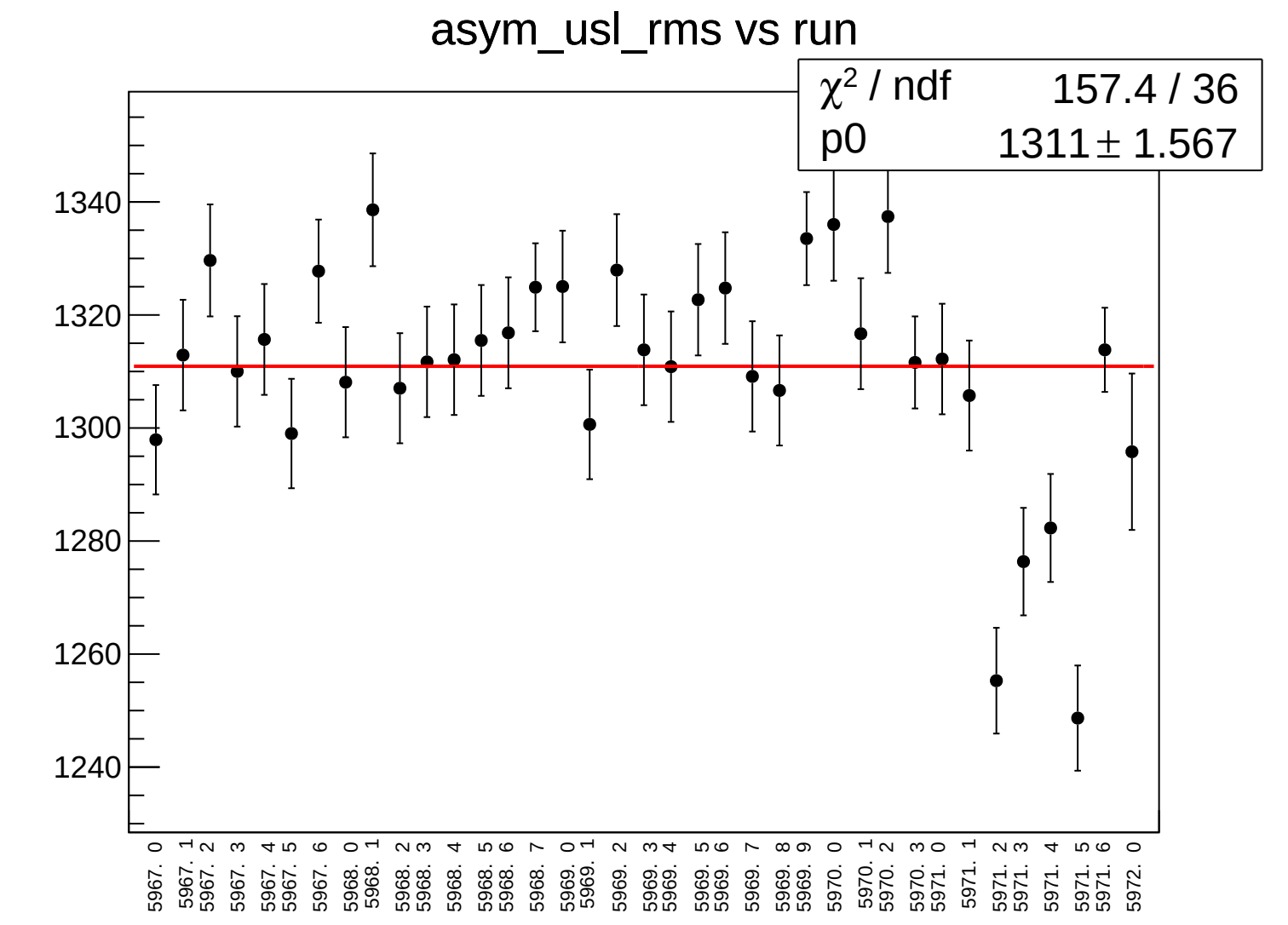
asym_usl_rms vs run
χ² / ndf 157.4 / 36
p0 1311 ± 1.567
1340
1320
1300
1280
1260
1240
5967. 0
5967. 1
5967. 2
5967. 3
5967. 4
5967. 5
5967. 6
5968. 0
5968. 1
5968. 2
5968. 3
5968. 4
5968. 5
5968. 6
5968. 7
5969. 0
5969. 1
5969. 2
5969. 3
5969. 4
5969. 5
5969. 6
5969. 7
5969. 8
5969. 9
5970. 0
5970. 1
5970. 2
5970. 3
5971. 0
5971. 1
5971. 2
5971. 3
5971. 4
5971. 5
5971. 6
5972. 0

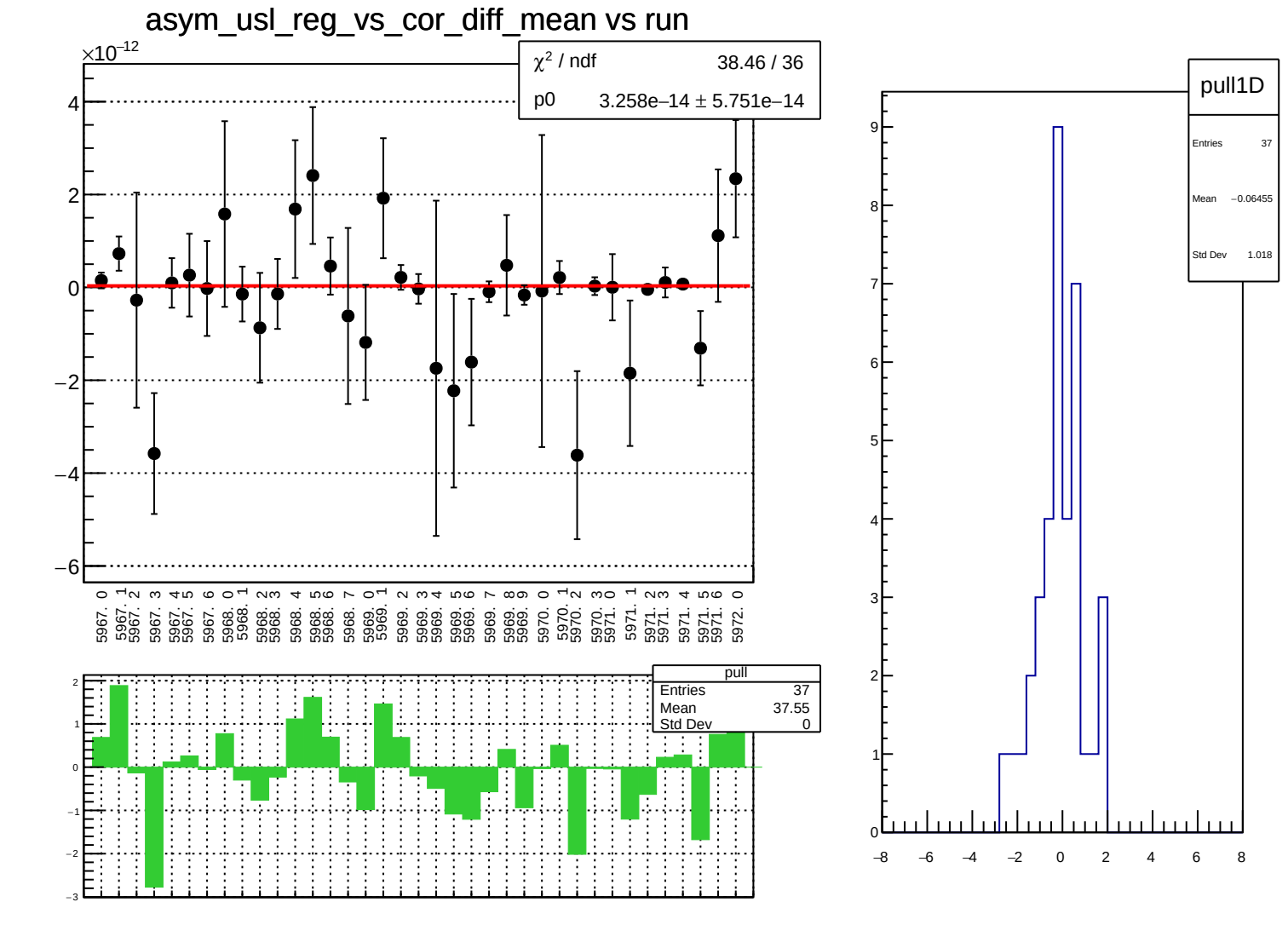
asym_usl_reg_vs_cor_diff_mean vs run
×10⁻¹²
χ² / ndf 38.46 / 36
p0 3.258e−14 ± 5.751e−14
pull
Entries 37
Mean 37.55
Std Dev 0
pull1D
Entries 37
Mean −0.06455
Std Dev 1.018

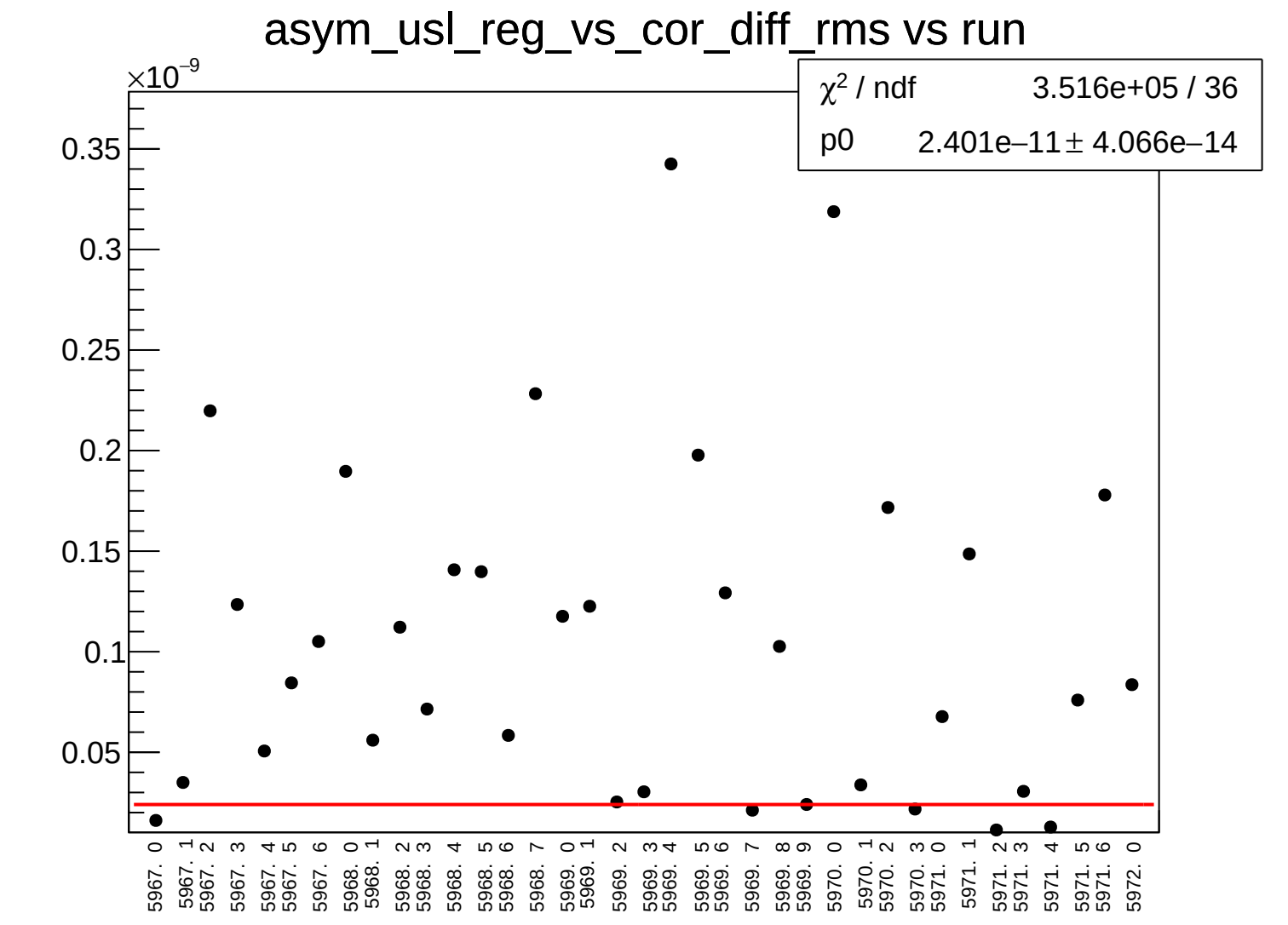
asym_usl_reg_vs_cor_diff_rms vs run
×10⁻⁹
χ² / ndf 3.516e+05 / 36
p0 2.401e−11 ± 4.066e−14
0.35
0.3
0.25
0.2
0.15
0.1
0.05
5967. 0
5967. 1
5967. 2
5967. 3
5967. 4
5967. 5
5967. 6
5968. 0
5968. 1
5968. 2
5968. 3
5968. 4
5968. 5
5968. 6
5968. 7
5969. 0
5969. 1
5969. 2
5969. 3
5969. 4
5969. 5
5969. 6
5969. 7
5969. 8
5969. 9
5970. 0
5970. 1
5970. 2
5970. 3
5971. 0
5971. 1
5971. 2
5971. 3
5971. 4
5971. 5
5971. 6
5972. 0

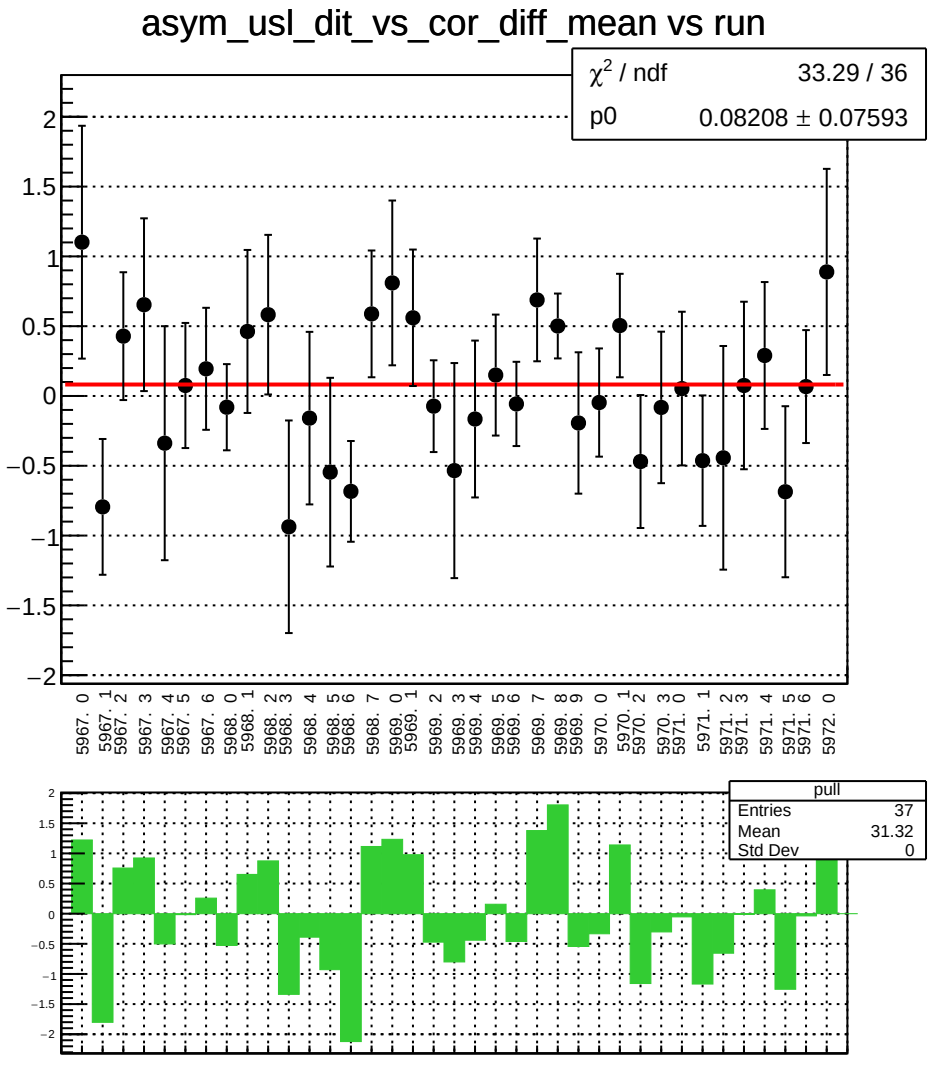
asym_usl_dit_vs_cor_diff_mean vs run
χ² / ndf 33.29 / 36
p0 0.08208 ± 0.07593
pull
Entries 37
Mean 31.32
Std Dev 0

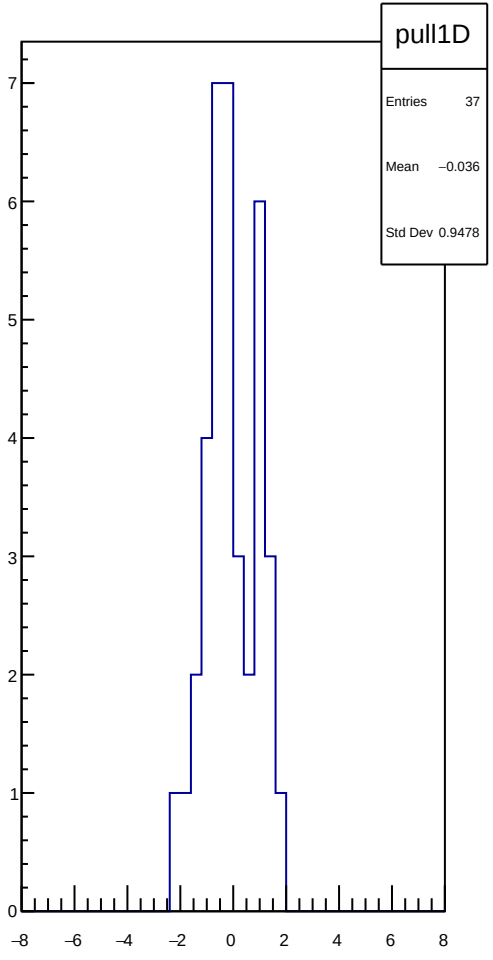
pull1D
Entries 37
Mean −0.036
Std Dev 0.9478

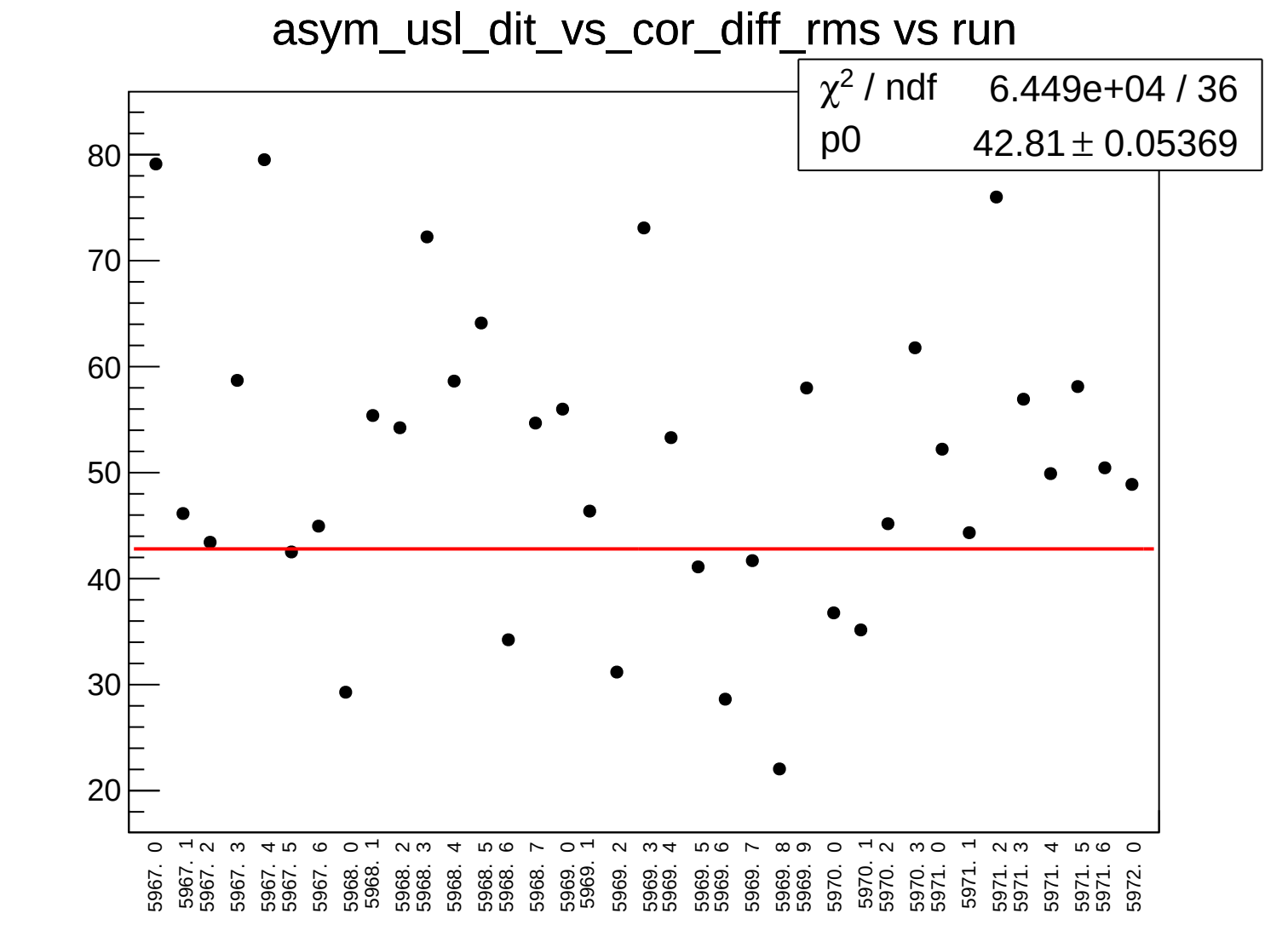
asym_usl_dit_vs_cor_diff_rms vs run
χ^2 / ndf 6.449e+04 / 36
p0 42.81 ± 0.05369
80
70
60
50
40
30
20
5967. 0
5967. 1
5967. 2
5967. 3
5967. 4
5967. 5
5967. 6
5968. 0
5968. 1
5968. 2
5968. 3
5968. 4
5968. 5
5968. 6
5968. 7
5969. 0
5969. 1
5969. 2
5969. 3
5969. 4
5969. 5
5969. 6
5969. 7
5969. 8
5969. 9
5970. 0
5970. 1
5970. 2
5970. 3
5971. 0
5971. 1
5971. 2
5971. 3
5971. 4
5971. 5
5971. 6
5972. 0

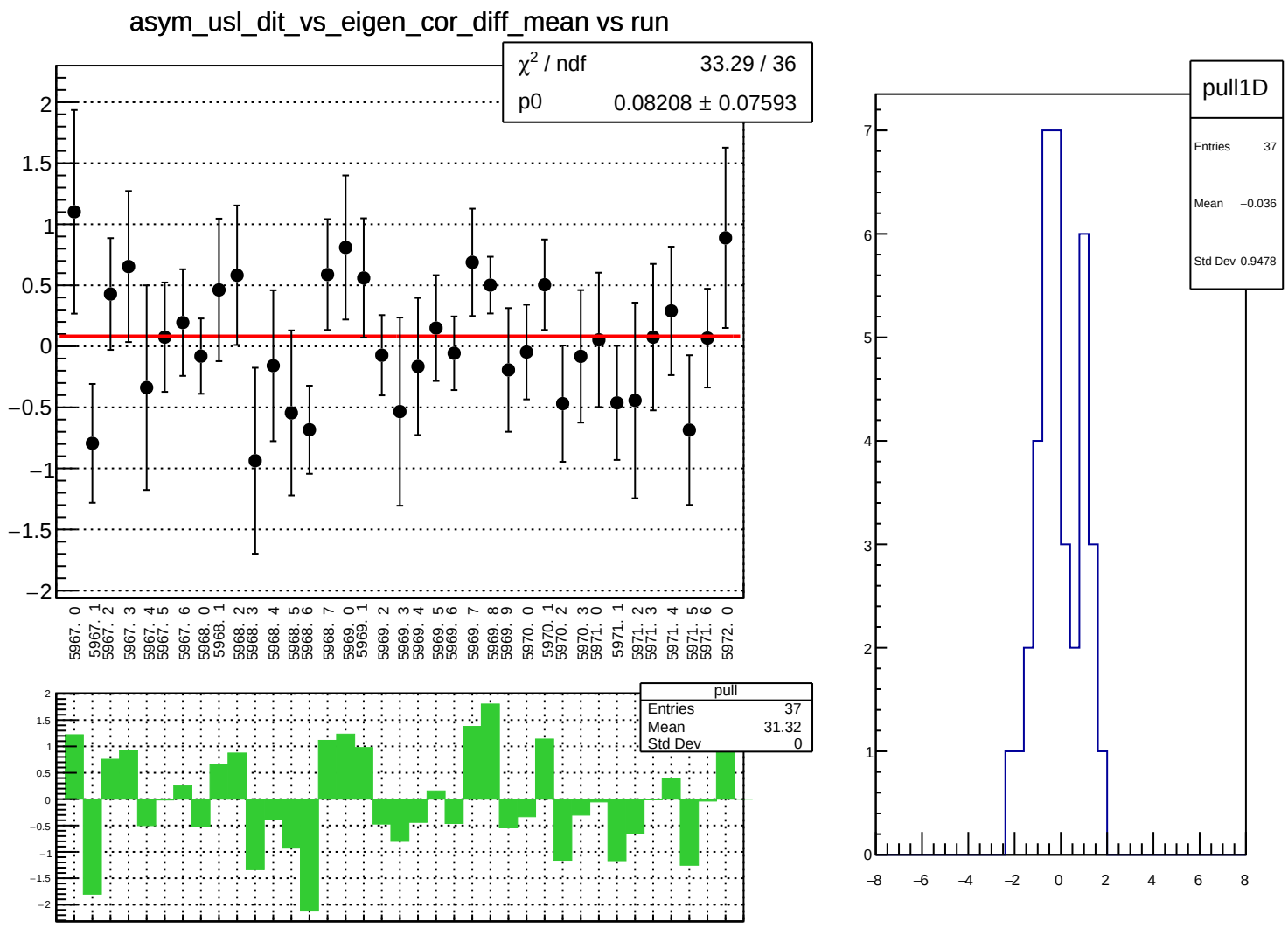
asym_usl_dit_vs_eigen_cor_diff_mean vs run
χ² / ndf 33.29 / 36
p0 0.08208 ± 0.07593
pull
Entries 37
Mean 31.32
Std Dev 0
pull1D
Entries 37
Mean −0.036
Std Dev 0.9478

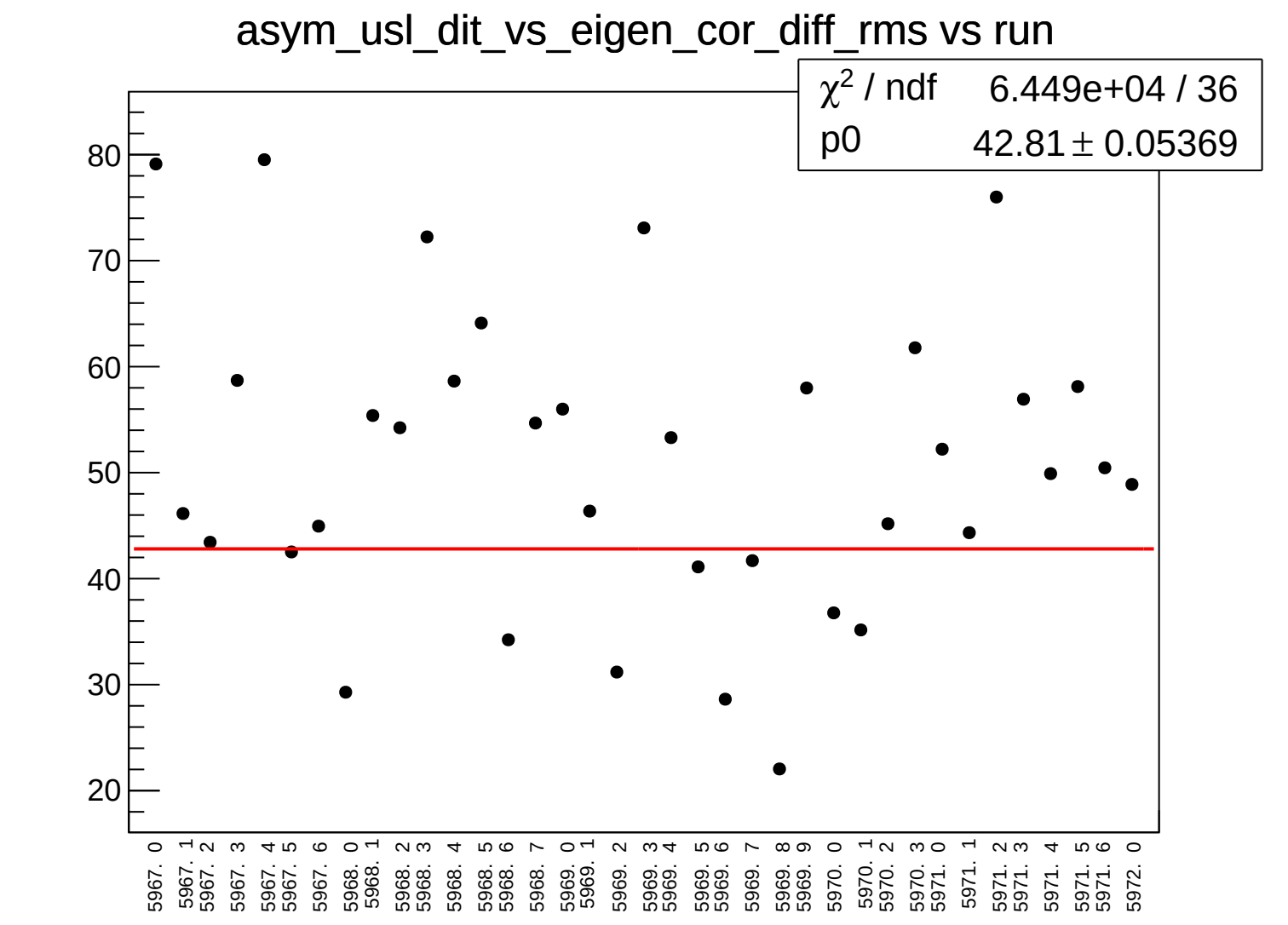
asym_usl_dit_vs_eigen_cor_diff_rms vs run
χ² / ndf 6.449e+04 / 36
p0 42.81 ± 0.05369
80
70
60
50
40
30
20
5967. 0
5967. 1
5967. 2
5967. 3
5967. 4
5967. 5
5967. 6
5968. 0
5968. 1
5968. 2
5968. 3
5968. 4
5968. 5
5968. 6
5968. 7
5969. 0
5969. 1
5969. 2
5969. 3
5969. 4
5969. 5
5969. 6
5969. 7
5969. 8
5969. 9
5970. 0
5970. 1
5970. 2
5970. 3
5971. 0
5971. 1
5971. 2
5971. 3
5971. 4
5971. 5
5971. 6
5972. 0

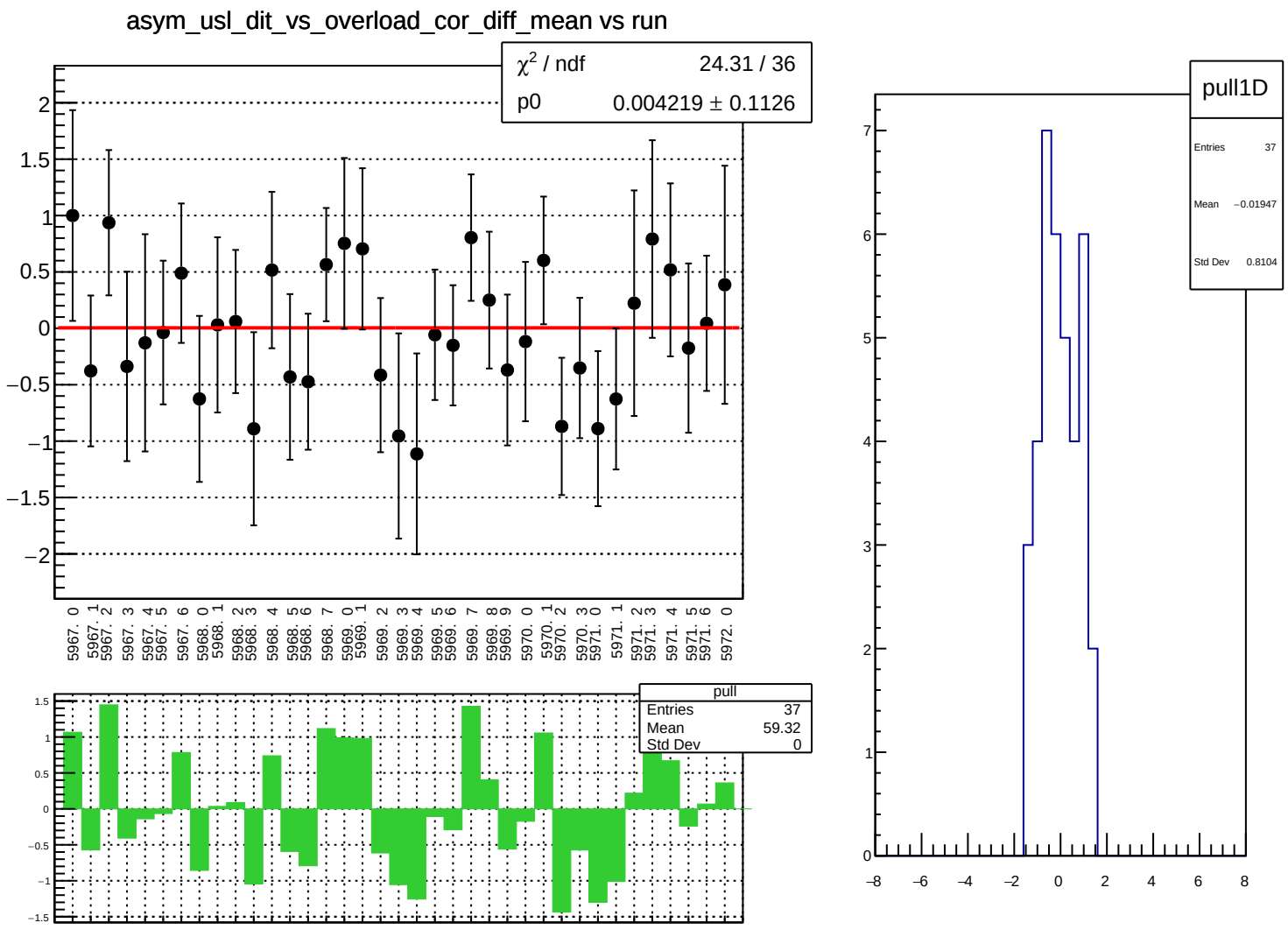
asym_usl_dit_vs_overload_cor_diff_mean vs run
χ² / ndf 24.31 / 36
p0 0.004219 ± 0.1126
pull
Entries 37
Mean 59.32
Std Dev 0
pull1D
Entries 37
Mean −0.01947
Std Dev 0.8104

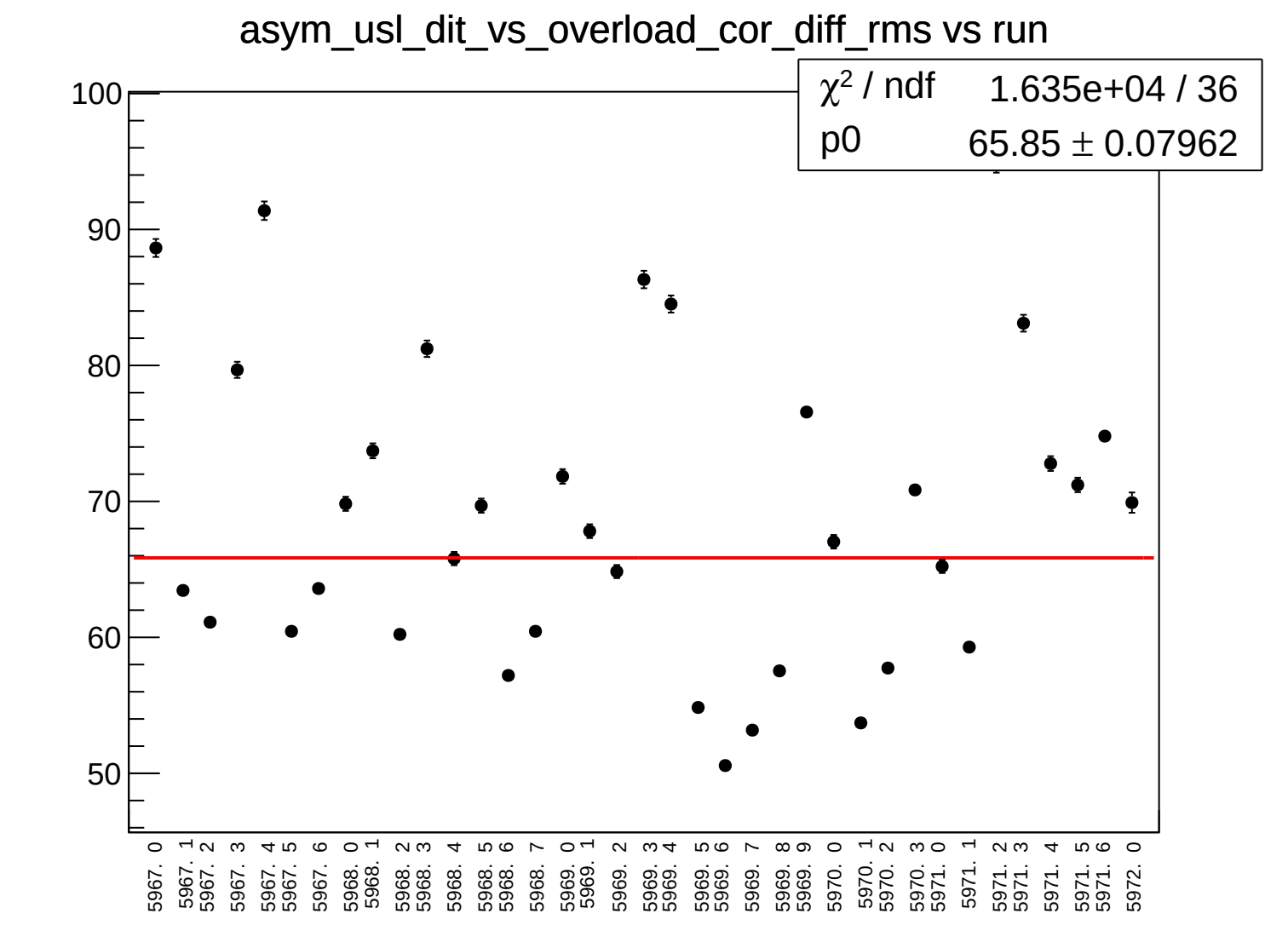
asym_usl_dit_vs_overload_cor_diff_rms vs run
χ² / ndf 1.635e+04 / 36
p0 65.85 ± 0.07962
100
90
80
70
60
50
5967. 0
5967. 1
5967. 2
5967. 3
5967. 4
5967. 5
5967. 6
5968. 0
5968. 1
5968. 2
5968. 3
5968. 4
5968. 5
5968. 6
5968. 7
5969. 0
5969. 1
5969. 2
5969. 3
5969. 4
5969. 5
5969. 6
5969. 7
5969. 8
5969. 9
5970. 0
5970. 1
5970. 2
5970. 3
5971. 0
5971. 1
5971. 2
5971. 3
5971. 4
5971. 5
5971. 6
5972. 0

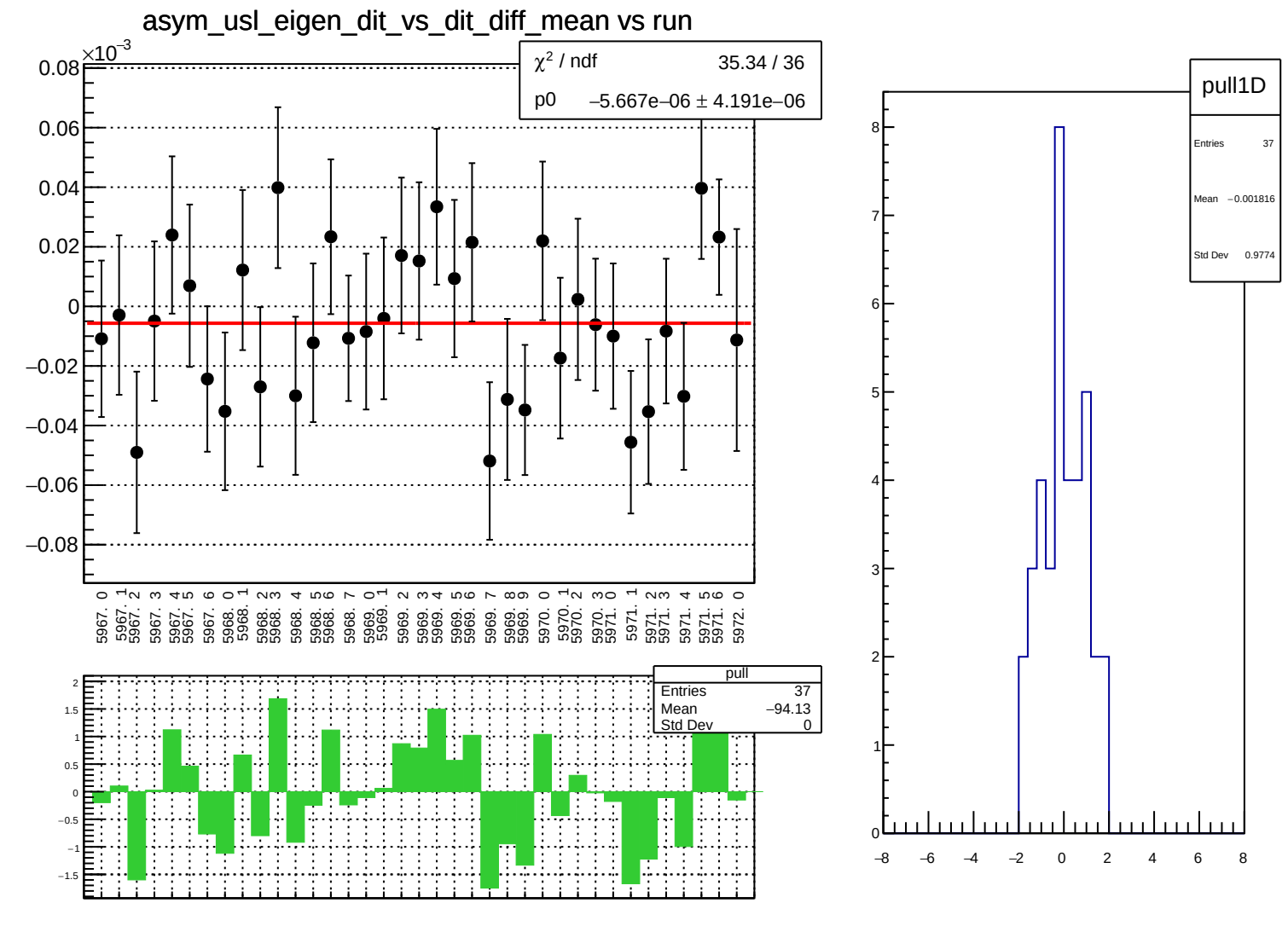
asym_usl_eigen_dit_vs_dit_diff_mean vs run
×10⁻³
χ² / ndf 35.34 / 36
p0 −5.667e−06 ± 4.191e−06
0.08
0.06
0.04
0.02
0
−0.02
−0.04
−0.06
−0.08
5967. 0
5967. 1
5967. 2
5967. 3
5967. 4
5967. 5
5967. 6
5968. 0
5968. 1
5968. 2
5968. 3
5968. 4
5968. 5
5968. 6
5968. 7
5969. 0
5969. 1
5969. 2
5969. 3
5969. 4
5969. 5
5969. 6
5969. 7
5969. 8
5969. 9
5970. 0
5970. 1
5970. 2
5970. 3
5971. 0
5971. 1
5971. 2
5971. 3
5971. 4
5971. 5
5971. 6
5972. 0
pull
Entries 37
Mean −94.13
Std Dev 0
2
1.5
1
0.5
0
−0.5
−1
−1.5
pull1D
Entries 37
Mean −0.001816
Std Dev 0.9774
8
7
6
5
4
3
2
1
0
−8
−6
−4
−2
0
2
4
6
8

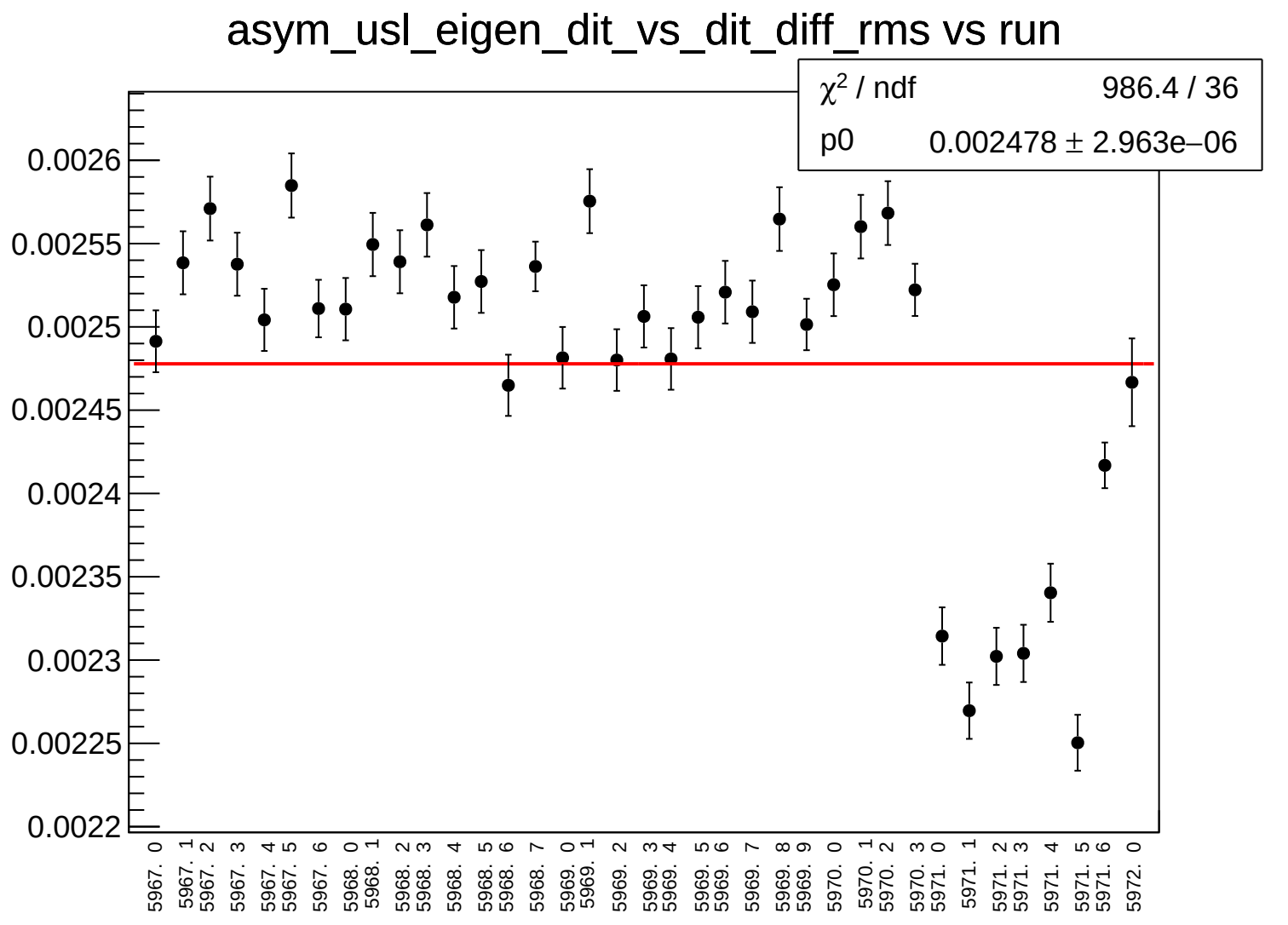
asym_usl_eigen_dit_vs_dit_diff_rms vs run
χ² / ndf 986.4 / 36
p0 0.002478 ± 2.963e−06
0.0026
0.00255
0.0025
0.00245
0.0024
0.00235
0.0023
0.00225
0.0022
5967. 0
5967. 1
5967. 2
5967. 3
5967. 4
5967. 5
5967. 6
5968. 0
5968. 1
5968. 2
5968. 3
5968. 4
5968. 5
5968. 6
5968. 7
5969. 0
5969. 1
5969. 2
5969. 3
5969. 4
5969. 5
5969. 6
5969. 7
5969. 8
5969. 9
5970. 0
5970. 1
5970. 2
5970. 3
5971. 0
5971. 1
5971. 2
5971. 3
5971. 4
5971. 5
5971. 6
5972. 0

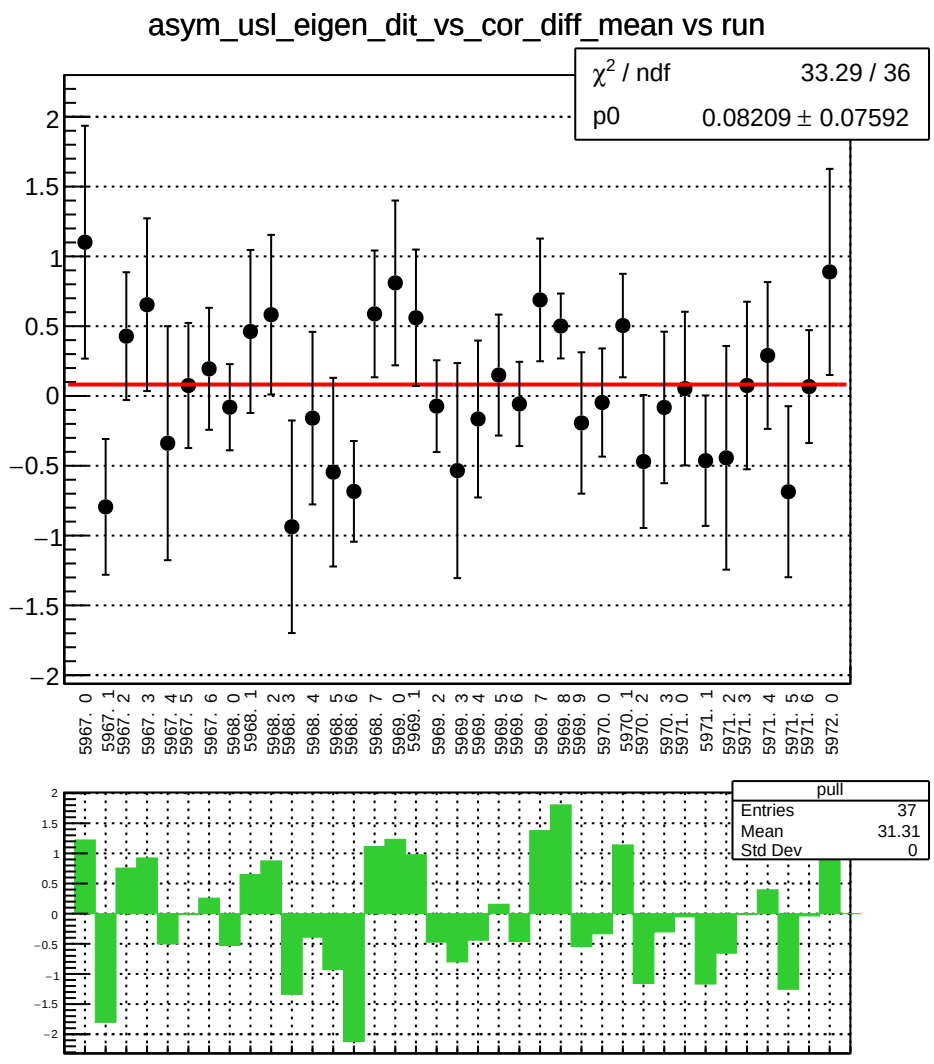
asym_usl_eigen_dit_vs_cor_diff_mean vs run
χ² / ndf 33.29 / 36
p0 0.08209 ± 0.07592
pull
Entries 37
Mean 31.31
Std Dev 0

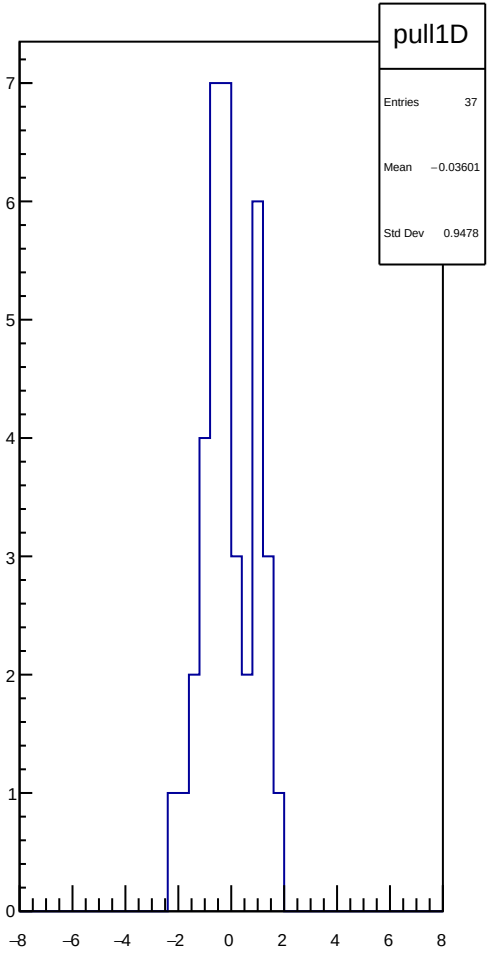
pull1D
Entries 37
Mean −0.03601
Std Dev 0.9478

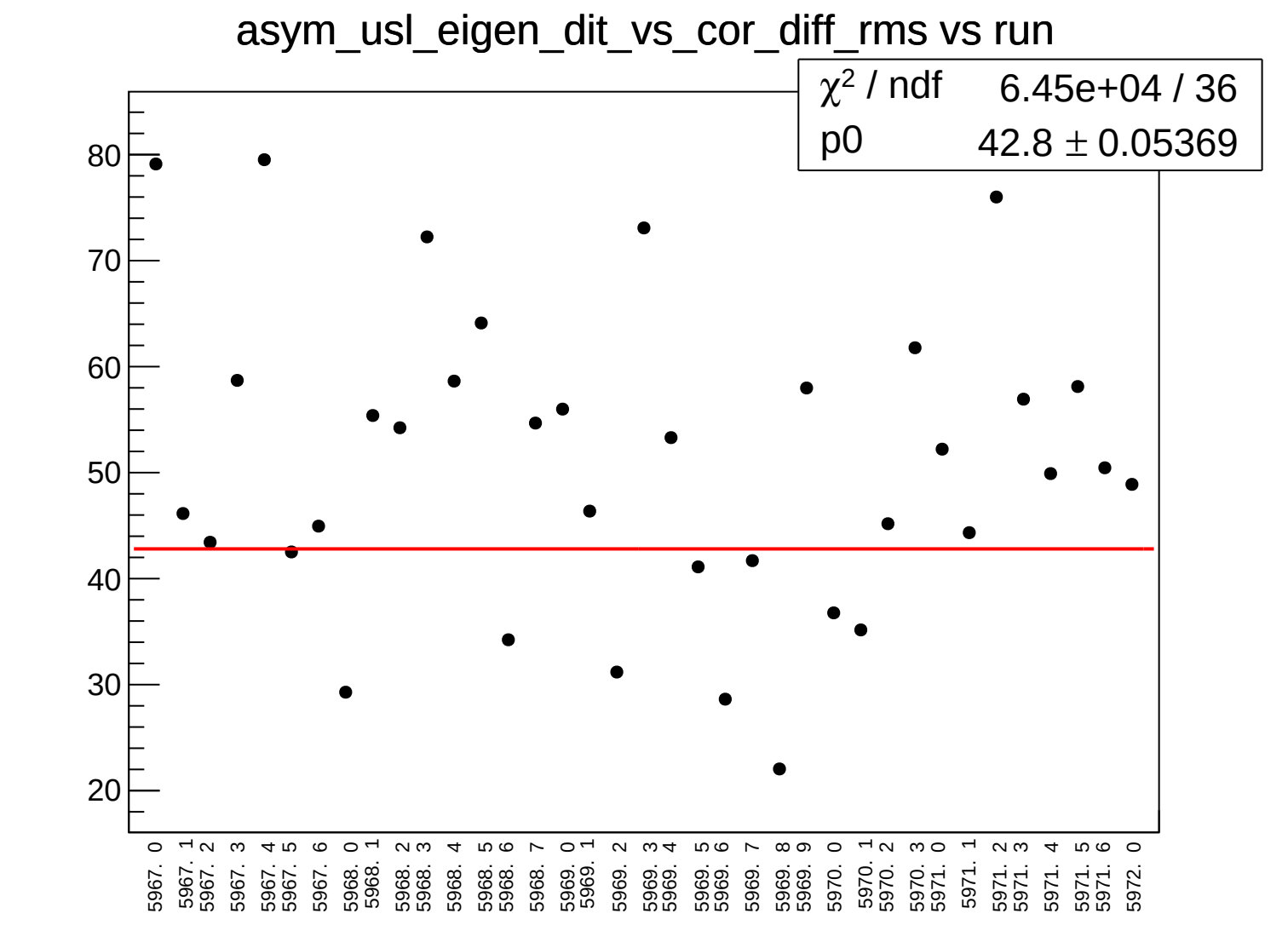
asym_usl_eigen_dit_vs_cor_diff_rms vs run
χ² / ndf 6.45e+04 / 36
p0 42.8 ± 0.05369
80
70
60
50
40
30
20
5967. 0
5967. 1
5967. 2
5967. 3
5967. 4
5967. 5
5967. 6
5968. 0
5968. 1
5968. 2
5968. 3
5968. 4
5968. 5
5968. 6
5968. 7
5969. 0
5969. 1
5969. 2
5969. 3
5969. 4
5969. 5
5969. 6
5969. 7
5969. 8
5969. 9
5970. 0
5970. 1
5970. 2
5970. 3
5971. 0
5971. 1
5971. 2
5971. 3
5971. 4
5971. 5
5971. 6
5972. 0

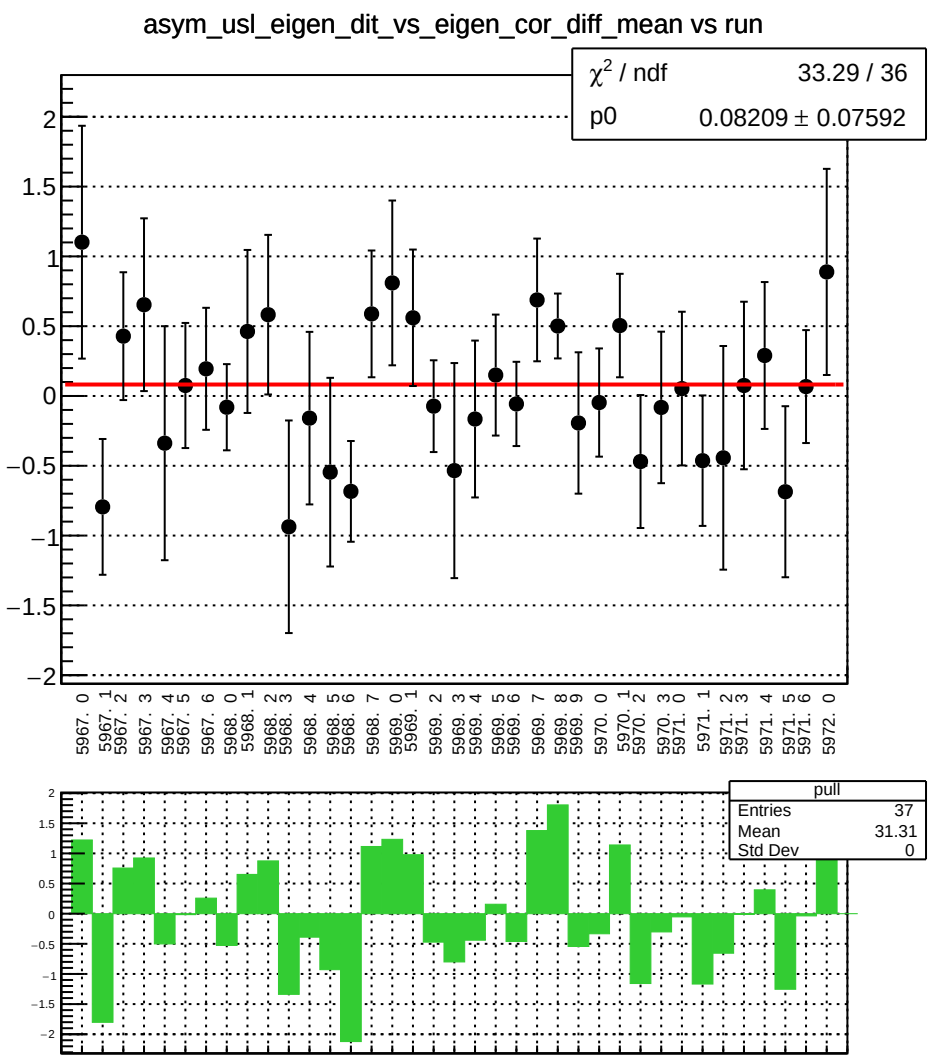
asym_usl_eigen_dit_vs_eigen_cor_diff_mean vs run
χ² / ndf 33.29 / 36
p0 0.08209 ± 0.07592
pull
Entries 37
Mean 31.31
Std Dev 0

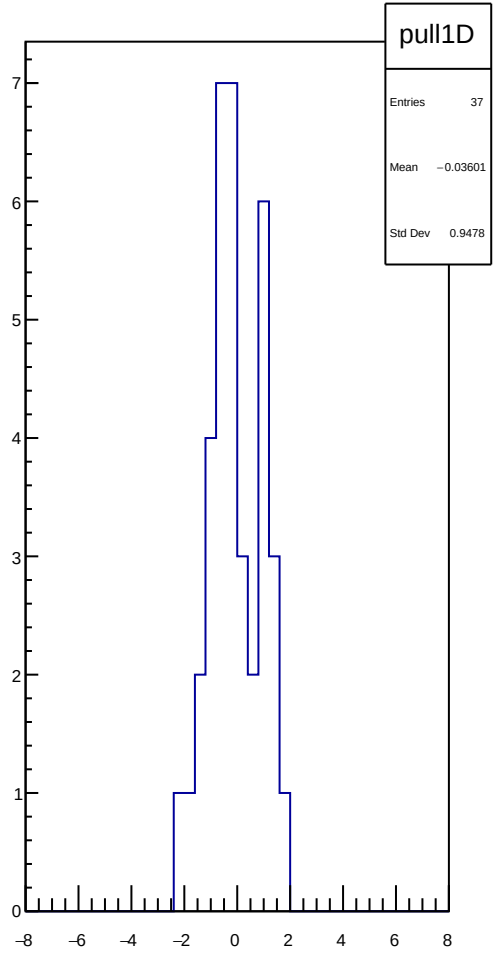
pull1D
Entries 37
Mean −0.03601
Std Dev 0.9478

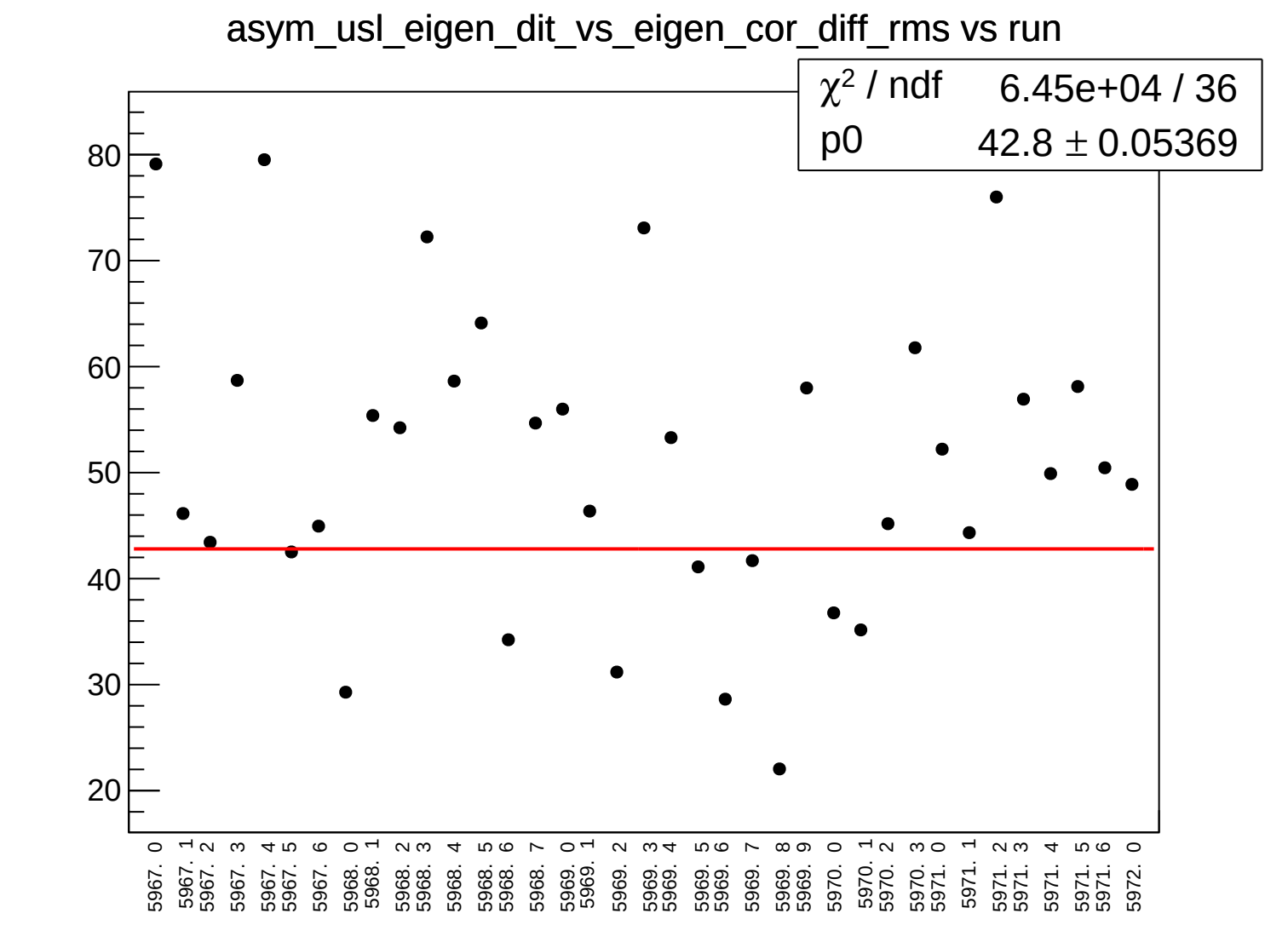
asym_usl_eigen_dit_vs_eigen_cor_diff_rms vs run
χ² / ndf 6.45e+04 / 36
p0 42.8 ± 0.05369
80
70
60
50
40
30
20
5967. 0
5967. 1
5967. 2
5967. 3
5967. 4
5967. 5
5967. 6
5968. 0
5968. 1
5968. 2
5968. 3
5968. 4
5968. 5
5968. 6
5968. 7
5969. 0
5969. 1
5969. 2
5969. 3
5969. 4
5969. 5
5969. 6
5969. 7
5969. 8
5969. 9
5970. 0
5970. 1
5970. 2
5970. 3
5971. 0
5971. 1
5971. 2
5971. 3
5971. 4
5971. 5
5971. 6
5972. 0

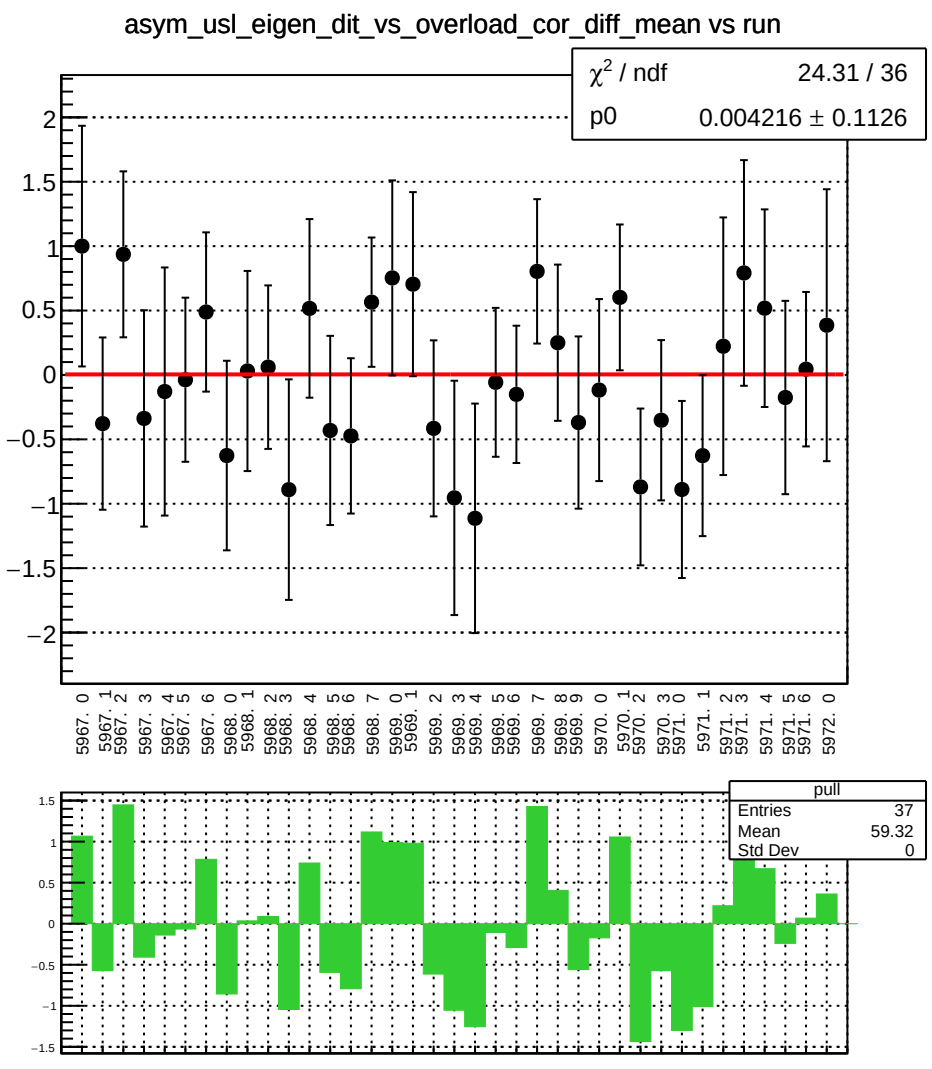
asym_usl_eigen_dit_vs_overload_cor_diff_mean vs run
χ² / ndf 24.31 / 36
p0 0.004216 ± 0.1126
pull
Entries 37
Mean 59.32
Std Dev 0

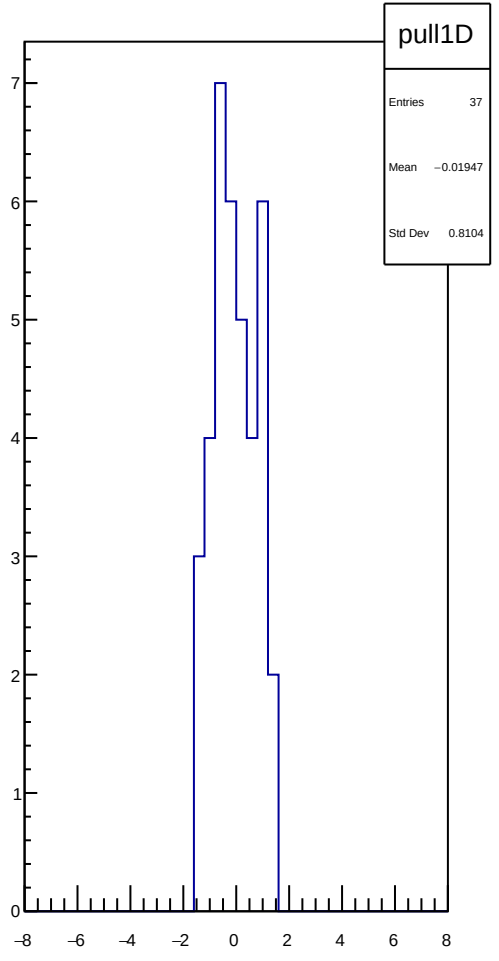
pull1D
Entries 37
Mean −0.01947
Std Dev 0.8104

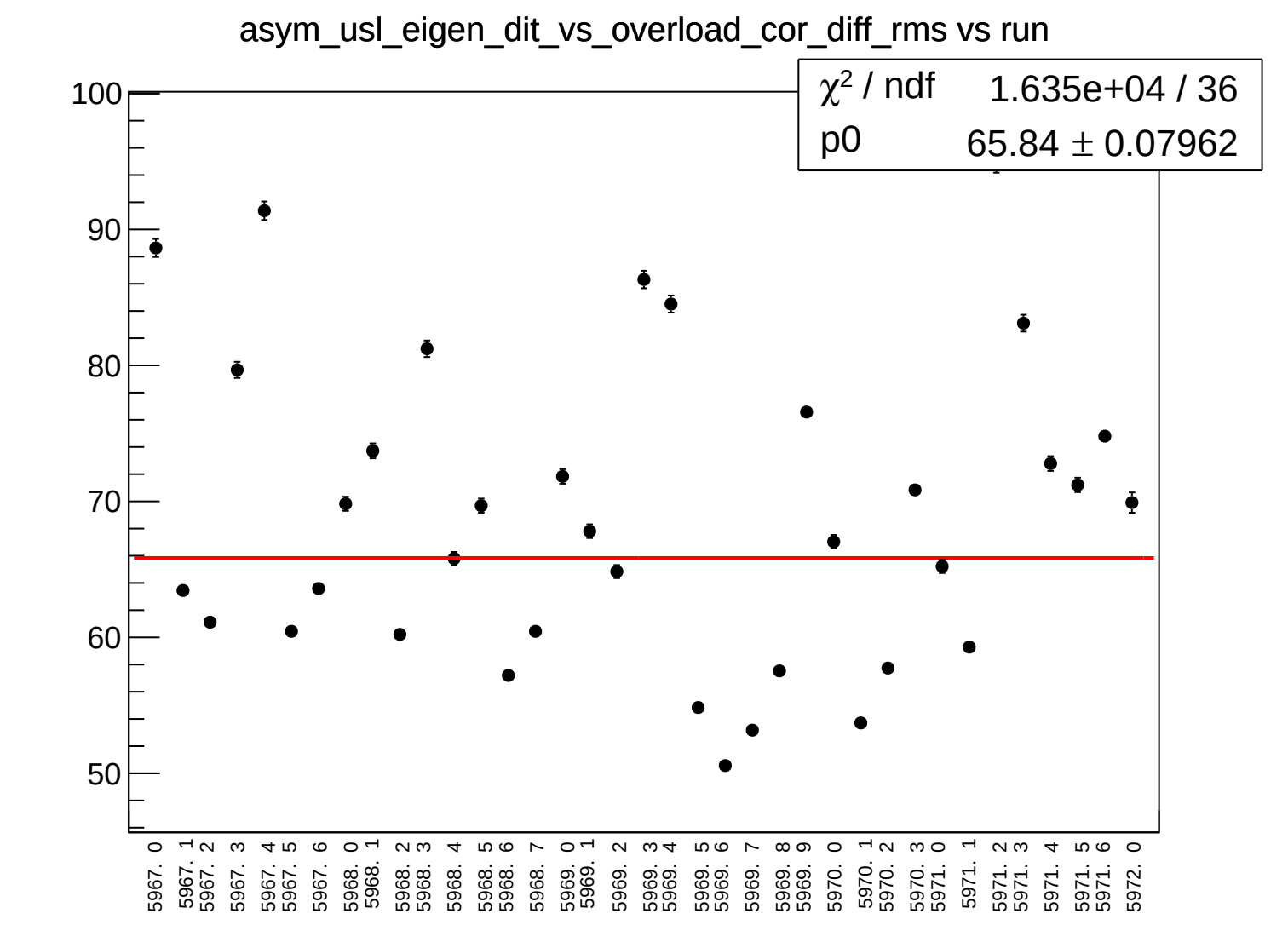
asym_usl_eigen_dit_vs_overload_cor_diff_rms vs run
χ² / ndf 1.635e+04 / 36
p0 65.84 ± 0.07962
100
90
80
70
60
50
5967. 0
5967. 1
5967. 2
5967. 3
5967. 4
5967. 5
5967. 6
5968. 0
5968. 1
5968. 2
5968. 3
5968. 4
5968. 5
5968. 6
5968. 7
5969. 0
5969. 1
5969. 2
5969. 3
5969. 4
5969. 5
5969. 6
5969. 7
5969. 8
5969. 9
5970. 0
5970. 1
5970. 2
5970. 3
5971. 0
5971. 1
5971. 2
5971. 3
5971. 4
5971. 5
5971. 6
5972. 0

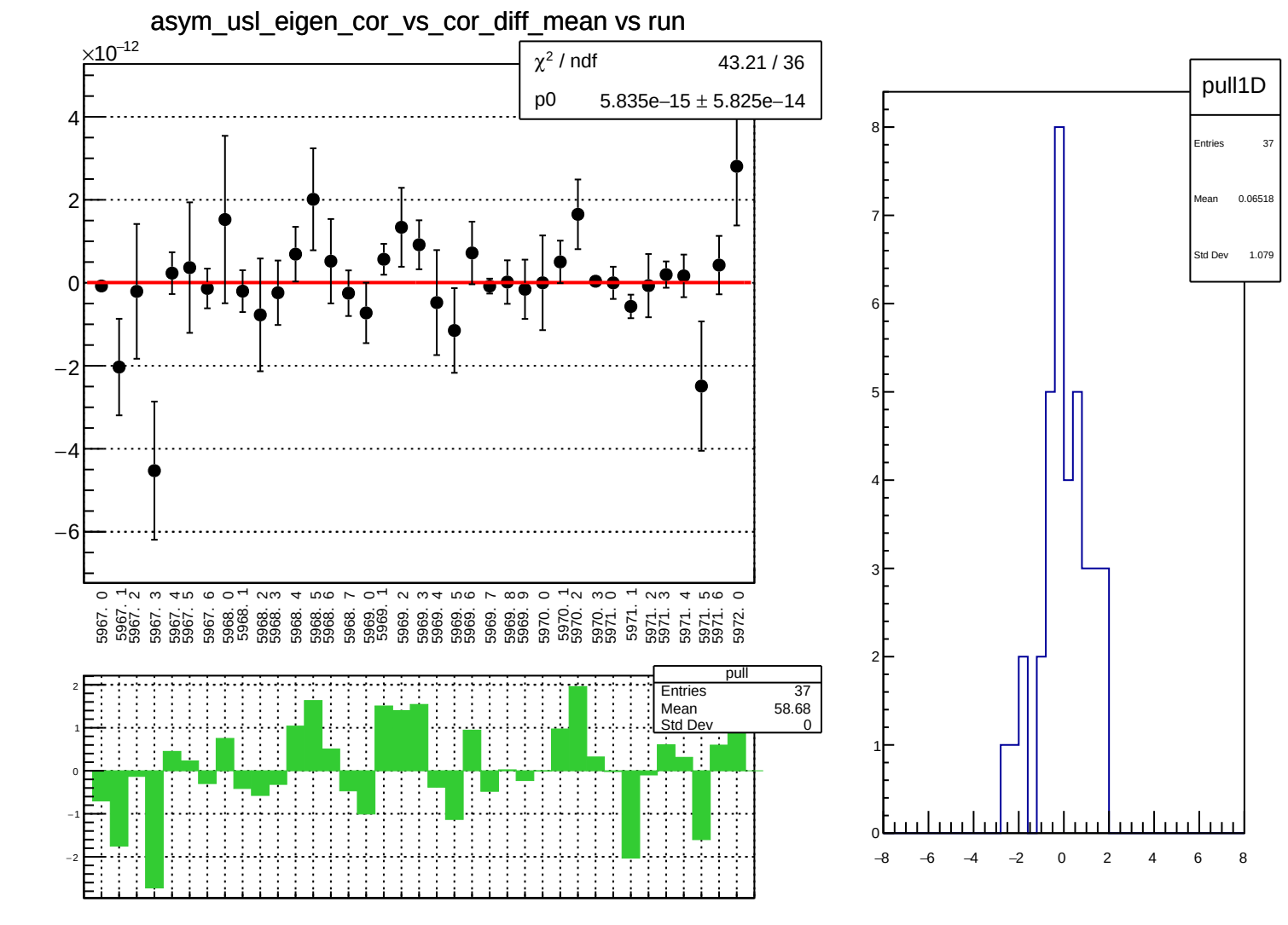
asym_usl_eigen_cor_vs_cor_diff_mean vs run
×10⁻¹²
χ² / ndf 43.21 / 36
p0 5.835e−15 ± 5.825e−14
4
2
0
−2
−4
−6
5967. 0
5967. 1
5967. 2
5967. 3
5967. 4
5967. 5
5967. 6
5968. 0
5968. 1
5968. 2
5968. 3
5968. 4
5968. 5
5968. 6
5968. 7
5969. 0
5969. 1
5969. 2
5969. 3
5969. 4
5969. 5
5969. 6
5969. 7
5969. 8
5969. 9
5970. 0
5970. 1
5970. 2
5970. 3
5971. 0
5971. 1
5971. 2
5971. 3
5971. 4
5971. 5
5971. 6
5972. 0
pull
Entries 37
Mean 58.68
Std Dev 0
2
1
0
−1
−2
pull1D
Entries 37
Mean 0.06518
Std Dev 1.079
8
7
6
5
4
3
2
1
0
−8
−6
−4
−2
0
2
4
6
8

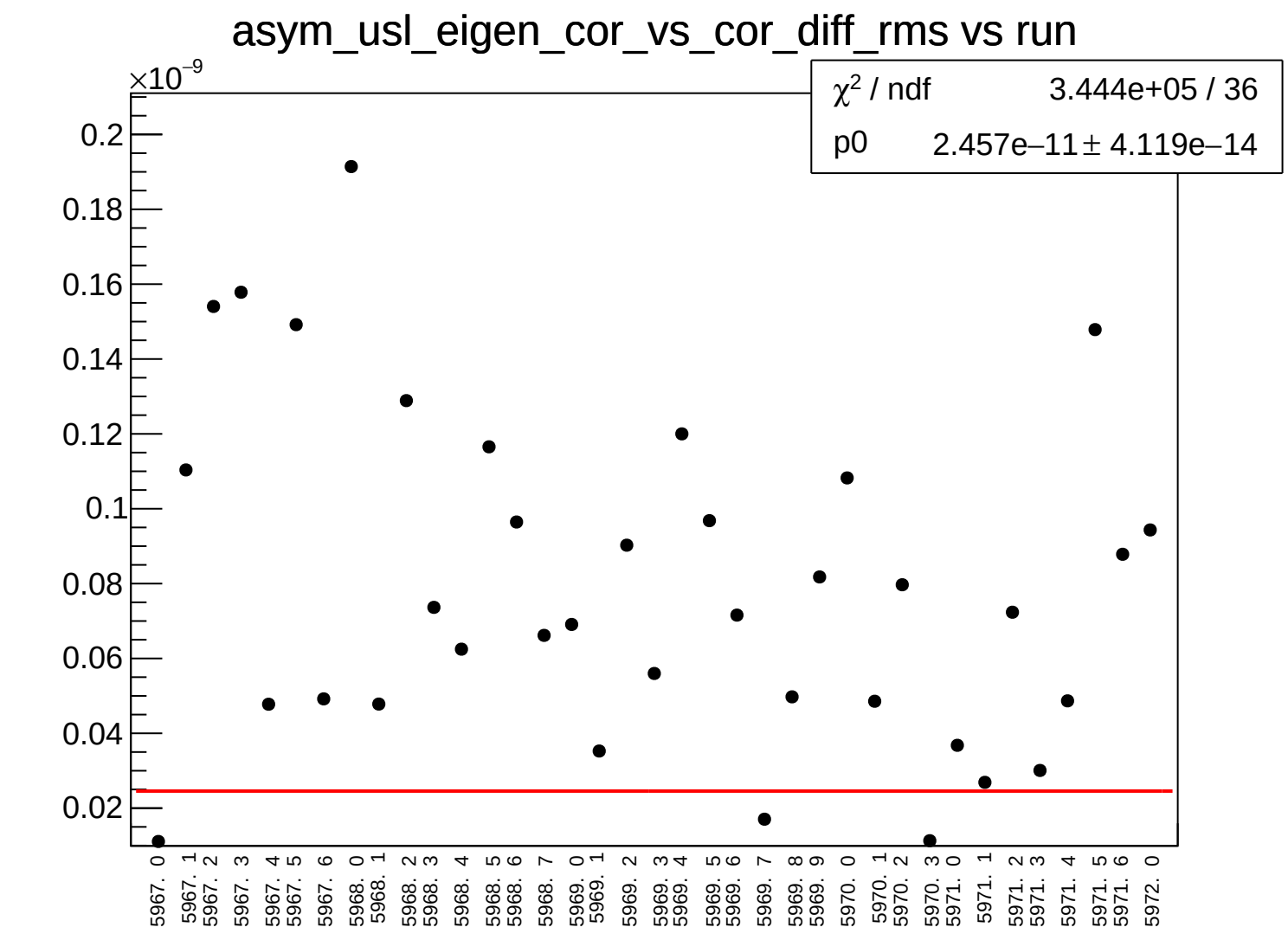
asym_usl_eigen_cor_vs_cor_diff_rms vs run
×10⁻⁹
χ² / ndf 3.444e+05 / 36
p0 2.457e−11 ± 4.119e−14
0.2
0.18
0.16
0.14
0.12
0.1
0.08
0.06
0.04
0.02
5967. 0
5967. 1
5967. 2
5967. 3
5967. 4
5967. 5
5967. 6
5968. 0
5968. 1
5968. 2
5968. 3
5968. 4
5968. 5
5968. 6
5968. 7
5969. 0
5969. 1
5969. 2
5969. 3
5969. 4
5969. 5
5969. 6
5969. 7
5969. 8
5969. 9
5970. 0
5970. 1
5970. 2
5970. 3
5971. 0
5971. 1
5971. 2
5971. 3
5971. 4
5971. 5
5971. 6
5972. 0

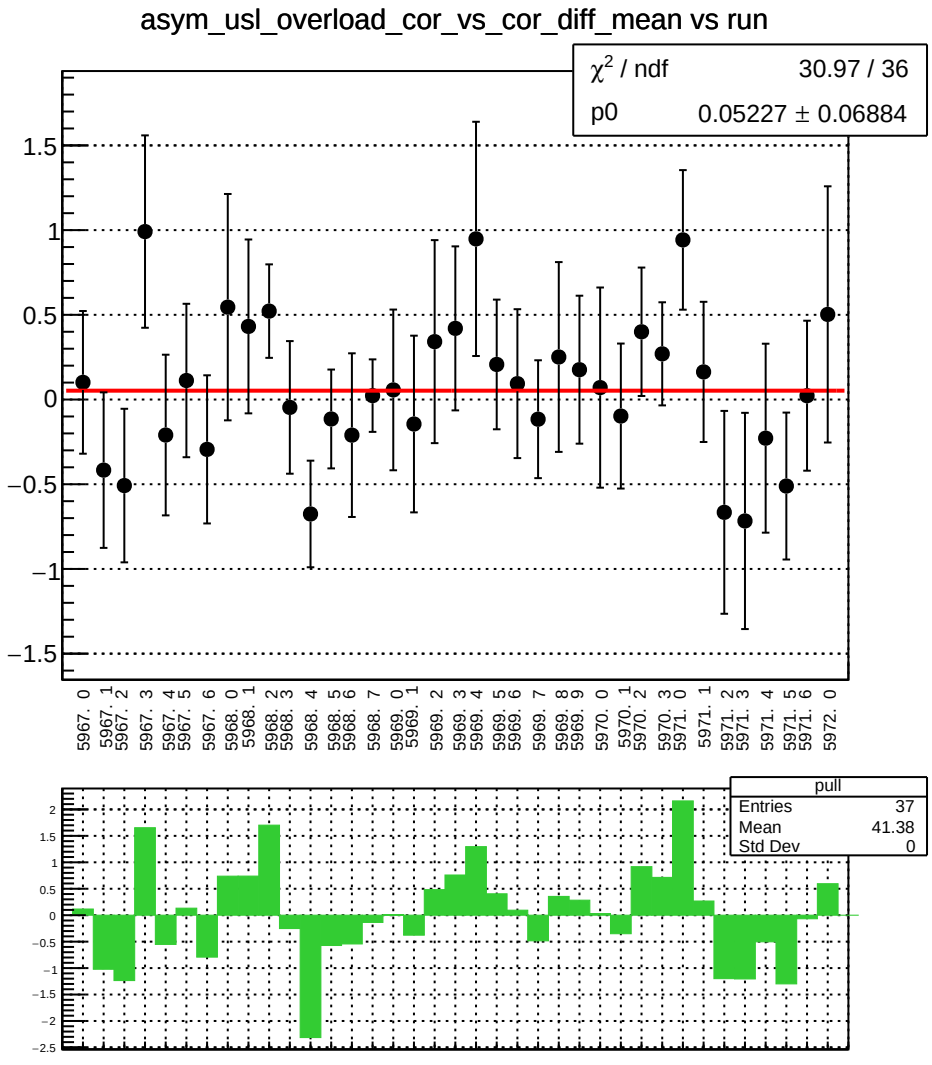
asym_usl_overload_cor_vs_cor_diff_mean vs run
χ² / ndf 30.97 / 36
p0 0.05227 ± 0.06884
pull
Entries 37
Mean 41.38
Std Dev 0

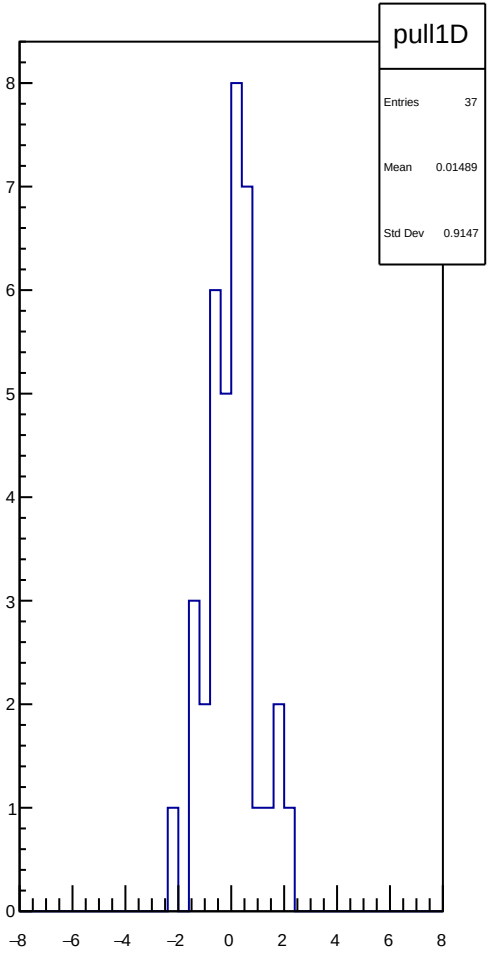
pull1D
Entries 37
Mean 0.01489
Std Dev 0.9147

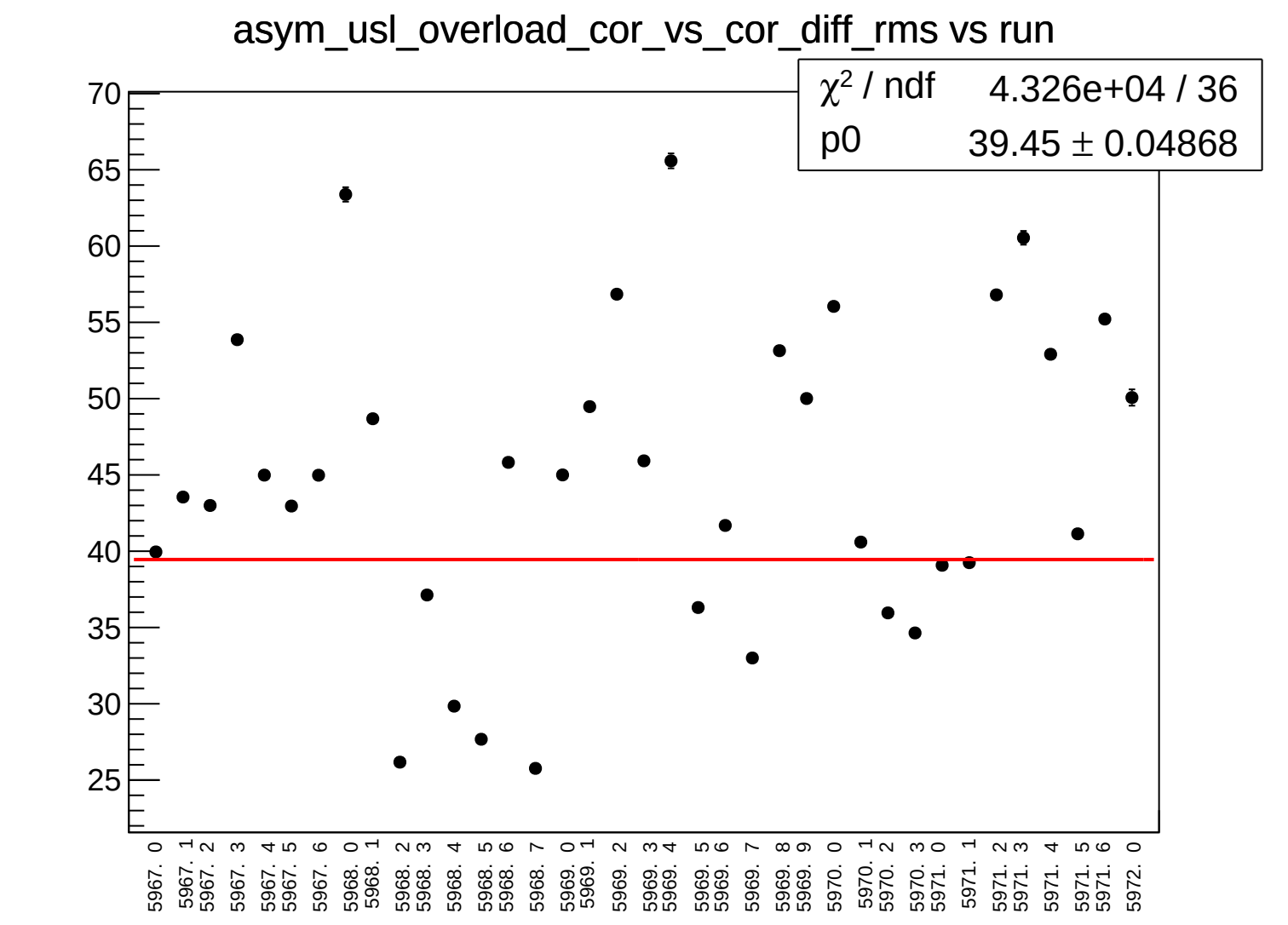
asym_usl_overload_cor_vs_cor_diff_rms vs run
χ² / ndf 4.326e+04 / 36
p0 39.45 ± 0.04868
70
65
60
55
50
45
40
35
30
25
5967. 0
5967. 1
5967. 2
5967. 3
5967. 4
5967. 5
5967. 6
5968. 0
5968. 1
5968. 2
5968. 3
5968. 4
5968. 5
5968. 6
5968. 7
5969. 0
5969. 1
5969. 2
5969. 3
5969. 4
5969. 5
5969. 6
5969. 7
5969. 8
5969. 9
5970. 0
5970. 1
5970. 2
5970. 3
5971. 0
5971. 1
5971. 2
5971. 3
5971. 4
5971. 5
5971. 6
5972. 0

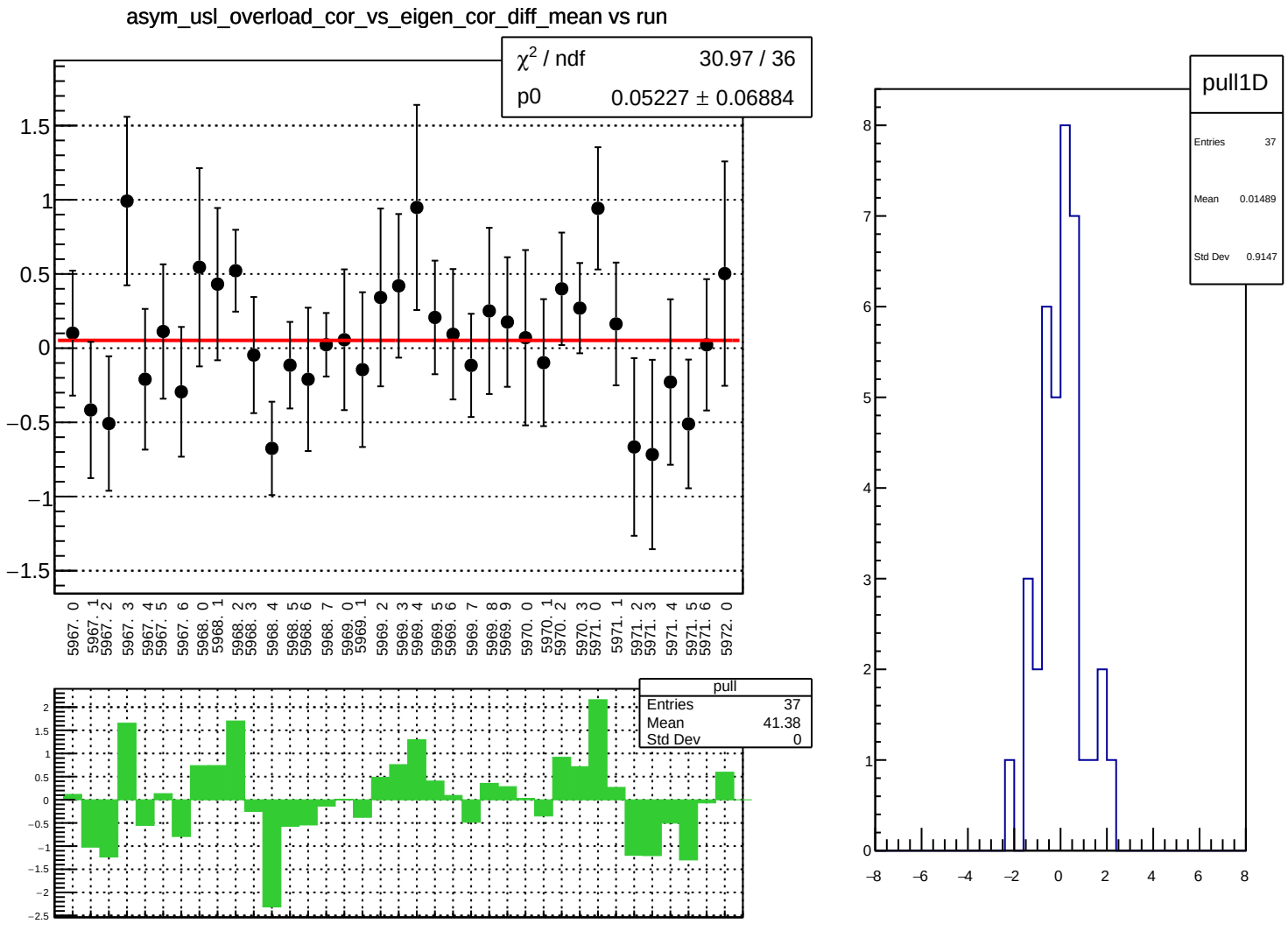
asym_usl_overload_cor_vs_eigen_cor_diff_mean vs run
χ² / ndf 30.97 / 36
p0 0.05227 ± 0.06884
pull
Entries 37
Mean 41.38
Std Dev 0
pull1D
Entries 37
Mean 0.01489
Std Dev 0.9147

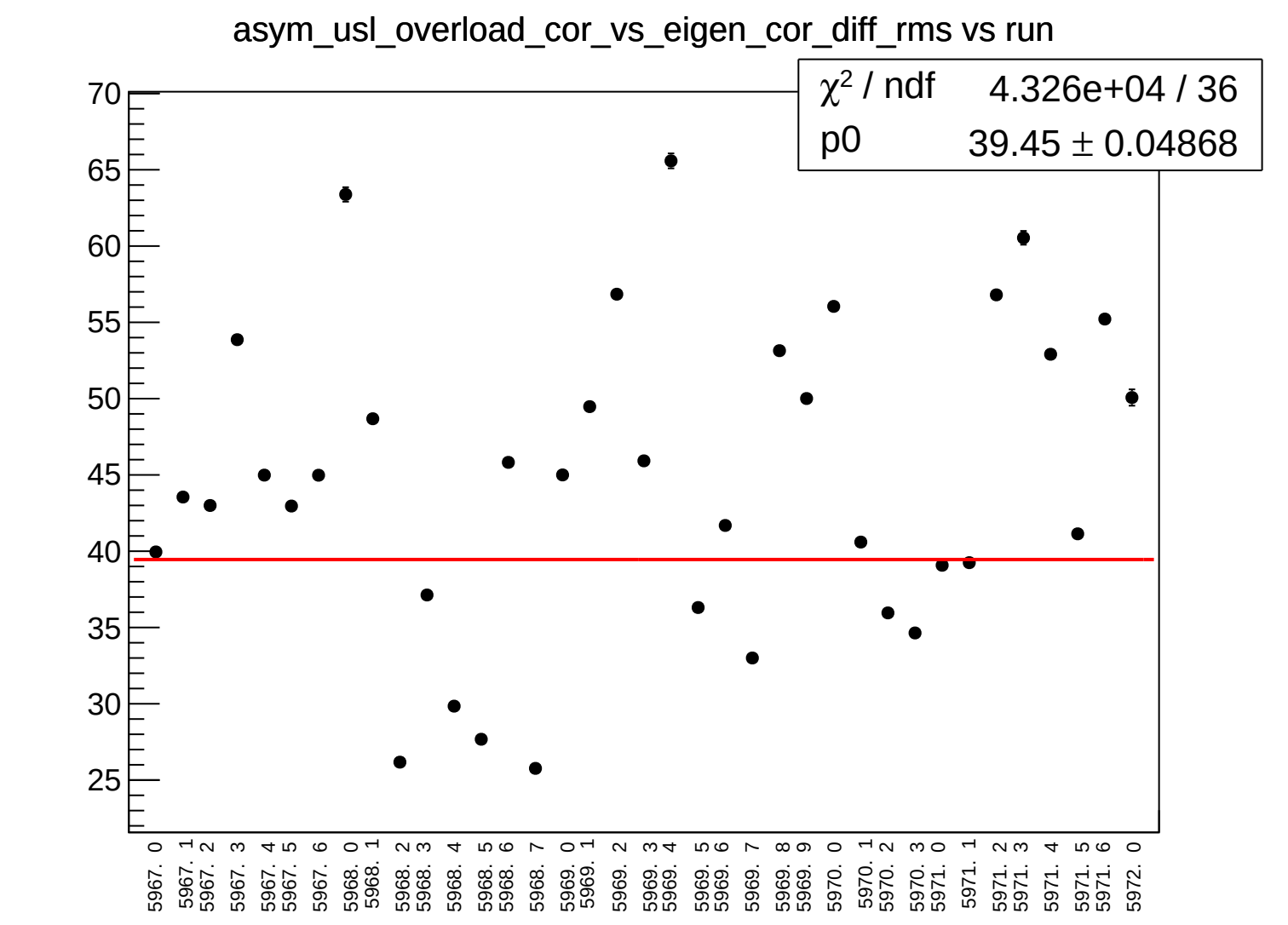
asym_usl_overload_cor_vs_eigen_cor_diff_rms vs run
χ² / ndf 4.326e+04 / 36
p0 39.45 ± 0.04868
70
65
60
55
50
45
40
35
30
25
5967. 0
5967. 1
5967. 2
5967. 3
5967. 4
5967. 5
5967. 6
5968. 0
5968. 1
5968. 2
5968. 3
5968. 4
5968. 5
5968. 6
5968. 7
5969. 0
5969. 1
5969. 2
5969. 3
5969. 4
5969. 5
5969. 6
5969. 7
5969. 8
5969. 9
5970. 0
5970. 1
5970. 2
5970. 3
5971. 0
5971. 1
5971. 2
5971. 3
5971. 4
5971. 5
5971. 6
5972. 0

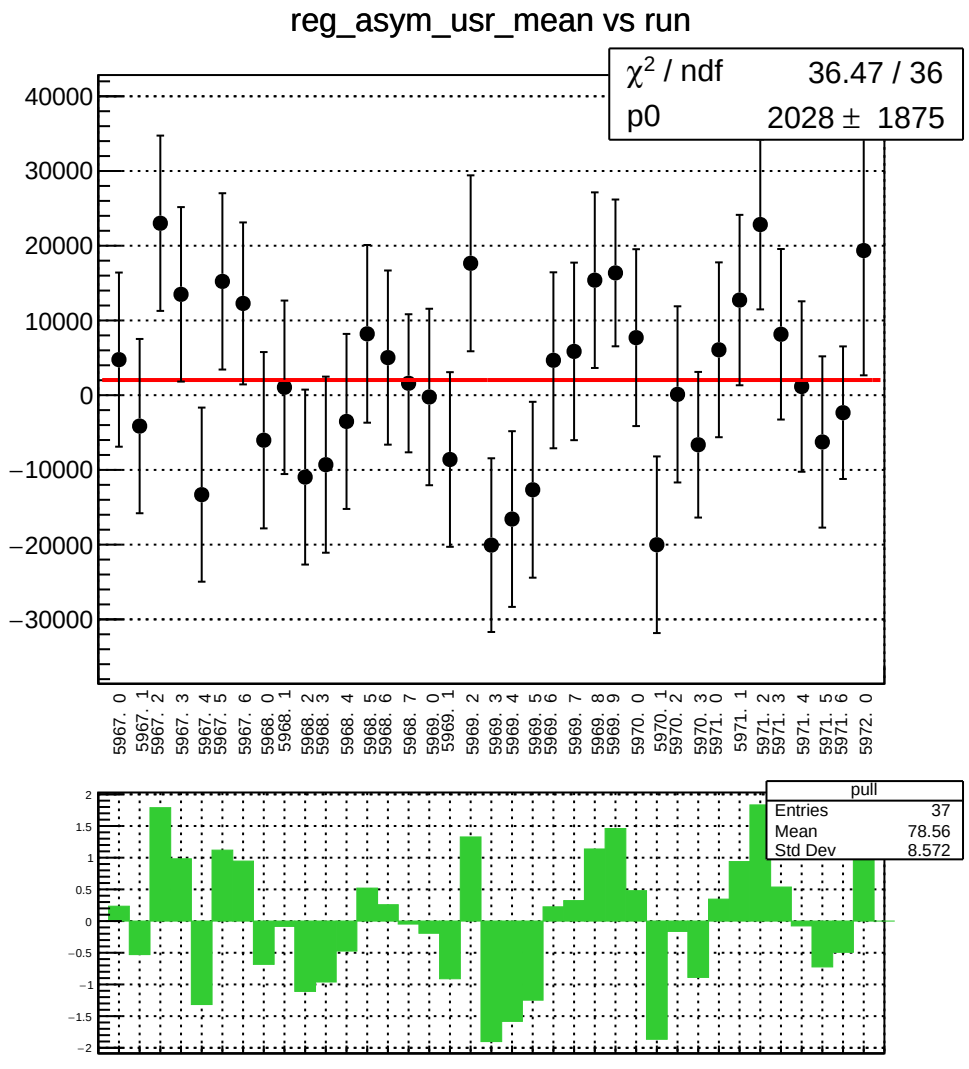
reg_asym_usr_mean vs run
χ^2 / ndf 36.47 / 36
p0 2028 ± 1875
40000
30000
20000
10000
0
−10000
−20000
−30000
5967. 0
5967. 1
5967. 2
5967. 3
5967. 4
5967. 5
5967. 6
5968. 0
5968. 1
5968. 2
5968. 3
5968. 4
5968. 5
5968. 6
5968. 7
5969. 0
5969. 1
5969. 2
5969. 3
5969. 4
5969. 5
5969. 6
5969. 7
5969. 8
5969. 9
5970. 0
5970. 1
5970. 2
5970. 3
5971. 0
5971. 1
5971. 2
5971. 3
5971. 4
5971. 5
5971. 6
5972. 0
pull
Entries 37
Mean 78.56
Std Dev 8.572
2
1.5
1
0.5
0
−0.5
−1
−1.5
−2
pull1D
Entries 37
Mean 0.006541
Std Dev 0.9928
6
5
4
3
2
1
0
−8
−6
−4
−2
0
2
4
6
8

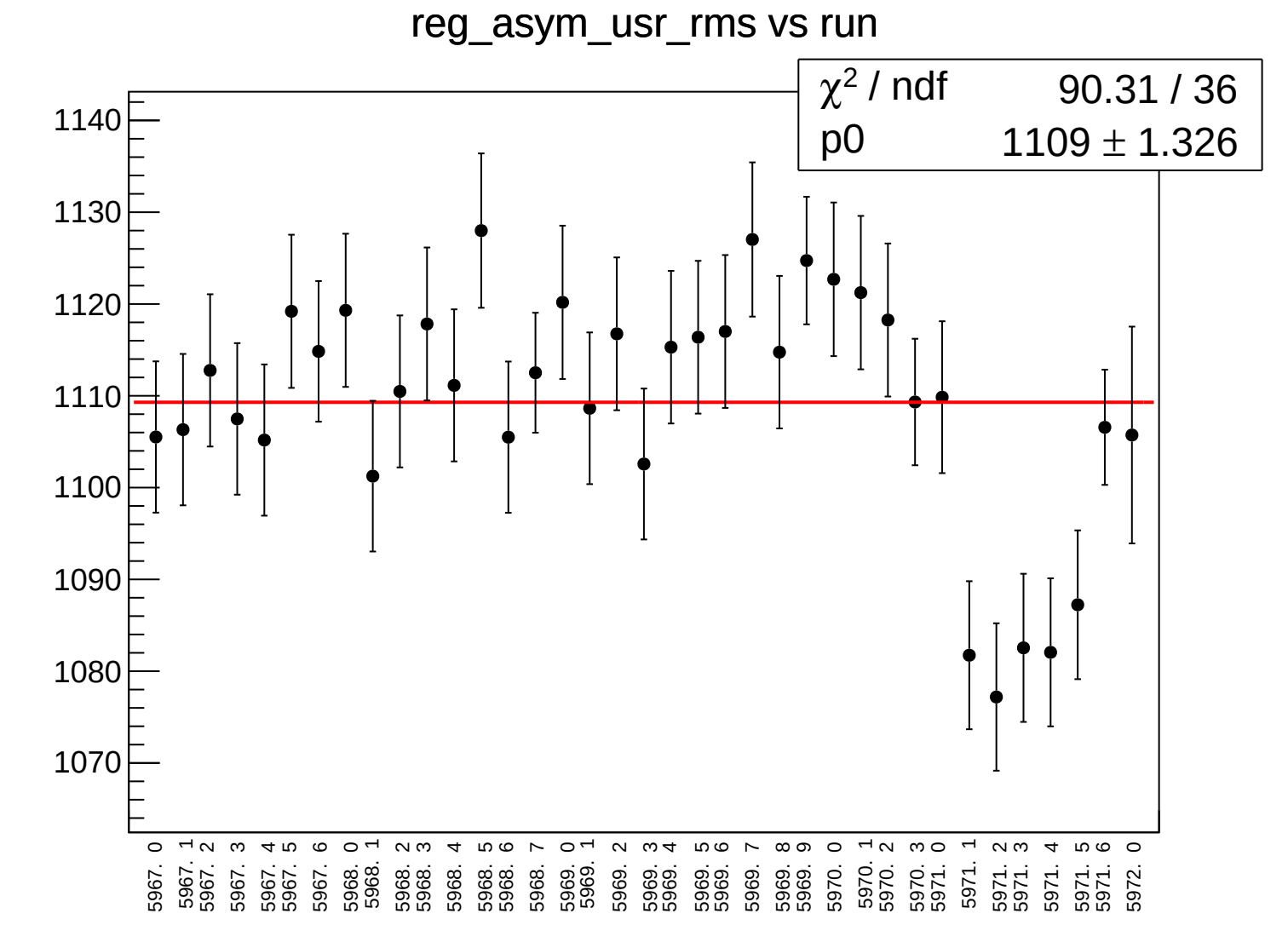
reg_asym_usr_rms vs run
χ^2 / ndf 90.31 / 36
p0 1109 ± 1.326
1140
1130
1120
1110
1100
1090
1080
1070
5967. 0
5967. 1
5967. 2
5967. 3
5967. 4
5967. 5
5967. 6
5968. 0
5968. 1
5968. 2
5968. 3
5968. 4
5968. 5
5968. 6
5968. 7
5969. 0
5969. 1
5969. 2
5969. 3
5969. 4
5969. 5
5969. 6
5969. 7
5969. 8
5969. 9
5970. 0
5970. 1
5970. 2
5970. 3
5971. 0
5971. 1
5971. 2
5971. 3
5971. 4
5971. 5
5971. 6
5972. 0

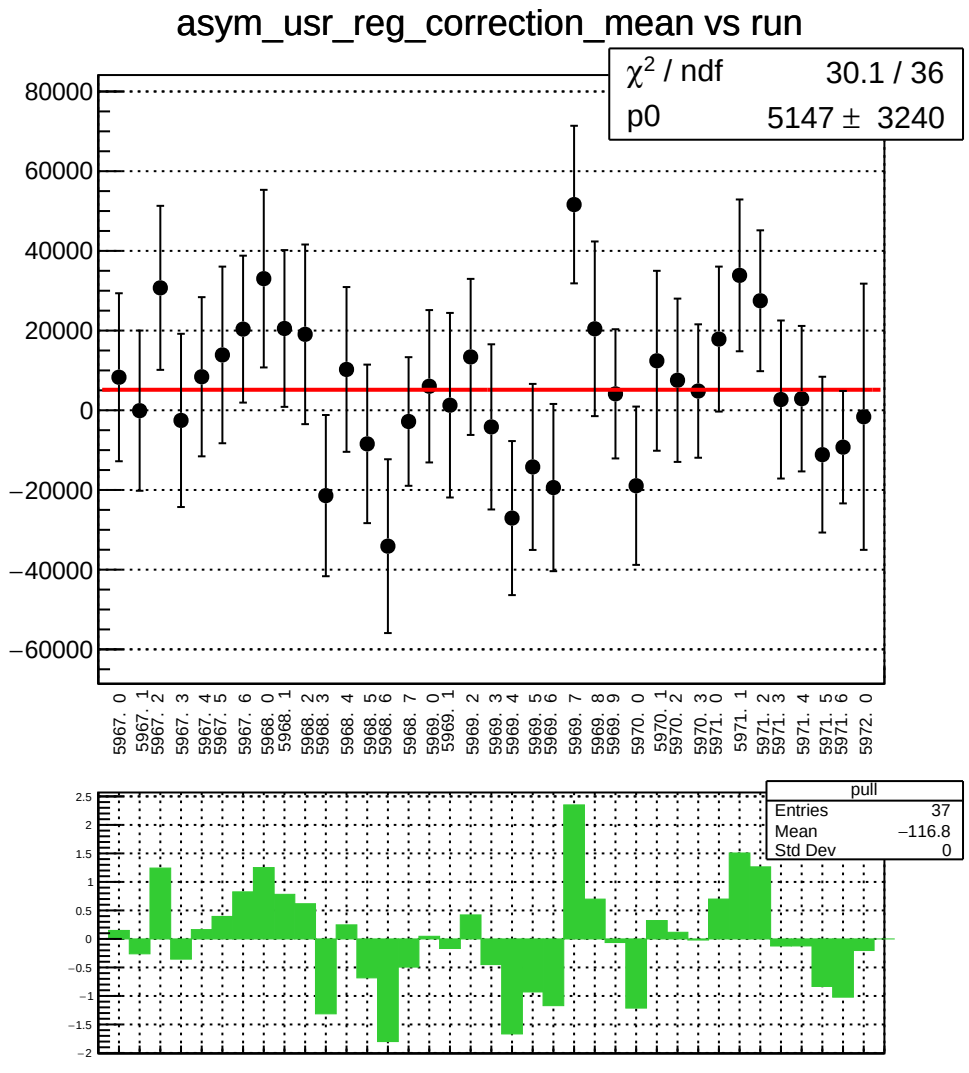
asym_usr_reg_correction_mean vs run
χ² / ndf 30.1 / 36
p0 5147 ± 3240
80000
60000
40000
20000
0
−20000
−40000
−60000
5967. 0
5967. 1
5967. 2
5967. 3
5967. 4
5967. 5
5967. 6
5968. 0
5968. 1
5968. 2
5968. 3
5968. 4
5968. 5
5968. 6
5968. 7
5969. 0
5969. 1
5969. 2
5969. 3
5969. 4
5969. 5
5969. 6
5969. 7
5969. 8
5969. 9
5970. 0
5970. 1
5970. 2
5970. 3
5971. 0
5971. 1
5971. 2
5971. 3
5971. 4
5971. 5
5971. 6
5972. 0
pull
Entries 37
Mean −116.8
Std Dev 0
2.5
2
1.5
1
0.5
0
−0.5
−1
−1.5
−2
pull1D
Entries 37
Mean 0.005777
Std Dev 0.9019
8
7
6
5
4
3
2
1
0
−8
−6
−4
−2
0
2
4
6
8

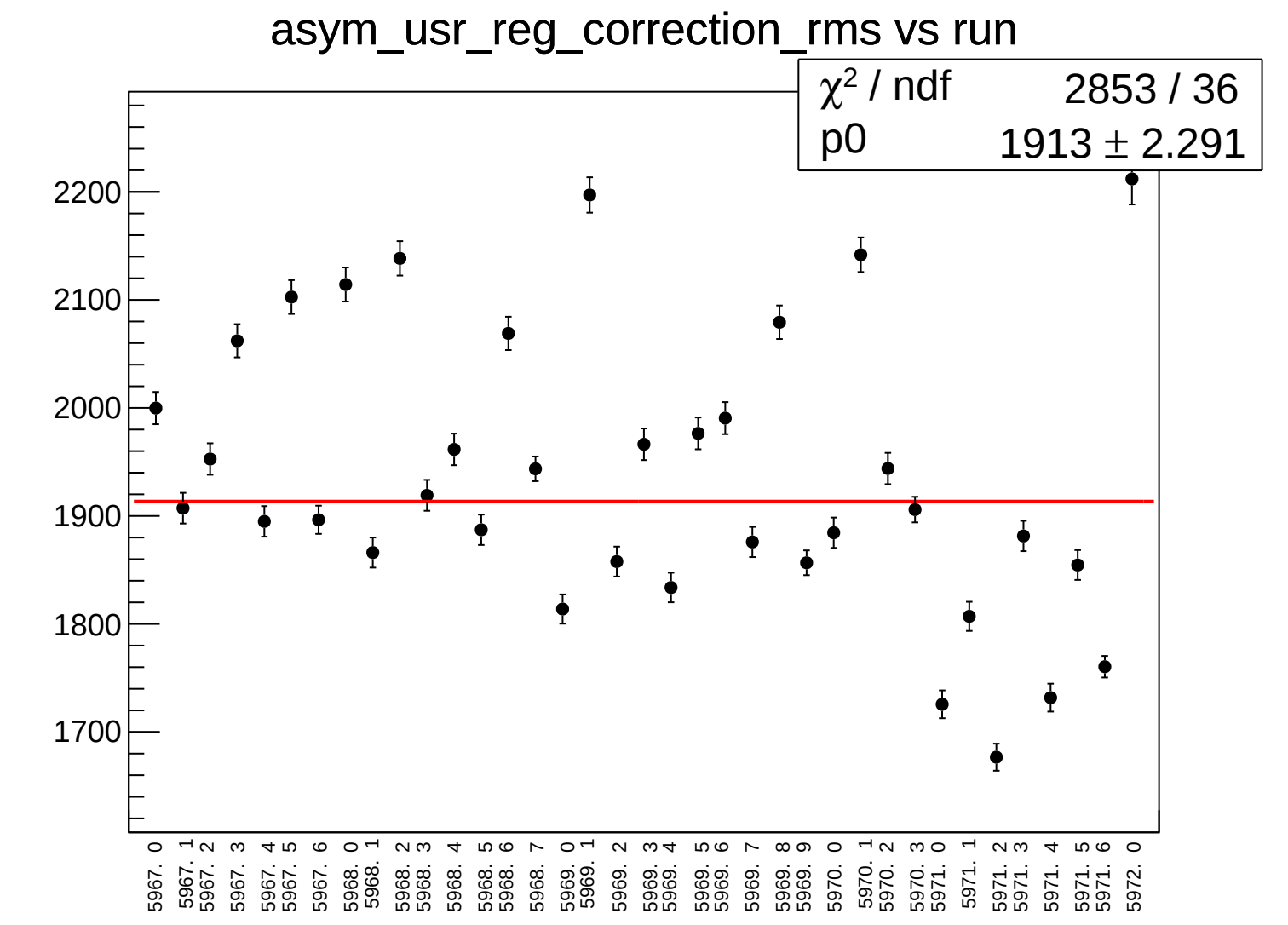
asym_usr_reg_correction_rms vs run
χ² / ndf 2853 / 36
p0 1913 ± 2.291
2200
2100
2000
1900
1800
1700
5967. 0
5967. 1
5967. 2
5967. 3
5967. 4
5967. 5
5967. 6
5968. 0
5968. 1
5968. 2
5968. 3
5968. 4
5968. 5
5968. 6
5968. 7
5969. 0
5969. 1
5969. 2
5969. 3
5969. 4
5969. 5
5969. 6
5969. 7
5969. 8
5969. 9
5970. 0
5970. 1
5970. 2
5970. 3
5971. 0
5971. 1
5971. 2
5971. 3
5971. 4
5971. 5
5971. 6
5972. 0

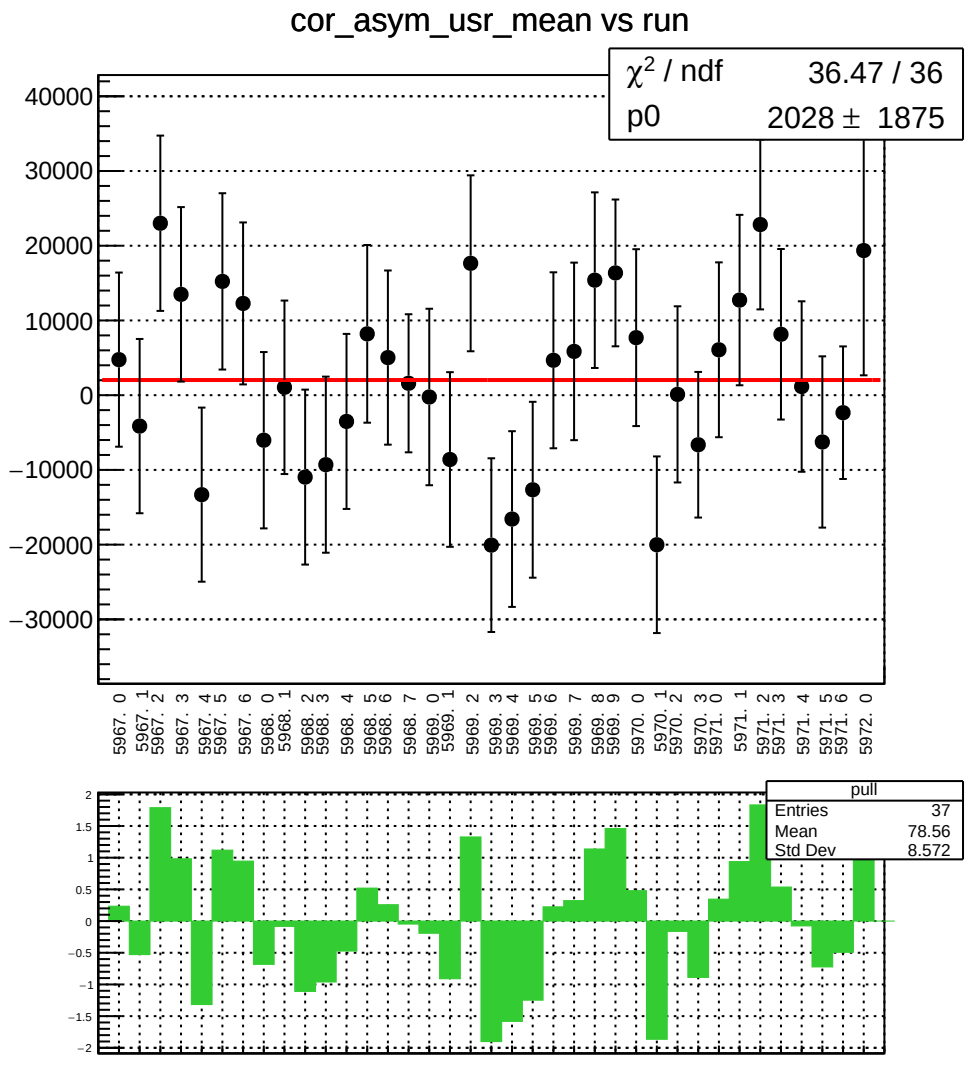
cor_asym_usr_mean vs run
χ² / ndf 36.47 / 36
p0 2028 ± 1875
40000
30000
20000
10000
0
−10000
−20000
−30000
5967. 0
5967. 1
5967. 2
5967. 3
5967. 4
5967. 5
5967. 6
5968. 0
5968. 1
5968. 2
5968. 3
5968. 4
5968. 5
5968. 6
5968. 7
5969. 0
5969. 1
5969. 2
5969. 3
5969. 4
5969. 5
5969. 6
5969. 7
5969. 8
5969. 9
5970. 0
5970. 1
5970. 2
5970. 3
5971. 0
5971. 1
5971. 2
5971. 3
5971. 4
5971. 5
5971. 6
5972. 0
pull
Entries 37
Mean 78.56
Std Dev 8.572
2
1.5
1
0.5
0
−0.5
−1
−1.5
−2
pull1D
Entries 37
Mean 0.006541
Std Dev 0.9928
6
5
4
3
2
1
0
−8
−6
−4
−2
0
2
4
6
8

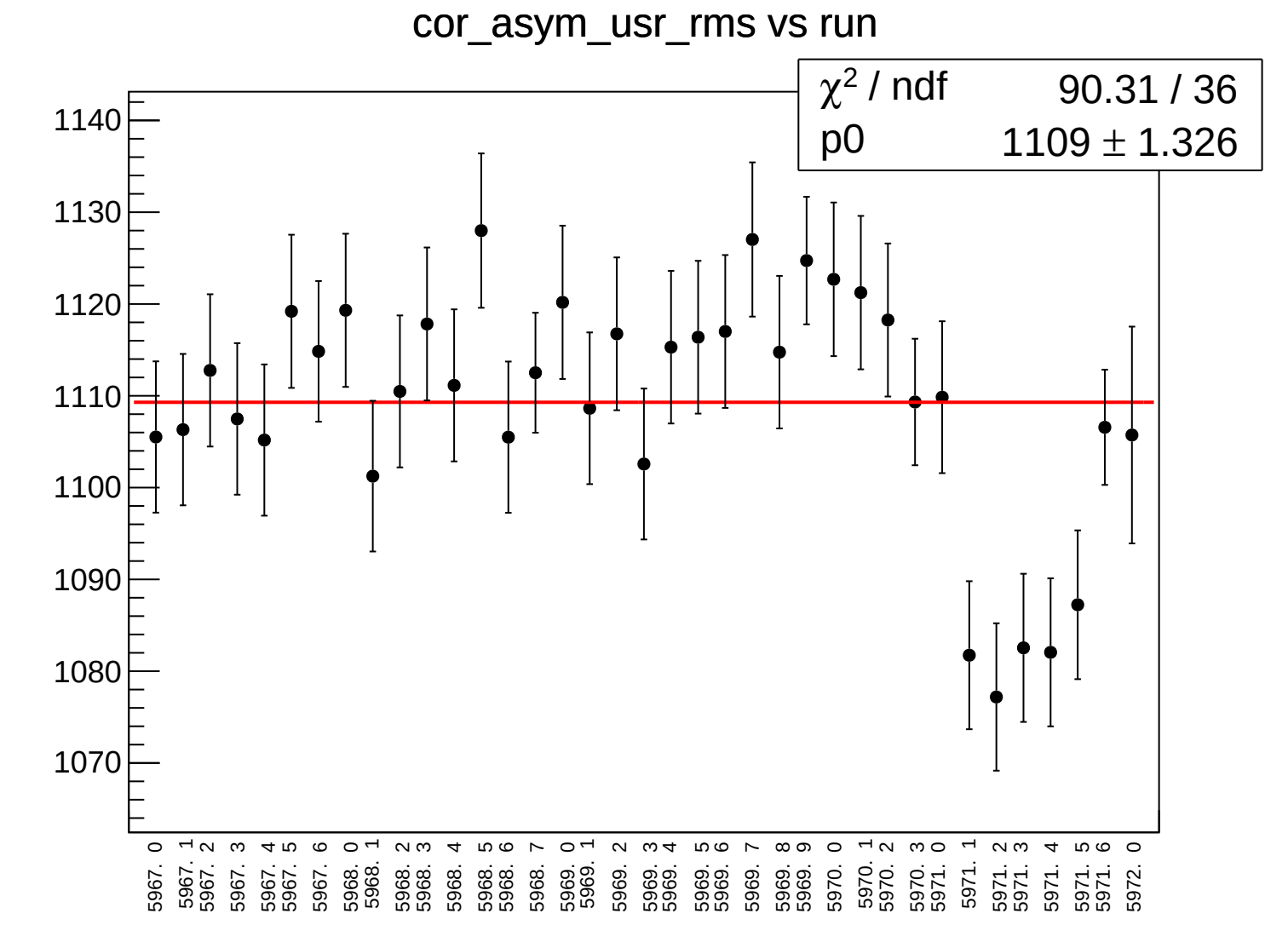
cor_asym_usr_rms vs run
χ² / ndf 90.31 / 36
p0 1109 ± 1.326
1140
1130
1120
1110
1100
1090
1080
1070
5967. 0
5967. 1
5967. 2
5967. 3
5967. 4
5967. 5
5967. 6
5968. 0
5968. 1
5968. 2
5968. 3
5968. 4
5968. 5
5968. 6
5968. 7
5969. 0
5969. 1
5969. 2
5969. 3
5969. 4
5969. 5
5969. 6
5969. 7
5969. 8
5969. 9
5970. 0
5970. 1
5970. 2
5970. 3
5971. 0
5971. 1
5971. 2
5971. 3
5971. 4
5971. 5
5971. 6
5972. 0

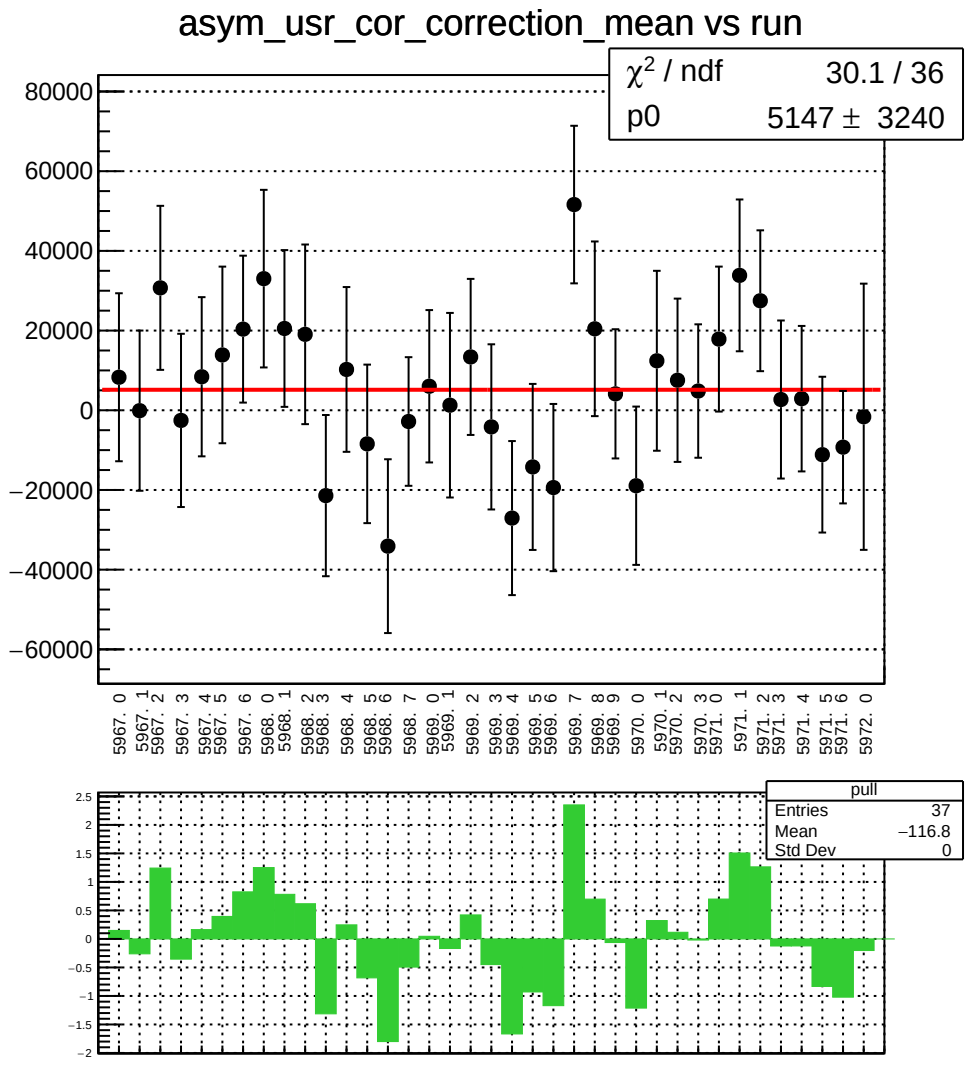
asym_usr_cor_correction_mean vs run
χ² / ndf 30.1 / 36
p0 5147 ± 3240
80000
60000
40000
20000
0
−20000
−40000
−60000
5967. 0
5967. 1
5967. 2
5967. 3
5967. 4
5967. 5
5967. 6
5968. 0
5968. 1
5968. 2
5968. 3
5968. 4
5968. 5
5968. 6
5968. 7
5969. 0
5969. 1
5969. 2
5969. 3
5969. 4
5969. 5
5969. 6
5969. 7
5969. 8
5969. 9
5970. 0
5970. 1
5970. 2
5970. 3
5971. 0
5971. 1
5971. 2
5971. 3
5971. 4
5971. 5
5971. 6
5972. 0
pull
Entries 37
Mean −116.8
Std Dev 0
2.5
2
1.5
1
0.5
0
−0.5
−1
−1.5
−2
pull1D
Entries 37
Mean 0.005777
Std Dev 0.9019
8
7
6
5
4
3
2
1
0
−8
−6
−4
−2
0
2
4
6
8

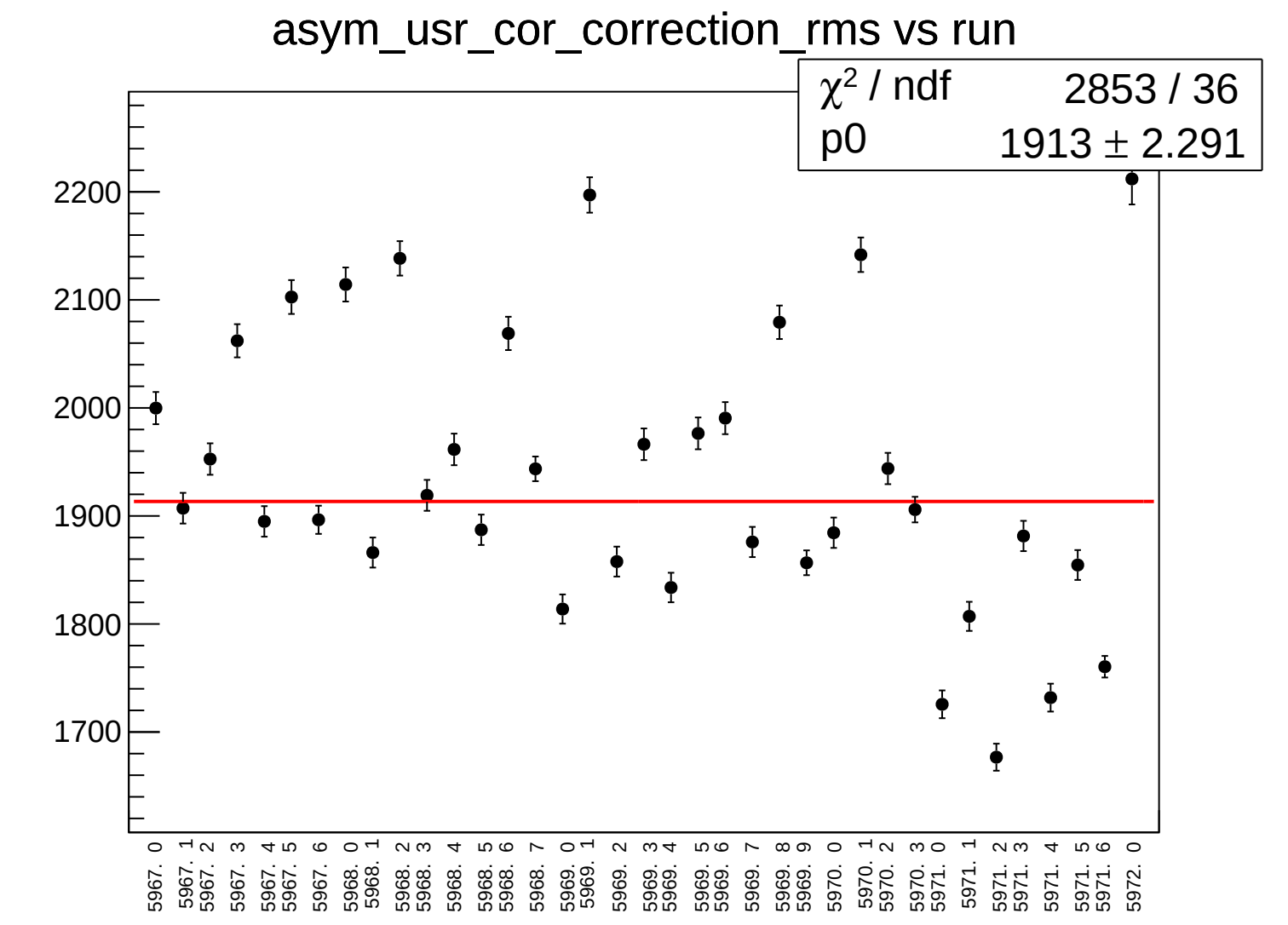
asym_usr_cor_correction_rms vs run
χ² / ndf 2853 / 36
p0 1913 ± 2.291
2200
2100
2000
1900
1800
1700
5967. 0
5967. 1
5967. 2
5967. 3
5967. 4
5967. 5
5967. 6
5968. 0
5968. 1
5968. 2
5968. 3
5968. 4
5968. 5
5968. 6
5968. 7
5969. 0
5969. 1
5969. 2
5969. 3
5969. 4
5969. 5
5969. 6
5969. 7
5969. 8
5969. 9
5970. 0
5970. 1
5970. 2
5970. 3
5971. 0
5971. 1
5971. 2
5971. 3
5971. 4
5971. 5
5971. 6
5972. 0

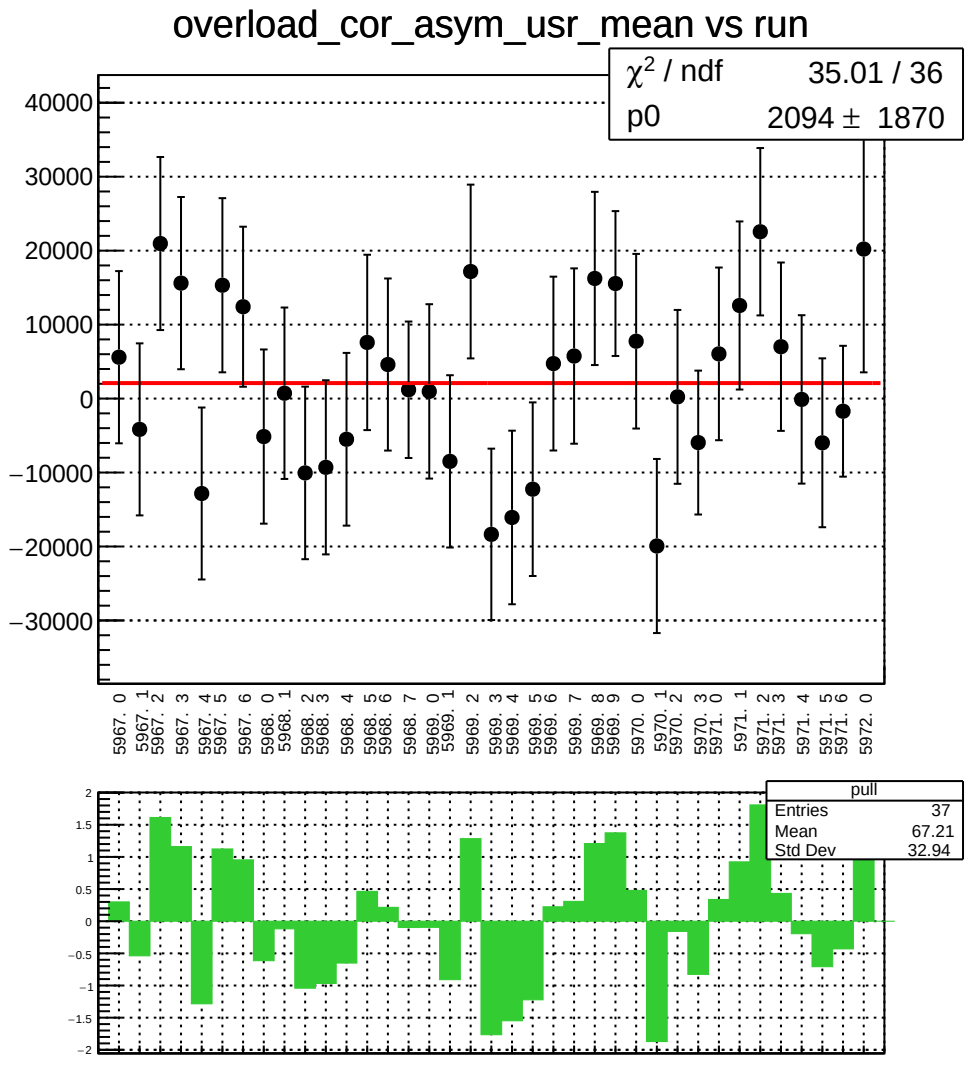
overload_cor_asym_usr_mean vs run
χ² / ndf 35.01 / 36
p0 2094 ± 1870
40000
30000
20000
10000
0
−10000
−20000
−30000
5967. 0
5967. 1
5967. 2
5967. 3
5967. 4
5967. 5
5967. 6
5968. 0
5968. 1
5968. 2
5968. 3
5968. 4
5968. 5
5968. 6
5968. 7
5969. 0
5969. 1
5969. 2
5969. 3
5969. 4
5969. 5
5969. 6
5969. 7
5969. 8
5969. 9
5970. 0
5970. 1
5970. 2
5970. 3
5971. 0
5971. 1
5971. 2
5971. 3
5971. 4
5971. 5
5971. 6
5972. 0
pull
Entries 37
Mean 67.21
Std Dev 32.94
2
1.5
1
0.5
0
−0.5
−1
−1.5
−2
pull1D
Entries 37
Mean 0.007038
Std Dev 0.9727
5
4
3
2
1
0
−8
−6
−4
−2
0
2
4
6
8

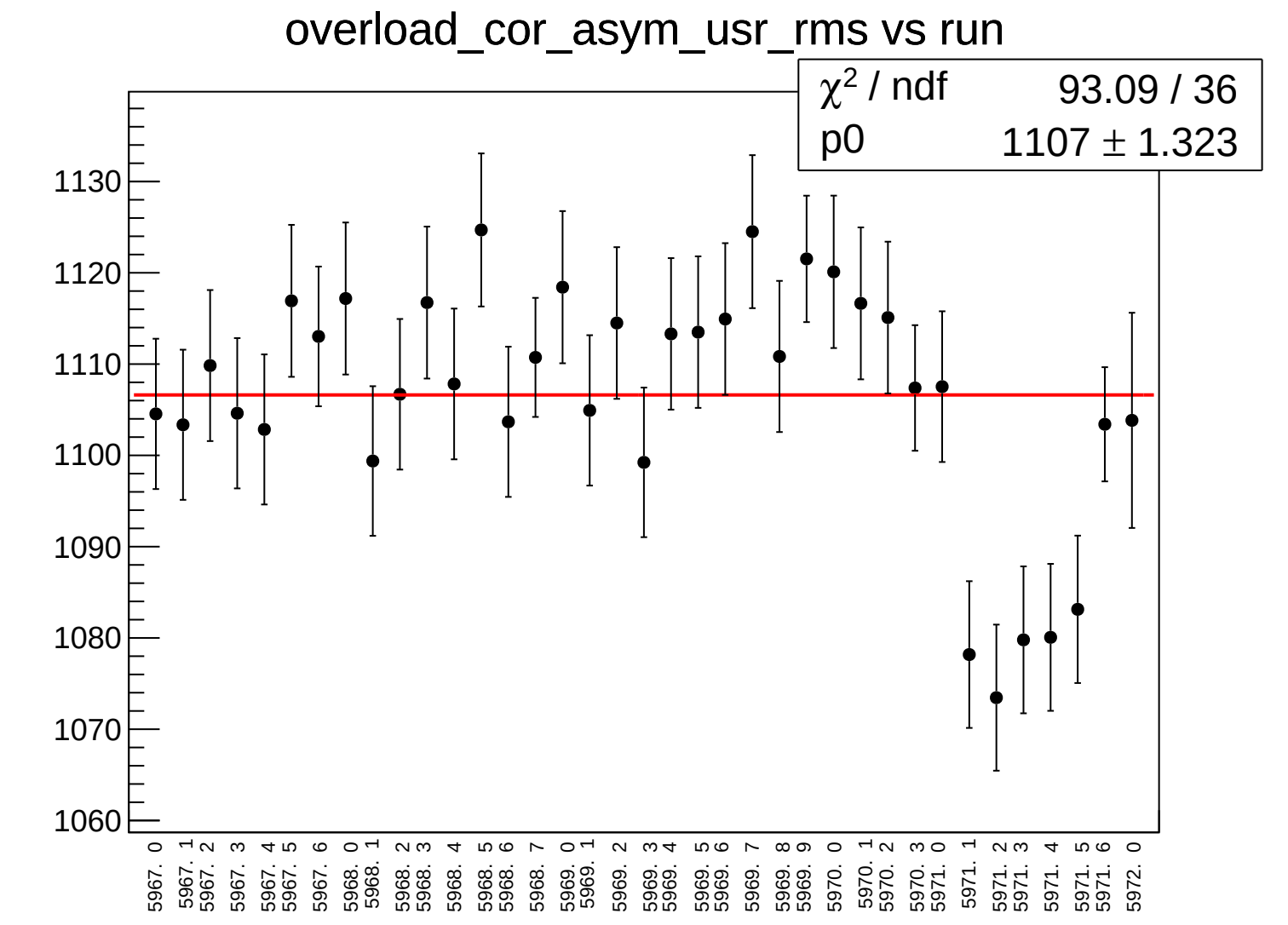
overload_cor_asym_usr_rms vs run
χ² / ndf 93.09 / 36
p0 1107 ± 1.323
1130
1120
1110
1100
1090
1080
1070
1060
5967. 0
5967. 1
5967. 2
5967. 3
5967. 4
5967. 5
5967. 6
5968. 0
5968. 1
5968. 2
5968. 3
5968. 4
5968. 5
5968. 6
5968. 7
5969. 0
5969. 1
5969. 2
5969. 3
5969. 4
5969. 5
5969. 6
5969. 7
5969. 8
5969. 9
5970. 0
5970. 1
5970. 2
5970. 3
5971. 0
5971. 1
5971. 2
5971. 3
5971. 4
5971. 5
5971. 6
5972. 0

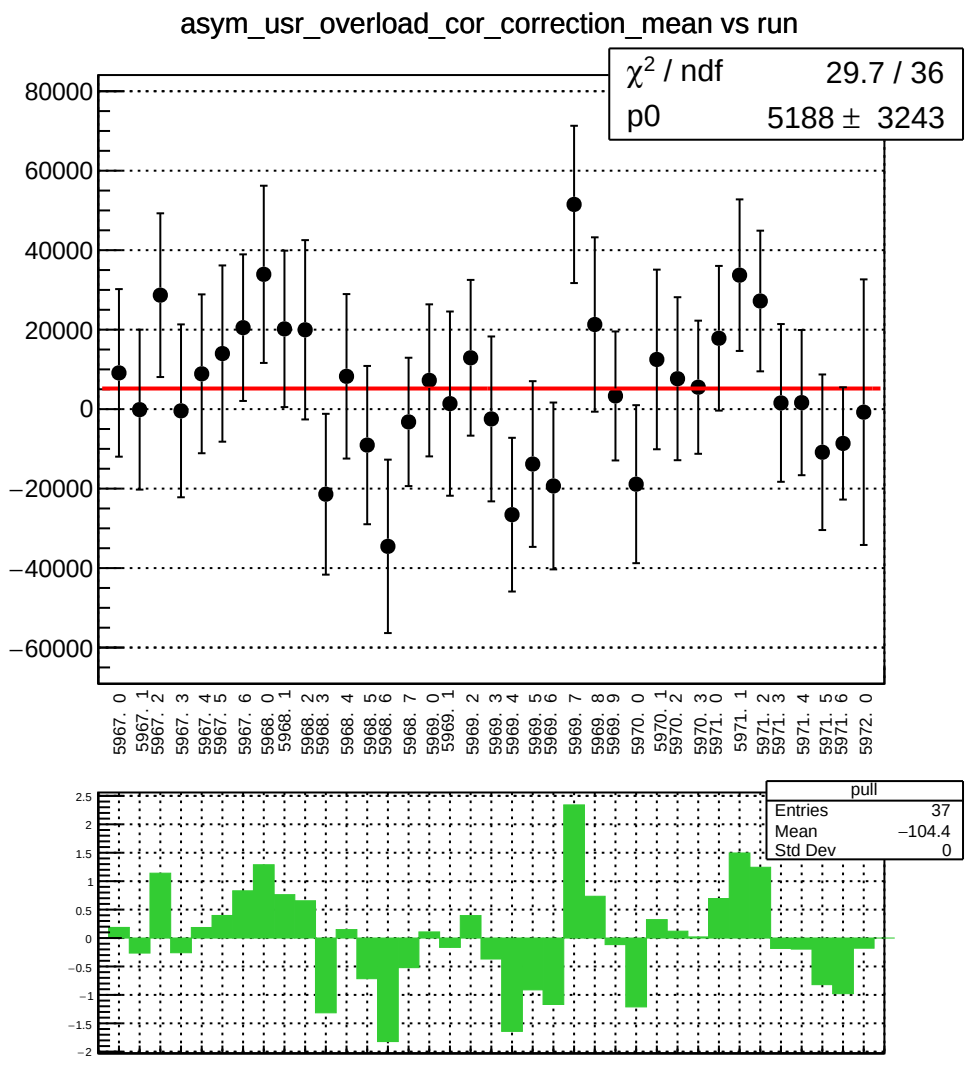
asym_usr_overload_cor_correction_mean vs run
χ² / ndf 29.7 / 36
p0 5188 ± 3243
80000
60000
40000
20000
0
−20000
−40000
−60000
5967. 0
5967. 1
5967. 2
5967. 3
5967. 4
5967. 5
5967. 6
5968. 0
5968. 1
5968. 2
5968. 3
5968. 4
5968. 5
5968. 6
5968. 7
5969. 0
5969. 1
5969. 2
5969. 3
5969. 4
5969. 5
5969. 6
5969. 7
5969. 8
5969. 9
5970. 0
5970. 1
5970. 2
5970. 3
5971. 0
5971. 1
5971. 2
5971. 3
5971. 4
5971. 5
5971. 6
5972. 0
pull
Entries 37
Mean −104.4
Std Dev 0
2.5
2
1.5
1
0.5
0
−0.5
−1
−1.5
−2
pull1D
Entries 37
Mean 0.006587
Std Dev 0.896
9
8
7
6
5
4
3
2
1
0
−8
−6
−4
−2
0
2
4
6
8

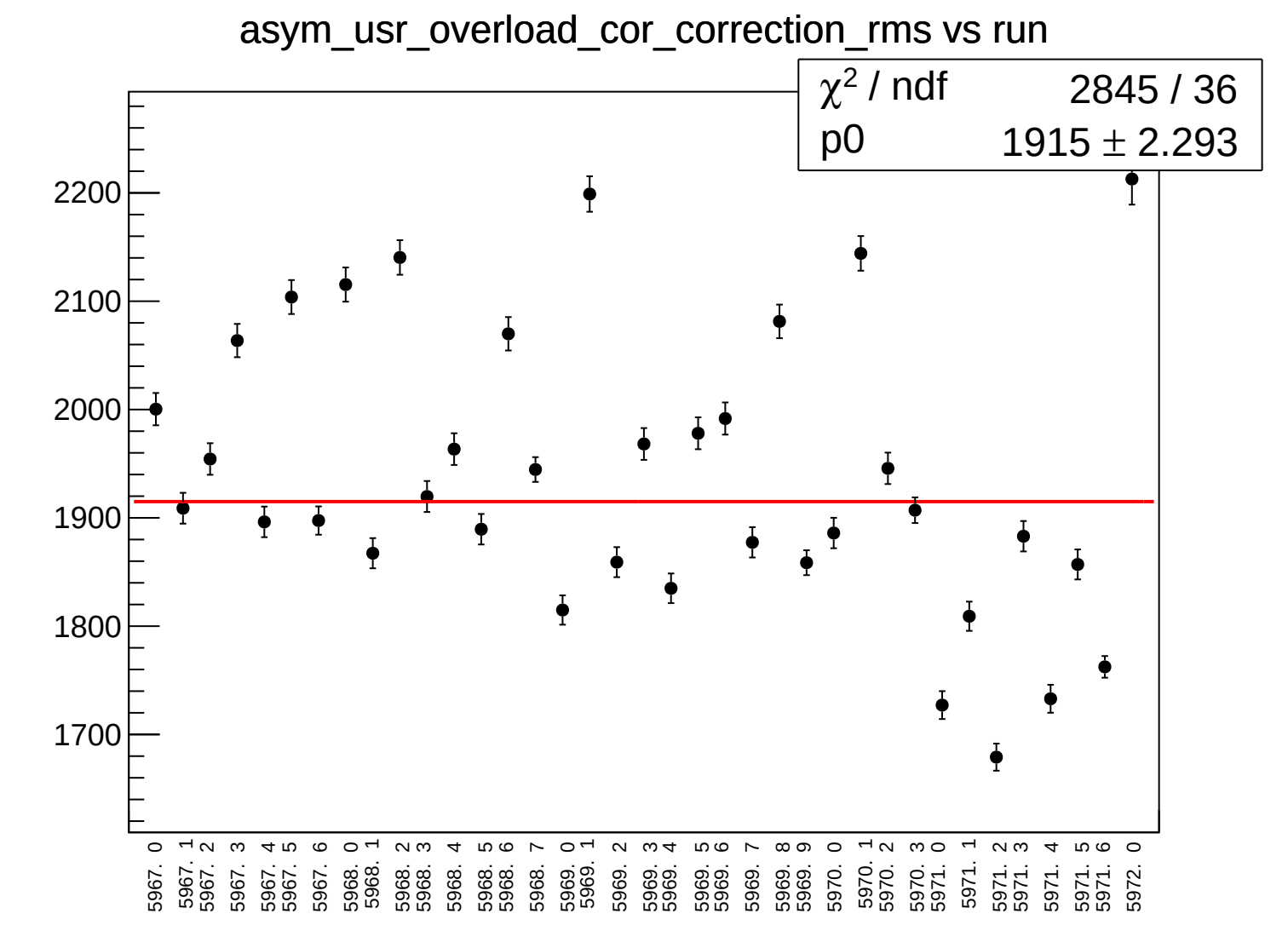
asym_usr_overload_cor_correction_rms vs run
χ² / ndf 2845 / 36
p0 1915 ± 2.293
2200
2100
2000
1900
1800
1700
5967. 0
5967. 1
5967. 2
5967. 3
5967. 4
5967. 5
5967. 6
5968. 0
5968. 1
5968. 2
5968. 3
5968. 4
5968. 5
5968. 6
5968. 7
5969. 0
5969. 1
5969. 2
5969. 3
5969. 4
5969. 5
5969. 6
5969. 7
5969. 8
5969. 9
5970. 0
5970. 1
5970. 2
5970. 3
5971. 0
5971. 1
5971. 2
5971. 3
5971. 4
5971. 5
5971. 6
5972. 0

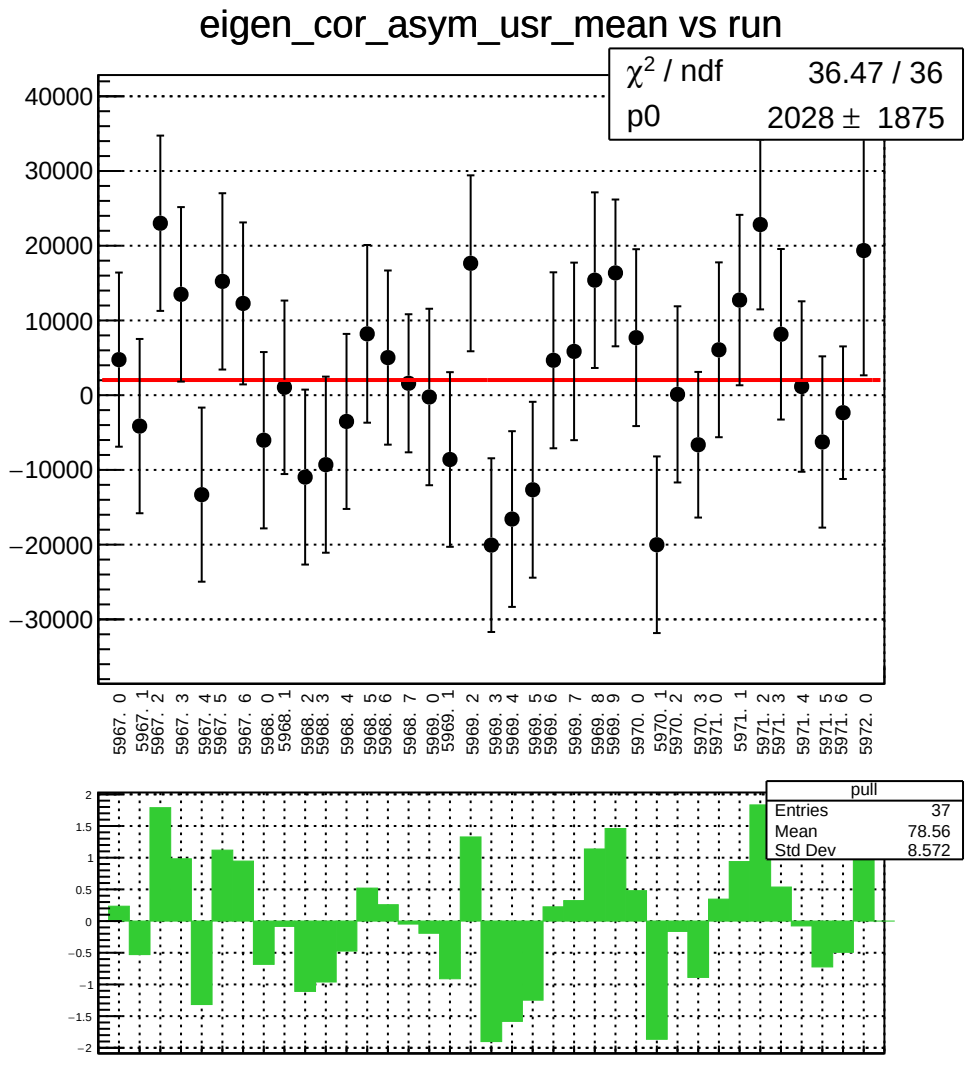
eigen_cor_asym_usr_mean vs run
χ² / ndf 36.47 / 36
p0 2028 ± 1875
40000
30000
20000
10000
0
−10000
−20000
−30000
5967. 0
5967. 1
5967. 2
5967. 3
5967. 4
5967. 5
5967. 6
5968. 0
5968. 1
5968. 2
5968. 3
5968. 4
5968. 5
5968. 6
5968. 7
5969. 0
5969. 1
5969. 2
5969. 3
5969. 4
5969. 5
5969. 6
5969. 7
5969. 8
5969. 9
5970. 0
5970. 1
5970. 2
5970. 3
5971. 0
5971. 1
5971. 2
5971. 3
5971. 4
5971. 5
5971. 6
5972. 0
pull
Entries 37
Mean 78.56
Std Dev 8.572
2
1.5
1
0.5
0
−0.5
−1
−1.5
−2
pull1D
Entries 37
Mean 0.006541
Std Dev 0.9928
6
5
4
3
2
1
0
−8
−6
−4
−2
0
2
4
6
8

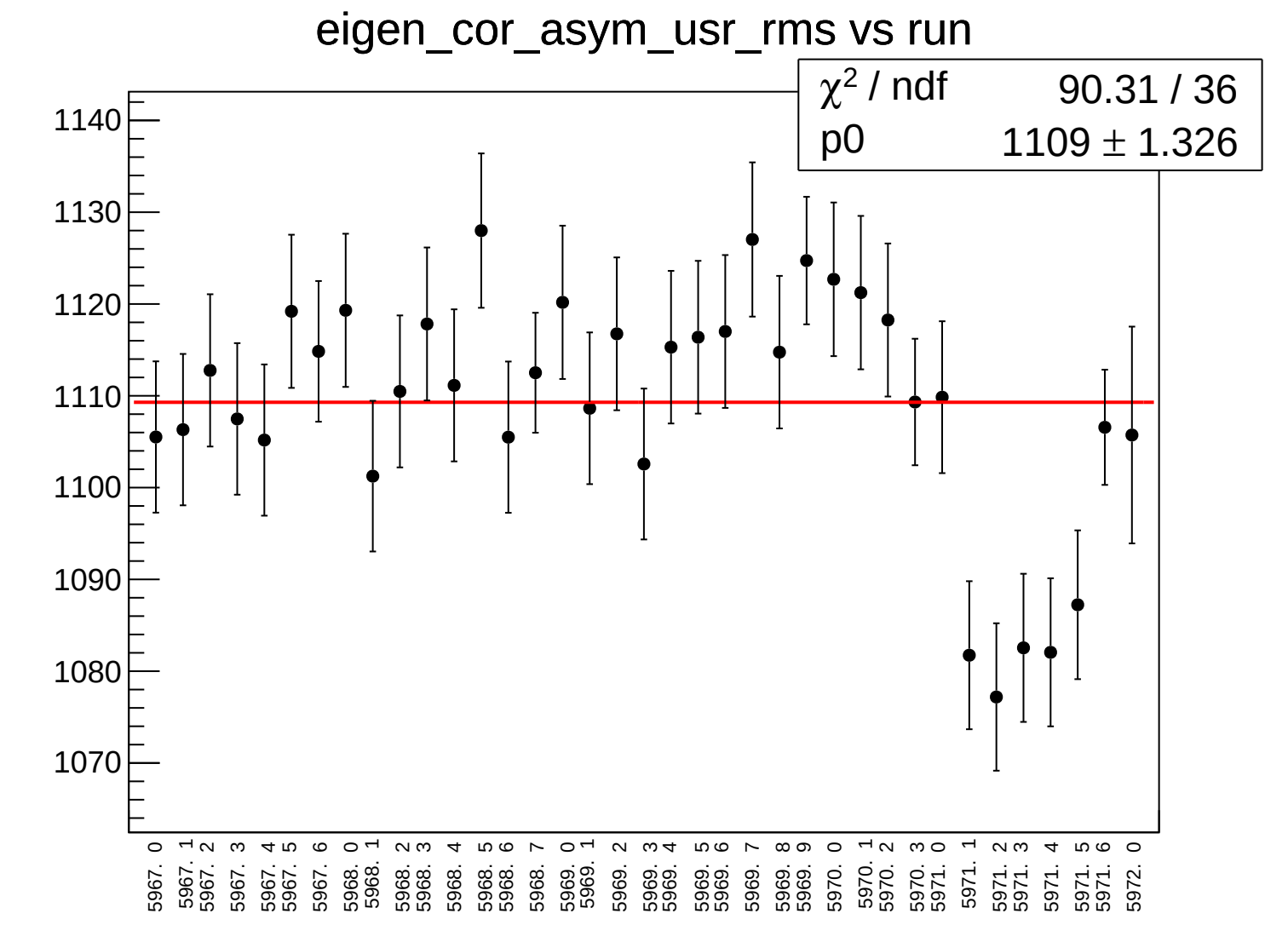
eigen_cor_asym_usr_rms vs run
χ² / ndf 90.31 / 36
p0 1109 ± 1.326
1140
1130
1120
1110
1100
1090
1080
1070
5967. 0
5967. 1
5967. 2
5967. 3
5967. 4
5967. 5
5967. 6
5968. 0
5968. 1
5968. 2
5968. 3
5968. 4
5968. 5
5968. 6
5968. 7
5969. 0
5969. 1
5969. 2
5969. 3
5969. 4
5969. 5
5969. 6
5969. 7
5969. 8
5969. 9
5970. 0
5970. 1
5970. 2
5970. 3
5971. 0
5971. 1
5971. 2
5971. 3
5971. 4
5971. 5
5971. 6
5972. 0

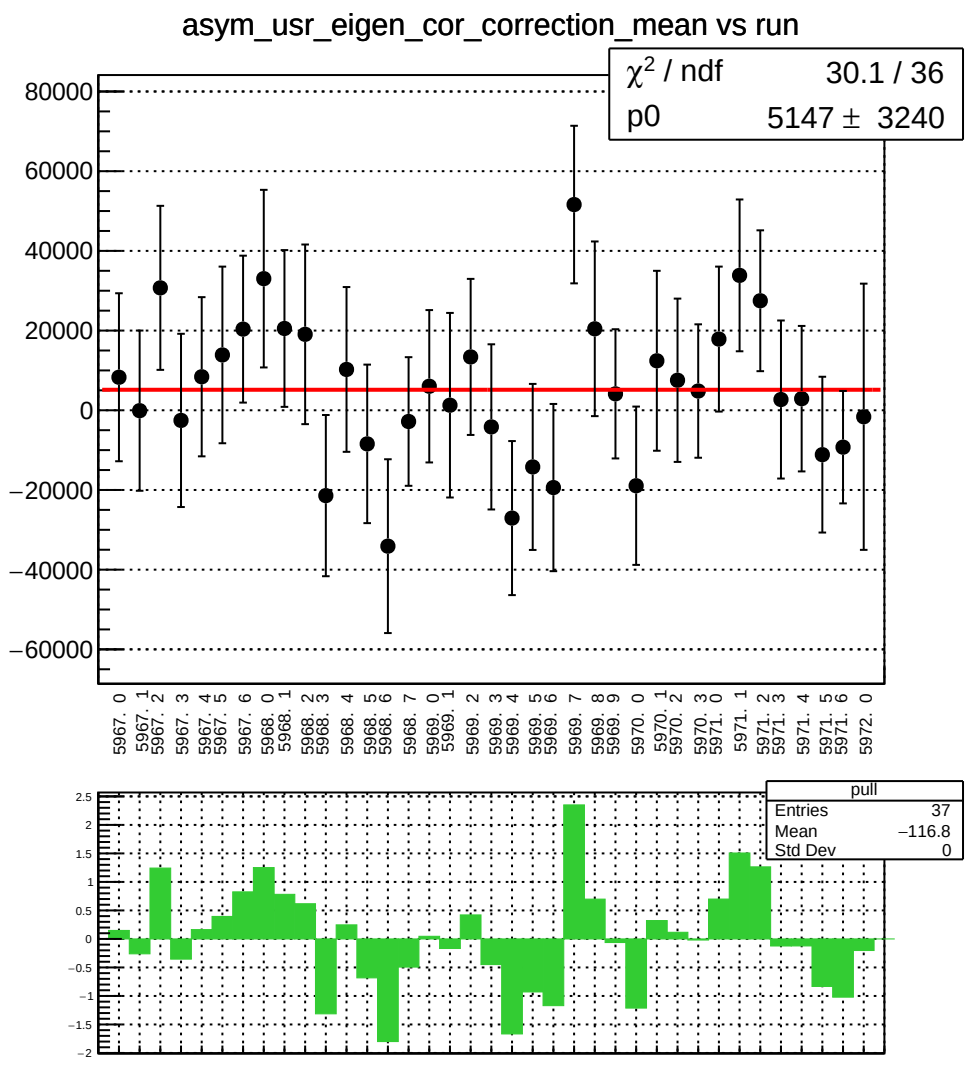
asym_usr_eigen_cor_correction_mean vs run
χ² / ndf 30.1 / 36
p0 5147 ± 3240
80000
60000
40000
20000
0
−20000
−40000
−60000
5967. 0
5967. 1
5967. 2
5967. 3
5967. 4
5967. 5
5967. 6
5968. 0
5968. 1
5968. 2
5968. 3
5968. 4
5968. 5
5968. 6
5968. 7
5969. 0
5969. 1
5969. 2
5969. 3
5969. 4
5969. 5
5969. 6
5969. 7
5969. 8
5969. 9
5970. 0
5970. 1
5970. 2
5970. 3
5971. 0
5971. 1
5971. 2
5971. 3
5971. 4
5971. 5
5971. 6
5972. 0
pull
Entries 37
Mean −116.8
Std Dev 0
2.5
2
1.5
1
0.5
0
−0.5
−1
−1.5
−2
pull1D
Entries 37
Mean 0.005777
Std Dev 0.9019
8
7
6
5
4
3
2
1
0
−8
−6
−4
−2
0
2
4
6
8

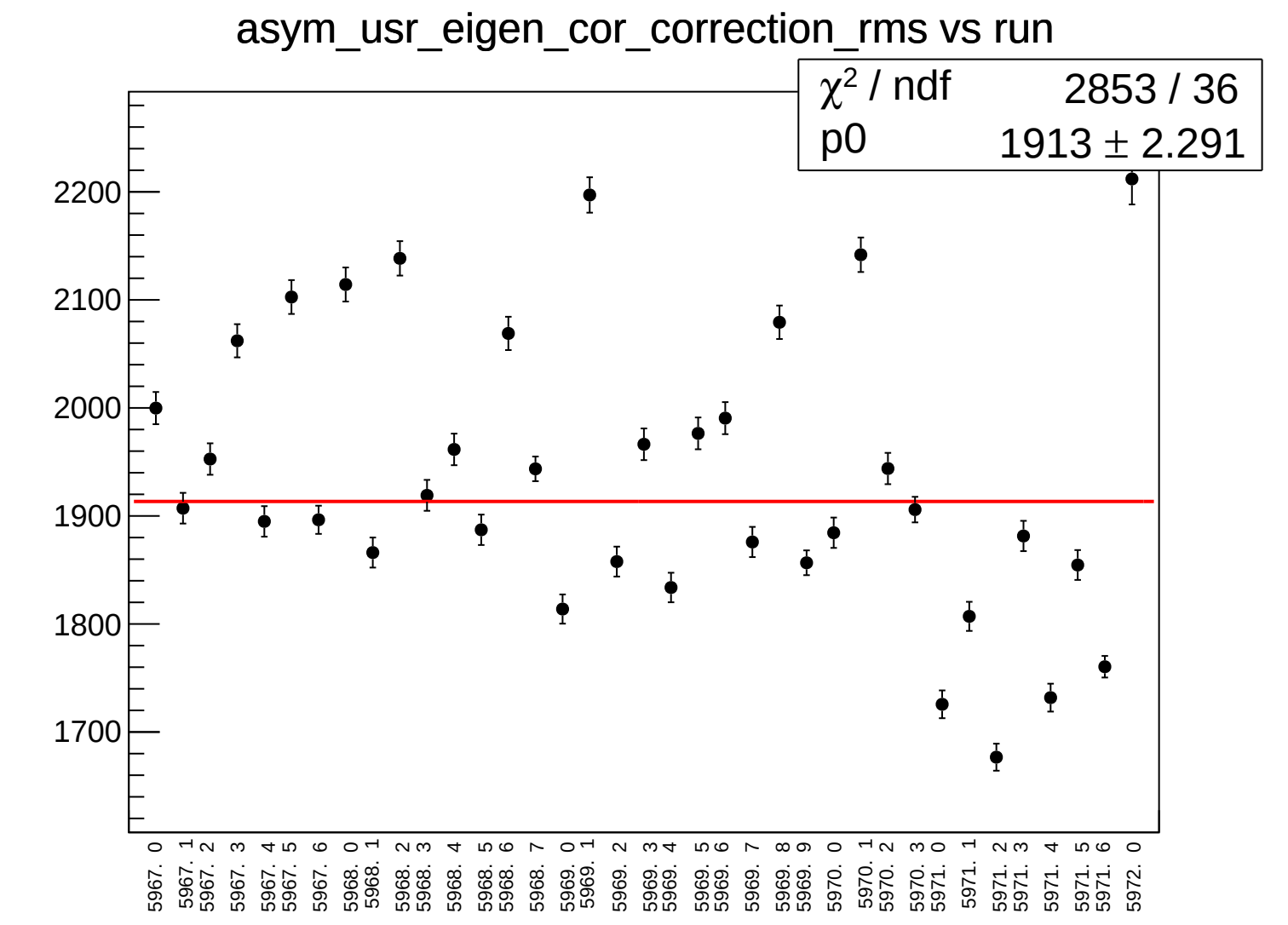
asym_usr_eigen_cor_correction_rms vs run
χ² / ndf 2853 / 36
p0 1913 ± 2.291
2200
2100
2000
1900
1800
1700
5967. 0
5967. 1
5967. 2
5967. 3
5967. 4
5967. 5
5967. 6
5968. 0
5968. 1
5968. 2
5968. 3
5968. 4
5968. 5
5968. 6
5968. 7
5969. 0
5969. 1
5969. 2
5969. 3
5969. 4
5969. 5
5969. 6
5969. 7
5969. 8
5969. 9
5970. 0
5970. 1
5970. 2
5970. 3
5971. 0
5971. 1
5971. 2
5971. 3
5971. 4
5971. 5
5971. 6
5972. 0

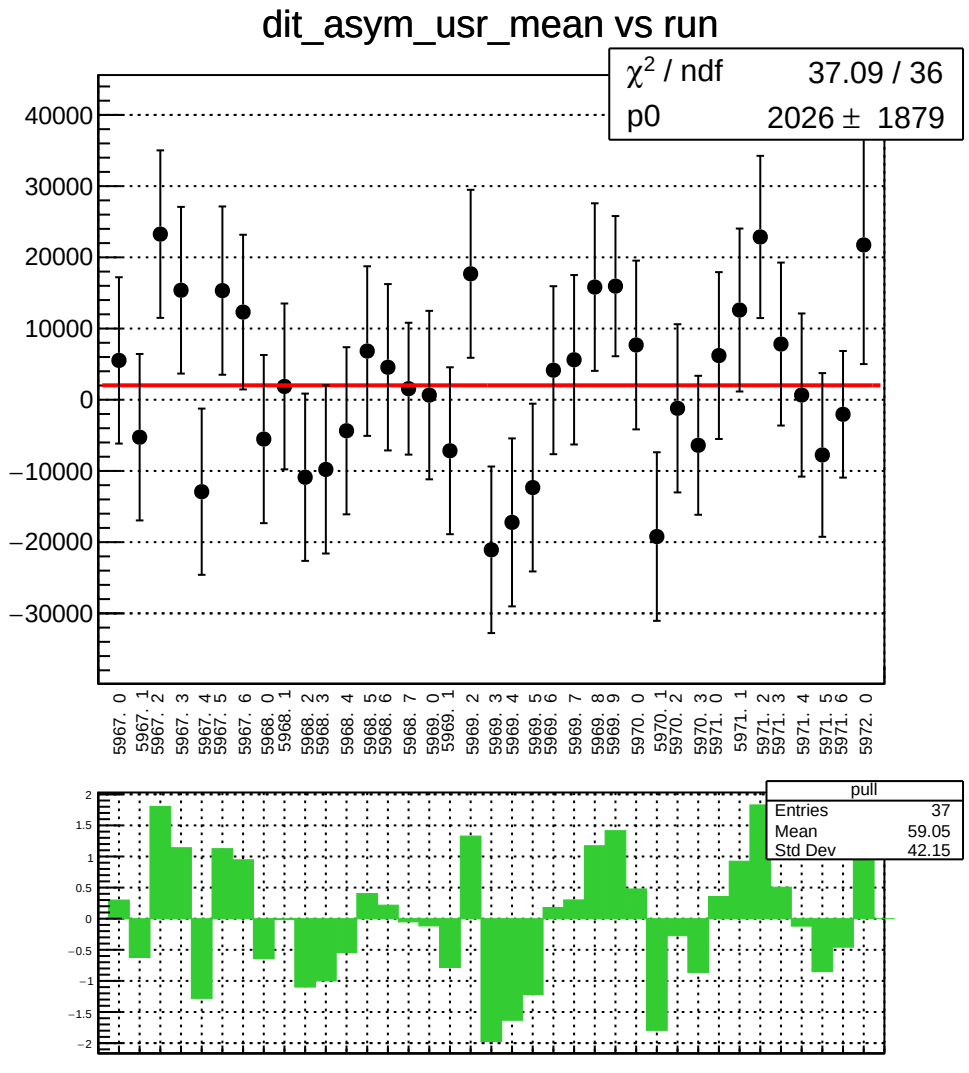
dit_asym_usr_mean vs run
χ^2 / ndf 37.09 / 36
p0 2026 ± 1879
40000
30000
20000
10000
0
−10000
−20000
−30000
5967. 0
5967. 1
5967. 2
5967. 3
5967. 4
5967. 5
5967. 6
5968. 0
5968. 1
5968. 2
5968. 3
5968. 4
5968. 5
5968. 6
5968. 7
5969. 0
5969. 1
5969. 2
5969. 3
5969. 4
5969. 5
5969. 6
5969. 7
5969. 8
5969. 9
5970. 0
5970. 1
5970. 2
5970. 3
5971. 0
5971. 1
5971. 2
5971. 3
5971. 4
5971. 5
5971. 6
5972. 0
pull
Entries 37
Mean 59.05
Std Dev 42.15
2
1.5
1
0.5
0
−0.5
−1
−1.5
−2
pull1D
Entries 37
Mean 0.00742
Std Dev 1.001
6
5
4
3
2
1
0
−8
−6
−4
−2
0
2
4
6
8

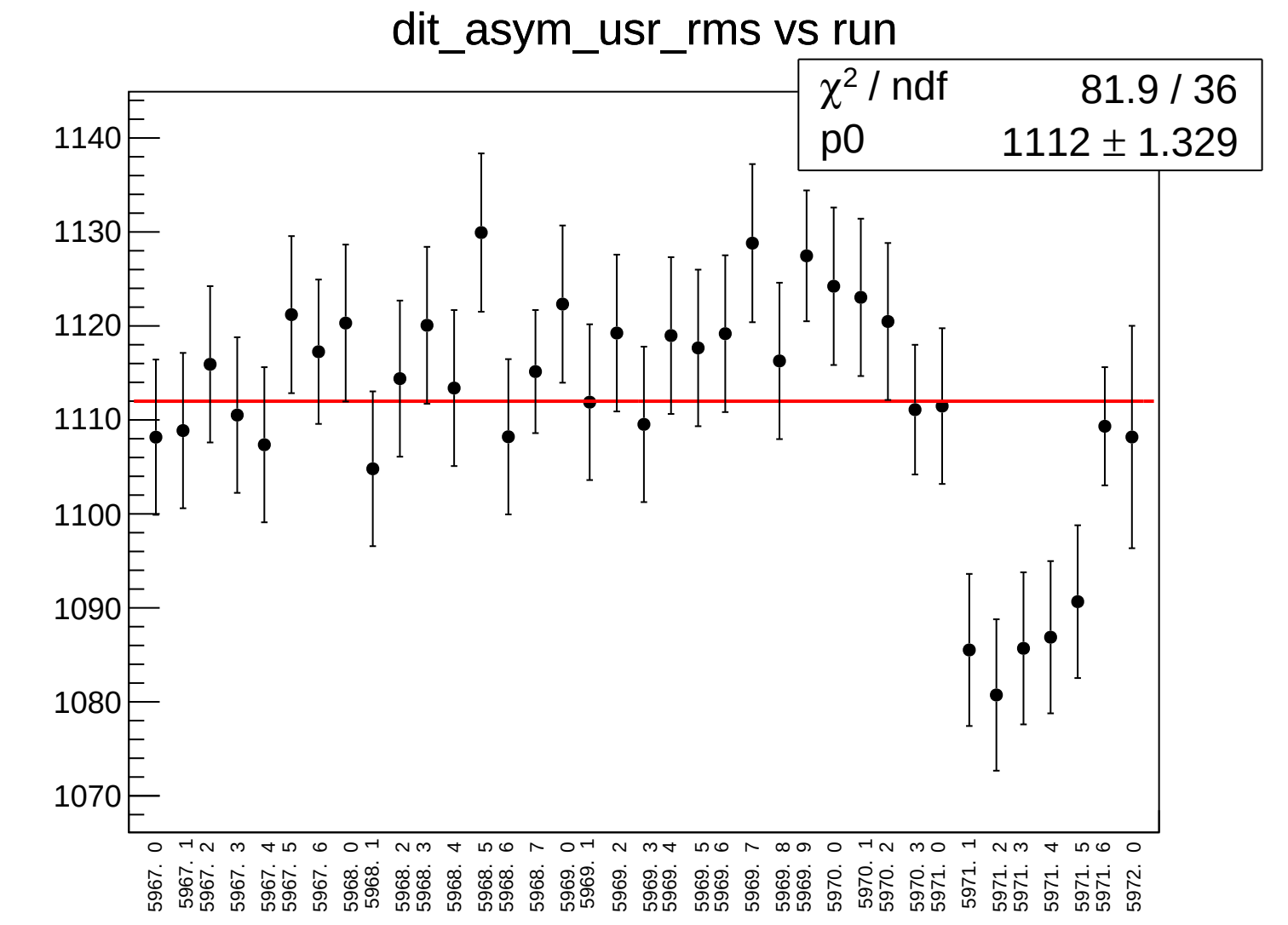
dit_asym_usr_rms vs run
χ² / ndf 81.9 / 36
p0 1112 ± 1.329
1140
1130
1120
1110
1100
1090
1080
1070
5967. 0
5967. 1
5967. 2
5967. 3
5967. 4
5967. 5
5967. 6
5968. 0
5968. 1
5968. 2
5968. 3
5968. 4
5968. 5
5968. 6
5968. 7
5969. 0
5969. 1
5969. 2
5969. 3
5969. 4
5969. 5
5969. 6
5969. 7
5969. 8
5969. 9
5970. 0
5970. 1
5970. 2
5970. 3
5971. 0
5971. 1
5971. 2
5971. 3
5971. 4
5971. 5
5971. 6
5972. 0

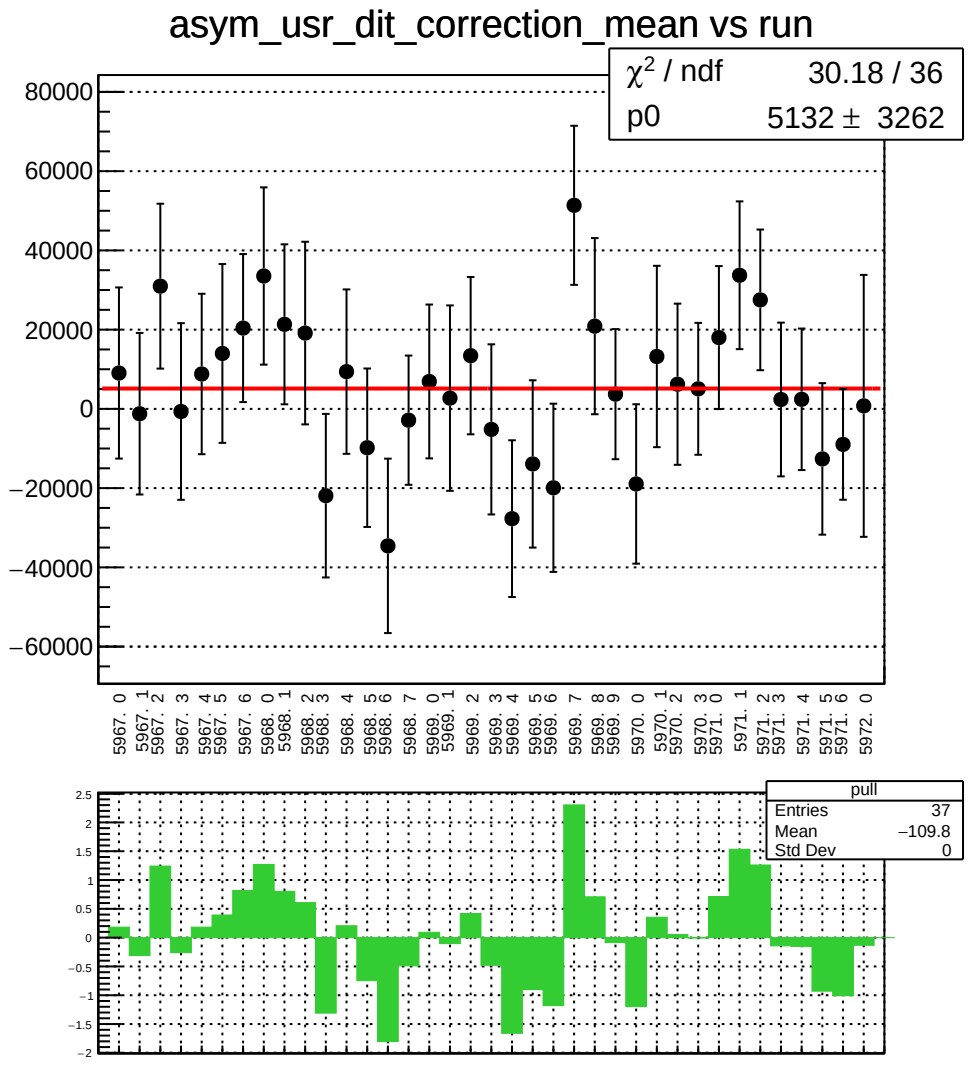
asym_usr_dit_correction_mean vs run
χ² / ndf 30.18 / 36
p0 5132 ± 3262
80000
60000
40000
20000
0
−20000
−40000
−60000
5967. 0
5967. 1
5967. 2
5967. 3
5967. 4
5967. 5
5967. 6
5968. 0
5968. 1
5968. 2
5968. 3
5968. 4
5968. 5
5968. 6
5968. 7
5969. 0
5969. 1
5969. 2
5969. 3
5969. 4
5969. 5
5969. 6
5969. 7
5969. 8
5969. 9
5970. 0
5970. 1
5970. 2
5970. 3
5971. 0
5971. 1
5971. 2
5971. 3
5971. 4
5971. 5
5971. 6
5972. 0
pull
Entries 37
Mean −109.8
Std Dev 0
2.5
2
1.5
1
0.5
0
−0.5
−1
−1.5
−2
pull1D
Entries 37
Mean 0.006476
Std Dev 0.9031
8
7
6
5
4
3
2
1
0
−8
−6
−4
−2
0
2
4
6
8

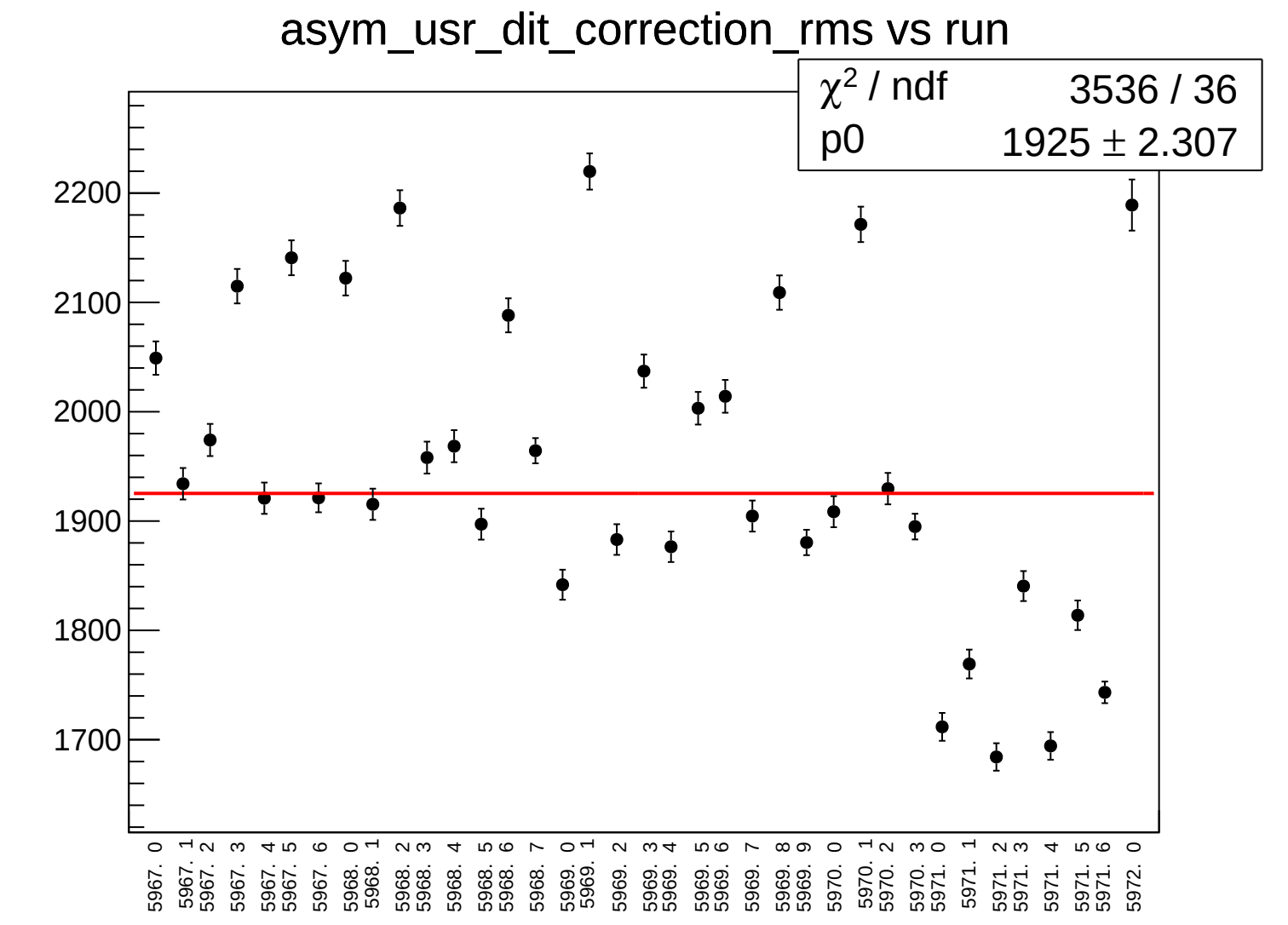
asym_usr_dit_correction_rms vs run
χ² / ndf 3536 / 36
p0 1925 ± 2.307
2200
2100
2000
1900
1800
1700
5967. 0
5967. 1
5967. 2
5967. 3
5967. 4
5967. 5
5967. 6
5968. 0
5968. 1
5968. 2
5968. 3
5968. 4
5968. 5
5968. 6
5968. 7
5969. 0
5969. 1
5969. 2
5969. 3
5969. 4
5969. 5
5969. 6
5969. 7
5969. 8
5969. 9
5970. 0
5970. 1
5970. 2
5970. 3
5971. 0
5971. 1
5971. 2
5971. 3
5971. 4
5971. 5
5971. 6
5972. 0

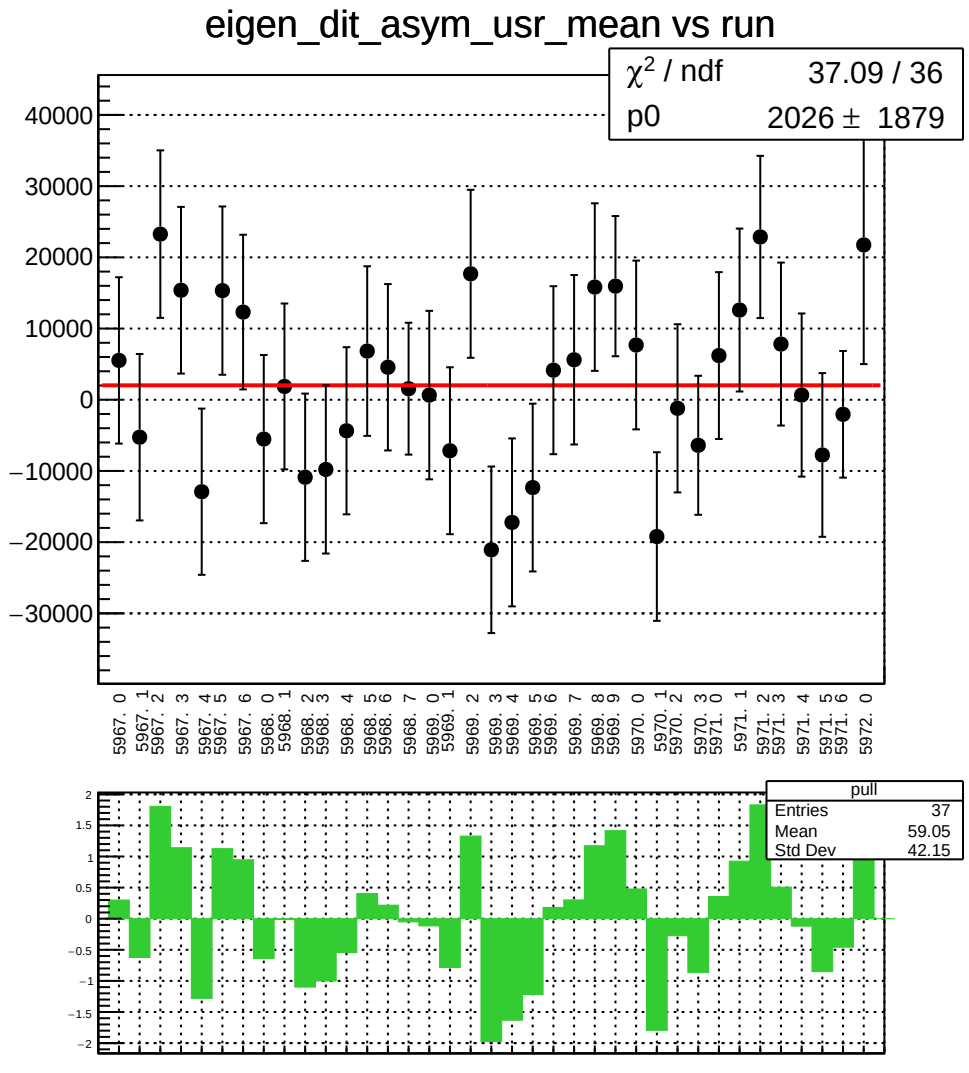
eigen_dit_asym_usr_mean vs run
χ² / ndf 37.09 / 36
p0 2026 ± 1879
pull
Entries 37
Mean 59.05
Std Dev 42.15

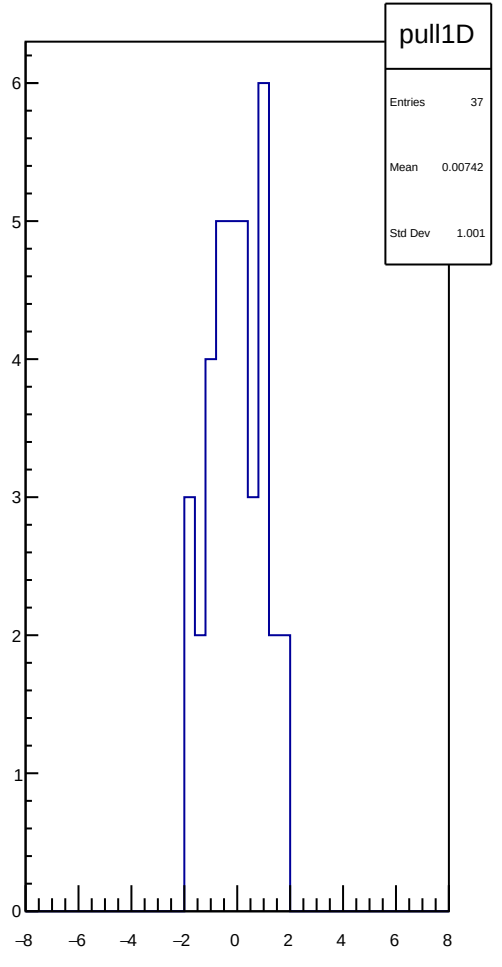
pull1D
Entries 37
Mean 0.00742
Std Dev 1.001

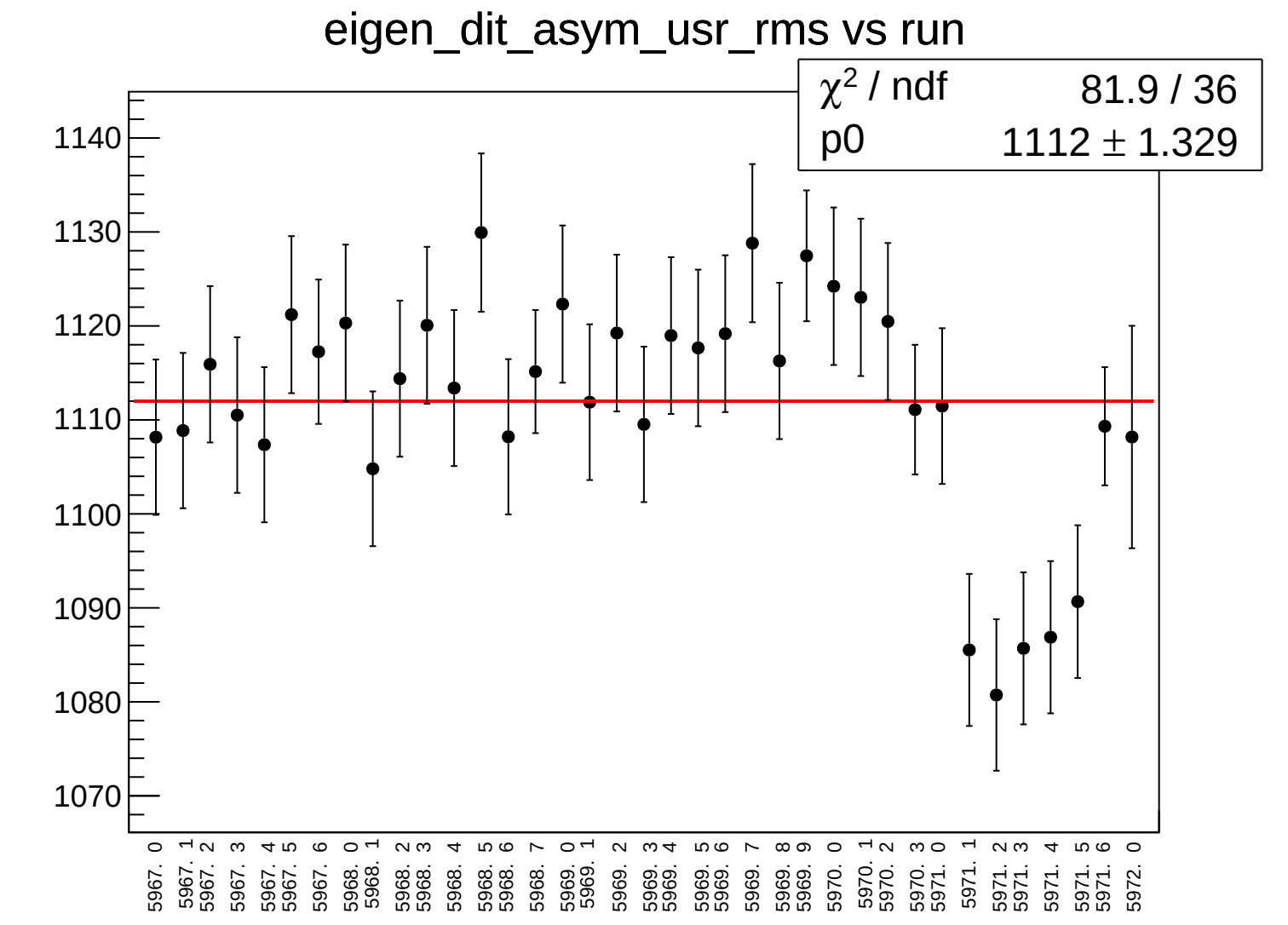
eigen_dit_asym_usr_rms vs run
χ² / ndf 81.9 / 36
p0 1112 ± 1.329
1140
1130
1120
1110
1100
1090
1080
1070
5967. 0
5967. 1
5967. 2
5967. 3
5967. 4
5967. 5
5967. 6
5968. 0
5968. 1
5968. 2
5968. 3
5968. 4
5968. 5
5968. 6
5968. 7
5969. 0
5969. 1
5969. 2
5969. 3
5969. 4
5969. 5
5969. 6
5969. 7
5969. 8
5969. 9
5970. 0
5970. 1
5970. 2
5970. 3
5971. 0
5971. 1
5971. 2
5971. 3
5971. 4
5971. 5
5971. 6
5972. 0

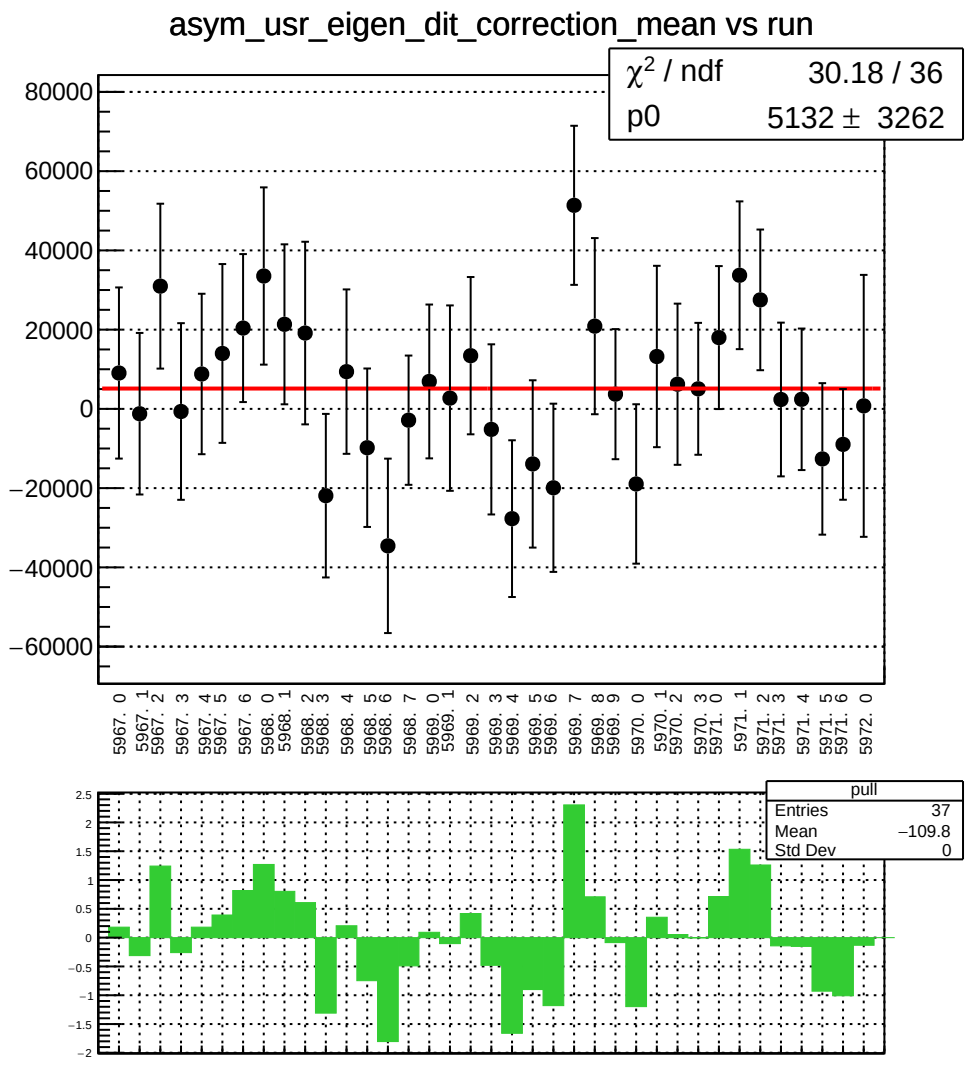
asym_usr_eigen_dit_correction_mean vs run
χ² / ndf 30.18 / 36
p0 5132 ± 3262
80000
60000
40000
20000
0
−20000
−40000
−60000
5967. 0
5967. 1
5967. 2
5967. 3
5967. 4
5967. 5
5967. 6
5968. 0
5968. 1
5968. 2
5968. 3
5968. 4
5968. 5
5968. 6
5968. 7
5969. 0
5969. 1
5969. 2
5969. 3
5969. 4
5969. 5
5969. 6
5969. 7
5969. 8
5969. 9
5970. 0
5970. 1
5970. 2
5970. 3
5971. 0
5971. 1
5971. 2
5971. 3
5971. 4
5971. 5
5971. 6
5972. 0
pull
Entries 37
Mean −109.8
Std Dev 0
2.5
2
1.5
1
0.5
0
−0.5
−1
−1.5
−2
pull1D
Entries 37
Mean 0.006476
Std Dev 0.9031
8
7
6
5
4
3
2
1
0
−8
−6
−4
−2
0
2
4
6
8

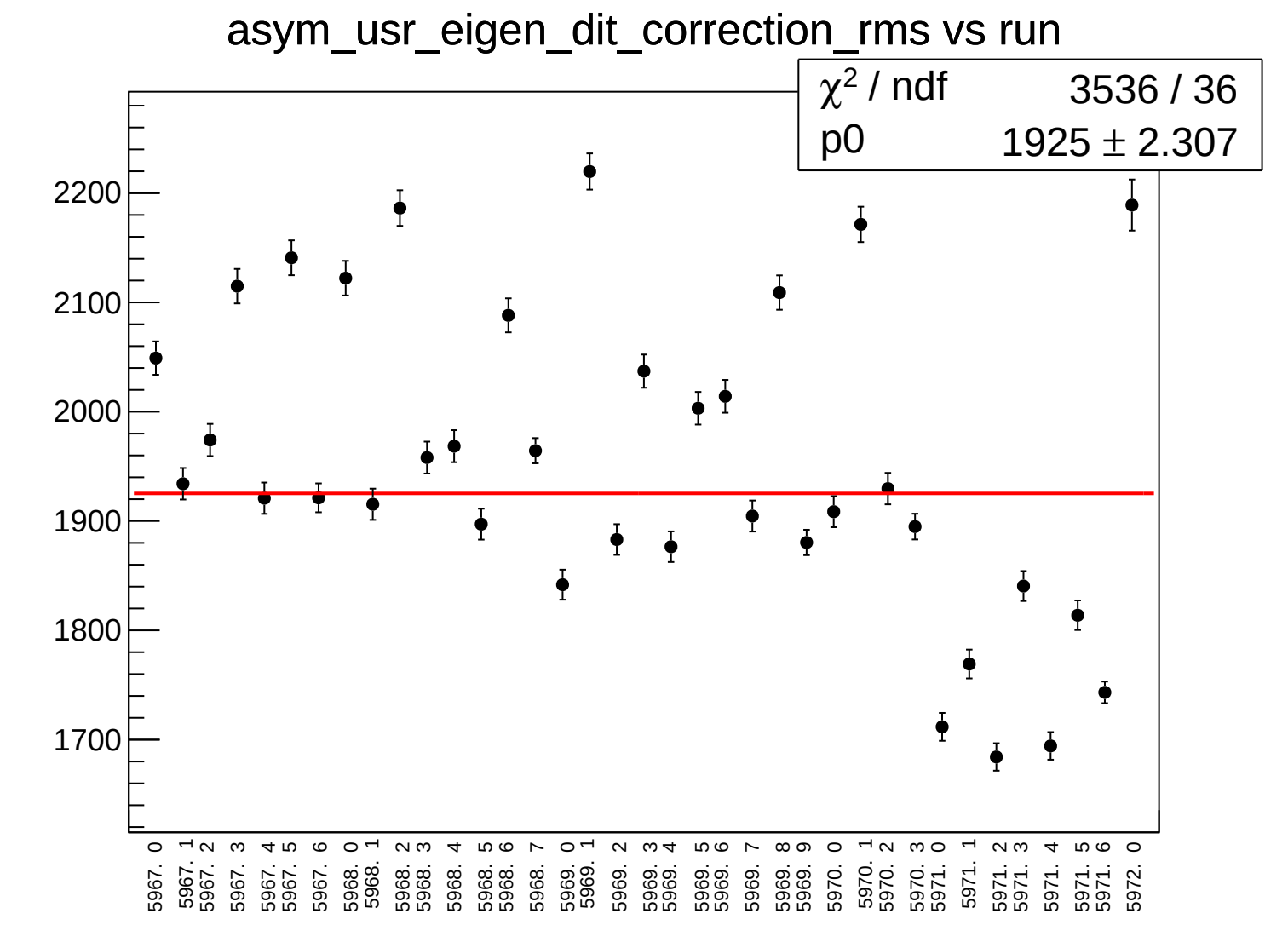
asym_usr_eigen_dit_correction_rms vs run
χ² / ndf 3536 / 36
p0 1925 ± 2.307
2200
2100
2000
1900
1800
1700
5967. 0
5967. 1
5967. 2
5967. 3
5967. 4
5967. 5
5967. 6
5968. 0
5968. 1
5968. 2
5968. 3
5968. 4
5968. 5
5968. 6
5968. 7
5969. 0
5969. 1
5969. 2
5969. 3
5969. 4
5969. 5
5969. 6
5969. 7
5969. 8
5969. 9
5970. 0
5970. 1
5970. 2
5970. 3
5971. 0
5971. 1
5971. 2
5971. 3
5971. 4
5971. 5
5971. 6
5972. 0

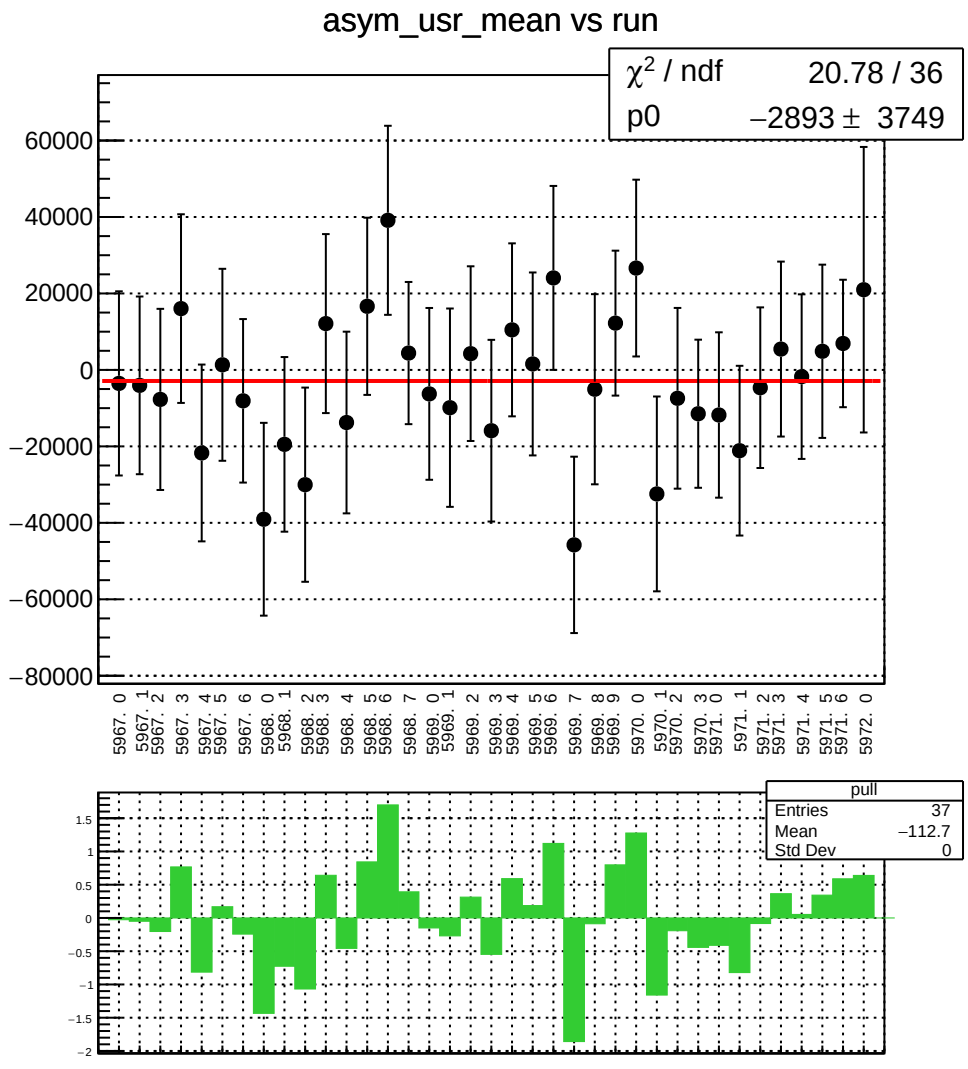
asym_usr_mean vs run
χ² / ndf 20.78 / 36
p0 −2893 ± 3749
60000
40000
20000
0
−20000
−40000
−60000
−80000
5967. 0
5967. 1
5967. 2
5967. 3
5967. 4
5967. 5
5967. 6
5968. 0
5968. 1
5968. 2
5968. 3
5968. 4
5968. 5
5968. 6
5968. 7
5969. 0
5969. 1
5969. 2
5969. 3
5969. 4
5969. 5
5969. 6
5969. 7
5969. 8
5969. 9
5970. 0
5970. 1
5970. 2
5970. 3
5971. 0
5971. 1
5971. 2
5971. 3
5971. 4
5971. 5
5971. 6
5972. 0
pull
Entries 37
Mean −112.7
Std Dev 0
1.5
1
0.5
0
−0.5
−1
−1.5
−2

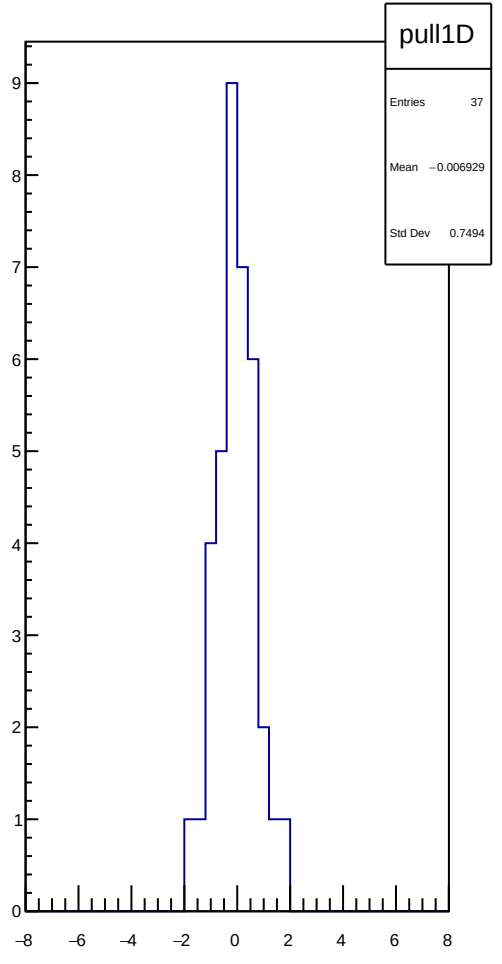
pull1D
Entries 37
Mean −0.006929
Std Dev 0.7494
9
8
7
6
5
4
3
2
1
0
−8
−6
−4
−2
0
2
4
6
8

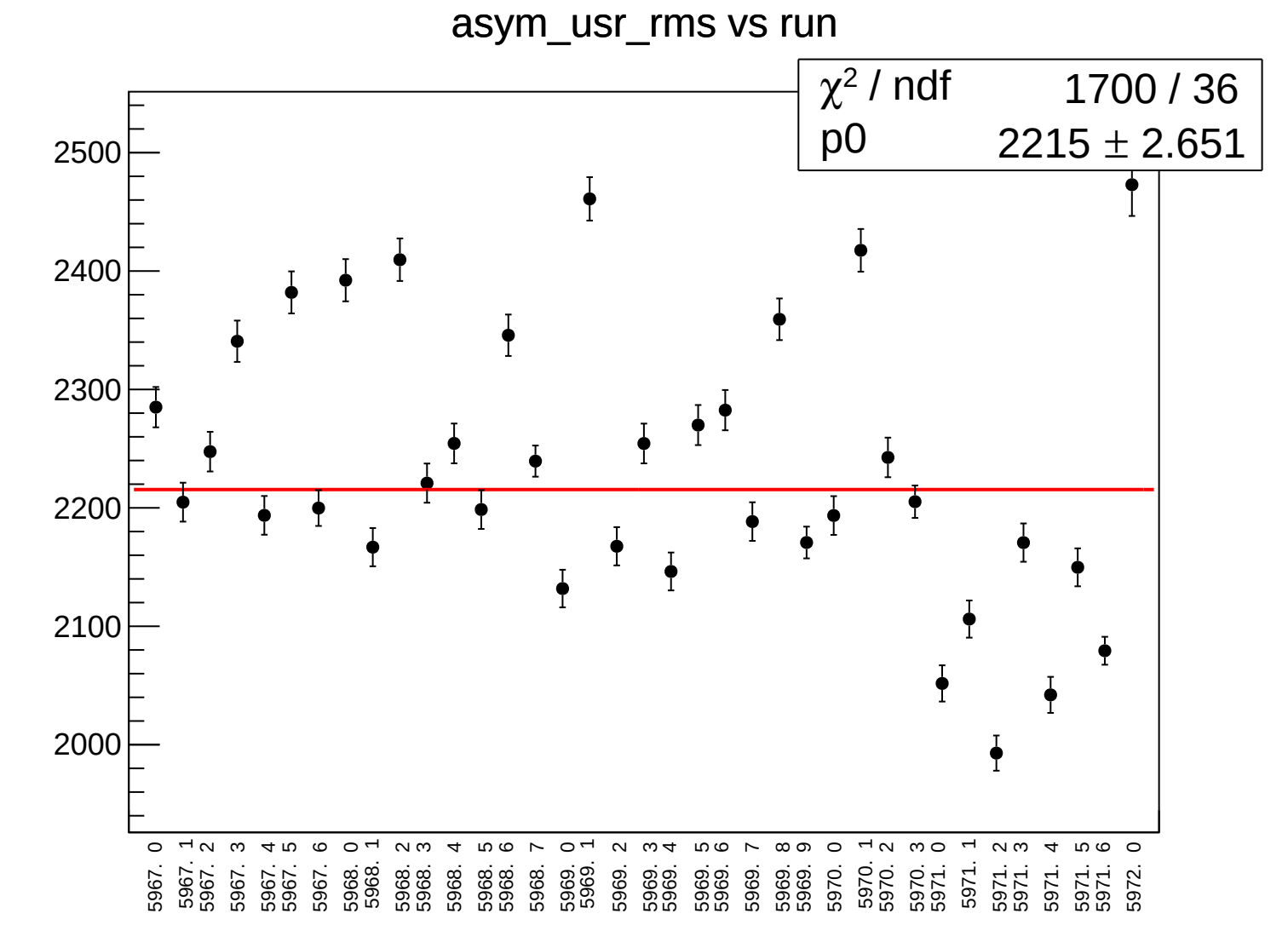
asym_usr_rms vs run
χ² / ndf 1700 / 36
p0 2215 ± 2.651
2500
2400
2300
2200
2100
2000
5967. 0
5967. 1
5967. 2
5967. 3
5967. 4
5967. 5
5967. 6
5968. 0
5968. 1
5968. 2
5968. 3
5968. 4
5968. 5
5968. 6
5968. 7
5969. 0
5969. 1
5969. 2
5969. 3
5969. 4
5969. 5
5969. 6
5969. 7
5969. 8
5969. 9
5970. 0
5970. 1
5970. 2
5970. 3
5971. 0
5971. 1
5971. 2
5971. 3
5971. 4
5971. 5
5971. 6
5972. 0

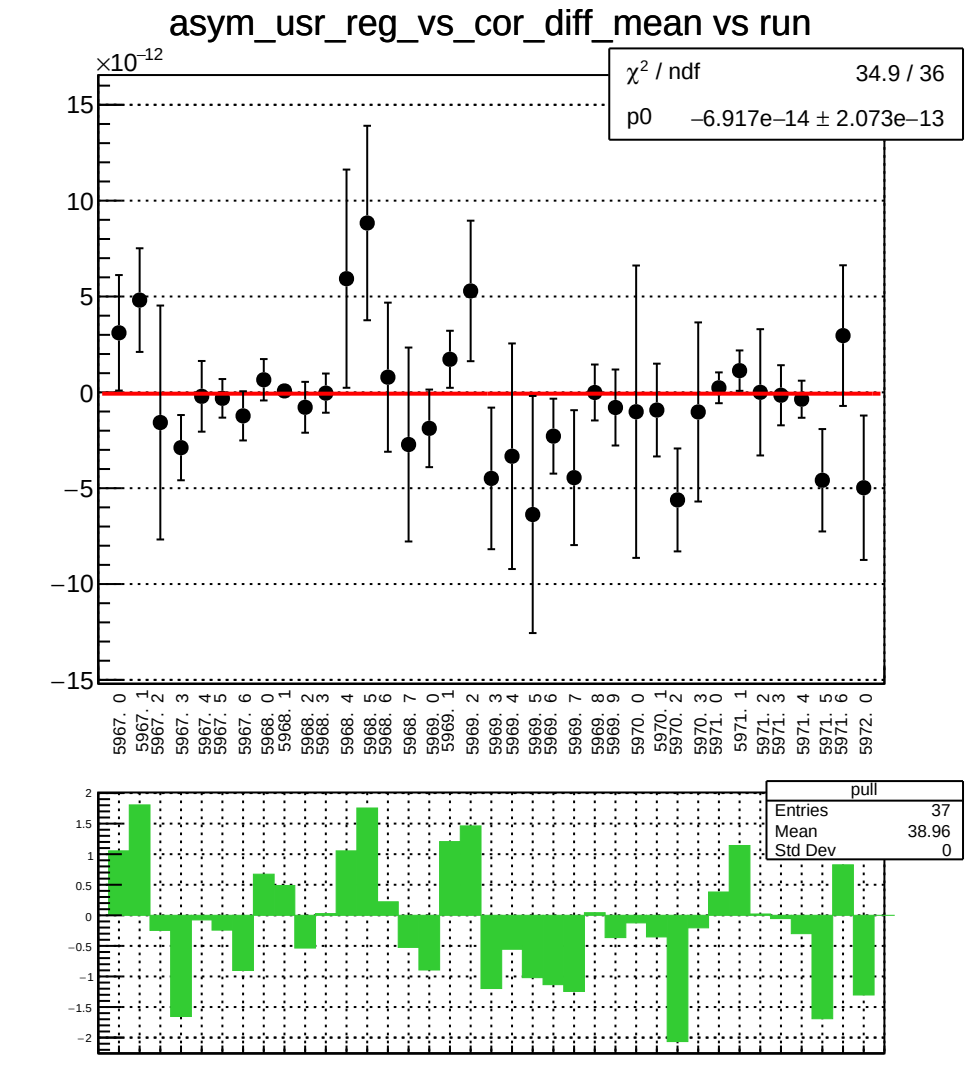
asym_usr_reg_vs_cor_diff_mean vs run
×10⁻¹²
χ² / ndf 34.9 / 36
p0 −6.917e−14 ± 2.073e−13
pull
Entries 37
Mean 38.96
Std Dev 0

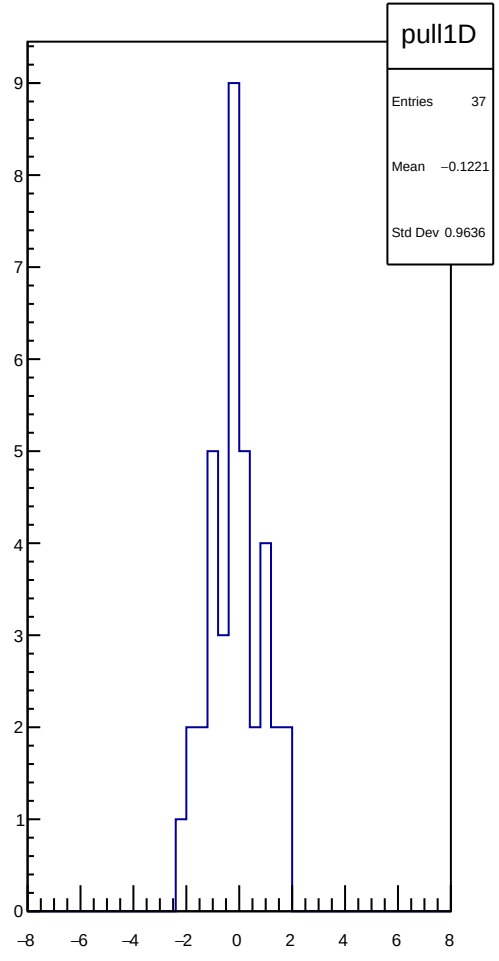
pull1D
Entries 37
Mean −0.1221
Std Dev 0.9636

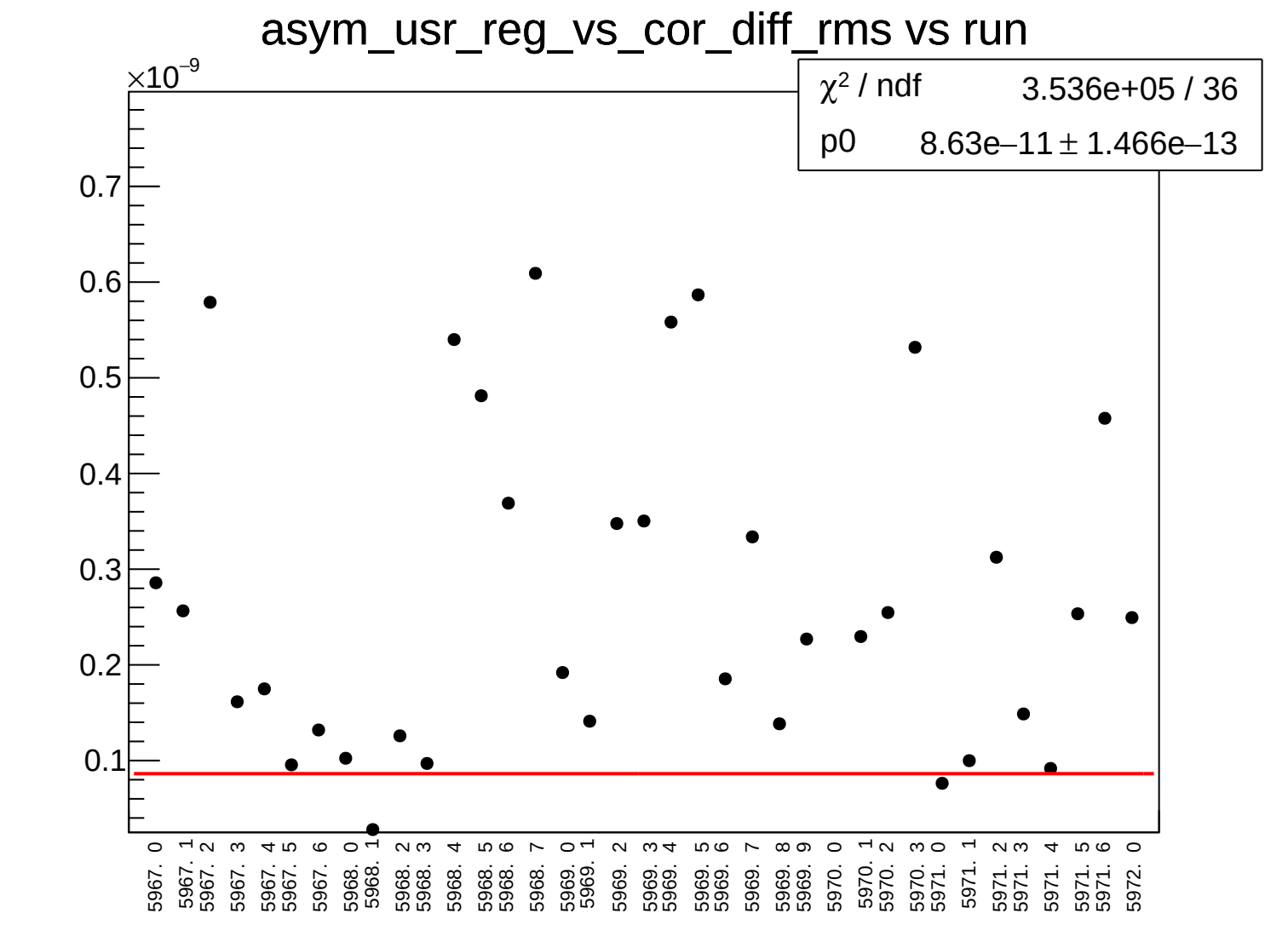
asym_usr_reg_vs_cor_diff_rms vs run
×10⁻⁹
χ² / ndf 3.536e+05 / 36
p0 8.63e−11 ± 1.466e−13
0.7
0.6
0.5
0.4
0.3
0.2
0.1
5967. 0
5967. 1
5967. 2
5967. 3
5967. 4
5967. 5
5967. 6
5968. 0
5968. 1
5968. 2
5968. 3
5968. 4
5968. 5
5968. 6
5968. 7
5969. 0
5969. 1
5969. 2
5969. 3
5969. 4
5969. 5
5969. 6
5969. 7
5969. 8
5969. 9
5970. 0
5970. 1
5970. 2
5970. 3
5971. 0
5971. 1
5971. 2
5971. 3
5971. 4
5971. 5
5971. 6
5972. 0

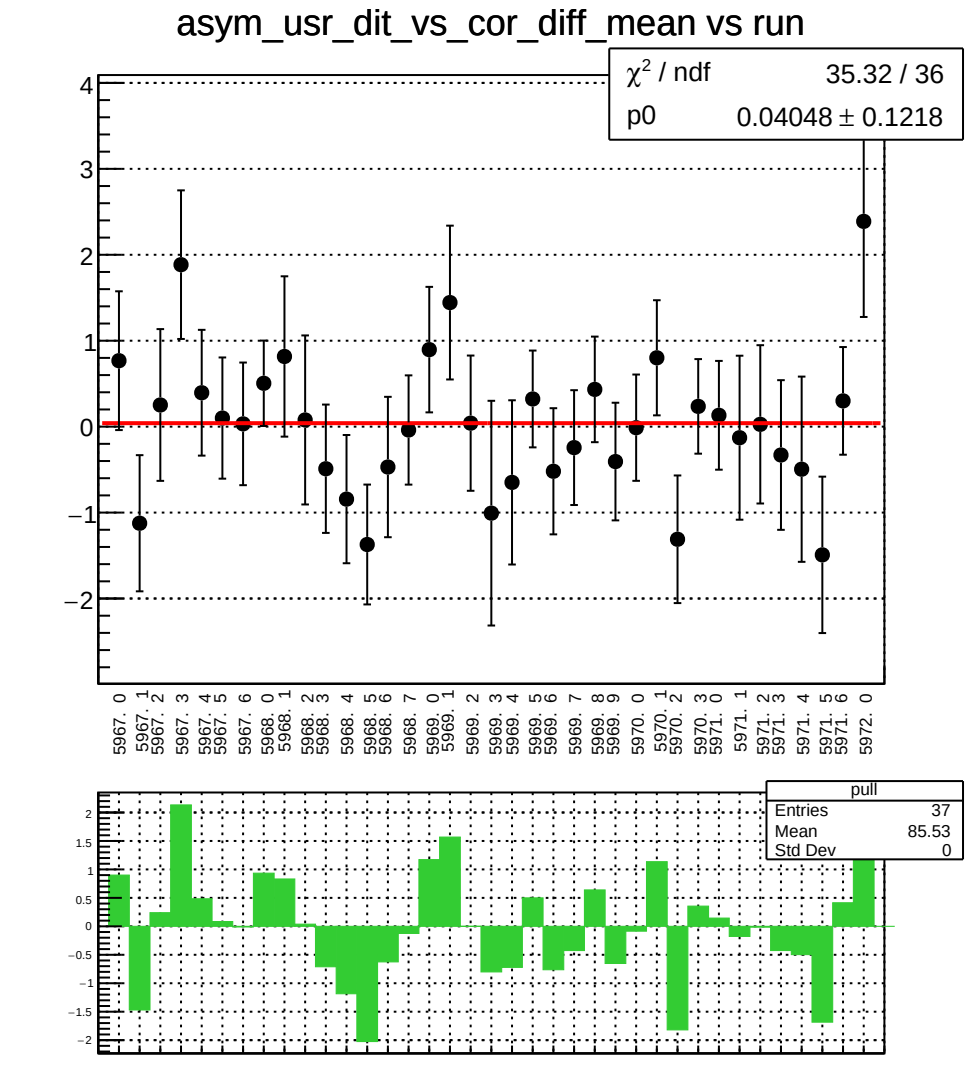
asym_usr_dit_vs_cor_diff_mean vs run
χ² / ndf 35.32 / 36
p0 0.04048 ± 0.1218
pull
Entries 37
Mean 85.53
Std Dev 0

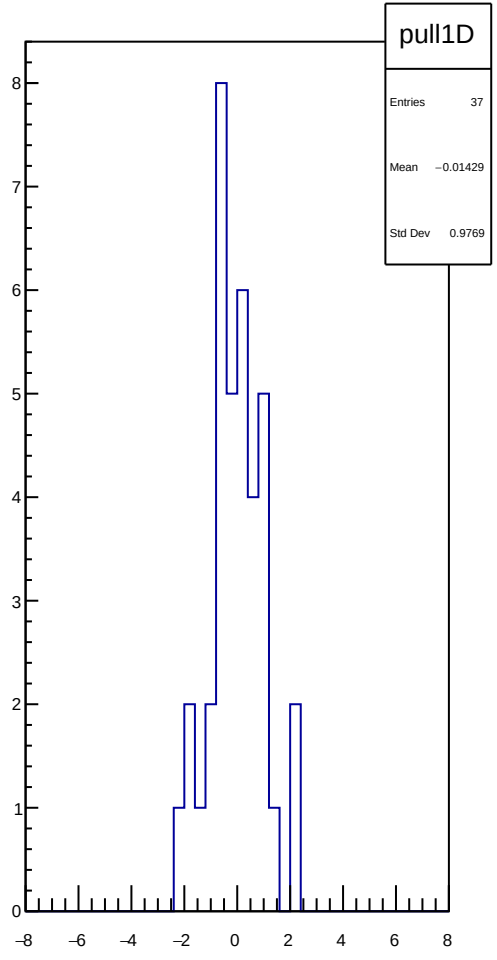
pull1D
Entries 37
Mean −0.01429
Std Dev 0.9769

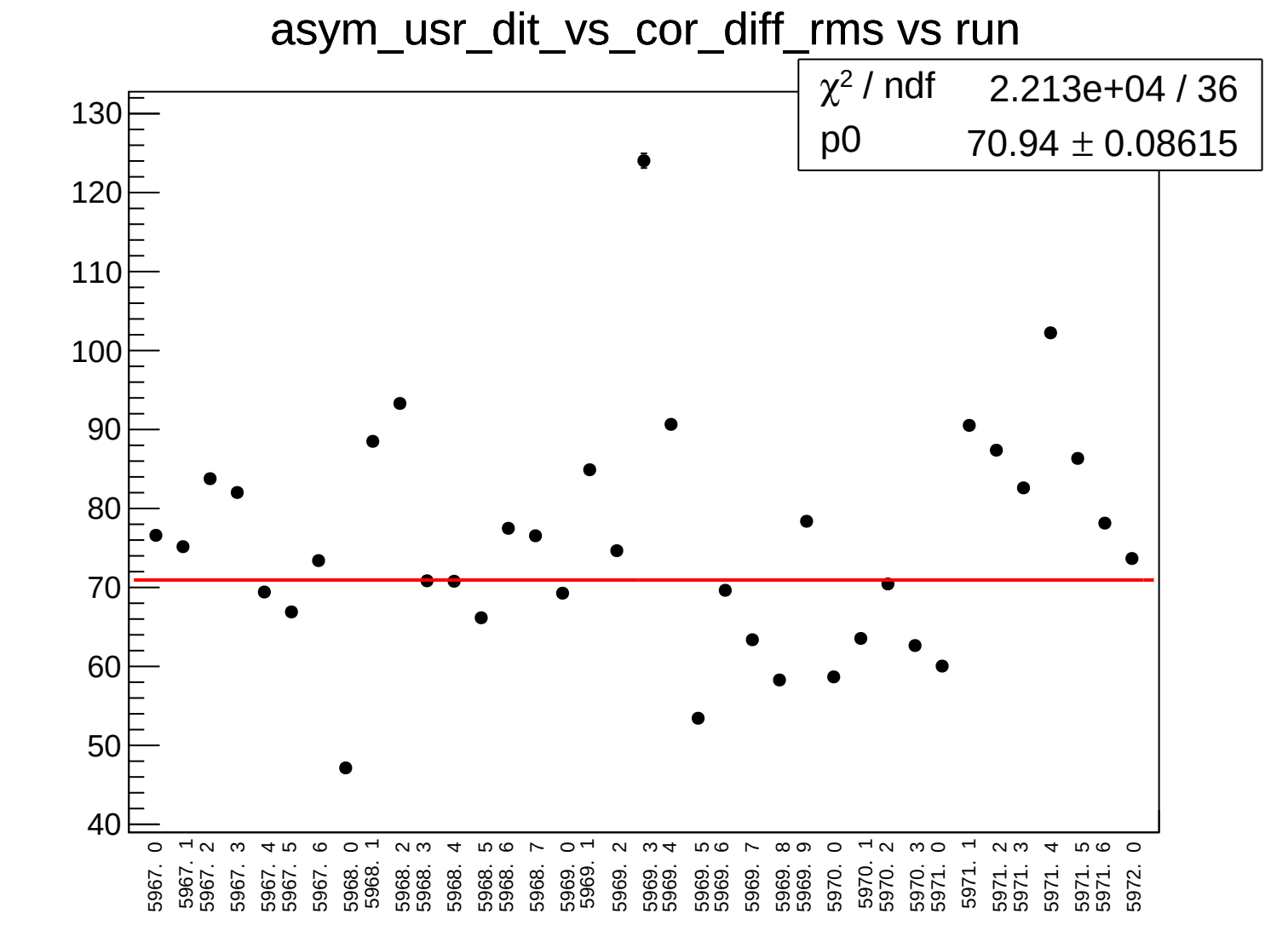
asym_usr_dit_vs_cor_diff_rms vs run
χ² / ndf 2.213e+04 / 36
p0 70.94 ± 0.08615
130
120
110
100
90
80
70
60
50
40
5967. 0
5967. 1
5967. 2
5967. 3
5967. 4
5967. 5
5967. 6
5968. 0
5968. 1
5968. 2
5968. 3
5968. 4
5968. 5
5968. 6
5968. 7
5969. 0
5969. 1
5969. 2
5969. 3
5969. 4
5969. 5
5969. 6
5969. 7
5969. 8
5969. 9
5970. 0
5970. 1
5970. 2
5970. 3
5971. 0
5971. 1
5971. 2
5971. 3
5971. 4
5971. 5
5971. 6
5972. 0

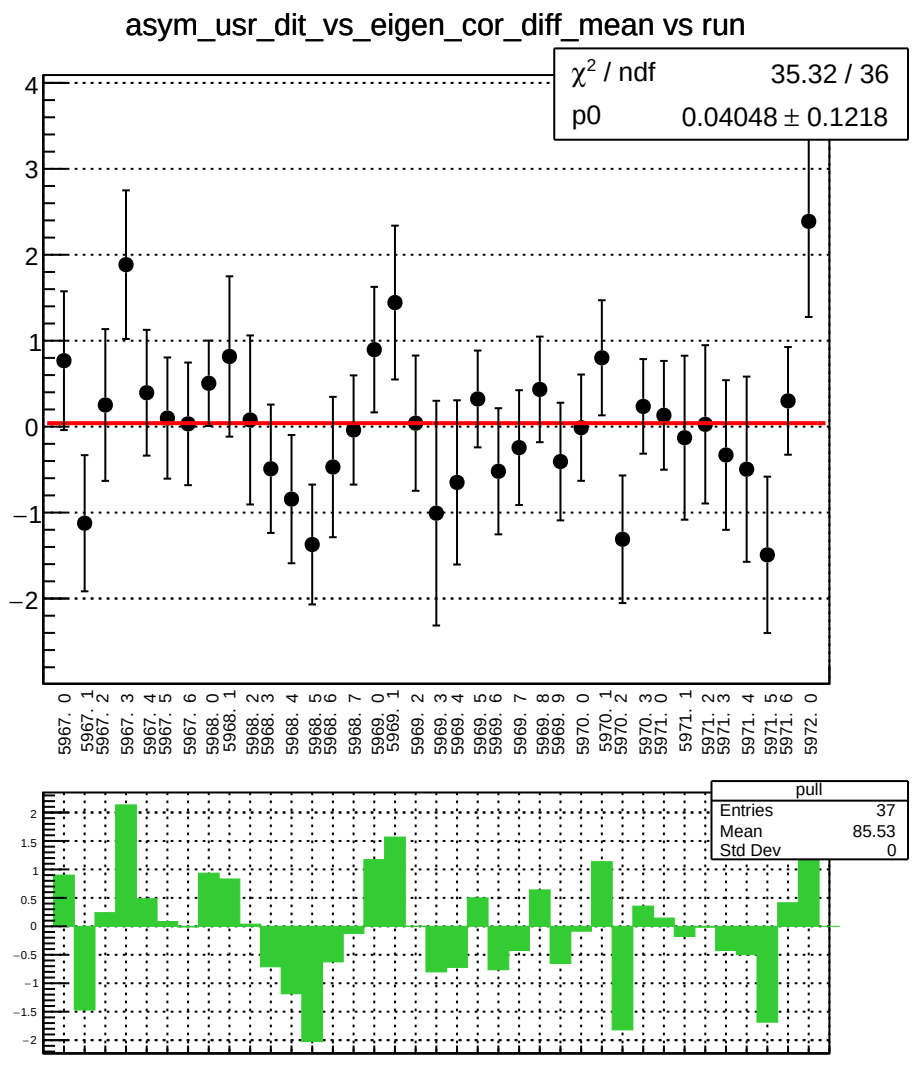
asym_usr_dit_vs_eigen_cor_diff_mean vs run
χ² / ndf 35.32 / 36
p0 0.04048 ± 0.1218
pull
Entries 37
Mean 85.53
Std Dev 0

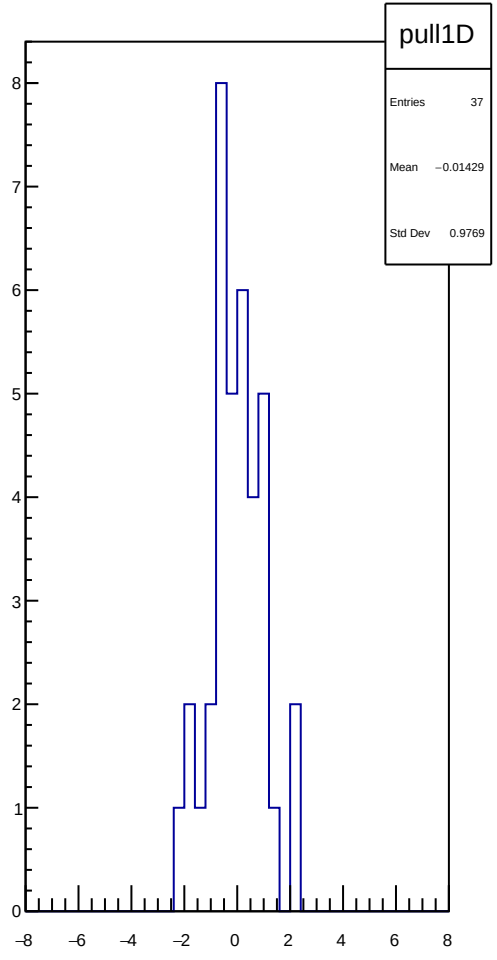
pull1D
Entries 37
Mean −0.01429
Std Dev 0.9769

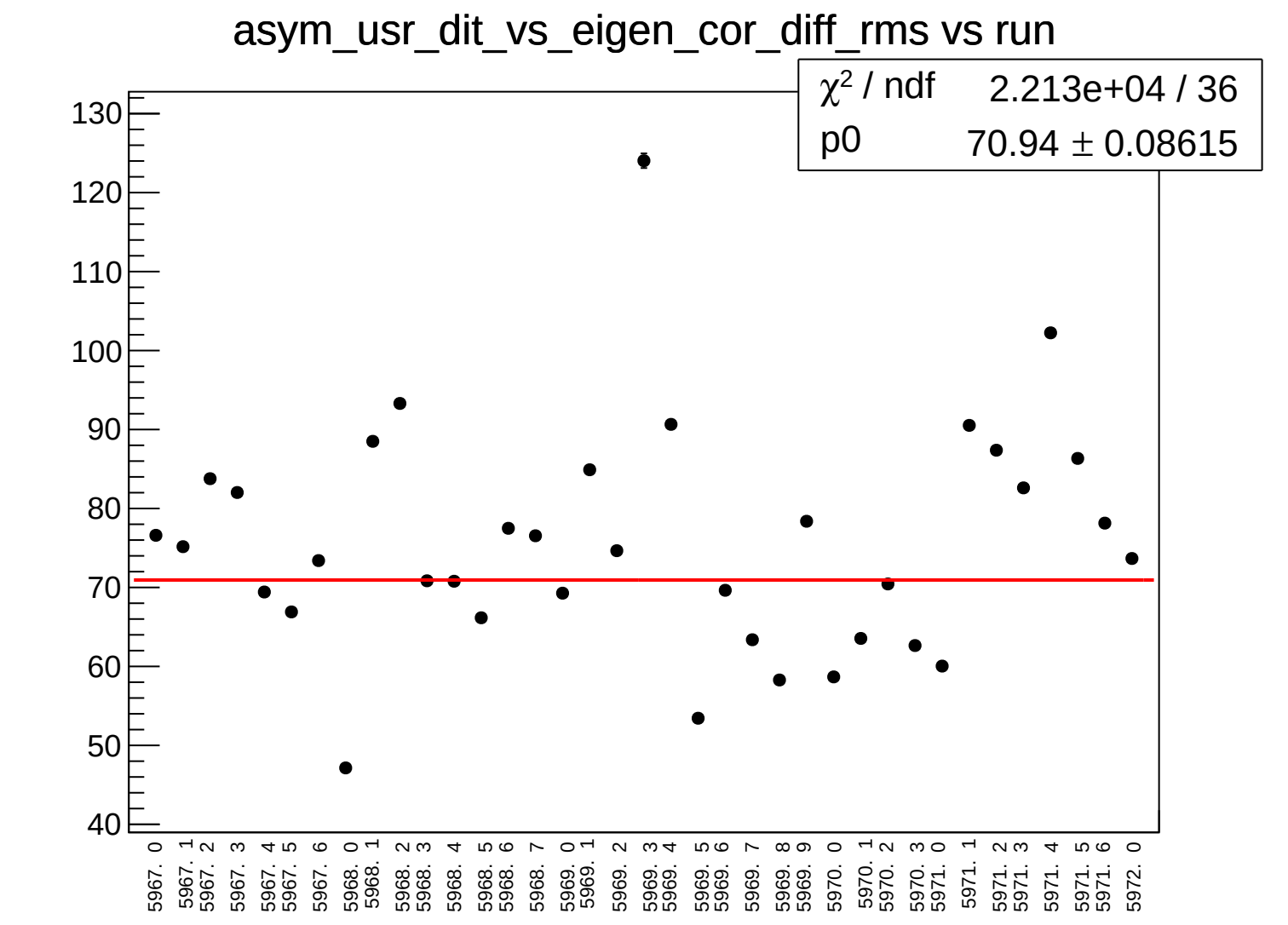
asym_usr_dit_vs_eigen_cor_diff_rms vs run
χ² / ndf 2.213e+04 / 36
p0 70.94 ± 0.08615
130
120
110
100
90
80
70
60
50
40
5967. 0
5967. 1
5967. 2
5967. 3
5967. 4
5967. 5
5967. 6
5968. 0
5968. 1
5968. 2
5968. 3
5968. 4
5968. 5
5968. 6
5968. 7
5969. 0
5969. 1
5969. 2
5969. 3
5969. 4
5969. 5
5969. 6
5969. 7
5969. 8
5969. 9
5970. 0
5970. 1
5970. 2
5970. 3
5971. 0
5971. 1
5971. 2
5971. 3
5971. 4
5971. 5
5971. 6
5972. 0

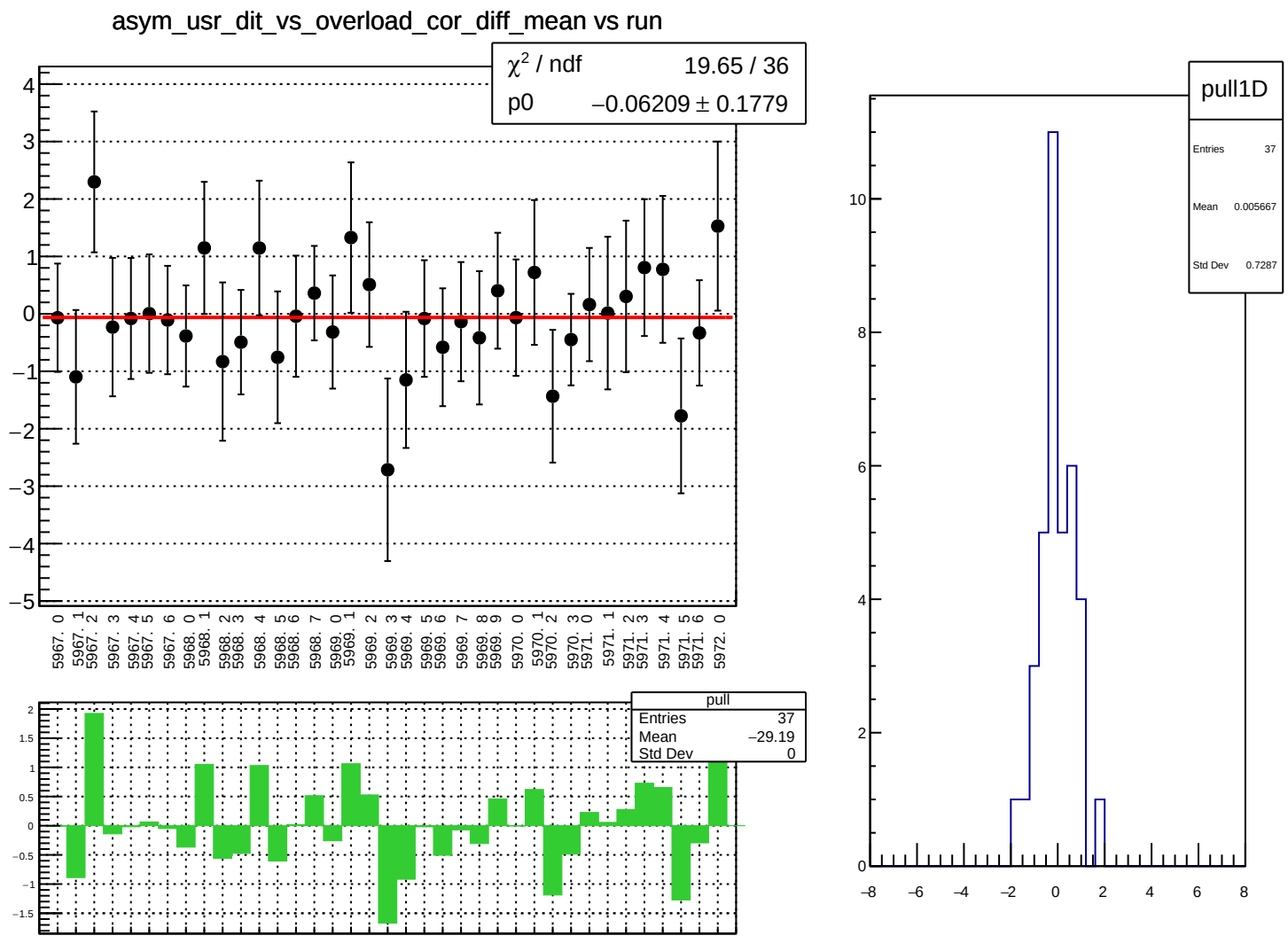
asym_usr_dit_vs_overload_cor_diff_mean vs run
χ² / ndf 19.65 / 36
p0 −0.06209 ± 0.1779
pull
Entries 37
Mean −29.19
Std Dev 0
pull1D
Entries 37
Mean 0.005667
Std Dev 0.7287

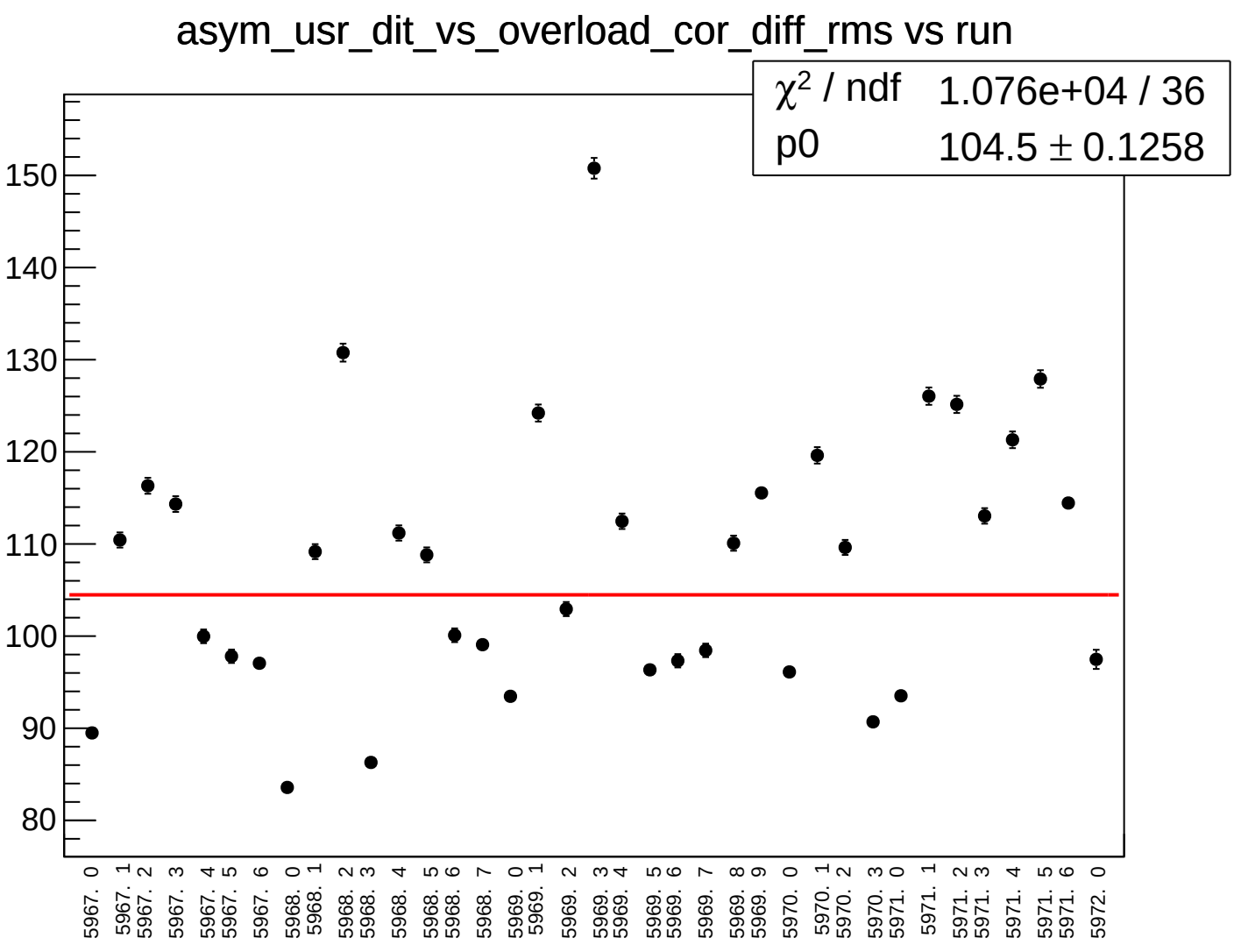
asym_usr_dit_vs_overload_cor_diff_rms vs run
χ² / ndf 1.076e+04 / 36
p0 104.5 ± 0.1258
150
140
130
120
110
100
90
80
5967. 0
5967. 1
5967. 2
5967. 3
5967. 4
5967. 5
5967. 6
5968. 0
5968. 1
5968. 2
5968. 3
5968. 4
5968. 5
5968. 6
5968. 7
5969. 0
5969. 1
5969. 2
5969. 3
5969. 4
5969. 5
5969. 6
5969. 7
5969. 8
5969. 9
5970. 0
5970. 1
5970. 2
5970. 3
5971. 0
5971. 1
5971. 2
5971. 3
5971. 4
5971. 5
5971. 6
5972. 0

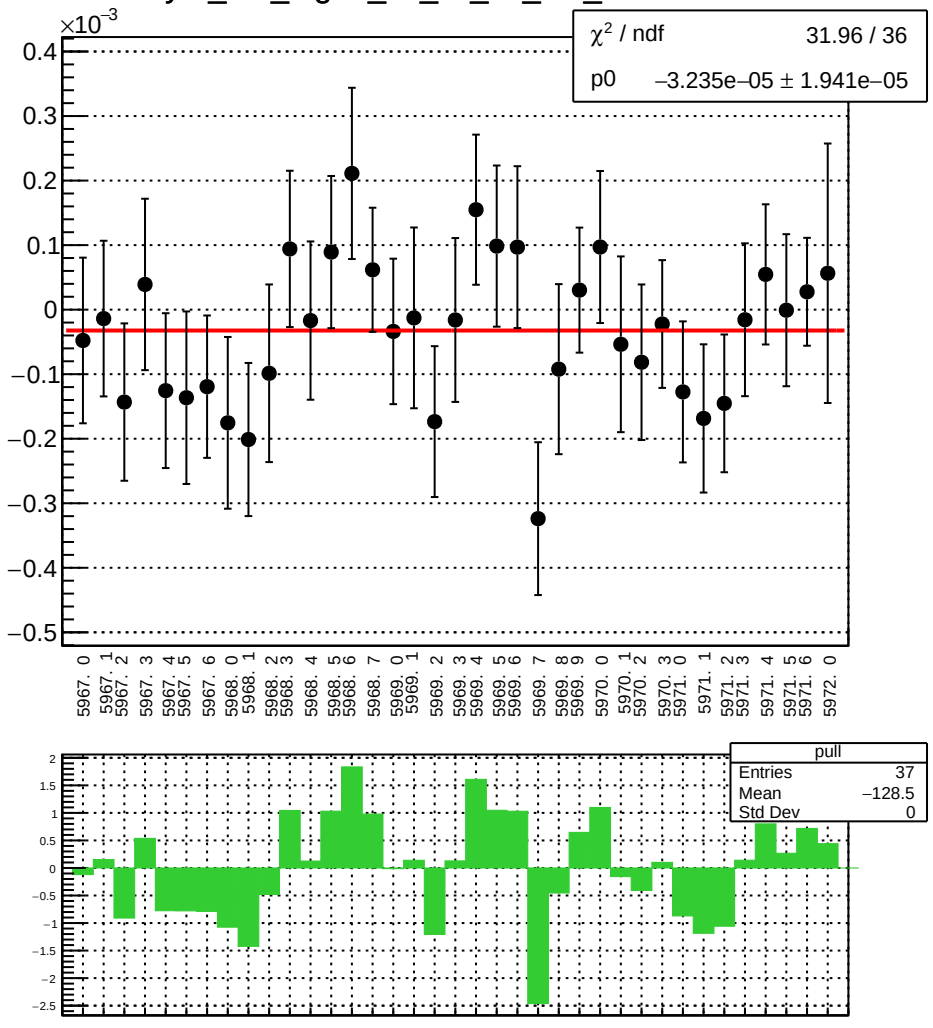
asym_usr_eigen_dit_vs_dit_diff_mean vs run
×10⁻³
χ² / ndf 31.96 / 36
p0 −3.235e−05 ± 1.941e−05
pull
Entries 37
Mean −128.5
Std Dev 0

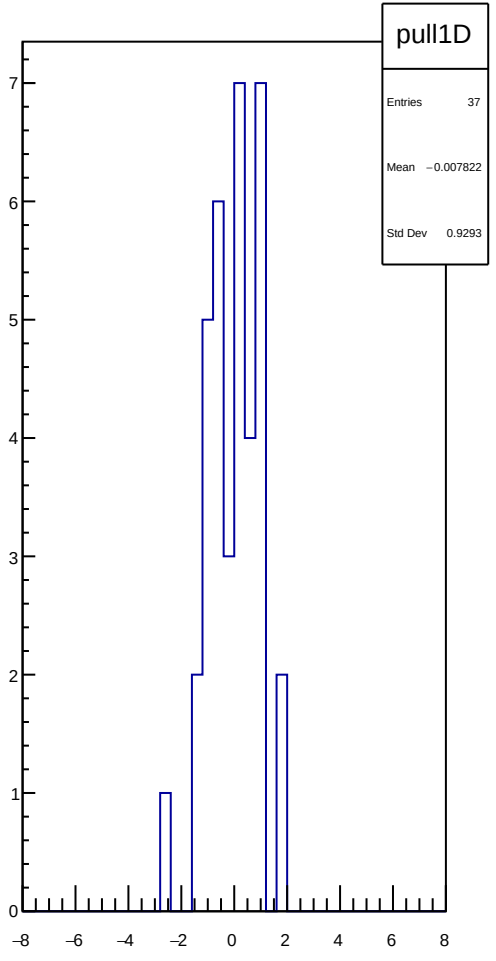
pull1D
Entries 37
Mean −0.007822
Std Dev 0.9293

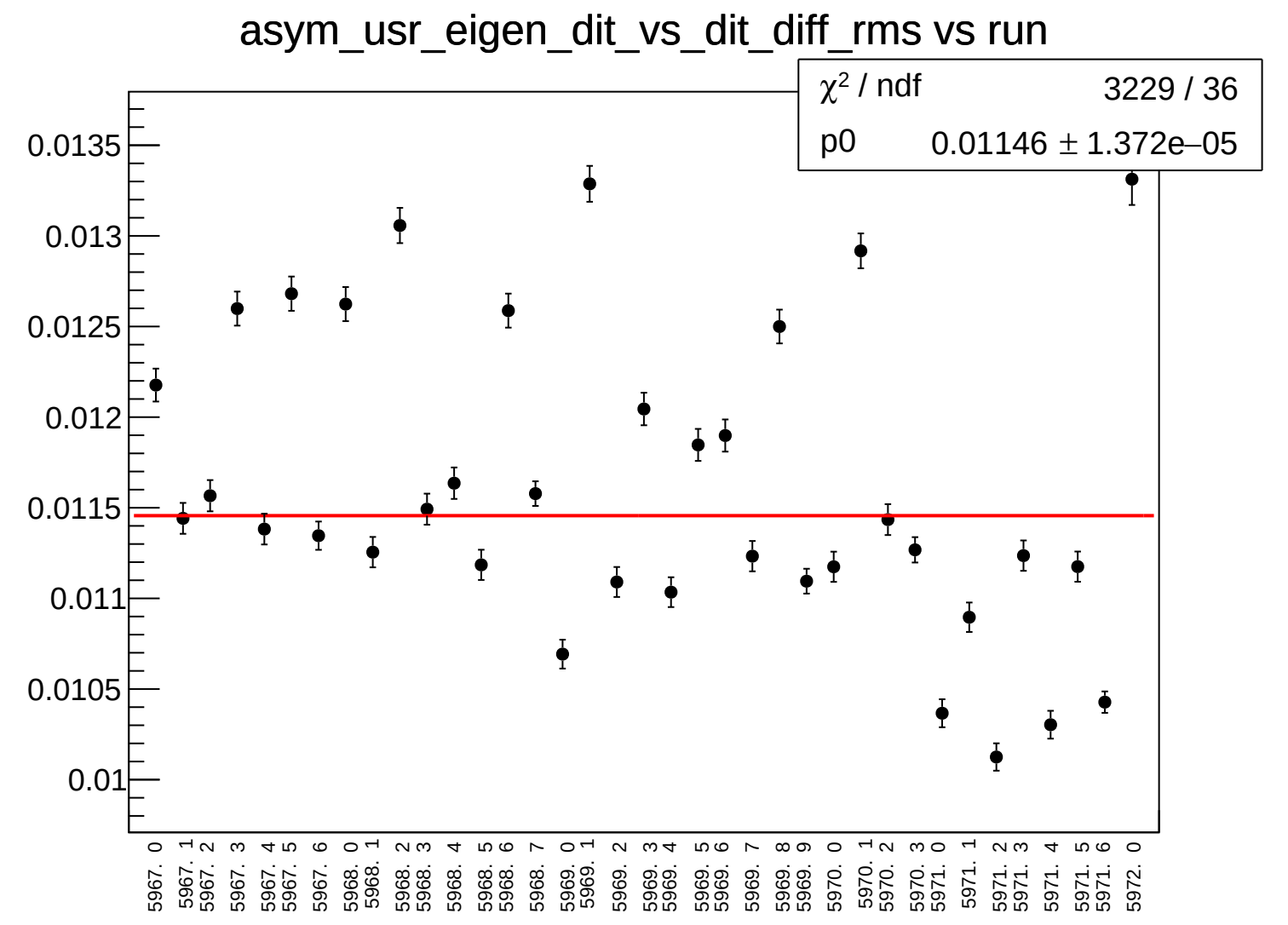
asym_usr_eigen_dit_vs_dit_diff_rms vs run
χ² / ndf 3229 / 36
p0 0.01146 ± 1.372e−05
0.0135
0.013
0.0125
0.012
0.0115
0.011
0.0105
0.01
5967. 0
5967. 1
5967. 2
5967. 3
5967. 4
5967. 5
5967. 6
5968. 0
5968. 1
5968. 2
5968. 3
5968. 4
5968. 5
5968. 6
5968. 7
5969. 0
5969. 1
5969. 2
5969. 3
5969. 4
5969. 5
5969. 6
5969. 7
5969. 8
5969. 9
5970. 0
5970. 1
5970. 2
5970. 3
5971. 0
5971. 1
5971. 2
5971. 3
5971. 4
5971. 5
5971. 6
5972. 0

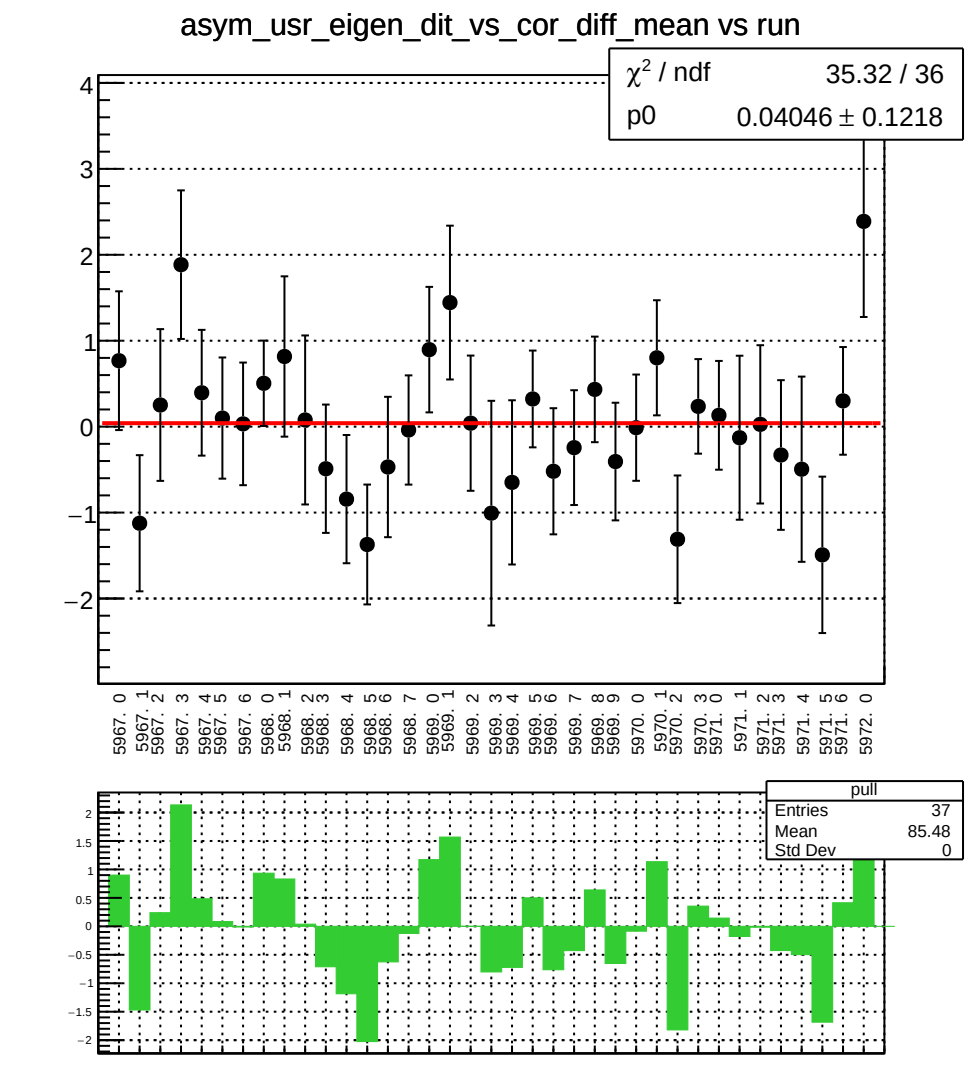
asym_usr_eigen_dit_vs_cor_diff_mean vs run
χ² / ndf 35.32 / 36
p0 0.04046 ± 0.1218
pull
Entries 37
Mean 85.48
Std Dev 0

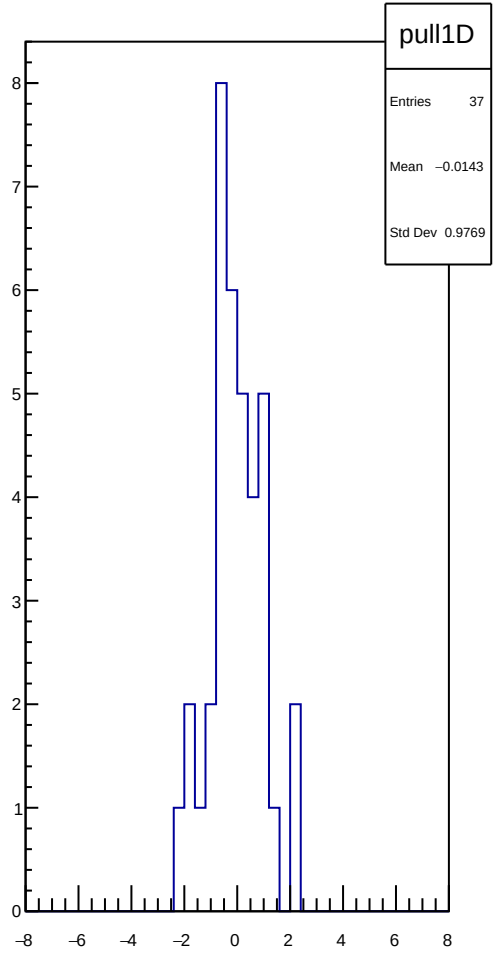
pull1D
Entries 37
Mean −0.0143
Std Dev 0.9769

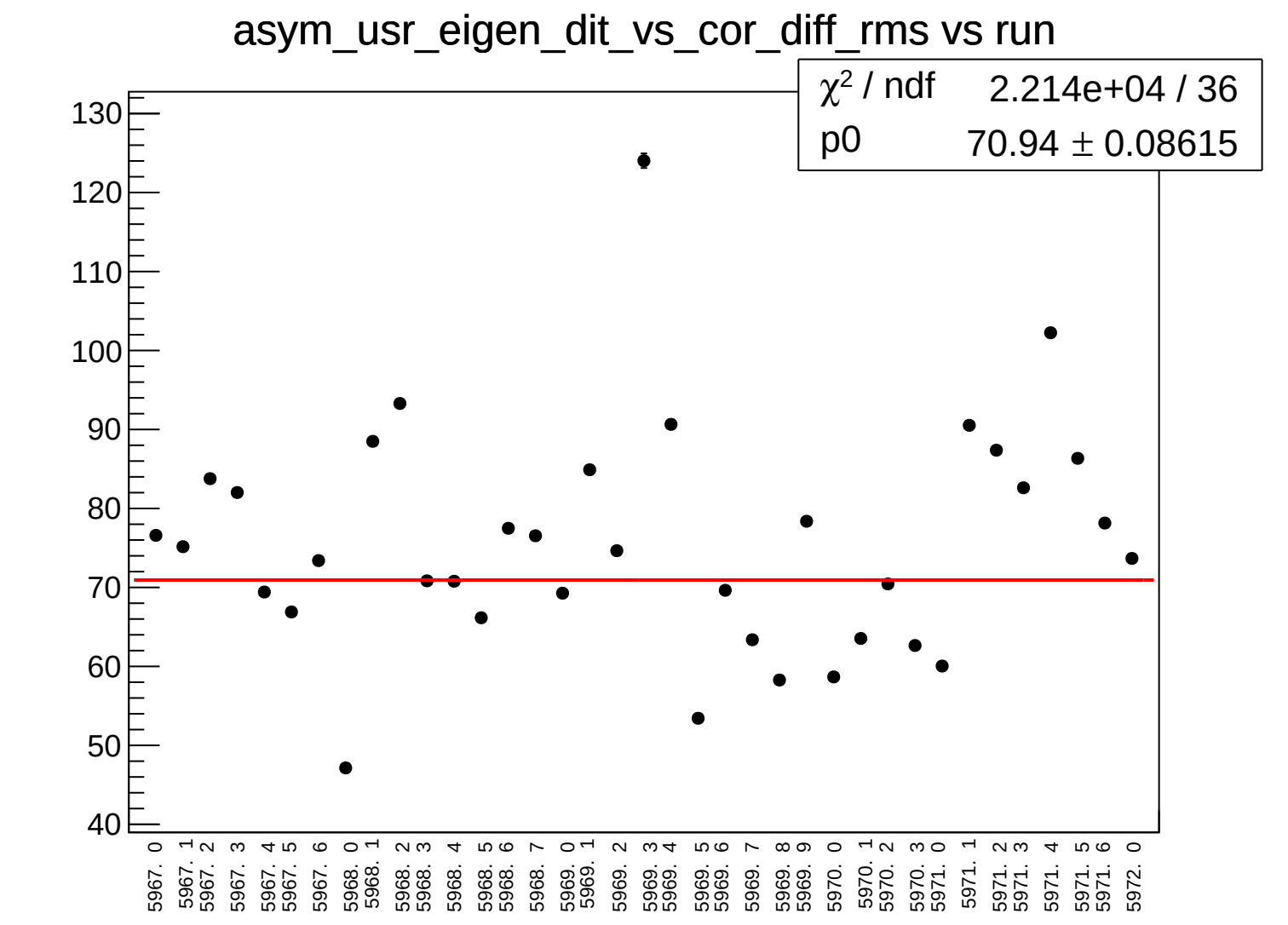
asym_usr_eigen_dit_vs_cor_diff_rms vs run
χ² / ndf 2.214e+04 / 36
p0 70.94 ± 0.08615
130
120
110
100
90
80
70
60
50
40
5967. 0
5967. 1
5967. 2
5967. 3
5967. 4
5967. 5
5967. 6
5968. 0
5968. 1
5968. 2
5968. 3
5968. 4
5968. 5
5968. 6
5968. 7
5969. 0
5969. 1
5969. 2
5969. 3
5969. 4
5969. 5
5969. 6
5969. 7
5969. 8
5969. 9
5970. 0
5970. 1
5970. 2
5970. 3
5971. 0
5971. 1
5971. 2
5971. 3
5971. 4
5971. 5
5971. 6
5972. 0

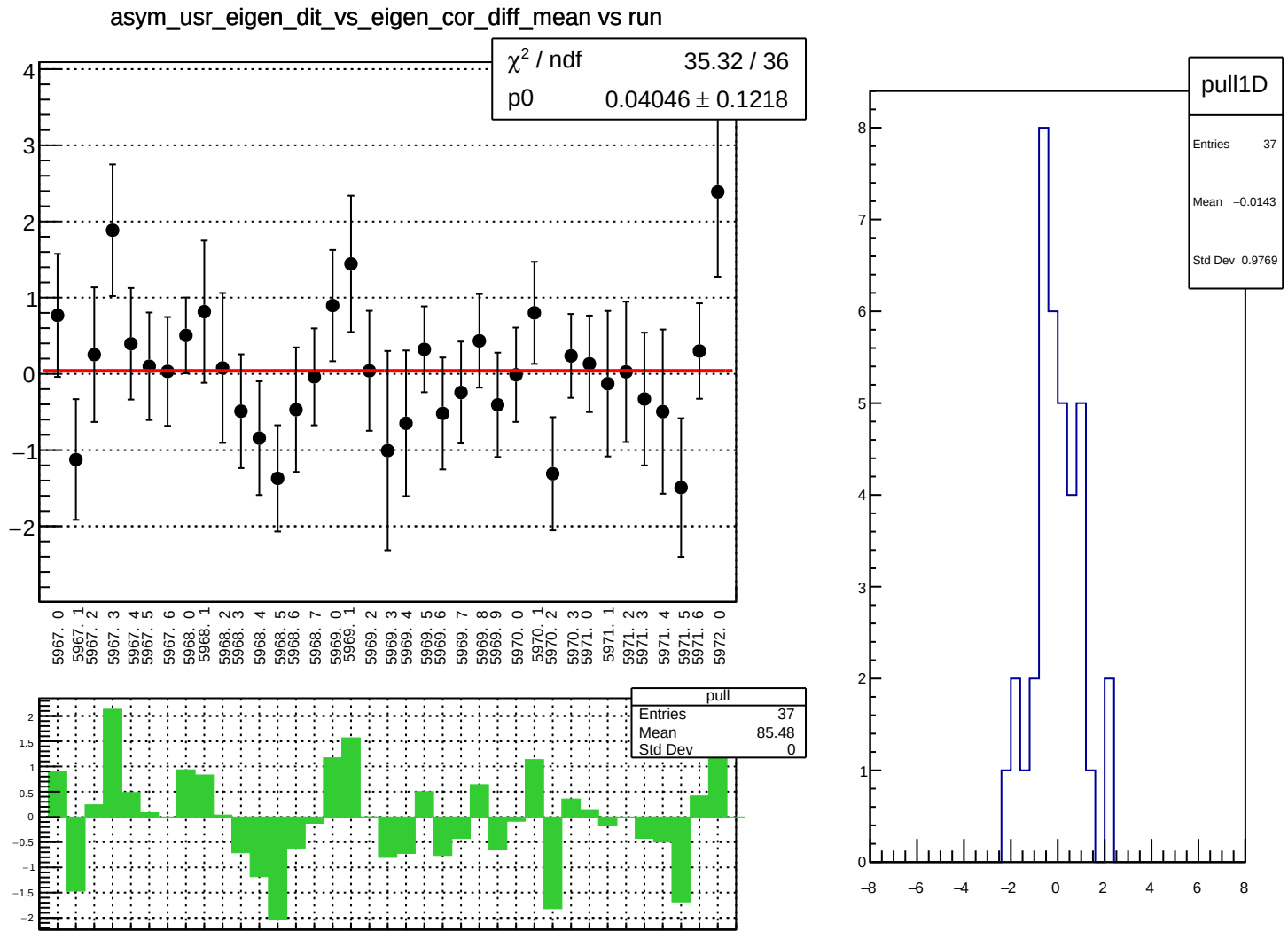
asym_usr_eigen_dit_vs_eigen_cor_diff_mean vs run
χ² / ndf 35.32 / 36
p0 0.04046 ± 0.1218
pull
Entries 37
Mean 85.48
Std Dev 0
pull1D
Entries 37
Mean −0.0143
Std Dev 0.9769

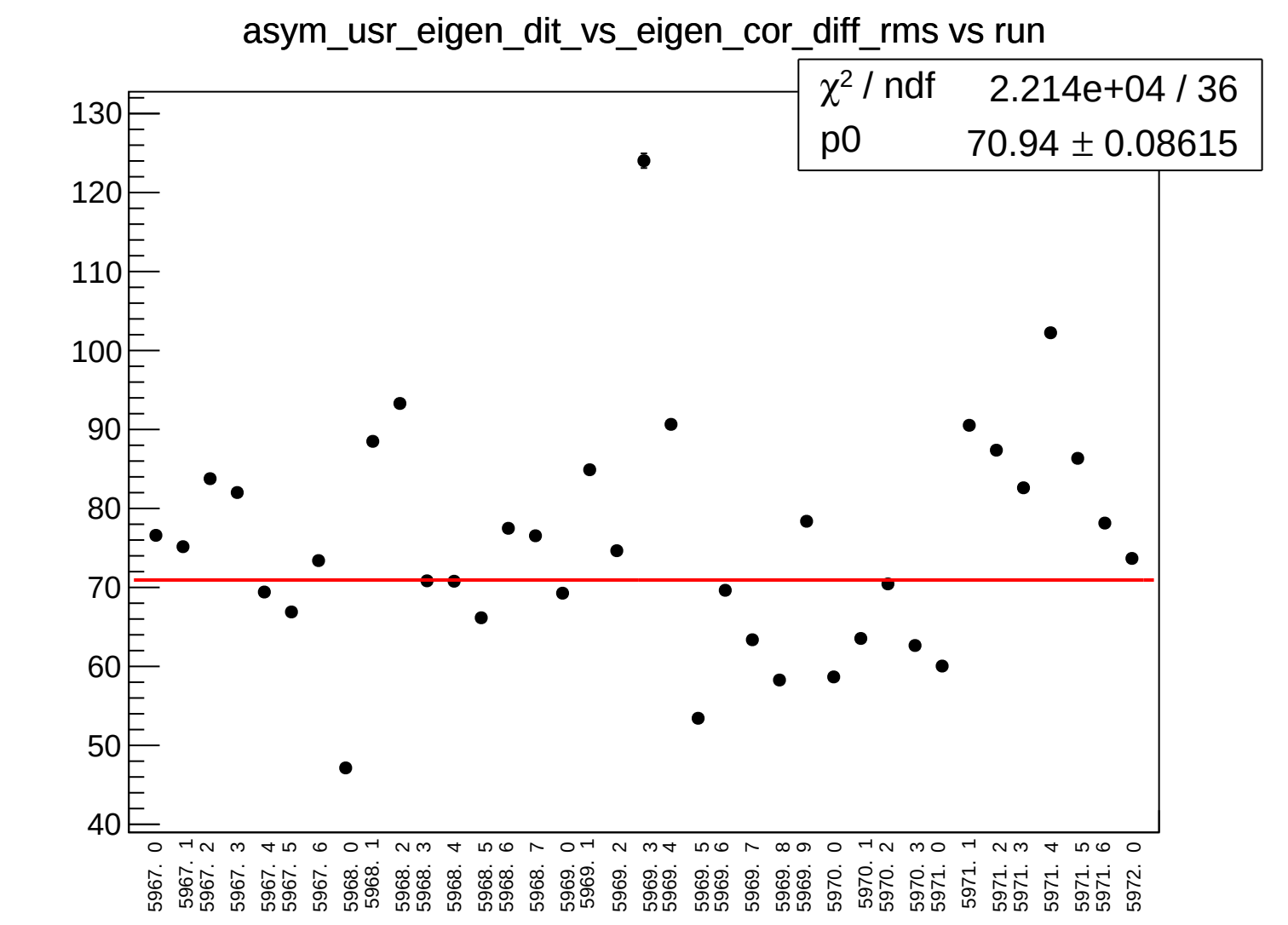
asym_usr_eigen_dit_vs_eigen_cor_diff_rms vs run
χ² / ndf 2.214e+04 / 36
p0 70.94 ± 0.08615
130
120
110
100
90
80
70
60
50
40
5967. 0
5967. 1
5967. 2
5967. 3
5967. 4
5967. 5
5967. 6
5968. 0
5968. 1
5968. 2
5968. 3
5968. 4
5968. 5
5968. 6
5968. 7
5969. 0
5969. 1
5969. 2
5969. 3
5969. 4
5969. 5
5969. 6
5969. 7
5969. 8
5969. 9
5970. 0
5970. 1
5970. 2
5970. 3
5971. 0
5971. 1
5971. 2
5971. 3
5971. 4
5971. 5
5971. 6
5972. 0

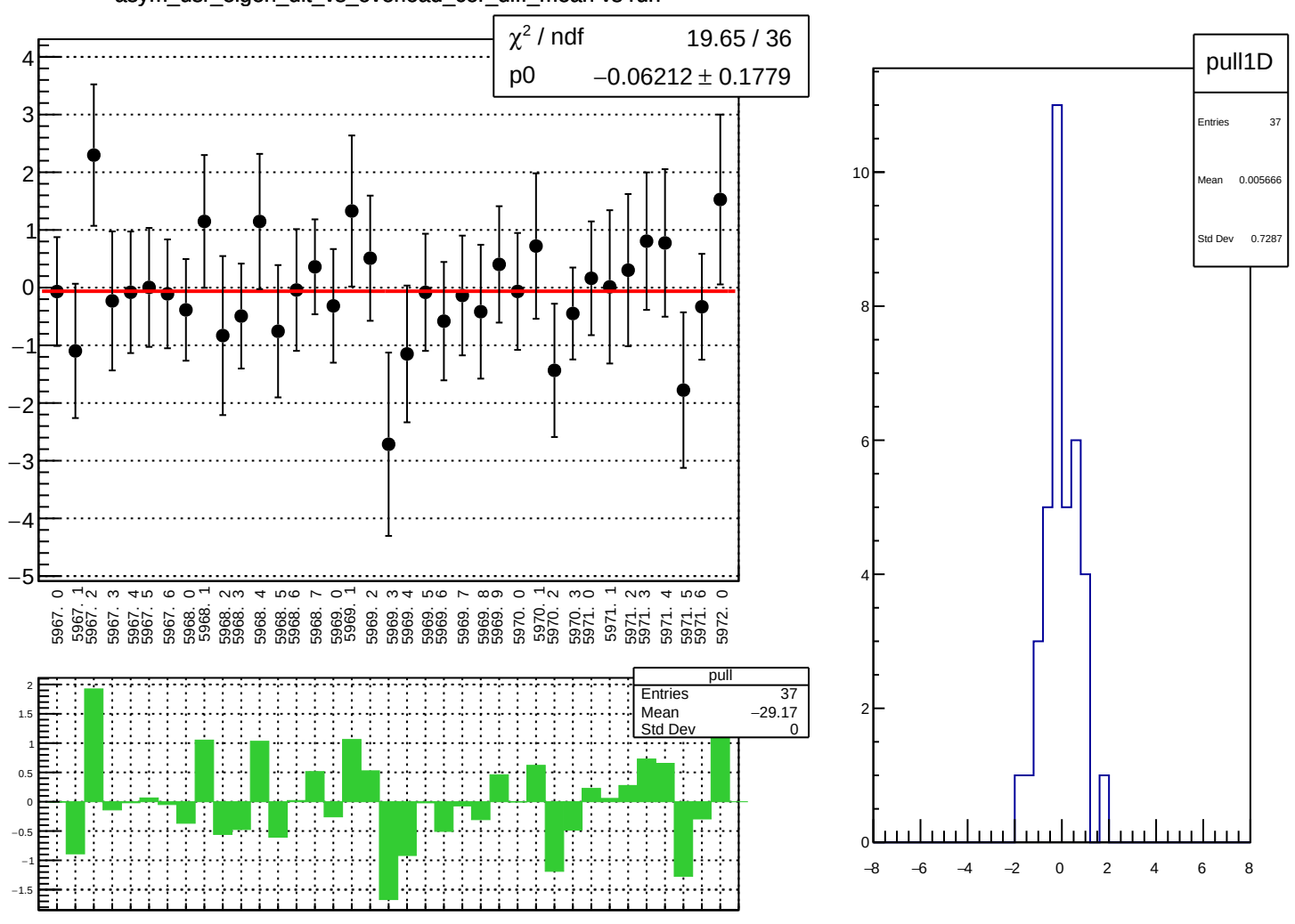
asym_usr_eigen_dit_vs_overload_cor_diff_mean vs run
χ² / ndf 19.65 / 36
p0 −0.06212 ± 0.1779
pull
Entries 37
Mean −29.17
Std Dev 0
pull1D
Entries 37
Mean 0.005666
Std Dev 0.7287

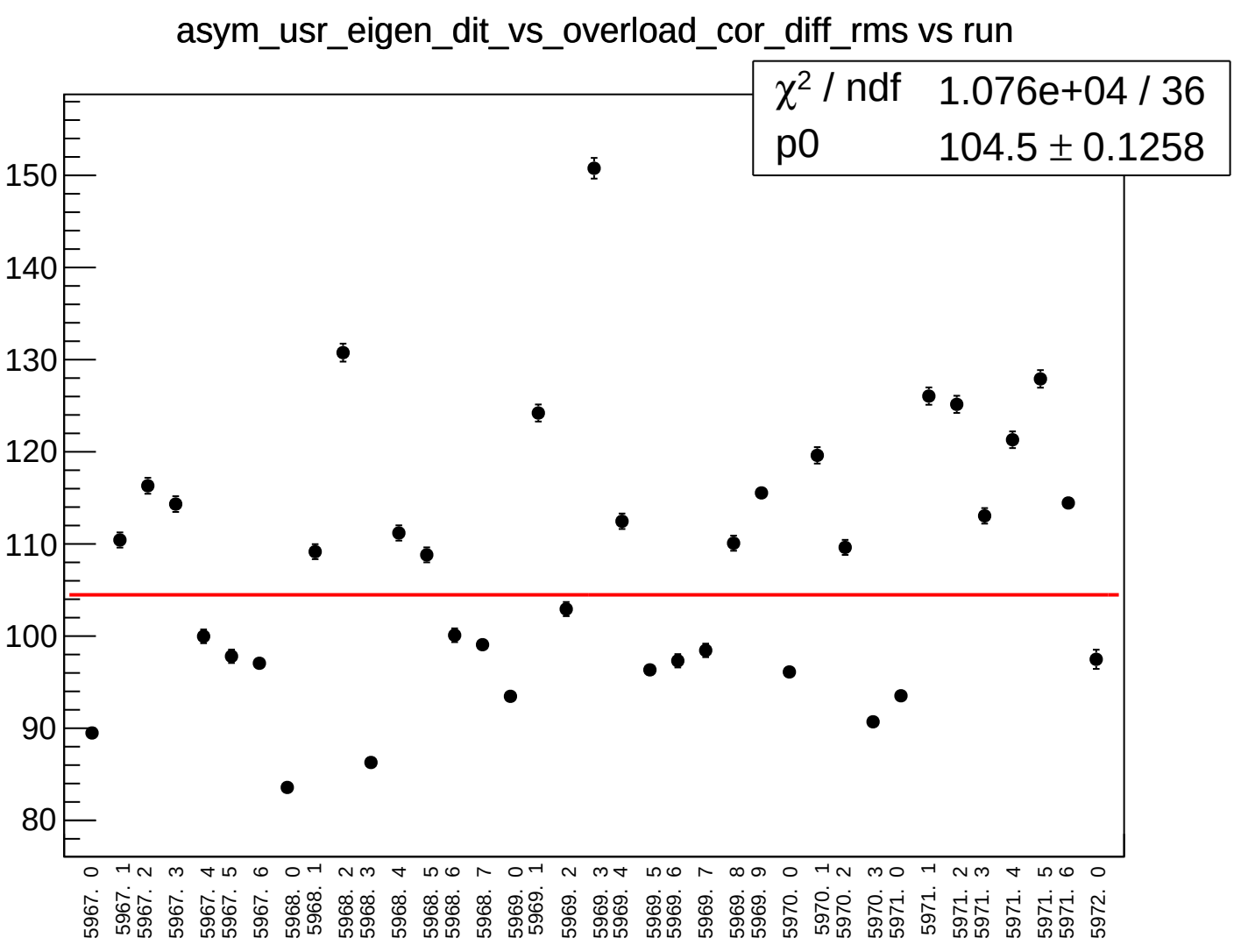
asym_usr_eigen_dit_vs_overload_cor_diff_rms vs run
χ² / ndf 1.076e+04 / 36
p0 104.5 ± 0.1258
150
140
130
120
110
100
90
80
5967. 0
5967. 1
5967. 2
5967. 3
5967. 4
5967. 5
5967. 6
5968. 0
5968. 1
5968. 2
5968. 3
5968. 4
5968. 5
5968. 6
5968. 7
5969. 0
5969. 1
5969. 2
5969. 3
5969. 4
5969. 5
5969. 6
5969. 7
5969. 8
5969. 9
5970. 0
5970. 1
5970. 2
5970. 3
5971. 0
5971. 1
5971. 2
5971. 3
5971. 4
5971. 5
5971. 6
5972. 0

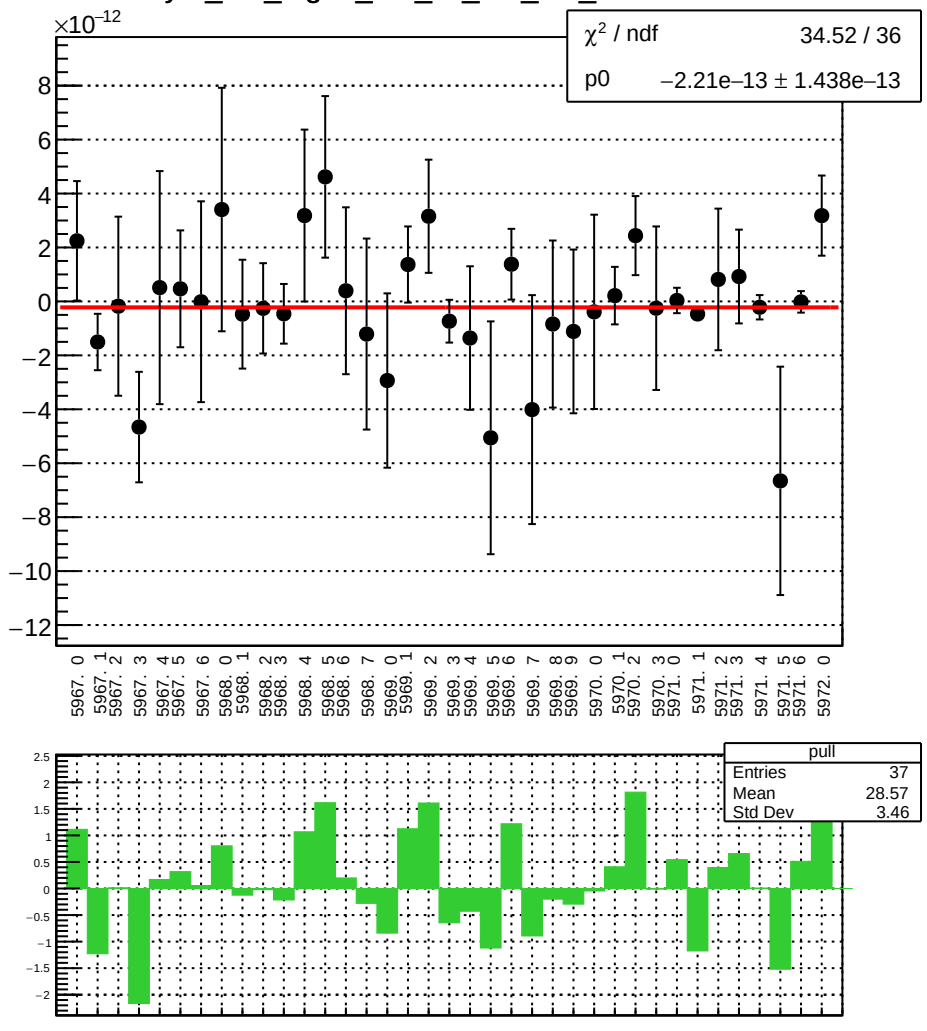
asym_usr_eigen_cor_vs_cor_diff_mean vs run
×10⁻¹²
χ² / ndf 34.52 / 36
p0 −2.21e−13 ± 1.438e−13
pull
Entries 37
Mean 28.57
Std Dev 3.46

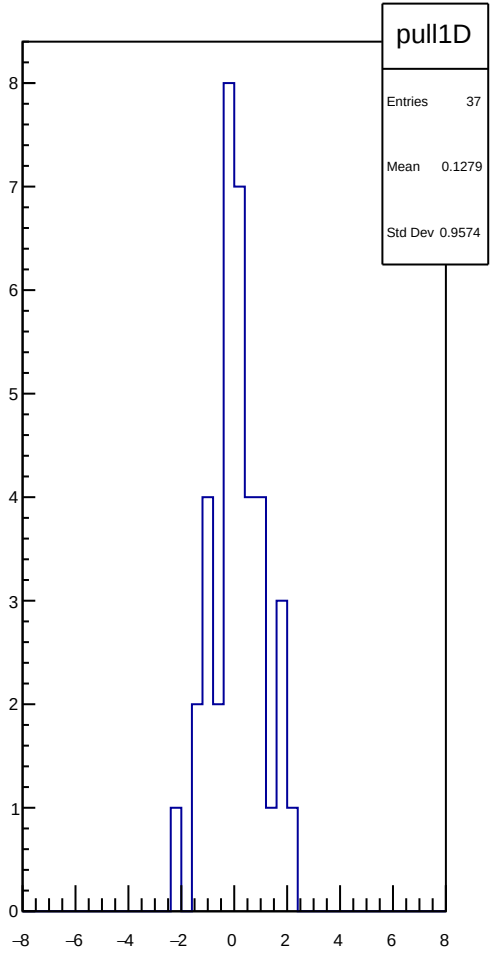
pull1D
Entries 37
Mean 0.1279
Std Dev 0.9574

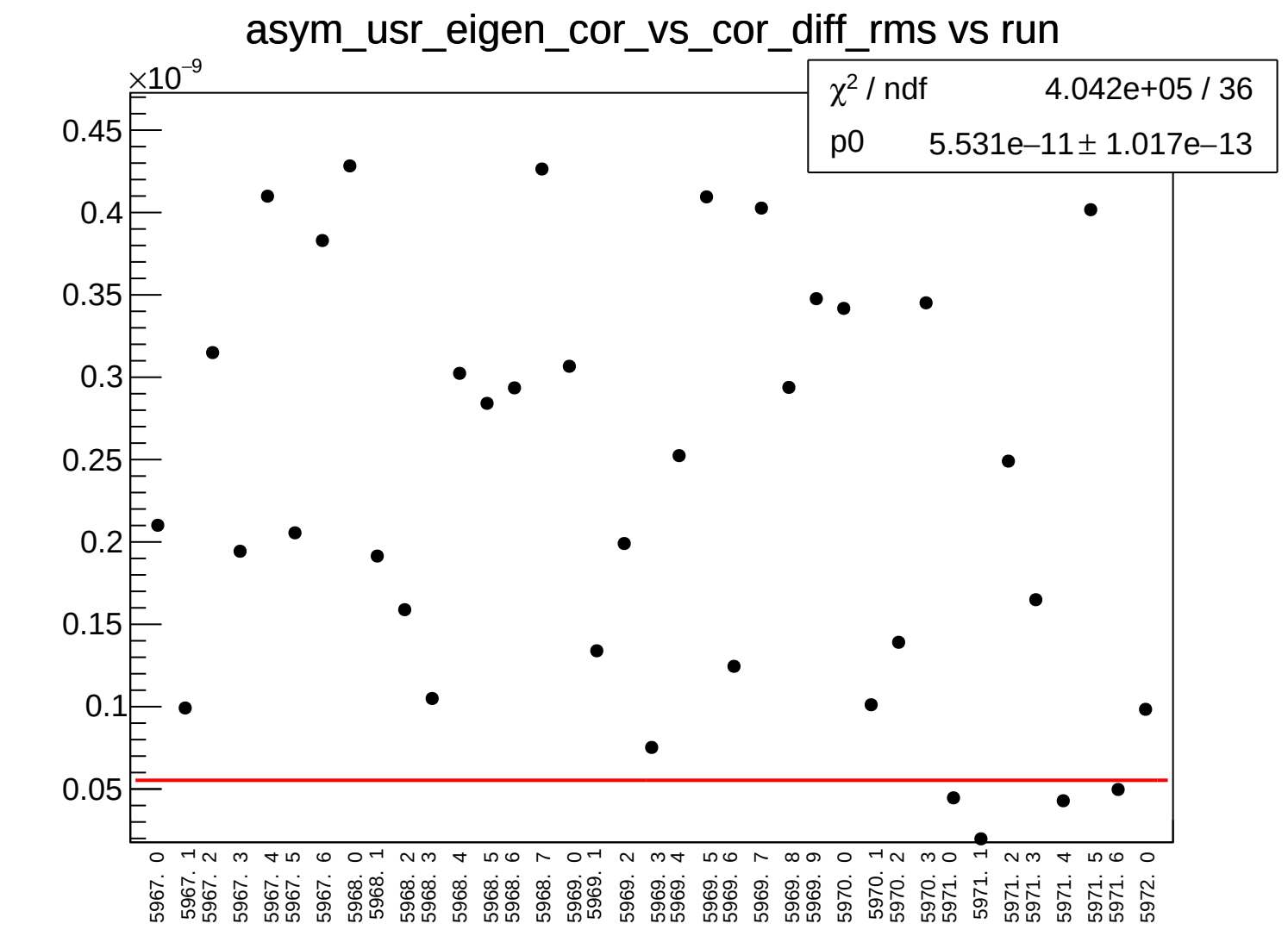
asym_usr_eigen_cor_vs_cor_diff_rms vs run
×10⁻⁹
χ² / ndf 4.042e+05 / 36
p0 5.531e−11 ± 1.017e−13
0.45
0.4
0.35
0.3
0.25
0.2
0.15
0.1
0.05
5967. 0
5967. 1
5967. 2
5967. 3
5967. 4
5967. 5
5967. 6
5968. 0
5968. 1
5968. 2
5968. 3
5968. 4
5968. 5
5968. 6
5968. 7
5969. 0
5969. 1
5969. 2
5969. 3
5969. 4
5969. 5
5969. 6
5969. 7
5969. 8
5969. 9
5970. 0
5970. 1
5970. 2
5970. 3
5971. 0
5971. 1
5971. 2
5971. 3
5971. 4
5971. 5
5971. 6
5972. 0

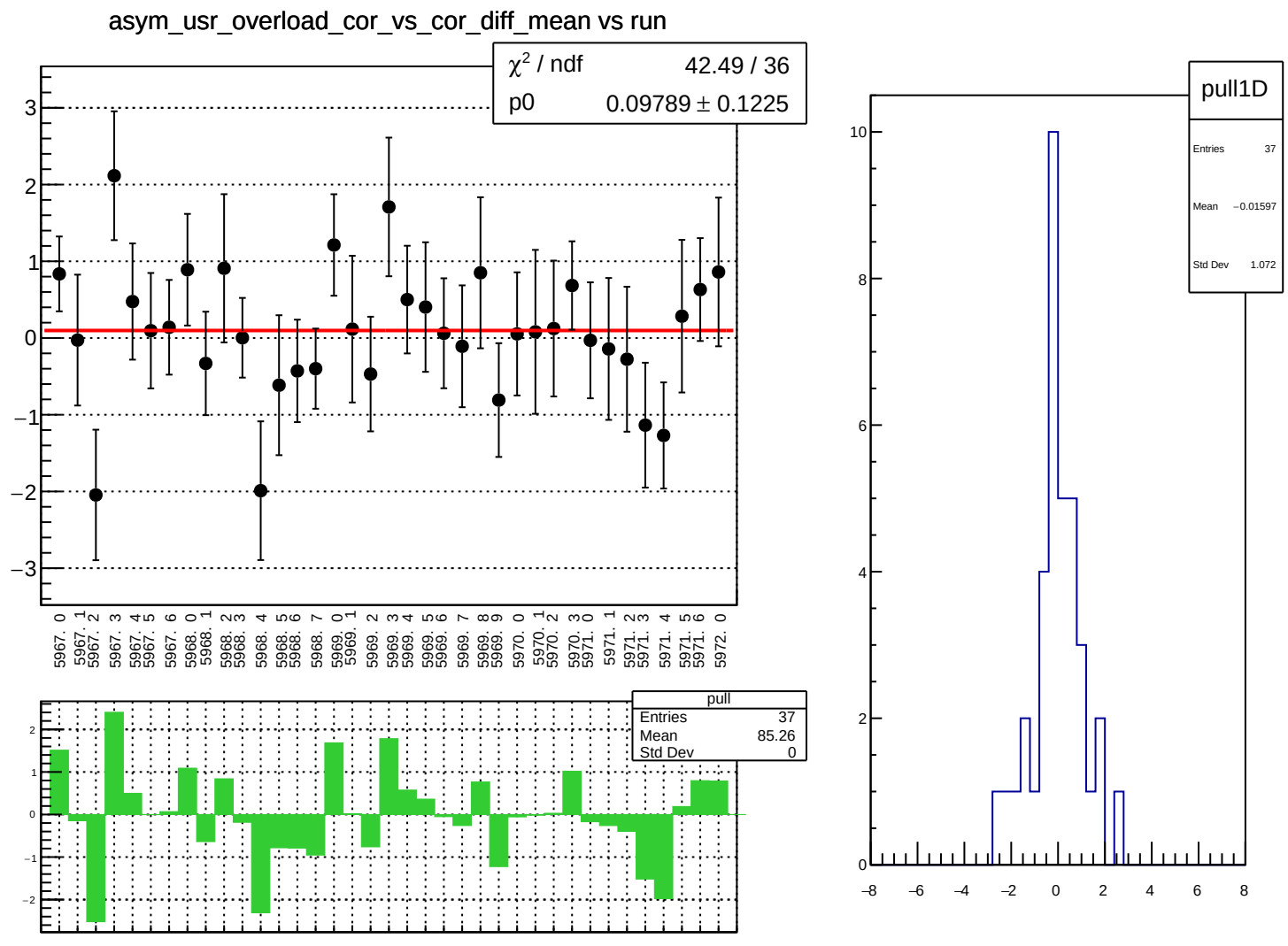
asym_usr_overload_cor_vs_cor_diff_mean vs run
χ² / ndf 42.49 / 36
p0 0.09789 ± 0.1225
pull
Entries 37
Mean 85.26
Std Dev 0
pull1D
Entries 37
Mean −0.01597
Std Dev 1.072

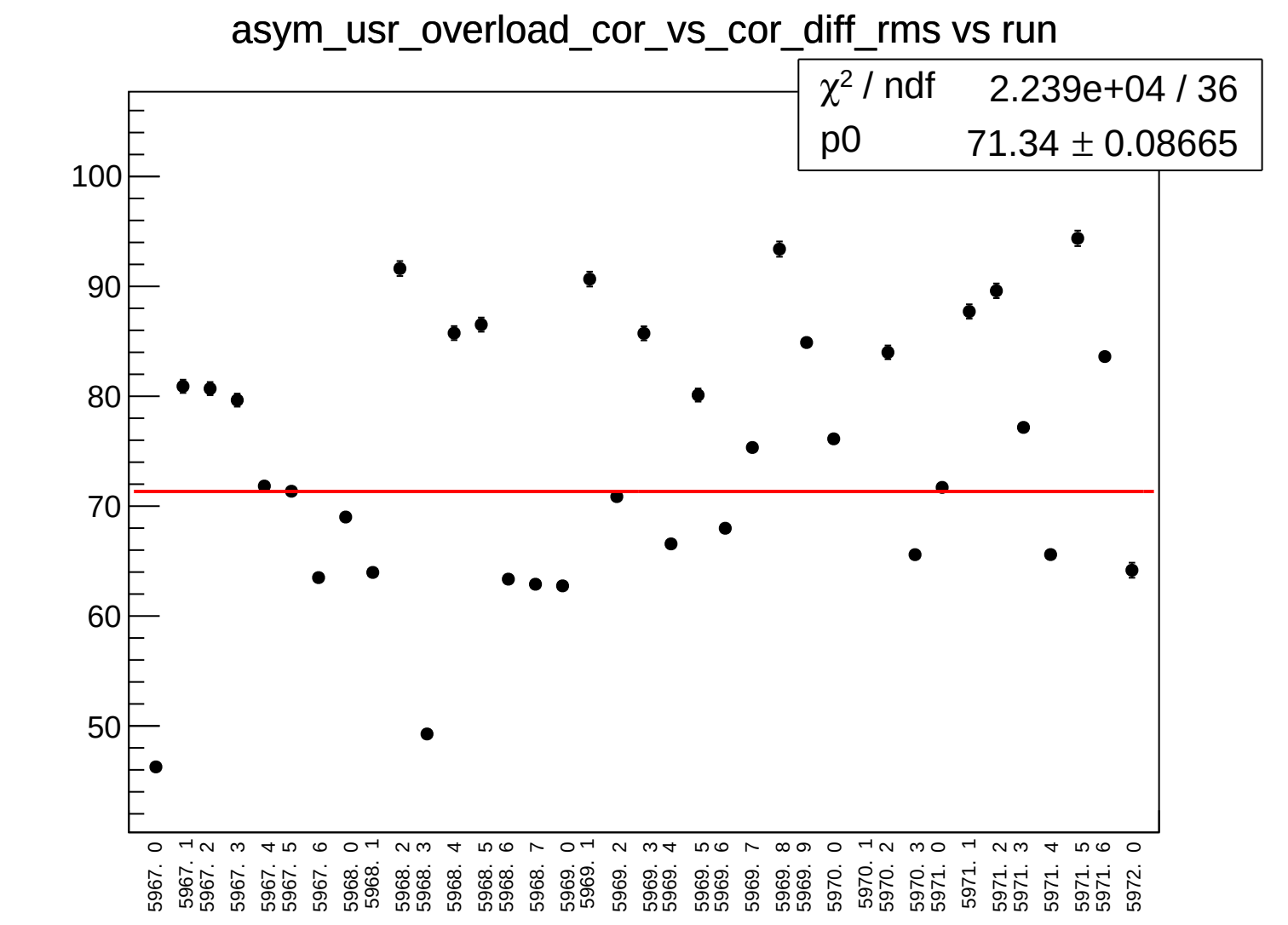
asym_usr_overload_cor_vs_cor_diff_rms vs run
χ² / ndf 2.239e+04 / 36
p0 71.34 ± 0.08665
100
90
80
70
60
50
5967. 0
5967. 1
5967. 2
5967. 3
5967. 4
5967. 5
5967. 6
5968. 0
5968. 1
5968. 2
5968. 3
5968. 4
5968. 5
5968. 6
5968. 7
5969. 0
5969. 1
5969. 2
5969. 3
5969. 4
5969. 5
5969. 6
5969. 7
5969. 8
5969. 9
5970. 0
5970. 1
5970. 2
5970. 3
5971. 0
5971. 1
5971. 2
5971. 3
5971. 4
5971. 5
5971. 6
5972. 0

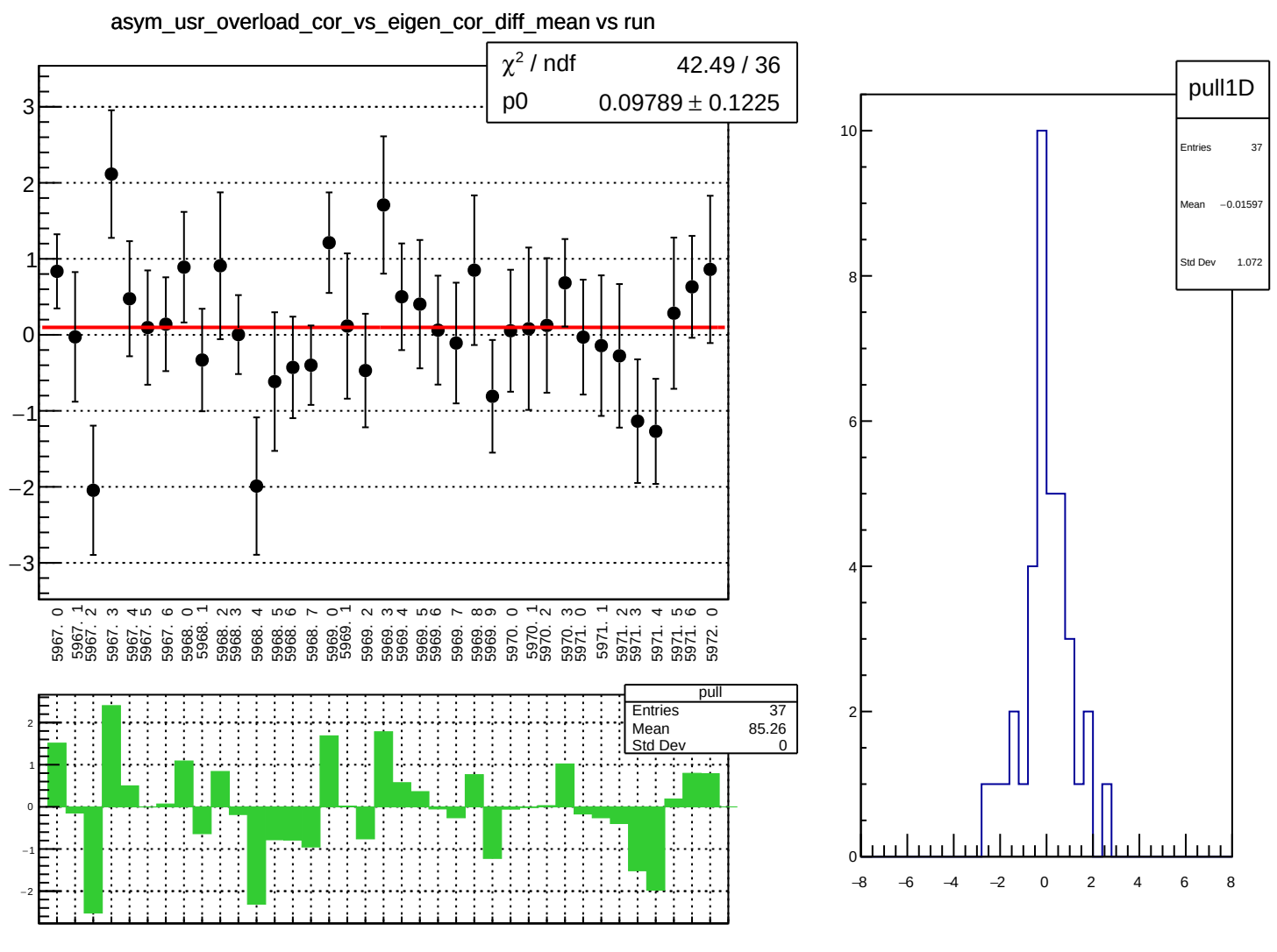
asym_usr_overload_cor_vs_eigen_cor_diff_mean vs run
χ² / ndf 42.49 / 36
p0 0.09789 ± 0.1225
pull
Entries 37
Mean 85.26
Std Dev 0
pull1D
Entries 37
Mean −0.01597
Std Dev 1.072

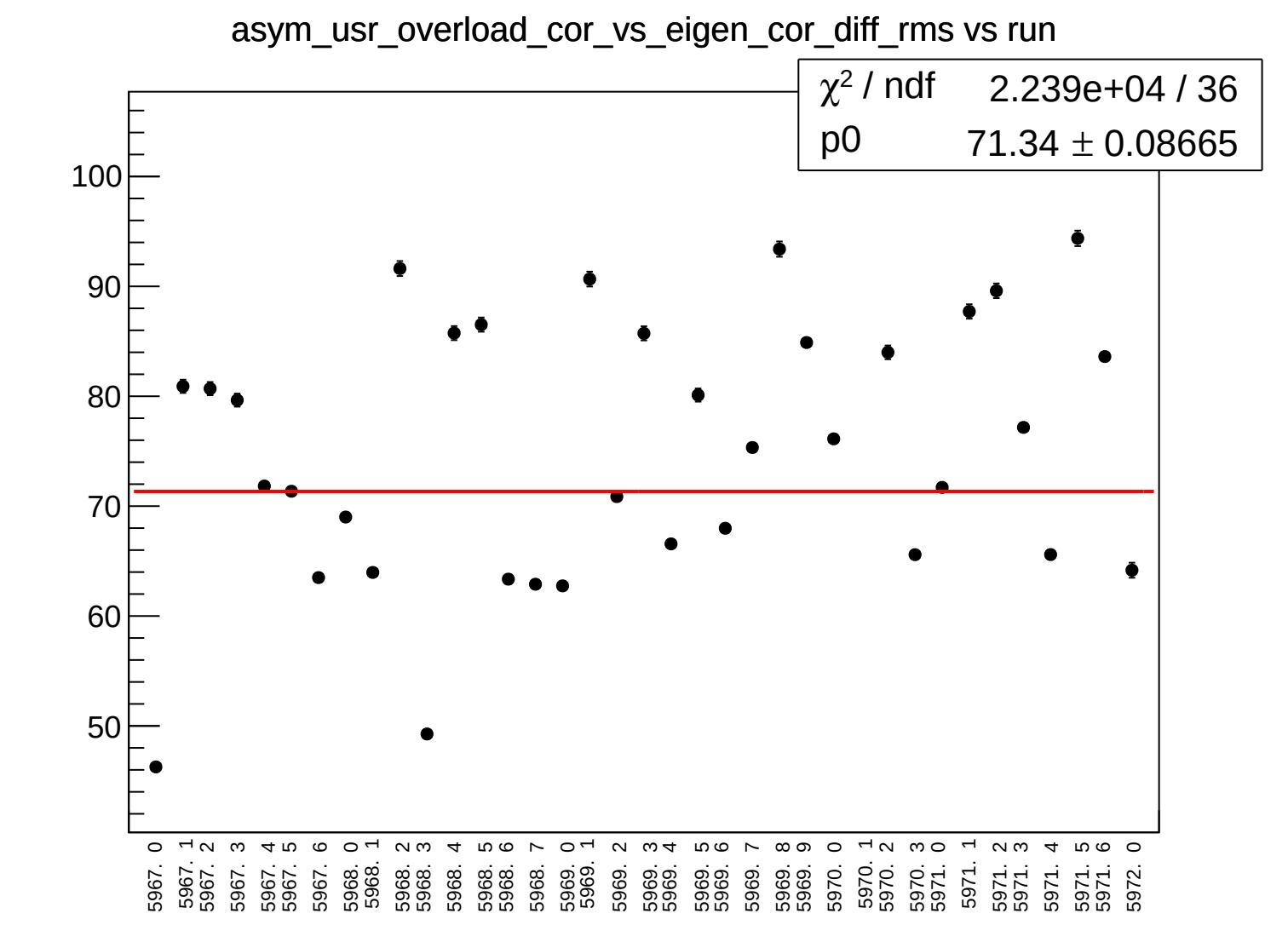
asym_usr_overload_cor_vs_eigen_cor_diff_rms vs run
χ² / ndf 2.239e+04 / 36
p0 71.34 ± 0.08665
100
90
80
70
60
50
5967. 0
5967. 1
5967. 2
5967. 3
5967. 4
5967. 5
5967. 6
5968. 0
5968. 1
5968. 2
5968. 3
5968. 4
5968. 5
5968. 6
5968. 7
5969. 0
5969. 1
5969. 2
5969. 3
5969. 4
5969. 5
5969. 6
5969. 7
5969. 8
5969. 9
5970. 0
5970. 1
5970. 2
5970. 3
5971. 0
5971. 1
5971. 2
5971. 3
5971. 4
5971. 5
5971. 6
5972. 0

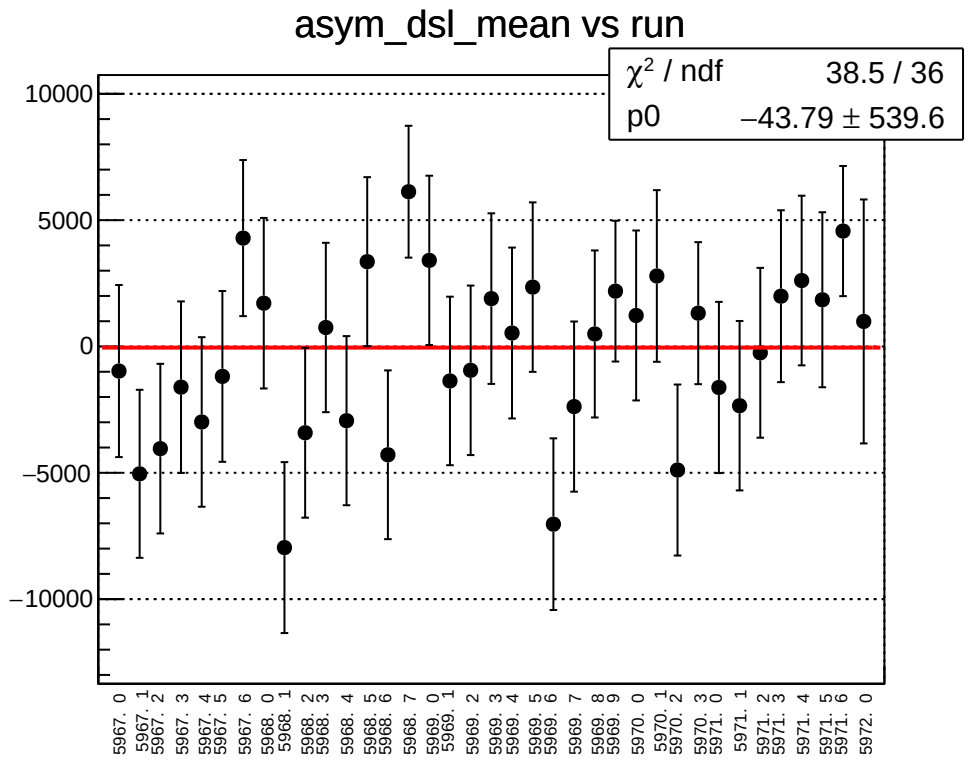
asym_dsl_mean vs run
χ² / ndf 38.5 / 36
p0 −43.79 ± 539.6
10000
5000
0
−5000
−10000
5967. 0
5967. 1
5967. 2
5967. 3
5967. 4
5967. 5
5967. 6
5968. 0
5968. 1
5968. 2
5968. 3
5968. 4
5968. 5
5968. 6
5968. 7
5969. 0
5969. 1
5969. 2
5969. 3
5969. 4
5969. 5
5969. 6
5969. 7
5969. 8
5969. 9
5970. 0
5970. 1
5970. 2
5970. 3
5971. 0
5971. 1
5971. 2
5971. 3
5971. 4
5971. 5
5971. 6
5972. 0

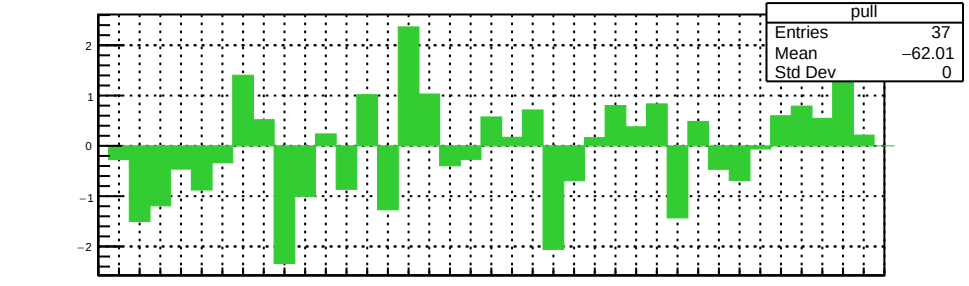
pull
Entries 37
Mean −62.01
Std Dev 0
2
1
0
−1
−2

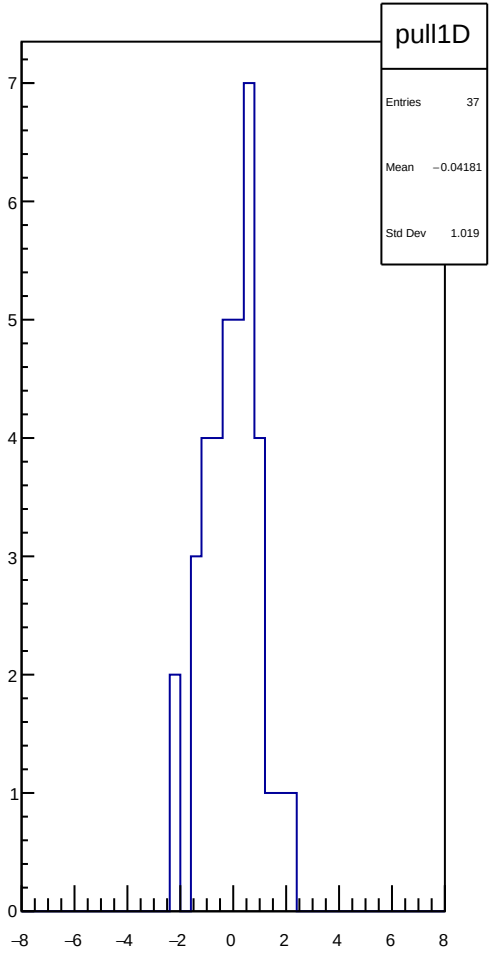
pull1D
Entries 37
Mean −0.04181
Std Dev 1.019
7
6
5
4
3
2
1
0
−8
−6
−4
−2
0
2
4
6
8

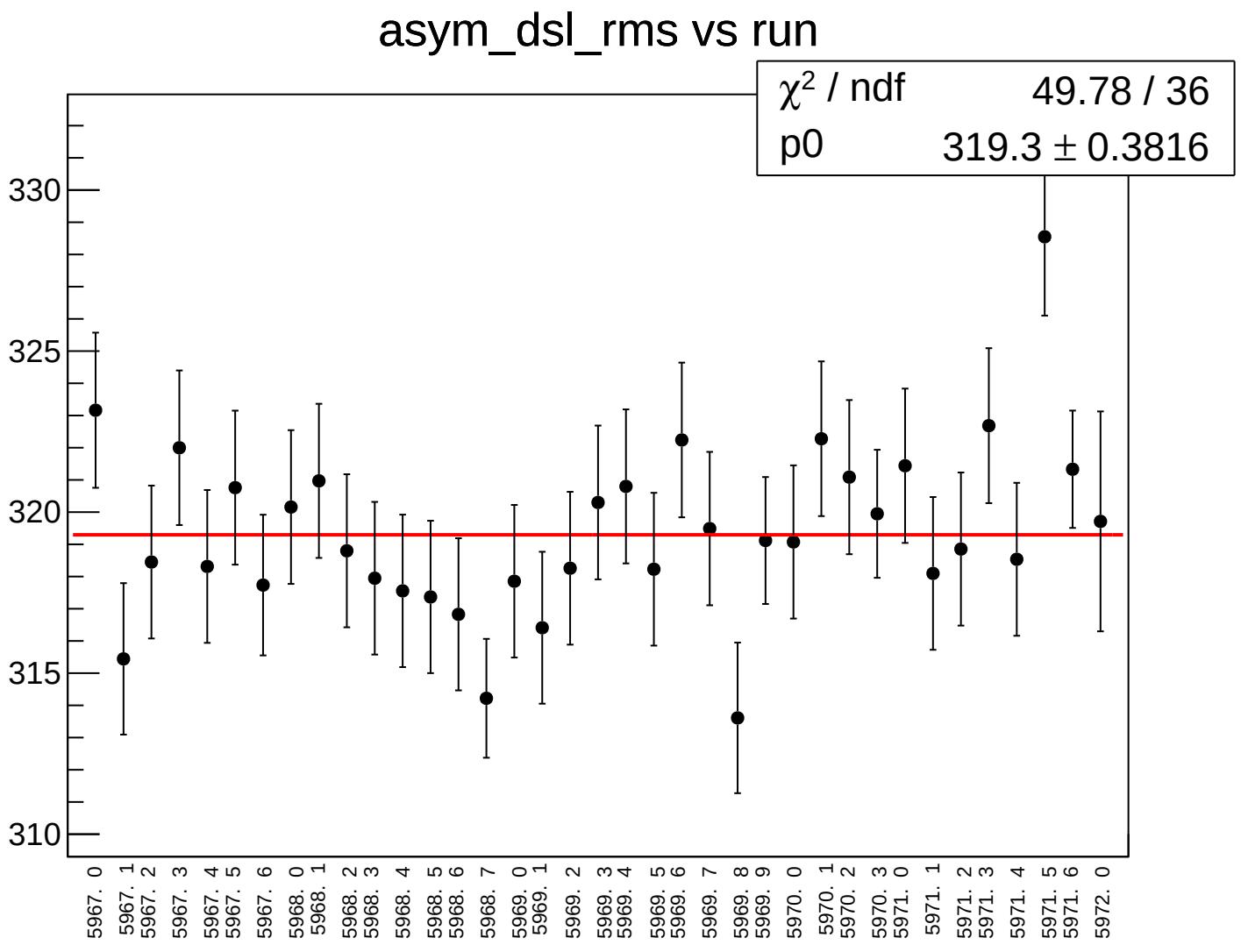
asym_dsl_rms vs run
χ² / ndf 49.78 / 36
p0 319.3 ± 0.3816
330
325
320
315
310
5967. 0
5967. 1
5967. 2
5967. 3
5967. 4
5967. 5
5967. 6
5968. 0
5968. 1
5968. 2
5968. 3
5968. 4
5968. 5
5968. 6
5968. 7
5969. 0
5969. 1
5969. 2
5969. 3
5969. 4
5969. 5
5969. 6
5969. 7
5969. 8
5969. 9
5970. 0
5970. 1
5970. 2
5970. 3
5971. 0
5971. 1
5971. 2
5971. 3
5971. 4
5971. 5
5971. 6
5972. 0

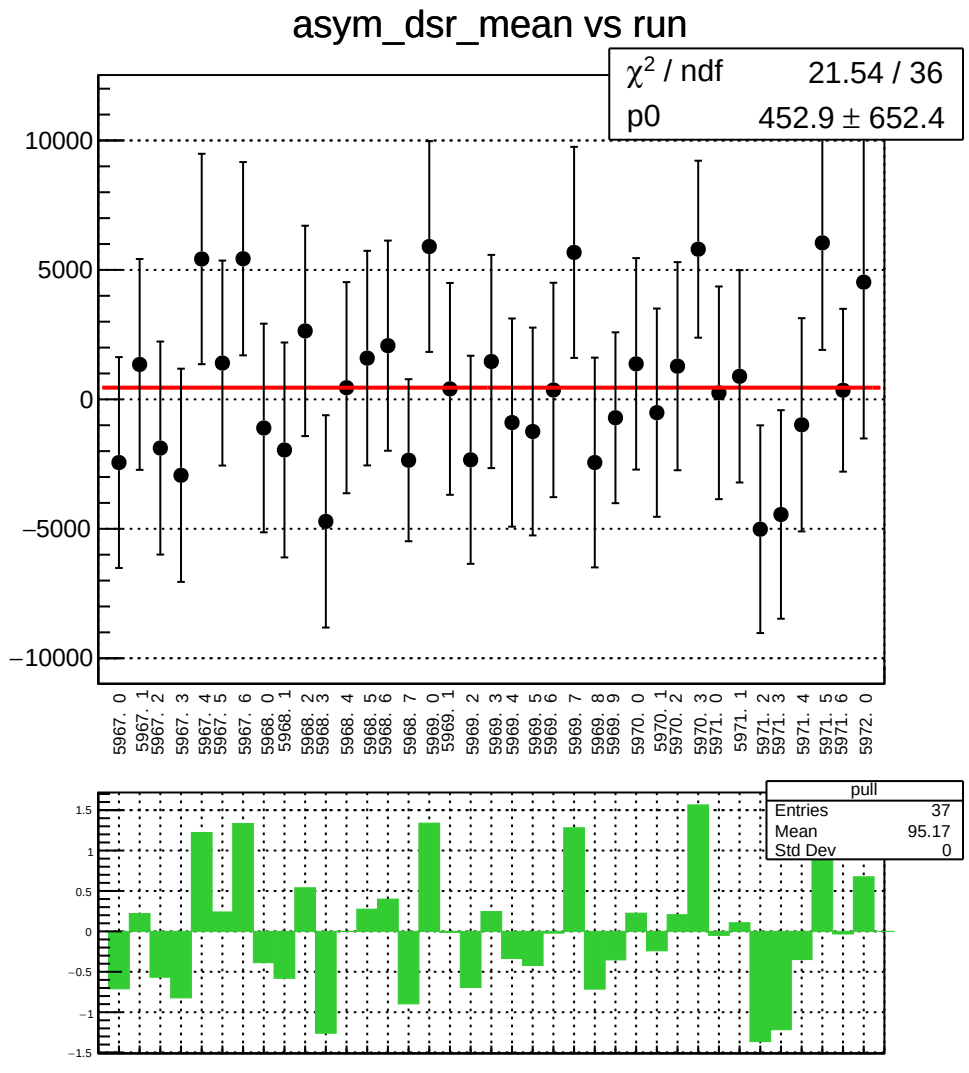
asym_dsr_mean vs run
χ² / ndf 21.54 / 36
p0 452.9 ± 652.4
10000
5000
0
−5000
−10000
5967. 0
5967. 1
5967. 2
5967. 3
5967. 4
5967. 5
5967. 6
5968. 0
5968. 1
5968. 2
5968. 3
5968. 4
5968. 5
5968. 6
5968. 7
5969. 0
5969. 1
5969. 2
5969. 3
5969. 4
5969. 5
5969. 6
5969. 7
5969. 8
5969. 9
5970. 0
5970. 1
5970. 2
5970. 3
5971. 0
5971. 1
5971. 2
5971. 3
5971. 4
5971. 5
5971. 6
5972. 0
pull
Entries 37
Mean 95.17
Std Dev 0
1.5
1
0.5
0
−0.5
−1
−1.5

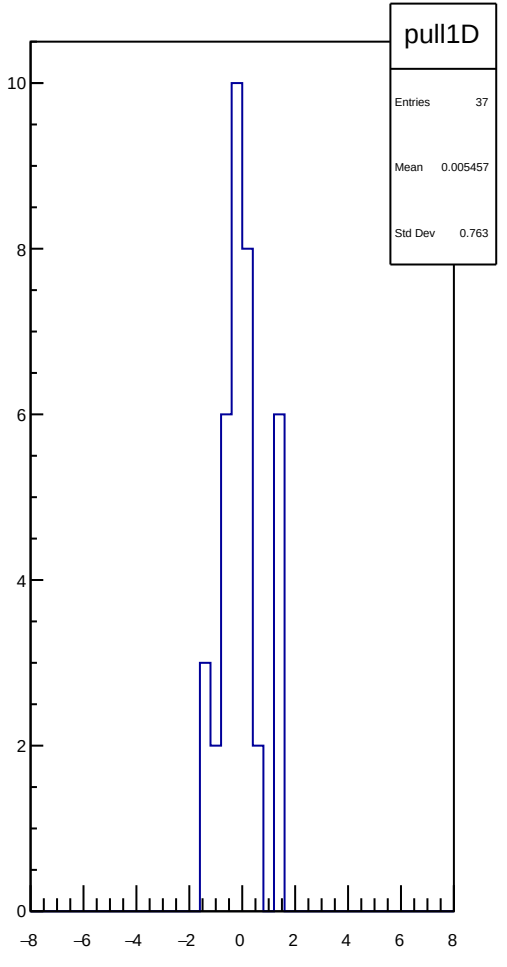
pull1D
Entries 37
Mean 0.005457
Std Dev 0.763
10
8
6
4
2
0
−8
−6
−4
−2
0
2
4
6
8

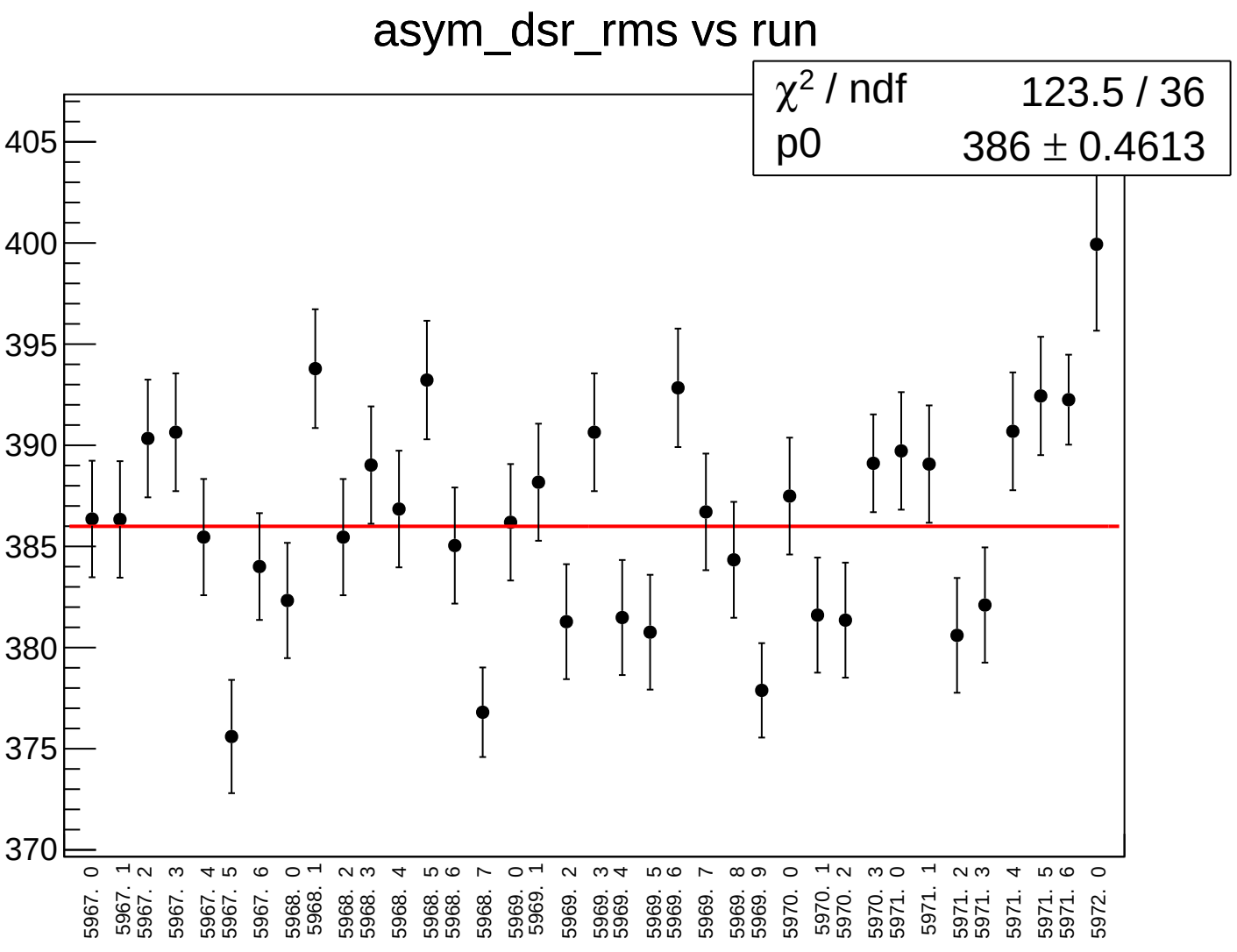
asym_dsr_rms vs run
χ^2 / ndf 123.5 / 36
p0 386 ± 0.4613
405
400
395
390
385
380
375
370
5967. 0
5967. 1
5967. 2
5967. 3
5967. 4
5967. 5
5967. 6
5968. 0
5968. 1
5968. 2
5968. 3
5968. 4
5968. 5
5968. 6
5968. 7
5969. 0
5969. 1
5969. 2
5969. 3
5969. 4
5969. 5
5969. 6
5969. 7
5969. 8
5969. 9
5970. 0
5970. 1
5970. 2
5970. 3
5971. 0
5971. 1
5971. 2
5971. 3
5971. 4
5971. 5
5971. 6
5972. 0

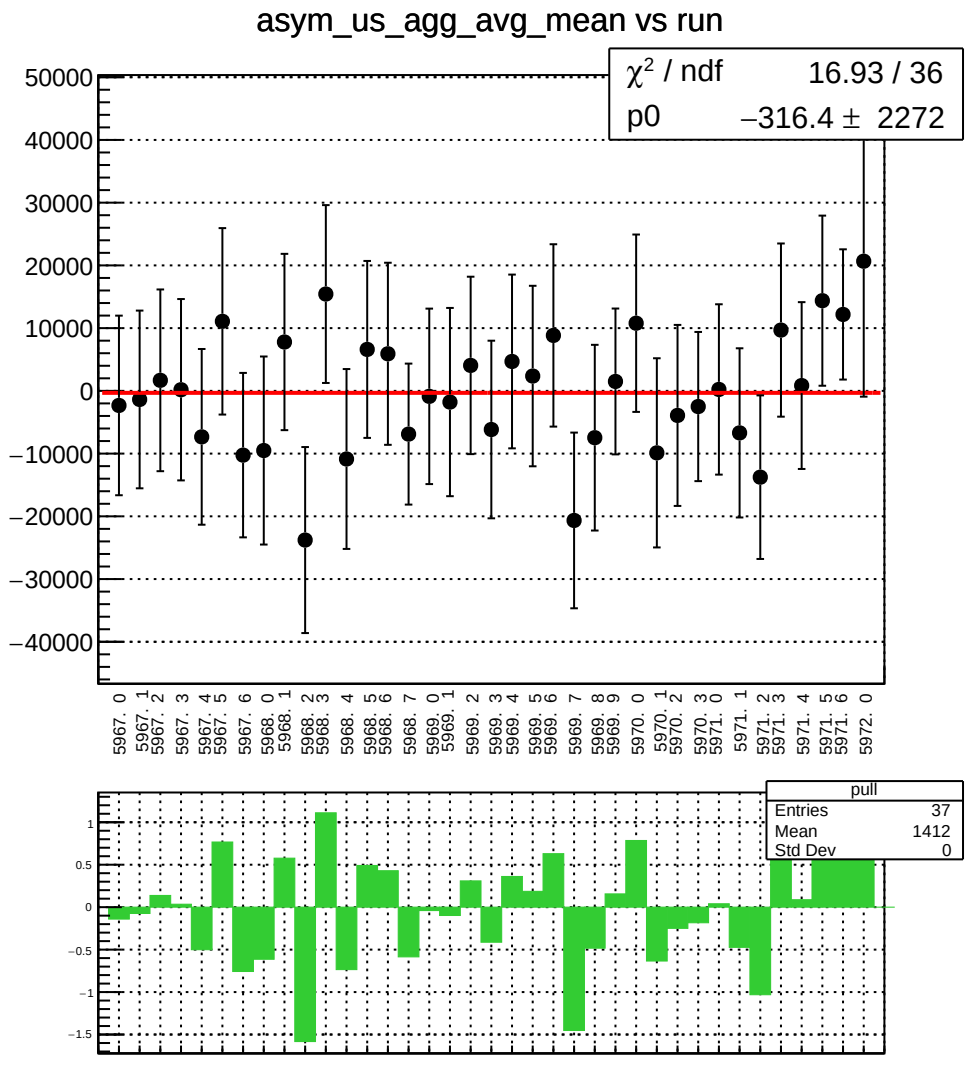
asym_us_agg_avg_mean vs run
χ² / ndf 16.93 / 36
p0 −316.4 ± 2272
50000
40000
30000
20000
10000
0
−10000
−20000
−30000
−40000
5967. 0
5967. 1
5967. 2
5967. 3
5967. 4
5967. 5
5967. 6
5968. 0
5968. 1
5968. 2
5968. 3
5968. 4
5968. 5
5968. 6
5968. 7
5969. 0
5969. 1
5969. 2
5969. 3
5969. 4
5969. 5
5969. 6
5969. 7
5969. 8
5969. 9
5970. 0
5970. 1
5970. 2
5970. 3
5971. 0
5971. 1
5971. 2
5971. 3
5971. 4
5971. 5
5971. 6
5972. 0
pull
Entries 37
Mean 1412
Std Dev 0
1
0.5
0
−0.5
−1
−1.5

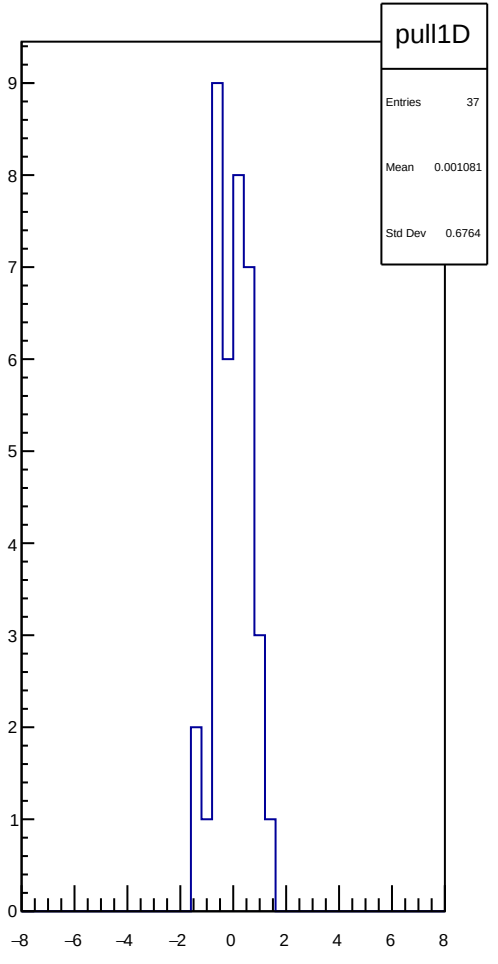
pull1D
Entries 37
Mean 0.001081
Std Dev 0.6764
9
8
7
6
5
4
3
2
1
0
−8
−6
−4
−2
0
2
4
6
8

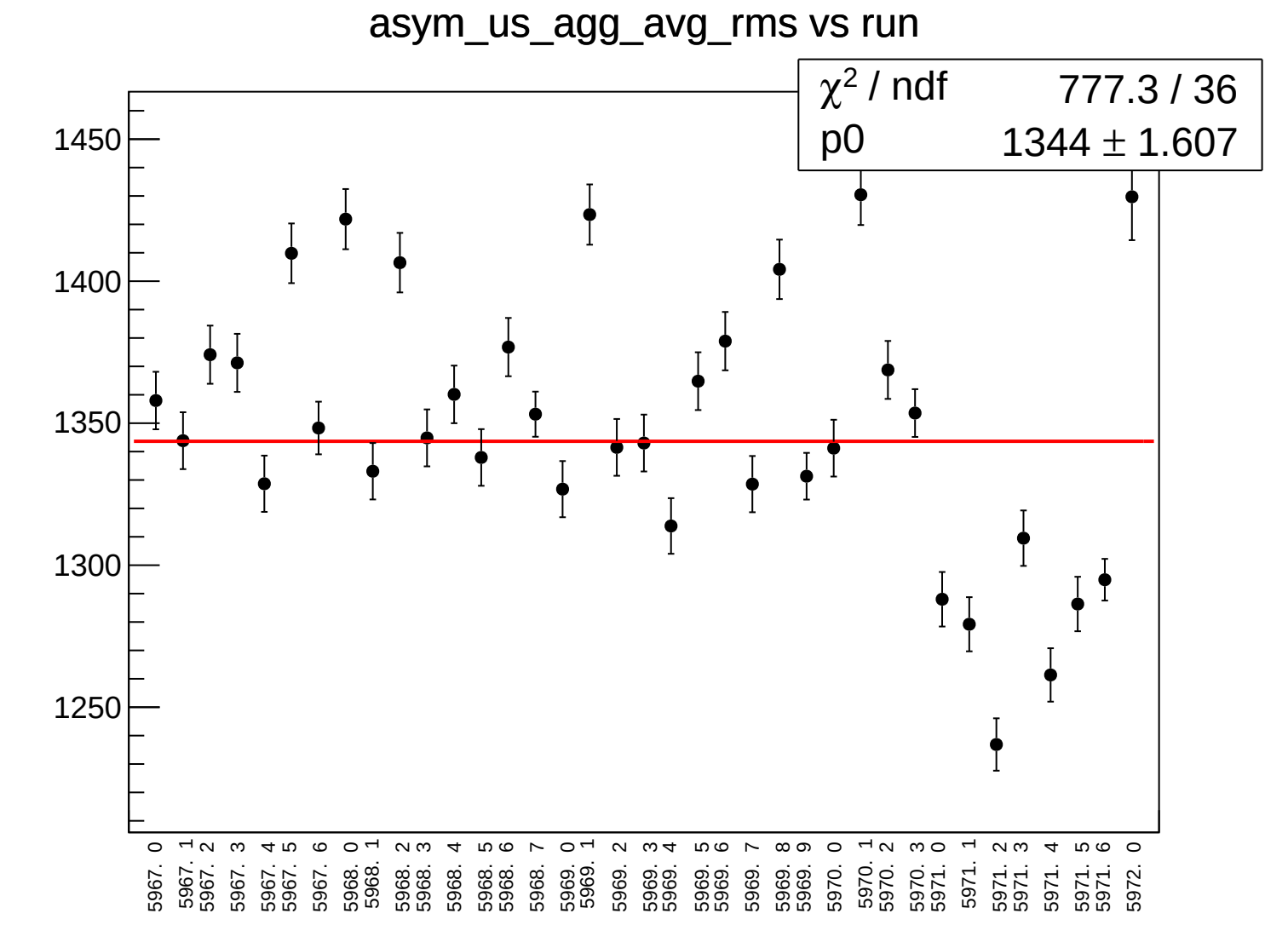
asym_us_agg_avg_rms vs run
χ² / ndf 777.3 / 36
p0 1344 ± 1.607
1450
1400
1350
1300
1250
5967. 0
5967. 1
5967. 2
5967. 3
5967. 4
5967. 5
5967. 6
5968. 0
5968. 1
5968. 2
5968. 3
5968. 4
5968. 5
5968. 6
5968. 7
5969. 0
5969. 1
5969. 2
5969. 3
5969. 4
5969. 5
5969. 6
5969. 7
5969. 8
5969. 9
5970. 0
5970. 1
5970. 2
5970. 3
5971. 0
5971. 1
5971. 2
5971. 3
5971. 4
5971. 5
5971. 6
5972. 0

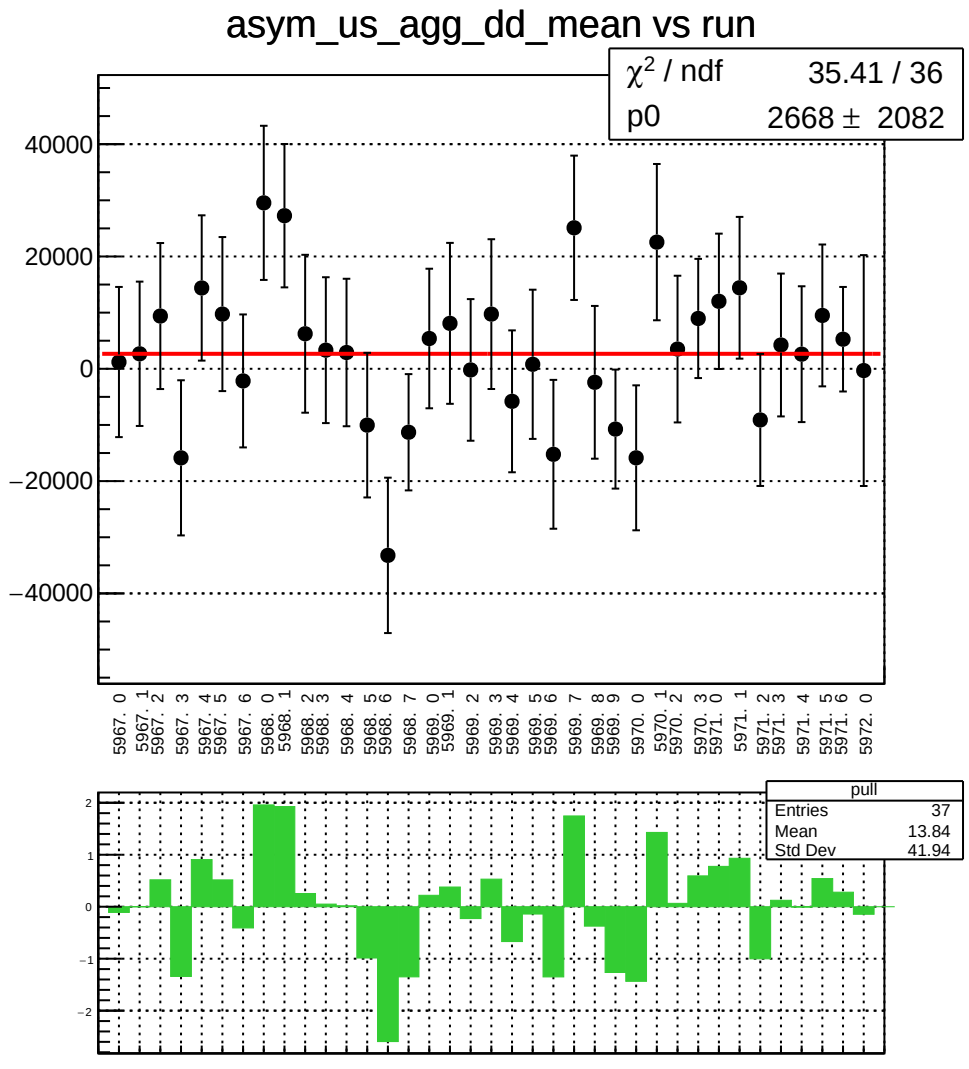
asym_us_agg_dd_mean vs run
χ² / ndf 35.41 / 36
p0 2668 ± 2082
40000
20000
0
−20000
−40000
5967. 0
5967. 1
5967. 2
5967. 3
5967. 4
5967. 5
5967. 6
5968. 0
5968. 1
5968. 2
5968. 3
5968. 4
5968. 5
5968. 6
5968. 7
5969. 0
5969. 1
5969. 2
5969. 3
5969. 4
5969. 5
5969. 6
5969. 7
5969. 8
5969. 9
5970. 0
5970. 1
5970. 2
5970. 3
5971. 0
5971. 1
5971. 2
5971. 3
5971. 4
5971. 5
5971. 6
5972. 0
pull
Entries 37
Mean 13.84
Std Dev 41.94
2
1
0
−1
−2

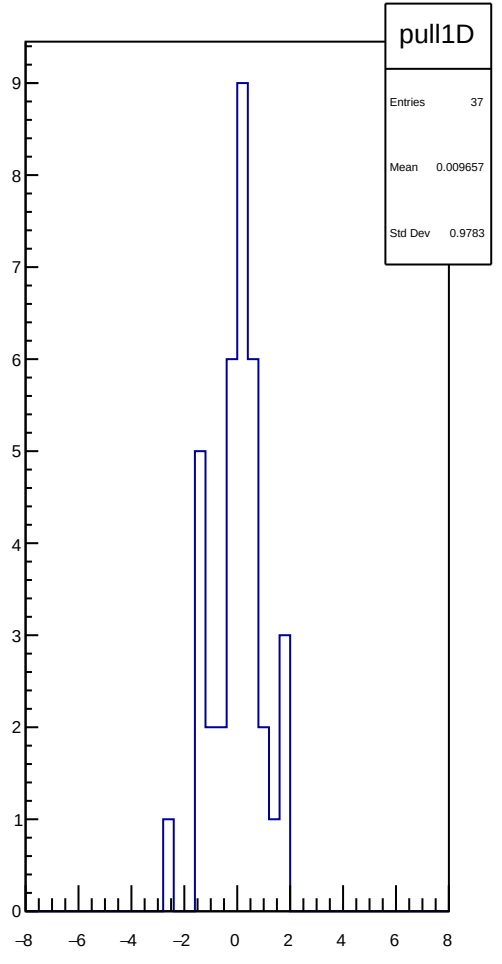
pull1D
Entries 37
Mean 0.009657
Std Dev 0.9783
9
8
7
6
5
4
3
2
1
0
−8
−6
−4
−2
0
2
4
6
8

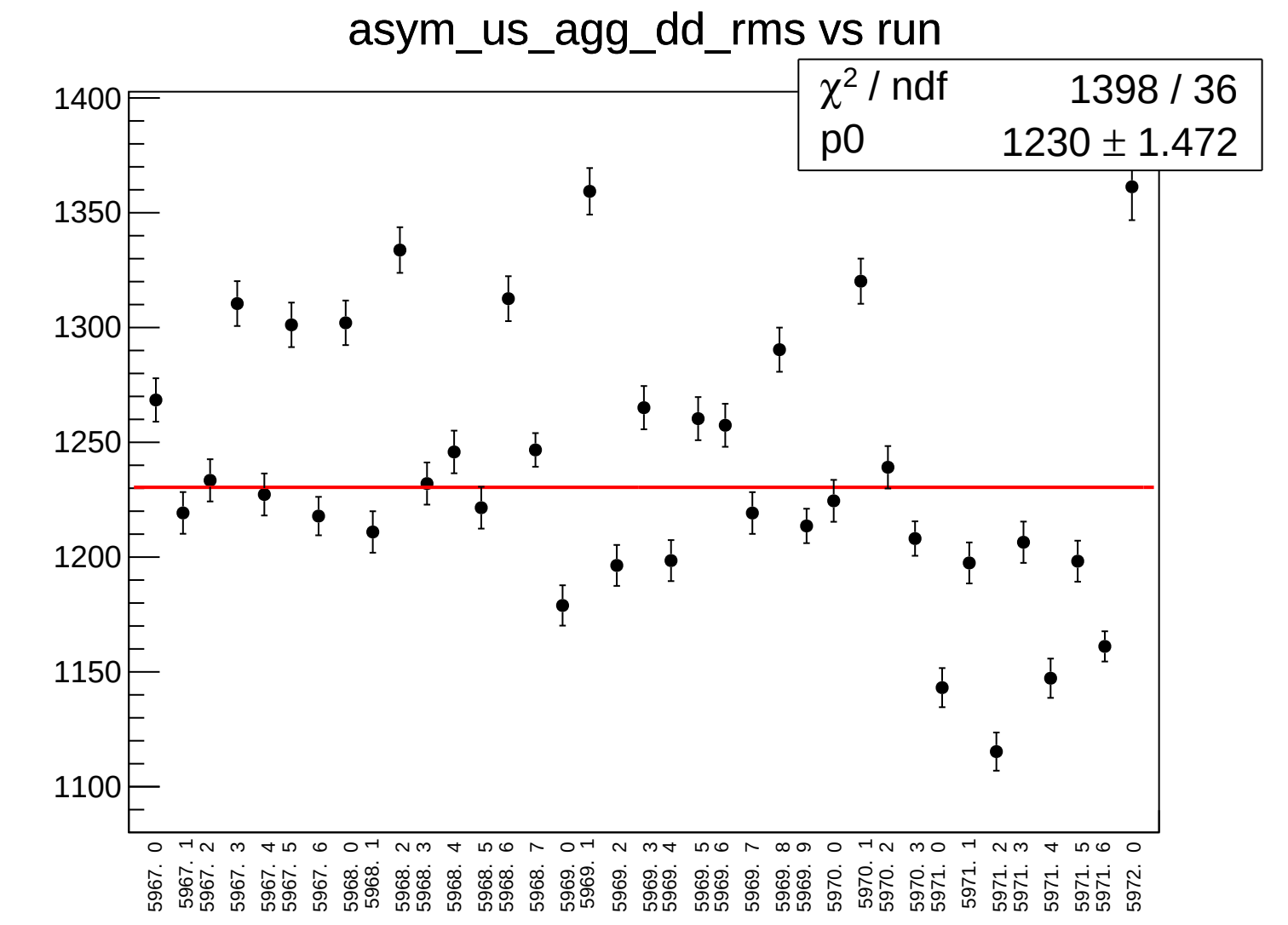
asym_us_agg_dd_rms vs run
χ² / ndf 1398 / 36
p0 1230 ± 1.472
1400
1350
1300
1250
1200
1150
1100
5967. 0
5967. 1
5967. 2
5967. 3
5967. 4
5967. 5
5967. 6
5968. 0
5968. 1
5968. 2
5968. 3
5968. 4
5968. 5
5968. 6
5968. 7
5969. 0
5969. 1
5969. 2
5969. 3
5969. 4
5969. 5
5969. 6
5969. 7
5969. 8
5969. 9
5970. 0
5970. 1
5970. 2
5970. 3
5971. 0
5971. 1
5971. 2
5971. 3
5971. 4
5971. 5
5971. 6
5972. 0

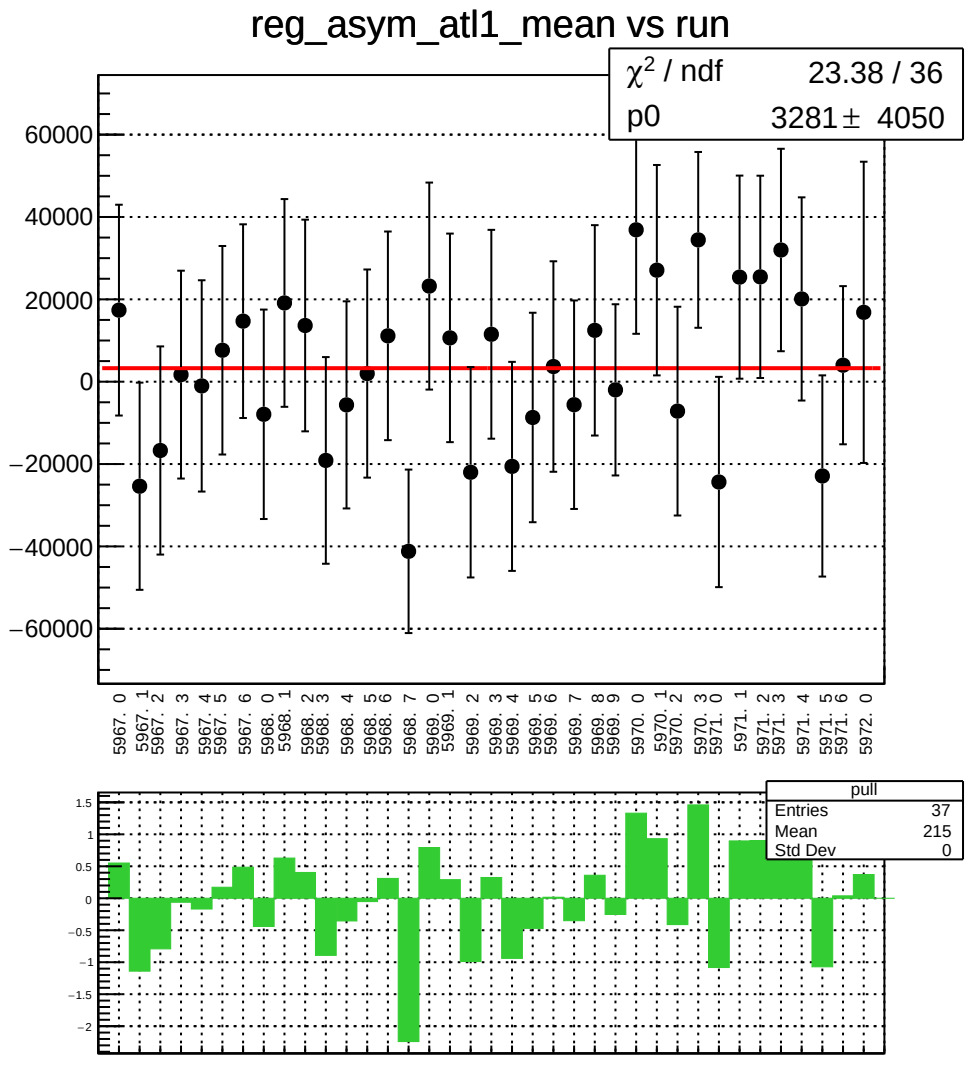
reg_asym_atl1_mean vs run
χ² / ndf 23.38 / 36
p0 3281 ± 4050
60000
40000
20000
0
−20000
−40000
−60000
5967. 0
5967. 1
5967. 2
5967. 3
5967. 4
5967. 5
5967. 6
5968. 0
5968. 1
5968. 2
5968. 3
5968. 4
5968. 5
5968. 6
5968. 7
5969. 0
5969. 1
5969. 2
5969. 3
5969. 4
5969. 5
5969. 6
5969. 7
5969. 8
5969. 9
5970. 0
5970. 1
5970. 2
5970. 3
5971. 0
5971. 1
5971. 2
5971. 3
5971. 4
5971. 5
5971. 6
5972. 0
pull
Entries 37
Mean 215
Std Dev 0
1.5
1
0.5
0
−0.5
−1
−1.5
−2
pull1D
Entries 37
Mean 0.01096
Std Dev 0.7948
8
7
6
5
4
3
2
1
0
−8
−6
−4
−2
0
2
4
6
8

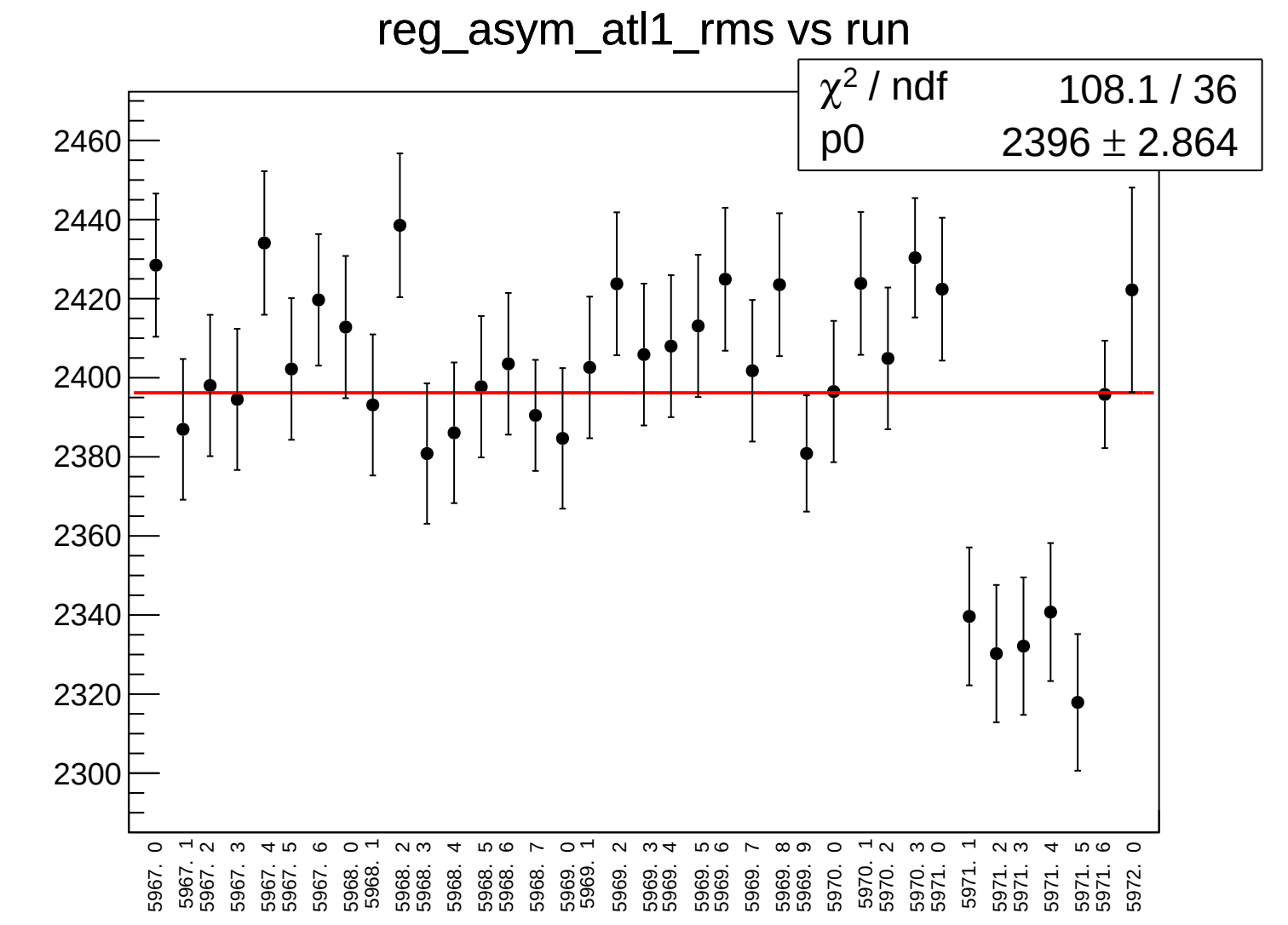
reg_asym_atl1_rms vs run
χ² / ndf 108.1 / 36
p0 2396 ± 2.864
2460
2440
2420
2400
2380
2360
2340
2320
2300
5967. 0
5967. 1
5967. 2
5967. 3
5967. 4
5967. 5
5967. 6
5968. 0
5968. 1
5968. 2
5968. 3
5968. 4
5968. 5
5968. 6
5968. 7
5969. 0
5969. 1
5969. 2
5969. 3
5969. 4
5969. 5
5969. 6
5969. 7
5969. 8
5969. 9
5970. 0
5970. 1
5970. 2
5970. 3
5971. 0
5971. 1
5971. 2
5971. 3
5971. 4
5971. 5
5971. 6
5972. 0

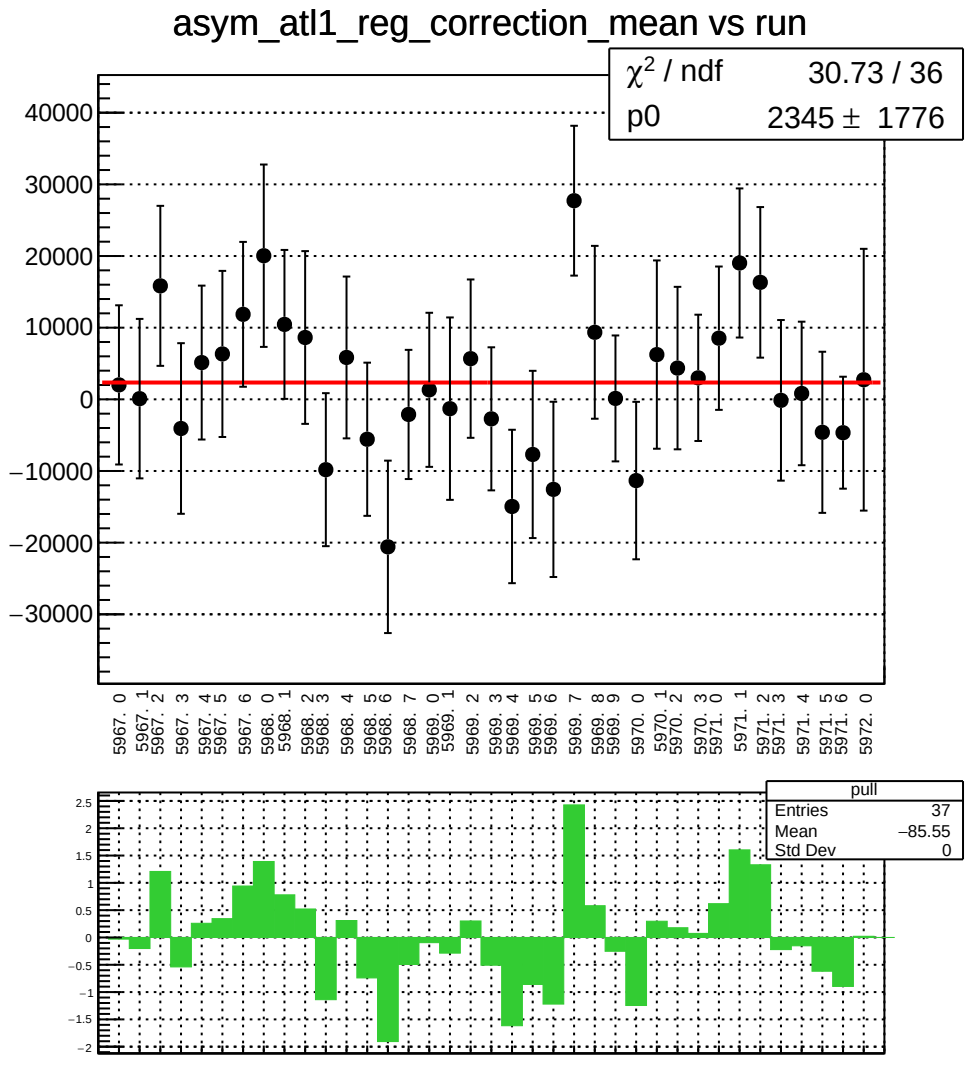
asym_atl1_reg_correction_mean vs run
χ² / ndf 30.73 / 36
p0 2345 ± 1776
pull
Entries 37
Mean −85.55
Std Dev 0

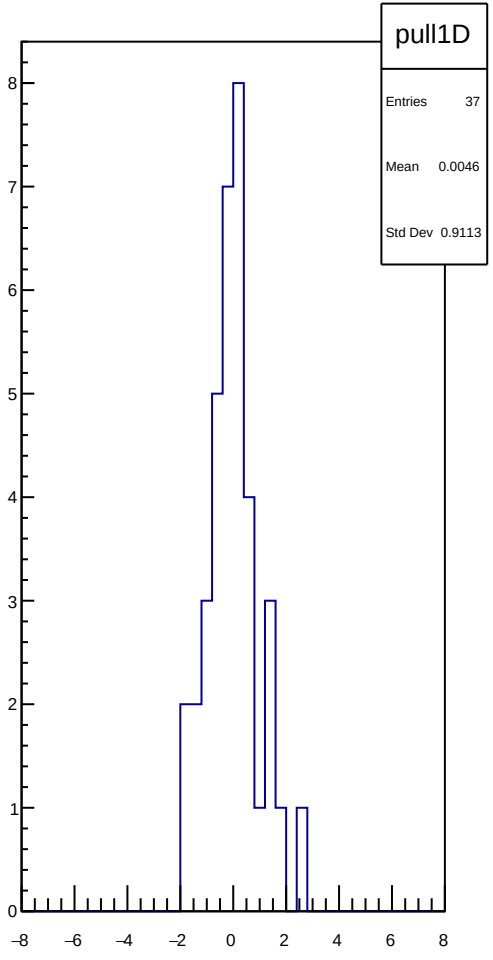
pull1D
Entries 37
Mean 0.0046
Std Dev 0.9113

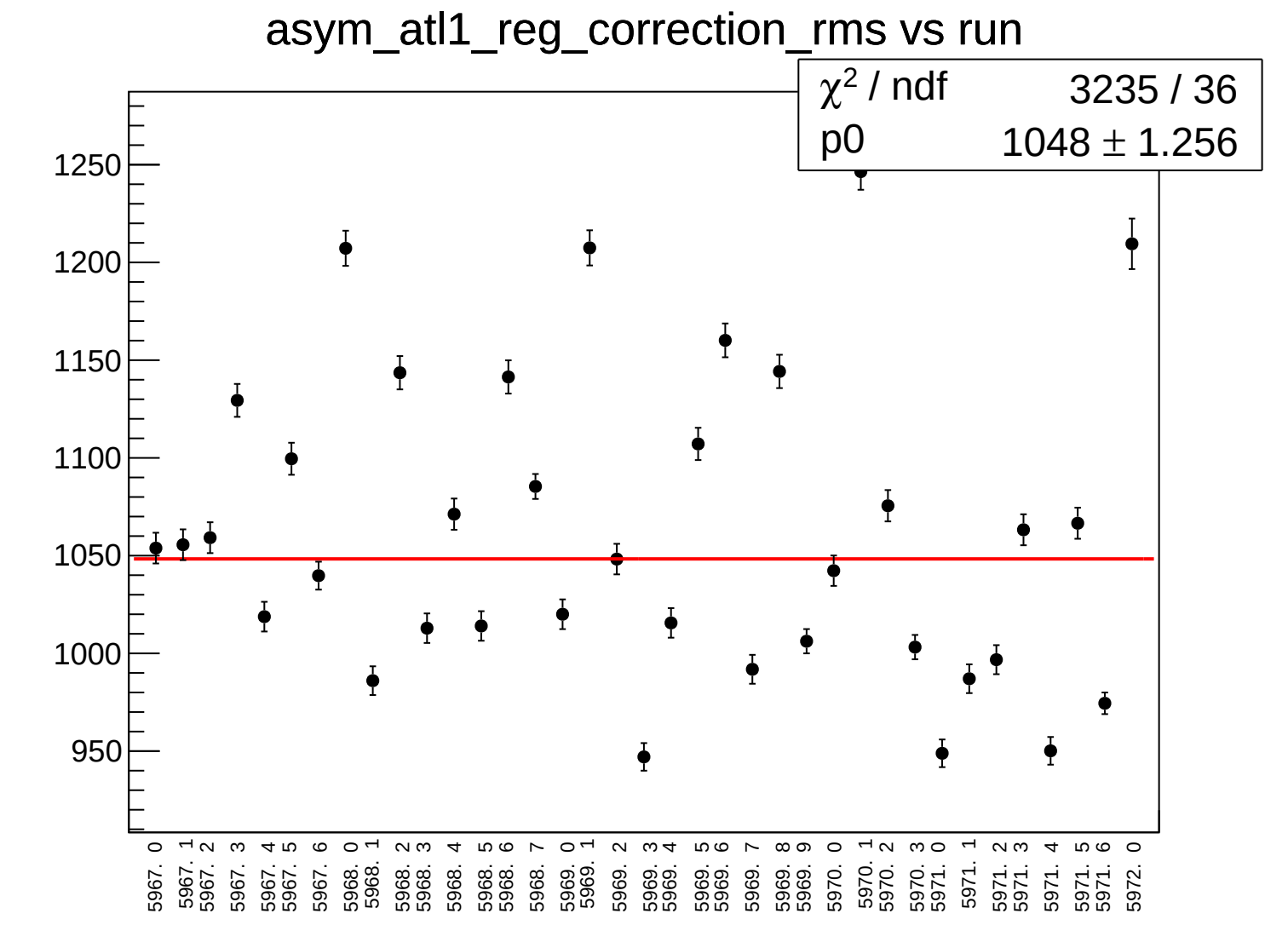
asym_atl1_reg_correction_rms vs run
χ² / ndf 3235 / 36
p0 1048 ± 1.256
1250
1200
1150
1100
1050
1000
950
5967. 0
5967. 1
5967. 2
5967. 3
5967. 4
5967. 5
5967. 6
5968. 0
5968. 1
5968. 2
5968. 3
5968. 4
5968. 5
5968. 6
5968. 7
5969. 0
5969. 1
5969. 2
5969. 3
5969. 4
5969. 5
5969. 6
5969. 7
5969. 8
5969. 9
5970. 0
5970. 1
5970. 2
5970. 3
5971. 0
5971. 1
5971. 2
5971. 3
5971. 4
5971. 5
5971. 6
5972. 0

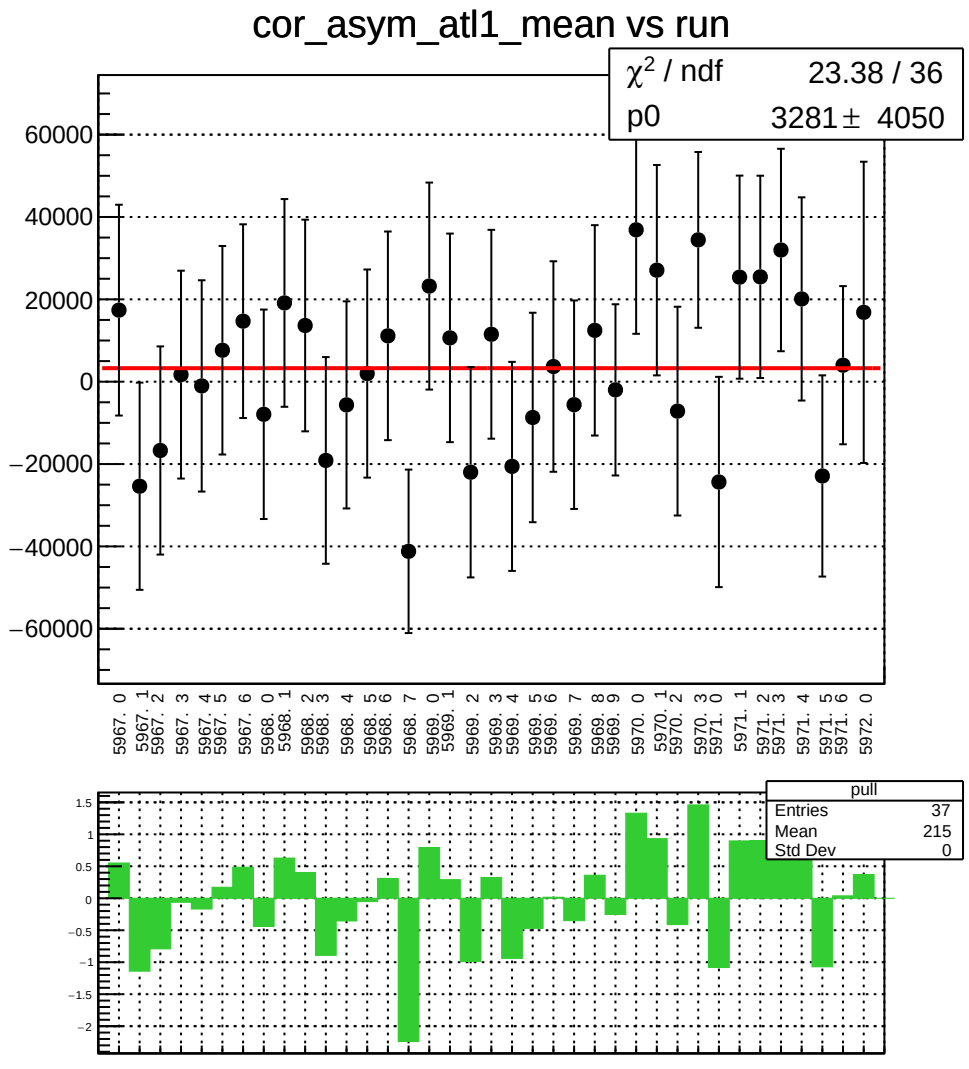
cor_asym_atl1_mean vs run
χ² / ndf 23.38 / 36
p0 3281 ± 4050
60000
40000
20000
0
−20000
−40000
−60000
5967. 0
5967. 1
5967. 2
5967. 3
5967. 4
5967. 5
5967. 6
5968. 0
5968. 1
5968. 2
5968. 3
5968. 4
5968. 5
5968. 6
5968. 7
5969. 0
5969. 1
5969. 2
5969. 3
5969. 4
5969. 5
5969. 6
5969. 7
5969. 8
5969. 9
5970. 0
5970. 1
5970. 2
5970. 3
5971. 0
5971. 1
5971. 2
5971. 3
5971. 4
5971. 5
5971. 6
5972. 0
pull
Entries 37
Mean 215
Std Dev 0
1.5
1
0.5
0
−0.5
−1
−1.5
−2
pull1D
Entries 37
Mean 0.01096
Std Dev 0.7948
8
7
6
5
4
3
2
1
0
−8
−6
−4
−2
0
2
4
6
8

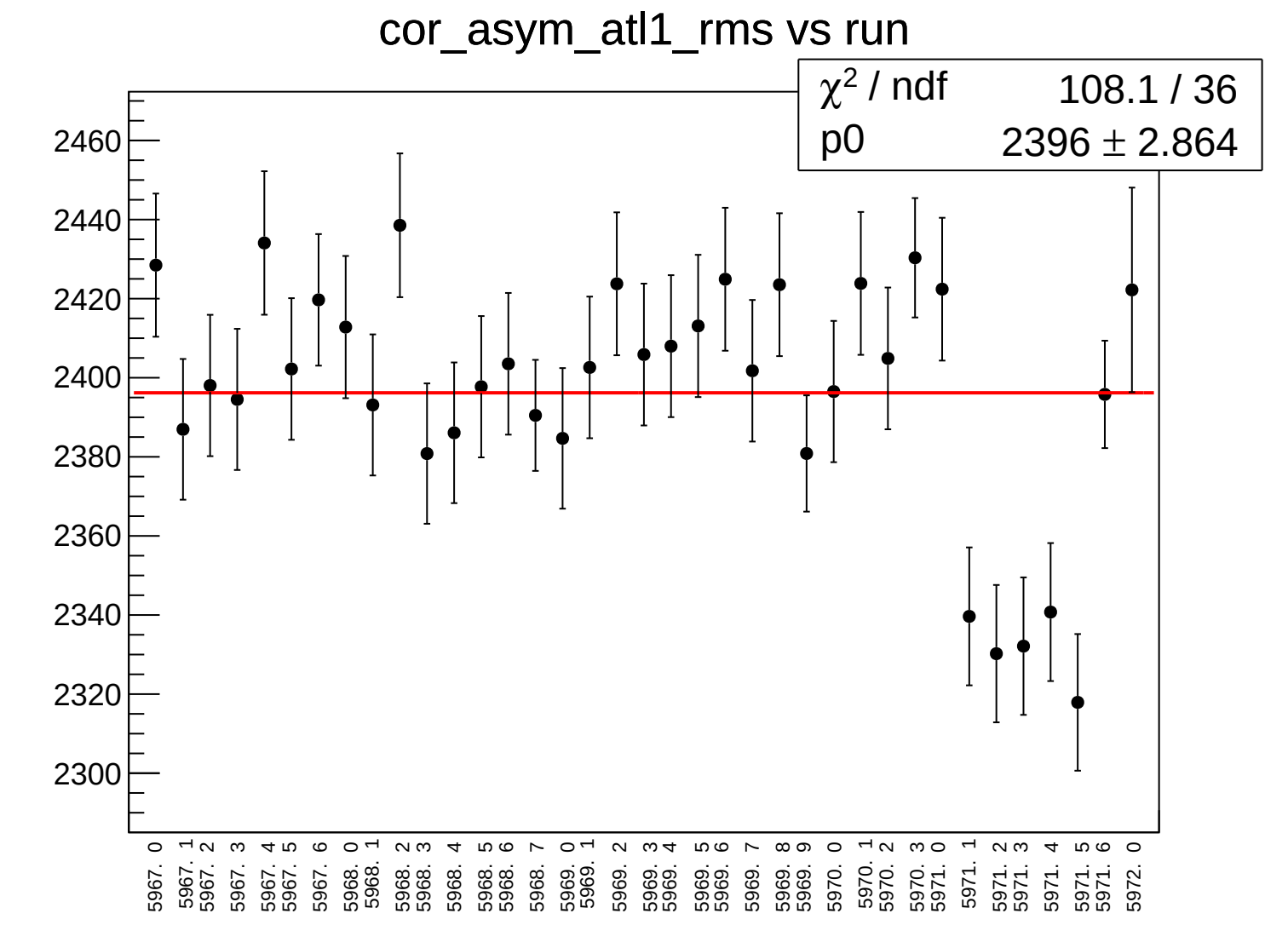
cor_asym_atl1_rms vs run
χ² / ndf 108.1 / 36
p0 2396 ± 2.864
2460
2440
2420
2400
2380
2360
2340
2320
2300
5967. 0
5967. 1
5967. 2
5967. 3
5967. 4
5967. 5
5967. 6
5968. 0
5968. 1
5968. 2
5968. 3
5968. 4
5968. 5
5968. 6
5968. 7
5969. 0
5969. 1
5969. 2
5969. 3
5969. 4
5969. 5
5969. 6
5969. 7
5969. 8
5969. 9
5970. 0
5970. 1
5970. 2
5970. 3
5971. 0
5971. 1
5971. 2
5971. 3
5971. 4
5971. 5
5971. 6
5972. 0

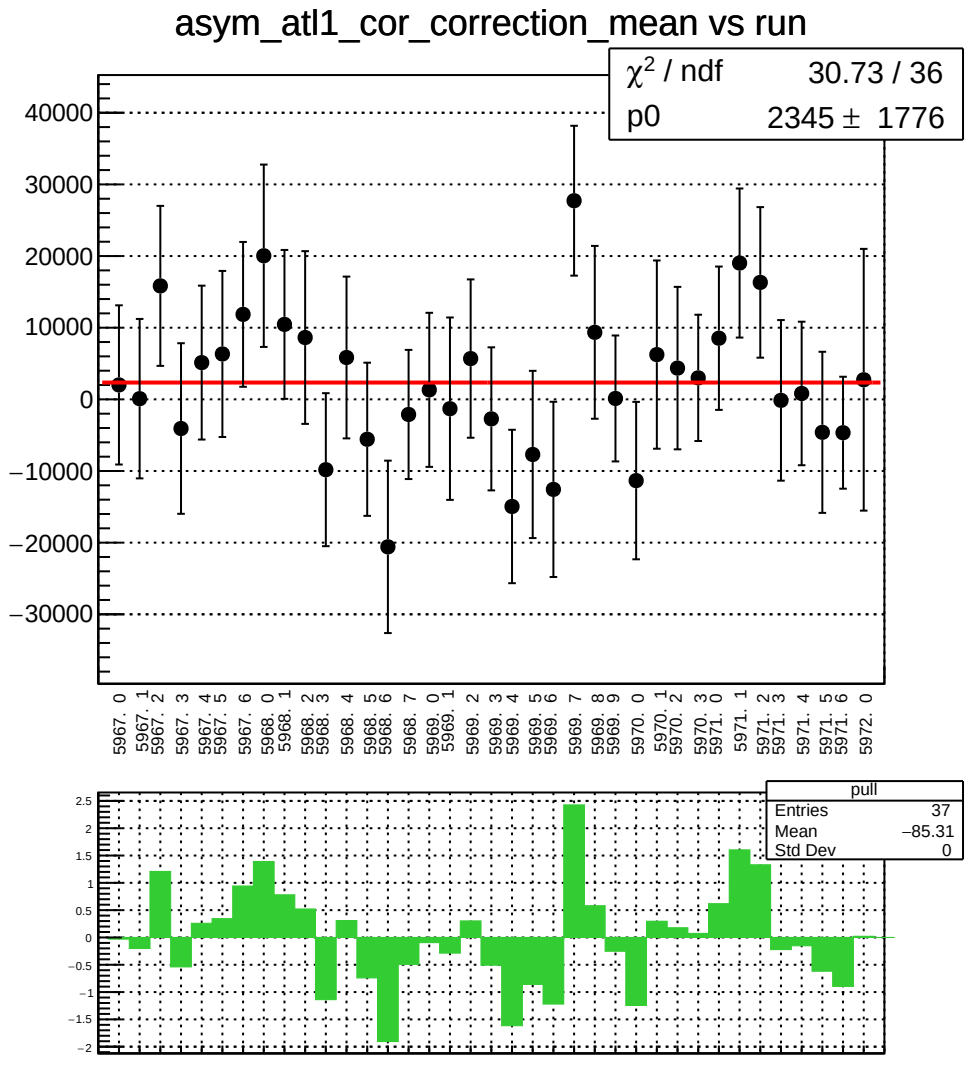
asym_atl1_cor_correction_mean vs run
χ² / ndf 30.73 / 36
p0 2345 ± 1776
pull
Entries 37
Mean −85.31
Std Dev 0

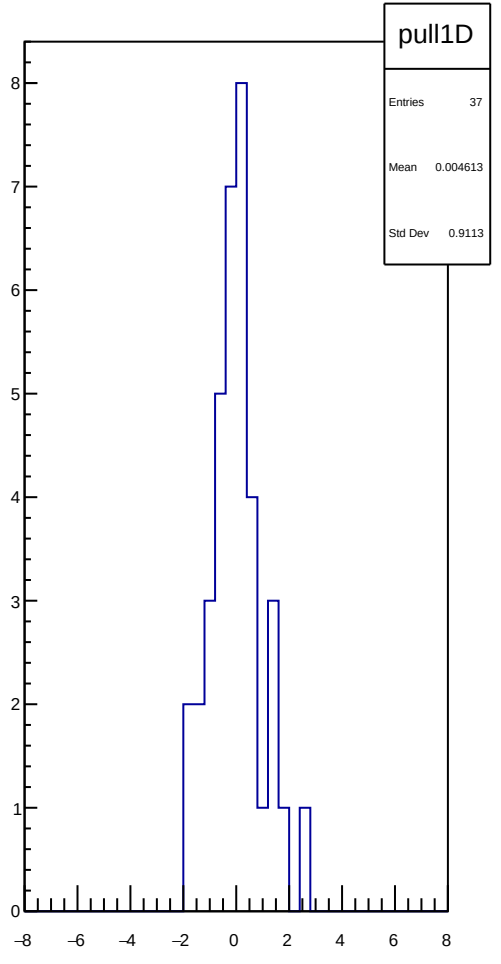
pull1D
Entries 37
Mean 0.004613
Std Dev 0.9113

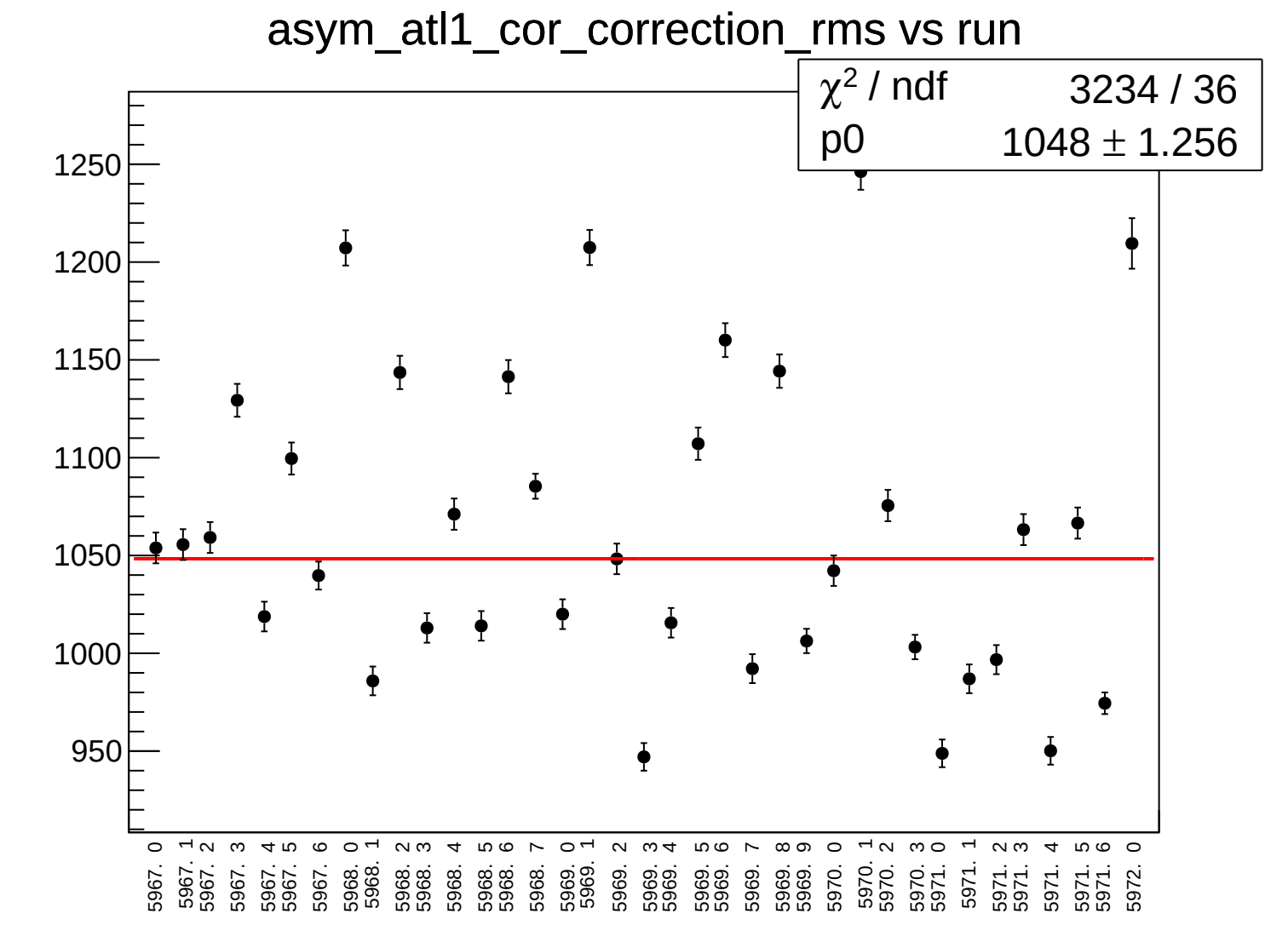
asym_atl1_cor_correction_rms vs run
χ² / ndf 3234 / 36
p0 1048 ± 1.256
1250
1200
1150
1100
1050
1000
950
5967. 0
5967. 1
5967. 2
5967. 3
5967. 4
5967. 5
5967. 6
5968. 0
5968. 1
5968. 2
5968. 3
5968. 4
5968. 5
5968. 6
5968. 7
5969. 0
5969. 1
5969. 2
5969. 3
5969. 4
5969. 5
5969. 6
5969. 7
5969. 8
5969. 9
5970. 0
5970. 1
5970. 2
5970. 3
5971. 0
5971. 1
5971. 2
5971. 3
5971. 4
5971. 5
5971. 6
5972. 0

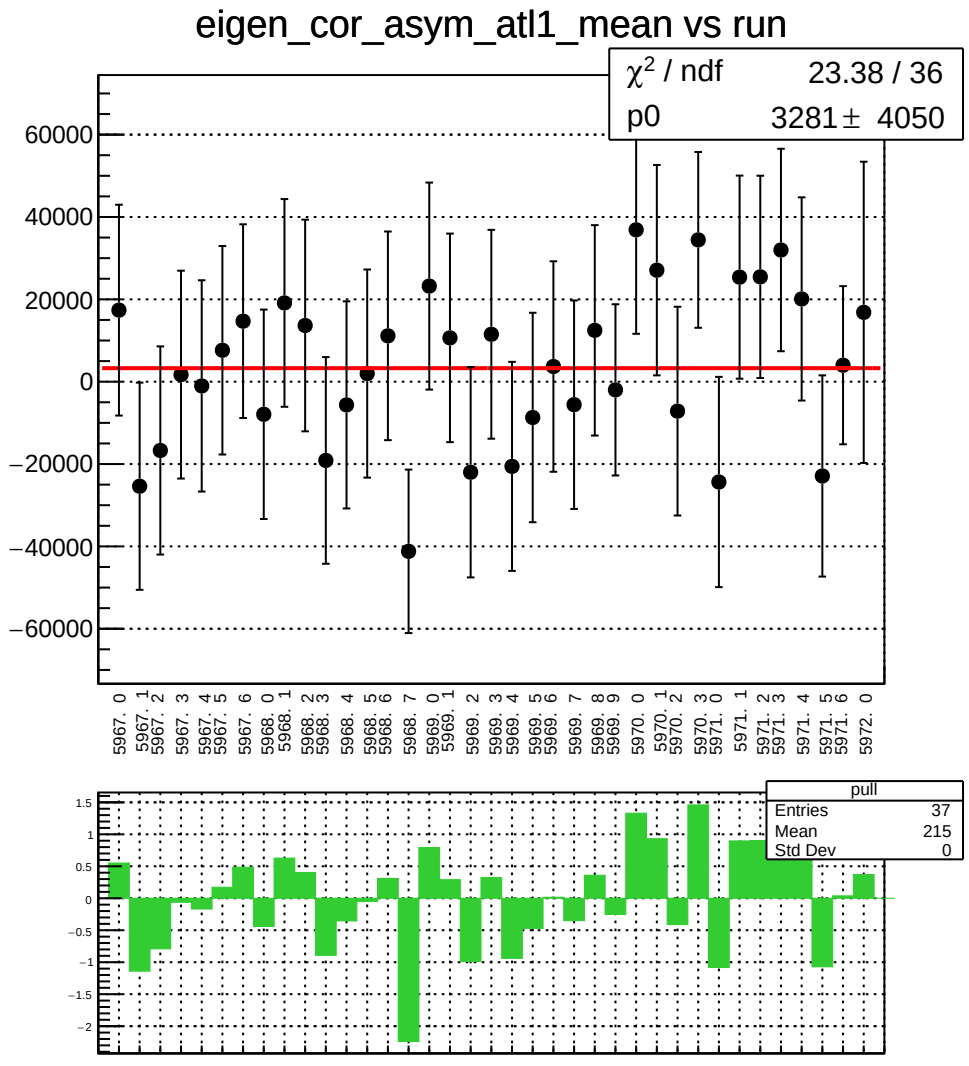
eigen_cor_asym_atl1_mean vs run
χ² / ndf 23.38 / 36
p0 3281 ± 4050
60000
40000
20000
0
−20000
−40000
−60000
5967. 0
5967. 1
5967. 2
5967. 3
5967. 4
5967. 5
5967. 6
5968. 0
5968. 1
5968. 2
5968. 3
5968. 4
5968. 5
5968. 6
5968. 7
5969. 0
5969. 1
5969. 2
5969. 3
5969. 4
5969. 5
5969. 6
5969. 7
5969. 8
5969. 9
5970. 0
5970. 1
5970. 2
5970. 3
5971. 0
5971. 1
5971. 2
5971. 3
5971. 4
5971. 5
5971. 6
5972. 0
pull
Entries 37
Mean 215
Std Dev 0
1.5
1
0.5
0
−0.5
−1
−1.5
−2

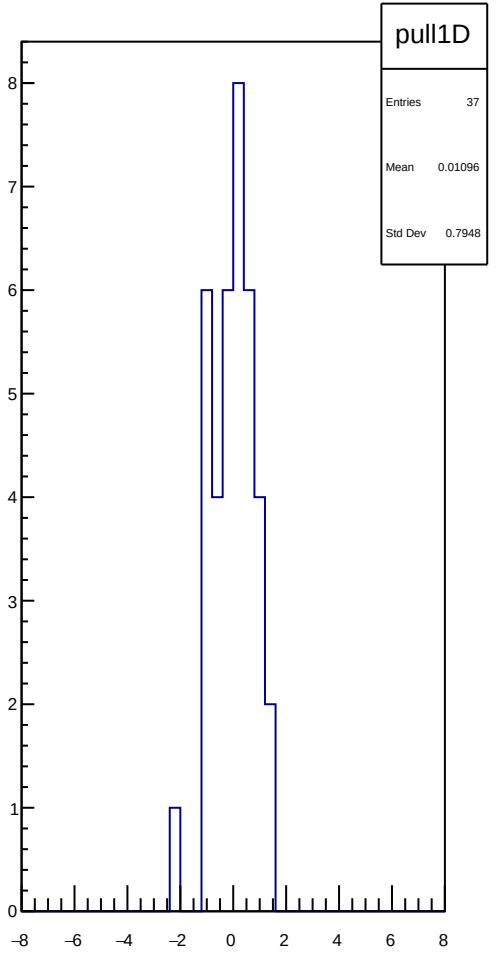
pull1D
Entries 37
Mean 0.01096
Std Dev 0.7948
8
7
6
5
4
3
2
1
0
−8
−6
−4
−2
0
2
4
6
8

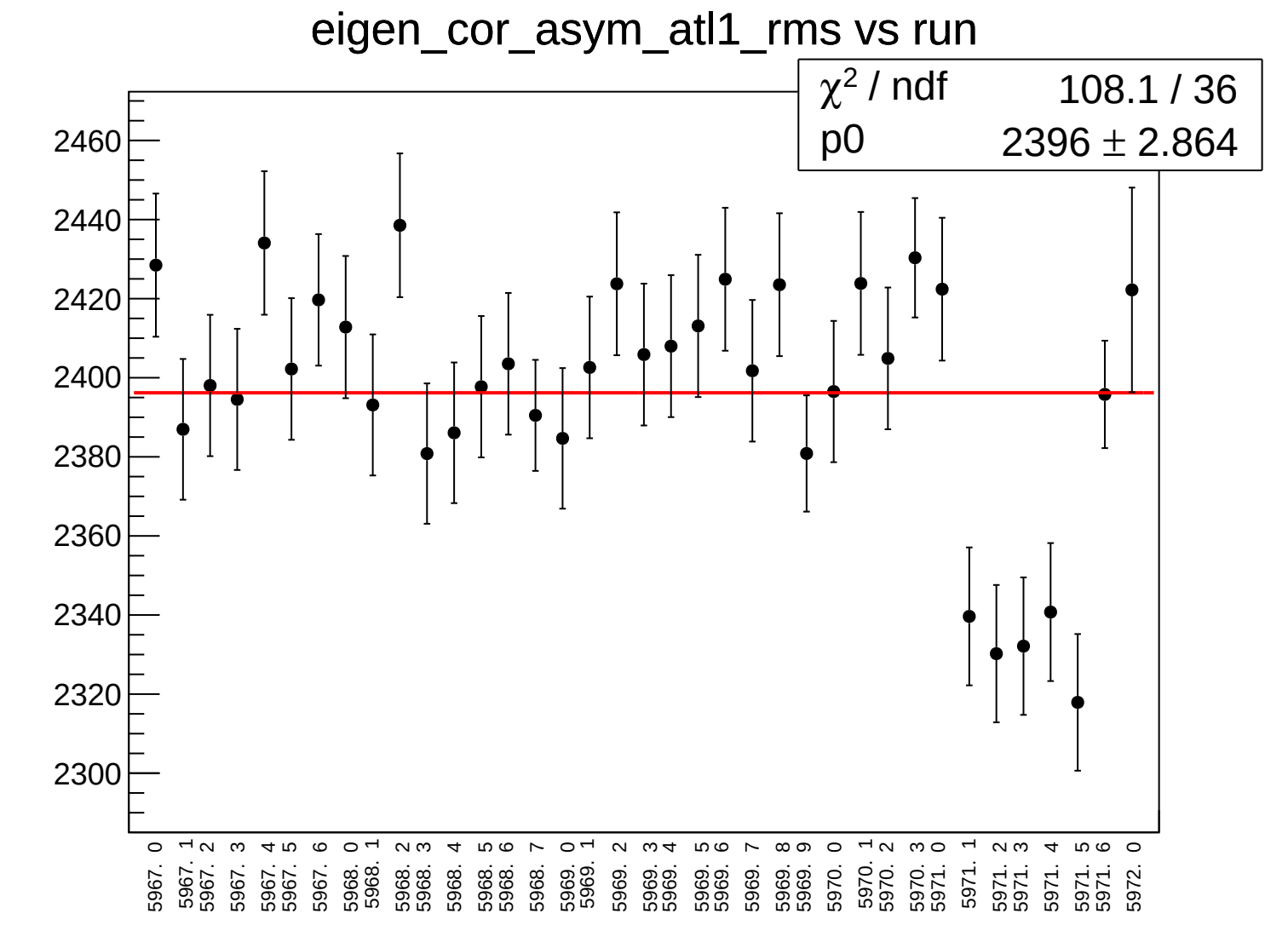
eigen_cor_asym_atl1_rms vs run
χ^2 / ndf 108.1 / 36
p0 2396 ± 2.864
2460
2440
2420
2400
2380
2360
2340
2320
2300
5967. 0
5967. 1
5967. 2
5967. 3
5967. 4
5967. 5
5967. 6
5968. 0
5968. 1
5968. 2
5968. 3
5968. 4
5968. 5
5968. 6
5968. 7
5969. 0
5969. 1
5969. 2
5969. 3
5969. 4
5969. 5
5969. 6
5969. 7
5969. 8
5969. 9
5970. 0
5970. 1
5970. 2
5970. 3
5971. 0
5971. 1
5971. 2
5971. 3
5971. 4
5971. 5
5971. 6
5972. 0

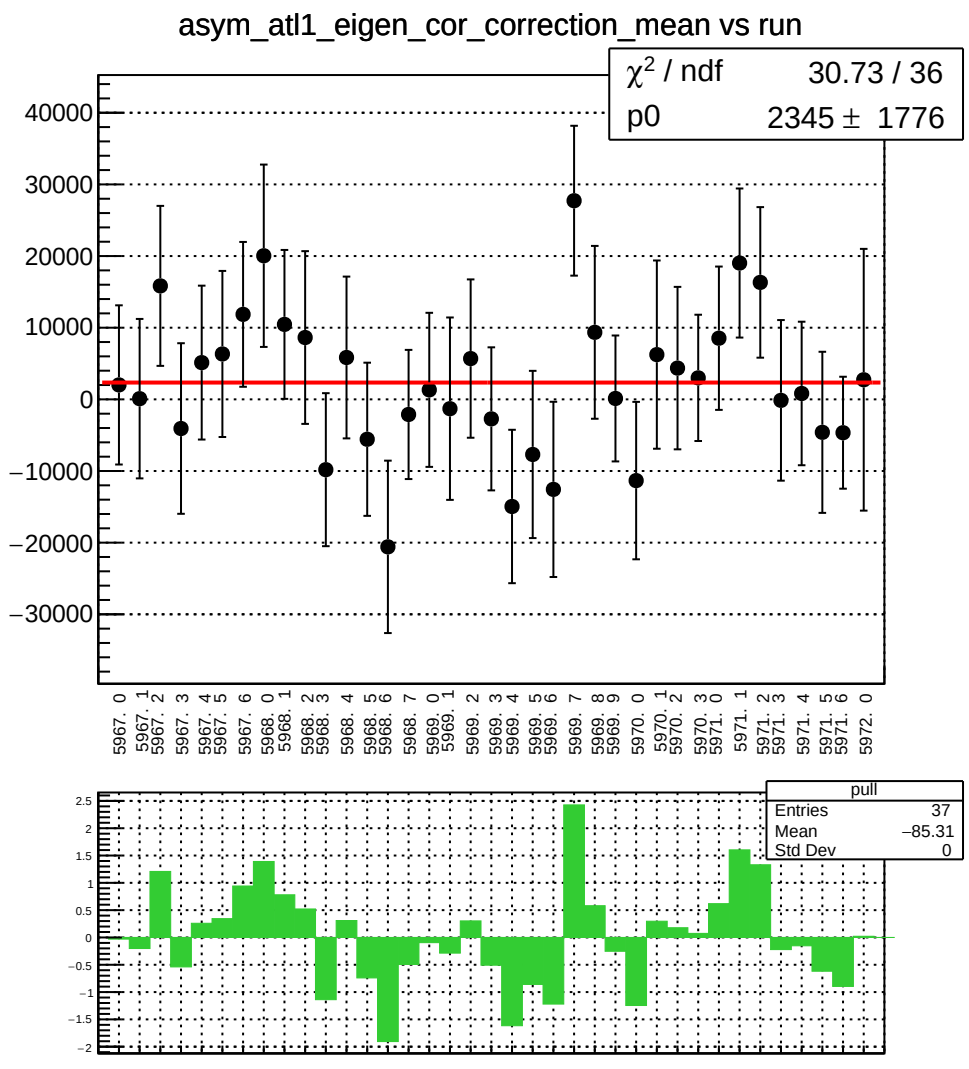
asym_atl1_eigen_cor_correction_mean vs run
χ² / ndf 30.73 / 36
p0 2345 ± 1776
40000
30000
20000
10000
0
−10000
−20000
−30000
5967. 0
5967. 1
5967. 2
5967. 3
5967. 4
5967. 5
5967. 6
5968. 0
5968. 1
5968. 2
5968. 3
5968. 4
5968. 5
5968. 6
5968. 7
5969. 0
5969. 1
5969. 2
5969. 3
5969. 4
5969. 5
5969. 6
5969. 7
5969. 8
5969. 9
5970. 0
5970. 1
5970. 2
5970. 3
5971. 0
5971. 1
5971. 2
5971. 3
5971. 4
5971. 5
5971. 6
5972. 0
pull
Entries 37
Mean −85.31
Std Dev 0
2.5
2
1.5
1
0.5
0
−0.5
−1
−1.5
−2
pull1D
Entries 37
Mean 0.004613
Std Dev 0.9113
8
7
6
5
4
3
2
1
0
−8
−6
−4
−2
0
2
4
6
8

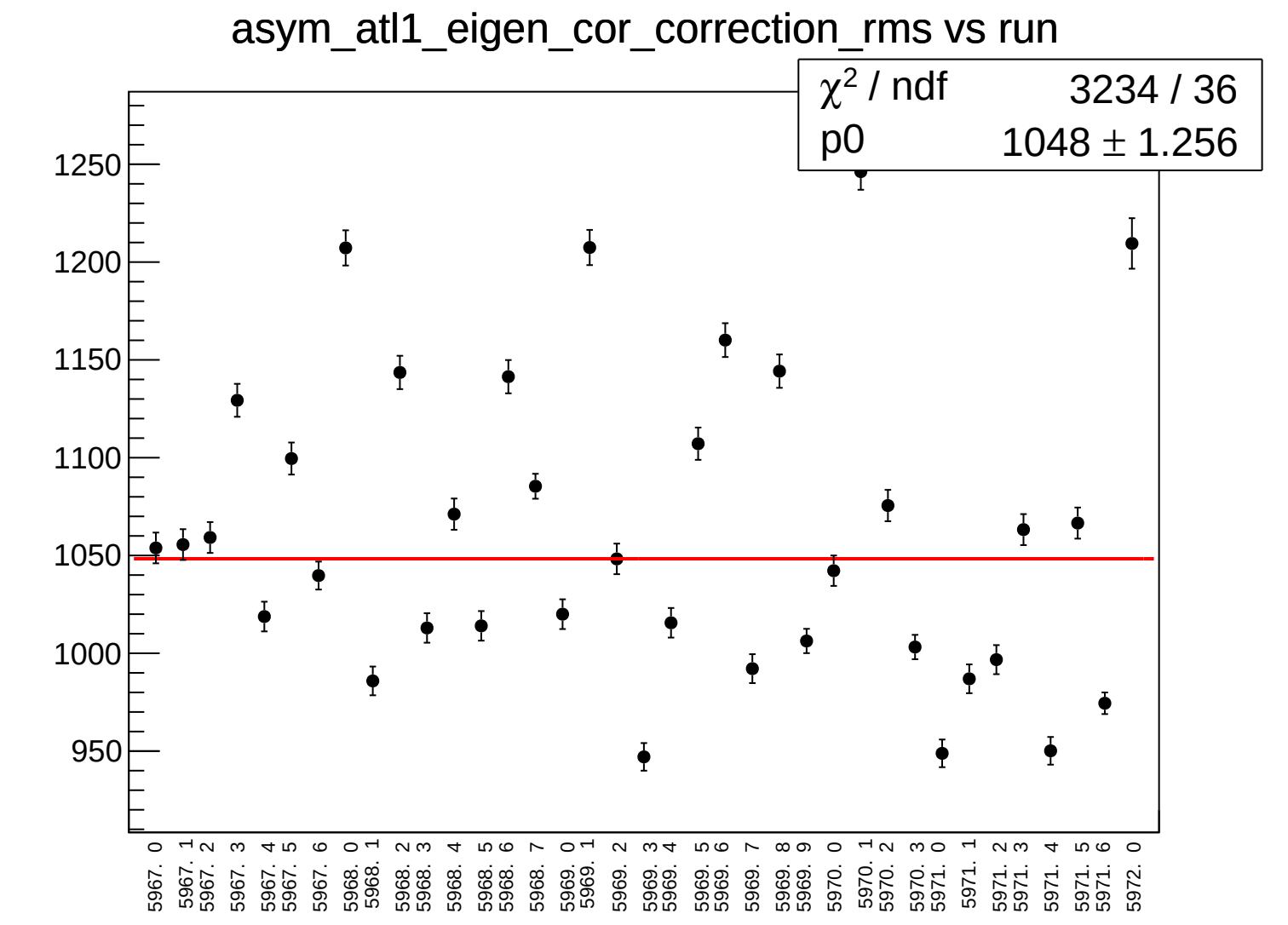
asym_atl1_eigen_cor_correction_rms vs run
χ² / ndf 3234 / 36
p0 1048 ± 1.256
1250
1200
1150
1100
1050
1000
950
5967. 0
5967. 1
5967. 2
5967. 3
5967. 4
5967. 5
5967. 6
5968. 0
5968. 1
5968. 2
5968. 3
5968. 4
5968. 5
5968. 6
5968. 7
5969. 0
5969. 1
5969. 2
5969. 3
5969. 4
5969. 5
5969. 6
5969. 7
5969. 8
5969. 9
5970. 0
5970. 1
5970. 2
5970. 3
5971. 0
5971. 1
5971. 2
5971. 3
5971. 4
5971. 5
5971. 6
5972. 0

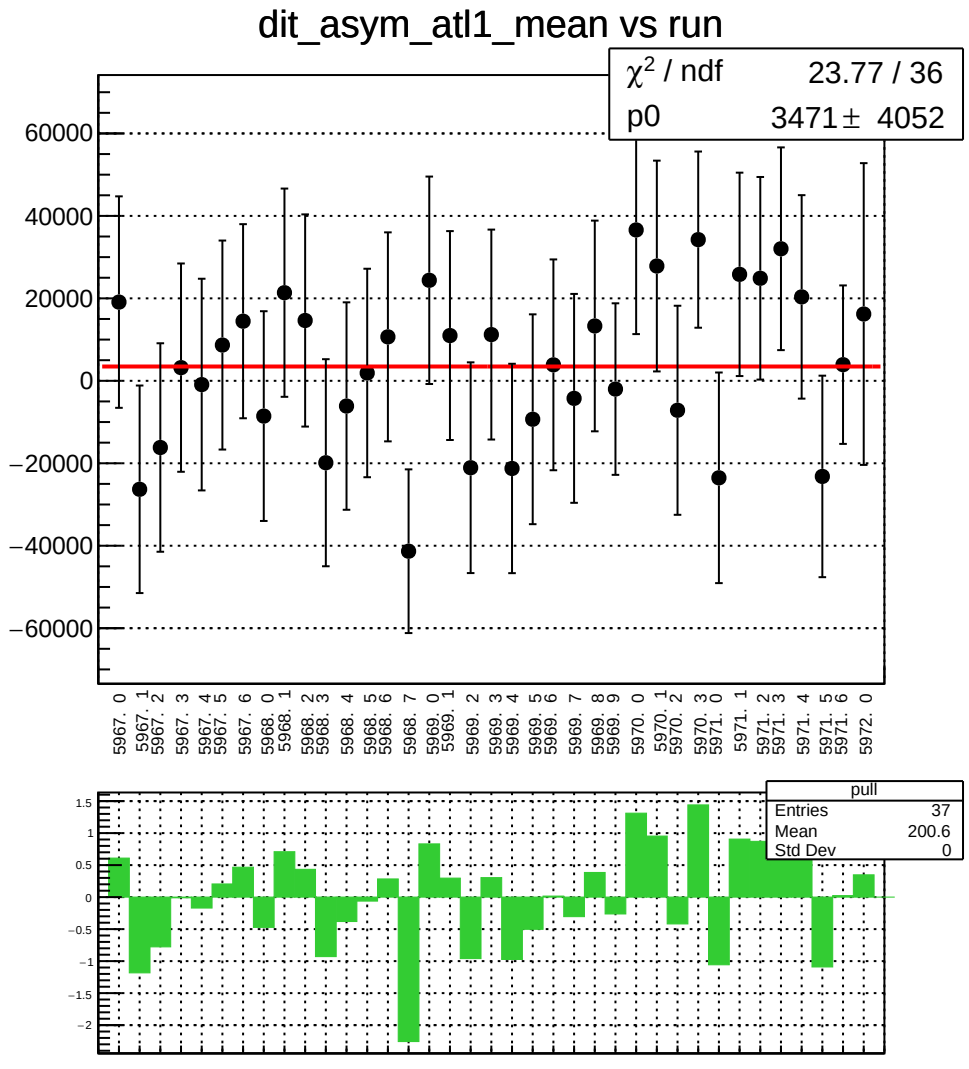
dit_asym_atl1_mean vs run
χ² / ndf 23.77 / 36
p0 3471 ± 4052
60000
40000
20000
0
−20000
−40000
−60000
5967. 0
5967. 1
5967. 2
5967. 3
5967. 4
5967. 5
5967. 6
5968. 0
5968. 1
5968. 2
5968. 3
5968. 4
5968. 5
5968. 6
5968. 7
5969. 0
5969. 1
5969. 2
5969. 3
5969. 4
5969. 5
5969. 6
5969. 7
5969. 8
5969. 9
5970. 0
5970. 1
5970. 2
5970. 3
5971. 0
5971. 1
5971. 2
5971. 3
5971. 4
5971. 5
5971. 6
5972. 0
pull
Entries 37
Mean 200.6
Std Dev 0
1.5
1
0.5
0
−0.5
−1
−1.5
−2

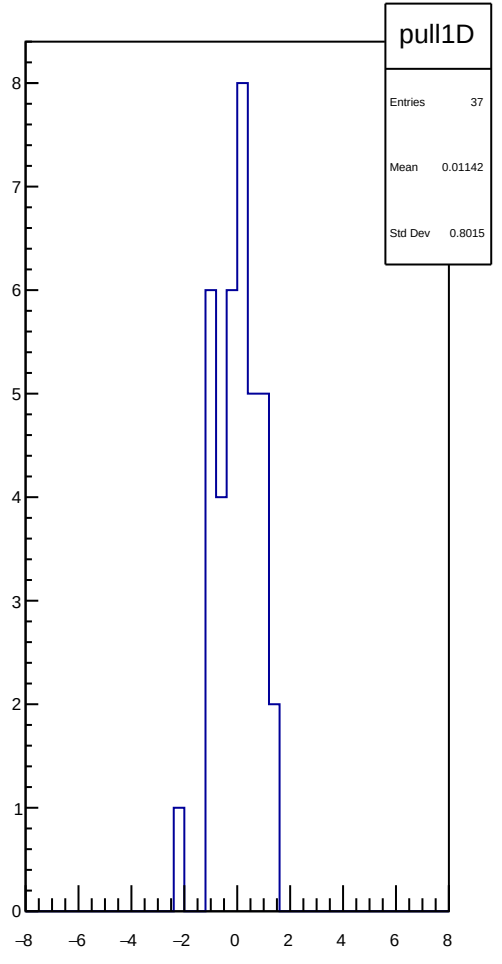
pull1D
Entries 37
Mean 0.01142
Std Dev 0.8015
8
7
6
5
4
3
2
1
0
−8
−6
−4
−2
0
2
4
6
8

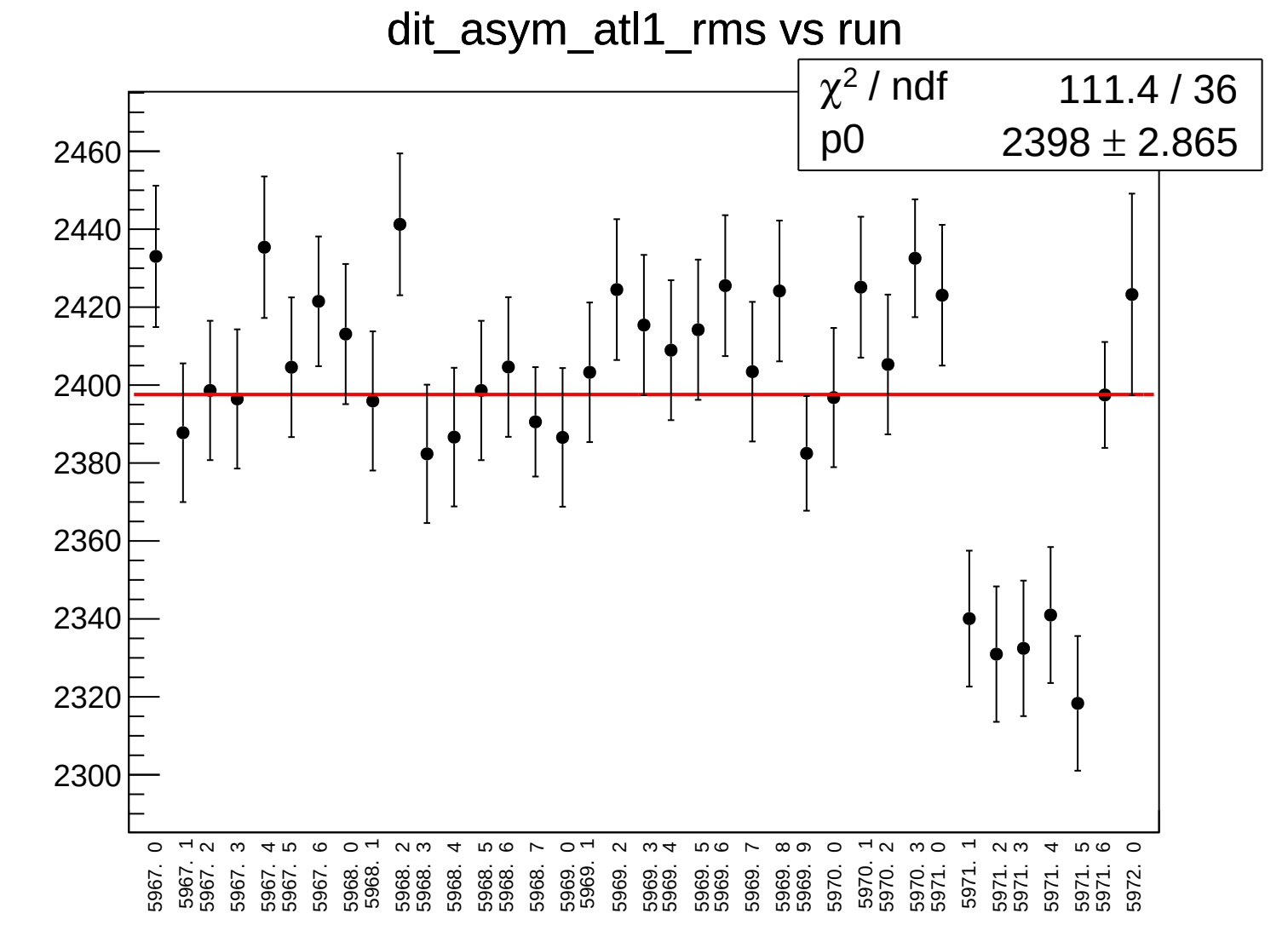
dit_asym_atl1_rms vs run
χ² / ndf 111.4 / 36
p0 2398 ± 2.865
2460
2440
2420
2400
2380
2360
2340
2320
2300
5967. 0
5967. 1
5967. 2
5967. 3
5967. 4
5967. 5
5967. 6
5968. 0
5968. 1
5968. 2
5968. 3
5968. 4
5968. 5
5968. 6
5968. 7
5969. 0
5969. 1
5969. 2
5969. 3
5969. 4
5969. 5
5969. 6
5969. 7
5969. 8
5969. 9
5970. 0
5970. 1
5970. 2
5970. 3
5971. 0
5971. 1
5971. 2
5971. 3
5971. 4
5971. 5
5971. 6
5972. 0

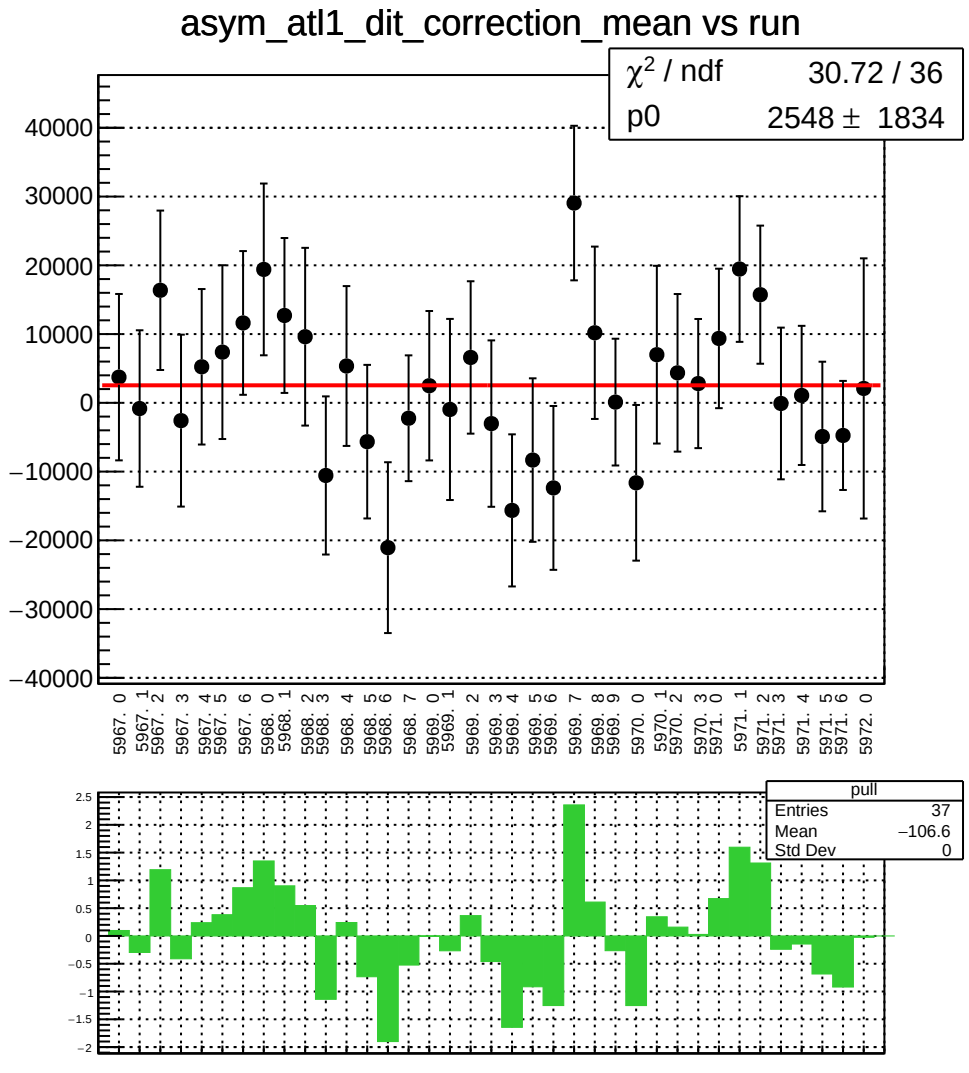
asym_atl1_dit_correction_mean vs run
χ² / ndf 30.72 / 36
p0 2548 ± 1834
40000
30000
20000
10000
0
−10000
−20000
−30000
−40000
5967. 0
5967. 1
5967. 2
5967. 3
5967. 4
5967. 5
5967. 6
5968. 0
5968. 1
5968. 2
5968. 3
5968. 4
5968. 5
5968. 6
5968. 7
5969. 0
5969. 1
5969. 2
5969. 3
5969. 4
5969. 5
5969. 6
5969. 7
5969. 8
5969. 9
5970. 0
5970. 1
5970. 2
5970. 3
5971. 0
5971. 1
5971. 2
5971. 3
5971. 4
5971. 5
5971. 6
5972. 0
pull
Entries 37
Mean −106.6
Std Dev 0
2.5
2
1.5
1
0.5
0
−0.5
−1
−1.5
−2

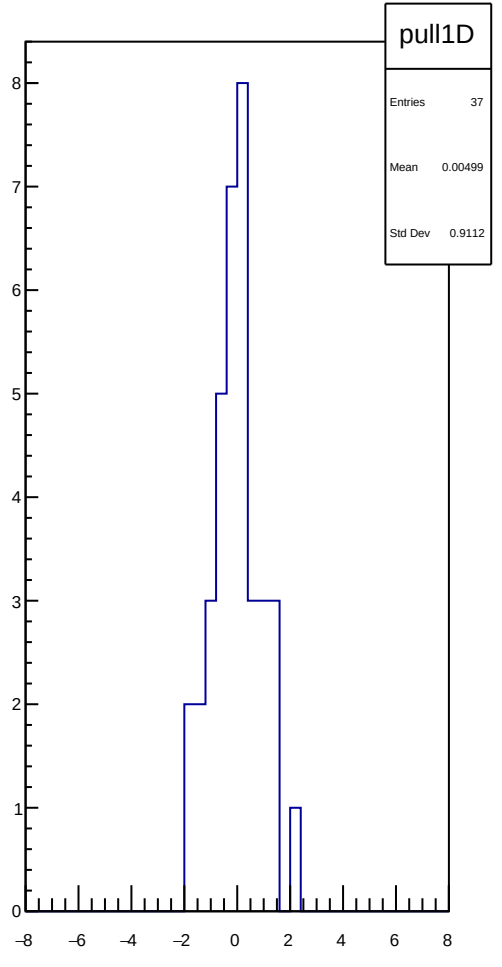
pull1D
Entries 37
Mean 0.00499
Std Dev 0.9112
8
7
6
5
4
3
2
1
0
−8
−6
−4
−2
0
2
4
6
8

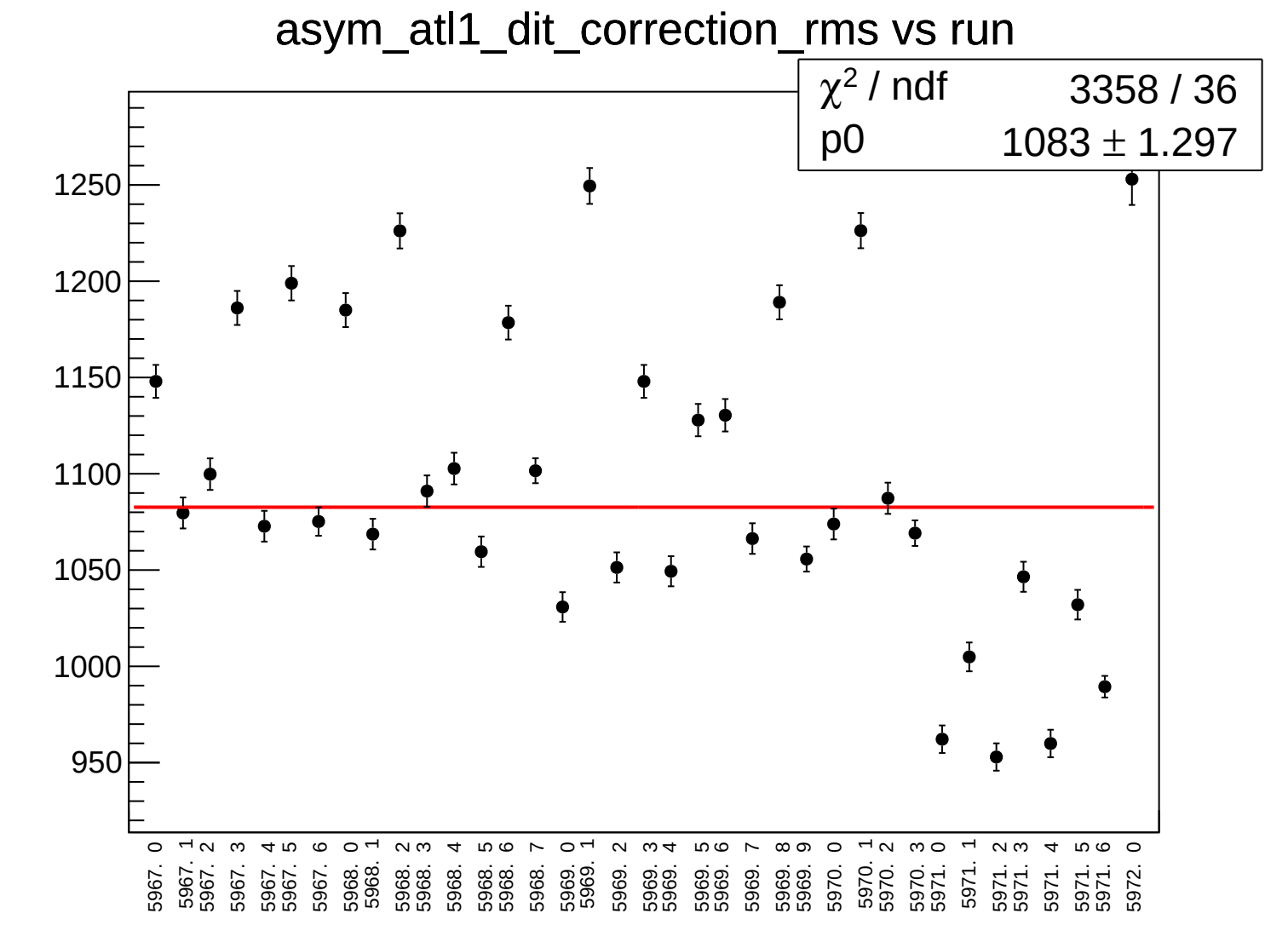
asym_atl1_dit_correction_rms vs run
χ² / ndf 3358 / 36
p0 1083 ± 1.297
1250
1200
1150
1100
1050
1000
950
5967. 0
5967. 1
5967. 2
5967. 3
5967. 4
5967. 5
5967. 6
5968. 0
5968. 1
5968. 2
5968. 3
5968. 4
5968. 5
5968. 6
5968. 7
5969. 0
5969. 1
5969. 2
5969. 3
5969. 4
5969. 5
5969. 6
5969. 7
5969. 8
5969. 9
5970. 0
5970. 1
5970. 2
5970. 3
5971. 0
5971. 1
5971. 2
5971. 3
5971. 4
5971. 5
5971. 6
5972. 0

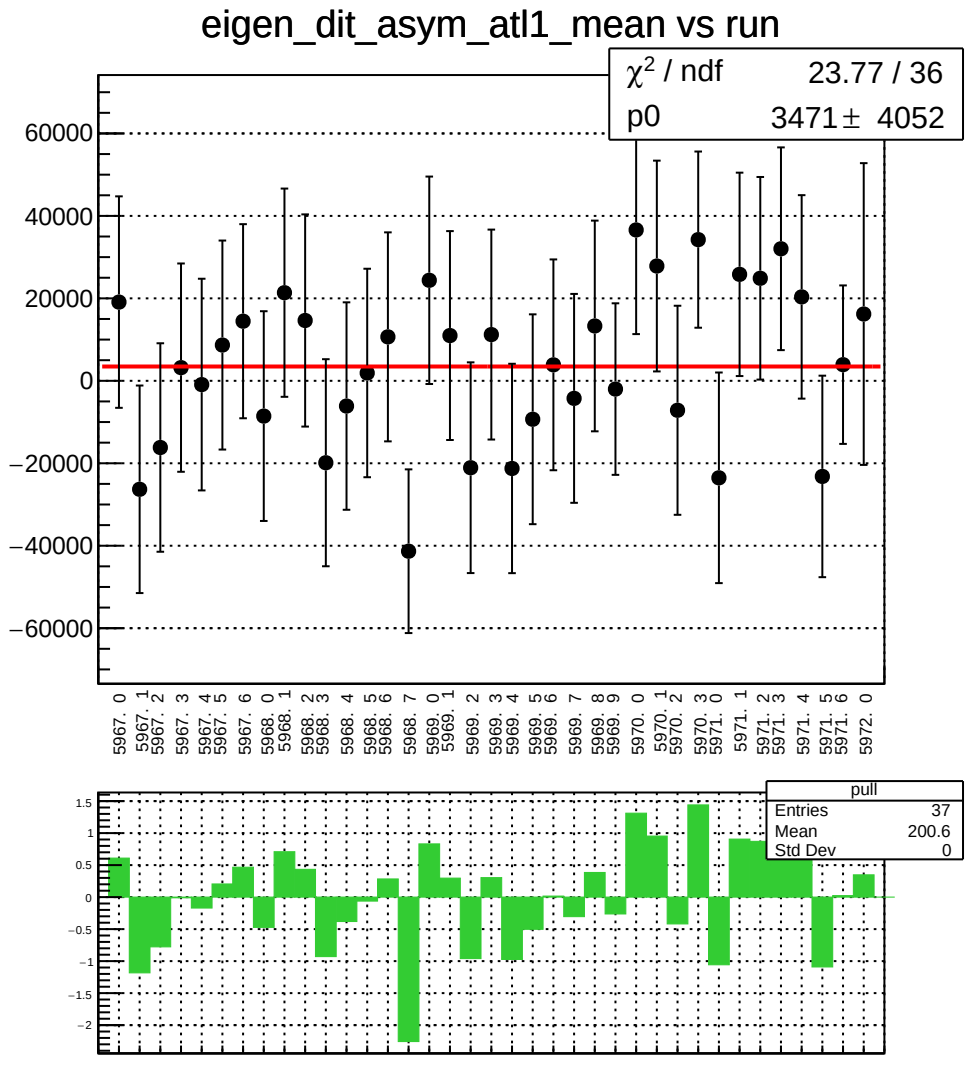
eigen_dit_asym_atl1_mean vs run
χ² / ndf 23.77 / 36
p0 3471 ± 4052
pull
Entries 37
Mean 200.6
Std Dev 0
pull1D
Entries 37
Mean 0.01142
Std Dev 0.8015

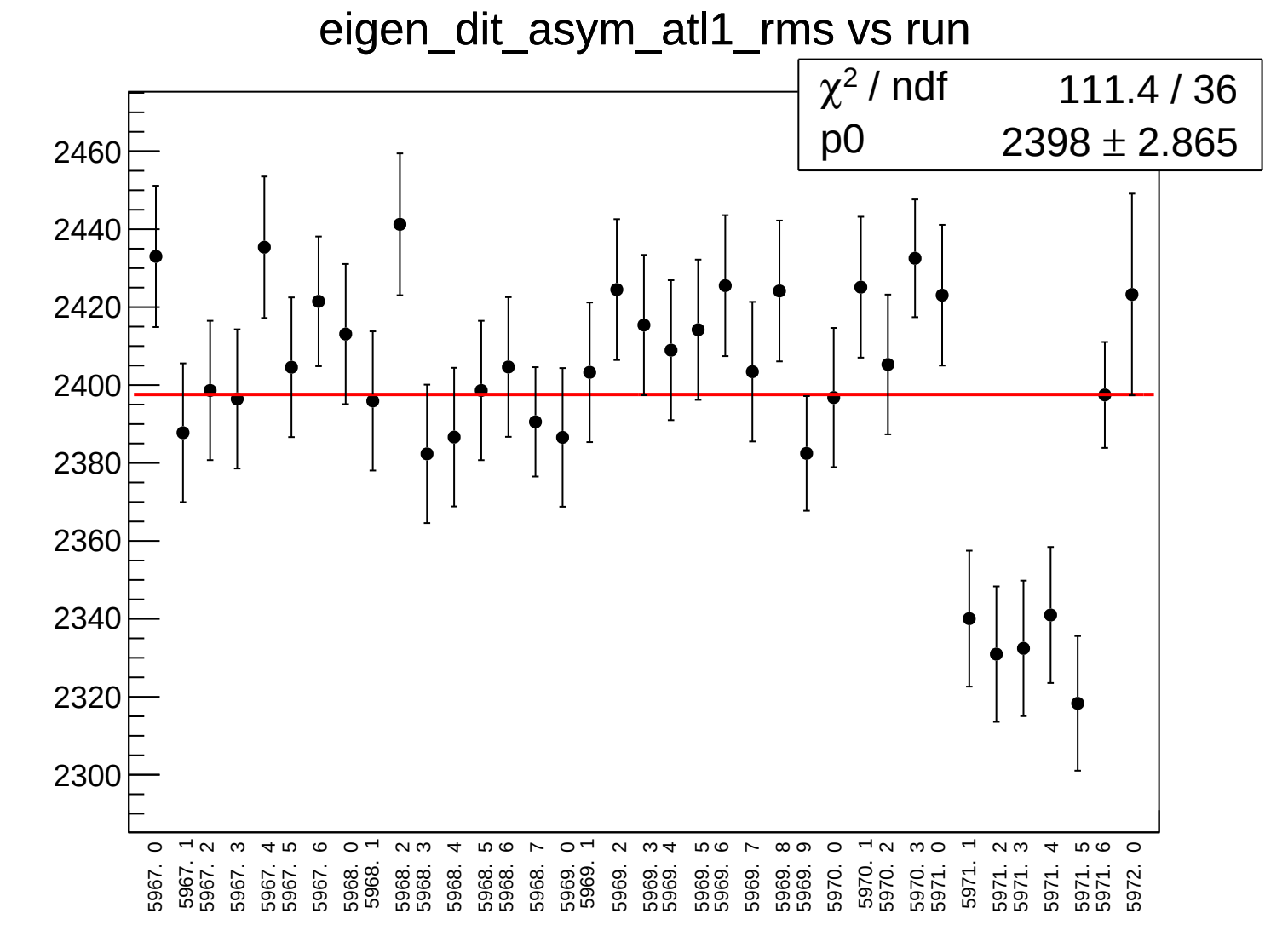
eigen_dit_asym_atl1_rms vs run
χ^2 / ndf 111.4 / 36
p0 2398 ± 2.865
2460
2440
2420
2400
2380
2360
2340
2320
2300
5967. 0
5967. 1
5967. 2
5967. 3
5967. 4
5967. 5
5967. 6
5968. 0
5968. 1
5968. 2
5968. 3
5968. 4
5968. 5
5968. 6
5968. 7
5969. 0
5969. 1
5969. 2
5969. 3
5969. 4
5969. 5
5969. 6
5969. 7
5969. 8
5969. 9
5970. 0
5970. 1
5970. 2
5970. 3
5971. 0
5971. 1
5971. 2
5971. 3
5971. 4
5971. 5
5971. 6
5972. 0

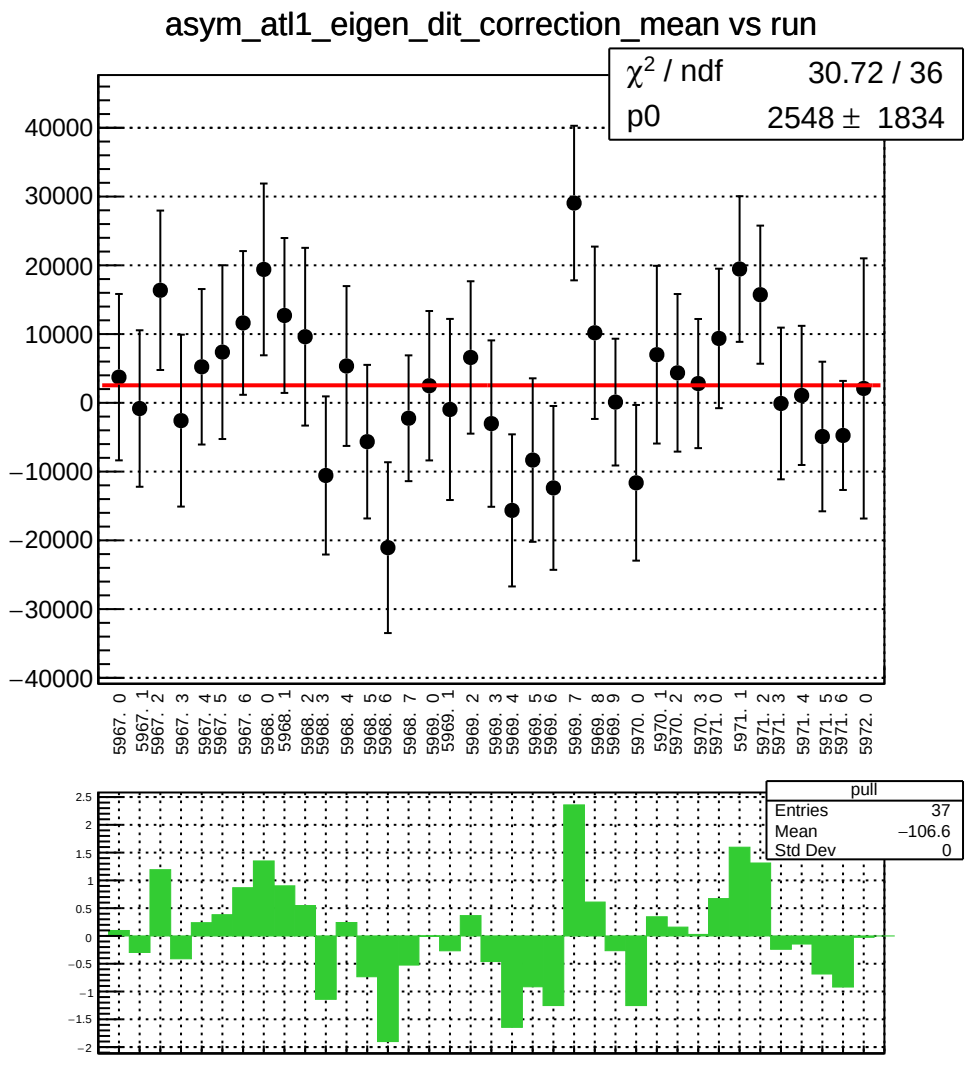
asym_atl1_eigen_dit_correction_mean vs run
χ² / ndf 30.72 / 36
p0 2548 ± 1834
40000
30000
20000
10000
0
−10000
−20000
−30000
−40000
5967. 0
5967. 1
5967. 2
5967. 3
5967. 4
5967. 5
5967. 6
5968. 0
5968. 1
5968. 2
5968. 3
5968. 4
5968. 5
5968. 6
5968. 7
5969. 0
5969. 1
5969. 2
5969. 3
5969. 4
5969. 5
5969. 6
5969. 7
5969. 8
5969. 9
5970. 0
5970. 1
5970. 2
5970. 3
5971. 0
5971. 1
5971. 2
5971. 3
5971. 4
5971. 5
5971. 6
5972. 0
pull
Entries 37
Mean −106.6
Std Dev 0
2.5
2
1.5
1
0.5
0
−0.5
−1
−1.5
−2

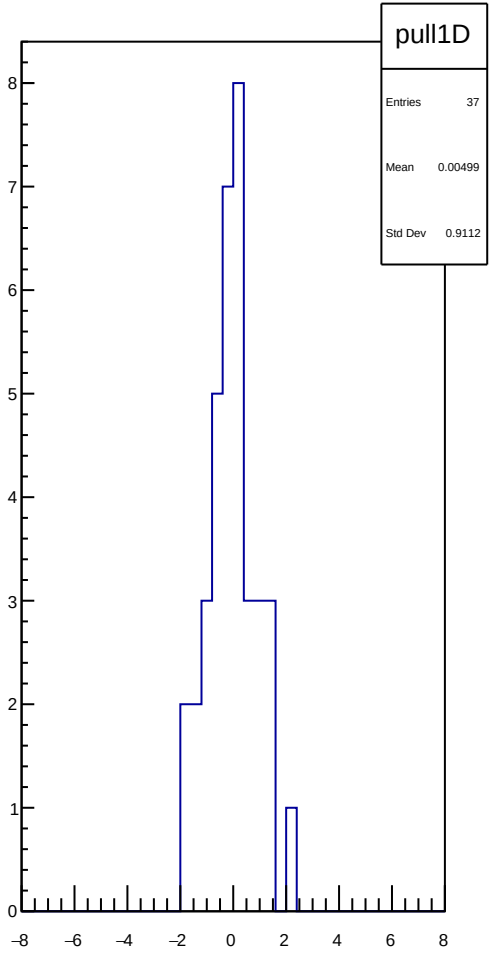
pull1D
Entries 37
Mean 0.00499
Std Dev 0.9112
8
7
6
5
4
3
2
1
0
−8
−6
−4
−2
0
2
4
6
8

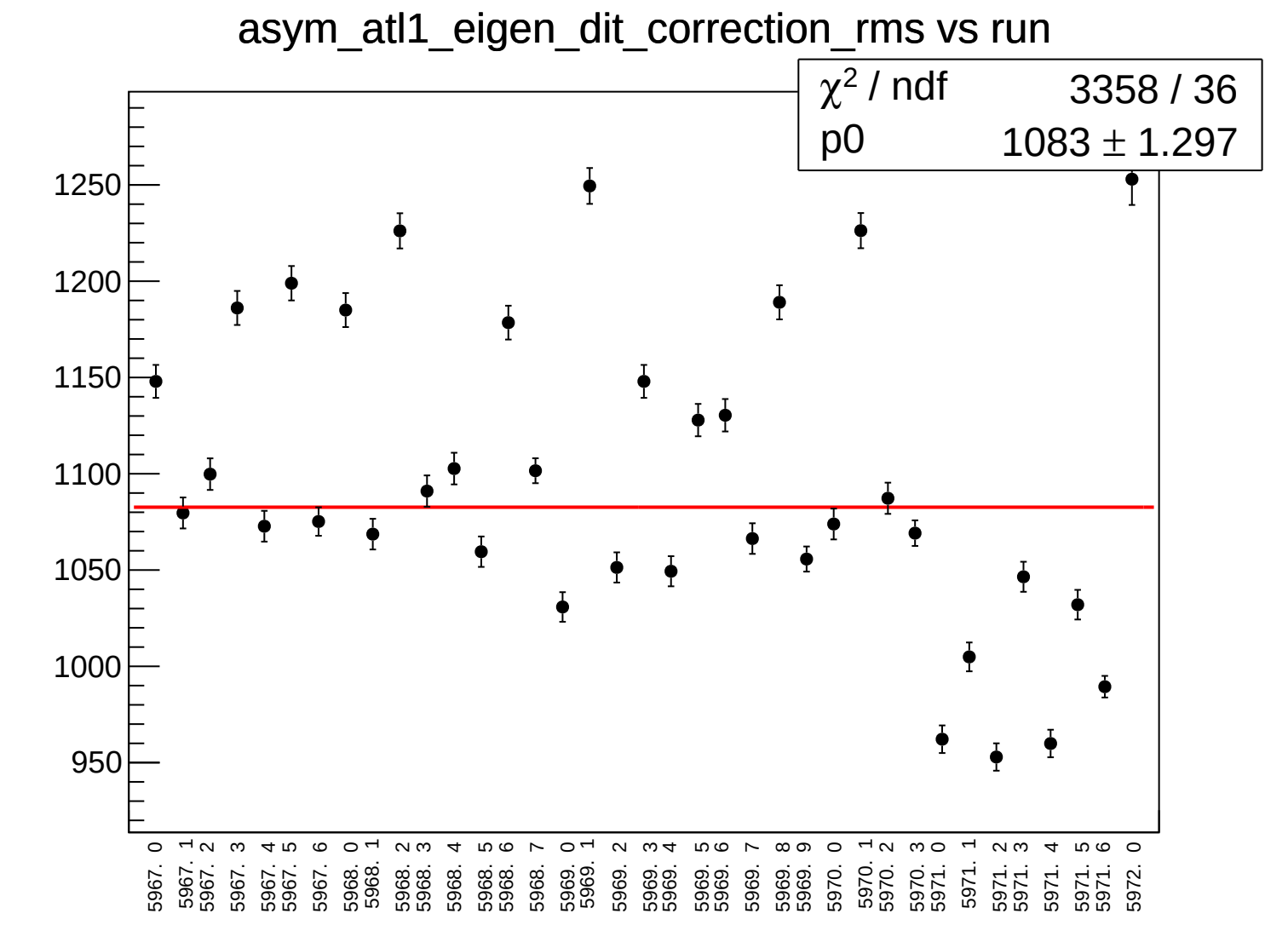
asym_atl1_eigen_dit_correction_rms vs run
χ² / ndf 3358 / 36
p0 1083 ± 1.297
1250
1200
1150
1100
1050
1000
950
5967. 0
5967. 1
5967. 2
5967. 3
5967. 4
5967. 5
5967. 6
5968. 0
5968. 1
5968. 2
5968. 3
5968. 4
5968. 5
5968. 6
5968. 7
5969. 0
5969. 1
5969. 2
5969. 3
5969. 4
5969. 5
5969. 6
5969. 7
5969. 8
5969. 9
5970. 0
5970. 1
5970. 2
5970. 3
5971. 0
5971. 1
5971. 2
5971. 3
5971. 4
5971. 5
5971. 6
5972. 0

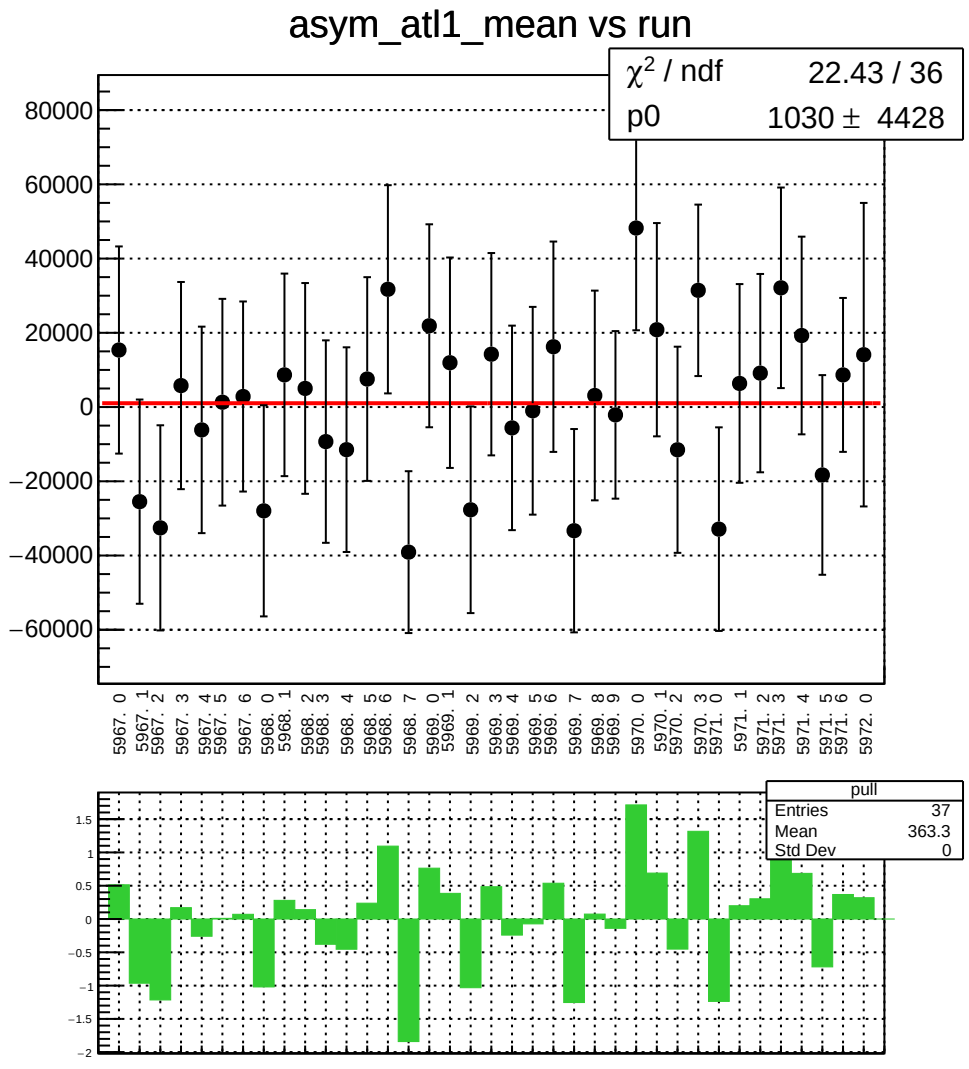
asym_atl1_mean vs run
χ² / ndf 22.43 / 36
p0 1030 ± 4428
80000
60000
40000
20000
0
−20000
−40000
−60000
5967. 0
5967. 1
5967. 2
5967. 3
5967. 4
5967. 5
5967. 6
5968. 0
5968. 1
5968. 2
5968. 3
5968. 4
5968. 5
5968. 6
5968. 7
5969. 0
5969. 1
5969. 2
5969. 3
5969. 4
5969. 5
5969. 6
5969. 7
5969. 8
5969. 9
5970. 0
5970. 1
5970. 2
5970. 3
5971. 0
5971. 1
5971. 2
5971. 3
5971. 4
5971. 5
5971. 6
5972. 0
pull
Entries 37
Mean 363.3
Std Dev 0
1.5
1
0.5
0
−0.5
−1
−1.5
−2

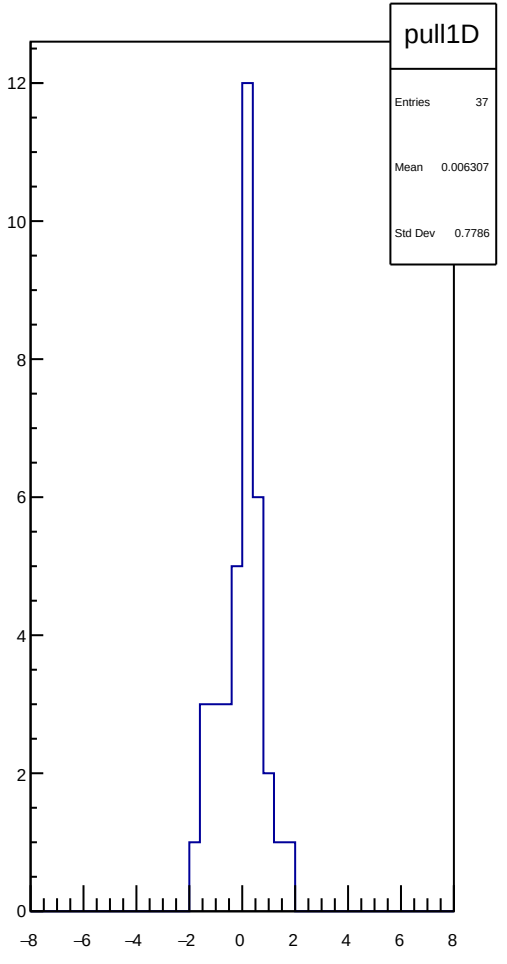
pull1D
Entries 37
Mean 0.006307
Std Dev 0.7786
12
10
8
6
4
2
0
−8
−6
−4
−2
0
2
4
6
8

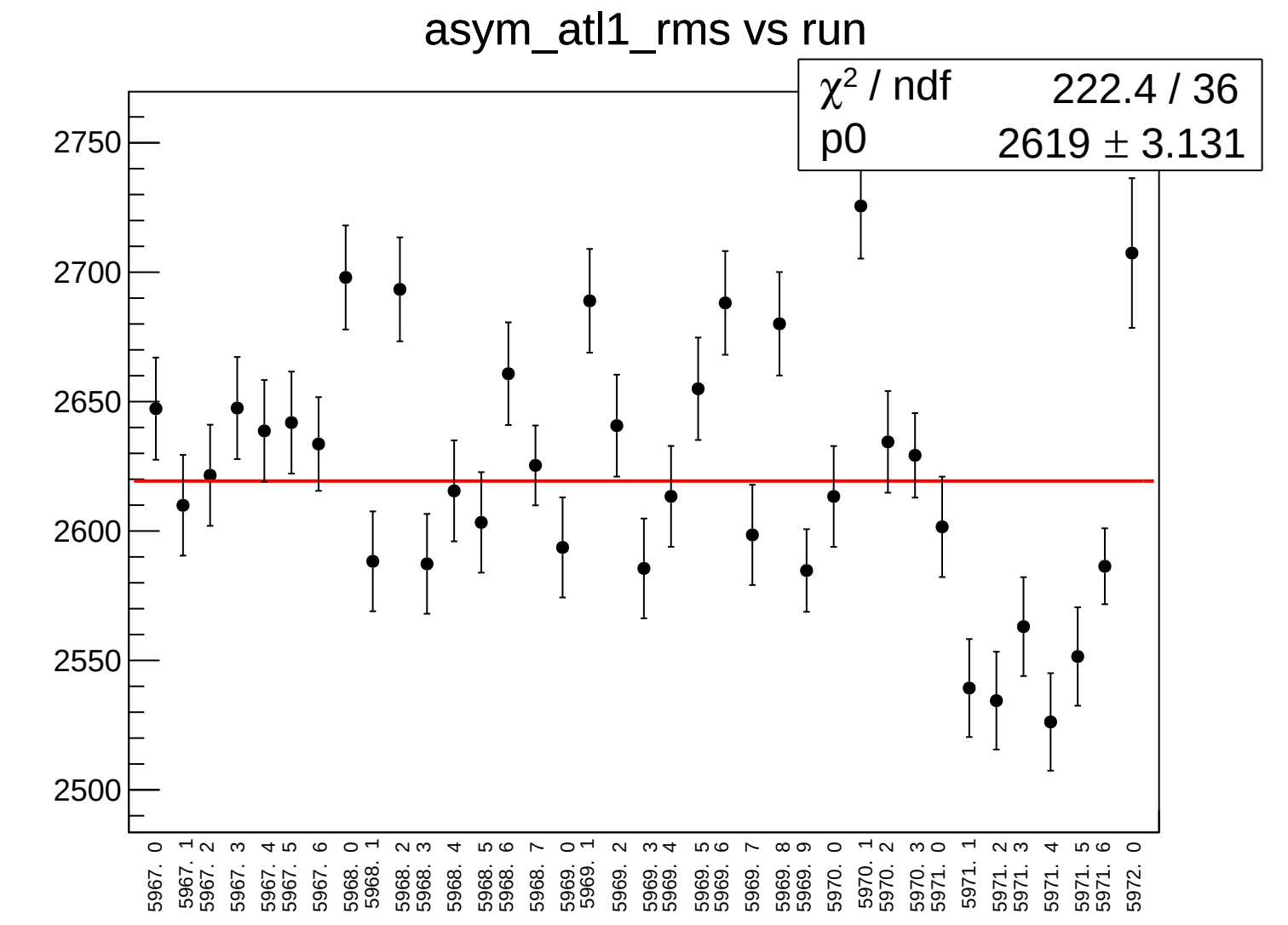
asym_atl1_rms vs run
χ² / ndf 222.4 / 36
p0 2619 ± 3.131
2750
2700
2650
2600
2550
2500
5967. 0
5967. 1
5967. 2
5967. 3
5967. 4
5967. 5
5967. 6
5968. 0
5968. 1
5968. 2
5968. 3
5968. 4
5968. 5
5968. 6
5968. 7
5969. 0
5969. 1
5969. 2
5969. 3
5969. 4
5969. 5
5969. 6
5969. 7
5969. 8
5969. 9
5970. 0
5970. 1
5970. 2
5970. 3
5971. 0
5971. 1
5971. 2
5971. 3
5971. 4
5971. 5
5971. 6
5972. 0

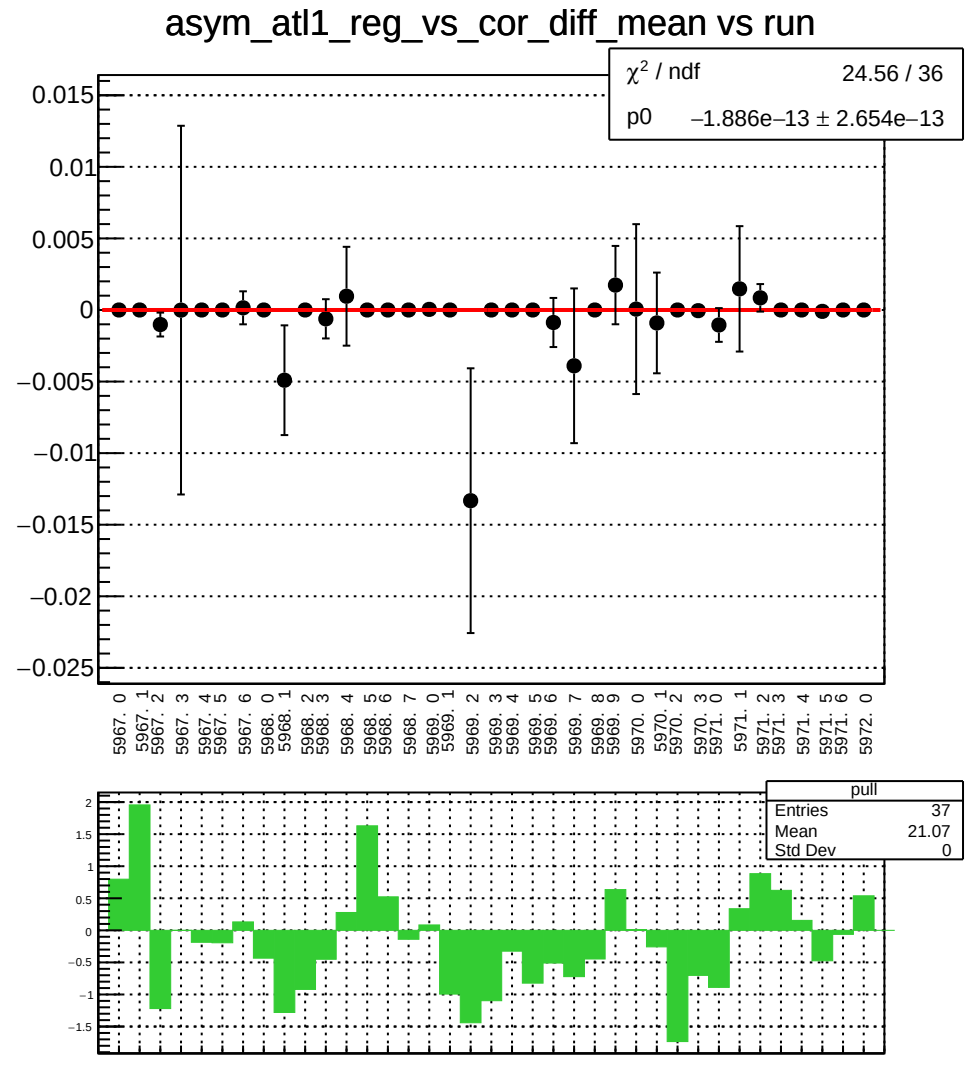
asym_atl1_reg_vs_cor_diff_mean vs run
χ² / ndf 24.56 / 36
p0 −1.886e−13 ± 2.654e−13
pull
Entries 37
Mean 21.07
Std Dev 0
pull1D
Entries 37
Mean −0.1815
Std Dev 0.7942

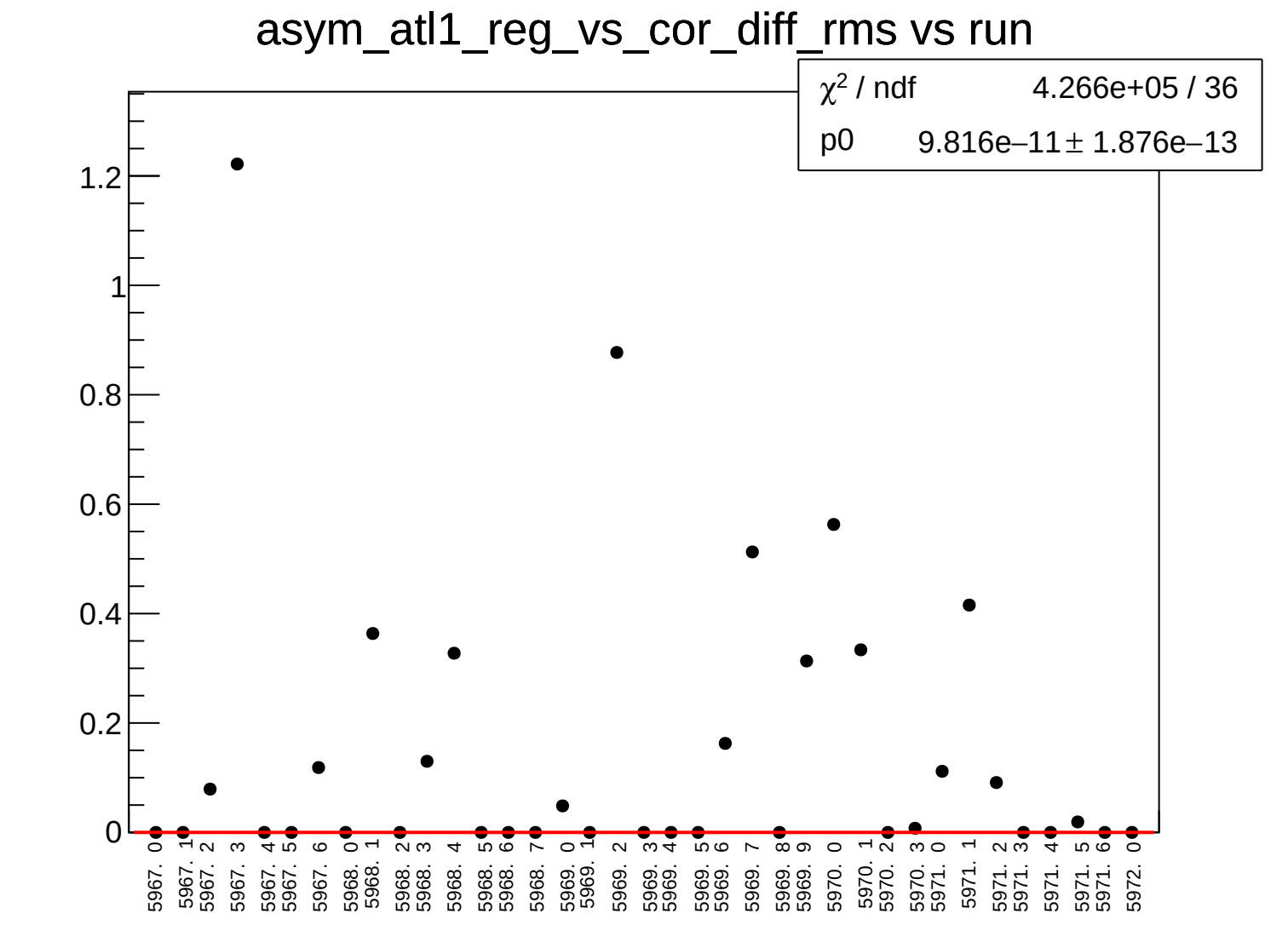
asym_atl1_reg_vs_cor_diff_rms vs run
χ² / ndf 4.266e+05 / 36
p0 9.816e−11 ± 1.876e−13
1.2
1
0.8
0.6
0.4
0.2
0
5967. 0
5967. 1
5967. 2
5967. 3
5967. 4
5967. 5
5967. 6
5968. 0
5968. 1
5968. 2
5968. 3
5968. 4
5968. 5
5968. 6
5968. 7
5969. 0
5969. 1
5969. 2
5969. 3
5969. 4
5969. 5
5969. 6
5969. 7
5969. 8
5969. 9
5970. 0
5970. 1
5970. 2
5970. 3
5971. 0
5971. 1
5971. 2
5971. 3
5971. 4
5971. 5
5971. 6
5972. 0

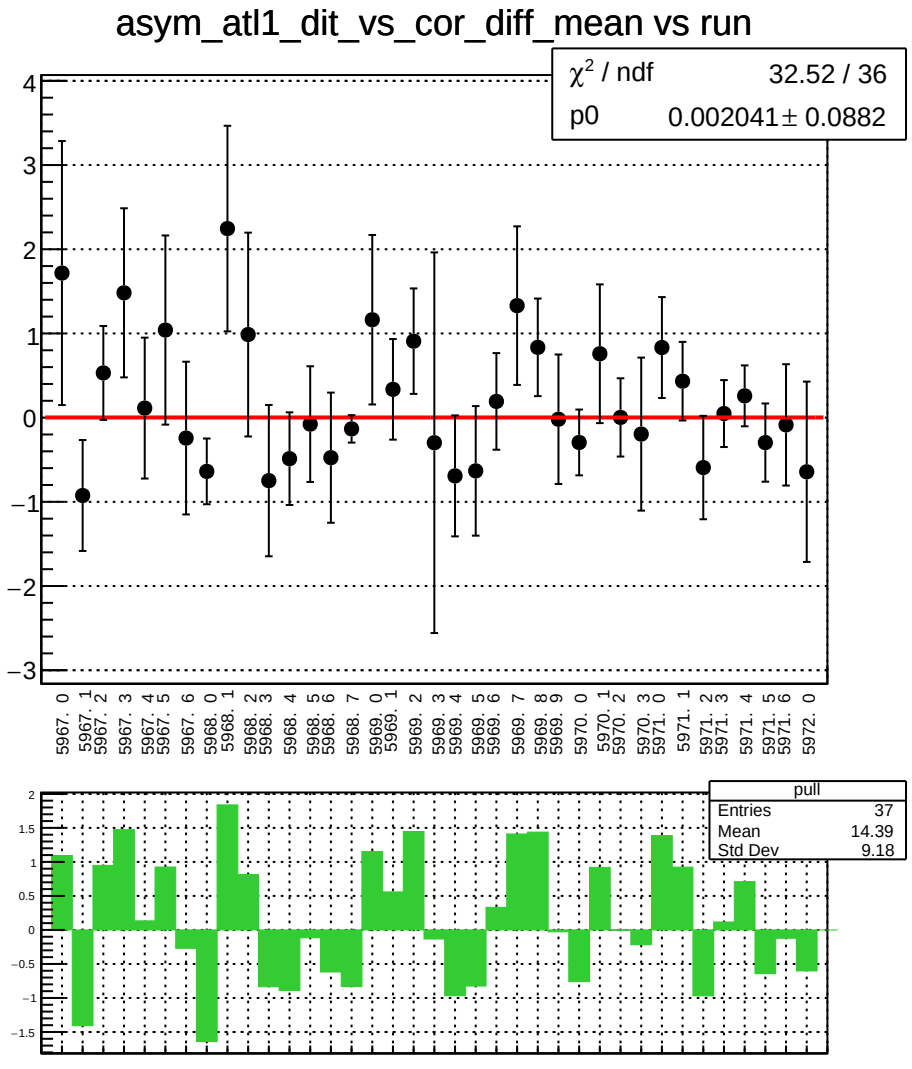
asym_atl1_dit_vs_cor_diff_mean vs run
χ² / ndf 32.52 / 36
p0 0.002041 ± 0.0882
pull
Entries 37
Mean 14.39
Std Dev 9.18

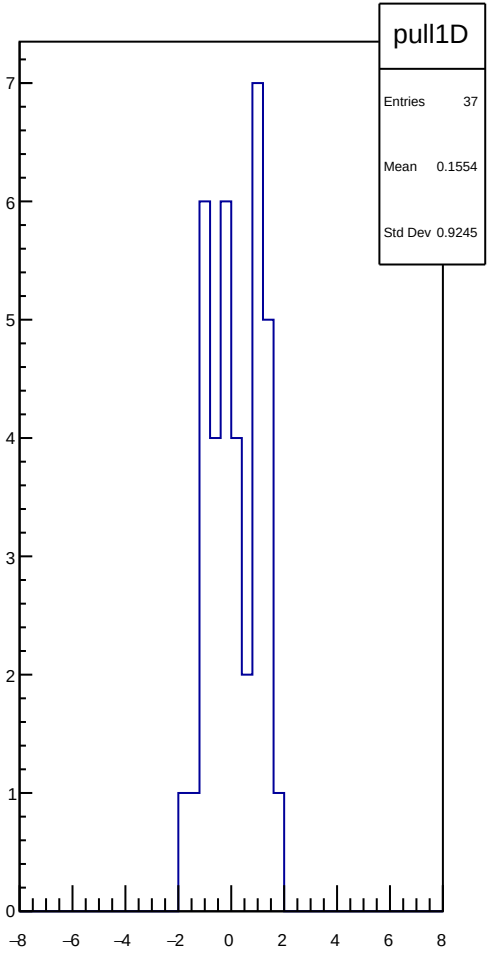
pull1D
Entries 37
Mean 0.1554
Std Dev 0.9245

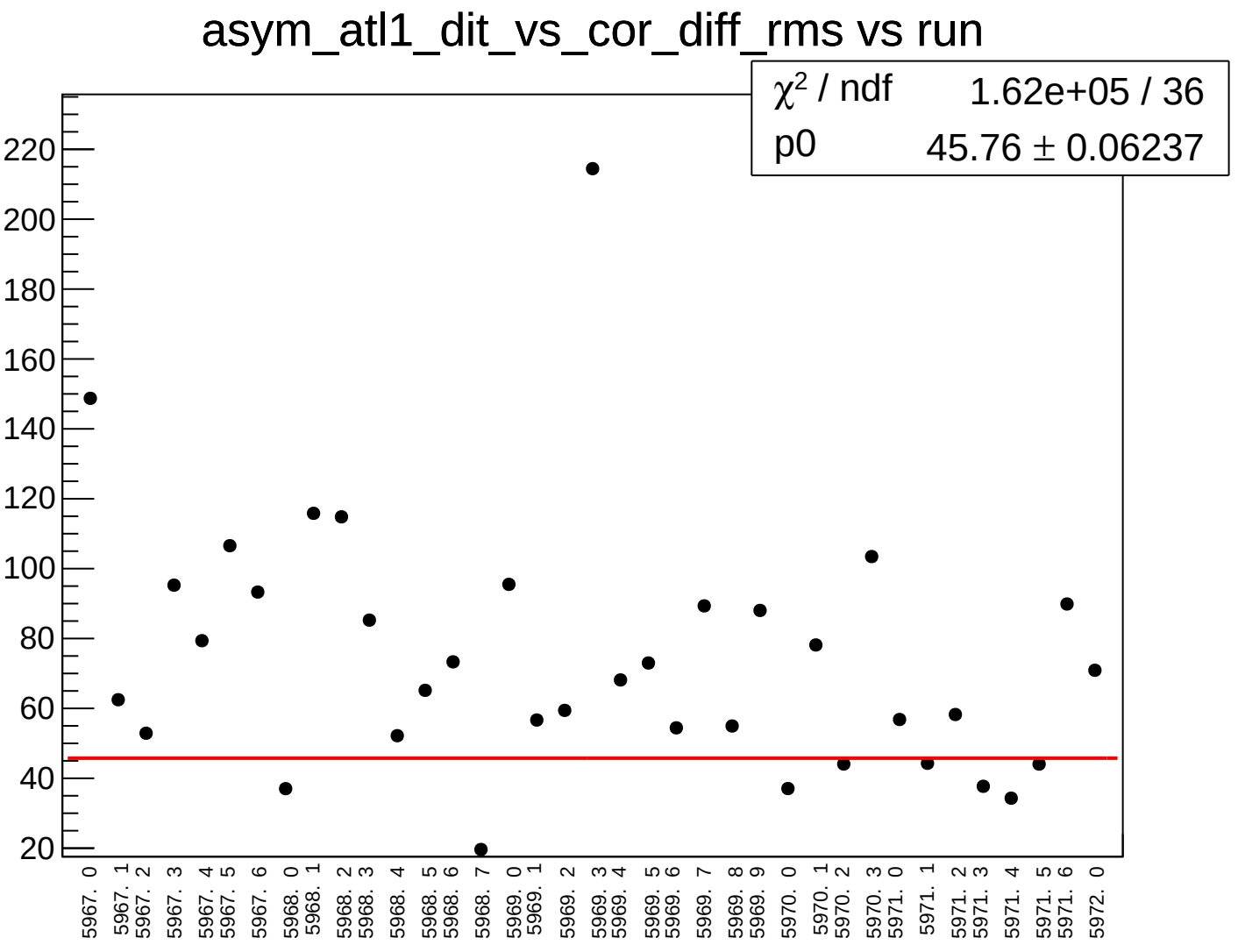
asym_atl1_dit_vs_cor_diff_rms vs run
χ² / ndf 1.62e+05 / 36
p0 45.76 ± 0.06237
220
200
180
160
140
120
100
80
60
40
20
5967. 0
5967. 1
5967. 2
5967. 3
5967. 4
5967. 5
5967. 6
5968. 0
5968. 1
5968. 2
5968. 3
5968. 4
5968. 5
5968. 6
5968. 7
5969. 0
5969. 1
5969. 2
5969. 3
5969. 4
5969. 5
5969. 6
5969. 7
5969. 8
5969. 9
5970. 0
5970. 1
5970. 2
5970. 3
5971. 0
5971. 1
5971. 2
5971. 3
5971. 4
5971. 5
5971. 6
5972. 0

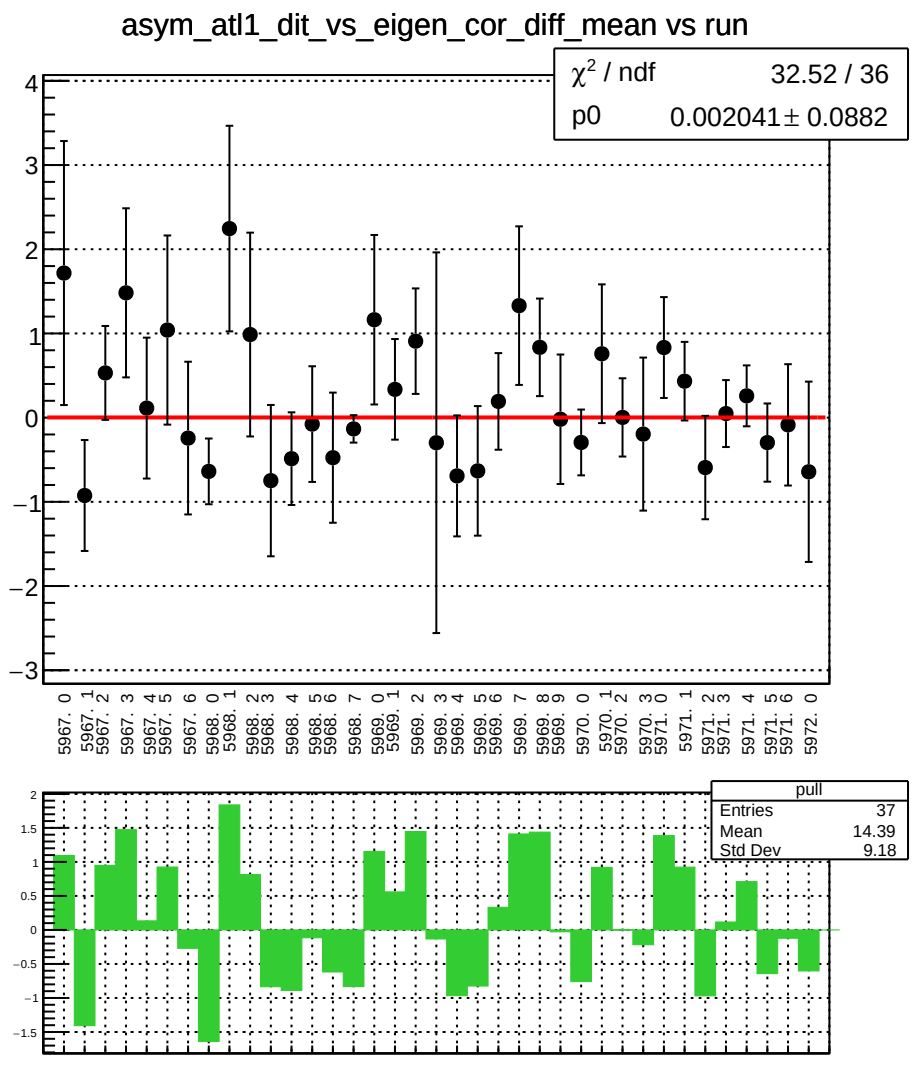
asym_atl1_dit_vs_eigen_cor_diff_mean vs run
χ² / ndf 32.52 / 36
p0 0.002041 ± 0.0882
pull
Entries 37
Mean 14.39
Std Dev 9.18

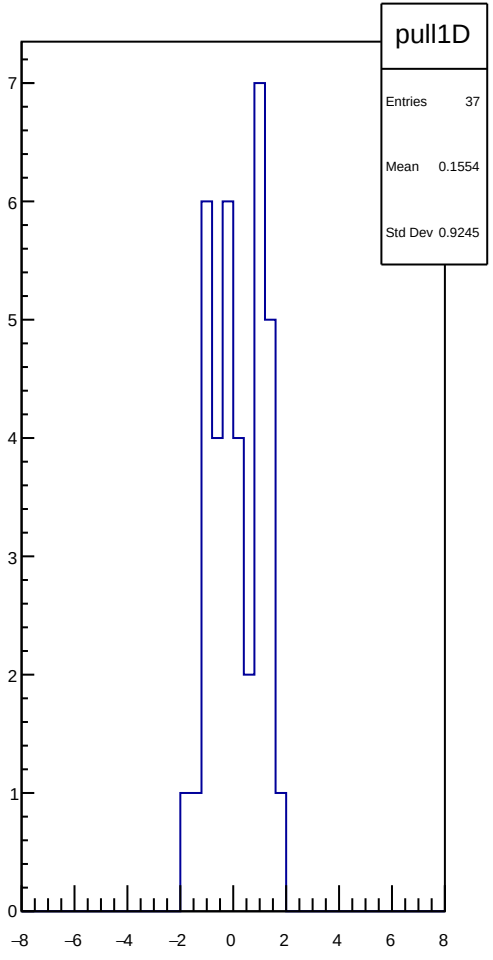
pull1D
Entries 37
Mean 0.1554
Std Dev 0.9245

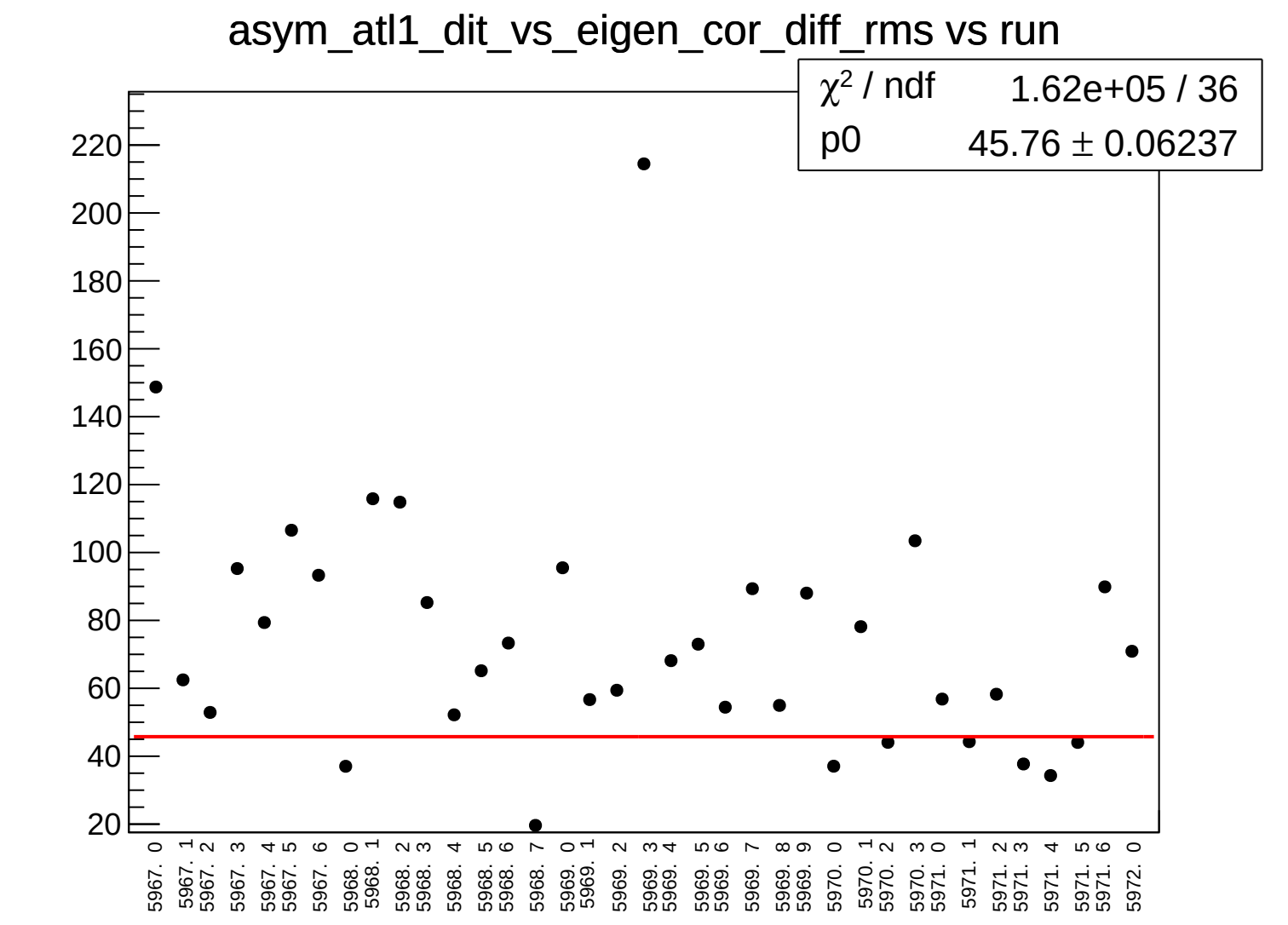
asym_atl1_dit_vs_eigen_cor_diff_rms vs run
χ² / ndf 1.62e+05 / 36
p0 45.76 ± 0.06237
220
200
180
160
140
120
100
80
60
40
20
5967. 0
5967. 1
5967. 2
5967. 3
5967. 4
5967. 5
5967. 6
5968. 0
5968. 1
5968. 2
5968. 3
5968. 4
5968. 5
5968. 6
5968. 7
5969. 0
5969. 1
5969. 2
5969. 3
5969. 4
5969. 5
5969. 6
5969. 7
5969. 8
5969. 9
5970. 0
5970. 1
5970. 2
5970. 3
5971. 0
5971. 1
5971. 2
5971. 3
5971. 4
5971. 5
5971. 6
5972. 0

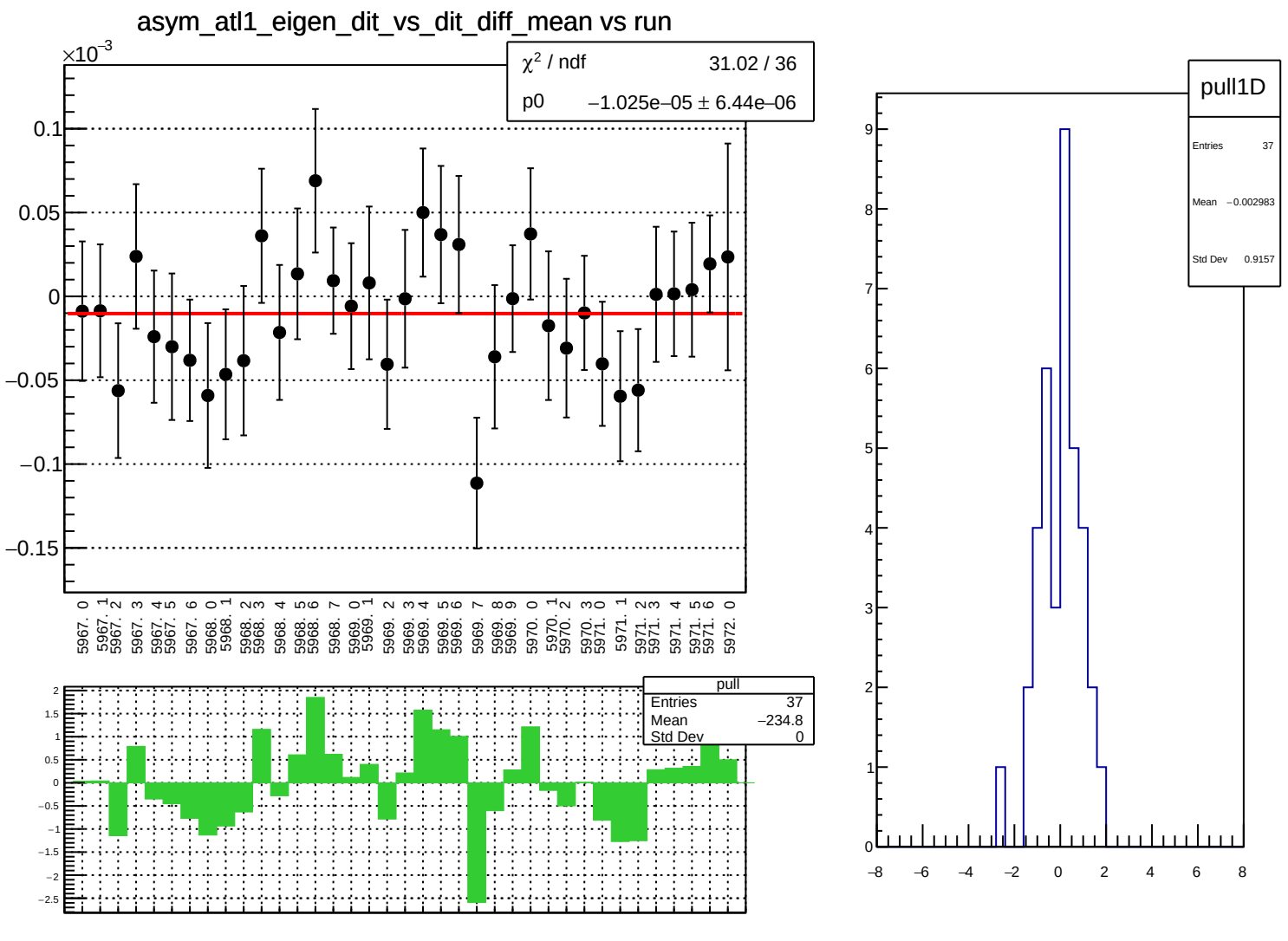
asym_atl1_eigen_dit_vs_dit_diff_mean vs run
×10^−3
χ² / ndf 31.02 / 36
p0 −1.025e−05 ± 6.44e−06
0.1
0.05
0
−0.05
−0.1
−0.15
5967. 0
5967. 1
5967. 2
5967. 3
5967. 4
5967. 5
5967. 6
5968. 0
5968. 1
5968. 2
5968. 3
5968. 4
5968. 5
5968. 6
5968. 7
5969. 0
5969. 1
5969. 2
5969. 3
5969. 4
5969. 5
5969. 6
5969. 7
5969. 8
5969. 9
5970. 0
5970. 1
5970. 2
5970. 3
5971. 0
5971. 1
5971. 2
5971. 3
5971. 4
5971. 5
5971. 6
5972. 0
pull
Entries 37
Mean −234.8
Std Dev 0
2
1.5
1
0.5
0
−0.5
−1
−1.5
−2
−2.5
pull1D
Entries 37
Mean −0.002983
Std Dev 0.9157
9
8
7
6
5
4
3
2
1
0
−8
−6
−4
−2
0
2
4
6
8

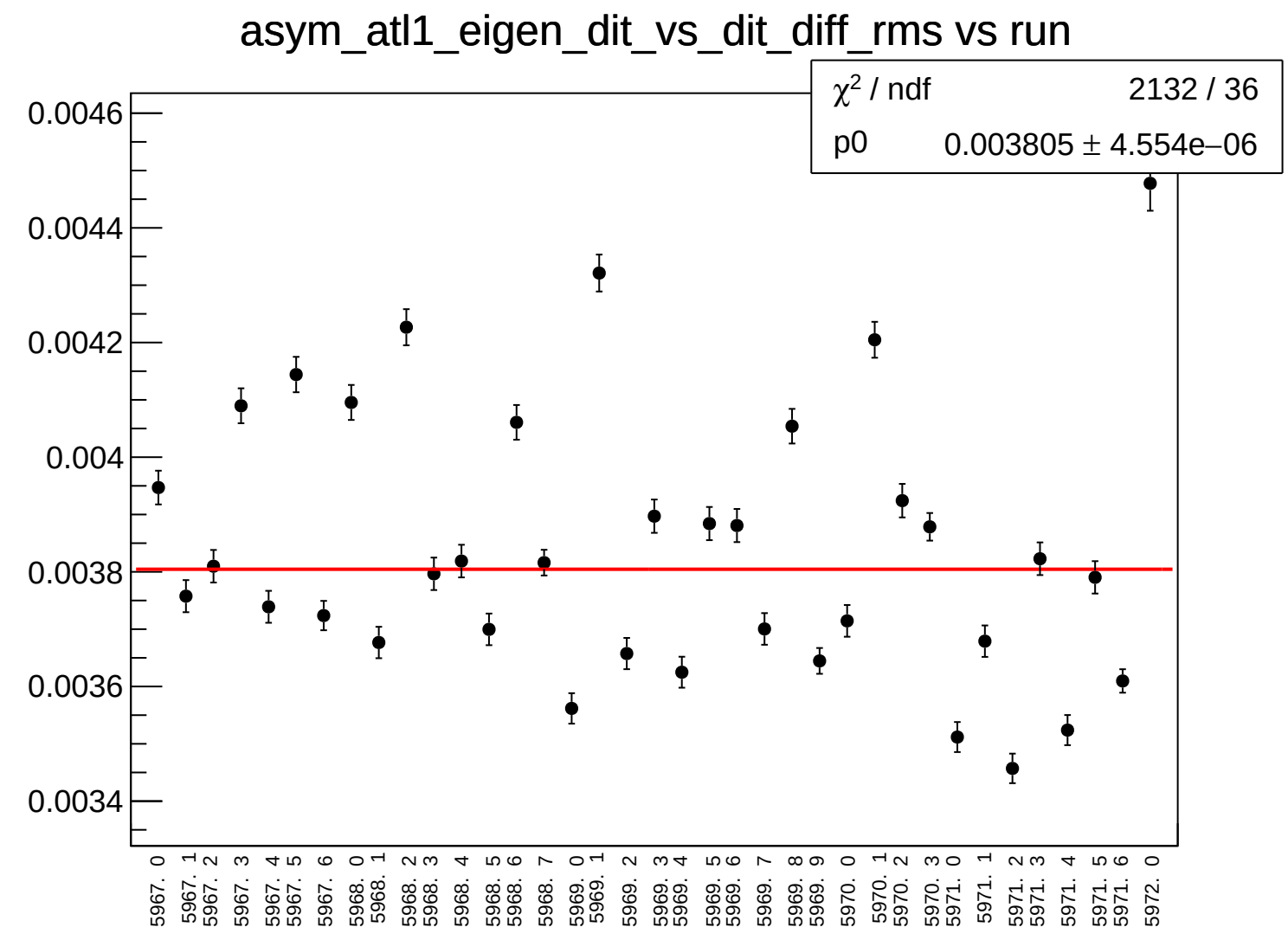
asym_atl1_eigen_dit_vs_dit_diff_rms vs run
χ² / ndf 2132 / 36
p0 0.003805 ± 4.554e−06
0.0046
0.0044
0.0042
0.004
0.0038
0.0036
0.0034
5967. 0
5967. 1
5967. 2
5967. 3
5967. 4
5967. 5
5967. 6
5968. 0
5968. 1
5968. 2
5968. 3
5968. 4
5968. 5
5968. 6
5968. 7
5969. 0
5969. 1
5969. 2
5969. 3
5969. 4
5969. 5
5969. 6
5969. 7
5969. 8
5969. 9
5970. 0
5970. 1
5970. 2
5970. 3
5971. 0
5971. 1
5971. 2
5971. 3
5971. 4
5971. 5
5971. 6
5972. 0

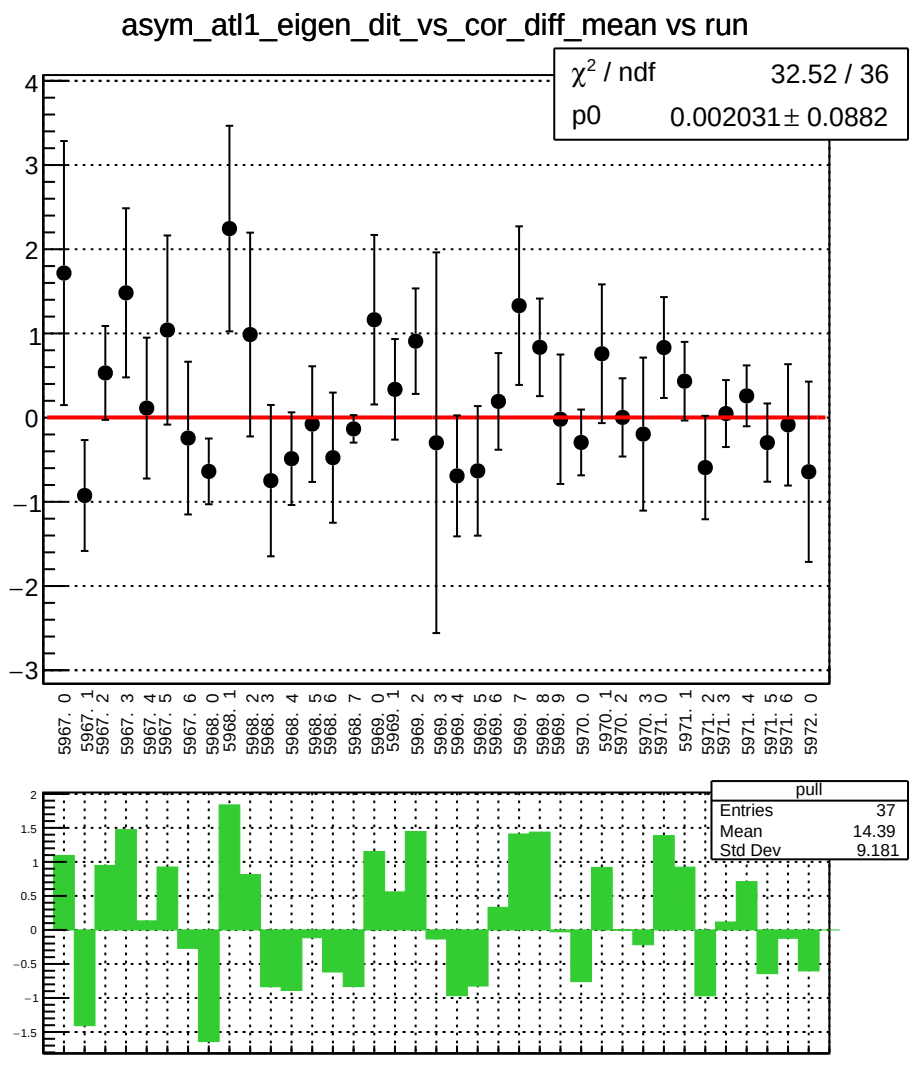
asym_atl1_eigen_dit_vs_cor_diff_mean vs run
χ² / ndf 32.52 / 36
p0 0.002031 ± 0.0882
pull
Entries 37
Mean 14.39
Std Dev 9.181

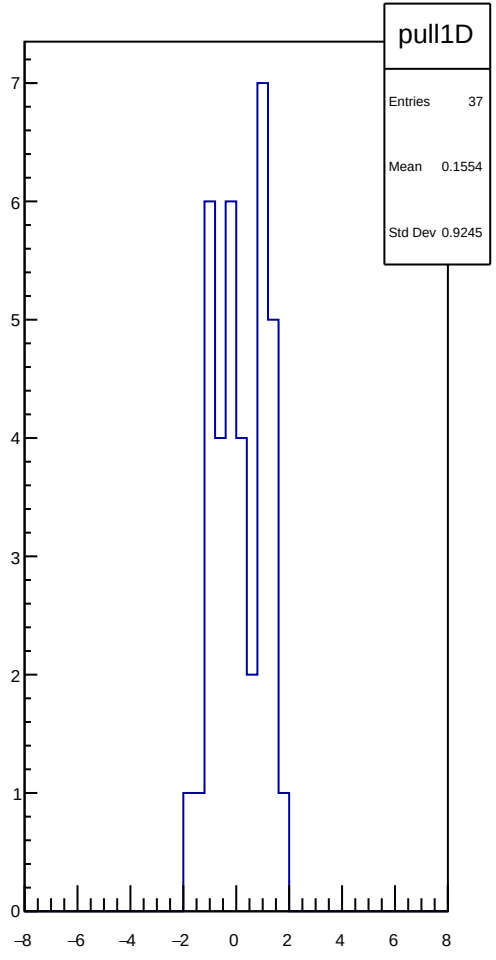
pull1D
Entries 37
Mean 0.1554
Std Dev 0.9245

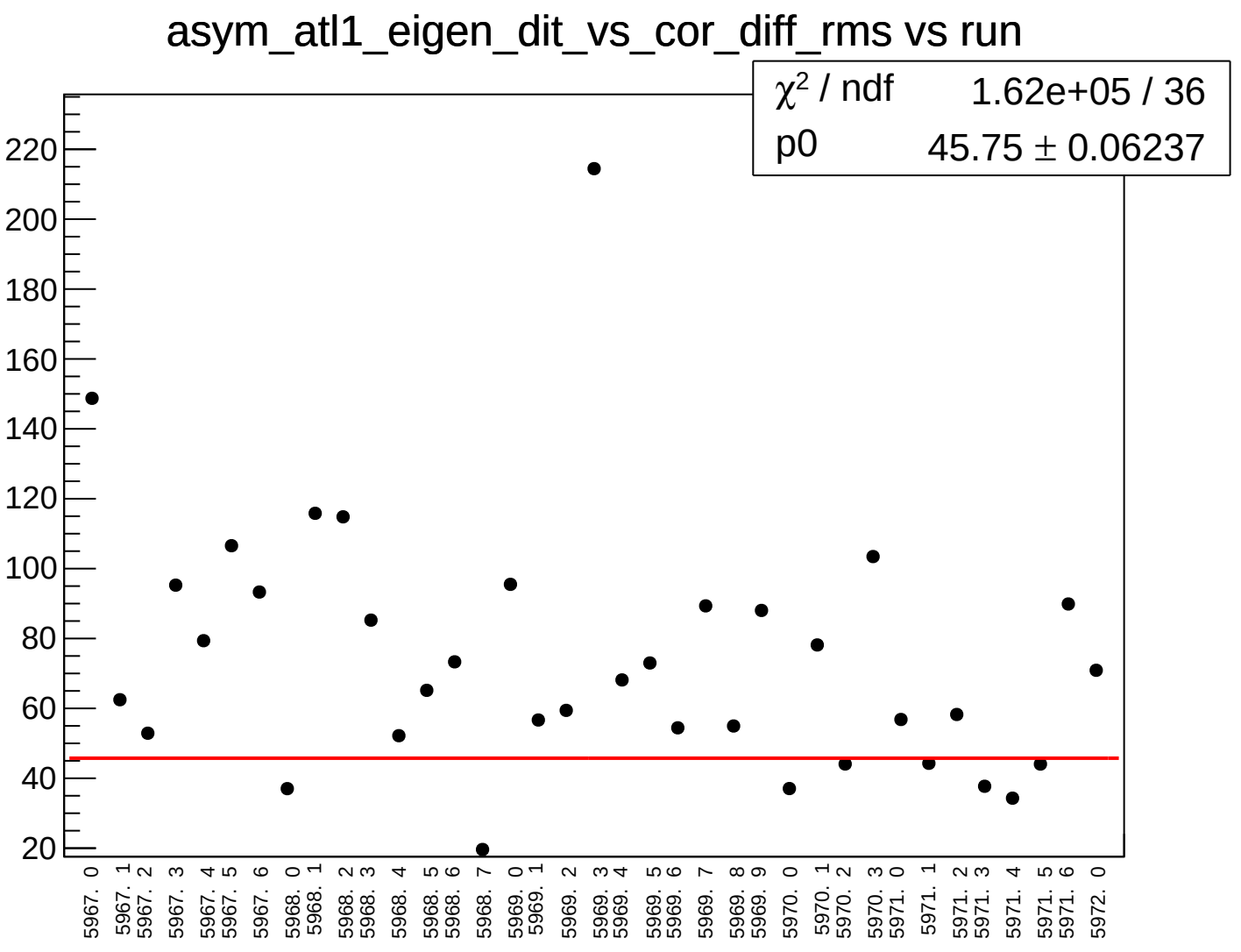
asym_atl1_eigen_dit_vs_cor_diff_rms vs run
χ² / ndf 1.62e+05 / 36
p0 45.75 ± 0.06237
220
200
180
160
140
120
100
80
60
40
20
5967. 0
5967. 1
5967. 2
5967. 3
5967. 4
5967. 5
5967. 6
5968. 0
5968. 1
5968. 2
5968. 3
5968. 4
5968. 5
5968. 6
5968. 7
5969. 0
5969. 1
5969. 2
5969. 3
5969. 4
5969. 5
5969. 6
5969. 7
5969. 8
5969. 9
5970. 0
5970. 1
5970. 2
5970. 3
5971. 0
5971. 1
5971. 2
5971. 3
5971. 4
5971. 5
5971. 6
5972. 0

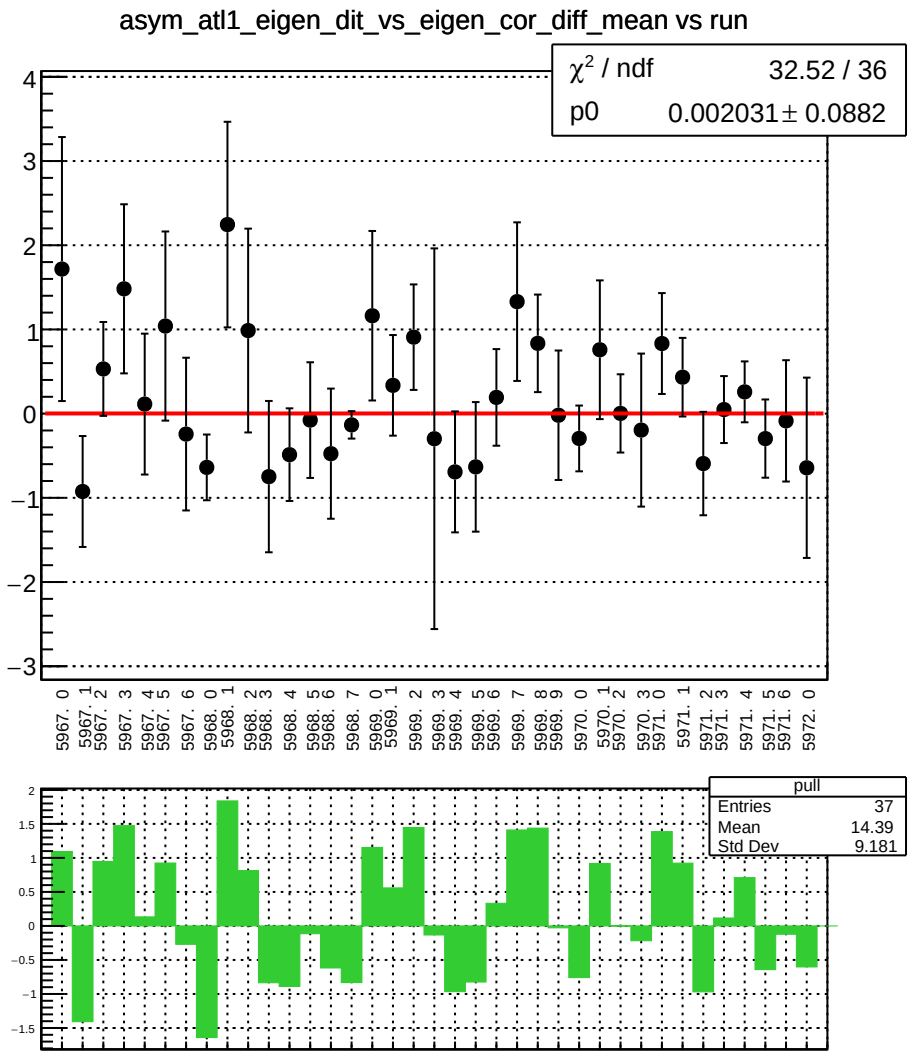
asym_atl1_eigen_dit_vs_eigen_cor_diff_mean vs run
χ² / ndf 32.52 / 36
p0 0.002031 ± 0.0882
pull
Entries 37
Mean 14.39
Std Dev 9.181

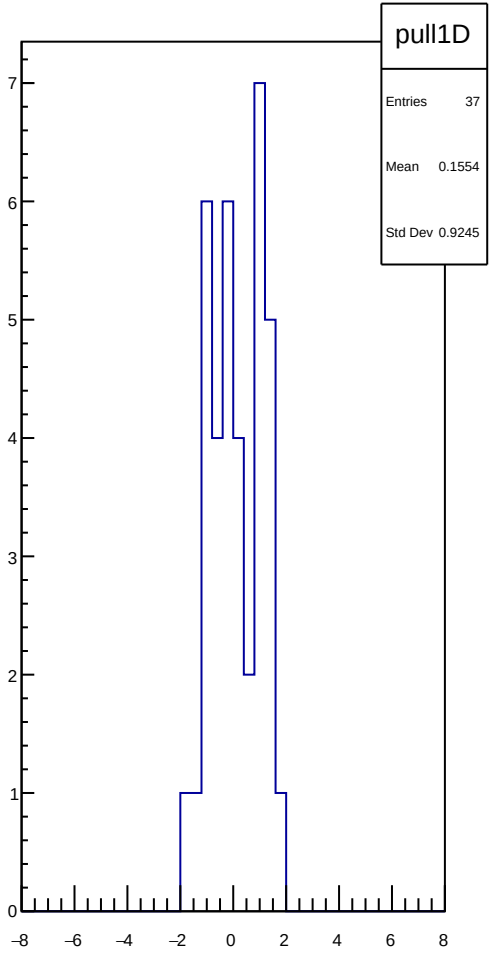
pull1D
Entries 37
Mean 0.1554
Std Dev 0.9245

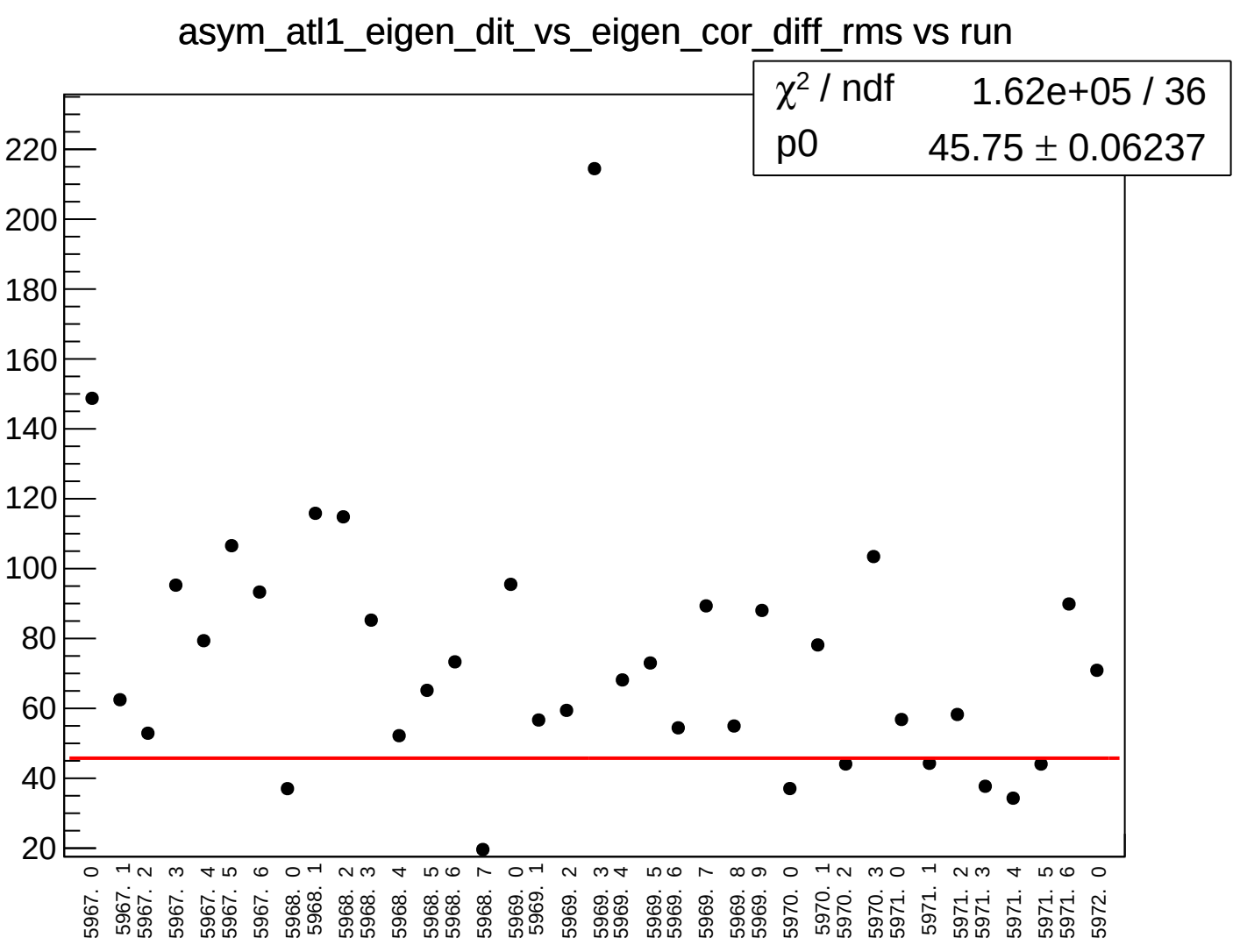
asym_atl1_eigen_dit_vs_eigen_cor_diff_rms vs run
χ² / ndf 1.62e+05 / 36
p0 45.75 ± 0.06237
220
200
180
160
140
120
100
80
60
40
20
5967. 0
5967. 1
5967. 2
5967. 3
5967. 4
5967. 5
5967. 6
5968. 0
5968. 1
5968. 2
5968. 3
5968. 4
5968. 5
5968. 6
5968. 7
5969. 0
5969. 1
5969. 2
5969. 3
5969. 4
5969. 5
5969. 6
5969. 7
5969. 8
5969. 9
5970. 0
5970. 1
5970. 2
5970. 3
5971. 0
5971. 1
5971. 2
5971. 3
5971. 4
5971. 5
5971. 6
5972. 0

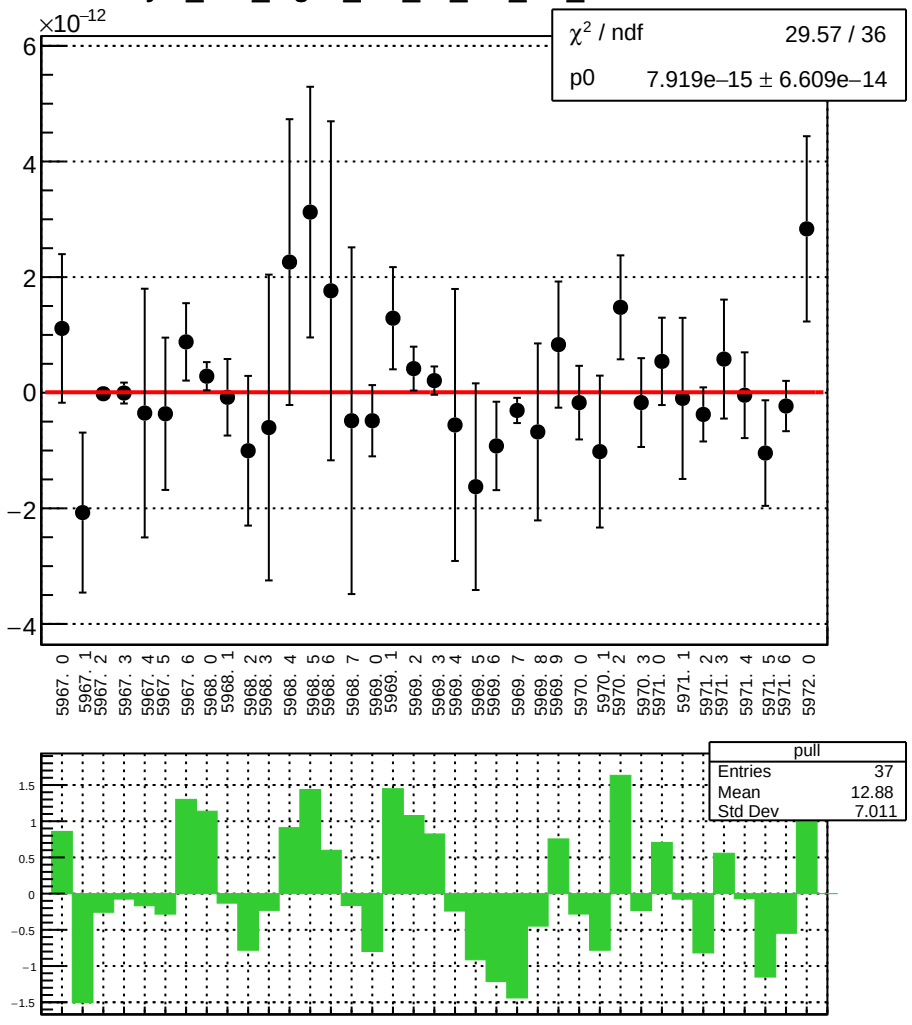
asym_atl1_eigen_cor_vs_cor_diff_mean vs run
×10⁻¹²
χ² / ndf 29.57 / 36
p0 7.919e−15 ± 6.609e−14
pull
Entries 37
Mean 12.88
Std Dev 7.011

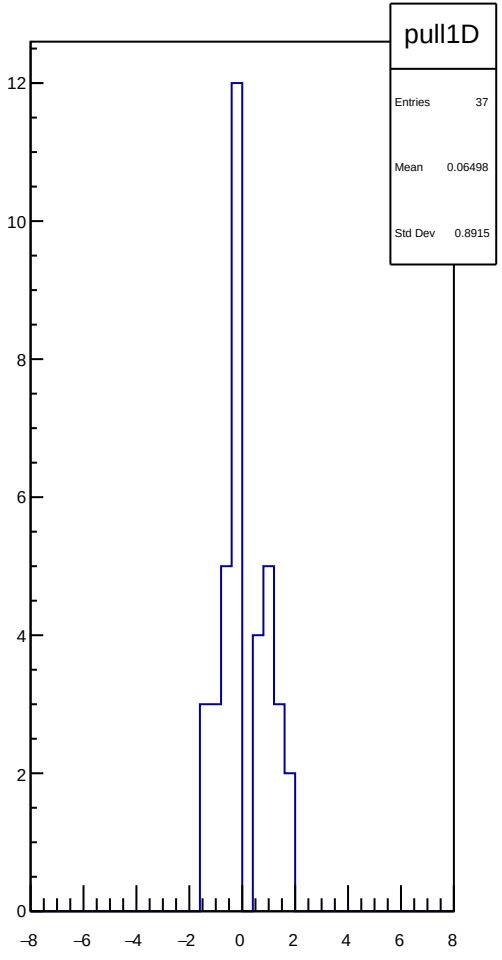
pull1D
Entries 37
Mean 0.06498
Std Dev 0.8915

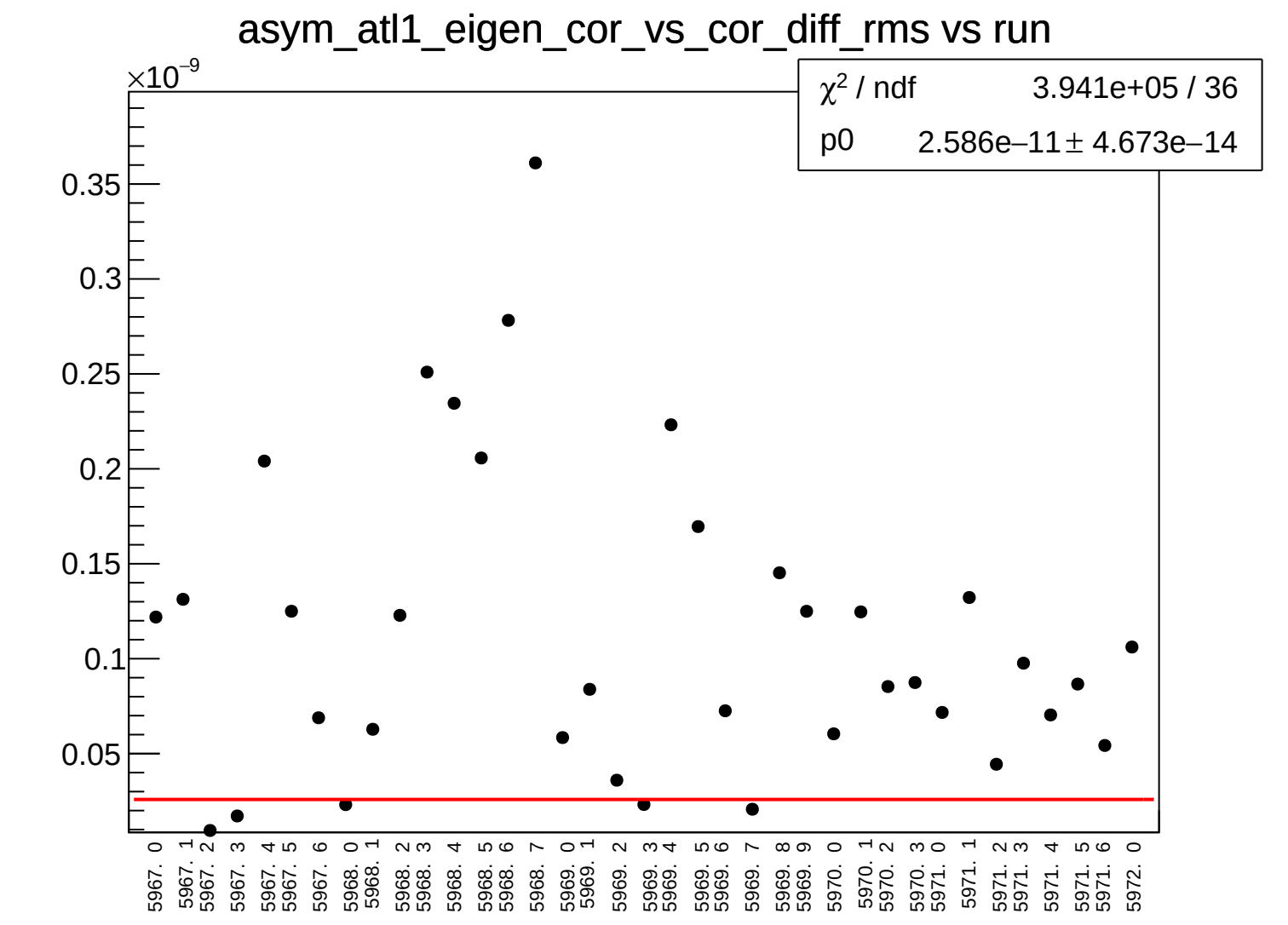
asym_atl1_eigen_cor_vs_cor_diff_rms vs run
×10⁻⁹
χ² / ndf 3.941e+05 / 36
p0 2.586e−11 ± 4.673e−14
0.35
0.3
0.25
0.2
0.15
0.1
0.05
5967. 0
5967. 1
5967. 2
5967. 3
5967. 4
5967. 5
5967. 6
5968. 0
5968. 1
5968. 2
5968. 3
5968. 4
5968. 5
5968. 6
5968. 7
5969. 0
5969. 1
5969. 2
5969. 3
5969. 4
5969. 5
5969. 6
5969. 7
5969. 8
5969. 9
5970. 0
5970. 1
5970. 2
5970. 3
5971. 0
5971. 1
5971. 2
5971. 3
5971. 4
5971. 5
5971. 6
5972. 0

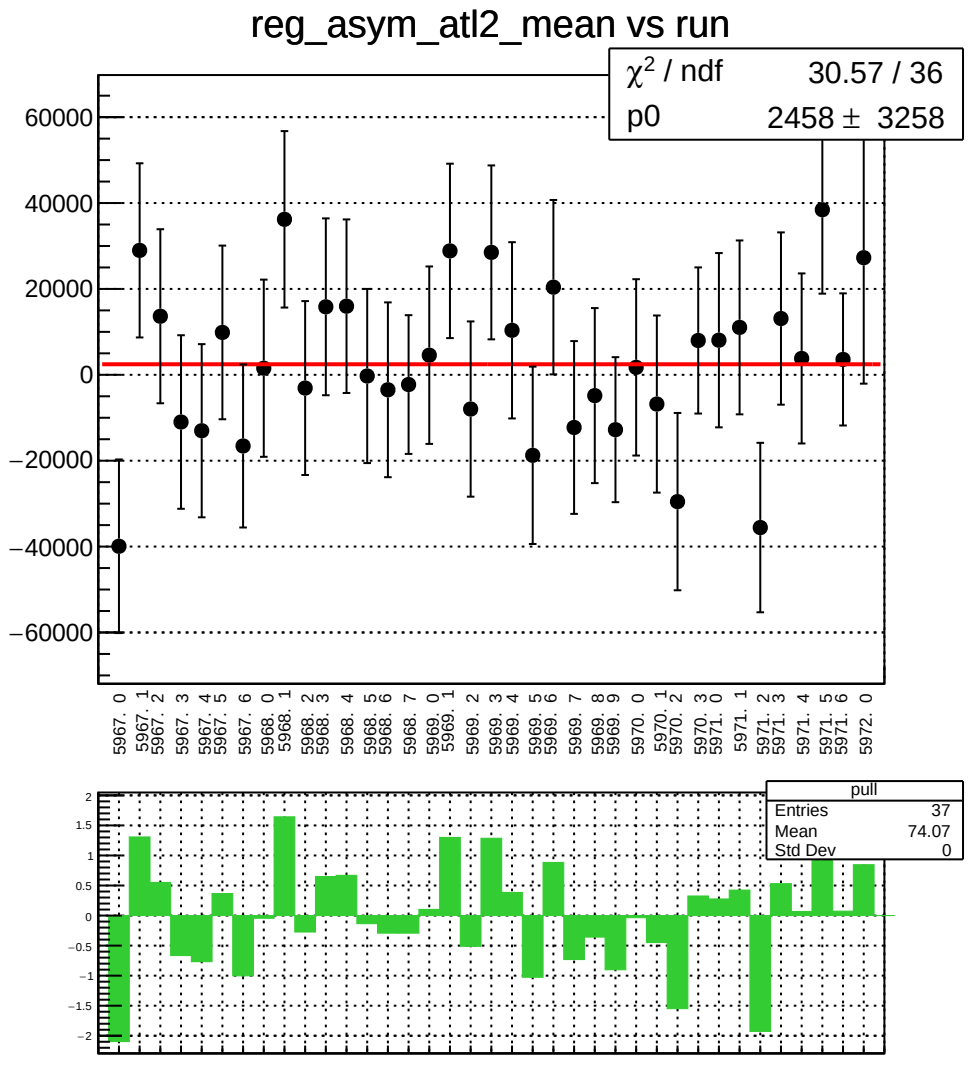
reg_asym_atl2_mean vs run
χ² / ndf 30.57 / 36
p0 2458 ± 3258
60000
40000
20000
0
−20000
−40000
−60000
5967. 0
5967. 1
5967. 2
5967. 3
5967. 4
5967. 5
5967. 6
5968. 0
5968. 1
5968. 2
5968. 3
5968. 4
5968. 5
5968. 6
5968. 7
5969. 0
5969. 1
5969. 2
5969. 3
5969. 4
5969. 5
5969. 6
5969. 7
5969. 8
5969. 9
5970. 0
5970. 1
5970. 2
5970. 3
5971. 0
5971. 1
5971. 2
5971. 3
5971. 4
5971. 5
5971. 6
5972. 0
pull
Entries 37
Mean 74.07
Std Dev 0
2
1.5
1
0.5
0
−0.5
−1
−1.5
−2
pull1D
Entries 37
Mean 0.01271
Std Dev 0.9089
7
6
5
4
3
2
1
0
−8
−6
−4
−2
0
2
4
6
8

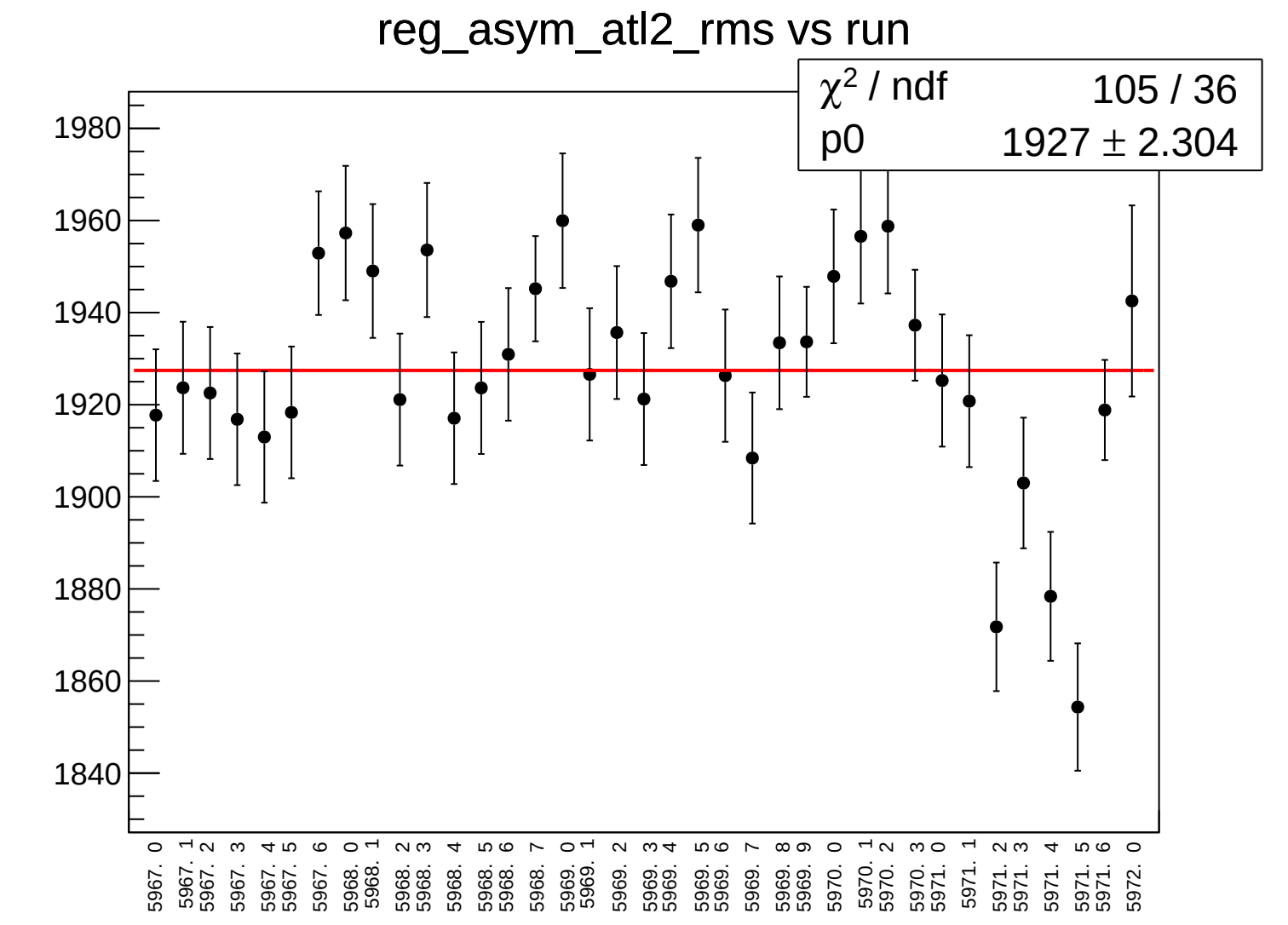
reg_asym_atl2_rms vs run
χ² / ndf 105 / 36
p0 1927 ± 2.304
1980
1960
1940
1920
1900
1880
1860
1840
5967. 0
5967. 1
5967. 2
5967. 3
5967. 4
5967. 5
5967. 6
5968. 0
5968. 1
5968. 2
5968. 3
5968. 4
5968. 5
5968. 6
5968. 7
5969. 0
5969. 1
5969. 2
5969. 3
5969. 4
5969. 5
5969. 6
5969. 7
5969. 8
5969. 9
5970. 0
5970. 1
5970. 2
5970. 3
5971. 0
5971. 1
5971. 2
5971. 3
5971. 4
5971. 5
5971. 6
5972. 0

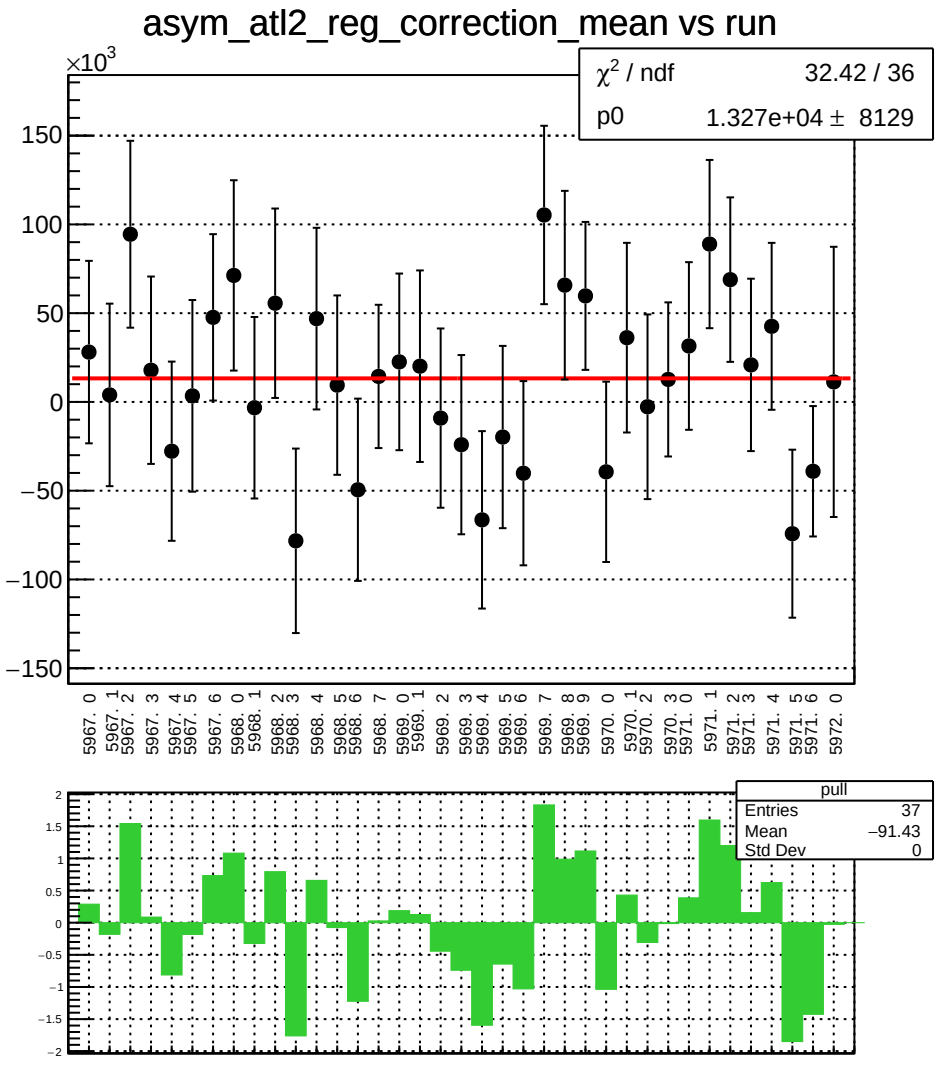
asym_atl2_reg_correction_mean vs run
×10^3
χ² / ndf 32.42 / 36
p0 1.327e+04 ± 8129
150
100
50
0
−50
−100
−150
5967. 0
5967. 1
5967. 2
5967. 3
5967. 4
5967. 5
5967. 6
5968. 0
5968. 1
5968. 2
5968. 3
5968. 4
5968. 5
5968. 6
5968. 7
5969. 0
5969. 1
5969. 2
5969. 3
5969. 4
5969. 5
5969. 6
5969. 7
5969. 8
5969. 9
5970. 0
5970. 1
5970. 2
5970. 3
5971. 0
5971. 1
5971. 2
5971. 3
5971. 4
5971. 5
5971. 6
5972. 0
pull
Entries 37
Mean −91.43
Std Dev 0
2
1.5
1
0.5
0
−0.5
−1
−1.5
−2
pull1D
Entries 37
Mean 0.00512
Std Dev 0.936
7
6
5
4
3
2
1
0
−8
−6
−4
−2
0
2
4
6
8

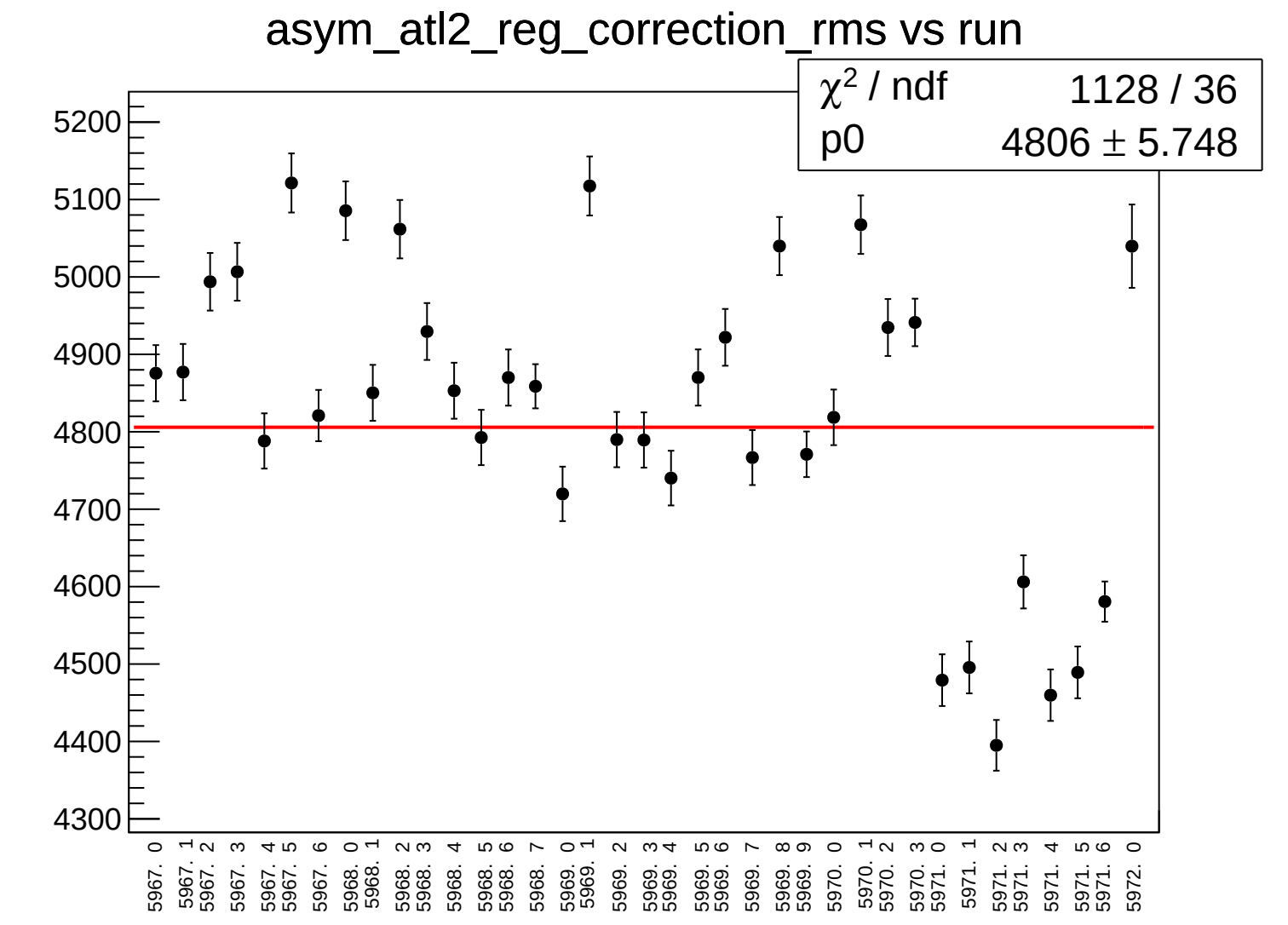
asym_atl2_reg_correction_rms vs run
χ² / ndf 1128 / 36
p0 4806 ± 5.748
5200
5100
5000
4900
4800
4700
4600
4500
4400
4300
5967. 0
5967. 1
5967. 2
5967. 3
5967. 4
5967. 5
5967. 6
5968. 0
5968. 1
5968. 2
5968. 3
5968. 4
5968. 5
5968. 6
5968. 7
5969. 0
5969. 1
5969. 2
5969. 3
5969. 4
5969. 5
5969. 6
5969. 7
5969. 8
5969. 9
5970. 0
5970. 1
5970. 2
5970. 3
5971. 0
5971. 1
5971. 2
5971. 3
5971. 4
5971. 5
5971. 6
5972. 0

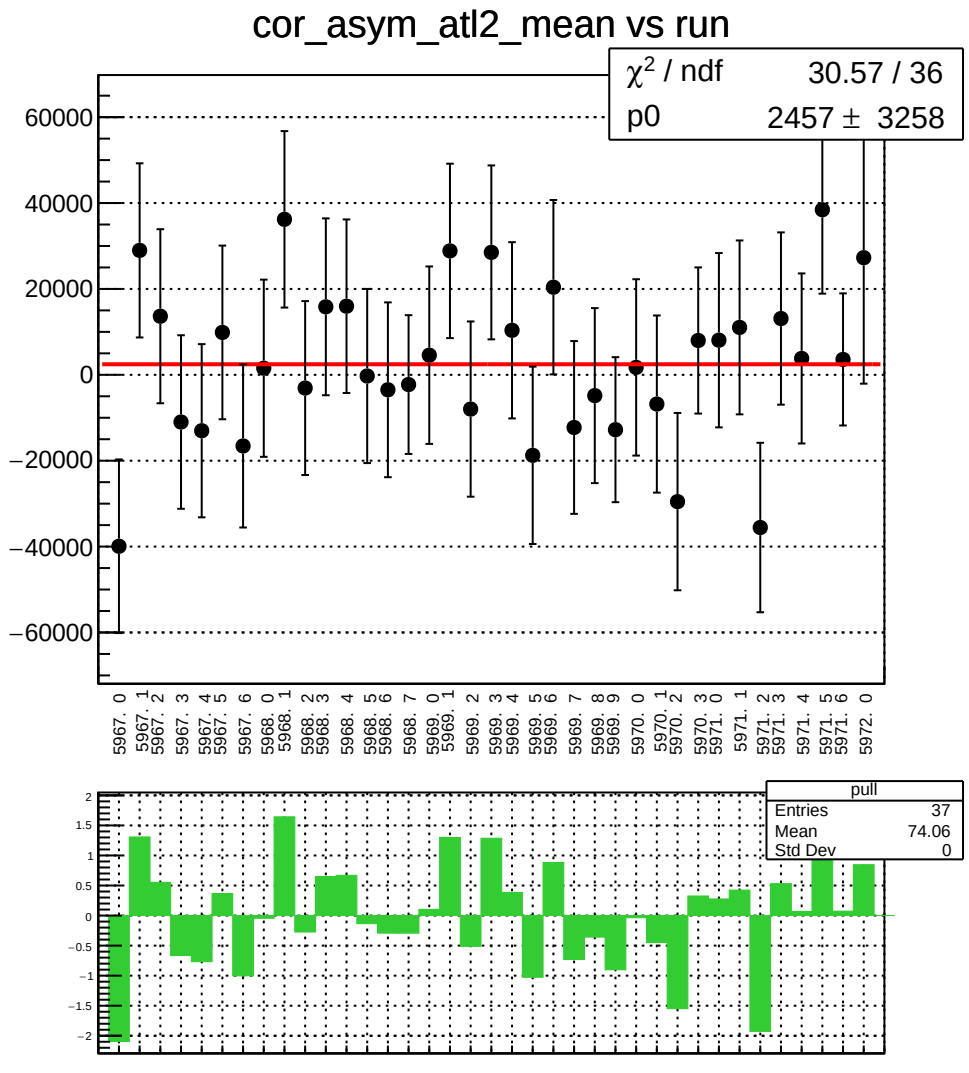
cor_asym_atl2_mean vs run
χ² / ndf 30.57 / 36
p0 2457 ± 3258
60000
40000
20000
0
−20000
−40000
−60000
5967. 0
5967. 1
5967. 2
5967. 3
5967. 4
5967. 5
5967. 6
5968. 0
5968. 1
5968. 2
5968. 3
5968. 4
5968. 5
5968. 6
5968. 7
5969. 0
5969. 1
5969. 2
5969. 3
5969. 4
5969. 5
5969. 6
5969. 7
5969. 8
5969. 9
5970. 0
5970. 1
5970. 2
5970. 3
5971. 0
5971. 1
5971. 2
5971. 3
5971. 4
5971. 5
5971. 6
5972. 0
pull
Entries 37
Mean 74.06
Std Dev 0
2
1.5
1
0.5
0
−0.5
−1
−1.5
−2
pull1D
Entries 37
Mean 0.01271
Std Dev 0.9088
7
6
5
4
3
2
1
0
−8
−6
−4
−2
0
2
4
6
8

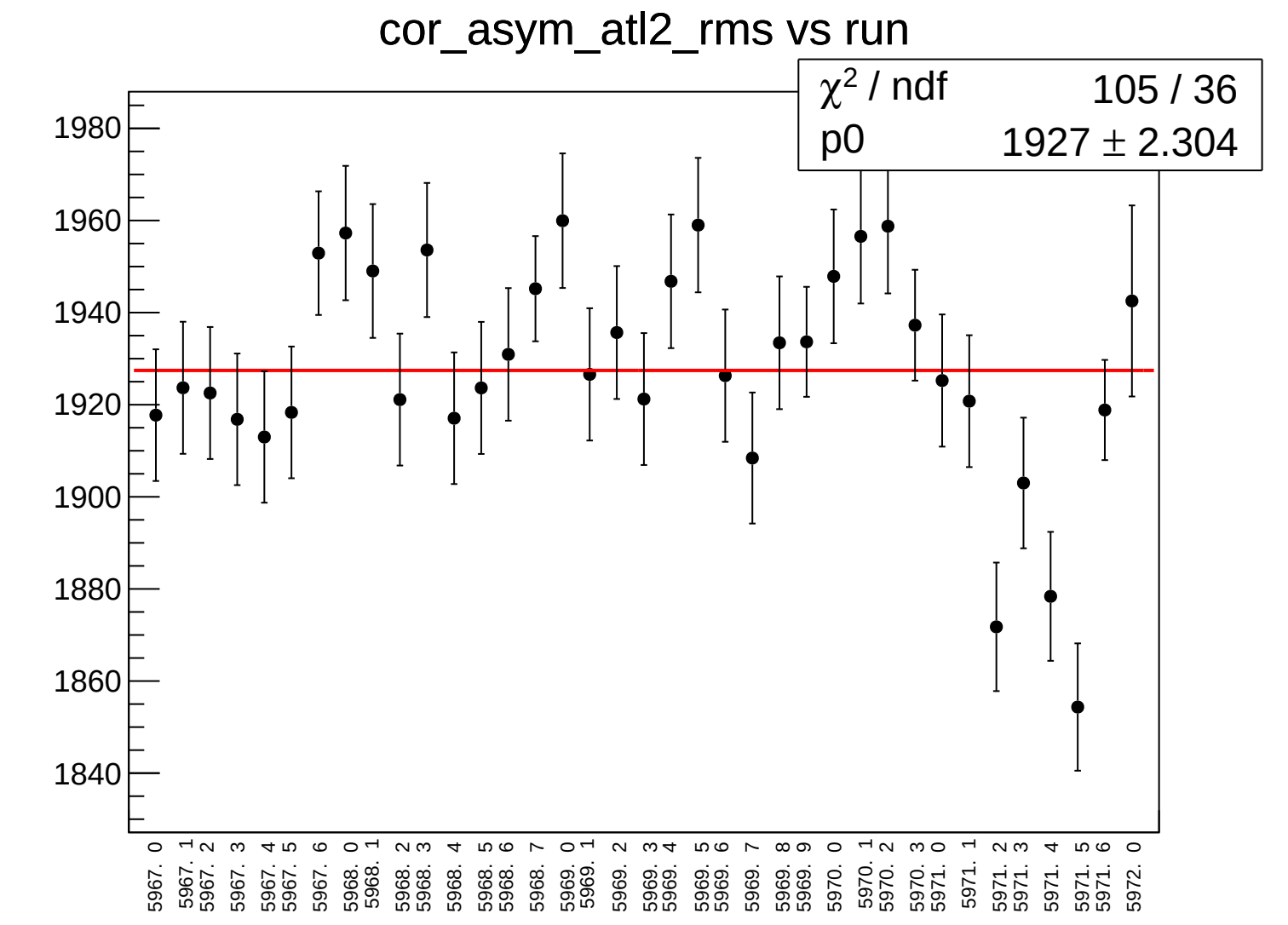
cor_asym_atl2_rms vs run
χ² / ndf 105 / 36
p0 1927 ± 2.304
1980
1960
1940
1920
1900
1880
1860
1840
5967. 0
5967. 1
5967. 2
5967. 3
5967. 4
5967. 5
5967. 6
5968. 0
5968. 1
5968. 2
5968. 3
5968. 4
5968. 5
5968. 6
5968. 7
5969. 0
5969. 1
5969. 2
5969. 3
5969. 4
5969. 5
5969. 6
5969. 7
5969. 8
5969. 9
5970. 0
5970. 1
5970. 2
5970. 3
5971. 0
5971. 1
5971. 2
5971. 3
5971. 4
5971. 5
5971. 6
5972. 0

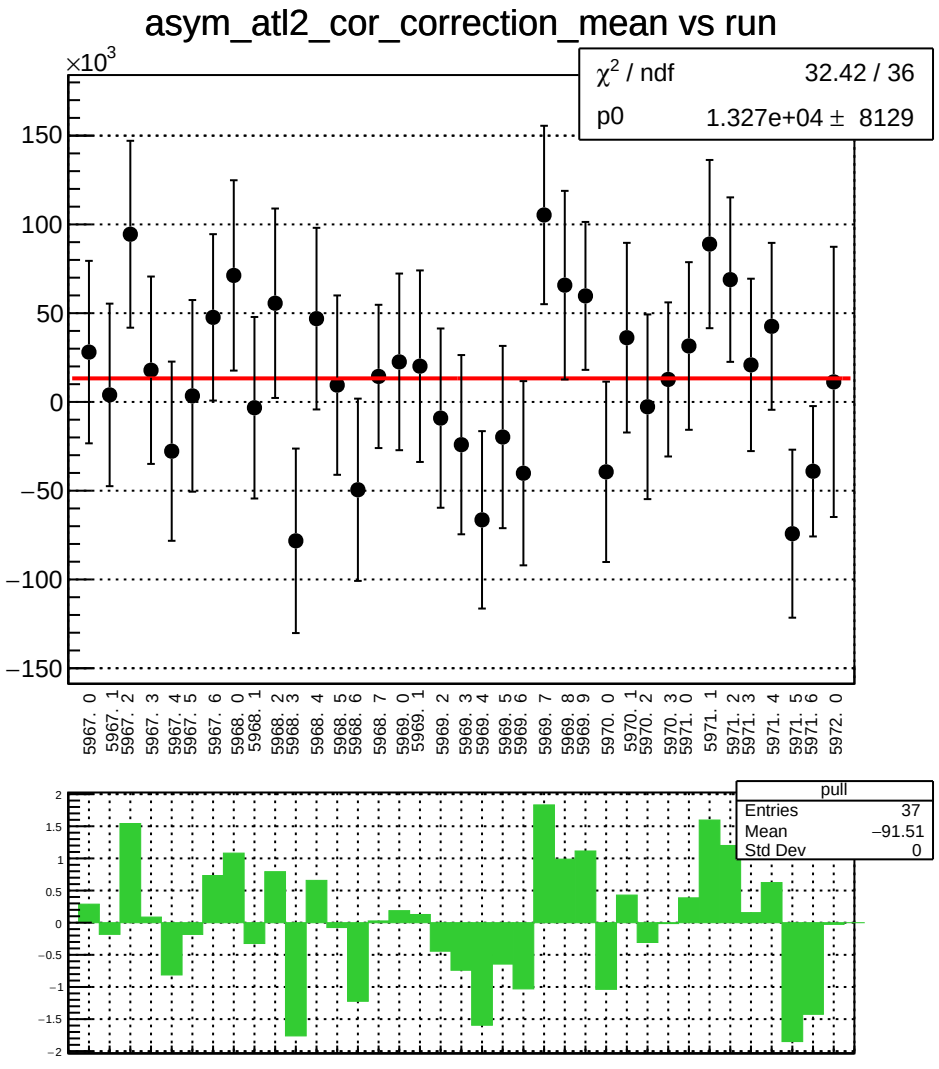
asym_atl2_cor_correction_mean vs run
×10^3
χ² / ndf 32.42 / 36
p0 1.327e+04 ± 8129
150
100
50
0
−50
−100
−150
5967. 0
5967. 1
5967. 2
5967. 3
5967. 4
5967. 5
5967. 6
5968. 0
5968. 1
5968. 2
5968. 3
5968. 4
5968. 5
5968. 6
5968. 7
5969. 0
5969. 1
5969. 2
5969. 3
5969. 4
5969. 5
5969. 6
5969. 7
5969. 8
5969. 9
5970. 0
5970. 1
5970. 2
5970. 3
5971. 0
5971. 1
5971. 2
5971. 3
5971. 4
5971. 5
5971. 6
5972. 0
pull
Entries 37
Mean −91.51
Std Dev 0
2
1.5
1
0.5
0
−0.5
−1
−1.5
−2
pull1D
Entries 37
Mean 0.005117
Std Dev 0.936
7
6
5
4
3
2
1
0
−8
−6
−4
−2
0
2
4
6
8

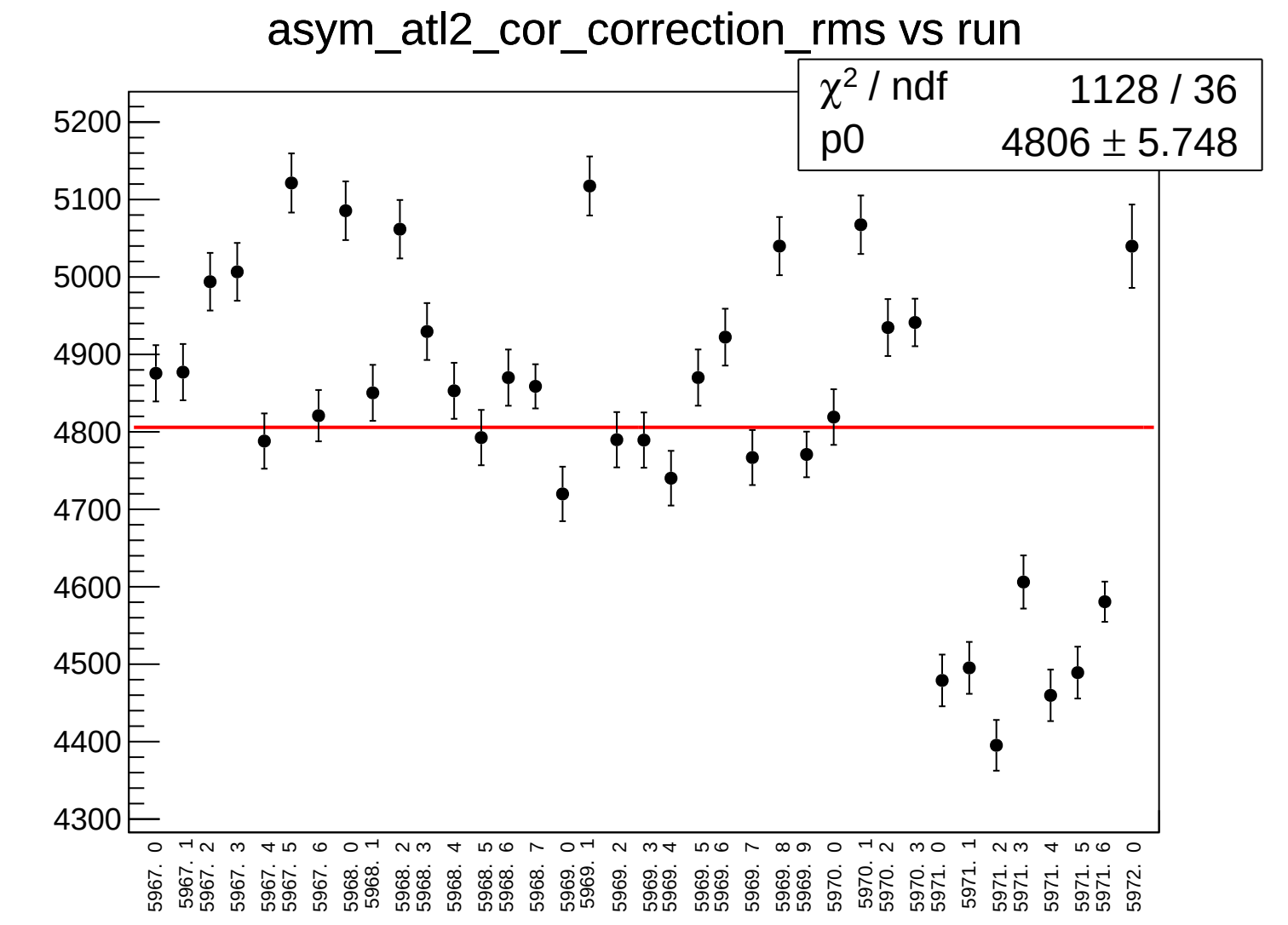
asym_atl2_cor_correction_rms vs run
χ² / ndf 1128 / 36
p0 4806 ± 5.748
5200
5100
5000
4900
4800
4700
4600
4500
4400
4300
5967. 0
5967. 1
5967. 2
5967. 3
5967. 4
5967. 5
5967. 6
5968. 0
5968. 1
5968. 2
5968. 3
5968. 4
5968. 5
5968. 6
5968. 7
5969. 0
5969. 1
5969. 2
5969. 3
5969. 4
5969. 5
5969. 6
5969. 7
5969. 8
5969. 9
5970. 0
5970. 1
5970. 2
5970. 3
5971. 0
5971. 1
5971. 2
5971. 3
5971. 4
5971. 5
5971. 6
5972. 0

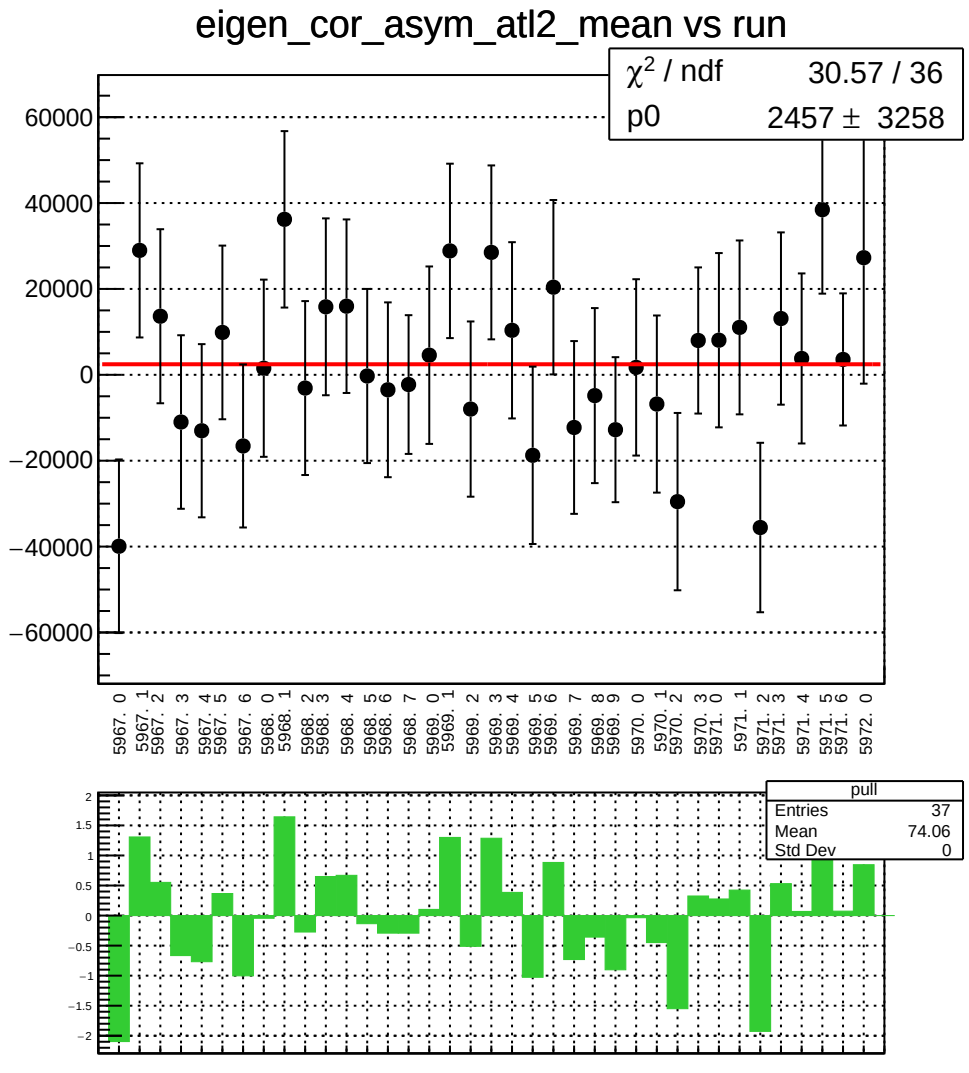
eigen_cor_asym_atl2_mean vs run
χ² / ndf 30.57 / 36
p0 2457 ± 3258
60000
40000
20000
0
−20000
−40000
−60000
5967. 0
5967. 1
5967. 2
5967. 3
5967. 4
5967. 5
5967. 6
5968. 0
5968. 1
5968. 2
5968. 3
5968. 4
5968. 5
5968. 6
5968. 7
5969. 0
5969. 1
5969. 2
5969. 3
5969. 4
5969. 5
5969. 6
5969. 7
5969. 8
5969. 9
5970. 0
5970. 1
5970. 2
5970. 3
5971. 0
5971. 1
5971. 2
5971. 3
5971. 4
5971. 5
5971. 6
5972. 0
pull
Entries 37
Mean 74.06
Std Dev 0
2
1.5
1
0.5
0
−0.5
−1
−1.5
−2
pull1D
Entries 37
Mean 0.01271
Std Dev 0.9088
7
6
5
4
3
2
1
0
−8
−6
−4
−2
0
2
4
6
8

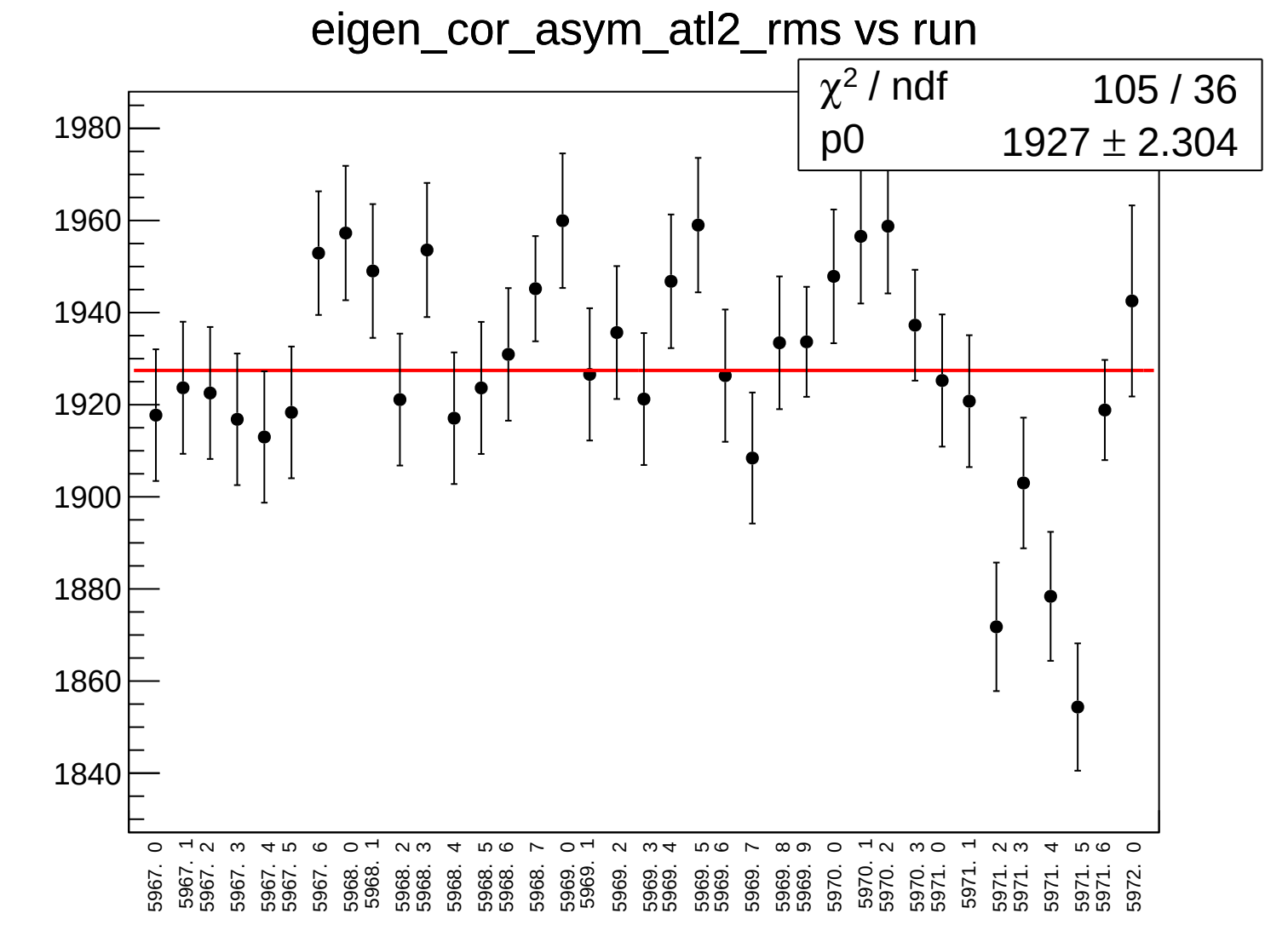
eigen_cor_asym_atl2_rms vs run
χ² / ndf 105 / 36
p0 1927 ± 2.304
1980
1960
1940
1920
1900
1880
1860
1840
5967. 0
5967. 1
5967. 2
5967. 3
5967. 4
5967. 5
5967. 6
5968. 0
5968. 1
5968. 2
5968. 3
5968. 4
5968. 5
5968. 6
5968. 7
5969. 0
5969. 1
5969. 2
5969. 3
5969. 4
5969. 5
5969. 6
5969. 7
5969. 8
5969. 9
5970. 0
5970. 1
5970. 2
5970. 3
5971. 0
5971. 1
5971. 2
5971. 3
5971. 4
5971. 5
5971. 6
5972. 0

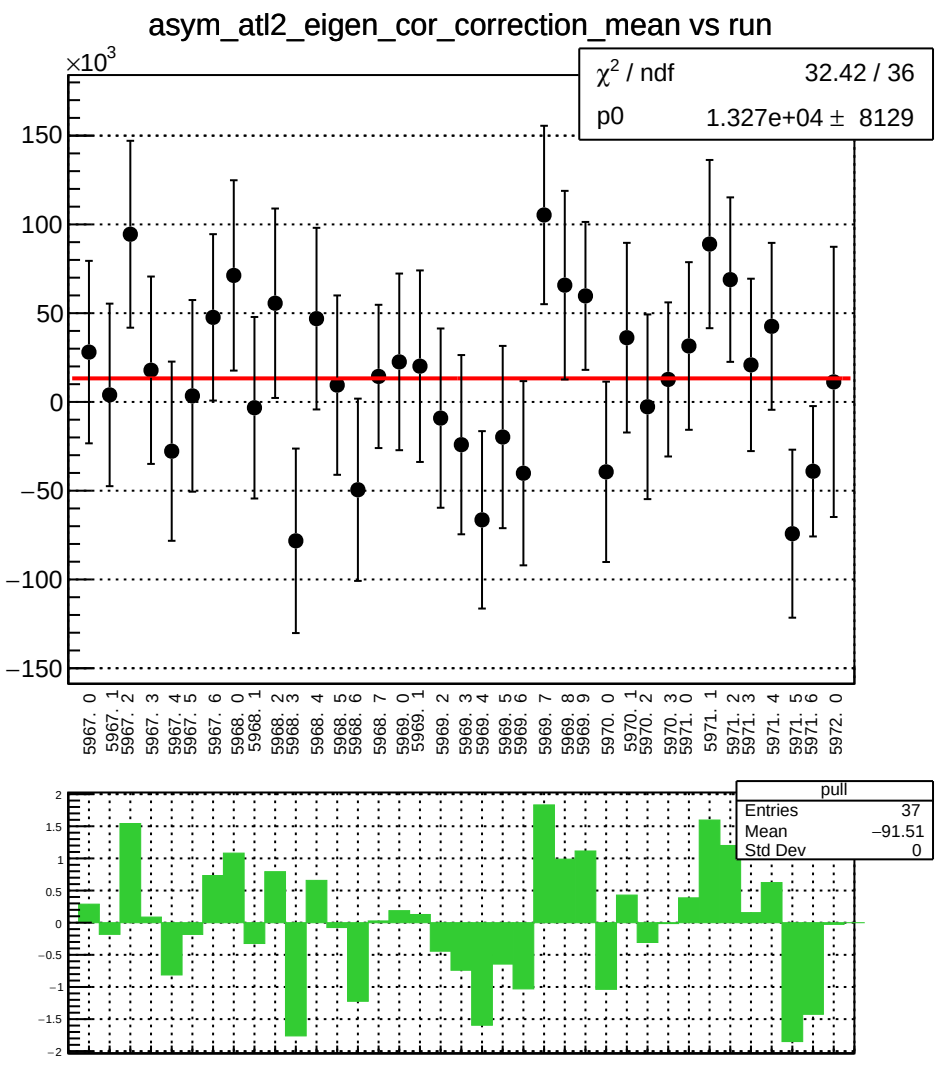
asym_atl2_eigen_cor_correction_mean vs run
×10^3
χ² / ndf 32.42 / 36
p0 1.327e+04 ± 8129
150
100
50
0
−50
−100
−150
5967. 0
5967. 1
5967. 2
5967. 3
5967. 4
5967. 5
5967. 6
5968. 0
5968. 1
5968. 2
5968. 3
5968. 4
5968. 5
5968. 6
5968. 7
5969. 0
5969. 1
5969. 2
5969. 3
5969. 4
5969. 5
5969. 6
5969. 7
5969. 8
5969. 9
5970. 0
5970. 1
5970. 2
5970. 3
5971. 0
5971. 1
5971. 2
5971. 3
5971. 4
5971. 5
5971. 6
5972. 0
pull
Entries 37
Mean −91.51
Std Dev 0
2
1.5
1
0.5
0
−0.5
−1
−1.5
−2
pull1D
Entries 37
Mean 0.005117
Std Dev 0.936
7
6
5
4
3
2
1
0
−8
−6
−4
−2
0
2
4
6
8

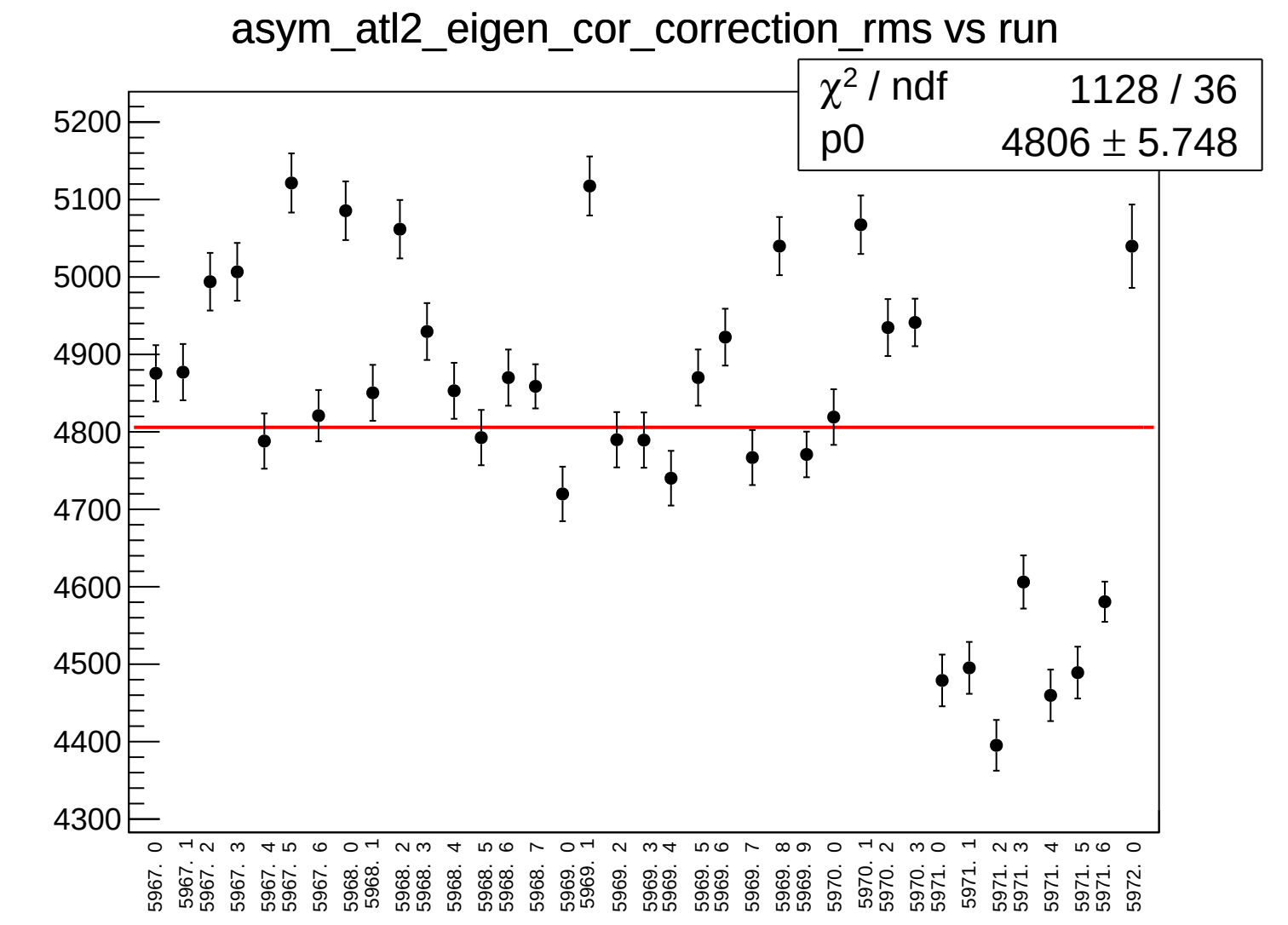
asym_atl2_eigen_cor_correction_rms vs run
χ² / ndf 1128 / 36
p0 4806 ± 5.748
5200
5100
5000
4900
4800
4700
4600
4500
4400
4300
5967. 0
5967. 1
5967. 2
5967. 3
5967. 4
5967. 5
5967. 6
5968. 0
5968. 1
5968. 2
5968. 3
5968. 4
5968. 5
5968. 6
5968. 7
5969. 0
5969. 1
5969. 2
5969. 3
5969. 4
5969. 5
5969. 6
5969. 7
5969. 8
5969. 9
5970. 0
5970. 1
5970. 2
5970. 3
5971. 0
5971. 1
5971. 2
5971. 3
5971. 4
5971. 5
5971. 6
5972. 0

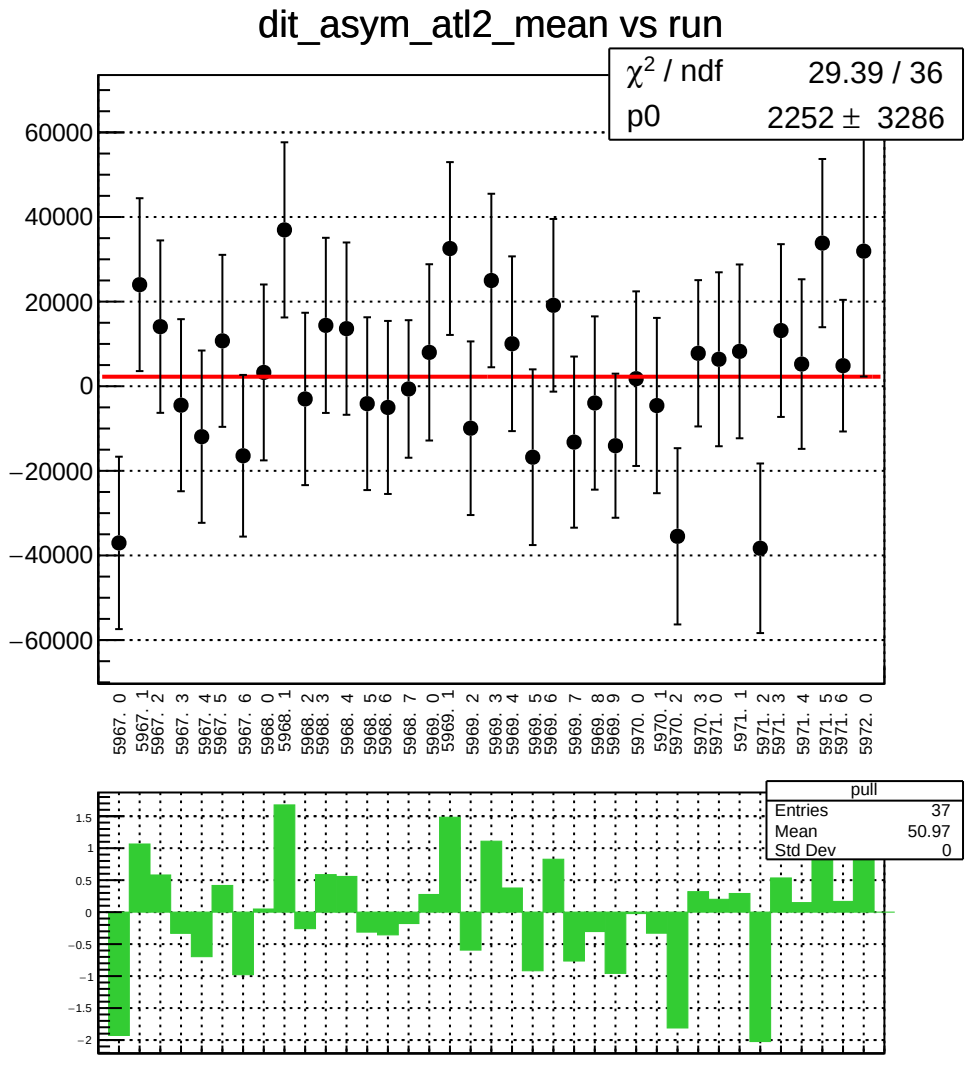
dit_asym_atl2_mean vs run
χ² / ndf 29.39 / 36
p0 2252 ± 3286
60000
40000
20000
0
−20000
−40000
−60000
5967. 0
5967. 1
5967. 2
5967. 3
5967. 4
5967. 5
5967. 6
5968. 0
5968. 1
5968. 2
5968. 3
5968. 4
5968. 5
5968. 6
5968. 7
5969. 0
5969. 1
5969. 2
5969. 3
5969. 4
5969. 5
5969. 6
5969. 7
5969. 8
5969. 9
5970. 0
5970. 1
5970. 2
5970. 3
5971. 0
5971. 1
5971. 2
5971. 3
5971. 4
5971. 5
5971. 6
5972. 0
pull
Entries 37
Mean 50.97
Std Dev 0
1.5
1
0.5
0
−0.5
−1
−1.5
−2
pull1D
Entries 37
Mean 0.01343
Std Dev 0.8912
8
7
6
5
4
3
2
1
0
−8
−6
−4
−2
0
2
4
6
8

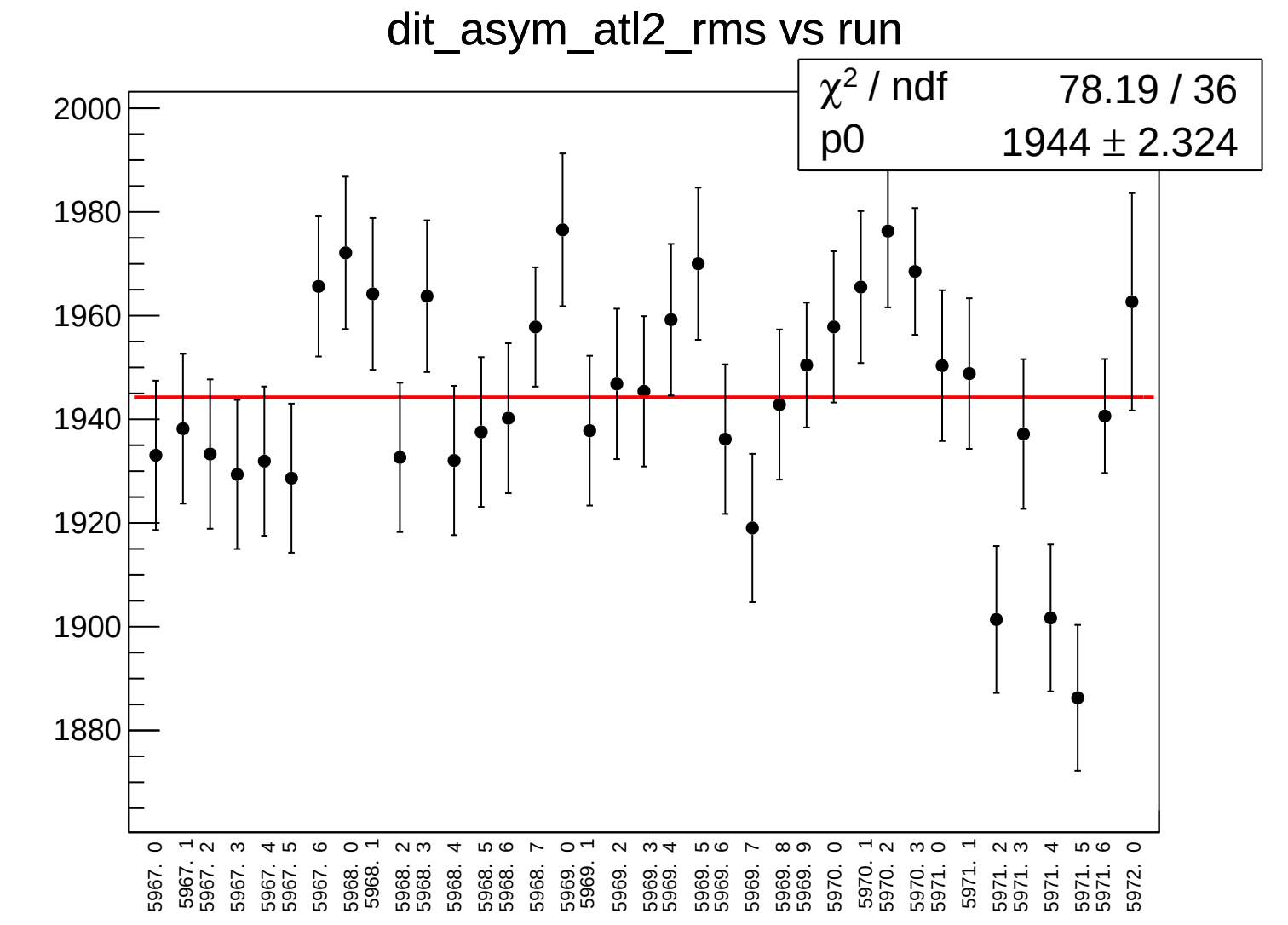
dit_asym_atl2_rms vs run
χ² / ndf 78.19 / 36
p0 1944 ± 2.324
2000
1980
1960
1940
1920
1900
1880
5967. 0
5967. 1
5967. 2
5967. 3
5967. 4
5967. 5
5967. 6
5968. 0
5968. 1
5968. 2
5968. 3
5968. 4
5968. 5
5968. 6
5968. 7
5969. 0
5969. 1
5969. 2
5969. 3
5969. 4
5969. 5
5969. 6
5969. 7
5969. 8
5969. 9
5970. 0
5970. 1
5970. 2
5970. 3
5971. 0
5971. 1
5971. 2
5971. 3
5971. 4
5971. 5
5971. 6
5972. 0

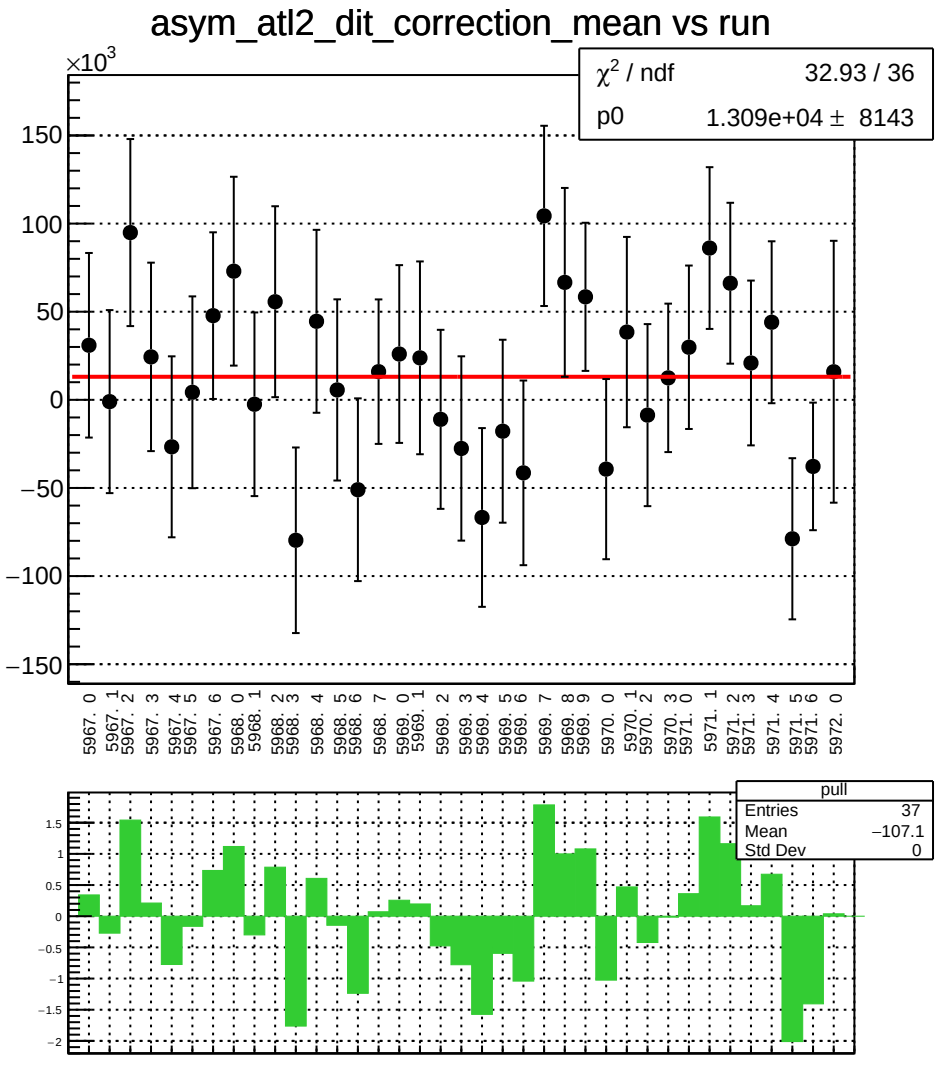
asym_atl2_dit_correction_mean vs run
×10^3
χ² / ndf 32.93 / 36
p0 1.309e+04 ± 8143
150
100
50
0
−50
−100
−150
5967. 0
5967. 1
5967. 2
5967. 3
5967. 4
5967. 5
5967. 6
5968. 0
5968. 1
5968. 2
5968. 3
5968. 4
5968. 5
5968. 6
5968. 7
5969. 0
5969. 1
5969. 2
5969. 3
5969. 4
5969. 5
5969. 6
5969. 7
5969. 8
5969. 9
5970. 0
5970. 1
5970. 2
5970. 3
5971. 0
5971. 1
5971. 2
5971. 3
5971. 4
5971. 5
5971. 6
5972. 0
pull
Entries 37
Mean −107.1
Std Dev 0
1.5
1
0.5
0
−0.5
−1
−1.5
−2

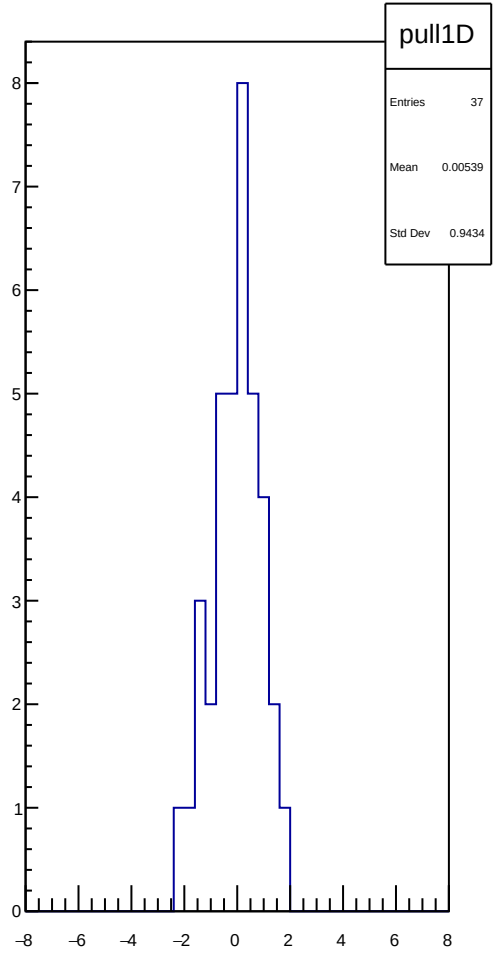
pull1D
Entries 37
Mean 0.00539
Std Dev 0.9434
8
7
6
5
4
3
2
1
0
−8
−6
−4
−2
0
2
4
6
8

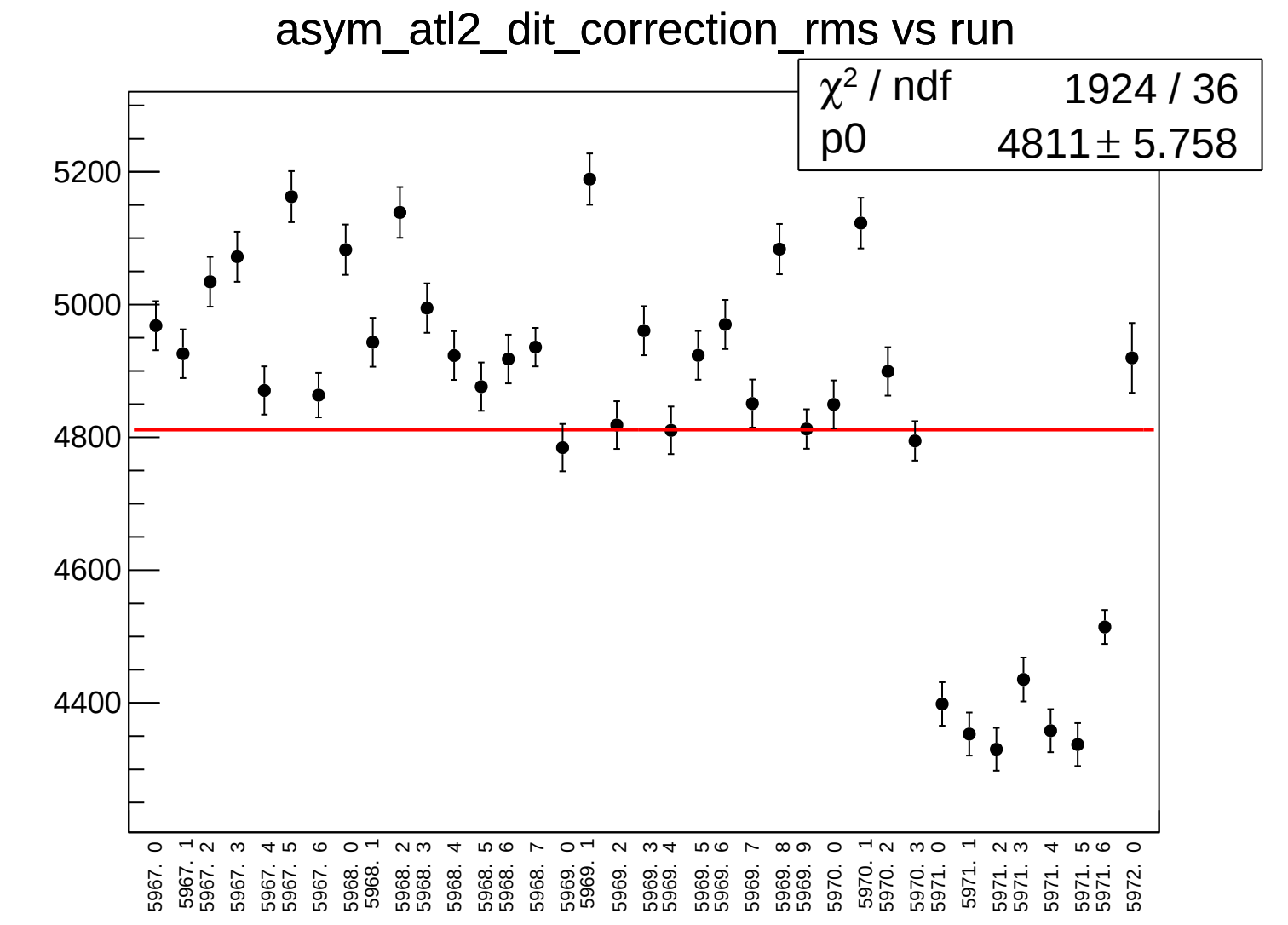
asym_atl2_dit_correction_rms vs run
χ² / ndf 1924 / 36
p0 4811 ± 5.758
5200
5000
4800
4600
4400
5967. 0
5967. 1
5967. 2
5967. 3
5967. 4
5967. 5
5967. 6
5968. 0
5968. 1
5968. 2
5968. 3
5968. 4
5968. 5
5968. 6
5968. 7
5969. 0
5969. 1
5969. 2
5969. 3
5969. 4
5969. 5
5969. 6
5969. 7
5969. 8
5969. 9
5970. 0
5970. 1
5970. 2
5970. 3
5971. 0
5971. 1
5971. 2
5971. 3
5971. 4
5971. 5
5971. 6
5972. 0

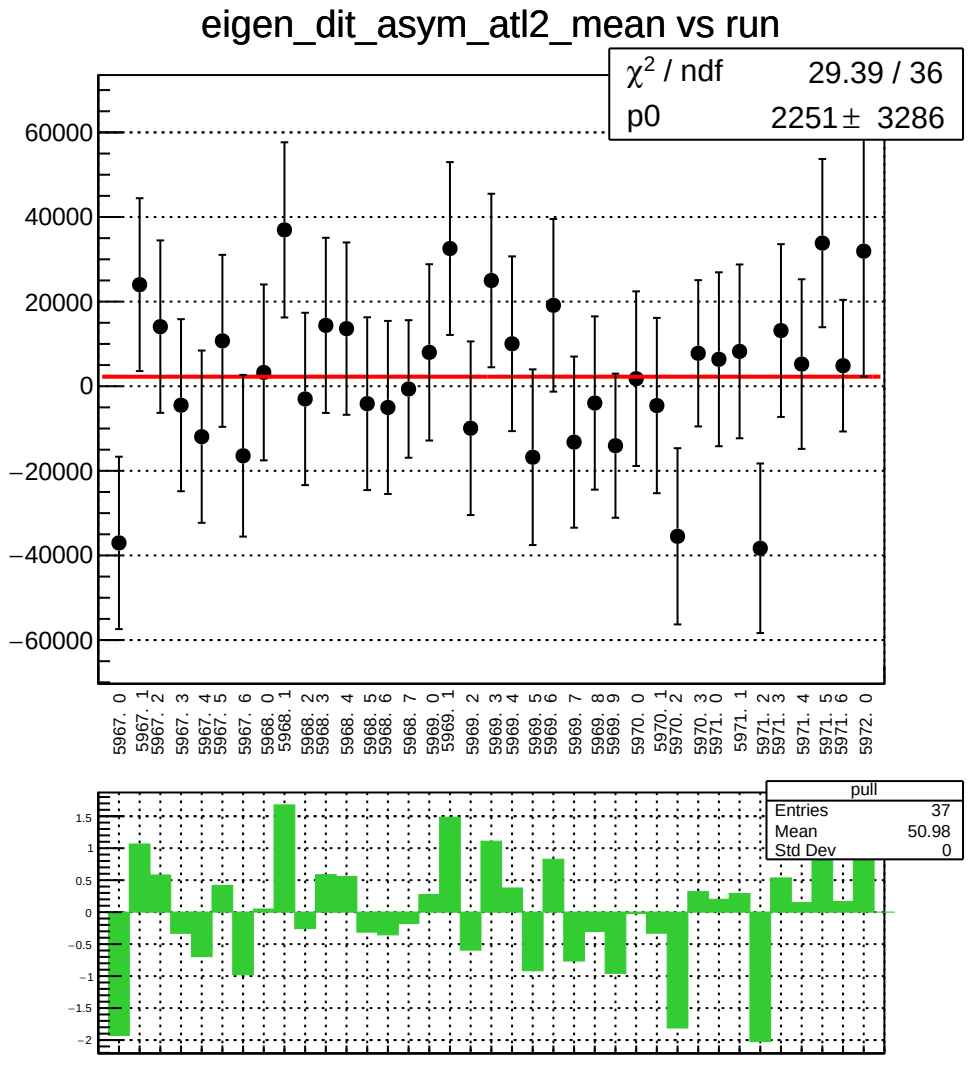
eigen_dit_asym_atl2_mean vs run
χ² / ndf 29.39 / 36
p0 2251 ± 3286
60000
40000
20000
0
−20000
−40000
−60000
5967. 0
5967. 1
5967. 2
5967. 3
5967. 4
5967. 5
5967. 6
5968. 0
5968. 1
5968. 2
5968. 3
5968. 4
5968. 5
5968. 6
5968. 7
5969. 0
5969. 1
5969. 2
5969. 3
5969. 4
5969. 5
5969. 6
5969. 7
5969. 8
5969. 9
5970. 0
5970. 1
5970. 2
5970. 3
5971. 0
5971. 1
5971. 2
5971. 3
5971. 4
5971. 5
5971. 6
5972. 0
pull
Entries 37
Mean 50.98
Std Dev 0
1.5
1
0.5
0
−0.5
−1
−1.5
−2

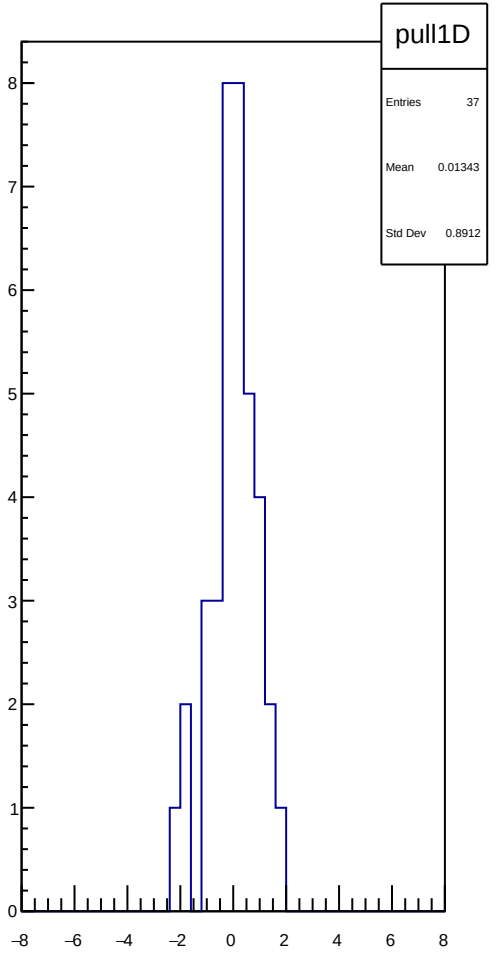
pull1D
Entries 37
Mean 0.01343
Std Dev 0.8912
8
7
6
5
4
3
2
1
0
−8
−6
−4
−2
0
2
4
6
8

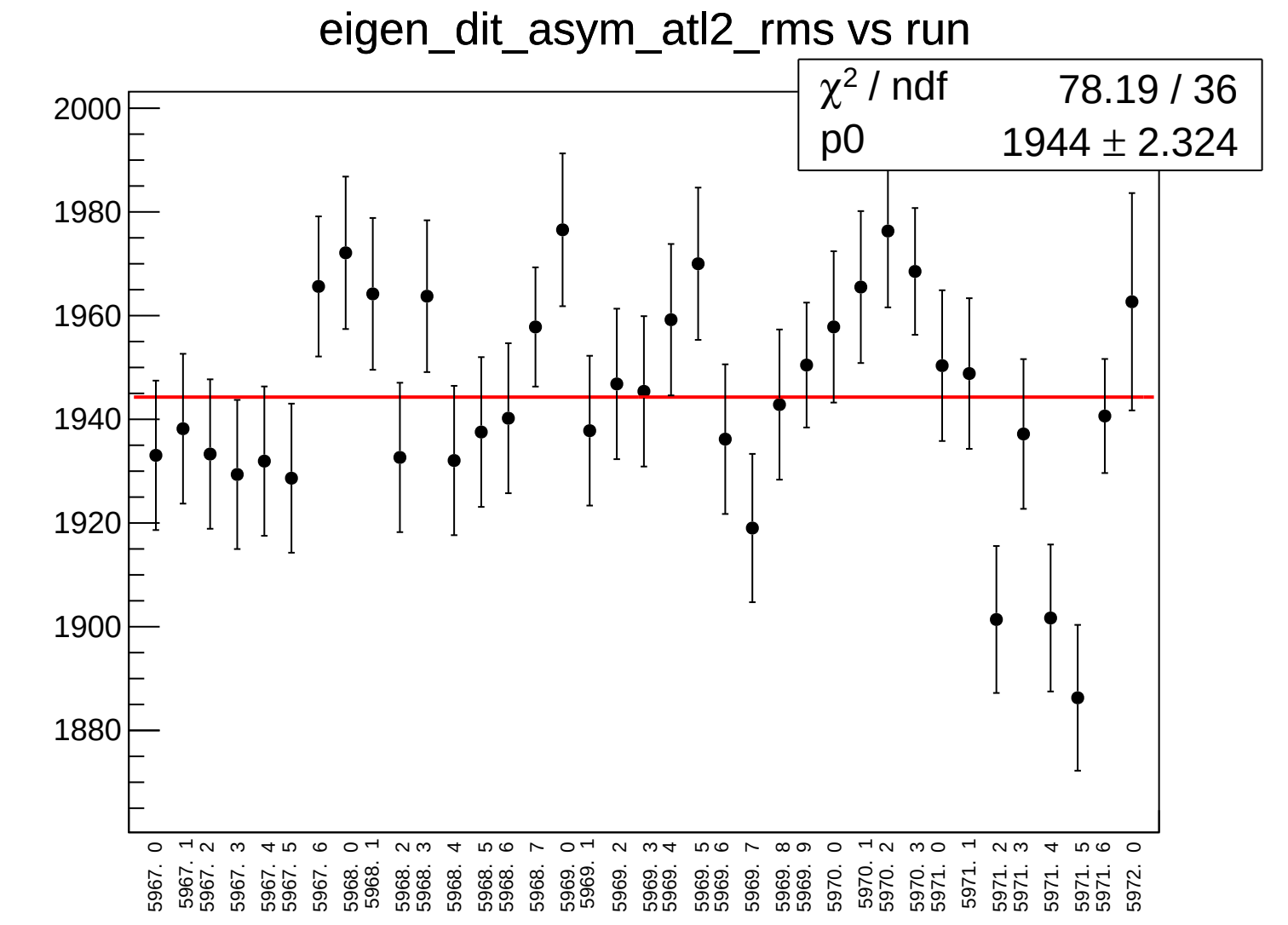
eigen_dit_asym_atl2_rms vs run
χ² / ndf 78.19 / 36
p0 1944 ± 2.324
2000
1980
1960
1940
1920
1900
1880
5967. 0
5967. 1
5967. 2
5967. 3
5967. 4
5967. 5
5967. 6
5968. 0
5968. 1
5968. 2
5968. 3
5968. 4
5968. 5
5968. 6
5968. 7
5969. 0
5969. 1
5969. 2
5969. 3
5969. 4
5969. 5
5969. 6
5969. 7
5969. 8
5969. 9
5970. 0
5970. 1
5970. 2
5970. 3
5971. 0
5971. 1
5971. 2
5971. 3
5971. 4
5971. 5
5971. 6
5972. 0

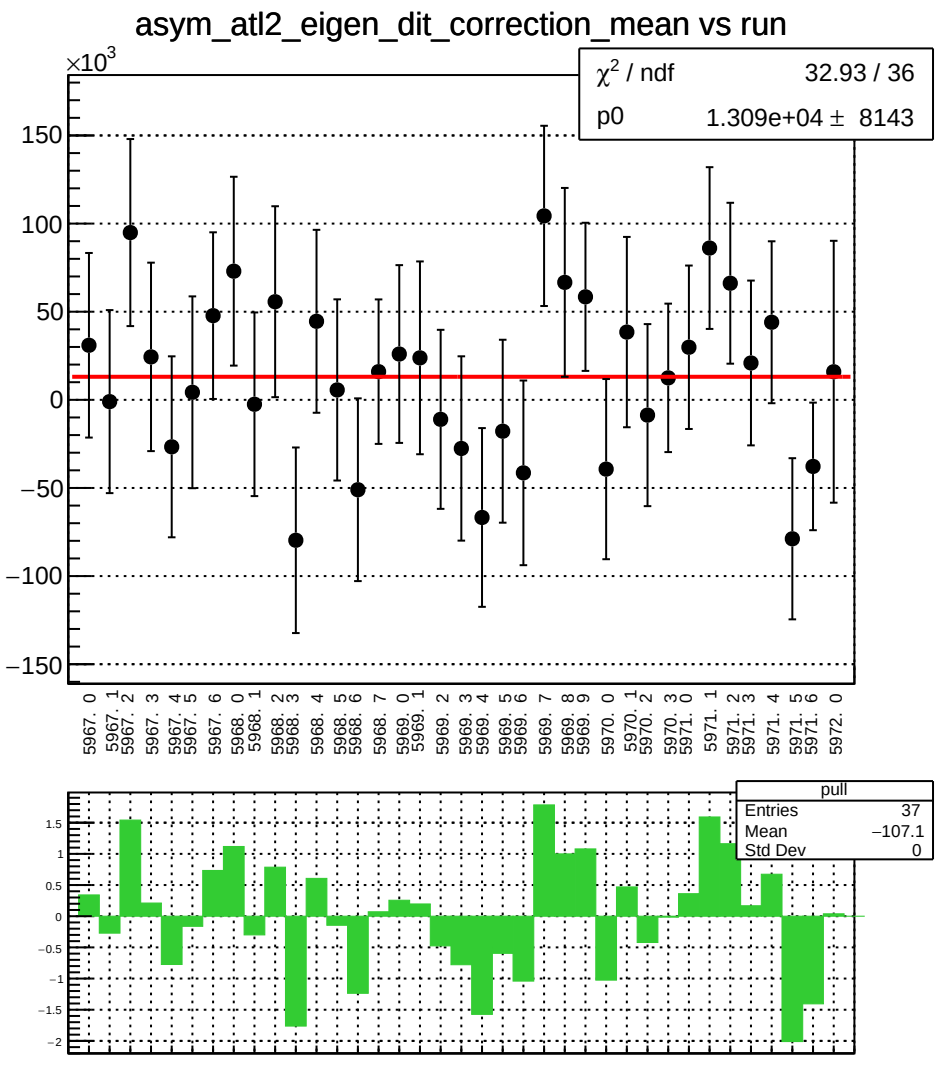
asym_atl2_eigen_dit_correction_mean vs run
×10^3
χ² / ndf 32.93 / 36
p0 1.309e+04 ± 8143
150
100
50
0
−50
−100
−150
5967. 0
5967. 1
5967. 2
5967. 3
5967. 4
5967. 5
5967. 6
5968. 0
5968. 1
5968. 2
5968. 3
5968. 4
5968. 5
5968. 6
5968. 7
5969. 0
5969. 1
5969. 2
5969. 3
5969. 4
5969. 5
5969. 6
5969. 7
5969. 8
5969. 9
5970. 0
5970. 1
5970. 2
5970. 3
5971. 0
5971. 1
5971. 2
5971. 3
5971. 4
5971. 5
5971. 6
5972. 0
pull
Entries 37
Mean −107.1
Std Dev 0
1.5
1
0.5
0
−0.5
−1
−1.5
−2
pull1D
Entries 37
Mean 0.00539
Std Dev 0.9434
8
7
6
5
4
3
2
1
0
−8
−6
−4
−2
0
2
4
6
8

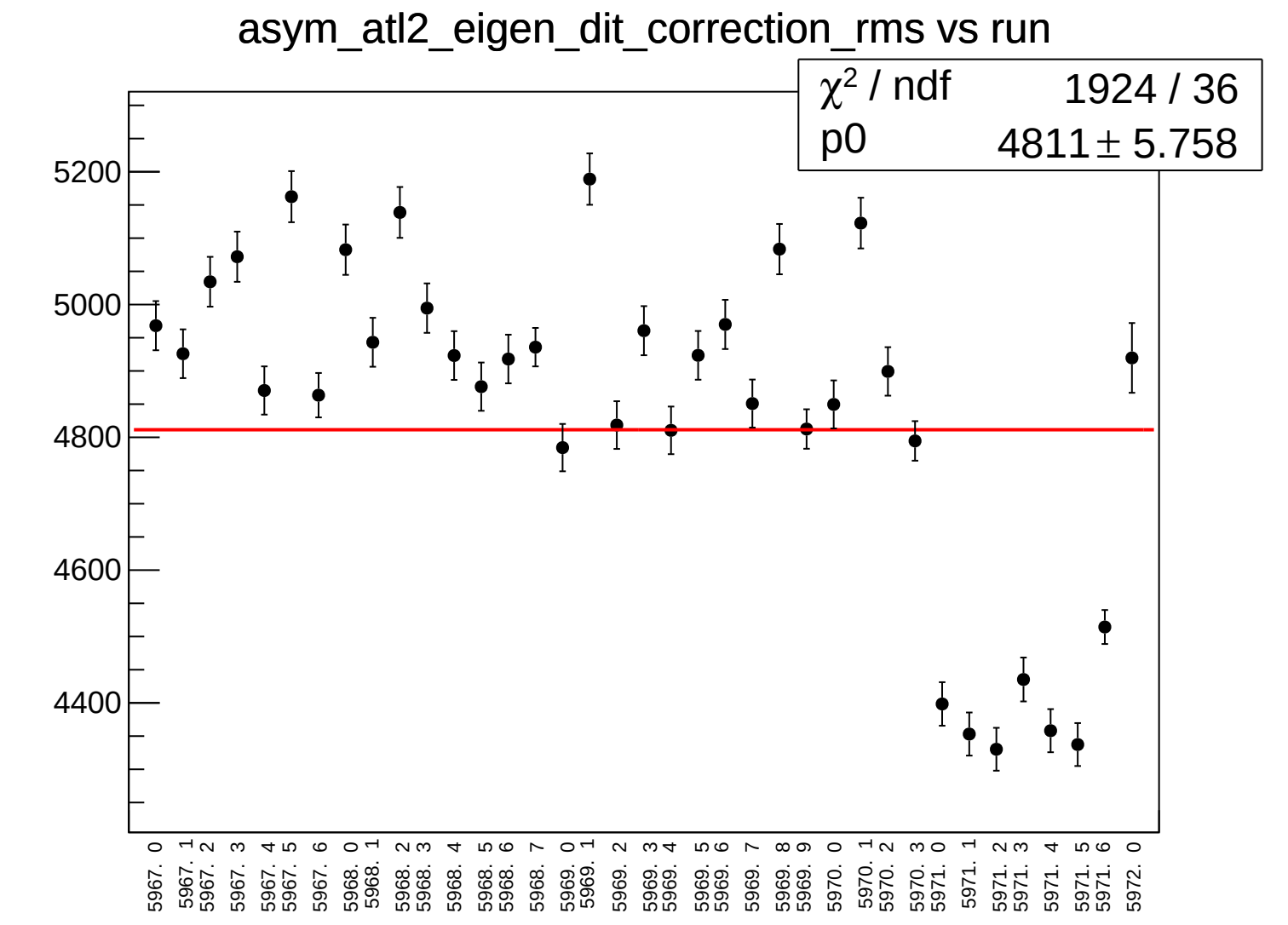
asym_atl2_eigen_dit_correction_rms vs run
χ² / ndf 1924 / 36
p0 4811 ± 5.758
5200
5000
4800
4600
4400
5967. 0
5967. 1
5967. 2
5967. 3
5967. 4
5967. 5
5967. 6
5968. 0
5968. 1
5968. 2
5968. 3
5968. 4
5968. 5
5968. 6
5968. 7
5969. 0
5969. 1
5969. 2
5969. 3
5969. 4
5969. 5
5969. 6
5969. 7
5969. 8
5969. 9
5970. 0
5970. 1
5970. 2
5970. 3
5971. 0
5971. 1
5971. 2
5971. 3
5971. 4
5971. 5
5971. 6
5972. 0

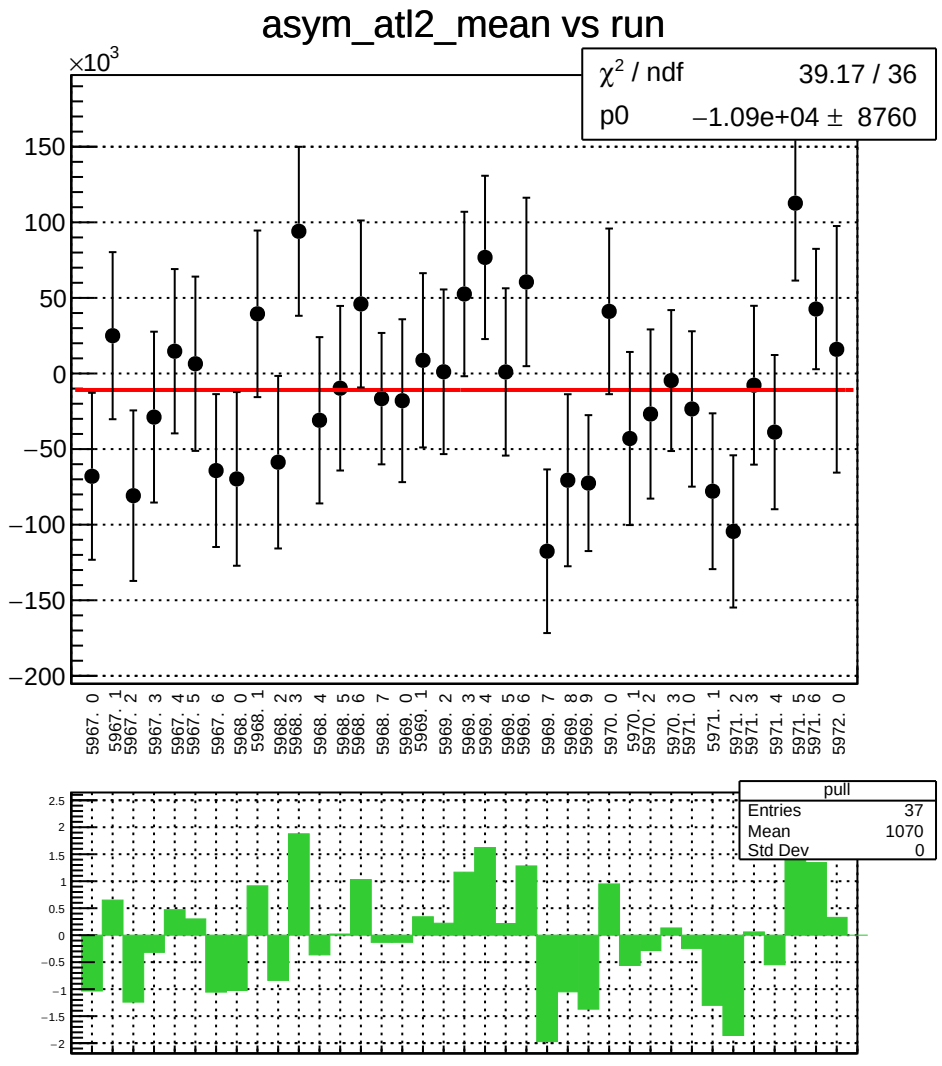
asym_atl2_mean vs run
×10^3
χ² / ndf 39.17 / 36
p0 −1.09e+04 ± 8760
150
100
50
0
−50
−100
−150
−200
5967. 0
5967. 1
5967. 2
5967. 3
5967. 4
5967. 5
5967. 6
5968. 0
5968. 1
5968. 2
5968. 3
5968. 4
5968. 5
5968. 6
5968. 7
5969. 0
5969. 1
5969. 2
5969. 3
5969. 4
5969. 5
5969. 6
5969. 7
5969. 8
5969. 9
5970. 0
5970. 1
5970. 2
5970. 3
5971. 0
5971. 1
5971. 2
5971. 3
5971. 4
5971. 5
5971. 6
5972. 0
pull
Entries 37
Mean 1070
Std Dev 0
2.5
2
1.5
1
0.5
0
−0.5
−1
−1.5
−2

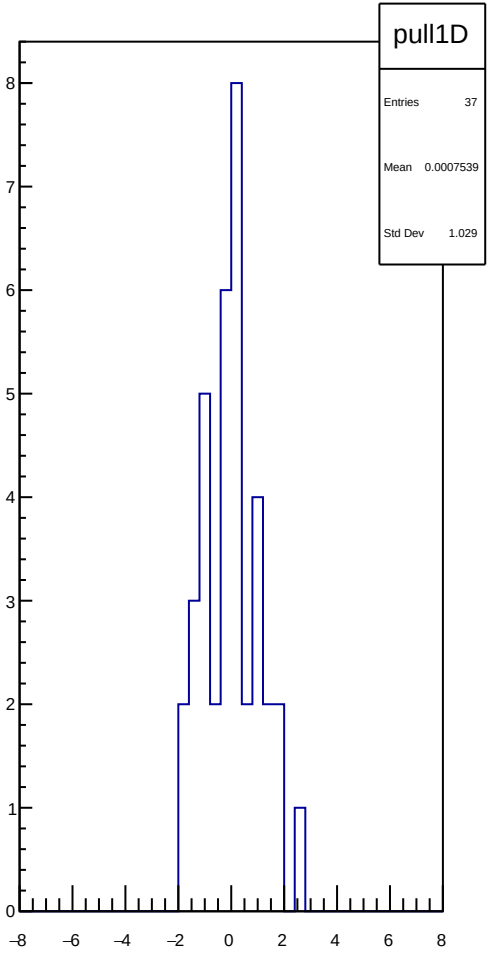
pull1D
Entries 37
Mean 0.0007539
Std Dev 1.029
8
7
6
5
4
3
2
1
0
−8
−6
−4
−2
0
2
4
6
8

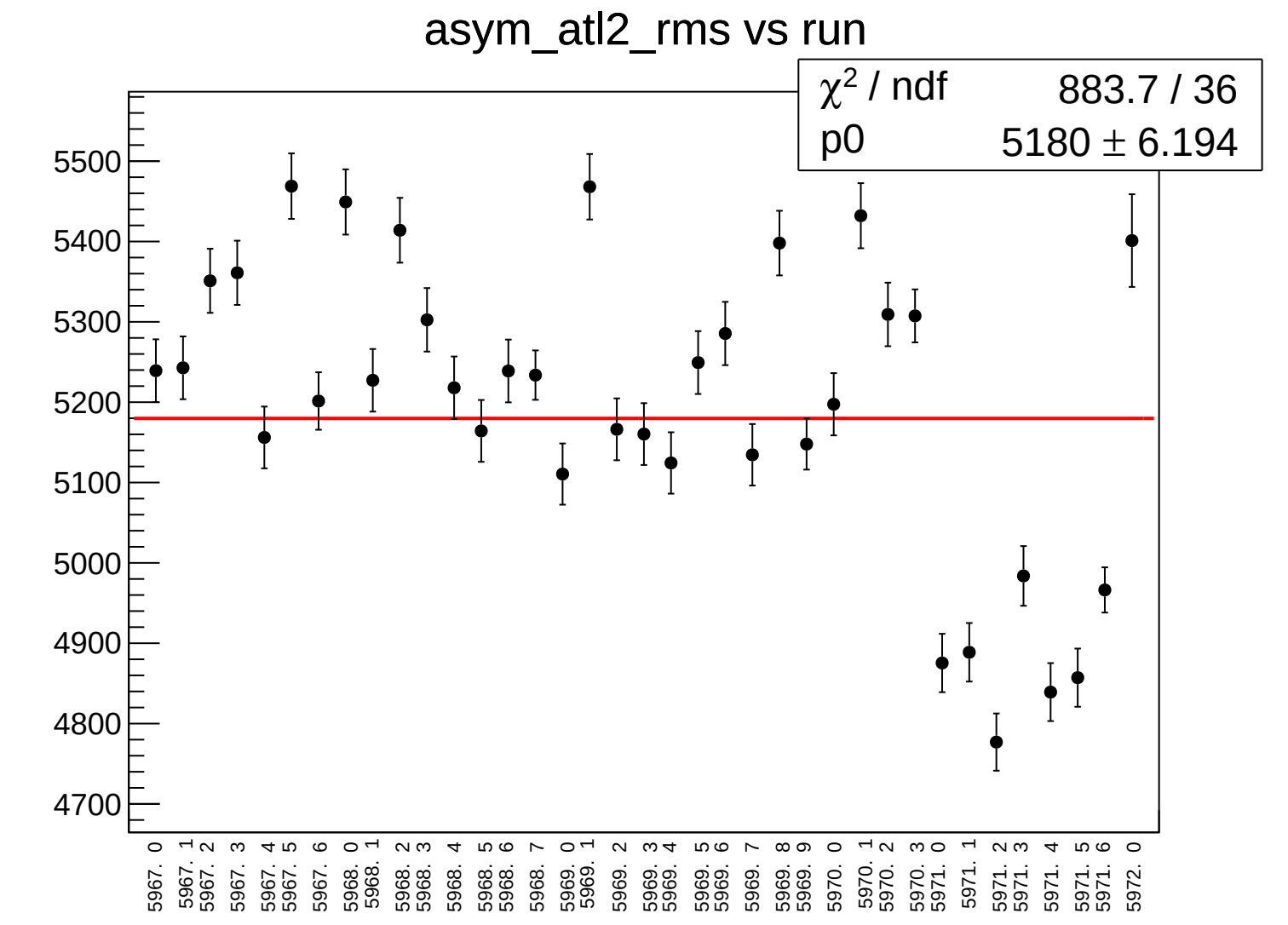
asym_atl2_rms vs run
χ^2 / ndf 883.7 / 36
p0 5180 ± 6.194
5500
5400
5300
5200
5100
5000
4900
4800
4700
5967. 0
5967. 1
5967. 2
5967. 3
5967. 4
5967. 5
5967. 6
5968. 0
5968. 1
5968. 2
5968. 3
5968. 4
5968. 5
5968. 6
5968. 7
5969. 0
5969. 1
5969. 2
5969. 3
5969. 4
5969. 5
5969. 6
5969. 7
5969. 8
5969. 9
5970. 0
5970. 1
5970. 2
5970. 3
5971. 0
5971. 1
5971. 2
5971. 3
5971. 4
5971. 5
5971. 6
5972. 0

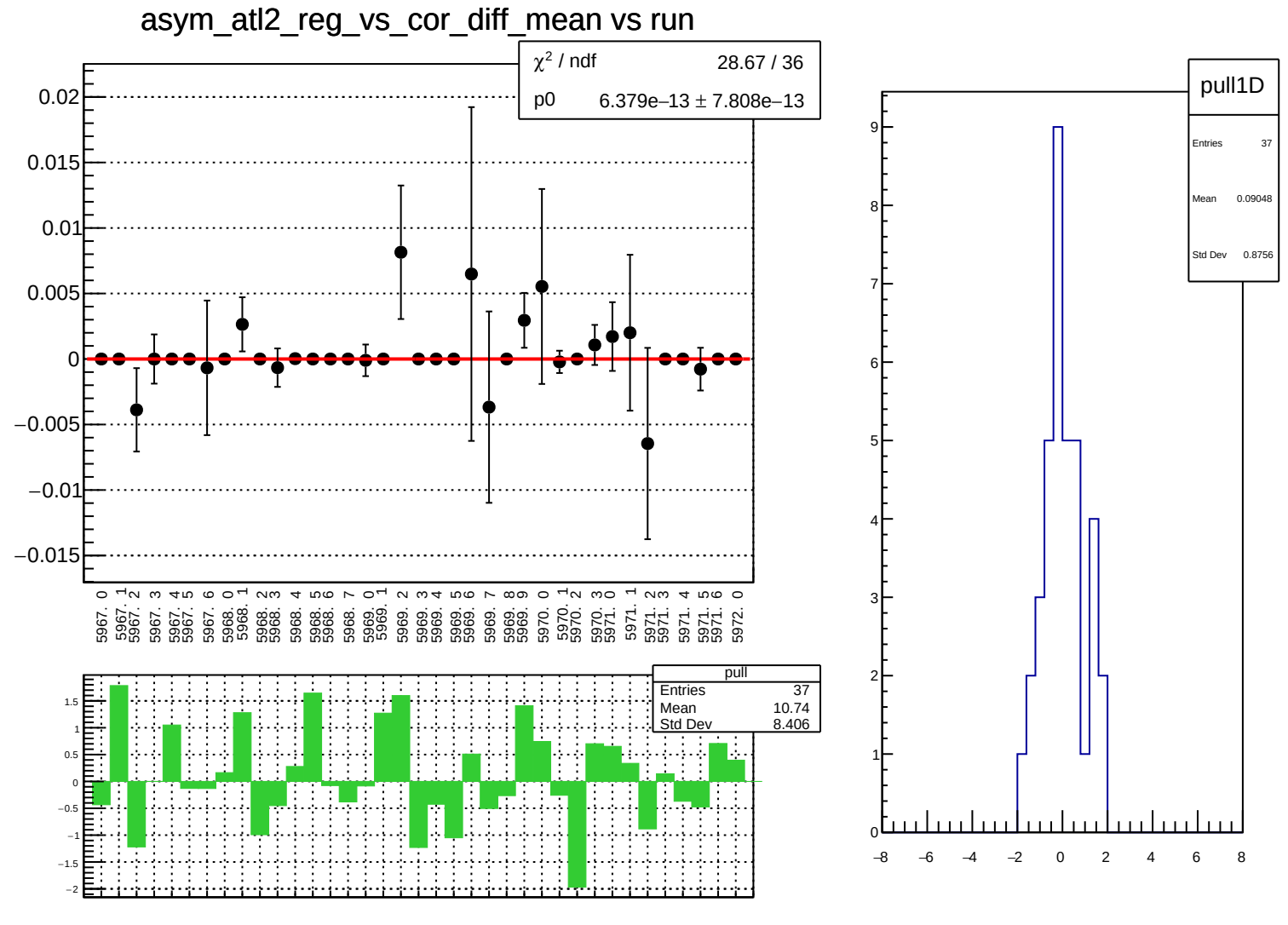
asym_atl2_reg_vs_cor_diff_mean vs run
χ² / ndf 28.67 / 36
p0 6.379e−13 ± 7.808e−13
0.02
0.015
0.01
0.005
0
−0.005
−0.01
−0.015
5967. 0
5967. 1
5967. 2
5967. 3
5967. 4
5967. 5
5967. 6
5968. 0
5968. 1
5968. 2
5968. 3
5968. 4
5968. 5
5968. 6
5968. 7
5969. 0
5969. 1
5969. 2
5969. 3
5969. 4
5969. 5
5969. 6
5969. 7
5969. 8
5969. 9
5970. 0
5970. 1
5970. 2
5970. 3
5971. 0
5971. 1
5971. 2
5971. 3
5971. 4
5971. 5
5971. 6
5972. 0
pull
Entries 37
Mean 10.74
Std Dev 8.406
1.5
1
0.5
0
−0.5
−1
−1.5
−2
pull1D
Entries 37
Mean 0.09048
Std Dev 0.8756
9
8
7
6
5
4
3
2
1
0
−8
−6
−4
−2
0
2
4
6
8

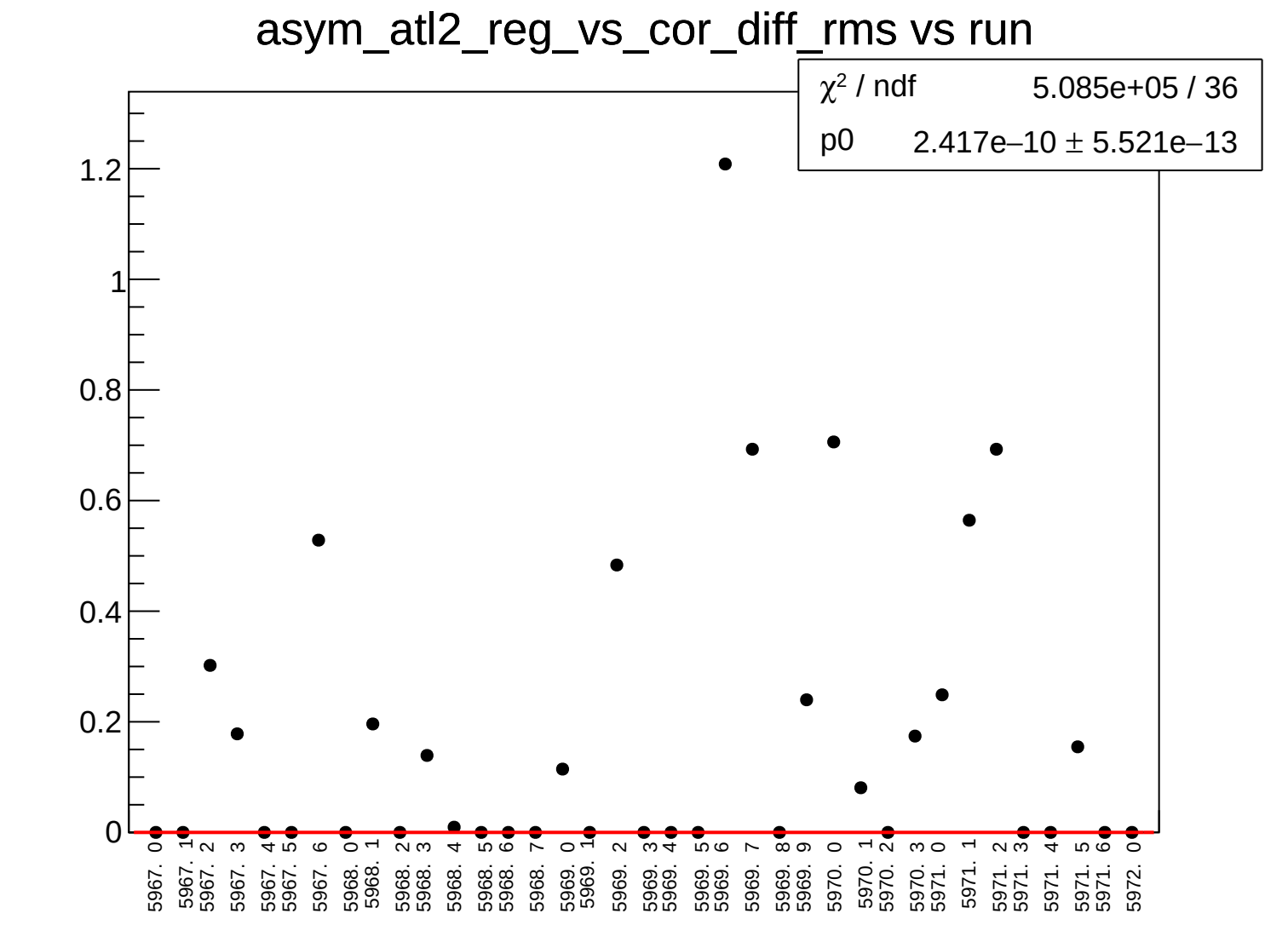
asym_atl2_reg_vs_cor_diff_rms vs run
χ² / ndf 5.085e+05 / 36
p0 2.417e−10 ± 5.521e−13
1.2
1
0.8
0.6
0.4
0.2
0
5967. 0
5967. 1
5967. 2
5967. 3
5967. 4
5967. 5
5967. 6
5968. 0
5968. 1
5968. 2
5968. 3
5968. 4
5968. 5
5968. 6
5968. 7
5969. 0
5969. 1
5969. 2
5969. 3
5969. 4
5969. 5
5969. 6
5969. 7
5969. 8
5969. 9
5970. 0
5970. 1
5970. 2
5970. 3
5971. 0
5971. 1
5971. 2
5971. 3
5971. 4
5971. 5
5971. 6
5972. 0

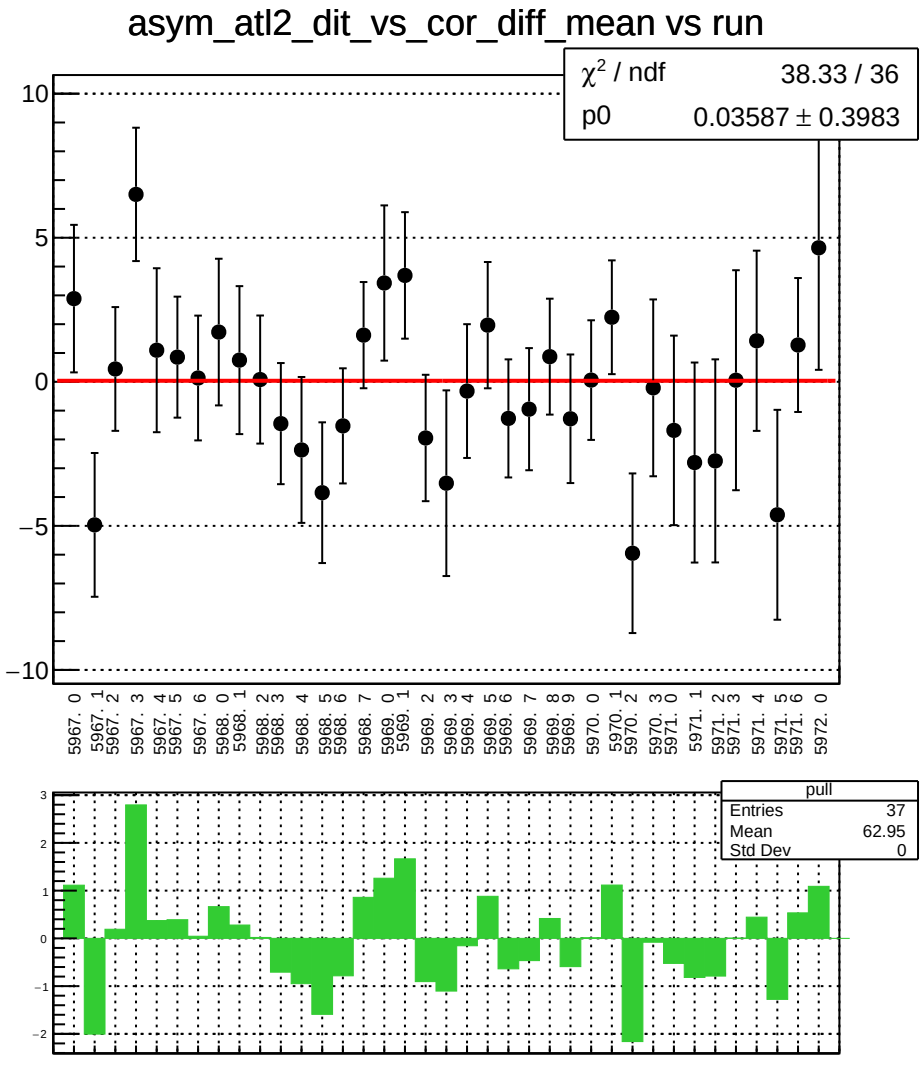
asym_atl2_dit_vs_cor_diff_mean vs run
χ² / ndf 38.33 / 36
p0 0.03587 ± 0.3983
10
5
0
−5
−10
5967. 0
5967. 1
5967. 2
5967. 3
5967. 4
5967. 5
5967. 6
5968. 0
5968. 1
5968. 2
5968. 3
5968. 4
5968. 5
5968. 6
5968. 7
5969. 0
5969. 1
5969. 2
5969. 3
5969. 4
5969. 5
5969. 6
5969. 7
5969. 8
5969. 9
5970. 0
5970. 1
5970. 2
5970. 3
5971. 0
5971. 1
5971. 2
5971. 3
5971. 4
5971. 5
5971. 6
5972. 0
pull
Entries 37
Mean 62.95
Std Dev 0
3
2
1
0
−1
−2

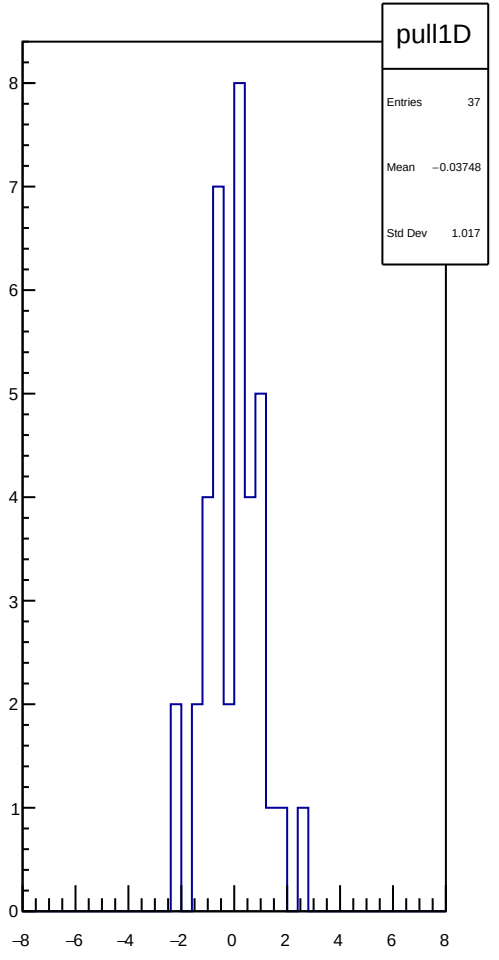
pull1D
Entries 37
Mean −0.03748
Std Dev 1.017
8
7
6
5
4
3
2
1
0
−8
−6
−4
−2
0
2
4
6
8

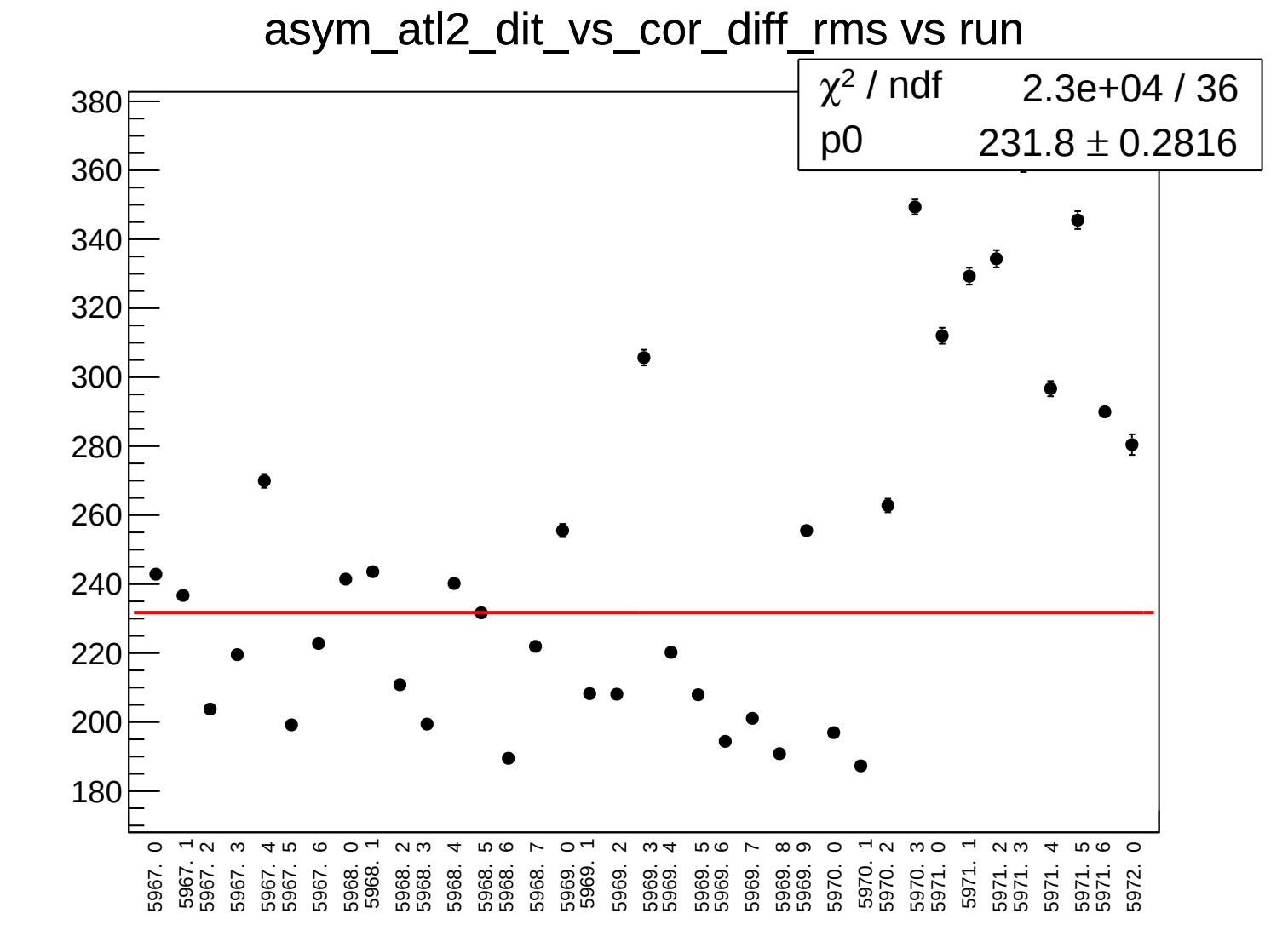
asym_atl2_dit_vs_cor_diff_rms vs run
χ² / ndf 2.3e+04 / 36
p0 231.8 ± 0.2816
380
360
340
320
300
280
260
240
220
200
180
5967. 0
5967. 1
5967. 2
5967. 3
5967. 4
5967. 5
5967. 6
5968. 0
5968. 1
5968. 2
5968. 3
5968. 4
5968. 5
5968. 6
5968. 7
5969. 0
5969. 1
5969. 2
5969. 3
5969. 4
5969. 5
5969. 6
5969. 7
5969. 8
5969. 9
5970. 0
5970. 1
5970. 2
5970. 3
5971. 0
5971. 1
5971. 2
5971. 3
5971. 4
5971. 5
5971. 6
5972. 0

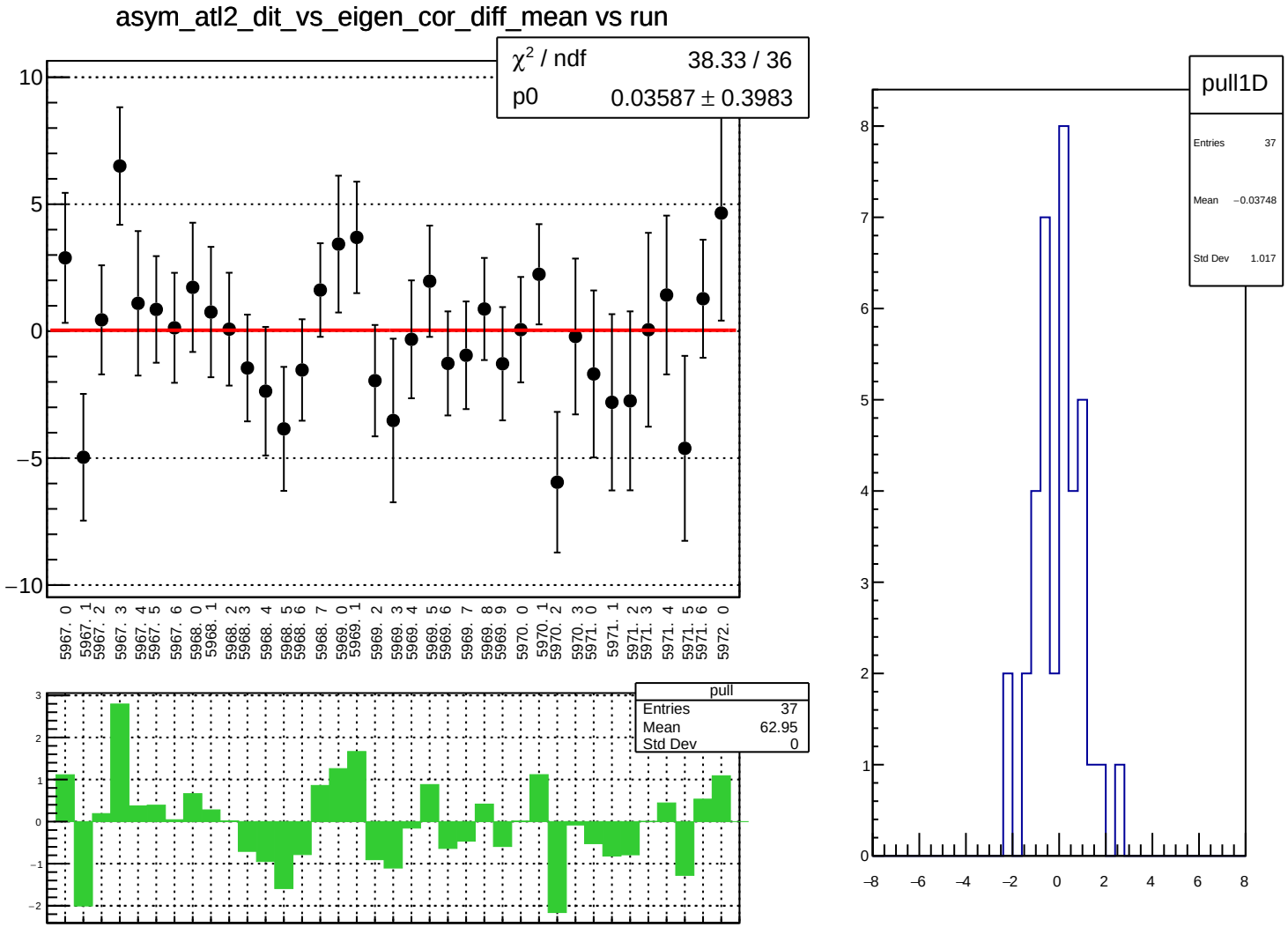
asym_atl2_dit_vs_eigen_cor_diff_mean vs run
χ² / ndf 38.33 / 36
p0 0.03587 ± 0.3983
pull
Entries 37
Mean 62.95
Std Dev 0
pull1D
Entries 37
Mean −0.03748
Std Dev 1.017

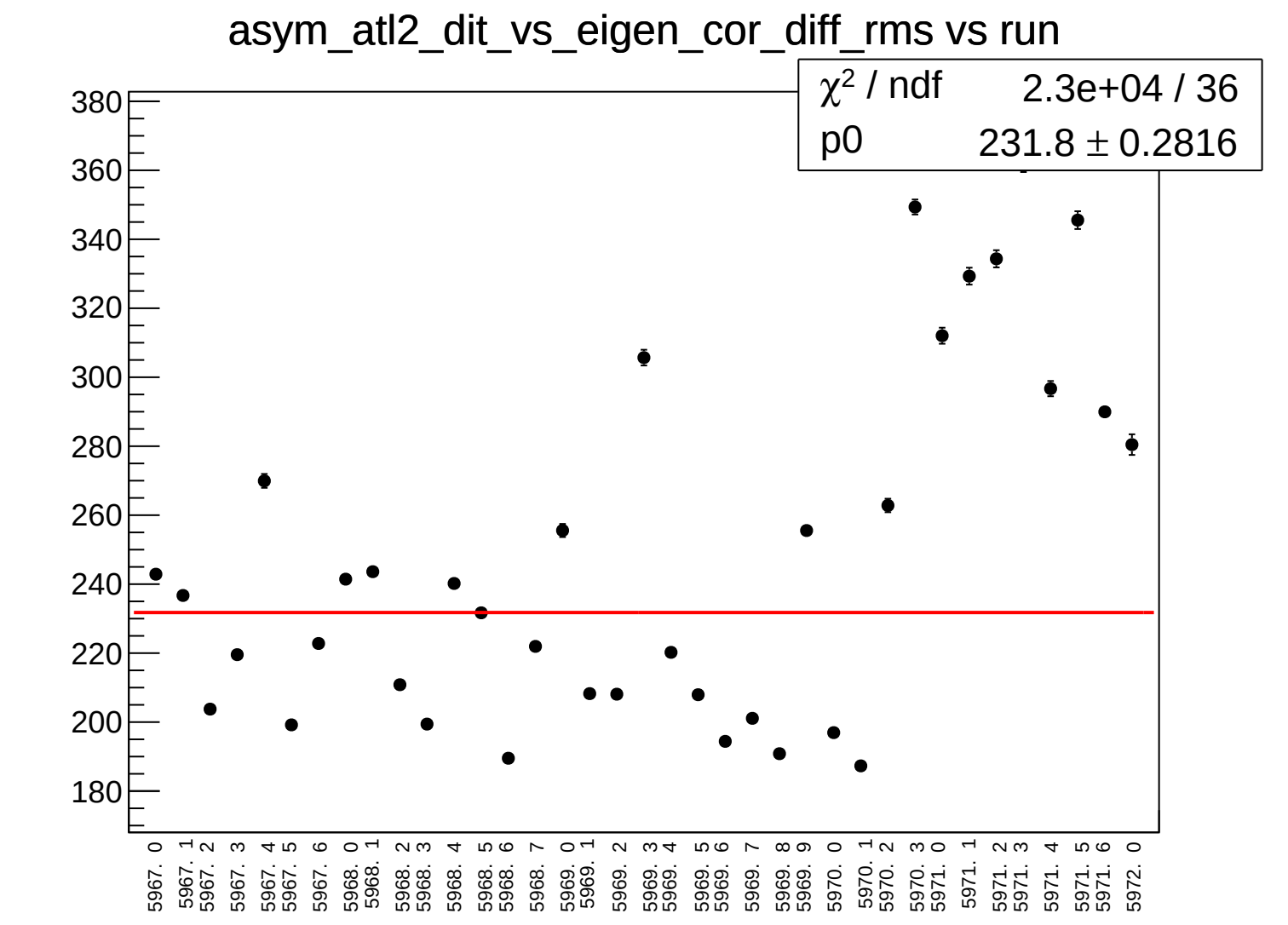
asym_atl2_dit_vs_eigen_cor_diff_rms vs run
χ² / ndf 2.3e+04 / 36
p0 231.8 ± 0.2816
380
360
340
320
300
280
260
240
220
200
180
5967. 0
5967. 1
5967. 2
5967. 3
5967. 4
5967. 5
5967. 6
5968. 0
5968. 1
5968. 2
5968. 3
5968. 4
5968. 5
5968. 6
5968. 7
5969. 0
5969. 1
5969. 2
5969. 3
5969. 4
5969. 5
5969. 6
5969. 7
5969. 8
5969. 9
5970. 0
5970. 1
5970. 2
5970. 3
5971. 0
5971. 1
5971. 2
5971. 3
5971. 4
5971. 5
5971. 6
5972. 0

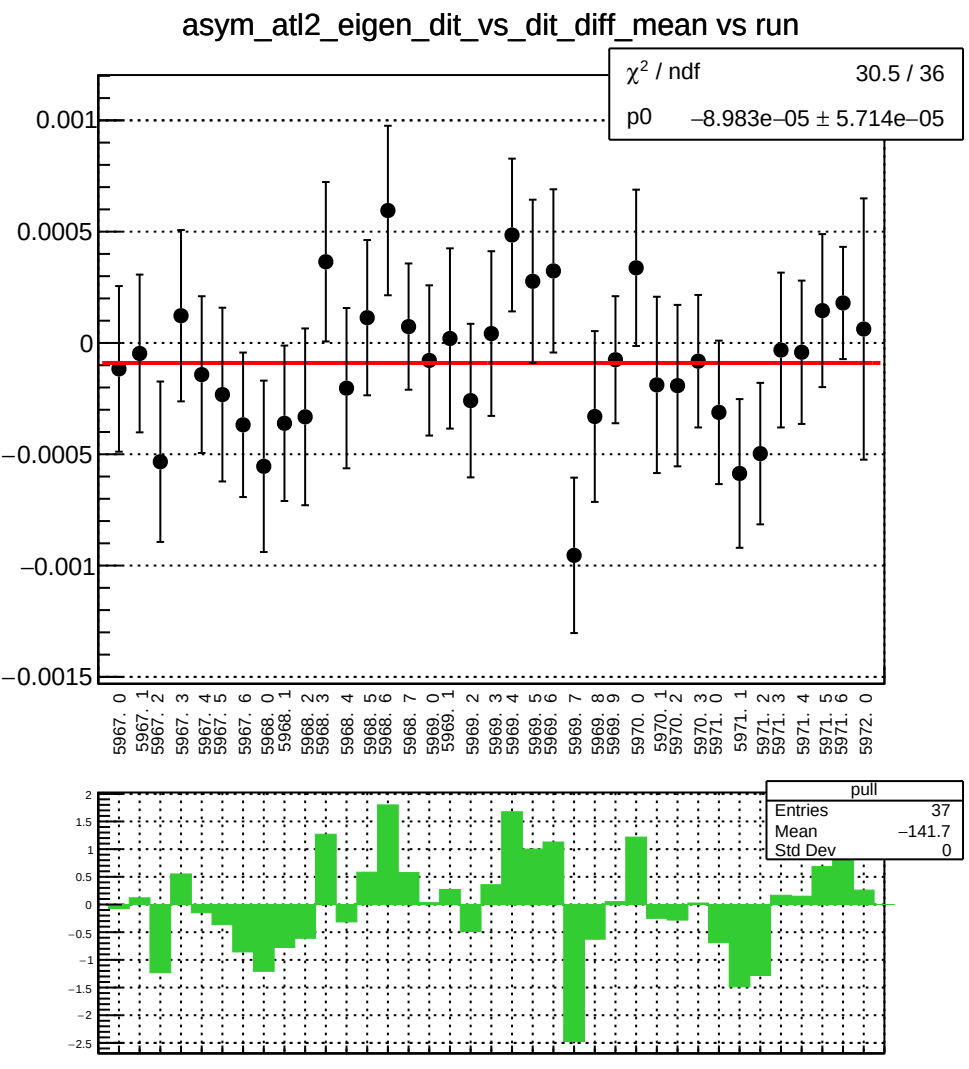
asym_atl2_eigen_dit_vs_dit_diff_mean vs run
χ² / ndf 30.5 / 36
p0 −8.983e−05 ± 5.714e−05
0.001
0.0005
0
−0.0005
−0.001
−0.0015
5967. 0
5967. 1
5967. 2
5967. 3
5967. 4
5967. 5
5967. 6
5968. 0
5968. 1
5968. 2
5968. 3
5968. 4
5968. 5
5968. 6
5968. 7
5969. 0
5969. 1
5969. 2
5969. 3
5969. 4
5969. 5
5969. 6
5969. 7
5969. 8
5969. 9
5970. 0
5970. 1
5970. 2
5970. 3
5971. 0
5971. 1
5971. 2
5971. 3
5971. 4
5971. 5
5971. 6
5972. 0
pull
Entries 37
Mean −141.7
Std Dev 0
2
1.5
1
0.5
0
−0.5
−1
−1.5
−2
−2.5

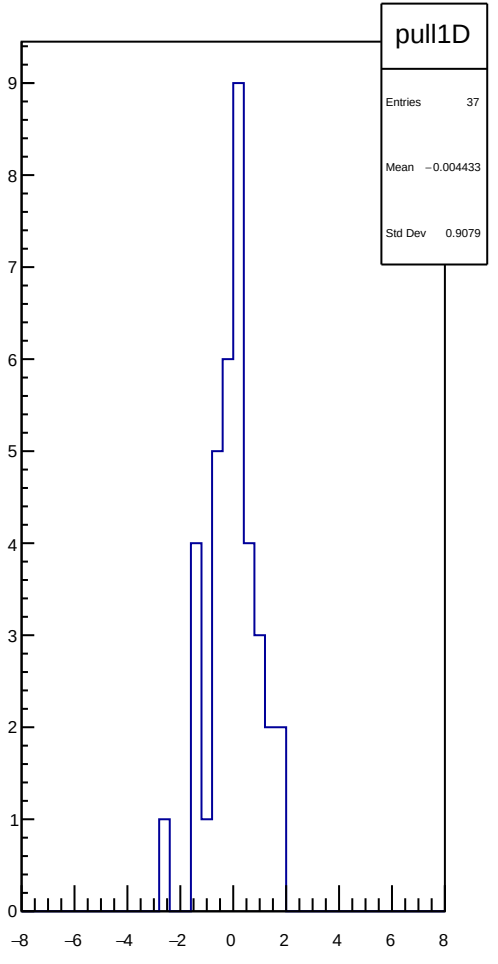
pull1D
Entries 37
Mean −0.004433
Std Dev 0.9079
9
8
7
6
5
4
3
2
1
0
−8
−6
−4
−2
0
2
4
6
8

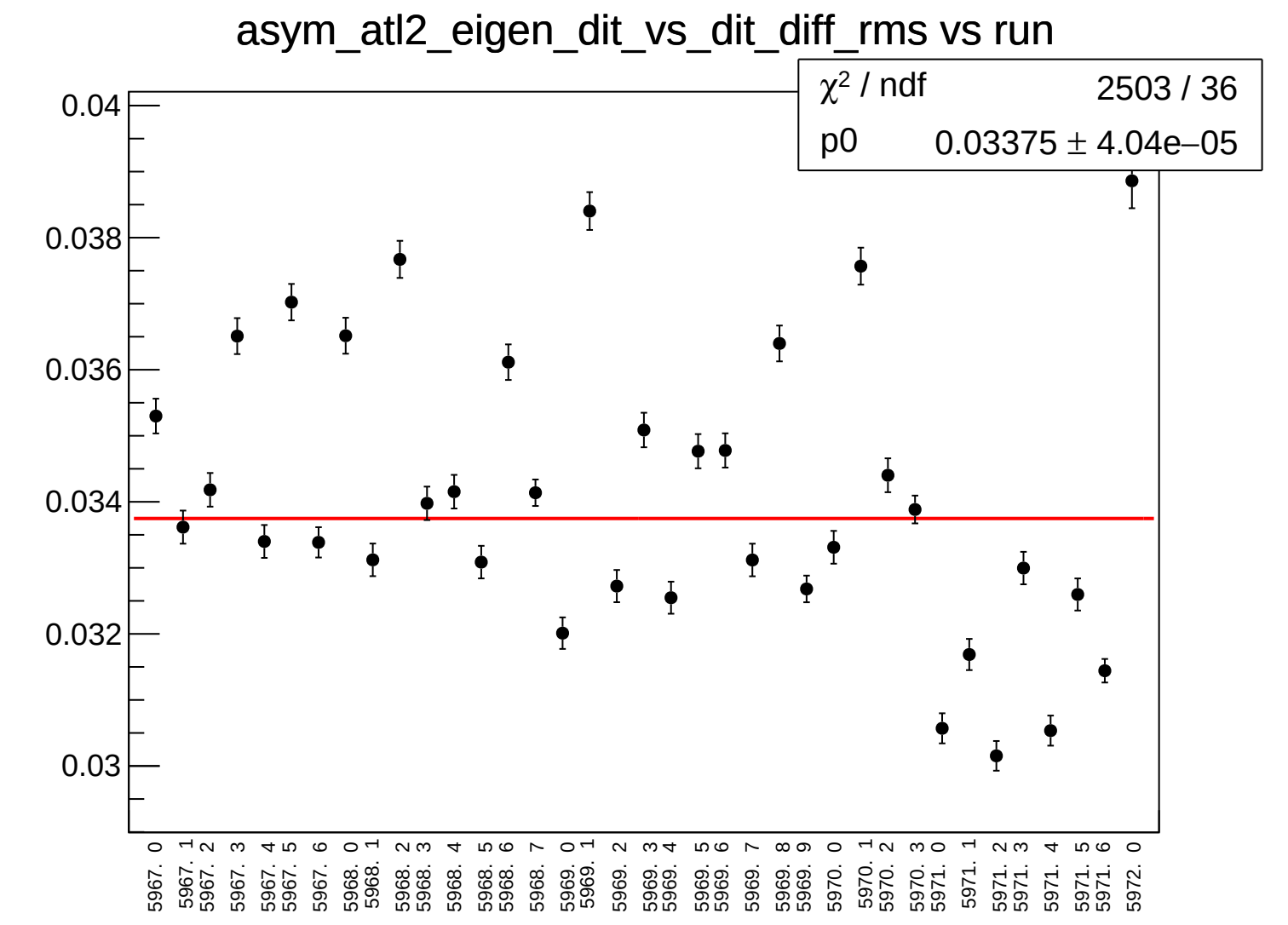
asym_atl2_eigen_dit_vs_dit_diff_rms vs run
χ² / ndf 2503 / 36
p0 0.03375 ± 4.04e−05
0.04
0.038
0.036
0.034
0.032
0.03
5967. 0
5967. 1
5967. 2
5967. 3
5967. 4
5967. 5
5967. 6
5968. 0
5968. 1
5968. 2
5968. 3
5968. 4
5968. 5
5968. 6
5968. 7
5969. 0
5969. 1
5969. 2
5969. 3
5969. 4
5969. 5
5969. 6
5969. 7
5969. 8
5969. 9
5970. 0
5970. 1
5970. 2
5970. 3
5971. 0
5971. 1
5971. 2
5971. 3
5971. 4
5971. 5
5971. 6
5972. 0

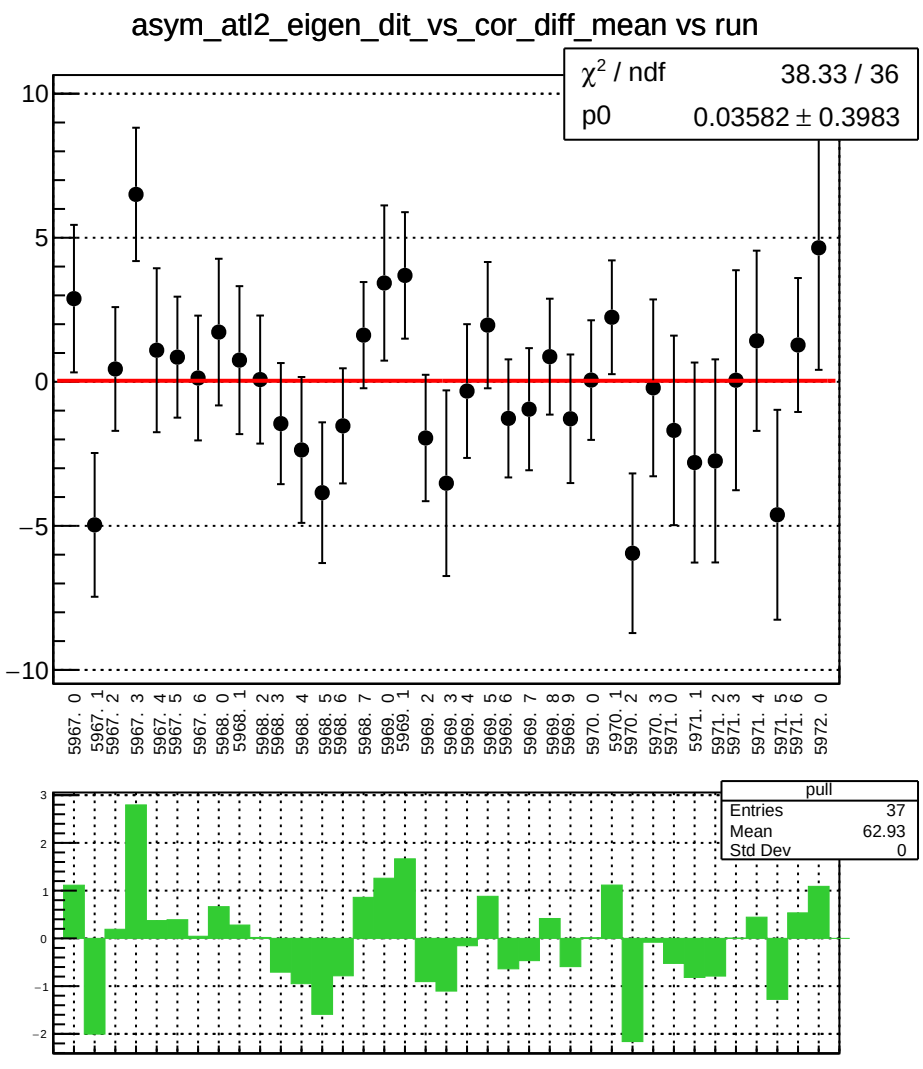
asym_atl2_eigen_dit_vs_cor_diff_mean vs run
χ² / ndf 38.33 / 36
p0 0.03582 ± 0.3983
10
5
0
−5
−10
5967. 0
5967. 1
5967. 2
5967. 3
5967. 4
5967. 5
5967. 6
5968. 0
5968. 1
5968. 2
5968. 3
5968. 4
5968. 5
5968. 6
5968. 7
5969. 0
5969. 1
5969. 2
5969. 3
5969. 4
5969. 5
5969. 6
5969. 7
5969. 8
5969. 9
5970. 0
5970. 1
5970. 2
5970. 3
5971. 0
5971. 1
5971. 2
5971. 3
5971. 4
5971. 5
5971. 6
5972. 0
pull
Entries 37
Mean 62.93
Std Dev 0
3
2
1
0
−1
−2
pull1D
Entries 37
Mean −0.03749
Std Dev 1.017
8
7
6
5
4
3
2
1
0
−8
−6
−4
−2
0
2
4
6
8

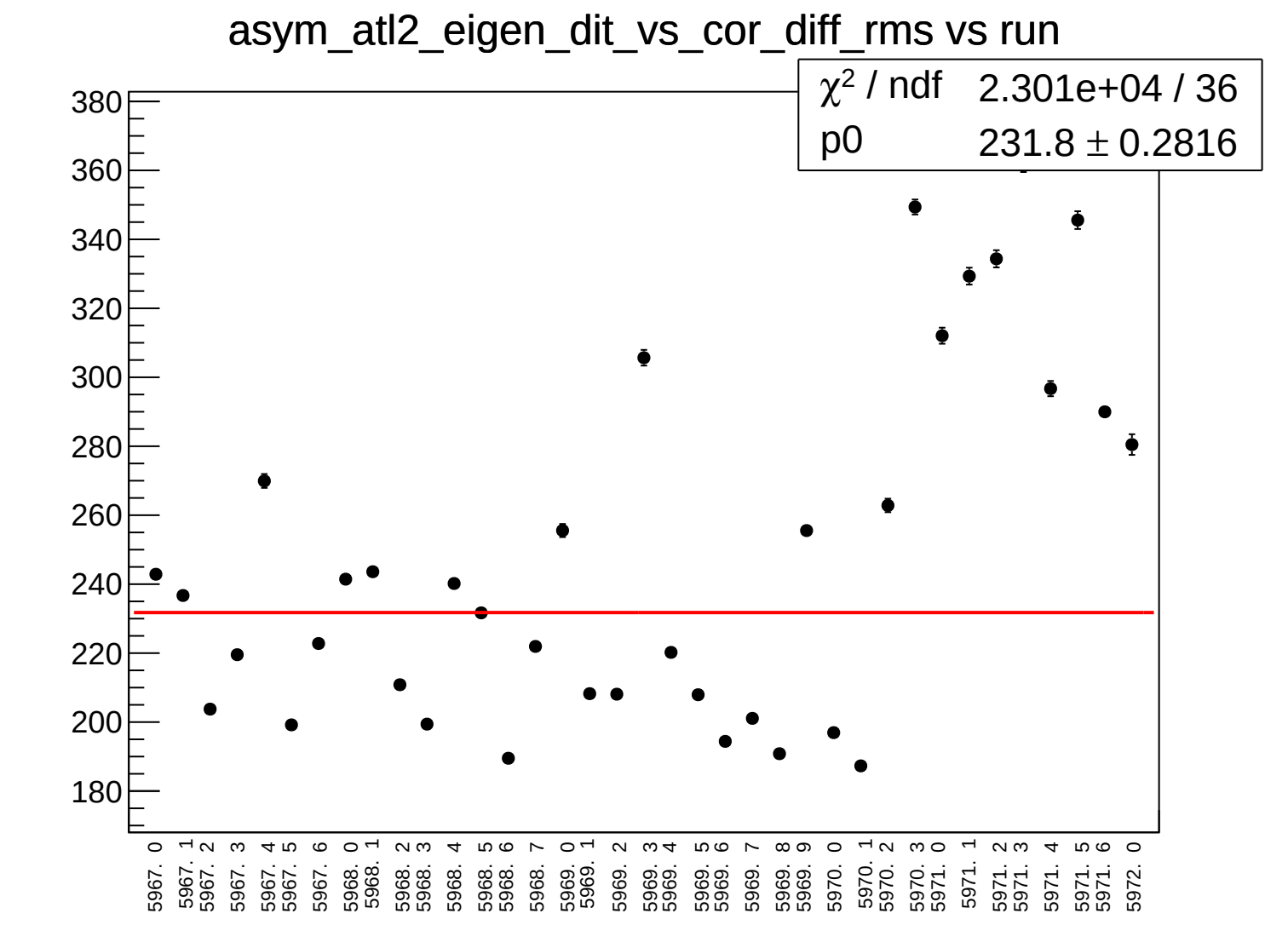
asym_atl2_eigen_dit_vs_cor_diff_rms vs run
χ² / ndf 2.301e+04 / 36
p0 231.8 ± 0.2816
380
360
340
320
300
280
260
240
220
200
180
5967. 0
5967. 1
5967. 2
5967. 3
5967. 4
5967. 5
5967. 6
5968. 0
5968. 1
5968. 2
5968. 3
5968. 4
5968. 5
5968. 6
5968. 7
5969. 0
5969. 1
5969. 2
5969. 3
5969. 4
5969. 5
5969. 6
5969. 7
5969. 8
5969. 9
5970. 0
5970. 1
5970. 2
5970. 3
5971. 0
5971. 1
5971. 2
5971. 3
5971. 4
5971. 5
5971. 6
5972. 0

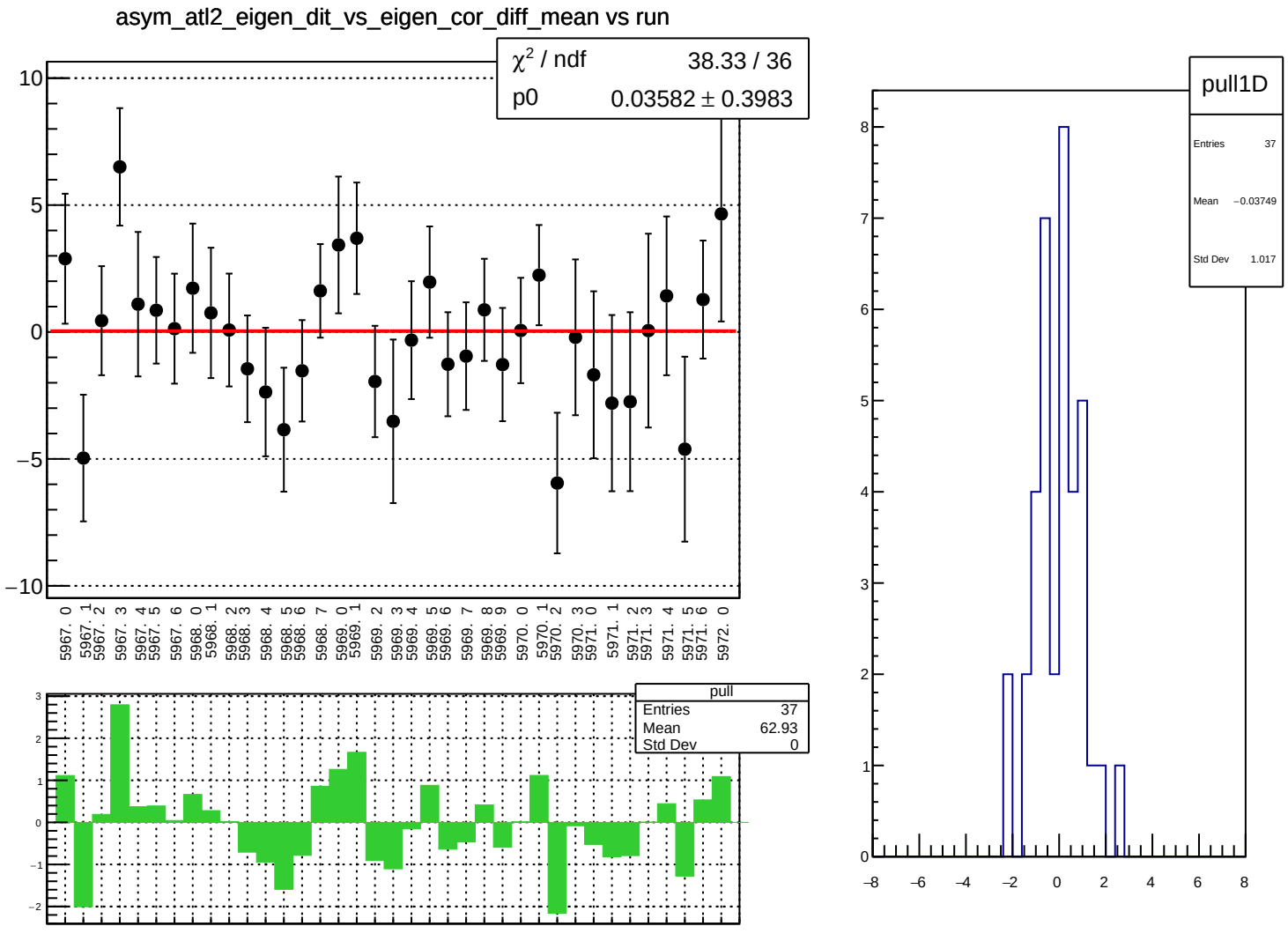
asym_atl2_eigen_dit_vs_eigen_cor_diff_mean vs run
χ² / ndf 38.33 / 36
p0 0.03582 ± 0.3983
10
5
0
−5
−10
5967. 0
5967. 1
5967. 2
5967. 3
5967. 4
5967. 5
5967. 6
5968. 0
5968. 1
5968. 2
5968. 3
5968. 4
5968. 5
5968. 6
5968. 7
5969. 0
5969. 1
5969. 2
5969. 3
5969. 4
5969. 5
5969. 6
5969. 7
5969. 8
5969. 9
5970. 0
5970. 1
5970. 2
5970. 3
5971. 0
5971. 1
5971. 2
5971. 3
5971. 4
5971. 5
5971. 6
5972. 0
pull
Entries 37
Mean 62.93
Std Dev 0
3
2
1
0
−1
−2
pull1D
Entries 37
Mean −0.03749
Std Dev 1.017
8
7
6
5
4
3
2
1
0
−8
−6
−4
−2
0
2
4
6
8

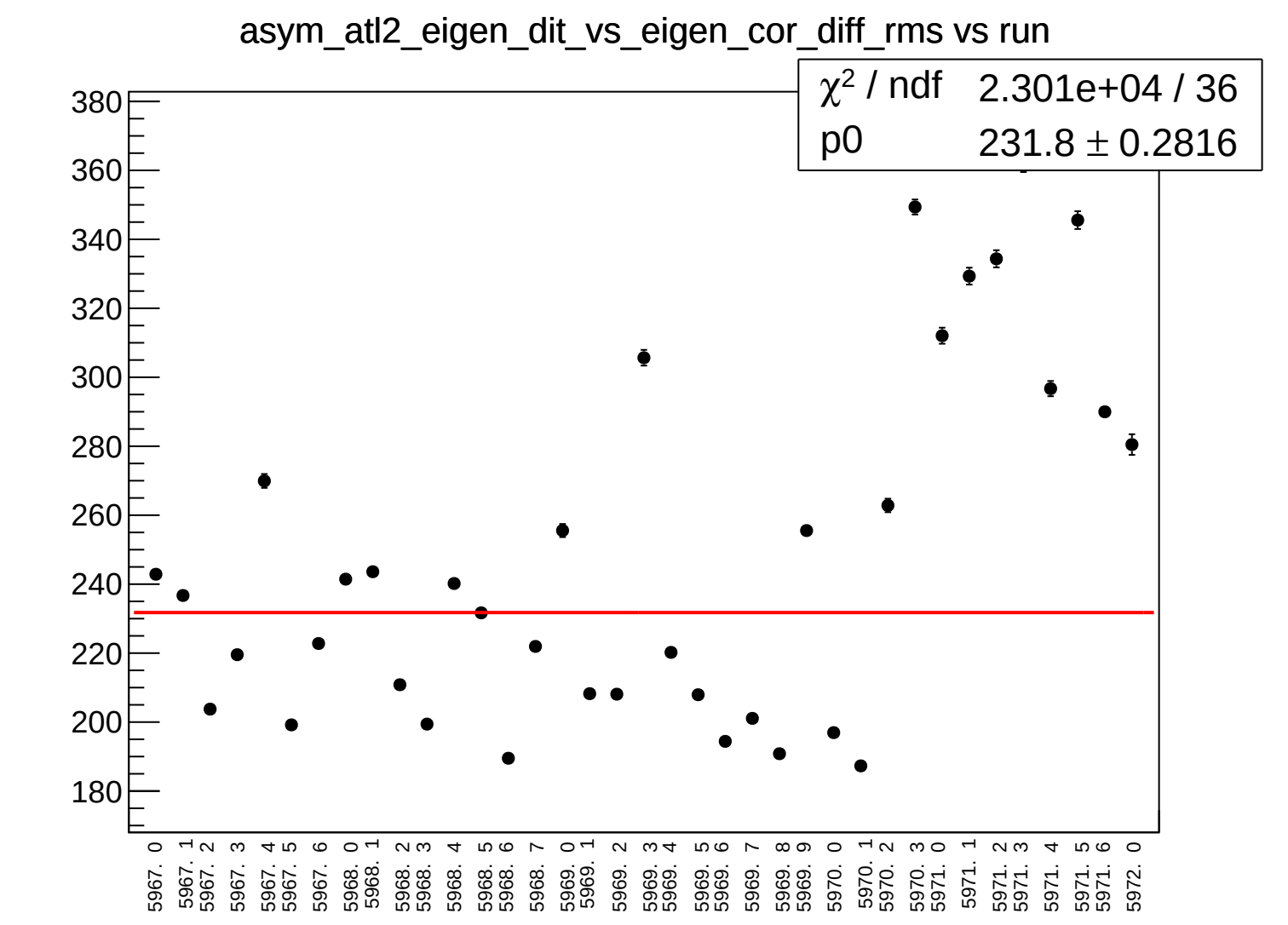
asym_atl2_eigen_dit_vs_eigen_cor_diff_rms vs run
χ² / ndf 2.301e+04 / 36
p0 231.8 ± 0.2816
380
360
340
320
300
280
260
240
220
200
180
5967. 0
5967. 1
5967. 2
5967. 3
5967. 4
5967. 5
5967. 6
5968. 0
5968. 1
5968. 2
5968. 3
5968. 4
5968. 5
5968. 6
5968. 7
5969. 0
5969. 1
5969. 2
5969. 3
5969. 4
5969. 5
5969. 6
5969. 7
5969. 8
5969. 9
5970. 0
5970. 1
5970. 2
5970. 3
5971. 0
5971. 1
5971. 2
5971. 3
5971. 4
5971. 5
5971. 6
5972. 0

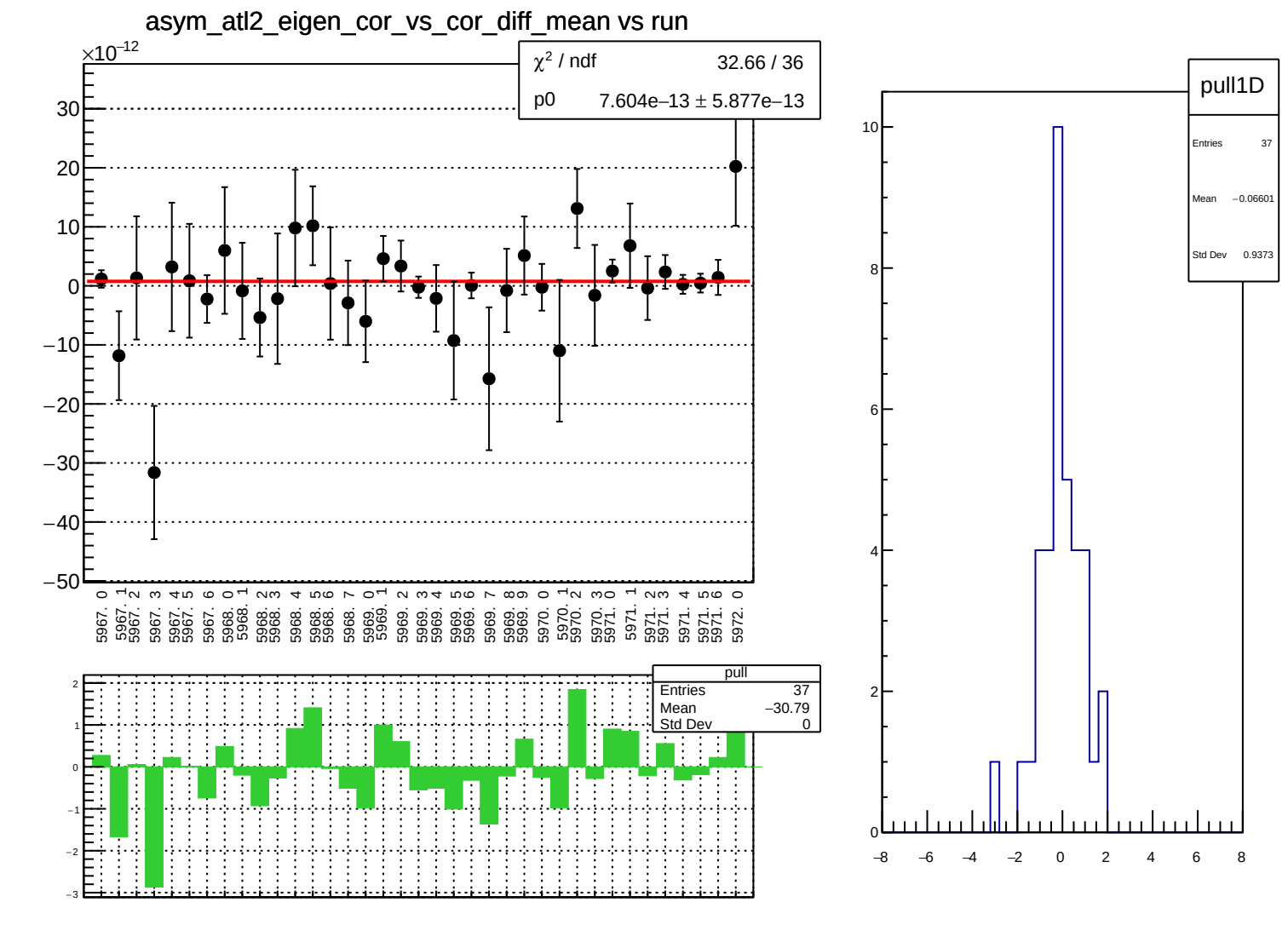
asym_atl2_eigen_cor_vs_cor_diff_mean vs run
×10⁻¹²
χ² / ndf 32.66 / 36
p0 7.604e−13 ± 5.877e−13
pull
Entries 37
Mean −30.79
Std Dev 0
pull1D
Entries 37
Mean −0.06601
Std Dev 0.9373

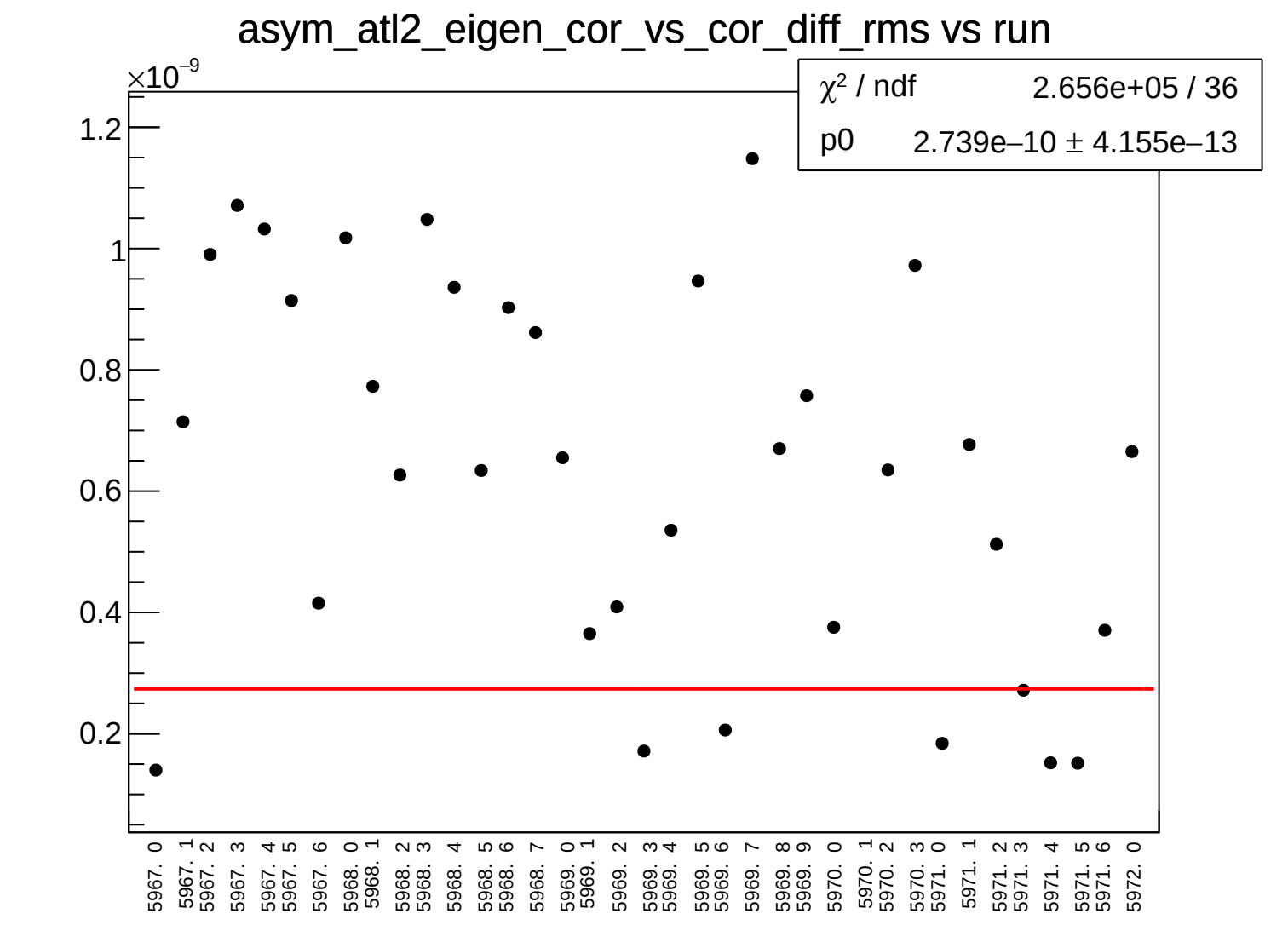
asym_atl2_eigen_cor_vs_cor_diff_rms vs run
×10⁻⁹
χ² / ndf 2.656e+05 / 36
p0 2.739e−10 ± 4.155e−13
1.2
1
0.8
0.6
0.4
0.2
5967. 0
5967. 1
5967. 2
5967. 3
5967. 4
5967. 5
5967. 6
5968. 0
5968. 1
5968. 2
5968. 3
5968. 4
5968. 5
5968. 6
5968. 7
5969. 0
5969. 1
5969. 2
5969. 3
5969. 4
5969. 5
5969. 6
5969. 7
5969. 8
5969. 9
5970. 0
5970. 1
5970. 2
5970. 3
5971. 0
5971. 1
5971. 2
5971. 3
5971. 4
5971. 5
5971. 6
5972. 0

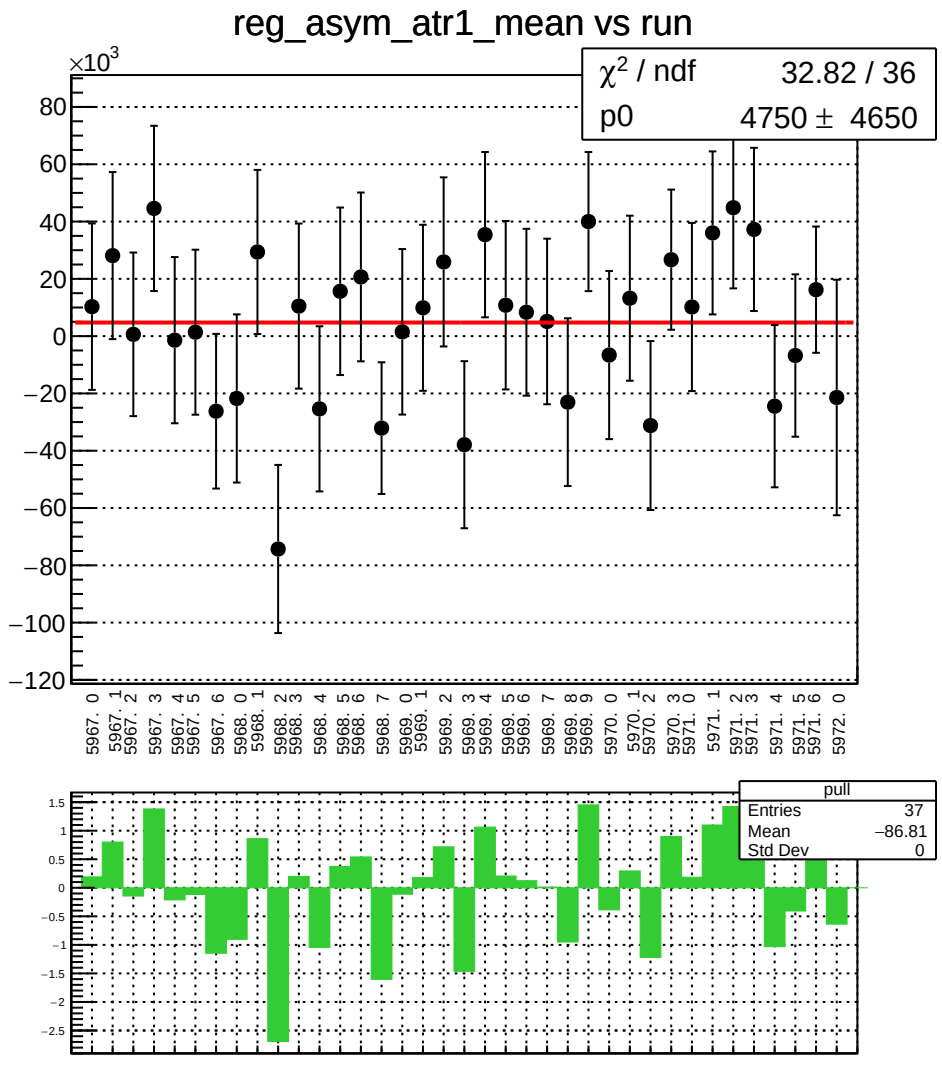
reg_asym_atr1_mean vs run
×10^3
χ² / ndf 32.82 / 36
p0 4750 ± 4650
pull
Entries 37
Mean −86.81
Std Dev 0

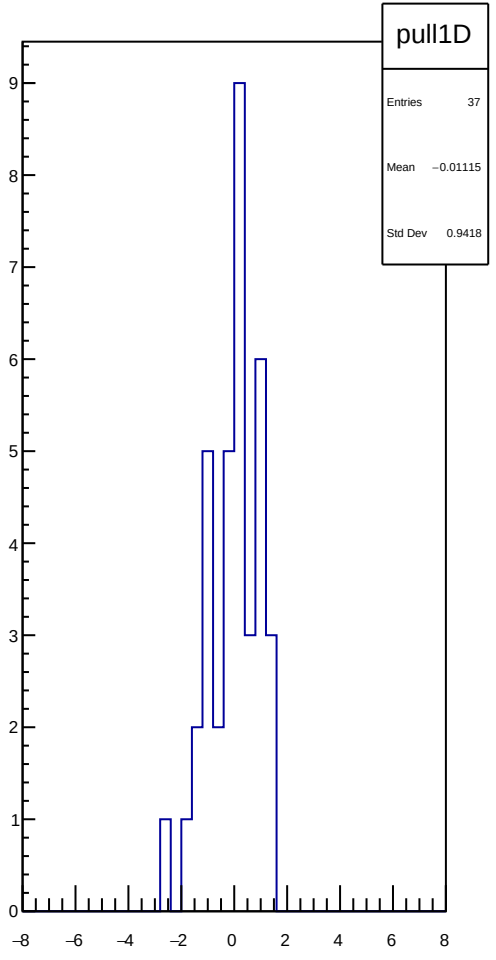
pull1D
Entries 37
Mean −0.01115
Std Dev 0.9418

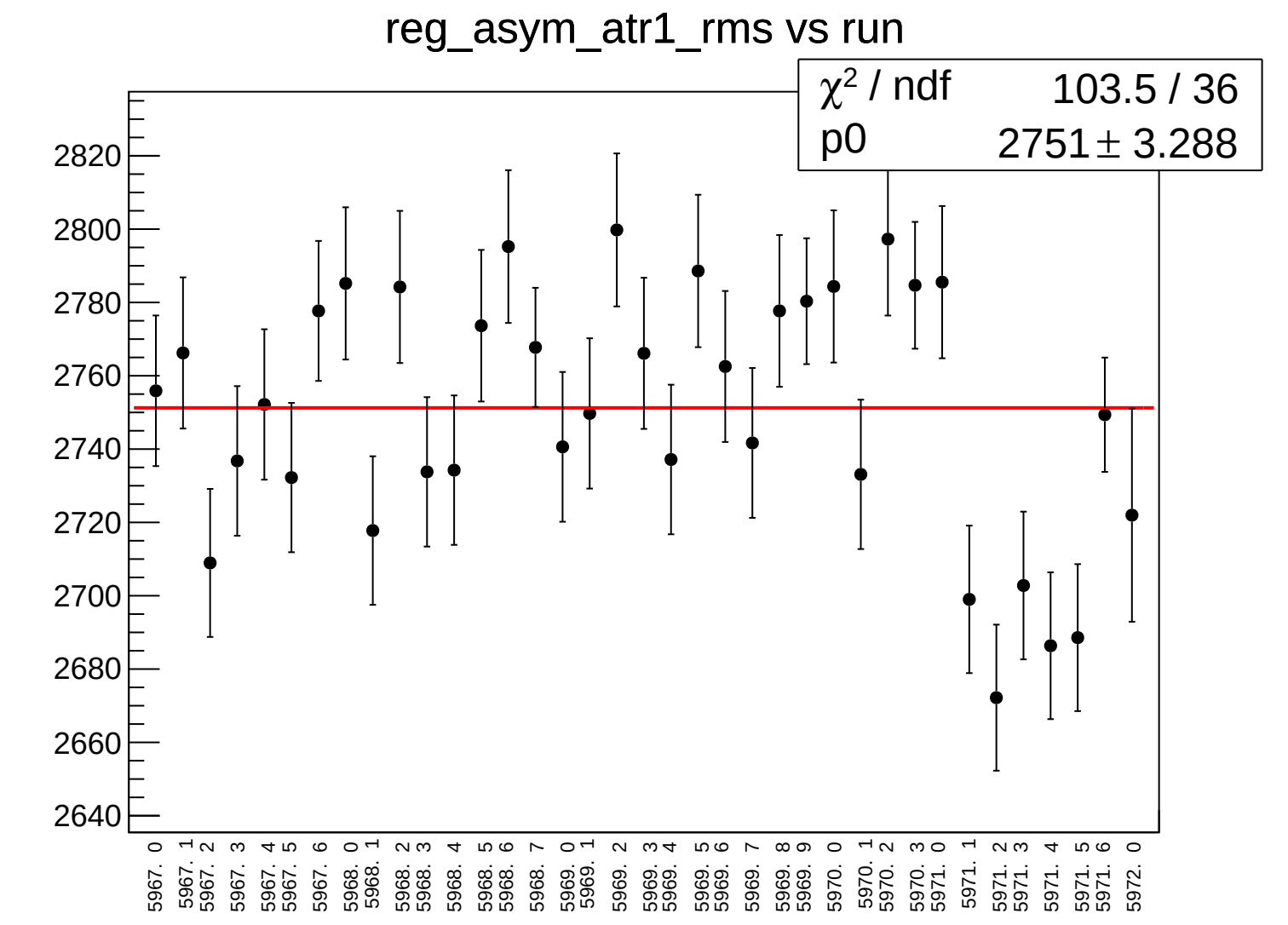
reg_asym_atr1_rms vs run
χ² / ndf 103.5 / 36
p0 2751 ± 3.288
2820
2800
2780
2760
2740
2720
2700
2680
2660
2640
5967. 0
5967. 1
5967. 2
5967. 3
5967. 4
5967. 5
5967. 6
5968. 0
5968. 1
5968. 2
5968. 3
5968. 4
5968. 5
5968. 6
5968. 7
5969. 0
5969. 1
5969. 2
5969. 3
5969. 4
5969. 5
5969. 6
5969. 7
5969. 8
5969. 9
5970. 0
5970. 1
5970. 2
5970. 3
5971. 0
5971. 1
5971. 2
5971. 3
5971. 4
5971. 5
5971. 6
5972. 0

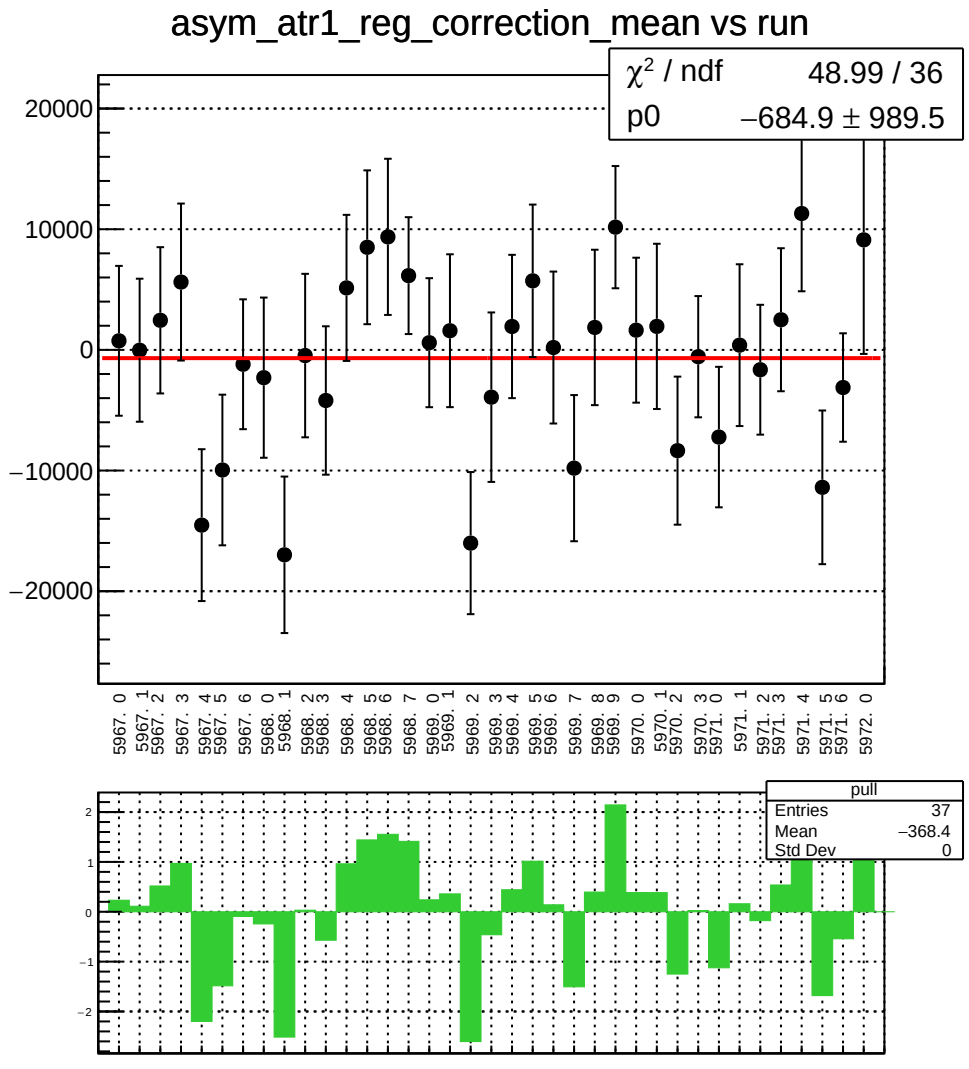
asym_atr1_reg_correction_mean vs run
χ² / ndf 48.99 / 36
p0 −684.9 ± 989.5
20000
10000
0
−10000
−20000
5967. 0
5967. 1
5967. 2
5967. 3
5967. 4
5967. 5
5967. 6
5968. 0
5968. 1
5968. 2
5968. 3
5968. 4
5968. 5
5968. 6
5968. 7
5969. 0
5969. 1
5969. 2
5969. 3
5969. 4
5969. 5
5969. 6
5969. 7
5969. 8
5969. 9
5970. 0
5970. 1
5970. 2
5970. 3
5971. 0
5971. 1
5971. 2
5971. 3
5971. 4
5971. 5
5971. 6
5972. 0
pull
Entries 37
Mean −368.4
Std Dev 0
2
1
0
−1
−2

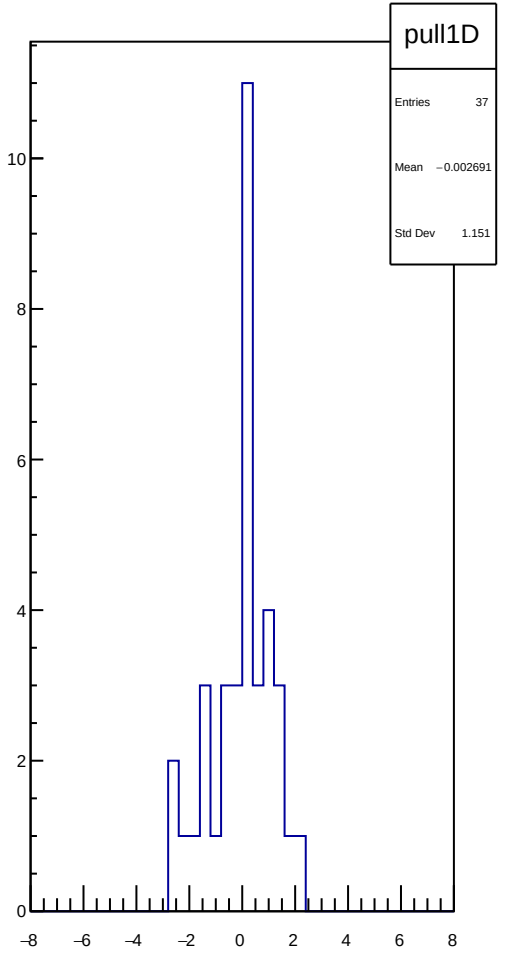
pull1D
Entries 37
Mean −0.002691
Std Dev 1.151
10
8
6
4
2
0
−8
−6
−4
−2
0
2
4
6
8

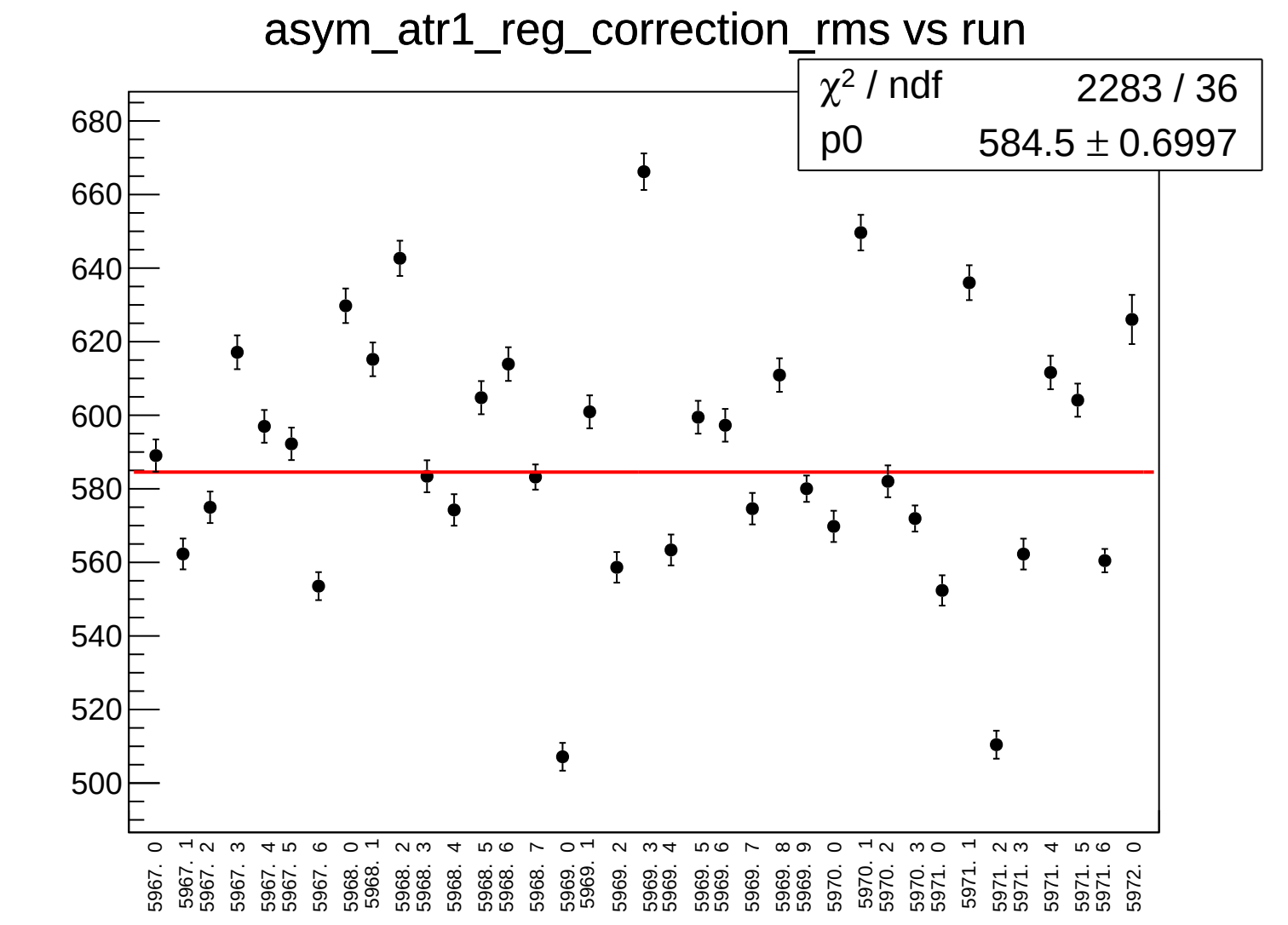
asym_atr1_reg_correction_rms vs run
χ² / ndf 2283 / 36
p0 584.5 ± 0.6997
680
660
640
620
600
580
560
540
520
500
5967. 0
5967. 1
5967. 2
5967. 3
5967. 4
5967. 5
5967. 6
5968. 0
5968. 1
5968. 2
5968. 3
5968. 4
5968. 5
5968. 6
5968. 7
5969. 0
5969. 1
5969. 2
5969. 3
5969. 4
5969. 5
5969. 6
5969. 7
5969. 8
5969. 9
5970. 0
5970. 1
5970. 2
5970. 3
5971. 0
5971. 1
5971. 2
5971. 3
5971. 4
5971. 5
5971. 6
5972. 0

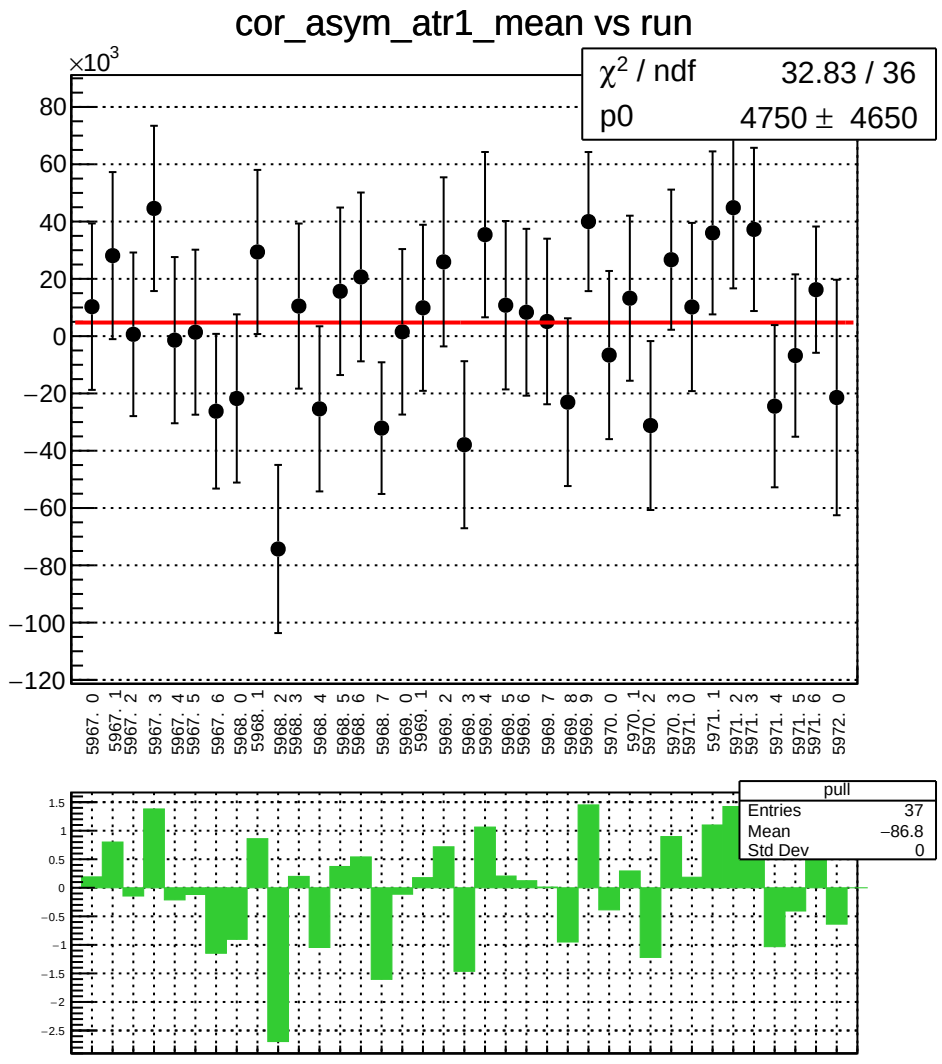
cor_asym_atr1_mean vs run
×10^3
χ^2 / ndf 32.83 / 36
p0 4750 ± 4650
pull
Entries 37
Mean −86.8
Std Dev 0

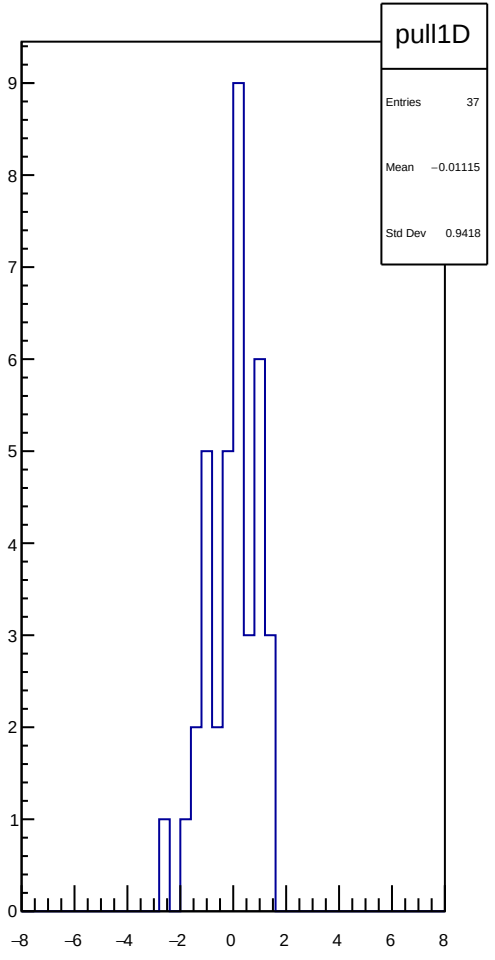
pull1D
Entries 37
Mean −0.01115
Std Dev 0.9418

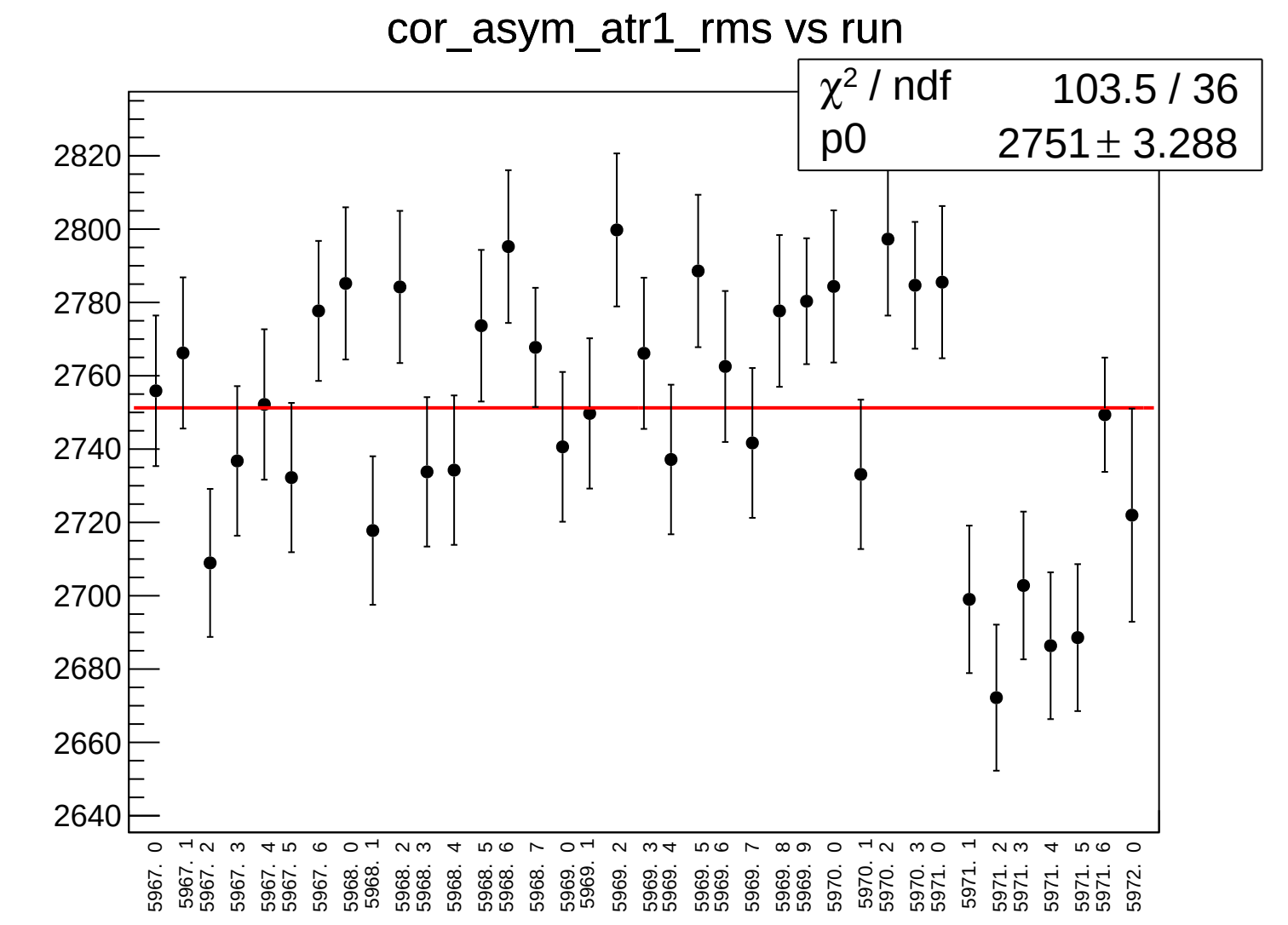
cor_asym_atr1_rms vs run
χ² / ndf 103.5 / 36
p0 2751 ± 3.288
2820
2800
2780
2760
2740
2720
2700
2680
2660
2640
5967. 0
5967. 1
5967. 2
5967. 3
5967. 4
5967. 5
5967. 6
5968. 0
5968. 1
5968. 2
5968. 3
5968. 4
5968. 5
5968. 6
5968. 7
5969. 0
5969. 1
5969. 2
5969. 3
5969. 4
5969. 5
5969. 6
5969. 7
5969. 8
5969. 9
5970. 0
5970. 1
5970. 2
5970. 3
5971. 0
5971. 1
5971. 2
5971. 3
5971. 4
5971. 5
5971. 6
5972. 0

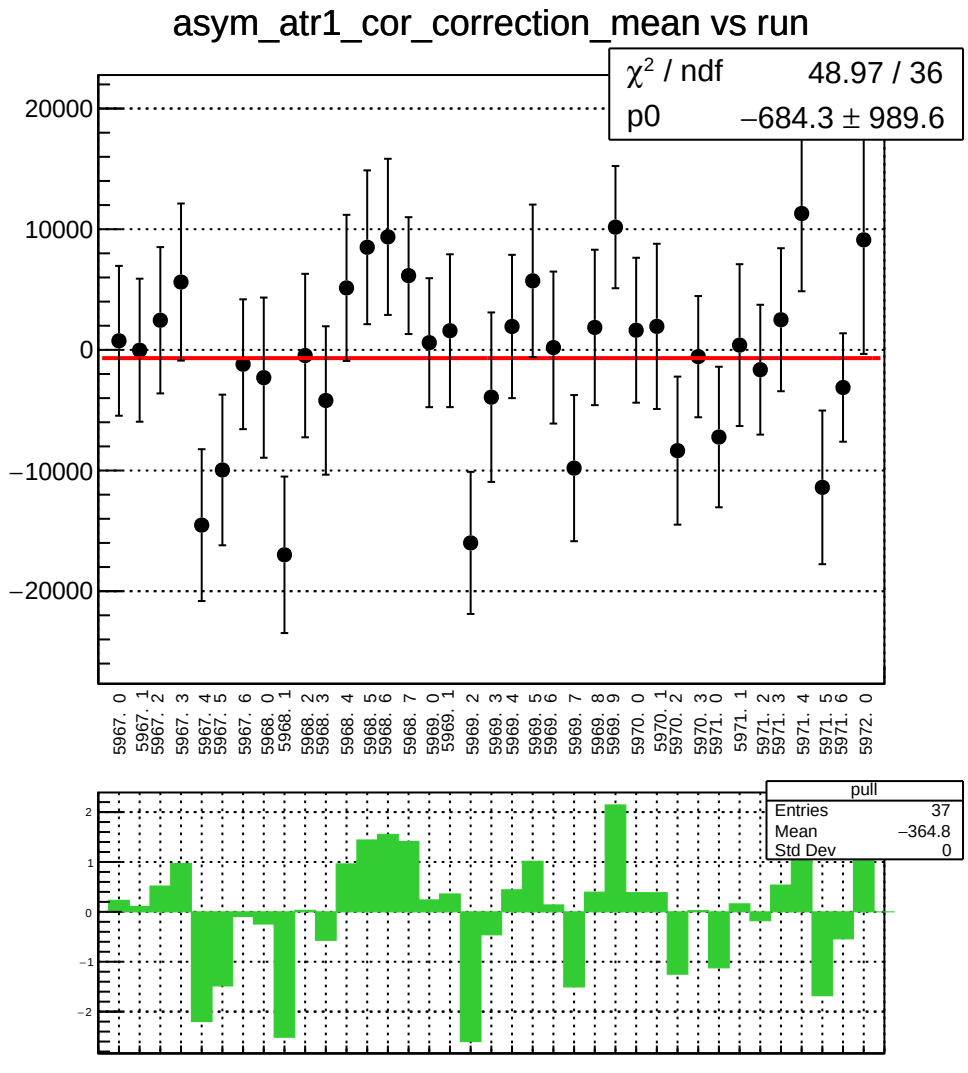
asym_atr1_cor_correction_mean vs run
χ² / ndf 48.97 / 36
p0 −684.3 ± 989.6
20000
10000
0
−10000
−20000
5967. 0
5967. 1
5967. 2
5967. 3
5967. 4
5967. 5
5967. 6
5968. 0
5968. 1
5968. 2
5968. 3
5968. 4
5968. 5
5968. 6
5968. 7
5969. 0
5969. 1
5969. 2
5969. 3
5969. 4
5969. 5
5969. 6
5969. 7
5969. 8
5969. 9
5970. 0
5970. 1
5970. 2
5970. 3
5971. 0
5971. 1
5971. 2
5971. 3
5971. 4
5971. 5
5971. 6
5972. 0
pull
Entries 37
Mean −364.8
Std Dev 0
2
1
0
−1
−2
pull1D
Entries 37
Mean −0.002717
Std Dev 1.15
10
8
6
4
2
0
−8
−6
−4
−2
0
2
4
6
8

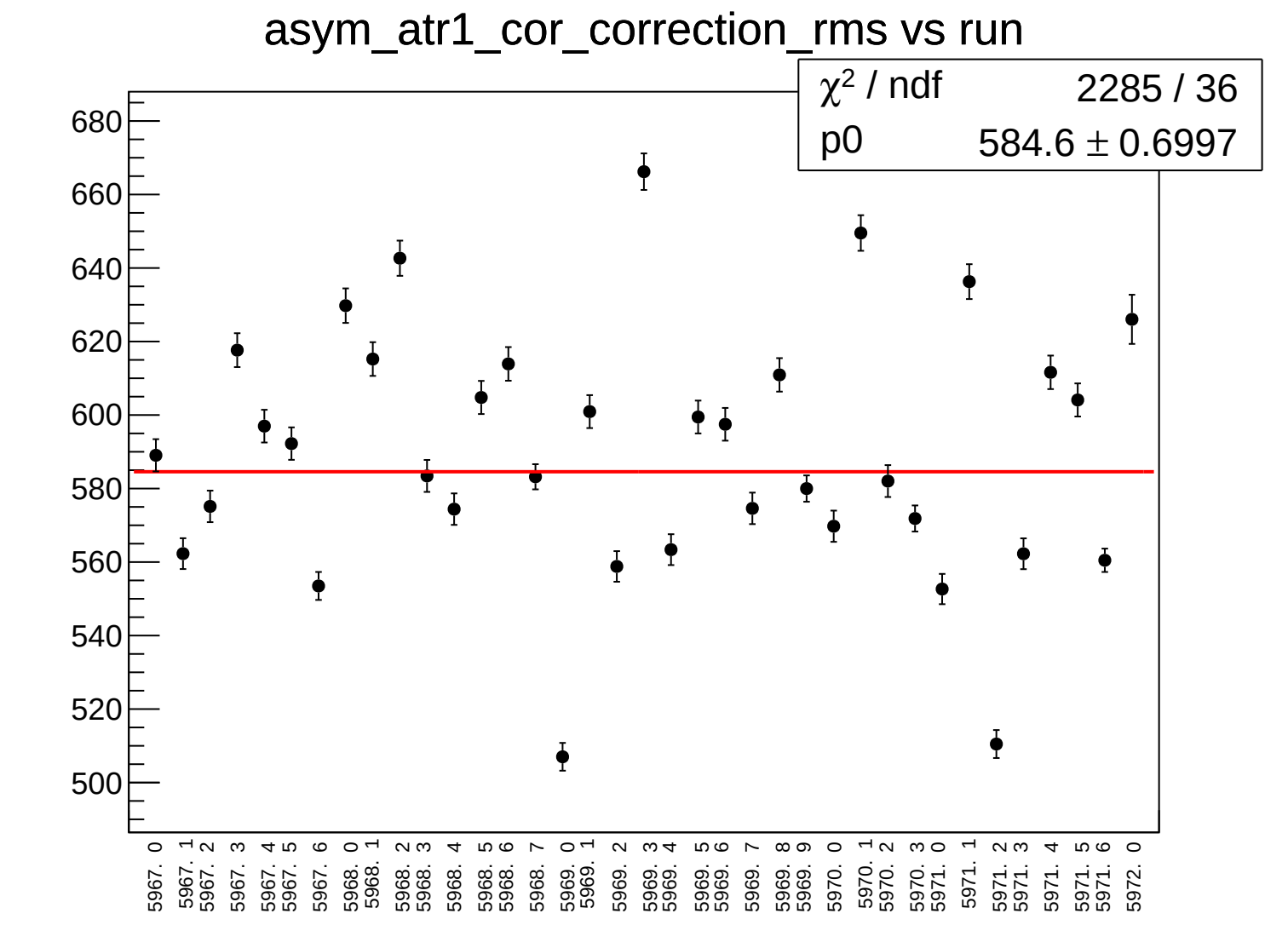
asym_atr1_cor_correction_rms vs run
χ² / ndf 2285 / 36
p0 584.6 ± 0.6997
680
660
640
620
600
580
560
540
520
500
5967. 0
5967. 1
5967. 2
5967. 3
5967. 4
5967. 5
5967. 6
5968. 0
5968. 1
5968. 2
5968. 3
5968. 4
5968. 5
5968. 6
5968. 7
5969. 0
5969. 1
5969. 2
5969. 3
5969. 4
5969. 5
5969. 6
5969. 7
5969. 8
5969. 9
5970. 0
5970. 1
5970. 2
5970. 3
5971. 0
5971. 1
5971. 2
5971. 3
5971. 4
5971. 5
5971. 6
5972. 0

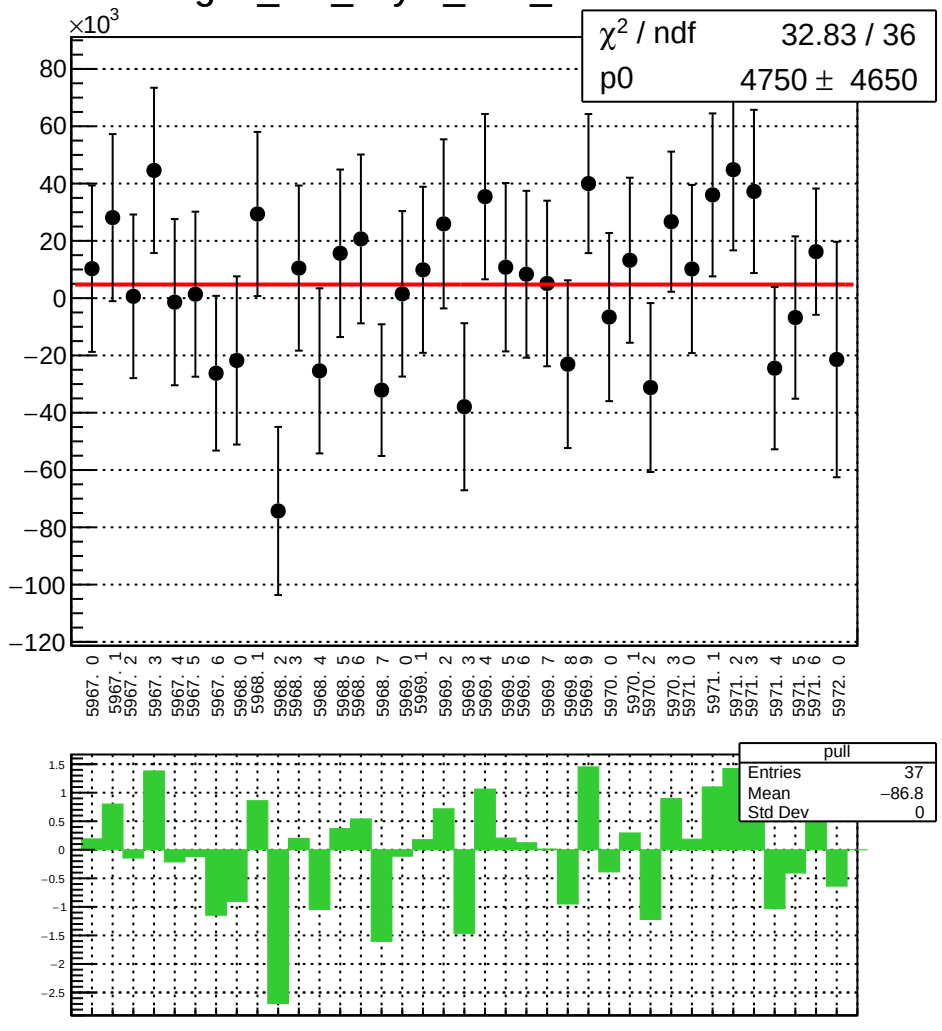
eigen_cor_asym_atr1_mean vs run
×10^3
χ² / ndf 32.83 / 36
p0 4750 ± 4650
80
60
40
20
0
−20
−40
−60
−80
−100
−120
5967. 0
5967. 1
5967. 2
5967. 3
5967. 4
5967. 5
5967. 6
5968. 0
5968. 1
5968. 2
5968. 3
5968. 4
5968. 5
5968. 6
5968. 7
5969. 0
5969. 1
5969. 2
5969. 3
5969. 4
5969. 5
5969. 6
5969. 7
5969. 8
5969. 9
5970. 0
5970. 1
5970. 2
5970. 3
5971. 0
5971. 1
5971. 2
5971. 3
5971. 4
5971. 5
5971. 6
5972. 0
pull
Entries 37
Mean −86.8
Std Dev 0
1.5
1
0.5
0
−0.5
−1
−1.5
−2
−2.5

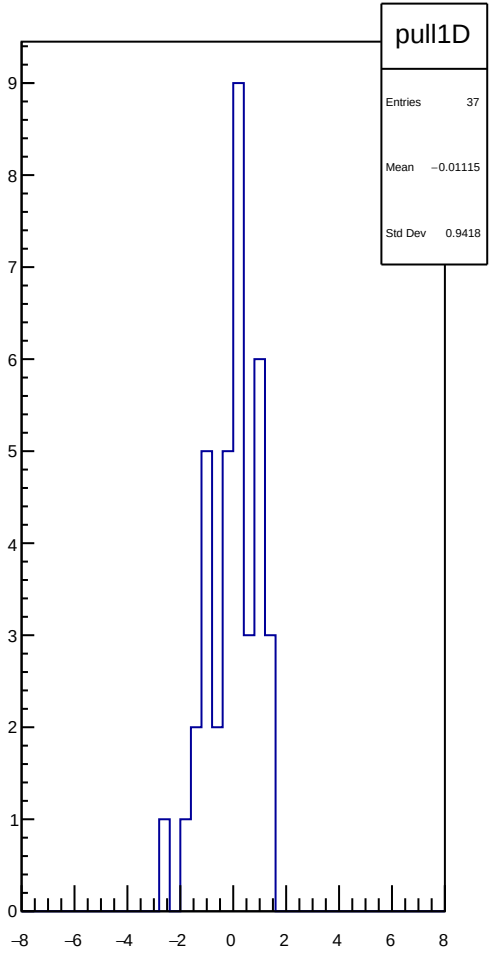
pull1D
Entries 37
Mean −0.01115
Std Dev 0.9418
9
8
7
6
5
4
3
2
1
0
−8
−6
−4
−2
0
2
4
6
8

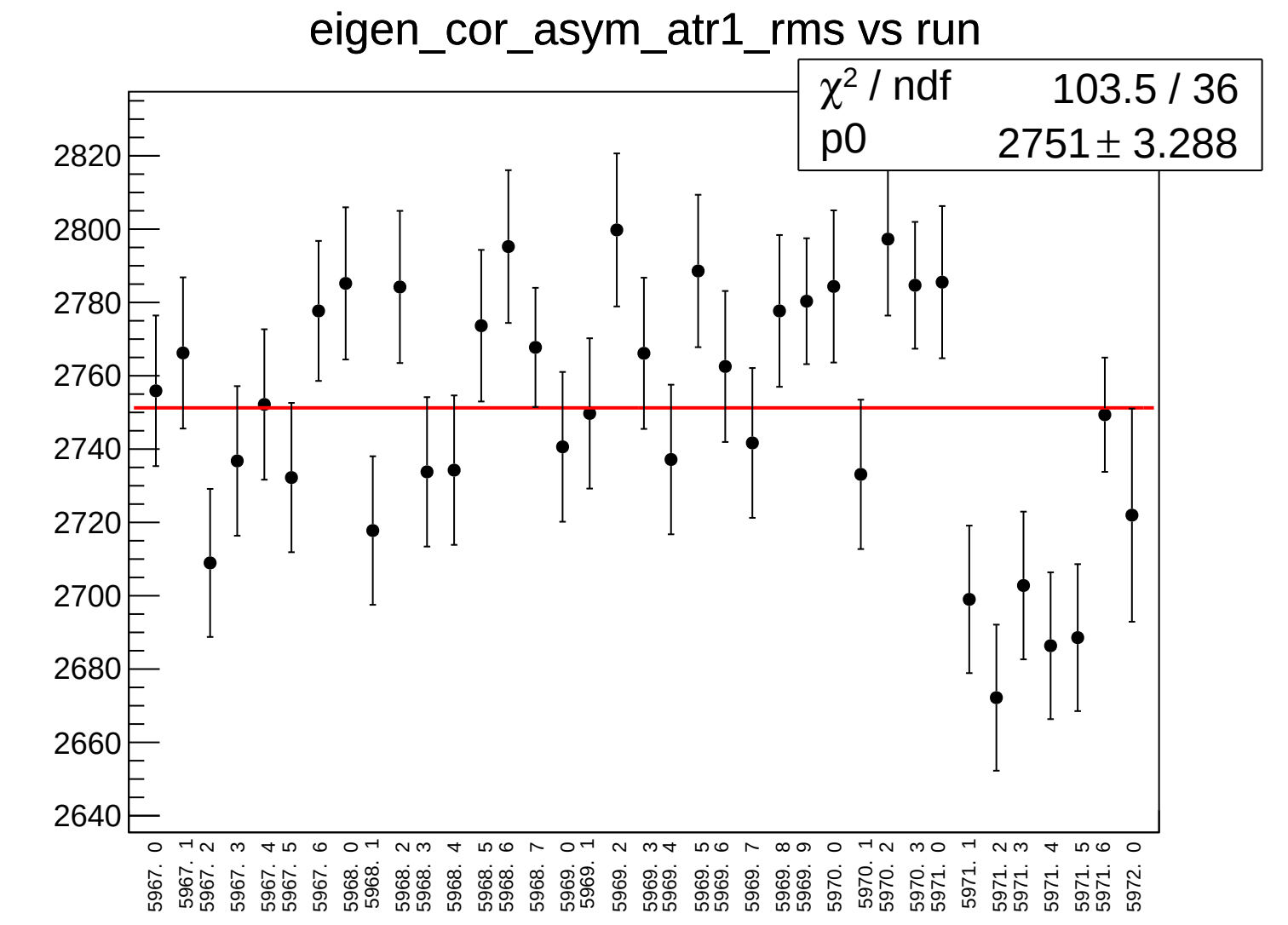
eigen_cor_asym_atr1_rms vs run
χ² / ndf 103.5 / 36
p0 2751 ± 3.288
2820
2800
2780
2760
2740
2720
2700
2680
2660
2640
5967. 0
5967. 1
5967. 2
5967. 3
5967. 4
5967. 5
5967. 6
5968. 0
5968. 1
5968. 2
5968. 3
5968. 4
5968. 5
5968. 6
5968. 7
5969. 0
5969. 1
5969. 2
5969. 3
5969. 4
5969. 5
5969. 6
5969. 7
5969. 8
5969. 9
5970. 0
5970. 1
5970. 2
5970. 3
5971. 0
5971. 1
5971. 2
5971. 3
5971. 4
5971. 5
5971. 6
5972. 0

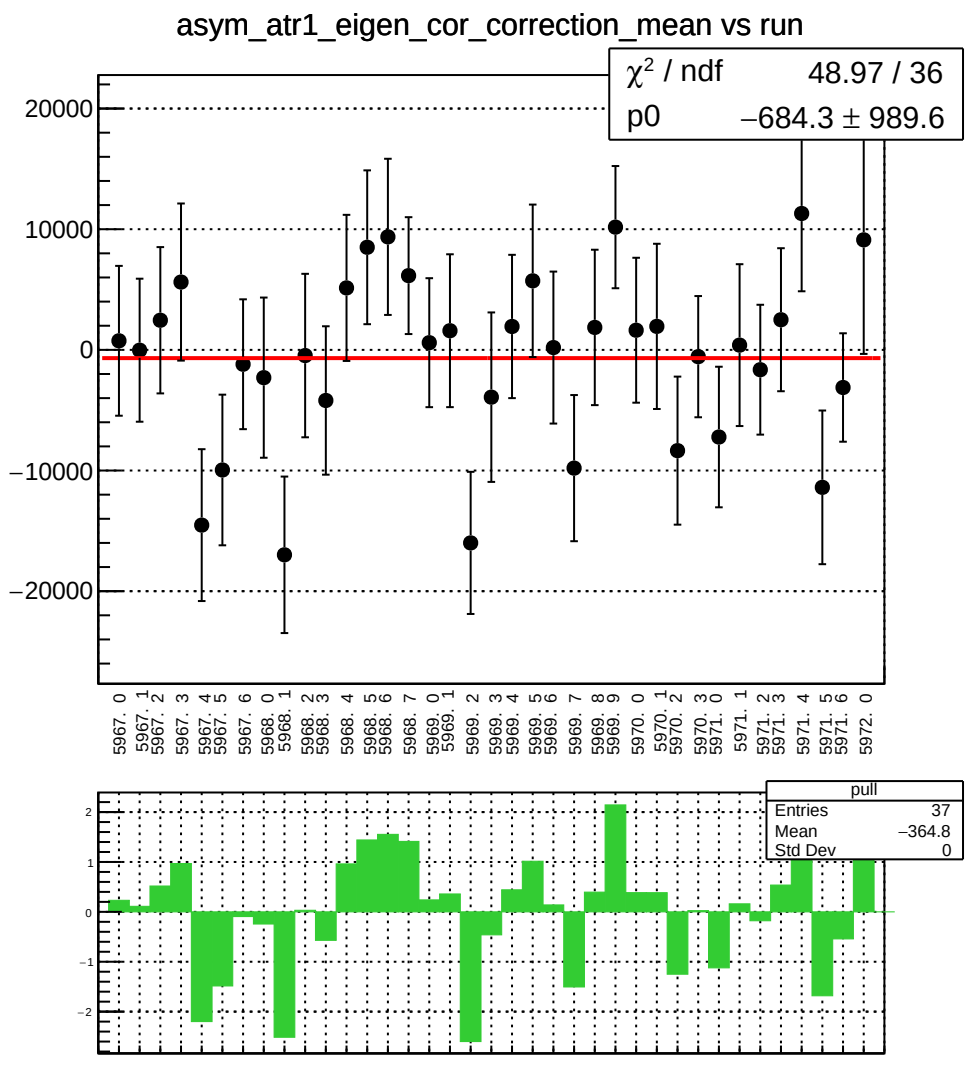
asym_atr1_eigen_cor_correction_mean vs run
χ² / ndf 48.97 / 36
p0 −684.3 ± 989.6
20000
10000
0
−10000
−20000
5967. 0
5967. 1
5967. 2
5967. 3
5967. 4
5967. 5
5967. 6
5968. 0
5968. 1
5968. 2
5968. 3
5968. 4
5968. 5
5968. 6
5968. 7
5969. 0
5969. 1
5969. 2
5969. 3
5969. 4
5969. 5
5969. 6
5969. 7
5969. 8
5969. 9
5970. 0
5970. 1
5970. 2
5970. 3
5971. 0
5971. 1
5971. 2
5971. 3
5971. 4
5971. 5
5971. 6
5972. 0
pull
Entries 37
Mean −364.8
Std Dev 0
2
1
0
−1
−2
pull1D
Entries 37
Mean −0.002717
Std Dev 1.15
10
8
6
4
2
0
−8
−6
−4
−2
0
2
4
6
8

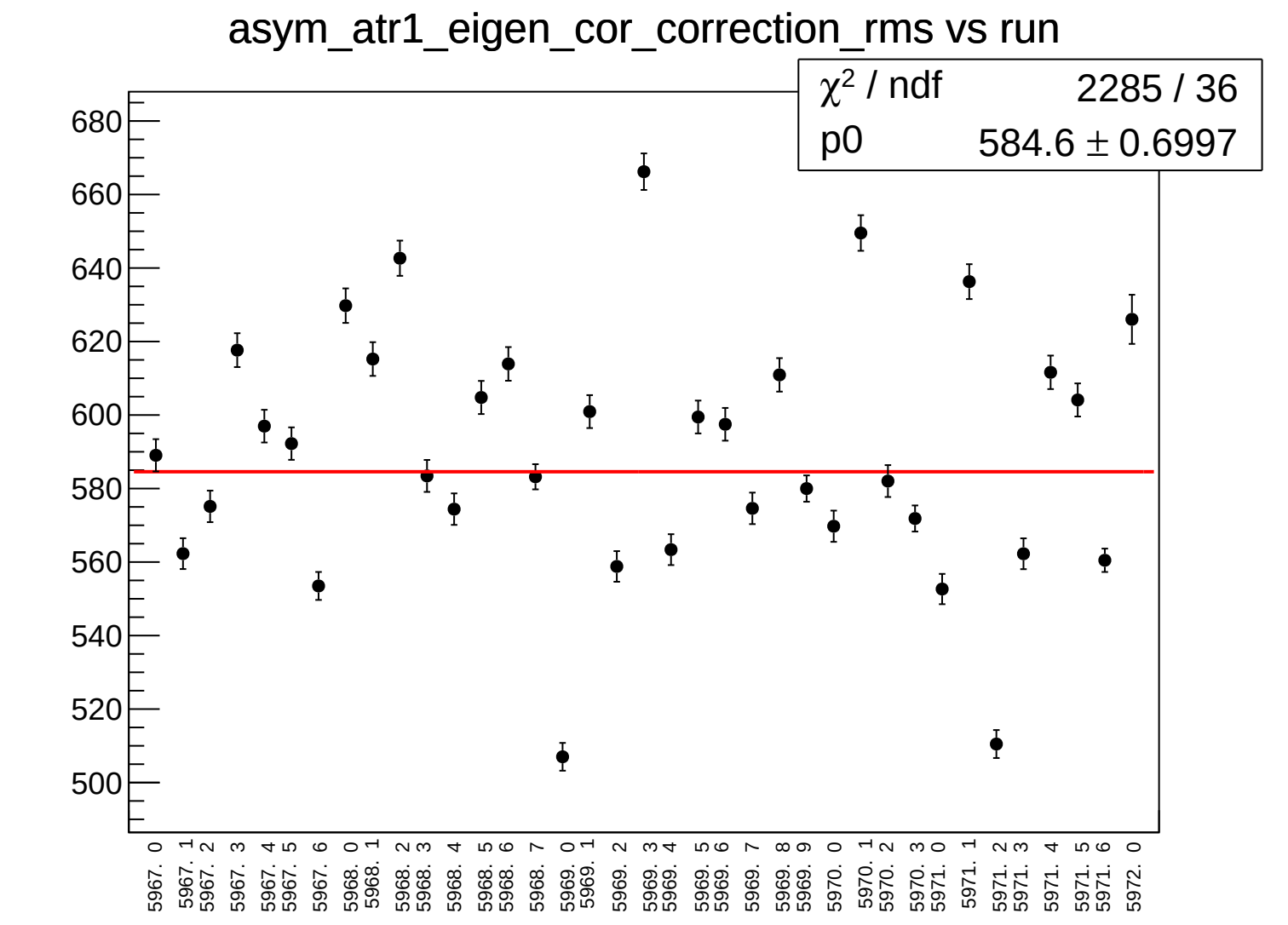
asym_atr1_eigen_cor_correction_rms vs run
χ² / ndf 2285 / 36
p0 584.6 ± 0.6997
680
660
640
620
600
580
560
540
520
500
5967. 0
5967. 1
5967. 2
5967. 3
5967. 4
5967. 5
5967. 6
5968. 0
5968. 1
5968. 2
5968. 3
5968. 4
5968. 5
5968. 6
5968. 7
5969. 0
5969. 1
5969. 2
5969. 3
5969. 4
5969. 5
5969. 6
5969. 7
5969. 8
5969. 9
5970. 0
5970. 1
5970. 2
5970. 3
5971. 0
5971. 1
5971. 2
5971. 3
5971. 4
5971. 5
5971. 6
5972. 0

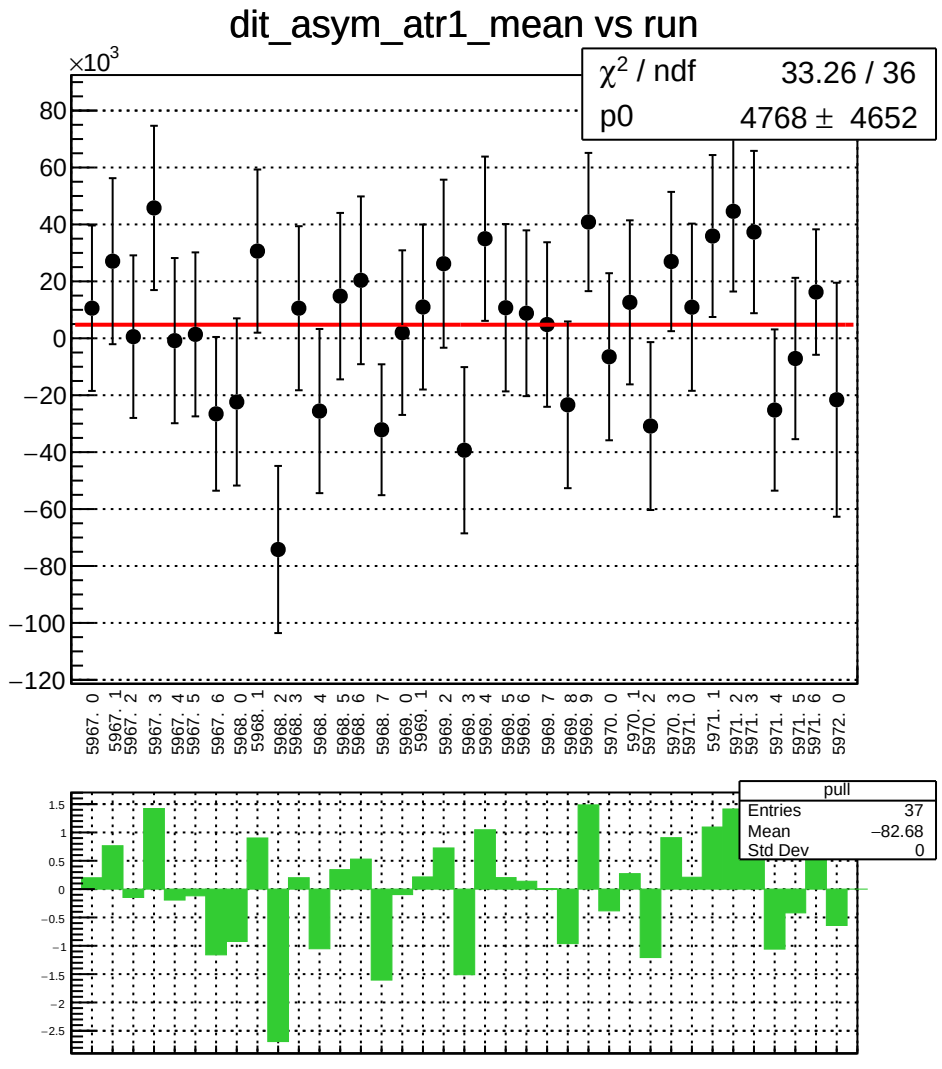
dit_asym_atr1_mean vs run
×10^3
χ^2 / ndf 33.26 / 36
p0 4768 ± 4652
pull
Entries 37
Mean −82.68
Std Dev 0

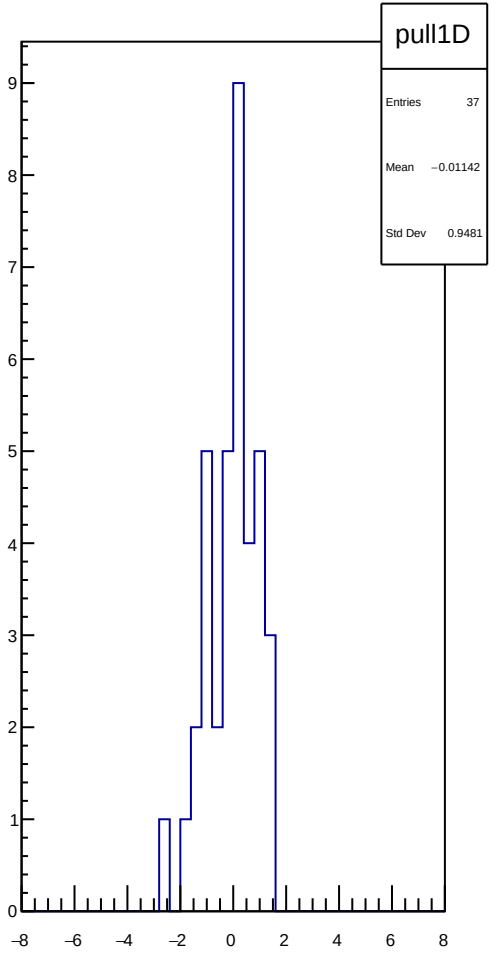
pull1D
Entries 37
Mean −0.01142
Std Dev 0.9481

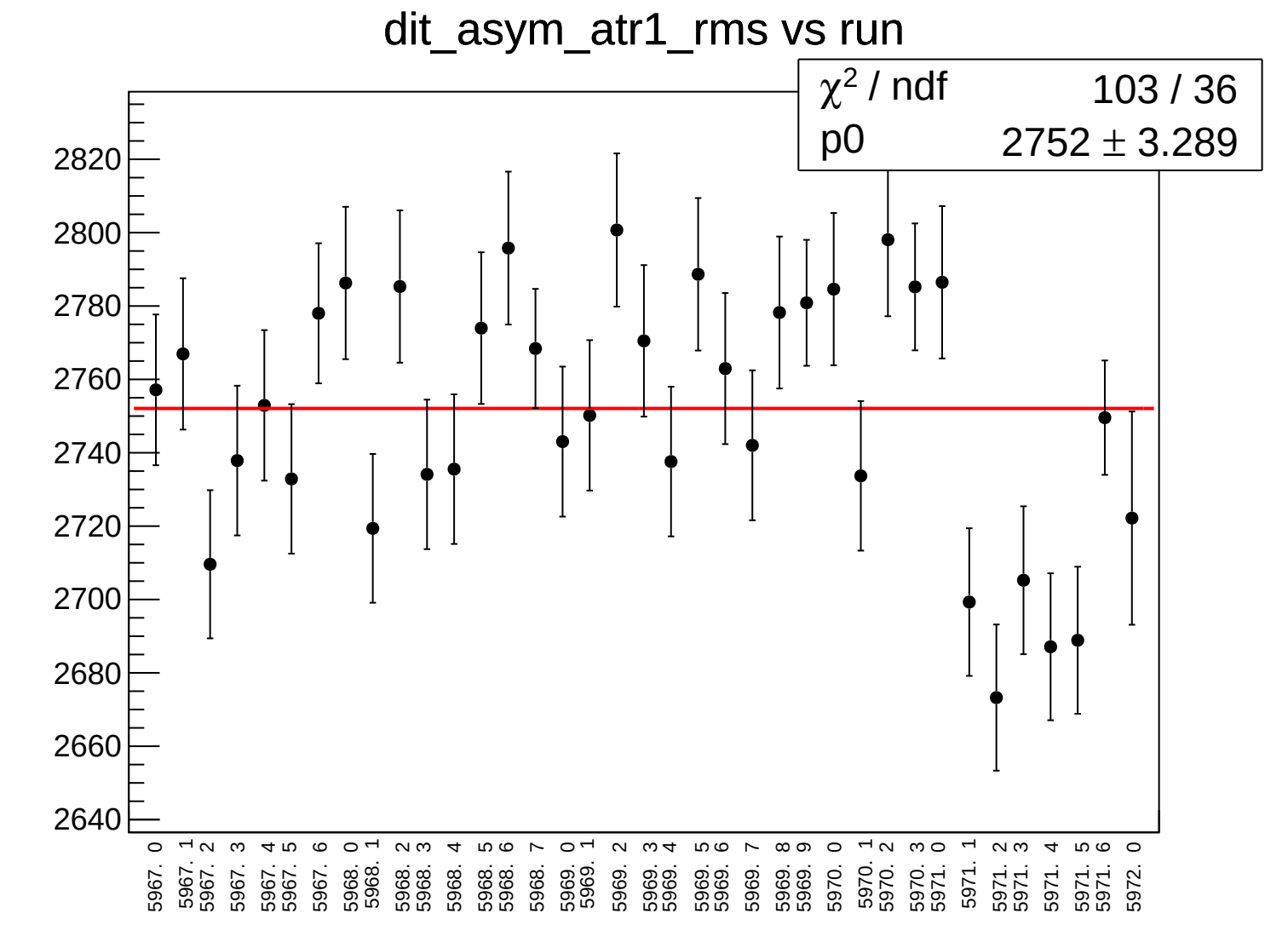
dit_asym_atr1_rms vs run
χ² / ndf 103 / 36
p0 2752 ± 3.289
2820
2800
2780
2760
2740
2720
2700
2680
2660
2640
5967. 0
5967. 1
5967. 2
5967. 3
5967. 4
5967. 5
5967. 6
5968. 0
5968. 1
5968. 2
5968. 3
5968. 4
5968. 5
5968. 6
5968. 7
5969. 0
5969. 1
5969. 2
5969. 3
5969. 4
5969. 5
5969. 6
5969. 7
5969. 8
5969. 9
5970. 0
5970. 1
5970. 2
5970. 3
5971. 0
5971. 1
5971. 2
5971. 3
5971. 4
5971. 5
5971. 6
5972. 0

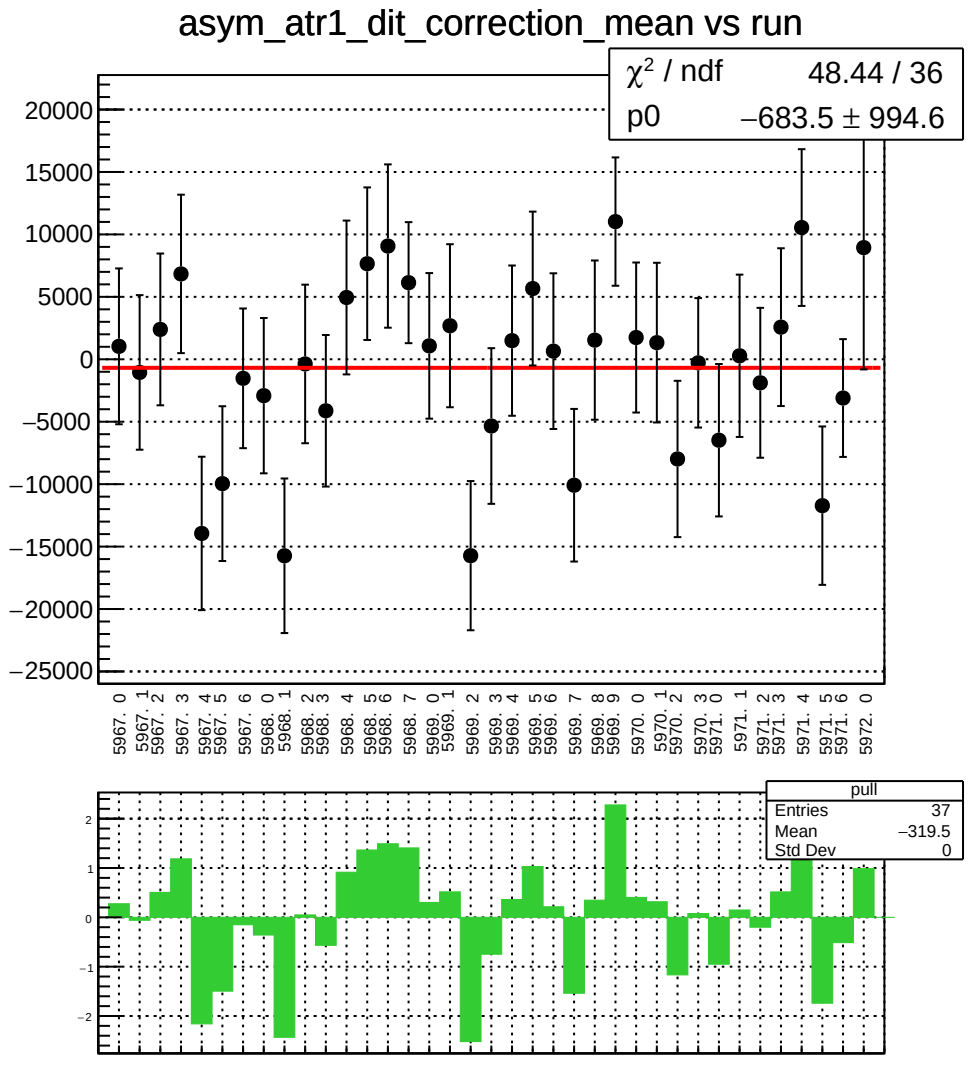
asym_atr1_dit_correction_mean vs run
χ² / ndf 48.44 / 36
p0 −683.5 ± 994.6
20000
15000
10000
5000
0
−5000
−10000
−15000
−20000
−25000
5967. 0
5967. 1
5967. 2
5967. 3
5967. 4
5967. 5
5967. 6
5968. 0
5968. 1
5968. 2
5968. 3
5968. 4
5968. 5
5968. 6
5968. 7
5969. 0
5969. 1
5969. 2
5969. 3
5969. 4
5969. 5
5969. 6
5969. 7
5969. 8
5969. 9
5970. 0
5970. 1
5970. 2
5970. 3
5971. 0
5971. 1
5971. 2
5971. 3
5971. 4
5971. 5
5971. 6
5972. 0
pull
Entries 37
Mean −319.5
Std Dev 0
2
1
0
−1
−2

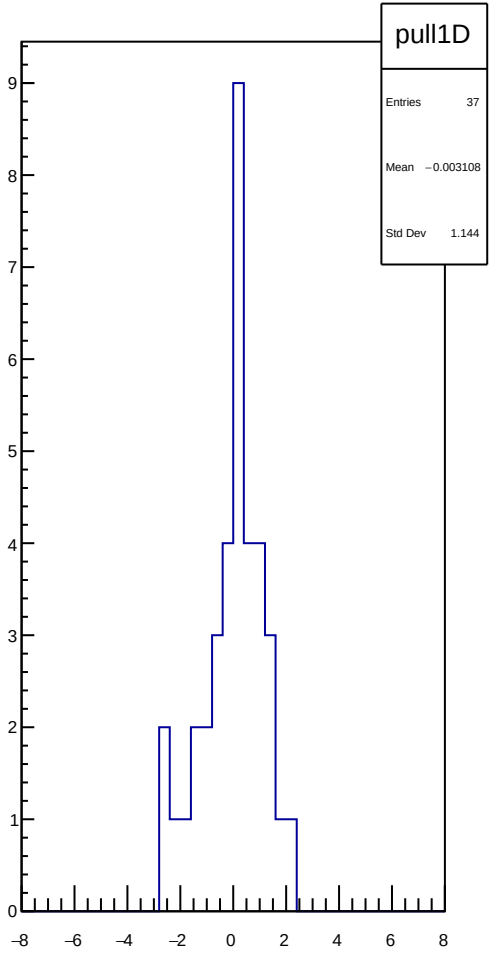
pull1D
Entries 37
Mean −0.003108
Std Dev 1.144
9
8
7
6
5
4
3
2
1
0
−8
−6
−4
−2
0
2
4
6
8

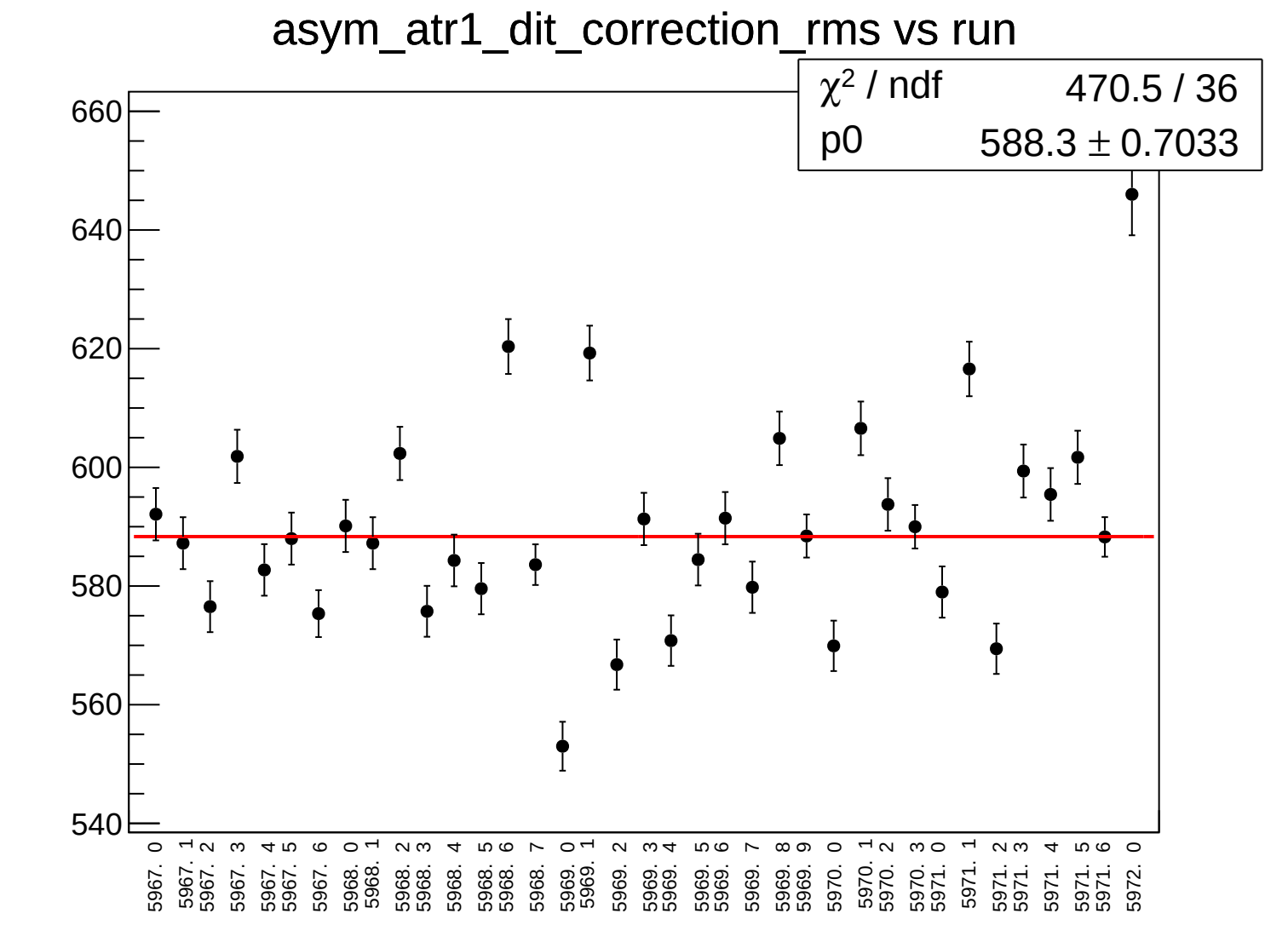
asym_atr1_dit_correction_rms vs run
χ² / ndf 470.5 / 36
p0 588.3 ± 0.7033
660
640
620
600
580
560
540
5967. 0
5967. 1
5967. 2
5967. 3
5967. 4
5967. 5
5967. 6
5968. 0
5968. 1
5968. 2
5968. 3
5968. 4
5968. 5
5968. 6
5968. 7
5969. 0
5969. 1
5969. 2
5969. 3
5969. 4
5969. 5
5969. 6
5969. 7
5969. 8
5969. 9
5970. 0
5970. 1
5970. 2
5970. 3
5971. 0
5971. 1
5971. 2
5971. 3
5971. 4
5971. 5
5971. 6
5972. 0

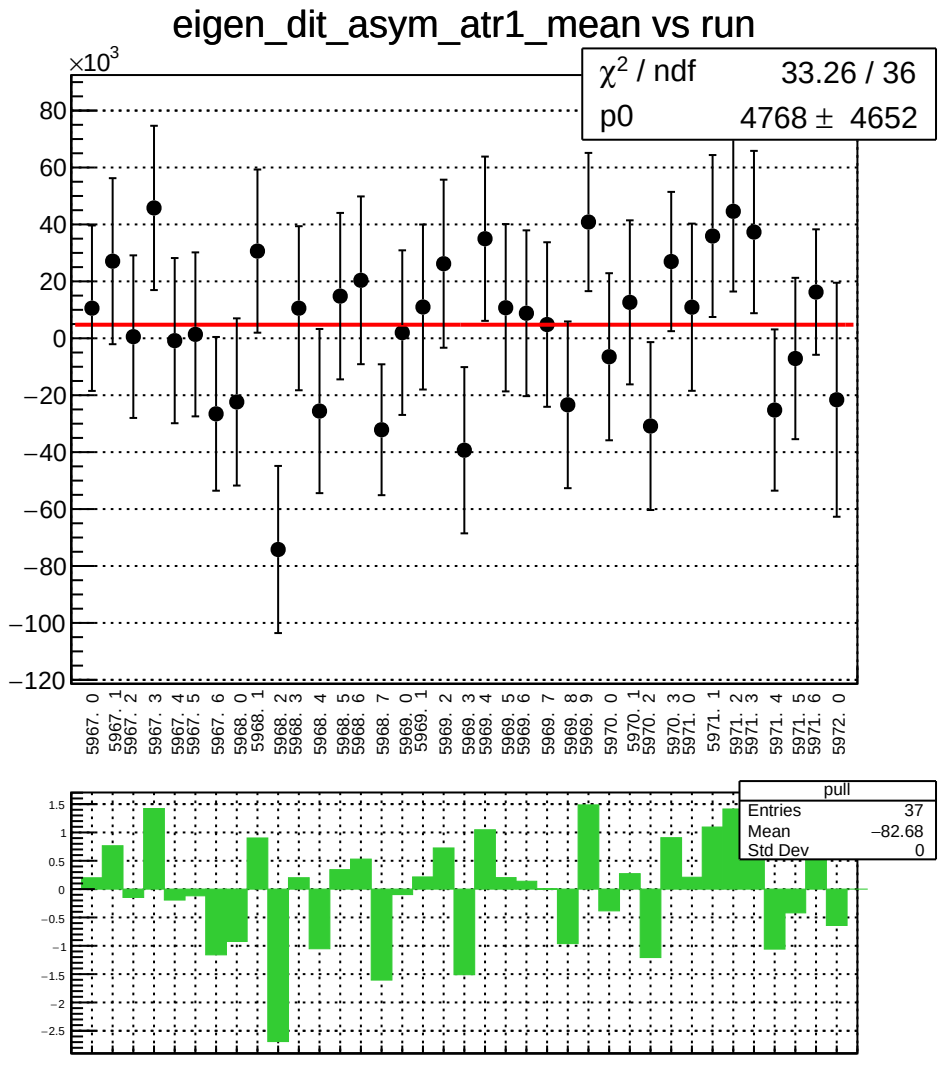
eigen_dit_asym_atr1_mean vs run
×10^3
χ² / ndf 33.26 / 36
p0 4768 ± 4652
pull
Entries 37
Mean −82.68
Std Dev 0

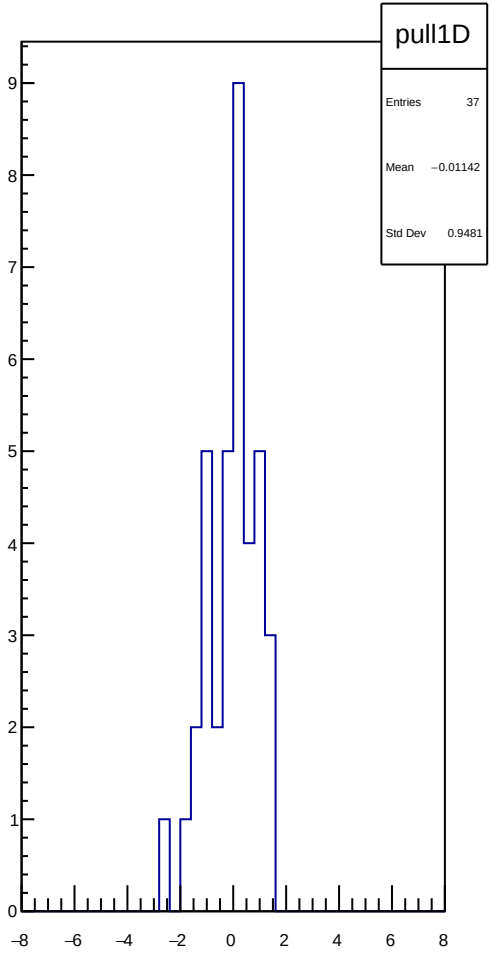
pull1D
Entries 37
Mean −0.01142
Std Dev 0.9481

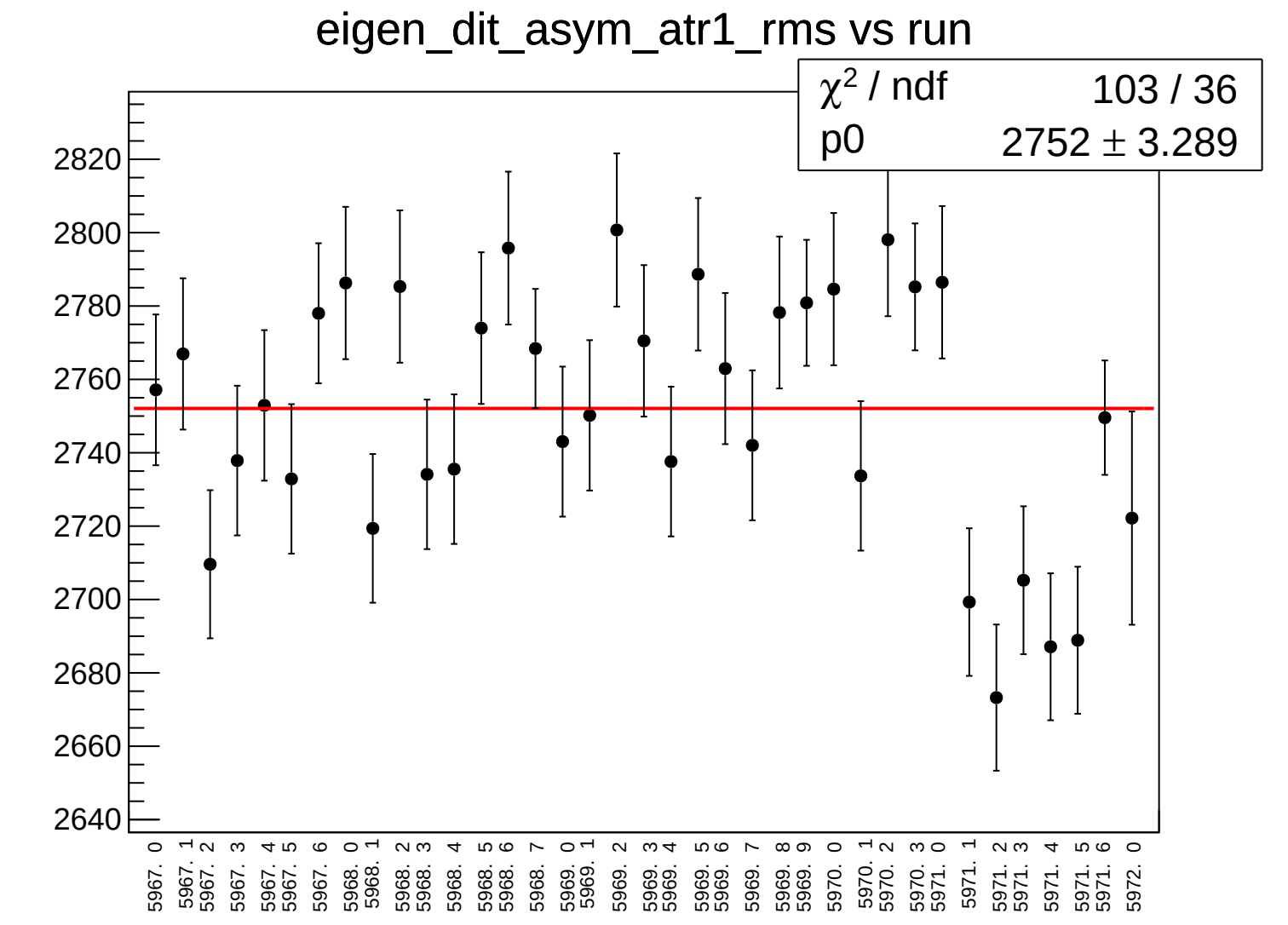
eigen_dit_asym_atr1_rms vs run
χ² / ndf 103 / 36
p0 2752 ± 3.289
2820
2800
2780
2760
2740
2720
2700
2680
2660
2640
5967. 0
5967. 1
5967. 2
5967. 3
5967. 4
5967. 5
5967. 6
5968. 0
5968. 1
5968. 2
5968. 3
5968. 4
5968. 5
5968. 6
5968. 7
5969. 0
5969. 1
5969. 2
5969. 3
5969. 4
5969. 5
5969. 6
5969. 7
5969. 8
5969. 9
5970. 0
5970. 1
5970. 2
5970. 3
5971. 0
5971. 1
5971. 2
5971. 3
5971. 4
5971. 5
5971. 6
5972. 0

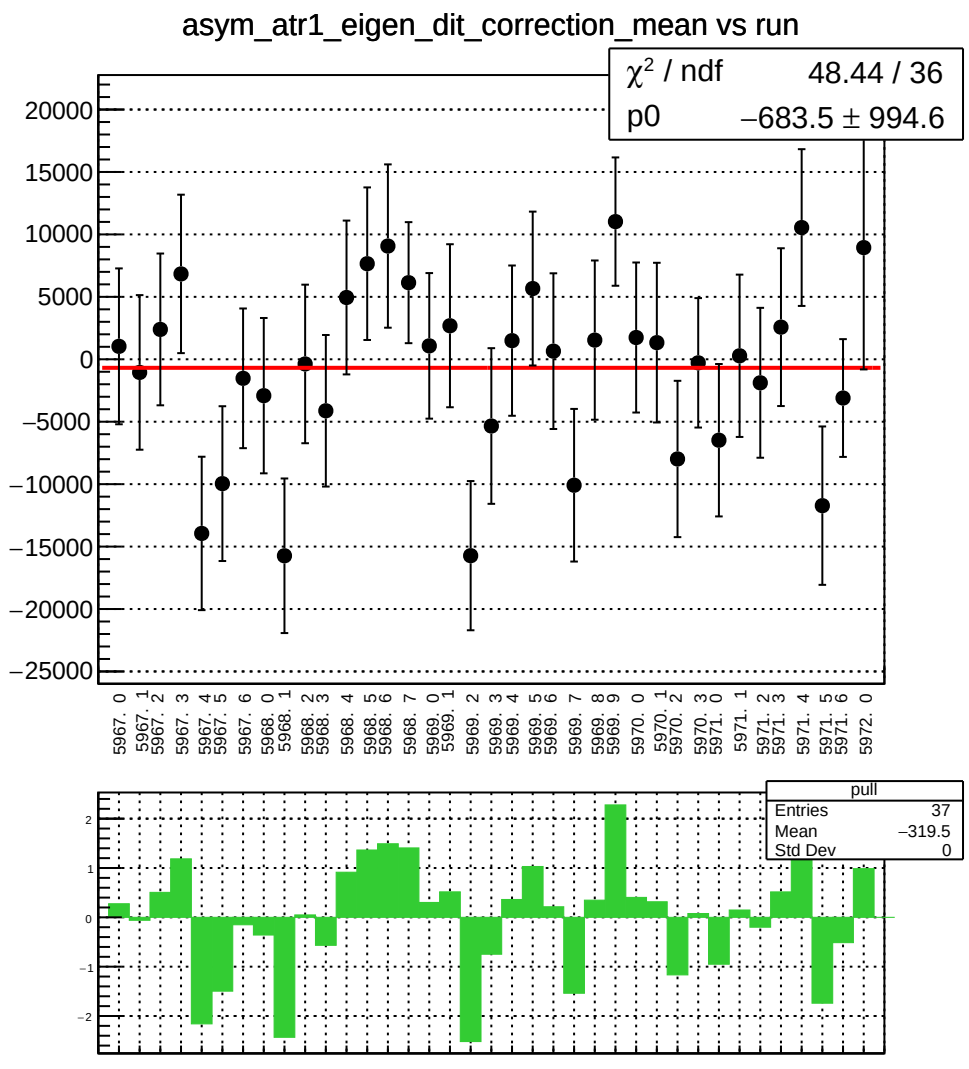
asym_atr1_eigen_dit_correction_mean vs run
χ² / ndf 48.44 / 36
p0 −683.5 ± 994.6
20000
15000
10000
5000
0
−5000
−10000
−15000
−20000
−25000
5967. 0
5967. 1
5967. 2
5967. 3
5967. 4
5967. 5
5967. 6
5968. 0
5968. 1
5968. 2
5968. 3
5968. 4
5968. 5
5968. 6
5968. 7
5969. 0
5969. 1
5969. 2
5969. 3
5969. 4
5969. 5
5969. 6
5969. 7
5969. 8
5969. 9
5970. 0
5970. 1
5970. 2
5970. 3
5971. 0
5971. 1
5971. 2
5971. 3
5971. 4
5971. 5
5971. 6
5972. 0
pull
Entries 37
Mean −319.5
Std Dev 0
2
1
0
−1
−2

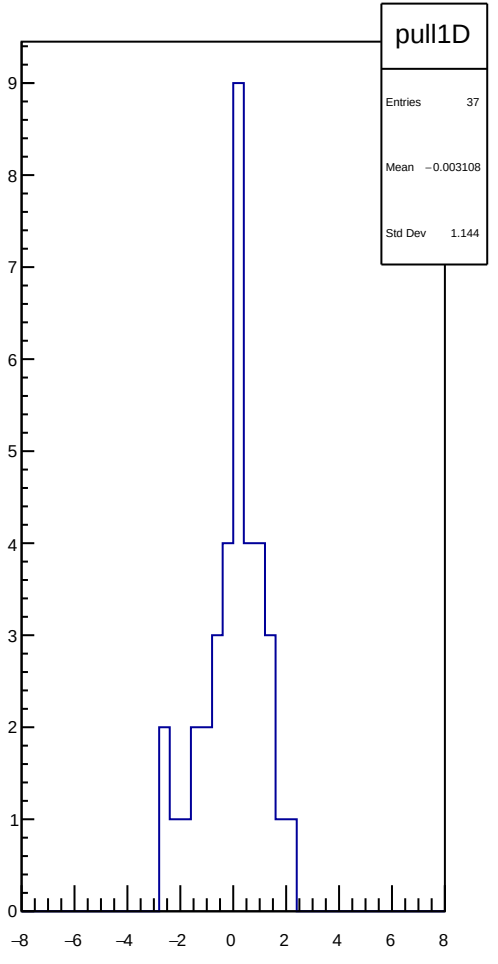
pull1D
Entries 37
Mean −0.003108
Std Dev 1.144
9
8
7
6
5
4
3
2
1
0
−8
−6
−4
−2
0
2
4
6
8

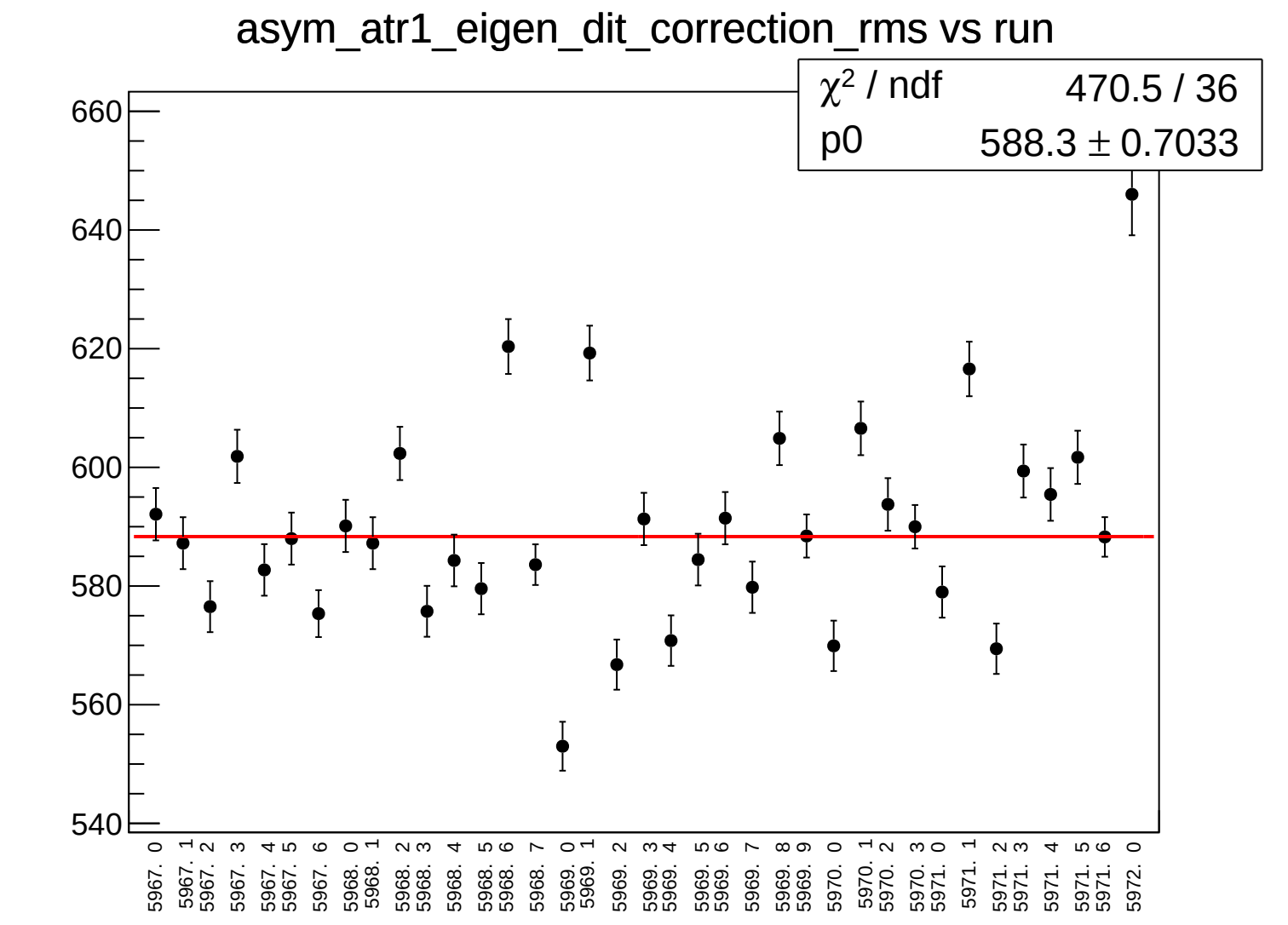
asym_atr1_eigen_dit_correction_rms vs run
χ² / ndf 470.5 / 36
p0 588.3 ± 0.7033
660
640
620
600
580
560
540
5967. 0
5967. 1
5967. 2
5967. 3
5967. 4
5967. 5
5967. 6
5968. 0
5968. 1
5968. 2
5968. 3
5968. 4
5968. 5
5968. 6
5968. 7
5969. 0
5969. 1
5969. 2
5969. 3
5969. 4
5969. 5
5969. 6
5969. 7
5969. 8
5969. 9
5970. 0
5970. 1
5970. 2
5970. 3
5971. 0
5971. 1
5971. 2
5971. 3
5971. 4
5971. 5
5971. 6
5972. 0

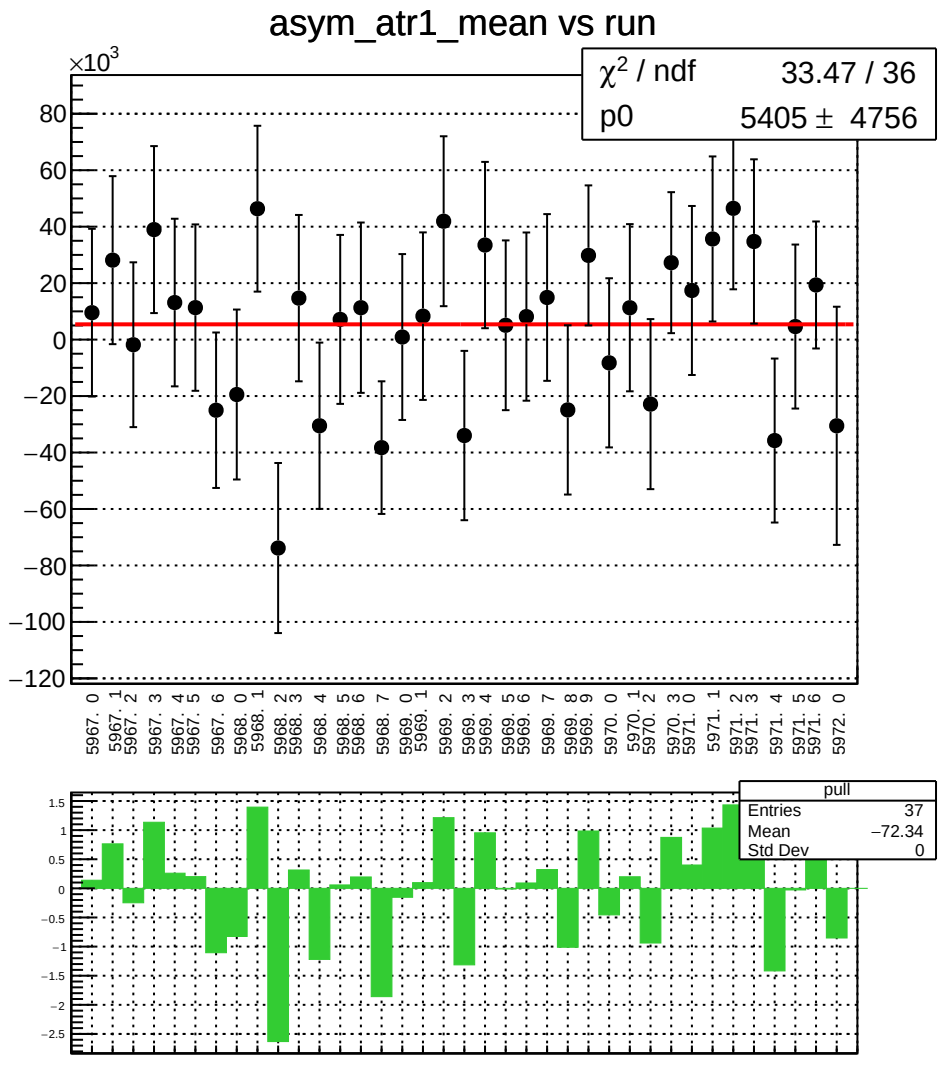
asym_atr1_mean vs run
×10^3
χ² / ndf 33.47 / 36
p0 5405 ± 4756
80
60
40
20
0
−20
−40
−60
−80
−100
−120
5967. 0
5967. 1
5967. 2
5967. 3
5967. 4
5967. 5
5967. 6
5968. 0
5968. 1
5968. 2
5968. 3
5968. 4
5968. 5
5968. 6
5968. 7
5969. 0
5969. 1
5969. 2
5969. 3
5969. 4
5969. 5
5969. 6
5969. 7
5969. 8
5969. 9
5970. 0
5970. 1
5970. 2
5970. 3
5971. 0
5971. 1
5971. 2
5971. 3
5971. 4
5971. 5
5971. 6
5972. 0
pull
Entries 37
Mean −72.34
Std Dev 0
1.5
1
0.5
0
−0.5
−1
−1.5
−2
−2.5

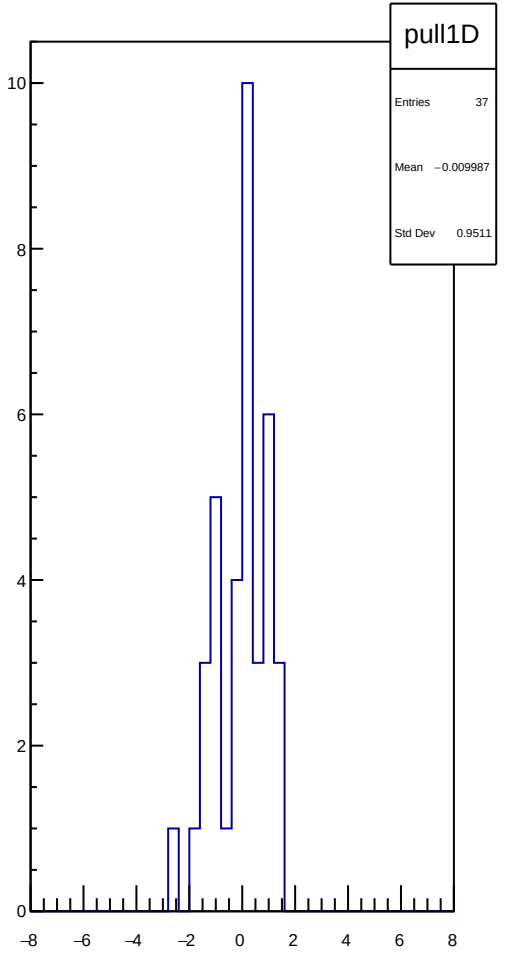
pull1D
Entries 37
Mean −0.009987
Std Dev 0.9511
10
8
6
4
2
0
−8
−6
−4
−2
0
2
4
6
8

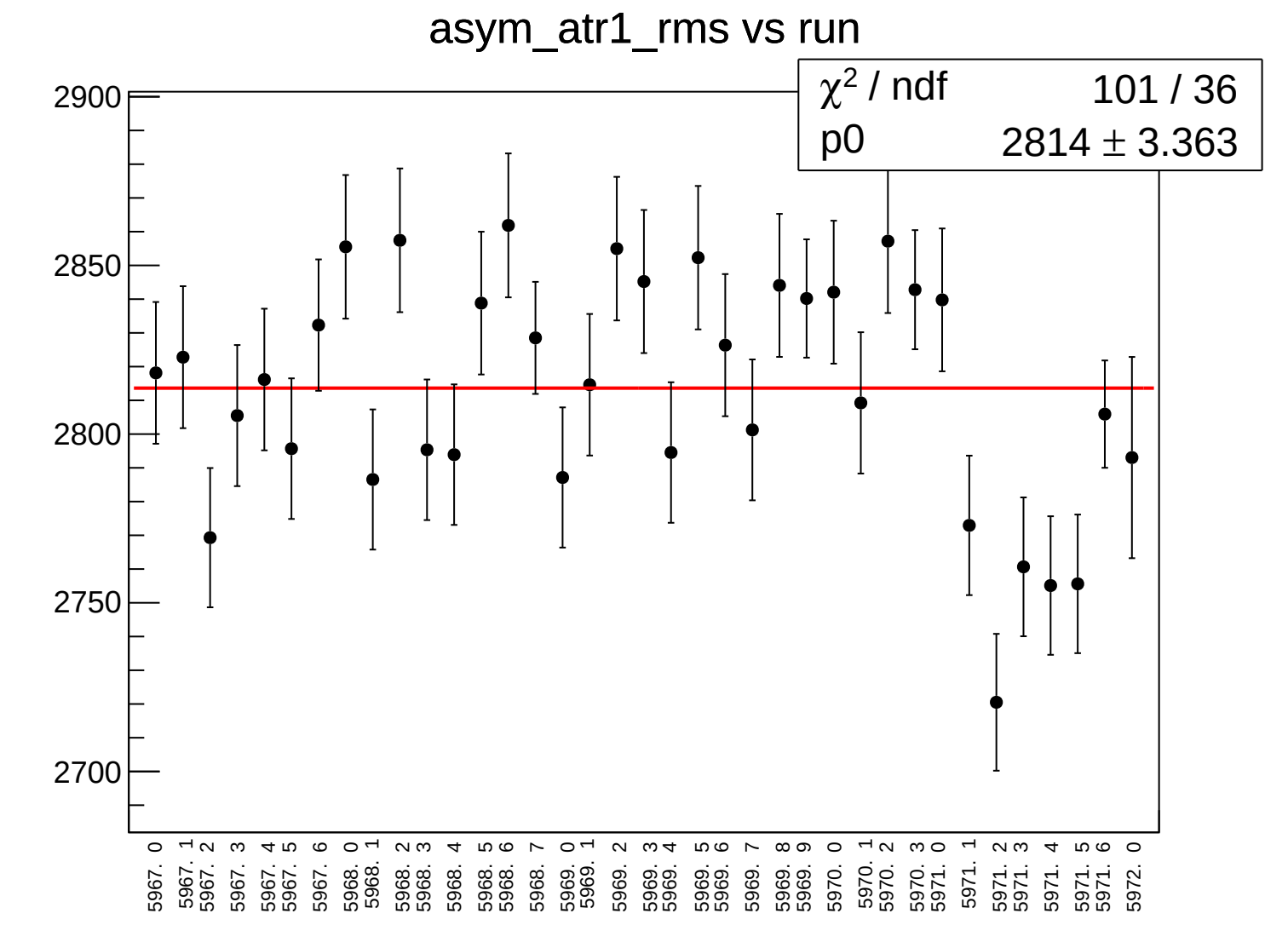
asym_atr1_rms vs run
χ² / ndf 101 / 36
p0 2814 ± 3.363
2900
2850
2800
2750
2700
5967. 0
5967. 1
5967. 2
5967. 3
5967. 4
5967. 5
5967. 6
5968. 0
5968. 1
5968. 2
5968. 3
5968. 4
5968. 5
5968. 6
5968. 7
5969. 0
5969. 1
5969. 2
5969. 3
5969. 4
5969. 5
5969. 6
5969. 7
5969. 8
5969. 9
5970. 0
5970. 1
5970. 2
5970. 3
5971. 0
5971. 1
5971. 2
5971. 3
5971. 4
5971. 5
5971. 6
5972. 0

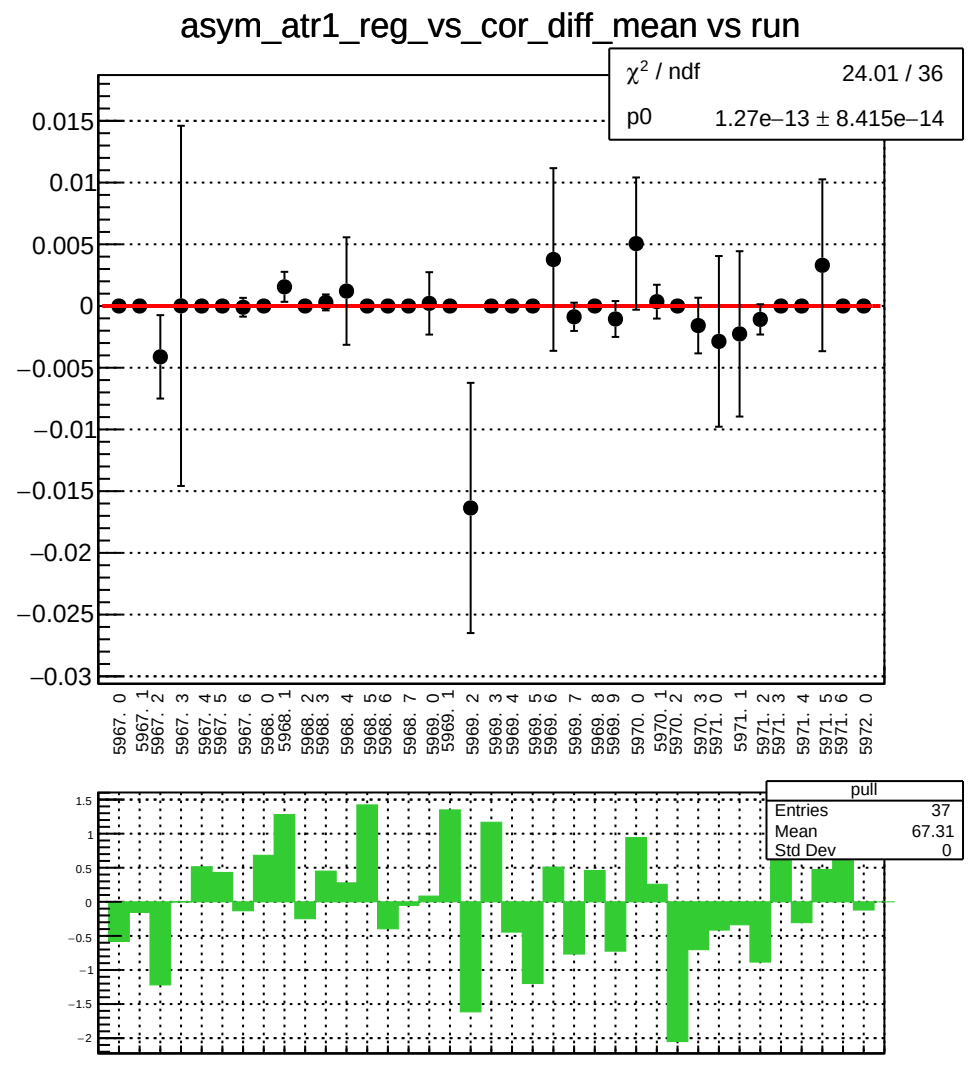
asym_atr1_reg_vs_cor_diff_mean vs run
χ² / ndf 24.01 / 36
p0 1.27e−13 ± 8.415e−14
0.015
0.01
0.005
0
−0.005
−0.01
−0.015
−0.02
−0.025
−0.03
5967. 0
5967. 1
5967. 2
5967. 3
5967. 4
5967. 5
5967. 6
5968. 0
5968. 1
5968. 2
5968. 3
5968. 4
5968. 5
5968. 6
5968. 7
5969. 0
5969. 1
5969. 2
5969. 3
5969. 4
5969. 5
5969. 6
5969. 7
5969. 8
5969. 9
5970. 0
5970. 1
5970. 2
5970. 3
5971. 0
5971. 1
5971. 2
5971. 3
5971. 4
5971. 5
5971. 6
5972. 0
pull
Entries 37
Mean 67.31
Std Dev 0
1.5
1
0.5
0
−0.5
−1
−1.5
−2

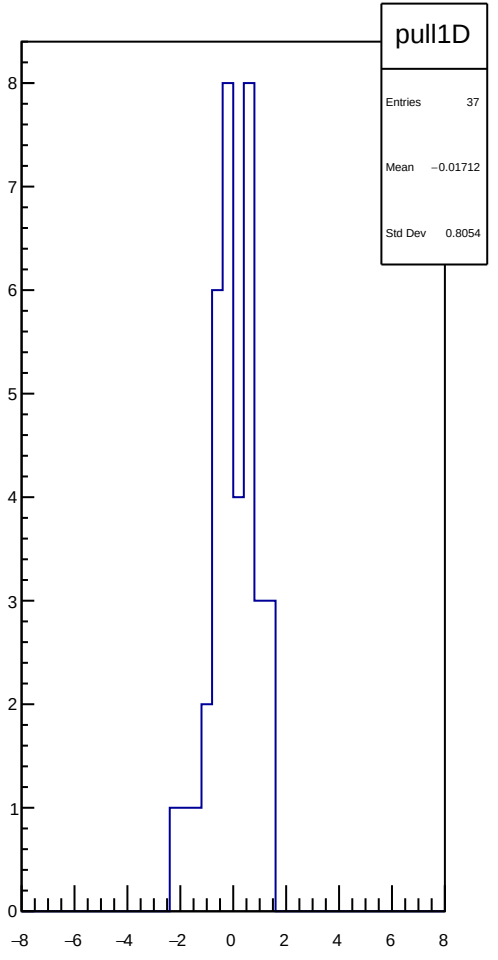
pull1D
Entries 37
Mean −0.01712
Std Dev 0.8054
8
7
6
5
4
3
2
1
0
−8
−6
−4
−2
0
2
4
6
8

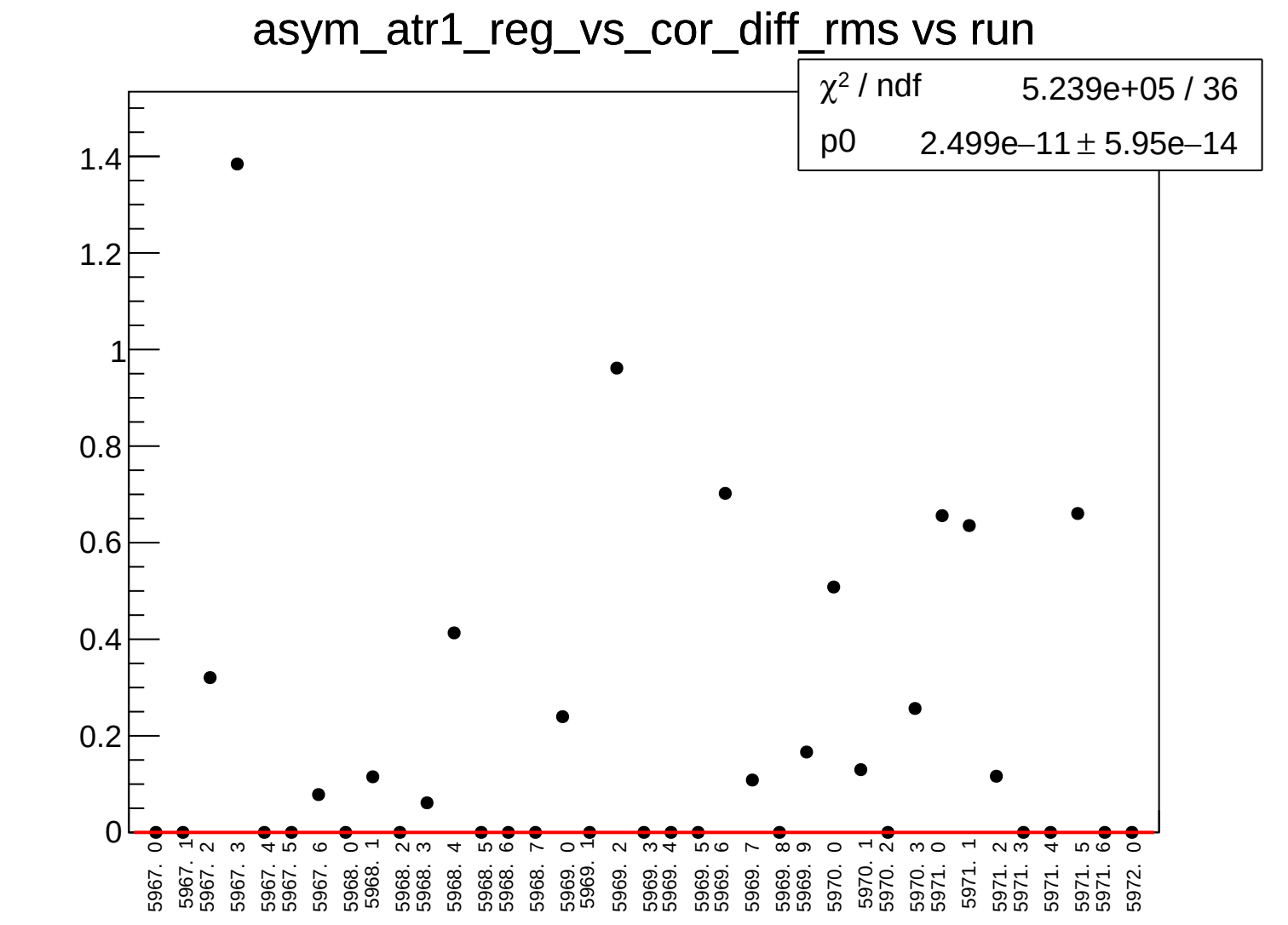
asym_atr1_reg_vs_cor_diff_rms vs run
χ² / ndf 5.239e+05 / 36
p0 2.499e−11 ± 5.95e−14
1.4
1.2
1
0.8
0.6
0.4
0.2
0
5967. 0
5967. 1
5967. 2
5967. 3
5967. 4
5967. 5
5967. 6
5968. 0
5968. 1
5968. 2
5968. 3
5968. 4
5968. 5
5968. 6
5968. 7
5969. 0
5969. 1
5969. 2
5969. 3
5969. 4
5969. 5
5969. 6
5969. 7
5969. 8
5969. 9
5970. 0
5970. 1
5970. 2
5970. 3
5971. 0
5971. 1
5971. 2
5971. 3
5971. 4
5971. 5
5971. 6
5972. 0

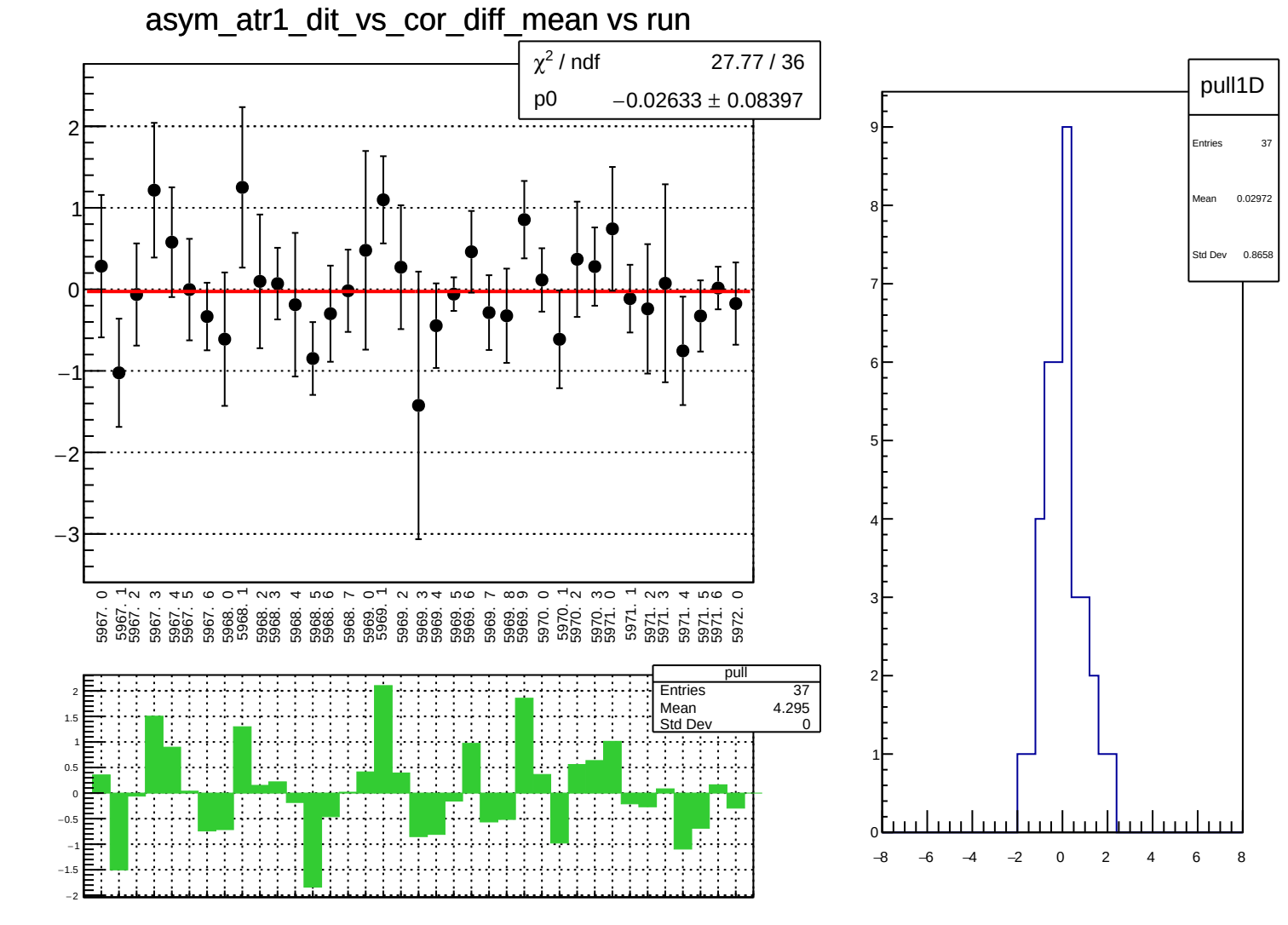
asym_atr1_dit_vs_cor_diff_mean vs run
χ² / ndf 27.77 / 36
p0 −0.02633 ± 0.08397
pull
Entries 37
Mean 4.295
Std Dev 0
pull1D
Entries 37
Mean 0.02972
Std Dev 0.8658

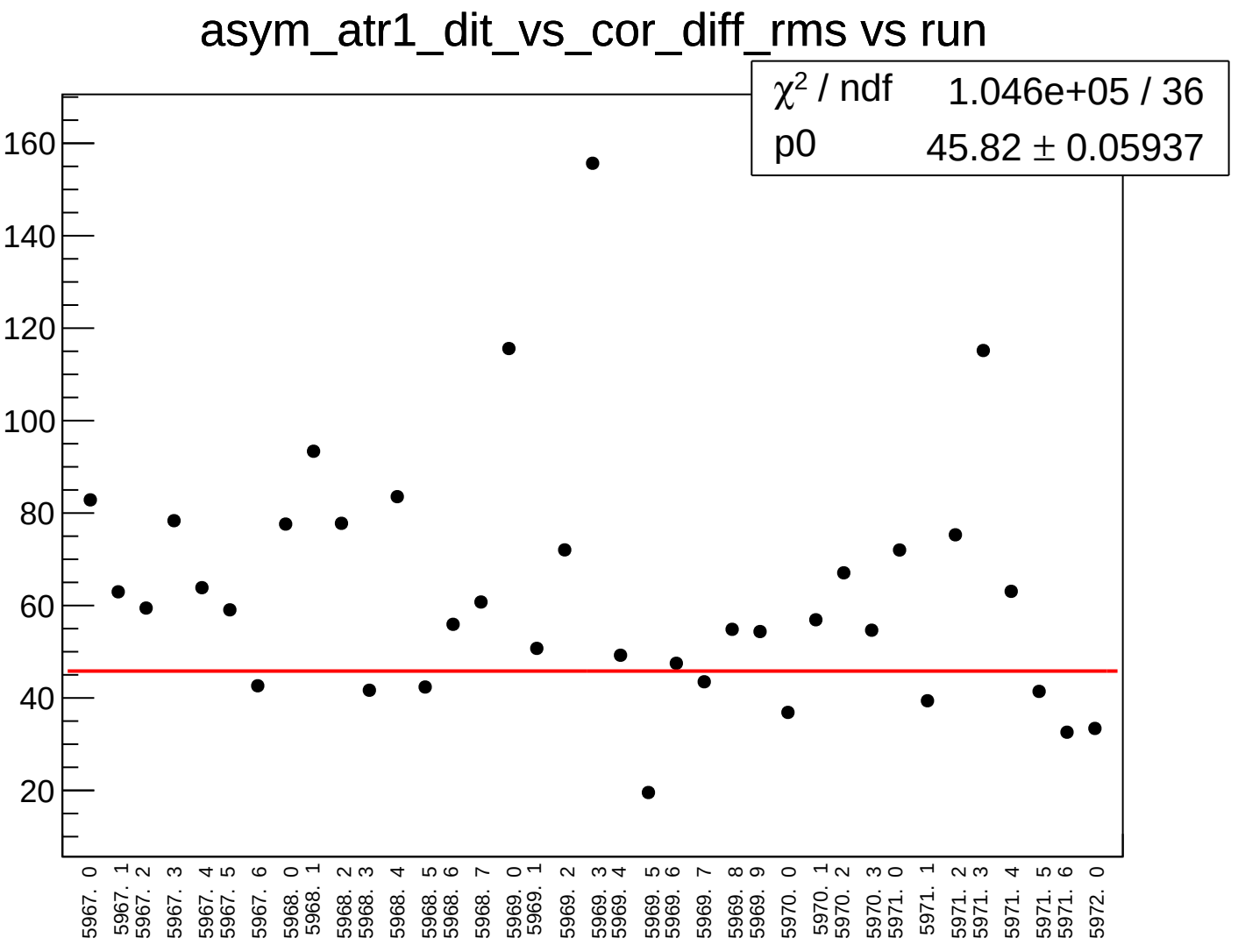
asym_atr1_dit_vs_cor_diff_rms vs run
χ² / ndf 1.046e+05 / 36
p0 45.82 ± 0.05937
160
140
120
100
80
60
40
20
5967. 0
5967. 1
5967. 2
5967. 3
5967. 4
5967. 5
5967. 6
5968. 0
5968. 1
5968. 2
5968. 3
5968. 4
5968. 5
5968. 6
5968. 7
5969. 0
5969. 1
5969. 2
5969. 3
5969. 4
5969. 5
5969. 6
5969. 7
5969. 8
5969. 9
5970. 0
5970. 1
5970. 2
5970. 3
5971. 0
5971. 1
5971. 2
5971. 3
5971. 4
5971. 5
5971. 6
5972. 0

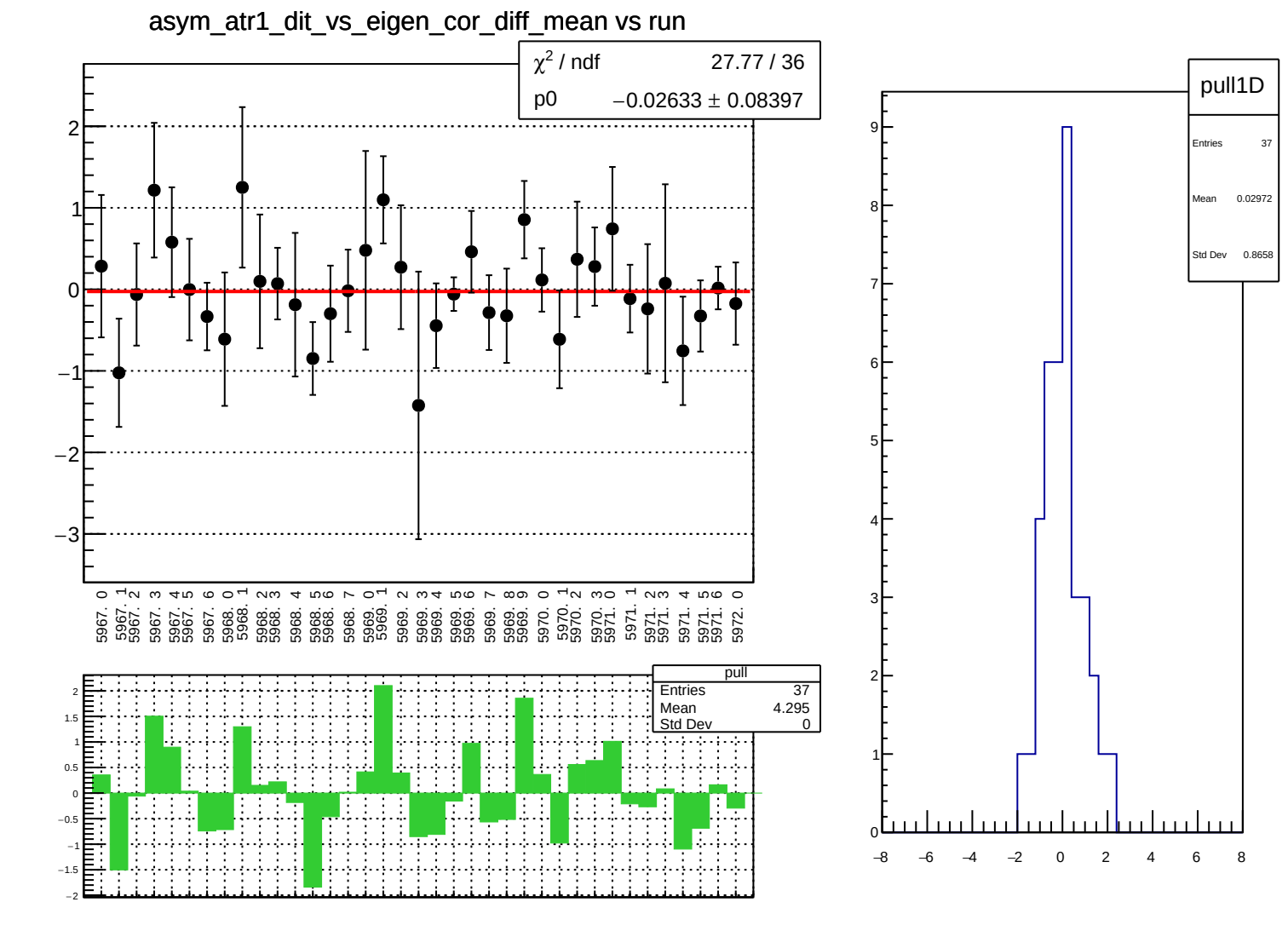
asym_atr1_dit_vs_eigen_cor_diff_mean vs run
χ² / ndf 27.77 / 36
p0 −0.02633 ± 0.08397
pull
Entries 37
Mean 4.295
Std Dev 0
pull1D
Entries 37
Mean 0.02972
Std Dev 0.8658

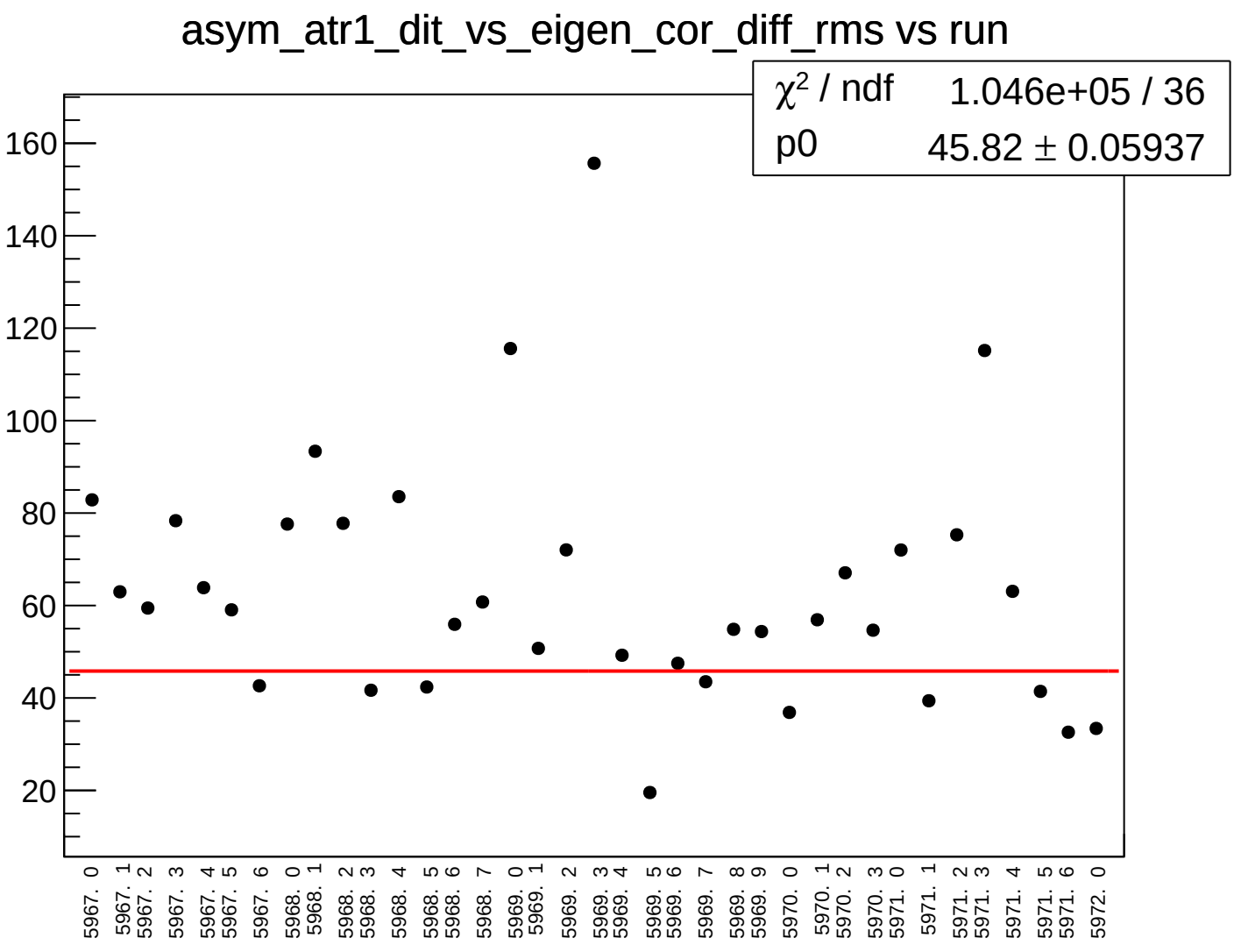
asym_atr1_dit_vs_eigen_cor_diff_rms vs run
χ² / ndf 1.046e+05 / 36
p0 45.82 ± 0.05937
160
140
120
100
80
60
40
20
5967. 0
5967. 1
5967. 2
5967. 3
5967. 4
5967. 5
5967. 6
5968. 0
5968. 1
5968. 2
5968. 3
5968. 4
5968. 5
5968. 6
5968. 7
5969. 0
5969. 1
5969. 2
5969. 3
5969. 4
5969. 5
5969. 6
5969. 7
5969. 8
5969. 9
5970. 0
5970. 1
5970. 2
5970. 3
5971. 0
5971. 1
5971. 2
5971. 3
5971. 4
5971. 5
5971. 6
5972. 0

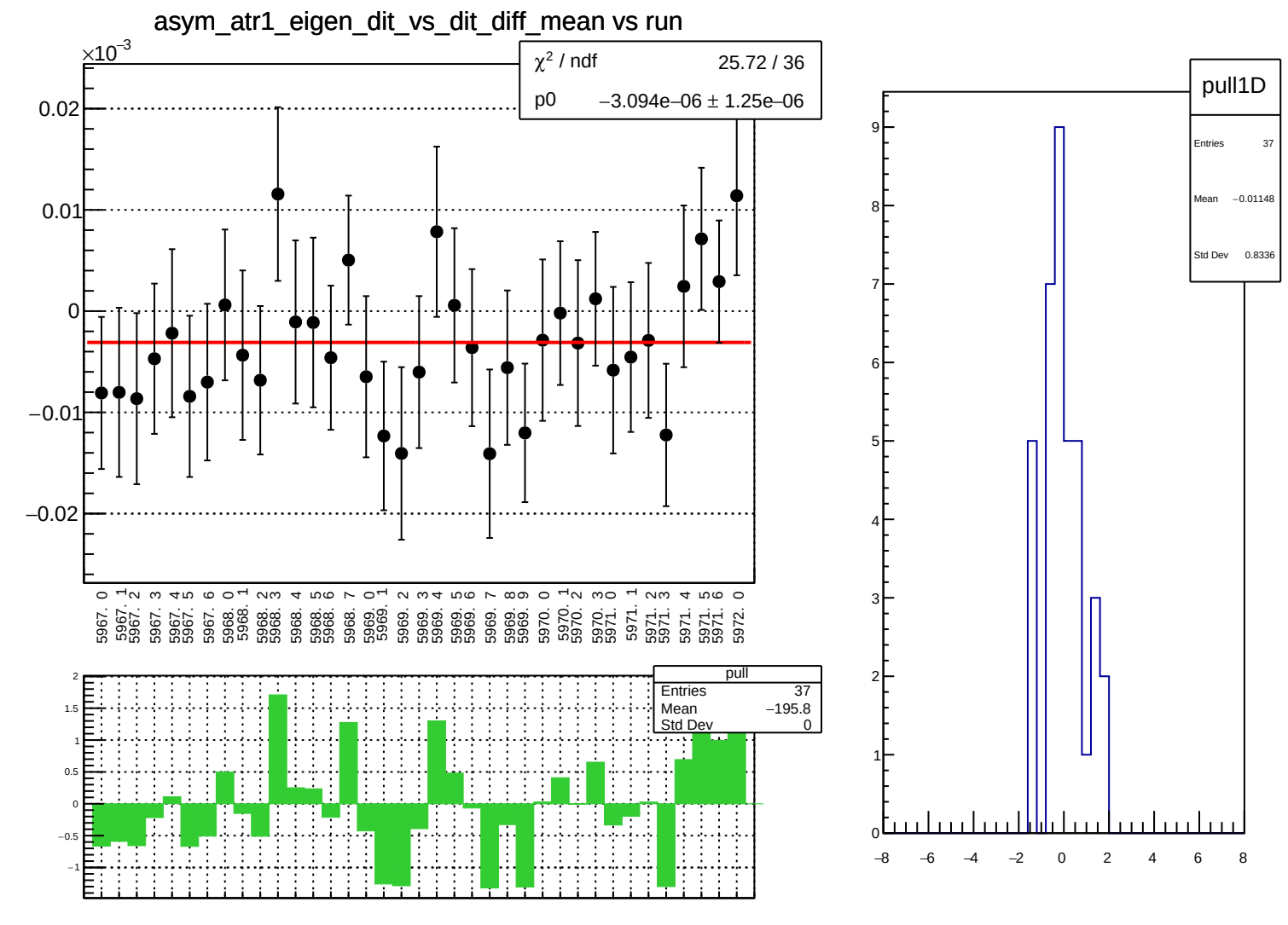
asym_atr1_eigen_dit_vs_dit_diff_mean vs run
×10⁻³
χ² / ndf 25.72 / 36
p0 −3.094e−06 ± 1.25e−06
0.02
0.01
0
−0.01
−0.02
5967. 0
5967. 1
5967. 2
5967. 3
5967. 4
5967. 5
5967. 6
5968. 0
5968. 1
5968. 2
5968. 3
5968. 4
5968. 5
5968. 6
5968. 7
5969. 0
5969. 1
5969. 2
5969. 3
5969. 4
5969. 5
5969. 6
5969. 7
5969. 8
5969. 9
5970. 0
5970. 1
5970. 2
5970. 3
5971. 0
5971. 1
5971. 2
5971. 3
5971. 4
5971. 5
5971. 6
5972. 0
pull
Entries 37
Mean −195.8
Std Dev 0
2
1.5
1
0.5
0
−0.5
−1
pull1D
Entries 37
Mean −0.01148
Std Dev 0.8336
9
8
7
6
5
4
3
2
1
0
−8
−6
−4
−2
0
2
4
6
8

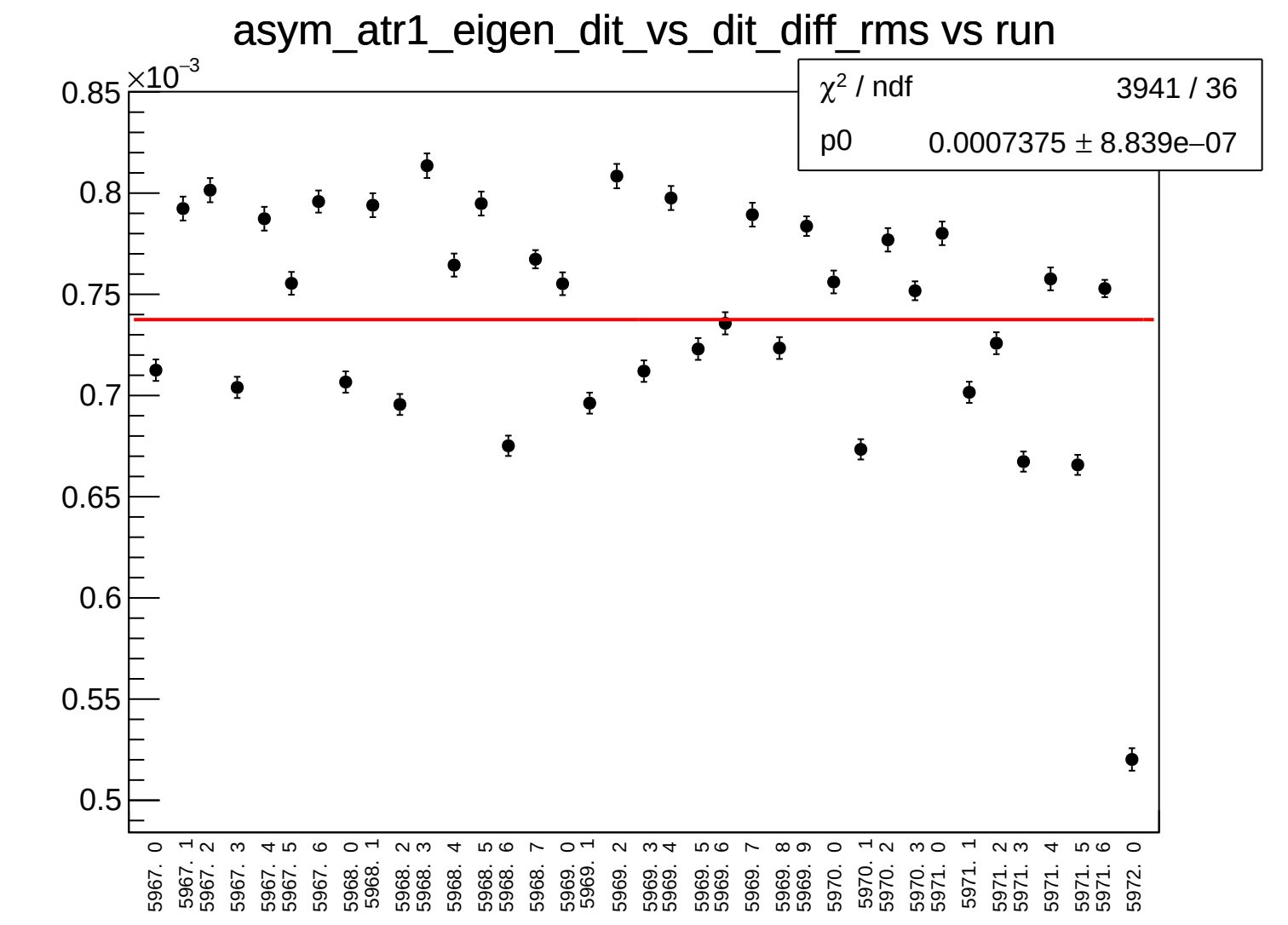
asym_atr1_eigen_dit_vs_dit_diff_rms vs run
×10⁻³
χ² / ndf 3941 / 36
p0 0.0007375 ± 8.839e−07
0.85
0.8
0.75
0.7
0.65
0.6
0.55
0.5
5967. 0
5967. 1
5967. 2
5967. 3
5967. 4
5967. 5
5967. 6
5968. 0
5968. 1
5968. 2
5968. 3
5968. 4
5968. 5
5968. 6
5968. 7
5969. 0
5969. 1
5969. 2
5969. 3
5969. 4
5969. 5
5969. 6
5969. 7
5969. 8
5969. 9
5970. 0
5970. 1
5970. 2
5970. 3
5971. 0
5971. 1
5971. 2
5971. 3
5971. 4
5971. 5
5971. 6
5972. 0

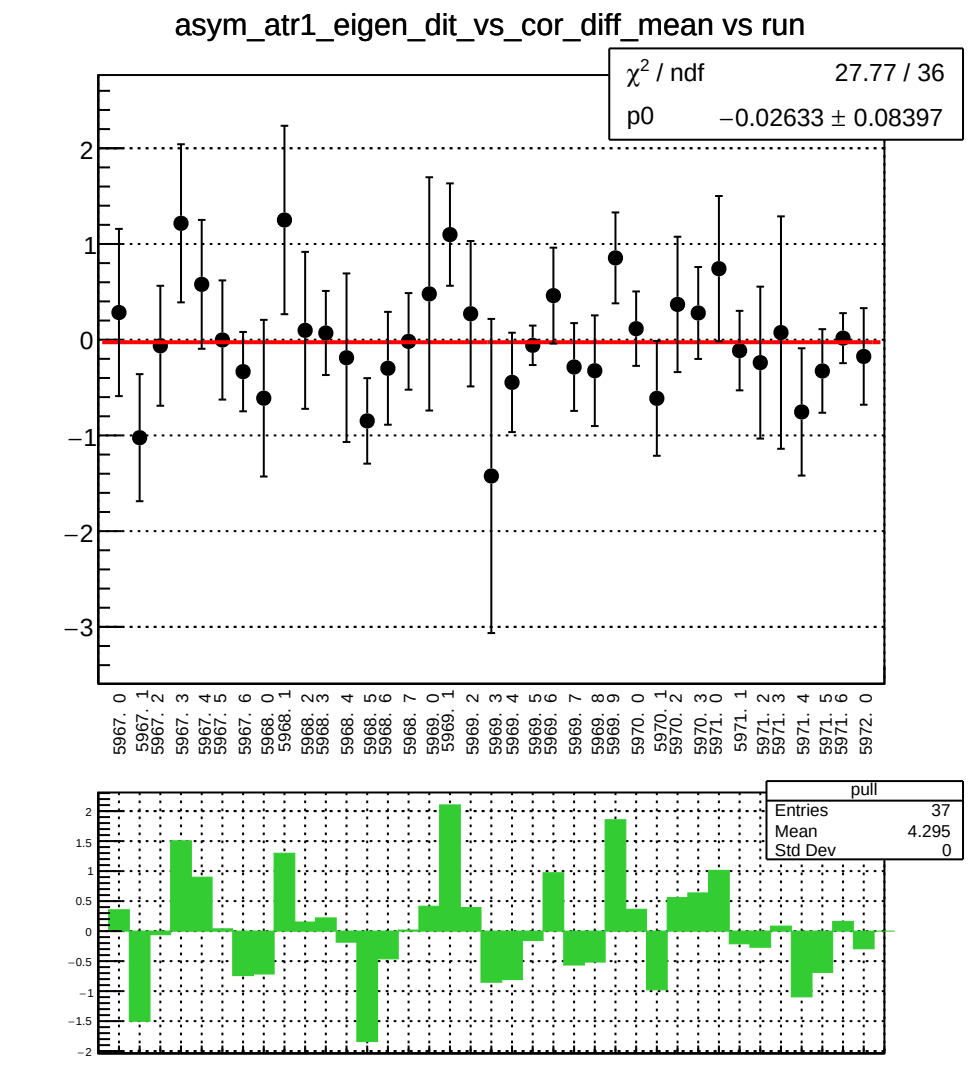
asym_atr1_eigen_dit_vs_cor_diff_mean vs run
χ² / ndf 27.77 / 36
p0 −0.02633 ± 0.08397
pull
Entries 37
Mean 4.295
Std Dev 0

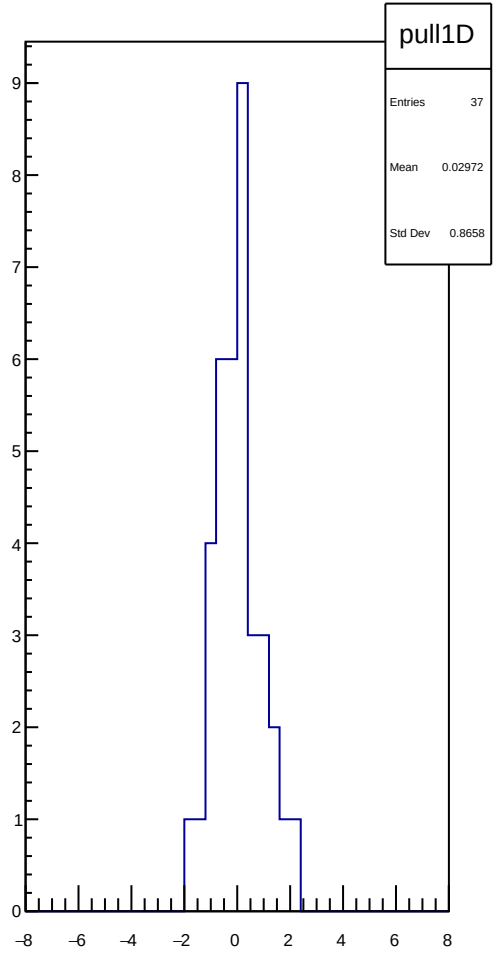
pull1D
Entries 37
Mean 0.02972
Std Dev 0.8658

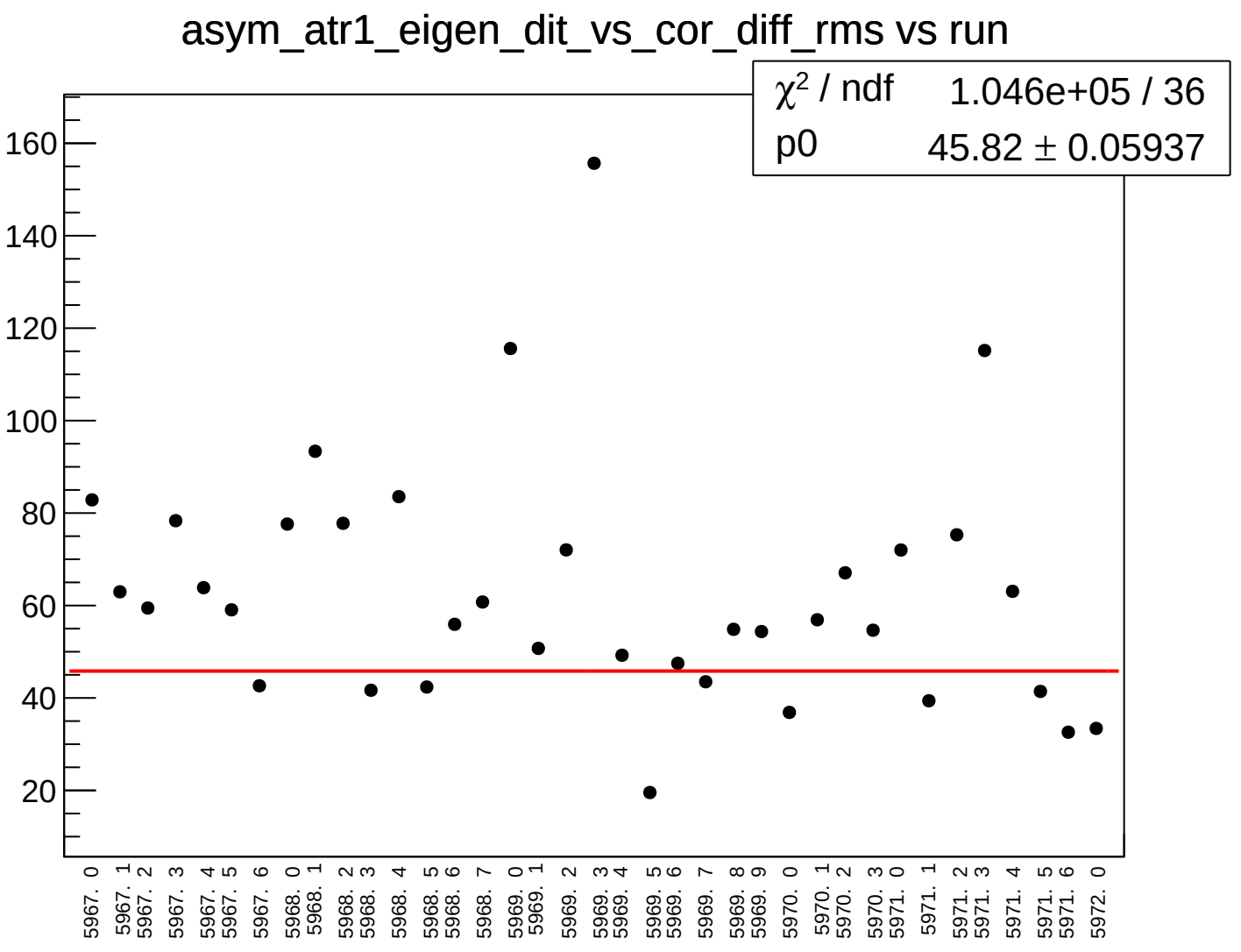
asym_atr1_eigen_dit_vs_cor_diff_rms vs run
χ² / ndf 1.046e+05 / 36
p0 45.82 ± 0.05937
160
140
120
100
80
60
40
20
5967. 0
5967. 1
5967. 2
5967. 3
5967. 4
5967. 5
5967. 6
5968. 0
5968. 1
5968. 2
5968. 3
5968. 4
5968. 5
5968. 6
5968. 7
5969. 0
5969. 1
5969. 2
5969. 3
5969. 4
5969. 5
5969. 6
5969. 7
5969. 8
5969. 9
5970. 0
5970. 1
5970. 2
5970. 3
5971. 0
5971. 1
5971. 2
5971. 3
5971. 4
5971. 5
5971. 6
5972. 0

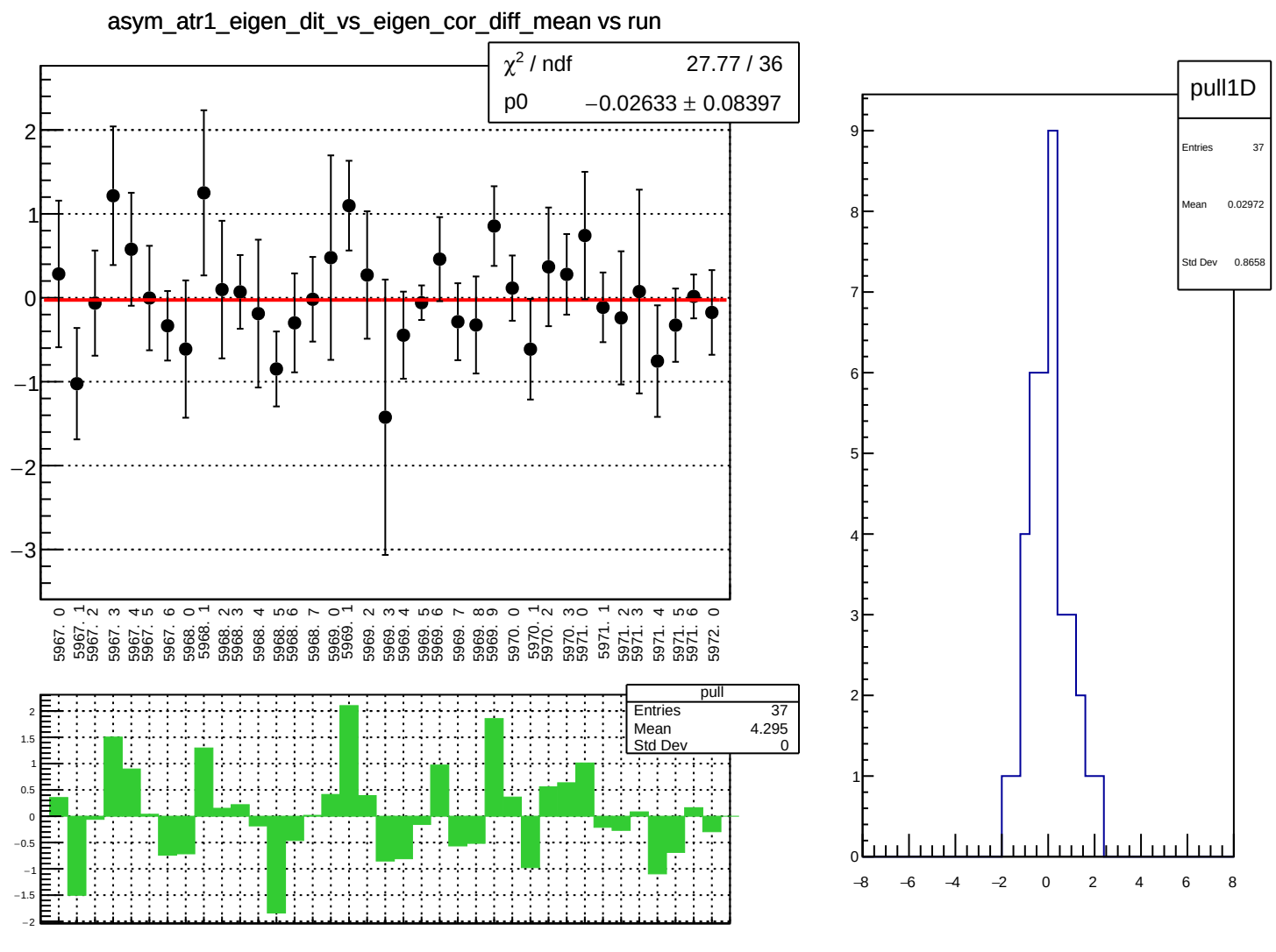
asym_atr1_eigen_dit_vs_eigen_cor_diff_mean vs run
χ² / ndf 27.77 / 36
p0 −0.02633 ± 0.08397
pull
Entries 37
Mean 4.295
Std Dev 0
pull1D
Entries 37
Mean 0.02972
Std Dev 0.8658

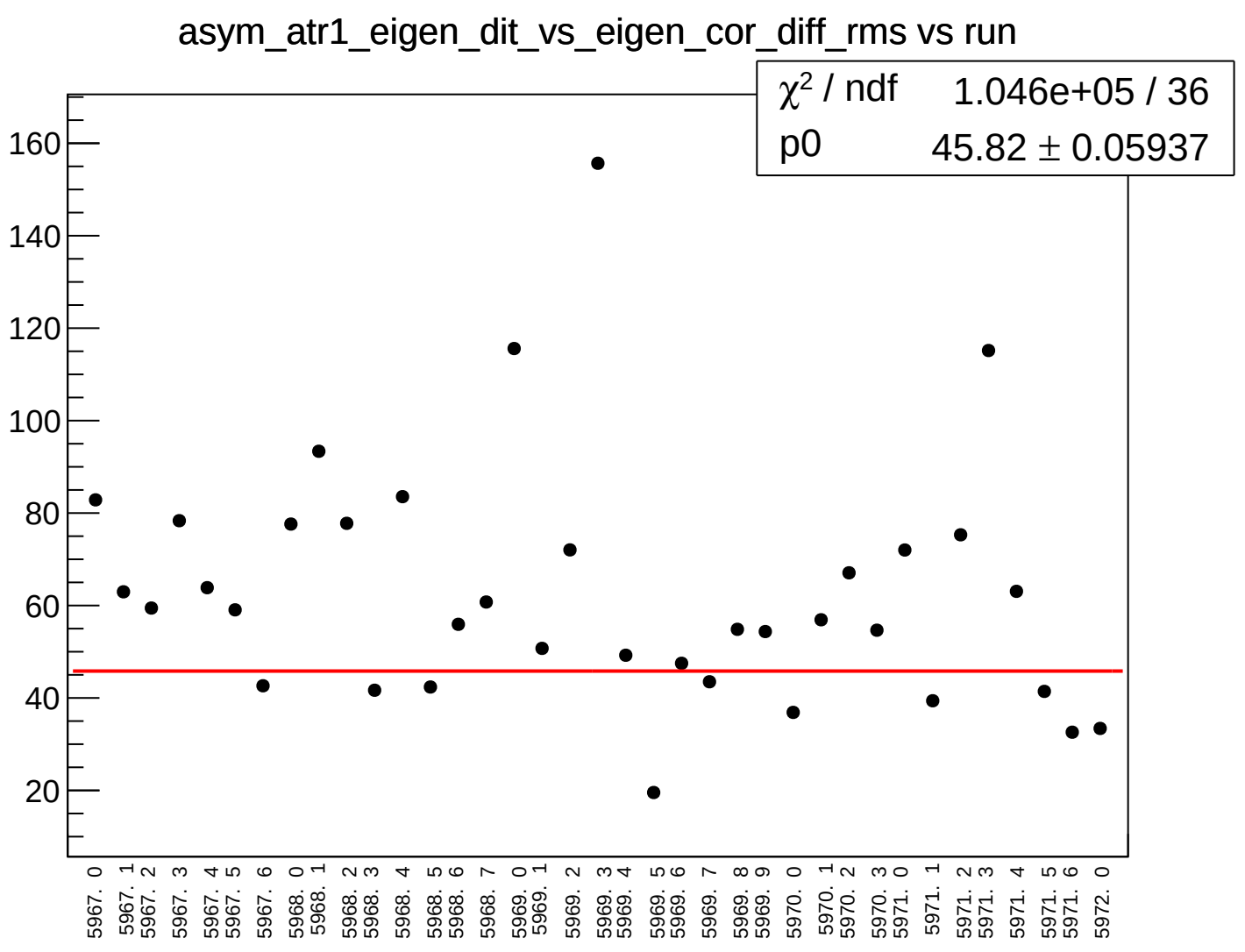
asym_atr1_eigen_dit_vs_eigen_cor_diff_rms vs run
χ² / ndf 1.046e+05 / 36
p0 45.82 ± 0.05937
160
140
120
100
80
60
40
20
5967. 0
5967. 1
5967. 2
5967. 3
5967. 4
5967. 5
5967. 6
5968. 0
5968. 1
5968. 2
5968. 3
5968. 4
5968. 5
5968. 6
5968. 7
5969. 0
5969. 1
5969. 2
5969. 3
5969. 4
5969. 5
5969. 6
5969. 7
5969. 8
5969. 9
5970. 0
5970. 1
5970. 2
5970. 3
5971. 0
5971. 1
5971. 2
5971. 3
5971. 4
5971. 5
5971. 6
5972. 0

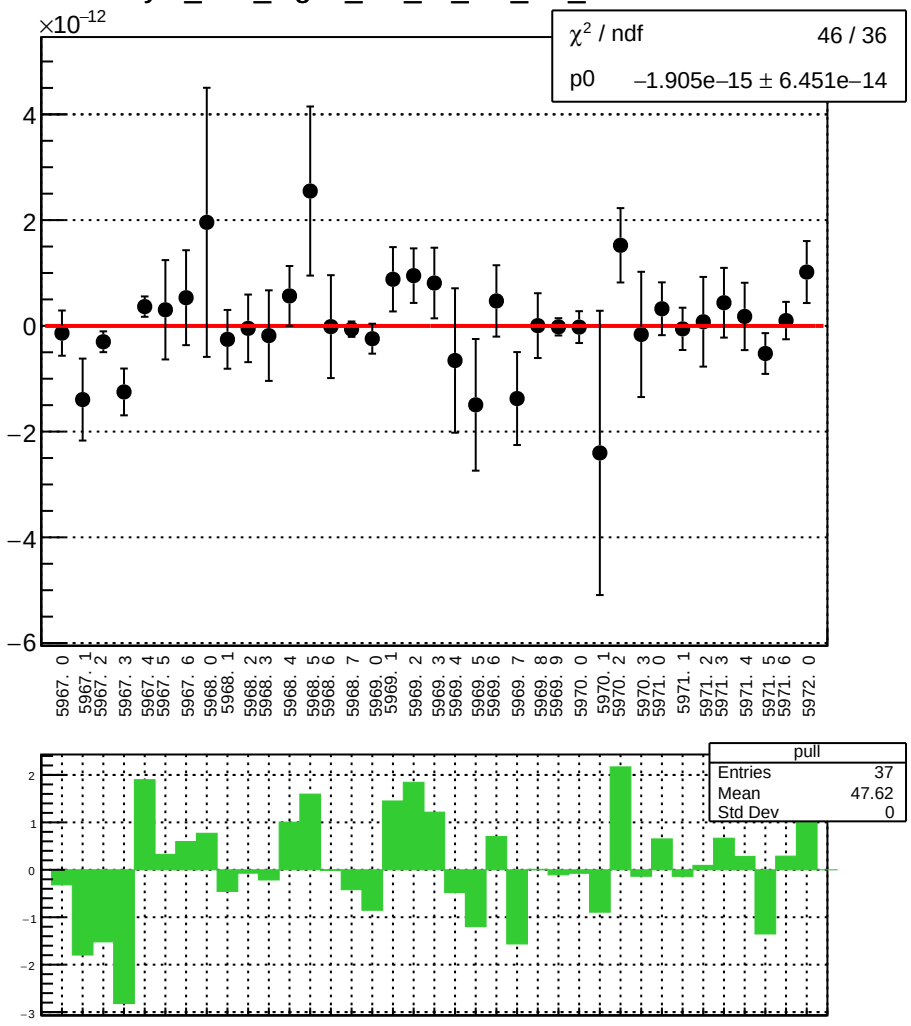
asym_atr1_eigen_cor_vs_cor_diff_mean vs run
×10⁻¹²
χ² / ndf 46 / 36
p0 −1.905e−15 ± 6.451e−14
pull
Entries 37
Mean 47.62
Std Dev 0

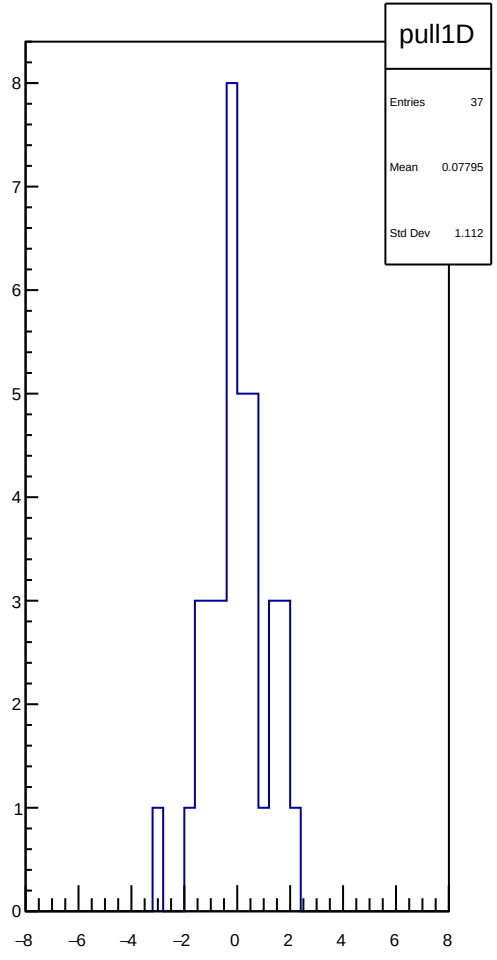
pull1D
Entries 37
Mean 0.07795
Std Dev 1.112

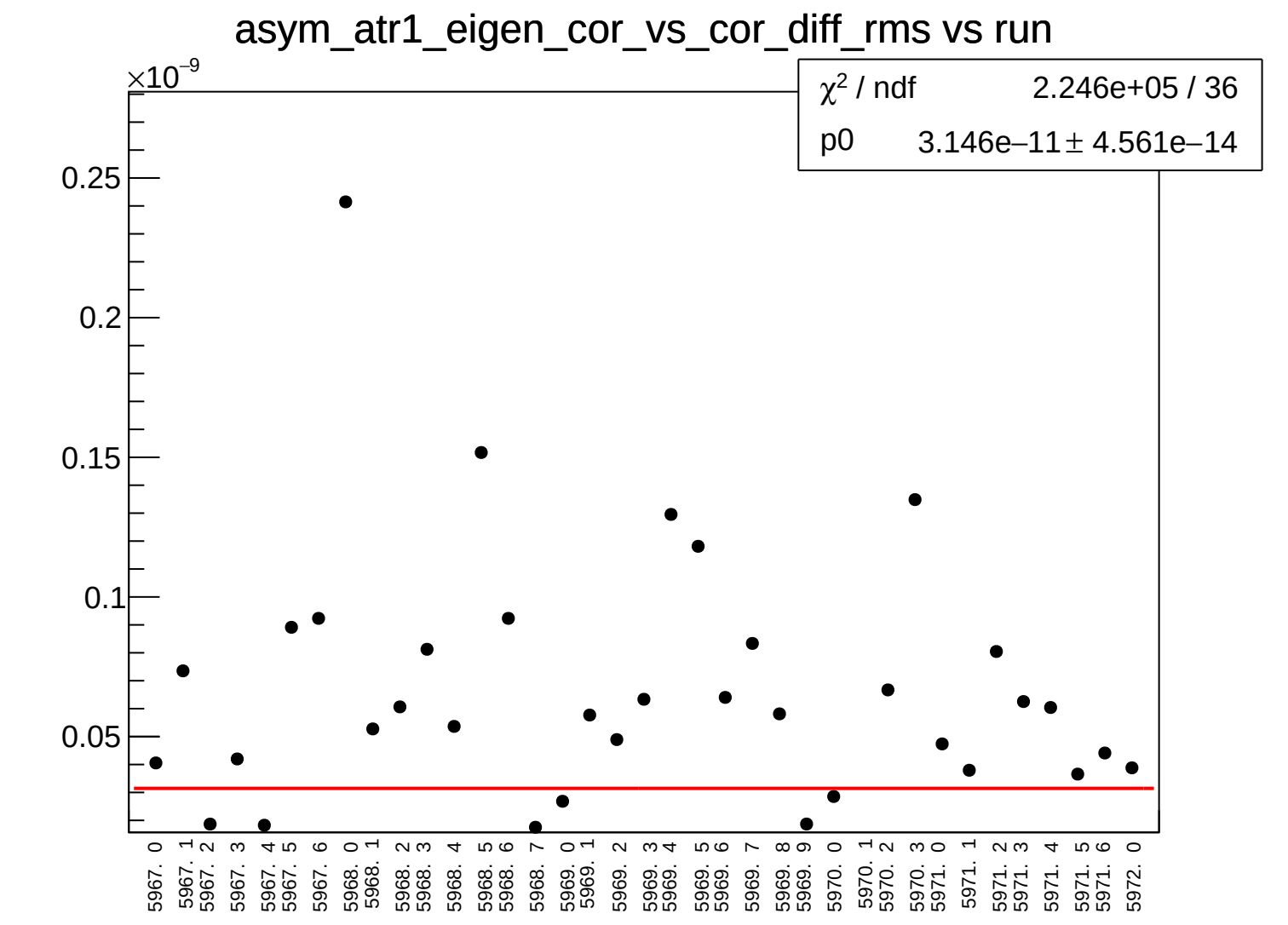
asym_atr1_eigen_cor_vs_cor_diff_rms vs run
×10⁻⁹
χ² / ndf 2.246e+05 / 36
p0 3.146e−11 ± 4.561e−14
0.25
0.2
0.15
0.1
0.05
5967. 0
5967. 1
5967. 2
5967. 3
5967. 4
5967. 5
5967. 6
5968. 0
5968. 1
5968. 2
5968. 3
5968. 4
5968. 5
5968. 6
5968. 7
5969. 0
5969. 1
5969. 2
5969. 3
5969. 4
5969. 5
5969. 6
5969. 7
5969. 8
5969. 9
5970. 0
5970. 1
5970. 2
5970. 3
5971. 0
5971. 1
5971. 2
5971. 3
5971. 4
5971. 5
5971. 6
5972. 0

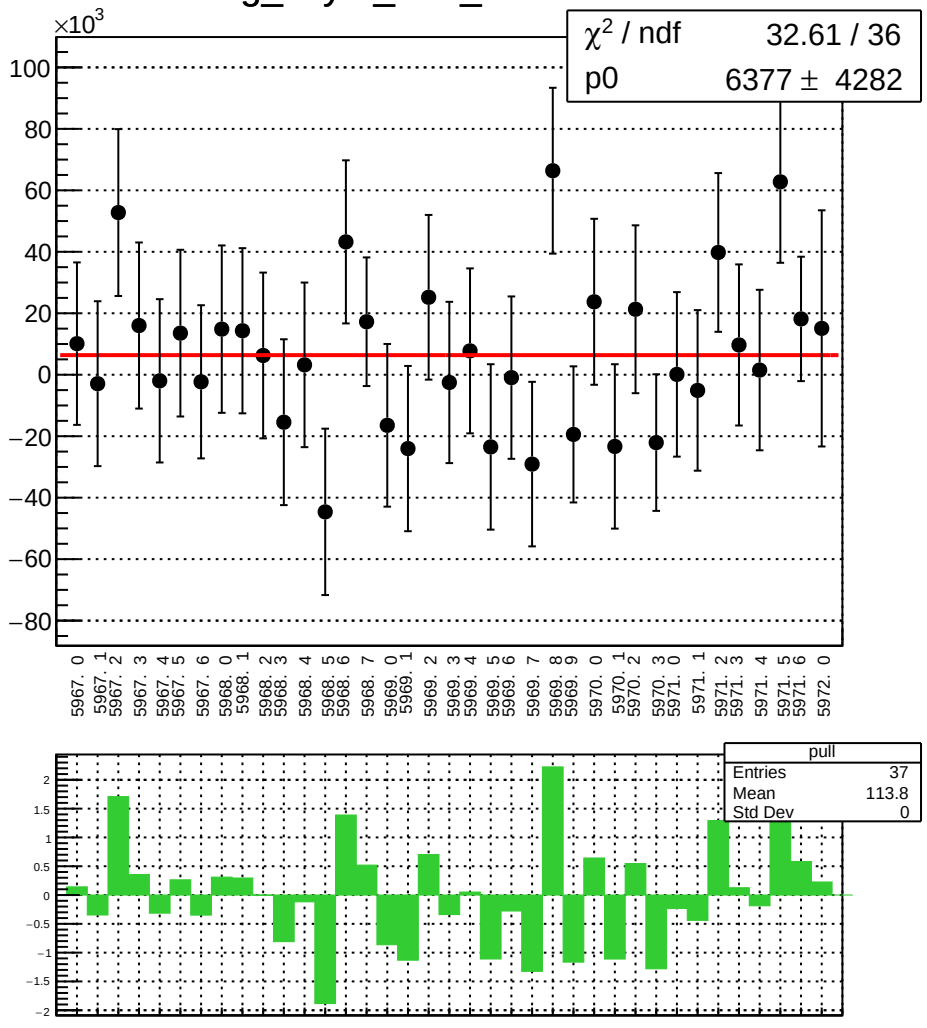
reg_asym_atr2_mean vs run
×10^3
χ^2 / ndf 32.61 / 36
p0 6377 ± 4282
pull
Entries 37
Mean 113.8
Std Dev 0

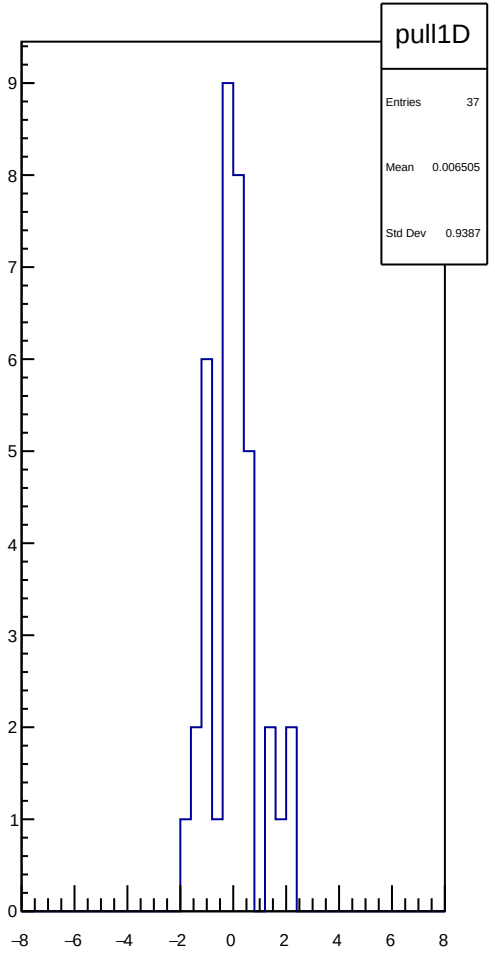
pull1D
Entries 37
Mean 0.006505
Std Dev 0.9387

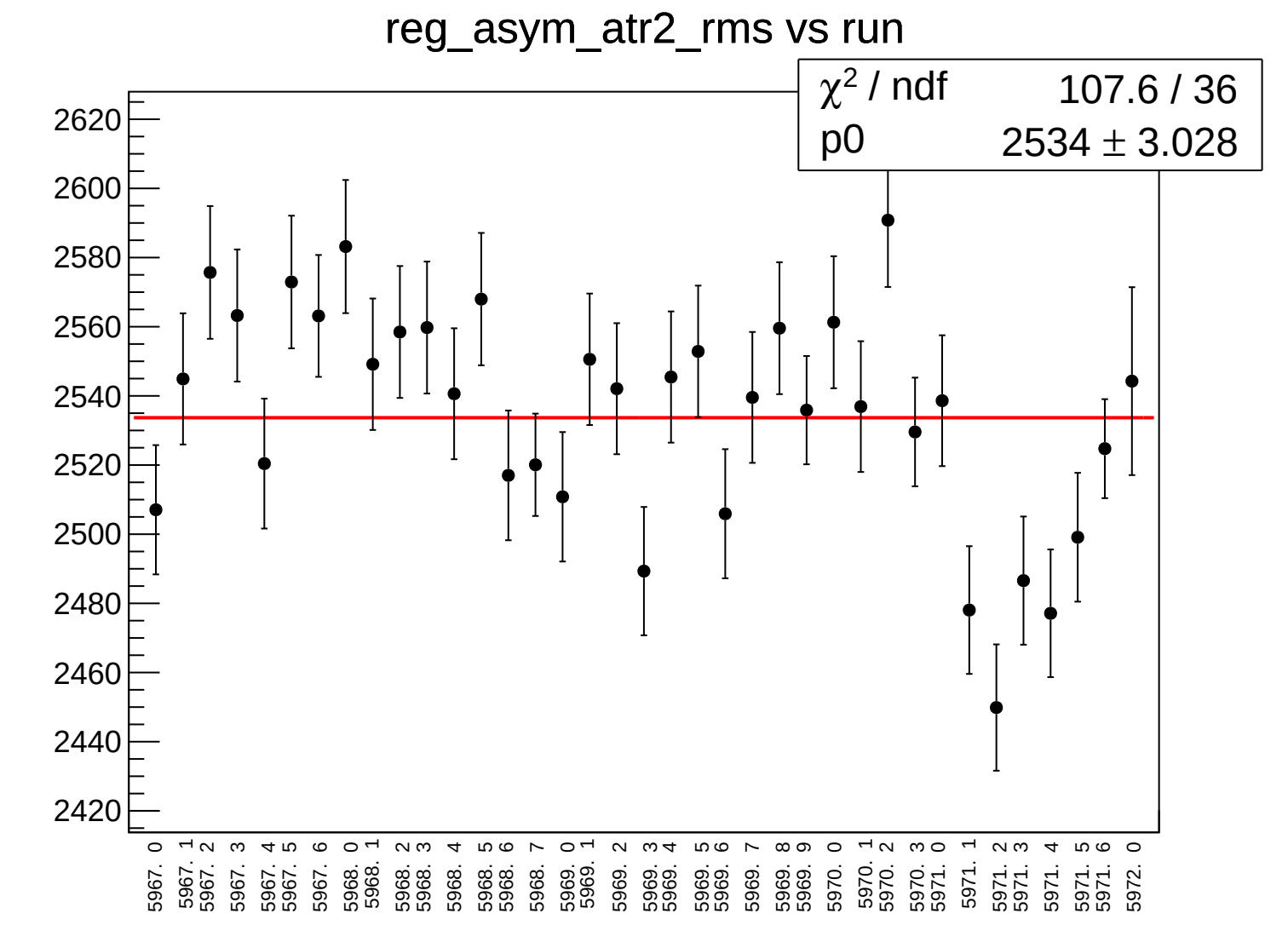
reg_asym_atr2_rms vs run
χ^2 / ndf 107.6 / 36
p0 2534 ± 3.028
2620
2600
2580
2560
2540
2520
2500
2480
2460
2440
2420
5967. 0
5967. 1
5967. 2
5967. 3
5967. 4
5967. 5
5967. 6
5968. 0
5968. 1
5968. 2
5968. 3
5968. 4
5968. 5
5968. 6
5968. 7
5969. 0
5969. 1
5969. 2
5969. 3
5969. 4
5969. 5
5969. 6
5969. 7
5969. 8
5969. 9
5970. 0
5970. 1
5970. 2
5970. 3
5971. 0
5971. 1
5971. 2
5971. 3
5971. 4
5971. 5
5971. 6
5972. 0

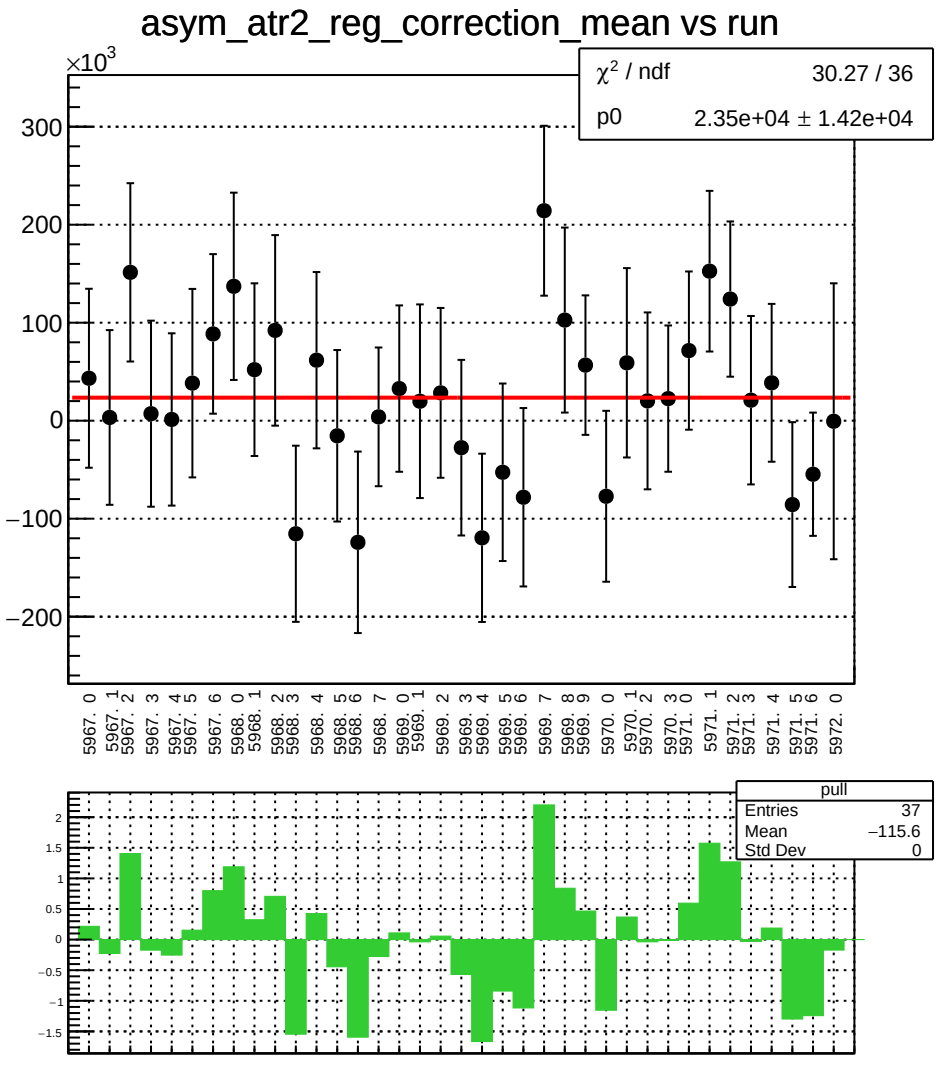
asym_atr2_reg_correction_mean vs run
×10^3
χ² / ndf 30.27 / 36
p0 2.35e+04 ± 1.42e+04
300
200
100
0
−100
−200
5967. 0
5967. 1
5967. 2
5967. 3
5967. 4
5967. 5
5967. 6
5968. 0
5968. 1
5968. 2
5968. 3
5968. 4
5968. 5
5968. 6
5968. 7
5969. 0
5969. 1
5969. 2
5969. 3
5969. 4
5969. 5
5969. 6
5969. 7
5969. 8
5969. 9
5970. 0
5970. 1
5970. 2
5970. 3
5971. 0
5971. 1
5971. 2
5971. 3
5971. 4
5971. 5
5971. 6
5972. 0
pull
Entries 37
Mean −115.6
Std Dev 0
2
1.5
1
0.5
0
−0.5
−1
−1.5
pull1D
Entries 37
Mean 0.005434
Std Dev 0.9045
9
8
7
6
5
4
3
2
1
0
−8
−6
−4
−2
0
2
4
6
8

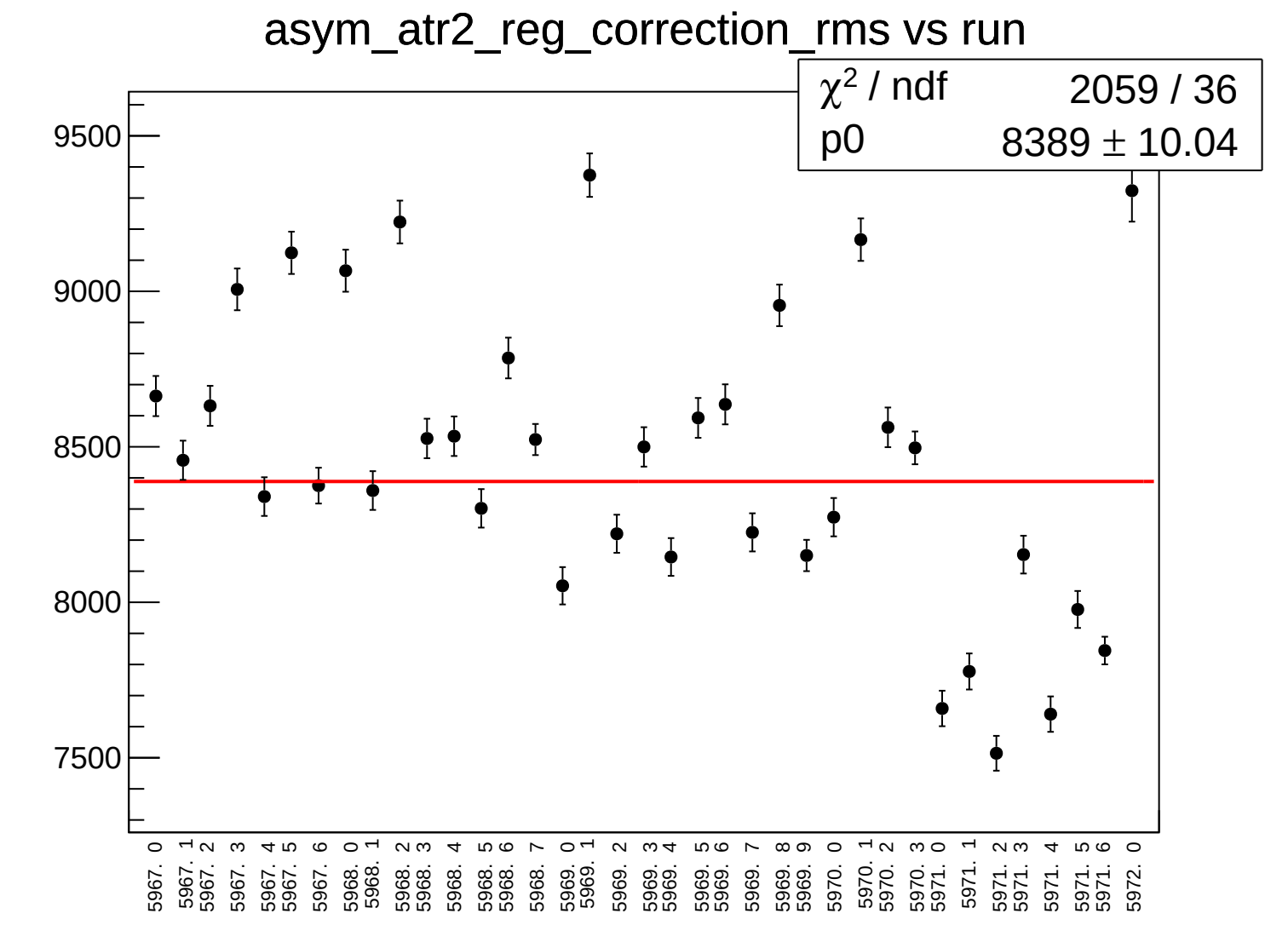
asym_atr2_reg_correction_rms vs run
χ² / ndf 2059 / 36
p0 8389 ± 10.04
9500
9000
8500
8000
7500
5967. 0
5967. 1
5967. 2
5967. 3
5967. 4
5967. 5
5967. 6
5968. 0
5968. 1
5968. 2
5968. 3
5968. 4
5968. 5
5968. 6
5968. 7
5969. 0
5969. 1
5969. 2
5969. 3
5969. 4
5969. 5
5969. 6
5969. 7
5969. 8
5969. 9
5970. 0
5970. 1
5970. 2
5970. 3
5971. 0
5971. 1
5971. 2
5971. 3
5971. 4
5971. 5
5971. 6
5972. 0

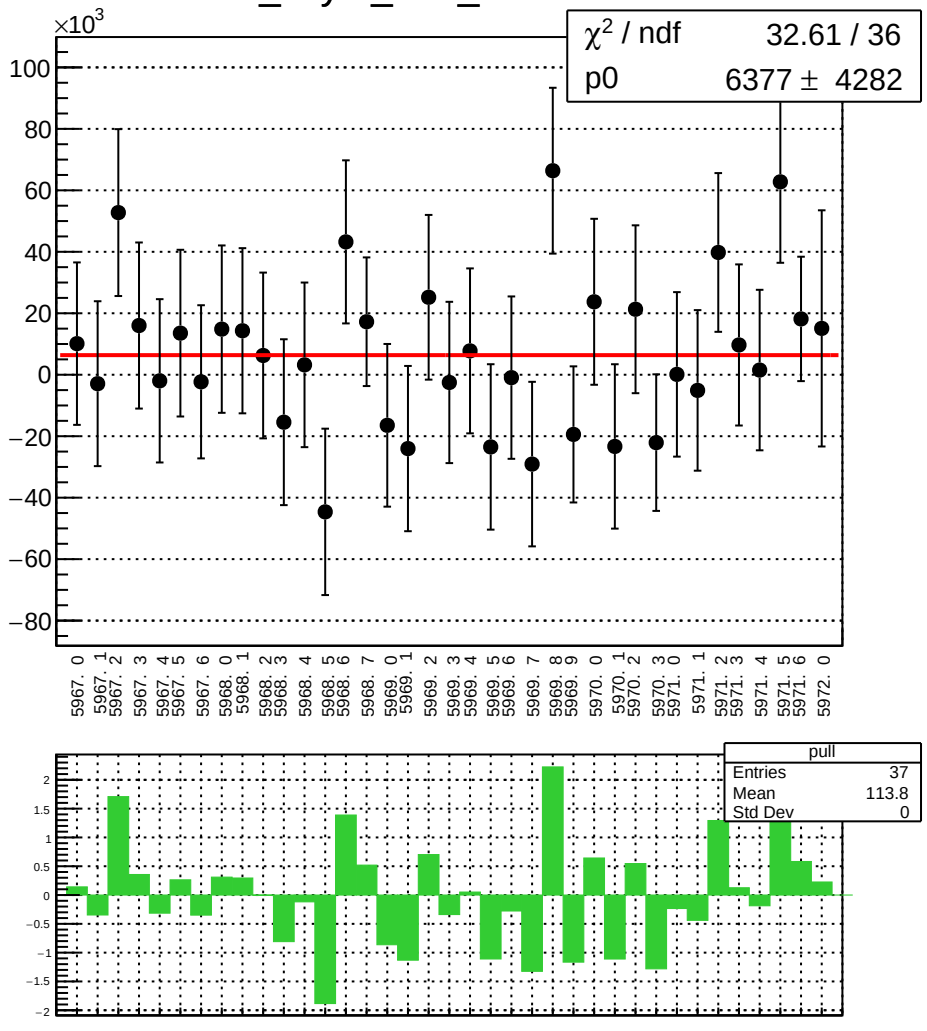
cor_asym_atr2_mean vs run
×10^3
χ² / ndf 32.61 / 36
p0 6377 ± 4282
pull
Entries 37
Mean 113.8
Std Dev 0

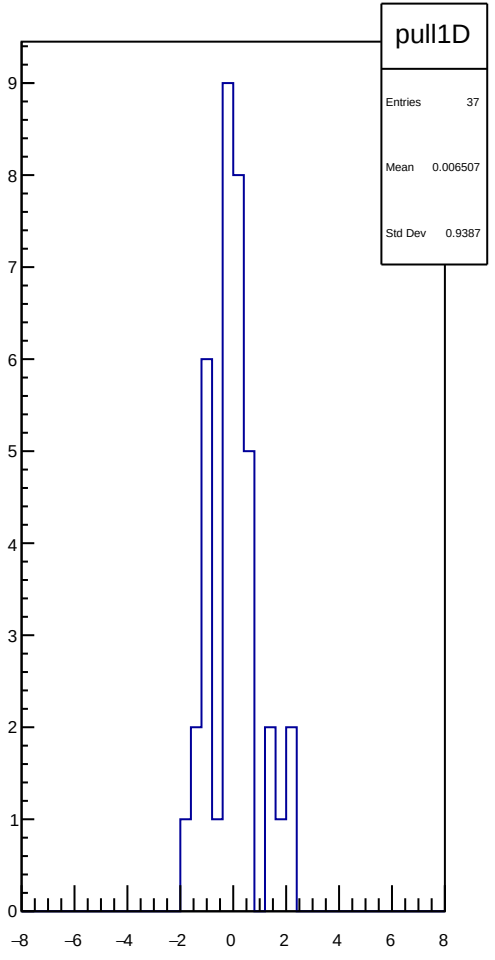
pull1D
Entries 37
Mean 0.006507
Std Dev 0.9387

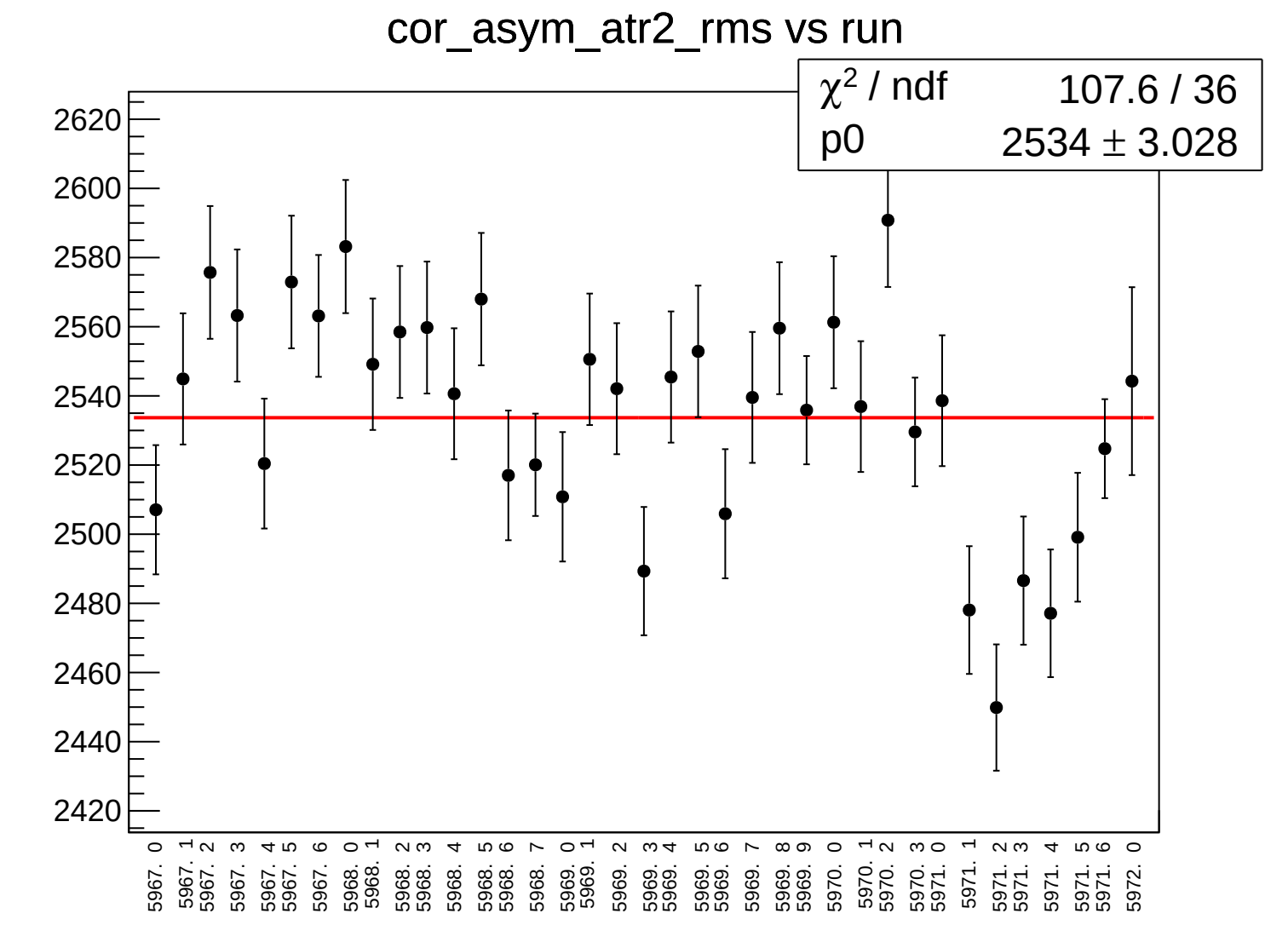
cor_asym_atr2_rms vs run
χ^2 / ndf 107.6 / 36
p0 2534 ± 3.028
2620
2600
2580
2560
2540
2520
2500
2480
2460
2440
2420
5967. 0
5967. 1
5967. 2
5967. 3
5967. 4
5967. 5
5967. 6
5968. 0
5968. 1
5968. 2
5968. 3
5968. 4
5968. 5
5968. 6
5968. 7
5969. 0
5969. 1
5969. 2
5969. 3
5969. 4
5969. 5
5969. 6
5969. 7
5969. 8
5969. 9
5970. 0
5970. 1
5970. 2
5970. 3
5971. 0
5971. 1
5971. 2
5971. 3
5971. 4
5971. 5
5971. 6
5972. 0

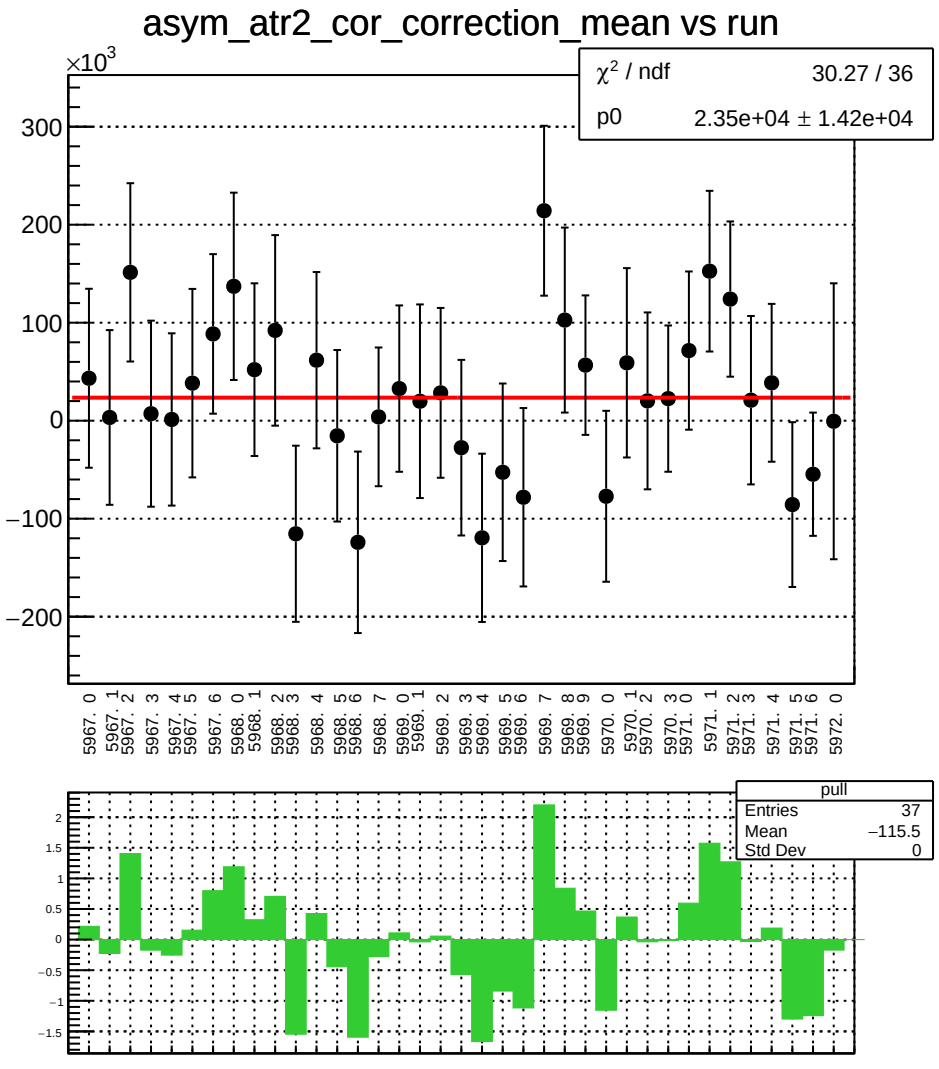
asym_atr2_cor_correction_mean vs run
×10^3
χ² / ndf 30.27 / 36
p0 2.35e+04 ± 1.42e+04
300
200
100
0
−100
−200
5967. 0
5967. 1
5967. 2
5967. 3
5967. 4
5967. 5
5967. 6
5968. 0
5968. 1
5968. 2
5968. 3
5968. 4
5968. 5
5968. 6
5968. 7
5969. 0
5969. 1
5969. 2
5969. 3
5969. 4
5969. 5
5969. 6
5969. 7
5969. 8
5969. 9
5970. 0
5970. 1
5970. 2
5970. 3
5971. 0
5971. 1
5971. 2
5971. 3
5971. 4
5971. 5
5971. 6
5972. 0
pull
Entries 37
Mean −115.5
Std Dev 0
2
1.5
1
0.5
0
−0.5
−1
−1.5
pull1D
Entries 37
Mean 0.005437
Std Dev 0.9045
9
8
7
6
5
4
3
2
1
0
−8
−6
−4
−2
0
2
4
6
8

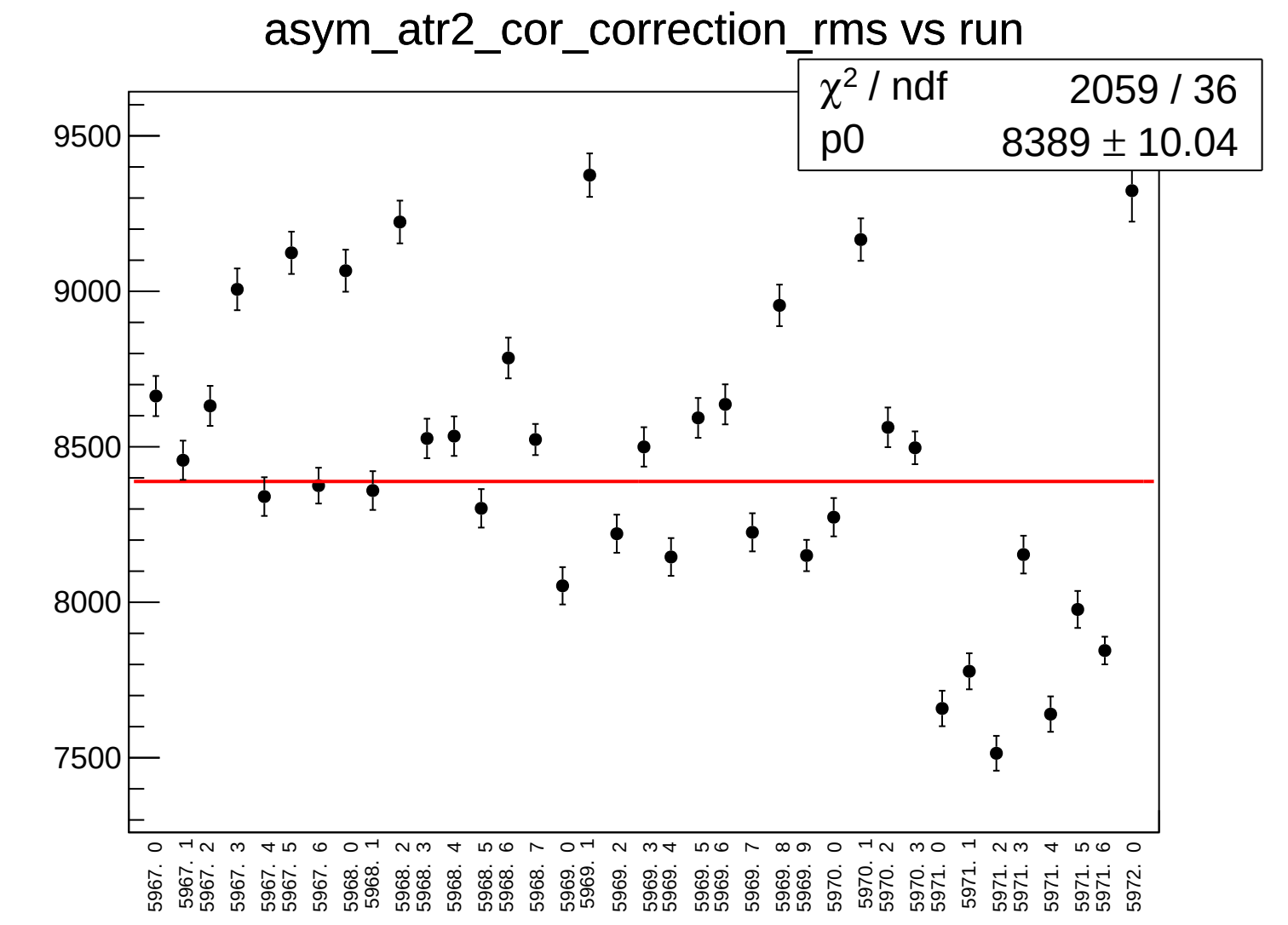
asym_atr2_cor_correction_rms vs run
χ² / ndf 2059 / 36
p0 8389 ± 10.04
9500
9000
8500
8000
7500
5967. 0
5967. 1
5967. 2
5967. 3
5967. 4
5967. 5
5967. 6
5968. 0
5968. 1
5968. 2
5968. 3
5968. 4
5968. 5
5968. 6
5968. 7
5969. 0
5969. 1
5969. 2
5969. 3
5969. 4
5969. 5
5969. 6
5969. 7
5969. 8
5969. 9
5970. 0
5970. 1
5970. 2
5970. 3
5971. 0
5971. 1
5971. 2
5971. 3
5971. 4
5971. 5
5971. 6
5972. 0

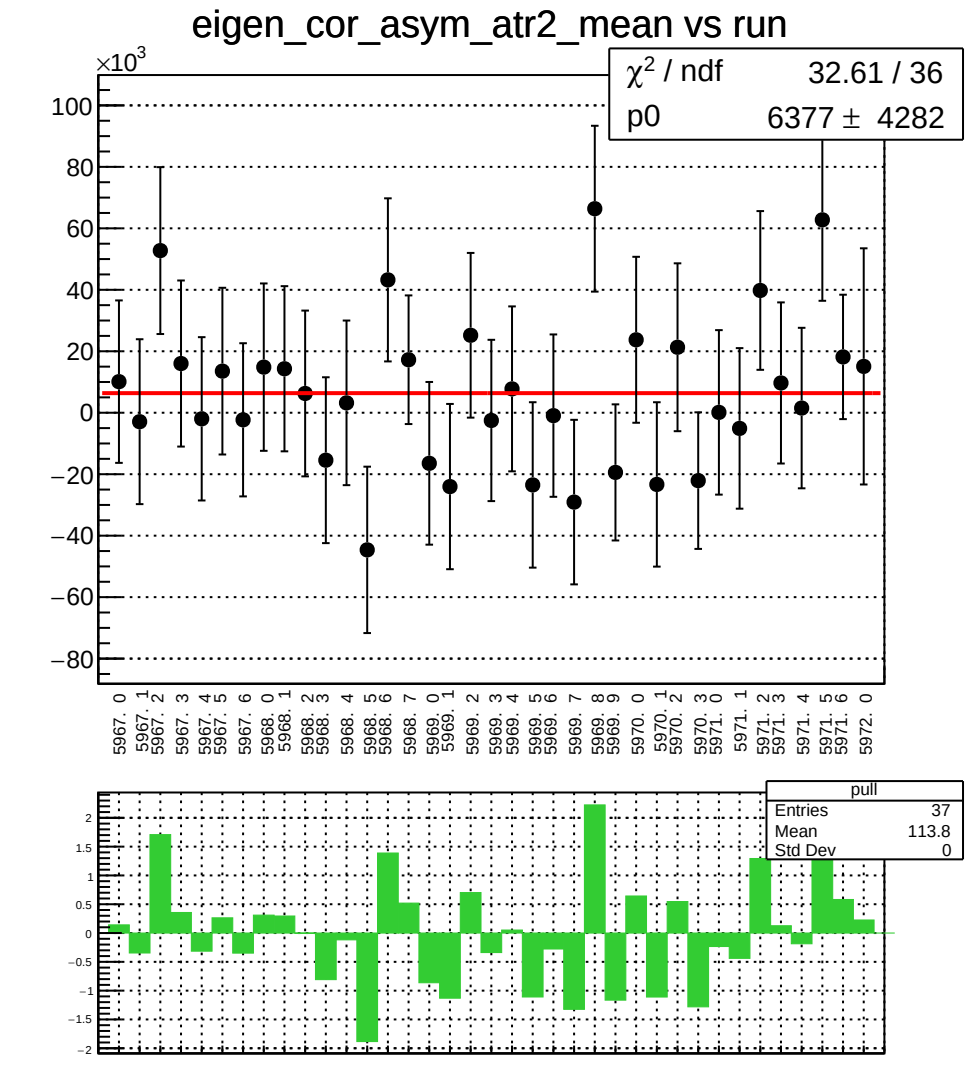
eigen_cor_asym_atr2_mean vs run
×10^3
χ^2 / ndf 32.61 / 36
p0 6377 ± 4282
100
80
60
40
20
0
−20
−40
−60
−80
5967. 0
5967. 1
5967. 2
5967. 3
5967. 4
5967. 5
5967. 6
5968. 0
5968. 1
5968. 2
5968. 3
5968. 4
5968. 5
5968. 6
5968. 7
5969. 0
5969. 1
5969. 2
5969. 3
5969. 4
5969. 5
5969. 6
5969. 7
5969. 8
5969. 9
5970. 0
5970. 1
5970. 2
5970. 3
5971. 0
5971. 1
5971. 2
5971. 3
5971. 4
5971. 5
5971. 6
5972. 0
pull
Entries 37
Mean 113.8
Std Dev 0
2
1.5
1
0.5
0
−0.5
−1
−1.5
−2

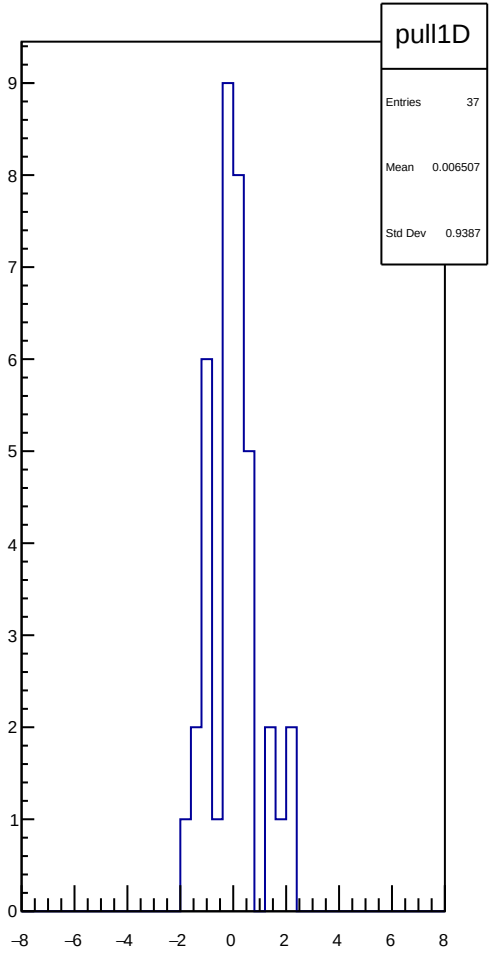
pull1D
Entries 37
Mean 0.006507
Std Dev 0.9387
9
8
7
6
5
4
3
2
1
0
−8
−6
−4
−2
0
2
4
6
8

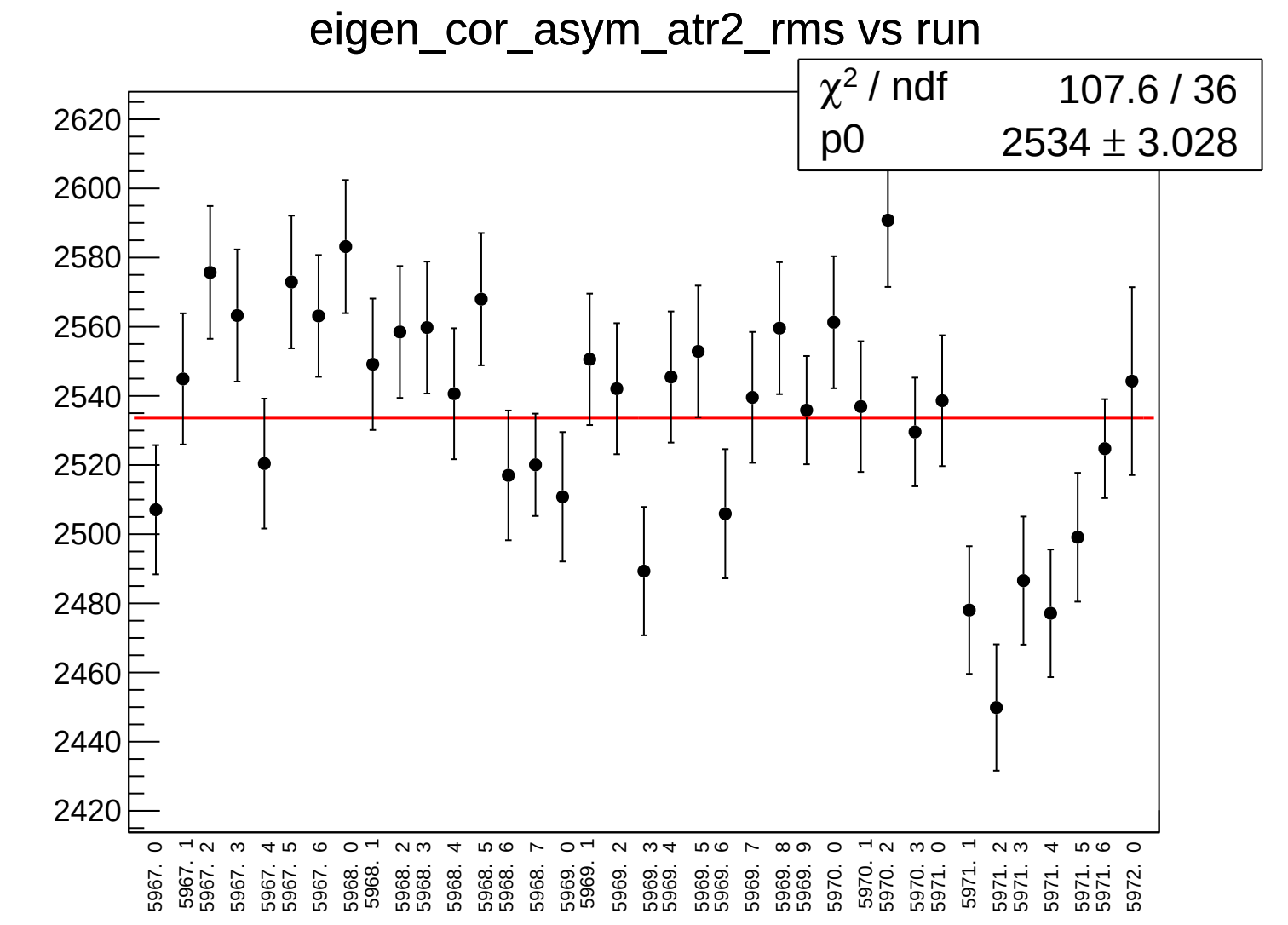
eigen_cor_asym_atr2_rms vs run
χ² / ndf 107.6 / 36
p0 2534 ± 3.028
2620
2600
2580
2560
2540
2520
2500
2480
2460
2440
2420
5967. 0
5967. 1
5967. 2
5967. 3
5967. 4
5967. 5
5967. 6
5968. 0
5968. 1
5968. 2
5968. 3
5968. 4
5968. 5
5968. 6
5968. 7
5969. 0
5969. 1
5969. 2
5969. 3
5969. 4
5969. 5
5969. 6
5969. 7
5969. 8
5969. 9
5970. 0
5970. 1
5970. 2
5970. 3
5971. 0
5971. 1
5971. 2
5971. 3
5971. 4
5971. 5
5971. 6
5972. 0

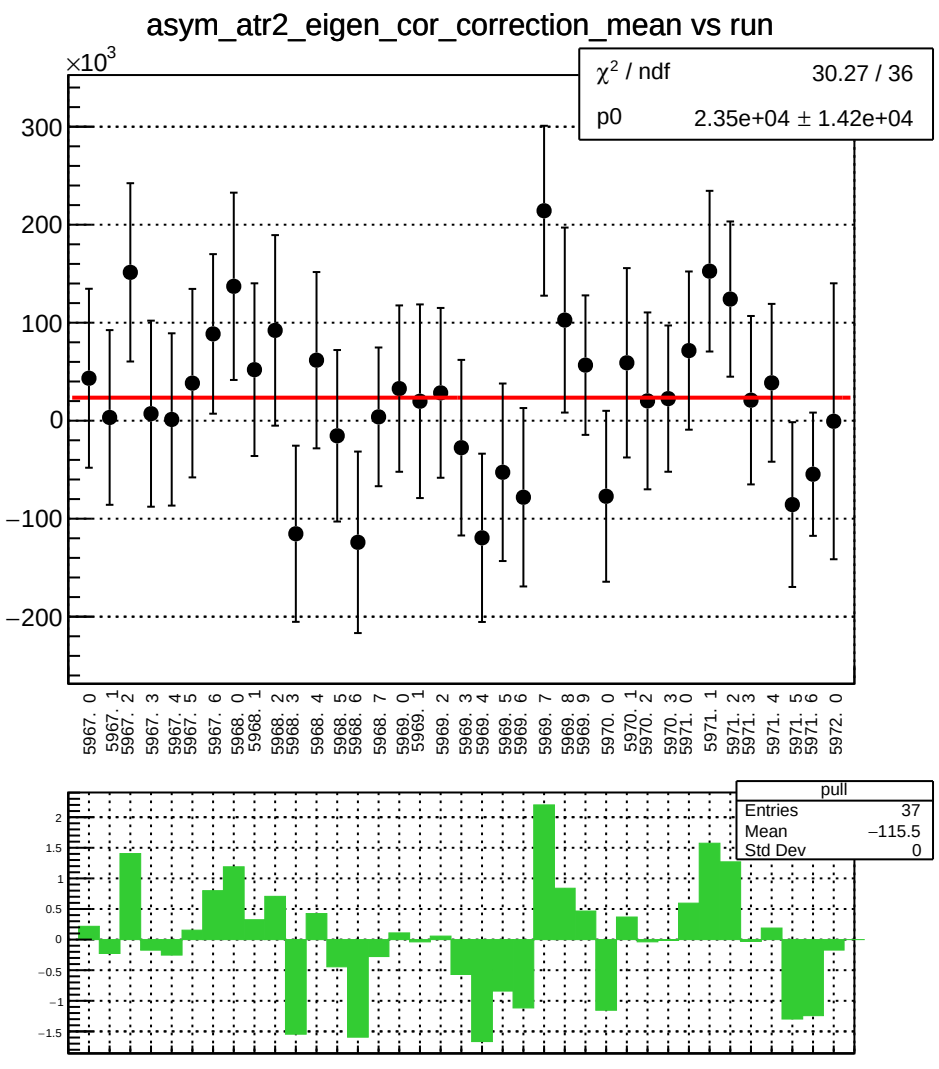
asym_atr2_eigen_cor_correction_mean vs run
×10^3
χ² / ndf 30.27 / 36
p0 2.35e+04 ± 1.42e+04
300
200
100
0
−100
−200
5967. 0
5967. 1
5967. 2
5967. 3
5967. 4
5967. 5
5967. 6
5968. 0
5968. 1
5968. 2
5968. 3
5968. 4
5968. 5
5968. 6
5968. 7
5969. 0
5969. 1
5969. 2
5969. 3
5969. 4
5969. 5
5969. 6
5969. 7
5969. 8
5969. 9
5970. 0
5970. 1
5970. 2
5970. 3
5971. 0
5971. 1
5971. 2
5971. 3
5971. 4
5971. 5
5971. 6
5972. 0
pull
Entries 37
Mean −115.5
Std Dev 0
2
1.5
1
0.5
0
−0.5
−1
−1.5
pull1D
Entries 37
Mean 0.005437
Std Dev 0.9045
9
8
7
6
5
4
3
2
1
0
−8
−6
−4
−2
0
2
4
6
8

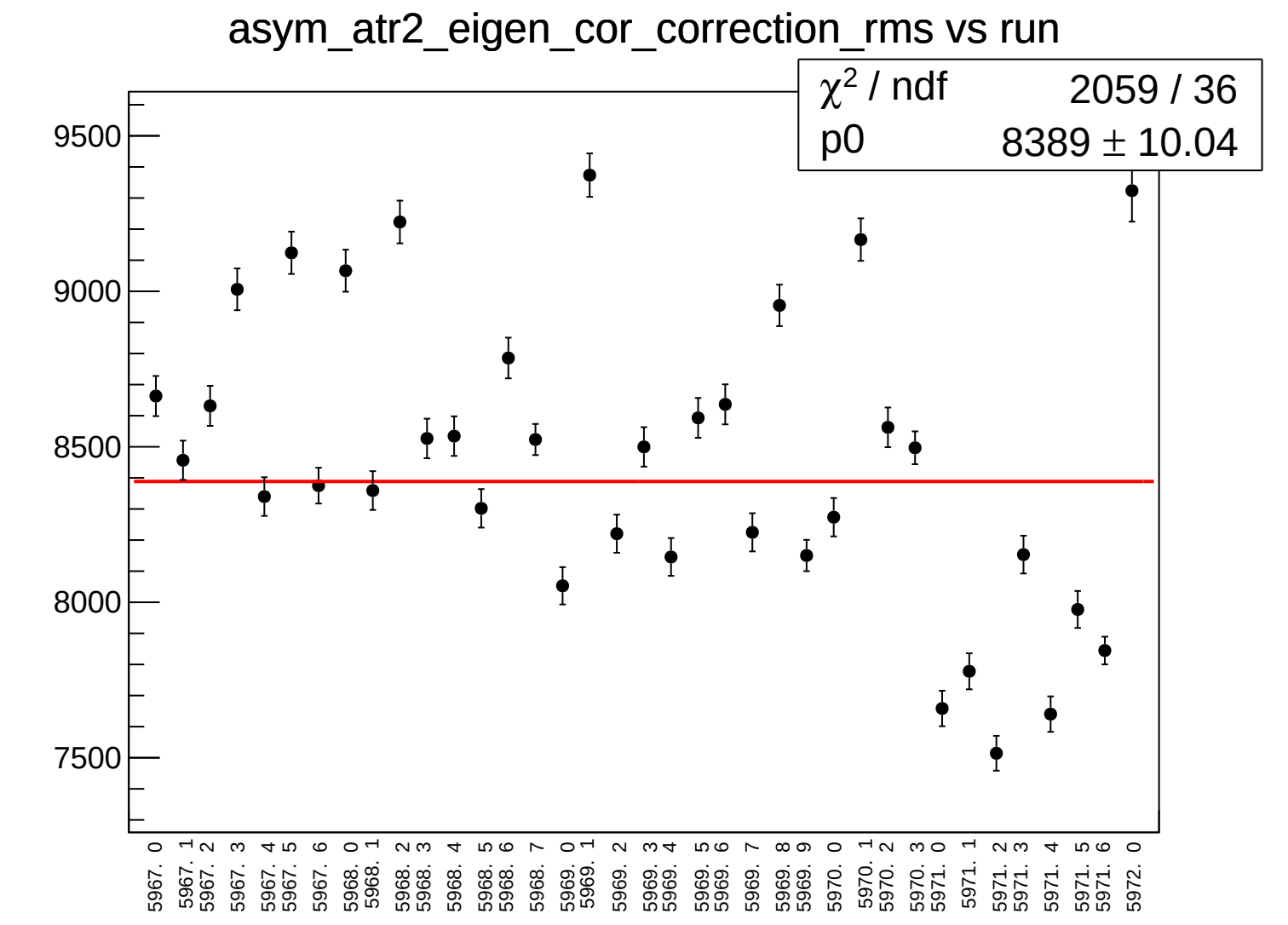
asym_atr2_eigen_cor_correction_rms vs run
χ² / ndf 2059 / 36
p0 8389 ± 10.04
9500
9000
8500
8000
7500
5967. 0
5967. 1
5967. 2
5967. 3
5967. 4
5967. 5
5967. 6
5968. 0
5968. 1
5968. 2
5968. 3
5968. 4
5968. 5
5968. 6
5968. 7
5969. 0
5969. 1
5969. 2
5969. 3
5969. 4
5969. 5
5969. 6
5969. 7
5969. 8
5969. 9
5970. 0
5970. 1
5970. 2
5970. 3
5971. 0
5971. 1
5971. 2
5971. 3
5971. 4
5971. 5
5971. 6
5972. 0

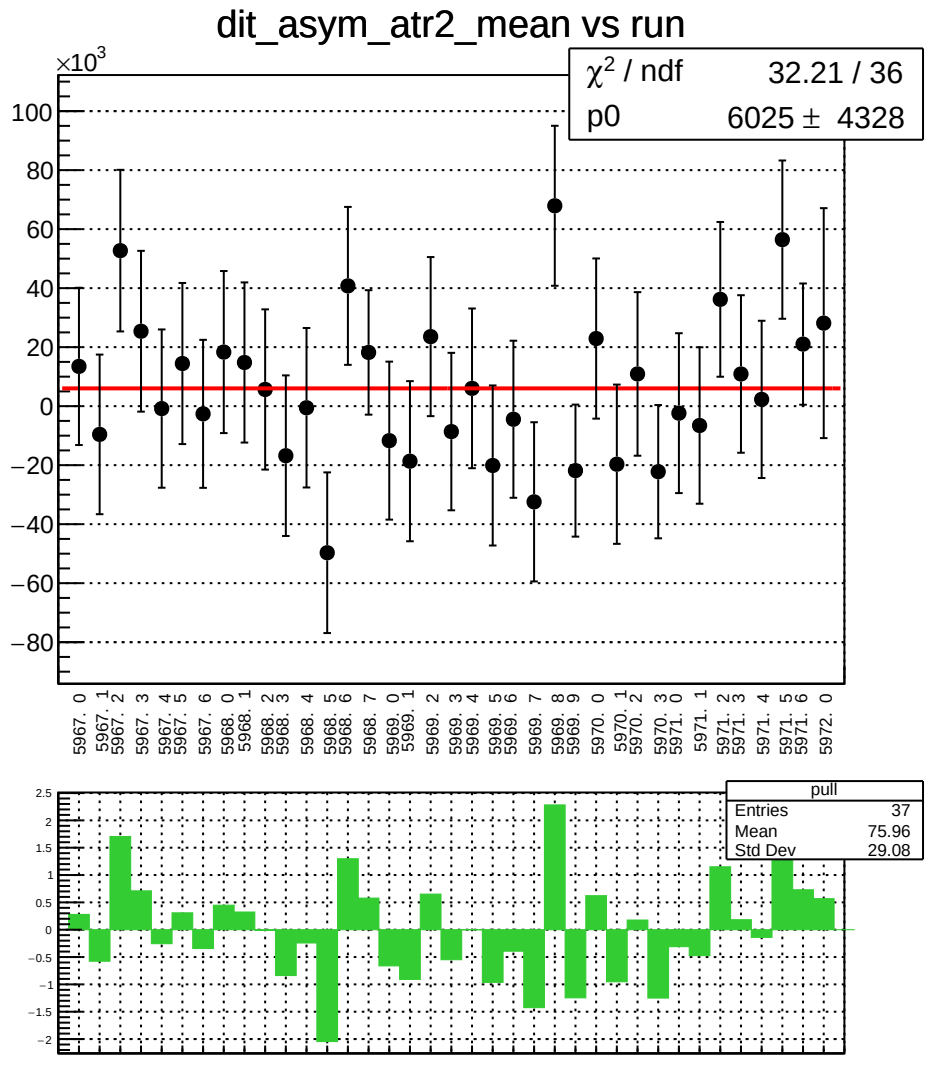
dit_asym_atr2_mean vs run
×10^3
χ² / ndf 32.21 / 36
p0 6025 ± 4328
100
80
60
40
20
0
−20
−40
−60
−80
5967. 0
5967. 1
5967. 2
5967. 3
5967. 4
5967. 5
5967. 6
5968. 0
5968. 1
5968. 2
5968. 3
5968. 4
5968. 5
5968. 6
5968. 7
5969. 0
5969. 1
5969. 2
5969. 3
5969. 4
5969. 5
5969. 6
5969. 7
5969. 8
5969. 9
5970. 0
5970. 1
5970. 2
5970. 3
5971. 0
5971. 1
5971. 2
5971. 3
5971. 4
5971. 5
5971. 6
5972. 0
pull
Entries 37
Mean 75.96
Std Dev 29.08
2.5
2
1.5
1
0.5
0
−0.5
−1
−1.5
−2

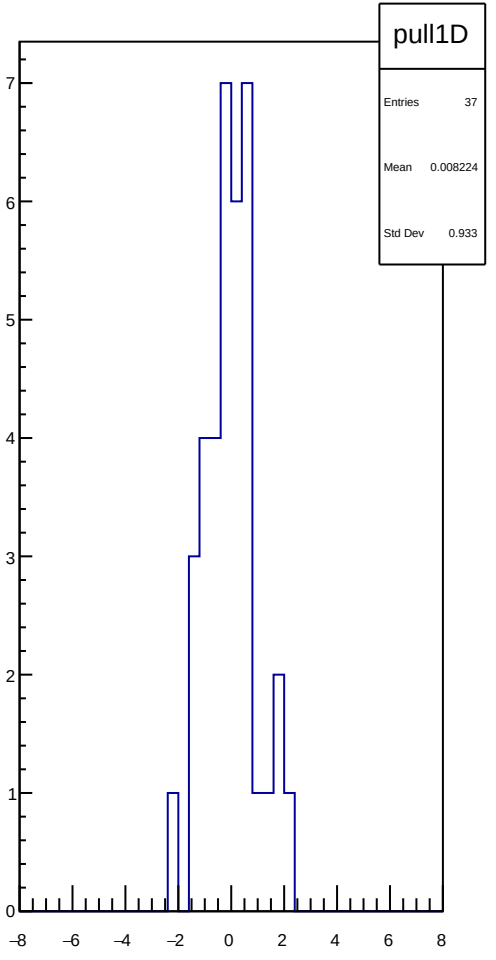
pull1D
Entries 37
Mean 0.008224
Std Dev 0.933
7
6
5
4
3
2
1
0
−8
−6
−4
−2
0
2
4
6
8

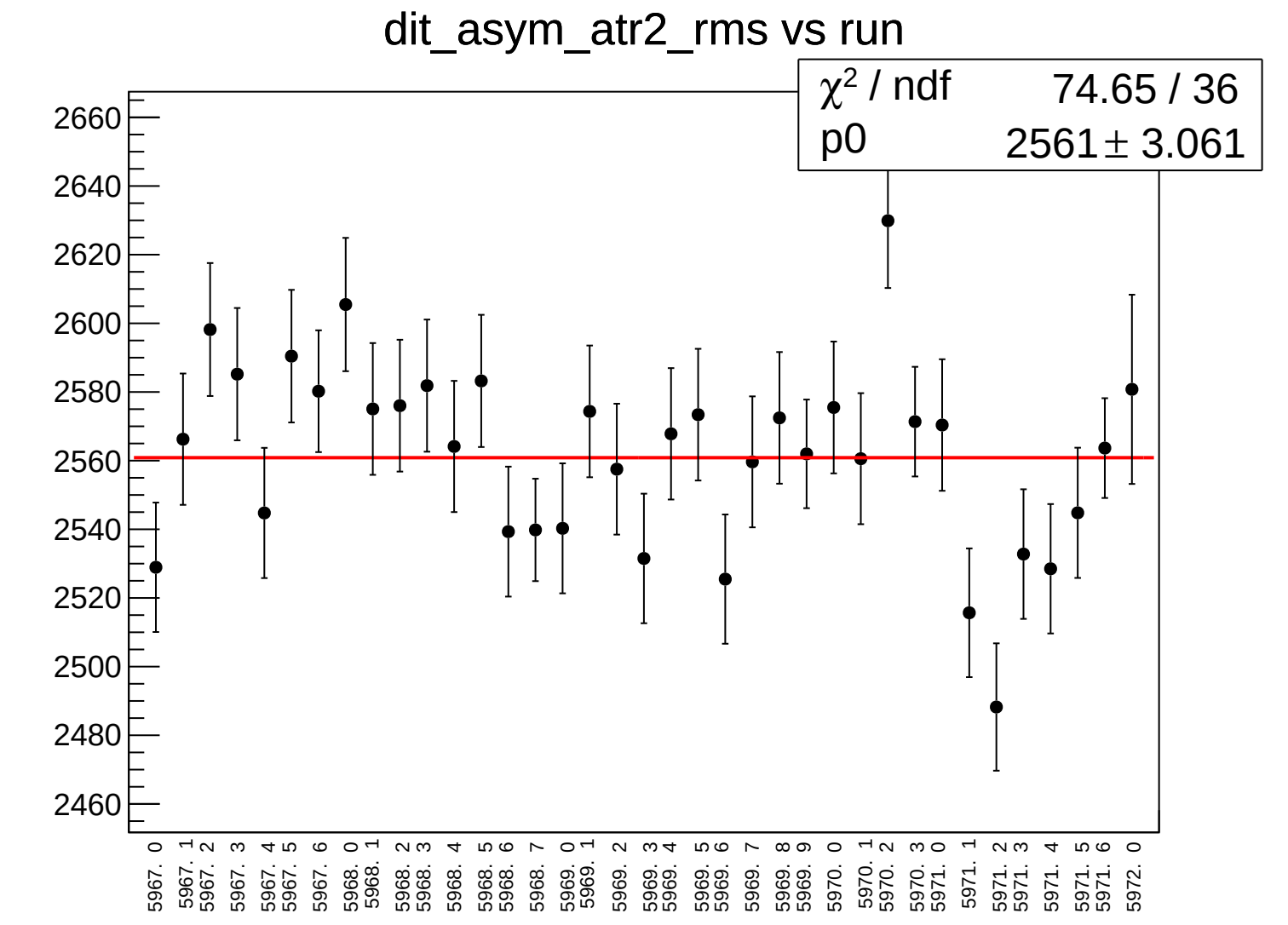
dit_asym_atr2_rms vs run
χ² / ndf 74.65 / 36
p0 2561 ± 3.061
2660
2640
2620
2600
2580
2560
2540
2520
2500
2480
2460
5967. 0
5967. 1
5967. 2
5967. 3
5967. 4
5967. 5
5967. 6
5968. 0
5968. 1
5968. 2
5968. 3
5968. 4
5968. 5
5968. 6
5968. 7
5969. 0
5969. 1
5969. 2
5969. 3
5969. 4
5969. 5
5969. 6
5969. 7
5969. 8
5969. 9
5970. 0
5970. 1
5970. 2
5970. 3
5971. 0
5971. 1
5971. 2
5971. 3
5971. 4
5971. 5
5971. 6
5972. 0

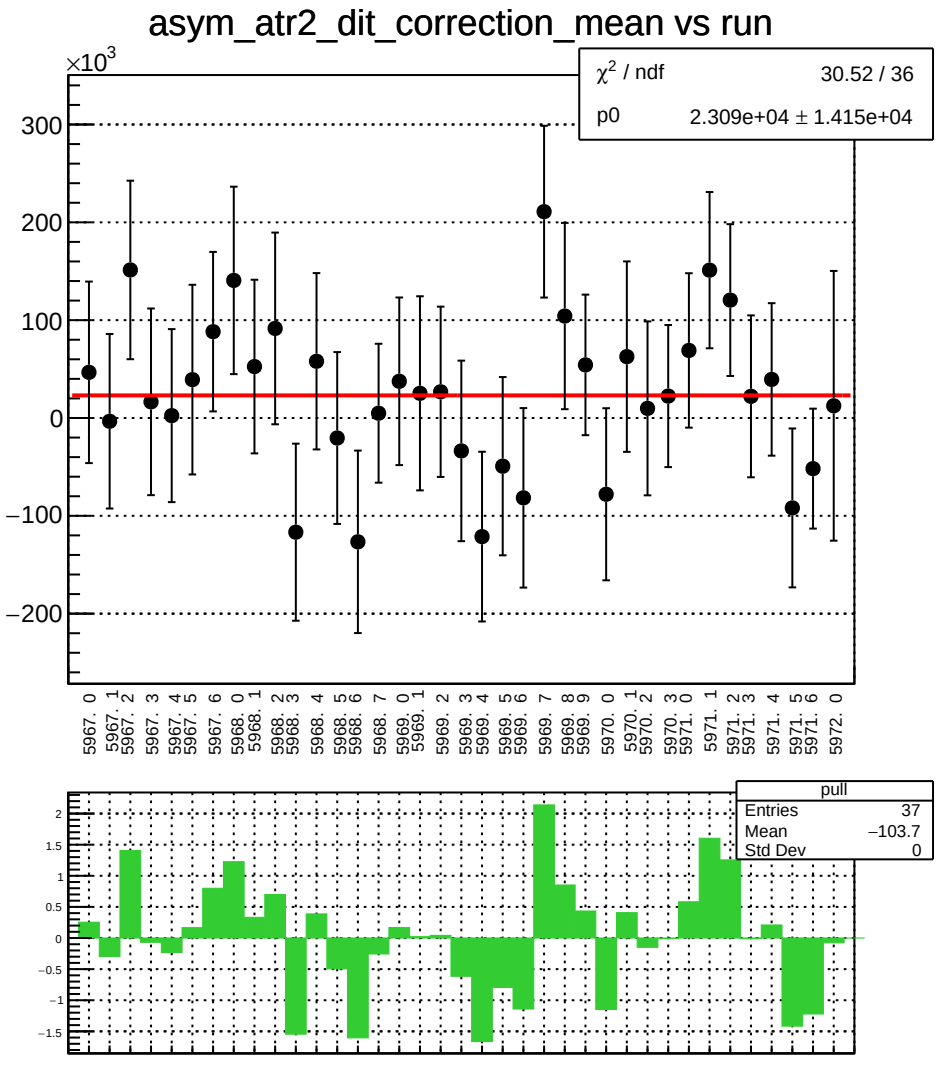
asym_atr2_dit_correction_mean vs run
×10^3
χ² / ndf 30.52 / 36
p0 2.309e+04 ± 1.415e+04
300
200
100
0
−100
−200
5967. 0
5967. 1
5967. 2
5967. 3
5967. 4
5967. 5
5967. 6
5968. 0
5968. 1
5968. 2
5968. 3
5968. 4
5968. 5
5968. 6
5968. 7
5969. 0
5969. 1
5969. 2
5969. 3
5969. 4
5969. 5
5969. 6
5969. 7
5969. 8
5969. 9
5970. 0
5970. 1
5970. 2
5970. 3
5971. 0
5971. 1
5971. 2
5971. 3
5971. 4
5971. 5
5971. 6
5972. 0
pull
Entries 37
Mean −103.7
Std Dev 0
2
1.5
1
0.5
0
−0.5
−1
−1.5
pull1D
Entries 37
Mean 0.006375
Std Dev 0.9083
8
7
6
5
4
3
2
1
0
−8
−6
−4
−2
0
2
4
6
8

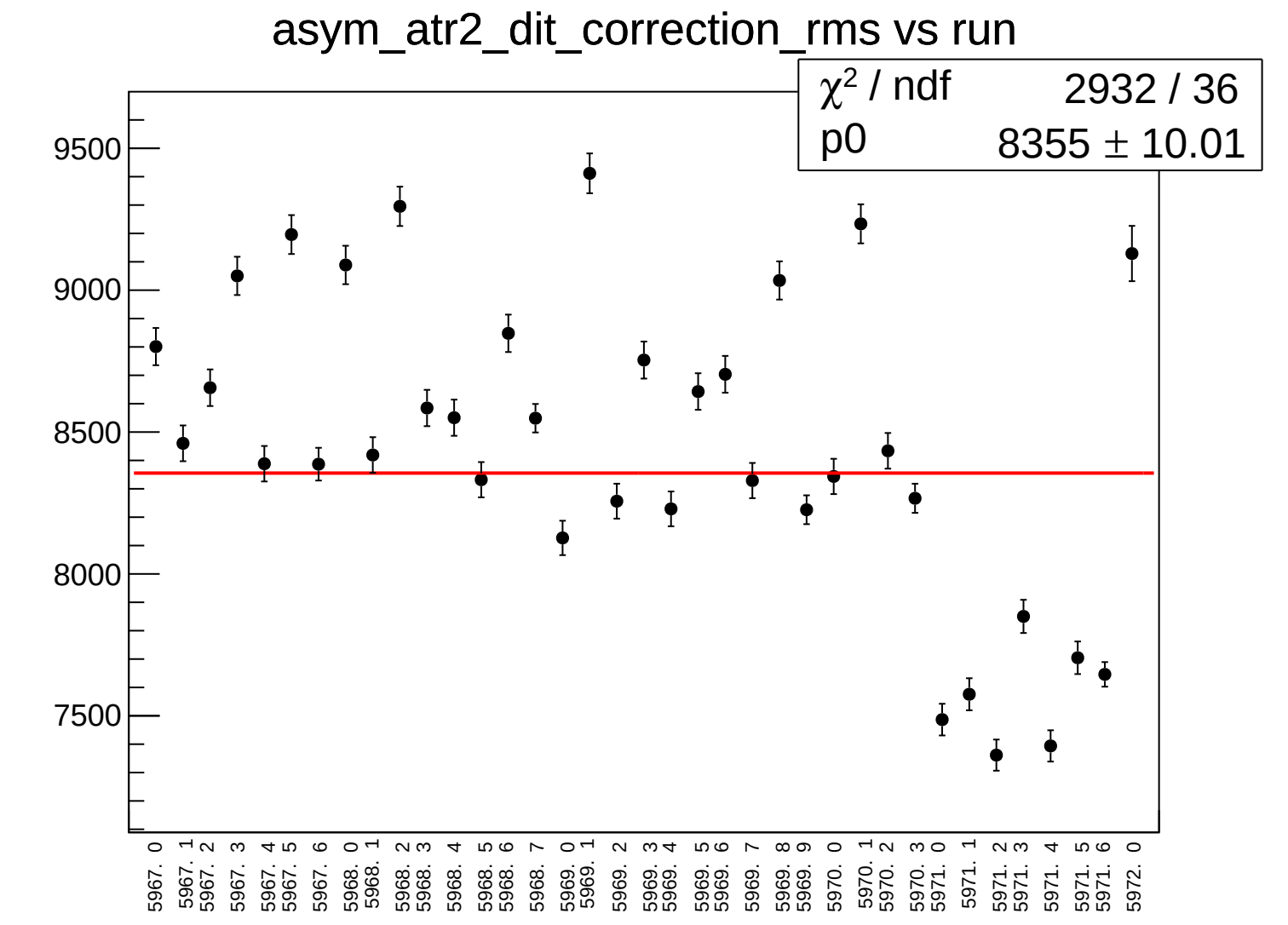
asym_atr2_dit_correction_rms vs run
χ² / ndf 2932 / 36
p0 8355 ± 10.01
9500
9000
8500
8000
7500
5967. 0
5967. 1
5967. 2
5967. 3
5967. 4
5967. 5
5967. 6
5968. 0
5968. 1
5968. 2
5968. 3
5968. 4
5968. 5
5968. 6
5968. 7
5969. 0
5969. 1
5969. 2
5969. 3
5969. 4
5969. 5
5969. 6
5969. 7
5969. 8
5969. 9
5970. 0
5970. 1
5970. 2
5970. 3
5971. 0
5971. 1
5971. 2
5971. 3
5971. 4
5971. 5
5971. 6
5972. 0

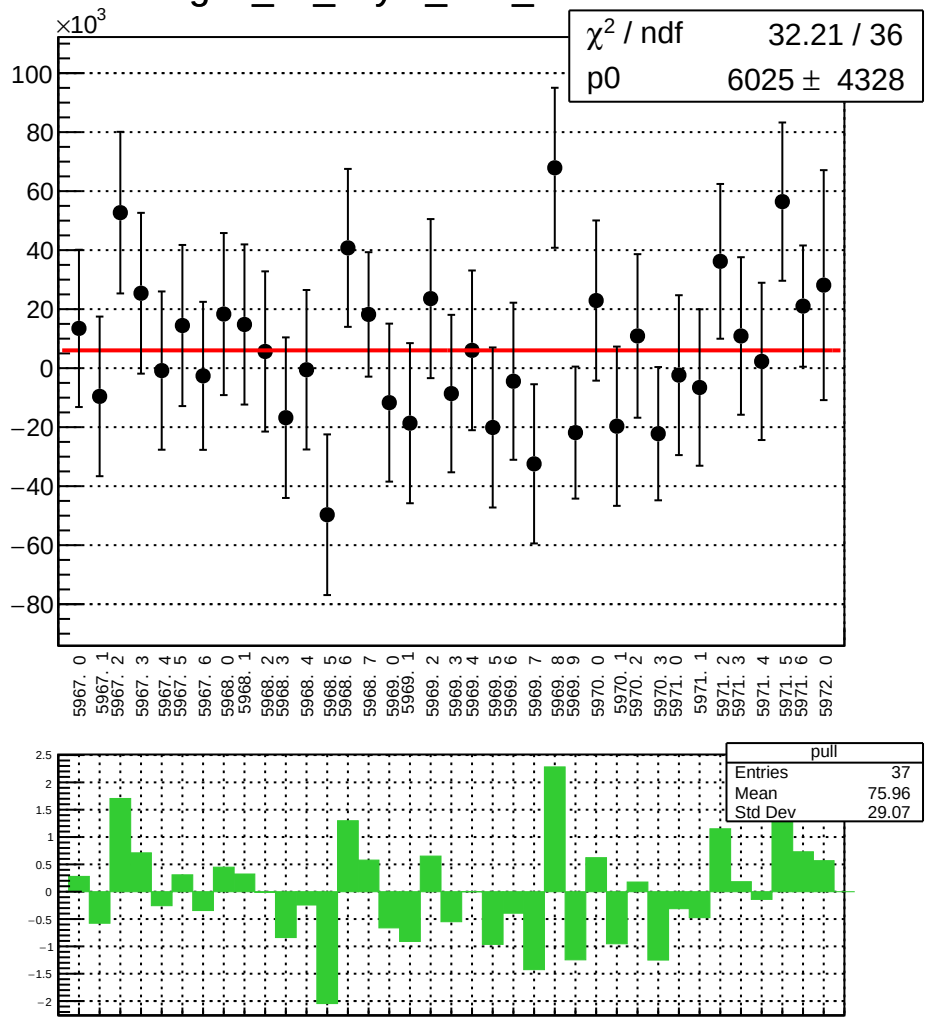
eigen_dit_asym_atr2_mean vs run
×10^3
χ² / ndf 32.21 / 36
p0 6025 ± 4328
pull
Entries 37
Mean 75.96
Std Dev 29.07

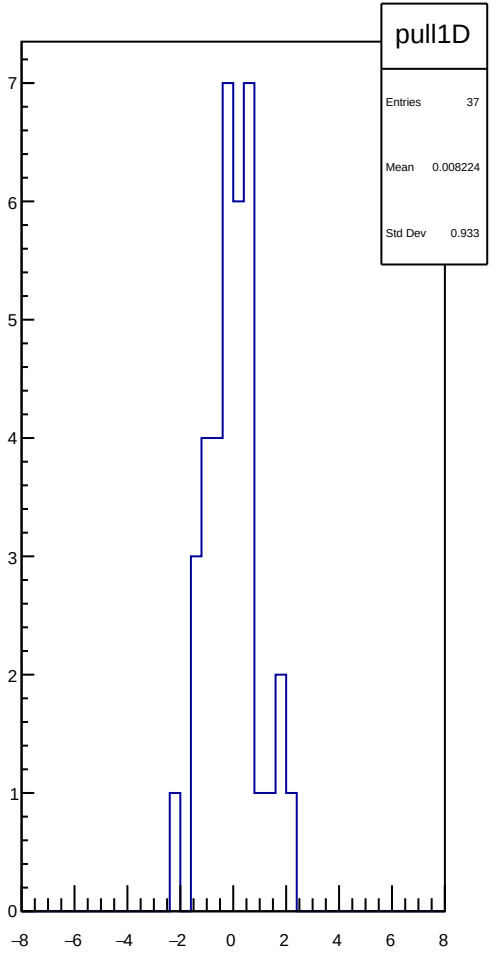
pull1D
Entries 37
Mean 0.008224
Std Dev 0.933

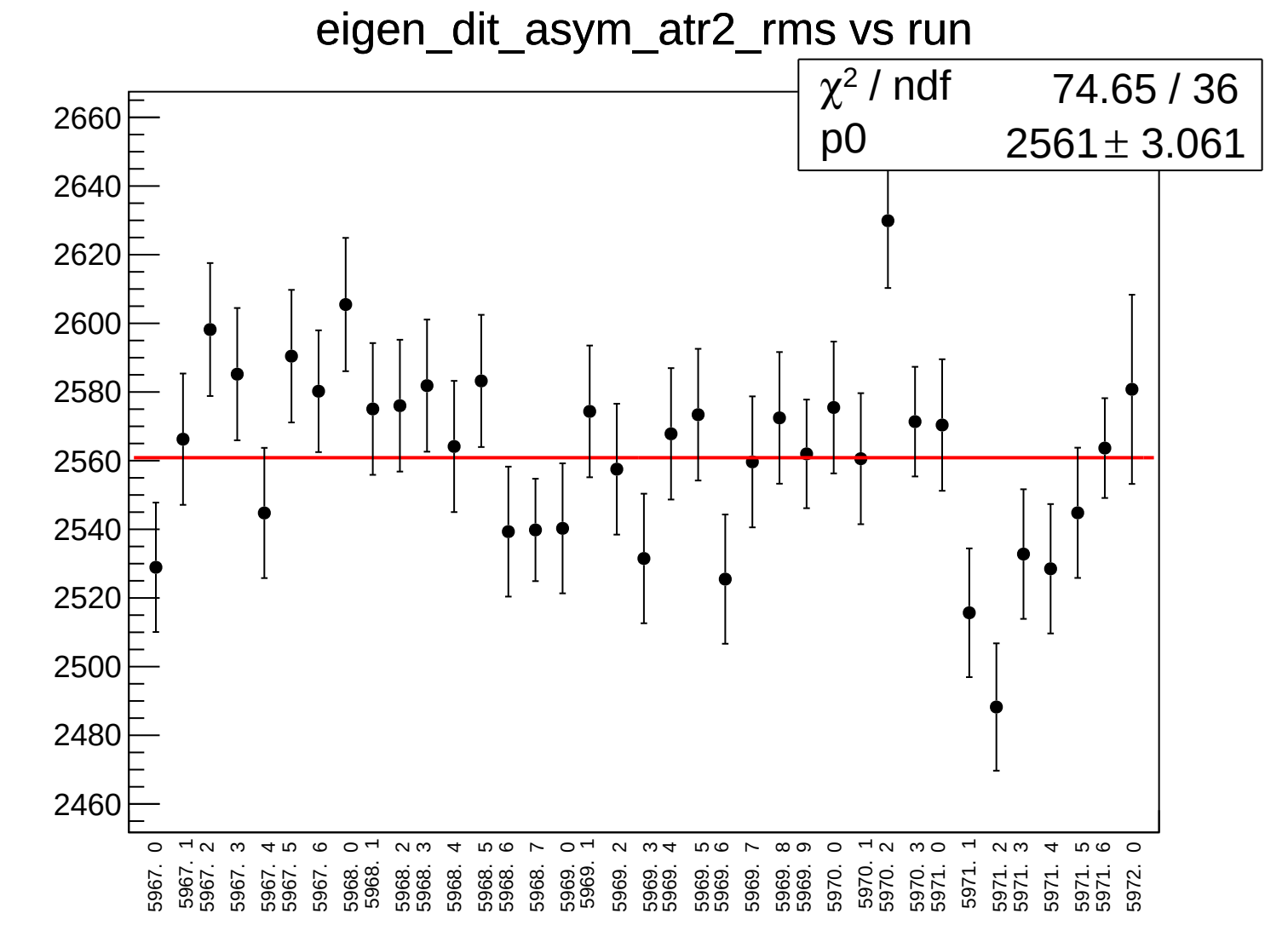
eigen_dit_asym_atr2_rms vs run
χ² / ndf 74.65 / 36
p0 2561 ± 3.061
2660
2640
2620
2600
2580
2560
2540
2520
2500
2480
2460
5967. 0
5967. 1
5967. 2
5967. 3
5967. 4
5967. 5
5967. 6
5968. 0
5968. 1
5968. 2
5968. 3
5968. 4
5968. 5
5968. 6
5968. 7
5969. 0
5969. 1
5969. 2
5969. 3
5969. 4
5969. 5
5969. 6
5969. 7
5969. 8
5969. 9
5970. 0
5970. 1
5970. 2
5970. 3
5971. 0
5971. 1
5971. 2
5971. 3
5971. 4
5971. 5
5971. 6
5972. 0

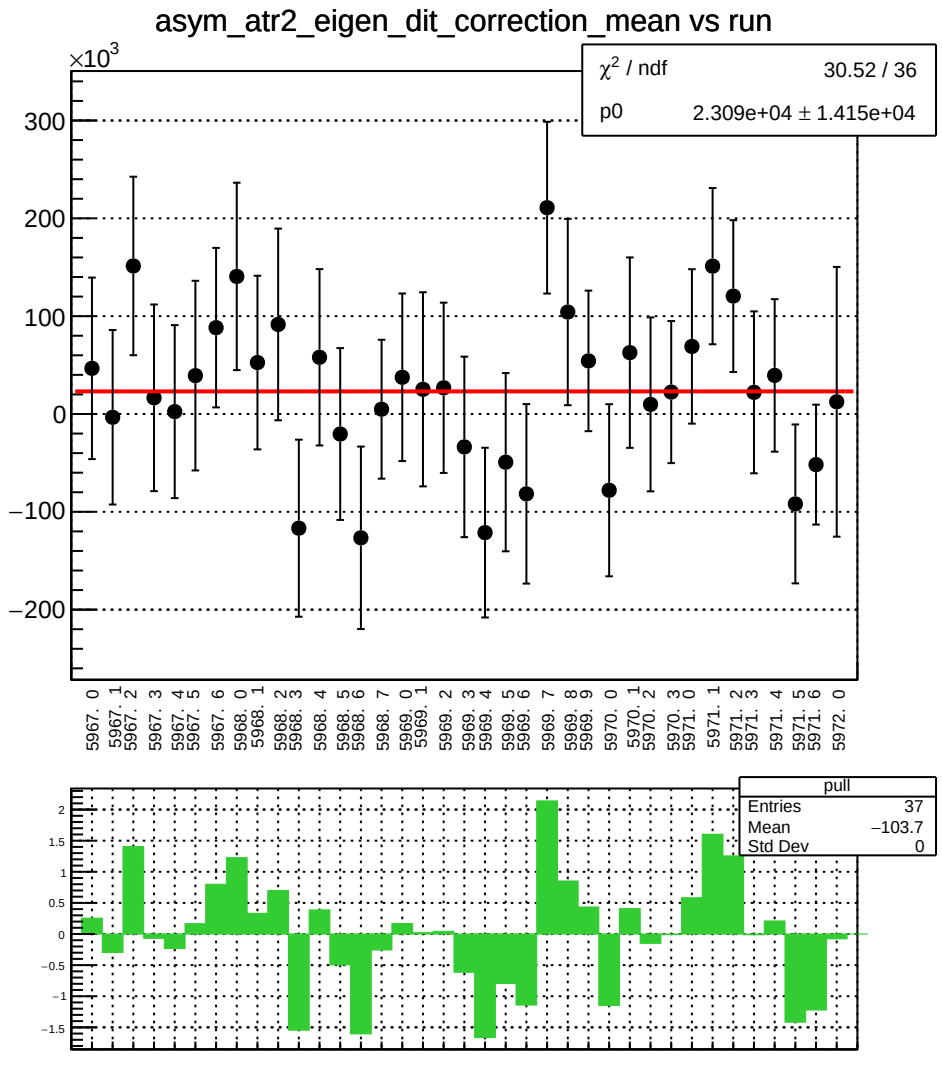
asym_atr2_eigen_dit_correction_mean vs run
×10^3
χ² / ndf 30.52 / 36
p0 2.309e+04 ± 1.415e+04
300
200
100
0
−100
−200
5967. 0
5967. 1
5967. 2
5967. 3
5967. 4
5967. 5
5967. 6
5968. 0
5968. 1
5968. 2
5968. 3
5968. 4
5968. 5
5968. 6
5968. 7
5969. 0
5969. 1
5969. 2
5969. 3
5969. 4
5969. 5
5969. 6
5969. 7
5969. 8
5969. 9
5970. 0
5970. 1
5970. 2
5970. 3
5971. 0
5971. 1
5971. 2
5971. 3
5971. 4
5971. 5
5971. 6
5972. 0
pull
Entries 37
Mean −103.7
Std Dev 0
2
1.5
1
0.5
0
−0.5
−1
−1.5
pull1D
Entries 37
Mean 0.006375
Std Dev 0.9083
8
7
6
5
4
3
2
1
0
−8
−6
−4
−2
0
2
4
6
8

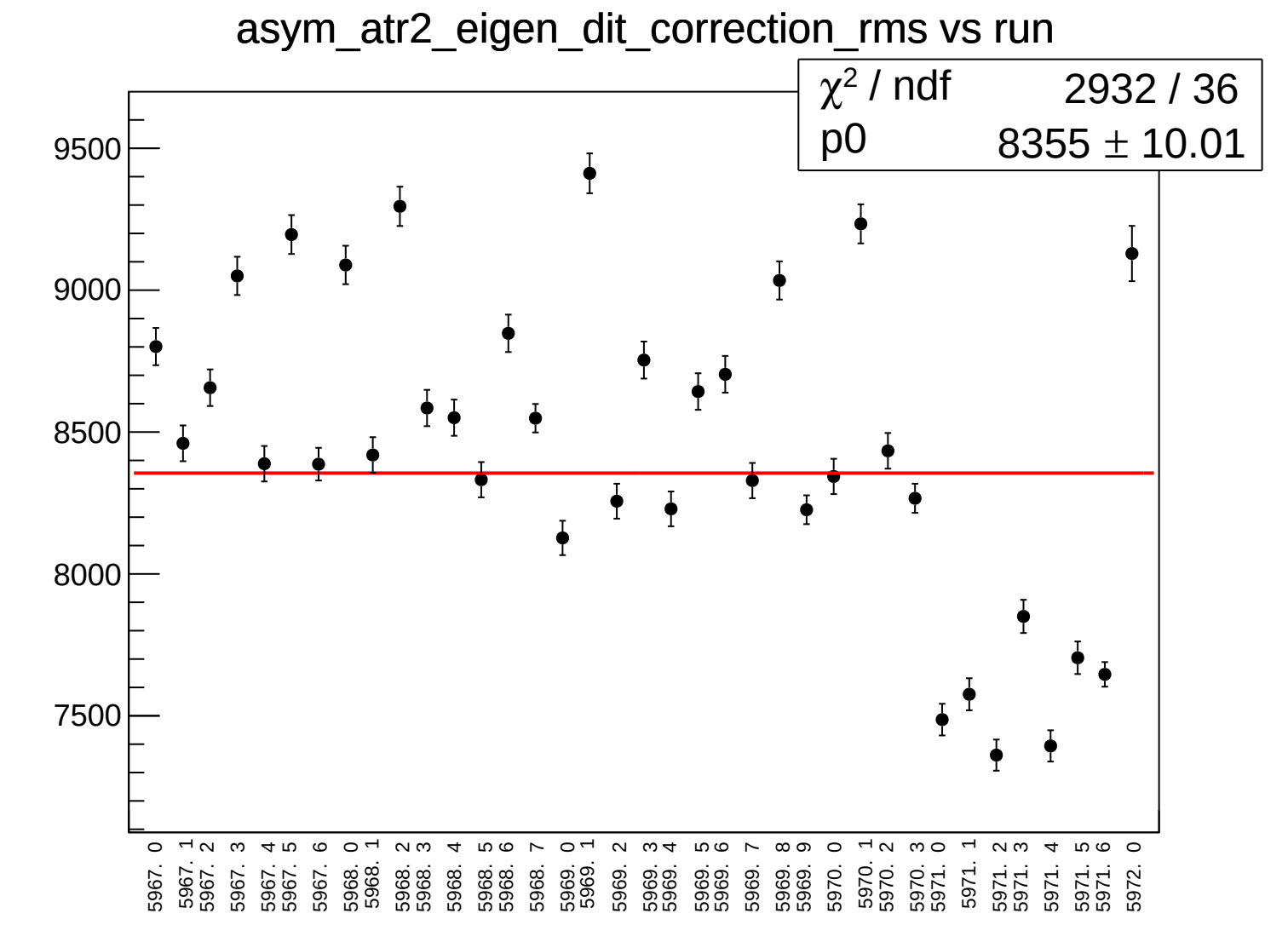
asym_atr2_eigen_dit_correction_rms vs run
χ² / ndf 2932 / 36
p0 8355 ± 10.01
9500
9000
8500
8000
7500
5967. 0
5967. 1
5967. 2
5967. 3
5967. 4
5967. 5
5967. 6
5968. 0
5968. 1
5968. 2
5968. 3
5968. 4
5968. 5
5968. 6
5968. 7
5969. 0
5969. 1
5969. 2
5969. 3
5969. 4
5969. 5
5969. 6
5969. 7
5969. 8
5969. 9
5970. 0
5970. 1
5970. 2
5970. 3
5971. 0
5971. 1
5971. 2
5971. 3
5971. 4
5971. 5
5971. 6
5972. 0

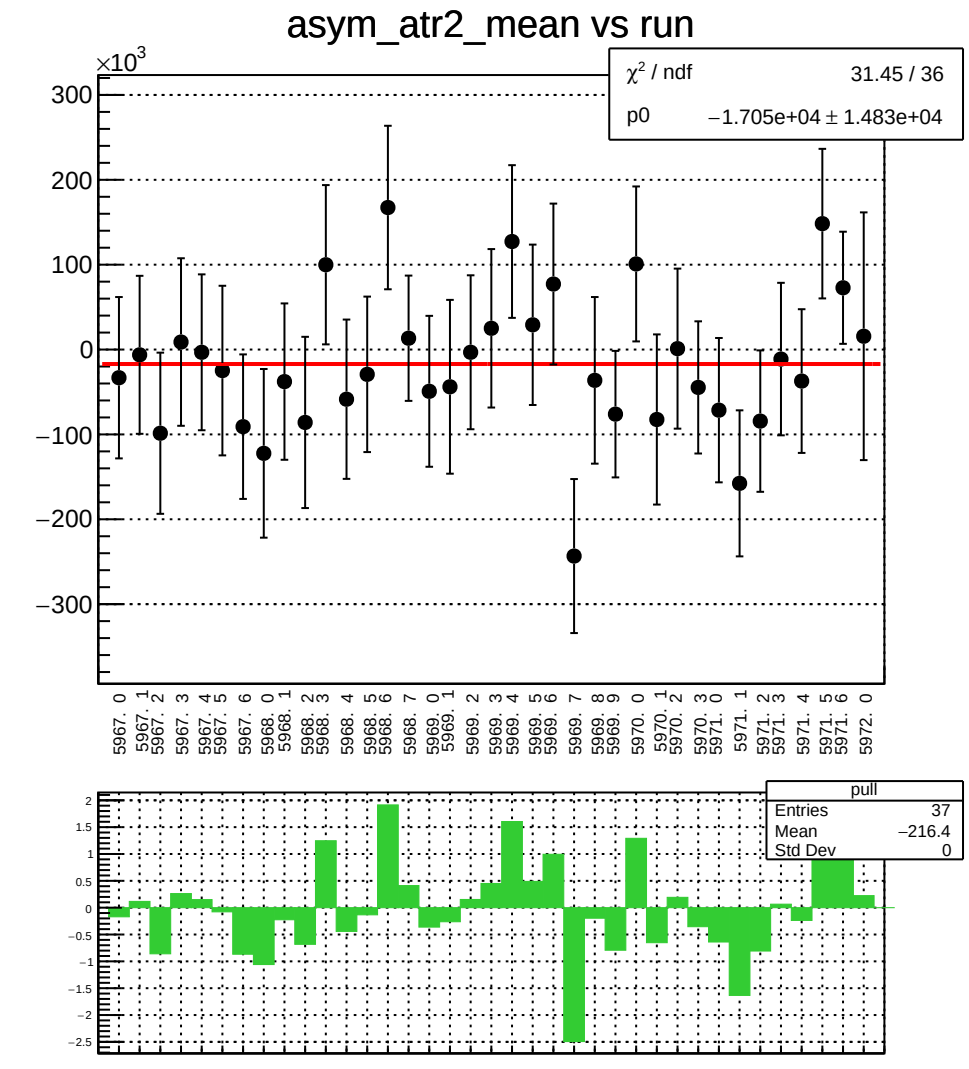
asym_atr2_mean vs run
×10^3
χ² / ndf 31.45 / 36
p0 −1.705e+04 ± 1.483e+04
300
200
100
0
−100
−200
−300
5967. 0
5967. 1
5967. 2
5967. 3
5967. 4
5967. 5
5967. 6
5968. 0
5968. 1
5968. 2
5968. 3
5968. 4
5968. 5
5968. 6
5968. 7
5969. 0
5969. 1
5969. 2
5969. 3
5969. 4
5969. 5
5969. 6
5969. 7
5969. 8
5969. 9
5970. 0
5970. 1
5970. 2
5970. 3
5971. 0
5971. 1
5971. 2
5971. 3
5971. 4
5971. 5
5971. 6
5972. 0
pull
Entries 37
Mean −216.4
Std Dev 0
2
1.5
1
0.5
0
−0.5
−1
−1.5
−2
−2.5

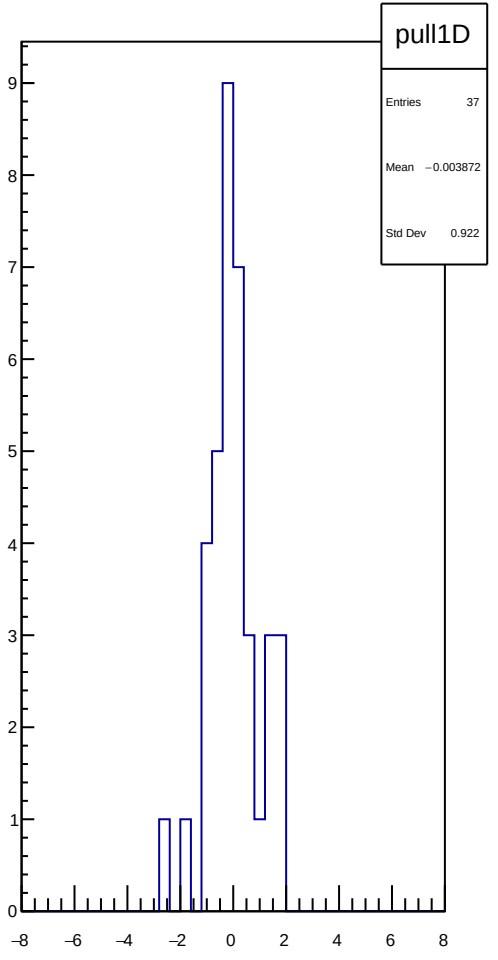
pull1D
Entries 37
Mean −0.003872
Std Dev 0.922
9
8
7
6
5
4
3
2
1
0
−8
−6
−4
−2
0
2
4
6
8

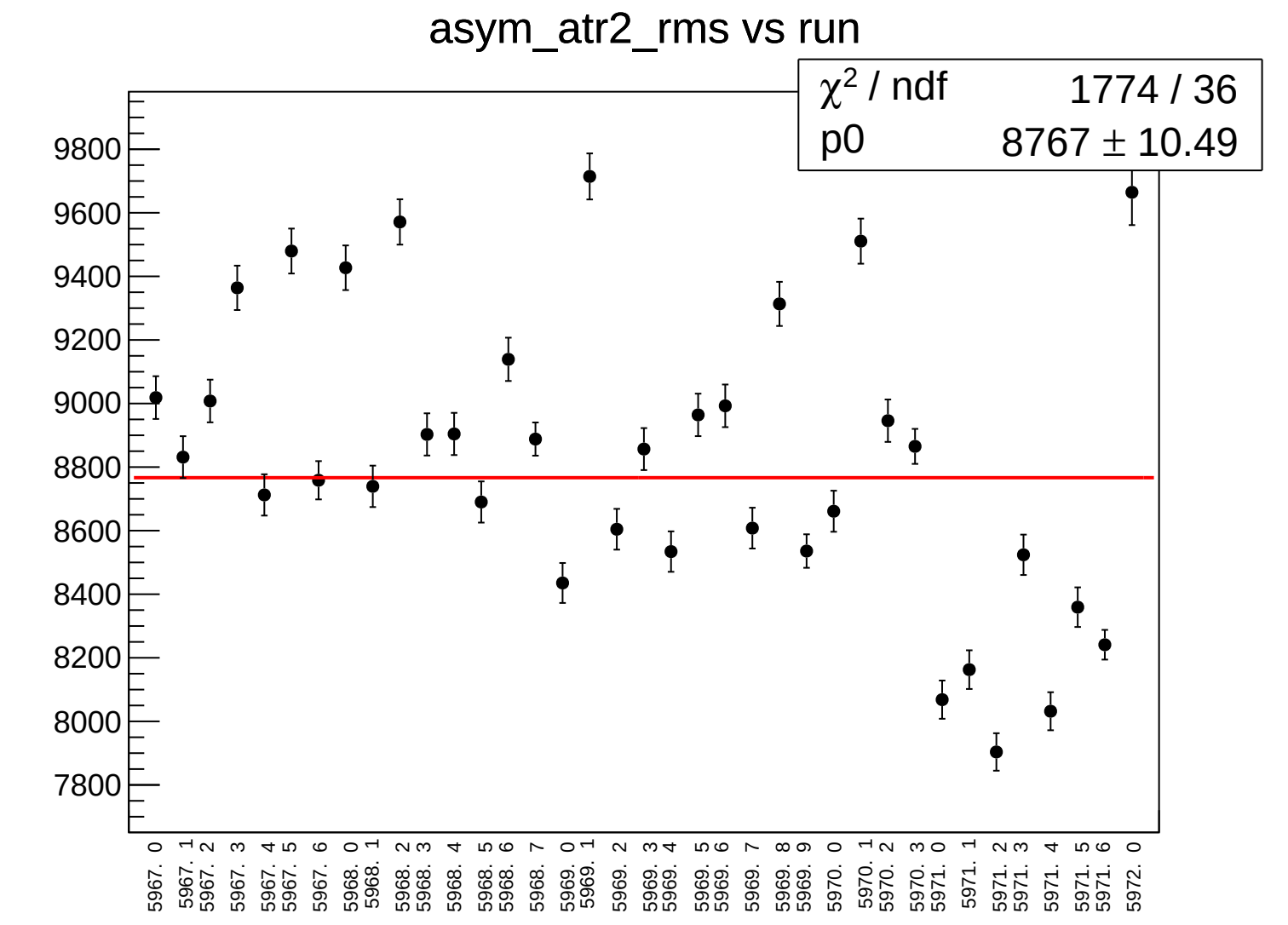
asym_atr2_rms vs run
χ² / ndf 1774 / 36
p0 8767 ± 10.49
9800
9600
9400
9200
9000
8800
8600
8400
8200
8000
7800
5967. 0
5967. 1
5967. 2
5967. 3
5967. 4
5967. 5
5967. 6
5968. 0
5968. 1
5968. 2
5968. 3
5968. 4
5968. 5
5968. 6
5968. 7
5969. 0
5969. 1
5969. 2
5969. 3
5969. 4
5969. 5
5969. 6
5969. 7
5969. 8
5969. 9
5970. 0
5970. 1
5970. 2
5970. 3
5971. 0
5971. 1
5971. 2
5971. 3
5971. 4
5971. 5
5971. 6
5972. 0

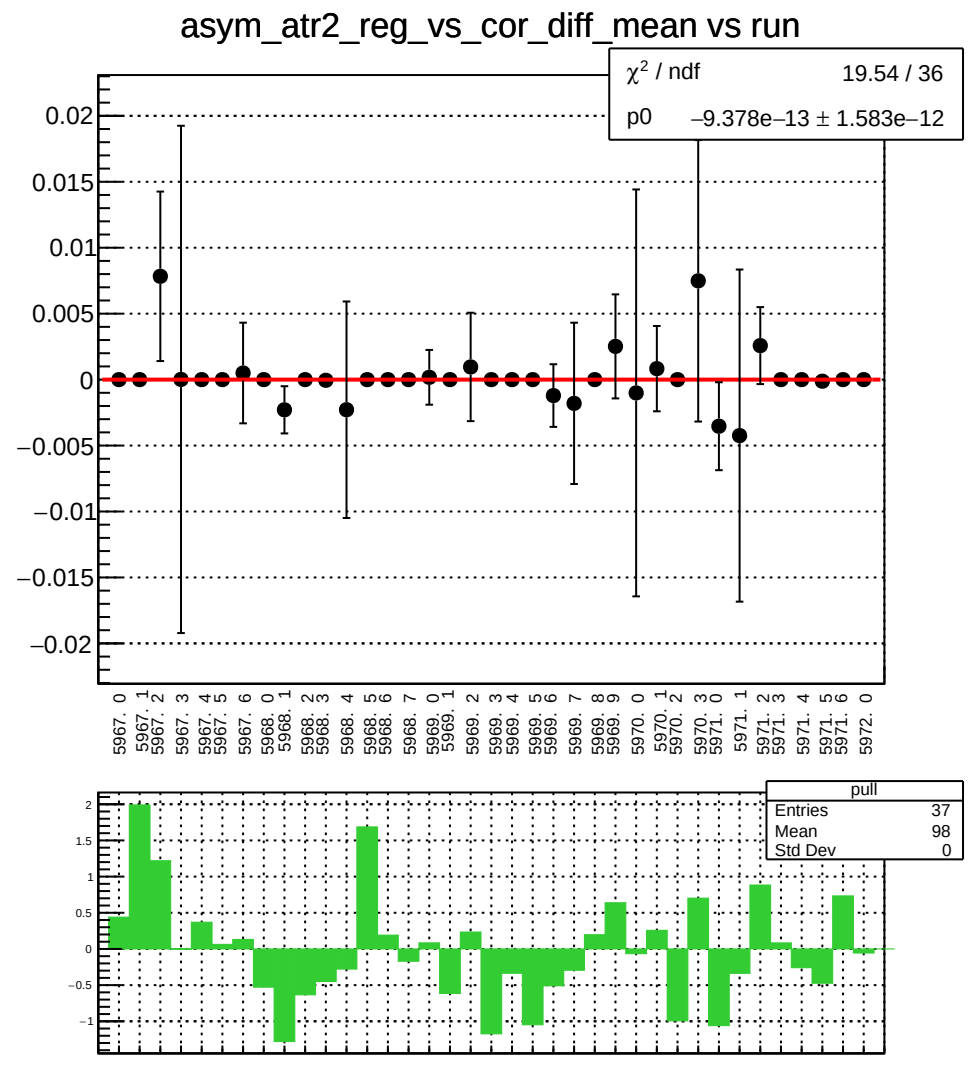
asym_atr2_reg_vs_cor_diff_mean vs run
χ² / ndf 19.54 / 36
p0 −9.378e−13 ± 1.583e−12
0.02
0.015
0.01
0.005
0
−0.005
−0.01
−0.015
−0.02
5967. 0
5967. 1
5967. 2
5967. 3
5967. 4
5967. 5
5967. 6
5968. 0
5968. 1
5968. 2
5968. 3
5968. 4
5968. 5
5968. 6
5968. 7
5969. 0
5969. 1
5969. 2
5969. 3
5969. 4
5969. 5
5969. 6
5969. 7
5969. 8
5969. 9
5970. 0
5970. 1
5970. 2
5970. 3
5971. 0
5971. 1
5971. 2
5971. 3
5971. 4
5971. 5
5971. 6
5972. 0
pull
Entries 37
Mean 98
Std Dev 0
2
1.5
1
0.5
0
−0.5
−1

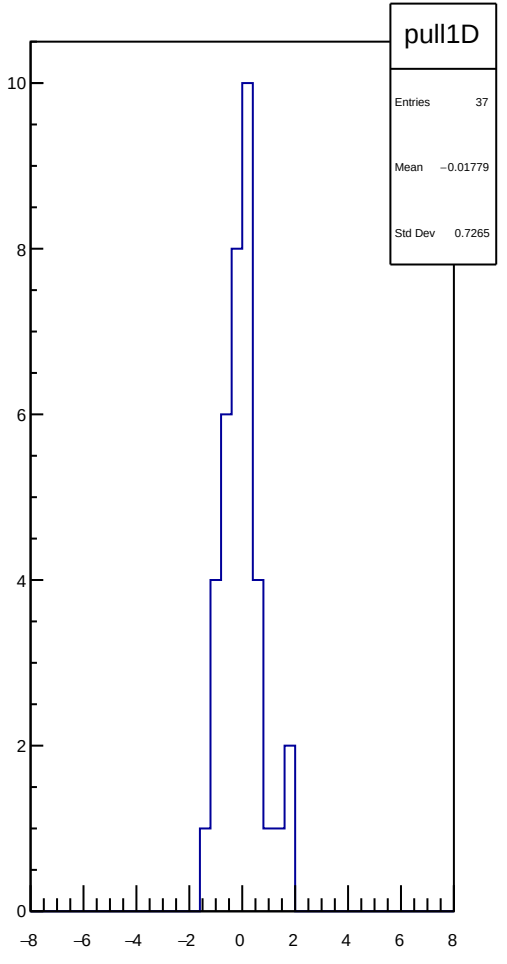
pull1D
Entries 37
Mean −0.01779
Std Dev 0.7265
10
8
6
4
2
0
−8
−6
−4
−2
0
2
4
6
8

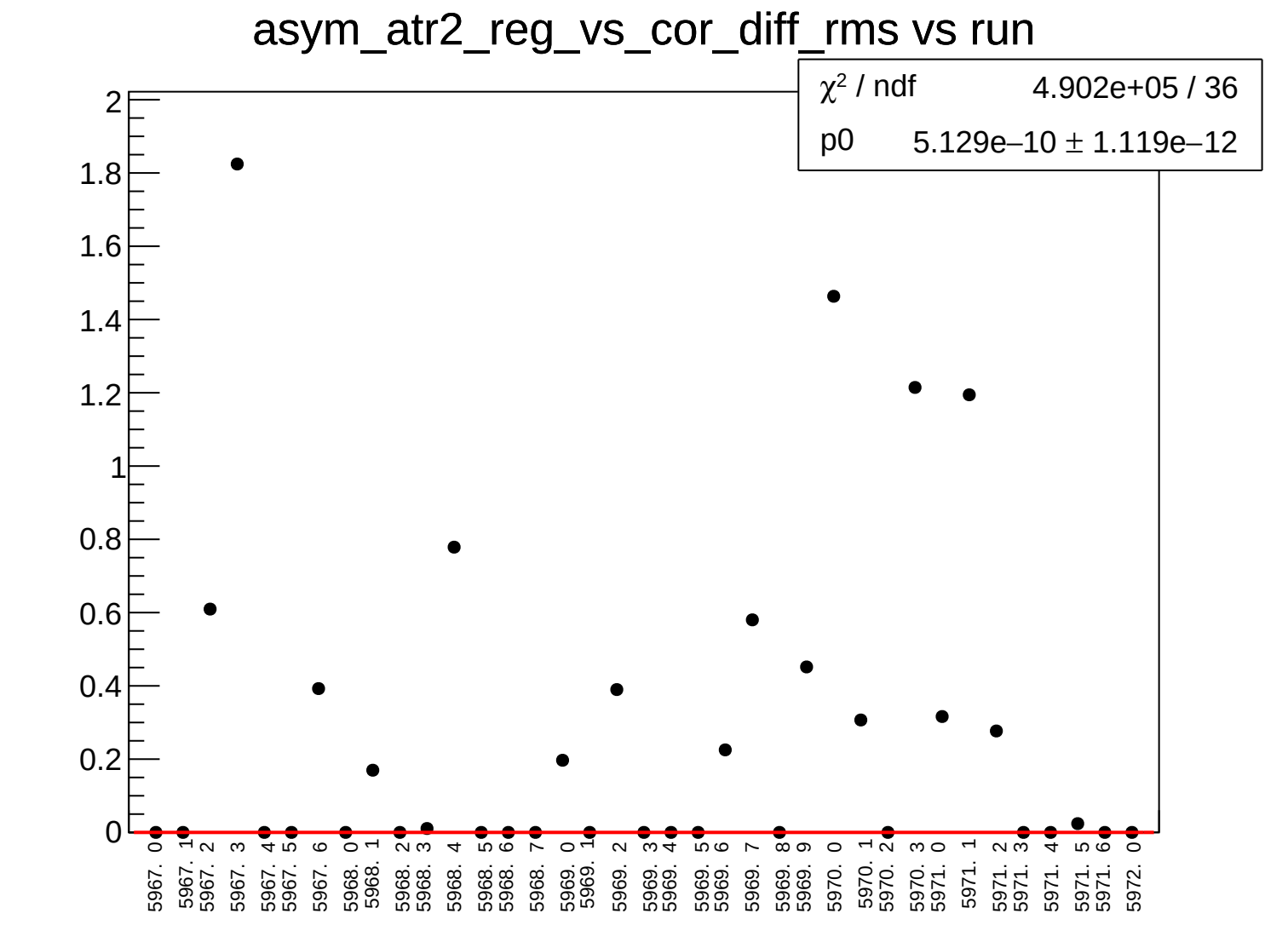
asym_atr2_reg_vs_cor_diff_rms vs run
χ² / ndf 4.902e+05 / 36
p0 5.129e−10 ± 1.119e−12
2
1.8
1.6
1.4
1.2
1
0.8
0.6
0.4
0.2
0
5967. 0
5967. 1
5967. 2
5967. 3
5967. 4
5967. 5
5967. 6
5968. 0
5968. 1
5968. 2
5968. 3
5968. 4
5968. 5
5968. 6
5968. 7
5969. 0
5969. 1
5969. 2
5969. 3
5969. 4
5969. 5
5969. 6
5969. 7
5969. 8
5969. 9
5970. 0
5970. 1
5970. 2
5970. 3
5971. 0
5971. 1
5971. 2
5971. 3
5971. 4
5971. 5
5971. 6
5972. 0

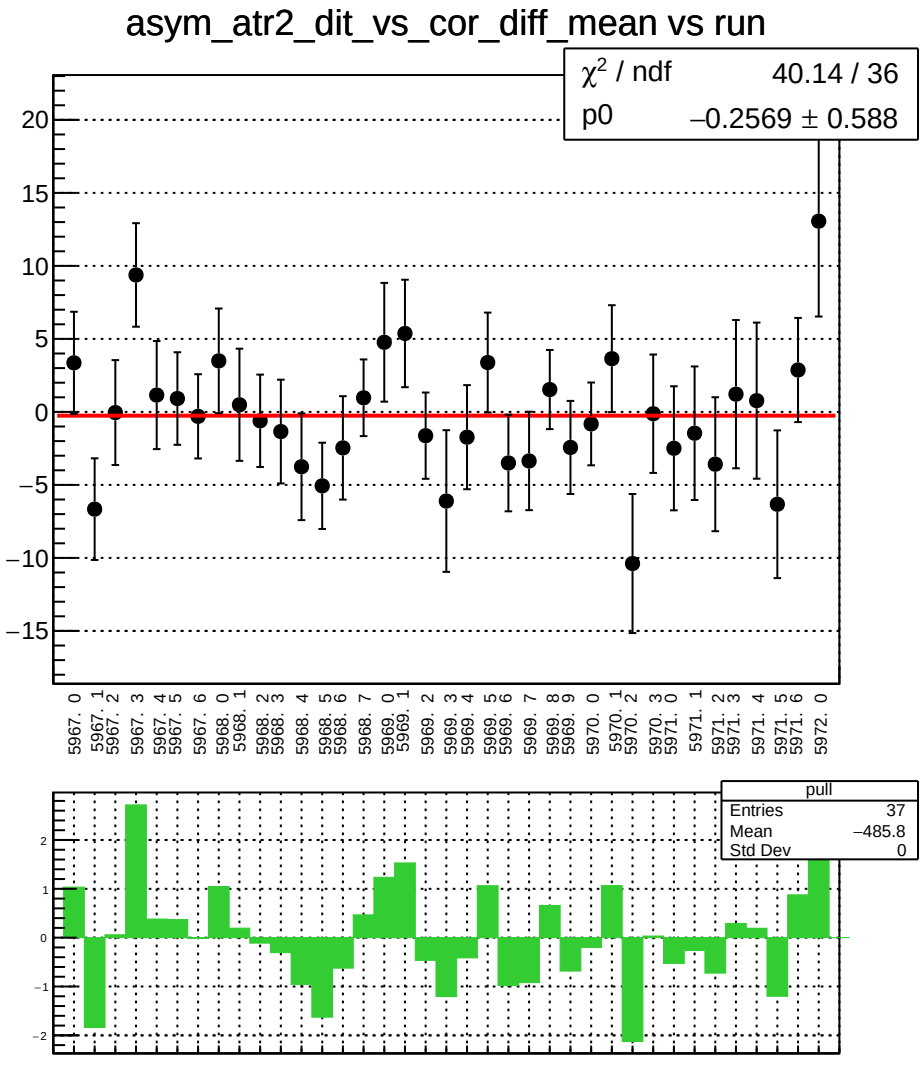
asym_atr2_dit_vs_cor_diff_mean vs run
χ² / ndf 40.14 / 36
p0 −0.2569 ± 0.588
20
15
10
5
0
−5
−10
−15
5967. 0
5967. 1
5967. 2
5967. 3
5967. 4
5967. 5
5967. 6
5968. 0
5968. 1
5968. 2
5968. 3
5968. 4
5968. 5
5968. 6
5968. 7
5969. 0
5969. 1
5969. 2
5969. 3
5969. 4
5969. 5
5969. 6
5969. 7
5969. 8
5969. 9
5970. 0
5970. 1
5970. 2
5970. 3
5971. 0
5971. 1
5971. 2
5971. 3
5971. 4
5971. 5
5971. 6
5972. 0
pull
Entries 37
Mean −485.8
Std Dev 0
2
1
0
−1
−2

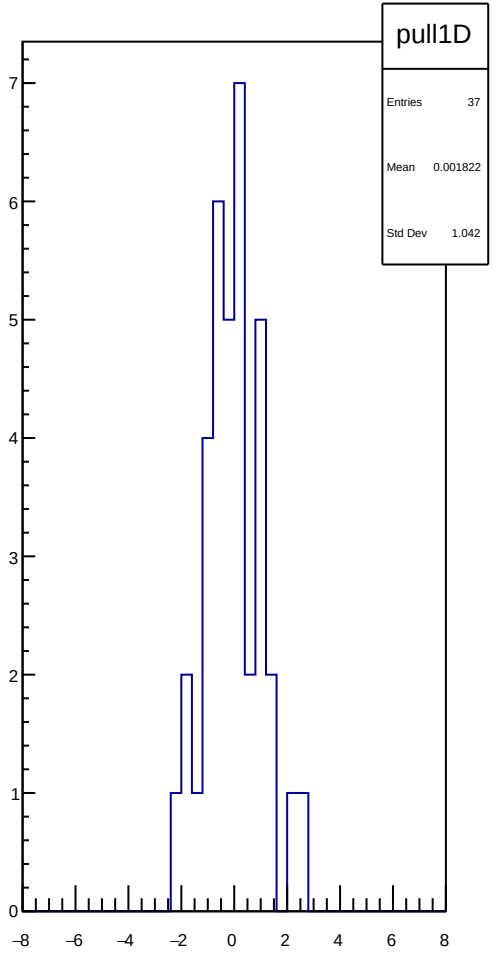
pull1D
Entries 37
Mean 0.001822
Std Dev 1.042
7
6
5
4
3
2
1
0
−8
−6
−4
−2
0
2
4
6
8

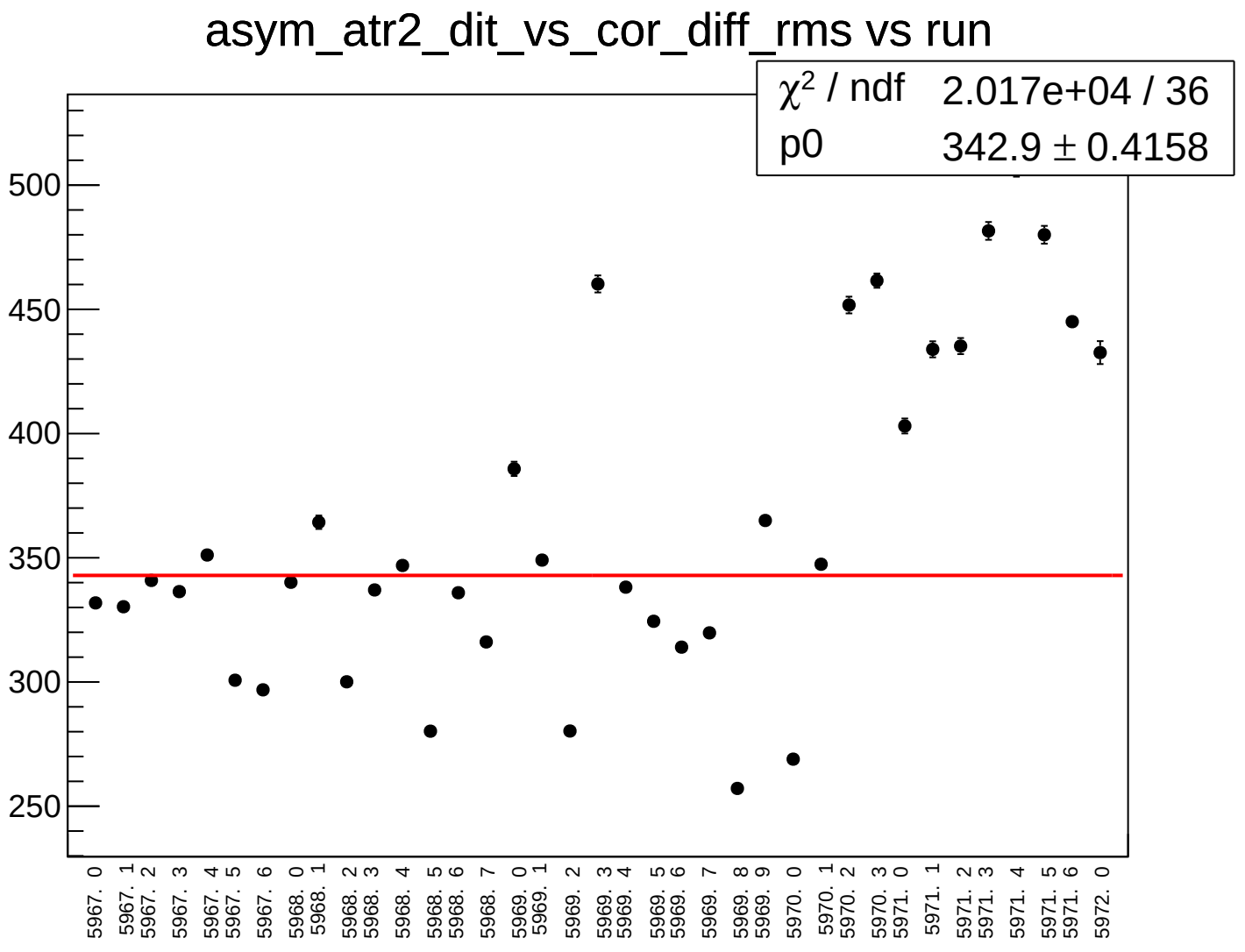
asym_atr2_dit_vs_cor_diff_rms vs run
χ² / ndf 2.017e+04 / 36
p0 342.9 ± 0.4158
500
450
400
350
300
250
5967. 0
5967. 1
5967. 2
5967. 3
5967. 4
5967. 5
5967. 6
5968. 0
5968. 1
5968. 2
5968. 3
5968. 4
5968. 5
5968. 6
5968. 7
5969. 0
5969. 1
5969. 2
5969. 3
5969. 4
5969. 5
5969. 6
5969. 7
5969. 8
5969. 9
5970. 0
5970. 1
5970. 2
5970. 3
5971. 0
5971. 1
5971. 2
5971. 3
5971. 4
5971. 5
5971. 6
5972. 0

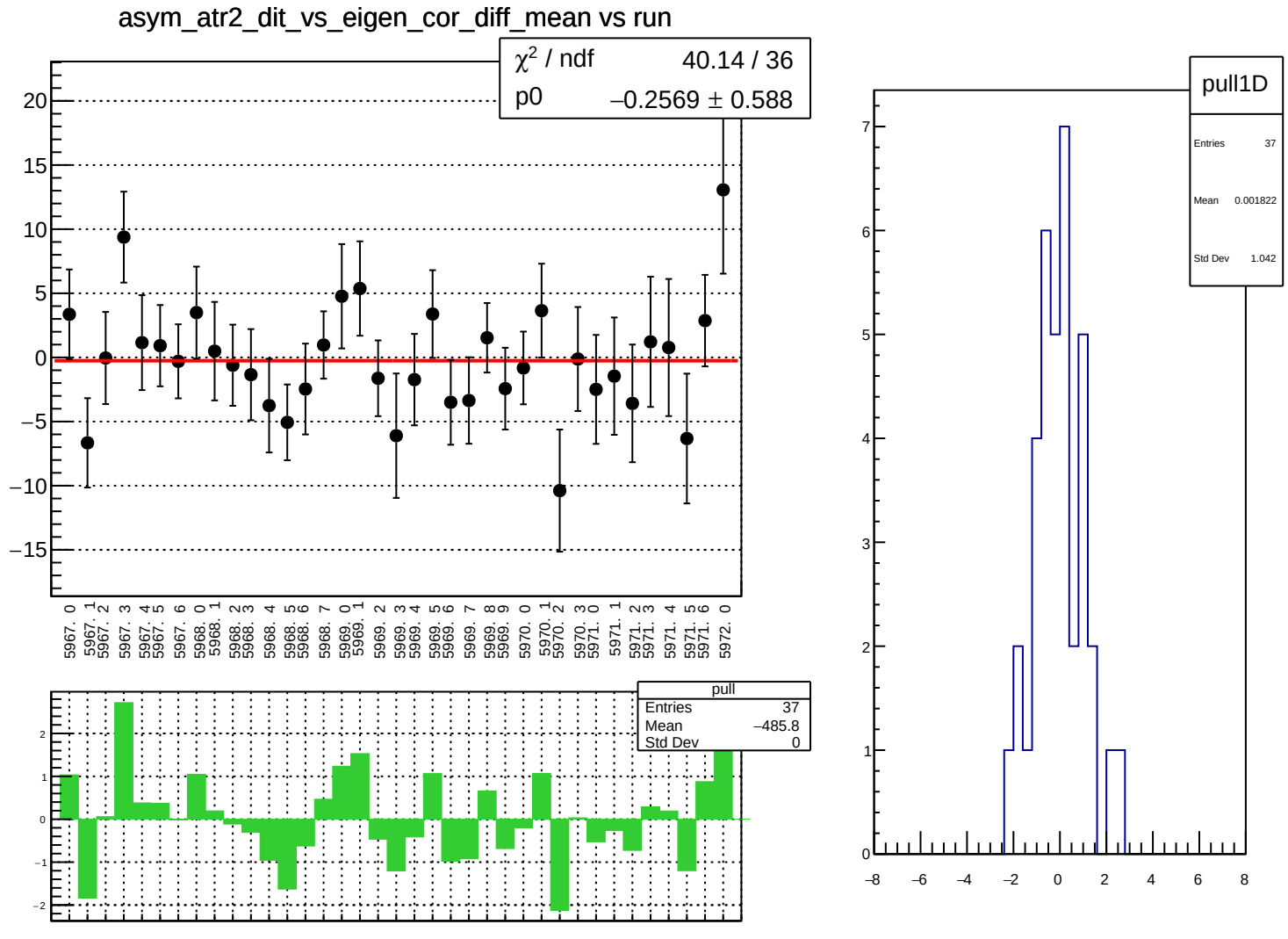
asym_atr2_dit_vs_eigen_cor_diff_mean vs run
χ² / ndf 40.14 / 36
p0 −0.2569 ± 0.588
pull
Entries 37
Mean −485.8
Std Dev 0
pull1D
Entries 37
Mean 0.001822
Std Dev 1.042

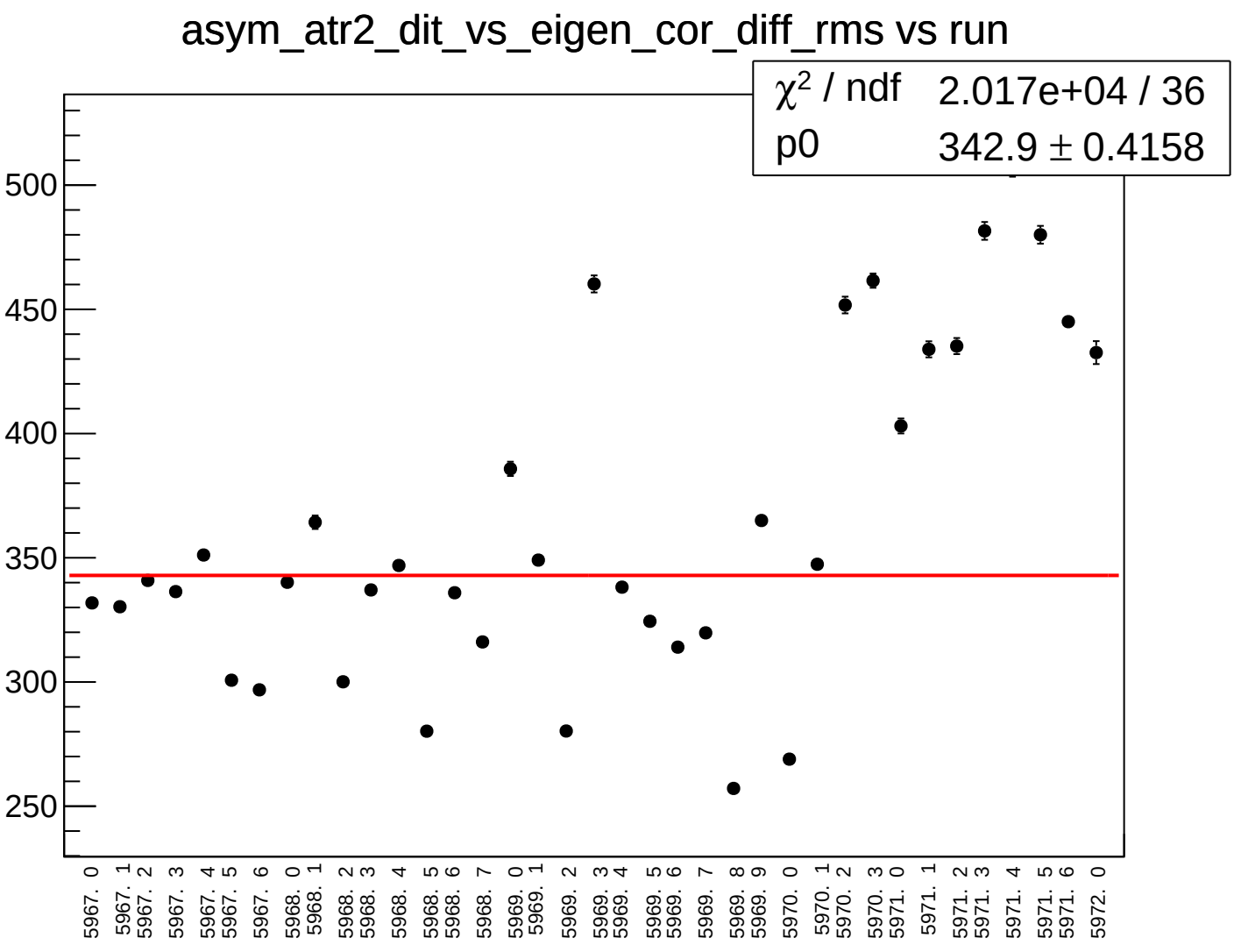
asym_atr2_dit_vs_eigen_cor_diff_rms vs run
χ² / ndf 2.017e+04 / 36
p0 342.9 ± 0.4158
500
450
400
350
300
250
5967. 0
5967. 1
5967. 2
5967. 3
5967. 4
5967. 5
5967. 6
5968. 0
5968. 1
5968. 2
5968. 3
5968. 4
5968. 5
5968. 6
5968. 7
5969. 0
5969. 1
5969. 2
5969. 3
5969. 4
5969. 5
5969. 6
5969. 7
5969. 8
5969. 9
5970. 0
5970. 1
5970. 2
5970. 3
5971. 0
5971. 1
5971. 2
5971. 3
5971. 4
5971. 5
5971. 6
5972. 0

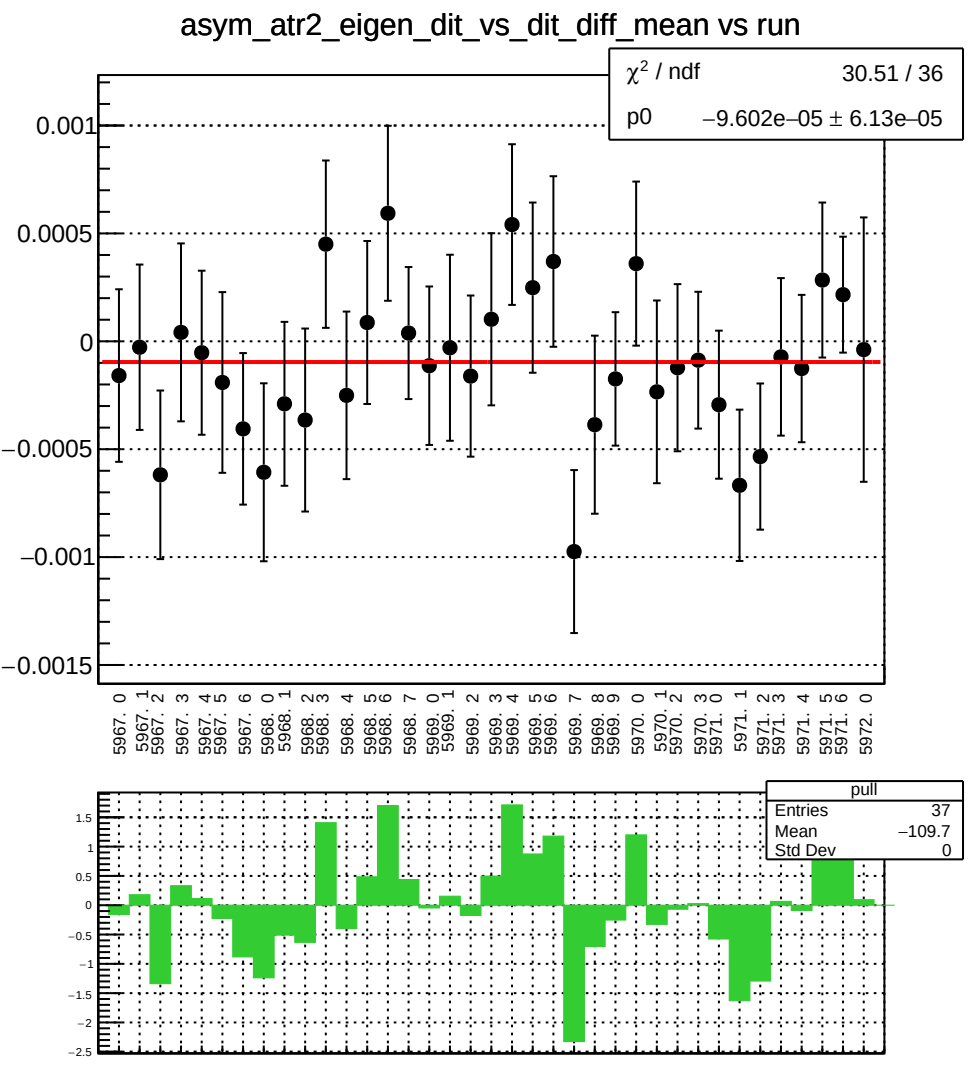
asym_atr2_eigen_dit_vs_dit_diff_mean vs run
χ² / ndf 30.51 / 36
p0 −9.602e−05 ± 6.13e−05
0.001
0.0005
0
−0.0005
−0.001
−0.0015
5967. 0
5967. 1
5967. 2
5967. 3
5967. 4
5967. 5
5967. 6
5968. 0
5968. 1
5968. 2
5968. 3
5968. 4
5968. 5
5968. 6
5968. 7
5969. 0
5969. 1
5969. 2
5969. 3
5969. 4
5969. 5
5969. 6
5969. 7
5969. 8
5969. 9
5970. 0
5970. 1
5970. 2
5970. 3
5971. 0
5971. 1
5971. 2
5971. 3
5971. 4
5971. 5
5971. 6
5972. 0
pull
Entries 37
Mean −109.7
Std Dev 0
1.5
1
0.5
0
−0.5
−1
−1.5
−2
−2.5

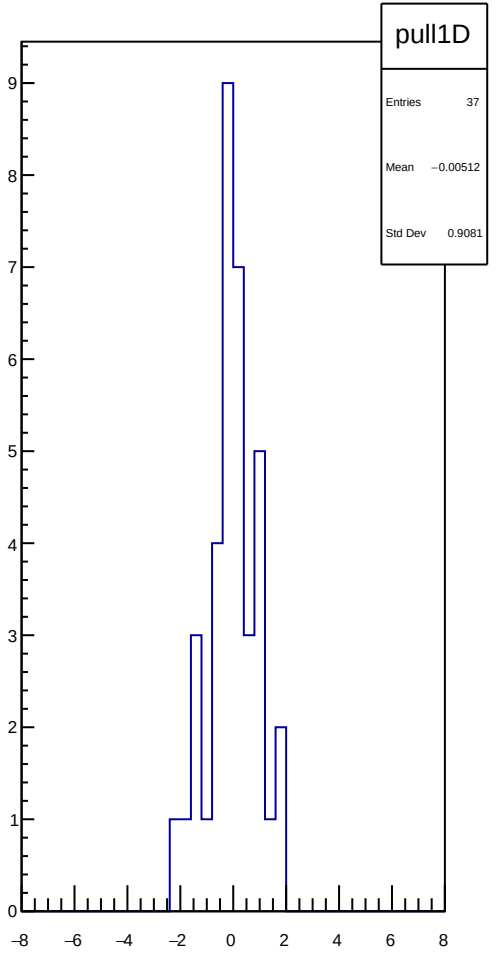
pull1D
Entries 37
Mean −0.00512
Std Dev 0.9081
9
8
7
6
5
4
3
2
1
0
−8
−6
−4
−2
0
2
4
6
8

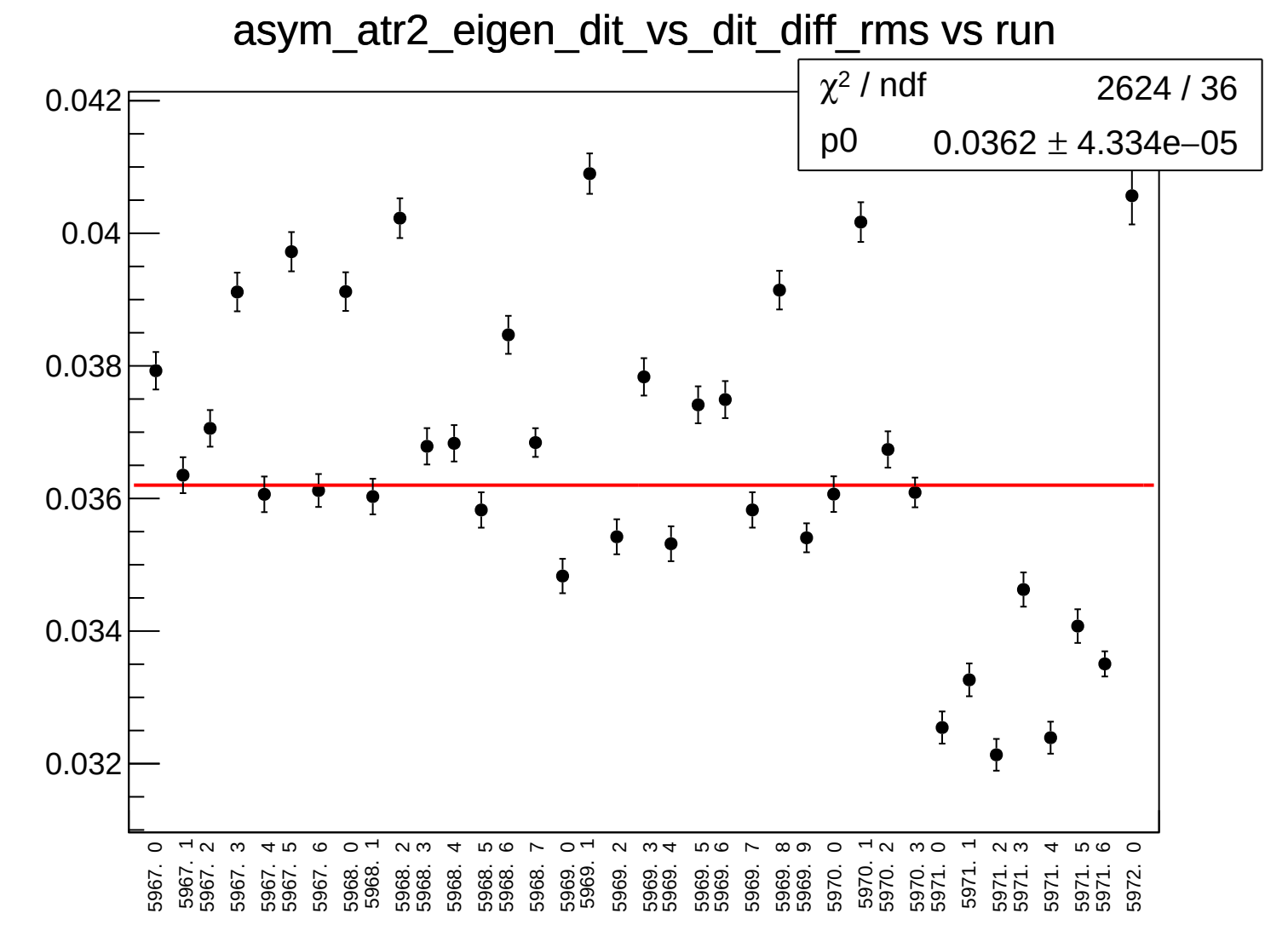
asym_atr2_eigen_dit_vs_dit_diff_rms vs run
χ² / ndf 2624 / 36
p0 0.0362 ± 4.334e−05
0.042
0.04
0.038
0.036
0.034
0.032
5967. 0
5967. 1
5967. 2
5967. 3
5967. 4
5967. 5
5967. 6
5968. 0
5968. 1
5968. 2
5968. 3
5968. 4
5968. 5
5968. 6
5968. 7
5969. 0
5969. 1
5969. 2
5969. 3
5969. 4
5969. 5
5969. 6
5969. 7
5969. 8
5969. 9
5970. 0
5970. 1
5970. 2
5970. 3
5971. 0
5971. 1
5971. 2
5971. 3
5971. 4
5971. 5
5971. 6
5972. 0

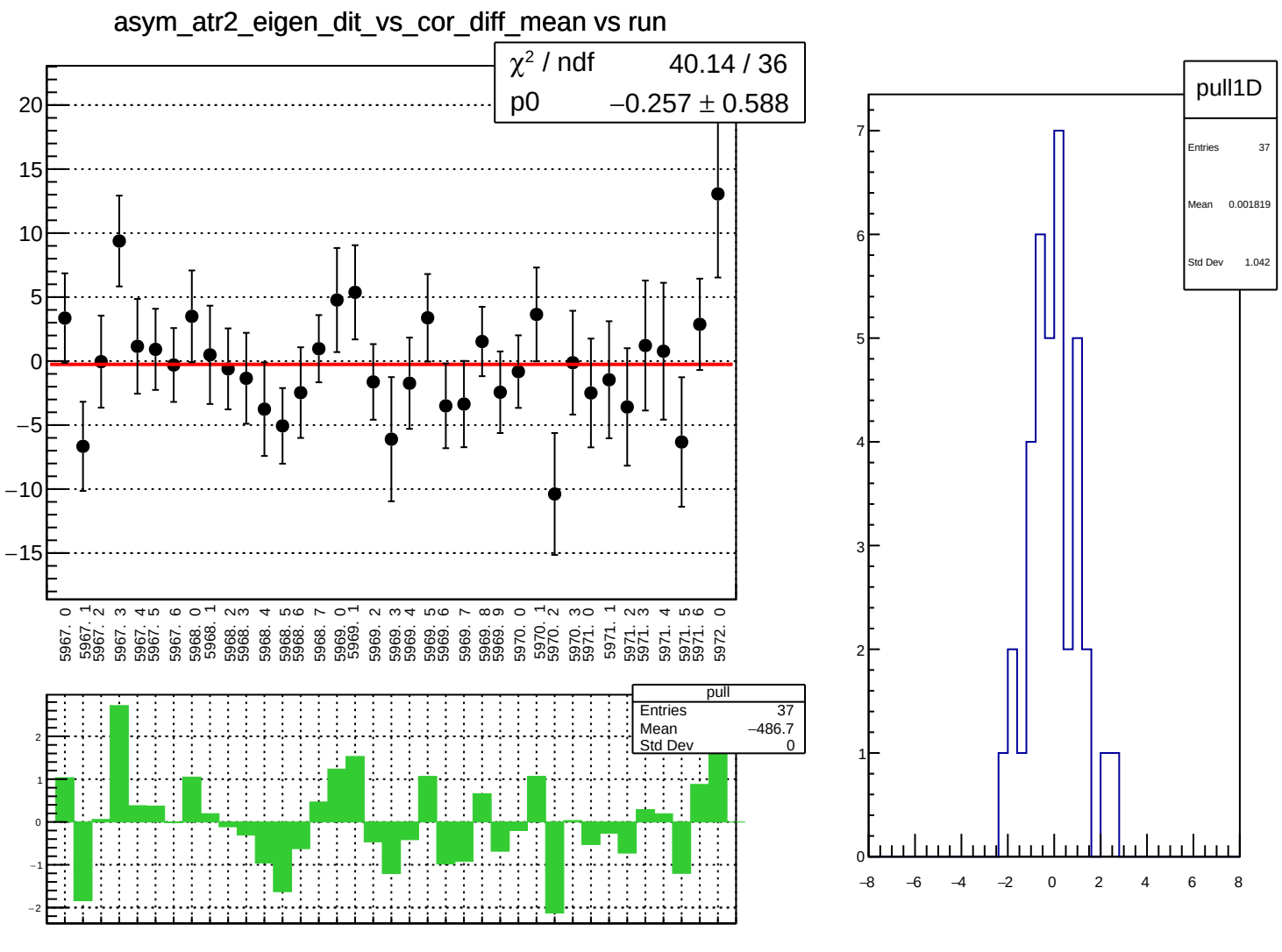
asym_atr2_eigen_dit_vs_cor_diff_mean vs run
χ² / ndf 40.14 / 36
p0 −0.257 ± 0.588
pull
Entries 37
Mean −486.7
Std Dev 0
pull1D
Entries 37
Mean 0.001819
Std Dev 1.042

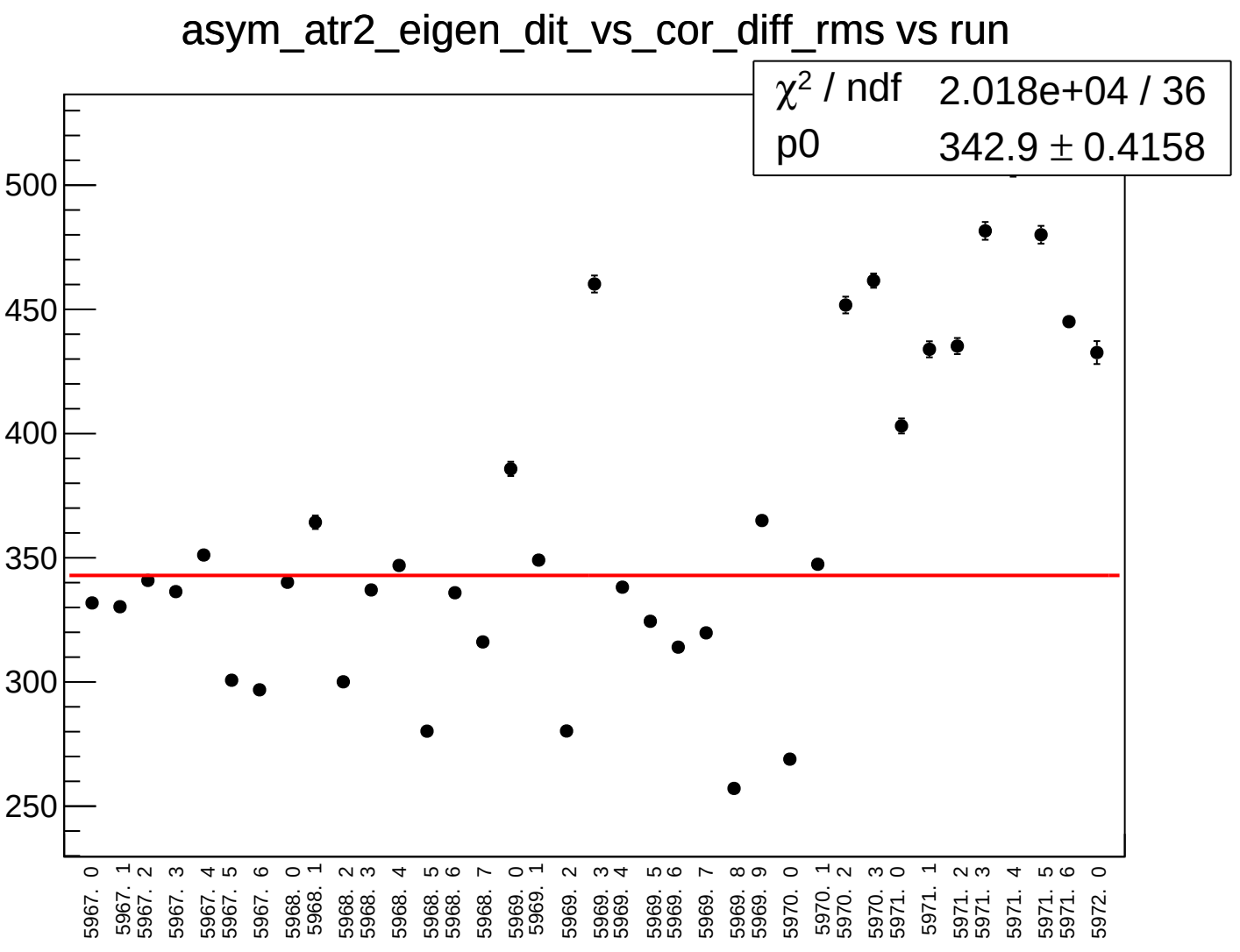
asym_atr2_eigen_dit_vs_cor_diff_rms vs run
χ² / ndf 2.018e+04 / 36
p0 342.9 ± 0.4158
500
450
400
350
300
250
5967. 0
5967. 1
5967. 2
5967. 3
5967. 4
5967. 5
5967. 6
5968. 0
5968. 1
5968. 2
5968. 3
5968. 4
5968. 5
5968. 6
5968. 7
5969. 0
5969. 1
5969. 2
5969. 3
5969. 4
5969. 5
5969. 6
5969. 7
5969. 8
5969. 9
5970. 0
5970. 1
5970. 2
5970. 3
5971. 0
5971. 1
5971. 2
5971. 3
5971. 4
5971. 5
5971. 6
5972. 0

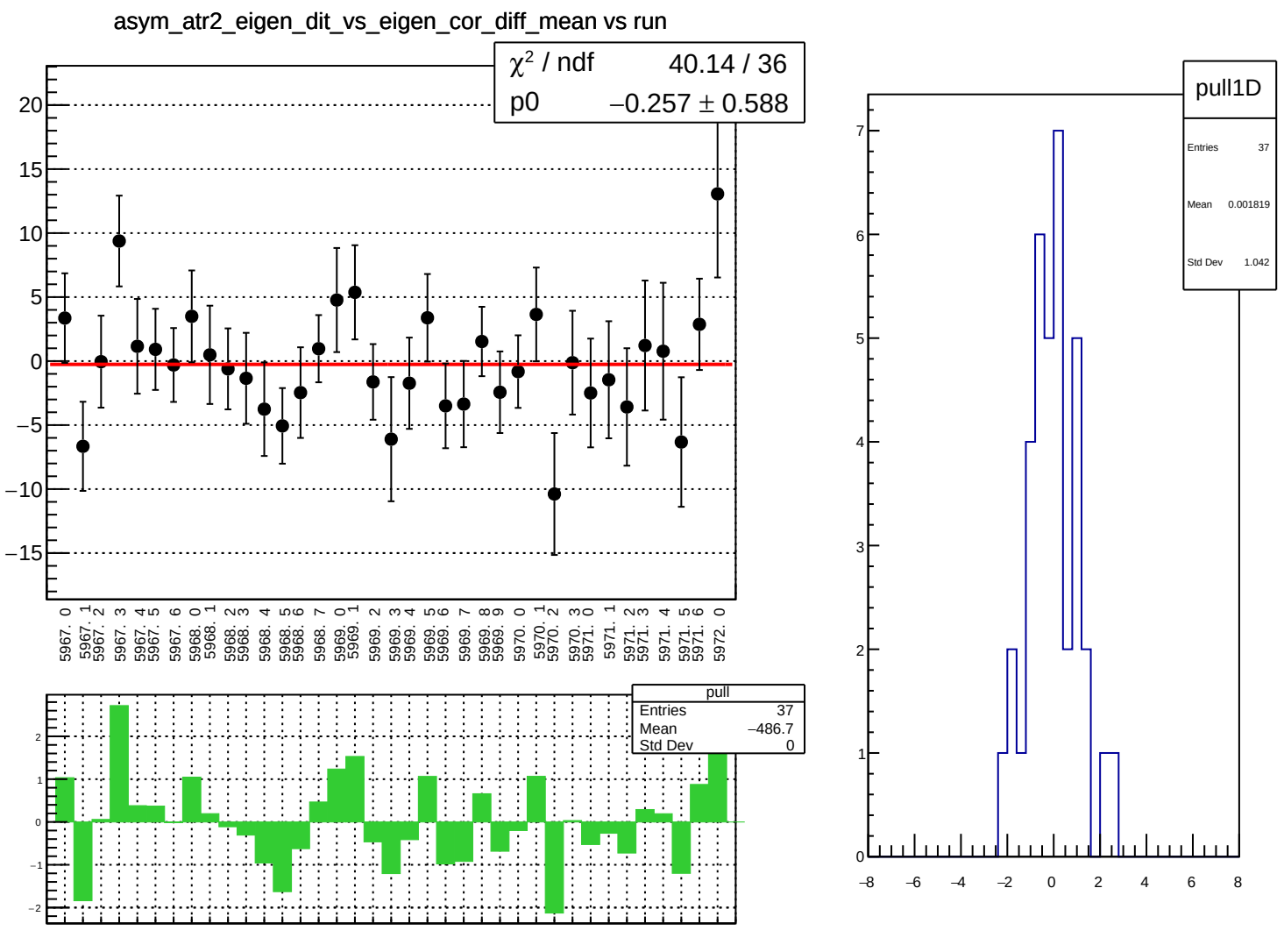
asym_atr2_eigen_dit_vs_eigen_cor_diff_mean vs run
χ² / ndf 40.14 / 36
p0 −0.257 ± 0.588
pull
Entries 37
Mean −486.7
Std Dev 0
pull1D
Entries 37
Mean 0.001819
Std Dev 1.042

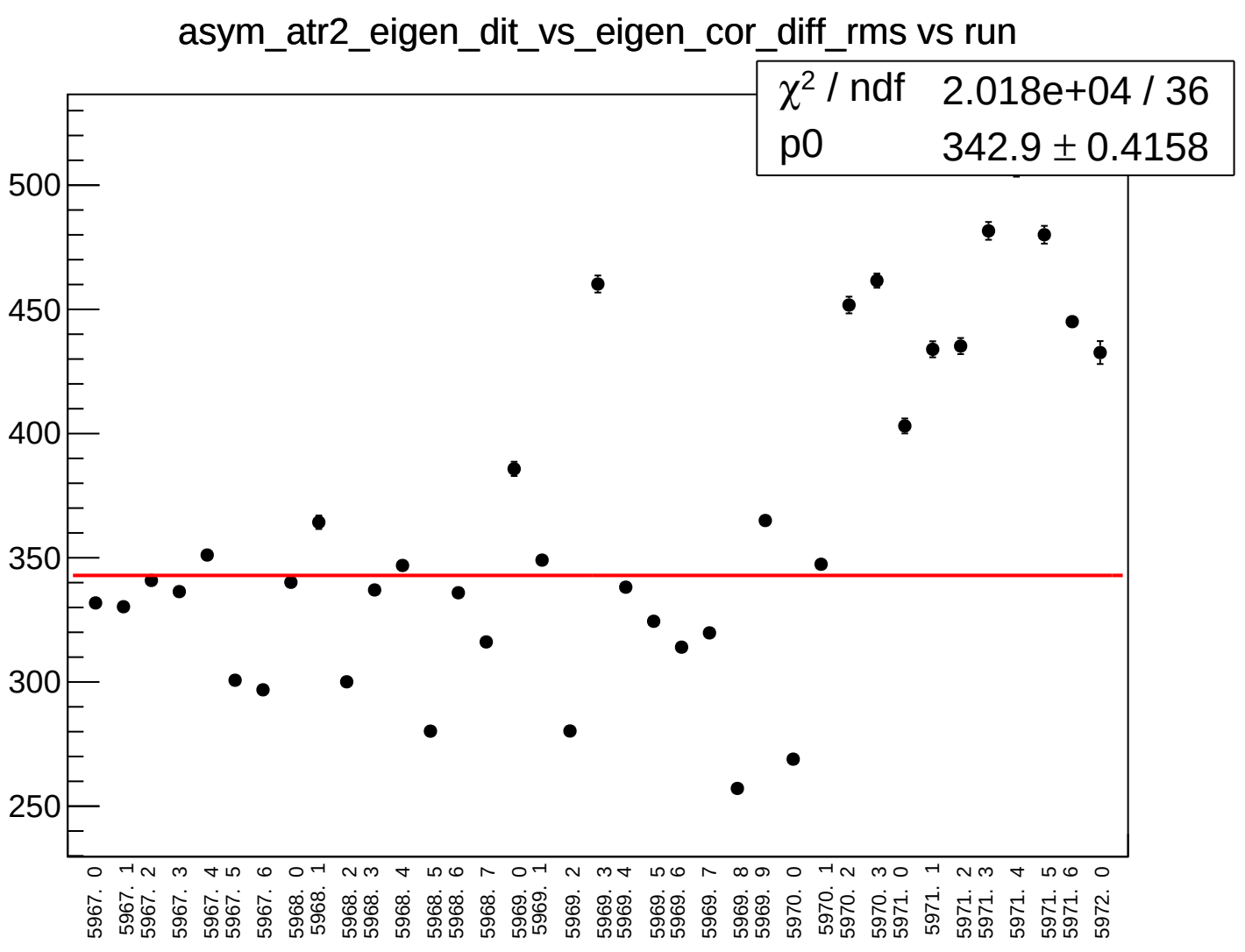
asym_atr2_eigen_dit_vs_eigen_cor_diff_rms vs run
χ² / ndf 2.018e+04 / 36
p0 342.9 ± 0.4158
500
450
400
350
300
250
5967. 0
5967. 1
5967. 2
5967. 3
5967. 4
5967. 5
5967. 6
5968. 0
5968. 1
5968. 2
5968. 3
5968. 4
5968. 5
5968. 6
5968. 7
5969. 0
5969. 1
5969. 2
5969. 3
5969. 4
5969. 5
5969. 6
5969. 7
5969. 8
5969. 9
5970. 0
5970. 1
5970. 2
5970. 3
5971. 0
5971. 1
5971. 2
5971. 3
5971. 4
5971. 5
5971. 6
5972. 0

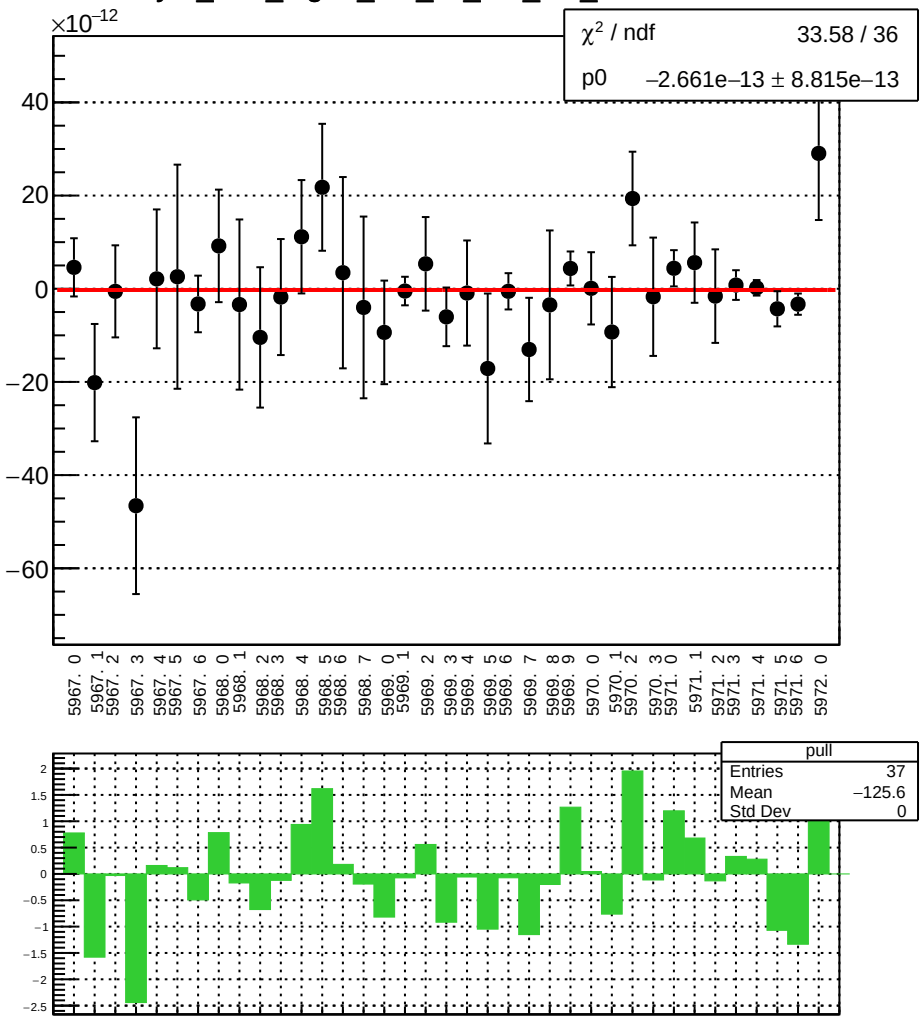
asym_atr2_eigen_cor_vs_cor_diff_mean vs run
×10⁻¹²
χ² / ndf 33.58 / 36
p0 −2.661e−13 ± 8.815e−13
40
20
0
−20
−40
−60
5967. 0
5967. 1
5967. 2
5967. 3
5967. 4
5967. 5
5967. 6
5968. 0
5968. 1
5968. 2
5968. 3
5968. 4
5968. 5
5968. 6
5968. 7
5969. 0
5969. 1
5969. 2
5969. 3
5969. 4
5969. 5
5969. 6
5969. 7
5969. 8
5969. 9
5970. 0
5970. 1
5970. 2
5970. 3
5971. 0
5971. 1
5971. 2
5971. 3
5971. 4
5971. 5
5971. 6
5972. 0
pull
Entries 37
Mean −125.6
Std Dev 0
2
1.5
1
0.5
0
−0.5
−1
−1.5
−2
−2.5

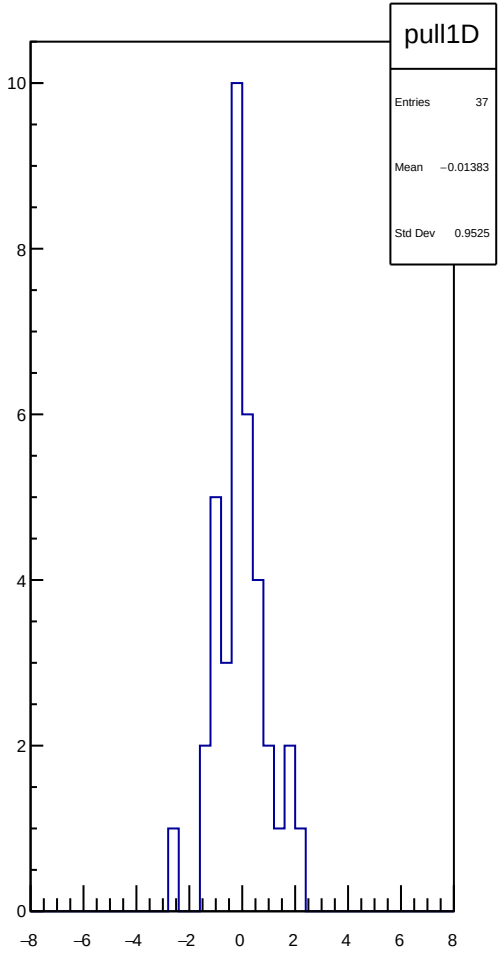
pull1D
Entries 37
Mean −0.01383
Std Dev 0.9525
10
8
6
4
2
0
−8
−6
−4
−2
0
2
4
6
8

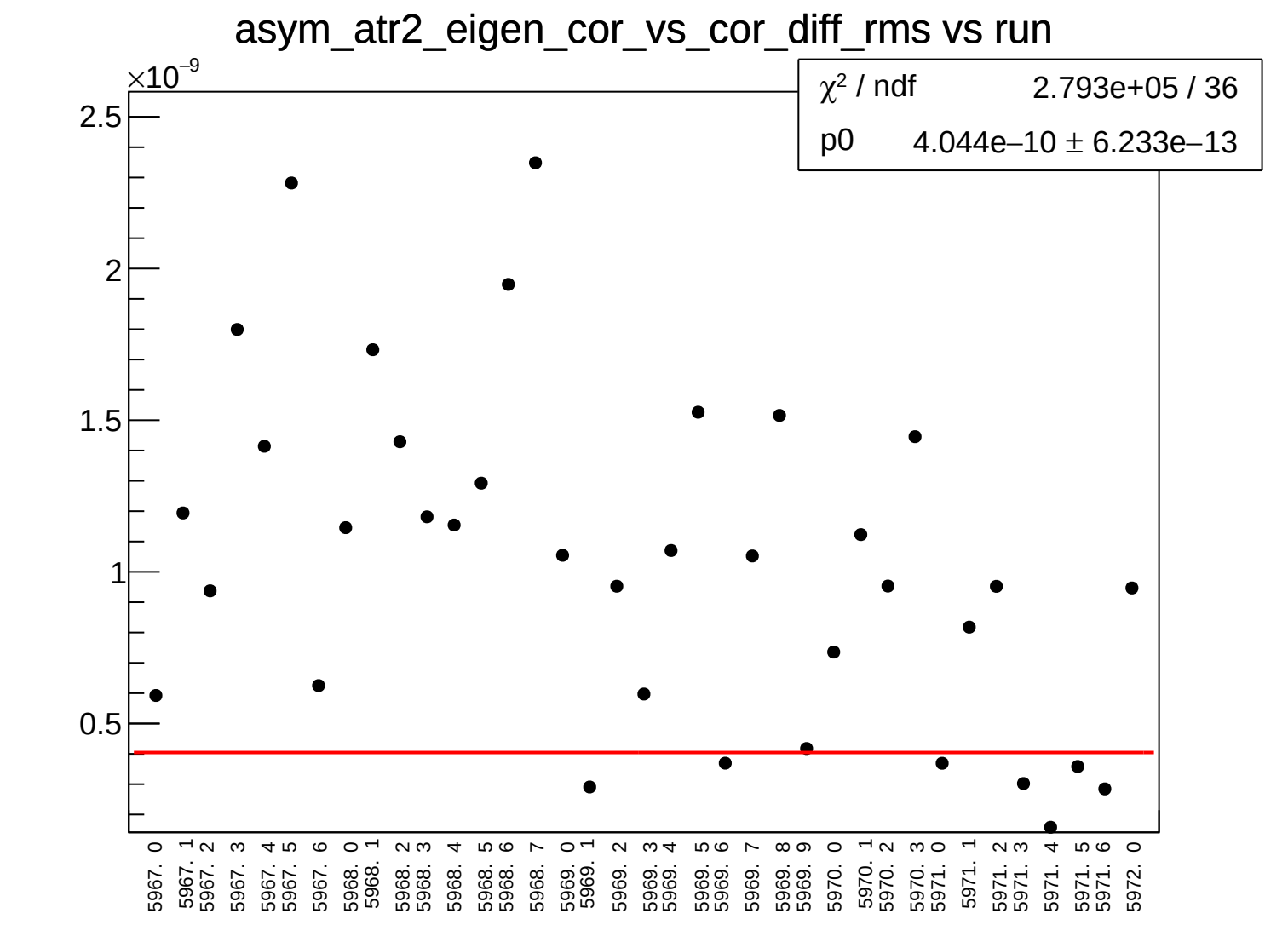
asym_atr2_eigen_cor_vs_cor_diff_rms vs run
×10⁻⁹
χ² / ndf 2.793e+05 / 36
p0 4.044e−10 ± 6.233e−13
2.5
2
1.5
1
0.5
5967. 0
5967. 1
5967. 2
5967. 3
5967. 4
5967. 5
5967. 6
5968. 0
5968. 1
5968. 2
5968. 3
5968. 4
5968. 5
5968. 6
5968. 7
5969. 0
5969. 1
5969. 2
5969. 3
5969. 4
5969. 5
5969. 6
5969. 7
5969. 8
5969. 9
5970. 0
5970. 1
5970. 2
5970. 3
5971. 0
5971. 1
5971. 2
5971. 3
5971. 4
5971. 5
5971. 6
5972. 0

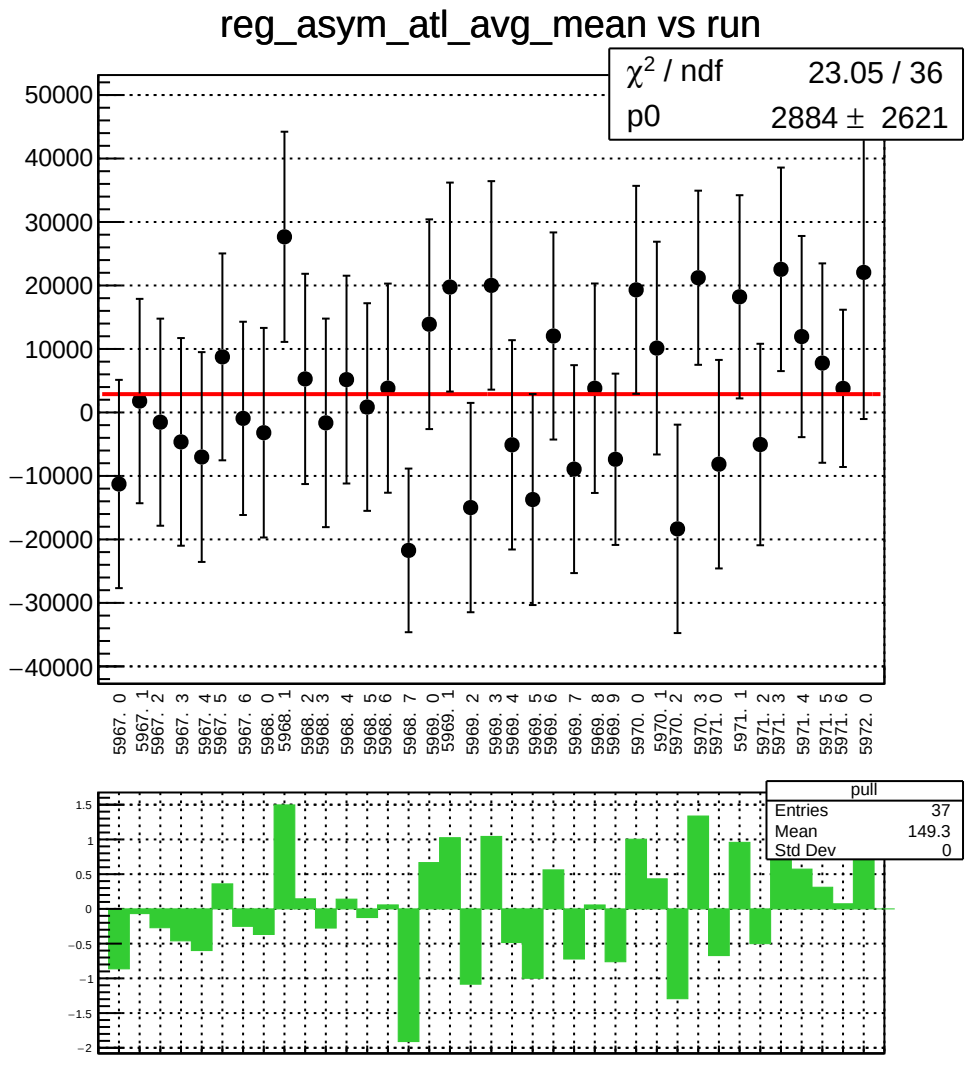
reg_asym_atl_avg_mean vs run
χ² / ndf 23.05 / 36
p0 2884 ± 2621
pull
Entries 37
Mean 149.3
Std Dev 0

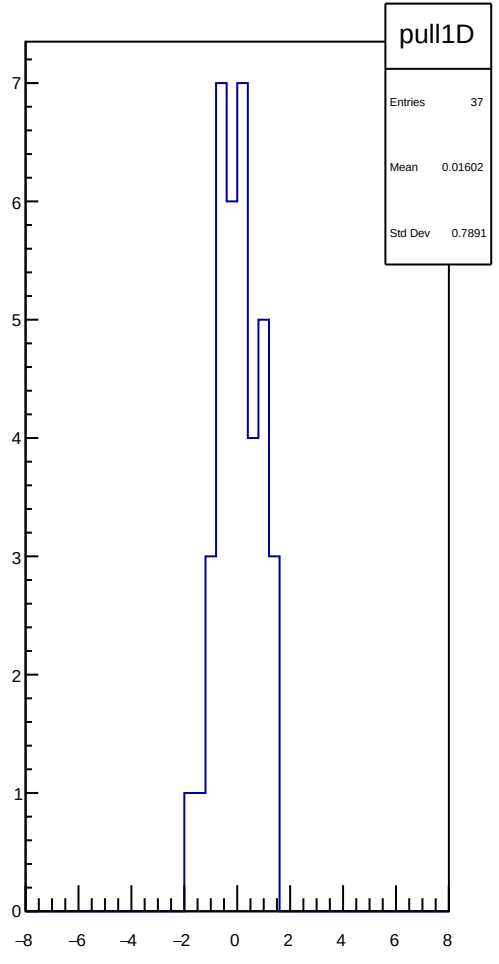
pull1D
Entries 37
Mean 0.01602
Std Dev 0.7891

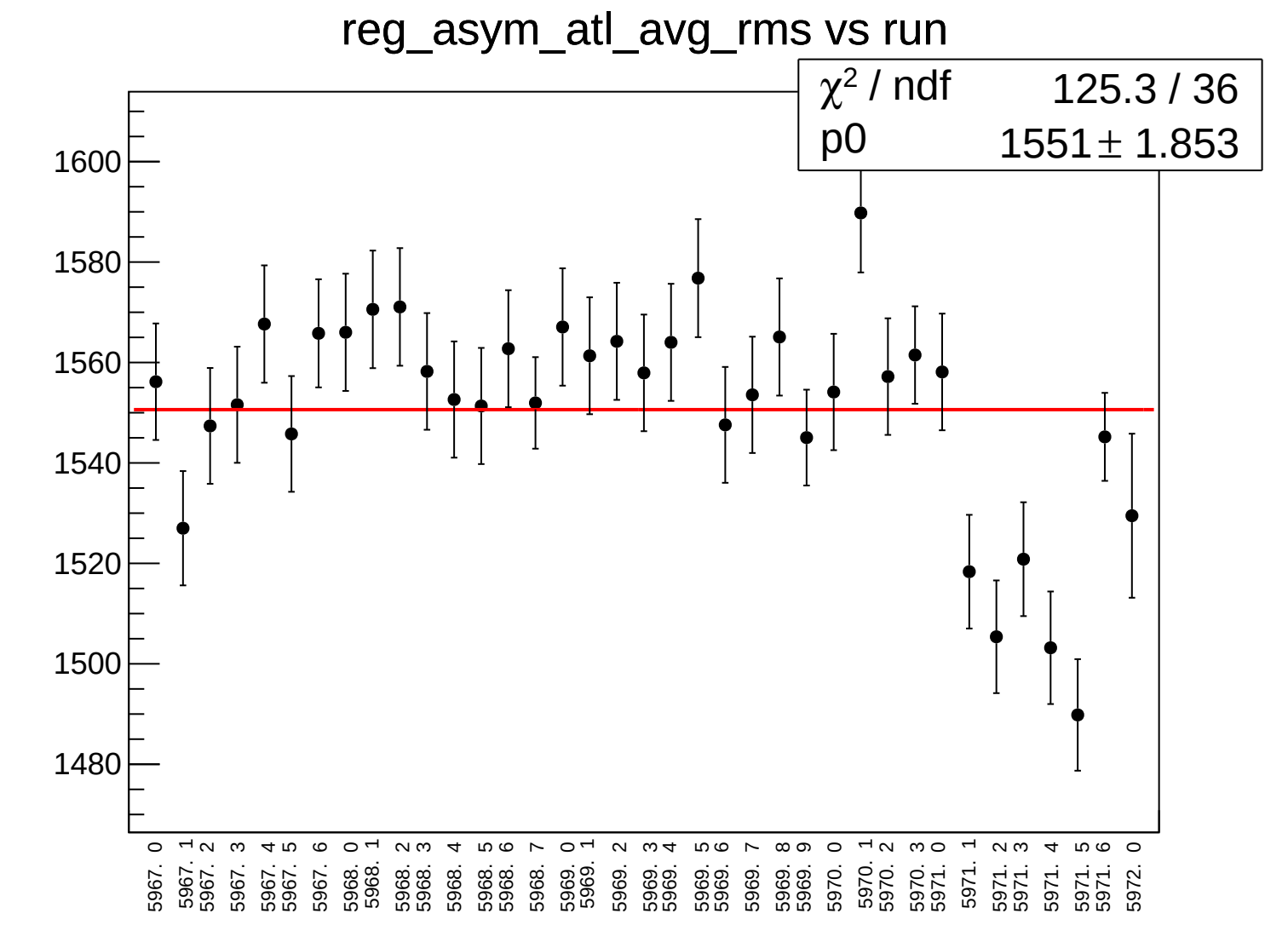
reg_asym_atl_avg_rms vs run
χ² / ndf 125.3 / 36
p0 1551 ± 1.853
1600
1580
1560
1540
1520
1500
1480
5967. 0
5967. 1
5967. 2
5967. 3
5967. 4
5967. 5
5967. 6
5968. 0
5968. 1
5968. 2
5968. 3
5968. 4
5968. 5
5968. 6
5968. 7
5969. 0
5969. 1
5969. 2
5969. 3
5969. 4
5969. 5
5969. 6
5969. 7
5969. 8
5969. 9
5970. 0
5970. 1
5970. 2
5970. 3
5971. 0
5971. 1
5971. 2
5971. 3
5971. 4
5971. 5
5971. 6
5972. 0

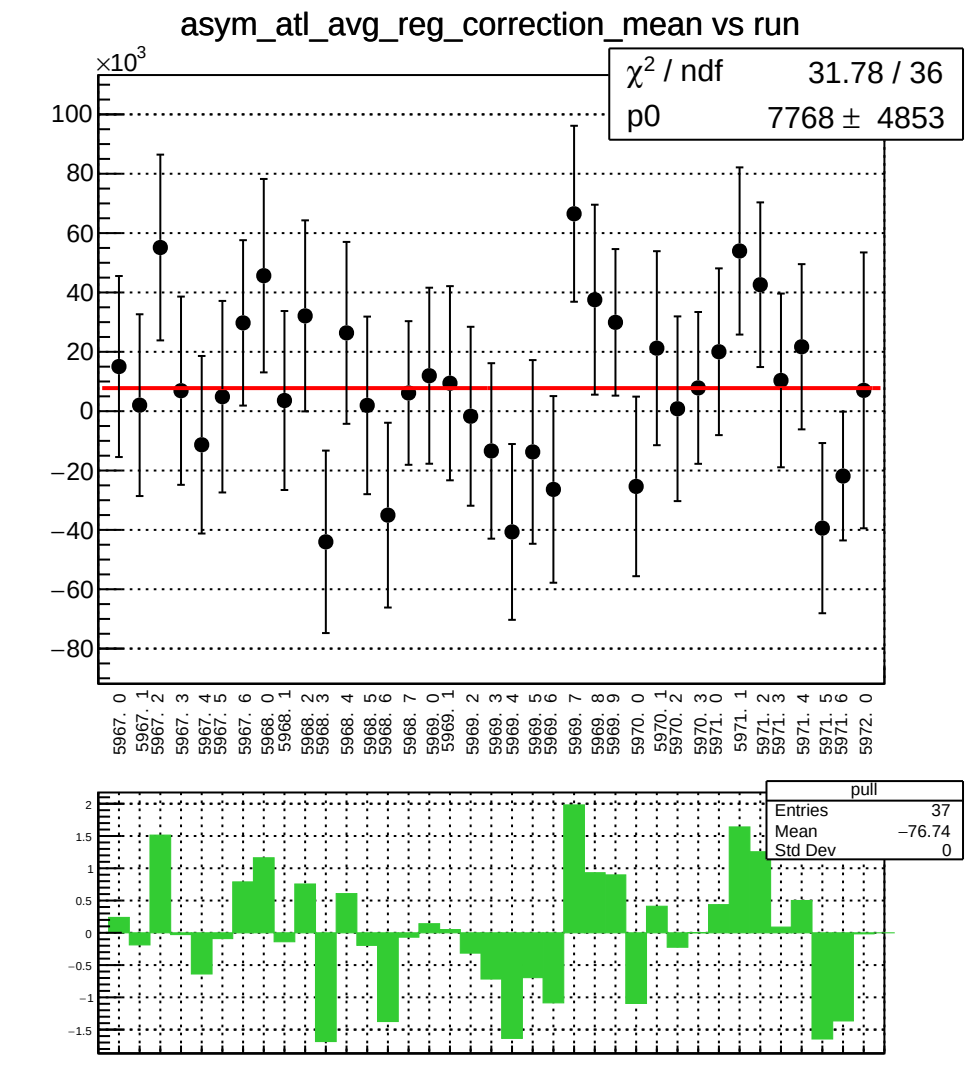
asym_atl_avg_reg_correction_mean vs run
×10^3
χ² / ndf 31.78 / 36
p0 7768 ± 4853
100
80
60
40
20
0
−20
−40
−60
−80
5967. 0
5967. 1
5967. 2
5967. 3
5967. 4
5967. 5
5967. 6
5968. 0
5968. 1
5968. 2
5968. 3
5968. 4
5968. 5
5968. 6
5968. 7
5969. 0
5969. 1
5969. 2
5969. 3
5969. 4
5969. 5
5969. 6
5969. 7
5969. 8
5969. 9
5970. 0
5970. 1
5970. 2
5970. 3
5971. 0
5971. 1
5971. 2
5971. 3
5971. 4
5971. 5
5971. 6
5972. 0
pull
Entries 37
Mean −76.74
Std Dev 0
2
1.5
1
0.5
0
−0.5
−1
−1.5
pull1D
Entries 37
Mean 0.005706
Std Dev 0.9268
9
8
7
6
5
4
3
2
1
0
−8
−6
−4
−2
0
2
4
6
8

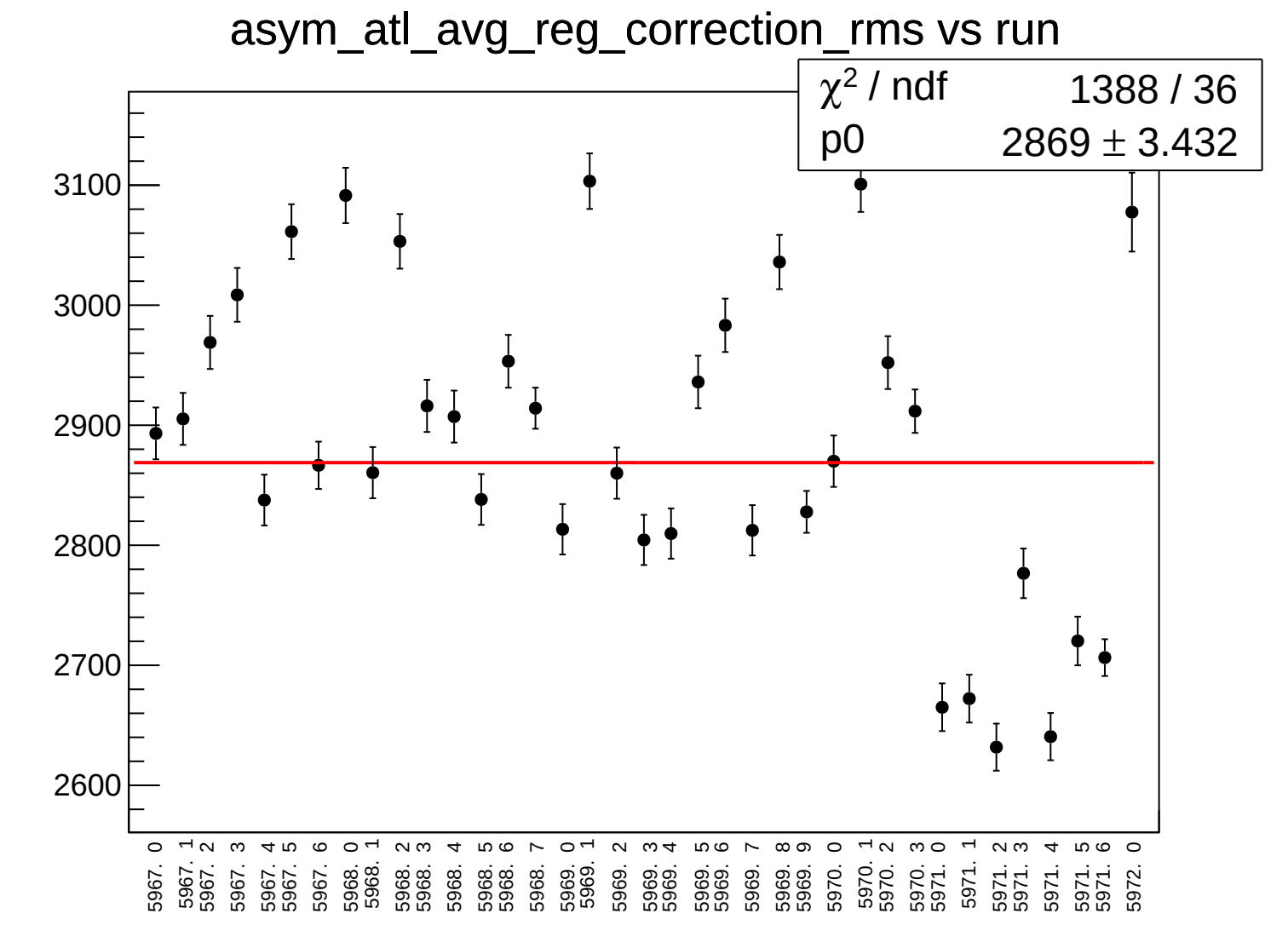
asym_atl_avg_reg_correction_rms vs run
χ² / ndf 1388 / 36
p0 2869 ± 3.432
3100
3000
2900
2800
2700
2600
5967. 0
5967. 1
5967. 2
5967. 3
5967. 4
5967. 5
5967. 6
5968. 0
5968. 1
5968. 2
5968. 3
5968. 4
5968. 5
5968. 6
5968. 7
5969. 0
5969. 1
5969. 2
5969. 3
5969. 4
5969. 5
5969. 6
5969. 7
5969. 8
5969. 9
5970. 0
5970. 1
5970. 2
5970. 3
5971. 0
5971. 1
5971. 2
5971. 3
5971. 4
5971. 5
5971. 6
5972. 0

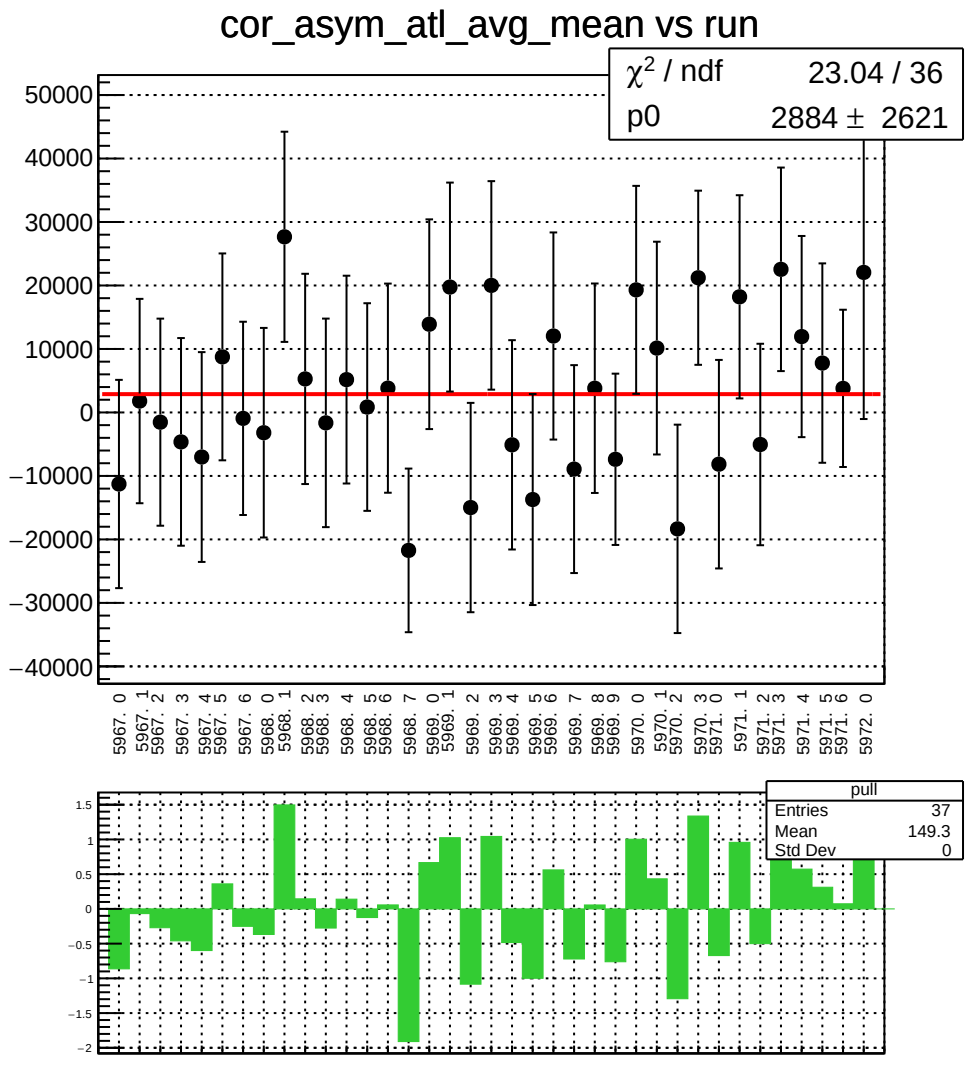
cor_asym_atl_avg_mean vs run
χ² / ndf 23.04 / 36
p0 2884 ± 2621
pull
Entries 37
Mean 149.3
Std Dev 0

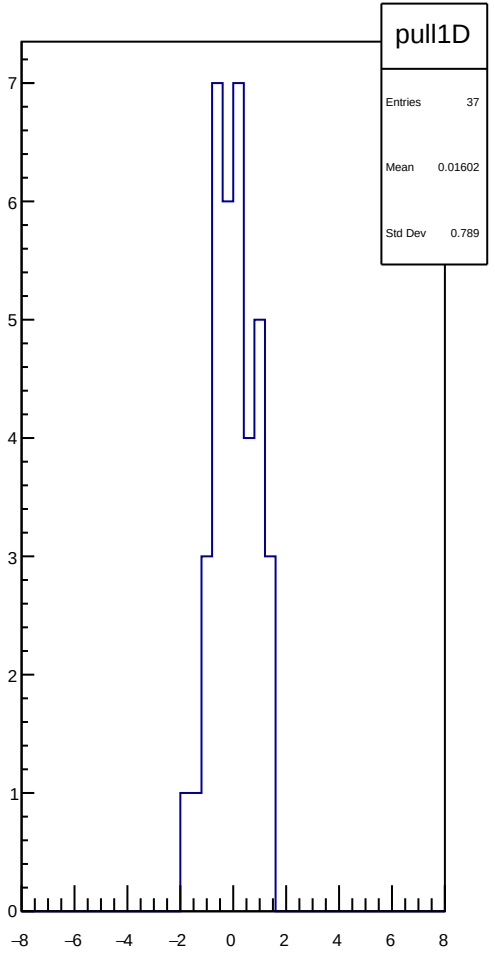
pull1D
Entries 37
Mean 0.01602
Std Dev 0.789

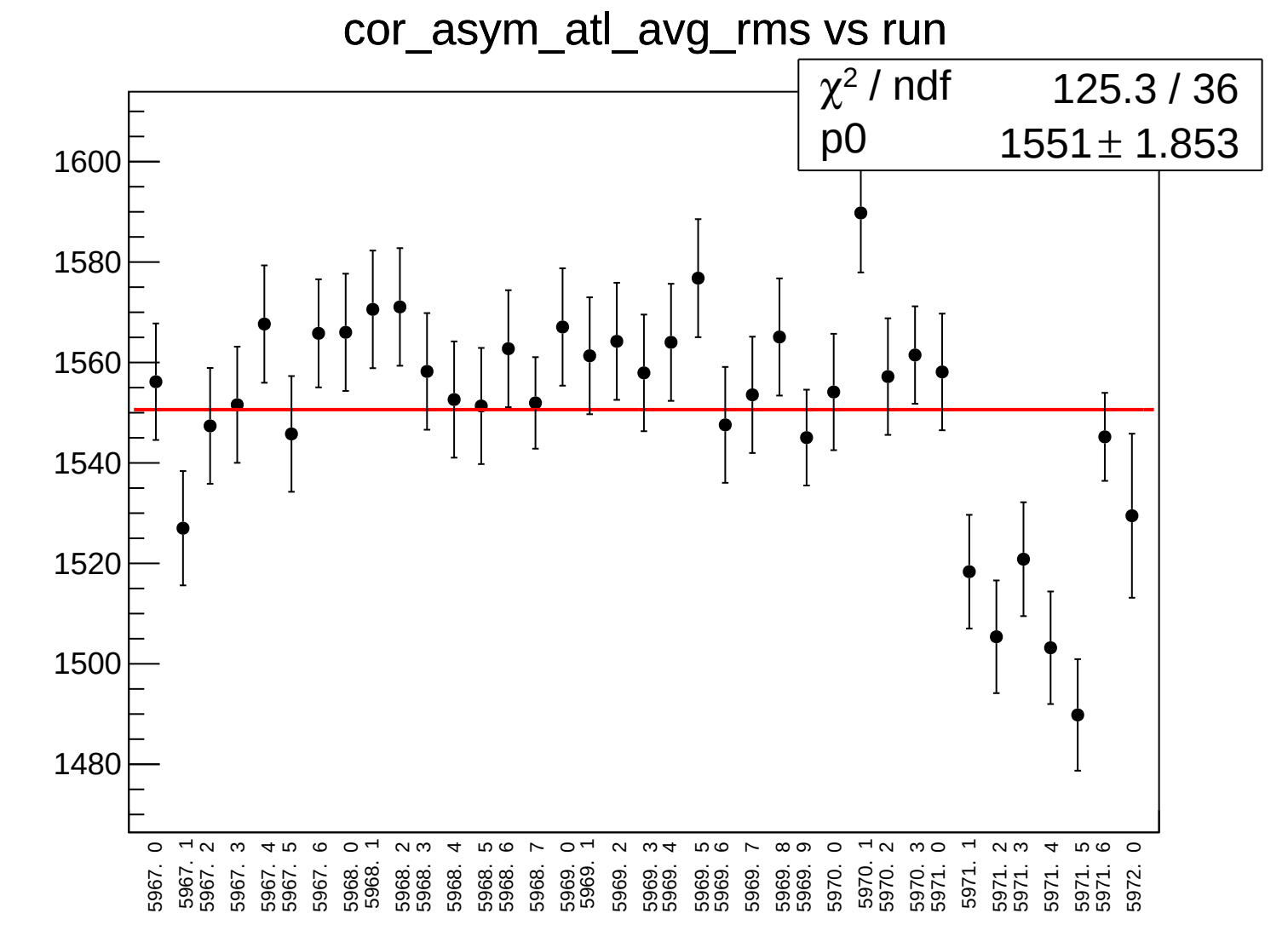
cor_asym_atl_avg_rms vs run
χ² / ndf 125.3 / 36
p0 1551 ± 1.853
1600
1580
1560
1540
1520
1500
1480
5967. 0
5967. 1
5967. 2
5967. 3
5967. 4
5967. 5
5967. 6
5968. 0
5968. 1
5968. 2
5968. 3
5968. 4
5968. 5
5968. 6
5968. 7
5969. 0
5969. 1
5969. 2
5969. 3
5969. 4
5969. 5
5969. 6
5969. 7
5969. 8
5969. 9
5970. 0
5970. 1
5970. 2
5970. 3
5971. 0
5971. 1
5971. 2
5971. 3
5971. 4
5971. 5
5971. 6
5972. 0

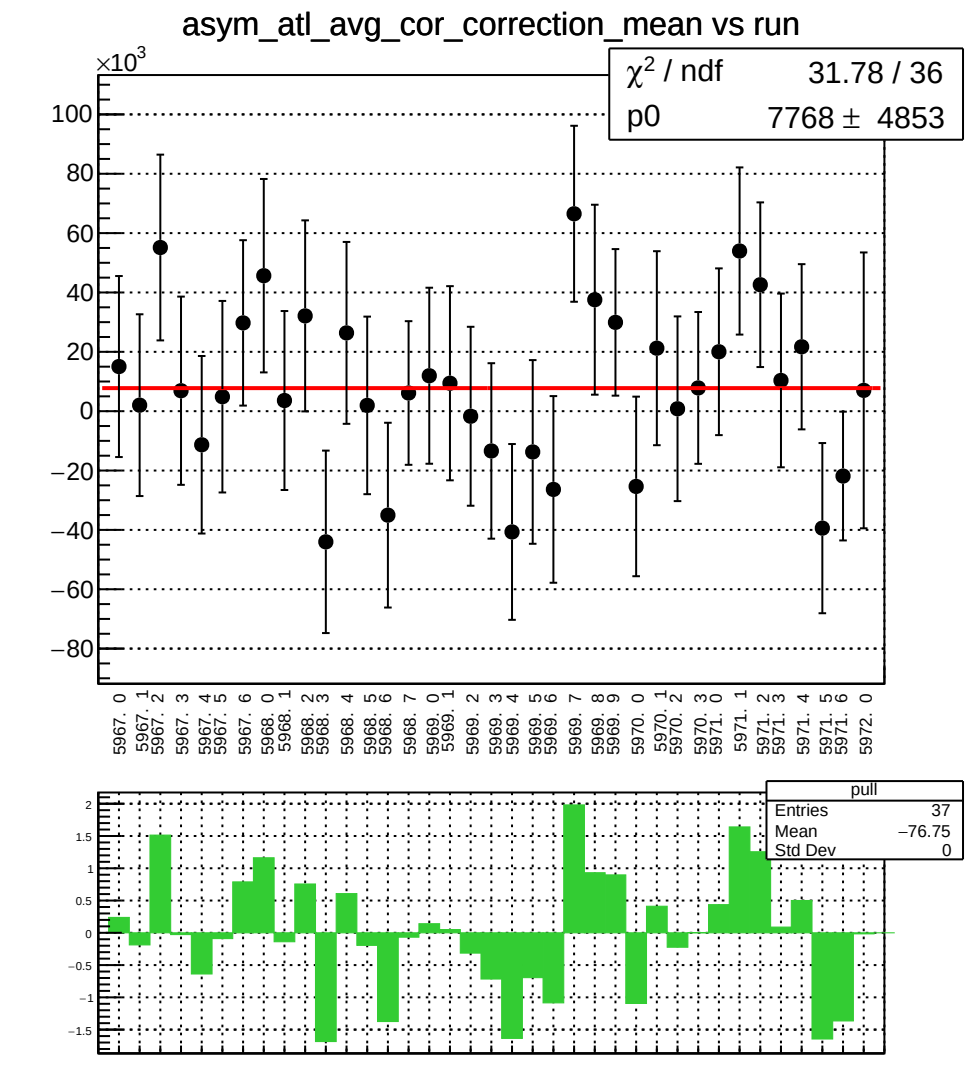
asym_atl_avg_cor_correction_mean vs run
×10^3
χ² / ndf 31.78 / 36
p0 7768 ± 4853
100
80
60
40
20
0
−20
−40
−60
−80
5967. 0
5967. 1
5967. 2
5967. 3
5967. 4
5967. 5
5967. 6
5968. 0
5968. 1
5968. 2
5968. 3
5968. 4
5968. 5
5968. 6
5968. 7
5969. 0
5969. 1
5969. 2
5969. 3
5969. 4
5969. 5
5969. 6
5969. 7
5969. 8
5969. 9
5970. 0
5970. 1
5970. 2
5970. 3
5971. 0
5971. 1
5971. 2
5971. 3
5971. 4
5971. 5
5971. 6
5972. 0
pull
Entries 37
Mean −76.75
Std Dev 0
2
1.5
1
0.5
0
−0.5
−1
−1.5
pull1D
Entries 37
Mean 0.005706
Std Dev 0.9268
9
8
7
6
5
4
3
2
1
0
−8
−6
−4
−2
0
2
4
6
8

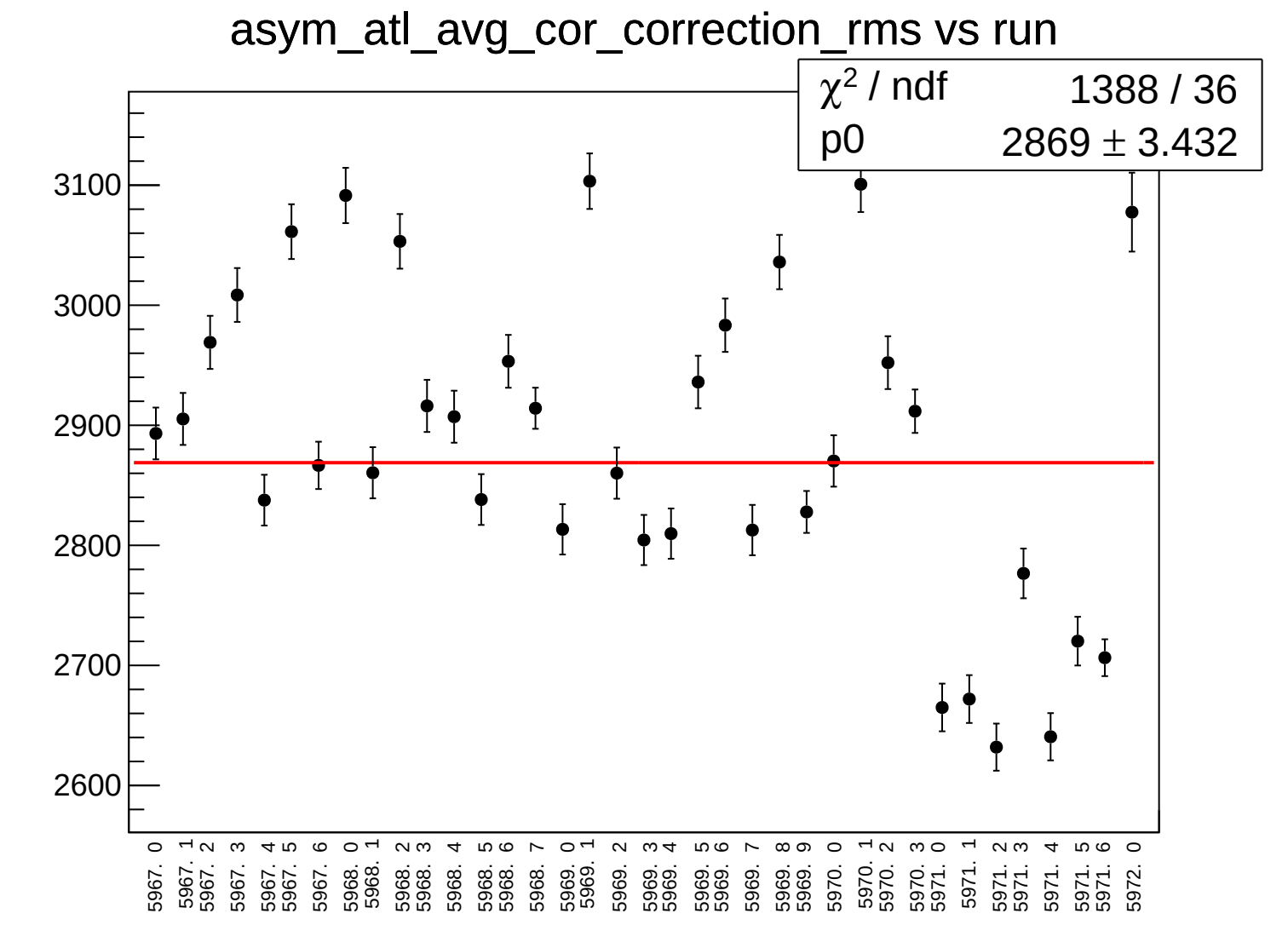
asym_atl_avg_cor_correction_rms vs run
χ² / ndf 1388 / 36
p0 2869 ± 3.432
3100
3000
2900
2800
2700
2600
5967. 0
5967. 1
5967. 2
5967. 3
5967. 4
5967. 5
5967. 6
5968. 0
5968. 1
5968. 2
5968. 3
5968. 4
5968. 5
5968. 6
5968. 7
5969. 0
5969. 1
5969. 2
5969. 3
5969. 4
5969. 5
5969. 6
5969. 7
5969. 8
5969. 9
5970. 0
5970. 1
5970. 2
5970. 3
5971. 0
5971. 1
5971. 2
5971. 3
5971. 4
5971. 5
5971. 6
5972. 0

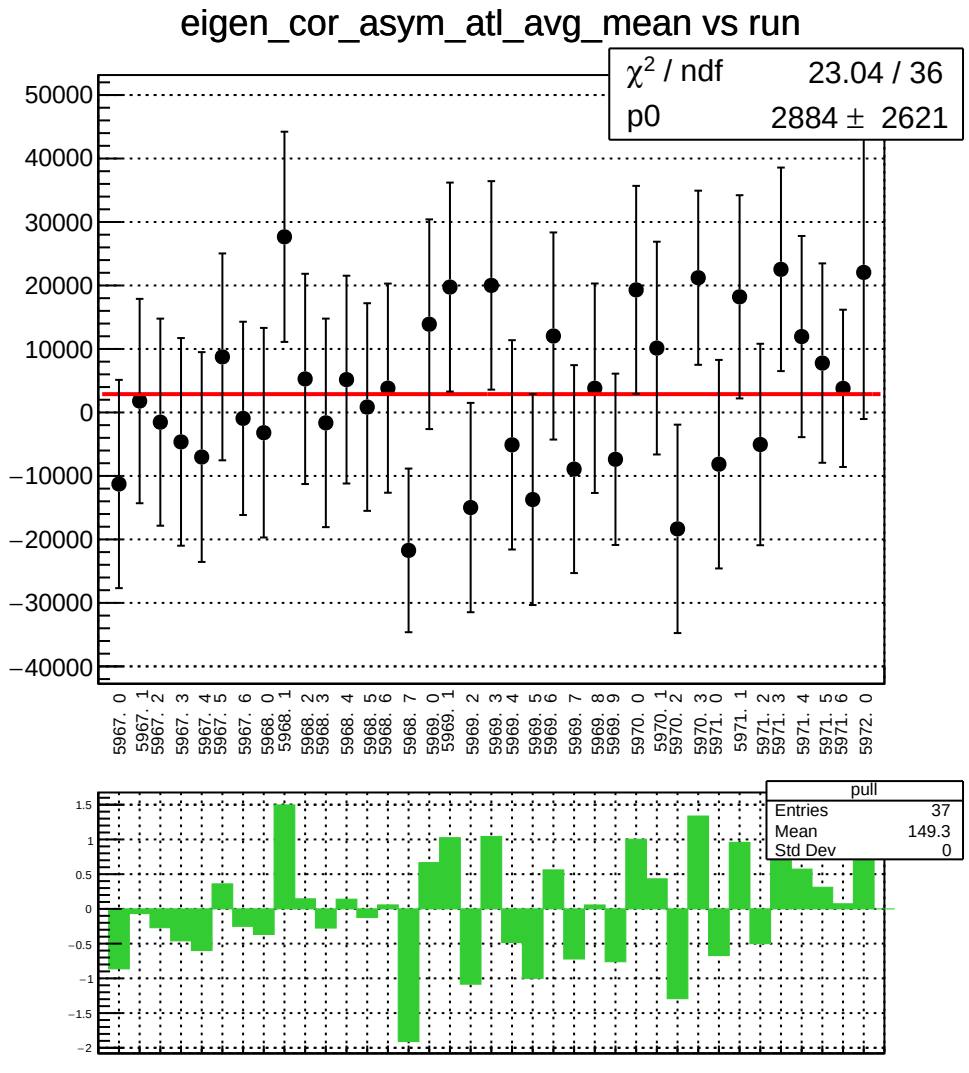
eigen_cor_asym_atl_avg_mean vs run
χ² / ndf 23.04 / 36
p0 2884 ± 2621
50000
40000
30000
20000
10000
0
−10000
−20000
−30000
−40000
5967. 0
5967. 1
5967. 2
5967. 3
5967. 4
5967. 5
5967. 6
5968. 0
5968. 1
5968. 2
5968. 3
5968. 4
5968. 5
5968. 6
5968. 7
5969. 0
5969. 1
5969. 2
5969. 3
5969. 4
5969. 5
5969. 6
5969. 7
5969. 8
5969. 9
5970. 0
5970. 1
5970. 2
5970. 3
5971. 0
5971. 1
5971. 2
5971. 3
5971. 4
5971. 5
5971. 6
5972. 0
pull
Entries 37
Mean 149.3
Std Dev 0
1.5
1
0.5
0
−0.5
−1
−1.5
−2

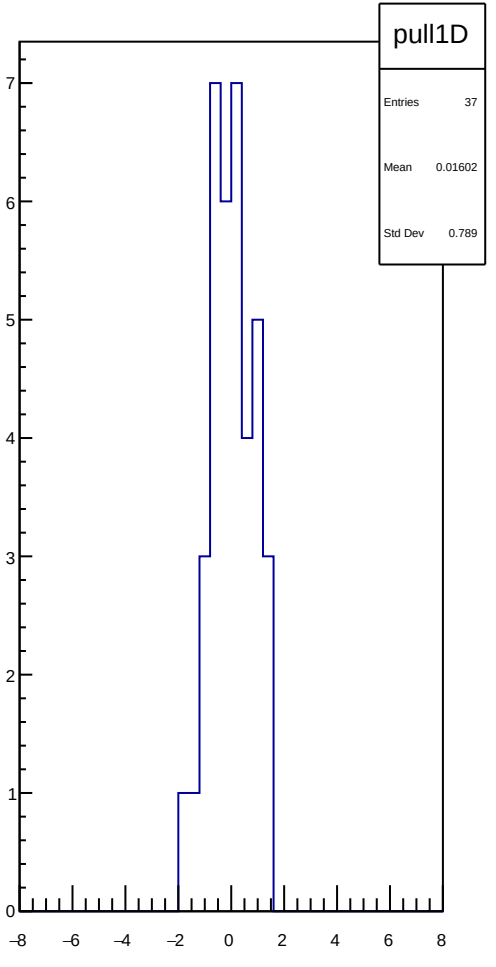
pull1D
Entries 37
Mean 0.01602
Std Dev 0.789
7
6
5
4
3
2
1
0
−8
−6
−4
−2
0
2
4
6
8

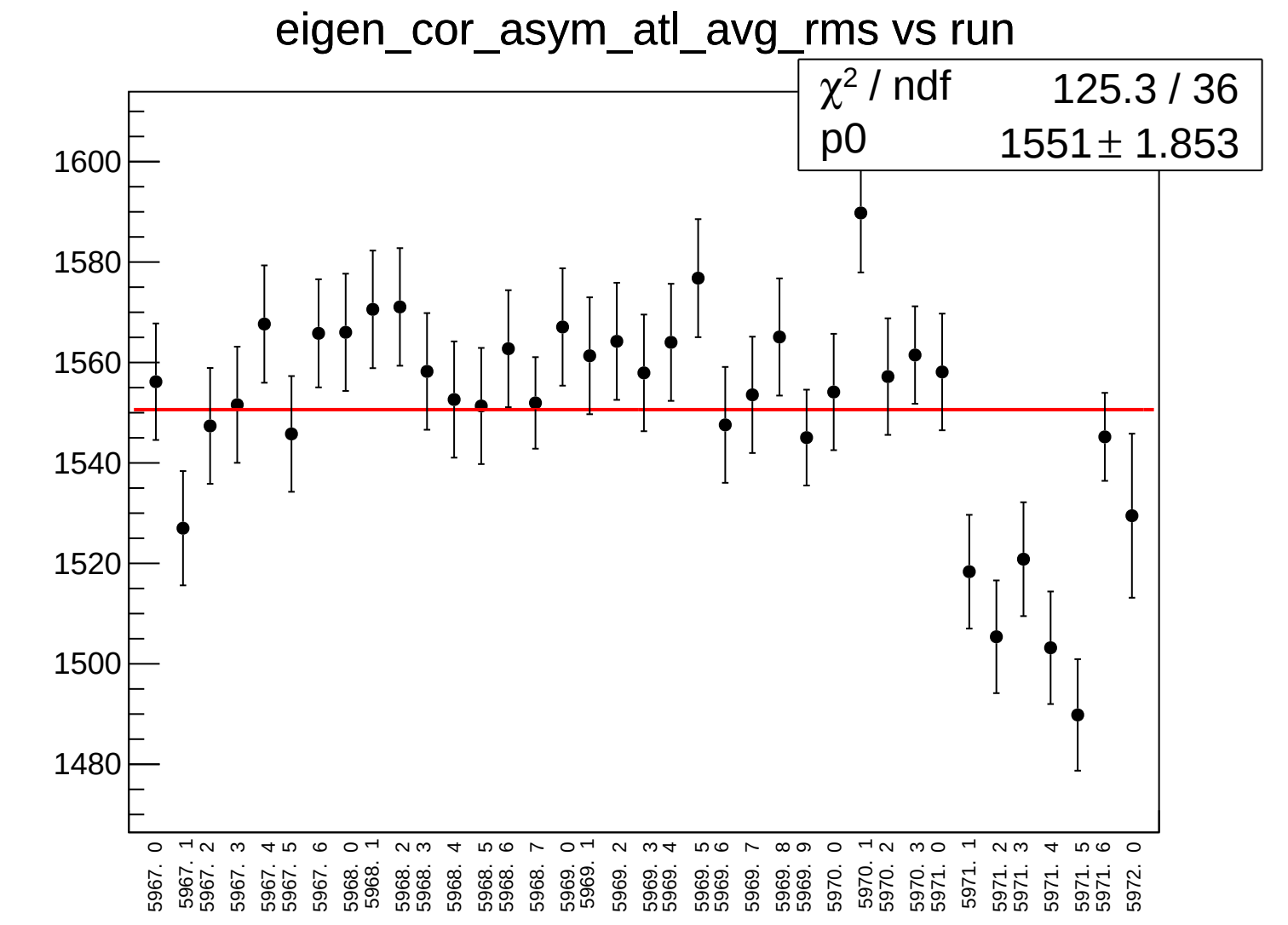
eigen_cor_asym_atl_avg_rms vs run
χ² / ndf 125.3 / 36
p0 1551 ± 1.853
1600
1580
1560
1540
1520
1500
1480
5967. 0
5967. 1
5967. 2
5967. 3
5967. 4
5967. 5
5967. 6
5968. 0
5968. 1
5968. 2
5968. 3
5968. 4
5968. 5
5968. 6
5968. 7
5969. 0
5969. 1
5969. 2
5969. 3
5969. 4
5969. 5
5969. 6
5969. 7
5969. 8
5969. 9
5970. 0
5970. 1
5970. 2
5970. 3
5971. 0
5971. 1
5971. 2
5971. 3
5971. 4
5971. 5
5971. 6
5972. 0

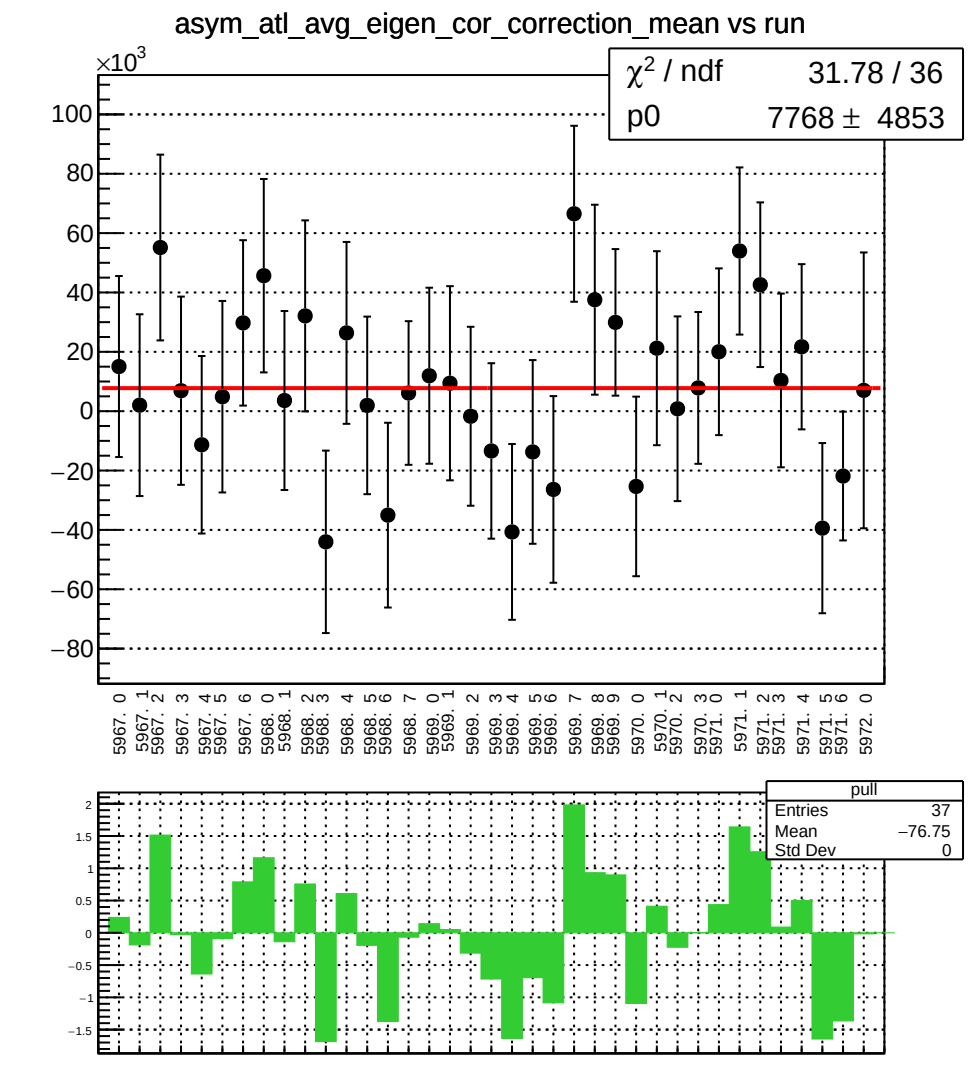
asym_atl_avg_eigen_cor_correction_mean vs run
×10^3
χ² / ndf 31.78 / 36
p0 7768 ± 4853
100
80
60
40
20
0
−20
−40
−60
−80
5967. 0
5967. 1
5967. 2
5967. 3
5967. 4
5967. 5
5967. 6
5968. 0
5968. 1
5968. 2
5968. 3
5968. 4
5968. 5
5968. 6
5968. 7
5969. 0
5969. 1
5969. 2
5969. 3
5969. 4
5969. 5
5969. 6
5969. 7
5969. 8
5969. 9
5970. 0
5970. 1
5970. 2
5970. 3
5971. 0
5971. 1
5971. 2
5971. 3
5971. 4
5971. 5
5971. 6
5972. 0
pull
Entries 37
Mean −76.75
Std Dev 0
2
1.5
1
0.5
0
−0.5
−1
−1.5

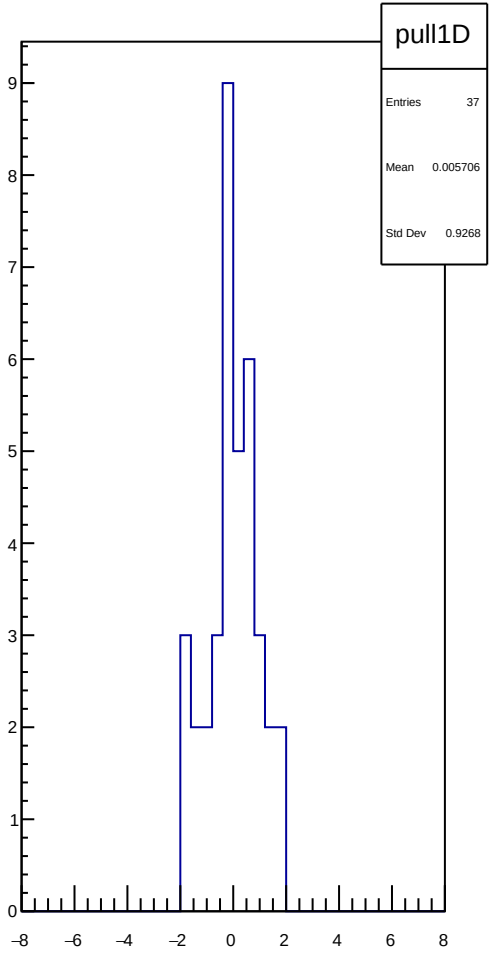
pull1D
Entries 37
Mean 0.005706
Std Dev 0.9268
9
8
7
6
5
4
3
2
1
0
−8
−6
−4
−2
0
2
4
6
8

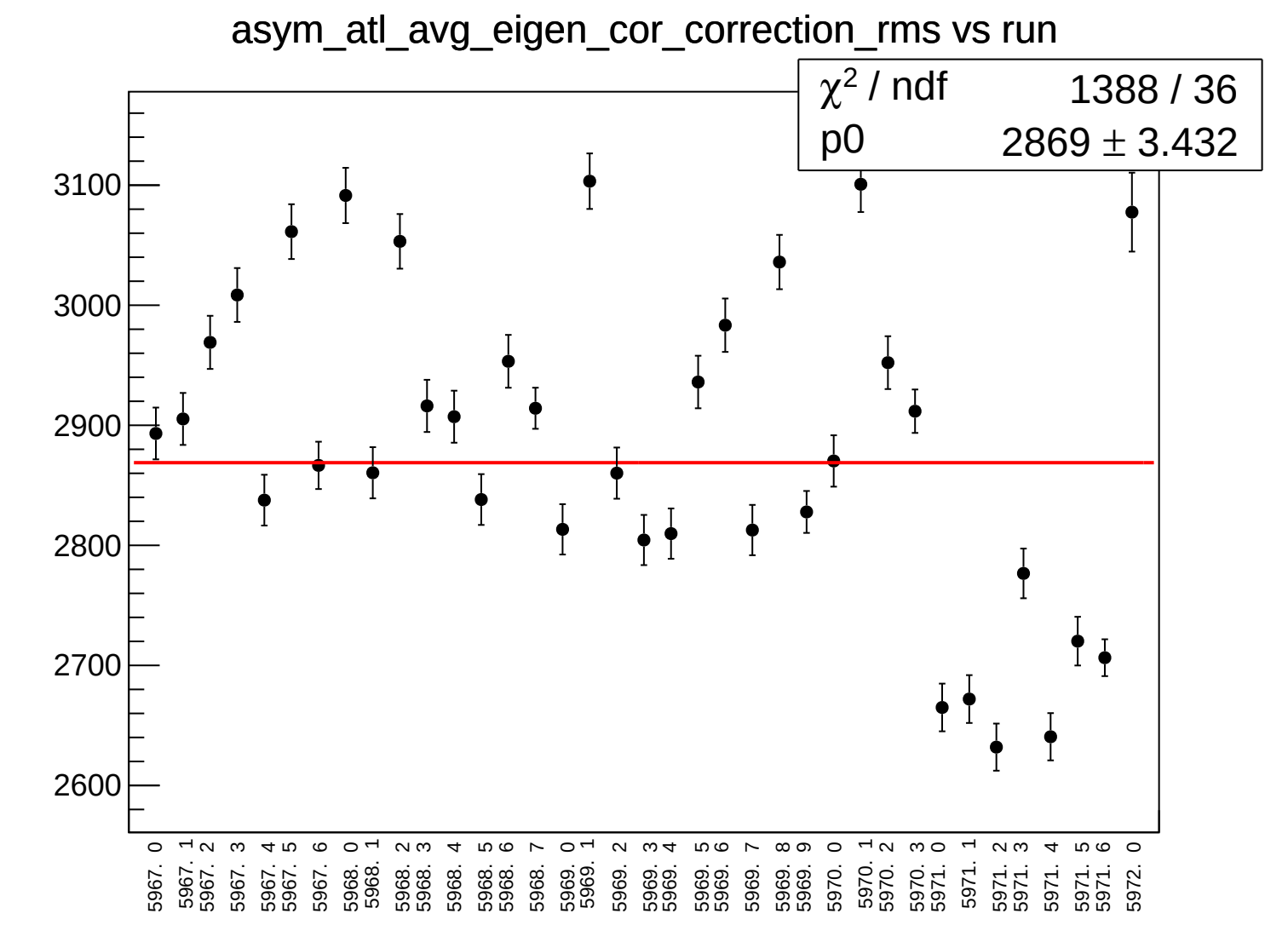
asym_atl_avg_eigen_cor_correction_rms vs run
χ² / ndf 1388 / 36
p0 2869 ± 3.432
3100
3000
2900
2800
2700
2600
5967. 0
5967. 1
5967. 2
5967. 3
5967. 4
5967. 5
5967. 6
5968. 0
5968. 1
5968. 2
5968. 3
5968. 4
5968. 5
5968. 6
5968. 7
5969. 0
5969. 1
5969. 2
5969. 3
5969. 4
5969. 5
5969. 6
5969. 7
5969. 8
5969. 9
5970. 0
5970. 1
5970. 2
5970. 3
5971. 0
5971. 1
5971. 2
5971. 3
5971. 4
5971. 5
5971. 6
5972. 0

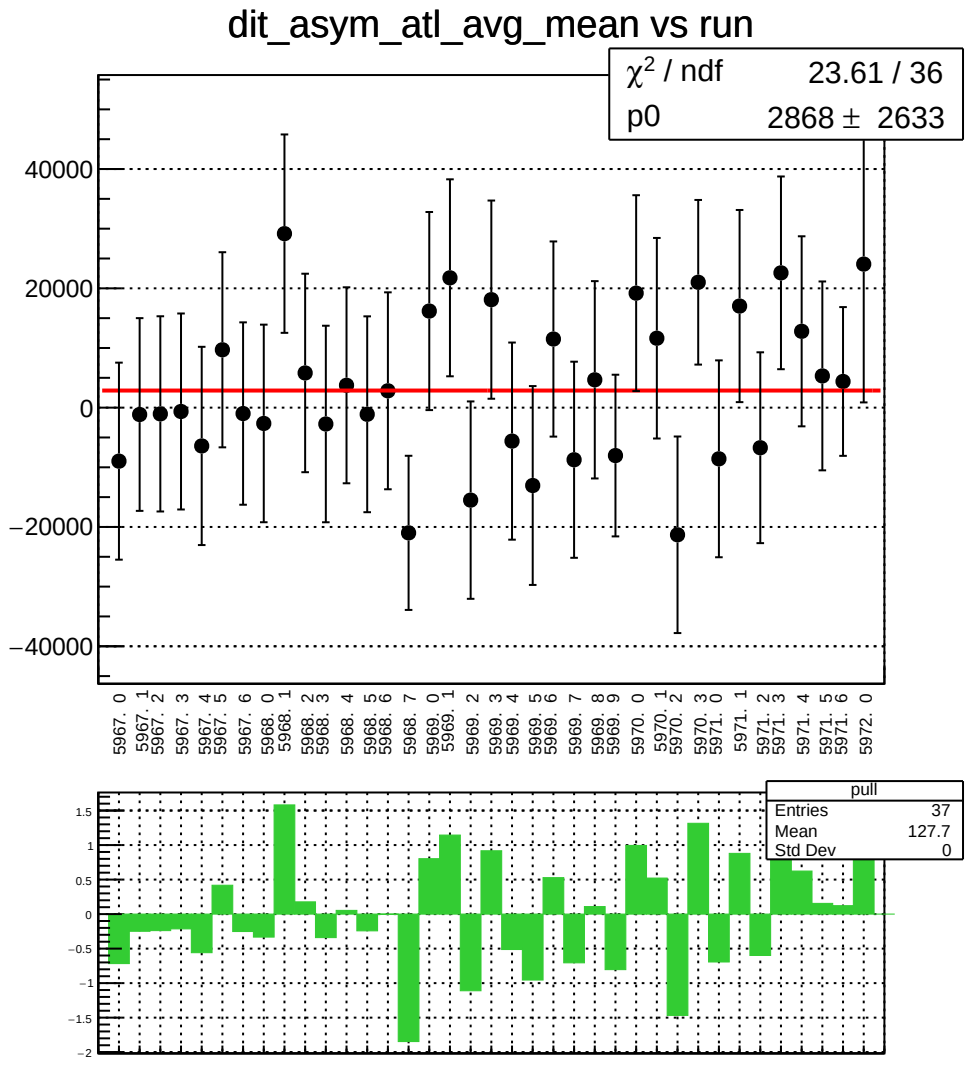
dit_asym_atl_avg_mean vs run
χ² / ndf 23.61 / 36
p0 2868 ± 2633
40000
20000
0
−20000
−40000
5967. 0
5967. 1
5967. 2
5967. 3
5967. 4
5967. 5
5967. 6
5968. 0
5968. 1
5968. 2
5968. 3
5968. 4
5968. 5
5968. 6
5968. 7
5969. 0
5969. 1
5969. 2
5969. 3
5969. 4
5969. 5
5969. 6
5969. 7
5969. 8
5969. 9
5970. 0
5970. 1
5970. 2
5970. 3
5971. 0
5971. 1
5971. 2
5971. 3
5971. 4
5971. 5
5971. 6
5972. 0
pull
Entries 37
Mean 127.7
Std Dev 0
1.5
1
0.5
0
−0.5
−1
−1.5
−2
pull1D
Entries 37
Mean 0.01713
Std Dev 0.7987
8
7
6
5
4
3
2
1
0
−8
−6
−4
−2
0
2
4
6
8

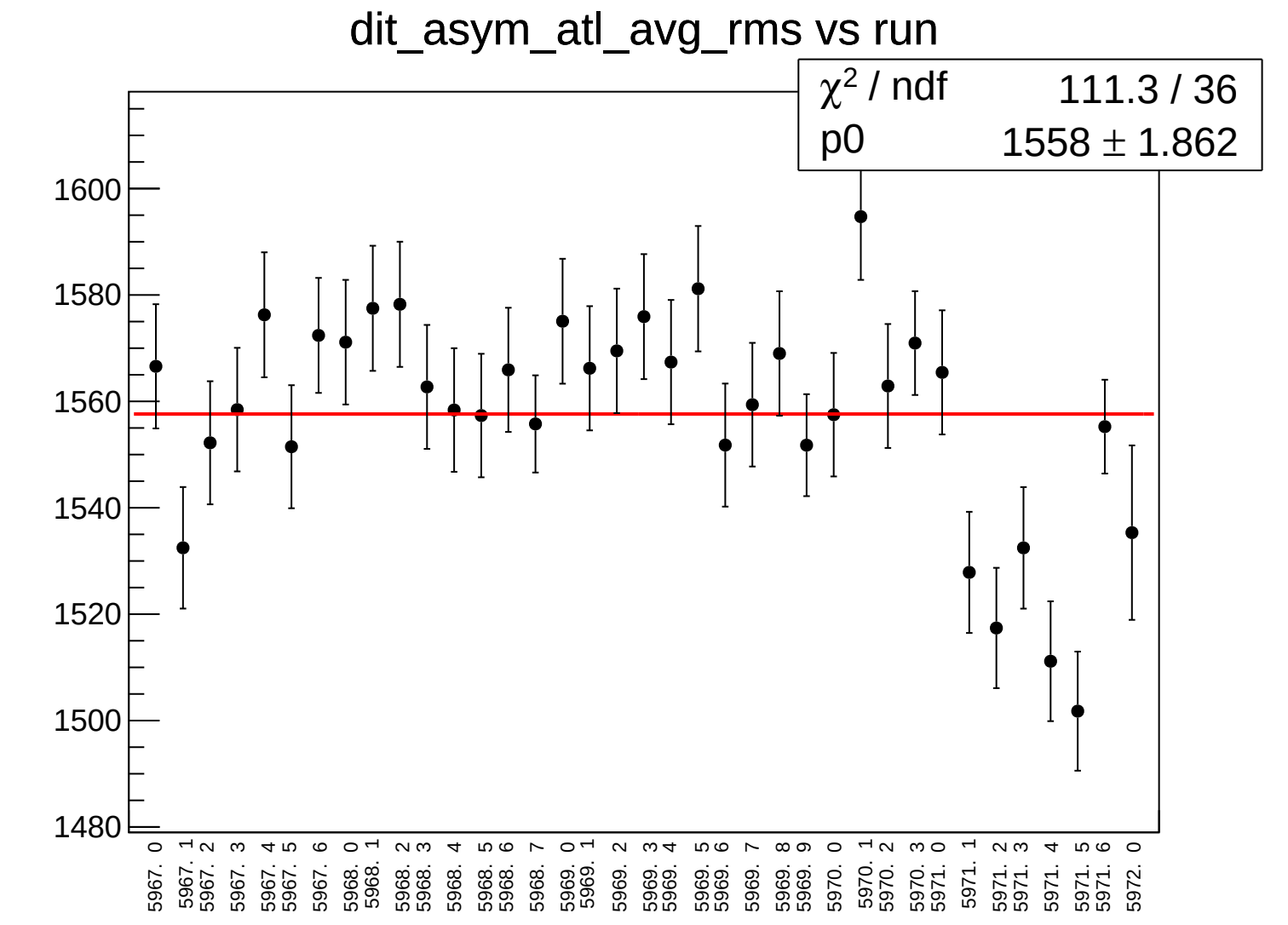
dit_asym_atl_avg_rms vs run
χ² / ndf 111.3 / 36
p0 1558 ± 1.862
1600
1580
1560
1540
1520
1500
1480
5967. 0
5967. 1
5967. 2
5967. 3
5967. 4
5967. 5
5967. 6
5968. 0
5968. 1
5968. 2
5968. 3
5968. 4
5968. 5
5968. 6
5968. 7
5969. 0
5969. 1
5969. 2
5969. 3
5969. 4
5969. 5
5969. 6
5969. 7
5969. 8
5969. 9
5970. 0
5970. 1
5970. 2
5970. 3
5971. 0
5971. 1
5971. 2
5971. 3
5971. 4
5971. 5
5971. 6
5972. 0

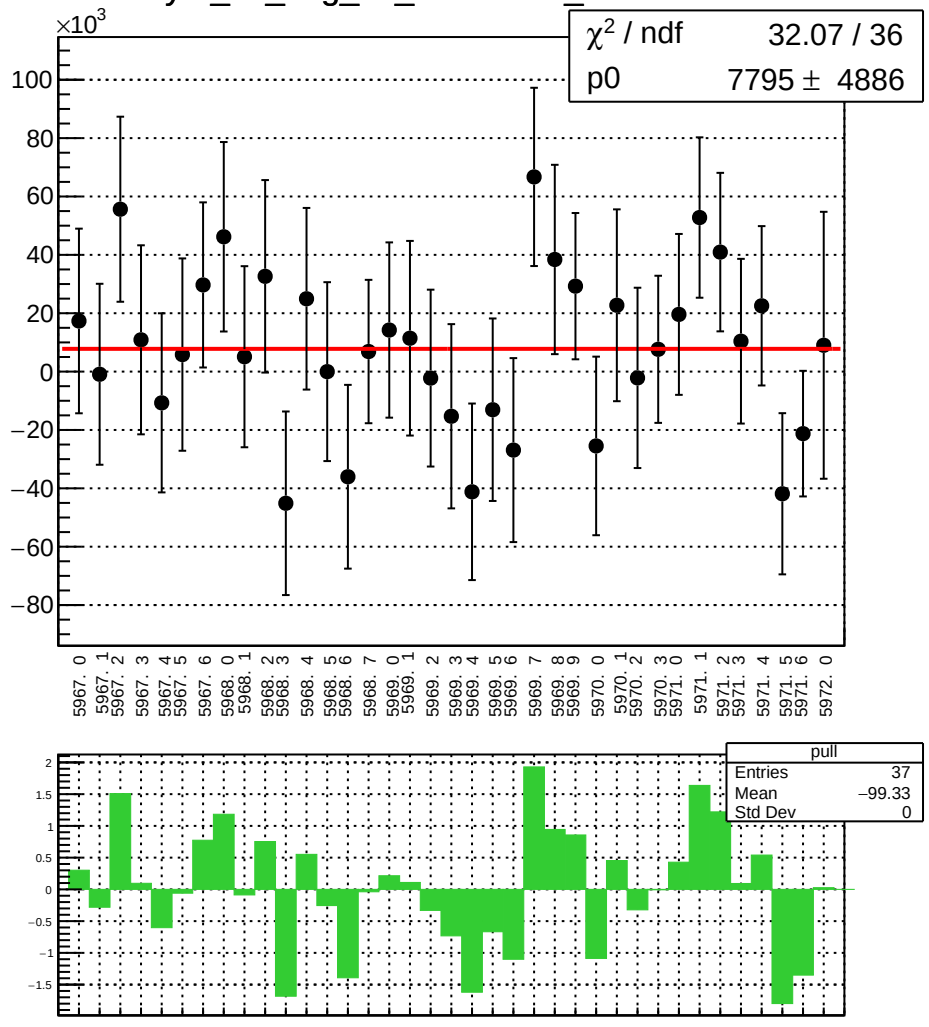
asym_atl_avg_dit_correction_mean vs run
×10^3
χ² / ndf 32.07 / 36
p0 7795 ± 4886
pull
Entries 37
Mean −99.33
Std Dev 0

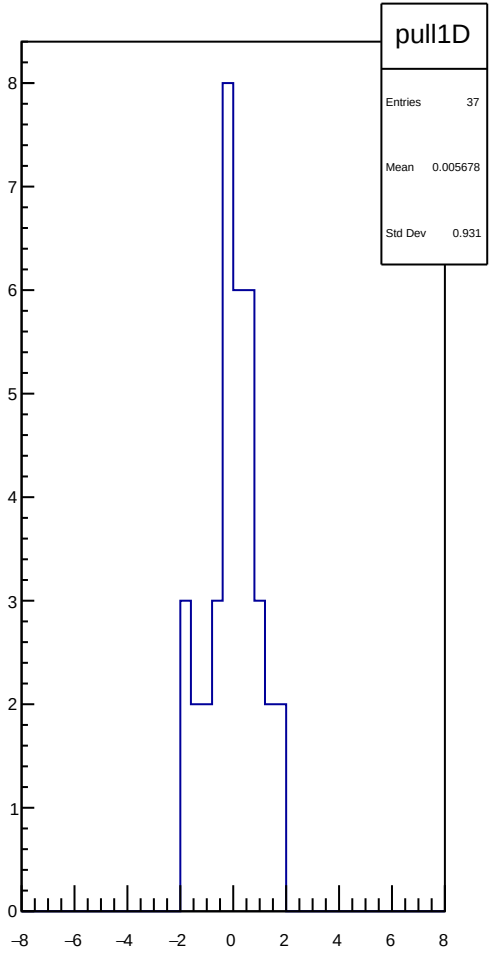
pull1D
Entries 37
Mean 0.005678
Std Dev 0.931

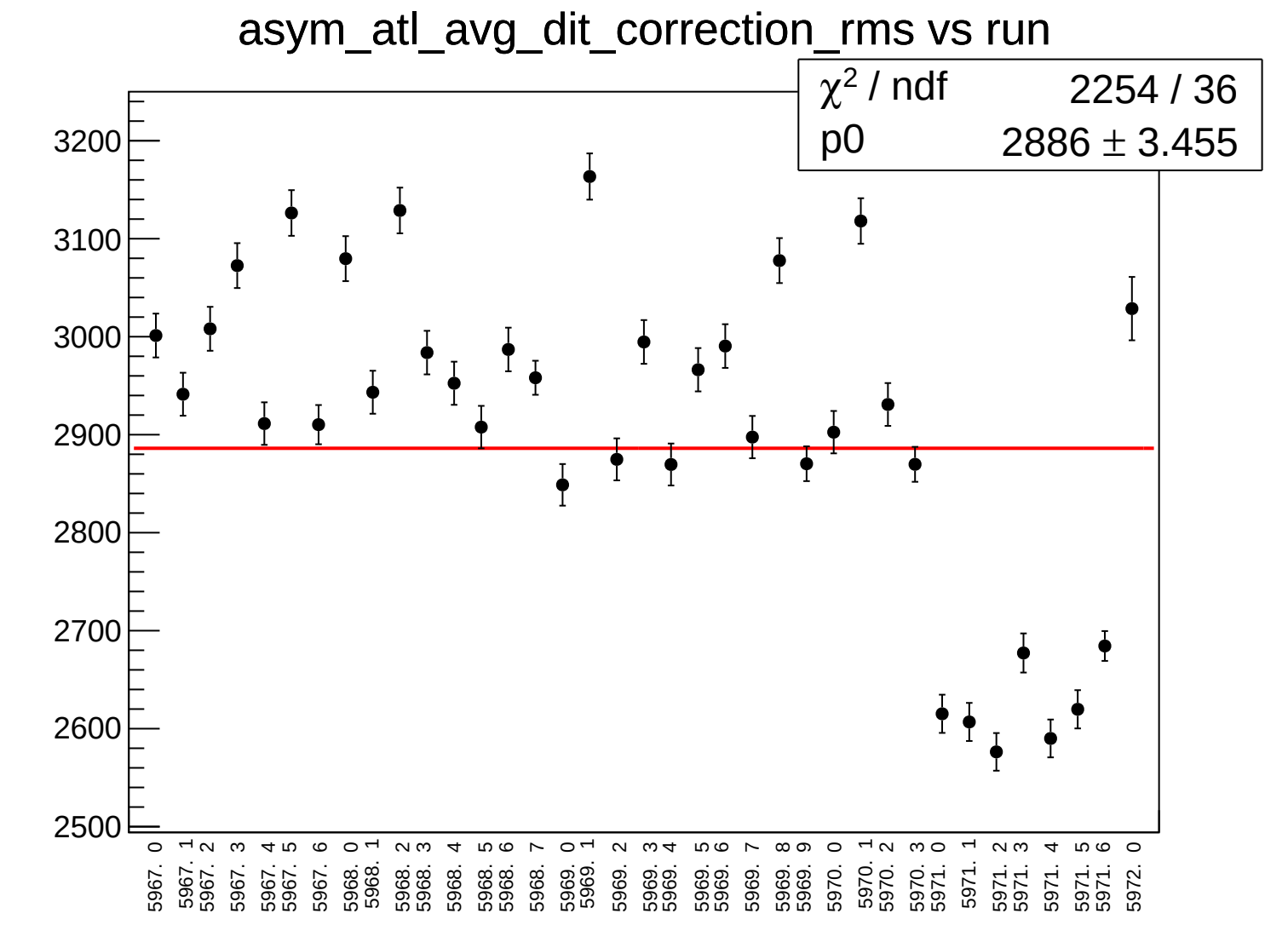
asym_atl_avg_dit_correction_rms vs run
χ² / ndf 2254 / 36
p0 2886 ± 3.455
3200
3100
3000
2900
2800
2700
2600
2500
5967. 0
5967. 1
5967. 2
5967. 3
5967. 4
5967. 5
5967. 6
5968. 0
5968. 1
5968. 2
5968. 3
5968. 4
5968. 5
5968. 6
5968. 7
5969. 0
5969. 1
5969. 2
5969. 3
5969. 4
5969. 5
5969. 6
5969. 7
5969. 8
5969. 9
5970. 0
5970. 1
5970. 2
5970. 3
5971. 0
5971. 1
5971. 2
5971. 3
5971. 4
5971. 5
5971. 6
5972. 0

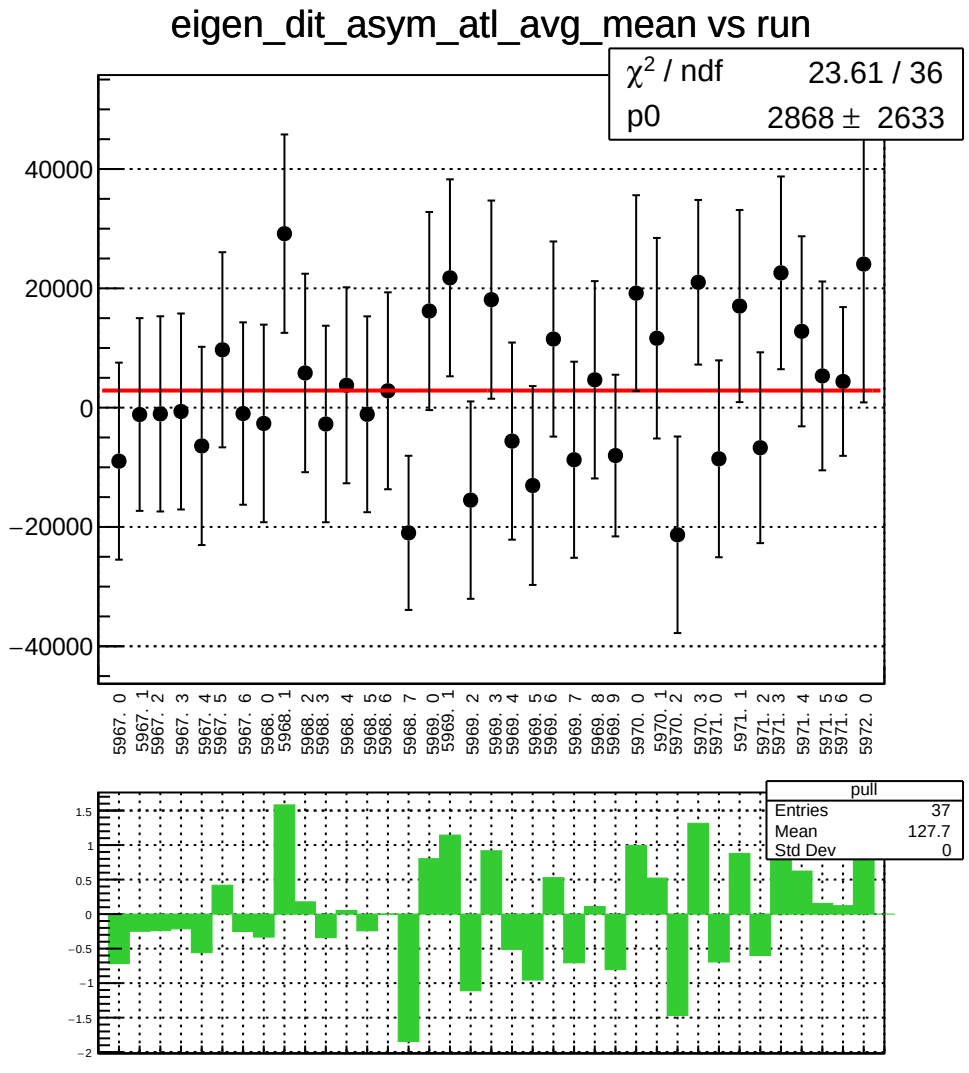
eigen_dit_asym_atl_avg_mean vs run
χ² / ndf 23.61 / 36
p0 2868 ± 2633
40000
20000
0
−20000
−40000
5967. 0
5967. 1
5967. 2
5967. 3
5967. 4
5967. 5
5967. 6
5968. 0
5968. 1
5968. 2
5968. 3
5968. 4
5968. 5
5968. 6
5968. 7
5969. 0
5969. 1
5969. 2
5969. 3
5969. 4
5969. 5
5969. 6
5969. 7
5969. 8
5969. 9
5970. 0
5970. 1
5970. 2
5970. 3
5971. 0
5971. 1
5971. 2
5971. 3
5971. 4
5971. 5
5971. 6
5972. 0
pull
Entries 37
Mean 127.7
Std Dev 0
1.5
1
0.5
0
−0.5
−1
−1.5
−2
pull1D
Entries 37
Mean 0.01713
Std Dev 0.7987
8
7
6
5
4
3
2
1
0
−8
−6
−4
−2
0
2
4
6
8

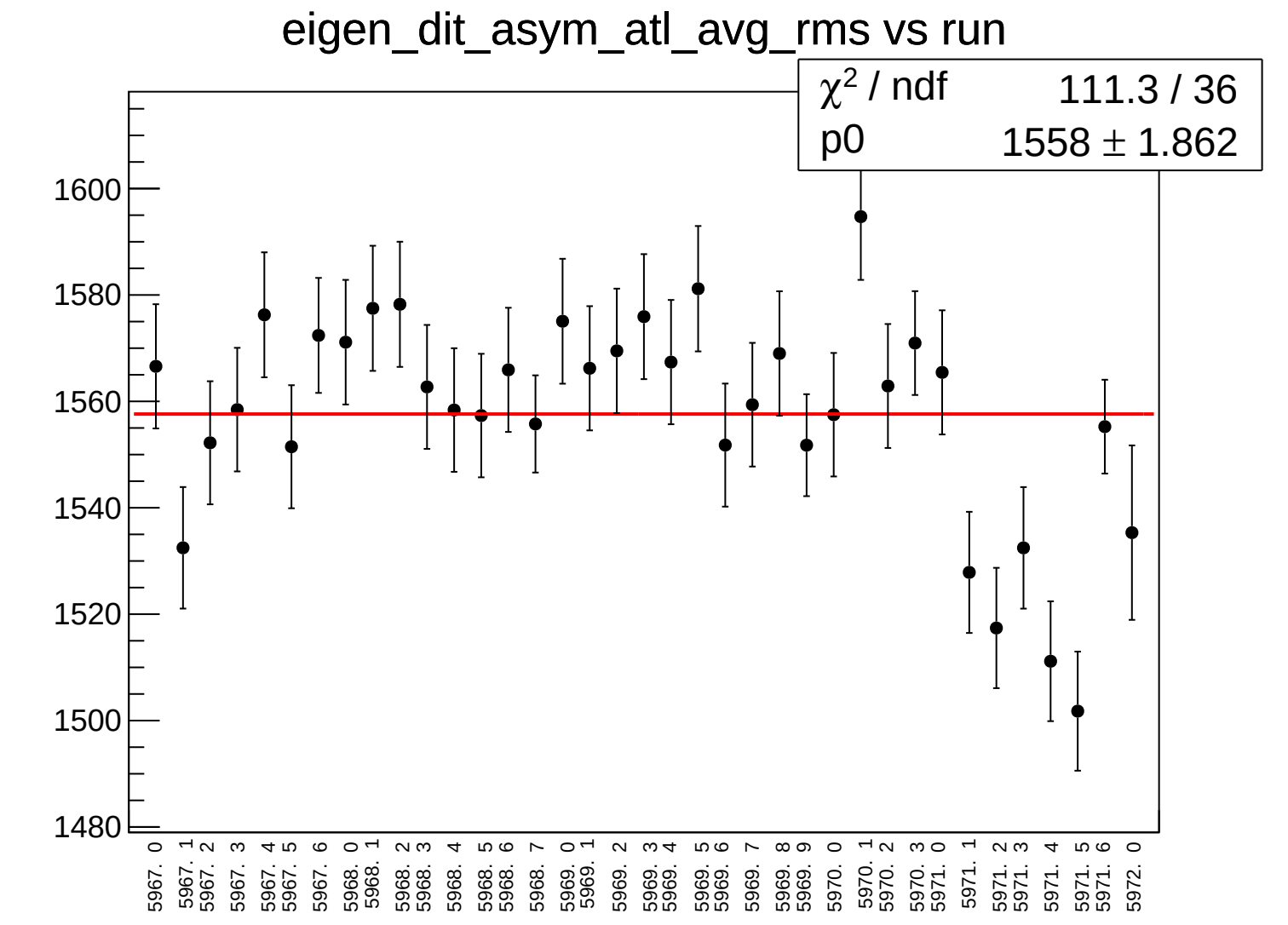
eigen_dit_asym_atl_avg_rms vs run
χ² / ndf 111.3 / 36
p0 1558 ± 1.862
1600
1580
1560
1540
1520
1500
1480
5967. 0
5967. 1
5967. 2
5967. 3
5967. 4
5967. 5
5967. 6
5968. 0
5968. 1
5968. 2
5968. 3
5968. 4
5968. 5
5968. 6
5968. 7
5969. 0
5969. 1
5969. 2
5969. 3
5969. 4
5969. 5
5969. 6
5969. 7
5969. 8
5969. 9
5970. 0
5970. 1
5970. 2
5970. 3
5971. 0
5971. 1
5971. 2
5971. 3
5971. 4
5971. 5
5971. 6
5972. 0

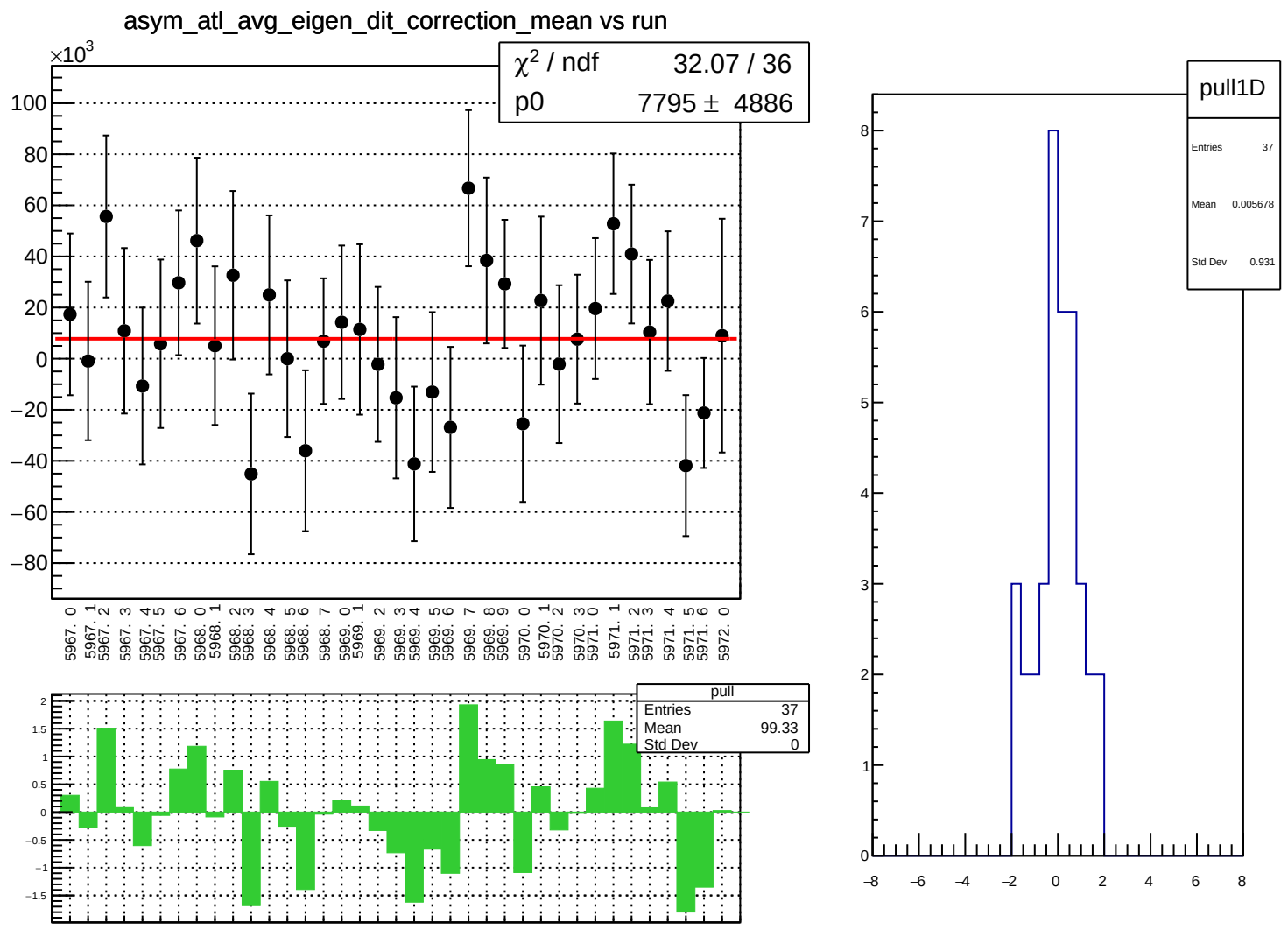
asym_atl_avg_eigen_dit_correction_mean vs run
×10^3
χ² / ndf 32.07 / 36
p0 7795 ± 4886
100
80
60
40
20
0
−20
−40
−60
−80
5967. 0
5967. 1
5967. 2
5967. 3
5967. 4
5967. 5
5967. 6
5968. 0
5968. 1
5968. 2
5968. 3
5968. 4
5968. 5
5968. 6
5968. 7
5969. 0
5969. 1
5969. 2
5969. 3
5969. 4
5969. 5
5969. 6
5969. 7
5969. 8
5969. 9
5970. 0
5970. 1
5970. 2
5970. 3
5971. 0
5971. 1
5971. 2
5971. 3
5971. 4
5971. 5
5971. 6
5972. 0
pull
Entries 37
Mean −99.33
Std Dev 0
2
1.5
1
0.5
0
−0.5
−1
−1.5
pull1D
Entries 37
Mean 0.005678
Std Dev 0.931
8
7
6
5
4
3
2
1
0
−8
−6
−4
−2
0
2
4
6
8

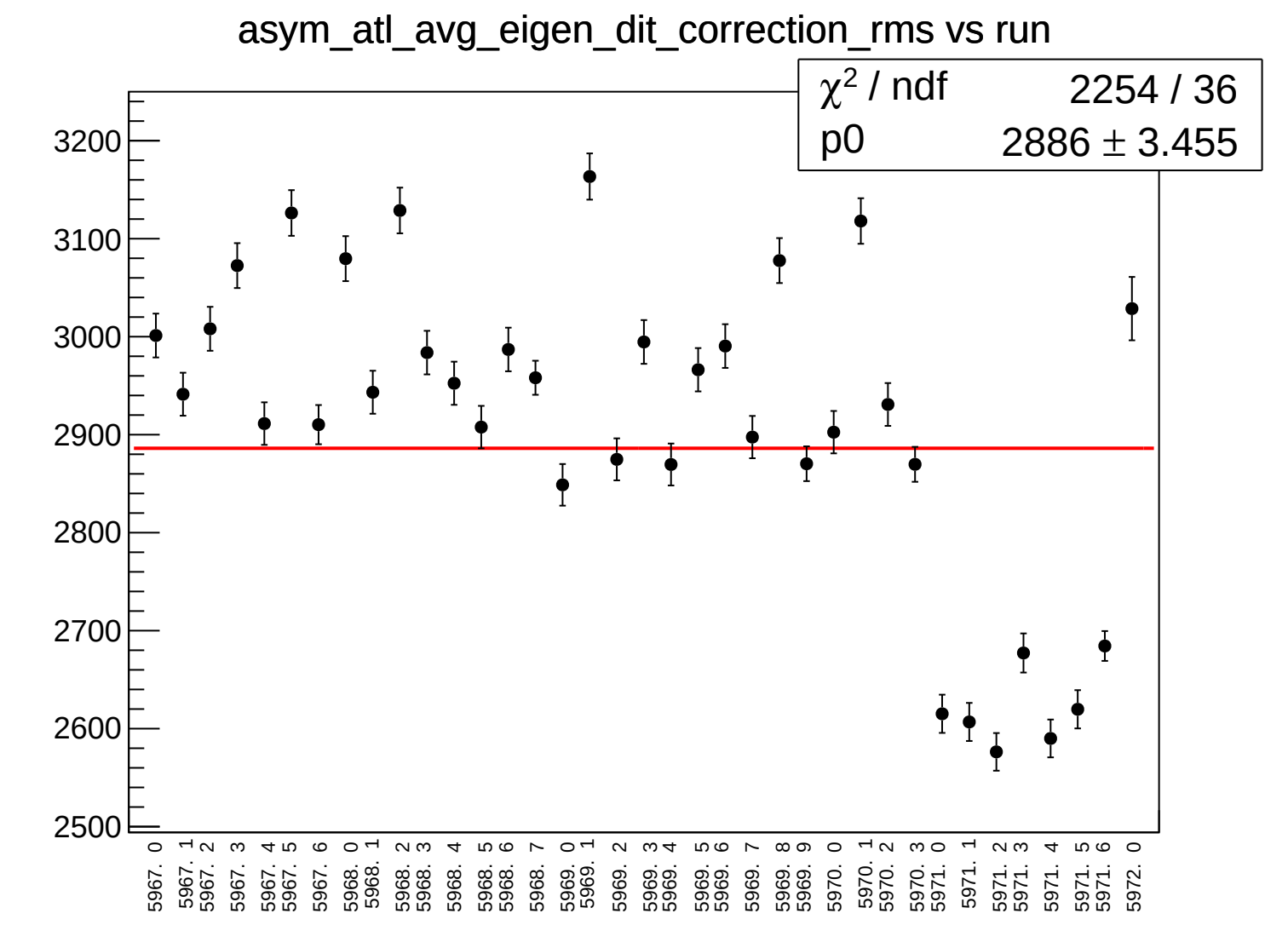
asym_atl_avg_eigen_dit_correction_rms vs run
χ² / ndf 2254 / 36
p0 2886 ± 3.455
3200
3100
3000
2900
2800
2700
2600
2500
5967. 0
5967. 1
5967. 2
5967. 3
5967. 4
5967. 5
5967. 6
5968. 0
5968. 1
5968. 2
5968. 3
5968. 4
5968. 5
5968. 6
5968. 7
5969. 0
5969. 1
5969. 2
5969. 3
5969. 4
5969. 5
5969. 6
5969. 7
5969. 8
5969. 9
5970. 0
5970. 1
5970. 2
5970. 3
5971. 0
5971. 1
5971. 2
5971. 3
5971. 4
5971. 5
5971. 6
5972. 0

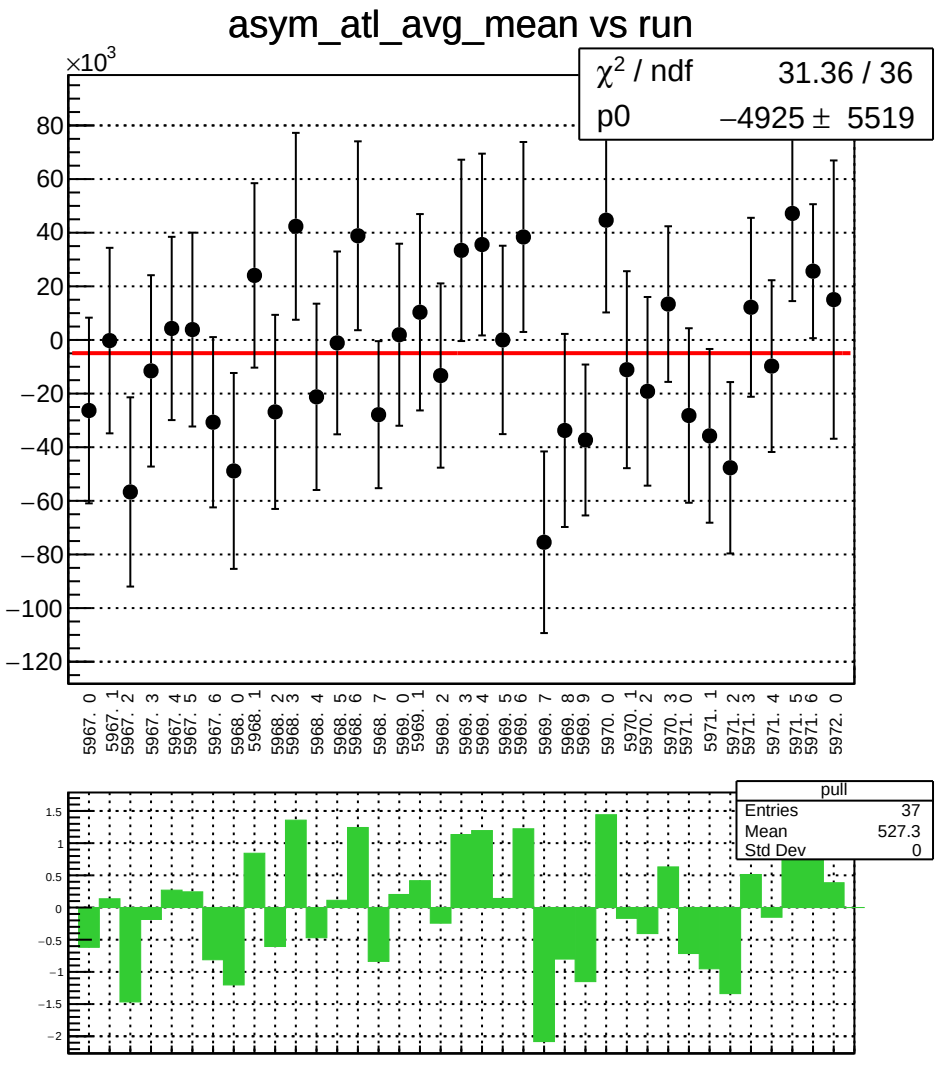
asym_atl_avg_mean vs run
×10^3
χ² / ndf 31.36 / 36
p0 −4925 ± 5519
80
60
40
20
0
−20
−40
−60
−80
−100
−120
5967. 0
5967. 1
5967. 2
5967. 3
5967. 4
5967. 5
5967. 6
5968. 0
5968. 1
5968. 2
5968. 3
5968. 4
5968. 5
5968. 6
5968. 7
5969. 0
5969. 1
5969. 2
5969. 3
5969. 4
5969. 5
5969. 6
5969. 7
5969. 8
5969. 9
5970. 0
5970. 1
5970. 2
5970. 3
5971. 0
5971. 1
5971. 2
5971. 3
5971. 4
5971. 5
5971. 6
5972. 0
pull
Entries 37
Mean 527.3
Std Dev 0
1.5
1
0.5
0
−0.5
−1
−1.5
−2

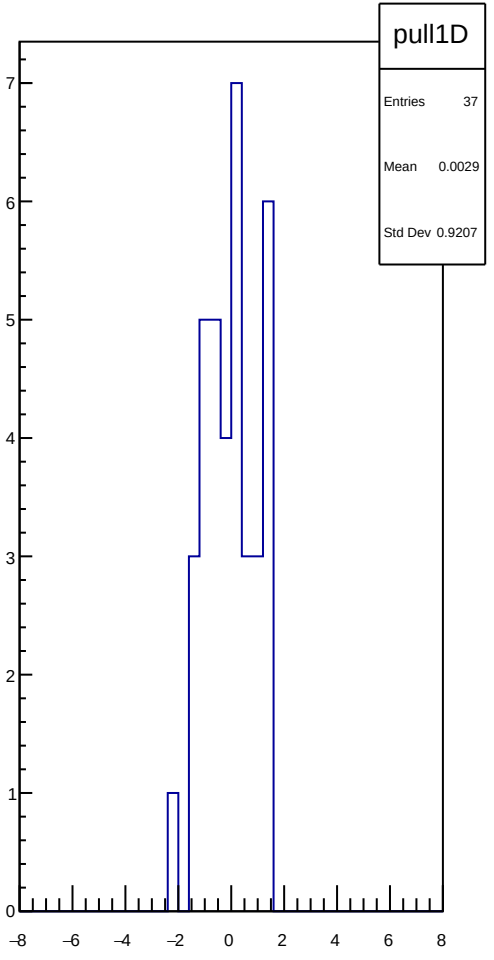
pull1D
Entries 37
Mean 0.0029
Std Dev 0.9207
7
6
5
4
3
2
1
0
−8
−6
−4
−2
0
2
4
6
8

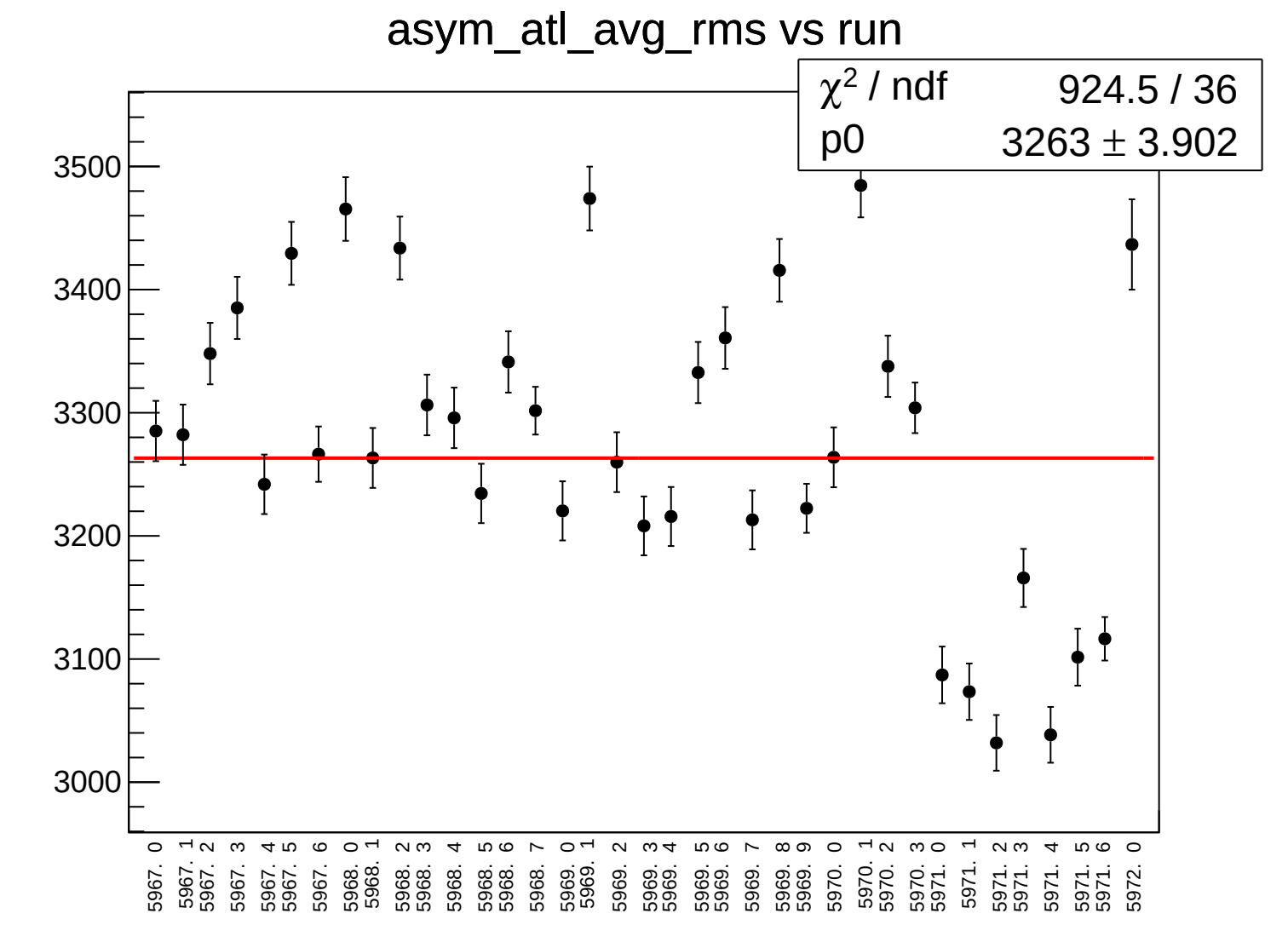
asym_atl_avg_rms vs run
χ² / ndf 924.5 / 36
p0 3263 ± 3.902
3500
3400
3300
3200
3100
3000
5967. 0
5967. 1
5967. 2
5967. 3
5967. 4
5967. 5
5967. 6
5968. 0
5968. 1
5968. 2
5968. 3
5968. 4
5968. 5
5968. 6
5968. 7
5969. 0
5969. 1
5969. 2
5969. 3
5969. 4
5969. 5
5969. 6
5969. 7
5969. 8
5969. 9
5970. 0
5970. 1
5970. 2
5970. 3
5971. 0
5971. 1
5971. 2
5971. 3
5971. 4
5971. 5
5971. 6
5972. 0

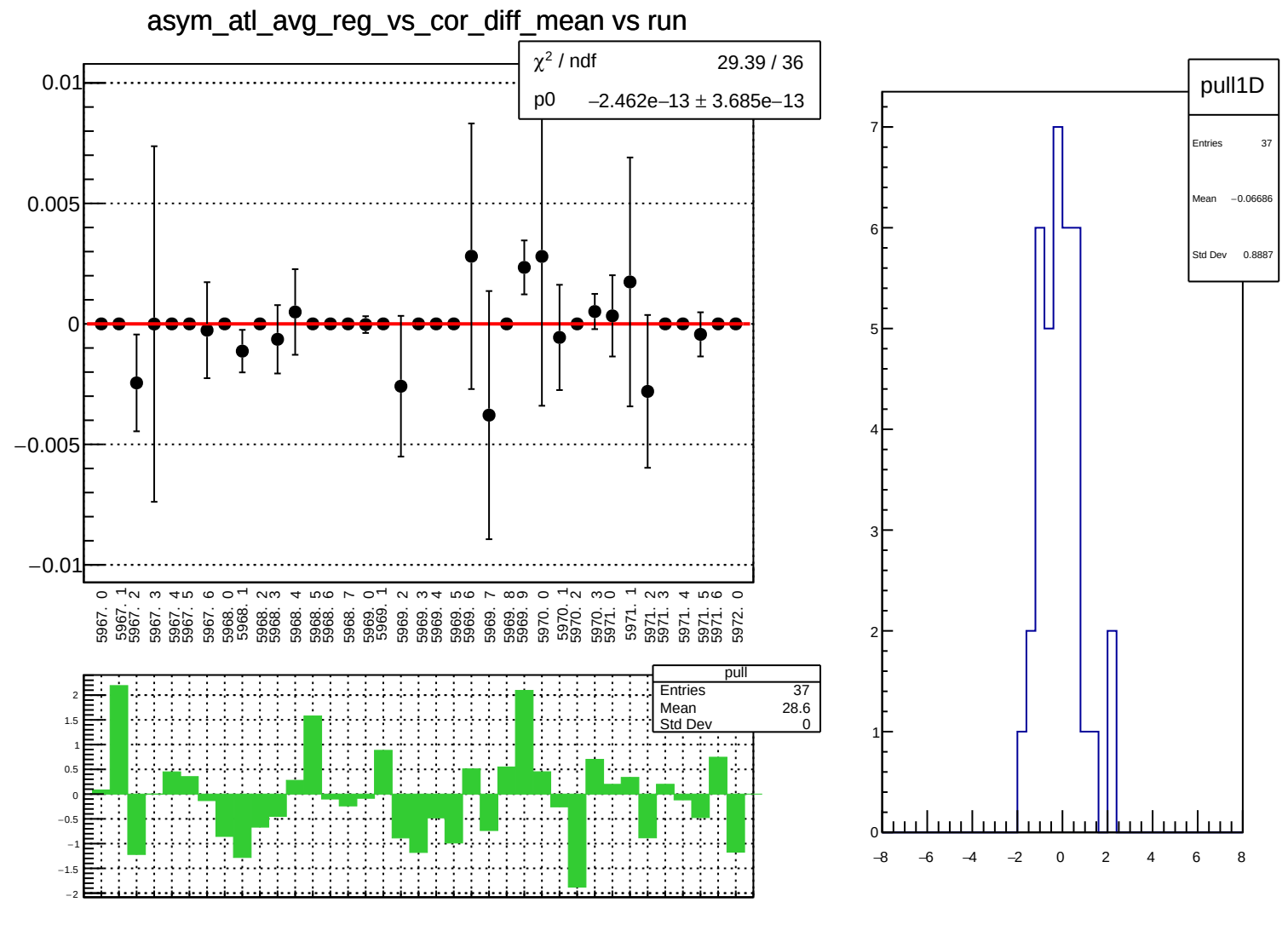
asym_atl_avg_reg_vs_cor_diff_mean vs run
χ² / ndf 29.39 / 36
p0 −2.462e−13 ± 3.685e−13
0.01
0.005
0
−0.005
−0.01
5967. 0
5967. 1
5967. 2
5967. 3
5967. 4
5967. 5
5967. 6
5968. 0
5968. 1
5968. 2
5968. 3
5968. 4
5968. 5
5968. 6
5968. 7
5969. 0
5969. 1
5969. 2
5969. 3
5969. 4
5969. 5
5969. 6
5969. 7
5969. 8
5969. 9
5970. 0
5970. 1
5970. 2
5970. 3
5971. 0
5971. 1
5971. 2
5971. 3
5971. 4
5971. 5
5971. 6
5972. 0
pull
Entries 37
Mean 28.6
Std Dev 0
2
1.5
1
0.5
0
−0.5
−1
−1.5
−2
pull1D
Entries 37
Mean −0.06686
Std Dev 0.8887
7
6
5
4
3
2
1
0
−8
−6
−4
−2
0
2
4
6
8

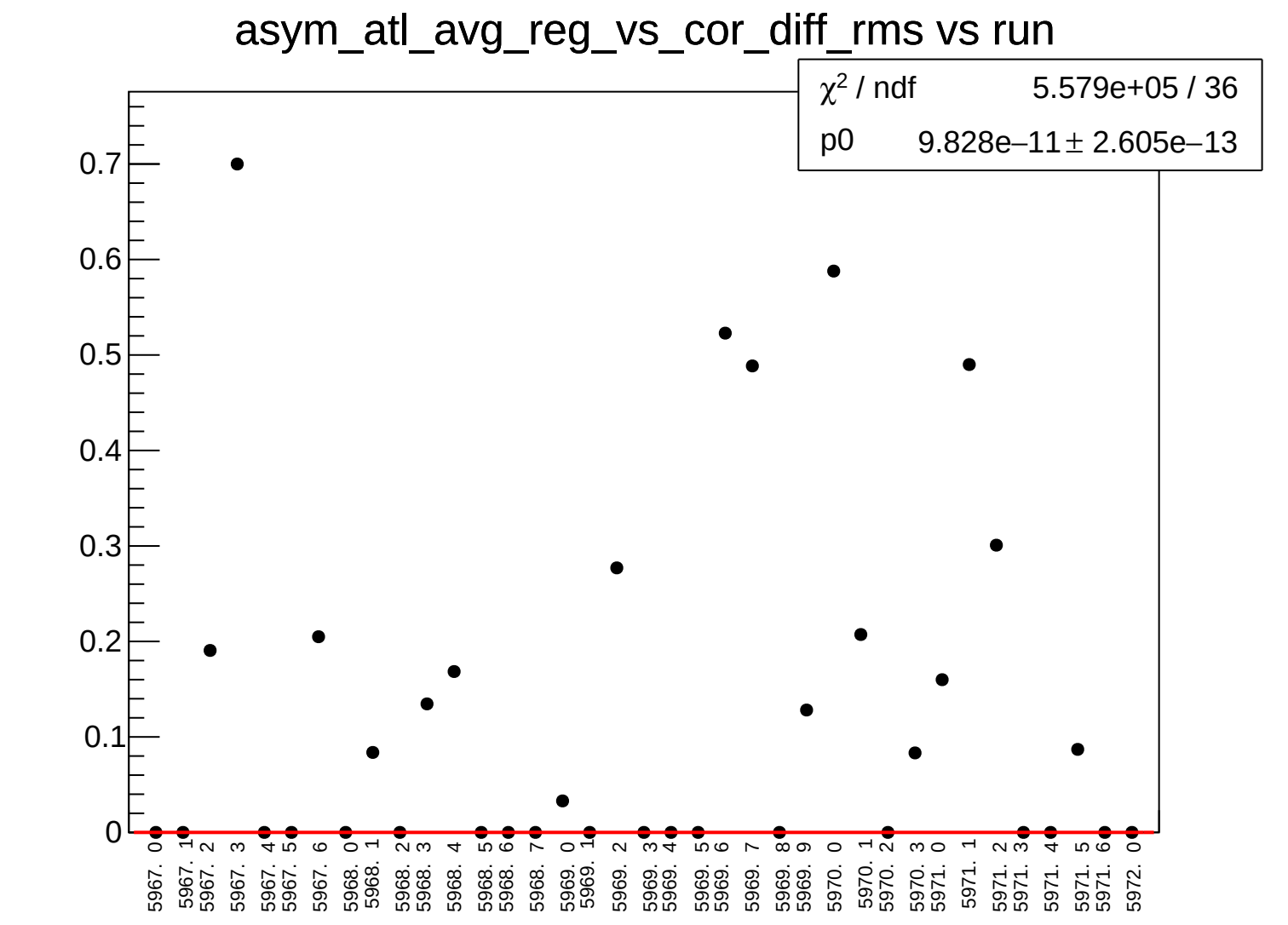
asym_atl_avg_reg_vs_cor_diff_rms vs run
χ² / ndf 5.579e+05 / 36
p0 9.828e−11 ± 2.605e−13
0.7
0.6
0.5
0.4
0.3
0.2
0.1
0
5967. 0
5967. 1
5967. 2
5967. 3
5967. 4
5967. 5
5967. 6
5968. 0
5968. 1
5968. 2
5968. 3
5968. 4
5968. 5
5968. 6
5968. 7
5969. 0
5969. 1
5969. 2
5969. 3
5969. 4
5969. 5
5969. 6
5969. 7
5969. 8
5969. 9
5970. 0
5970. 1
5970. 2
5970. 3
5971. 0
5971. 1
5971. 2
5971. 3
5971. 4
5971. 5
5971. 6
5972. 0

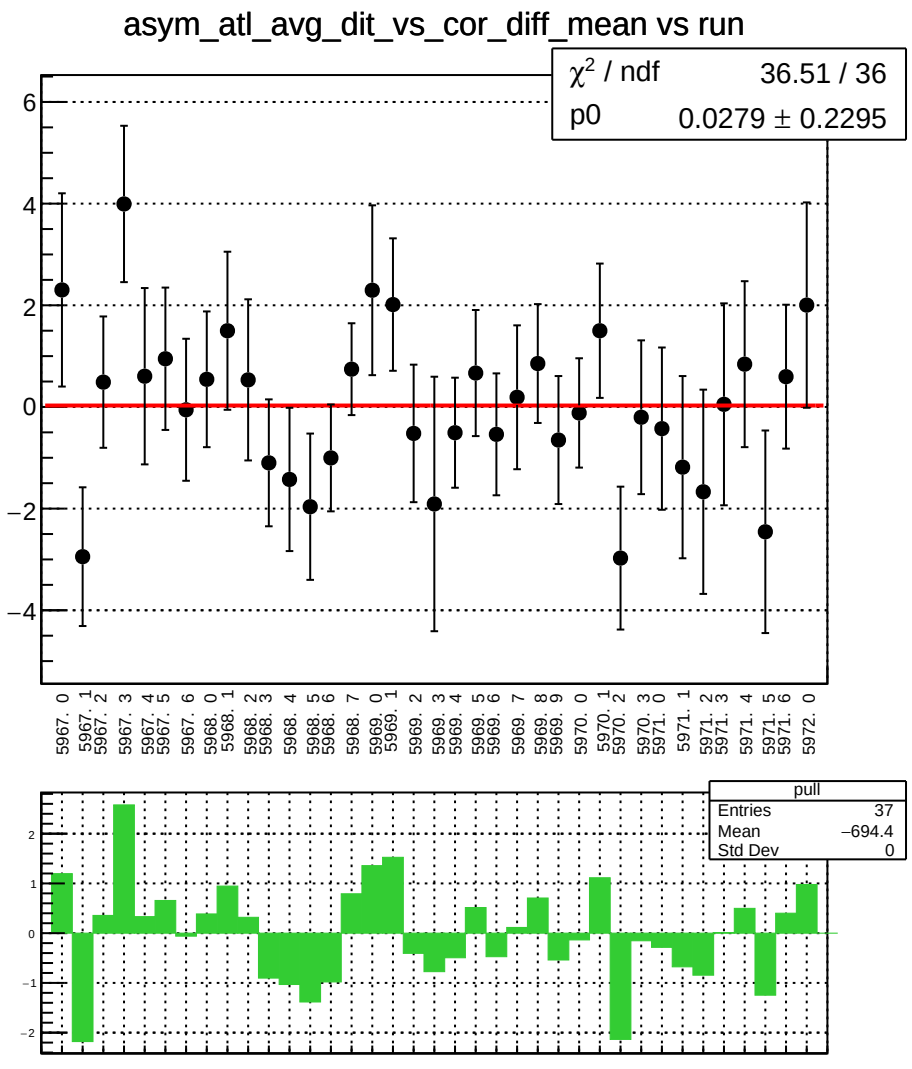
asym_atl_avg_dit_vs_cor_diff_mean vs run
χ^2 / ndf 36.51 / 36
p0 0.0279 ± 0.2295
pull
Entries 37
Mean −694.4
Std Dev 0

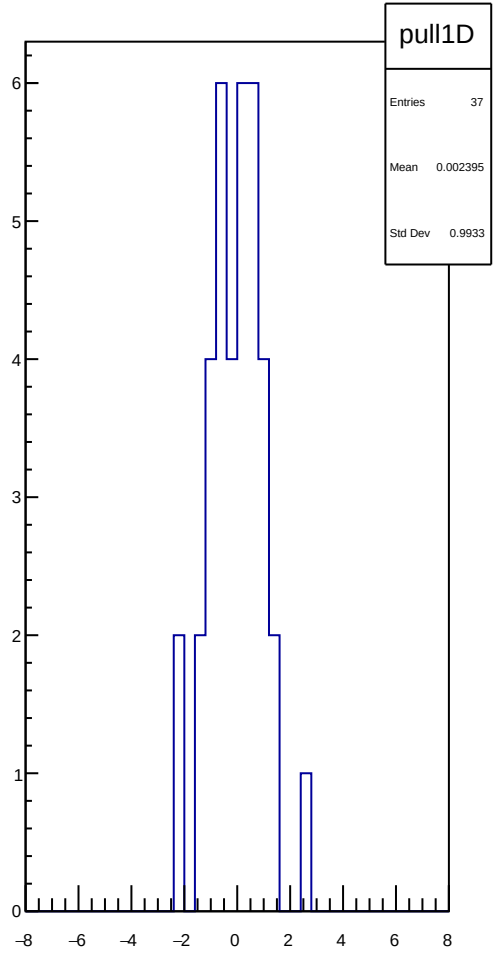
pull1D
Entries 37
Mean 0.002395
Std Dev 0.9933

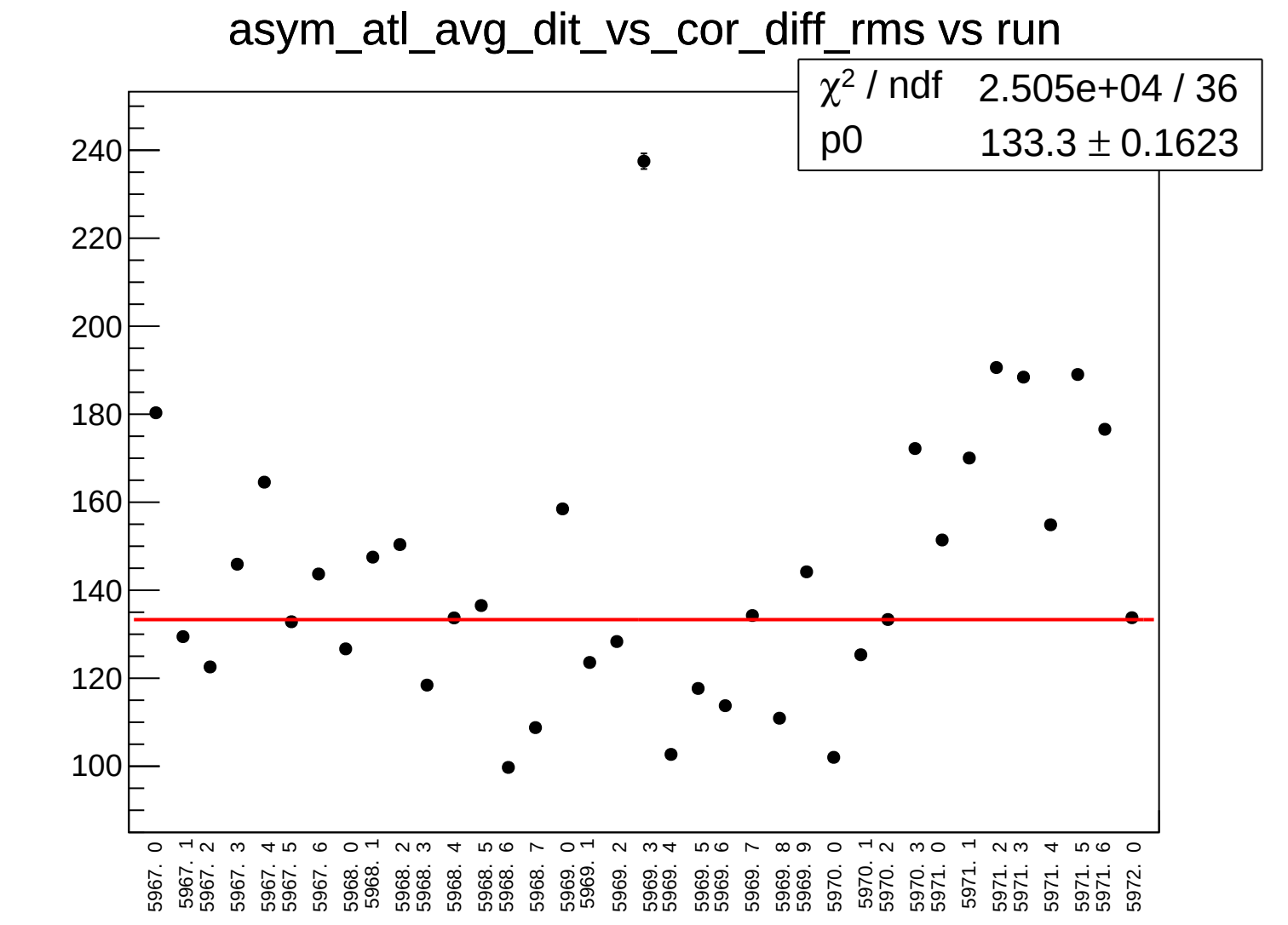
asym_atl_avg_dit_vs_cor_diff_rms vs run
χ² / ndf 2.505e+04 / 36
p0 133.3 ± 0.1623
240
220
200
180
160
140
120
100
5967. 0
5967. 1
5967. 2
5967. 3
5967. 4
5967. 5
5967. 6
5968. 0
5968. 1
5968. 2
5968. 3
5968. 4
5968. 5
5968. 6
5968. 7
5969. 0
5969. 1
5969. 2
5969. 3
5969. 4
5969. 5
5969. 6
5969. 7
5969. 8
5969. 9
5970. 0
5970. 1
5970. 2
5970. 3
5971. 0
5971. 1
5971. 2
5971. 3
5971. 4
5971. 5
5971. 6
5972. 0

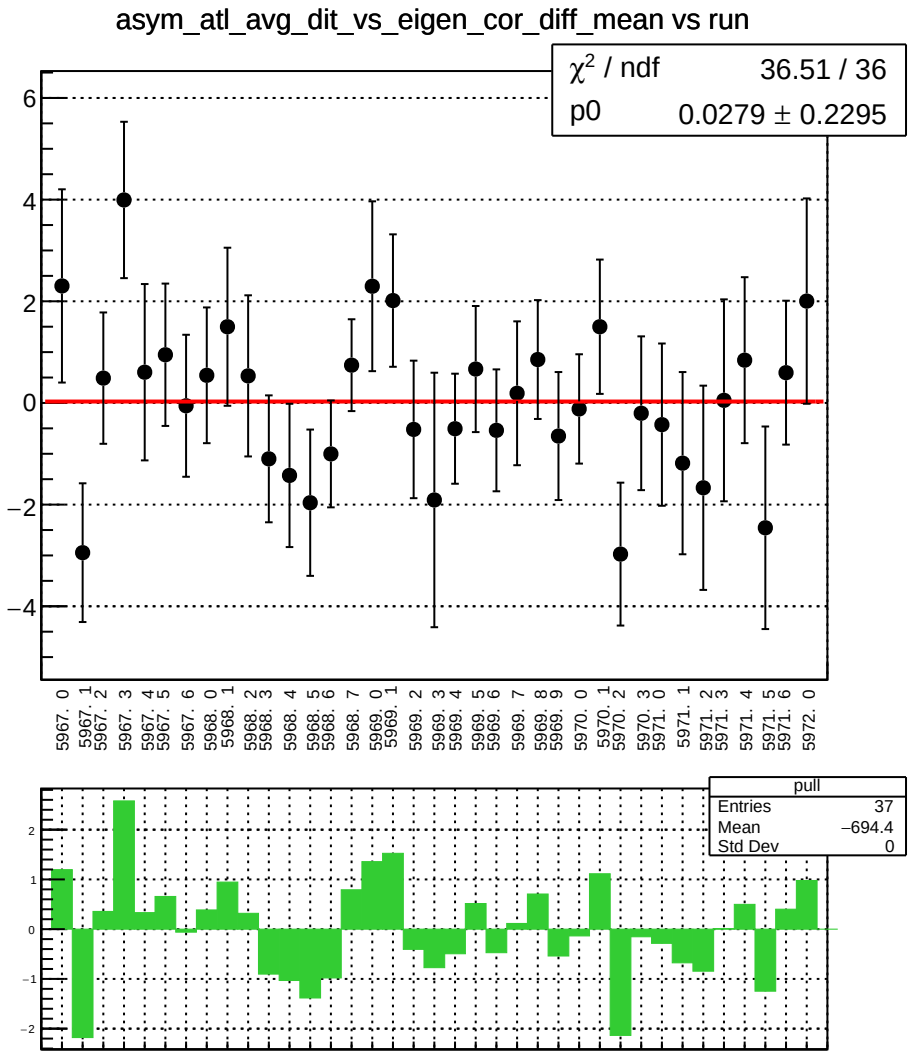
asym_atl_avg_dit_vs_eigen_cor_diff_mean vs run
χ² / ndf 36.51 / 36
p0 0.0279 ± 0.2295
pull
Entries 37
Mean −694.4
Std Dev 0

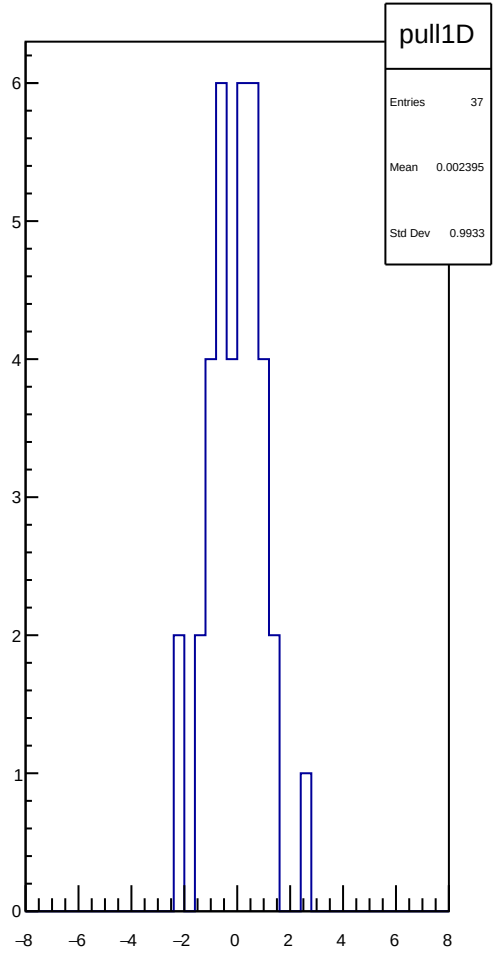
pull1D
Entries 37
Mean 0.002395
Std Dev 0.9933

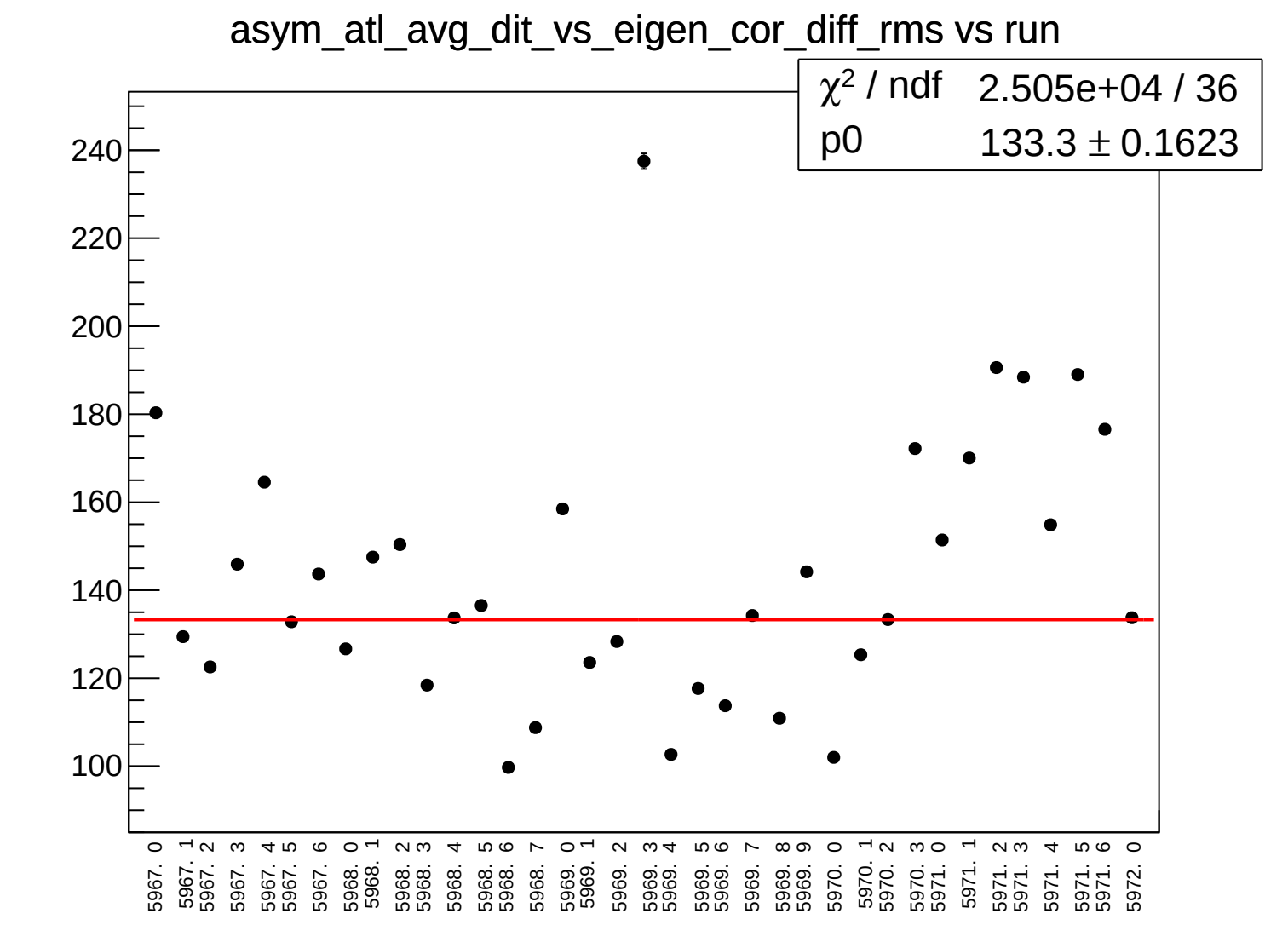
asym_atl_avg_dit_vs_eigen_cor_diff_rms vs run
χ² / ndf 2.505e+04 / 36
p0 133.3 ± 0.1623
240
220
200
180
160
140
120
100
5967. 0
5967. 1
5967. 2
5967. 3
5967. 4
5967. 5
5967. 6
5968. 0
5968. 1
5968. 2
5968. 3
5968. 4
5968. 5
5968. 6
5968. 7
5969. 0
5969. 1
5969. 2
5969. 3
5969. 4
5969. 5
5969. 6
5969. 7
5969. 8
5969. 9
5970. 0
5970. 1
5970. 2
5970. 3
5971. 0
5971. 1
5971. 2
5971. 3
5971. 4
5971. 5
5971. 6
5972. 0

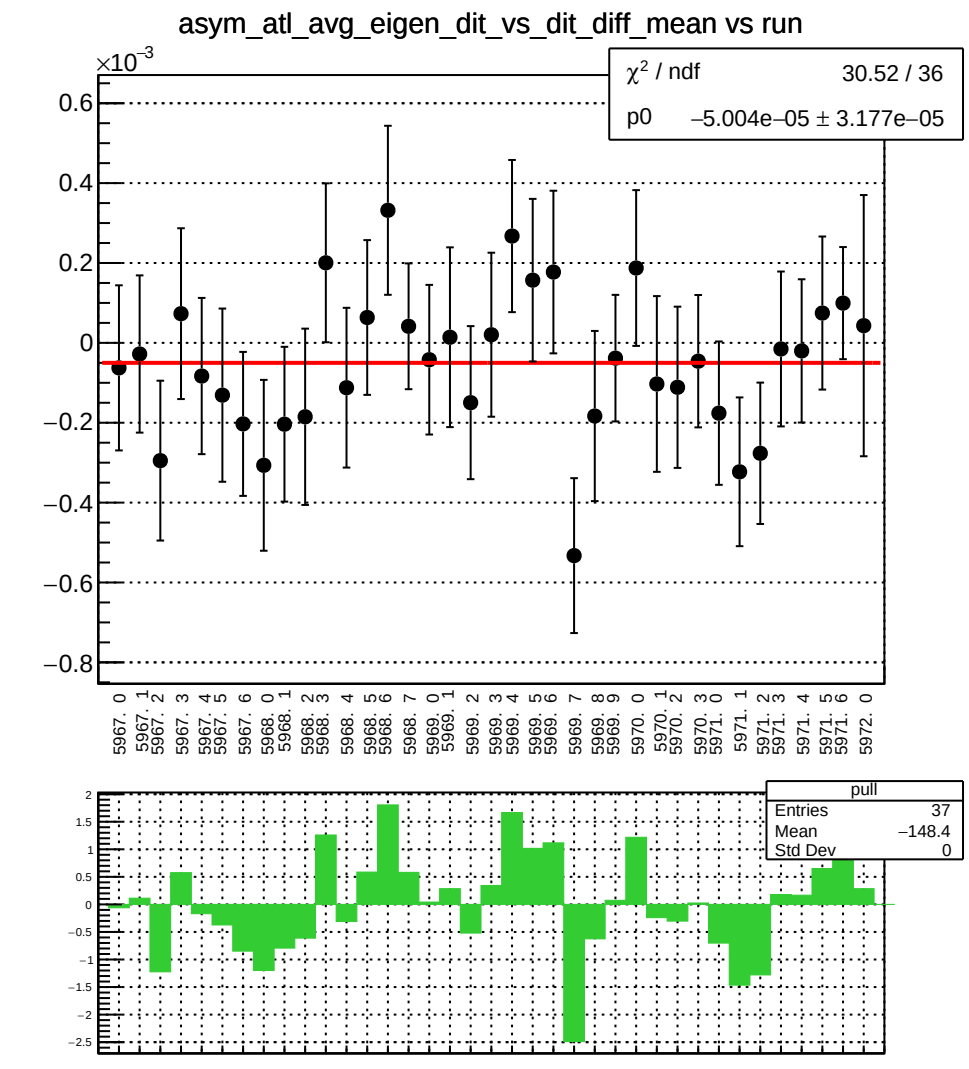
asym_atl_avg_eigen_dit_vs_dit_diff_mean vs run
×10⁻³
χ² / ndf 30.52 / 36
p0 −5.004e−05 ± 3.177e−05
pull
Entries 37
Mean −148.4
Std Dev 0

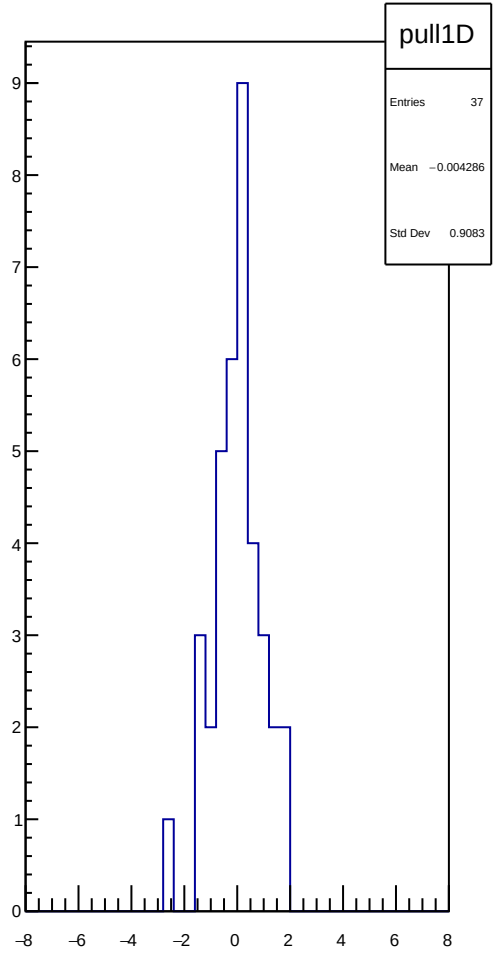
pull1D
Entries 37
Mean −0.004286
Std Dev 0.9083

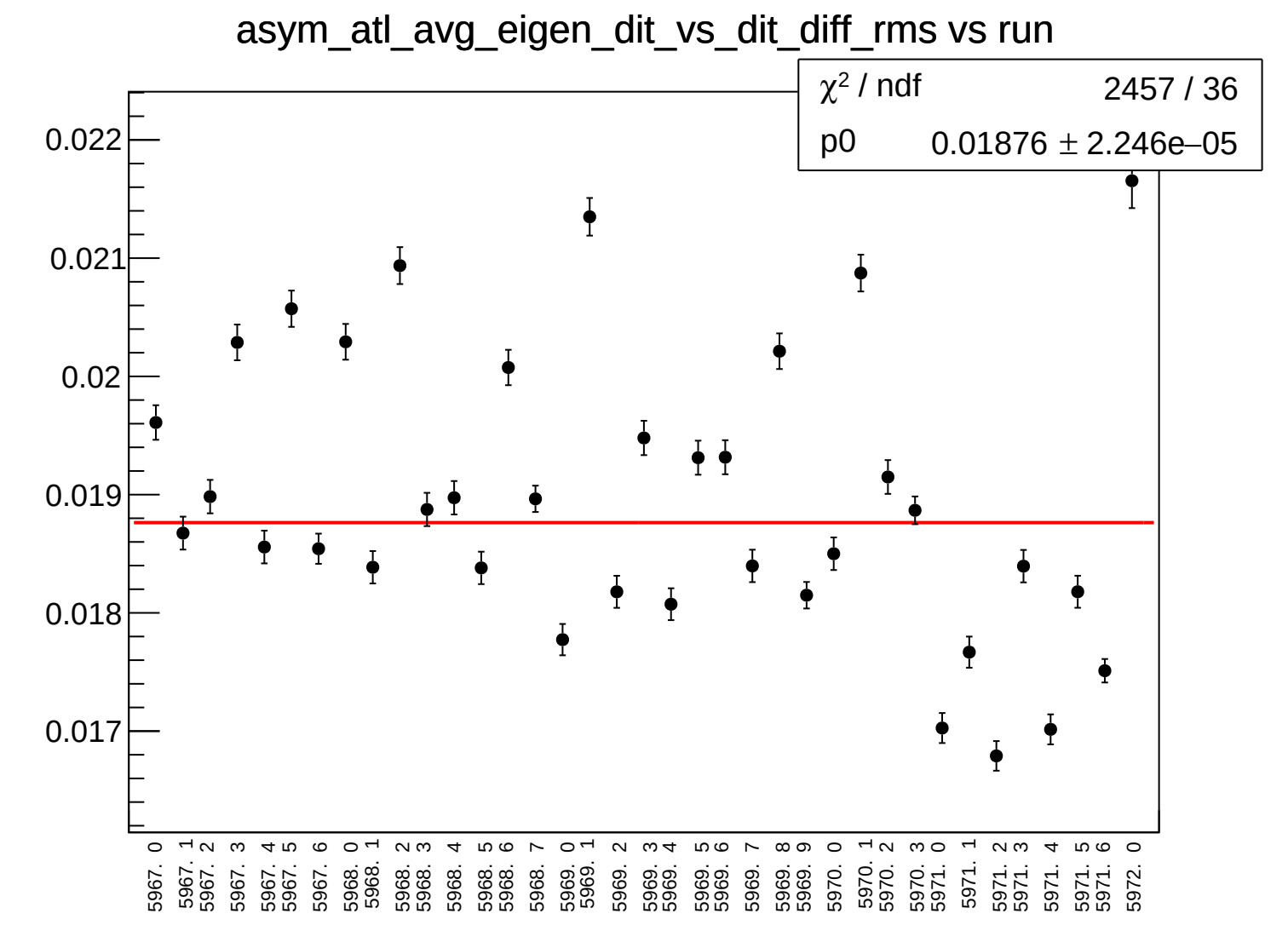
asym_atl_avg_eigen_dit_vs_dit_diff_rms vs run
χ² / ndf 2457 / 36
p0 0.01876 ± 2.246e–05
0.022
0.021
0.02
0.019
0.018
0.017
5967. 0
5967. 1
5967. 2
5967. 3
5967. 4
5967. 5
5967. 6
5968. 0
5968. 1
5968. 2
5968. 3
5968. 4
5968. 5
5968. 6
5968. 7
5969. 0
5969. 1
5969. 2
5969. 3
5969. 4
5969. 5
5969. 6
5969. 7
5969. 8
5969. 9
5970. 0
5970. 1
5970. 2
5970. 3
5971. 0
5971. 1
5971. 2
5971. 3
5971. 4
5971. 5
5971. 6
5972. 0

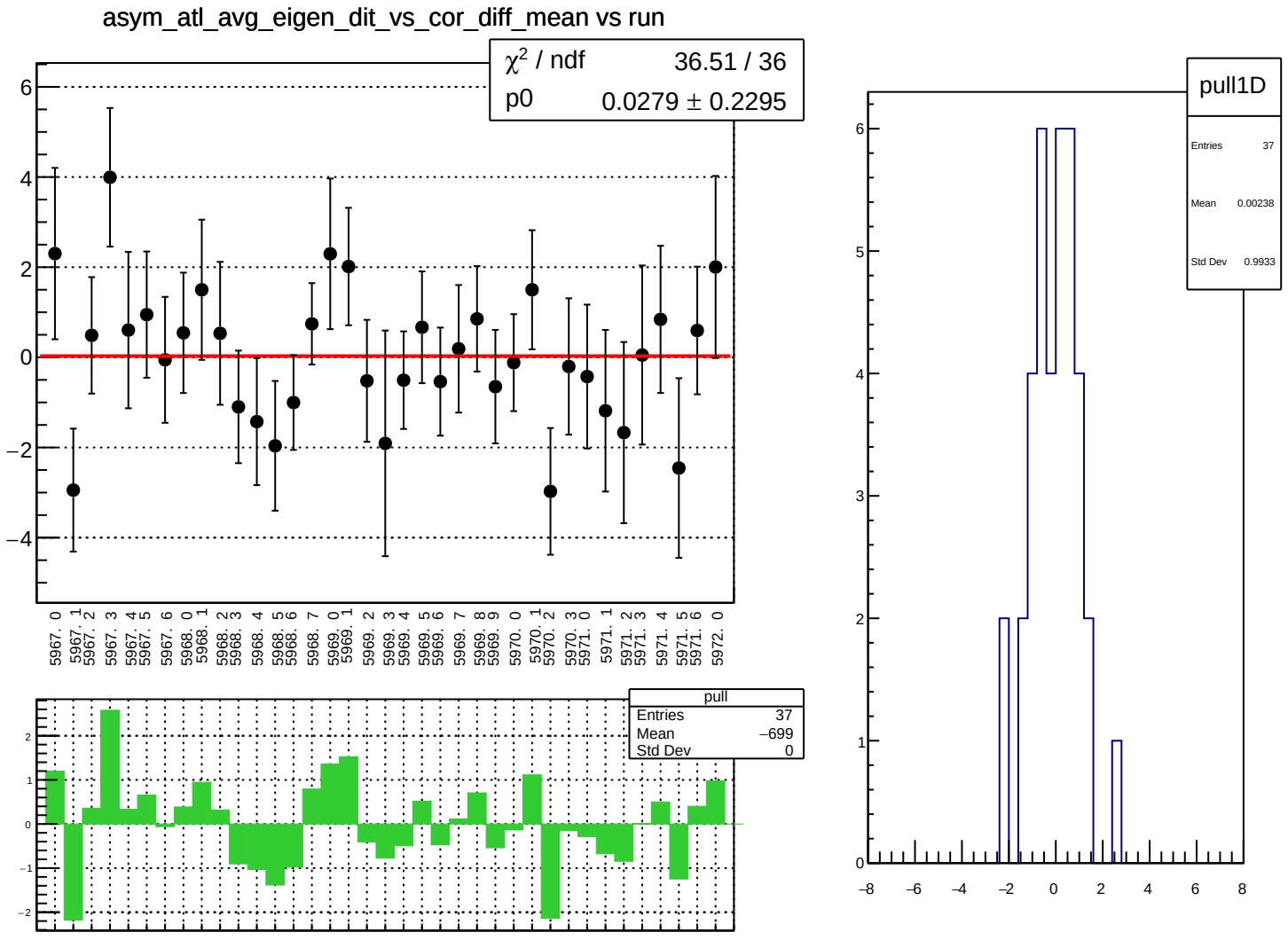
asym_atl_avg_eigen_dit_vs_cor_diff_mean vs run
χ² / ndf 36.51 / 36
p0 0.0279 ± 0.2295
pull
Entries 37
Mean −699
Std Dev 0
pull1D
Entries 37
Mean 0.00238
Std Dev 0.9933

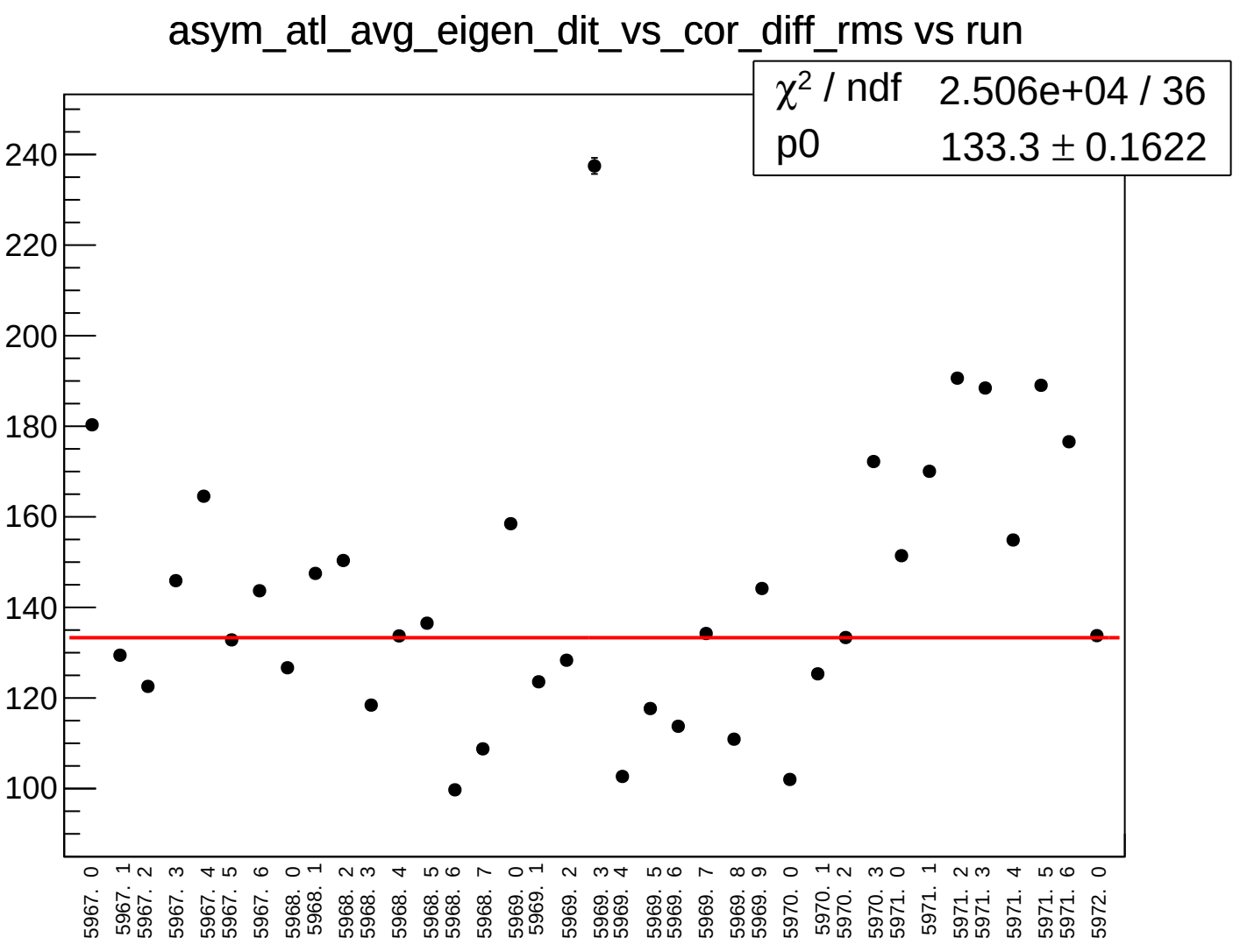
asym_atl_avg_eigen_dit_vs_cor_diff_rms vs run
χ² / ndf 2.506e+04 / 36
p0 133.3 ± 0.1622
240
220
200
180
160
140
120
100
5967. 0
5967. 1
5967. 2
5967. 3
5967. 4
5967. 5
5967. 6
5968. 0
5968. 1
5968. 2
5968. 3
5968. 4
5968. 5
5968. 6
5968. 7
5969. 0
5969. 1
5969. 2
5969. 3
5969. 4
5969. 5
5969. 6
5969. 7
5969. 8
5969. 9
5970. 0
5970. 1
5970. 2
5970. 3
5971. 0
5971. 1
5971. 2
5971. 3
5971. 4
5971. 5
5971. 6
5972. 0

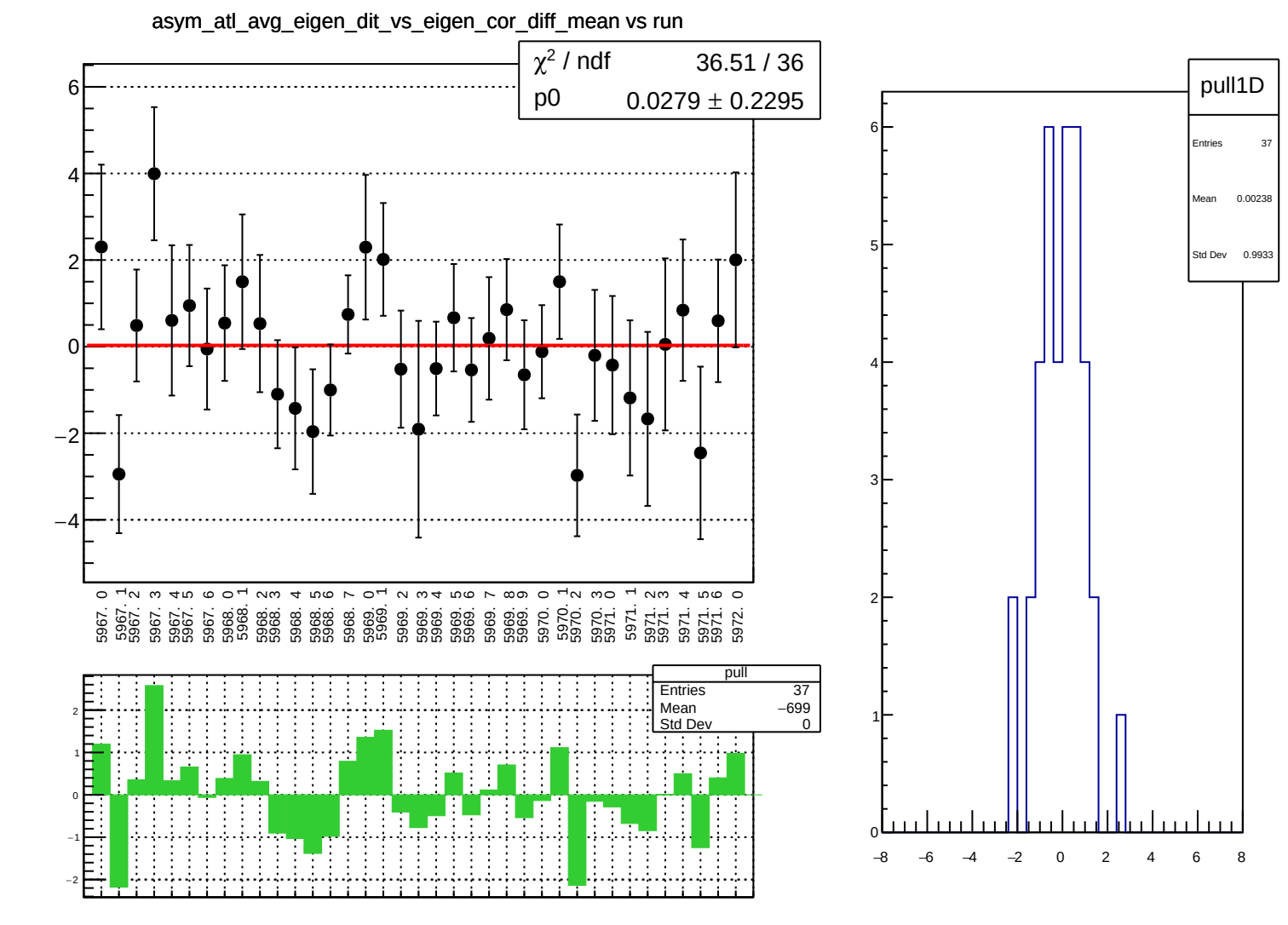
asym_atl_avg_eigen_dit_vs_eigen_cor_diff_mean vs run
χ² / ndf 36.51 / 36
p0 0.0279 ± 0.2295
pull
Entries 37
Mean −699
Std Dev 0
pull1D
Entries 37
Mean 0.00238
Std Dev 0.9933

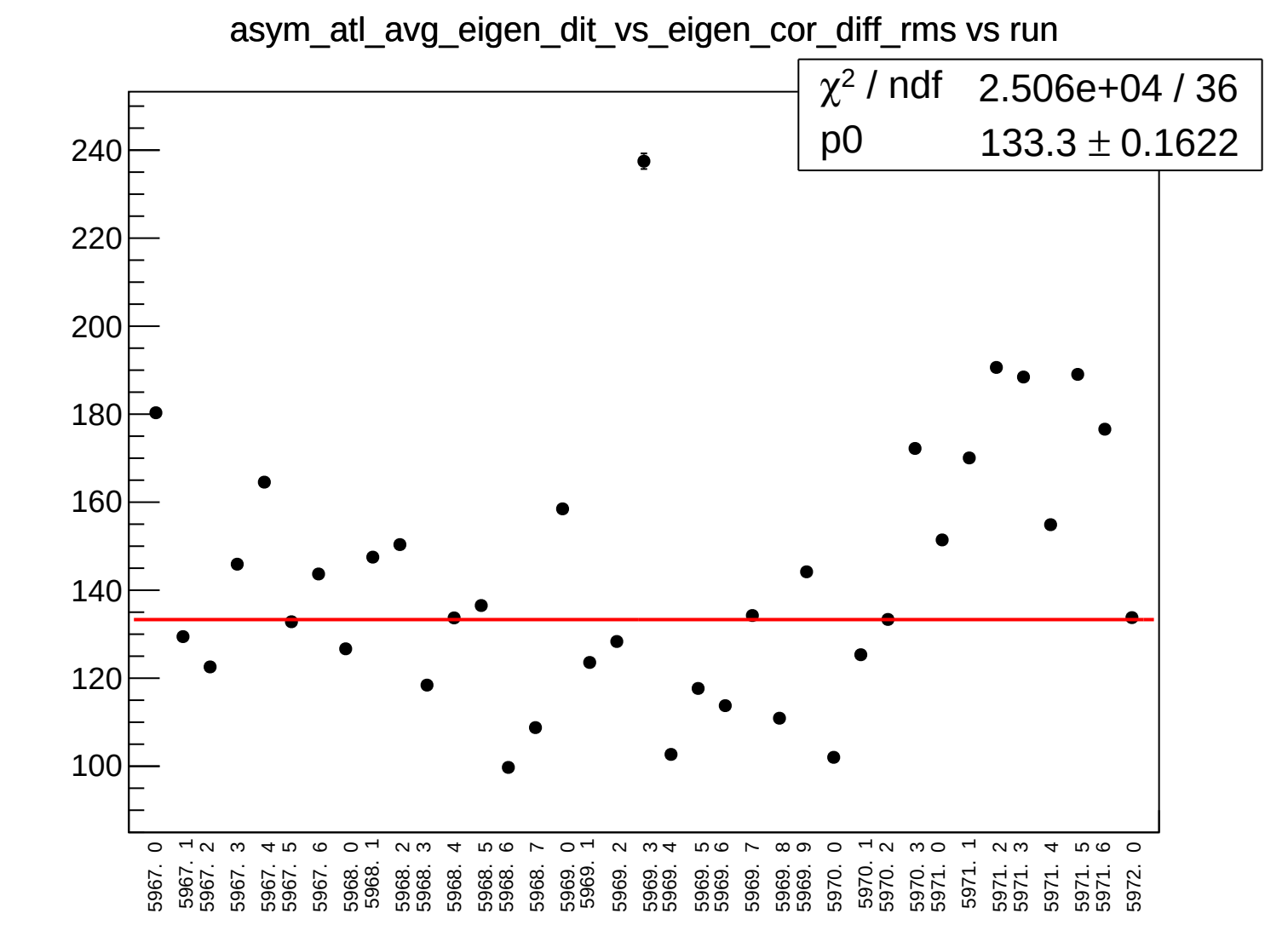
asym_atl_avg_eigen_dit_vs_eigen_cor_diff_rms vs run
χ² / ndf 2.506e+04 / 36
p0 133.3 ± 0.1622
240
220
200
180
160
140
120
100
5967. 0
5967. 1
5967. 2
5967. 3
5967. 4
5967. 5
5967. 6
5968. 0
5968. 1
5968. 2
5968. 3
5968. 4
5968. 5
5968. 6
5968. 7
5969. 0
5969. 1
5969. 2
5969. 3
5969. 4
5969. 5
5969. 6
5969. 7
5969. 8
5969. 9
5970. 0
5970. 1
5970. 2
5970. 3
5971. 0
5971. 1
5971. 2
5971. 3
5971. 4
5971. 5
5971. 6
5972. 0

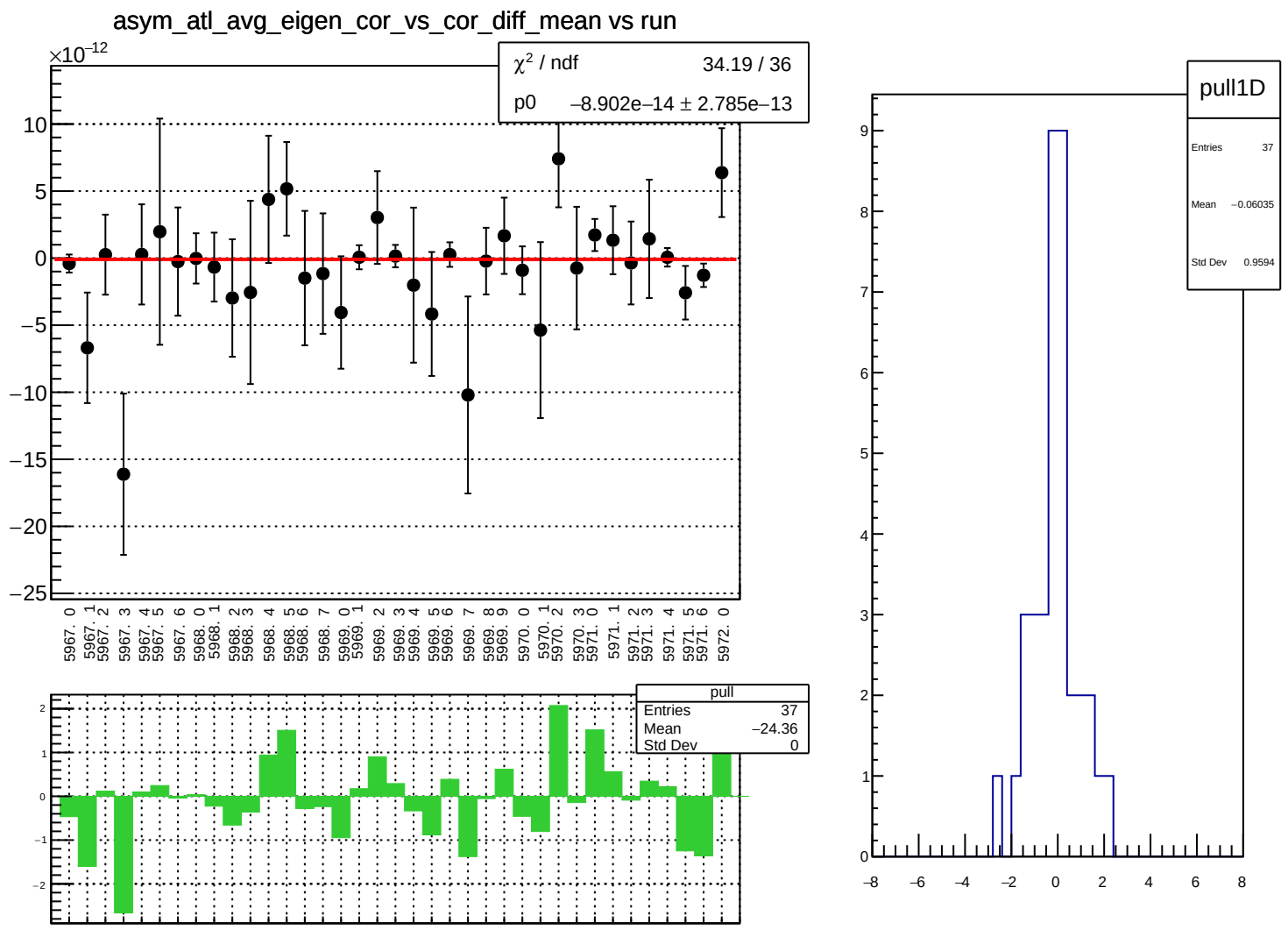
asym_atl_avg_eigen_cor_vs_cor_diff_mean vs run
×10⁻¹²
χ² / ndf 34.19 / 36
p0 −8.902e−14 ± 2.785e−13
pull
Entries 37
Mean −24.36
Std Dev 0
pull1D
Entries 37
Mean −0.06035
Std Dev 0.9594

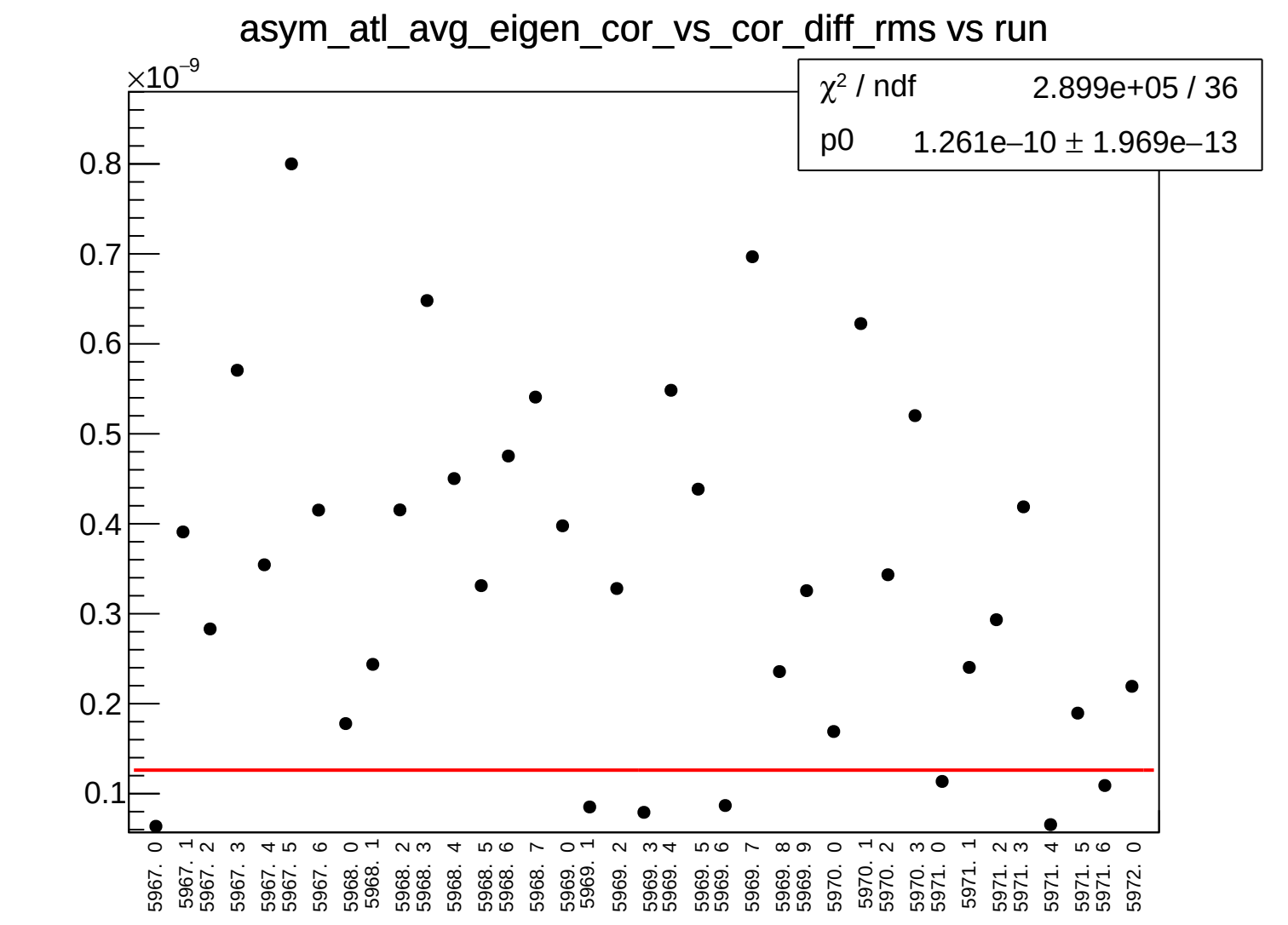
asym_atl_avg_eigen_cor_vs_cor_diff_rms vs run
×10⁻⁹
χ² / ndf 2.899e+05 / 36
p0 1.261e−10 ± 1.969e−13
0.8
0.7
0.6
0.5
0.4
0.3
0.2
0.1
5967. 0
5967. 1
5967. 2
5967. 3
5967. 4
5967. 5
5967. 6
5968. 0
5968. 1
5968. 2
5968. 3
5968. 4
5968. 5
5968. 6
5968. 7
5969. 0
5969. 1
5969. 2
5969. 3
5969. 4
5969. 5
5969. 6
5969. 7
5969. 8
5969. 9
5970. 0
5970. 1
5970. 2
5970. 3
5971. 0
5971. 1
5971. 2
5971. 3
5971. 4
5971. 5
5971. 6
5972. 0

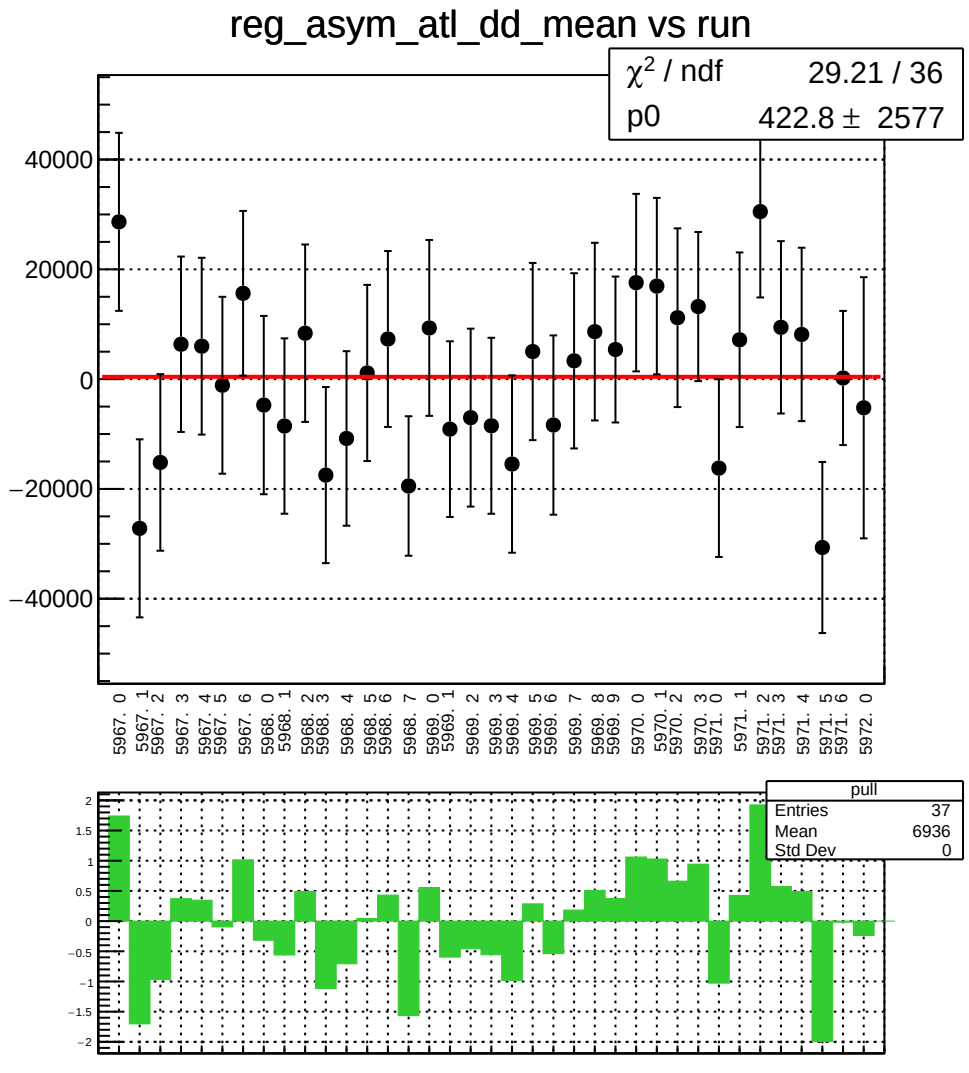
reg_asym_atl_dd_mean vs run
χ² / ndf 29.21 / 36
p0 422.8 ± 2577
40000
20000
0
−20000
−40000
5967. 0
5967. 1
5967. 2
5967. 3
5967. 4
5967. 5
5967. 6
5968. 0
5968. 1
5968. 2
5968. 3
5968. 4
5968. 5
5968. 6
5968. 7
5969. 0
5969. 1
5969. 2
5969. 3
5969. 4
5969. 5
5969. 6
5969. 7
5969. 8
5969. 9
5970. 0
5970. 1
5970. 2
5970. 3
5971. 0
5971. 1
5971. 2
5971. 3
5971. 4
5971. 5
5971. 6
5972. 0
pull
Entries 37
Mean 6936
Std Dev 0
2
1.5
1
0.5
0
−0.5
−1
−1.5
−2

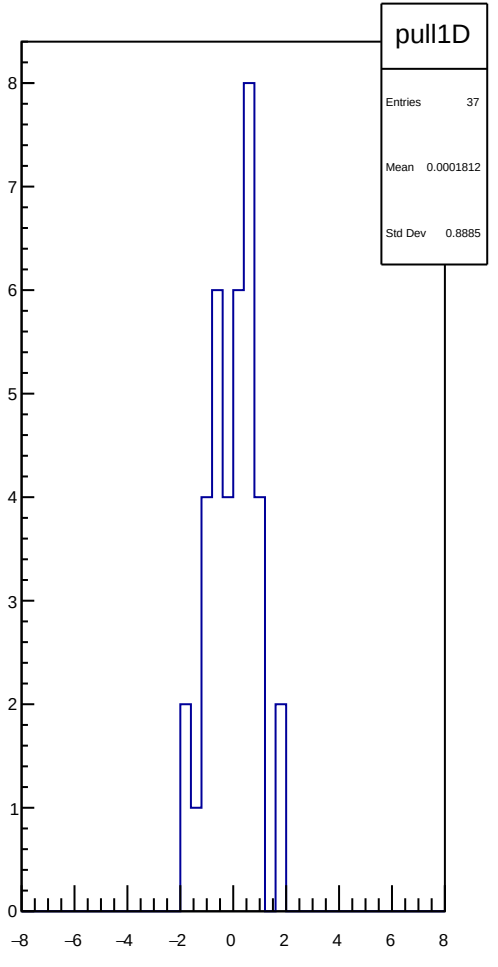
pull1D
Entries 37
Mean 0.0001812
Std Dev 0.8885
8
7
6
5
4
3
2
1
0
−8
−6
−4
−2
0
2
4
6
8

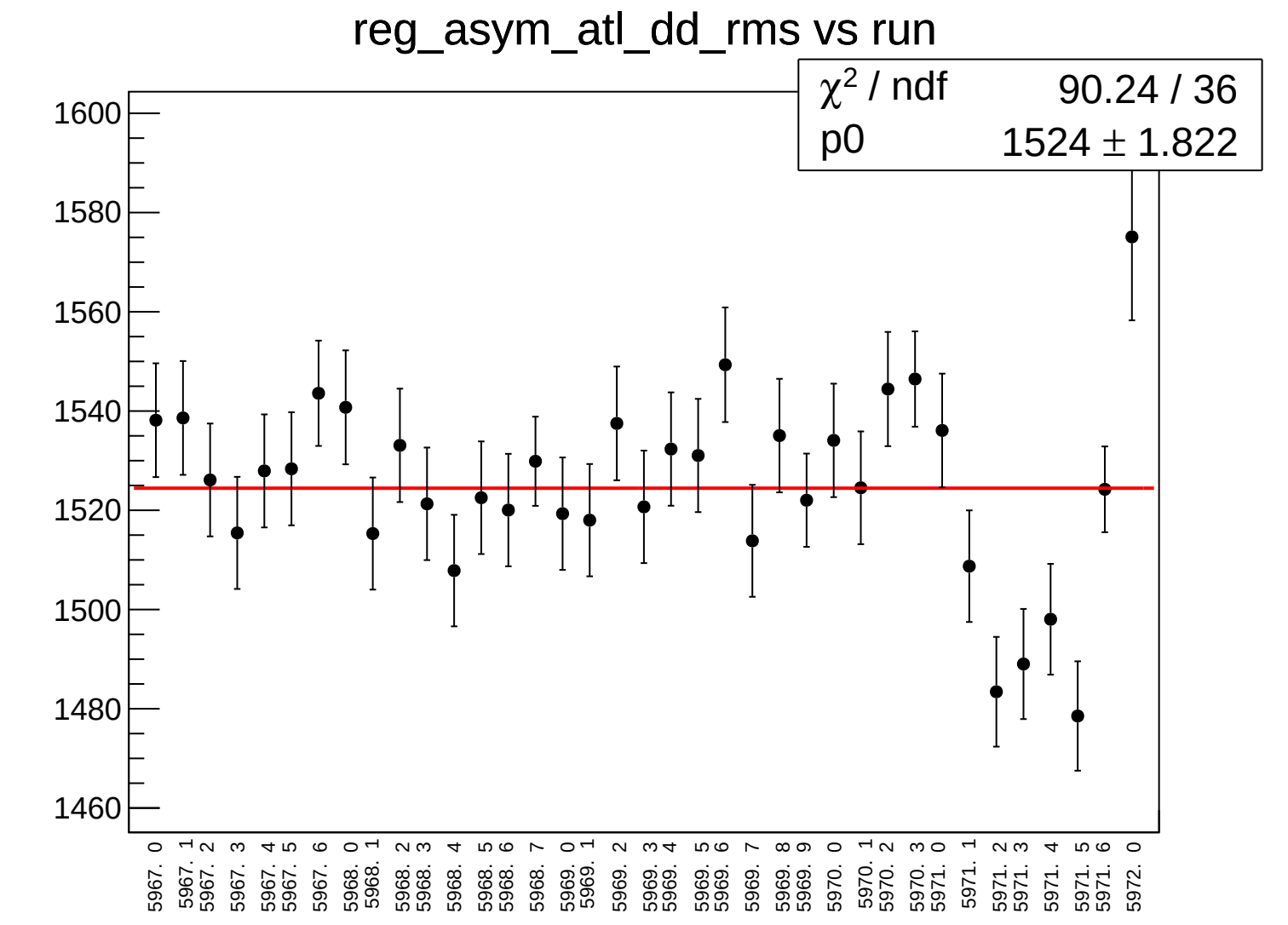
reg_asym_atl_dd_rms vs run
χ² / ndf 90.24 / 36
p0 1524 ± 1.822
1600
1580
1560
1540
1520
1500
1480
1460
5967. 0
5967. 1
5967. 2
5967. 3
5967. 4
5967. 5
5967. 6
5968. 0
5968. 1
5968. 2
5968. 3
5968. 4
5968. 5
5968. 6
5968. 7
5969. 0
5969. 1
5969. 2
5969. 3
5969. 4
5969. 5
5969. 6
5969. 7
5969. 8
5969. 9
5970. 0
5970. 1
5970. 2
5970. 3
5971. 0
5971. 1
5971. 2
5971. 3
5971. 4
5971. 5
5971. 6
5972. 0

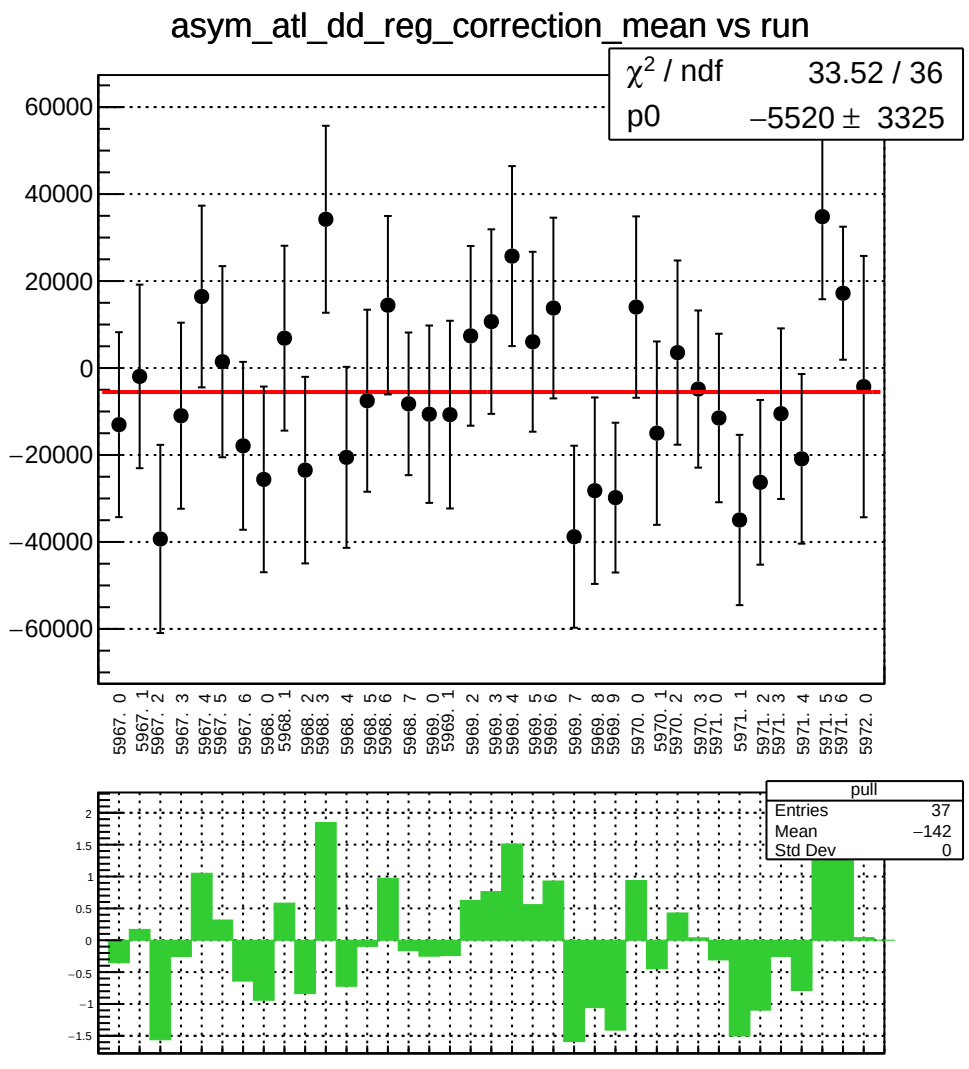
asym_atl_dd_reg_correction_mean vs run
χ² / ndf 33.52 / 36
p0 −5520 ± 3325
60000
40000
20000
0
−20000
−40000
−60000
5967. 0
5967. 1
5967. 2
5967. 3
5967. 4
5967. 5
5967. 6
5968. 0
5968. 1
5968. 2
5968. 3
5968. 4
5968. 5
5968. 6
5968. 7
5969. 0
5969. 1
5969. 2
5969. 3
5969. 4
5969. 5
5969. 6
5969. 7
5969. 8
5969. 9
5970. 0
5970. 1
5970. 2
5970. 3
5971. 0
5971. 1
5971. 2
5971. 3
5971. 4
5971. 5
5971. 6
5972. 0
pull
Entries 37
Mean −142
Std Dev 0
2
1.5
1
0.5
0
−0.5
−1
−1.5

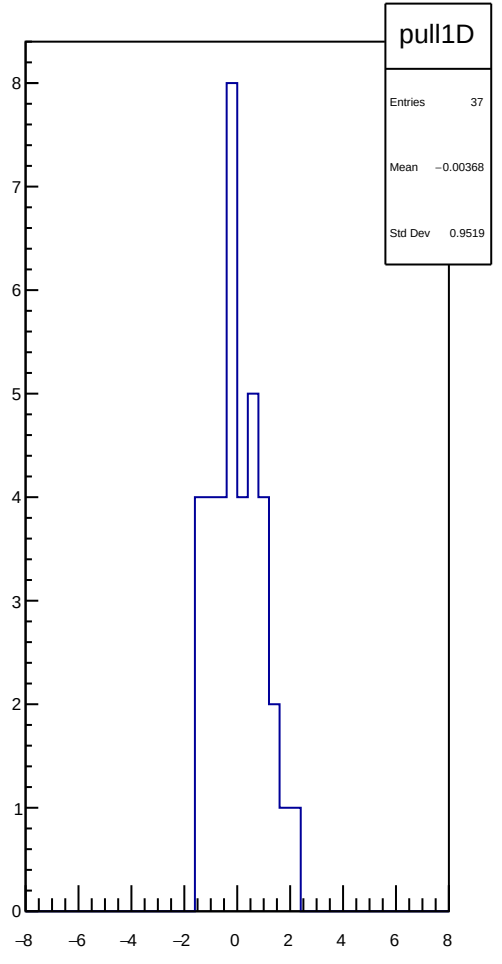
pull1D
Entries 37
Mean −0.00368
Std Dev 0.9519
8
7
6
5
4
3
2
1
0
−8
−6
−4
−2
0
2
4
6
8

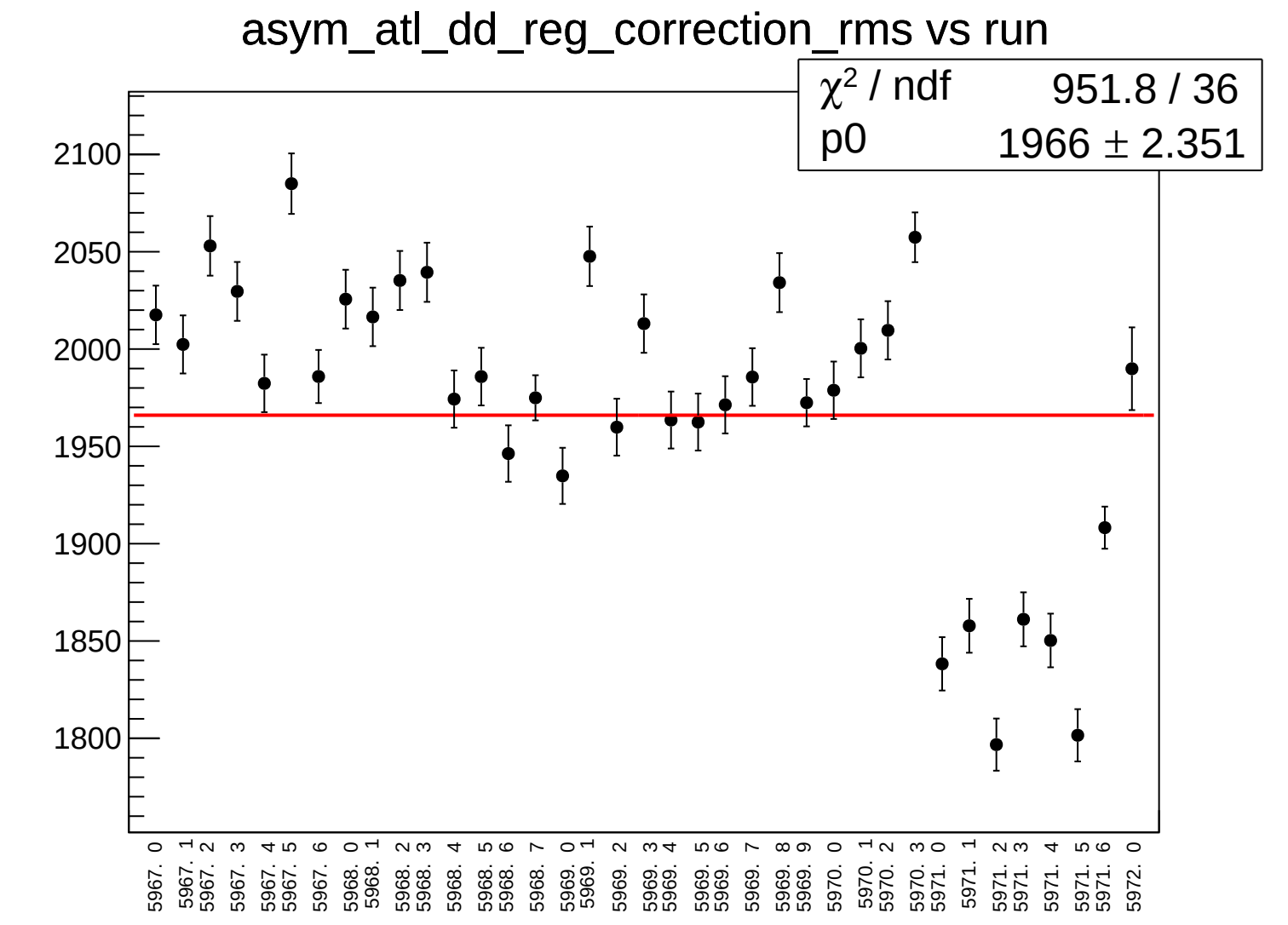
asym_atl_dd_reg_correction_rms vs run
χ² / ndf 951.8 / 36
p0 1966 ± 2.351
2100
2050
2000
1950
1900
1850
1800
5967. 0
5967. 1
5967. 2
5967. 3
5967. 4
5967. 5
5967. 6
5968. 0
5968. 1
5968. 2
5968. 3
5968. 4
5968. 5
5968. 6
5968. 7
5969. 0
5969. 1
5969. 2
5969. 3
5969. 4
5969. 5
5969. 6
5969. 7
5969. 8
5969. 9
5970. 0
5970. 1
5970. 2
5970. 3
5971. 0
5971. 1
5971. 2
5971. 3
5971. 4
5971. 5
5971. 6
5972. 0

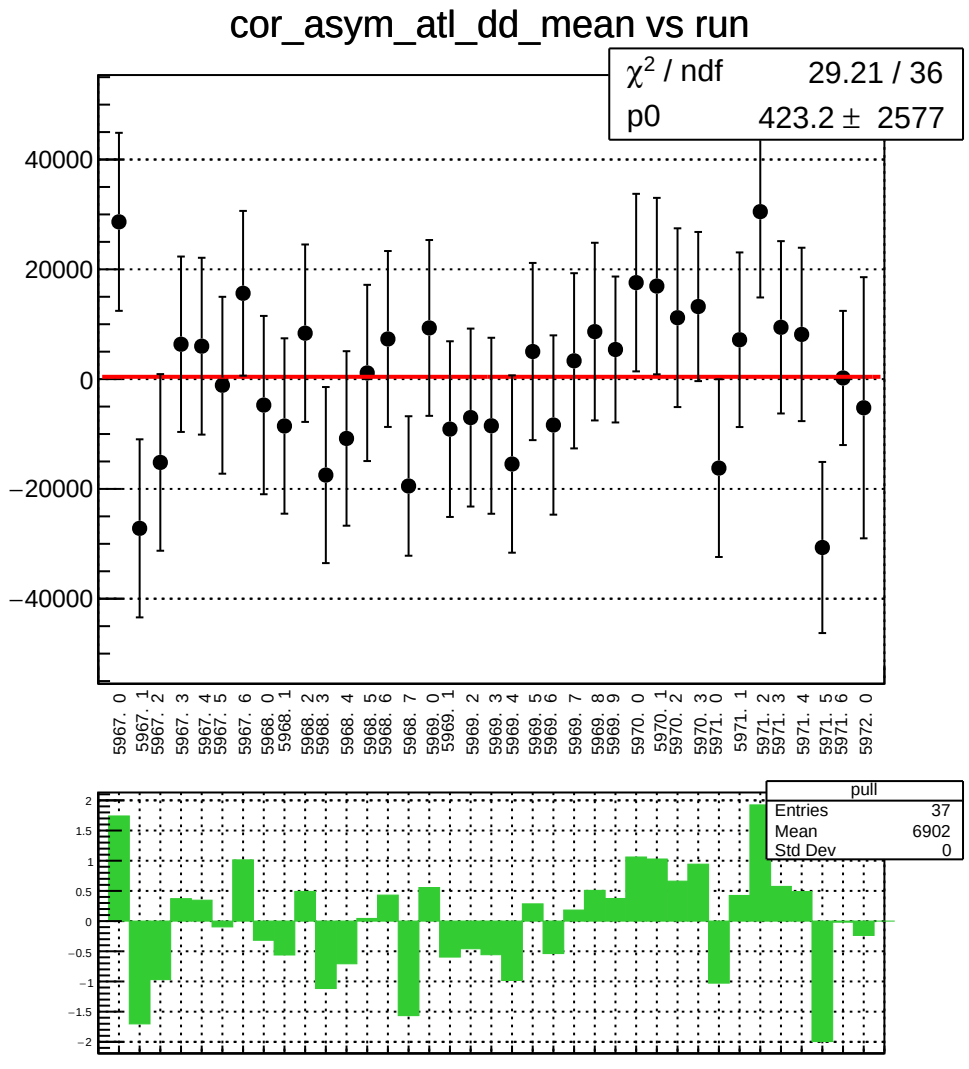
cor_asym_atl_dd_mean vs run
χ² / ndf 29.21 / 36
p0 423.2 ± 2577
40000
20000
0
−20000
−40000
5967. 0
5967. 1
5967. 2
5967. 3
5967. 4
5967. 5
5967. 6
5968. 0
5968. 1
5968. 2
5968. 3
5968. 4
5968. 5
5968. 6
5968. 7
5969. 0
5969. 1
5969. 2
5969. 3
5969. 4
5969. 5
5969. 6
5969. 7
5969. 8
5969. 9
5970. 0
5970. 1
5970. 2
5970. 3
5971. 0
5971. 1
5971. 2
5971. 3
5971. 4
5971. 5
5971. 6
5972. 0
pull
Entries 37
Mean 6902
Std Dev 0
2
1.5
1
0.5
0
−0.5
−1
−1.5
−2

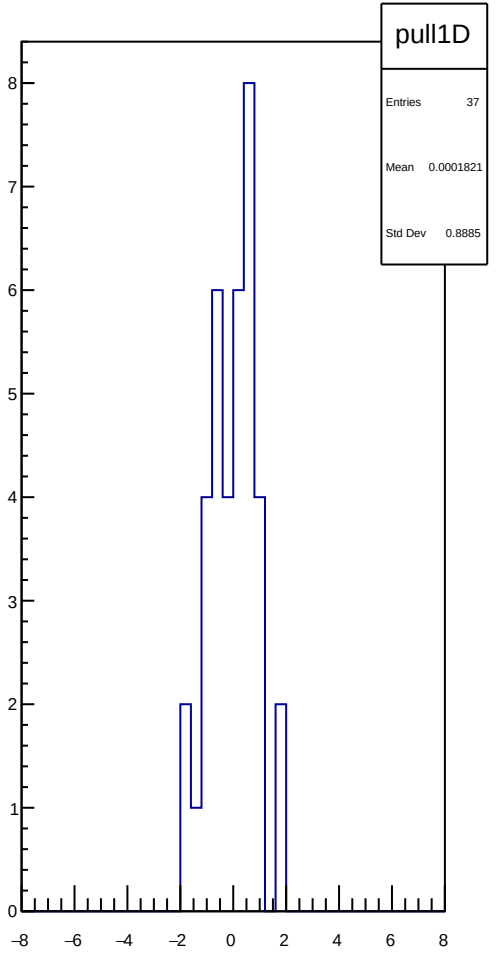
pull1D
Entries 37
Mean 0.0001821
Std Dev 0.8885
8
7
6
5
4
3
2
1
0
−8
−6
−4
−2
0
2
4
6
8

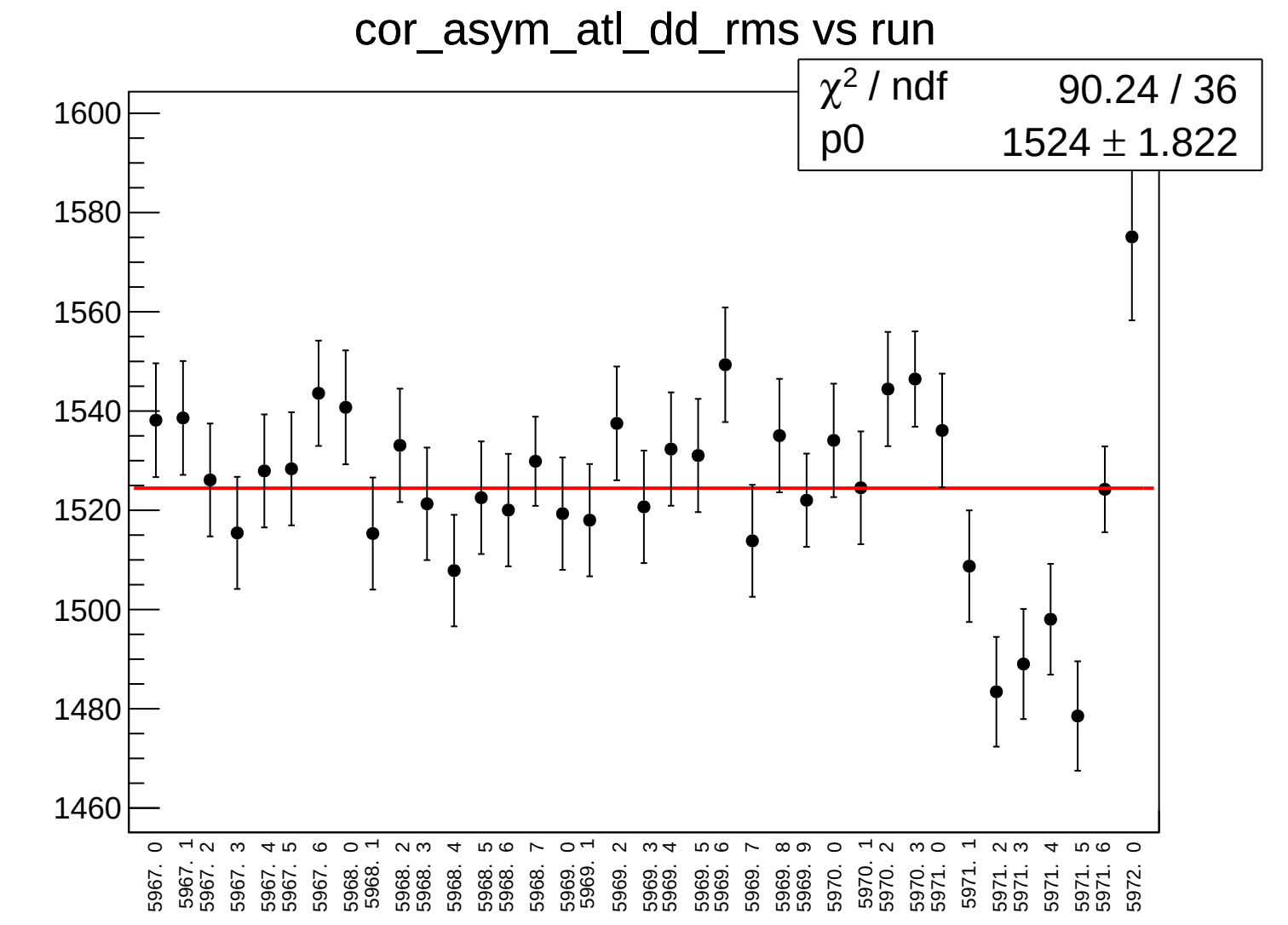
cor_asym_atl_dd_rms vs run
χ² / ndf 90.24 / 36
p0 1524 ± 1.822
1600
1580
1560
1540
1520
1500
1480
1460
5967. 0
5967. 1
5967. 2
5967. 3
5967. 4
5967. 5
5967. 6
5968. 0
5968. 1
5968. 2
5968. 3
5968. 4
5968. 5
5968. 6
5968. 7
5969. 0
5969. 1
5969. 2
5969. 3
5969. 4
5969. 5
5969. 6
5969. 7
5969. 8
5969. 9
5970. 0
5970. 1
5970. 2
5970. 3
5971. 0
5971. 1
5971. 2
5971. 3
5971. 4
5971. 5
5971. 6
5972. 0

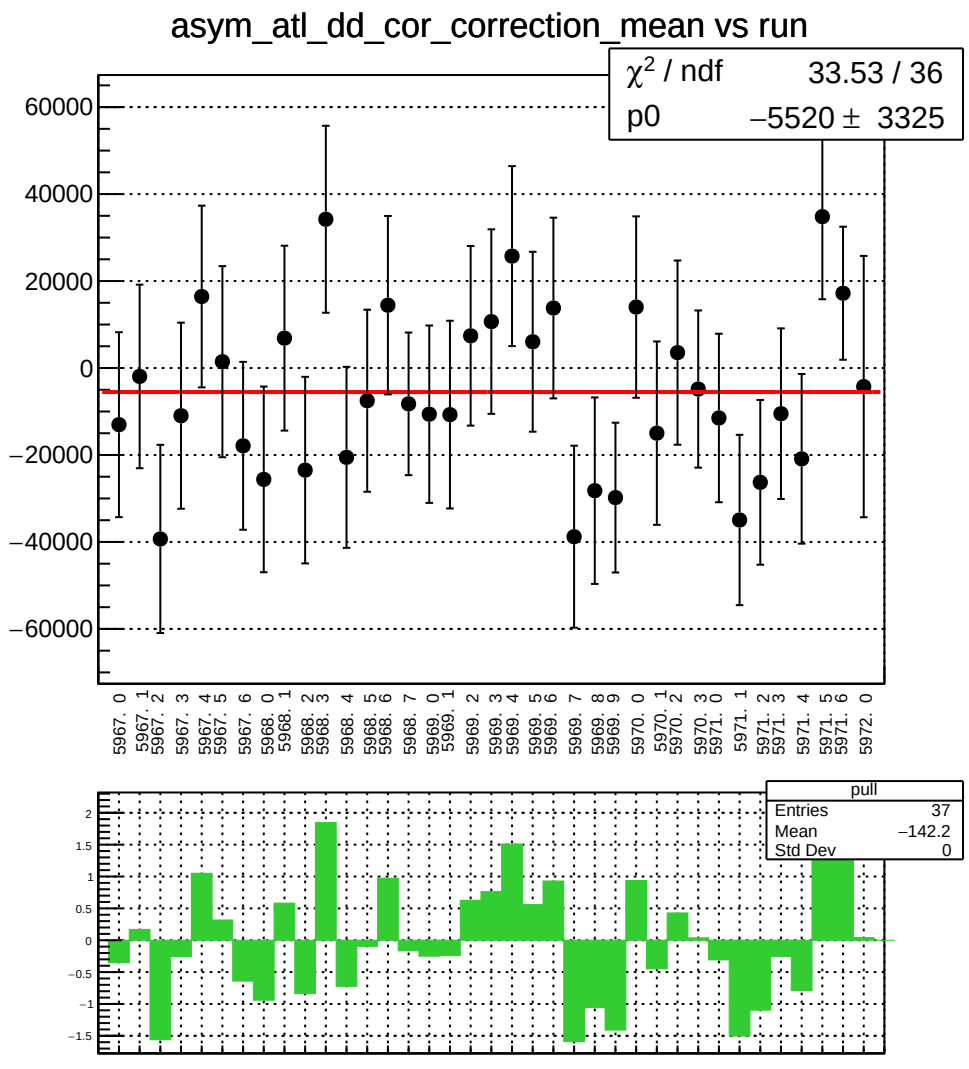
asym_atl_dd_cor_correction_mean vs run
χ² / ndf 33.53 / 36
p0 −5520 ± 3325
60000
40000
20000
0
−20000
−40000
−60000
5967. 0
5967. 1
5967. 2
5967. 3
5967. 4
5967. 5
5967. 6
5968. 0
5968. 1
5968. 2
5968. 3
5968. 4
5968. 5
5968. 6
5968. 7
5969. 0
5969. 1
5969. 2
5969. 3
5969. 4
5969. 5
5969. 6
5969. 7
5969. 8
5969. 9
5970. 0
5970. 1
5970. 2
5970. 3
5971. 0
5971. 1
5971. 2
5971. 3
5971. 4
5971. 5
5971. 6
5972. 0
pull
Entries 37
Mean −142.2
Std Dev 0
2
1.5
1
0.5
0
−0.5
−1
−1.5
pull1D
Entries 37
Mean −0.003674
Std Dev 0.9519
8
7
6
5
4
3
2
1
0
−8
−6
−4
−2
0
2
4
6
8

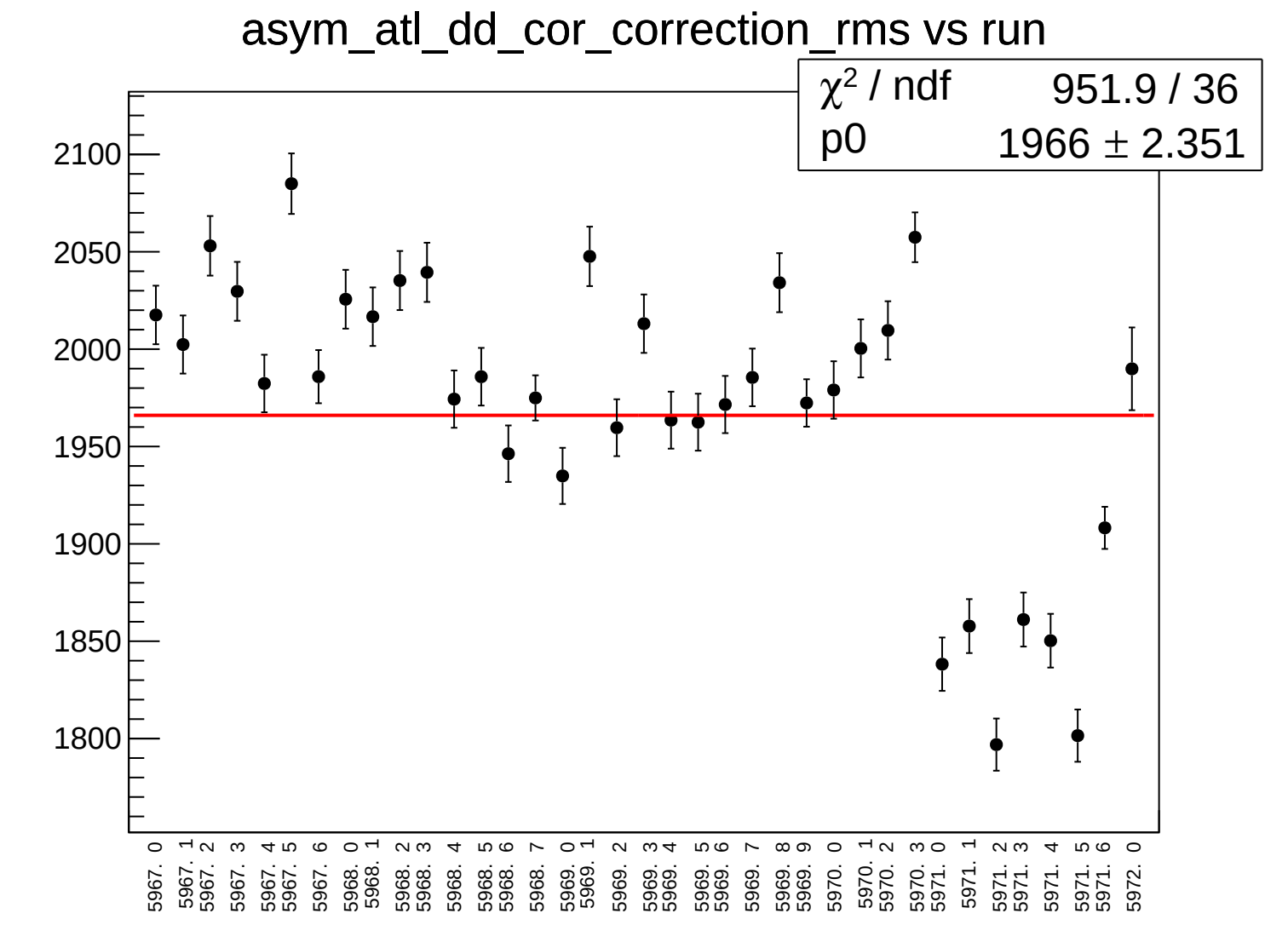
asym_atl_dd_cor_correction_rms vs run
χ² / ndf 951.9 / 36
p0 1966 ± 2.351
2100
2050
2000
1950
1900
1850
1800
5967. 0
5967. 1
5967. 2
5967. 3
5967. 4
5967. 5
5967. 6
5968. 0
5968. 1
5968. 2
5968. 3
5968. 4
5968. 5
5968. 6
5968. 7
5969. 0
5969. 1
5969. 2
5969. 3
5969. 4
5969. 5
5969. 6
5969. 7
5969. 8
5969. 9
5970. 0
5970. 1
5970. 2
5970. 3
5971. 0
5971. 1
5971. 2
5971. 3
5971. 4
5971. 5
5971. 6
5972. 0

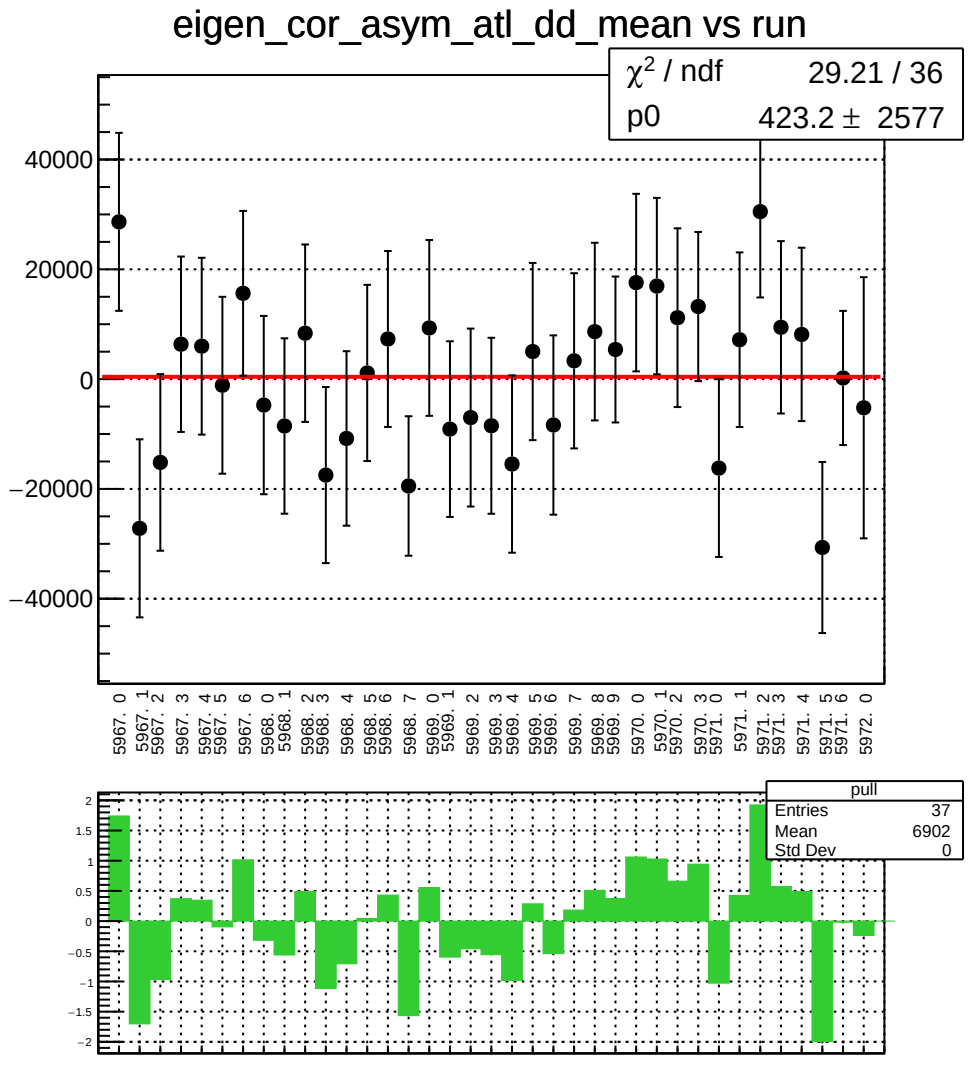
eigen_cor_asym_atl_dd_mean vs run
χ² / ndf 29.21 / 36
p0 423.2 ± 2577
40000
20000
0
−20000
−40000
5967. 0
5967. 1
5967. 2
5967. 3
5967. 4
5967. 5
5967. 6
5968. 0
5968. 1
5968. 2
5968. 3
5968. 4
5968. 5
5968. 6
5968. 7
5969. 0
5969. 1
5969. 2
5969. 3
5969. 4
5969. 5
5969. 6
5969. 7
5969. 8
5969. 9
5970. 0
5970. 1
5970. 2
5970. 3
5971. 0
5971. 1
5971. 2
5971. 3
5971. 4
5971. 5
5971. 6
5972. 0
pull
Entries 37
Mean 6902
Std Dev 0
2
1.5
1
0.5
0
−0.5
−1
−1.5
−2

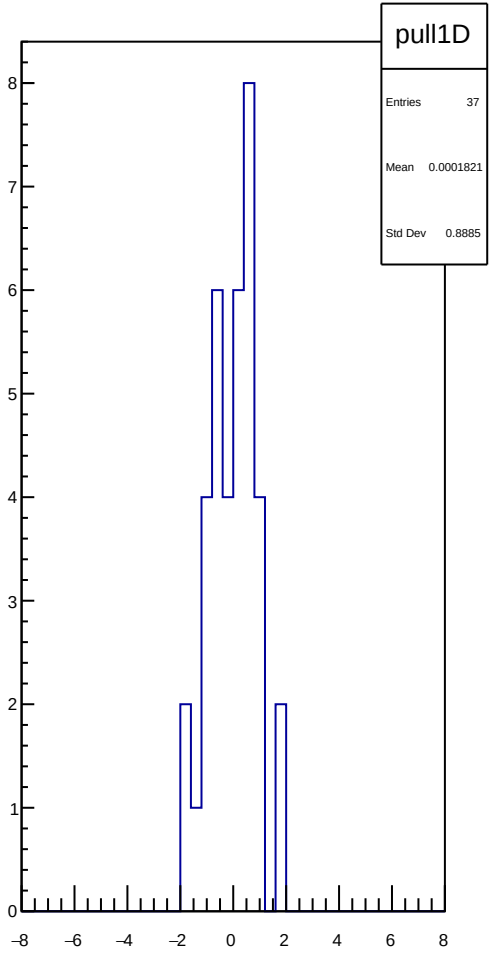
pull1D
Entries 37
Mean 0.0001821
Std Dev 0.8885
8
7
6
5
4
3
2
1
0
−8
−6
−4
−2
0
2
4
6
8

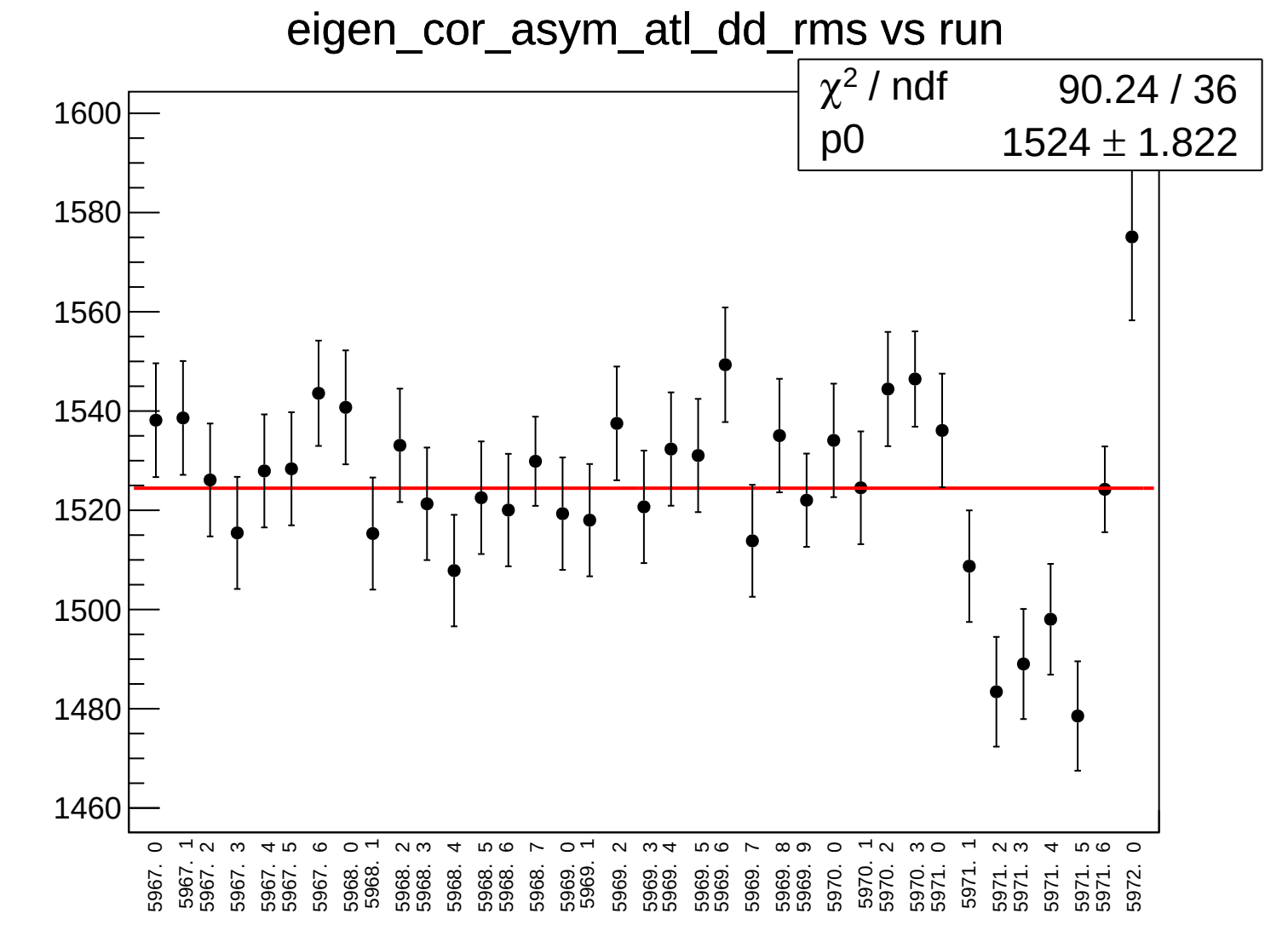
eigen_cor_asym_atl_dd_rms vs run
χ² / ndf 90.24 / 36
p0 1524 ± 1.822
1600
1580
1560
1540
1520
1500
1480
1460
5967. 0
5967. 1
5967. 2
5967. 3
5967. 4
5967. 5
5967. 6
5968. 0
5968. 1
5968. 2
5968. 3
5968. 4
5968. 5
5968. 6
5968. 7
5969. 0
5969. 1
5969. 2
5969. 3
5969. 4
5969. 5
5969. 6
5969. 7
5969. 8
5969. 9
5970. 0
5970. 1
5970. 2
5970. 3
5971. 0
5971. 1
5971. 2
5971. 3
5971. 4
5971. 5
5971. 6
5972. 0

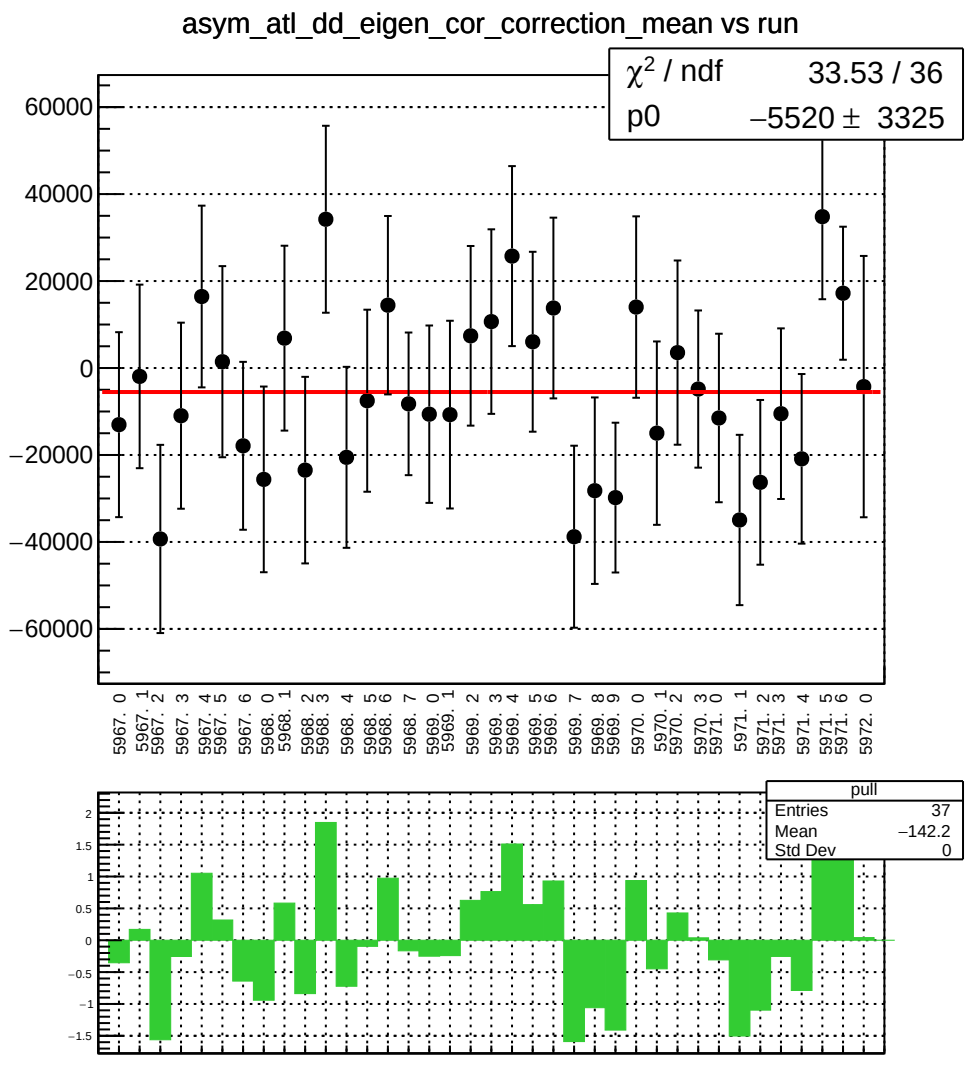
asym_atl_dd_eigen_cor_correction_mean vs run
χ² / ndf 33.53 / 36
p0 −5520 ± 3325
60000
40000
20000
0
−20000
−40000
−60000
5967. 0
5967. 1
5967. 2
5967. 3
5967. 4
5967. 5
5967. 6
5968. 0
5968. 1
5968. 2
5968. 3
5968. 4
5968. 5
5968. 6
5968. 7
5969. 0
5969. 1
5969. 2
5969. 3
5969. 4
5969. 5
5969. 6
5969. 7
5969. 8
5969. 9
5970. 0
5970. 1
5970. 2
5970. 3
5971. 0
5971. 1
5971. 2
5971. 3
5971. 4
5971. 5
5971. 6
5972. 0
pull
Entries 37
Mean −142.2
Std Dev 0
2
1.5
1
0.5
0
−0.5
−1
−1.5
pull1D
Entries 37
Mean −0.003674
Std Dev 0.9519
8
7
6
5
4
3
2
1
0
−8
−6
−4
−2
0
2
4
6
8

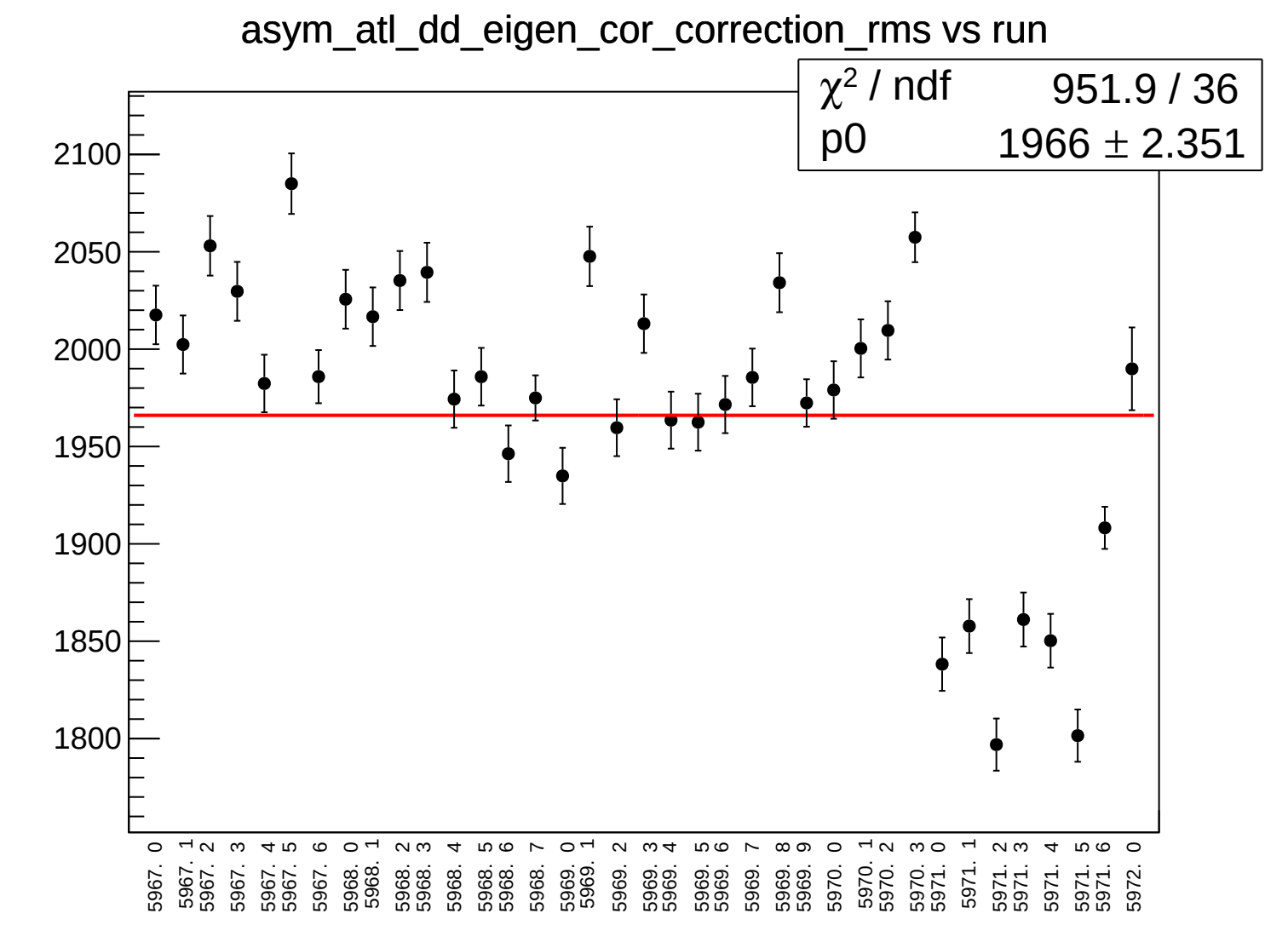
asym_atl_dd_eigen_cor_correction_rms vs run
χ² / ndf 951.9 / 36
p0 1966 ± 2.351
2100
2050
2000
1950
1900
1850
1800
5967. 0
5967. 1
5967. 2
5967. 3
5967. 4
5967. 5
5967. 6
5968. 0
5968. 1
5968. 2
5968. 3
5968. 4
5968. 5
5968. 6
5968. 7
5969. 0
5969. 1
5969. 2
5969. 3
5969. 4
5969. 5
5969. 6
5969. 7
5969. 8
5969. 9
5970. 0
5970. 1
5970. 2
5970. 3
5971. 0
5971. 1
5971. 2
5971. 3
5971. 4
5971. 5
5971. 6
5972. 0

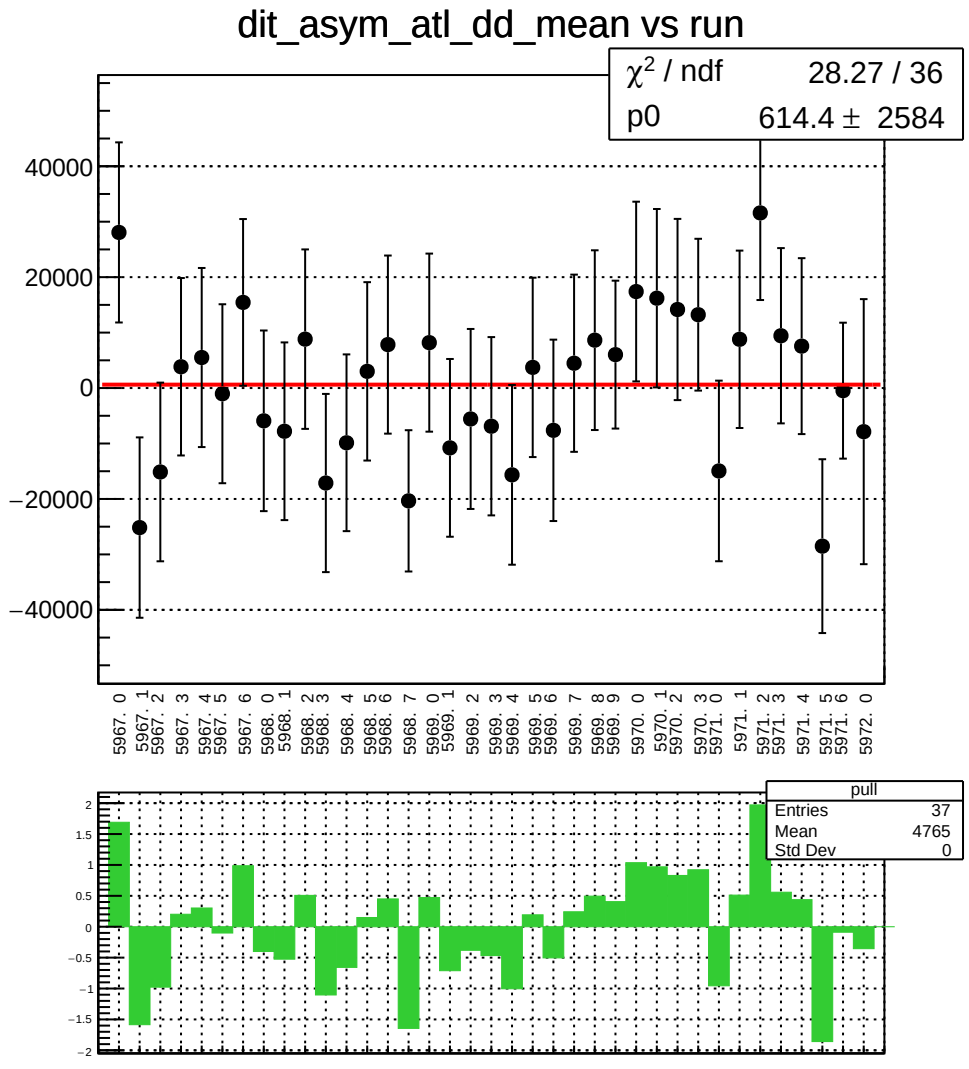
dit_asym_atl_dd_mean vs run
χ² / ndf 28.27 / 36
p0 614.4 ± 2584
40000
20000
0
−20000
−40000
5967. 0
5967. 1
5967. 2
5967. 3
5967. 4
5967. 5
5967. 6
5968. 0
5968. 1
5968. 2
5968. 3
5968. 4
5968. 5
5968. 6
5968. 7
5969. 0
5969. 1
5969. 2
5969. 3
5969. 4
5969. 5
5969. 6
5969. 7
5969. 8
5969. 9
5970. 0
5970. 1
5970. 2
5970. 3
5971. 0
5971. 1
5971. 2
5971. 3
5971. 4
5971. 5
5971. 6
5972. 0
pull
Entries 37
Mean 4765
Std Dev 0
2
1.5
1
0.5
0
−0.5
−1
−1.5
−2

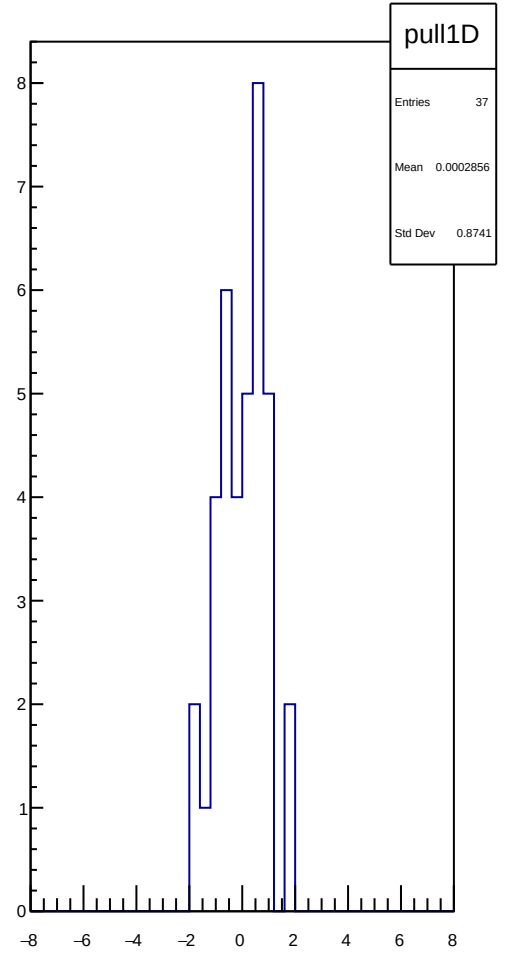
pull1D
Entries 37
Mean 0.0002856
Std Dev 0.8741
8
7
6
5
4
3
2
1
0
−8
−6
−4
−2
0
2
4
6
8

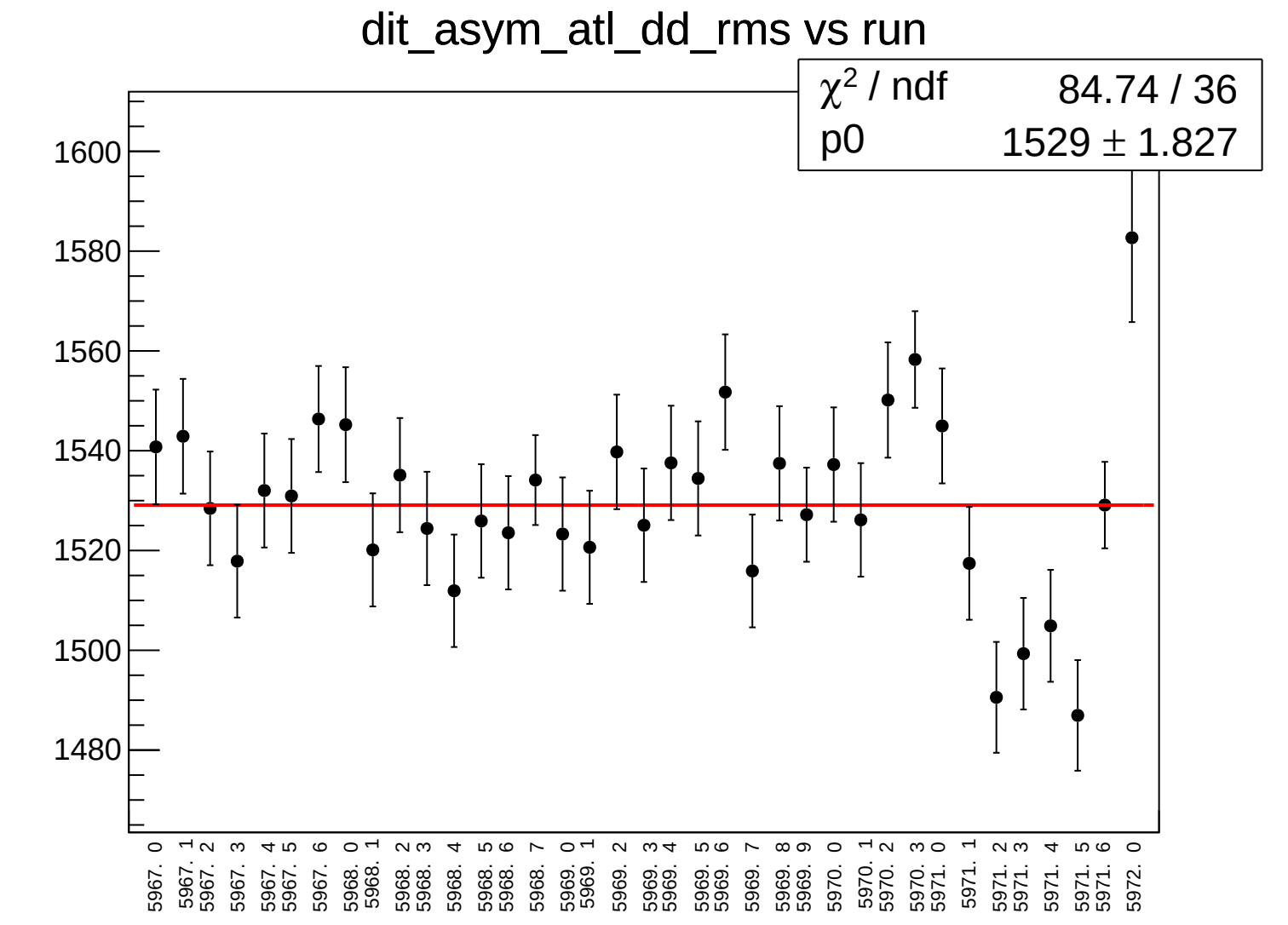
dit_asym_atl_dd_rms vs run
χ² / ndf 84.74 / 36
p0 1529 ± 1.827
1600
1580
1560
1540
1520
1500
1480
5967. 0
5967. 1
5967. 2
5967. 3
5967. 4
5967. 5
5967. 6
5968. 0
5968. 1
5968. 2
5968. 3
5968. 4
5968. 5
5968. 6
5968. 7
5969. 0
5969. 1
5969. 2
5969. 3
5969. 4
5969. 5
5969. 6
5969. 7
5969. 8
5969. 9
5970. 0
5970. 1
5970. 2
5970. 3
5971. 0
5971. 1
5971. 2
5971. 3
5971. 4
5971. 5
5971. 6
5972. 0

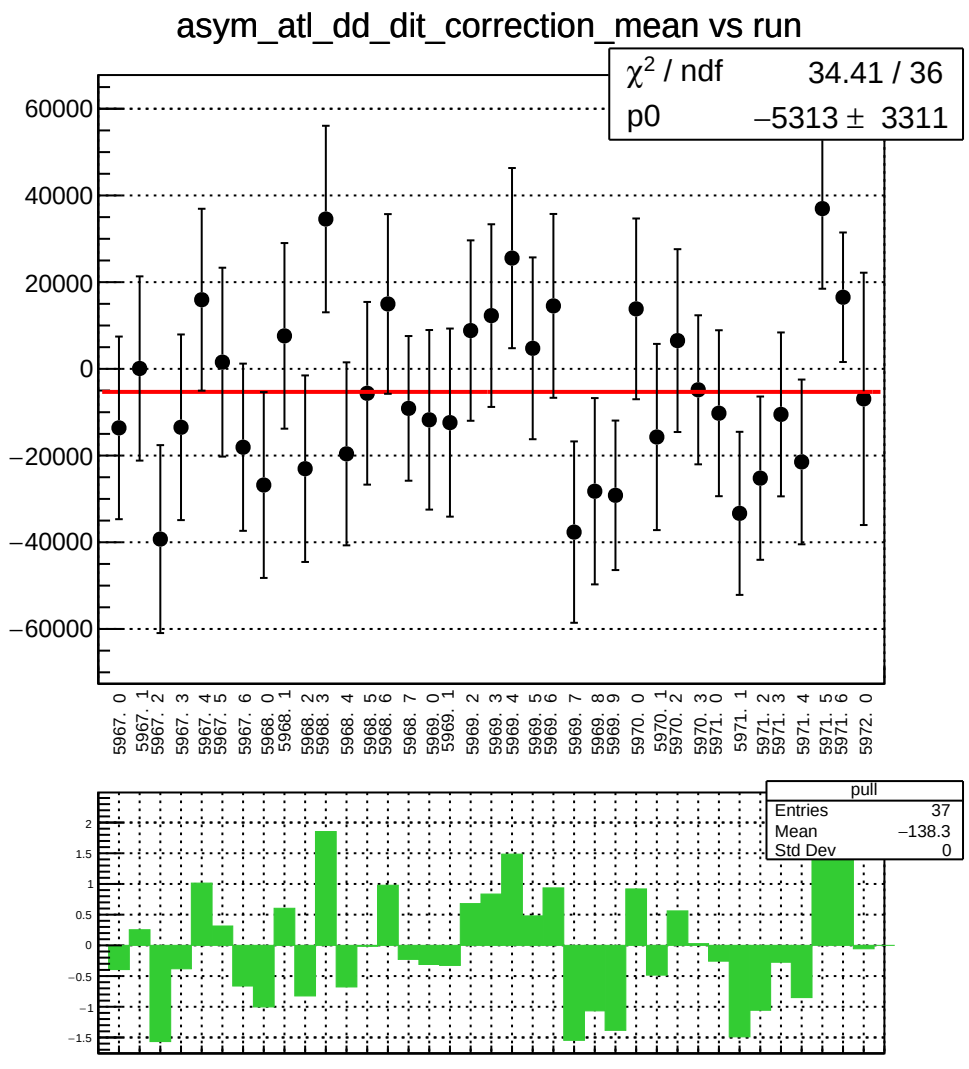
asym_atl_dd_dit_correction_mean vs run
χ² / ndf 34.41 / 36
p0 −5313 ± 3311
60000
40000
20000
0
−20000
−40000
−60000
5967. 0
5967. 1
5967. 2
5967. 3
5967. 4
5967. 5
5967. 6
5968. 0
5968. 1
5968. 2
5968. 3
5968. 4
5968. 5
5968. 6
5968. 7
5969. 0
5969. 1
5969. 2
5969. 3
5969. 4
5969. 5
5969. 6
5969. 7
5969. 8
5969. 9
5970. 0
5970. 1
5970. 2
5970. 3
5971. 0
5971. 1
5971. 2
5971. 3
5971. 4
5971. 5
5971. 6
5972. 0
pull
Entries 37
Mean −138.3
Std Dev 0
2
1.5
1
0.5
0
−0.5
−1
−1.5

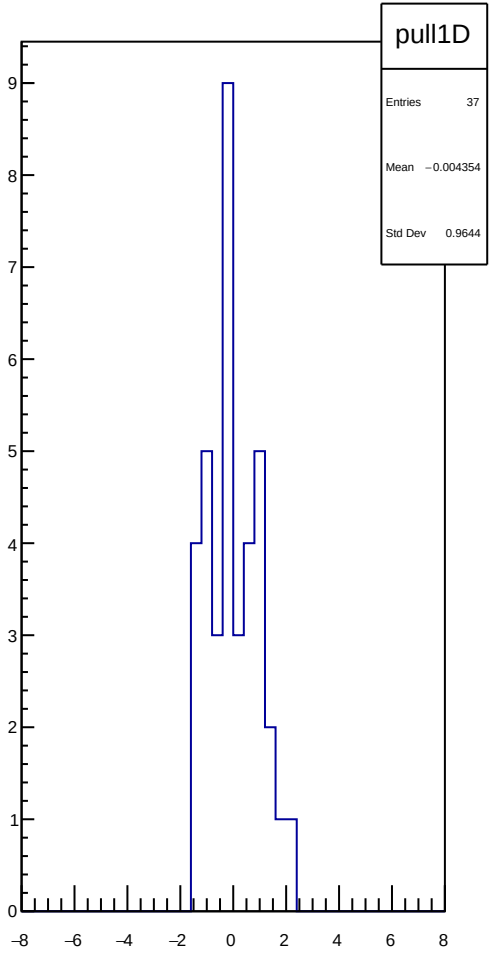
pull1D
Entries 37
Mean −0.004354
Std Dev 0.9644
9
8
7
6
5
4
3
2
1
0
−8
−6
−4
−2
0
2
4
6
8

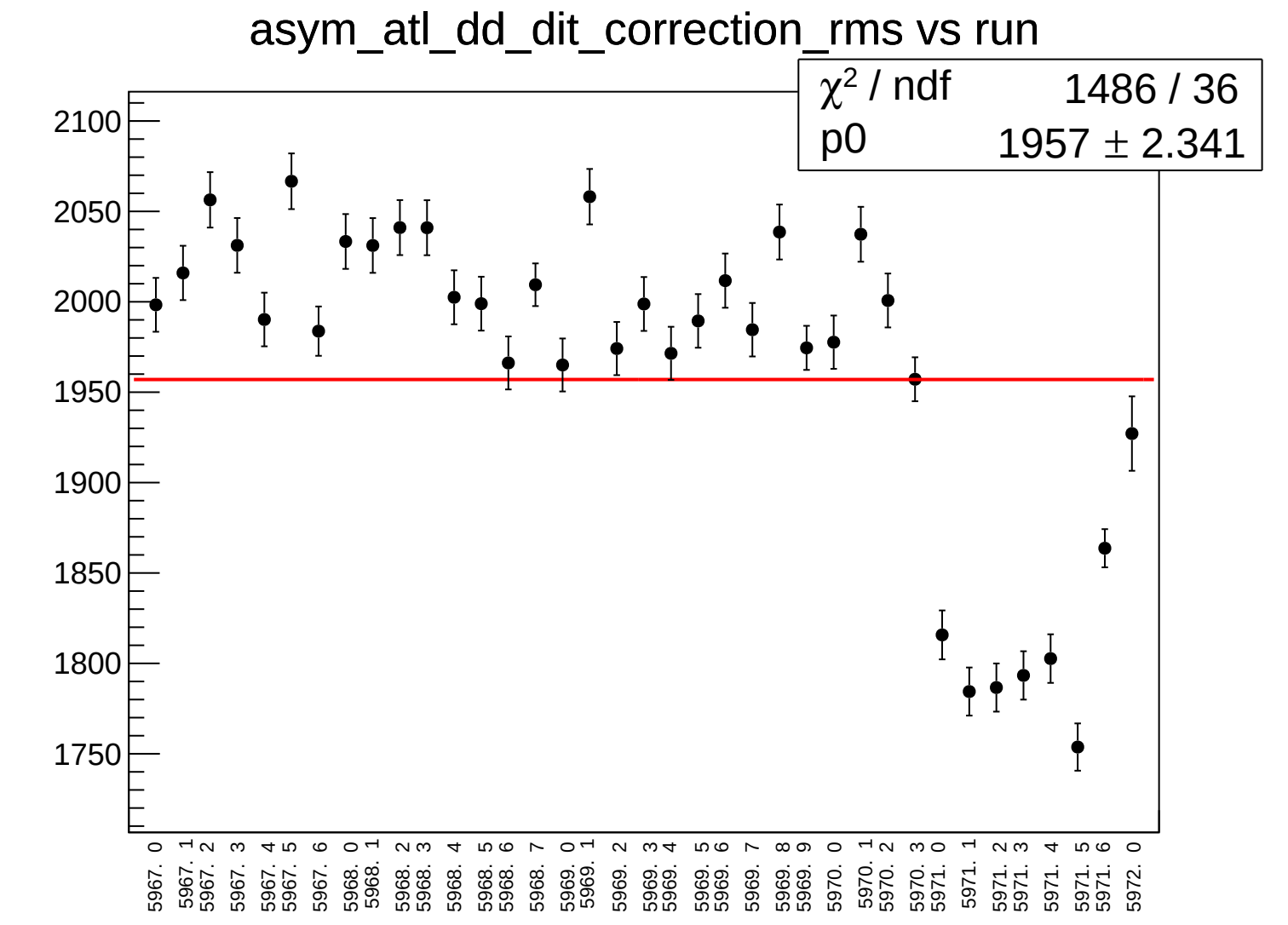
asym_atl_dd_dit_correction_rms vs run
χ² / ndf 1486 / 36
p0 1957 ± 2.341
2100
2050
2000
1950
1900
1850
1800
1750
5967. 0
5967. 1
5967. 2
5967. 3
5967. 4
5967. 5
5967. 6
5968. 0
5968. 1
5968. 2
5968. 3
5968. 4
5968. 5
5968. 6
5968. 7
5969. 0
5969. 1
5969. 2
5969. 3
5969. 4
5969. 5
5969. 6
5969. 7
5969. 8
5969. 9
5970. 0
5970. 1
5970. 2
5970. 3
5971. 0
5971. 1
5971. 2
5971. 3
5971. 4
5971. 5
5971. 6
5972. 0

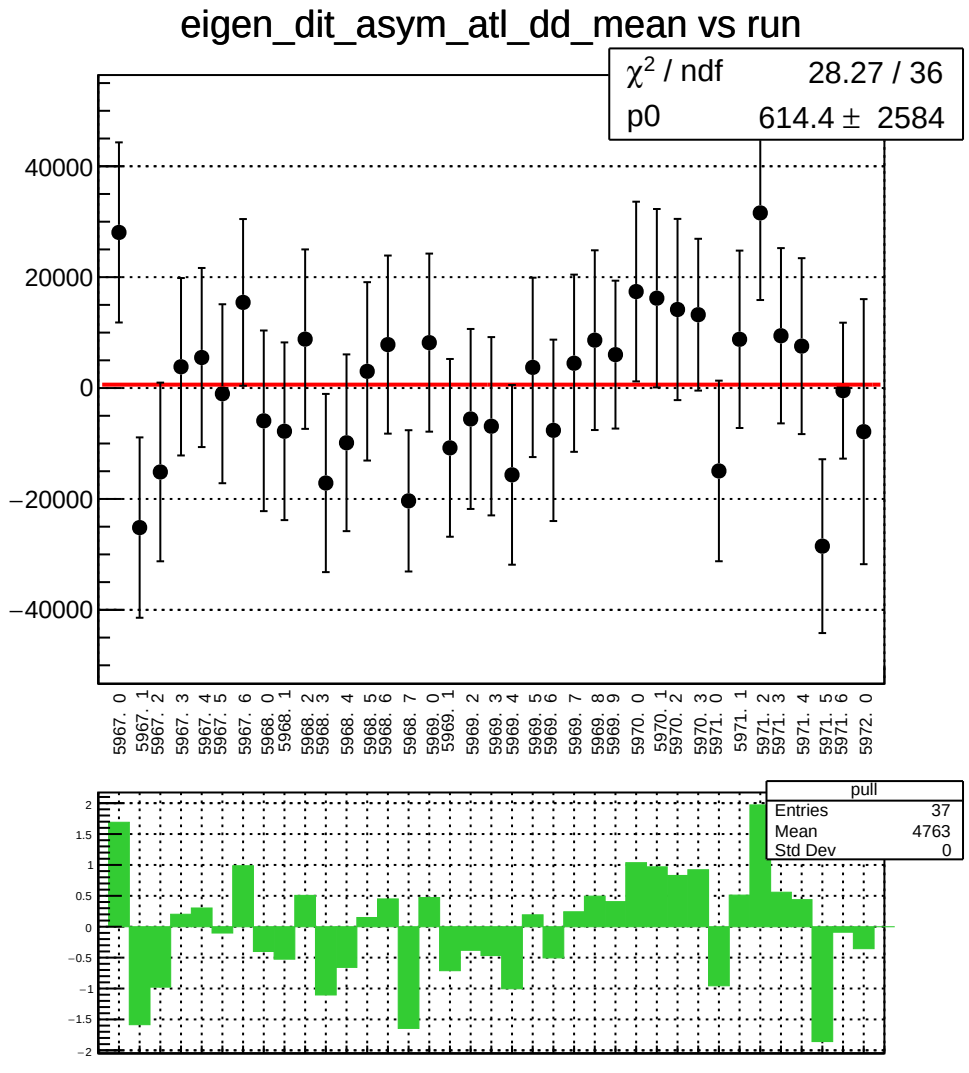
eigen_dit_asym_atl_dd_mean vs run
χ² / ndf 28.27 / 36
p0 614.4 ± 2584
40000
20000
0
−20000
−40000
5967. 0
5967. 1
5967. 2
5967. 3
5967. 4
5967. 5
5967. 6
5968. 0
5968. 1
5968. 2
5968. 3
5968. 4
5968. 5
5968. 6
5968. 7
5969. 0
5969. 1
5969. 2
5969. 3
5969. 4
5969. 5
5969. 6
5969. 7
5969. 8
5969. 9
5970. 0
5970. 1
5970. 2
5970. 3
5971. 0
5971. 1
5971. 2
5971. 3
5971. 4
5971. 5
5971. 6
5972. 0
pull
Entries 37
Mean 4763
Std Dev 0
2
1.5
1
0.5
0
−0.5
−1
−1.5
−2
pull1D
Entries 37
Mean 0.0002857
Std Dev 0.8741
8
7
6
5
4
3
2
1
0
−8
−6
−4
−2
0
2
4
6
8

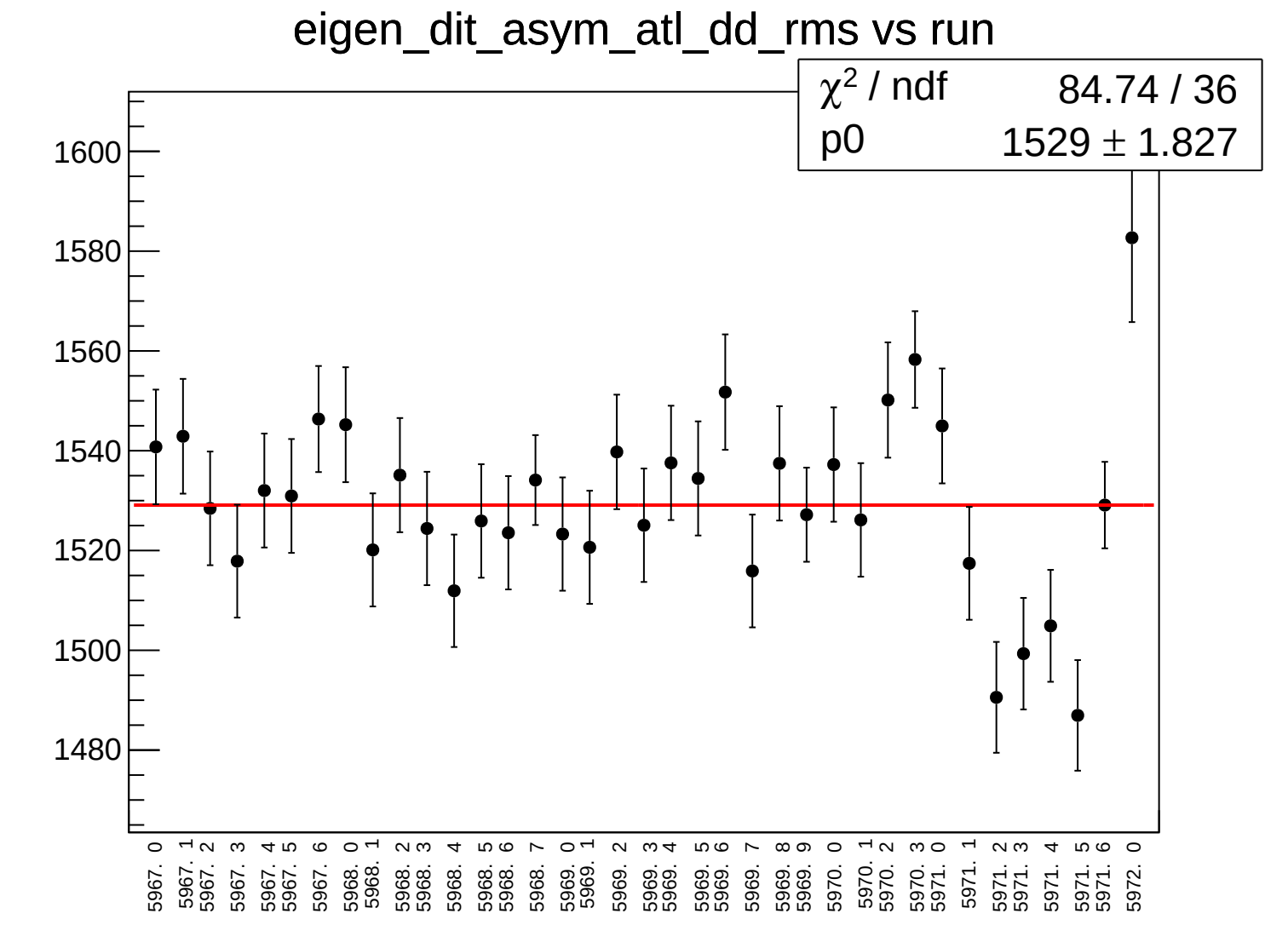
eigen_dit_asym_atl_dd_rms vs run
χ² / ndf 84.74 / 36
p0 1529 ± 1.827
1600
1580
1560
1540
1520
1500
1480
5967. 0
5967. 1
5967. 2
5967. 3
5967. 4
5967. 5
5967. 6
5968. 0
5968. 1
5968. 2
5968. 3
5968. 4
5968. 5
5968. 6
5968. 7
5969. 0
5969. 1
5969. 2
5969. 3
5969. 4
5969. 5
5969. 6
5969. 7
5969. 8
5969. 9
5970. 0
5970. 1
5970. 2
5970. 3
5971. 0
5971. 1
5971. 2
5971. 3
5971. 4
5971. 5
5971. 6
5972. 0

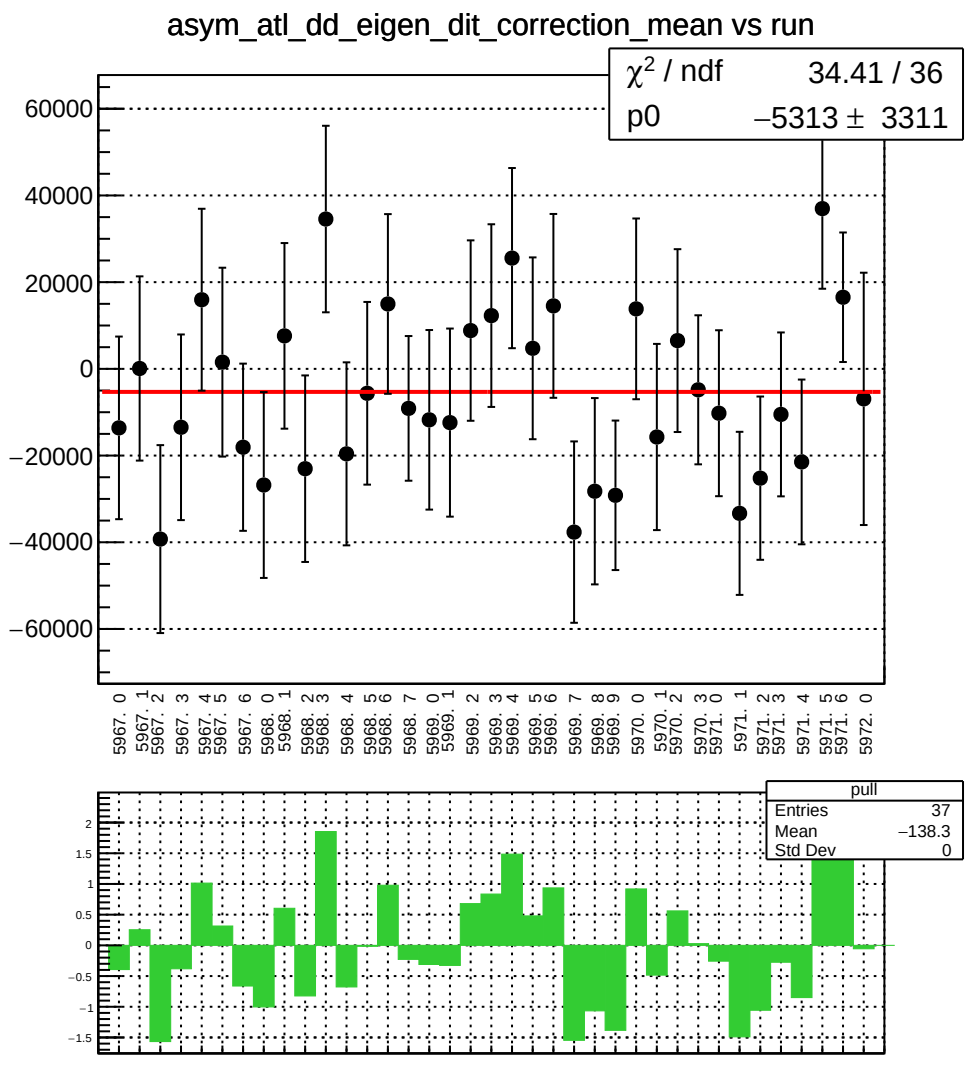
asym_atl_dd_eigen_dit_correction_mean vs run
χ² / ndf 34.41 / 36
p0 −5313 ± 3311
60000
40000
20000
0
−20000
−40000
−60000
5967. 0
5967. 1
5967. 2
5967. 3
5967. 4
5967. 5
5967. 6
5968. 0
5968. 1
5968. 2
5968. 3
5968. 4
5968. 5
5968. 6
5968. 7
5969. 0
5969. 1
5969. 2
5969. 3
5969. 4
5969. 5
5969. 6
5969. 7
5969. 8
5969. 9
5970. 0
5970. 1
5970. 2
5970. 3
5971. 0
5971. 1
5971. 2
5971. 3
5971. 4
5971. 5
5971. 6
5972. 0
pull
Entries 37
Mean −138.3
Std Dev 0
2
1.5
1
0.5
0
−0.5
−1
−1.5

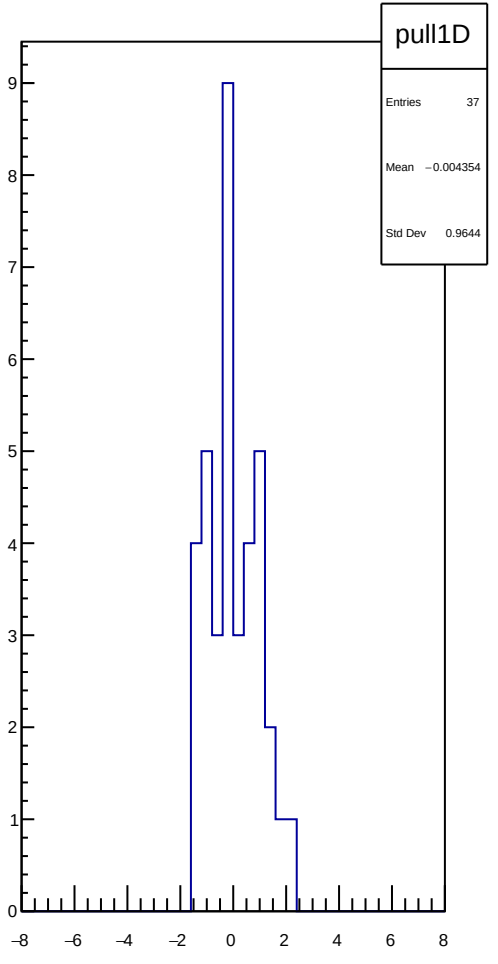
pull1D
Entries 37
Mean −0.004354
Std Dev 0.9644
9
8
7
6
5
4
3
2
1
0
−8
−6
−4
−2
0
2
4
6
8

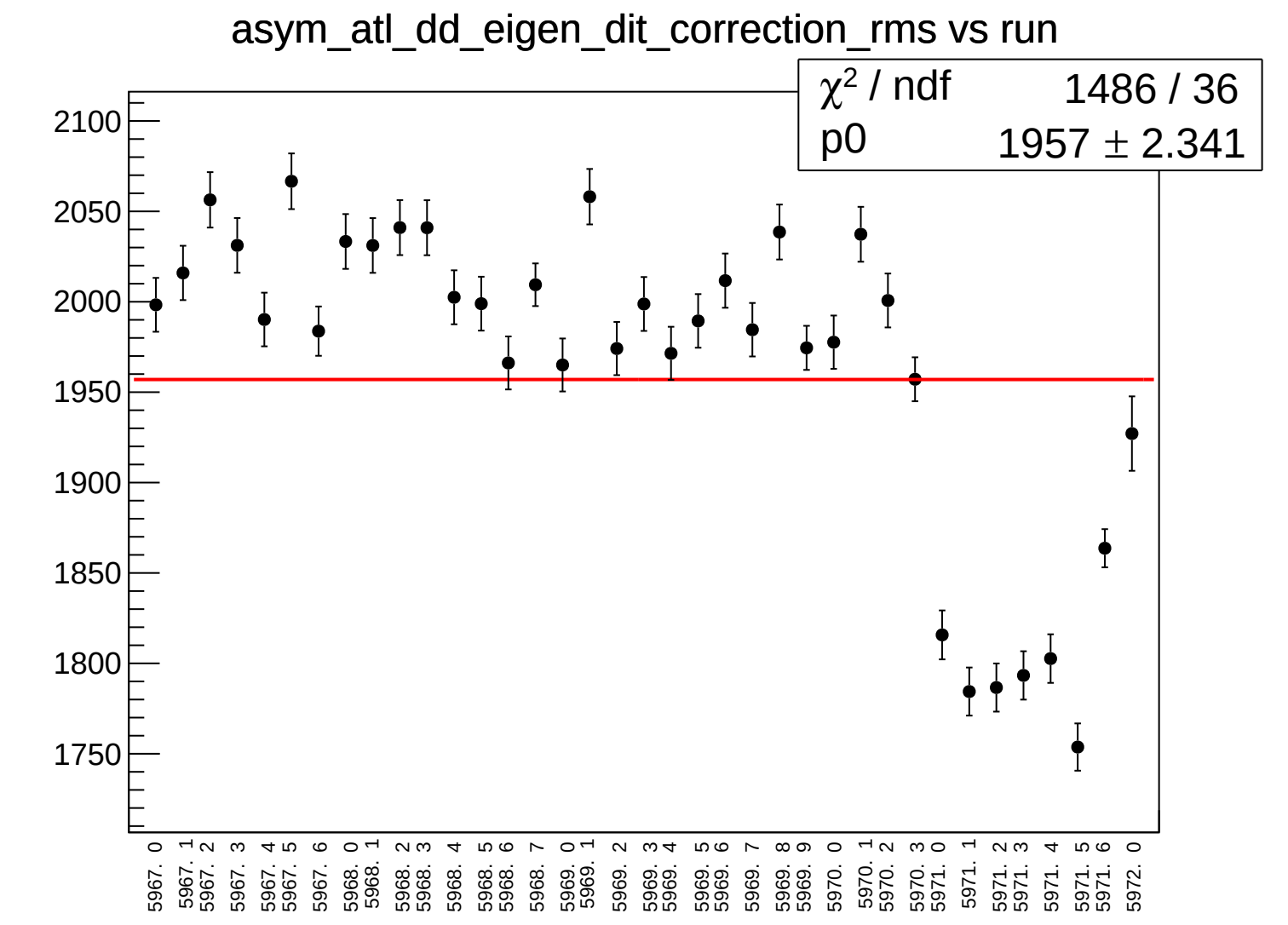
asym_atl_dd_eigen_dit_correction_rms vs run
χ² / ndf 1486 / 36
p0 1957 ± 2.341
2100
2050
2000
1950
1900
1850
1800
1750
5967. 0
5967. 1
5967. 2
5967. 3
5967. 4
5967. 5
5967. 6
5968. 0
5968. 1
5968. 2
5968. 3
5968. 4
5968. 5
5968. 6
5968. 7
5969. 0
5969. 1
5969. 2
5969. 3
5969. 4
5969. 5
5969. 6
5969. 7
5969. 8
5969. 9
5970. 0
5970. 1
5970. 2
5970. 3
5971. 0
5971. 1
5971. 2
5971. 3
5971. 4
5971. 5
5971. 6
5972. 0

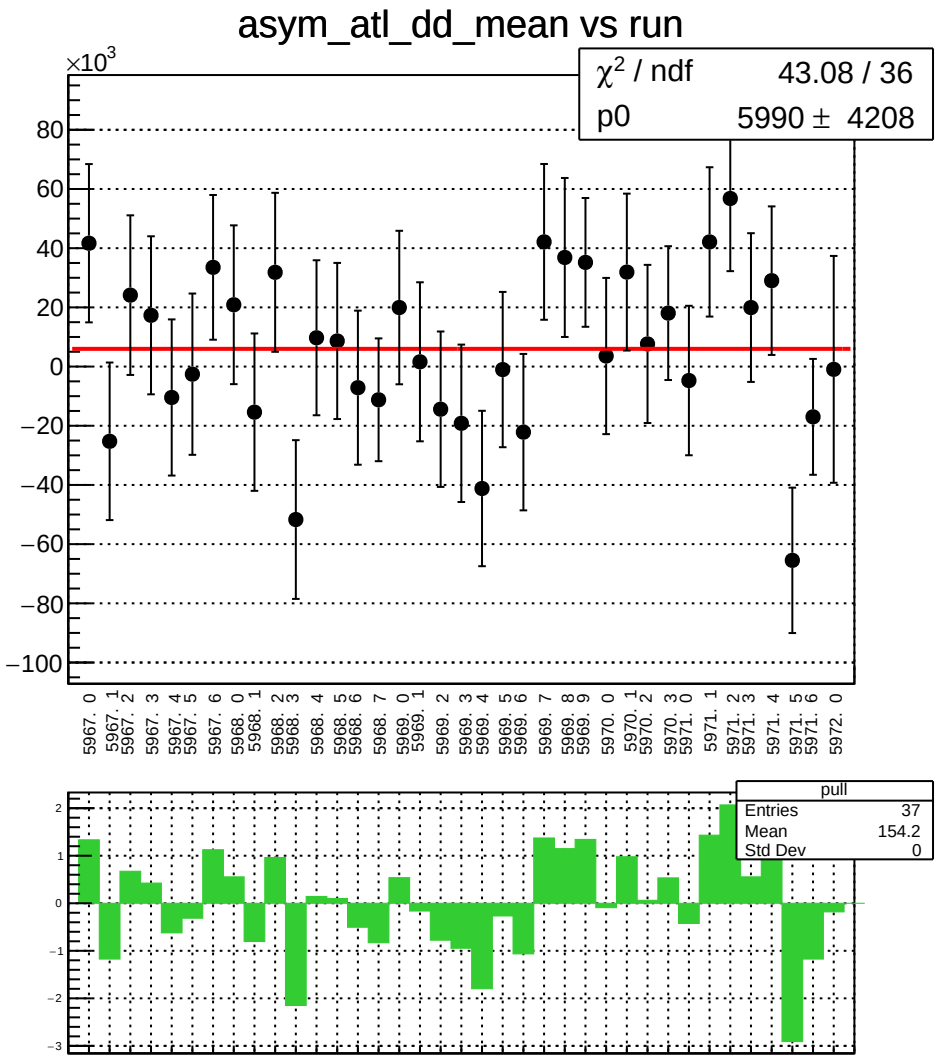
asym_atl_dd_mean vs run
×10^3
χ² / ndf 43.08 / 36
p0 5990 ± 4208
80
60
40
20
0
−20
−40
−60
−80
−100
5967. 0
5967. 1
5967. 2
5967. 3
5967. 4
5967. 5
5967. 6
5968. 0
5968. 1
5968. 2
5968. 3
5968. 4
5968. 5
5968. 6
5968. 7
5969. 0
5969. 1
5969. 2
5969. 3
5969. 4
5969. 5
5969. 6
5969. 7
5969. 8
5969. 9
5970. 0
5970. 1
5970. 2
5970. 3
5971. 0
5971. 1
5971. 2
5971. 3
5971. 4
5971. 5
5971. 6
5972. 0
pull
Entries 37
Mean 154.2
Std Dev 0
2
1
0
−1
−2
−3

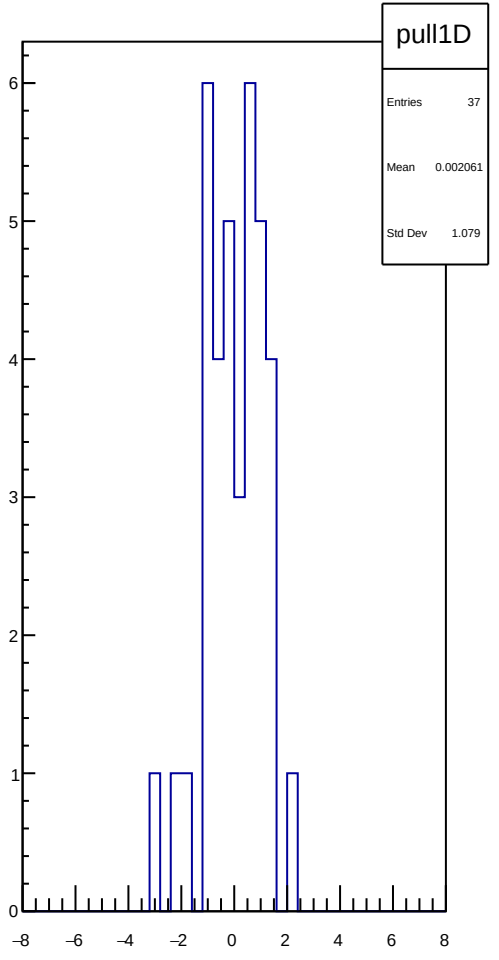
pull1D
Entries 37
Mean 0.002061
Std Dev 1.079
6
5
4
3
2
1
0
−8
−6
−4
−2
0
2
4
6
8

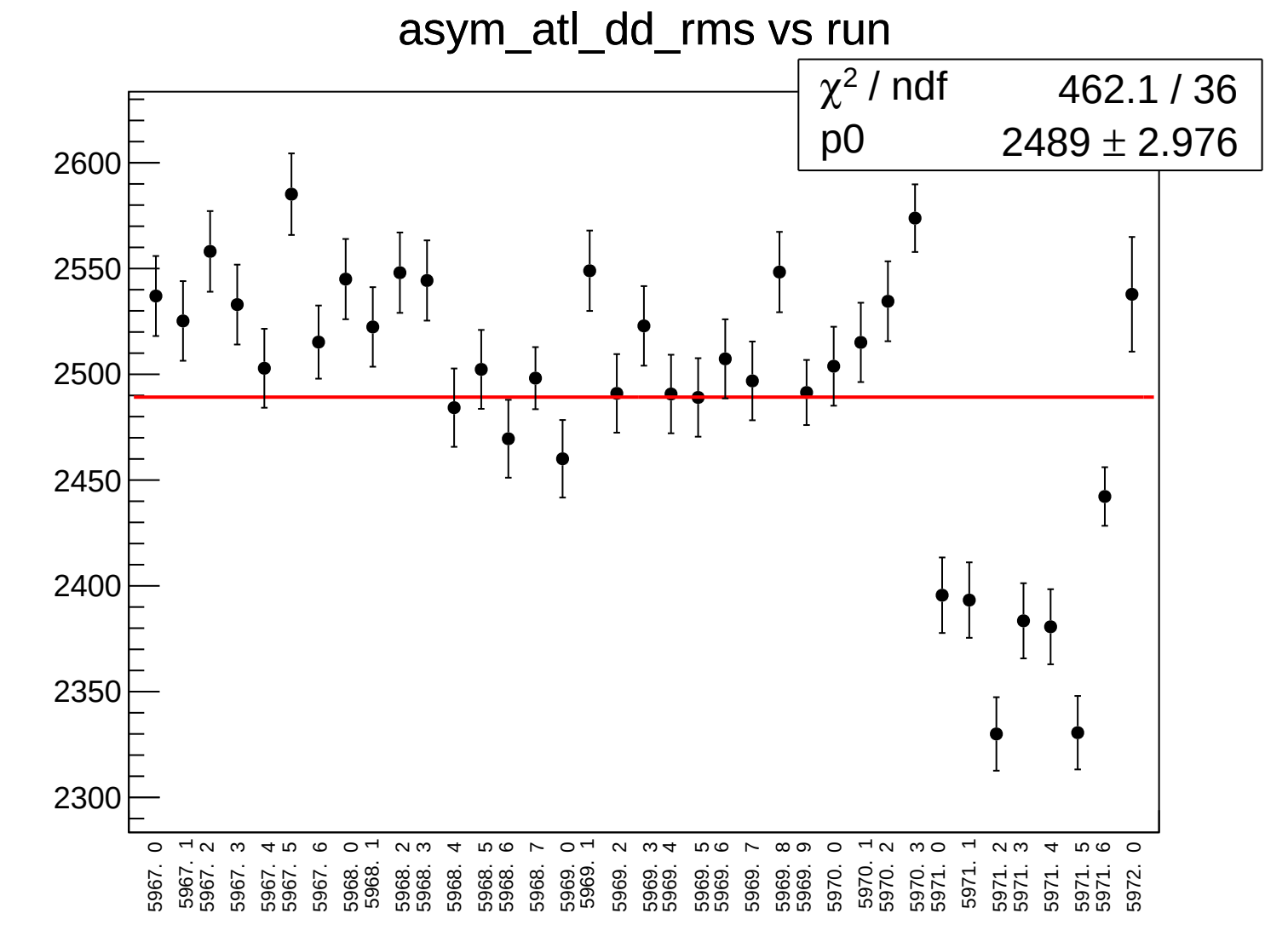
asym_atl_dd_rms vs run
χ² / ndf 462.1 / 36
p0 2489 ± 2.976
2600
2550
2500
2450
2400
2350
2300
5967. 0
5967. 1
5967. 2
5967. 3
5967. 4
5967. 5
5967. 6
5968. 0
5968. 1
5968. 2
5968. 3
5968. 4
5968. 5
5968. 6
5968. 7
5969. 0
5969. 1
5969. 2
5969. 3
5969. 4
5969. 5
5969. 6
5969. 7
5969. 8
5969. 9
5970. 0
5970. 1
5970. 2
5970. 3
5971. 0
5971. 1
5971. 2
5971. 3
5971. 4
5971. 5
5971. 6
5972. 0

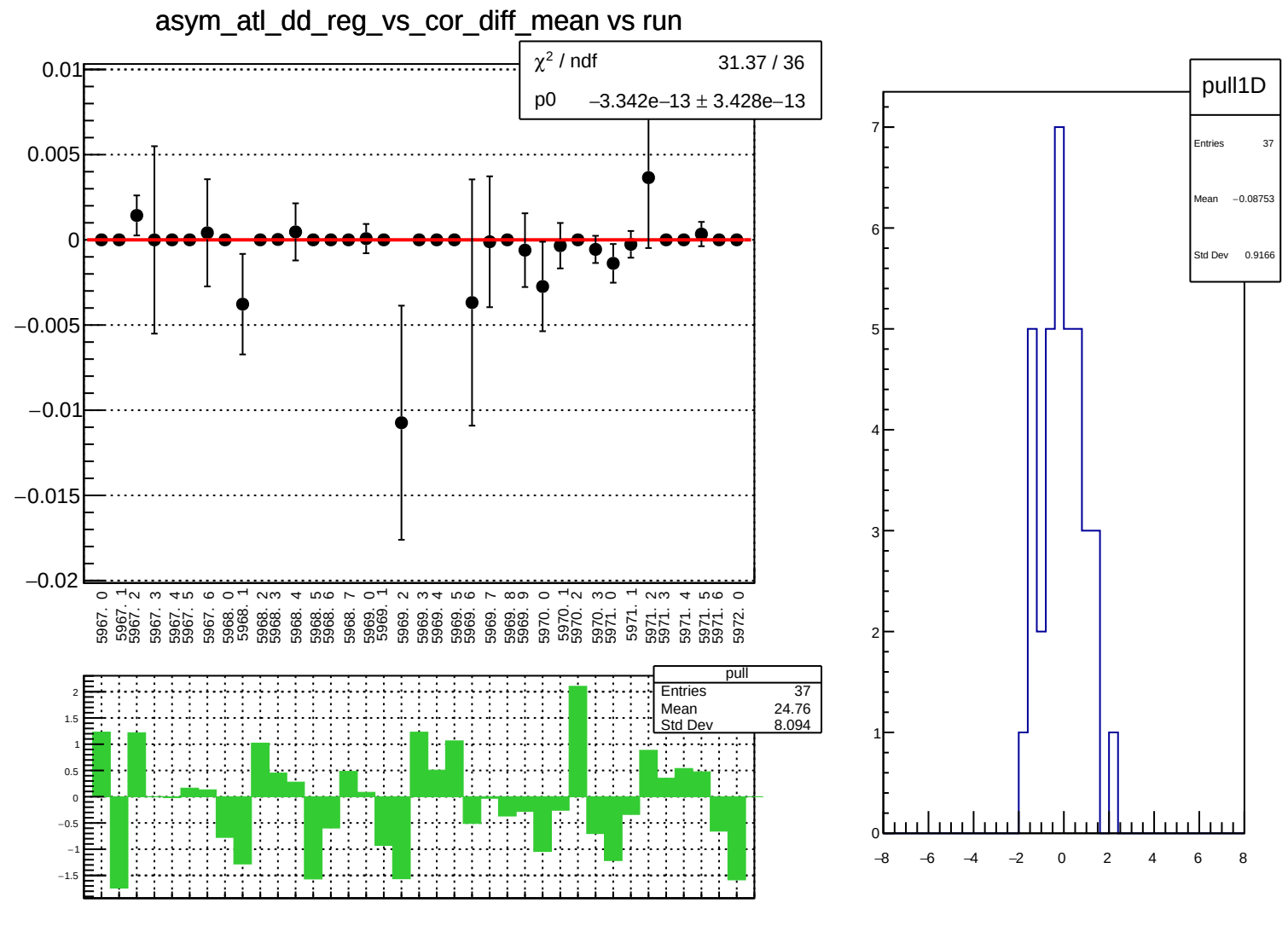
asym_atl_dd_reg_vs_cor_diff_mean vs run
χ² / ndf 31.37 / 36
p0 −3.342e−13 ± 3.428e−13
0.01
0.005
0
−0.005
−0.01
−0.015
−0.02
5967. 0
5967. 1
5967. 2
5967. 3
5967. 4
5967. 5
5967. 6
5968. 0
5968. 1
5968. 2
5968. 3
5968. 4
5968. 5
5968. 6
5968. 7
5969. 0
5969. 1
5969. 2
5969. 3
5969. 4
5969. 5
5969. 6
5969. 7
5969. 8
5969. 9
5970. 0
5970. 1
5970. 2
5970. 3
5971. 0
5971. 1
5971. 2
5971. 3
5971. 4
5971. 5
5971. 6
5972. 0
pull
Entries 37
Mean 24.76
Std Dev 8.094
2
1.5
1
0.5
0
−0.5
−1
−1.5
pull1D
Entries 37
Mean −0.08753
Std Dev 0.9166
7
6
5
4
3
2
1
0
−8
−6
−4
−2
0
2
4
6
8

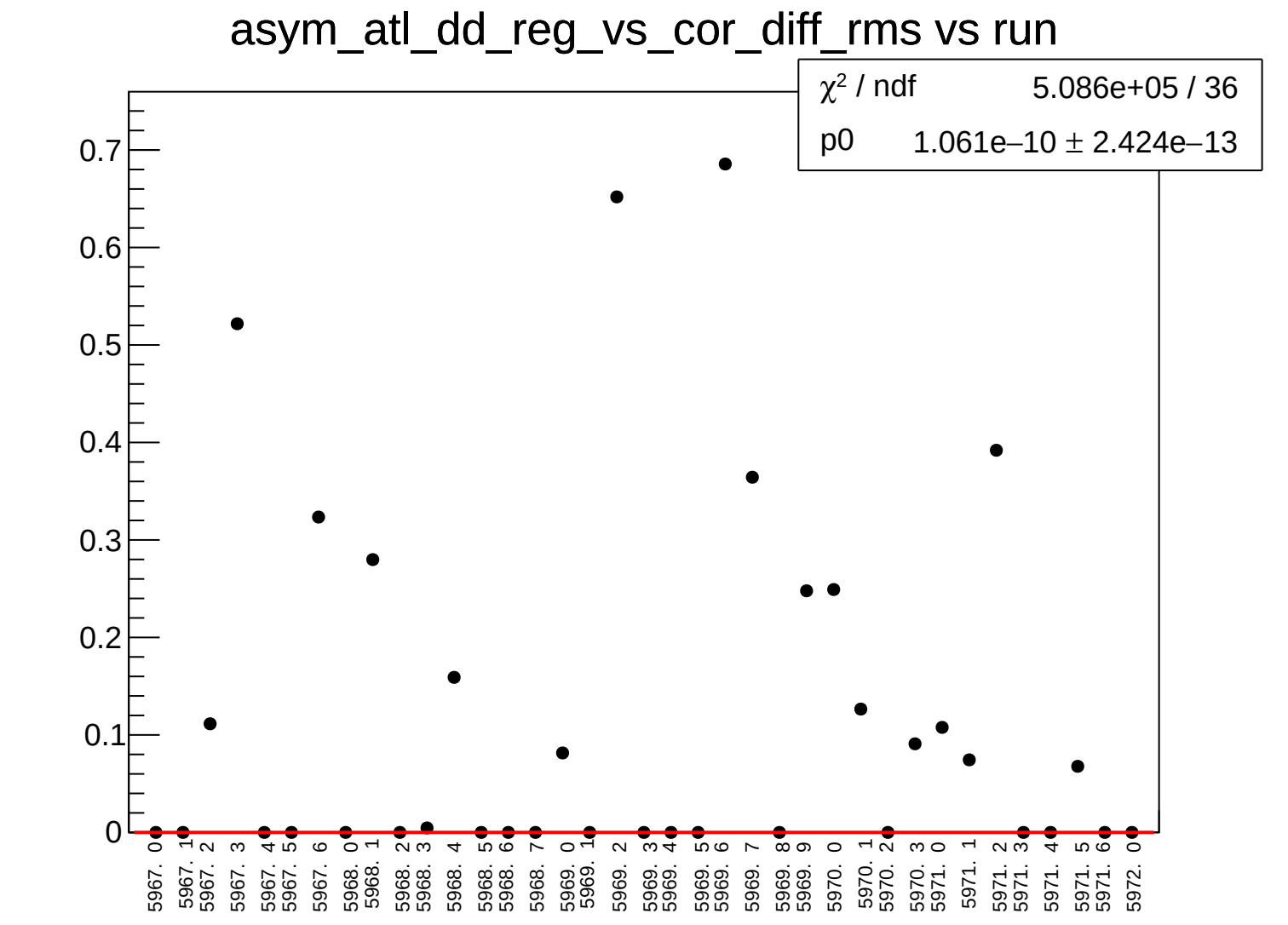
asym_atl_dd_reg_vs_cor_diff_rms vs run
χ² / ndf 5.086e+05 / 36
p0 1.061e−10 ± 2.424e−13
0.7
0.6
0.5
0.4
0.3
0.2
0.1
0
5967. 0
5967. 1
5967. 2
5967. 3
5967. 4
5967. 5
5967. 6
5968. 0
5968. 1
5968. 2
5968. 3
5968. 4
5968. 5
5968. 6
5968. 7
5969. 0
5969. 1
5969. 2
5969. 3
5969. 4
5969. 5
5969. 6
5969. 7
5969. 8
5969. 9
5970. 0
5970. 1
5970. 2
5970. 3
5971. 0
5971. 1
5971. 2
5971. 3
5971. 4
5971. 5
5971. 6
5972. 0

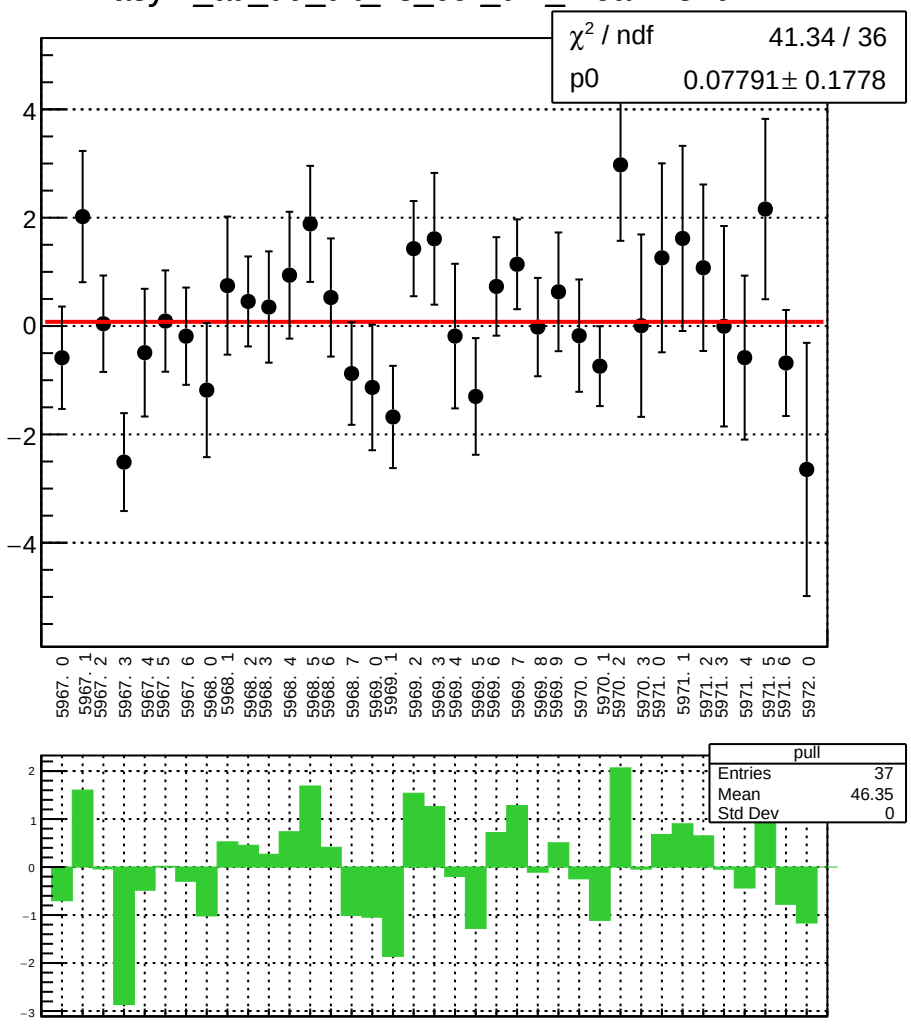
asym_atl_dd_dit_vs_cor_diff_mean vs run
χ² / ndf 41.34 / 36
p0 0.07791 ± 0.1778
pull
Entries 37
Mean 46.35
Std Dev 0

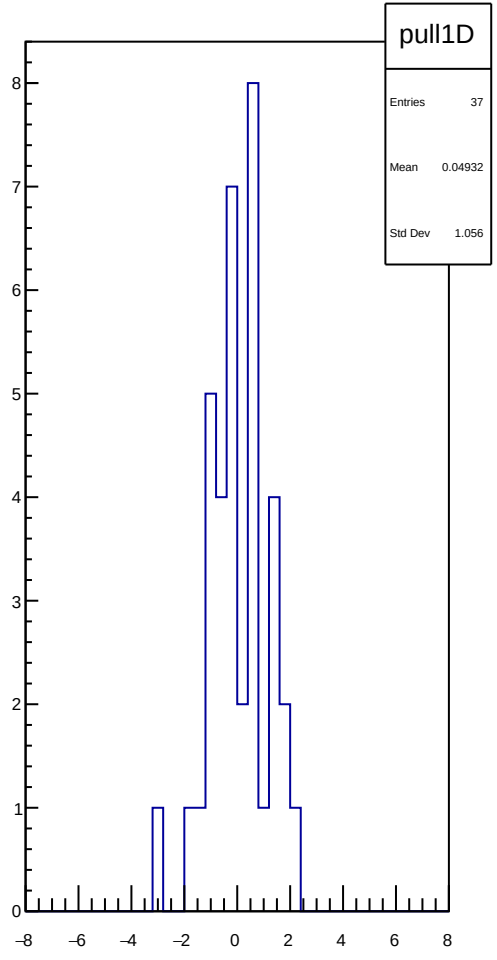
pull1D
Entries 37
Mean 0.04932
Std Dev 1.056

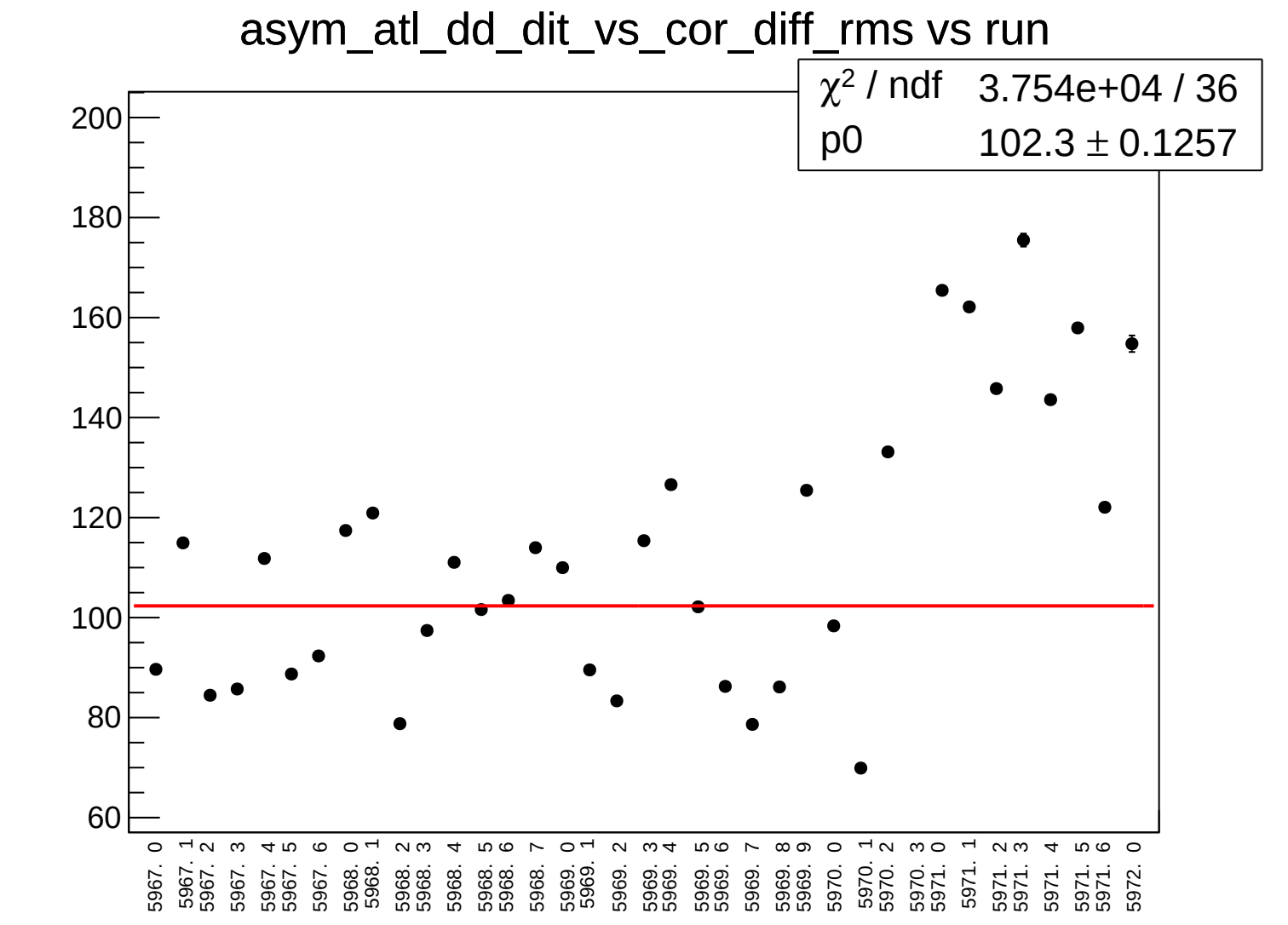
asym_atl_dd_dit_vs_cor_diff_rms vs run
χ² / ndf 3.754e+04 / 36
p0 102.3 ± 0.1257
200
180
160
140
120
100
80
60
5967. 0
5967. 1
5967. 2
5967. 3
5967. 4
5967. 5
5967. 6
5968. 0
5968. 1
5968. 2
5968. 3
5968. 4
5968. 5
5968. 6
5968. 7
5969. 0
5969. 1
5969. 2
5969. 3
5969. 4
5969. 5
5969. 6
5969. 7
5969. 8
5969. 9
5970. 0
5970. 1
5970. 2
5970. 3
5971. 0
5971. 1
5971. 2
5971. 3
5971. 4
5971. 5
5971. 6
5972. 0

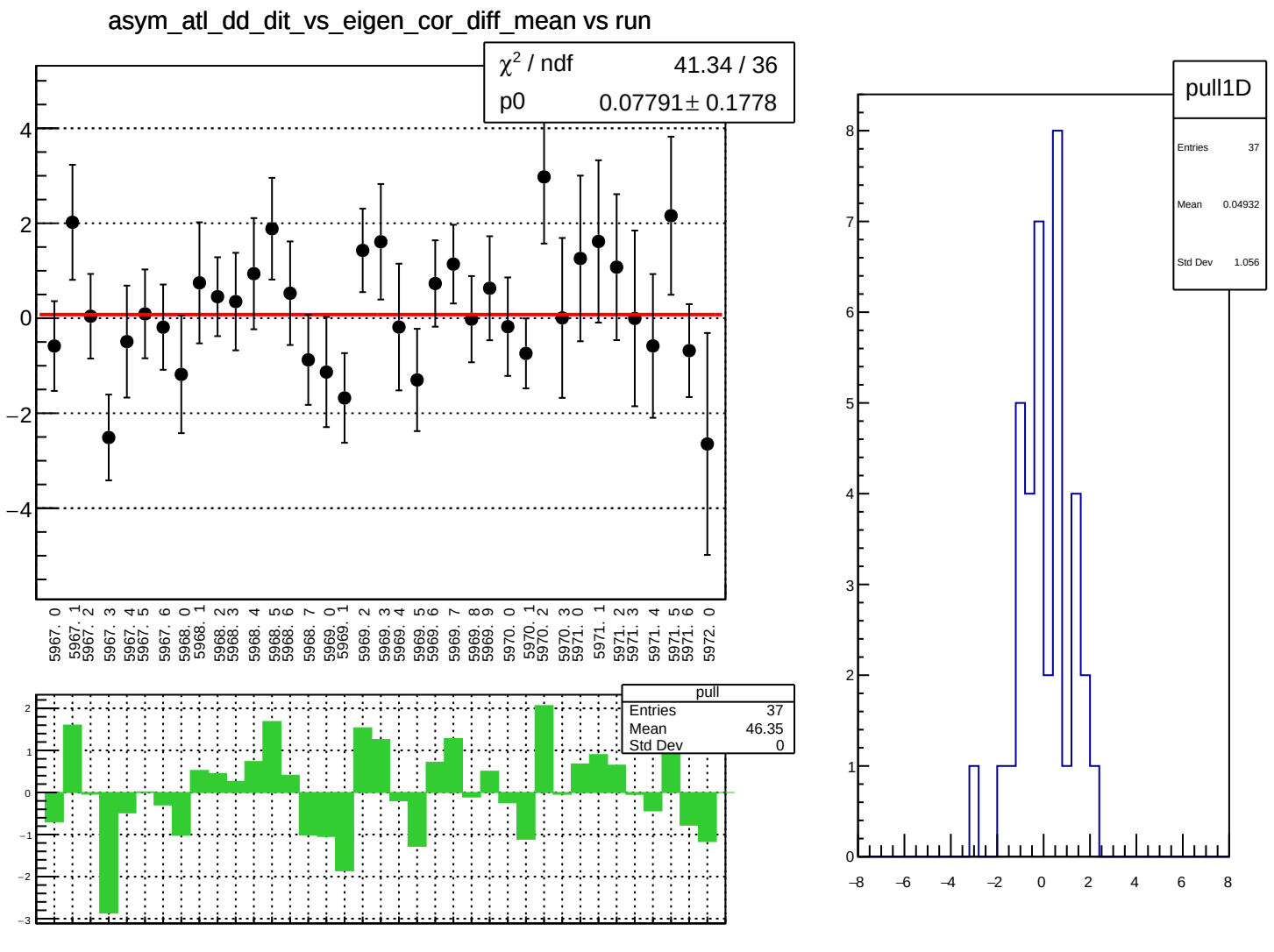
asym_atl_dd_dit_vs_eigen_cor_diff_mean vs run
χ² / ndf 41.34 / 36
p0 0.07791± 0.1778
pull
Entries 37
Mean 46.35
Std Dev 0
pull1D
Entries 37
Mean 0.04932
Std Dev 1.056

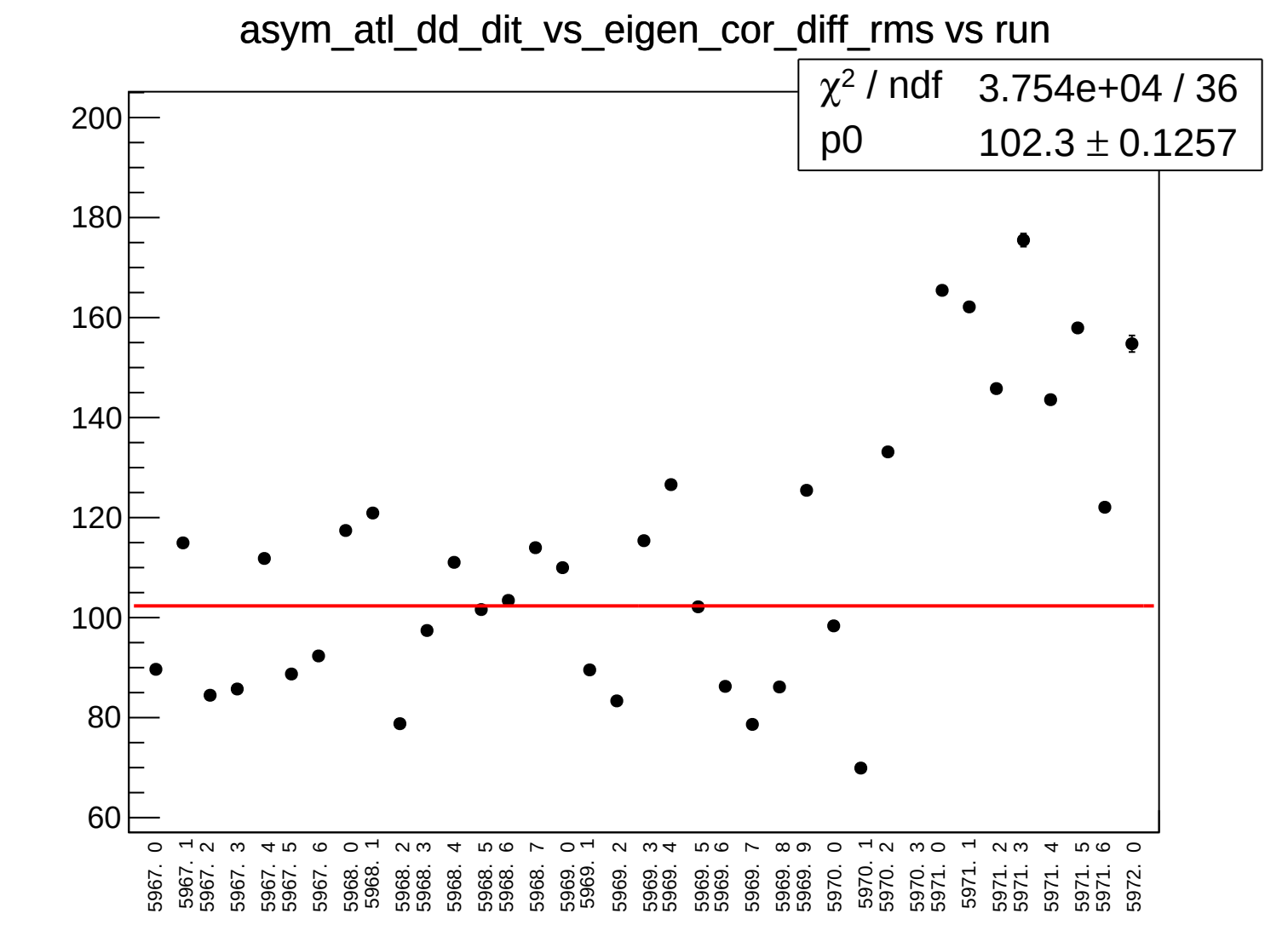
asym_atl_dd_dit_vs_eigen_cor_diff_rms vs run
χ² / ndf 3.754e+04 / 36
p0 102.3 ± 0.1257
200
180
160
140
120
100
80
60
5967. 0
5967. 1
5967. 2
5967. 3
5967. 4
5967. 5
5967. 6
5968. 0
5968. 1
5968. 2
5968. 3
5968. 4
5968. 5
5968. 6
5968. 7
5969. 0
5969. 1
5969. 2
5969. 3
5969. 4
5969. 5
5969. 6
5969. 7
5969. 8
5969. 9
5970. 0
5970. 1
5970. 2
5970. 3
5971. 0
5971. 1
5971. 2
5971. 3
5971. 4
5971. 5
5971. 6
5972. 0

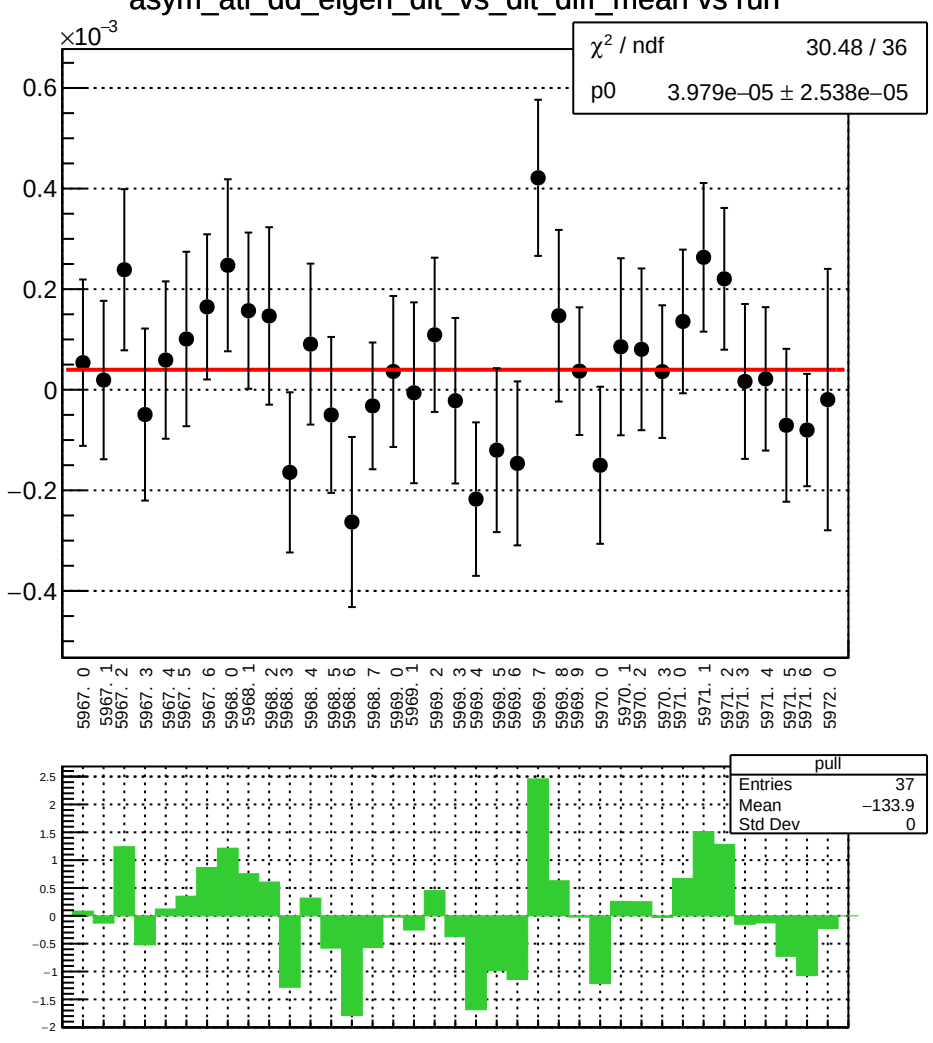
asym_atl_dd_eigen_dit_vs_dit_diff_mean vs run
×10⁻³
χ² / ndf 30.48 / 36
p0 3.979e−05 ± 2.538e−05
0.6
0.4
0.2
0
−0.2
−0.4
5967. 0
5967. 1
5967. 2
5967. 3
5967. 4
5967. 5
5967. 6
5968. 0
5968. 1
5968. 2
5968. 3
5968. 4
5968. 5
5968. 6
5968. 7
5969. 0
5969. 1
5969. 2
5969. 3
5969. 4
5969. 5
5969. 6
5969. 7
5969. 8
5969. 9
5970. 0
5970. 1
5970. 2
5970. 3
5971. 0
5971. 1
5971. 2
5971. 3
5971. 4
5971. 5
5971. 6
5972. 0
pull
Entries 37
Mean −133.9
Std Dev 0
2.5
2
1.5
1
0.5
0
−0.5
−1
−1.5
−2

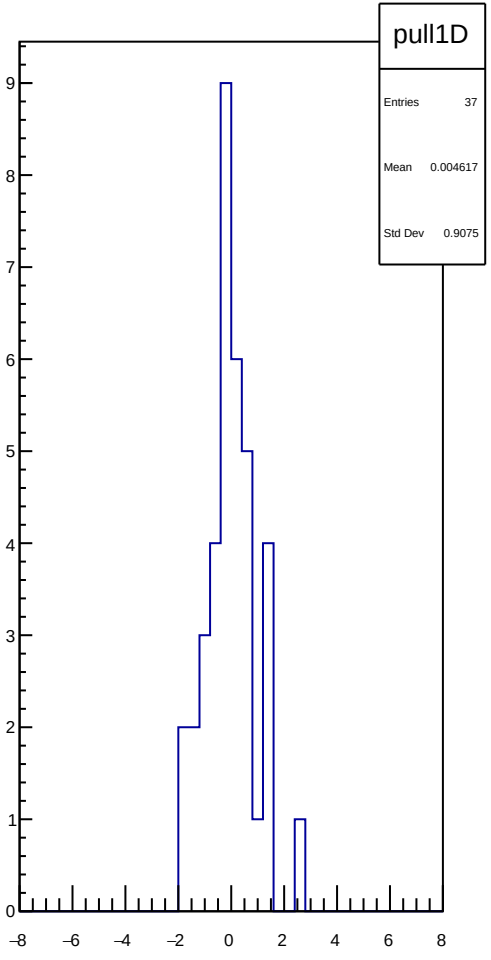
pull1D
Entries 37
Mean 0.004617
Std Dev 0.9075
9
8
7
6
5
4
3
2
1
0
−8
−6
−4
−2
0
2
4
6
8

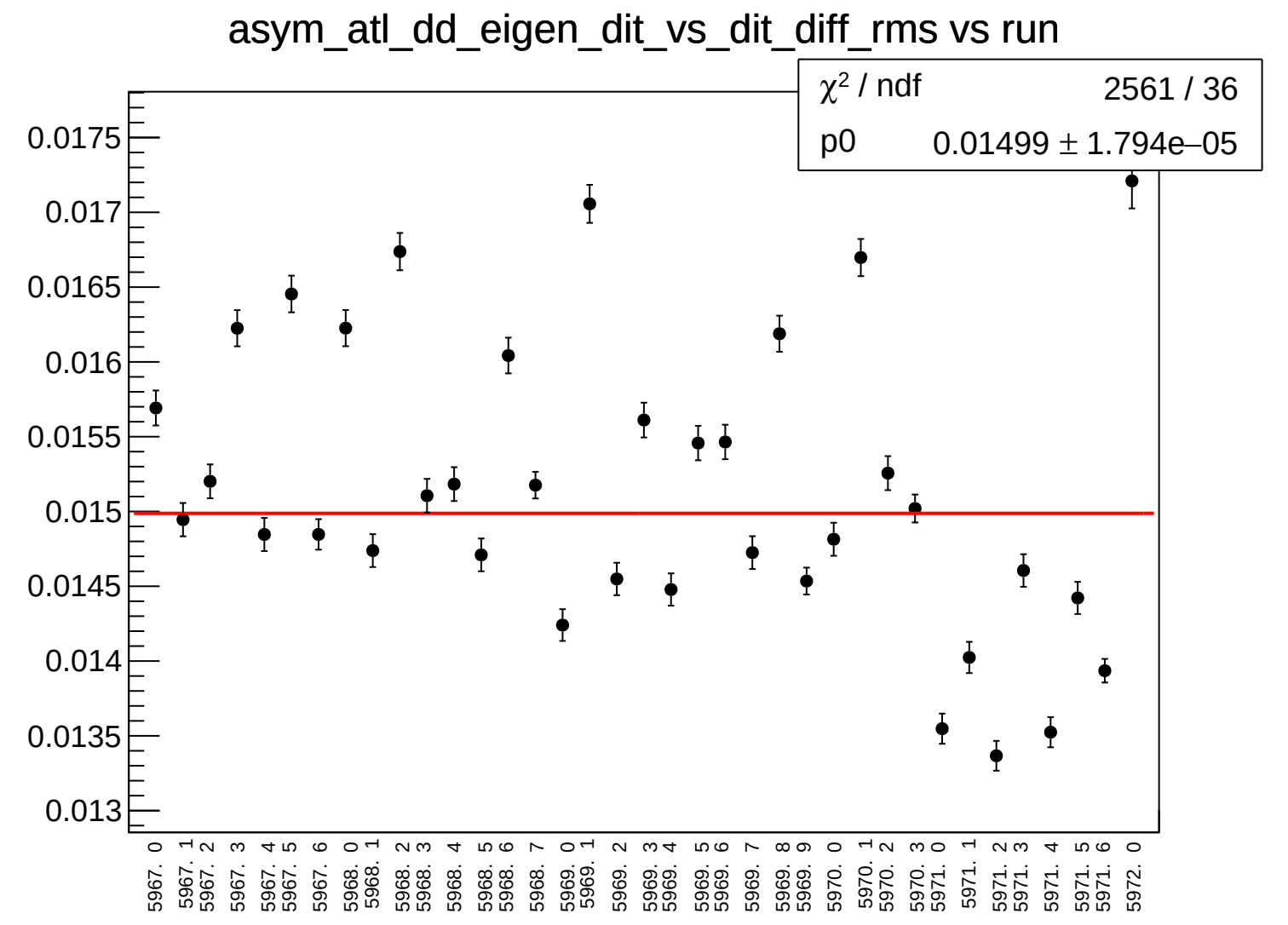
asym_atl_dd_eigen_dit_vs_dit_diff_rms vs run
χ² / ndf 2561 / 36
p0 0.01499 ± 1.794e−05
0.0175
0.017
0.0165
0.016
0.0155
0.015
0.0145
0.014
0.0135
0.013
5967. 0
5967. 1
5967. 2
5967. 3
5967. 4
5967. 5
5967. 6
5968. 0
5968. 1
5968. 2
5968. 3
5968. 4
5968. 5
5968. 6
5968. 7
5969. 0
5969. 1
5969. 2
5969. 3
5969. 4
5969. 5
5969. 6
5969. 7
5969. 8
5969. 9
5970. 0
5970. 1
5970. 2
5970. 3
5971. 0
5971. 1
5971. 2
5971. 3
5971. 4
5971. 5
5971. 6
5972. 0

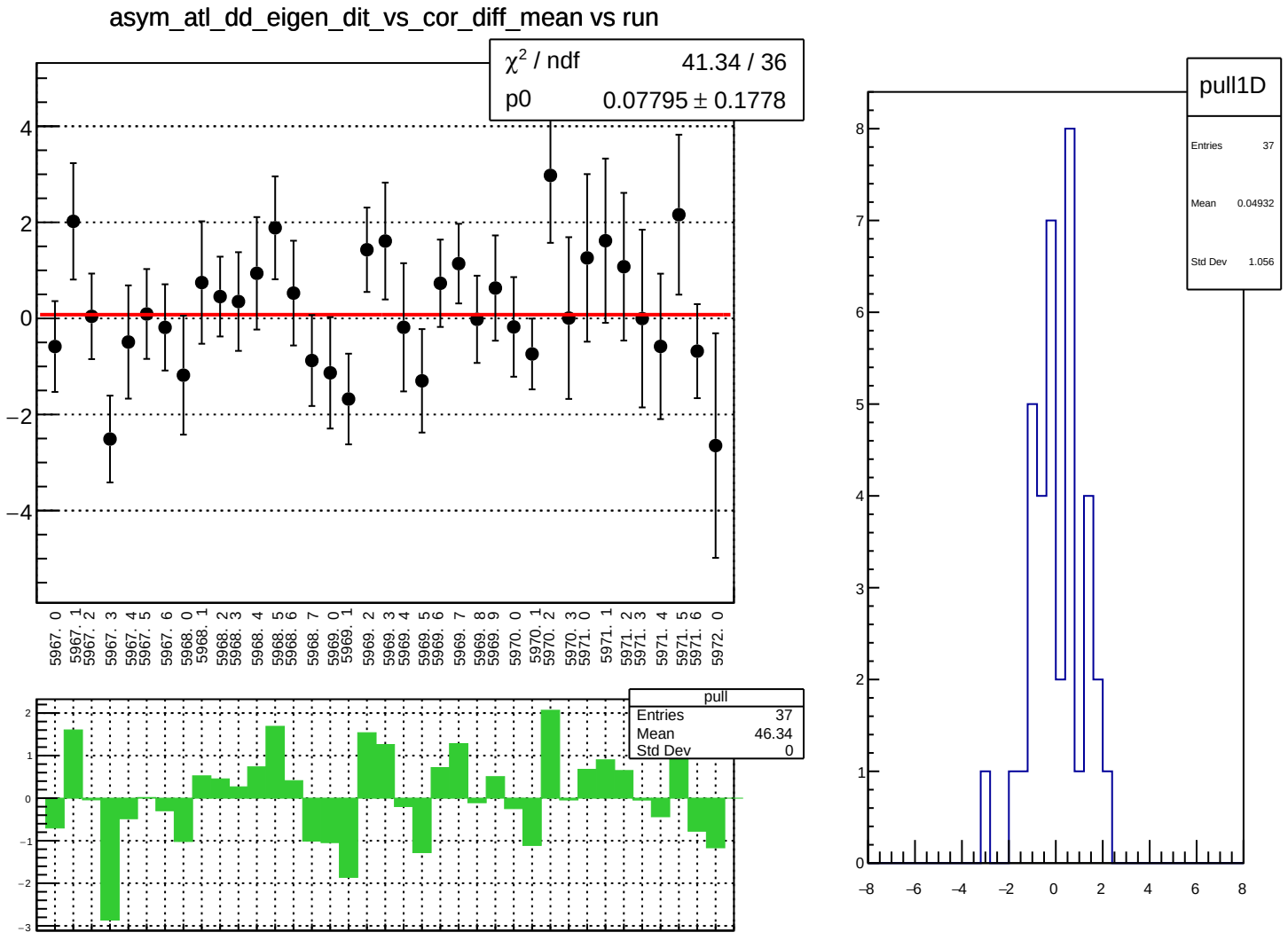
asym_atl_dd_eigen_dit_vs_cor_diff_mean vs run
χ² / ndf 41.34 / 36
p0 0.07795 ± 0.1778
pull
Entries 37
Mean 46.34
Std Dev 0
pull1D
Entries 37
Mean 0.04932
Std Dev 1.056

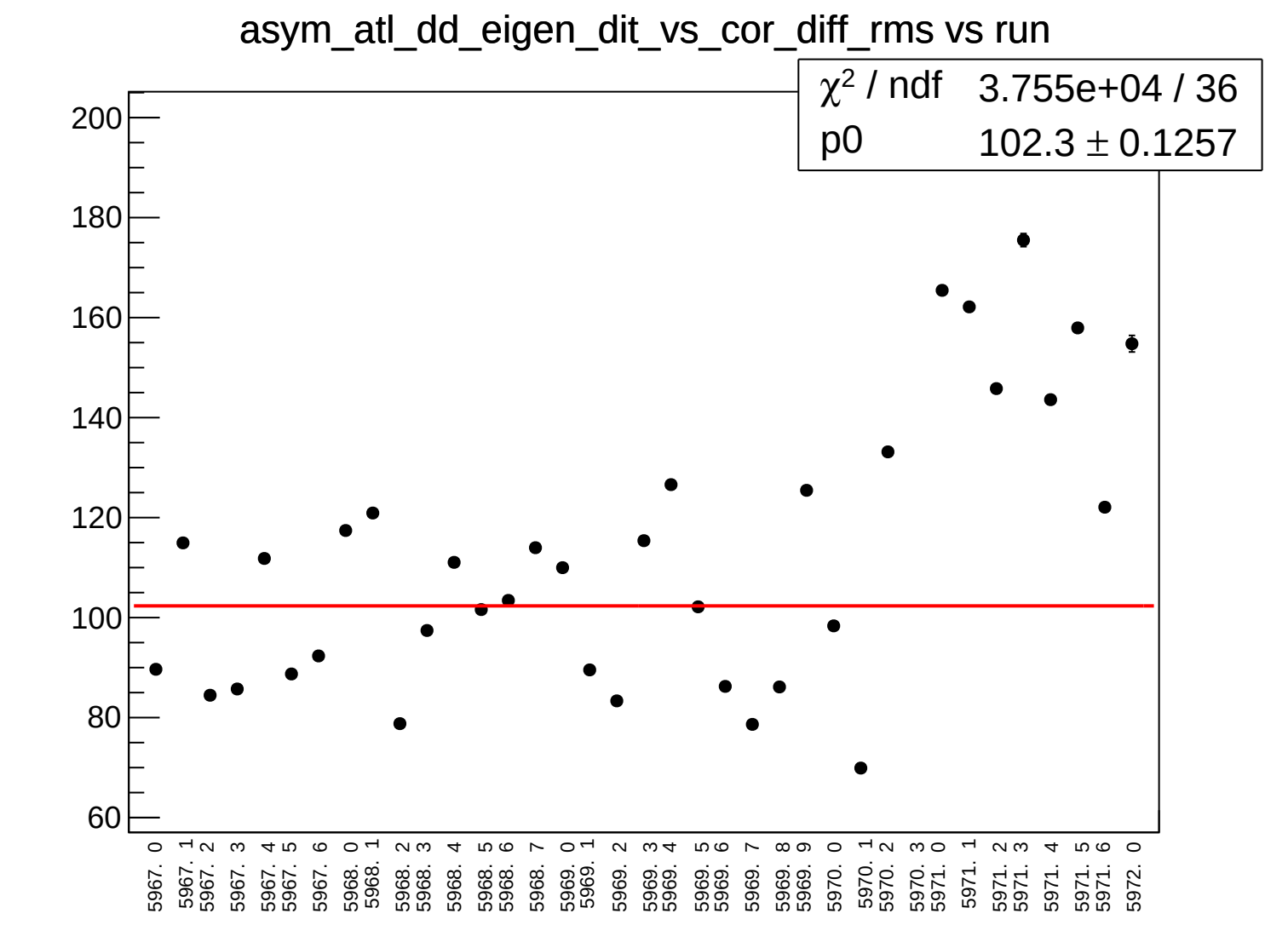
asym_atl_dd_eigen_dit_vs_cor_diff_rms vs run
χ² / ndf 3.755e+04 / 36
p0 102.3 ± 0.1257
200
180
160
140
120
100
80
60
5967. 0
5967. 1
5967. 2
5967. 3
5967. 4
5967. 5
5967. 6
5968. 0
5968. 1
5968. 2
5968. 3
5968. 4
5968. 5
5968. 6
5968. 7
5969. 0
5969. 1
5969. 2
5969. 3
5969. 4
5969. 5
5969. 6
5969. 7
5969. 8
5969. 9
5970. 0
5970. 1
5970. 2
5970. 3
5971. 0
5971. 1
5971. 2
5971. 3
5971. 4
5971. 5
5971. 6
5972. 0

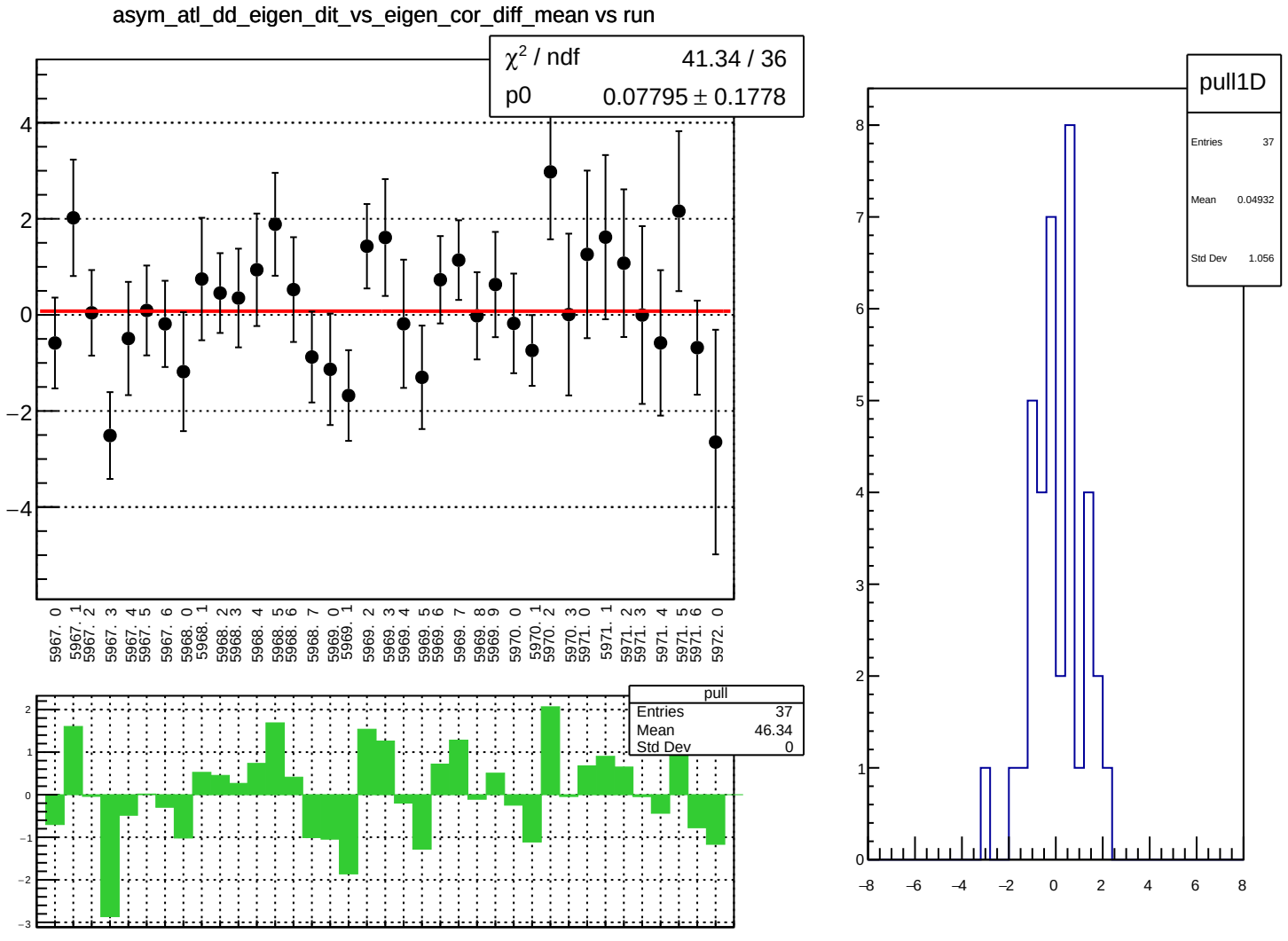
asym_atl_dd_eigen_dit_vs_eigen_cor_diff_mean vs run
χ² / ndf 41.34 / 36
p0 0.07795 ± 0.1778
pull
Entries 37
Mean 46.34
Std Dev 0
pull1D
Entries 37
Mean 0.04932
Std Dev 1.056

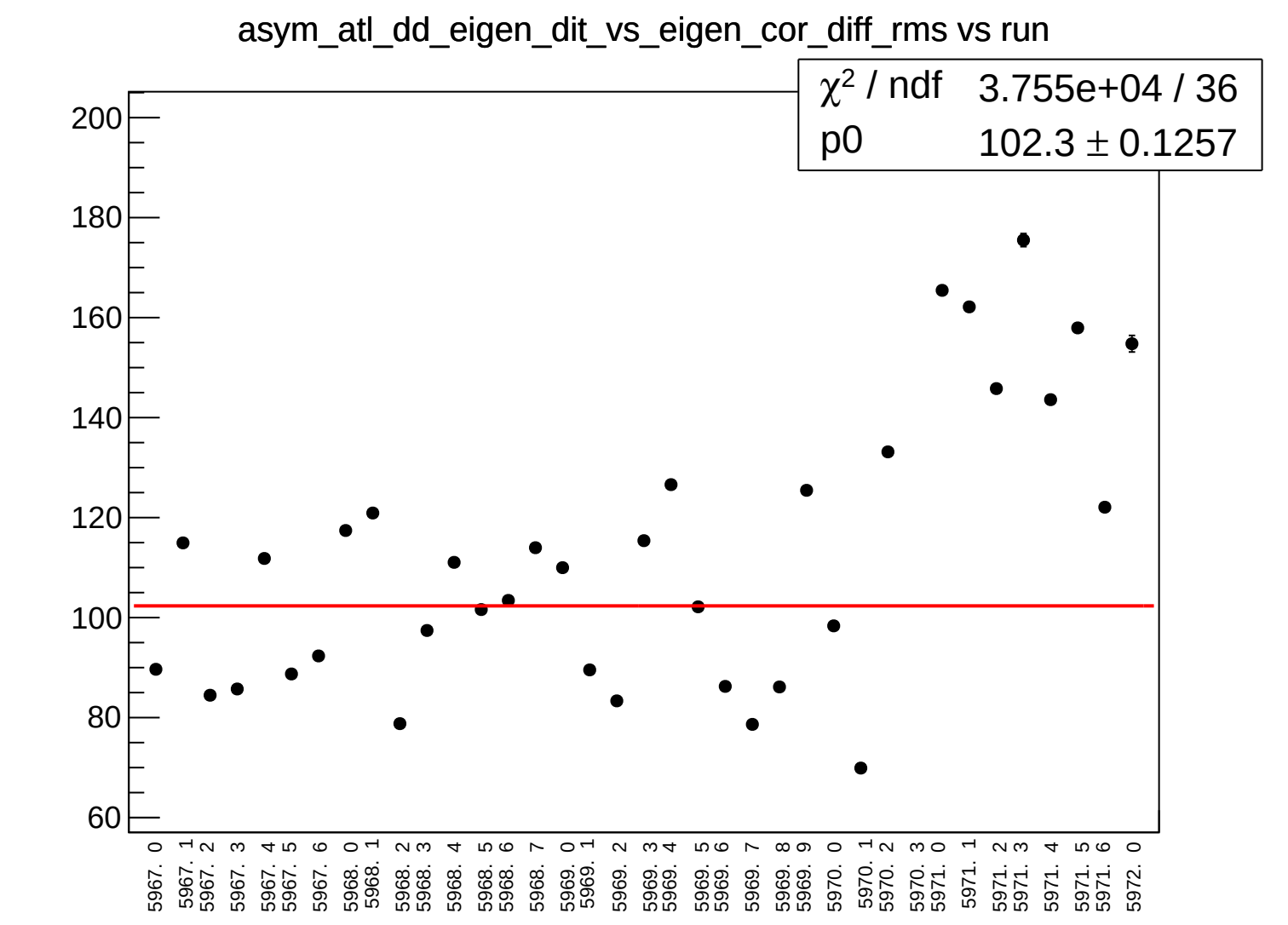
asym_atl_dd_eigen_dit_vs_eigen_cor_diff_rms vs run
χ² / ndf 3.755e+04 / 36
p0 102.3 ± 0.1257
200
180
160
140
120
100
80
60
5967. 0
5967. 1
5967. 2
5967. 3
5967. 4
5967. 5
5967. 6
5968. 0
5968. 1
5968. 2
5968. 3
5968. 4
5968. 5
5968. 6
5968. 7
5969. 0
5969. 1
5969. 2
5969. 3
5969. 4
5969. 5
5969. 6
5969. 7
5969. 8
5969. 9
5970. 0
5970. 1
5970. 2
5970. 3
5971. 0
5971. 1
5971. 2
5971. 3
5971. 4
5971. 5
5971. 6
5972. 0

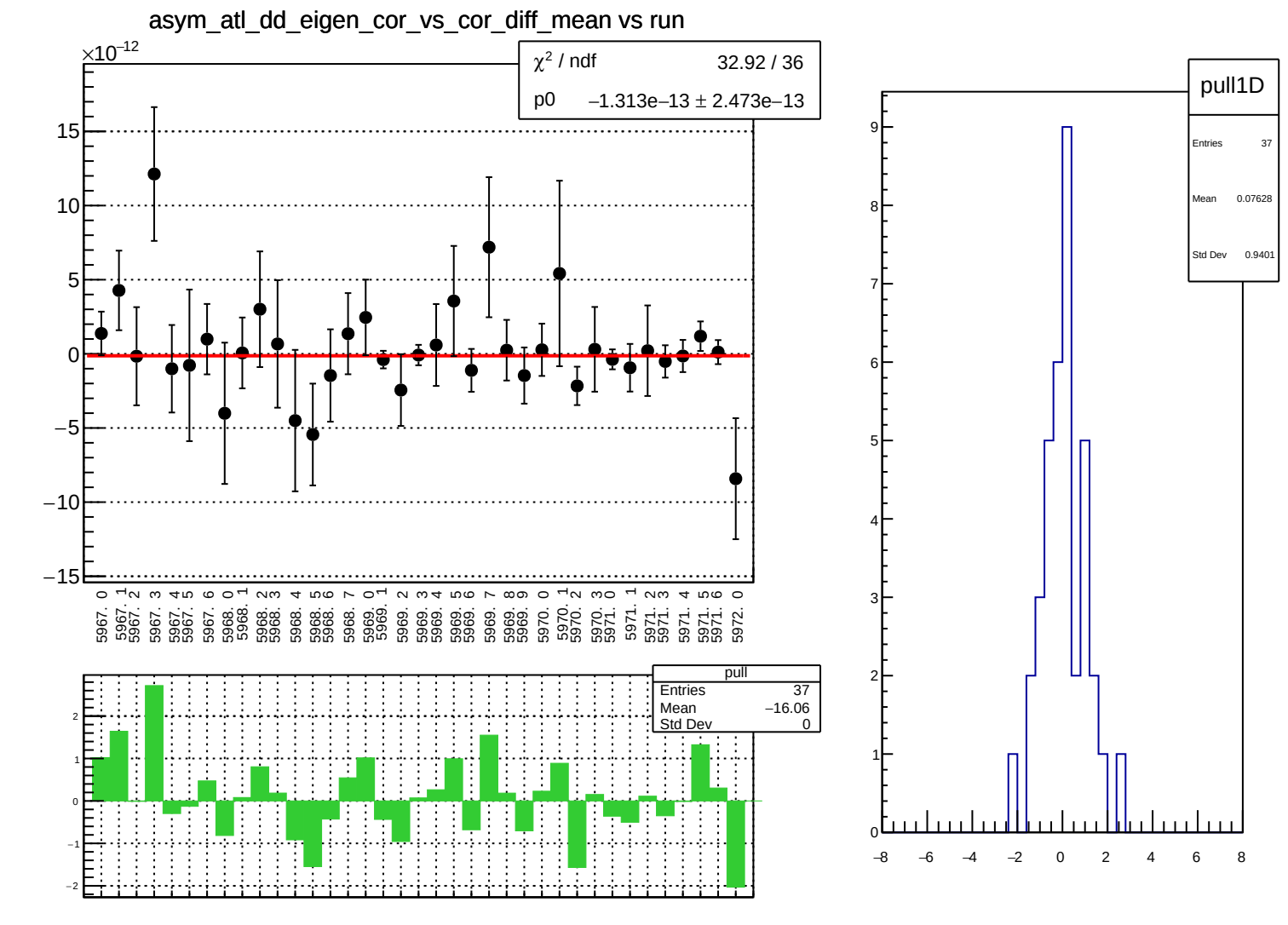
asym_atl_dd_eigen_cor_vs_cor_diff_mean vs run
×10⁻¹²
χ² / ndf 32.92 / 36
p0 −1.313e−13 ± 2.473e−13
pull
Entries 37
Mean −16.06
Std Dev 0
pull1D
Entries 37
Mean 0.07628
Std Dev 0.9401

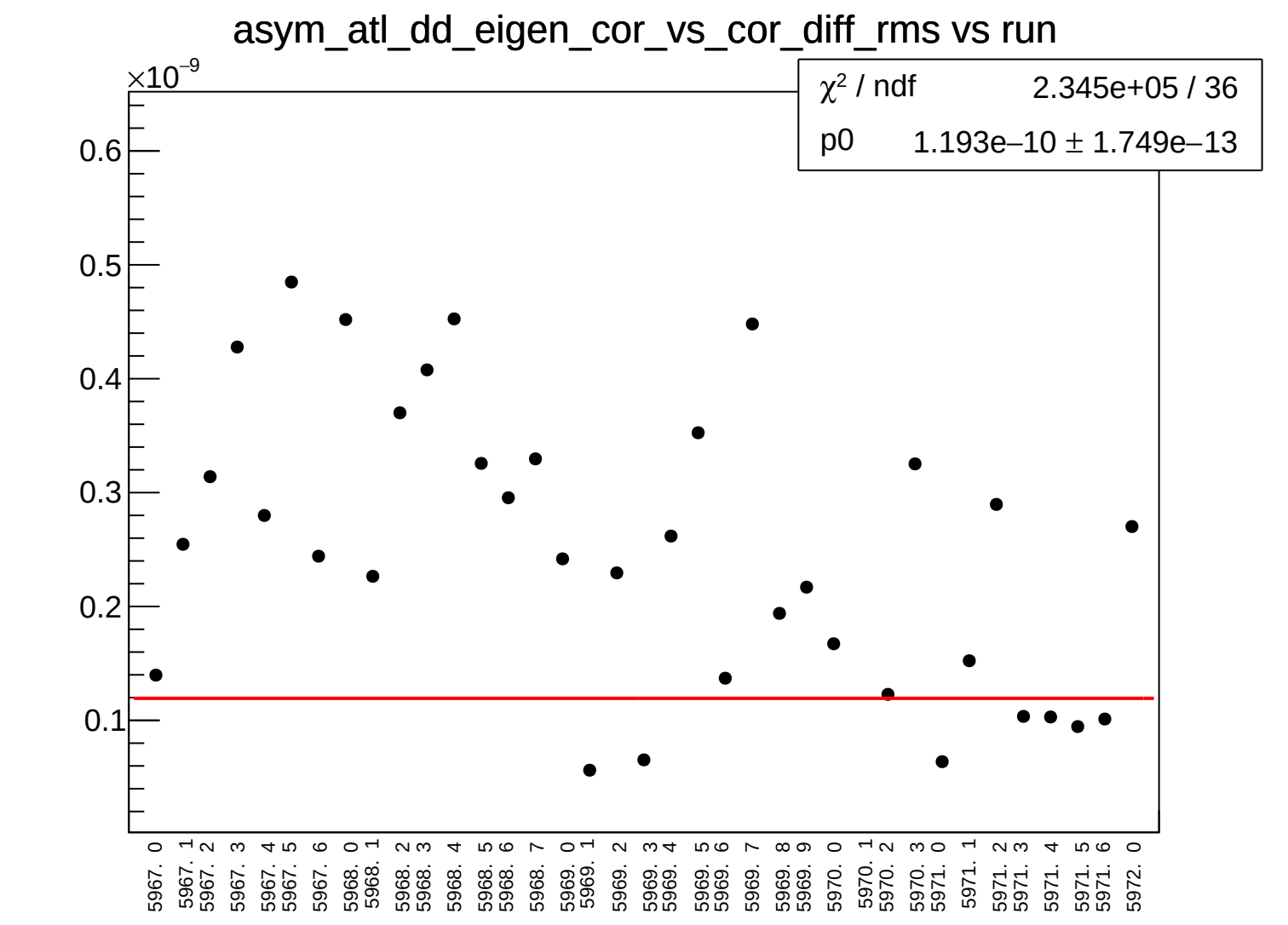
asym_atl_dd_eigen_cor_vs_cor_diff_rms vs run
×10⁻⁹
χ² / ndf 2.345e+05 / 36
p0 1.193e−10 ± 1.749e−13
0.6
0.5
0.4
0.3
0.2
0.1
5967. 0
5967. 1
5967. 2
5967. 3
5967. 4
5967. 5
5967. 6
5968. 0
5968. 1
5968. 2
5968. 3
5968. 4
5968. 5
5968. 6
5968. 7
5969. 0
5969. 1
5969. 2
5969. 3
5969. 4
5969. 5
5969. 6
5969. 7
5969. 8
5969. 9
5970. 0
5970. 1
5970. 2
5970. 3
5971. 0
5971. 1
5971. 2
5971. 3
5971. 4
5971. 5
5971. 6
5972. 0

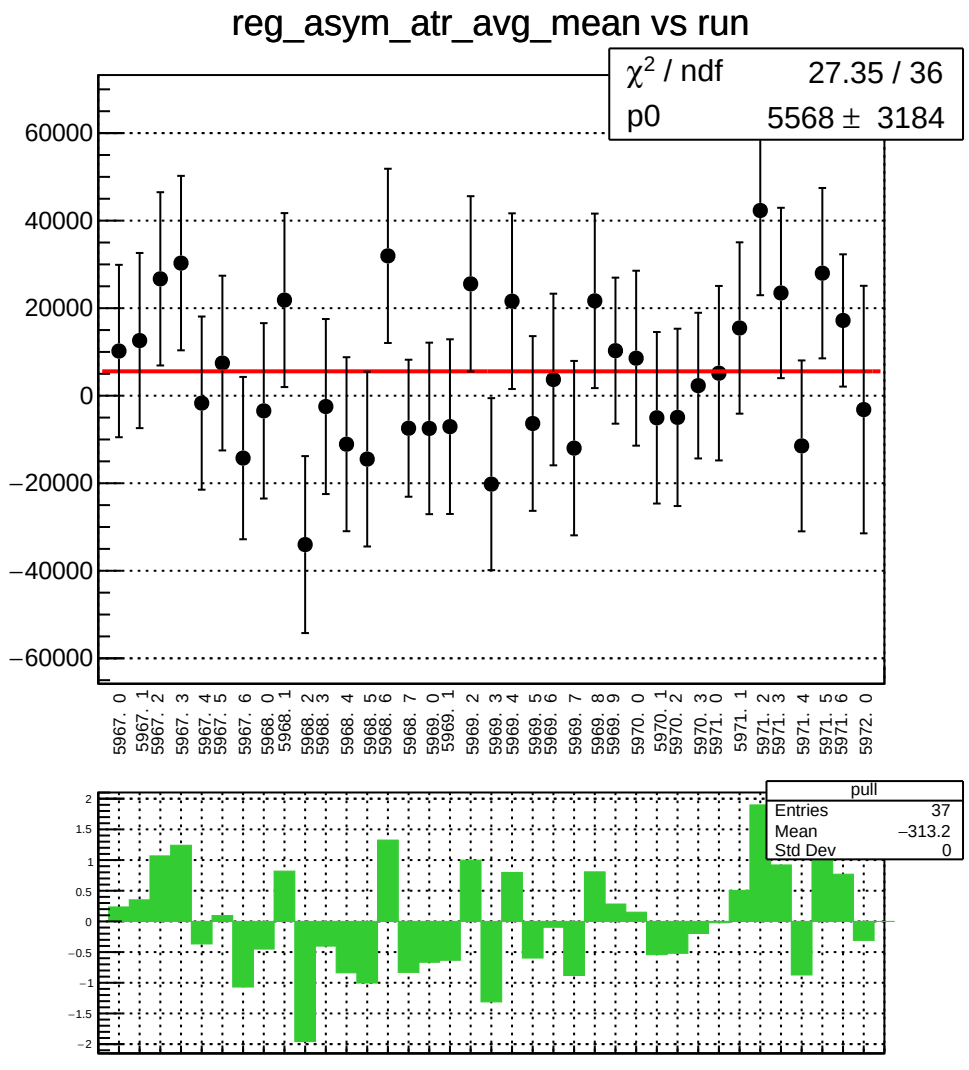
reg_asym_atr_avg_mean vs run
χ² / ndf 27.35 / 36
p0 5568 ± 3184
60000
40000
20000
0
−20000
−40000
−60000
5967. 0
5967. 1
5967. 2
5967. 3
5967. 4
5967. 5
5967. 6
5968. 0
5968. 1
5968. 2
5968. 3
5968. 4
5968. 5
5968. 6
5968. 7
5969. 0
5969. 1
5969. 2
5969. 3
5969. 4
5969. 5
5969. 6
5969. 7
5969. 8
5969. 9
5970. 0
5970. 1
5970. 2
5970. 3
5971. 0
5971. 1
5971. 2
5971. 3
5971. 4
5971. 5
5971. 6
5972. 0
pull
Entries 37
Mean −313.2
Std Dev 0
2
1.5
1
0.5
0
−0.5
−1
−1.5
−2
pull1D
Entries 37
Mean −0.003842
Std Dev 0.8598
7
6
5
4
3
2
1
0
−8
−6
−4
−2
0
2
4
6
8

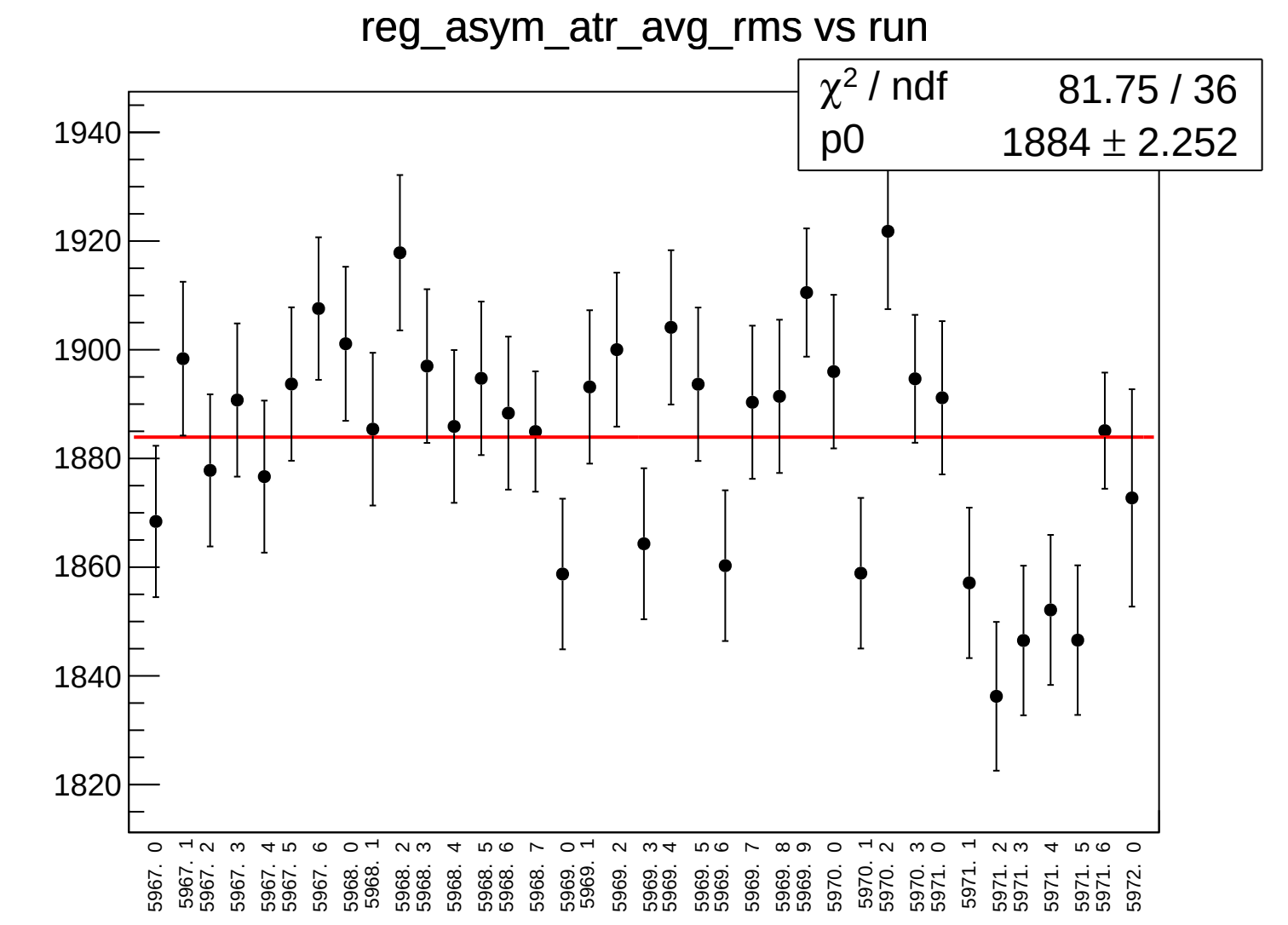
reg_asym_atr_avg_rms vs run
χ² / ndf 81.75 / 36
p0 1884 ± 2.252
1940
1920
1900
1880
1860
1840
1820
5967. 0
5967. 1
5967. 2
5967. 3
5967. 4
5967. 5
5967. 6
5968. 0
5968. 1
5968. 2
5968. 3
5968. 4
5968. 5
5968. 6
5968. 7
5969. 0
5969. 1
5969. 2
5969. 3
5969. 4
5969. 5
5969. 6
5969. 7
5969. 8
5969. 9
5970. 0
5970. 1
5970. 2
5970. 3
5971. 0
5971. 1
5971. 2
5971. 3
5971. 4
5971. 5
5971. 6
5972. 0

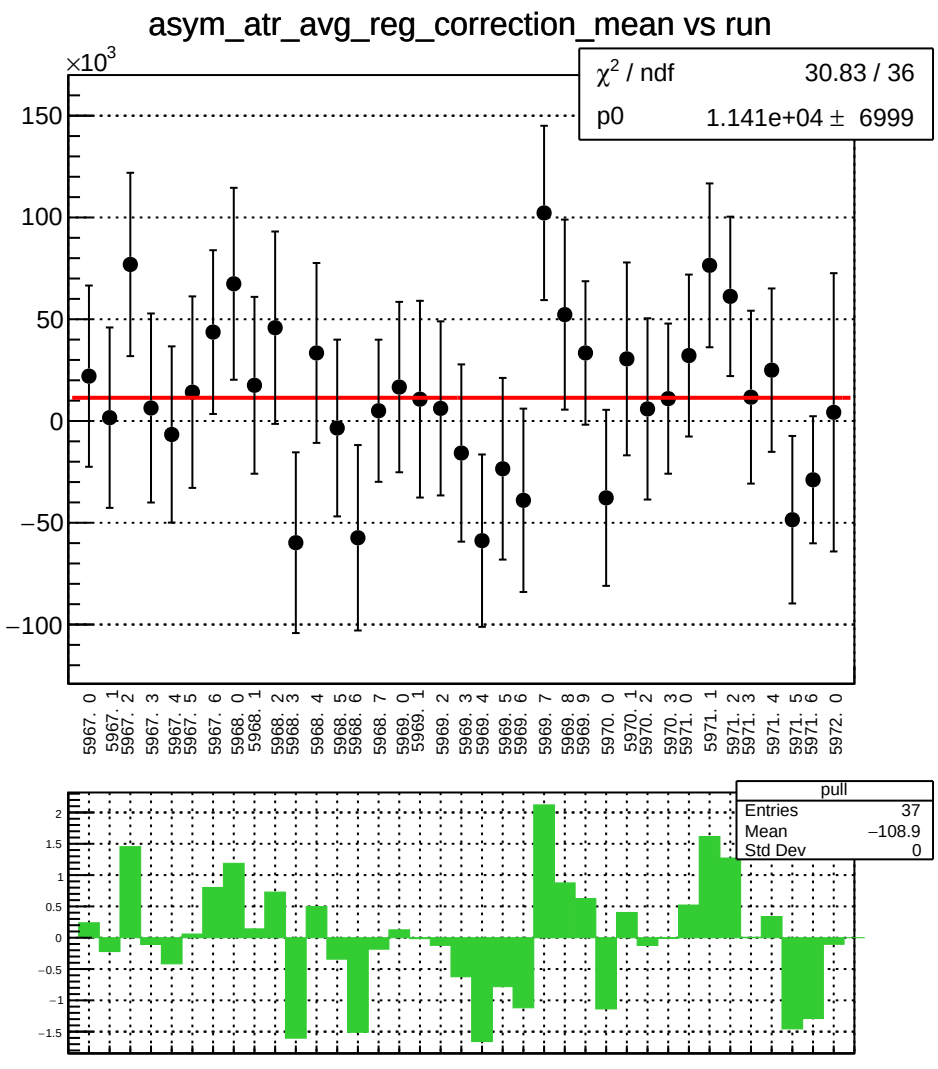
asym_atr_avg_reg_correction_mean vs run
×10^3
χ² / ndf 30.83 / 36
p0 1.141e+04 ± 6999
150
100
50
0
−50
−100
5967. 0
5967. 1
5967. 2
5967. 3
5967. 4
5967. 5
5967. 6
5968. 0
5968. 1
5968. 2
5968. 3
5968. 4
5968. 5
5968. 6
5968. 7
5969. 0
5969. 1
5969. 2
5969. 3
5969. 4
5969. 5
5969. 6
5969. 7
5969. 8
5969. 9
5970. 0
5970. 1
5970. 2
5970. 3
5971. 0
5971. 1
5971. 2
5971. 3
5971. 4
5971. 5
5971. 6
5972. 0
pull
Entries 37
Mean −108.9
Std Dev 0
2
1.5
1
0.5
0
−0.5
−1
−1.5
pull1D
Entries 37
Mean 0.005203
Std Dev 0.9128
9
8
7
6
5
4
3
2
1
0
−8
−6
−4
−2
0
2
4
6
8

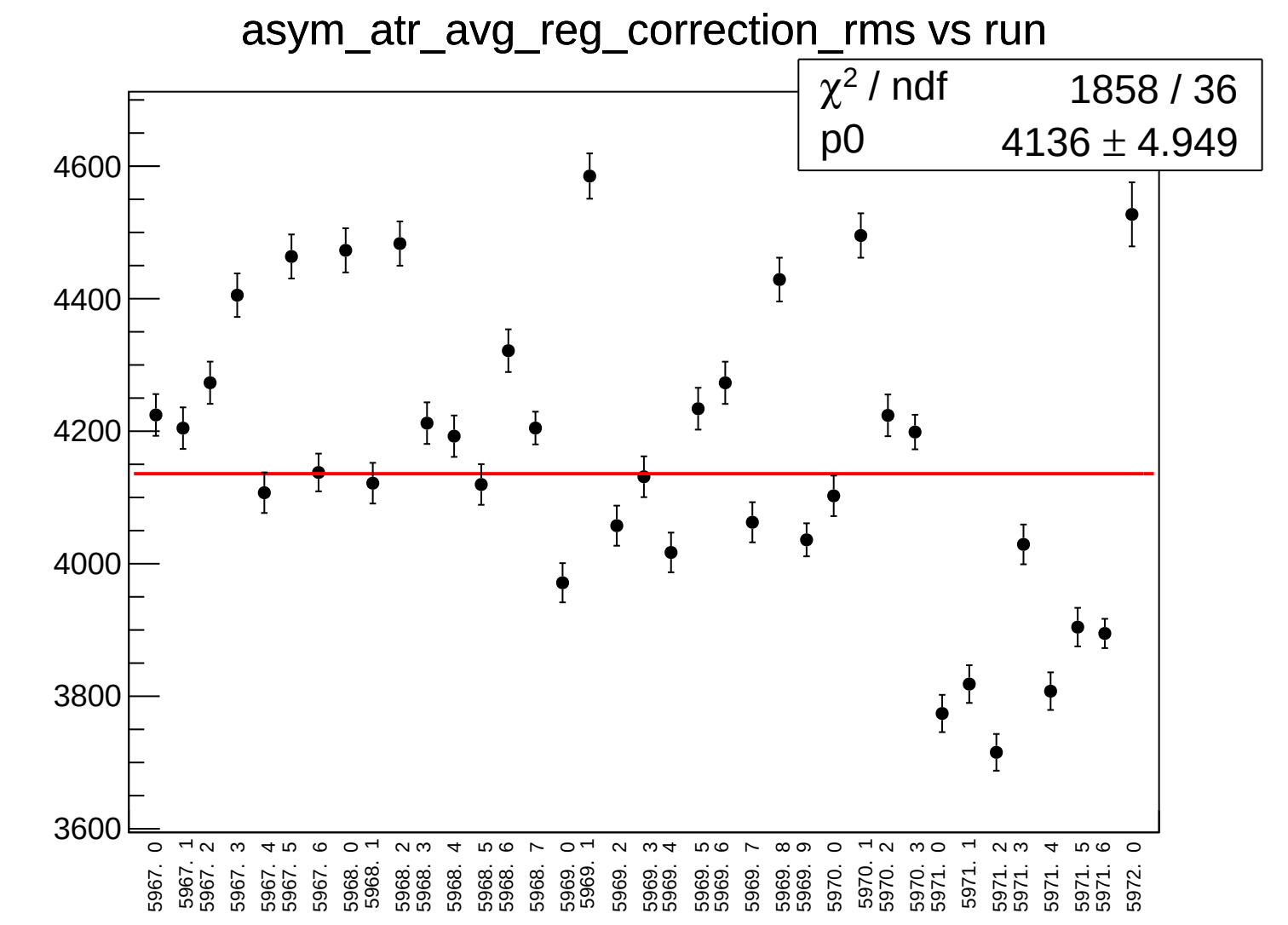
asym_atr_avg_reg_correction_rms vs run
χ² / ndf 1858 / 36
p0 4136 ± 4.949
4600
4400
4200
4000
3800
3600
5967. 0
5967. 1
5967. 2
5967. 3
5967. 4
5967. 5
5967. 6
5968. 0
5968. 1
5968. 2
5968. 3
5968. 4
5968. 5
5968. 6
5968. 7
5969. 0
5969. 1
5969. 2
5969. 3
5969. 4
5969. 5
5969. 6
5969. 7
5969. 8
5969. 9
5970. 0
5970. 1
5970. 2
5970. 3
5971. 0
5971. 1
5971. 2
5971. 3
5971. 4
5971. 5
5971. 6
5972. 0

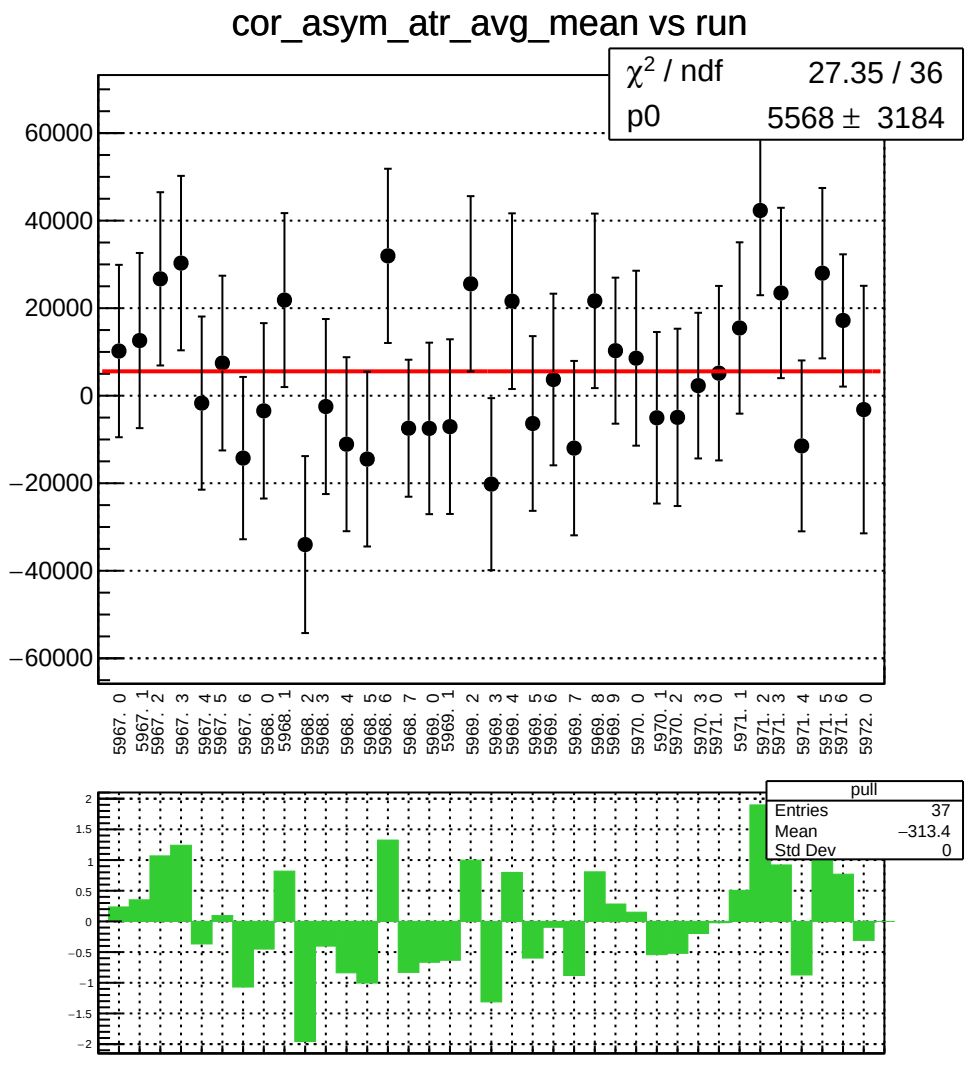
cor_asym_atr_avg_mean vs run
χ² / ndf 27.35 / 36
p0 5568 ± 3184
60000
40000
20000
0
−20000
−40000
−60000
5967. 0
5967. 1
5967. 2
5967. 3
5967. 4
5967. 5
5967. 6
5968. 0
5968. 1
5968. 2
5968. 3
5968. 4
5968. 5
5968. 6
5968. 7
5969. 0
5969. 1
5969. 2
5969. 3
5969. 4
5969. 5
5969. 6
5969. 7
5969. 8
5969. 9
5970. 0
5970. 1
5970. 2
5970. 3
5971. 0
5971. 1
5971. 2
5971. 3
5971. 4
5971. 5
5971. 6
5972. 0
pull
Entries 37
Mean −313.4
Std Dev 0
2
1.5
1
0.5
0
−0.5
−1
−1.5
−2
pull1D
Entries 37
Mean −0.003841
Std Dev 0.8598
7
6
5
4
3
2
1
0
−8
−6
−4
−2
0
2
4
6
8

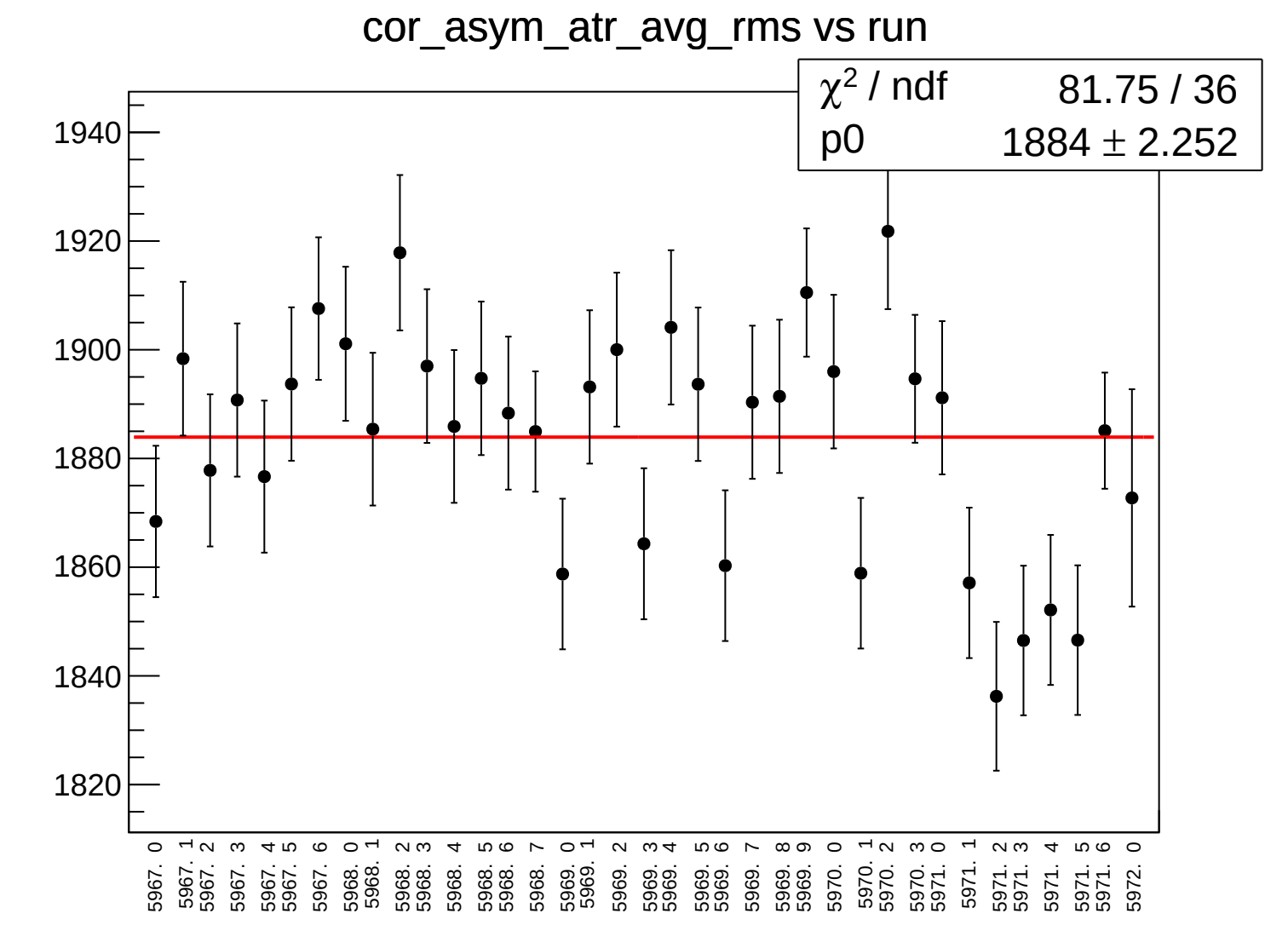
cor_asym_atr_avg_rms vs run
χ^2 / ndf 81.75 / 36
p0 1884 ± 2.252
1940
1920
1900
1880
1860
1840
1820
5967. 0
5967. 1
5967. 2
5967. 3
5967. 4
5967. 5
5967. 6
5968. 0
5968. 1
5968. 2
5968. 3
5968. 4
5968. 5
5968. 6
5968. 7
5969. 0
5969. 1
5969. 2
5969. 3
5969. 4
5969. 5
5969. 6
5969. 7
5969. 8
5969. 9
5970. 0
5970. 1
5970. 2
5970. 3
5971. 0
5971. 1
5971. 2
5971. 3
5971. 4
5971. 5
5971. 6
5972. 0

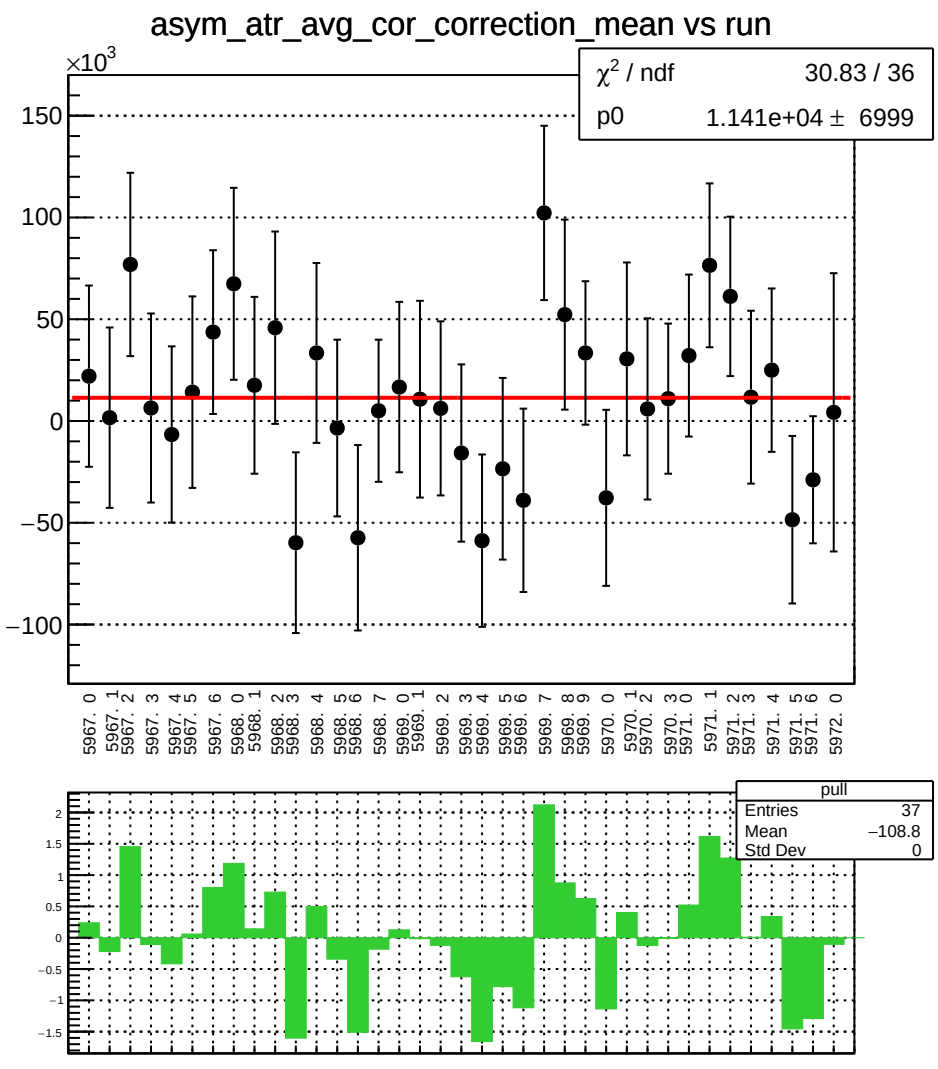
asym_atr_avg_cor_correction_mean vs run
×10^3
χ² / ndf 30.83 / 36
p0 1.141e+04 ± 6999
150
100
50
0
−50
−100
5967. 0
5967. 1
5967. 2
5967. 3
5967. 4
5967. 5
5967. 6
5968. 0
5968. 1
5968. 2
5968. 3
5968. 4
5968. 5
5968. 6
5968. 7
5969. 0
5969. 1
5969. 2
5969. 3
5969. 4
5969. 5
5969. 6
5969. 7
5969. 8
5969. 9
5970. 0
5970. 1
5970. 2
5970. 3
5971. 0
5971. 1
5971. 2
5971. 3
5971. 4
5971. 5
5971. 6
5972. 0
pull
Entries 37
Mean −108.8
Std Dev 0
2
1.5
1
0.5
0
−0.5
−1
−1.5

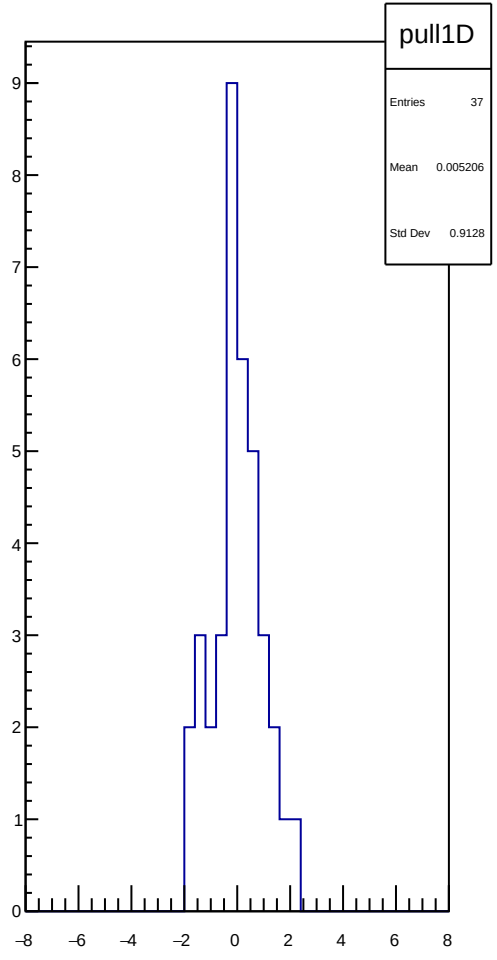
pull1D
Entries 37
Mean 0.005206
Std Dev 0.9128
9
8
7
6
5
4
3
2
1
0
−8
−6
−4
−2
0
2
4
6
8

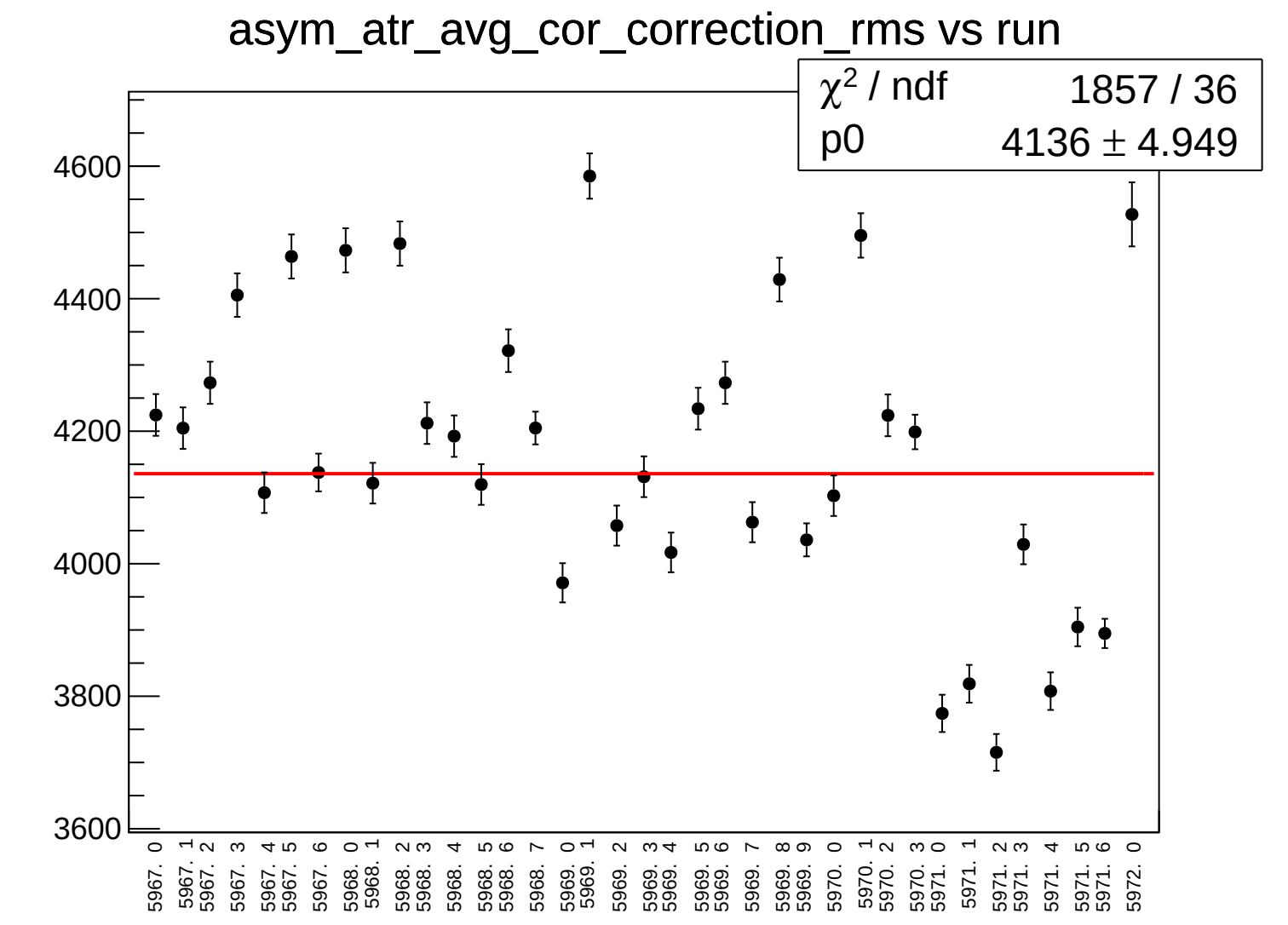
asym_atr_avg_cor_correction_rms vs run
χ² / ndf 1857 / 36
p0 4136 ± 4.949
4600
4400
4200
4000
3800
3600
5967. 0
5967. 1
5967. 2
5967. 3
5967. 4
5967. 5
5967. 6
5968. 0
5968. 1
5968. 2
5968. 3
5968. 4
5968. 5
5968. 6
5968. 7
5969. 0
5969. 1
5969. 2
5969. 3
5969. 4
5969. 5
5969. 6
5969. 7
5969. 8
5969. 9
5970. 0
5970. 1
5970. 2
5970. 3
5971. 0
5971. 1
5971. 2
5971. 3
5971. 4
5971. 5
5971. 6
5972. 0

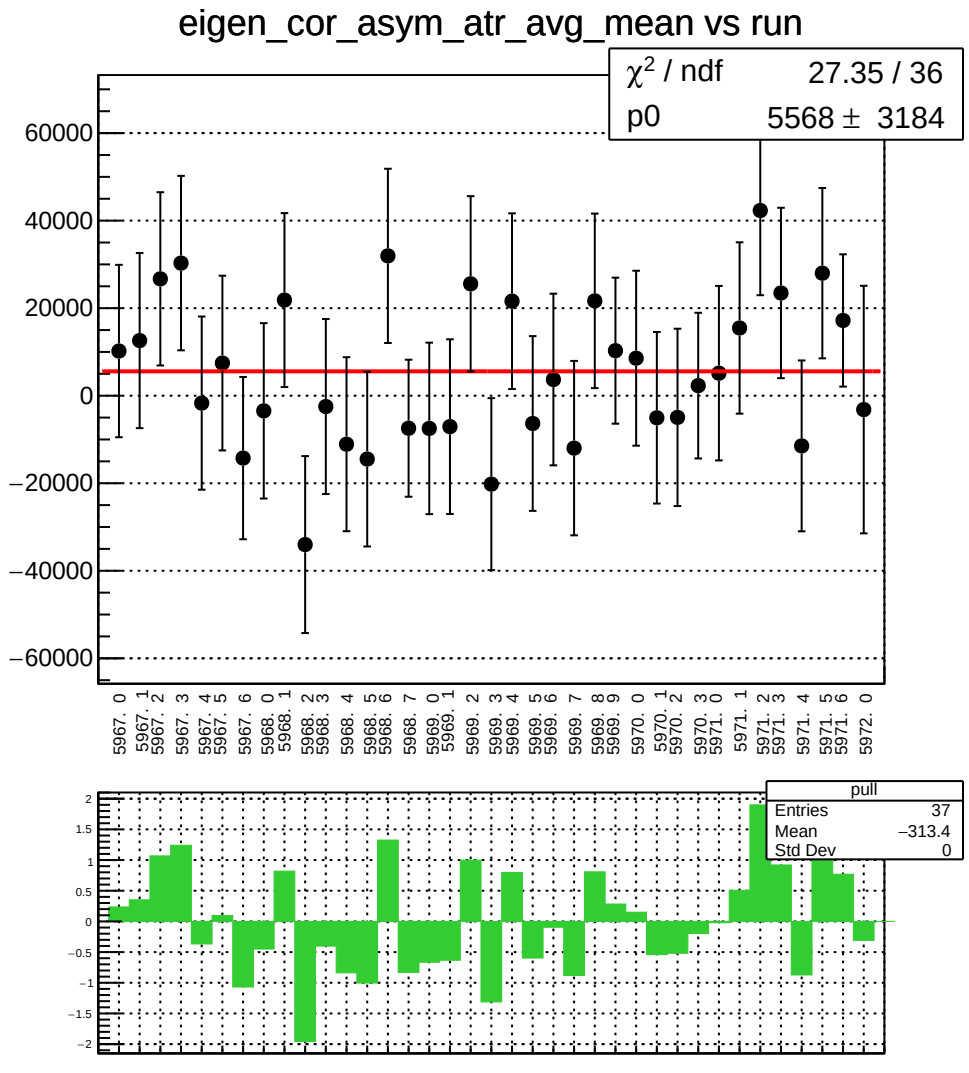
eigen_cor_asym_atr_avg_mean vs run
χ² / ndf 27.35 / 36
p0 5568 ± 3184
60000
40000
20000
0
−20000
−40000
−60000
5967. 0
5967. 1
5967. 2
5967. 3
5967. 4
5967. 5
5967. 6
5968. 0
5968. 1
5968. 2
5968. 3
5968. 4
5968. 5
5968. 6
5968. 7
5969. 0
5969. 1
5969. 2
5969. 3
5969. 4
5969. 5
5969. 6
5969. 7
5969. 8
5969. 9
5970. 0
5970. 1
5970. 2
5970. 3
5971. 0
5971. 1
5971. 2
5971. 3
5971. 4
5971. 5
5971. 6
5972. 0
pull
Entries 37
Mean −313.4
Std Dev 0
2
1.5
1
0.5
0
−0.5
−1
−1.5
−2
pull1D
Entries 37
Mean −0.003841
Std Dev 0.8598
7
6
5
4
3
2
1
0
−8
−6
−4
−2
0
2
4
6
8

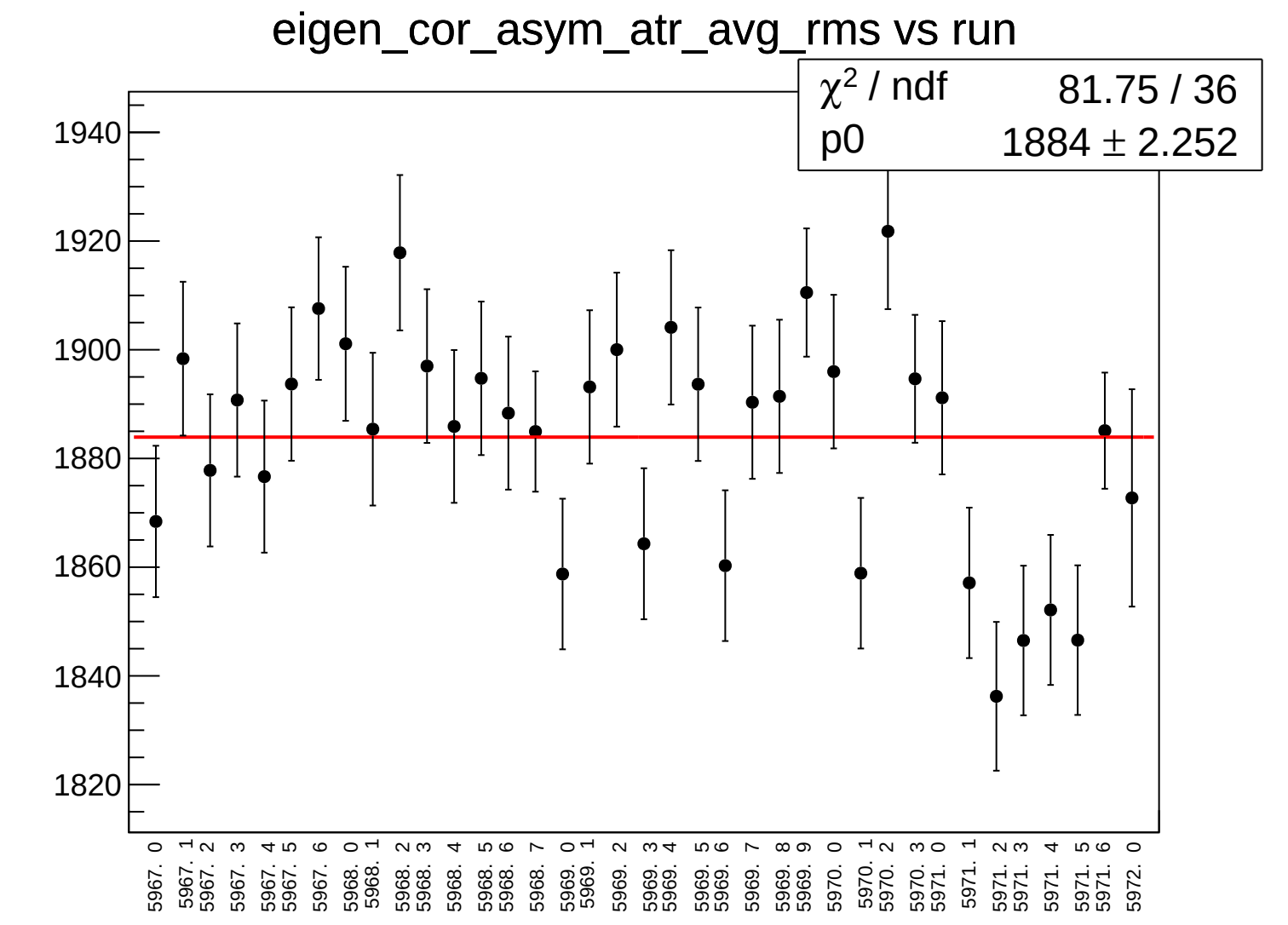
eigen_cor_asym_atr_avg_rms vs run
χ² / ndf 81.75 / 36
p0 1884 ± 2.252
1940
1920
1900
1880
1860
1840
1820
5967. 0
5967. 1
5967. 2
5967. 3
5967. 4
5967. 5
5967. 6
5968. 0
5968. 1
5968. 2
5968. 3
5968. 4
5968. 5
5968. 6
5968. 7
5969. 0
5969. 1
5969. 2
5969. 3
5969. 4
5969. 5
5969. 6
5969. 7
5969. 8
5969. 9
5970. 0
5970. 1
5970. 2
5970. 3
5971. 0
5971. 1
5971. 2
5971. 3
5971. 4
5971. 5
5971. 6
5972. 0

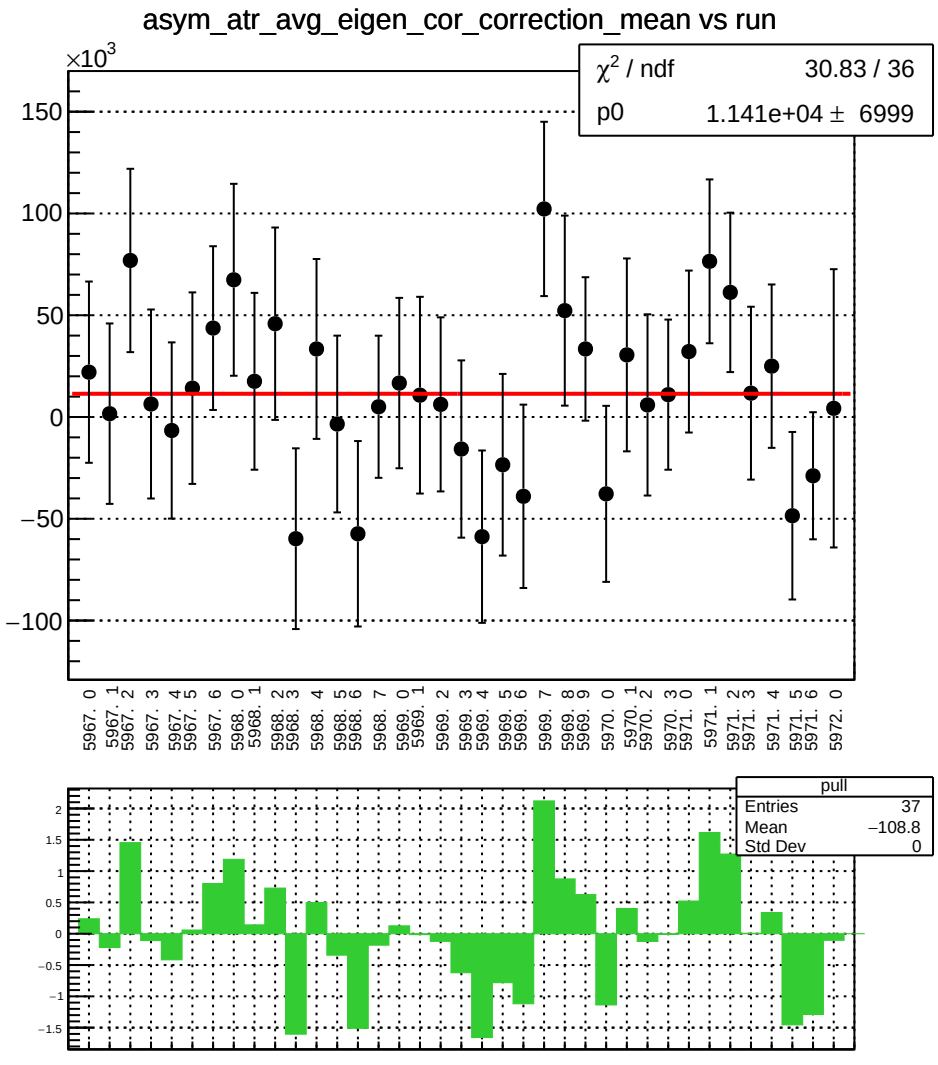
asym_atr_avg_eigen_cor_correction_mean vs run
×10^3
χ² / ndf 30.83 / 36
p0 1.141e+04 ± 6999
150
100
50
0
−50
−100
5967. 0
5967. 1
5967. 2
5967. 3
5967. 4
5967. 5
5967. 6
5968. 0
5968. 1
5968. 2
5968. 3
5968. 4
5968. 5
5968. 6
5968. 7
5969. 0
5969. 1
5969. 2
5969. 3
5969. 4
5969. 5
5969. 6
5969. 7
5969. 8
5969. 9
5970. 0
5970. 1
5970. 2
5970. 3
5971. 0
5971. 1
5971. 2
5971. 3
5971. 4
5971. 5
5971. 6
5972. 0
pull
Entries 37
Mean −108.8
Std Dev 0
2
1.5
1
0.5
0
−0.5
−1
−1.5

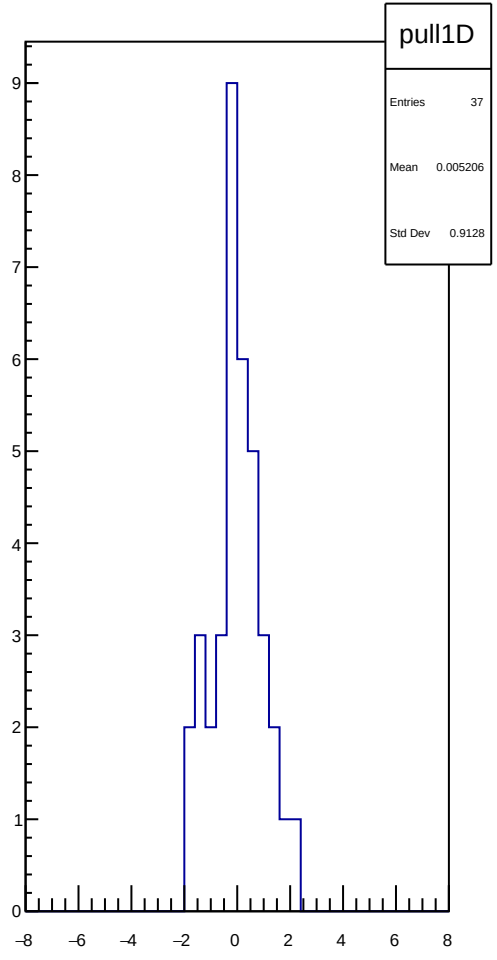
pull1D
Entries 37
Mean 0.005206
Std Dev 0.9128
9
8
7
6
5
4
3
2
1
0
−8
−6
−4
−2
0
2
4
6
8

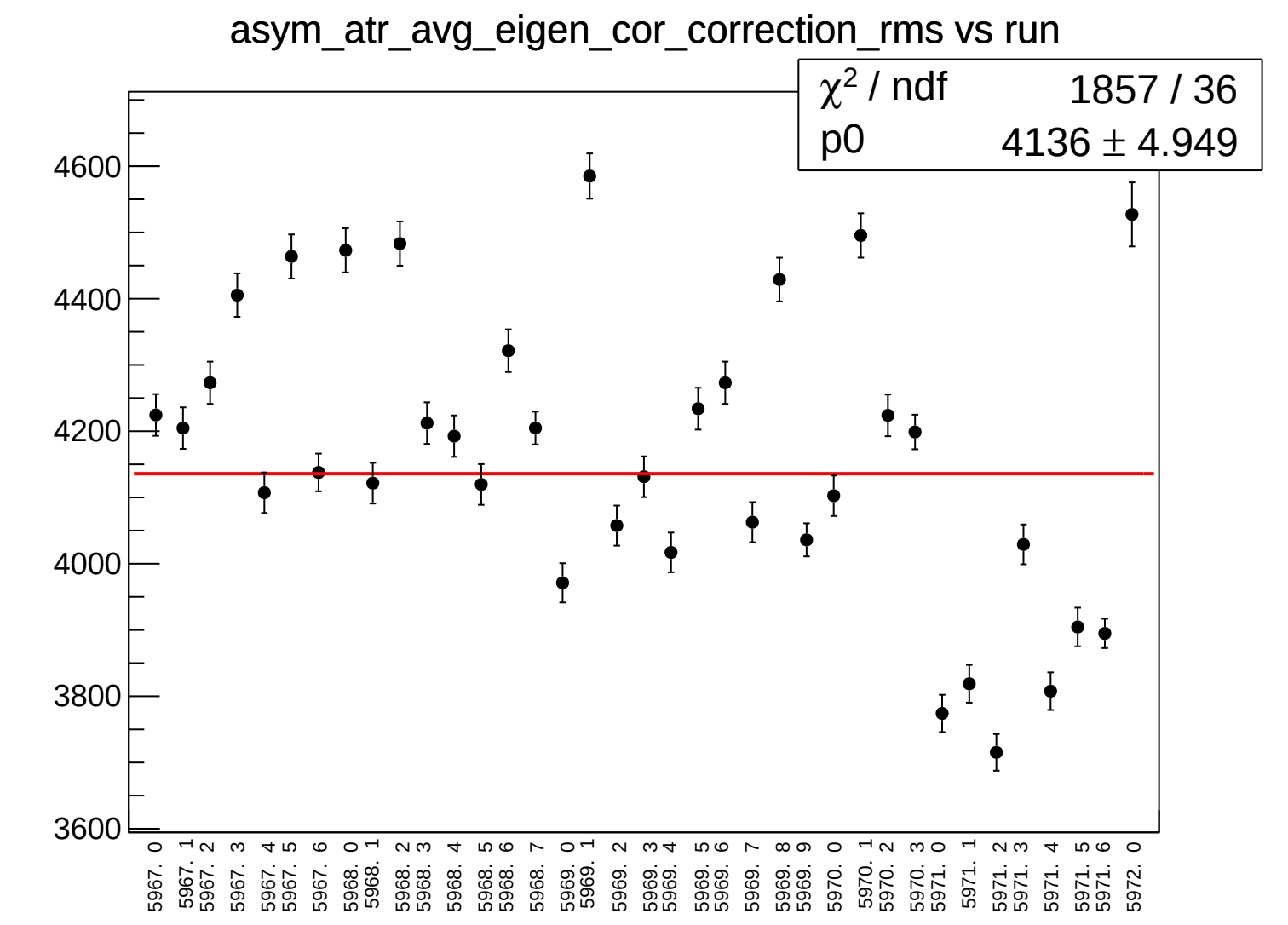
asym_atr_avg_eigen_cor_correction_rms vs run
χ² / ndf 1857 / 36
p0 4136 ± 4.949
4600
4400
4200
4000
3800
3600
5967. 0
5967. 1
5967. 2
5967. 3
5967. 4
5967. 5
5967. 6
5968. 0
5968. 1
5968. 2
5968. 3
5968. 4
5968. 5
5968. 6
5968. 7
5969. 0
5969. 1
5969. 2
5969. 3
5969. 4
5969. 5
5969. 6
5969. 7
5969. 8
5969. 9
5970. 0
5970. 1
5970. 2
5970. 3
5971. 0
5971. 1
5971. 2
5971. 3
5971. 4
5971. 5
5971. 6
5972. 0

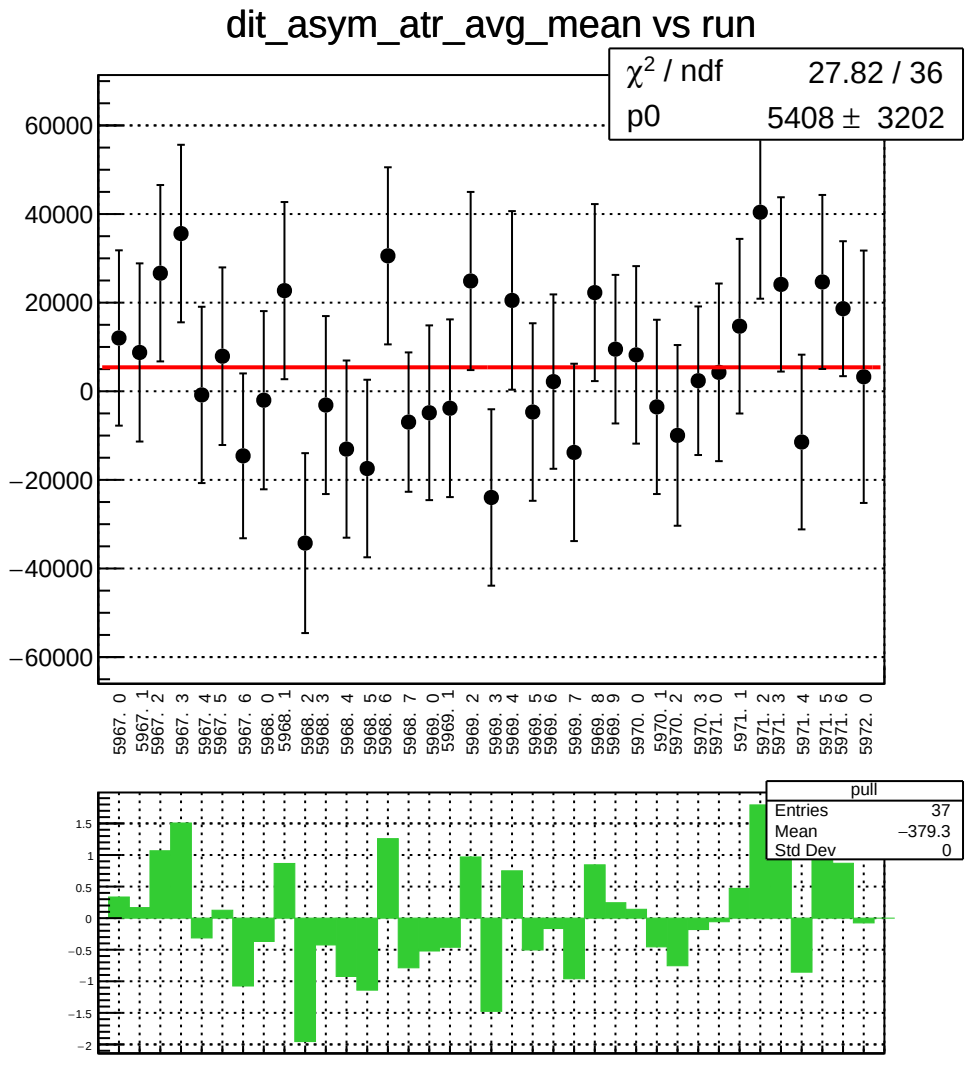
dit_asym_atr_avg_mean vs run
χ² / ndf 27.82 / 36
p0 5408 ± 3202
60000
40000
20000
0
−20000
−40000
−60000
5967. 0
5967. 1
5967. 2
5967. 3
5967. 4
5967. 5
5967. 6
5968. 0
5968. 1
5968. 2
5968. 3
5968. 4
5968. 5
5968. 6
5968. 7
5969. 0
5969. 1
5969. 2
5969. 3
5969. 4
5969. 5
5969. 6
5969. 7
5969. 8
5969. 9
5970. 0
5970. 1
5970. 2
5970. 3
5971. 0
5971. 1
5971. 2
5971. 3
5971. 4
5971. 5
5971. 6
5972. 0
pull
Entries 37
Mean −379.3
Std Dev 0
1.5
1
0.5
0
−0.5
−1
−1.5
−2

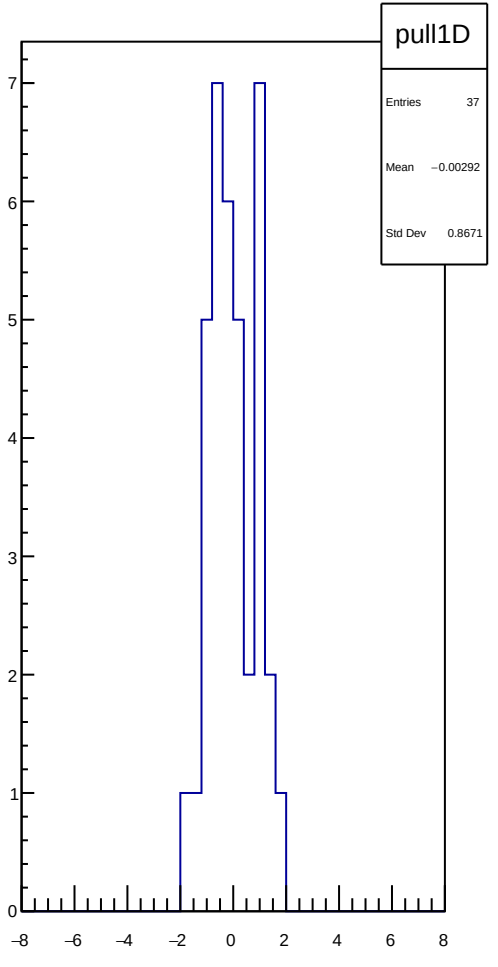
pull1D
Entries 37
Mean −0.00292
Std Dev 0.8671
7
6
5
4
3
2
1
0
−8
−6
−4
−2
0
2
4
6
8

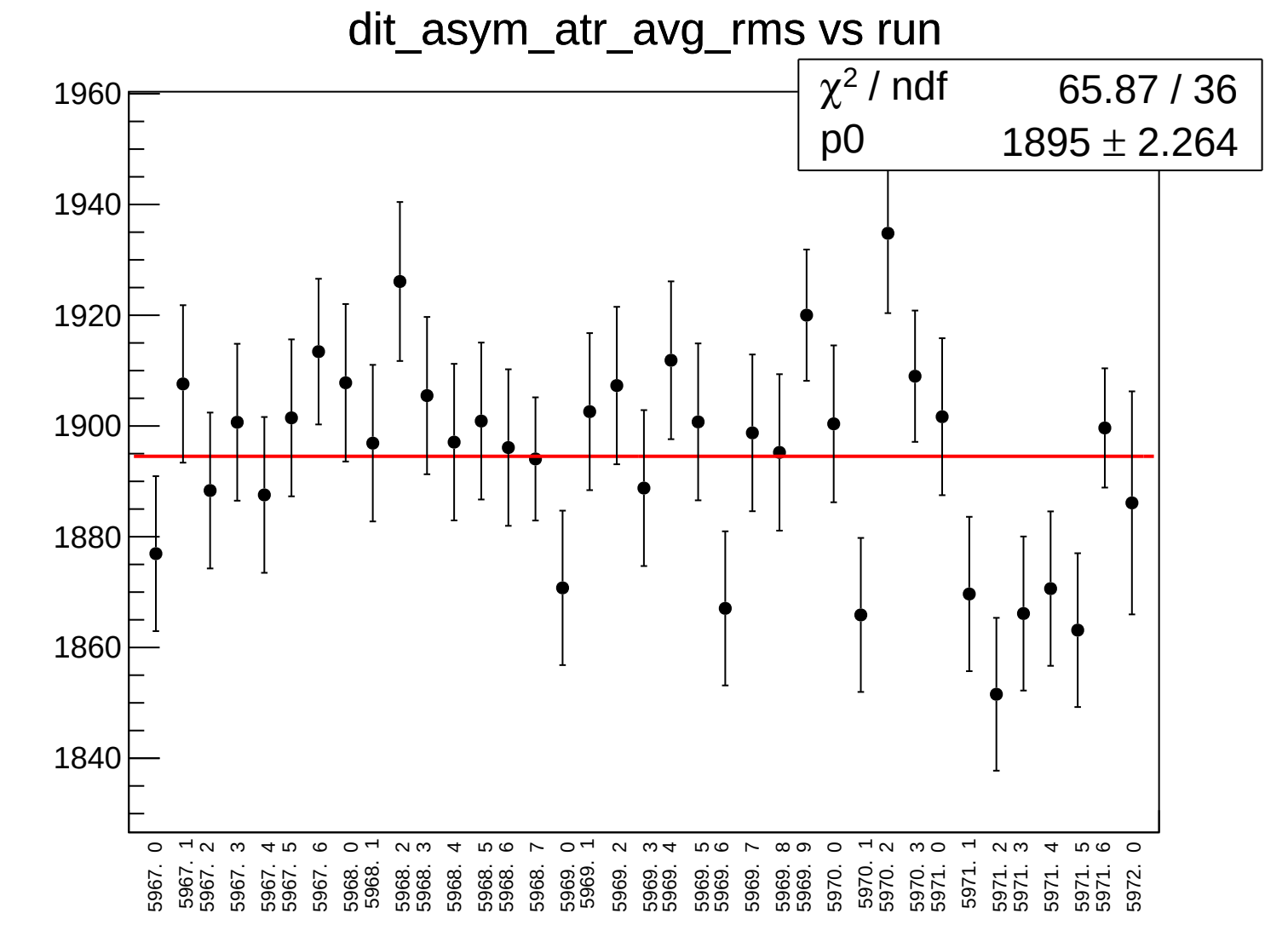
dit_asym_atr_avg_rms vs run
χ² / ndf 65.87 / 36
p0 1895 ± 2.264
1960
1940
1920
1900
1880
1860
1840
5967. 0
5967. 1
5967. 2
5967. 3
5967. 4
5967. 5
5967. 6
5968. 0
5968. 1
5968. 2
5968. 3
5968. 4
5968. 5
5968. 6
5968. 7
5969. 0
5969. 1
5969. 2
5969. 3
5969. 4
5969. 5
5969. 6
5969. 7
5969. 8
5969. 9
5970. 0
5970. 1
5970. 2
5970. 3
5971. 0
5971. 1
5971. 2
5971. 3
5971. 4
5971. 5
5971. 6
5972. 0

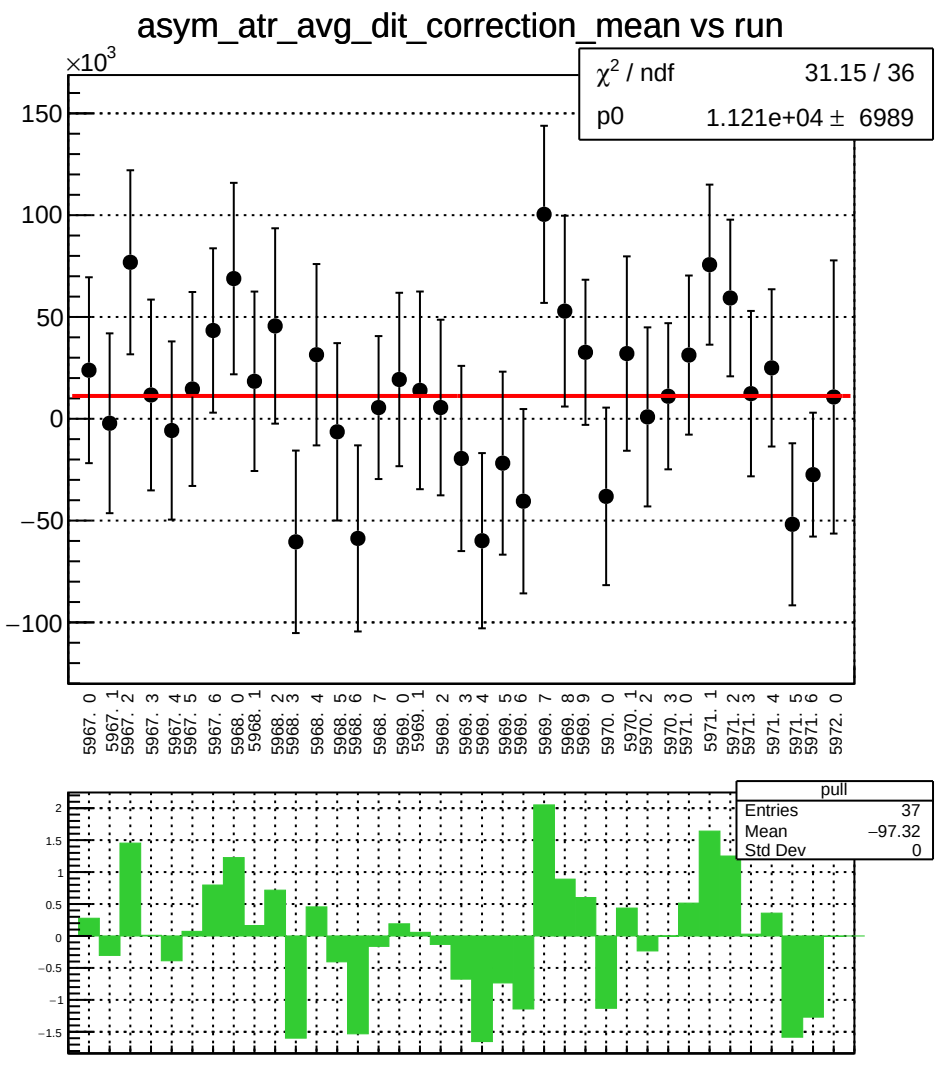
asym_atr_avg_dit_correction_mean vs run
×10^3
χ² / ndf 31.15 / 36
p0 1.121e+04 ± 6989
150
100
50
0
−50
−100
5967. 0
5967. 1
5967. 2
5967. 3
5967. 4
5967. 5
5967. 6
5968. 0
5968. 1
5968. 2
5968. 3
5968. 4
5968. 5
5968. 6
5968. 7
5969. 0
5969. 1
5969. 2
5969. 3
5969. 4
5969. 5
5969. 6
5969. 7
5969. 8
5969. 9
5970. 0
5970. 1
5970. 2
5970. 3
5971. 0
5971. 1
5971. 2
5971. 3
5971. 4
5971. 5
5971. 6
5972. 0
pull
Entries 37
Mean −97.32
Std Dev 0
2
1.5
1
0.5
0
−0.5
−1
−1.5
pull1D
Entries 37
Mean 0.006221
Std Dev 0.9175
8
7
6
5
4
3
2
1
0
−8
−6
−4
−2
0
2
4
6
8

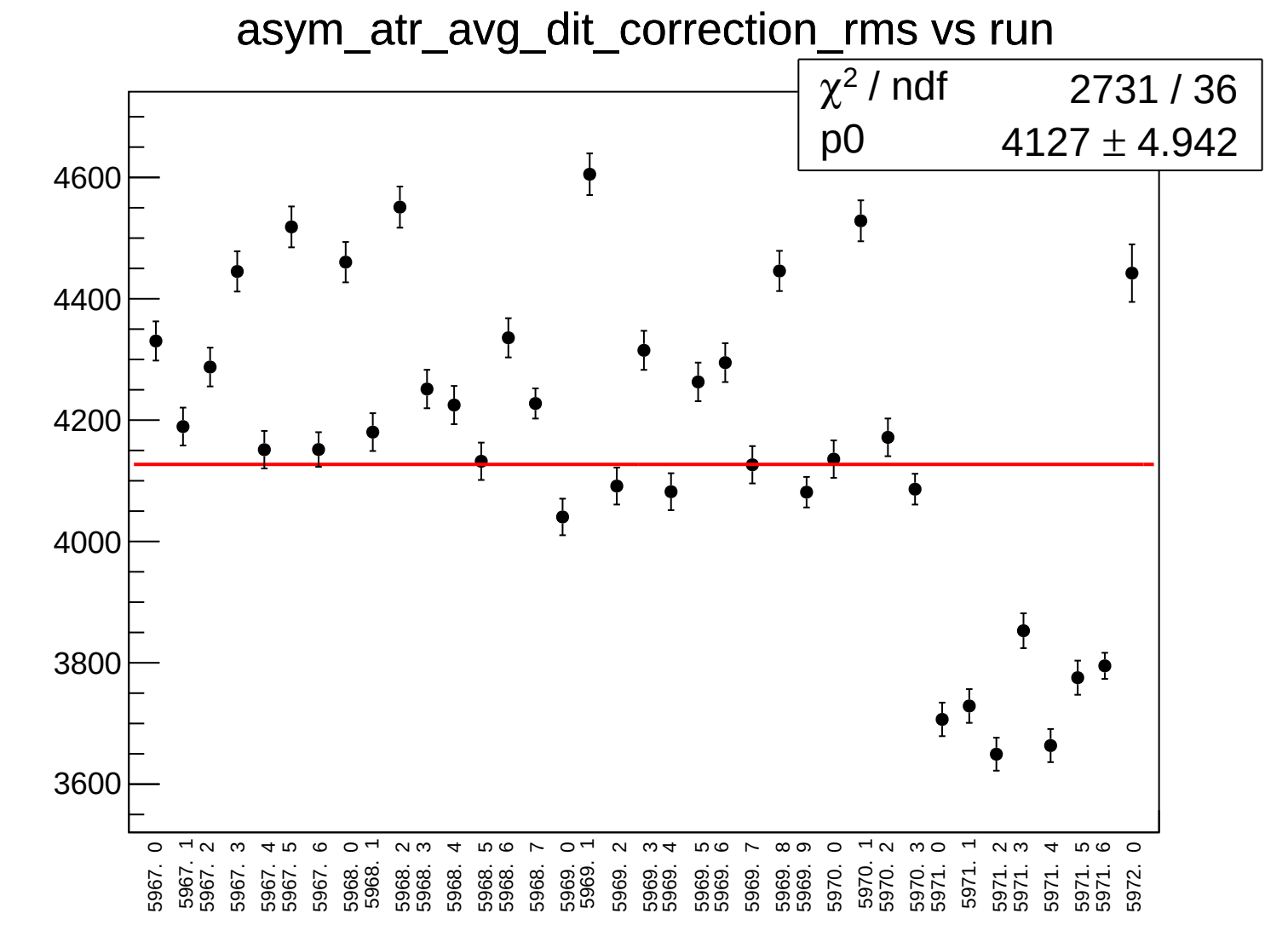
asym_atr_avg_dit_correction_rms vs run
χ² / ndf 2731 / 36
p0 4127 ± 4.942
4600
4400
4200
4000
3800
3600
5967. 0
5967. 1
5967. 2
5967. 3
5967. 4
5967. 5
5967. 6
5968. 0
5968. 1
5968. 2
5968. 3
5968. 4
5968. 5
5968. 6
5968. 7
5969. 0
5969. 1
5969. 2
5969. 3
5969. 4
5969. 5
5969. 6
5969. 7
5969. 8
5969. 9
5970. 0
5970. 1
5970. 2
5970. 3
5971. 0
5971. 1
5971. 2
5971. 3
5971. 4
5971. 5
5971. 6
5972. 0

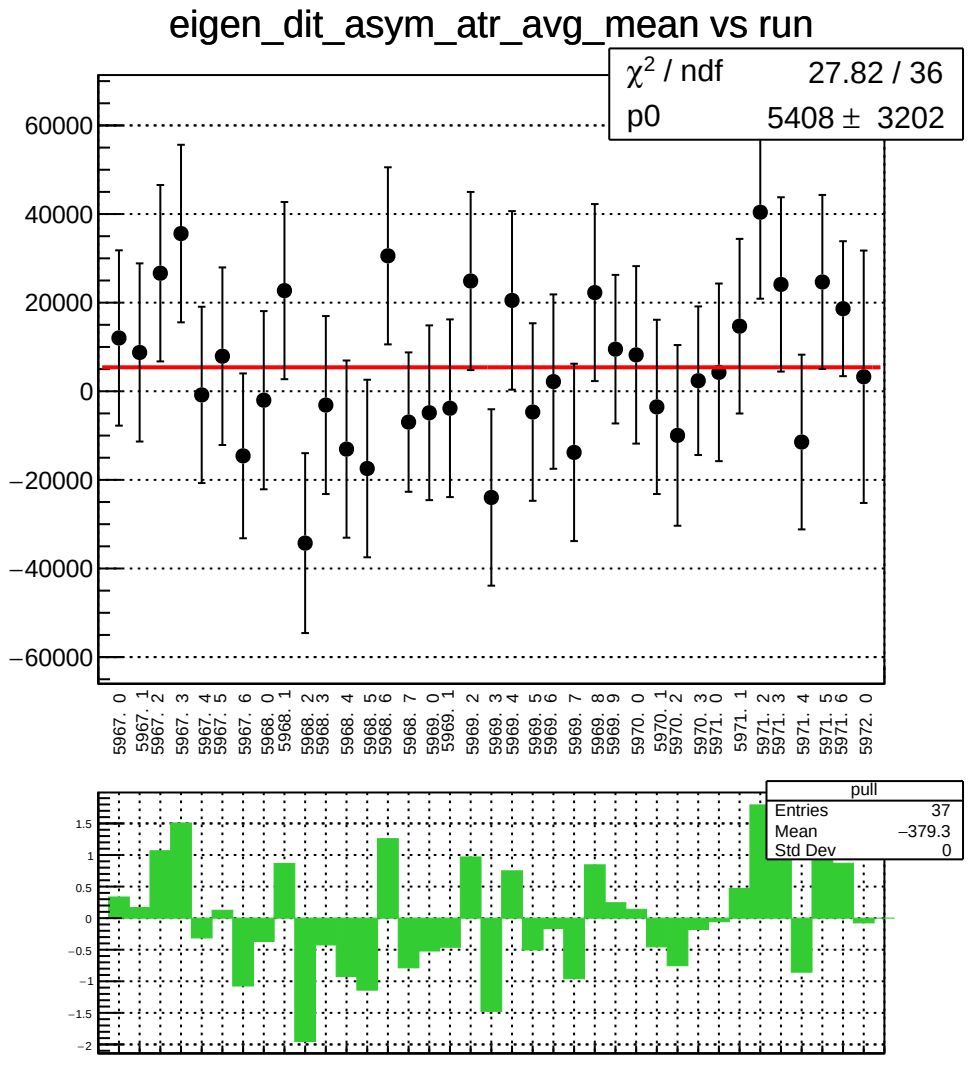
eigen_dit_asym_atr_avg_mean vs run
χ² / ndf 27.82 / 36
p0 5408 ± 3202
60000
40000
20000
0
−20000
−40000
−60000
5967. 0
5967. 1
5967. 2
5967. 3
5967. 4
5967. 5
5967. 6
5968. 0
5968. 1
5968. 2
5968. 3
5968. 4
5968. 5
5968. 6
5968. 7
5969. 0
5969. 1
5969. 2
5969. 3
5969. 4
5969. 5
5969. 6
5969. 7
5969. 8
5969. 9
5970. 0
5970. 1
5970. 2
5970. 3
5971. 0
5971. 1
5971. 2
5971. 3
5971. 4
5971. 5
5971. 6
5972. 0
pull
Entries 37
Mean −379.3
Std Dev 0
1.5
1
0.5
0
−0.5
−1
−1.5
−2

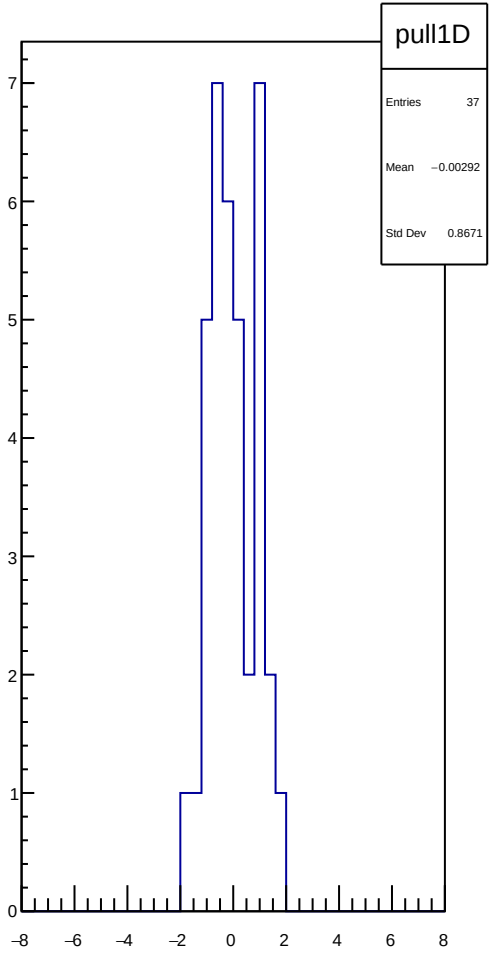
pull1D
Entries 37
Mean −0.00292
Std Dev 0.8671
7
6
5
4
3
2
1
0
−8
−6
−4
−2
0
2
4
6
8

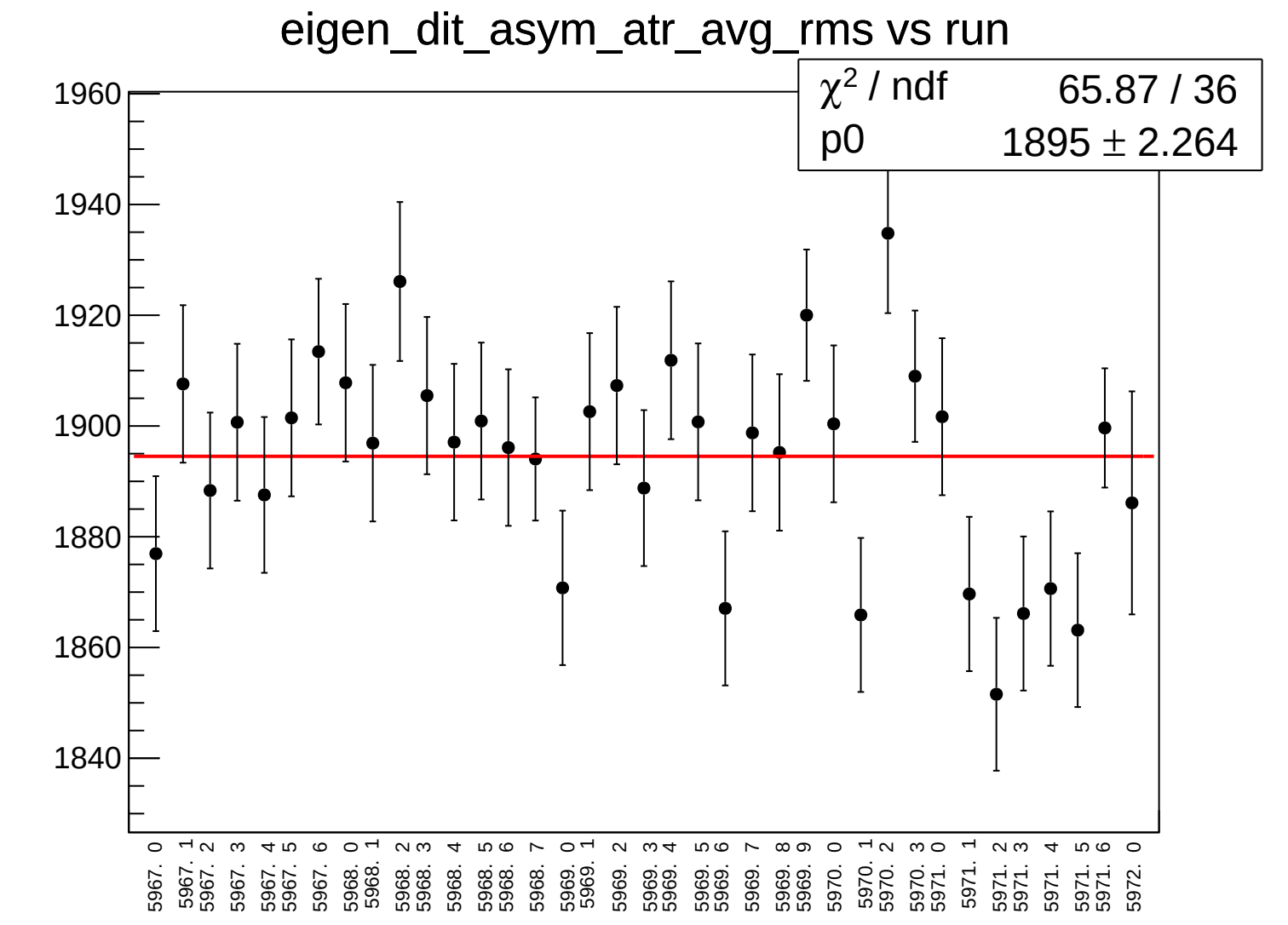
eigen_dit_asym_atr_avg_rms vs run
χ² / ndf 65.87 / 36
p0 1895 ± 2.264
1960
1940
1920
1900
1880
1860
1840
5967. 0
5967. 1
5967. 2
5967. 3
5967. 4
5967. 5
5967. 6
5968. 0
5968. 1
5968. 2
5968. 3
5968. 4
5968. 5
5968. 6
5968. 7
5969. 0
5969. 1
5969. 2
5969. 3
5969. 4
5969. 5
5969. 6
5969. 7
5969. 8
5969. 9
5970. 0
5970. 1
5970. 2
5970. 3
5971. 0
5971. 1
5971. 2
5971. 3
5971. 4
5971. 5
5971. 6
5972. 0

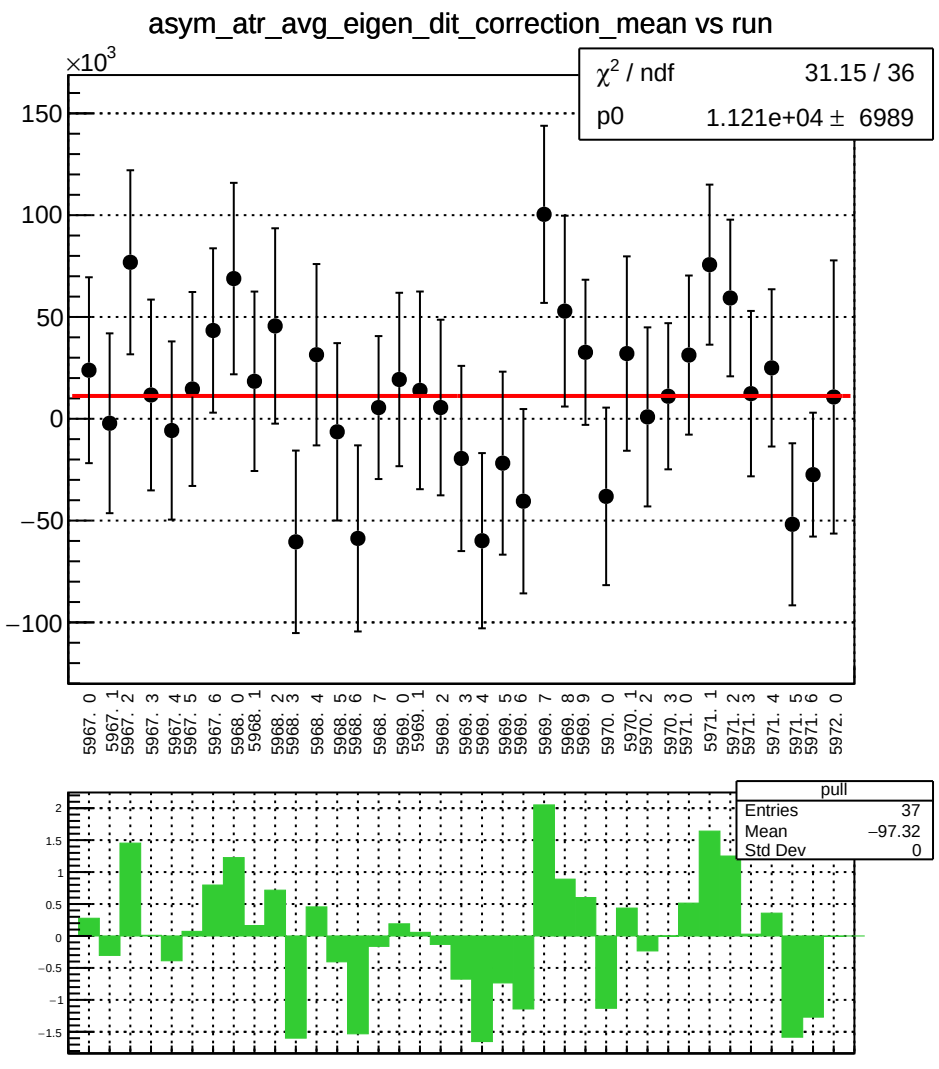
asym_atr_avg_eigen_dit_correction_mean vs run
×10^3
χ² / ndf 31.15 / 36
p0 1.121e+04 ± 6989
150
100
50
0
−50
−100
5967. 0
5967. 1
5967. 2
5967. 3
5967. 4
5967. 5
5967. 6
5968. 0
5968. 1
5968. 2
5968. 3
5968. 4
5968. 5
5968. 6
5968. 7
5969. 0
5969. 1
5969. 2
5969. 3
5969. 4
5969. 5
5969. 6
5969. 7
5969. 8
5969. 9
5970. 0
5970. 1
5970. 2
5970. 3
5971. 0
5971. 1
5971. 2
5971. 3
5971. 4
5971. 5
5971. 6
5972. 0
pull
Entries 37
Mean −97.32
Std Dev 0
2
1.5
1
0.5
0
−0.5
−1
−1.5
pull1D
Entries 37
Mean 0.006221
Std Dev 0.9175
8
7
6
5
4
3
2
1
0
−8
−6
−4
−2
0
2
4
6
8

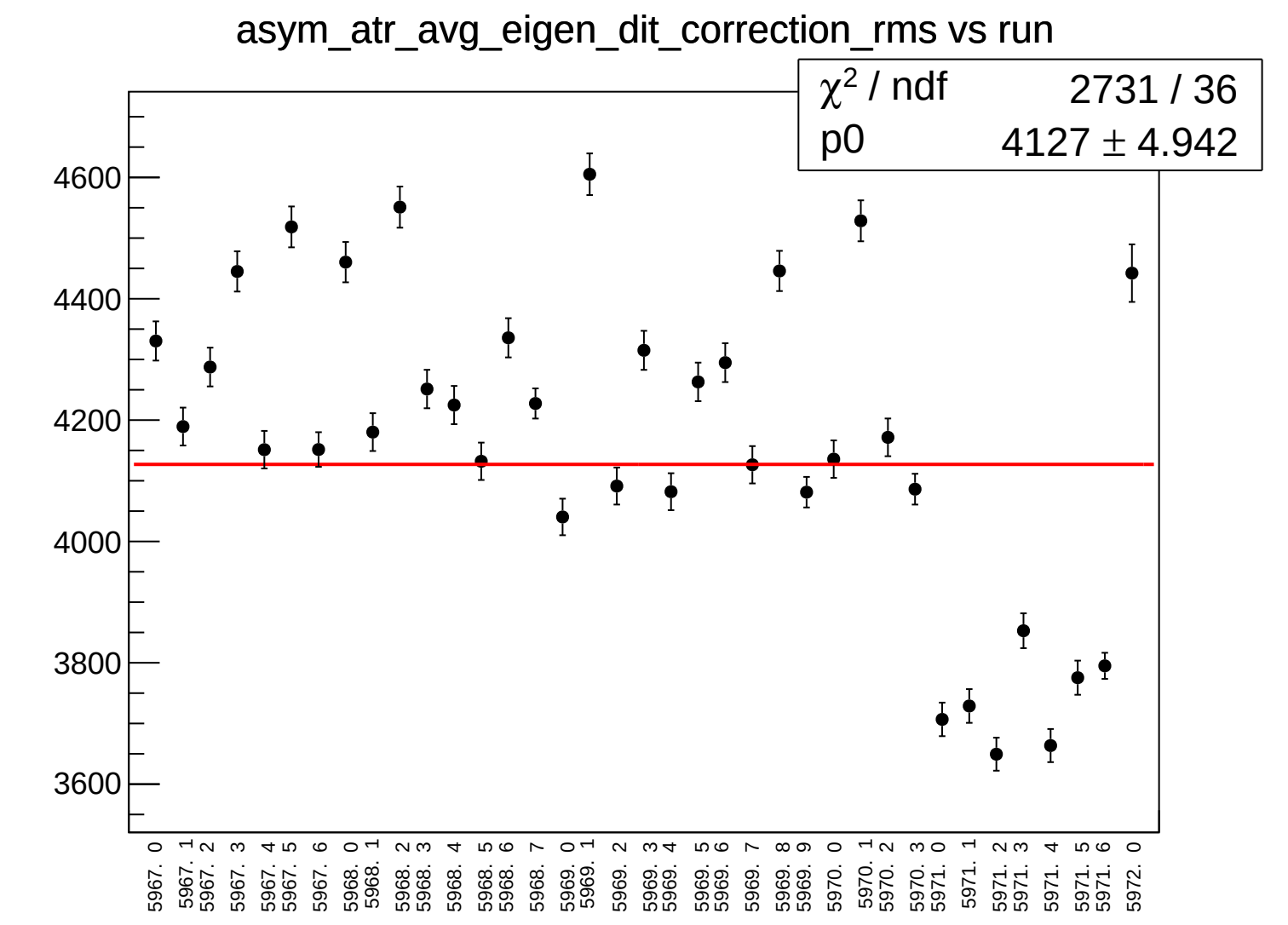
asym_atr_avg_eigen_dit_correction_rms vs run
χ² / ndf 2731 / 36
p0 4127 ± 4.942
4600
4400
4200
4000
3800
3600
5967. 0
5967. 1
5967. 2
5967. 3
5967. 4
5967. 5
5967. 6
5968. 0
5968. 1
5968. 2
5968. 3
5968. 4
5968. 5
5968. 6
5968. 7
5969. 0
5969. 1
5969. 2
5969. 3
5969. 4
5969. 5
5969. 6
5969. 7
5969. 8
5969. 9
5970. 0
5970. 1
5970. 2
5970. 3
5971. 0
5971. 1
5971. 2
5971. 3
5971. 4
5971. 5
5971. 6
5972. 0

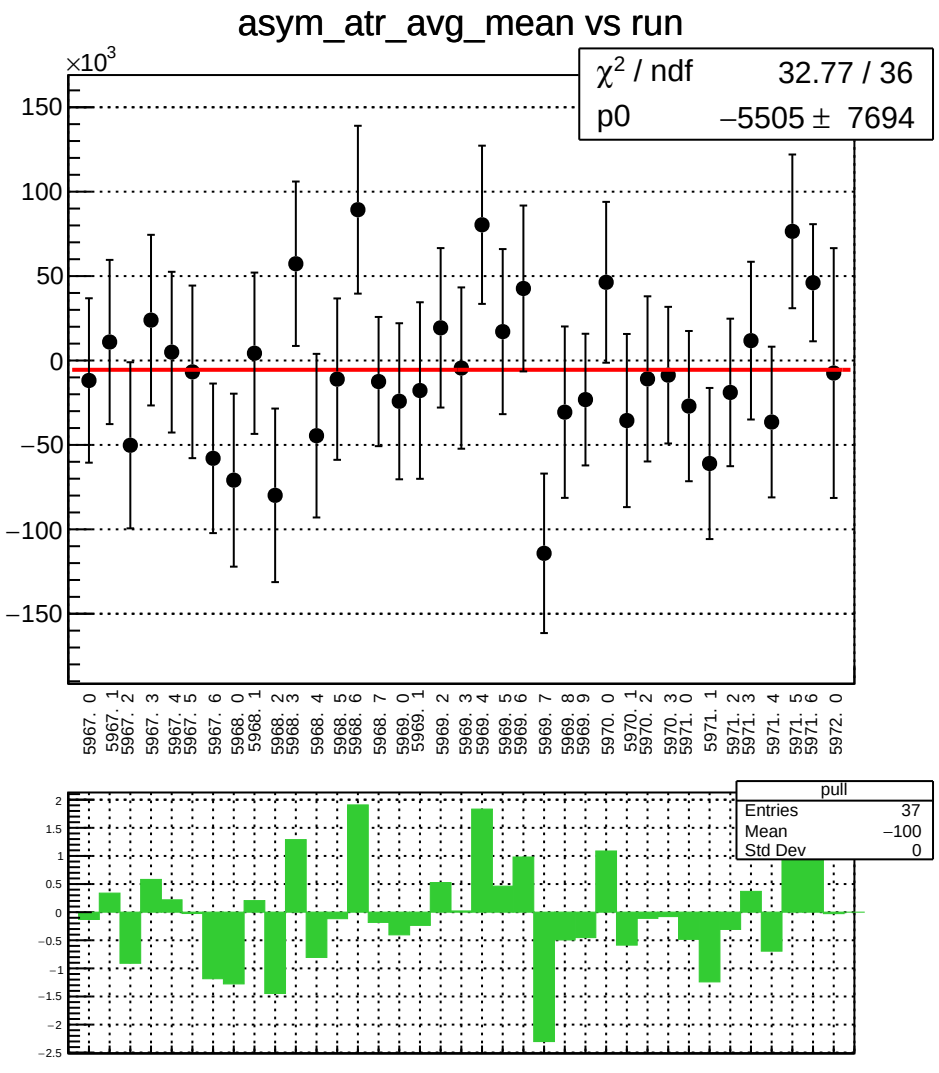
asym_atr_avg_mean vs run
×10^3
χ² / ndf 32.77 / 36
p0 −5505 ± 7694
150
100
50
0
−50
−100
−150
5967. 0
5967. 1
5967. 2
5967. 3
5967. 4
5967. 5
5967. 6
5968. 0
5968. 1
5968. 2
5968. 3
5968. 4
5968. 5
5968. 6
5968. 7
5969. 0
5969. 1
5969. 2
5969. 3
5969. 4
5969. 5
5969. 6
5969. 7
5969. 8
5969. 9
5970. 0
5970. 1
5970. 2
5970. 3
5971. 0
5971. 1
5971. 2
5971. 3
5971. 4
5971. 5
5971. 6
5972. 0
pull
Entries 37
Mean −100
Std Dev 0
2
1.5
1
0.5
0
−0.5
−1
−1.5
−2
−2.5

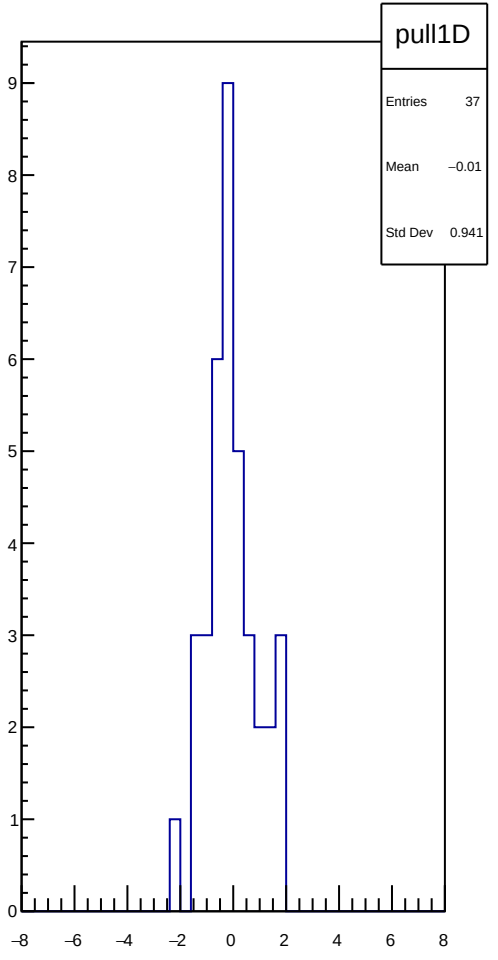
pull1D
Entries 37
Mean −0.01
Std Dev 0.941
9
8
7
6
5
4
3
2
1
0
−8
−6
−4
−2
0
2
4
6
8

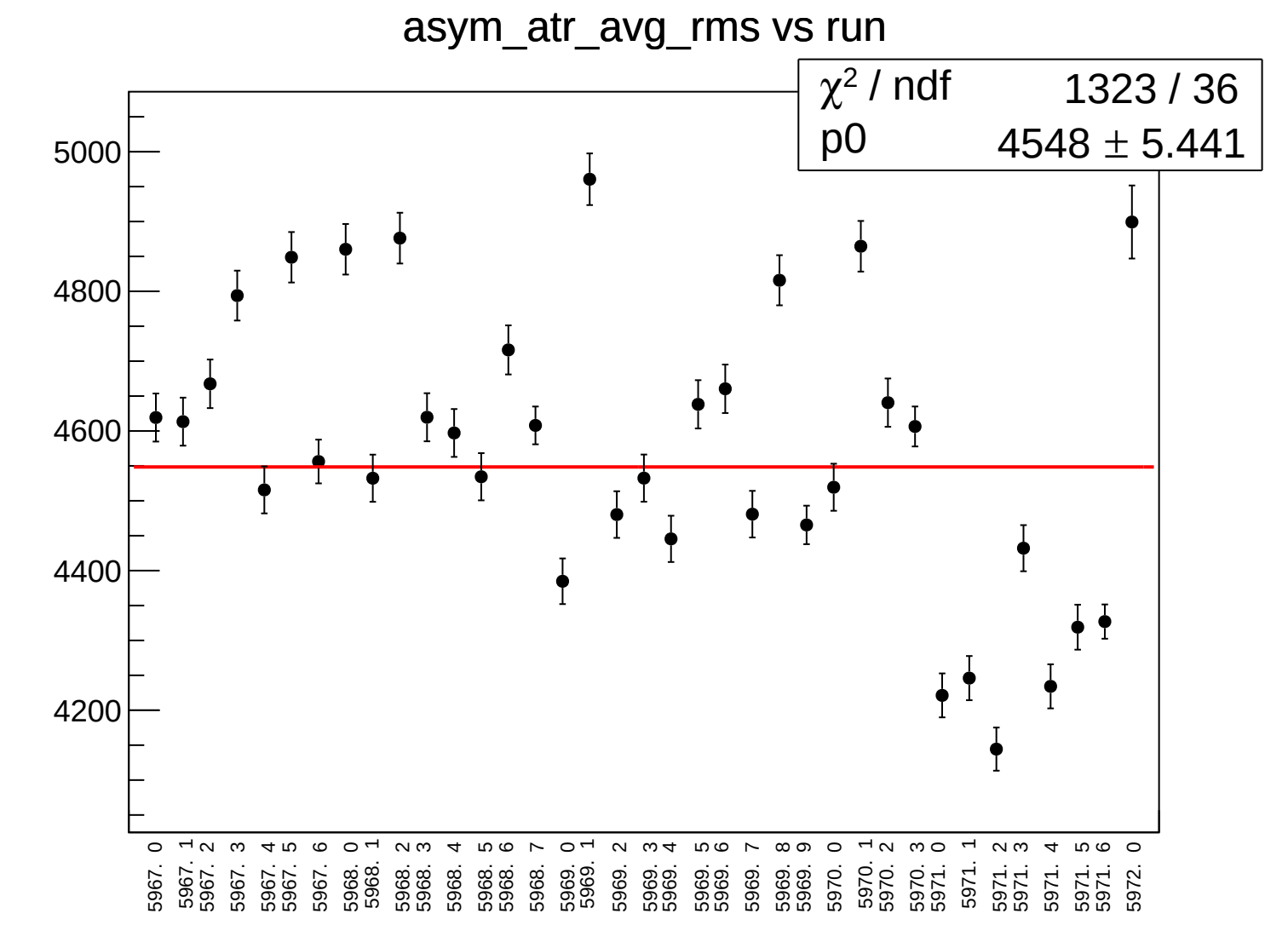
asym_atr_avg_rms vs run
χ^2 / ndf 1323 / 36
p0 4548 ± 5.441
5000
4800
4600
4400
4200
5967. 0
5967. 1
5967. 2
5967. 3
5967. 4
5967. 5
5967. 6
5968. 0
5968. 1
5968. 2
5968. 3
5968. 4
5968. 5
5968. 6
5968. 7
5969. 0
5969. 1
5969. 2
5969. 3
5969. 4
5969. 5
5969. 6
5969. 7
5969. 8
5969. 9
5970. 0
5970. 1
5970. 2
5970. 3
5971. 0
5971. 1
5971. 2
5971. 3
5971. 4
5971. 5
5971. 6
5972. 0

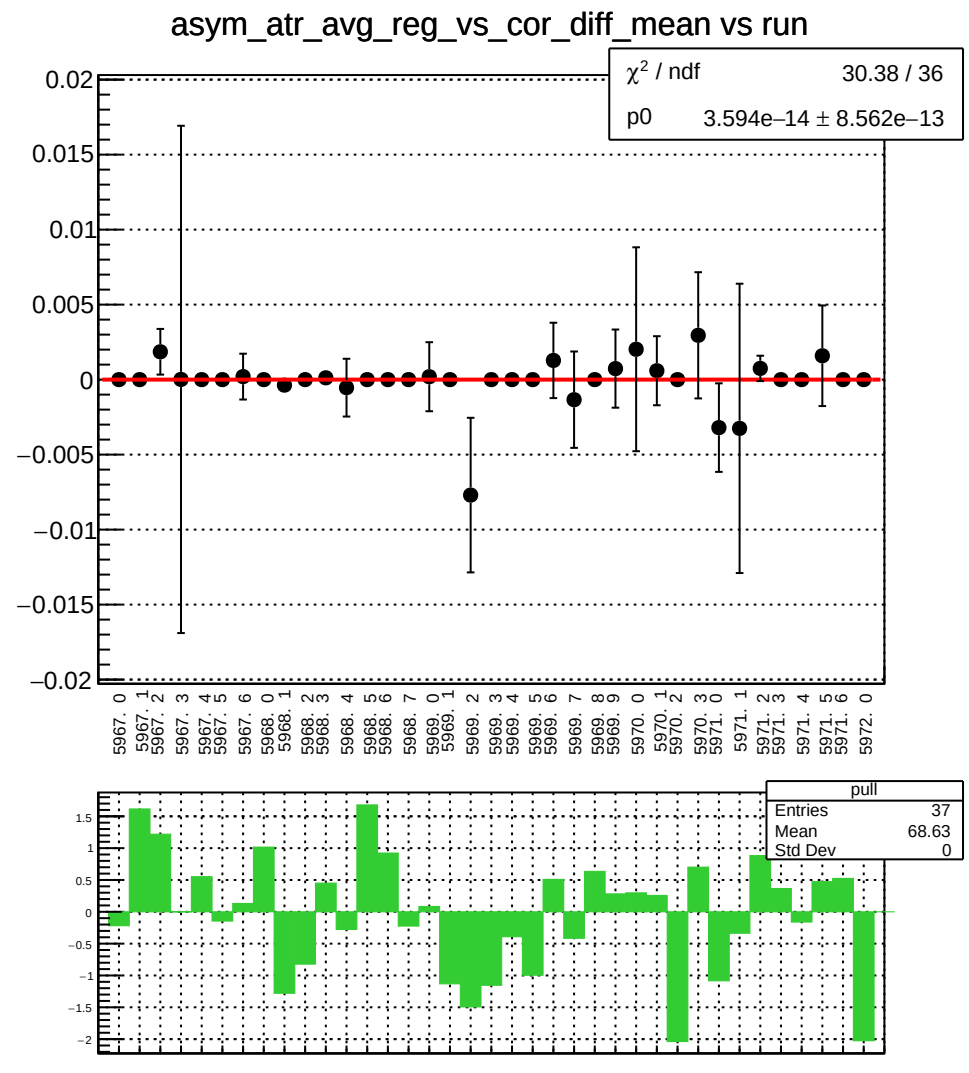
asym_atr_avg_reg_vs_cor_diff_mean vs run
χ² / ndf 30.38 / 36
p0 3.594e−14 ± 8.562e−13
pull
Entries 37
Mean 68.63
Std Dev 0
pull1D
Entries 37
Mean −0.04311
Std Dev 0.9052

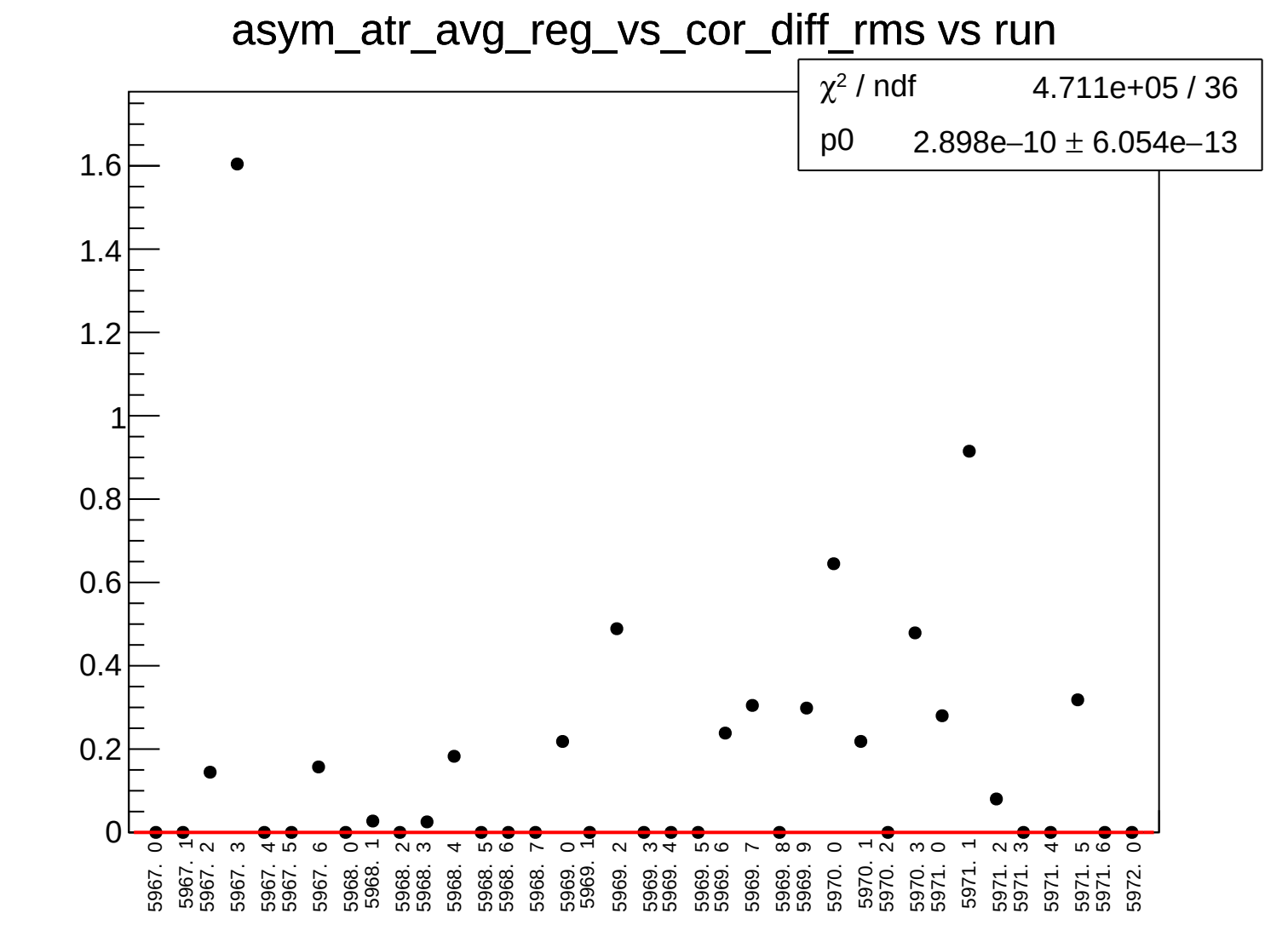
asym_atr_avg_reg_vs_cor_diff_rms vs run
χ² / ndf 4.711e+05 / 36
p0 2.898e−10 ± 6.054e−13
1.6
1.4
1.2
1
0.8
0.6
0.4
0.2
0
5967. 0
5967. 1
5967. 2
5967. 3
5967. 4
5967. 5
5967. 6
5968. 0
5968. 1
5968. 2
5968. 3
5968. 4
5968. 5
5968. 6
5968. 7
5969. 0
5969. 1
5969. 2
5969. 3
5969. 4
5969. 5
5969. 6
5969. 7
5969. 8
5969. 9
5970. 0
5970. 1
5970. 2
5970. 3
5971. 0
5971. 1
5971. 2
5971. 3
5971. 4
5971. 5
5971. 6
5972. 0

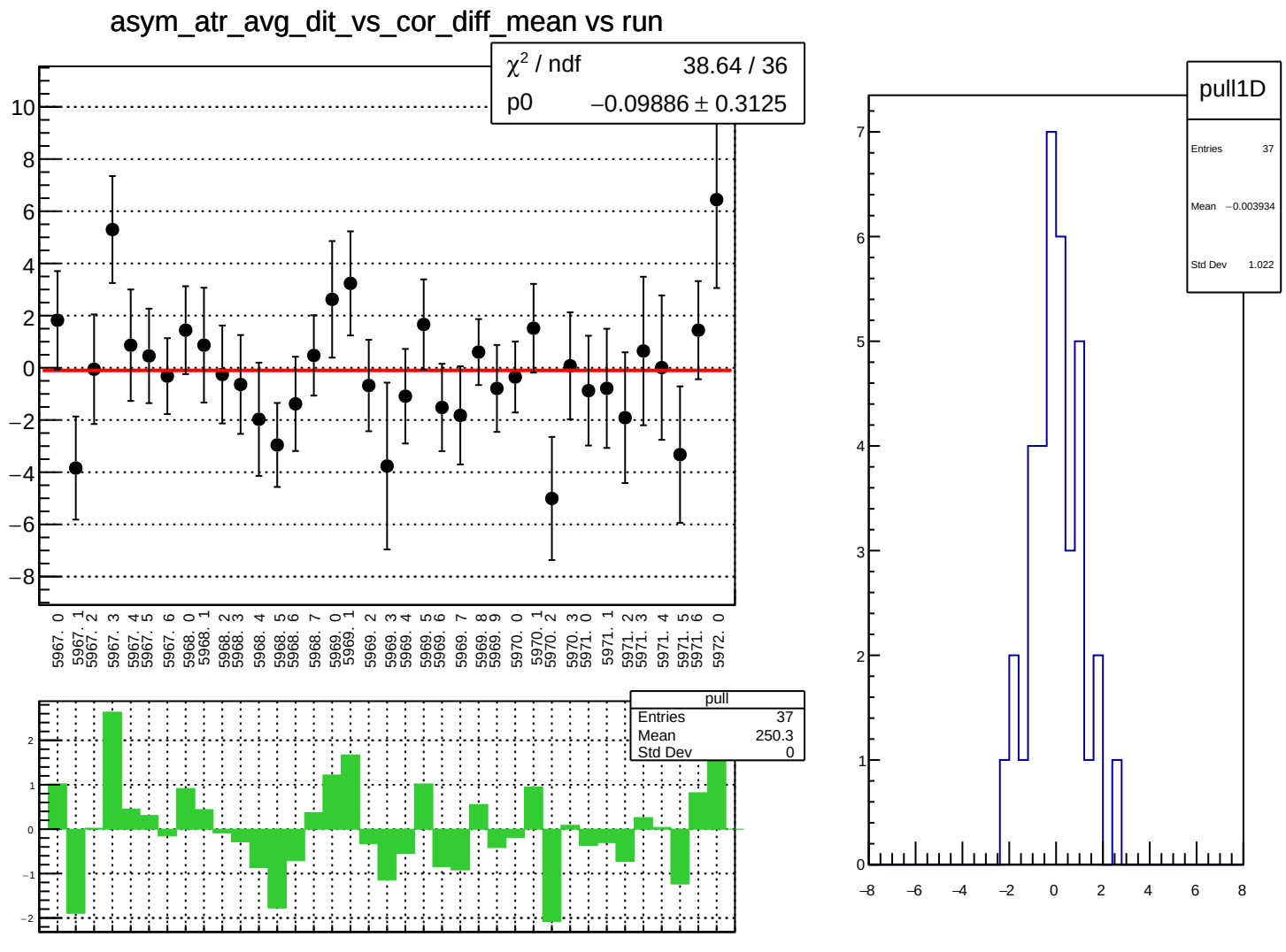
asym_atr_avg_dit_vs_cor_diff_mean vs run
χ² / ndf 38.64 / 36
p0 −0.09886 ± 0.3125
pull
Entries 37
Mean 250.3
Std Dev 0
pull1D
Entries 37
Mean −0.003934
Std Dev 1.022

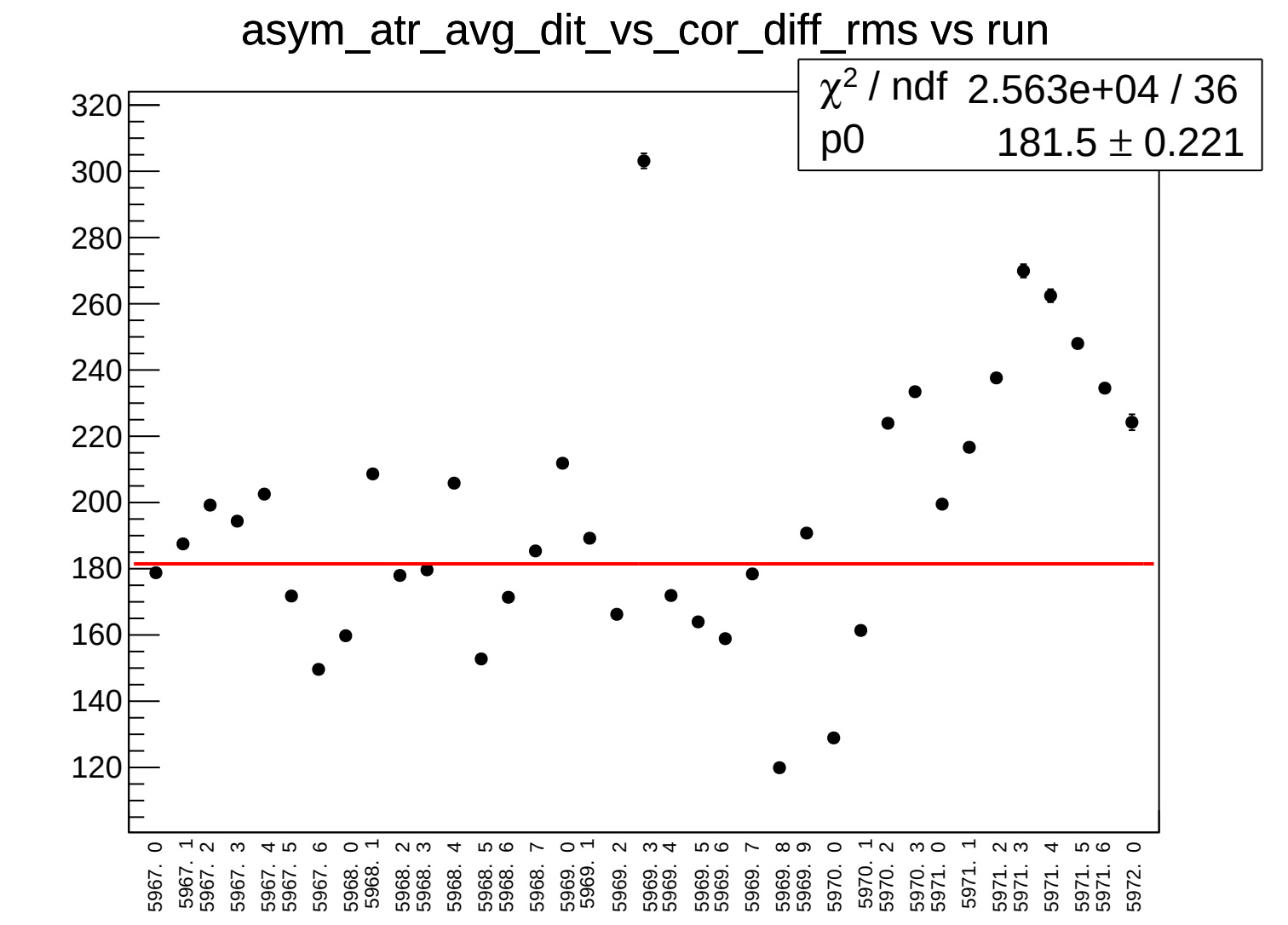
asym_atr_avg_dit_vs_cor_diff_rms vs run
χ² / ndf 2.563e+04 / 36
p0 181.5 ± 0.221
320
300
280
260
240
220
200
180
160
140
120
5967. 0
5967. 1
5967. 2
5967. 3
5967. 4
5967. 5
5967. 6
5968. 0
5968. 1
5968. 2
5968. 3
5968. 4
5968. 5
5968. 6
5968. 7
5969. 0
5969. 1
5969. 2
5969. 3
5969. 4
5969. 5
5969. 6
5969. 7
5969. 8
5969. 9
5970. 0
5970. 1
5970. 2
5970. 3
5971. 0
5971. 1
5971. 2
5971. 3
5971. 4
5971. 5
5971. 6
5972. 0

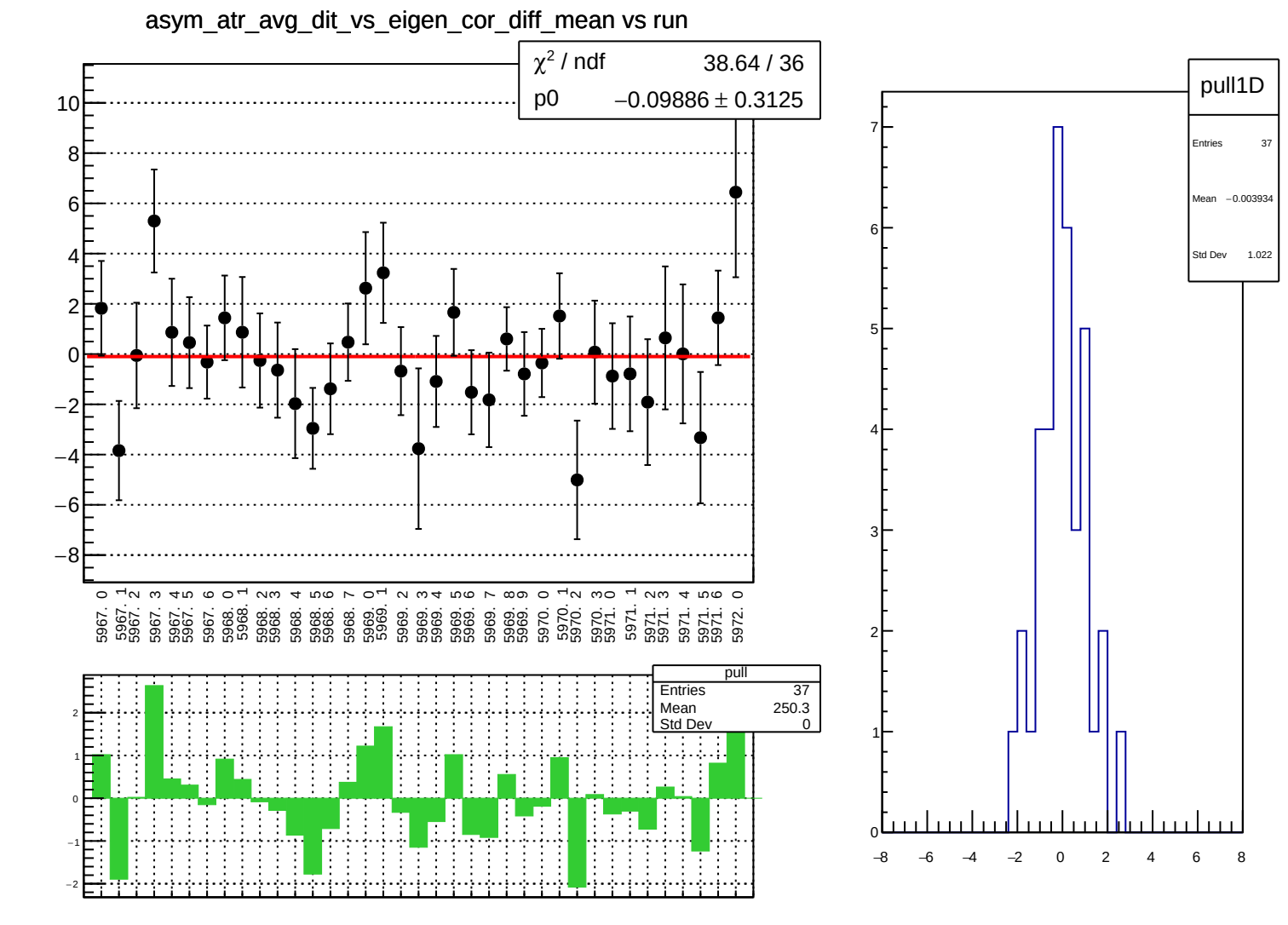
asym_atr_avg_dit_vs_eigen_cor_diff_mean vs run
χ² / ndf 38.64 / 36
p0 −0.09886 ± 0.3125
pull
Entries 37
Mean 250.3
Std Dev 0
pull1D
Entries 37
Mean −0.003934
Std Dev 1.022

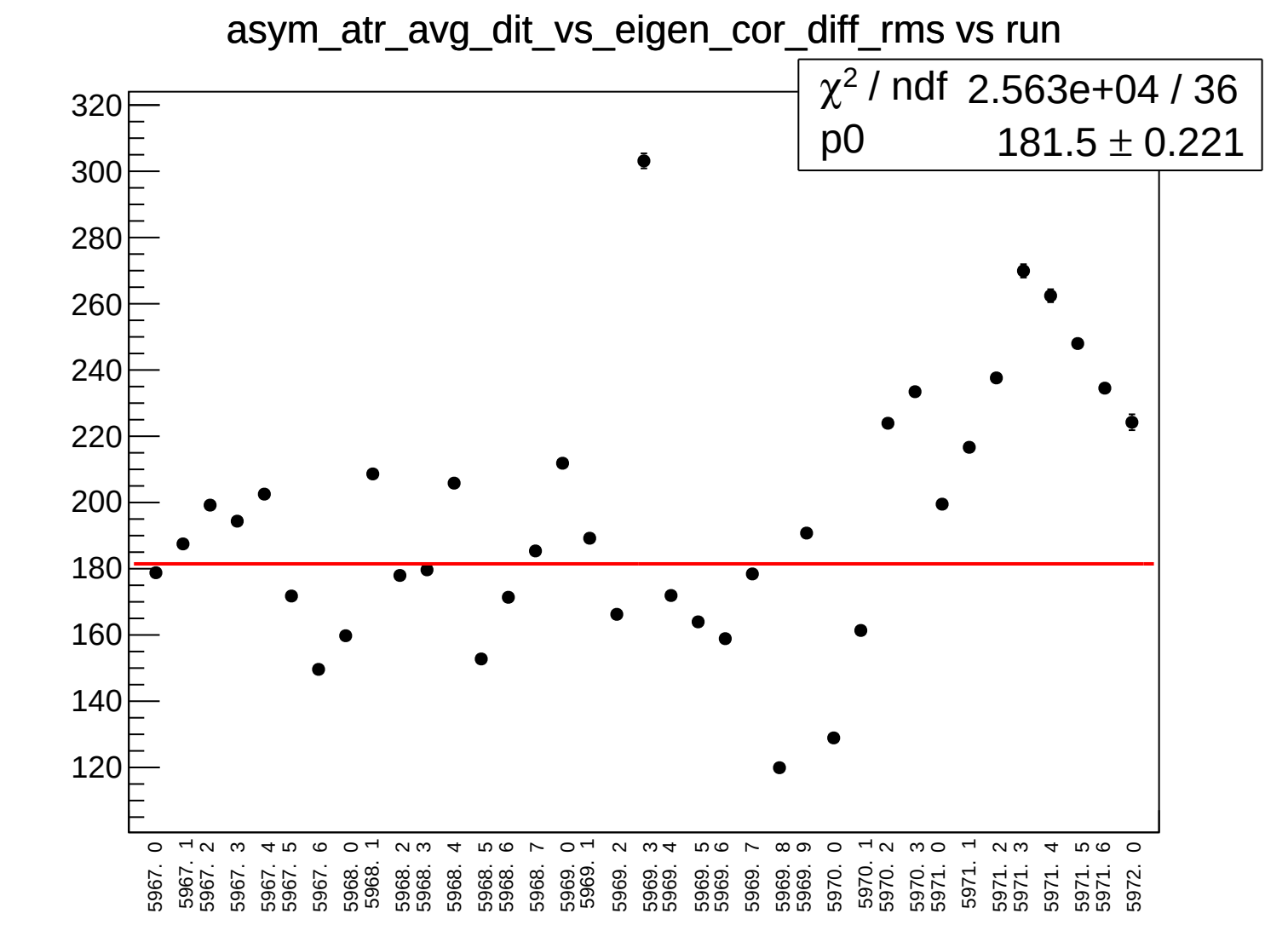
asym_atr_avg_dit_vs_eigen_cor_diff_rms vs run
χ² / ndf 2.563e+04 / 36
p0 181.5 ± 0.221
320
300
280
260
240
220
200
180
160
140
120
5967. 0
5967. 1
5967. 2
5967. 3
5967. 4
5967. 5
5967. 6
5968. 0
5968. 1
5968. 2
5968. 3
5968. 4
5968. 5
5968. 6
5968. 7
5969. 0
5969. 1
5969. 2
5969. 3
5969. 4
5969. 5
5969. 6
5969. 7
5969. 8
5969. 9
5970. 0
5970. 1
5970. 2
5970. 3
5971. 0
5971. 1
5971. 2
5971. 3
5971. 4
5971. 5
5971. 6
5972. 0

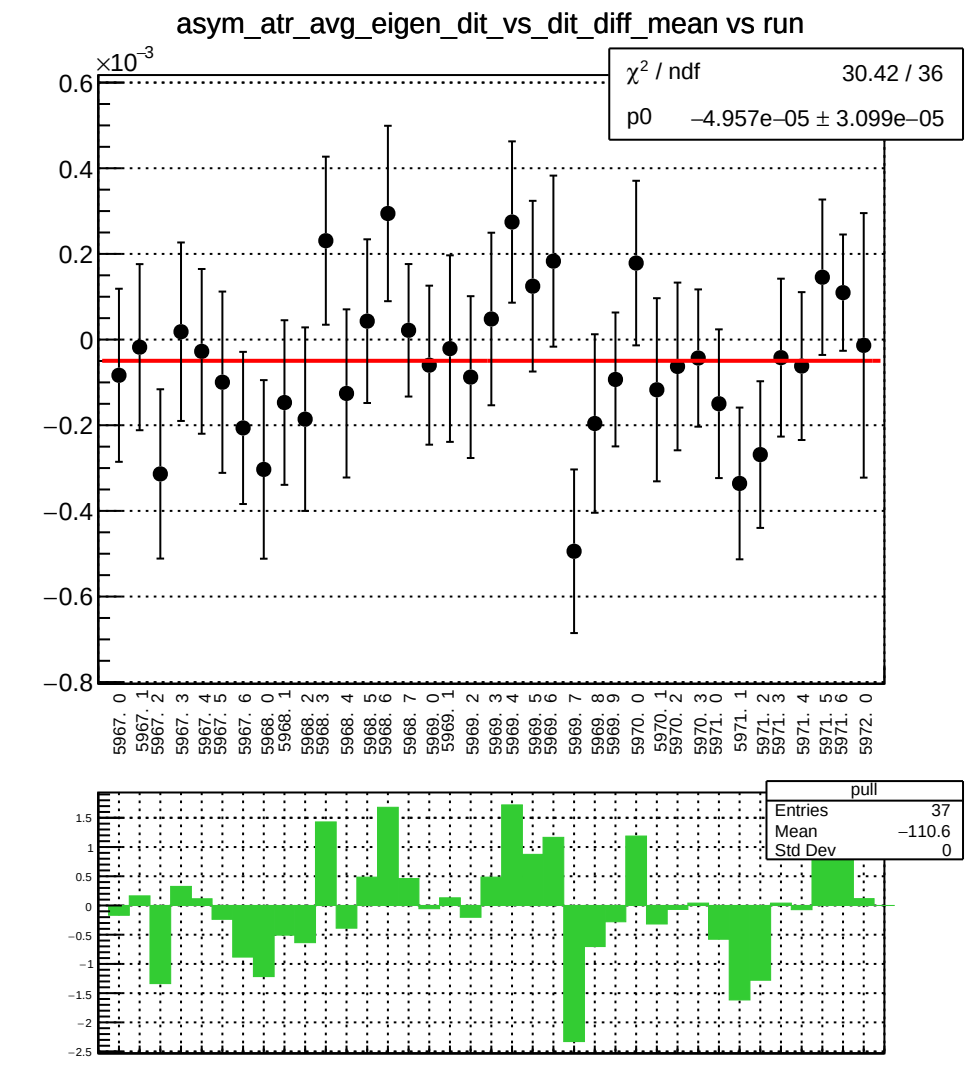
asym_atr_avg_eigen_dit_vs_dit_diff_mean vs run
×10⁻³
χ² / ndf 30.42 / 36
p0 −4.957e−05 ± 3.099e−05
pull
Entries 37
Mean −110.6
Std Dev 0

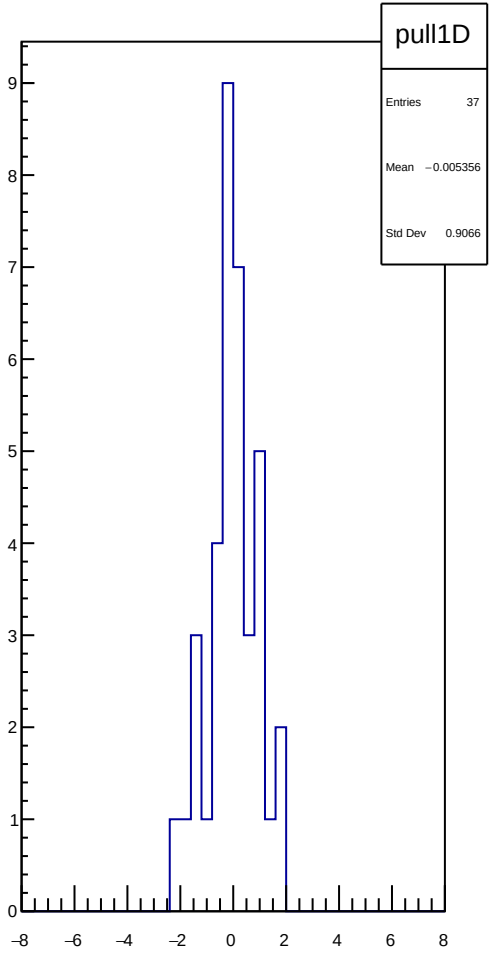
pull1D
Entries 37
Mean −0.005356
Std Dev 0.9066

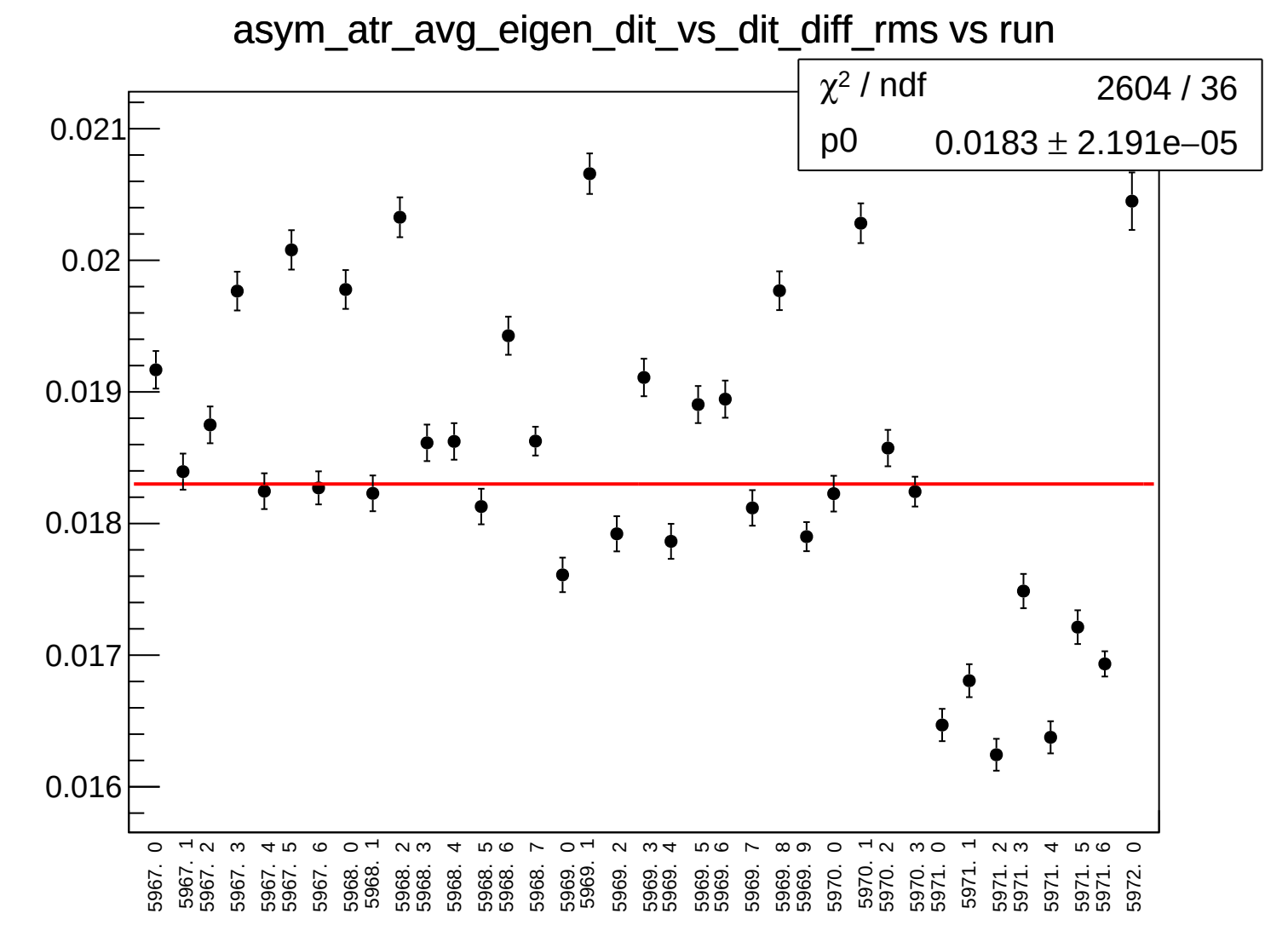
asym_atr_avg_eigen_dit_vs_dit_diff_rms vs run
χ² / ndf 2604 / 36
p0 0.0183 ± 2.191e−05
0.021
0.02
0.019
0.018
0.017
0.016
5967. 0
5967. 1
5967. 2
5967. 3
5967. 4
5967. 5
5967. 6
5968. 0
5968. 1
5968. 2
5968. 3
5968. 4
5968. 5
5968. 6
5968. 7
5969. 0
5969. 1
5969. 2
5969. 3
5969. 4
5969. 5
5969. 6
5969. 7
5969. 8
5969. 9
5970. 0
5970. 1
5970. 2
5970. 3
5971. 0
5971. 1
5971. 2
5971. 3
5971. 4
5971. 5
5971. 6
5972. 0

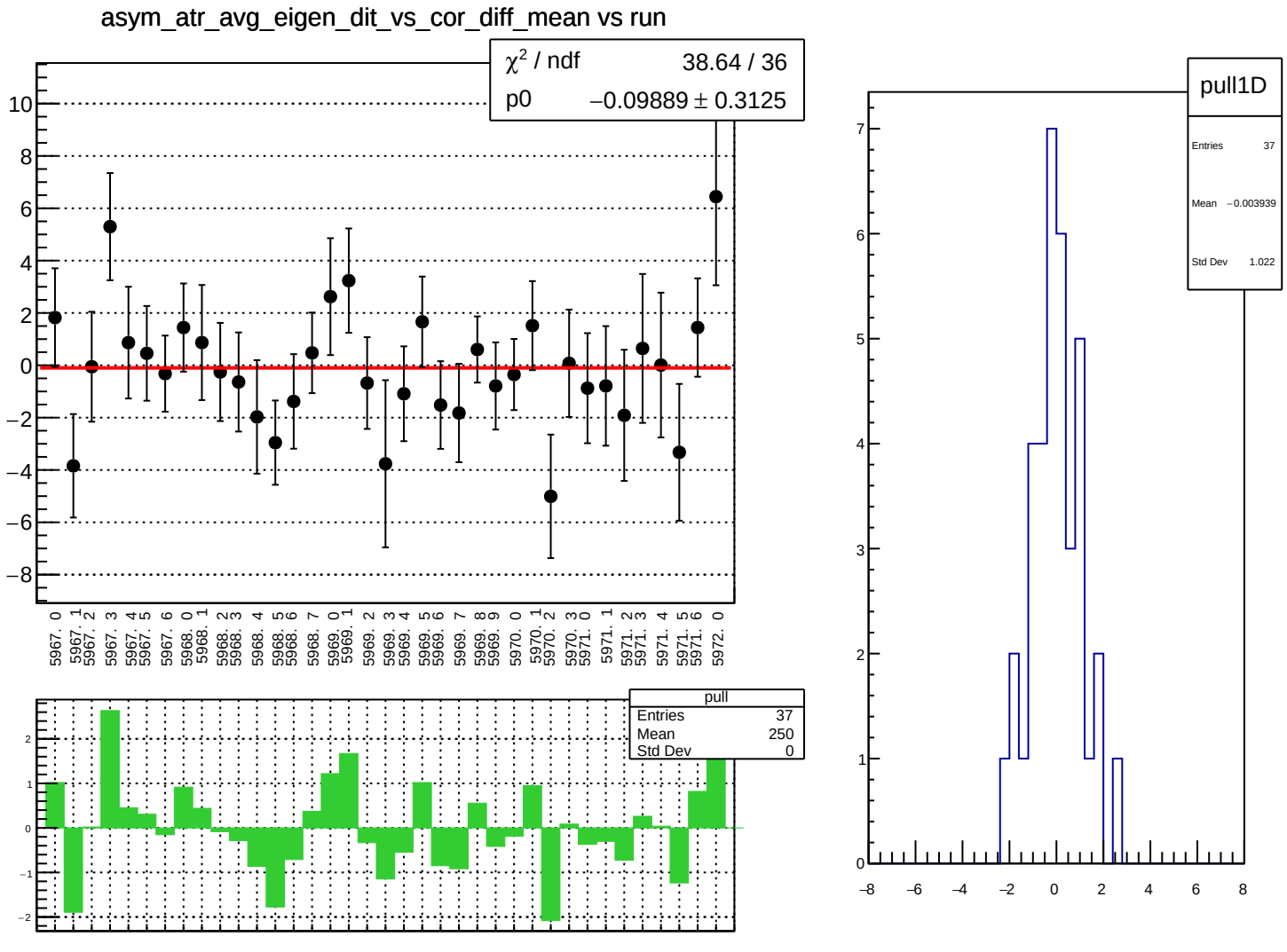
asym_atr_avg_eigen_dit_vs_cor_diff_mean vs run
χ² / ndf 38.64 / 36
p0 −0.09889 ± 0.3125
pull
Entries 37
Mean 250
Std Dev 0
pull1D
Entries 37
Mean −0.003939
Std Dev 1.022

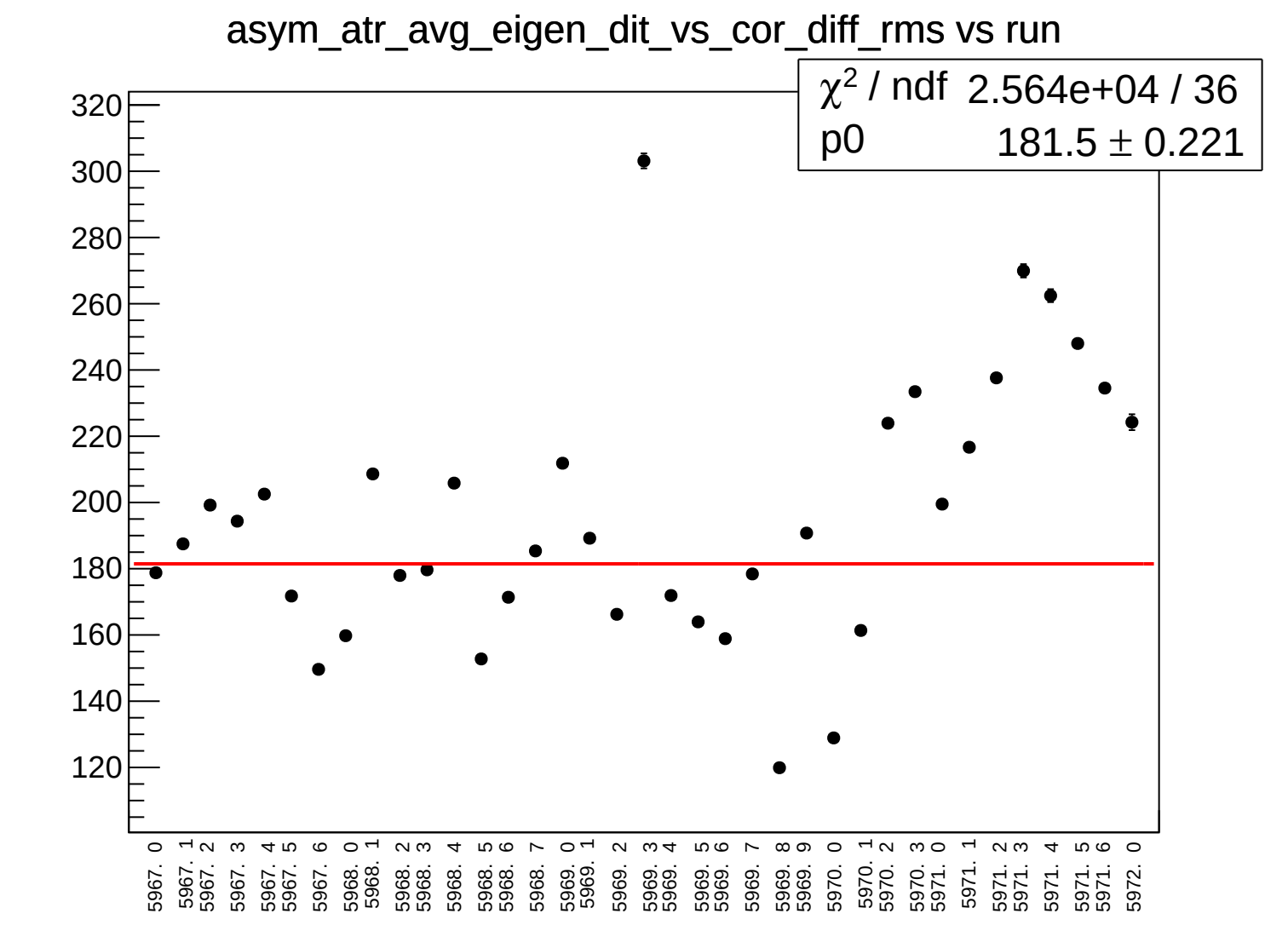
asym_atr_avg_eigen_dit_vs_cor_diff_rms vs run
χ² / ndf 2.564e+04 / 36
p0 181.5 ± 0.221
320
300
280
260
240
220
200
180
160
140
120
5967. 0
5967. 1
5967. 2
5967. 3
5967. 4
5967. 5
5967. 6
5968. 0
5968. 1
5968. 2
5968. 3
5968. 4
5968. 5
5968. 6
5968. 7
5969. 0
5969. 1
5969. 2
5969. 3
5969. 4
5969. 5
5969. 6
5969. 7
5969. 8
5969. 9
5970. 0
5970. 1
5970. 2
5970. 3
5971. 0
5971. 1
5971. 2
5971. 3
5971. 4
5971. 5
5971. 6
5972. 0

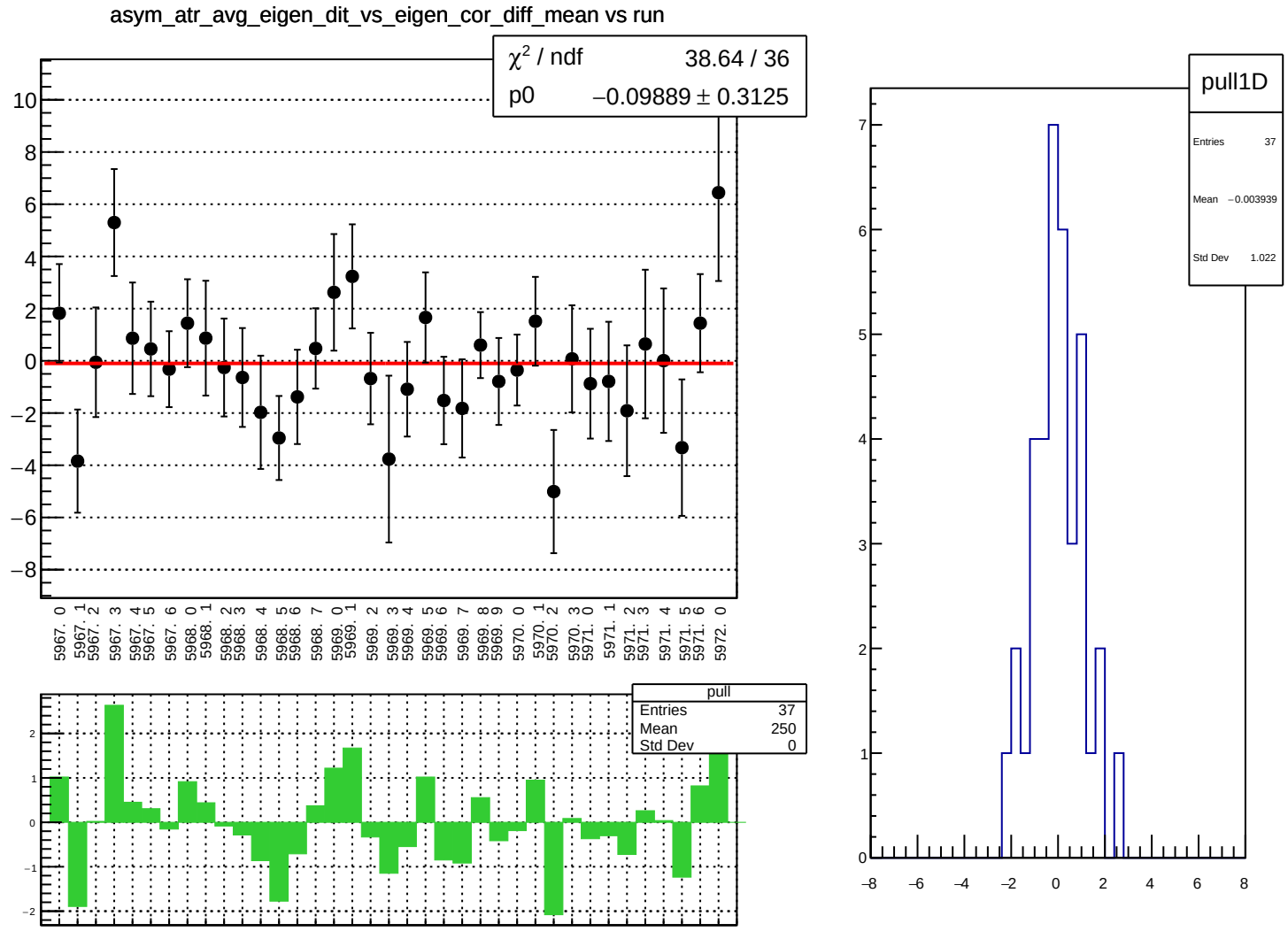
asym_atr_avg_eigen_dit_vs_eigen_cor_diff_mean vs run
χ² / ndf 38.64 / 36
p0 −0.09889 ± 0.3125
pull
Entries 37
Mean 250
Std Dev 0
pull1D
Entries 37
Mean −0.003939
Std Dev 1.022

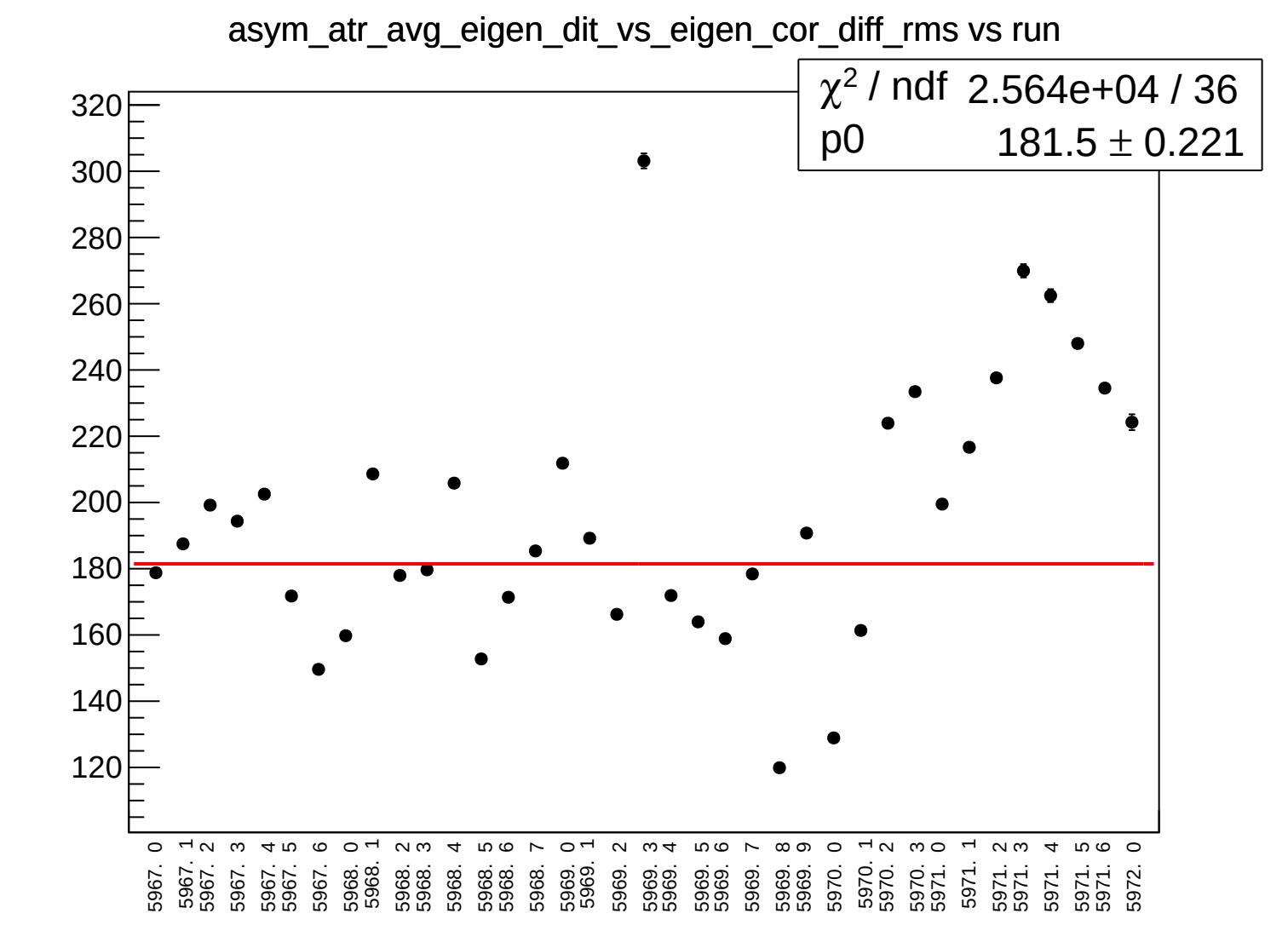
asym_atr_avg_eigen_dit_vs_eigen_cor_diff_rms vs run
χ² / ndf 2.564e+04 / 36
p0 181.5 ± 0.221
320
300
280
260
240
220
200
180
160
140
120
5967. 0
5967. 1
5967. 2
5967. 3
5967. 4
5967. 5
5967. 6
5968. 0
5968. 1
5968. 2
5968. 3
5968. 4
5968. 5
5968. 6
5968. 7
5969. 0
5969. 1
5969. 2
5969. 3
5969. 4
5969. 5
5969. 6
5969. 7
5969. 8
5969. 9
5970. 0
5970. 1
5970. 2
5970. 3
5971. 0
5971. 1
5971. 2
5971. 3
5971. 4
5971. 5
5971. 6
5972. 0

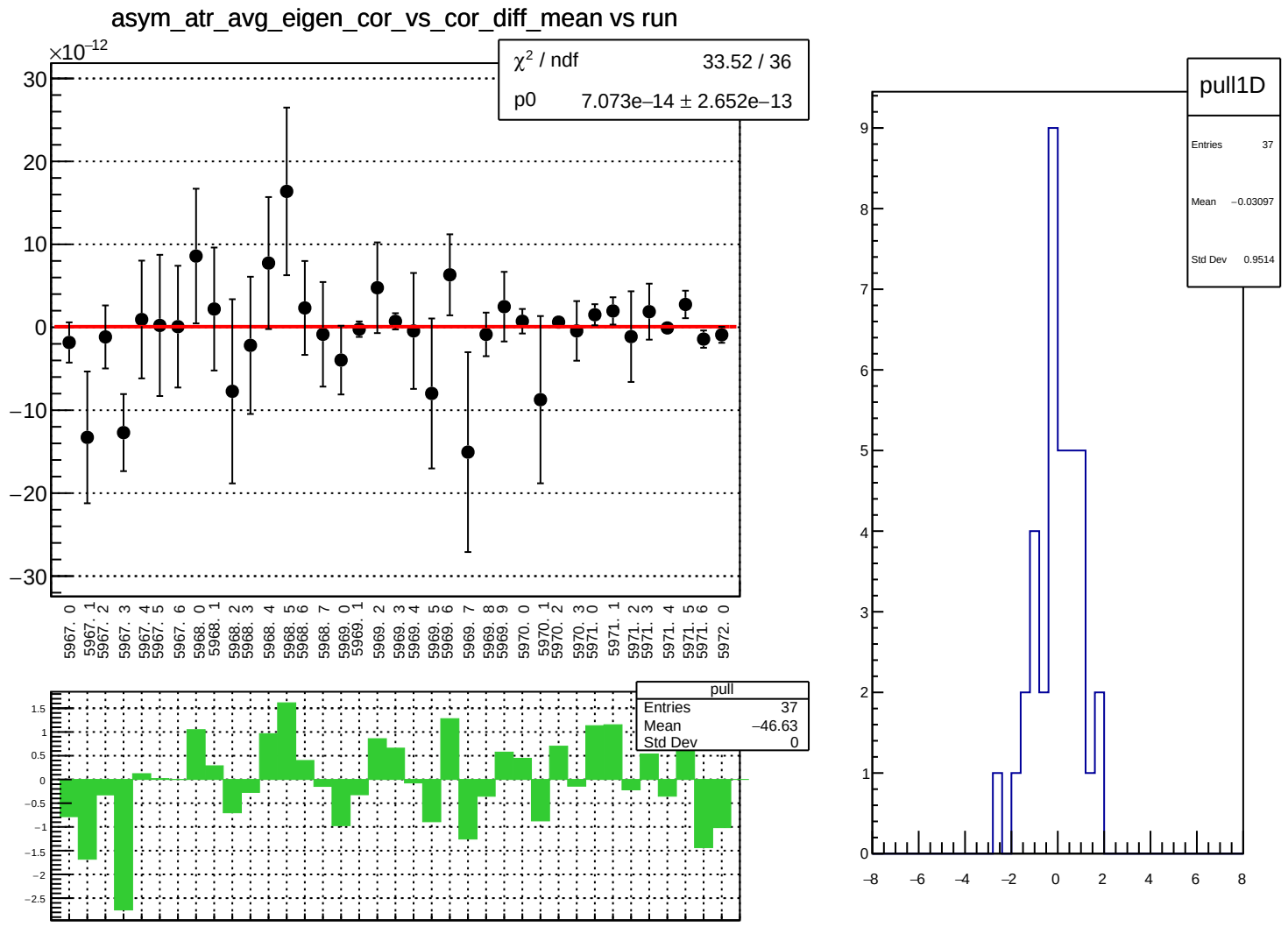
asym_atr_avg_eigen_cor_vs_cor_diff_mean vs run
×10⁻¹²
χ² / ndf 33.52 / 36
p0 7.073e−14 ± 2.652e−13
30
20
10
0
−10
−20
−30
5967. 0
5967. 1
5967. 2
5967. 3
5967. 4
5967. 5
5967. 6
5968. 0
5968. 1
5968. 2
5968. 3
5968. 4
5968. 5
5968. 6
5968. 7
5969. 0
5969. 1
5969. 2
5969. 3
5969. 4
5969. 5
5969. 6
5969. 7
5969. 8
5969. 9
5970. 0
5970. 1
5970. 2
5970. 3
5971. 0
5971. 1
5971. 2
5971. 3
5971. 4
5971. 5
5971. 6
5972. 0
pull
Entries 37
Mean −46.63
Std Dev 0
1.5
1
0.5
0
−0.5
−1
−1.5
−2
−2.5
pull1D
Entries 37
Mean −0.03097
Std Dev 0.9514
9
8
7
6
5
4
3
2
1
0
−8
−6
−4
−2
0
2
4
6
8

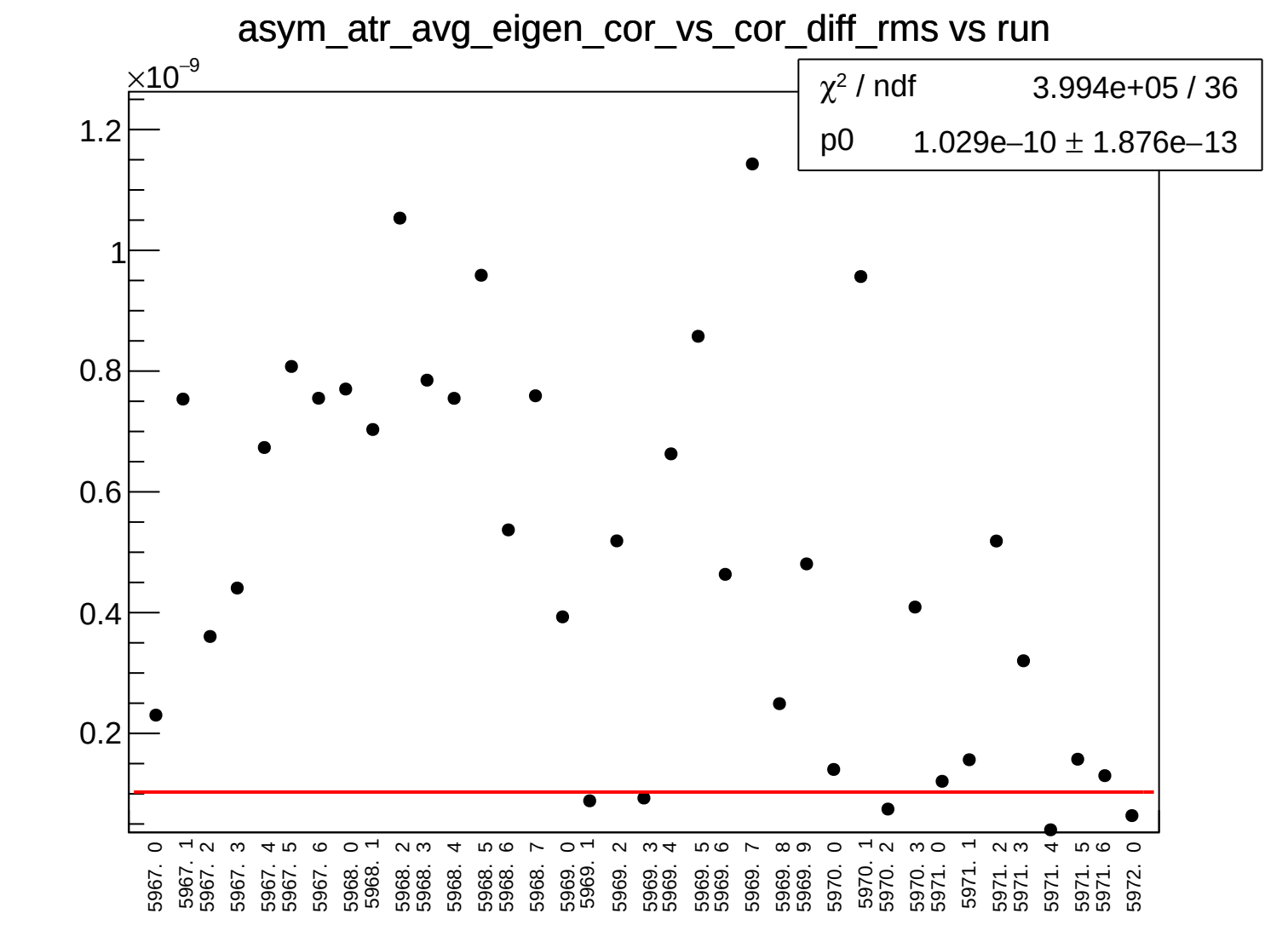
asym_atr_avg_eigen_cor_vs_cor_diff_rms vs run
×10⁻⁹
χ² / ndf 3.994e+05 / 36
p0 1.029e−10 ± 1.876e−13
1.2
1
0.8
0.6
0.4
0.2
5967. 0
5967. 1
5967. 2
5967. 3
5967. 4
5967. 5
5967. 6
5968. 0
5968. 1
5968. 2
5968. 3
5968. 4
5968. 5
5968. 6
5968. 7
5969. 0
5969. 1
5969. 2
5969. 3
5969. 4
5969. 5
5969. 6
5969. 7
5969. 8
5969. 9
5970. 0
5970. 1
5970. 2
5970. 3
5971. 0
5971. 1
5971. 2
5971. 3
5971. 4
5971. 5
5971. 6
5972. 0

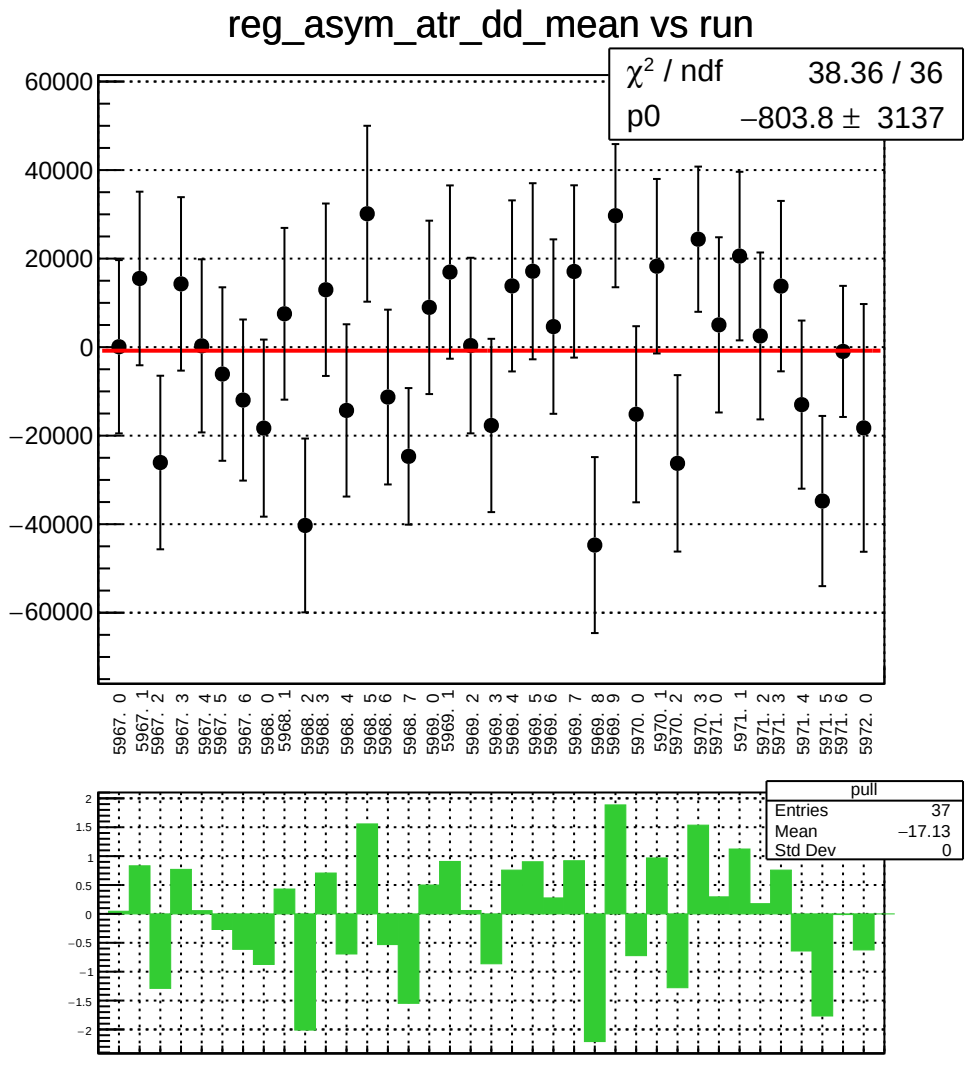
reg_asym_atr_dd_mean vs run
χ² / ndf 38.36 / 36
p0 −803.8 ± 3137
60000
40000
20000
0
−20000
−40000
−60000
5967. 0
5967. 1
5967. 2
5967. 3
5967. 4
5967. 5
5967. 6
5968. 0
5968. 1
5968. 2
5968. 3
5968. 4
5968. 5
5968. 6
5968. 7
5969. 0
5969. 1
5969. 2
5969. 3
5969. 4
5969. 5
5969. 6
5969. 7
5969. 8
5969. 9
5970. 0
5970. 1
5970. 2
5970. 3
5971. 0
5971. 1
5971. 2
5971. 3
5971. 4
5971. 5
5971. 6
5972. 0
pull
Entries 37
Mean −17.13
Std Dev 0
2
1.5
1
0.5
0
−0.5
−1
−1.5
−2

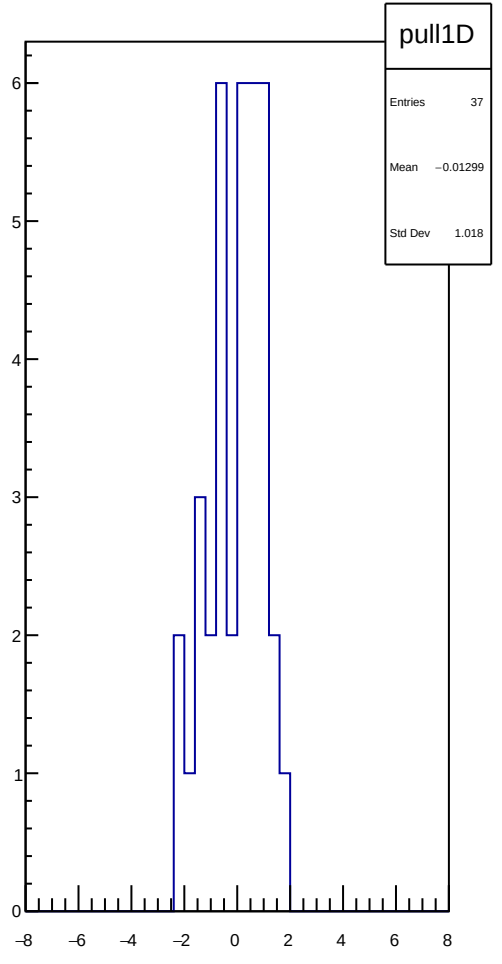
pull1D
Entries 37
Mean −0.01299
Std Dev 1.018
6
5
4
3
2
1
0
−8
−6
−4
−2
0
2
4
6
8

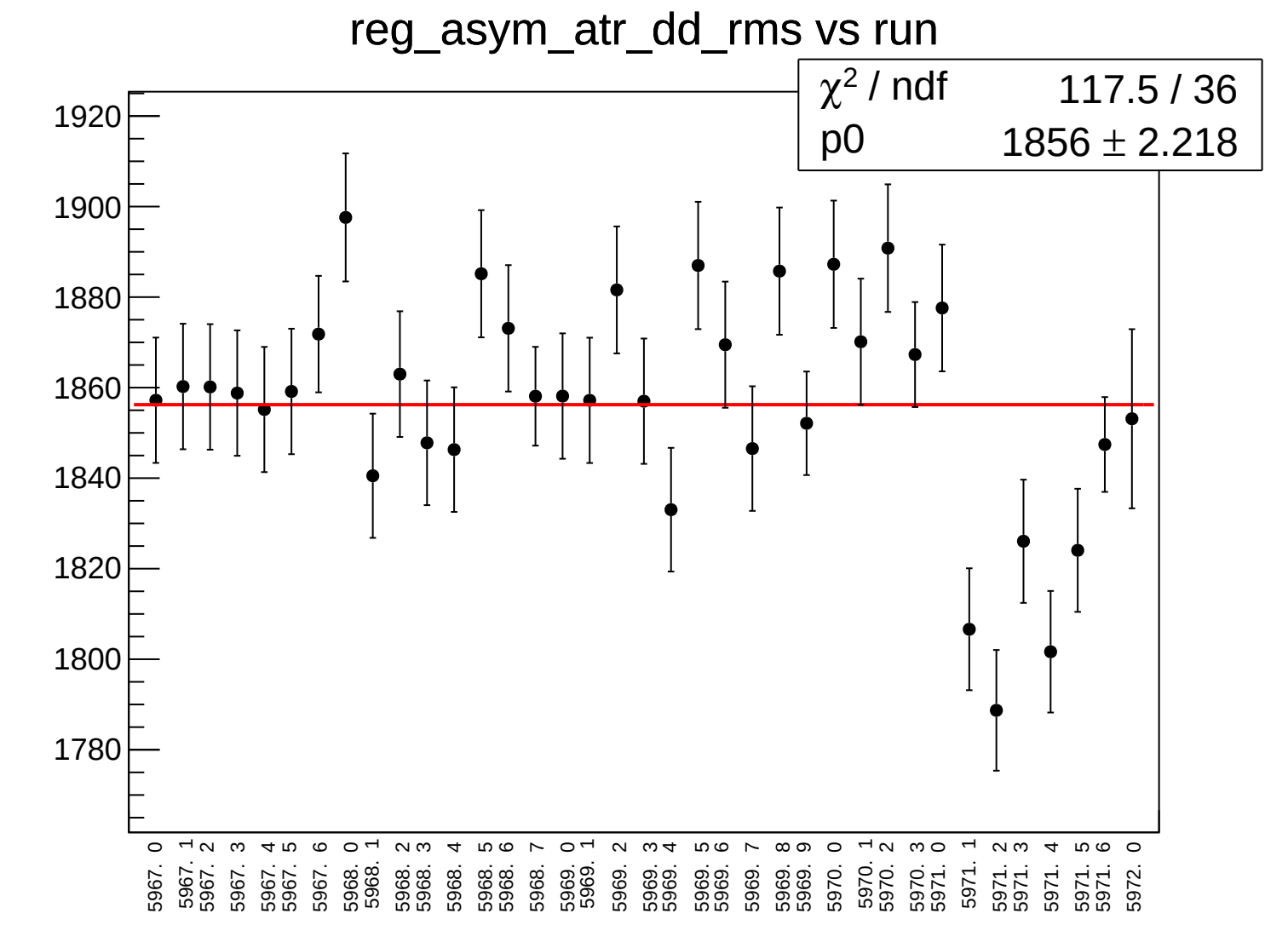
reg_asym_atr_dd_rms vs run
χ² / ndf 117.5 / 36
p0 1856 ± 2.218
1920
1900
1880
1860
1840
1820
1800
1780
5967. 0
5967. 1
5967. 2
5967. 3
5967. 4
5967. 5
5967. 6
5968. 0
5968. 1
5968. 2
5968. 3
5968. 4
5968. 5
5968. 6
5968. 7
5969. 0
5969. 1
5969. 2
5969. 3
5969. 4
5969. 5
5969. 6
5969. 7
5969. 8
5969. 9
5970. 0
5970. 1
5970. 2
5970. 3
5971. 0
5971. 1
5971. 2
5971. 3
5971. 4
5971. 5
5971. 6
5972. 0

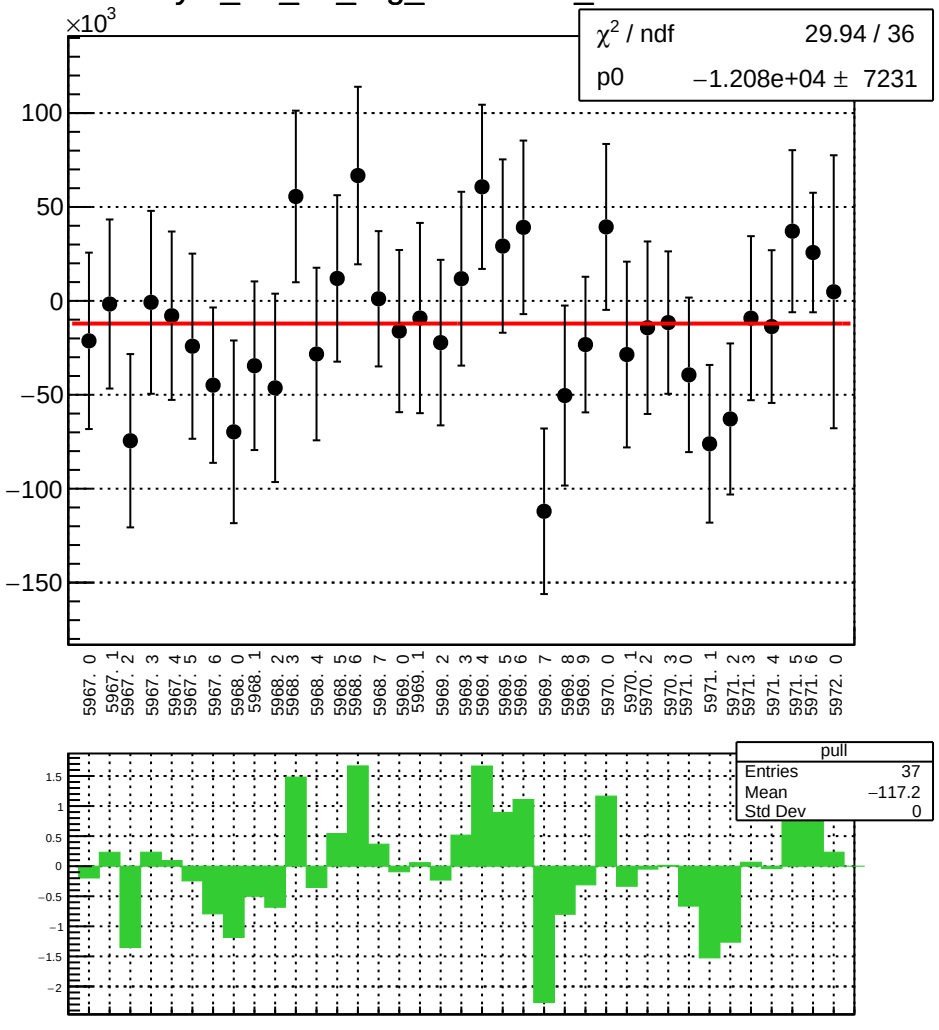
asym_atr_dd_reg_correction_mean vs run
×10^3
χ² / ndf 29.94 / 36
p0 −1.208e+04 ± 7231
100
50
0
−50
−100
−150
5967. 0
5967. 1
5967. 2
5967. 3
5967. 4
5967. 5
5967. 6
5968. 0
5968. 1
5968. 2
5968. 3
5968. 4
5968. 5
5968. 6
5968. 7
5969. 0
5969. 1
5969. 2
5969. 3
5969. 4
5969. 5
5969. 6
5969. 7
5969. 8
5969. 9
5970. 0
5970. 1
5970. 2
5970. 3
5971. 0
5971. 1
5971. 2
5971. 3
5971. 4
5971. 5
5971. 6
5972. 0
pull
Entries 37
Mean −117.2
Std Dev 0
1.5
1
0.5
0
−0.5
−1
−1.5
−2
pull1D
Entries 37
Mean −0.005829
Std Dev 0.8995
9
8
7
6
5
4
3
2
1
0
−8
−6
−4
−2
0
2
4
6
8

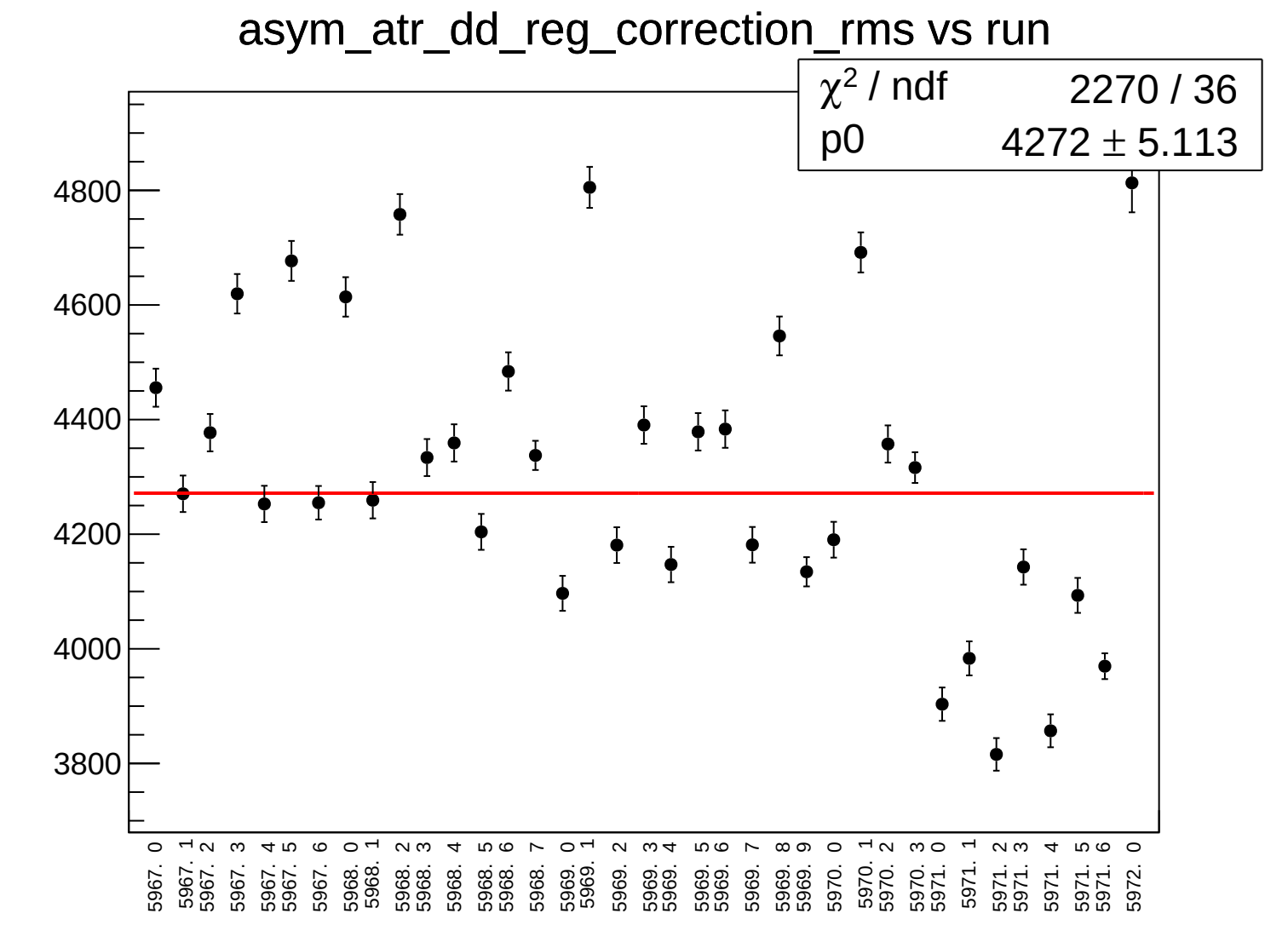
asym_atr_dd_reg_correction_rms vs run
χ² / ndf 2270 / 36
p0 4272 ± 5.113
4800
4600
4400
4200
4000
3800
5967. 0
5967. 1
5967. 2
5967. 3
5967. 4
5967. 5
5967. 6
5968. 0
5968. 1
5968. 2
5968. 3
5968. 4
5968. 5
5968. 6
5968. 7
5969. 0
5969. 1
5969. 2
5969. 3
5969. 4
5969. 5
5969. 6
5969. 7
5969. 8
5969. 9
5970. 0
5970. 1
5970. 2
5970. 3
5971. 0
5971. 1
5971. 2
5971. 3
5971. 4
5971. 5
5971. 6
5972. 0

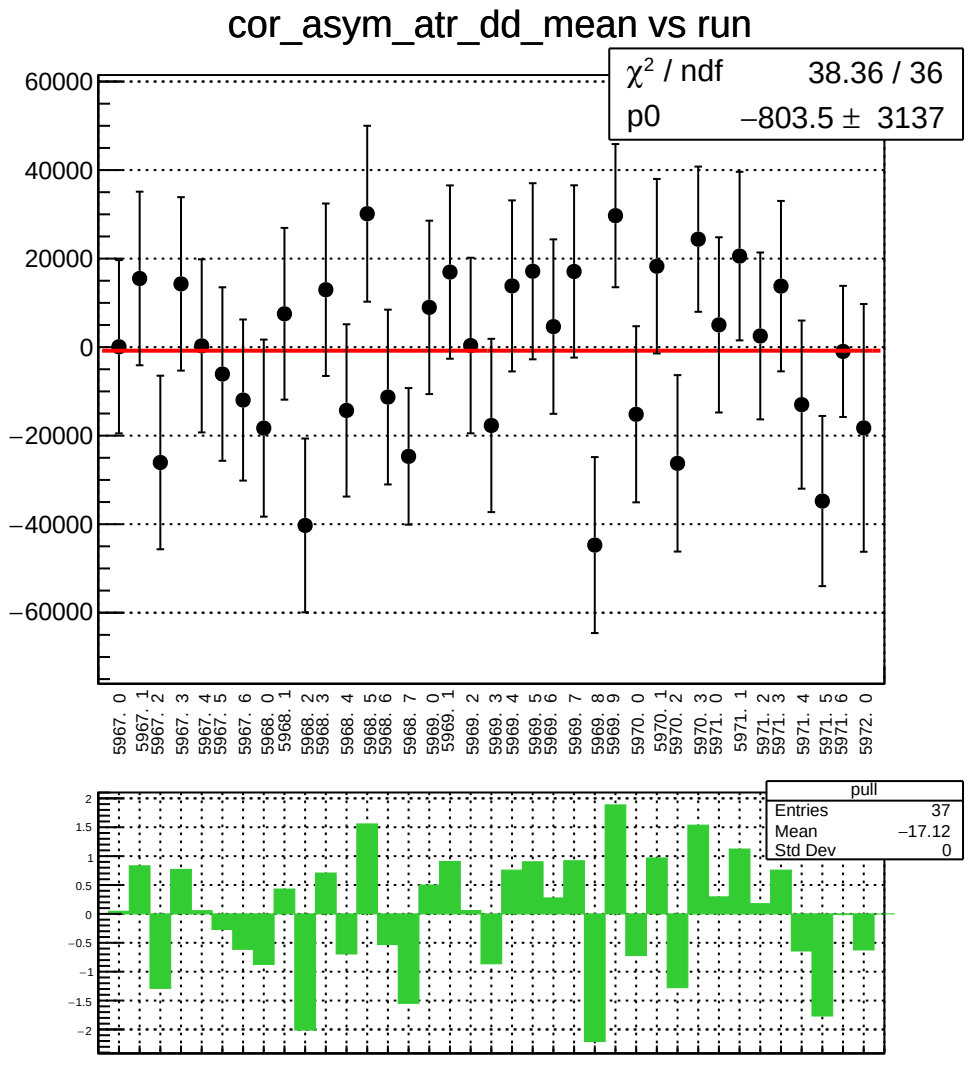
cor_asym_atr_dd_mean vs run
χ² / ndf 38.36 / 36
p0 −803.5 ± 3137
60000
40000
20000
0
−20000
−40000
−60000
5967. 0
5967. 1
5967. 2
5967. 3
5967. 4
5967. 5
5967. 6
5968. 0
5968. 1
5968. 2
5968. 3
5968. 4
5968. 5
5968. 6
5968. 7
5969. 0
5969. 1
5969. 2
5969. 3
5969. 4
5969. 5
5969. 6
5969. 7
5969. 8
5969. 9
5970. 0
5970. 1
5970. 2
5970. 3
5971. 0
5971. 1
5971. 2
5971. 3
5971. 4
5971. 5
5971. 6
5972. 0
pull
Entries 37
Mean −17.12
Std Dev 0
2
1.5
1
0.5
0
−0.5
−1
−1.5
−2

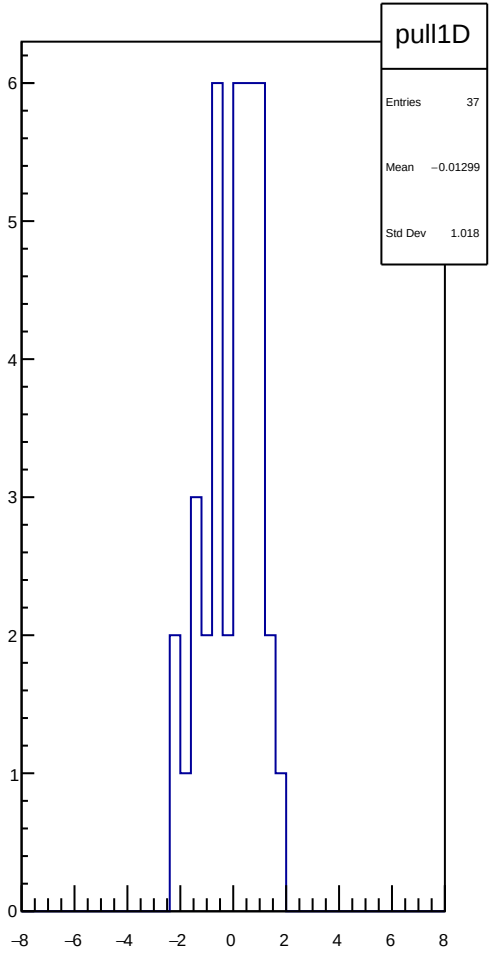
pull1D
Entries 37
Mean −0.01299
Std Dev 1.018
6
5
4
3
2
1
0
−8
−6
−4
−2
0
2
4
6
8

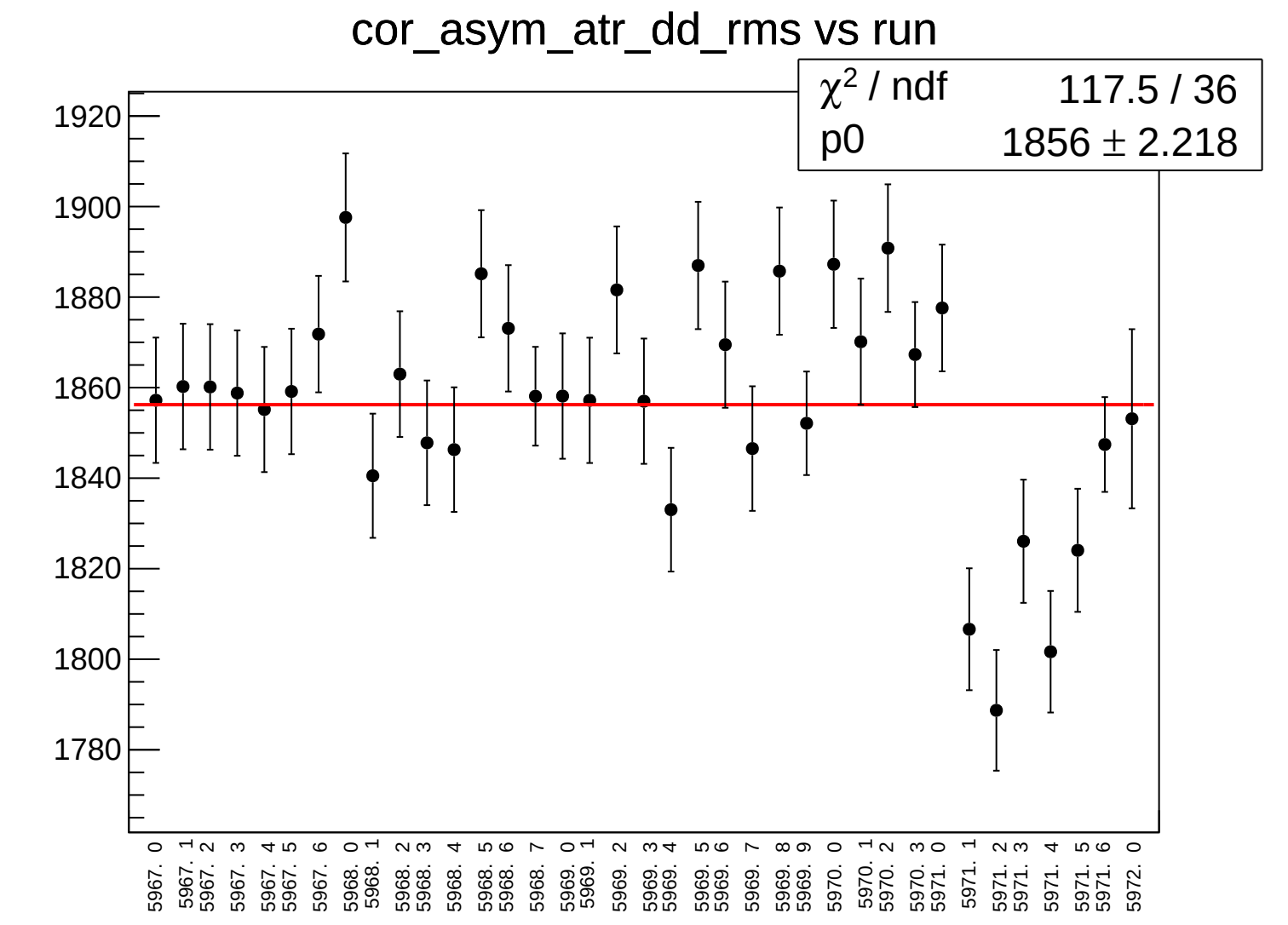
cor_asym_atr_dd_rms vs run
χ^2 / ndf 117.5 / 36
p0 1856 ± 2.218
1920
1900
1880
1860
1840
1820
1800
1780
5967. 0
5967. 1
5967. 2
5967. 3
5967. 4
5967. 5
5967. 6
5968. 0
5968. 1
5968. 2
5968. 3
5968. 4
5968. 5
5968. 6
5968. 7
5969. 0
5969. 1
5969. 2
5969. 3
5969. 4
5969. 5
5969. 6
5969. 7
5969. 8
5969. 9
5970. 0
5970. 1
5970. 2
5970. 3
5971. 0
5971. 1
5971. 2
5971. 3
5971. 4
5971. 5
5971. 6
5972. 0

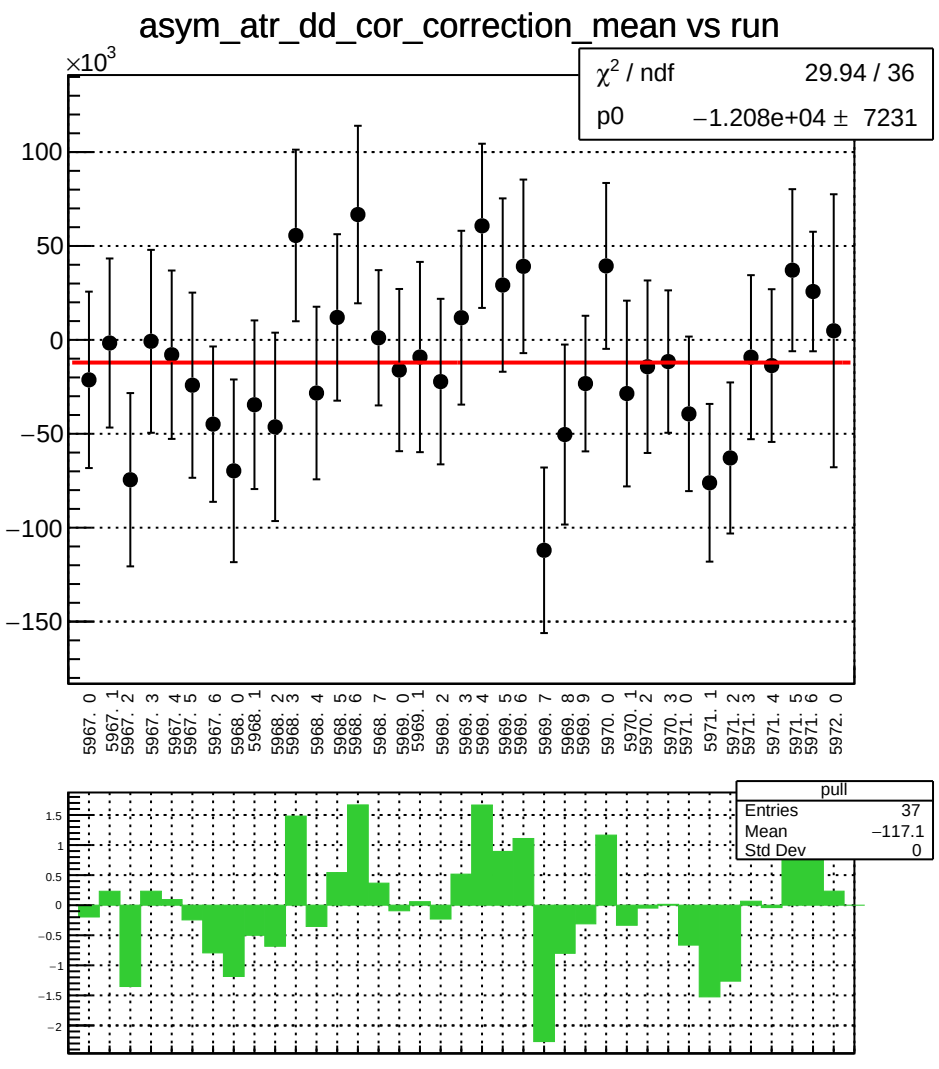
asym_atr_dd_cor_correction_mean vs run
×10^3
χ² / ndf 29.94 / 36
p0 −1.208e+04 ± 7231
100
50
0
−50
−100
−150
5967. 0
5967. 1
5967. 2
5967. 3
5967. 4
5967. 5
5967. 6
5968. 0
5968. 1
5968. 2
5968. 3
5968. 4
5968. 5
5968. 6
5968. 7
5969. 0
5969. 1
5969. 2
5969. 3
5969. 4
5969. 5
5969. 6
5969. 7
5969. 8
5969. 9
5970. 0
5970. 1
5970. 2
5970. 3
5971. 0
5971. 1
5971. 2
5971. 3
5971. 4
5971. 5
5971. 6
5972. 0
pull
Entries 37
Mean −117.1
Std Dev 0
1.5
1
0.5
0
−0.5
−1
−1.5
−2
pull1D
Entries 37
Mean −0.005833
Std Dev 0.8995
9
8
7
6
5
4
3
2
1
0
−8
−6
−4
−2
0
2
4
6
8

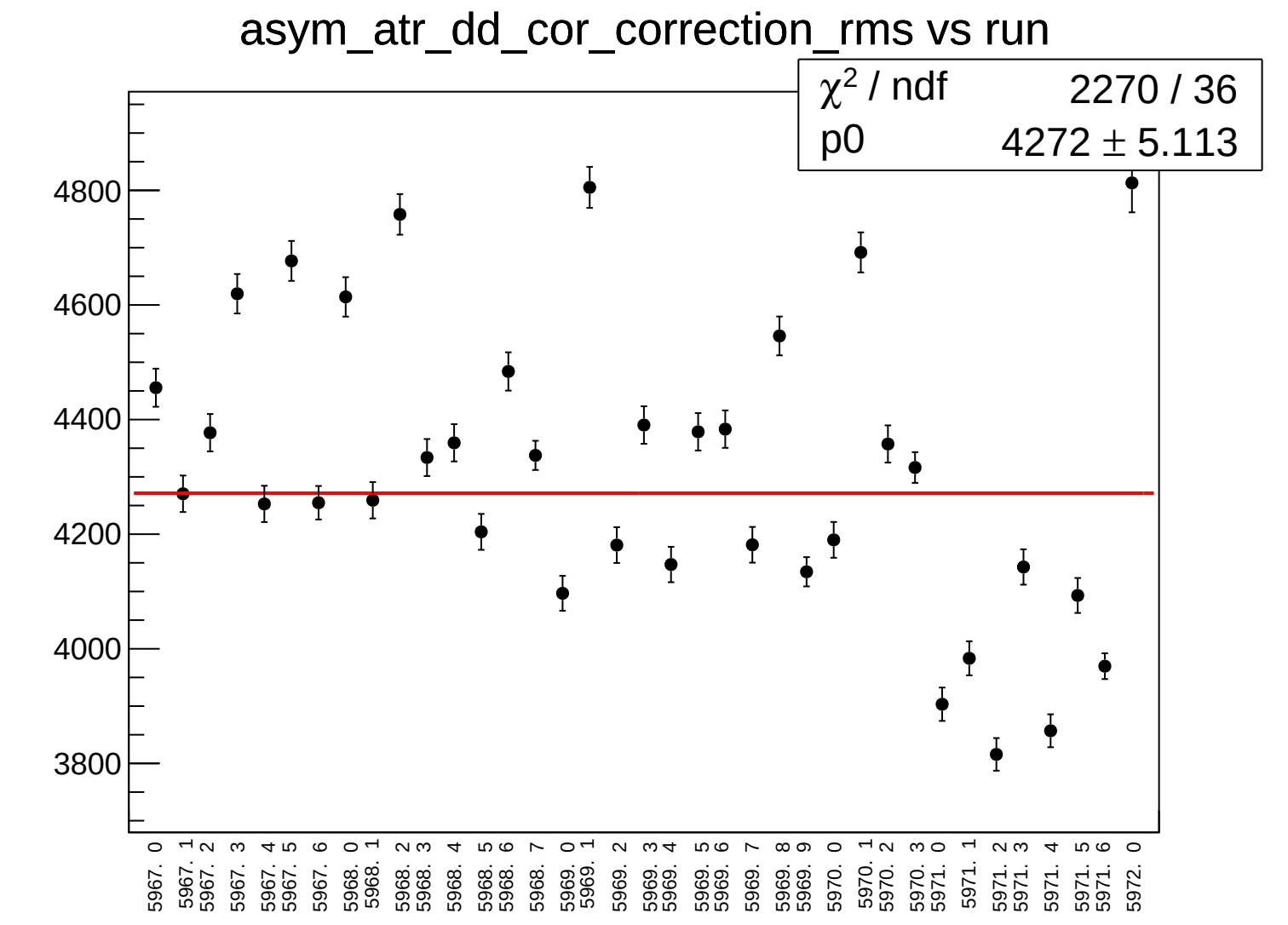
asym_atr_dd_cor_correction_rms vs run
χ² / ndf 2270 / 36
p0 4272 ± 5.113
4800
4600
4400
4200
4000
3800
5967. 0
5967. 1
5967. 2
5967. 3
5967. 4
5967. 5
5967. 6
5968. 0
5968. 1
5968. 2
5968. 3
5968. 4
5968. 5
5968. 6
5968. 7
5969. 0
5969. 1
5969. 2
5969. 3
5969. 4
5969. 5
5969. 6
5969. 7
5969. 8
5969. 9
5970. 0
5970. 1
5970. 2
5970. 3
5971. 0
5971. 1
5971. 2
5971. 3
5971. 4
5971. 5
5971. 6
5972. 0

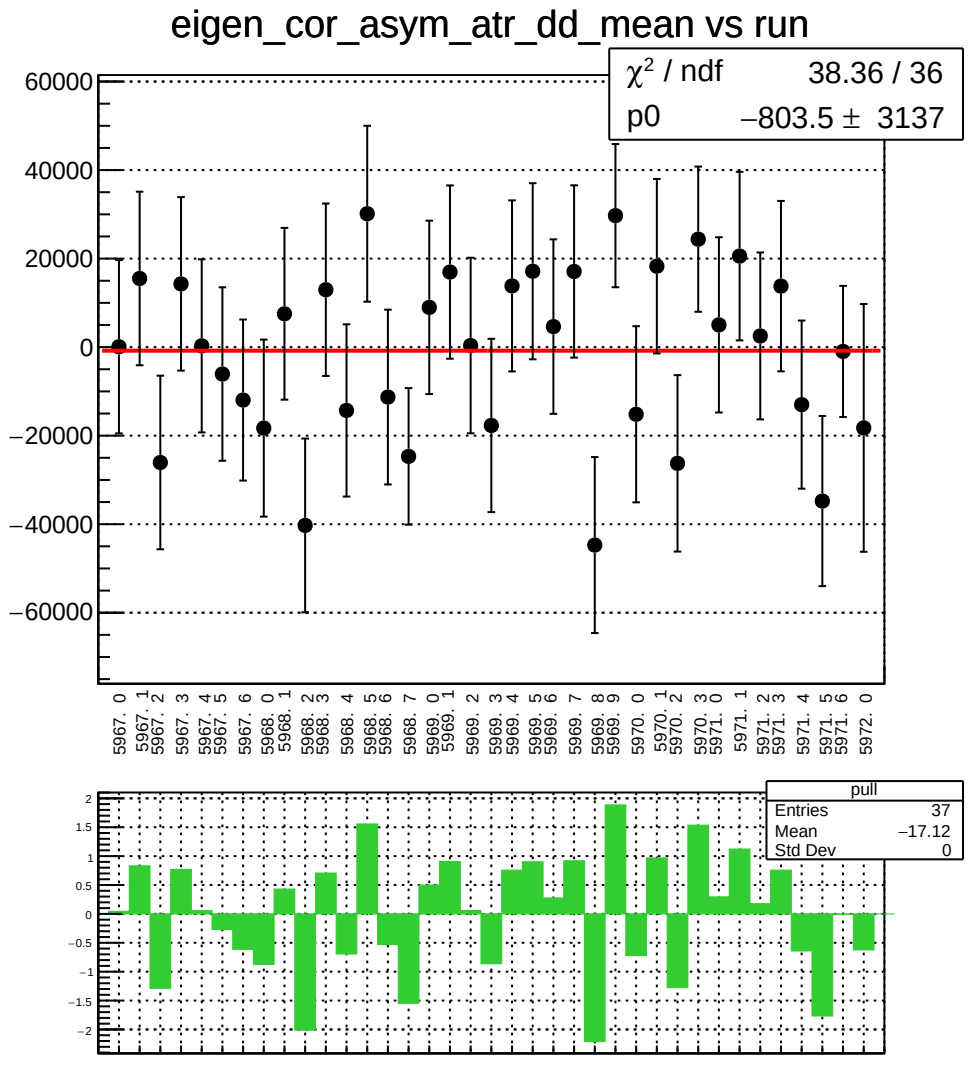
eigen_cor_asym_atr_dd_mean vs run
χ² / ndf 38.36 / 36
p0 −803.5 ± 3137
60000
40000
20000
0
−20000
−40000
−60000
5967. 0
5967. 1
5967. 2
5967. 3
5967. 4
5967. 5
5967. 6
5968. 0
5968. 1
5968. 2
5968. 3
5968. 4
5968. 5
5968. 6
5968. 7
5969. 0
5969. 1
5969. 2
5969. 3
5969. 4
5969. 5
5969. 6
5969. 7
5969. 8
5969. 9
5970. 0
5970. 1
5970. 2
5970. 3
5971. 0
5971. 1
5971. 2
5971. 3
5971. 4
5971. 5
5971. 6
5972. 0
pull
Entries 37
Mean −17.12
Std Dev 0
2
1.5
1
0.5
0
−0.5
−1
−1.5
−2
pull1D
Entries 37
Mean −0.01299
Std Dev 1.018
6
5
4
3
2
1
0
−8
−6
−4
−2
0
2
4
6
8

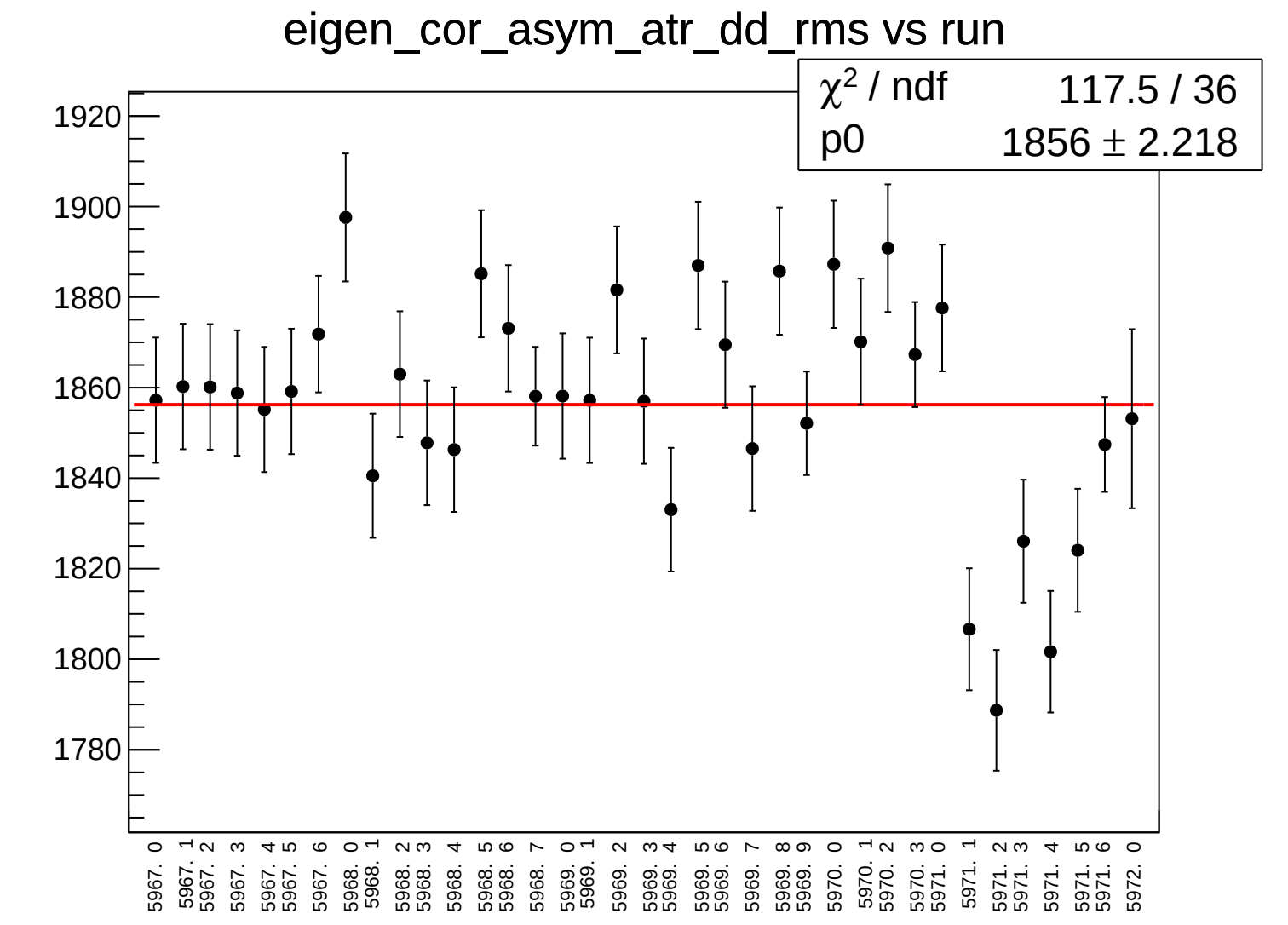
eigen_cor_asym_atr_dd_rms vs run
χ^2 / ndf 117.5 / 36
p0 1856 ± 2.218
1920
1900
1880
1860
1840
1820
1800
1780
5967. 0
5967. 1
5967. 2
5967. 3
5967. 4
5967. 5
5967. 6
5968. 0
5968. 1
5968. 2
5968. 3
5968. 4
5968. 5
5968. 6
5968. 7
5969. 0
5969. 1
5969. 2
5969. 3
5969. 4
5969. 5
5969. 6
5969. 7
5969. 8
5969. 9
5970. 0
5970. 1
5970. 2
5970. 3
5971. 0
5971. 1
5971. 2
5971. 3
5971. 4
5971. 5
5971. 6
5972. 0

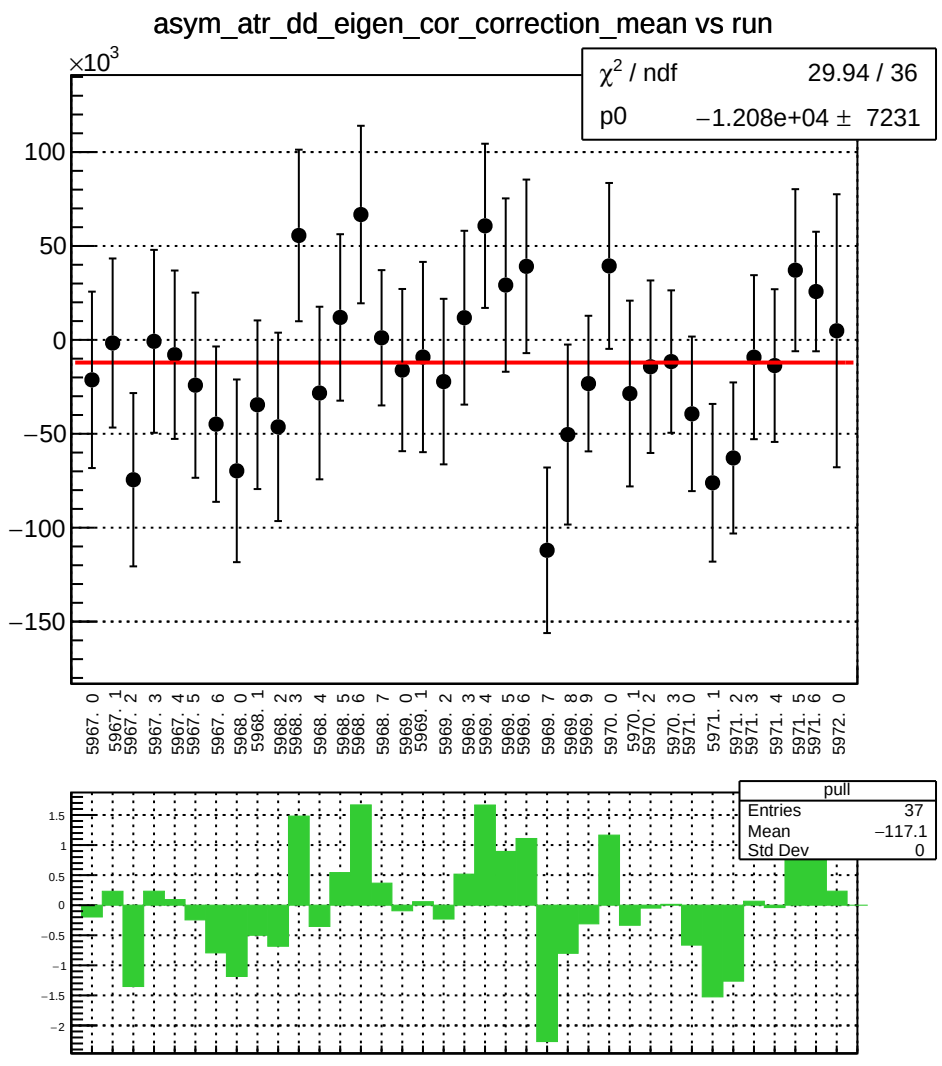
asym_atr_dd_eigen_cor_correction_mean vs run
×10^3
χ² / ndf 29.94 / 36
p0 −1.208e+04 ± 7231
100
50
0
−50
−100
−150
5967. 0
5967. 1
5967. 2
5967. 3
5967. 4
5967. 5
5967. 6
5968. 0
5968. 1
5968. 2
5968. 3
5968. 4
5968. 5
5968. 6
5968. 7
5969. 0
5969. 1
5969. 2
5969. 3
5969. 4
5969. 5
5969. 6
5969. 7
5969. 8
5969. 9
5970. 0
5970. 1
5970. 2
5970. 3
5971. 0
5971. 1
5971. 2
5971. 3
5971. 4
5971. 5
5971. 6
5972. 0
pull
Entries 37
Mean −117.1
Std Dev 0
1.5
1
0.5
0
−0.5
−1
−1.5
−2

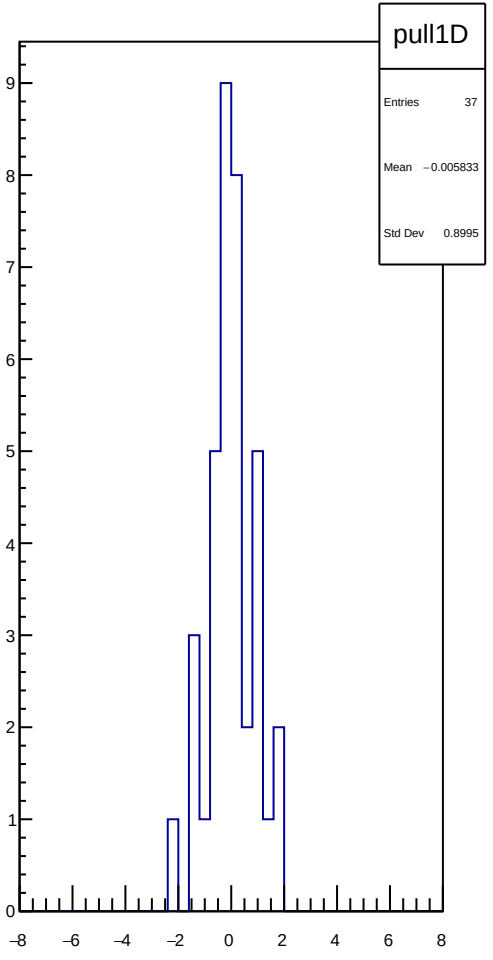
pull1D
Entries 37
Mean −0.005833
Std Dev 0.8995
9
8
7
6
5
4
3
2
1
0
−8
−6
−4
−2
0
2
4
6
8

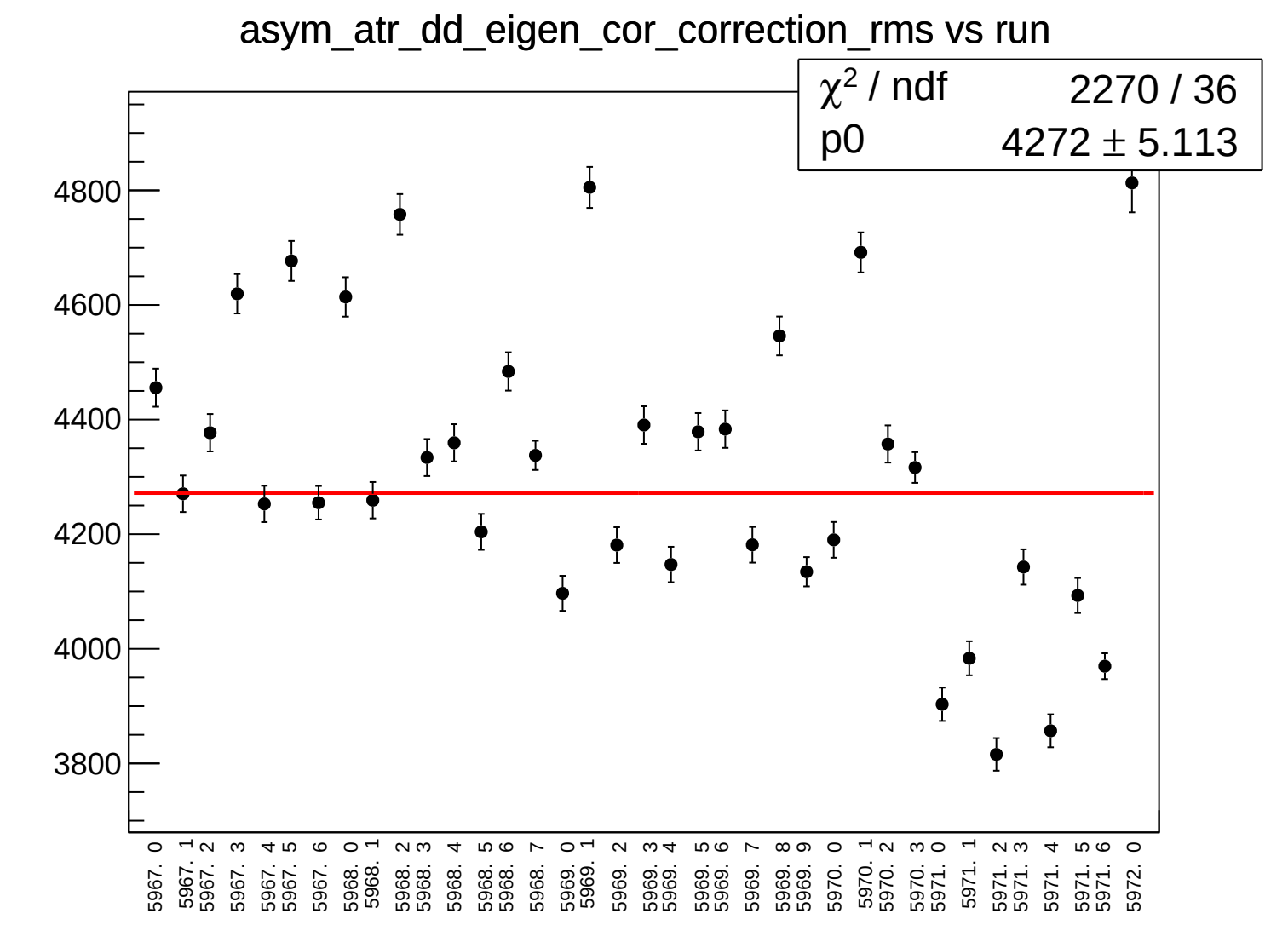
asym_atr_dd_eigen_cor_correction_rms vs run
χ² / ndf 2270 / 36
p0 4272 ± 5.113
4800
4600
4400
4200
4000
3800
5967. 0
5967. 1
5967. 2
5967. 3
5967. 4
5967. 5
5967. 6
5968. 0
5968. 1
5968. 2
5968. 3
5968. 4
5968. 5
5968. 6
5968. 7
5969. 0
5969. 1
5969. 2
5969. 3
5969. 4
5969. 5
5969. 6
5969. 7
5969. 8
5969. 9
5970. 0
5970. 1
5970. 2
5970. 3
5971. 0
5971. 1
5971. 2
5971. 3
5971. 4
5971. 5
5971. 6
5972. 0

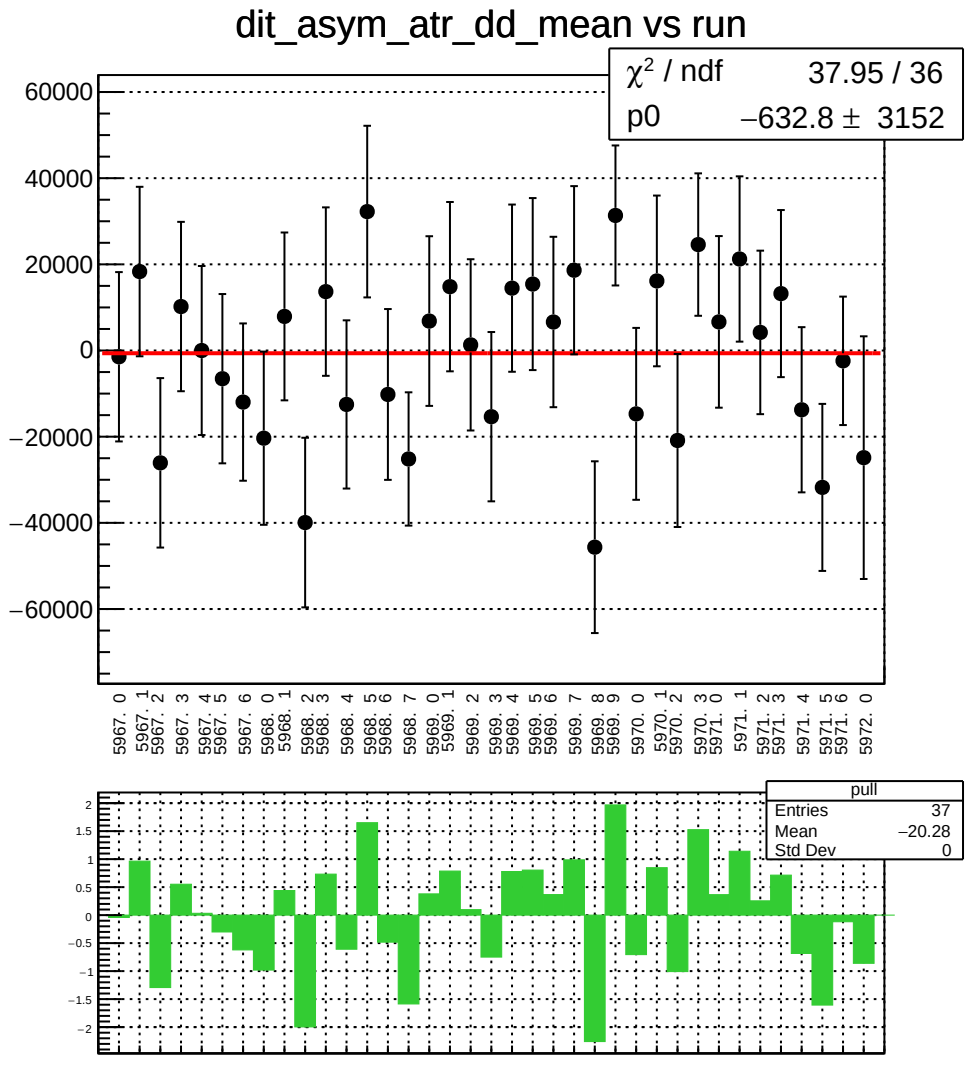
dit_asym_atr_dd_mean vs run
χ² / ndf 37.95 / 36
p0 −632.8 ± 3152
60000
40000
20000
0
−20000
−40000
−60000
5967. 0
5967. 1
5967. 2
5967. 3
5967. 4
5967. 5
5967. 6
5968. 0
5968. 1
5968. 2
5968. 3
5968. 4
5968. 5
5968. 6
5968. 7
5969. 0
5969. 1
5969. 2
5969. 3
5969. 4
5969. 5
5969. 6
5969. 7
5969. 8
5969. 9
5970. 0
5970. 1
5970. 2
5970. 3
5971. 0
5971. 1
5971. 2
5971. 3
5971. 4
5971. 5
5971. 6
5972. 0
pull
Entries 37
Mean −20.28
Std Dev 0
2
1.5
1
0.5
0
−0.5
−1
−1.5
−2
pull1D
Entries 37
Mean −0.01397
Std Dev 1.013
6
5
4
3
2
1
0
−8
−6
−4
−2
0
2
4
6
8

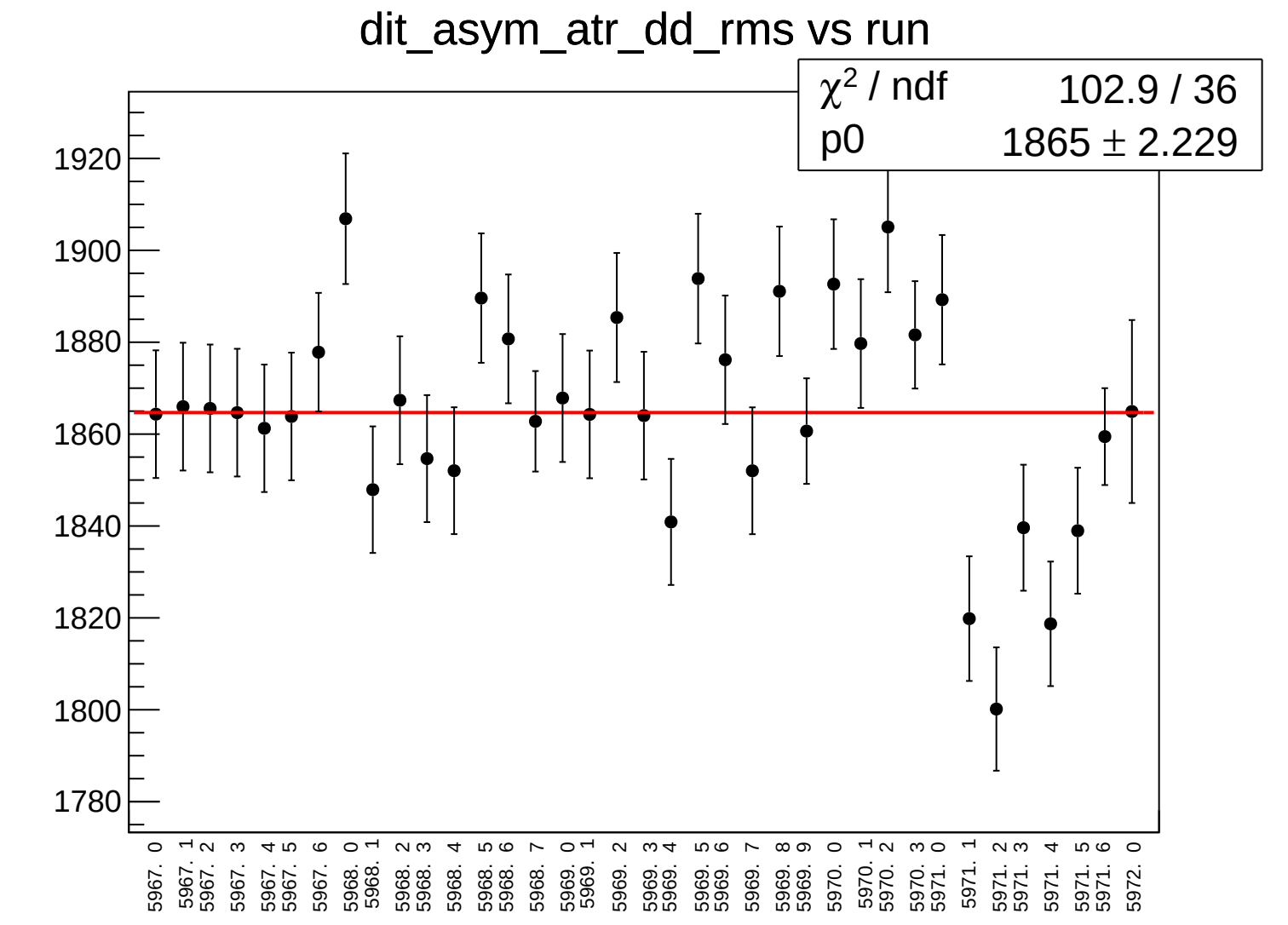
dit_asym_atr_dd_rms vs run
χ² / ndf 102.9 / 36
p0 1865 ± 2.229
1920
1900
1880
1860
1840
1820
1800
1780
5967. 0
5967. 1
5967. 2
5967. 3
5967. 4
5967. 5
5967. 6
5968. 0
5968. 1
5968. 2
5968. 3
5968. 4
5968. 5
5968. 6
5968. 7
5969. 0
5969. 1
5969. 2
5969. 3
5969. 4
5969. 5
5969. 6
5969. 7
5969. 8
5969. 9
5970. 0
5970. 1
5970. 2
5970. 3
5971. 0
5971. 1
5971. 2
5971. 3
5971. 4
5971. 5
5971. 6
5972. 0

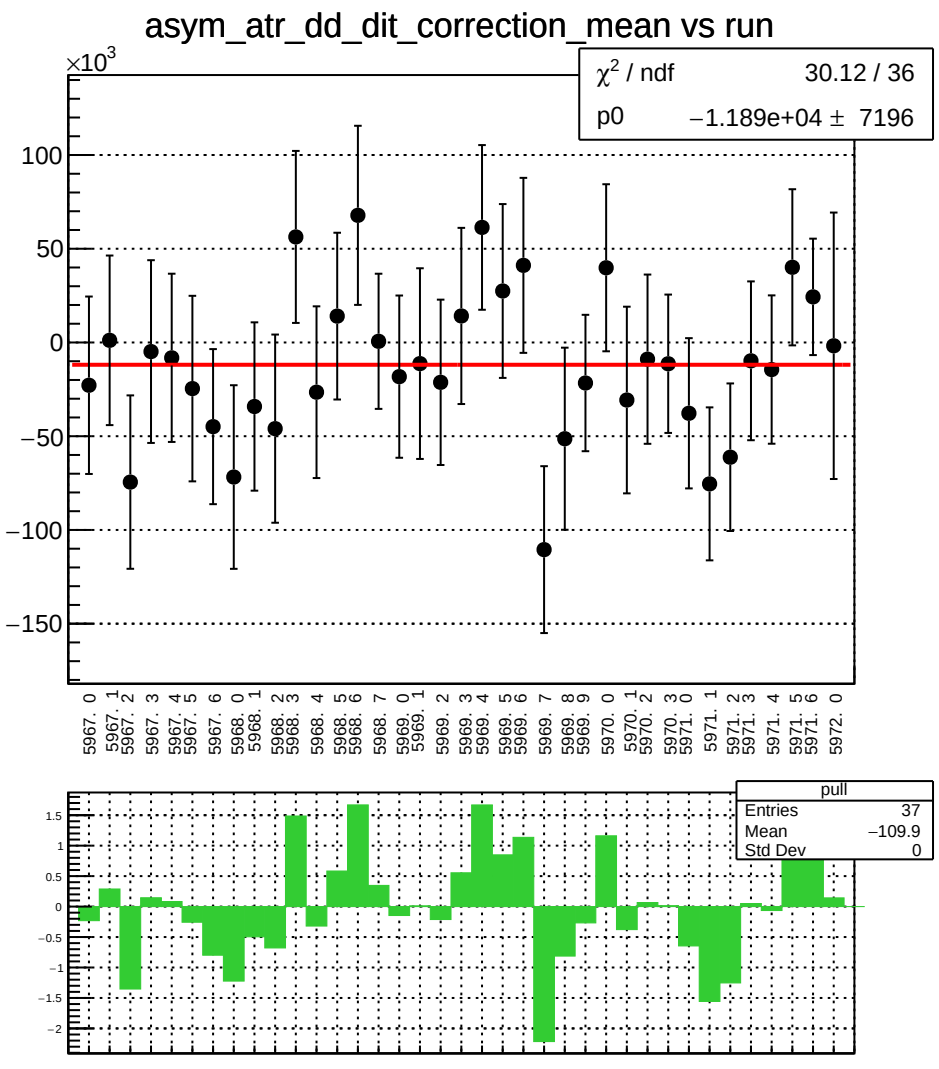
asym_atr_dd_dit_correction_mean vs run
×10^3
χ² / ndf 30.12 / 36
p0 −1.189e+04 ± 7196
100
50
0
−50
−100
−150
5967. 0
5967. 1
5967. 2
5967. 3
5967. 4
5967. 5
5967. 6
5968. 0
5968. 1
5968. 2
5968. 3
5968. 4
5968. 5
5968. 6
5968. 7
5969. 0
5969. 1
5969. 2
5969. 3
5969. 4
5969. 5
5969. 6
5969. 7
5969. 8
5969. 9
5970. 0
5970. 1
5970. 2
5970. 3
5971. 0
5971. 1
5971. 2
5971. 3
5971. 4
5971. 5
5971. 6
5972. 0
pull
Entries 37
Mean −109.9
Std Dev 0
1.5
1
0.5
0
−0.5
−1
−1.5
−2
pull1D
Entries 37
Mean −0.006496
Std Dev 0.9022
9
8
7
6
5
4
3
2
1
0
−8
−6
−4
−2
0
2
4
6
8

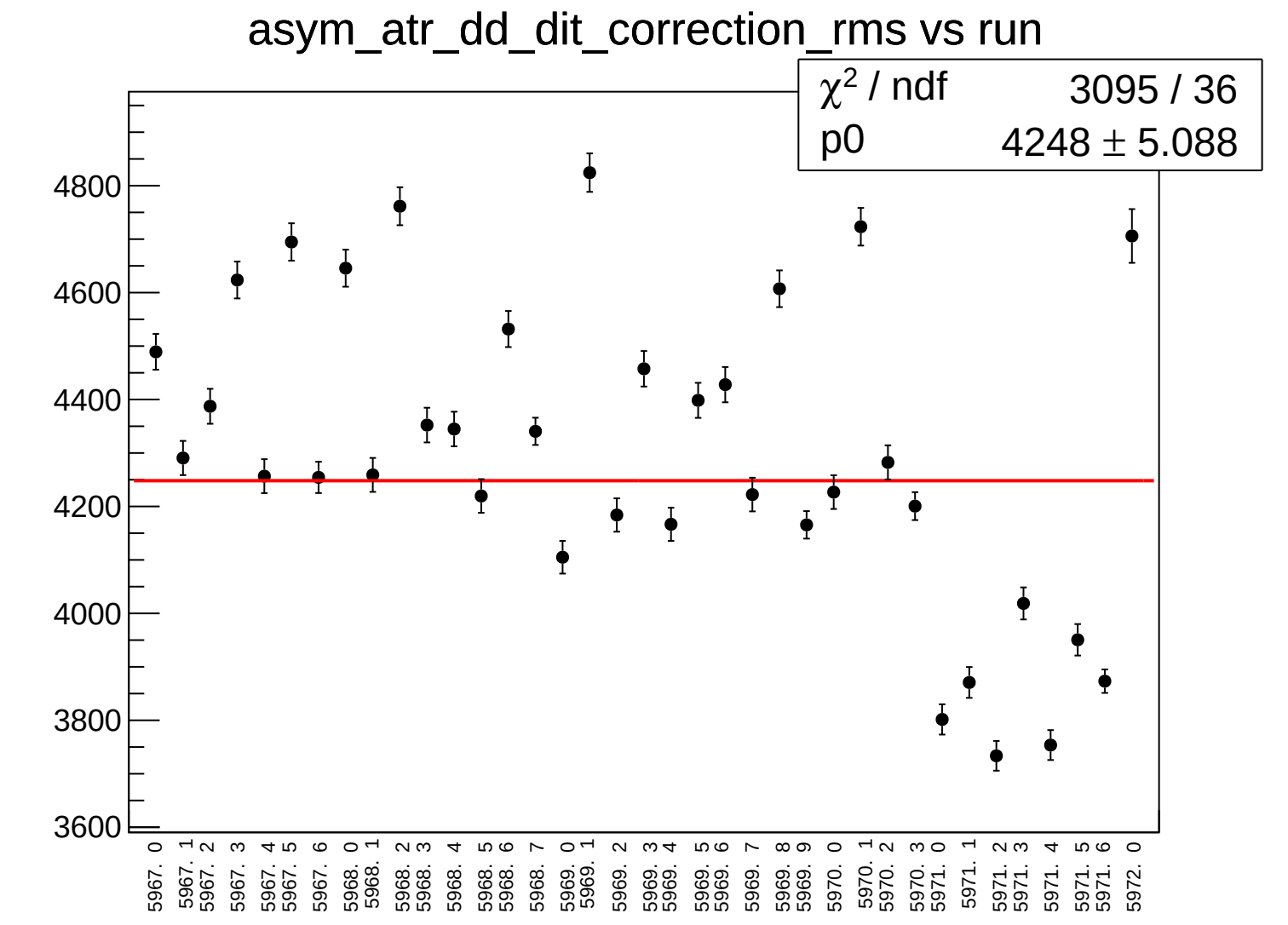
asym_atr_dd_dit_correction_rms vs run
χ² / ndf 3095 / 36
p0 4248 ± 5.088
4800
4600
4400
4200
4000
3800
3600
5967. 0
5967. 1
5967. 2
5967. 3
5967. 4
5967. 5
5967. 6
5968. 0
5968. 1
5968. 2
5968. 3
5968. 4
5968. 5
5968. 6
5968. 7
5969. 0
5969. 1
5969. 2
5969. 3
5969. 4
5969. 5
5969. 6
5969. 7
5969. 8
5969. 9
5970. 0
5970. 1
5970. 2
5970. 3
5971. 0
5971. 1
5971. 2
5971. 3
5971. 4
5971. 5
5971. 6
5972. 0

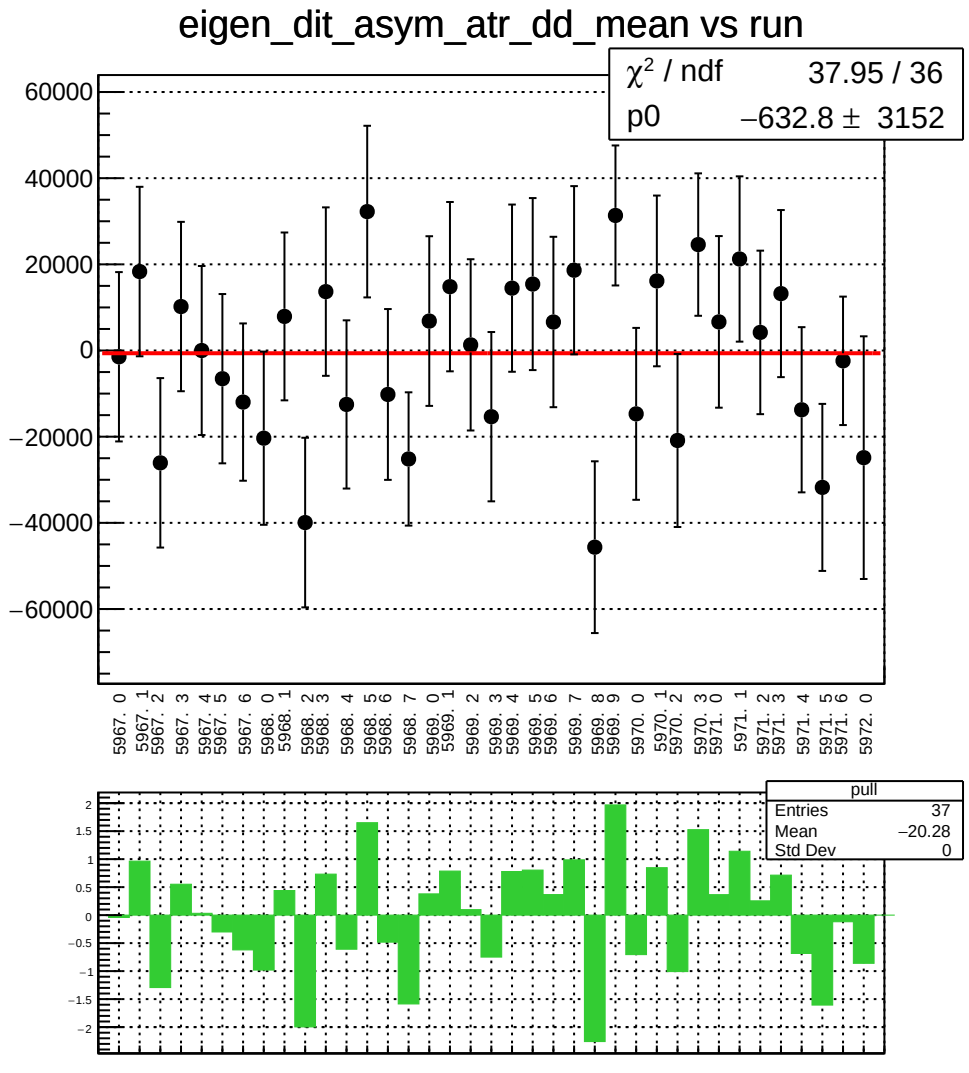
eigen_dit_asym_atr_dd_mean vs run
χ² / ndf 37.95 / 36
p0 −632.8 ± 3152
60000
40000
20000
0
−20000
−40000
−60000
5967. 0
5967. 1
5967. 2
5967. 3
5967. 4
5967. 5
5967. 6
5968. 0
5968. 1
5968. 2
5968. 3
5968. 4
5968. 5
5968. 6
5968. 7
5969. 0
5969. 1
5969. 2
5969. 3
5969. 4
5969. 5
5969. 6
5969. 7
5969. 8
5969. 9
5970. 0
5970. 1
5970. 2
5970. 3
5971. 0
5971. 1
5971. 2
5971. 3
5971. 4
5971. 5
5971. 6
5972. 0
pull
Entries 37
Mean −20.28
Std Dev 0
2
1.5
1
0.5
0
−0.5
−1
−1.5
−2
pull1D
Entries 37
Mean −0.01397
Std Dev 1.013
6
5
4
3
2
1
0
−8
−6
−4
−2
0
2
4
6
8

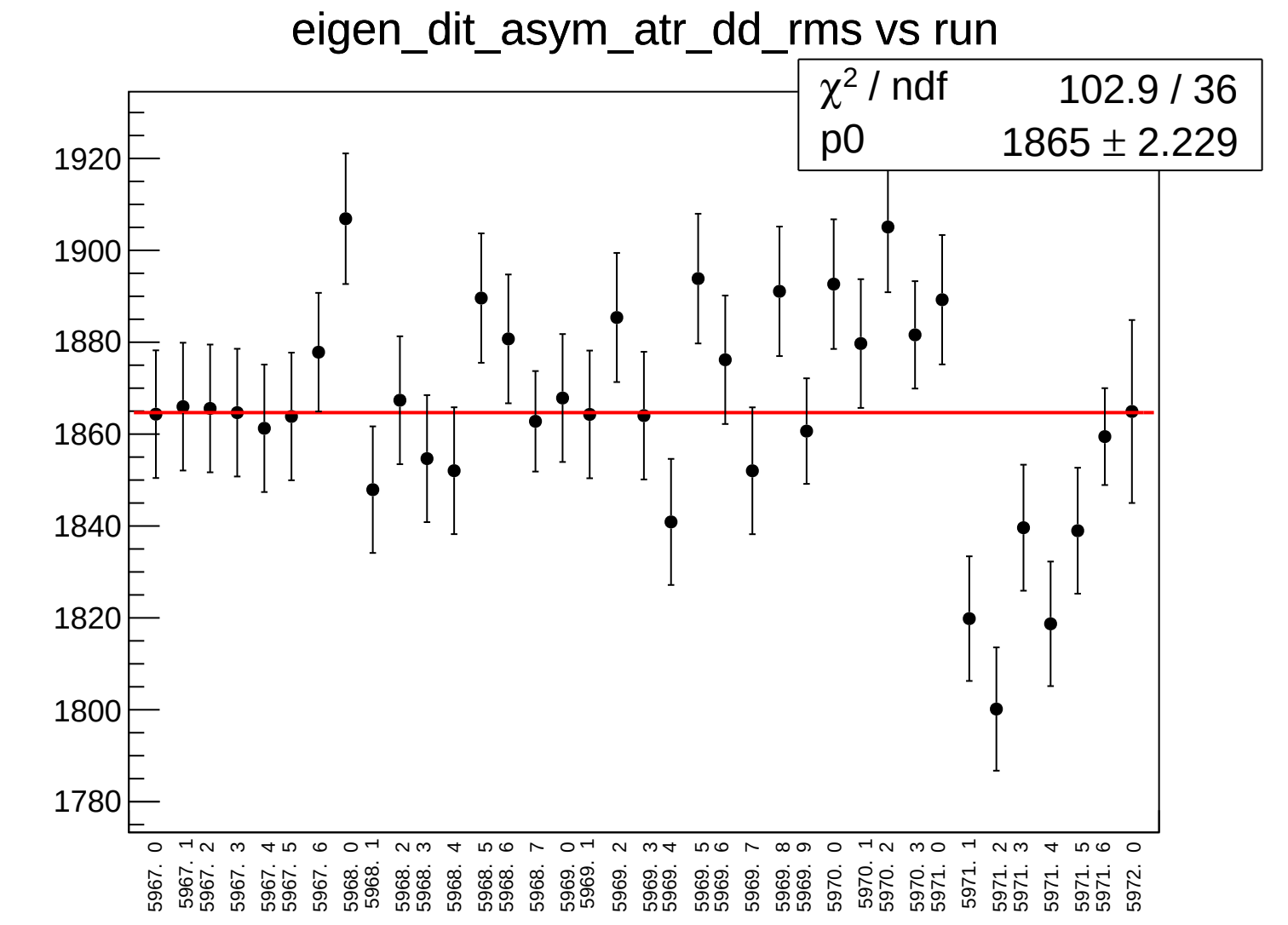
eigen_dit_asym_atr_dd_rms vs run
χ² / ndf 102.9 / 36
p0 1865 ± 2.229
1920
1900
1880
1860
1840
1820
1800
1780
5967. 0
5967. 1
5967. 2
5967. 3
5967. 4
5967. 5
5967. 6
5968. 0
5968. 1
5968. 2
5968. 3
5968. 4
5968. 5
5968. 6
5968. 7
5969. 0
5969. 1
5969. 2
5969. 3
5969. 4
5969. 5
5969. 6
5969. 7
5969. 8
5969. 9
5970. 0
5970. 1
5970. 2
5970. 3
5971. 0
5971. 1
5971. 2
5971. 3
5971. 4
5971. 5
5971. 6
5972. 0

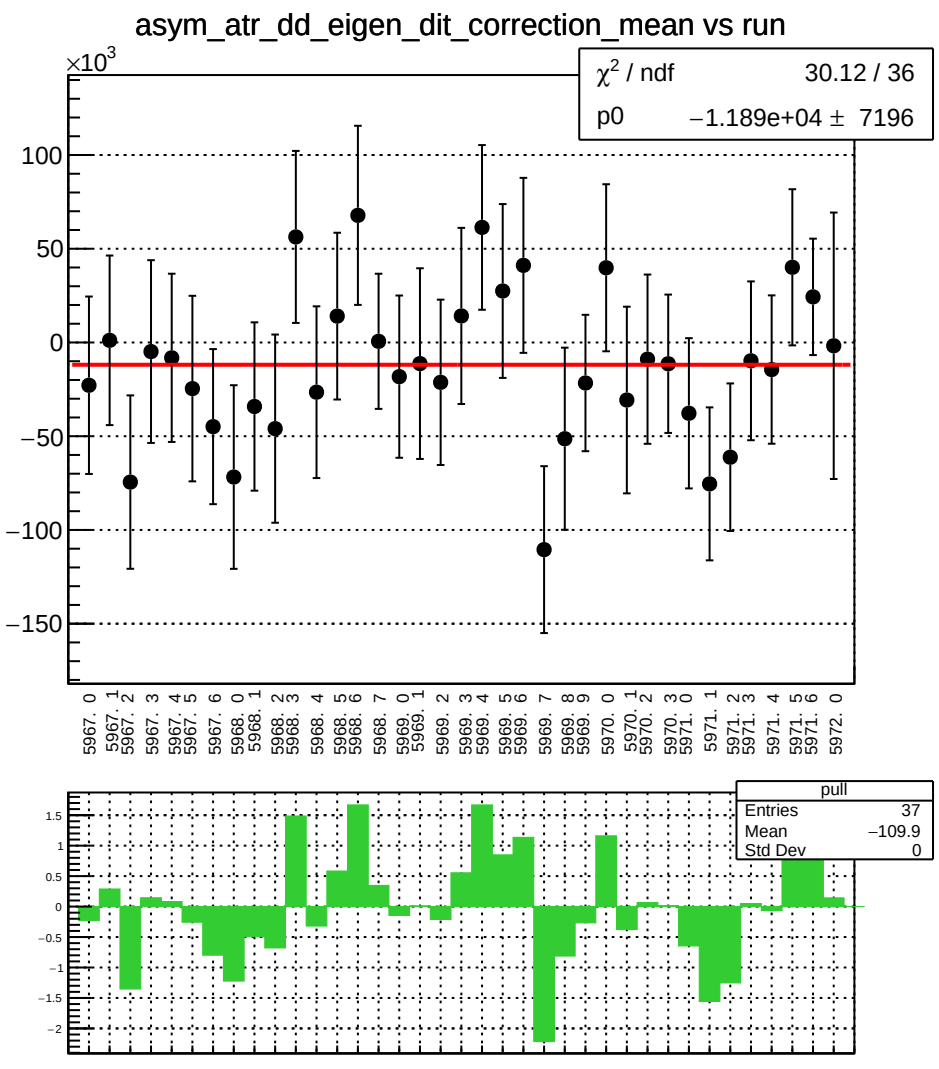
asym_atr_dd_eigen_dit_correction_mean vs run
×10^3
χ² / ndf 30.12 / 36
p0 −1.189e+04 ± 7196
100
50
0
−50
−100
−150
5967. 0
5967. 1
5967. 2
5967. 3
5967. 4
5967. 5
5967. 6
5968. 0
5968. 1
5968. 2
5968. 3
5968. 4
5968. 5
5968. 6
5968. 7
5969. 0
5969. 1
5969. 2
5969. 3
5969. 4
5969. 5
5969. 6
5969. 7
5969. 8
5969. 9
5970. 0
5970. 1
5970. 2
5970. 3
5971. 0
5971. 1
5971. 2
5971. 3
5971. 4
5971. 5
5971. 6
5972. 0
pull
Entries 37
Mean −109.9
Std Dev 0
1.5
1
0.5
0
−0.5
−1
−1.5
−2
pull1D
Entries 37
Mean −0.006496
Std Dev 0.9022
9
8
7
6
5
4
3
2
1
0
−8
−6
−4
−2
0
2
4
6
8

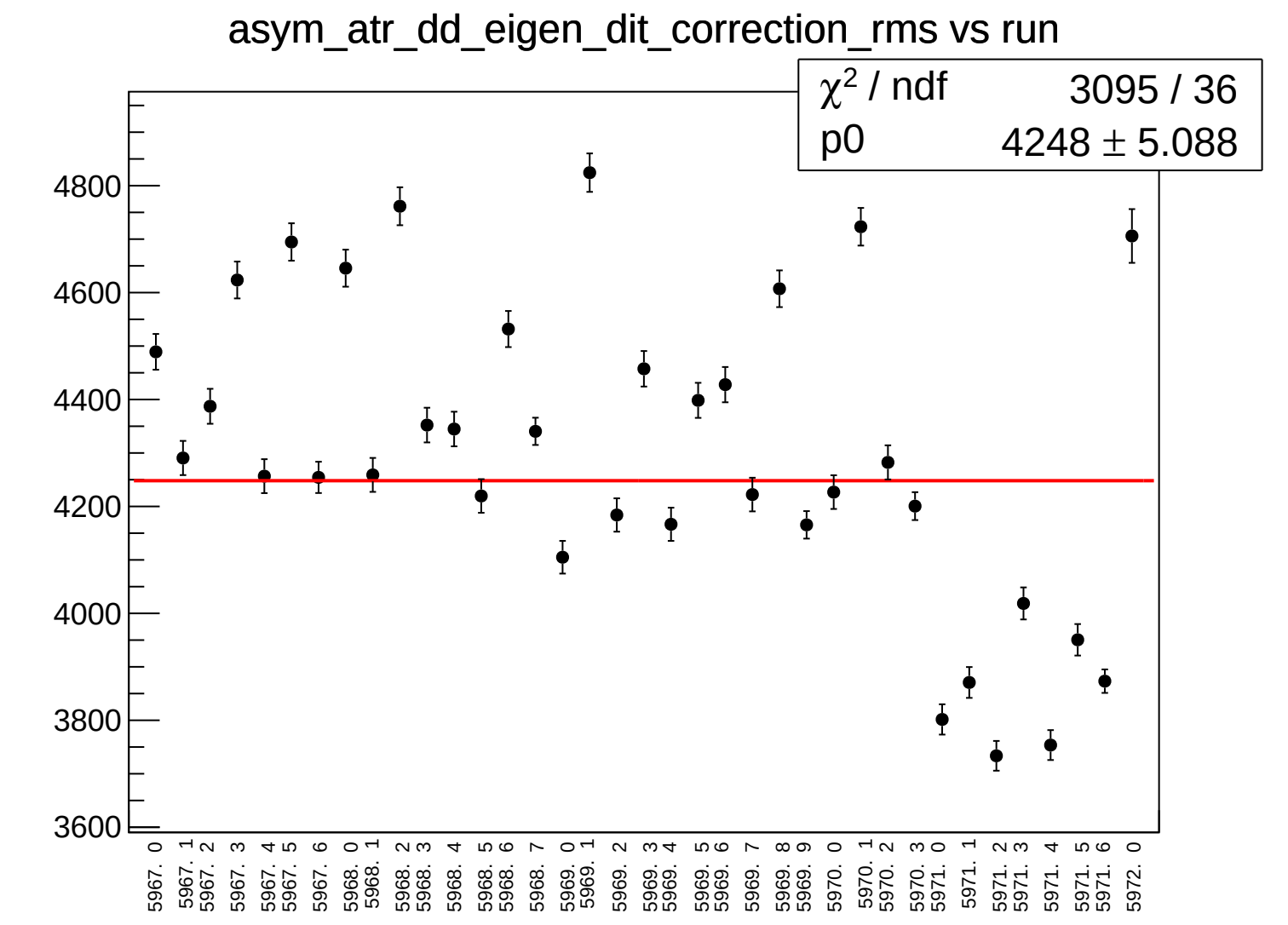
asym_atr_dd_eigen_dit_correction_rms vs run
χ² / ndf 3095 / 36
p0 4248 ± 5.088
4800
4600
4400
4200
4000
3800
3600
5967. 0
5967. 1
5967. 2
5967. 3
5967. 4
5967. 5
5967. 6
5968. 0
5968. 1
5968. 2
5968. 3
5968. 4
5968. 5
5968. 6
5968. 7
5969. 0
5969. 1
5969. 2
5969. 3
5969. 4
5969. 5
5969. 6
5969. 7
5969. 8
5969. 9
5970. 0
5970. 1
5970. 2
5970. 3
5971. 0
5971. 1
5971. 2
5971. 3
5971. 4
5971. 5
5971. 6
5972. 0

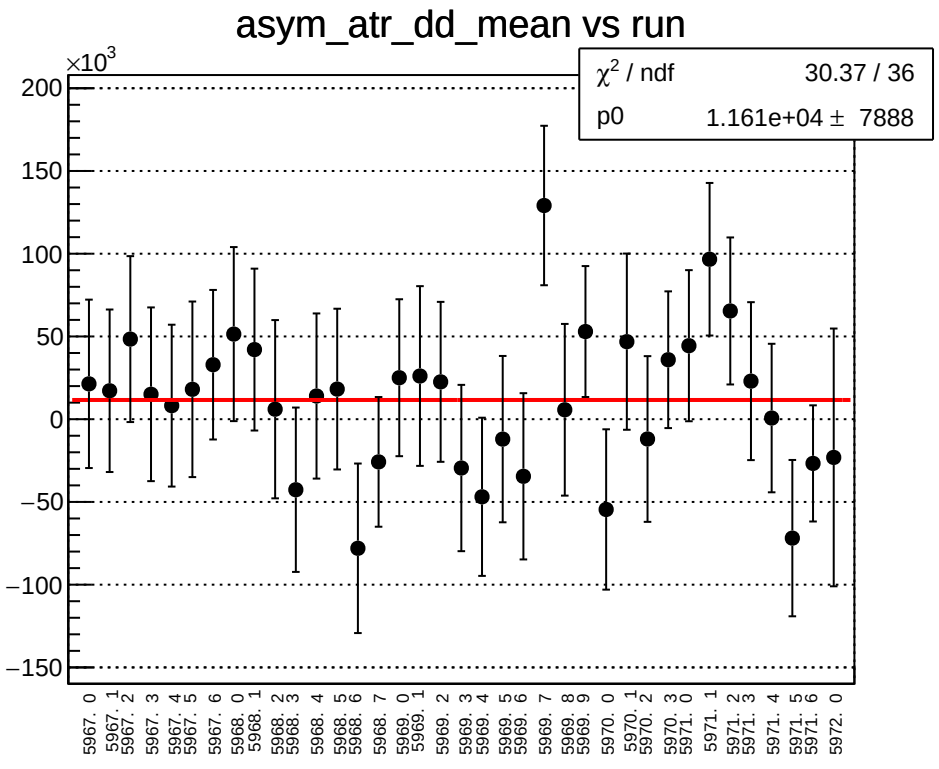
asym_atr_dd_mean vs run
×10^3
χ² / ndf 30.37 / 36
p0 1.161e+04 ± 7888
200
150
100
50
0
−50
−100
−150
5967. 0
5967. 1
5967. 2
5967. 3
5967. 4
5967. 5
5967. 6
5968. 0
5968. 1
5968. 2
5968. 3
5968. 4
5968. 5
5968. 6
5968. 7
5969. 0
5969. 1
5969. 2
5969. 3
5969. 4
5969. 5
5969. 6
5969. 7
5969. 8
5969. 9
5970. 0
5970. 1
5970. 2
5970. 3
5971. 0
5971. 1
5971. 2
5971. 3
5971. 4
5971. 5
5971. 6
5972. 0

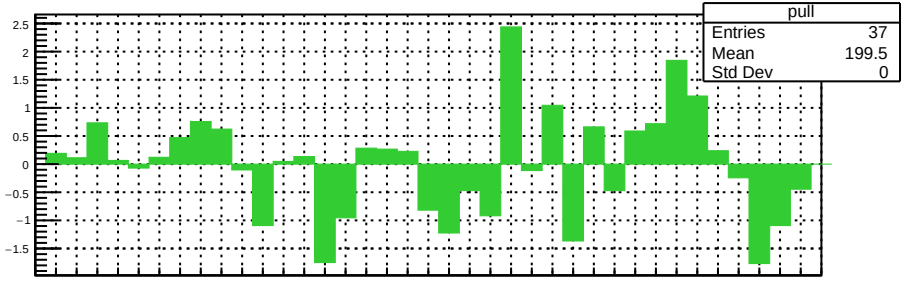
pull
Entries 37
Mean 199.5
Std Dev 0
2.5
2
1.5
1
0.5
0
−0.5
−1
−1.5

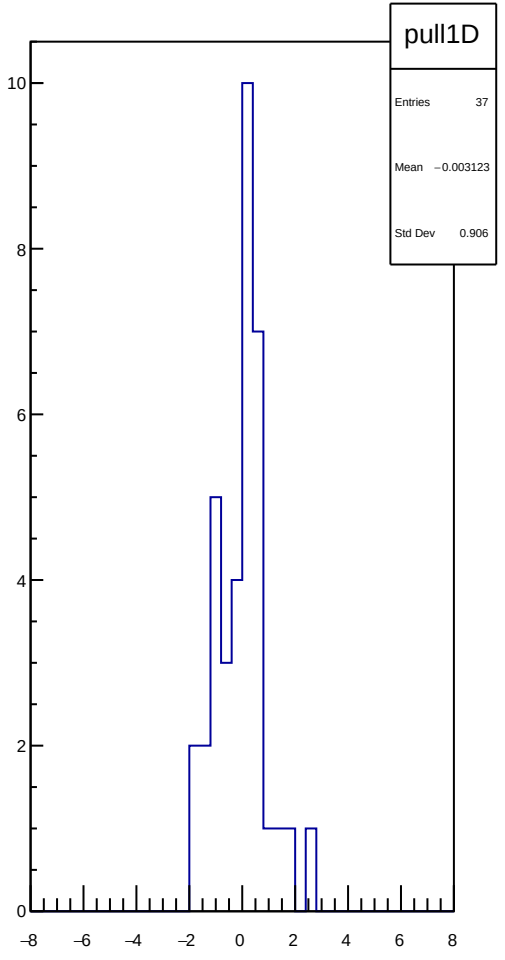
pull1D
Entries 37
Mean −0.003123
Std Dev 0.906
10
8
6
4
2
0
−8
−6
−4
−2
0
2
4
6
8

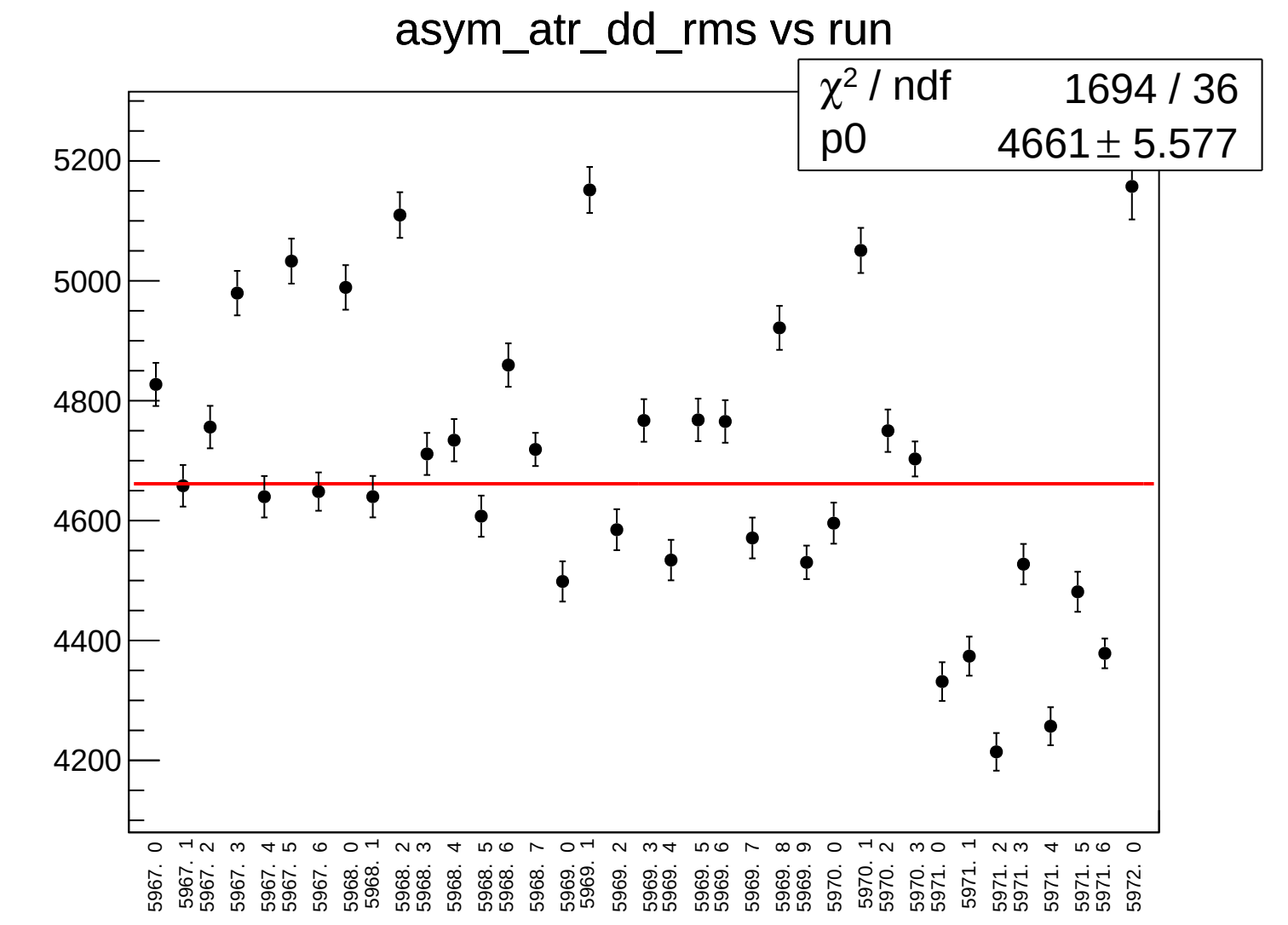
asym_atr_dd_rms vs run
χ^2 / ndf 1694 / 36
p0 4661 ± 5.577
5200
5000
4800
4600
4400
4200
5967. 0
5967. 1
5967. 2
5967. 3
5967. 4
5967. 5
5967. 6
5968. 0
5968. 1
5968. 2
5968. 3
5968. 4
5968. 5
5968. 6
5968. 7
5969. 0
5969. 1
5969. 2
5969. 3
5969. 4
5969. 5
5969. 6
5969. 7
5969. 8
5969. 9
5970. 0
5970. 1
5970. 2
5970. 3
5971. 0
5971. 1
5971. 2
5971. 3
5971. 4
5971. 5
5971. 6
5972. 0

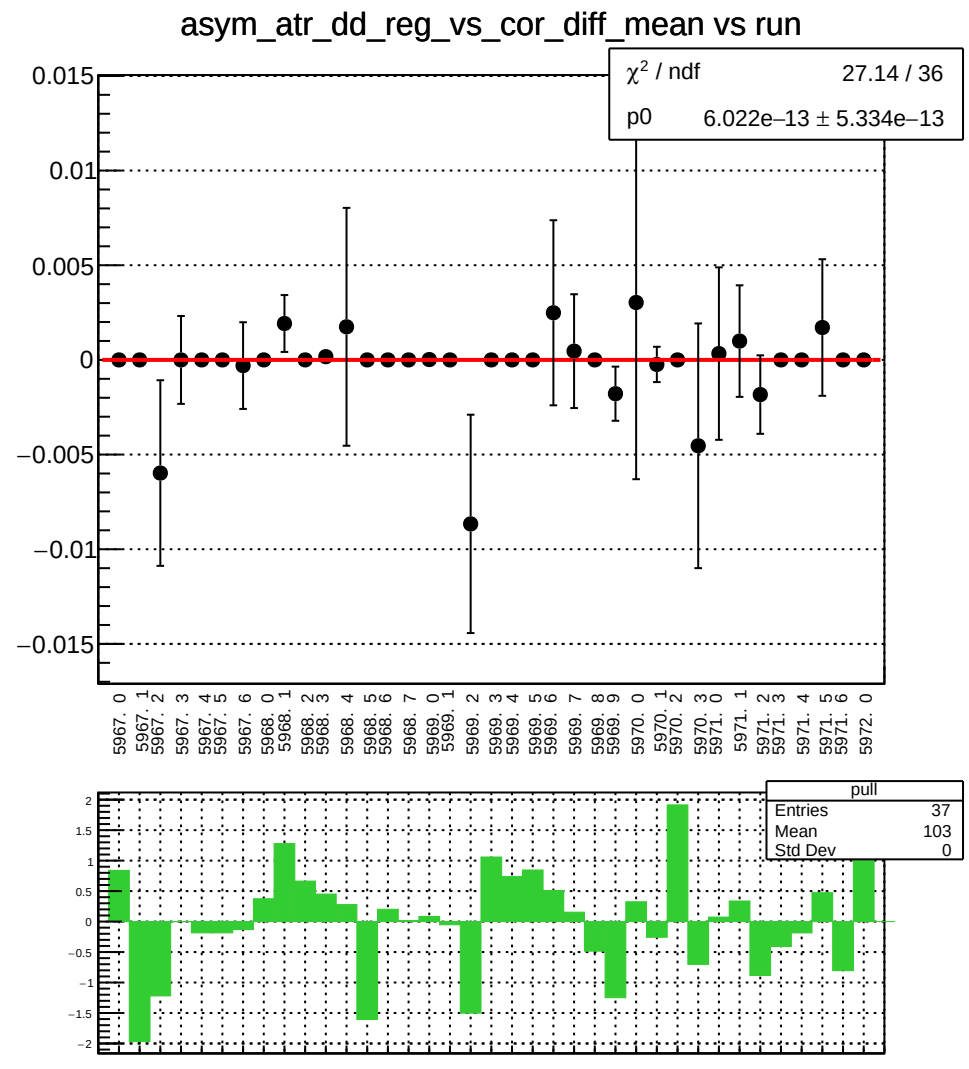
asym_atr_dd_reg_vs_cor_diff_mean vs run
χ² / ndf 27.14 / 36
p0 6.022e−13 ± 5.334e−13
0.015
0.01
0.005
0
−0.005
−0.01
−0.015
5967. 0
5967. 1
5967. 2
5967. 3
5967. 4
5967. 5
5967. 6
5968. 0
5968. 1
5968. 2
5968. 3
5968. 4
5968. 5
5968. 6
5968. 7
5969. 0
5969. 1
5969. 2
5969. 3
5969. 4
5969. 5
5969. 6
5969. 7
5969. 8
5969. 9
5970. 0
5970. 1
5970. 2
5970. 3
5971. 0
5971. 1
5971. 2
5971. 3
5971. 4
5971. 5
5971. 6
5972. 0
pull
Entries 37
Mean 103
Std Dev 0
2
1.5
1
0.5
0
−0.5
−1
−1.5
−2
pull1D
Entries 37
Mean 0.01281
Std Dev 0.8563
9
8
7
6
5
4
3
2
1
0
−8
−6
−4
−2
0
2
4
6
8

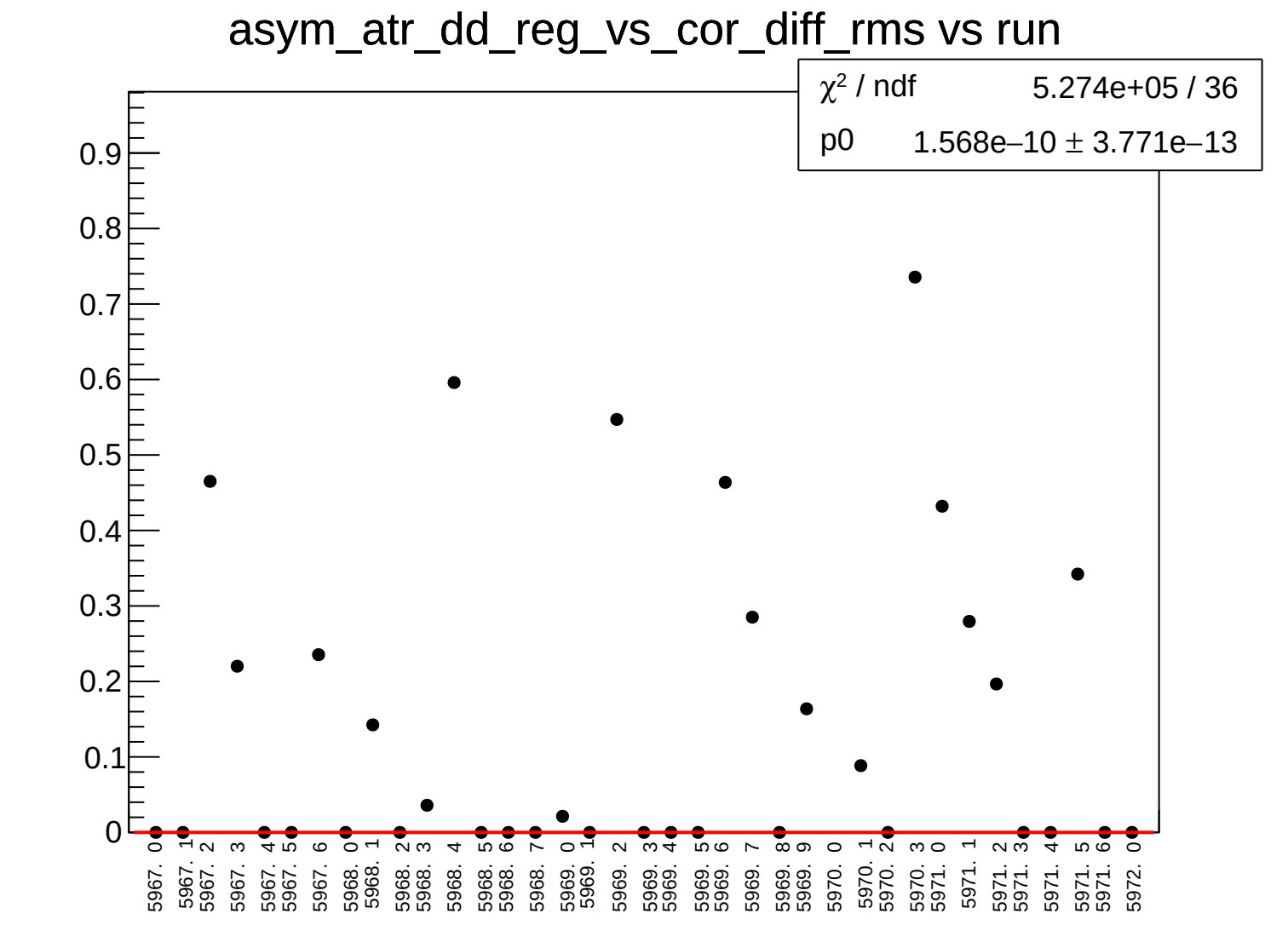
asym_atr_dd_reg_vs_cor_diff_rms vs run
χ² / ndf 5.274e+05 / 36
p0 1.568e−10 ± 3.771e−13
0.9
0.8
0.7
0.6
0.5
0.4
0.3
0.2
0.1
0
5967. 0
5967. 1
5967. 2
5967. 3
5967. 4
5967. 5
5967. 6
5968. 0
5968. 1
5968. 2
5968. 3
5968. 4
5968. 5
5968. 6
5968. 7
5969. 0
5969. 1
5969. 2
5969. 3
5969. 4
5969. 5
5969. 6
5969. 7
5969. 8
5969. 9
5970. 0
5970. 1
5970. 2
5970. 3
5971. 0
5971. 1
5971. 2
5971. 3
5971. 4
5971. 5
5971. 6
5972. 0

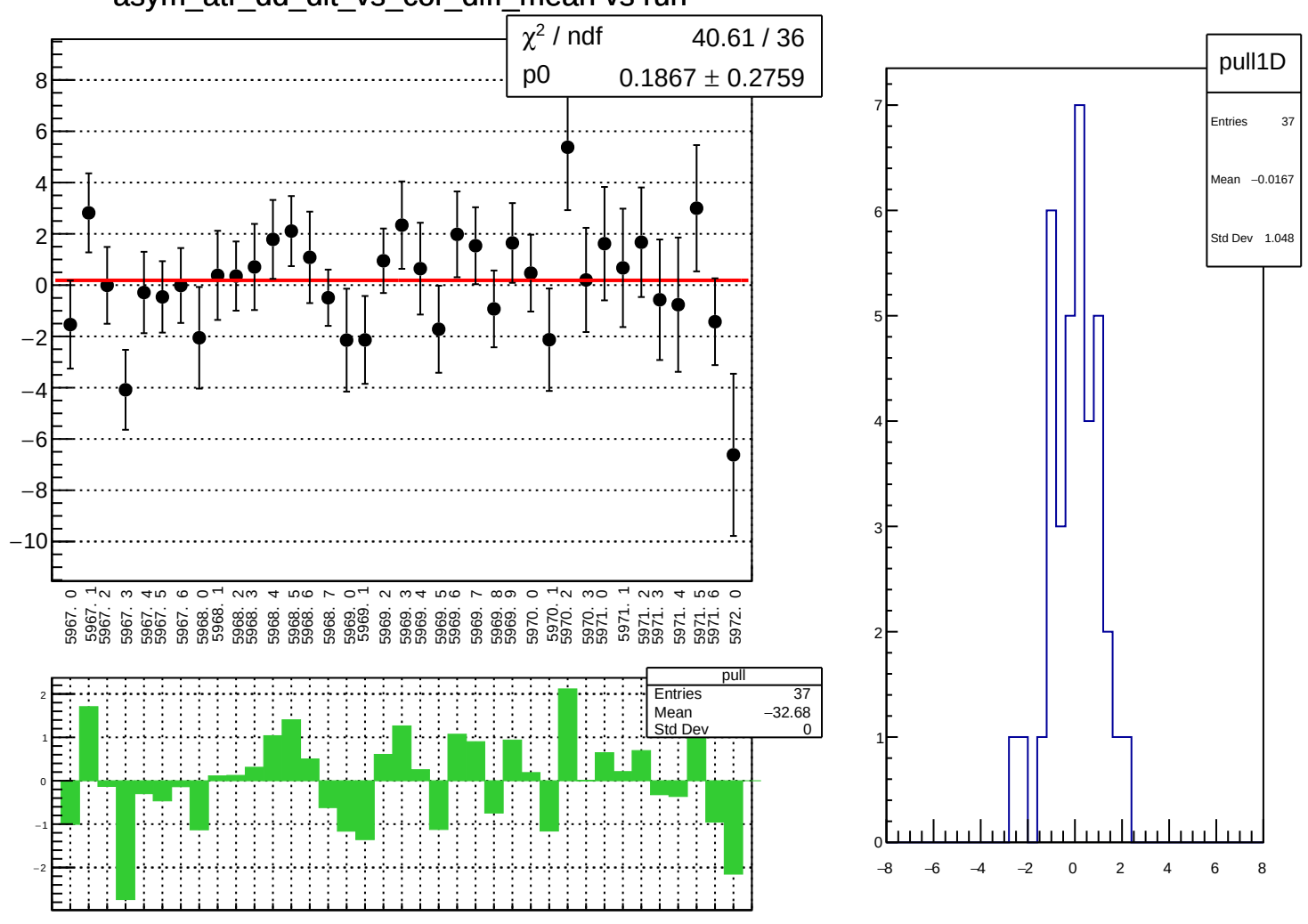
asym_atr_dd_dit_vs_cor_diff_mean vs run
χ² / ndf 40.61 / 36
p0 0.1867 ± 0.2759
pull
Entries 37
Mean −32.68
Std Dev 0
pull1D
Entries 37
Mean −0.0167
Std Dev 1.048

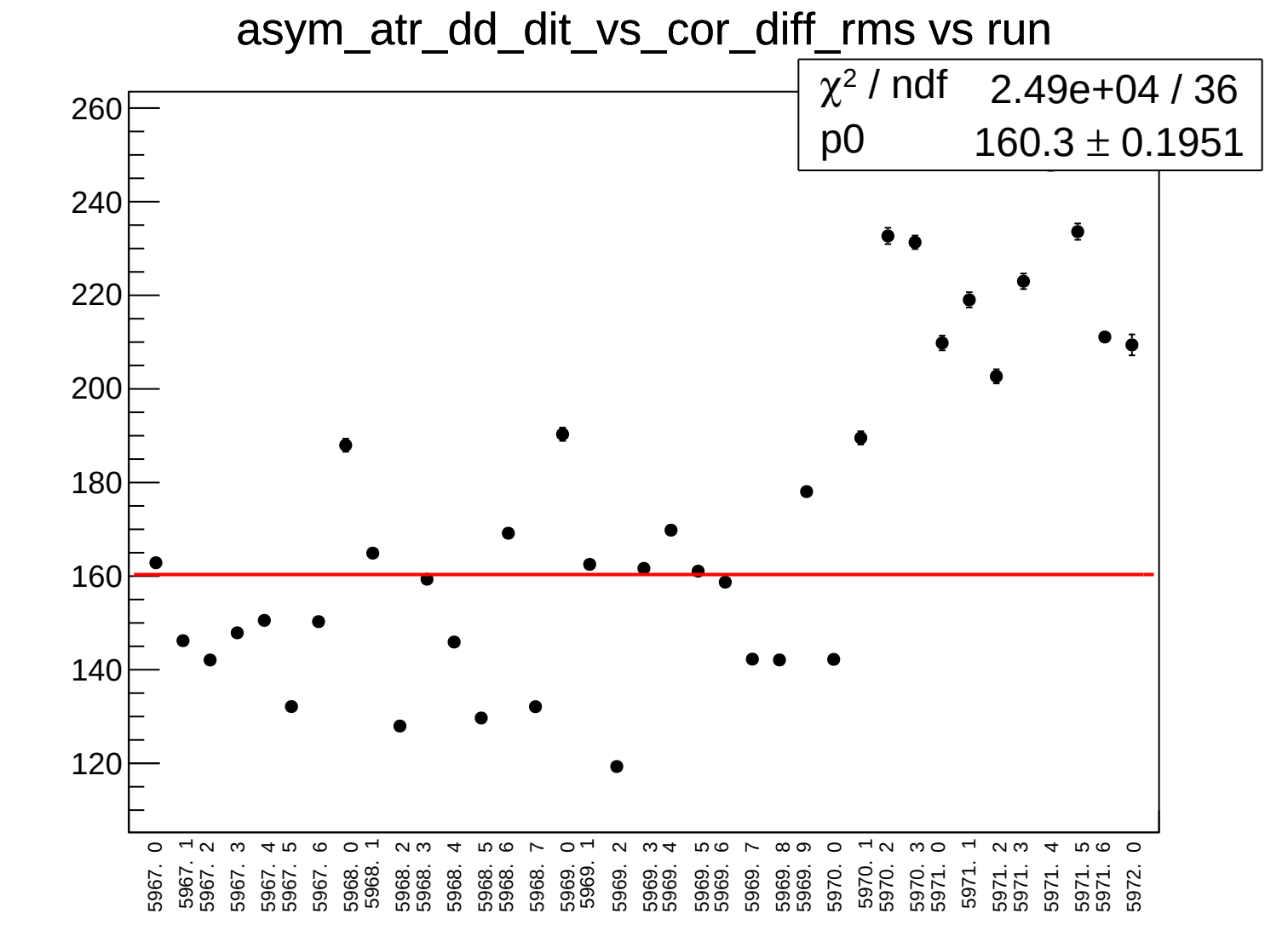
asym_atr_dd_dit_vs_cor_diff_rms vs run
χ² / ndf 2.49e+04 / 36
p0 160.3 ± 0.1951
260
240
220
200
180
160
140
120
5967. 0
5967. 1
5967. 2
5967. 3
5967. 4
5967. 5
5967. 6
5968. 0
5968. 1
5968. 2
5968. 3
5968. 4
5968. 5
5968. 6
5968. 7
5969. 0
5969. 1
5969. 2
5969. 3
5969. 4
5969. 5
5969. 6
5969. 7
5969. 8
5969. 9
5970. 0
5970. 1
5970. 2
5970. 3
5971. 0
5971. 1
5971. 2
5971. 3
5971. 4
5971. 5
5971. 6
5972. 0

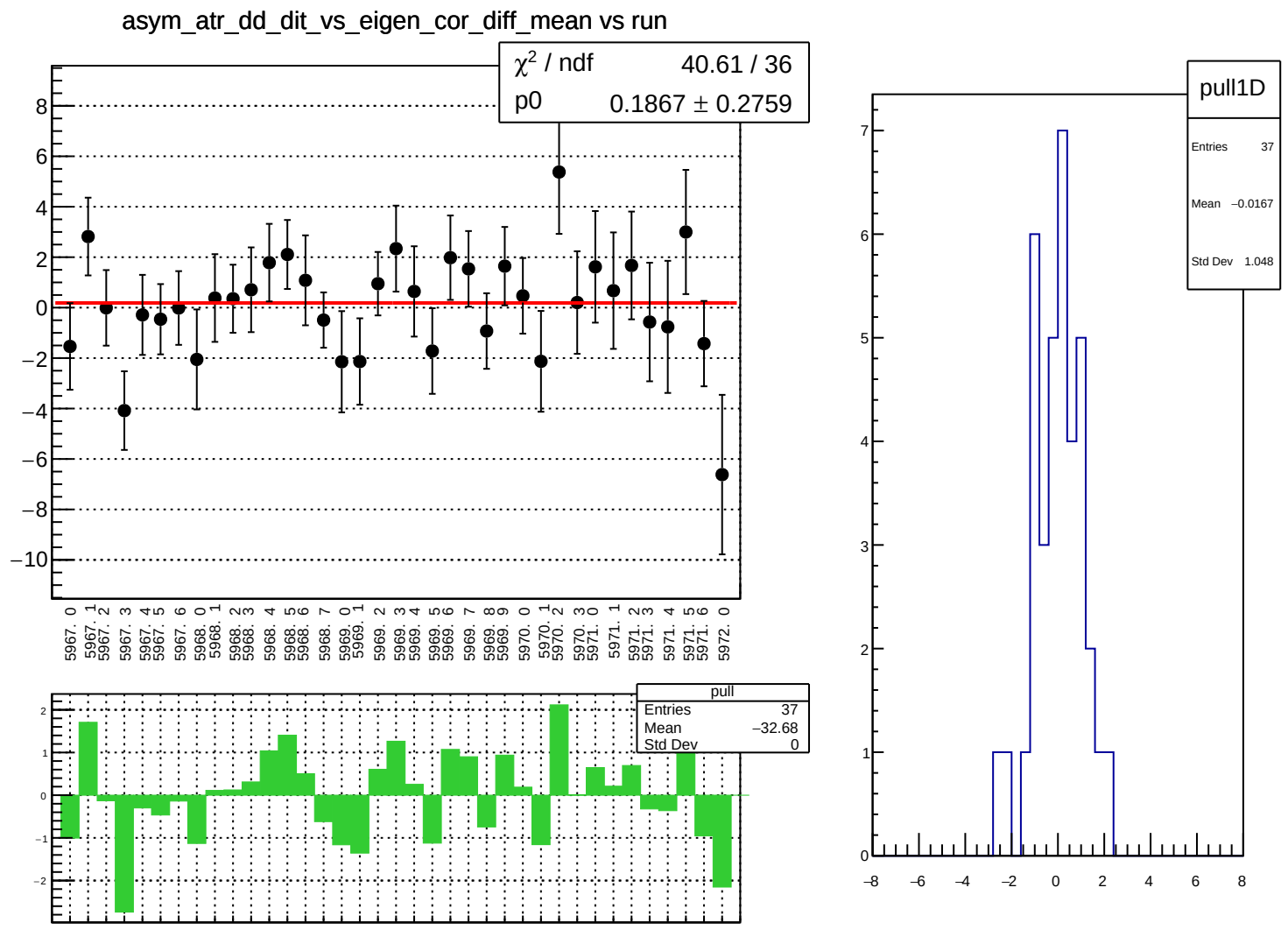
asym_atr_dd_dit_vs_eigen_cor_diff_mean vs run
χ² / ndf 40.61 / 36
p0 0.1867 ± 0.2759
pull
Entries 37
Mean −32.68
Std Dev 0
pull1D
Entries 37
Mean −0.0167
Std Dev 1.048

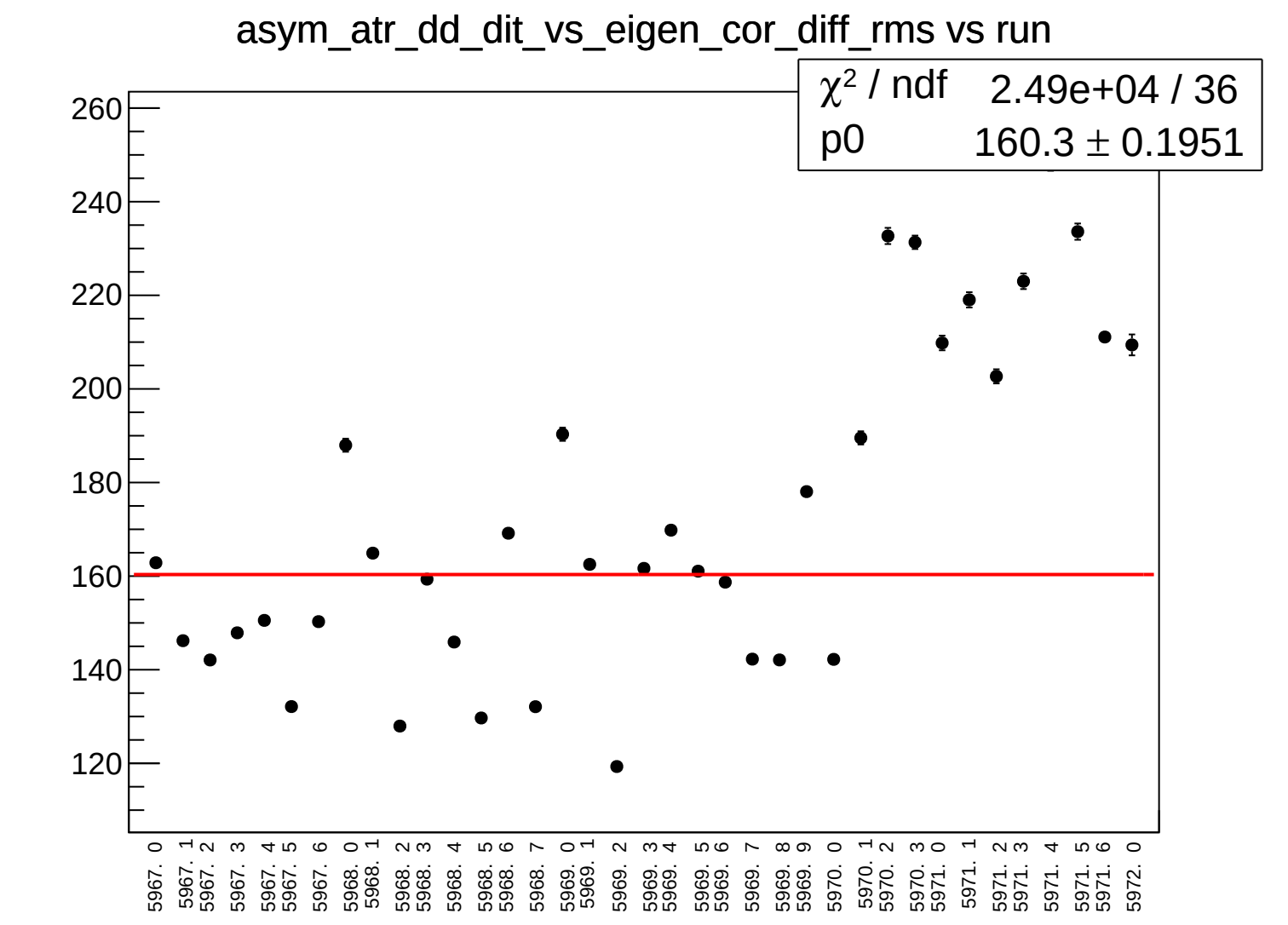
asym_atr_dd_dit_vs_eigen_cor_diff_rms vs run
χ² / ndf 2.49e+04 / 36
p0 160.3 ± 0.1951
260
240
220
200
180
160
140
120
5967. 0
5967. 1
5967. 2
5967. 3
5967. 4
5967. 5
5967. 6
5968. 0
5968. 1
5968. 2
5968. 3
5968. 4
5968. 5
5968. 6
5968. 7
5969. 0
5969. 1
5969. 2
5969. 3
5969. 4
5969. 5
5969. 6
5969. 7
5969. 8
5969. 9
5970. 0
5970. 1
5970. 2
5970. 3
5971. 0
5971. 1
5971. 2
5971. 3
5971. 4
5971. 5
5971. 6
5972. 0

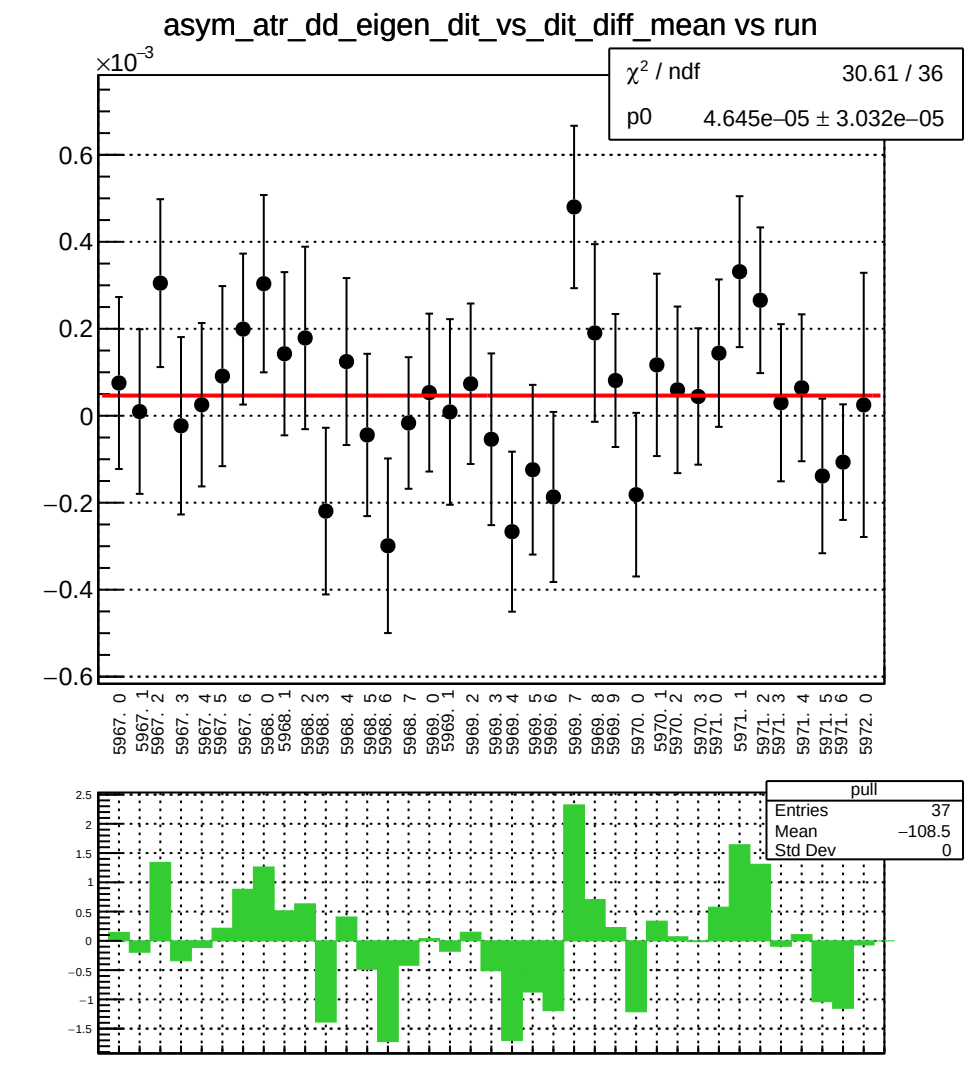
asym_atr_dd_eigen_dit_vs_dit_diff_mean vs run
×10⁻³
χ² / ndf 30.61 / 36
p0 4.645e−05 ± 3.032e−05
0.6
0.4
0.2
0
−0.2
−0.4
−0.6
5967. 0
5967. 1
5967. 2
5967. 3
5967. 4
5967. 5
5967. 6
5968. 0
5968. 1
5968. 2
5968. 3
5968. 4
5968. 5
5968. 6
5968. 7
5969. 0
5969. 1
5969. 2
5969. 3
5969. 4
5969. 5
5969. 6
5969. 7
5969. 8
5969. 9
5970. 0
5970. 1
5970. 2
5970. 3
5971. 0
5971. 1
5971. 2
5971. 3
5971. 4
5971. 5
5971. 6
5972. 0
pull
Entries 37
Mean −108.5
Std Dev 0
2.5
2
1.5
1
0.5
0
−0.5
−1
−1.5

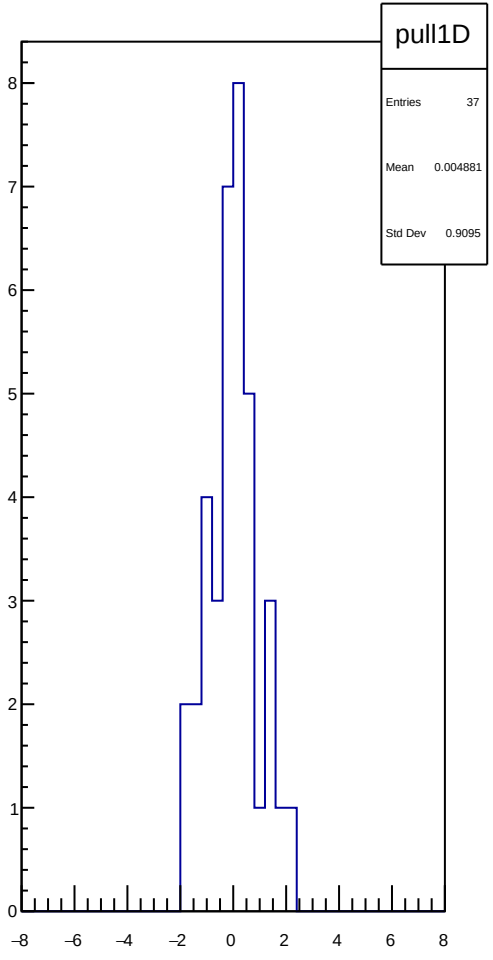
pull1D
Entries 37
Mean 0.004881
Std Dev 0.9095
8
7
6
5
4
3
2
1
0
−8
−6
−4
−2
0
2
4
6
8

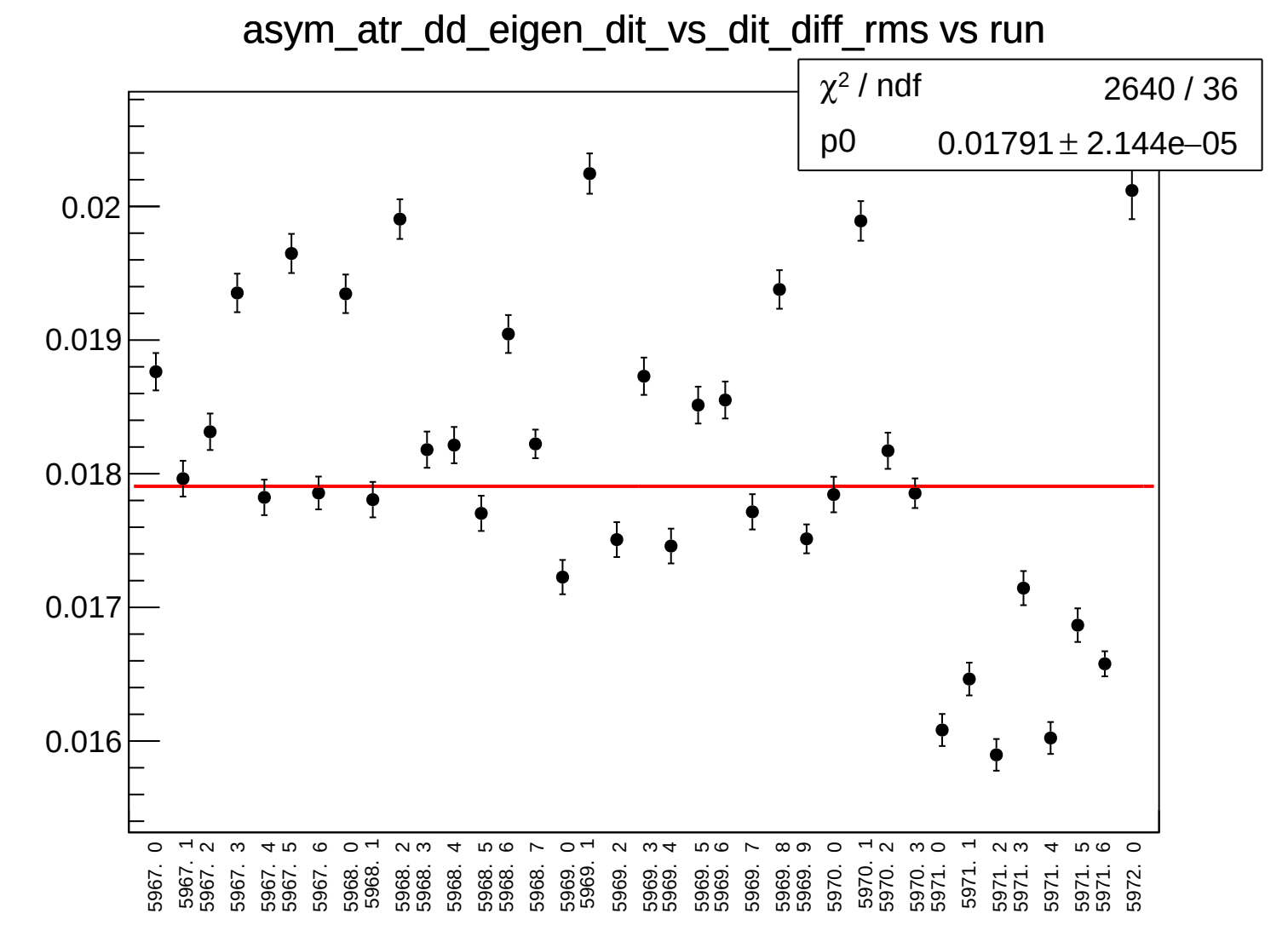
asym_atr_dd_eigen_dit_vs_dit_diff_rms vs run
χ² / ndf 2640 / 36
p0 0.01791 ± 2.144e−05
0.02
0.019
0.018
0.017
0.016
5967. 0
5967. 1
5967. 2
5967. 3
5967. 4
5967. 5
5967. 6
5968. 0
5968. 1
5968. 2
5968. 3
5968. 4
5968. 5
5968. 6
5968. 7
5969. 0
5969. 1
5969. 2
5969. 3
5969. 4
5969. 5
5969. 6
5969. 7
5969. 8
5969. 9
5970. 0
5970. 1
5970. 2
5970. 3
5971. 0
5971. 1
5971. 2
5971. 3
5971. 4
5971. 5
5971. 6
5972. 0

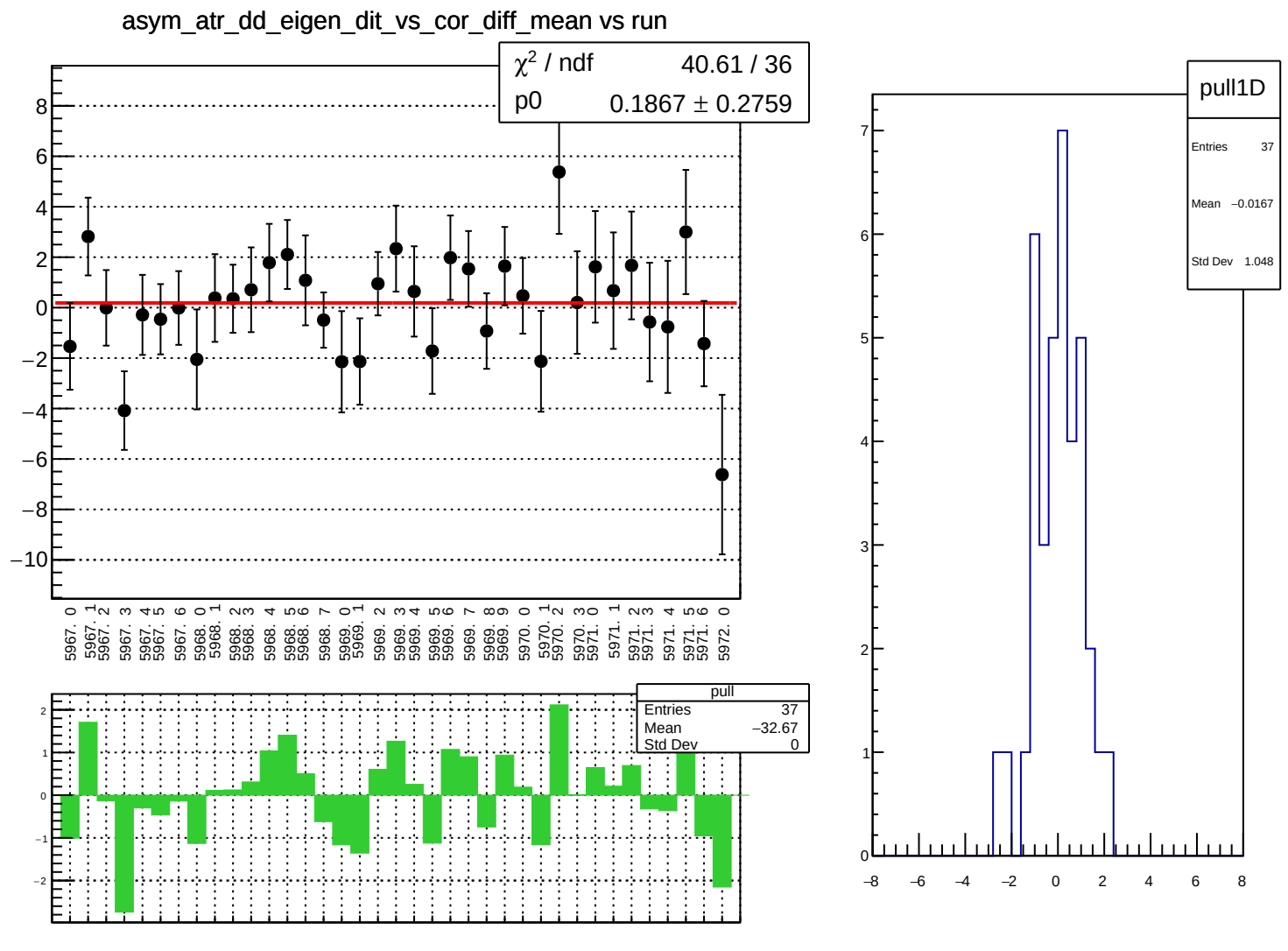
asym_atr_dd_eigen_dit_vs_cor_diff_mean vs run
χ² / ndf 40.61 / 36
p0 0.1867 ± 0.2759
pull
Entries 37
Mean −32.67
Std Dev 0
pull1D
Entries 37
Mean −0.0167
Std Dev 1.048

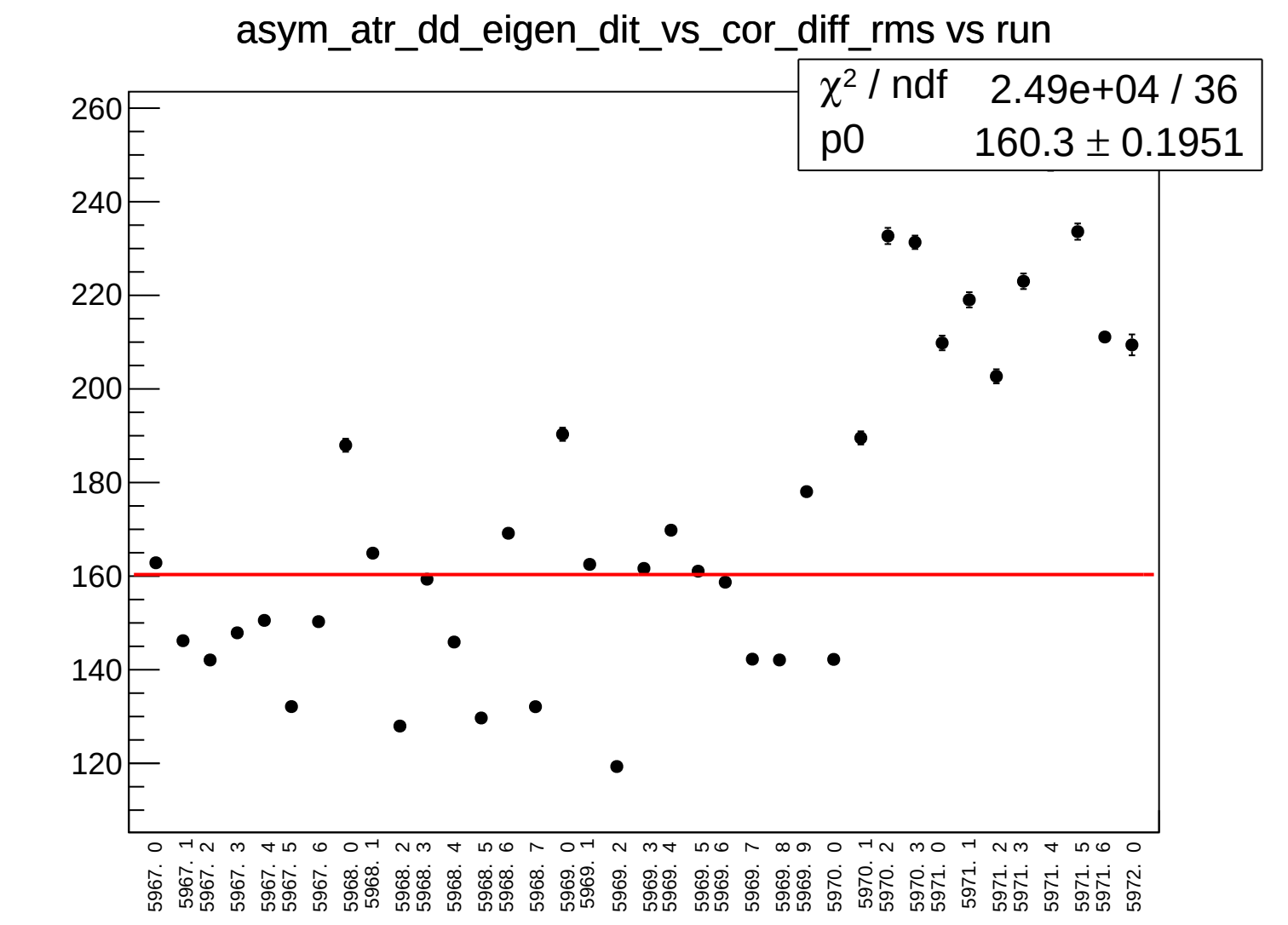
asym_atr_dd_eigen_dit_vs_cor_diff_rms vs run
χ² / ndf 2.49e+04 / 36
p0 160.3 ± 0.1951
260
240
220
200
180
160
140
120
5967. 0
5967. 1
5967. 2
5967. 3
5967. 4
5967. 5
5967. 6
5968. 0
5968. 1
5968. 2
5968. 3
5968. 4
5968. 5
5968. 6
5968. 7
5969. 0
5969. 1
5969. 2
5969. 3
5969. 4
5969. 5
5969. 6
5969. 7
5969. 8
5969. 9
5970. 0
5970. 1
5970. 2
5970. 3
5971. 0
5971. 1
5971. 2
5971. 3
5971. 4
5971. 5
5971. 6
5972. 0

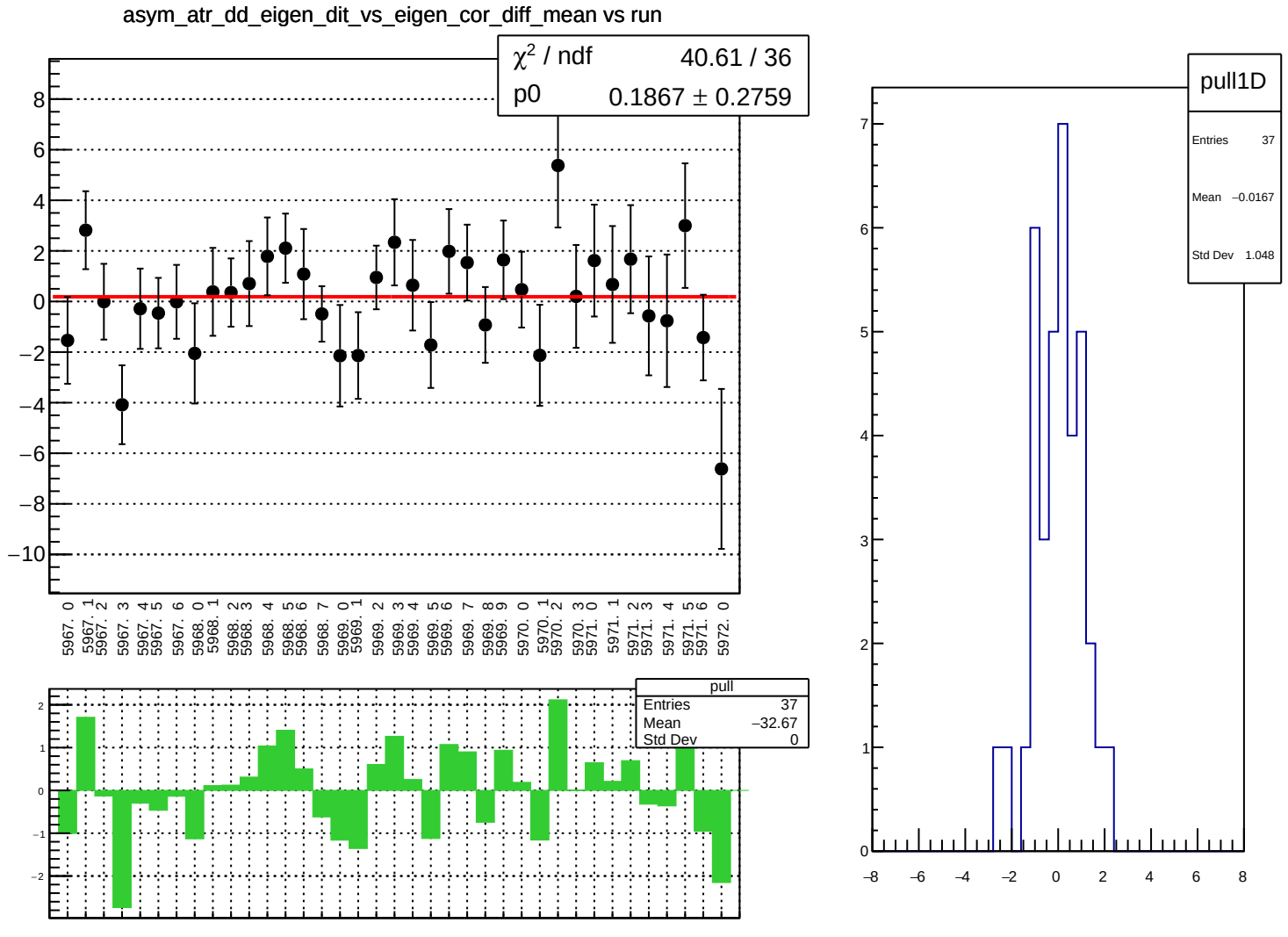
asym_atr_dd_eigen_dit_vs_eigen_cor_diff_mean vs run
χ² / ndf 40.61 / 36
p0 0.1867 ± 0.2759
pull
Entries 37
Mean −32.67
Std Dev 0
pull1D
Entries 37
Mean −0.0167
Std Dev 1.048

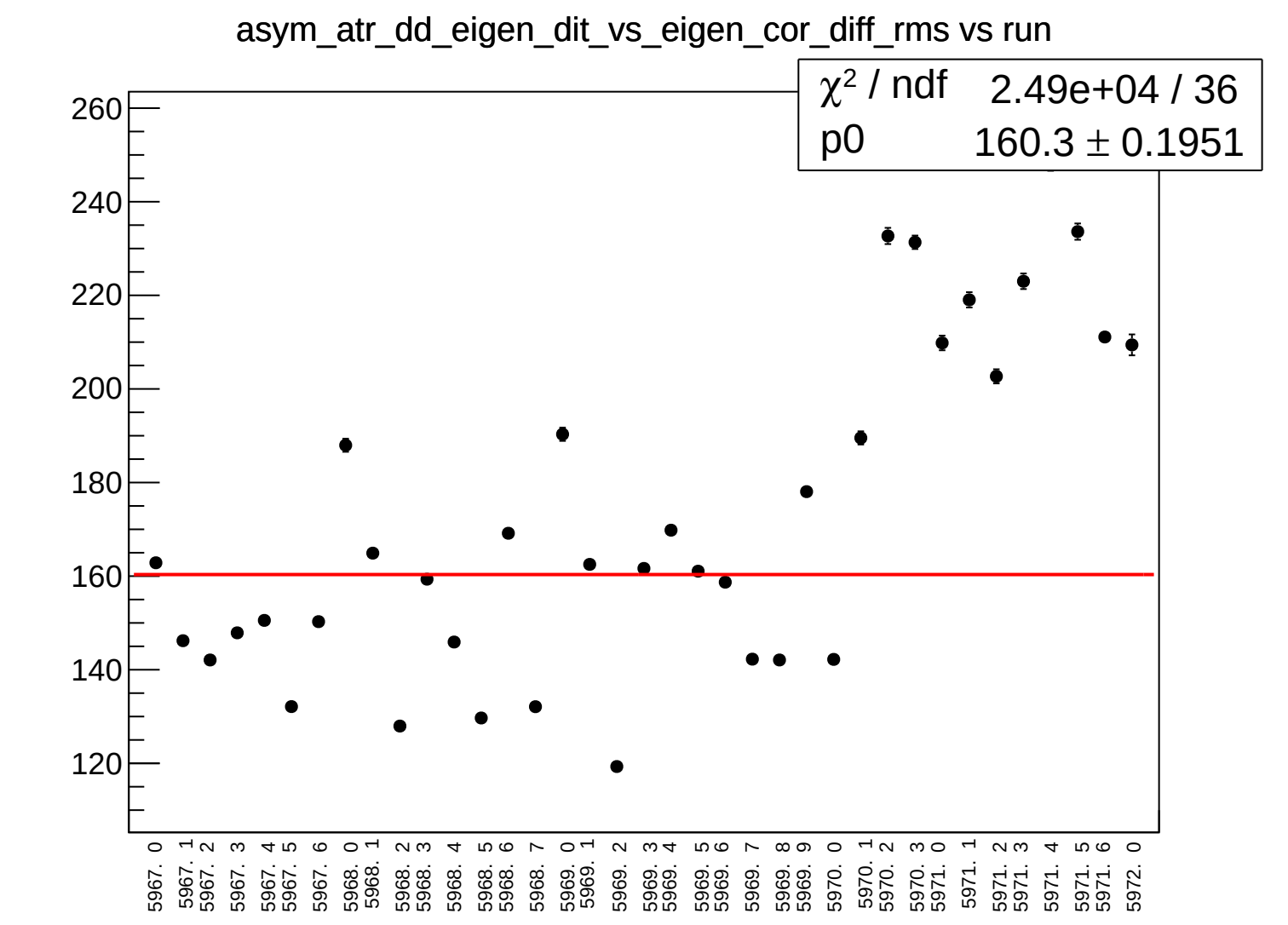
asym_atr_dd_eigen_dit_vs_eigen_cor_diff_rms vs run
χ² / ndf 2.49e+04 / 36
p0 160.3 ± 0.1951
260
240
220
200
180
160
140
120
5967. 0
5967. 1
5967. 2
5967. 3
5967. 4
5967. 5
5967. 6
5968. 0
5968. 1
5968. 2
5968. 3
5968. 4
5968. 5
5968. 6
5968. 7
5969. 0
5969. 1
5969. 2
5969. 3
5969. 4
5969. 5
5969. 6
5969. 7
5969. 8
5969. 9
5970. 0
5970. 1
5970. 2
5970. 3
5971. 0
5971. 1
5971. 2
5971. 3
5971. 4
5971. 5
5971. 6
5972. 0

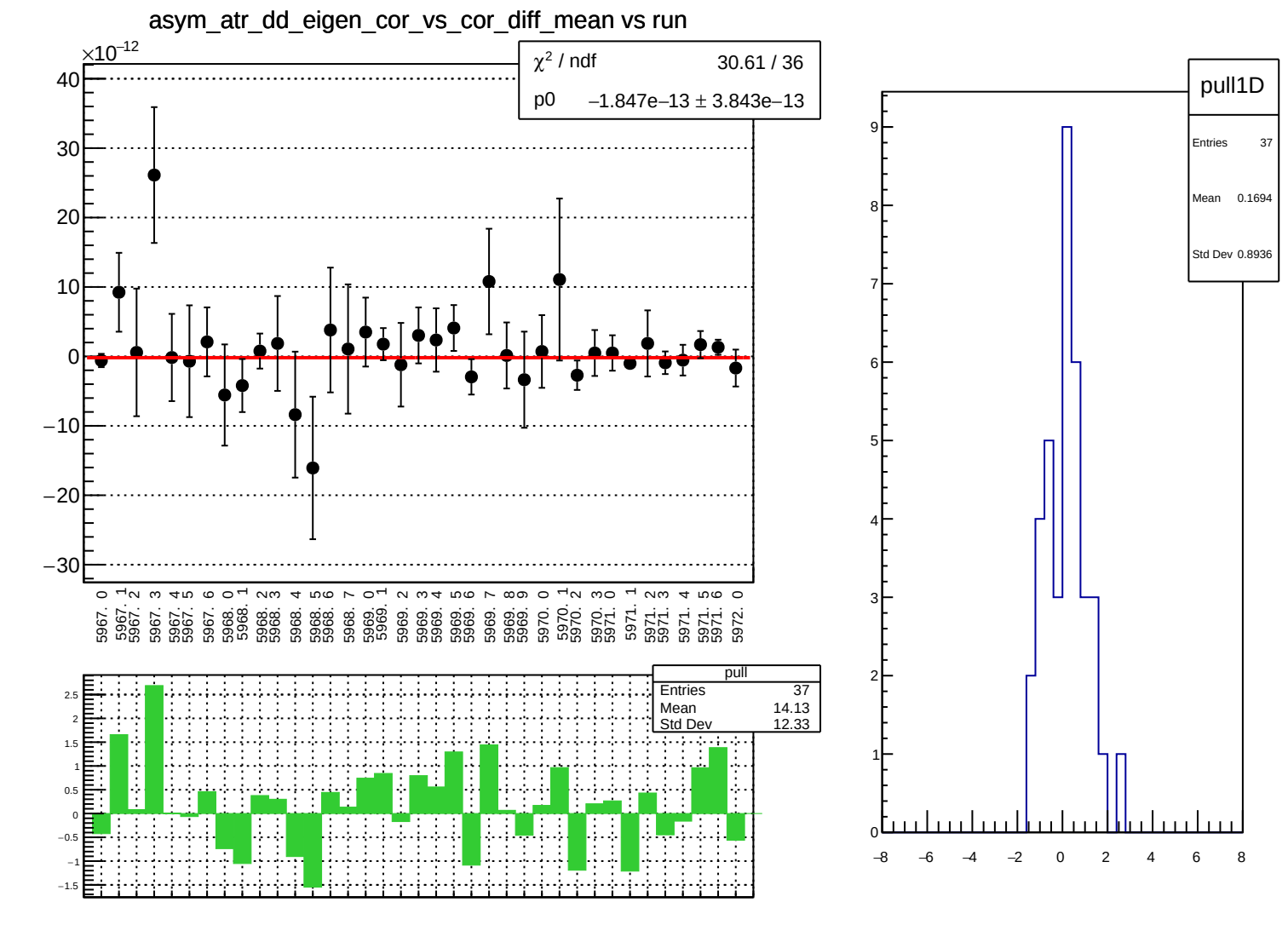
asym_atr_dd_eigen_cor_vs_cor_diff_mean vs run
×10−12
χ2 / ndf 30.61 / 36
p0 −1.847e−13 ± 3.843e−13
pull
Entries 37
Mean 14.13
Std Dev 12.33
pull1D
Entries 37
Mean 0.1694
Std Dev 0.8936

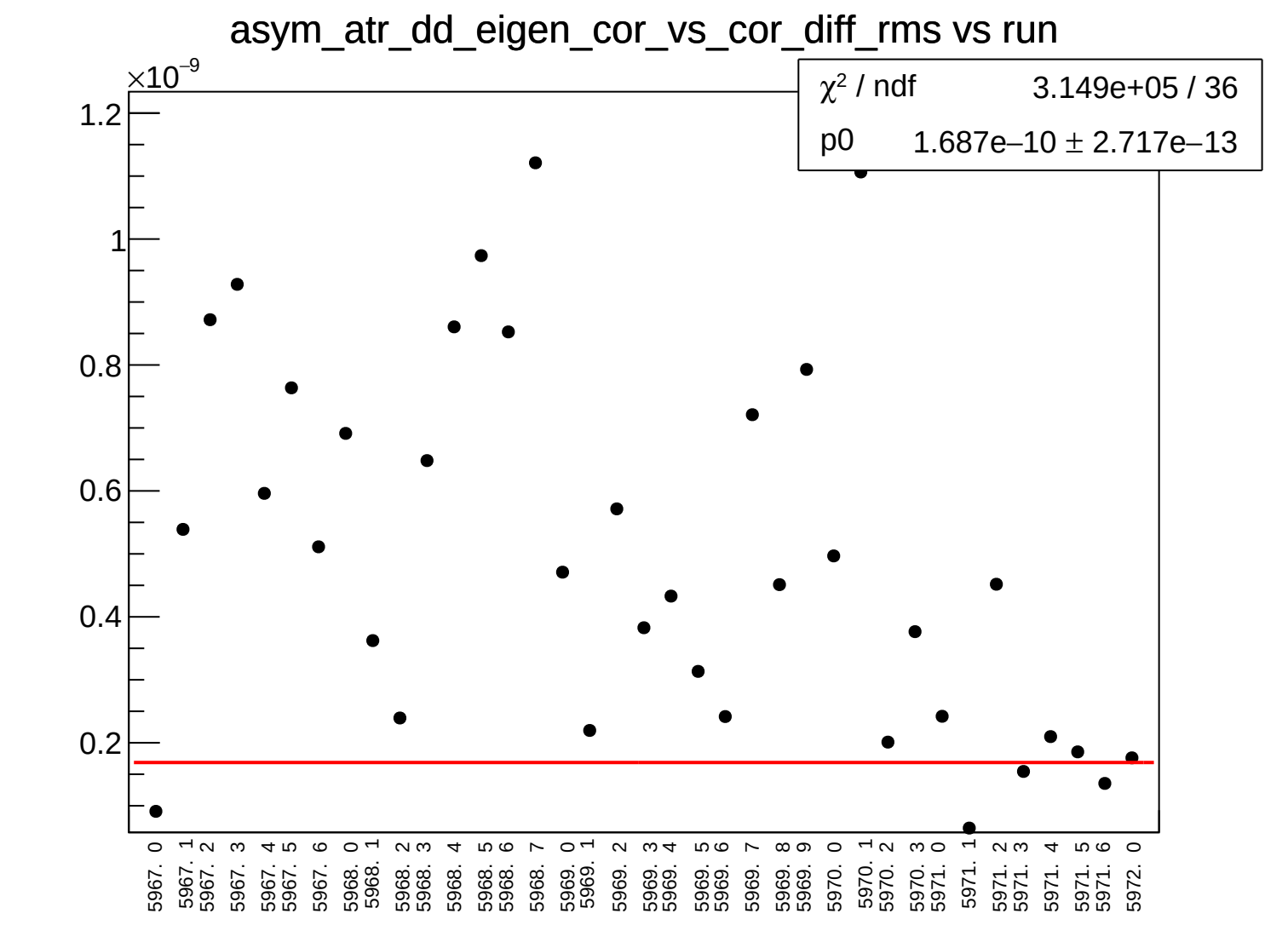
asym_atr_dd_eigen_cor_vs_cor_diff_rms vs run
×10⁻⁹
χ² / ndf 3.149e+05 / 36
p0 1.687e−10 ± 2.717e−13
1.2
1
0.8
0.6
0.4
0.2
5967. 0
5967. 1
5967. 2
5967. 3
5967. 4
5967. 5
5967. 6
5968. 0
5968. 1
5968. 2
5968. 3
5968. 4
5968. 5
5968. 6
5968. 7
5969. 0
5969. 1
5969. 2
5969. 3
5969. 4
5969. 5
5969. 6
5969. 7
5969. 8
5969. 9
5970. 0
5970. 1
5970. 2
5970. 3
5971. 0
5971. 1
5971. 2
5971. 3
5971. 4
5971. 5
5971. 6
5972. 0

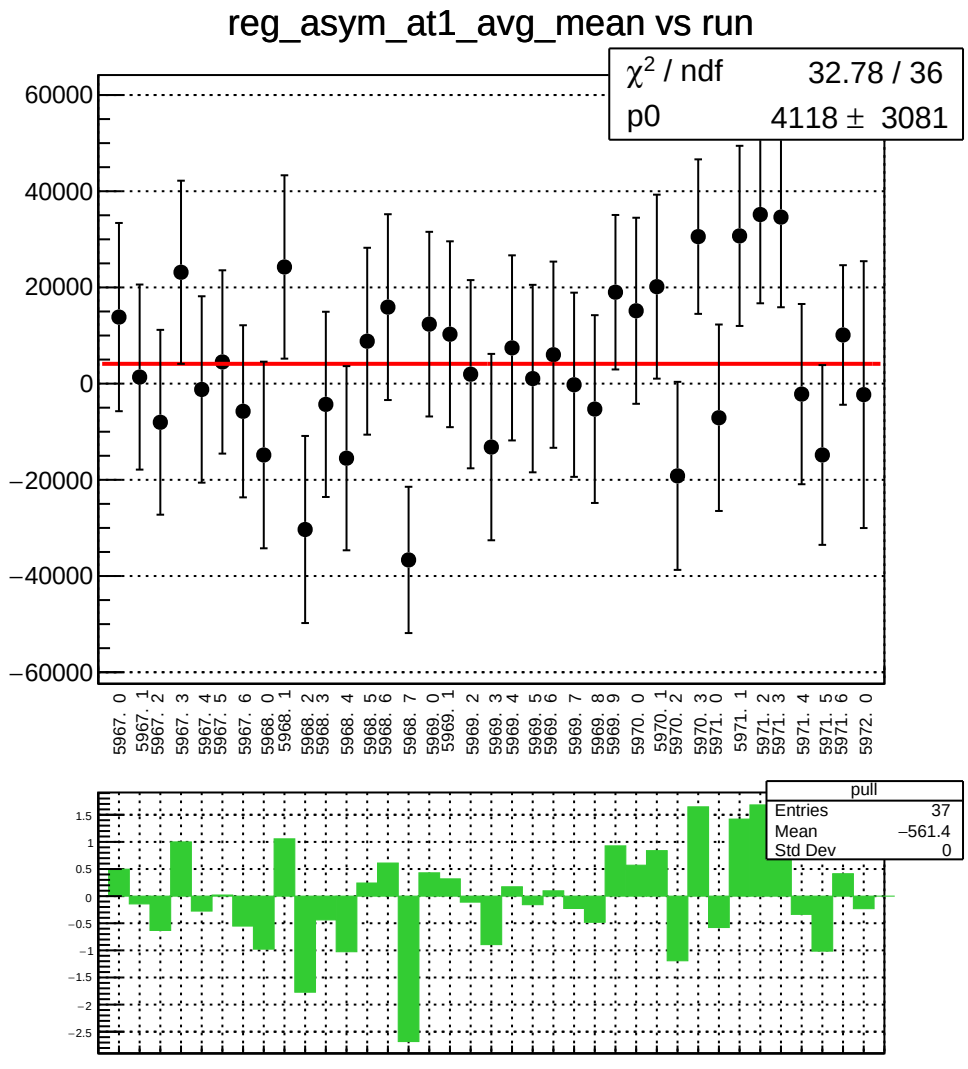
reg_asym_at1_avg_mean vs run
χ² / ndf 32.78 / 36
p0 4118 ± 3081
60000
40000
20000
0
−20000
−40000
−60000
5967. 0
5967. 1
5967. 2
5967. 3
5967. 4
5967. 5
5967. 6
5968. 0
5968. 1
5968. 2
5968. 3
5968. 4
5968. 5
5968. 6
5968. 7
5969. 0
5969. 1
5969. 2
5969. 3
5969. 4
5969. 5
5969. 6
5969. 7
5969. 8
5969. 9
5970. 0
5970. 1
5970. 2
5970. 3
5971. 0
5971. 1
5971. 2
5971. 3
5971. 4
5971. 5
5971. 6
5972. 0
pull
Entries 37
Mean −561.4
Std Dev 0
1.5
1
0.5
0
−0.5
−1
−1.5
−2
−2.5
pull1D
Entries 37
Mean −0.004
Std Dev 0.9412
7
6
5
4
3
2
1
0
−8
−6
−4
−2
0
2
4
6
8

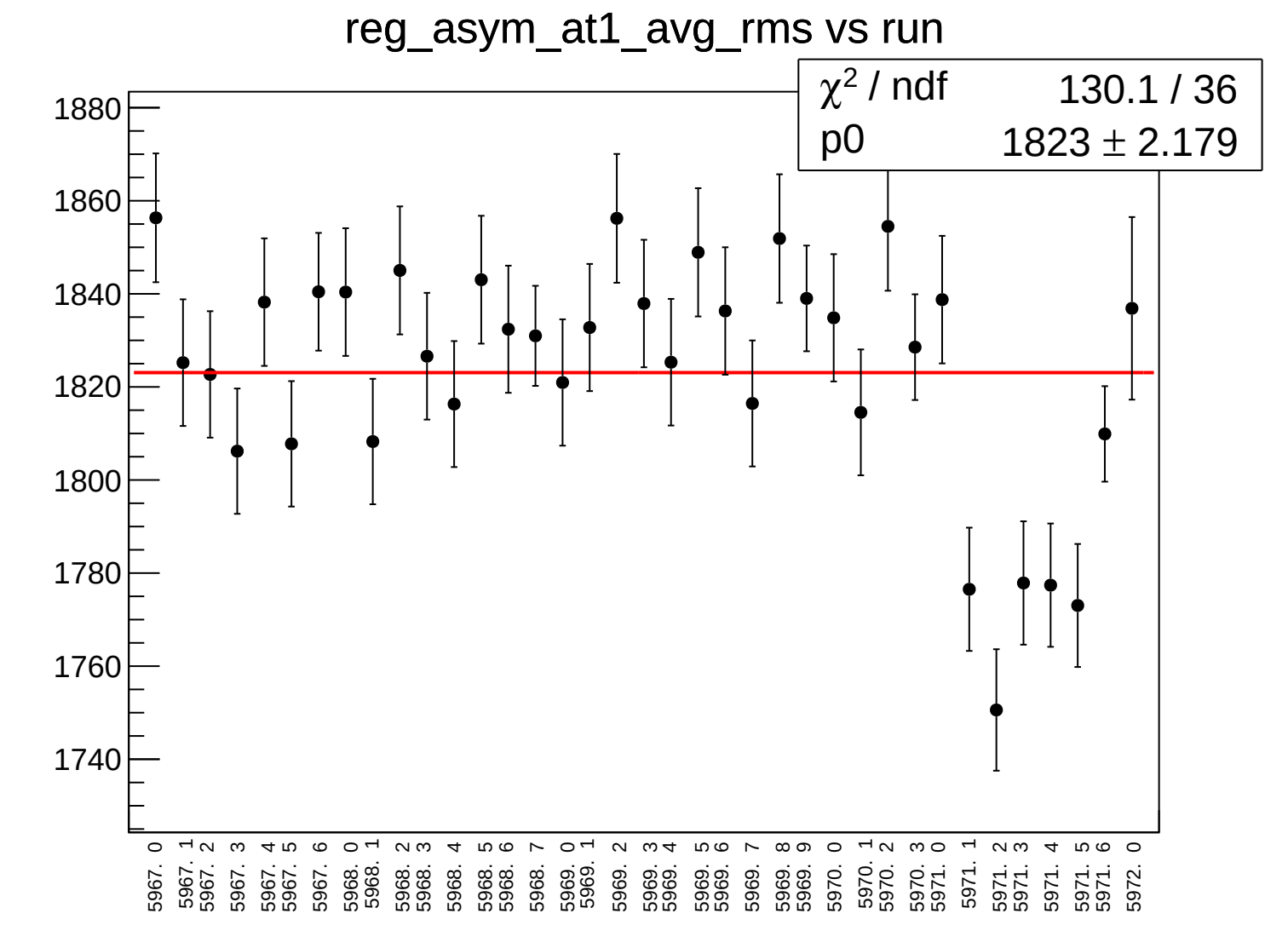
reg_asym_at1_avg_rms vs run
χ² / ndf 130.1 / 36
p0 1823 ± 2.179
1880
1860
1840
1820
1800
1780
1760
1740
5967. 0
5967. 1
5967. 2
5967. 3
5967. 4
5967. 5
5967. 6
5968. 0
5968. 1
5968. 2
5968. 3
5968. 4
5968. 5
5968. 6
5968. 7
5969. 0
5969. 1
5969. 2
5969. 3
5969. 4
5969. 5
5969. 6
5969. 7
5969. 8
5969. 9
5970. 0
5970. 1
5970. 2
5970. 3
5971. 0
5971. 1
5971. 2
5971. 3
5971. 4
5971. 5
5971. 6
5972. 0

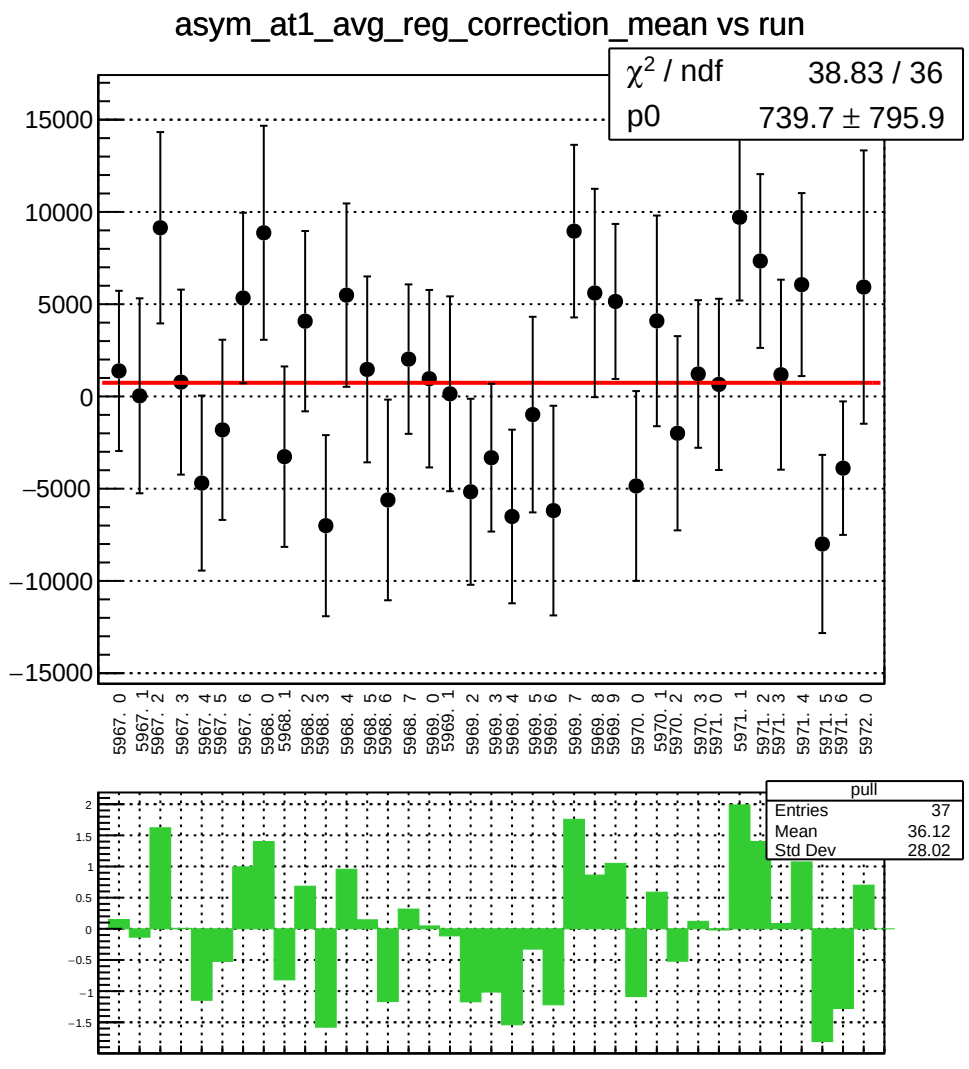
asym_at1_avg_reg_correction_mean vs run
χ² / ndf 38.83 / 36
p0 739.7 ± 795.9
15000
10000
5000
0
−5000
−10000
−15000
5967. 0
5967. 1
5967. 2
5967. 3
5967. 4
5967. 5
5967. 6
5968. 0
5968. 1
5968. 2
5968. 3
5968. 4
5968. 5
5968. 6
5968. 7
5969. 0
5969. 1
5969. 2
5969. 3
5969. 4
5969. 5
5969. 6
5969. 7
5969. 8
5969. 9
5970. 0
5970. 1
5970. 2
5970. 3
5971. 0
5971. 1
5971. 2
5971. 3
5971. 4
5971. 5
5971. 6
5972. 0
pull
Entries 37
Mean 36.12
Std Dev 28.02
2
1.5
1
0.5
0
−0.5
−1
−1.5
pull1D
Entries 37
Mean 0.01297
Std Dev 1.024
7
6
5
4
3
2
1
0
−8
−6
−4
−2
0
2
4
6
8

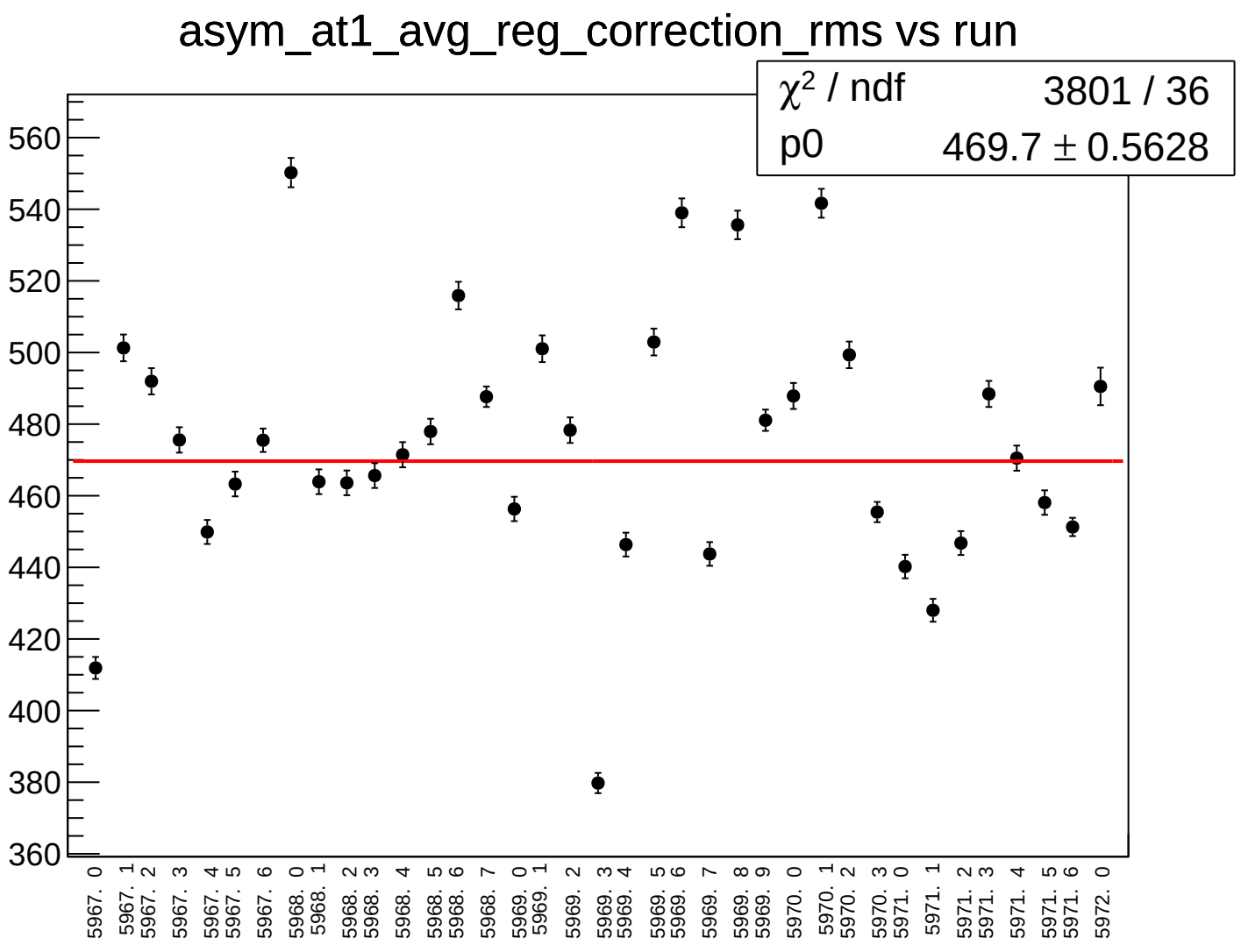
asym_at1_avg_reg_correction_rms vs run
χ² / ndf 3801 / 36
p0 469.7 ± 0.5628
560
540
520
500
480
460
440
420
400
380
360
5967. 0
5967. 1
5967. 2
5967. 3
5967. 4
5967. 5
5967. 6
5968. 0
5968. 1
5968. 2
5968. 3
5968. 4
5968. 5
5968. 6
5968. 7
5969. 0
5969. 1
5969. 2
5969. 3
5969. 4
5969. 5
5969. 6
5969. 7
5969. 8
5969. 9
5970. 0
5970. 1
5970. 2
5970. 3
5971. 0
5971. 1
5971. 2
5971. 3
5971. 4
5971. 5
5971. 6
5972. 0

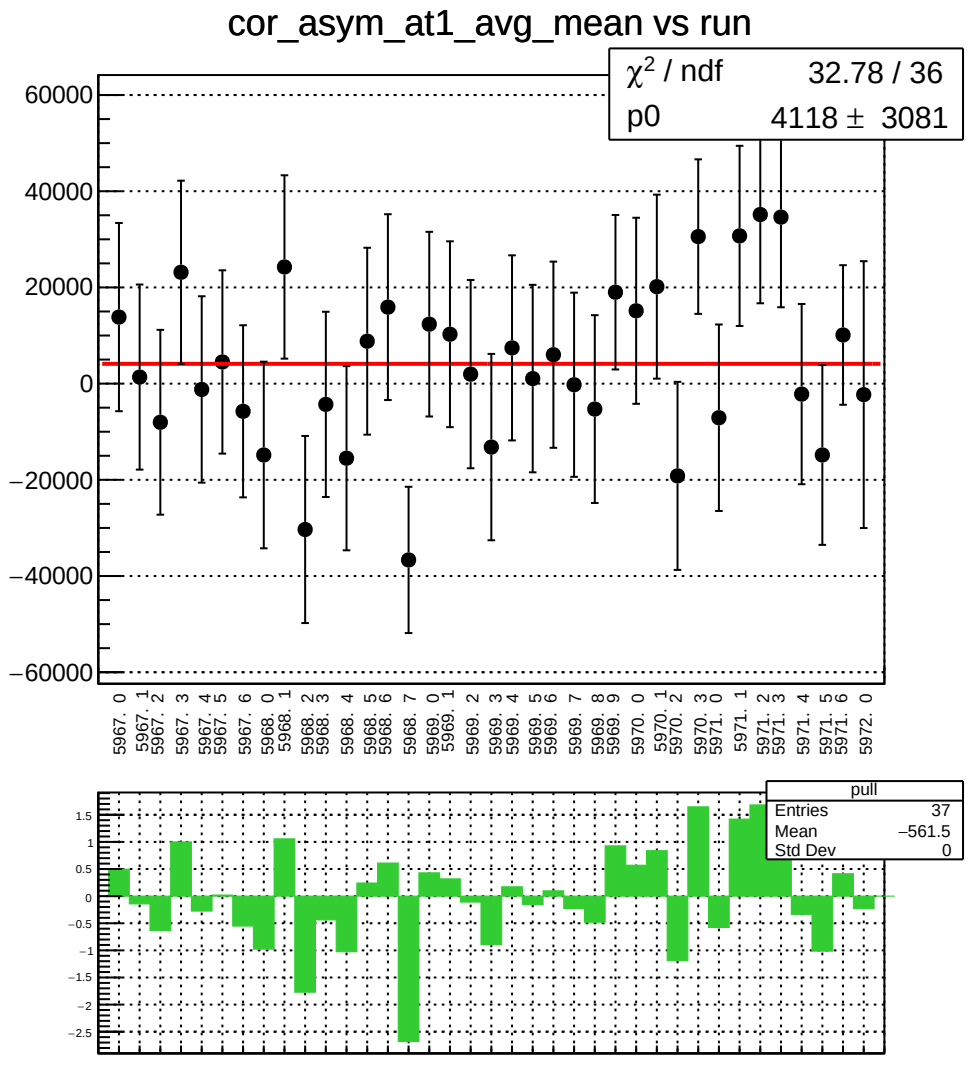
cor_asym_at1_avg_mean vs run
χ² / ndf 32.78 / 36
p0 4118 ± 3081
60000
40000
20000
0
−20000
−40000
−60000
5967. 0
5967. 1
5967. 2
5967. 3
5967. 4
5967. 5
5967. 6
5968. 0
5968. 1
5968. 2
5968. 3
5968. 4
5968. 5
5968. 6
5968. 7
5969. 0
5969. 1
5969. 2
5969. 3
5969. 4
5969. 5
5969. 6
5969. 7
5969. 8
5969. 9
5970. 0
5970. 1
5970. 2
5970. 3
5971. 0
5971. 1
5971. 2
5971. 3
5971. 4
5971. 5
5971. 6
5972. 0
pull
Entries 37
Mean −561.5
Std Dev 0
1.5
1
0.5
0
−0.5
−1
−1.5
−2
−2.5
pull1D
Entries 37
Mean −0.003999
Std Dev 0.9412
7
6
5
4
3
2
1
0
−8
−6
−4
−2
0
2
4
6
8

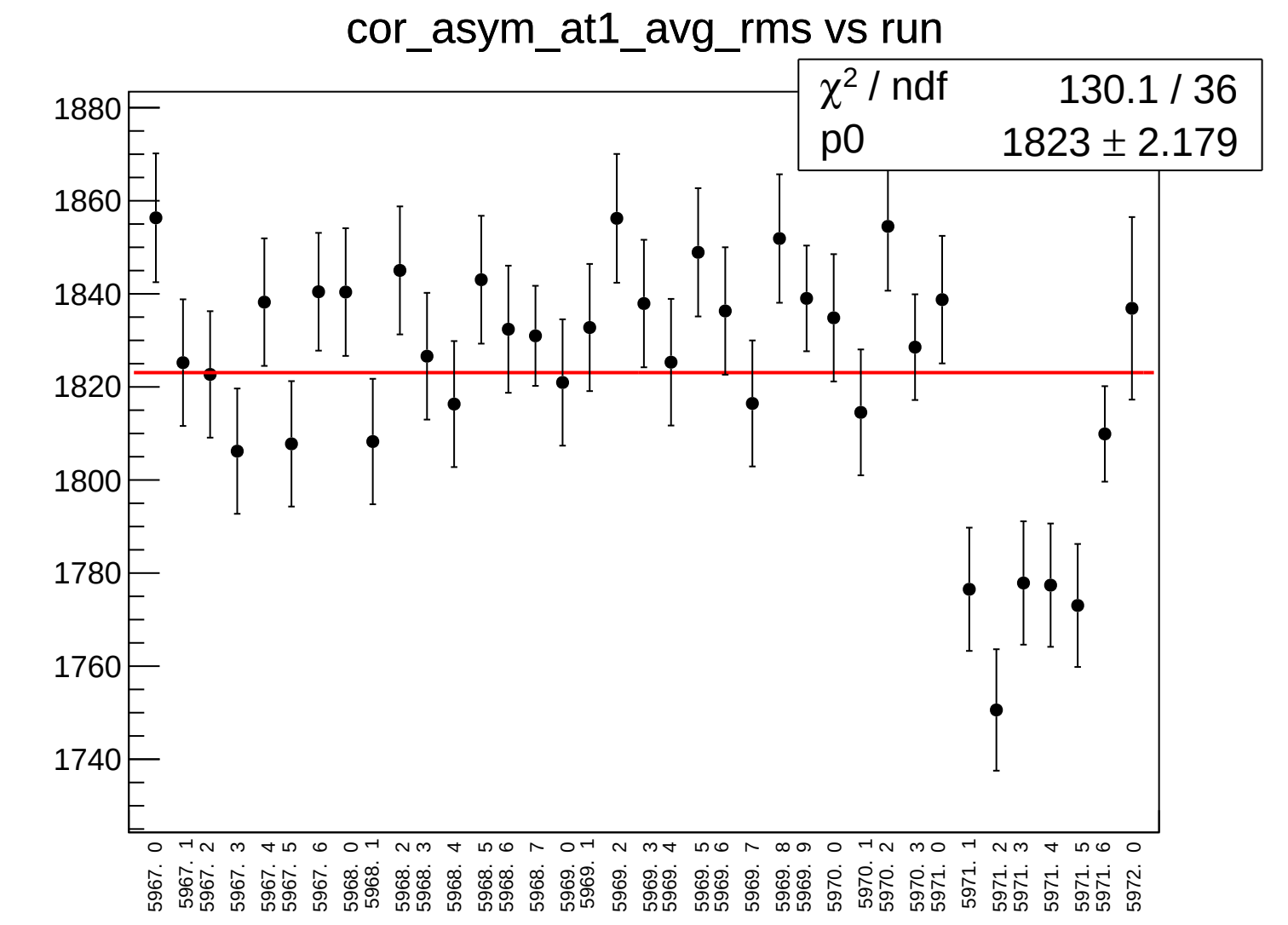
cor_asym_at1_avg_rms vs run
χ² / ndf 130.1 / 36
p0 1823 ± 2.179
1880
1860
1840
1820
1800
1780
1760
1740
5967. 0
5967. 1
5967. 2
5967. 3
5967. 4
5967. 5
5967. 6
5968. 0
5968. 1
5968. 2
5968. 3
5968. 4
5968. 5
5968. 6
5968. 7
5969. 0
5969. 1
5969. 2
5969. 3
5969. 4
5969. 5
5969. 6
5969. 7
5969. 8
5969. 9
5970. 0
5970. 1
5970. 2
5970. 3
5971. 0
5971. 1
5971. 2
5971. 3
5971. 4
5971. 5
5971. 6
5972. 0

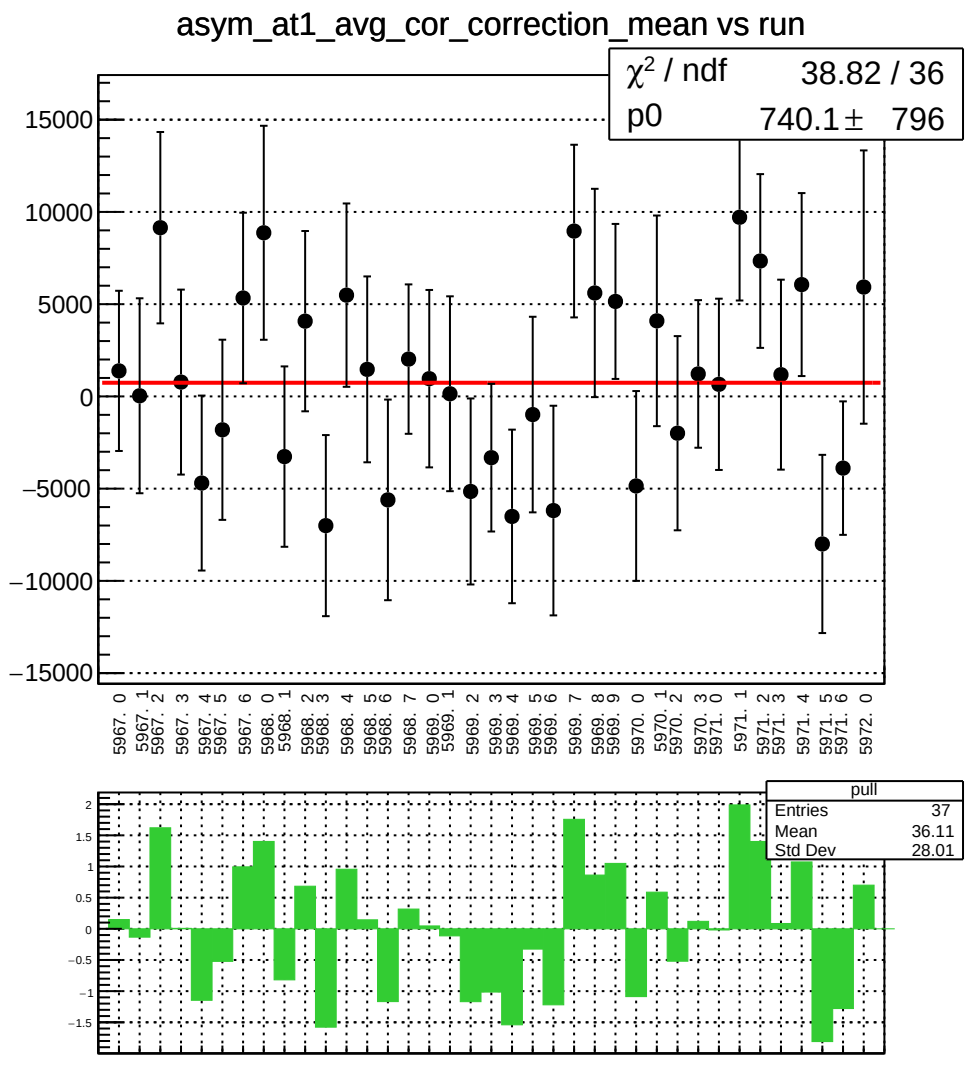
asym_at1_avg_cor_correction_mean vs run
χ² / ndf 38.82 / 36
p0 740.1 ± 796
15000
10000
5000
0
−5000
−10000
−15000
5967. 0
5967. 1
5967. 2
5967. 3
5967. 4
5967. 5
5967. 6
5968. 0
5968. 1
5968. 2
5968. 3
5968. 4
5968. 5
5968. 6
5968. 7
5969. 0
5969. 1
5969. 2
5969. 3
5969. 4
5969. 5
5969. 6
5969. 7
5969. 8
5969. 9
5970. 0
5970. 1
5970. 2
5970. 3
5971. 0
5971. 1
5971. 2
5971. 3
5971. 4
5971. 5
5971. 6
5972. 0
pull
Entries 37
Mean 36.11
Std Dev 28.01
2
1.5
1
0.5
0
−0.5
−1
−1.5

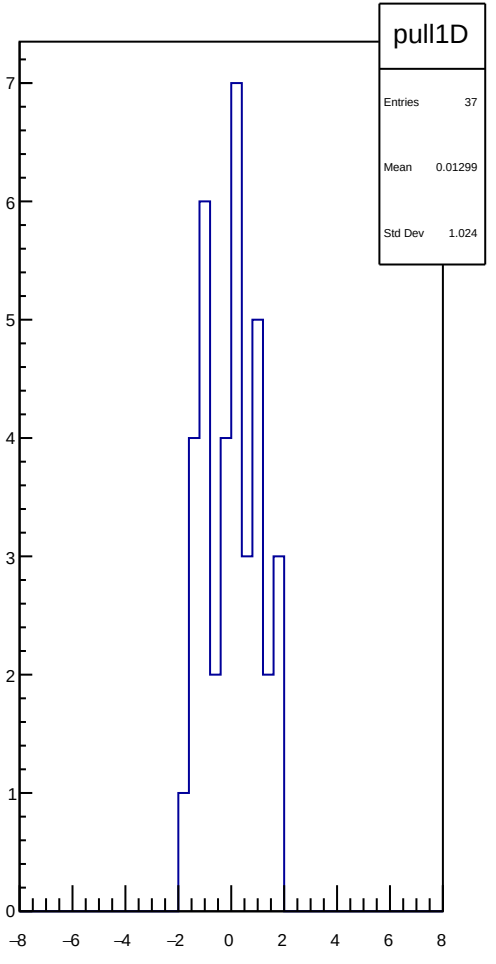
pull1D
Entries 37
Mean 0.01299
Std Dev 1.024
7
6
5
4
3
2
1
0
−8
−6
−4
−2
0
2
4
6
8

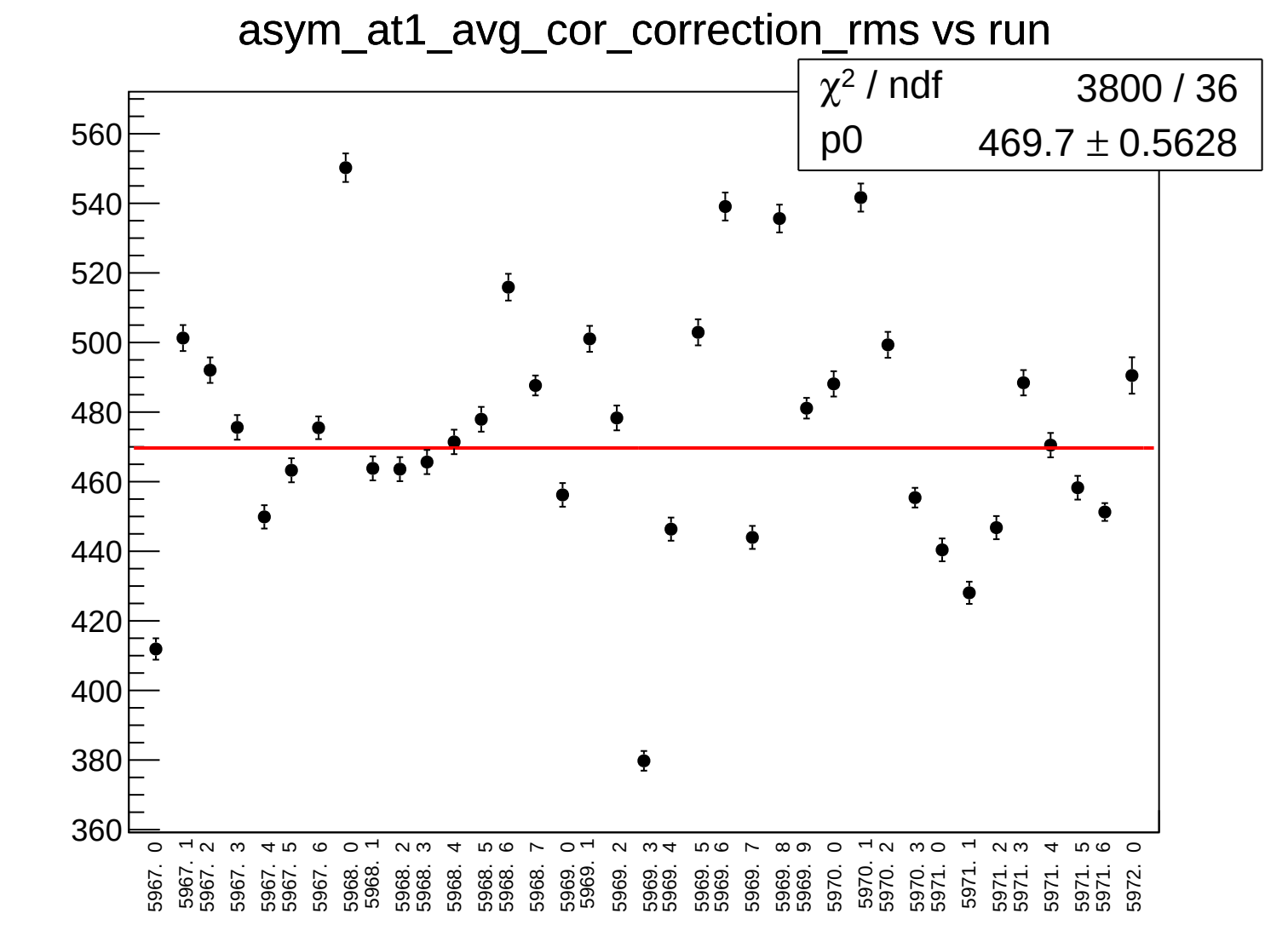
asym_at1_avg_cor_correction_rms vs run
χ² / ndf 3800 / 36
p0 469.7 ± 0.5628
560
540
520
500
480
460
440
420
400
380
360
5967. 0
5967. 1
5967. 2
5967. 3
5967. 4
5967. 5
5967. 6
5968. 0
5968. 1
5968. 2
5968. 3
5968. 4
5968. 5
5968. 6
5968. 7
5969. 0
5969. 1
5969. 2
5969. 3
5969. 4
5969. 5
5969. 6
5969. 7
5969. 8
5969. 9
5970. 0
5970. 1
5970. 2
5970. 3
5971. 0
5971. 1
5971. 2
5971. 3
5971. 4
5971. 5
5971. 6
5972. 0

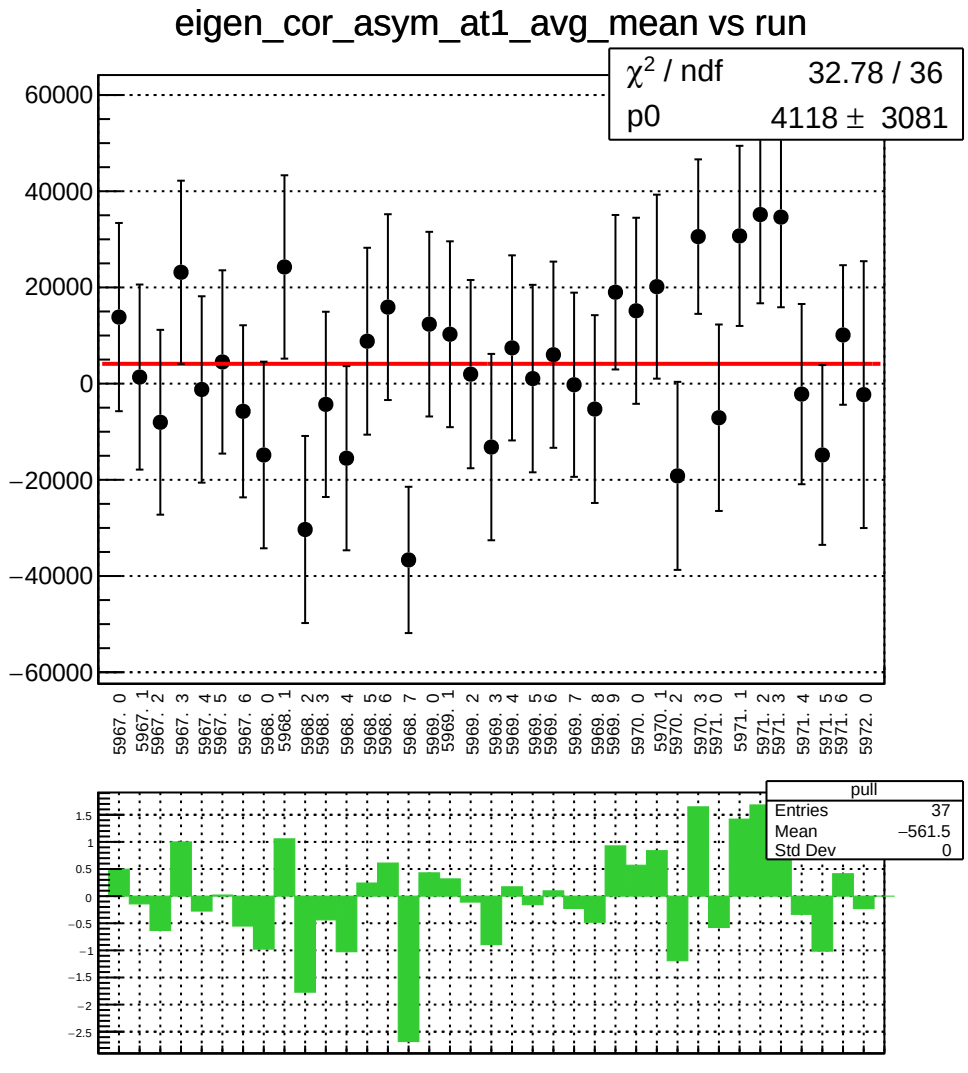
eigen_cor_asym_at1_avg_mean vs run
χ² / ndf 32.78 / 36
p0 4118 ± 3081
60000
40000
20000
0
−20000
−40000
−60000
5967. 0
5967. 1
5967. 2
5967. 3
5967. 4
5967. 5
5967. 6
5968. 0
5968. 1
5968. 2
5968. 3
5968. 4
5968. 5
5968. 6
5968. 7
5969. 0
5969. 1
5969. 2
5969. 3
5969. 4
5969. 5
5969. 6
5969. 7
5969. 8
5969. 9
5970. 0
5970. 1
5970. 2
5970. 3
5971. 0
5971. 1
5971. 2
5971. 3
5971. 4
5971. 5
5971. 6
5972. 0
pull
Entries 37
Mean −561.5
Std Dev 0
1.5
1
0.5
0
−0.5
−1
−1.5
−2
−2.5
pull1D
Entries 37
Mean −0.003999
Std Dev 0.9412
7
6
5
4
3
2
1
0
−8
−6
−4
−2
0
2
4
6
8

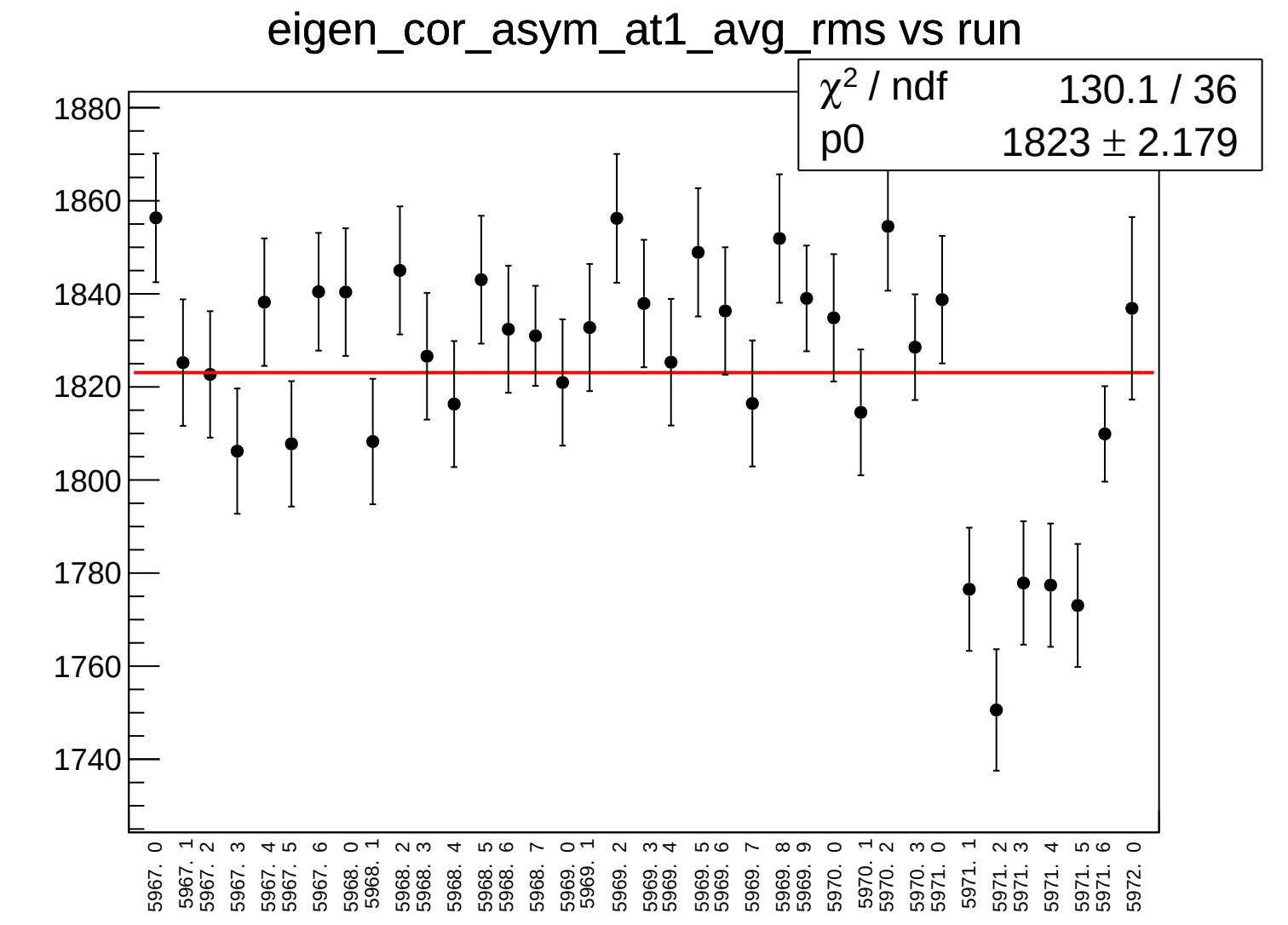
eigen_cor_asym_at1_avg_rms vs run
χ² / ndf 130.1 / 36
p0 1823 ± 2.179
1880
1860
1840
1820
1800
1780
1760
1740
5967. 0
5967. 1
5967. 2
5967. 3
5967. 4
5967. 5
5967. 6
5968. 0
5968. 1
5968. 2
5968. 3
5968. 4
5968. 5
5968. 6
5968. 7
5969. 0
5969. 1
5969. 2
5969. 3
5969. 4
5969. 5
5969. 6
5969. 7
5969. 8
5969. 9
5970. 0
5970. 1
5970. 2
5970. 3
5971. 0
5971. 1
5971. 2
5971. 3
5971. 4
5971. 5
5971. 6
5972. 0

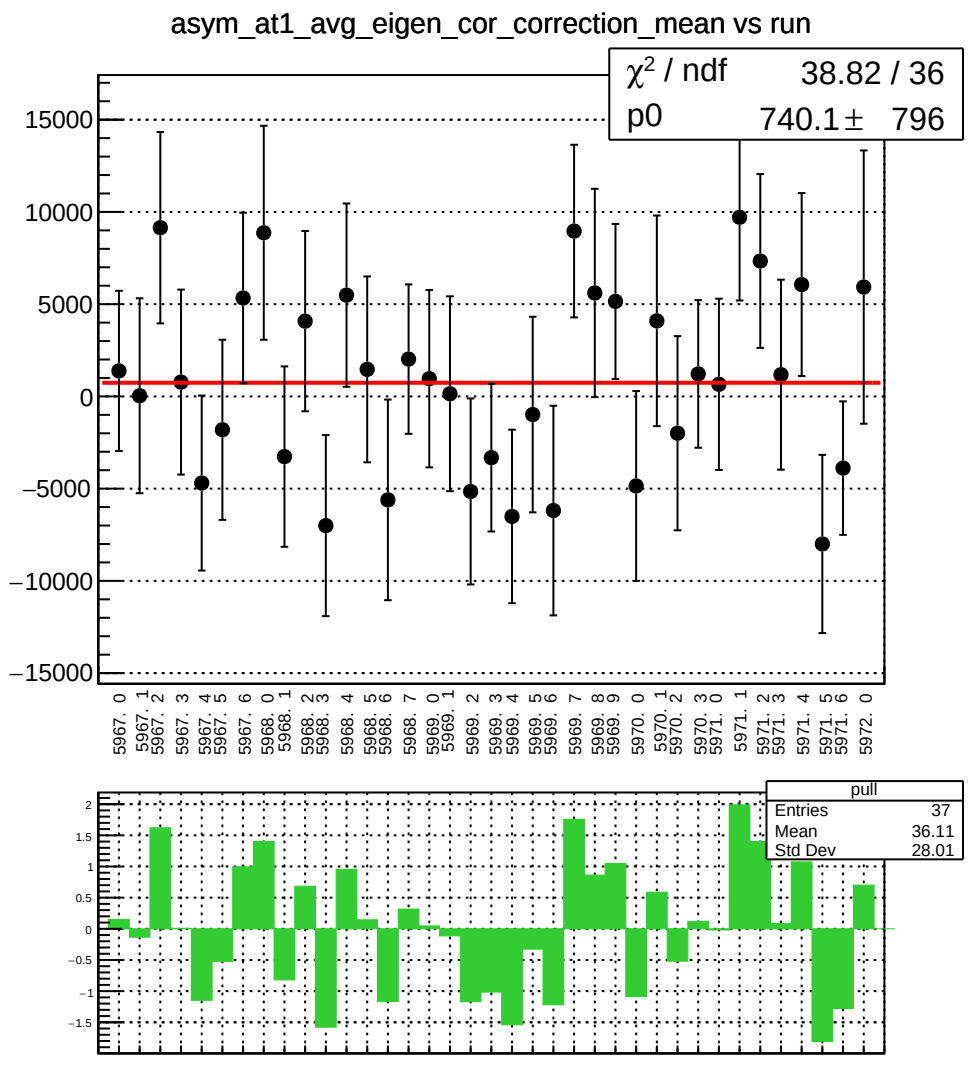
asym_at1_avg_eigen_cor_correction_mean vs run
χ² / ndf 38.82 / 36
p0 740.1 ± 796
15000
10000
5000
0
−5000
−10000
−15000
5967. 0
5967. 1
5967. 2
5967. 3
5967. 4
5967. 5
5967. 6
5968. 0
5968. 1
5968. 2
5968. 3
5968. 4
5968. 5
5968. 6
5968. 7
5969. 0
5969. 1
5969. 2
5969. 3
5969. 4
5969. 5
5969. 6
5969. 7
5969. 8
5969. 9
5970. 0
5970. 1
5970. 2
5970. 3
5971. 0
5971. 1
5971. 2
5971. 3
5971. 4
5971. 5
5971. 6
5972. 0
pull
Entries 37
Mean 36.11
Std Dev 28.01
2
1.5
1
0.5
0
−0.5
−1
−1.5

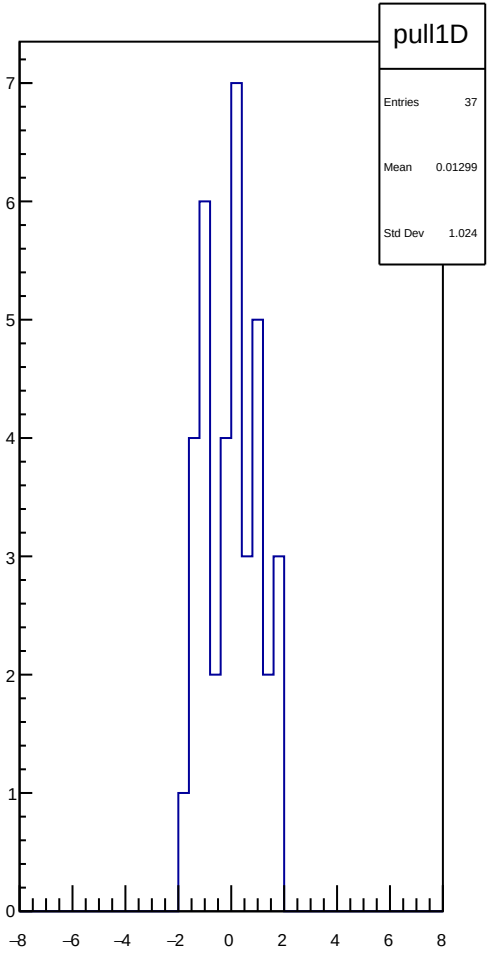
pull1D
Entries 37
Mean 0.01299
Std Dev 1.024
7
6
5
4
3
2
1
0
−8
−6
−4
−2
0
2
4
6
8

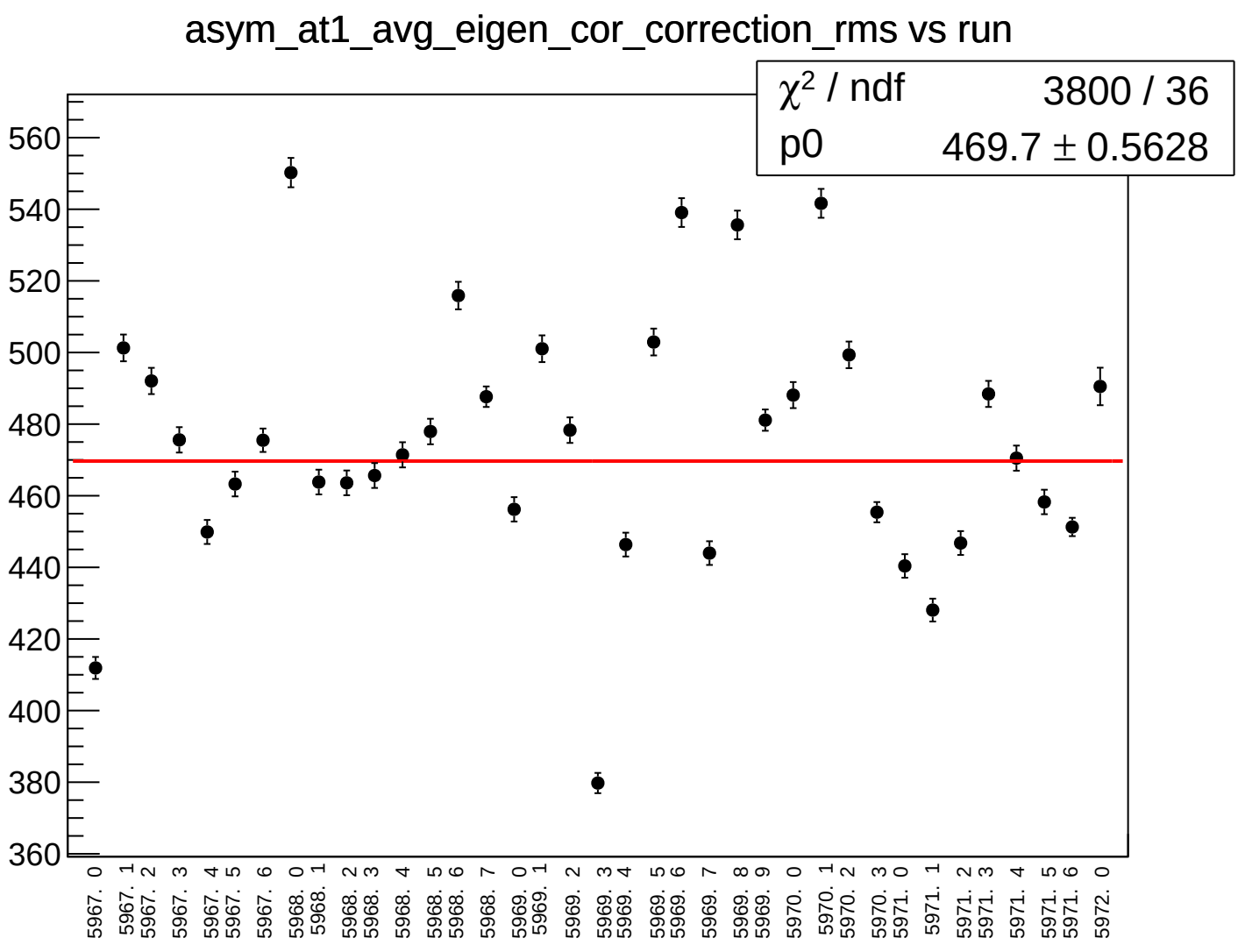
asym_at1_avg_eigen_cor_correction_rms vs run
χ² / ndf 3800 / 36
p0 469.7 ± 0.5628
560
540
520
500
480
460
440
420
400
380
360
5967. 0
5967. 1
5967. 2
5967. 3
5967. 4
5967. 5
5967. 6
5968. 0
5968. 1
5968. 2
5968. 3
5968. 4
5968. 5
5968. 6
5968. 7
5969. 0
5969. 1
5969. 2
5969. 3
5969. 4
5969. 5
5969. 6
5969. 7
5969. 8
5969. 9
5970. 0
5970. 1
5970. 2
5970. 3
5971. 0
5971. 1
5971. 2
5971. 3
5971. 4
5971. 5
5971. 6
5972. 0

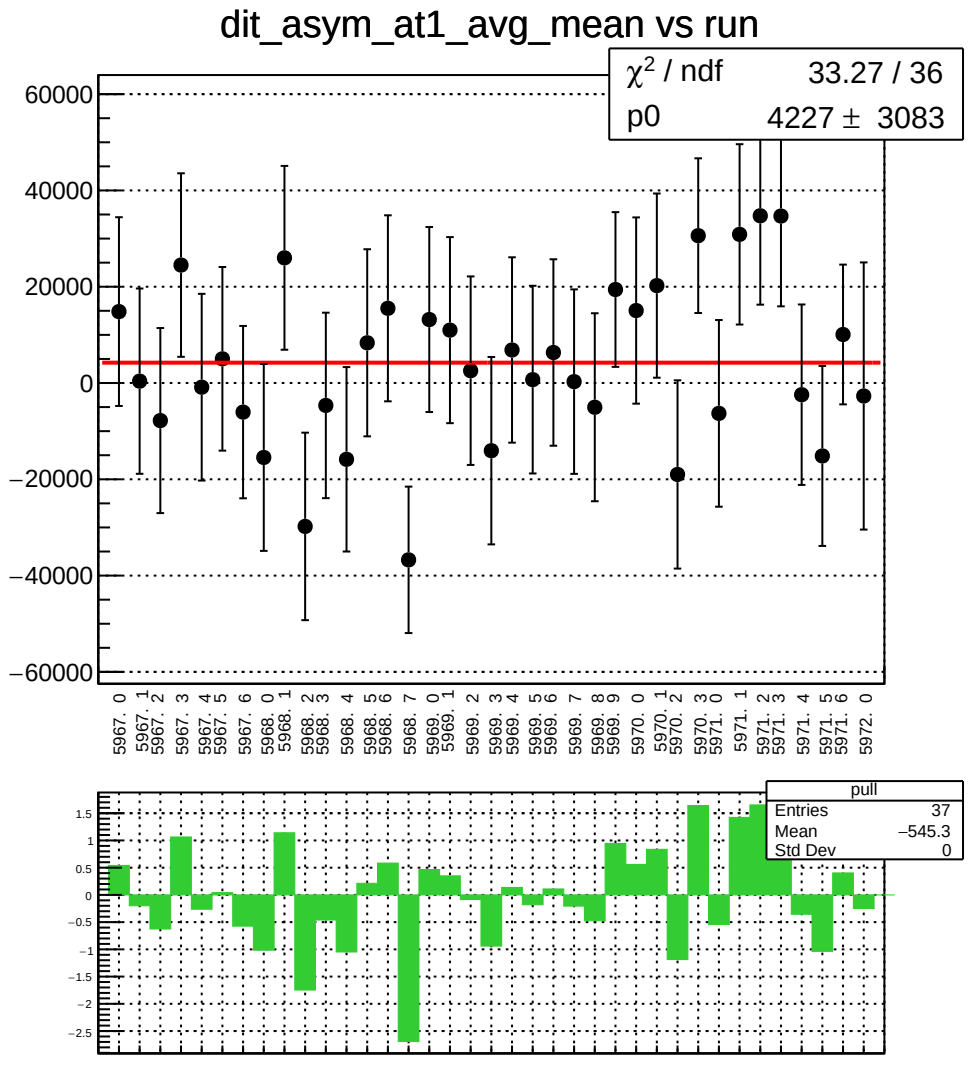
dit_asym_at1_avg_mean vs run
χ² / ndf 33.27 / 36
p0 4227 ± 3083
60000
40000
20000
0
−20000
−40000
−60000
5967. 0
5967. 1
5967. 2
5967. 3
5967. 4
5967. 5
5967. 6
5968. 0
5968. 1
5968. 2
5968. 3
5968. 4
5968. 5
5968. 6
5968. 7
5969. 0
5969. 1
5969. 2
5969. 3
5969. 4
5969. 5
5969. 6
5969. 7
5969. 8
5969. 9
5970. 0
5970. 1
5970. 2
5970. 3
5971. 0
5971. 1
5971. 2
5971. 3
5971. 4
5971. 5
5971. 6
5972. 0
pull
Entries 37
Mean −545.3
Std Dev 0
1.5
1
0.5
0
−0.5
−1
−1.5
−2
−2.5

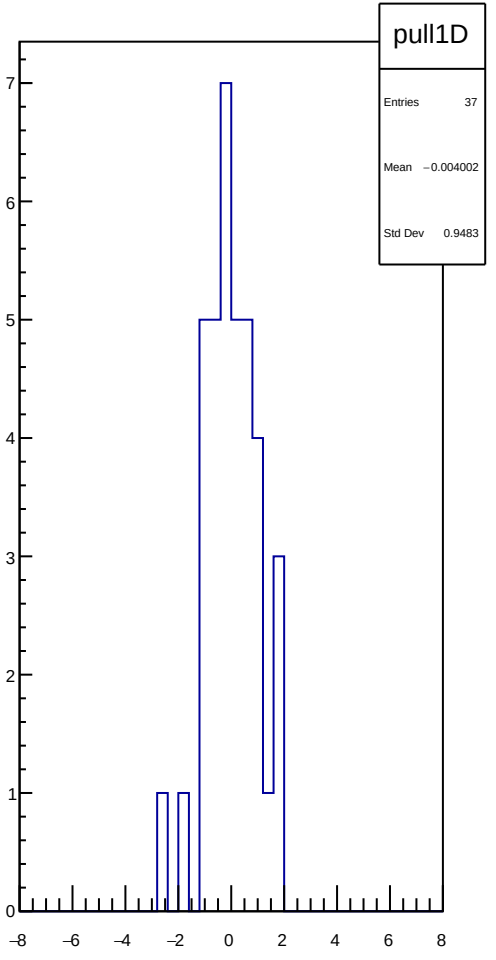
pull1D
Entries 37
Mean −0.004002
Std Dev 0.9483
7
6
5
4
3
2
1
0
−8
−6
−4
−2
0
2
4
6
8

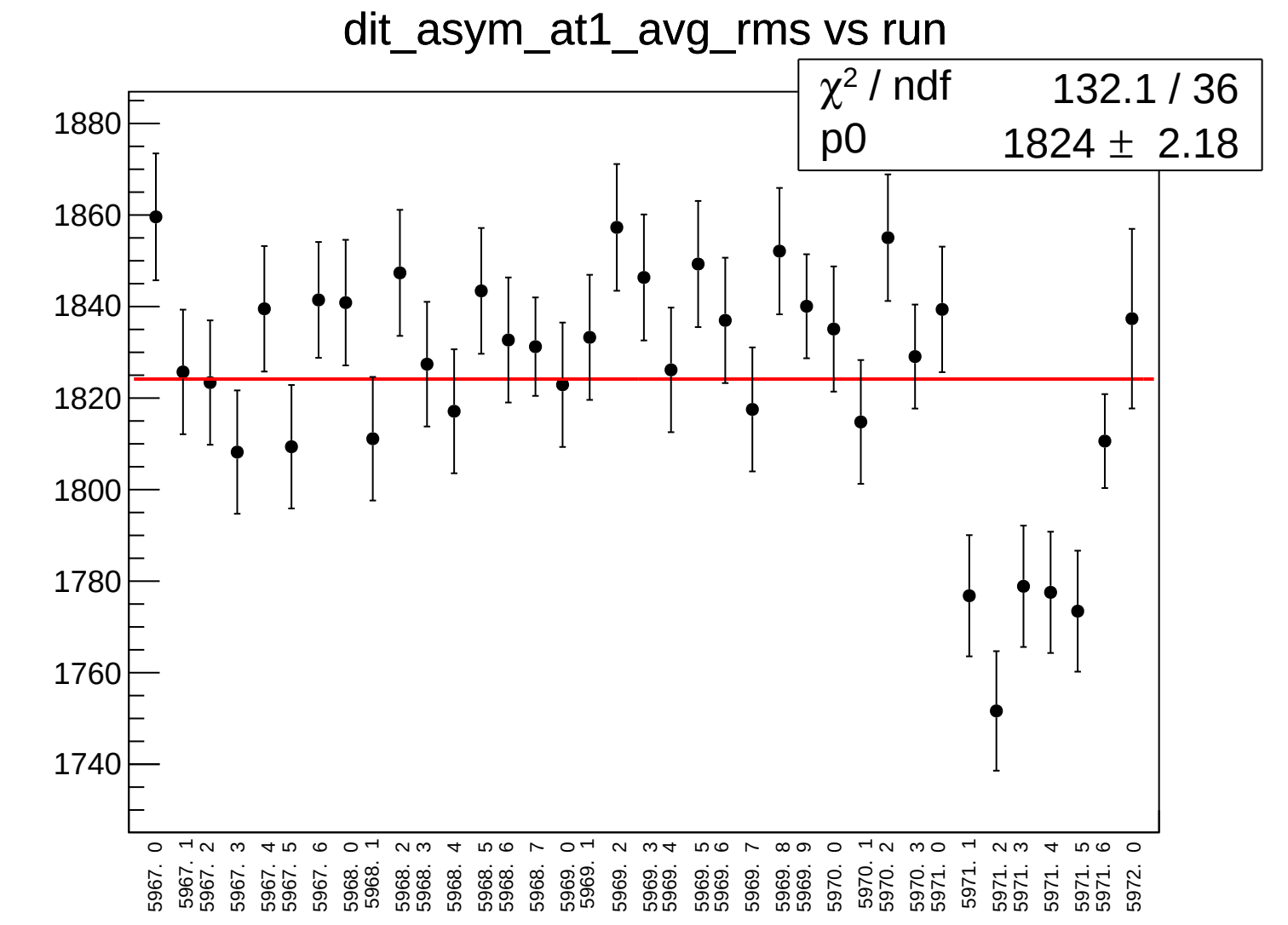
dit_asym_at1_avg_rms vs run
χ² / ndf 132.1 / 36
p0 1824 ± 2.18
1880
1860
1840
1820
1800
1780
1760
1740
5967. 0
5967. 1
5967. 2
5967. 3
5967. 4
5967. 5
5967. 6
5968. 0
5968. 1
5968. 2
5968. 3
5968. 4
5968. 5
5968. 6
5968. 7
5969. 0
5969. 1
5969. 2
5969. 3
5969. 4
5969. 5
5969. 6
5969. 7
5969. 8
5969. 9
5970. 0
5970. 1
5970. 2
5970. 3
5971. 0
5971. 1
5971. 2
5971. 3
5971. 4
5971. 5
5971. 6
5972. 0

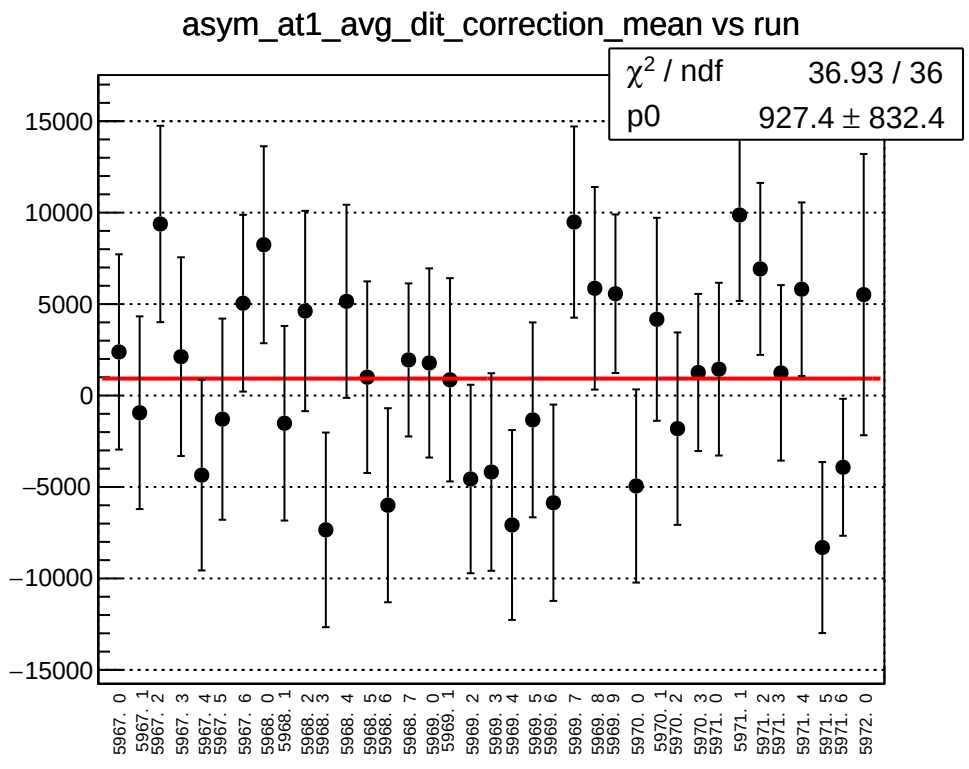
asym_at1_avg_dit_correction_mean vs run
χ² / ndf 36.93 / 36
p0 927.4 ± 832.4
15000
10000
5000
0
−5000
−10000
−15000
5967. 0
5967. 1
5967. 2
5967. 3
5967. 4
5967. 5
5967. 6
5968. 0
5968. 1
5968. 2
5968. 3
5968. 4
5968. 5
5968. 6
5968. 7
5969. 0
5969. 1
5969. 2
5969. 3
5969. 4
5969. 5
5969. 6
5969. 7
5969. 8
5969. 9
5970. 0
5970. 1
5970. 2
5970. 3
5971. 0
5971. 1
5971. 2
5971. 3
5971. 4
5971. 5
5971. 6
5972. 0
pull
Entries 37
Mean −1.265
Std Dev 47.94
2
1.5
1
0.5
0
−0.5
−1
−1.5
−2

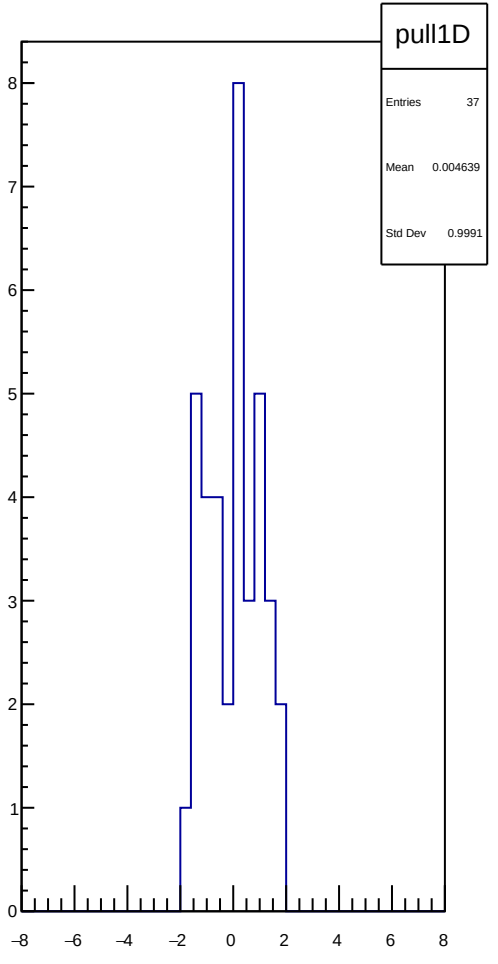
pull1D
Entries 37
Mean 0.004639
Std Dev 0.9991
8
7
6
5
4
3
2
1
0
−8
−6
−4
−2
0
2
4
6
8

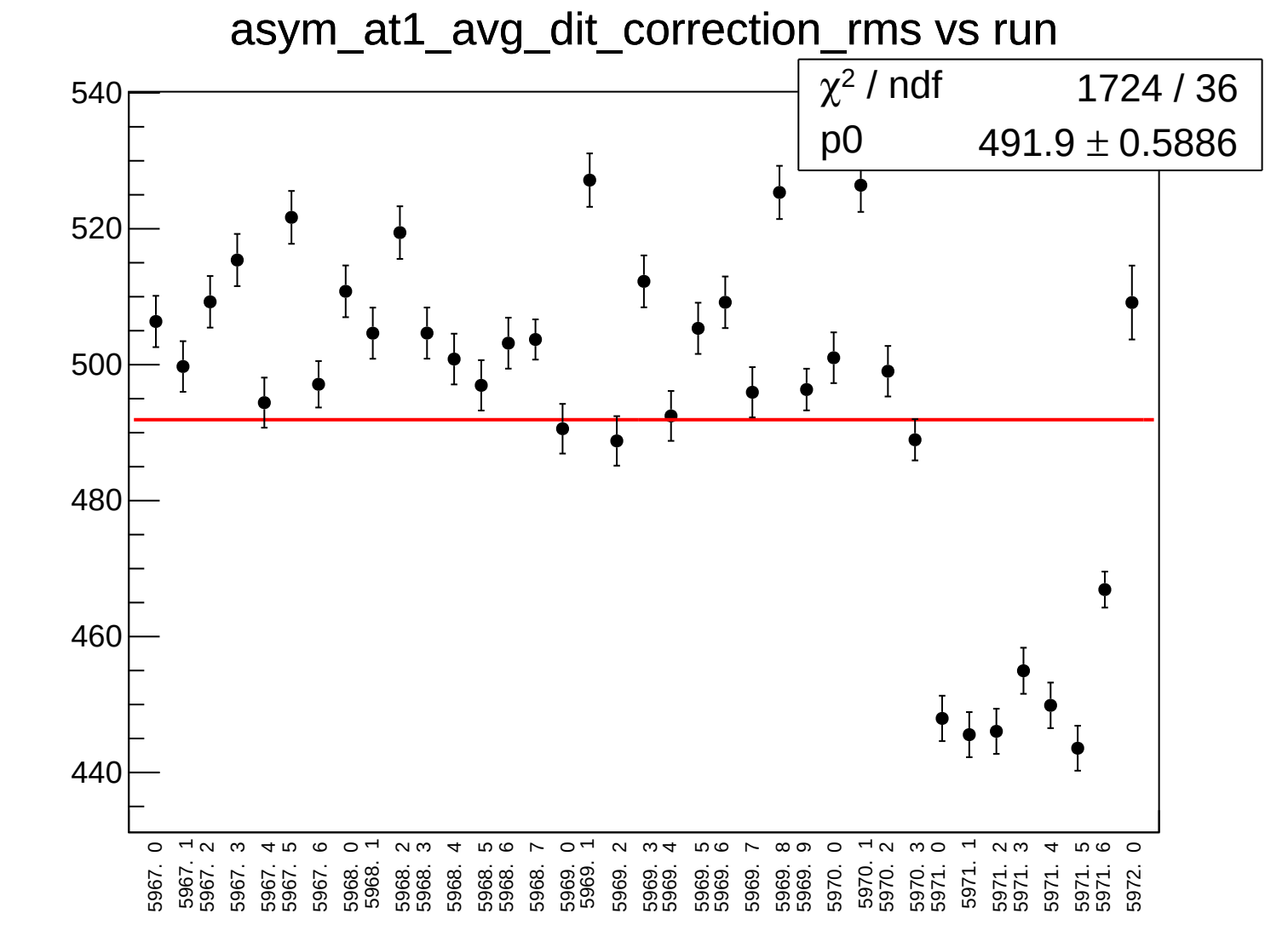
asym_at1_avg_dit_correction_rms vs run
χ^2 / ndf 1724 / 36
p0 491.9 ± 0.5886
540
520
500
480
460
440
5967. 0
5967. 1
5967. 2
5967. 3
5967. 4
5967. 5
5967. 6
5968. 0
5968. 1
5968. 2
5968. 3
5968. 4
5968. 5
5968. 6
5968. 7
5969. 0
5969. 1
5969. 2
5969. 3
5969. 4
5969. 5
5969. 6
5969. 7
5969. 8
5969. 9
5970. 0
5970. 1
5970. 2
5970. 3
5971. 0
5971. 1
5971. 2
5971. 3
5971. 4
5971. 5
5971. 6
5972. 0

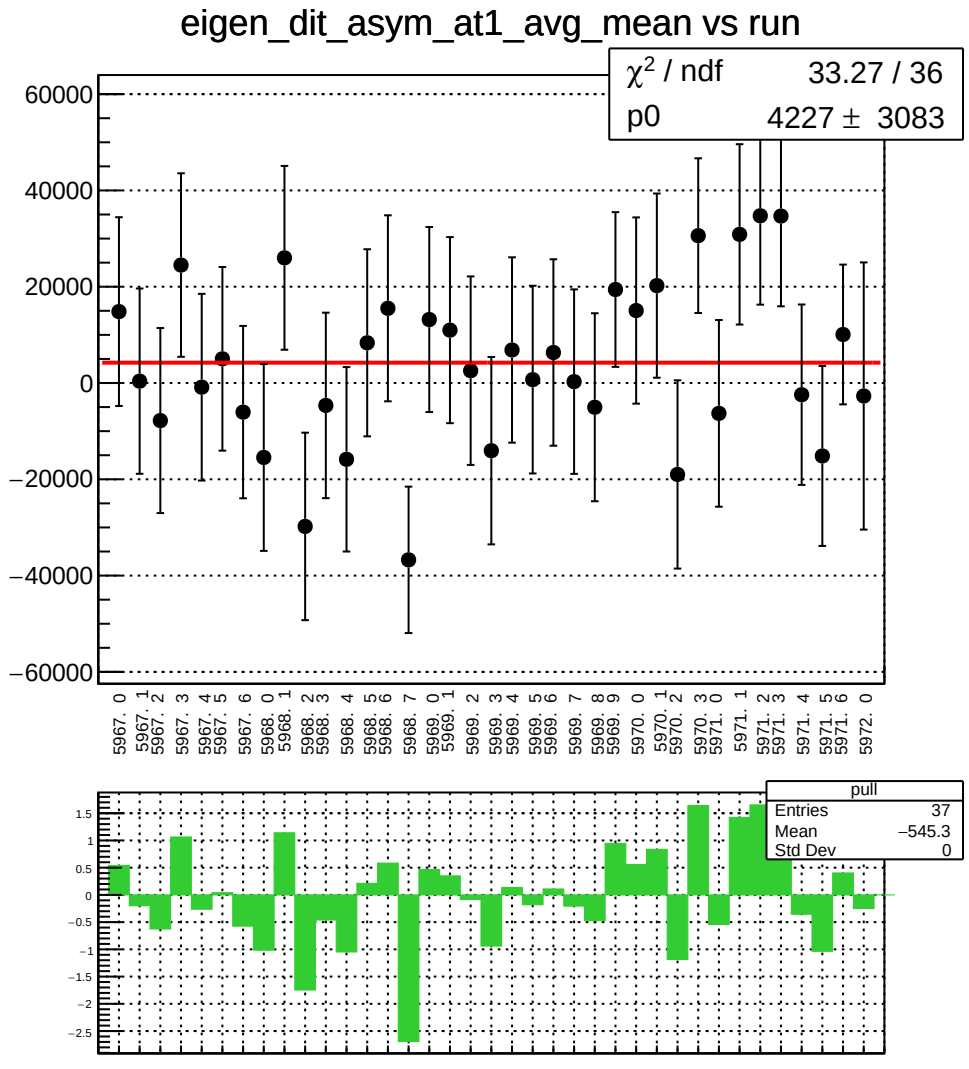
eigen_dit_asym_at1_avg_mean vs run
χ² / ndf 33.27 / 36
p0 4227 ± 3083
60000
40000
20000
0
−20000
−40000
−60000
5967. 0
5967. 1
5967. 2
5967. 3
5967. 4
5967. 5
5967. 6
5968. 0
5968. 1
5968. 2
5968. 3
5968. 4
5968. 5
5968. 6
5968. 7
5969. 0
5969. 1
5969. 2
5969. 3
5969. 4
5969. 5
5969. 6
5969. 7
5969. 8
5969. 9
5970. 0
5970. 1
5970. 2
5970. 3
5971. 0
5971. 1
5971. 2
5971. 3
5971. 4
5971. 5
5971. 6
5972. 0
pull
Entries 37
Mean −545.3
Std Dev 0
1.5
1
0.5
0
−0.5
−1
−1.5
−2
−2.5

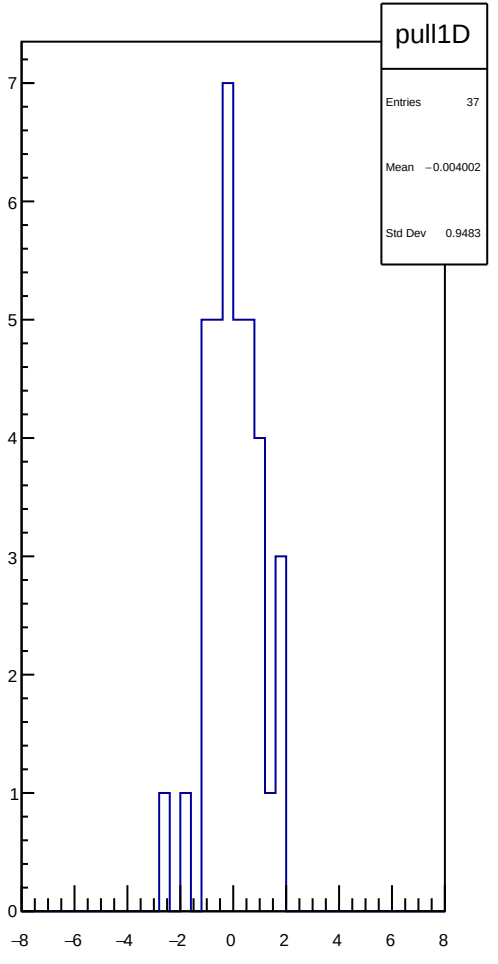
pull1D
Entries 37
Mean −0.004002
Std Dev 0.9483
7
6
5
4
3
2
1
0
−8
−6
−4
−2
0
2
4
6
8

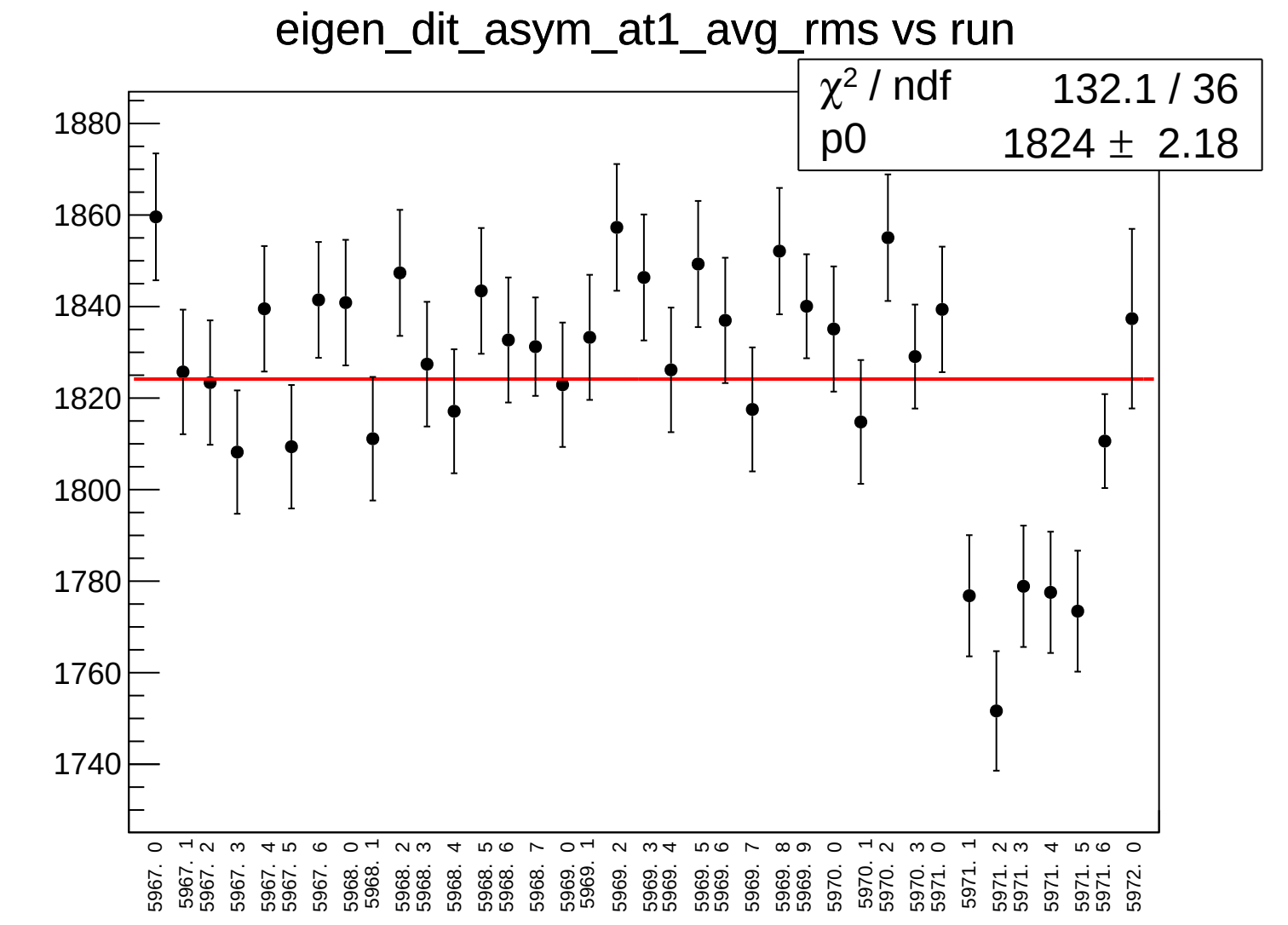
eigen_dit_asym_at1_avg_rms vs run
χ² / ndf 132.1 / 36
p0 1824 ± 2.18
1880
1860
1840
1820
1800
1780
1760
1740
5967. 0
5967. 1
5967. 2
5967. 3
5967. 4
5967. 5
5967. 6
5968. 0
5968. 1
5968. 2
5968. 3
5968. 4
5968. 5
5968. 6
5968. 7
5969. 0
5969. 1
5969. 2
5969. 3
5969. 4
5969. 5
5969. 6
5969. 7
5969. 8
5969. 9
5970. 0
5970. 1
5970. 2
5970. 3
5971. 0
5971. 1
5971. 2
5971. 3
5971. 4
5971. 5
5971. 6
5972. 0

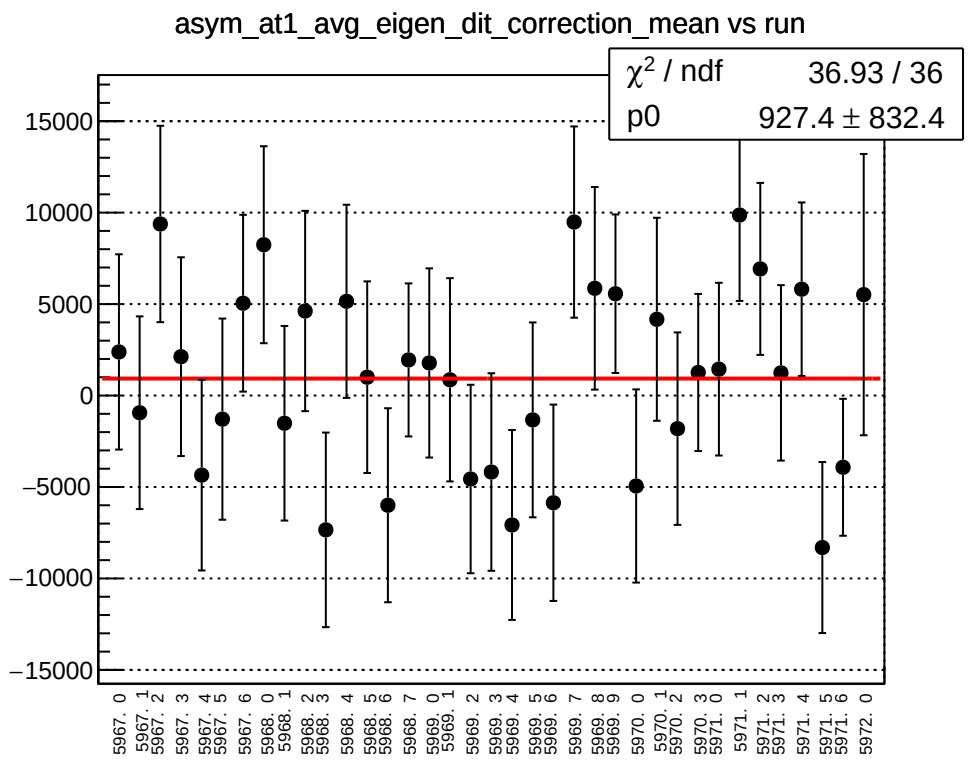
asym_at1_avg_eigen_dit_correction_mean vs run
χ² / ndf 36.93 / 36
p0 927.4 ± 832.4
15000
10000
5000
0
−5000
−10000
−15000
5967. 0
5967. 1
5967. 2
5967. 3
5967. 4
5967. 5
5967. 6
5968. 0
5968. 1
5968. 2
5968. 3
5968. 4
5968. 5
5968. 6
5968. 7
5969. 0
5969. 1
5969. 2
5969. 3
5969. 4
5969. 5
5969. 6
5969. 7
5969. 8
5969. 9
5970. 0
5970. 1
5970. 2
5970. 3
5971. 0
5971. 1
5971. 2
5971. 3
5971. 4
5971. 5
5971. 6
5972. 0

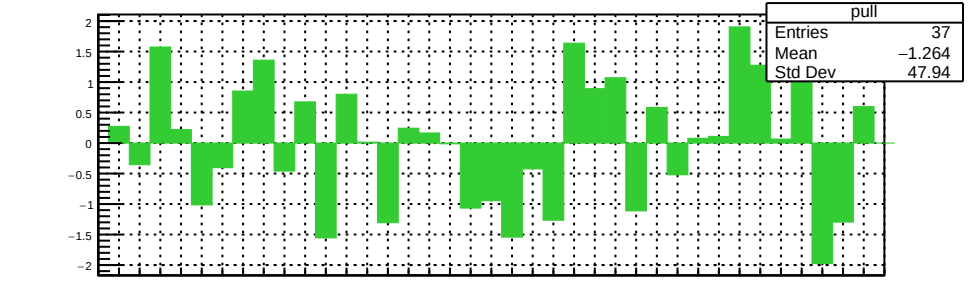
pull
Entries 37
Mean −1.264
Std Dev 47.94
2
1.5
1
0.5
0
−0.5
−1
−1.5
−2

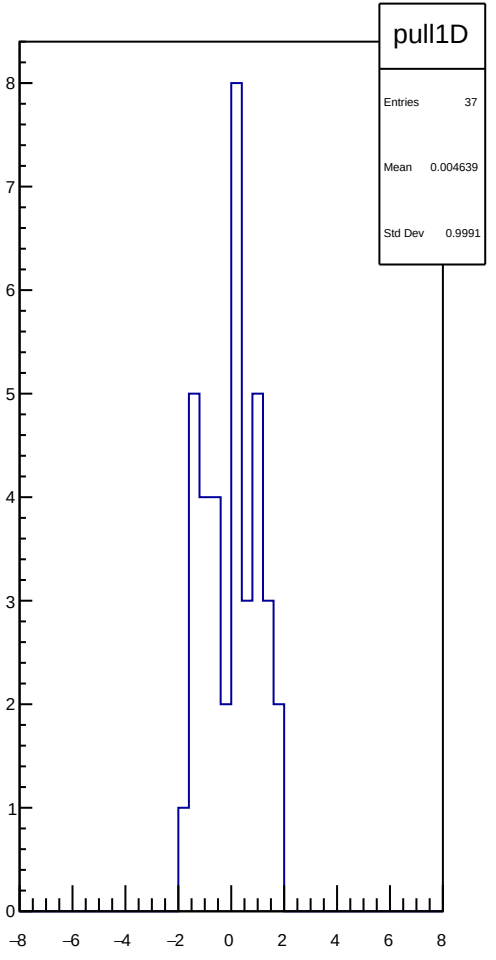
pull1D
Entries 37
Mean 0.004639
Std Dev 0.9991
8
7
6
5
4
3
2
1
0
−8
−6
−4
−2
0
2
4
6
8

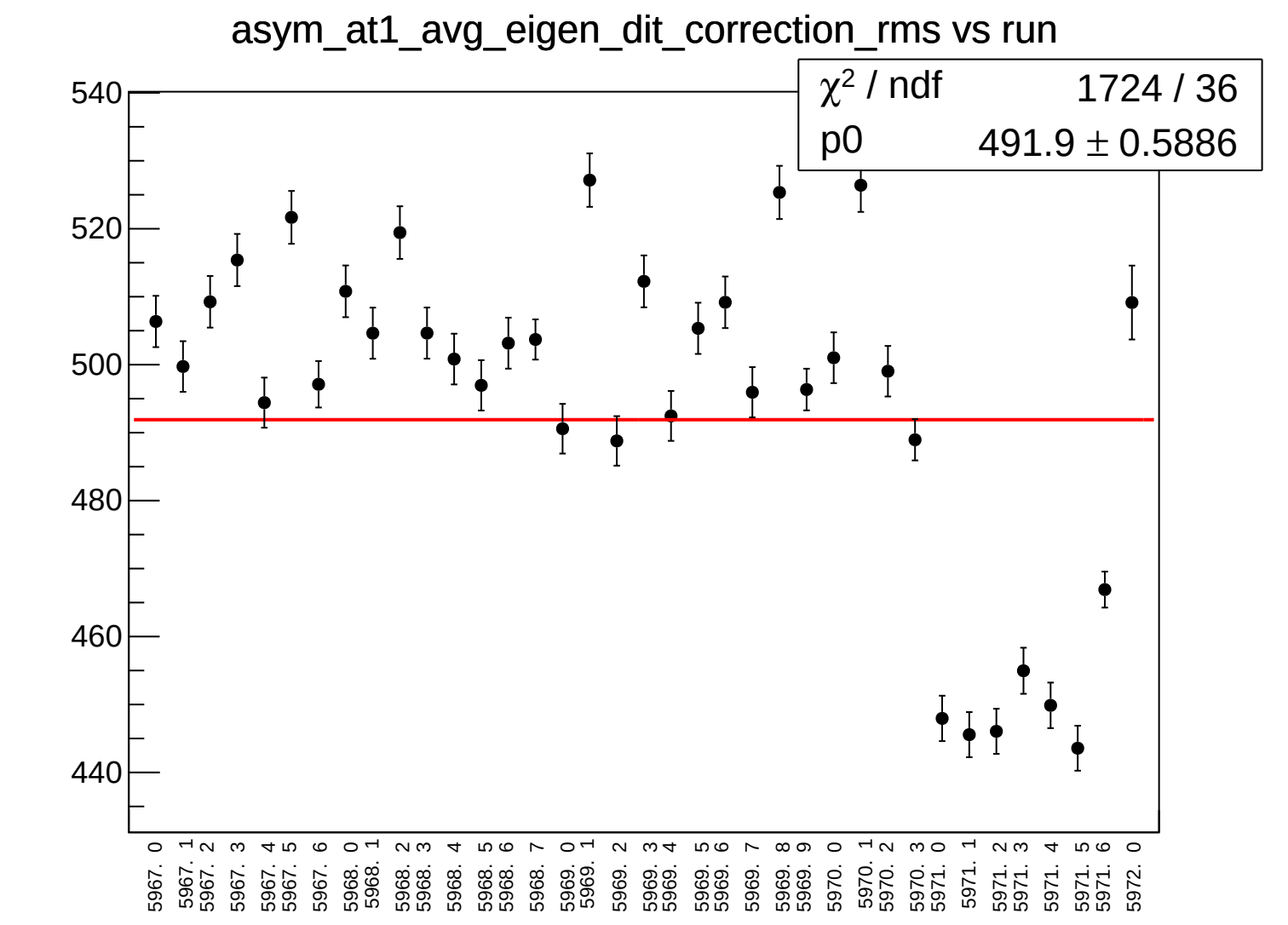
asym_at1_avg_eigen_dit_correction_rms vs run
χ² / ndf 1724 / 36
p0 491.9 ± 0.5886
540
520
500
480
460
440
5967. 0
5967. 1
5967. 2
5967. 3
5967. 4
5967. 5
5967. 6
5968. 0
5968. 1
5968. 2
5968. 3
5968. 4
5968. 5
5968. 6
5968. 7
5969. 0
5969. 1
5969. 2
5969. 3
5969. 4
5969. 5
5969. 6
5969. 7
5969. 8
5969. 9
5970. 0
5970. 1
5970. 2
5970. 3
5971. 0
5971. 1
5971. 2
5971. 3
5971. 4
5971. 5
5971. 6
5972. 0

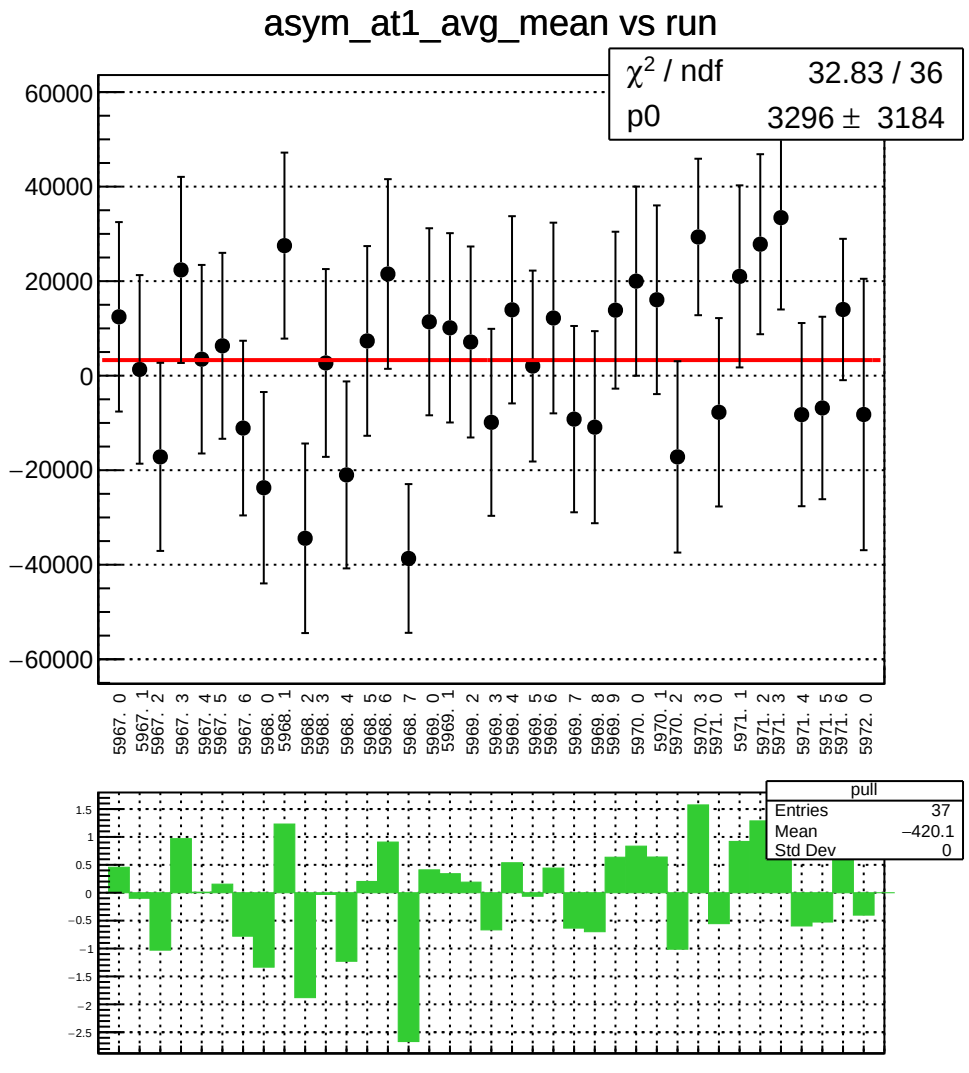
asym_at1_avg_mean vs run
χ² / ndf 32.83 / 36
p0 3296 ± 3184
60000
40000
20000
0
−20000
−40000
−60000
5967. 0
5967. 1
5967. 2
5967. 3
5967. 4
5967. 5
5967. 6
5968. 0
5968. 1
5968. 2
5968. 3
5968. 4
5968. 5
5968. 6
5968. 7
5969. 0
5969. 1
5969. 2
5969. 3
5969. 4
5969. 5
5969. 6
5969. 7
5969. 8
5969. 9
5970. 0
5970. 1
5970. 2
5970. 3
5971. 0
5971. 1
5971. 2
5971. 3
5971. 4
5971. 5
5971. 6
5972. 0
pull
Entries 37
Mean −420.1
Std Dev 0
1.5
1
0.5
0
−0.5
−1
−1.5
−2
−2.5
pull1D
Entries 37
Mean −0.005033
Std Dev 0.942
8
7
6
5
4
3
2
1
0
−8
−6
−4
−2
0
2
4
6
8

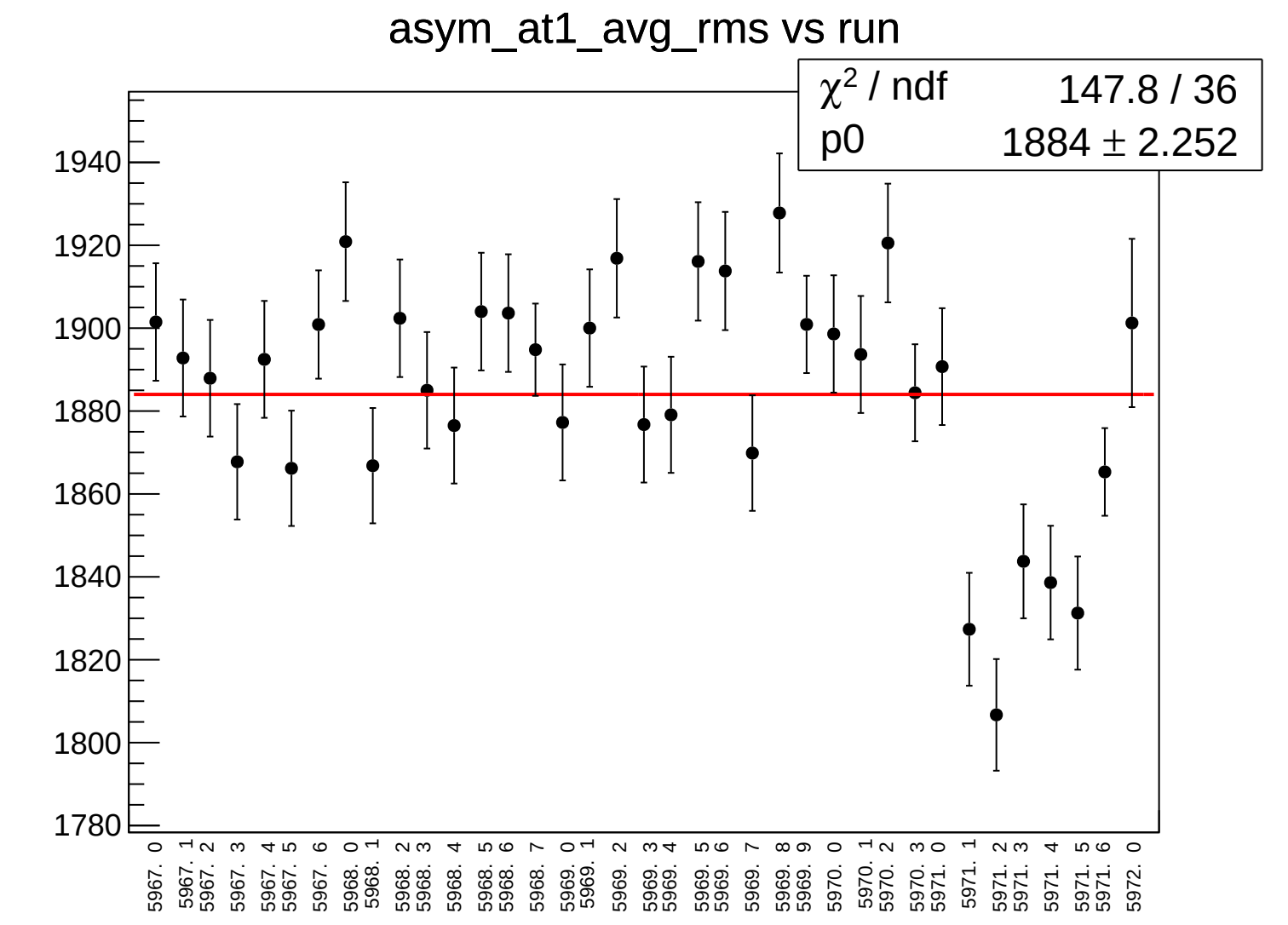
asym_at1_avg_rms vs run
χ² / ndf 147.8 / 36
p0 1884 ± 2.252
1940
1920
1900
1880
1860
1840
1820
1800
1780
5967. 0
5967. 1
5967. 2
5967. 3
5967. 4
5967. 5
5967. 6
5968. 0
5968. 1
5968. 2
5968. 3
5968. 4
5968. 5
5968. 6
5968. 7
5969. 0
5969. 1
5969. 2
5969. 3
5969. 4
5969. 5
5969. 6
5969. 7
5969. 8
5969. 9
5970. 0
5970. 1
5970. 2
5970. 3
5971. 0
5971. 1
5971. 2
5971. 3
5971. 4
5971. 5
5971. 6
5972. 0

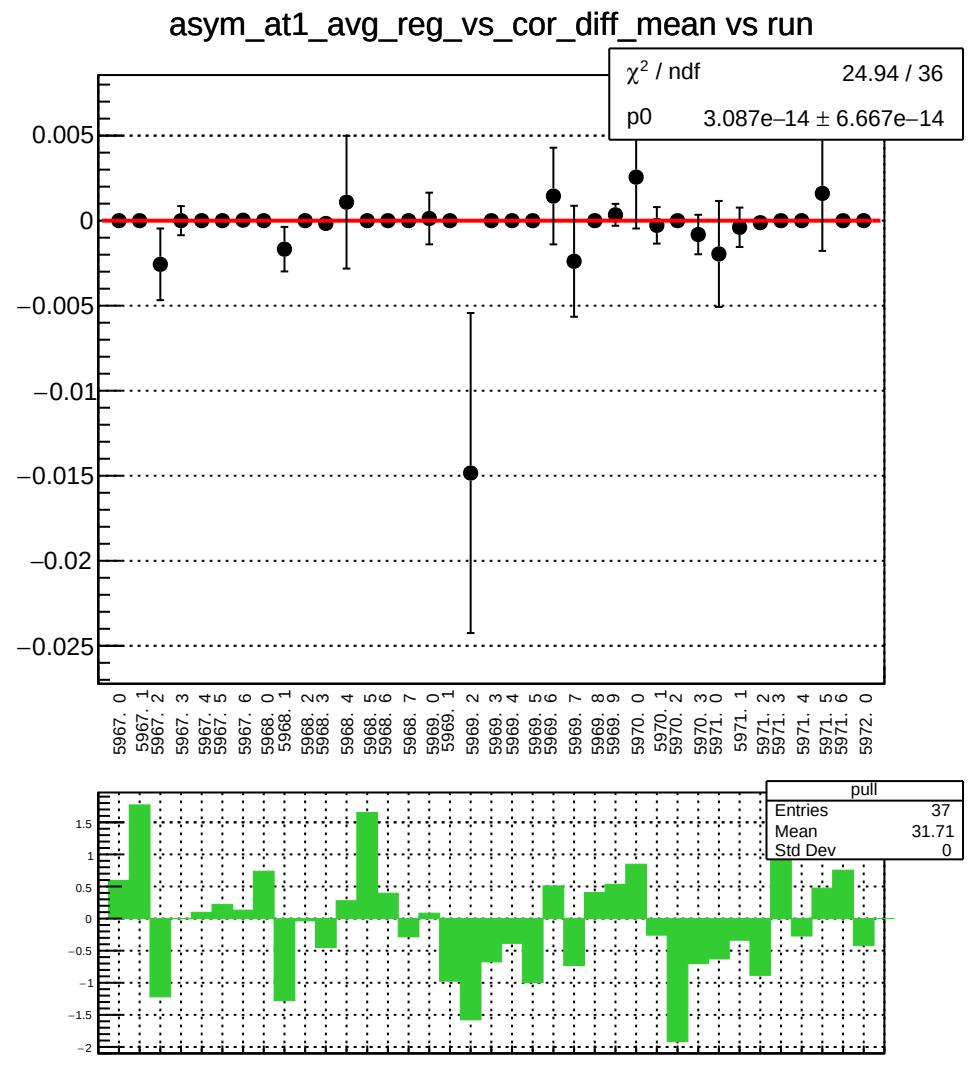
asym_at1_avg_reg_vs_cor_diff_mean vs run
χ² / ndf 24.94 / 36
p0 3.087e−14 ± 6.667e−14
0.005
0
−0.005
−0.01
−0.015
−0.02
−0.025
5967. 0
5967. 1
5967. 2
5967. 3
5967. 4
5967. 5
5967. 6
5968. 0
5968. 1
5968. 2
5968. 3
5968. 4
5968. 5
5968. 6
5968. 7
5969. 0
5969. 1
5969. 2
5969. 3
5969. 4
5969. 5
5969. 6
5969. 7
5969. 8
5969. 9
5970. 0
5970. 1
5970. 2
5970. 3
5971. 0
5971. 1
5971. 2
5971. 3
5971. 4
5971. 5
5971. 6
5972. 0
pull
Entries 37
Mean 31.71
Std Dev 0
1.5
1
0.5
0
−0.5
−1
−1.5
−2

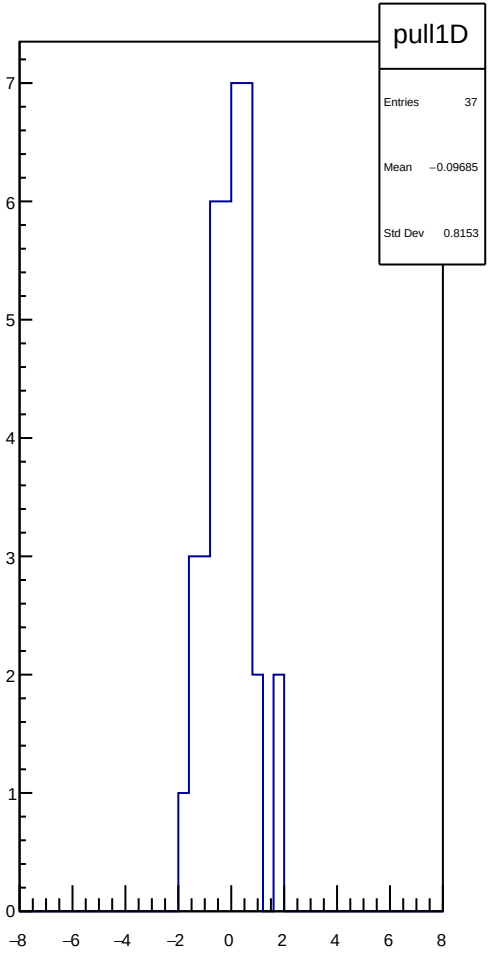
pull1D
Entries 37
Mean −0.09685
Std Dev 0.8153
7
6
5
4
3
2
1
0
−8
−6
−4
−2
0
2
4
6
8

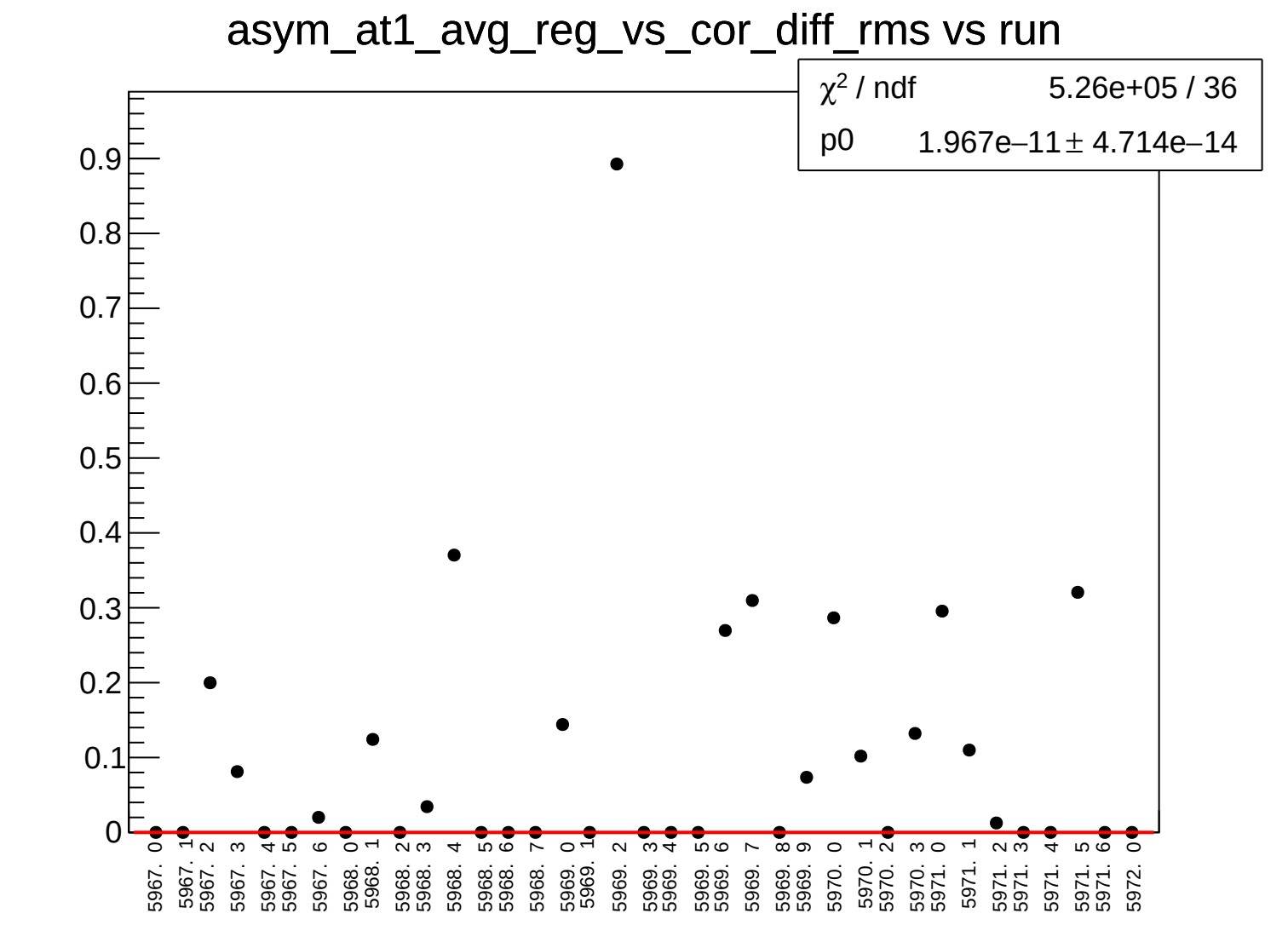
asym_at1_avg_reg_vs_cor_diff_rms vs run
χ² / ndf 5.26e+05 / 36
p0 1.967e−11 ± 4.714e−14
0.9
0.8
0.7
0.6
0.5
0.4
0.3
0.2
0.1
0
5967. 0
5967. 1
5967. 2
5967. 3
5967. 4
5967. 5
5967. 6
5968. 0
5968. 1
5968. 2
5968. 3
5968. 4
5968. 5
5968. 6
5968. 7
5969. 0
5969. 1
5969. 2
5969. 3
5969. 4
5969. 5
5969. 6
5969. 7
5969. 8
5969. 9
5970. 0
5970. 1
5970. 2
5970. 3
5971. 0
5971. 1
5971. 2
5971. 3
5971. 4
5971. 5
5971. 6
5972. 0

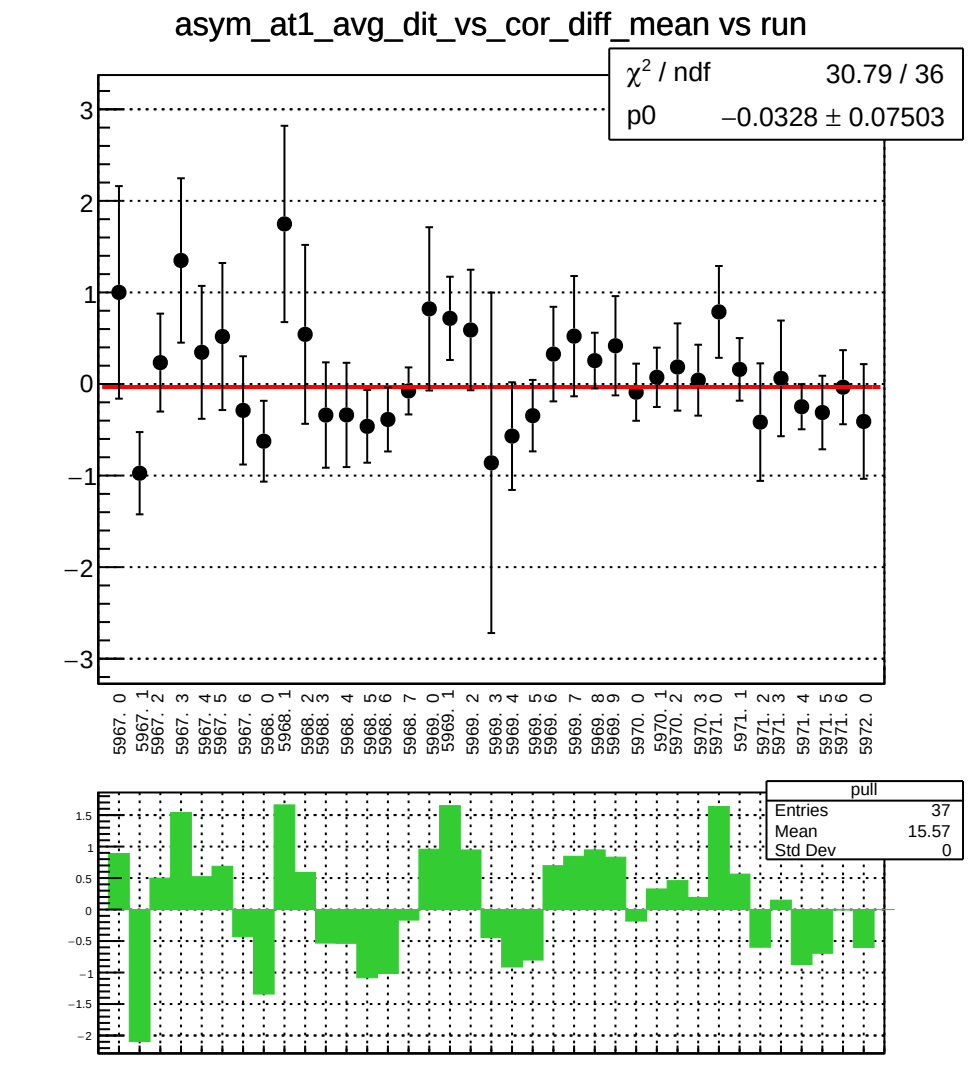
asym_at1_avg_dit_vs_cor_diff_mean vs run
χ² / ndf 30.79 / 36
p0 −0.0328 ± 0.07503
pull
Entries 37
Mean 15.57
Std Dev 0

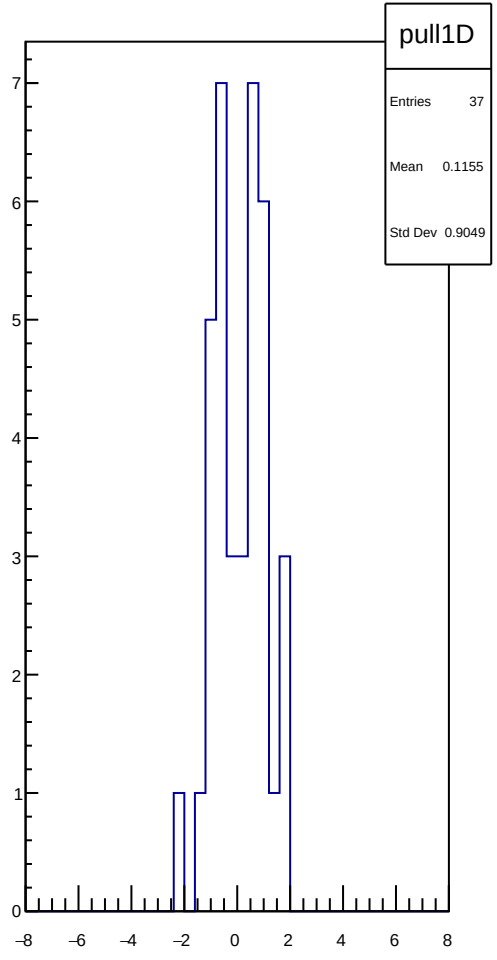
pull1D
Entries 37
Mean 0.1155
Std Dev 0.9049

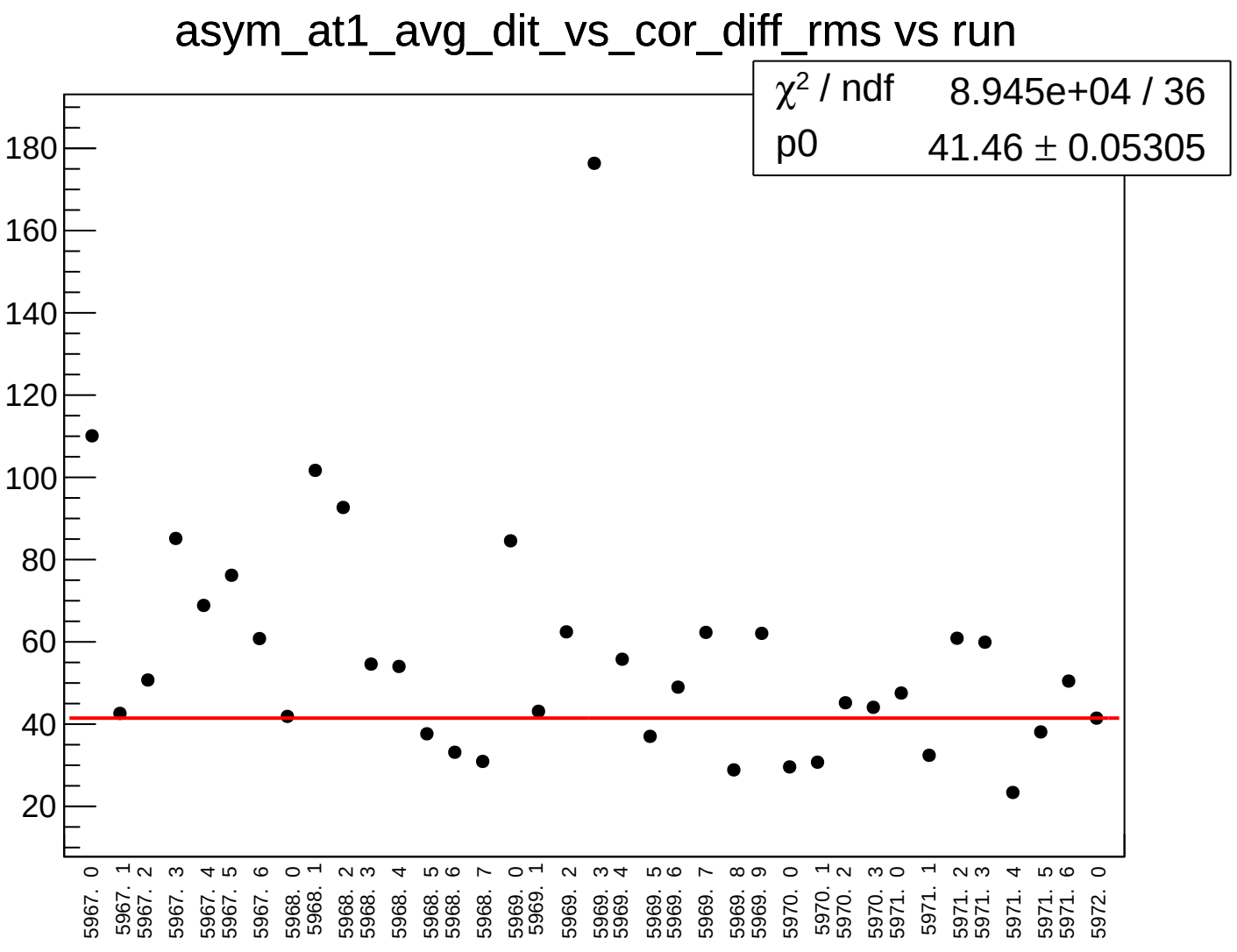
asym_at1_avg_dit_vs_cor_diff_rms vs run
χ² / ndf 8.945e+04 / 36
p0 41.46 ± 0.05305
180
160
140
120
100
80
60
40
20
5967. 0
5967. 1
5967. 2
5967. 3
5967. 4
5967. 5
5967. 6
5968. 0
5968. 1
5968. 2
5968. 3
5968. 4
5968. 5
5968. 6
5968. 7
5969. 0
5969. 1
5969. 2
5969. 3
5969. 4
5969. 5
5969. 6
5969. 7
5969. 8
5969. 9
5970. 0
5970. 1
5970. 2
5970. 3
5971. 0
5971. 1
5971. 2
5971. 3
5971. 4
5971. 5
5971. 6
5972. 0

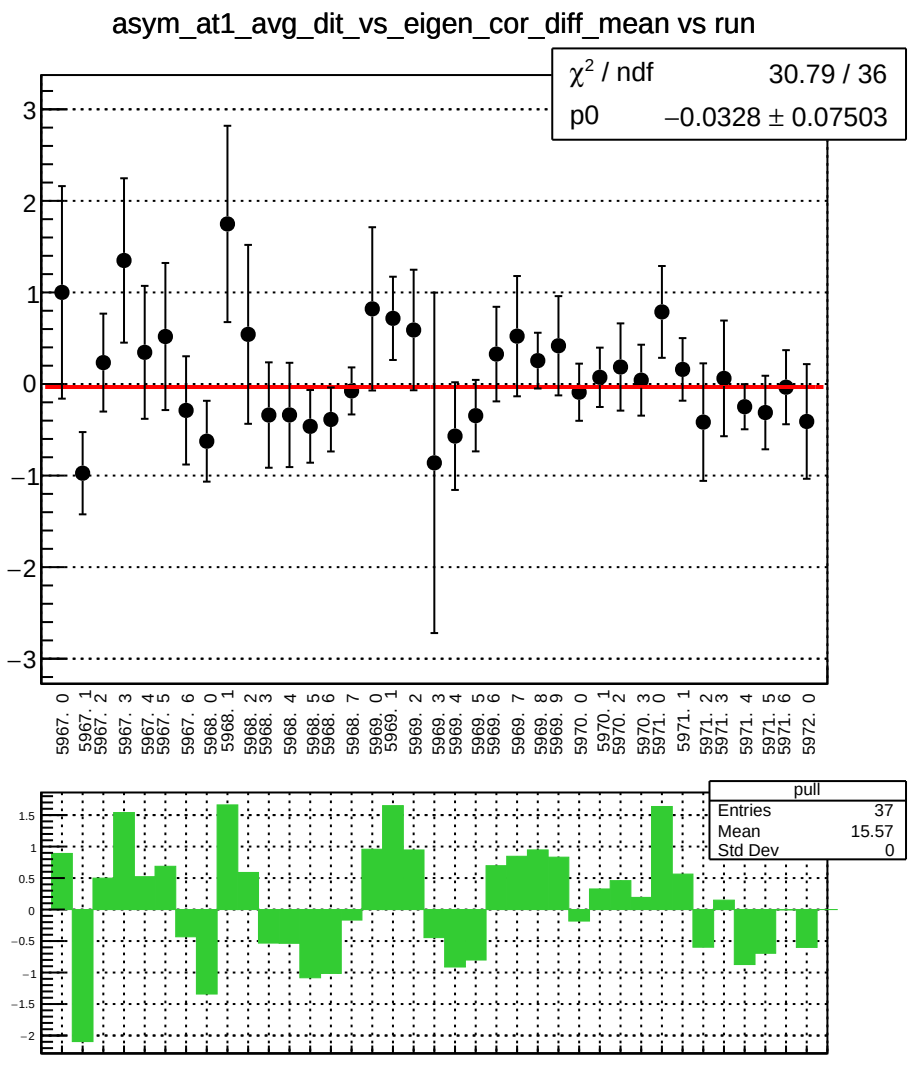
asym_at1_avg_dit_vs_eigen_cor_diff_mean vs run
χ² / ndf 30.79 / 36
p0 −0.0328 ± 0.07503
pull
Entries 37
Mean 15.57
Std Dev 0

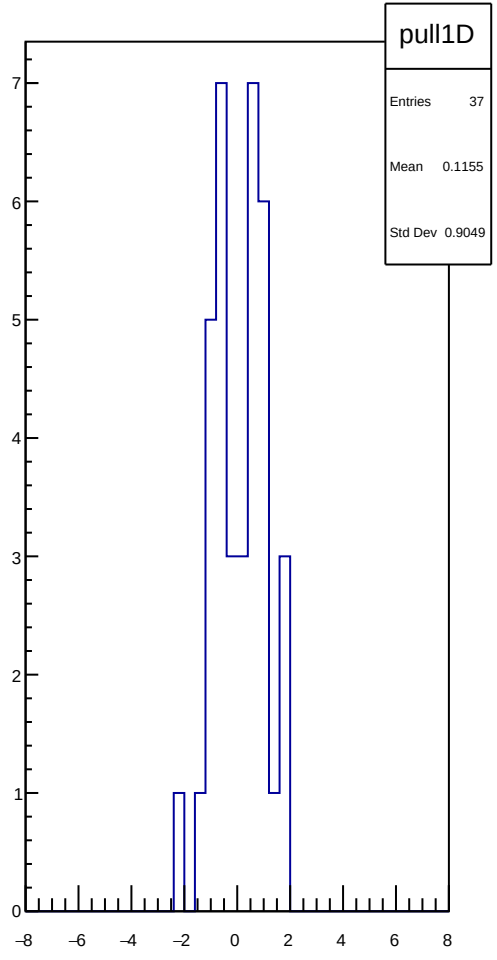
pull1D
Entries 37
Mean 0.1155
Std Dev 0.9049

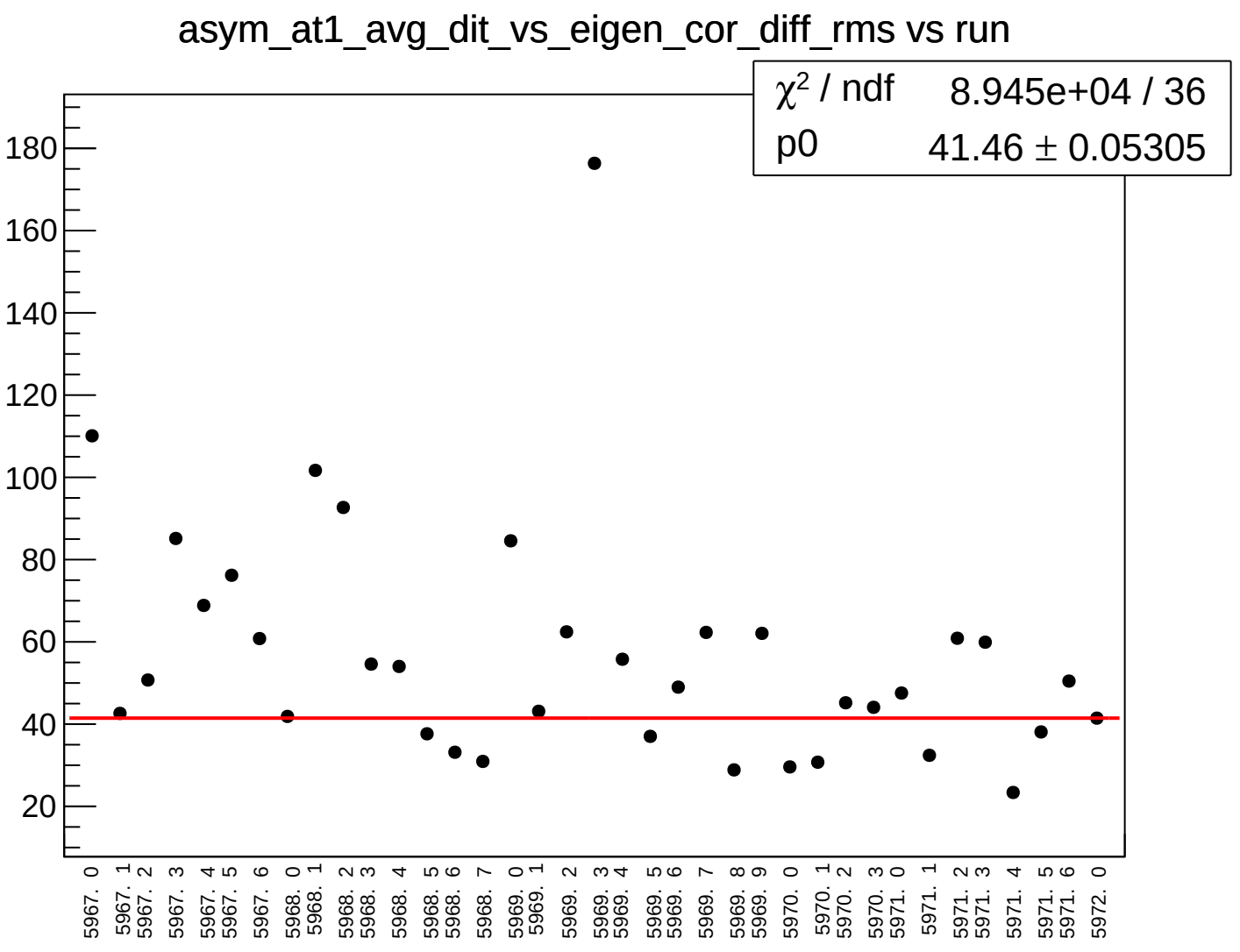
asym_at1_avg_dit_vs_eigen_cor_diff_rms vs run
χ² / ndf 8.945e+04 / 36
p0 41.46 ± 0.05305
180
160
140
120
100
80
60
40
20
5967. 0
5967. 1
5967. 2
5967. 3
5967. 4
5967. 5
5967. 6
5968. 0
5968. 1
5968. 2
5968. 3
5968. 4
5968. 5
5968. 6
5968. 7
5969. 0
5969. 1
5969. 2
5969. 3
5969. 4
5969. 5
5969. 6
5969. 7
5969. 8
5969. 9
5970. 0
5970. 1
5970. 2
5970. 3
5971. 0
5971. 1
5971. 2
5971. 3
5971. 4
5971. 5
5971. 6
5972. 0

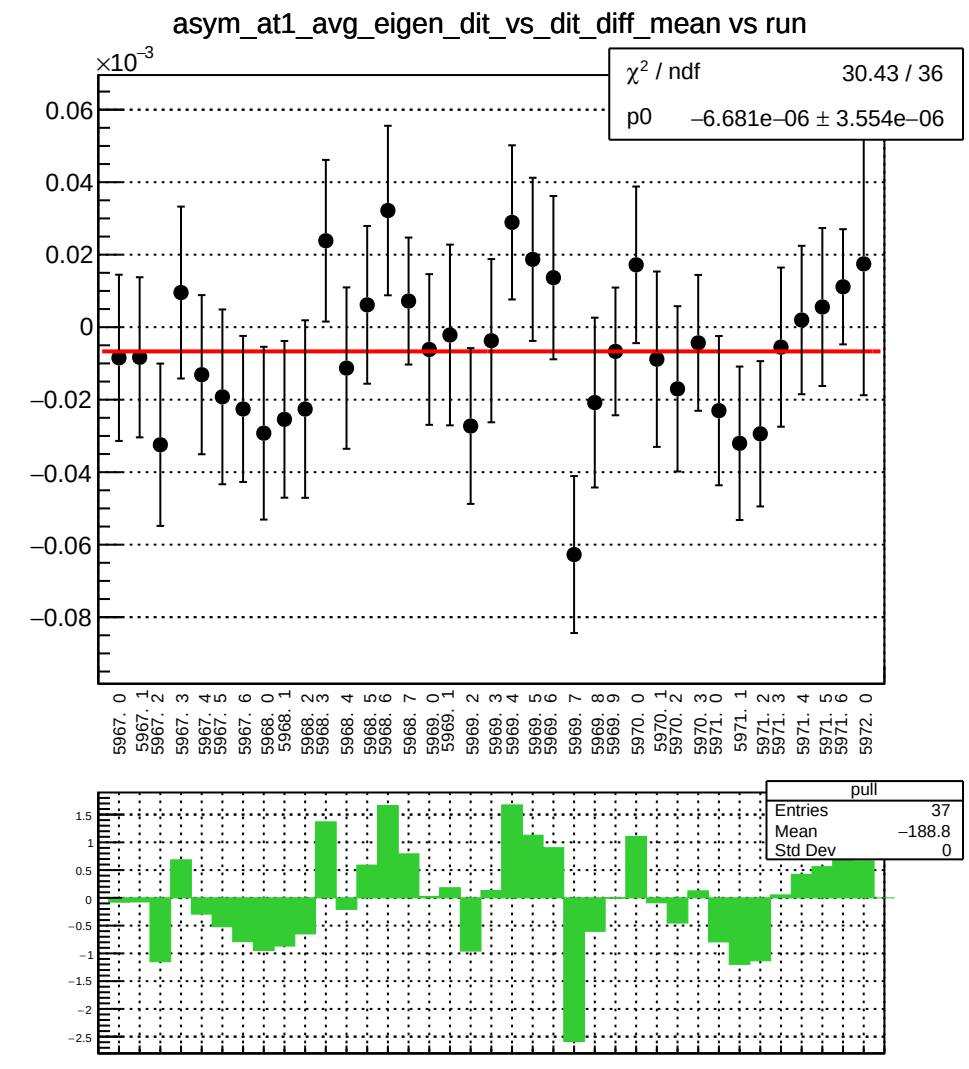
asym_at1_avg_eigen_dit_vs_dit_diff_mean vs run
×10⁻³
χ² / ndf 30.43 / 36
p0 −6.681e−06 ± 3.554e−06
0.06
0.04
0.02
0
−0.02
−0.04
−0.06
−0.08
5967. 0
5967. 1
5967. 2
5967. 3
5967. 4
5967. 5
5967. 6
5968. 0
5968. 1
5968. 2
5968. 3
5968. 4
5968. 5
5968. 6
5968. 7
5969. 0
5969. 1
5969. 2
5969. 3
5969. 4
5969. 5
5969. 6
5969. 7
5969. 8
5969. 9
5970. 0
5970. 1
5970. 2
5970. 3
5971. 0
5971. 1
5971. 2
5971. 3
5971. 4
5971. 5
5971. 6
5972. 0
pull
Entries 37
Mean −188.8
Std Dev 0
1.5
1
0.5
0
−0.5
−1
−1.5
−2
−2.5

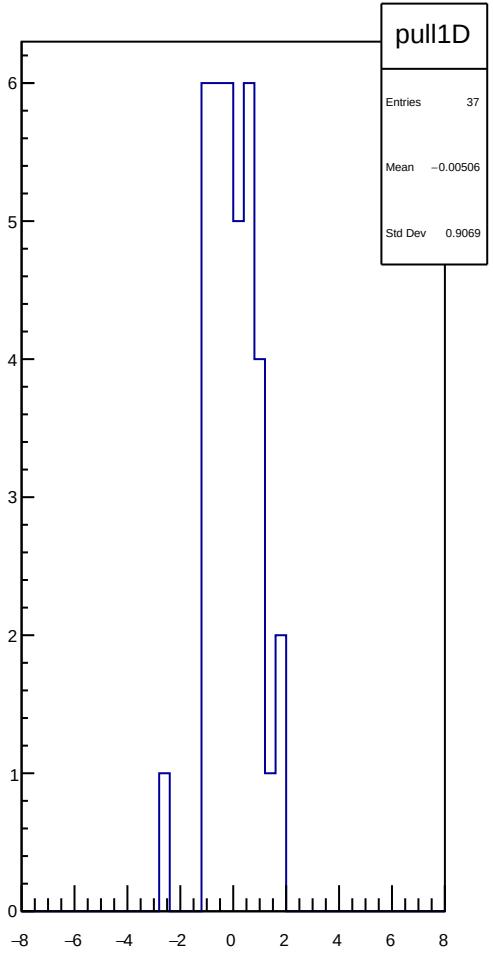
pull1D
Entries 37
Mean −0.00506
Std Dev 0.9069
6
5
4
3
2
1
0
−8
−6
−4
−2
0
2
4
6
8

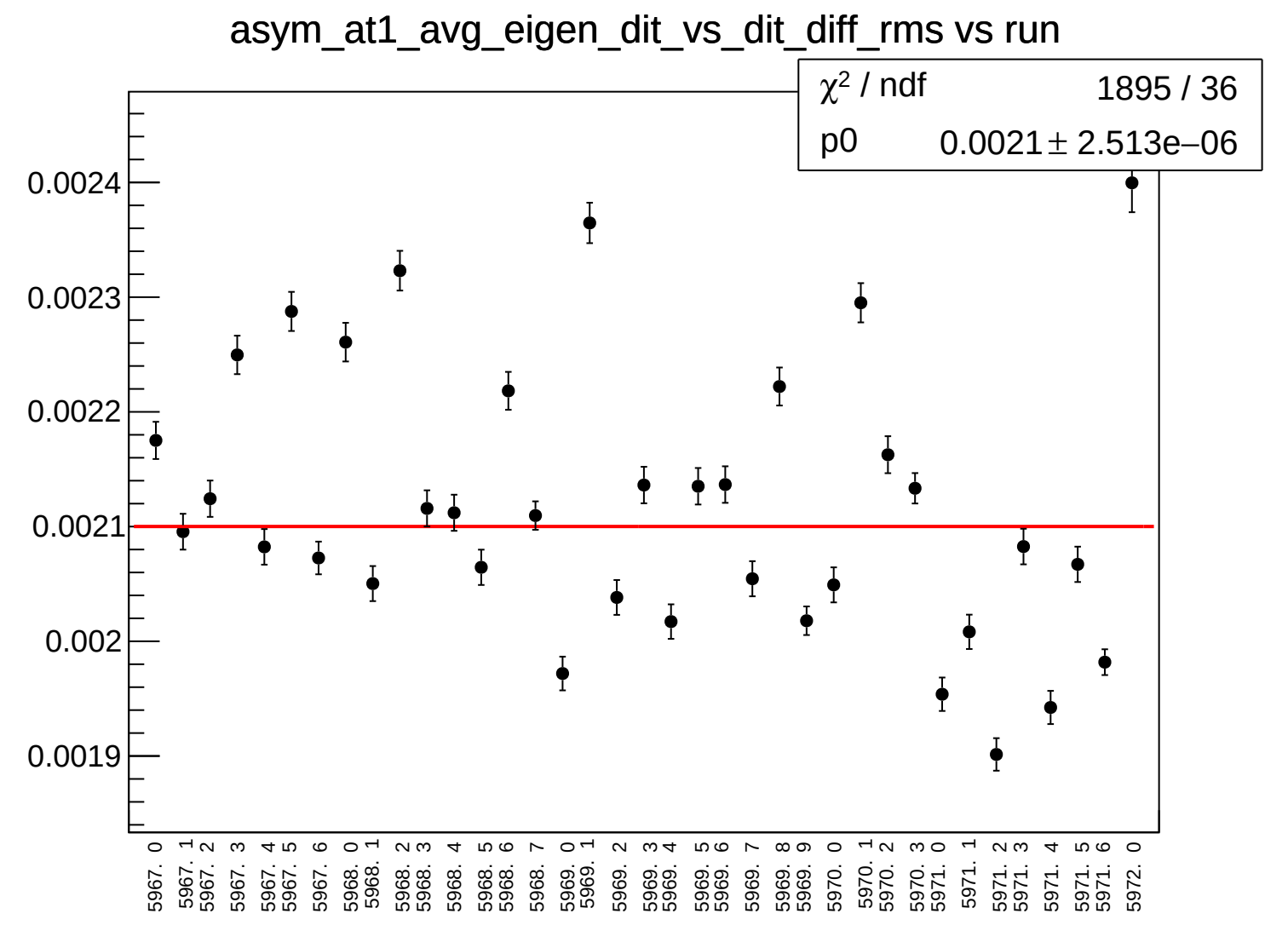
asym_at1_avg_eigen_dit_vs_dit_diff_rms vs run
χ² / ndf 1895 / 36
p0 0.0021 ± 2.513e−06
0.0024
0.0023
0.0022
0.0021
0.002
0.0019
5967. 0
5967. 1
5967. 2
5967. 3
5967. 4
5967. 5
5967. 6
5968. 0
5968. 1
5968. 2
5968. 3
5968. 4
5968. 5
5968. 6
5968. 7
5969. 0
5969. 1
5969. 2
5969. 3
5969. 4
5969. 5
5969. 6
5969. 7
5969. 8
5969. 9
5970. 0
5970. 1
5970. 2
5970. 3
5971. 0
5971. 1
5971. 2
5971. 3
5971. 4
5971. 5
5971. 6
5972. 0

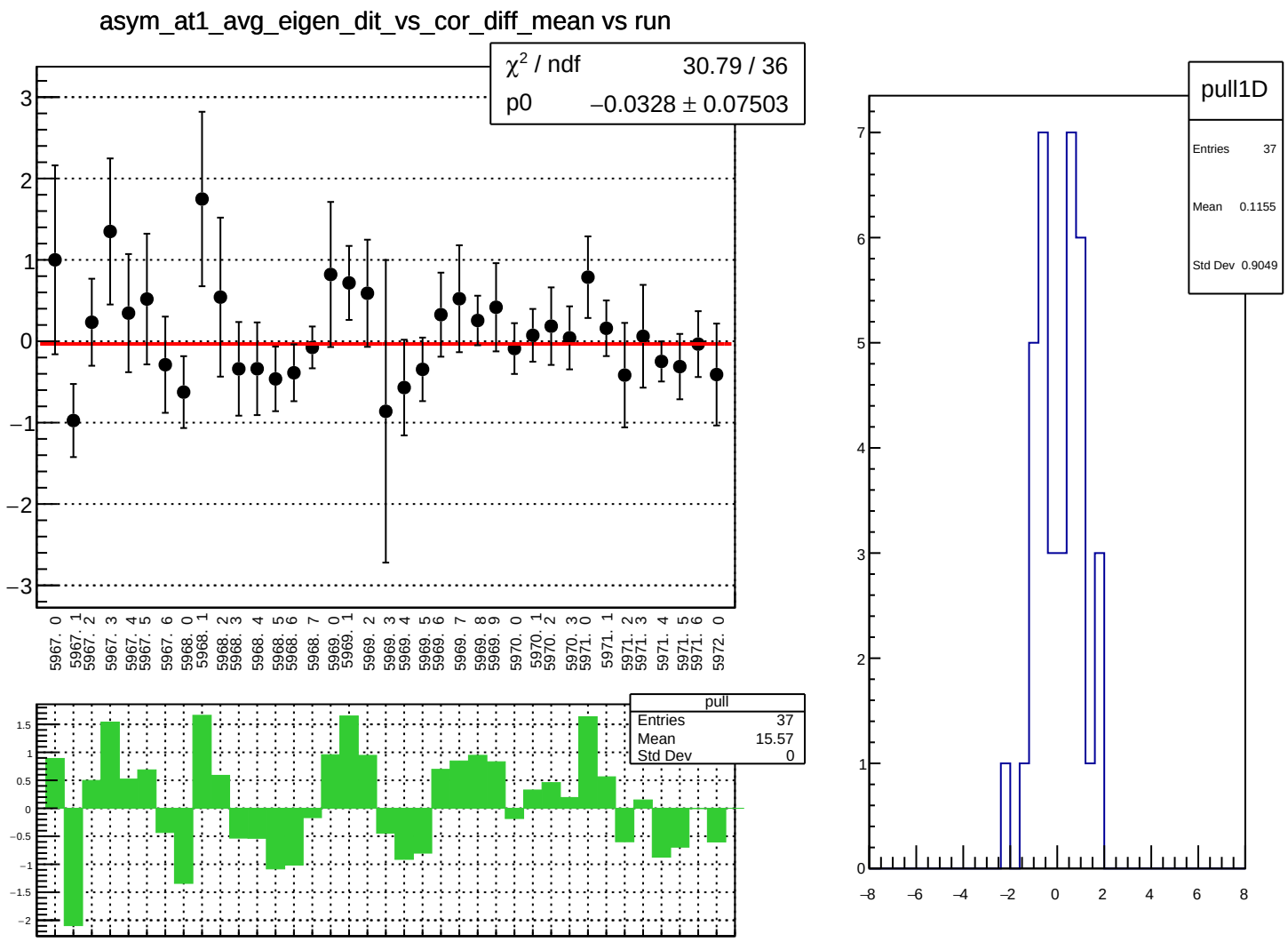
asym_at1_avg_eigen_dit_vs_cor_diff_mean vs run
χ² / ndf 30.79 / 36
p0 −0.0328 ± 0.07503
pull
Entries 37
Mean 15.57
Std Dev 0
pull1D
Entries 37
Mean 0.1155
Std Dev 0.9049

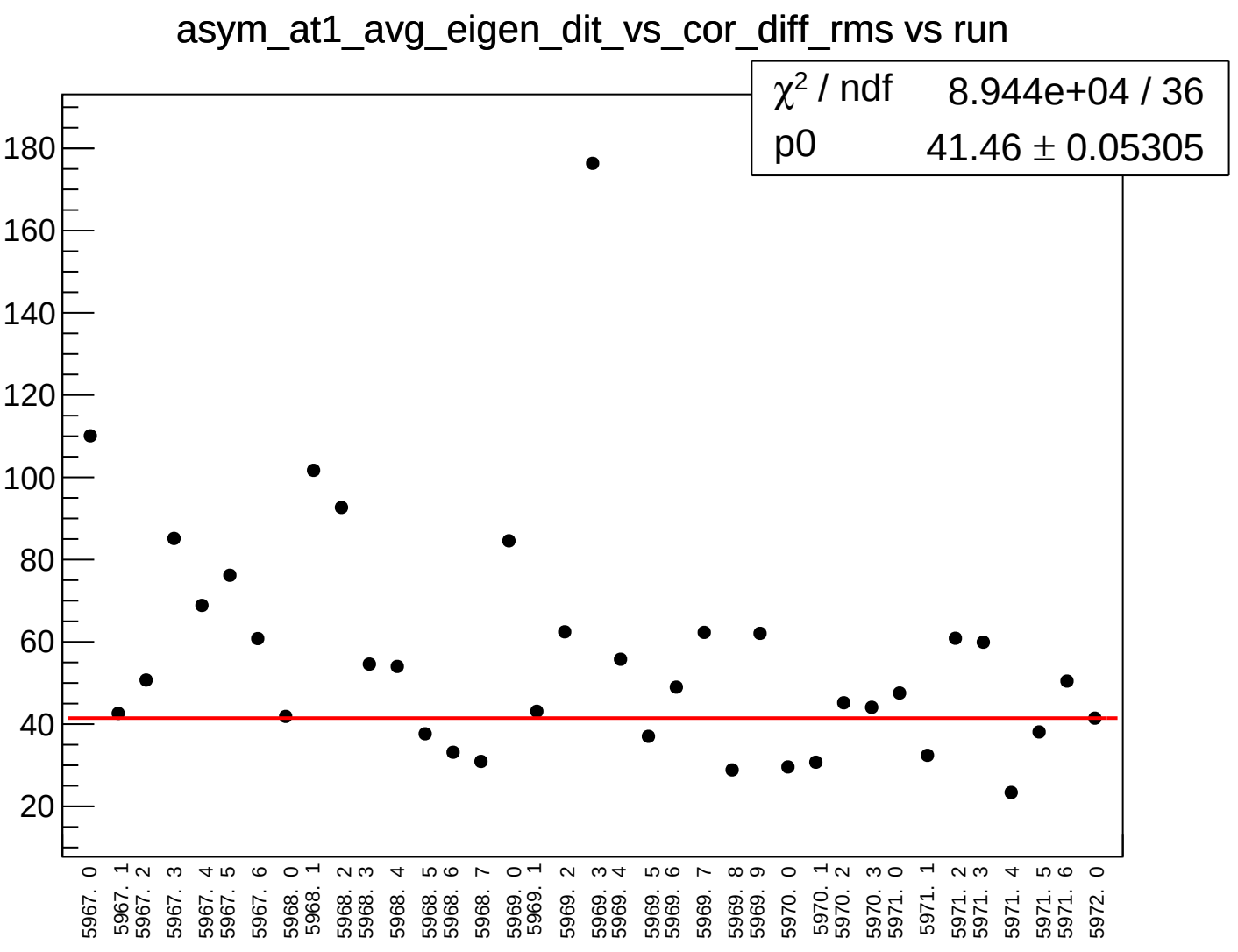
asym_at1_avg_eigen_dit_vs_cor_diff_rms vs run
χ² / ndf 8.944e+04 / 36
p0 41.46 ± 0.05305
180
160
140
120
100
80
60
40
20
5967. 0
5967. 1
5967. 2
5967. 3
5967. 4
5967. 5
5967. 6
5968. 0
5968. 1
5968. 2
5968. 3
5968. 4
5968. 5
5968. 6
5968. 7
5969. 0
5969. 1
5969. 2
5969. 3
5969. 4
5969. 5
5969. 6
5969. 7
5969. 8
5969. 9
5970. 0
5970. 1
5970. 2
5970. 3
5971. 0
5971. 1
5971. 2
5971. 3
5971. 4
5971. 5
5971. 6
5972. 0

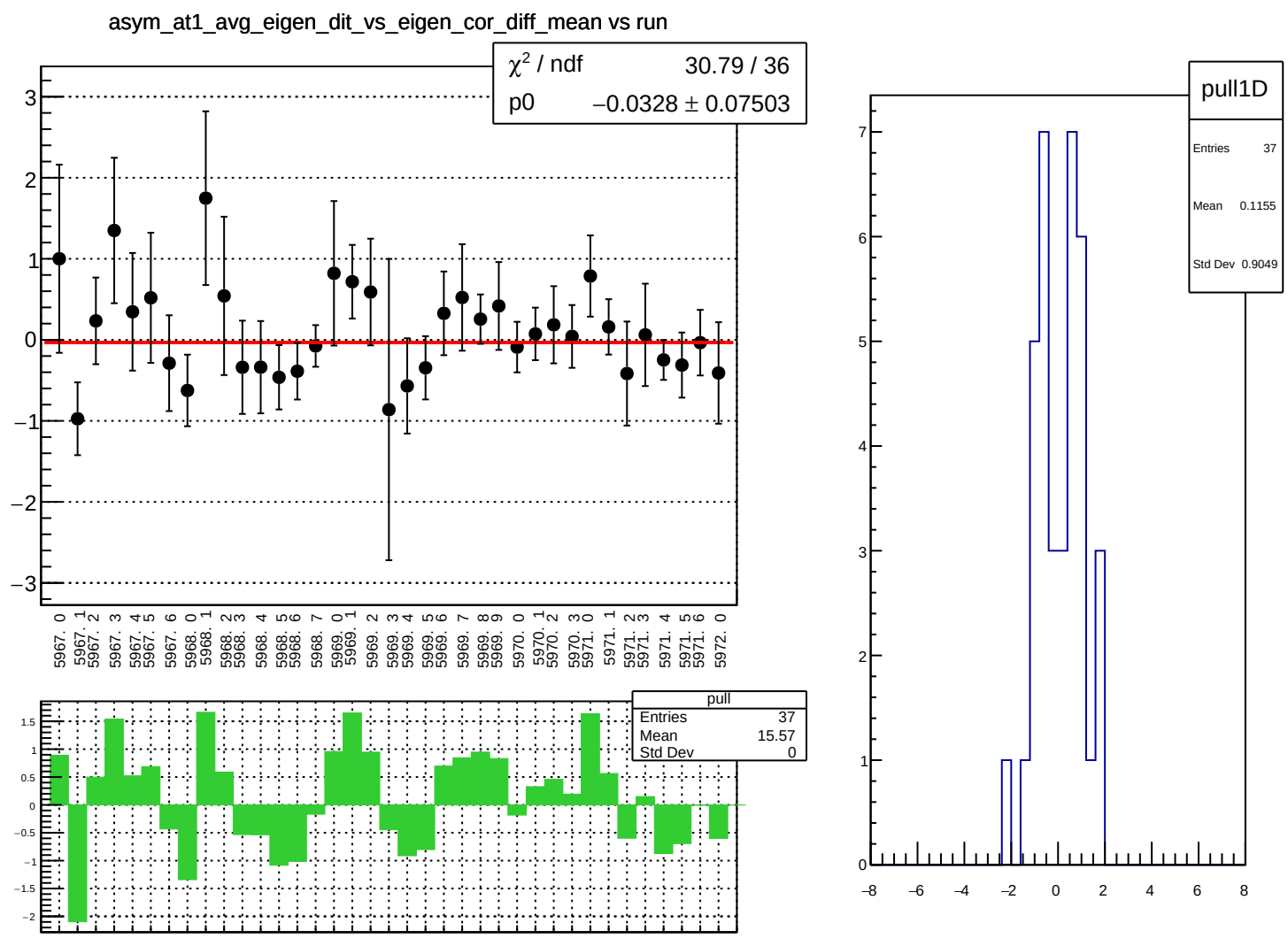
asym_at1_avg_eigen_dit_vs_eigen_cor_diff_mean vs run
χ² / ndf 30.79 / 36
p0 −0.0328 ± 0.07503
pull
Entries 37
Mean 15.57
Std Dev 0
pull1D
Entries 37
Mean 0.1155
Std Dev 0.9049

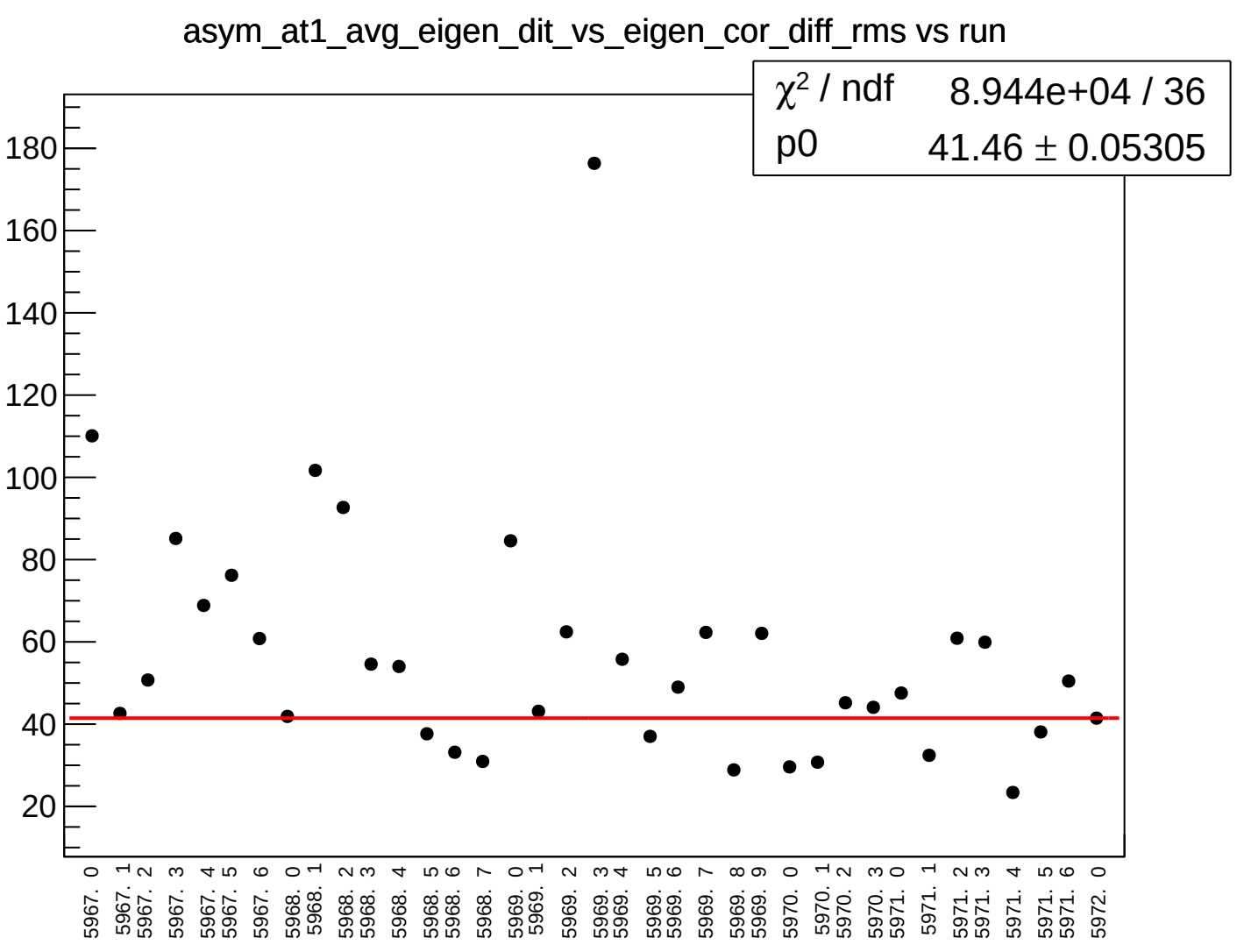
asym_at1_avg_eigen_dit_vs_eigen_cor_diff_rms vs run
χ² / ndf 8.944e+04 / 36
p0 41.46 ± 0.05305
180
160
140
120
100
80
60
40
20
5967. 0
5967. 1
5967. 2
5967. 3
5967. 4
5967. 5
5967. 6
5968. 0
5968. 1
5968. 2
5968. 3
5968. 4
5968. 5
5968. 6
5968. 7
5969. 0
5969. 1
5969. 2
5969. 3
5969. 4
5969. 5
5969. 6
5969. 7
5969. 8
5969. 9
5970. 0
5970. 1
5970. 2
5970. 3
5971. 0
5971. 1
5971. 2
5971. 3
5971. 4
5971. 5
5971. 6
5972. 0

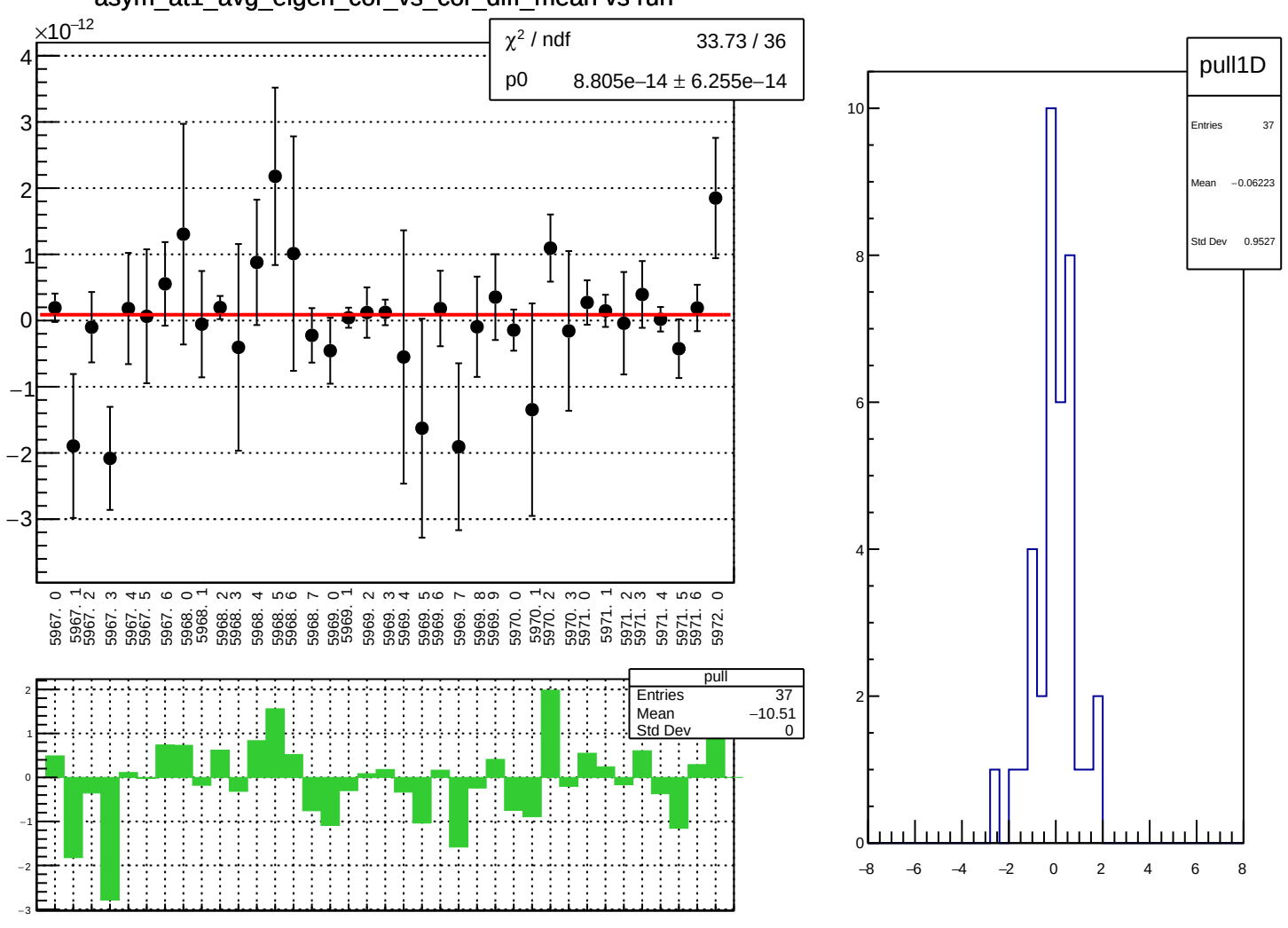
asym_at1_avg_eigen_cor_vs_cor_diff_mean vs run
×10⁻¹²
χ² / ndf 33.73 / 36
p0 8.805e−14 ± 6.255e−14
pull
Entries 37
Mean −10.51
Std Dev 0
pull1D
Entries 37
Mean −0.06223
Std Dev 0.9527

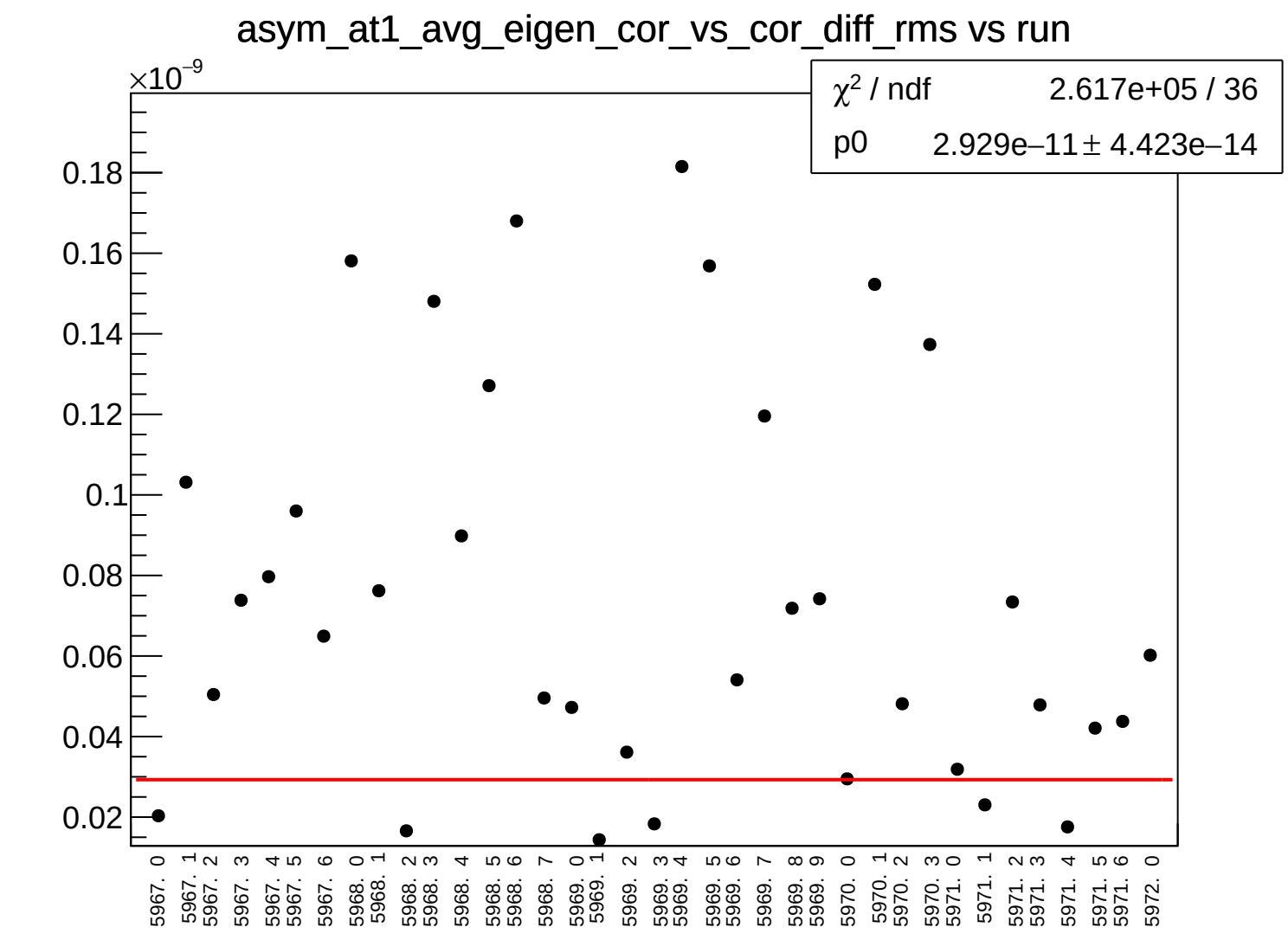
asym_at1_avg_eigen_cor_vs_cor_diff_rms vs run
×10⁻⁹
χ² / ndf 2.617e+05 / 36
p0 2.929e−11 ± 4.423e−14
0.18
0.16
0.14
0.12
0.1
0.08
0.06
0.04
0.02
5967. 0
5967. 1
5967. 2
5967. 3
5967. 4
5967. 5
5967. 6
5968. 0
5968. 1
5968. 2
5968. 3
5968. 4
5968. 5
5968. 6
5968. 7
5969. 0
5969. 1
5969. 2
5969. 3
5969. 4
5969. 5
5969. 6
5969. 7
5969. 8
5969. 9
5970. 0
5970. 1
5970. 2
5970. 3
5971. 0
5971. 1
5971. 2
5971. 3
5971. 4
5971. 5
5971. 6
5972. 0

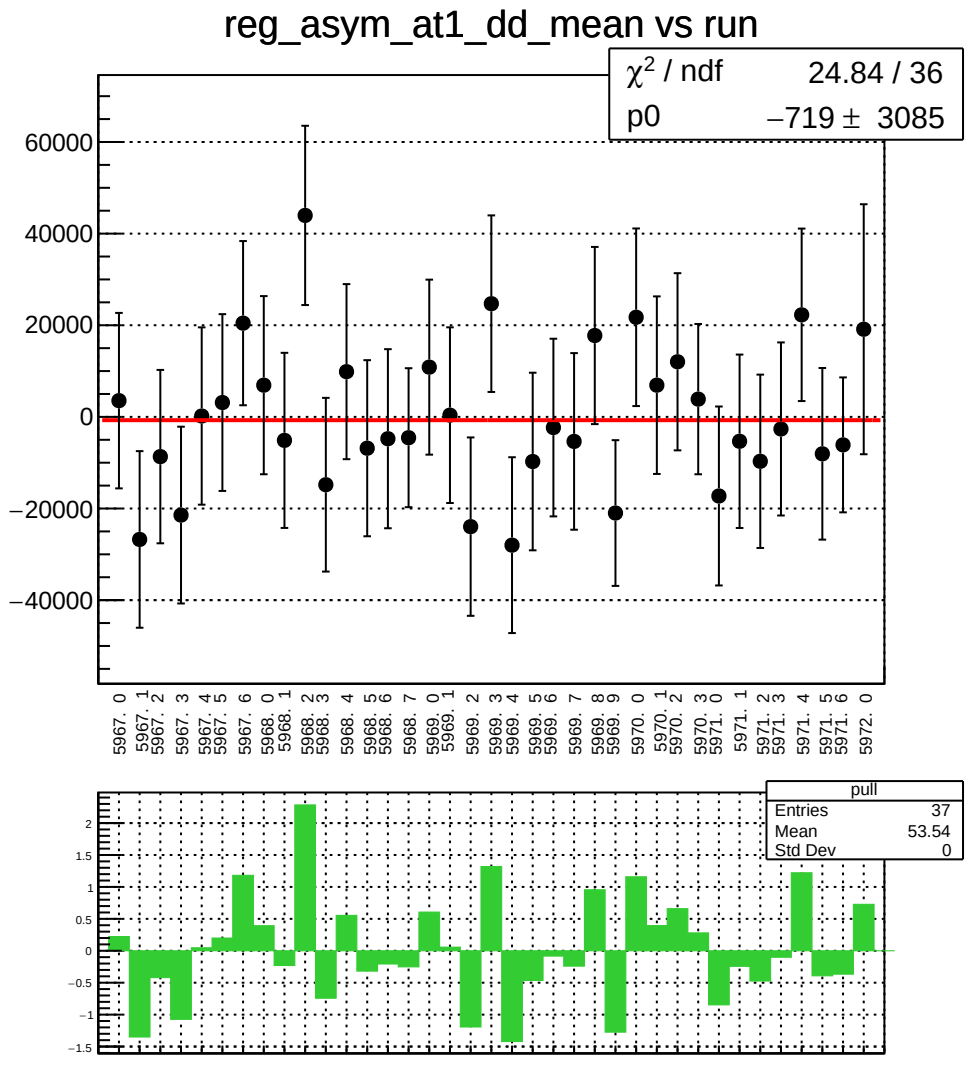
reg_asym_at1_dd_mean vs run
χ² / ndf 24.84 / 36
p0 −719 ± 3085
60000
40000
20000
0
−20000
−40000
5967. 0
5967. 1
5967. 2
5967. 3
5967. 4
5967. 5
5967. 6
5968. 0
5968. 1
5968. 2
5968. 3
5968. 4
5968. 5
5968. 6
5968. 7
5969. 0
5969. 1
5969. 2
5969. 3
5969. 4
5969. 5
5969. 6
5969. 7
5969. 8
5969. 9
5970. 0
5970. 1
5970. 2
5970. 3
5971. 0
5971. 1
5971. 2
5971. 3
5971. 4
5971. 5
5971. 6
5972. 0
pull
Entries 37
Mean 53.54
Std Dev 0
2
1.5
1
0.5
0
−0.5
−1
−1.5
pull1D
Entries 37
Mean 0.01522
Std Dev 0.8193
10
8
6
4
2
0
−8
−6
−4
−2
0
2
4
6
8

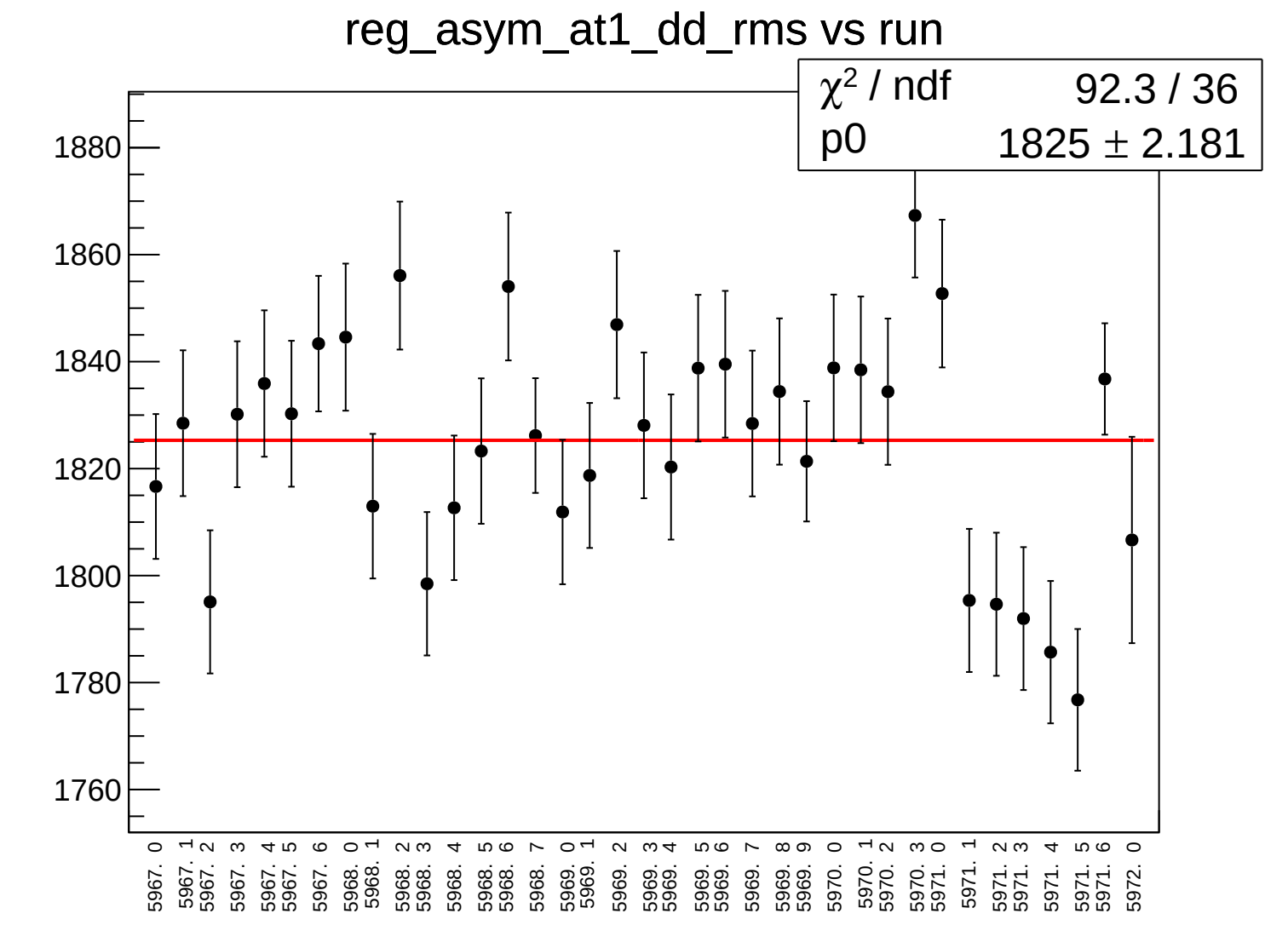
reg_asym_at1_dd_rms vs run
χ² / ndf 92.3 / 36
p0 1825 ± 2.181
1880
1860
1840
1820
1800
1780
1760
5967. 0
5967. 1
5967. 2
5967. 3
5967. 4
5967. 5
5967. 6
5968. 0
5968. 1
5968. 2
5968. 3
5968. 4
5968. 5
5968. 6
5968. 7
5969. 0
5969. 1
5969. 2
5969. 3
5969. 4
5969. 5
5969. 6
5969. 7
5969. 8
5969. 9
5970. 0
5970. 1
5970. 2
5970. 3
5971. 0
5971. 1
5971. 2
5971. 3
5971. 4
5971. 5
5971. 6
5972. 0

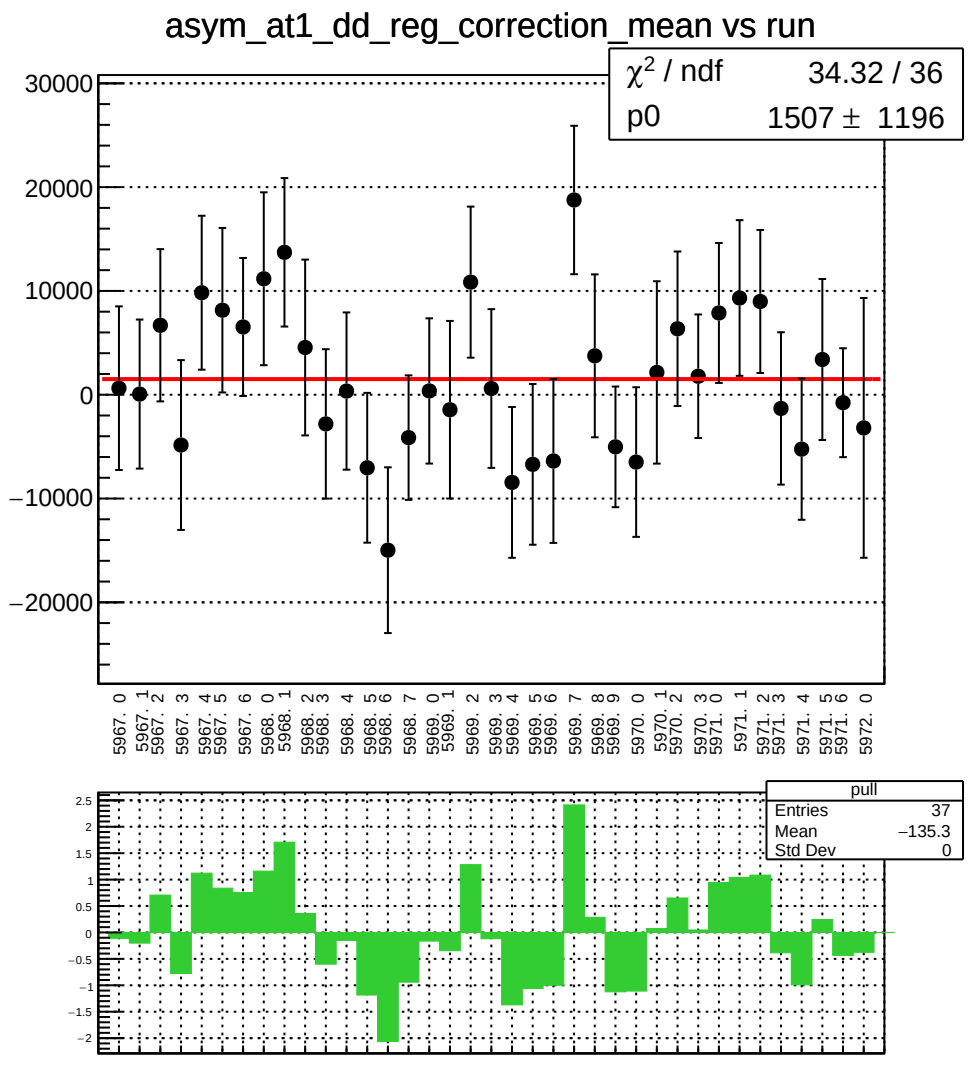
asym_at1_dd_reg_correction_mean vs run
χ² / ndf 34.32 / 36
p0 1507 ± 1196
30000
20000
10000
0
−10000
−20000
5967. 0
5967. 1
5967. 2
5967. 3
5967. 4
5967. 5
5967. 6
5968. 0
5968. 1
5968. 2
5968. 3
5968. 4
5968. 5
5968. 6
5968. 7
5969. 0
5969. 1
5969. 2
5969. 3
5969. 4
5969. 5
5969. 6
5969. 7
5969. 8
5969. 9
5970. 0
5970. 1
5970. 2
5970. 3
5971. 0
5971. 1
5971. 2
5971. 3
5971. 4
5971. 5
5971. 6
5972. 0
pull
Entries 37
Mean −135.3
Std Dev 0
2.5
2
1.5
1
0.5
0
−0.5
−1
−1.5
−2
pull1D
Entries 37
Mean 0.005716
Std Dev 0.9631
8
7
6
5
4
3
2
1
0
−8
−6
−4
−2
0
2
4
6
8

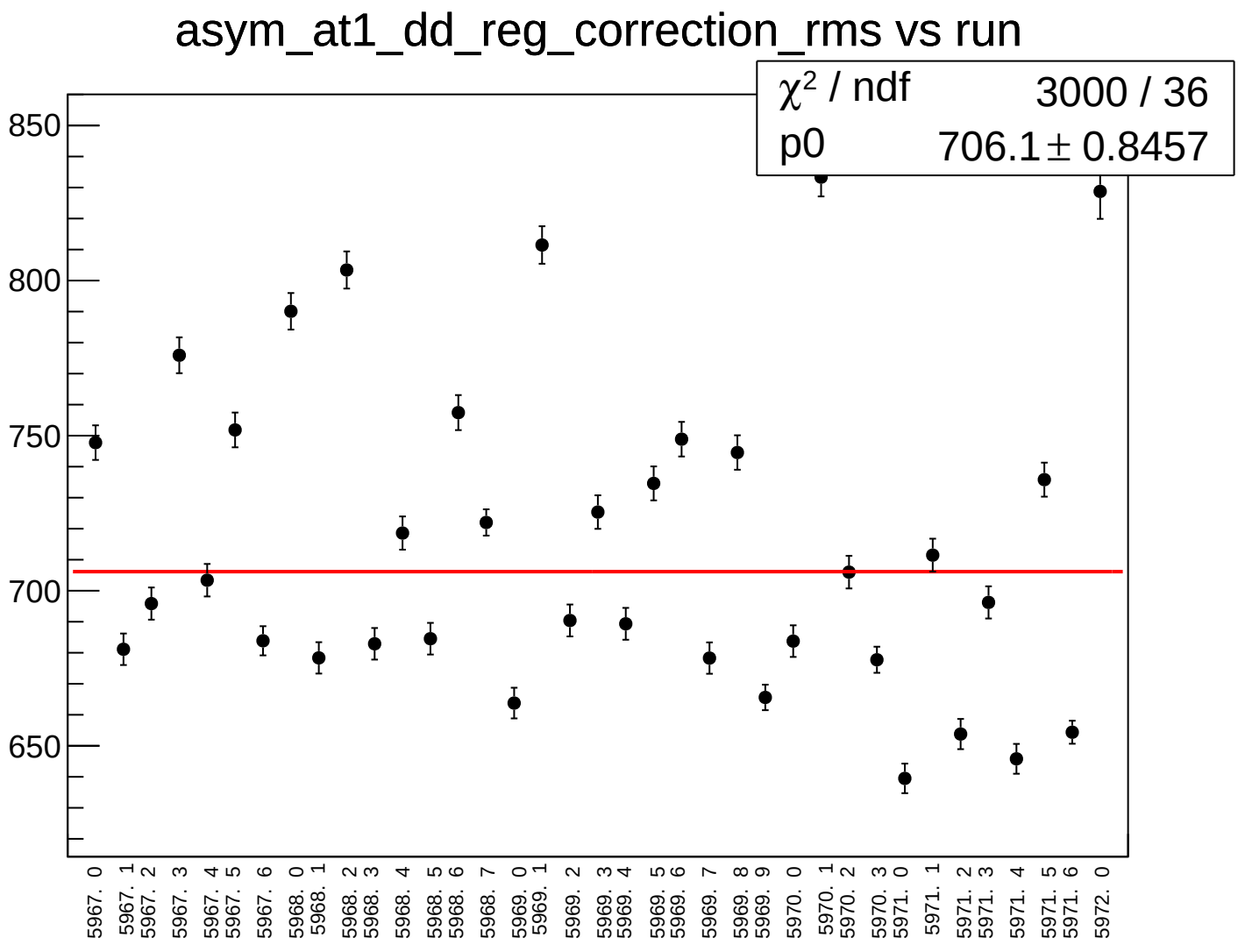
asym_at1_dd_reg_correction_rms vs run
χ² / ndf 3000 / 36
p0 706.1 ± 0.8457
850
800
750
700
650
5967. 0
5967. 1
5967. 2
5967. 3
5967. 4
5967. 5
5967. 6
5968. 0
5968. 1
5968. 2
5968. 3
5968. 4
5968. 5
5968. 6
5968. 7
5969. 0
5969. 1
5969. 2
5969. 3
5969. 4
5969. 5
5969. 6
5969. 7
5969. 8
5969. 9
5970. 0
5970. 1
5970. 2
5970. 3
5971. 0
5971. 1
5971. 2
5971. 3
5971. 4
5971. 5
5971. 6
5972. 0

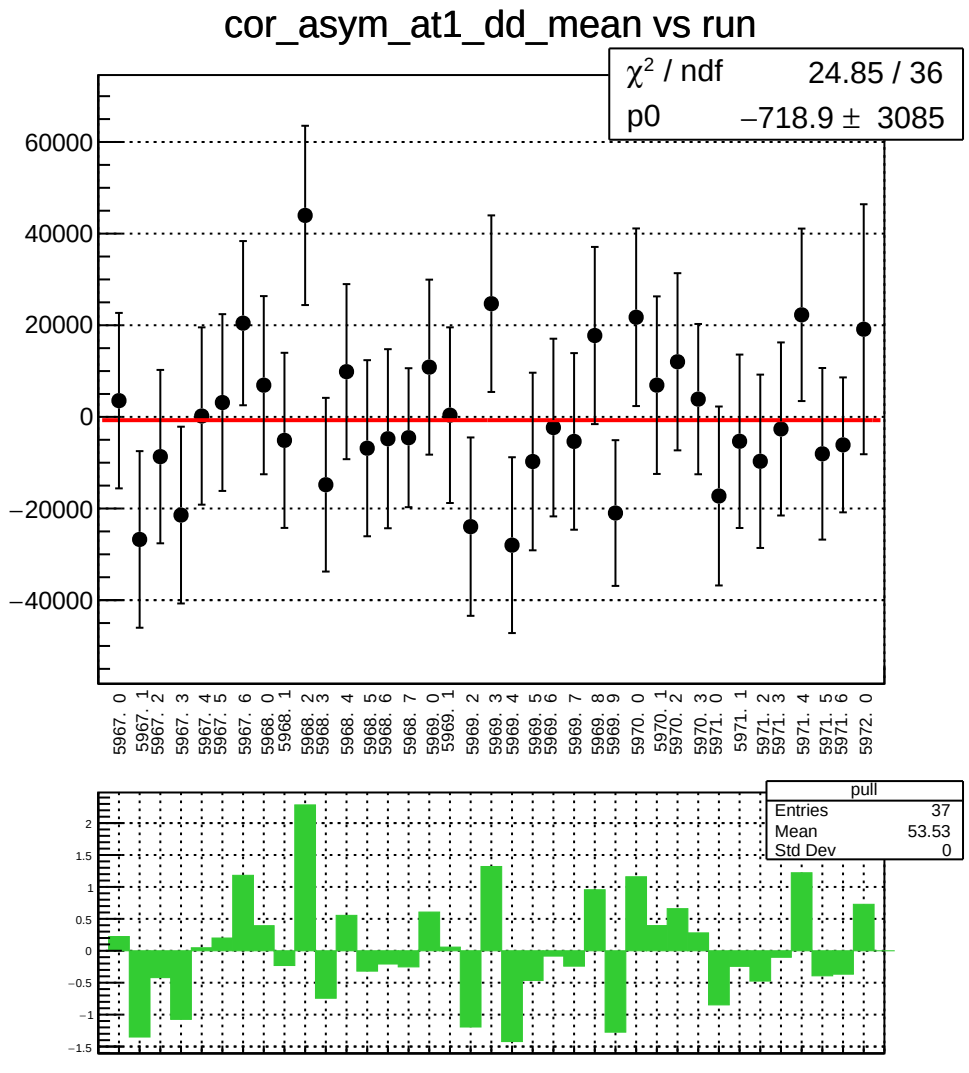
cor_asym_at1_dd_mean vs run
χ² / ndf 24.85 / 36
p0 −718.9 ± 3085
60000
40000
20000
0
−20000
−40000
5967. 0
5967. 1
5967. 2
5967. 3
5967. 4
5967. 5
5967. 6
5968. 0
5968. 1
5968. 2
5968. 3
5968. 4
5968. 5
5968. 6
5968. 7
5969. 0
5969. 1
5969. 2
5969. 3
5969. 4
5969. 5
5969. 6
5969. 7
5969. 8
5969. 9
5970. 0
5970. 1
5970. 2
5970. 3
5971. 0
5971. 1
5971. 2
5971. 3
5971. 4
5971. 5
5971. 6
5972. 0
pull
Entries 37
Mean 53.53
Std Dev 0
2
1.5
1
0.5
0
−0.5
−1
−1.5
pull1D
Entries 37
Mean 0.01522
Std Dev 0.8193
10
8
6
4
2
0
−8
−6
−4
−2
0
2
4
6
8

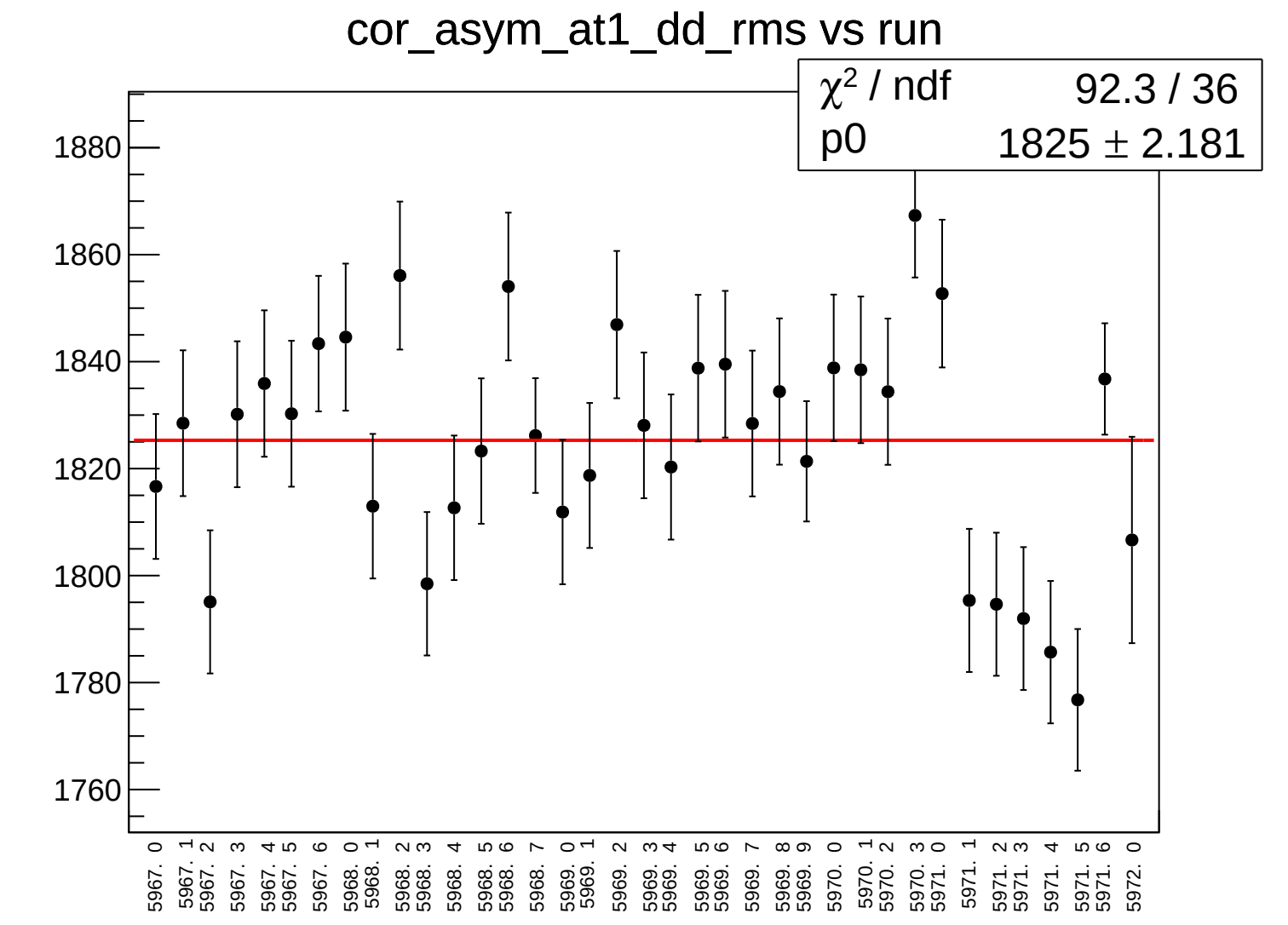
cor_asym_at1_dd_rms vs run
χ² / ndf 92.3 / 36
p0 1825 ± 2.181
1880
1860
1840
1820
1800
1780
1760
5967. 0
5967. 1
5967. 2
5967. 3
5967. 4
5967. 5
5967. 6
5968. 0
5968. 1
5968. 2
5968. 3
5968. 4
5968. 5
5968. 6
5968. 7
5969. 0
5969. 1
5969. 2
5969. 3
5969. 4
5969. 5
5969. 6
5969. 7
5969. 8
5969. 9
5970. 0
5970. 1
5970. 2
5970. 3
5971. 0
5971. 1
5971. 2
5971. 3
5971. 4
5971. 5
5971. 6
5972. 0

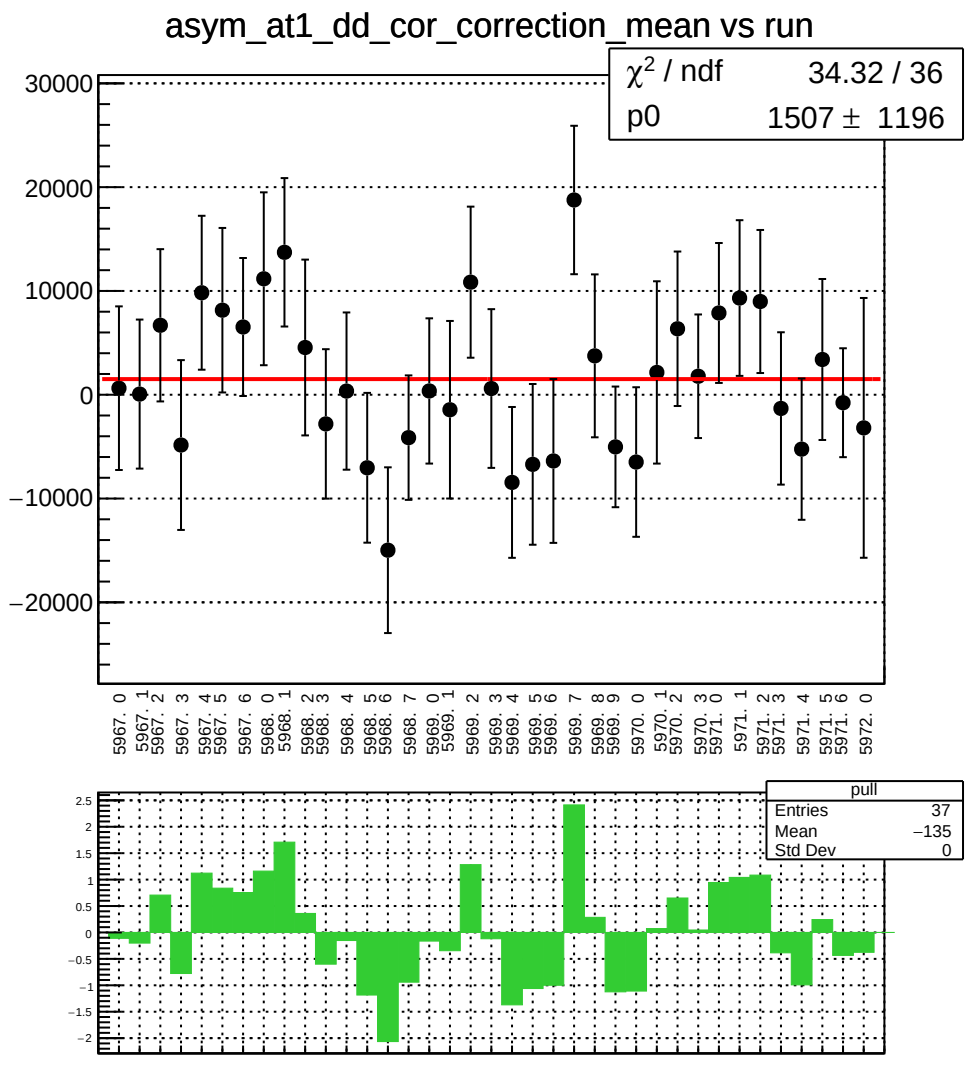
asym_at1_dd_cor_correction_mean vs run
χ² / ndf 34.32 / 36
p0 1507 ± 1196
30000
20000
10000
0
−10000
−20000
5967. 0
5967. 1
5967. 2
5967. 3
5967. 4
5967. 5
5967. 6
5968. 0
5968. 1
5968. 2
5968. 3
5968. 4
5968. 5
5968. 6
5968. 7
5969. 0
5969. 1
5969. 2
5969. 3
5969. 4
5969. 5
5969. 6
5969. 7
5969. 8
5969. 9
5970. 0
5970. 1
5970. 2
5970. 3
5971. 0
5971. 1
5971. 2
5971. 3
5971. 4
5971. 5
5971. 6
5972. 0
pull
Entries 37
Mean −135
Std Dev 0
2.5
2
1.5
1
0.5
0
−0.5
−1
−1.5
−2
pull1D
Entries 37
Mean 0.005731
Std Dev 0.9631
8
7
6
5
4
3
2
1
0
−8
−6
−4
−2
0
2
4
6
8

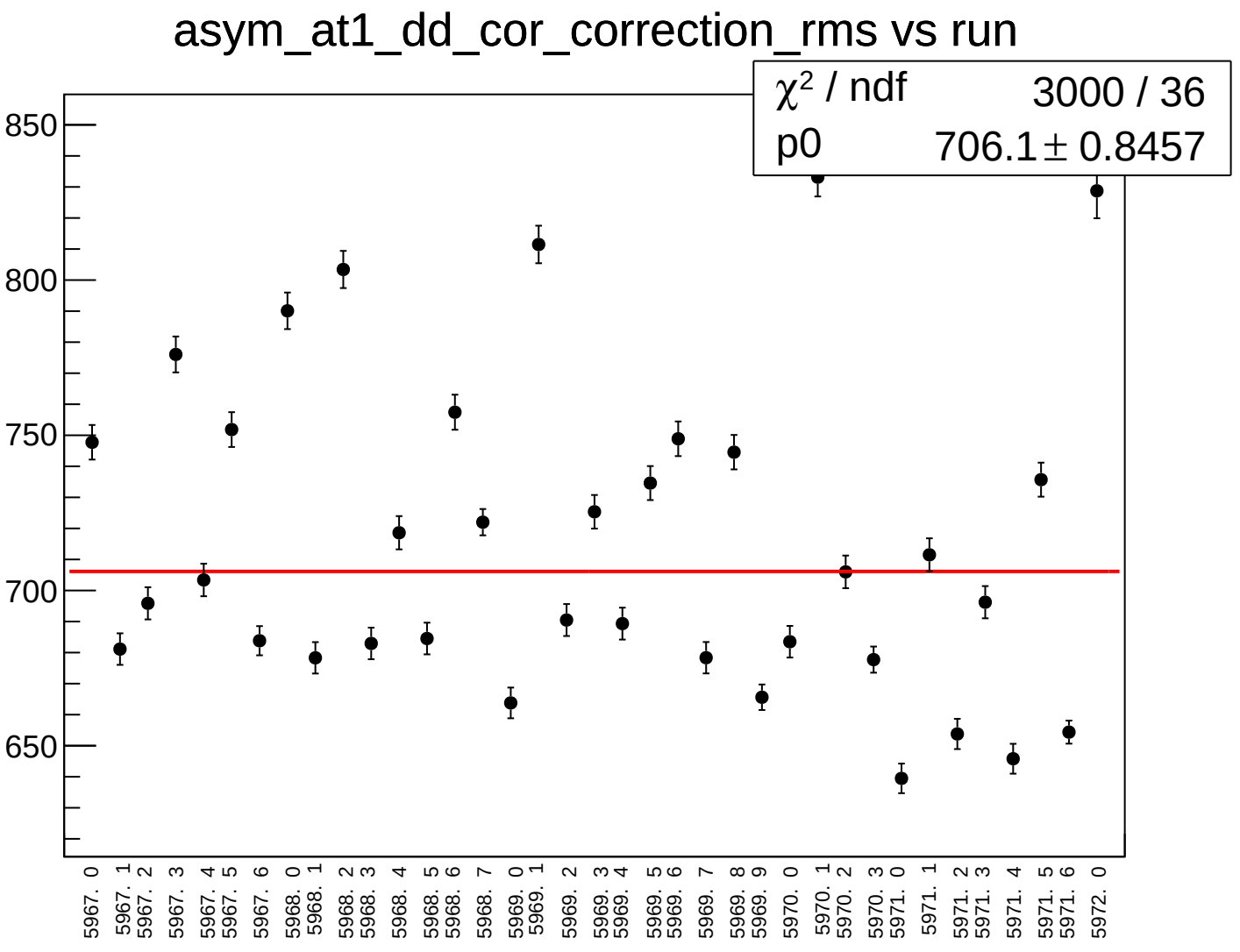
asym_at1_dd_cor_correction_rms vs run
χ² / ndf 3000 / 36
p0 706.1 ± 0.8457
850
800
750
700
650
5967. 0
5967. 1
5967. 2
5967. 3
5967. 4
5967. 5
5967. 6
5968. 0
5968. 1
5968. 2
5968. 3
5968. 4
5968. 5
5968. 6
5968. 7
5969. 0
5969. 1
5969. 2
5969. 3
5969. 4
5969. 5
5969. 6
5969. 7
5969. 8
5969. 9
5970. 0
5970. 1
5970. 2
5970. 3
5971. 0
5971. 1
5971. 2
5971. 3
5971. 4
5971. 5
5971. 6
5972. 0

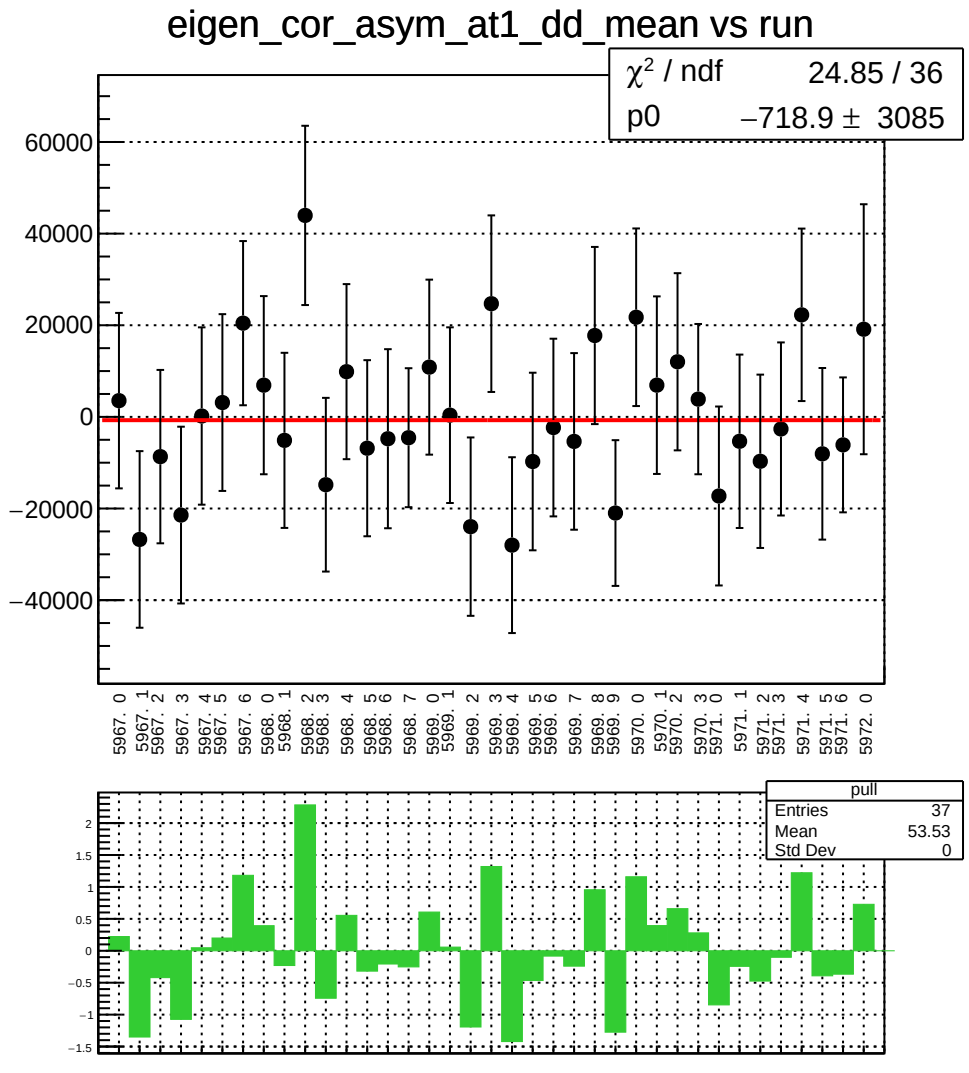
eigen_cor_asym_at1_dd_mean vs run
χ² / ndf 24.85 / 36
p0 −718.9 ± 3085
60000
40000
20000
0
−20000
−40000
5967. 0
5967. 1
5967. 2
5967. 3
5967. 4
5967. 5
5967. 6
5968. 0
5968. 1
5968. 2
5968. 3
5968. 4
5968. 5
5968. 6
5968. 7
5969. 0
5969. 1
5969. 2
5969. 3
5969. 4
5969. 5
5969. 6
5969. 7
5969. 8
5969. 9
5970. 0
5970. 1
5970. 2
5970. 3
5971. 0
5971. 1
5971. 2
5971. 3
5971. 4
5971. 5
5971. 6
5972. 0
pull
Entries 37
Mean 53.53
Std Dev 0
2
1.5
1
0.5
0
−0.5
−1
−1.5
pull1D
Entries 37
Mean 0.01522
Std Dev 0.8193
10
8
6
4
2
0
−8
−6
−4
−2
0
2
4
6
8

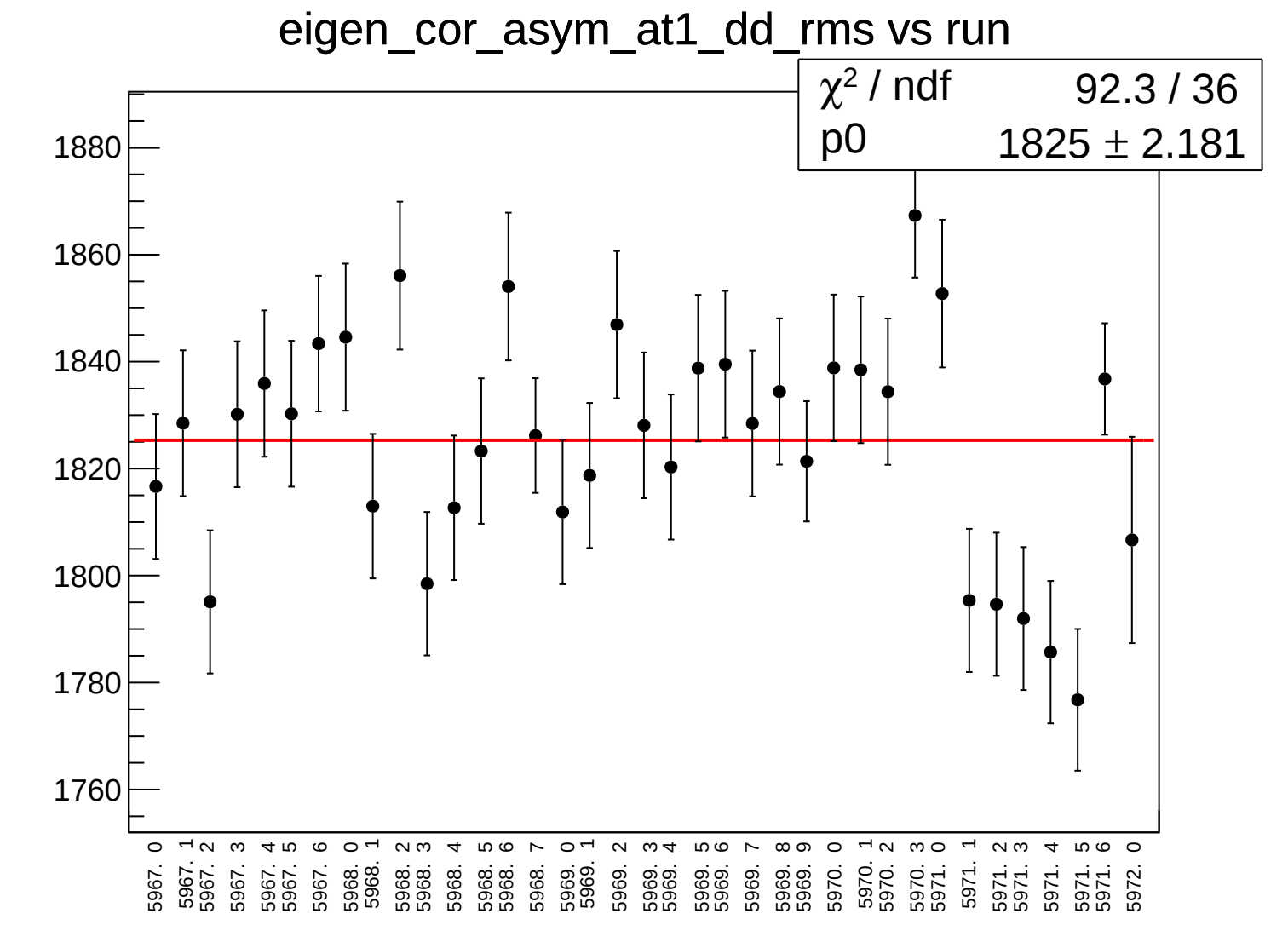
eigen_cor_asym_at1_dd_rms vs run
χ² / ndf 92.3 / 36
p0 1825 ± 2.181
1880
1860
1840
1820
1800
1780
1760
5967. 0
5967. 1
5967. 2
5967. 3
5967. 4
5967. 5
5967. 6
5968. 0
5968. 1
5968. 2
5968. 3
5968. 4
5968. 5
5968. 6
5968. 7
5969. 0
5969. 1
5969. 2
5969. 3
5969. 4
5969. 5
5969. 6
5969. 7
5969. 8
5969. 9
5970. 0
5970. 1
5970. 2
5970. 3
5971. 0
5971. 1
5971. 2
5971. 3
5971. 4
5971. 5
5971. 6
5972. 0

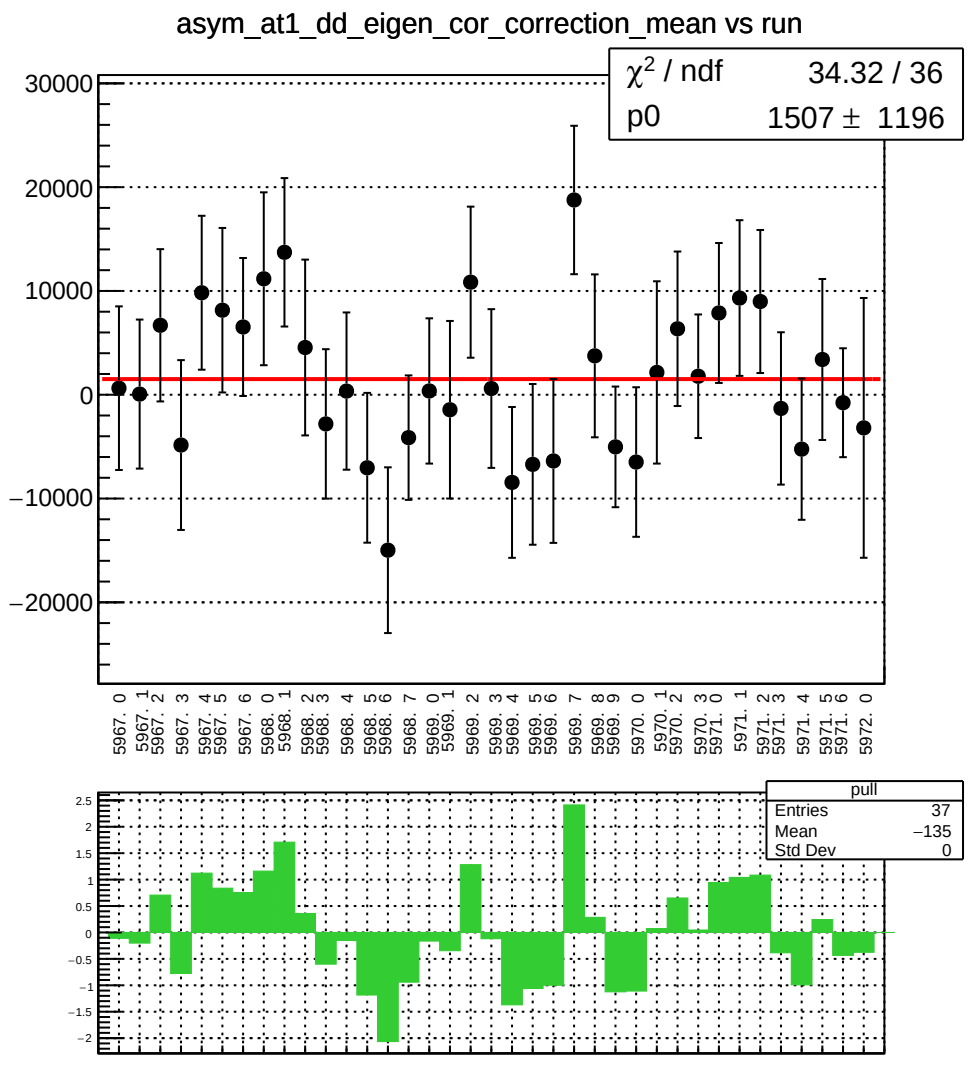
asym_at1_dd_eigen_cor_correction_mean vs run
χ² / ndf 34.32 / 36
p0 1507 ± 1196
30000
20000
10000
0
−10000
−20000
5967. 0
5967. 1
5967. 2
5967. 3
5967. 4
5967. 5
5967. 6
5968. 0
5968. 1
5968. 2
5968. 3
5968. 4
5968. 5
5968. 6
5968. 7
5969. 0
5969. 1
5969. 2
5969. 3
5969. 4
5969. 5
5969. 6
5969. 7
5969. 8
5969. 9
5970. 0
5970. 1
5970. 2
5970. 3
5971. 0
5971. 1
5971. 2
5971. 3
5971. 4
5971. 5
5971. 6
5972. 0
pull
Entries 37
Mean −135
Std Dev 0
2.5
2
1.5
1
0.5
0
−0.5
−1
−1.5
−2
pull1D
Entries 37
Mean 0.005731
Std Dev 0.9631
8
7
6
5
4
3
2
1
0
−8
−6
−4
−2
0
2
4
6
8

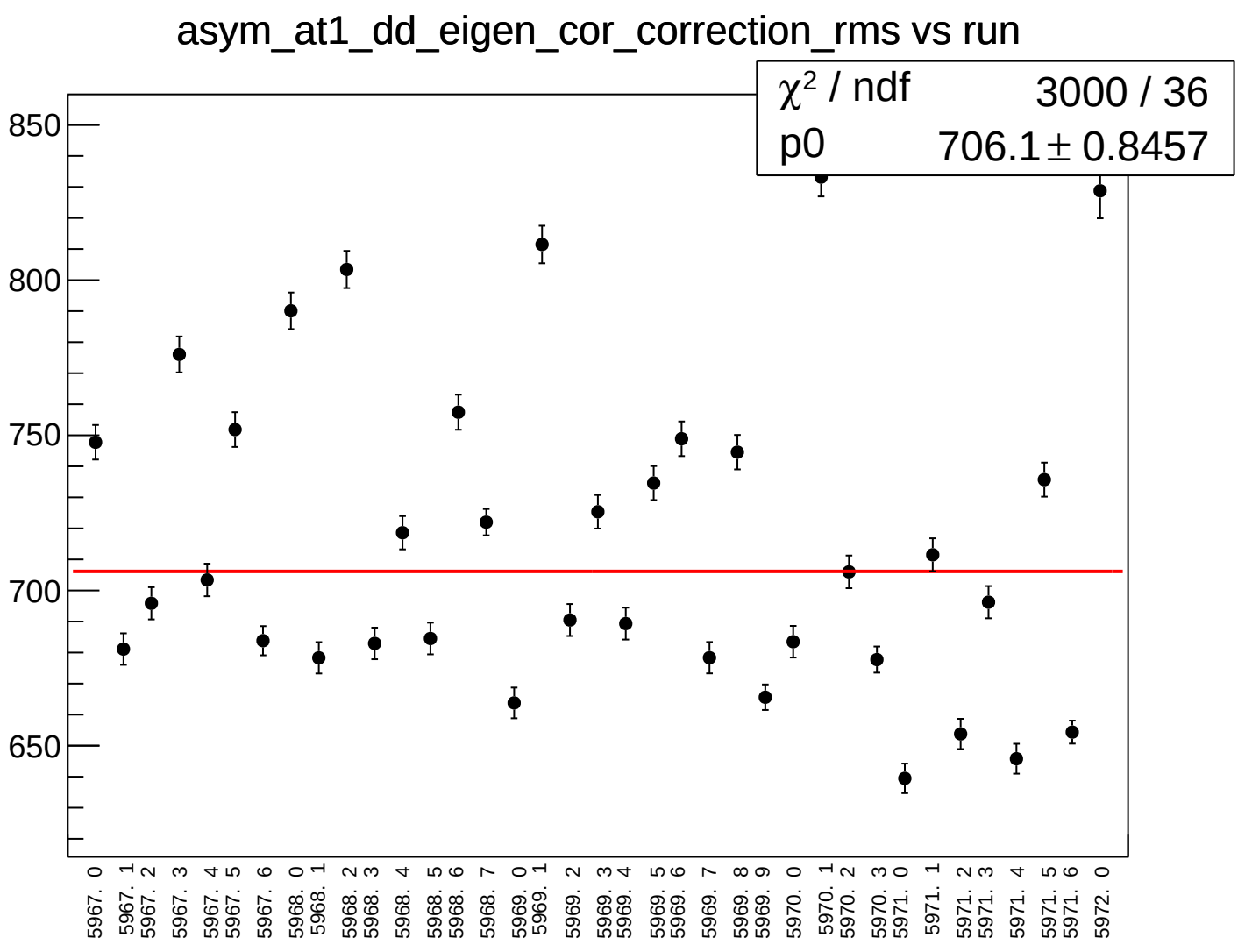
asym_at1_dd_eigen_cor_correction_rms vs run
χ² / ndf 3000 / 36
p0 706.1 ± 0.8457
850
800
750
700
650
5967. 0
5967. 1
5967. 2
5967. 3
5967. 4
5967. 5
5967. 6
5968. 0
5968. 1
5968. 2
5968. 3
5968. 4
5968. 5
5968. 6
5968. 7
5969. 0
5969. 1
5969. 2
5969. 3
5969. 4
5969. 5
5969. 6
5969. 7
5969. 8
5969. 9
5970. 0
5970. 1
5970. 2
5970. 3
5971. 0
5971. 1
5971. 2
5971. 3
5971. 4
5971. 5
5971. 6
5972. 0

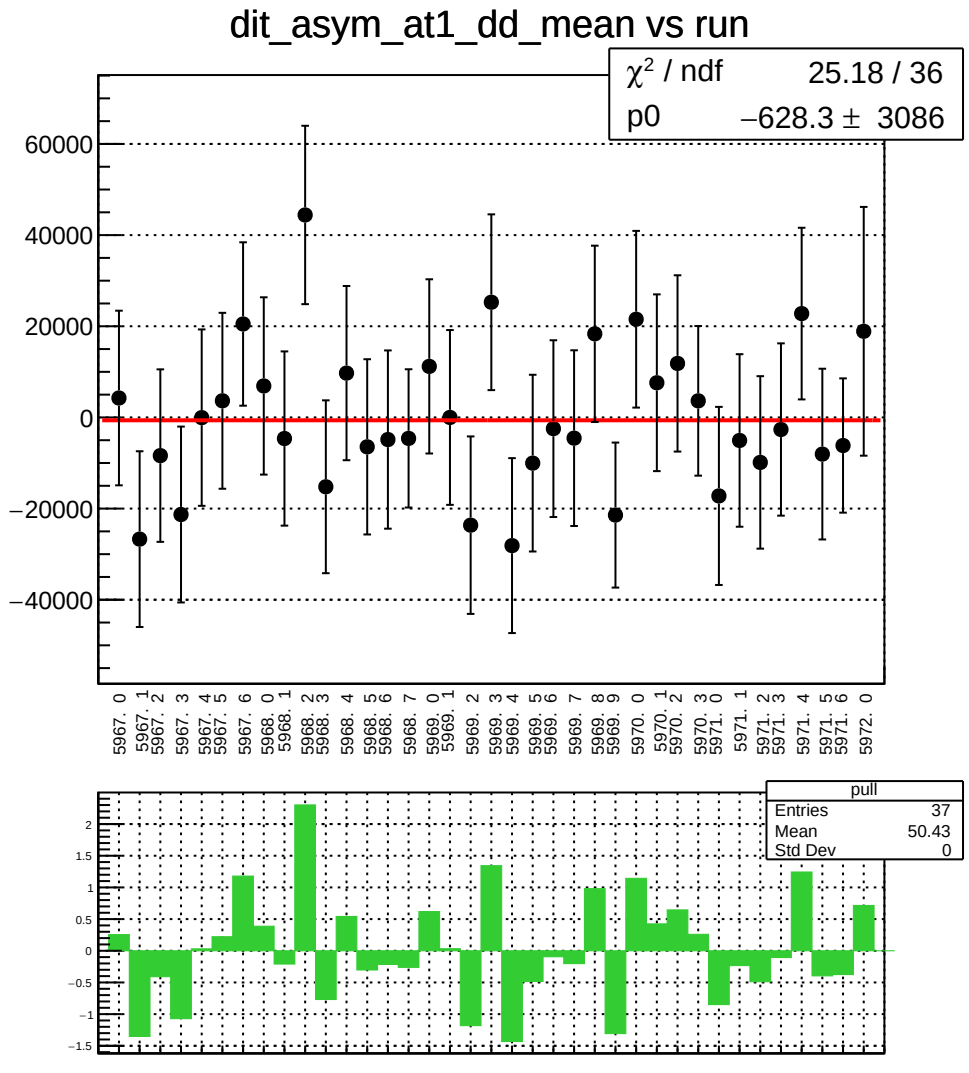
dit_asym_at1_dd_mean vs run
χ² / ndf 25.18 / 36
p0 −628.3 ± 3086
60000
40000
20000
0
−20000
−40000
5967. 0
5967. 1
5967. 2
5967. 3
5967. 4
5967. 5
5967. 6
5968. 0
5968. 1
5968. 2
5968. 3
5968. 4
5968. 5
5968. 6
5968. 7
5969. 0
5969. 1
5969. 2
5969. 3
5969. 4
5969. 5
5969. 6
5969. 7
5969. 8
5969. 9
5970. 0
5970. 1
5970. 2
5970. 3
5971. 0
5971. 1
5971. 2
5971. 3
5971. 4
5971. 5
5971. 6
5972. 0
pull
Entries 37
Mean 50.43
Std Dev 0
2
1.5
1
0.5
0
−0.5
−1
−1.5
pull1D
Entries 37
Mean 0.0156
Std Dev 0.8249
10
8
6
4
2
0
−8
−6
−4
−2
0
2
4
6
8

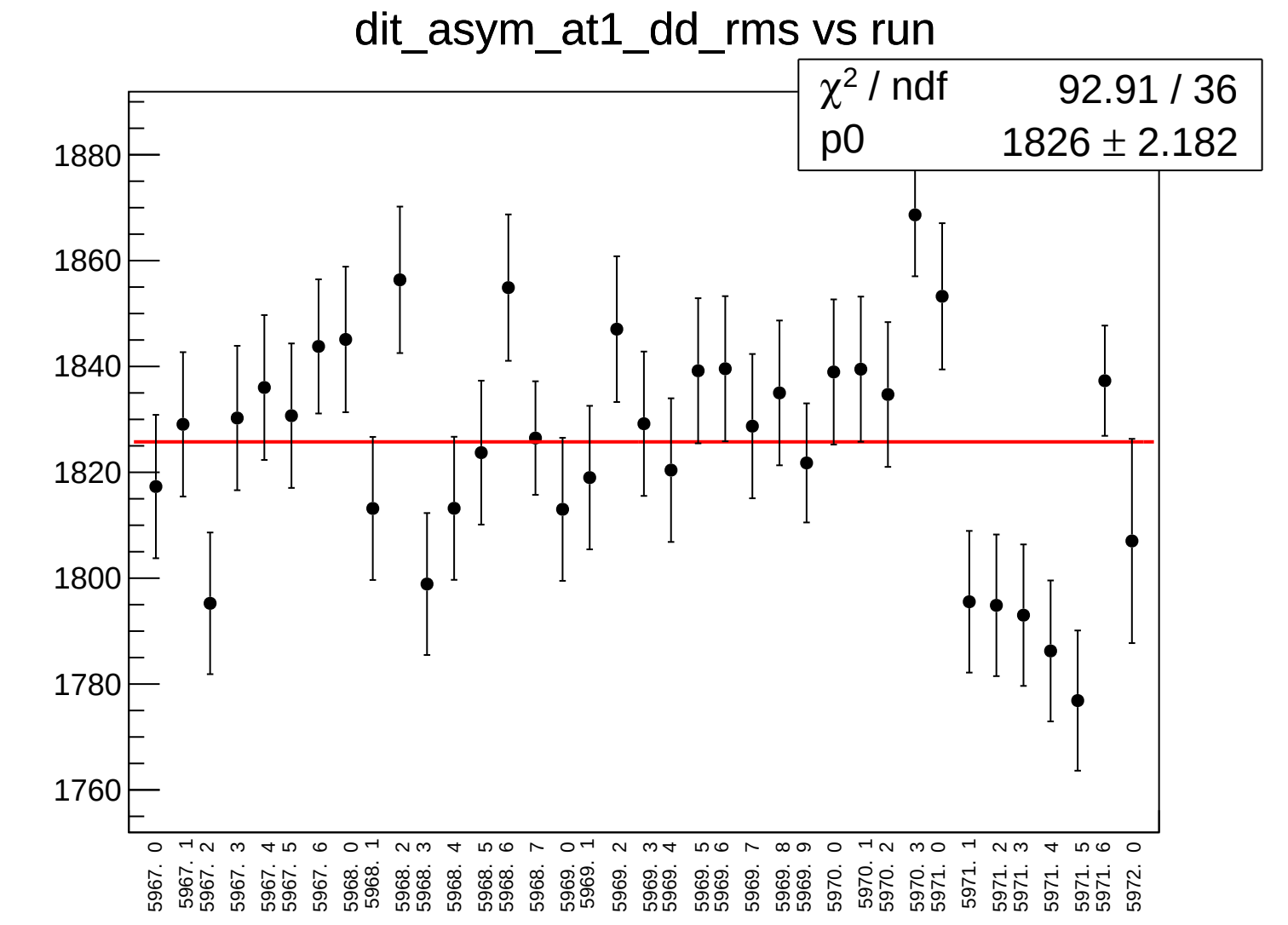
dit_asym_at1_dd_rms vs run
χ² / ndf 92.91 / 36
p0 1826 ± 2.182
1880
1860
1840
1820
1800
1780
1760
5967. 0
5967. 1
5967. 2
5967. 3
5967. 4
5967. 5
5967. 6
5968. 0
5968. 1
5968. 2
5968. 3
5968. 4
5968. 5
5968. 6
5968. 7
5969. 0
5969. 1
5969. 2
5969. 3
5969. 4
5969. 5
5969. 6
5969. 7
5969. 8
5969. 9
5970. 0
5970. 1
5970. 2
5970. 3
5971. 0
5971. 1
5971. 2
5971. 3
5971. 4
5971. 5
5971. 6
5972. 0

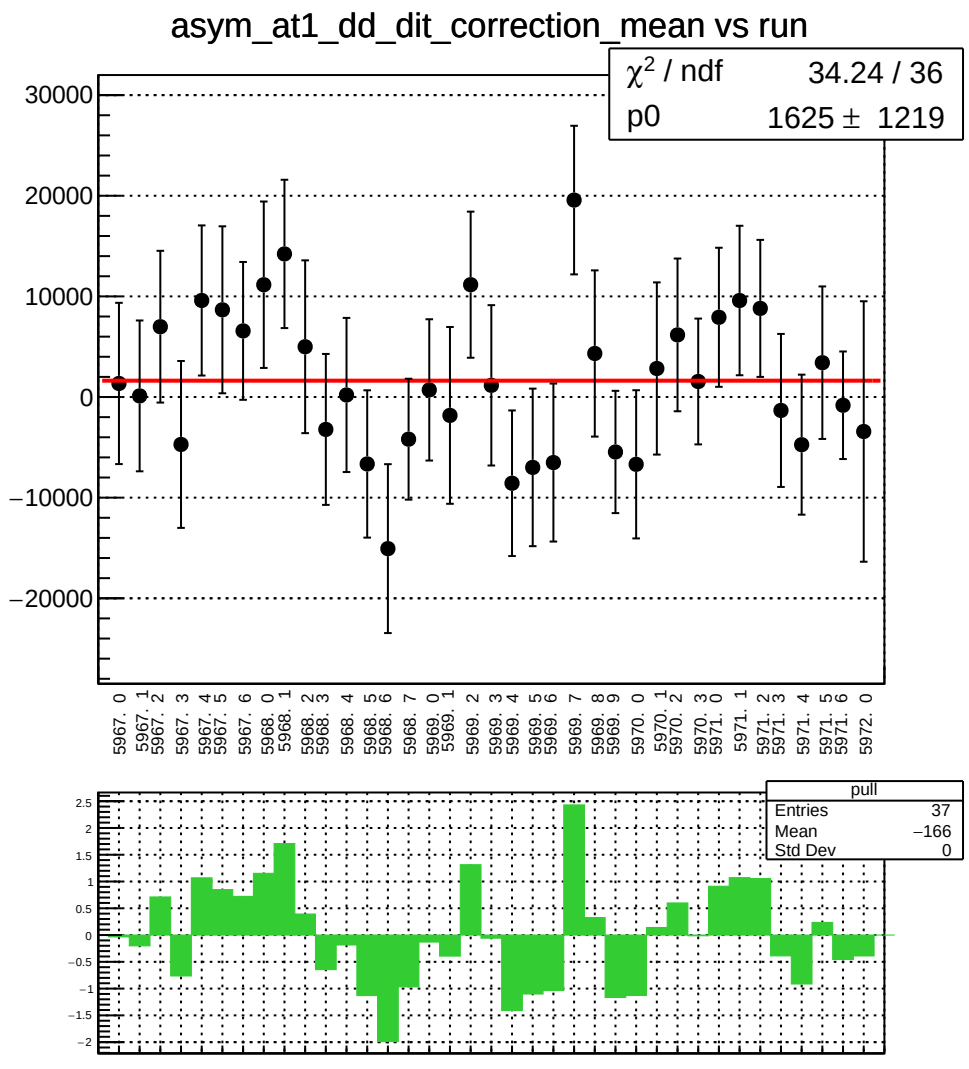
asym_at1_dd_dit_correction_mean vs run
χ² / ndf 34.24 / 36
p0 1625 ± 1219
30000
20000
10000
0
−10000
−20000
5967. 0
5967. 1
5967. 2
5967. 3
5967. 4
5967. 5
5967. 6
5968. 0
5968. 1
5968. 2
5968. 3
5968. 4
5968. 5
5968. 6
5968. 7
5969. 0
5969. 1
5969. 2
5969. 3
5969. 4
5969. 5
5969. 6
5969. 7
5969. 8
5969. 9
5970. 0
5970. 1
5970. 2
5970. 3
5971. 0
5971. 1
5971. 2
5971. 3
5971. 4
5971. 5
5971. 6
5972. 0
pull
Entries 37
Mean −166
Std Dev 0
2.5
2
1.5
1
0.5
0
−0.5
−1
−1.5
−2
pull1D
Entries 37
Mean 0.005032
Std Dev 0.962
9
8
7
6
5
4
3
2
1
0
−8
−6
−4
−2
0
2
4
6
8

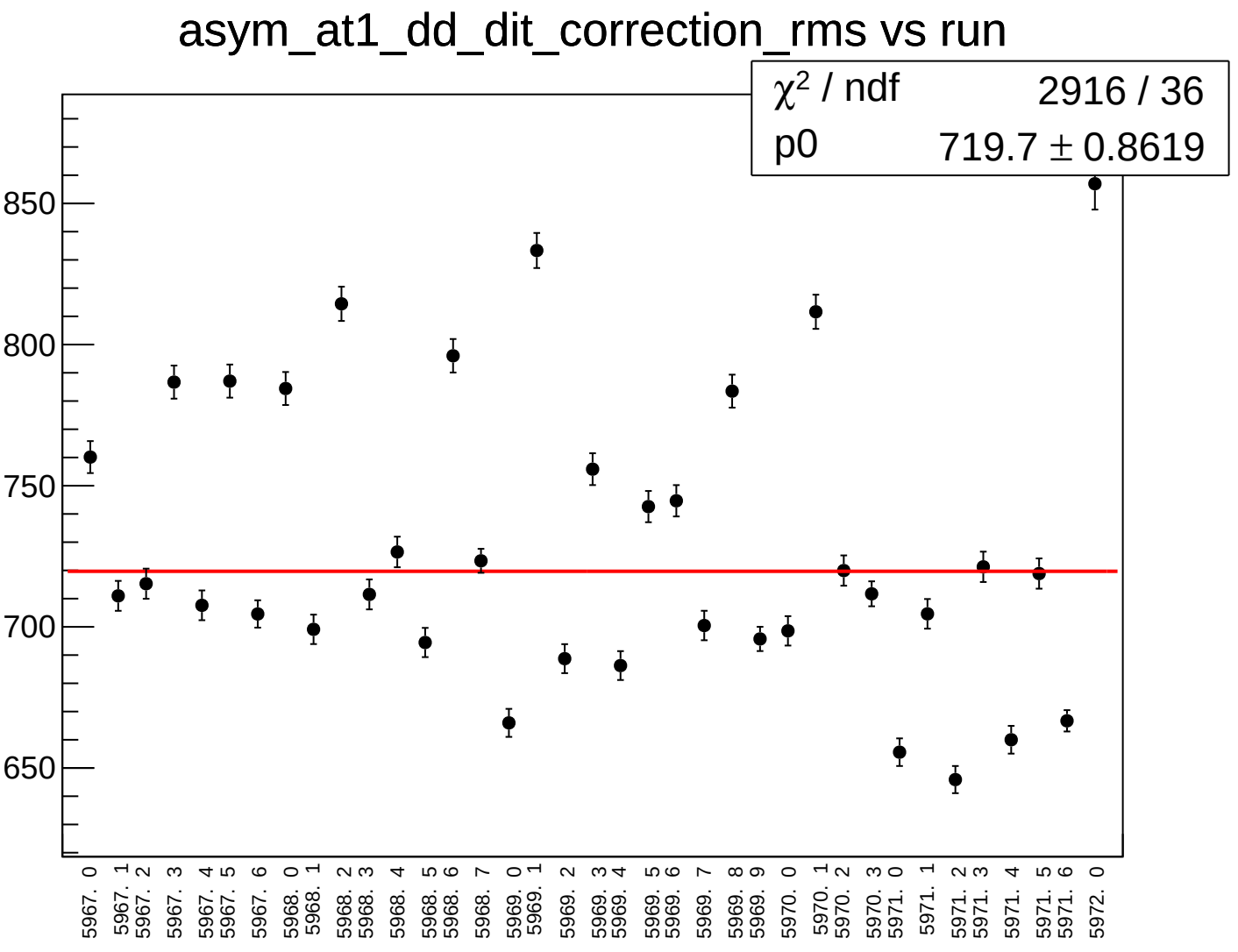
asym_at1_dd_dit_correction_rms vs run
χ² / ndf 2916 / 36
p0 719.7 ± 0.8619
850
800
750
700
650
5967. 0
5967. 1
5967. 2
5967. 3
5967. 4
5967. 5
5967. 6
5968. 0
5968. 1
5968. 2
5968. 3
5968. 4
5968. 5
5968. 6
5968. 7
5969. 0
5969. 1
5969. 2
5969. 3
5969. 4
5969. 5
5969. 6
5969. 7
5969. 8
5969. 9
5970. 0
5970. 1
5970. 2
5970. 3
5971. 0
5971. 1
5971. 2
5971. 3
5971. 4
5971. 5
5971. 6
5972. 0

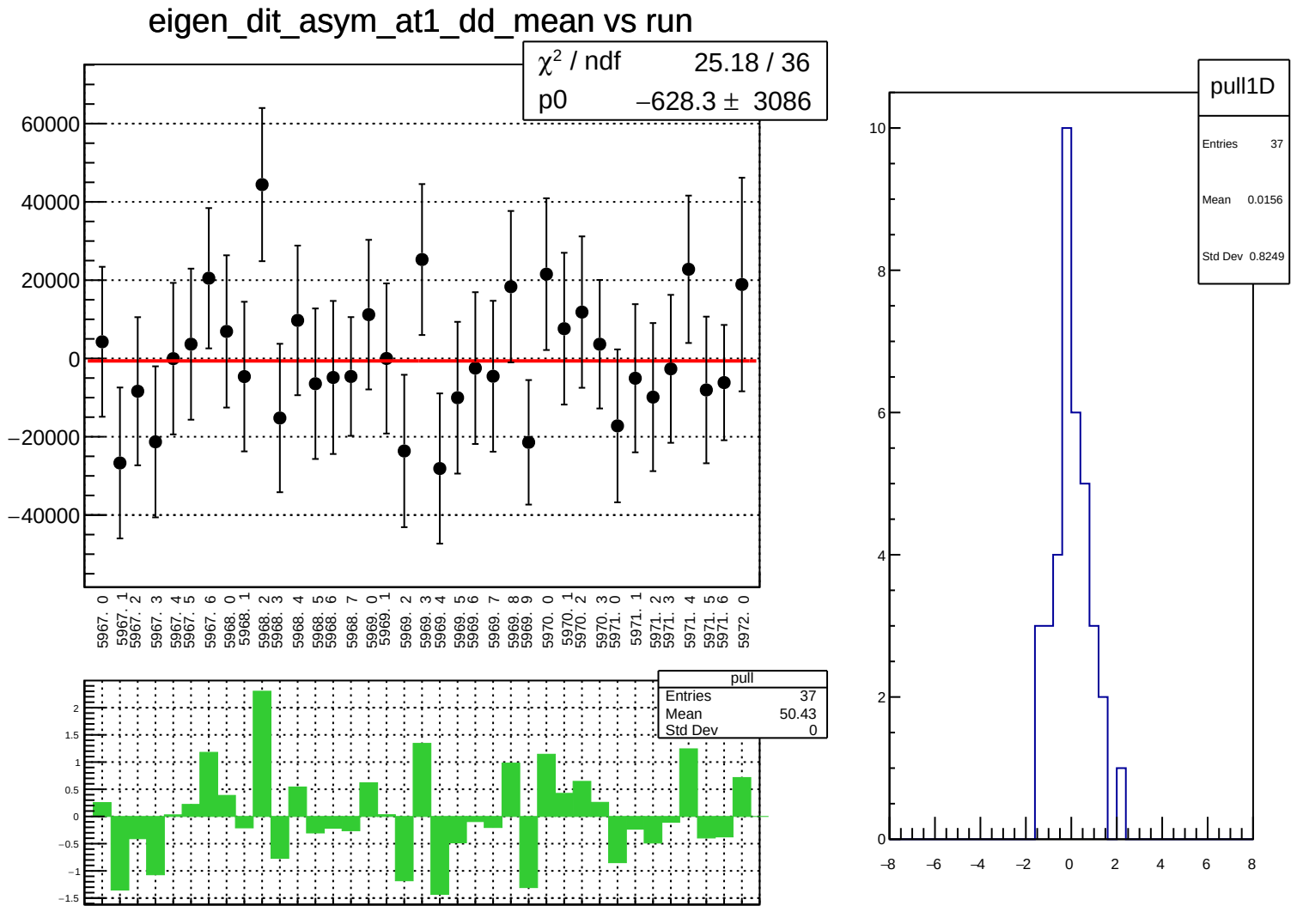
eigen_dit_asym_at1_dd_mean vs run
χ² / ndf 25.18 / 36
p0 −628.3 ± 3086
60000
40000
20000
0
−20000
−40000
5967. 0
5967. 1
5967. 2
5967. 3
5967. 4
5967. 5
5967. 6
5968. 0
5968. 1
5968. 2
5968. 3
5968. 4
5968. 5
5968. 6
5968. 7
5969. 0
5969. 1
5969. 2
5969. 3
5969. 4
5969. 5
5969. 6
5969. 7
5969. 8
5969. 9
5970. 0
5970. 1
5970. 2
5970. 3
5971. 0
5971. 1
5971. 2
5971. 3
5971. 4
5971. 5
5971. 6
5972. 0
pull
Entries 37
Mean 50.43
Std Dev 0
2
1.5
1
0.5
0
−0.5
−1
−1.5
pull1D
Entries 37
Mean 0.0156
Std Dev 0.8249
10
8
6
4
2
0
−8
−6
−4
−2
0
2
4
6
8

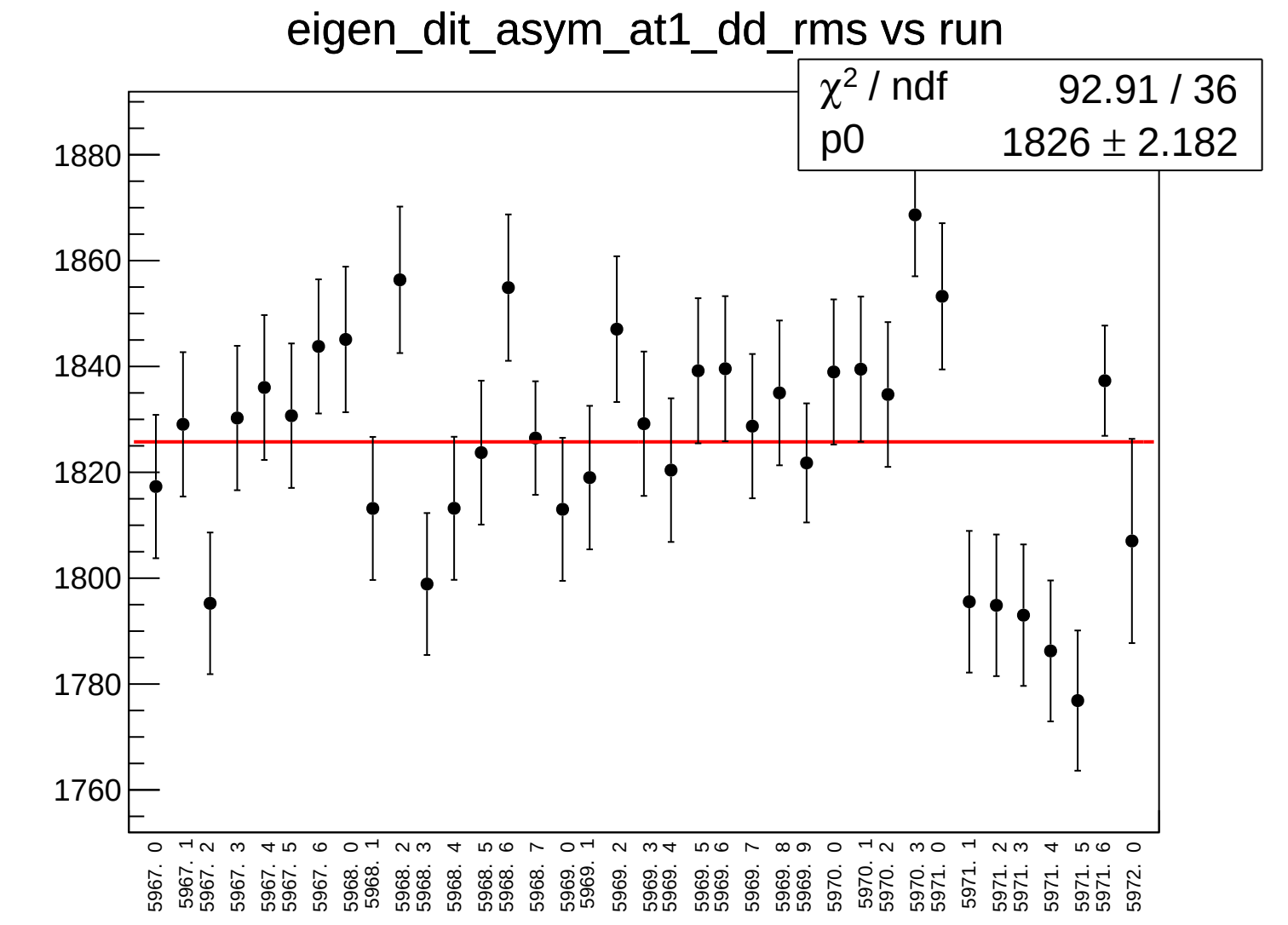
eigen_dit_asym_at1_dd_rms vs run
χ² / ndf 92.91 / 36
p0 1826 ± 2.182
1880
1860
1840
1820
1800
1780
1760
5967. 0
5967. 1
5967. 2
5967. 3
5967. 4
5967. 5
5967. 6
5968. 0
5968. 1
5968. 2
5968. 3
5968. 4
5968. 5
5968. 6
5968. 7
5969. 0
5969. 1
5969. 2
5969. 3
5969. 4
5969. 5
5969. 6
5969. 7
5969. 8
5969. 9
5970. 0
5970. 1
5970. 2
5970. 3
5971. 0
5971. 1
5971. 2
5971. 3
5971. 4
5971. 5
5971. 6
5972. 0

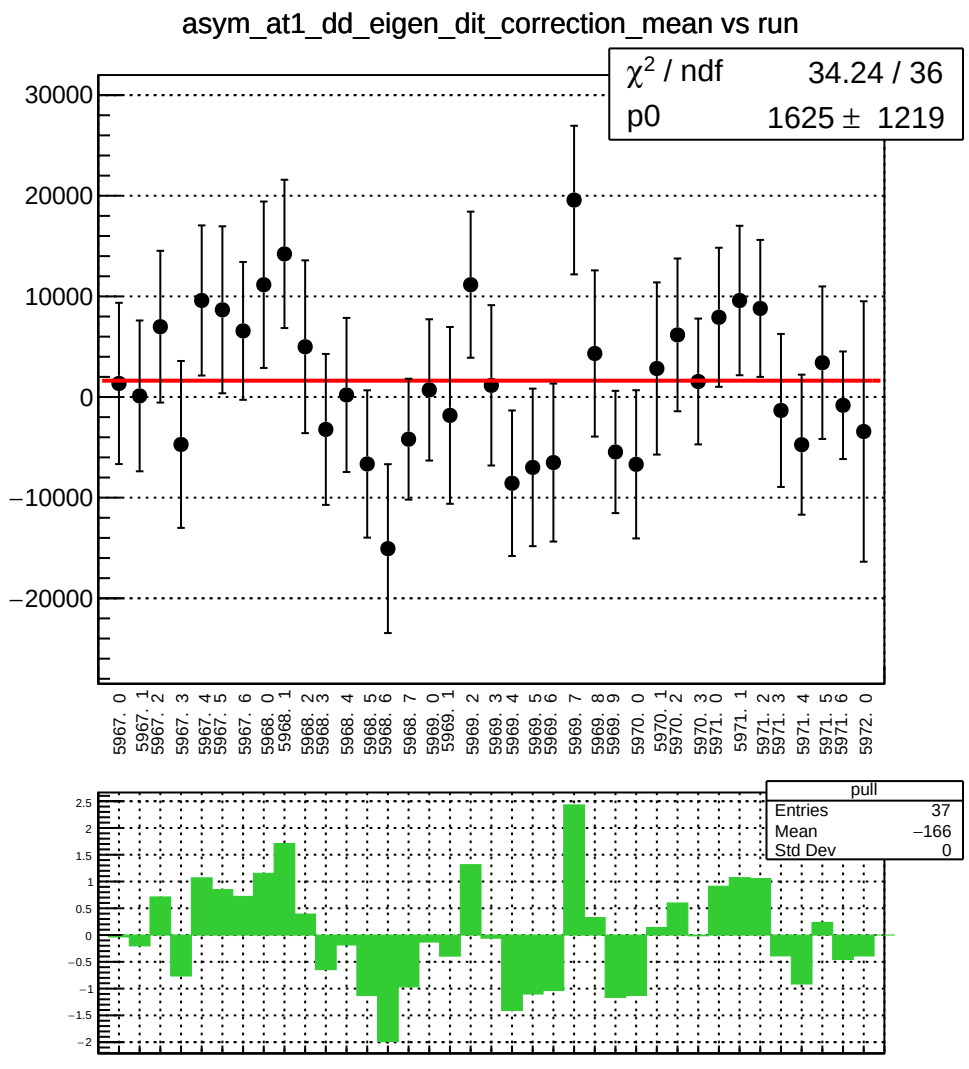
asym_at1_dd_eigen_dit_correction_mean vs run
χ² / ndf 34.24 / 36
p0 1625 ± 1219
30000
20000
10000
0
−10000
−20000
5967. 0
5967. 1
5967. 2
5967. 3
5967. 4
5967. 5
5967. 6
5968. 0
5968. 1
5968. 2
5968. 3
5968. 4
5968. 5
5968. 6
5968. 7
5969. 0
5969. 1
5969. 2
5969. 3
5969. 4
5969. 5
5969. 6
5969. 7
5969. 8
5969. 9
5970. 0
5970. 1
5970. 2
5970. 3
5971. 0
5971. 1
5971. 2
5971. 3
5971. 4
5971. 5
5971. 6
5972. 0
pull
Entries 37
Mean −166
Std Dev 0
2.5
2
1.5
1
0.5
0
−0.5
−1
−1.5
−2
pull1D
Entries 37
Mean 0.005032
Std Dev 0.962
9
8
7
6
5
4
3
2
1
0
−8
−6
−4
−2
0
2
4
6
8

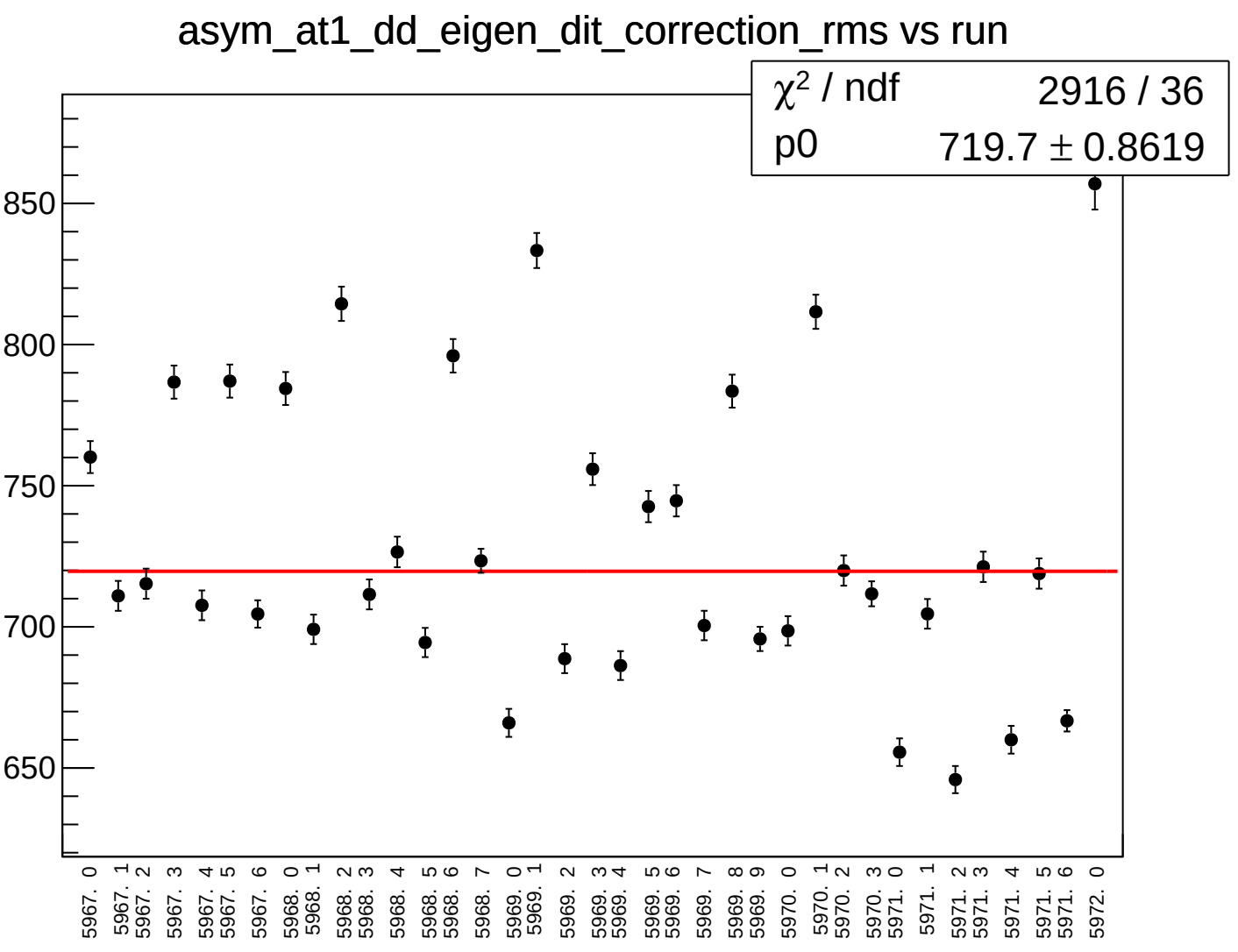
asym_at1_dd_eigen_dit_correction_rms vs run
χ² / ndf 2916 / 36
p0 719.7 ± 0.8619
850
800
750
700
650
5967. 0
5967. 1
5967. 2
5967. 3
5967. 4
5967. 5
5967. 6
5968. 0
5968. 1
5968. 2
5968. 3
5968. 4
5968. 5
5968. 6
5968. 7
5969. 0
5969. 1
5969. 2
5969. 3
5969. 4
5969. 5
5969. 6
5969. 7
5969. 8
5969. 9
5970. 0
5970. 1
5970. 2
5970. 3
5971. 0
5971. 1
5971. 2
5971. 3
5971. 4
5971. 5
5971. 6
5972. 0

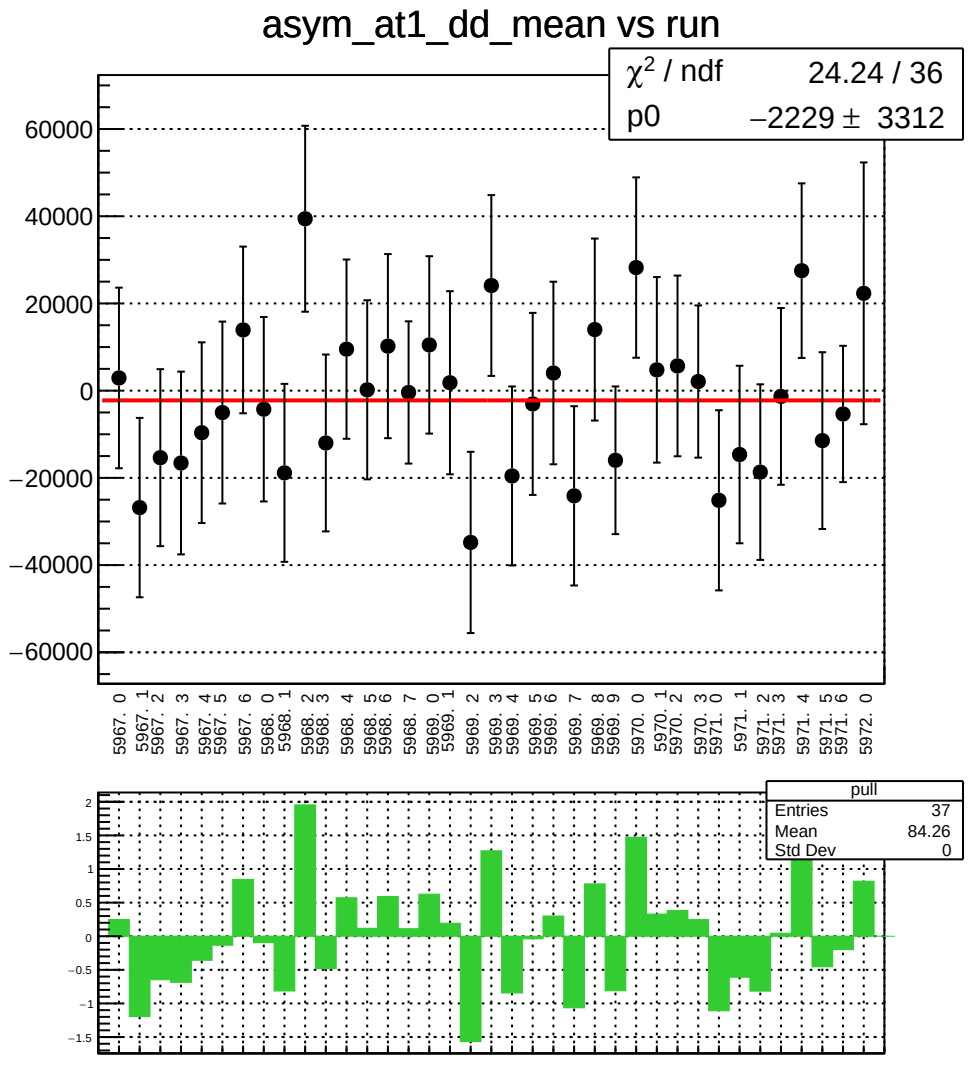
asym_at1_dd_mean vs run
χ² / ndf 24.24 / 36
p0 −2229 ± 3312
60000
40000
20000
0
−20000
−40000
−60000
5967. 0
5967. 1
5967. 2
5967. 3
5967. 4
5967. 5
5967. 6
5968. 0
5968. 1
5968. 2
5968. 3
5968. 4
5968. 5
5968. 6
5968. 7
5969. 0
5969. 1
5969. 2
5969. 3
5969. 4
5969. 5
5969. 6
5969. 7
5969. 8
5969. 9
5970. 0
5970. 1
5970. 2
5970. 3
5971. 0
5971. 1
5971. 2
5971. 3
5971. 4
5971. 5
5971. 6
5972. 0
pull
Entries 37
Mean 84.26
Std Dev 0
2
1.5
1
0.5
0
−0.5
−1
−1.5

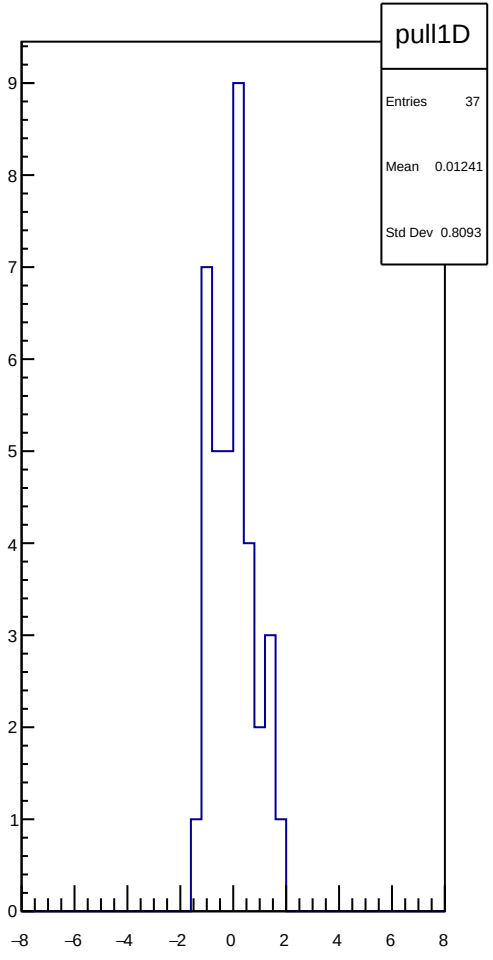
pull1D
Entries 37
Mean 0.01241
Std Dev 0.8093
9
8
7
6
5
4
3
2
1
0
−8
−6
−4
−2
0
2
4
6
8

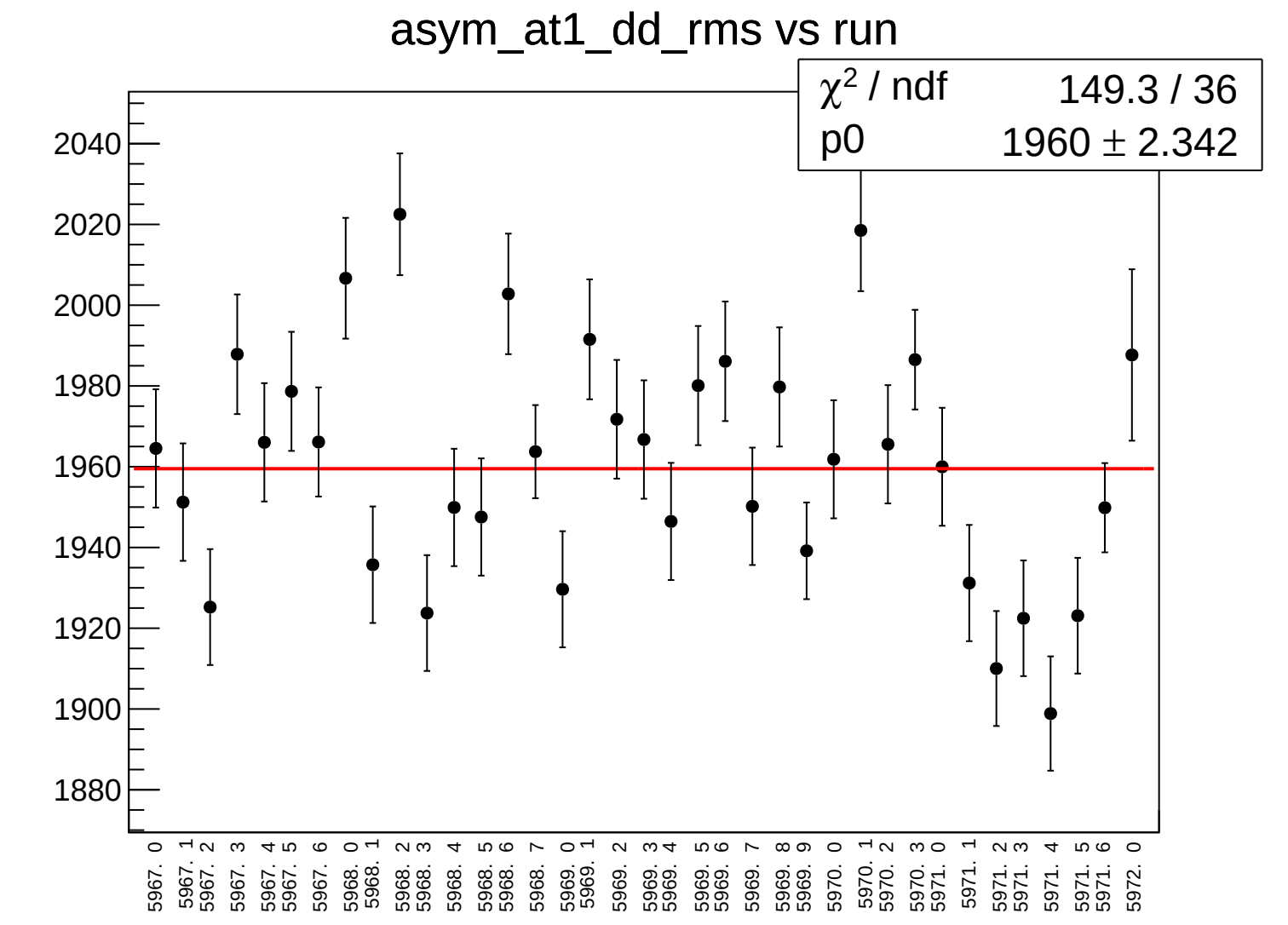
asym_at1_dd_rms vs run
χ² / ndf 149.3 / 36
p0 1960 ± 2.342
2040
2020
2000
1980
1960
1940
1920
1900
1880
5967. 0
5967. 1
5967. 2
5967. 3
5967. 4
5967. 5
5967. 6
5968. 0
5968. 1
5968. 2
5968. 3
5968. 4
5968. 5
5968. 6
5968. 7
5969. 0
5969. 1
5969. 2
5969. 3
5969. 4
5969. 5
5969. 6
5969. 7
5969. 8
5969. 9
5970. 0
5970. 1
5970. 2
5970. 3
5971. 0
5971. 1
5971. 2
5971. 3
5971. 4
5971. 5
5971. 6
5972. 0

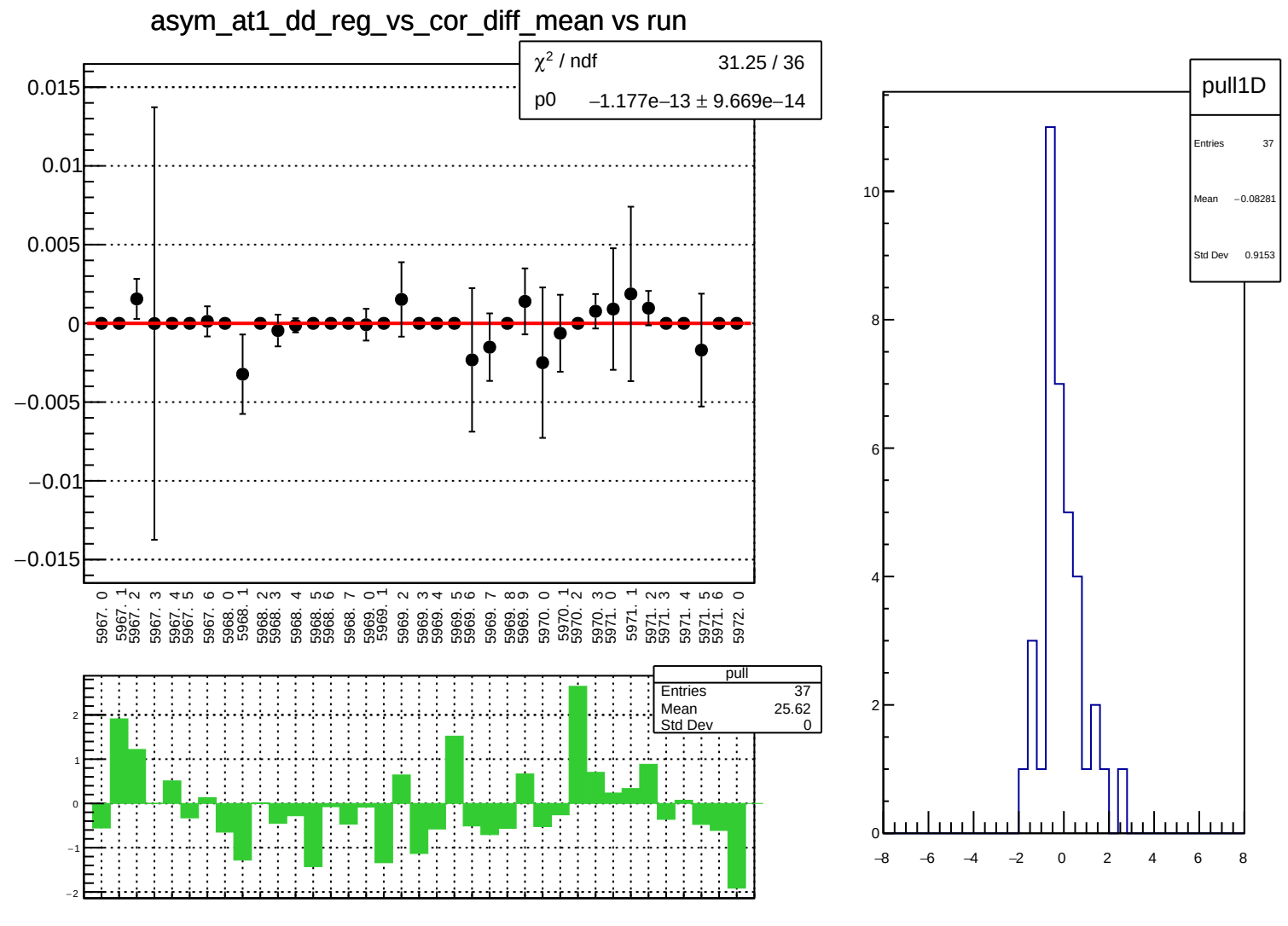
asym_at1_dd_reg_vs_cor_diff_mean vs run
χ² / ndf 31.25 / 36
p0 −1.177e−13 ± 9.669e−14
0.015
0.01
0.005
0
−0.005
−0.01
−0.015
5967. 0
5967. 1
5967. 2
5967. 3
5967. 4
5967. 5
5967. 6
5968. 0
5968. 1
5968. 2
5968. 3
5968. 4
5968. 5
5968. 6
5968. 7
5969. 0
5969. 1
5969. 2
5969. 3
5969. 4
5969. 5
5969. 6
5969. 7
5969. 8
5969. 9
5970. 0
5970. 1
5970. 2
5970. 3
5971. 0
5971. 1
5971. 2
5971. 3
5971. 4
5971. 5
5971. 6
5972. 0
pull
Entries 37
Mean 25.62
Std Dev 0
2
1
0
−1
−2
pull1D
Entries 37
Mean −0.08281
Std Dev 0.9153
10
8
6
4
2
0
−8
−6
−4
−2
0
2
4
6
8

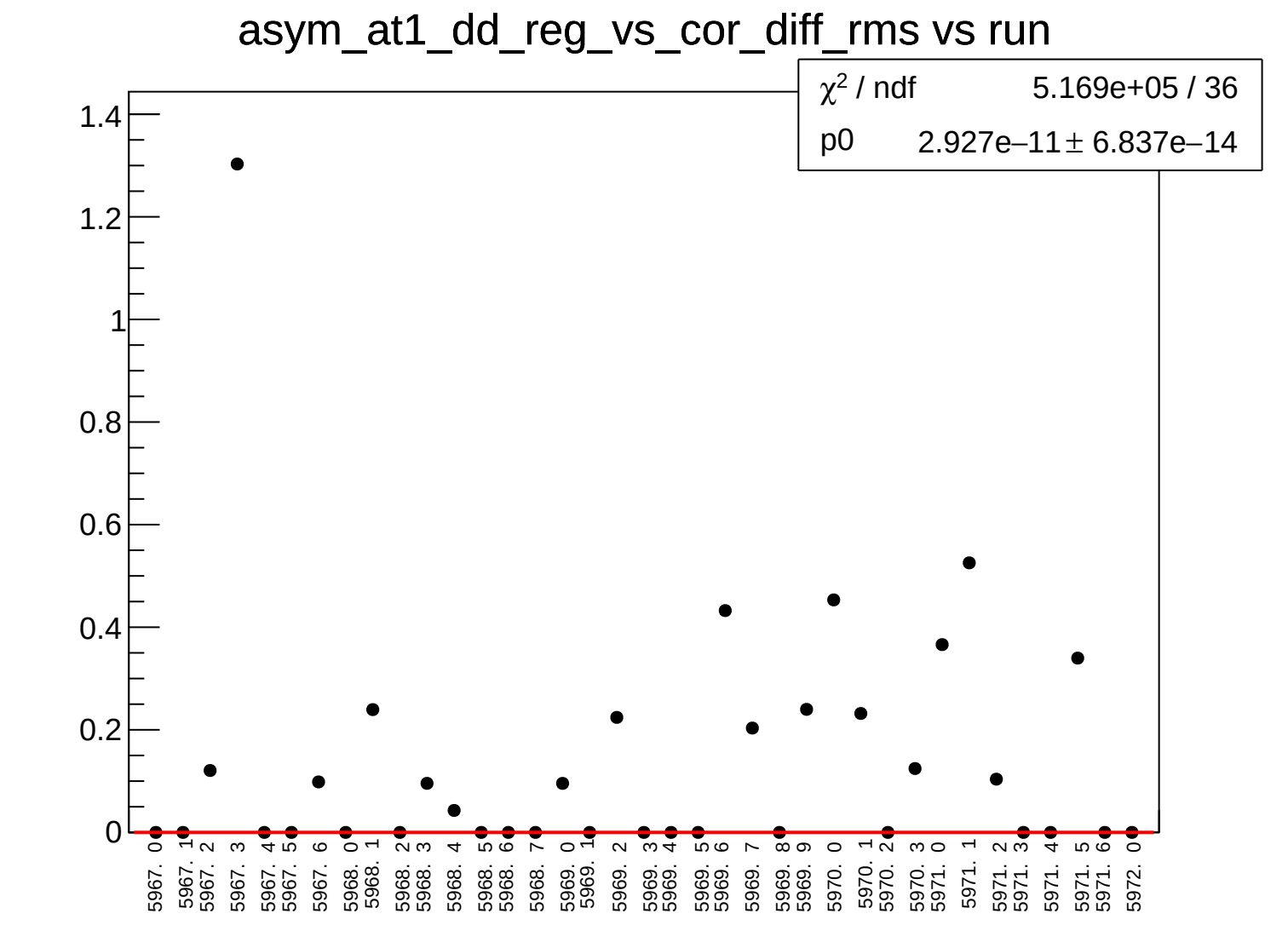
asym_at1_dd_reg_vs_cor_diff_rms vs run
χ² / ndf 5.169e+05 / 36
p0 2.927e−11 ± 6.837e−14
1.4
1.2
1
0.8
0.6
0.4
0.2
0
5967. 0
5967. 1
5967. 2
5967. 3
5967. 4
5967. 5
5967. 6
5968. 0
5968. 1
5968. 2
5968. 3
5968. 4
5968. 5
5968. 6
5968. 7
5969. 0
5969. 1
5969. 2
5969. 3
5969. 4
5969. 5
5969. 6
5969. 7
5969. 8
5969. 9
5970. 0
5970. 1
5970. 2
5970. 3
5971. 0
5971. 1
5971. 2
5971. 3
5971. 4
5971. 5
5971. 6
5972. 0

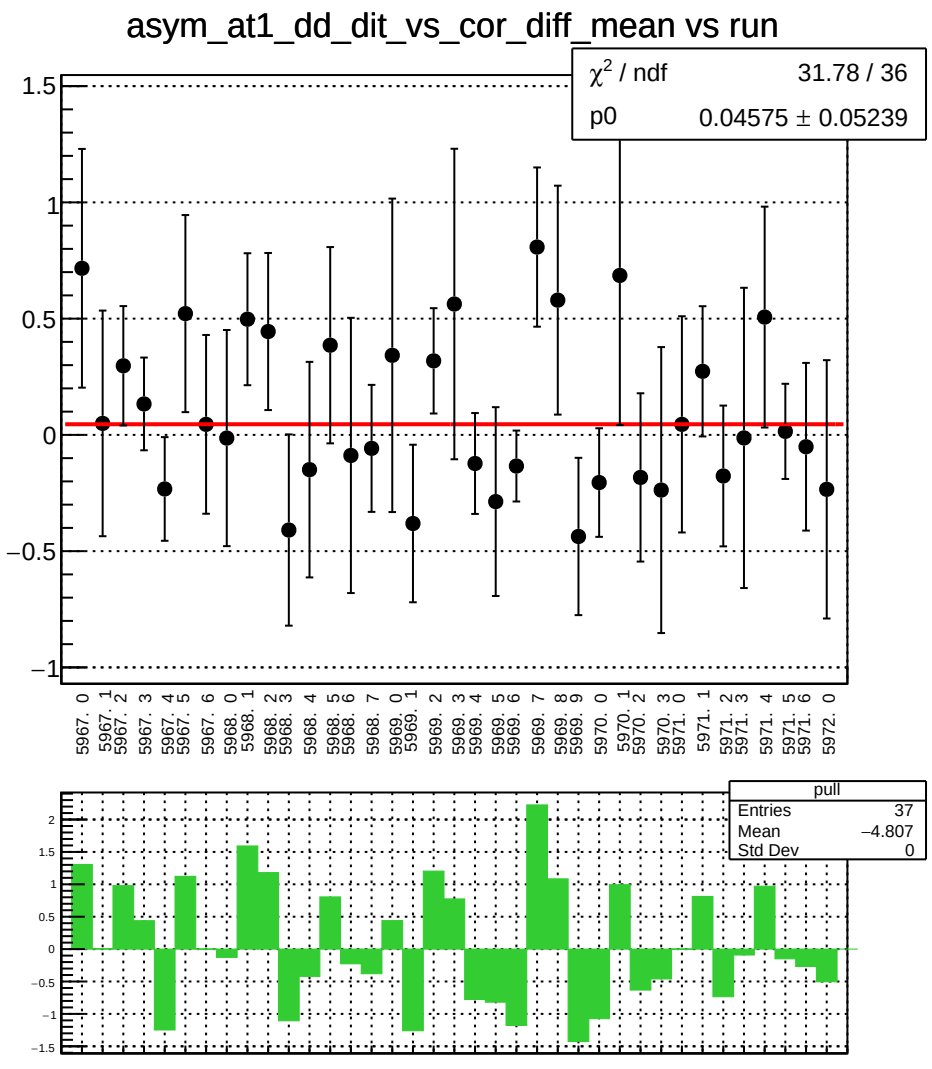
asym_at1_dd_dit_vs_cor_diff_mean vs run
χ² / ndf 31.78 / 36
p0 0.04575 ± 0.05239
pull
Entries 37
Mean −4.807
Std Dev 0

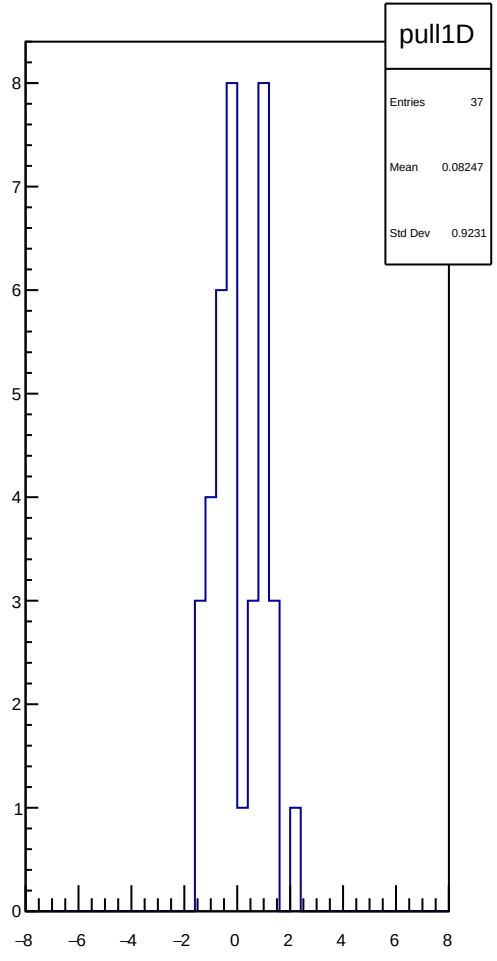
pull1D
Entries 37
Mean 0.08247
Std Dev 0.9231

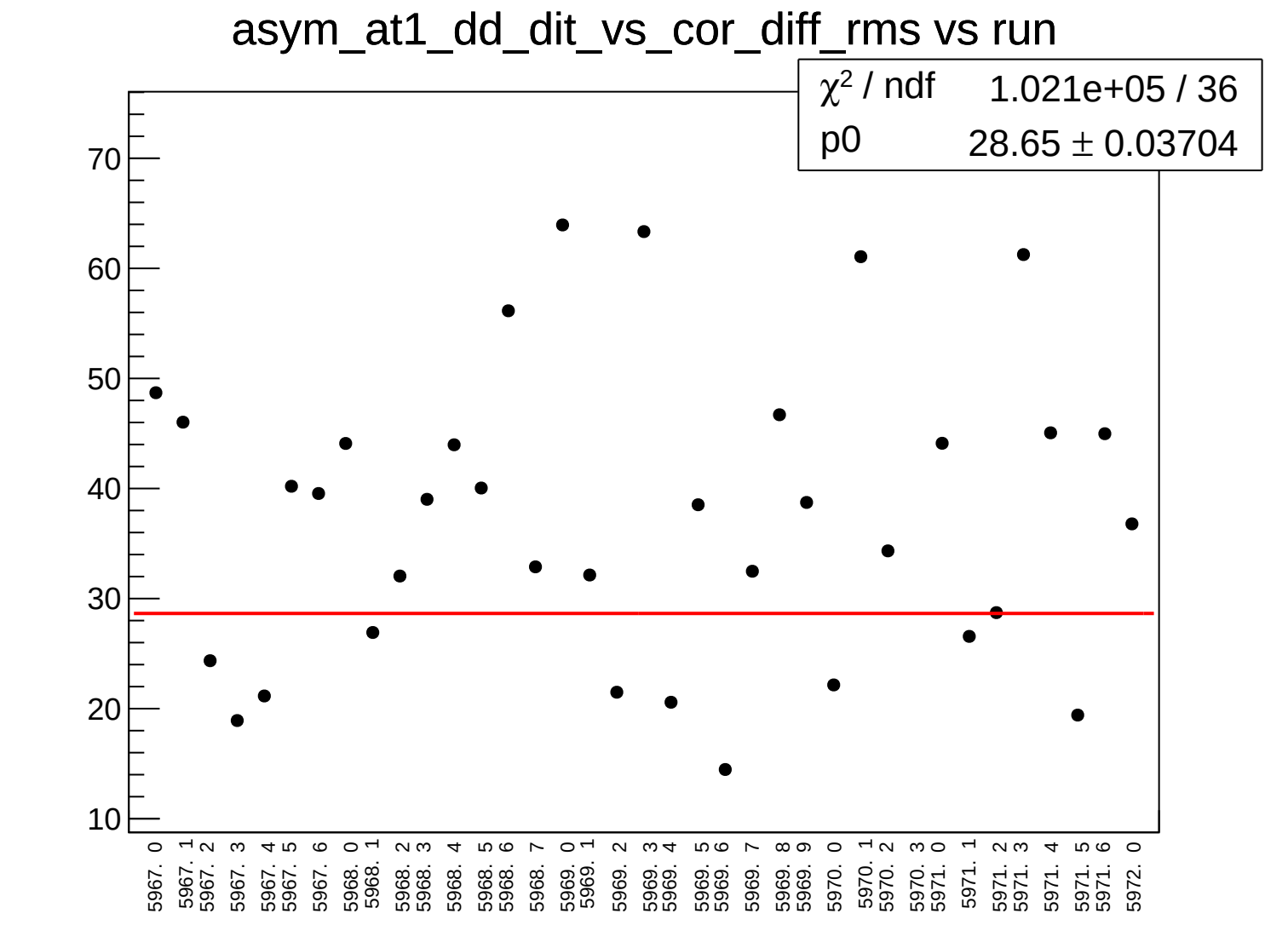
asym_at1_dd_dit_vs_cor_diff_rms vs run
χ² / ndf 1.021e+05 / 36
p0 28.65 ± 0.03704
70
60
50
40
30
20
10
5967. 0
5967. 1
5967. 2
5967. 3
5967. 4
5967. 5
5967. 6
5968. 0
5968. 1
5968. 2
5968. 3
5968. 4
5968. 5
5968. 6
5968. 7
5969. 0
5969. 1
5969. 2
5969. 3
5969. 4
5969. 5
5969. 6
5969. 7
5969. 8
5969. 9
5970. 0
5970. 1
5970. 2
5970. 3
5971. 0
5971. 1
5971. 2
5971. 3
5971. 4
5971. 5
5971. 6
5972. 0

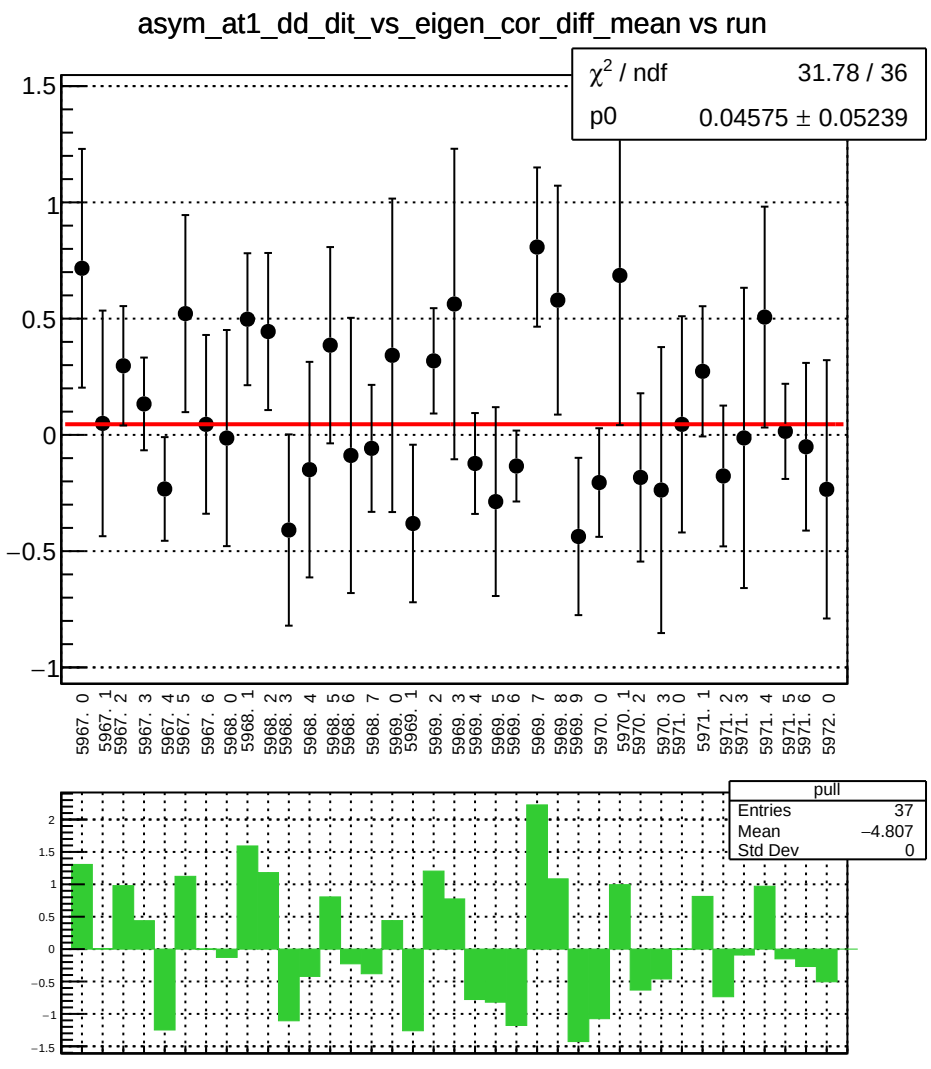
asym_at1_dd_dit_vs_eigen_cor_diff_mean vs run
χ² / ndf 31.78 / 36
p0 0.04575 ± 0.05239
pull
Entries 37
Mean −4.807
Std Dev 0

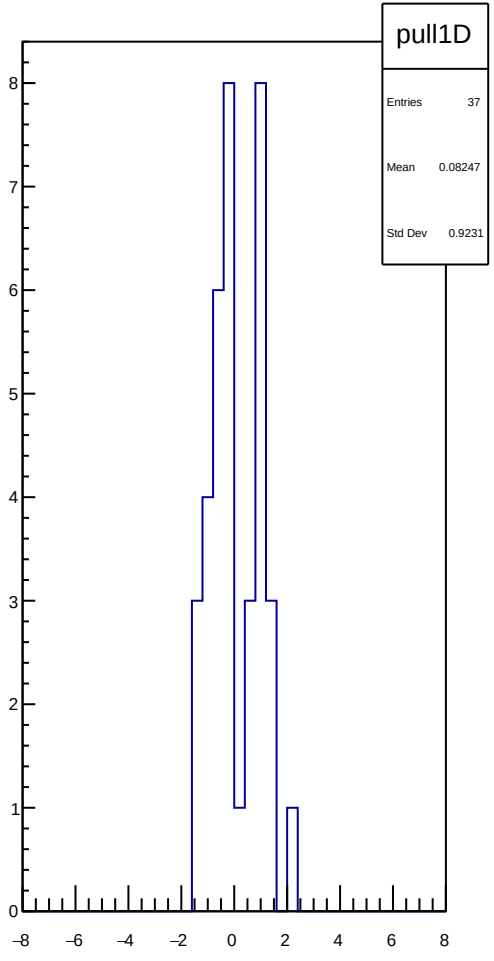
pull1D
Entries 37
Mean 0.08247
Std Dev 0.9231

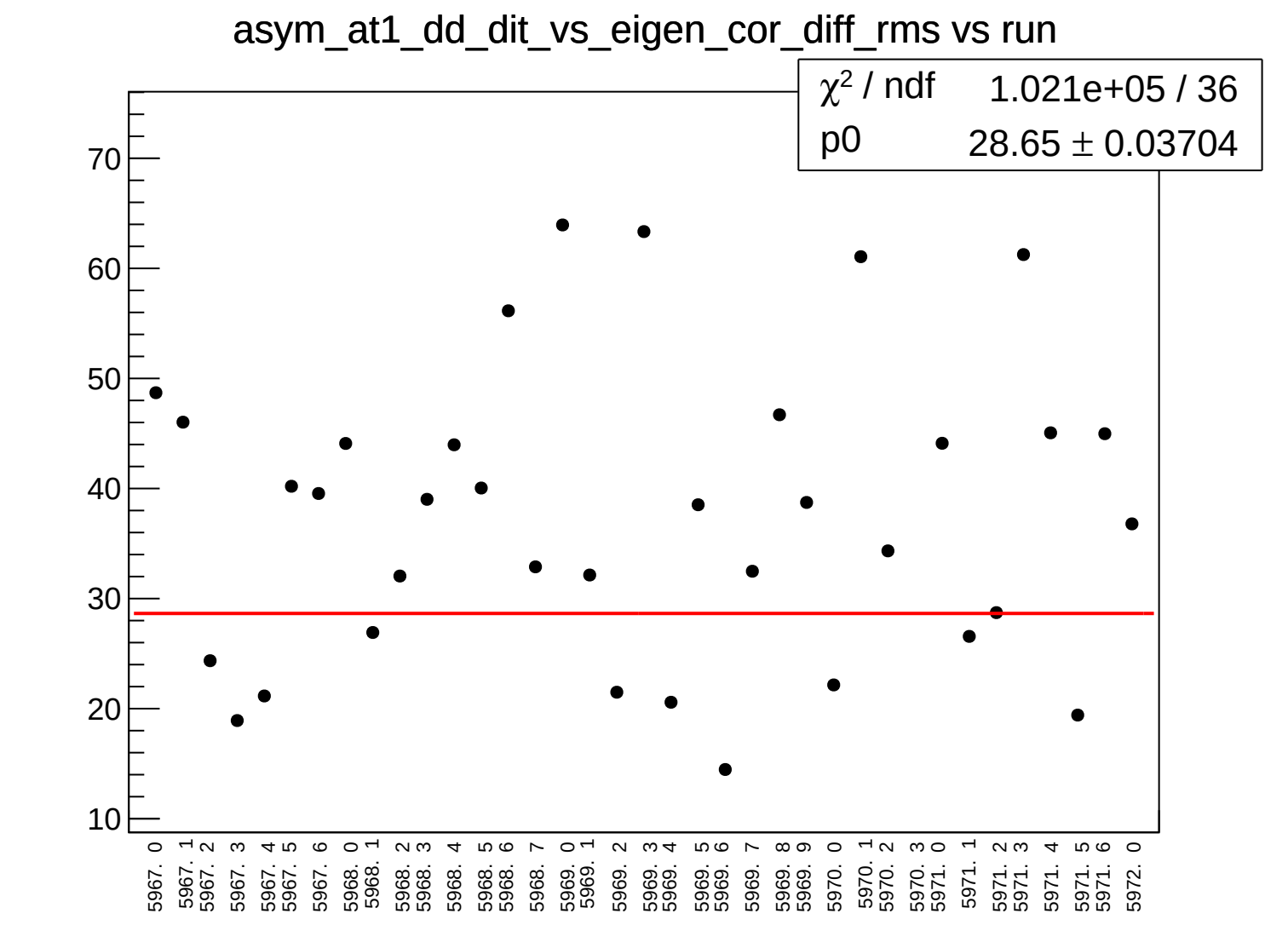
asym_at1_dd_dit_vs_eigen_cor_diff_rms vs run
χ² / ndf 1.021e+05 / 36
p0 28.65 ± 0.03704
70
60
50
40
30
20
10
5967. 0
5967. 1
5967. 2
5967. 3
5967. 4
5967. 5
5967. 6
5968. 0
5968. 1
5968. 2
5968. 3
5968. 4
5968. 5
5968. 6
5968. 7
5969. 0
5969. 1
5969. 2
5969. 3
5969. 4
5969. 5
5969. 6
5969. 7
5969. 8
5969. 9
5970. 0
5970. 1
5970. 2
5970. 3
5971. 0
5971. 1
5971. 2
5971. 3
5971. 4
5971. 5
5971. 6
5972. 0

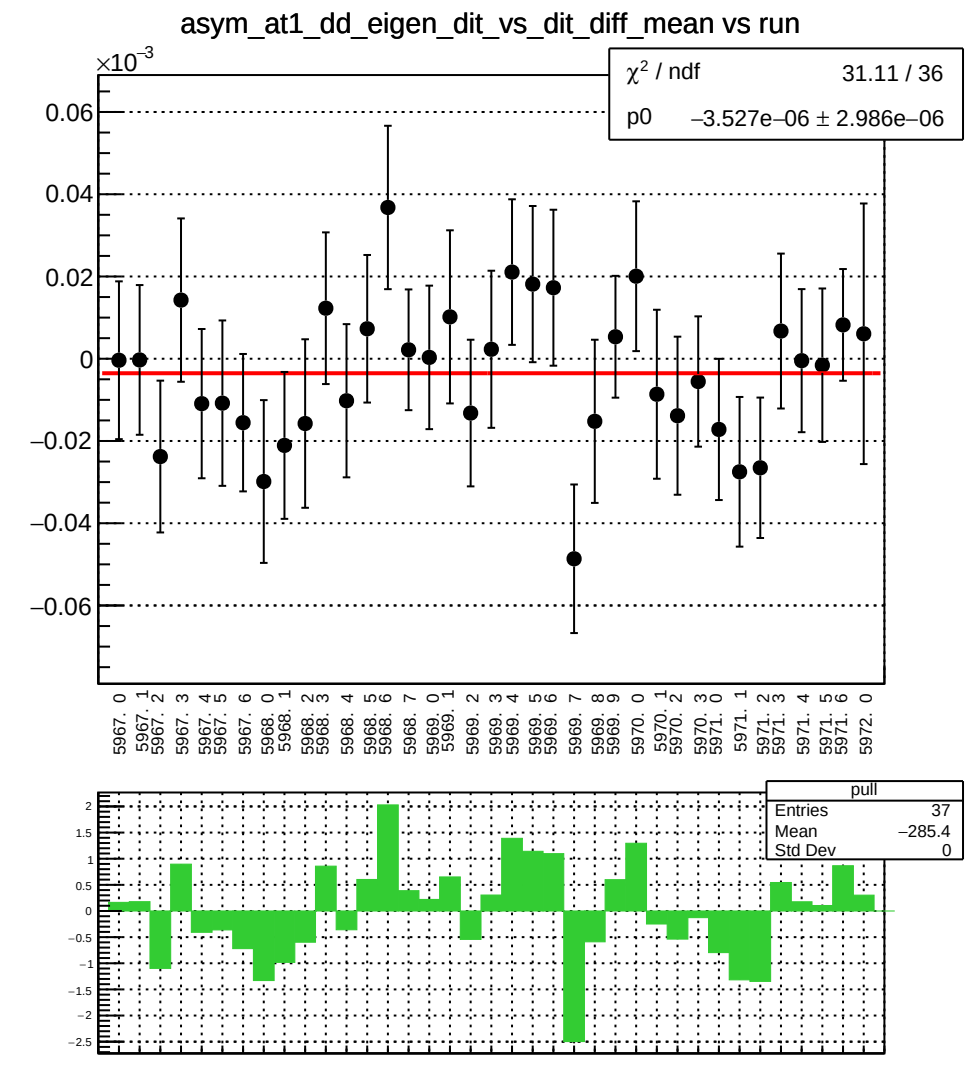
asym_at1_dd_eigen_dit_vs_dit_diff_mean vs run
×10⁻³
χ² / ndf 31.11 / 36
p0 −3.527e−06 ± 2.986e−06
0.06
0.04
0.02
0
−0.02
−0.04
−0.06
5967. 0
5967. 1
5967. 2
5967. 3
5967. 4
5967. 5
5967. 6
5968. 0
5968. 1
5968. 2
5968. 3
5968. 4
5968. 5
5968. 6
5968. 7
5969. 0
5969. 1
5969. 2
5969. 3
5969. 4
5969. 5
5969. 6
5969. 7
5969. 8
5969. 9
5970. 0
5970. 1
5970. 2
5970. 3
5971. 0
5971. 1
5971. 2
5971. 3
5971. 4
5971. 5
5971. 6
5972. 0
pull
Entries 37
Mean −285.4
Std Dev 0
2
1.5
1
0.5
0
−0.5
−1
−1.5
−2
−2.5
pull1D
Entries 37
Mean −0.001295
Std Dev 0.917
8
7
6
5
4
3
2
1
0
−8
−6
−4
−2
0
2
4
6
8

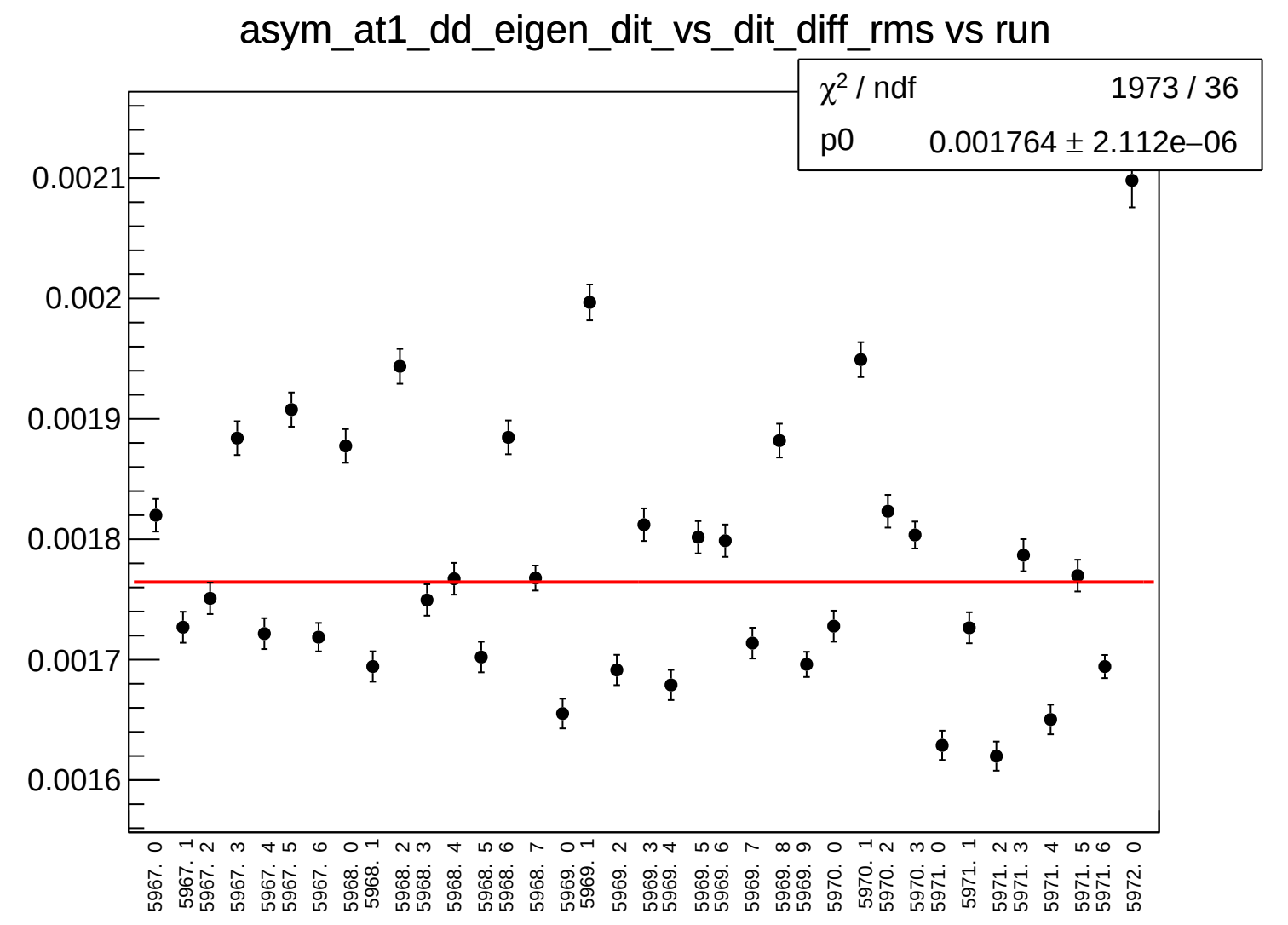
asym_at1_dd_eigen_dit_vs_dit_diff_rms vs run
χ² / ndf 1973 / 36
p0 0.001764 ± 2.112e−06
0.0021
0.002
0.0019
0.0018
0.0017
0.0016
5967. 0
5967. 1
5967. 2
5967. 3
5967. 4
5967. 5
5967. 6
5968. 0
5968. 1
5968. 2
5968. 3
5968. 4
5968. 5
5968. 6
5968. 7
5969. 0
5969. 1
5969. 2
5969. 3
5969. 4
5969. 5
5969. 6
5969. 7
5969. 8
5969. 9
5970. 0
5970. 1
5970. 2
5970. 3
5971. 0
5971. 1
5971. 2
5971. 3
5971. 4
5971. 5
5971. 6
5972. 0

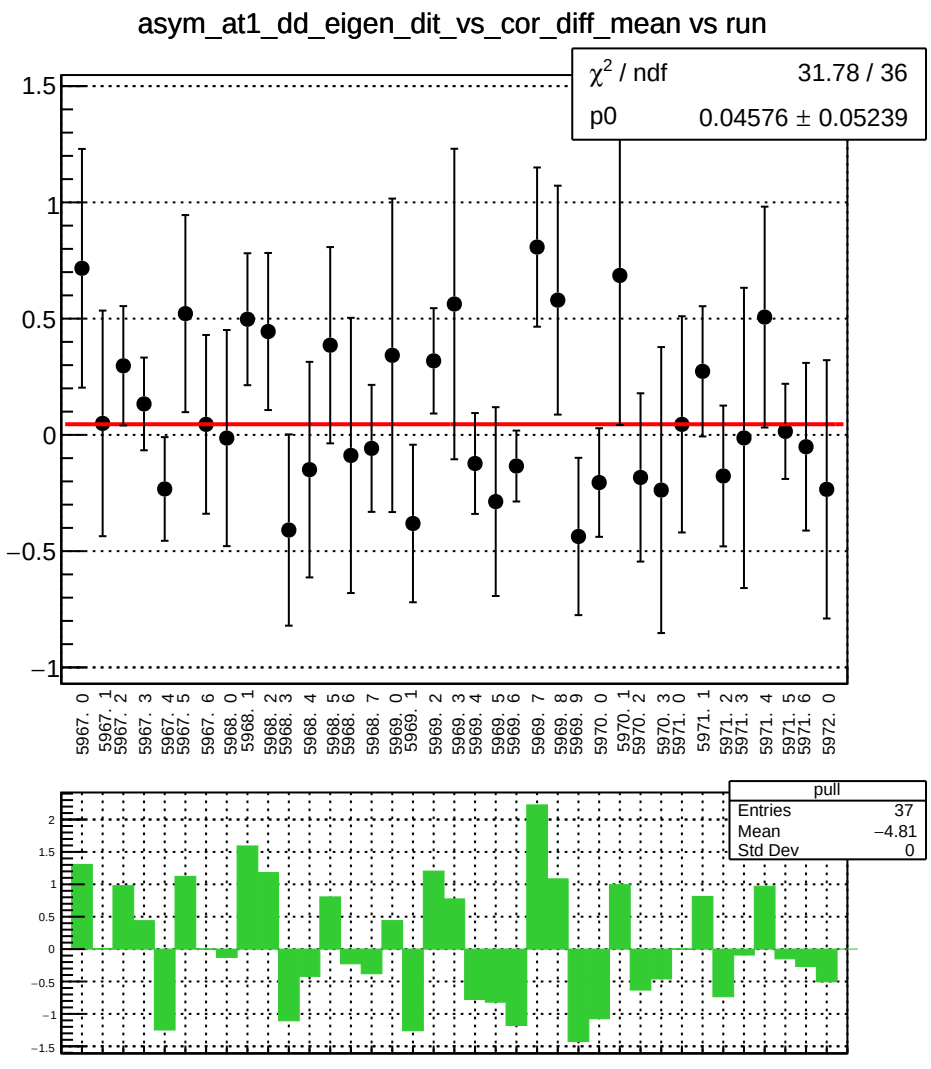
asym_at1_dd_eigen_dit_vs_cor_diff_mean vs run
χ² / ndf 31.78 / 36
p0 0.04576 ± 0.05239
pull
Entries 37
Mean −4.81
Std Dev 0

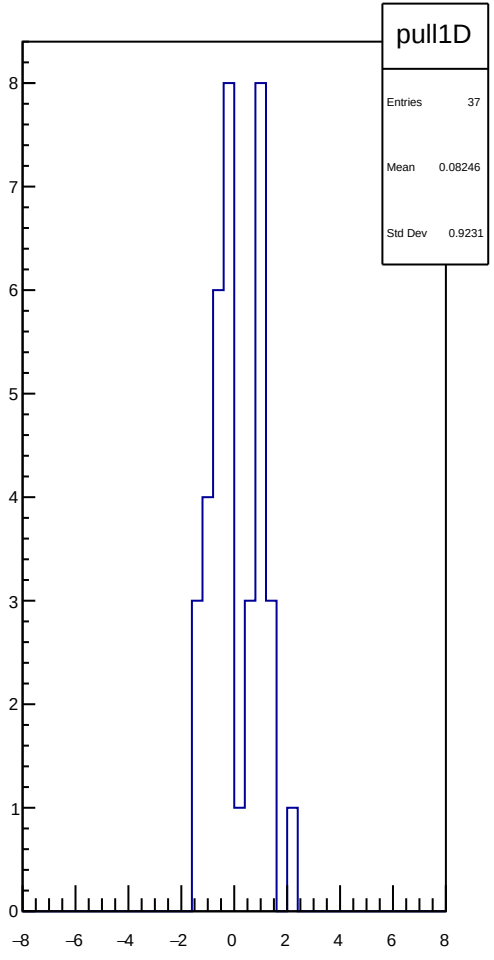
pull1D
Entries 37
Mean 0.08246
Std Dev 0.9231

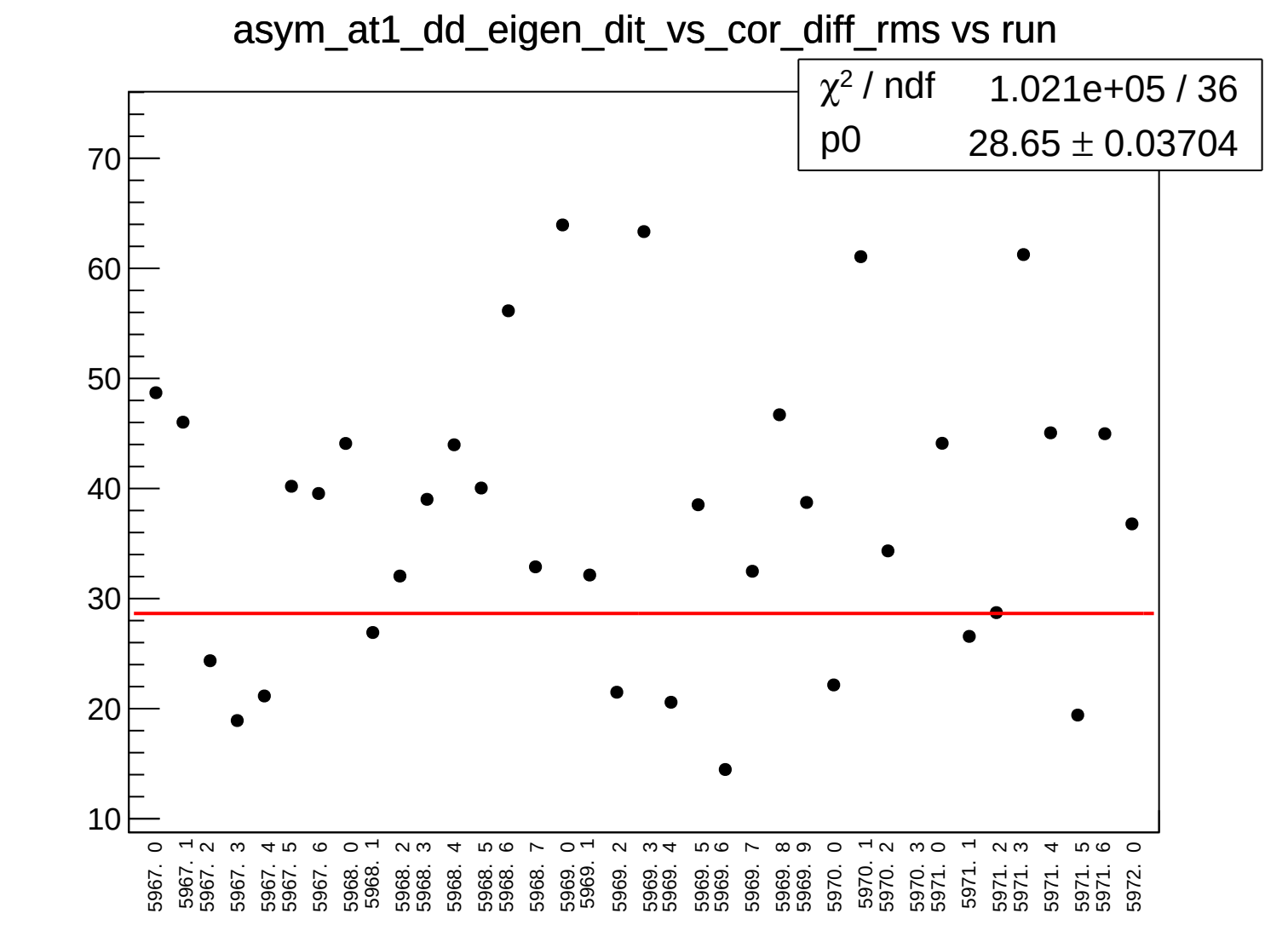
asym_at1_dd_eigen_dit_vs_cor_diff_rms vs run
χ² / ndf 1.021e+05 / 36
p0 28.65 ± 0.03704
70
60
50
40
30
20
10
5967. 0
5967. 1
5967. 2
5967. 3
5967. 4
5967. 5
5967. 6
5968. 0
5968. 1
5968. 2
5968. 3
5968. 4
5968. 5
5968. 6
5968. 7
5969. 0
5969. 1
5969. 2
5969. 3
5969. 4
5969. 5
5969. 6
5969. 7
5969. 8
5969. 9
5970. 0
5970. 1
5970. 2
5970. 3
5971. 0
5971. 1
5971. 2
5971. 3
5971. 4
5971. 5
5971. 6
5972. 0

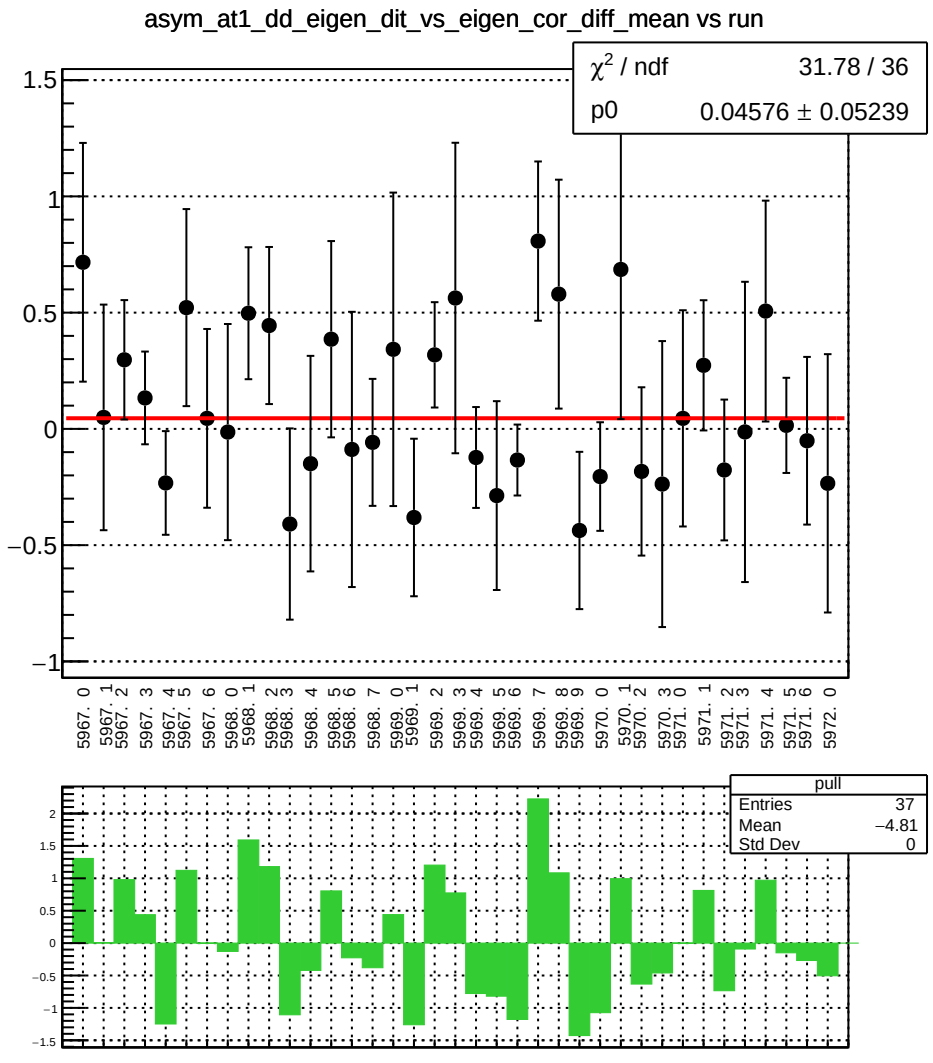
asym_at1_dd_eigen_dit_vs_eigen_cor_diff_mean vs run
χ² / ndf 31.78 / 36
p0 0.04576 ± 0.05239
pull
Entries 37
Mean −4.81
Std Dev 0

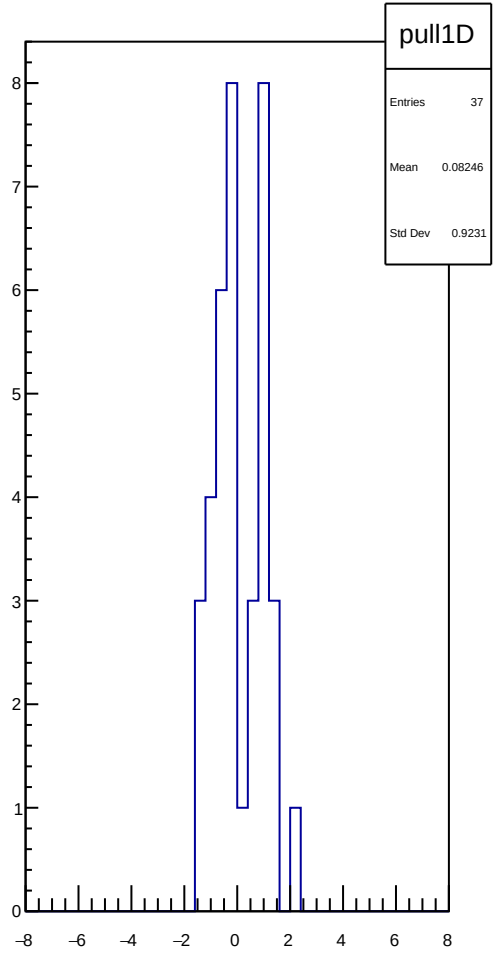
pull1D
Entries 37
Mean 0.08246
Std Dev 0.9231

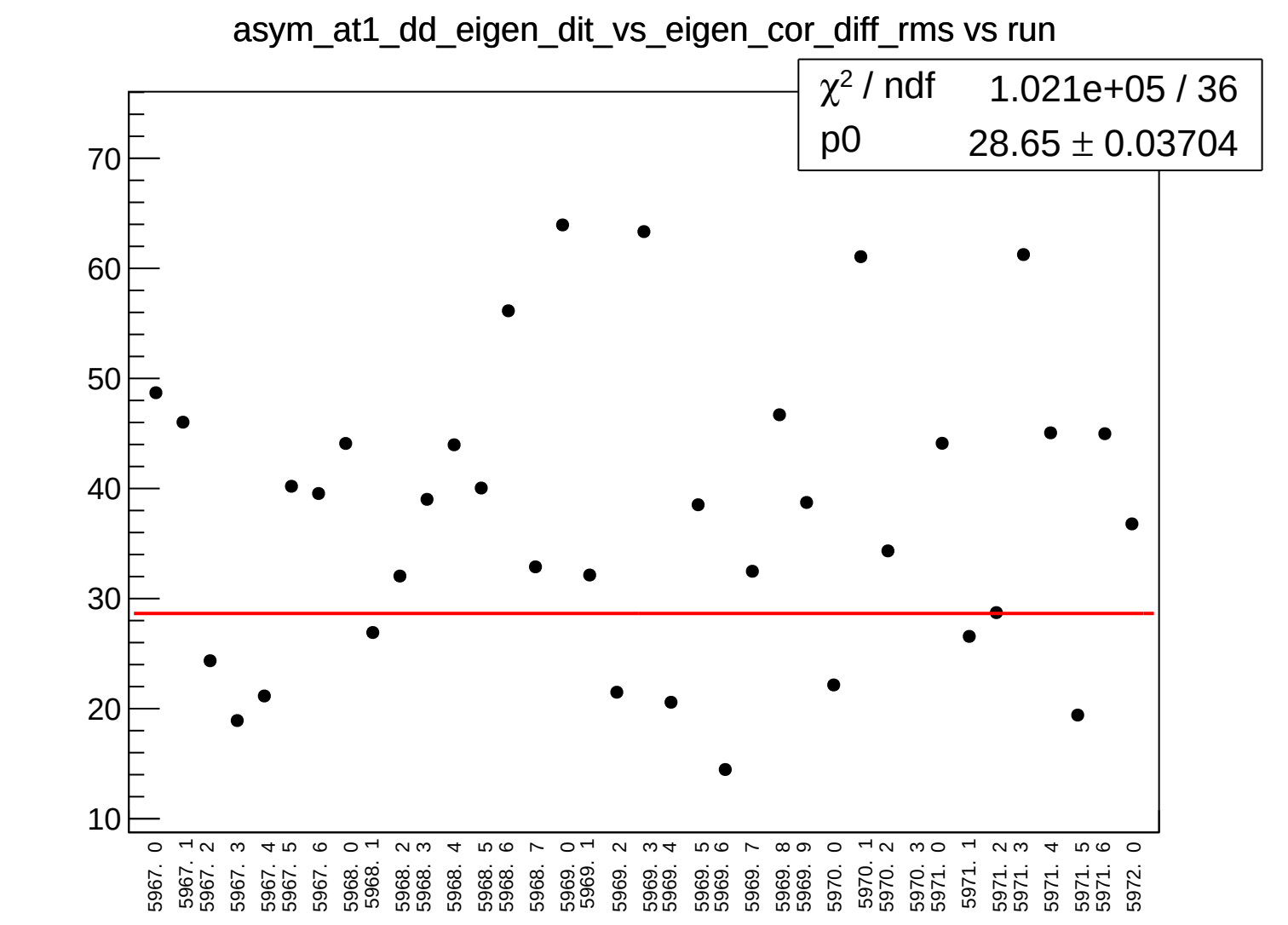
asym_at1_dd_eigen_dit_vs_eigen_cor_diff_rms vs run
χ² / ndf 1.021e+05 / 36
p0 28.65 ± 0.03704
70
60
50
40
30
20
10
5967. 0
5967. 1
5967. 2
5967. 3
5967. 4
5967. 5
5967. 6
5968. 0
5968. 1
5968. 2
5968. 3
5968. 4
5968. 5
5968. 6
5968. 7
5969. 0
5969. 1
5969. 2
5969. 3
5969. 4
5969. 5
5969. 6
5969. 7
5969. 8
5969. 9
5970. 0
5970. 1
5970. 2
5970. 3
5971. 0
5971. 1
5971. 2
5971. 3
5971. 4
5971. 5
5971. 6
5972. 0

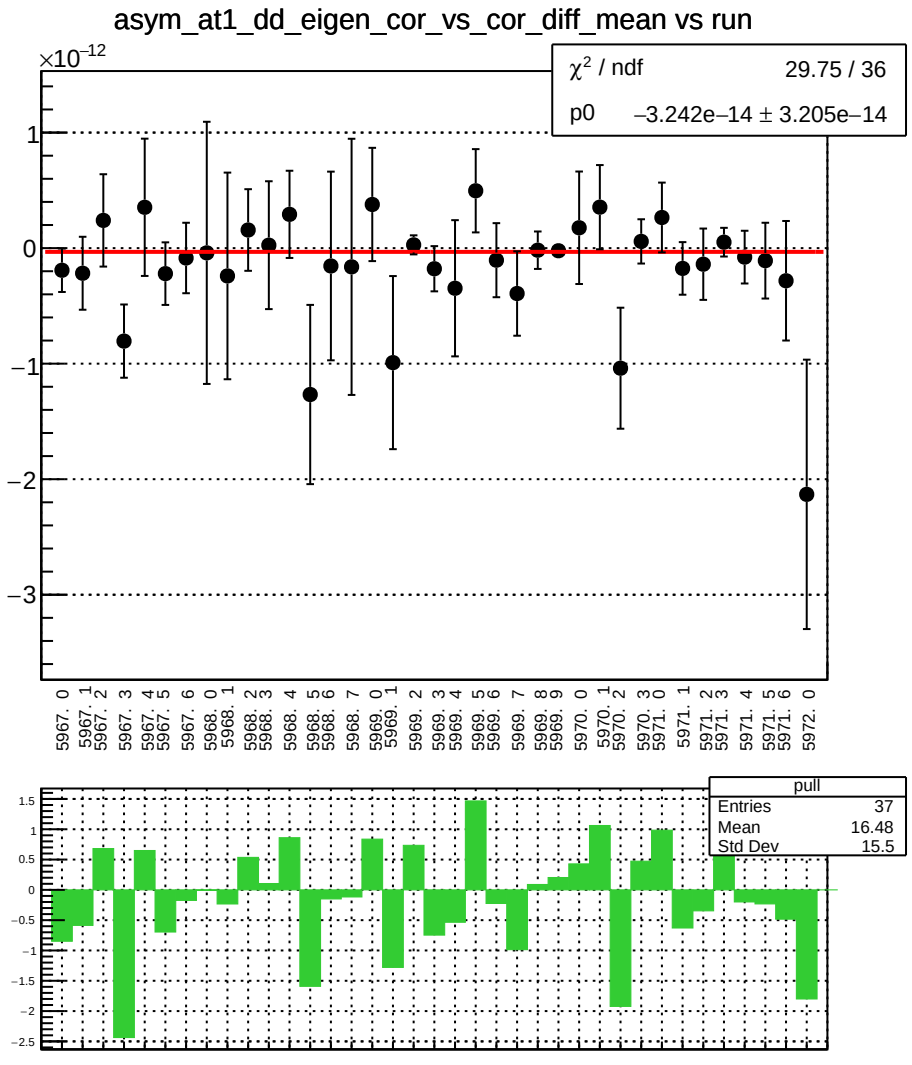
asym_at1_dd_eigen_cor_vs_cor_diff_mean vs run
×10⁻¹²
χ² / ndf 29.75 / 36
p0 −3.242e−14 ± 3.205e−14
pull
Entries 37
Mean 16.48
Std Dev 15.5

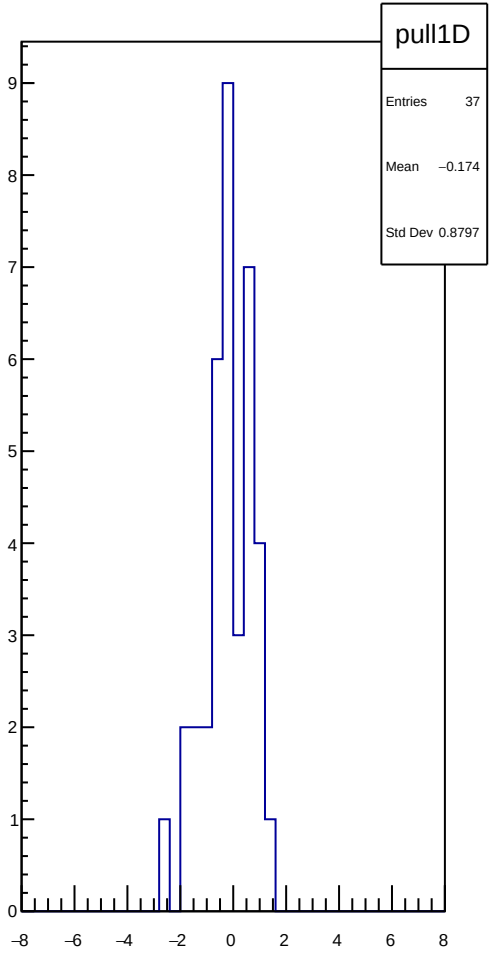
pull1D
Entries 37
Mean −0.174
Std Dev 0.8797

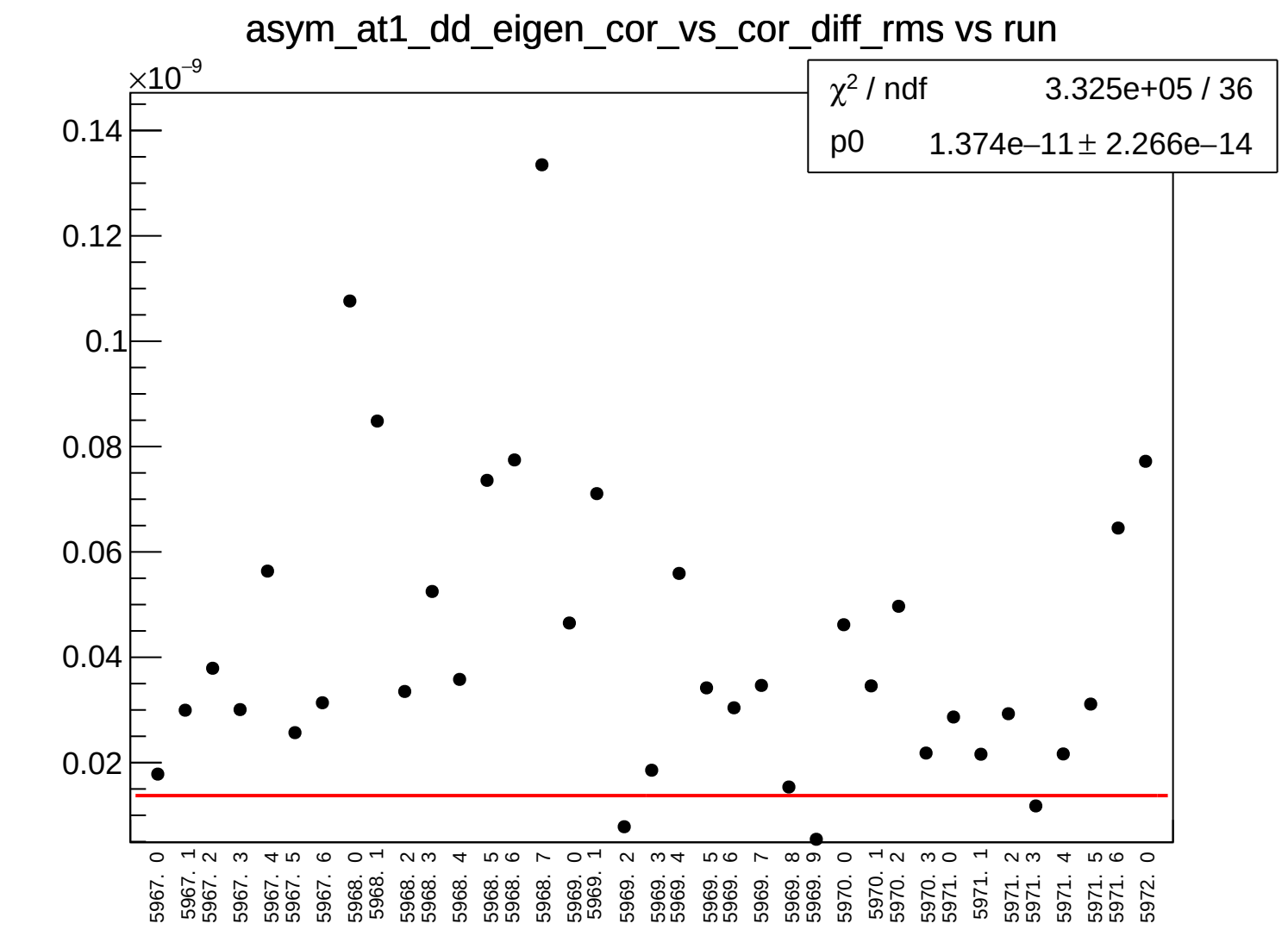
asym_at1_dd_eigen_cor_vs_cor_diff_rms vs run
×10⁻⁹
χ² / ndf 3.325e+05 / 36
p0 1.374e−11 ± 2.266e−14
0.14
0.12
0.1
0.08
0.06
0.04
0.02
5967. 0
5967. 1
5967. 2
5967. 3
5967. 4
5967. 5
5967. 6
5968. 0
5968. 1
5968. 2
5968. 3
5968. 4
5968. 5
5968. 6
5968. 7
5969. 0
5969. 1
5969. 2
5969. 3
5969. 4
5969. 5
5969. 6
5969. 7
5969. 8
5969. 9
5970. 0
5970. 1
5970. 2
5970. 3
5971. 0
5971. 1
5971. 2
5971. 3
5971. 4
5971. 5
5971. 6
5972. 0

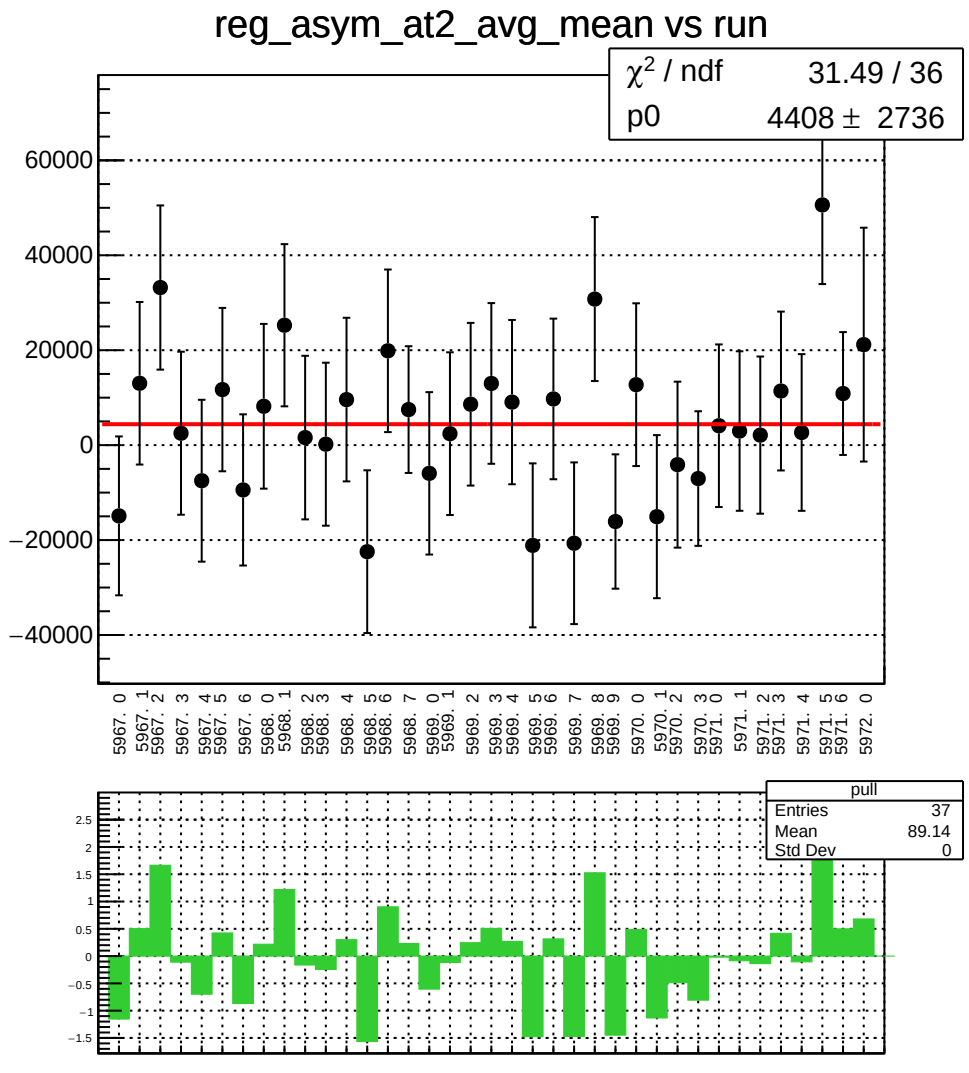
reg_asym_at2_avg_mean vs run
χ² / ndf 31.49 / 36
p0 4408 ± 2736
60000
40000
20000
0
−20000
−40000
5967. 0
5967. 1
5967. 2
5967. 3
5967. 4
5967. 5
5967. 6
5968. 0
5968. 1
5968. 2
5968. 3
5968. 4
5968. 5
5968. 6
5968. 7
5969. 0
5969. 1
5969. 2
5969. 3
5969. 4
5969. 5
5969. 6
5969. 7
5969. 8
5969. 9
5970. 0
5970. 1
5970. 2
5970. 3
5971. 0
5971. 1
5971. 2
5971. 3
5971. 4
5971. 5
5971. 6
5972. 0
pull
Entries 37
Mean 89.14
Std Dev 0
2.5
2
1.5
1
0.5
0
−0.5
−1
−1.5

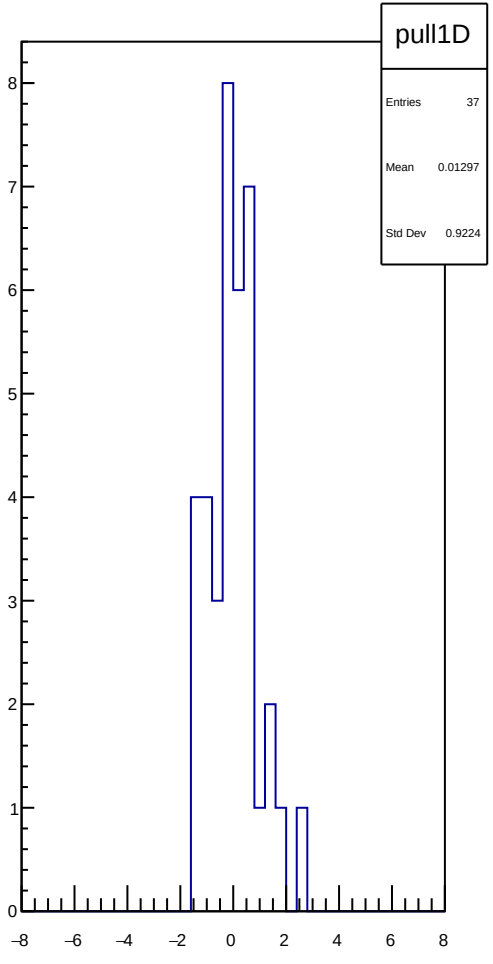
pull1D
Entries 37
Mean 0.01297
Std Dev 0.9224
8
7
6
5
4
3
2
1
0
−8
−6
−4
−2
0
2
4
6
8

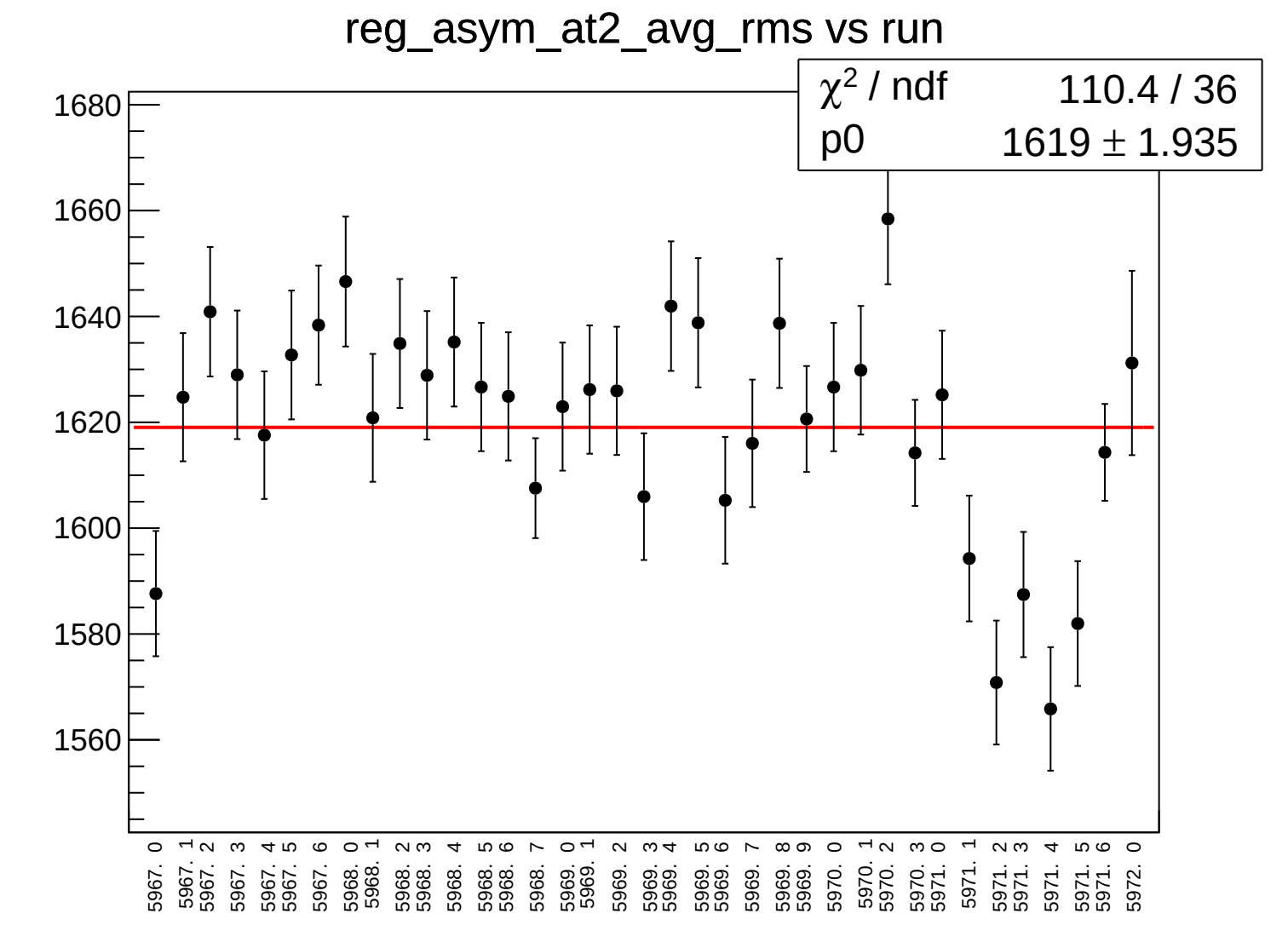
reg_asym_at2_avg_rms vs run
χ² / ndf 110.4 / 36
p0 1619 ± 1.935
1680
1660
1640
1620
1600
1580
1560
5967. 0
5967. 1
5967. 2
5967. 3
5967. 4
5967. 5
5967. 6
5968. 0
5968. 1
5968. 2
5968. 3
5968. 4
5968. 5
5968. 6
5968. 7
5969. 0
5969. 1
5969. 2
5969. 3
5969. 4
5969. 5
5969. 6
5969. 7
5969. 8
5969. 9
5970. 0
5970. 1
5970. 2
5970. 3
5971. 0
5971. 1
5971. 2
5971. 3
5971. 4
5971. 5
5971. 6
5972. 0

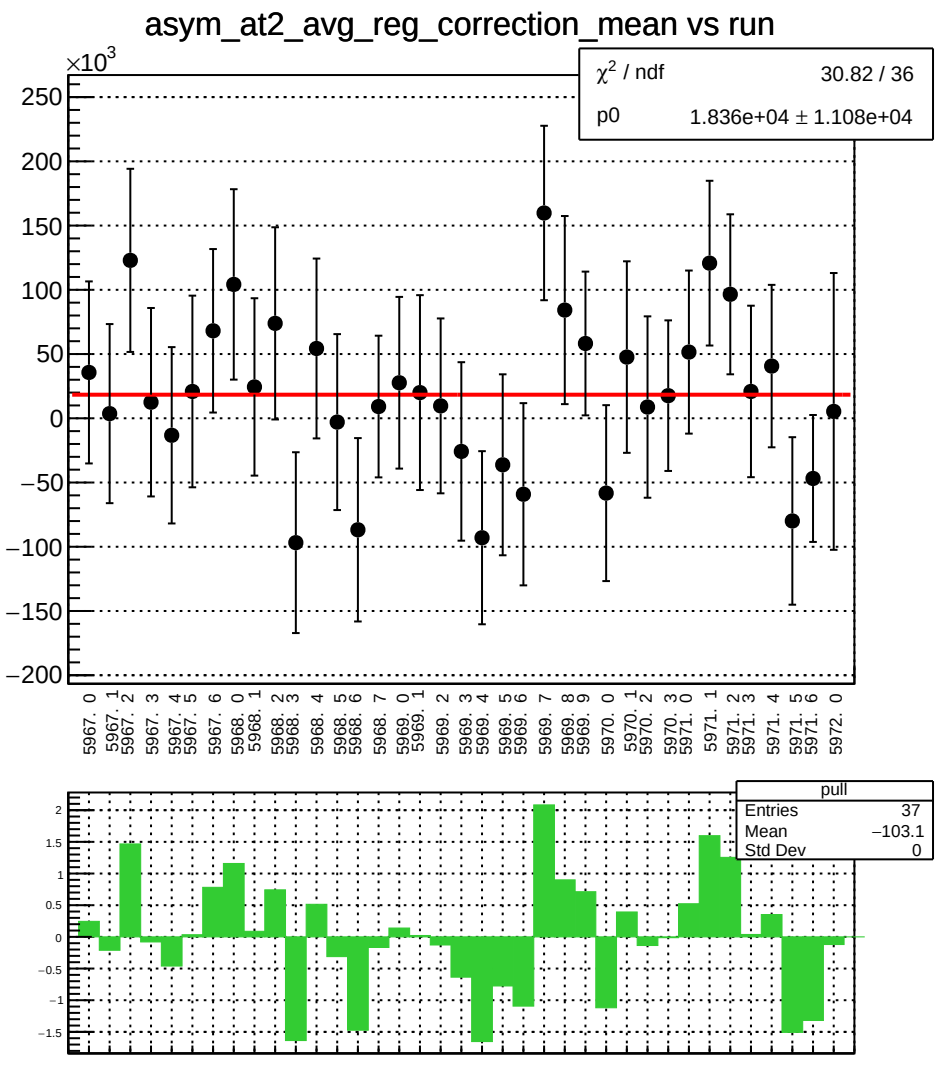
asym_at2_avg_reg_correction_mean vs run
×10^3
χ² / ndf 30.82 / 36
p0 1.836e+04 ± 1.108e+04
pull
Entries 37
Mean −103.1
Std Dev 0

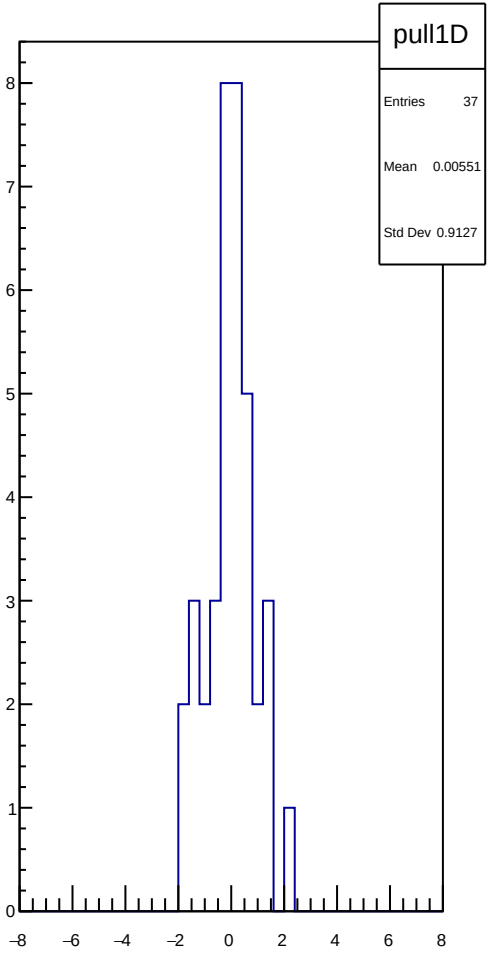
pull1D
Entries 37
Mean 0.00551
Std Dev 0.9127

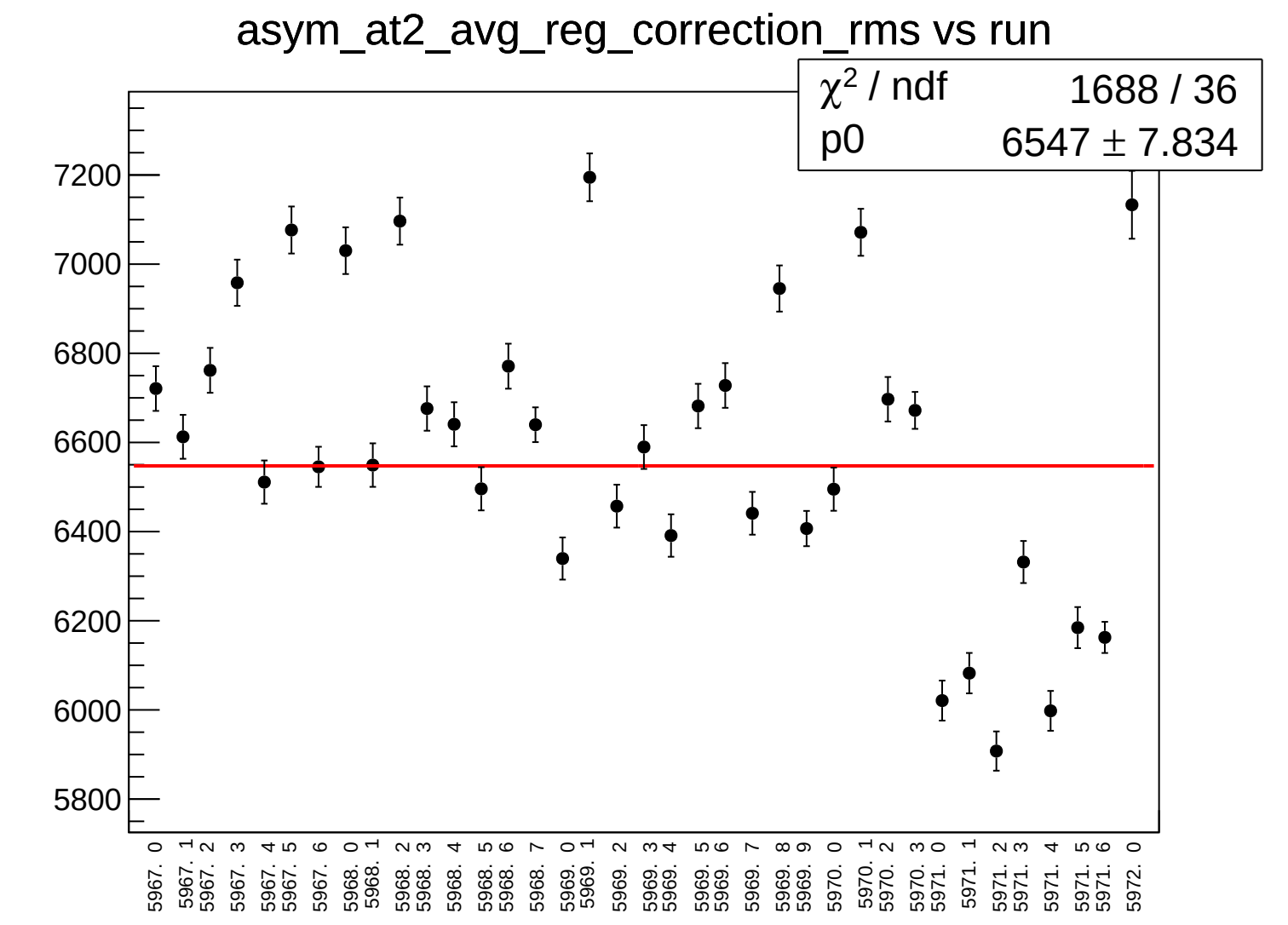
asym_at2_avg_reg_correction_rms vs run
χ² / ndf 1688 / 36
p0 6547 ± 7.834
7200
7000
6800
6600
6400
6200
6000
5800
5967. 0
5967. 1
5967. 2
5967. 3
5967. 4
5967. 5
5967. 6
5968. 0
5968. 1
5968. 2
5968. 3
5968. 4
5968. 5
5968. 6
5968. 7
5969. 0
5969. 1
5969. 2
5969. 3
5969. 4
5969. 5
5969. 6
5969. 7
5969. 8
5969. 9
5970. 0
5970. 1
5970. 2
5970. 3
5971. 0
5971. 1
5971. 2
5971. 3
5971. 4
5971. 5
5971. 6
5972. 0

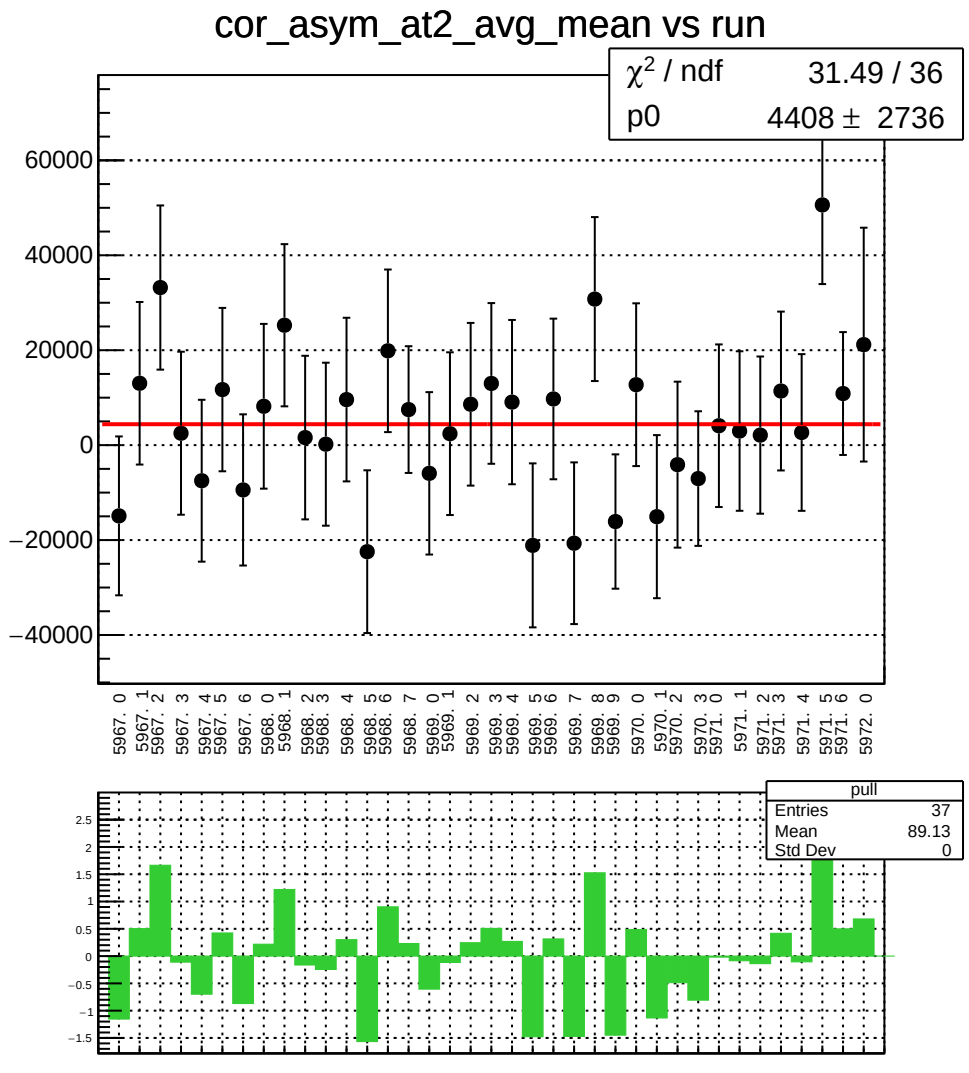
cor_asym_at2_avg_mean vs run
χ² / ndf 31.49 / 36
p0 4408 ± 2736
60000
40000
20000
0
−20000
−40000
5967. 0
5967. 1
5967. 2
5967. 3
5967. 4
5967. 5
5967. 6
5968. 0
5968. 1
5968. 2
5968. 3
5968. 4
5968. 5
5968. 6
5968. 7
5969. 0
5969. 1
5969. 2
5969. 3
5969. 4
5969. 5
5969. 6
5969. 7
5969. 8
5969. 9
5970. 0
5970. 1
5970. 2
5970. 3
5971. 0
5971. 1
5971. 2
5971. 3
5971. 4
5971. 5
5971. 6
5972. 0
pull
Entries 37
Mean 89.13
Std Dev 0
2.5
2
1.5
1
0.5
0
−0.5
−1
−1.5

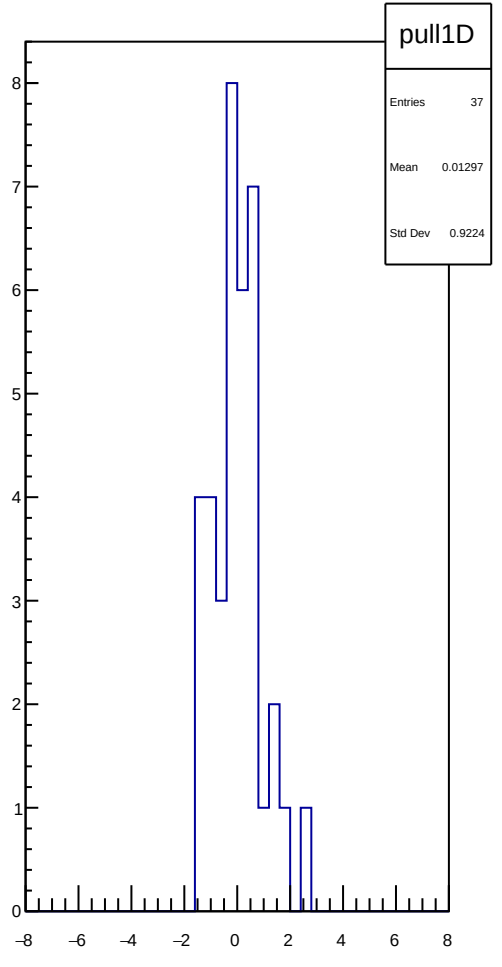
pull1D
Entries 37
Mean 0.01297
Std Dev 0.9224
8
7
6
5
4
3
2
1
0
−8
−6
−4
−2
0
2
4
6
8

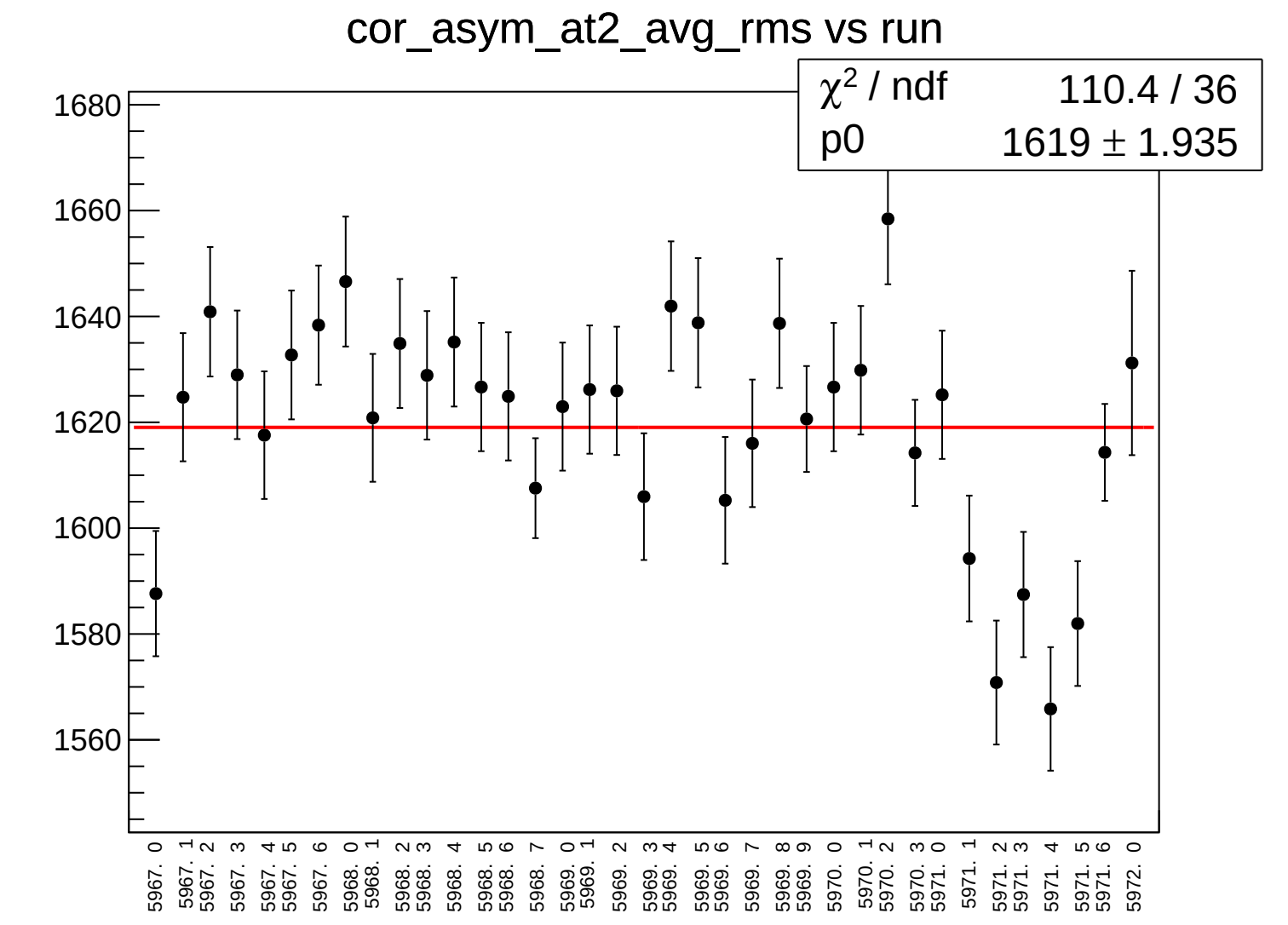
cor_asym_at2_avg_rms vs run
χ^2 / ndf 110.4 / 36
p0 1619 ± 1.935
1680
1660
1640
1620
1600
1580
1560
5967. 0
5967. 1
5967. 2
5967. 3
5967. 4
5967. 5
5967. 6
5968. 0
5968. 1
5968. 2
5968. 3
5968. 4
5968. 5
5968. 6
5968. 7
5969. 0
5969. 1
5969. 2
5969. 3
5969. 4
5969. 5
5969. 6
5969. 7
5969. 8
5969. 9
5970. 0
5970. 1
5970. 2
5970. 3
5971. 0
5971. 1
5971. 2
5971. 3
5971. 4
5971. 5
5971. 6
5972. 0

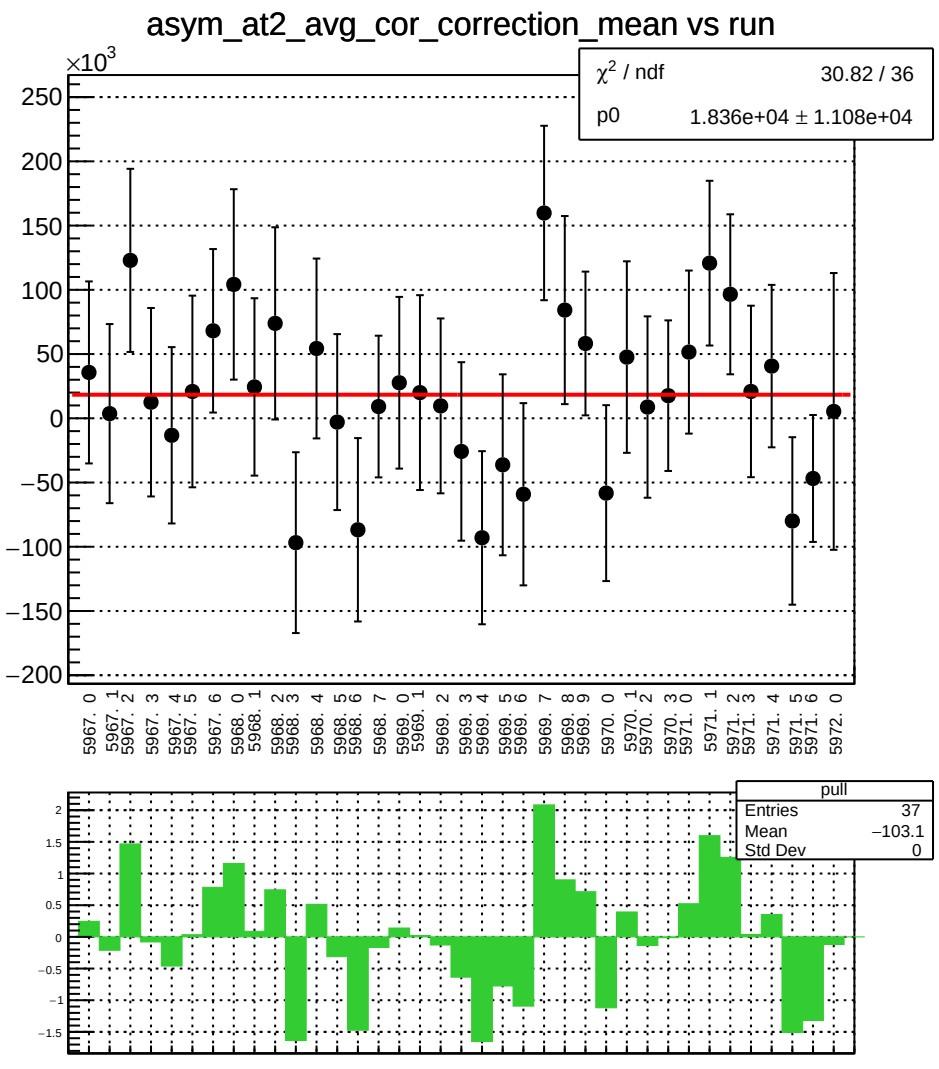
asym_at2_avg_cor_correction_mean vs run
×10^3
χ² / ndf 30.82 / 36
p0 1.836e+04 ± 1.108e+04
pull
Entries 37
Mean −103.1
Std Dev 0

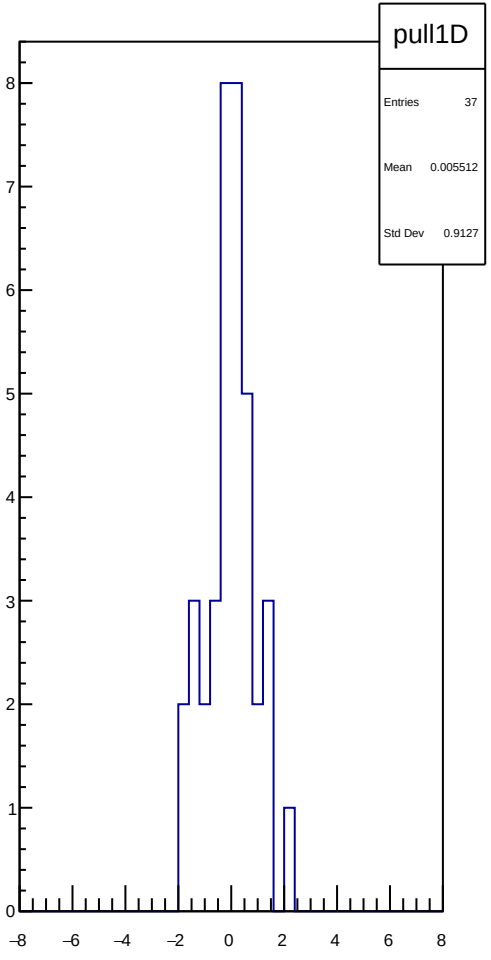
pull1D
Entries 37
Mean 0.005512
Std Dev 0.9127

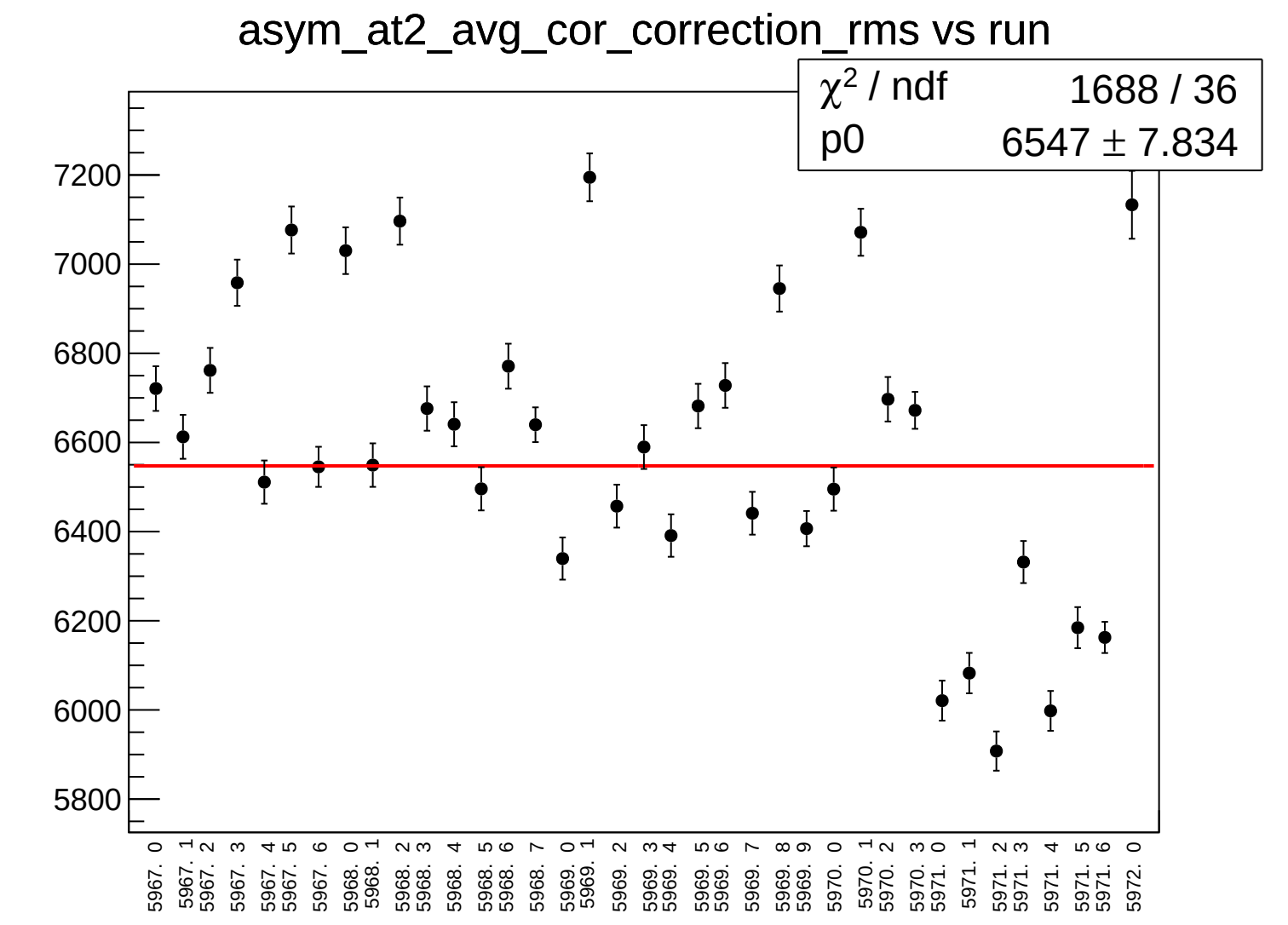
asym_at2_avg_cor_correction_rms vs run
χ² / ndf 1688 / 36
p0 6547 ± 7.834
7200
7000
6800
6600
6400
6200
6000
5800
5967. 0
5967. 1
5967. 2
5967. 3
5967. 4
5967. 5
5967. 6
5968. 0
5968. 1
5968. 2
5968. 3
5968. 4
5968. 5
5968. 6
5968. 7
5969. 0
5969. 1
5969. 2
5969. 3
5969. 4
5969. 5
5969. 6
5969. 7
5969. 8
5969. 9
5970. 0
5970. 1
5970. 2
5970. 3
5971. 0
5971. 1
5971. 2
5971. 3
5971. 4
5971. 5
5971. 6
5972. 0

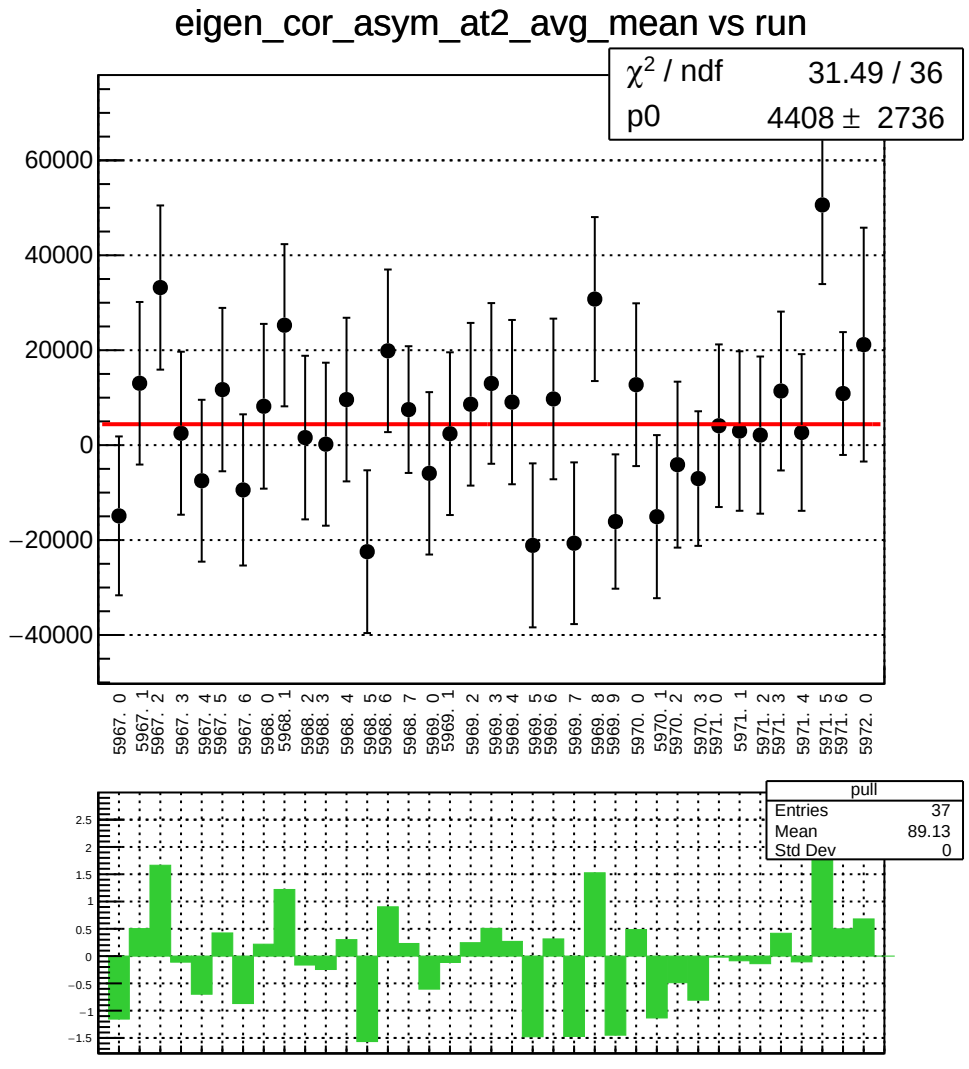
eigen_cor_asym_at2_avg_mean vs run
χ² / ndf 31.49 / 36
p0 4408 ± 2736
60000
40000
20000
0
−20000
−40000
5967. 0
5967. 1
5967. 2
5967. 3
5967. 4
5967. 5
5967. 6
5968. 0
5968. 1
5968. 2
5968. 3
5968. 4
5968. 5
5968. 6
5968. 7
5969. 0
5969. 1
5969. 2
5969. 3
5969. 4
5969. 5
5969. 6
5969. 7
5969. 8
5969. 9
5970. 0
5970. 1
5970. 2
5970. 3
5971. 0
5971. 1
5971. 2
5971. 3
5971. 4
5971. 5
5971. 6
5972. 0
pull
Entries 37
Mean 89.13
Std Dev 0
2.5
2
1.5
1
0.5
0
−0.5
−1
−1.5

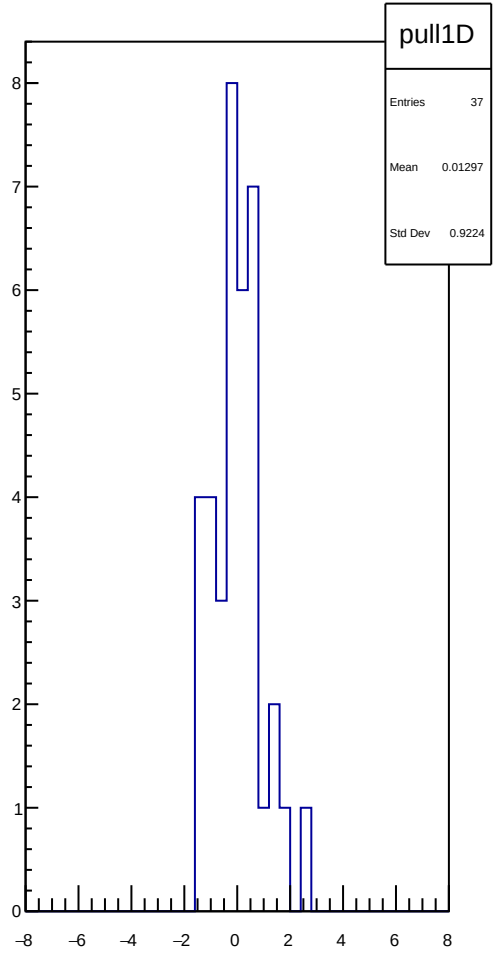
pull1D
Entries 37
Mean 0.01297
Std Dev 0.9224
8
7
6
5
4
3
2
1
0
−8
−6
−4
−2
0
2
4
6
8

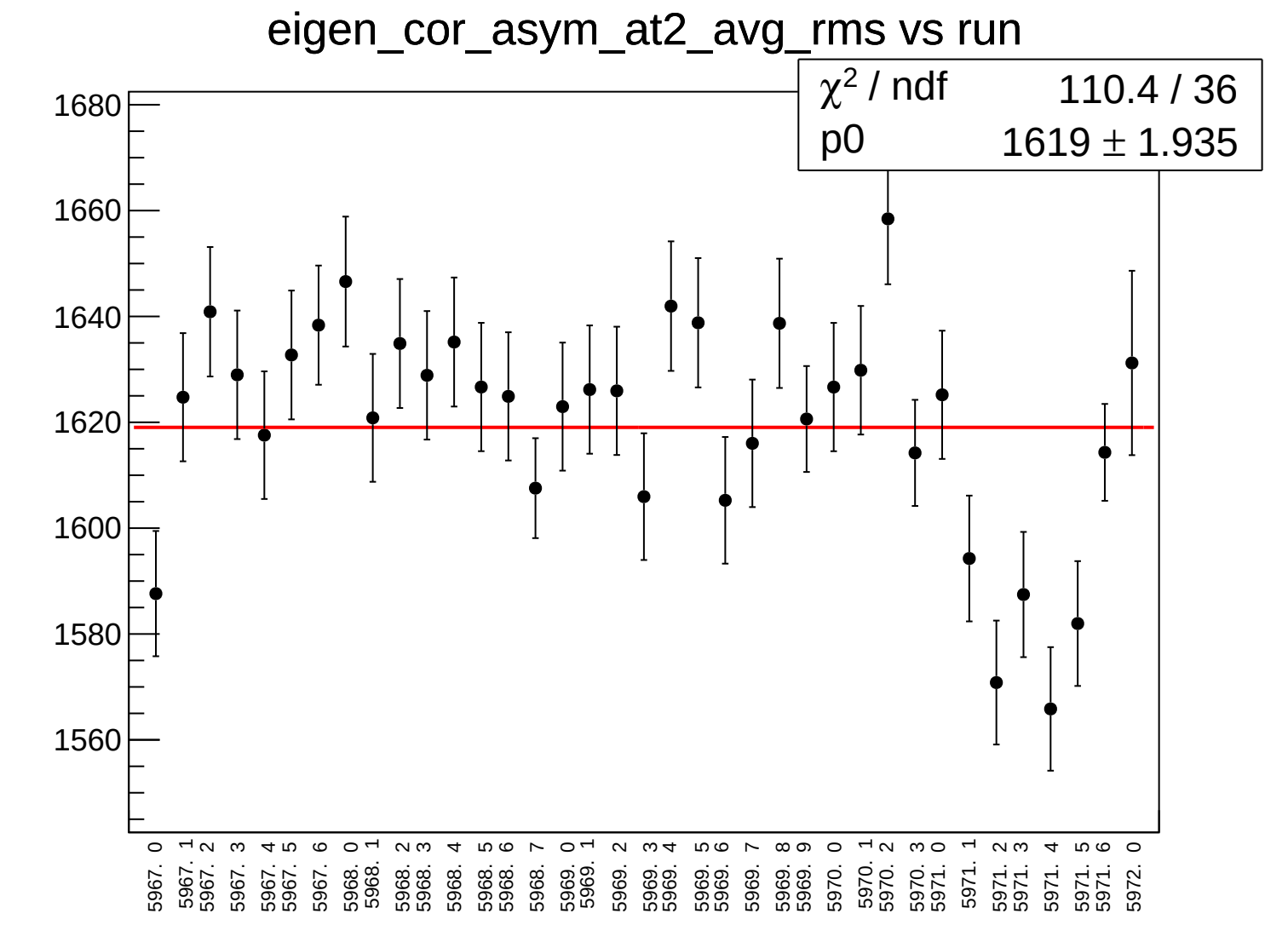
eigen_cor_asym_at2_avg_rms vs run
χ² / ndf 110.4 / 36
p0 1619 ± 1.935
1680
1660
1640
1620
1600
1580
1560
5967. 0
5967. 1
5967. 2
5967. 3
5967. 4
5967. 5
5967. 6
5968. 0
5968. 1
5968. 2
5968. 3
5968. 4
5968. 5
5968. 6
5968. 7
5969. 0
5969. 1
5969. 2
5969. 3
5969. 4
5969. 5
5969. 6
5969. 7
5969. 8
5969. 9
5970. 0
5970. 1
5970. 2
5970. 3
5971. 0
5971. 1
5971. 2
5971. 3
5971. 4
5971. 5
5971. 6
5972. 0

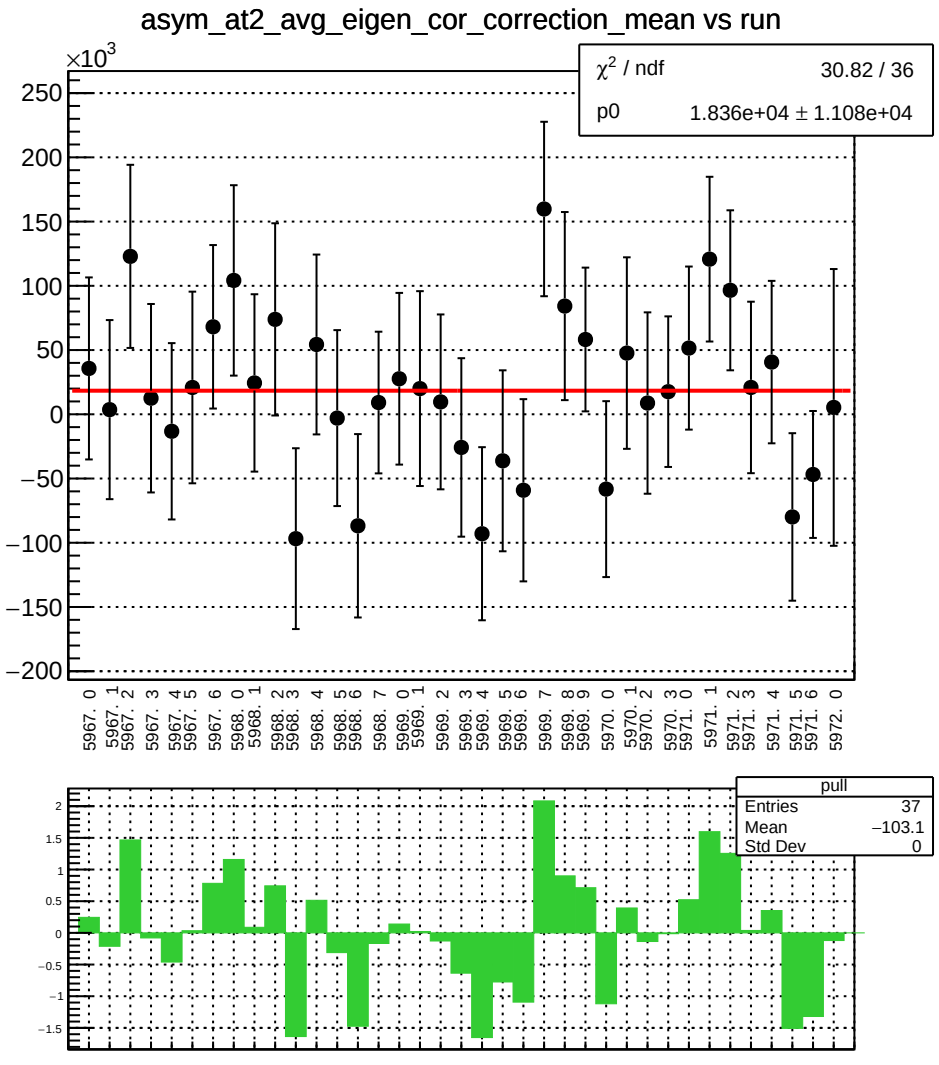
asym_at2_avg_eigen_cor_correction_mean vs run
×10^3
χ² / ndf 30.82 / 36
p0 1.836e+04 ± 1.108e+04
250
200
150
100
50
0
−50
−100
−150
−200
5967. 0
5967. 1
5967. 2
5967. 3
5967. 4
5967. 5
5967. 6
5968. 0
5968. 1
5968. 2
5968. 3
5968. 4
5968. 5
5968. 6
5968. 7
5969. 0
5969. 1
5969. 2
5969. 3
5969. 4
5969. 5
5969. 6
5969. 7
5969. 8
5969. 9
5970. 0
5970. 1
5970. 2
5970. 3
5971. 0
5971. 1
5971. 2
5971. 3
5971. 4
5971. 5
5971. 6
5972. 0
pull
Entries 37
Mean −103.1
Std Dev 0
2
1.5
1
0.5
0
−0.5
−1
−1.5

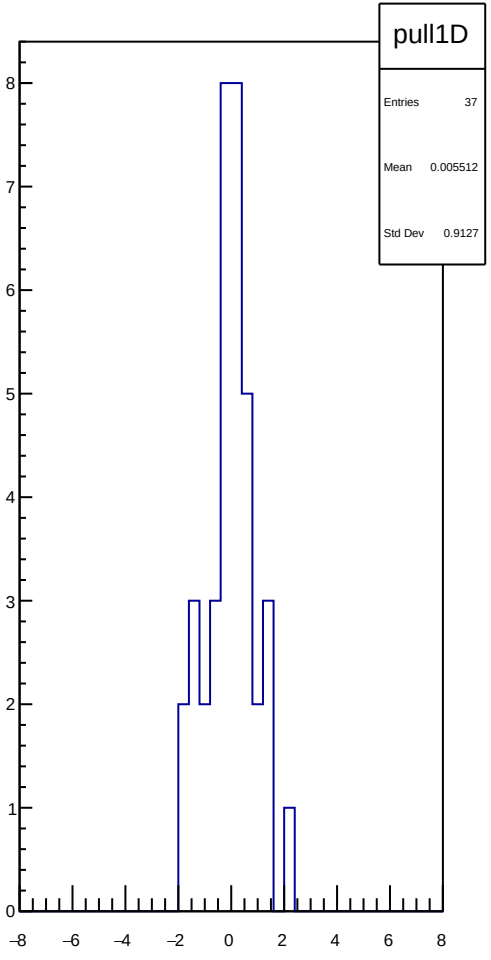
pull1D
Entries 37
Mean 0.005512
Std Dev 0.9127
8
7
6
5
4
3
2
1
0
−8
−6
−4
−2
0
2
4
6
8

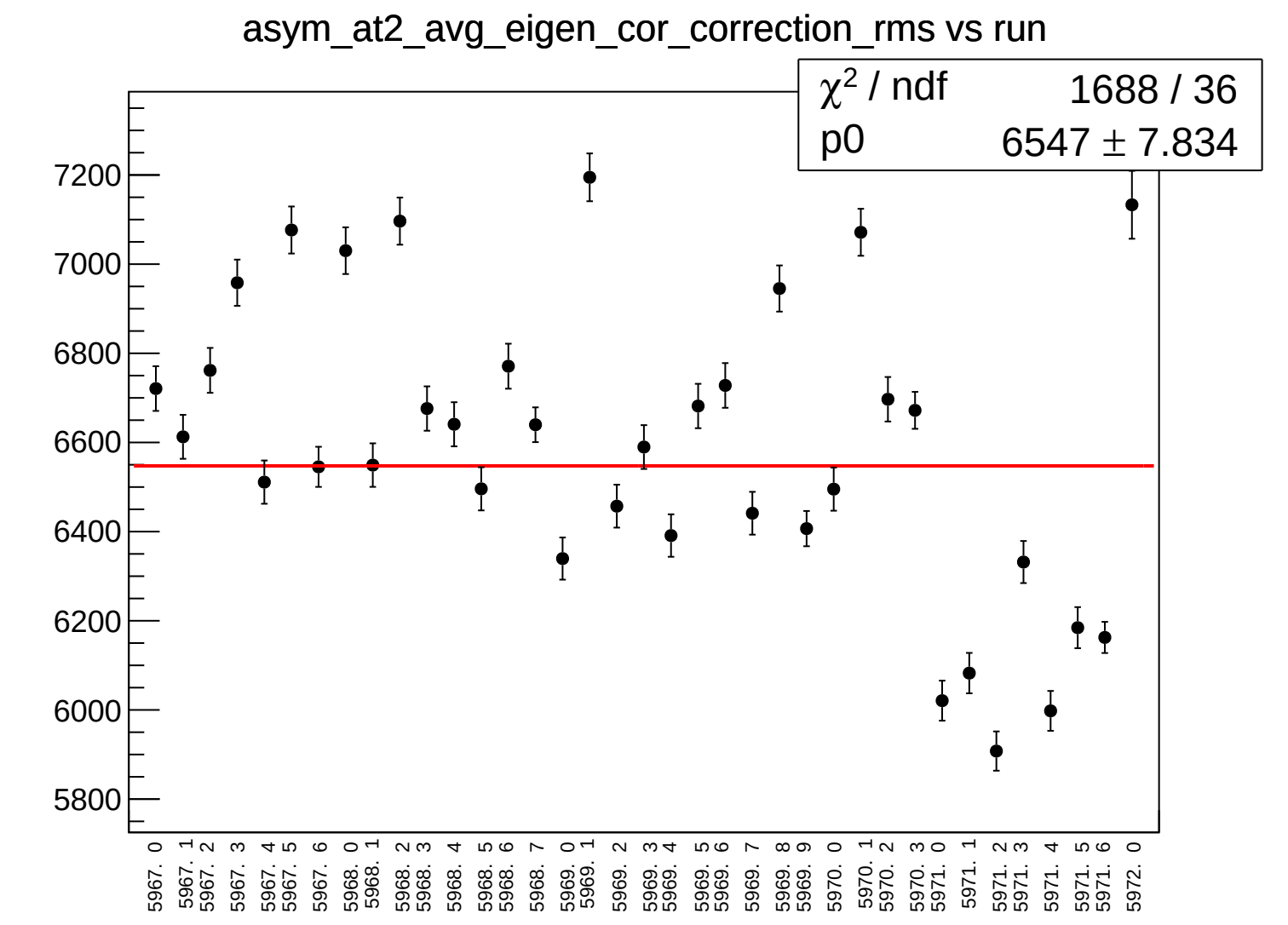
asym_at2_avg_eigen_cor_correction_rms vs run
χ² / ndf 1688 / 36
p0 6547 ± 7.834
7200
7000
6800
6600
6400
6200
6000
5800
5967. 0
5967. 1
5967. 2
5967. 3
5967. 4
5967. 5
5967. 6
5968. 0
5968. 1
5968. 2
5968. 3
5968. 4
5968. 5
5968. 6
5968. 7
5969. 0
5969. 1
5969. 2
5969. 3
5969. 4
5969. 5
5969. 6
5969. 7
5969. 8
5969. 9
5970. 0
5970. 1
5970. 2
5970. 3
5971. 0
5971. 1
5971. 2
5971. 3
5971. 4
5971. 5
5971. 6
5972. 0

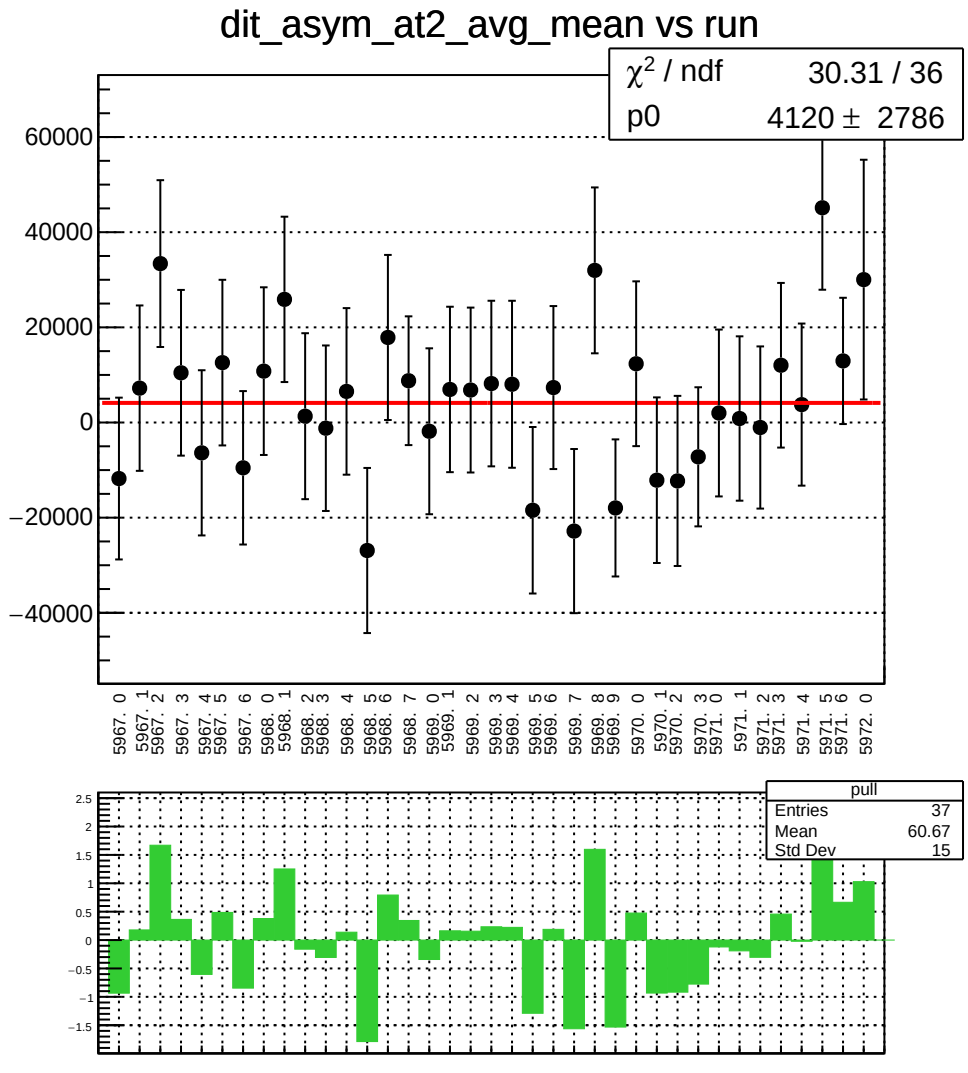
dit_asym_at2_avg_mean vs run
χ² / ndf 30.31 / 36
p0 4120 ± 2786
60000
40000
20000
0
−20000
−40000
5967. 0
5967. 1
5967. 2
5967. 3
5967. 4
5967. 5
5967. 6
5968. 0
5968. 1
5968. 2
5968. 3
5968. 4
5968. 5
5968. 6
5968. 7
5969. 0
5969. 1
5969. 2
5969. 3
5969. 4
5969. 5
5969. 6
5969. 7
5969. 8
5969. 9
5970. 0
5970. 1
5970. 2
5970. 3
5971. 0
5971. 1
5971. 2
5971. 3
5971. 4
5971. 5
5971. 6
5972. 0
pull
Entries 37
Mean 60.67
Std Dev 15
2.5
2
1.5
1
0.5
0
−0.5
−1
−1.5

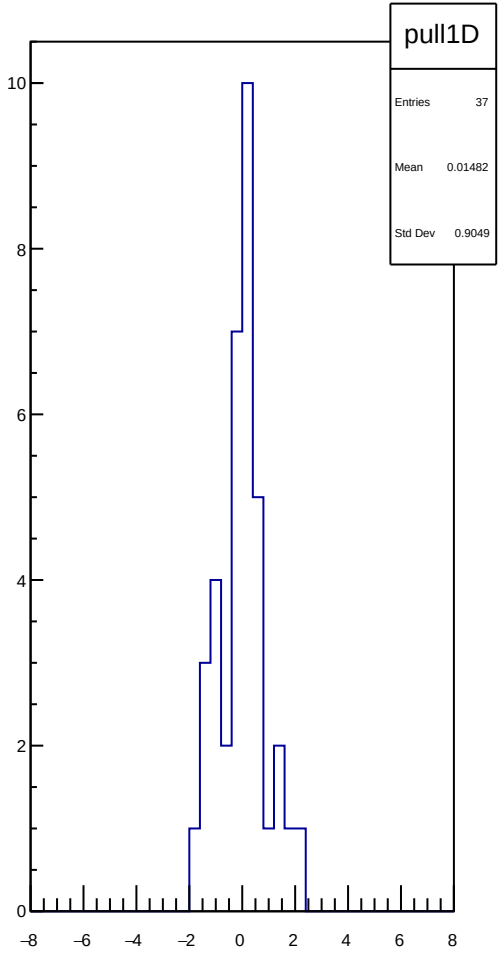
pull1D
Entries 37
Mean 0.01482
Std Dev 0.9049
10
8
6
4
2
0
−8
−6
−4
−2
0
2
4
6
8

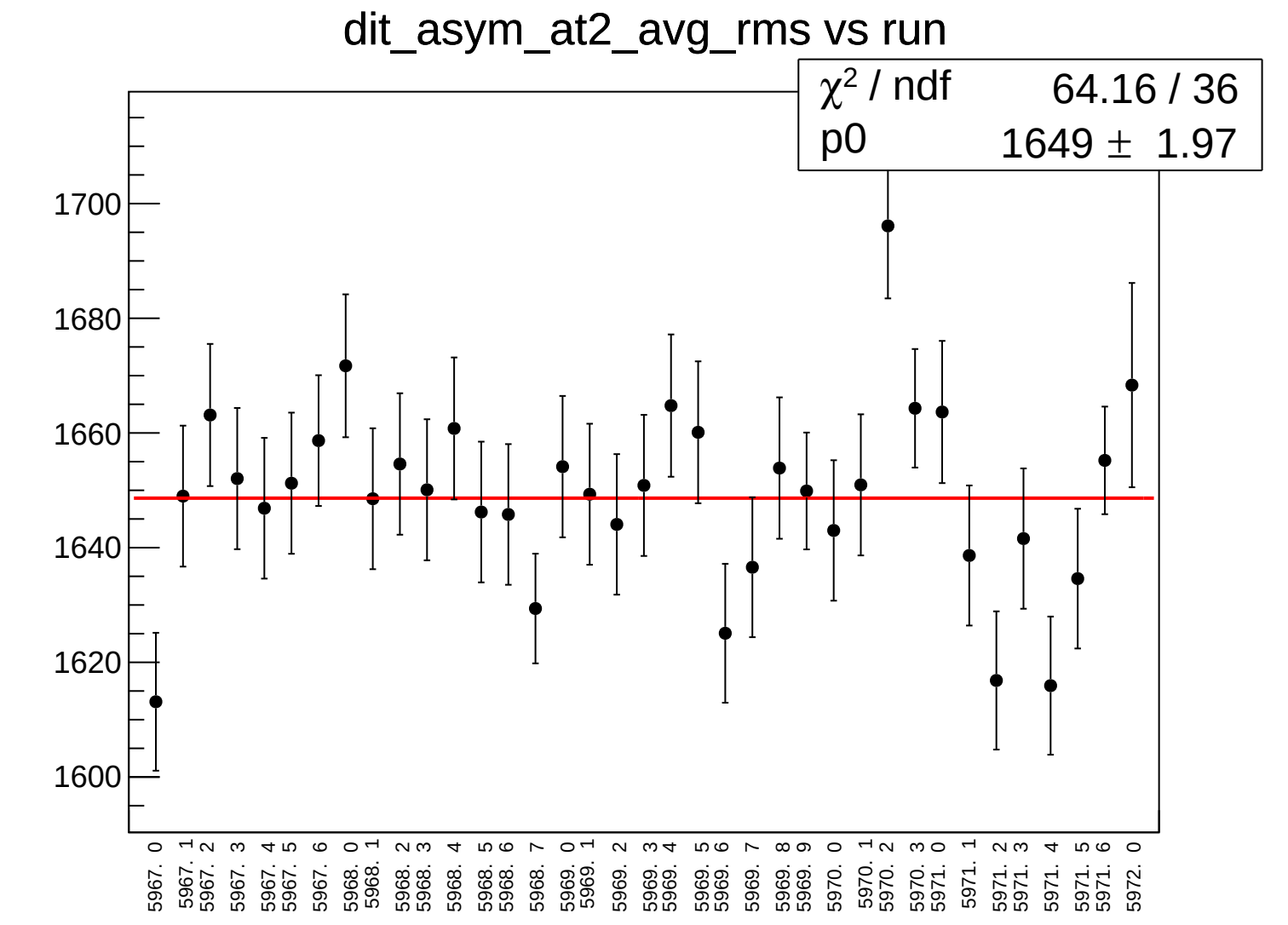
dit_asym_at2_avg_rms vs run
χ² / ndf 64.16 / 36
p0 1649 ± 1.97
1700
1680
1660
1640
1620
1600
5967. 0
5967. 1
5967. 2
5967. 3
5967. 4
5967. 5
5967. 6
5968. 0
5968. 1
5968. 2
5968. 3
5968. 4
5968. 5
5968. 6
5968. 7
5969. 0
5969. 1
5969. 2
5969. 3
5969. 4
5969. 5
5969. 6
5969. 7
5969. 8
5969. 9
5970. 0
5970. 1
5970. 2
5970. 3
5971. 0
5971. 1
5971. 2
5971. 3
5971. 4
5971. 5
5971. 6
5972. 0

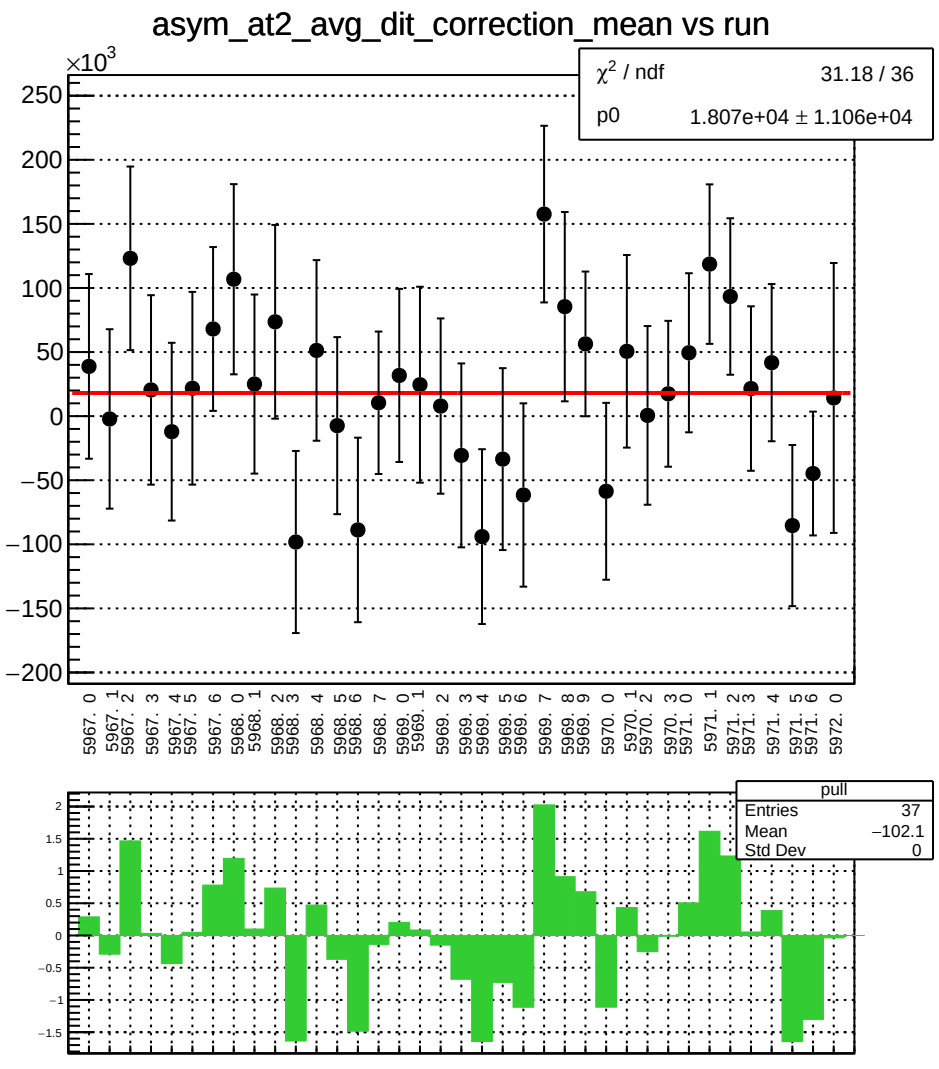
asym_at2_avg_dit_correction_mean vs run
×10^3
χ² / ndf 31.18 / 36
p0 1.807e+04 ± 1.106e+04
pull
Entries 37
Mean −102.1
Std Dev 0

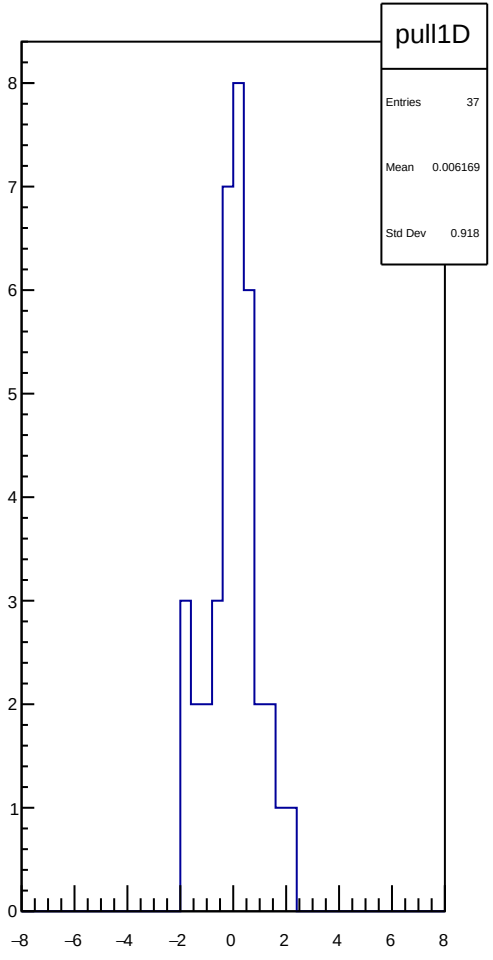
pull1D
Entries 37
Mean 0.006169
Std Dev 0.918

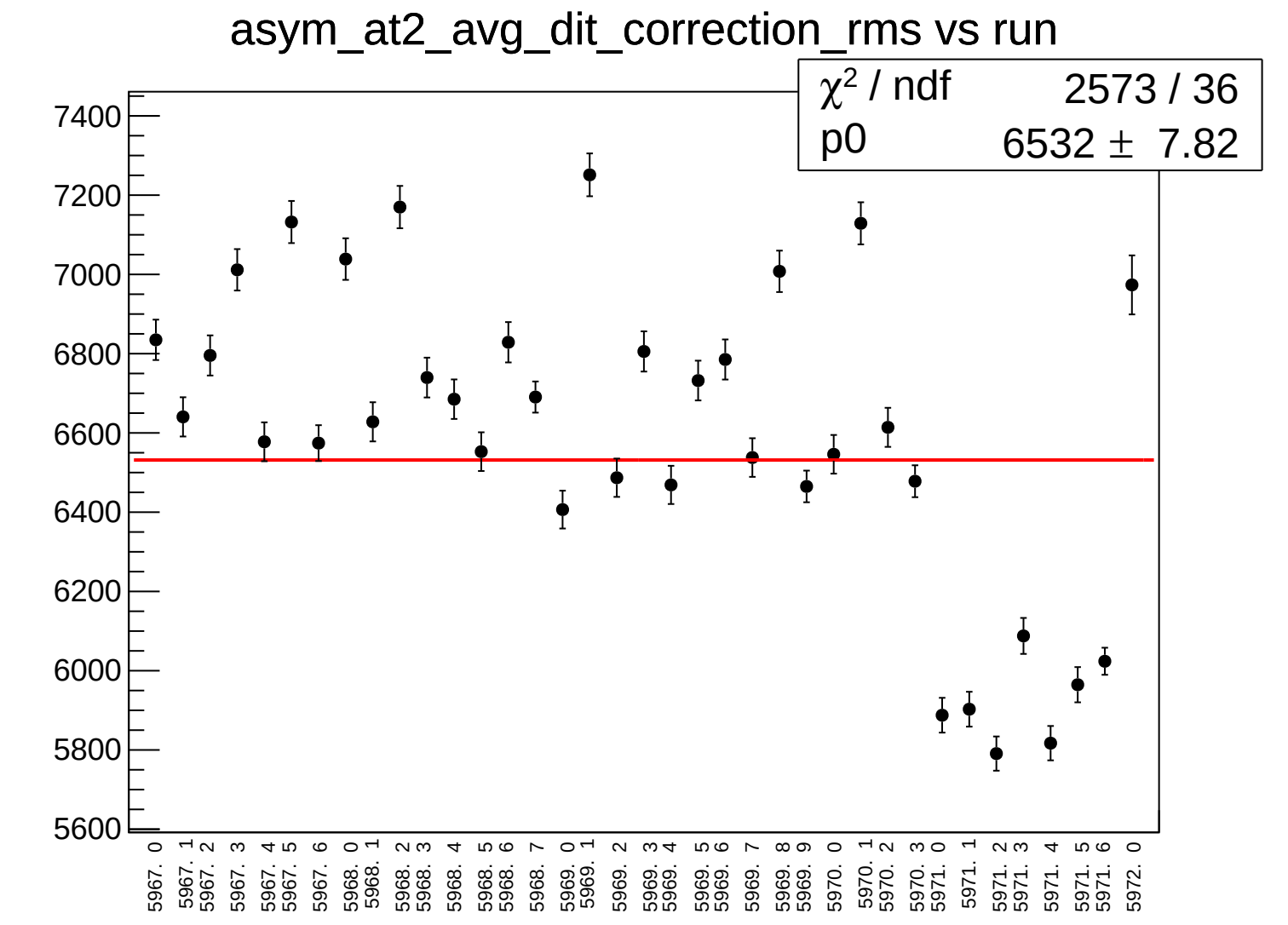
asym_at2_avg_dit_correction_rms vs run
χ² / ndf 2573 / 36
p0 6532 ± 7.82
7400
7200
7000
6800
6600
6400
6200
6000
5800
5600
5967. 0
5967. 1
5967. 2
5967. 3
5967. 4
5967. 5
5967. 6
5968. 0
5968. 1
5968. 2
5968. 3
5968. 4
5968. 5
5968. 6
5968. 7
5969. 0
5969. 1
5969. 2
5969. 3
5969. 4
5969. 5
5969. 6
5969. 7
5969. 8
5969. 9
5970. 0
5970. 1
5970. 2
5970. 3
5971. 0
5971. 1
5971. 2
5971. 3
5971. 4
5971. 5
5971. 6
5972. 0

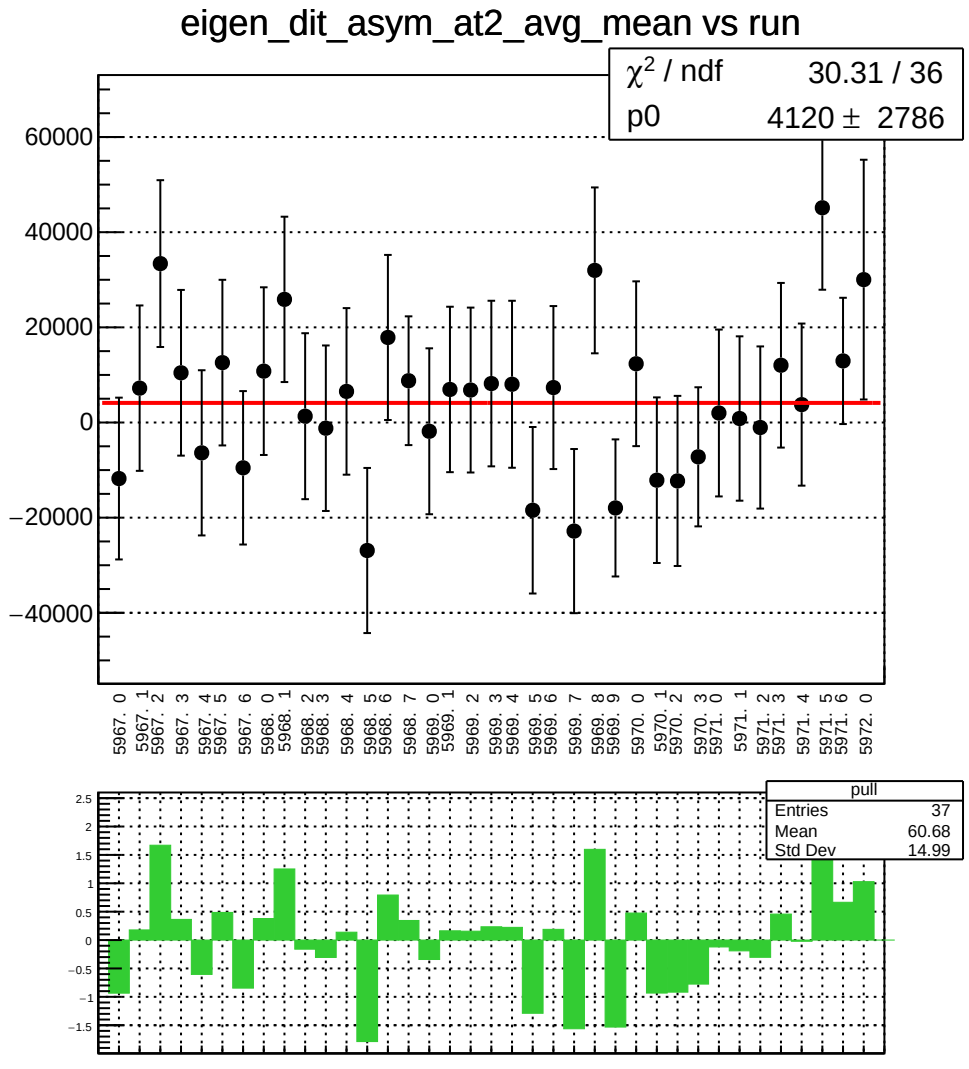
eigen_dit_asym_at2_avg_mean vs run
χ² / ndf 30.31 / 36
p0 4120 ± 2786
60000
40000
20000
0
−20000
−40000
5967. 0
5967. 1
5967. 2
5967. 3
5967. 4
5967. 5
5967. 6
5968. 0
5968. 1
5968. 2
5968. 3
5968. 4
5968. 5
5968. 6
5968. 7
5969. 0
5969. 1
5969. 2
5969. 3
5969. 4
5969. 5
5969. 6
5969. 7
5969. 8
5969. 9
5970. 0
5970. 1
5970. 2
5970. 3
5971. 0
5971. 1
5971. 2
5971. 3
5971. 4
5971. 5
5971. 6
5972. 0
pull
Entries 37
Mean 60.68
Std Dev 14.99
2.5
2
1.5
1
0.5
0
−0.5
−1
−1.5

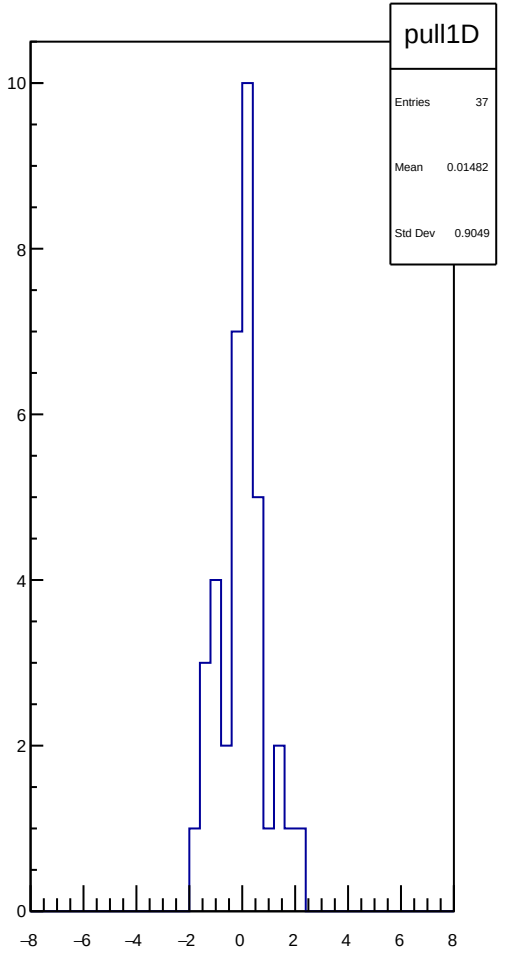
pull1D
Entries 37
Mean 0.01482
Std Dev 0.9049
10
8
6
4
2
0
−8
−6
−4
−2
0
2
4
6
8

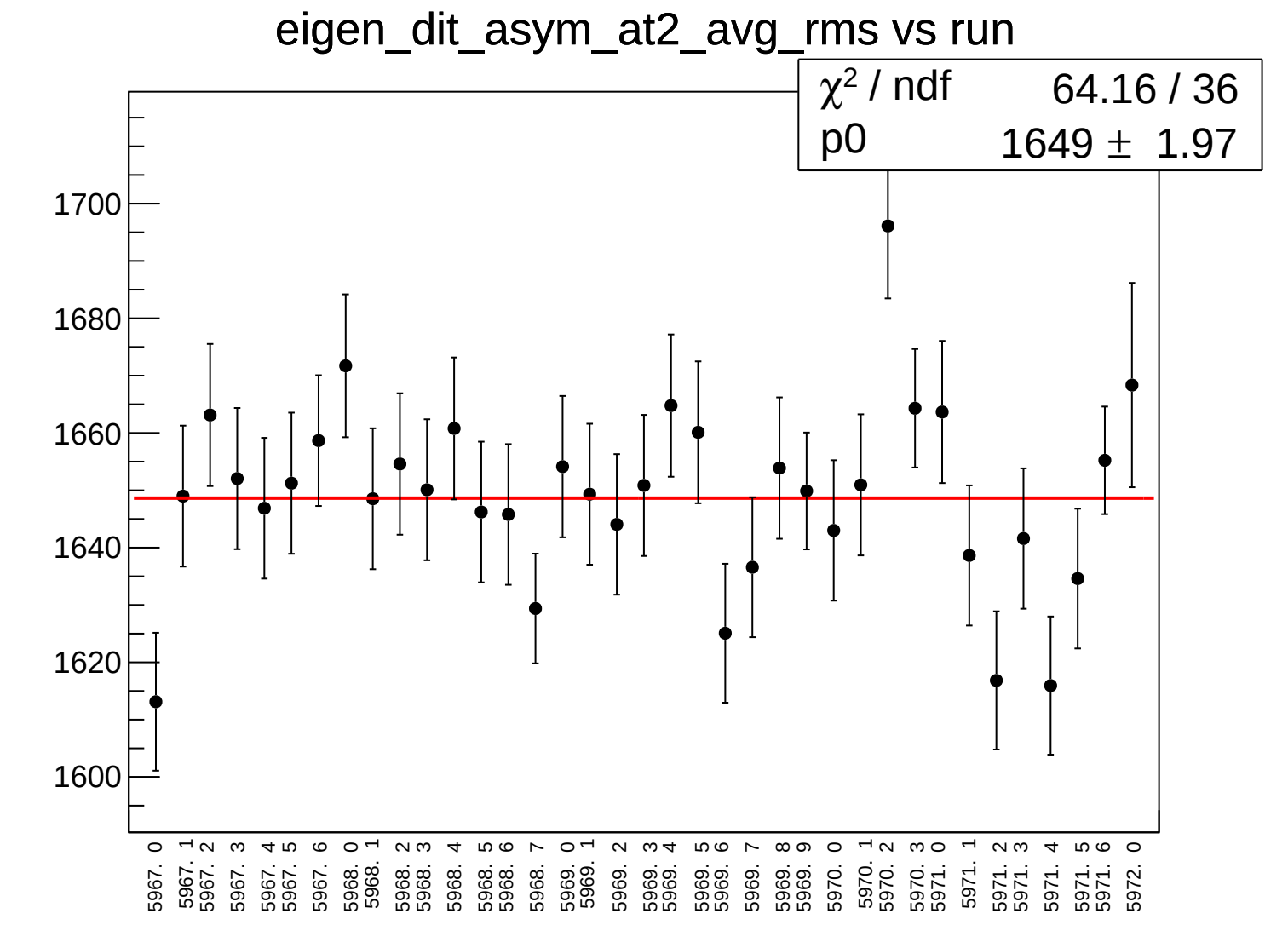
eigen_dit_asym_at2_avg_rms vs run
χ² / ndf 64.16 / 36
p0 1649 ± 1.97
1700
1680
1660
1640
1620
1600
5967. 0
5967. 1
5967. 2
5967. 3
5967. 4
5967. 5
5967. 6
5968. 0
5968. 1
5968. 2
5968. 3
5968. 4
5968. 5
5968. 6
5968. 7
5969. 0
5969. 1
5969. 2
5969. 3
5969. 4
5969. 5
5969. 6
5969. 7
5969. 8
5969. 9
5970. 0
5970. 1
5970. 2
5970. 3
5971. 0
5971. 1
5971. 2
5971. 3
5971. 4
5971. 5
5971. 6
5972. 0

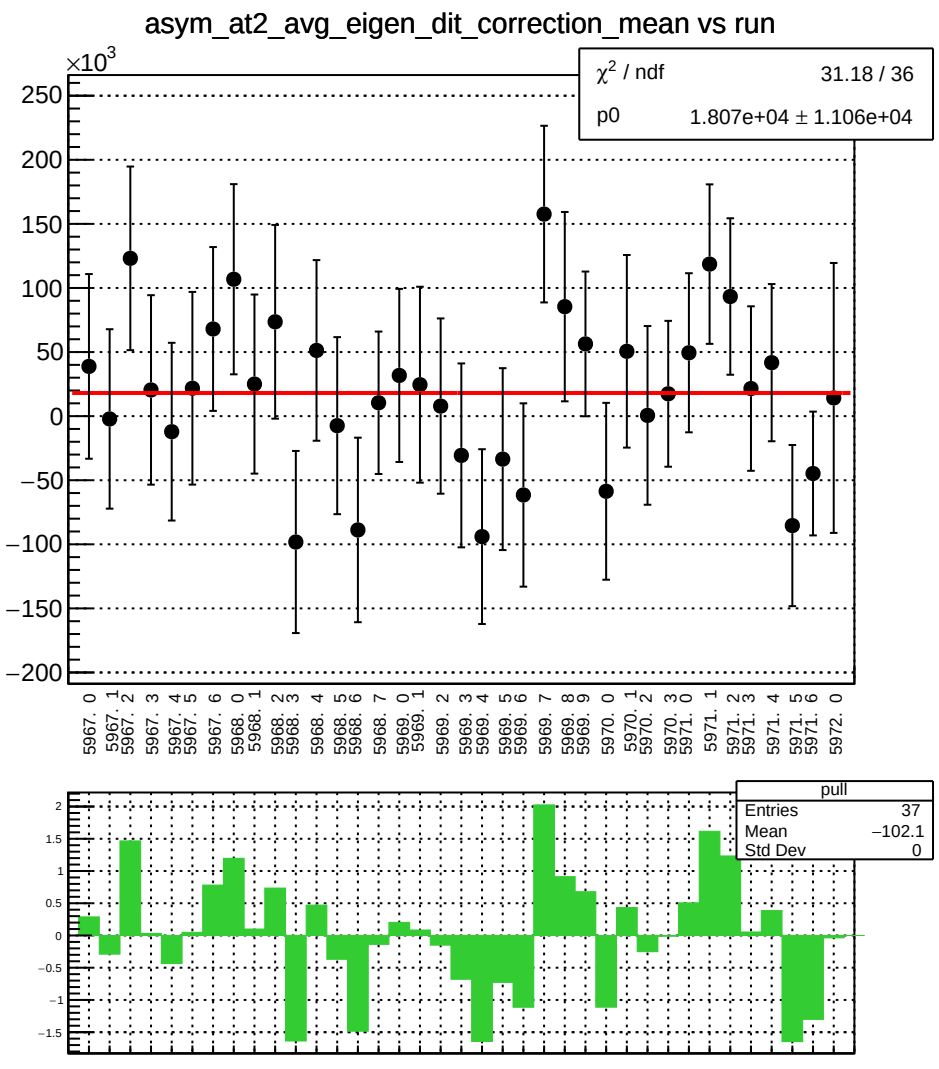
asym_at2_avg_eigen_dit_correction_mean vs run
×10^3
χ² / ndf 31.18 / 36
p0 1.807e+04 ± 1.106e+04
pull
Entries 37
Mean −102.1
Std Dev 0

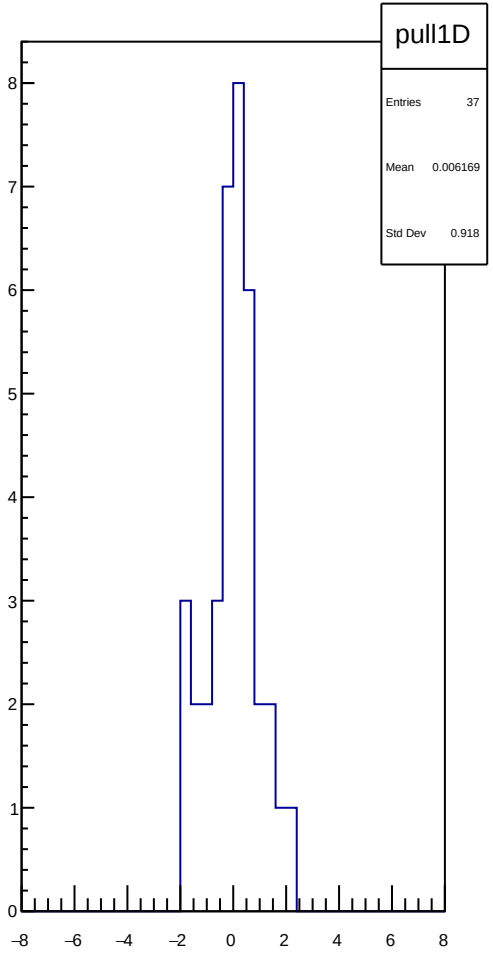
pull1D
Entries 37
Mean 0.006169
Std Dev 0.918

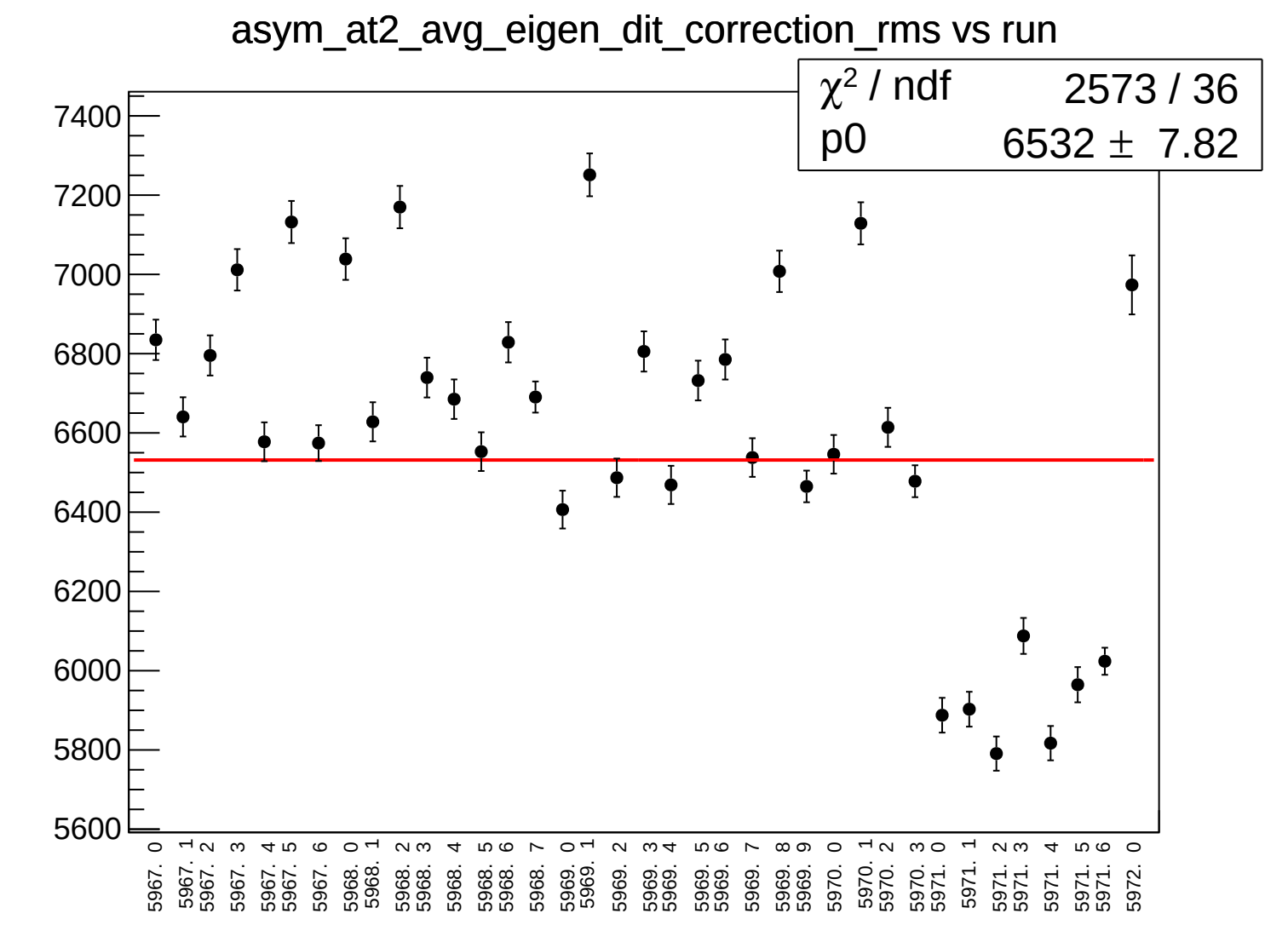
asym_at2_avg_eigen_dit_correction_rms vs run
χ² / ndf 2573 / 36
p0 6532 ± 7.82
7400
7200
7000
6800
6600
6400
6200
6000
5800
5600
5967. 0
5967. 1
5967. 2
5967. 3
5967. 4
5967. 5
5967. 6
5968. 0
5968. 1
5968. 2
5968. 3
5968. 4
5968. 5
5968. 6
5968. 7
5969. 0
5969. 1
5969. 2
5969. 3
5969. 4
5969. 5
5969. 6
5969. 7
5969. 8
5969. 9
5970. 0
5970. 1
5970. 2
5970. 3
5971. 0
5971. 1
5971. 2
5971. 3
5971. 4
5971. 5
5971. 6
5972. 0

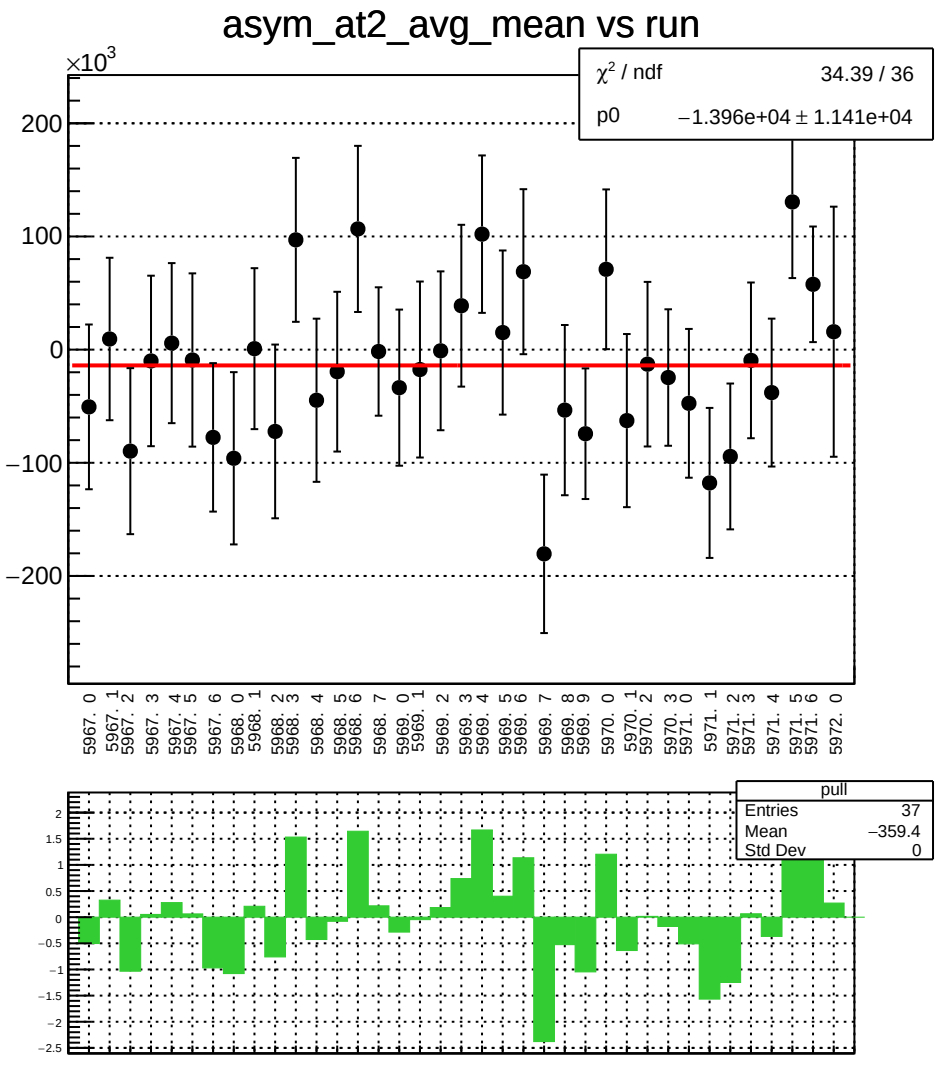
asym_at2_avg_mean vs run
×10^3
χ² / ndf 34.39 / 36
p0 −1.396e+04 ± 1.141e+04
200
100
0
−100
−200
5967. 0
5967. 1
5967. 2
5967. 3
5967. 4
5967. 5
5967. 6
5968. 0
5968. 1
5968. 2
5968. 3
5968. 4
5968. 5
5968. 6
5968. 7
5969. 0
5969. 1
5969. 2
5969. 3
5969. 4
5969. 5
5969. 6
5969. 7
5969. 8
5969. 9
5970. 0
5970. 1
5970. 2
5970. 3
5971. 0
5971. 1
5971. 2
5971. 3
5971. 4
5971. 5
5971. 6
5972. 0
pull
Entries 37
Mean −359.4
Std Dev 0
2
1.5
1
0.5
0
−0.5
−1
−1.5
−2
−2.5

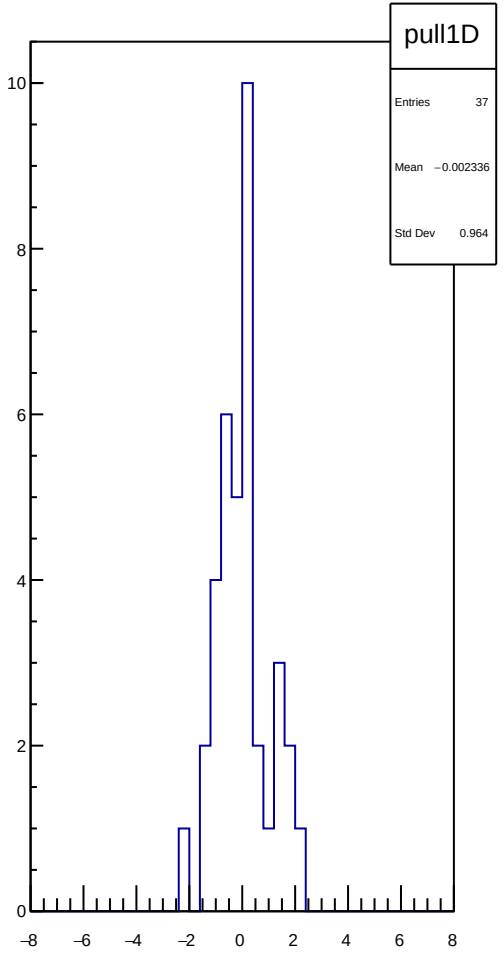
pull1D
Entries 37
Mean −0.002336
Std Dev 0.964
10
8
6
4
2
0
−8
−6
−4
−2
0
2
4
6
8

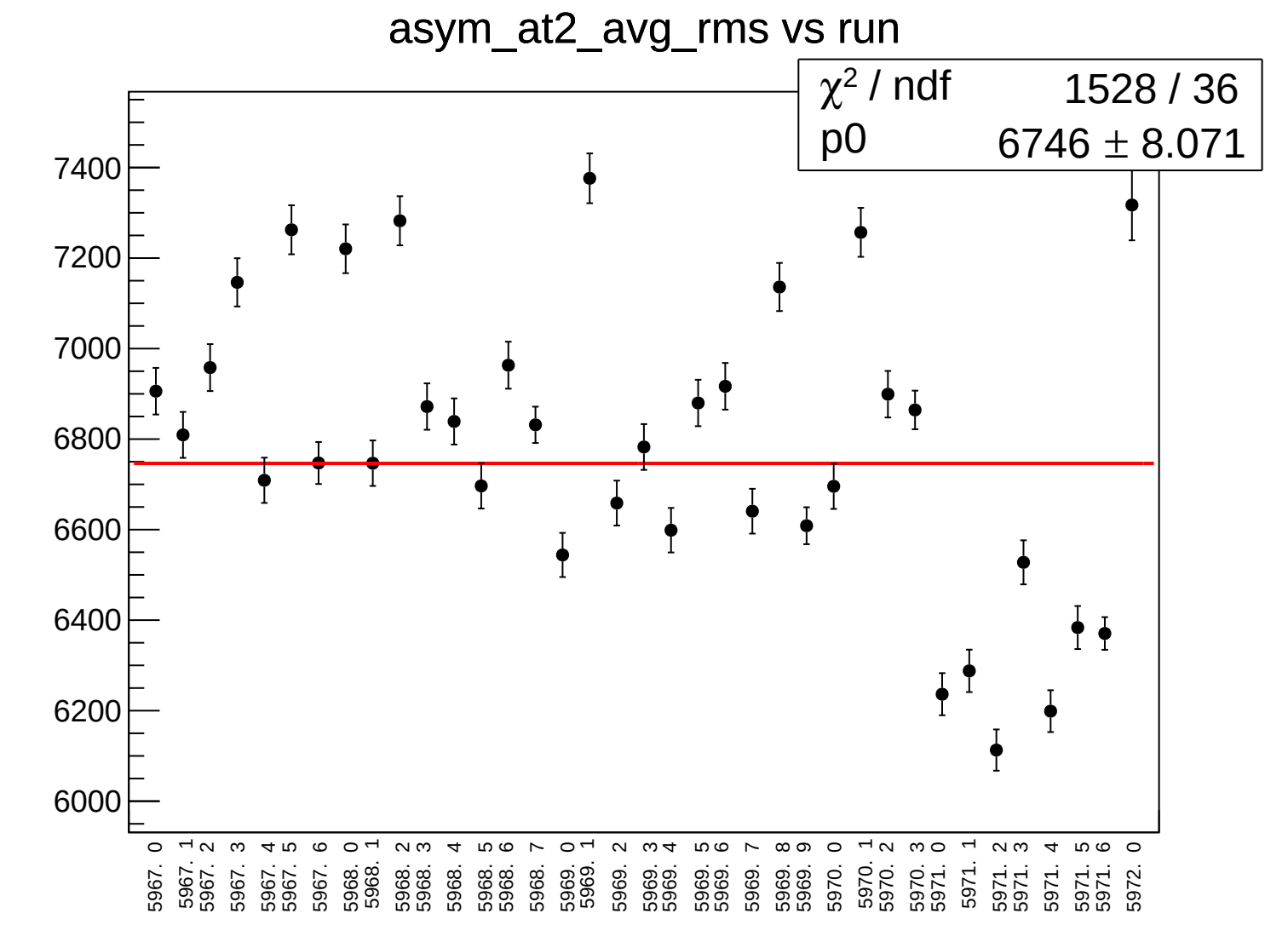
asym_at2_avg_rms vs run
χ² / ndf 1528 / 36
p0 6746 ± 8.071
7400
7200
7000
6800
6600
6400
6200
6000
5967. 0
5967. 1
5967. 2
5967. 3
5967. 4
5967. 5
5967. 6
5968. 0
5968. 1
5968. 2
5968. 3
5968. 4
5968. 5
5968. 6
5968. 7
5969. 0
5969. 1
5969. 2
5969. 3
5969. 4
5969. 5
5969. 6
5969. 7
5969. 8
5969. 9
5970. 0
5970. 1
5970. 2
5970. 3
5971. 0
5971. 1
5971. 2
5971. 3
5971. 4
5971. 5
5971. 6
5972. 0

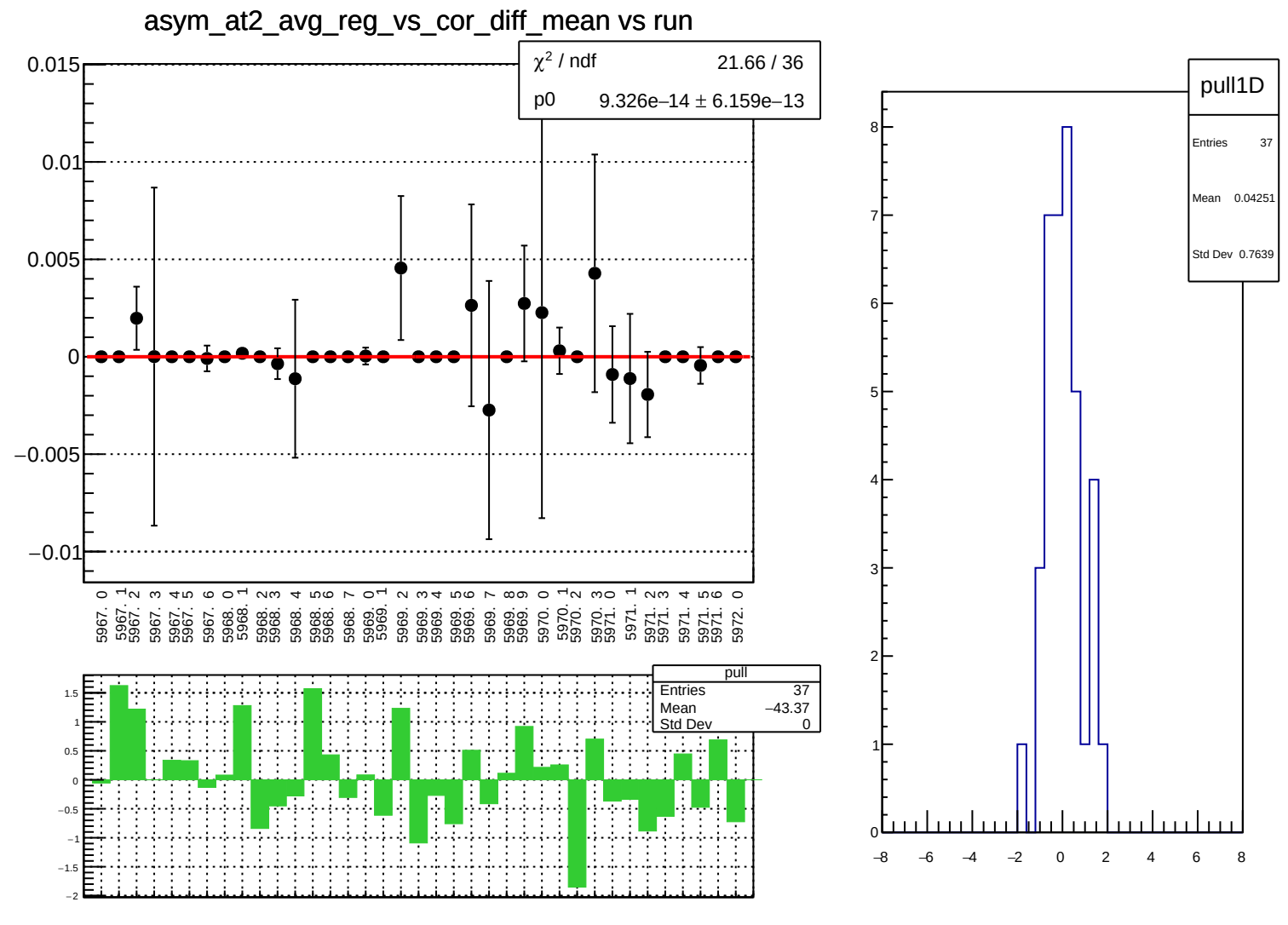
asym_at2_avg_reg_vs_cor_diff_mean vs run
χ² / ndf 21.66 / 36
p0 9.326e−14 ± 6.159e−13
pull
Entries 37
Mean −43.37
Std Dev 0
pull1D
Entries 37
Mean 0.04251
Std Dev 0.7639

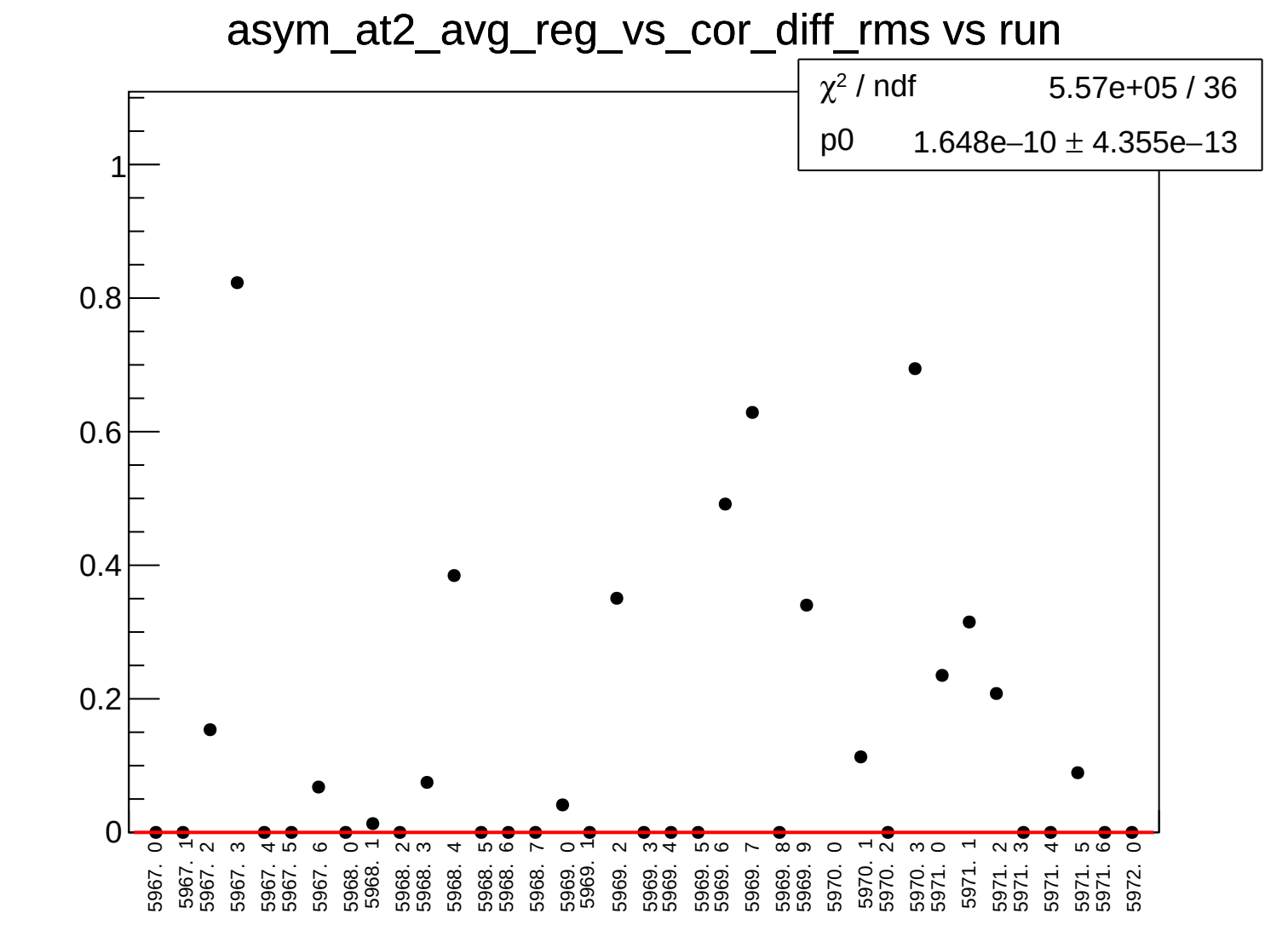
asym_at2_avg_reg_vs_cor_diff_rms vs run
χ² / ndf 5.57e+05 / 36
p0 1.648e−10 ± 4.355e−13
1
0.8
0.6
0.4
0.2
0
5967. 0
5967. 1
5967. 2
5967. 3
5967. 4
5967. 5
5967. 6
5968. 0
5968. 1
5968. 2
5968. 3
5968. 4
5968. 5
5968. 6
5968. 7
5969. 0
5969. 1
5969. 2
5969. 3
5969. 4
5969. 5
5969. 6
5969. 7
5969. 8
5969. 9
5970. 0
5970. 1
5970. 2
5970. 3
5971. 0
5971. 1
5971. 2
5971. 3
5971. 4
5971. 5
5971. 6
5972. 0

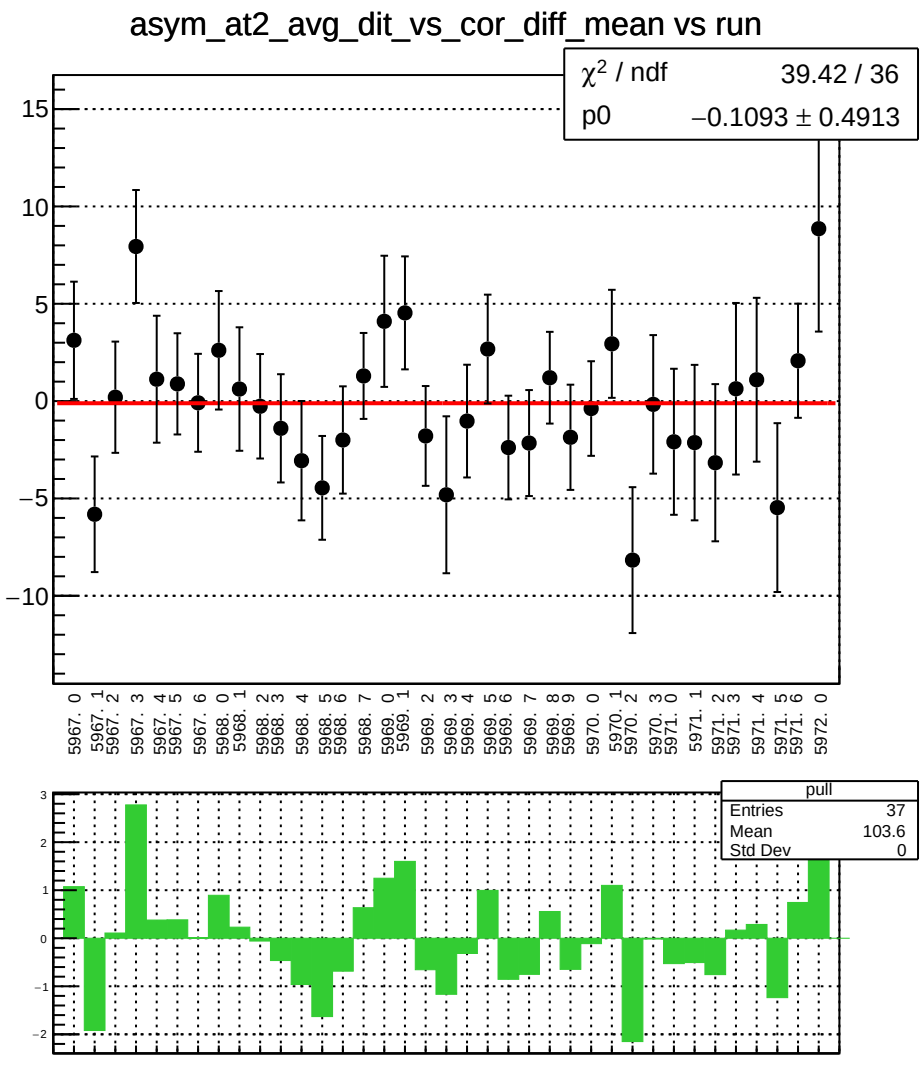
asym_at2_avg_dit_vs_cor_diff_mean vs run
χ² / ndf 39.42 / 36
p0 −0.1093 ± 0.4913
15
10
5
0
−5
−10
5967. 0
5967. 1
5967. 2
5967. 3
5967. 4
5967. 5
5967. 6
5968. 0
5968. 1
5968. 2
5968. 3
5968. 4
5968. 5
5968. 6
5968. 7
5969. 0
5969. 1
5969. 2
5969. 3
5969. 4
5969. 5
5969. 6
5969. 7
5969. 8
5969. 9
5970. 0
5970. 1
5970. 2
5970. 3
5971. 0
5971. 1
5971. 2
5971. 3
5971. 4
5971. 5
5971. 6
5972. 0
pull
Entries 37
Mean 103.6
Std Dev 0
3
2
1
0
−1
−2
pull1D
Entries 37
Mean −0.0144
Std Dev 1.032
8
7
6
5
4
3
2
1
0
−8
−6
−4
−2
0
2
4
6
8

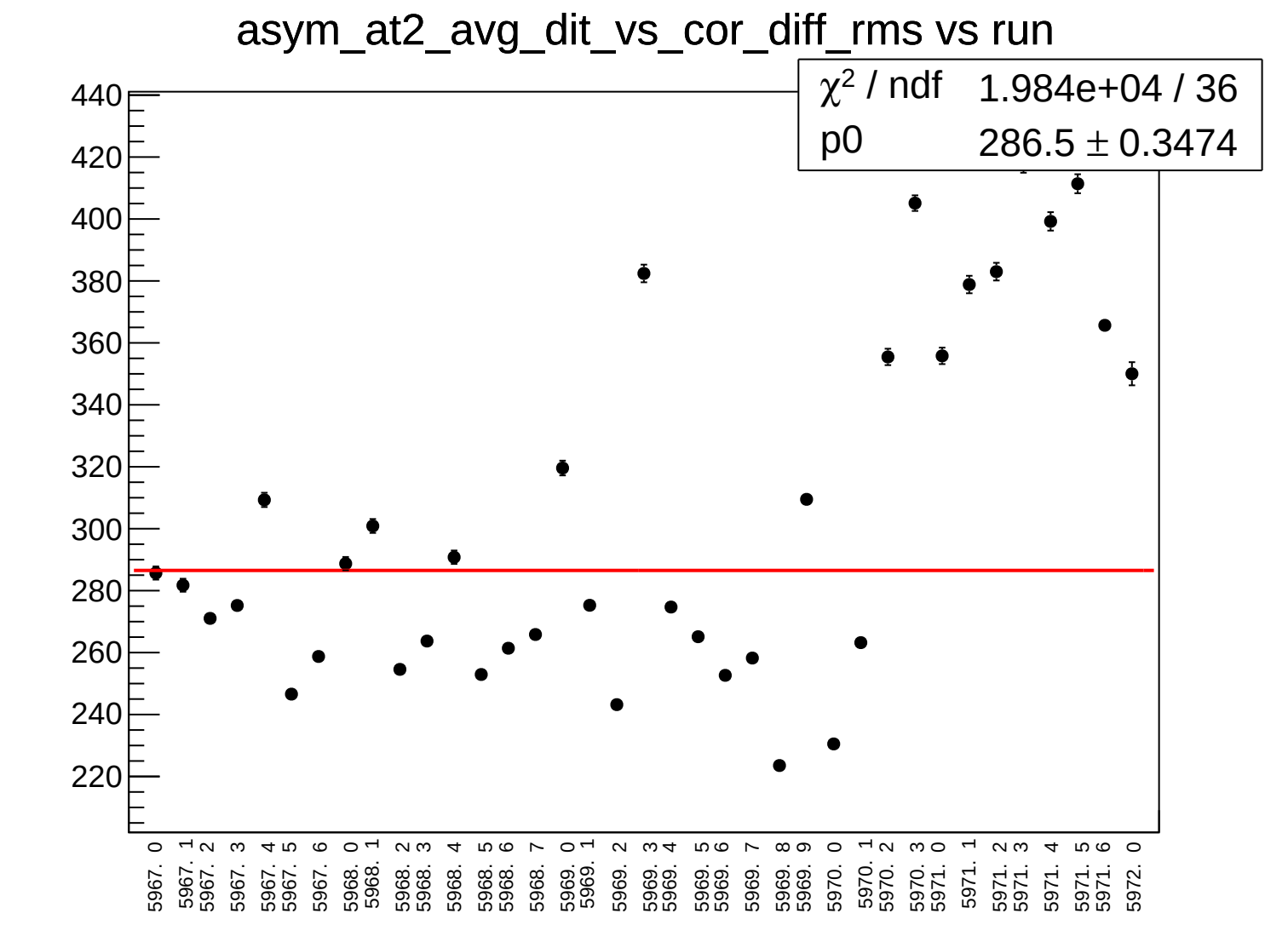
asym_at2_avg_dit_vs_cor_diff_rms vs run
χ² / ndf 1.984e+04 / 36
p0 286.5 ± 0.3474
440
420
400
380
360
340
320
300
280
260
240
220
5967. 0
5967. 1
5967. 2
5967. 3
5967. 4
5967. 5
5967. 6
5968. 0
5968. 1
5968. 2
5968. 3
5968. 4
5968. 5
5968. 6
5968. 7
5969. 0
5969. 1
5969. 2
5969. 3
5969. 4
5969. 5
5969. 6
5969. 7
5969. 8
5969. 9
5970. 0
5970. 1
5970. 2
5970. 3
5971. 0
5971. 1
5971. 2
5971. 3
5971. 4
5971. 5
5971. 6
5972. 0

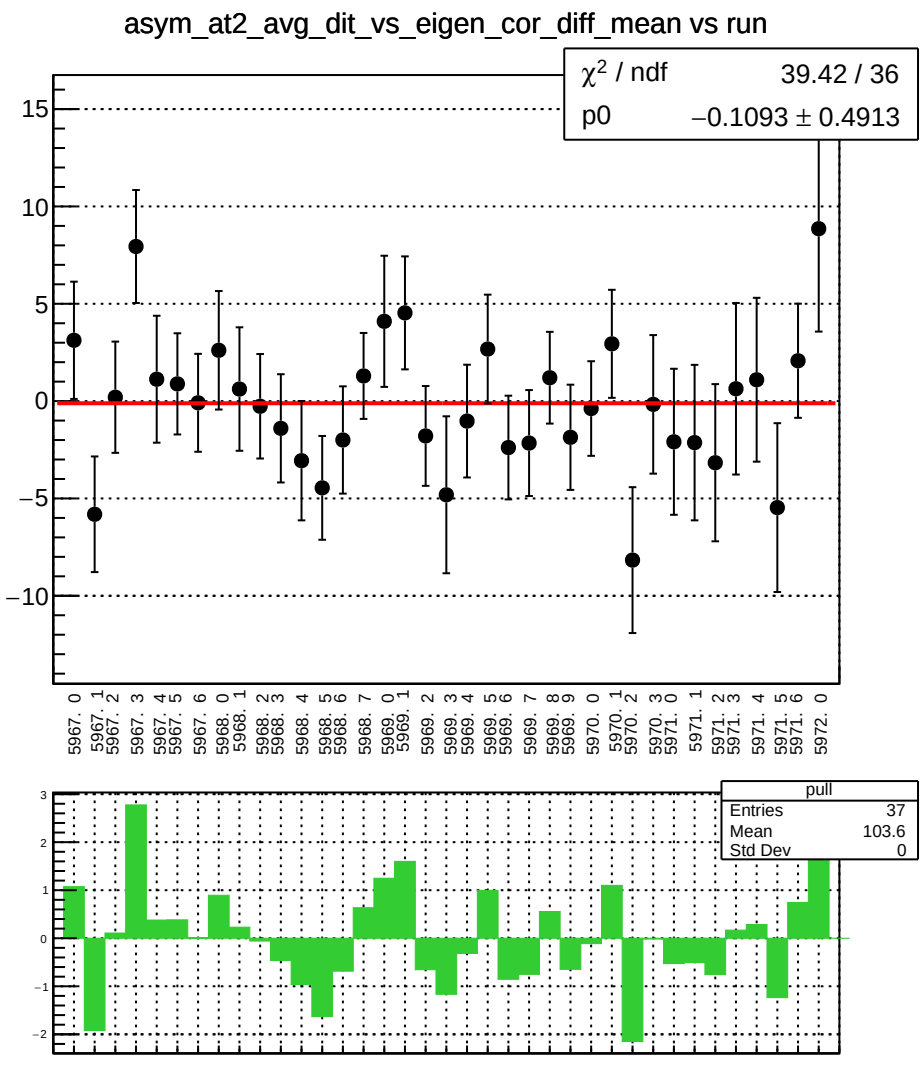
asym_at2_avg_dit_vs_eigen_cor_diff_mean vs run
χ² / ndf 39.42 / 36
p0 −0.1093 ± 0.4913
15
10
5
0
−5
−10
5967. 0
5967. 1
5967. 2
5967. 3
5967. 4
5967. 5
5967. 6
5968. 0
5968. 1
5968. 2
5968. 3
5968. 4
5968. 5
5968. 6
5968. 7
5969. 0
5969. 1
5969. 2
5969. 3
5969. 4
5969. 5
5969. 6
5969. 7
5969. 8
5969. 9
5970. 0
5970. 1
5970. 2
5970. 3
5971. 0
5971. 1
5971. 2
5971. 3
5971. 4
5971. 5
5971. 6
5972. 0
pull
Entries 37
Mean 103.6
Std Dev 0
3
2
1
0
−1
−2

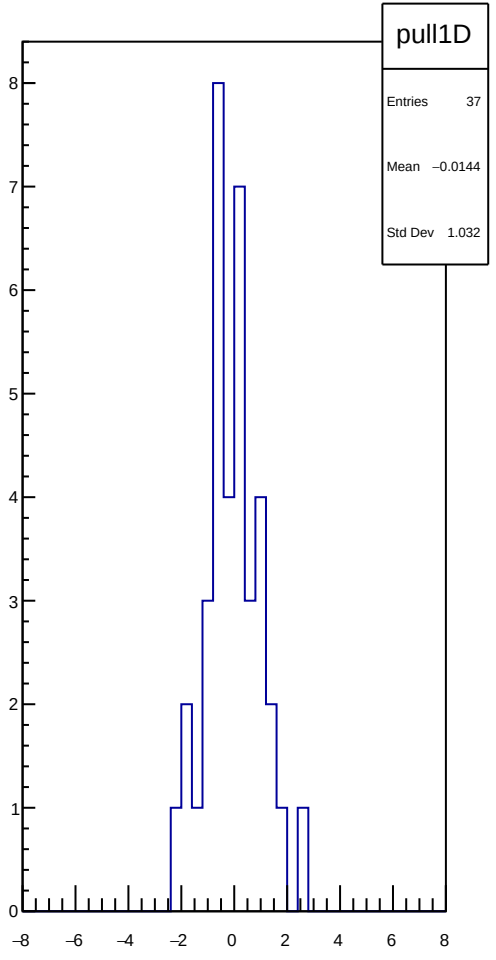
pull1D
Entries 37
Mean −0.0144
Std Dev 1.032
8
7
6
5
4
3
2
1
0
−8
−6
−4
−2
0
2
4
6
8

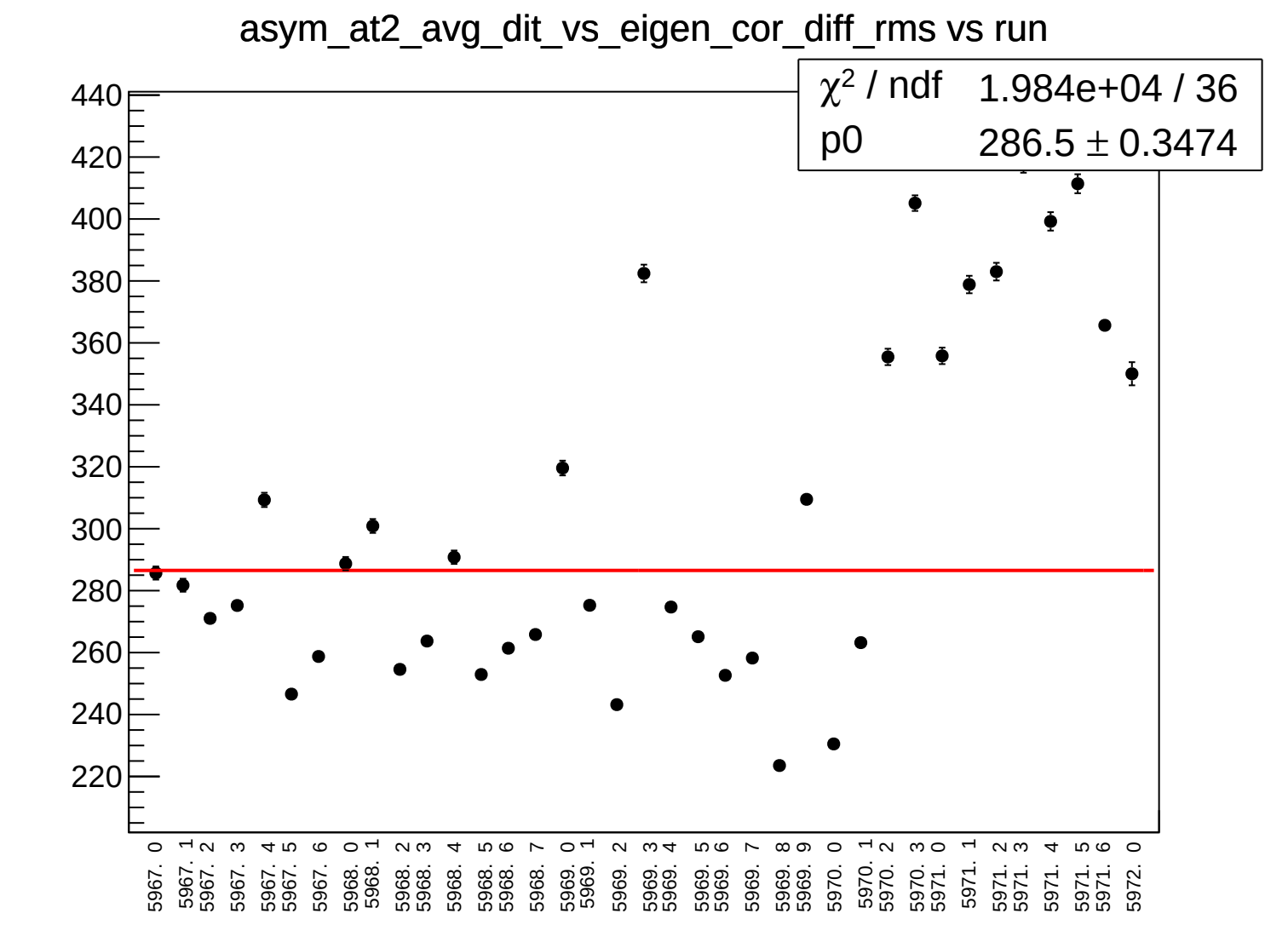
asym_at2_avg_dit_vs_eigen_cor_diff_rms vs run
χ² / ndf 1.984e+04 / 36
p0 286.5 ± 0.3474
440
420
400
380
360
340
320
300
280
260
240
220
5967. 0
5967. 1
5967. 2
5967. 3
5967. 4
5967. 5
5967. 6
5968. 0
5968. 1
5968. 2
5968. 3
5968. 4
5968. 5
5968. 6
5968. 7
5969. 0
5969. 1
5969. 2
5969. 3
5969. 4
5969. 5
5969. 6
5969. 7
5969. 8
5969. 9
5970. 0
5970. 1
5970. 2
5970. 3
5971. 0
5971. 1
5971. 2
5971. 3
5971. 4
5971. 5
5971. 6
5972. 0

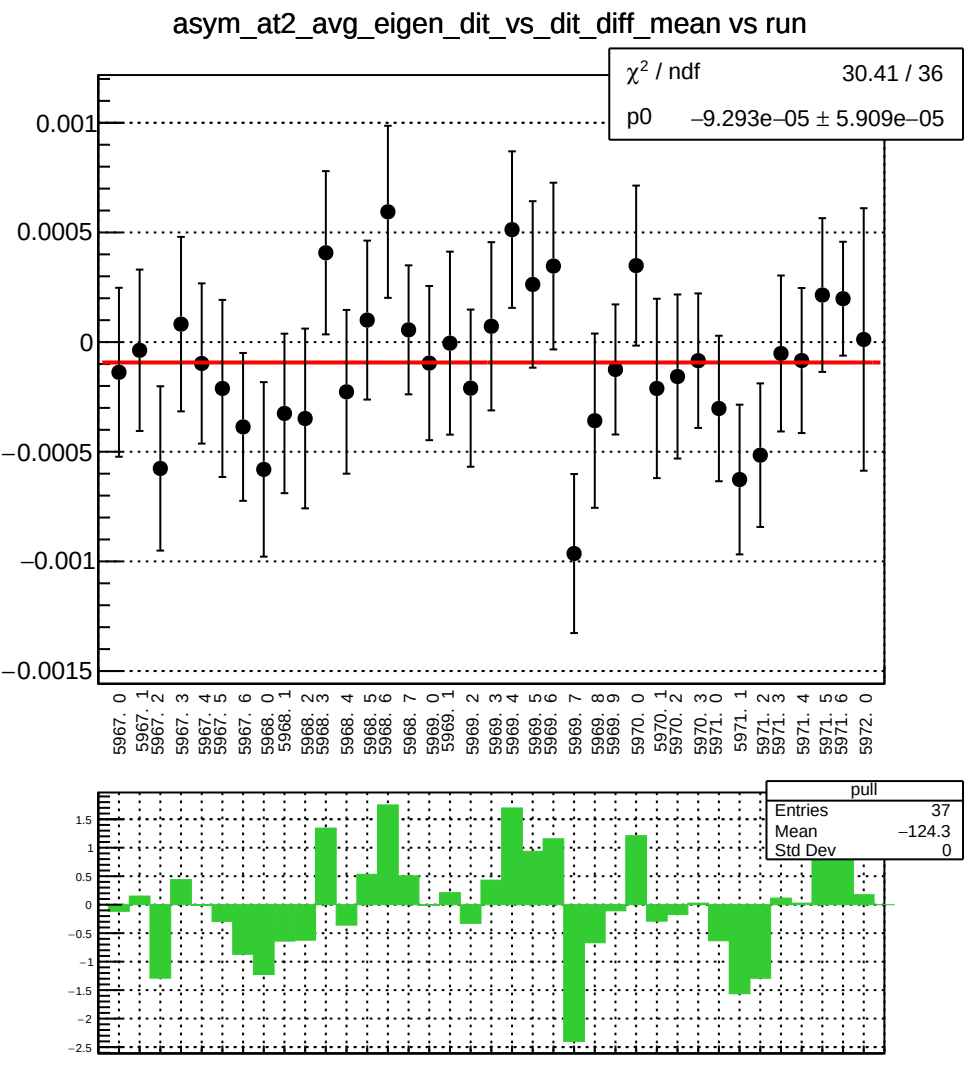
asym_at2_avg_eigen_dit_vs_dit_diff_mean vs run
χ² / ndf 30.41 / 36
p0 −9.293e−05 ± 5.909e−05
0.001
0.0005
0
−0.0005
−0.001
−0.0015
5967. 0
5967. 1
5967. 2
5967. 3
5967. 4
5967. 5
5967. 6
5968. 0
5968. 1
5968. 2
5968. 3
5968. 4
5968. 5
5968. 6
5968. 7
5969. 0
5969. 1
5969. 2
5969. 3
5969. 4
5969. 5
5969. 6
5969. 7
5969. 8
5969. 9
5970. 0
5970. 1
5970. 2
5970. 3
5971. 0
5971. 1
5971. 2
5971. 3
5971. 4
5971. 5
5971. 6
5972. 0
pull
Entries 37
Mean −124.3
Std Dev 0
1.5
1
0.5
0
−0.5
−1
−1.5
−2
−2.5

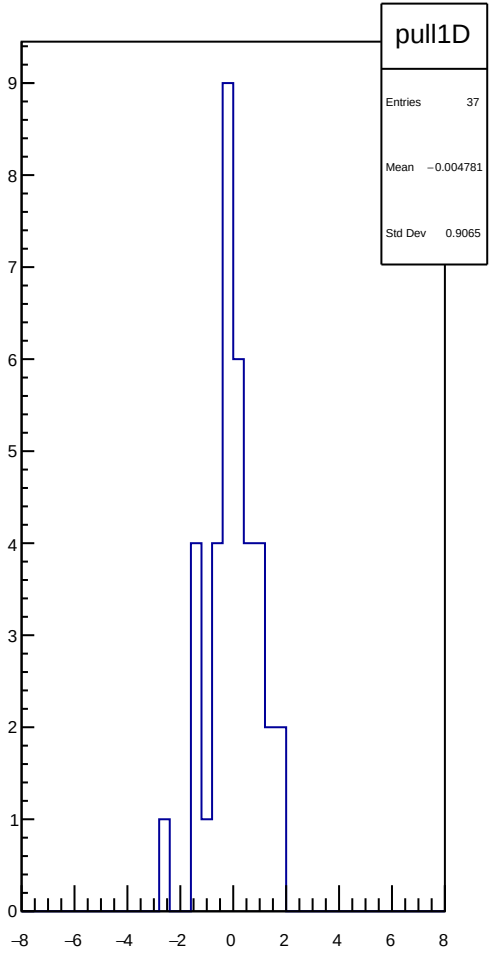
pull1D
Entries 37
Mean −0.004781
Std Dev 0.9065
9
8
7
6
5
4
3
2
1
0
−8
−6
−4
−2
0
2
4
6
8

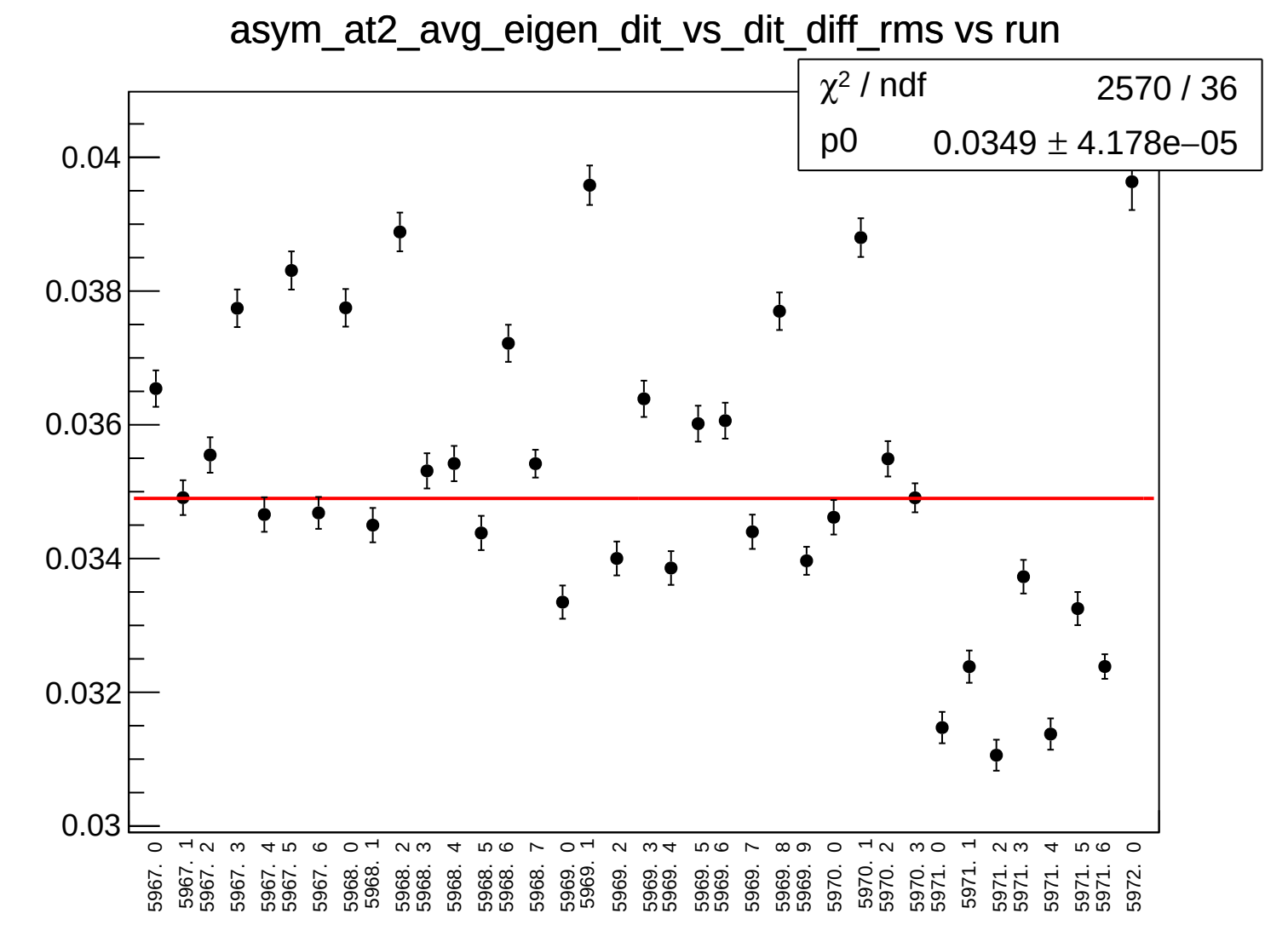
asym_at2_avg_eigen_dit_vs_dit_diff_rms vs run
χ² / ndf 2570 / 36
p0 0.0349 ± 4.178e−05
0.04
0.038
0.036
0.034
0.032
0.03
5967. 0
5967. 1
5967. 2
5967. 3
5967. 4
5967. 5
5967. 6
5968. 0
5968. 1
5968. 2
5968. 3
5968. 4
5968. 5
5968. 6
5968. 7
5969. 0
5969. 1
5969. 2
5969. 3
5969. 4
5969. 5
5969. 6
5969. 7
5969. 8
5969. 9
5970. 0
5970. 1
5970. 2
5970. 3
5971. 0
5971. 1
5971. 2
5971. 3
5971. 4
5971. 5
5971. 6
5972. 0

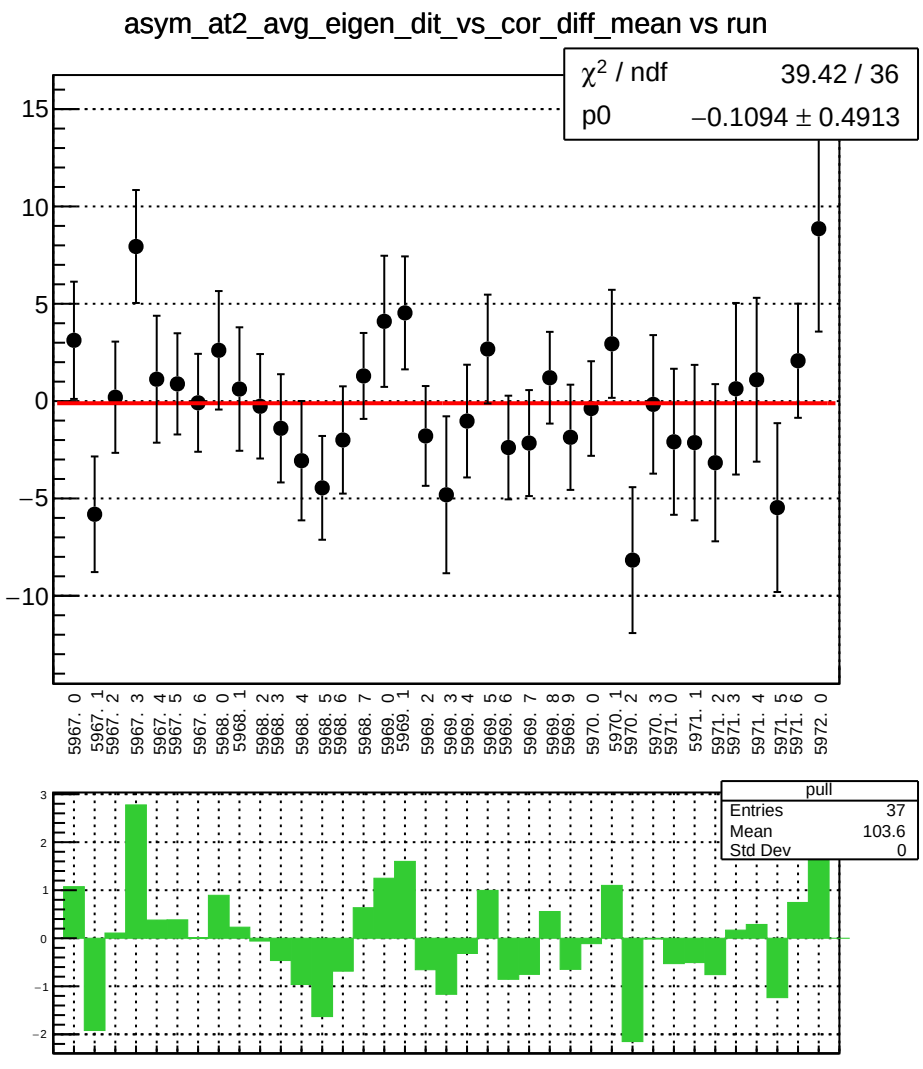
asym_at2_avg_eigen_dit_vs_cor_diff_mean vs run
χ² / ndf 39.42 / 36
p0 −0.1094 ± 0.4913
15
10
5
0
−5
−10
5967. 0
5967. 1
5967. 2
5967. 3
5967. 4
5967. 5
5967. 6
5968. 0
5968. 1
5968. 2
5968. 3
5968. 4
5968. 5
5968. 6
5968. 7
5969. 0
5969. 1
5969. 2
5969. 3
5969. 4
5969. 5
5969. 6
5969. 7
5969. 8
5969. 9
5970. 0
5970. 1
5970. 2
5970. 3
5971. 0
5971. 1
5971. 2
5971. 3
5971. 4
5971. 5
5971. 6
5972. 0
pull
Entries 37
Mean 103.6
Std Dev 0
3
2
1
0
−1
−2
pull1D
Entries 37
Mean −0.01441
Std Dev 1.032
8
7
6
5
4
3
2
1
0
−8
−6
−4
−2
0
2
4
6
8

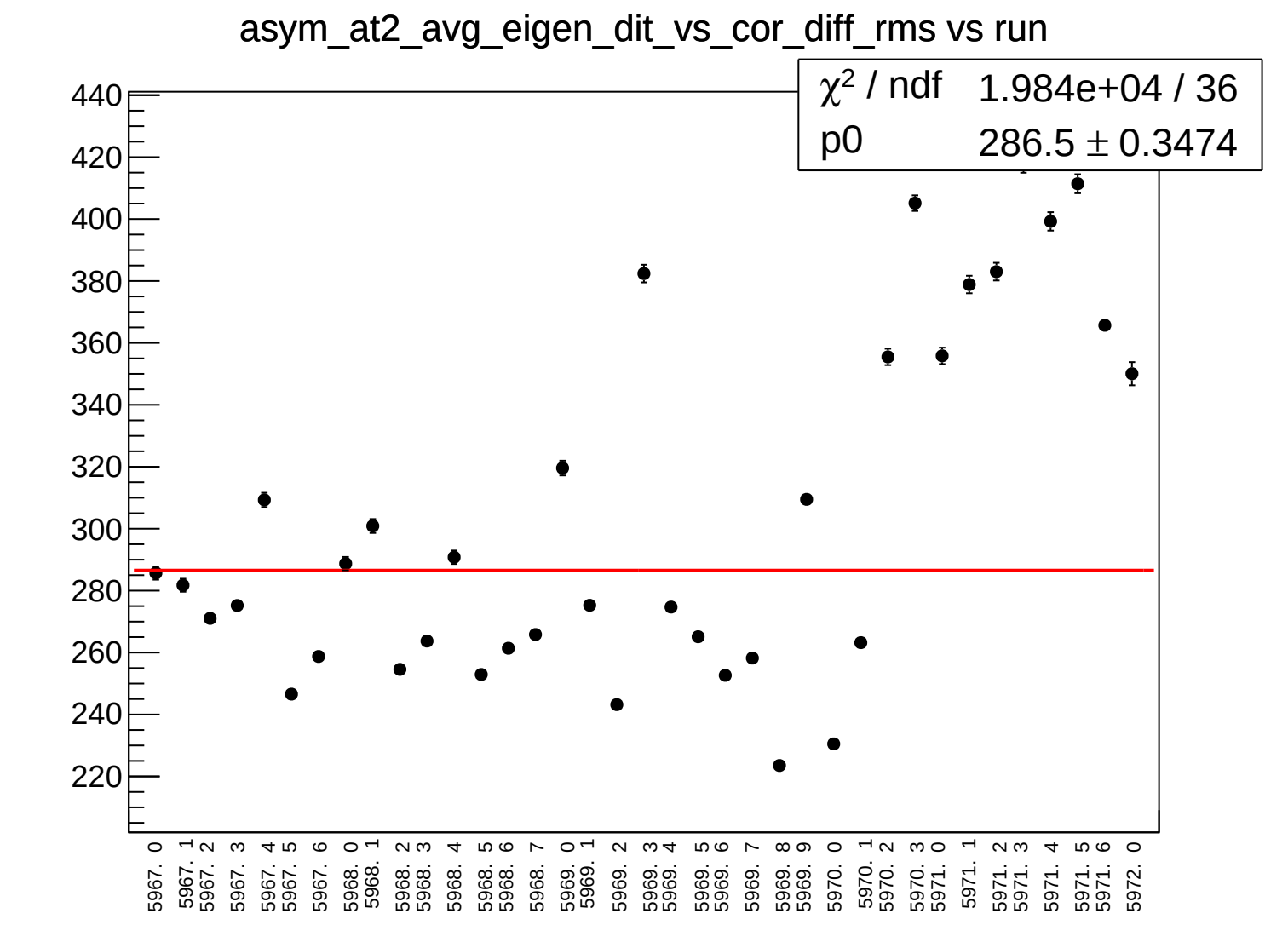
asym_at2_avg_eigen_dit_vs_cor_diff_rms vs run
χ² / ndf 1.984e+04 / 36
p0 286.5 ± 0.3474
440
420
400
380
360
340
320
300
280
260
240
220
5967. 0
5967. 1
5967. 2
5967. 3
5967. 4
5967. 5
5967. 6
5968. 0
5968. 1
5968. 2
5968. 3
5968. 4
5968. 5
5968. 6
5968. 7
5969. 0
5969. 1
5969. 2
5969. 3
5969. 4
5969. 5
5969. 6
5969. 7
5969. 8
5969. 9
5970. 0
5970. 1
5970. 2
5970. 3
5971. 0
5971. 1
5971. 2
5971. 3
5971. 4
5971. 5
5971. 6
5972. 0

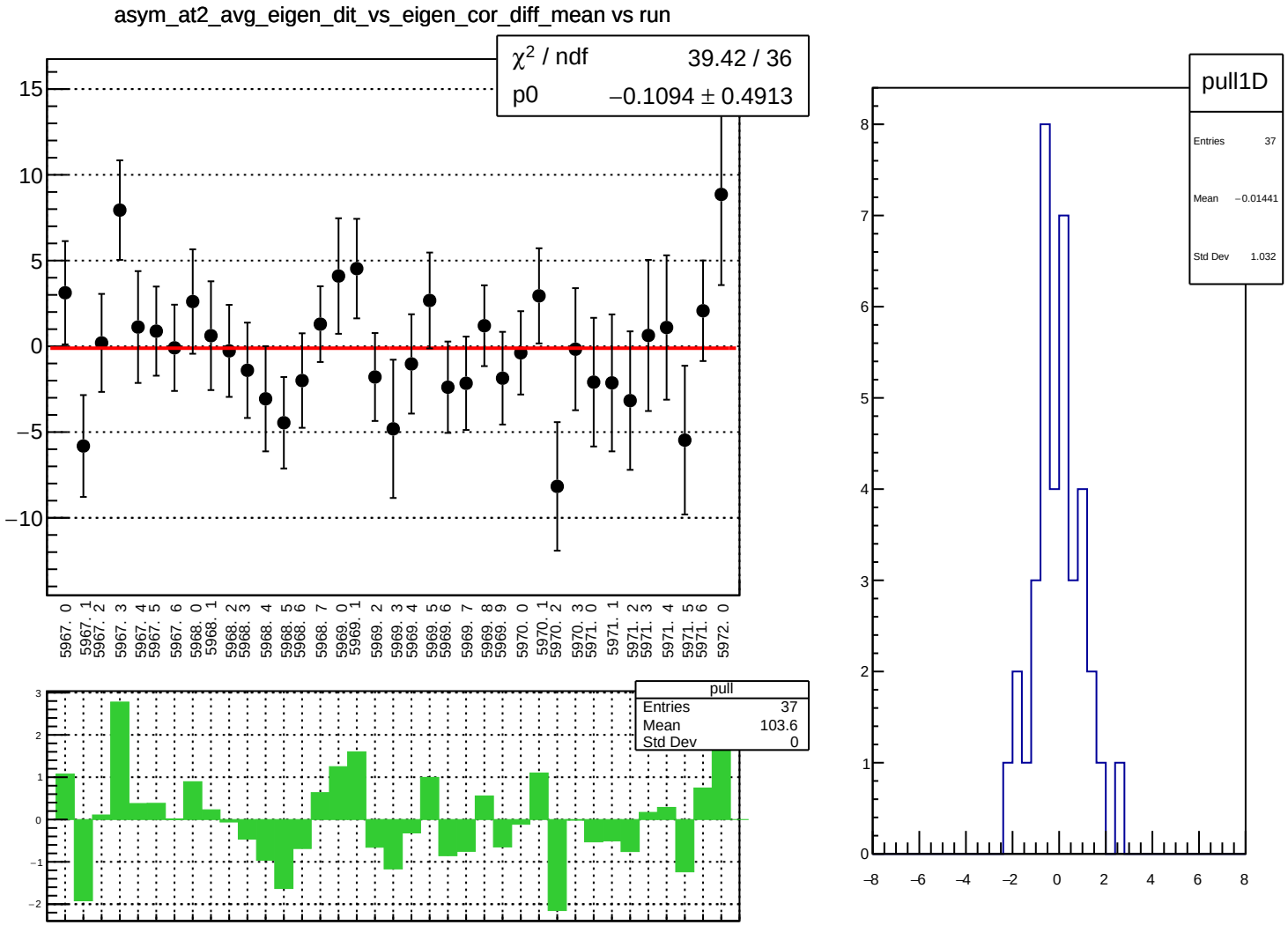
asym_at2_avg_eigen_dit_vs_eigen_cor_diff_mean vs run
χ² / ndf 39.42 / 36
p0 −0.1094 ± 0.4913
15
10
5
0
−5
−10
5967. 0
5967. 1
5967. 2
5967. 3
5967. 4
5967. 5
5967. 6
5968. 0
5968. 1
5968. 2
5968. 3
5968. 4
5968. 5
5968. 6
5968. 7
5969. 0
5969. 1
5969. 2
5969. 3
5969. 4
5969. 5
5969. 6
5969. 7
5969. 8
5969. 9
5970. 0
5970. 1
5970. 2
5970. 3
5971. 0
5971. 1
5971. 2
5971. 3
5971. 4
5971. 5
5971. 6
5972. 0
pull
Entries 37
Mean 103.6
Std Dev 0
3
2
1
0
−1
−2
pull1D
Entries 37
Mean −0.01441
Std Dev 1.032
8
7
6
5
4
3
2
1
0
−8
−6
−4
−2
0
2
4
6
8

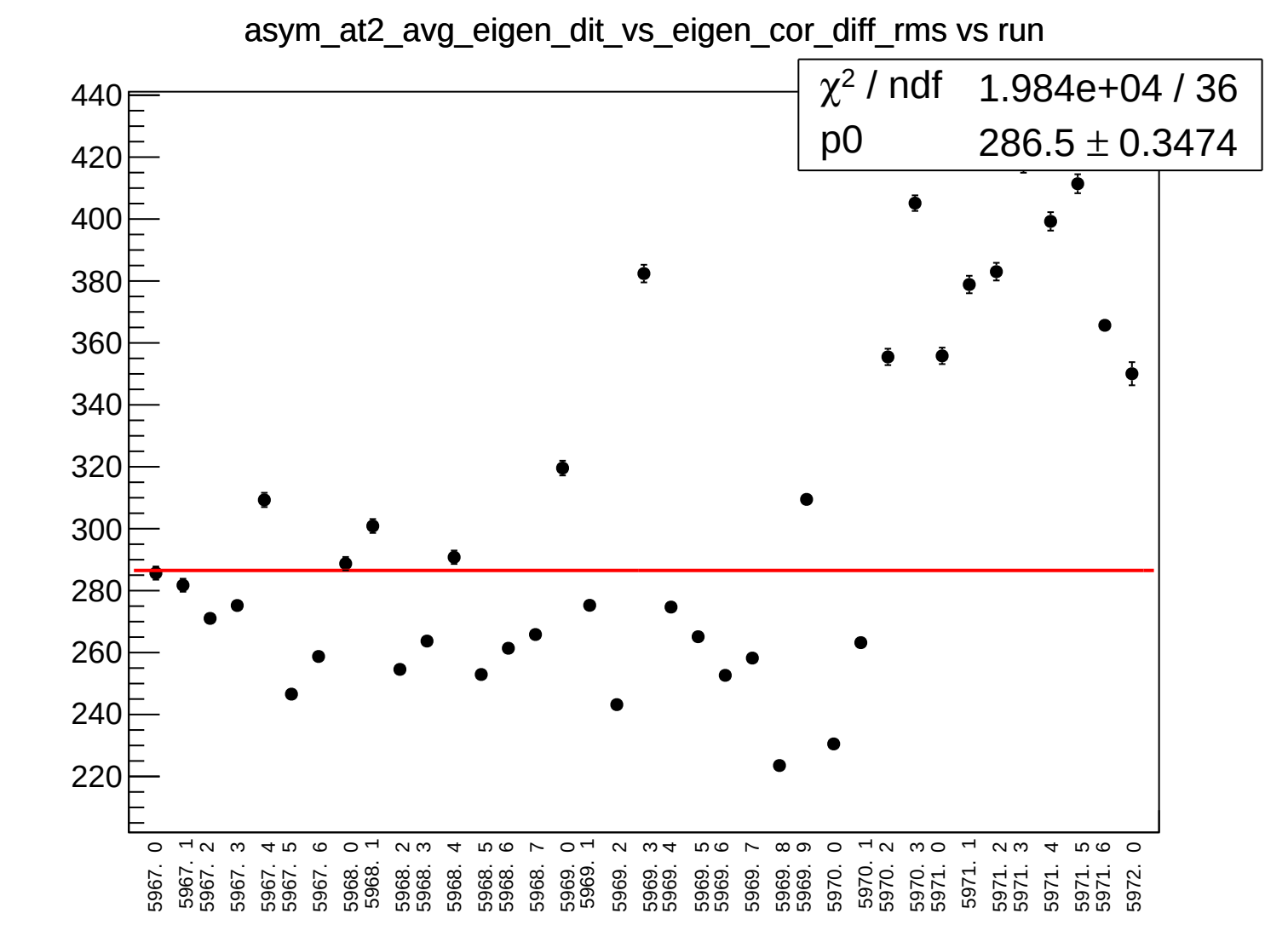
asym_at2_avg_eigen_dit_vs_eigen_cor_diff_rms vs run
χ² / ndf 1.984e+04 / 36
p0 286.5 ± 0.3474
440
420
400
380
360
340
320
300
280
260
240
220
5967. 0
5967. 1
5967. 2
5967. 3
5967. 4
5967. 5
5967. 6
5968. 0
5968. 1
5968. 2
5968. 3
5968. 4
5968. 5
5968. 6
5968. 7
5969. 0
5969. 1
5969. 2
5969. 3
5969. 4
5969. 5
5969. 6
5969. 7
5969. 8
5969. 9
5970. 0
5970. 1
5970. 2
5970. 3
5971. 0
5971. 1
5971. 2
5971. 3
5971. 4
5971. 5
5971. 6
5972. 0

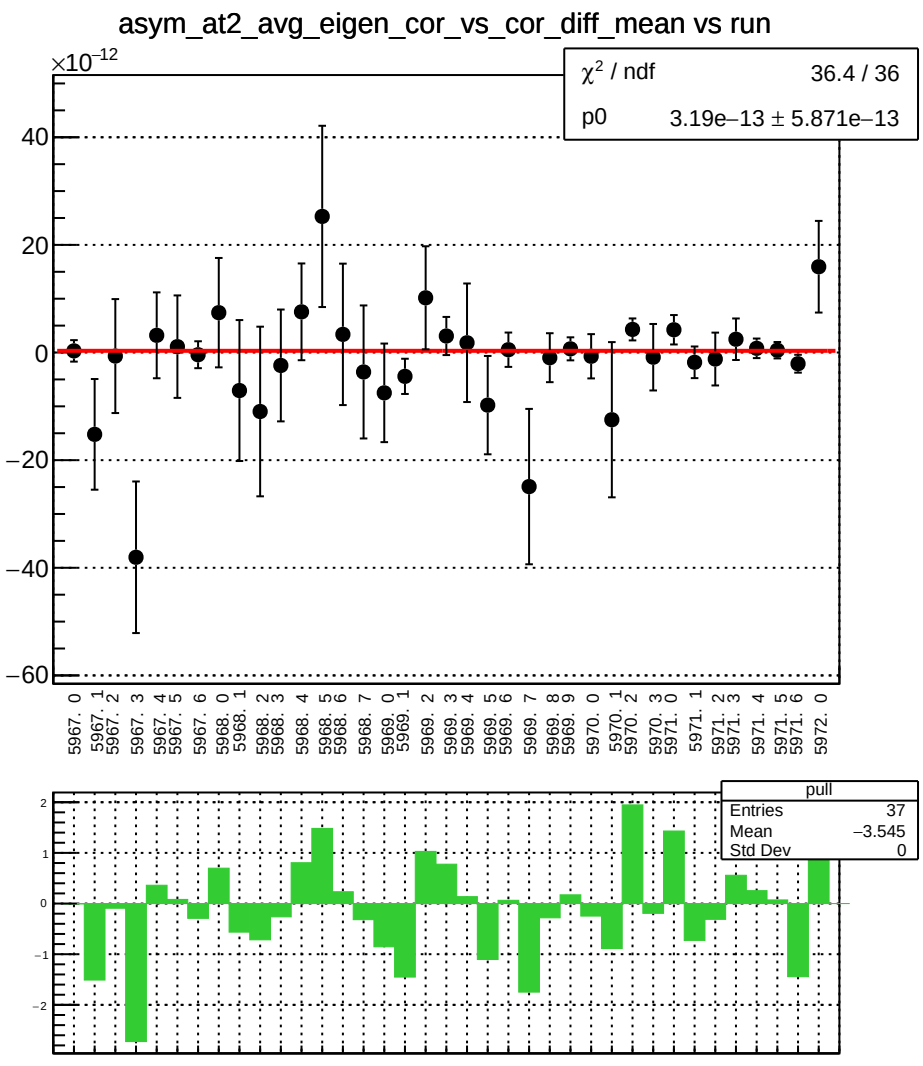
asym_at2_avg_eigen_cor_vs_cor_diff_mean vs run
×10⁻¹²
χ² / ndf 36.4 / 36
p0 3.19e−13 ± 5.871e−13
40
20
0
−20
−40
−60
5967. 0
5967. 1
5967. 2
5967. 3
5967. 4
5967. 5
5967. 6
5968. 0
5968. 1
5968. 2
5968. 3
5968. 4
5968. 5
5968. 6
5968. 7
5969. 0
5969. 1
5969. 2
5969. 3
5969. 4
5969. 5
5969. 6
5969. 7
5969. 8
5969. 9
5970. 0
5970. 1
5970. 2
5970. 3
5971. 0
5971. 1
5971. 2
5971. 3
5971. 4
5971. 5
5971. 6
5972. 0
pull
Entries 37
Mean −3.545
Std Dev 0
2
1
0
−1
−2

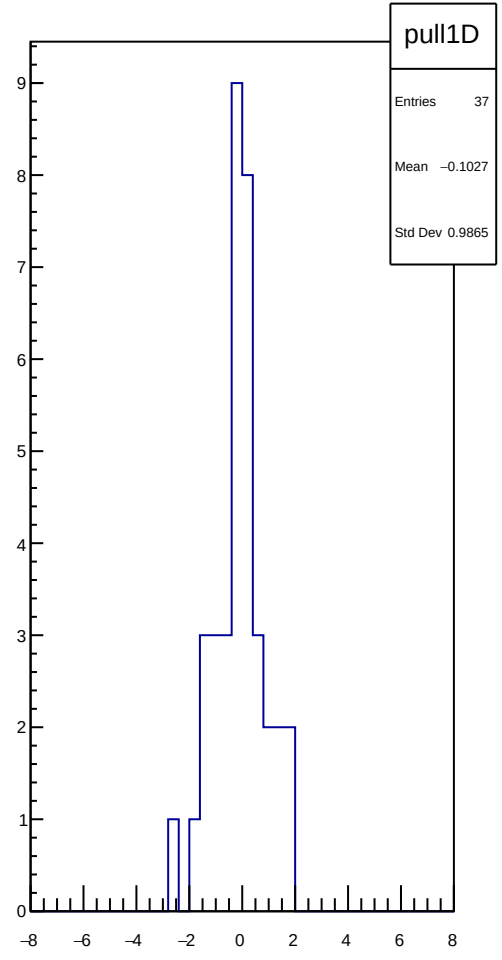
pull1D
Entries 37
Mean −0.1027
Std Dev 0.9865
9
8
7
6
5
4
3
2
1
0
−8
−6
−4
−2
0
2
4
6
8

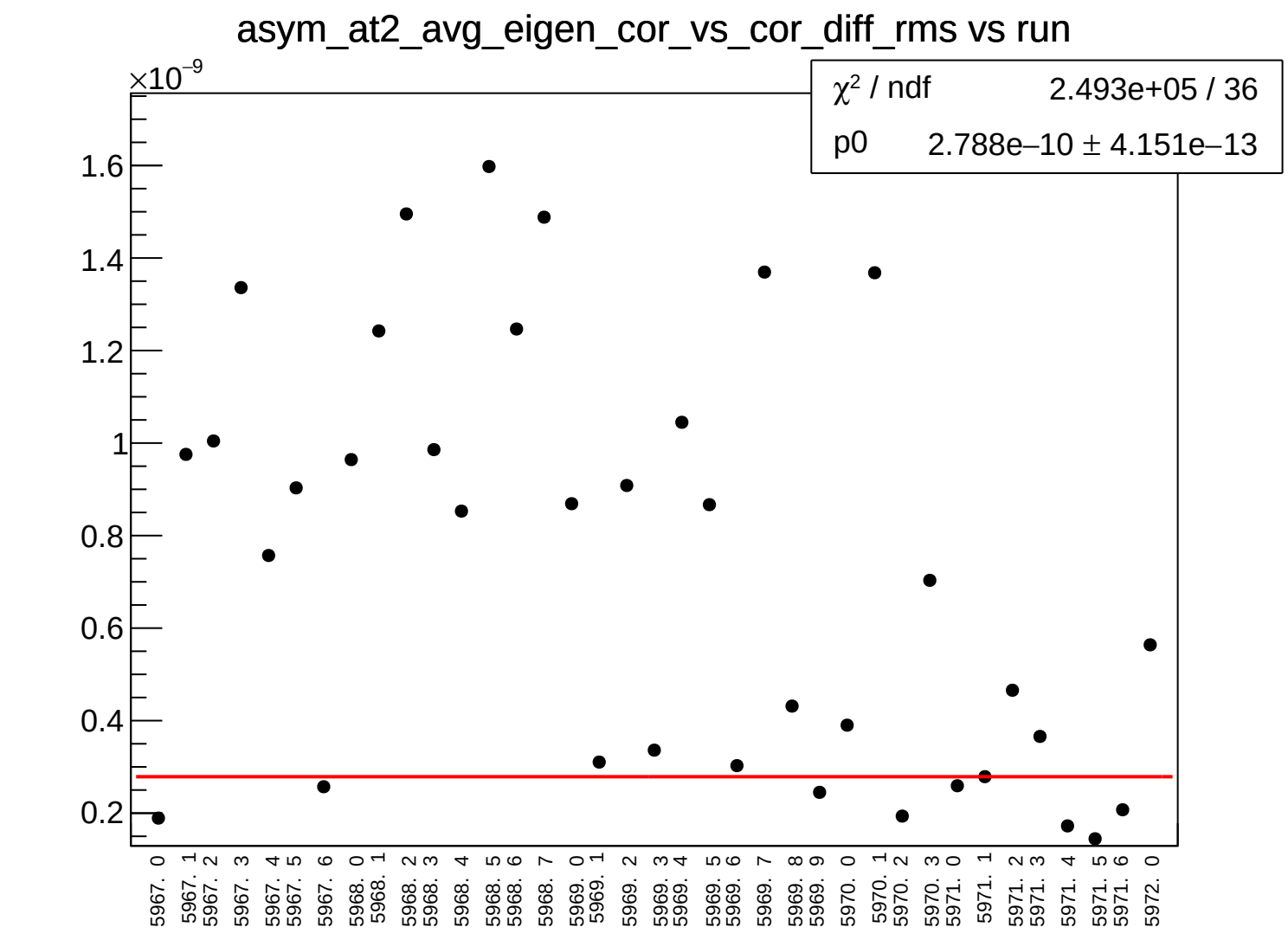
asym_at2_avg_eigen_cor_vs_cor_diff_rms vs run
×10⁻⁹
χ² / ndf 2.493e+05 / 36
p0 2.788e−10 ± 4.151e−13
1.6
1.4
1.2
1
0.8
0.6
0.4
0.2
5967. 0
5967. 1
5967. 2
5967. 3
5967. 4
5967. 5
5967. 6
5968. 0
5968. 1
5968. 2
5968. 3
5968. 4
5968. 5
5968. 6
5968. 7
5969. 0
5969. 1
5969. 2
5969. 3
5969. 4
5969. 5
5969. 6
5969. 7
5969. 8
5969. 9
5970. 0
5970. 1
5970. 2
5970. 3
5971. 0
5971. 1
5971. 2
5971. 3
5971. 4
5971. 5
5971. 6
5972. 0

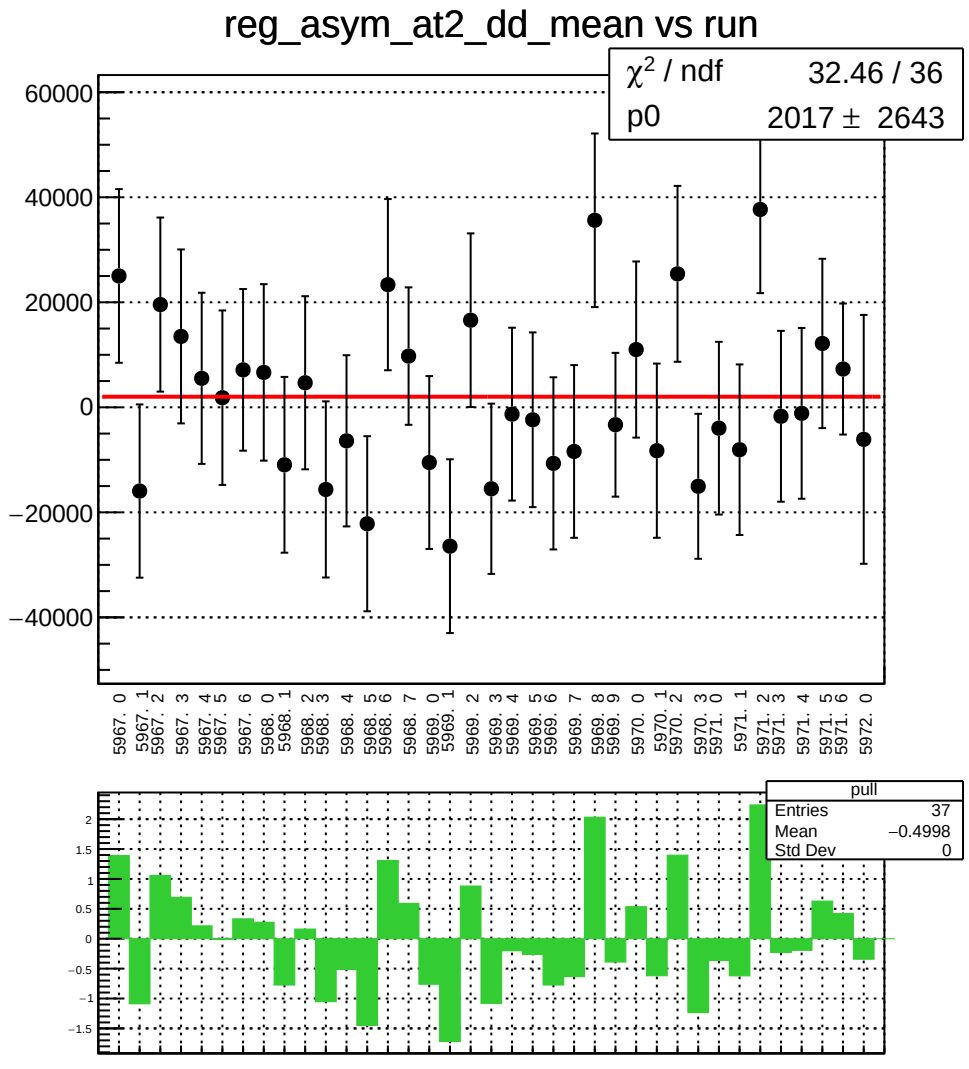
reg_asym_at2_dd_mean vs run
χ^2 / ndf 32.46 / 36
p0 2017 ± 2643
60000
40000
20000
0
−20000
−40000
5967. 0
5967. 1
5967. 2
5967. 3
5967. 4
5967. 5
5967. 6
5968. 0
5968. 1
5968. 2
5968. 3
5968. 4
5968. 5
5968. 6
5968. 7
5969. 0
5969. 1
5969. 2
5969. 3
5969. 4
5969. 5
5969. 6
5969. 7
5969. 8
5969. 9
5970. 0
5970. 1
5970. 2
5970. 3
5971. 0
5971. 1
5971. 2
5971. 3
5971. 4
5971. 5
5971. 6
5972. 0
pull
Entries 37
Mean −0.4998
Std Dev 0
2
1.5
1
0.5
0
−0.5
−1
−1.5

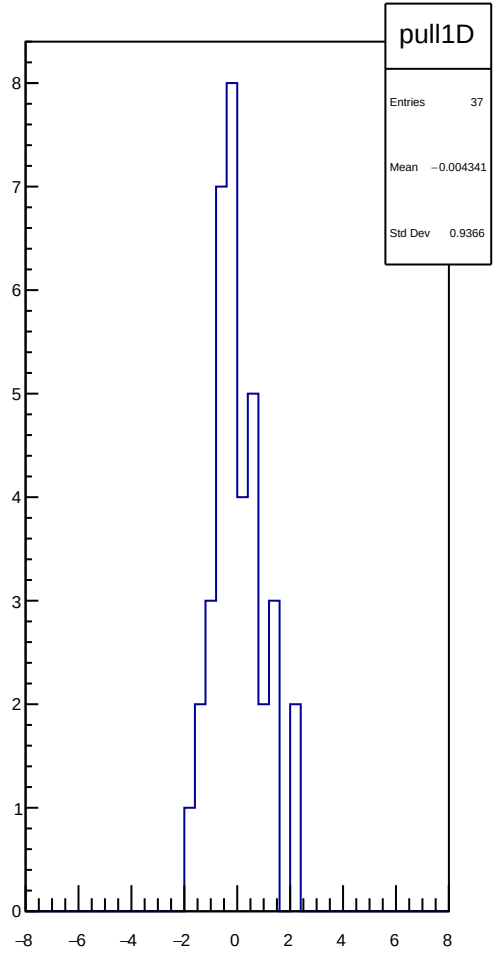
pull1D
Entries 37
Mean −0.004341
Std Dev 0.9366
8
7
6
5
4
3
2
1
0
−8
−6
−4
−2
0
2
4
6
8

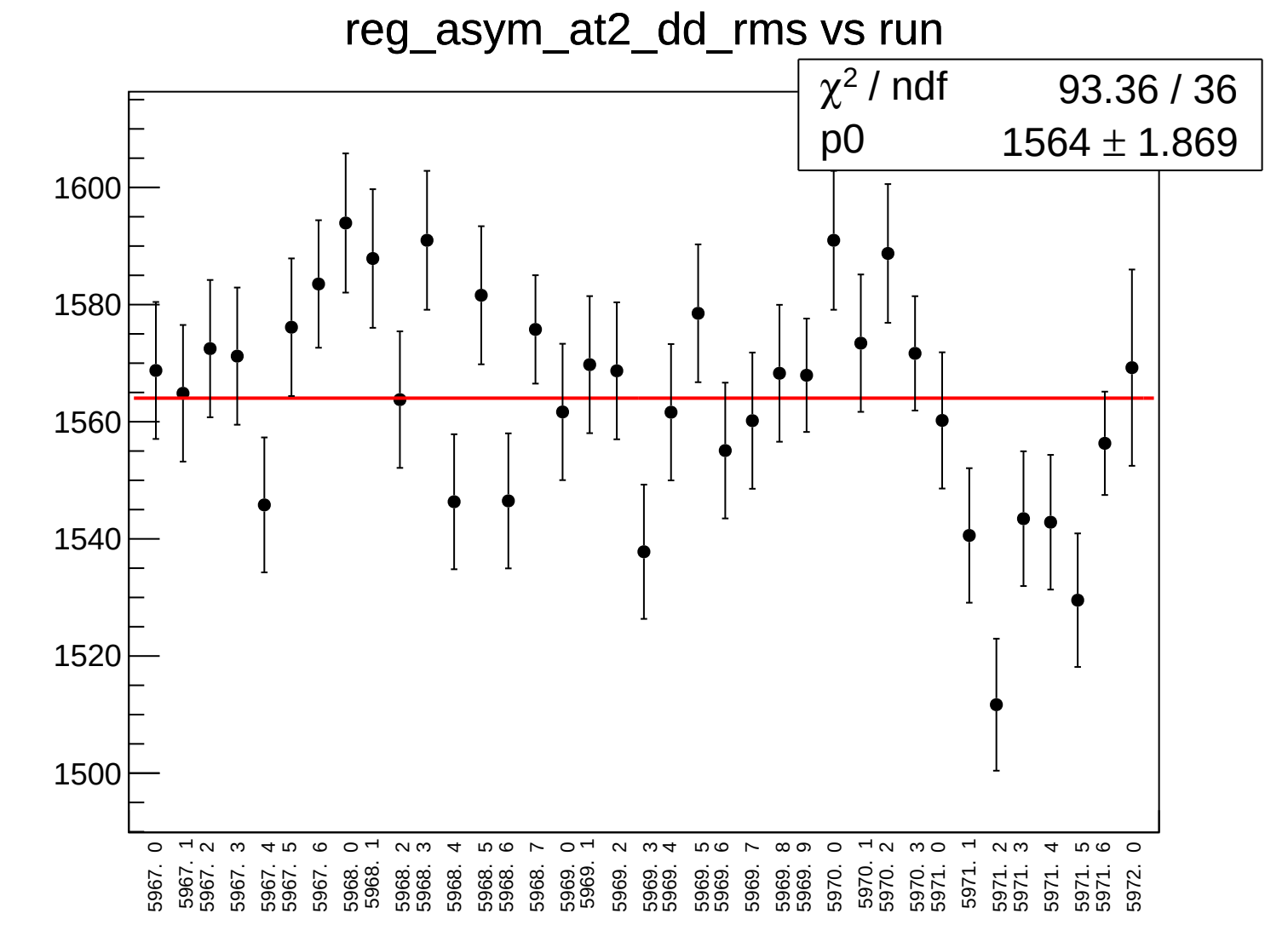
reg_asym_at2_dd_rms vs run
χ^2 / ndf 93.36 / 36
p0 1564 ± 1.869
1600
1580
1560
1540
1520
1500
5967. 0
5967. 1
5967. 2
5967. 3
5967. 4
5967. 5
5967. 6
5968. 0
5968. 1
5968. 2
5968. 3
5968. 4
5968. 5
5968. 6
5968. 7
5969. 0
5969. 1
5969. 2
5969. 3
5969. 4
5969. 5
5969. 6
5969. 7
5969. 8
5969. 9
5970. 0
5970. 1
5970. 2
5970. 3
5971. 0
5971. 1
5971. 2
5971. 3
5971. 4
5971. 5
5971. 6
5972. 0

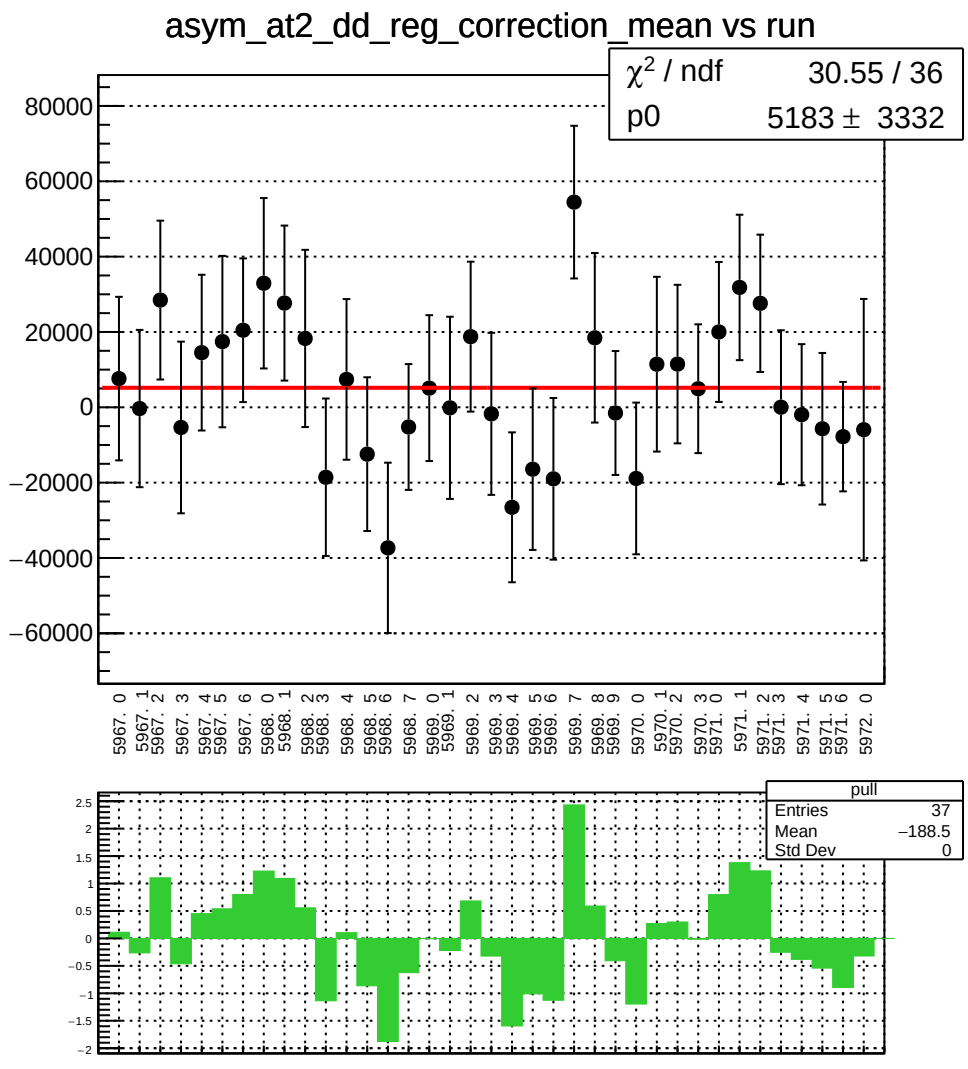
asym_at2_dd_reg_correction_mean vs run
χ² / ndf 30.55 / 36
p0 5183 ± 3332
80000
60000
40000
20000
0
−20000
−40000
−60000
5967. 0
5967. 1
5967. 2
5967. 3
5967. 4
5967. 5
5967. 6
5968. 0
5968. 1
5968. 2
5968. 3
5968. 4
5968. 5
5968. 6
5968. 7
5969. 0
5969. 1
5969. 2
5969. 3
5969. 4
5969. 5
5969. 6
5969. 7
5969. 8
5969. 9
5970. 0
5970. 1
5970. 2
5970. 3
5971. 0
5971. 1
5971. 2
5971. 3
5971. 4
5971. 5
5971. 6
5972. 0
pull
Entries 37
Mean −188.5
Std Dev 0
2.5
2
1.5
1
0.5
0
−0.5
−1
−1.5
−2

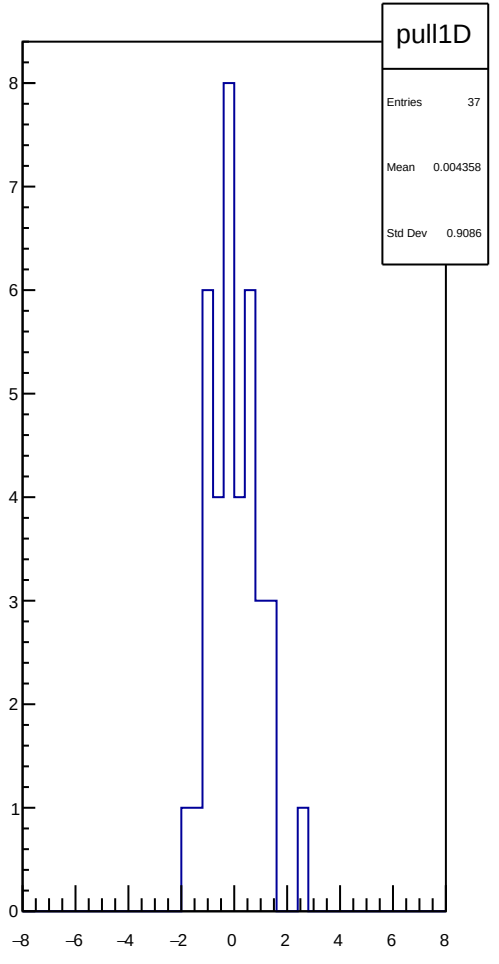
pull1D
Entries 37
Mean 0.004358
Std Dev 0.9086
8
7
6
5
4
3
2
1
0
−8
−6
−4
−2
0
2
4
6
8

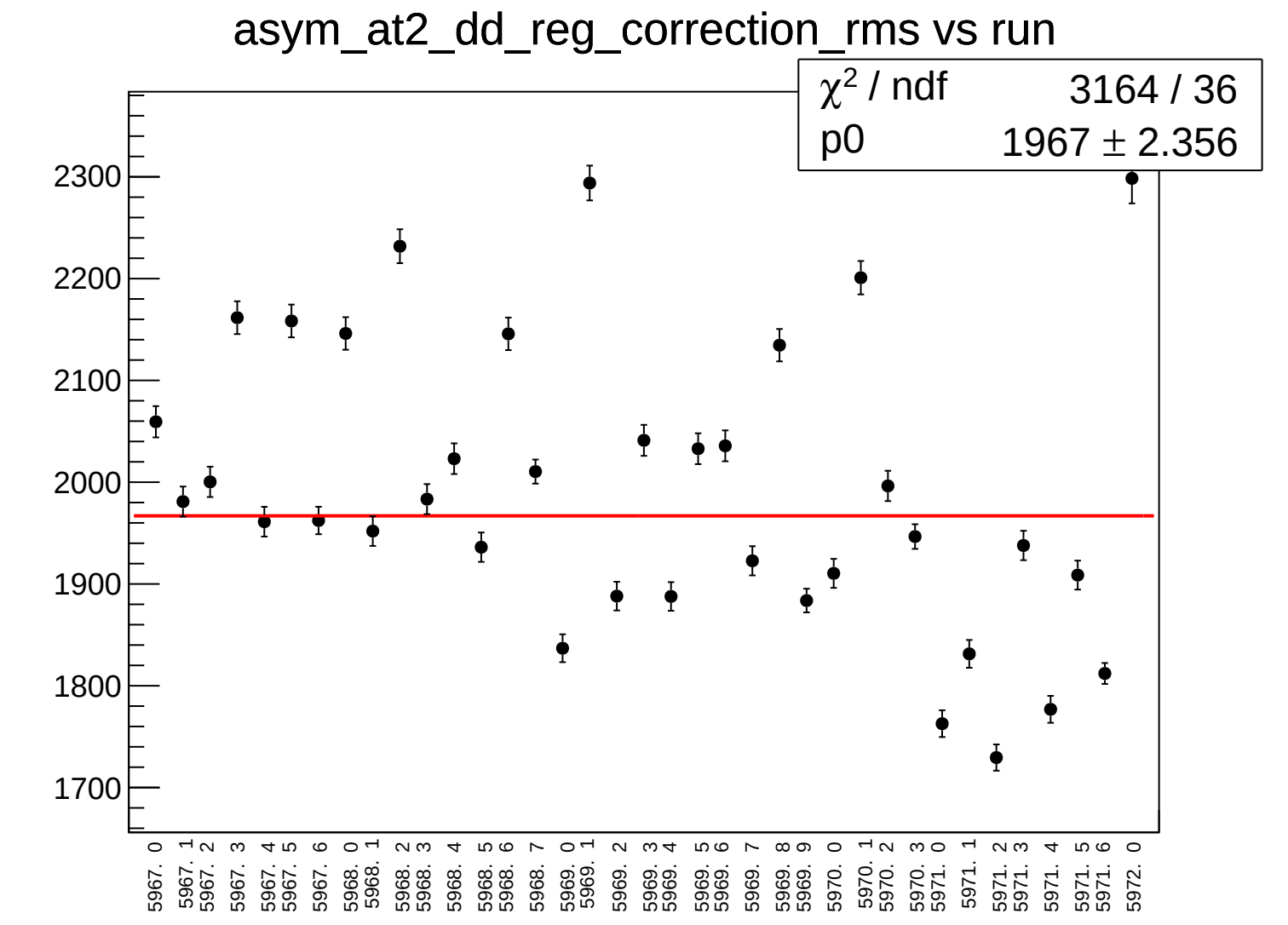
asym_at2_dd_reg_correction_rms vs run
χ² / ndf 3164 / 36
p0 1967 ± 2.356
2300
2200
2100
2000
1900
1800
1700
5967. 0
5967. 1
5967. 2
5967. 3
5967. 4
5967. 5
5967. 6
5968. 0
5968. 1
5968. 2
5968. 3
5968. 4
5968. 5
5968. 6
5968. 7
5969. 0
5969. 1
5969. 2
5969. 3
5969. 4
5969. 5
5969. 6
5969. 7
5969. 8
5969. 9
5970. 0
5970. 1
5970. 2
5970. 3
5971. 0
5971. 1
5971. 2
5971. 3
5971. 4
5971. 5
5971. 6
5972. 0

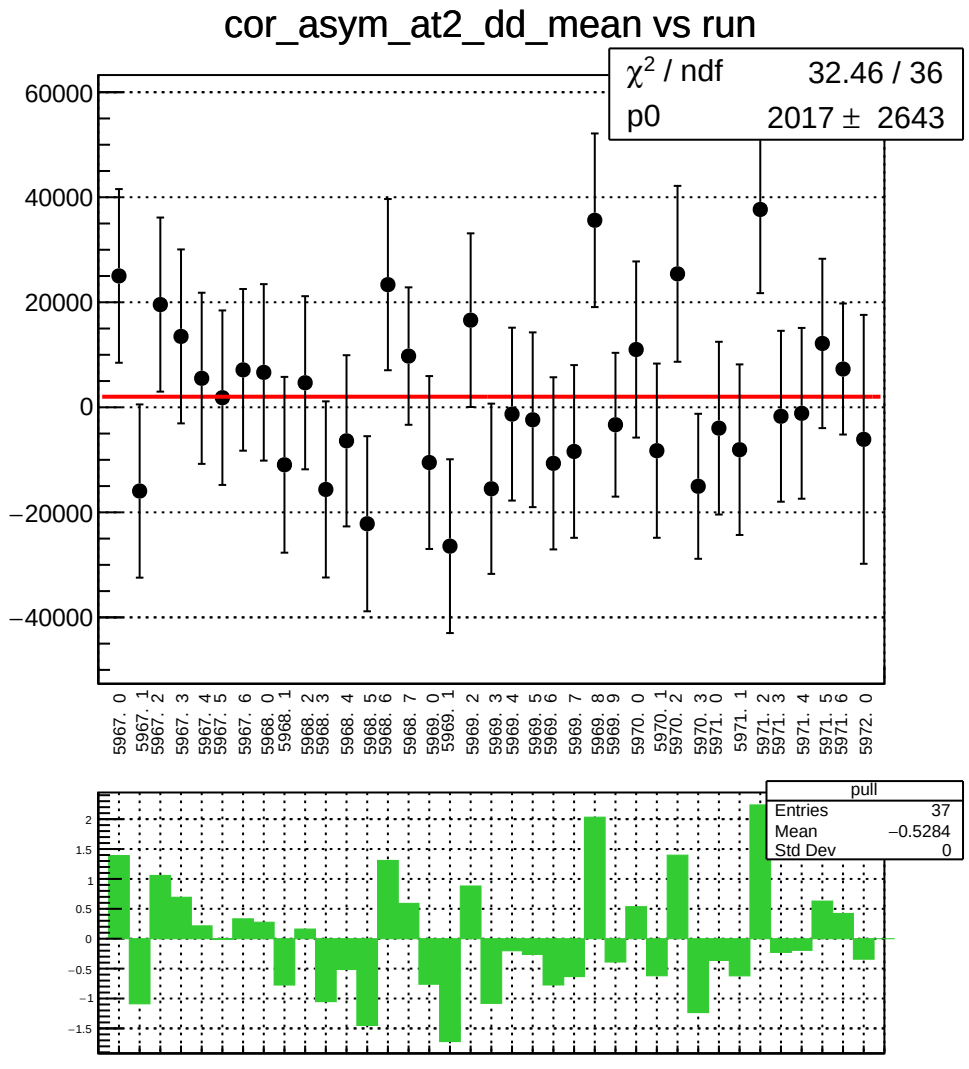
cor_asym_at2_dd_mean vs run
χ² / ndf 32.46 / 36
p0 2017 ± 2643
60000
40000
20000
0
−20000
−40000
5967. 0
5967. 1
5967. 2
5967. 3
5967. 4
5967. 5
5967. 6
5968. 0
5968. 1
5968. 2
5968. 3
5968. 4
5968. 5
5968. 6
5968. 7
5969. 0
5969. 1
5969. 2
5969. 3
5969. 4
5969. 5
5969. 6
5969. 7
5969. 8
5969. 9
5970. 0
5970. 1
5970. 2
5970. 3
5971. 0
5971. 1
5971. 2
5971. 3
5971. 4
5971. 5
5971. 6
5972. 0
pull
Entries 37
Mean −0.5284
Std Dev 0
2
1.5
1
0.5
0
−0.5
−1
−1.5

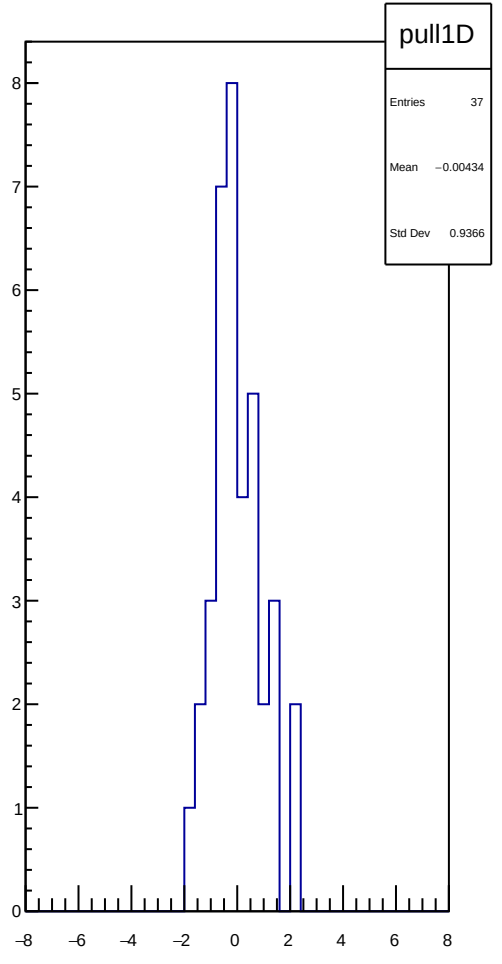
pull1D
Entries 37
Mean −0.00434
Std Dev 0.9366
8
7
6
5
4
3
2
1
0
−8
−6
−4
−2
0
2
4
6
8

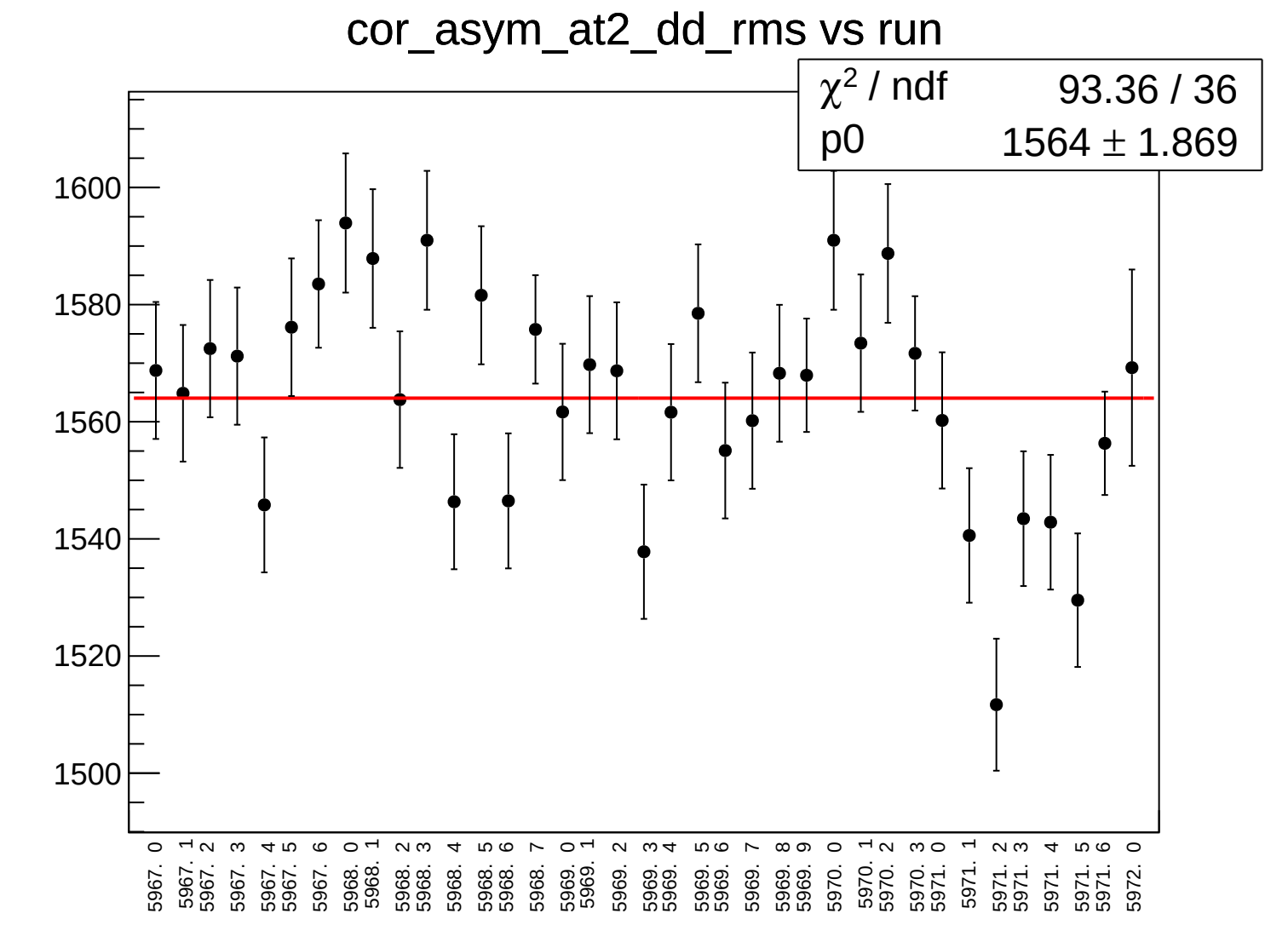
cor_asym_at2_dd_rms vs run
χ² / ndf 93.36 / 36
p0 1564 ± 1.869
1600
1580
1560
1540
1520
1500
5967. 0
5967. 1
5967. 2
5967. 3
5967. 4
5967. 5
5967. 6
5968. 0
5968. 1
5968. 2
5968. 3
5968. 4
5968. 5
5968. 6
5968. 7
5969. 0
5969. 1
5969. 2
5969. 3
5969. 4
5969. 5
5969. 6
5969. 7
5969. 8
5969. 9
5970. 0
5970. 1
5970. 2
5970. 3
5971. 0
5971. 1
5971. 2
5971. 3
5971. 4
5971. 5
5971. 6
5972. 0

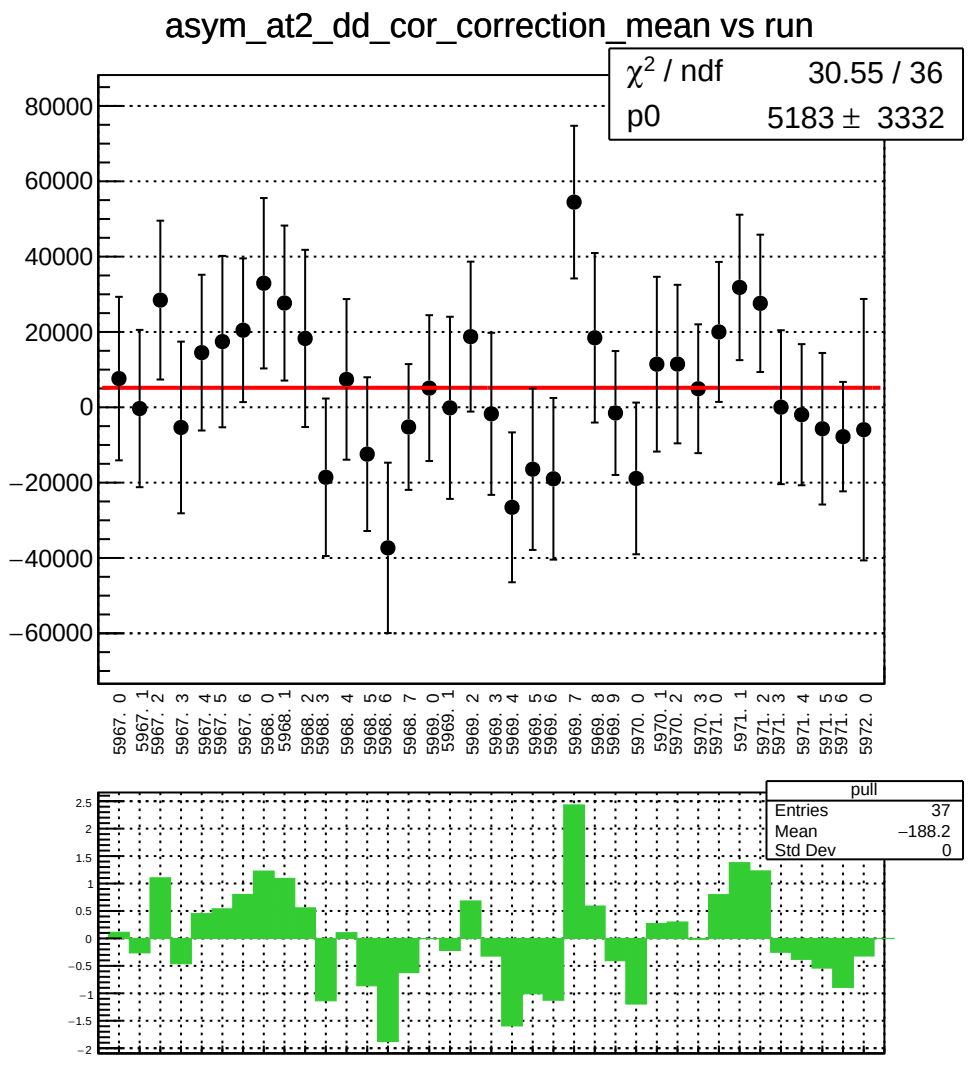
asym_at2_dd_cor_correction_mean vs run
χ² / ndf 30.55 / 36
p0 5183 ± 3332
80000
60000
40000
20000
0
−20000
−40000
−60000
5967. 0
5967. 1
5967. 2
5967. 3
5967. 4
5967. 5
5967. 6
5968. 0
5968. 1
5968. 2
5968. 3
5968. 4
5968. 5
5968. 6
5968. 7
5969. 0
5969. 1
5969. 2
5969. 3
5969. 4
5969. 5
5969. 6
5969. 7
5969. 8
5969. 9
5970. 0
5970. 1
5970. 2
5970. 3
5971. 0
5971. 1
5971. 2
5971. 3
5971. 4
5971. 5
5971. 6
5972. 0
pull
Entries 37
Mean −188.2
Std Dev 0
2.5
2
1.5
1
0.5
0
−0.5
−1
−1.5
−2

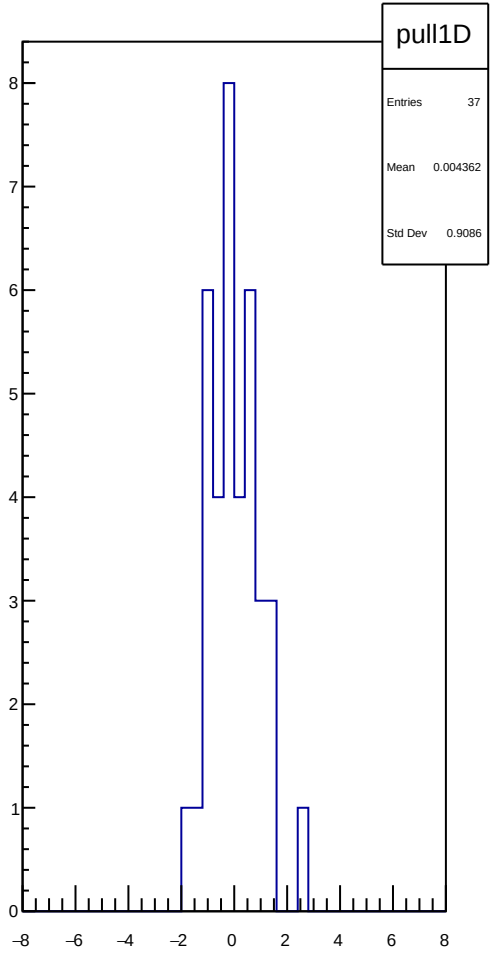
pull1D
Entries 37
Mean 0.004362
Std Dev 0.9086
8
7
6
5
4
3
2
1
0
−8
−6
−4
−2
0
2
4
6
8

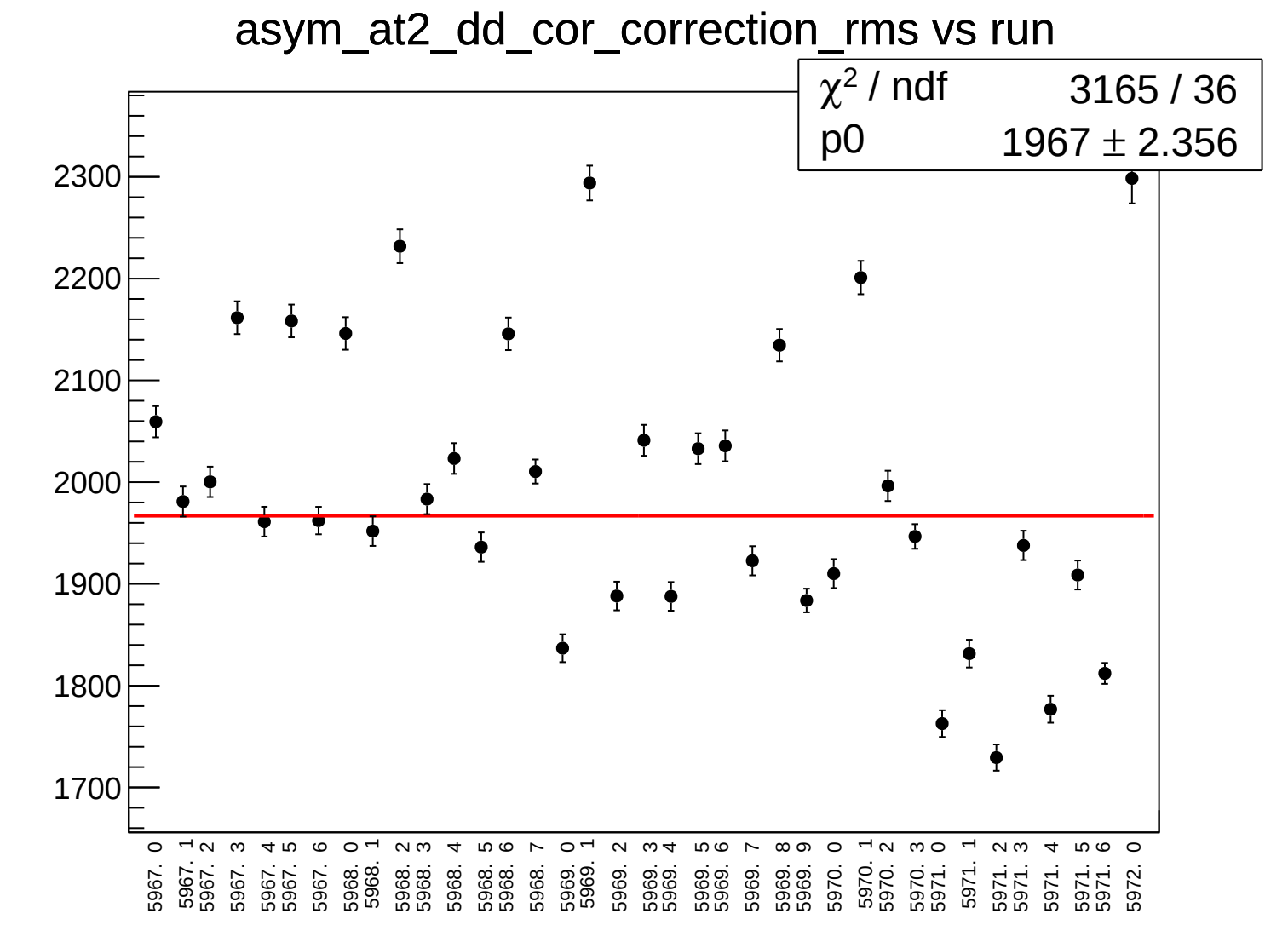
asym_at2_dd_cor_correction_rms vs run
χ² / ndf 3165 / 36
p0 1967 ± 2.356
2300
2200
2100
2000
1900
1800
1700
5967. 0
5967. 1
5967. 2
5967. 3
5967. 4
5967. 5
5967. 6
5968. 0
5968. 1
5968. 2
5968. 3
5968. 4
5968. 5
5968. 6
5968. 7
5969. 0
5969. 1
5969. 2
5969. 3
5969. 4
5969. 5
5969. 6
5969. 7
5969. 8
5969. 9
5970. 0
5970. 1
5970. 2
5970. 3
5971. 0
5971. 1
5971. 2
5971. 3
5971. 4
5971. 5
5971. 6
5972. 0

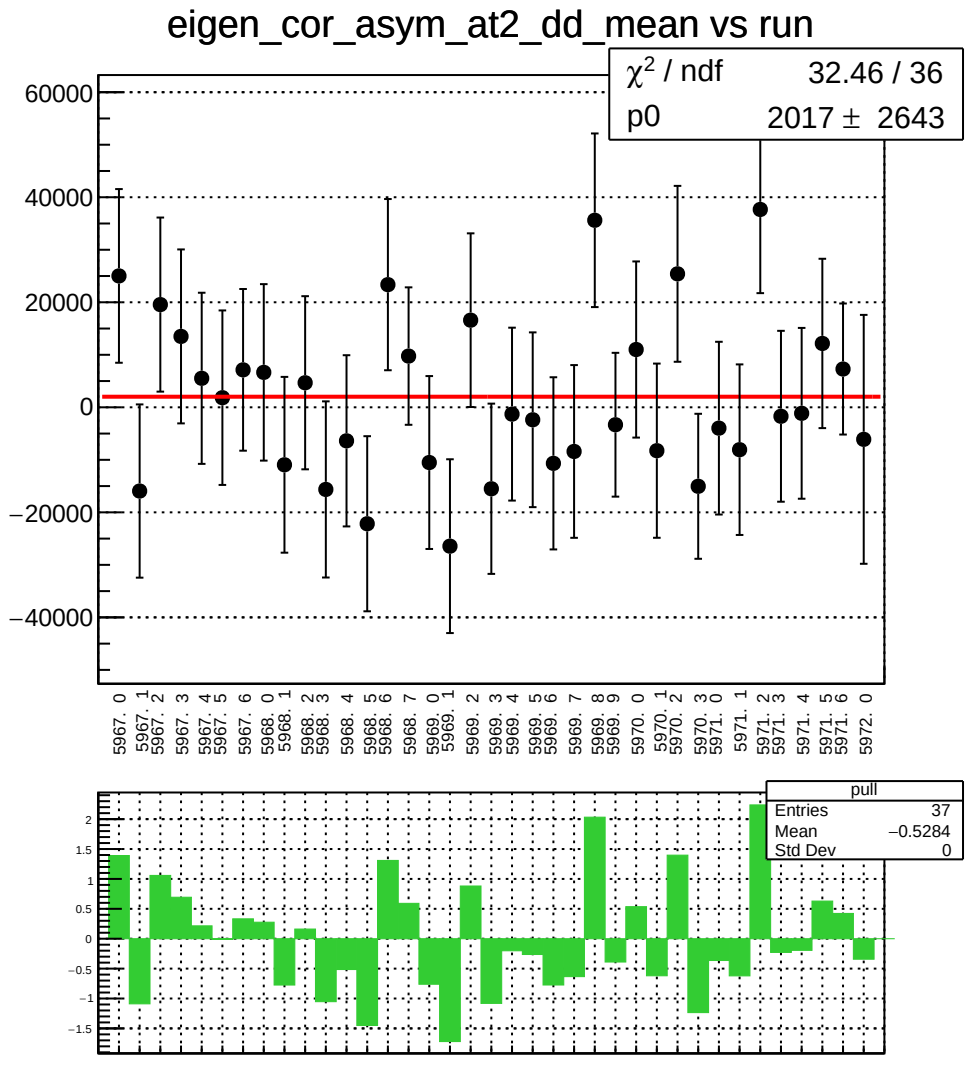
eigen_cor_asym_at2_dd_mean vs run
χ² / ndf 32.46 / 36
p0 2017 ± 2643
60000
40000
20000
0
−20000
−40000
5967. 0
5967. 1
5967. 2
5967. 3
5967. 4
5967. 5
5967. 6
5968. 0
5968. 1
5968. 2
5968. 3
5968. 4
5968. 5
5968. 6
5968. 7
5969. 0
5969. 1
5969. 2
5969. 3
5969. 4
5969. 5
5969. 6
5969. 7
5969. 8
5969. 9
5970. 0
5970. 1
5970. 2
5970. 3
5971. 0
5971. 1
5971. 2
5971. 3
5971. 4
5971. 5
5971. 6
5972. 0
pull
Entries 37
Mean −0.5284
Std Dev 0
2
1.5
1
0.5
0
−0.5
−1
−1.5
pull1D
Entries 37
Mean −0.00434
Std Dev 0.9366
8
7
6
5
4
3
2
1
0
−8
−6
−4
−2
0
2
4
6
8

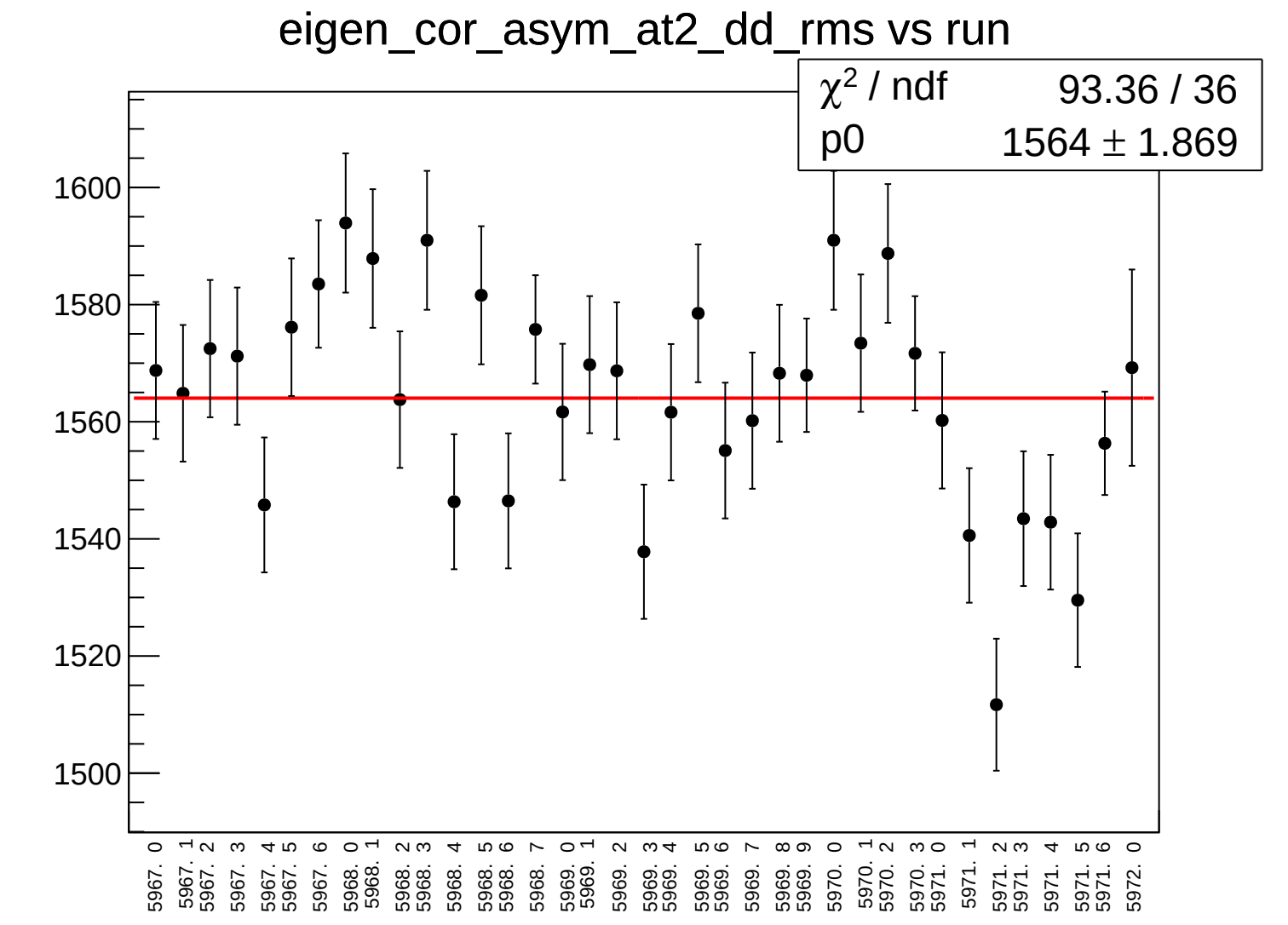
eigen_cor_asym_at2_dd_rms vs run
χ² / ndf 93.36 / 36
p0 1564 ± 1.869
1600
1580
1560
1540
1520
1500
5967. 0
5967. 1
5967. 2
5967. 3
5967. 4
5967. 5
5967. 6
5968. 0
5968. 1
5968. 2
5968. 3
5968. 4
5968. 5
5968. 6
5968. 7
5969. 0
5969. 1
5969. 2
5969. 3
5969. 4
5969. 5
5969. 6
5969. 7
5969. 8
5969. 9
5970. 0
5970. 1
5970. 2
5970. 3
5971. 0
5971. 1
5971. 2
5971. 3
5971. 4
5971. 5
5971. 6
5972. 0

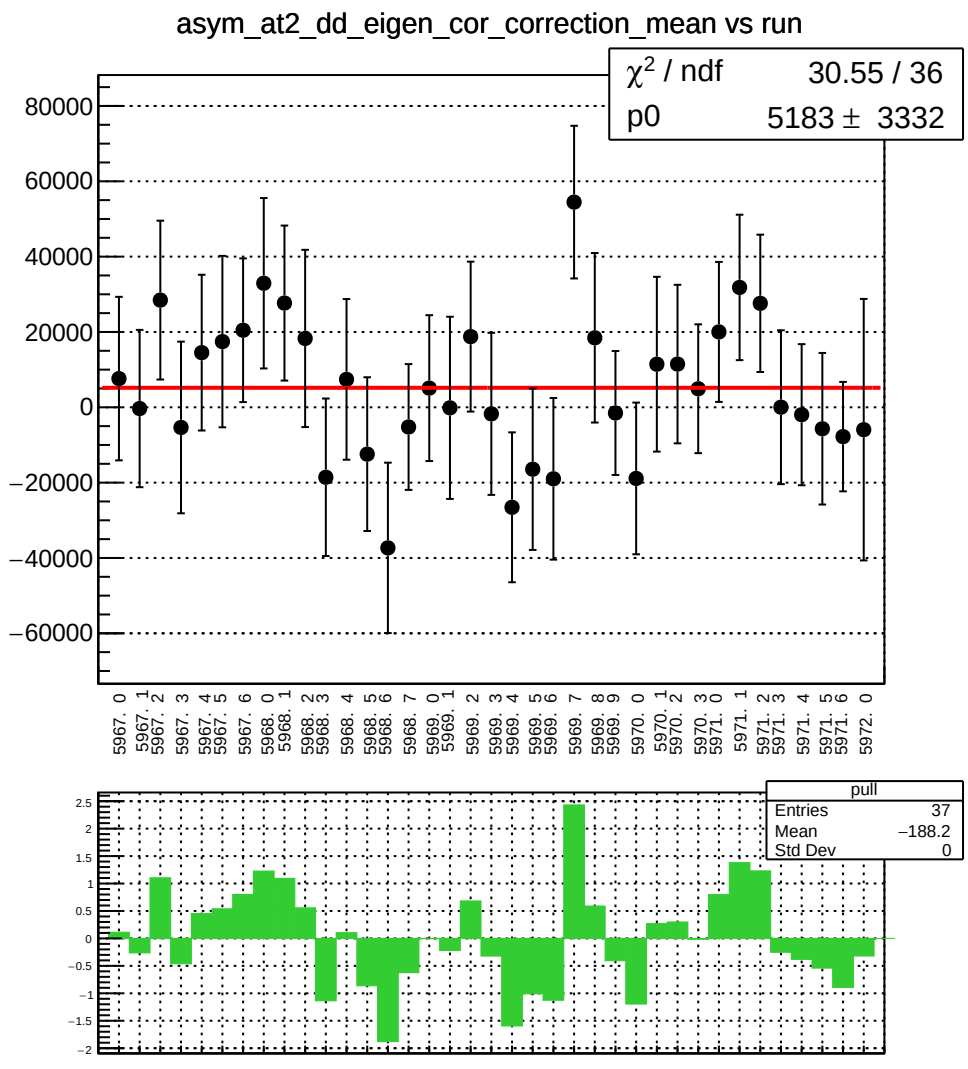
asym_at2_dd_eigen_cor_correction_mean vs run
χ² / ndf 30.55 / 36
p0 5183 ± 3332
80000
60000
40000
20000
0
−20000
−40000
−60000
5967. 0
5967. 1
5967. 2
5967. 3
5967. 4
5967. 5
5967. 6
5968. 0
5968. 1
5968. 2
5968. 3
5968. 4
5968. 5
5968. 6
5968. 7
5969. 0
5969. 1
5969. 2
5969. 3
5969. 4
5969. 5
5969. 6
5969. 7
5969. 8
5969. 9
5970. 0
5970. 1
5970. 2
5970. 3
5971. 0
5971. 1
5971. 2
5971. 3
5971. 4
5971. 5
5971. 6
5972. 0
pull
Entries 37
Mean −188.2
Std Dev 0
2.5
2
1.5
1
0.5
0
−0.5
−1
−1.5
−2
pull1D
Entries 37
Mean 0.004362
Std Dev 0.9086
8
7
6
5
4
3
2
1
0
−8
−6
−4
−2
0
2
4
6
8

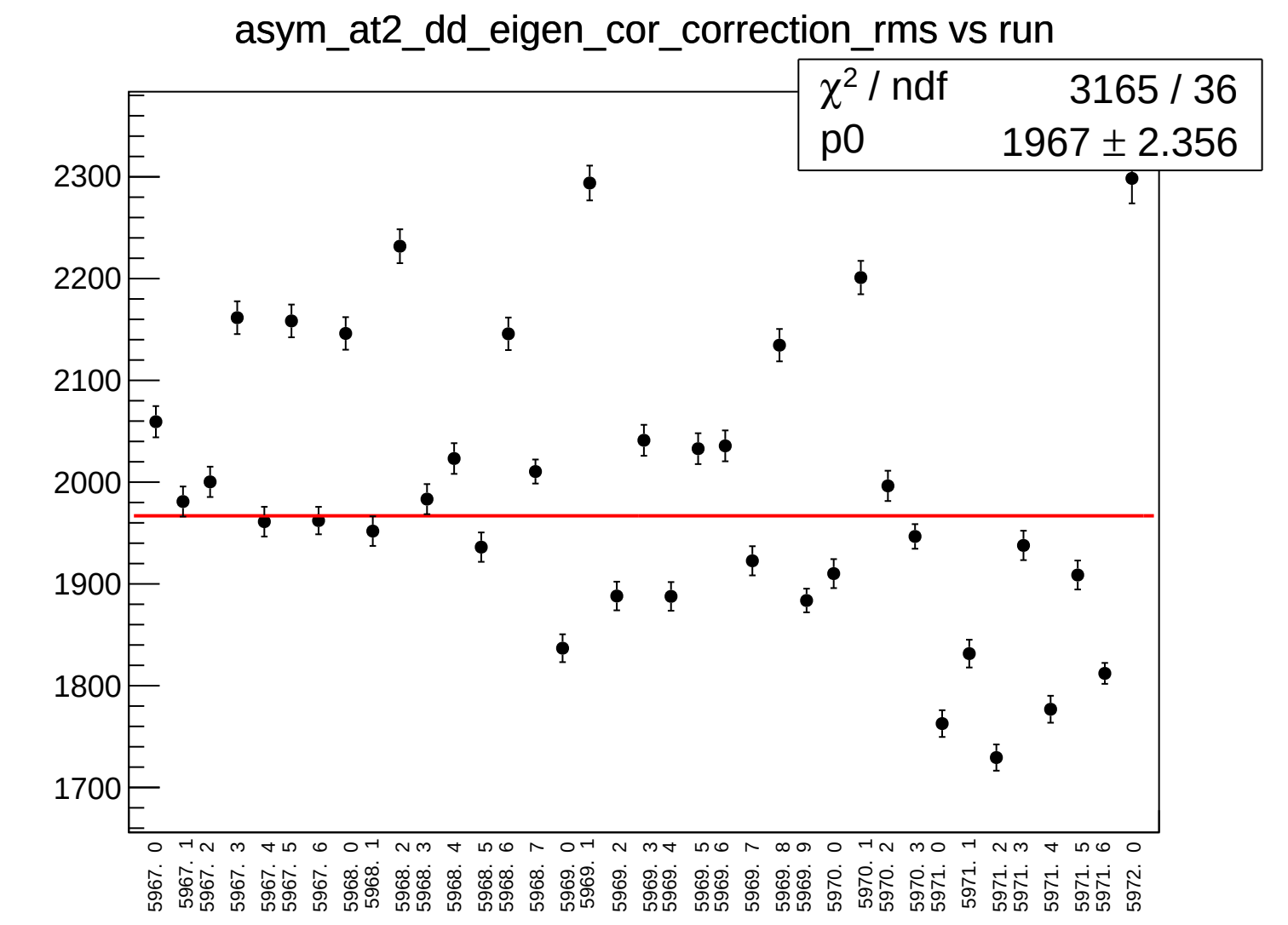
asym_at2_dd_eigen_cor_correction_rms vs run
χ² / ndf 3165 / 36
p0 1967 ± 2.356
2300
2200
2100
2000
1900
1800
1700
5967. 0
5967. 1
5967. 2
5967. 3
5967. 4
5967. 5
5967. 6
5968. 0
5968. 1
5968. 2
5968. 3
5968. 4
5968. 5
5968. 6
5968. 7
5969. 0
5969. 1
5969. 2
5969. 3
5969. 4
5969. 5
5969. 6
5969. 7
5969. 8
5969. 9
5970. 0
5970. 1
5970. 2
5970. 3
5971. 0
5971. 1
5971. 2
5971. 3
5971. 4
5971. 5
5971. 6
5972. 0

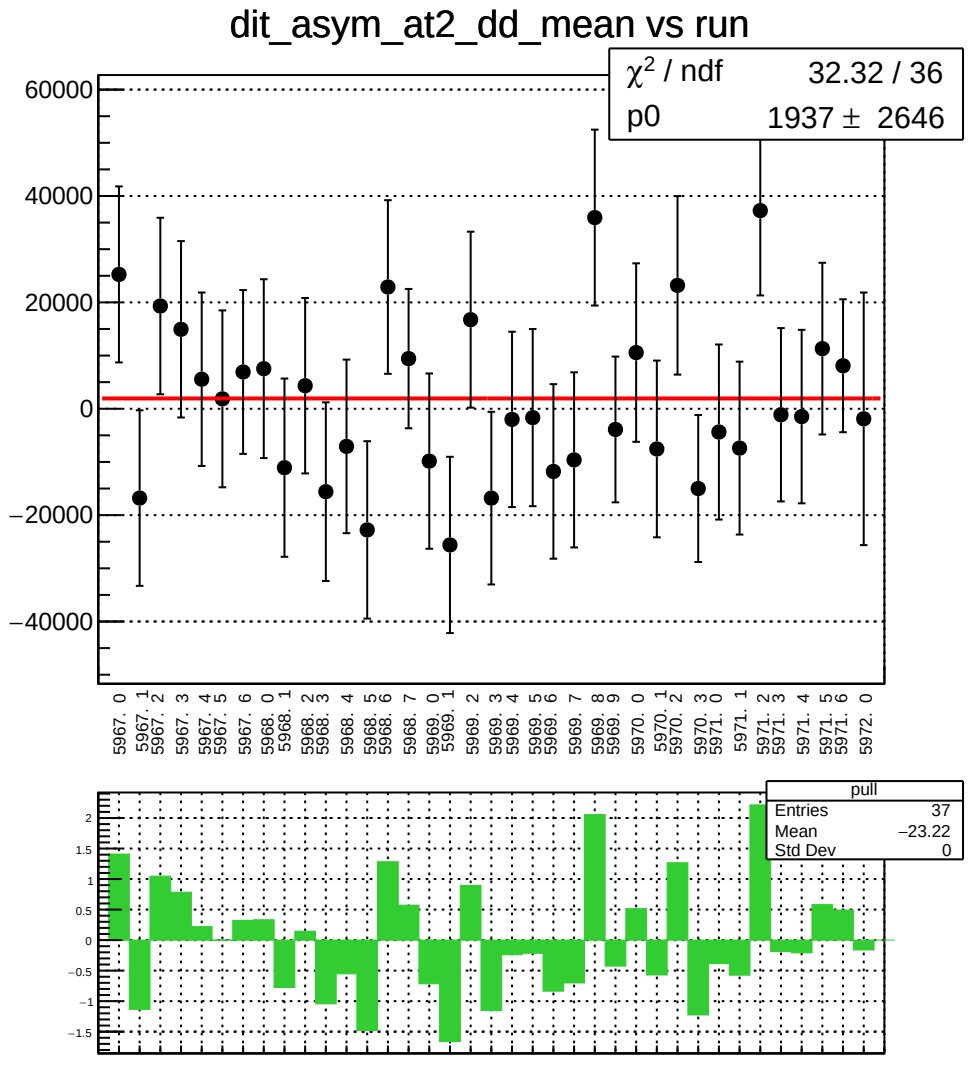
dit_asym_at2_dd_mean vs run
χ² / ndf 32.32 / 36
p0 1937 ± 2646
60000
40000
20000
0
−20000
−40000
5967. 0
5967. 1
5967. 2
5967. 3
5967. 4
5967. 5
5967. 6
5968. 0
5968. 1
5968. 2
5968. 3
5968. 4
5968. 5
5968. 6
5968. 7
5969. 0
5969. 1
5969. 2
5969. 3
5969. 4
5969. 5
5969. 6
5969. 7
5969. 8
5969. 9
5970. 0
5970. 1
5970. 2
5970. 3
5971. 0
5971. 1
5971. 2
5971. 3
5971. 4
5971. 5
5971. 6
5972. 0
pull
Entries 37
Mean −23.22
Std Dev 0
2
1.5
1
0.5
0
−0.5
−1
−1.5

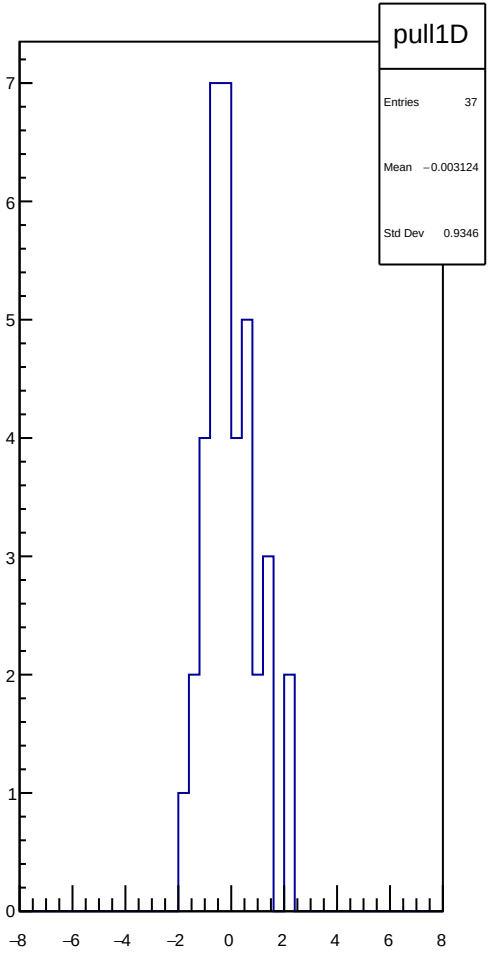
pull1D
Entries 37
Mean −0.003124
Std Dev 0.9346
7
6
5
4
3
2
1
0
−8
−6
−4
−2
0
2
4
6
8

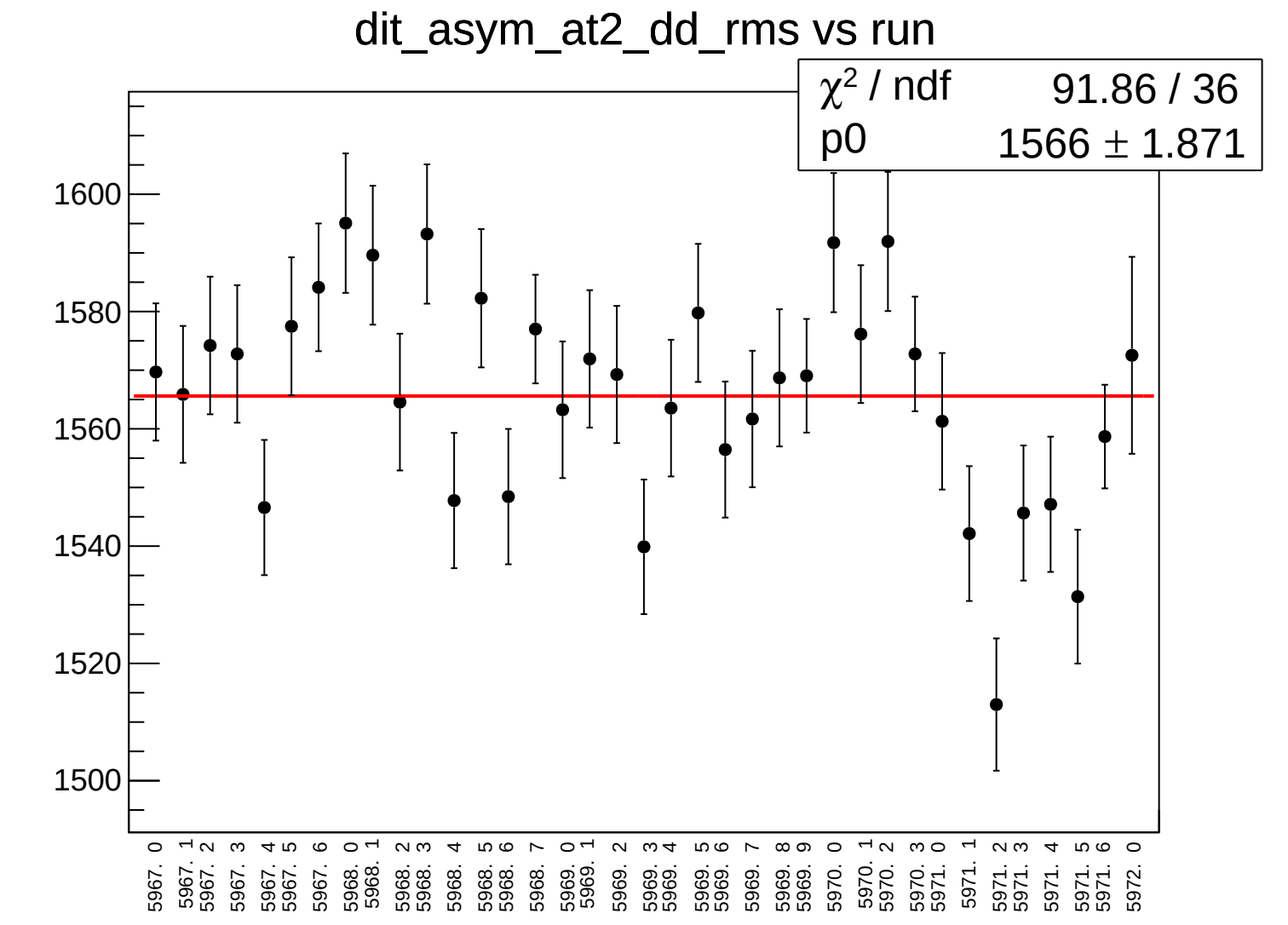
dit_asym_at2_dd_rms vs run
χ² / ndf 91.86 / 36
p0 1566 ± 1.871
1600
1580
1560
1540
1520
1500
5967. 0
5967. 1
5967. 2
5967. 3
5967. 4
5967. 5
5967. 6
5968. 0
5968. 1
5968. 2
5968. 3
5968. 4
5968. 5
5968. 6
5968. 7
5969. 0
5969. 1
5969. 2
5969. 3
5969. 4
5969. 5
5969. 6
5969. 7
5969. 8
5969. 9
5970. 0
5970. 1
5970. 2
5970. 3
5971. 0
5971. 1
5971. 2
5971. 3
5971. 4
5971. 5
5971. 6
5972. 0

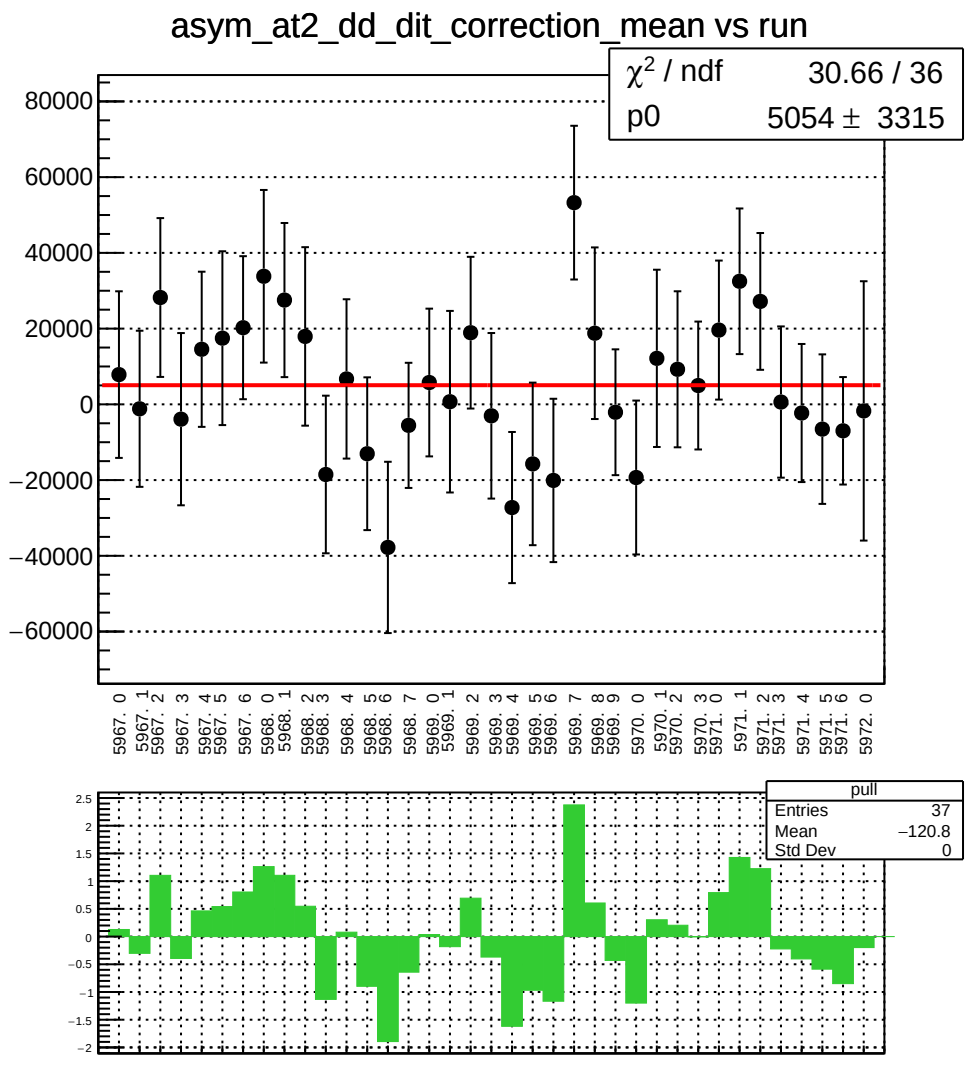
asym_at2_dd_dit_correction_mean vs run
χ² / ndf 30.66 / 36
p0 5054 ± 3315
80000
60000
40000
20000
0
−20000
−40000
−60000
5967. 0
5967. 1
5967. 2
5967. 3
5967. 4
5967. 5
5967. 6
5968. 0
5968. 1
5968. 2
5968. 3
5968. 4
5968. 5
5968. 6
5968. 7
5969. 0
5969. 1
5969. 2
5969. 3
5969. 4
5969. 5
5969. 6
5969. 7
5969. 8
5969. 9
5970. 0
5970. 1
5970. 2
5970. 3
5971. 0
5971. 1
5971. 2
5971. 3
5971. 4
5971. 5
5971. 6
5972. 0
pull
Entries 37
Mean −120.8
Std Dev 0
2.5
2
1.5
1
0.5
0
−0.5
−1
−1.5
−2
pull1D
Entries 37
Mean 0.006307
Std Dev 0.9103
7
6
5
4
3
2
1
0
−8
−6
−4
−2
0
2
4
6
8

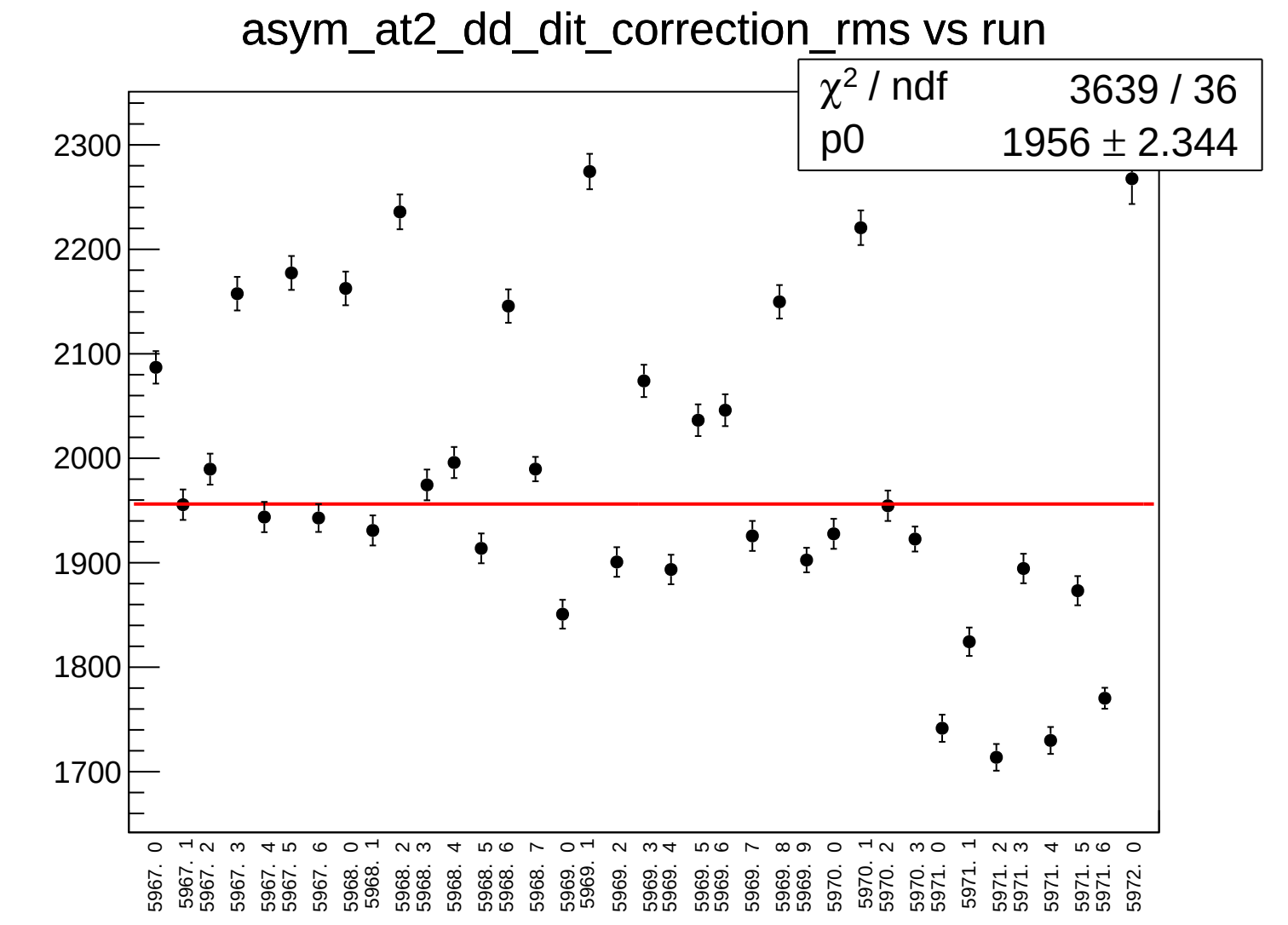
asym_at2_dd_dit_correction_rms vs run
χ² / ndf 3639 / 36
p0 1956 ± 2.344
2300
2200
2100
2000
1900
1800
1700
5967. 0
5967. 1
5967. 2
5967. 3
5967. 4
5967. 5
5967. 6
5968. 0
5968. 1
5968. 2
5968. 3
5968. 4
5968. 5
5968. 6
5968. 7
5969. 0
5969. 1
5969. 2
5969. 3
5969. 4
5969. 5
5969. 6
5969. 7
5969. 8
5969. 9
5970. 0
5970. 1
5970. 2
5970. 3
5971. 0
5971. 1
5971. 2
5971. 3
5971. 4
5971. 5
5971. 6
5972. 0

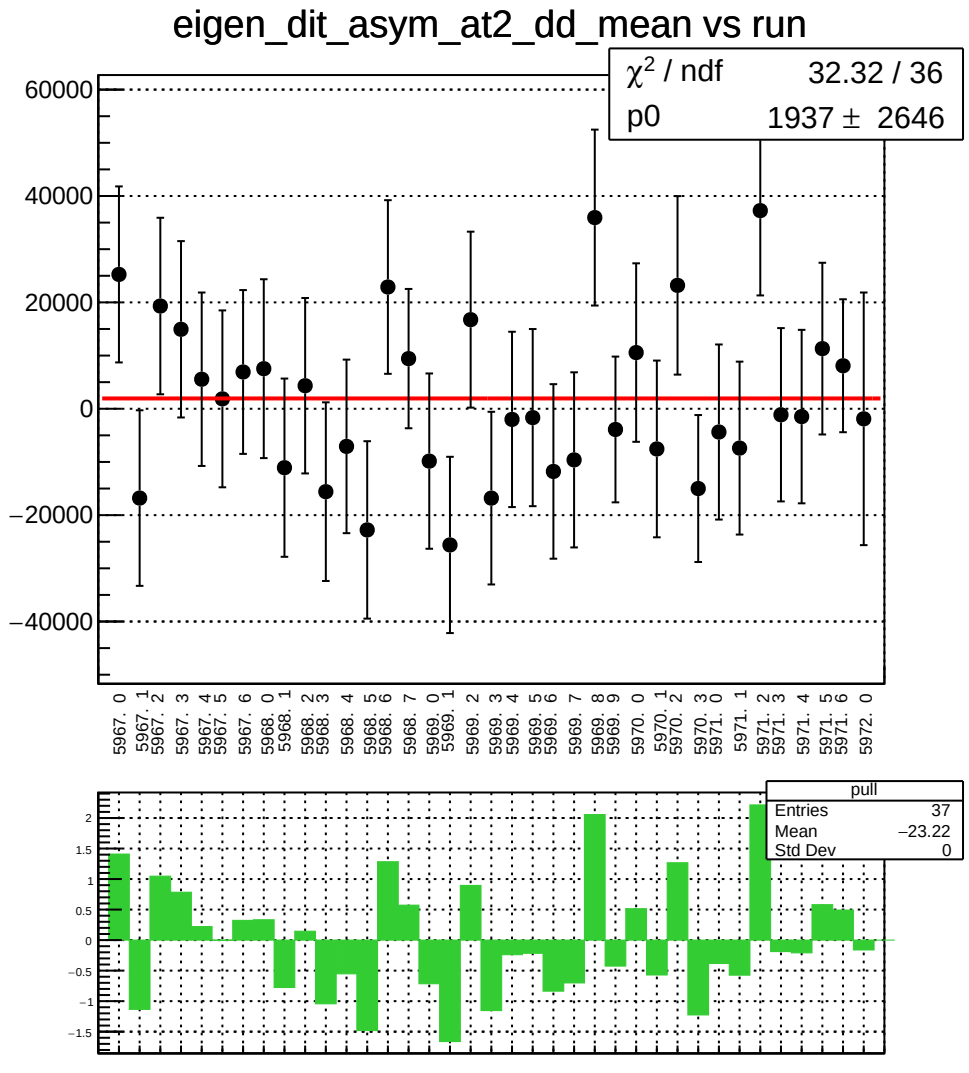
eigen_dit_asym_at2_dd_mean vs run
χ² / ndf 32.32 / 36
p0 1937 ± 2646
60000
40000
20000
0
−20000
−40000
5967. 0
5967. 1
5967. 2
5967. 3
5967. 4
5967. 5
5967. 6
5968. 0
5968. 1
5968. 2
5968. 3
5968. 4
5968. 5
5968. 6
5968. 7
5969. 0
5969. 1
5969. 2
5969. 3
5969. 4
5969. 5
5969. 6
5969. 7
5969. 8
5969. 9
5970. 0
5970. 1
5970. 2
5970. 3
5971. 0
5971. 1
5971. 2
5971. 3
5971. 4
5971. 5
5971. 6
5972. 0
pull
Entries 37
Mean −23.22
Std Dev 0
2
1.5
1
0.5
0
−0.5
−1
−1.5

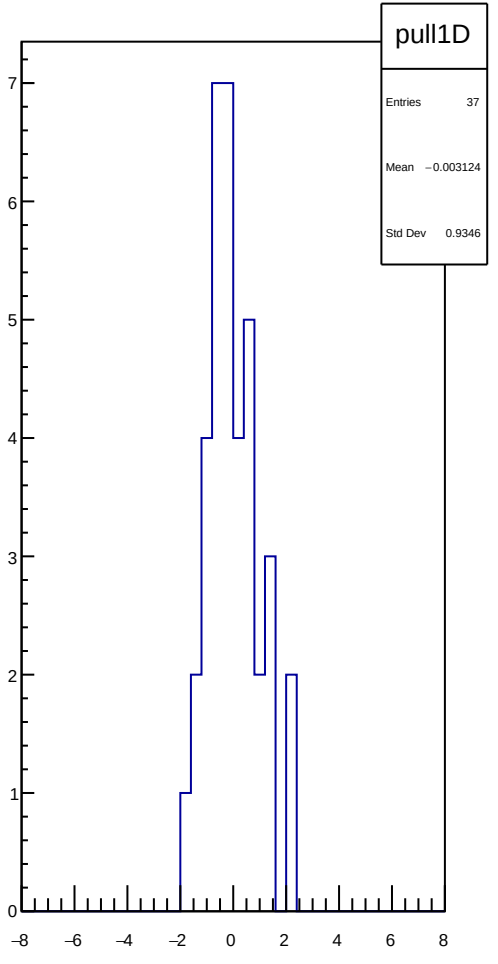
pull1D
Entries 37
Mean −0.003124
Std Dev 0.9346
7
6
5
4
3
2
1
0
−8
−6
−4
−2
0
2
4
6
8

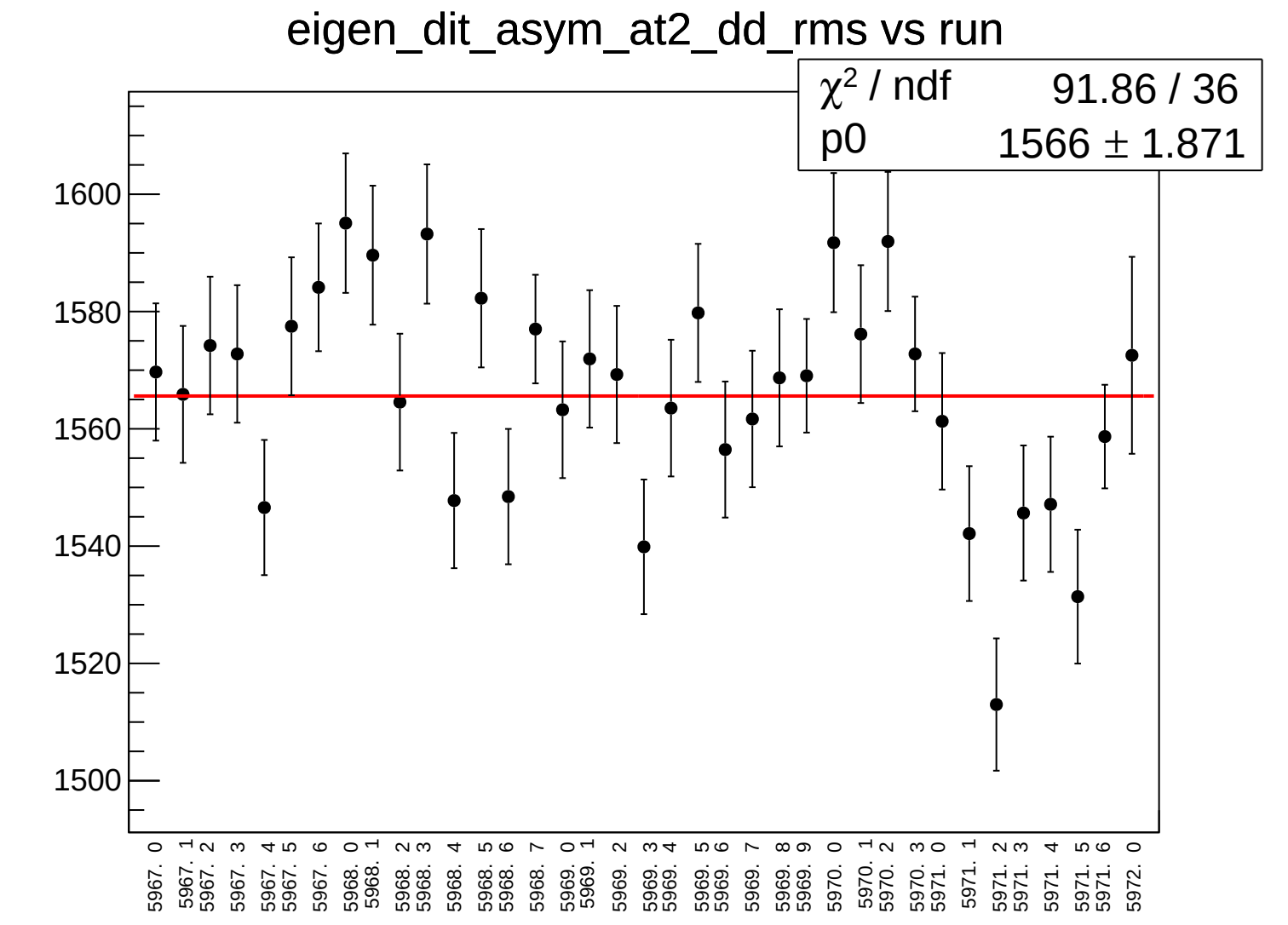
eigen_dit_asym_at2_dd_rms vs run
χ² / ndf 91.86 / 36
p0 1566 ± 1.871
1600
1580
1560
1540
1520
1500
5967. 0
5967. 1
5967. 2
5967. 3
5967. 4
5967. 5
5967. 6
5968. 0
5968. 1
5968. 2
5968. 3
5968. 4
5968. 5
5968. 6
5968. 7
5969. 0
5969. 1
5969. 2
5969. 3
5969. 4
5969. 5
5969. 6
5969. 7
5969. 8
5969. 9
5970. 0
5970. 1
5970. 2
5970. 3
5971. 0
5971. 1
5971. 2
5971. 3
5971. 4
5971. 5
5971. 6
5972. 0

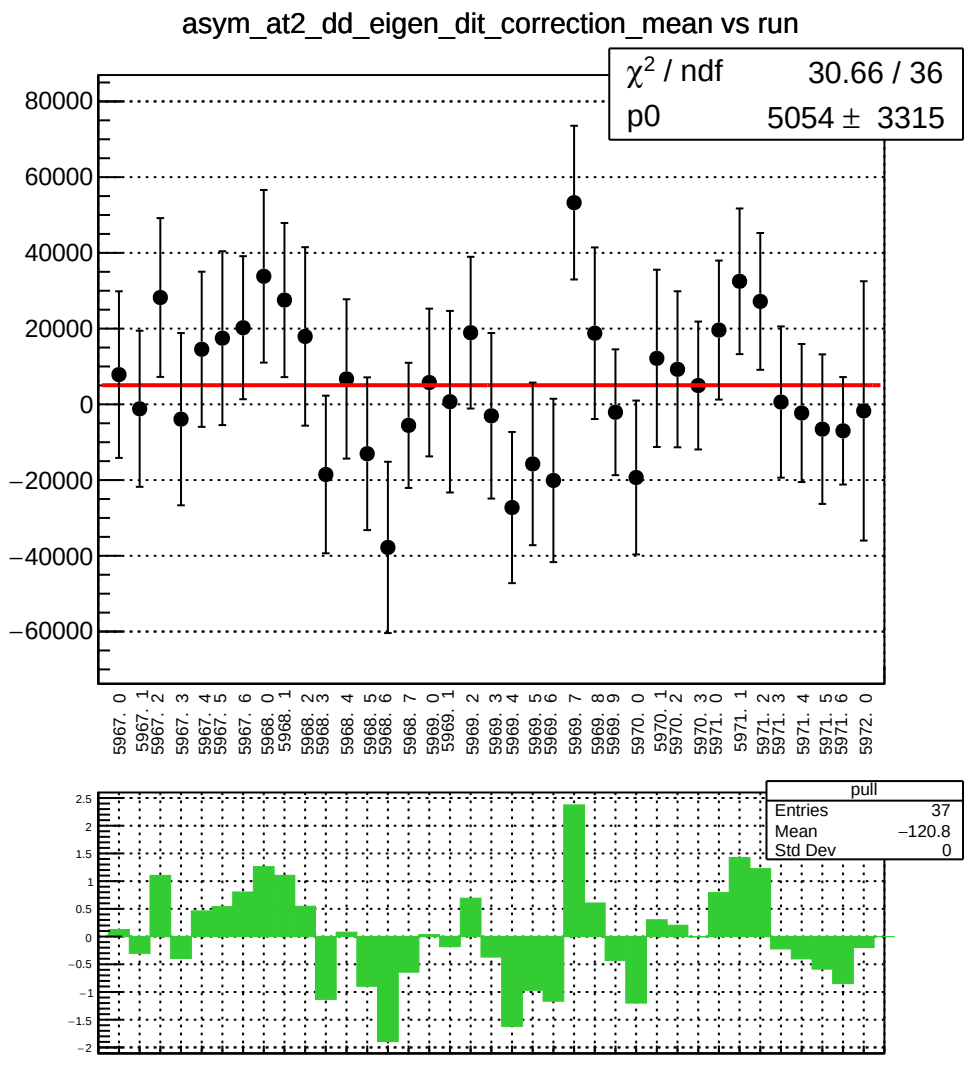
asym_at2_dd_eigen_dit_correction_mean vs run
χ² / ndf 30.66 / 36
p0 5054 ± 3315
80000
60000
40000
20000
0
−20000
−40000
−60000
5967. 0
5967. 1
5967. 2
5967. 3
5967. 4
5967. 5
5967. 6
5968. 0
5968. 1
5968. 2
5968. 3
5968. 4
5968. 5
5968. 6
5968. 7
5969. 0
5969. 1
5969. 2
5969. 3
5969. 4
5969. 5
5969. 6
5969. 7
5969. 8
5969. 9
5970. 0
5970. 1
5970. 2
5970. 3
5971. 0
5971. 1
5971. 2
5971. 3
5971. 4
5971. 5
5971. 6
5972. 0
pull
Entries 37
Mean −120.8
Std Dev 0
2.5
2
1.5
1
0.5
0
−0.5
−1
−1.5
−2
pull1D
Entries 37
Mean 0.006307
Std Dev 0.9103
7
6
5
4
3
2
1
0
−8
−6
−4
−2
0
2
4
6
8

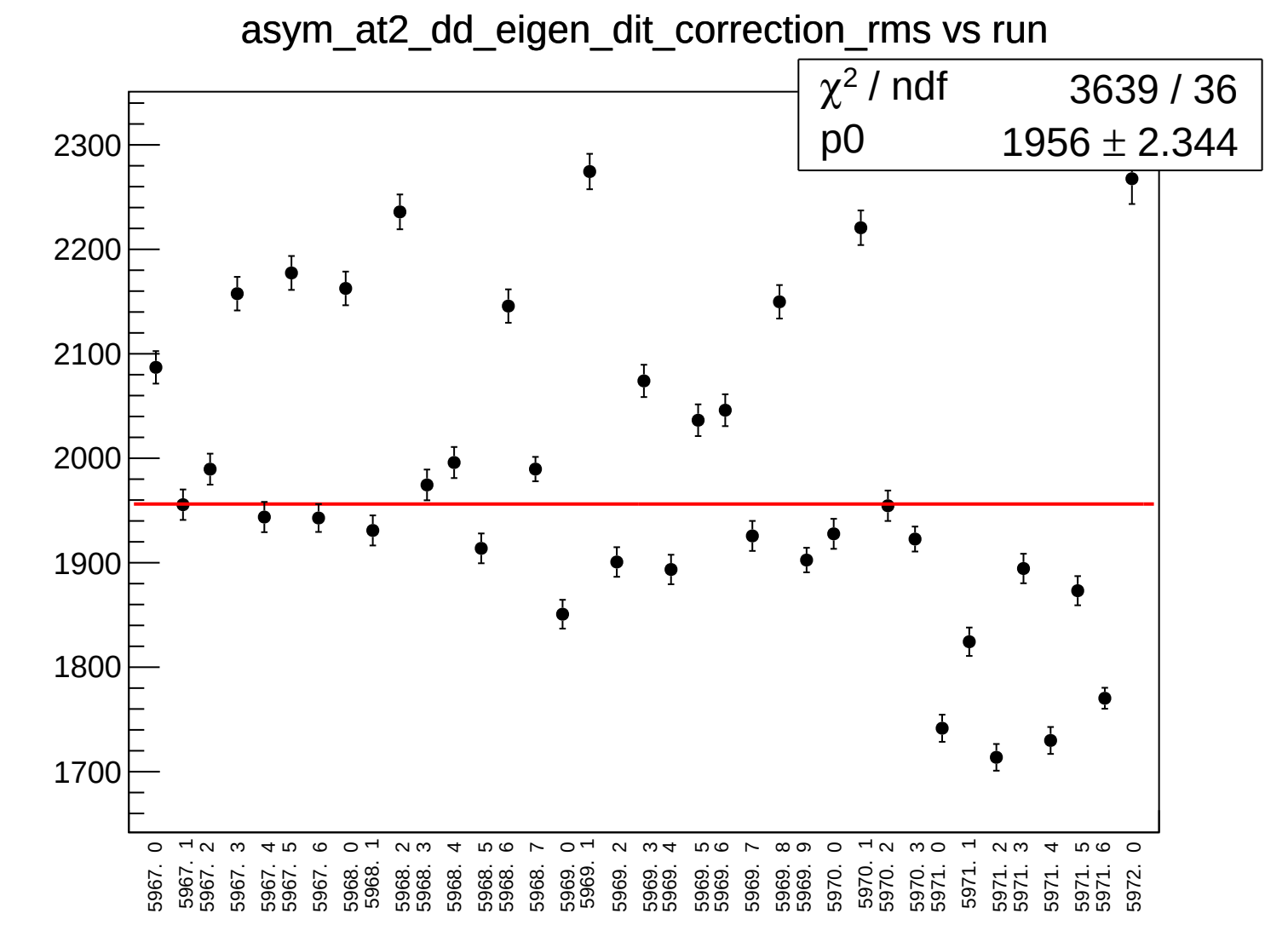
asym_at2_dd_eigen_dit_correction_rms vs run
χ² / ndf 3639 / 36
p0 1956 ± 2.344
2300
2200
2100
2000
1900
1800
1700
5967. 0
5967. 1
5967. 2
5967. 3
5967. 4
5967. 5
5967. 6
5968. 0
5968. 1
5968. 2
5968. 3
5968. 4
5968. 5
5968. 6
5968. 7
5969. 0
5969. 1
5969. 2
5969. 3
5969. 4
5969. 5
5969. 6
5969. 7
5969. 8
5969. 9
5970. 0
5970. 1
5970. 2
5970. 3
5971. 0
5971. 1
5971. 2
5971. 3
5971. 4
5971. 5
5971. 6
5972. 0

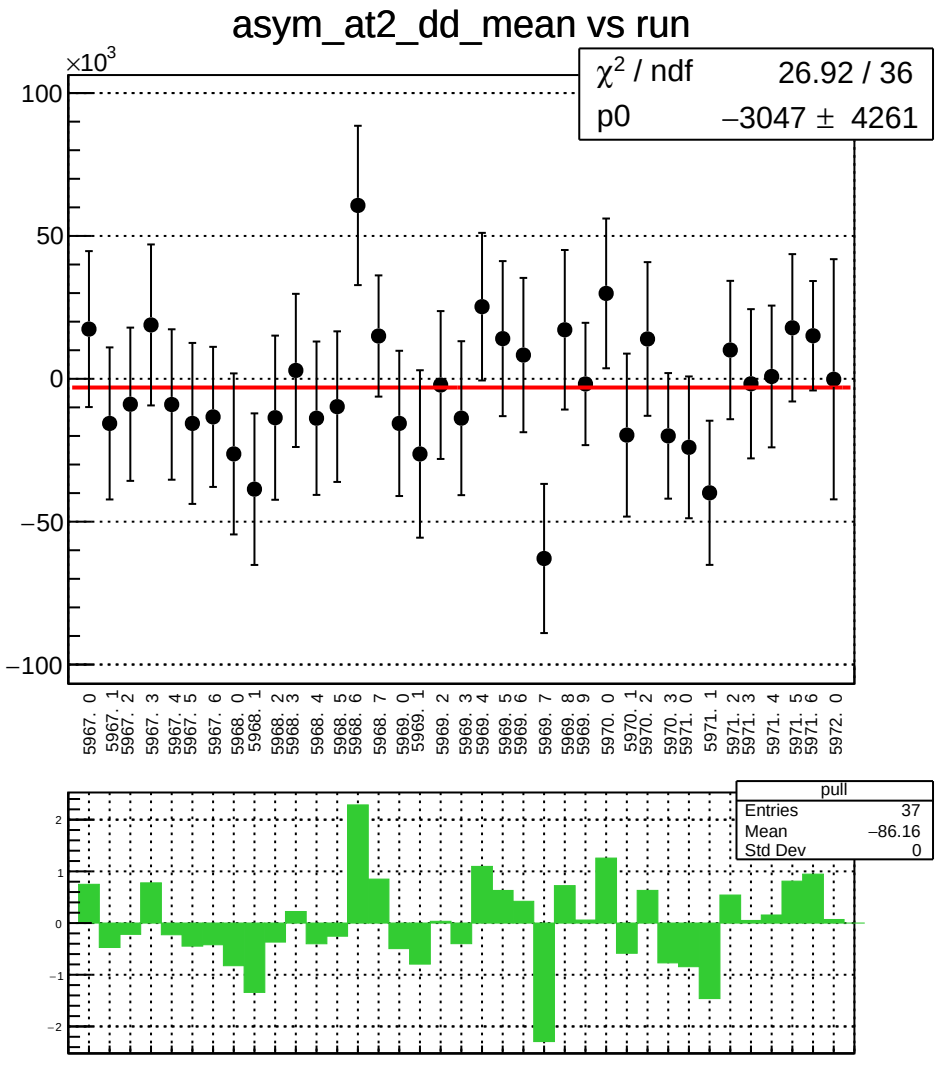
asym_at2_dd_mean vs run
×10^3
χ² / ndf 26.92 / 36
p0 −3047 ± 4261
100
50
0
−50
−100
5967. 0
5967. 1
5967. 2
5967. 3
5967. 4
5967. 5
5967. 6
5968. 0
5968. 1
5968. 2
5968. 3
5968. 4
5968. 5
5968. 6
5968. 7
5969. 0
5969. 1
5969. 2
5969. 3
5969. 4
5969. 5
5969. 6
5969. 7
5969. 8
5969. 9
5970. 0
5970. 1
5970. 2
5970. 3
5971. 0
5971. 1
5971. 2
5971. 3
5971. 4
5971. 5
5971. 6
5972. 0
pull
Entries 37
Mean −86.16
Std Dev 0
2
1
0
−1
−2
pull1D
Entries 37
Mean −0.008004
Std Dev 0.853
8
7
6
5
4
3
2
1
0
−8
−6
−4
−2
0
2
4
6
8

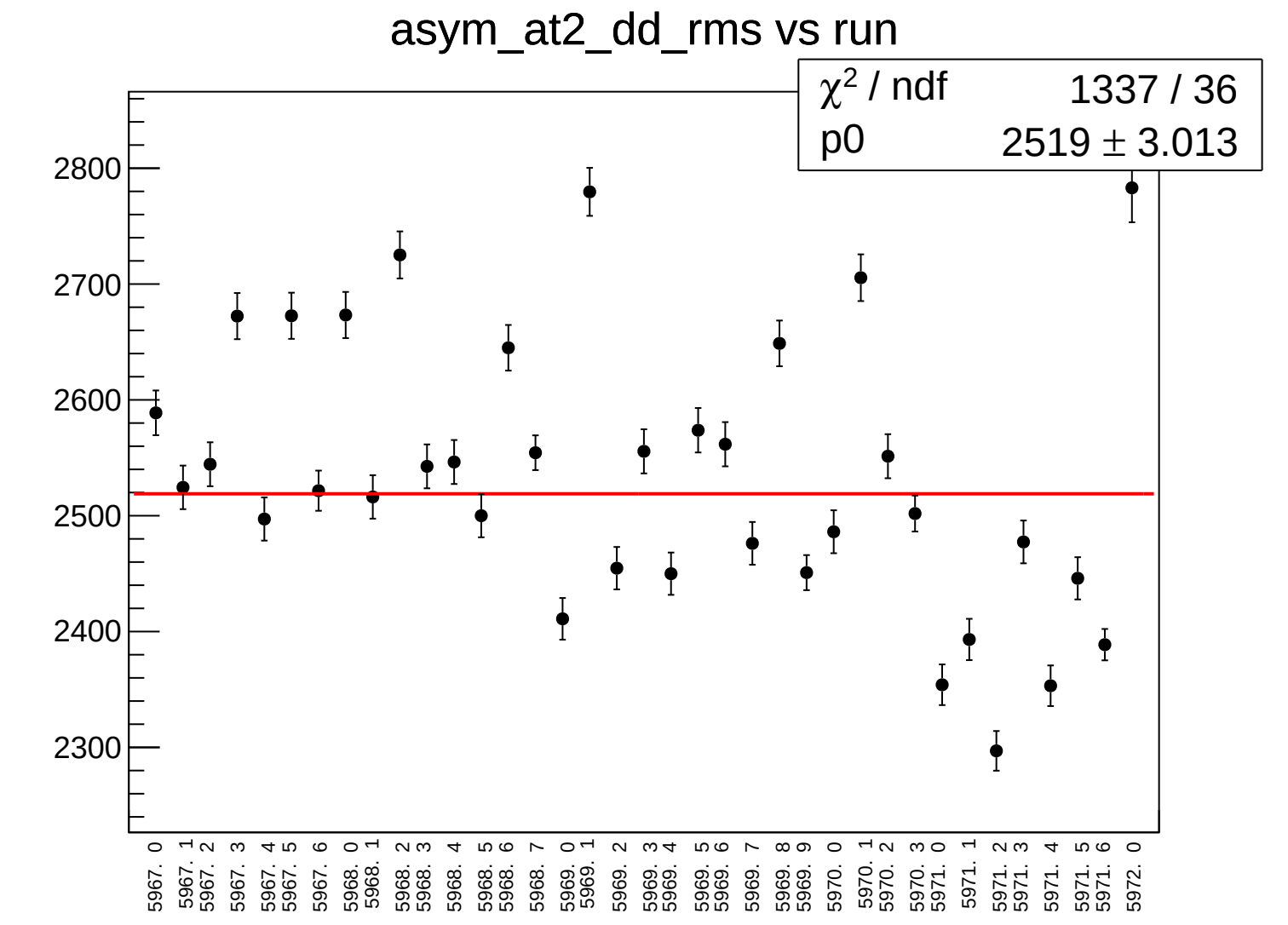
asym_at2_dd_rms vs run
χ² / ndf 1337 / 36
p0 2519 ± 3.013
2800
2700
2600
2500
2400
2300
5967. 0
5967. 1
5967. 2
5967. 3
5967. 4
5967. 5
5967. 6
5968. 0
5968. 1
5968. 2
5968. 3
5968. 4
5968. 5
5968. 6
5968. 7
5969. 0
5969. 1
5969. 2
5969. 3
5969. 4
5969. 5
5969. 6
5969. 7
5969. 8
5969. 9
5970. 0
5970. 1
5970. 2
5970. 3
5971. 0
5971. 1
5971. 2
5971. 3
5971. 4
5971. 5
5971. 6
5972. 0

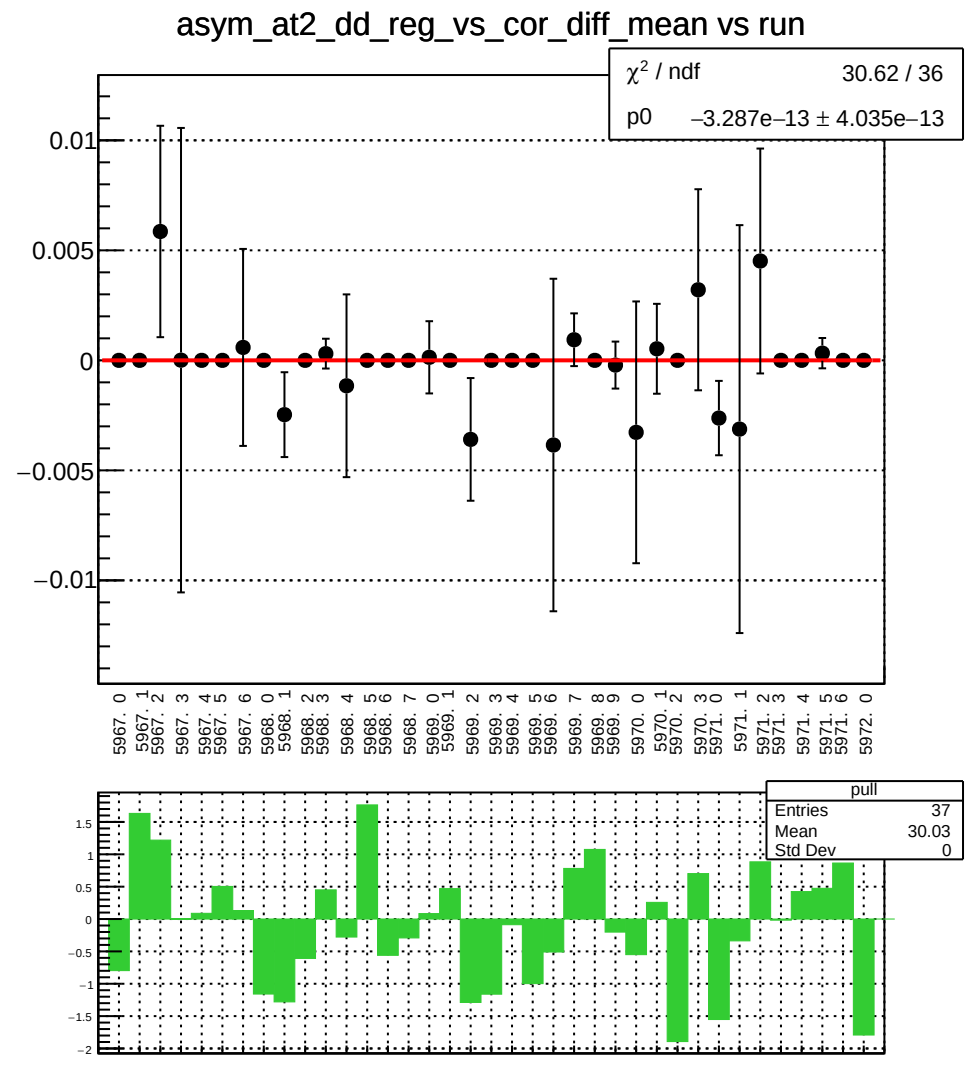
asym_at2_dd_reg_vs_cor_diff_mean vs run
χ² / ndf 30.62 / 36
p0 −3.287e−13 ± 4.035e−13
0.01
0.005
0
−0.005
−0.01
5967. 0
5967. 1
5967. 2
5967. 3
5967. 4
5967. 5
5967. 6
5968. 0
5968. 1
5968. 2
5968. 3
5968. 4
5968. 5
5968. 6
5968. 7
5969. 0
5969. 1
5969. 2
5969. 3
5969. 4
5969. 5
5969. 6
5969. 7
5969. 8
5969. 9
5970. 0
5970. 1
5970. 2
5970. 3
5971. 0
5971. 1
5971. 2
5971. 3
5971. 4
5971. 5
5971. 6
5972. 0
pull
Entries 37
Mean 30.03
Std Dev 0
1.5
1
0.5
0
−0.5
−1
−1.5
−2

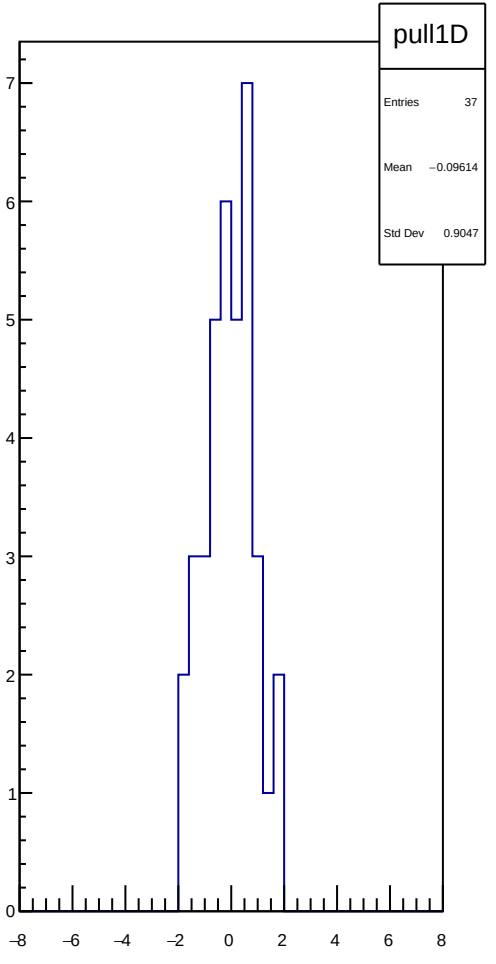
pull1D
Entries 37
Mean −0.09614
Std Dev 0.9047
7
6
5
4
3
2
1
0
−8
−6
−4
−2
0
2
4
6
8

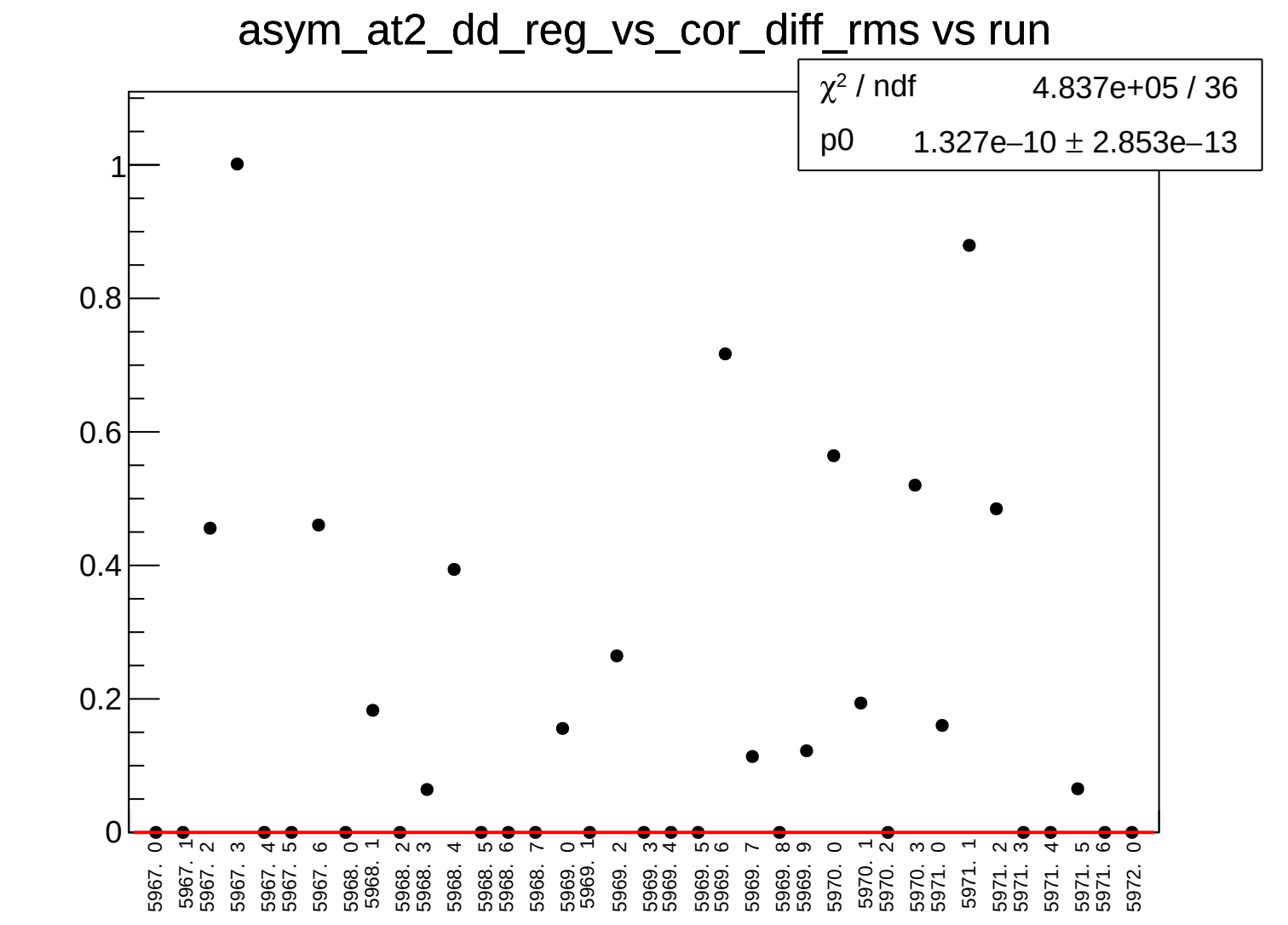
asym_at2_dd_reg_vs_cor_diff_rms vs run
χ² / ndf 4.837e+05 / 36
p0 1.327e−10 ± 2.853e−13
1
0.8
0.6
0.4
0.2
0
5967. 0
5967. 1
5967. 2
5967. 3
5967. 4
5967. 5
5967. 6
5968. 0
5968. 1
5968. 2
5968. 3
5968. 4
5968. 5
5968. 6
5968. 7
5969. 0
5969. 1
5969. 2
5969. 3
5969. 4
5969. 5
5969. 6
5969. 7
5969. 8
5969. 9
5970. 0
5970. 1
5970. 2
5970. 3
5971. 0
5971. 1
5971. 2
5971. 3
5971. 4
5971. 5
5971. 6
5972. 0

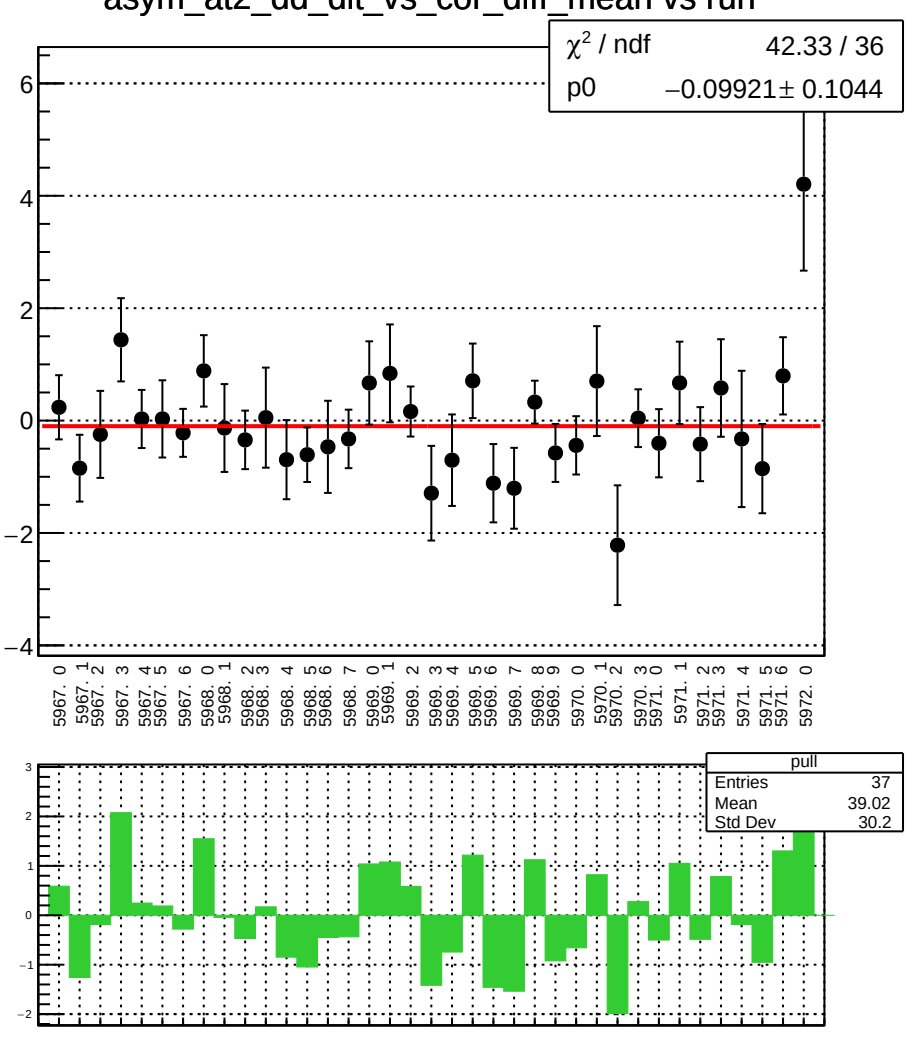
asym_at2_dd_dit_vs_cor_diff_mean vs run
χ² / ndf 42.33 / 36
p0 −0.09921± 0.1044
pull
Entries 37
Mean 39.02
Std Dev 30.2

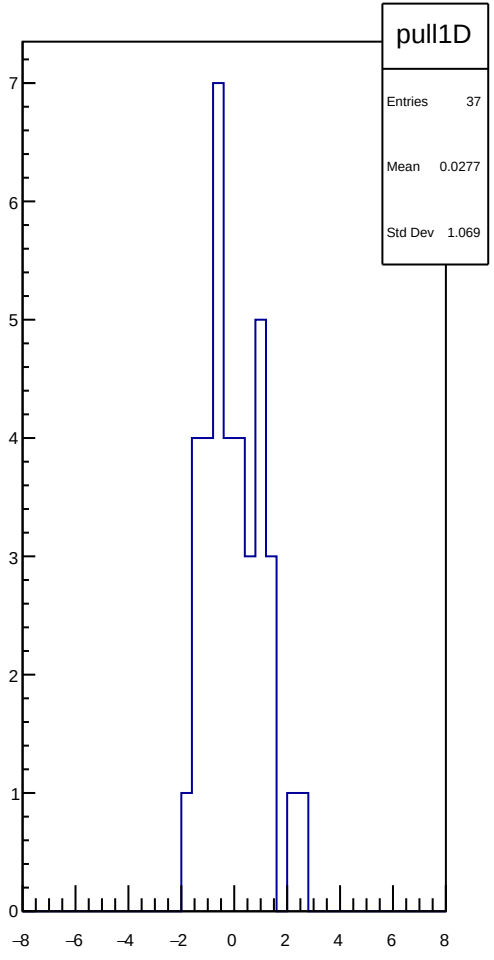
pull1D
Entries 37
Mean 0.0277
Std Dev 1.069

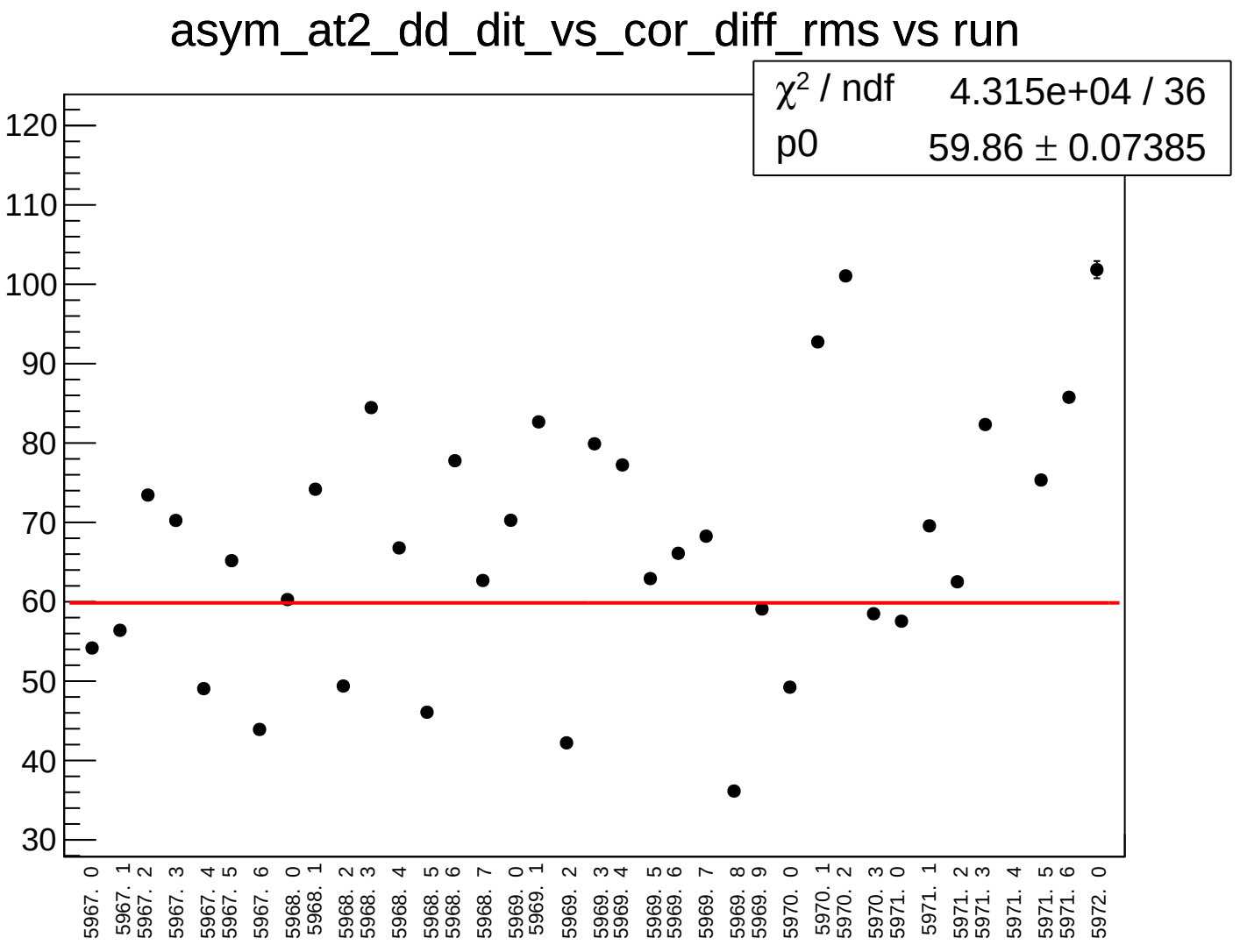
asym_at2_dd_dit_vs_cor_diff_rms vs run
χ² / ndf 4.315e+04 / 36
p0 59.86 ± 0.07385
120
110
100
90
80
70
60
50
40
30
5967. 0
5967. 1
5967. 2
5967. 3
5967. 4
5967. 5
5967. 6
5968. 0
5968. 1
5968. 2
5968. 3
5968. 4
5968. 5
5968. 6
5968. 7
5969. 0
5969. 1
5969. 2
5969. 3
5969. 4
5969. 5
5969. 6
5969. 7
5969. 8
5969. 9
5970. 0
5970. 1
5970. 2
5970. 3
5971. 0
5971. 1
5971. 2
5971. 3
5971. 4
5971. 5
5971. 6
5972. 0

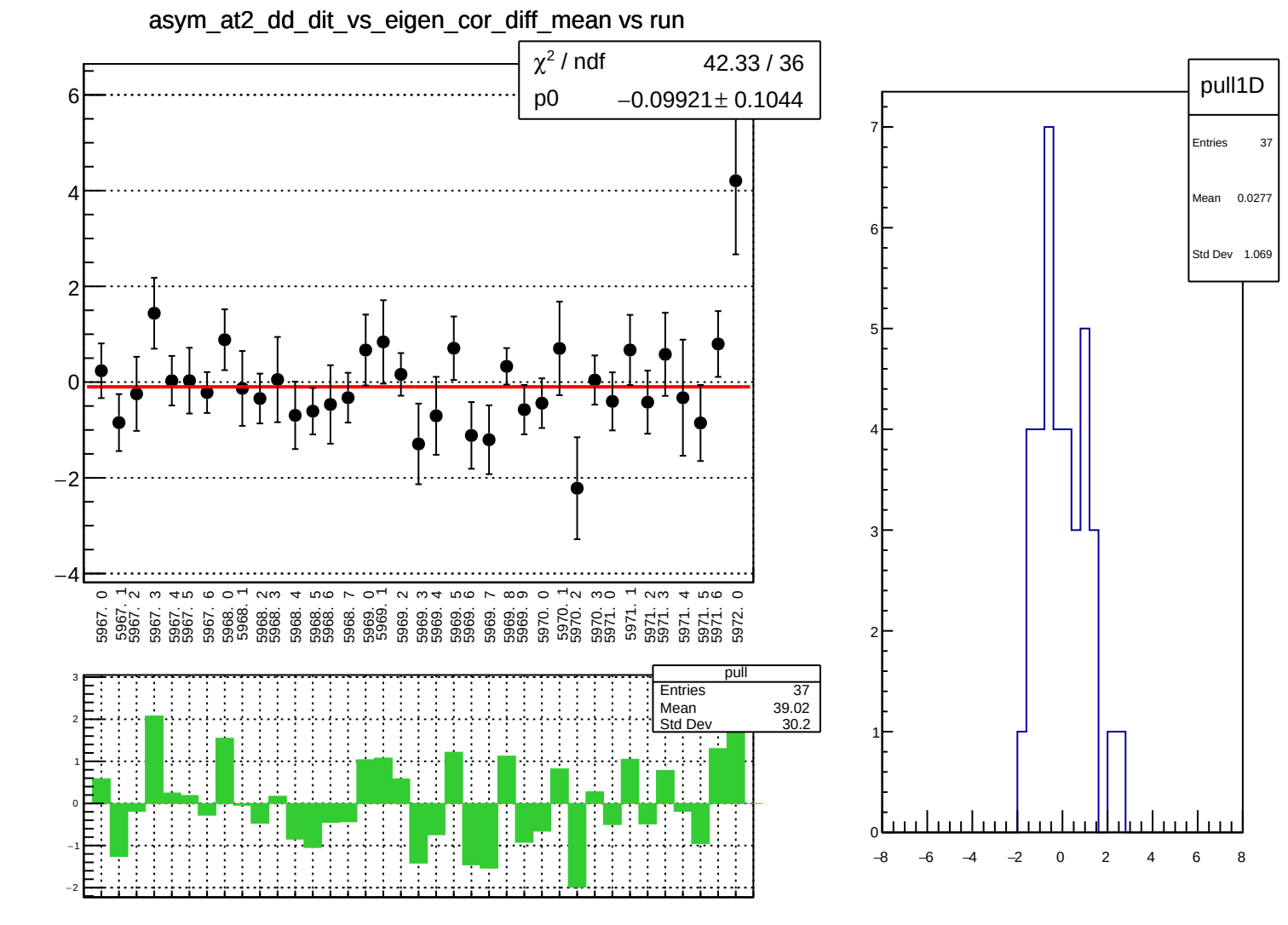
asym_at2_dd_dit_vs_eigen_cor_diff_mean vs run
χ² / ndf 42.33 / 36
p0 −0.09921± 0.1044
pull
Entries 37
Mean 39.02
Std Dev 30.2
pull1D
Entries 37
Mean 0.0277
Std Dev 1.069

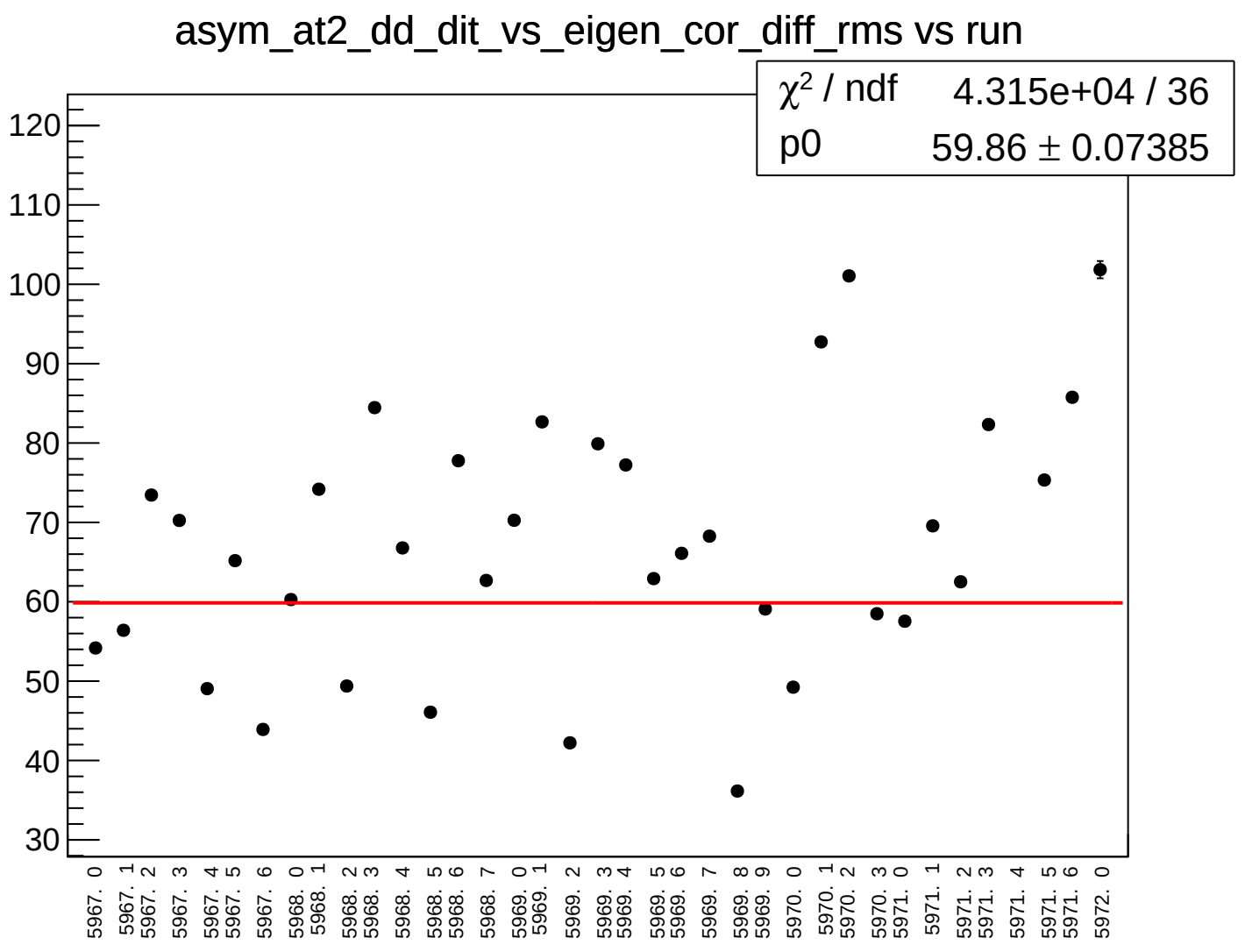
asym_at2_dd_dit_vs_eigen_cor_diff_rms vs run
χ² / ndf 4.315e+04 / 36
p0 59.86 ± 0.07385
120
110
100
90
80
70
60
50
40
30
5967. 0
5967. 1
5967. 2
5967. 3
5967. 4
5967. 5
5967. 6
5968. 0
5968. 1
5968. 2
5968. 3
5968. 4
5968. 5
5968. 6
5968. 7
5969. 0
5969. 1
5969. 2
5969. 3
5969. 4
5969. 5
5969. 6
5969. 7
5969. 8
5969. 9
5970. 0
5970. 1
5970. 2
5970. 3
5971. 0
5971. 1
5971. 2
5971. 3
5971. 4
5971. 5
5971. 6
5972. 0

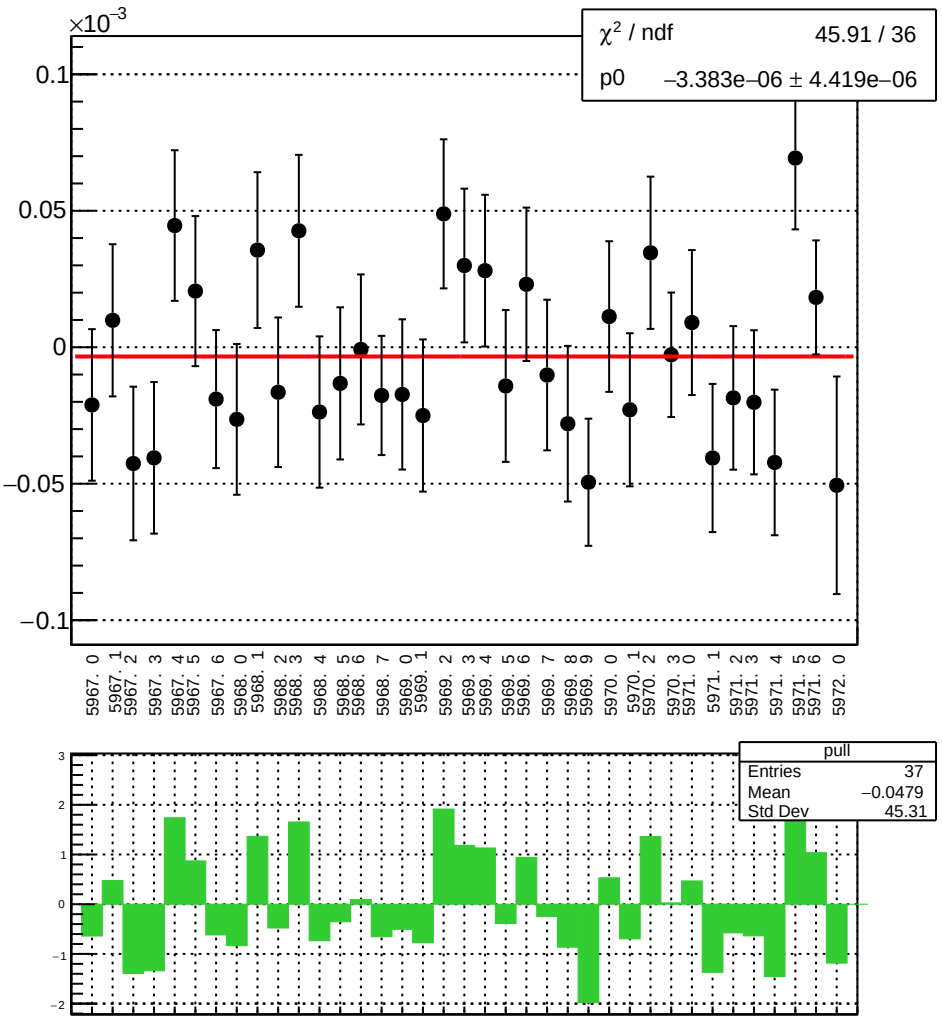
asym_at2_dd_eigen_dit_vs_dit_diff_mean vs run
χ² / ndf 45.91 / 36
p0 −3.383e−06 ± 4.419e−06
×10⁻³
pull
Entries 37
Mean −0.0479
Std Dev 45.31

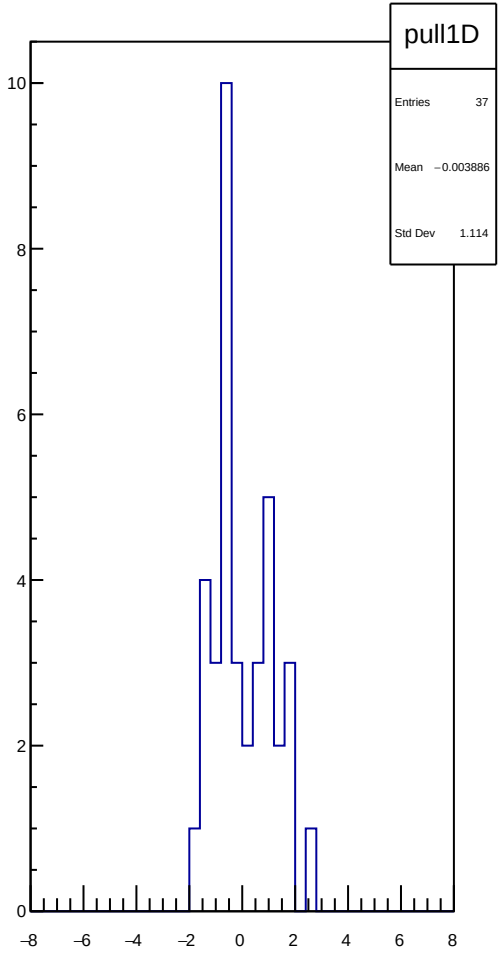
pull1D
Entries 37
Mean −0.003886
Std Dev 1.114

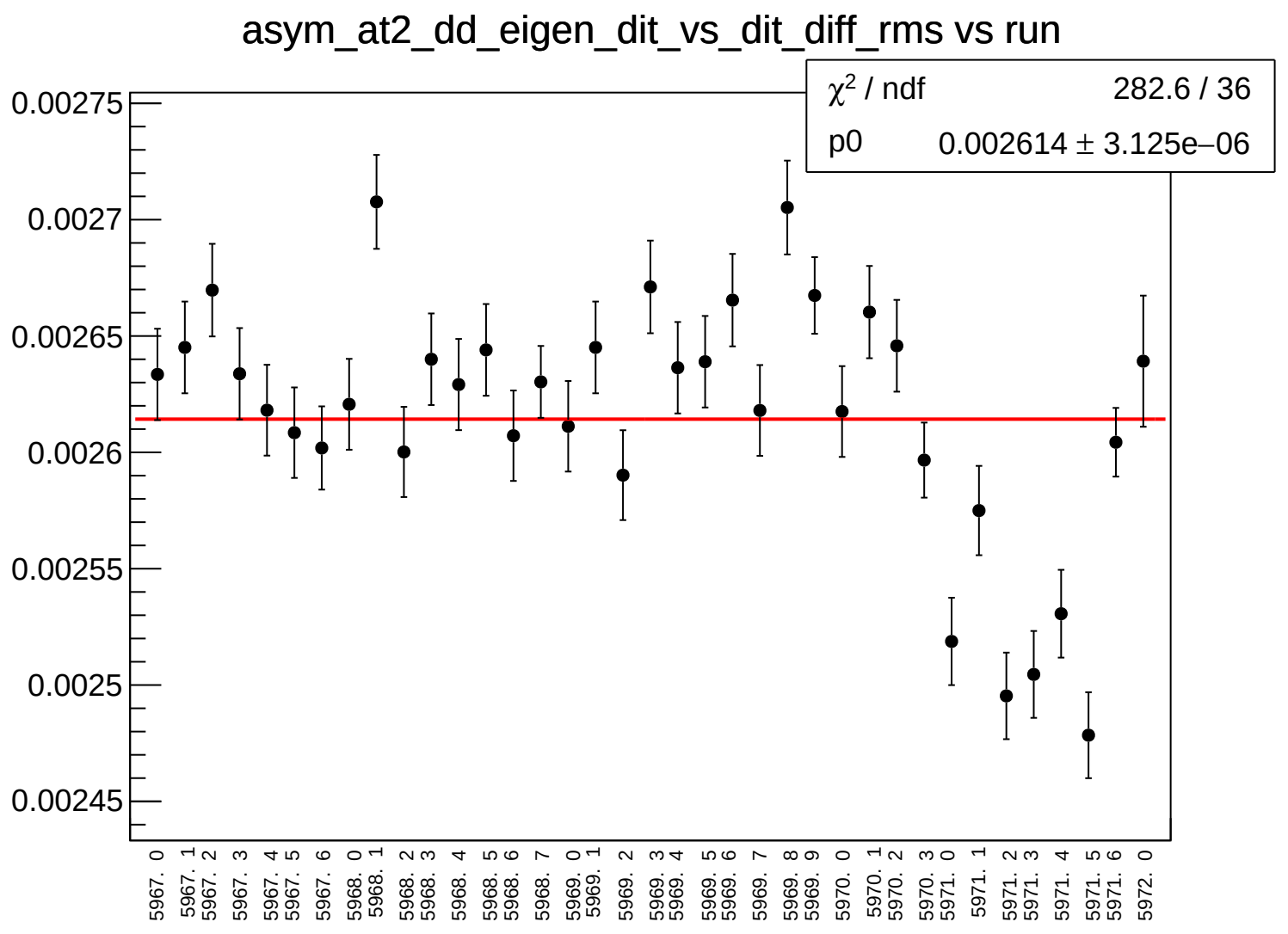
asym_at2_dd_eigen_dit_vs_dit_diff_rms vs run
χ² / ndf 282.6 / 36
p0 0.002614 ± 3.125e−06
0.00275
0.0027
0.00265
0.0026
0.00255
0.0025
0.00245
5967. 0
5967. 1
5967. 2
5967. 3
5967. 4
5967. 5
5967. 6
5968. 0
5968. 1
5968. 2
5968. 3
5968. 4
5968. 5
5968. 6
5968. 7
5969. 0
5969. 1
5969. 2
5969. 3
5969. 4
5969. 5
5969. 6
5969. 7
5969. 8
5969. 9
5970. 0
5970. 1
5970. 2
5970. 3
5971. 0
5971. 1
5971. 2
5971. 3
5971. 4
5971. 5
5971. 6
5972. 0

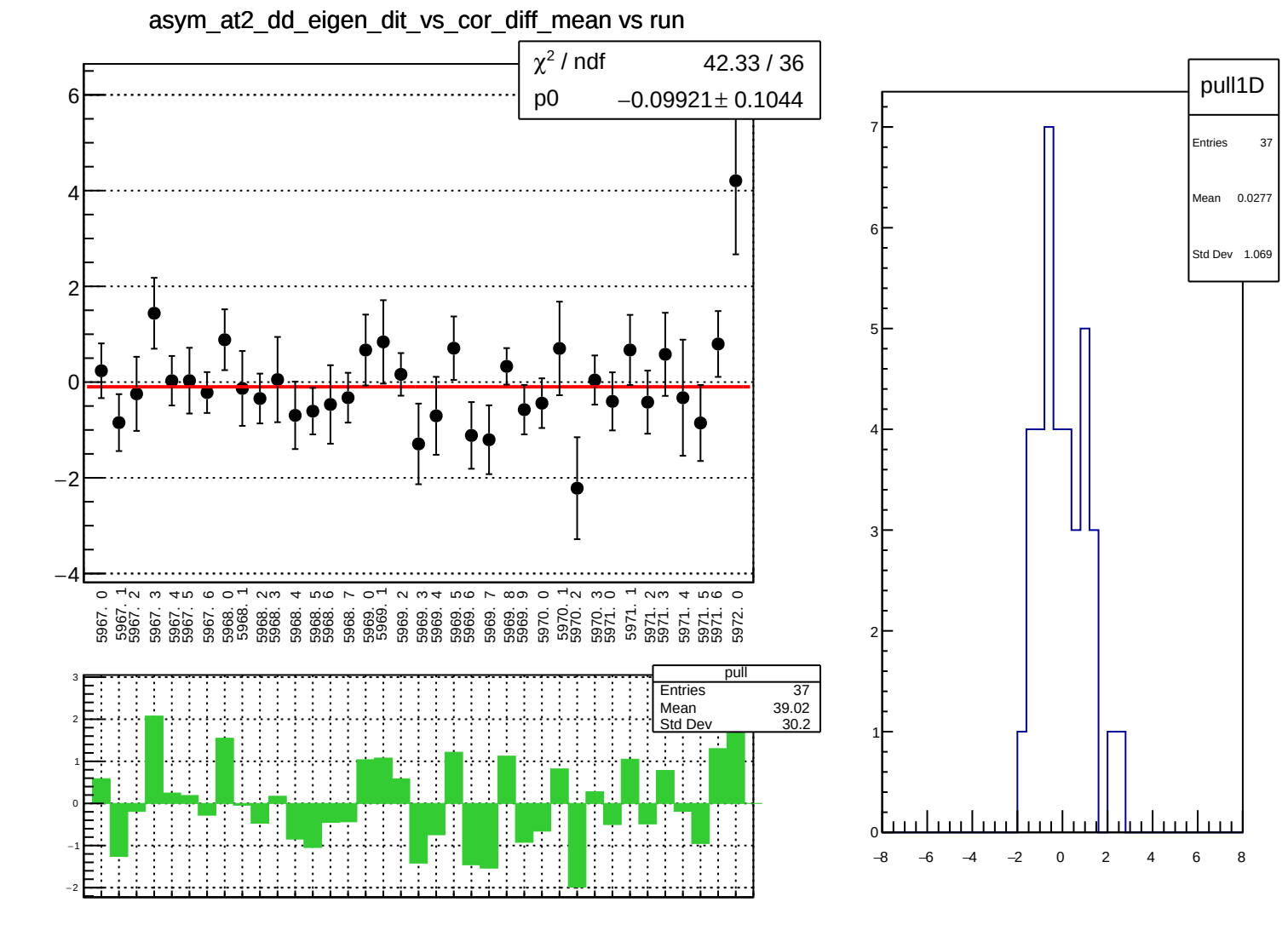
asym_at2_dd_eigen_dit_vs_cor_diff_mean vs run
χ² / ndf 42.33 / 36
p0 −0.09921± 0.1044
pull
Entries 37
Mean 39.02
Std Dev 30.2
pull1D
Entries 37
Mean 0.0277
Std Dev 1.069

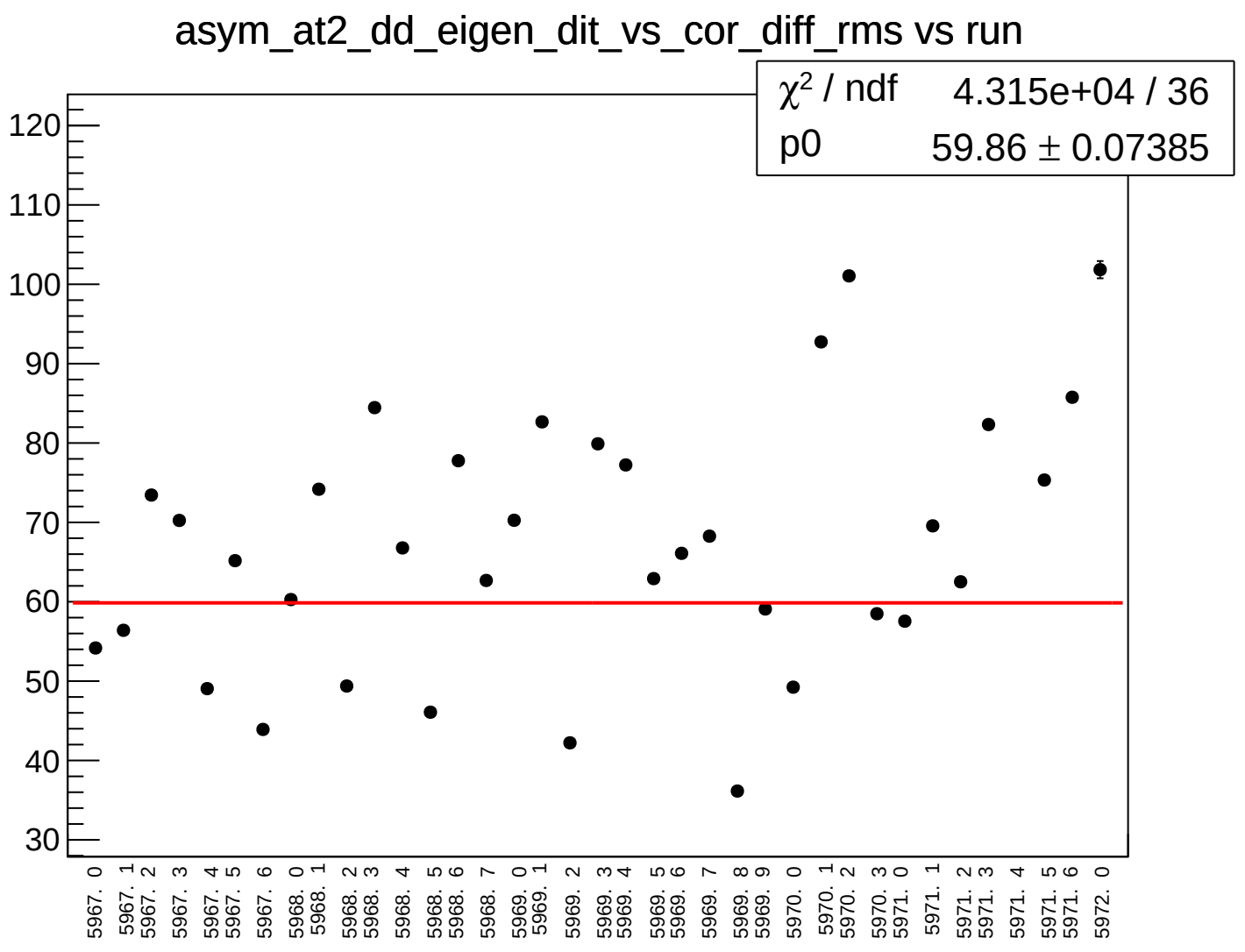
asym_at2_dd_eigen_dit_vs_cor_diff_rms vs run
χ² / ndf 4.315e+04 / 36
p0 59.86 ± 0.07385
120
110
100
90
80
70
60
50
40
30
5967. 0
5967. 1
5967. 2
5967. 3
5967. 4
5967. 5
5967. 6
5968. 0
5968. 1
5968. 2
5968. 3
5968. 4
5968. 5
5968. 6
5968. 7
5969. 0
5969. 1
5969. 2
5969. 3
5969. 4
5969. 5
5969. 6
5969. 7
5969. 8
5969. 9
5970. 0
5970. 1
5970. 2
5970. 3
5971. 0
5971. 1
5971. 2
5971. 3
5971. 4
5971. 5
5971. 6
5972. 0

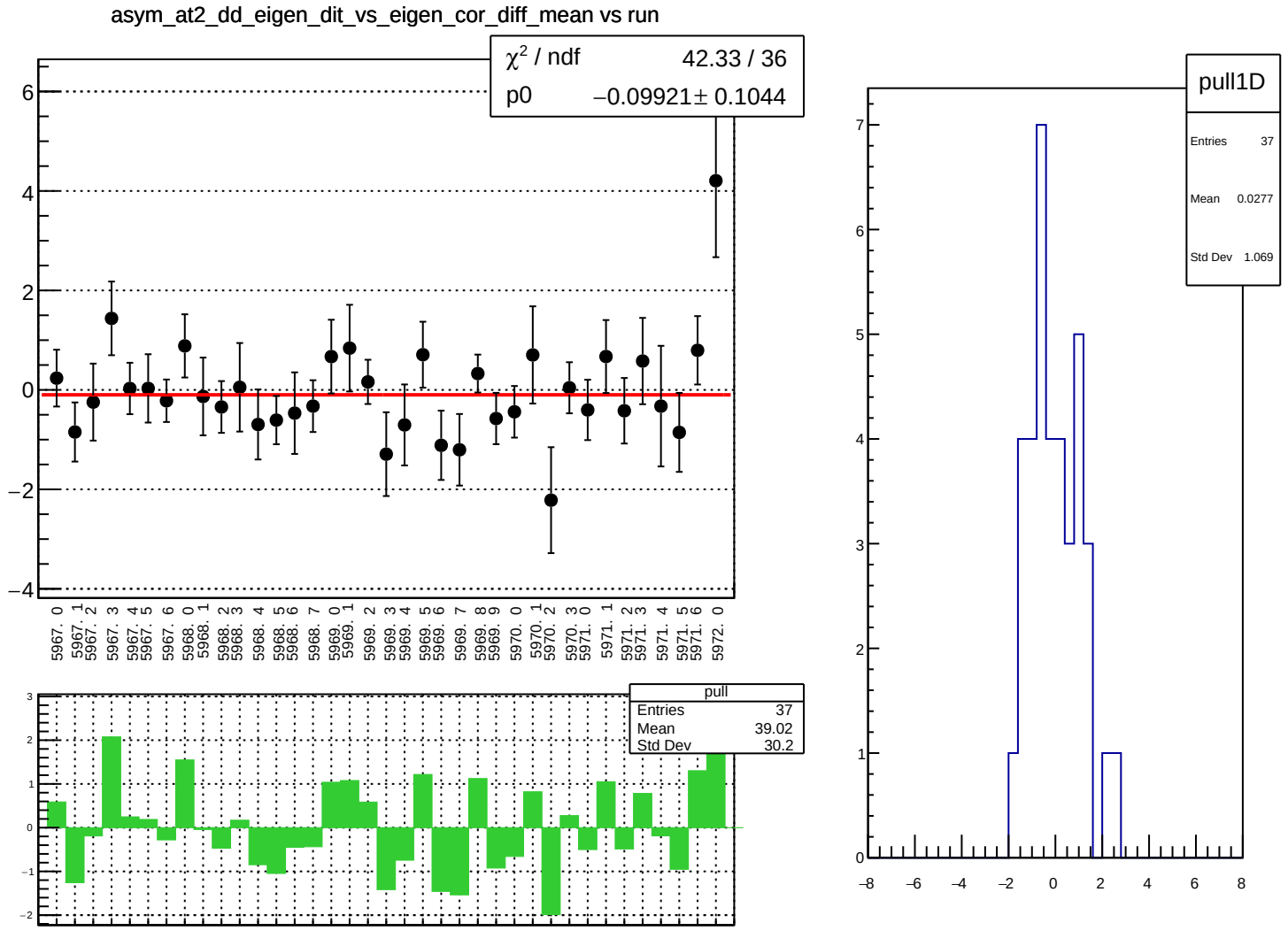
asym_at2_dd_eigen_dit_vs_eigen_cor_diff_mean vs run
χ² / ndf 42.33 / 36
p0 −0.09921± 0.1044
pull
Entries 37
Mean 39.02
Std Dev 30.2
pull1D
Entries 37
Mean 0.0277
Std Dev 1.069

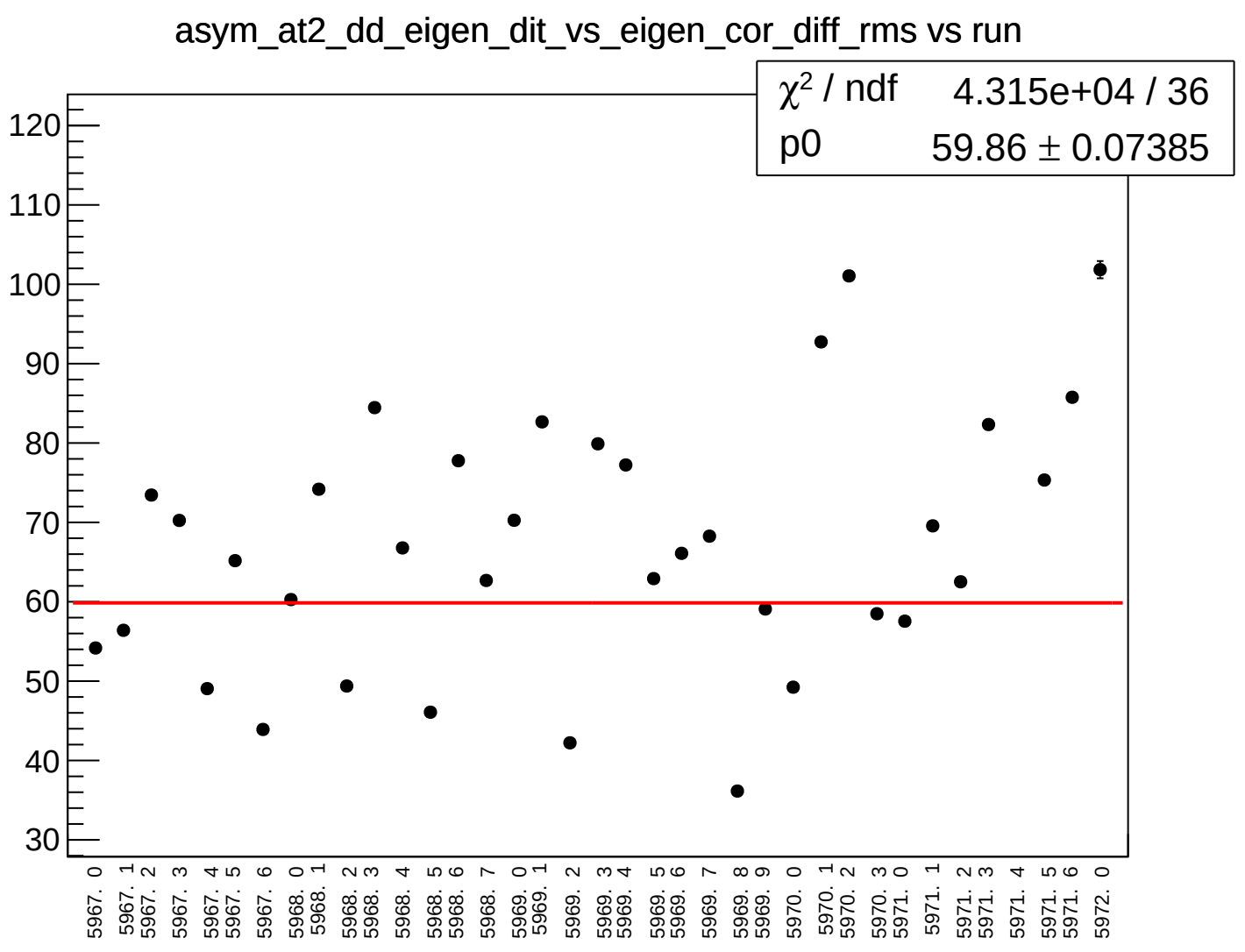
asym_at2_dd_eigen_dit_vs_eigen_cor_diff_rms vs run
χ² / ndf 4.315e+04 / 36
p0 59.86 ± 0.07385
120
110
100
90
80
70
60
50
40
30
5967. 0
5967. 1
5967. 2
5967. 3
5967. 4
5967. 5
5967. 6
5968. 0
5968. 1
5968. 2
5968. 3
5968. 4
5968. 5
5968. 6
5968. 7
5969. 0
5969. 1
5969. 2
5969. 3
5969. 4
5969. 5
5969. 6
5969. 7
5969. 8
5969. 9
5970. 0
5970. 1
5970. 2
5970. 3
5971. 0
5971. 1
5971. 2
5971. 3
5971. 4
5971. 5
5971. 6
5972. 0

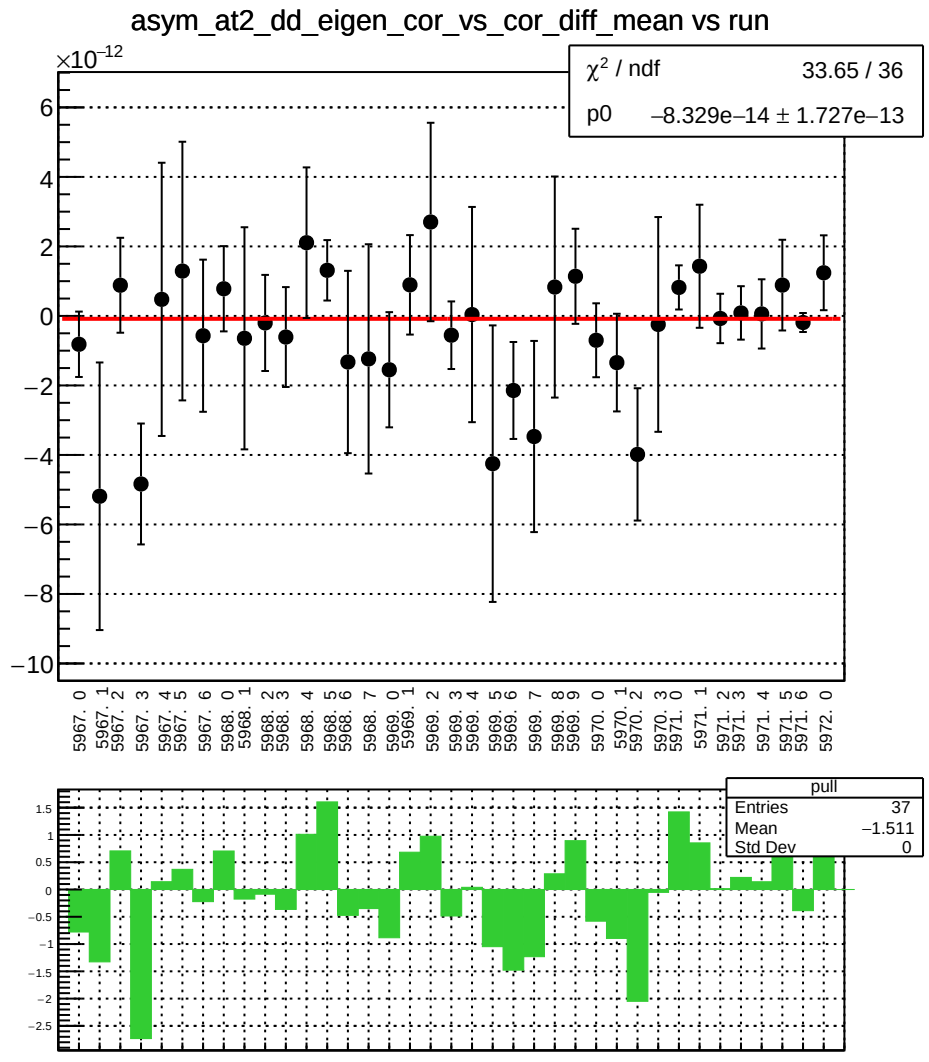
asym_at2_dd_eigen_cor_vs_cor_diff_mean vs run
×10⁻¹²
χ² / ndf 33.65 / 36
p0 −8.329e−14 ± 1.727e−13
pull
Entries 37
Mean −1.511
Std Dev 0

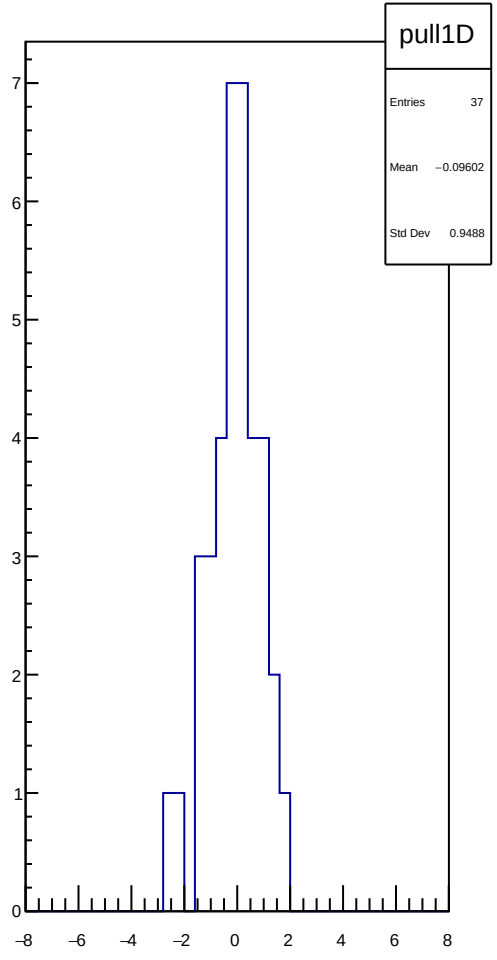
pull1D
Entries 37
Mean −0.09602
Std Dev 0.9488

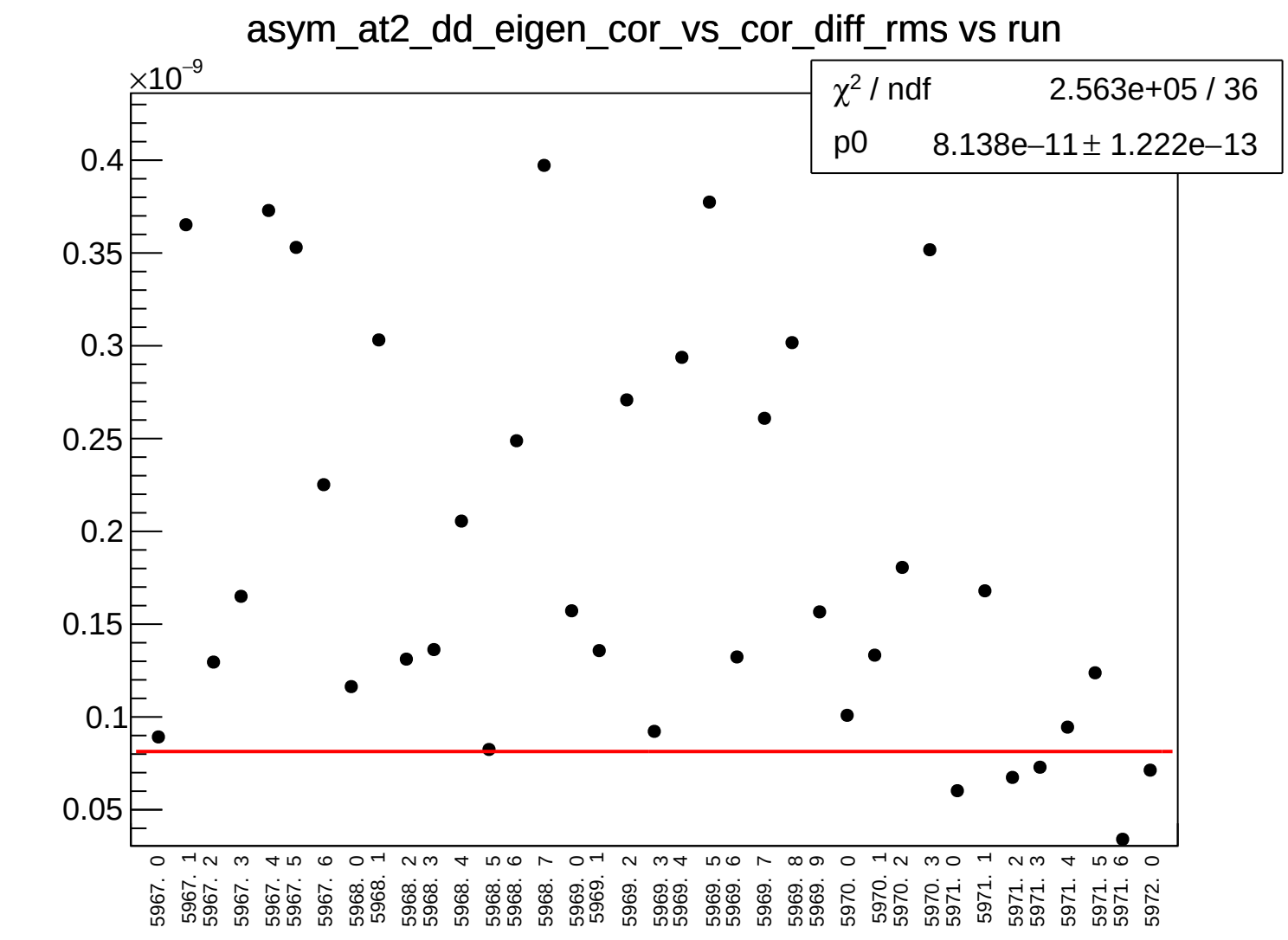
asym_at2_dd_eigen_cor_vs_cor_diff_rms vs run
×10⁻⁹
χ² / ndf 2.563e+05 / 36
p0 8.138e−11 ± 1.222e−13
0.4
0.35
0.3
0.25
0.2
0.15
0.1
0.05
5967. 0
5967. 1
5967. 2
5967. 3
5967. 4
5967. 5
5967. 6
5968. 0
5968. 1
5968. 2
5968. 3
5968. 4
5968. 5
5968. 6
5968. 7
5969. 0
5969. 1
5969. 2
5969. 3
5969. 4
5969. 5
5969. 6
5969. 7
5969. 8
5969. 9
5970. 0
5970. 1
5970. 2
5970. 3
5971. 0
5971. 1
5971. 2
5971. 3
5971. 4
5971. 5
5971. 6
5972. 0

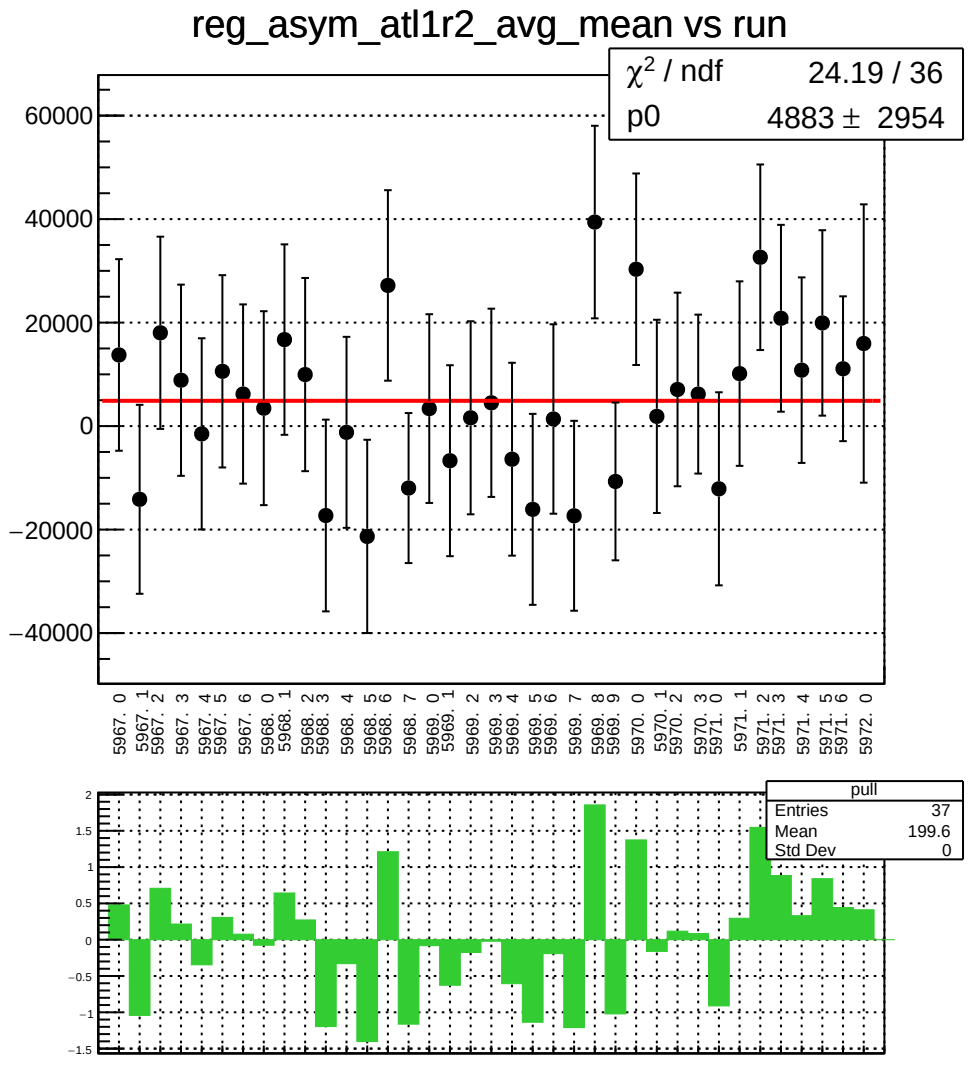
reg_asym_atl1r2_avg_mean vs run
χ² / ndf 24.19 / 36
p0 4883 ± 2954
60000
40000
20000
0
−20000
−40000
5967. 0
5967. 1
5967. 2
5967. 3
5967. 4
5967. 5
5967. 6
5968. 0
5968. 1
5968. 2
5968. 3
5968. 4
5968. 5
5968. 6
5968. 7
5969. 0
5969. 1
5969. 2
5969. 3
5969. 4
5969. 5
5969. 6
5969. 7
5969. 8
5969. 9
5970. 0
5970. 1
5970. 2
5970. 3
5971. 0
5971. 1
5971. 2
5971. 3
5971. 4
5971. 5
5971. 6
5972. 0
pull
Entries 37
Mean 199.6
Std Dev 0
2
1.5
1
0.5
0
−0.5
−1
−1.5

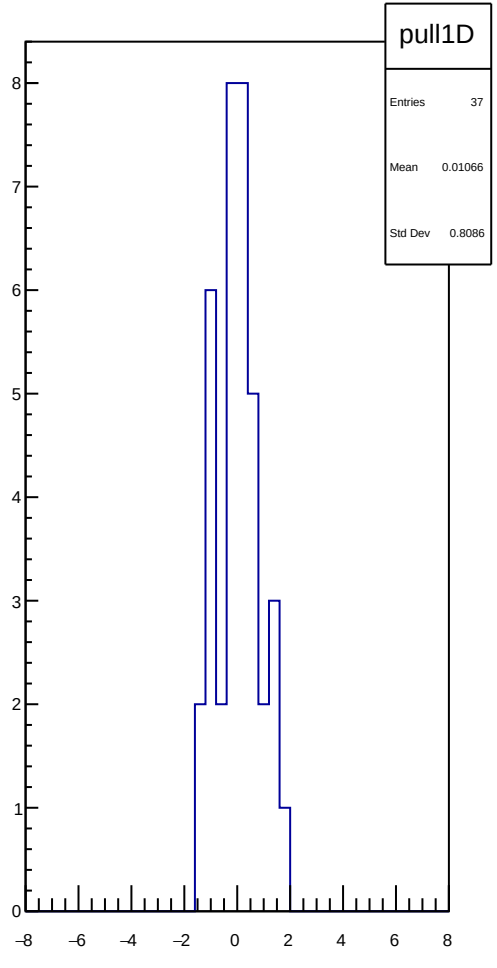
pull1D
Entries 37
Mean 0.01066
Std Dev 0.8086
8
7
6
5
4
3
2
1
0
−8
−6
−4
−2
0
2
4
6
8

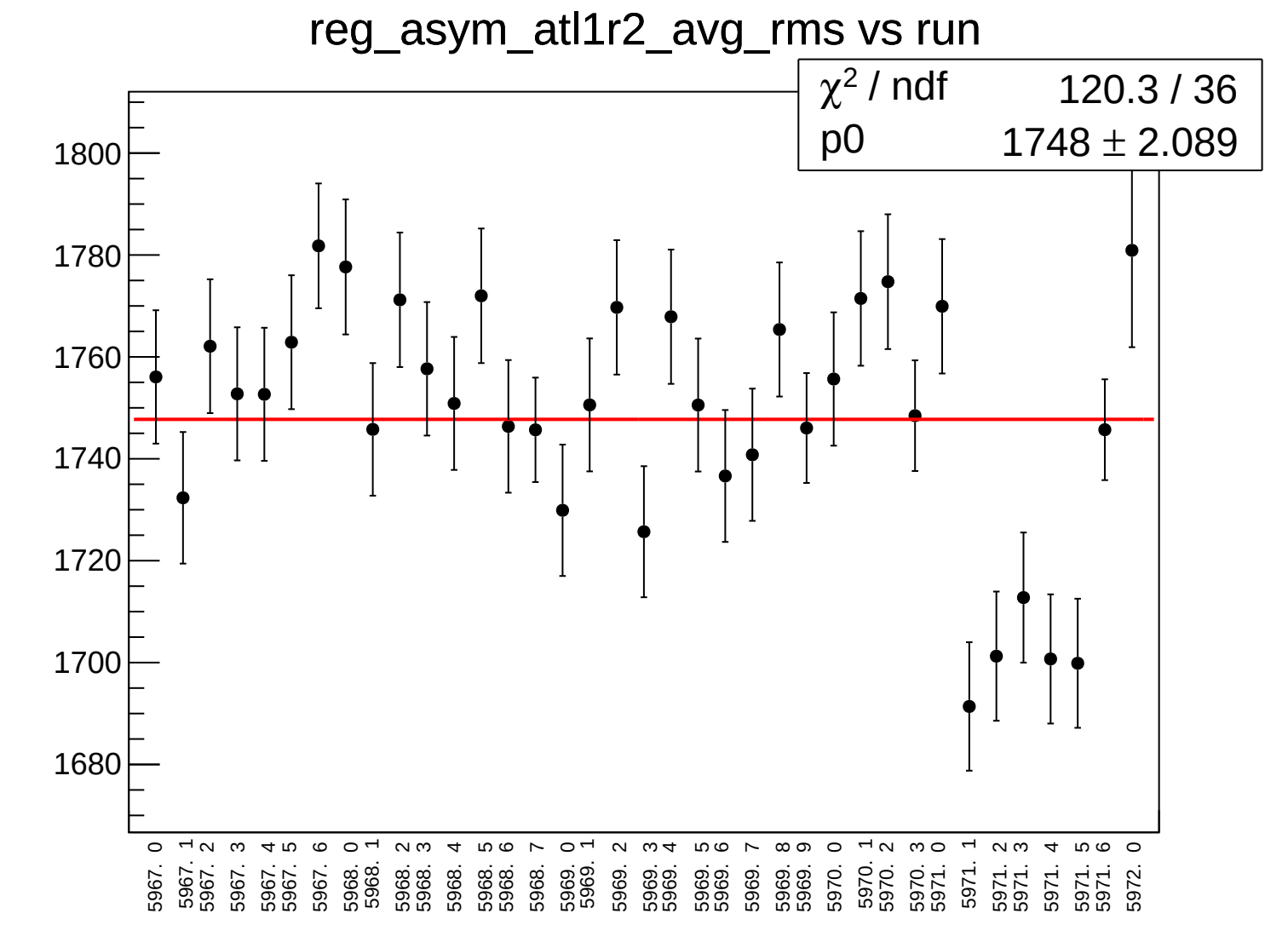
reg_asym_atl1r2_avg_rms vs run
χ² / ndf 120.3 / 36
p0 1748 ± 2.089
1800
1780
1760
1740
1720
1700
1680
5967. 0
5967. 1
5967. 2
5967. 3
5967. 4
5967. 5
5967. 6
5968. 0
5968. 1
5968. 2
5968. 3
5968. 4
5968. 5
5968. 6
5968. 7
5969. 0
5969. 1
5969. 2
5969. 3
5969. 4
5969. 5
5969. 6
5969. 7
5969. 8
5969. 9
5970. 0
5970. 1
5970. 2
5970. 3
5971. 0
5971. 1
5971. 2
5971. 3
5971. 4
5971. 5
5971. 6
5972. 0

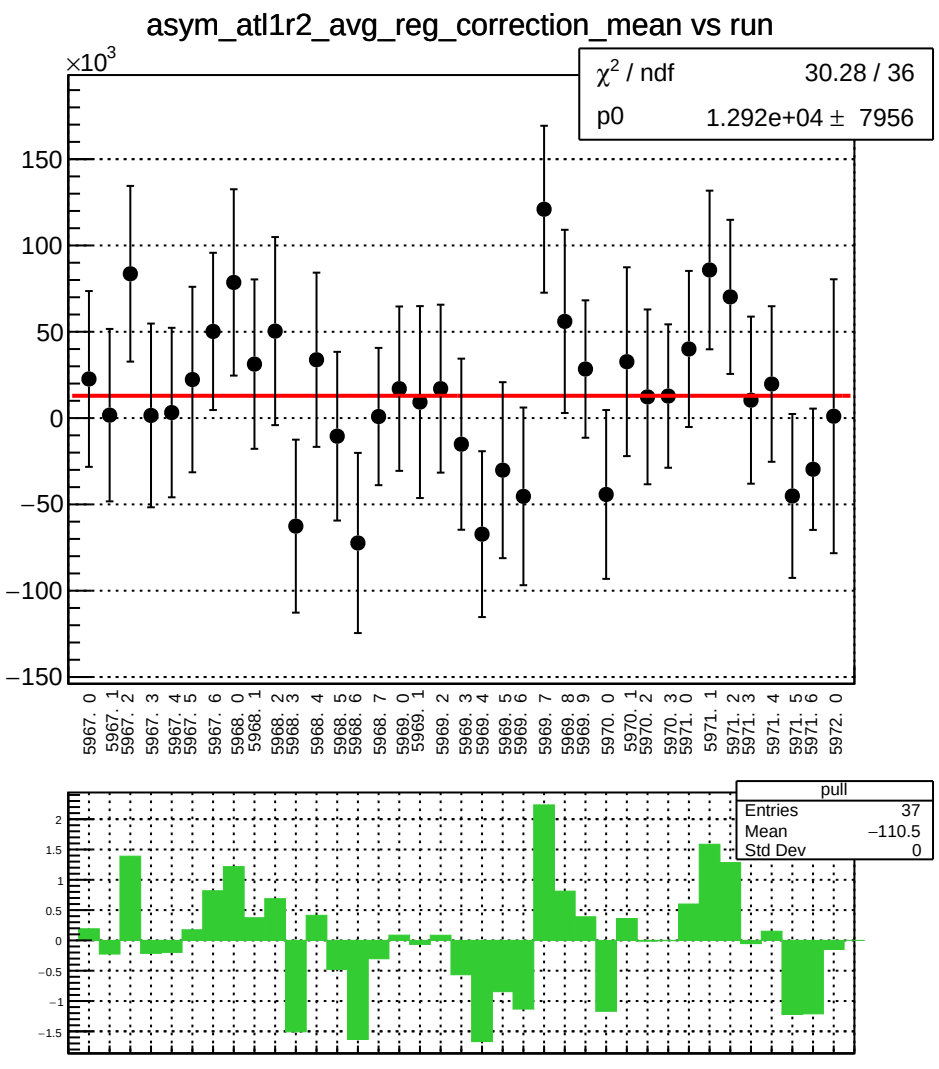
asym_atl1r2_avg_reg_correction_mean vs run
×10^3
χ² / ndf 30.28 / 36
p0 1.292e+04 ± 7956
150
100
50
0
−50
−100
−150
5967. 0
5967. 1
5967. 2
5967. 3
5967. 4
5967. 5
5967. 6
5968. 0
5968. 1
5968. 2
5968. 3
5968. 4
5968. 5
5968. 6
5968. 7
5969. 0
5969. 1
5969. 2
5969. 3
5969. 4
5969. 5
5969. 6
5969. 7
5969. 8
5969. 9
5970. 0
5970. 1
5970. 2
5970. 3
5971. 0
5971. 1
5971. 2
5971. 3
5971. 4
5971. 5
5971. 6
5972. 0
pull
Entries 37
Mean −110.5
Std Dev 0
2
1.5
1
0.5
0
−0.5
−1
−1.5
pull1D
Entries 37
Mean 0.00543
Std Dev 0.9047
9
8
7
6
5
4
3
2
1
0
−8
−6
−4
−2
0
2
4
6
8

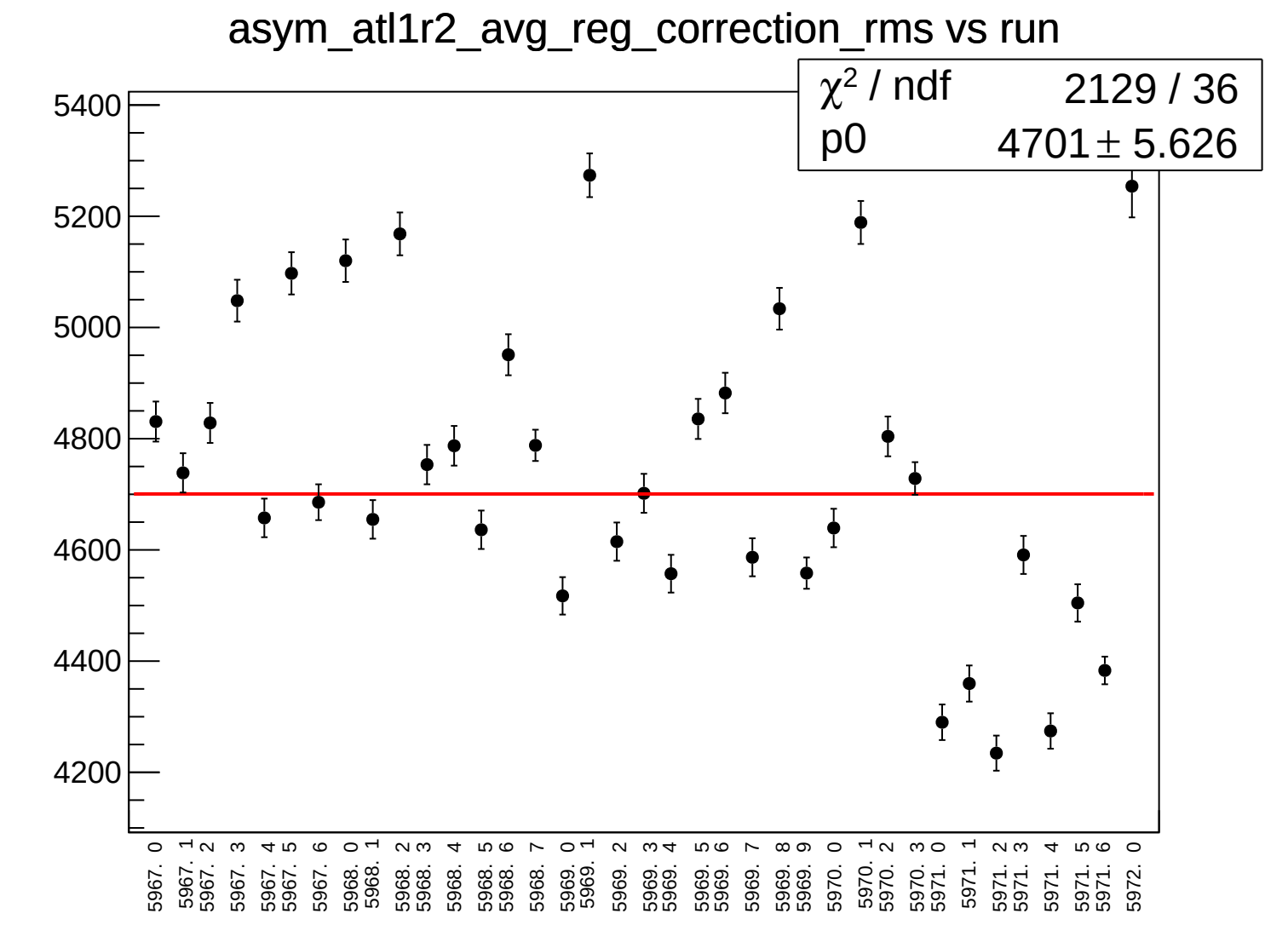
asym_atl1r2_avg_reg_correction_rms vs run
χ² / ndf 2129 / 36
p0 4701 ± 5.626
5400
5200
5000
4800
4600
4400
4200
5967. 0
5967. 1
5967. 2
5967. 3
5967. 4
5967. 5
5967. 6
5968. 0
5968. 1
5968. 2
5968. 3
5968. 4
5968. 5
5968. 6
5968. 7
5969. 0
5969. 1
5969. 2
5969. 3
5969. 4
5969. 5
5969. 6
5969. 7
5969. 8
5969. 9
5970. 0
5970. 1
5970. 2
5970. 3
5971. 0
5971. 1
5971. 2
5971. 3
5971. 4
5971. 5
5971. 6
5972. 0

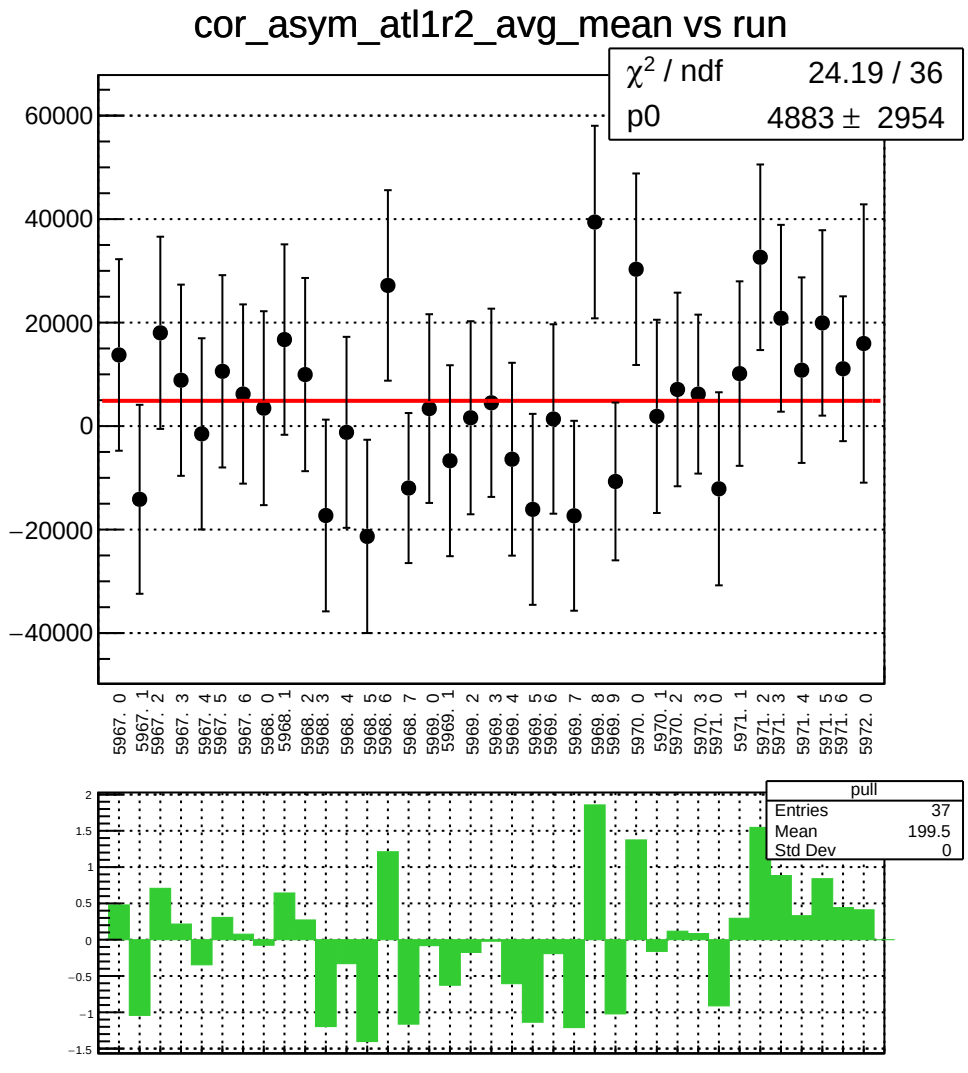
cor_asym_atl1r2_avg_mean vs run
χ² / ndf 24.19 / 36
p0 4883 ± 2954
60000
40000
20000
0
−20000
−40000
5967. 0
5967. 1
5967. 2
5967. 3
5967. 4
5967. 5
5967. 6
5968. 0
5968. 1
5968. 2
5968. 3
5968. 4
5968. 5
5968. 6
5968. 7
5969. 0
5969. 1
5969. 2
5969. 3
5969. 4
5969. 5
5969. 6
5969. 7
5969. 8
5969. 9
5970. 0
5970. 1
5970. 2
5970. 3
5971. 0
5971. 1
5971. 2
5971. 3
5971. 4
5971. 5
5971. 6
5972. 0
pull
Entries 37
Mean 199.5
Std Dev 0
2
1.5
1
0.5
0
−0.5
−1
−1.5

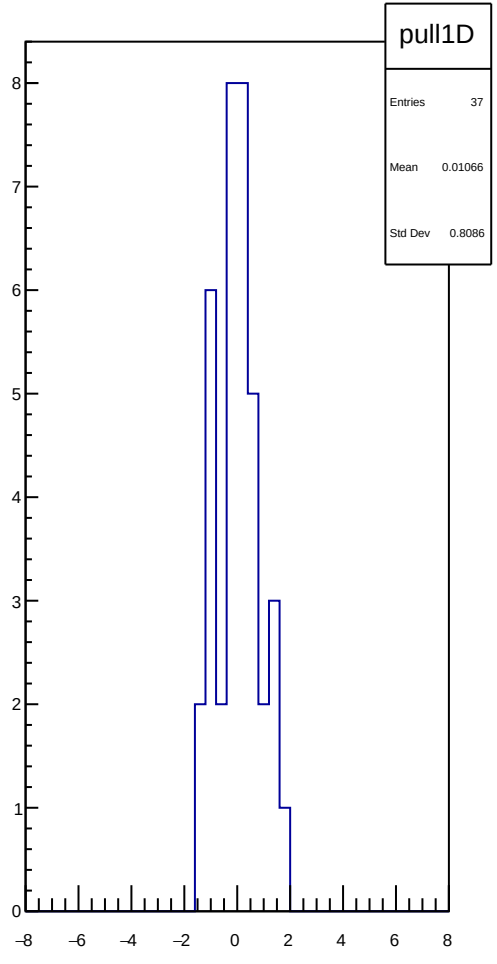
pull1D
Entries 37
Mean 0.01066
Std Dev 0.8086
8
7
6
5
4
3
2
1
0
−8
−6
−4
−2
0
2
4
6
8

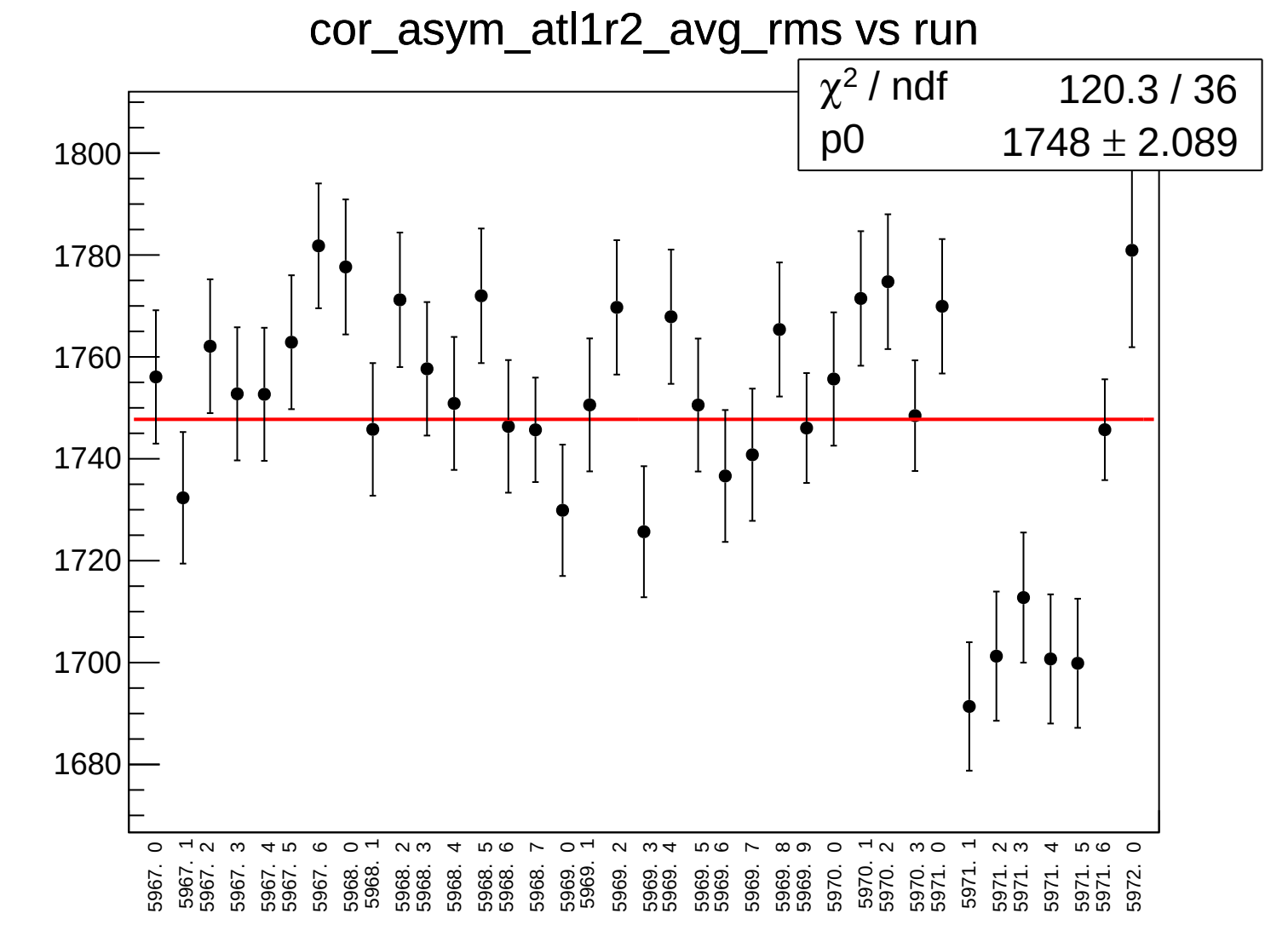
cor_asym_atl1r2_avg_rms vs run
χ² / ndf 120.3 / 36
p0 1748 ± 2.089
1800
1780
1760
1740
1720
1700
1680
5967. 0
5967. 1
5967. 2
5967. 3
5967. 4
5967. 5
5967. 6
5968. 0
5968. 1
5968. 2
5968. 3
5968. 4
5968. 5
5968. 6
5968. 7
5969. 0
5969. 1
5969. 2
5969. 3
5969. 4
5969. 5
5969. 6
5969. 7
5969. 8
5969. 9
5970. 0
5970. 1
5970. 2
5970. 3
5971. 0
5971. 1
5971. 2
5971. 3
5971. 4
5971. 5
5971. 6
5972. 0

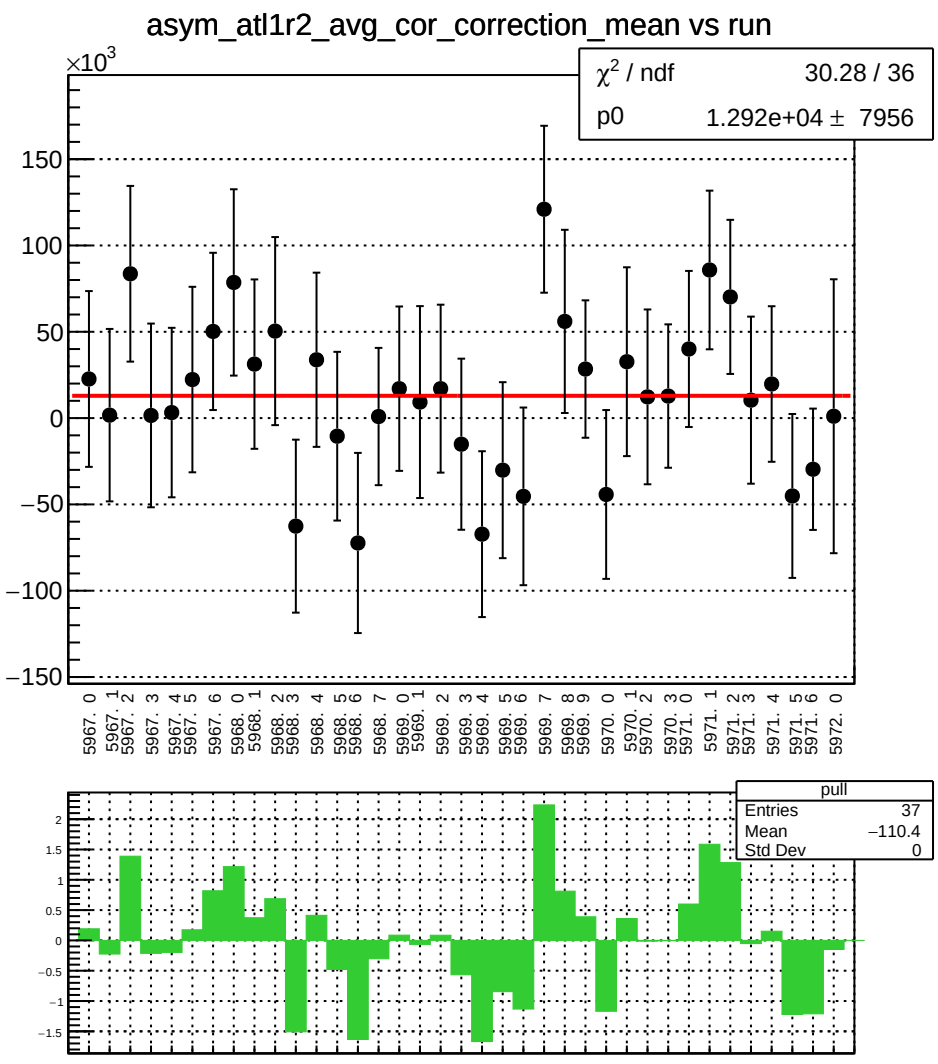
asym_atl1r2_avg_cor_correction_mean vs run
×10^3
χ² / ndf 30.28 / 36
p0 1.292e+04 ± 7956
150
100
50
0
−50
−100
−150
5967. 0
5967. 1
5967. 2
5967. 3
5967. 4
5967. 5
5967. 6
5968. 0
5968. 1
5968. 2
5968. 3
5968. 4
5968. 5
5968. 6
5968. 7
5969. 0
5969. 1
5969. 2
5969. 3
5969. 4
5969. 5
5969. 6
5969. 7
5969. 8
5969. 9
5970. 0
5970. 1
5970. 2
5970. 3
5971. 0
5971. 1
5971. 2
5971. 3
5971. 4
5971. 5
5971. 6
5972. 0
pull
Entries 37
Mean −110.4
Std Dev 0
2
1.5
1
0.5
0
−0.5
−1
−1.5
pull1D
Entries 37
Mean 0.005434
Std Dev 0.9047
9
8
7
6
5
4
3
2
1
0
−8
−6
−4
−2
0
2
4
6
8

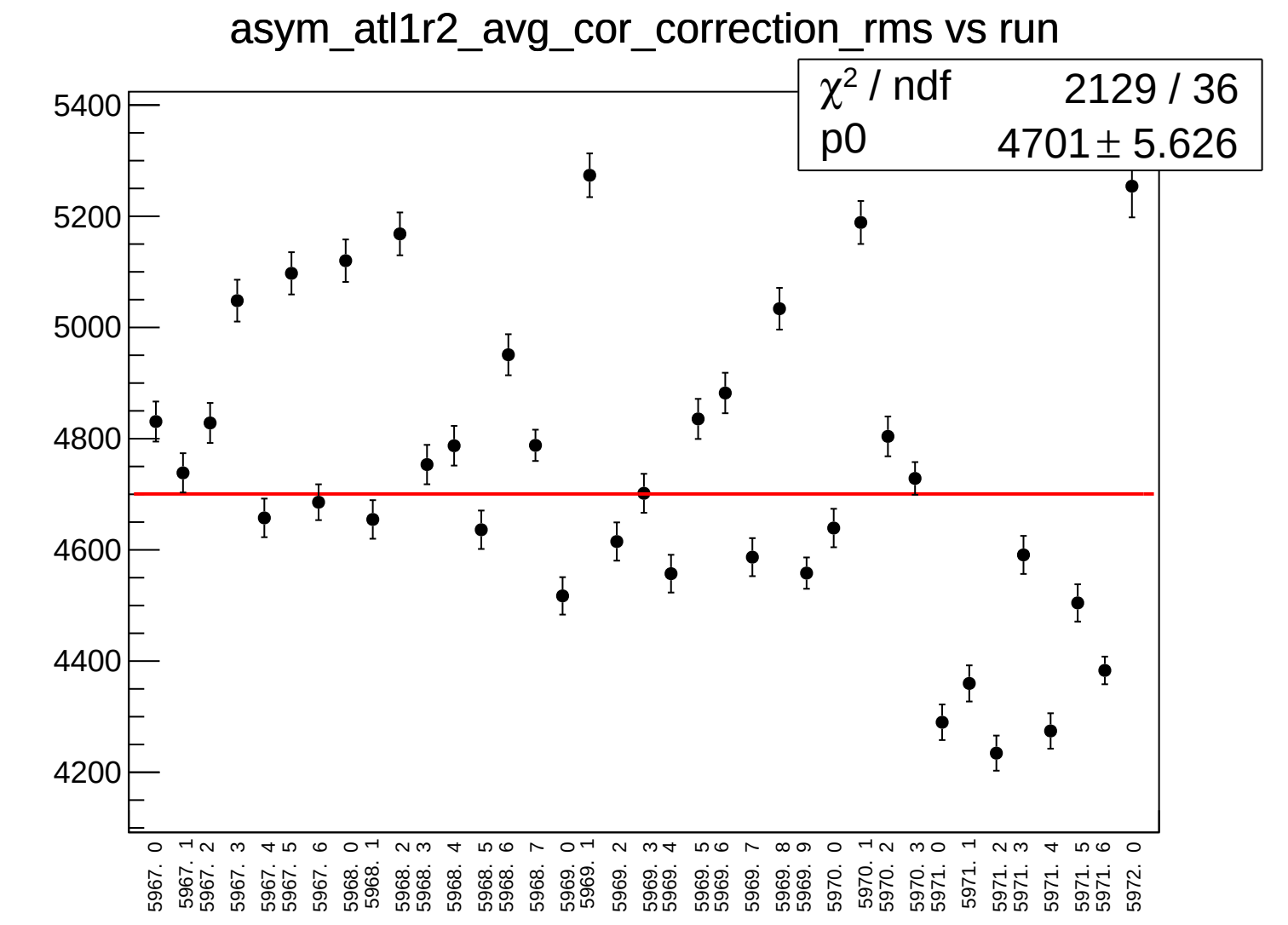
asym_atl1r2_avg_cor_correction_rms vs run
χ² / ndf 2129 / 36
p0 4701 ± 5.626
5400
5200
5000
4800
4600
4400
4200
5967. 0
5967. 1
5967. 2
5967. 3
5967. 4
5967. 5
5967. 6
5968. 0
5968. 1
5968. 2
5968. 3
5968. 4
5968. 5
5968. 6
5968. 7
5969. 0
5969. 1
5969. 2
5969. 3
5969. 4
5969. 5
5969. 6
5969. 7
5969. 8
5969. 9
5970. 0
5970. 1
5970. 2
5970. 3
5971. 0
5971. 1
5971. 2
5971. 3
5971. 4
5971. 5
5971. 6
5972. 0

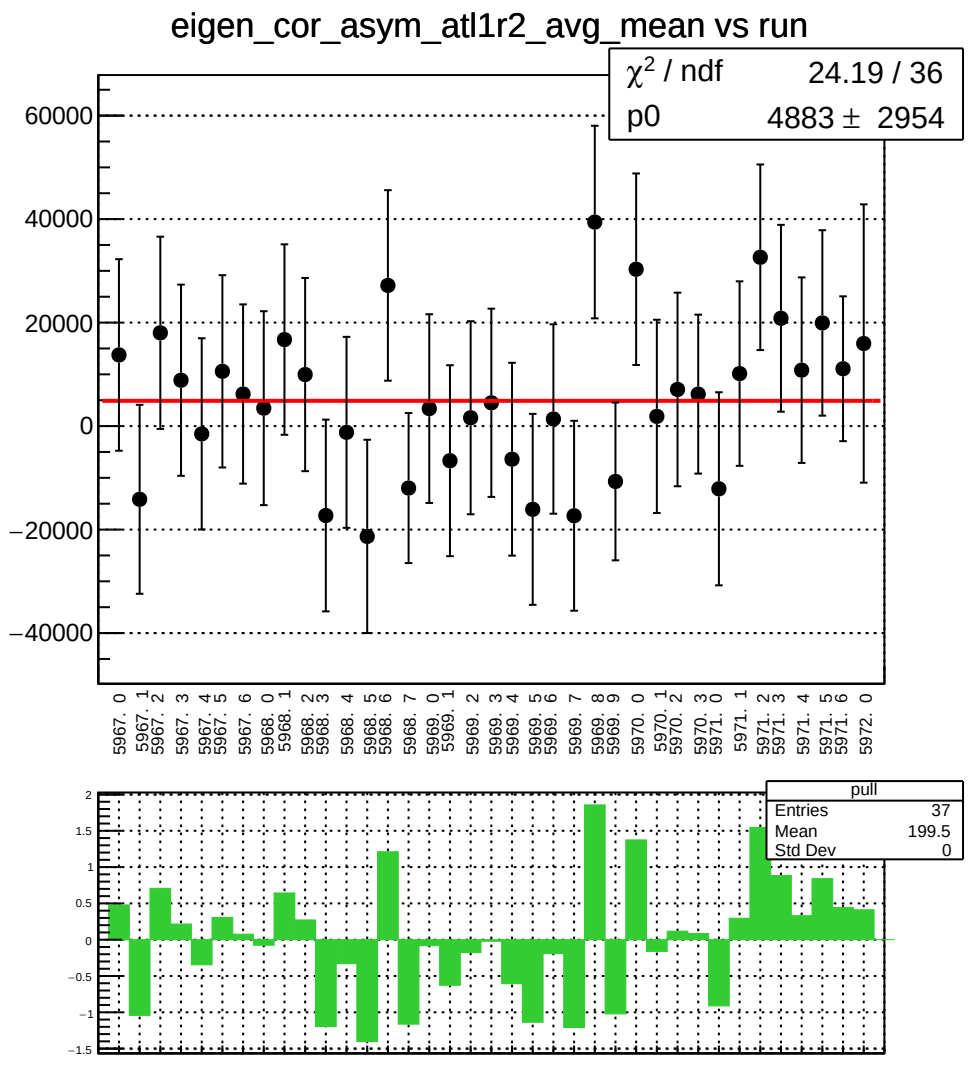
eigen_cor_asym_atl1r2_avg_mean vs run
χ² / ndf 24.19 / 36
p0 4883 ± 2954
60000
40000
20000
0
−20000
−40000
5967. 0
5967. 1
5967. 2
5967. 3
5967. 4
5967. 5
5967. 6
5968. 0
5968. 1
5968. 2
5968. 3
5968. 4
5968. 5
5968. 6
5968. 7
5969. 0
5969. 1
5969. 2
5969. 3
5969. 4
5969. 5
5969. 6
5969. 7
5969. 8
5969. 9
5970. 0
5970. 1
5970. 2
5970. 3
5971. 0
5971. 1
5971. 2
5971. 3
5971. 4
5971. 5
5971. 6
5972. 0
pull
Entries 37
Mean 199.5
Std Dev 0
2
1.5
1
0.5
0
−0.5
−1
−1.5
pull1D
Entries 37
Mean 0.01066
Std Dev 0.8086
8
7
6
5
4
3
2
1
0
−8
−6
−4
−2
0
2
4
6
8

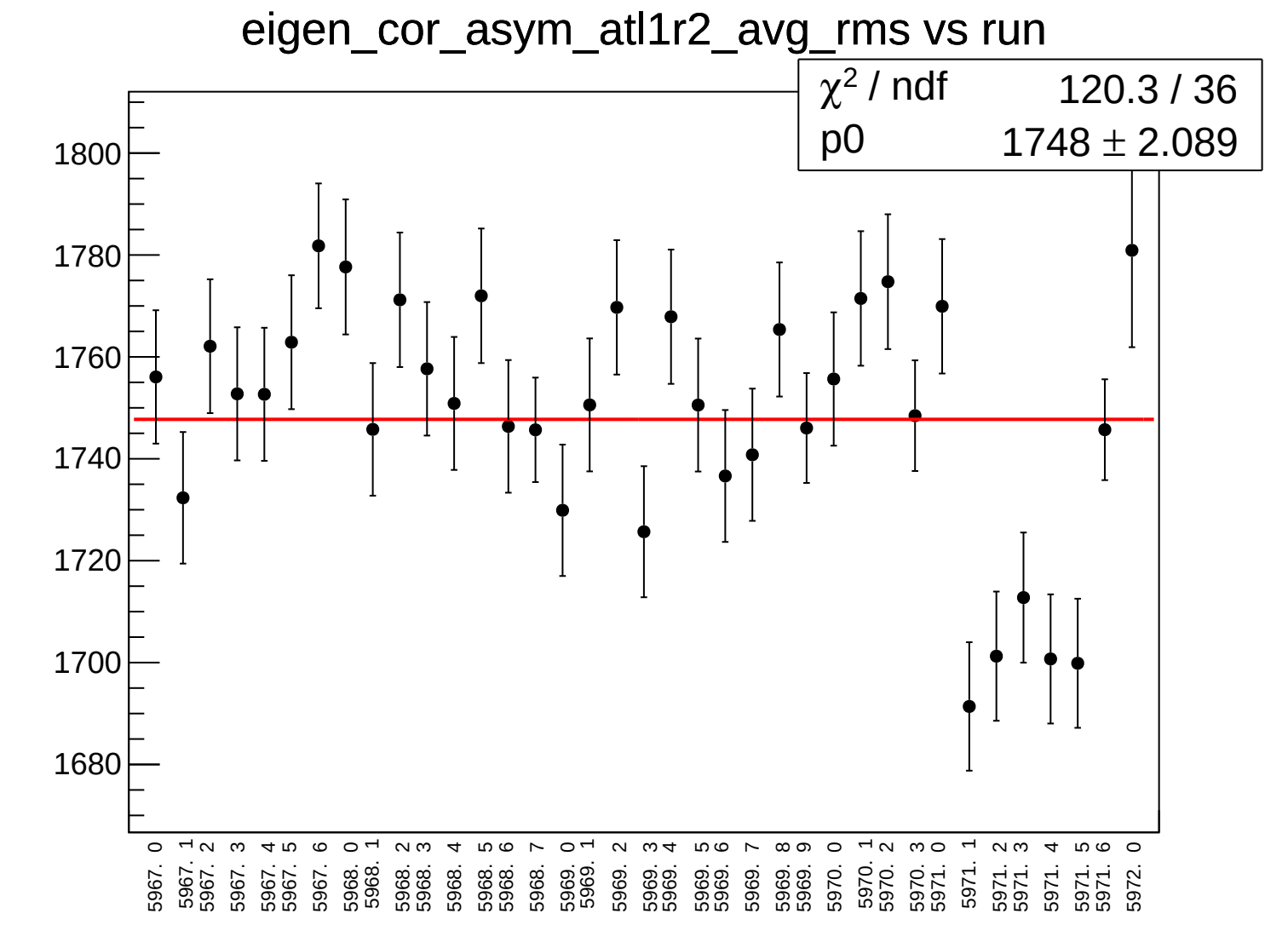
eigen_cor_asym_atl1r2_avg_rms vs run
χ² / ndf 120.3 / 36
p0 1748 ± 2.089
1800
1780
1760
1740
1720
1700
1680
5967. 0
5967. 1
5967. 2
5967. 3
5967. 4
5967. 5
5967. 6
5968. 0
5968. 1
5968. 2
5968. 3
5968. 4
5968. 5
5968. 6
5968. 7
5969. 0
5969. 1
5969. 2
5969. 3
5969. 4
5969. 5
5969. 6
5969. 7
5969. 8
5969. 9
5970. 0
5970. 1
5970. 2
5970. 3
5971. 0
5971. 1
5971. 2
5971. 3
5971. 4
5971. 5
5971. 6
5972. 0

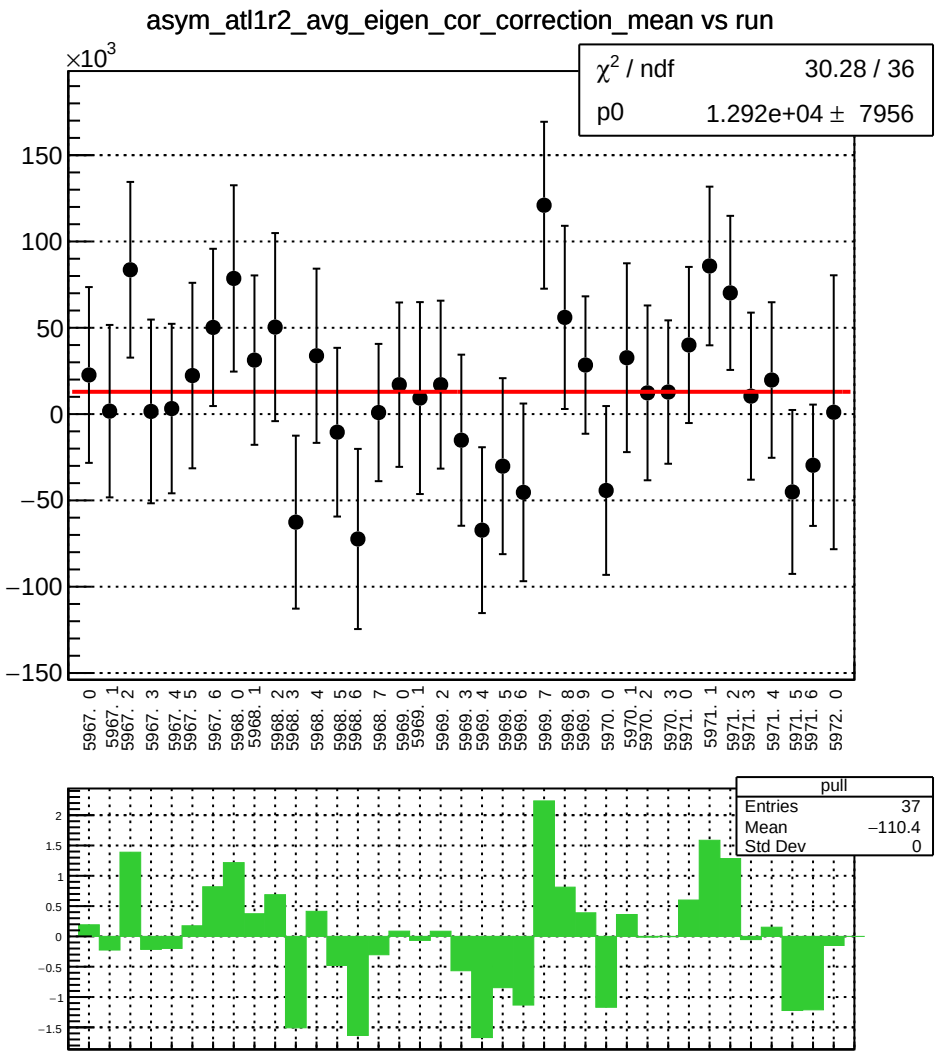
asym_atl1r2_avg_eigen_cor_correction_mean vs run
×10^3
χ² / ndf 30.28 / 36
p0 1.292e+04 ± 7956
150
100
50
0
−50
−100
−150
5967. 0
5967. 1
5967. 2
5967. 3
5967. 4
5967. 5
5967. 6
5968. 0
5968. 1
5968. 2
5968. 3
5968. 4
5968. 5
5968. 6
5968. 7
5969. 0
5969. 1
5969. 2
5969. 3
5969. 4
5969. 5
5969. 6
5969. 7
5969. 8
5969. 9
5970. 0
5970. 1
5970. 2
5970. 3
5971. 0
5971. 1
5971. 2
5971. 3
5971. 4
5971. 5
5971. 6
5972. 0
pull
Entries 37
Mean −110.4
Std Dev 0
2
1.5
1
0.5
0
−0.5
−1
−1.5
pull1D
Entries 37
Mean 0.005434
Std Dev 0.9047
9
8
7
6
5
4
3
2
1
0
−8
−6
−4
−2
0
2
4
6
8

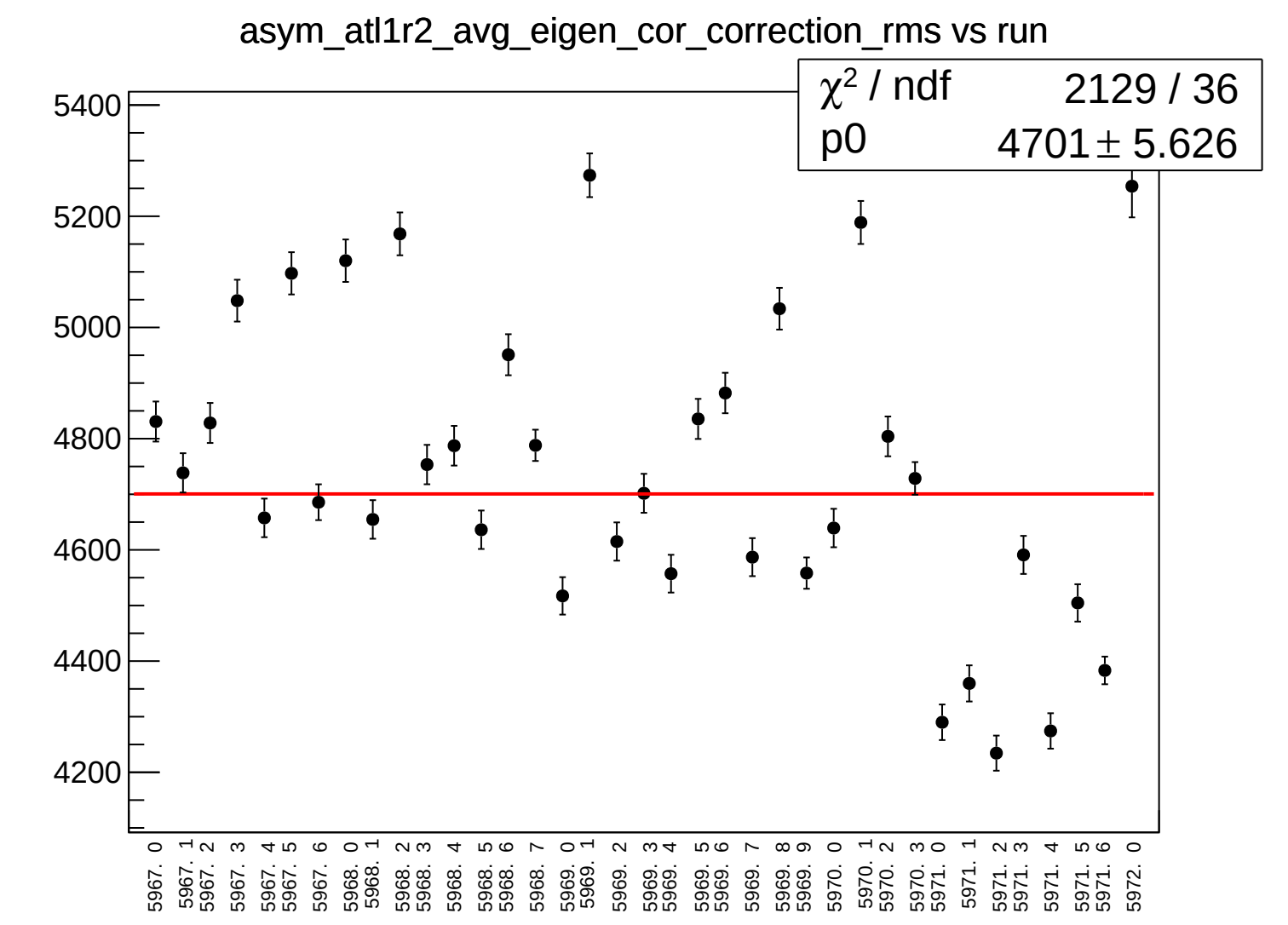
asym_atl1r2_avg_eigen_cor_correction_rms vs run
χ² / ndf 2129 / 36
p0 4701 ± 5.626
5400
5200
5000
4800
4600
4400
4200
5967. 0
5967. 1
5967. 2
5967. 3
5967. 4
5967. 5
5967. 6
5968. 0
5968. 1
5968. 2
5968. 3
5968. 4
5968. 5
5968. 6
5968. 7
5969. 0
5969. 1
5969. 2
5969. 3
5969. 4
5969. 5
5969. 6
5969. 7
5969. 8
5969. 9
5970. 0
5970. 1
5970. 2
5970. 3
5971. 0
5971. 1
5971. 2
5971. 3
5971. 4
5971. 5
5971. 6
5972. 0

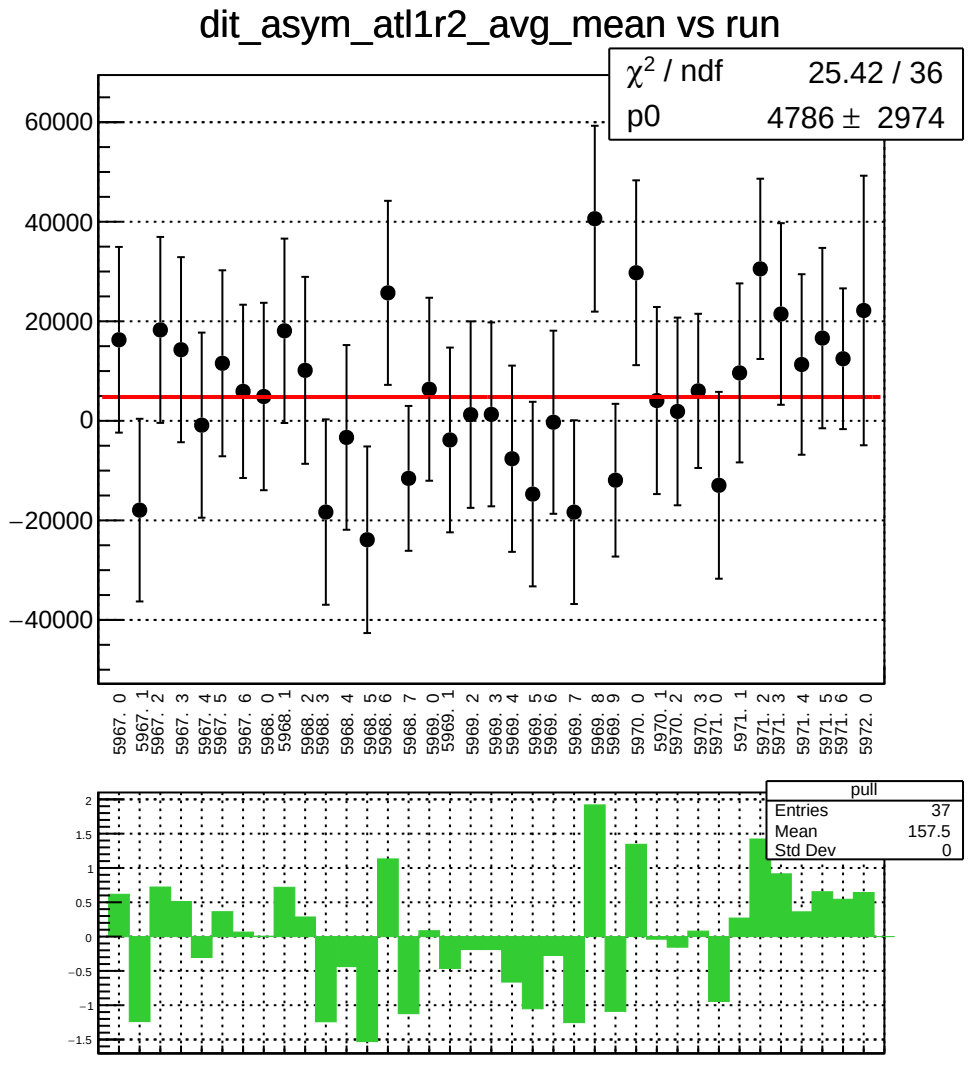
dit_asym_atl1r2_avg_mean vs run
χ² / ndf 25.42 / 36
p0 4786 ± 2974
60000
40000
20000
0
−20000
−40000
5967. 0
5967. 1
5967. 2
5967. 3
5967. 4
5967. 5
5967. 6
5968. 0
5968. 1
5968. 2
5968. 3
5968. 4
5968. 5
5968. 6
5968. 7
5969. 0
5969. 1
5969. 2
5969. 3
5969. 4
5969. 5
5969. 6
5969. 7
5969. 8
5969. 9
5970. 0
5970. 1
5970. 2
5970. 3
5971. 0
5971. 1
5971. 2
5971. 3
5971. 4
5971. 5
5971. 6
5972. 0
pull
Entries 37
Mean 157.5
Std Dev 0
2
1.5
1
0.5
0
−0.5
−1
−1.5
pull1D
Entries 37
Mean 0.0127
Std Dev 0.8288
8
7
6
5
4
3
2
1
0
−8
−6
−4
−2
0
2
4
6
8

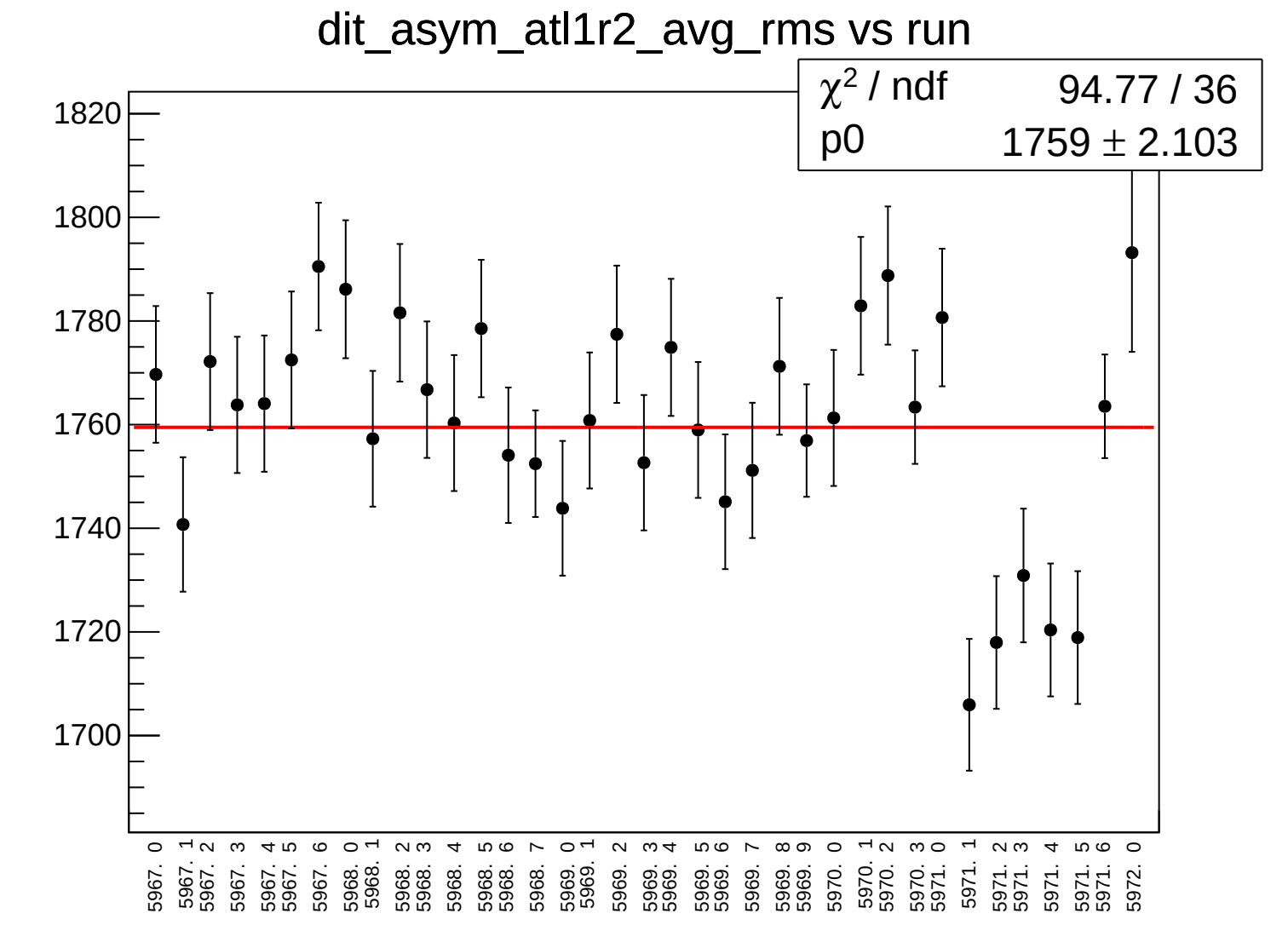
dit_asym_atl1r2_avg_rms vs run
χ² / ndf 94.77 / 36
p0 1759 ± 2.103
1820
1800
1780
1760
1740
1720
1700
5967. 0
5967. 1
5967. 2
5967. 3
5967. 4
5967. 5
5967. 6
5968. 0
5968. 1
5968. 2
5968. 3
5968. 4
5968. 5
5968. 6
5968. 7
5969. 0
5969. 1
5969. 2
5969. 3
5969. 4
5969. 5
5969. 6
5969. 7
5969. 8
5969. 9
5970. 0
5970. 1
5970. 2
5970. 3
5971. 0
5971. 1
5971. 2
5971. 3
5971. 4
5971. 5
5971. 6
5972. 0

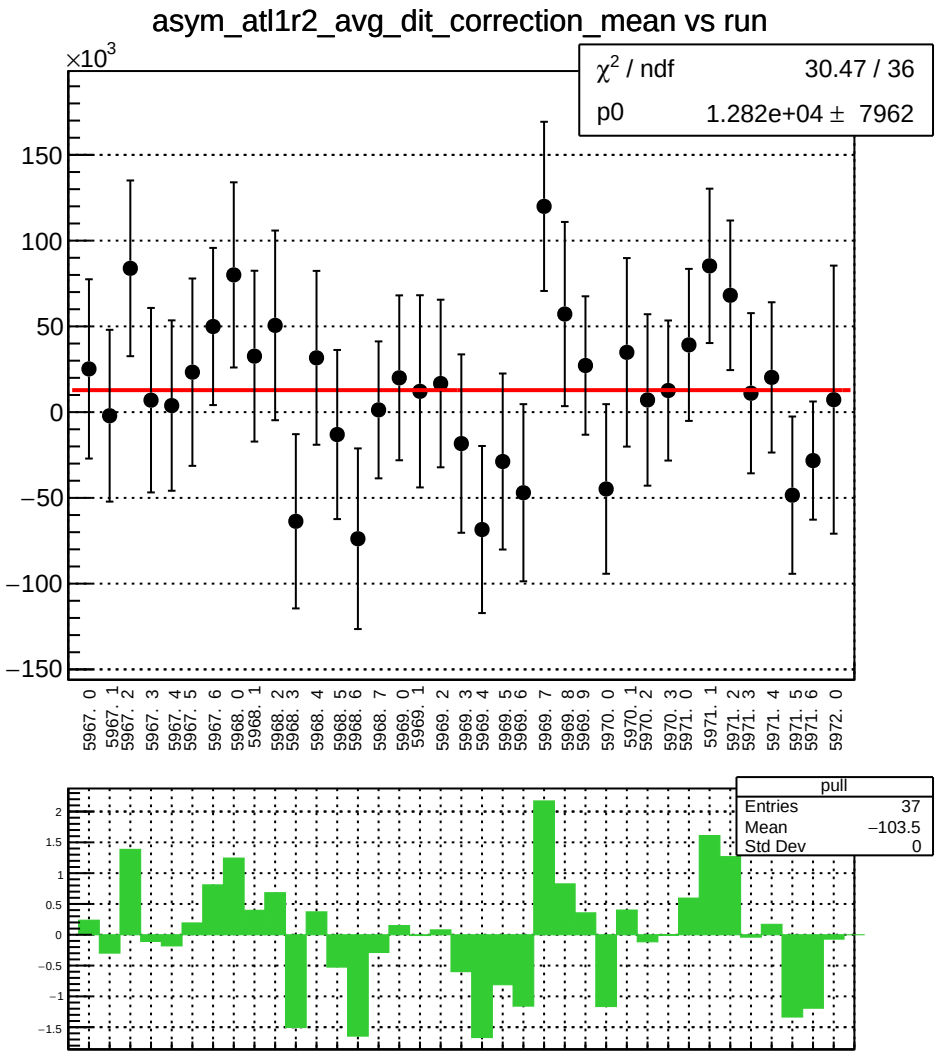
asym_atl1r2_avg_dit_correction_mean vs run
×10^3
χ² / ndf 30.47 / 36
p0 1.282e+04 ± 7962
150
100
50
0
−50
−100
−150
5967. 0
5967. 1
5967. 2
5967. 3
5967. 4
5967. 5
5967. 6
5968. 0
5968. 1
5968. 2
5968. 3
5968. 4
5968. 5
5968. 6
5968. 7
5969. 0
5969. 1
5969. 2
5969. 3
5969. 4
5969. 5
5969. 6
5969. 7
5969. 8
5969. 9
5970. 0
5970. 1
5970. 2
5970. 3
5971. 0
5971. 1
5971. 2
5971. 3
5971. 4
5971. 5
5971. 6
5972. 0
pull
Entries 37
Mean −103.5
Std Dev 0
2
1.5
1
0.5
0
−0.5
−1
−1.5
pull1D
Entries 37
Mean 0.006242
Std Dev 0.9075
9
8
7
6
5
4
3
2
1
0
−8
−6
−4
−2
0
2
4
6
8

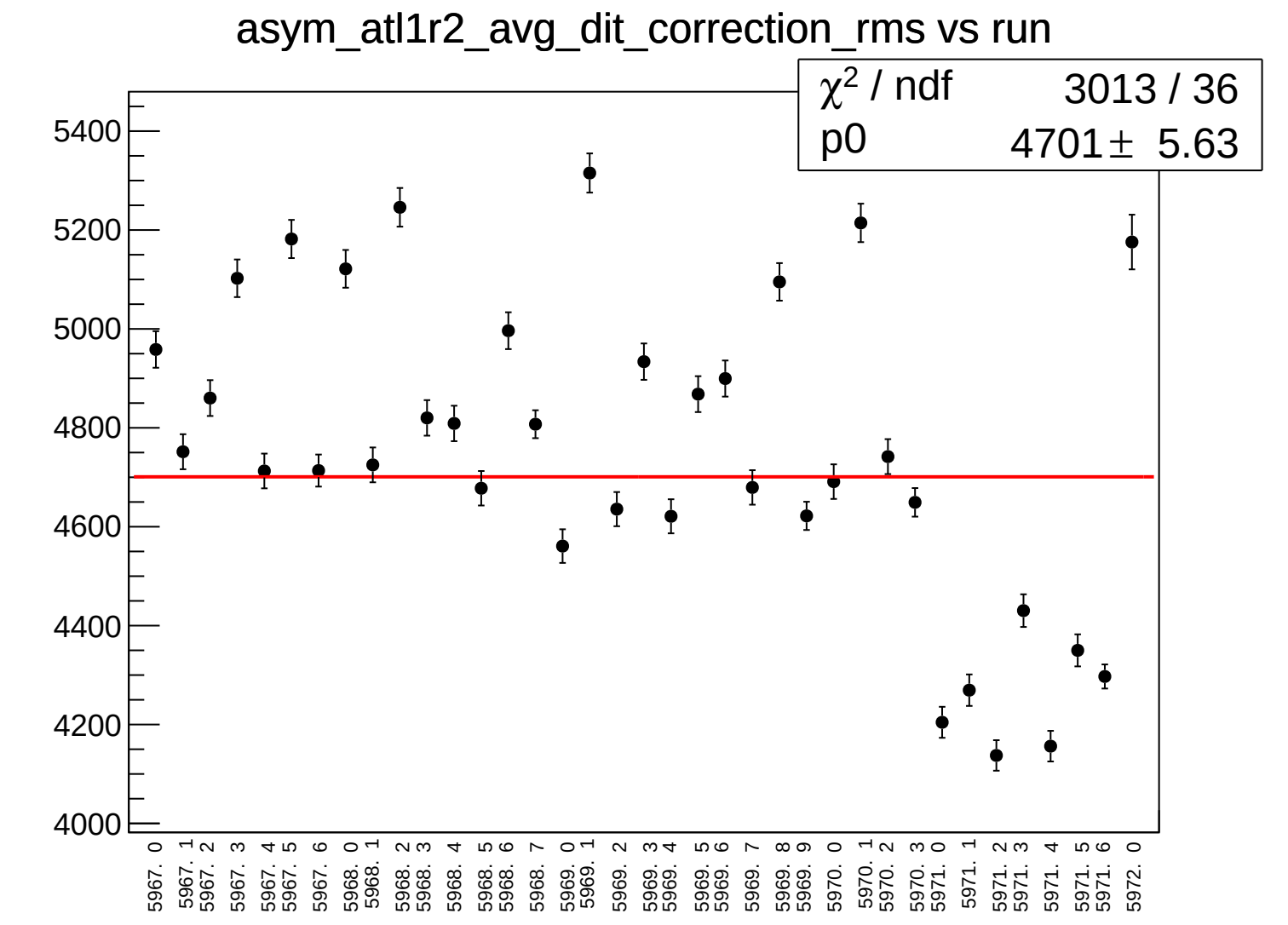
asym_atl1r2_avg_dit_correction_rms vs run
χ² / ndf 3013 / 36
p0 4701 ± 5.63
5400
5200
5000
4800
4600
4400
4200
4000
5967. 0
5967. 1
5967. 2
5967. 3
5967. 4
5967. 5
5967. 6
5968. 0
5968. 1
5968. 2
5968. 3
5968. 4
5968. 5
5968. 6
5968. 7
5969. 0
5969. 1
5969. 2
5969. 3
5969. 4
5969. 5
5969. 6
5969. 7
5969. 8
5969. 9
5970. 0
5970. 1
5970. 2
5970. 3
5971. 0
5971. 1
5971. 2
5971. 3
5971. 4
5971. 5
5971. 6
5972. 0

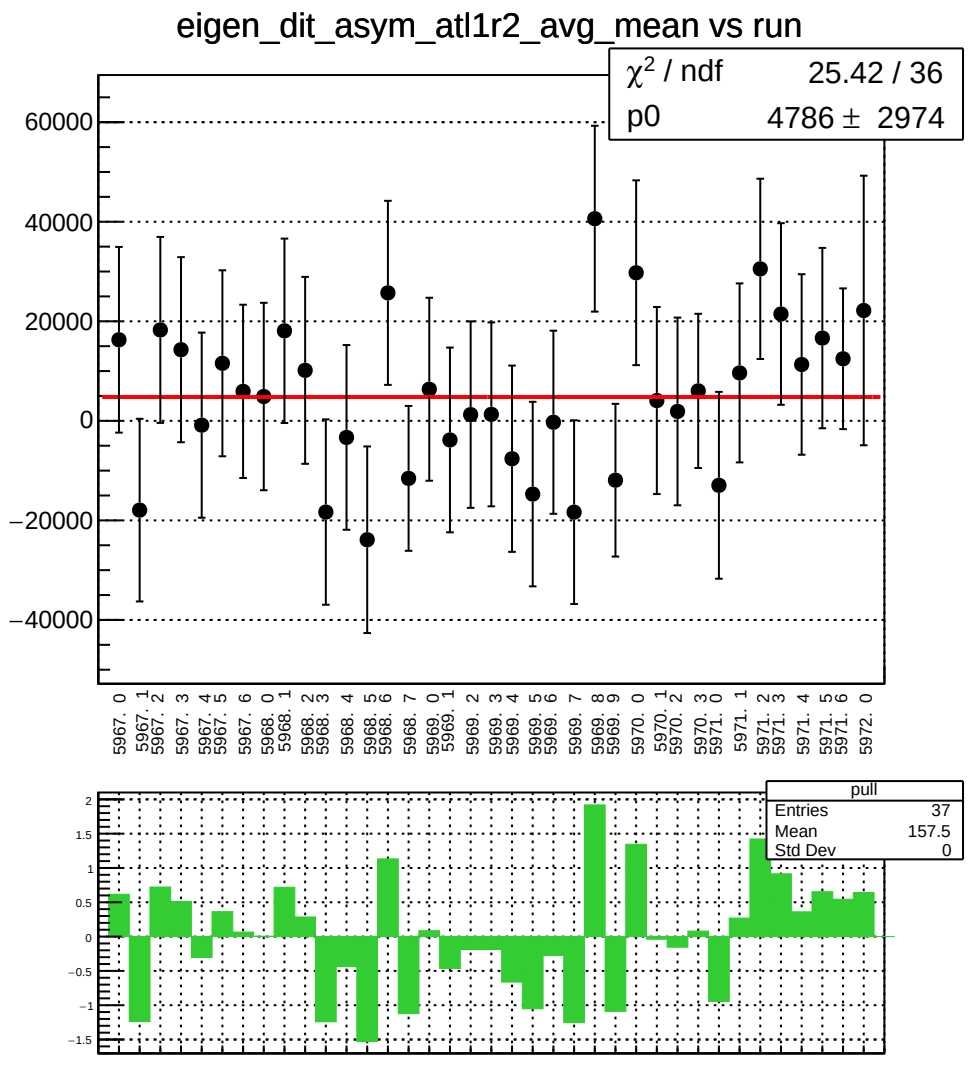
eigen_dit_asym_atl1r2_avg_mean vs run
χ² / ndf 25.42 / 36
p0 4786 ± 2974
60000
40000
20000
0
−20000
−40000
5967. 0
5967. 1
5967. 2
5967. 3
5967. 4
5967. 5
5967. 6
5968. 0
5968. 1
5968. 2
5968. 3
5968. 4
5968. 5
5968. 6
5968. 7
5969. 0
5969. 1
5969. 2
5969. 3
5969. 4
5969. 5
5969. 6
5969. 7
5969. 8
5969. 9
5970. 0
5970. 1
5970. 2
5970. 3
5971. 0
5971. 1
5971. 2
5971. 3
5971. 4
5971. 5
5971. 6
5972. 0
pull
Entries 37
Mean 157.5
Std Dev 0
2
1.5
1
0.5
0
−0.5
−1
−1.5

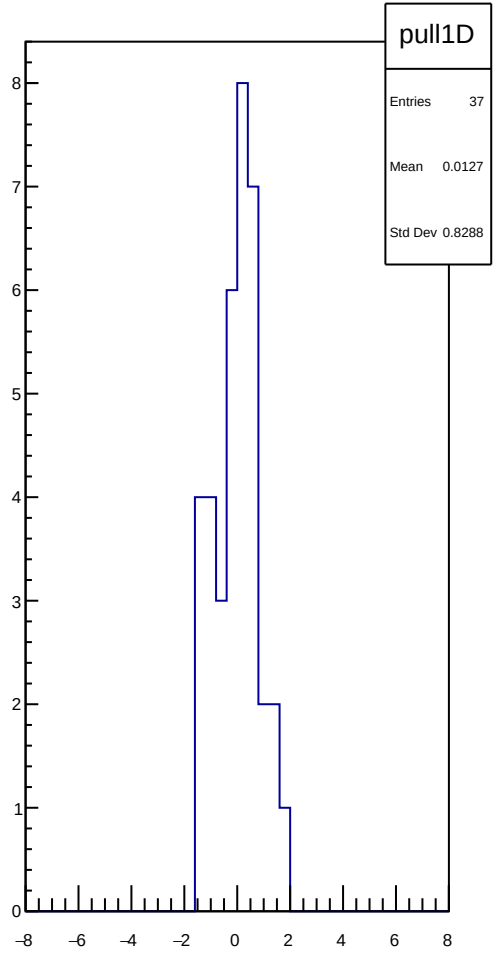
pull1D
Entries 37
Mean 0.0127
Std Dev 0.8288
8
7
6
5
4
3
2
1
0
−8
−6
−4
−2
0
2
4
6
8

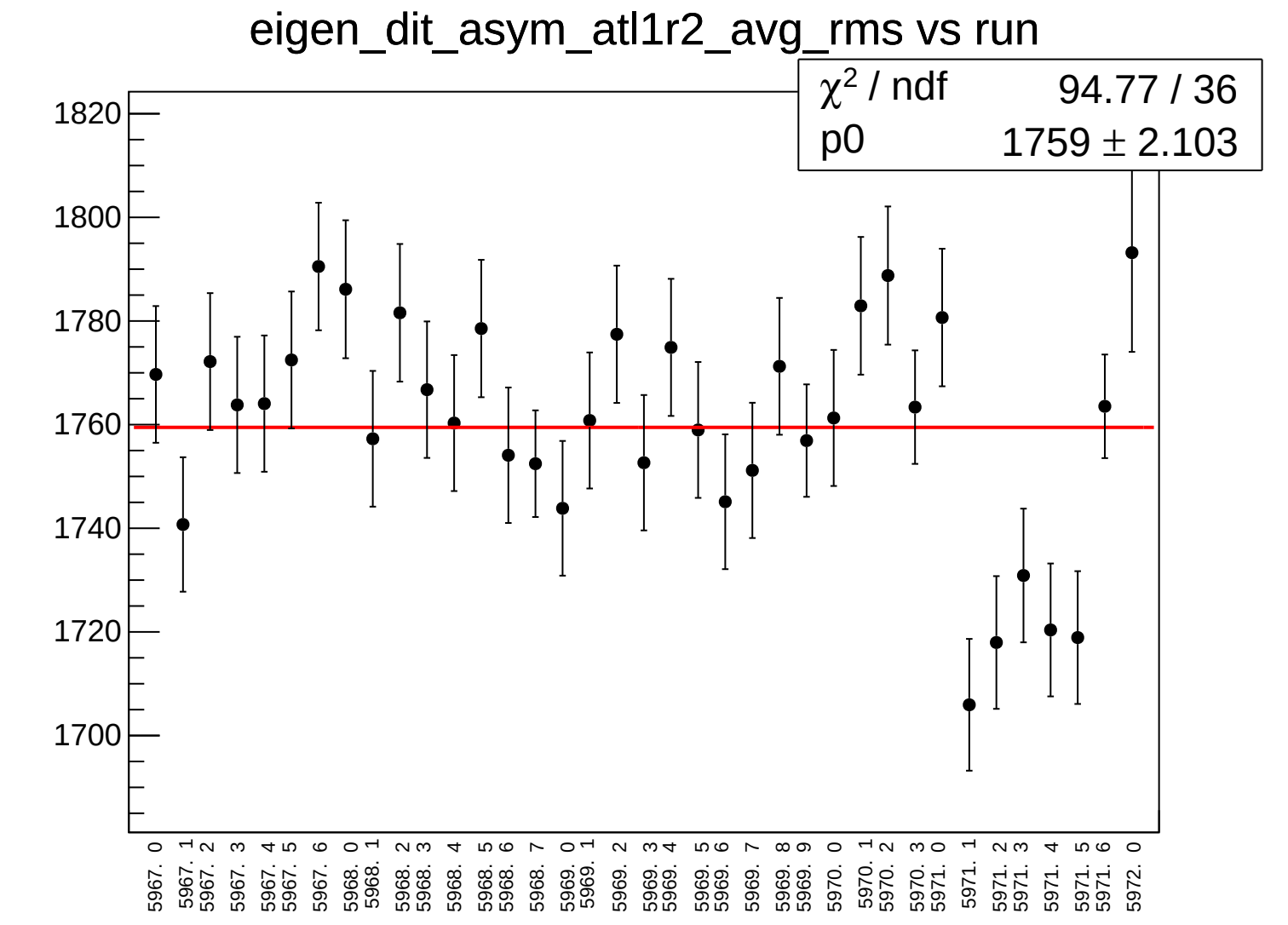
eigen_dit_asym_atl1r2_avg_rms vs run
χ² / ndf 94.77 / 36
p0 1759 ± 2.103
1820
1800
1780
1760
1740
1720
1700
5967. 0
5967. 1
5967. 2
5967. 3
5967. 4
5967. 5
5967. 6
5968. 0
5968. 1
5968. 2
5968. 3
5968. 4
5968. 5
5968. 6
5968. 7
5969. 0
5969. 1
5969. 2
5969. 3
5969. 4
5969. 5
5969. 6
5969. 7
5969. 8
5969. 9
5970. 0
5970. 1
5970. 2
5970. 3
5971. 0
5971. 1
5971. 2
5971. 3
5971. 4
5971. 5
5971. 6
5972. 0

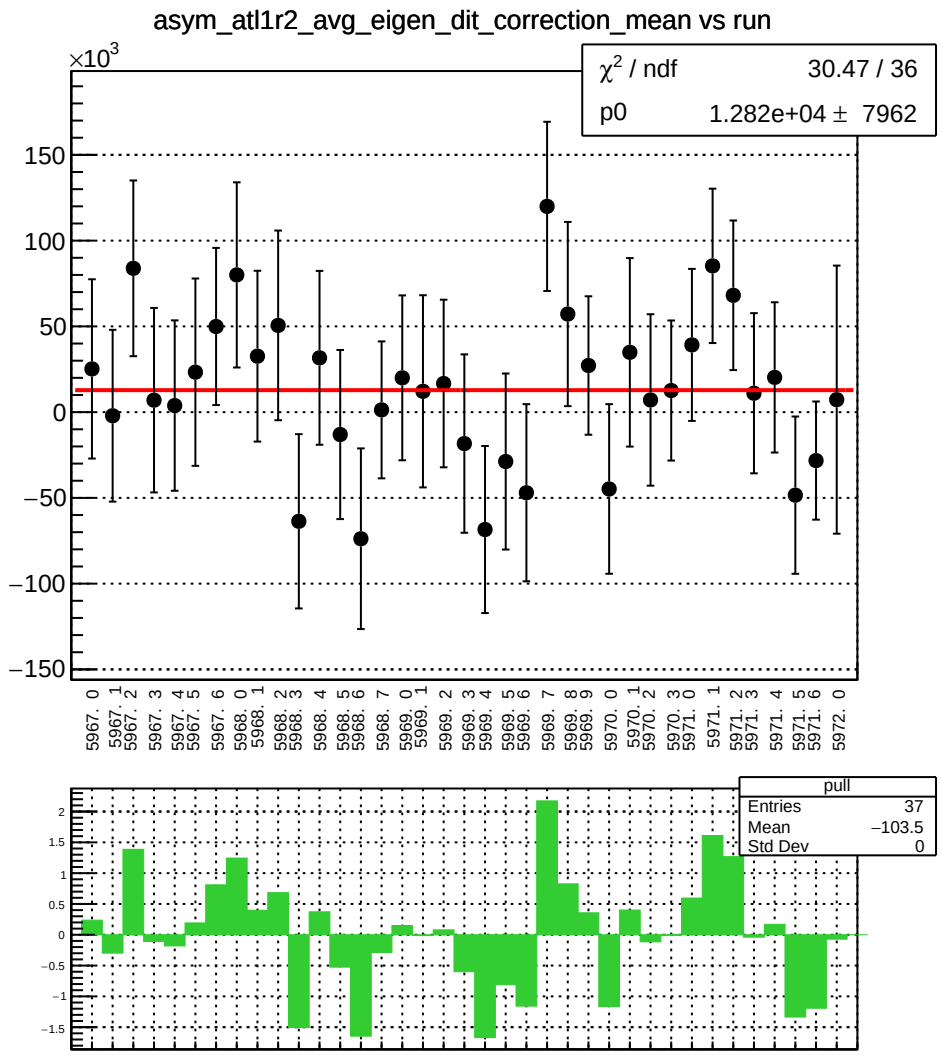
asym_atl1r2_avg_eigen_dit_correction_mean vs run
×10^3
χ² / ndf 30.47 / 36
p0 1.282e+04 ± 7962
150
100
50
0
−50
−100
−150
5967. 0
5967. 1
5967. 2
5967. 3
5967. 4
5967. 5
5967. 6
5968. 0
5968. 1
5968. 2
5968. 3
5968. 4
5968. 5
5968. 6
5968. 7
5969. 0
5969. 1
5969. 2
5969. 3
5969. 4
5969. 5
5969. 6
5969. 7
5969. 8
5969. 9
5970. 0
5970. 1
5970. 2
5970. 3
5971. 0
5971. 1
5971. 2
5971. 3
5971. 4
5971. 5
5971. 6
5972. 0
pull
Entries 37
Mean −103.5
Std Dev 0
2
1.5
1
0.5
0
−0.5
−1
−1.5
pull1D
Entries 37
Mean 0.006242
Std Dev 0.9075
9
8
7
6
5
4
3
2
1
0
−8
−6
−4
−2
0
2
4
6
8

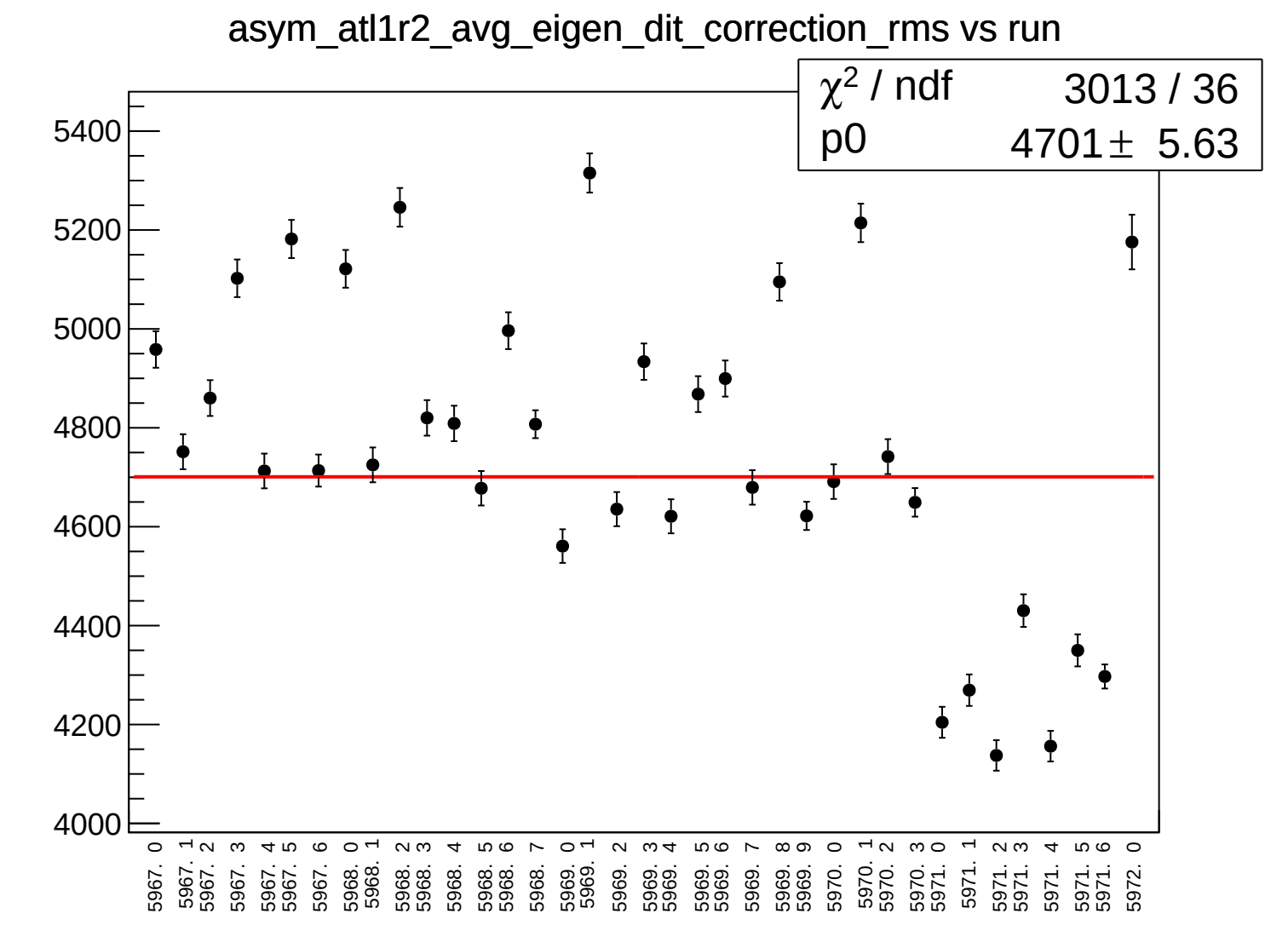
asym_atl1r2_avg_eigen_dit_correction_rms vs run
χ² / ndf 3013 / 36
p0 4701 ± 5.63
5400
5200
5000
4800
4600
4400
4200
4000
5967. 0
5967. 1
5967. 2
5967. 3
5967. 4
5967. 5
5967. 6
5968. 0
5968. 1
5968. 2
5968. 3
5968. 4
5968. 5
5968. 6
5968. 7
5969. 0
5969. 1
5969. 2
5969. 3
5969. 4
5969. 5
5969. 6
5969. 7
5969. 8
5969. 9
5970. 0
5970. 1
5970. 2
5970. 3
5971. 0
5971. 1
5971. 2
5971. 3
5971. 4
5971. 5
5971. 6
5972. 0

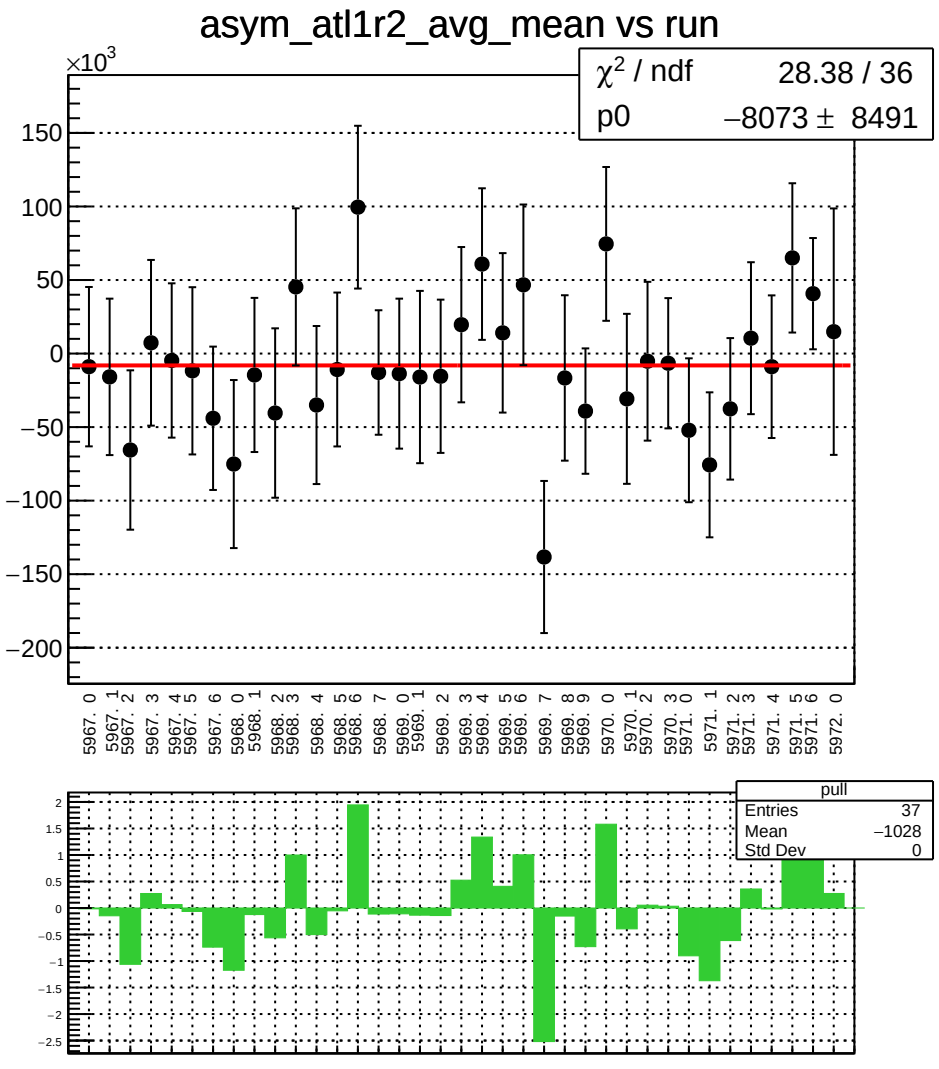
asym_atl1r2_avg_mean vs run
×10^3
χ^2 / ndf 28.38 / 36
p0 −8073 ± 8491
150
100
50
0
−50
−100
−150
−200
5967. 0
5967. 1
5967. 2
5967. 3
5967. 4
5967. 5
5967. 6
5968. 0
5968. 1
5968. 2
5968. 3
5968. 4
5968. 5
5968. 6
5968. 7
5969. 0
5969. 1
5969. 2
5969. 3
5969. 4
5969. 5
5969. 6
5969. 7
5969. 8
5969. 9
5970. 0
5970. 1
5970. 2
5970. 3
5971. 0
5971. 1
5971. 2
5971. 3
5971. 4
5971. 5
5971. 6
5972. 0
pull
Entries 37
Mean −1028
Std Dev 0
2
1.5
1
0.5
0
−0.5
−1
−1.5
−2
−2.5
pull1D
Entries 37
Mean −0.00129
Std Dev 0.8758
12
10
8
6
4
2
0
−8
−6
−4
−2
0
2
4
6
8

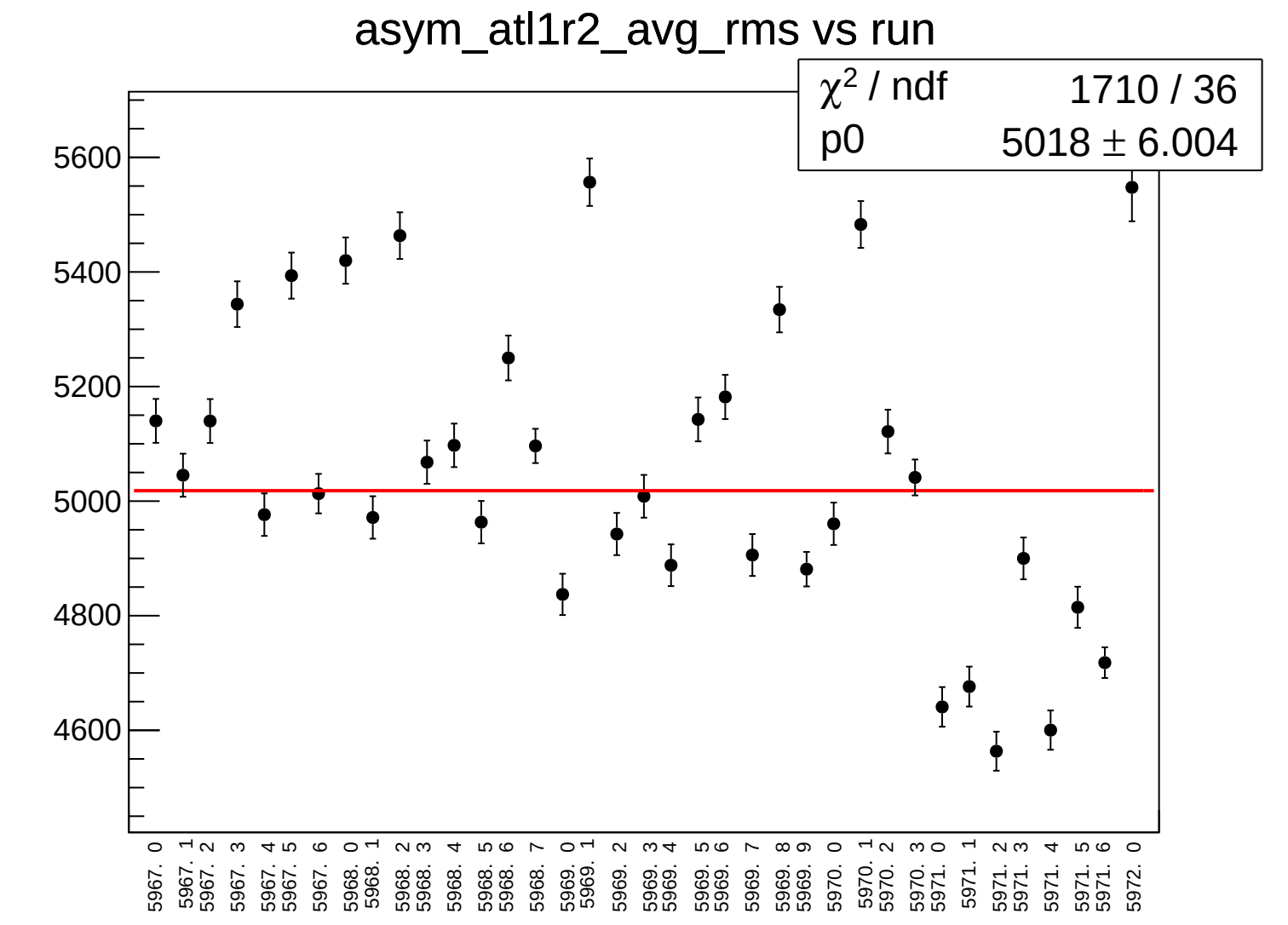
asym_atl1r2_avg_rms vs run
χ² / ndf 1710 / 36
p0 5018 ± 6.004
5600
5400
5200
5000
4800
4600
5967. 0
5967. 1
5967. 2
5967. 3
5967. 4
5967. 5
5967. 6
5968. 0
5968. 1
5968. 2
5968. 3
5968. 4
5968. 5
5968. 6
5968. 7
5969. 0
5969. 1
5969. 2
5969. 3
5969. 4
5969. 5
5969. 6
5969. 7
5969. 8
5969. 9
5970. 0
5970. 1
5970. 2
5970. 3
5971. 0
5971. 1
5971. 2
5971. 3
5971. 4
5971. 5
5971. 6
5972. 0

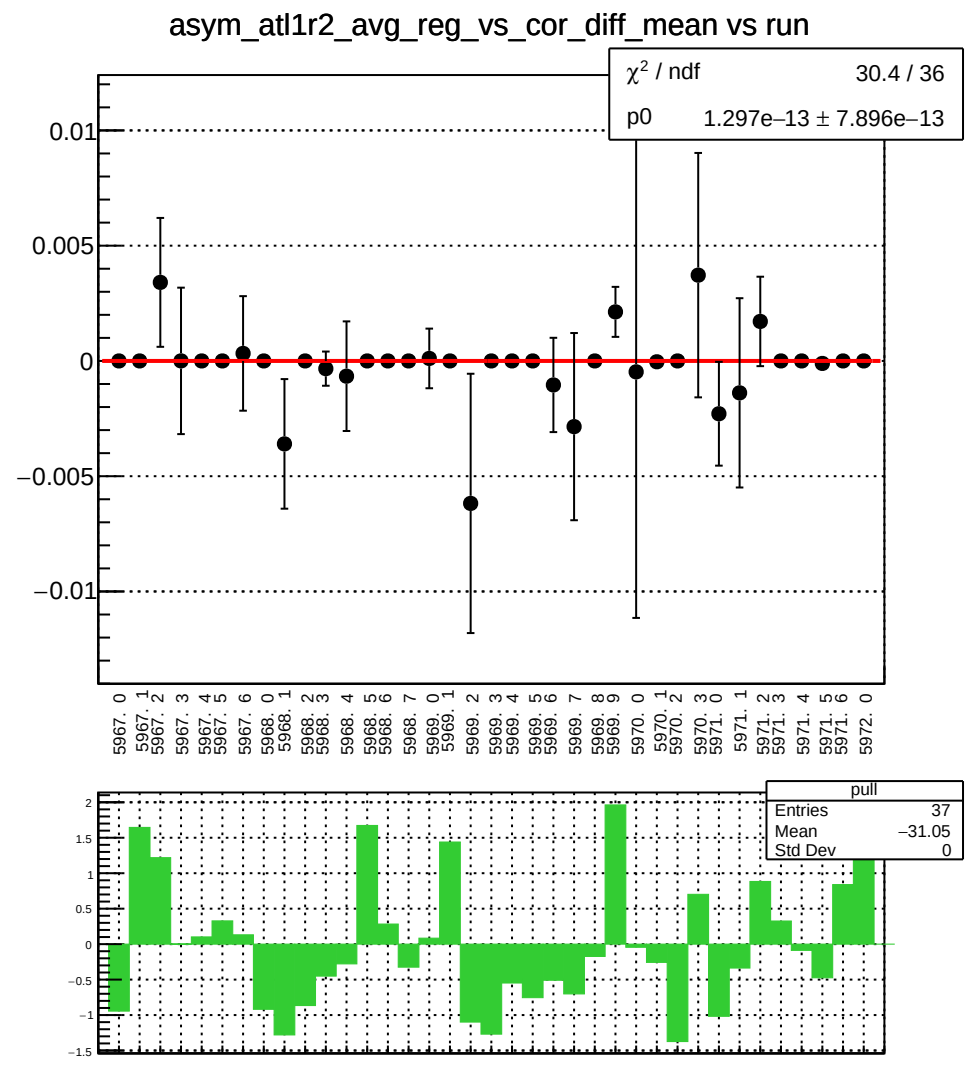
asym_atl1r2_avg_reg_vs_cor_diff_mean vs run
χ² / ndf 30.4 / 36
p0 1.297e−13 ± 7.896e−13
0.01
0.005
0
−0.005
−0.01
5967. 0
5967. 1
5967. 2
5967. 3
5967. 4
5967. 5
5967. 6
5968. 0
5968. 1
5968. 2
5968. 3
5968. 4
5968. 5
5968. 6
5968. 7
5969. 0
5969. 1
5969. 2
5969. 3
5969. 4
5969. 5
5969. 6
5969. 7
5969. 8
5969. 9
5970. 0
5970. 1
5970. 2
5970. 3
5971. 0
5971. 1
5971. 2
5971. 3
5971. 4
5971. 5
5971. 6
5972. 0
pull
Entries 37
Mean −31.05
Std Dev 0
2
1.5
1
0.5
0
−0.5
−1
−1.5

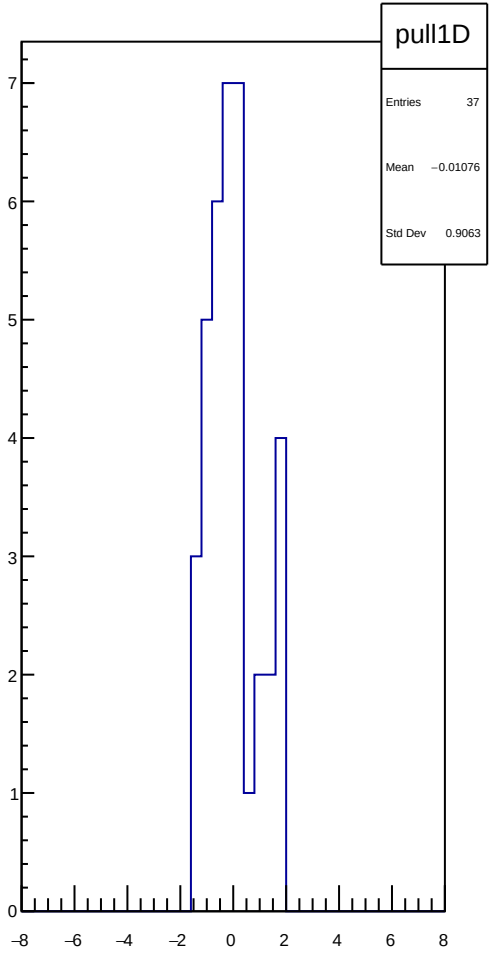
pull1D
Entries 37
Mean −0.01076
Std Dev 0.9063
7
6
5
4
3
2
1
0
−8
−6
−4
−2
0
2
4
6
8

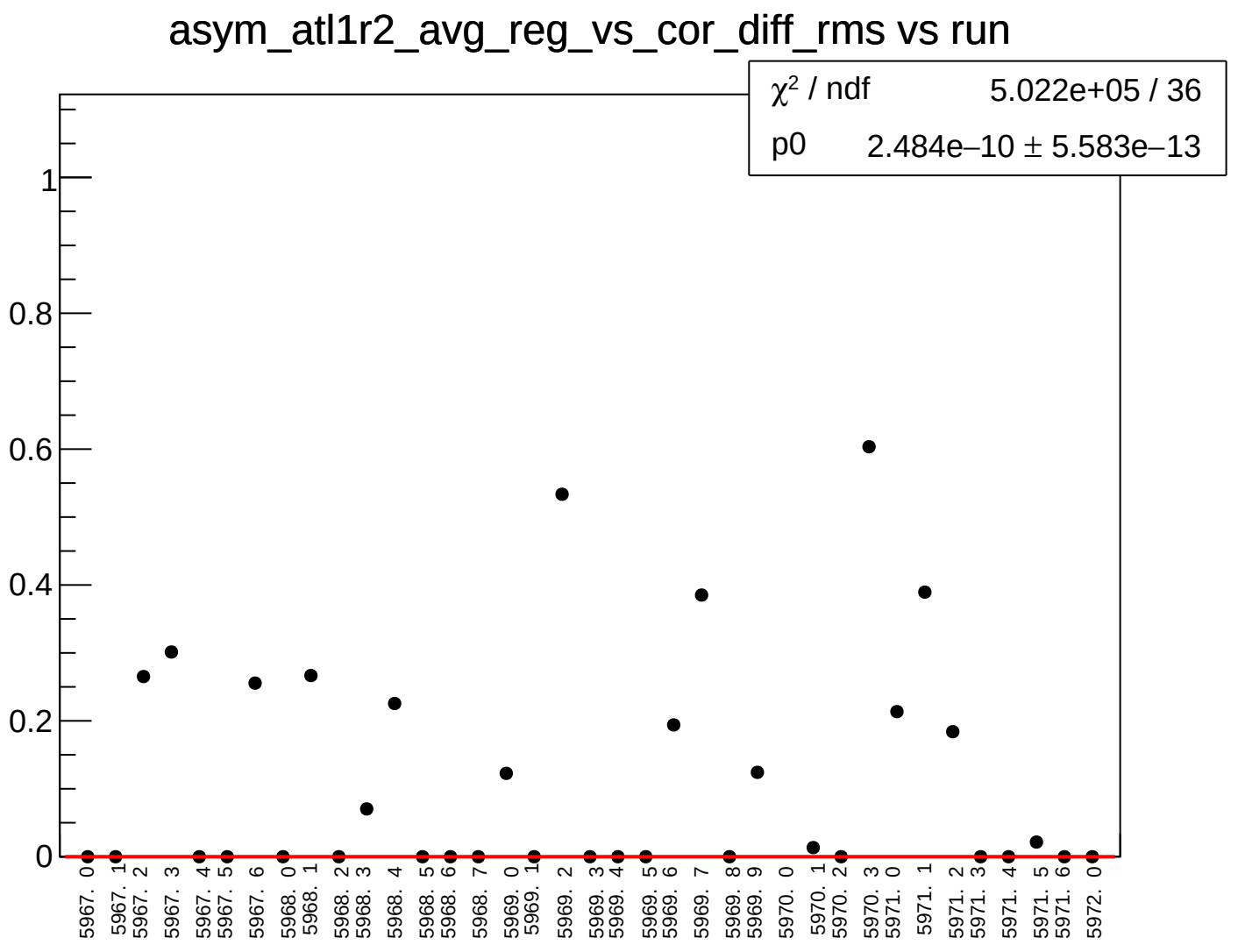
asym_atl1r2_avg_reg_vs_cor_diff_rms vs run
χ² / ndf 5.022e+05 / 36
p0 2.484e−10 ± 5.583e−13
1
0.8
0.6
0.4
0.2
0
5967. 0
5967. 1
5967. 2
5967. 3
5967. 4
5967. 5
5967. 6
5968. 0
5968. 1
5968. 2
5968. 3
5968. 4
5968. 5
5968. 6
5968. 7
5969. 0
5969. 1
5969. 2
5969. 3
5969. 4
5969. 5
5969. 6
5969. 7
5969. 8
5969. 9
5970. 0
5970. 1
5970. 2
5970. 3
5971. 0
5971. 1
5971. 2
5971. 3
5971. 4
5971. 5
5971. 6
5972. 0

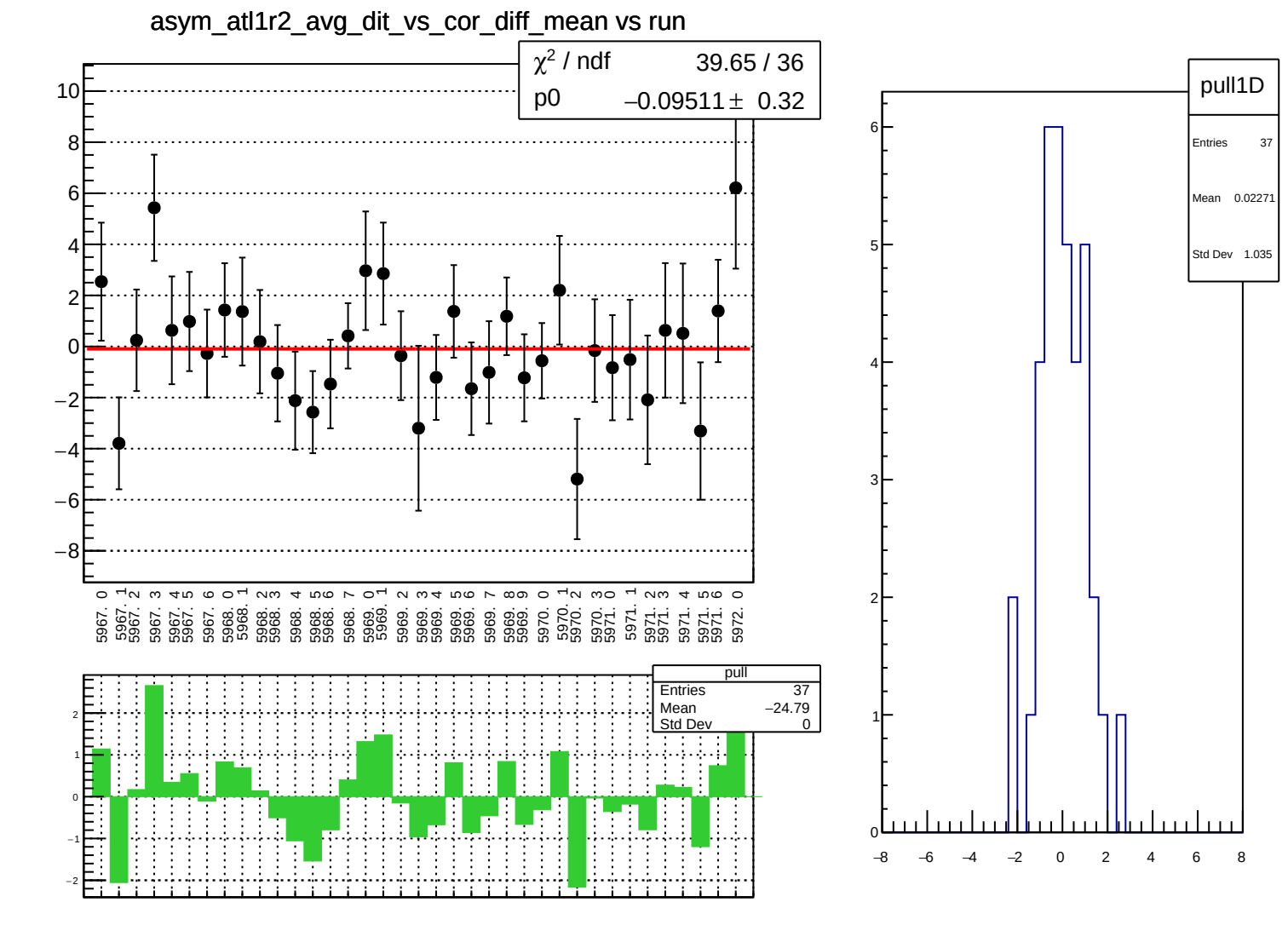
asym_atl1r2_avg_dit_vs_cor_diff_mean vs run
χ² / ndf 39.65 / 36
p0 −0.09511 ± 0.32
pull
Entries 37
Mean −24.79
Std Dev 0
pull1D
Entries 37
Mean 0.02271
Std Dev 1.035

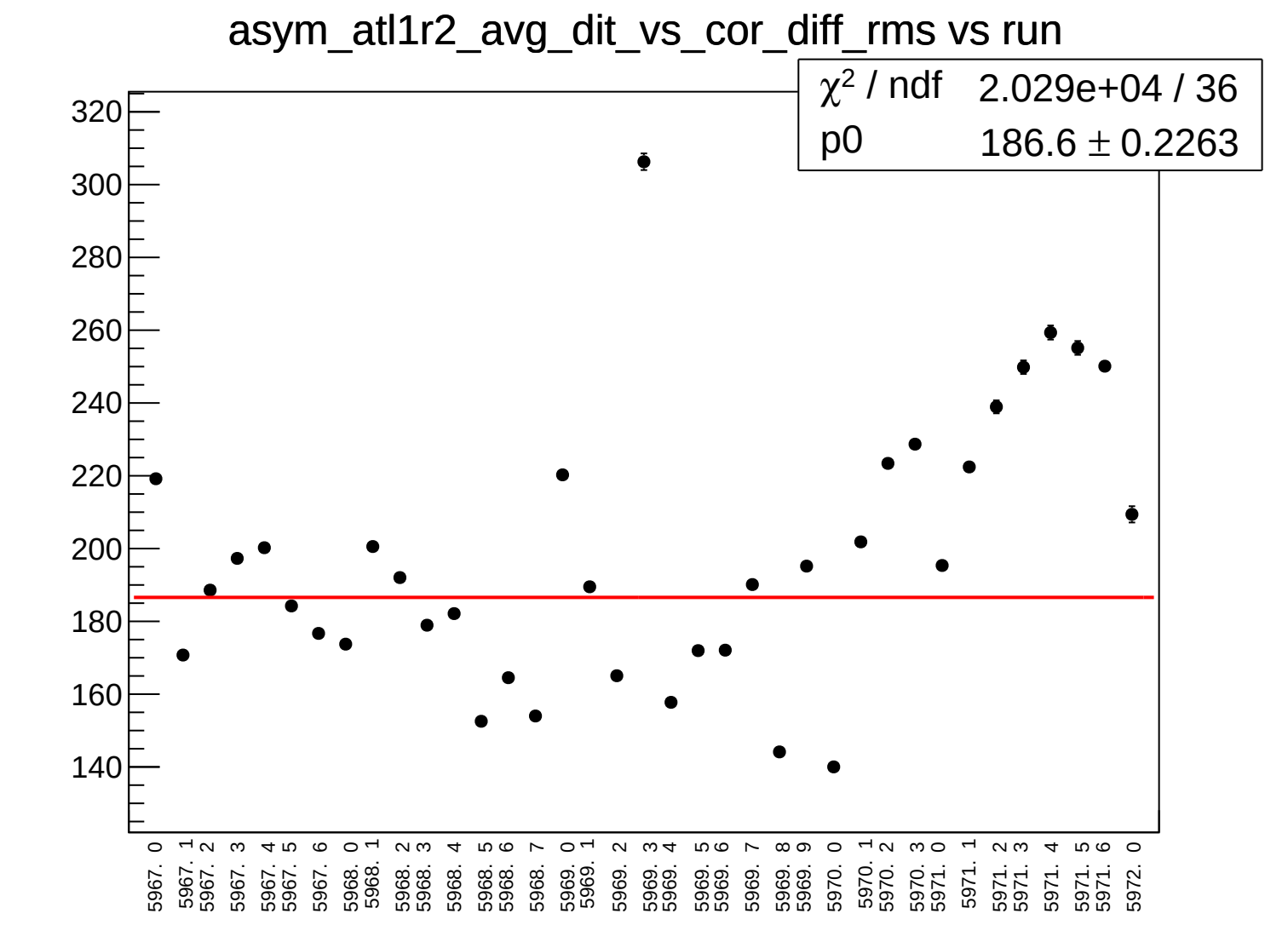
asym_atl1r2_avg_dit_vs_cor_diff_rms vs run
χ² / ndf 2.029e+04 / 36
p0 186.6 ± 0.2263
320
300
280
260
240
220
200
180
160
140
5967. 0
5967. 1
5967. 2
5967. 3
5967. 4
5967. 5
5967. 6
5968. 0
5968. 1
5968. 2
5968. 3
5968. 4
5968. 5
5968. 6
5968. 7
5969. 0
5969. 1
5969. 2
5969. 3
5969. 4
5969. 5
5969. 6
5969. 7
5969. 8
5969. 9
5970. 0
5970. 1
5970. 2
5970. 3
5971. 0
5971. 1
5971. 2
5971. 3
5971. 4
5971. 5
5971. 6
5972. 0

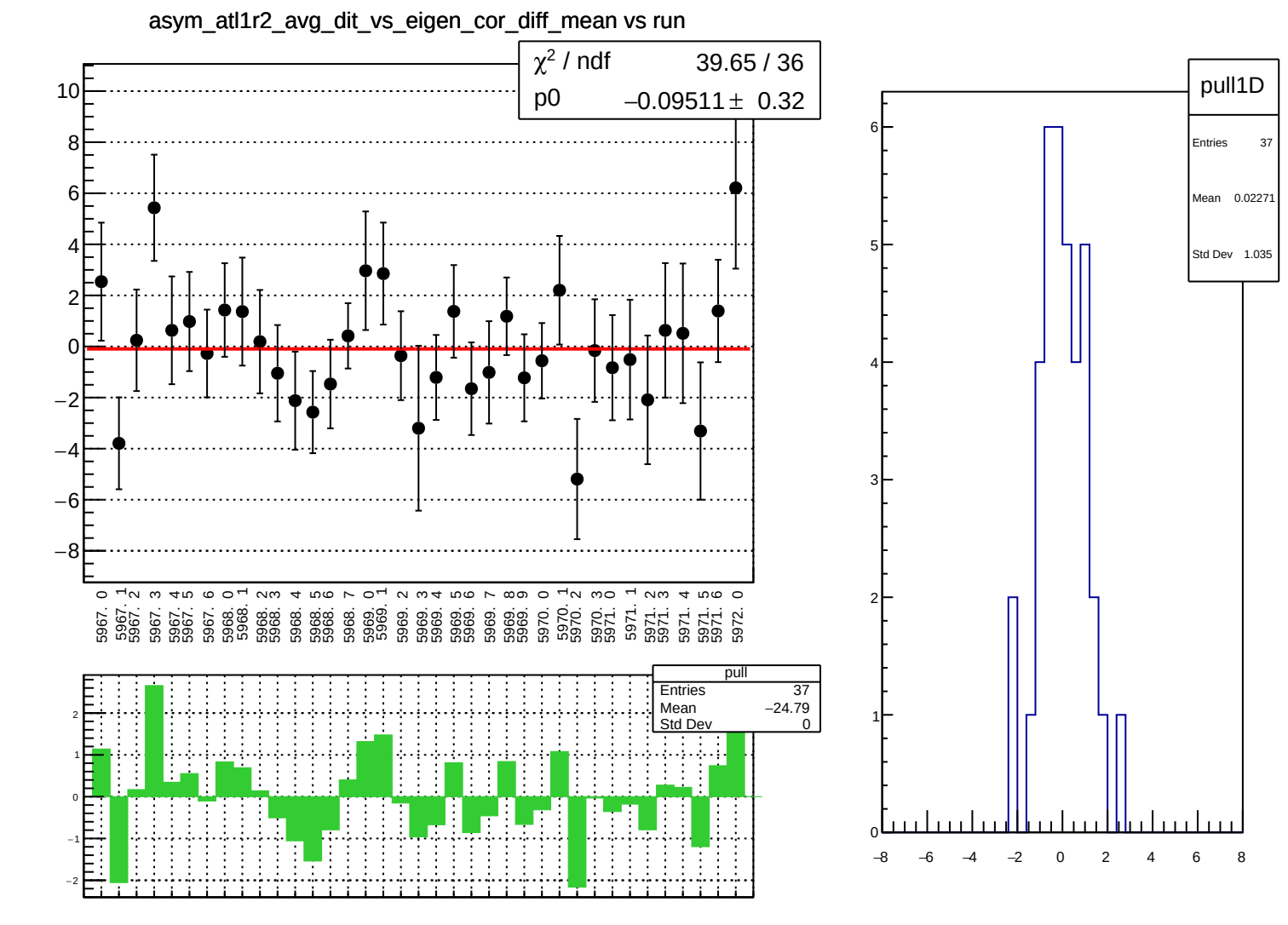
asym_atl1r2_avg_dit_vs_eigen_cor_diff_mean vs run
χ² / ndf 39.65 / 36
p0 −0.09511 ± 0.32
pull
Entries 37
Mean −24.79
Std Dev 0
pull1D
Entries 37
Mean 0.02271
Std Dev 1.035

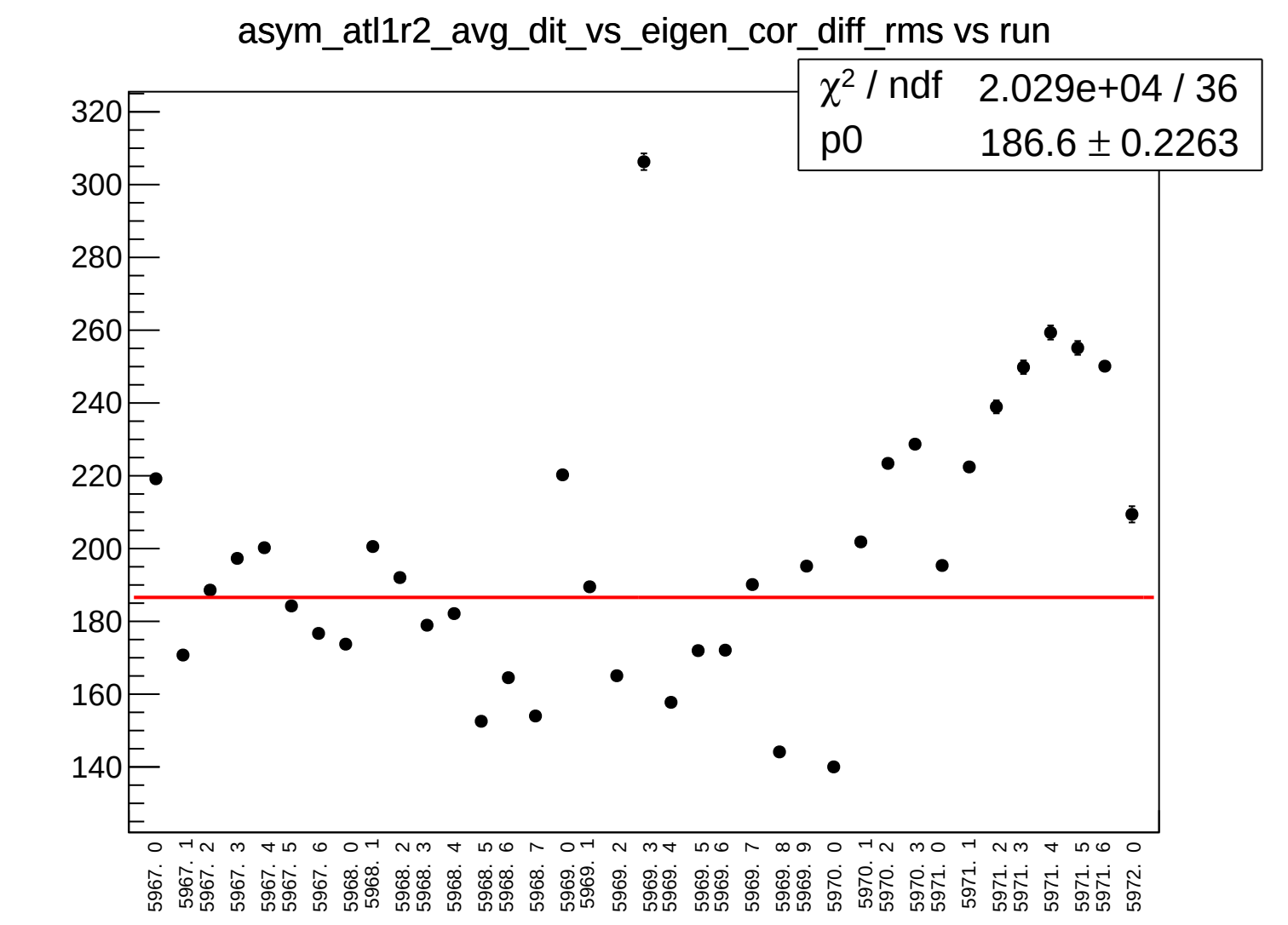
asym_atl1r2_avg_dit_vs_eigen_cor_diff_rms vs run
χ² / ndf 2.029e+04 / 36
p0 186.6 ± 0.2263
320
300
280
260
240
220
200
180
160
140
5967. 0
5967. 1
5967. 2
5967. 3
5967. 4
5967. 5
5967. 6
5968. 0
5968. 1
5968. 2
5968. 3
5968. 4
5968. 5
5968. 6
5968. 7
5969. 0
5969. 1
5969. 2
5969. 3
5969. 4
5969. 5
5969. 6
5969. 7
5969. 8
5969. 9
5970. 0
5970. 1
5970. 2
5970. 3
5971. 0
5971. 1
5971. 2
5971. 3
5971. 4
5971. 5
5971. 6
5972. 0

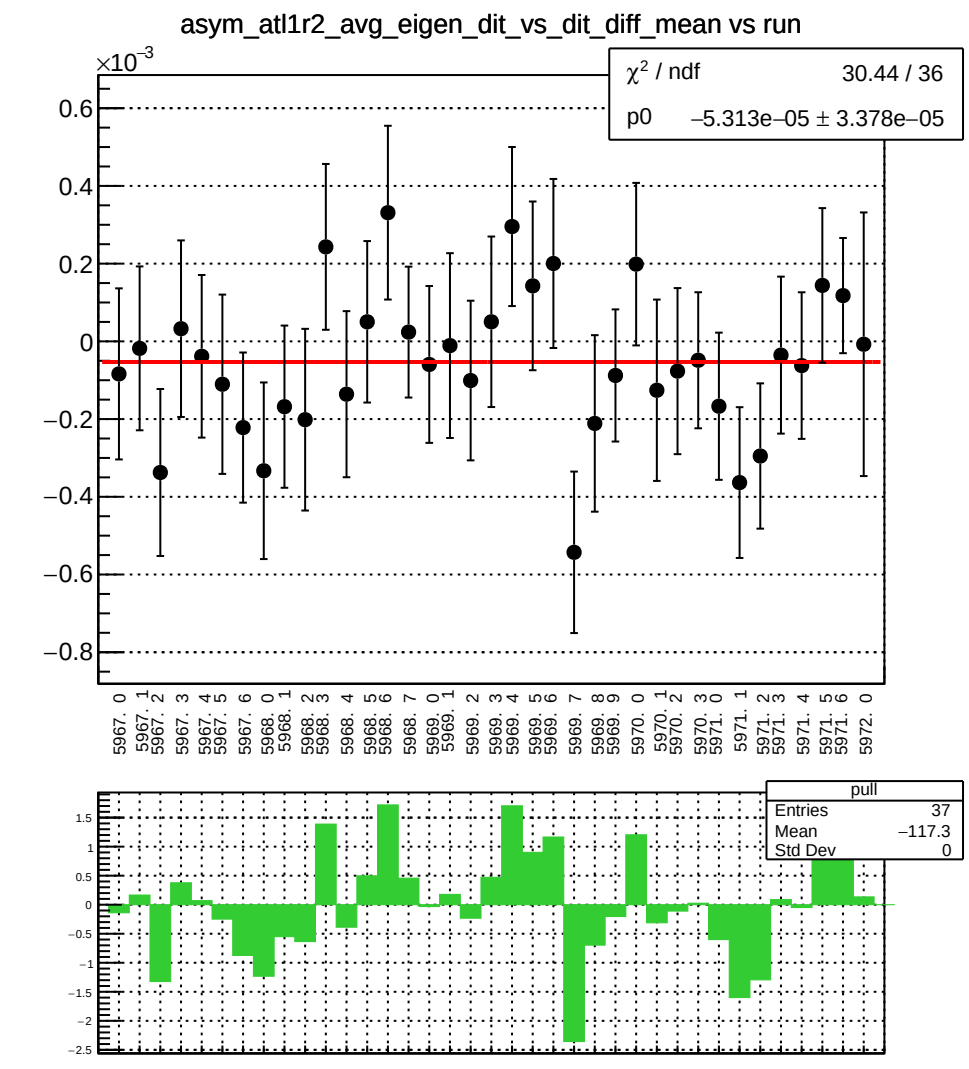
asym_atl1r2_avg_eigen_dit_vs_dit_diff_mean vs run
×10⁻³
χ² / ndf 30.44 / 36
p0 −5.313e−05 ± 3.378e−05
0.6
0.4
0.2
0
−0.2
−0.4
−0.6
−0.8
5967. 0
5967. 1
5967. 2
5967. 3
5967. 4
5967. 5
5967. 6
5968. 0
5968. 1
5968. 2
5968. 3
5968. 4
5968. 5
5968. 6
5968. 7
5969. 0
5969. 1
5969. 2
5969. 3
5969. 4
5969. 5
5969. 6
5969. 7
5969. 8
5969. 9
5970. 0
5970. 1
5970. 2
5970. 3
5971. 0
5971. 1
5971. 2
5971. 3
5971. 4
5971. 5
5971. 6
5972. 0
pull
Entries 37
Mean −117.3
Std Dev 0
1.5
1
0.5
0
−0.5
−1
−1.5
−2
−2.5

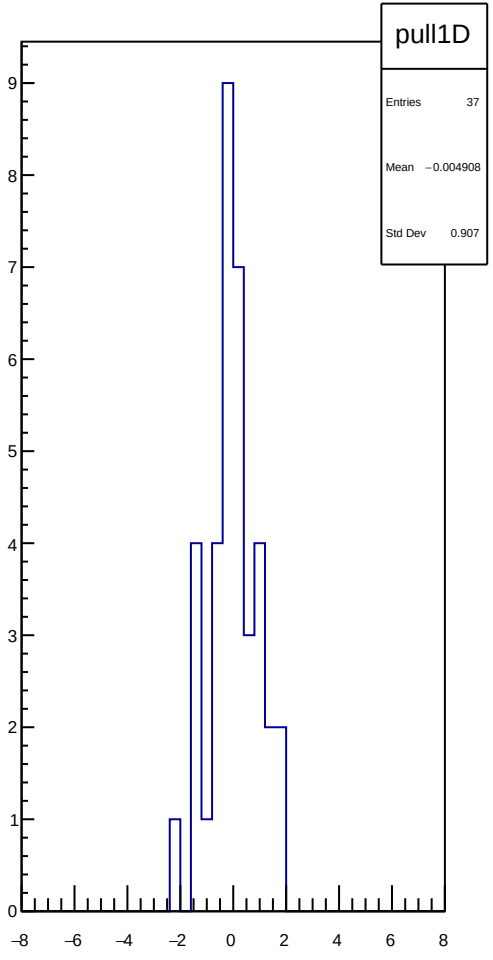
pull1D
Entries 37
Mean −0.004908
Std Dev 0.907
9
8
7
6
5
4
3
2
1
0
−8
−6
−4
−2
0
2
4
6
8

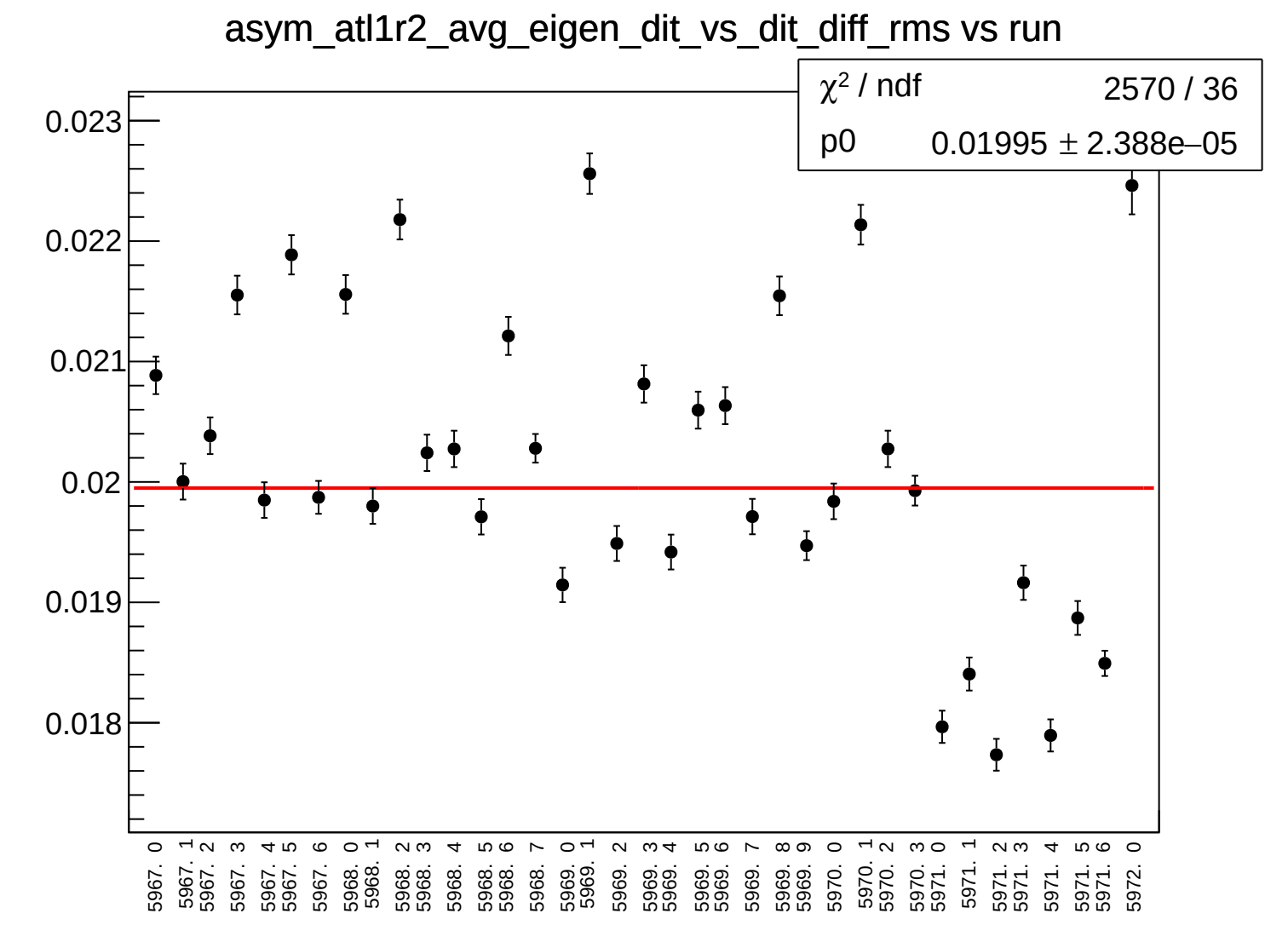
asym_atl1r2_avg_eigen_dit_vs_dit_diff_rms vs run
χ² / ndf 2570 / 36
p0 0.01995 ± 2.388e–05
0.023
0.022
0.021
0.02
0.019
0.018
5967. 0
5967. 1
5967. 2
5967. 3
5967. 4
5967. 5
5967. 6
5968. 0
5968. 1
5968. 2
5968. 3
5968. 4
5968. 5
5968. 6
5968. 7
5969. 0
5969. 1
5969. 2
5969. 3
5969. 4
5969. 5
5969. 6
5969. 7
5969. 8
5969. 9
5970. 0
5970. 1
5970. 2
5970. 3
5971. 0
5971. 1
5971. 2
5971. 3
5971. 4
5971. 5
5971. 6
5972. 0

asym_atl1r2_avg_eigen_dit_vs_cor_diff_mean vs run

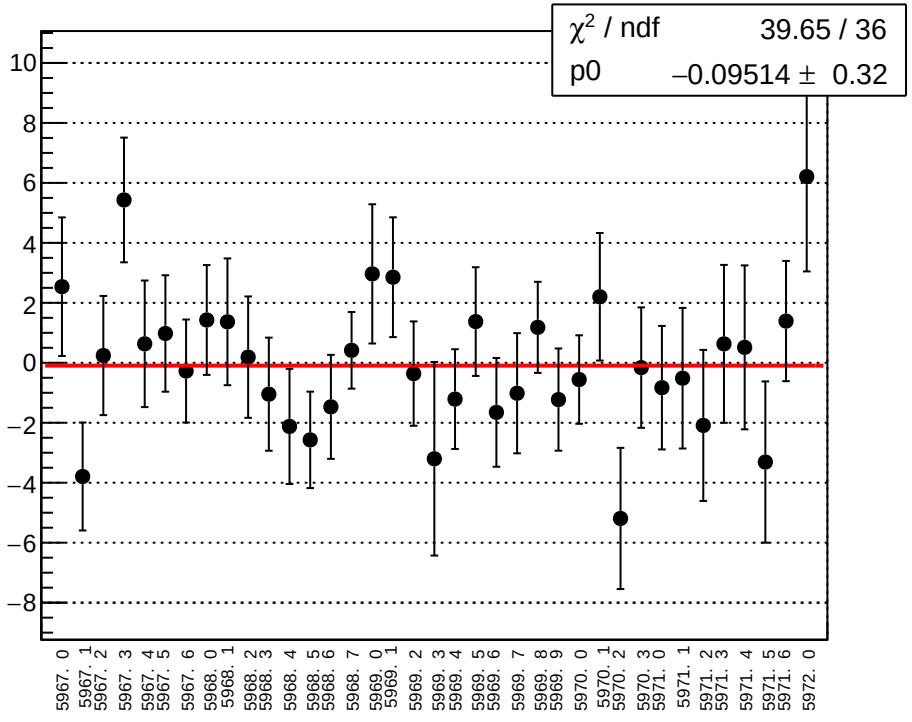

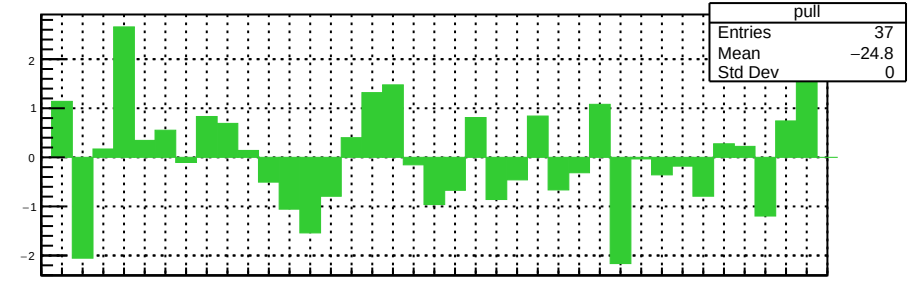

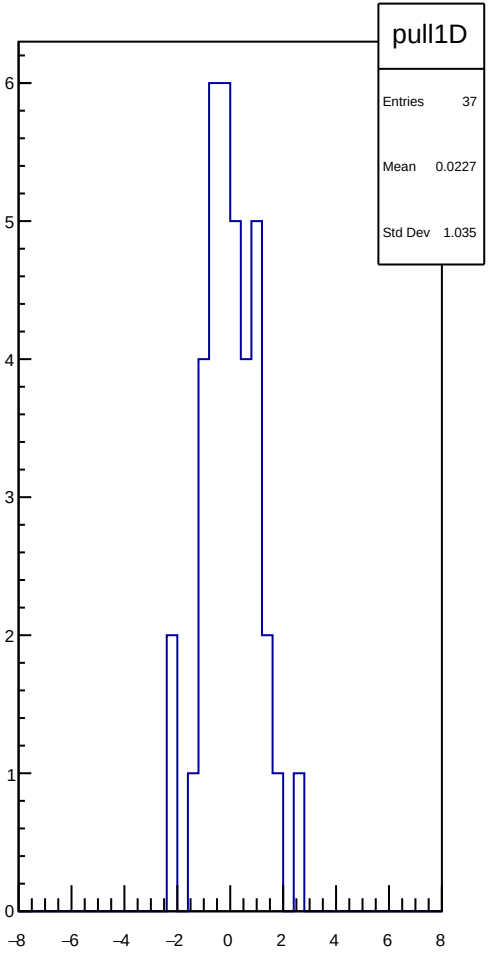

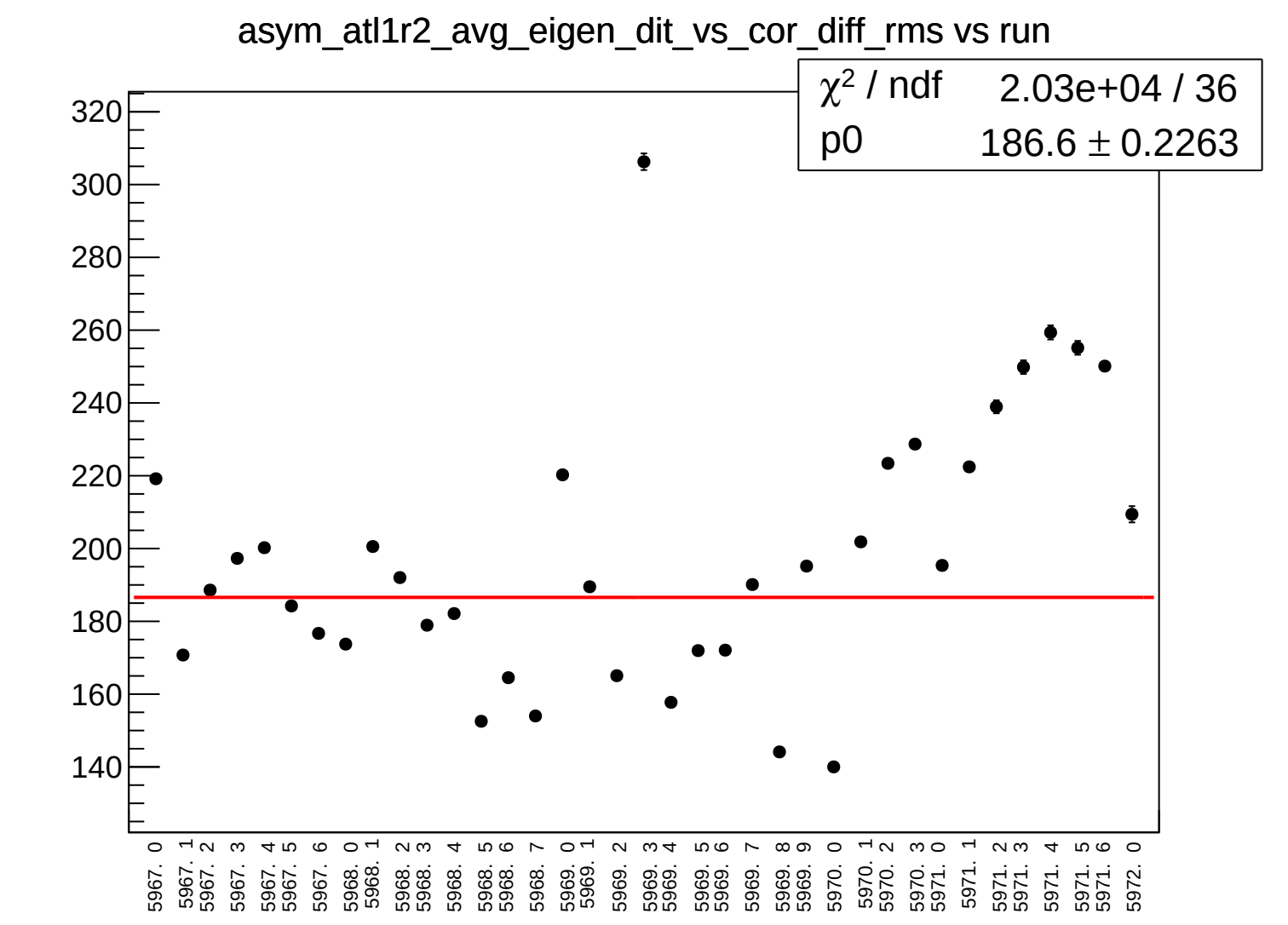
asym_atl1r2_avg_eigen_dit_vs_cor_diff_rms vs run
χ² / ndf 2.03e+04 / 36
p0 186.6 ± 0.2263
320
300
280
260
240
220
200
180
160
140
5967. 0
5967. 1
5967. 2
5967. 3
5967. 4
5967. 5
5967. 6
5968. 0
5968. 1
5968. 2
5968. 3
5968. 4
5968. 5
5968. 6
5968. 7
5969. 0
5969. 1
5969. 2
5969. 3
5969. 4
5969. 5
5969. 6
5969. 7
5969. 8
5969. 9
5970. 0
5970. 1
5970. 2
5970. 3
5971. 0
5971. 1
5971. 2
5971. 3
5971. 4
5971. 5
5971. 6
5972. 0

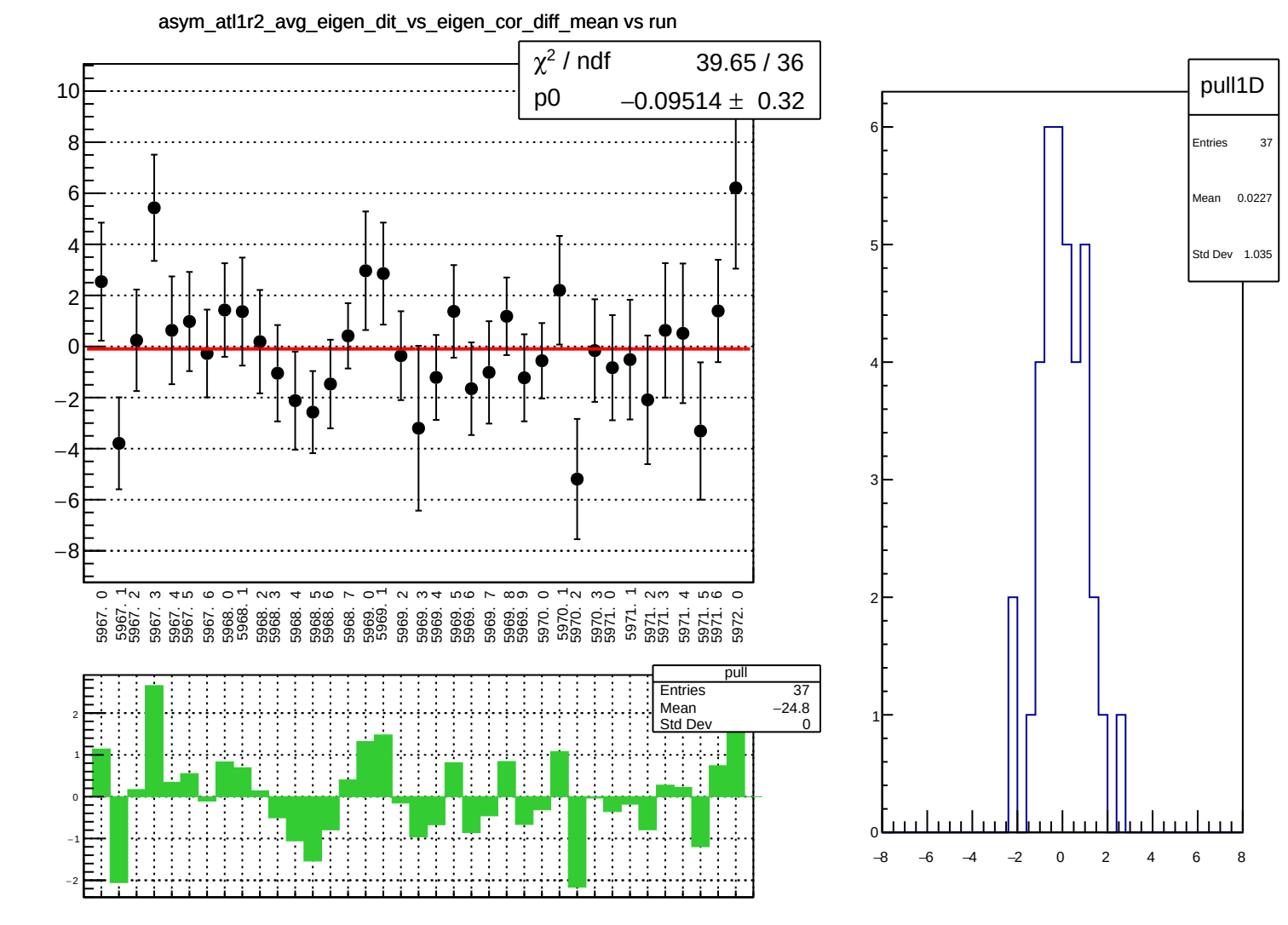
asym_atl1r2_avg_eigen_dit_vs_eigen_cor_diff_mean vs run
χ² / ndf 39.65 / 36
p0 −0.09514 ± 0.32
pull
Entries 37
Mean −24.8
Std Dev 0
pull1D
Entries 37
Mean 0.0227
Std Dev 1.035

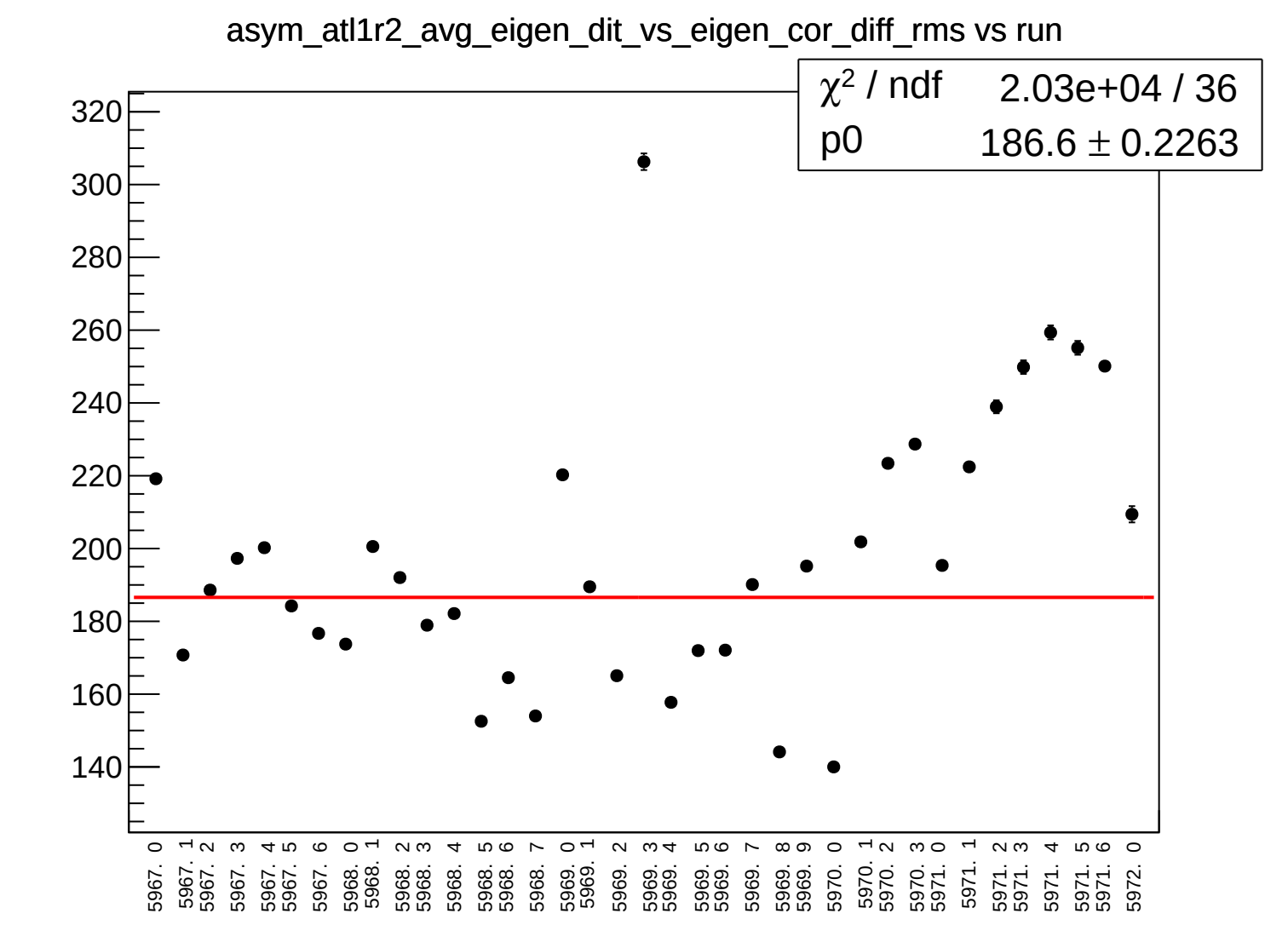
asym_atl1r2_avg_eigen_dit_vs_eigen_cor_diff_rms vs run
χ² / ndf 2.03e+04 / 36
p0 186.6 ± 0.2263
320
300
280
260
240
220
200
180
160
140
5967. 0
5967. 1
5967. 2
5967. 3
5967. 4
5967. 5
5967. 6
5968. 0
5968. 1
5968. 2
5968. 3
5968. 4
5968. 5
5968. 6
5968. 7
5969. 0
5969. 1
5969. 2
5969. 3
5969. 4
5969. 5
5969. 6
5969. 7
5969. 8
5969. 9
5970. 0
5970. 1
5970. 2
5970. 3
5971. 0
5971. 1
5971. 2
5971. 3
5971. 4
5971. 5
5971. 6
5972. 0

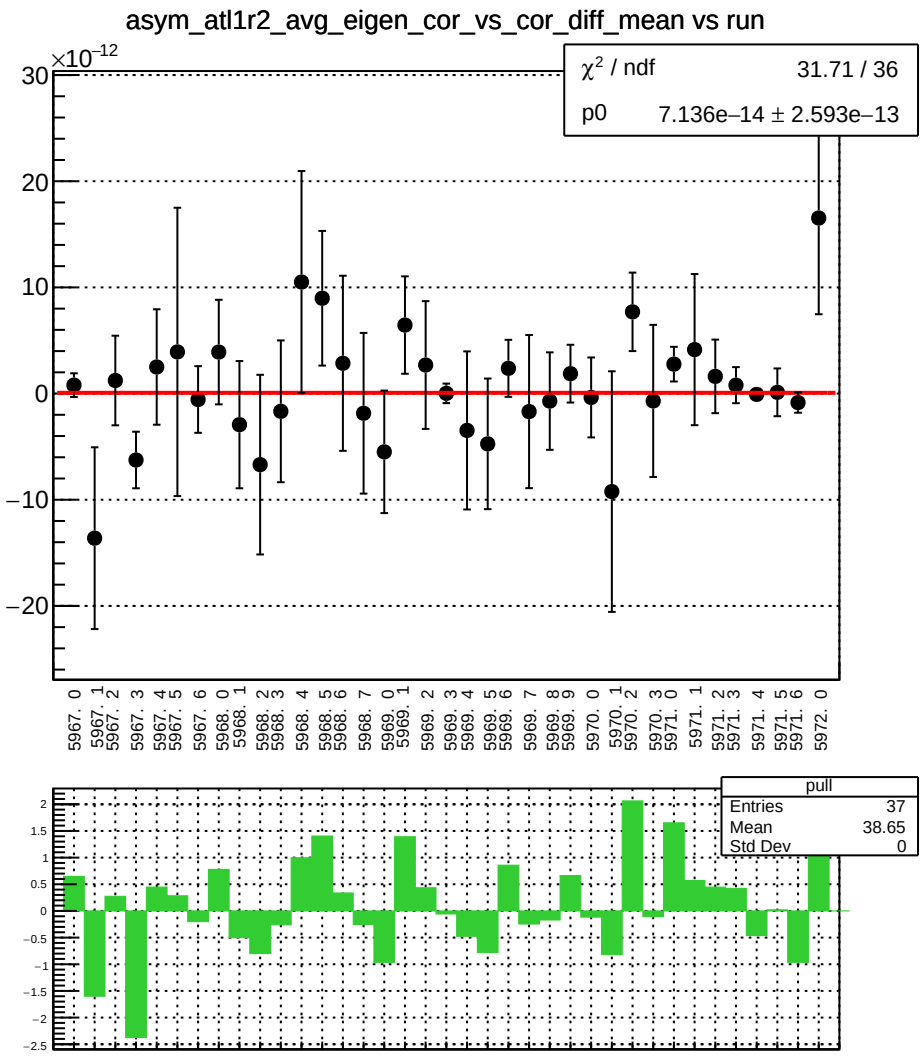
asym_atl1r2_avg_eigen_cor_vs_cor_diff_mean vs run
×10⁻¹²
χ² / ndf 31.71 / 36
p0 7.136e−14 ± 2.593e−13
pull
Entries 37
Mean 38.65
Std Dev 0

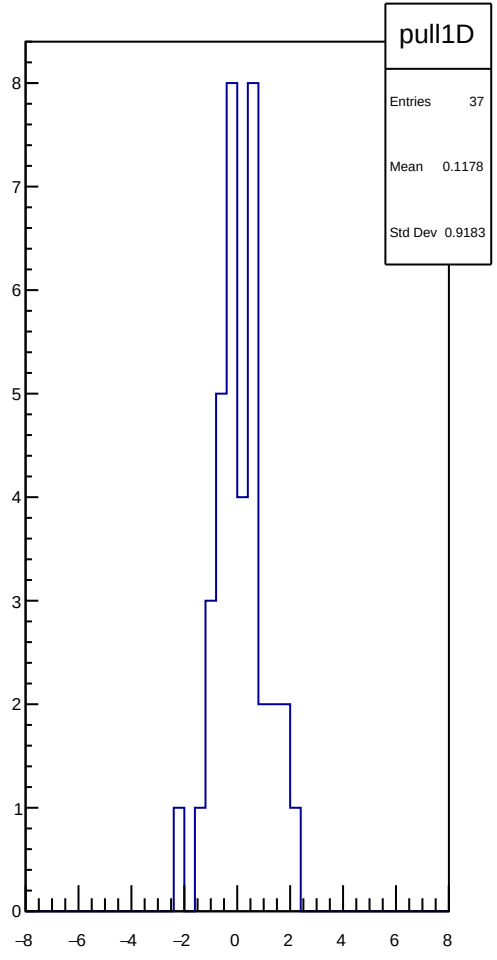
pull1D
Entries 37
Mean 0.1178
Std Dev 0.9183

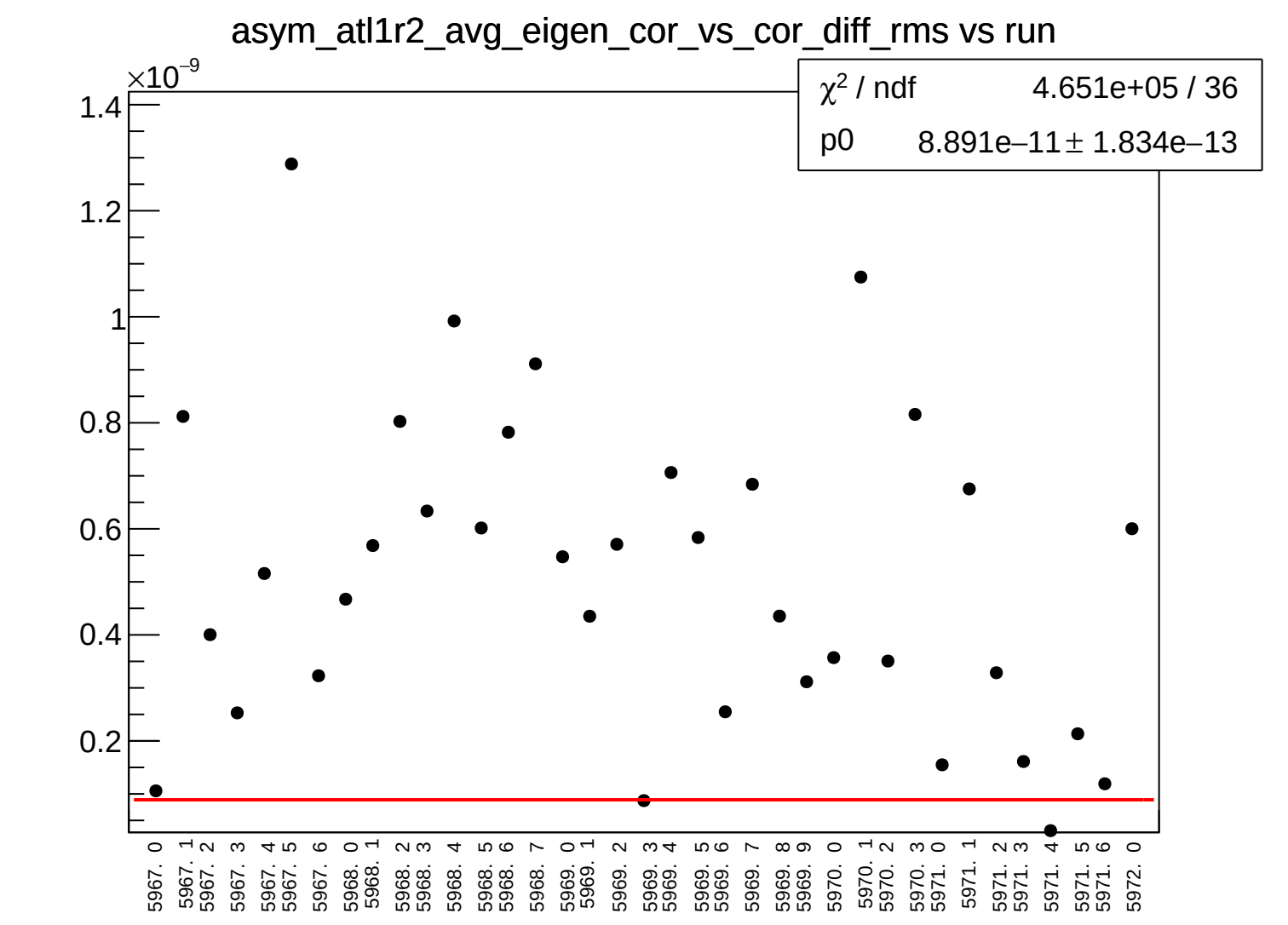
asym_atl1r2_avg_eigen_cor_vs_cor_diff_rms vs run
×10⁻⁹
χ² / ndf 4.651e+05 / 36
p0 8.891e−11 ± 1.834e−13
1.4
1.2
1
0.8
0.6
0.4
0.2
5967. 0
5967. 1
5967. 2
5967. 3
5967. 4
5967. 5
5967. 6
5968. 0
5968. 1
5968. 2
5968. 3
5968. 4
5968. 5
5968. 6
5968. 7
5969. 0
5969. 1
5969. 2
5969. 3
5969. 4
5969. 5
5969. 6
5969. 7
5969. 8
5969. 9
5970. 0
5970. 1
5970. 2
5970. 3
5971. 0
5971. 1
5971. 2
5971. 3
5971. 4
5971. 5
5971. 6
5972. 0

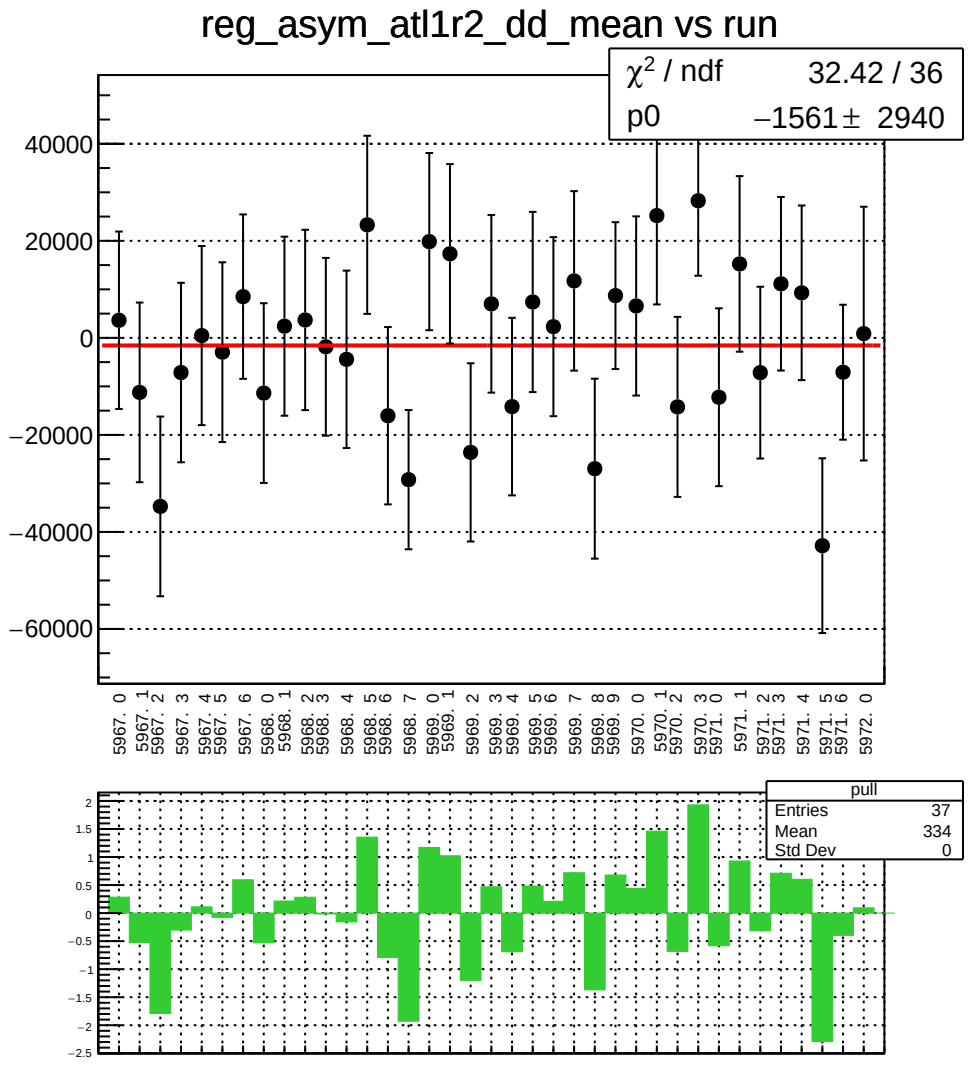
reg_asym_atl1r2_dd_mean vs run
χ² / ndf 32.42 / 36
p0 −1561 ± 2940
40000
20000
0
−20000
−40000
−60000
5967. 0
5967. 1
5967. 2
5967. 3
5967. 4
5967. 5
5967. 6
5968. 0
5968. 1
5968. 2
5968. 3
5968. 4
5968. 5
5968. 6
5968. 7
5969. 0
5969. 1
5969. 2
5969. 3
5969. 4
5969. 5
5969. 6
5969. 7
5969. 8
5969. 9
5970. 0
5970. 1
5970. 2
5970. 3
5971. 0
5971. 1
5971. 2
5971. 3
5971. 4
5971. 5
5971. 6
5972. 0
pull
Entries 37
Mean 334
Std Dev 0
2
1.5
1
0.5
0
−0.5
−1
−1.5
−2
−2.5

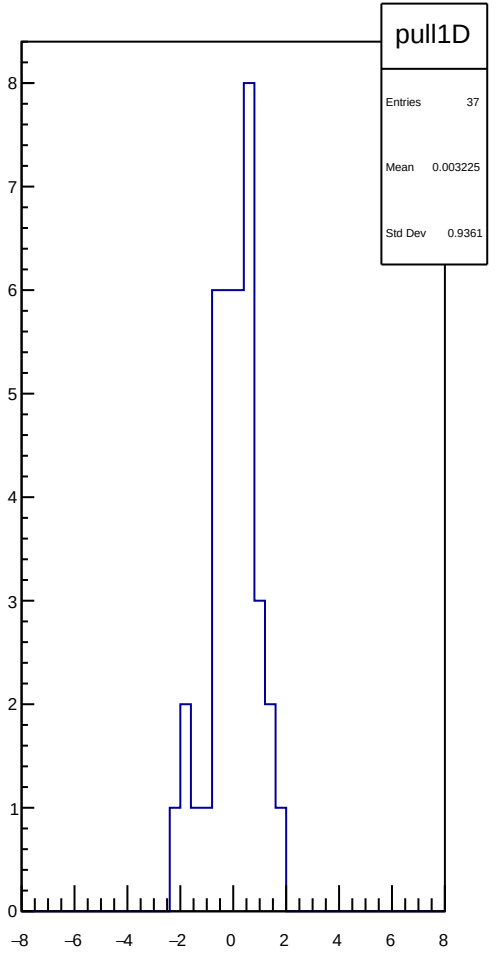
pull1D
Entries 37
Mean 0.003225
Std Dev 0.9361
8
7
6
5
4
3
2
1
0
−8
−6
−4
−2
0
2
4
6
8

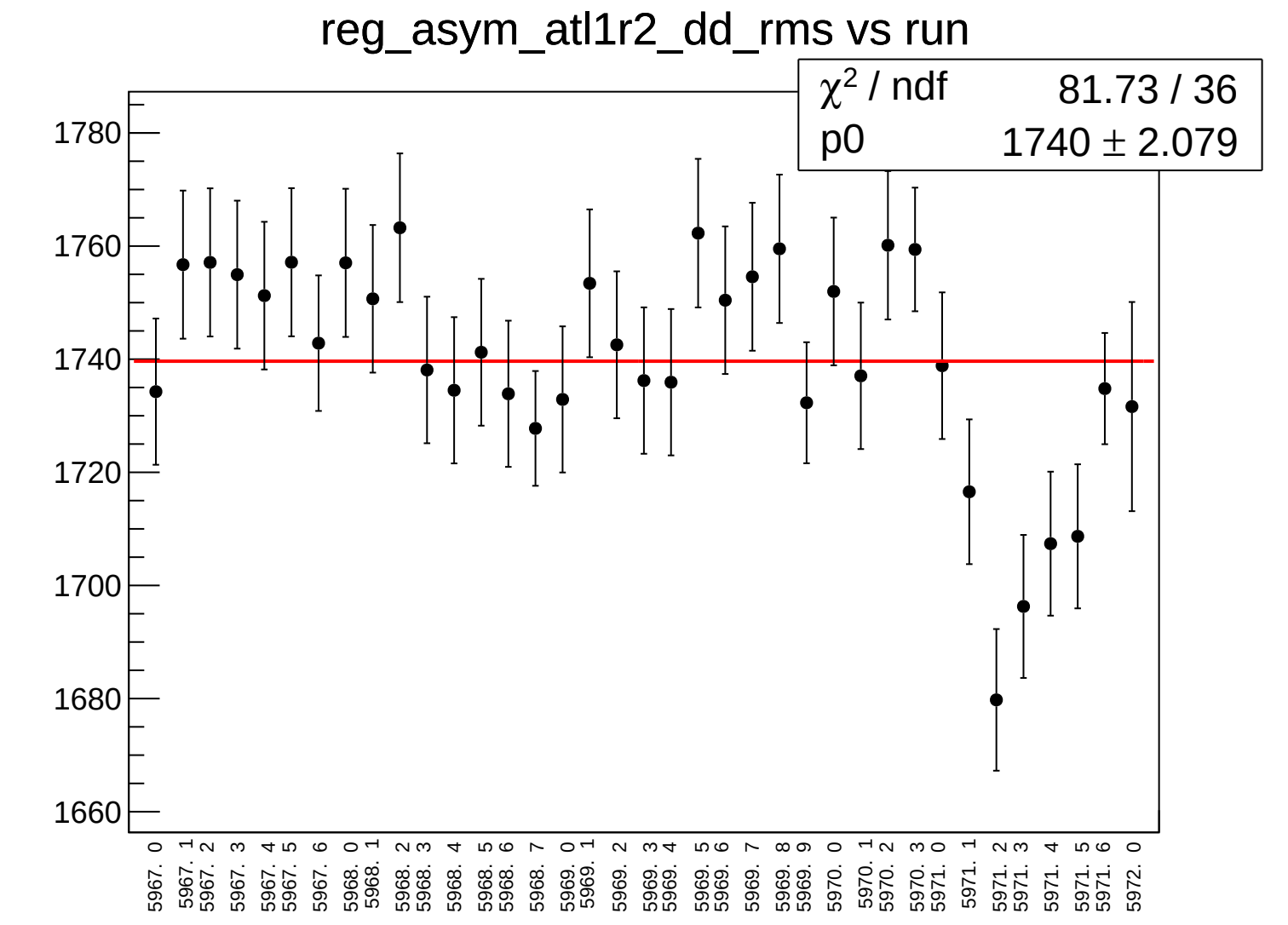
reg_asym_atl1r2_dd_rms vs run
χ² / ndf 81.73 / 36
p0 1740 ± 2.079
1780
1760
1740
1720
1700
1680
1660
5967. 0
5967. 1
5967. 2
5967. 3
5967. 4
5967. 5
5967. 6
5968. 0
5968. 1
5968. 2
5968. 3
5968. 4
5968. 5
5968. 6
5968. 7
5969. 0
5969. 1
5969. 2
5969. 3
5969. 4
5969. 5
5969. 6
5969. 7
5969. 8
5969. 9
5970. 0
5970. 1
5970. 2
5970. 3
5971. 0
5971. 1
5971. 2
5971. 3
5971. 4
5971. 5
5971. 6
5972. 0

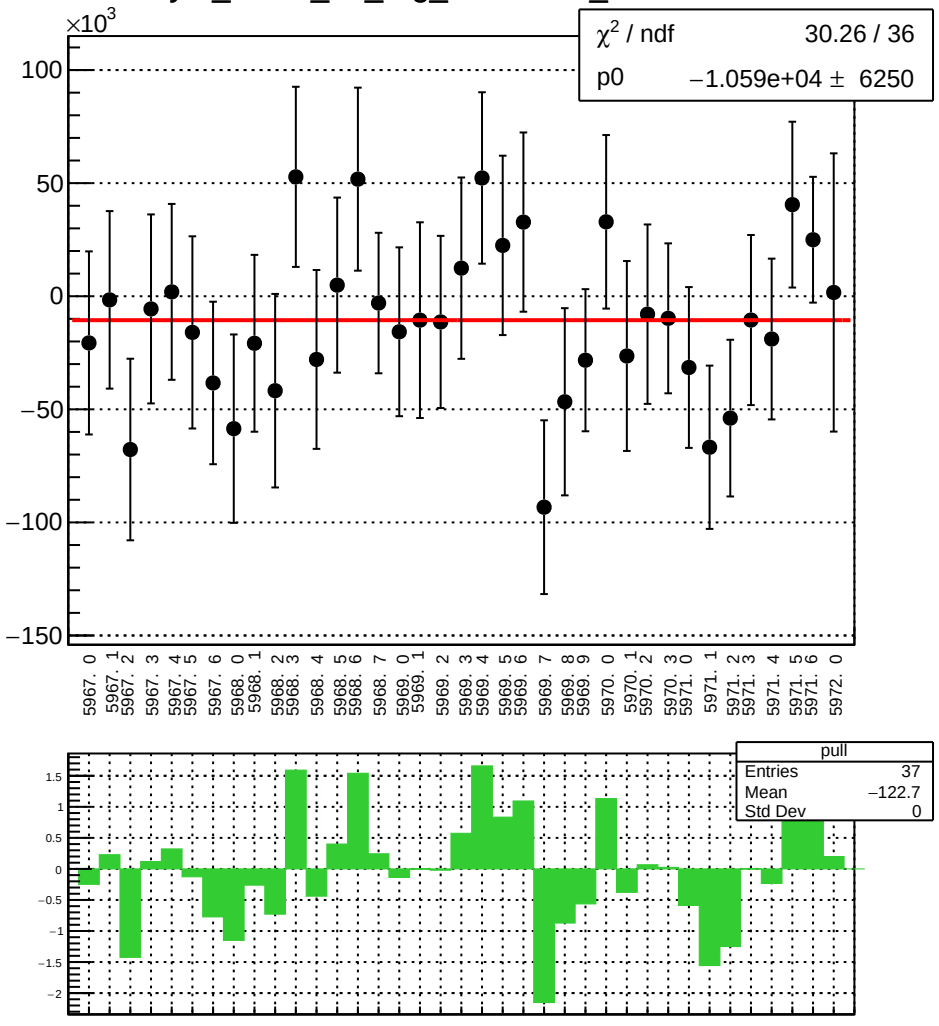
asym_atl1r2_dd_reg_correction_mean vs run
×10^3
χ² / ndf 30.26 / 36
p0 −1.059e+04 ± 6250
100
50
0
−50
−100
−150
5967. 0
5967. 1
5967. 2
5967. 3
5967. 4
5967. 5
5967. 6
5968. 0
5968. 1
5968. 2
5968. 3
5968. 4
5968. 5
5968. 6
5968. 7
5969. 0
5969. 1
5969. 2
5969. 3
5969. 4
5969. 5
5969. 6
5969. 7
5969. 8
5969. 9
5970. 0
5970. 1
5970. 2
5970. 3
5971. 0
5971. 1
5971. 2
5971. 3
5971. 4
5971. 5
5971. 6
5972. 0
pull
Entries 37
Mean −122.7
Std Dev 0
1.5
1
0.5
0
−0.5
−1
−1.5
−2

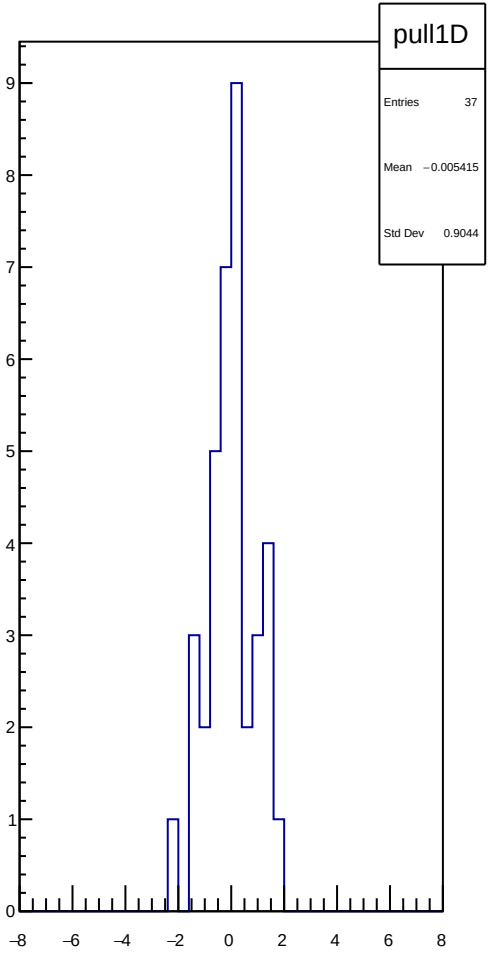
pull1D
Entries 37
Mean −0.005415
Std Dev 0.9044
9
8
7
6
5
4
3
2
1
0
−8
−6
−4
−2
0
2
4
6
8

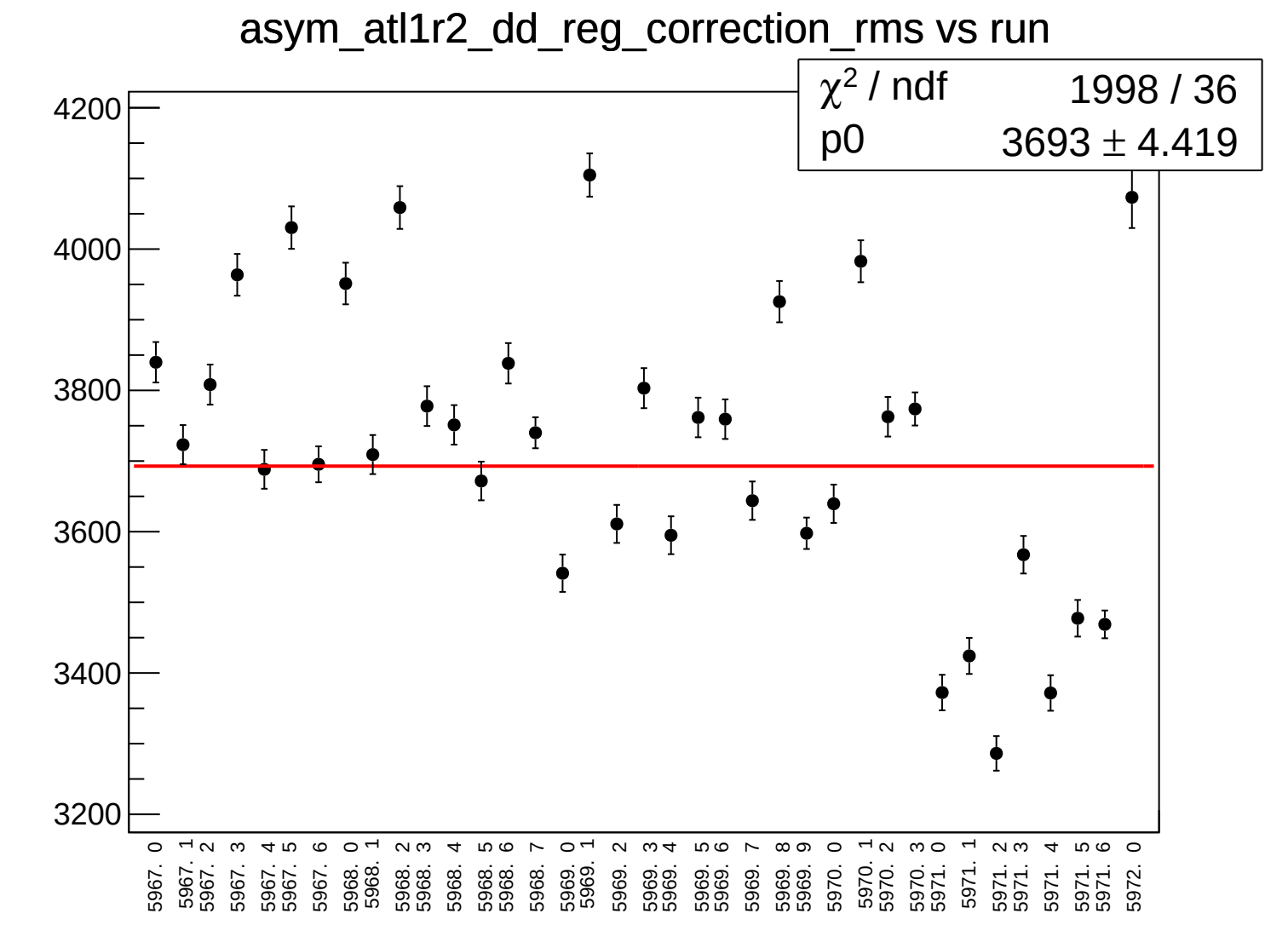
asym_atl1r2_dd_reg_correction_rms vs run
χ² / ndf 1998 / 36
p0 3693 ± 4.419
4200
4000
3800
3600
3400
3200
5967. 0
5967. 1
5967. 2
5967. 3
5967. 4
5967. 5
5967. 6
5968. 0
5968. 1
5968. 2
5968. 3
5968. 4
5968. 5
5968. 6
5968. 7
5969. 0
5969. 1
5969. 2
5969. 3
5969. 4
5969. 5
5969. 6
5969. 7
5969. 8
5969. 9
5970. 0
5970. 1
5970. 2
5970. 3
5971. 0
5971. 1
5971. 2
5971. 3
5971. 4
5971. 5
5971. 6
5972. 0

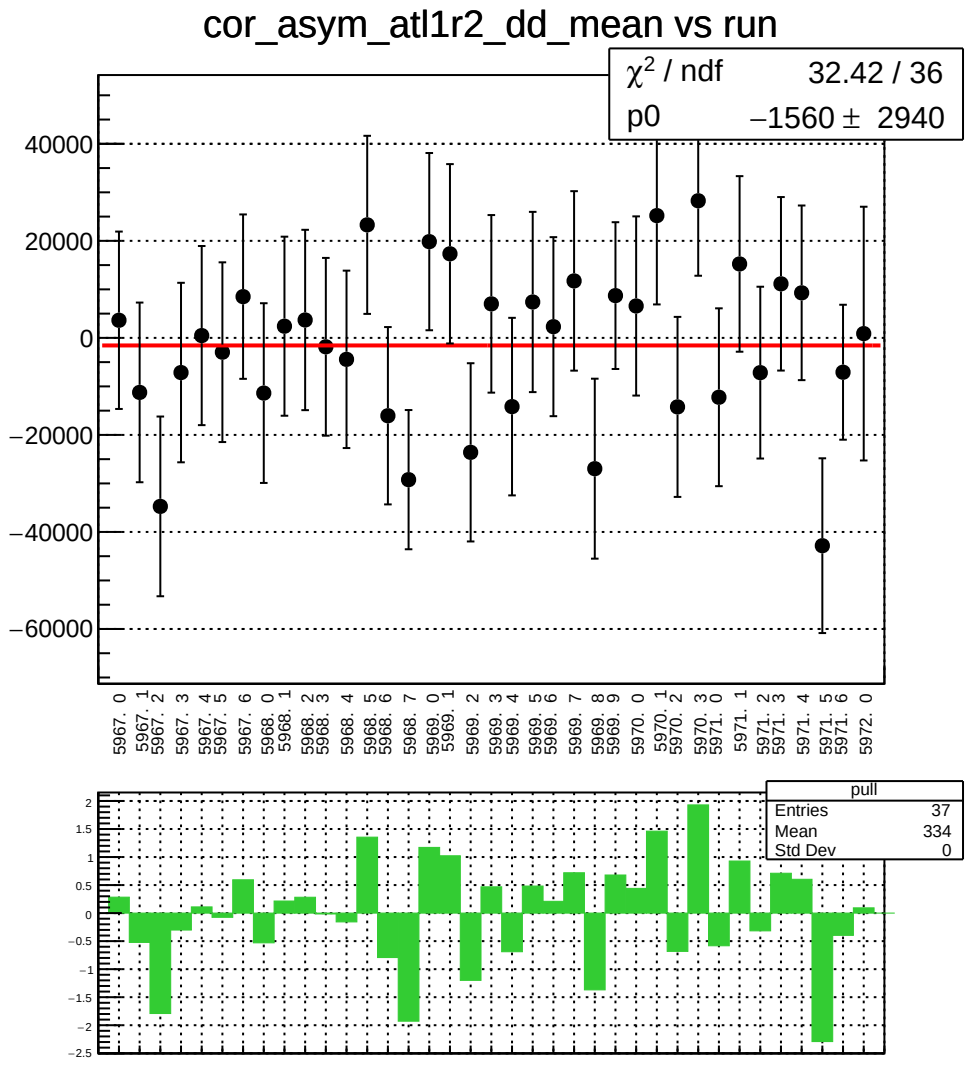
cor_asym_atl1r2_dd_mean vs run
χ² / ndf 32.42 / 36
p0 −1560 ± 2940
40000
20000
0
−20000
−40000
−60000
5967. 0
5967. 1
5967. 2
5967. 3
5967. 4
5967. 5
5967. 6
5968. 0
5968. 1
5968. 2
5968. 3
5968. 4
5968. 5
5968. 6
5968. 7
5969. 0
5969. 1
5969. 2
5969. 3
5969. 4
5969. 5
5969. 6
5969. 7
5969. 8
5969. 9
5970. 0
5970. 1
5970. 2
5970. 3
5971. 0
5971. 1
5971. 2
5971. 3
5971. 4
5971. 5
5971. 6
5972. 0
pull
Entries 37
Mean 334
Std Dev 0
2
1.5
1
0.5
0
−0.5
−1
−1.5
−2
−2.5

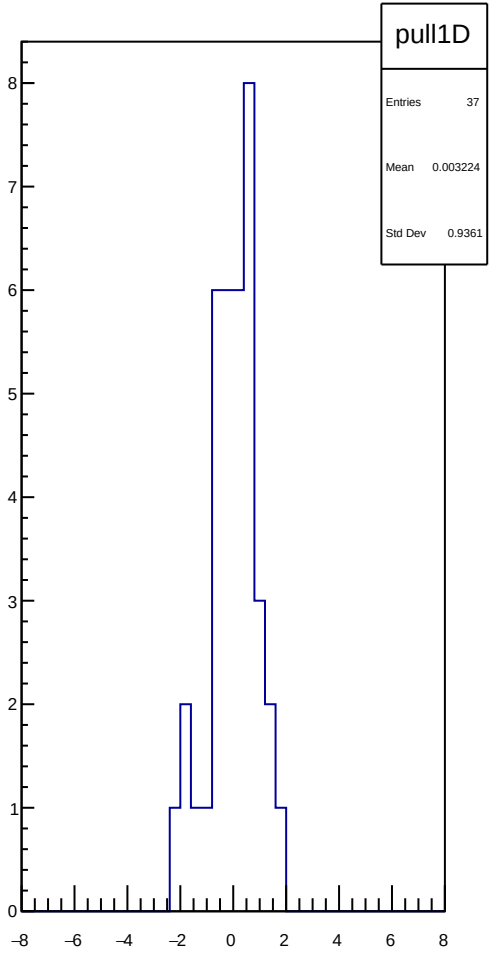
pull1D
Entries 37
Mean 0.003224
Std Dev 0.9361
8
7
6
5
4
3
2
1
0
−8
−6
−4
−2
0
2
4
6
8

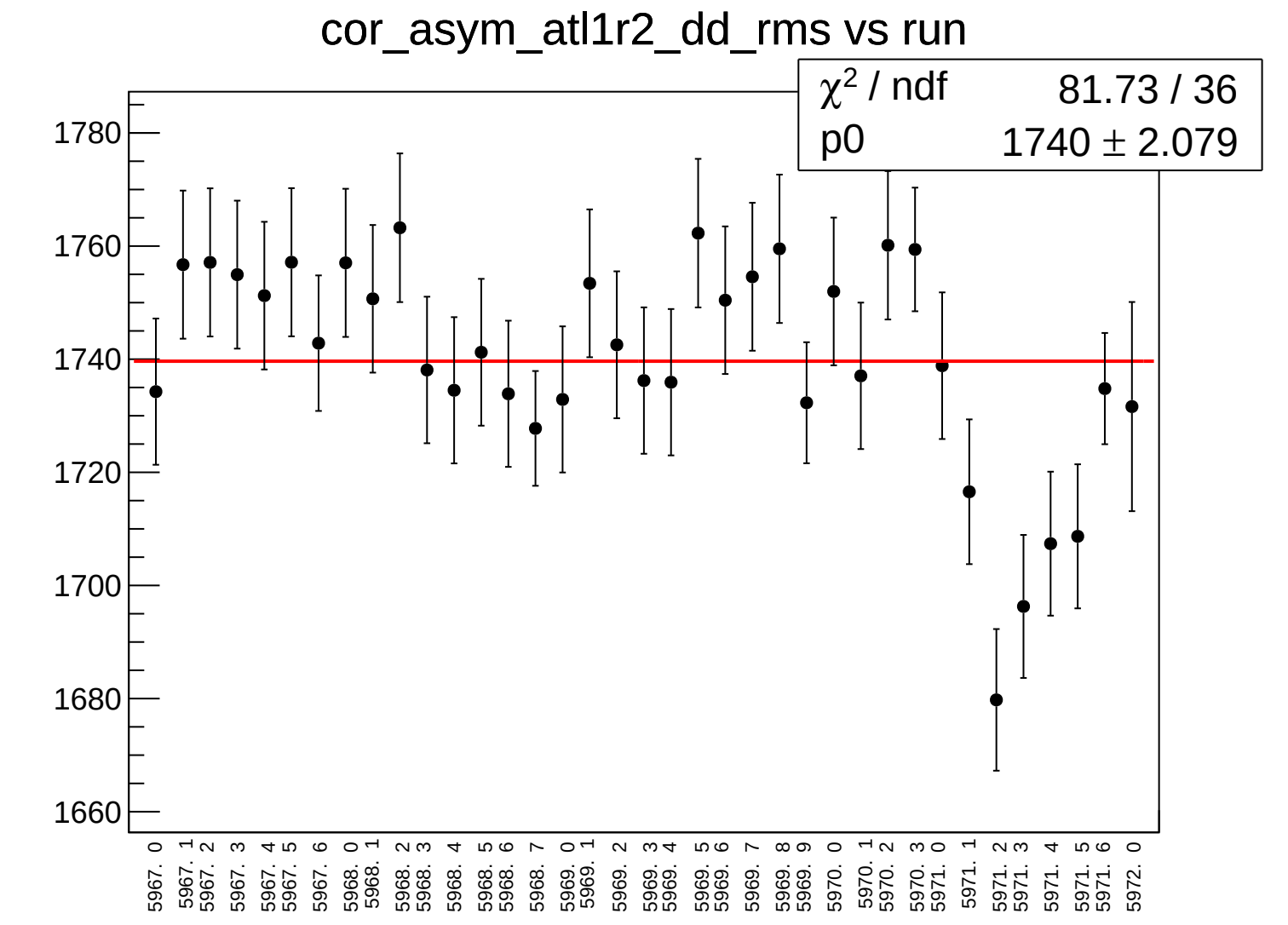
cor_asym_atl1r2_dd_rms vs run
χ² / ndf 81.73 / 36
p0 1740 ± 2.079
1780
1760
1740
1720
1700
1680
1660
5967. 0
5967. 1
5967. 2
5967. 3
5967. 4
5967. 5
5967. 6
5968. 0
5968. 1
5968. 2
5968. 3
5968. 4
5968. 5
5968. 6
5968. 7
5969. 0
5969. 1
5969. 2
5969. 3
5969. 4
5969. 5
5969. 6
5969. 7
5969. 8
5969. 9
5970. 0
5970. 1
5970. 2
5970. 3
5971. 0
5971. 1
5971. 2
5971. 3
5971. 4
5971. 5
5971. 6
5972. 0

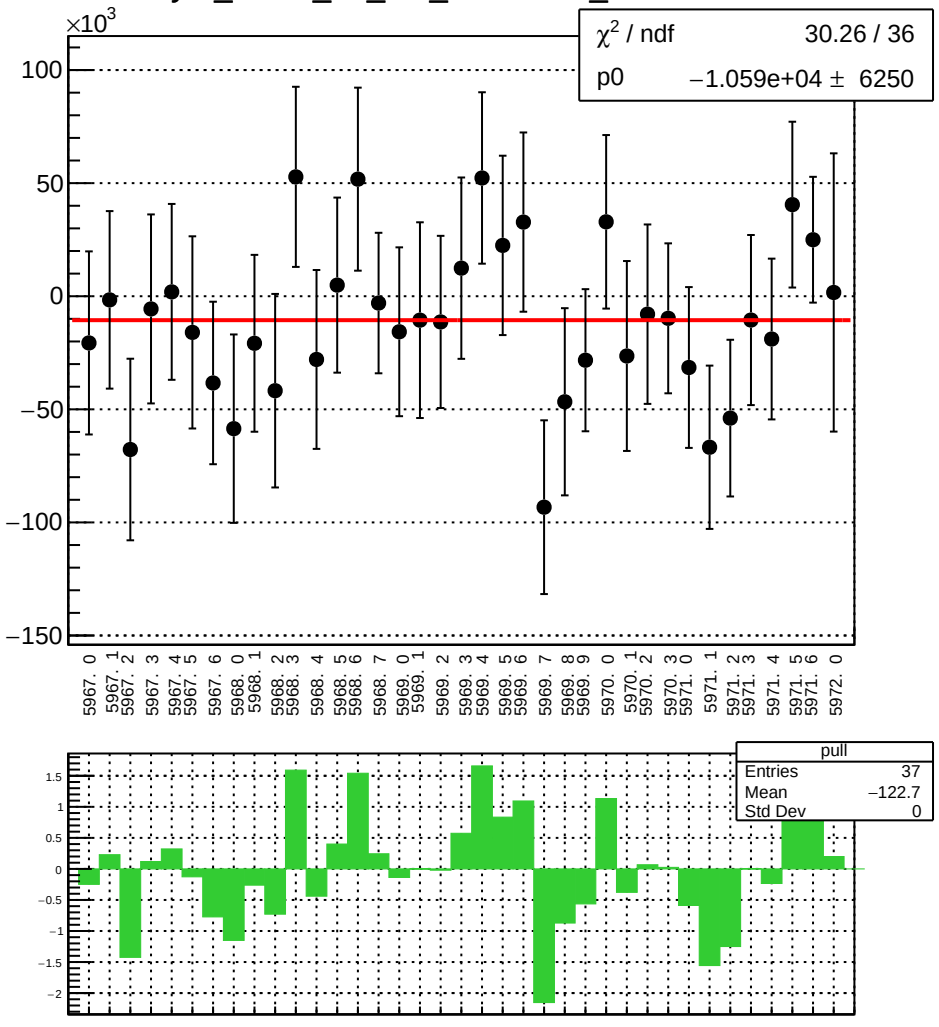
asym_atl1r2_dd_cor_correction_mean vs run
×10^3
χ² / ndf 30.26 / 36
p0 −1.059e+04 ± 6250
100
50
0
−50
−100
−150
5967. 0
5967. 1
5967. 2
5967. 3
5967. 4
5967. 5
5967. 6
5968. 0
5968. 1
5968. 2
5968. 3
5968. 4
5968. 5
5968. 6
5968. 7
5969. 0
5969. 1
5969. 2
5969. 3
5969. 4
5969. 5
5969. 6
5969. 7
5969. 8
5969. 9
5970. 0
5970. 1
5970. 2
5970. 3
5971. 0
5971. 1
5971. 2
5971. 3
5971. 4
5971. 5
5971. 6
5972. 0
pull
Entries 37
Mean −122.7
Std Dev 0
1.5
1
0.5
0
−0.5
−1
−1.5
−2

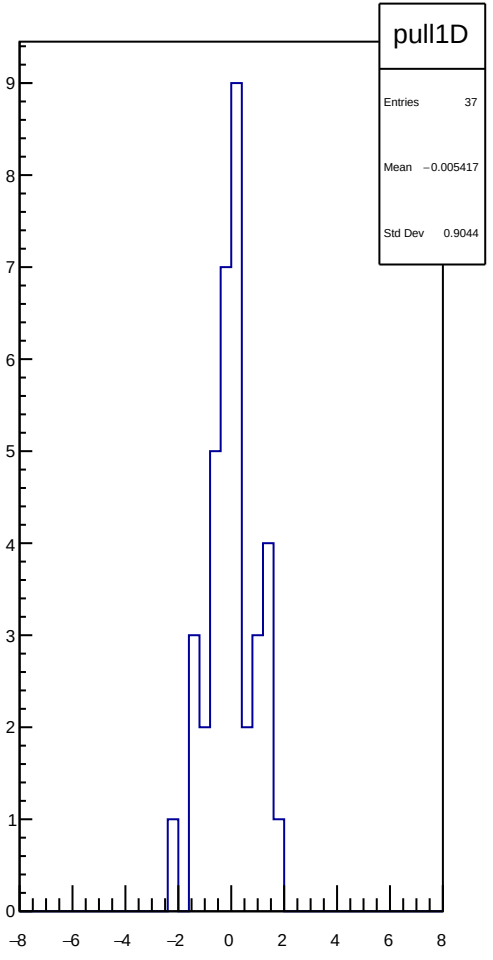
pull1D
Entries 37
Mean −0.005417
Std Dev 0.9044
9
8
7
6
5
4
3
2
1
0
−8
−6
−4
−2
0
2
4
6
8

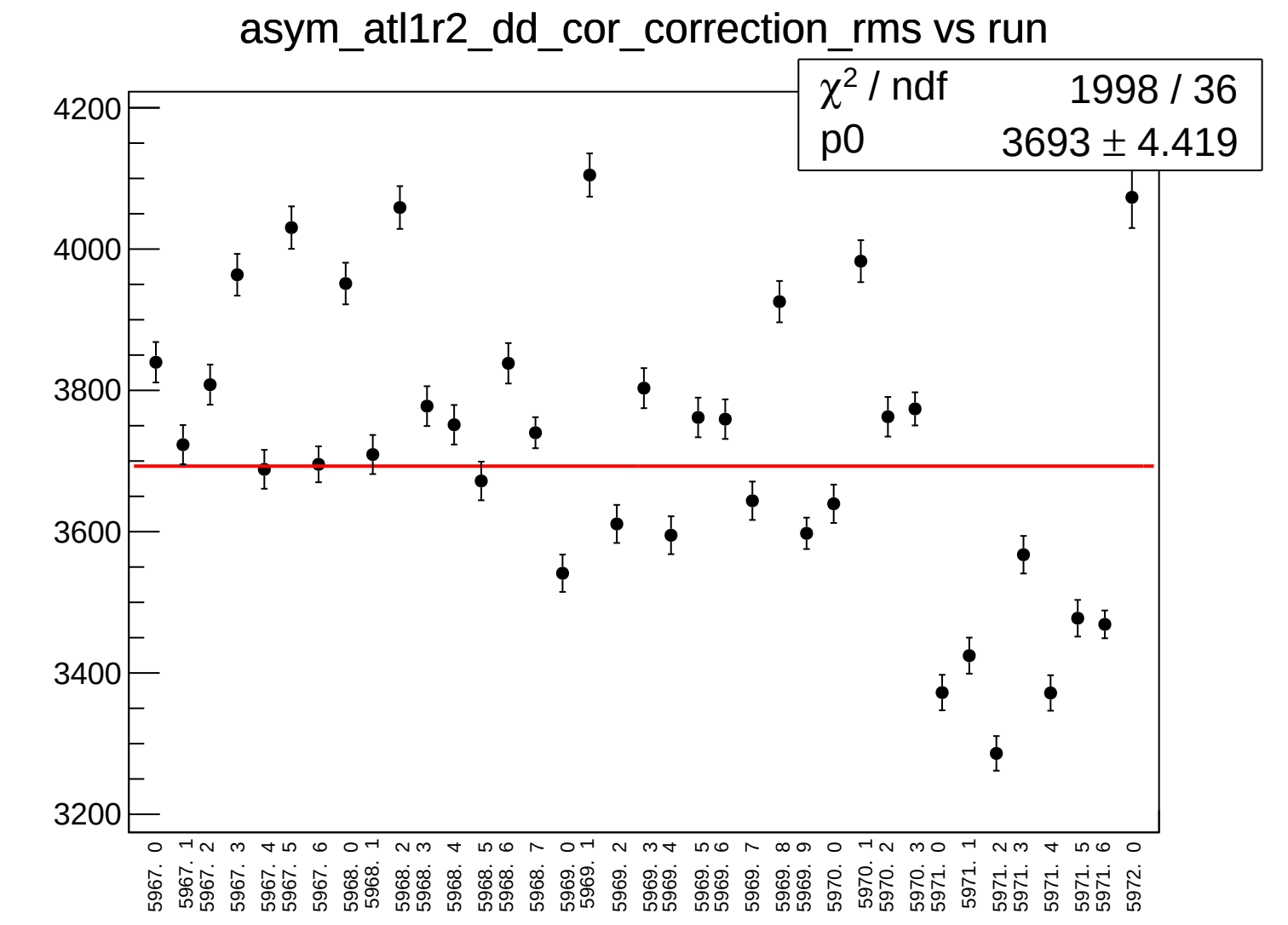
asym_atl1r2_dd_cor_correction_rms vs run
χ² / ndf 1998 / 36
p0 3693 ± 4.419
4200
4000
3800
3600
3400
3200
5967. 0
5967. 1
5967. 2
5967. 3
5967. 4
5967. 5
5967. 6
5968. 0
5968. 1
5968. 2
5968. 3
5968. 4
5968. 5
5968. 6
5968. 7
5969. 0
5969. 1
5969. 2
5969. 3
5969. 4
5969. 5
5969. 6
5969. 7
5969. 8
5969. 9
5970. 0
5970. 1
5970. 2
5970. 3
5971. 0
5971. 1
5971. 2
5971. 3
5971. 4
5971. 5
5971. 6
5972. 0

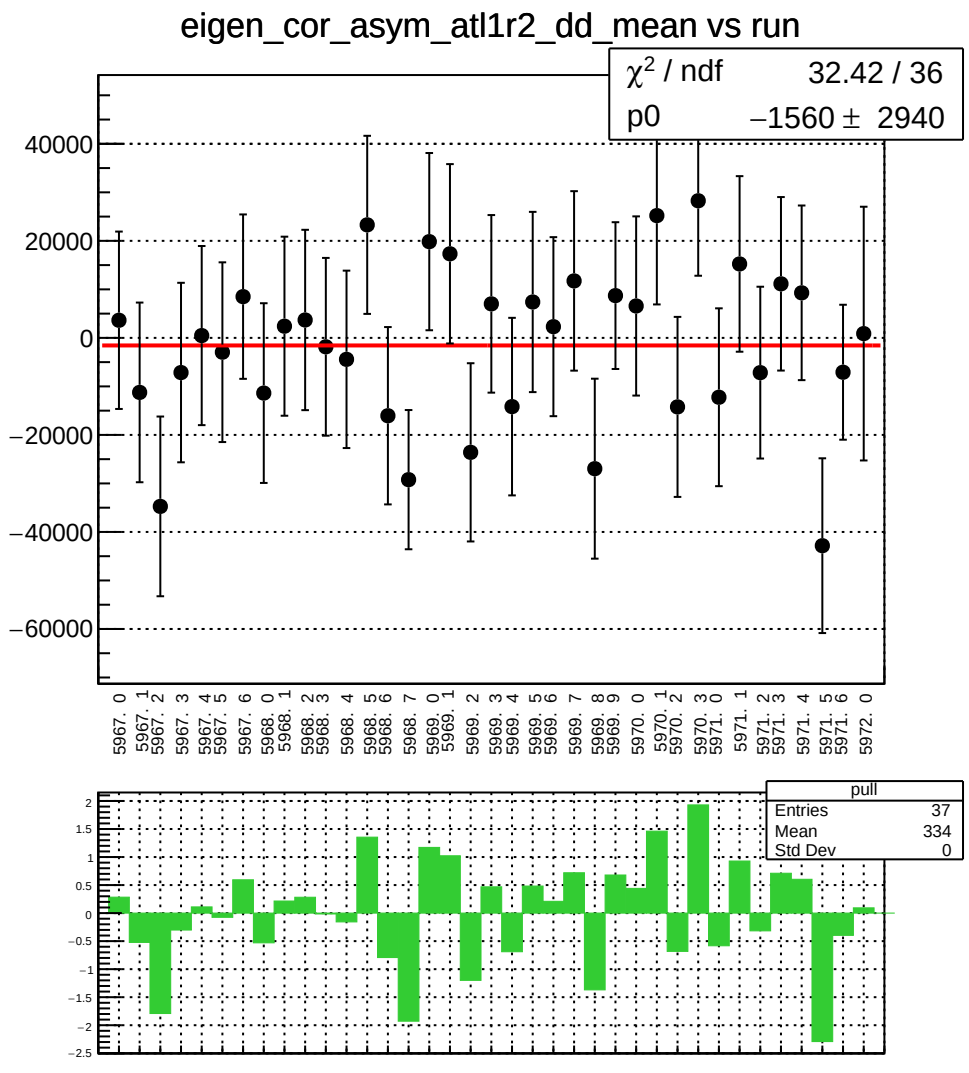
eigen_cor_asym_atl1r2_dd_mean vs run
χ² / ndf 32.42 / 36
p0 −1560 ± 2940
40000
20000
0
−20000
−40000
−60000
5967. 0
5967. 1
5967. 2
5967. 3
5967. 4
5967. 5
5967. 6
5968. 0
5968. 1
5968. 2
5968. 3
5968. 4
5968. 5
5968. 6
5968. 7
5969. 0
5969. 1
5969. 2
5969. 3
5969. 4
5969. 5
5969. 6
5969. 7
5969. 8
5969. 9
5970. 0
5970. 1
5970. 2
5970. 3
5971. 0
5971. 1
5971. 2
5971. 3
5971. 4
5971. 5
5971. 6
5972. 0
pull
Entries 37
Mean 334
Std Dev 0
2
1.5
1
0.5
0
−0.5
−1
−1.5
−2
−2.5
pull1D
Entries 37
Mean 0.003224
Std Dev 0.9361
8
7
6
5
4
3
2
1
0
−8
−6
−4
−2
0
2
4
6
8

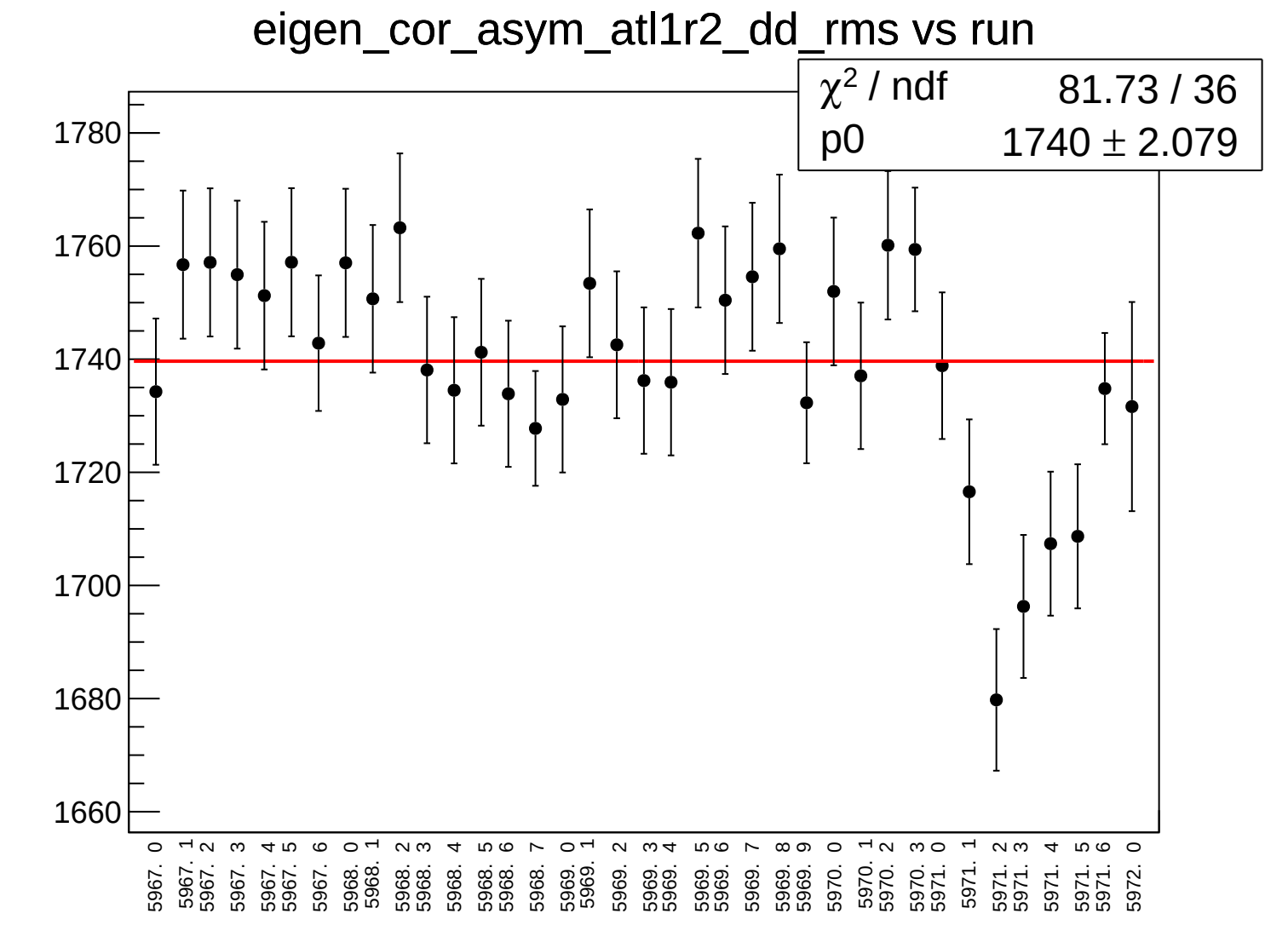
eigen_cor_asym_atl1r2_dd_rms vs run
χ² / ndf 81.73 / 36
p0 1740 ± 2.079
1780
1760
1740
1720
1700
1680
1660
5967. 0
5967. 1
5967. 2
5967. 3
5967. 4
5967. 5
5967. 6
5968. 0
5968. 1
5968. 2
5968. 3
5968. 4
5968. 5
5968. 6
5968. 7
5969. 0
5969. 1
5969. 2
5969. 3
5969. 4
5969. 5
5969. 6
5969. 7
5969. 8
5969. 9
5970. 0
5970. 1
5970. 2
5970. 3
5971. 0
5971. 1
5971. 2
5971. 3
5971. 4
5971. 5
5971. 6
5972. 0

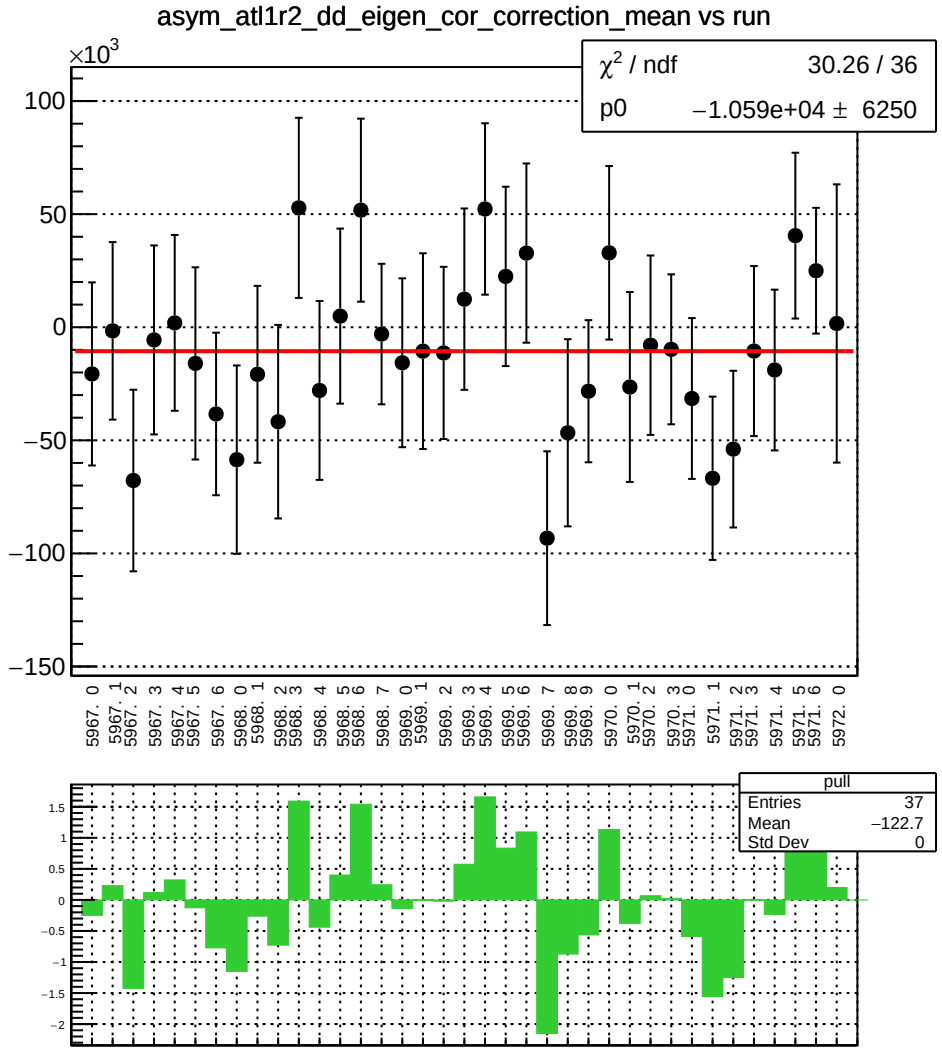
asym_atl1r2_dd_eigen_cor_correction_mean vs run
×10^3
χ² / ndf 30.26 / 36
p0 −1.059e+04 ± 6250
100
50
0
−50
−100
−150
5967. 0
5967. 1
5967. 2
5967. 3
5967. 4
5967. 5
5967. 6
5968. 0
5968. 1
5968. 2
5968. 3
5968. 4
5968. 5
5968. 6
5968. 7
5969. 0
5969. 1
5969. 2
5969. 3
5969. 4
5969. 5
5969. 6
5969. 7
5969. 8
5969. 9
5970. 0
5970. 1
5970. 2
5970. 3
5971. 0
5971. 1
5971. 2
5971. 3
5971. 4
5971. 5
5971. 6
5972. 0
pull
Entries 37
Mean −122.7
Std Dev 0
1.5
1
0.5
0
−0.5
−1
−1.5
−2

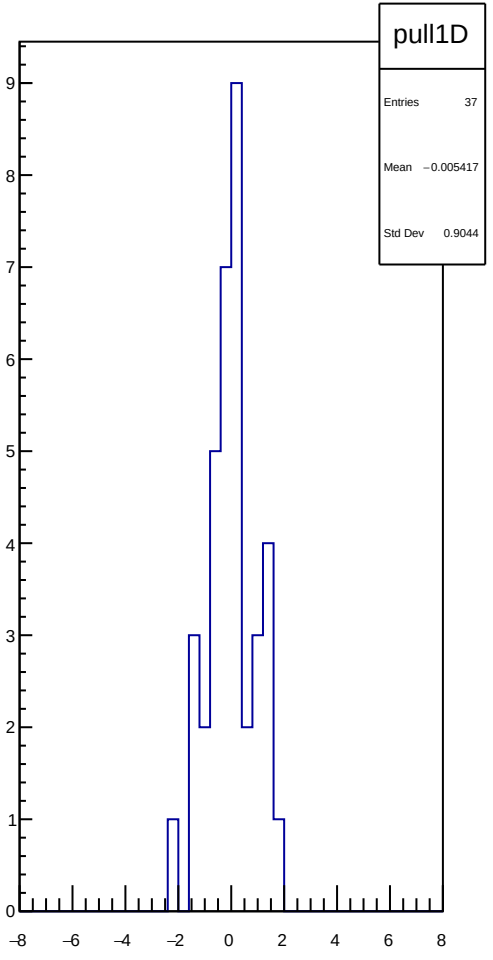
pull1D
Entries 37
Mean −0.005417
Std Dev 0.9044
9
8
7
6
5
4
3
2
1
0
−8
−6
−4
−2
0
2
4
6
8

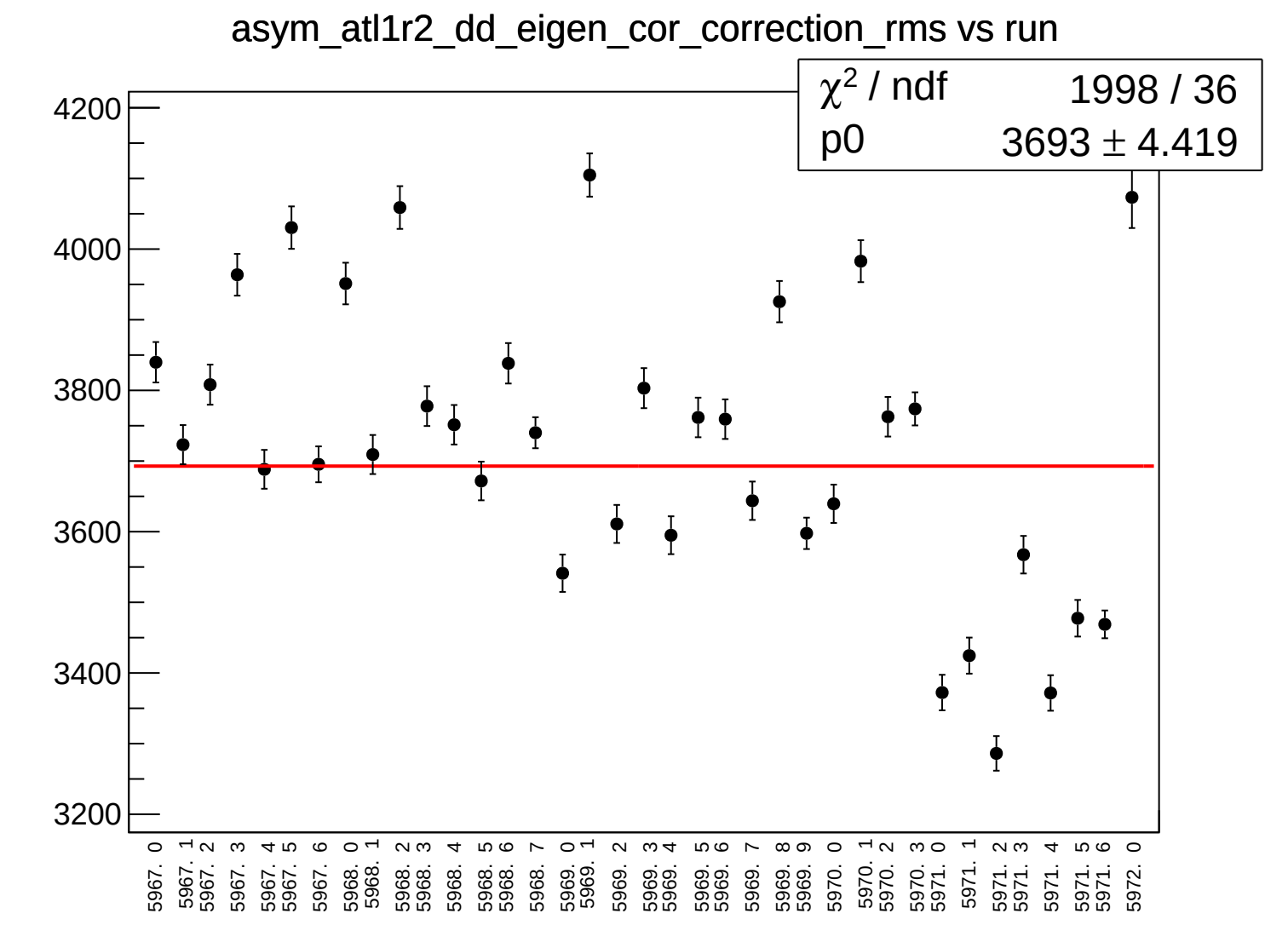
asym_atl1r2_dd_eigen_cor_correction_rms vs run
χ² / ndf 1998 / 36
p0 3693 ± 4.419
4200
4000
3800
3600
3400
3200
5967. 0
5967. 1
5967. 2
5967. 3
5967. 4
5967. 5
5967. 6
5968. 0
5968. 1
5968. 2
5968. 3
5968. 4
5968. 5
5968. 6
5968. 7
5969. 0
5969. 1
5969. 2
5969. 3
5969. 4
5969. 5
5969. 6
5969. 7
5969. 8
5969. 9
5970. 0
5970. 1
5970. 2
5970. 3
5971. 0
5971. 1
5971. 2
5971. 3
5971. 4
5971. 5
5971. 6
5972. 0

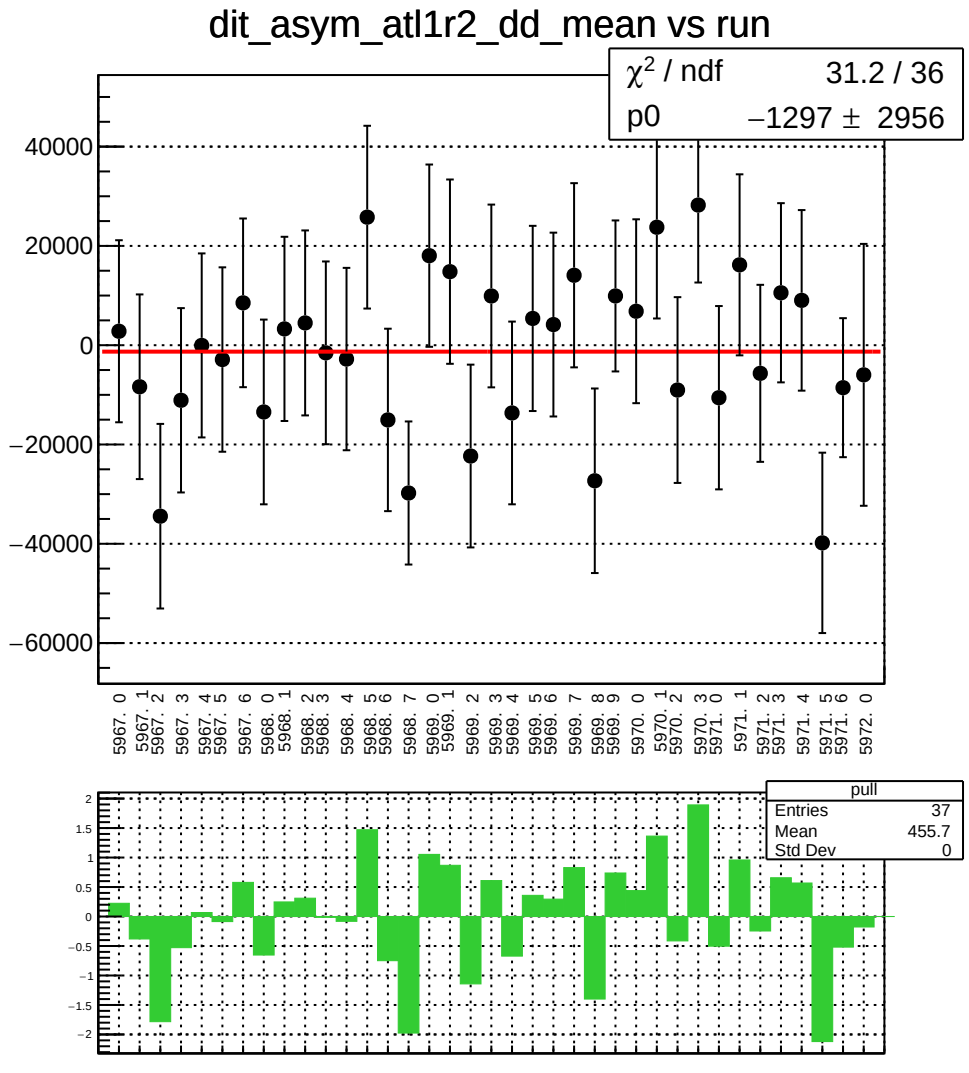
dit_asym_atl1r2_dd_mean vs run
χ² / ndf 31.2 / 36
p0 −1297 ± 2956
40000
20000
0
−20000
−40000
−60000
5967. 0
5967. 1
5967. 2
5967. 3
5967. 4
5967. 5
5967. 6
5968. 0
5968. 1
5968. 2
5968. 3
5968. 4
5968. 5
5968. 6
5968. 7
5969. 0
5969. 1
5969. 2
5969. 3
5969. 4
5969. 5
5969. 6
5969. 7
5969. 8
5969. 9
5970. 0
5970. 1
5970. 2
5970. 3
5971. 0
5971. 1
5971. 2
5971. 3
5971. 4
5971. 5
5971. 6
5972. 0
pull
Entries 37
Mean 455.7
Std Dev 0
2
1.5
1
0.5
0
−0.5
−1
−1.5
−2

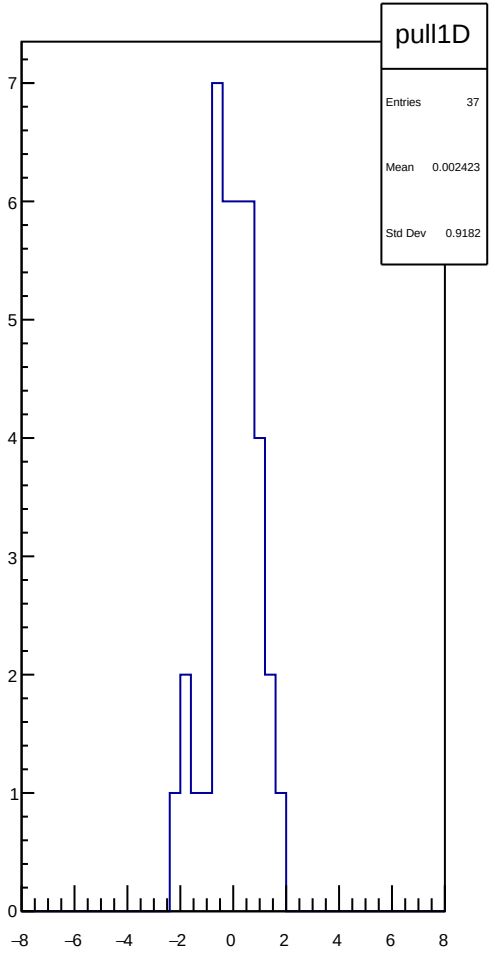
pull1D
Entries 37
Mean 0.002423
Std Dev 0.9182
7
6
5
4
3
2
1
0
−8
−6
−4
−2
0
2
4
6
8

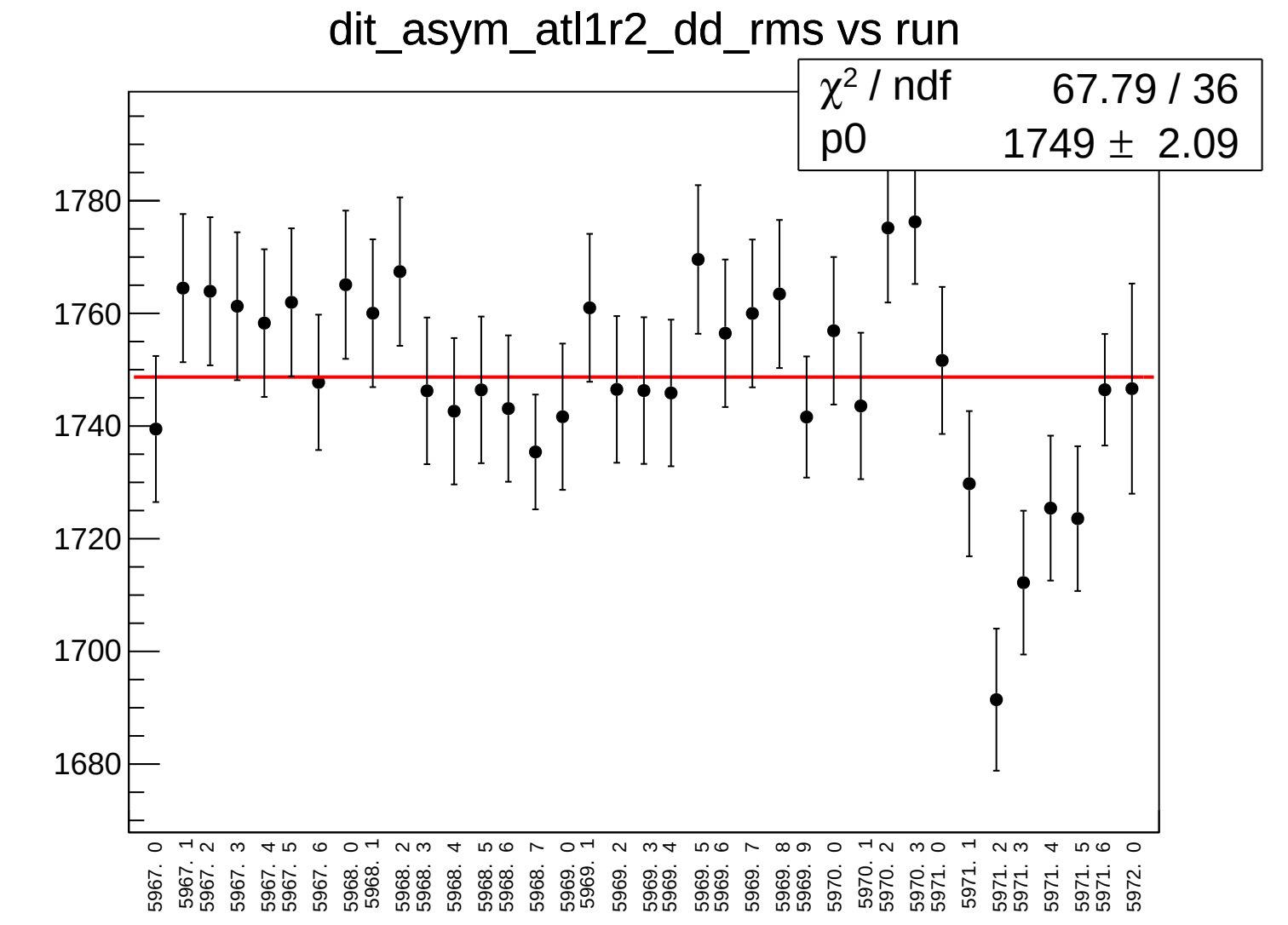
dit_asym_atl1r2_dd_rms vs run
χ² / ndf 67.79 / 36
p0 1749 ± 2.09
1780
1760
1740
1720
1700
1680
5967. 0
5967. 1
5967. 2
5967. 3
5967. 4
5967. 5
5967. 6
5968. 0
5968. 1
5968. 2
5968. 3
5968. 4
5968. 5
5968. 6
5968. 7
5969. 0
5969. 1
5969. 2
5969. 3
5969. 4
5969. 5
5969. 6
5969. 7
5969. 8
5969. 9
5970. 0
5970. 1
5970. 2
5970. 3
5971. 0
5971. 1
5971. 2
5971. 3
5971. 4
5971. 5
5971. 6
5972. 0

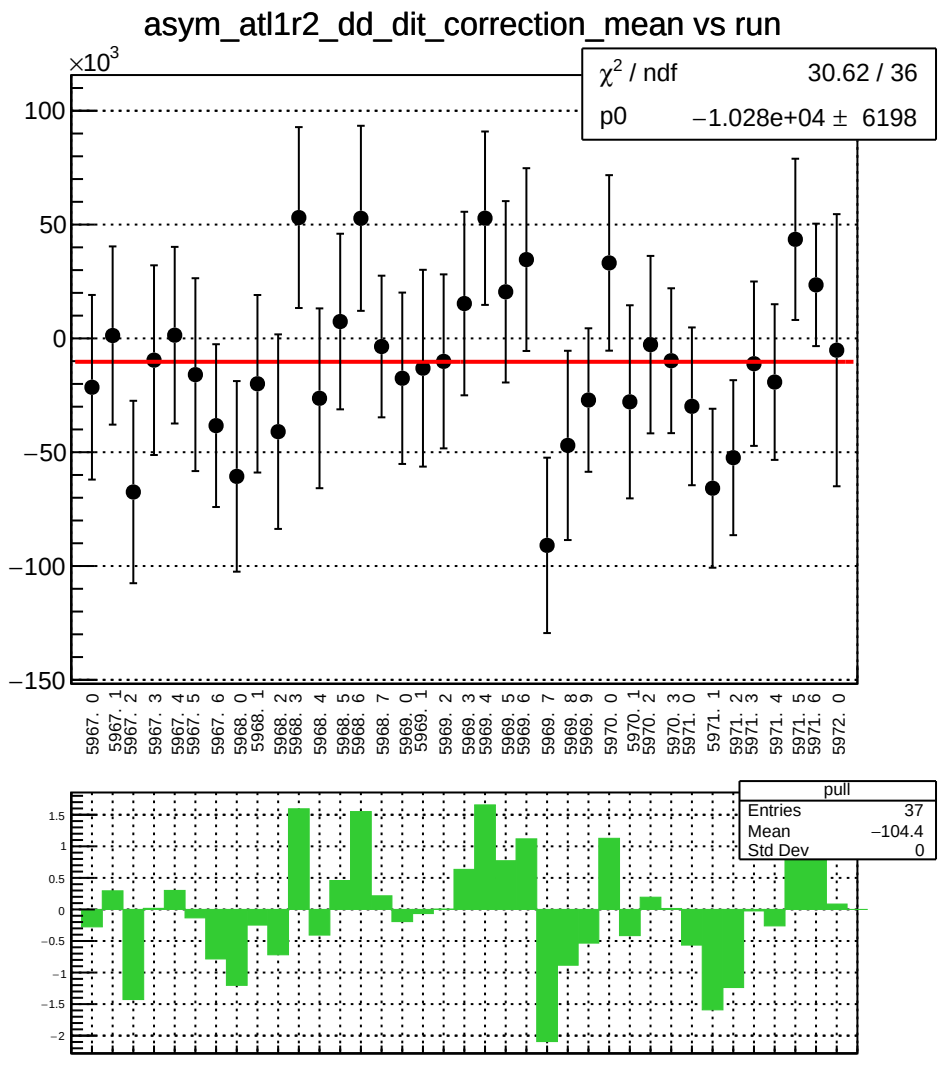
asym_atl1r2_dd_dit_correction_mean vs run
×10^3
χ² / ndf 30.62 / 36
p0 −1.028e+04 ± 6198
100
50
0
−50
−100
−150
5967. 0
5967. 1
5967. 2
5967. 3
5967. 4
5967. 5
5967. 6
5968. 0
5968. 1
5968. 2
5968. 3
5968. 4
5968. 5
5968. 6
5968. 7
5969. 0
5969. 1
5969. 2
5969. 3
5969. 4
5969. 5
5969. 6
5969. 7
5969. 8
5969. 9
5970. 0
5970. 1
5970. 2
5970. 3
5971. 0
5971. 1
5971. 2
5971. 3
5971. 4
5971. 5
5971. 6
5972. 0
pull
Entries 37
Mean −104.4
Std Dev 0
1.5
1
0.5
0
−0.5
−1
−1.5
−2
pull1D
Entries 37
Mean −0.006522
Std Dev 0.9096
8
7
6
5
4
3
2
1
0
−8
−6
−4
−2
0
2
4
6
8

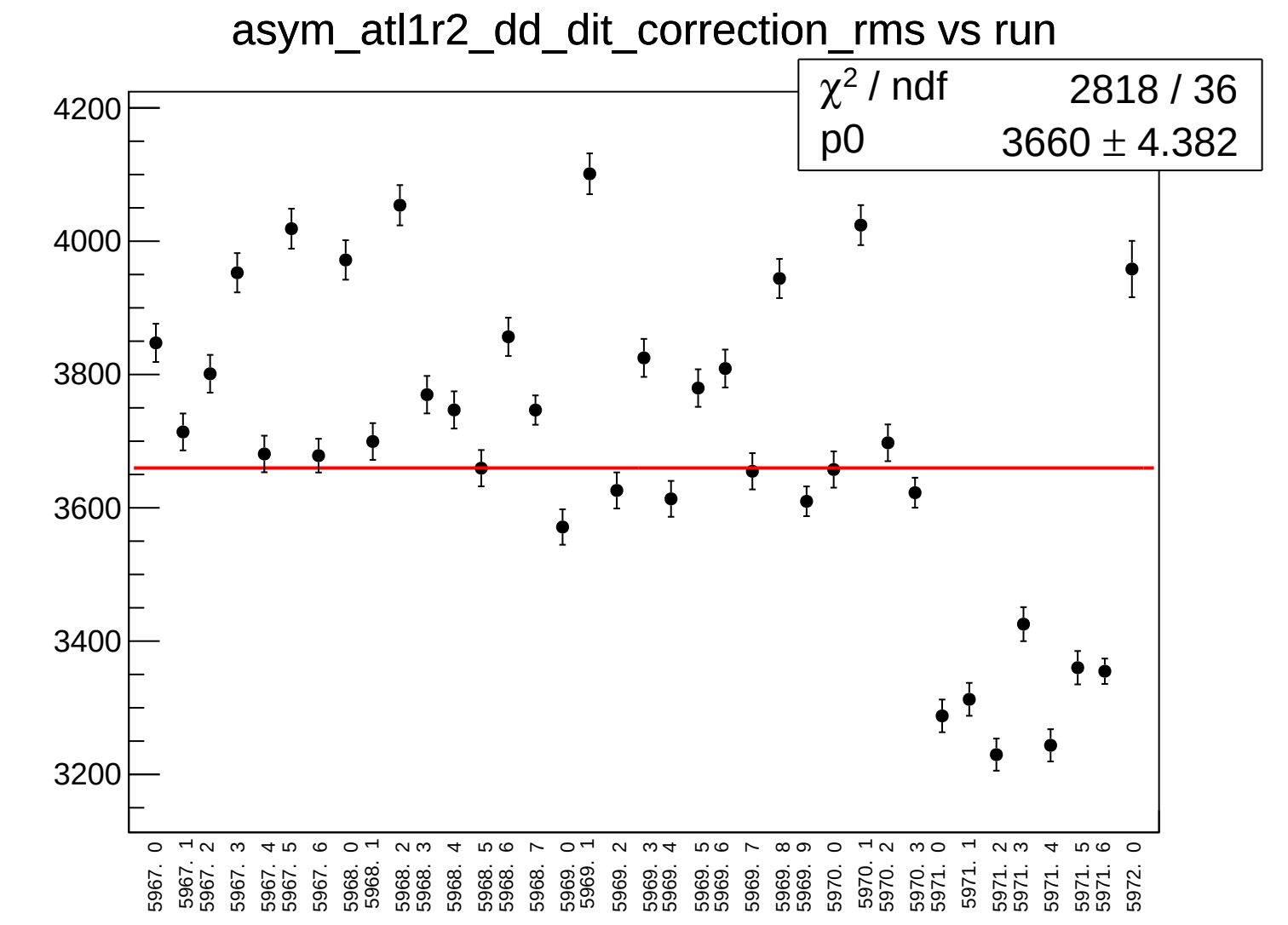
asym_atl1r2_dd_dit_correction_rms vs run
χ² / ndf 2818 / 36
p0 3660 ± 4.382
4200
4000
3800
3600
3400
3200
5967. 0
5967. 1
5967. 2
5967. 3
5967. 4
5967. 5
5967. 6
5968. 0
5968. 1
5968. 2
5968. 3
5968. 4
5968. 5
5968. 6
5968. 7
5969. 0
5969. 1
5969. 2
5969. 3
5969. 4
5969. 5
5969. 6
5969. 7
5969. 8
5969. 9
5970. 0
5970. 1
5970. 2
5970. 3
5971. 0
5971. 1
5971. 2
5971. 3
5971. 4
5971. 5
5971. 6
5972. 0

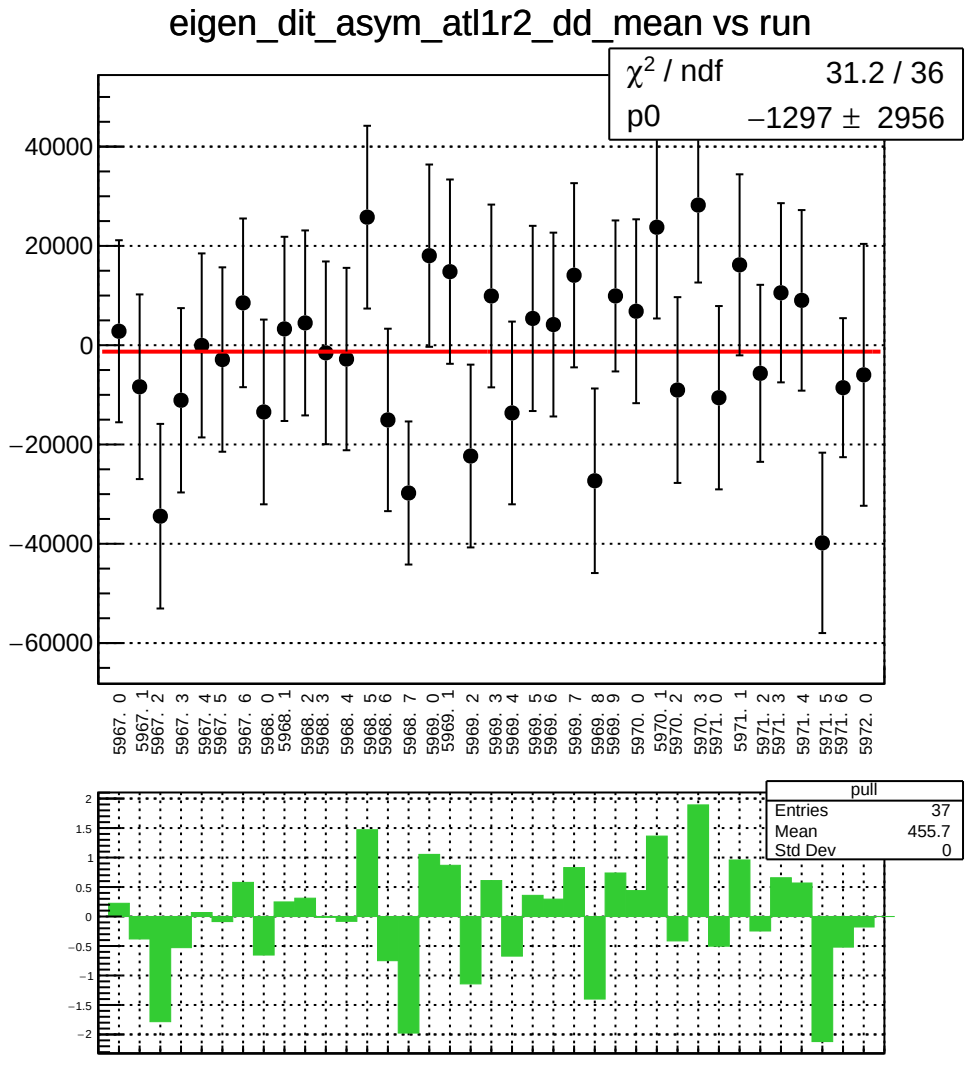
eigen_dit_asym_atl1r2_dd_mean vs run
χ² / ndf 31.2 / 36
p0 −1297 ± 2956
40000
20000
0
−20000
−40000
−60000
5967. 0
5967. 1
5967. 2
5967. 3
5967. 4
5967. 5
5967. 6
5968. 0
5968. 1
5968. 2
5968. 3
5968. 4
5968. 5
5968. 6
5968. 7
5969. 0
5969. 1
5969. 2
5969. 3
5969. 4
5969. 5
5969. 6
5969. 7
5969. 8
5969. 9
5970. 0
5970. 1
5970. 2
5970. 3
5971. 0
5971. 1
5971. 2
5971. 3
5971. 4
5971. 5
5971. 6
5972. 0
pull
Entries 37
Mean 455.7
Std Dev 0
2
1.5
1
0.5
0
−0.5
−1
−1.5
−2
pull1D
Entries 37
Mean 0.002423
Std Dev 0.9182
7
6
5
4
3
2
1
0
−8
−6
−4
−2
0
2
4
6
8

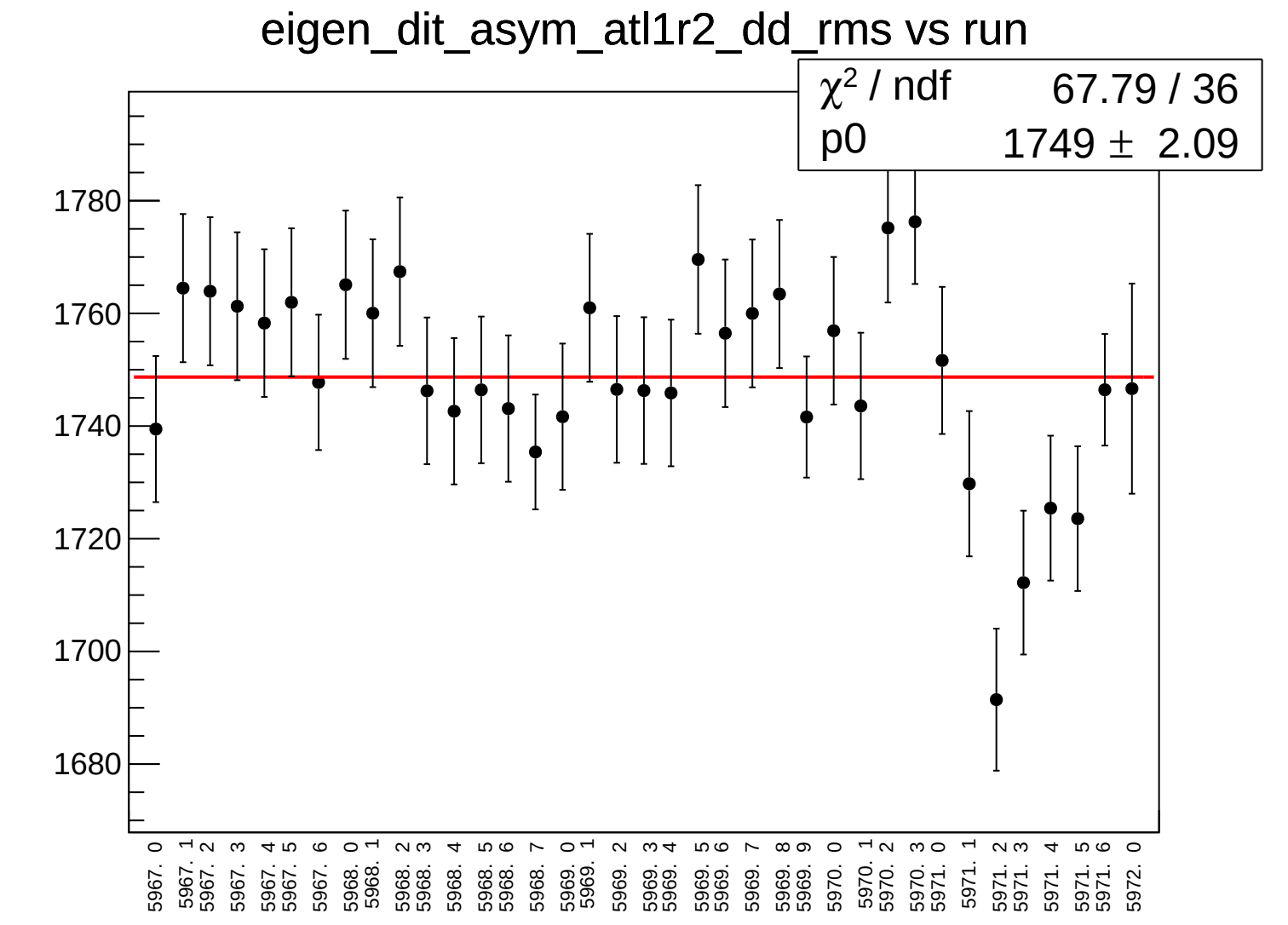
eigen_dit_asym_atl1r2_dd_rms vs run
χ² / ndf 67.79 / 36
p0 1749 ± 2.09
1780
1760
1740
1720
1700
1680
5967. 0
5967. 1
5967. 2
5967. 3
5967. 4
5967. 5
5967. 6
5968. 0
5968. 1
5968. 2
5968. 3
5968. 4
5968. 5
5968. 6
5968. 7
5969. 0
5969. 1
5969. 2
5969. 3
5969. 4
5969. 5
5969. 6
5969. 7
5969. 8
5969. 9
5970. 0
5970. 1
5970. 2
5970. 3
5971. 0
5971. 1
5971. 2
5971. 3
5971. 4
5971. 5
5971. 6
5972. 0

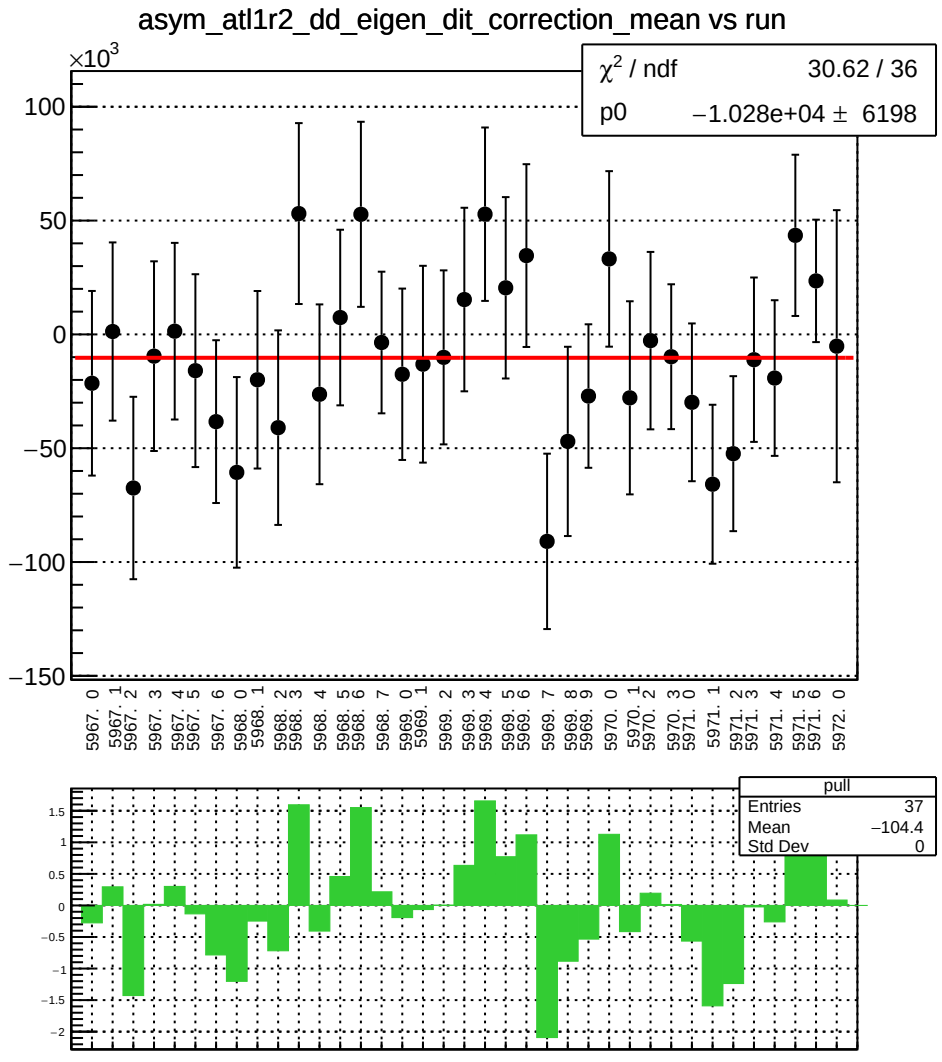
asym_atl1r2_dd_eigen_dit_correction_mean vs run
×10^3
χ² / ndf 30.62 / 36
p0 −1.028e+04 ± 6198
100
50
0
−50
−100
−150
5967. 0
5967. 1
5967. 2
5967. 3
5967. 4
5967. 5
5967. 6
5968. 0
5968. 1
5968. 2
5968. 3
5968. 4
5968. 5
5968. 6
5968. 7
5969. 0
5969. 1
5969. 2
5969. 3
5969. 4
5969. 5
5969. 6
5969. 7
5969. 8
5969. 9
5970. 0
5970. 1
5970. 2
5970. 3
5971. 0
5971. 1
5971. 2
5971. 3
5971. 4
5971. 5
5971. 6
5972. 0
pull
Entries 37
Mean −104.4
Std Dev 0
1.5
1
0.5
0
−0.5
−1
−1.5
−2
pull1D
Entries 37
Mean −0.006522
Std Dev 0.9096
8
7
6
5
4
3
2
1
0
−8
−6
−4
−2
0
2
4
6
8

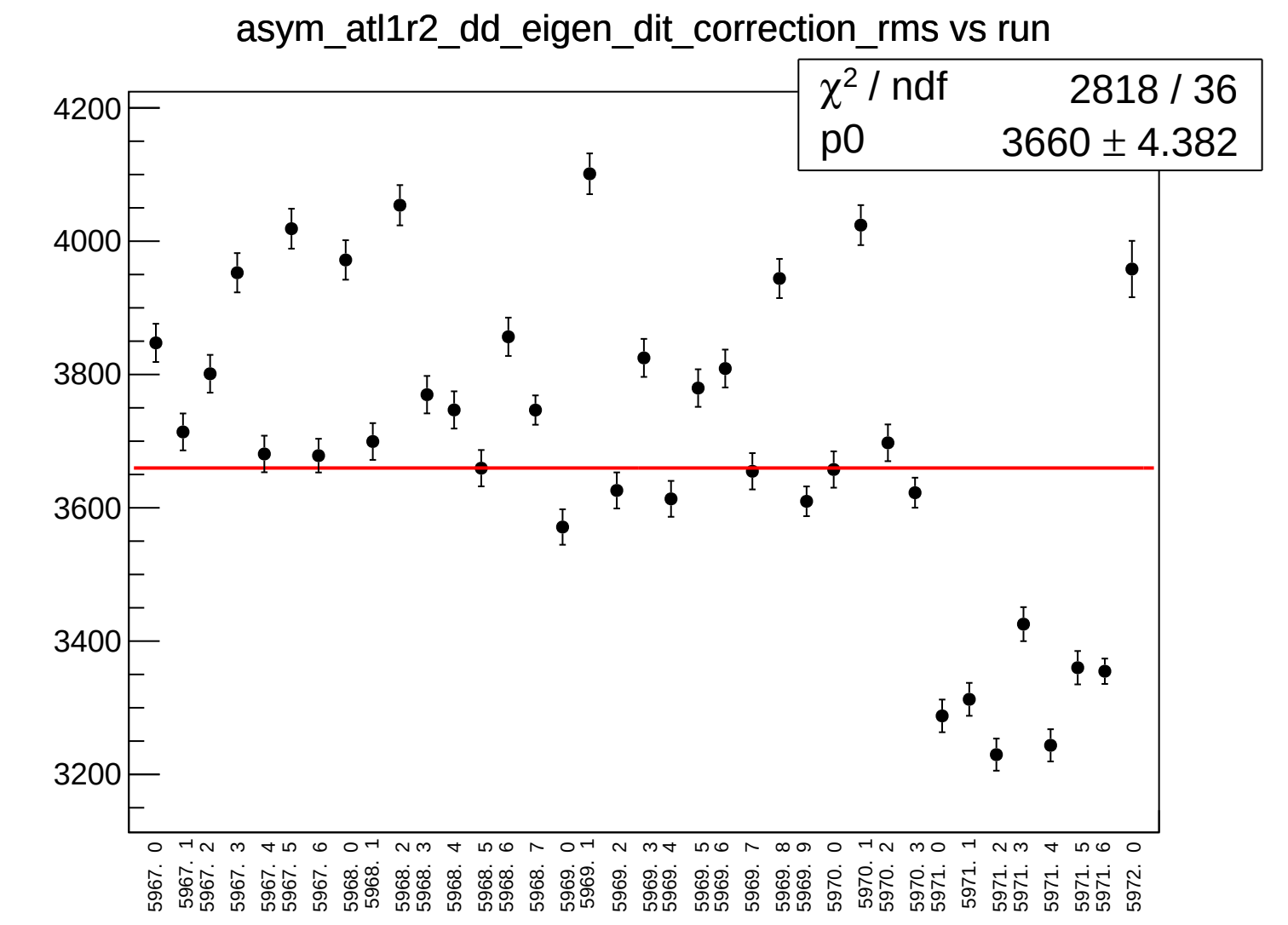
asym_atl1r2_dd_eigen_dit_correction_rms vs run
χ² / ndf 2818 / 36
p0 3660 ± 4.382
4200
4000
3800
3600
3400
3200
5967. 0
5967. 1
5967. 2
5967. 3
5967. 4
5967. 5
5967. 6
5968. 0
5968. 1
5968. 2
5968. 3
5968. 4
5968. 5
5968. 6
5968. 7
5969. 0
5969. 1
5969. 2
5969. 3
5969. 4
5969. 5
5969. 6
5969. 7
5969. 8
5969. 9
5970. 0
5970. 1
5970. 2
5970. 3
5971. 0
5971. 1
5971. 2
5971. 3
5971. 4
5971. 5
5971. 6
5972. 0

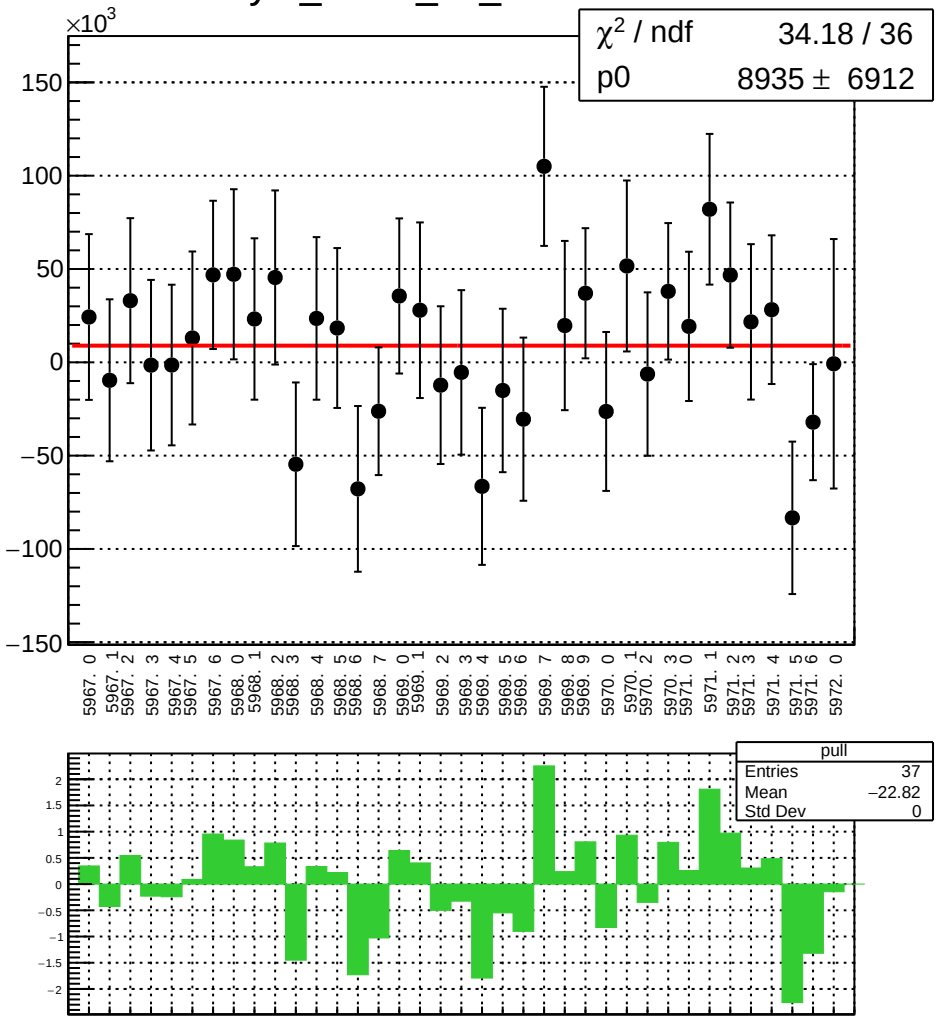
asym_atl1r2_dd_mean vs run
×10^3
χ² / ndf 34.18 / 36
p0 8935 ± 6912
150
100
50
0
−50
−100
−150
5967. 0
5967. 1
5967. 2
5967. 3
5967. 4
5967. 5
5967. 6
5968. 0
5968. 1
5968. 2
5968. 3
5968. 4
5968. 5
5968. 6
5968. 7
5969. 0
5969. 1
5969. 2
5969. 3
5969. 4
5969. 5
5969. 6
5969. 7
5969. 8
5969. 9
5970. 0
5970. 1
5970. 2
5970. 3
5971. 0
5971. 1
5971. 2
5971. 3
5971. 4
5971. 5
5971. 6
5972. 0
pull
Entries 37
Mean −22.82
Std Dev 0
2
1.5
1
0.5
0
−0.5
−1
−1.5
−2

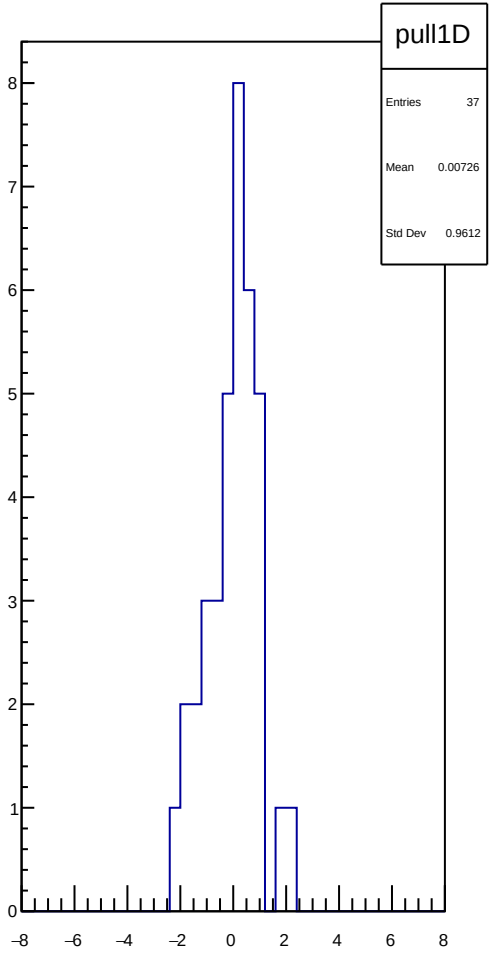
pull1D
Entries 37
Mean 0.00726
Std Dev 0.9612
8
7
6
5
4
3
2
1
0
−8
−6
−4
−2
0
2
4
6
8

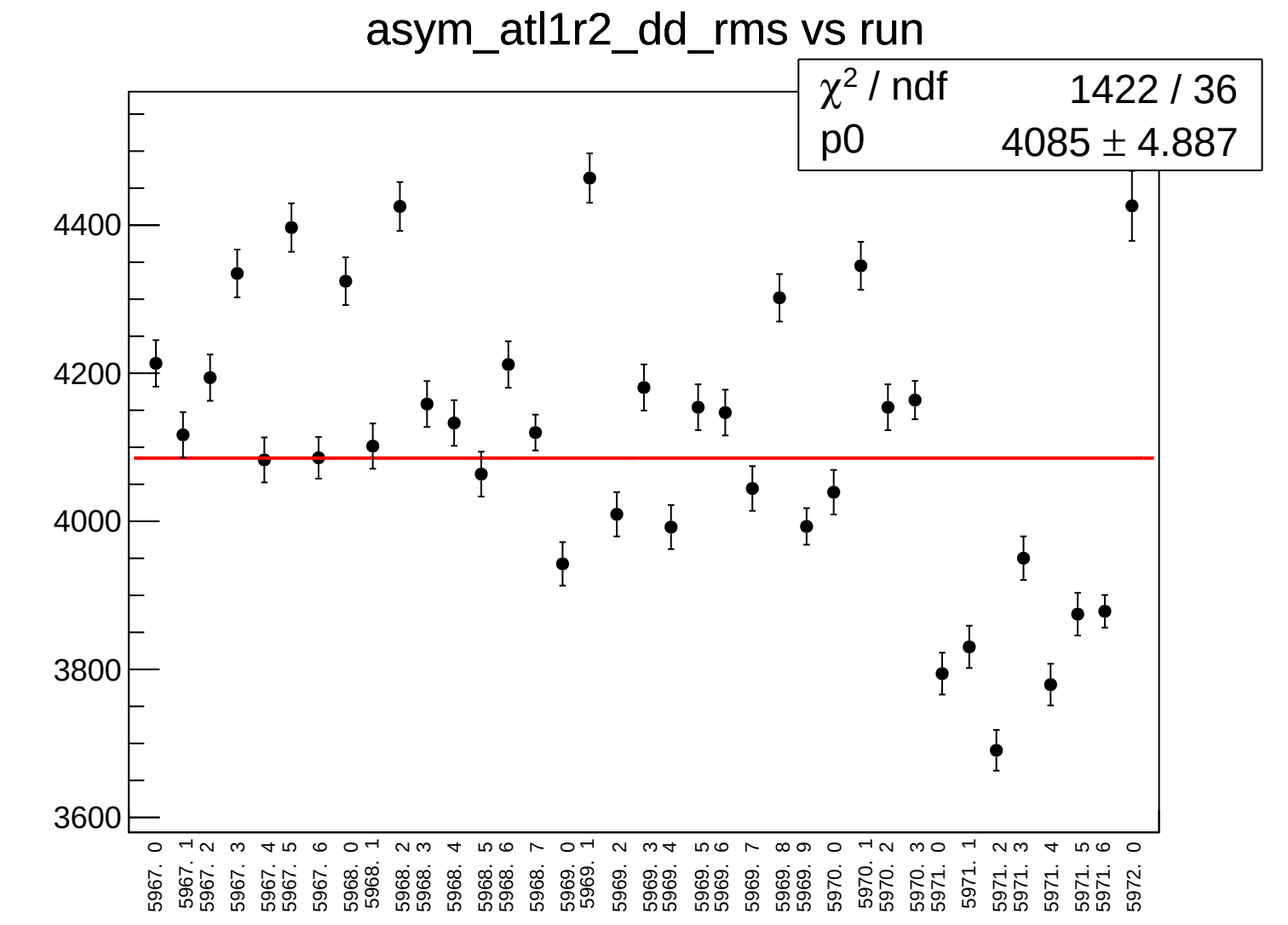
asym_atl1r2_dd_rms vs run
χ² / ndf 1422 / 36
p0 4085 ± 4.887
4400
4200
4000
3800
3600
5967. 0
5967. 1
5967. 2
5967. 3
5967. 4
5967. 5
5967. 6
5968. 0
5968. 1
5968. 2
5968. 3
5968. 4
5968. 5
5968. 6
5968. 7
5969. 0
5969. 1
5969. 2
5969. 3
5969. 4
5969. 5
5969. 6
5969. 7
5969. 8
5969. 9
5970. 0
5970. 1
5970. 2
5970. 3
5971. 0
5971. 1
5971. 2
5971. 3
5971. 4
5971. 5
5971. 6
5972. 0

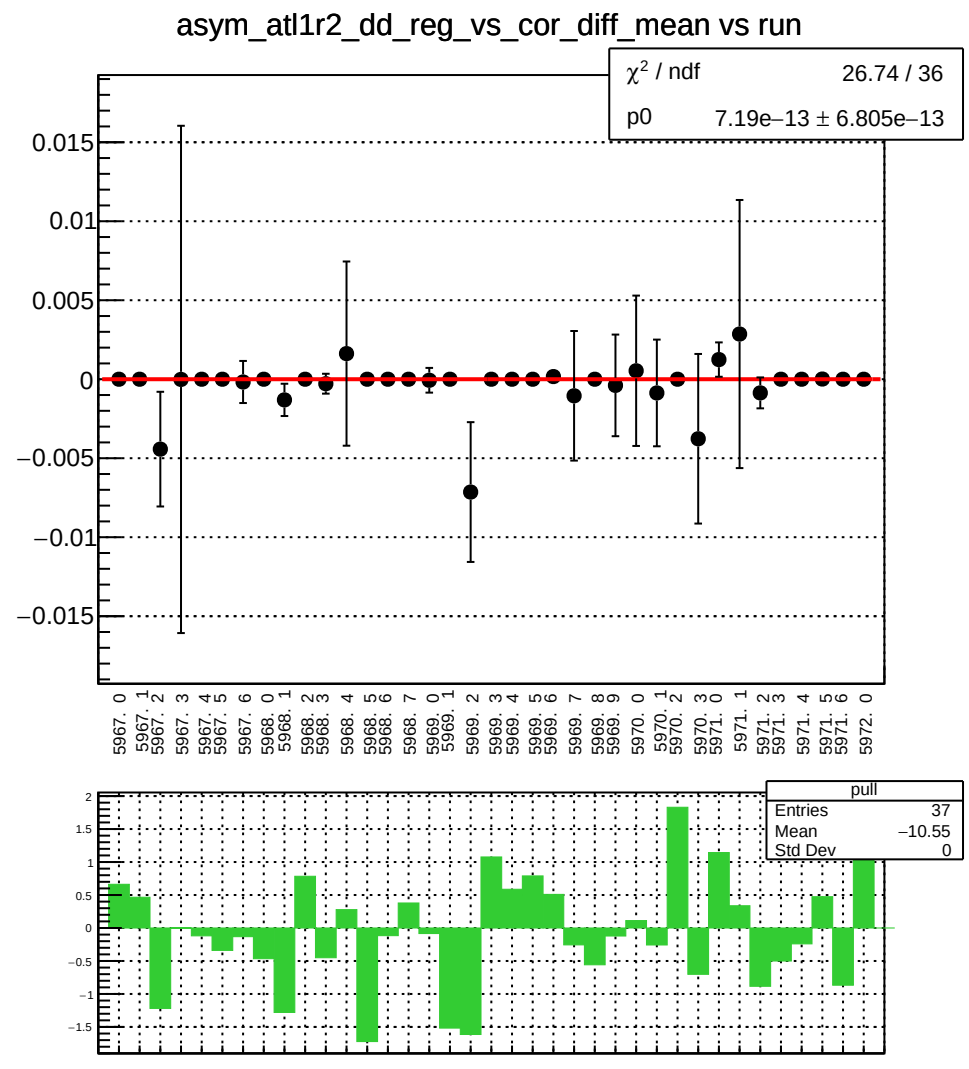
asym_atl1r2_dd_reg_vs_cor_diff_mean vs run
χ² / ndf 26.74 / 36
p0 7.19e−13 ± 6.805e−13
0.015
0.01
0.005
0
−0.005
−0.01
−0.015
5967. 0
5967. 1
5967. 2
5967. 3
5967. 4
5967. 5
5967. 6
5968. 0
5968. 1
5968. 2
5968. 3
5968. 4
5968. 5
5968. 6
5968. 7
5969. 0
5969. 1
5969. 2
5969. 3
5969. 4
5969. 5
5969. 6
5969. 7
5969. 8
5969. 9
5970. 0
5970. 1
5970. 2
5970. 3
5971. 0
5971. 1
5971. 2
5971. 3
5971. 4
5971. 5
5971. 6
5972. 0
pull
Entries 37
Mean −10.55
Std Dev 0
2
1.5
1
0.5
0
−0.5
−1
−1.5

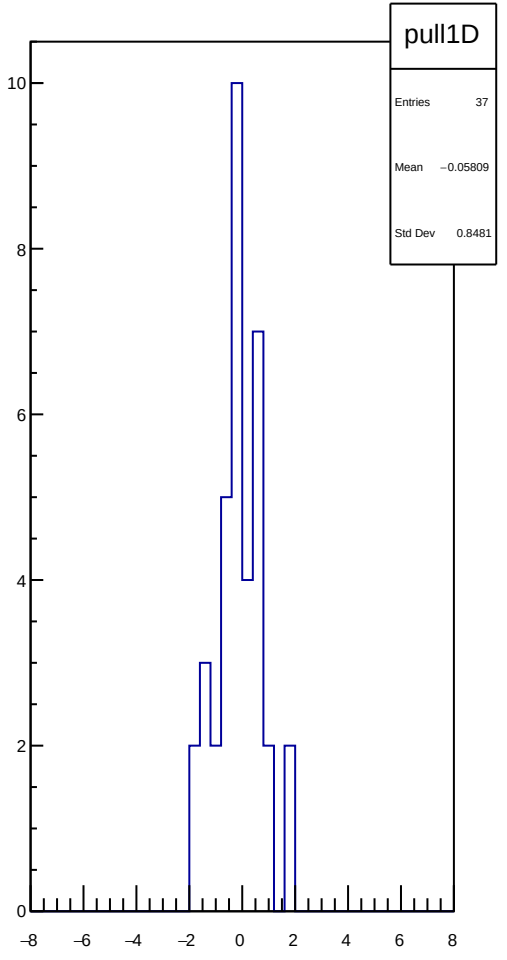
pull1D
Entries 37
Mean −0.05809
Std Dev 0.8481
10
8
6
4
2
0
−8
−6
−4
−2
0
2
4
6
8

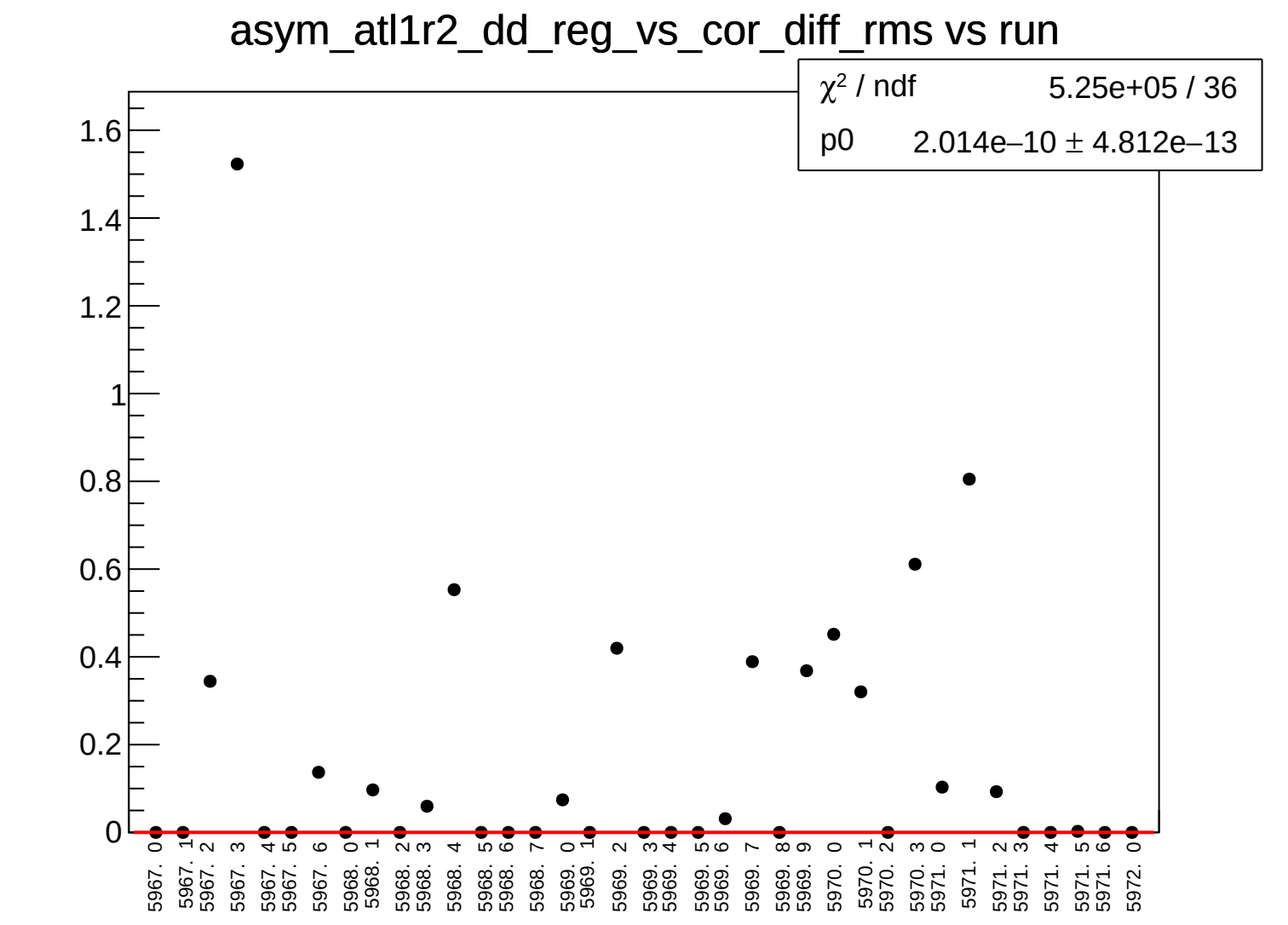
asym_atl1r2_dd_reg_vs_cor_diff_rms vs run
χ² / ndf 5.25e+05 / 36
p0 2.014e−10 ± 4.812e−13
1.6
1.4
1.2
1
0.8
0.6
0.4
0.2
0
5967. 0
5967. 1
5967. 2
5967. 3
5967. 4
5967. 5
5967. 6
5968. 0
5968. 1
5968. 2
5968. 3
5968. 4
5968. 5
5968. 6
5968. 7
5969. 0
5969. 1
5969. 2
5969. 3
5969. 4
5969. 5
5969. 6
5969. 7
5969. 8
5969. 9
5970. 0
5970. 1
5970. 2
5970. 3
5971. 0
5971. 1
5971. 2
5971. 3
5971. 4
5971. 5
5971. 6
5972. 0

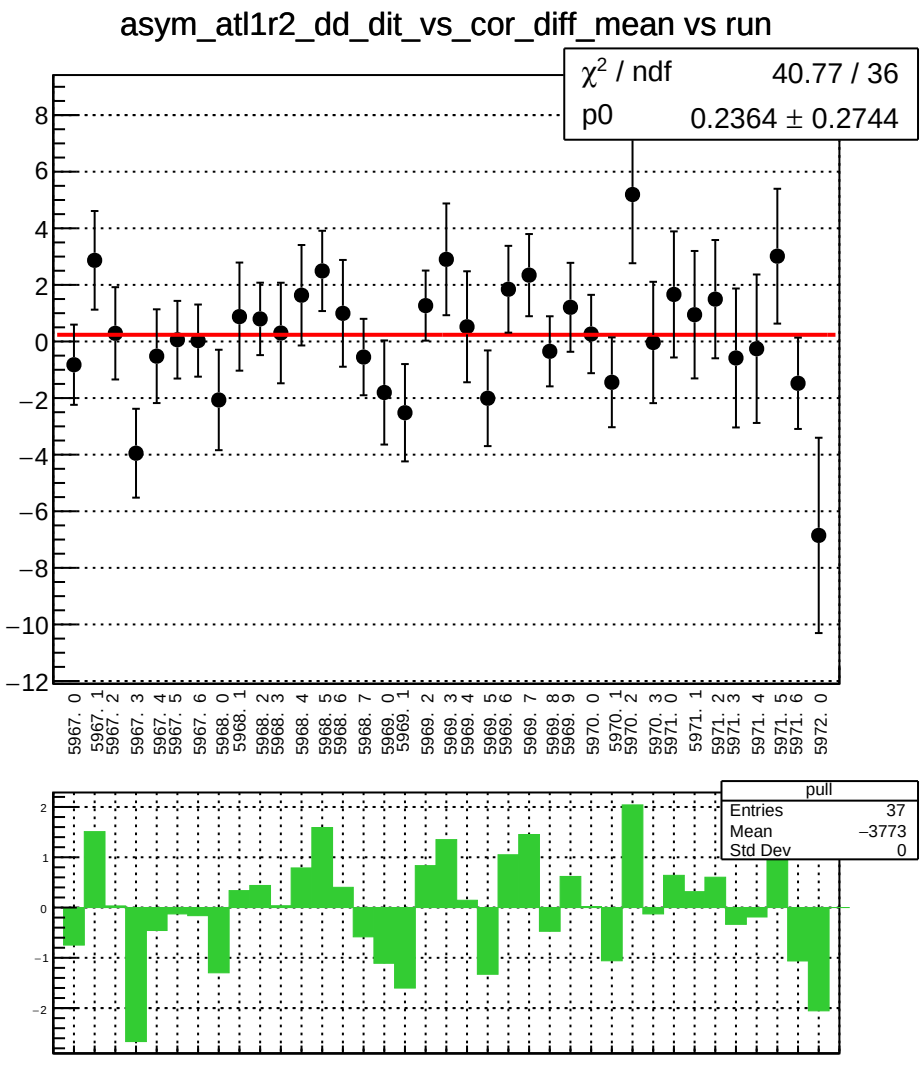
asym_atl1r2_dd_dit_vs_cor_diff_mean vs run
χ² / ndf 40.77 / 36
p0 0.2364 ± 0.2744
pull
Entries 37
Mean −3773
Std Dev 0

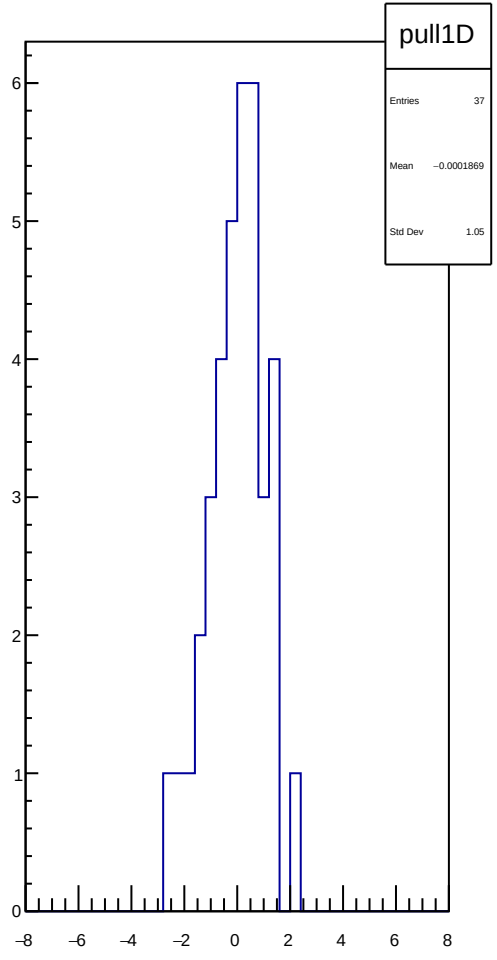
pull1D
Entries 37
Mean −0.0001869
Std Dev 1.05

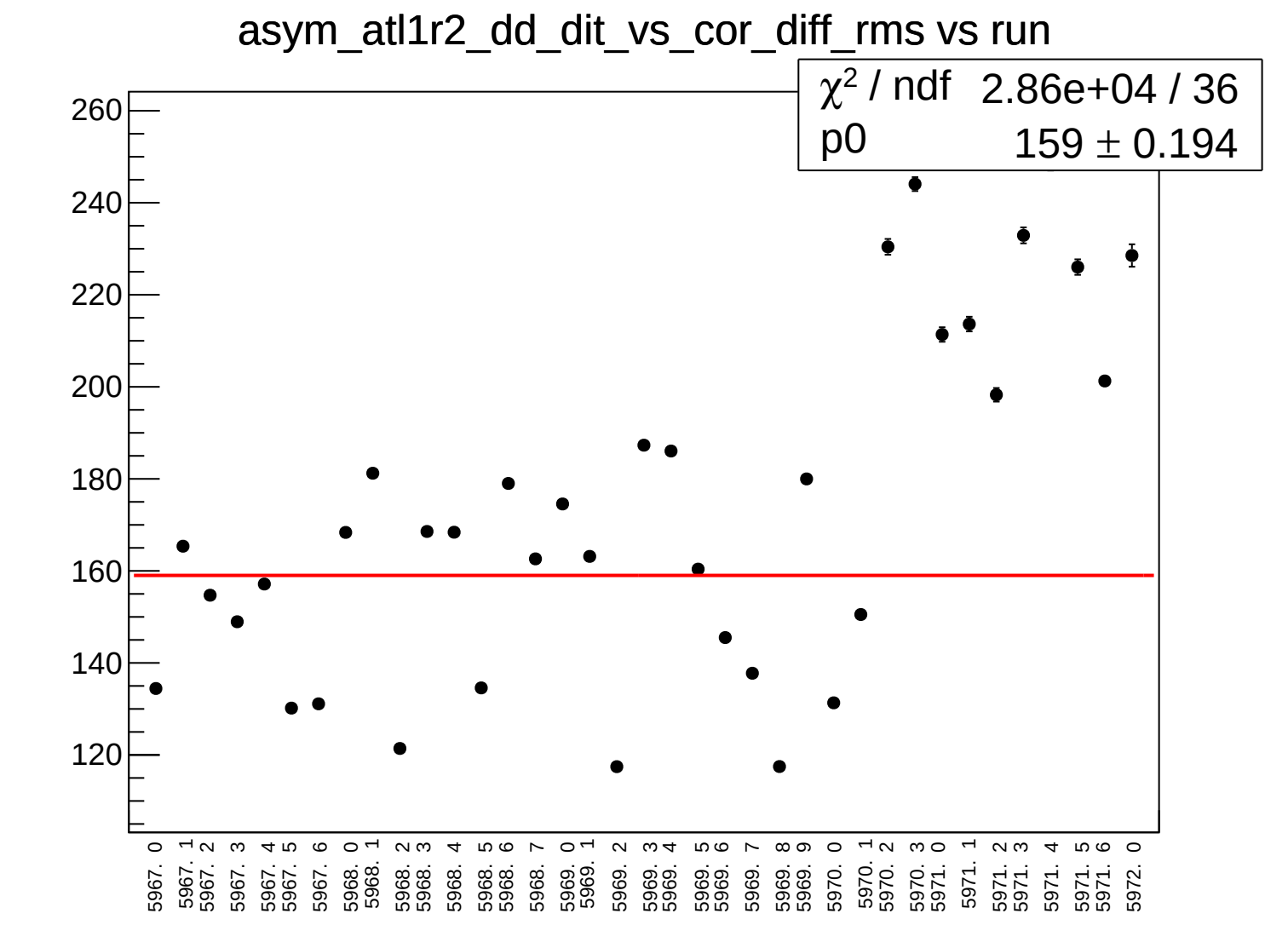
asym_atl1r2_dd_dit_vs_cor_diff_rms vs run
χ² / ndf 2.86e+04 / 36
p0 159 ± 0.194
260
240
220
200
180
160
140
120
5967. 0
5967. 1
5967. 2
5967. 3
5967. 4
5967. 5
5967. 6
5968. 0
5968. 1
5968. 2
5968. 3
5968. 4
5968. 5
5968. 6
5968. 7
5969. 0
5969. 1
5969. 2
5969. 3
5969. 4
5969. 5
5969. 6
5969. 7
5969. 8
5969. 9
5970. 0
5970. 1
5970. 2
5970. 3
5971. 0
5971. 1
5971. 2
5971. 3
5971. 4
5971. 5
5971. 6
5972. 0

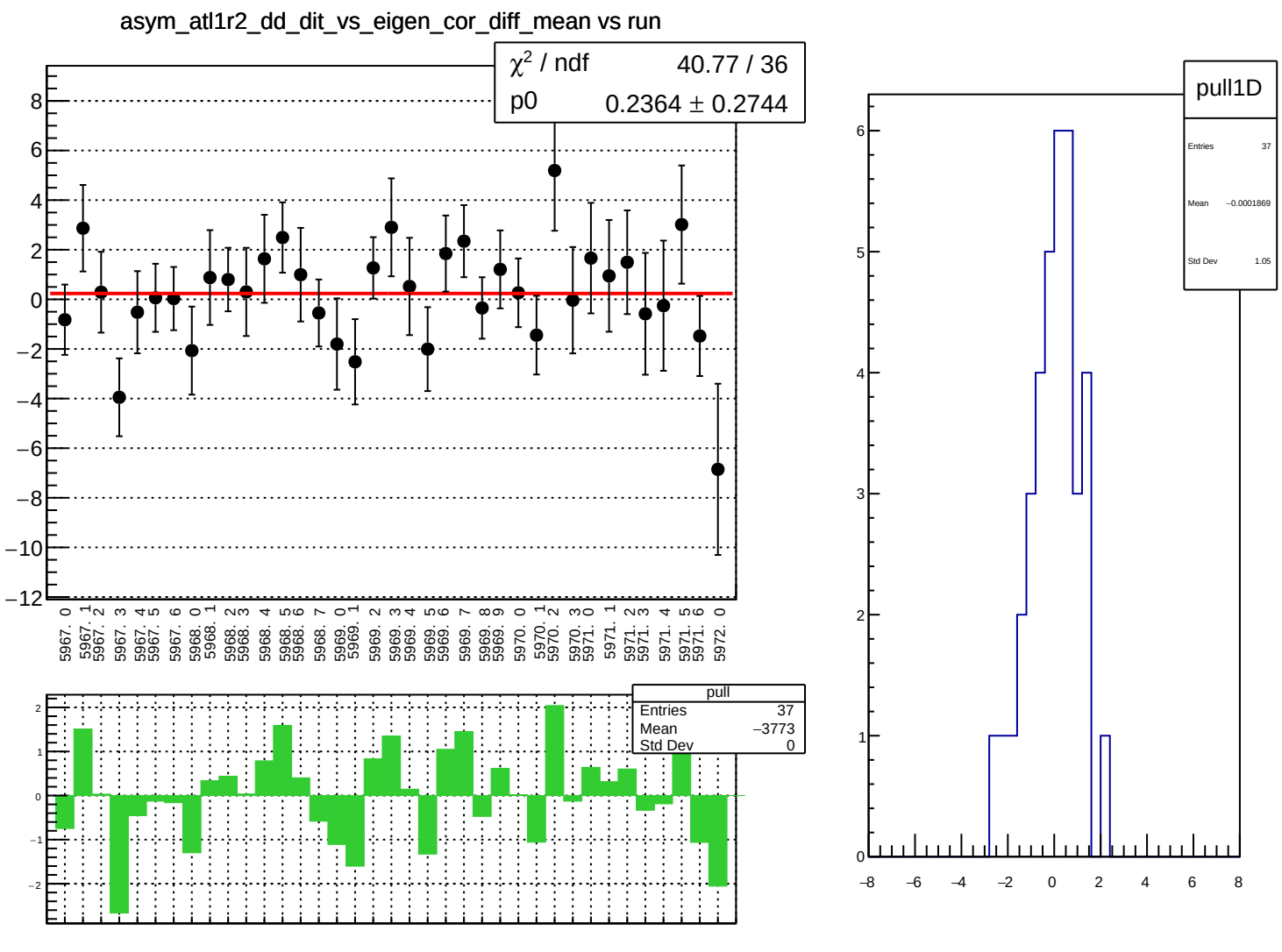
asym_atl1r2_dd_dit_vs_eigen_cor_diff_mean vs run
χ² / ndf 40.77 / 36
p0 0.2364 ± 0.2744
pull
Entries 37
Mean −3773
Std Dev 0
pull1D
Entries 37
Mean −0.0001869
Std Dev 1.05

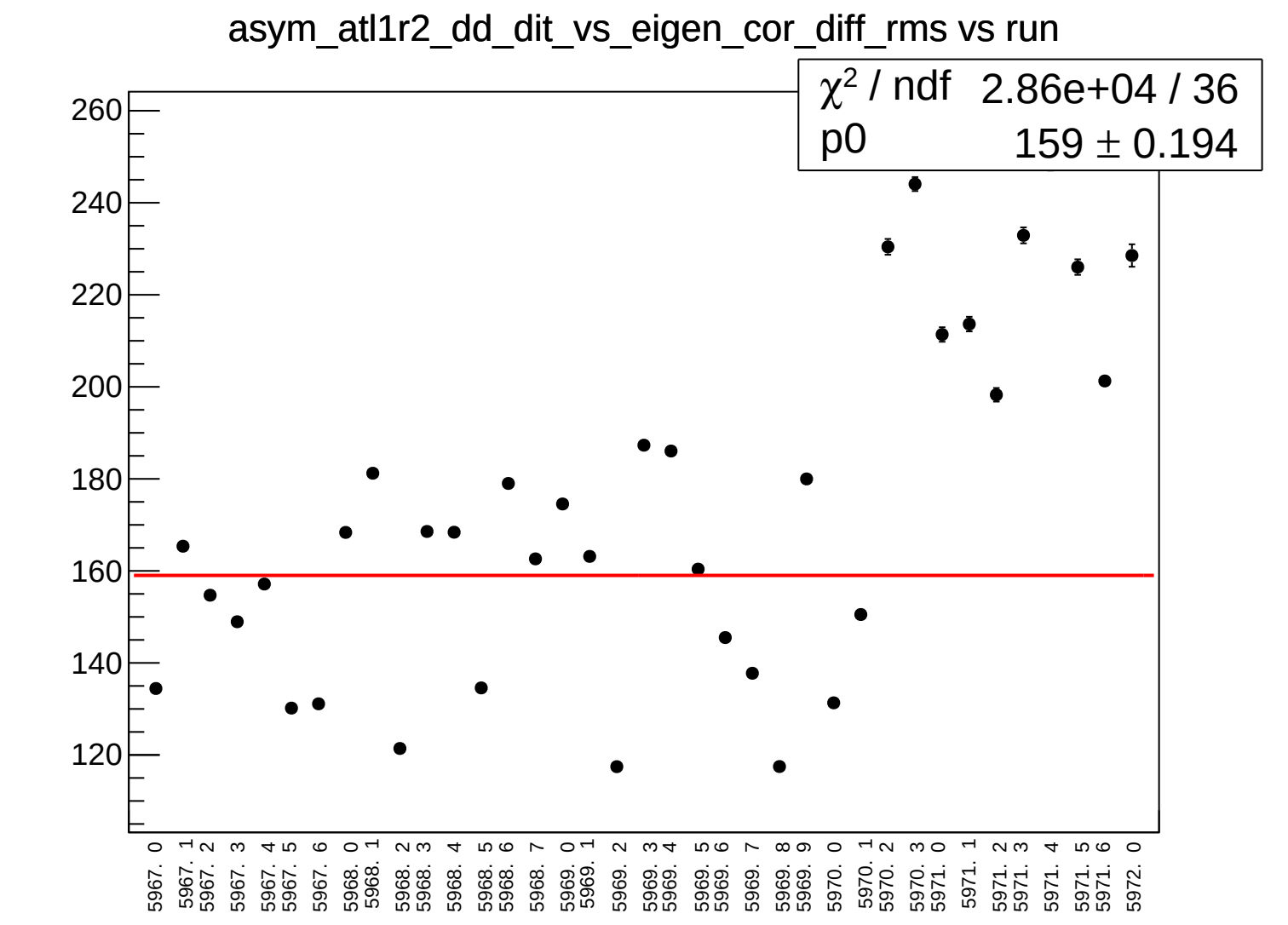
asym_atl1r2_dd_dit_vs_eigen_cor_diff_rms vs run
χ² / ndf 2.86e+04 / 36
p0 159 ± 0.194
260
240
220
200
180
160
140
120
5967. 0
5967. 1
5967. 2
5967. 3
5967. 4
5967. 5
5967. 6
5968. 0
5968. 1
5968. 2
5968. 3
5968. 4
5968. 5
5968. 6
5968. 7
5969. 0
5969. 1
5969. 2
5969. 3
5969. 4
5969. 5
5969. 6
5969. 7
5969. 8
5969. 9
5970. 0
5970. 1
5970. 2
5970. 3
5971. 0
5971. 1
5971. 2
5971. 3
5971. 4
5971. 5
5971. 6
5972. 0

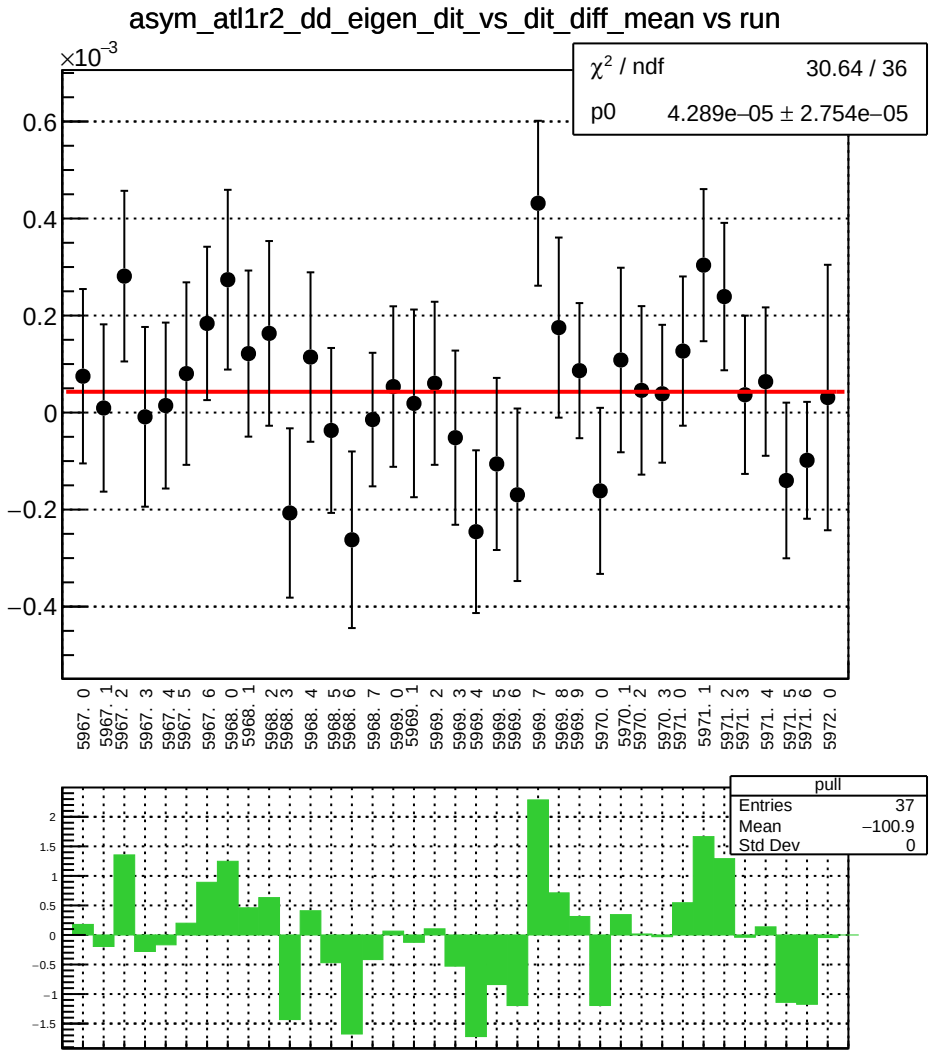
asym_atl1r2_dd_eigen_dit_vs_dit_diff_mean vs run
×10⁻³
χ² / ndf 30.64 / 36
p0 4.289e−05 ± 2.754e−05
0.6
0.4
0.2
0
−0.2
−0.4
5967. 0
5967. 1
5967. 2
5967. 3
5967. 4
5967. 5
5967. 6
5968. 0
5968. 1
5968. 2
5968. 3
5968. 4
5968. 5
5968. 6
5968. 7
5969. 0
5969. 1
5969. 2
5969. 3
5969. 4
5969. 5
5969. 6
5969. 7
5969. 8
5969. 9
5970. 0
5970. 1
5970. 2
5970. 3
5971. 0
5971. 1
5971. 2
5971. 3
5971. 4
5971. 5
5971. 6
5972. 0
pull
Entries 37
Mean −100.9
Std Dev 0
2
1.5
1
0.5
0
−0.5
−1
−1.5

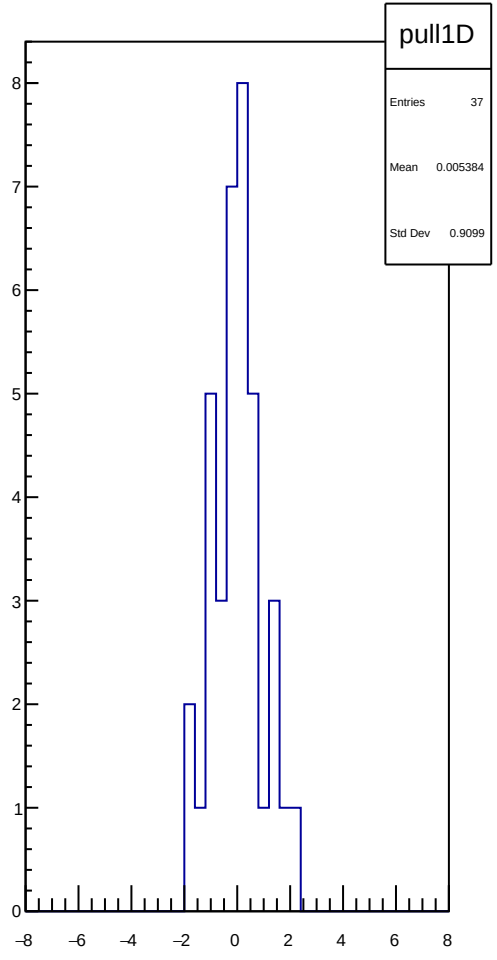
pull1D
Entries 37
Mean 0.005384
Std Dev 0.9099
8
7
6
5
4
3
2
1
0
−8
−6
−4
−2
0
2
4
6
8

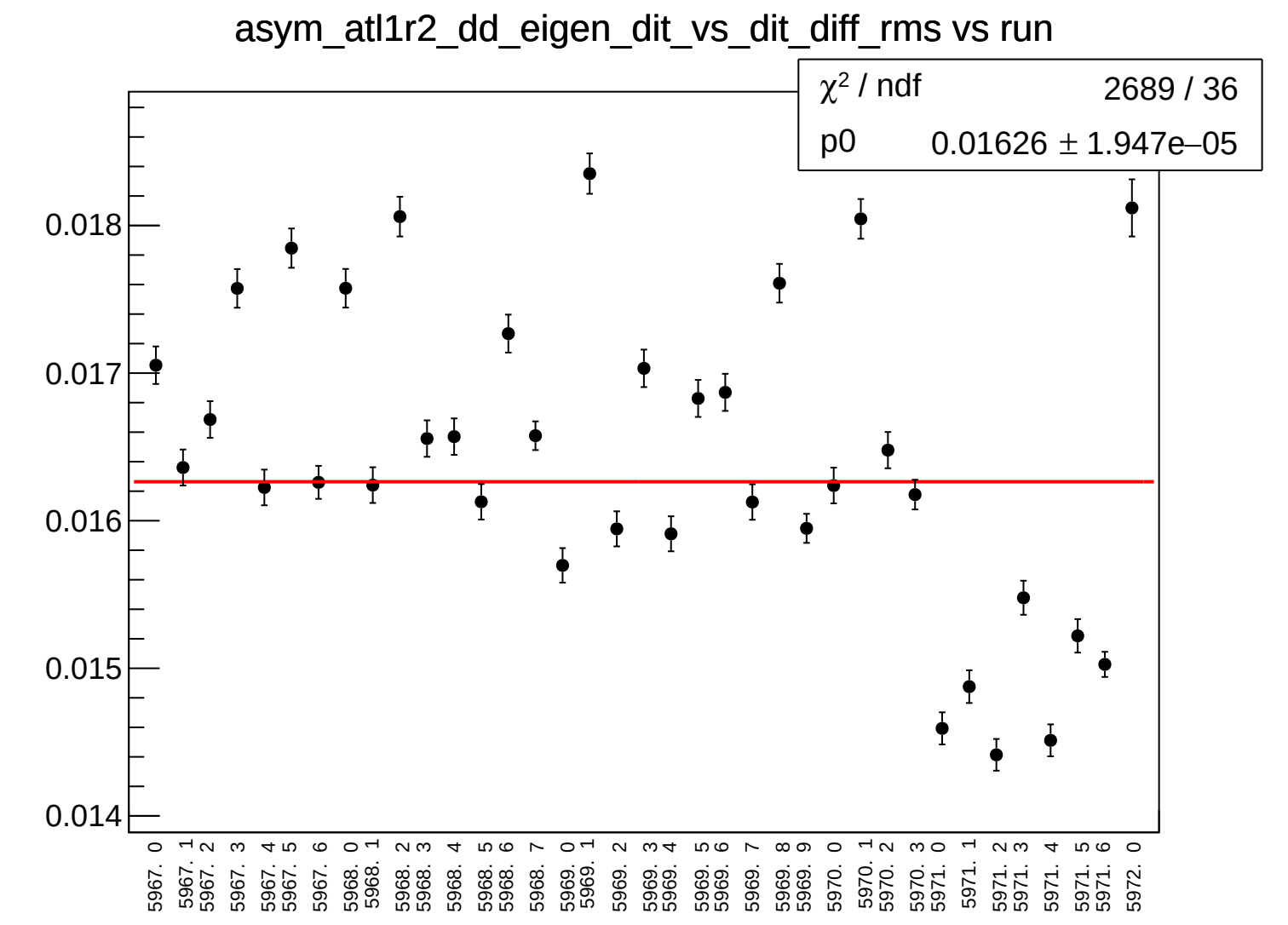
asym_atl1r2_dd_eigen_dit_vs_dit_diff_rms vs run
χ² / ndf 2689 / 36
p0 0.01626 ± 1.947e–05
0.018
0.017
0.016
0.015
0.014
5967. 0
5967. 1
5967. 2
5967. 3
5967. 4
5967. 5
5967. 6
5968. 0
5968. 1
5968. 2
5968. 3
5968. 4
5968. 5
5968. 6
5968. 7
5969. 0
5969. 1
5969. 2
5969. 3
5969. 4
5969. 5
5969. 6
5969. 7
5969. 8
5969. 9
5970. 0
5970. 1
5970. 2
5970. 3
5971. 0
5971. 1
5971. 2
5971. 3
5971. 4
5971. 5
5971. 6
5972. 0

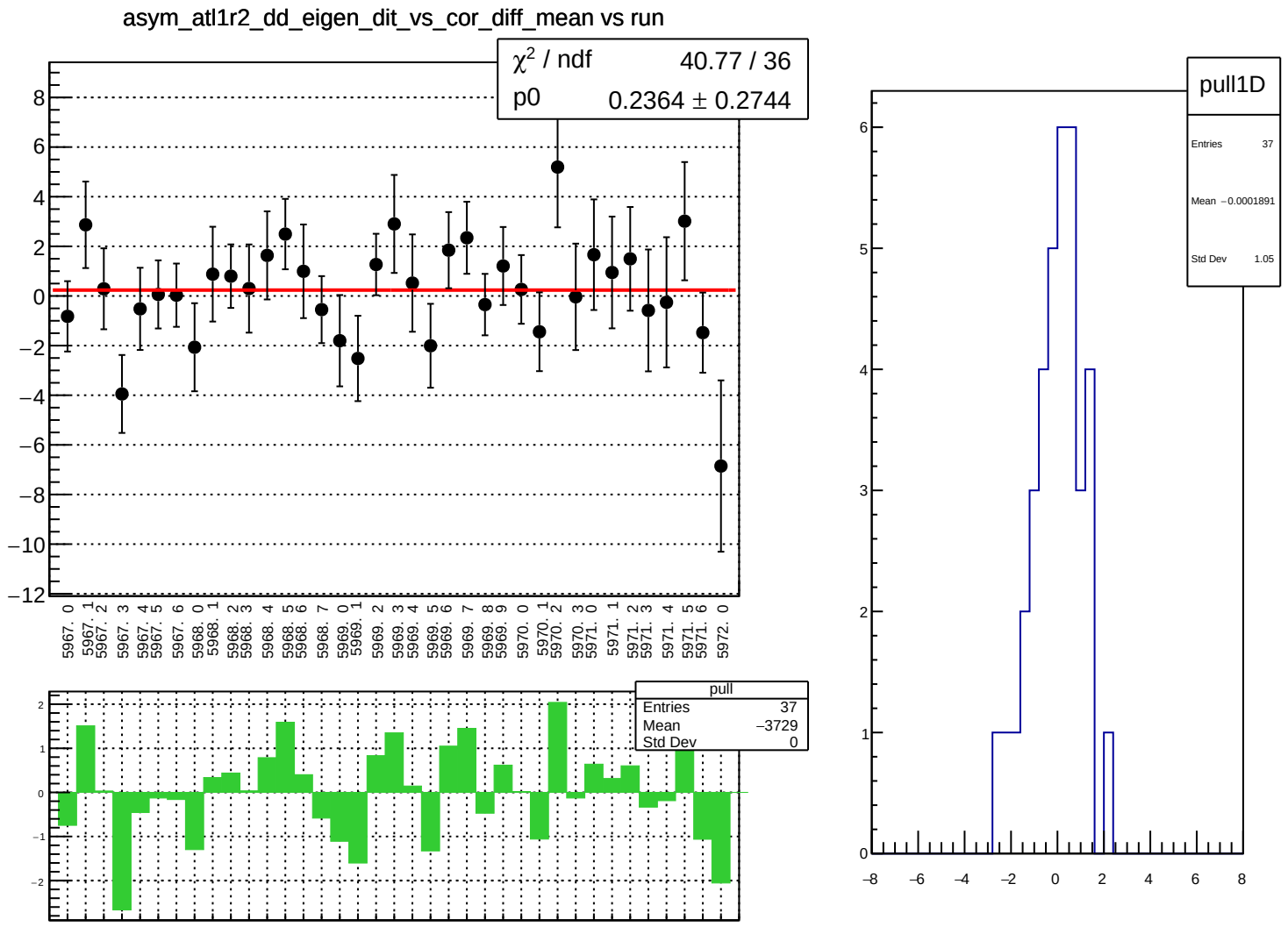
asym_atl1r2_dd_eigen_dit_vs_cor_diff_mean vs run
χ² / ndf 40.77 / 36
p0 0.2364 ± 0.2744
pull
Entries 37
Mean −3729
Std Dev 0
pull1D
Entries 37
Mean −0.0001891
Std Dev 1.05

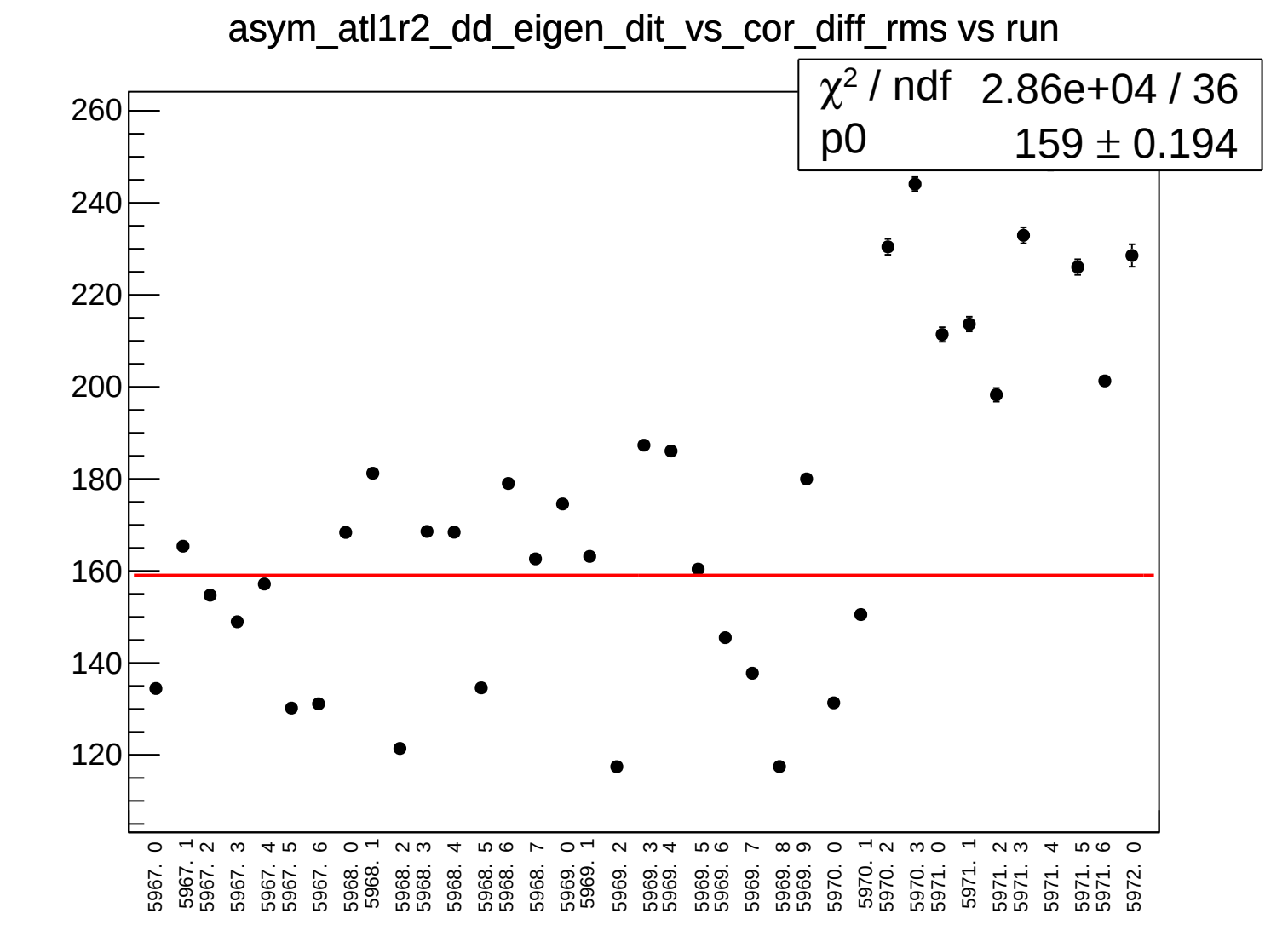
asym_atl1r2_dd_eigen_dit_vs_cor_diff_rms vs run
χ² / ndf 2.86e+04 / 36
p0 159 ± 0.194
260
240
220
200
180
160
140
120
5967. 0
5967. 1
5967. 2
5967. 3
5967. 4
5967. 5
5967. 6
5968. 0
5968. 1
5968. 2
5968. 3
5968. 4
5968. 5
5968. 6
5968. 7
5969. 0
5969. 1
5969. 2
5969. 3
5969. 4
5969. 5
5969. 6
5969. 7
5969. 8
5969. 9
5970. 0
5970. 1
5970. 2
5970. 3
5971. 0
5971. 1
5971. 2
5971. 3
5971. 4
5971. 5
5971. 6
5972. 0

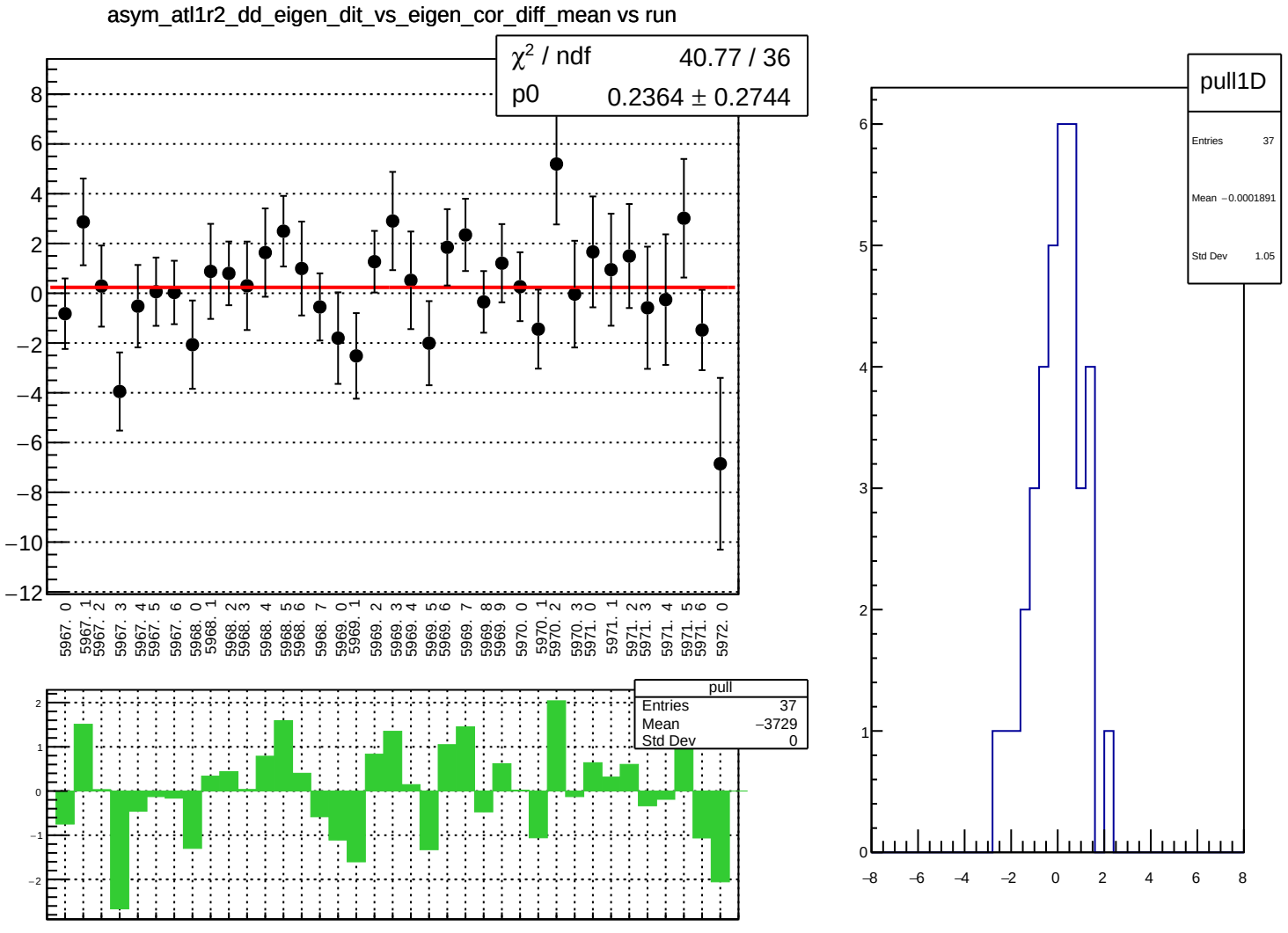
asym_atl1r2_dd_eigen_dit_vs_eigen_cor_diff_mean vs run
χ² / ndf 40.77 / 36
p0 0.2364 ± 0.2744
pull
Entries 37
Mean −3729
Std Dev 0
pull1D
Entries 37
Mean −0.0001891
Std Dev 1.05

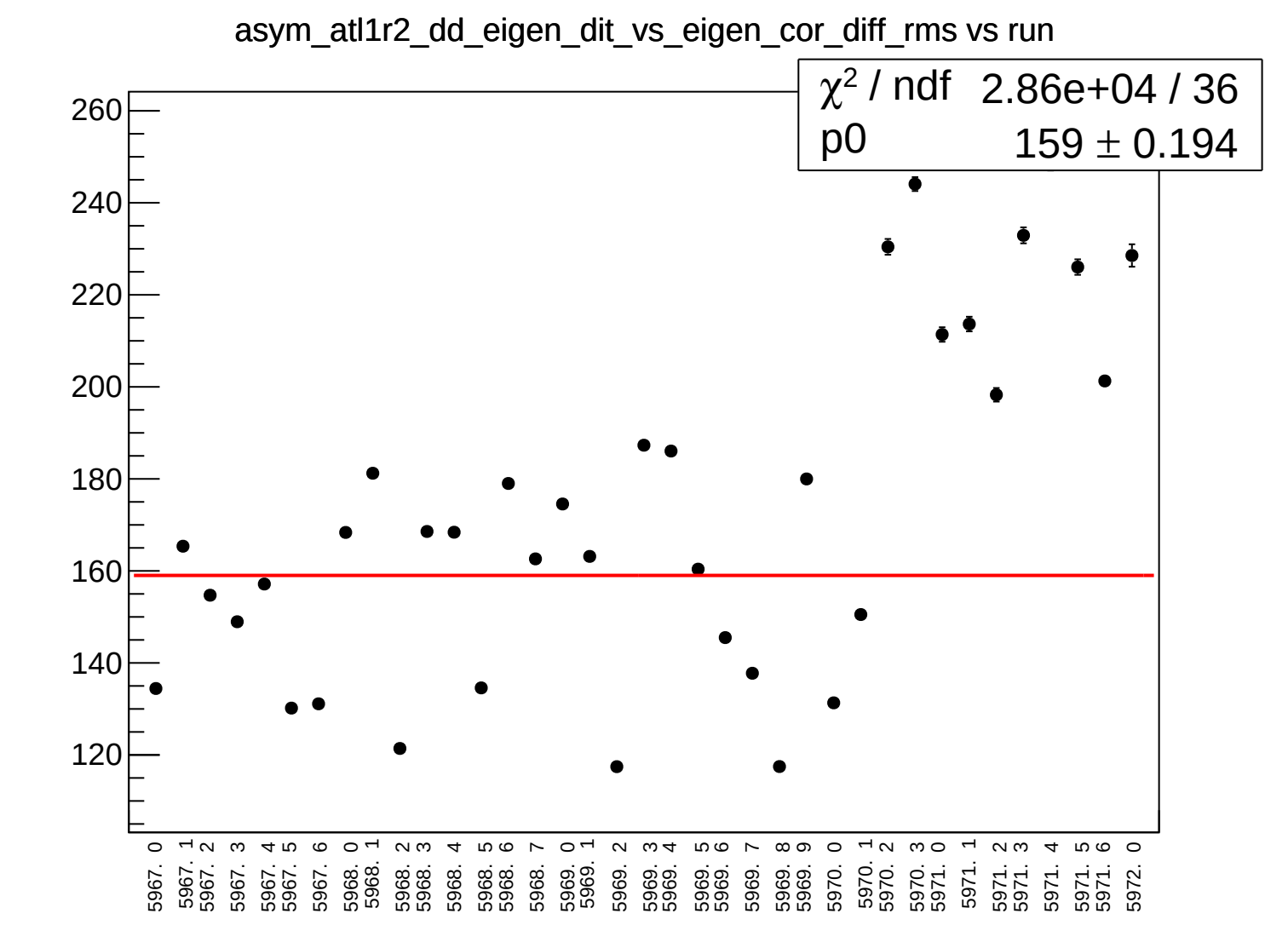
asym_atl1r2_dd_eigen_dit_vs_eigen_cor_diff_rms vs run
χ² / ndf 2.86e+04 / 36
p0 159 ± 0.194
260
240
220
200
180
160
140
120
5967. 0
5967. 1
5967. 2
5967. 3
5967. 4
5967. 5
5967. 6
5968. 0
5968. 1
5968. 2
5968. 3
5968. 4
5968. 5
5968. 6
5968. 7
5969. 0
5969. 1
5969. 2
5969. 3
5969. 4
5969. 5
5969. 6
5969. 7
5969. 8
5969. 9
5970. 0
5970. 1
5970. 2
5970. 3
5971. 0
5971. 1
5971. 2
5971. 3
5971. 4
5971. 5
5971. 6
5972. 0

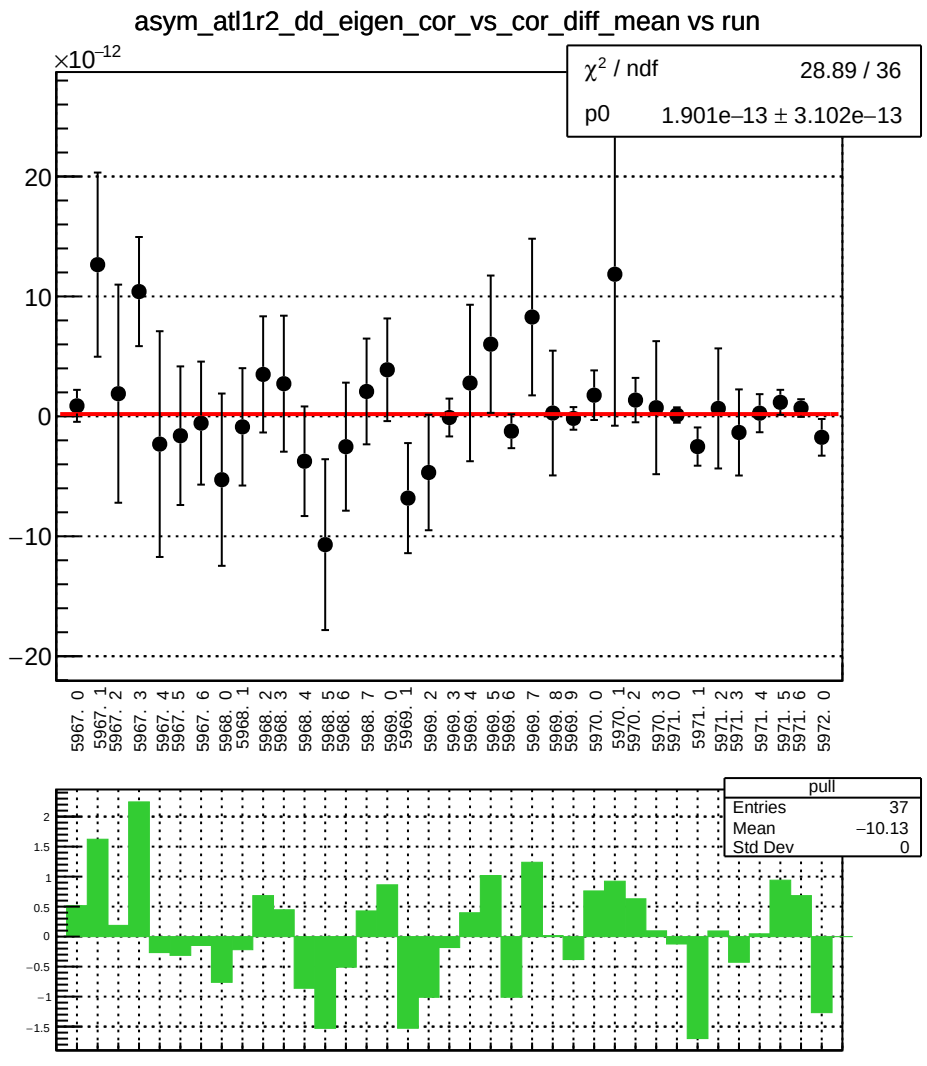
asym_atl1r2_dd_eigen_cor_vs_cor_diff_mean vs run
×10⁻¹²
χ² / ndf 28.89 / 36
p0 1.901e−13 ± 3.102e−13
20
10
0
−10
−20
5967. 0
5967. 1
5967. 2
5967. 3
5967. 4
5967. 5
5967. 6
5968. 0
5968. 1
5968. 2
5968. 3
5968. 4
5968. 5
5968. 6
5968. 7
5969. 0
5969. 1
5969. 2
5969. 3
5969. 4
5969. 5
5969. 6
5969. 7
5969. 8
5969. 9
5970. 0
5970. 1
5970. 2
5970. 3
5971. 0
5971. 1
5971. 2
5971. 3
5971. 4
5971. 5
5971. 6
5972. 0
pull
Entries 37
Mean −10.13
Std Dev 0
2
1.5
1
0.5
0
−0.5
−1
−1.5
pull1D
Entries 37
Mean 0.04351
Std Dev 0.8826
7
6
5
4
3
2
1
0
−8
−6
−4
−2
0
2
4
6
8

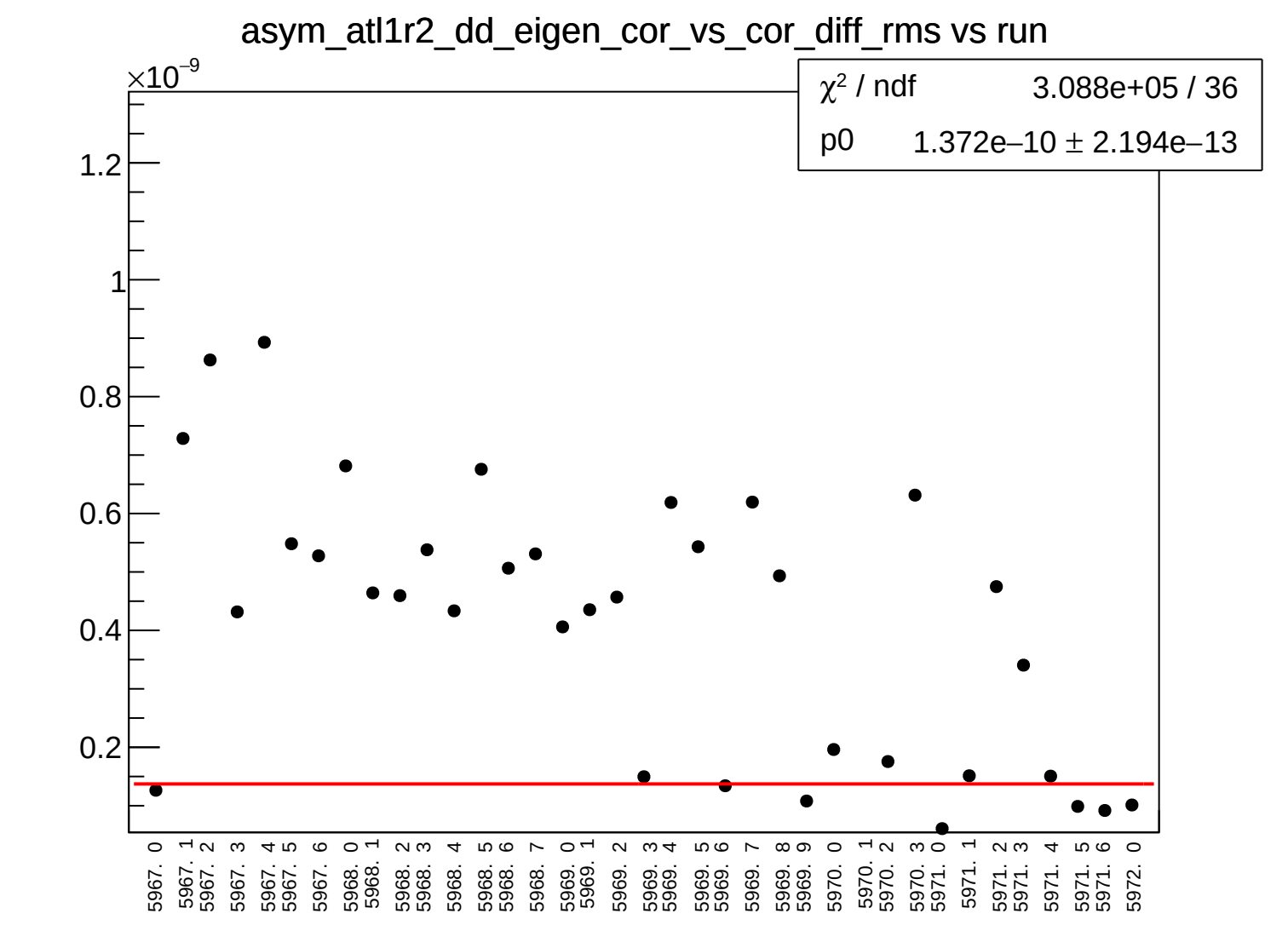
asym_atl1r2_dd_eigen_cor_vs_cor_diff_rms vs run
×10⁻⁹
χ² / ndf 3.088e+05 / 36
p0 1.372e−10 ± 2.194e−13
1.2
1
0.8
0.6
0.4
0.2
5967. 0
5967. 1
5967. 2
5967. 3
5967. 4
5967. 5
5967. 6
5968. 0
5968. 1
5968. 2
5968. 3
5968. 4
5968. 5
5968. 6
5968. 7
5969. 0
5969. 1
5969. 2
5969. 3
5969. 4
5969. 5
5969. 6
5969. 7
5969. 8
5969. 9
5970. 0
5970. 1
5970. 2
5970. 3
5971. 0
5971. 1
5971. 2
5971. 3
5971. 4
5971. 5
5971. 6
5972. 0

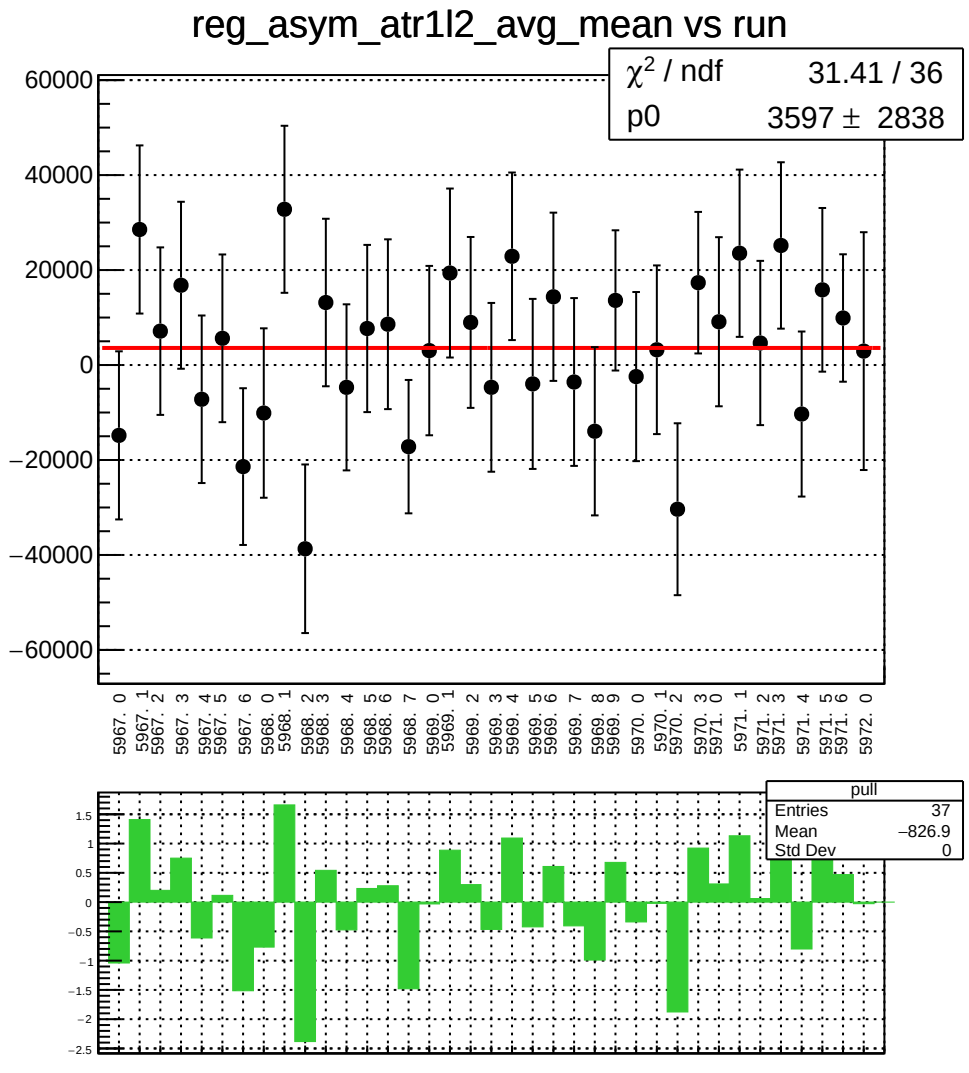
reg_asym_atr1l2_avg_mean vs run
χ² / ndf 31.41 / 36
p0 3597 ± 2838
60000
40000
20000
0
−20000
−40000
−60000
5967. 0
5967. 1
5967. 2
5967. 3
5967. 4
5967. 5
5967. 6
5968. 0
5968. 1
5968. 2
5968. 3
5968. 4
5968. 5
5968. 6
5968. 7
5969. 0
5969. 1
5969. 2
5969. 3
5969. 4
5969. 5
5969. 6
5969. 7
5969. 8
5969. 9
5970. 0
5970. 1
5970. 2
5970. 3
5971. 0
5971. 1
5971. 2
5971. 3
5971. 4
5971. 5
5971. 6
5972. 0
pull
Entries 37
Mean −826.9
Std Dev 0
1.5
1
0.5
0
−0.5
−1
−1.5
−2
−2.5

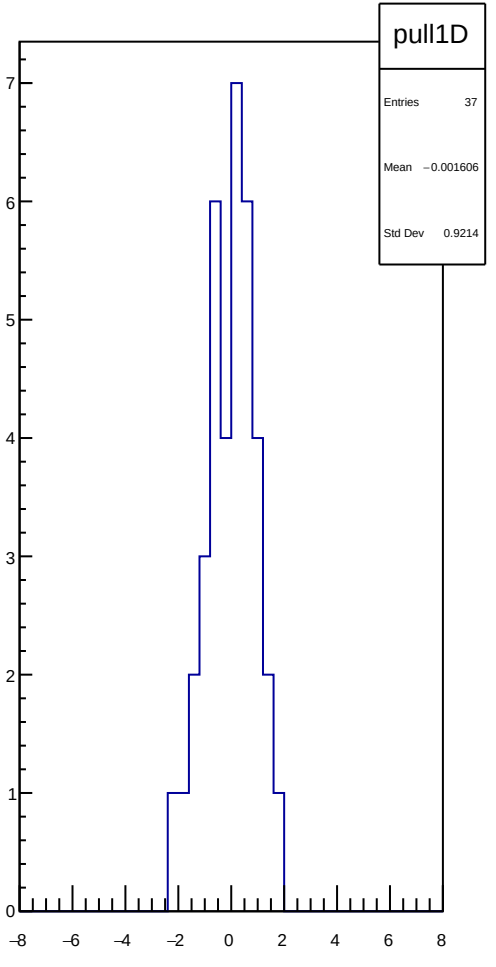
pull1D
Entries 37
Mean −0.001606
Std Dev 0.9214
7
6
5
4
3
2
1
0
−8
−6
−4
−2
0
2
4
6
8

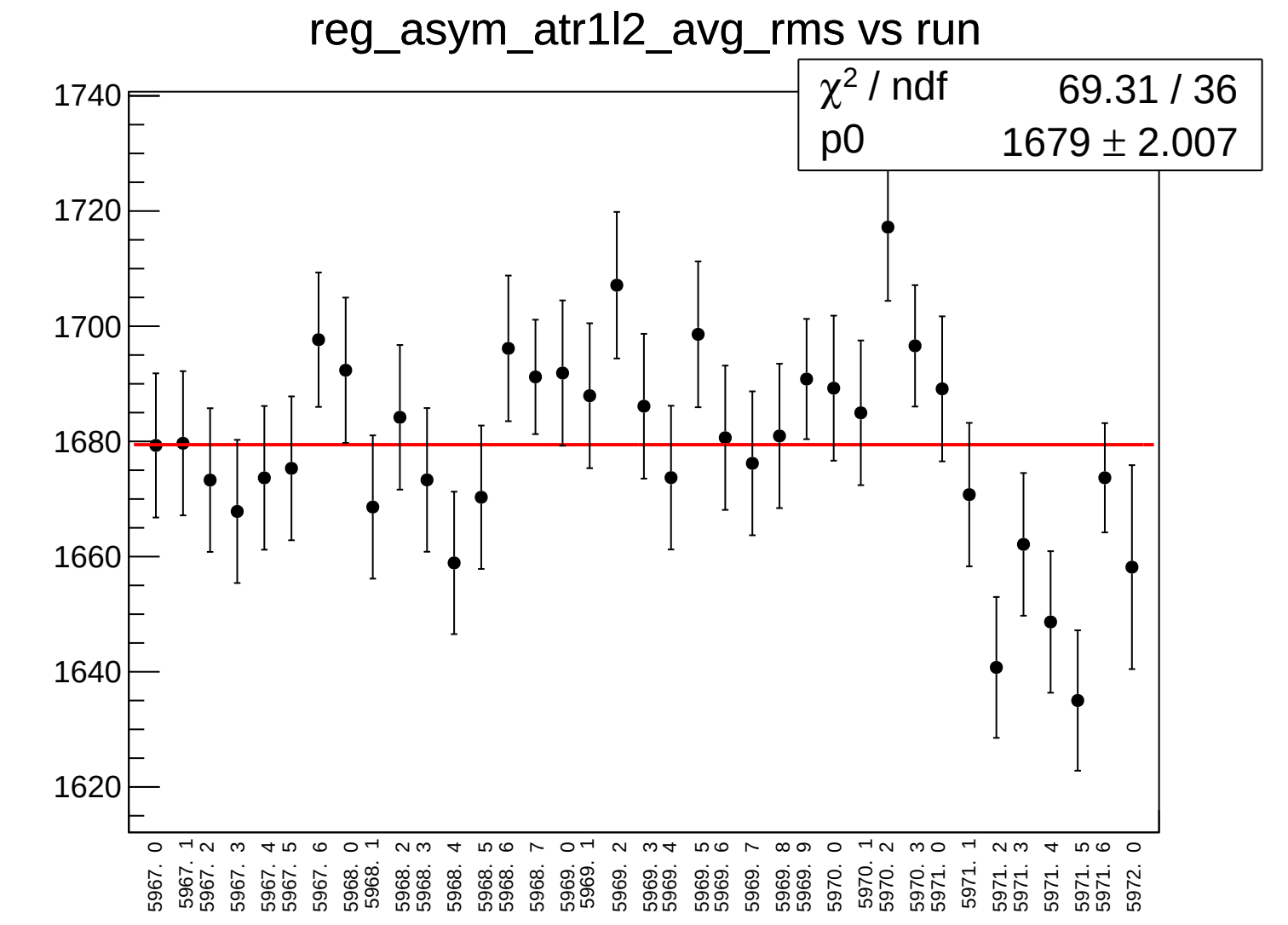
reg_asym_atr1l2_avg_rms vs run
χ² / ndf 69.31 / 36
p0 1679 ± 2.007
1740
1720
1700
1680
1660
1640
1620
5967. 0
5967. 1
5967. 2
5967. 3
5967. 4
5967. 5
5967. 6
5968. 0
5968. 1
5968. 2
5968. 3
5968. 4
5968. 5
5968. 6
5968. 7
5969. 0
5969. 1
5969. 2
5969. 3
5969. 4
5969. 5
5969. 6
5969. 7
5969. 8
5969. 9
5970. 0
5970. 1
5970. 2
5970. 3
5971. 0
5971. 1
5971. 2
5971. 3
5971. 4
5971. 5
5971. 6
5972. 0

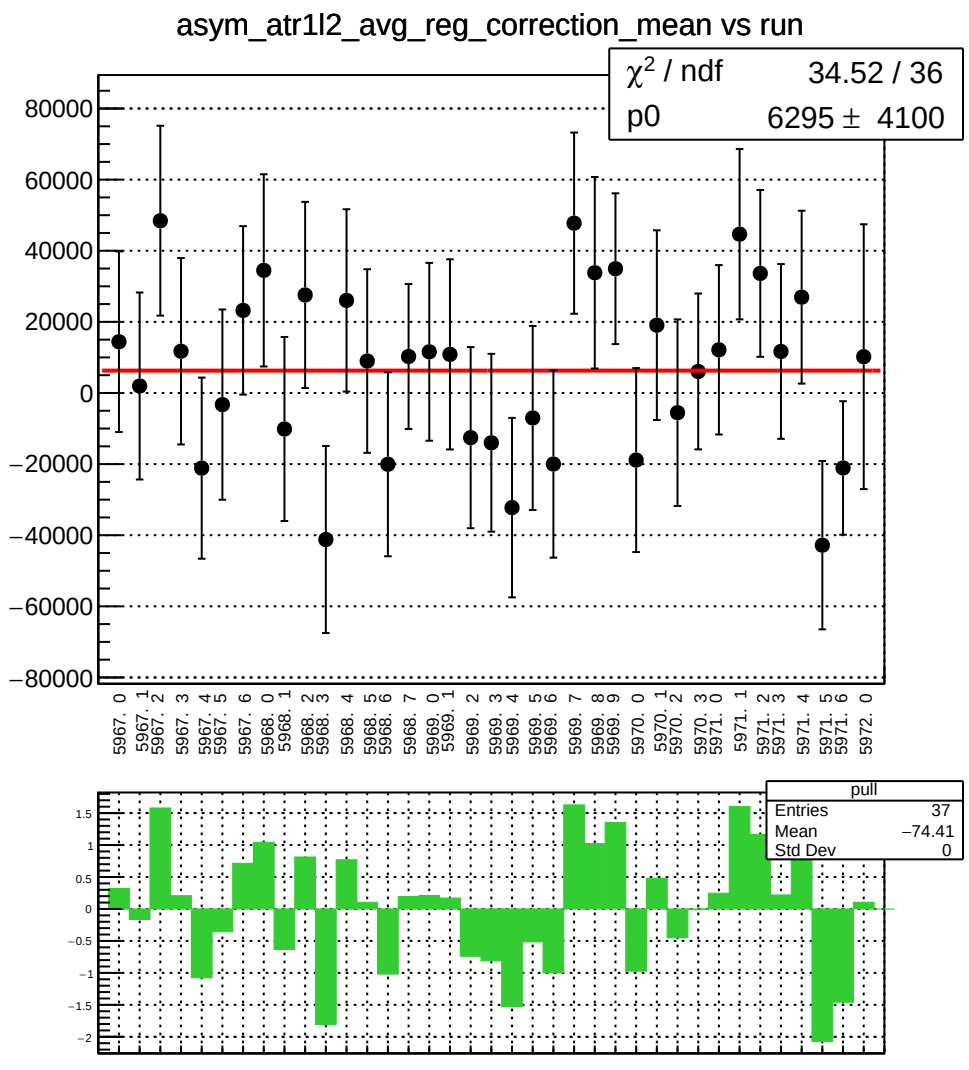
asym_atr1l2_avg_reg_correction_mean vs run
χ² / ndf 34.52 / 36
p0 6295 ± 4100
pull
Entries 37
Mean −74.41
Std Dev 0

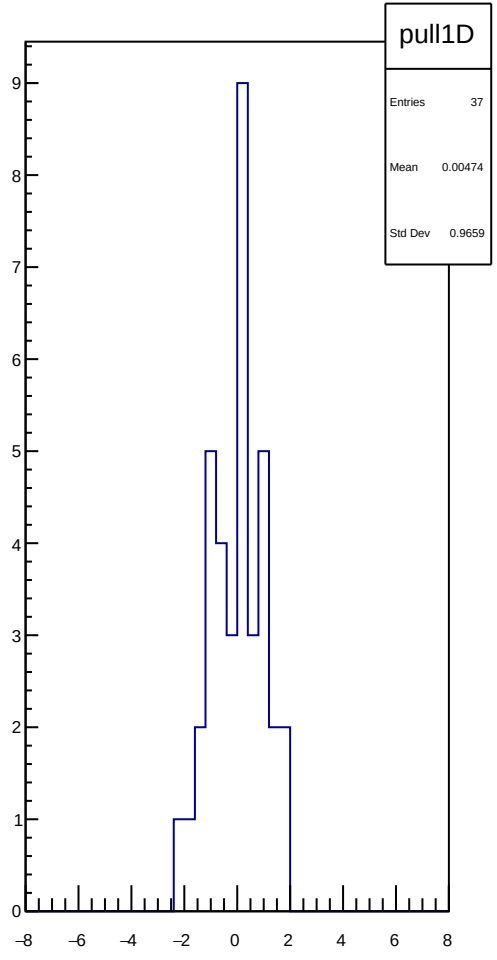
pull1D
Entries 37
Mean 0.00474
Std Dev 0.9659

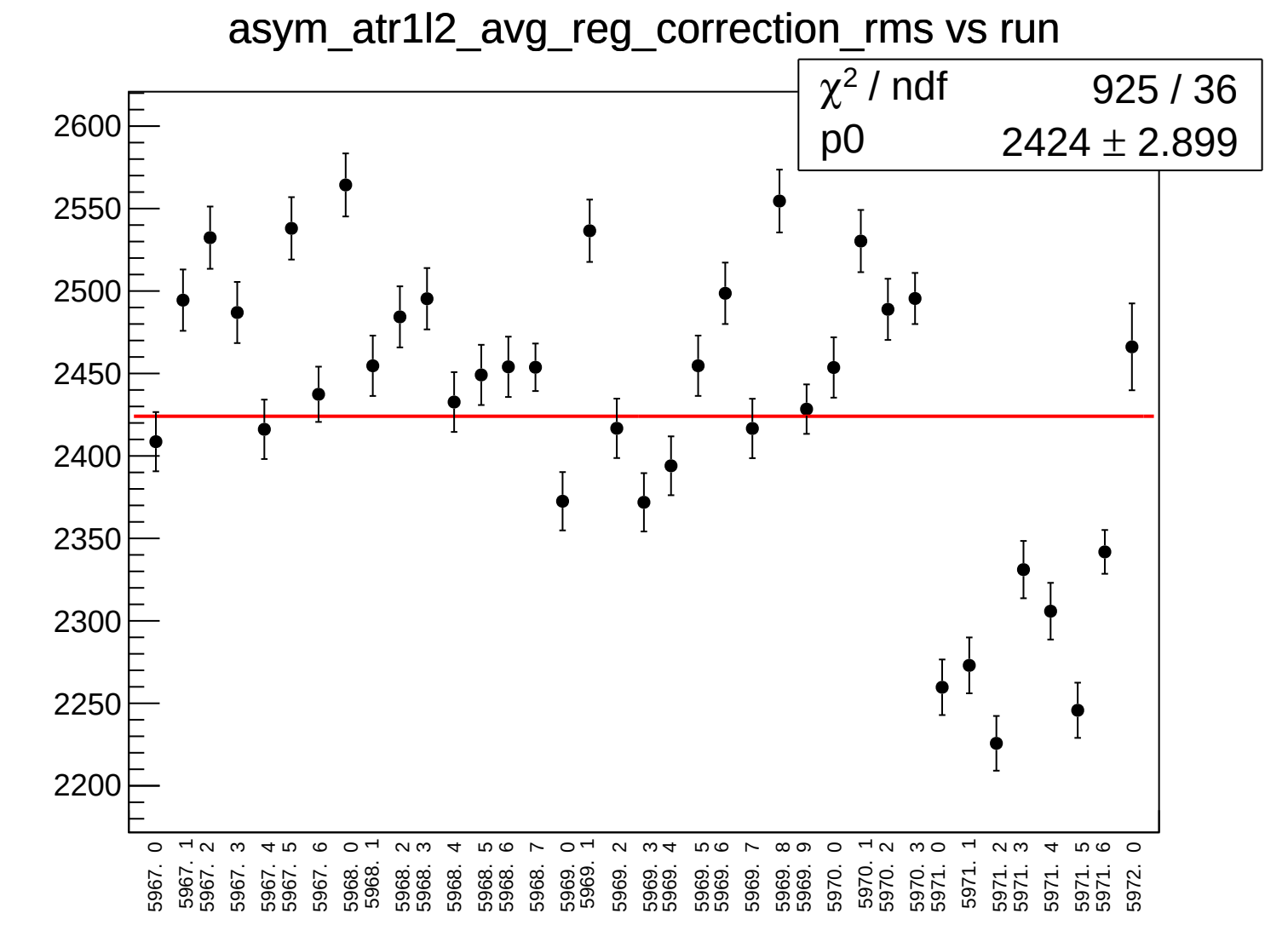
asym_atr1l2_avg_reg_correction_rms vs run
χ² / ndf 925 / 36
p0 2424 ± 2.899
2600
2550
2500
2450
2400
2350
2300
2250
2200
5967. 0
5967. 1
5967. 2
5967. 3
5967. 4
5967. 5
5967. 6
5968. 0
5968. 1
5968. 2
5968. 3
5968. 4
5968. 5
5968. 6
5968. 7
5969. 0
5969. 1
5969. 2
5969. 3
5969. 4
5969. 5
5969. 6
5969. 7
5969. 8
5969. 9
5970. 0
5970. 1
5970. 2
5970. 3
5971. 0
5971. 1
5971. 2
5971. 3
5971. 4
5971. 5
5971. 6
5972. 0

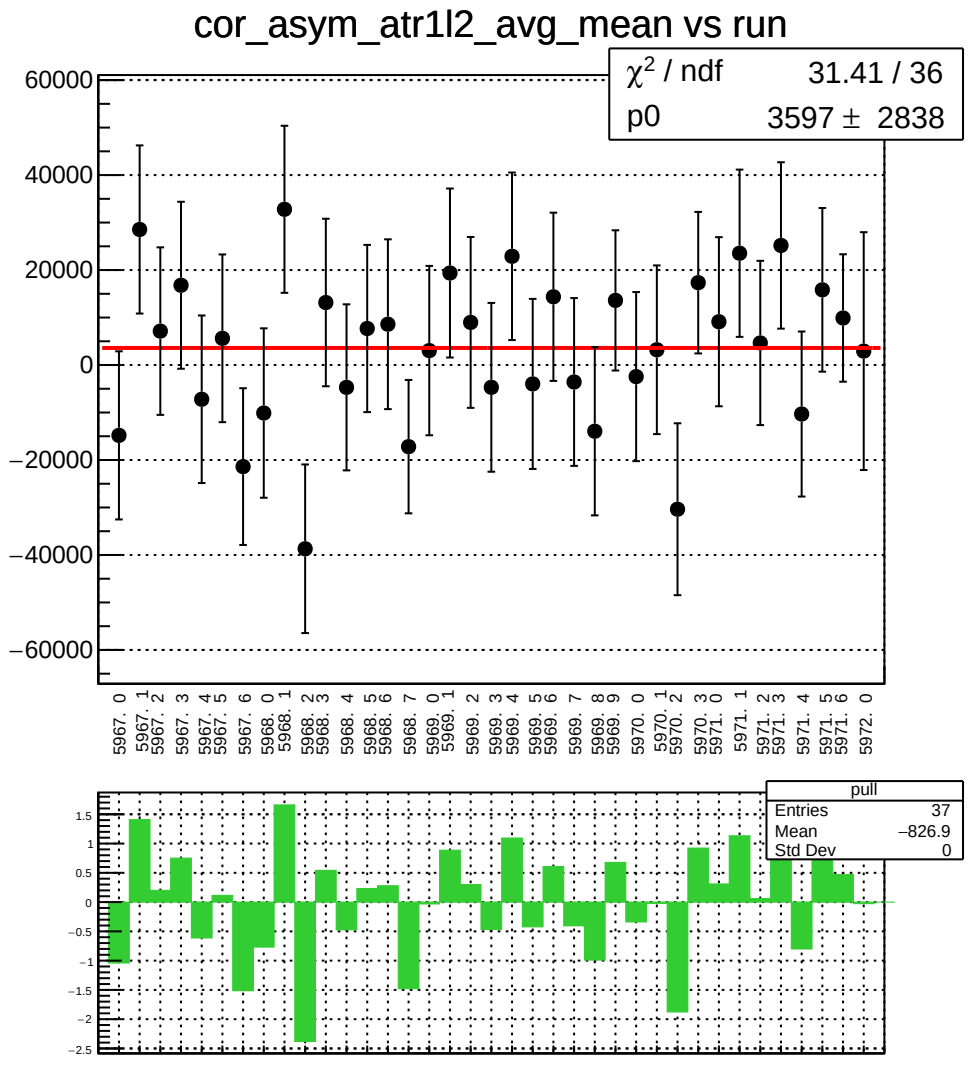
cor_asym_atr1l2_avg_mean vs run
χ² / ndf 31.41 / 36
p0 3597 ± 2838
60000
40000
20000
0
−20000
−40000
−60000
5967. 0
5967. 1
5967. 2
5967. 3
5967. 4
5967. 5
5967. 6
5968. 0
5968. 1
5968. 2
5968. 3
5968. 4
5968. 5
5968. 6
5968. 7
5969. 0
5969. 1
5969. 2
5969. 3
5969. 4
5969. 5
5969. 6
5969. 7
5969. 8
5969. 9
5970. 0
5970. 1
5970. 2
5970. 3
5971. 0
5971. 1
5971. 2
5971. 3
5971. 4
5971. 5
5971. 6
5972. 0
pull
Entries 37
Mean −826.9
Std Dev 0
1.5
1
0.5
0
−0.5
−1
−1.5
−2
−2.5

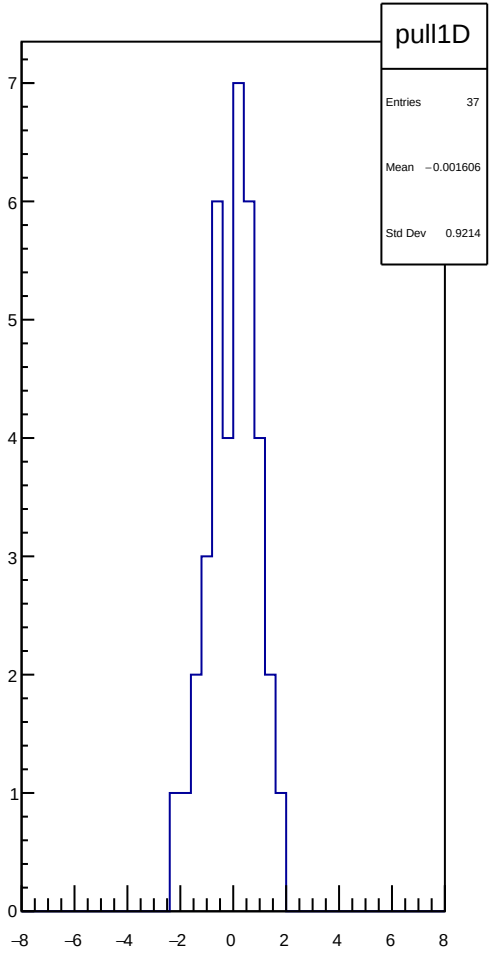
pull1D
Entries 37
Mean −0.001606
Std Dev 0.9214
7
6
5
4
3
2
1
0
−8
−6
−4
−2
0
2
4
6
8

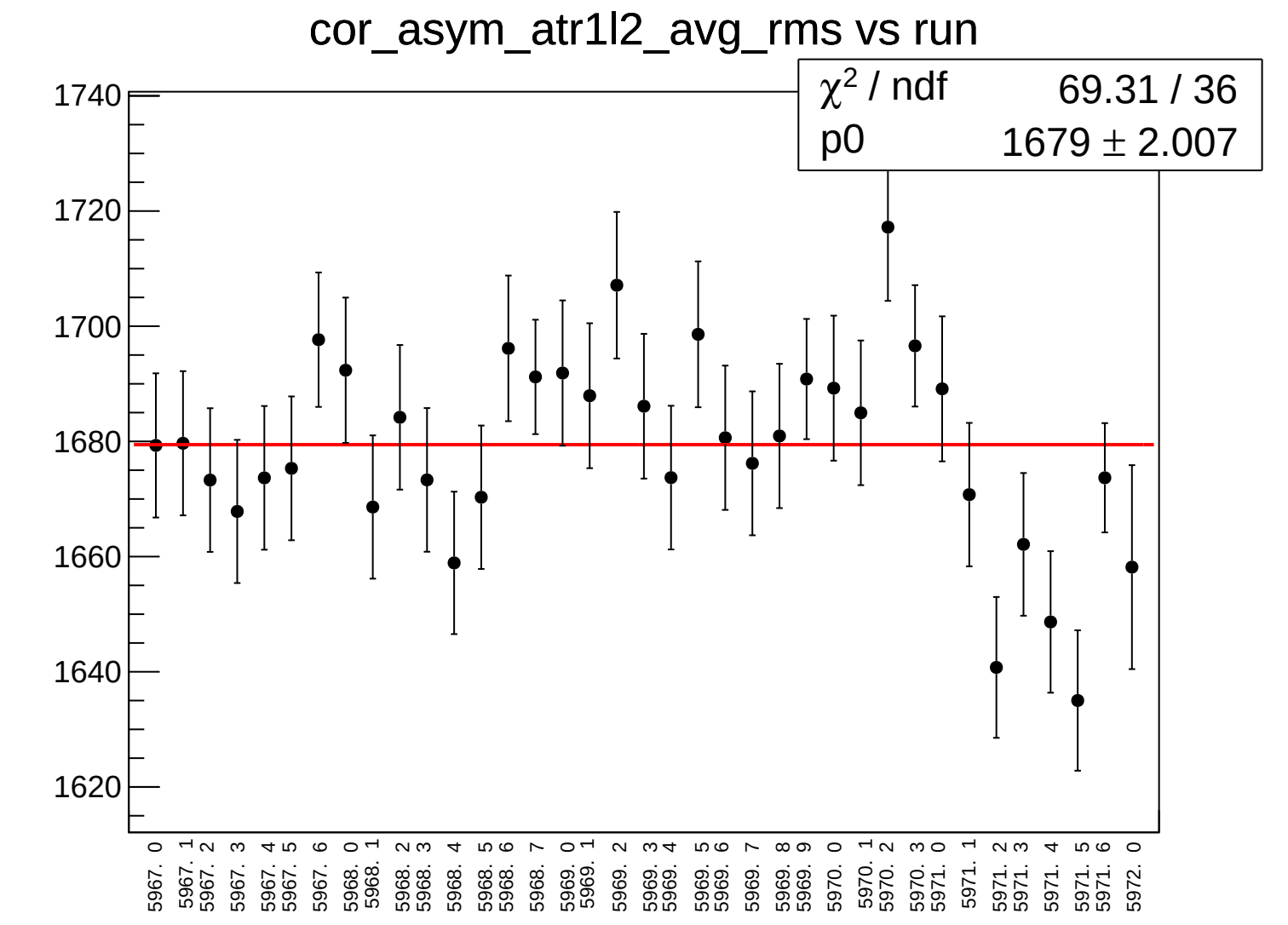
cor_asym_atr1l2_avg_rms vs run
χ² / ndf 69.31 / 36
p0 1679 ± 2.007
1740
1720
1700
1680
1660
1640
1620
5967. 0
5967. 1
5967. 2
5967. 3
5967. 4
5967. 5
5967. 6
5968. 0
5968. 1
5968. 2
5968. 3
5968. 4
5968. 5
5968. 6
5968. 7
5969. 0
5969. 1
5969. 2
5969. 3
5969. 4
5969. 5
5969. 6
5969. 7
5969. 8
5969. 9
5970. 0
5970. 1
5970. 2
5970. 3
5971. 0
5971. 1
5971. 2
5971. 3
5971. 4
5971. 5
5971. 6
5972. 0

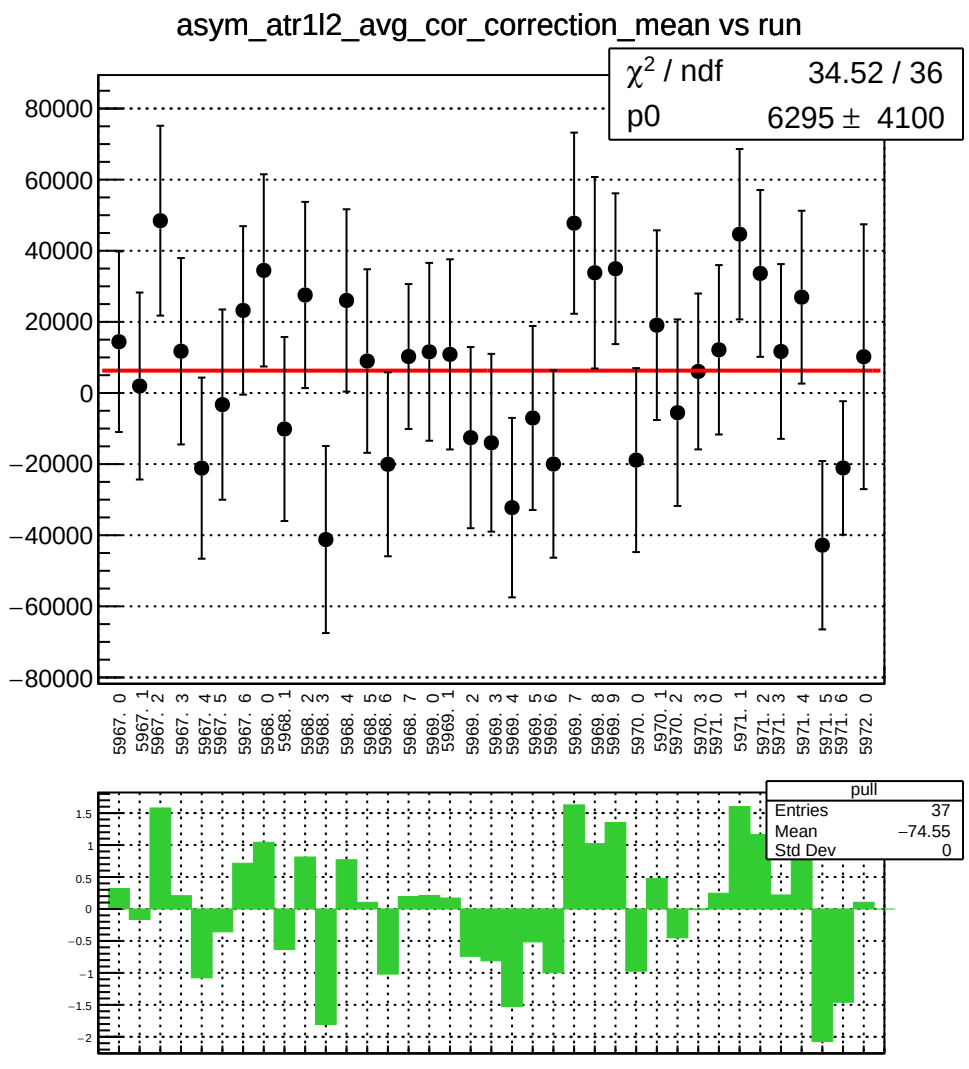
asym_atr1l2_avg_cor_correction_mean vs run
χ² / ndf 34.52 / 36
p0 6295 ± 4100
80000
60000
40000
20000
0
−20000
−40000
−60000
−80000
5967. 0
5967. 1
5967. 2
5967. 3
5967. 4
5967. 5
5967. 6
5968. 0
5968. 1
5968. 2
5968. 3
5968. 4
5968. 5
5968. 6
5968. 7
5969. 0
5969. 1
5969. 2
5969. 3
5969. 4
5969. 5
5969. 6
5969. 7
5969. 8
5969. 9
5970. 0
5970. 1
5970. 2
5970. 3
5971. 0
5971. 1
5971. 2
5971. 3
5971. 4
5971. 5
5971. 6
5972. 0
pull
Entries 37
Mean −74.55
Std Dev 0
1.5
1
0.5
0
−0.5
−1
−1.5
−2

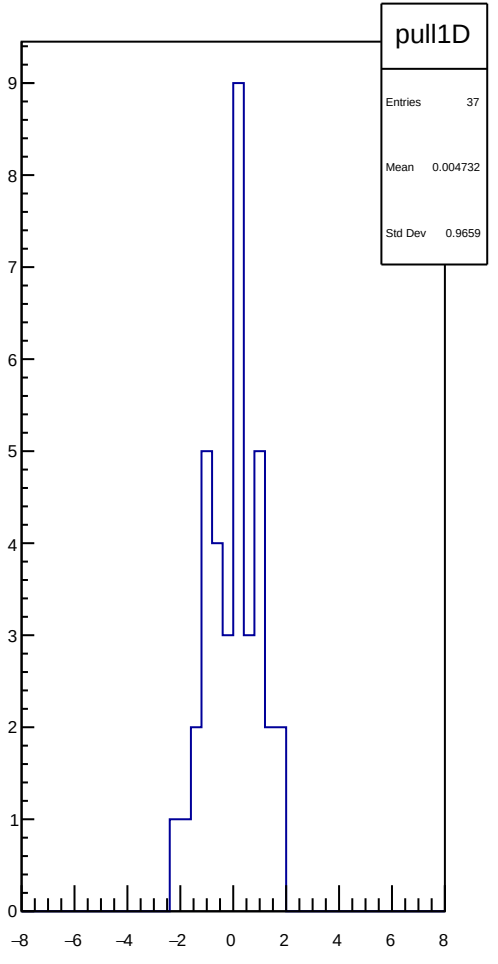
pull1D
Entries 37
Mean 0.004732
Std Dev 0.9659
9
8
7
6
5
4
3
2
1
0
−8
−6
−4
−2
0
2
4
6
8

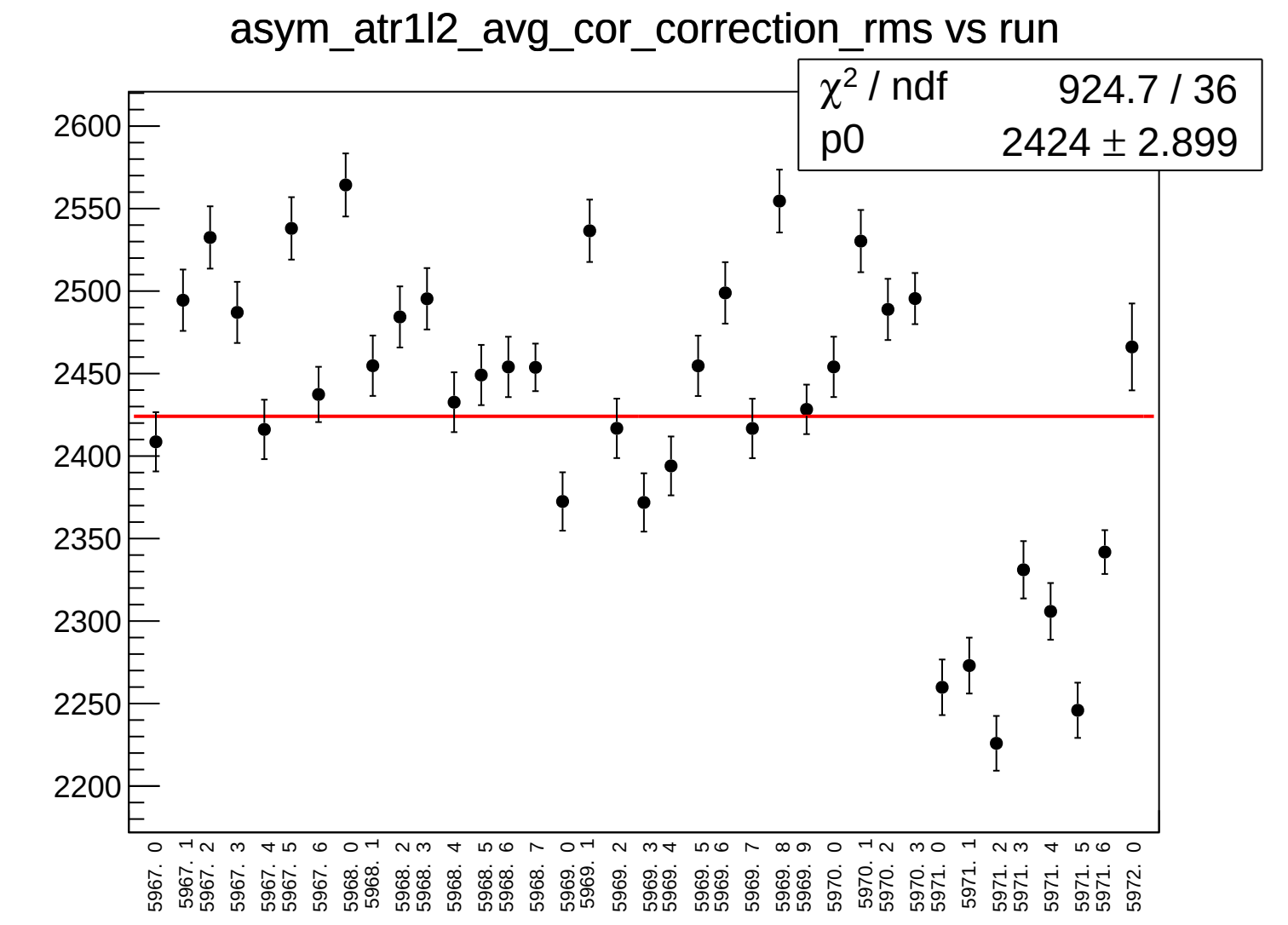
asym_atr1l2_avg_cor_correction_rms vs run
χ² / ndf 924.7 / 36
p0 2424 ± 2.899
2600
2550
2500
2450
2400
2350
2300
2250
2200
5967. 0
5967. 1
5967. 2
5967. 3
5967. 4
5967. 5
5967. 6
5968. 0
5968. 1
5968. 2
5968. 3
5968. 4
5968. 5
5968. 6
5968. 7
5969. 0
5969. 1
5969. 2
5969. 3
5969. 4
5969. 5
5969. 6
5969. 7
5969. 8
5969. 9
5970. 0
5970. 1
5970. 2
5970. 3
5971. 0
5971. 1
5971. 2
5971. 3
5971. 4
5971. 5
5971. 6
5972. 0

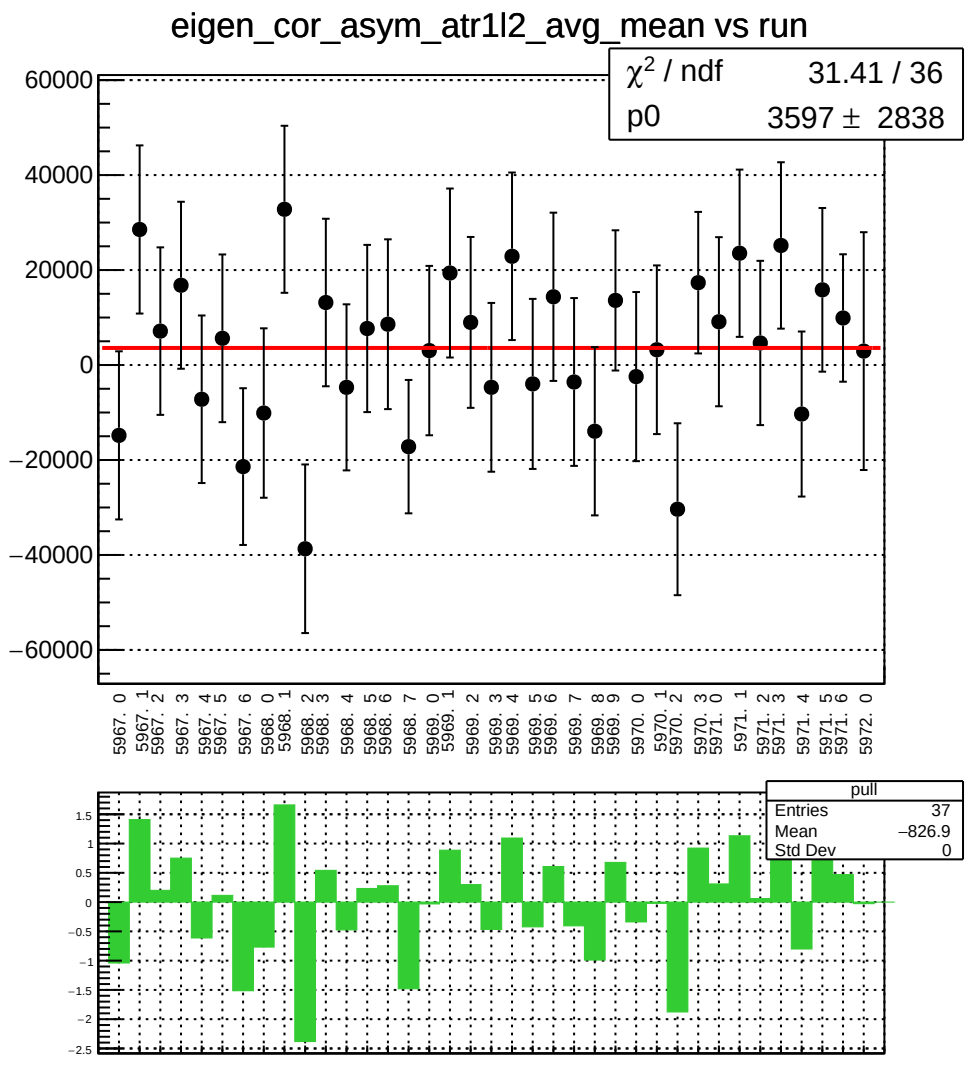
eigen_cor_asym_atr1l2_avg_mean vs run
χ² / ndf 31.41 / 36
p0 3597 ± 2838
60000
40000
20000
0
−20000
−40000
−60000
5967. 0
5967. 1
5967. 2
5967. 3
5967. 4
5967. 5
5967. 6
5968. 0
5968. 1
5968. 2
5968. 3
5968. 4
5968. 5
5968. 6
5968. 7
5969. 0
5969. 1
5969. 2
5969. 3
5969. 4
5969. 5
5969. 6
5969. 7
5969. 8
5969. 9
5970. 0
5970. 1
5970. 2
5970. 3
5971. 0
5971. 1
5971. 2
5971. 3
5971. 4
5971. 5
5971. 6
5972. 0
pull
Entries 37
Mean −826.9
Std Dev 0
1.5
1
0.5
0
−0.5
−1
−1.5
−2
−2.5
pull1D
Entries 37
Mean −0.001606
Std Dev 0.9214
7
6
5
4
3
2
1
0
−8
−6
−4
−2
0
2
4
6
8

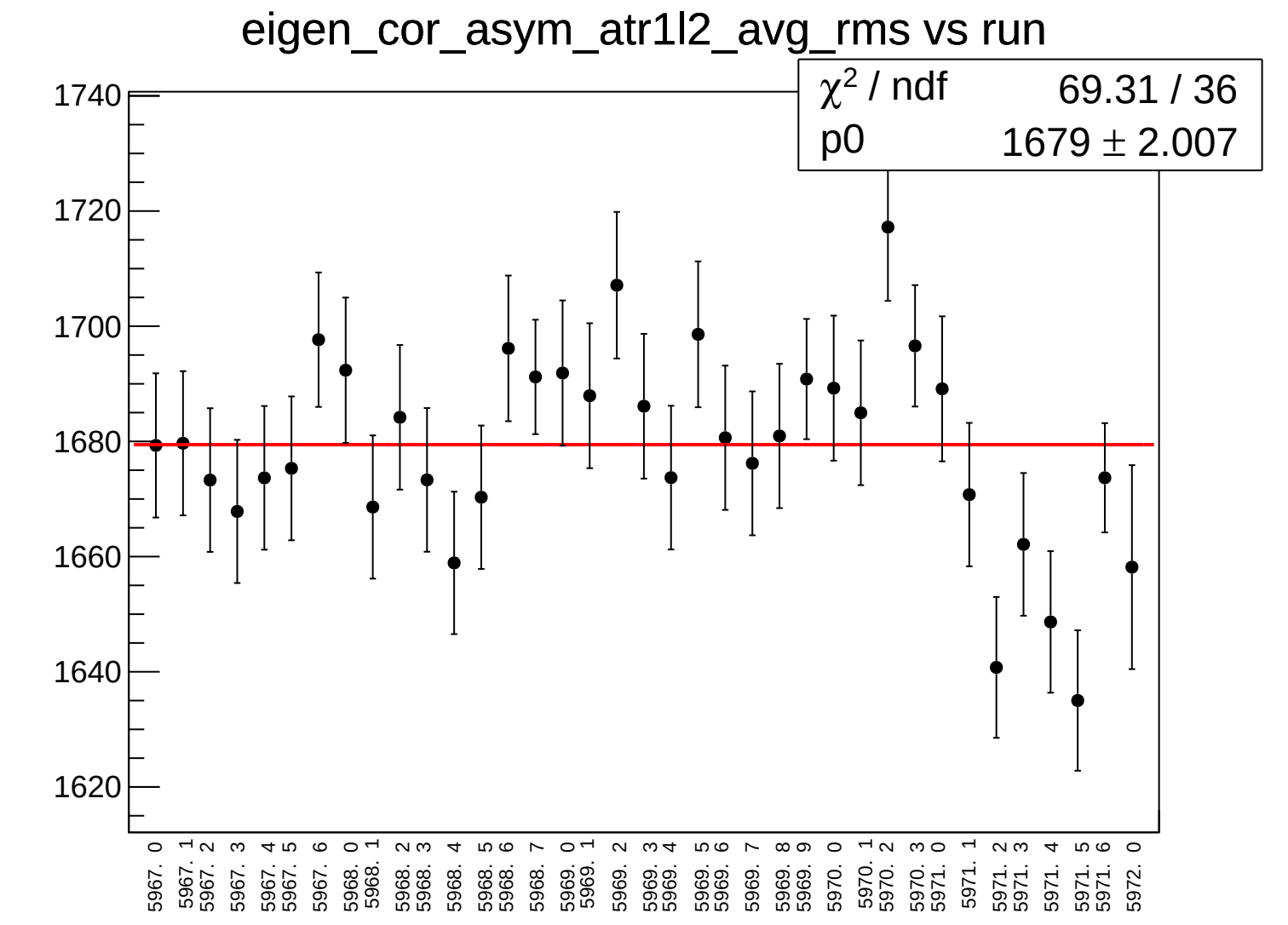
eigen_cor_asym_atr1l2_avg_rms vs run
χ² / ndf 69.31 / 36
p0 1679 ± 2.007
1740
1720
1700
1680
1660
1640
1620
5967. 0
5967. 1
5967. 2
5967. 3
5967. 4
5967. 5
5967. 6
5968. 0
5968. 1
5968. 2
5968. 3
5968. 4
5968. 5
5968. 6
5968. 7
5969. 0
5969. 1
5969. 2
5969. 3
5969. 4
5969. 5
5969. 6
5969. 7
5969. 8
5969. 9
5970. 0
5970. 1
5970. 2
5970. 3
5971. 0
5971. 1
5971. 2
5971. 3
5971. 4
5971. 5
5971. 6
5972. 0

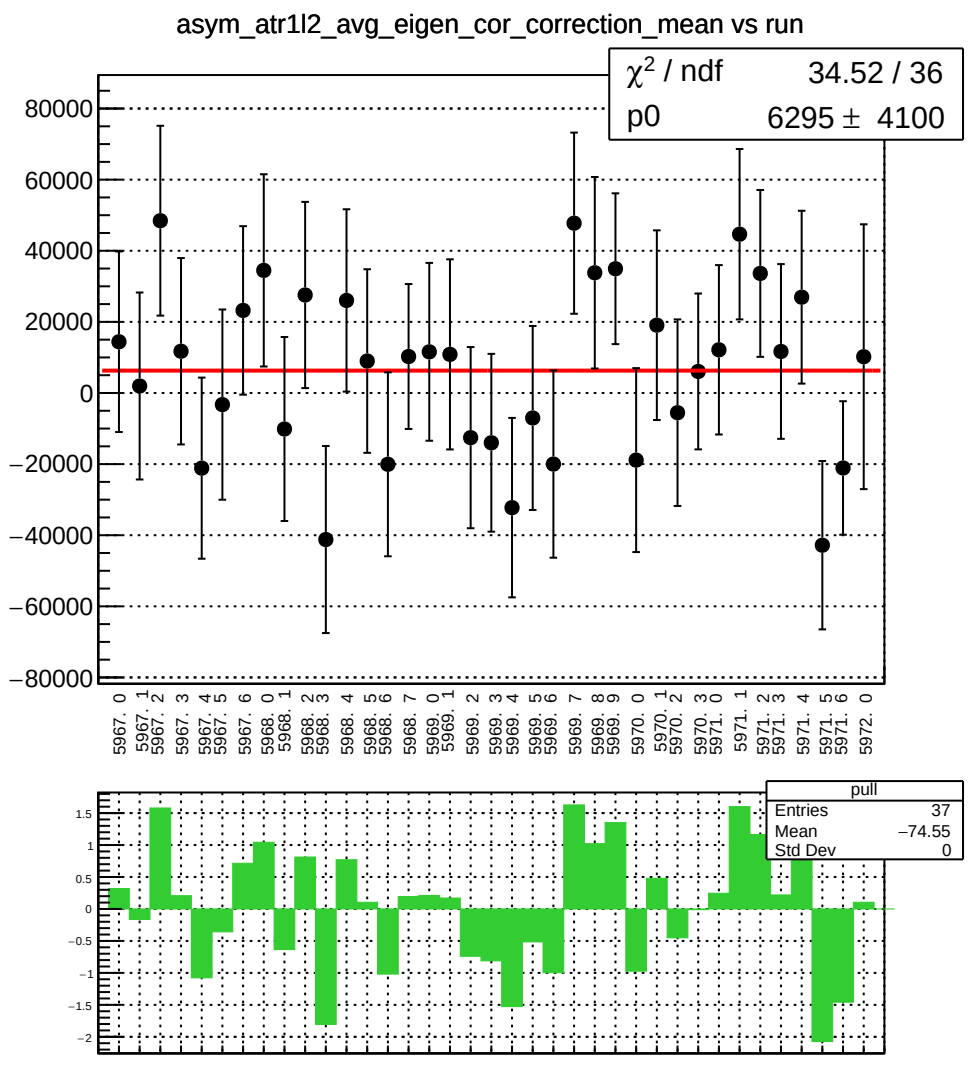
asym_atr1l2_avg_eigen_cor_correction_mean vs run
χ² / ndf 34.52 / 36
p0 6295 ± 4100
pull
Entries 37
Mean −74.55
Std Dev 0
pull1D
Entries 37
Mean 0.004732
Std Dev 0.9659

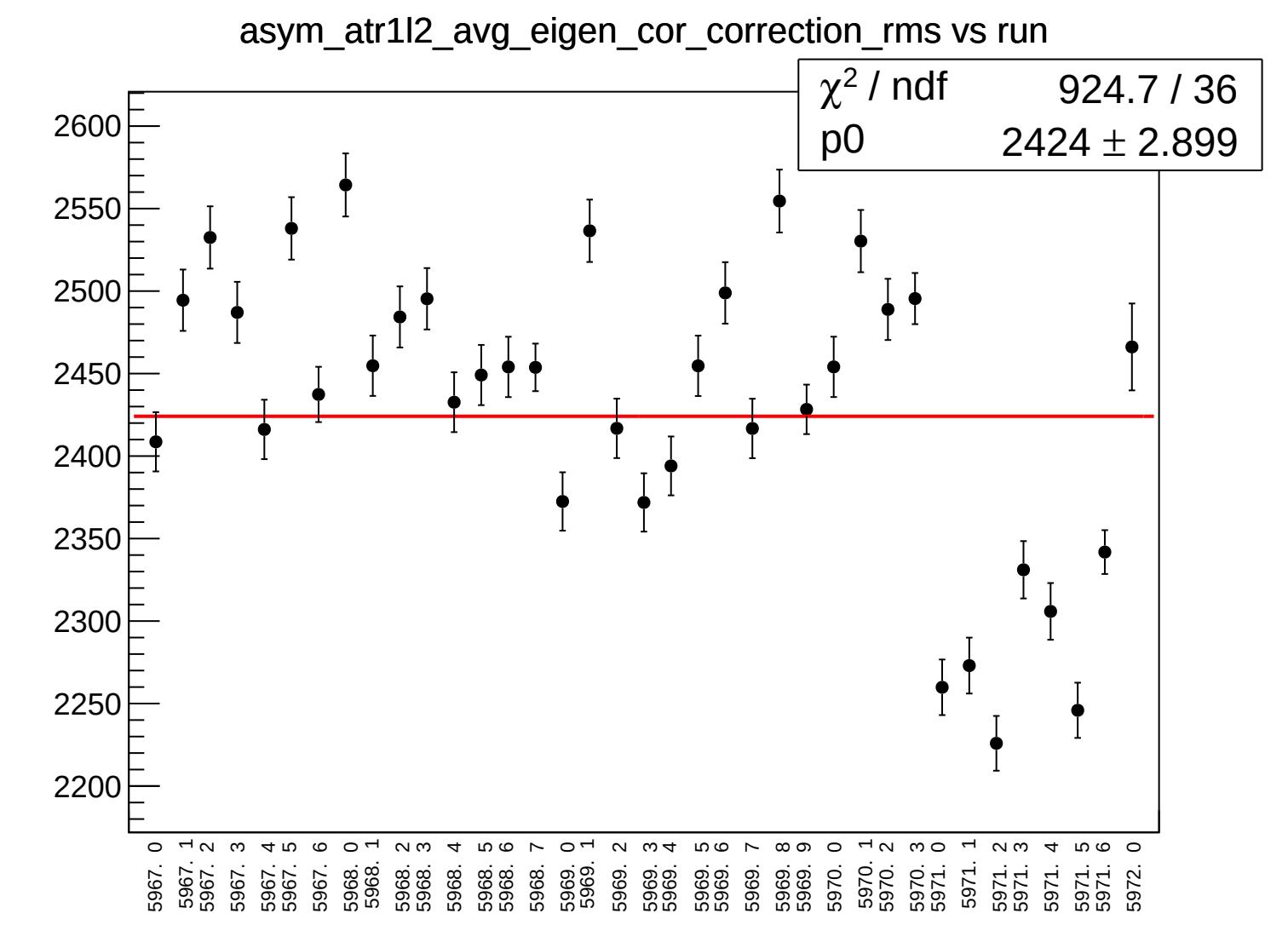
asym_atr1l2_avg_eigen_cor_correction_rms vs run
χ² / ndf 924.7 / 36
p0 2424 ± 2.899
2600
2550
2500
2450
2400
2350
2300
2250
2200
5967. 0
5967. 1
5967. 2
5967. 3
5967. 4
5967. 5
5967. 6
5968. 0
5968. 1
5968. 2
5968. 3
5968. 4
5968. 5
5968. 6
5968. 7
5969. 0
5969. 1
5969. 2
5969. 3
5969. 4
5969. 5
5969. 6
5969. 7
5969. 8
5969. 9
5970. 0
5970. 1
5970. 2
5970. 3
5971. 0
5971. 1
5971. 2
5971. 3
5971. 4
5971. 5
5971. 6
5972. 0

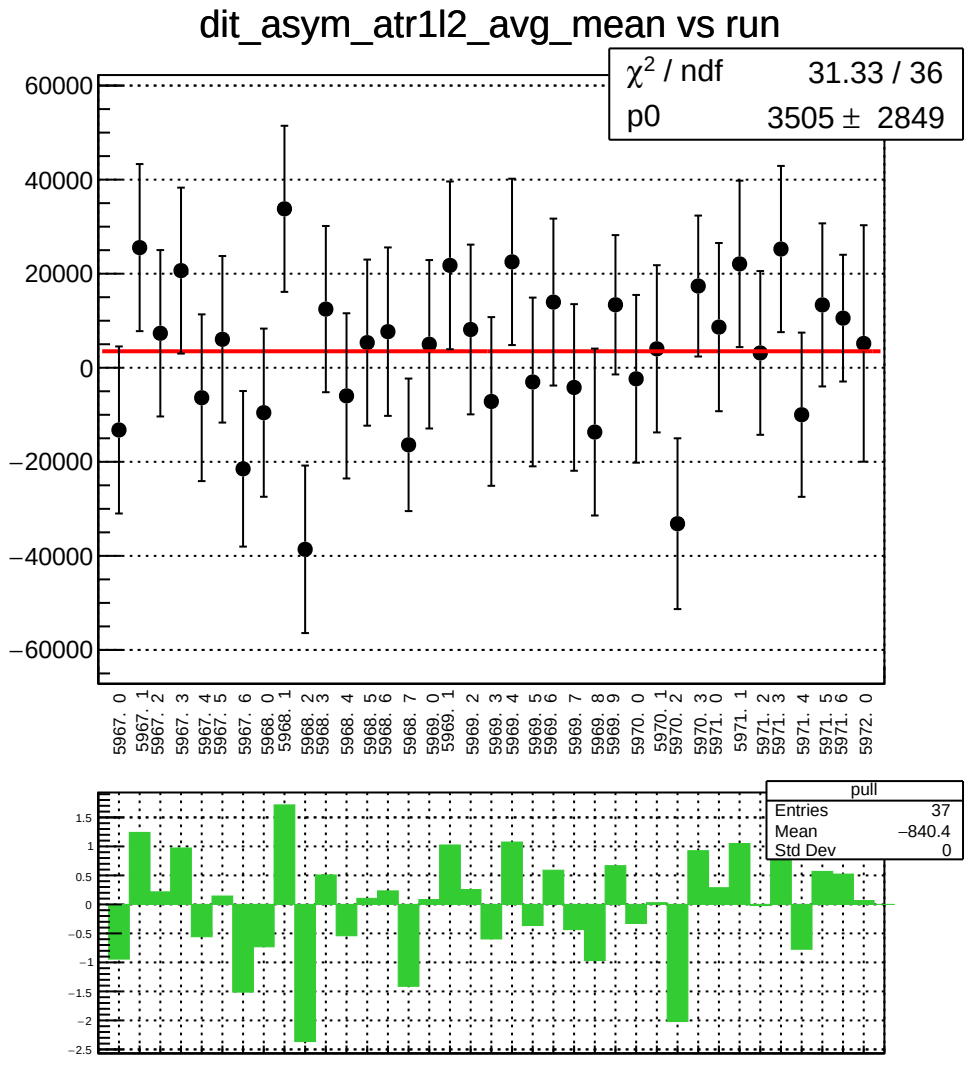
dit_asym_atr1l2_avg_mean vs run
χ² / ndf 31.33 / 36
p0 3505 ± 2849
60000
40000
20000
0
−20000
−40000
−60000
5967. 0
5967. 1
5967. 2
5967. 3
5967. 4
5967. 5
5967. 6
5968. 0
5968. 1
5968. 2
5968. 3
5968. 4
5968. 5
5968. 6
5968. 7
5969. 0
5969. 1
5969. 2
5969. 3
5969. 4
5969. 5
5969. 6
5969. 7
5969. 8
5969. 9
5970. 0
5970. 1
5970. 2
5970. 3
5971. 0
5971. 1
5971. 2
5971. 3
5971. 4
5971. 5
5971. 6
5972. 0
pull
Entries 37
Mean −840.4
Std Dev 0
1.5
1
0.5
0
−0.5
−1
−1.5
−2
−2.5

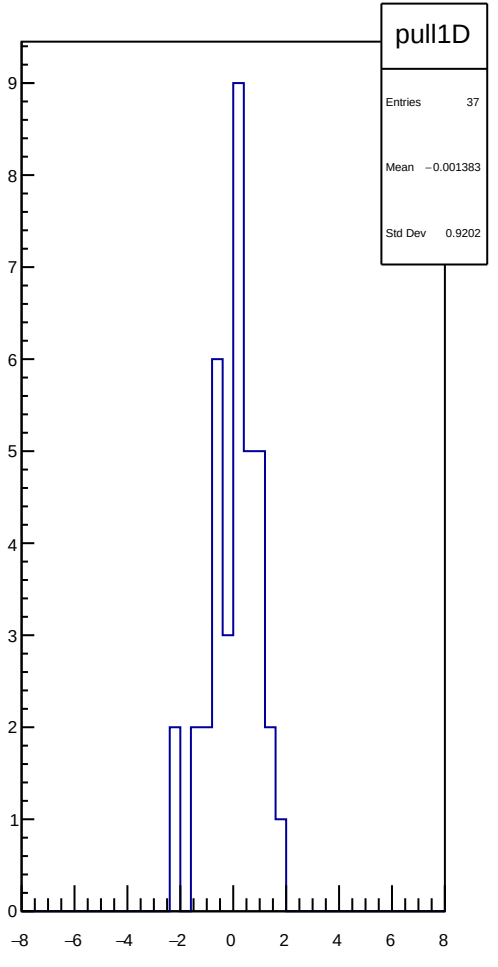
pull1D
Entries 37
Mean −0.001383
Std Dev 0.9202
9
8
7
6
5
4
3
2
1
0
−8
−6
−4
−2
0
2
4
6
8

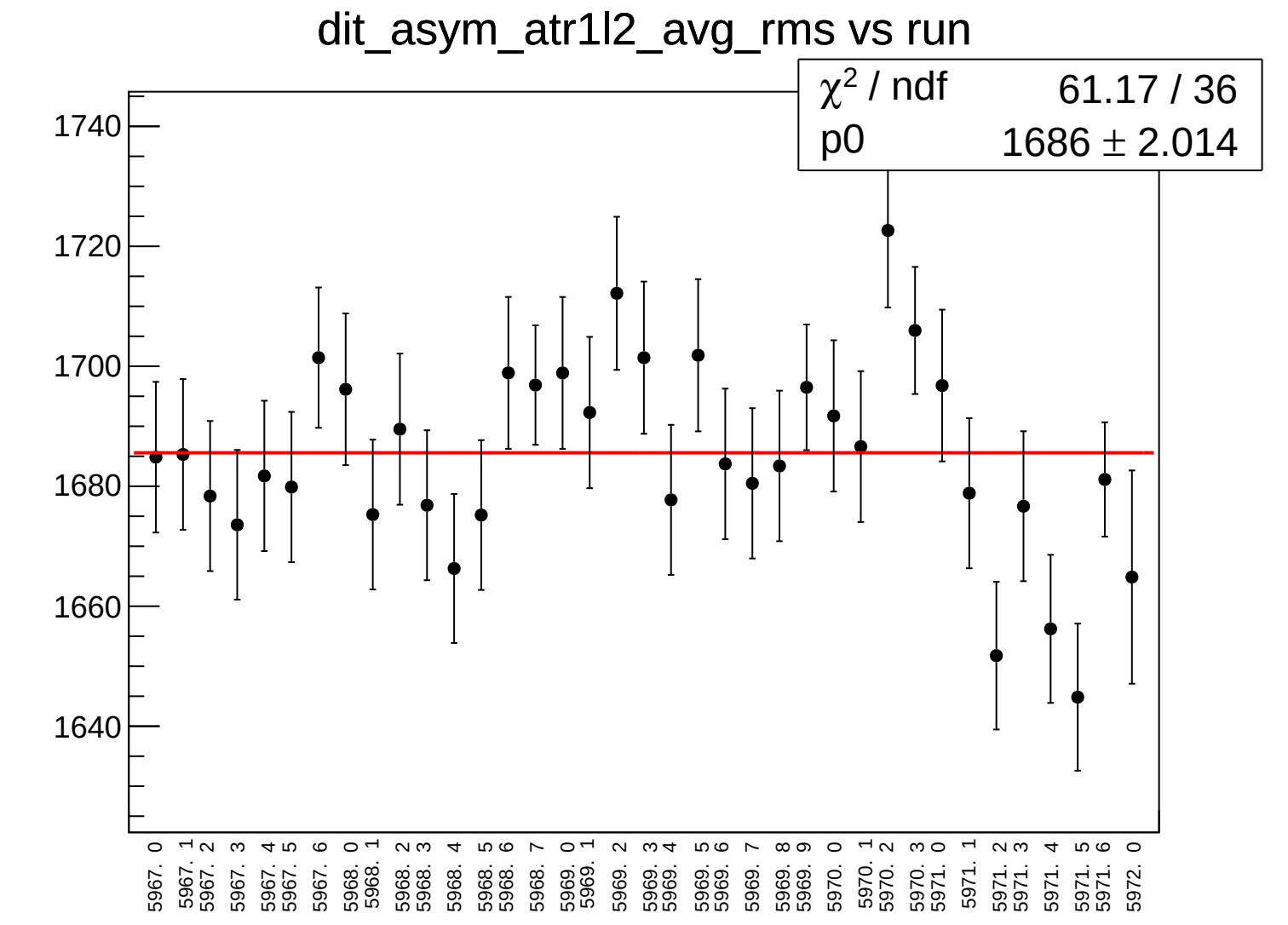
dit_asym_atr1l2_avg_rms vs run
χ² / ndf 61.17 / 36
p0 1686 ± 2.014
1740
1720
1700
1680
1660
1640
5967. 0
5967. 1
5967. 2
5967. 3
5967. 4
5967. 5
5967. 6
5968. 0
5968. 1
5968. 2
5968. 3
5968. 4
5968. 5
5968. 6
5968. 7
5969. 0
5969. 1
5969. 2
5969. 3
5969. 4
5969. 5
5969. 6
5969. 7
5969. 8
5969. 9
5970. 0
5970. 1
5970. 2
5970. 3
5971. 0
5971. 1
5971. 2
5971. 3
5971. 4
5971. 5
5971. 6
5972. 0

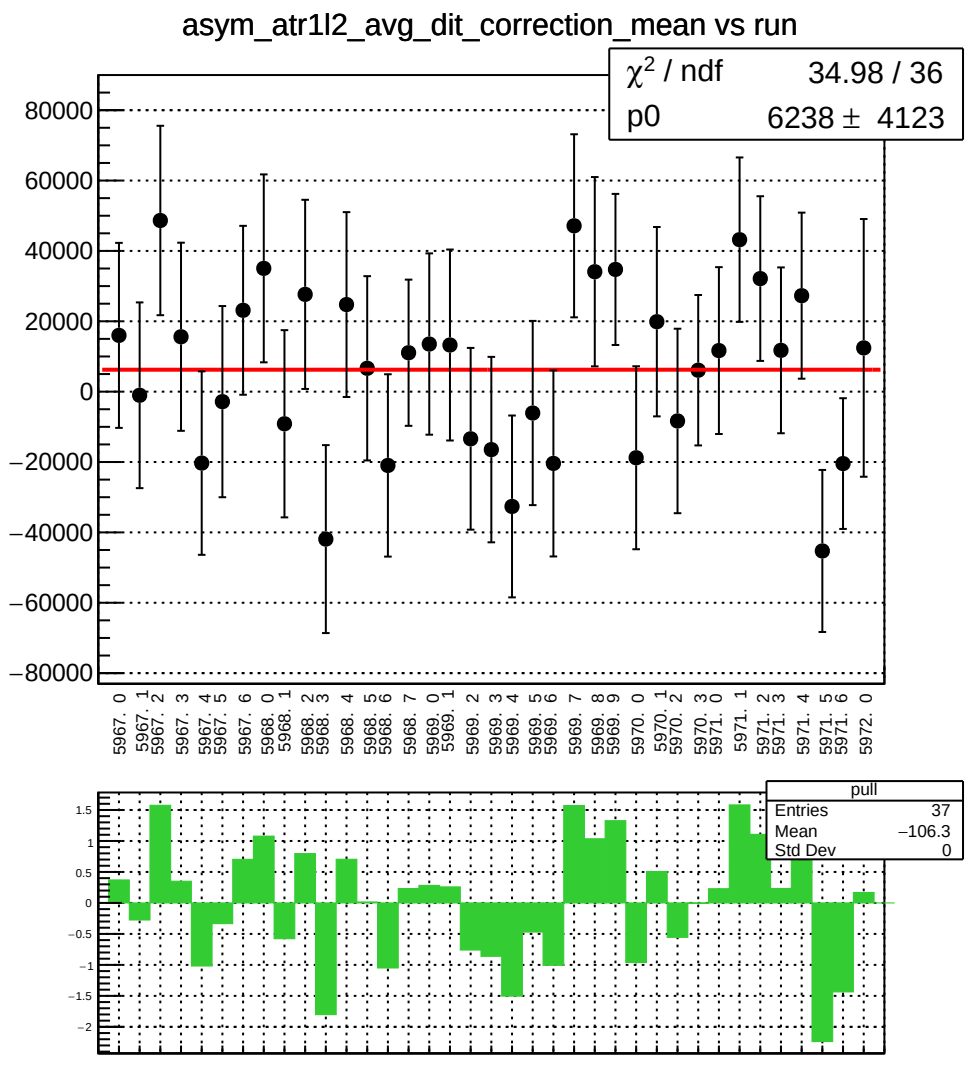
asym_atr1l2_avg_dit_correction_mean vs run
χ² / ndf 34.98 / 36
p0 6238 ± 4123
80000
60000
40000
20000
0
−20000
−40000
−60000
−80000
5967. 0
5967. 1
5967. 2
5967. 3
5967. 4
5967. 5
5967. 6
5968. 0
5968. 1
5968. 2
5968. 3
5968. 4
5968. 5
5968. 6
5968. 7
5969. 0
5969. 1
5969. 2
5969. 3
5969. 4
5969. 5
5969. 6
5969. 7
5969. 8
5969. 9
5970. 0
5970. 1
5970. 2
5970. 3
5971. 0
5971. 1
5971. 2
5971. 3
5971. 4
5971. 5
5971. 6
5972. 0
pull
Entries 37
Mean −106.3
Std Dev 0
1.5
1
0.5
0
−0.5
−1
−1.5
−2

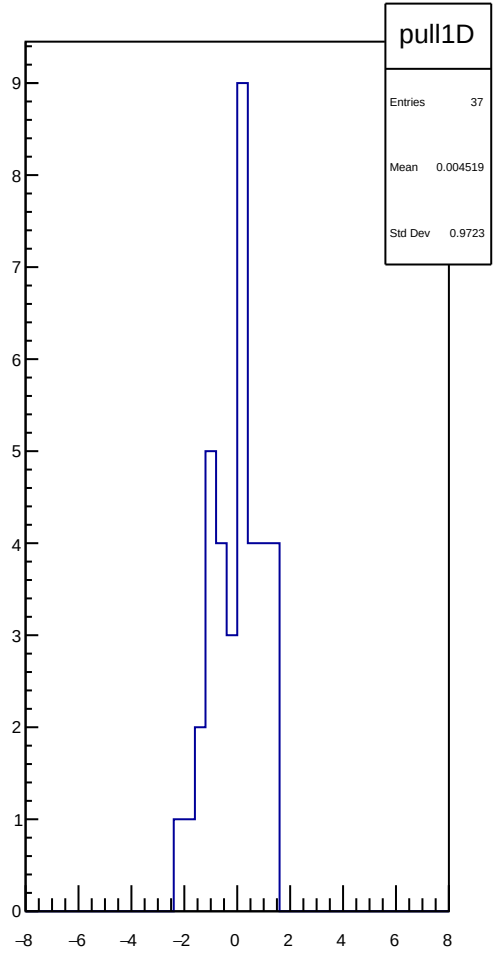
pull1D
Entries 37
Mean 0.004519
Std Dev 0.9723
9
8
7
6
5
4
3
2
1
0
−8
−6
−4
−2
0
2
4
6
8

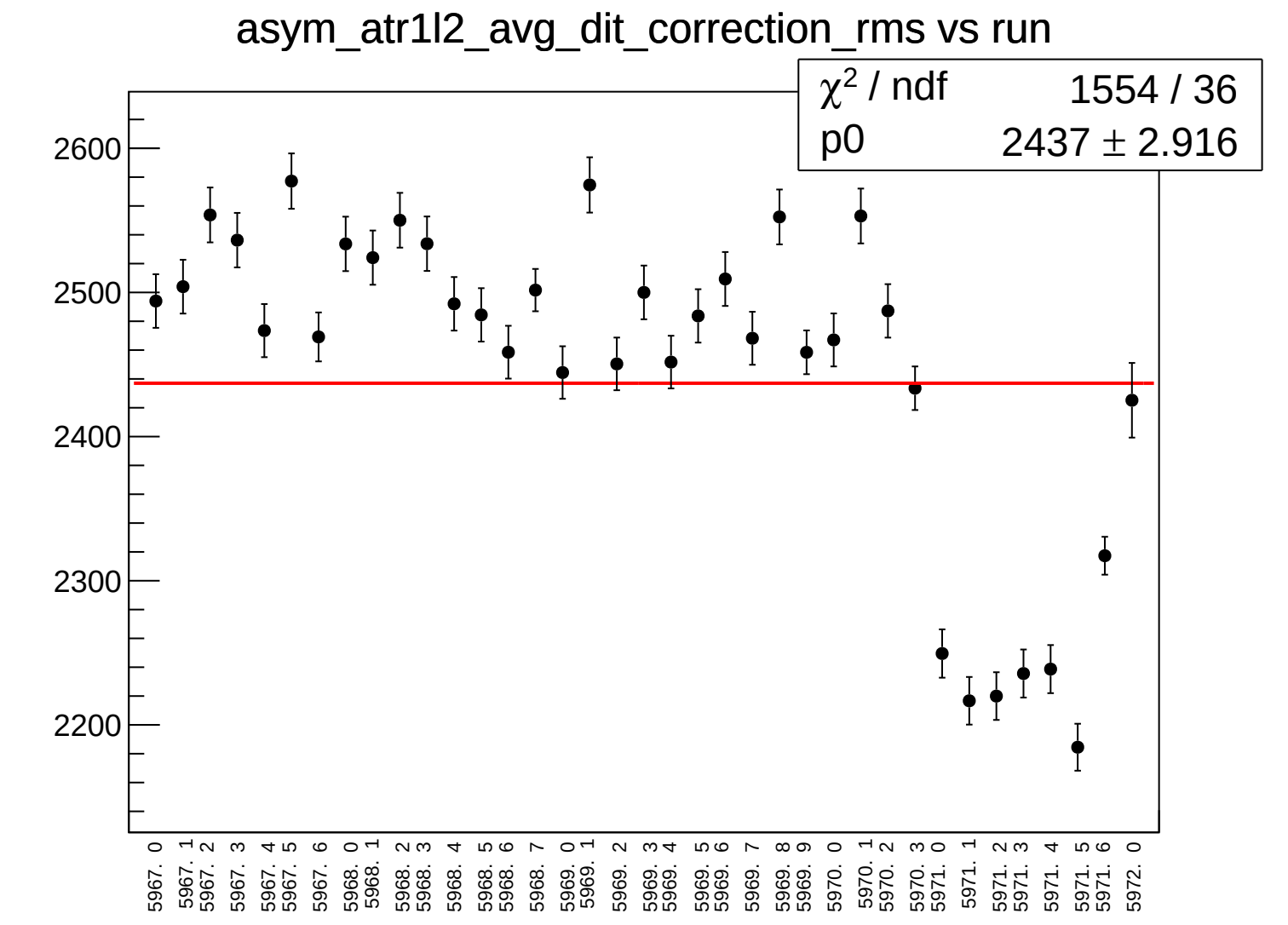
asym_atr1l2_avg_dit_correction_rms vs run
χ² / ndf 1554 / 36
p0 2437 ± 2.916
2600
2500
2400
2300
2200
5967. 0
5967. 1
5967. 2
5967. 3
5967. 4
5967. 5
5967. 6
5968. 0
5968. 1
5968. 2
5968. 3
5968. 4
5968. 5
5968. 6
5968. 7
5969. 0
5969. 1
5969. 2
5969. 3
5969. 4
5969. 5
5969. 6
5969. 7
5969. 8
5969. 9
5970. 0
5970. 1
5970. 2
5970. 3
5971. 0
5971. 1
5971. 2
5971. 3
5971. 4
5971. 5
5971. 6
5972. 0

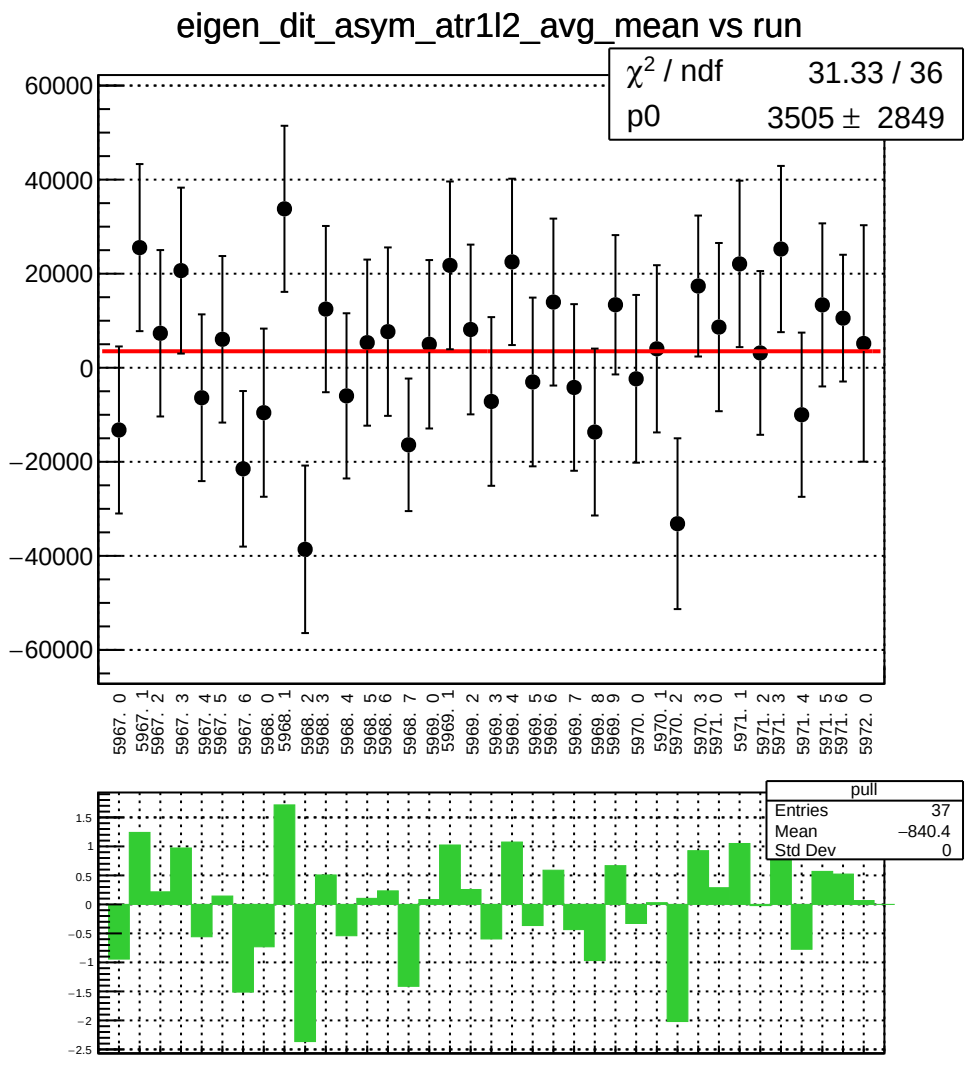
eigen_dit_asym_atr1l2_avg_mean vs run
χ² / ndf 31.33 / 36
p0 3505 ± 2849
60000
40000
20000
0
−20000
−40000
−60000
5967. 0
5967. 1
5967. 2
5967. 3
5967. 4
5967. 5
5967. 6
5968. 0
5968. 1
5968. 2
5968. 3
5968. 4
5968. 5
5968. 6
5968. 7
5969. 0
5969. 1
5969. 2
5969. 3
5969. 4
5969. 5
5969. 6
5969. 7
5969. 8
5969. 9
5970. 0
5970. 1
5970. 2
5970. 3
5971. 0
5971. 1
5971. 2
5971. 3
5971. 4
5971. 5
5971. 6
5972. 0
pull
Entries 37
Mean −840.4
Std Dev 0
1.5
1
0.5
0
−0.5
−1
−1.5
−2
−2.5

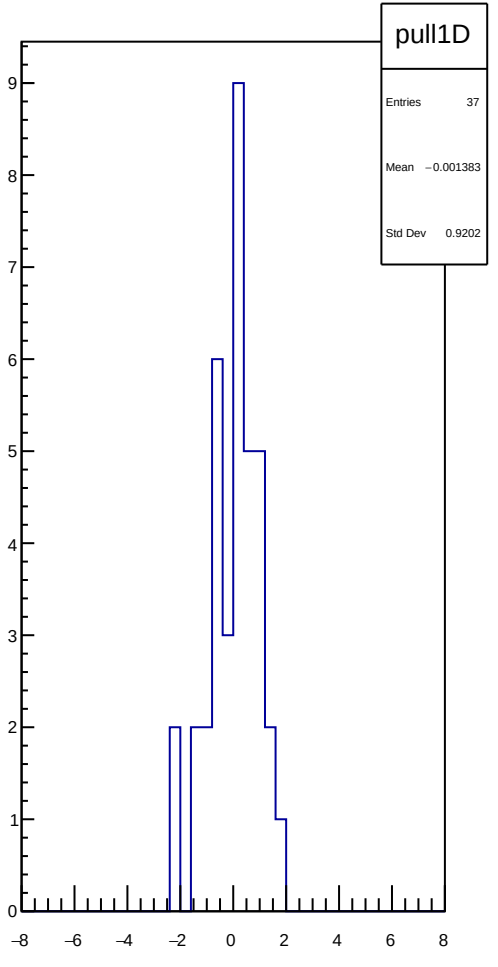
pull1D
Entries 37
Mean −0.001383
Std Dev 0.9202
9
8
7
6
5
4
3
2
1
0
−8
−6
−4
−2
0
2
4
6
8

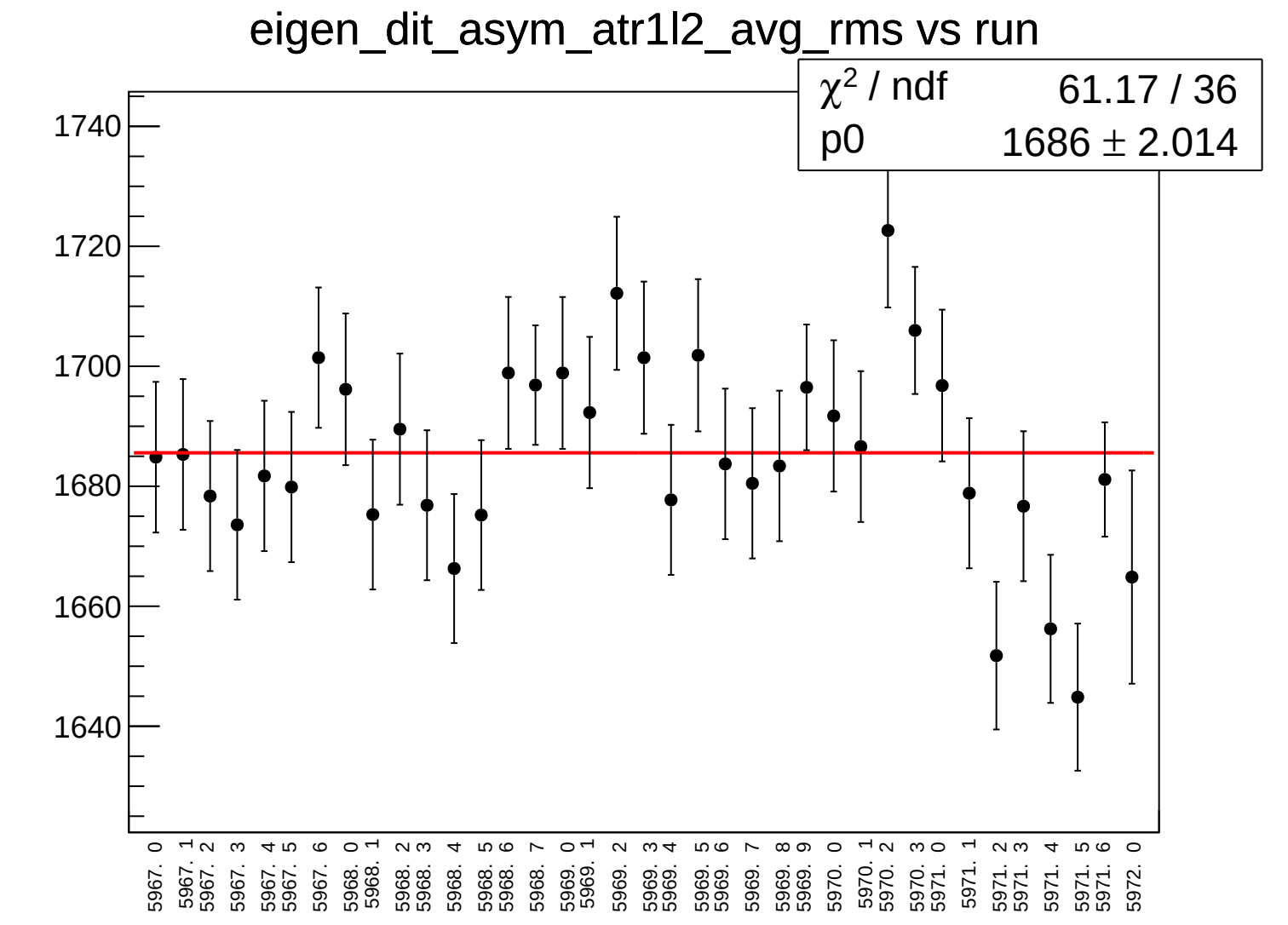
eigen_dit_asym_atr1l2_avg_rms vs run
χ² / ndf 61.17 / 36
p0 1686 ± 2.014
1740
1720
1700
1680
1660
1640
5967. 0
5967. 1
5967. 2
5967. 3
5967. 4
5967. 5
5967. 6
5968. 0
5968. 1
5968. 2
5968. 3
5968. 4
5968. 5
5968. 6
5968. 7
5969. 0
5969. 1
5969. 2
5969. 3
5969. 4
5969. 5
5969. 6
5969. 7
5969. 8
5969. 9
5970. 0
5970. 1
5970. 2
5970. 3
5971. 0
5971. 1
5971. 2
5971. 3
5971. 4
5971. 5
5971. 6
5972. 0

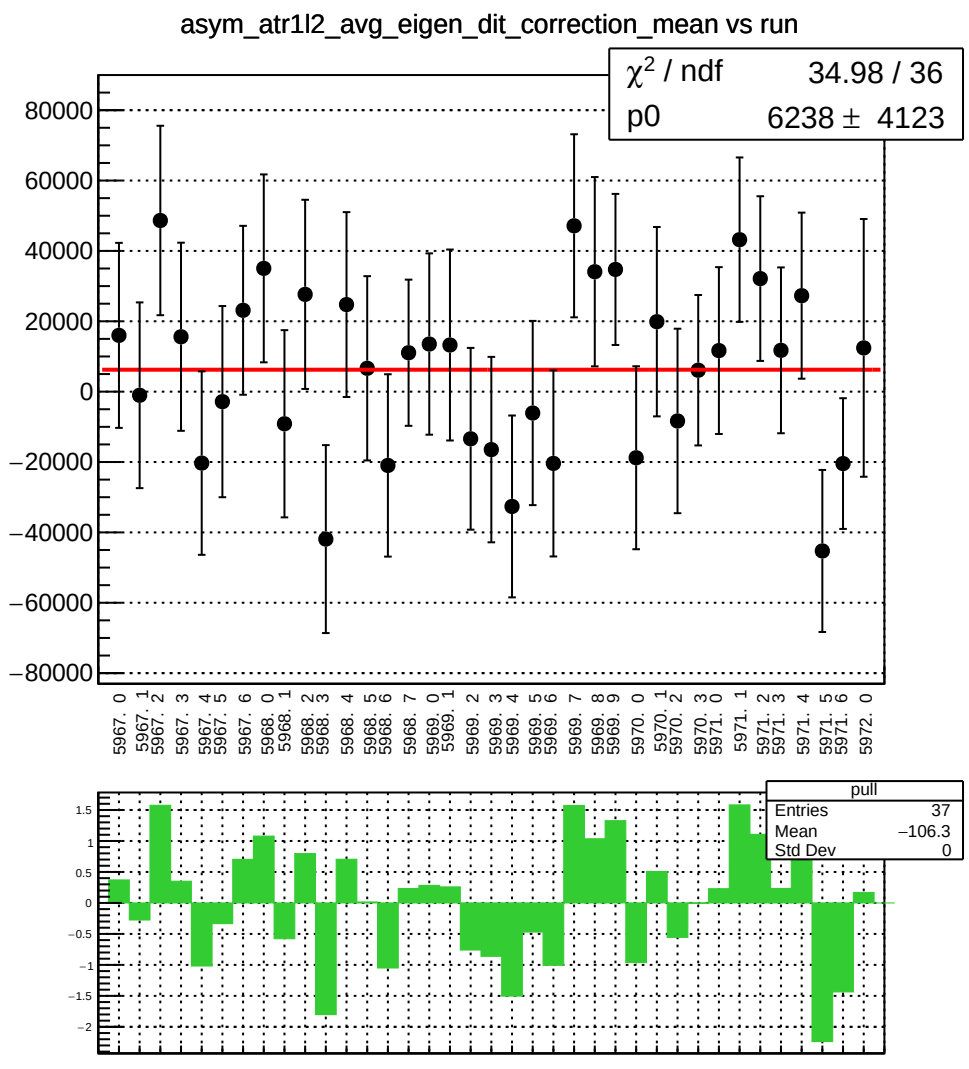
asym_atr1l2_avg_eigen_dit_correction_mean vs run
χ² / ndf 34.98 / 36
p0 6238 ± 4123
80000
60000
40000
20000
0
−20000
−40000
−60000
−80000
5967. 0
5967. 1
5967. 2
5967. 3
5967. 4
5967. 5
5967. 6
5968. 0
5968. 1
5968. 2
5968. 3
5968. 4
5968. 5
5968. 6
5968. 7
5969. 0
5969. 1
5969. 2
5969. 3
5969. 4
5969. 5
5969. 6
5969. 7
5969. 8
5969. 9
5970. 0
5970. 1
5970. 2
5970. 3
5971. 0
5971. 1
5971. 2
5971. 3
5971. 4
5971. 5
5971. 6
5972. 0
pull
Entries 37
Mean −106.3
Std Dev 0
1.5
1
0.5
0
−0.5
−1
−1.5
−2

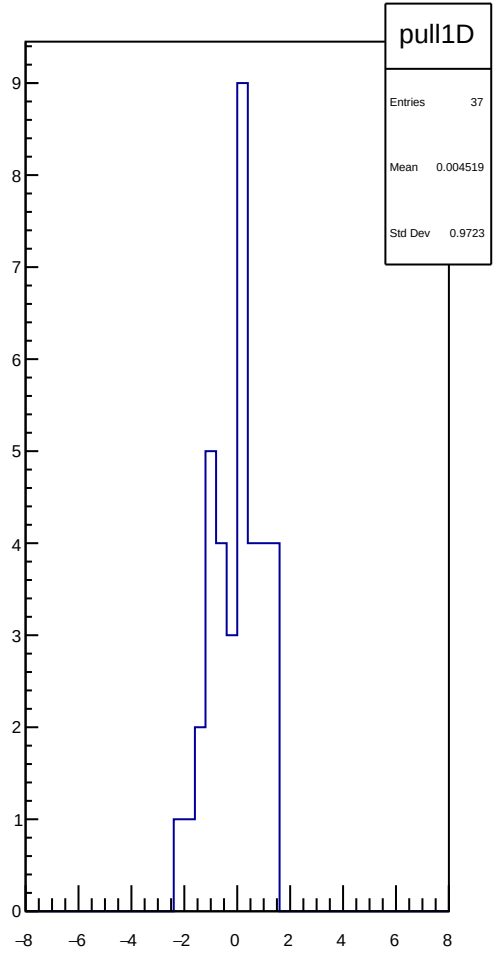
pull1D
Entries 37
Mean 0.004519
Std Dev 0.9723
9
8
7
6
5
4
3
2
1
0
−8
−6
−4
−2
0
2
4
6
8

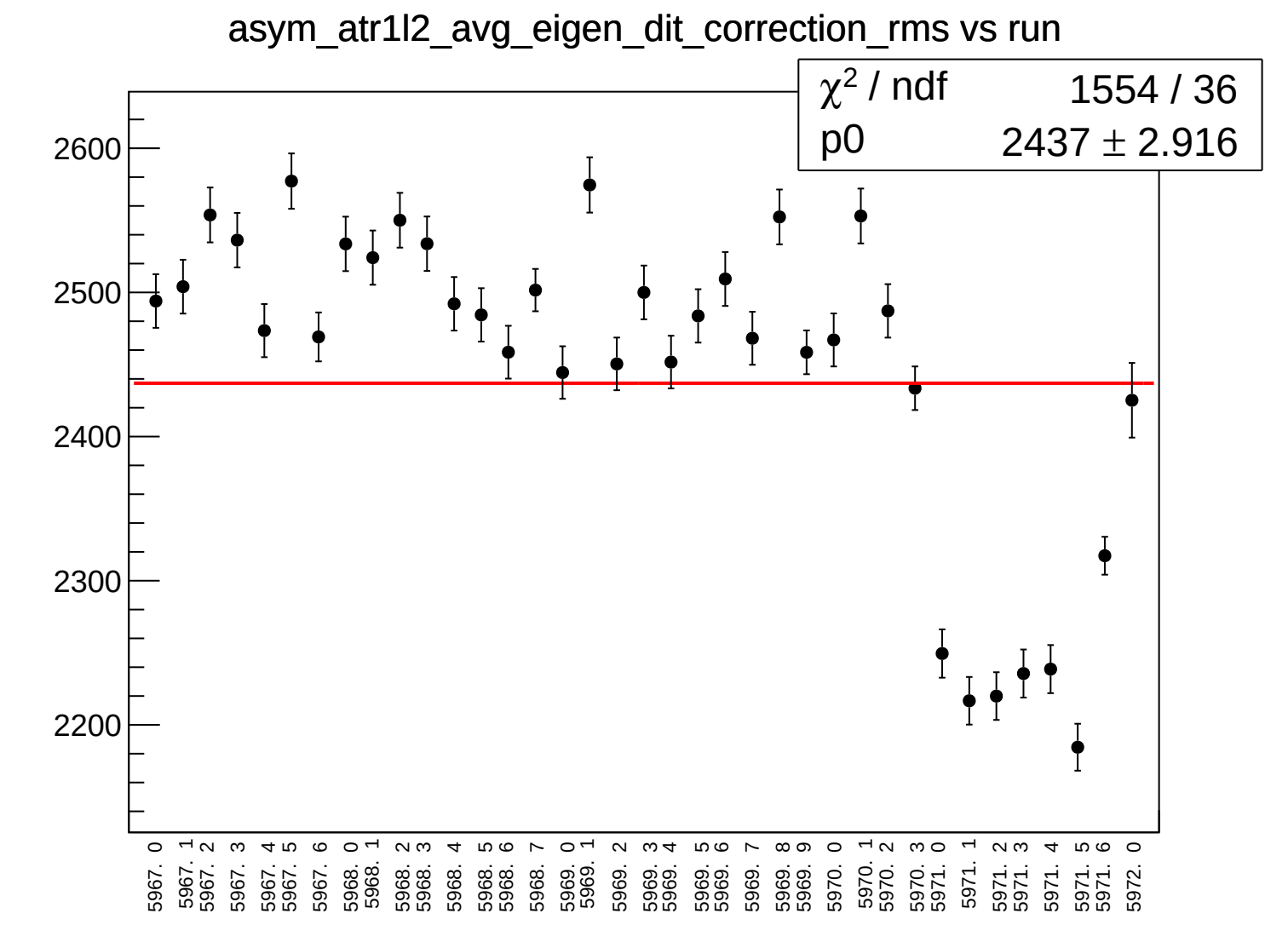
asym_atr1l2_avg_eigen_dit_correction_rms vs run
χ² / ndf 1554 / 36
p0 2437 ± 2.916
2600
2500
2400
2300
2200
5967. 0
5967. 1
5967. 2
5967. 3
5967. 4
5967. 5
5967. 6
5968. 0
5968. 1
5968. 2
5968. 3
5968. 4
5968. 5
5968. 6
5968. 7
5969. 0
5969. 1
5969. 2
5969. 3
5969. 4
5969. 5
5969. 6
5969. 7
5969. 8
5969. 9
5970. 0
5970. 1
5970. 2
5970. 3
5971. 0
5971. 1
5971. 2
5971. 3
5971. 4
5971. 5
5971. 6
5972. 0

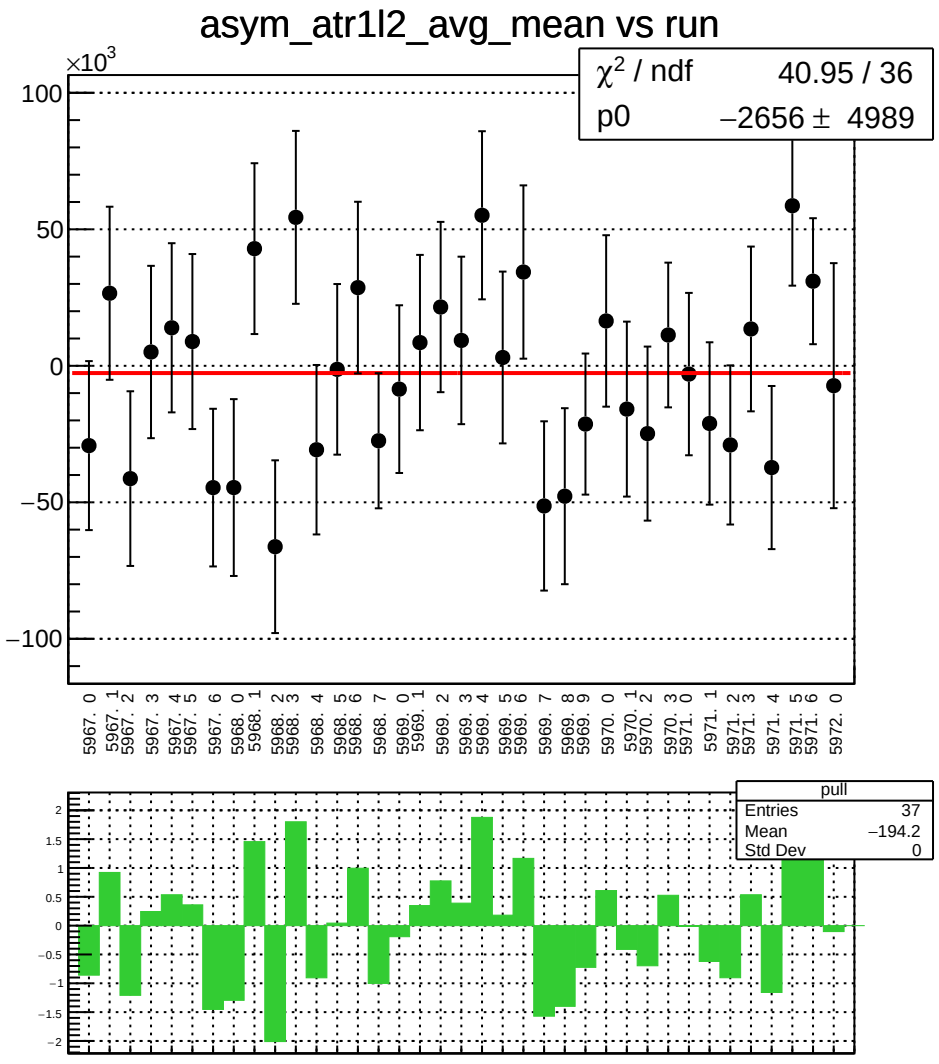
asym_atr1l2_avg_mean vs run
×10^3
χ² / ndf 40.95 / 36
p0 −2656 ± 4989
100
50
0
−50
−100
5967. 0
5967. 1
5967. 2
5967. 3
5967. 4
5967. 5
5967. 6
5968. 0
5968. 1
5968. 2
5968. 3
5968. 4
5968. 5
5968. 6
5968. 7
5969. 0
5969. 1
5969. 2
5969. 3
5969. 4
5969. 5
5969. 6
5969. 7
5969. 8
5969. 9
5970. 0
5970. 1
5970. 2
5970. 3
5971. 0
5971. 1
5971. 2
5971. 3
5971. 4
5971. 5
5971. 6
5972. 0
pull
Entries 37
Mean −194.2
Std Dev 0
2
1.5
1
0.5
0
−0.5
−1
−1.5
−2
pull1D
Entries 37
Mean −0.005537
Std Dev 1.052
6
5
4
3
2
1
0
−8
−6
−4
−2
0
2
4
6
8

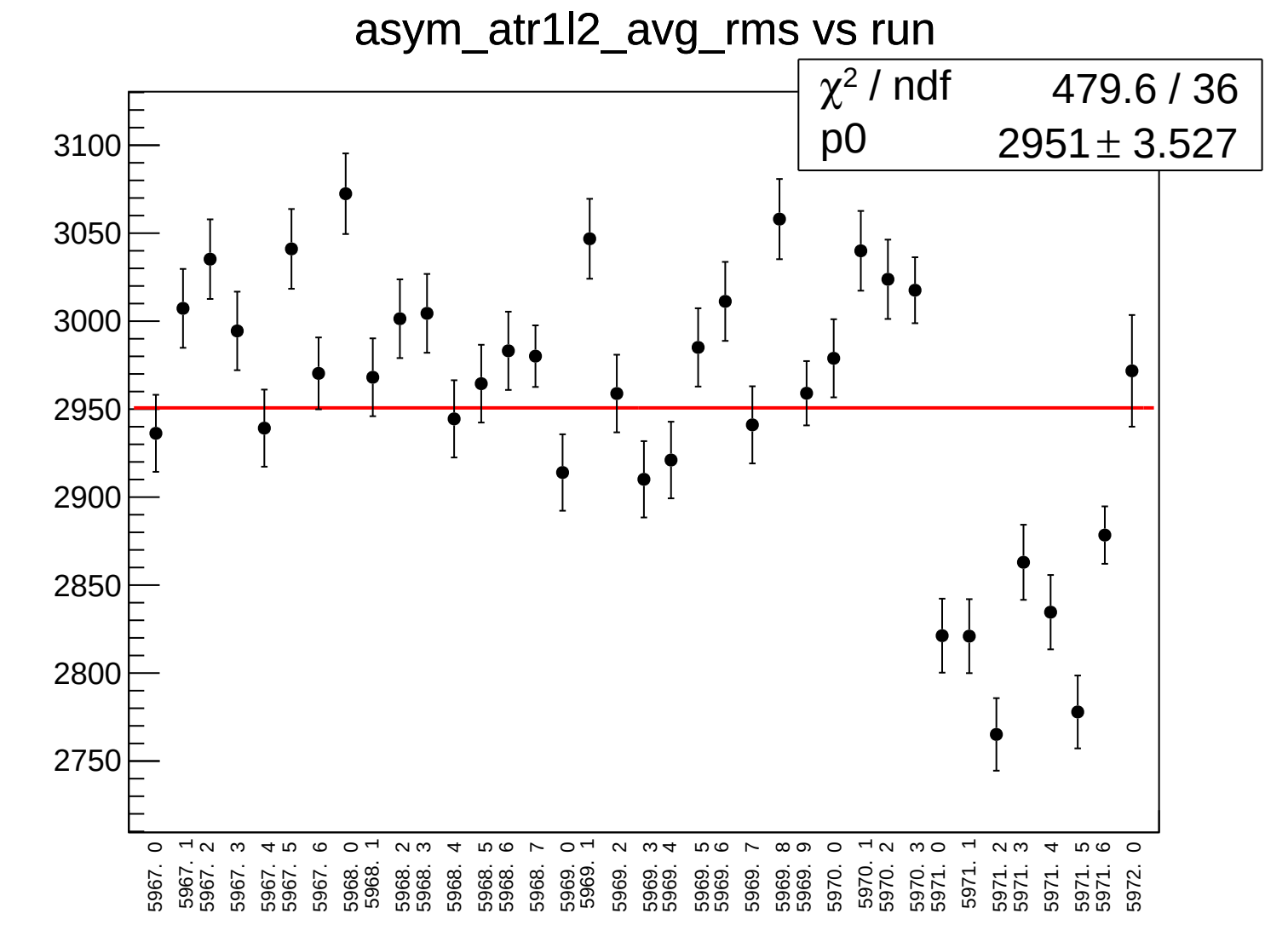
asym_atr1l2_avg_rms vs run
χ^2 / ndf 479.6 / 36
p0 2951 ± 3.527
3100
3050
3000
2950
2900
2850
2800
2750
5967. 0
5967. 1
5967. 2
5967. 3
5967. 4
5967. 5
5967. 6
5968. 0
5968. 1
5968. 2
5968. 3
5968. 4
5968. 5
5968. 6
5968. 7
5969. 0
5969. 1
5969. 2
5969. 3
5969. 4
5969. 5
5969. 6
5969. 7
5969. 8
5969. 9
5970. 0
5970. 1
5970. 2
5970. 3
5971. 0
5971. 1
5971. 2
5971. 3
5971. 4
5971. 5
5971. 6
5972. 0

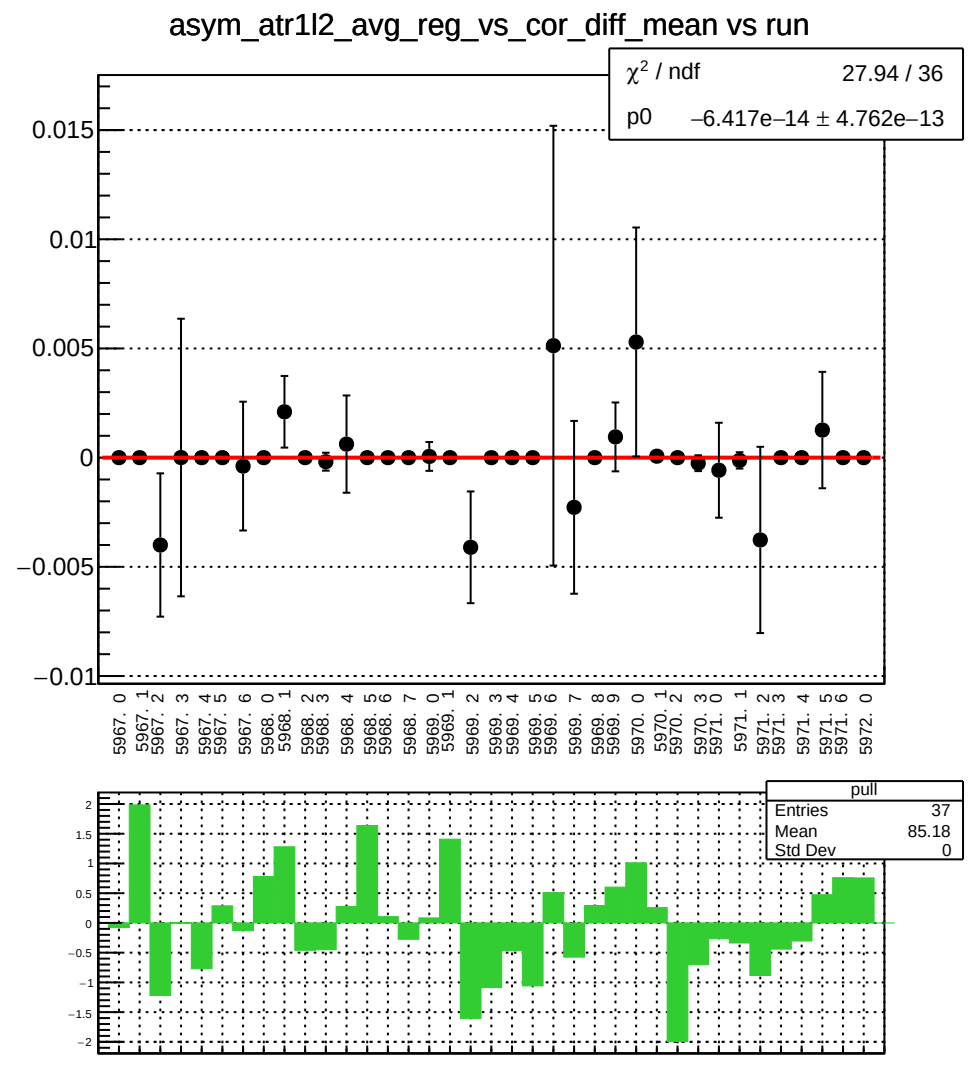
asym_atr1l2_avg_reg_vs_cor_diff_mean vs run
χ² / ndf 27.94 / 36
p0 −6.417e−14 ± 4.762e−13
0.015
0.01
0.005
0
−0.005
−0.01
5967. 0
5967. 1
5967. 2
5967. 3
5967. 4
5967. 5
5967. 6
5968. 0
5968. 1
5968. 2
5968. 3
5968. 4
5968. 5
5968. 6
5968. 7
5969. 0
5969. 1
5969. 2
5969. 3
5969. 4
5969. 5
5969. 6
5969. 7
5969. 8
5969. 9
5970. 0
5970. 1
5970. 2
5970. 3
5971. 0
5971. 1
5971. 2
5971. 3
5971. 4
5971. 5
5971. 6
5972. 0
pull
Entries 37
Mean 85.18
Std Dev 0
2
1.5
1
0.5
0
−0.5
−1
−1.5
−2
pull1D
Entries 37
Mean −0.01609
Std Dev 0.8689
7
6
5
4
3
2
1
0
−8
−6
−4
−2
0
2
4
6
8

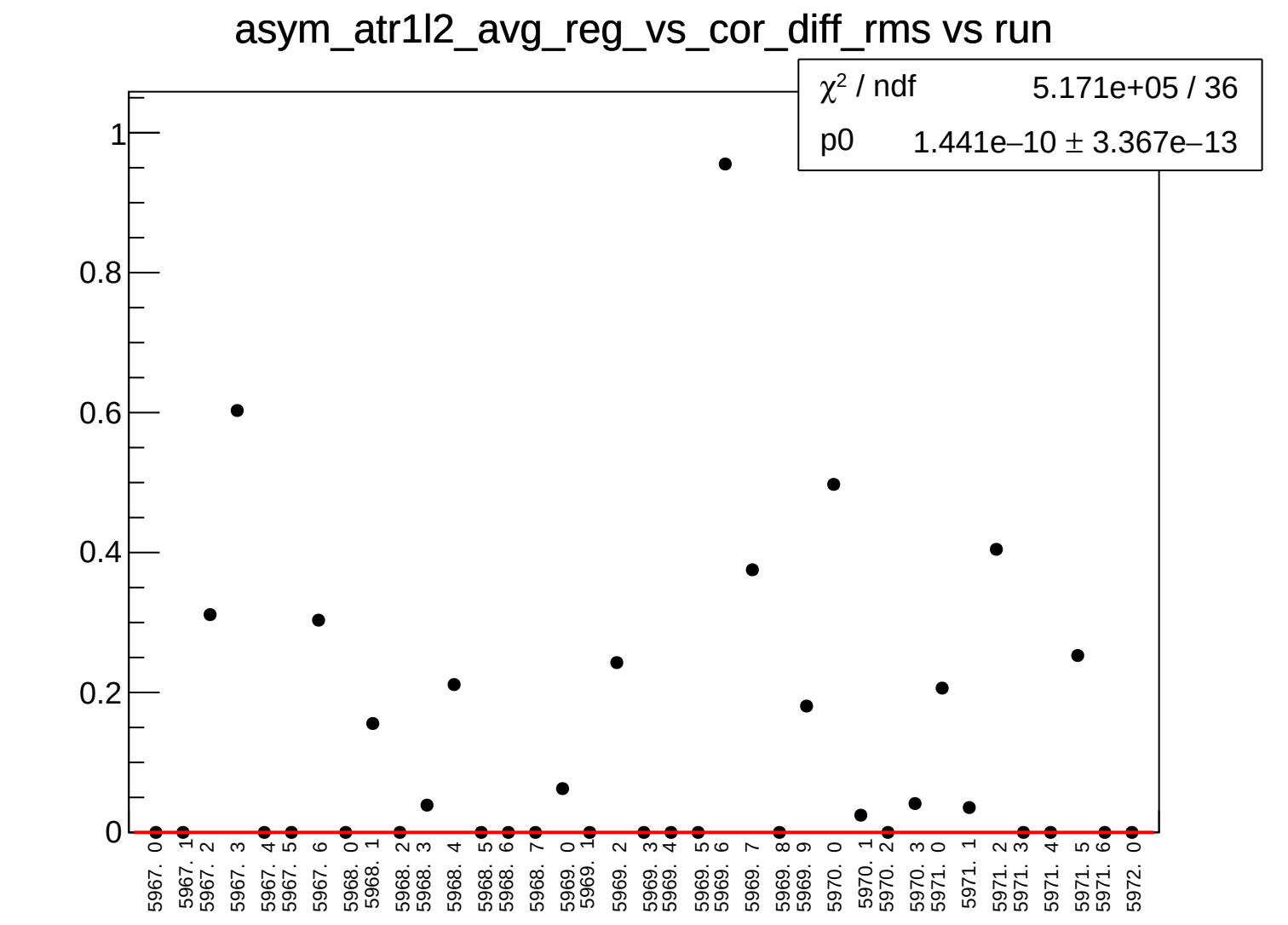
asym_atr1l2_avg_reg_vs_cor_diff_rms vs run
χ² / ndf 5.171e+05 / 36
p0 1.441e−10 ± 3.367e−13
1
0.8
0.6
0.4
0.2
0
5967. 0
5967. 1
5967. 2
5967. 3
5967. 4
5967. 5
5967. 6
5968. 0
5968. 1
5968. 2
5968. 3
5968. 4
5968. 5
5968. 6
5968. 7
5969. 0
5969. 1
5969. 2
5969. 3
5969. 4
5969. 5
5969. 6
5969. 7
5969. 8
5969. 9
5970. 0
5970. 1
5970. 2
5970. 3
5971. 0
5971. 1
5971. 2
5971. 3
5971. 4
5971. 5
5971. 6
5972. 0

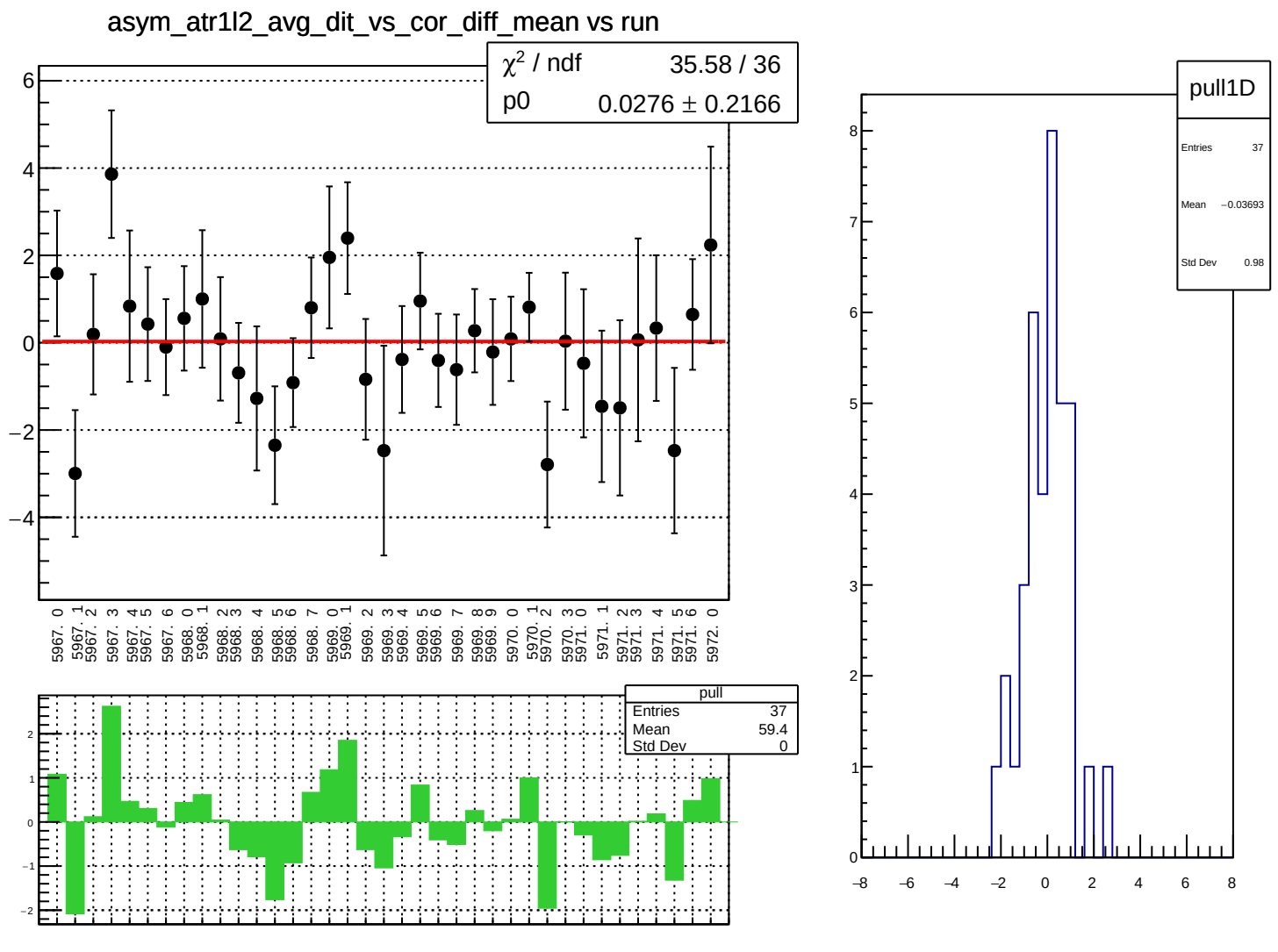
asym_atr1l2_avg_dit_vs_cor_diff_mean vs run
χ² / ndf 35.58 / 36
p0 0.0276 ± 0.2166
pull
Entries 37
Mean 59.4
Std Dev 0
pull1D
Entries 37
Mean −0.03693
Std Dev 0.98

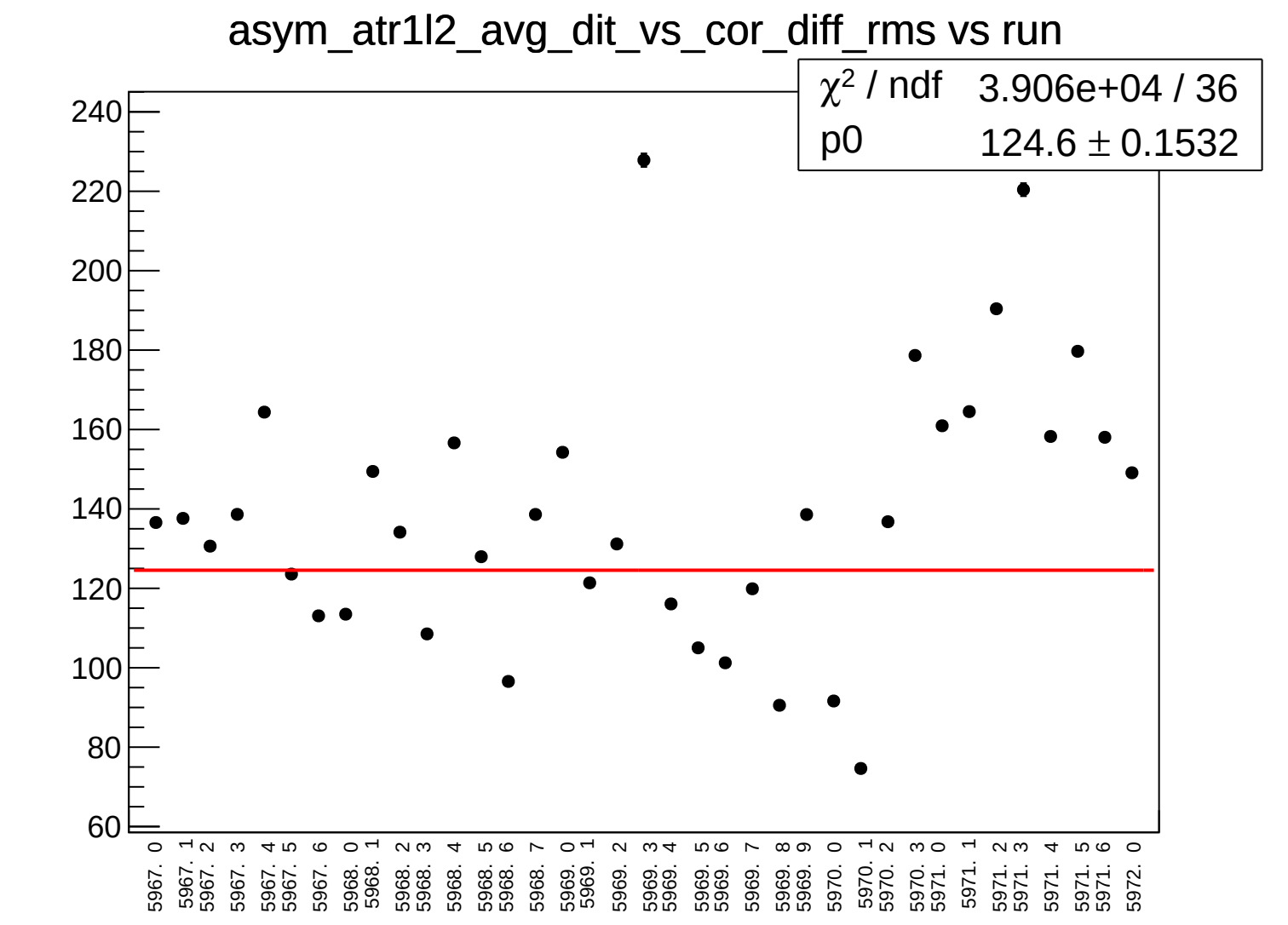
asym_atr1l2_avg_dit_vs_cor_diff_rms vs run
χ² / ndf 3.906e+04 / 36
p0 124.6 ± 0.1532
240
220
200
180
160
140
120
100
80
60
5967. 0
5967. 1
5967. 2
5967. 3
5967. 4
5967. 5
5967. 6
5968. 0
5968. 1
5968. 2
5968. 3
5968. 4
5968. 5
5968. 6
5968. 7
5969. 0
5969. 1
5969. 2
5969. 3
5969. 4
5969. 5
5969. 6
5969. 7
5969. 8
5969. 9
5970. 0
5970. 1
5970. 2
5970. 3
5971. 0
5971. 1
5971. 2
5971. 3
5971. 4
5971. 5
5971. 6
5972. 0

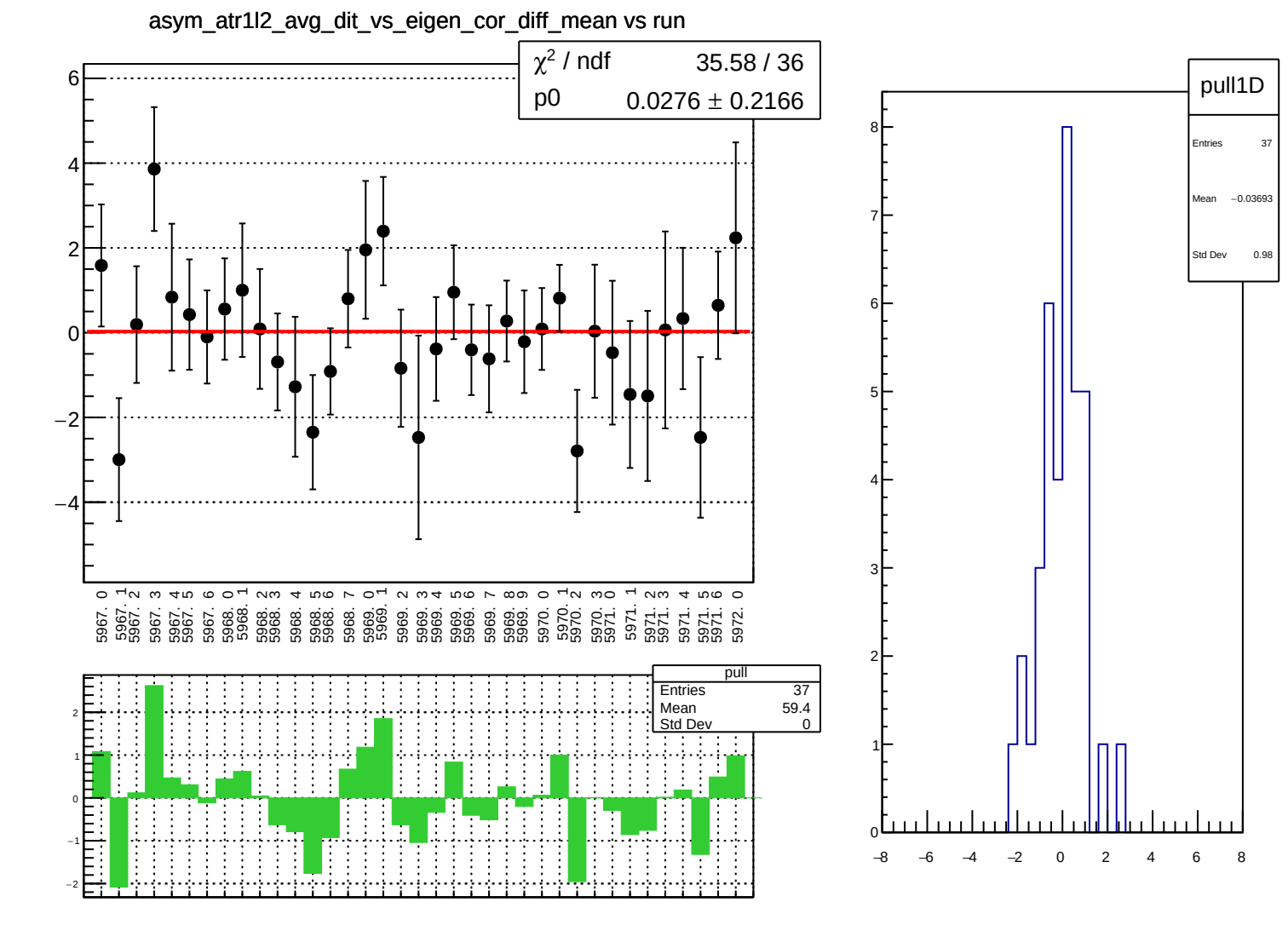
asym_atr1l2_avg_dit_vs_eigen_cor_diff_mean vs run
χ² / ndf 35.58 / 36
p0 0.0276 ± 0.2166
pull
Entries 37
Mean 59.4
Std Dev 0
pull1D
Entries 37
Mean −0.03693
Std Dev 0.98

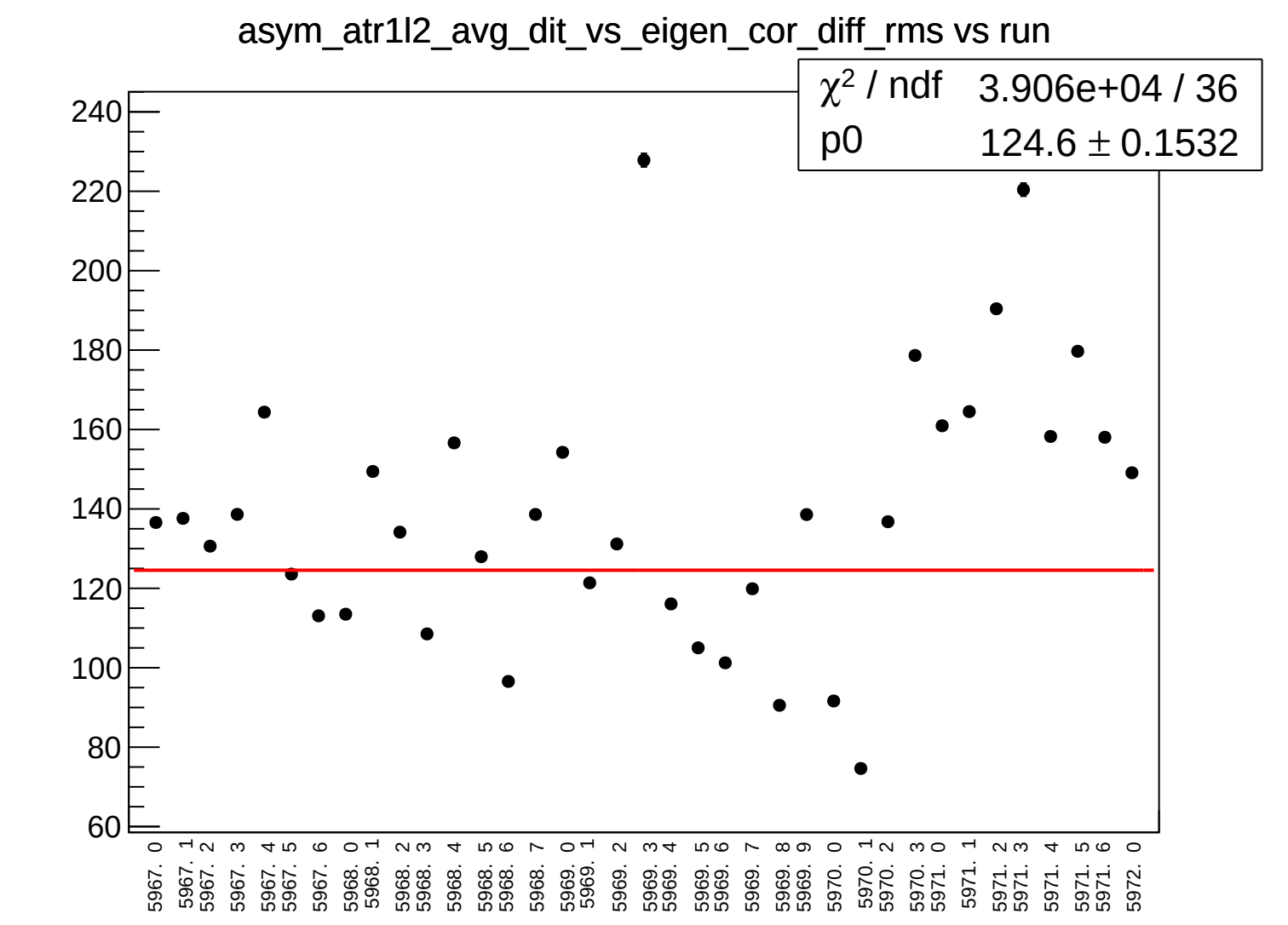
asym_atr1l2_avg_dit_vs_eigen_cor_diff_rms vs run
χ² / ndf 3.906e+04 / 36
p0 124.6 ± 0.1532
240
220
200
180
160
140
120
100
80
60
5967. 0
5967. 1
5967. 2
5967. 3
5967. 4
5967. 5
5967. 6
5968. 0
5968. 1
5968. 2
5968. 3
5968. 4
5968. 5
5968. 6
5968. 7
5969. 0
5969. 1
5969. 2
5969. 3
5969. 4
5969. 5
5969. 6
5969. 7
5969. 8
5969. 9
5970. 0
5970. 1
5970. 2
5970. 3
5971. 0
5971. 1
5971. 2
5971. 3
5971. 4
5971. 5
5971. 6
5972. 0

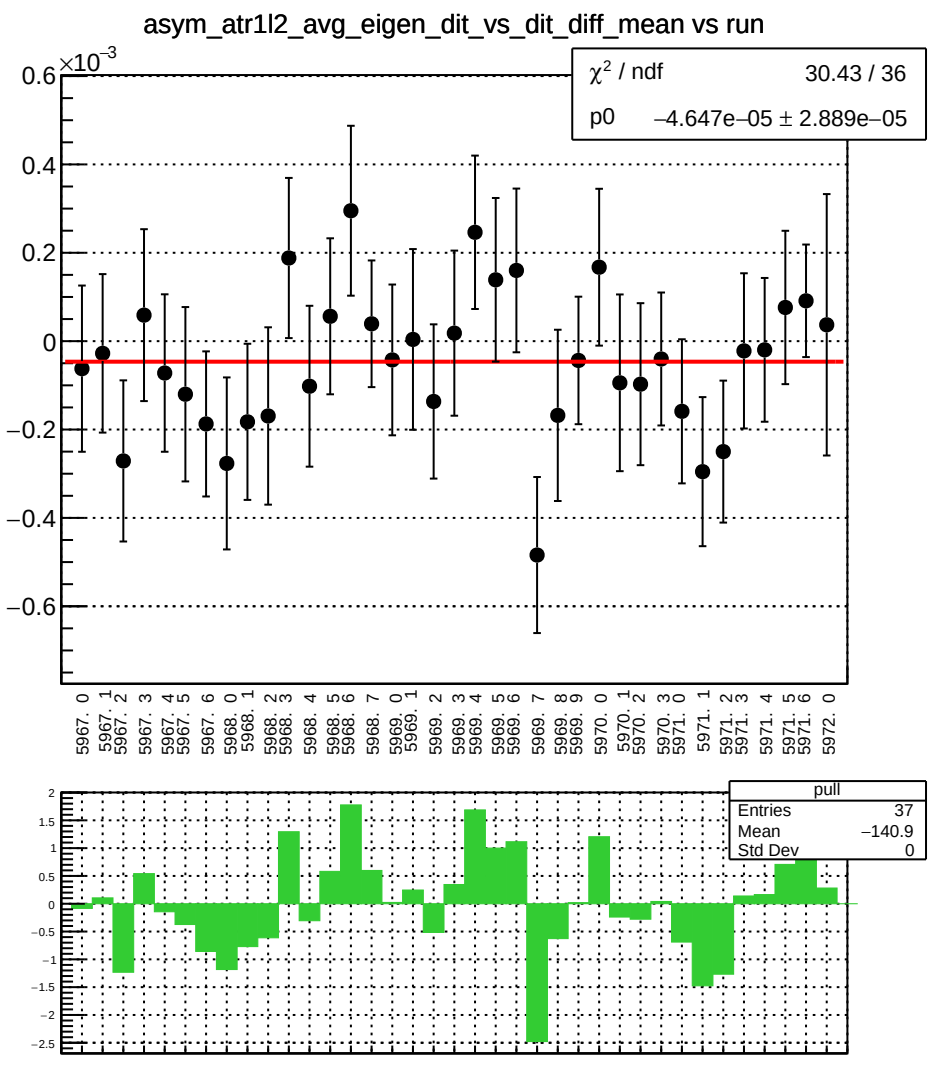
asym_atr1l2_avg_eigen_dit_vs_dit_diff_mean vs run
×10⁻³
χ² / ndf 30.43 / 36
p0 −4.647e−05 ± 2.889e−05
pull
Entries 37
Mean −140.9
Std Dev 0

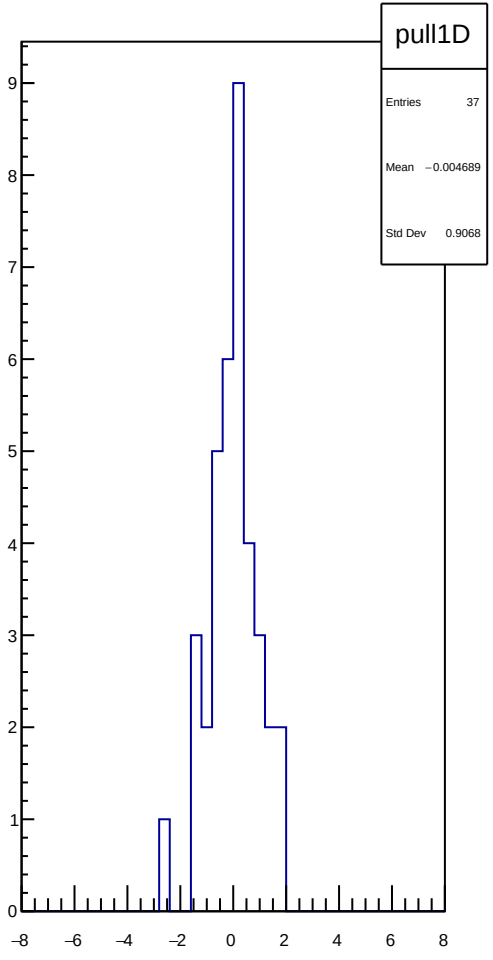
pull1D
Entries 37
Mean −0.004689
Std Dev 0.9068

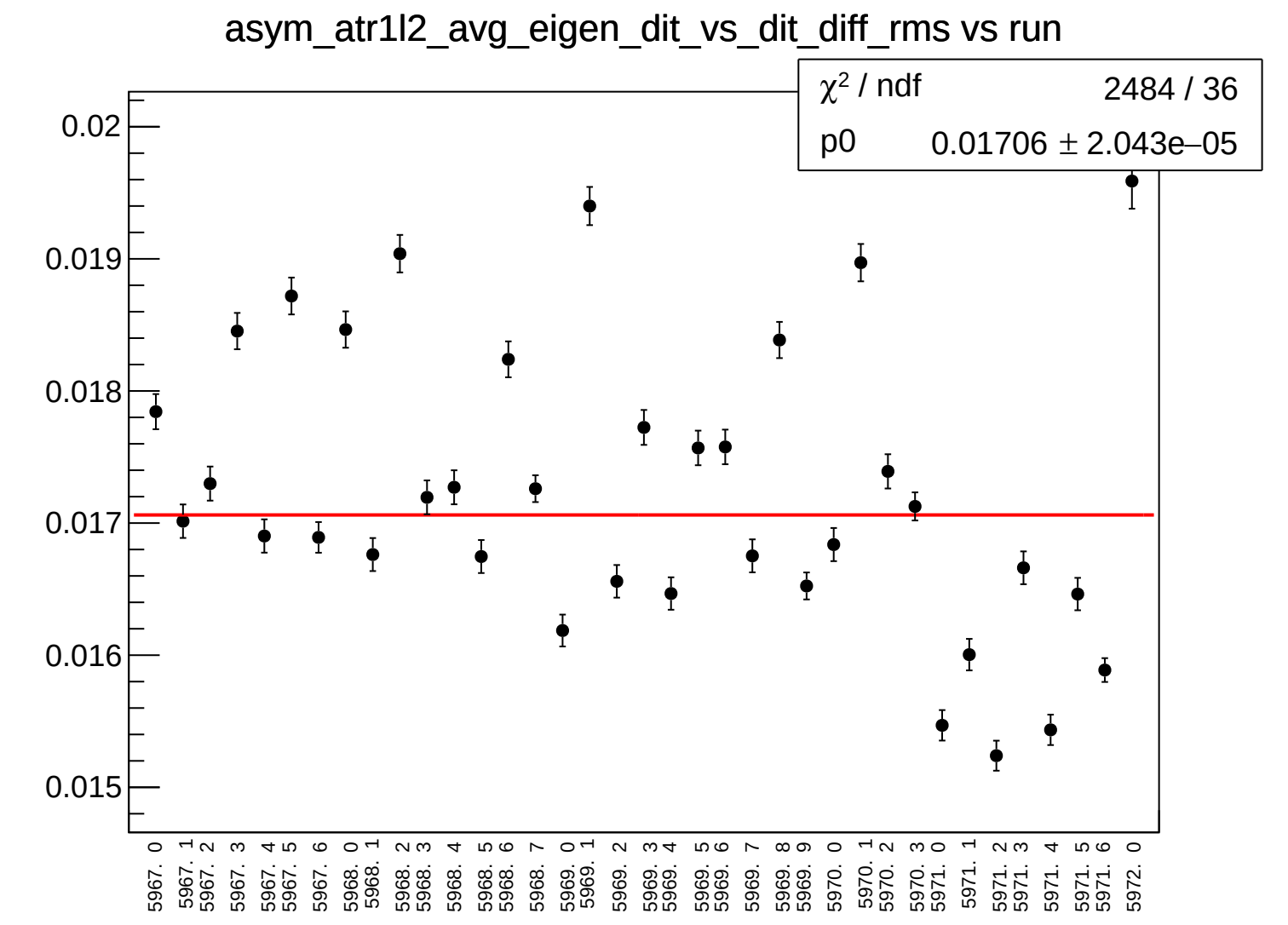
asym_atr1l2_avg_eigen_dit_vs_dit_diff_rms vs run
χ² / ndf 2484 / 36
p0 0.01706 ± 2.043e−05
0.02
0.019
0.018
0.017
0.016
0.015
5967. 0
5967. 1
5967. 2
5967. 3
5967. 4
5967. 5
5967. 6
5968. 0
5968. 1
5968. 2
5968. 3
5968. 4
5968. 5
5968. 6
5968. 7
5969. 0
5969. 1
5969. 2
5969. 3
5969. 4
5969. 5
5969. 6
5969. 7
5969. 8
5969. 9
5970. 0
5970. 1
5970. 2
5970. 3
5971. 0
5971. 1
5971. 2
5971. 3
5971. 4
5971. 5
5971. 6
5972. 0

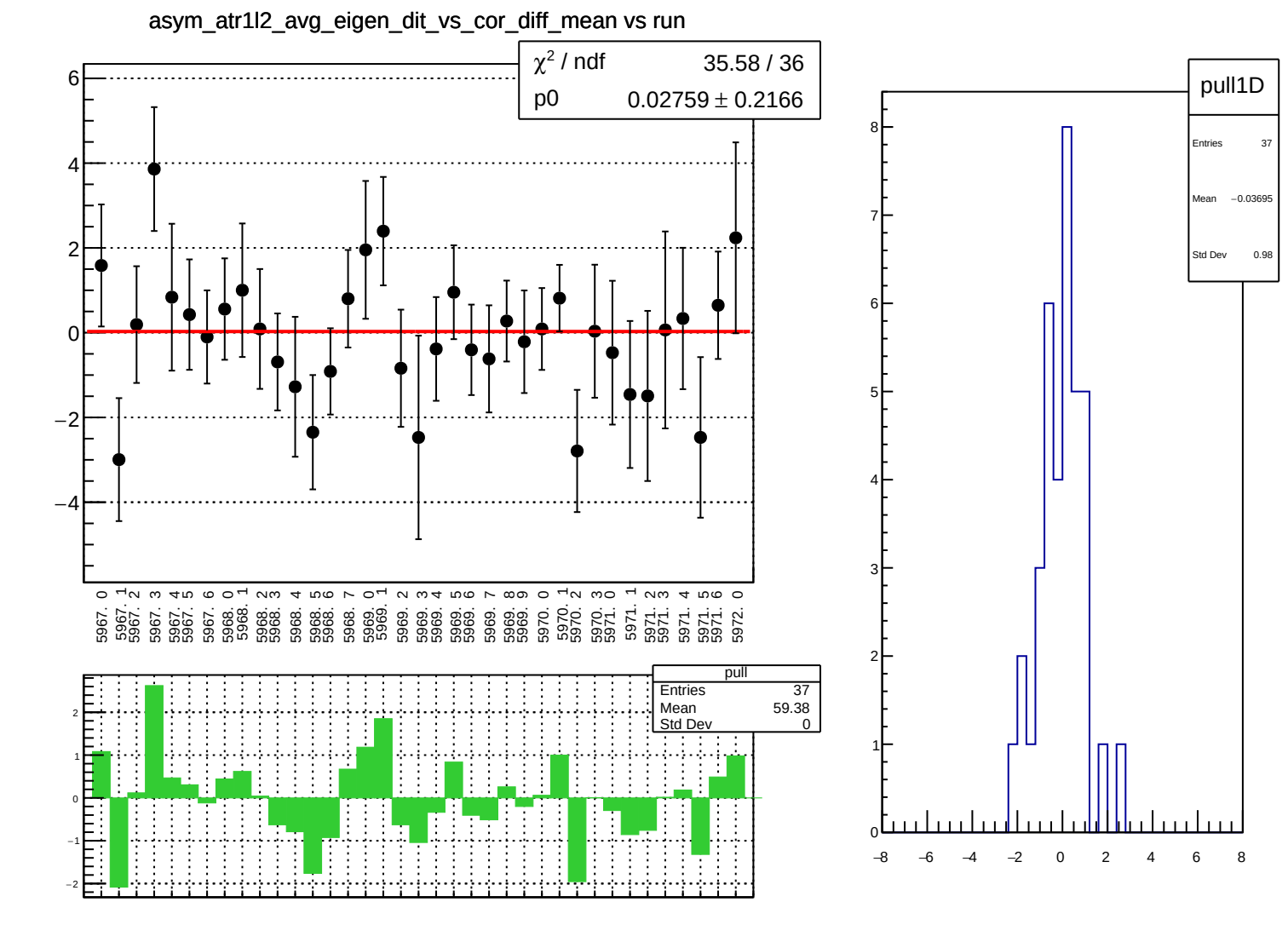
asym_atr1l2_avg_eigen_dit_vs_cor_diff_mean vs run
χ² / ndf 35.58 / 36
p0 0.02759 ± 0.2166
pull
Entries 37
Mean 59.38
Std Dev 0
pull1D
Entries 37
Mean −0.03695
Std Dev 0.98

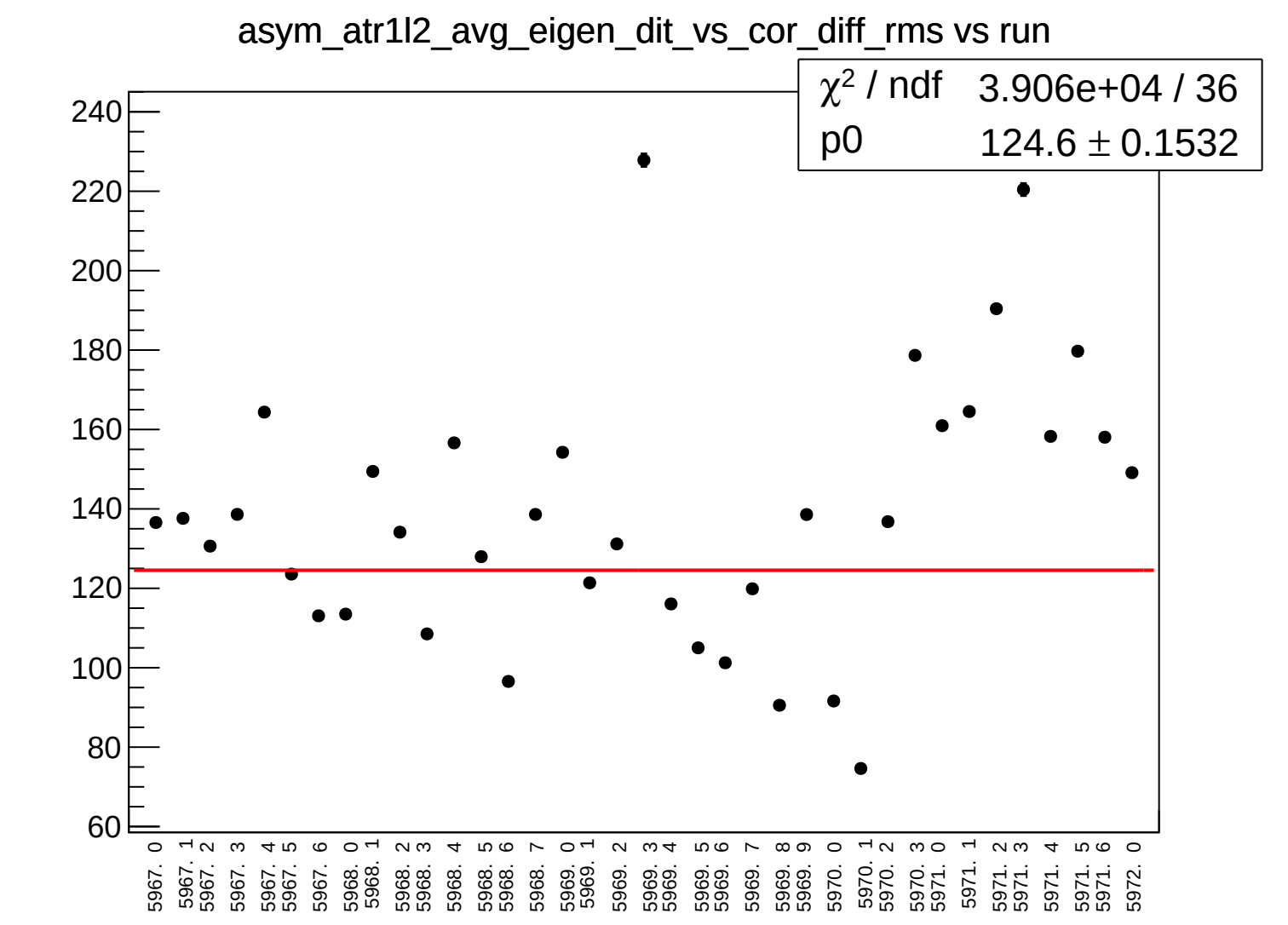
asym_atr1l2_avg_eigen_dit_vs_cor_diff_rms vs run
χ² / ndf 3.906e+04 / 36
p0 124.6 ± 0.1532
240
220
200
180
160
140
120
100
80
60
5967. 0
5967. 1
5967. 2
5967. 3
5967. 4
5967. 5
5967. 6
5968. 0
5968. 1
5968. 2
5968. 3
5968. 4
5968. 5
5968. 6
5968. 7
5969. 0
5969. 1
5969. 2
5969. 3
5969. 4
5969. 5
5969. 6
5969. 7
5969. 8
5969. 9
5970. 0
5970. 1
5970. 2
5970. 3
5971. 0
5971. 1
5971. 2
5971. 3
5971. 4
5971. 5
5971. 6
5972. 0

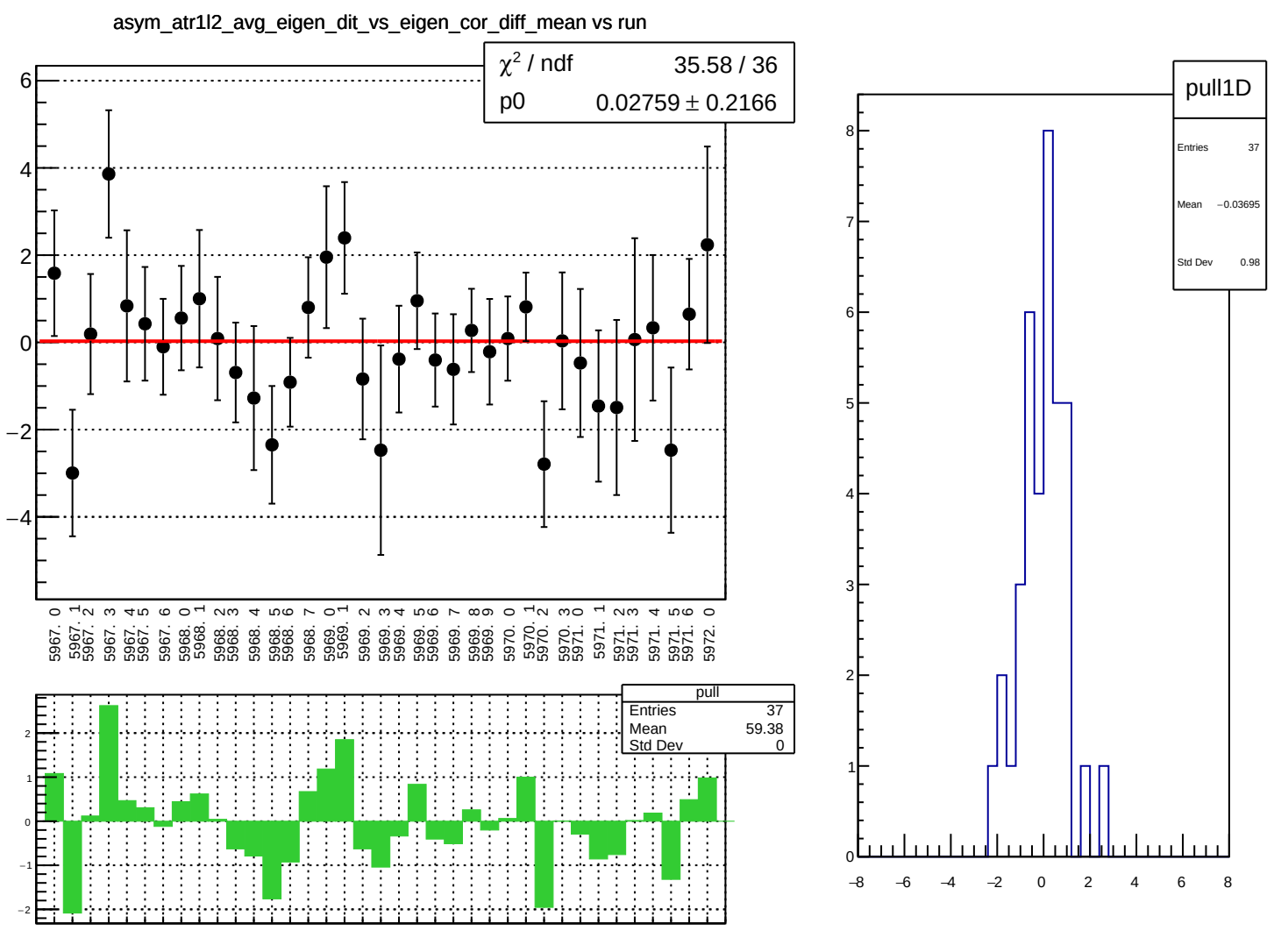
asym_atr1l2_avg_eigen_dit_vs_eigen_cor_diff_mean vs run
χ² / ndf 35.58 / 36
p0 0.02759 ± 0.2166
pull
Entries 37
Mean 59.38
Std Dev 0
pull1D
Entries 37
Mean −0.03695
Std Dev 0.98

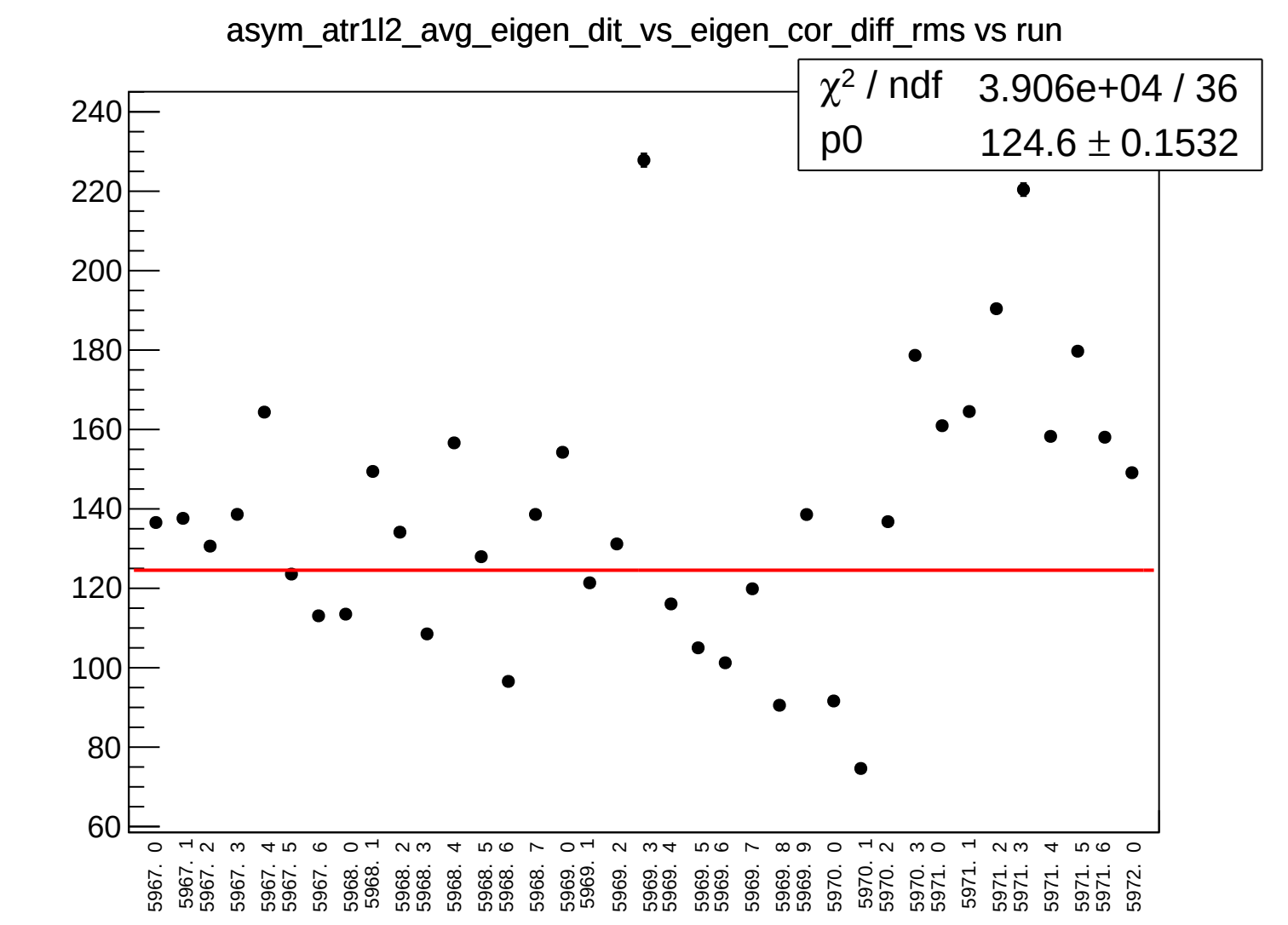
asym_atr1l2_avg_eigen_dit_vs_eigen_cor_diff_rms vs run
χ² / ndf 3.906e+04 / 36
p0 124.6 ± 0.1532
240
220
200
180
160
140
120
100
80
60
5967. 0
5967. 1
5967. 2
5967. 3
5967. 4
5967. 5
5967. 6
5968. 0
5968. 1
5968. 2
5968. 3
5968. 4
5968. 5
5968. 6
5968. 7
5969. 0
5969. 1
5969. 2
5969. 3
5969. 4
5969. 5
5969. 6
5969. 7
5969. 8
5969. 9
5970. 0
5970. 1
5970. 2
5970. 3
5971. 0
5971. 1
5971. 2
5971. 3
5971. 4
5971. 5
5971. 6
5972. 0

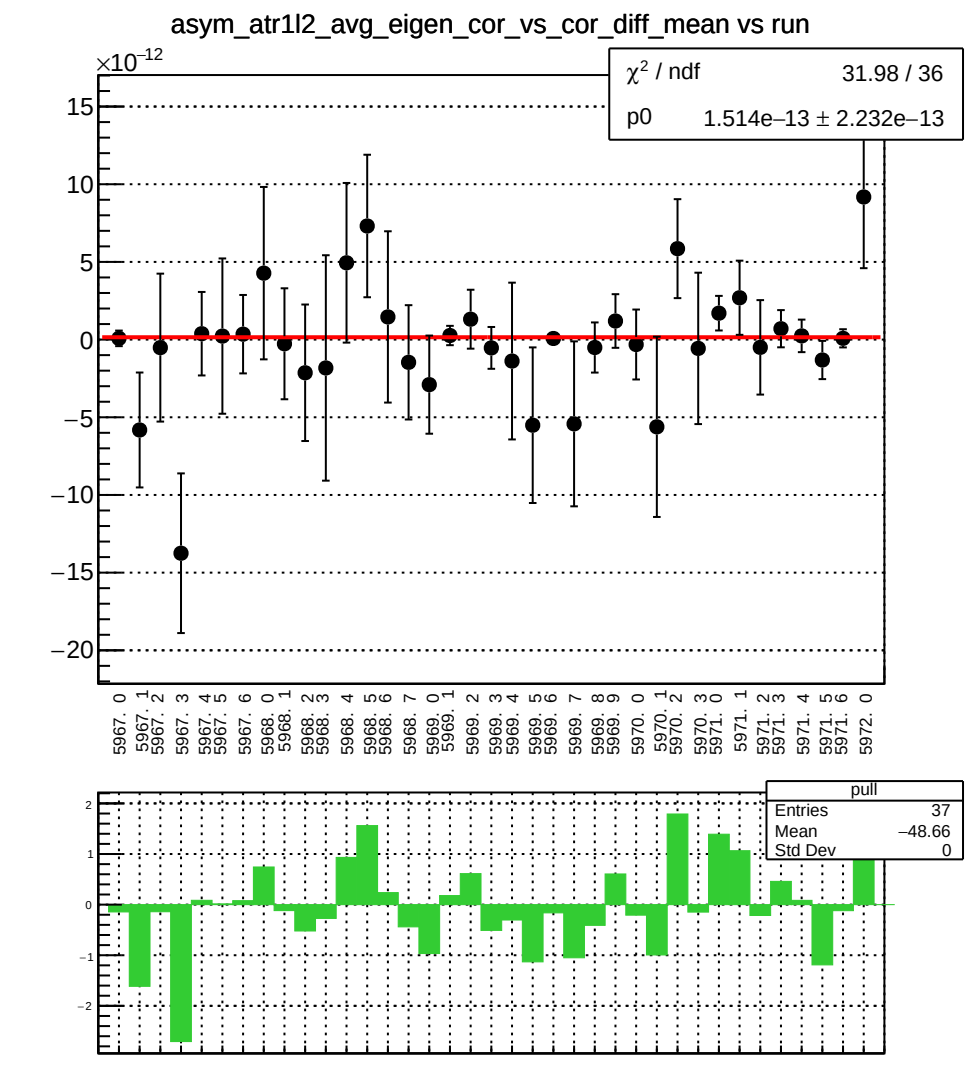
asym_atr1l2_avg_eigen_cor_vs_cor_diff_mean vs run
×10⁻¹²
χ² / ndf 31.98 / 36
p0 1.514e−13 ± 2.232e−13
15
10
5
0
−5
−10
−15
−20
5967. 0
5967. 1
5967. 2
5967. 3
5967. 4
5967. 5
5967. 6
5968. 0
5968. 1
5968. 2
5968. 3
5968. 4
5968. 5
5968. 6
5968. 7
5969. 0
5969. 1
5969. 2
5969. 3
5969. 4
5969. 5
5969. 6
5969. 7
5969. 8
5969. 9
5970. 0
5970. 1
5970. 2
5970. 3
5971. 0
5971. 1
5971. 2
5971. 3
5971. 4
5971. 5
5971. 6
5972. 0
pull
Entries 37
Mean −48.66
Std Dev 0
2
1
0
−1
−2

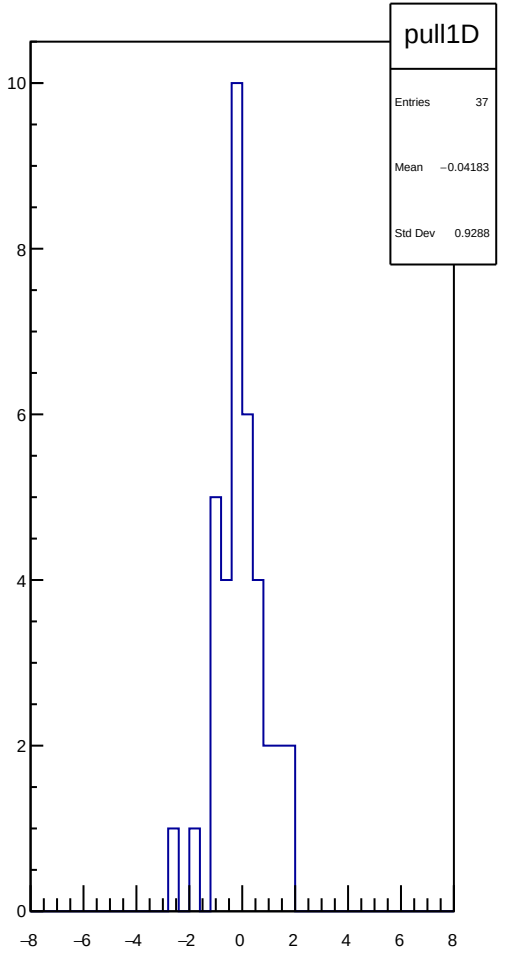
pull1D
Entries 37
Mean −0.04183
Std Dev 0.9288
10
8
6
4
2
0
−8
−6
−4
−2
0
2
4
6
8

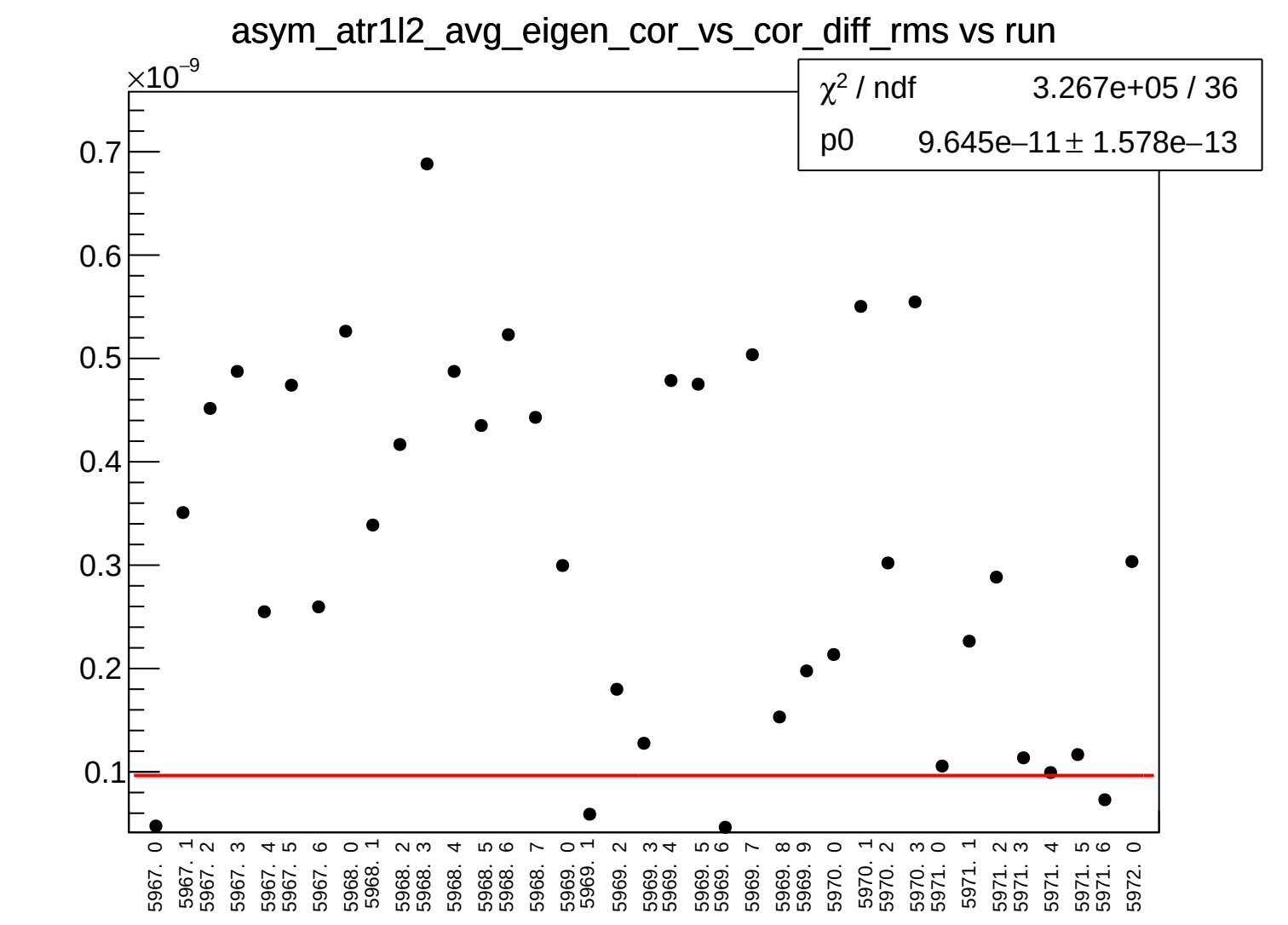
asym_atr1l2_avg_eigen_cor_vs_cor_diff_rms vs run
×10⁻⁹
χ² / ndf 3.267e+05 / 36
p0 9.645e−11 ± 1.578e−13
0.7
0.6
0.5
0.4
0.3
0.2
0.1
5967. 0
5967. 1
5967. 2
5967. 3
5967. 4
5967. 5
5967. 6
5968. 0
5968. 1
5968. 2
5968. 3
5968. 4
5968. 5
5968. 6
5968. 7
5969. 0
5969. 1
5969. 2
5969. 3
5969. 4
5969. 5
5969. 6
5969. 7
5969. 8
5969. 9
5970. 0
5970. 1
5970. 2
5970. 3
5971. 0
5971. 1
5971. 2
5971. 3
5971. 4
5971. 5
5971. 6
5972. 0

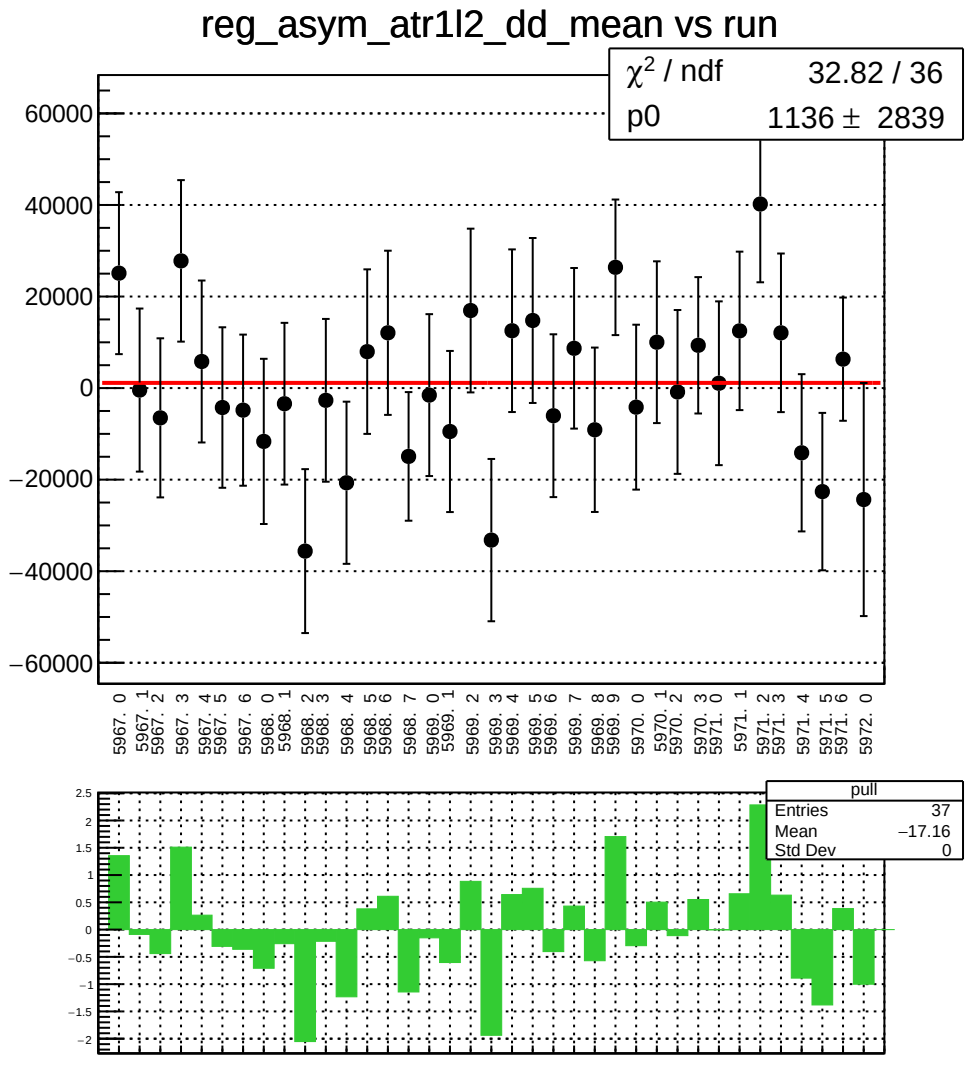
reg_asym_atr1l2_dd_mean vs run
χ² / ndf 32.82 / 36
p0 1136 ± 2839
60000
40000
20000
0
−20000
−40000
−60000
5967. 0
5967. 1
5967. 2
5967. 3
5967. 4
5967. 5
5967. 6
5968. 0
5968. 1
5968. 2
5968. 3
5968. 4
5968. 5
5968. 6
5968. 7
5969. 0
5969. 1
5969. 2
5969. 3
5969. 4
5969. 5
5969. 6
5969. 7
5969. 8
5969. 9
5970. 0
5970. 1
5970. 2
5970. 3
5971. 0
5971. 1
5971. 2
5971. 3
5971. 4
5971. 5
5971. 6
5972. 0
pull
Entries 37
Mean −17.16
Std Dev 0
2.5
2
1.5
1
0.5
0
−0.5
−1
−1.5
−2
pull1D
Entries 37
Mean −0.01614
Std Dev 0.9417
9
8
7
6
5
4
3
2
1
0
−8
−6
−4
−2
0
2
4
6
8

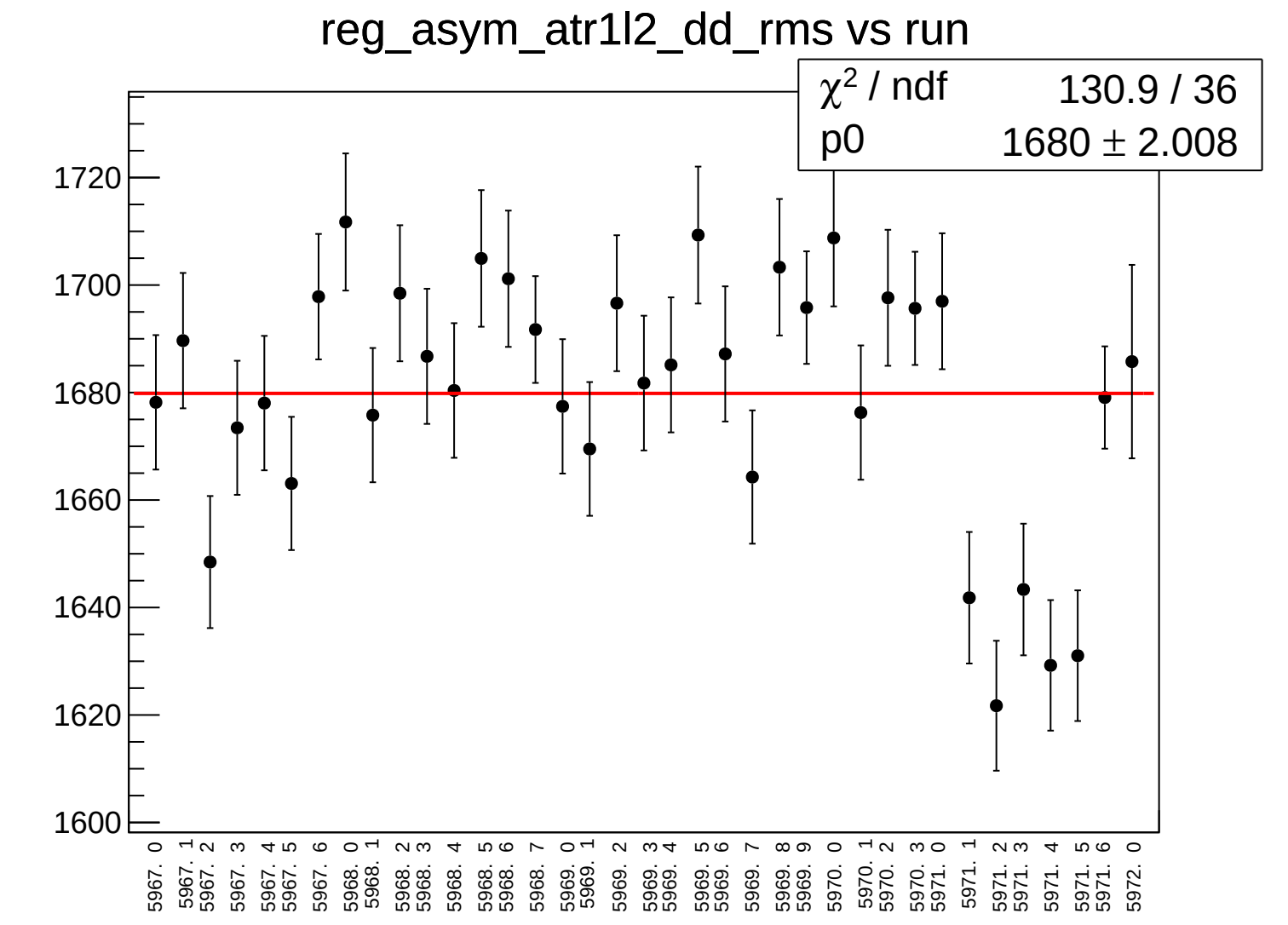
reg_asym_atr1l2_dd_rms vs run
χ² / ndf 130.9 / 36
p0 1680 ± 2.008
1720
1700
1680
1660
1640
1620
1600
5967. 0
5967. 1
5967. 2
5967. 3
5967. 4
5967. 5
5967. 6
5968. 0
5968. 1
5968. 2
5968. 3
5968. 4
5968. 5
5968. 6
5968. 7
5969. 0
5969. 1
5969. 2
5969. 3
5969. 4
5969. 5
5969. 6
5969. 7
5969. 8
5969. 9
5970. 0
5970. 1
5970. 2
5970. 3
5971. 0
5971. 1
5971. 2
5971. 3
5971. 4
5971. 5
5971. 6
5972. 0

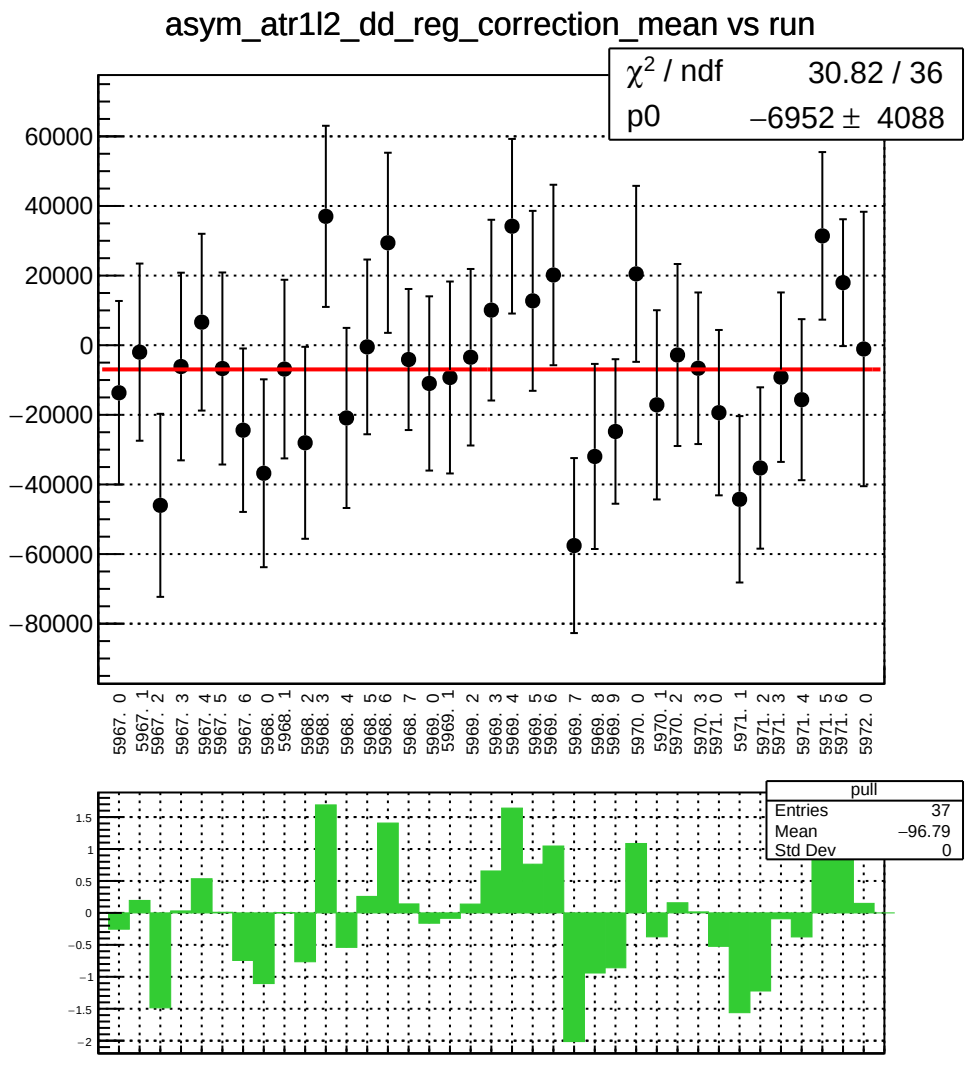
asym_atr1l2_dd_reg_correction_mean vs run
χ² / ndf 30.82 / 36
p0 −6952 ± 4088
60000
40000
20000
0
−20000
−40000
−60000
−80000
5967. 0
5967. 1
5967. 2
5967. 3
5967. 4
5967. 5
5967. 6
5968. 0
5968. 1
5968. 2
5968. 3
5968. 4
5968. 5
5968. 6
5968. 7
5969. 0
5969. 1
5969. 2
5969. 3
5969. 4
5969. 5
5969. 6
5969. 7
5969. 8
5969. 9
5970. 0
5970. 1
5970. 2
5970. 3
5971. 0
5971. 1
5971. 2
5971. 3
5971. 4
5971. 5
5971. 6
5972. 0
pull
Entries 37
Mean −96.79
Std Dev 0
1.5
1
0.5
0
−0.5
−1
−1.5
−2

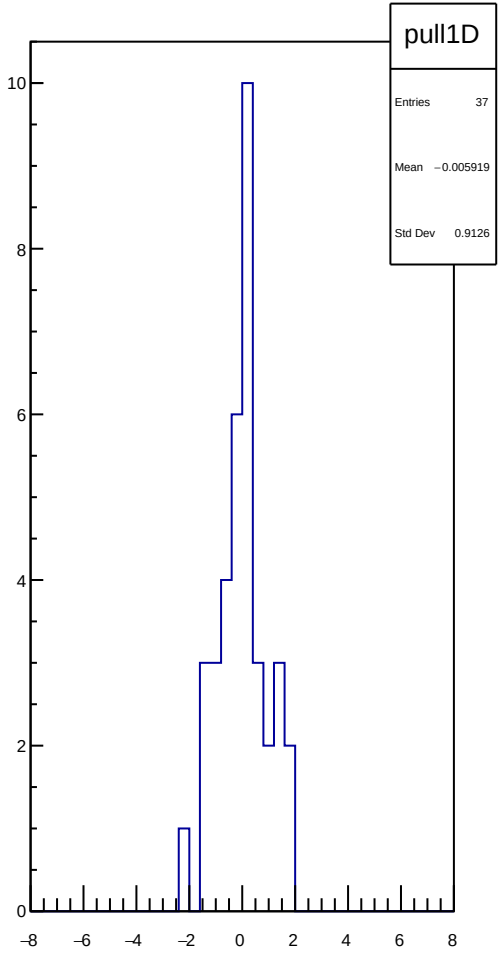
pull1D
Entries 37
Mean −0.005919
Std Dev 0.9126
10
8
6
4
2
0
−8
−6
−4
−2
0
2
4
6
8

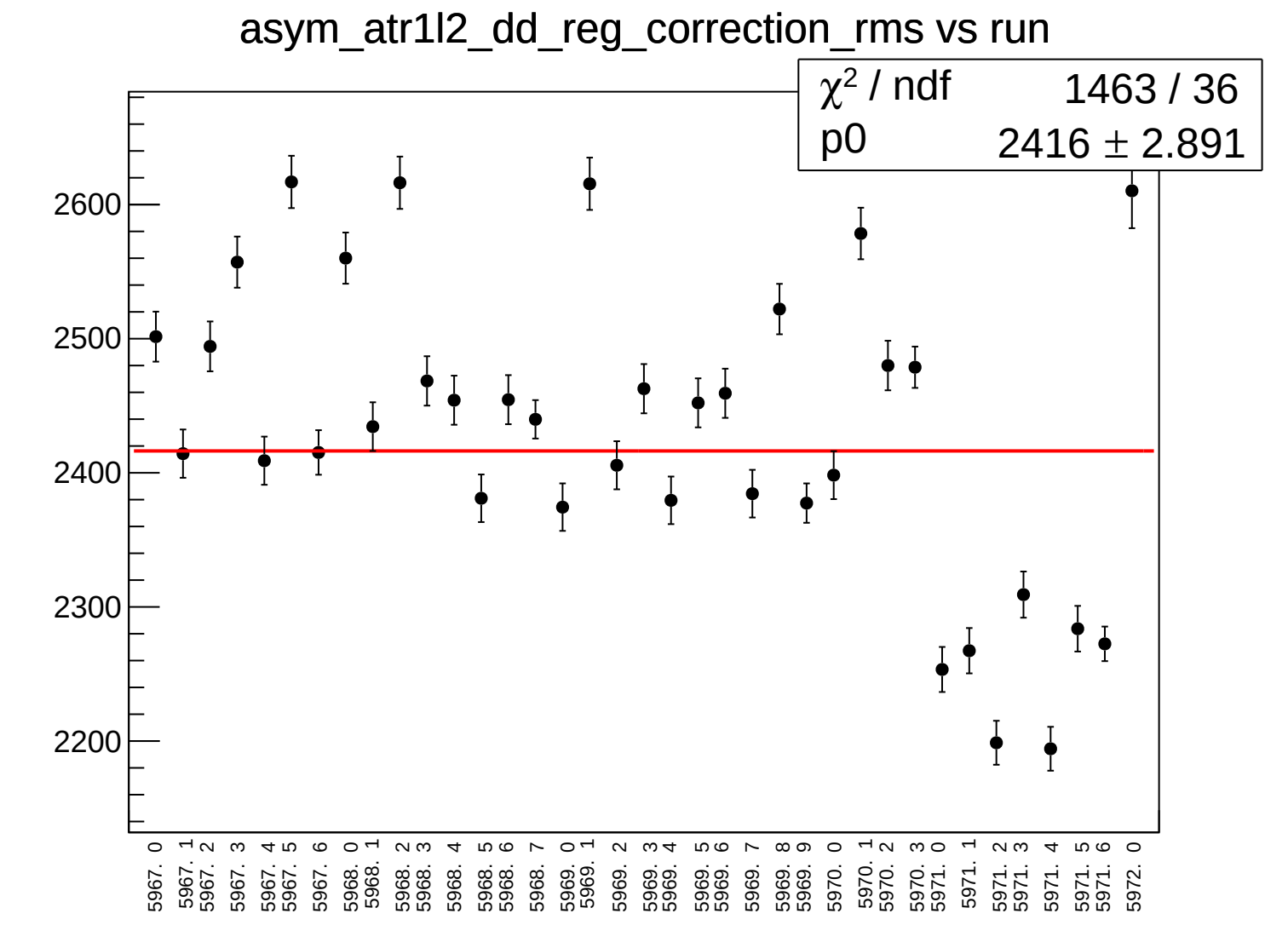
asym_atr1l2_dd_reg_correction_rms vs run
χ² / ndf 1463 / 36
p0 2416 ± 2.891
2600
2500
2400
2300
2200
5967. 0
5967. 1
5967. 2
5967. 3
5967. 4
5967. 5
5967. 6
5968. 0
5968. 1
5968. 2
5968. 3
5968. 4
5968. 5
5968. 6
5968. 7
5969. 0
5969. 1
5969. 2
5969. 3
5969. 4
5969. 5
5969. 6
5969. 7
5969. 8
5969. 9
5970. 0
5970. 1
5970. 2
5970. 3
5971. 0
5971. 1
5971. 2
5971. 3
5971. 4
5971. 5
5971. 6
5972. 0

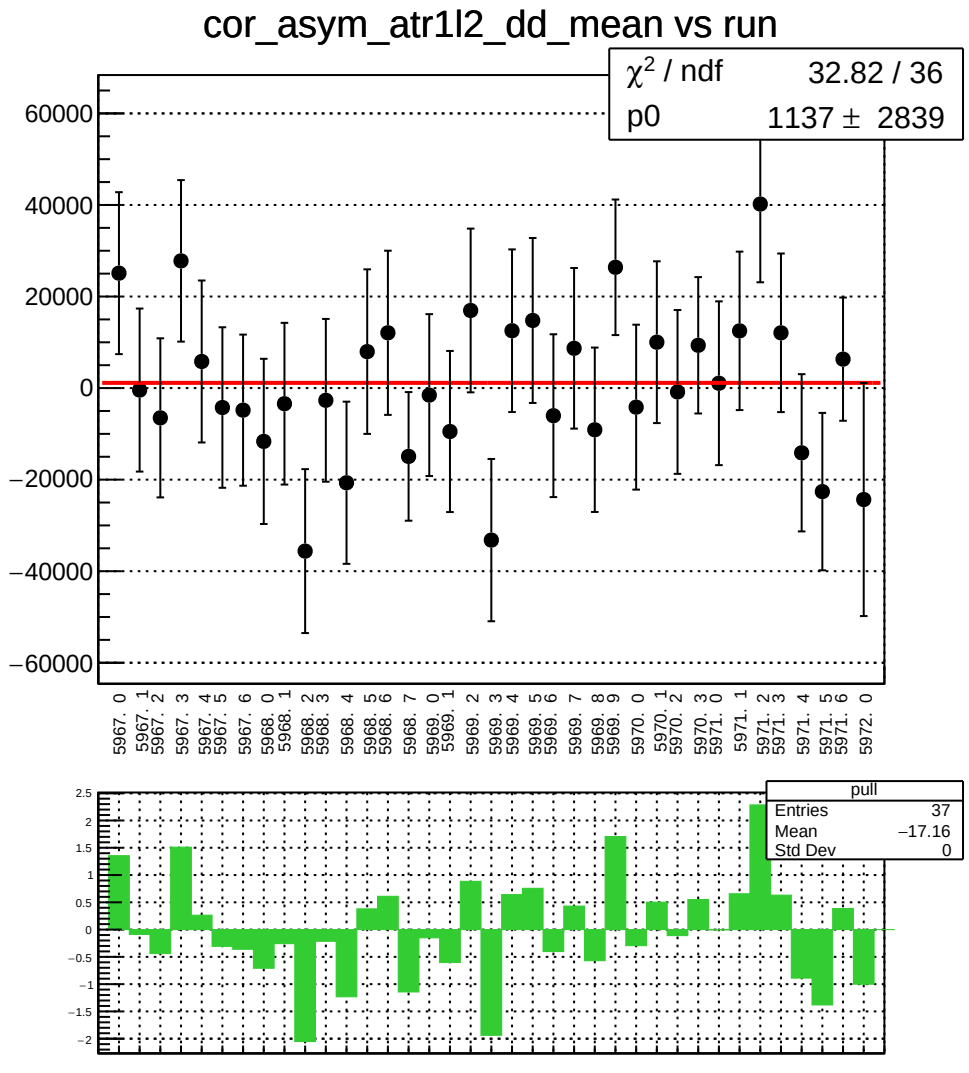
cor_asym_atr1l2_dd_mean vs run
χ² / ndf 32.82 / 36
p0 1137 ± 2839
60000
40000
20000
0
−20000
−40000
−60000
5967. 0
5967. 1
5967. 2
5967. 3
5967. 4
5967. 5
5967. 6
5968. 0
5968. 1
5968. 2
5968. 3
5968. 4
5968. 5
5968. 6
5968. 7
5969. 0
5969. 1
5969. 2
5969. 3
5969. 4
5969. 5
5969. 6
5969. 7
5969. 8
5969. 9
5970. 0
5970. 1
5970. 2
5970. 3
5971. 0
5971. 1
5971. 2
5971. 3
5971. 4
5971. 5
5971. 6
5972. 0
pull
Entries 37
Mean −17.16
Std Dev 0
2.5
2
1.5
1
0.5
0
−0.5
−1
−1.5
−2

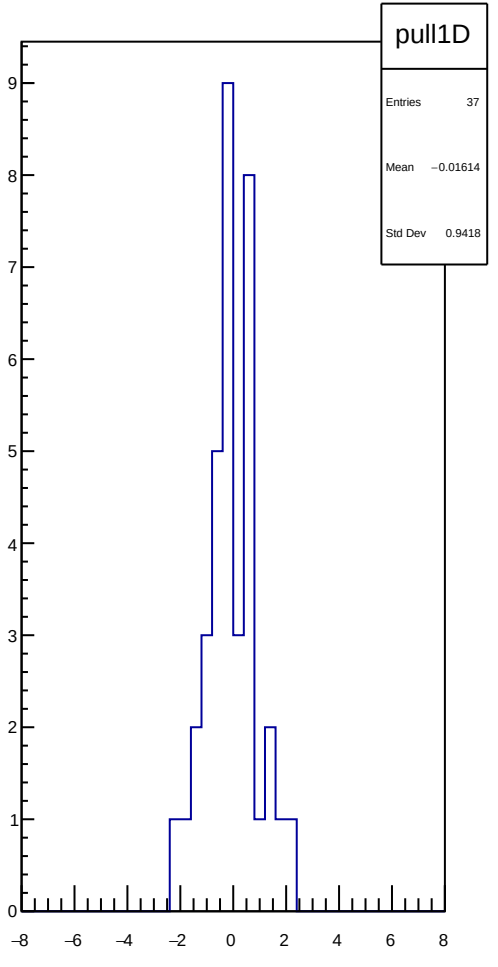
pull1D
Entries 37
Mean −0.01614
Std Dev 0.9418
9
8
7
6
5
4
3
2
1
0
−8
−6
−4
−2
0
2
4
6
8

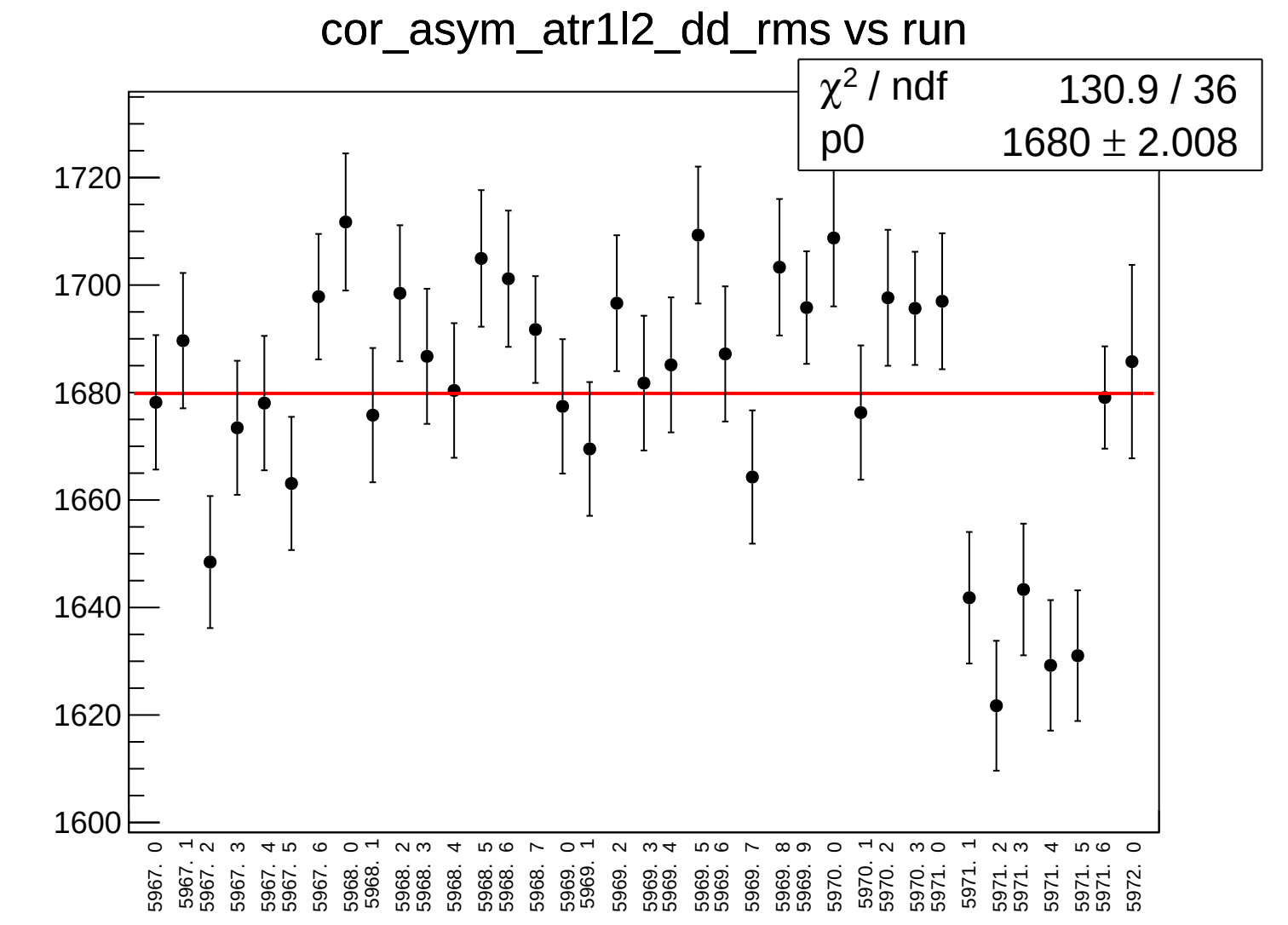
cor_asym_atr1l2_dd_rms vs run
χ² / ndf 130.9 / 36
p0 1680 ± 2.008
1720
1700
1680
1660
1640
1620
1600
5967. 0
5967. 1
5967. 2
5967. 3
5967. 4
5967. 5
5967. 6
5968. 0
5968. 1
5968. 2
5968. 3
5968. 4
5968. 5
5968. 6
5968. 7
5969. 0
5969. 1
5969. 2
5969. 3
5969. 4
5969. 5
5969. 6
5969. 7
5969. 8
5969. 9
5970. 0
5970. 1
5970. 2
5970. 3
5971. 0
5971. 1
5971. 2
5971. 3
5971. 4
5971. 5
5971. 6
5972. 0

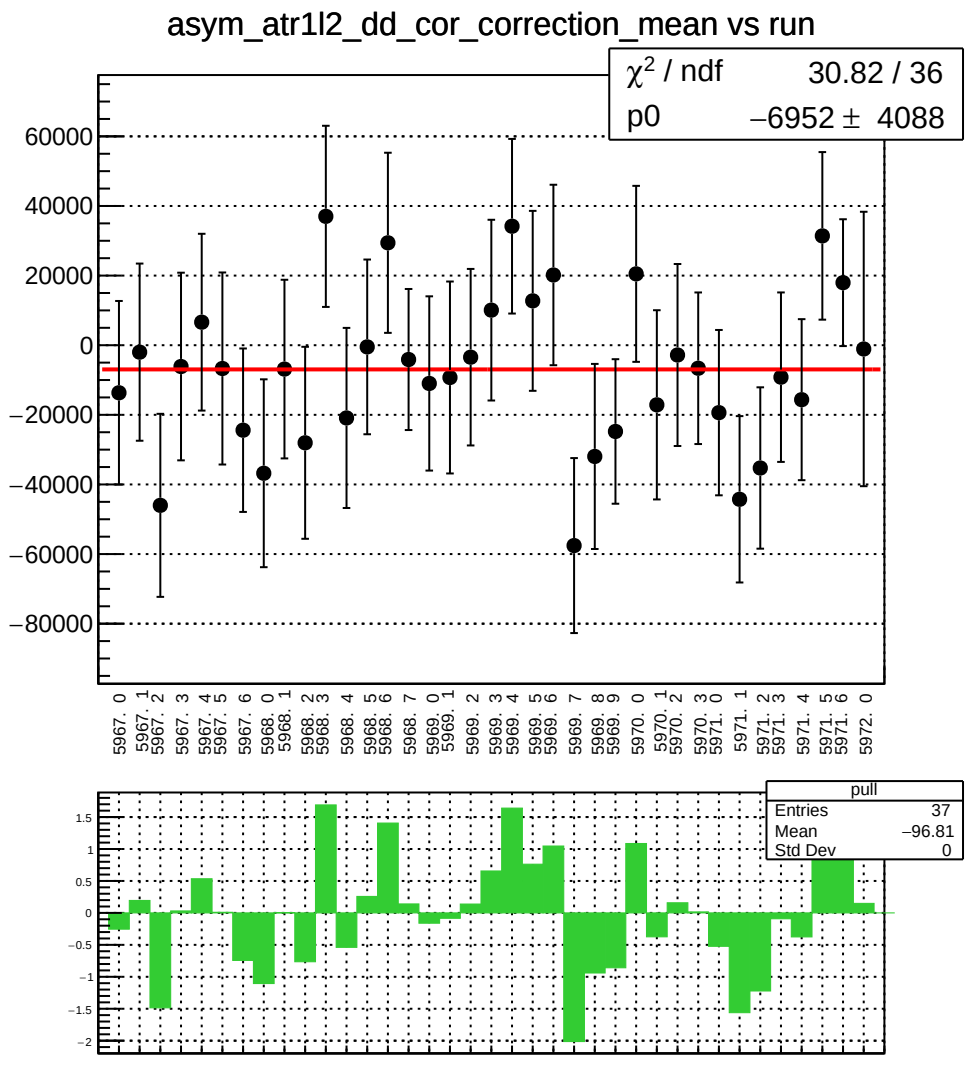
asym_atr1l2_dd_cor_correction_mean vs run
χ² / ndf 30.82 / 36
p0 −6952 ± 4088
60000
40000
20000
0
−20000
−40000
−60000
−80000
5967. 0
5967. 1
5967. 2
5967. 3
5967. 4
5967. 5
5967. 6
5968. 0
5968. 1
5968. 2
5968. 3
5968. 4
5968. 5
5968. 6
5968. 7
5969. 0
5969. 1
5969. 2
5969. 3
5969. 4
5969. 5
5969. 6
5969. 7
5969. 8
5969. 9
5970. 0
5970. 1
5970. 2
5970. 3
5971. 0
5971. 1
5971. 2
5971. 3
5971. 4
5971. 5
5971. 6
5972. 0
pull
Entries 37
Mean −96.81
Std Dev 0
1.5
1
0.5
0
−0.5
−1
−1.5
−2

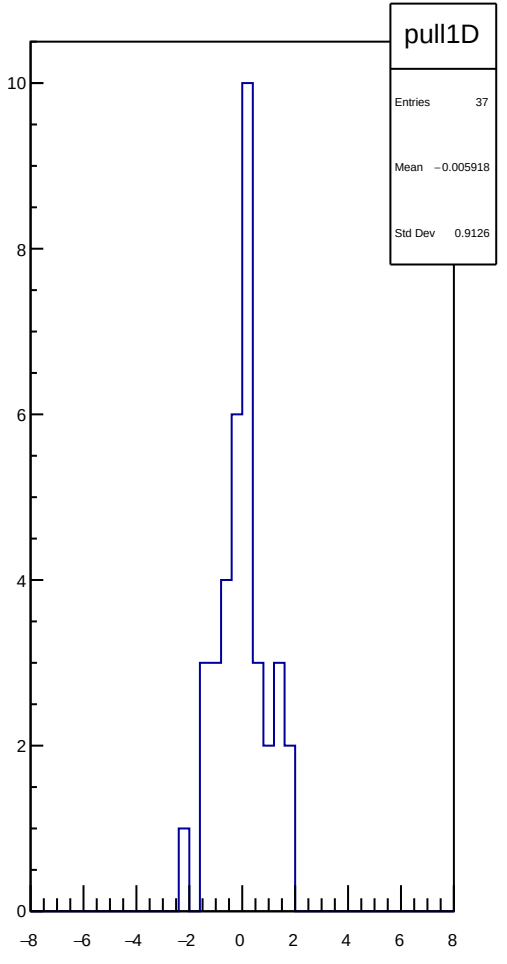
pull1D
Entries 37
Mean −0.005918
Std Dev 0.9126
10
8
6
4
2
0
−8
−6
−4
−2
0
2
4
6
8

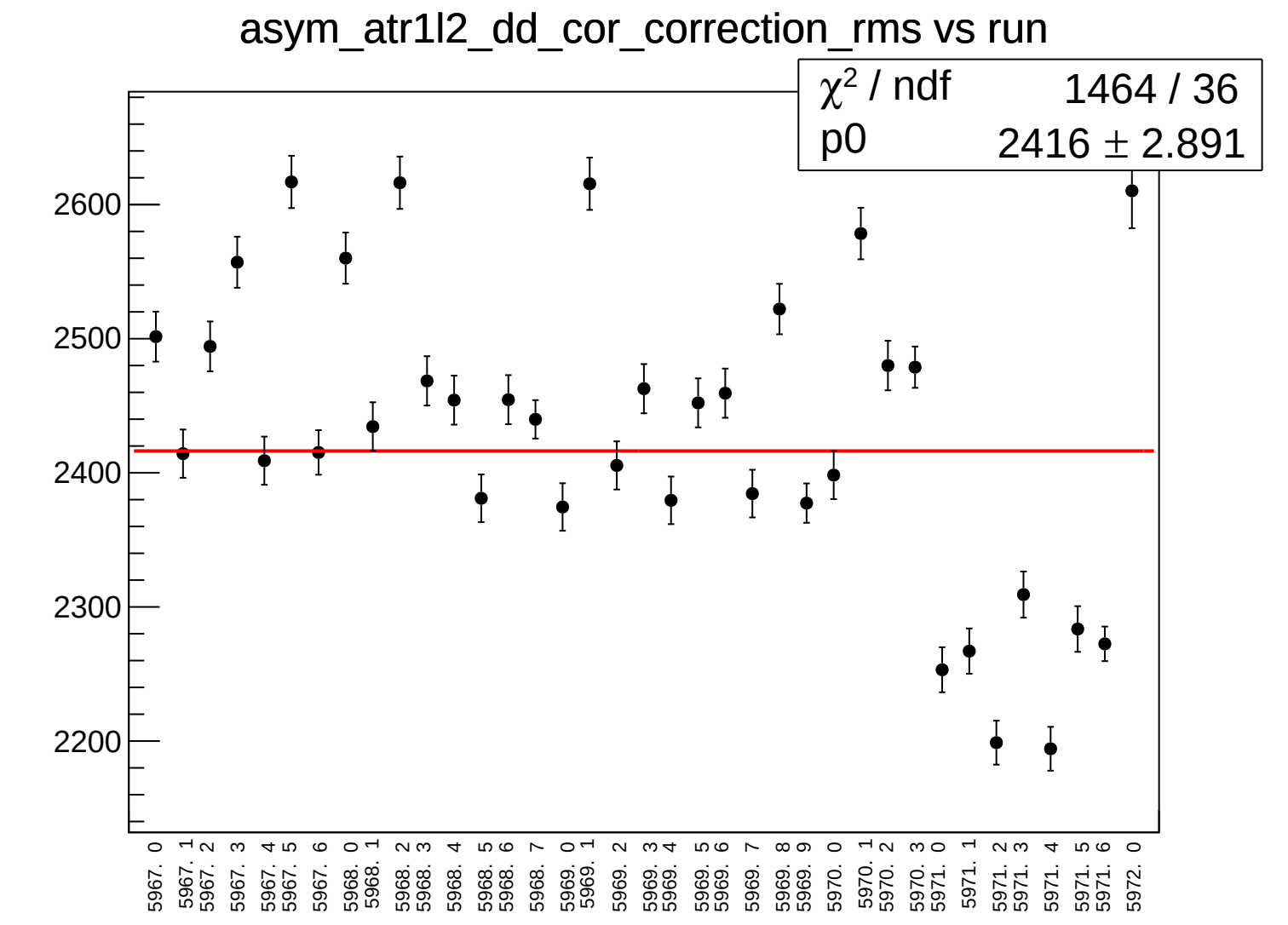
asym_atr1l2_dd_cor_correction_rms vs run
χ² / ndf 1464 / 36
p0 2416 ± 2.891
2600
2500
2400
2300
2200
5967. 0
5967. 1
5967. 2
5967. 3
5967. 4
5967. 5
5967. 6
5968. 0
5968. 1
5968. 2
5968. 3
5968. 4
5968. 5
5968. 6
5968. 7
5969. 0
5969. 1
5969. 2
5969. 3
5969. 4
5969. 5
5969. 6
5969. 7
5969. 8
5969. 9
5970. 0
5970. 1
5970. 2
5970. 3
5971. 0
5971. 1
5971. 2
5971. 3
5971. 4
5971. 5
5971. 6
5972. 0

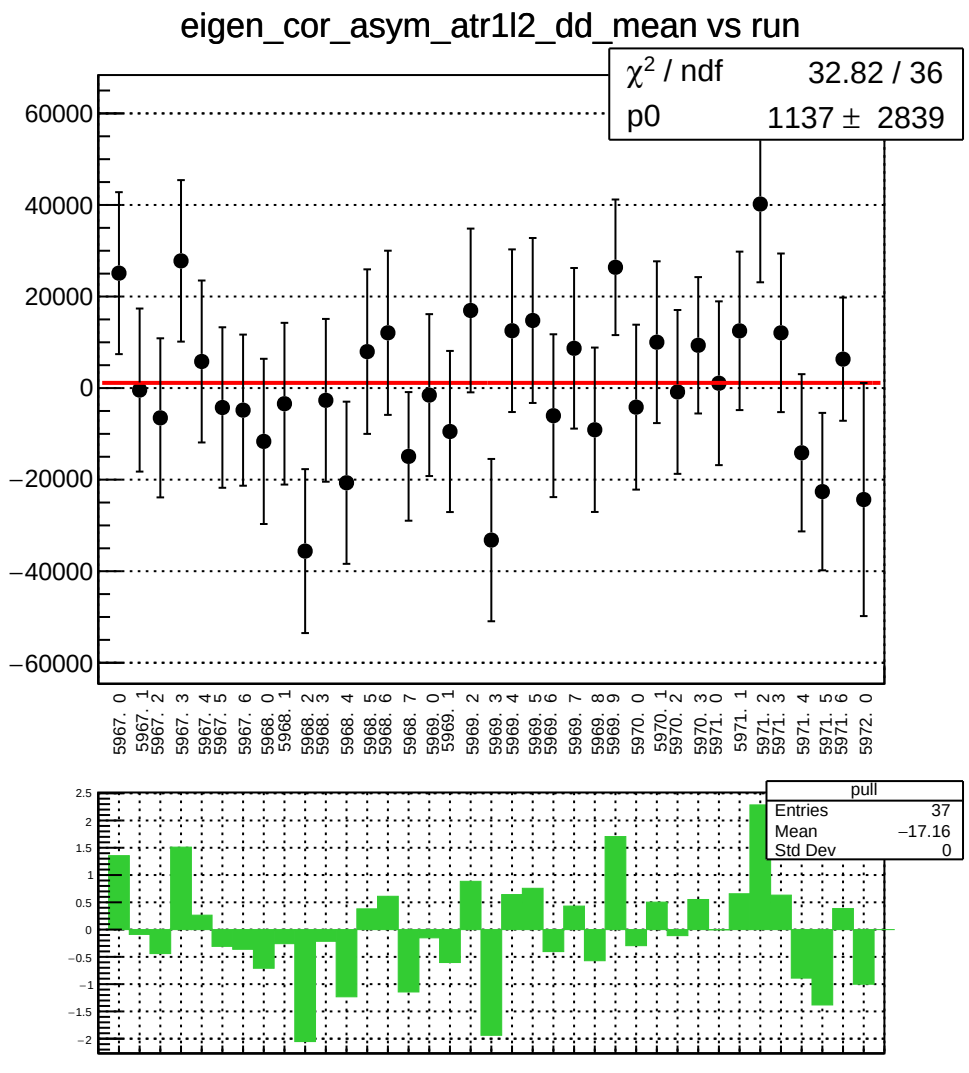
eigen_cor_asym_atr1l2_dd_mean vs run
χ² / ndf 32.82 / 36
p0 1137 ± 2839
60000
40000
20000
0
−20000
−40000
−60000
5967. 0
5967. 1
5967. 2
5967. 3
5967. 4
5967. 5
5967. 6
5968. 0
5968. 1
5968. 2
5968. 3
5968. 4
5968. 5
5968. 6
5968. 7
5969. 0
5969. 1
5969. 2
5969. 3
5969. 4
5969. 5
5969. 6
5969. 7
5969. 8
5969. 9
5970. 0
5970. 1
5970. 2
5970. 3
5971. 0
5971. 1
5971. 2
5971. 3
5971. 4
5971. 5
5971. 6
5972. 0
pull
Entries 37
Mean −17.16
Std Dev 0
2.5
2
1.5
1
0.5
0
−0.5
−1
−1.5
−2
pull1D
Entries 37
Mean −0.01614
Std Dev 0.9418
9
8
7
6
5
4
3
2
1
0
−8
−6
−4
−2
0
2
4
6
8

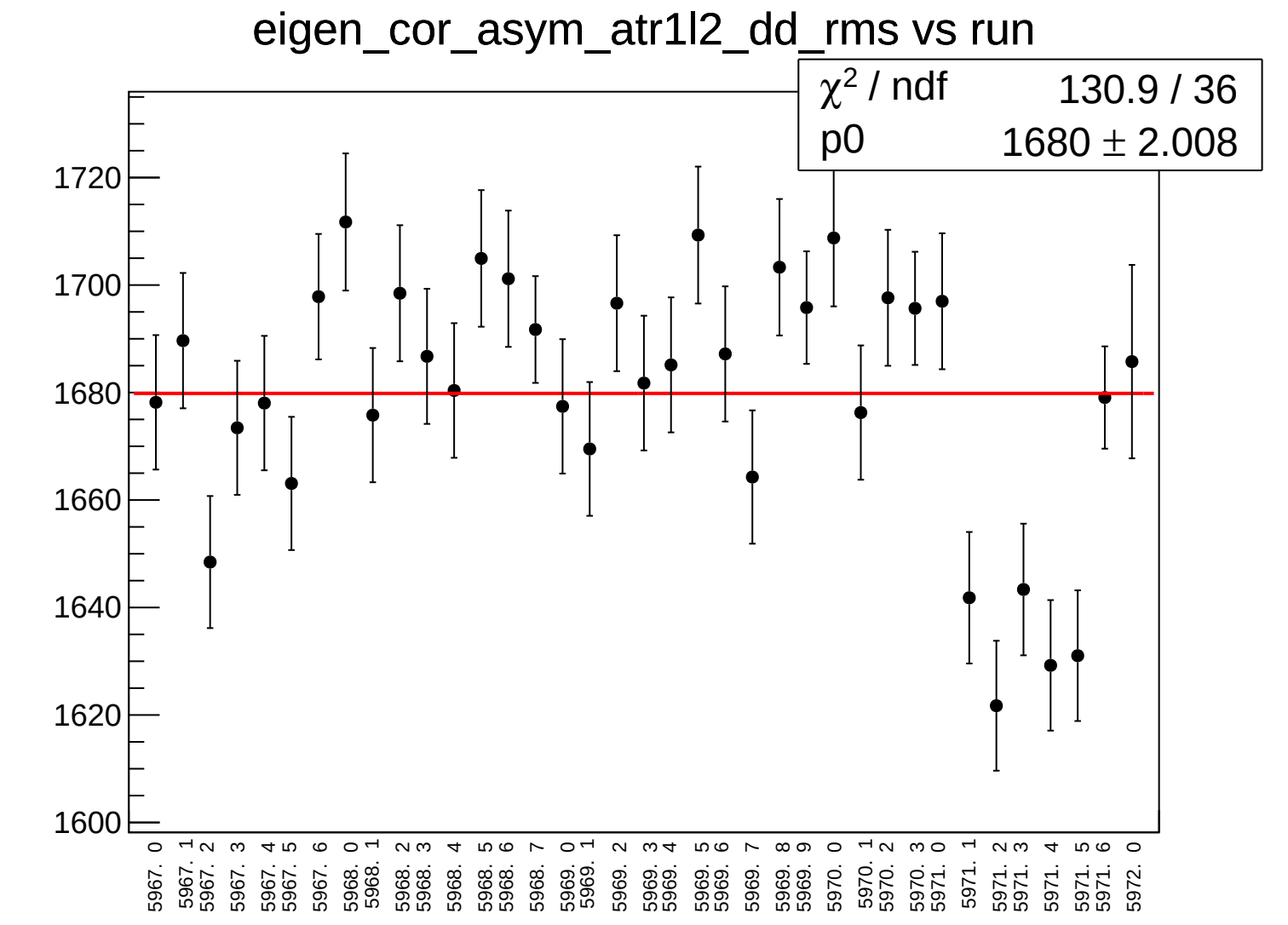
eigen_cor_asym_atr1l2_dd_rms vs run
χ^2 / ndf 130.9 / 36
p0 1680 ± 2.008
1720
1700
1680
1660
1640
1620
1600
5967. 0
5967. 1
5967. 2
5967. 3
5967. 4
5967. 5
5967. 6
5968. 0
5968. 1
5968. 2
5968. 3
5968. 4
5968. 5
5968. 6
5968. 7
5969. 0
5969. 1
5969. 2
5969. 3
5969. 4
5969. 5
5969. 6
5969. 7
5969. 8
5969. 9
5970. 0
5970. 1
5970. 2
5970. 3
5971. 0
5971. 1
5971. 2
5971. 3
5971. 4
5971. 5
5971. 6
5972. 0

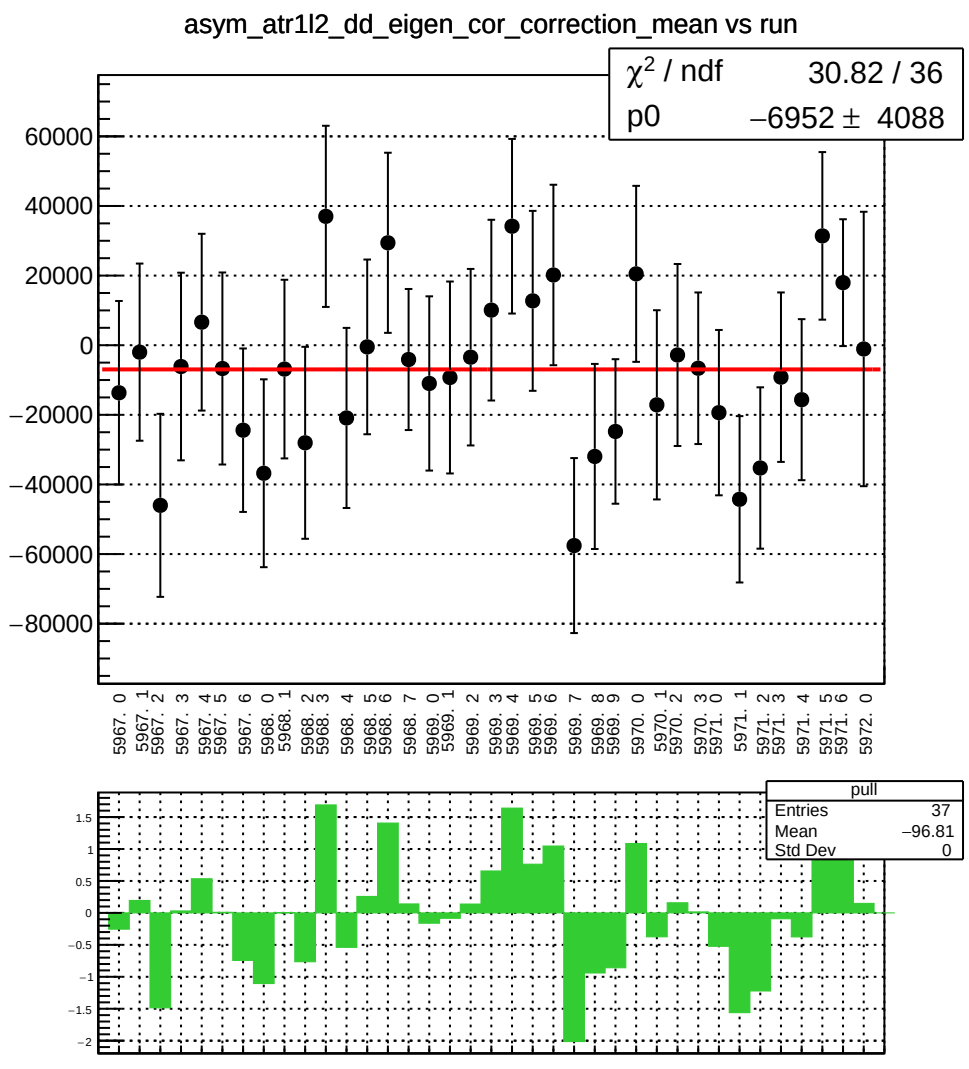
asym_atr1l2_dd_eigen_cor_correction_mean vs run
χ² / ndf 30.82 / 36
p0 −6952 ± 4088
60000
40000
20000
0
−20000
−40000
−60000
−80000
5967. 0
5967. 1
5967. 2
5967. 3
5967. 4
5967. 5
5967. 6
5968. 0
5968. 1
5968. 2
5968. 3
5968. 4
5968. 5
5968. 6
5968. 7
5969. 0
5969. 1
5969. 2
5969. 3
5969. 4
5969. 5
5969. 6
5969. 7
5969. 8
5969. 9
5970. 0
5970. 1
5970. 2
5970. 3
5971. 0
5971. 1
5971. 2
5971. 3
5971. 4
5971. 5
5971. 6
5972. 0
pull
Entries 37
Mean −96.81
Std Dev 0
1.5
1
0.5
0
−0.5
−1
−1.5
−2

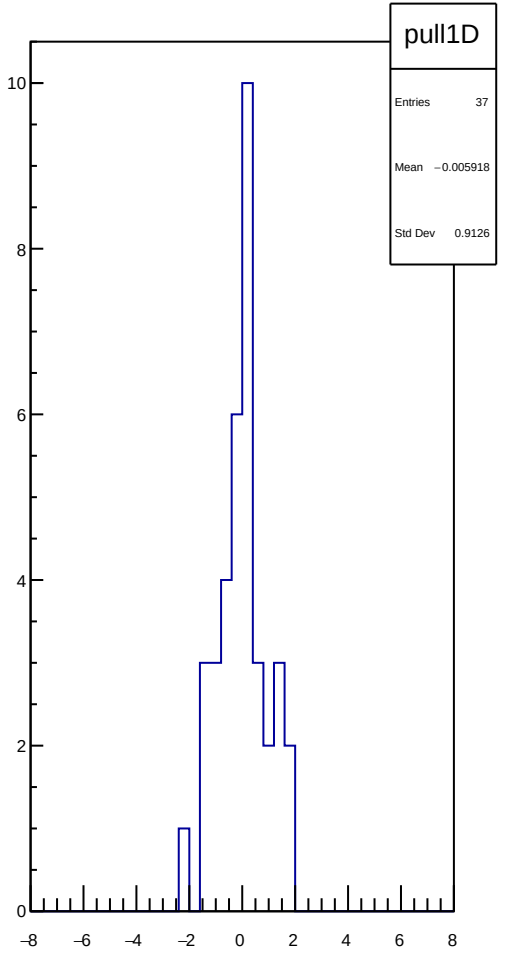
pull1D
Entries 37
Mean −0.005918
Std Dev 0.9126
10
8
6
4
2
0
−8
−6
−4
−2
0
2
4
6
8

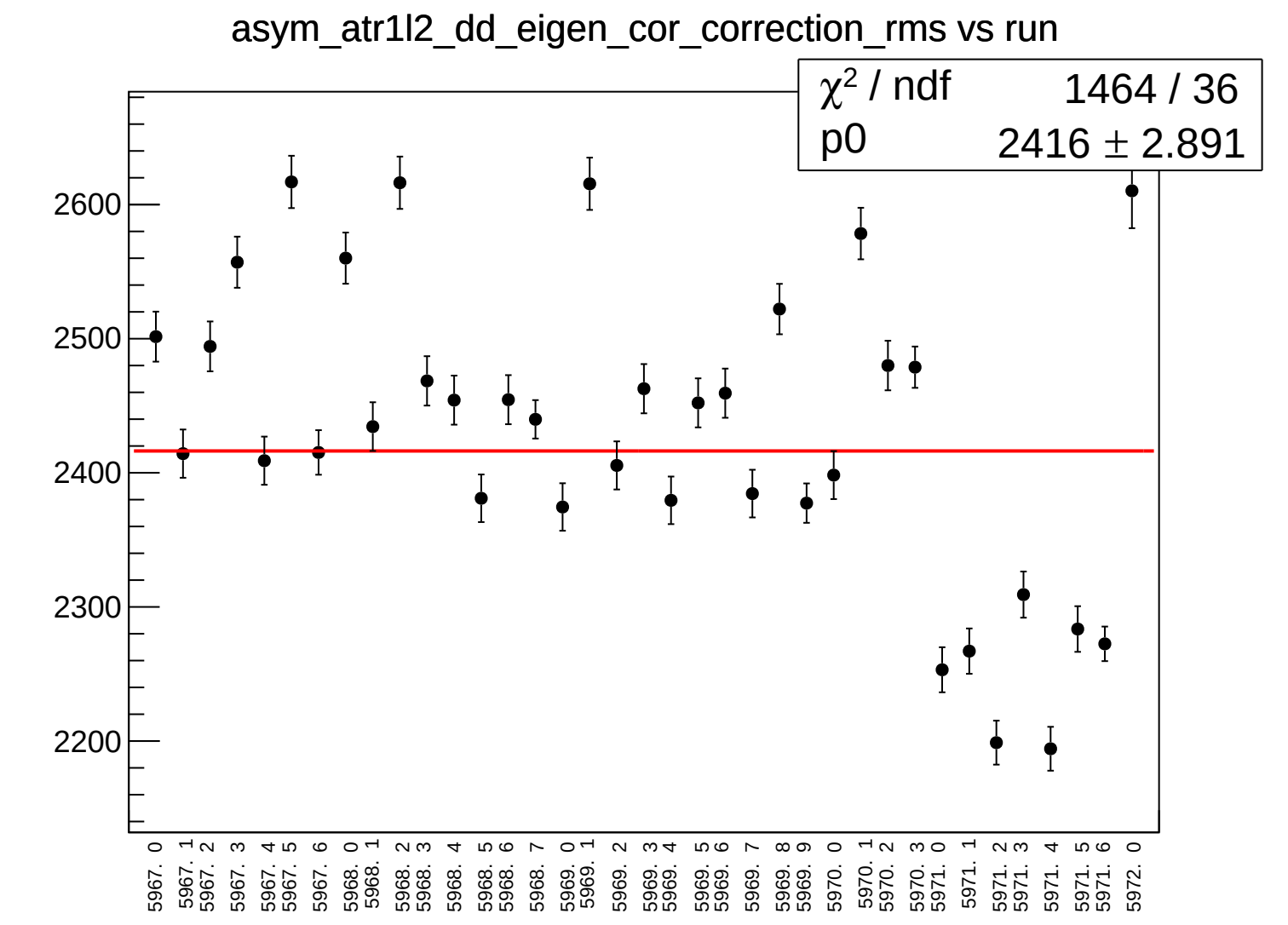
asym_atr1l2_dd_eigen_cor_correction_rms vs run
χ² / ndf 1464 / 36
p0 2416 ± 2.891
2600
2500
2400
2300
2200
5967. 0
5967. 1
5967. 2
5967. 3
5967. 4
5967. 5
5967. 6
5968. 0
5968. 1
5968. 2
5968. 3
5968. 4
5968. 5
5968. 6
5968. 7
5969. 0
5969. 1
5969. 2
5969. 3
5969. 4
5969. 5
5969. 6
5969. 7
5969. 8
5969. 9
5970. 0
5970. 1
5970. 2
5970. 3
5971. 0
5971. 1
5971. 2
5971. 3
5971. 4
5971. 5
5971. 6
5972. 0

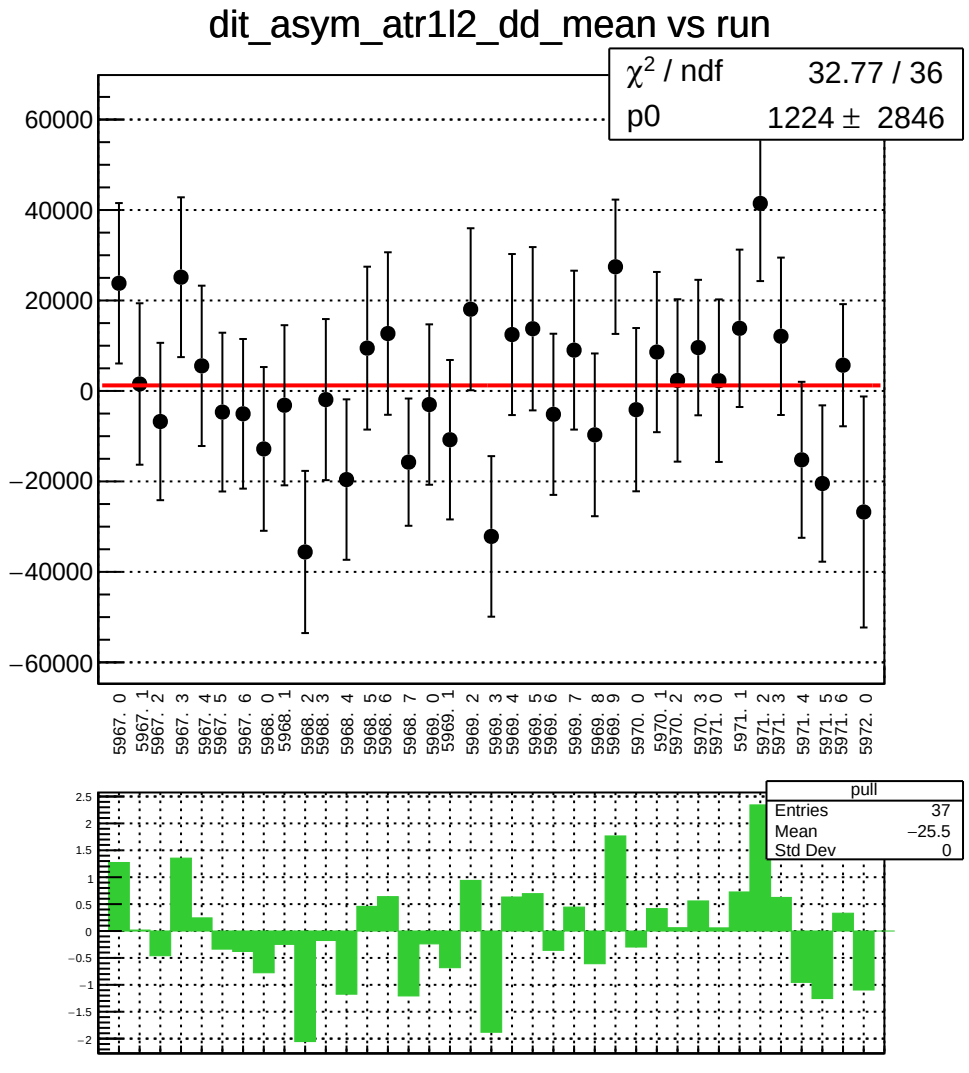
dit_asym_atr1l2_dd_mean vs run
χ² / ndf 32.77 / 36
p0 1224 ± 2846
60000
40000
20000
0
−20000
−40000
−60000
5967. 0
5967. 1
5967. 2
5967. 3
5967. 4
5967. 5
5967. 6
5968. 0
5968. 1
5968. 2
5968. 3
5968. 4
5968. 5
5968. 6
5968. 7
5969. 0
5969. 1
5969. 2
5969. 3
5969. 4
5969. 5
5969. 6
5969. 7
5969. 8
5969. 9
5970. 0
5970. 1
5970. 2
5970. 3
5971. 0
5971. 1
5971. 2
5971. 3
5971. 4
5971. 5
5971. 6
5972. 0
pull
Entries 37
Mean −25.5
Std Dev 0
2.5
2
1.5
1
0.5
0
−0.5
−1
−1.5
−2

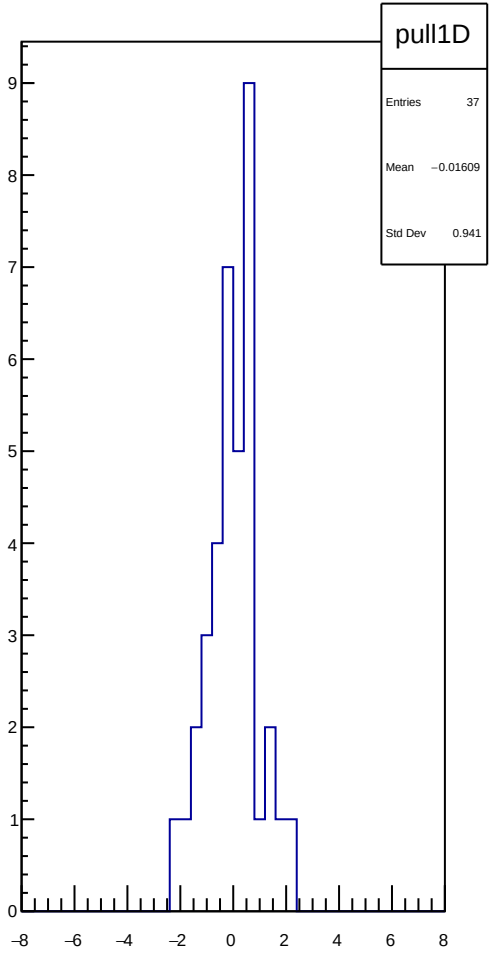
pull1D
Entries 37
Mean −0.01609
Std Dev 0.941
9
8
7
6
5
4
3
2
1
0
−8
−6
−4
−2
0
2
4
6
8

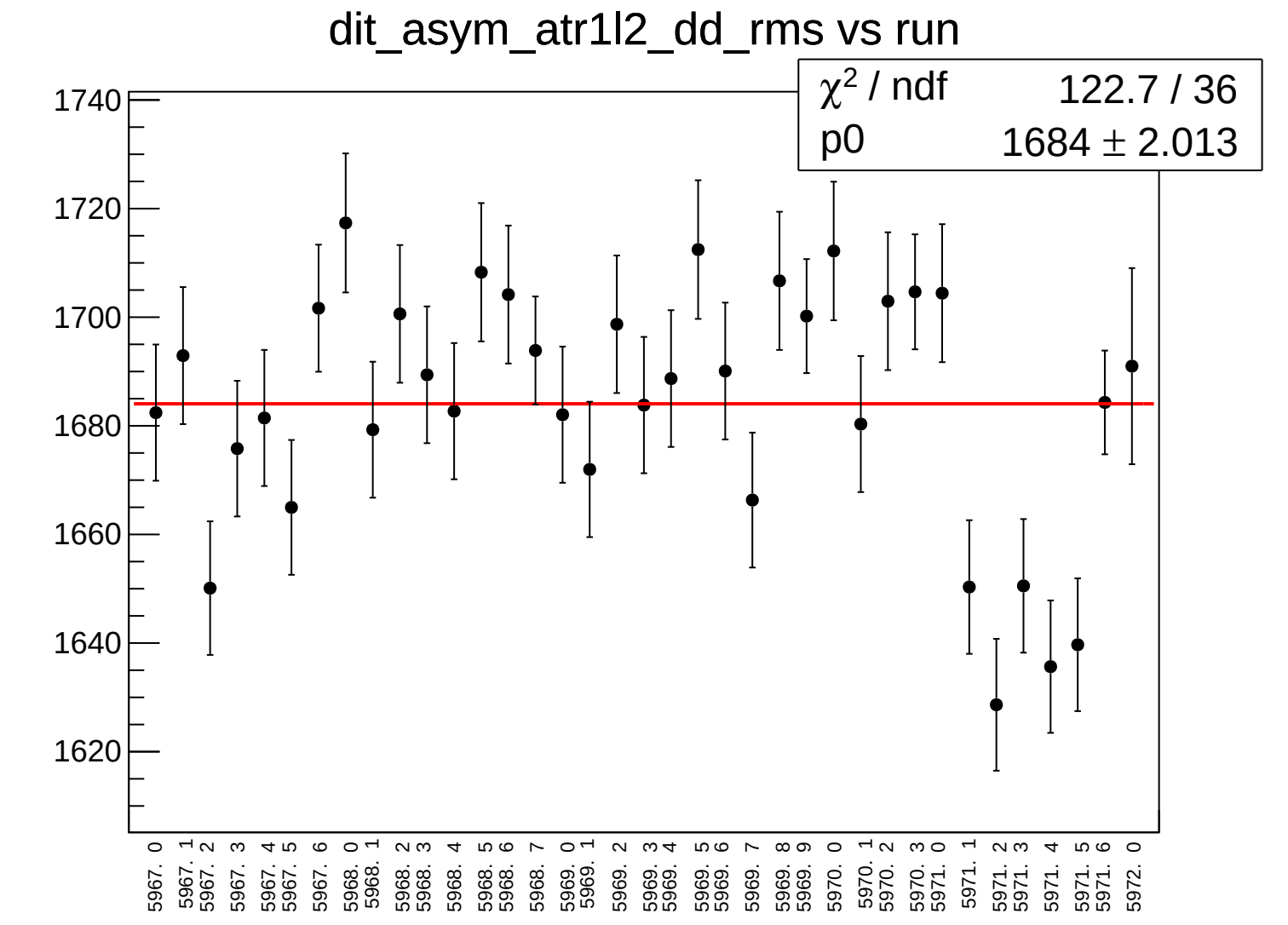
dit_asym_atr1l2_dd_rms vs run
χ² / ndf 122.7 / 36
p0 1684 ± 2.013
1740
1720
1700
1680
1660
1640
1620
5967. 0
5967. 1
5967. 2
5967. 3
5967. 4
5967. 5
5967. 6
5968. 0
5968. 1
5968. 2
5968. 3
5968. 4
5968. 5
5968. 6
5968. 7
5969. 0
5969. 1
5969. 2
5969. 3
5969. 4
5969. 5
5969. 6
5969. 7
5969. 8
5969. 9
5970. 0
5970. 1
5970. 2
5970. 3
5971. 0
5971. 1
5971. 2
5971. 3
5971. 4
5971. 5
5971. 6
5972. 0

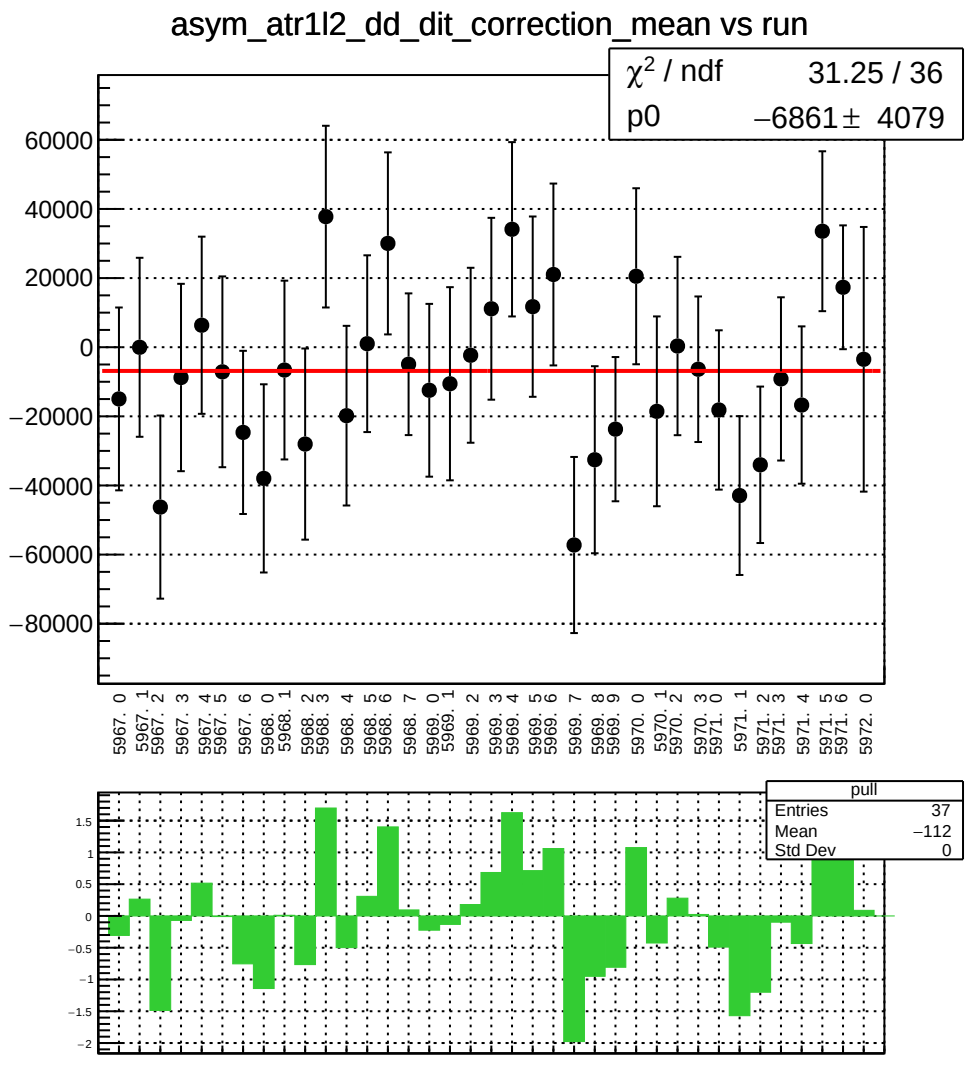
asym_atr1l2_dd_dit_correction_mean vs run
χ² / ndf 31.25 / 36
p0 −6861 ± 4079
60000
40000
20000
0
−20000
−40000
−60000
−80000
5967. 0
5967. 1
5967. 2
5967. 3
5967. 4
5967. 5
5967. 6
5968. 0
5968. 1
5968. 2
5968. 3
5968. 4
5968. 5
5968. 6
5968. 7
5969. 0
5969. 1
5969. 2
5969. 3
5969. 4
5969. 5
5969. 6
5969. 7
5969. 8
5969. 9
5970. 0
5970. 1
5970. 2
5970. 3
5971. 0
5971. 1
5971. 2
5971. 3
5971. 4
5971. 5
5971. 6
5972. 0
pull
Entries 37
Mean −112
Std Dev 0
1.5
1
0.5
0
−0.5
−1
−1.5
−2
pull1D
Entries 37
Mean −0.006005
Std Dev 0.919
8
7
6
5
4
3
2
1
0
−8
−6
−4
−2
0
2
4
6
8

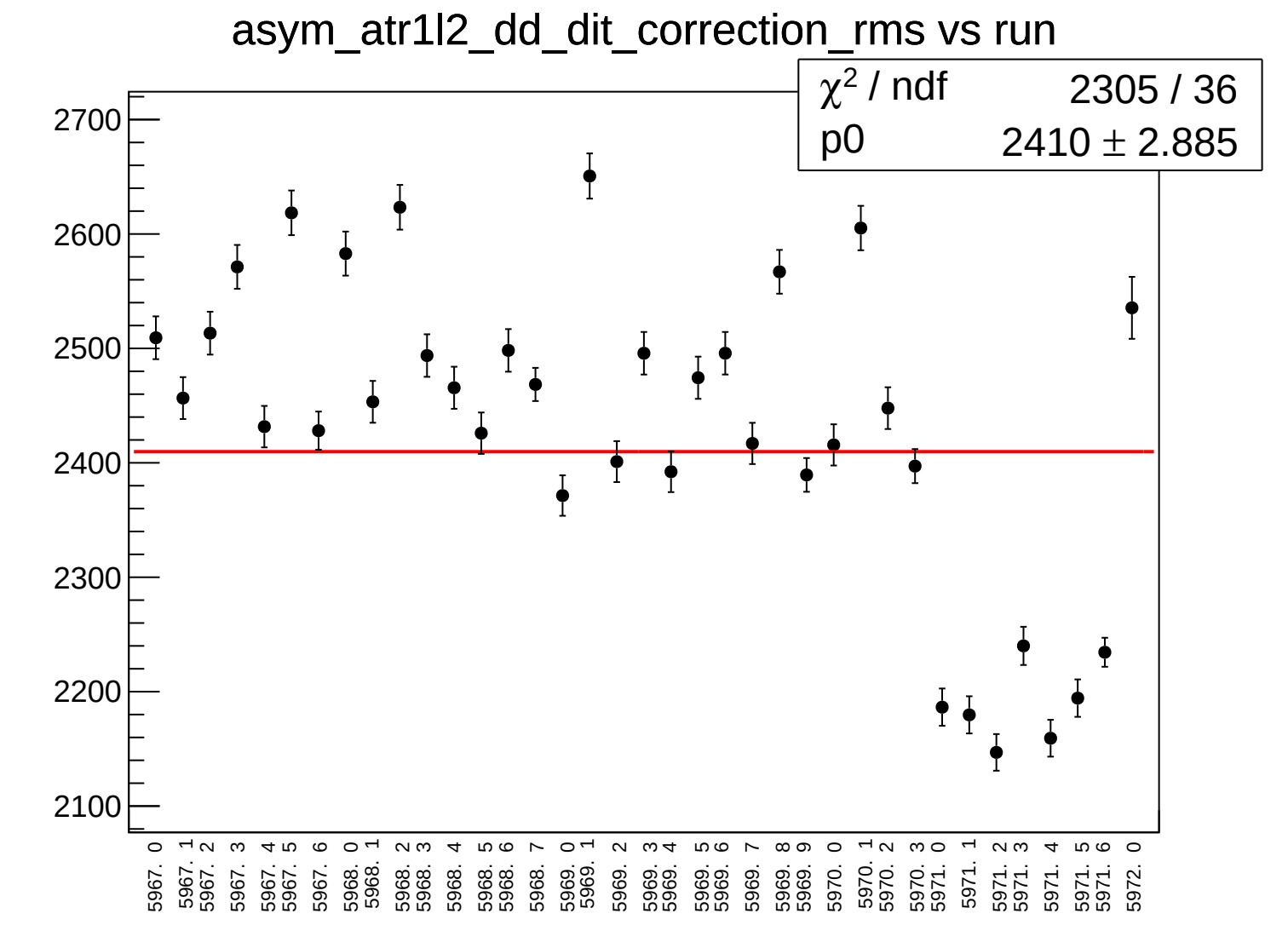
asym_atr1l2_dd_dit_correction_rms vs run
χ² / ndf 2305 / 36
p0 2410 ± 2.885
2700
2600
2500
2400
2300
2200
2100
5967. 0
5967. 1
5967. 2
5967. 3
5967. 4
5967. 5
5967. 6
5968. 0
5968. 1
5968. 2
5968. 3
5968. 4
5968. 5
5968. 6
5968. 7
5969. 0
5969. 1
5969. 2
5969. 3
5969. 4
5969. 5
5969. 6
5969. 7
5969. 8
5969. 9
5970. 0
5970. 1
5970. 2
5970. 3
5971. 0
5971. 1
5971. 2
5971. 3
5971. 4
5971. 5
5971. 6
5972. 0

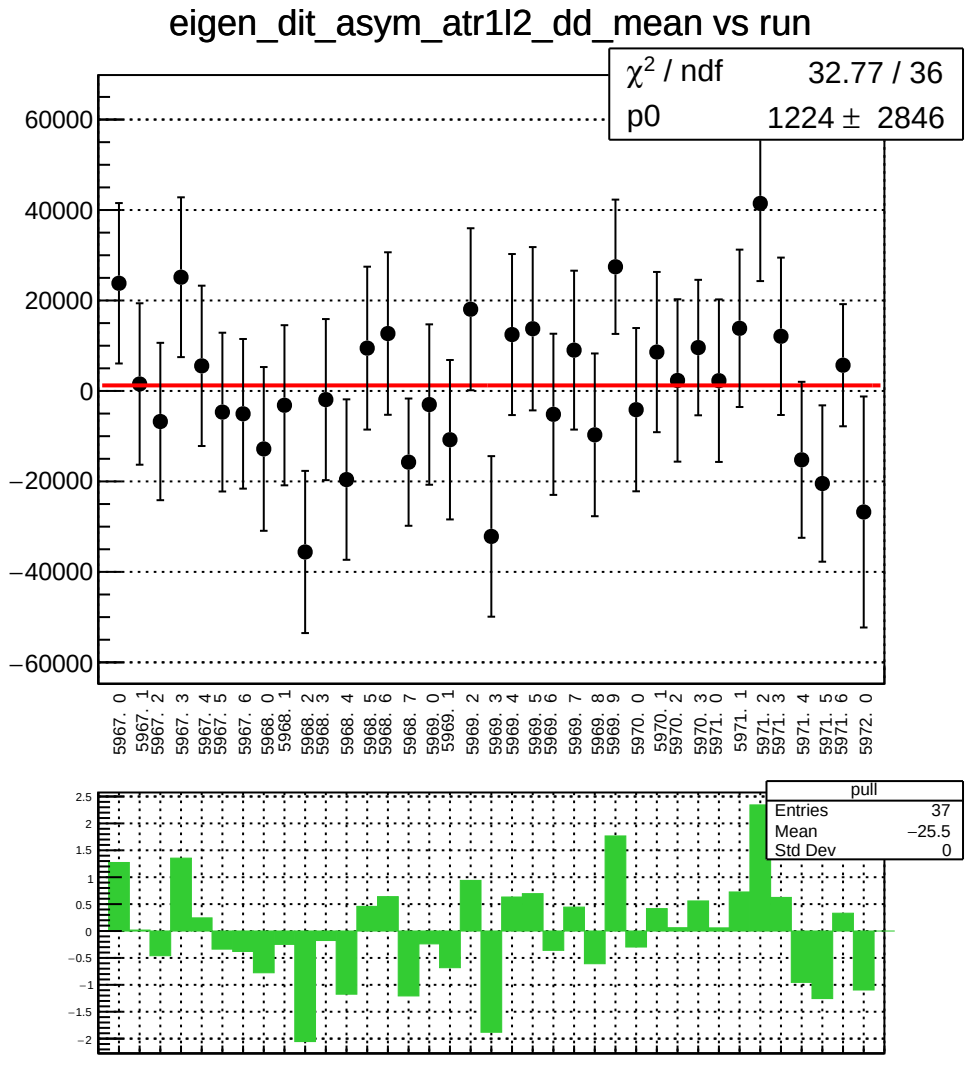
eigen_dit_asym_atr1l2_dd_mean vs run
χ² / ndf 32.77 / 36
p0 1224 ± 2846
60000
40000
20000
0
−20000
−40000
−60000
5967. 0
5967. 1
5967. 2
5967. 3
5967. 4
5967. 5
5967. 6
5968. 0
5968. 1
5968. 2
5968. 3
5968. 4
5968. 5
5968. 6
5968. 7
5969. 0
5969. 1
5969. 2
5969. 3
5969. 4
5969. 5
5969. 6
5969. 7
5969. 8
5969. 9
5970. 0
5970. 1
5970. 2
5970. 3
5971. 0
5971. 1
5971. 2
5971. 3
5971. 4
5971. 5
5971. 6
5972. 0
pull
Entries 37
Mean −25.5
Std Dev 0
2.5
2
1.5
1
0.5
0
−0.5
−1
−1.5
−2

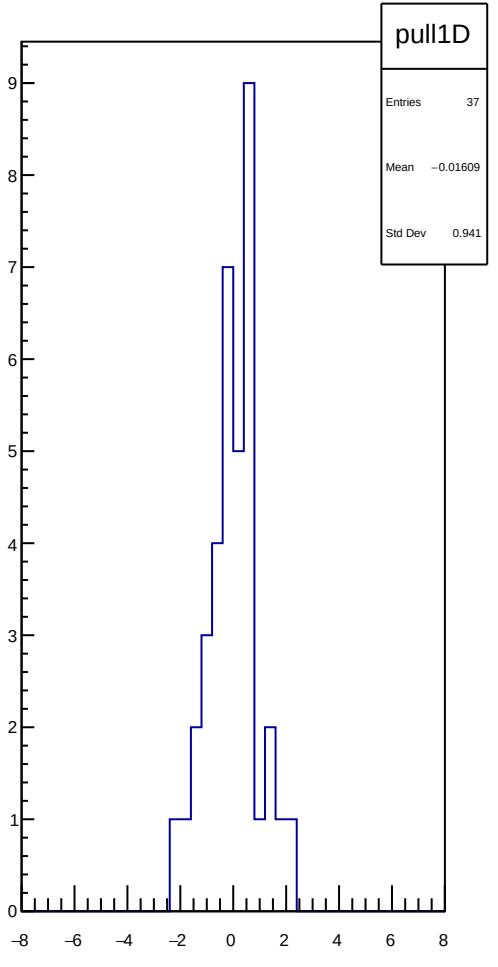
pull1D
Entries 37
Mean −0.01609
Std Dev 0.941
9
8
7
6
5
4
3
2
1
0
−8
−6
−4
−2
0
2
4
6
8

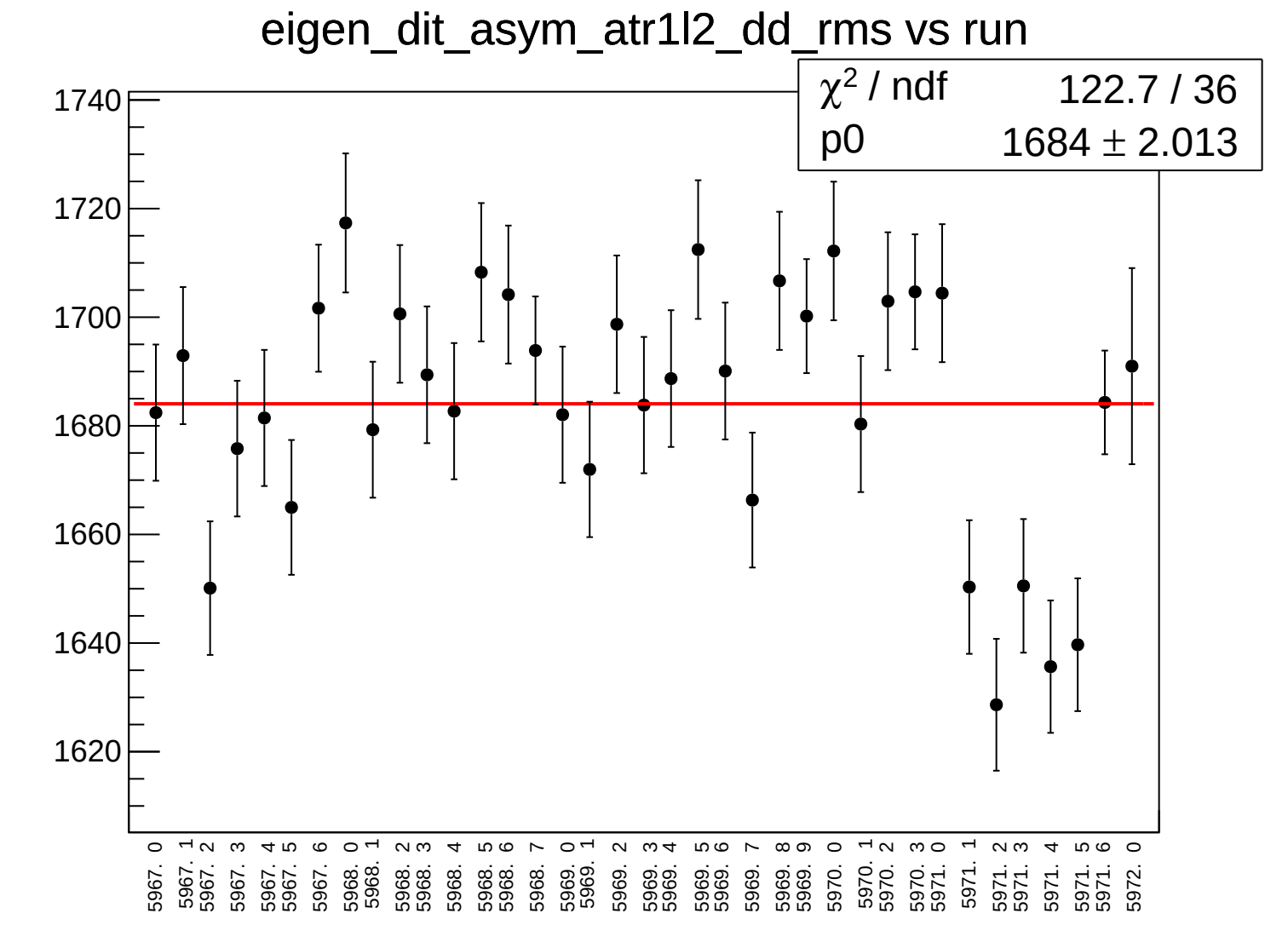
eigen_dit_asym_atr1l2_dd_rms vs run
χ² / ndf 122.7 / 36
p0 1684 ± 2.013
1740
1720
1700
1680
1660
1640
1620
5967. 0
5967. 1
5967. 2
5967. 3
5967. 4
5967. 5
5967. 6
5968. 0
5968. 1
5968. 2
5968. 3
5968. 4
5968. 5
5968. 6
5968. 7
5969. 0
5969. 1
5969. 2
5969. 3
5969. 4
5969. 5
5969. 6
5969. 7
5969. 8
5969. 9
5970. 0
5970. 1
5970. 2
5970. 3
5971. 0
5971. 1
5971. 2
5971. 3
5971. 4
5971. 5
5971. 6
5972. 0

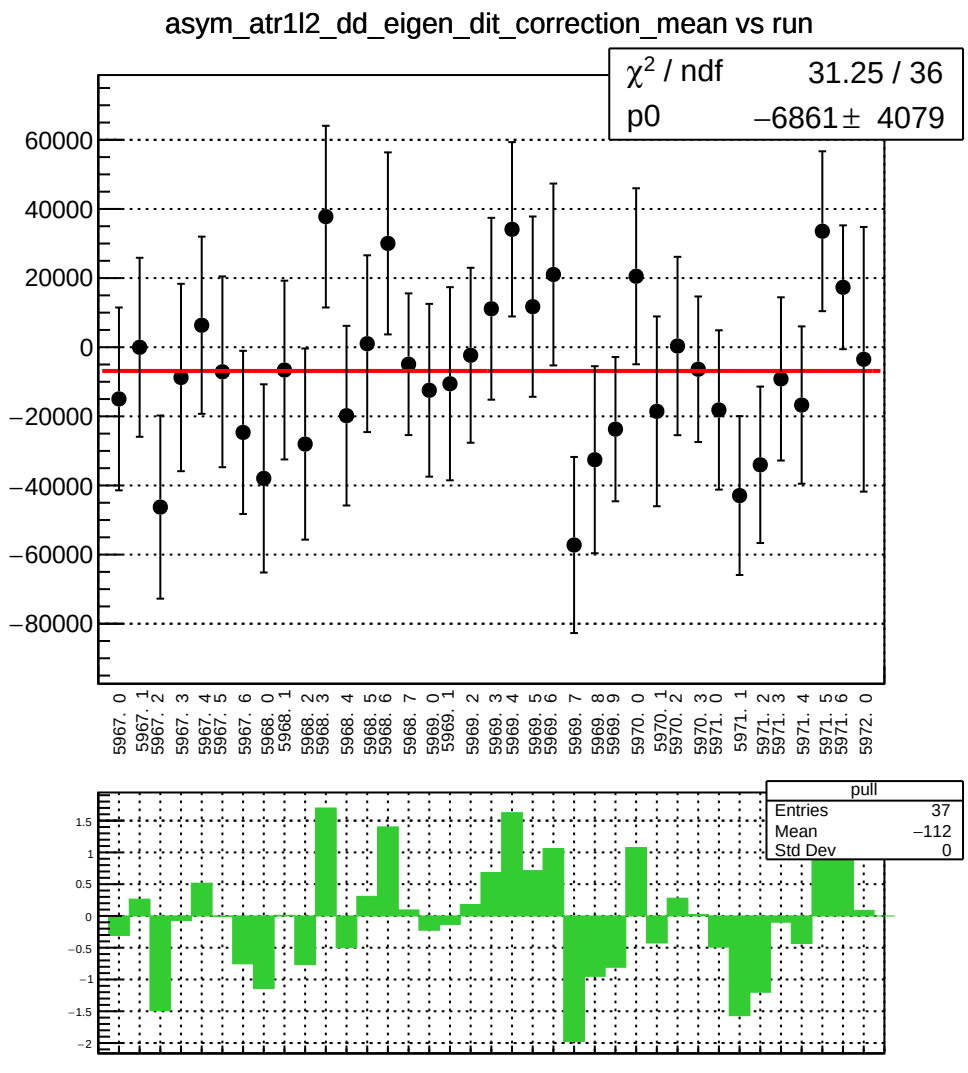
asym_atr1l2_dd_eigen_dit_correction_mean vs run
χ² / ndf 31.25 / 36
p0 −6861 ± 4079
60000
40000
20000
0
−20000
−40000
−60000
−80000
5967. 0
5967. 1
5967. 2
5967. 3
5967. 4
5967. 5
5967. 6
5968. 0
5968. 1
5968. 2
5968. 3
5968. 4
5968. 5
5968. 6
5968. 7
5969. 0
5969. 1
5969. 2
5969. 3
5969. 4
5969. 5
5969. 6
5969. 7
5969. 8
5969. 9
5970. 0
5970. 1
5970. 2
5970. 3
5971. 0
5971. 1
5971. 2
5971. 3
5971. 4
5971. 5
5971. 6
5972. 0
pull
Entries 37
Mean −112
Std Dev 0
1.5
1
0.5
0
−0.5
−1
−1.5
−2

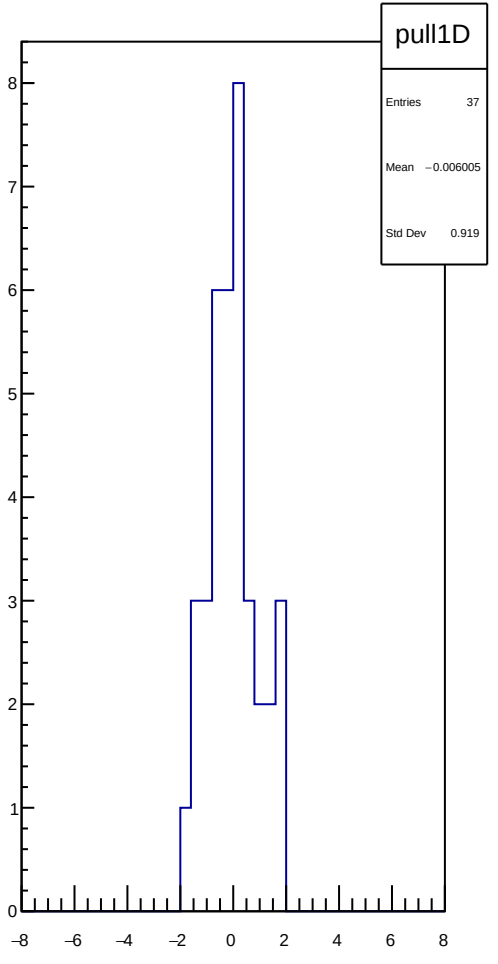
pull1D
Entries 37
Mean −0.006005
Std Dev 0.919
8
7
6
5
4
3
2
1
0
−8
−6
−4
−2
0
2
4
6
8

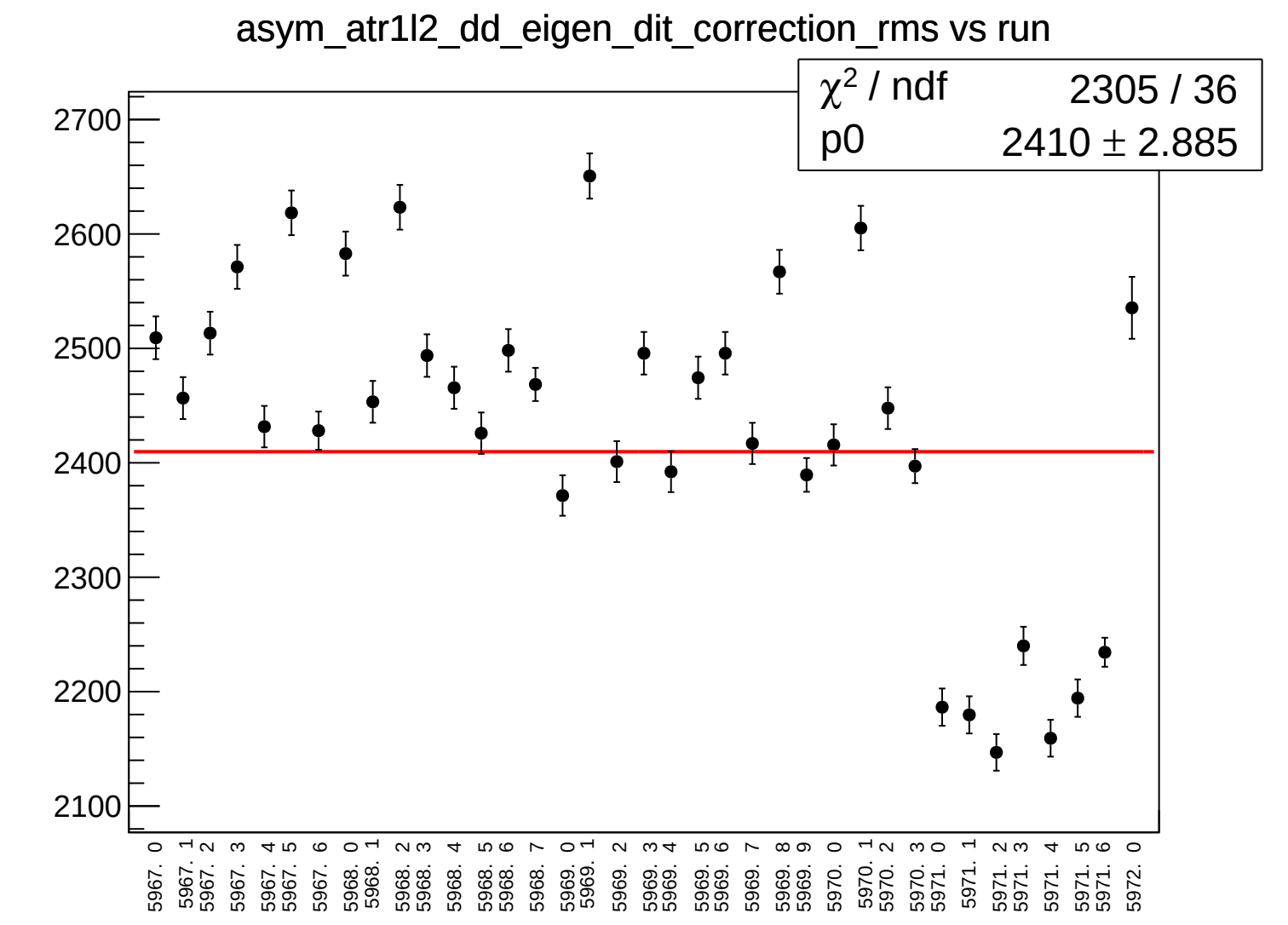
asym_atr1l2_dd_eigen_dit_correction_rms vs run
χ² / ndf 2305 / 36
p0 2410 ± 2.885
2700
2600
2500
2400
2300
2200
2100
5967. 0
5967. 1
5967. 2
5967. 3
5967. 4
5967. 5
5967. 6
5968. 0
5968. 1
5968. 2
5968. 3
5968. 4
5968. 5
5968. 6
5968. 7
5969. 0
5969. 1
5969. 2
5969. 3
5969. 4
5969. 5
5969. 6
5969. 7
5969. 8
5969. 9
5970. 0
5970. 1
5970. 2
5970. 3
5971. 0
5971. 1
5971. 2
5971. 3
5971. 4
5971. 5
5971. 6
5972. 0

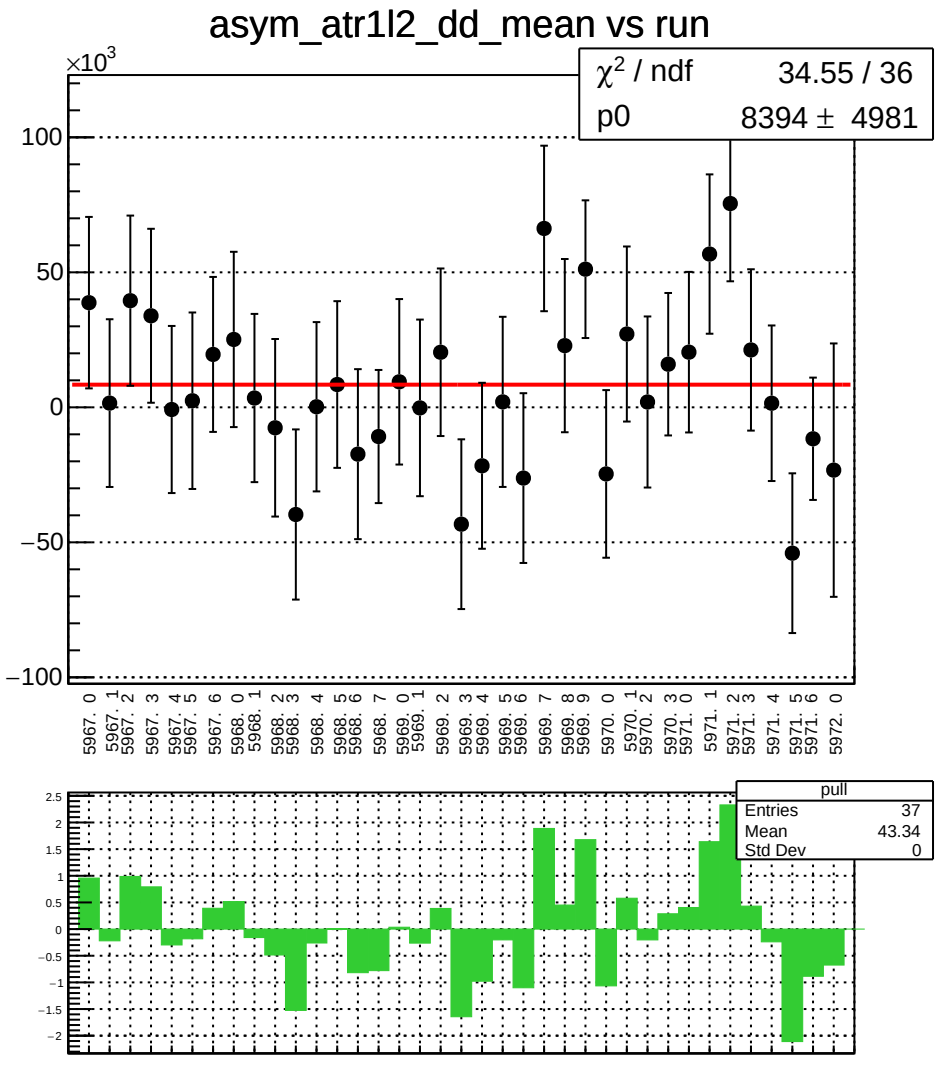
asym_atr1l2_dd_mean vs run
×10^3
χ² / ndf 34.55 / 36
p0 8394 ± 4981
100
50
0
−50
−100
5967. 0
5967. 1
5967. 2
5967. 3
5967. 4
5967. 5
5967. 6
5968. 0
5968. 1
5968. 2
5968. 3
5968. 4
5968. 5
5968. 6
5968. 7
5969. 0
5969. 1
5969. 2
5969. 3
5969. 4
5969. 5
5969. 6
5969. 7
5969. 8
5969. 9
5970. 0
5970. 1
5970. 2
5970. 3
5971. 0
5971. 1
5971. 2
5971. 3
5971. 4
5971. 5
5971. 6
5972. 0
pull
Entries 37
Mean 43.34
Std Dev 0
2.5
2
1.5
1
0.5
0
−0.5
−1
−1.5
−2

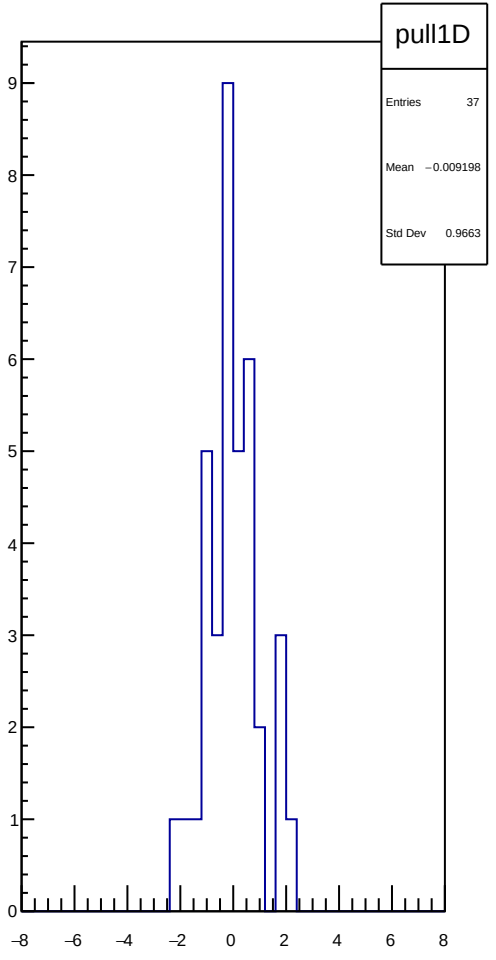
pull1D
Entries 37
Mean −0.009198
Std Dev 0.9663
9
8
7
6
5
4
3
2
1
0
−8
−6
−4
−2
0
2
4
6
8

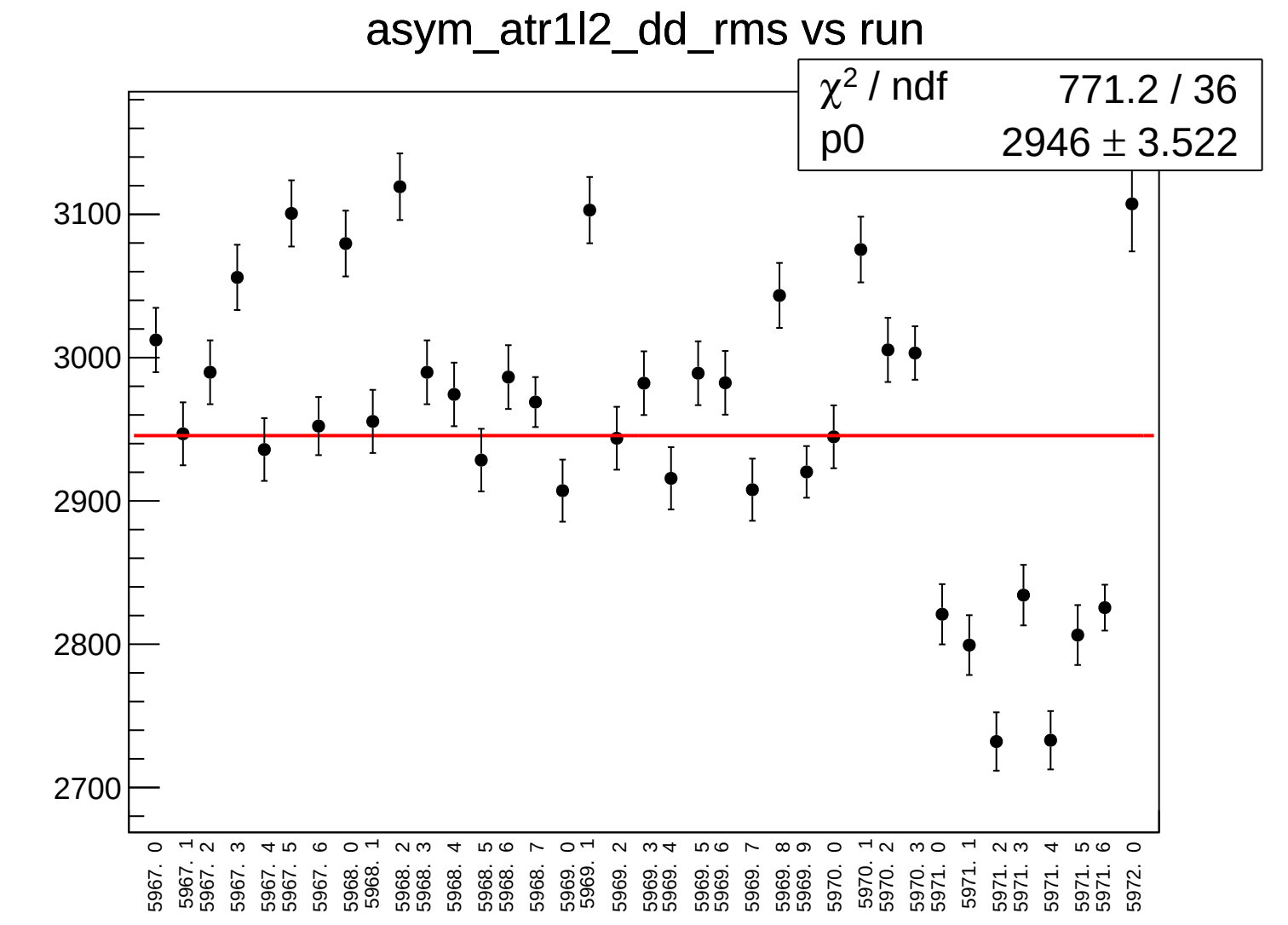
asym_atr1l2_dd_rms vs run
χ² / ndf 771.2 / 36
p0 2946 ± 3.522
3100
3000
2900
2800
2700
5967. 0
5967. 1
5967. 2
5967. 3
5967. 4
5967. 5
5967. 6
5968. 0
5968. 1
5968. 2
5968. 3
5968. 4
5968. 5
5968. 6
5968. 7
5969. 0
5969. 1
5969. 2
5969. 3
5969. 4
5969. 5
5969. 6
5969. 7
5969. 8
5969. 9
5970. 0
5970. 1
5970. 2
5970. 3
5971. 0
5971. 1
5971. 2
5971. 3
5971. 4
5971. 5
5971. 6
5972. 0

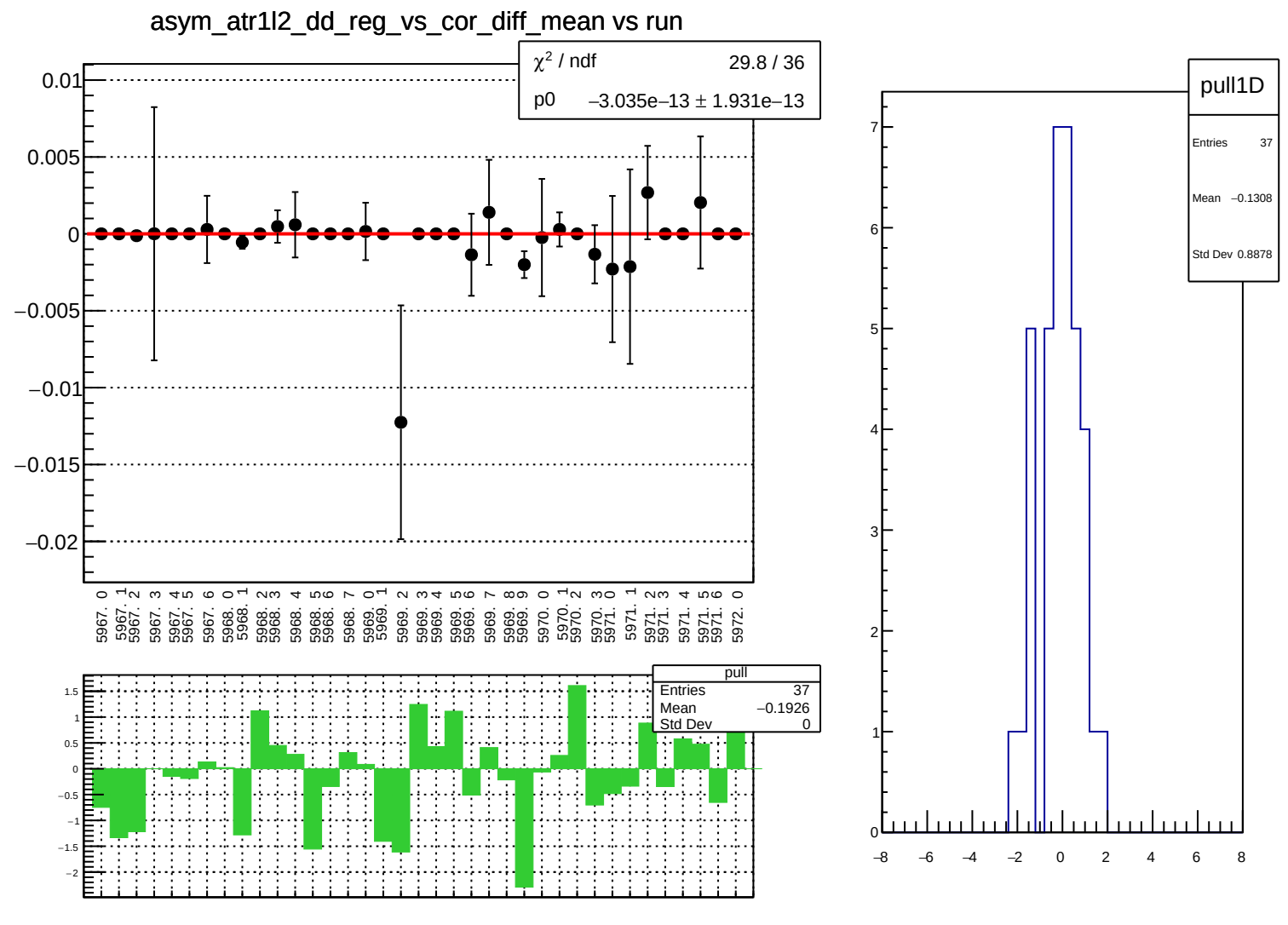
asym_atr1l2_dd_reg_vs_cor_diff_mean vs run
χ² / ndf 29.8 / 36
p0 −3.035e−13 ± 1.931e−13
0.01
0.005
0
−0.005
−0.01
−0.015
−0.02
5967. 0
5967. 1
5967. 2
5967. 3
5967. 4
5967. 5
5967. 6
5968. 0
5968. 1
5968. 2
5968. 3
5968. 4
5968. 5
5968. 6
5968. 7
5969. 0
5969. 1
5969. 2
5969. 3
5969. 4
5969. 5
5969. 6
5969. 7
5969. 8
5969. 9
5970. 0
5970. 1
5970. 2
5970. 3
5971. 0
5971. 1
5971. 2
5971. 3
5971. 4
5971. 5
5971. 6
5972. 0
pull
Entries 37
Mean −0.1926
Std Dev 0
1.5
1
0.5
0
−0.5
−1
−1.5
−2
pull1D
Entries 37
Mean −0.1308
Std Dev 0.8878
7
6
5
4
3
2
1
0
−8
−6
−4
−2
0
2
4
6
8

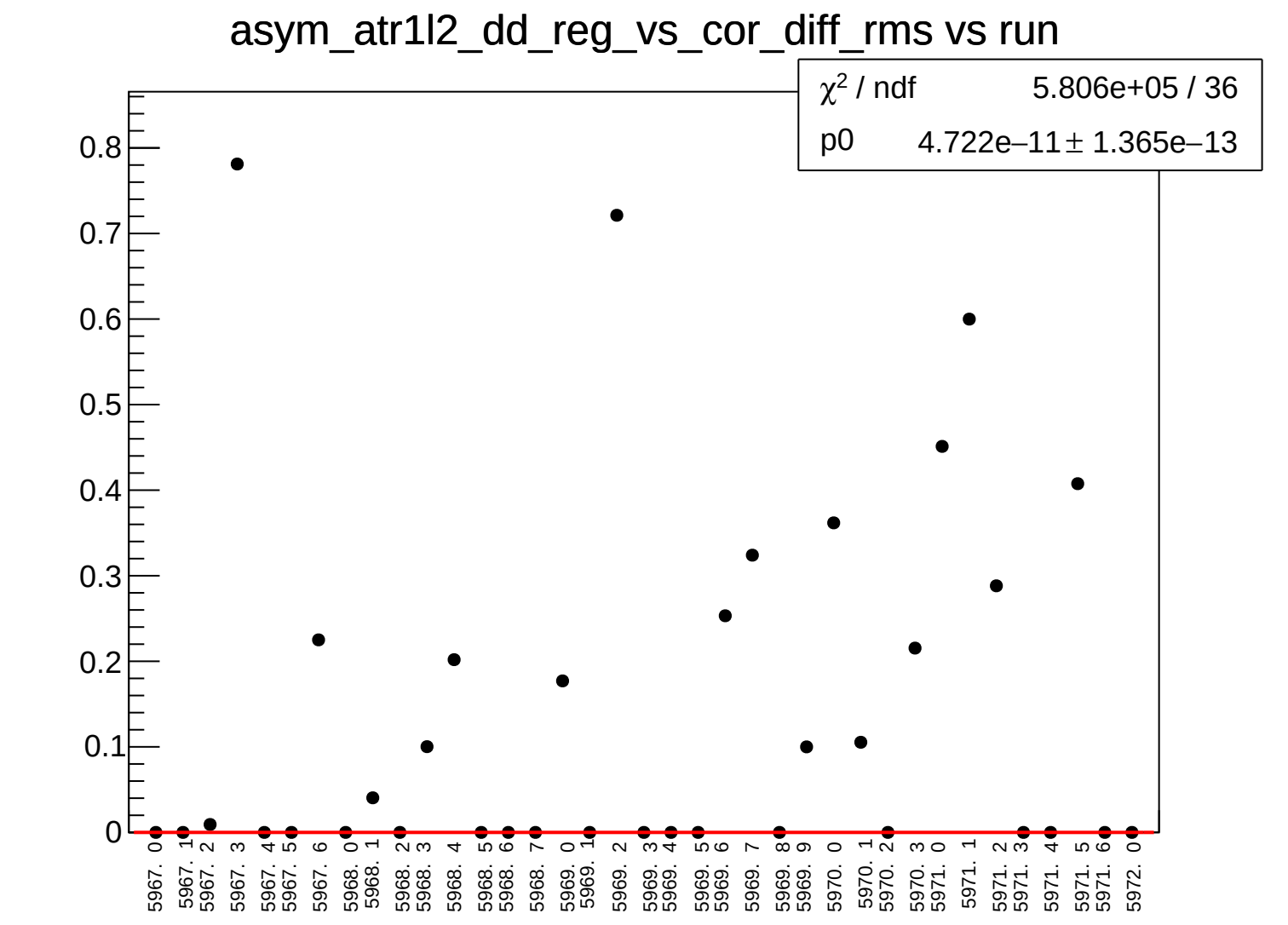
asym_atr1l2_dd_reg_vs_cor_diff_rms vs run
χ² / ndf 5.806e+05 / 36
p0 4.722e−11 ± 1.365e−13
0.8
0.7
0.6
0.5
0.4
0.3
0.2
0.1
0
5967. 0
5967. 1
5967. 2
5967. 3
5967. 4
5967. 5
5967. 6
5968. 0
5968. 1
5968. 2
5968. 3
5968. 4
5968. 5
5968. 6
5968. 7
5969. 0
5969. 1
5969. 2
5969. 3
5969. 4
5969. 5
5969. 6
5969. 7
5969. 8
5969. 9
5970. 0
5970. 1
5970. 2
5970. 3
5971. 0
5971. 1
5971. 2
5971. 3
5971. 4
5971. 5
5971. 6
5972. 0

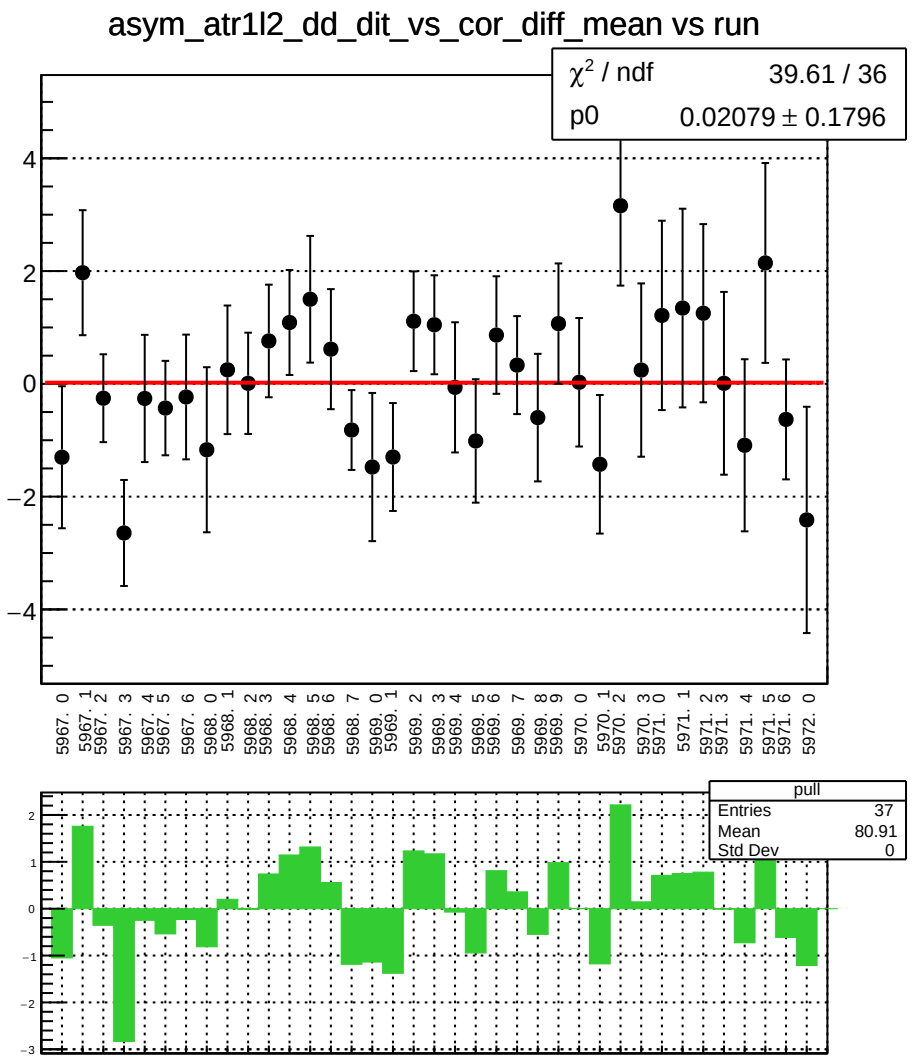
asym_atr1l2_dd_dit_vs_cor_diff_mean vs run
χ² / ndf 39.61 / 36
p0 0.02079 ± 0.1796
pull
Entries 37
Mean 80.91
Std Dev 0

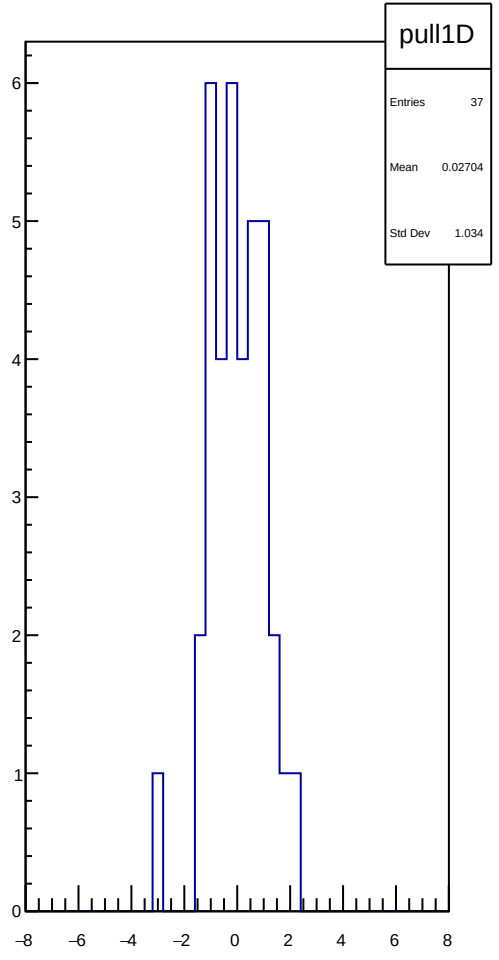
pull1D
Entries 37
Mean 0.02704
Std Dev 1.034

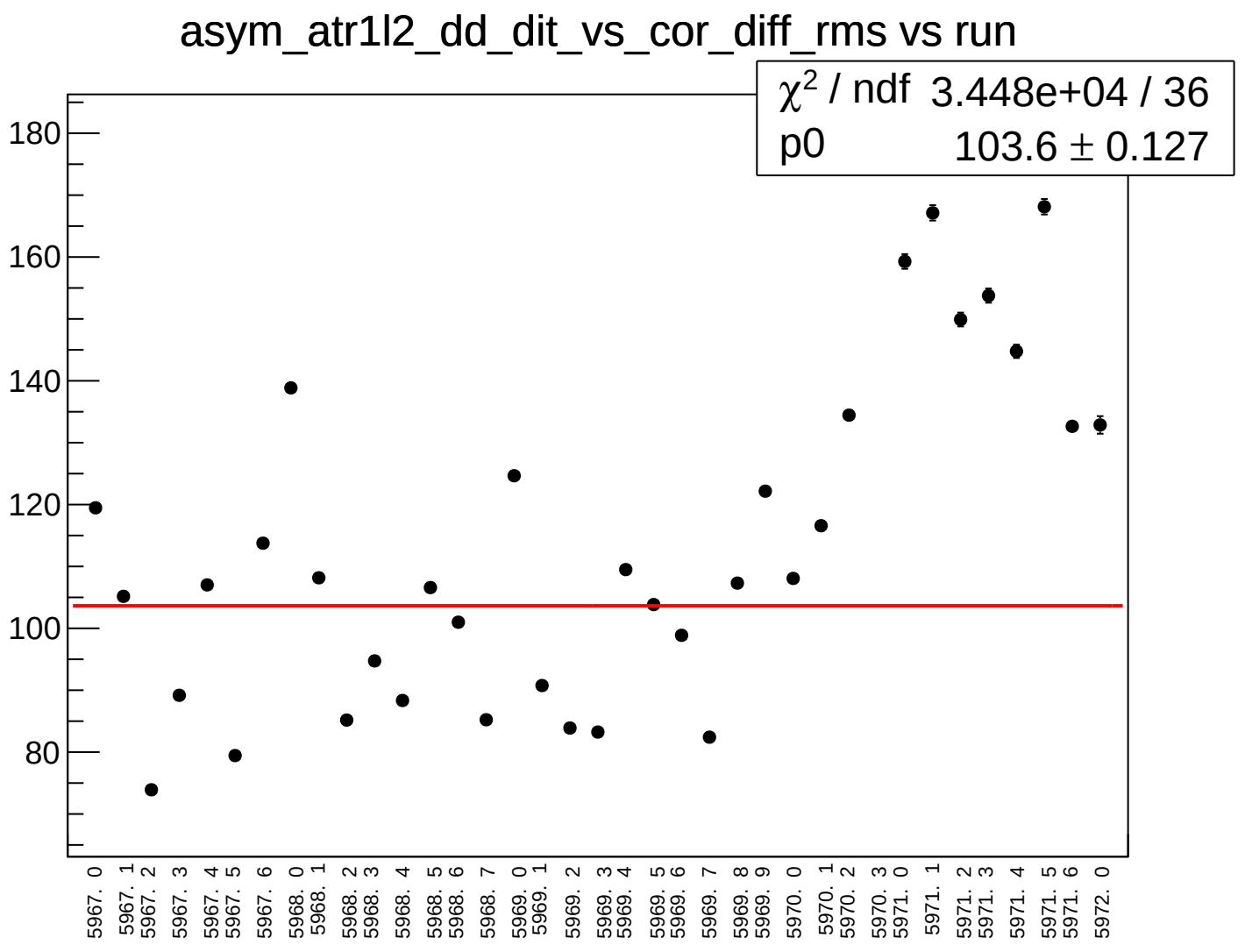
asym_atr1l2_dd_dit_vs_cor_diff_rms vs run
χ² / ndf 3.448e+04 / 36
p0 103.6 ± 0.127
180
160
140
120
100
80
5967. 0
5967. 1
5967. 2
5967. 3
5967. 4
5967. 5
5967. 6
5968. 0
5968. 1
5968. 2
5968. 3
5968. 4
5968. 5
5968. 6
5968. 7
5969. 0
5969. 1
5969. 2
5969. 3
5969. 4
5969. 5
5969. 6
5969. 7
5969. 8
5969. 9
5970. 0
5970. 1
5970. 2
5970. 3
5971. 0
5971. 1
5971. 2
5971. 3
5971. 4
5971. 5
5971. 6
5972. 0

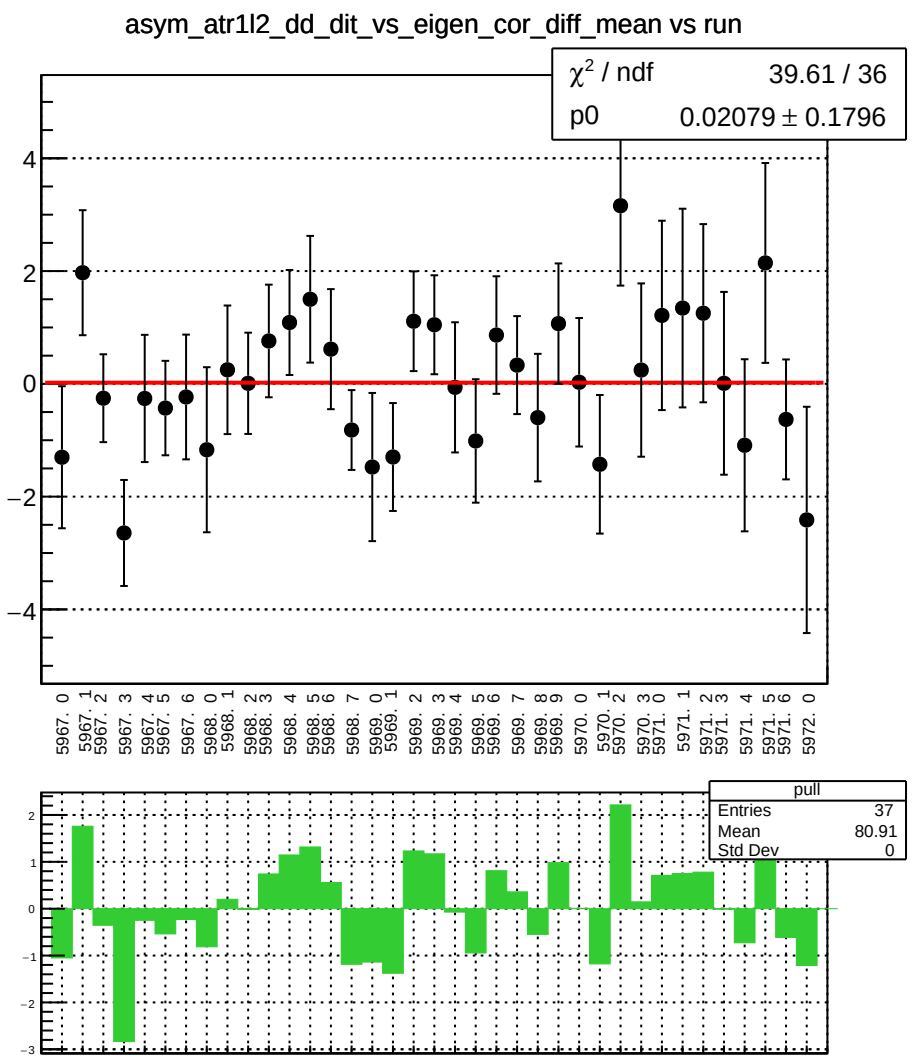
asym_atr1l2_dd_dit_vs_eigen_cor_diff_mean vs run
χ² / ndf 39.61 / 36
p0 0.02079 ± 0.1796
pull
Entries 37
Mean 80.91
Std Dev 0

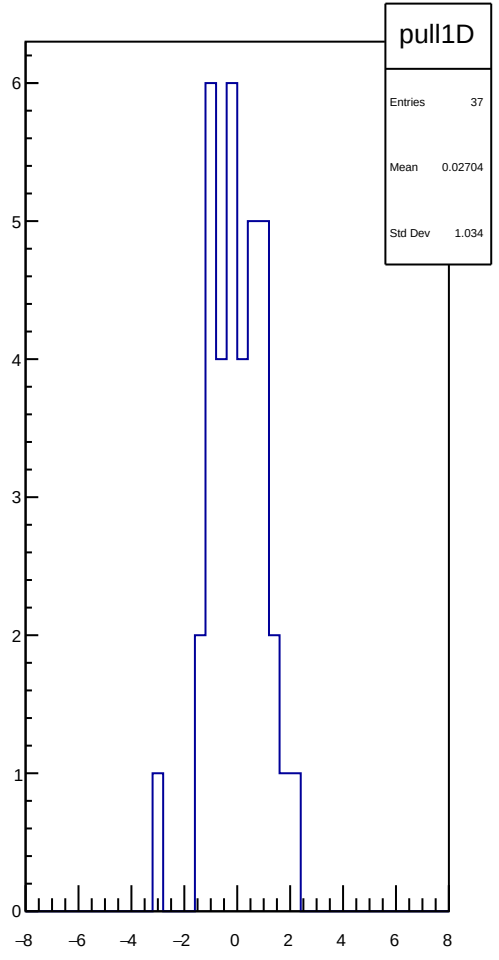
pull1D
Entries 37
Mean 0.02704
Std Dev 1.034

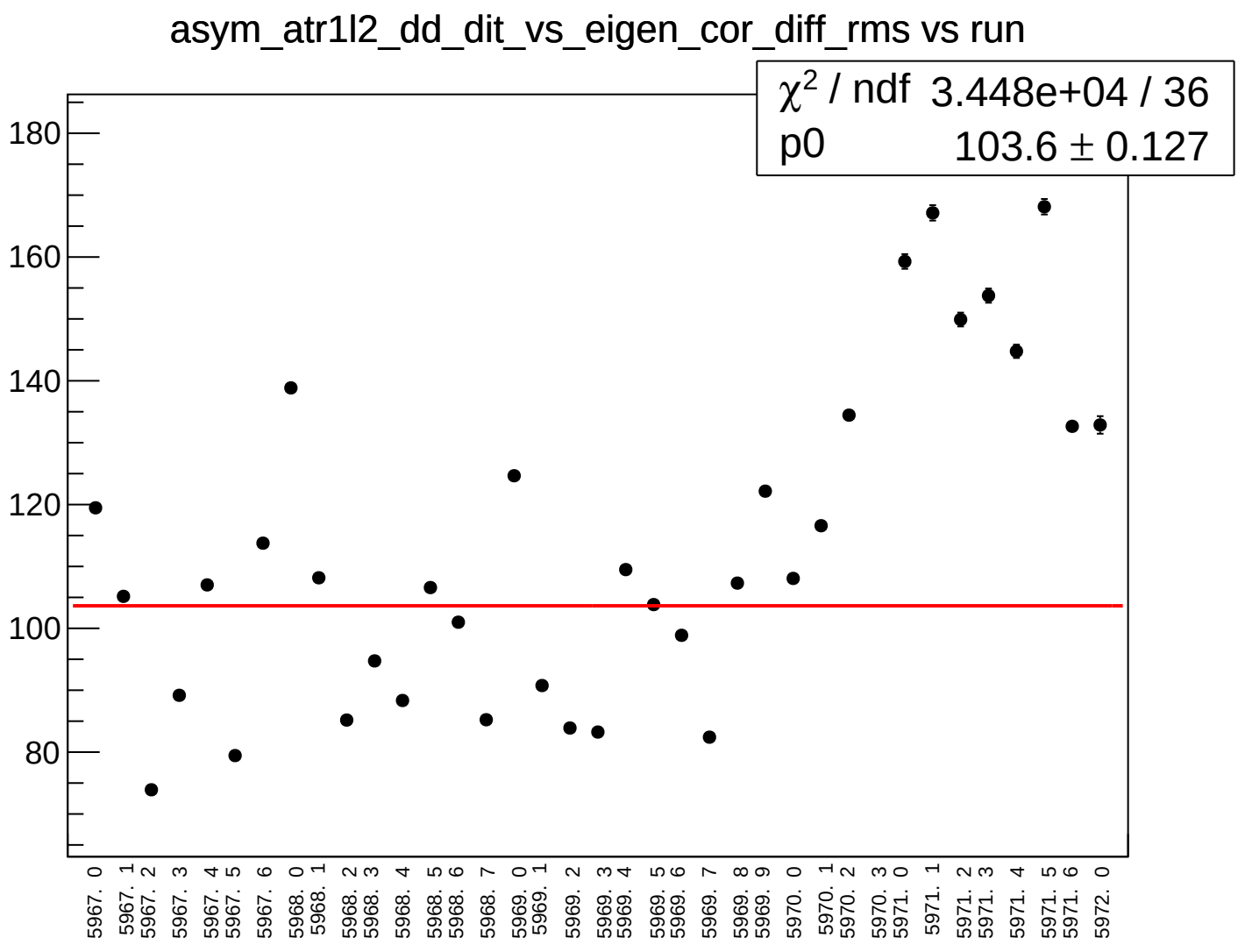
asym_atr1l2_dd_dit_vs_eigen_cor_diff_rms vs run
χ² / ndf 3.448e+04 / 36
p0 103.6 ± 0.127
180
160
140
120
100
80
5967. 0
5967. 1
5967. 2
5967. 3
5967. 4
5967. 5
5967. 6
5968. 0
5968. 1
5968. 2
5968. 3
5968. 4
5968. 5
5968. 6
5968. 7
5969. 0
5969. 1
5969. 2
5969. 3
5969. 4
5969. 5
5969. 6
5969. 7
5969. 8
5969. 9
5970. 0
5970. 1
5970. 2
5970. 3
5971. 0
5971. 1
5971. 2
5971. 3
5971. 4
5971. 5
5971. 6
5972. 0

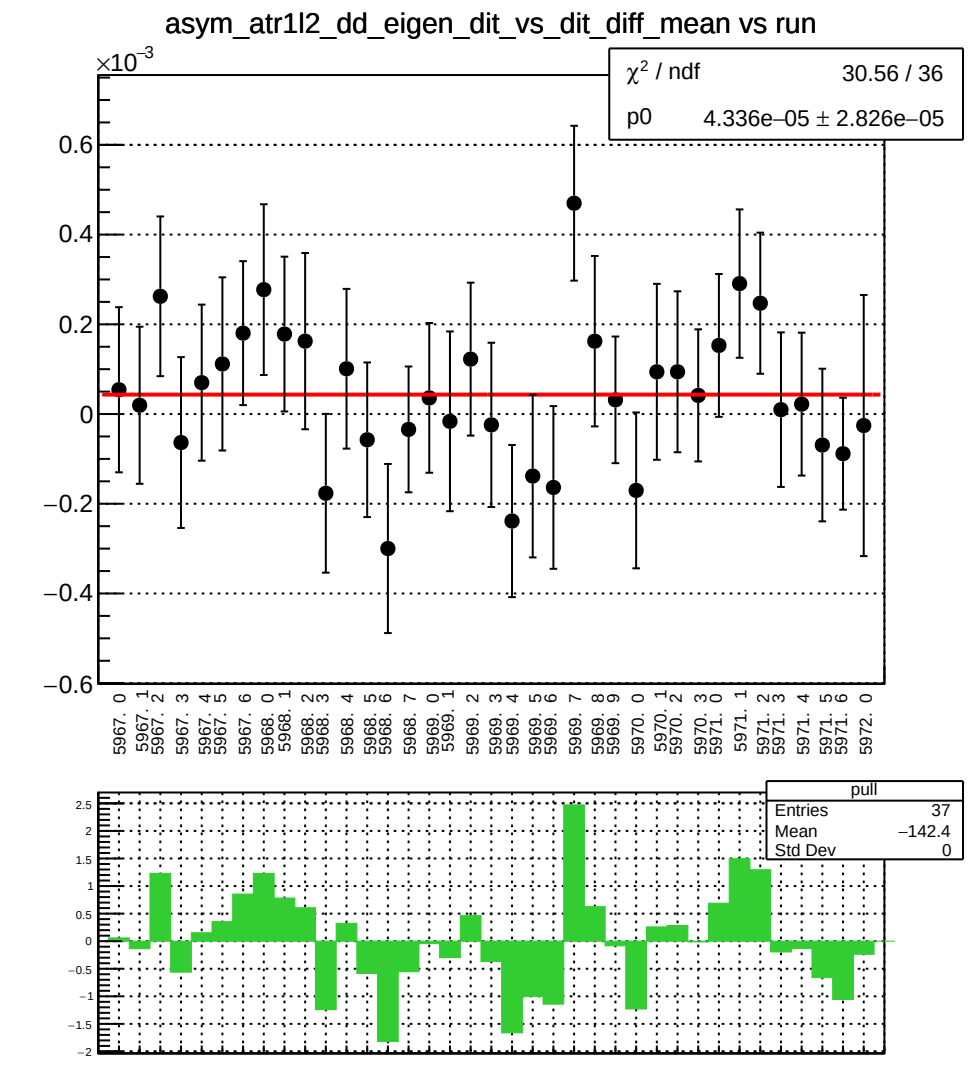
asym_atr1l2_dd_eigen_dit_vs_dit_diff_mean vs run
×10⁻³
χ² / ndf 30.56 / 36
p0 4.336e−05 ± 2.826e−05
pull
Entries 37
Mean −142.4
Std Dev 0
pull1D
Entries 37
Mean 0.004177
Std Dev 0.9089

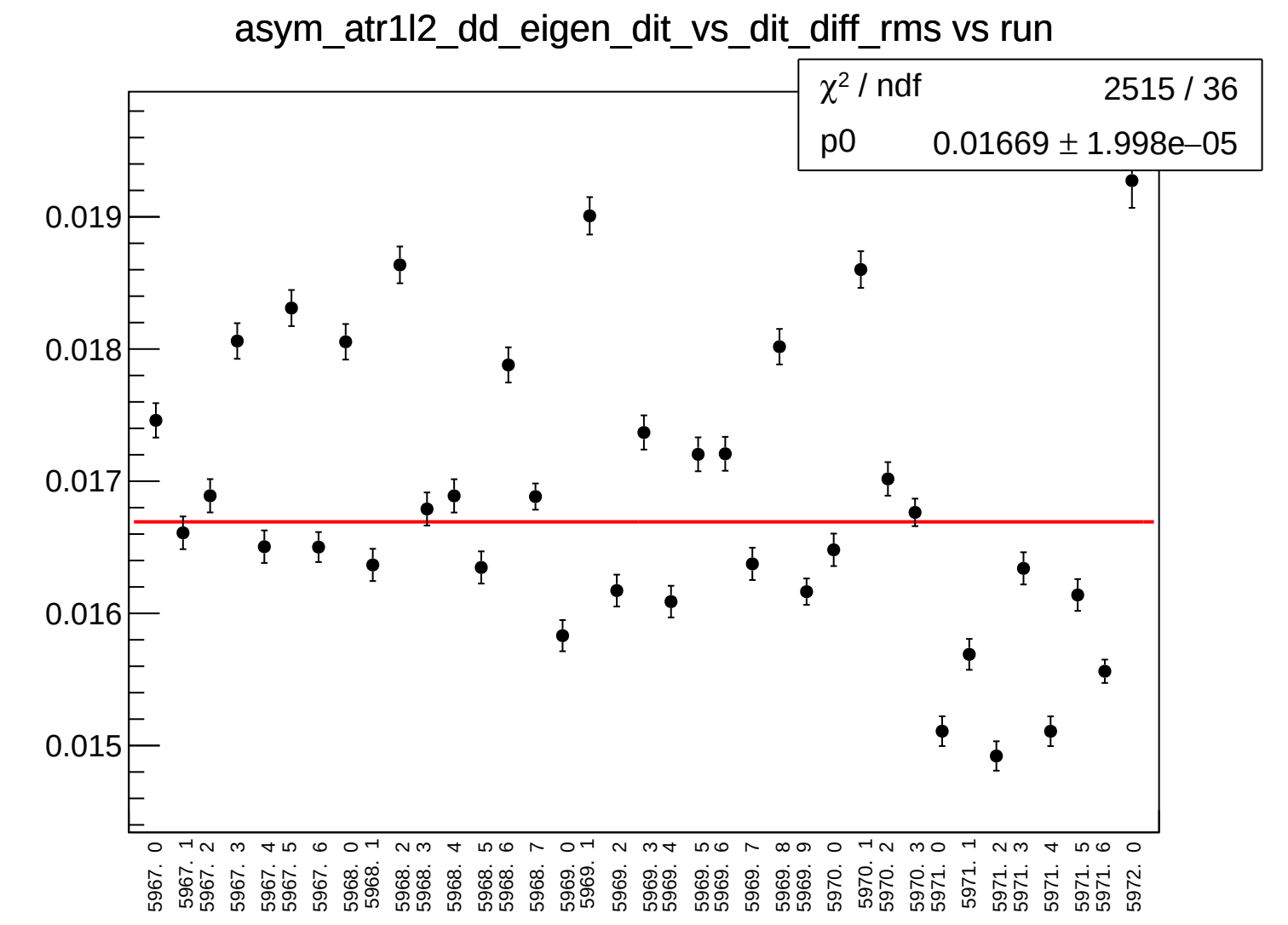
asym_atr1l2_dd_eigen_dit_vs_dit_diff_rms vs run
χ² / ndf 2515 / 36
p0 0.01669 ± 1.998e–05
0.019
0.018
0.017
0.016
0.015
5967. 0
5967. 1
5967. 2
5967. 3
5967. 4
5967. 5
5967. 6
5968. 0
5968. 1
5968. 2
5968. 3
5968. 4
5968. 5
5968. 6
5968. 7
5969. 0
5969. 1
5969. 2
5969. 3
5969. 4
5969. 5
5969. 6
5969. 7
5969. 8
5969. 9
5970. 0
5970. 1
5970. 2
5970. 3
5971. 0
5971. 1
5971. 2
5971. 3
5971. 4
5971. 5
5971. 6
5972. 0

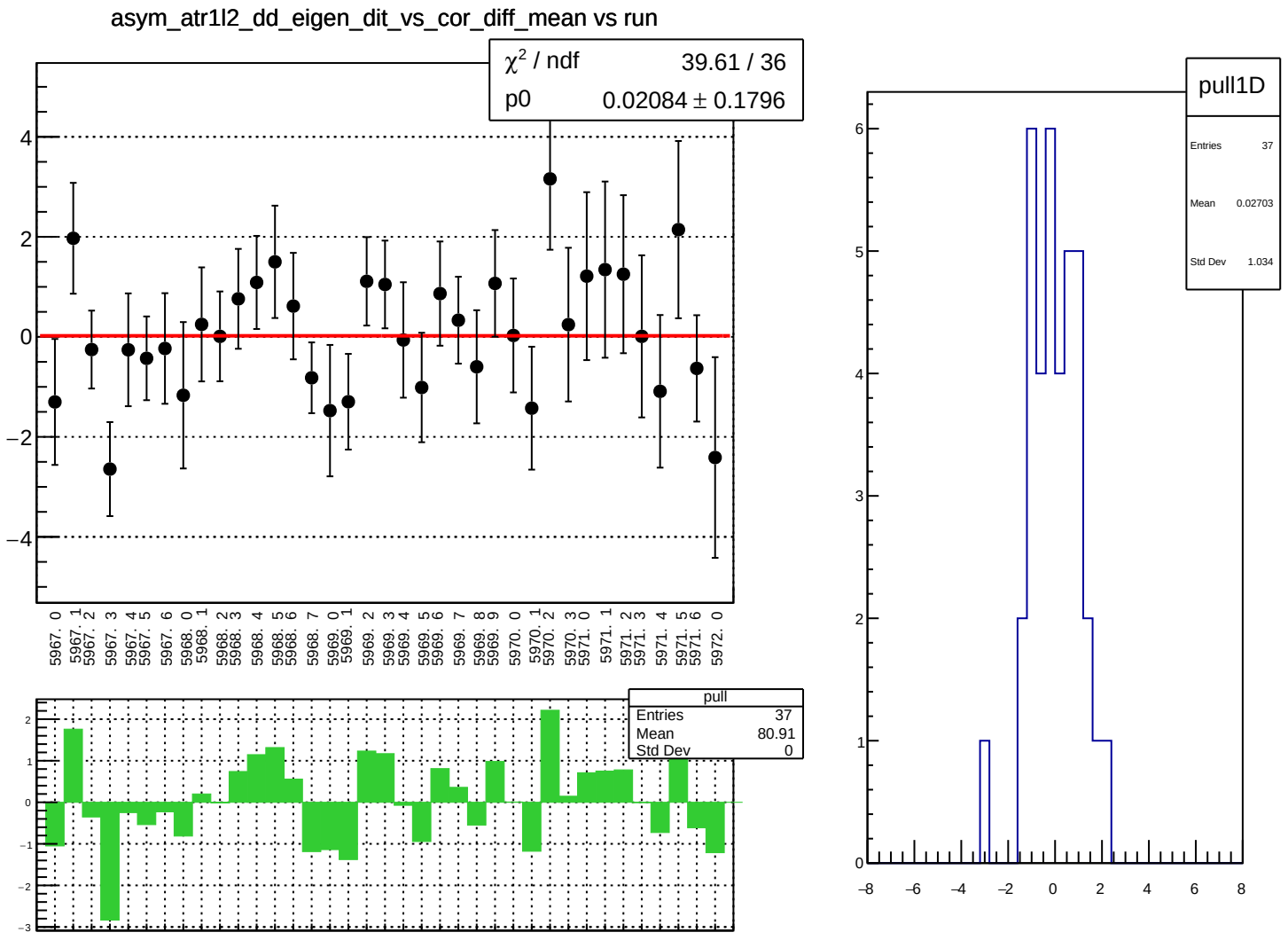
asym_atr1l2_dd_eigen_dit_vs_cor_diff_mean vs run
χ² / ndf 39.61 / 36
p0 0.02084 ± 0.1796
pull
Entries 37
Mean 80.91
Std Dev 0
pull1D
Entries 37
Mean 0.02703
Std Dev 1.034

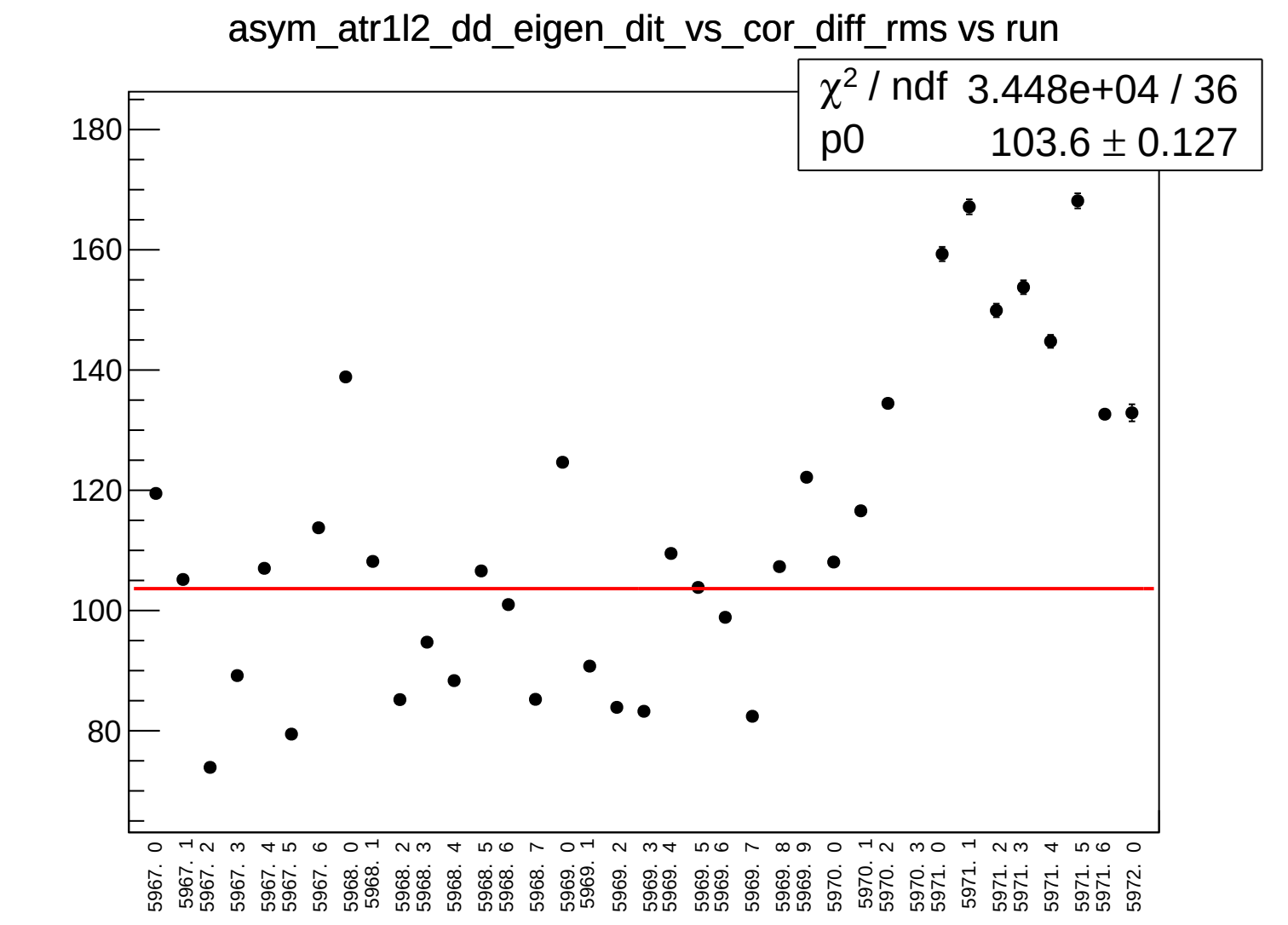
asym_atr1l2_dd_eigen_dit_vs_cor_diff_rms vs run
χ² / ndf 3.448e+04 / 36
p0 103.6 ± 0.127
180
160
140
120
100
80
5967. 0
5967. 1
5967. 2
5967. 3
5967. 4
5967. 5
5967. 6
5968. 0
5968. 1
5968. 2
5968. 3
5968. 4
5968. 5
5968. 6
5968. 7
5969. 0
5969. 1
5969. 2
5969. 3
5969. 4
5969. 5
5969. 6
5969. 7
5969. 8
5969. 9
5970. 0
5970. 1
5970. 2
5970. 3
5971. 0
5971. 1
5971. 2
5971. 3
5971. 4
5971. 5
5971. 6
5972. 0

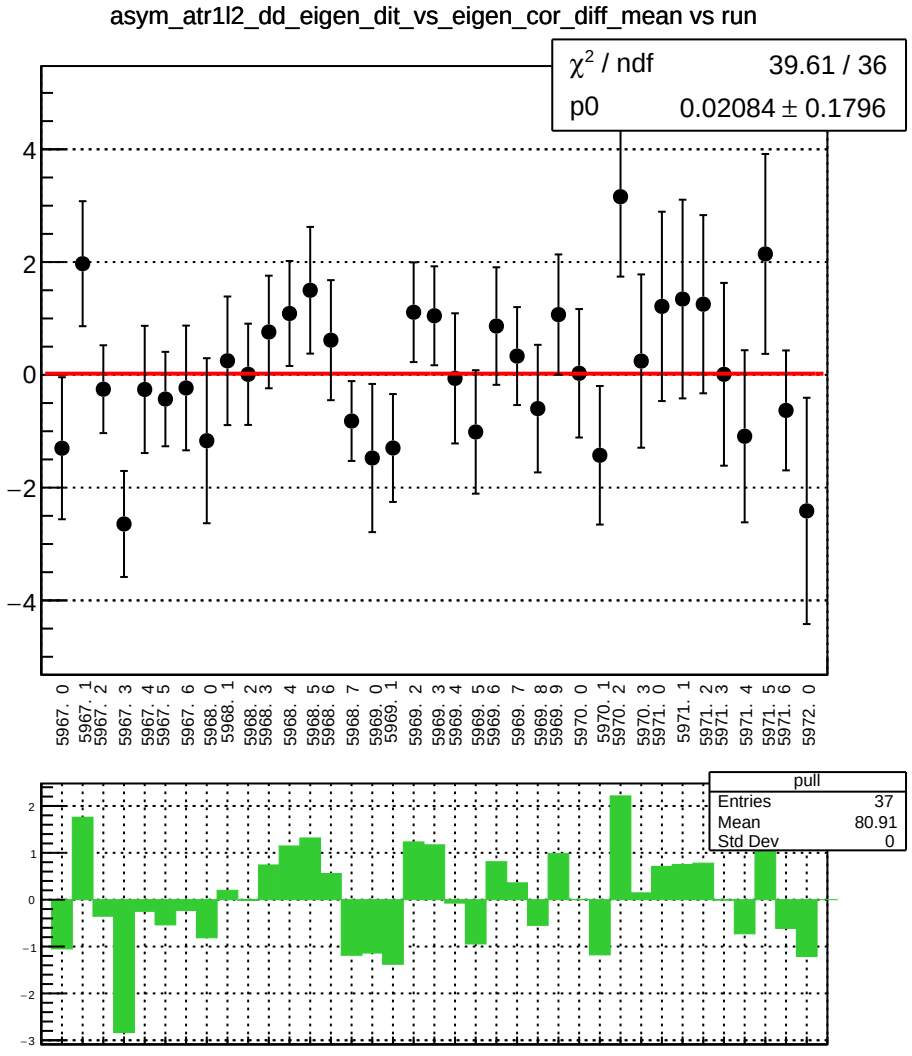
asym_atr1l2_dd_eigen_dit_vs_eigen_cor_diff_mean vs run
χ² / ndf 39.61 / 36
p0 0.02084 ± 0.1796
pull
Entries 37
Mean 80.91
Std Dev 0

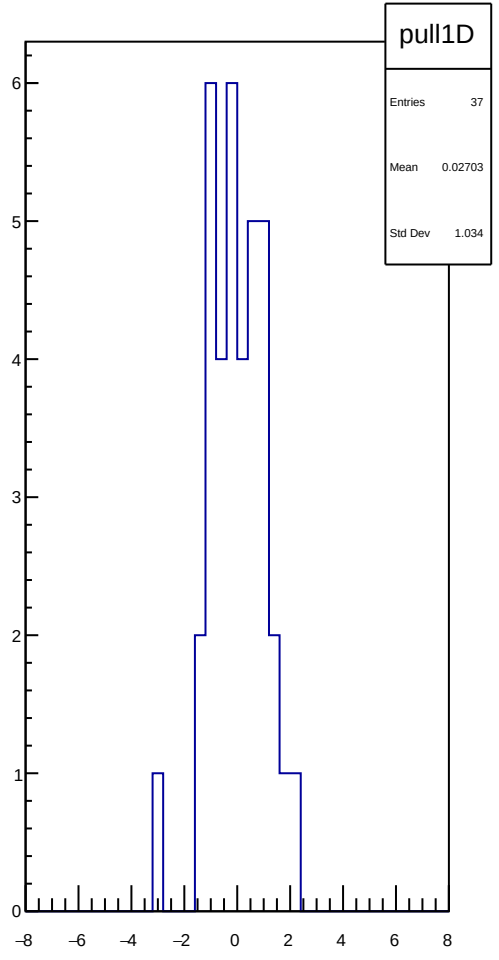
pull1D
Entries 37
Mean 0.02703
Std Dev 1.034

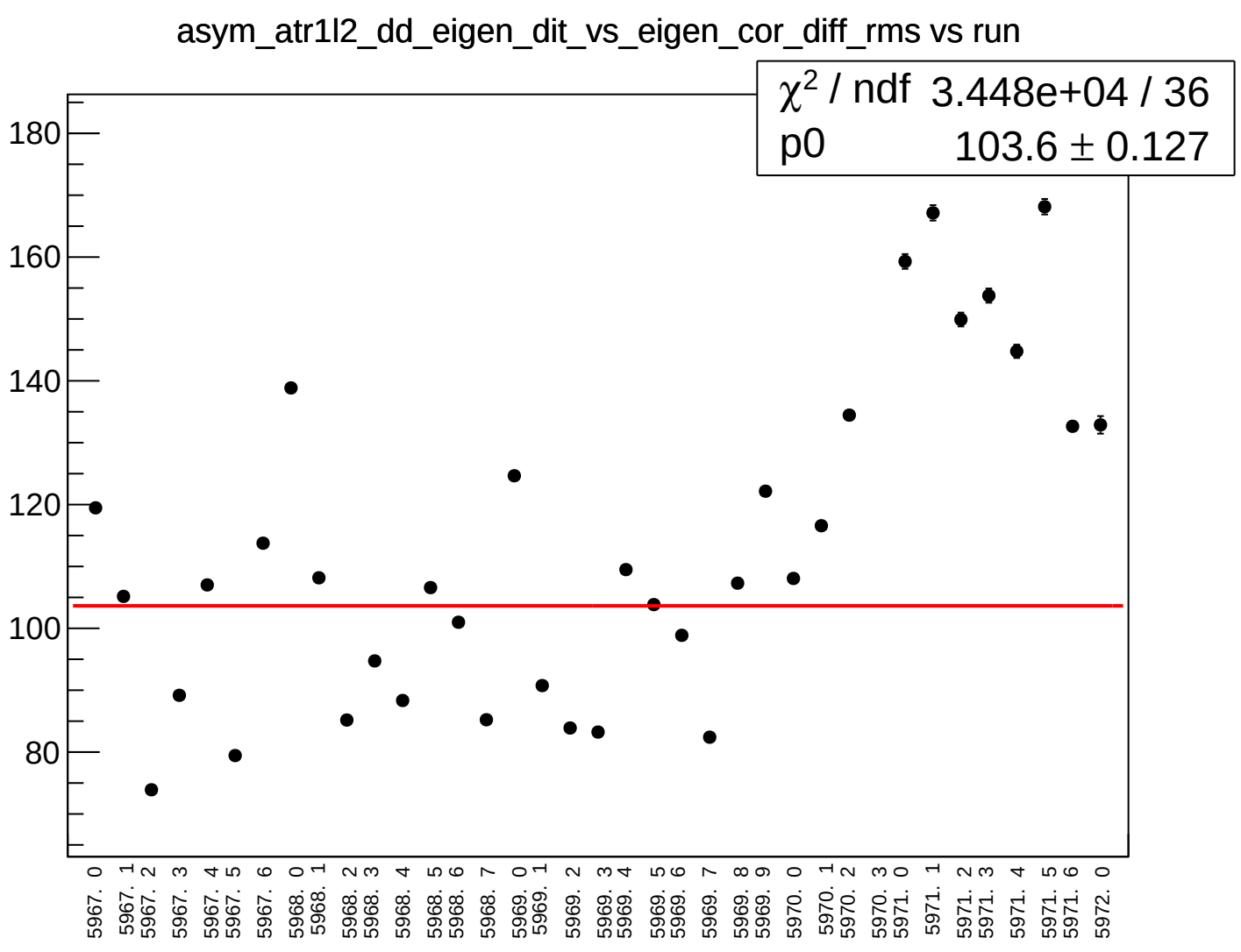
asym_atr1l2_dd_eigen_dit_vs_eigen_cor_diff_rms vs run
χ² / ndf 3.448e+04 / 36
p0 103.6 ± 0.127
180
160
140
120
100
80
5967. 0
5967. 1
5967. 2
5967. 3
5967. 4
5967. 5
5967. 6
5968. 0
5968. 1
5968. 2
5968. 3
5968. 4
5968. 5
5968. 6
5968. 7
5969. 0
5969. 1
5969. 2
5969. 3
5969. 4
5969. 5
5969. 6
5969. 7
5969. 8
5969. 9
5970. 0
5970. 1
5970. 2
5970. 3
5971. 0
5971. 1
5971. 2
5971. 3
5971. 4
5971. 5
5971. 6
5972. 0

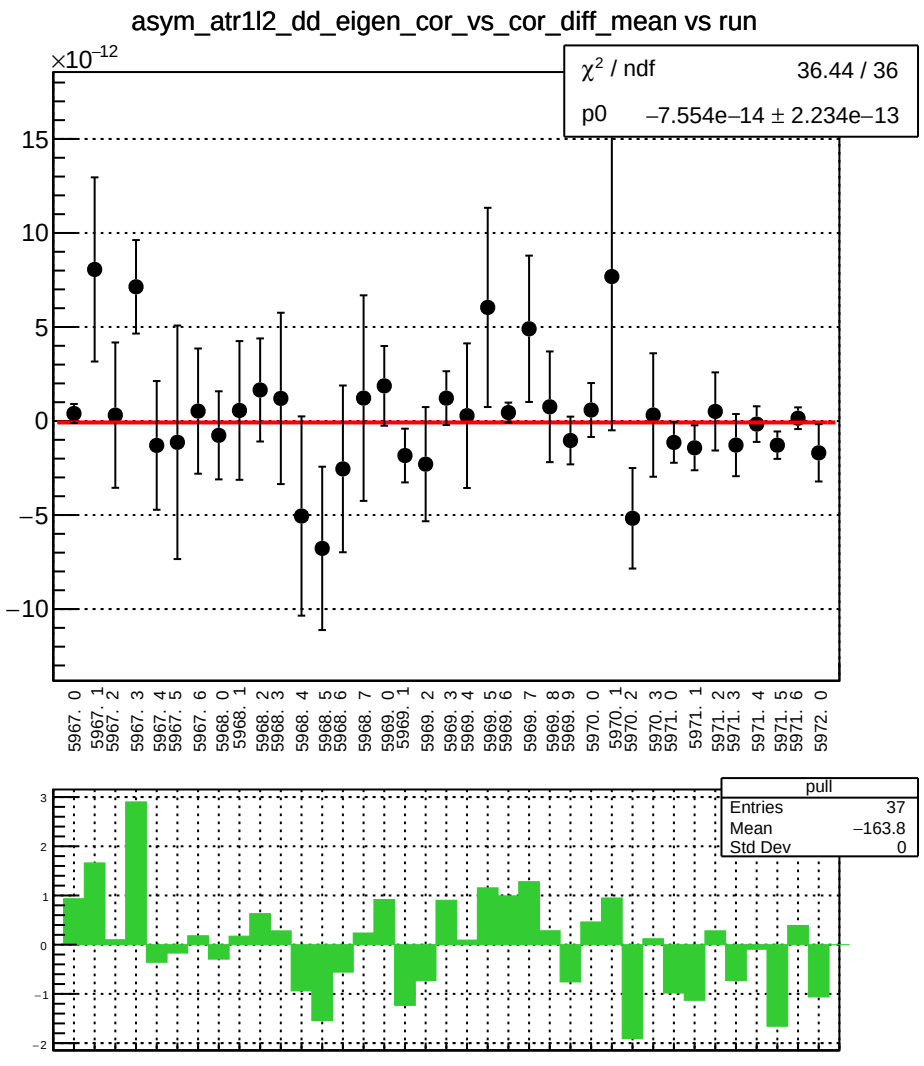
asym_atr1l2_dd_eigen_cor_vs_cor_diff_mean vs run
×10⁻¹²
χ² / ndf 36.44 / 36
p0 −7.554e−14 ± 2.234e−13
15
10
5
0
−5
−10
5967. 0
5967. 1
5967. 2
5967. 3
5967. 4
5967. 5
5967. 6
5968. 0
5968. 1
5968. 2
5968. 3
5968. 4
5968. 5
5968. 6
5968. 7
5969. 0
5969. 1
5969. 2
5969. 3
5969. 4
5969. 5
5969. 6
5969. 7
5969. 8
5969. 9
5970. 0
5970. 1
5970. 2
5970. 3
5971. 0
5971. 1
5971. 2
5971. 3
5971. 4
5971. 5
5971. 6
5972. 0
pull
Entries 37
Mean −163.8
Std Dev 0
3
2
1
0
−1
−2

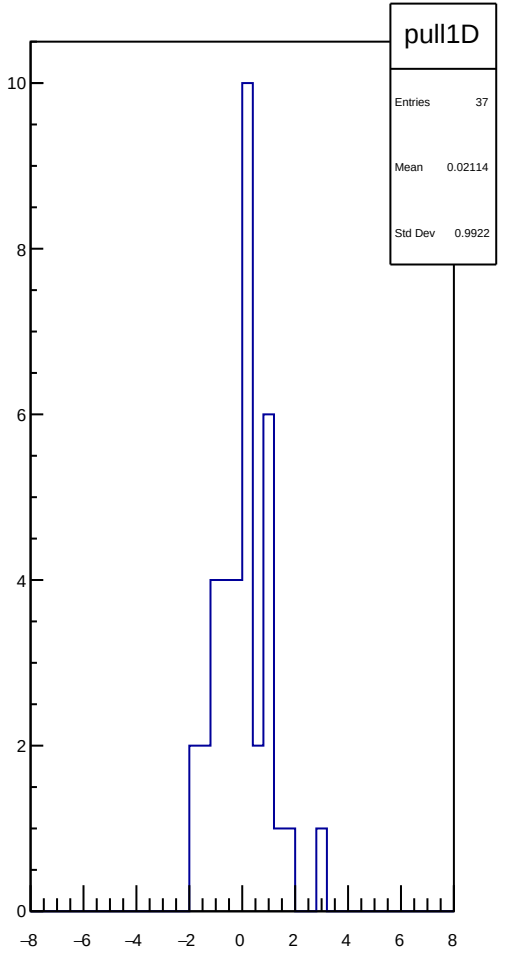
pull1D
Entries 37
Mean 0.02114
Std Dev 0.9922
10
8
6
4
2
0
−8
−6
−4
−2
0
2
4
6
8

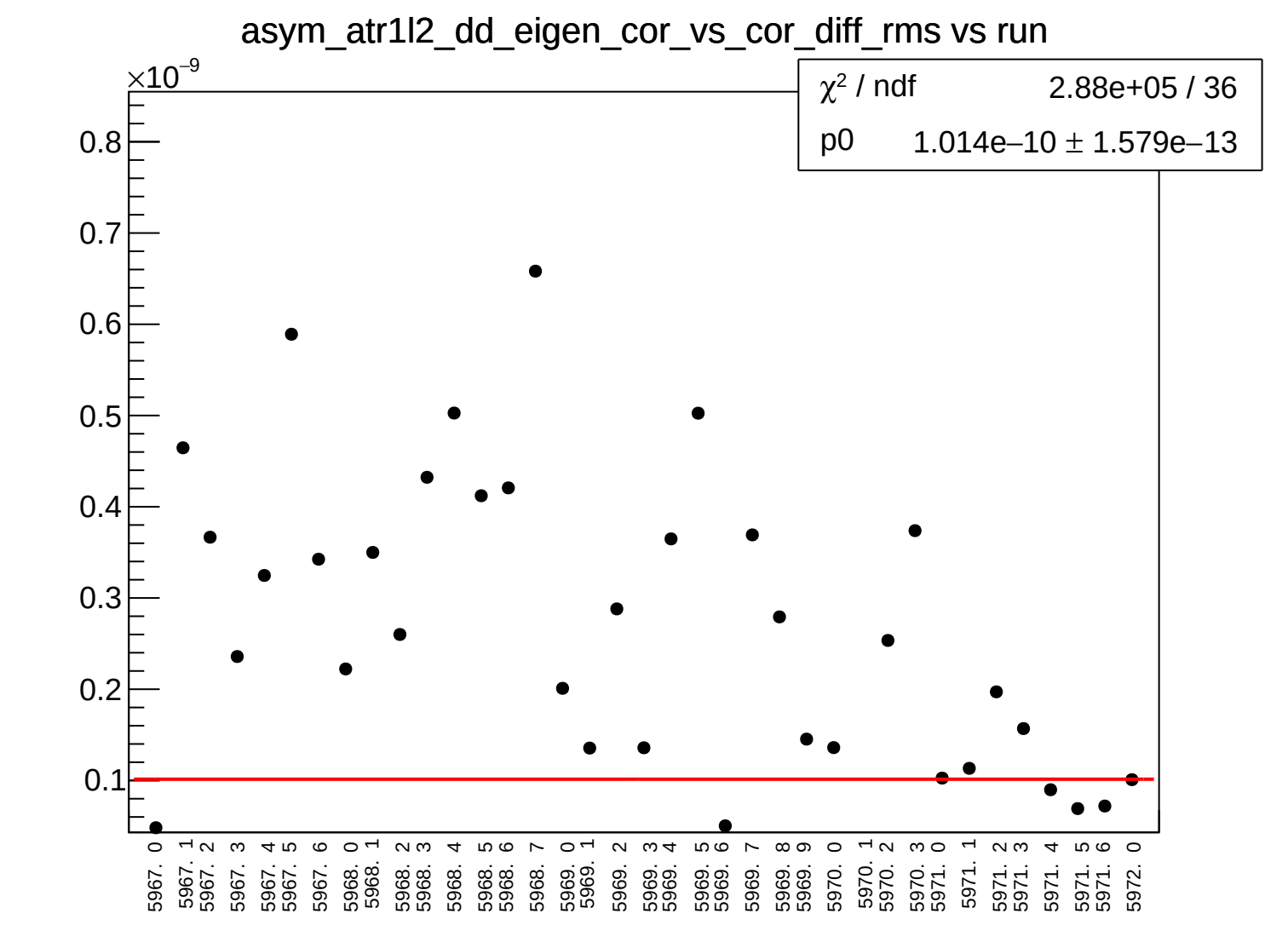
asym_atr1l2_dd_eigen_cor_vs_cor_diff_rms vs run
×10⁻⁹
χ² / ndf 2.88e+05 / 36
p0 1.014e−10 ± 1.579e−13
0.8
0.7
0.6
0.5
0.4
0.3
0.2
0.1
5967. 0
5967. 1
5967. 2
5967. 3
5967. 4
5967. 5
5967. 6
5968. 0
5968. 1
5968. 2
5968. 3
5968. 4
5968. 5
5968. 6
5968. 7
5969. 0
5969. 1
5969. 2
5969. 3
5969. 4
5969. 5
5969. 6
5969. 7
5969. 8
5969. 9
5970. 0
5970. 1
5970. 2
5970. 3
5971. 0
5971. 1
5971. 2
5971. 3
5971. 4
5971. 5
5971. 6
5972. 0

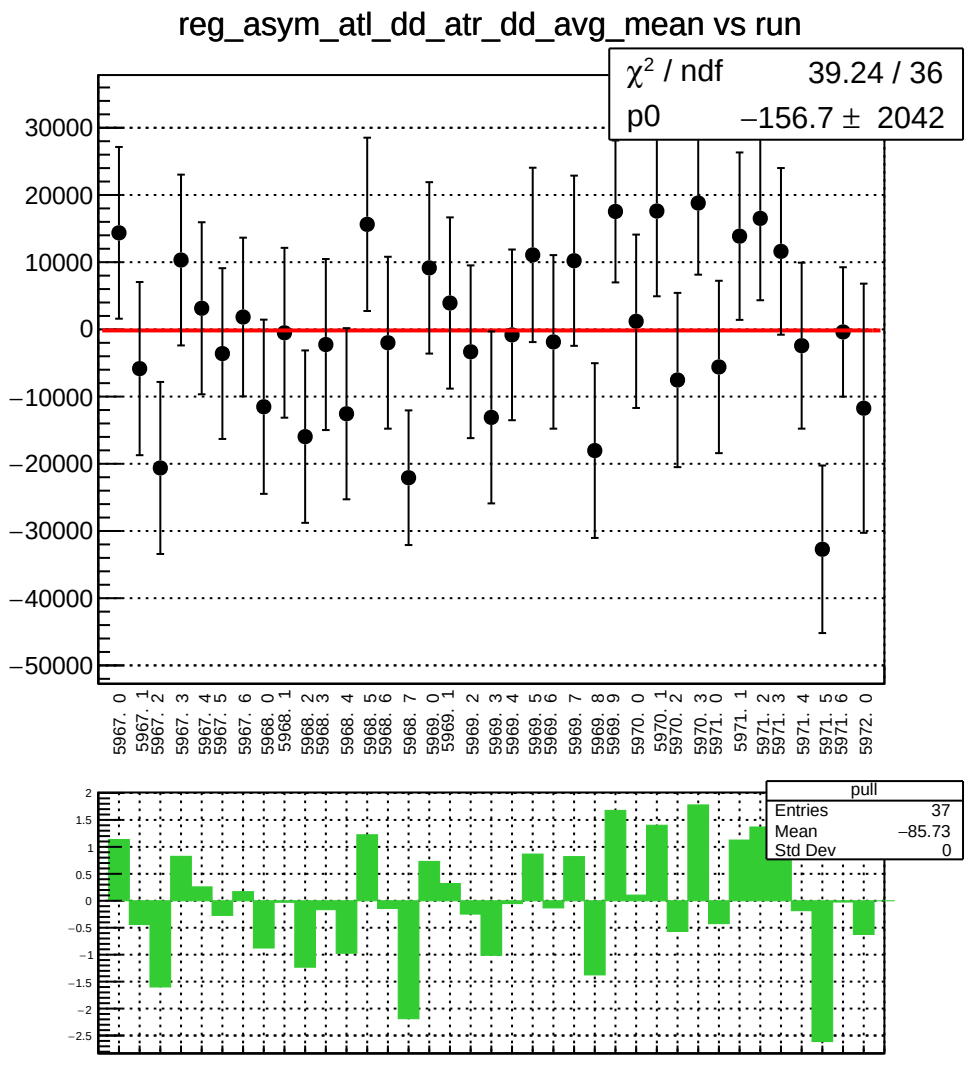
reg_asym_atl_dd_atr_dd_avg_mean vs run
χ² / ndf 39.24 / 36
p0 −156.7 ± 2042
30000
20000
10000
0
−10000
−20000
−30000
−40000
−50000
5967. 0
5967. 1
5967. 2
5967. 3
5967. 4
5967. 5
5967. 6
5968. 0
5968. 1
5968. 2
5968. 3
5968. 4
5968. 5
5968. 6
5968. 7
5969. 0
5969. 1
5969. 2
5969. 3
5969. 4
5969. 5
5969. 6
5969. 7
5969. 8
5969. 9
5970. 0
5970. 1
5970. 2
5970. 3
5971. 0
5971. 1
5971. 2
5971. 3
5971. 4
5971. 5
5971. 6
5972. 0
pull
Entries 37
Mean −85.73
Std Dev 0
2
1.5
1
0.5
0
−0.5
−1
−1.5
−2
−2.5

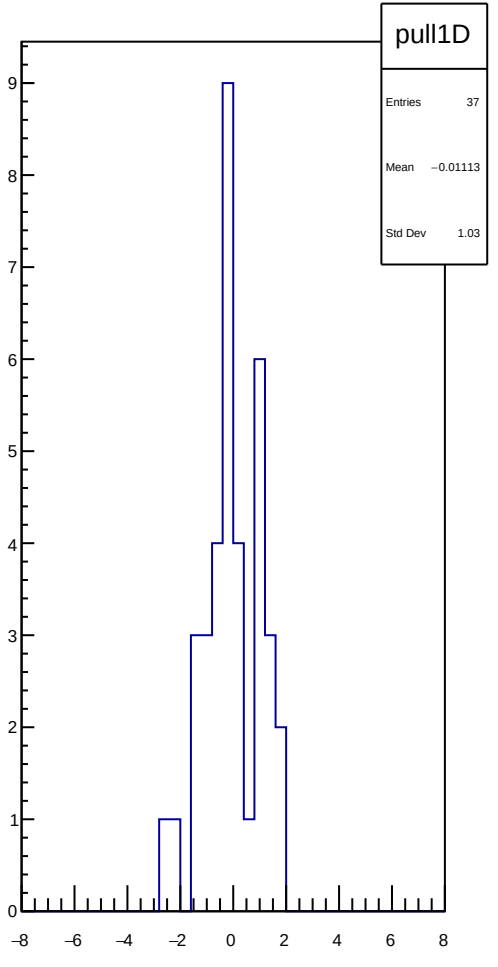
pull1D
Entries 37
Mean −0.01113
Std Dev 1.03
9
8
7
6
5
4
3
2
1
0
−8
−6
−4
−2
0
2
4
6
8

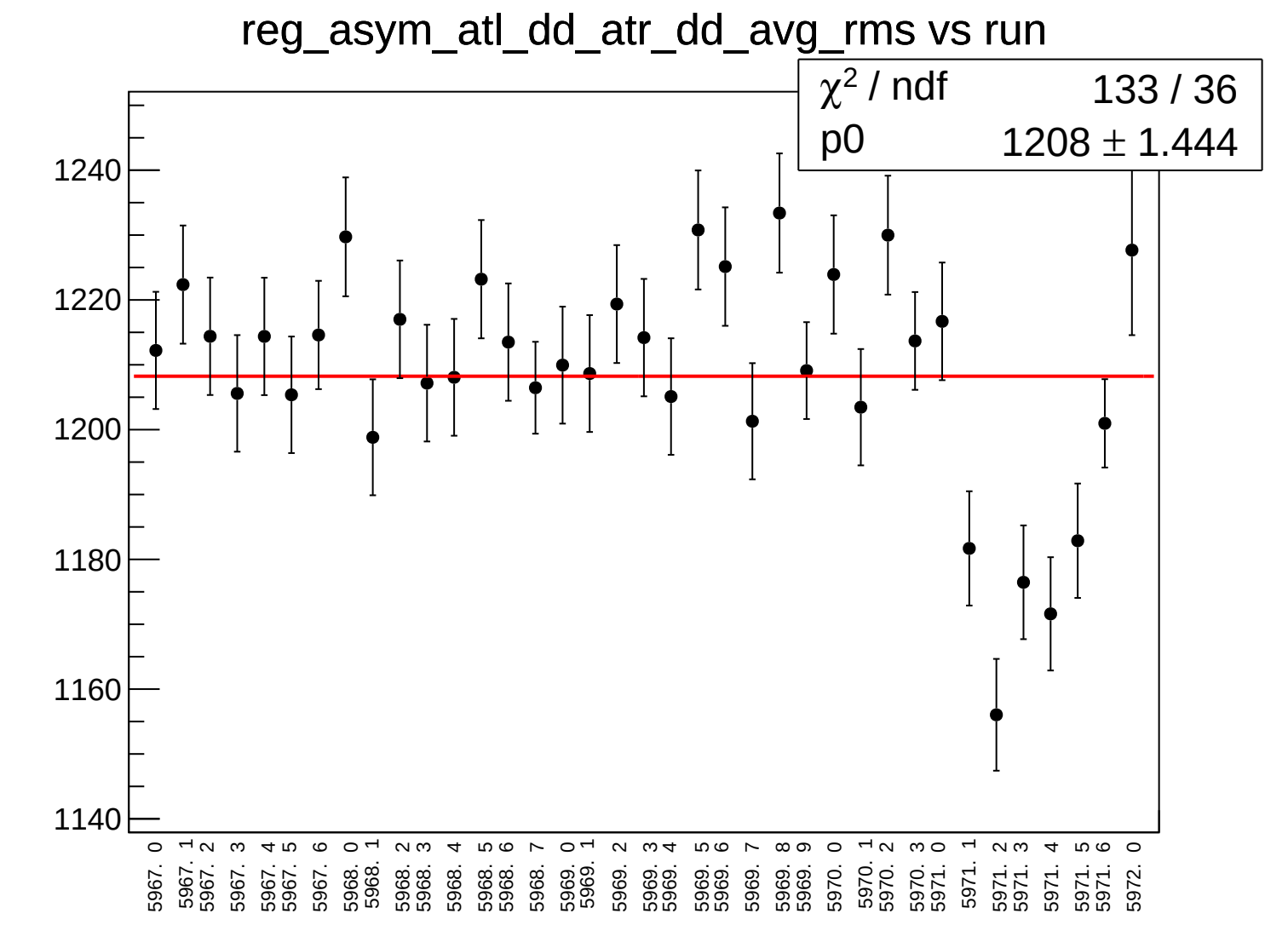
reg_asym_atl_dd_atr_dd_avg_rms vs run
χ² / ndf 133 / 36
p0 1208 ± 1.444
1240
1220
1200
1180
1160
1140
5967. 0
5967. 1
5967. 2
5967. 3
5967. 4
5967. 5
5967. 6
5968. 0
5968. 1
5968. 2
5968. 3
5968. 4
5968. 5
5968. 6
5968. 7
5969. 0
5969. 1
5969. 2
5969. 3
5969. 4
5969. 5
5969. 6
5969. 7
5969. 8
5969. 9
5970. 0
5970. 1
5970. 2
5970. 3
5971. 0
5971. 1
5971. 2
5971. 3
5971. 4
5971. 5
5971. 6
5972. 0

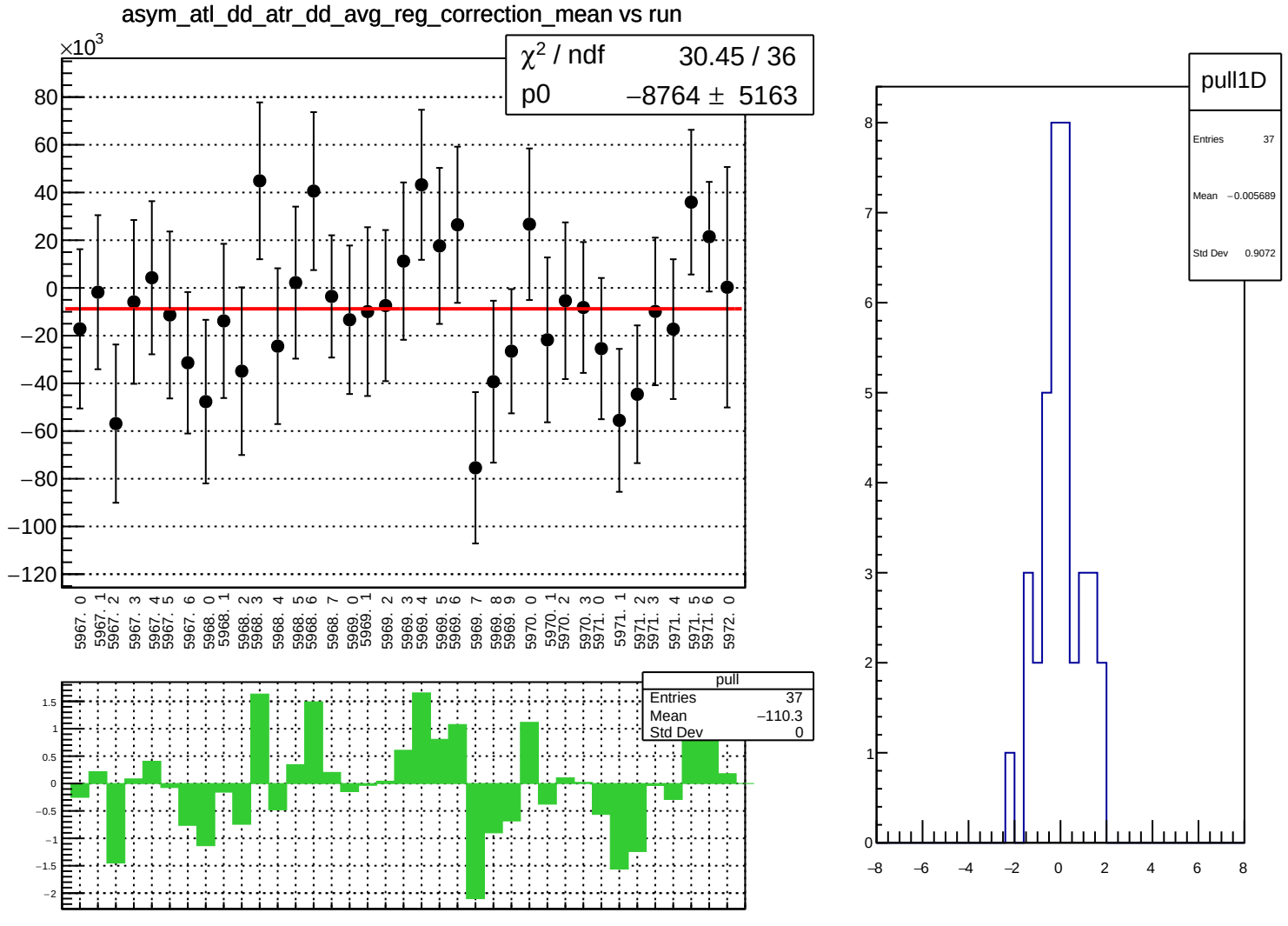
asym_atl_dd_atr_dd_avg_reg_correction_mean vs run
×10^3
χ² / ndf 30.45 / 36
p0 −8764 ± 5163
pull
Entries 37
Mean −110.3
Std Dev 0
pull1D
Entries 37
Mean −0.005689
Std Dev 0.9072

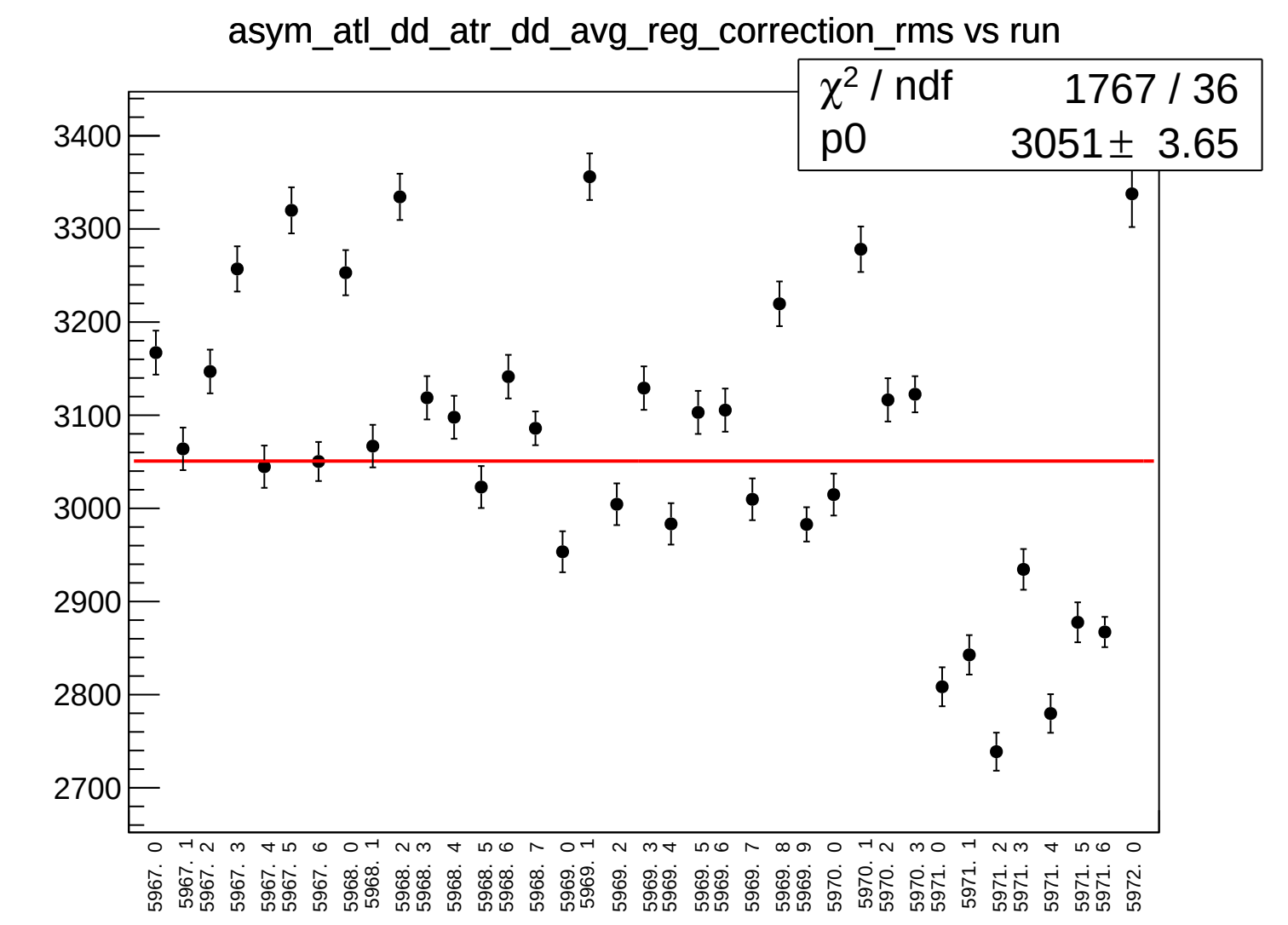
asym_atl_dd_atr_dd_avg_reg_correction_rms vs run
χ² / ndf 1767 / 36
p0 3051 ± 3.65
3400
3300
3200
3100
3000
2900
2800
2700
5967. 0
5967. 1
5967. 2
5967. 3
5967. 4
5967. 5
5967. 6
5968. 0
5968. 1
5968. 2
5968. 3
5968. 4
5968. 5
5968. 6
5968. 7
5969. 0
5969. 1
5969. 2
5969. 3
5969. 4
5969. 5
5969. 6
5969. 7
5969. 8
5969. 9
5970. 0
5970. 1
5970. 2
5970. 3
5971. 0
5971. 1
5971. 2
5971. 3
5971. 4
5971. 5
5971. 6
5972. 0

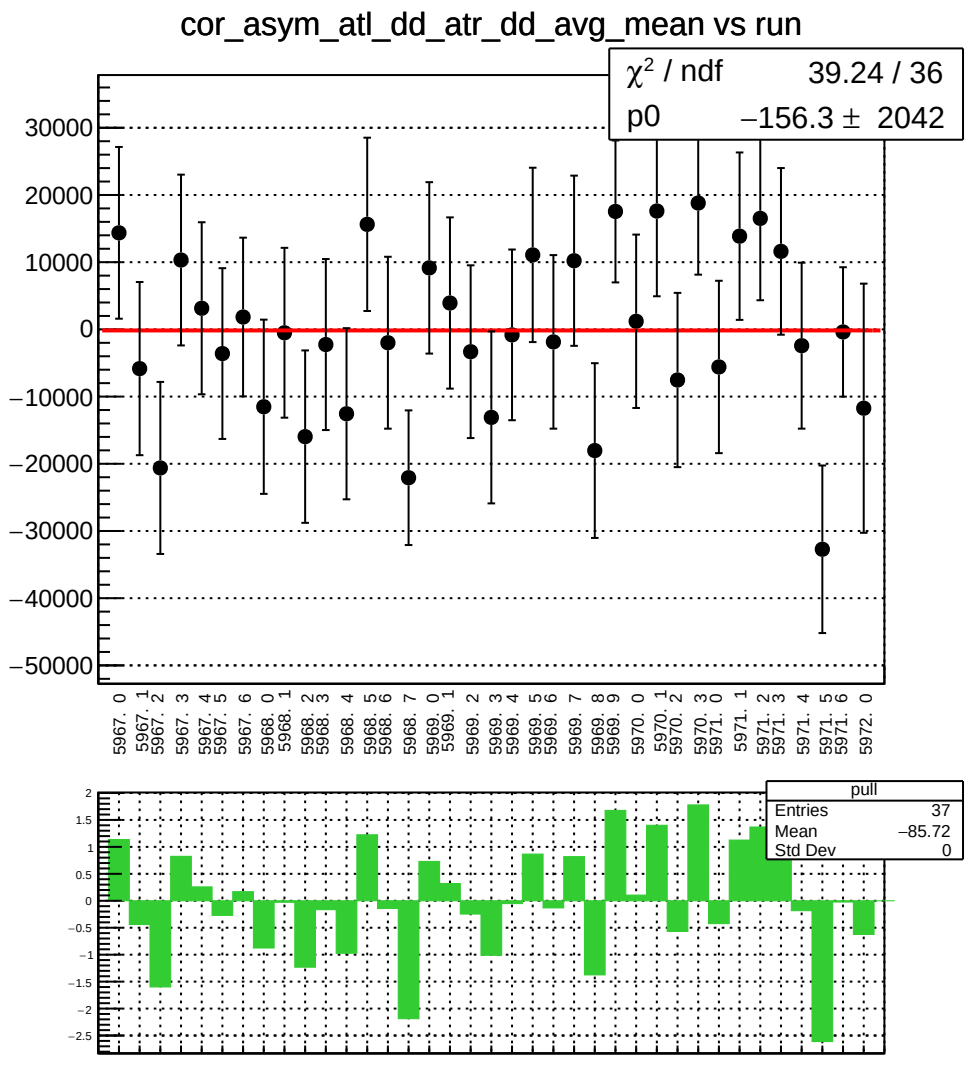
cor_asym_atl_dd_atr_dd_avg_mean vs run
χ² / ndf 39.24 / 36
p0 −156.3 ± 2042
30000
20000
10000
0
−10000
−20000
−30000
−40000
−50000
5967. 0
5967. 1
5967. 2
5967. 3
5967. 4
5967. 5
5967. 6
5968. 0
5968. 1
5968. 2
5968. 3
5968. 4
5968. 5
5968. 6
5968. 7
5969. 0
5969. 1
5969. 2
5969. 3
5969. 4
5969. 5
5969. 6
5969. 7
5969. 8
5969. 9
5970. 0
5970. 1
5970. 2
5970. 3
5971. 0
5971. 1
5971. 2
5971. 3
5971. 4
5971. 5
5971. 6
5972. 0
pull
Entries 37
Mean −85.72
Std Dev 0
2
1.5
1
0.5
0
−0.5
−1
−1.5
−2
−2.5

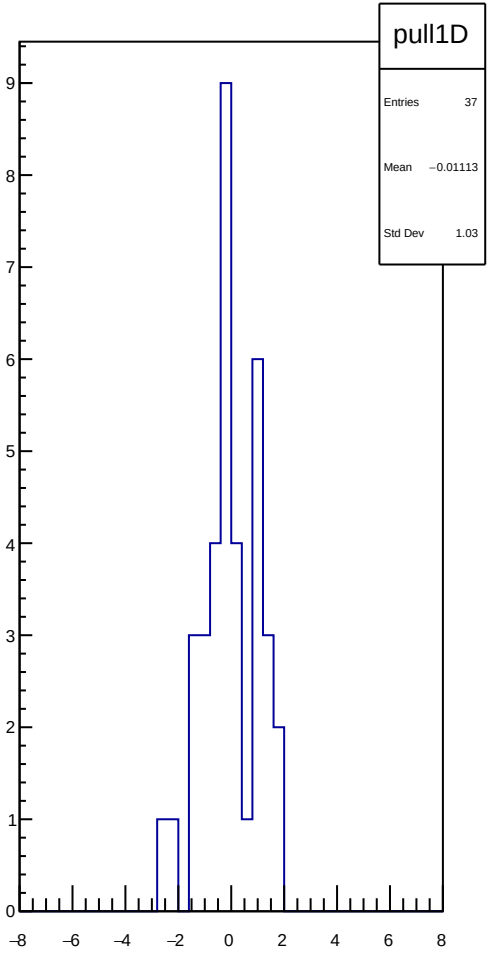
pull1D
Entries 37
Mean −0.01113
Std Dev 1.03
9
8
7
6
5
4
3
2
1
0
−8
−6
−4
−2
0
2
4
6
8

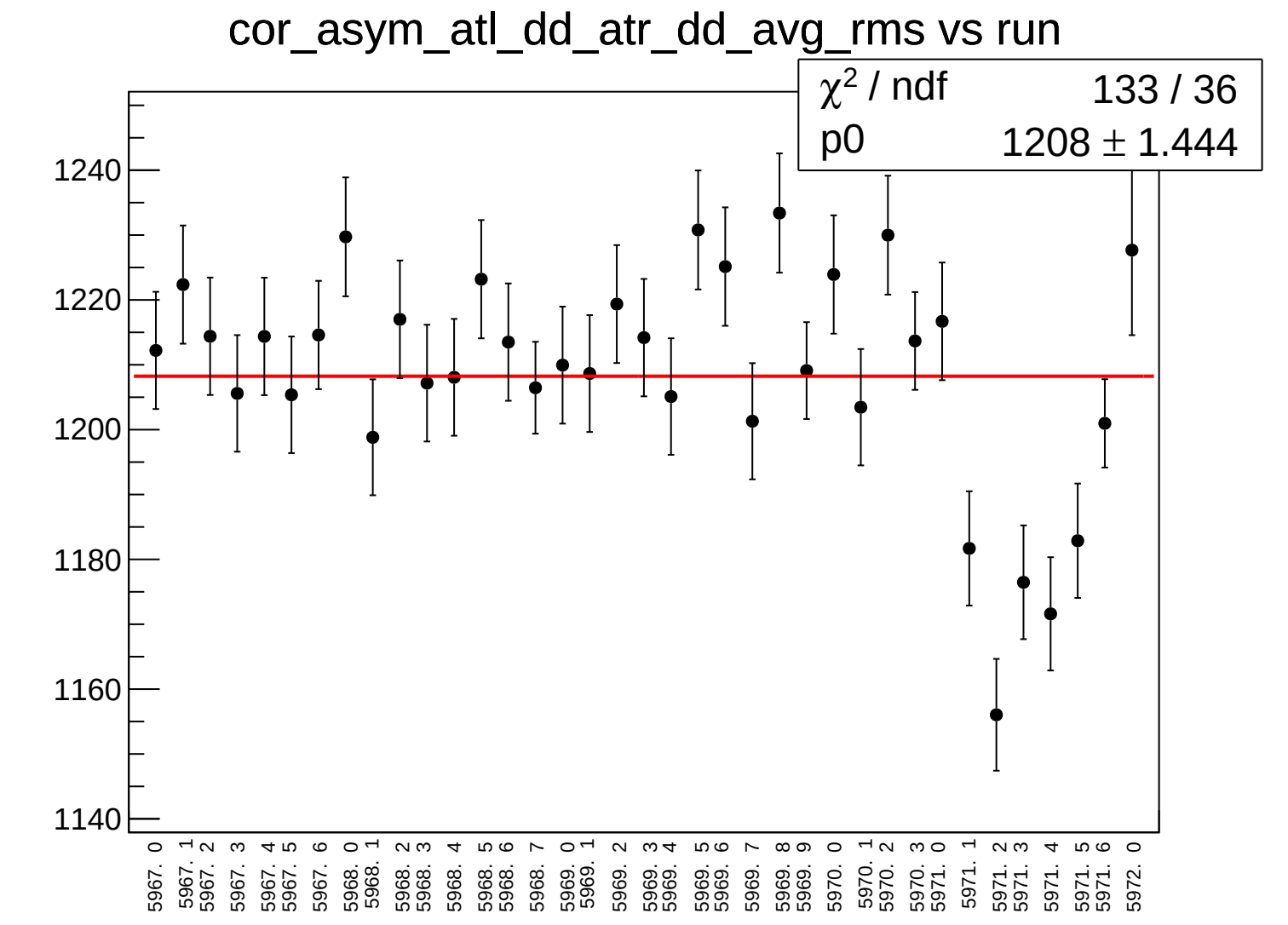
cor_asym_atl_dd_atr_dd_avg_rms vs run
χ² / ndf 133 / 36
p0 1208 ± 1.444
1240
1220
1200
1180
1160
1140
5967. 0
5967. 1
5967. 2
5967. 3
5967. 4
5967. 5
5967. 6
5968. 0
5968. 1
5968. 2
5968. 3
5968. 4
5968. 5
5968. 6
5968. 7
5969. 0
5969. 1
5969. 2
5969. 3
5969. 4
5969. 5
5969. 6
5969. 7
5969. 8
5969. 9
5970. 0
5970. 1
5970. 2
5970. 3
5971. 0
5971. 1
5971. 2
5971. 3
5971. 4
5971. 5
5971. 6
5972. 0

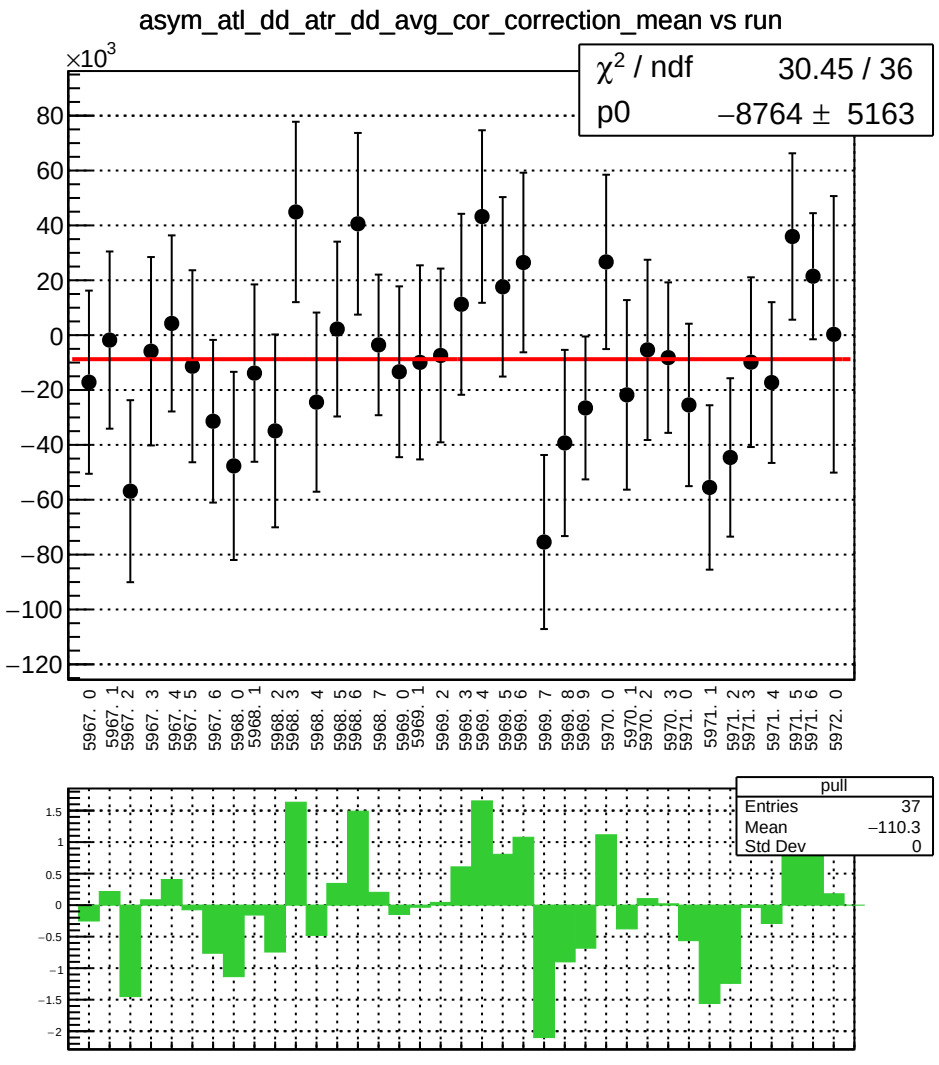
asym_atl_dd_atr_dd_avg_cor_correction_mean vs run
×10^3
χ² / ndf 30.45 / 36
p0 −8764 ± 5163
80
60
40
20
0
−20
−40
−60
−80
−100
−120
5967. 0
5967. 1
5967. 2
5967. 3
5967. 4
5967. 5
5967. 6
5968. 0
5968. 1
5968. 2
5968. 3
5968. 4
5968. 5
5968. 6
5968. 7
5969. 0
5969. 1
5969. 2
5969. 3
5969. 4
5969. 5
5969. 6
5969. 7
5969. 8
5969. 9
5970. 0
5970. 1
5970. 2
5970. 3
5971. 0
5971. 1
5971. 2
5971. 3
5971. 4
5971. 5
5971. 6
5972. 0
pull
Entries 37
Mean −110.3
Std Dev 0
1.5
1
0.5
0
−0.5
−1
−1.5
−2

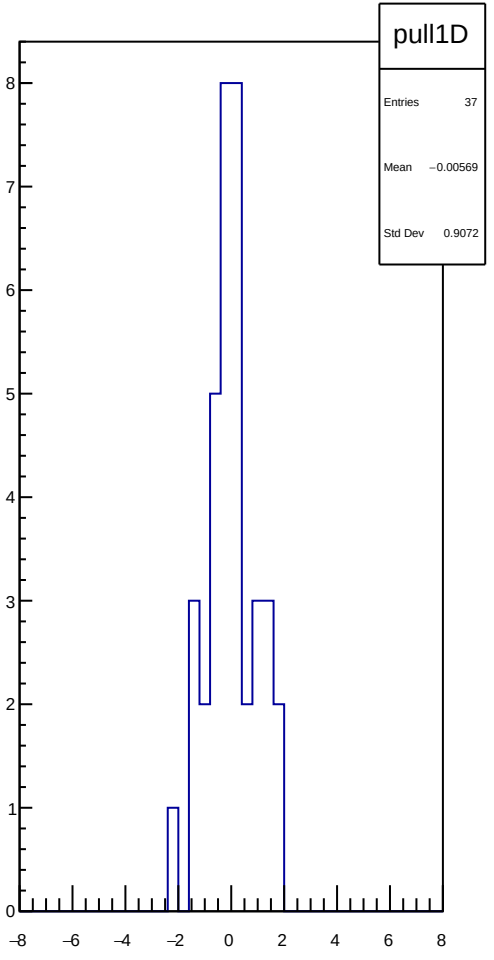
pull1D
Entries 37
Mean −0.00569
Std Dev 0.9072
8
7
6
5
4
3
2
1
0
−8
−6
−4
−2
0
2
4
6
8

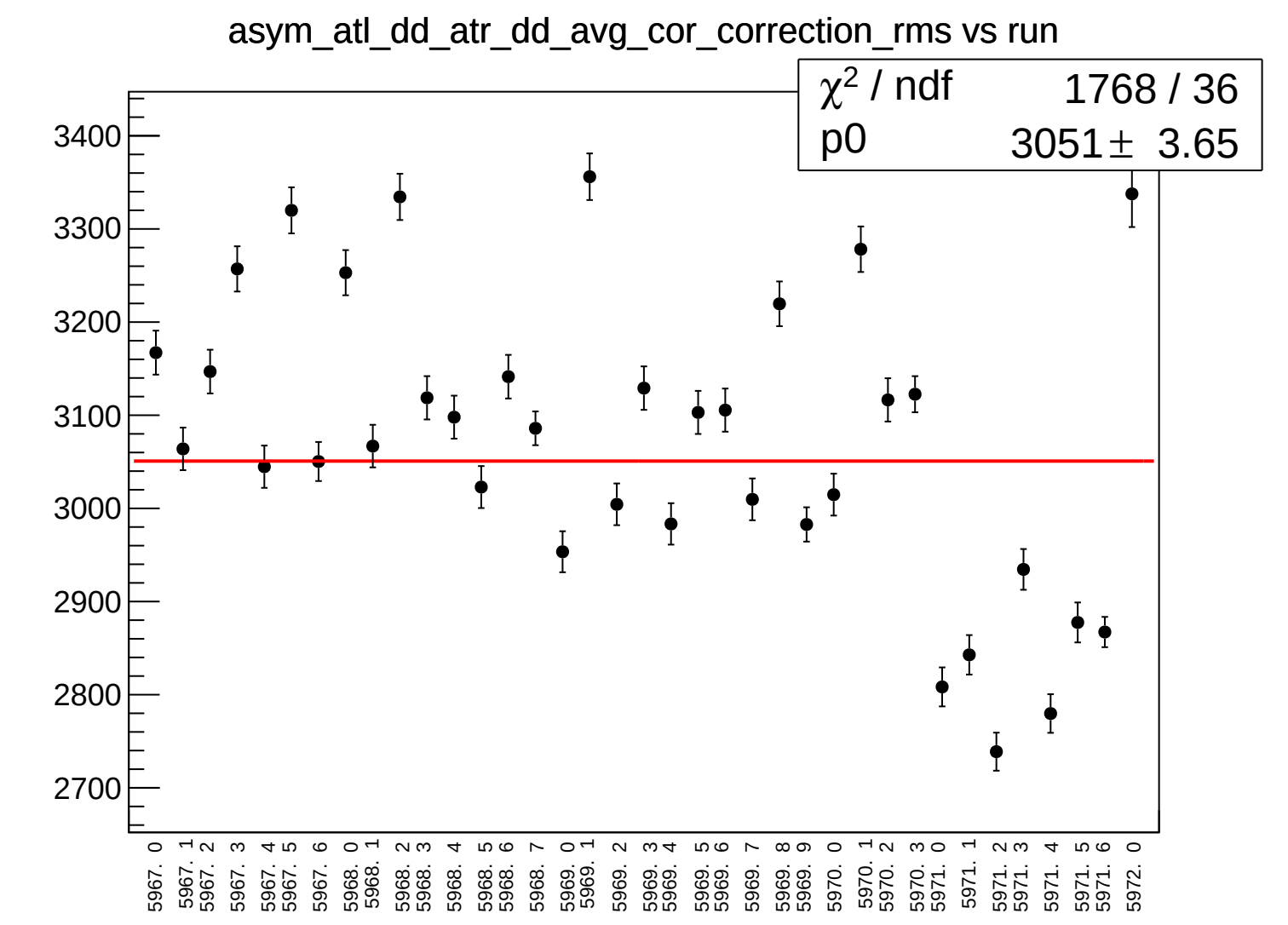
asym_atl_dd_atr_dd_avg_cor_correction_rms vs run
χ² / ndf 1768 / 36
p0 3051 ± 3.65
3400
3300
3200
3100
3000
2900
2800
2700
5967. 0
5967. 1
5967. 2
5967. 3
5967. 4
5967. 5
5967. 6
5968. 0
5968. 1
5968. 2
5968. 3
5968. 4
5968. 5
5968. 6
5968. 7
5969. 0
5969. 1
5969. 2
5969. 3
5969. 4
5969. 5
5969. 6
5969. 7
5969. 8
5969. 9
5970. 0
5970. 1
5970. 2
5970. 3
5971. 0
5971. 1
5971. 2
5971. 3
5971. 4
5971. 5
5971. 6
5972. 0

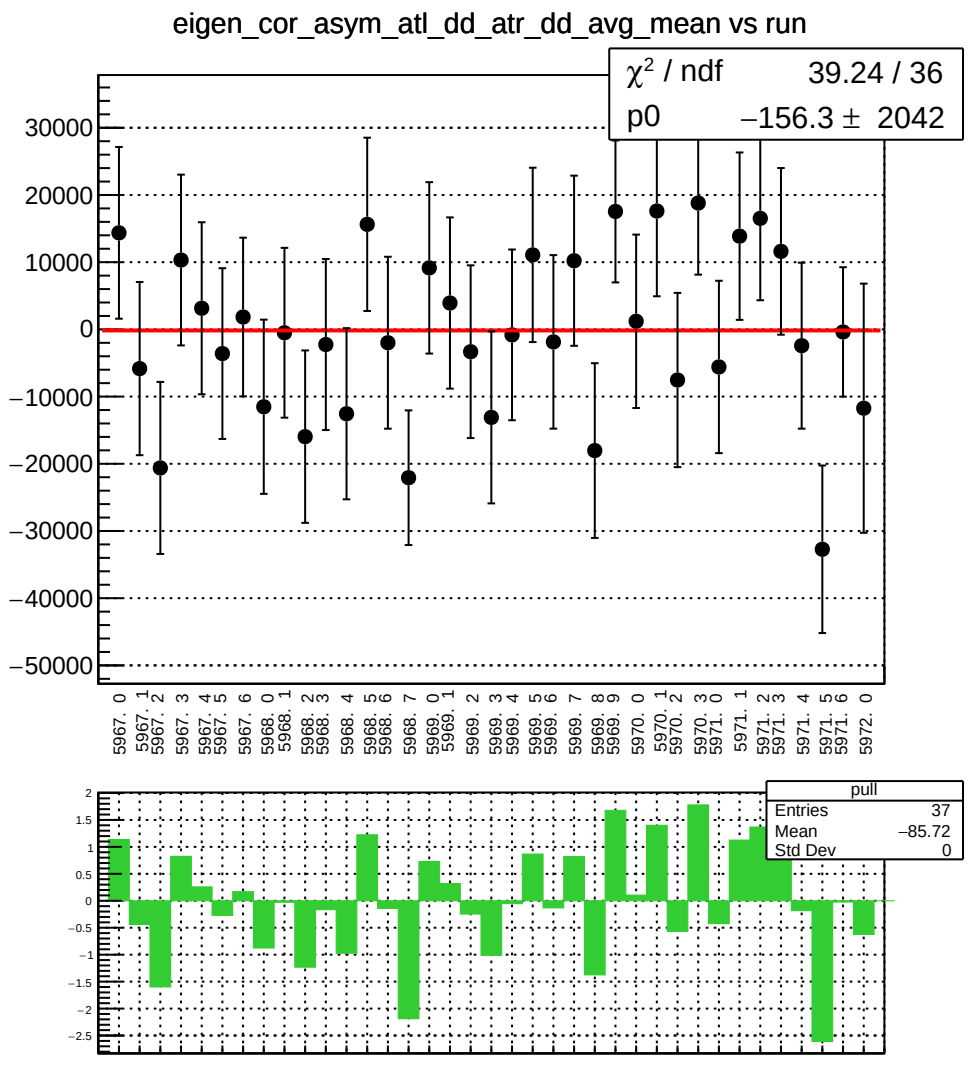
eigen_cor_asym_atl_dd_atr_dd_avg_mean vs run
χ² / ndf 39.24 / 36
p0 −156.3 ± 2042
30000
20000
10000
0
−10000
−20000
−30000
−40000
−50000
5967. 0
5967. 1
5967. 2
5967. 3
5967. 4
5967. 5
5967. 6
5968. 0
5968. 1
5968. 2
5968. 3
5968. 4
5968. 5
5968. 6
5968. 7
5969. 0
5969. 1
5969. 2
5969. 3
5969. 4
5969. 5
5969. 6
5969. 7
5969. 8
5969. 9
5970. 0
5970. 1
5970. 2
5970. 3
5971. 0
5971. 1
5971. 2
5971. 3
5971. 4
5971. 5
5971. 6
5972. 0
pull
Entries 37
Mean −85.72
Std Dev 0
2
1.5
1
0.5
0
−0.5
−1
−1.5
−2
−2.5

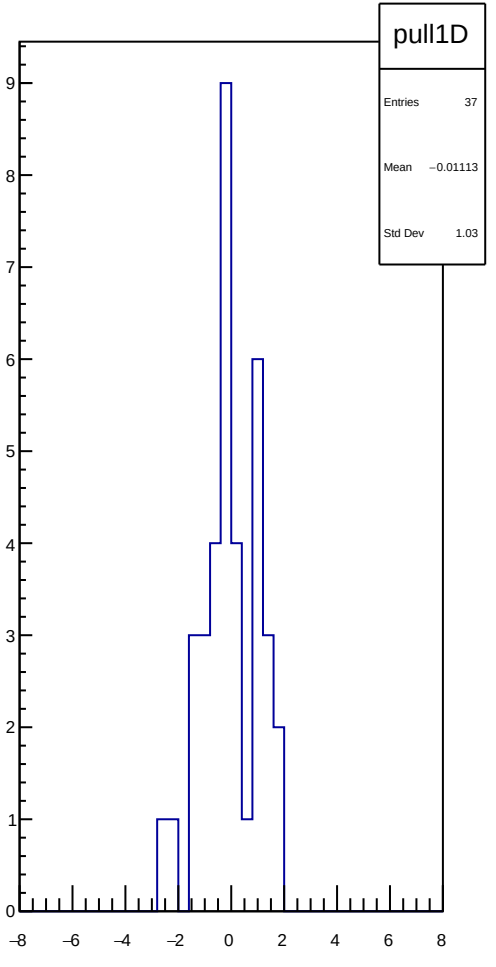
pull1D
Entries 37
Mean −0.01113
Std Dev 1.03
9
8
7
6
5
4
3
2
1
0
−8
−6
−4
−2
0
2
4
6
8

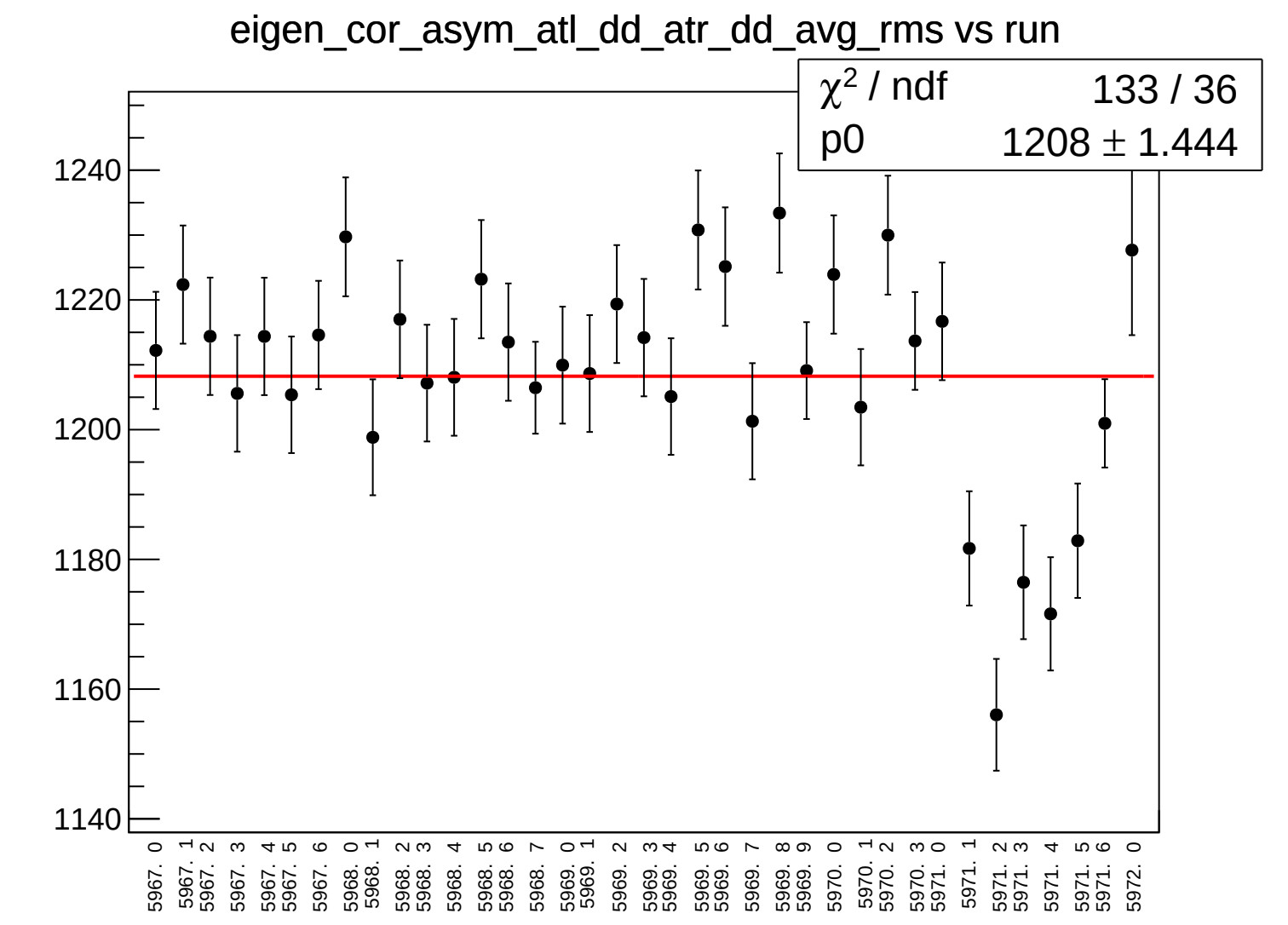
eigen_cor_asym_atl_dd_atr_dd_avg_rms vs run
χ² / ndf 133 / 36
p0 1208 ± 1.444
1240
1220
1200
1180
1160
1140
5967. 0
5967. 1
5967. 2
5967. 3
5967. 4
5967. 5
5967. 6
5968. 0
5968. 1
5968. 2
5968. 3
5968. 4
5968. 5
5968. 6
5968. 7
5969. 0
5969. 1
5969. 2
5969. 3
5969. 4
5969. 5
5969. 6
5969. 7
5969. 8
5969. 9
5970. 0
5970. 1
5970. 2
5970. 3
5971. 0
5971. 1
5971. 2
5971. 3
5971. 4
5971. 5
5971. 6
5972. 0

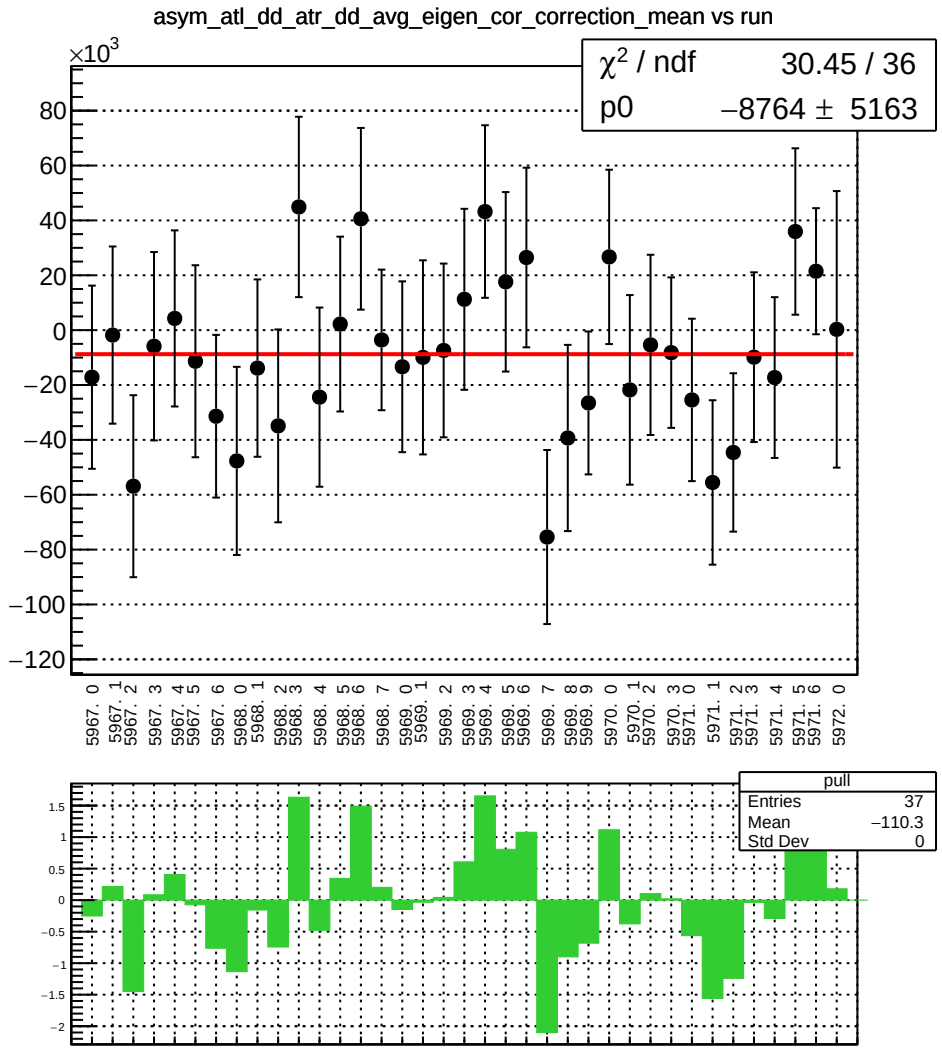
asym_atl_dd_atr_dd_avg_eigen_cor_correction_mean vs run
×10^3
χ^2 / ndf 30.45 / 36
p0 −8764 ± 5163
80
60
40
20
0
−20
−40
−60
−80
−100
−120
5967. 0
5967. 1
5967. 2
5967. 3
5967. 4
5967. 5
5967. 6
5968. 0
5968. 1
5968. 2
5968. 3
5968. 4
5968. 5
5968. 6
5968. 7
5969. 0
5969. 1
5969. 2
5969. 3
5969. 4
5969. 5
5969. 6
5969. 7
5969. 8
5969. 9
5970. 0
5970. 1
5970. 2
5970. 3
5971. 0
5971. 1
5971. 2
5971. 3
5971. 4
5971. 5
5971. 6
5972. 0
pull
Entries 37
Mean −110.3
Std Dev 0
1.5
1
0.5
0
−0.5
−1
−1.5
−2

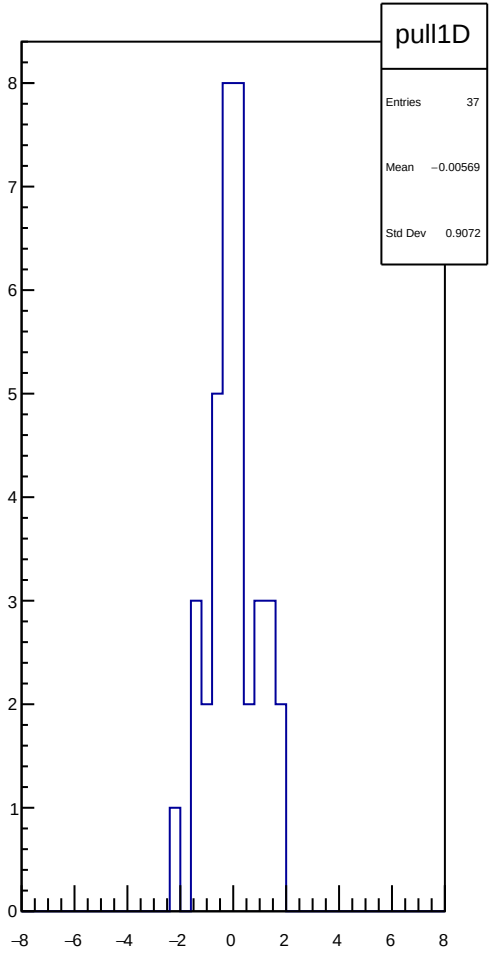
pull1D
Entries 37
Mean −0.00569
Std Dev 0.9072
8
7
6
5
4
3
2
1
0
−8
−6
−4
−2
0
2
4
6
8

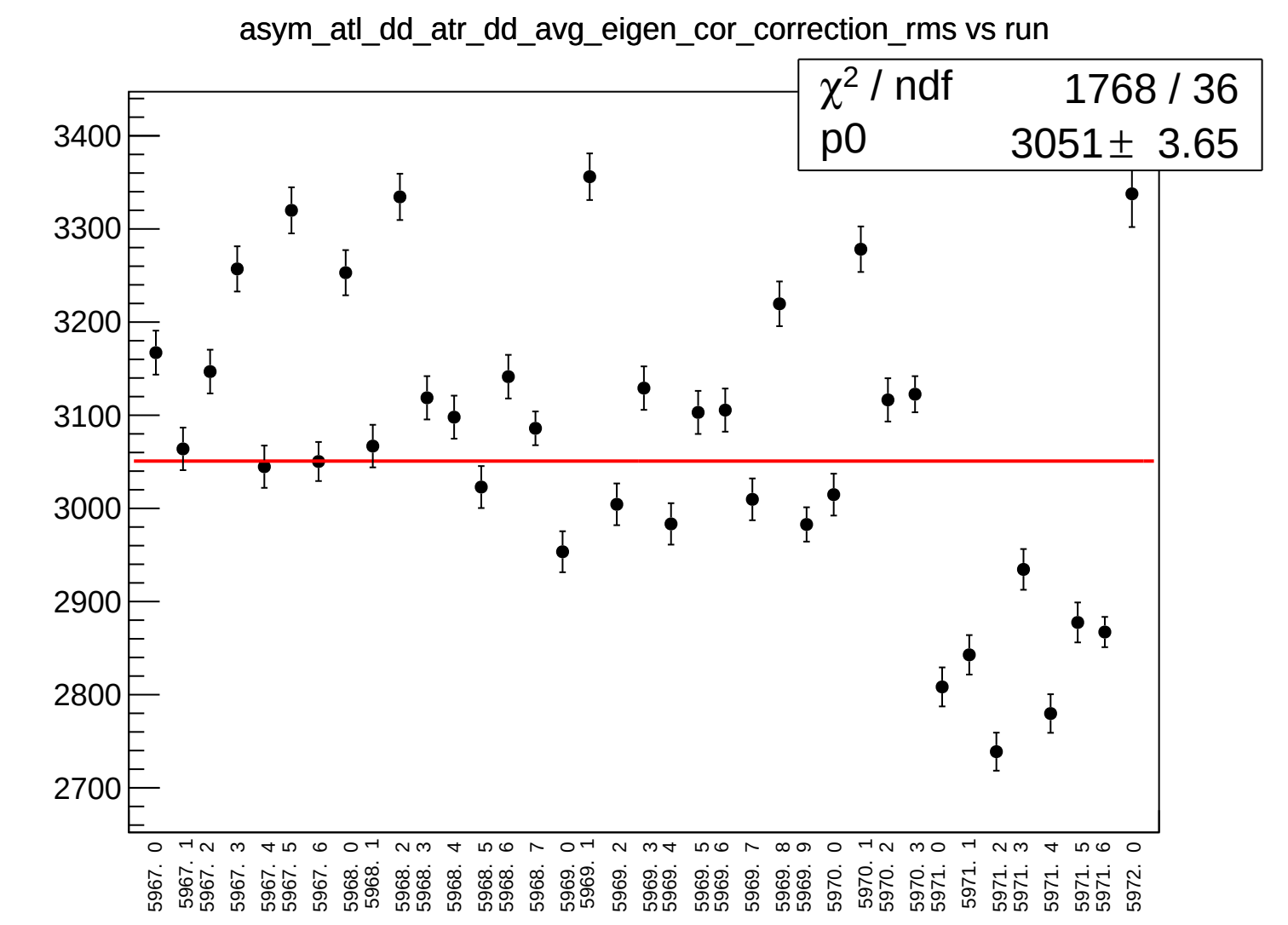
asym_atl_dd_atr_dd_avg_eigen_cor_correction_rms vs run
χ² / ndf 1768 / 36
p0 3051 ± 3.65
3400
3300
3200
3100
3000
2900
2800
2700
5967. 0
5967. 1
5967. 2
5967. 3
5967. 4
5967. 5
5967. 6
5968. 0
5968. 1
5968. 2
5968. 3
5968. 4
5968. 5
5968. 6
5968. 7
5969. 0
5969. 1
5969. 2
5969. 3
5969. 4
5969. 5
5969. 6
5969. 7
5969. 8
5969. 9
5970. 0
5970. 1
5970. 2
5970. 3
5971. 0
5971. 1
5971. 2
5971. 3
5971. 4
5971. 5
5971. 6
5972. 0

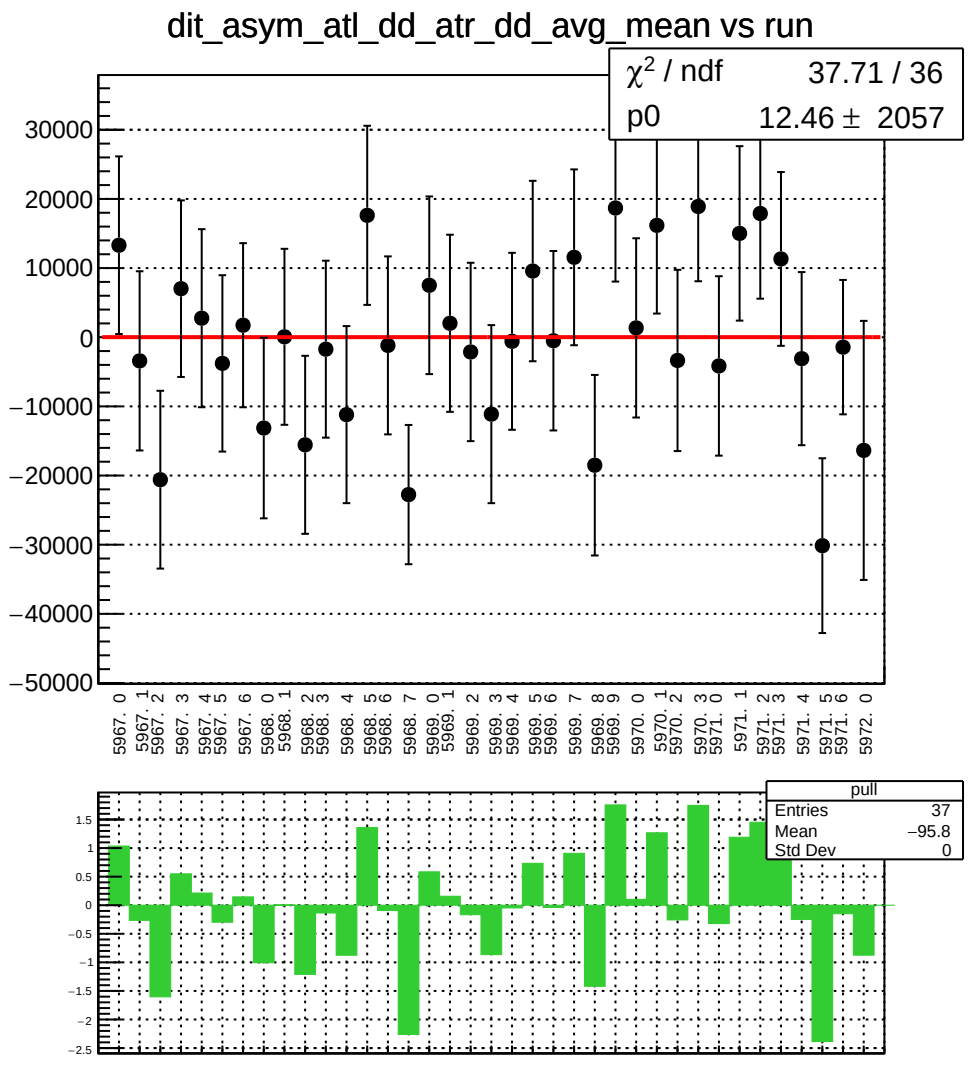
dit_asym_atl_dd_atr_dd_avg_mean vs run
χ² / ndf 37.71 / 36
p0 12.46 ± 2057
30000
20000
10000
0
−10000
−20000
−30000
−40000
−50000
5967. 0
5967. 1
5967. 2
5967. 3
5967. 4
5967. 5
5967. 6
5968. 0
5968. 1
5968. 2
5968. 3
5968. 4
5968. 5
5968. 6
5968. 7
5969. 0
5969. 1
5969. 2
5969. 3
5969. 4
5969. 5
5969. 6
5969. 7
5969. 8
5969. 9
5970. 0
5970. 1
5970. 2
5970. 3
5971. 0
5971. 1
5971. 2
5971. 3
5971. 4
5971. 5
5971. 6
5972. 0
pull
Entries 37
Mean −95.8
Std Dev 0
1.5
1
0.5
0
−0.5
−1
−1.5
−2
−2.5

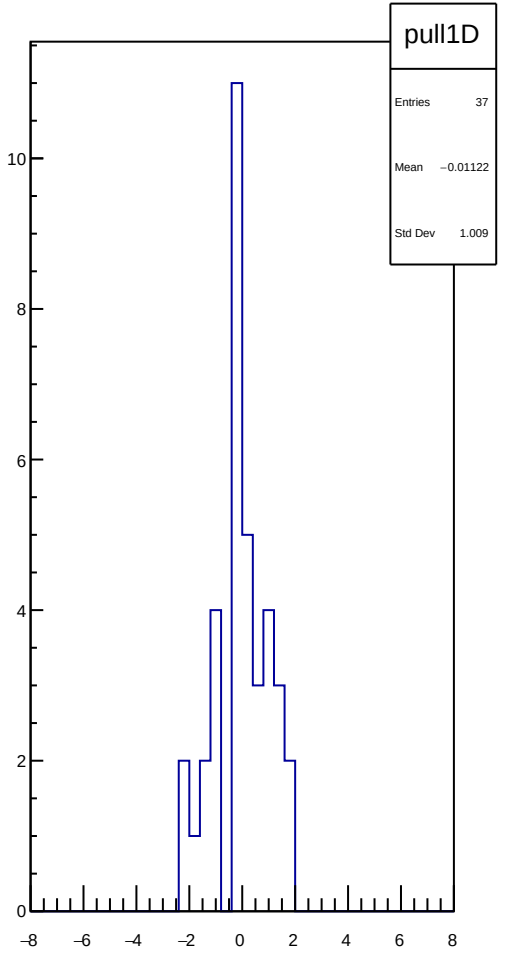
pull1D
Entries 37
Mean −0.01122
Std Dev 1.009
10
8
6
4
2
0
−8
−6
−4
−2
0
2
4
6
8

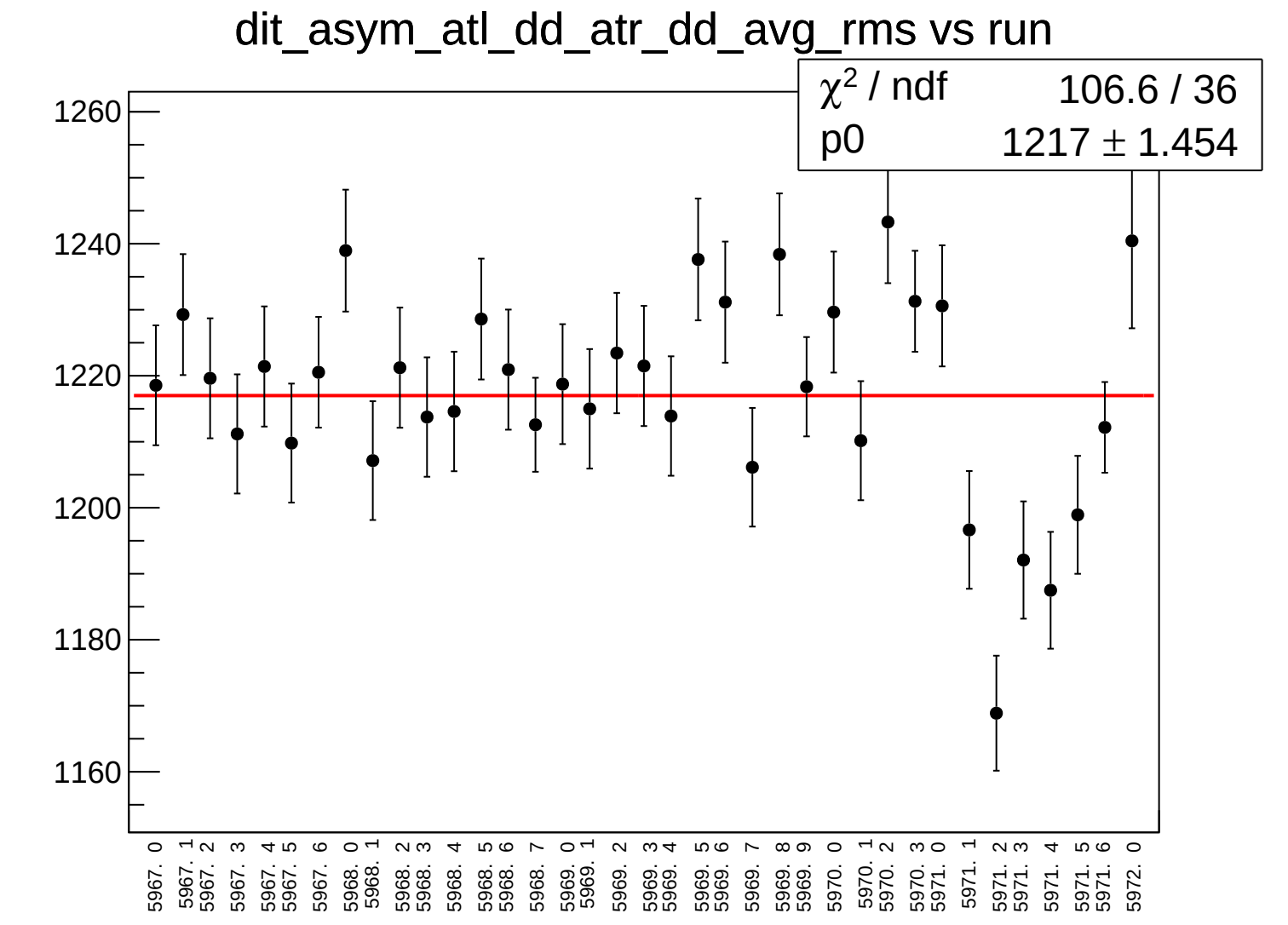
dit_asym_atl_dd_atr_dd_avg_rms vs run
χ² / ndf 106.6 / 36
p0 1217 ± 1.454
1260
1240
1220
1200
1180
1160
5967. 0
5967. 1
5967. 2
5967. 3
5967. 4
5967. 5
5967. 6
5968. 0
5968. 1
5968. 2
5968. 3
5968. 4
5968. 5
5968. 6
5968. 7
5969. 0
5969. 1
5969. 2
5969. 3
5969. 4
5969. 5
5969. 6
5969. 7
5969. 8
5969. 9
5970. 0
5970. 1
5970. 2
5970. 3
5971. 0
5971. 1
5971. 2
5971. 3
5971. 4
5971. 5
5971. 6
5972. 0

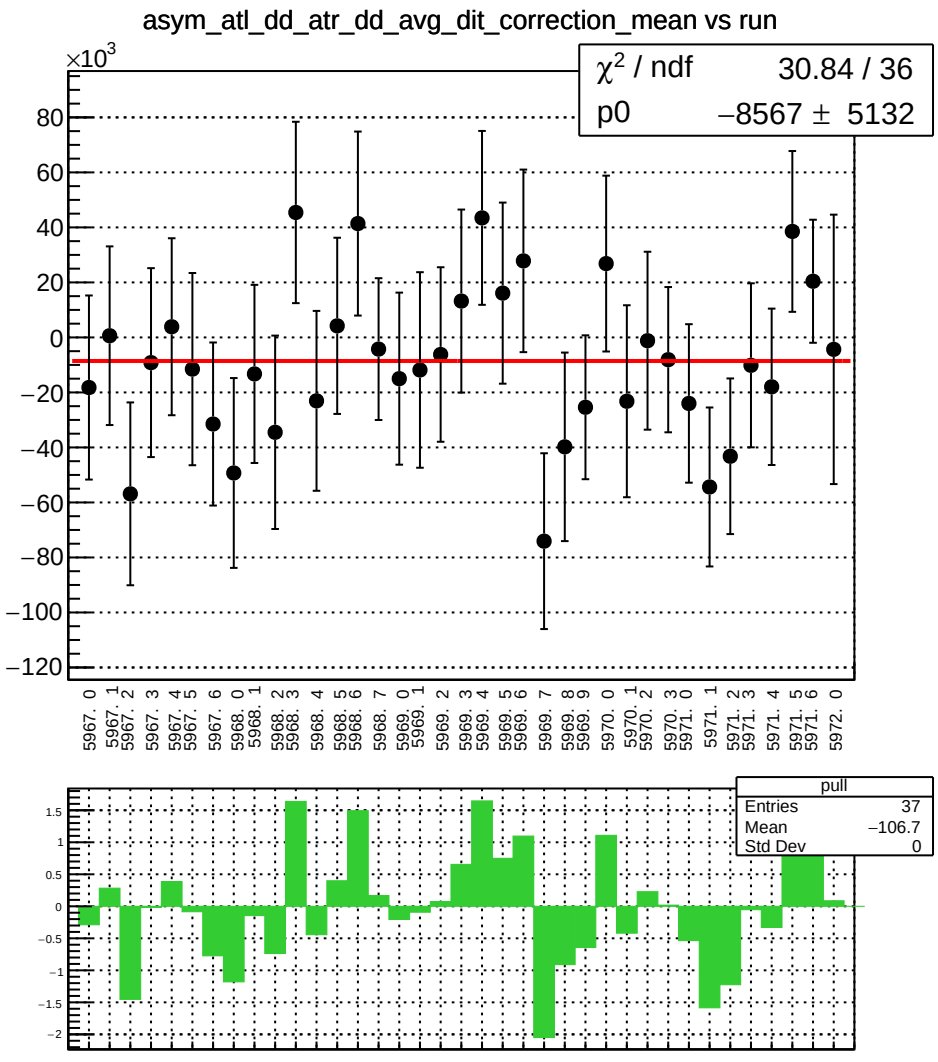
asym_atl_dd_atr_dd_avg_dit_correction_mean vs run
×10^3
χ² / ndf 30.84 / 36
p0 −8567 ± 5132
80
60
40
20
0
−20
−40
−60
−80
−100
−120
5967. 0
5967. 1
5967. 2
5967. 3
5967. 4
5967. 5
5967. 6
5968. 0
5968. 1
5968. 2
5968. 3
5968. 4
5968. 5
5968. 6
5968. 7
5969. 0
5969. 1
5969. 2
5969. 3
5969. 4
5969. 5
5969. 6
5969. 7
5969. 8
5969. 9
5970. 0
5970. 1
5970. 2
5970. 3
5971. 0
5971. 1
5971. 2
5971. 3
5971. 4
5971. 5
5971. 6
5972. 0
pull
Entries 37
Mean −106.7
Std Dev 0
1.5
1
0.5
0
−0.5
−1
−1.5
−2

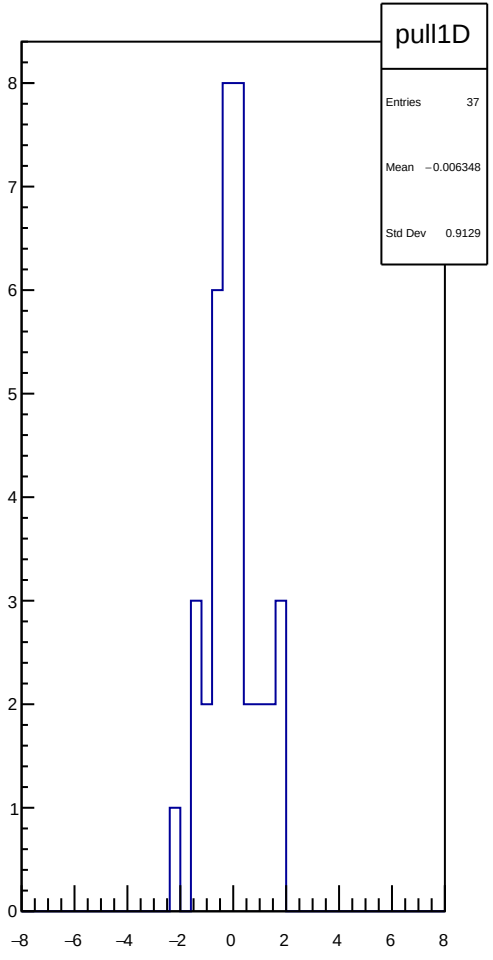
pull1D
Entries 37
Mean −0.006348
Std Dev 0.9129
8
7
6
5
4
3
2
1
0
−8
−6
−4
−2
0
2
4
6
8

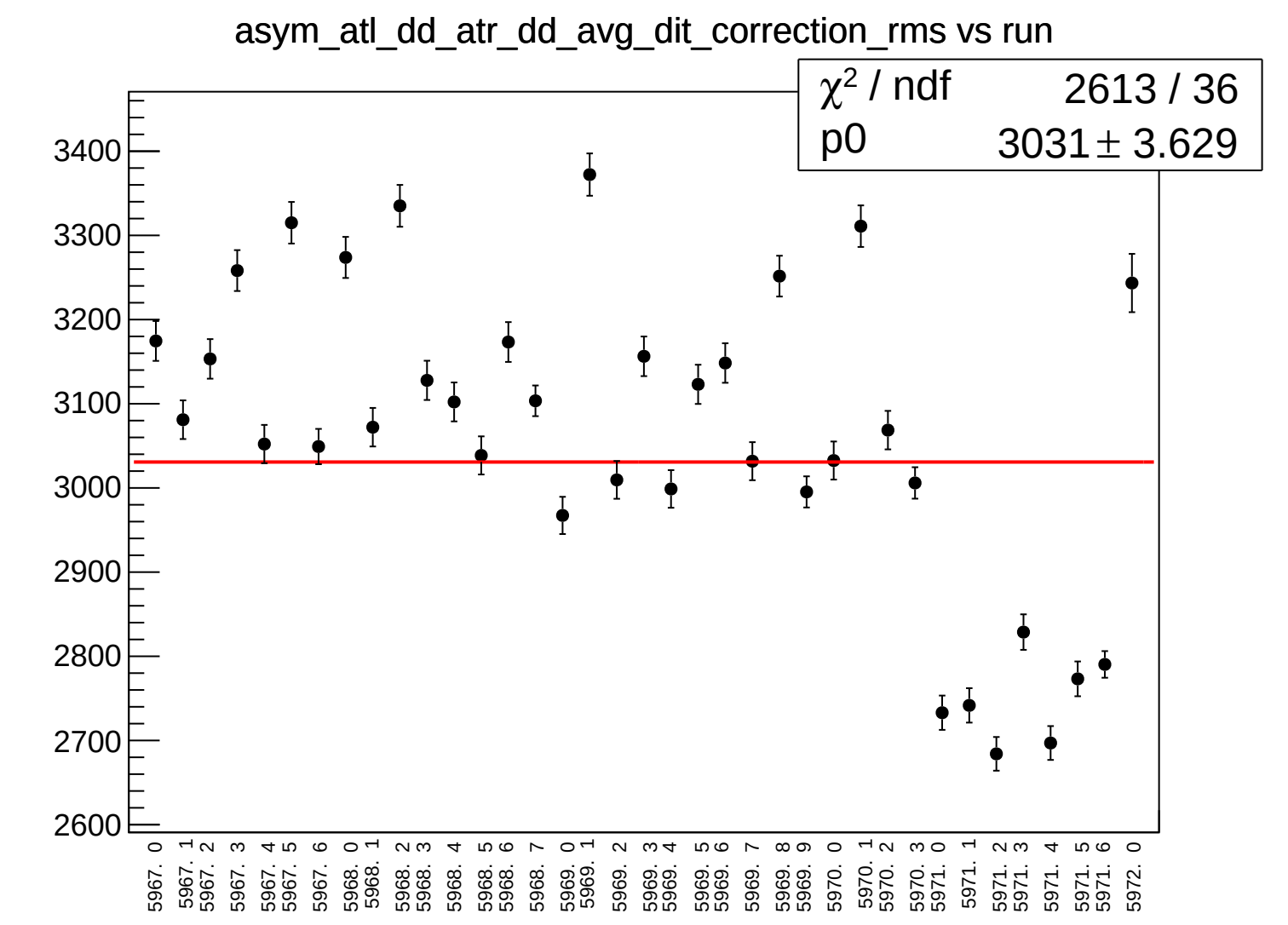
asym_atl_dd_atr_dd_avg_dit_correction_rms vs run
χ² / ndf 2613 / 36
p0 3031 ± 3.629
3400
3300
3200
3100
3000
2900
2800
2700
2600
5967. 0
5967. 1
5967. 2
5967. 3
5967. 4
5967. 5
5967. 6
5968. 0
5968. 1
5968. 2
5968. 3
5968. 4
5968. 5
5968. 6
5968. 7
5969. 0
5969. 1
5969. 2
5969. 3
5969. 4
5969. 5
5969. 6
5969. 7
5969. 8
5969. 9
5970. 0
5970. 1
5970. 2
5970. 3
5971. 0
5971. 1
5971. 2
5971. 3
5971. 4
5971. 5
5971. 6
5972. 0

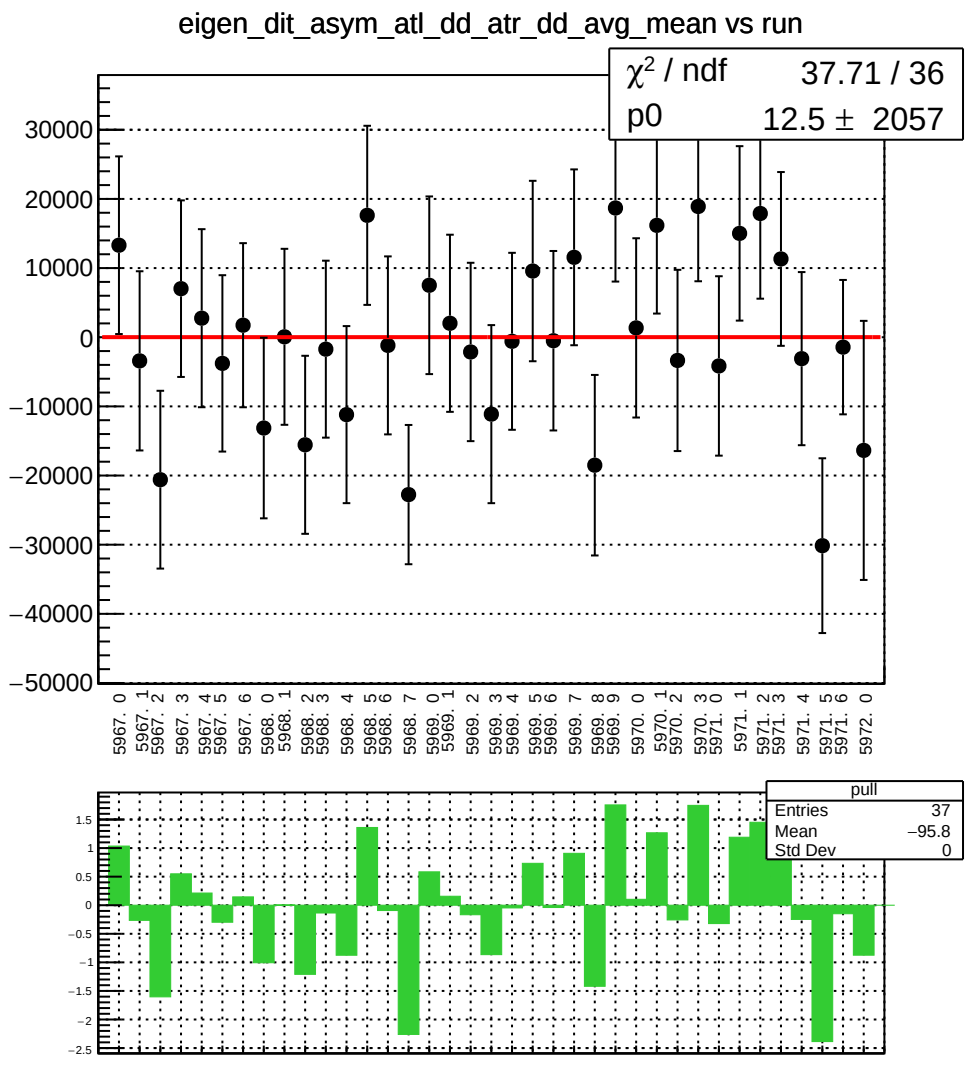
eigen_dit_asym_atl_dd_atr_dd_avg_mean vs run
χ² / ndf 37.71 / 36
p0 12.5 ± 2057
30000
20000
10000
0
−10000
−20000
−30000
−40000
−50000
5967. 0
5967. 1
5967. 2
5967. 3
5967. 4
5967. 5
5967. 6
5968. 0
5968. 1
5968. 2
5968. 3
5968. 4
5968. 5
5968. 6
5968. 7
5969. 0
5969. 1
5969. 2
5969. 3
5969. 4
5969. 5
5969. 6
5969. 7
5969. 8
5969. 9
5970. 0
5970. 1
5970. 2
5970. 3
5971. 0
5971. 1
5971. 2
5971. 3
5971. 4
5971. 5
5971. 6
5972. 0
pull
Entries 37
Mean −95.8
Std Dev 0
1.5
1
0.5
0
−0.5
−1
−1.5
−2
−2.5

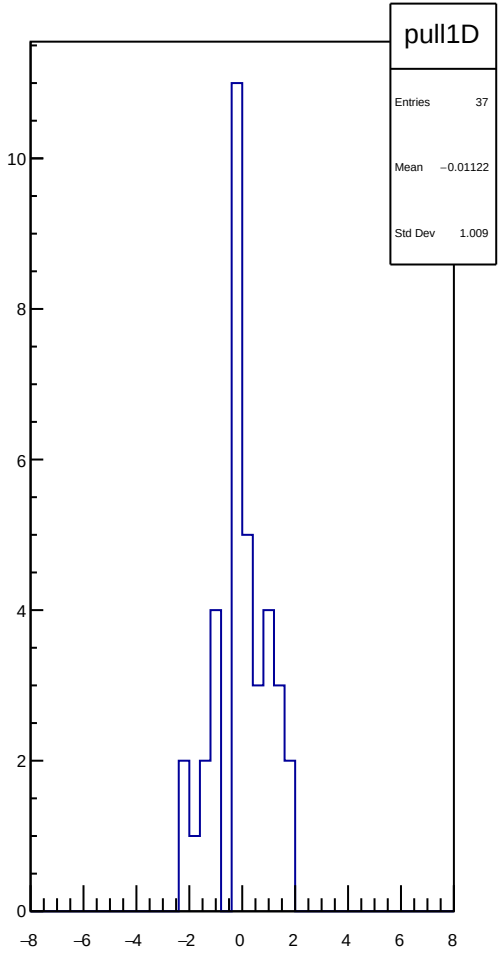
pull1D
Entries 37
Mean −0.01122
Std Dev 1.009
10
8
6
4
2
0
−8
−6
−4
−2
0
2
4
6
8

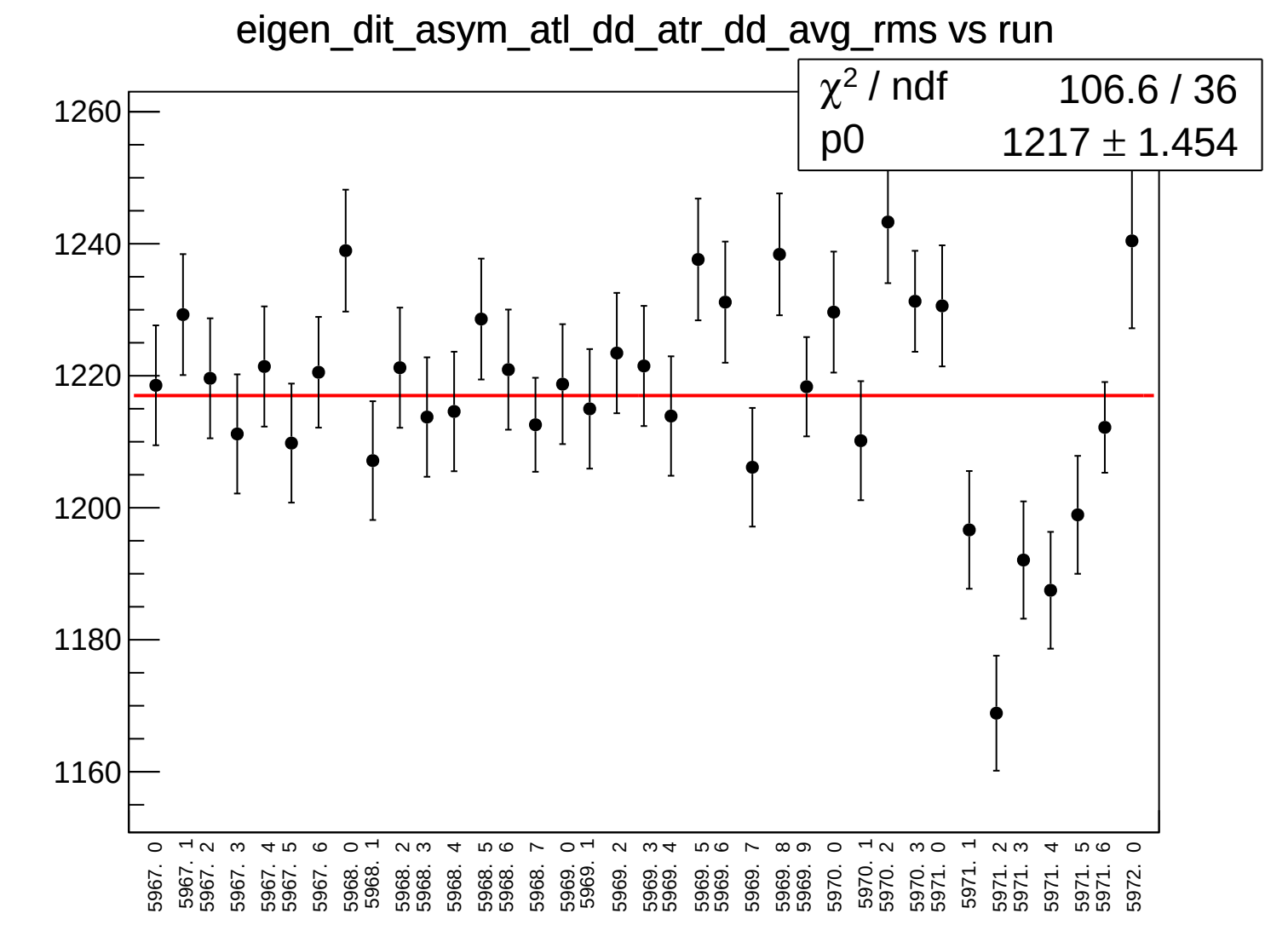
eigen_dit_asym_atl_dd_atr_dd_avg_rms vs run
χ² / ndf 106.6 / 36
p0 1217 ± 1.454
1260
1240
1220
1200
1180
1160
5967. 0
5967. 1
5967. 2
5967. 3
5967. 4
5967. 5
5967. 6
5968. 0
5968. 1
5968. 2
5968. 3
5968. 4
5968. 5
5968. 6
5968. 7
5969. 0
5969. 1
5969. 2
5969. 3
5969. 4
5969. 5
5969. 6
5969. 7
5969. 8
5969. 9
5970. 0
5970. 1
5970. 2
5970. 3
5971. 0
5971. 1
5971. 2
5971. 3
5971. 4
5971. 5
5971. 6
5972. 0

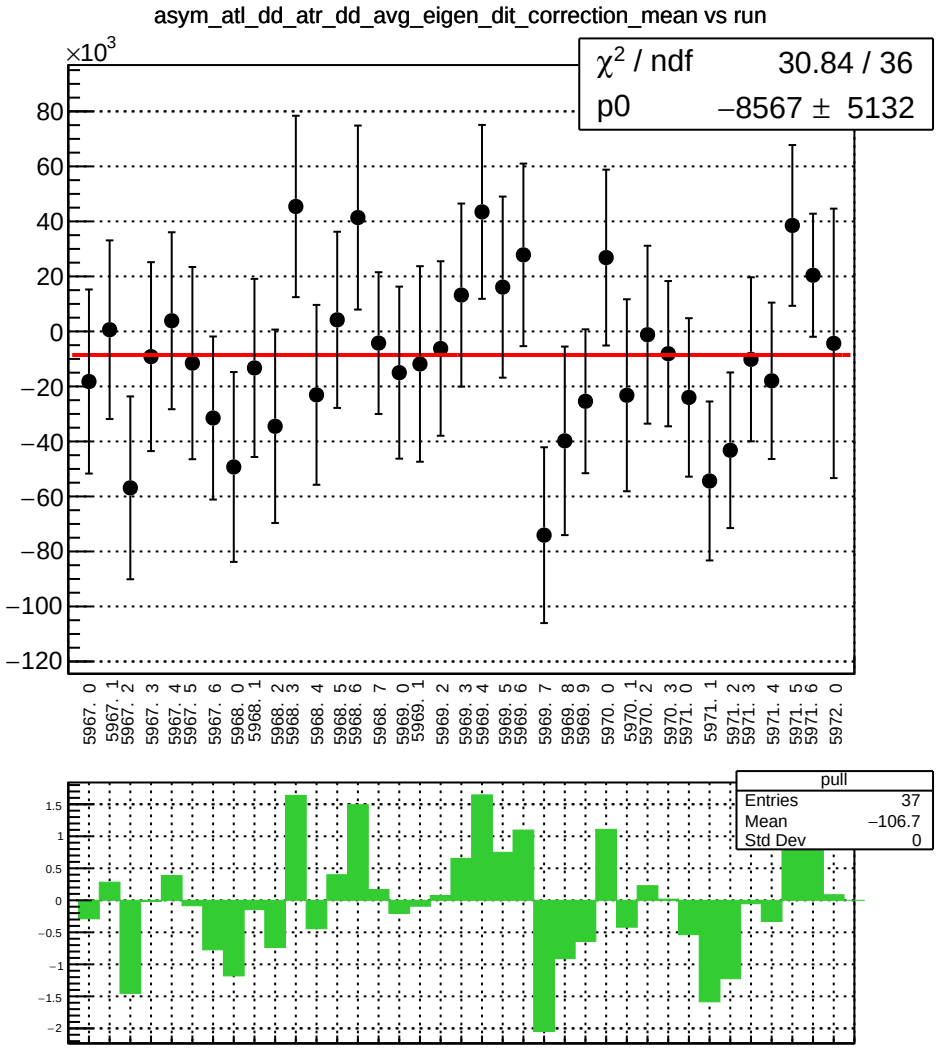
asym_atl_dd_atr_dd_avg_eigen_dit_correction_mean vs run
×10^3
χ² / ndf 30.84 / 36
p0 −8567 ± 5132
80
60
40
20
0
−20
−40
−60
−80
−100
−120
5967. 0
5967. 1
5967. 2
5967. 3
5967. 4
5967. 5
5967. 6
5968. 0
5968. 1
5968. 2
5968. 3
5968. 4
5968. 5
5968. 6
5968. 7
5969. 0
5969. 1
5969. 2
5969. 3
5969. 4
5969. 5
5969. 6
5969. 7
5969. 8
5969. 9
5970. 0
5970. 1
5970. 2
5970. 3
5971. 0
5971. 1
5971. 2
5971. 3
5971. 4
5971. 5
5971. 6
5972. 0
pull
Entries 37
Mean −106.7
Std Dev 0
1.5
1
0.5
0
−0.5
−1
−1.5
−2

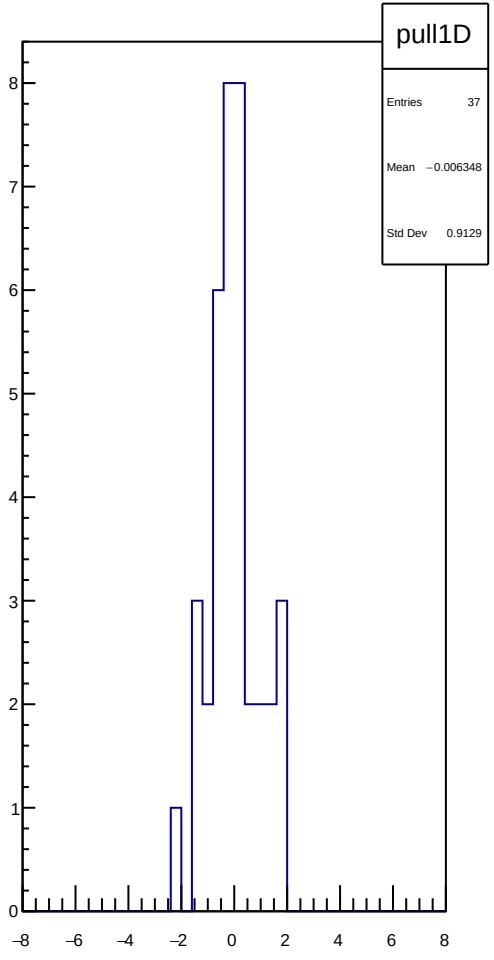
pull1D
Entries 37
Mean −0.006348
Std Dev 0.9129
8
7
6
5
4
3
2
1
0
−8
−6
−4
−2
0
2
4
6
8

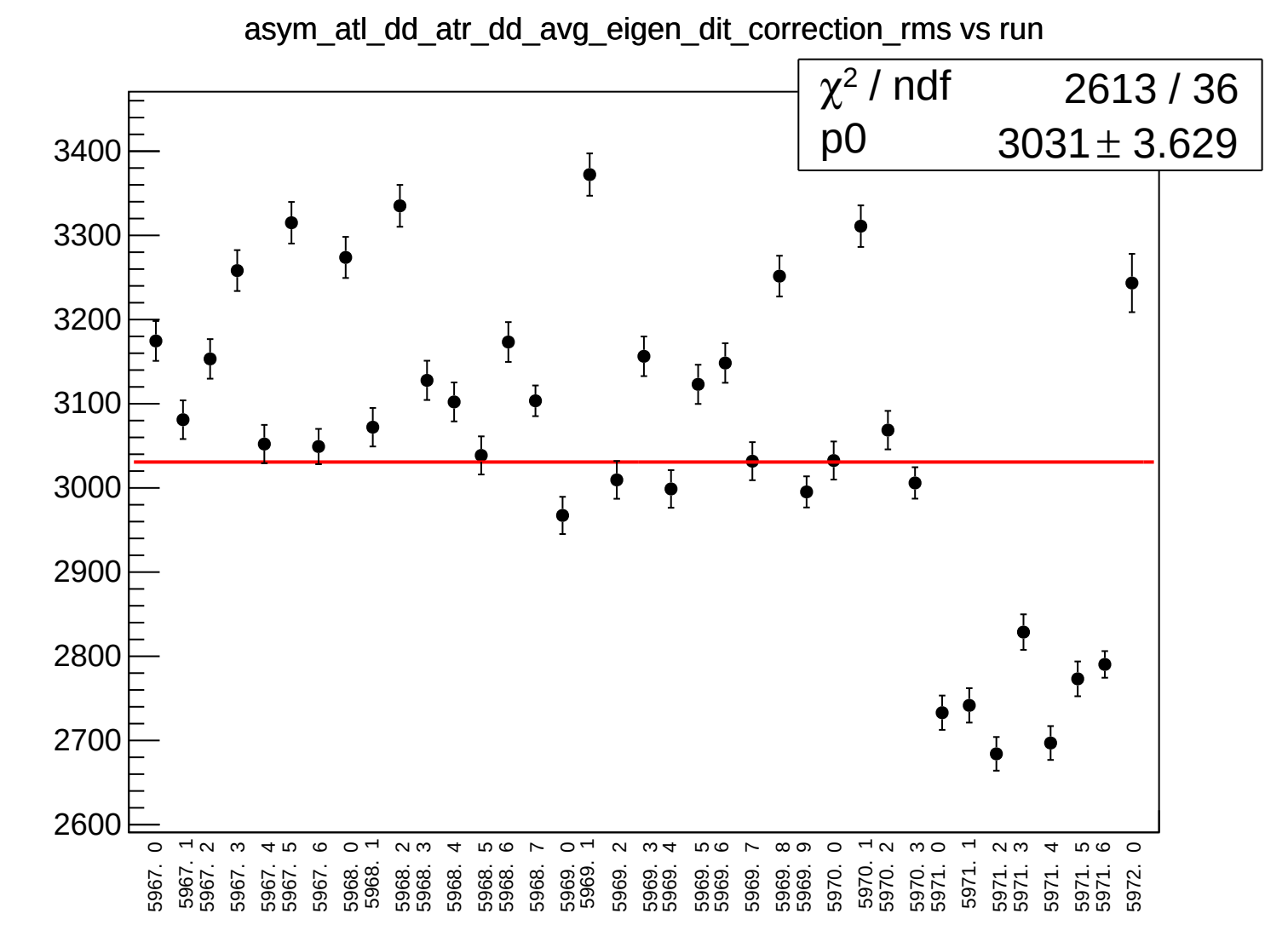
asym_atl_dd_atr_dd_avg_eigen_dit_correction_rms vs run
χ² / ndf 2613 / 36
p0 3031 ± 3.629
3400
3300
3200
3100
3000
2900
2800
2700
2600
5967. 0
5967. 1
5967. 2
5967. 3
5967. 4
5967. 5
5967. 6
5968. 0
5968. 1
5968. 2
5968. 3
5968. 4
5968. 5
5968. 6
5968. 7
5969. 0
5969. 1
5969. 2
5969. 3
5969. 4
5969. 5
5969. 6
5969. 7
5969. 8
5969. 9
5970. 0
5970. 1
5970. 2
5970. 3
5971. 0
5971. 1
5971. 2
5971. 3
5971. 4
5971. 5
5971. 6
5972. 0

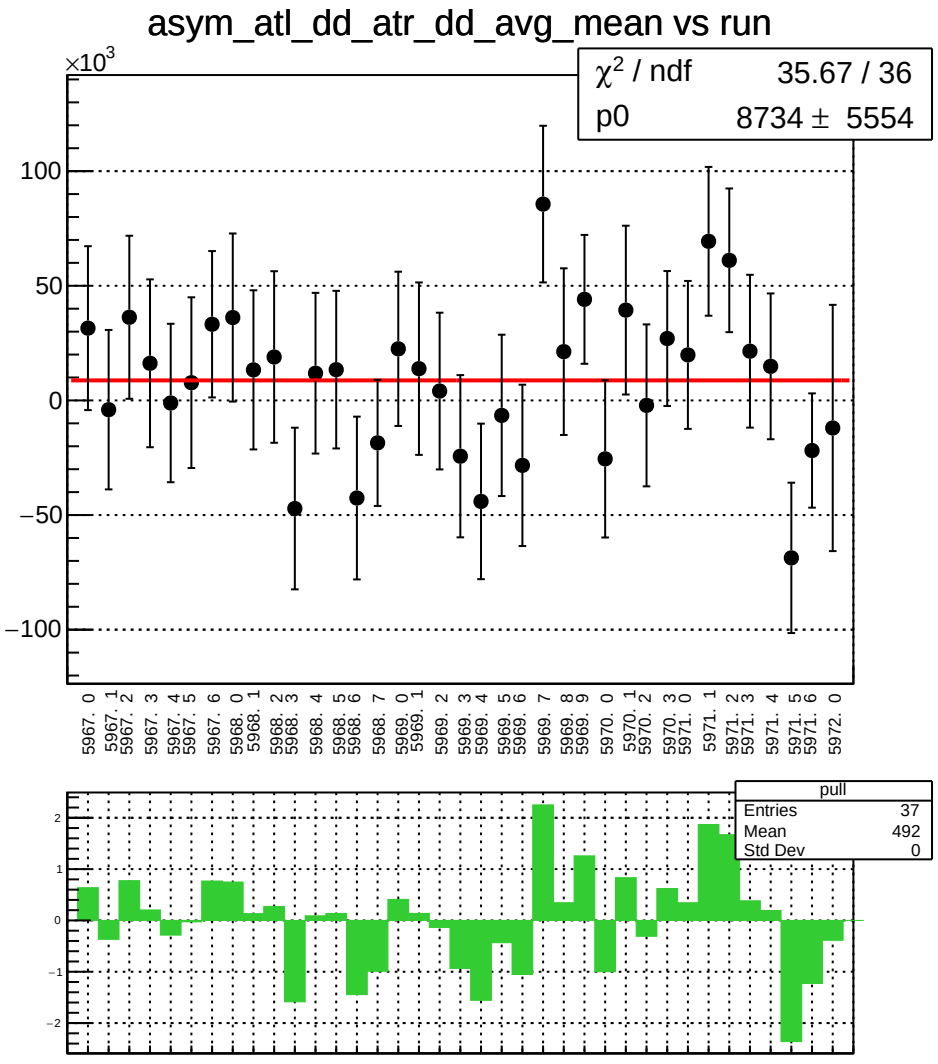
asym_atl_dd_atr_dd_avg_mean vs run
χ² / ndf 35.67 / 36
p0 8734 ± 5554
×10³
100
50
0
−50
−100
5967. 0
5967. 1
5967. 2
5967. 3
5967. 4
5967. 5
5967. 6
5968. 0
5968. 1
5968. 2
5968. 3
5968. 4
5968. 5
5968. 6
5968. 7
5969. 0
5969. 1
5969. 2
5969. 3
5969. 4
5969. 5
5969. 6
5969. 7
5969. 8
5969. 9
5970. 0
5970. 1
5970. 2
5970. 3
5971. 0
5971. 1
5971. 2
5971. 3
5971. 4
5971. 5
5971. 6
5972. 0
pull
Entries 37
Mean 492
Std Dev 0
2
1
0
−1
−2

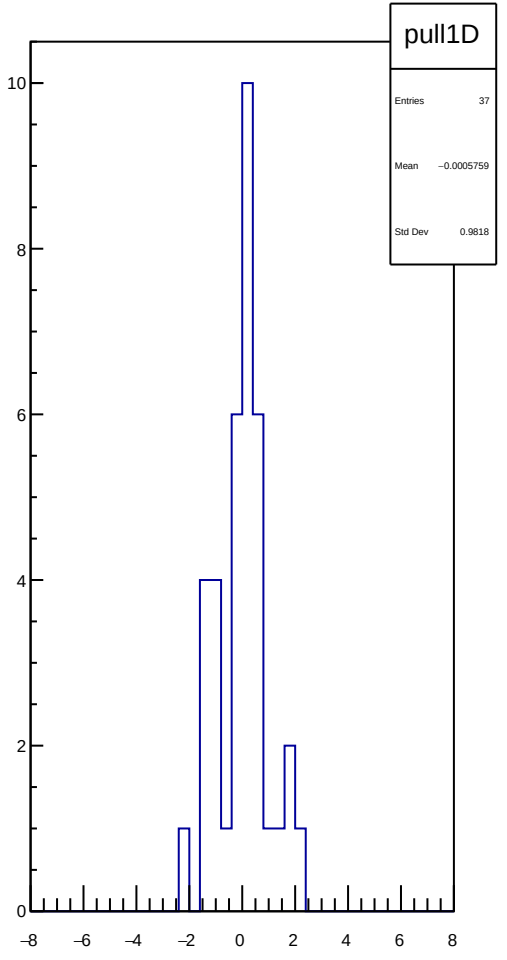
pull1D
Entries 37
Mean −0.0005759
Std Dev 0.9818
10
8
6
4
2
0
−8
−6
−4
−2
0
2
4
6
8

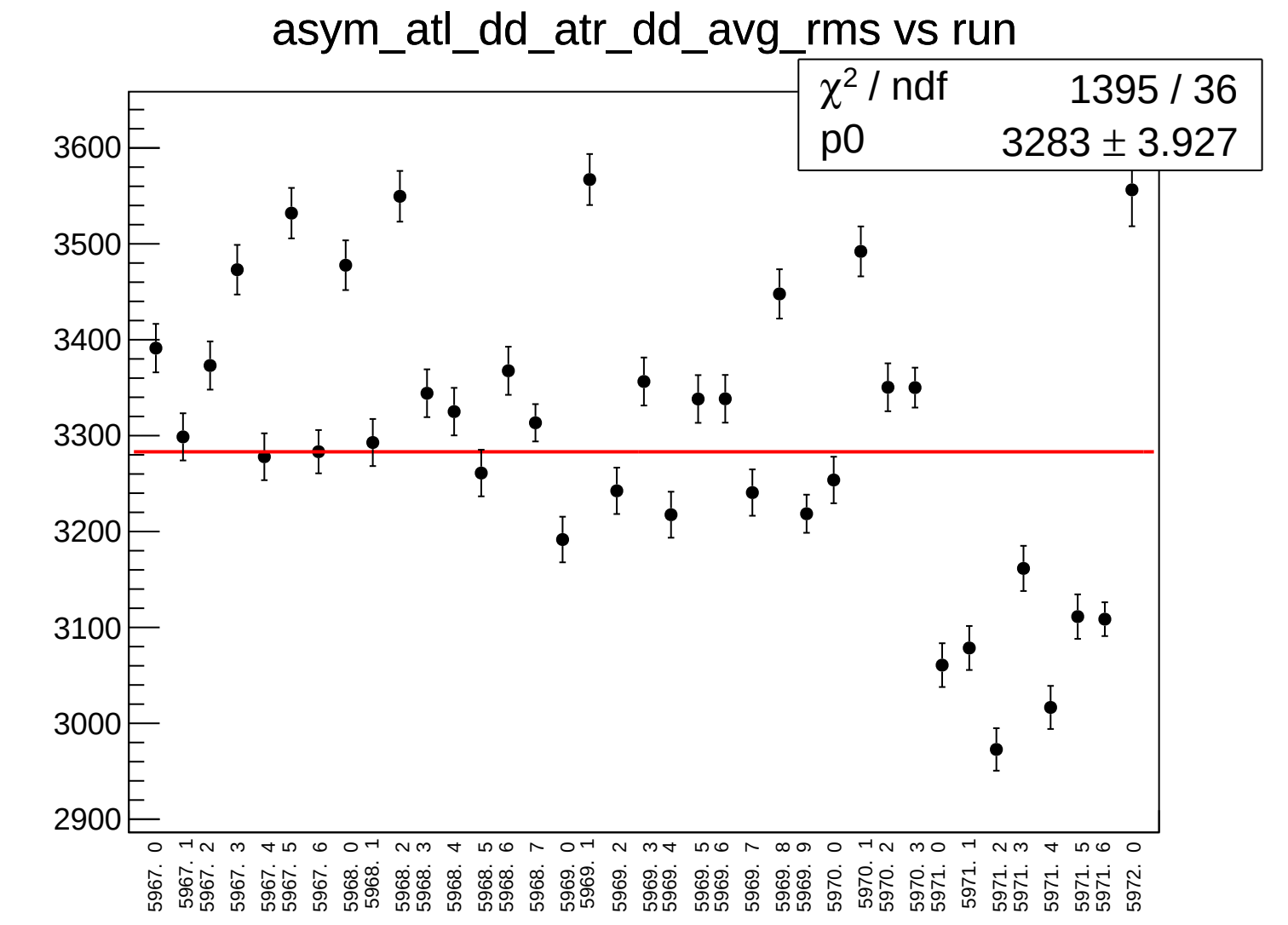
asym_atl_dd_atr_dd_avg_rms vs run
χ² / ndf 1395 / 36
p0 3283 ± 3.927
3600
3500
3400
3300
3200
3100
3000
2900
5967. 0
5967. 1
5967. 2
5967. 3
5967. 4
5967. 5
5967. 6
5968. 0
5968. 1
5968. 2
5968. 3
5968. 4
5968. 5
5968. 6
5968. 7
5969. 0
5969. 1
5969. 2
5969. 3
5969. 4
5969. 5
5969. 6
5969. 7
5969. 8
5969. 9
5970. 0
5970. 1
5970. 2
5970. 3
5971. 0
5971. 1
5971. 2
5971. 3
5971. 4
5971. 5
5971. 6
5972. 0

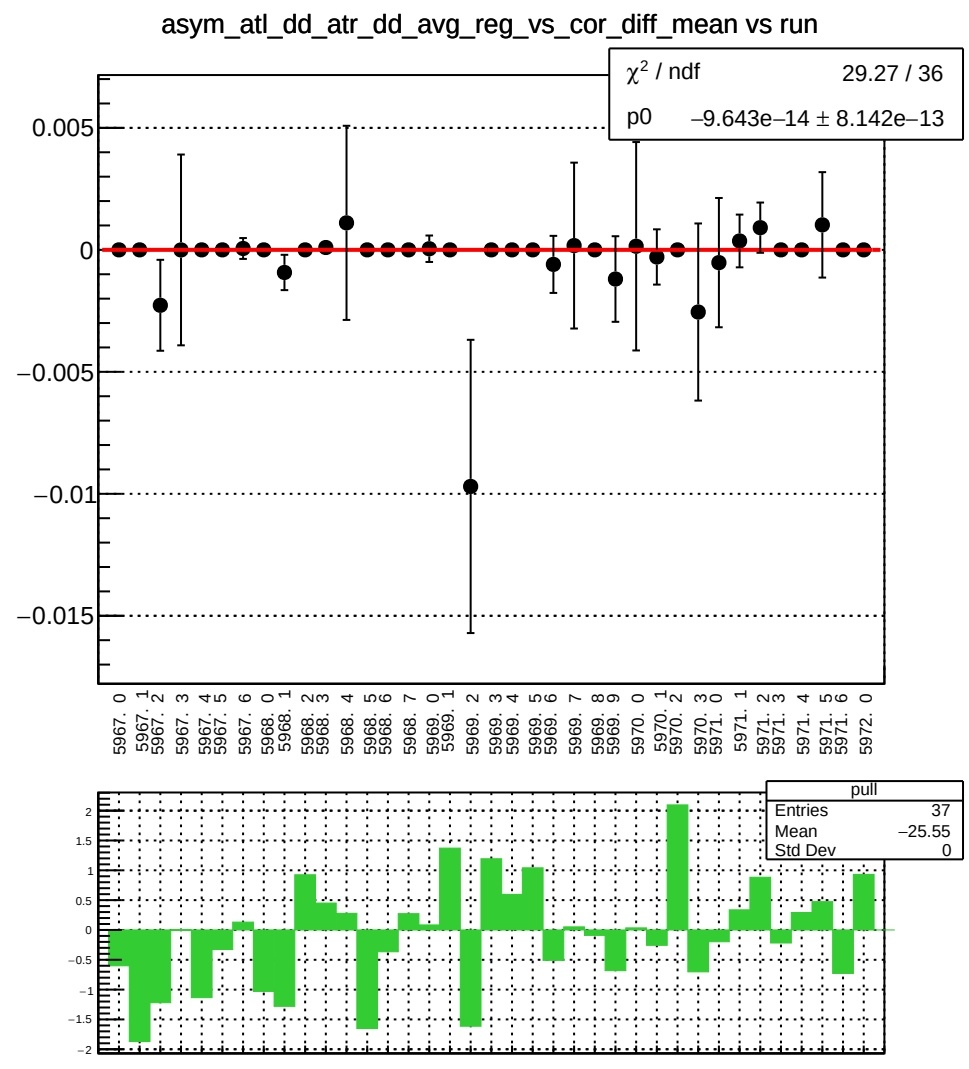
asym_atl_dd_atr_dd_avg_reg_vs_cor_diff_mean vs run
χ² / ndf 29.27 / 36
p0 −9.643e−14 ± 8.142e−13
0.005
0
−0.005
−0.01
−0.015
5967. 0
5967. 1
5967. 2
5967. 3
5967. 4
5967. 5
5967. 6
5968. 0
5968. 1
5968. 2
5968. 3
5968. 4
5968. 5
5968. 6
5968. 7
5969. 0
5969. 1
5969. 2
5969. 3
5969. 4
5969. 5
5969. 6
5969. 7
5969. 8
5969. 9
5970. 0
5970. 1
5970. 2
5970. 3
5971. 0
5971. 1
5971. 2
5971. 3
5971. 4
5971. 5
5971. 6
5972. 0
pull
Entries 37
Mean −25.55
Std Dev 0
2
1.5
1
0.5
0
−0.5
−1
−1.5
−2

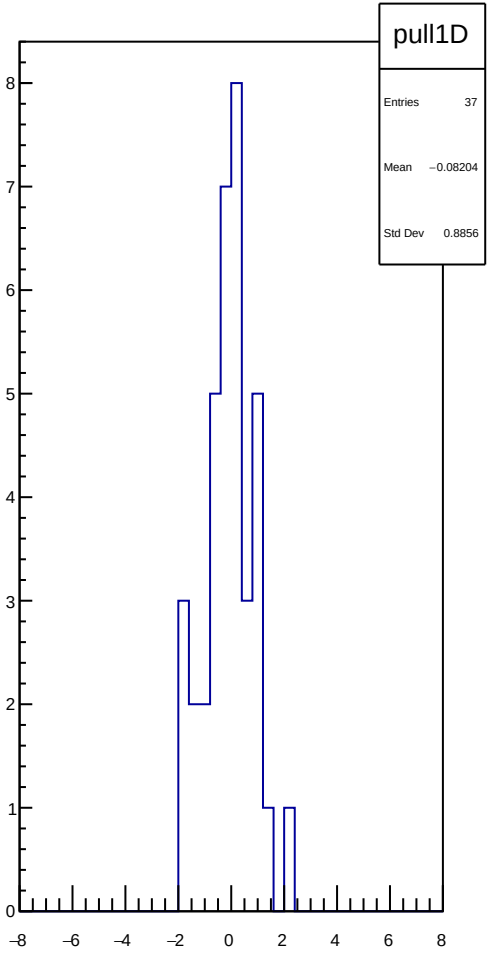
pull1D
Entries 37
Mean −0.08204
Std Dev 0.8856
8
7
6
5
4
3
2
1
0
−8
−6
−4
−2
0
2
4
6
8

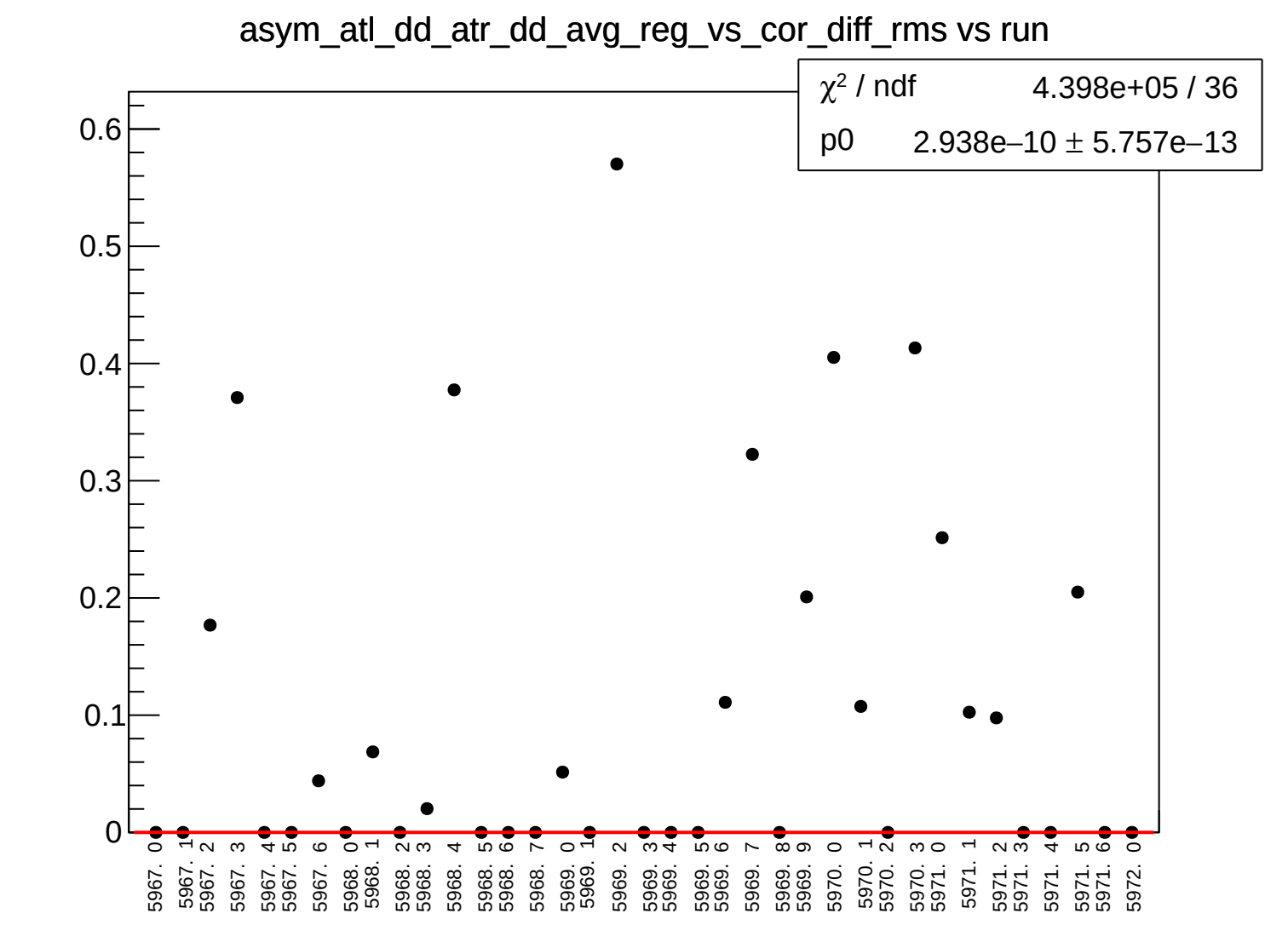
asym_atl_dd_atr_dd_avg_reg_vs_cor_diff_rms vs run
χ² / ndf 4.398e+05 / 36
p0 2.938e−10 ± 5.757e−13
0.6
0.5
0.4
0.3
0.2
0.1
0
5967. 0
5967. 1
5967. 2
5967. 3
5967. 4
5967. 5
5967. 6
5968. 0
5968. 1
5968. 2
5968. 3
5968. 4
5968. 5
5968. 6
5968. 7
5969. 0
5969. 1
5969. 2
5969. 3
5969. 4
5969. 5
5969. 6
5969. 7
5969. 8
5969. 9
5970. 0
5970. 1
5970. 2
5970. 3
5971. 0
5971. 1
5971. 2
5971. 3
5971. 4
5971. 5
5971. 6
5972. 0

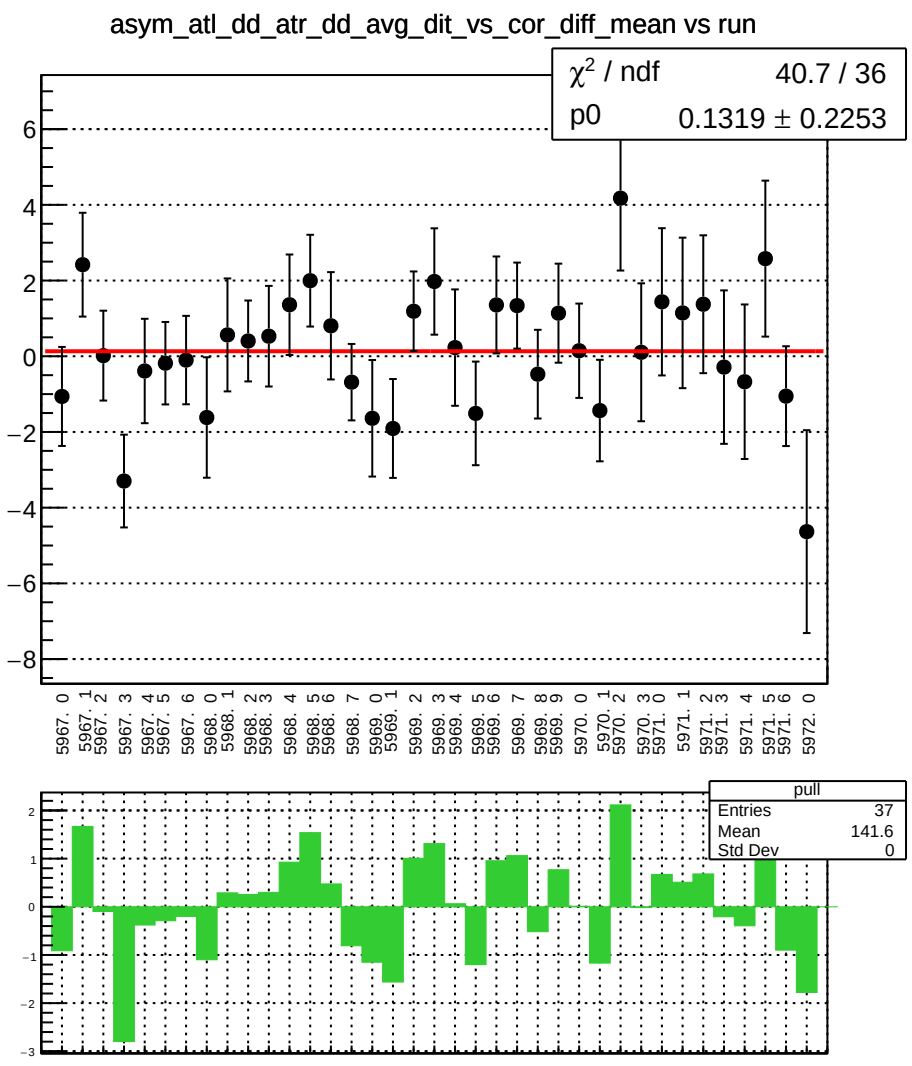
asym_atl_dd_atr_dd_avg_dit_vs_cor_diff_mean vs run
χ² / ndf 40.7 / 36
p0 0.1319 ± 0.2253
pull
Entries 37
Mean 141.6
Std Dev 0

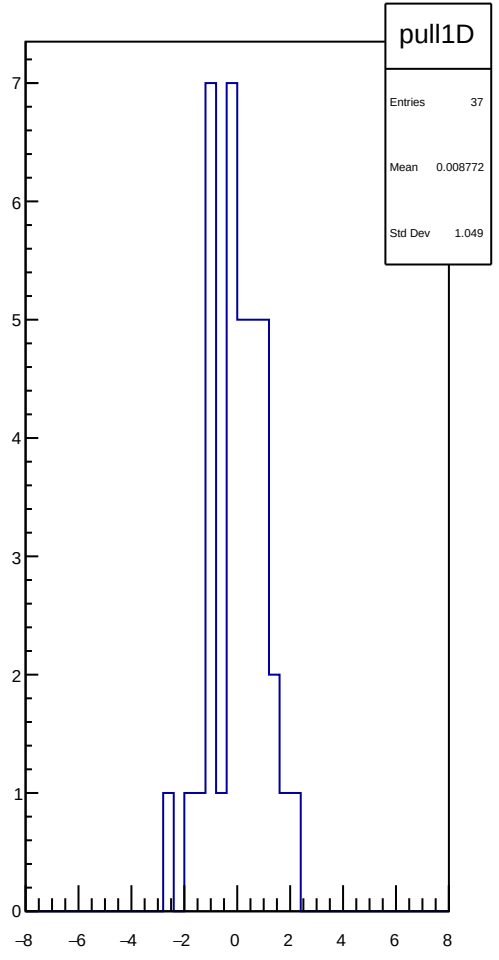
pull1D
Entries 37
Mean 0.008772
Std Dev 1.049

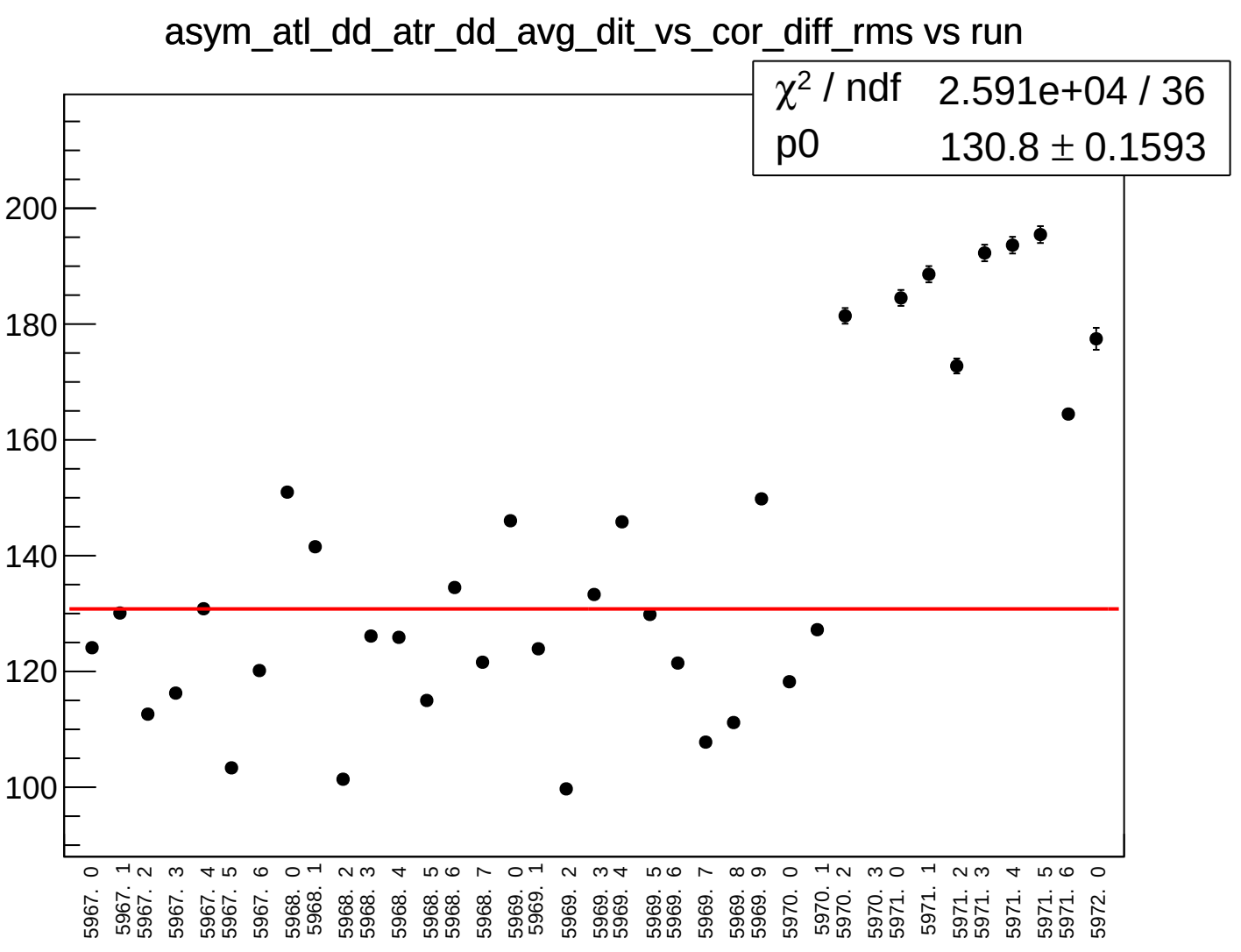
asym_atl_dd_atr_dd_avg_dit_vs_cor_diff_rms vs run
χ² / ndf 2.591e+04 / 36
p0 130.8 ± 0.1593
200
180
160
140
120
100
5967. 0
5967. 1
5967. 2
5967. 3
5967. 4
5967. 5
5967. 6
5968. 0
5968. 1
5968. 2
5968. 3
5968. 4
5968. 5
5968. 6
5968. 7
5969. 0
5969. 1
5969. 2
5969. 3
5969. 4
5969. 5
5969. 6
5969. 7
5969. 8
5969. 9
5970. 0
5970. 1
5970. 2
5970. 3
5971. 0
5971. 1
5971. 2
5971. 3
5971. 4
5971. 5
5971. 6
5972. 0

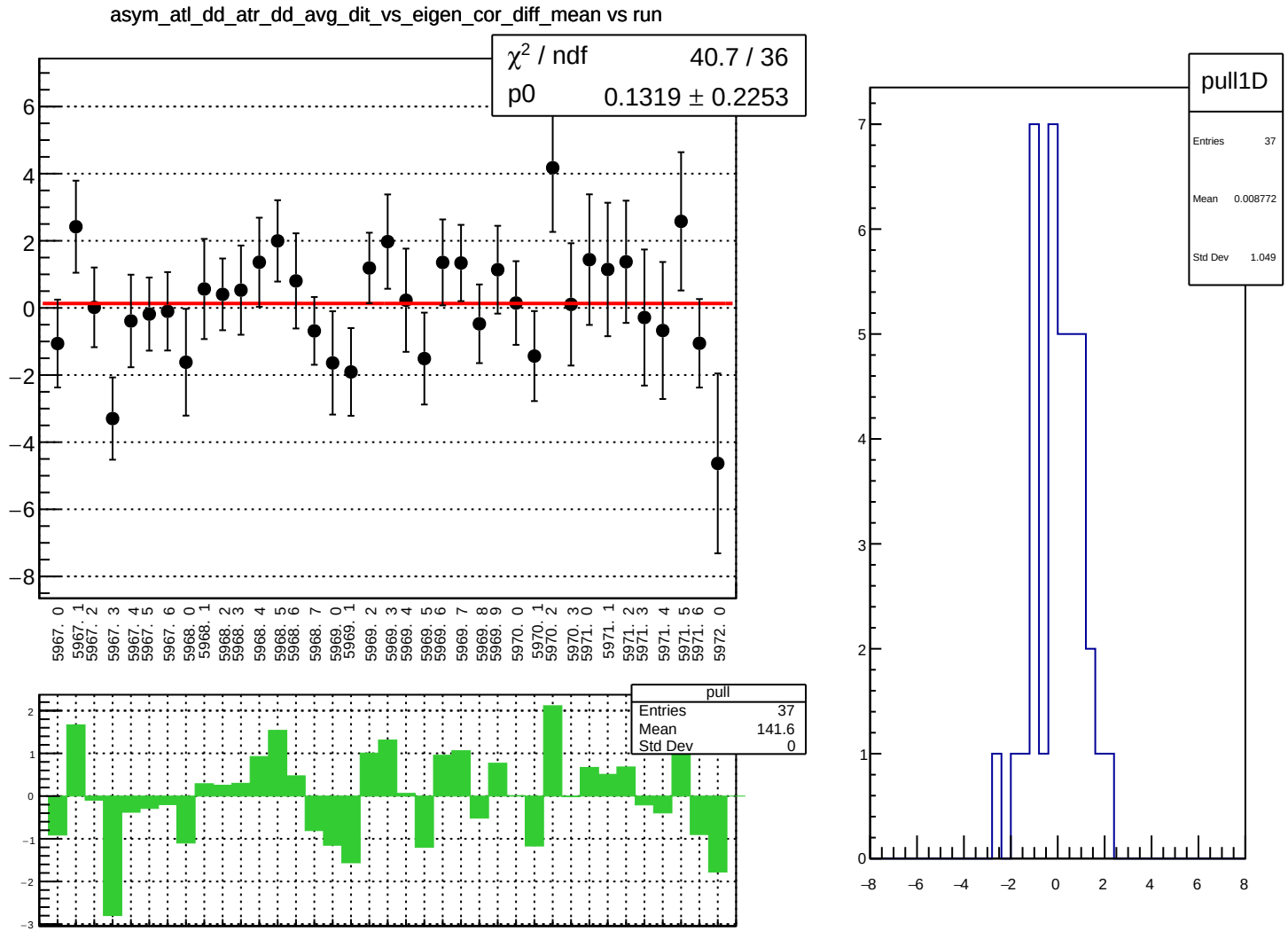
asym_atl_dd_atr_dd_avg_dit_vs_eigen_cor_diff_mean vs run
χ² / ndf 40.7 / 36
p0 0.1319 ± 0.2253
pull
Entries 37
Mean 141.6
Std Dev 0
pull1D
Entries 37
Mean 0.008772
Std Dev 1.049

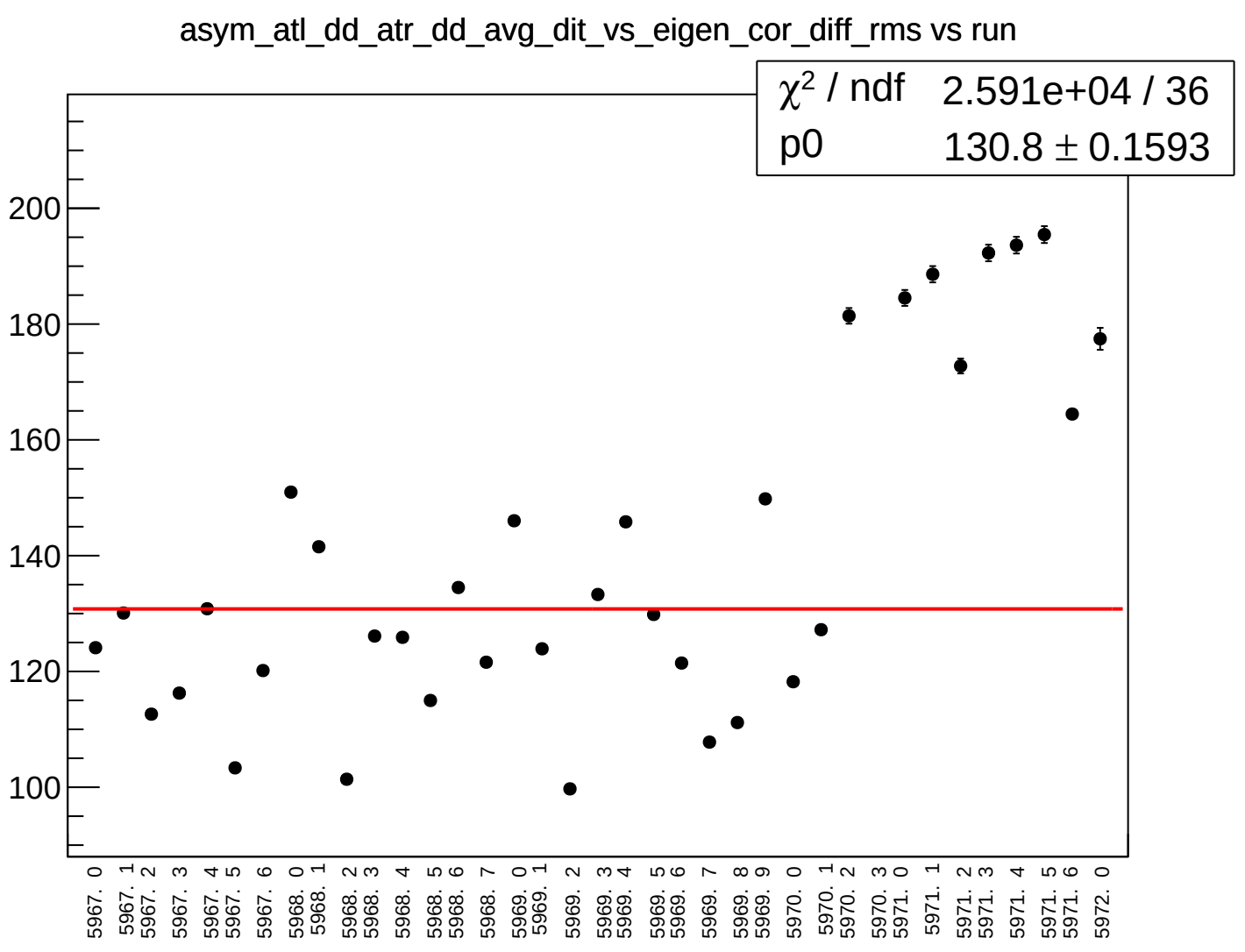
asym_atl_dd_atr_dd_avg_dit_vs_eigen_cor_diff_rms vs run
χ² / ndf 2.591e+04 / 36
p0 130.8 ± 0.1593
200
180
160
140
120
100
5967. 0
5967. 1
5967. 2
5967. 3
5967. 4
5967. 5
5967. 6
5968. 0
5968. 1
5968. 2
5968. 3
5968. 4
5968. 5
5968. 6
5968. 7
5969. 0
5969. 1
5969. 2
5969. 3
5969. 4
5969. 5
5969. 6
5969. 7
5969. 8
5969. 9
5970. 0
5970. 1
5970. 2
5970. 3
5971. 0
5971. 1
5971. 2
5971. 3
5971. 4
5971. 5
5971. 6
5972. 0

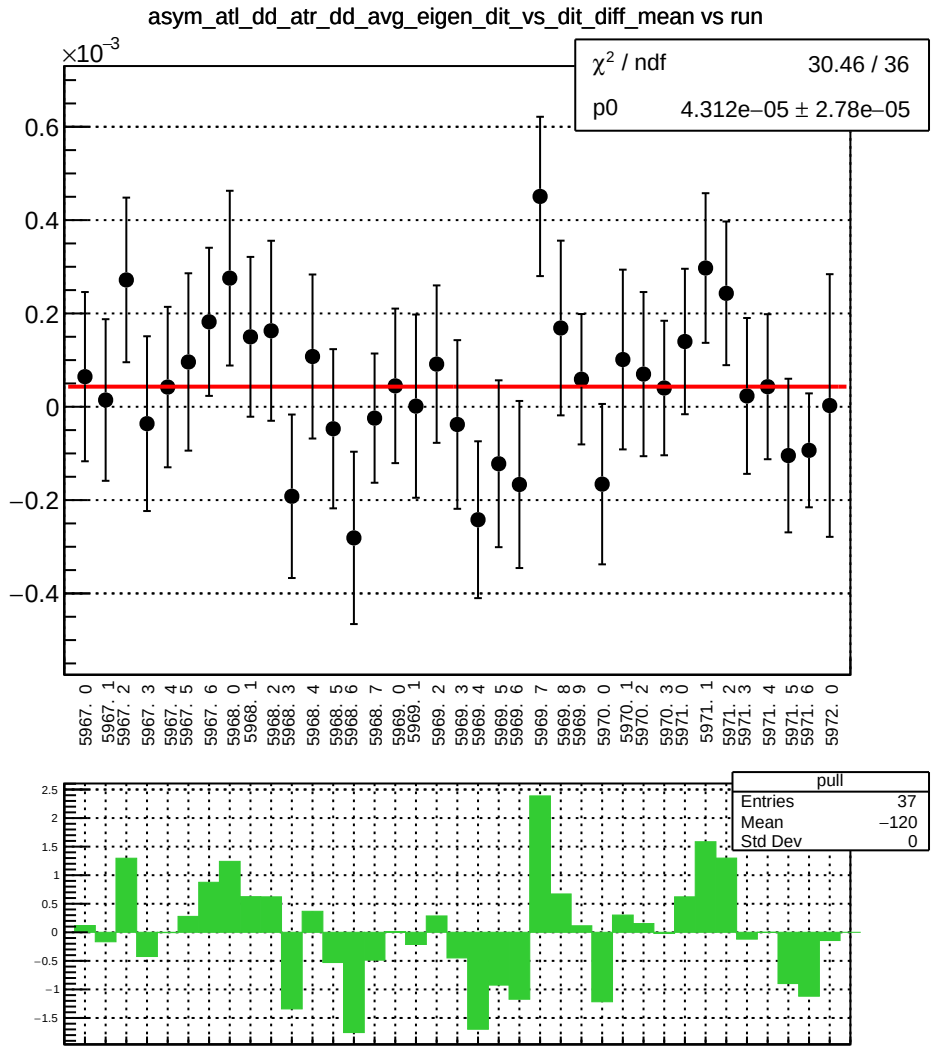
asym_atl_dd_atr_dd_avg_eigen_dit_vs_dit_diff_mean vs run
×10⁻³
χ² / ndf 30.46 / 36
p0 4.312e−05 ± 2.78e−05
0.6
0.4
0.2
0
−0.2
−0.4
5967. 0
5967. 1
5967. 2
5967. 3
5967. 4
5967. 5
5967. 6
5968. 0
5968. 1
5968. 2
5968. 3
5968. 4
5968. 5
5968. 6
5968. 7
5969. 0
5969. 1
5969. 2
5969. 3
5969. 4
5969. 5
5969. 6
5969. 7
5969. 8
5969. 9
5970. 0
5970. 1
5970. 2
5970. 3
5971. 0
5971. 1
5971. 2
5971. 3
5971. 4
5971. 5
5971. 6
5972. 0
pull
Entries 37
Mean −120
Std Dev 0
2.5
2
1.5
1
0.5
0
−0.5
−1
−1.5

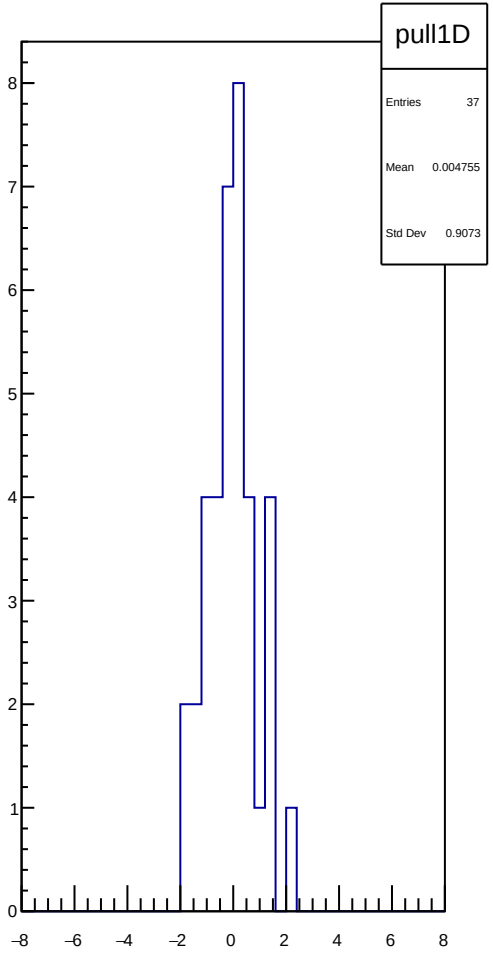
pull1D
Entries 37
Mean 0.004755
Std Dev 0.9073
8
7
6
5
4
3
2
1
0
−8
−6
−4
−2
0
2
4
6
8

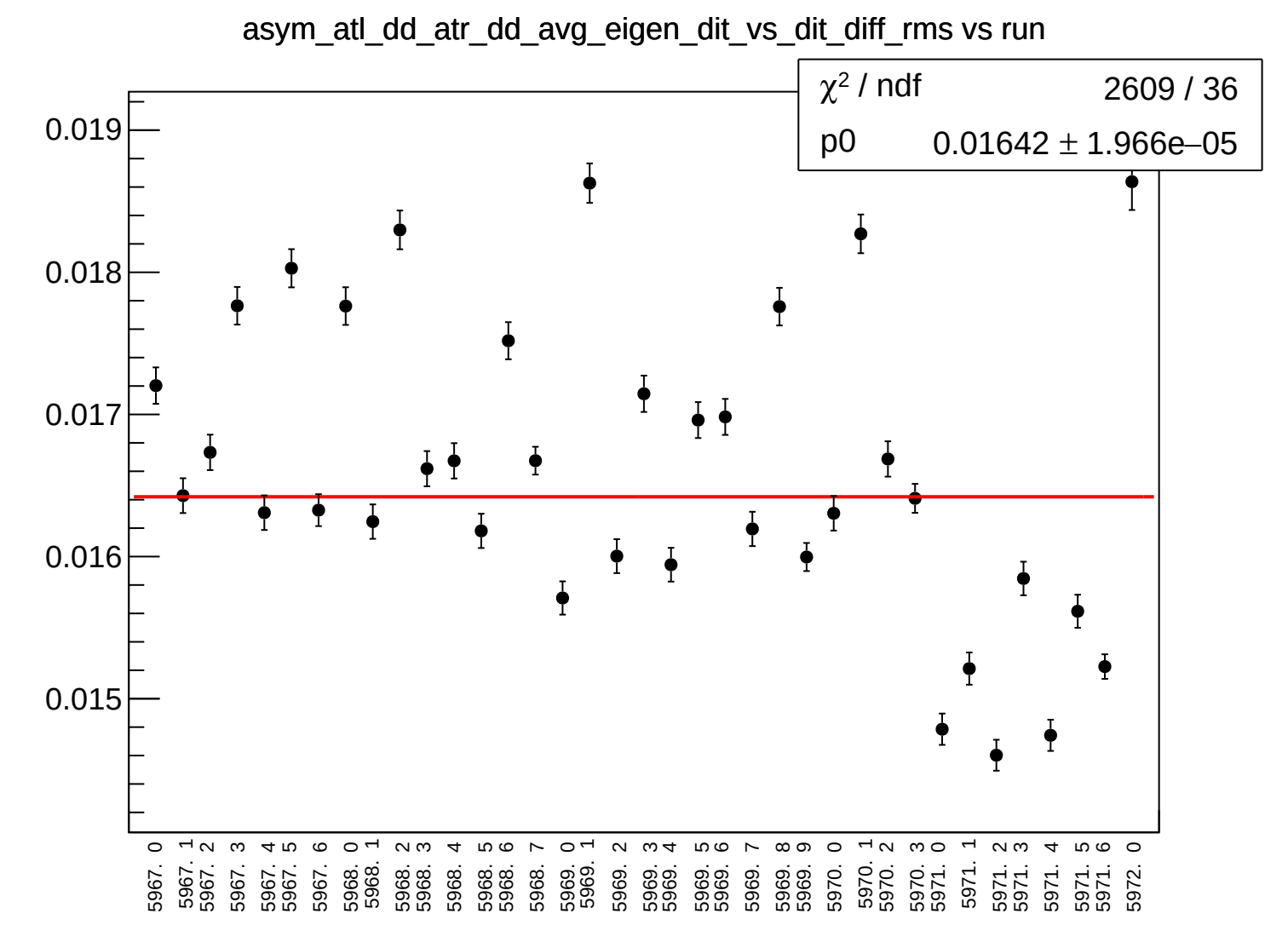
asym_atl_dd_atr_dd_avg_eigen_dit_vs_dit_diff_rms vs run
χ² / ndf 2609 / 36
p0 0.01642 ± 1.966e−05
0.019
0.018
0.017
0.016
0.015
5967. 0
5967. 1
5967. 2
5967. 3
5967. 4
5967. 5
5967. 6
5968. 0
5968. 1
5968. 2
5968. 3
5968. 4
5968. 5
5968. 6
5968. 7
5969. 0
5969. 1
5969. 2
5969. 3
5969. 4
5969. 5
5969. 6
5969. 7
5969. 8
5969. 9
5970. 0
5970. 1
5970. 2
5970. 3
5971. 0
5971. 1
5971. 2
5971. 3
5971. 4
5971. 5
5971. 6
5972. 0

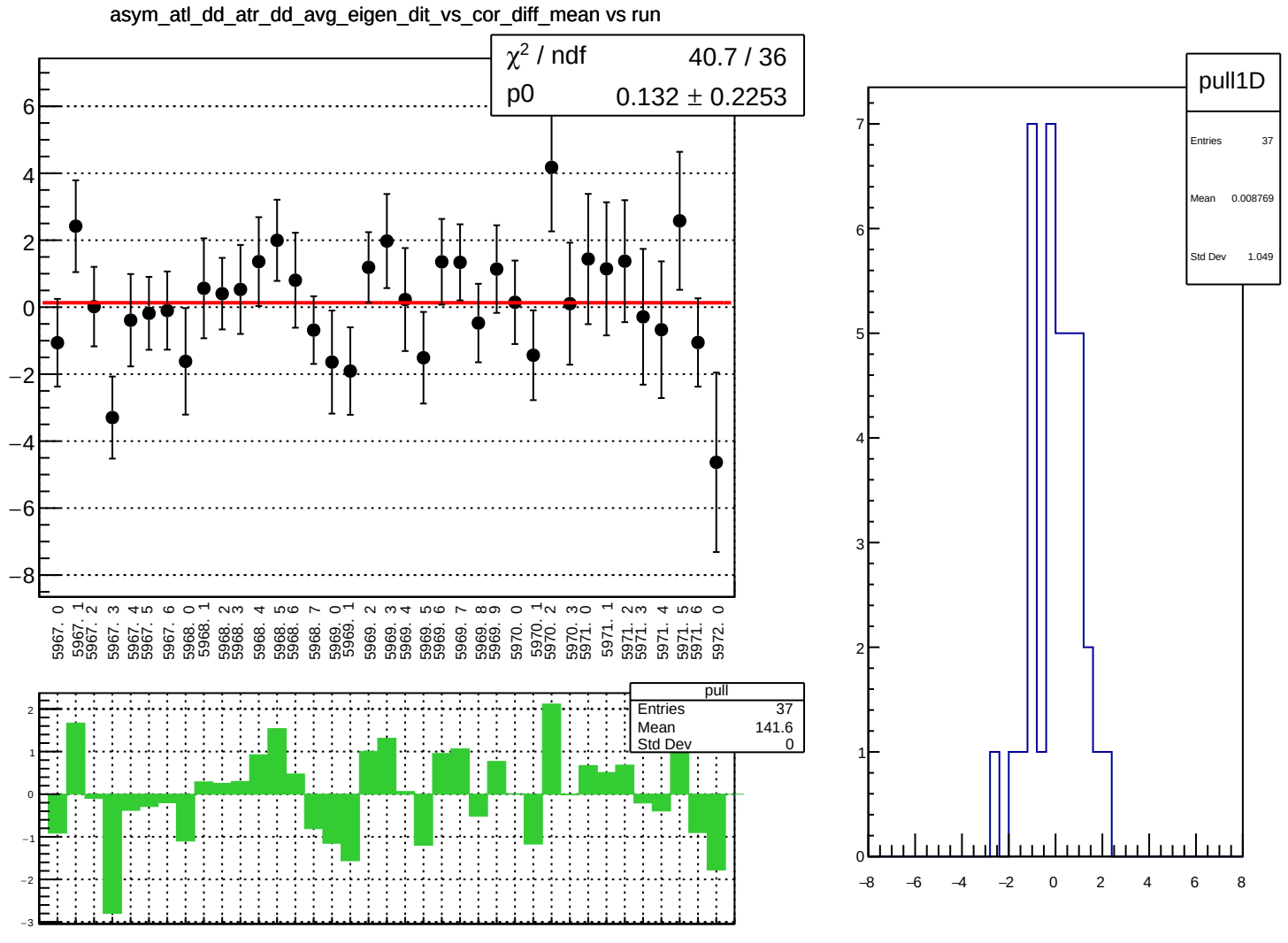
asym_atl_dd_atr_dd_avg_eigen_dit_vs_cor_diff_mean vs run
χ² / ndf 40.7 / 36
p0 0.132 ± 0.2253
pull
Entries 37
Mean 141.6
Std Dev 0
pull1D
Entries 37
Mean 0.008769
Std Dev 1.049

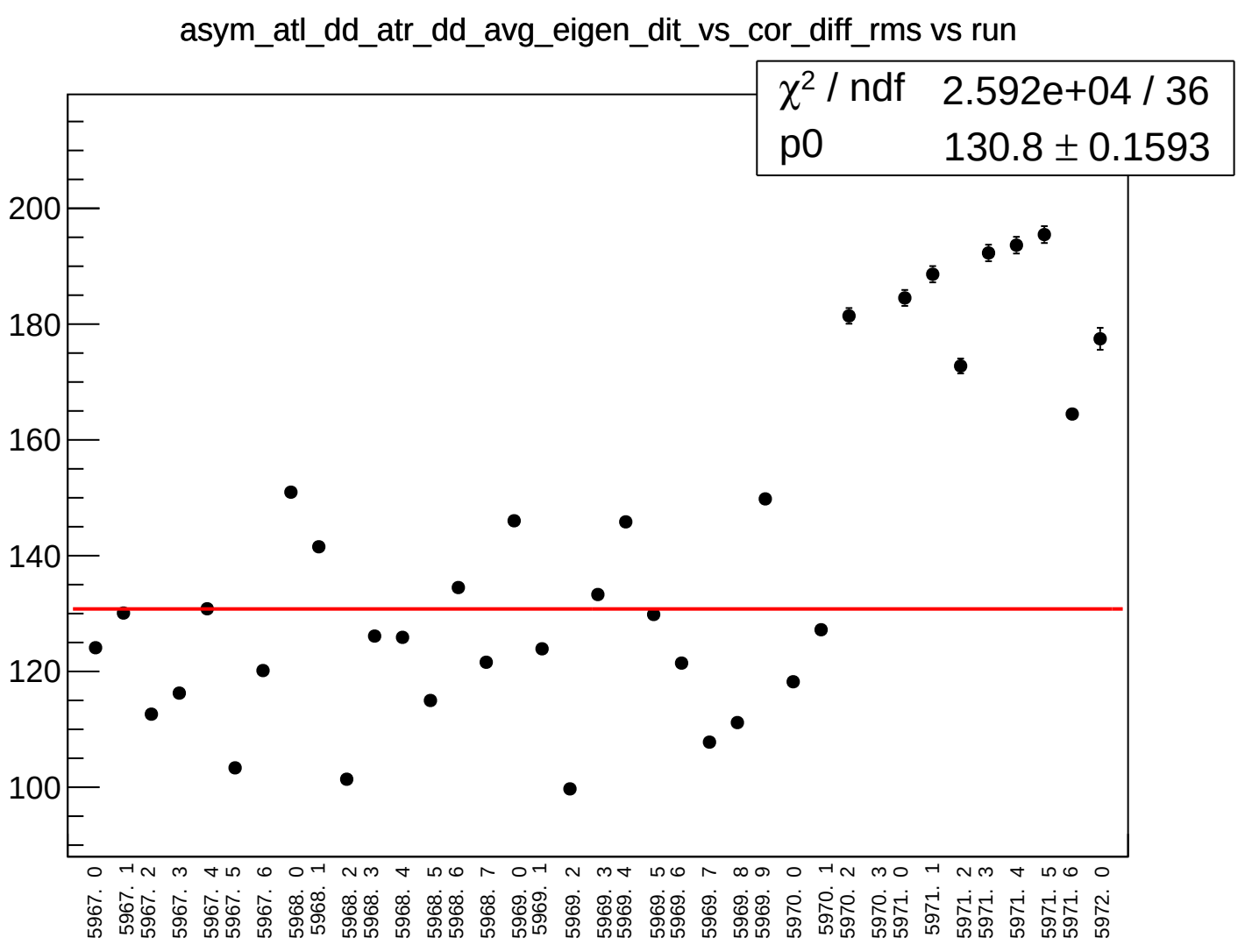
asym_atl_dd_atr_dd_avg_eigen_dit_vs_cor_diff_rms vs run
χ² / ndf 2.592e+04 / 36
p0 130.8 ± 0.1593
200
180
160
140
120
100
5967. 0
5967. 1
5967. 2
5967. 3
5967. 4
5967. 5
5967. 6
5968. 0
5968. 1
5968. 2
5968. 3
5968. 4
5968. 5
5968. 6
5968. 7
5969. 0
5969. 1
5969. 2
5969. 3
5969. 4
5969. 5
5969. 6
5969. 7
5969. 8
5969. 9
5970. 0
5970. 1
5970. 2
5970. 3
5971. 0
5971. 1
5971. 2
5971. 3
5971. 4
5971. 5
5971. 6
5972. 0

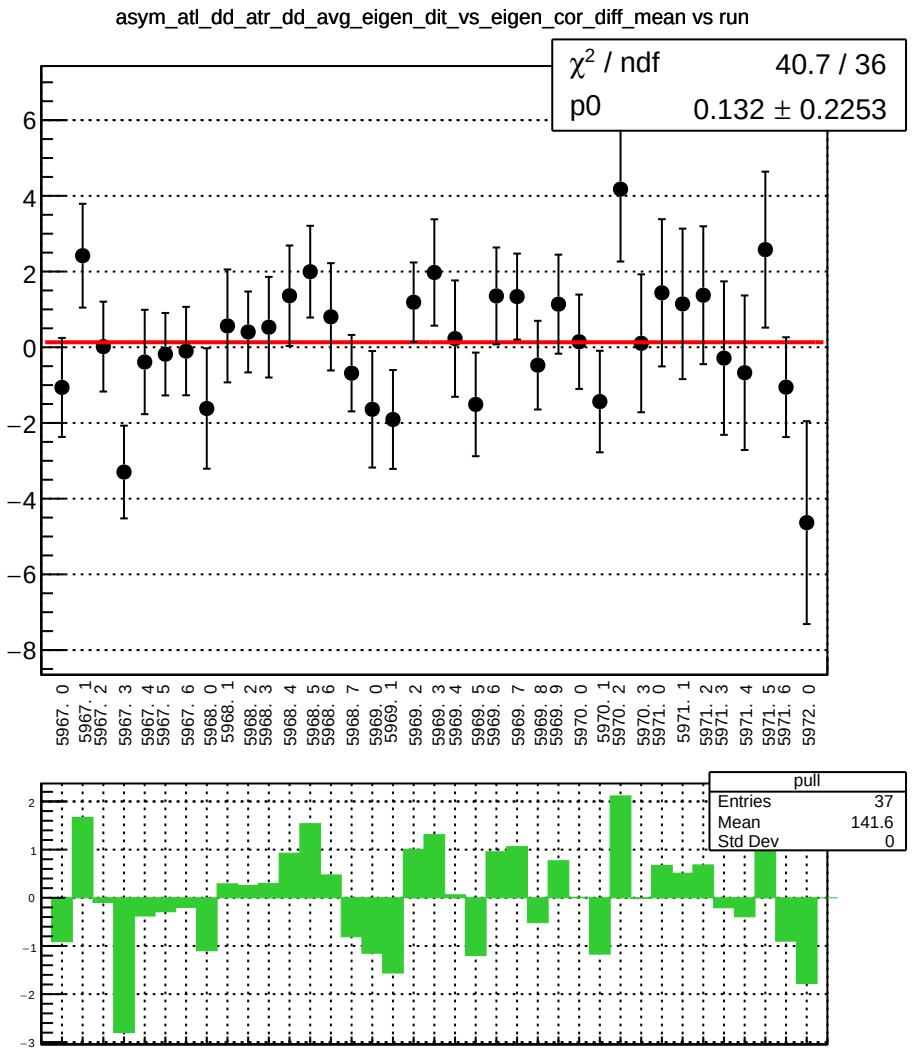
asym_atl_dd_atr_dd_avg_eigen_dit_vs_eigen_cor_diff_mean vs run
χ² / ndf 40.7 / 36
p0 0.132 ± 0.2253
pull
Entries 37
Mean 141.6
Std Dev 0

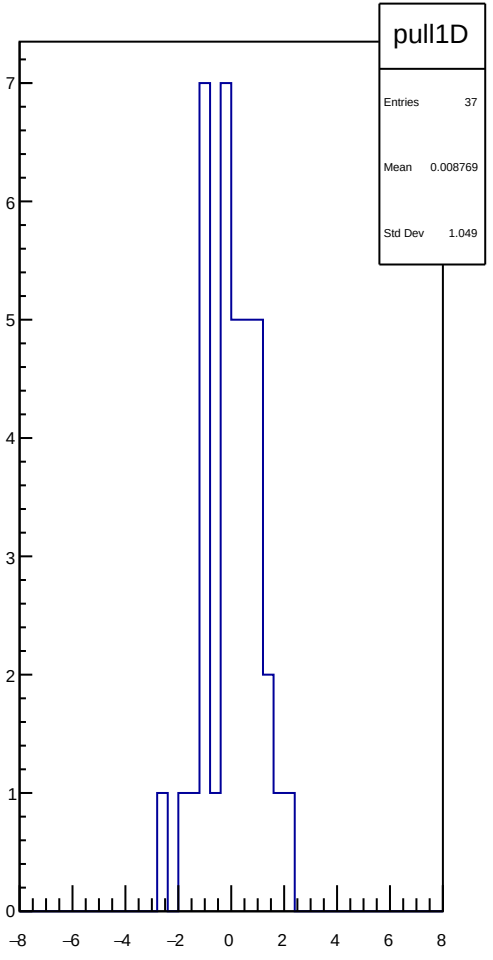
pull1D
Entries 37
Mean 0.008769
Std Dev 1.049

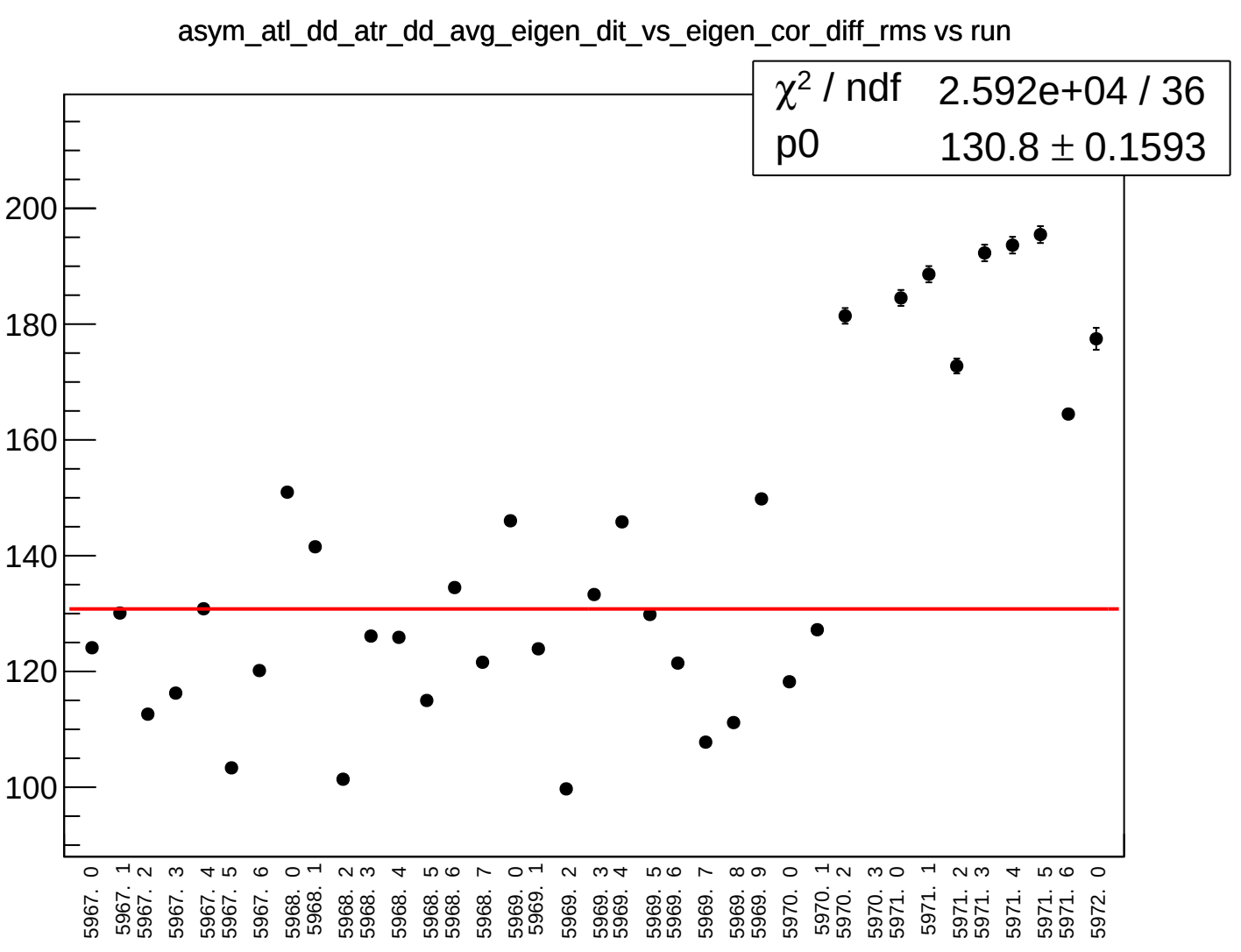
asym_atl_dd_atr_dd_avg_eigen_dit_vs_eigen_cor_diff_rms vs run
χ² / ndf 2.592e+04 / 36
p0 130.8 ± 0.1593
200
180
160
140
120
100
5967. 0
5967. 1
5967. 2
5967. 3
5967. 4
5967. 5
5967. 6
5968. 0
5968. 1
5968. 2
5968. 3
5968. 4
5968. 5
5968. 6
5968. 7
5969. 0
5969. 1
5969. 2
5969. 3
5969. 4
5969. 5
5969. 6
5969. 7
5969. 8
5969. 9
5970. 0
5970. 1
5970. 2
5970. 3
5971. 0
5971. 1
5971. 2
5971. 3
5971. 4
5971. 5
5971. 6
5972. 0

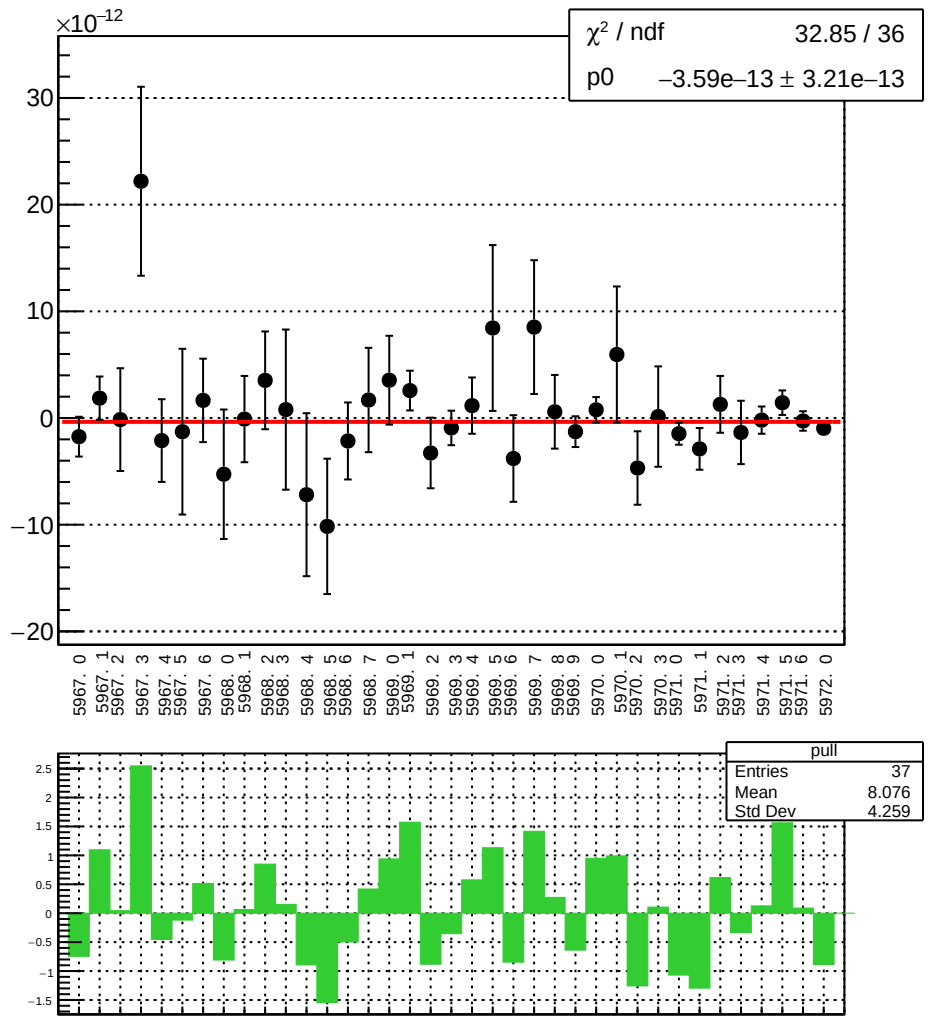
asym_atl_dd_atr_dd_avg_eigen_cor_vs_cor_diff_mean vs run
×10⁻¹²
χ² / ndf 32.85 / 36
p0 −3.59e−13 ± 3.21e−13
pull
Entries 37
Mean 8.076
Std Dev 4.259

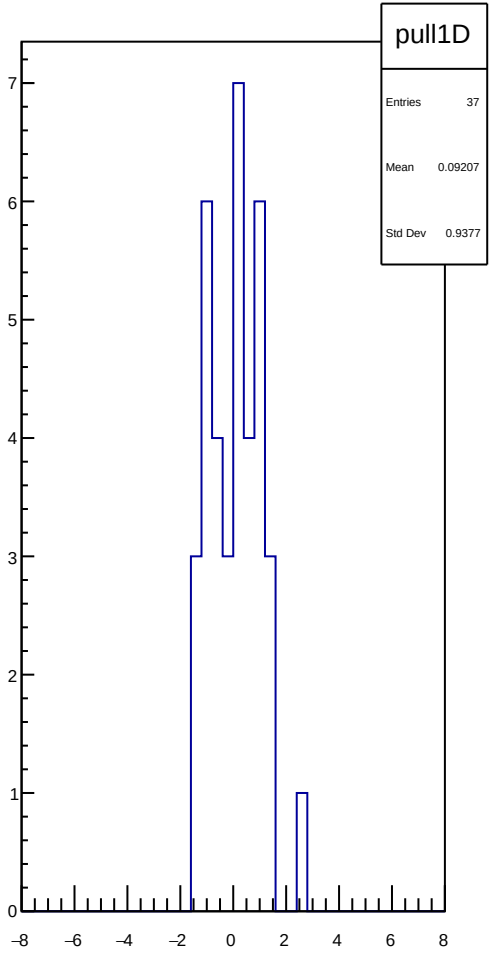
pull1D
Entries 37
Mean 0.09207
Std Dev 0.9377

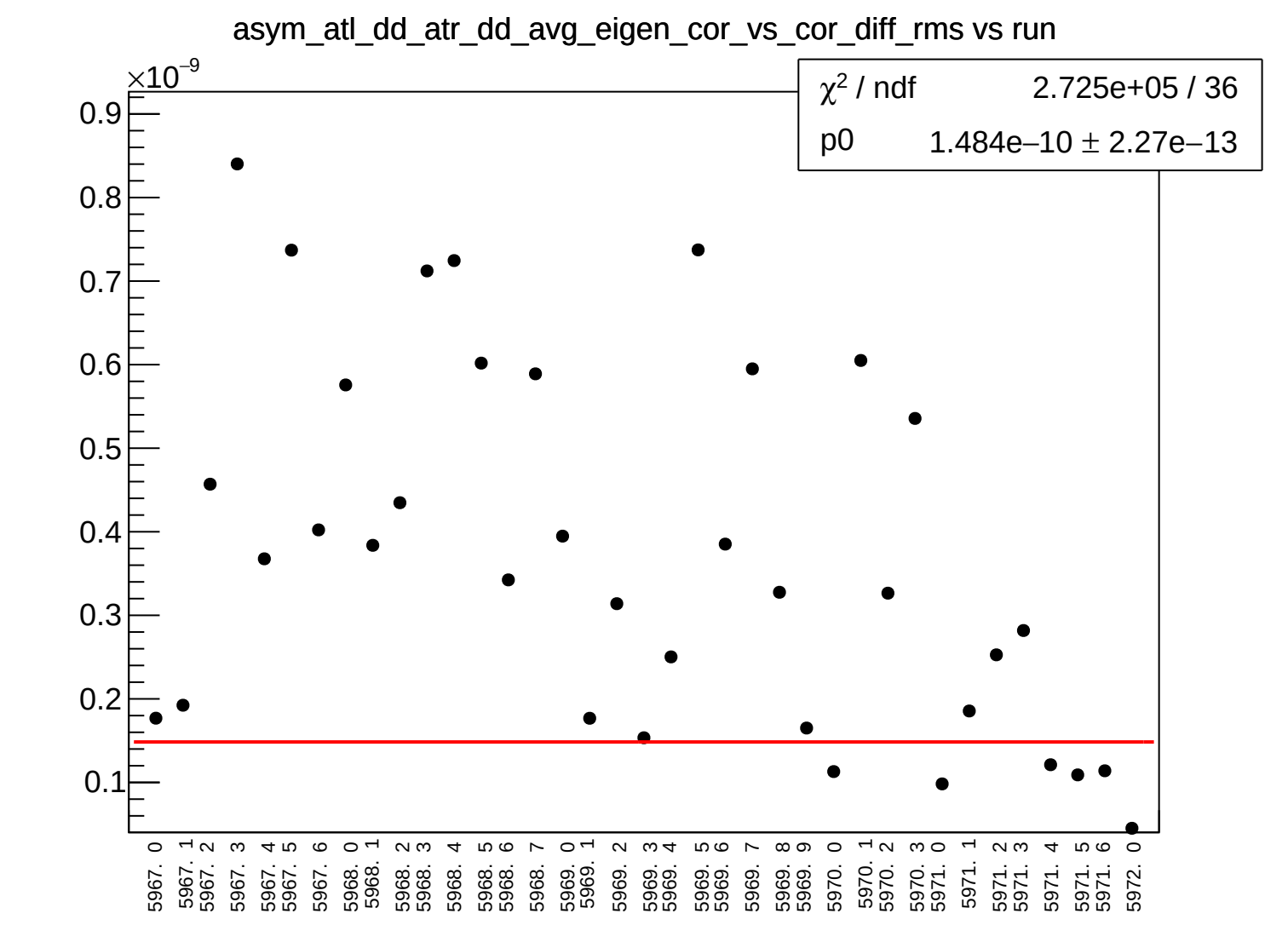
asym_atl_dd_atr_dd_avg_eigen_cor_vs_cor_diff_rms vs run
×10⁻⁹
χ² / ndf 2.725e+05 / 36
p0 1.484e−10 ± 2.27e−13
0.9
0.8
0.7
0.6
0.5
0.4
0.3
0.2
0.1
5967. 0
5967. 1
5967. 2
5967. 3
5967. 4
5967. 5
5967. 6
5968. 0
5968. 1
5968. 2
5968. 3
5968. 4
5968. 5
5968. 6
5968. 7
5969. 0
5969. 1
5969. 2
5969. 3
5969. 4
5969. 5
5969. 6
5969. 7
5969. 8
5969. 9
5970. 0
5970. 1
5970. 2
5970. 3
5971. 0
5971. 1
5971. 2
5971. 3
5971. 4
5971. 5
5971. 6
5972. 0

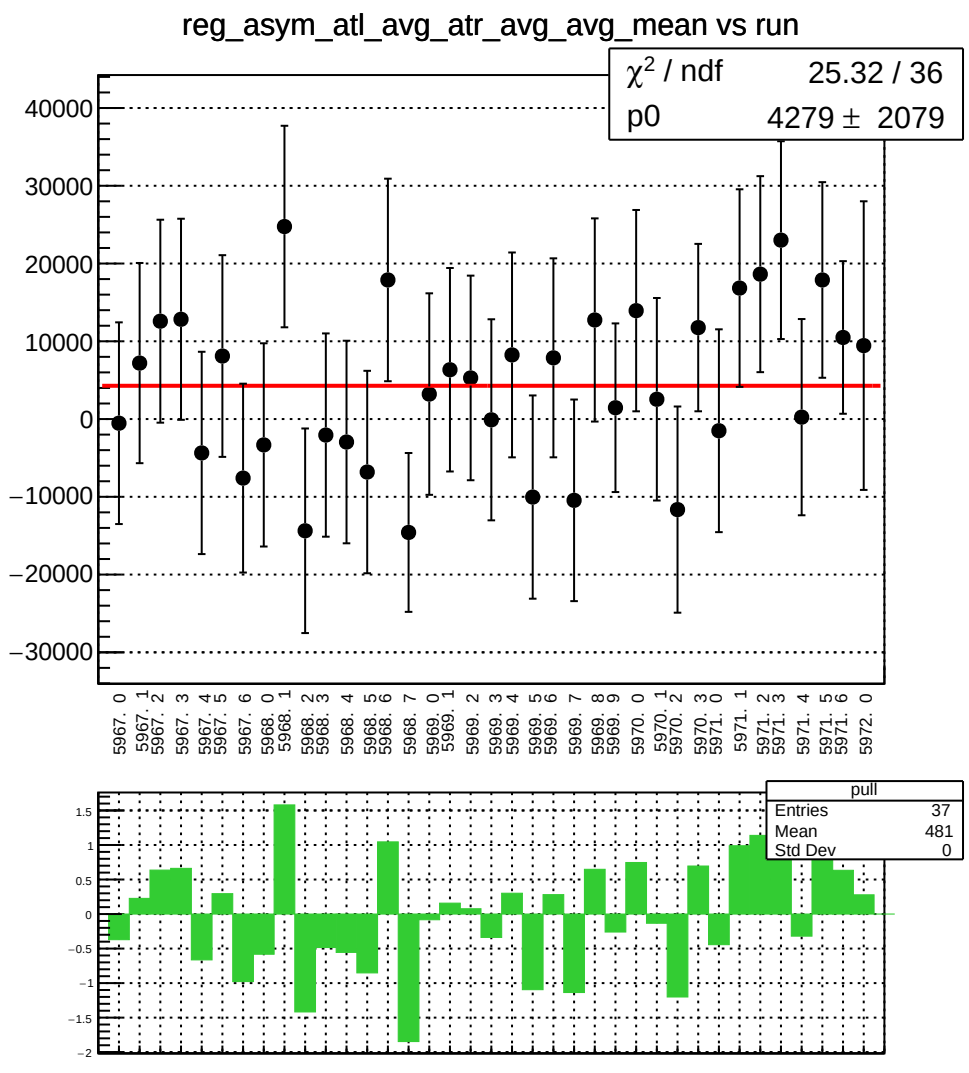
reg_asym_atl_avg_atr_avg_avg_mean vs run
χ² / ndf 25.32 / 36
p0 4279 ± 2079
40000
30000
20000
10000
0
−10000
−20000
−30000
5967. 0
5967. 1
5967. 2
5967. 3
5967. 4
5967. 5
5967. 6
5968. 0
5968. 1
5968. 2
5968. 3
5968. 4
5968. 5
5968. 6
5968. 7
5969. 0
5969. 1
5969. 2
5969. 3
5969. 4
5969. 5
5969. 6
5969. 7
5969. 8
5969. 9
5970. 0
5970. 1
5970. 2
5970. 3
5971. 0
5971. 1
5971. 2
5971. 3
5971. 4
5971. 5
5971. 6
5972. 0
pull
Entries 37
Mean 481
Std Dev 0
1.5
1
0.5
0
−0.5
−1
−1.5
−2

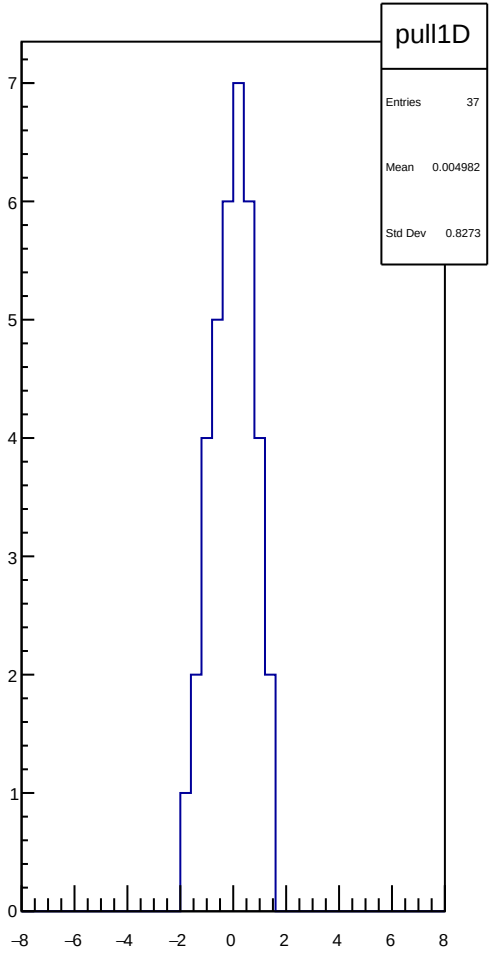
pull1D
Entries 37
Mean 0.004982
Std Dev 0.8273
7
6
5
4
3
2
1
0
−8
−6
−4
−2
0
2
4
6
8

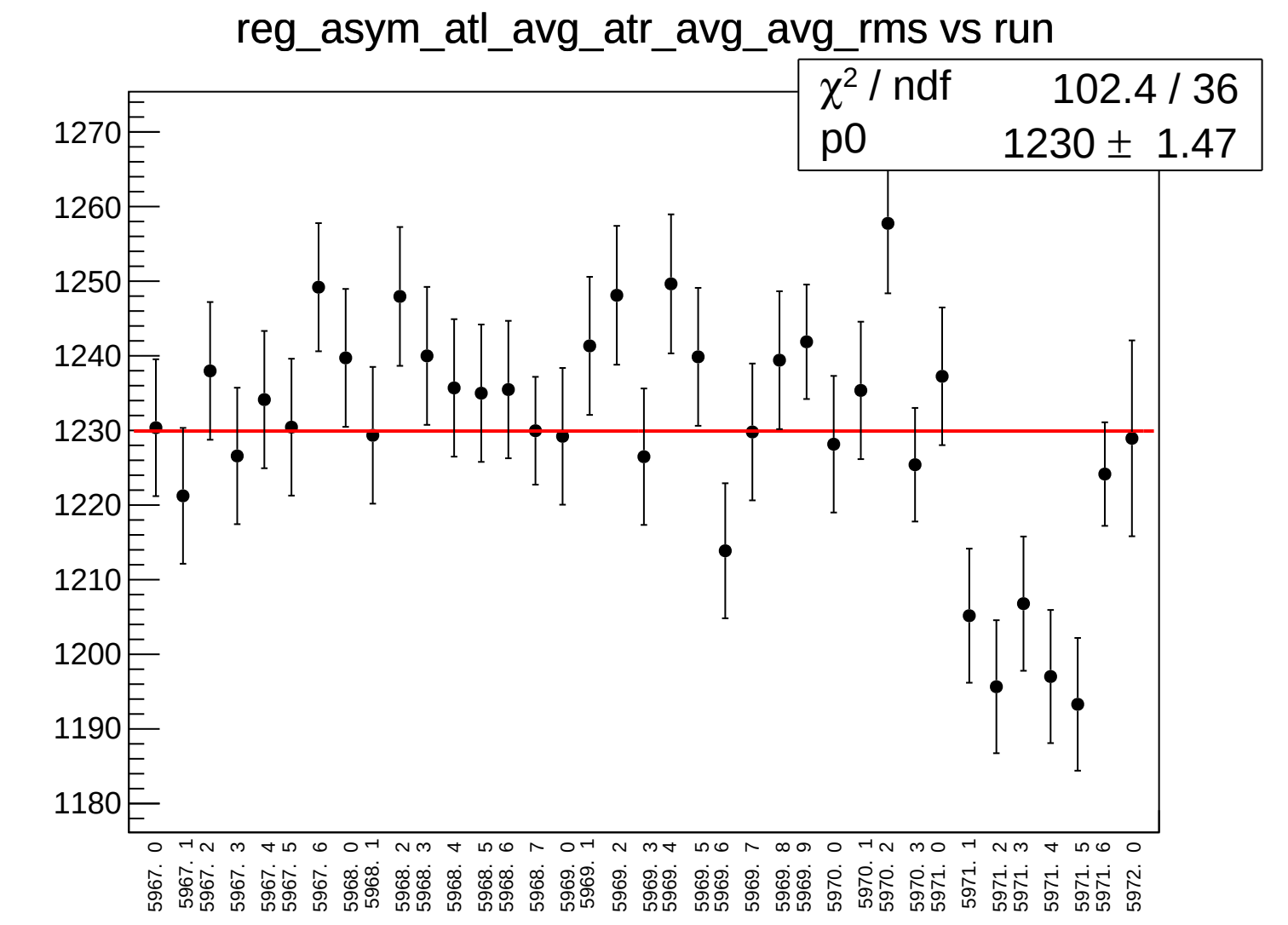
reg_asym_atl_avg_atr_avg_avg_rms vs run
χ² / ndf 102.4 / 36
p0 1230 ± 1.47
1270
1260
1250
1240
1230
1220
1210
1200
1190
1180
5967. 0
5967. 1
5967. 2
5967. 3
5967. 4
5967. 5
5967. 6
5968. 0
5968. 1
5968. 2
5968. 3
5968. 4
5968. 5
5968. 6
5968. 7
5969. 0
5969. 1
5969. 2
5969. 3
5969. 4
5969. 5
5969. 6
5969. 7
5969. 8
5969. 9
5970. 0
5970. 1
5970. 2
5970. 3
5971. 0
5971. 1
5971. 2
5971. 3
5971. 4
5971. 5
5971. 6
5972. 0

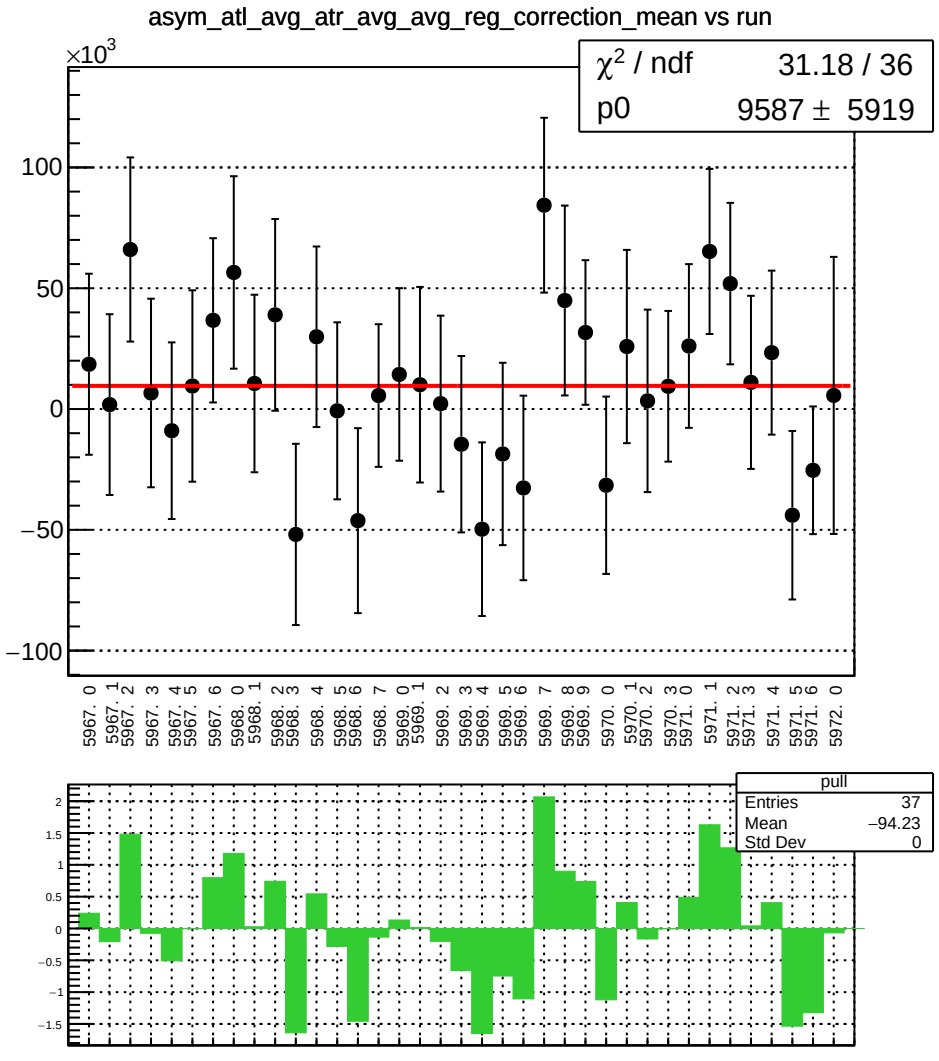
asym_atl_avg_atr_avg_avg_reg_correction_mean vs run
×10^3
χ² / ndf 31.18 / 36
p0 9587 ± 5919
100
50
0
−50
−100
5967. 0
5967. 1
5967. 2
5967. 3
5967. 4
5967. 5
5967. 6
5968. 0
5968. 1
5968. 2
5968. 3
5968. 4
5968. 5
5968. 6
5968. 7
5969. 0
5969. 1
5969. 2
5969. 3
5969. 4
5969. 5
5969. 6
5969. 7
5969. 8
5969. 9
5970. 0
5970. 1
5970. 2
5970. 3
5971. 0
5971. 1
5971. 2
5971. 3
5971. 4
5971. 5
5971. 6
5972. 0
pull
Entries 37
Mean −94.23
Std Dev 0
2
1.5
1
0.5
0
−0.5
−1
−1.5

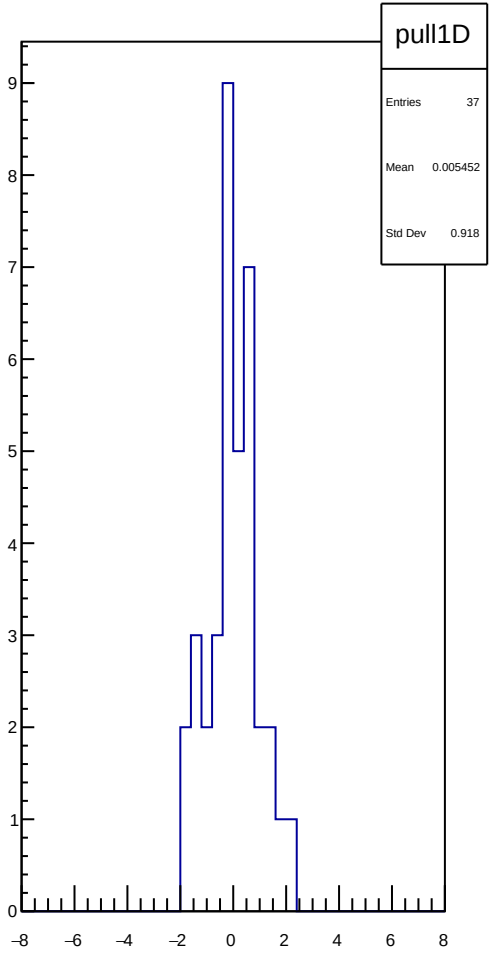
pull1D
Entries 37
Mean 0.005452
Std Dev 0.918
9
8
7
6
5
4
3
2
1
0
−8
−6
−4
−2
0
2
4
6
8

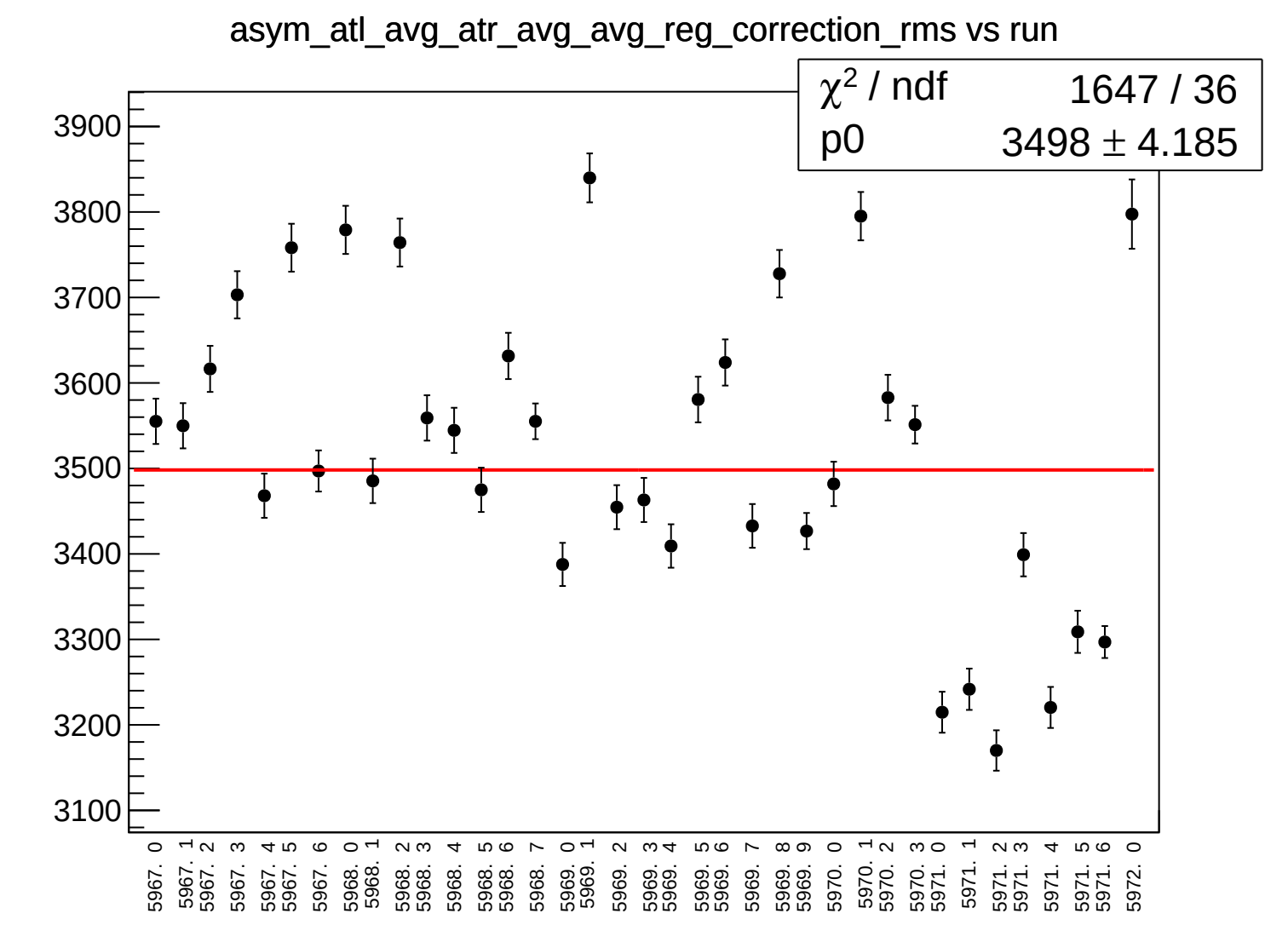
asym_atl_avg_atr_avg_avg_reg_correction_rms vs run
χ² / ndf 1647 / 36
p0 3498 ± 4.185
3900
3800
3700
3600
3500
3400
3300
3200
3100
5967. 0
5967. 1
5967. 2
5967. 3
5967. 4
5967. 5
5967. 6
5968. 0
5968. 1
5968. 2
5968. 3
5968. 4
5968. 5
5968. 6
5968. 7
5969. 0
5969. 1
5969. 2
5969. 3
5969. 4
5969. 5
5969. 6
5969. 7
5969. 8
5969. 9
5970. 0
5970. 1
5970. 2
5970. 3
5971. 0
5971. 1
5971. 2
5971. 3
5971. 4
5971. 5
5971. 6
5972. 0

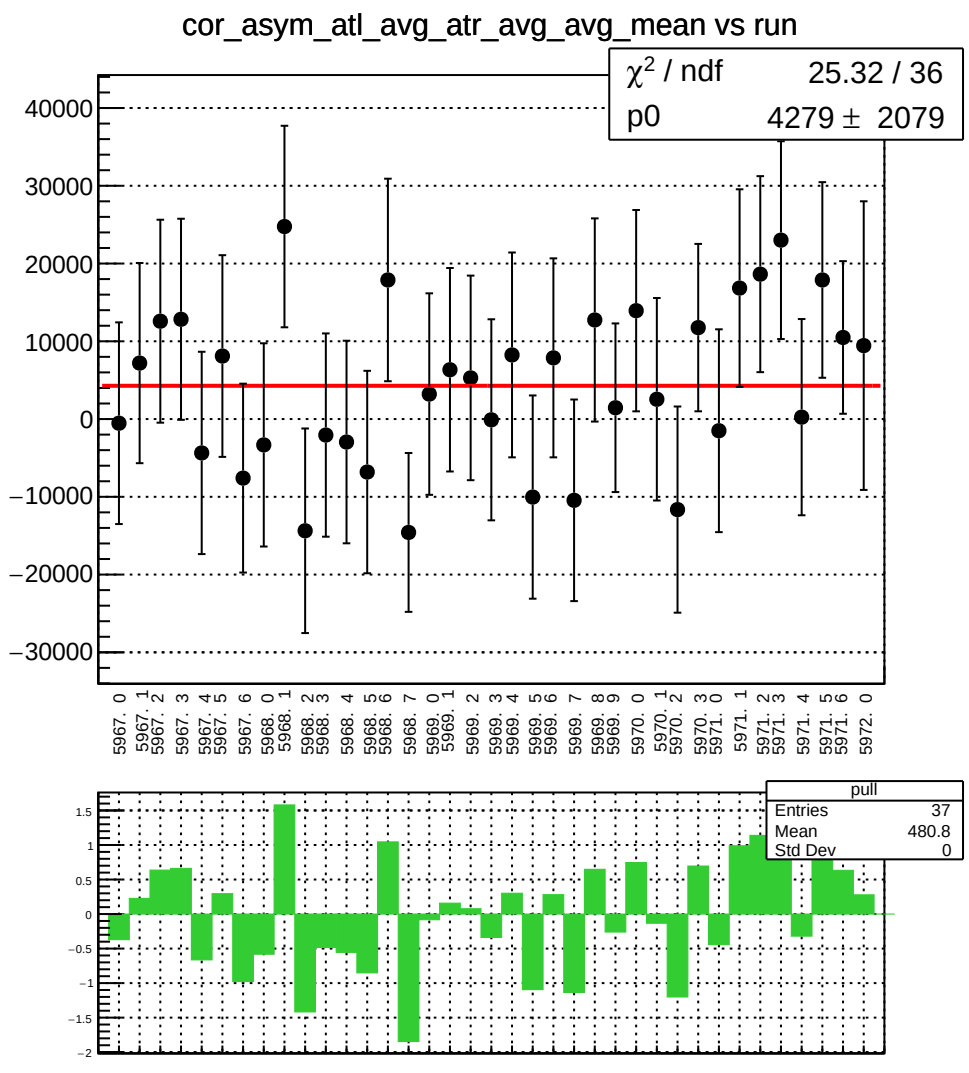
cor_asym_atl_avg_atr_avg_avg_mean vs run
χ² / ndf 25.32 / 36
p0 4279 ± 2079
40000
30000
20000
10000
0
−10000
−20000
−30000
5967. 0
5967. 1
5967. 2
5967. 3
5967. 4
5967. 5
5967. 6
5968. 0
5968. 1
5968. 2
5968. 3
5968. 4
5968. 5
5968. 6
5968. 7
5969. 0
5969. 1
5969. 2
5969. 3
5969. 4
5969. 5
5969. 6
5969. 7
5969. 8
5969. 9
5970. 0
5970. 1
5970. 2
5970. 3
5971. 0
5971. 1
5971. 2
5971. 3
5971. 4
5971. 5
5971. 6
5972. 0
pull
Entries 37
Mean 480.8
Std Dev 0
1.5
1
0.5
0
−0.5
−1
−1.5
−2
pull1D
Entries 37
Mean 0.004984
Std Dev 0.8273
7
6
5
4
3
2
1
0
−8
−6
−4
−2
0
2
4
6
8

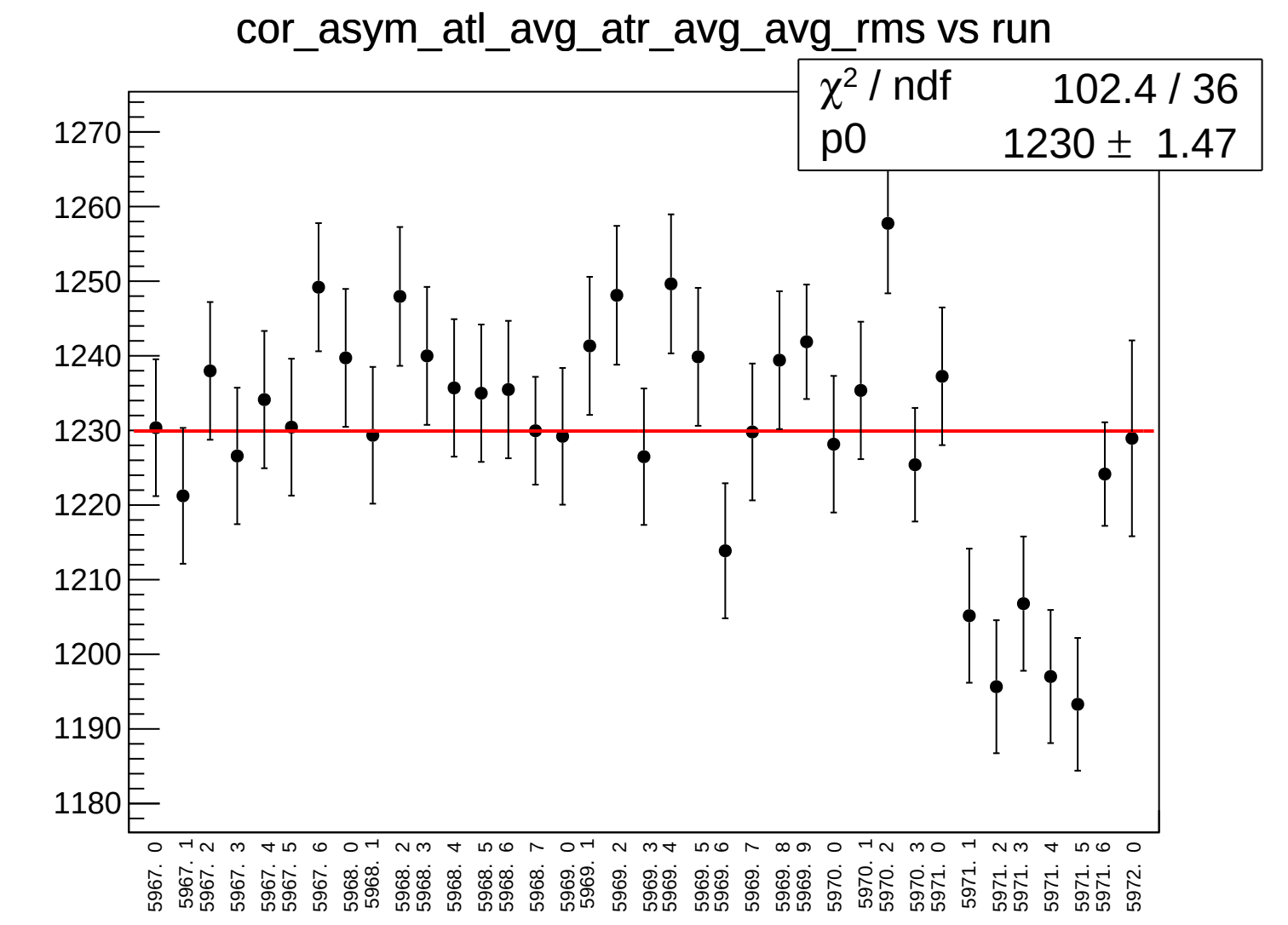
cor_asym_atl_avg_atr_avg_avg_rms vs run
χ² / ndf 102.4 / 36
p0 1230 ± 1.47
1270
1260
1250
1240
1230
1220
1210
1200
1190
1180
5967. 0
5967. 1
5967. 2
5967. 3
5967. 4
5967. 5
5967. 6
5968. 0
5968. 1
5968. 2
5968. 3
5968. 4
5968. 5
5968. 6
5968. 7
5969. 0
5969. 1
5969. 2
5969. 3
5969. 4
5969. 5
5969. 6
5969. 7
5969. 8
5969. 9
5970. 0
5970. 1
5970. 2
5970. 3
5971. 0
5971. 1
5971. 2
5971. 3
5971. 4
5971. 5
5971. 6
5972. 0

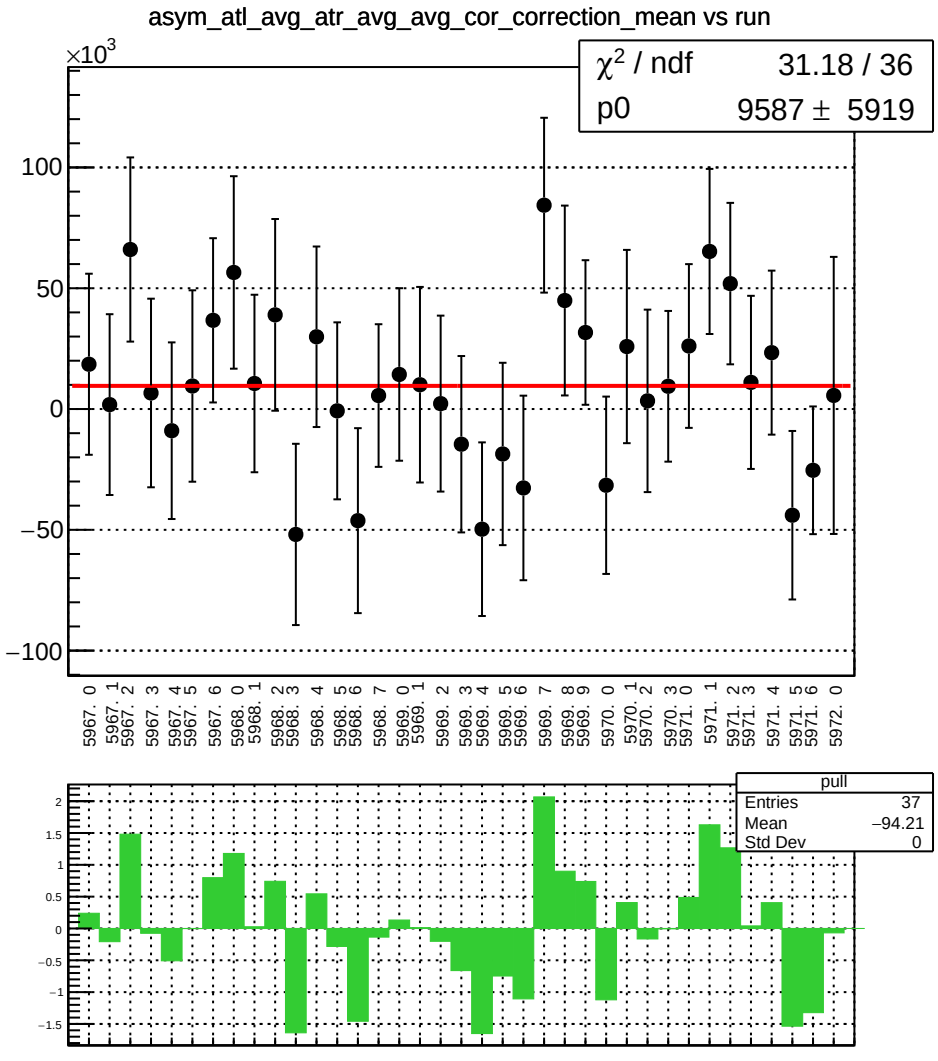
asym_atl_avg_atr_avg_avg_cor_correction_mean vs run
×10^3
χ² / ndf 31.18 / 36
p0 9587 ± 5919
100
50
0
−50
−100
5967. 0
5967. 1
5967. 2
5967. 3
5967. 4
5967. 5
5967. 6
5968. 0
5968. 1
5968. 2
5968. 3
5968. 4
5968. 5
5968. 6
5968. 7
5969. 0
5969. 1
5969. 2
5969. 3
5969. 4
5969. 5
5969. 6
5969. 7
5969. 8
5969. 9
5970. 0
5970. 1
5970. 2
5970. 3
5971. 0
5971. 1
5971. 2
5971. 3
5971. 4
5971. 5
5971. 6
5972. 0
pull
Entries 37
Mean −94.21
Std Dev 0
2
1.5
1
0.5
0
−0.5
−1
−1.5

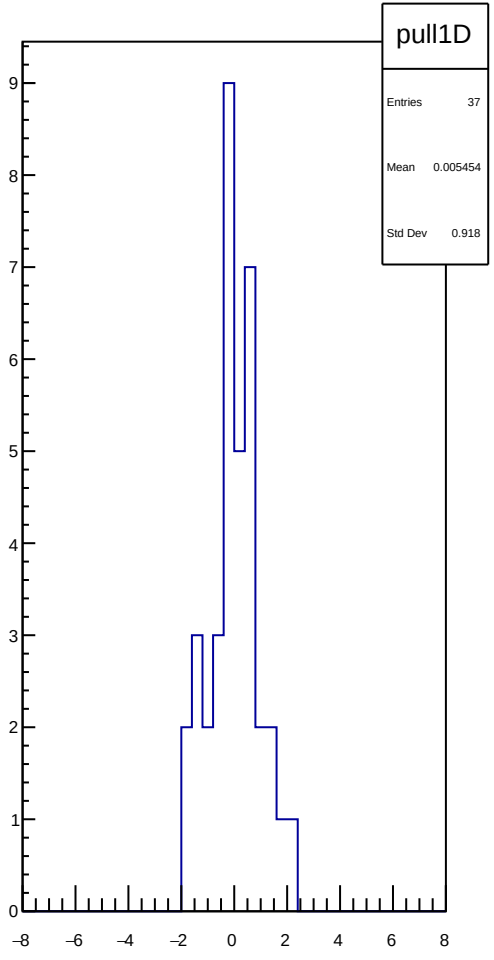
pull1D
Entries 37
Mean 0.005454
Std Dev 0.918
9
8
7
6
5
4
3
2
1
0
−8
−6
−4
−2
0
2
4
6
8

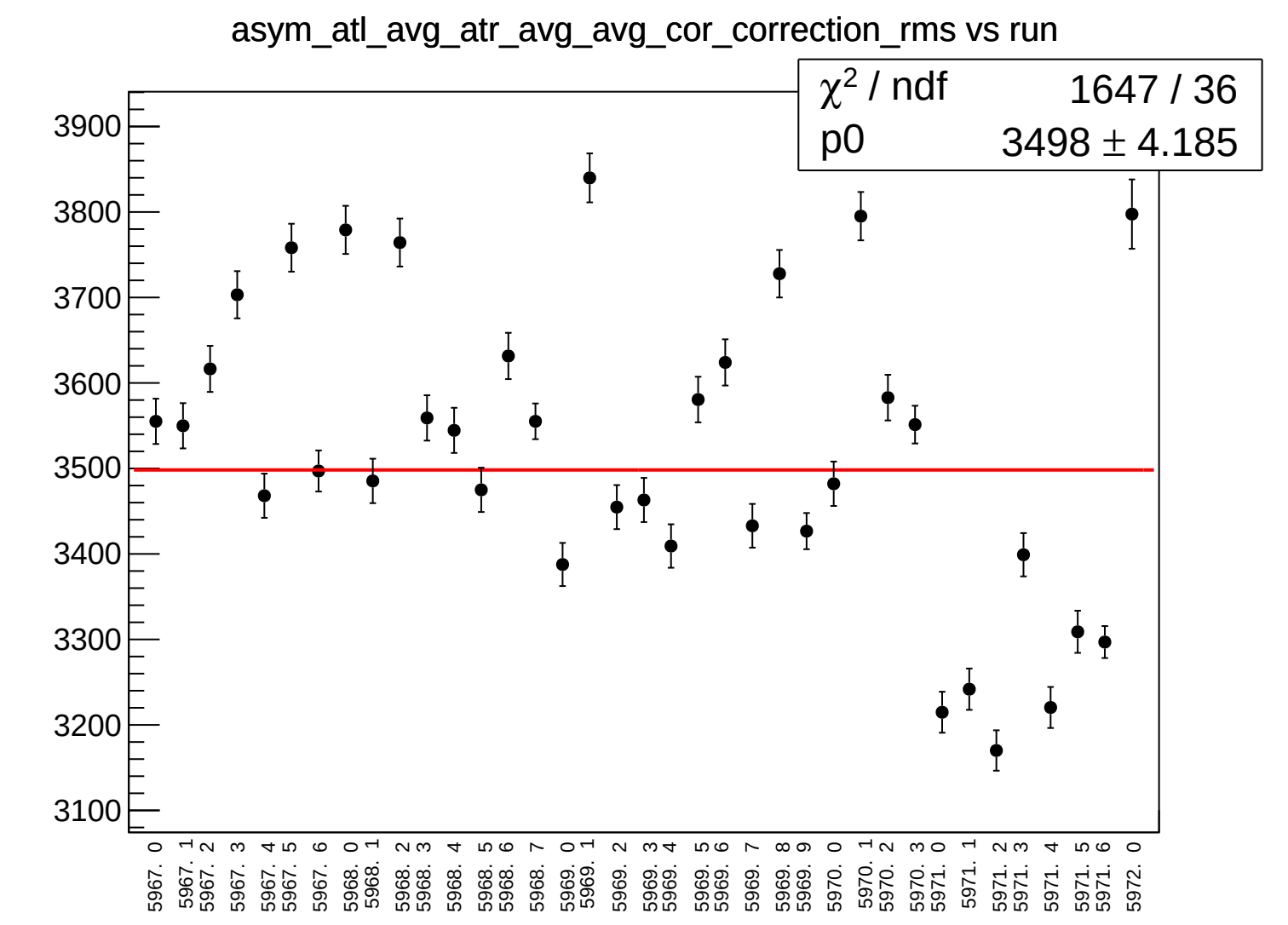
asym_atl_avg_atr_avg_avg_cor_correction_rms vs run
χ² / ndf 1647 / 36
p0 3498 ± 4.185
3900
3800
3700
3600
3500
3400
3300
3200
3100
5967. 0
5967. 1
5967. 2
5967. 3
5967. 4
5967. 5
5967. 6
5968. 0
5968. 1
5968. 2
5968. 3
5968. 4
5968. 5
5968. 6
5968. 7
5969. 0
5969. 1
5969. 2
5969. 3
5969. 4
5969. 5
5969. 6
5969. 7
5969. 8
5969. 9
5970. 0
5970. 1
5970. 2
5970. 3
5971. 0
5971. 1
5971. 2
5971. 3
5971. 4
5971. 5
5971. 6
5972. 0

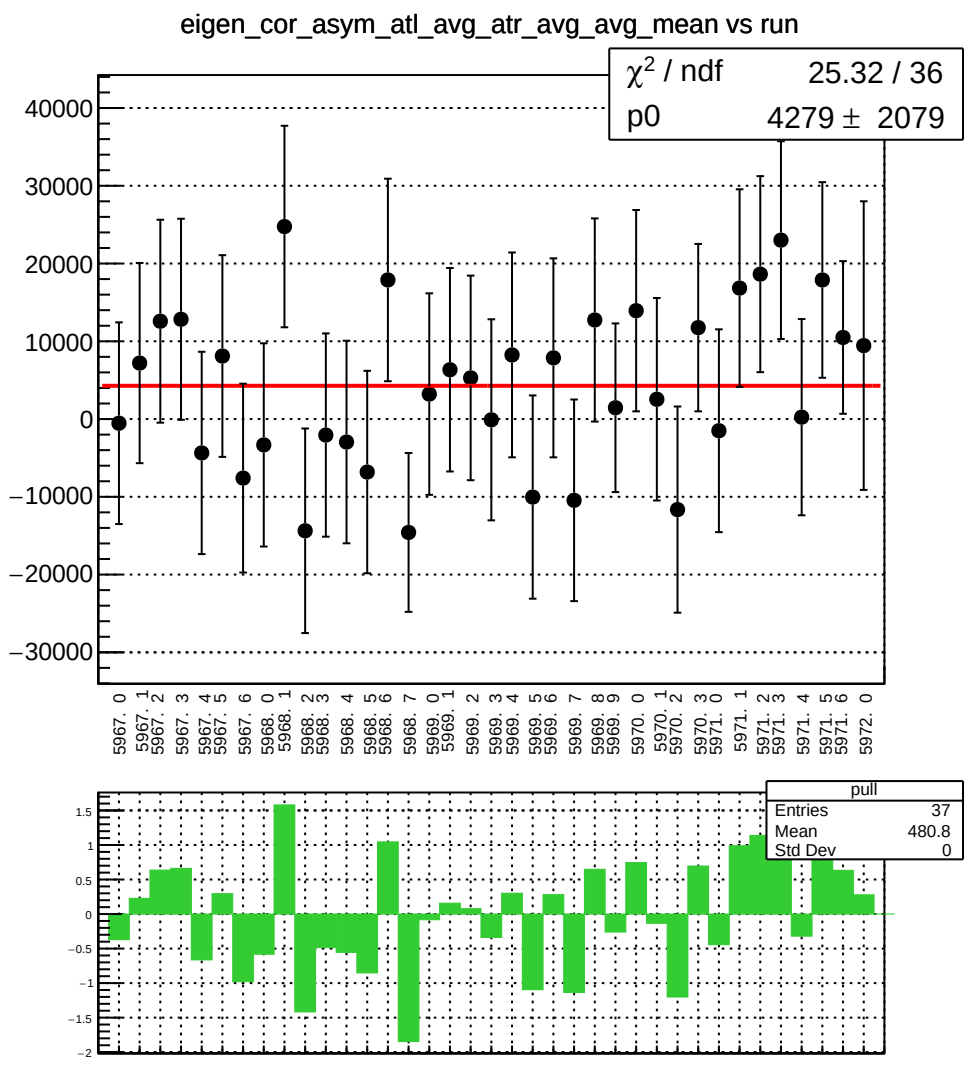
eigen_cor_asym_atl_avg_atr_avg_avg_mean vs run
χ² / ndf 25.32 / 36
p0 4279 ± 2079
40000
30000
20000
10000
0
−10000
−20000
−30000
5967. 0
5967. 1
5967. 2
5967. 3
5967. 4
5967. 5
5967. 6
5968. 0
5968. 1
5968. 2
5968. 3
5968. 4
5968. 5
5968. 6
5968. 7
5969. 0
5969. 1
5969. 2
5969. 3
5969. 4
5969. 5
5969. 6
5969. 7
5969. 8
5969. 9
5970. 0
5970. 1
5970. 2
5970. 3
5971. 0
5971. 1
5971. 2
5971. 3
5971. 4
5971. 5
5971. 6
5972. 0
pull
Entries 37
Mean 480.8
Std Dev 0
1.5
1
0.5
0
−0.5
−1
−1.5
−2

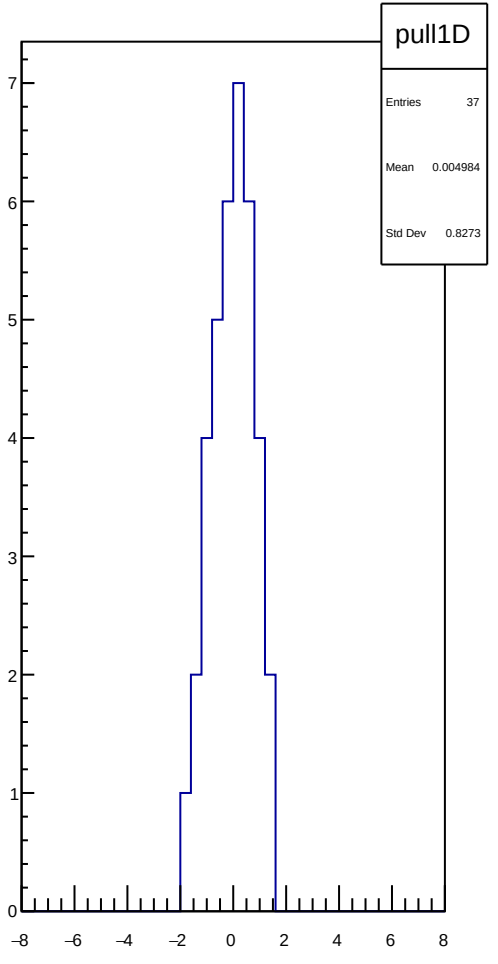
pull1D
Entries 37
Mean 0.004984
Std Dev 0.8273
7
6
5
4
3
2
1
0
−8
−6
−4
−2
0
2
4
6
8

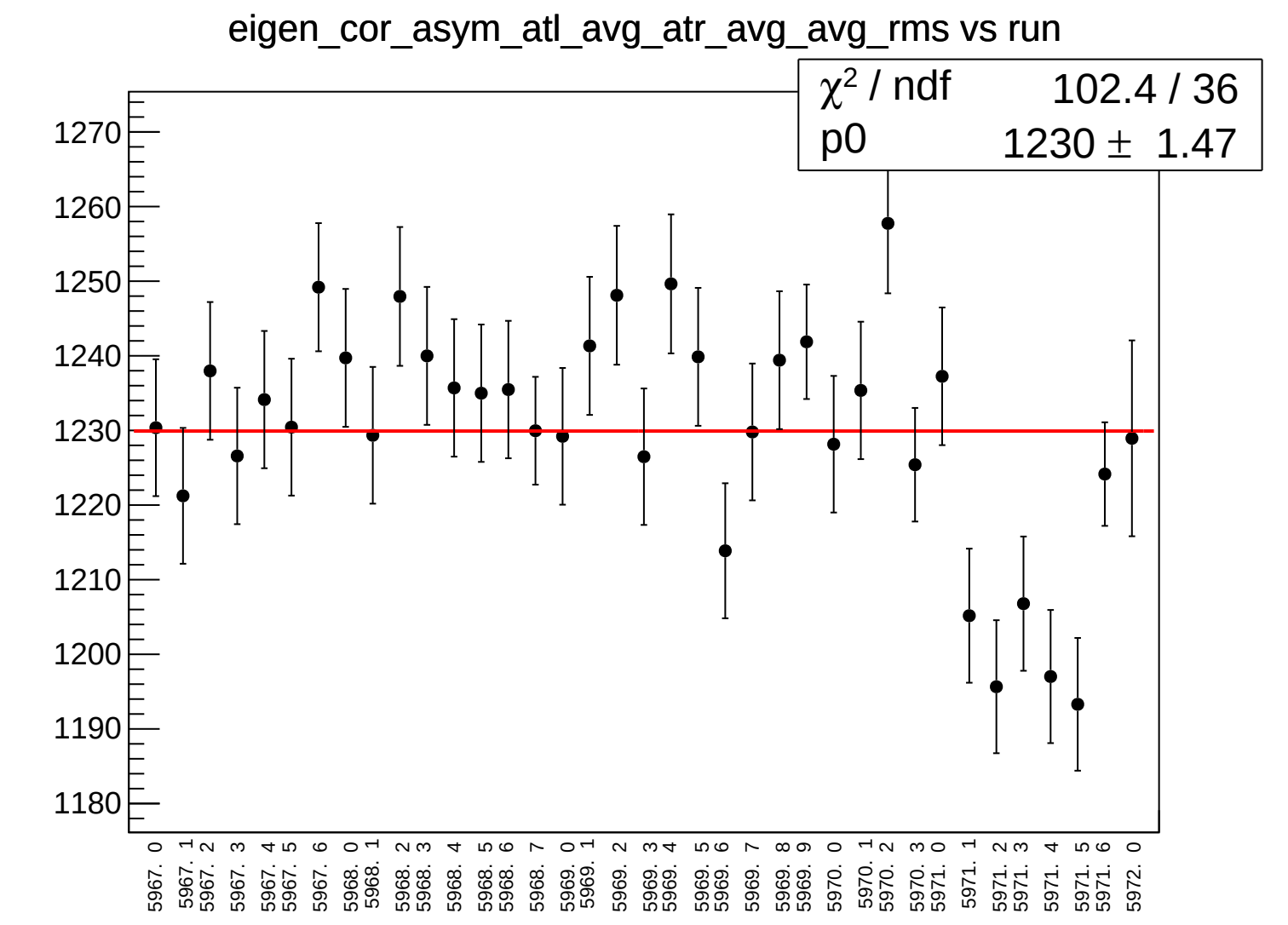
eigen_cor_asym_atl_avg_atr_avg_avg_rms vs run
χ² / ndf 102.4 / 36
p0 1230 ± 1.47
1270
1260
1250
1240
1230
1220
1210
1200
1190
1180
5967. 0
5967. 1
5967. 2
5967. 3
5967. 4
5967. 5
5967. 6
5968. 0
5968. 1
5968. 2
5968. 3
5968. 4
5968. 5
5968. 6
5968. 7
5969. 0
5969. 1
5969. 2
5969. 3
5969. 4
5969. 5
5969. 6
5969. 7
5969. 8
5969. 9
5970. 0
5970. 1
5970. 2
5970. 3
5971. 0
5971. 1
5971. 2
5971. 3
5971. 4
5971. 5
5971. 6
5972. 0

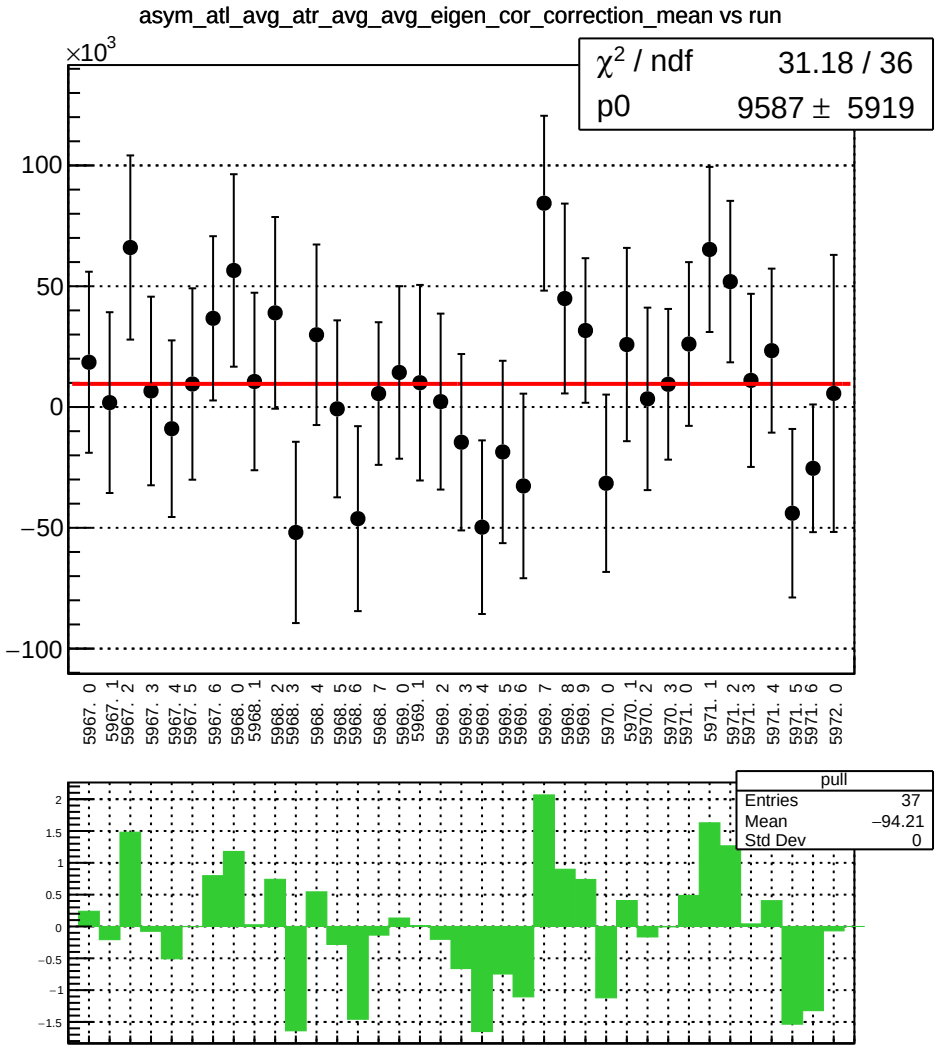
asym_atl_avg_atr_avg_avg_eigen_cor_correction_mean vs run
×10^3
χ² / ndf 31.18 / 36
p0 9587 ± 5919
100
50
0
−50
−100
5967. 0
5967. 1
5967. 2
5967. 3
5967. 4
5967. 5
5967. 6
5968. 0
5968. 1
5968. 2
5968. 3
5968. 4
5968. 5
5968. 6
5968. 7
5969. 0
5969. 1
5969. 2
5969. 3
5969. 4
5969. 5
5969. 6
5969. 7
5969. 8
5969. 9
5970. 0
5970. 1
5970. 2
5970. 3
5971. 0
5971. 1
5971. 2
5971. 3
5971. 4
5971. 5
5971. 6
5972. 0
pull
Entries 37
Mean −94.21
Std Dev 0
2
1.5
1
0.5
0
−0.5
−1
−1.5

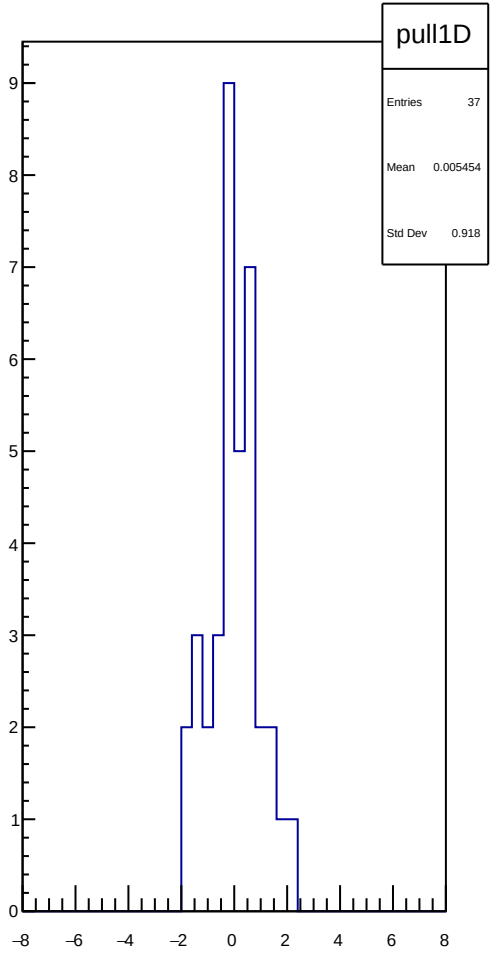
pull1D
Entries 37
Mean 0.005454
Std Dev 0.918
9
8
7
6
5
4
3
2
1
0
−8
−6
−4
−2
0
2
4
6
8

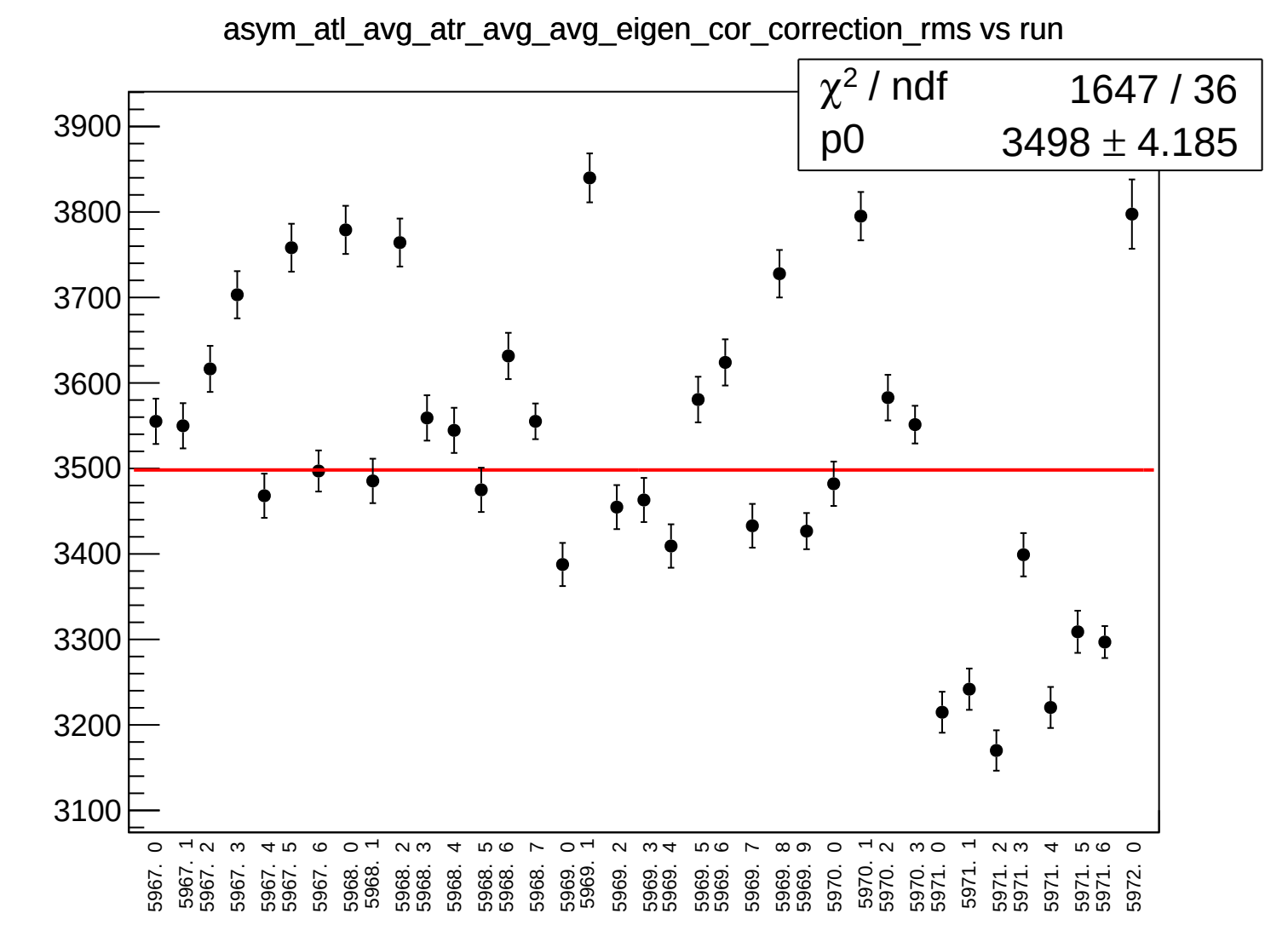
asym_atl_avg_atr_avg_avg_eigen_cor_correction_rms vs run
χ² / ndf 1647 / 36
p0 3498 ± 4.185
3900
3800
3700
3600
3500
3400
3300
3200
3100
5967. 0
5967. 1
5967. 2
5967. 3
5967. 4
5967. 5
5967. 6
5968. 0
5968. 1
5968. 2
5968. 3
5968. 4
5968. 5
5968. 6
5968. 7
5969. 0
5969. 1
5969. 2
5969. 3
5969. 4
5969. 5
5969. 6
5969. 7
5969. 8
5969. 9
5970. 0
5970. 1
5970. 2
5970. 3
5971. 0
5971. 1
5971. 2
5971. 3
5971. 4
5971. 5
5971. 6
5972. 0

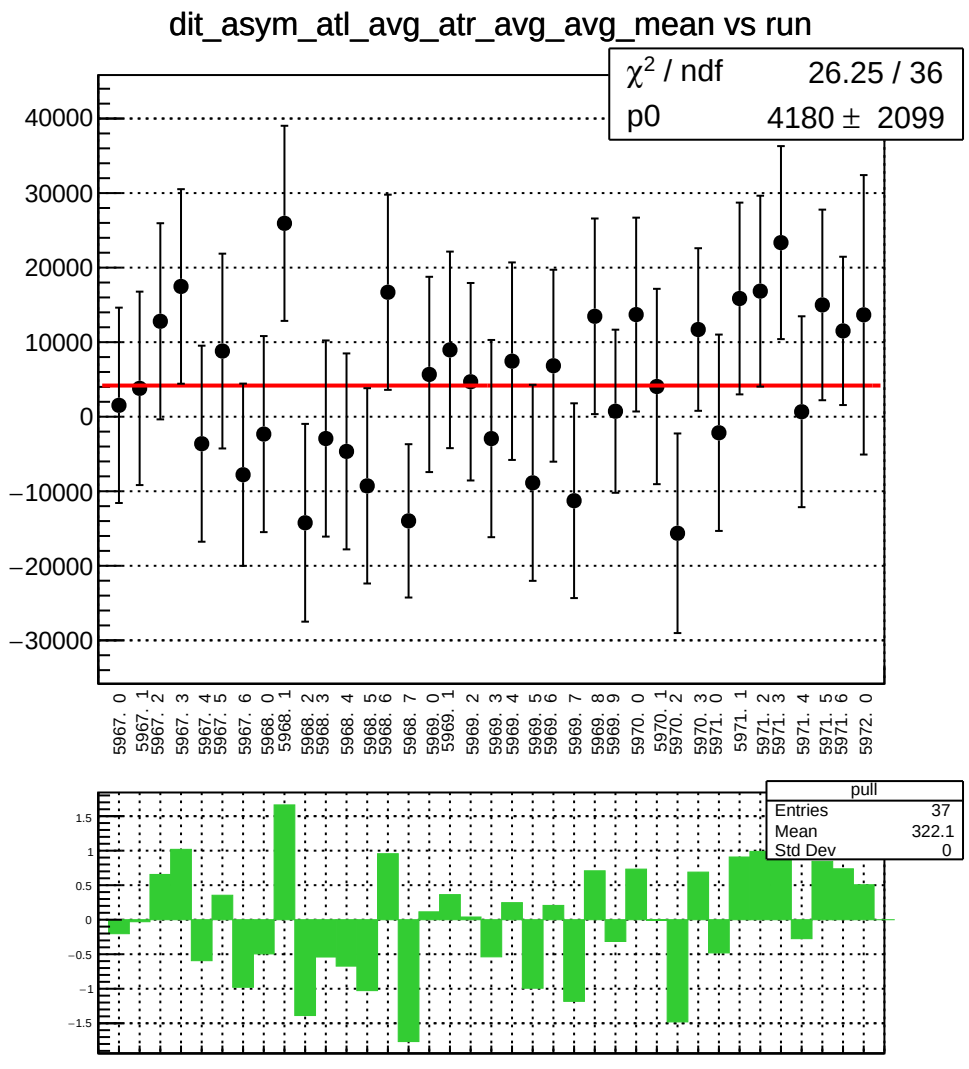
dit_asym_atl_avg_atr_avg_avg_mean vs run
χ² / ndf 26.25 / 36
p0 4180 ± 2099
40000
30000
20000
10000
0
−10000
−20000
−30000
5967. 0
5967. 1
5967. 2
5967. 3
5967. 4
5967. 5
5967. 6
5968. 0
5968. 1
5968. 2
5968. 3
5968. 4
5968. 5
5968. 6
5968. 7
5969. 0
5969. 1
5969. 2
5969. 3
5969. 4
5969. 5
5969. 6
5969. 7
5969. 8
5969. 9
5970. 0
5970. 1
5970. 2
5970. 3
5971. 0
5971. 1
5971. 2
5971. 3
5971. 4
5971. 5
5971. 6
5972. 0
pull
Entries 37
Mean 322.1
Std Dev 0
1.5
1
0.5
0
−0.5
−1
−1.5

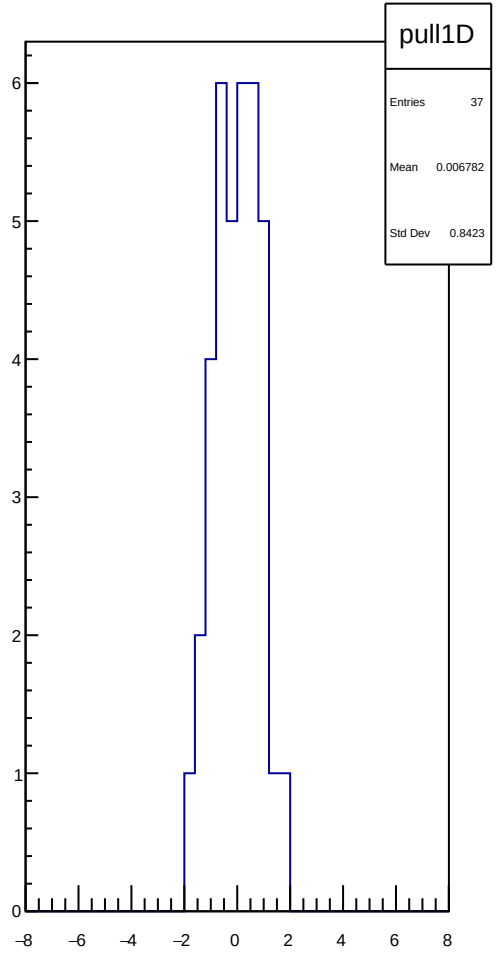
pull1D
Entries 37
Mean 0.006782
Std Dev 0.8423
6
5
4
3
2
1
0
−8
−6
−4
−2
0
2
4
6
8

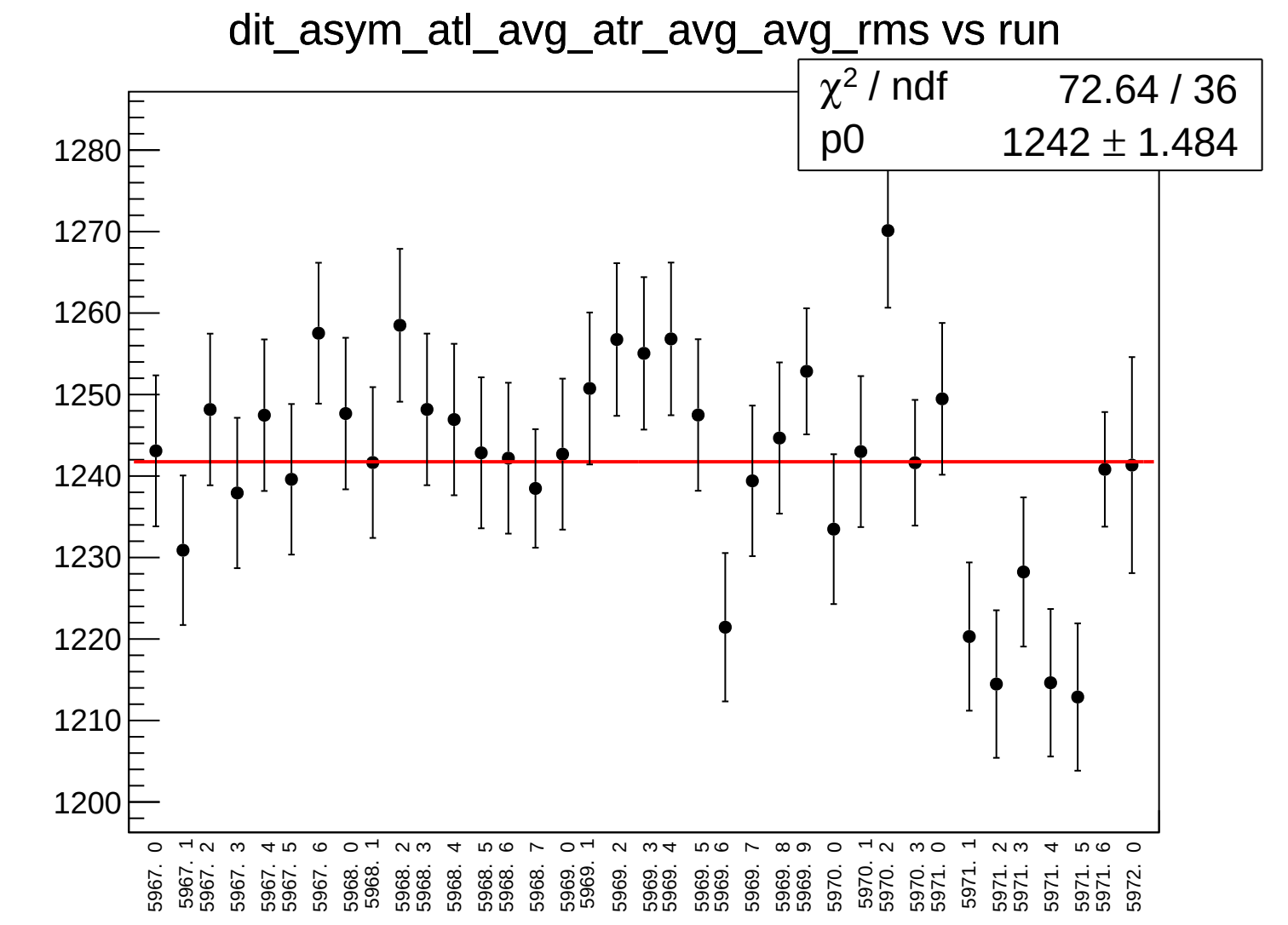
dit_asym_atl_avg_atr_avg_avg_rms vs run
χ² / ndf 72.64 / 36
p0 1242 ± 1.484
1280
1270
1260
1250
1240
1230
1220
1210
1200
5967. 0
5967. 1
5967. 2
5967. 3
5967. 4
5967. 5
5967. 6
5968. 0
5968. 1
5968. 2
5968. 3
5968. 4
5968. 5
5968. 6
5968. 7
5969. 0
5969. 1
5969. 2
5969. 3
5969. 4
5969. 5
5969. 6
5969. 7
5969. 8
5969. 9
5970. 0
5970. 1
5970. 2
5970. 3
5971. 0
5971. 1
5971. 2
5971. 3
5971. 4
5971. 5
5971. 6
5972. 0

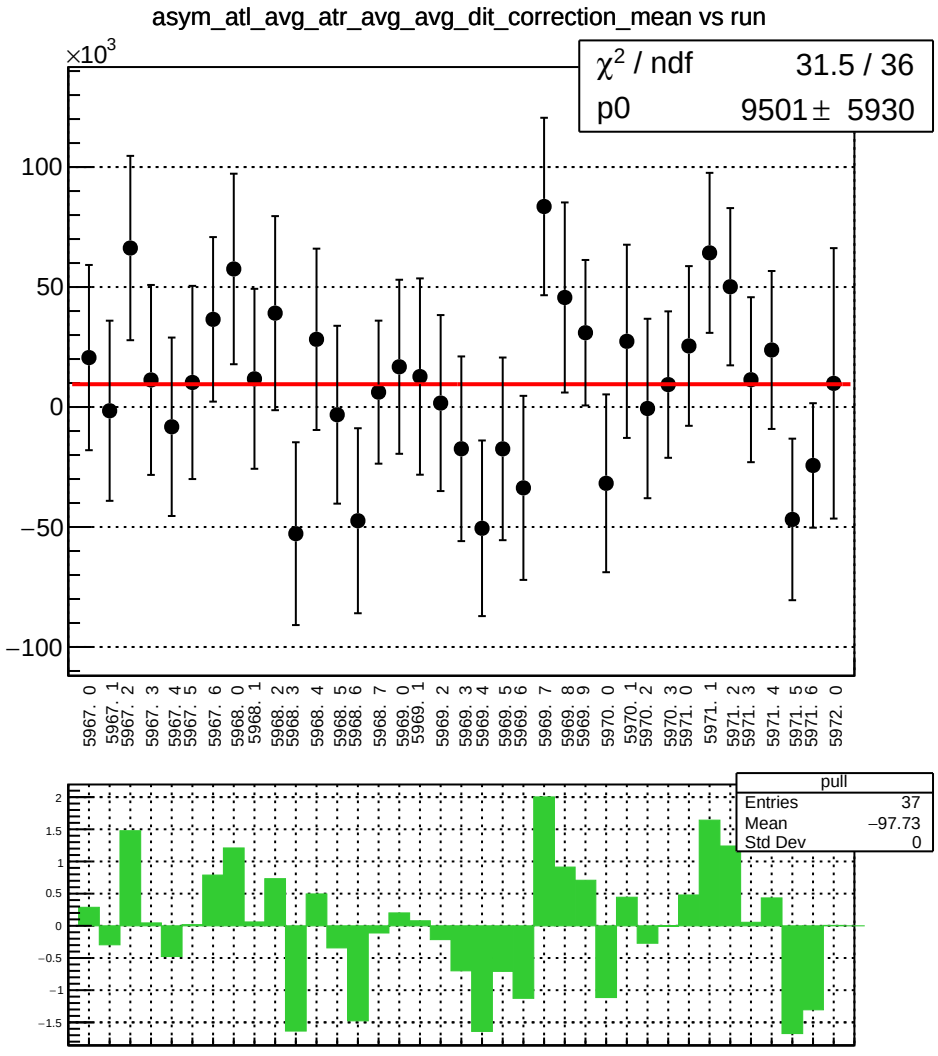
asym_atl_avg_atr_avg_avg_dit_correction_mean vs run
×10^3
χ² / ndf 31.5 / 36
p0 9501 ± 5930
100
50
0
−50
−100
5967. 0
5967. 1
5967. 2
5967. 3
5967. 4
5967. 5
5967. 6
5968. 0
5968. 1
5968. 2
5968. 3
5968. 4
5968. 5
5968. 6
5968. 7
5969. 0
5969. 1
5969. 2
5969. 3
5969. 4
5969. 5
5969. 6
5969. 7
5969. 8
5969. 9
5970. 0
5970. 1
5970. 2
5970. 3
5971. 0
5971. 1
5971. 2
5971. 3
5971. 4
5971. 5
5971. 6
5972. 0
pull
Entries 37
Mean −97.73
Std Dev 0
2
1.5
1
0.5
0
−0.5
−1
−1.5

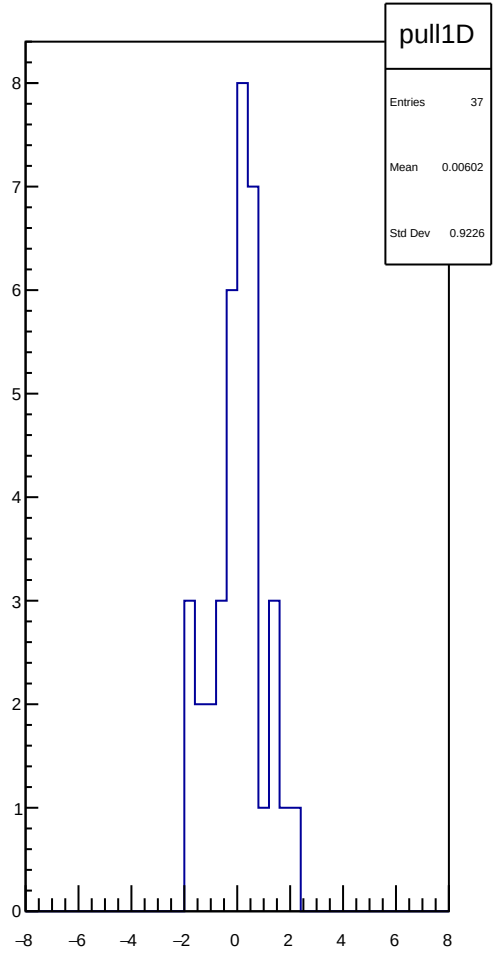
pull1D
Entries 37
Mean 0.00602
Std Dev 0.9226
8
7
6
5
4
3
2
1
0
−8
−6
−4
−2
0
2
4
6
8

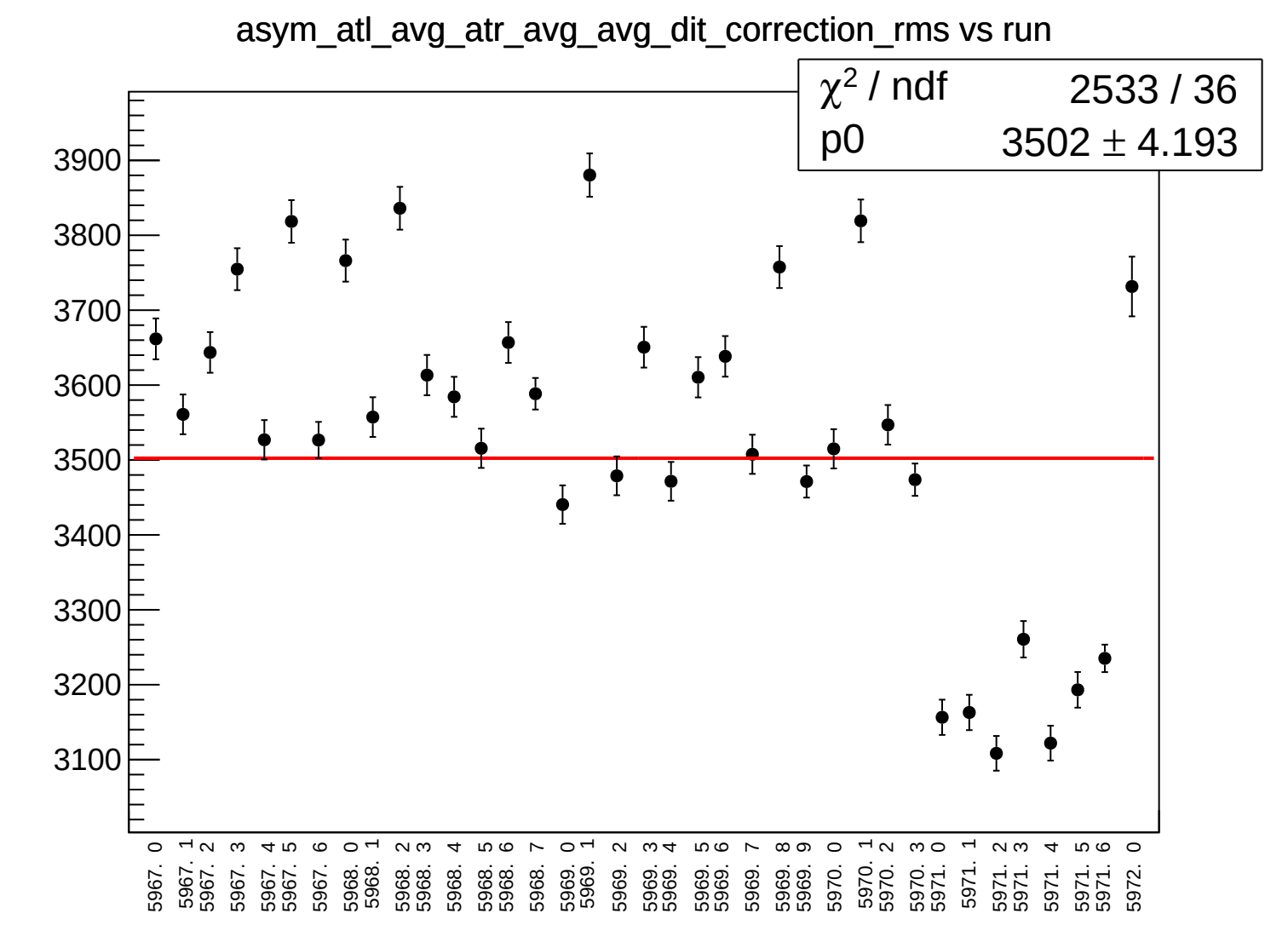
asym_atl_avg_atr_avg_avg_dit_correction_rms vs run
χ² / ndf 2533 / 36
p0 3502 ± 4.193
3900
3800
3700
3600
3500
3400
3300
3200
3100
5967. 0
5967. 1
5967. 2
5967. 3
5967. 4
5967. 5
5967. 6
5968. 0
5968. 1
5968. 2
5968. 3
5968. 4
5968. 5
5968. 6
5968. 7
5969. 0
5969. 1
5969. 2
5969. 3
5969. 4
5969. 5
5969. 6
5969. 7
5969. 8
5969. 9
5970. 0
5970. 1
5970. 2
5970. 3
5971. 0
5971. 1
5971. 2
5971. 3
5971. 4
5971. 5
5971. 6
5972. 0

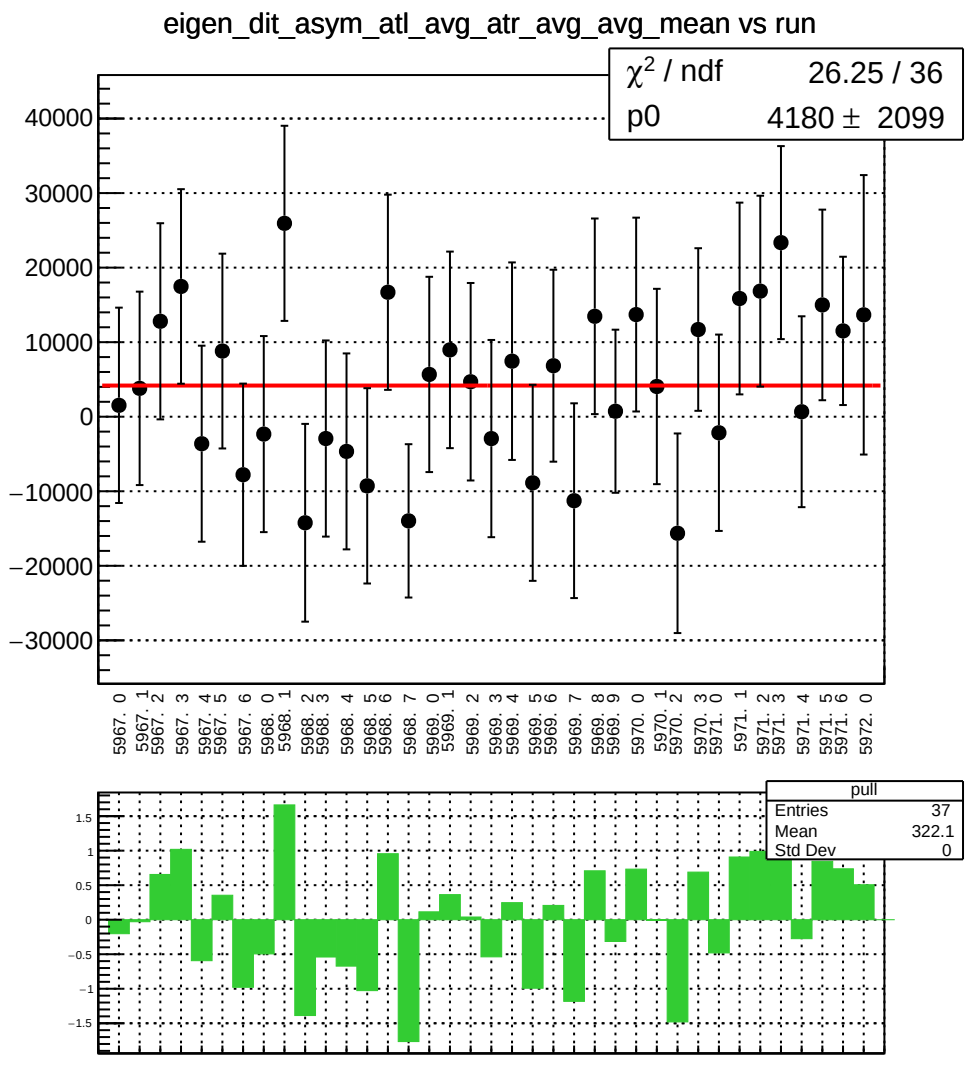
eigen_dit_asym_atl_avg_atr_avg_avg_mean vs run
χ² / ndf 26.25 / 36
p0 4180 ± 2099
40000
30000
20000
10000
0
−10000
−20000
−30000
5967. 0
5967. 1
5967. 2
5967. 3
5967. 4
5967. 5
5967. 6
5968. 0
5968. 1
5968. 2
5968. 3
5968. 4
5968. 5
5968. 6
5968. 7
5969. 0
5969. 1
5969. 2
5969. 3
5969. 4
5969. 5
5969. 6
5969. 7
5969. 8
5969. 9
5970. 0
5970. 1
5970. 2
5970. 3
5971. 0
5971. 1
5971. 2
5971. 3
5971. 4
5971. 5
5971. 6
5972. 0
pull
Entries 37
Mean 322.1
Std Dev 0
1.5
1
0.5
0
−0.5
−1
−1.5

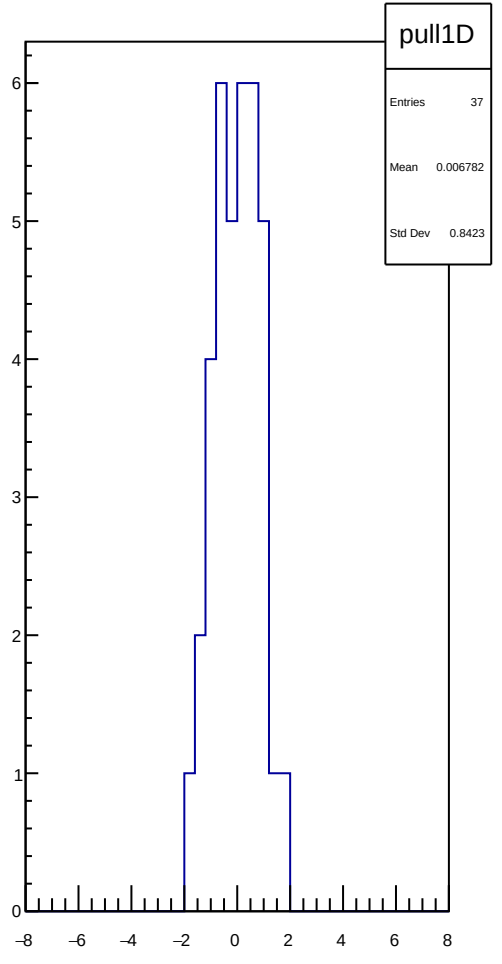
pull1D
Entries 37
Mean 0.006782
Std Dev 0.8423
6
5
4
3
2
1
0
−8
−6
−4
−2
0
2
4
6
8

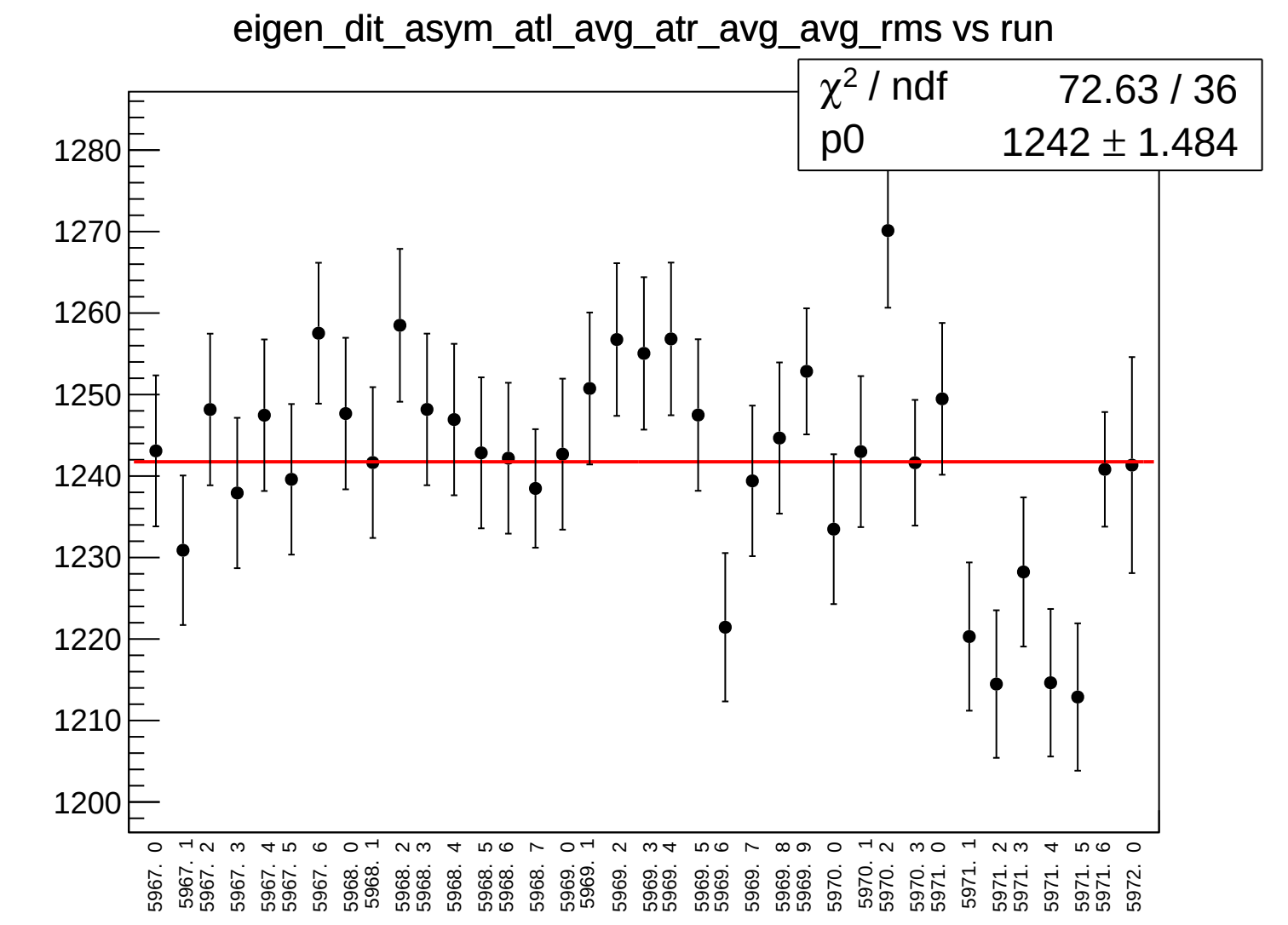
eigen_dit_asym_atl_avg_atr_avg_avg_rms vs run
χ² / ndf 72.63 / 36
p0 1242 ± 1.484
1280
1270
1260
1250
1240
1230
1220
1210
1200
5967. 0
5967. 1
5967. 2
5967. 3
5967. 4
5967. 5
5967. 6
5968. 0
5968. 1
5968. 2
5968. 3
5968. 4
5968. 5
5968. 6
5968. 7
5969. 0
5969. 1
5969. 2
5969. 3
5969. 4
5969. 5
5969. 6
5969. 7
5969. 8
5969. 9
5970. 0
5970. 1
5970. 2
5970. 3
5971. 0
5971. 1
5971. 2
5971. 3
5971. 4
5971. 5
5971. 6
5972. 0

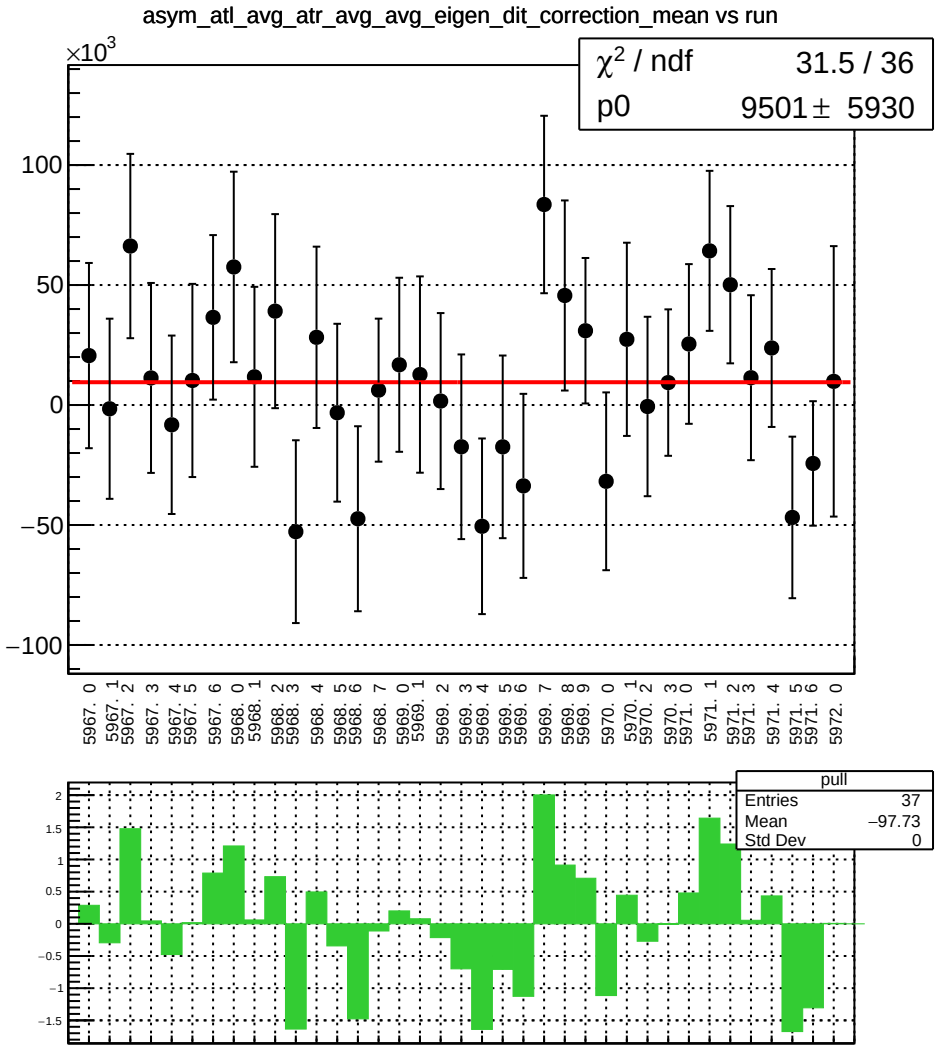
asym_atl_avg_atr_avg_avg_eigen_dit_correction_mean vs run
×10^3
χ² / ndf 31.5 / 36
p0 9501 ± 5930
100
50
0
−50
−100
5967. 0
5967. 1
5967. 2
5967. 3
5967. 4
5967. 5
5967. 6
5968. 0
5968. 1
5968. 2
5968. 3
5968. 4
5968. 5
5968. 6
5968. 7
5969. 0
5969. 1
5969. 2
5969. 3
5969. 4
5969. 5
5969. 6
5969. 7
5969. 8
5969. 9
5970. 0
5970. 1
5970. 2
5970. 3
5971. 0
5971. 1
5971. 2
5971. 3
5971. 4
5971. 5
5971. 6
5972. 0
pull
Entries 37
Mean −97.73
Std Dev 0
2
1.5
1
0.5
0
−0.5
−1
−1.5

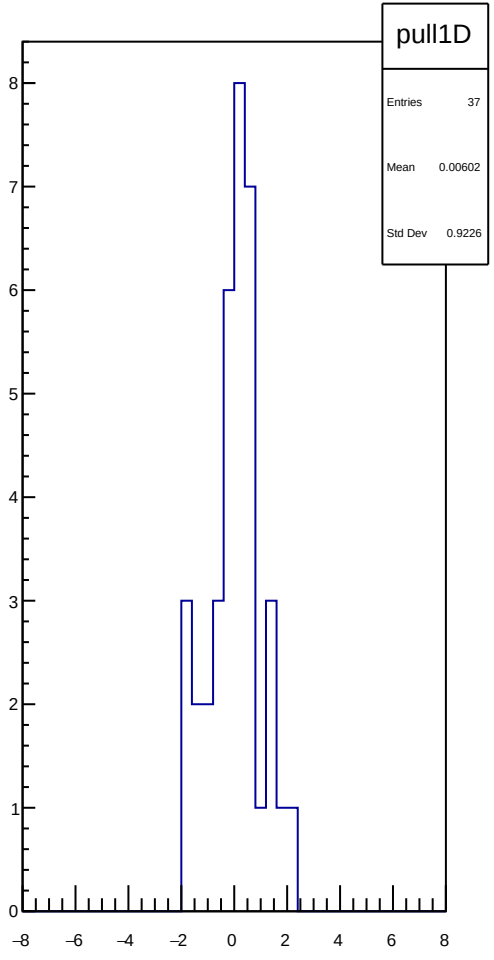
pull1D
Entries 37
Mean 0.00602
Std Dev 0.9226
8
7
6
5
4
3
2
1
0
−8
−6
−4
−2
0
2
4
6
8

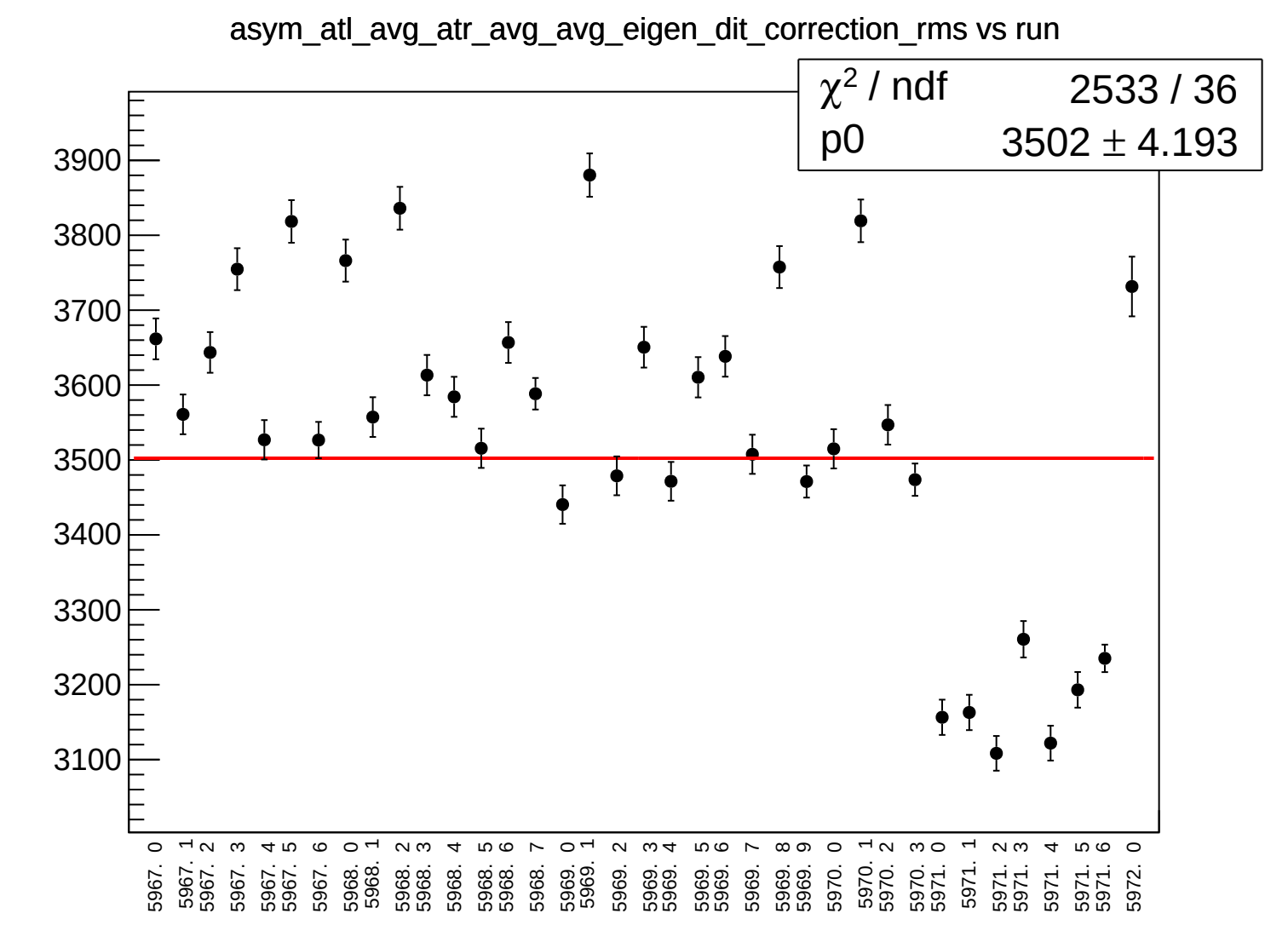
asym_atl_avg_atr_avg_avg_eigen_dit_correction_rms vs run
χ² / ndf 2533 / 36
p0 3502 ± 4.193
3900
3800
3700
3600
3500
3400
3300
3200
3100
5967. 0
5967. 1
5967. 2
5967. 3
5967. 4
5967. 5
5967. 6
5968. 0
5968. 1
5968. 2
5968. 3
5968. 4
5968. 5
5968. 6
5968. 7
5969. 0
5969. 1
5969. 2
5969. 3
5969. 4
5969. 5
5969. 6
5969. 7
5969. 8
5969. 9
5970. 0
5970. 1
5970. 2
5970. 3
5971. 0
5971. 1
5971. 2
5971. 3
5971. 4
5971. 5
5971. 6
5972. 0

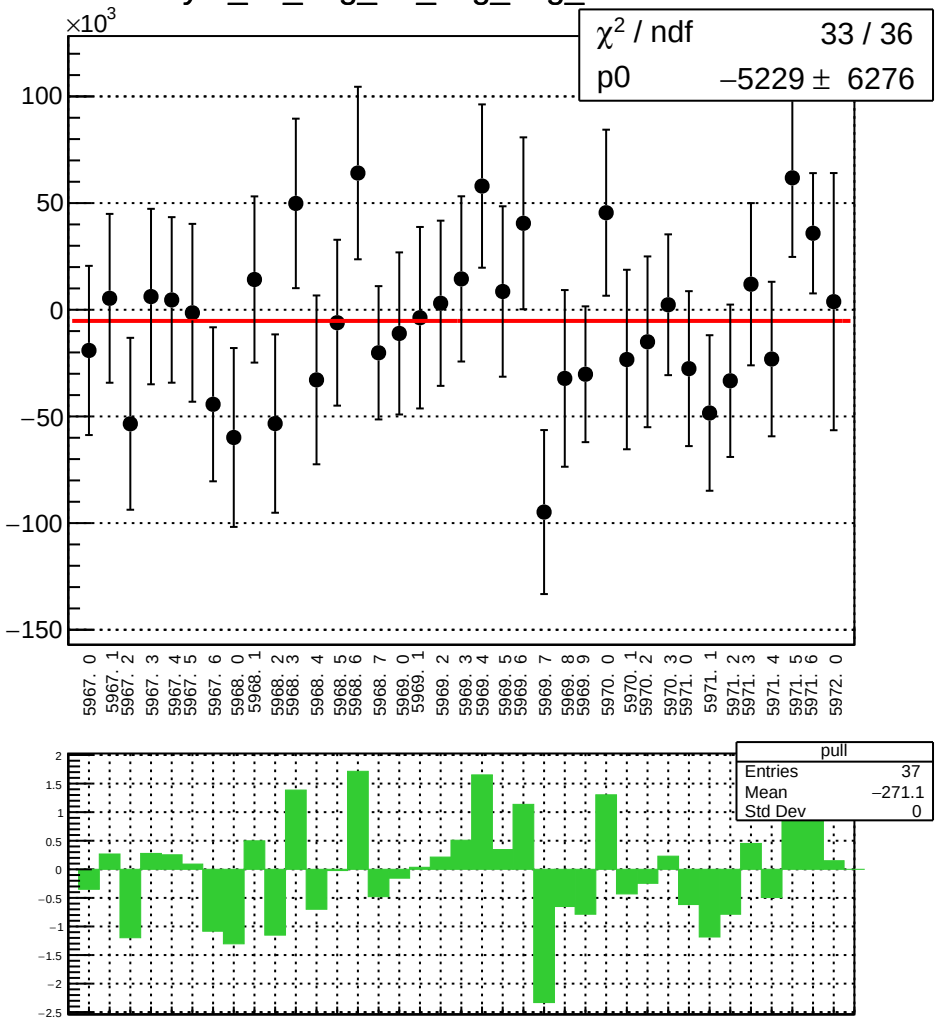
asym_atl_avg_atr_avg_avg_mean vs run
×10^3
χ² / ndf 33 / 36
p0 −5229 ± 6276
100
50
0
−50
−100
−150
5967. 0
5967. 1
5967. 2
5967. 3
5967. 4
5967. 5
5967. 6
5968. 0
5968. 1
5968. 2
5968. 3
5968. 4
5968. 5
5968. 6
5968. 7
5969. 0
5969. 1
5969. 2
5969. 3
5969. 4
5969. 5
5969. 6
5969. 7
5969. 8
5969. 9
5970. 0
5970. 1
5970. 2
5970. 3
5971. 0
5971. 1
5971. 2
5971. 3
5971. 4
5971. 5
5971. 6
5972. 0
pull
Entries 37
Mean −271.1
Std Dev 0
2
1.5
1
0.5
0
−0.5
−1
−1.5
−2
−2.5

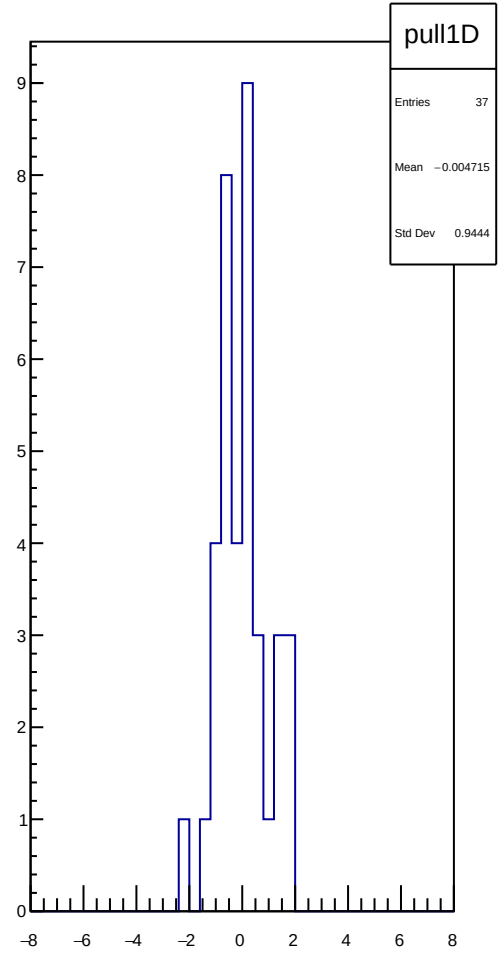
pull1D
Entries 37
Mean −0.004715
Std Dev 0.9444
9
8
7
6
5
4
3
2
1
0
−8
−6
−4
−2
0
2
4
6
8

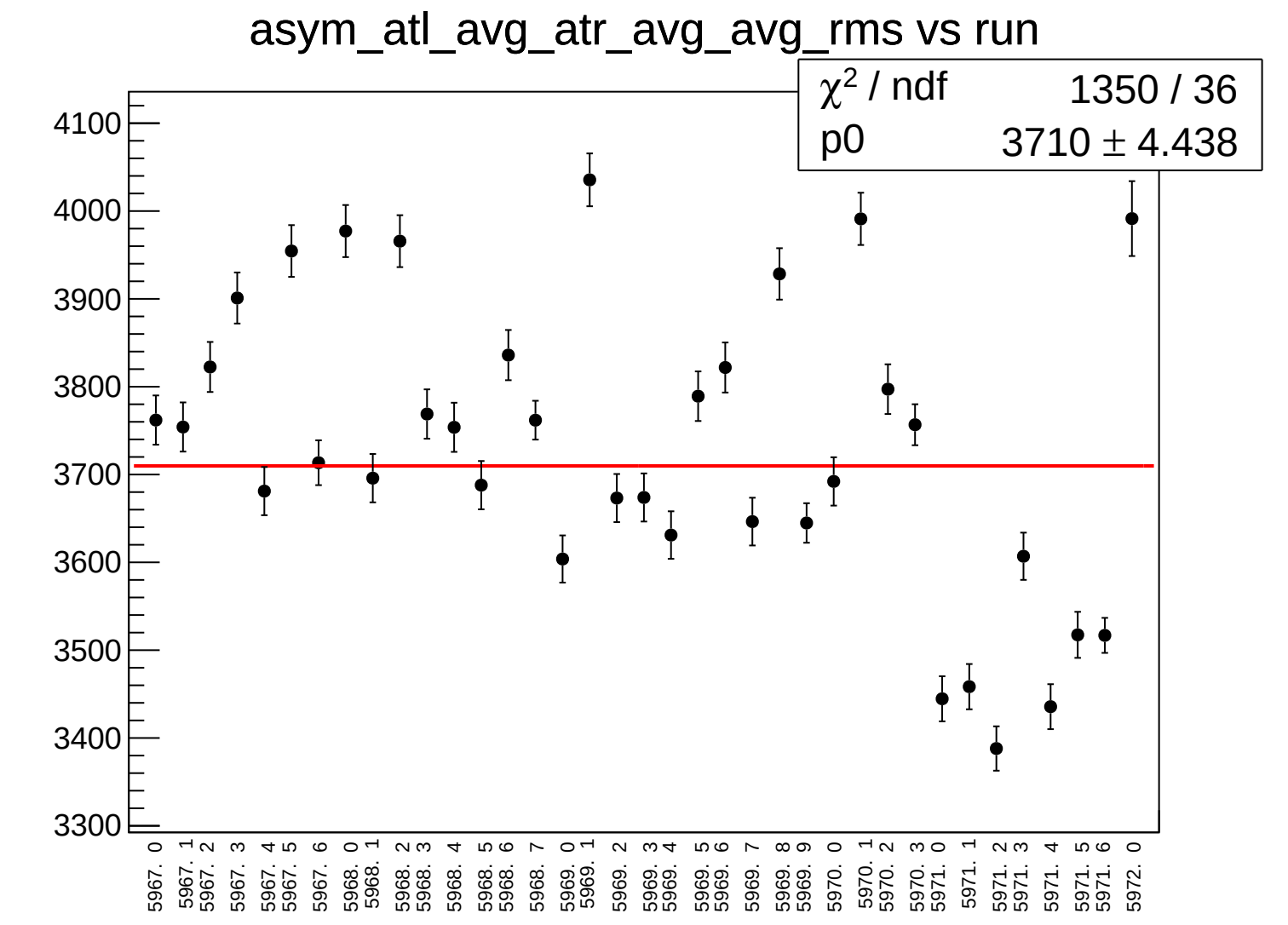
asym_atl_avg_atr_avg_avg_rms vs run
χ² / ndf 1350 / 36
p0 3710 ± 4.438
4100
4000
3900
3800
3700
3600
3500
3400
3300
5967. 0
5967. 1
5967. 2
5967. 3
5967. 4
5967. 5
5967. 6
5968. 0
5968. 1
5968. 2
5968. 3
5968. 4
5968. 5
5968. 6
5968. 7
5969. 0
5969. 1
5969. 2
5969. 3
5969. 4
5969. 5
5969. 6
5969. 7
5969. 8
5969. 9
5970. 0
5970. 1
5970. 2
5970. 3
5971. 0
5971. 1
5971. 2
5971. 3
5971. 4
5971. 5
5971. 6
5972. 0

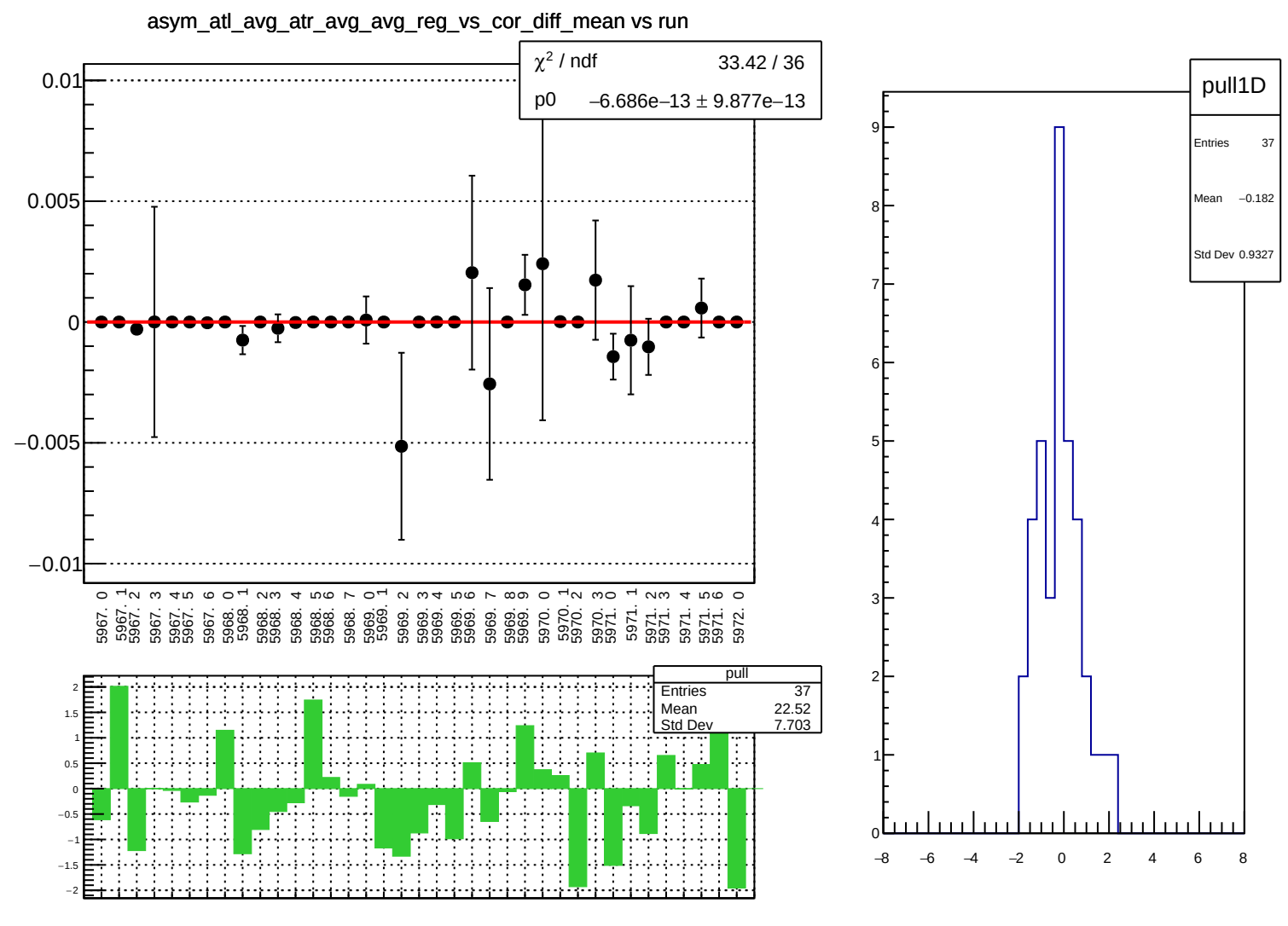
asym_atl_avg_atr_avg_avg_reg_vs_cor_diff_mean vs run
χ² / ndf 33.42 / 36
p0 −6.686e−13 ± 9.877e−13
0.01
0.005
0
−0.005
−0.01
5967. 0
5967. 1
5967. 2
5967. 3
5967. 4
5967. 5
5967. 6
5968. 0
5968. 1
5968. 2
5968. 3
5968. 4
5968. 5
5968. 6
5968. 7
5969. 0
5969. 1
5969. 2
5969. 3
5969. 4
5969. 5
5969. 6
5969. 7
5969. 8
5969. 9
5970. 0
5970. 1
5970. 2
5970. 3
5971. 0
5971. 1
5971. 2
5971. 3
5971. 4
5971. 5
5971. 6
5972. 0
pull
Entries 37
Mean 22.52
Std Dev 7.703
2
1.5
1
0.5
0
−0.5
−1
−1.5
−2
pull1D
Entries 37
Mean −0.182
Std Dev 0.9327
9
8
7
6
5
4
3
2
1
0
−8
−6
−4
−2
0
2
4
6
8

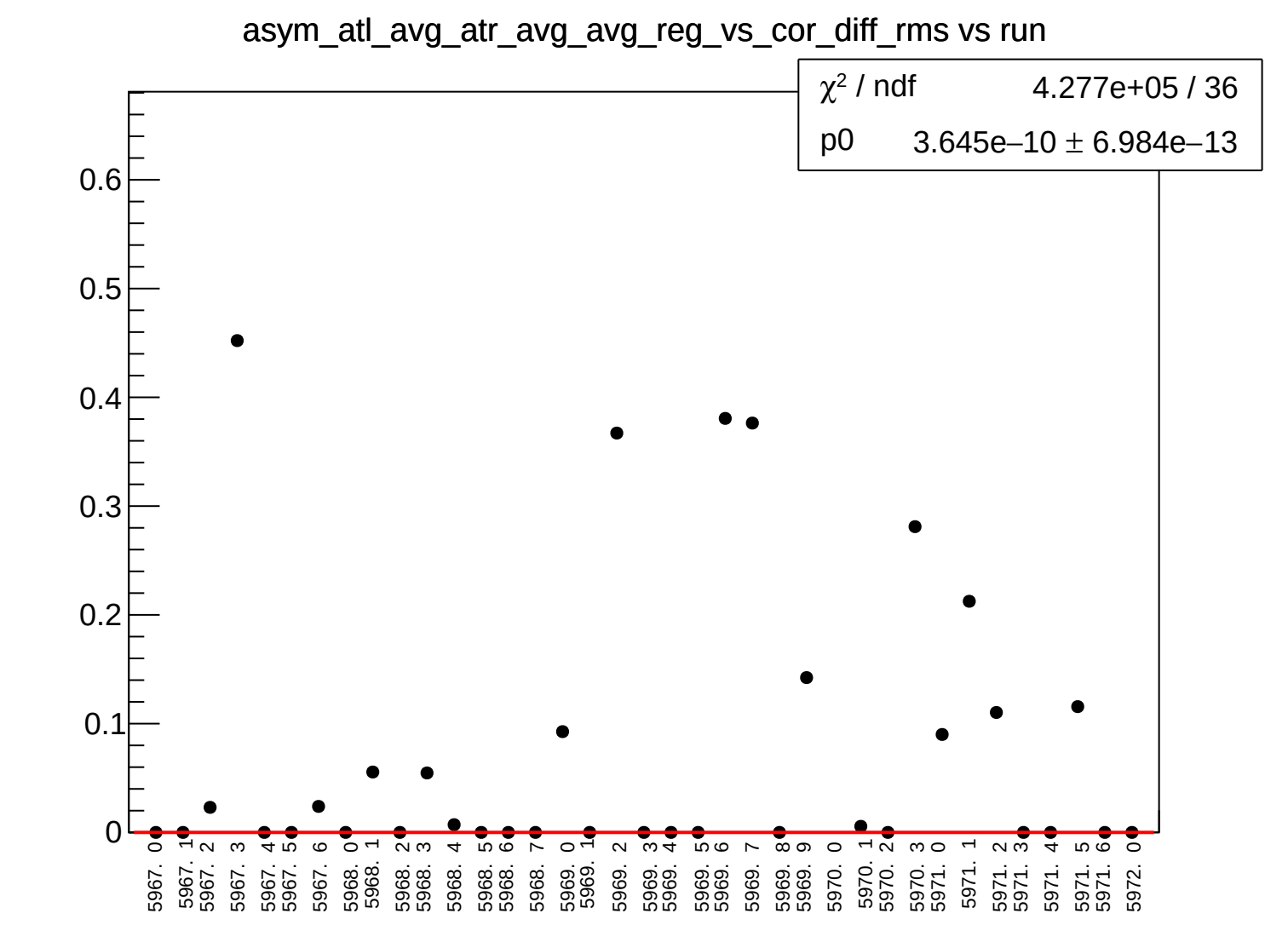
asym_atl_avg_atr_avg_avg_reg_vs_cor_diff_rms vs run
χ² / ndf 4.277e+05 / 36
p0 3.645e−10 ± 6.984e−13
0.6
0.5
0.4
0.3
0.2
0.1
0
5967. 0
5967. 1
5967. 2
5967. 3
5967. 4
5967. 5
5967. 6
5968. 0
5968. 1
5968. 2
5968. 3
5968. 4
5968. 5
5968. 6
5968. 7
5969. 0
5969. 1
5969. 2
5969. 3
5969. 4
5969. 5
5969. 6
5969. 7
5969. 8
5969. 9
5970. 0
5970. 1
5970. 2
5970. 3
5971. 0
5971. 1
5971. 2
5971. 3
5971. 4
5971. 5
5971. 6
5972. 0

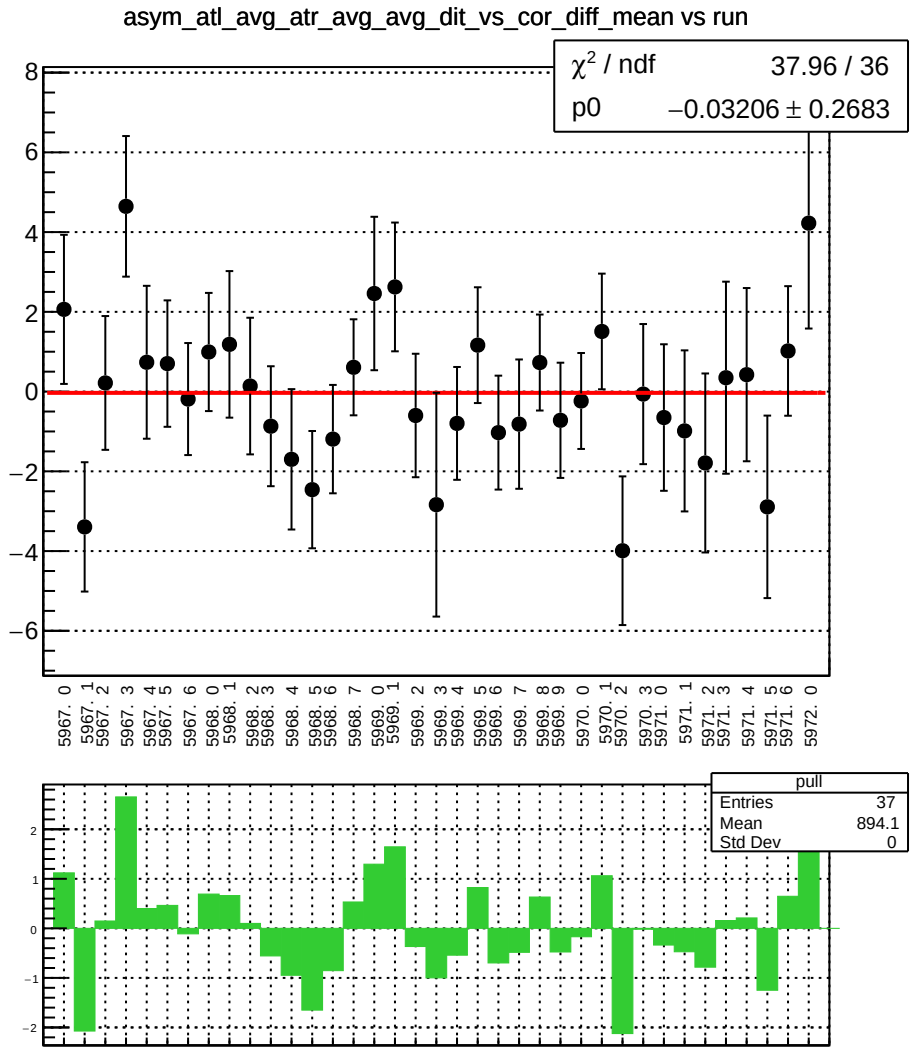
asym_atl_avg_atr_avg_avg_dit_vs_cor_diff_mean vs run
χ² / ndf 37.96 / 36
p0 −0.03206 ± 0.2683
pull
Entries 37
Mean 894.1
Std Dev 0

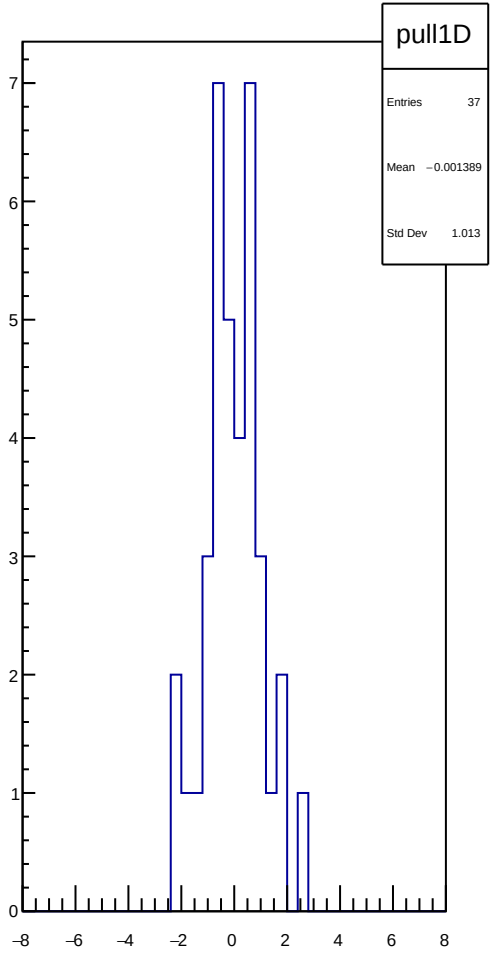
pull1D
Entries 37
Mean −0.001389
Std Dev 1.013

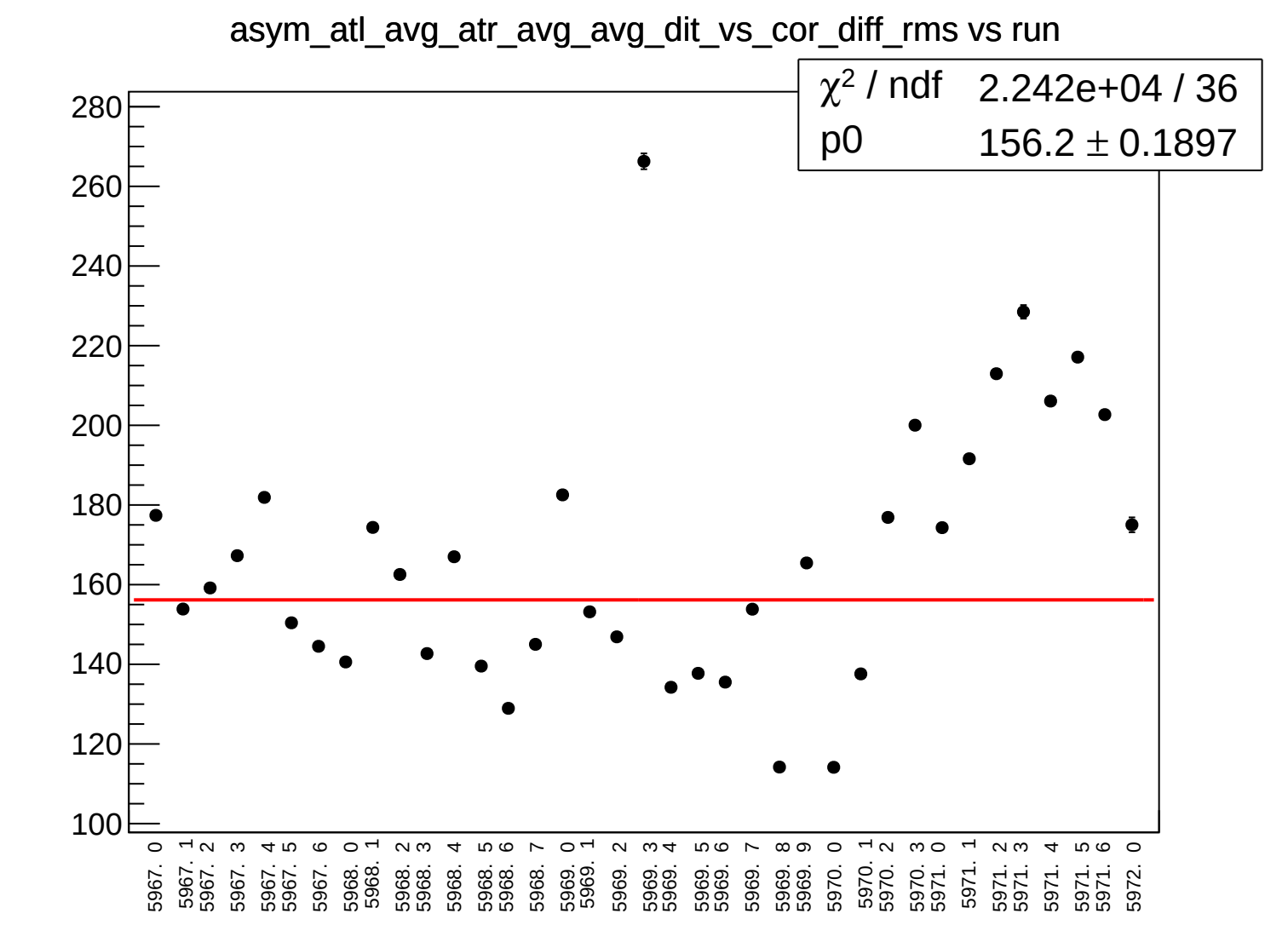
asym_atl_avg_atr_avg_avg_dit_vs_cor_diff_rms vs run
χ² / ndf 2.242e+04 / 36
p0 156.2 ± 0.1897
280
260
240
220
200
180
160
140
120
100
5967. 0
5967. 1
5967. 2
5967. 3
5967. 4
5967. 5
5967. 6
5968. 0
5968. 1
5968. 2
5968. 3
5968. 4
5968. 5
5968. 6
5968. 7
5969. 0
5969. 1
5969. 2
5969. 3
5969. 4
5969. 5
5969. 6
5969. 7
5969. 8
5969. 9
5970. 0
5970. 1
5970. 2
5970. 3
5971. 0
5971. 1
5971. 2
5971. 3
5971. 4
5971. 5
5971. 6
5972. 0

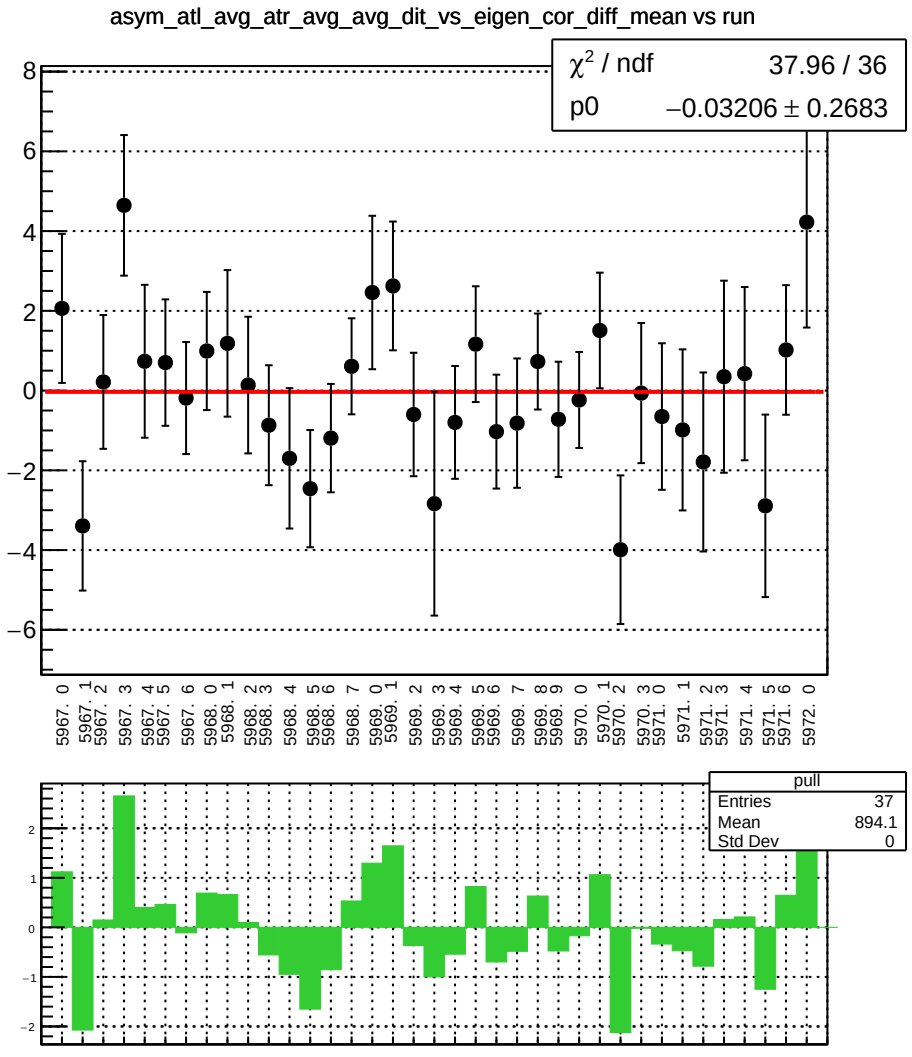
asym_atl_avg_atr_avg_avg_dit_vs_eigen_cor_diff_mean vs run
χ² / ndf 37.96 / 36
p0 −0.03206 ± 0.2683
pull
Entries 37
Mean 894.1
Std Dev 0
pull1D
Entries 37
Mean −0.001389
Std Dev 1.013

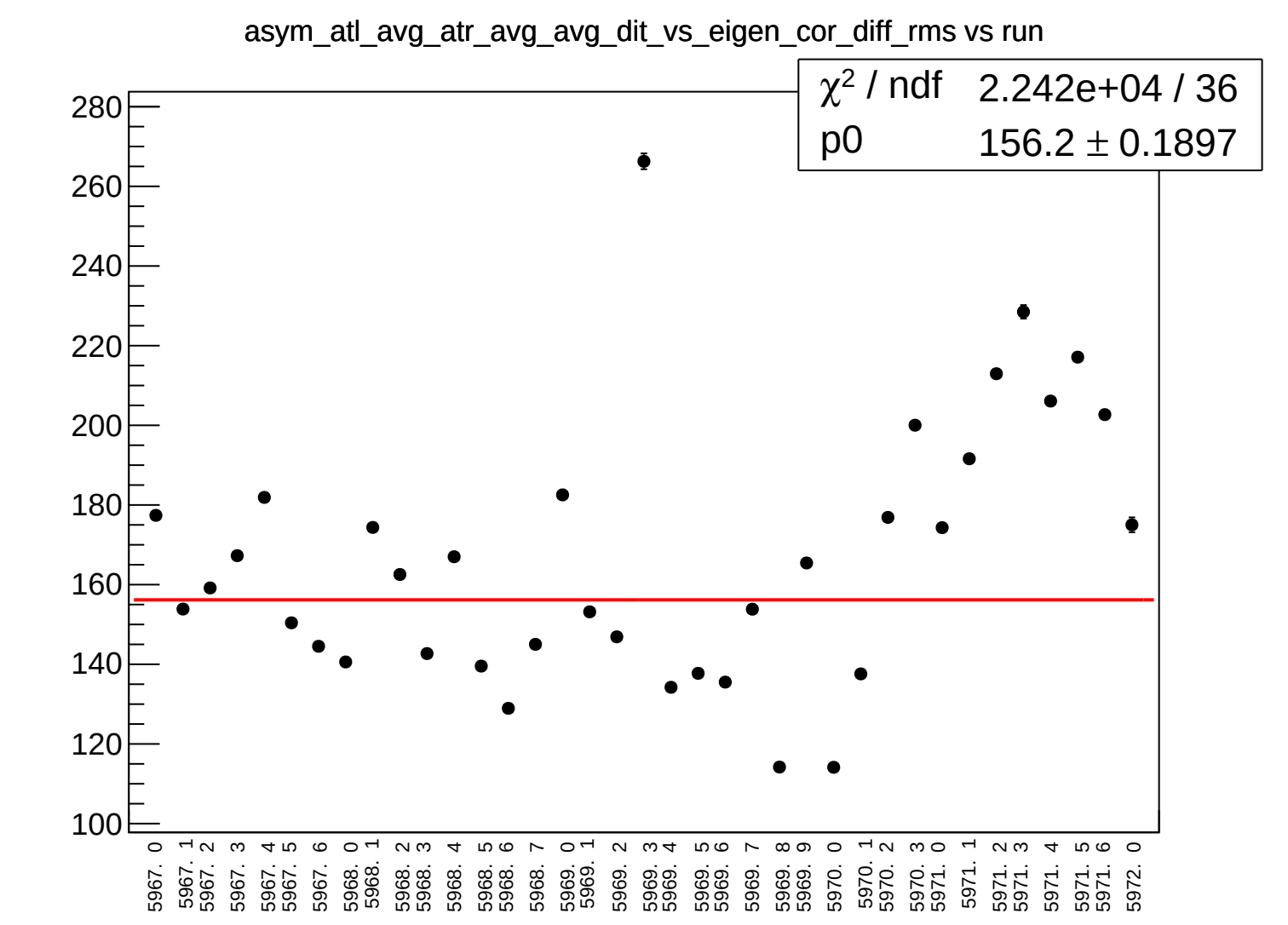
asym_atl_avg_atr_avg_avg_dit_vs_eigen_cor_diff_rms vs run
χ² / ndf 2.242e+04 / 36
p0 156.2 ± 0.1897
280
260
240
220
200
180
160
140
120
100
5967. 0
5967. 1
5967. 2
5967. 3
5967. 4
5967. 5
5967. 6
5968. 0
5968. 1
5968. 2
5968. 3
5968. 4
5968. 5
5968. 6
5968. 7
5969. 0
5969. 1
5969. 2
5969. 3
5969. 4
5969. 5
5969. 6
5969. 7
5969. 8
5969. 9
5970. 0
5970. 1
5970. 2
5970. 3
5971. 0
5971. 1
5971. 2
5971. 3
5971. 4
5971. 5
5971. 6
5972. 0

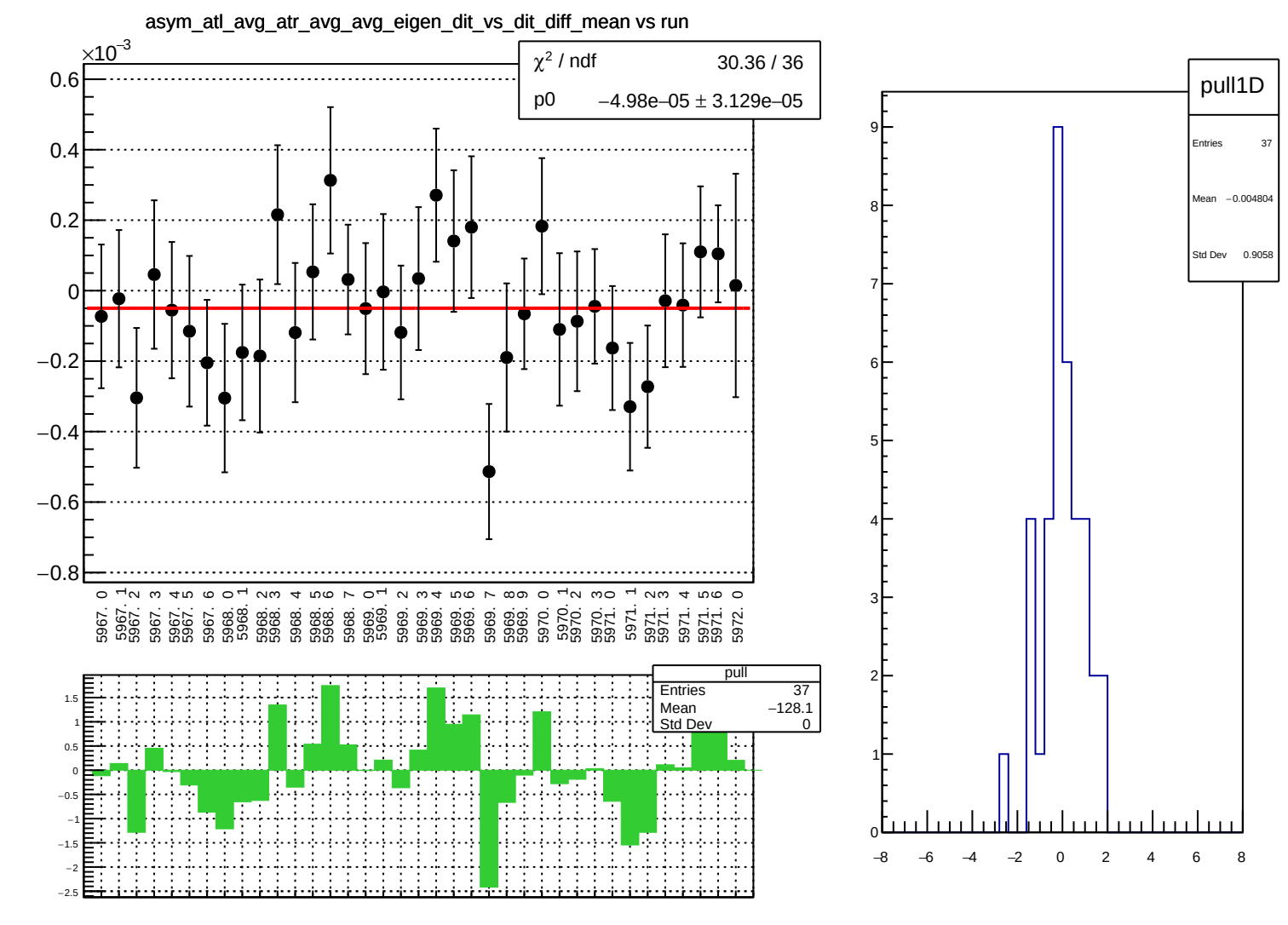
asym_atl_avg_atr_avg_avg_eigen_dit_vs_dit_diff_mean vs run
×10⁻³
χ² / ndf 30.36 / 36
p0 −4.98e−05 ± 3.129e−05
pull
Entries 37
Mean −128.1
Std Dev 0
pull1D
Entries 37
Mean −0.004804
Std Dev 0.9058

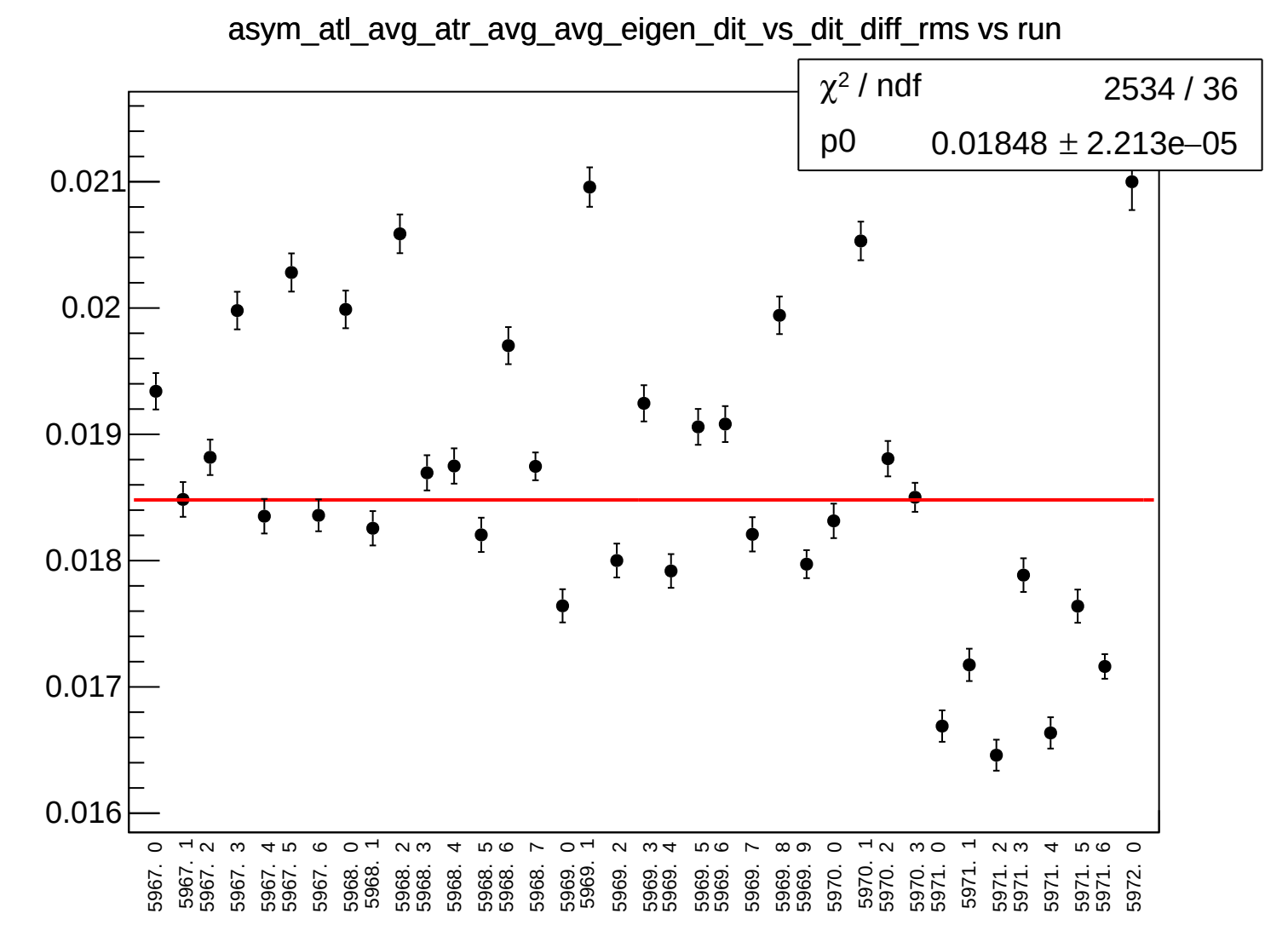
asym_atl_avg_atr_avg_avg_eigen_dit_vs_dit_diff_rms vs run
χ² / ndf 2534 / 36
p0 0.01848 ± 2.213e–05
0.021
0.02
0.019
0.018
0.017
0.016
5967. 0
5967. 1
5967. 2
5967. 3
5967. 4
5967. 5
5967. 6
5968. 0
5968. 1
5968. 2
5968. 3
5968. 4
5968. 5
5968. 6
5968. 7
5969. 0
5969. 1
5969. 2
5969. 3
5969. 4
5969. 5
5969. 6
5969. 7
5969. 8
5969. 9
5970. 0
5970. 1
5970. 2
5970. 3
5971. 0
5971. 1
5971. 2
5971. 3
5971. 4
5971. 5
5971. 6
5972. 0

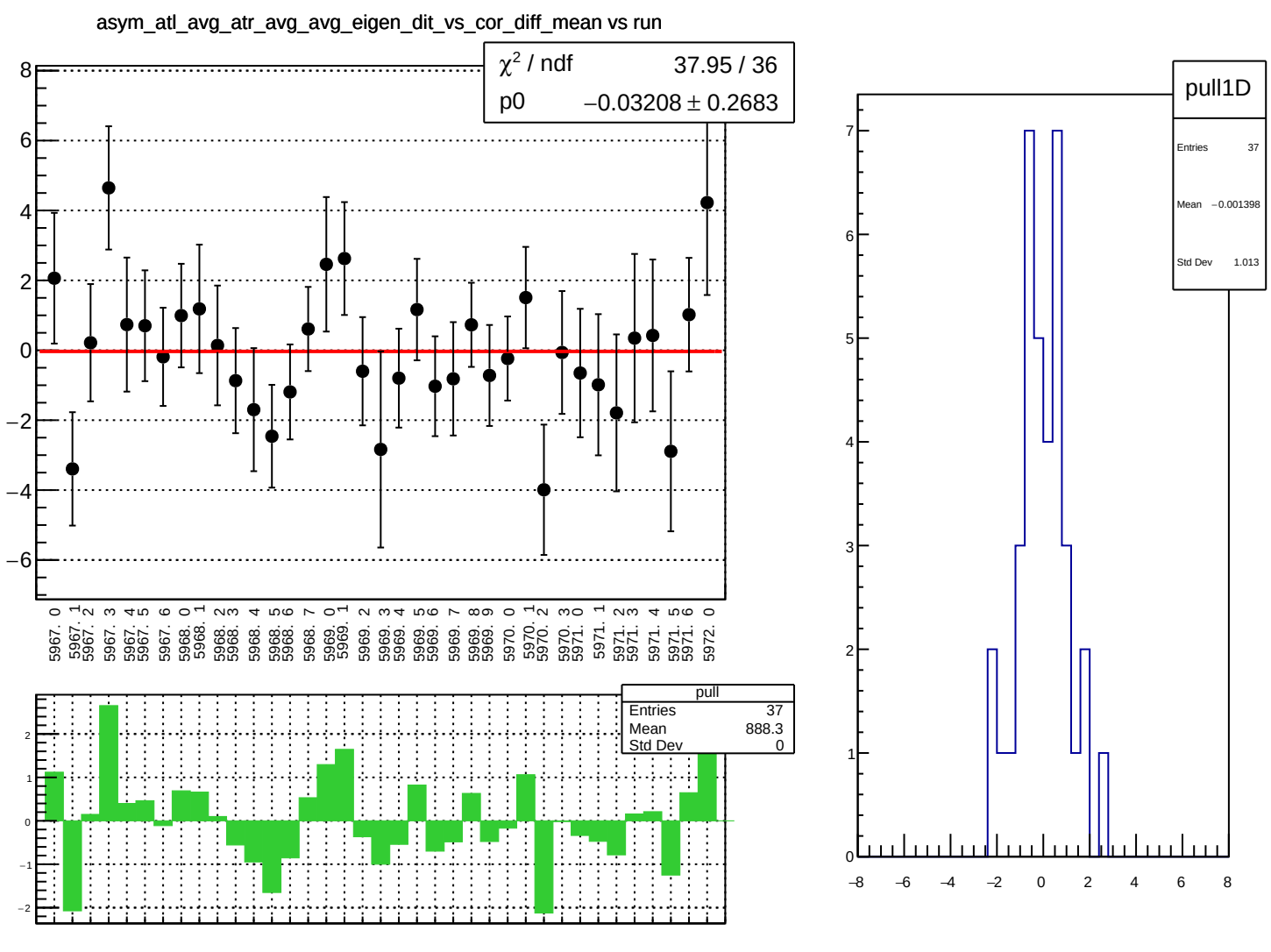
asym_atl_avg_atr_avg_avg_eigen_dit_vs_cor_diff_mean vs run
χ² / ndf 37.95 / 36
p0 −0.03208 ± 0.2683
pull
Entries 37
Mean 888.3
Std Dev 0
pull1D
Entries 37
Mean −0.001398
Std Dev 1.013

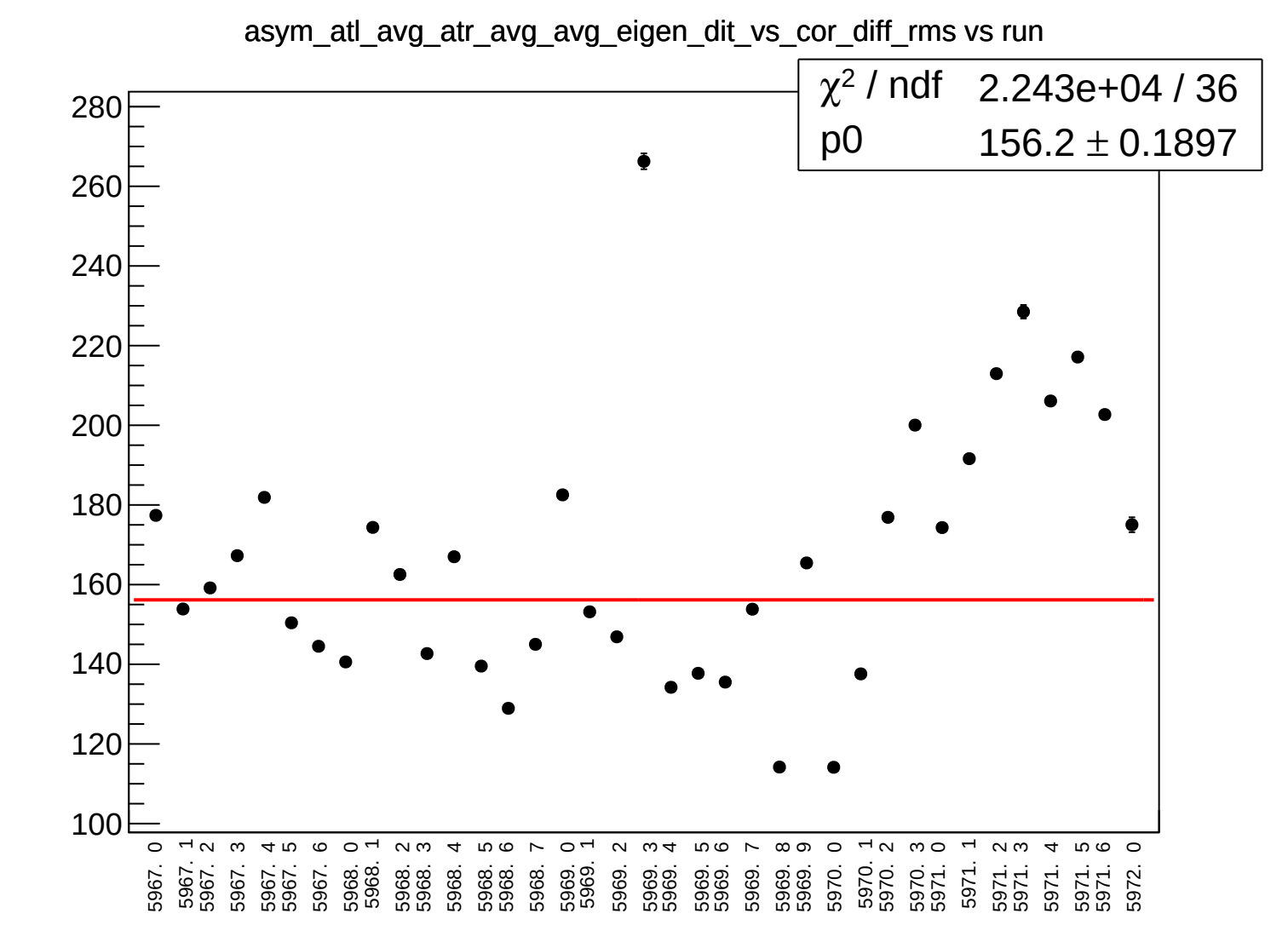
asym_atl_avg_atr_avg_avg_eigen_dit_vs_cor_diff_rms vs run
χ² / ndf 2.243e+04 / 36
p0 156.2 ± 0.1897
280
260
240
220
200
180
160
140
120
100
5967. 0
5967. 1
5967. 2
5967. 3
5967. 4
5967. 5
5967. 6
5968. 0
5968. 1
5968. 2
5968. 3
5968. 4
5968. 5
5968. 6
5968. 7
5969. 0
5969. 1
5969. 2
5969. 3
5969. 4
5969. 5
5969. 6
5969. 7
5969. 8
5969. 9
5970. 0
5970. 1
5970. 2
5970. 3
5971. 0
5971. 1
5971. 2
5971. 3
5971. 4
5971. 5
5971. 6
5972. 0

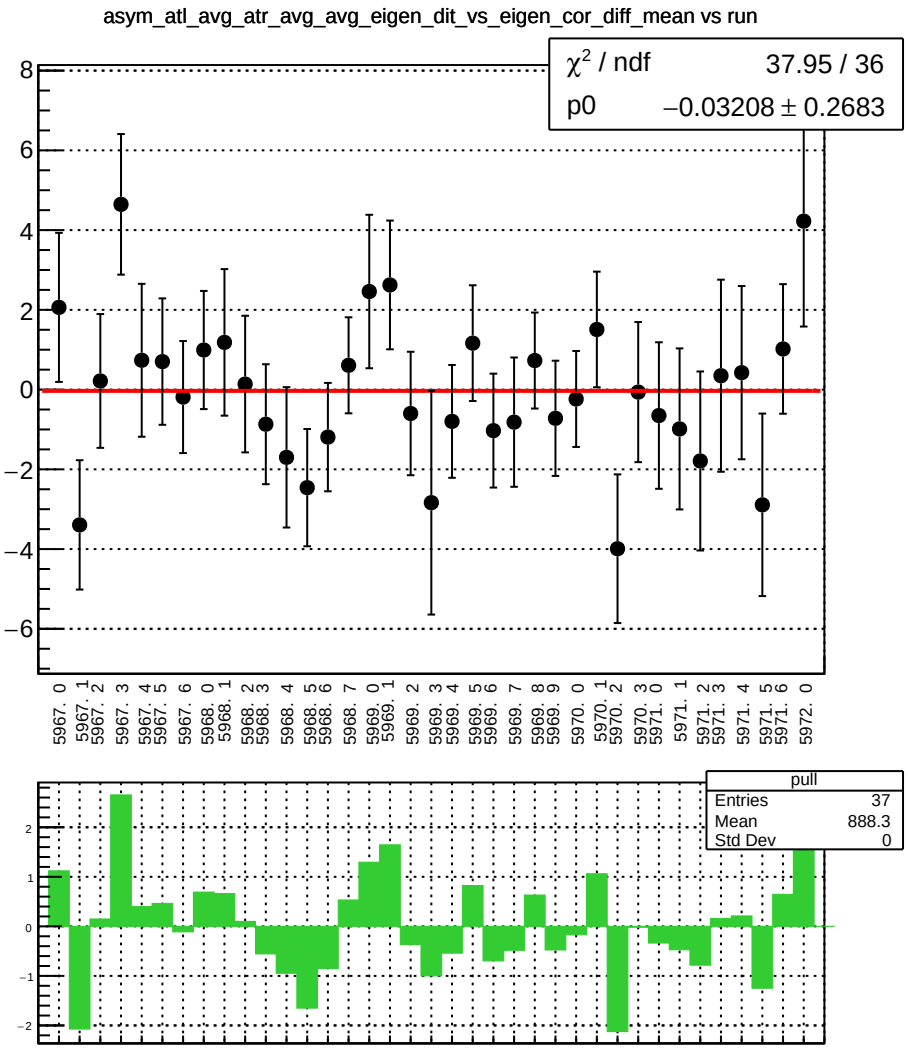
asym_atl_avg_atr_avg_avg_eigen_dit_vs_eigen_cor_diff_mean vs run
χ² / ndf 37.95 / 36
p0 −0.03208 ± 0.2683
pull
Entries 37
Mean 888.3
Std Dev 0
pull1D
Entries 37
Mean −0.001398
Std Dev 1.013

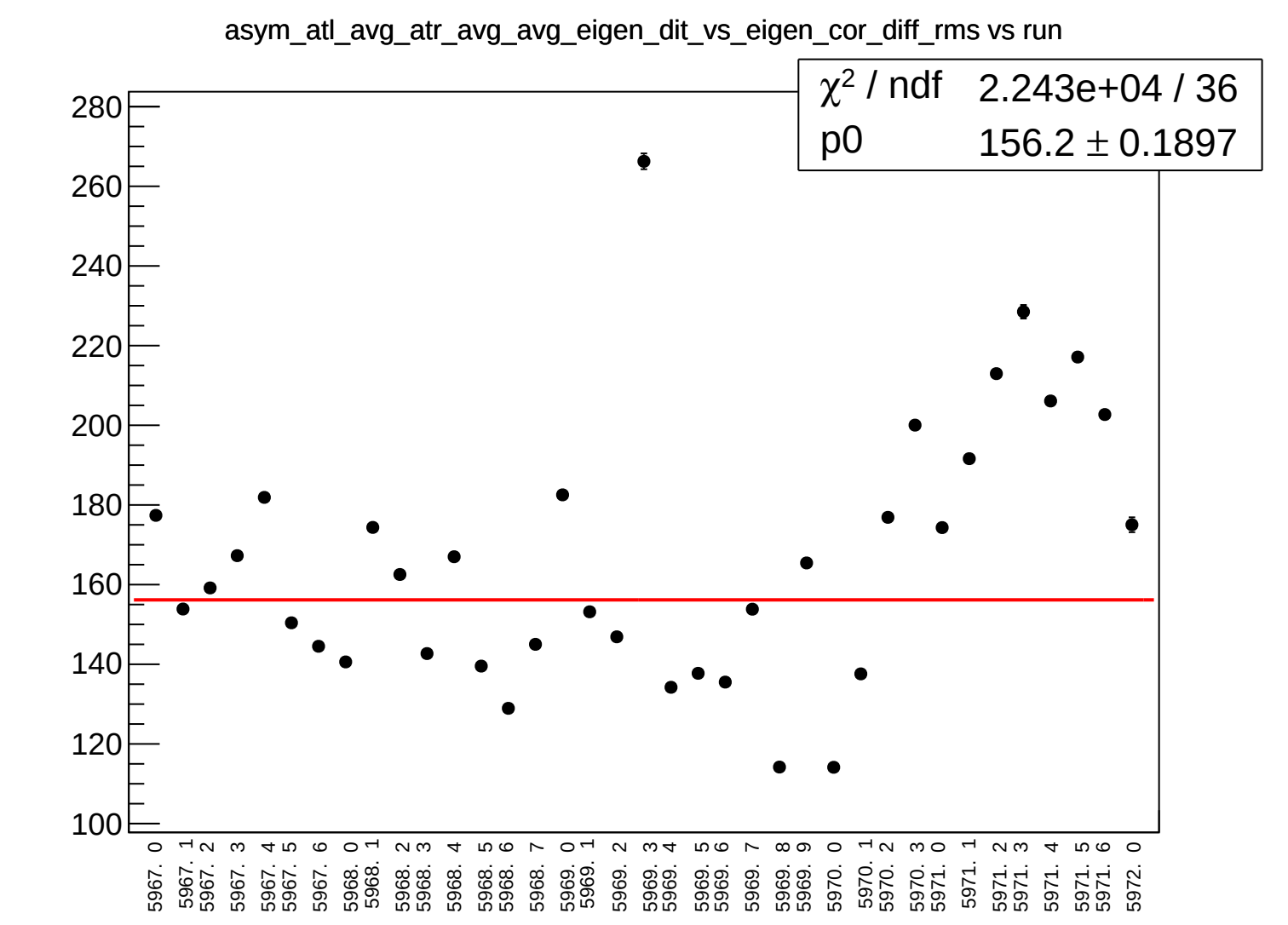
asym_atl_avg_atr_avg_avg_eigen_dit_vs_eigen_cor_diff_rms vs run
χ² / ndf 2.243e+04 / 36
p0 156.2 ± 0.1897
280
260
240
220
200
180
160
140
120
100
5967. 0
5967. 1
5967. 2
5967. 3
5967. 4
5967. 5
5967. 6
5968. 0
5968. 1
5968. 2
5968. 3
5968. 4
5968. 5
5968. 6
5968. 7
5969. 0
5969. 1
5969. 2
5969. 3
5969. 4
5969. 5
5969. 6
5969. 7
5969. 8
5969. 9
5970. 0
5970. 1
5970. 2
5970. 3
5971. 0
5971. 1
5971. 2
5971. 3
5971. 4
5971. 5
5971. 6
5972. 0

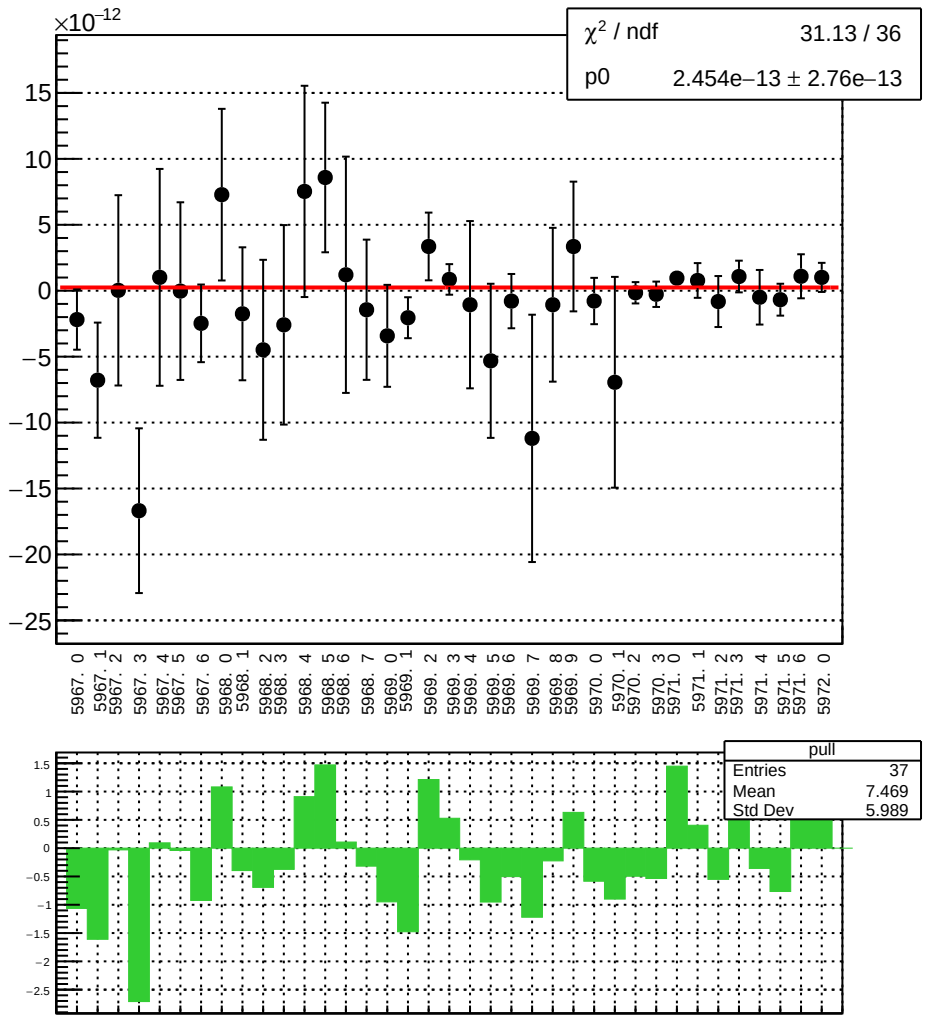
asym_atl_avg_atr_avg_avg_eigen_cor_vs_cor_diff_mean vs run
×10⁻¹²
χ² / ndf 31.13 / 36
p0 2.454e−13 ± 2.76e−13
pull
Entries 37
Mean 7.469
Std Dev 5.989

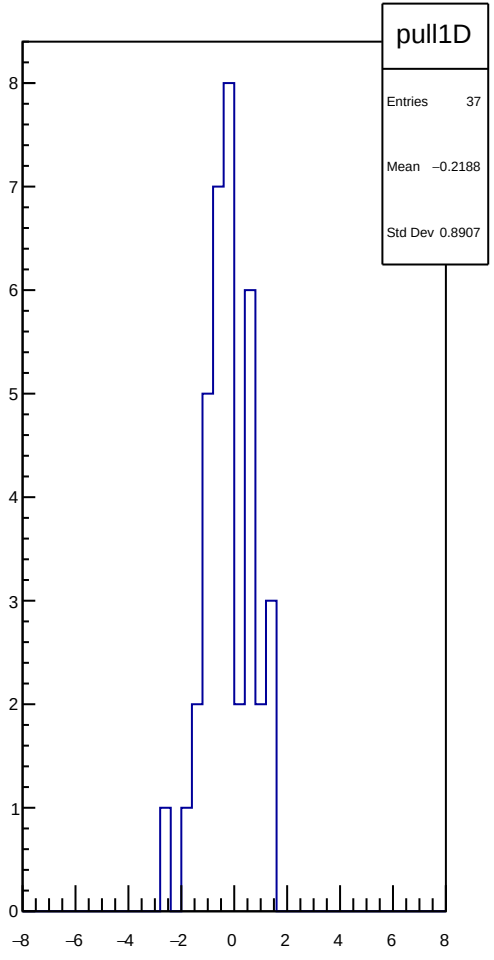
pull1D
Entries 37
Mean −0.2188
Std Dev 0.8907

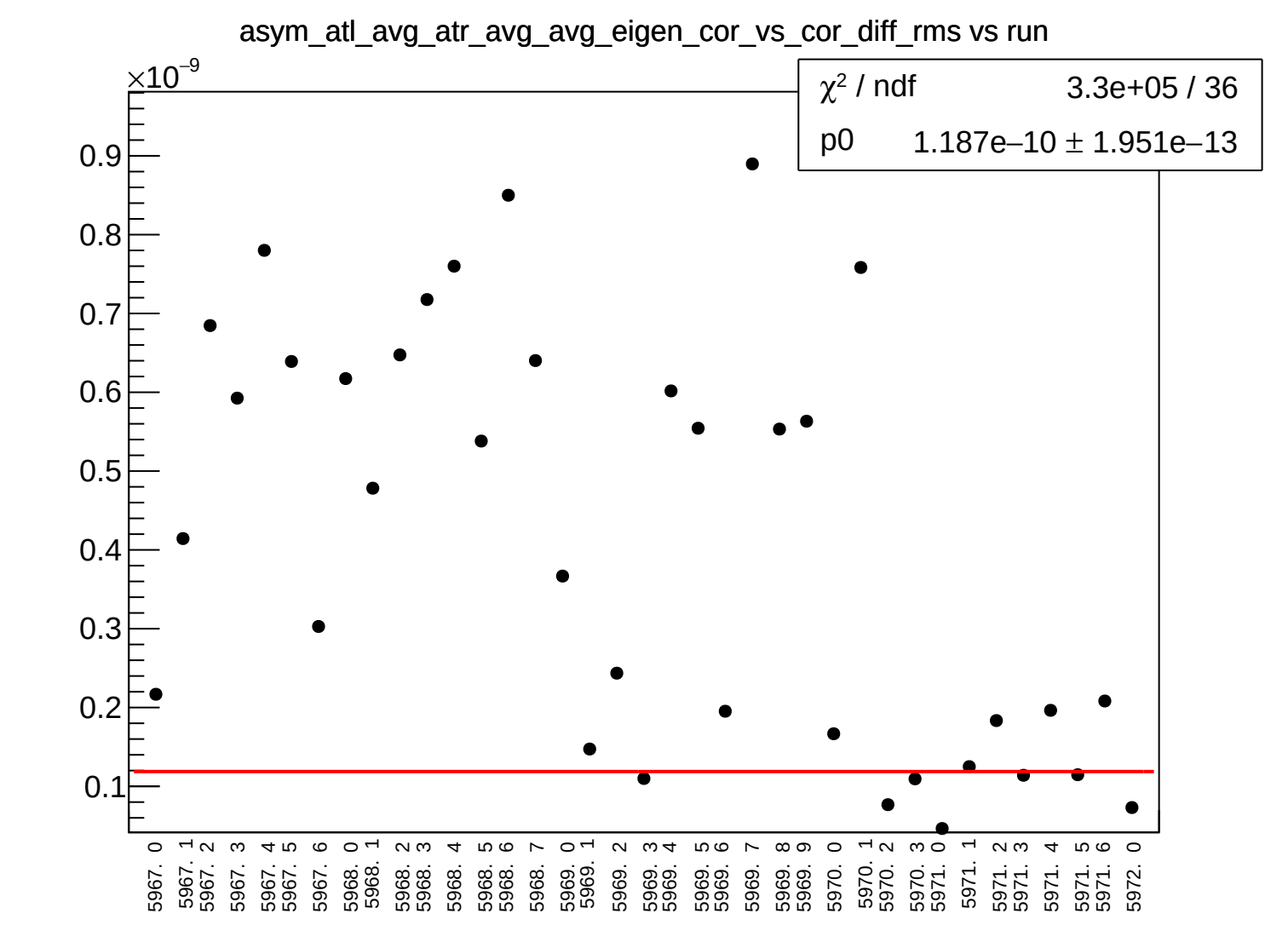
asym_atl_avg_atr_avg_avg_eigen_cor_vs_cor_diff_rms vs run
×10⁻⁹
χ² / ndf 3.3e+05 / 36
p0 1.187e−10 ± 1.951e−13
0.9
0.8
0.7
0.6
0.5
0.4
0.3
0.2
0.1
5967. 0
5967. 1
5967. 2
5967. 3
5967. 4
5967. 5
5967. 6
5968. 0
5968. 1
5968. 2
5968. 3
5968. 4
5968. 5
5968. 6
5968. 7
5969. 0
5969. 1
5969. 2
5969. 3
5969. 4
5969. 5
5969. 6
5969. 7
5969. 8
5969. 9
5970. 0
5970. 1
5970. 2
5970. 3
5971. 0
5971. 1
5971. 2
5971. 3
5971. 4
5971. 5
5971. 6
5972. 0

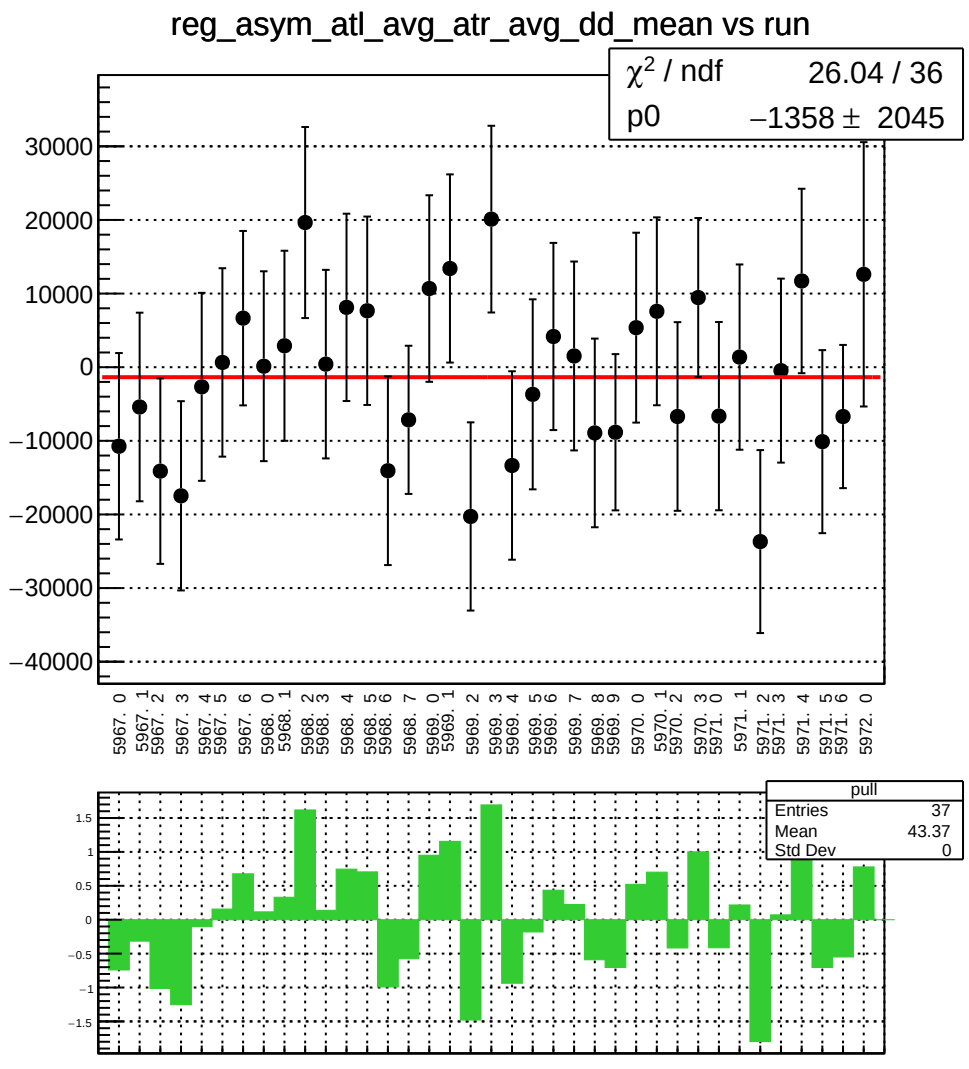
reg_asym_atl_avg_atr_avg_dd_mean vs run
χ² / ndf 26.04 / 36
p0 −1358 ± 2045
30000
20000
10000
0
−10000
−20000
−30000
−40000
5967. 0
5967. 1
5967. 2
5967. 3
5967. 4
5967. 5
5967. 6
5968. 0
5968. 1
5968. 2
5968. 3
5968. 4
5968. 5
5968. 6
5968. 7
5969. 0
5969. 1
5969. 2
5969. 3
5969. 4
5969. 5
5969. 6
5969. 7
5969. 8
5969. 9
5970. 0
5970. 1
5970. 2
5970. 3
5971. 0
5971. 1
5971. 2
5971. 3
5971. 4
5971. 5
5971. 6
5972. 0
pull
Entries 37
Mean 43.37
Std Dev 0
1.5
1
0.5
0
−0.5
−1
−1.5

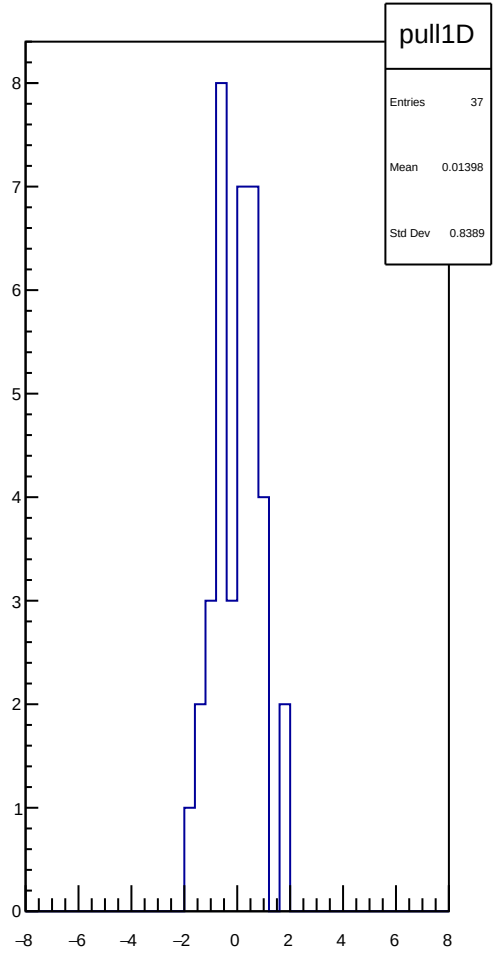
pull1D
Entries 37
Mean 0.01398
Std Dev 0.8389
8
7
6
5
4
3
2
1
0
−8
−6
−4
−2
0
2
4
6
8

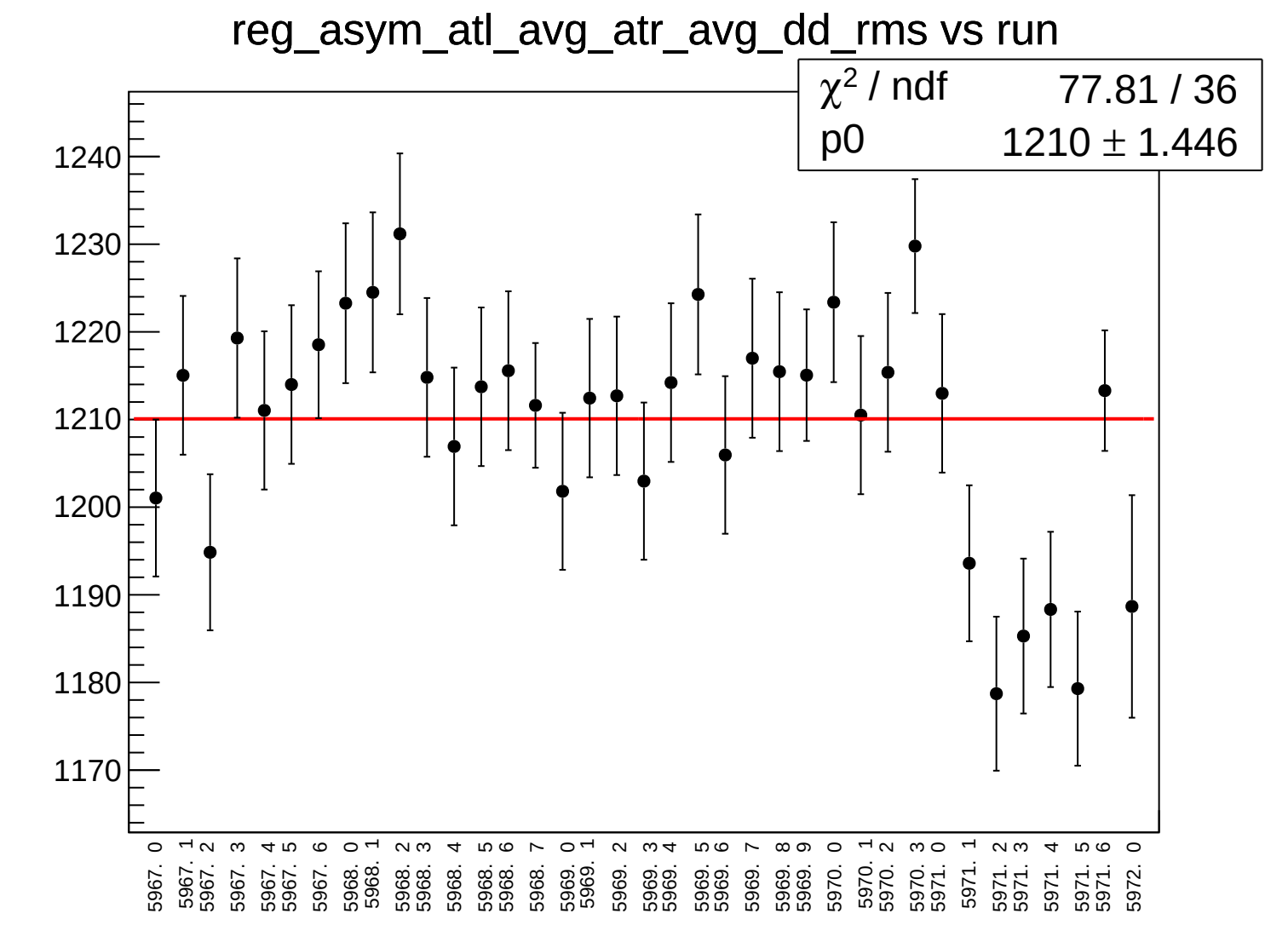
reg_asym_atl_avg_atr_avg_dd_rms vs run
χ² / ndf 77.81 / 36
p0 1210 ± 1.446
1240
1230
1220
1210
1200
1190
1180
1170
5967. 0
5967. 1
5967. 2
5967. 3
5967. 4
5967. 5
5967. 6
5968. 0
5968. 1
5968. 2
5968. 3
5968. 4
5968. 5
5968. 6
5968. 7
5969. 0
5969. 1
5969. 2
5969. 3
5969. 4
5969. 5
5969. 6
5969. 7
5969. 8
5969. 9
5970. 0
5970. 1
5970. 2
5970. 3
5971. 0
5971. 1
5971. 2
5971. 3
5971. 4
5971. 5
5971. 6
5972. 0

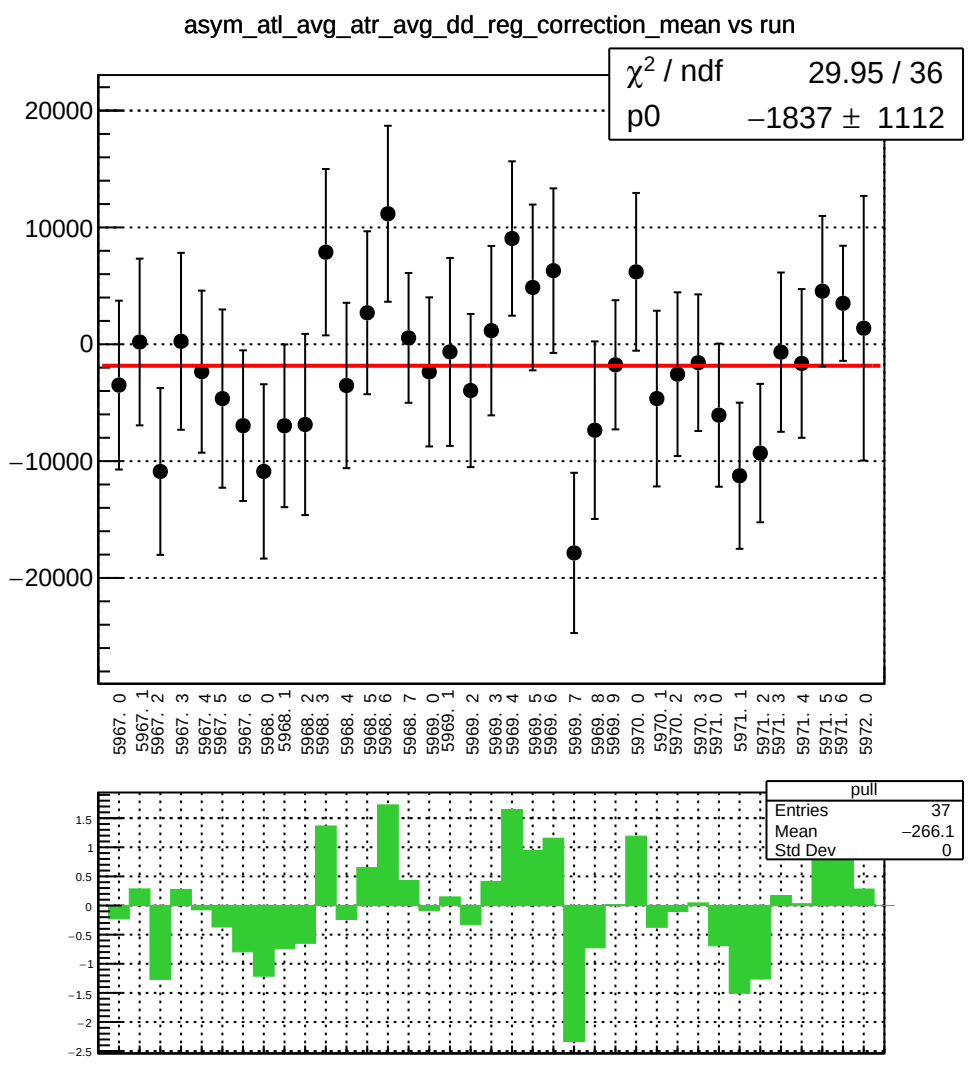
asym_atl_avg_atr_avg_dd_reg_correction_mean vs run
χ² / ndf 29.95 / 36
p0 −1837 ± 1112
20000
10000
0
−10000
−20000
5967. 0
5967. 1
5967. 2
5967. 3
5967. 4
5967. 5
5967. 6
5968. 0
5968. 1
5968. 2
5968. 3
5968. 4
5968. 5
5968. 6
5968. 7
5969. 0
5969. 1
5969. 2
5969. 3
5969. 4
5969. 5
5969. 6
5969. 7
5969. 8
5969. 9
5970. 0
5970. 1
5970. 2
5970. 3
5971. 0
5971. 1
5971. 2
5971. 3
5971. 4
5971. 5
5971. 6
5972. 0
pull
Entries 37
Mean −266.1
Std Dev 0
1.5
1
0.5
0
−0.5
−1
−1.5
−2
−2.5

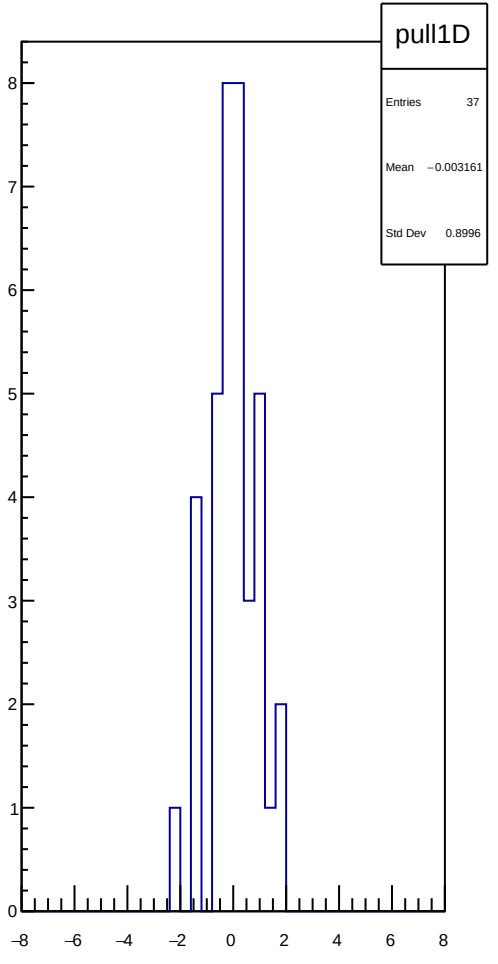
pull1D
Entries 37
Mean −0.003161
Std Dev 0.8996
8
7
6
5
4
3
2
1
0
−8
−6
−4
−2
0
2
4
6
8

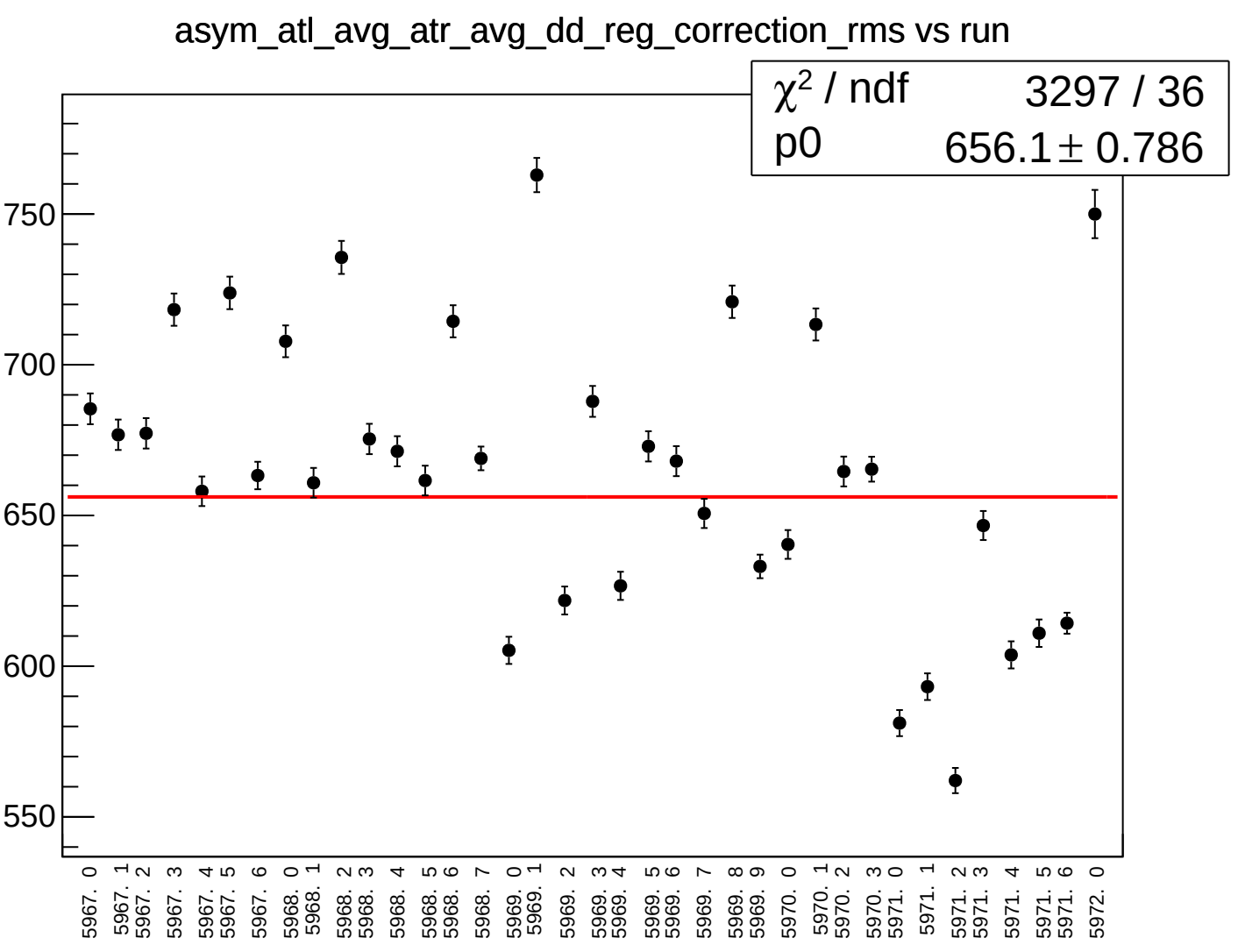
asym_atl_avg_atr_avg_dd_reg_correction_rms vs run
χ² / ndf 3297 / 36
p0 656.1 ± 0.786
750
700
650
600
550
5967. 0
5967. 1
5967. 2
5967. 3
5967. 4
5967. 5
5967. 6
5968. 0
5968. 1
5968. 2
5968. 3
5968. 4
5968. 5
5968. 6
5968. 7
5969. 0
5969. 1
5969. 2
5969. 3
5969. 4
5969. 5
5969. 6
5969. 7
5969. 8
5969. 9
5970. 0
5970. 1
5970. 2
5970. 3
5971. 0
5971. 1
5971. 2
5971. 3
5971. 4
5971. 5
5971. 6
5972. 0

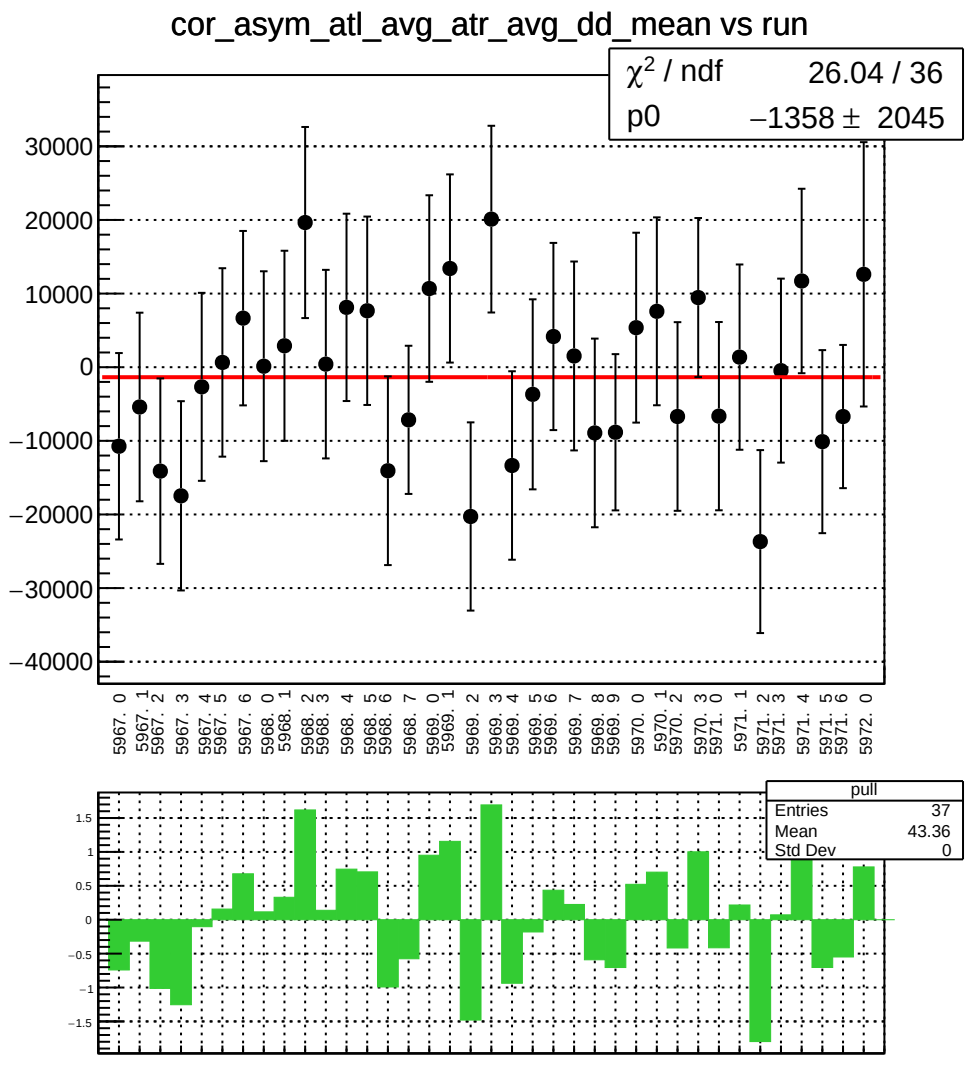
cor_asym_atl_avg_atr_avg_dd_mean vs run
χ² / ndf 26.04 / 36
p0 −1358 ± 2045
pull
Entries 37
Mean 43.36
Std Dev 0

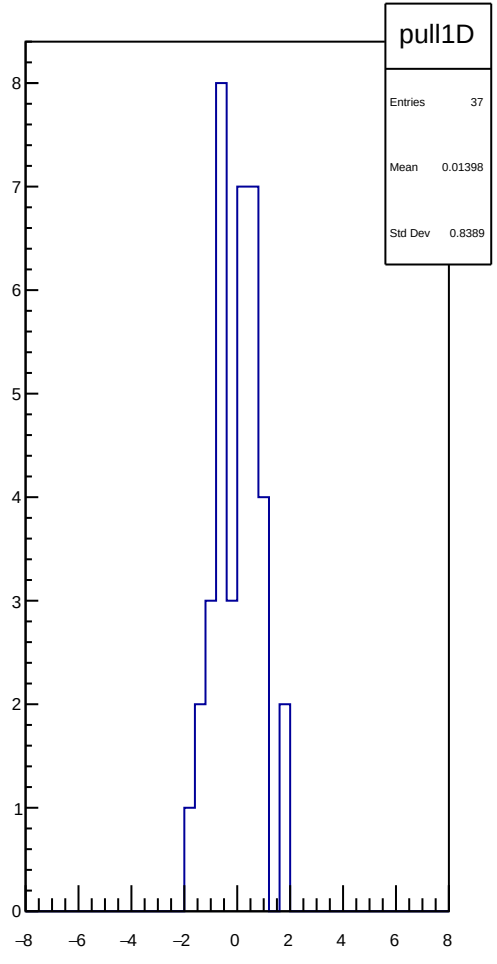
pull1D
Entries 37
Mean 0.01398
Std Dev 0.8389

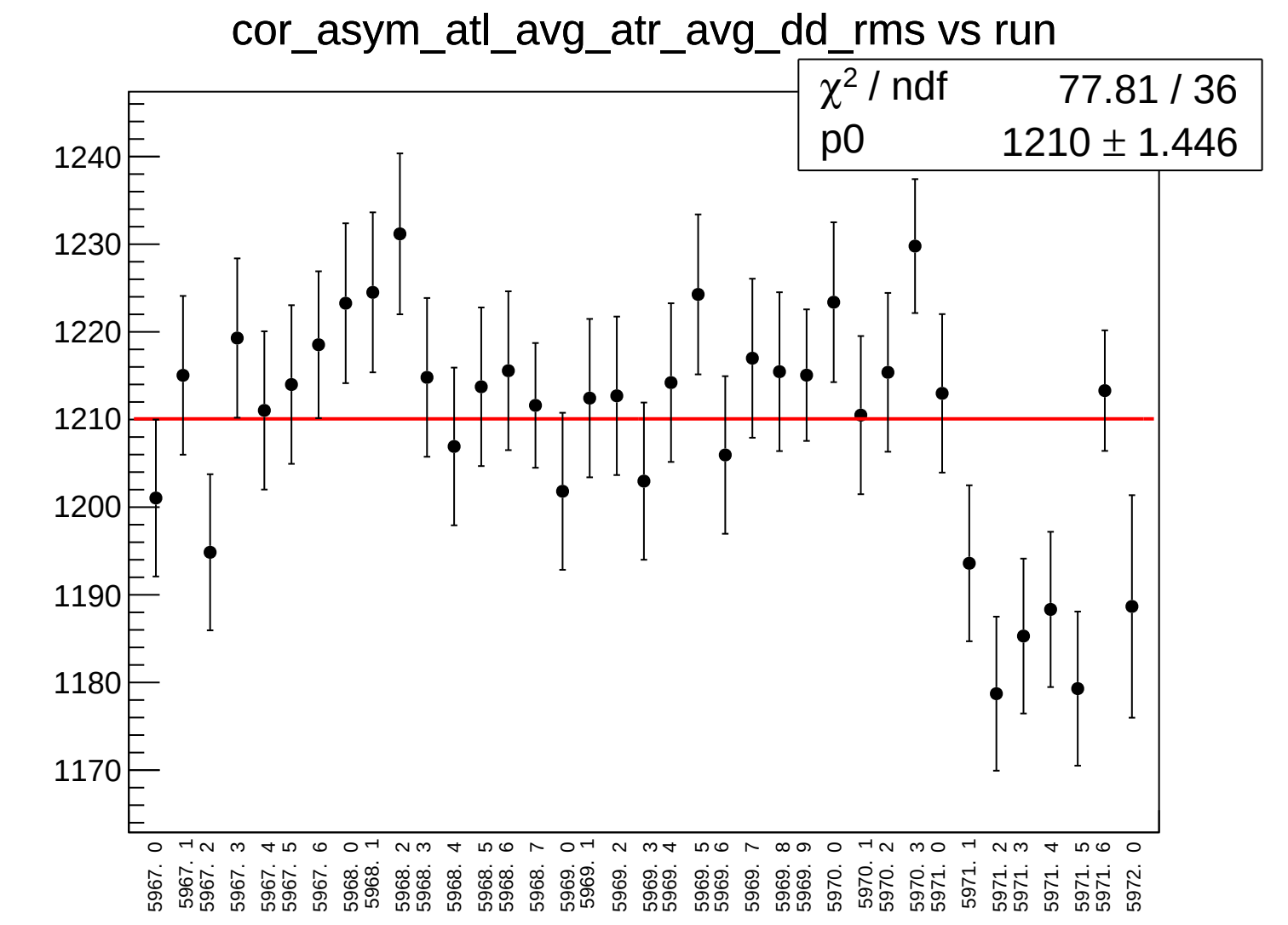
cor_asym_atl_avg_atr_avg_dd_rms vs run
χ² / ndf 77.81 / 36
p0 1210 ± 1.446
1240
1230
1220
1210
1200
1190
1180
1170
5967. 0
5967. 1
5967. 2
5967. 3
5967. 4
5967. 5
5967. 6
5968. 0
5968. 1
5968. 2
5968. 3
5968. 4
5968. 5
5968. 6
5968. 7
5969. 0
5969. 1
5969. 2
5969. 3
5969. 4
5969. 5
5969. 6
5969. 7
5969. 8
5969. 9
5970. 0
5970. 1
5970. 2
5970. 3
5971. 0
5971. 1
5971. 2
5971. 3
5971. 4
5971. 5
5971. 6
5972. 0

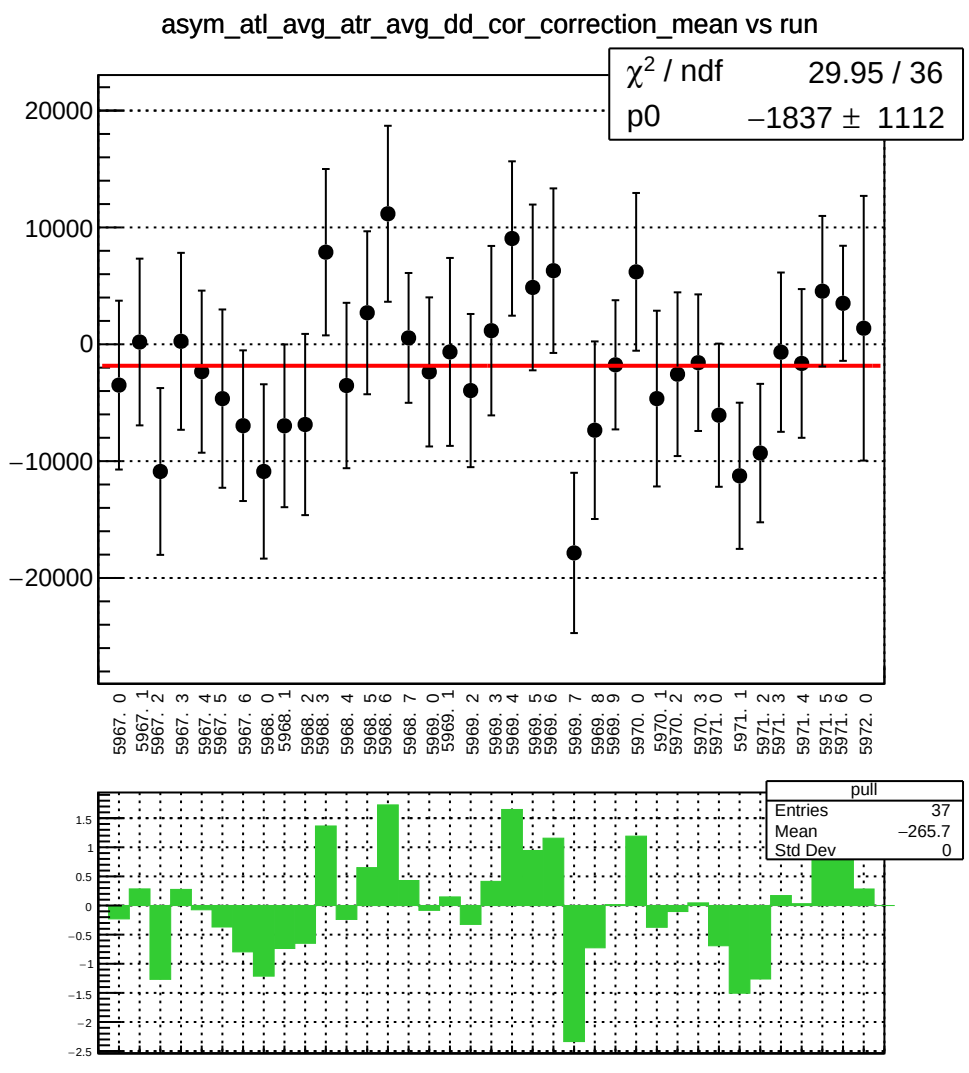
asym_atl_avg_atr_avg_dd_cor_correction_mean vs run
χ² / ndf 29.95 / 36
p0 −1837 ± 1112
20000
10000
0
−10000
−20000
5967. 0
5967. 1
5967. 2
5967. 3
5967. 4
5967. 5
5967. 6
5968. 0
5968. 1
5968. 2
5968. 3
5968. 4
5968. 5
5968. 6
5968. 7
5969. 0
5969. 1
5969. 2
5969. 3
5969. 4
5969. 5
5969. 6
5969. 7
5969. 8
5969. 9
5970. 0
5970. 1
5970. 2
5970. 3
5971. 0
5971. 1
5971. 2
5971. 3
5971. 4
5971. 5
5971. 6
5972. 0
pull
Entries 37
Mean −265.7
Std Dev 0
1.5
1
0.5
0
−0.5
−1
−1.5
−2
−2.5

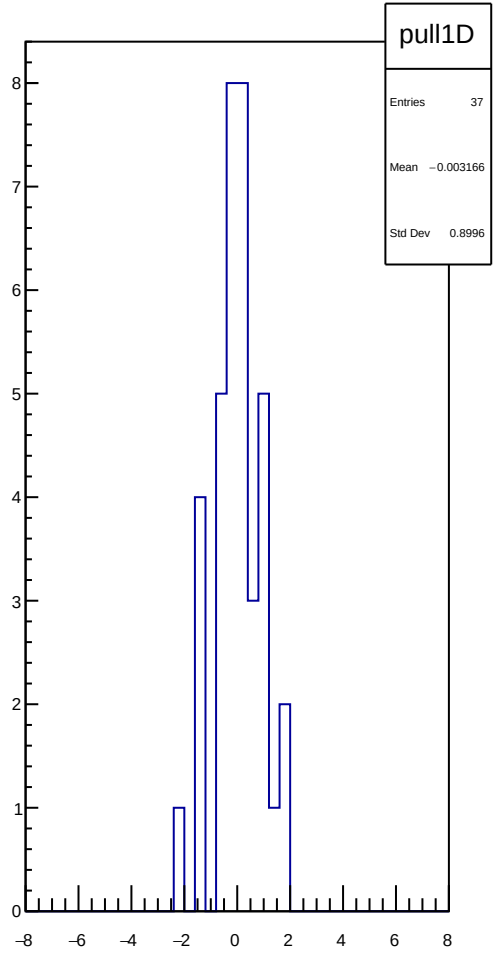
pull1D
Entries 37
Mean −0.003166
Std Dev 0.8996
8
7
6
5
4
3
2
1
0
−8
−6
−4
−2
0
2
4
6
8

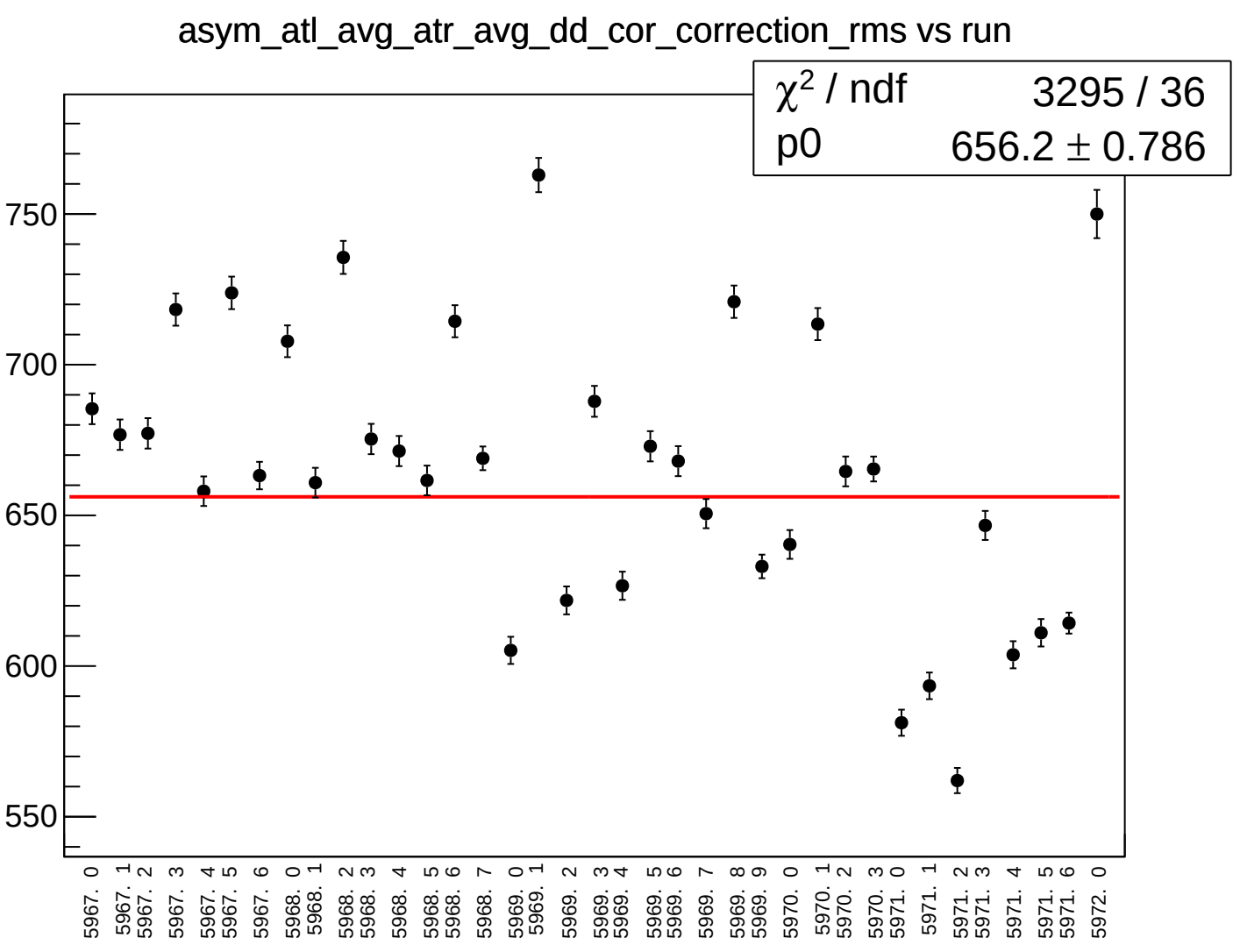
asym_atl_avg_atr_avg_dd_cor_correction_rms vs run
χ² / ndf 3295 / 36
p0 656.2 ± 0.786
750
700
650
600
550
5967. 0
5967. 1
5967. 2
5967. 3
5967. 4
5967. 5
5967. 6
5968. 0
5968. 1
5968. 2
5968. 3
5968. 4
5968. 5
5968. 6
5968. 7
5969. 0
5969. 1
5969. 2
5969. 3
5969. 4
5969. 5
5969. 6
5969. 7
5969. 8
5969. 9
5970. 0
5970. 1
5970. 2
5970. 3
5971. 0
5971. 1
5971. 2
5971. 3
5971. 4
5971. 5
5971. 6
5972. 0

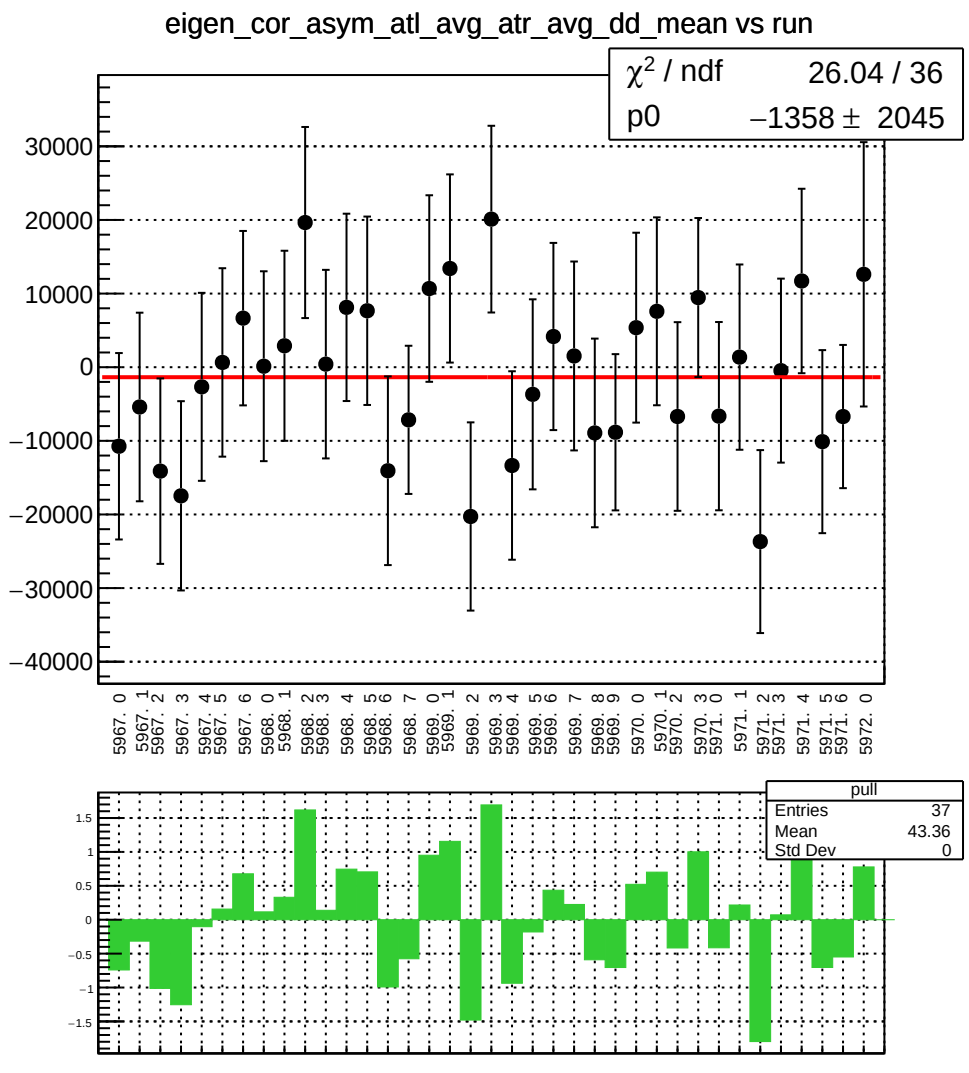
eigen_cor_asym_atl_avg_atr_avg_dd_mean vs run
χ² / ndf 26.04 / 36
p0 −1358 ± 2045
30000
20000
10000
0
−10000
−20000
−30000
−40000
5967. 0
5967. 1
5967. 2
5967. 3
5967. 4
5967. 5
5967. 6
5968. 0
5968. 1
5968. 2
5968. 3
5968. 4
5968. 5
5968. 6
5968. 7
5969. 0
5969. 1
5969. 2
5969. 3
5969. 4
5969. 5
5969. 6
5969. 7
5969. 8
5969. 9
5970. 0
5970. 1
5970. 2
5970. 3
5971. 0
5971. 1
5971. 2
5971. 3
5971. 4
5971. 5
5971. 6
5972. 0
pull
Entries 37
Mean 43.36
Std Dev 0
1.5
1
0.5
0
−0.5
−1
−1.5

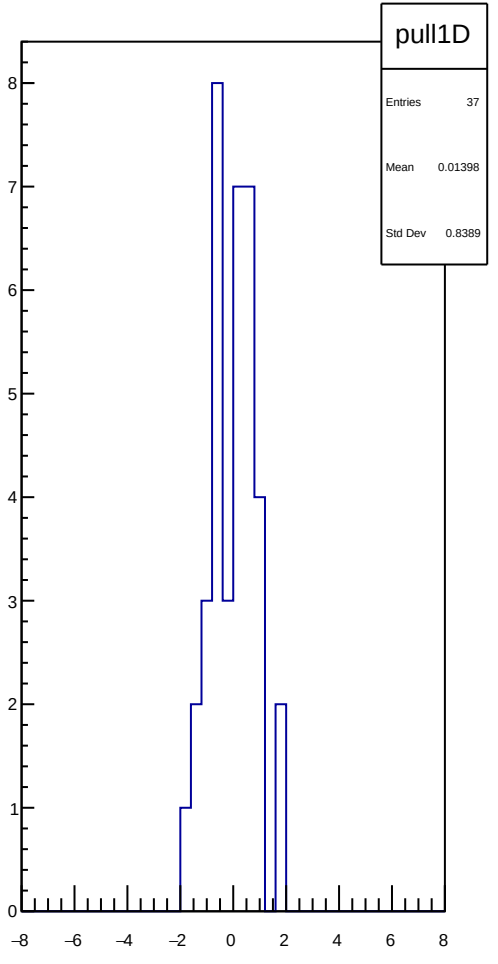
pull1D
Entries 37
Mean 0.01398
Std Dev 0.8389
8
7
6
5
4
3
2
1
0
−8
−6
−4
−2
0
2
4
6
8

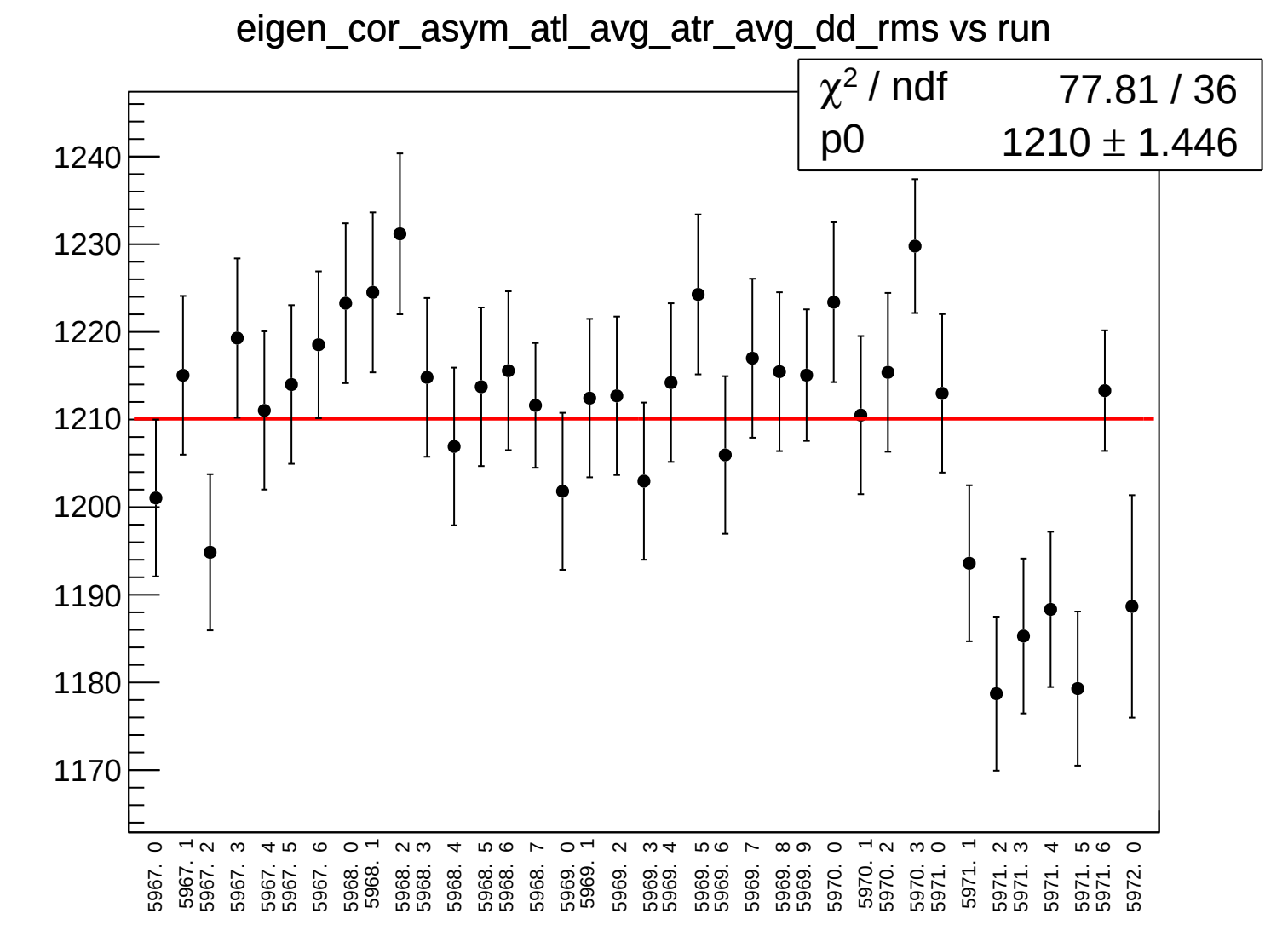
eigen_cor_asym_atl_avg_atr_avg_dd_rms vs run
χ² / ndf 77.81 / 36
p0 1210 ± 1.446
1240
1230
1220
1210
1200
1190
1180
1170
5967. 0
5967. 1
5967. 2
5967. 3
5967. 4
5967. 5
5967. 6
5968. 0
5968. 1
5968. 2
5968. 3
5968. 4
5968. 5
5968. 6
5968. 7
5969. 0
5969. 1
5969. 2
5969. 3
5969. 4
5969. 5
5969. 6
5969. 7
5969. 8
5969. 9
5970. 0
5970. 1
5970. 2
5970. 3
5971. 0
5971. 1
5971. 2
5971. 3
5971. 4
5971. 5
5971. 6
5972. 0

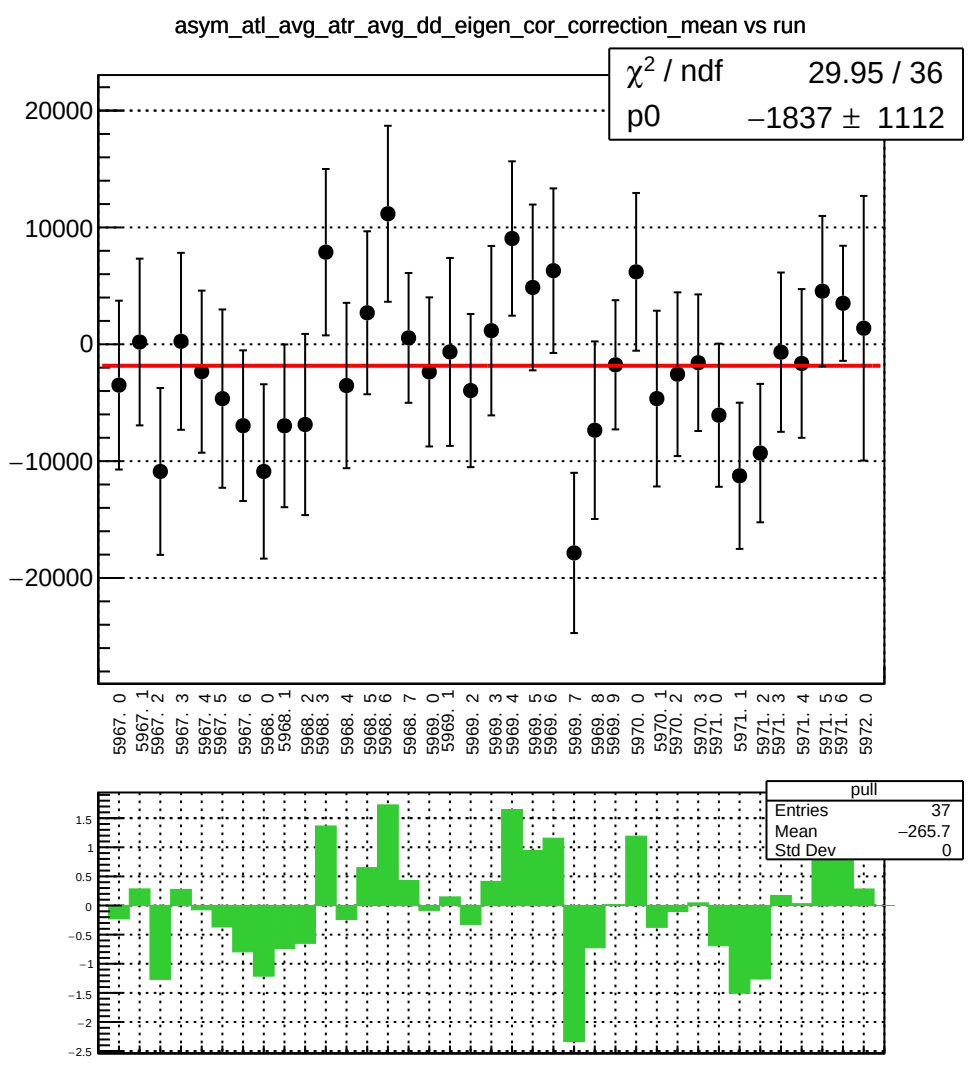
asym_atl_avg_atr_avg_dd_eigen_cor_correction_mean vs run
χ² / ndf 29.95 / 36
p0 −1837 ± 1112
20000
10000
0
−10000
−20000
5967. 0
5967. 1
5967. 2
5967. 3
5967. 4
5967. 5
5967. 6
5968. 0
5968. 1
5968. 2
5968. 3
5968. 4
5968. 5
5968. 6
5968. 7
5969. 0
5969. 1
5969. 2
5969. 3
5969. 4
5969. 5
5969. 6
5969. 7
5969. 8
5969. 9
5970. 0
5970. 1
5970. 2
5970. 3
5971. 0
5971. 1
5971. 2
5971. 3
5971. 4
5971. 5
5971. 6
5972. 0
pull
Entries 37
Mean −265.7
Std Dev 0
1.5
1
0.5
0
−0.5
−1
−1.5
−2
−2.5

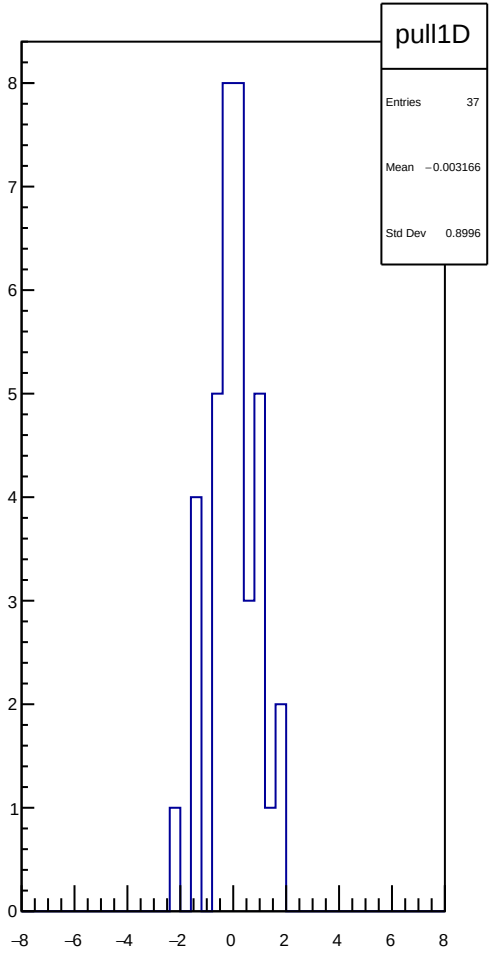
pull1D
Entries 37
Mean −0.003166
Std Dev 0.8996
8
7
6
5
4
3
2
1
0
−8
−6
−4
−2
0
2
4
6
8

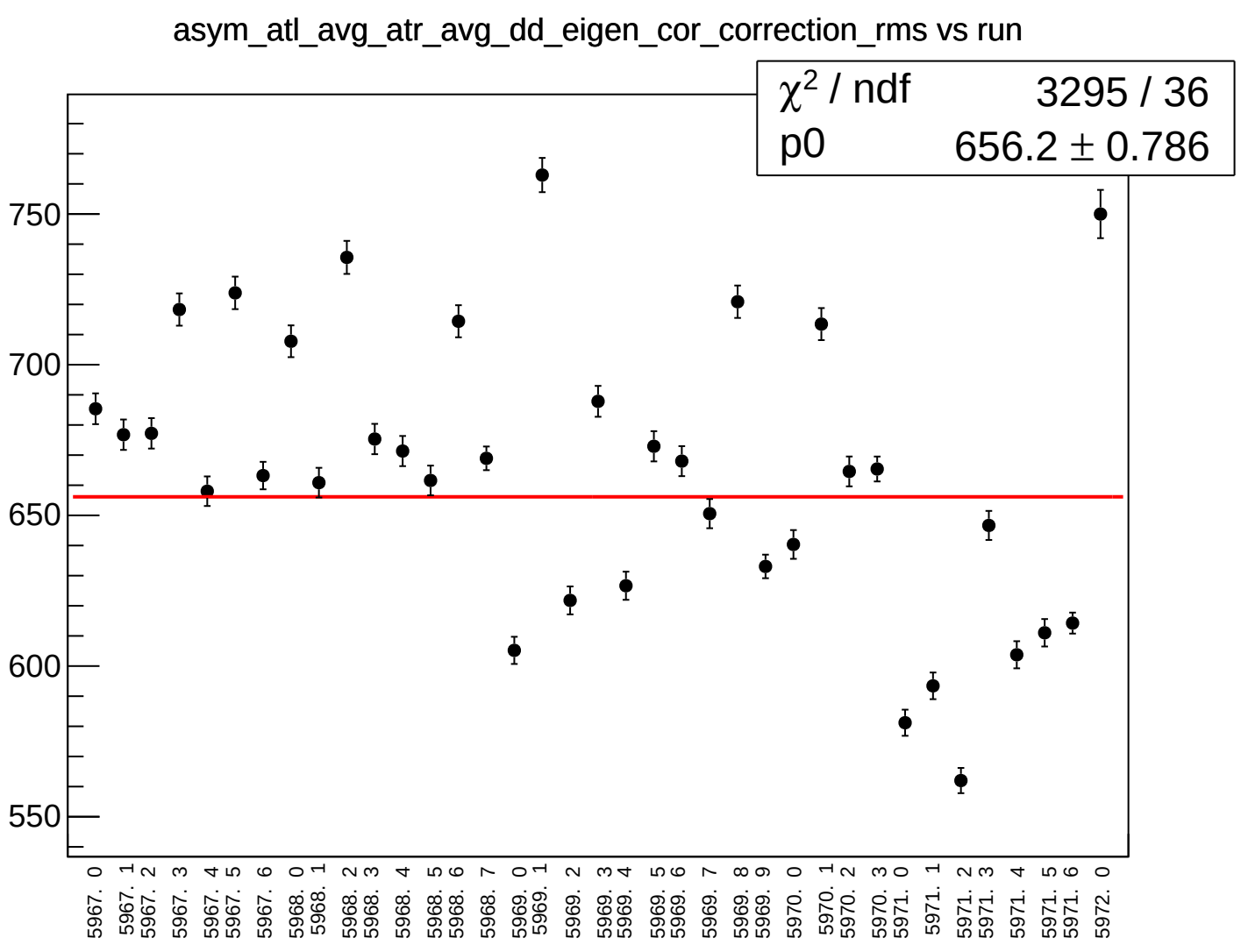
asym_atl_avg_atr_avg_dd_eigen_cor_correction_rms vs run
χ² / ndf 3295 / 36
p0 656.2 ± 0.786
750
700
650
600
550
5967. 0
5967. 1
5967. 2
5967. 3
5967. 4
5967. 5
5967. 6
5968. 0
5968. 1
5968. 2
5968. 3
5968. 4
5968. 5
5968. 6
5968. 7
5969. 0
5969. 1
5969. 2
5969. 3
5969. 4
5969. 5
5969. 6
5969. 7
5969. 8
5969. 9
5970. 0
5970. 1
5970. 2
5970. 3
5971. 0
5971. 1
5971. 2
5971. 3
5971. 4
5971. 5
5971. 6
5972. 0

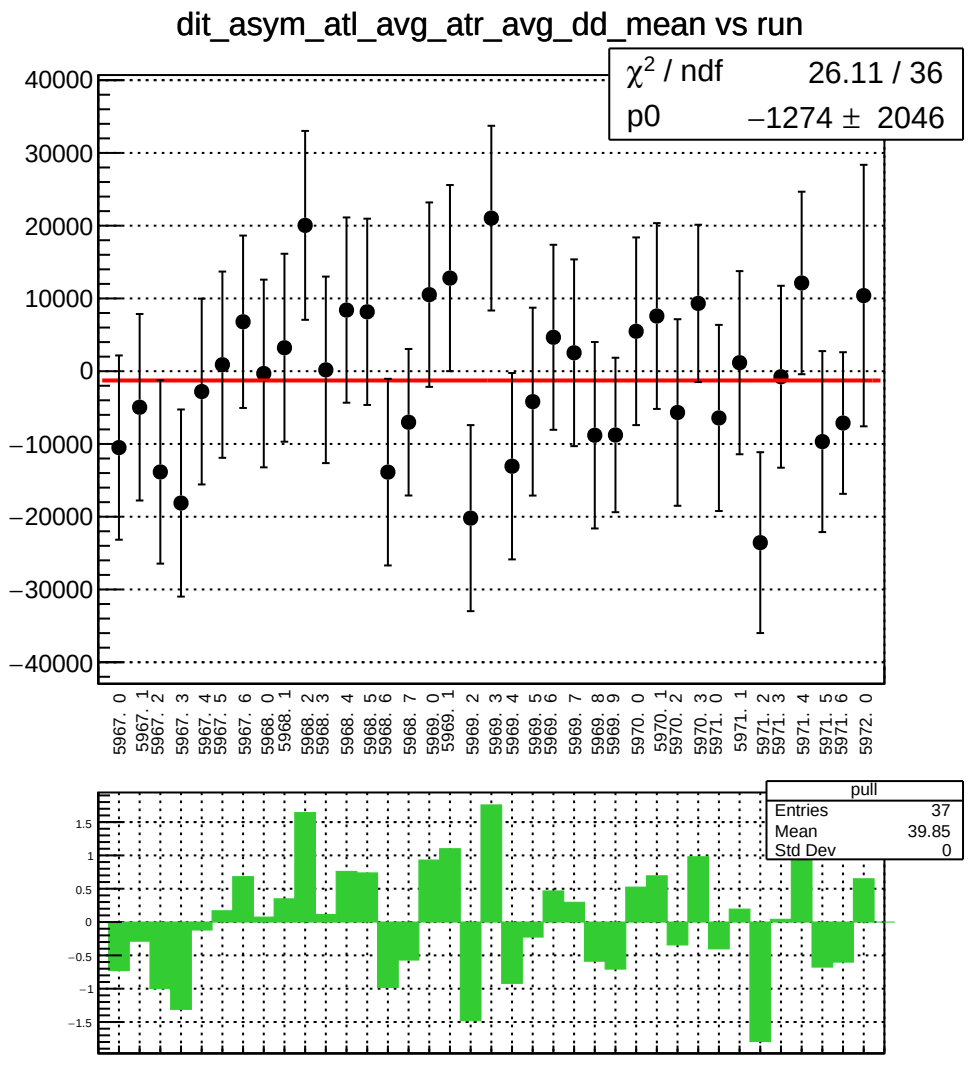
dit_asym_atl_avg_atr_avg_dd_mean vs run
χ² / ndf 26.11 / 36
p0 −1274 ± 2046
pull
Entries 37
Mean 39.85
Std Dev 0

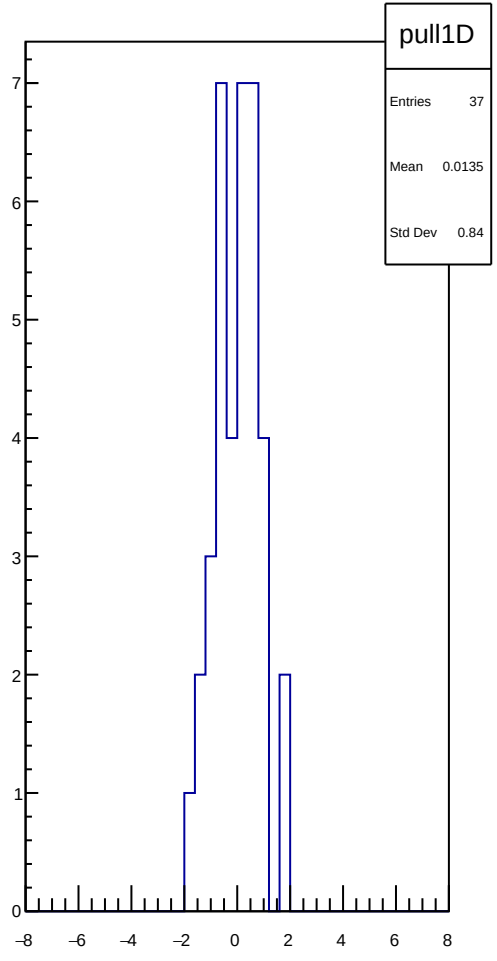
pull1D
Entries 37
Mean 0.0135
Std Dev 0.84

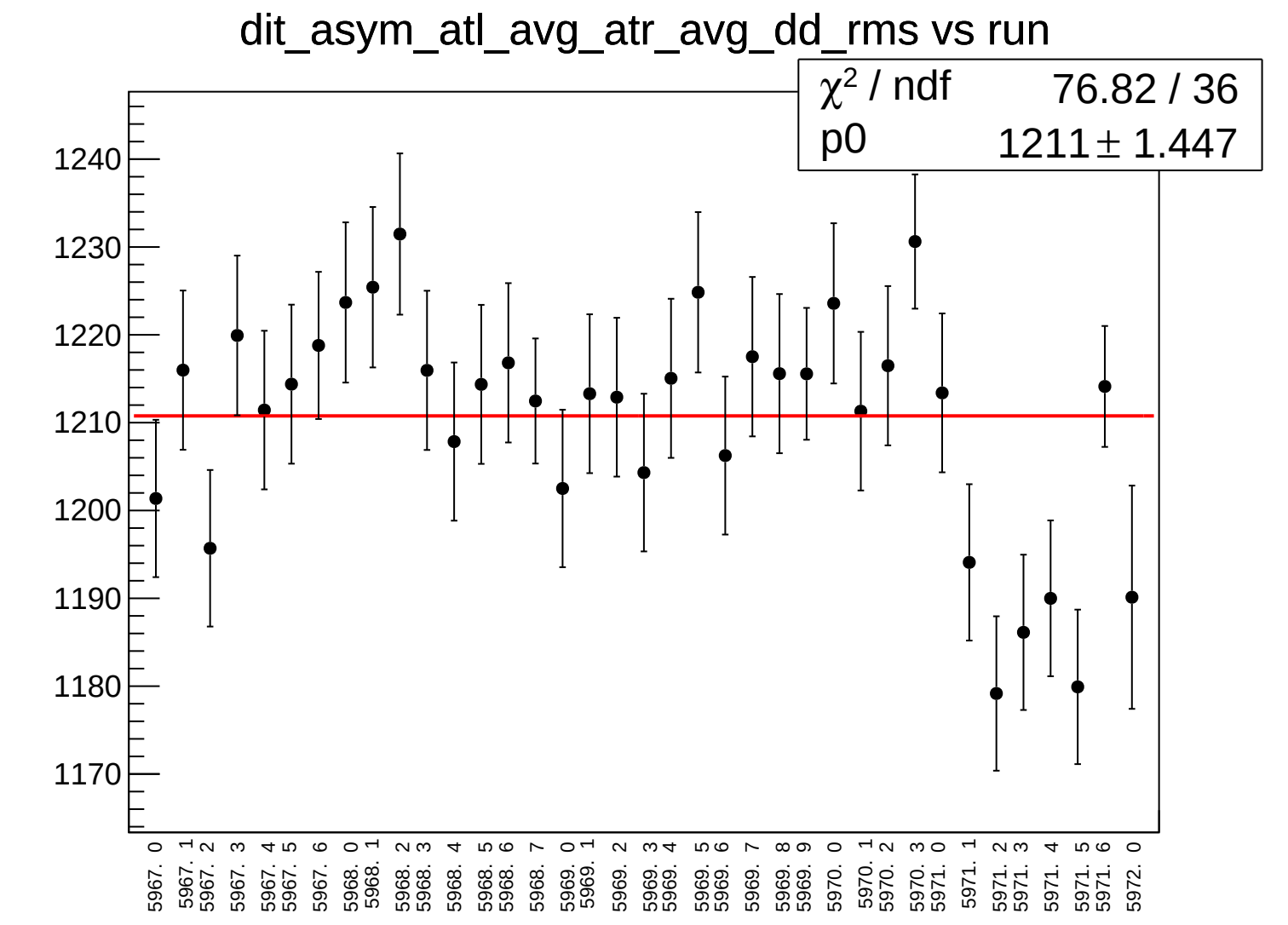
dit_asym_atl_avg_atr_avg_dd_rms vs run
χ² / ndf 76.82 / 36
p0 1211 ± 1.447
1240
1230
1220
1210
1200
1190
1180
1170
5967. 0
5967. 1
5967. 2
5967. 3
5967. 4
5967. 5
5967. 6
5968. 0
5968. 1
5968. 2
5968. 3
5968. 4
5968. 5
5968. 6
5968. 7
5969. 0
5969. 1
5969. 2
5969. 3
5969. 4
5969. 5
5969. 6
5969. 7
5969. 8
5969. 9
5970. 0
5970. 1
5970. 2
5970. 3
5971. 0
5971. 1
5971. 2
5971. 3
5971. 4
5971. 5
5971. 6
5972. 0

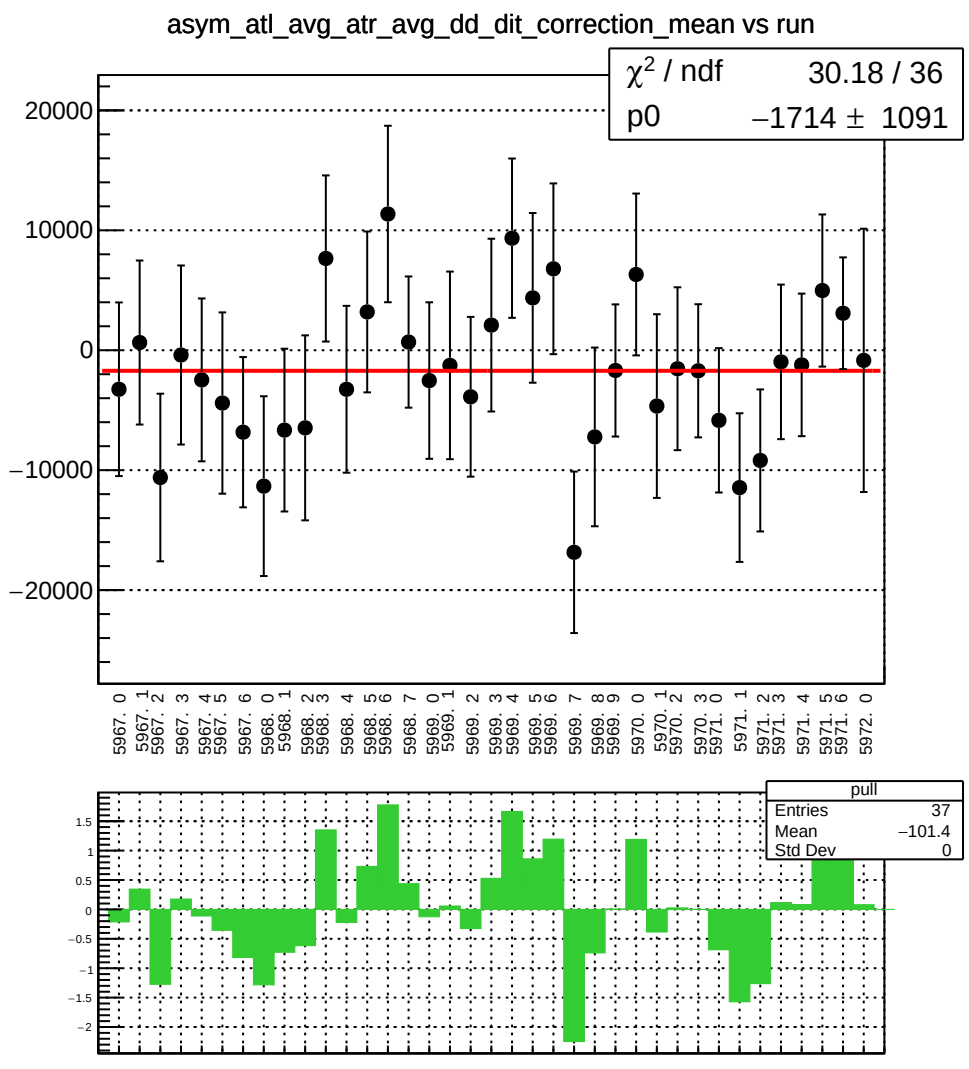
asym_atl_avg_atr_avg_dd_dit_correction_mean vs run
χ² / ndf 30.18 / 36
p0 −1714 ± 1091
20000
10000
0
−10000
−20000
5967. 0
5967. 1
5967. 2
5967. 3
5967. 4
5967. 5
5967. 6
5968. 0
5968. 1
5968. 2
5968. 3
5968. 4
5968. 5
5968. 6
5968. 7
5969. 0
5969. 1
5969. 2
5969. 3
5969. 4
5969. 5
5969. 6
5969. 7
5969. 8
5969. 9
5970. 0
5970. 1
5970. 2
5970. 3
5971. 0
5971. 1
5971. 2
5971. 3
5971. 4
5971. 5
5971. 6
5972. 0
pull
Entries 37
Mean −101.4
Std Dev 0
1.5
1
0.5
0
−0.5
−1
−1.5
−2

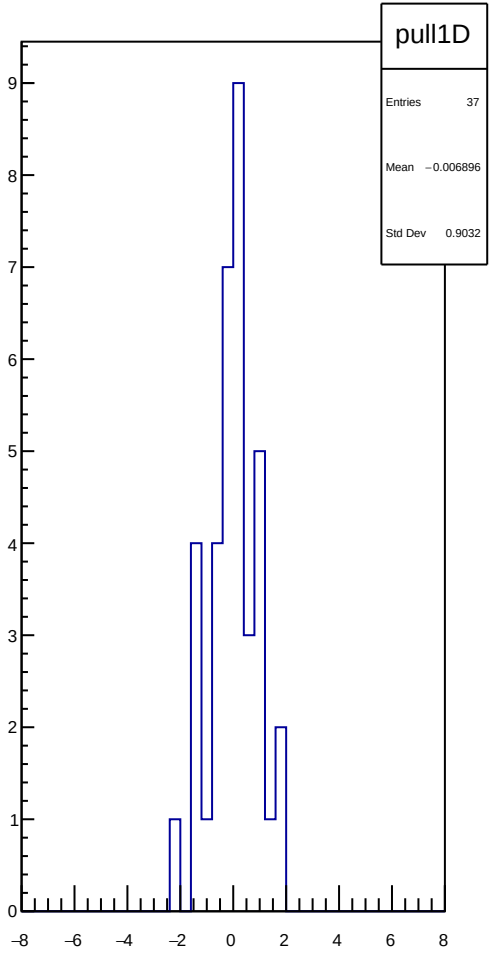
pull1D
Entries 37
Mean −0.006896
Std Dev 0.9032
9
8
7
6
5
4
3
2
1
0
−8
−6
−4
−2
0
2
4
6
8

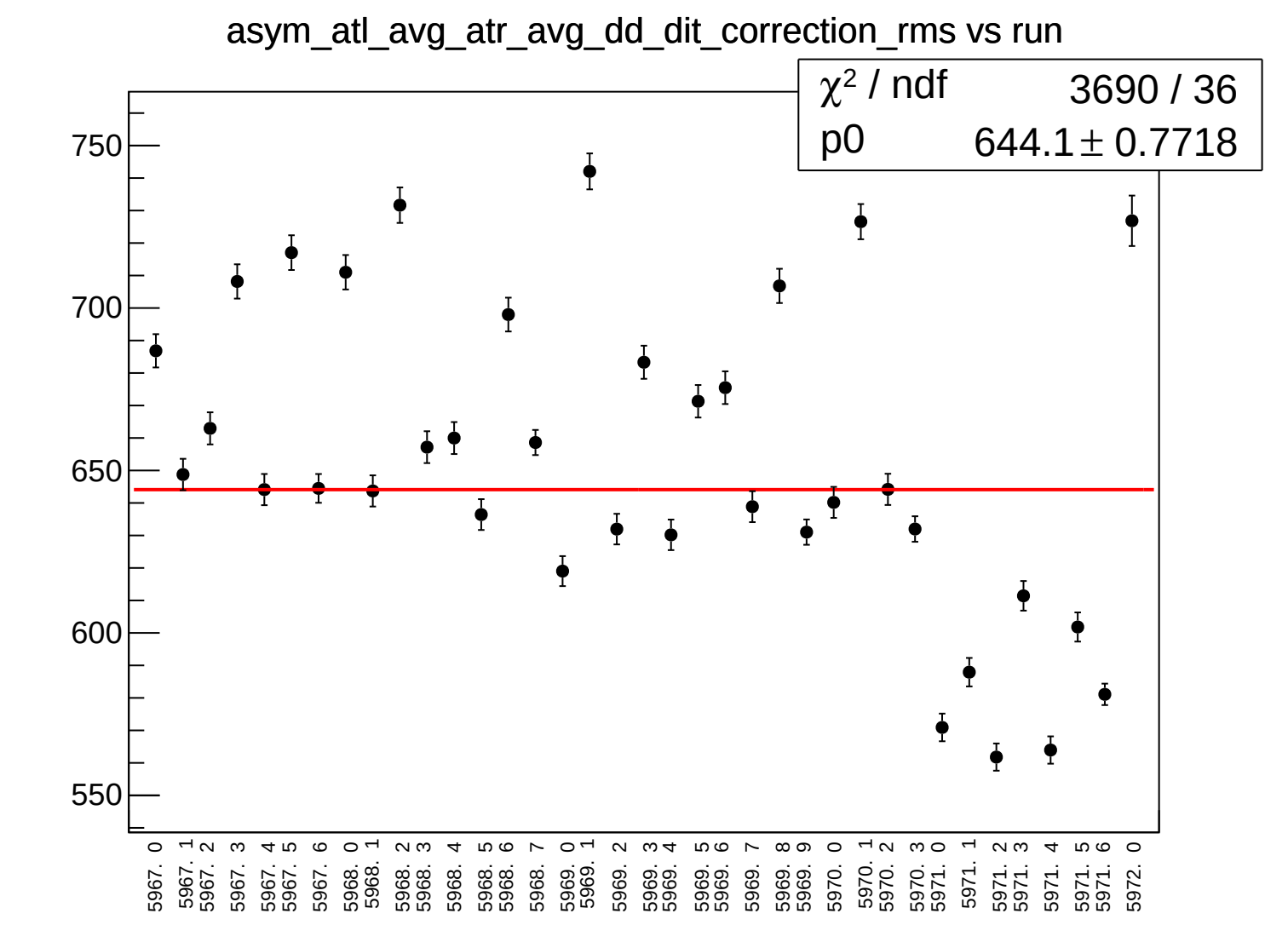
asym_atl_avg_atr_avg_dd_dit_correction_rms vs run
χ² / ndf 3690 / 36
p0 644.1 ± 0.7718
750
700
650
600
550
5967. 0
5967. 1
5967. 2
5967. 3
5967. 4
5967. 5
5967. 6
5968. 0
5968. 1
5968. 2
5968. 3
5968. 4
5968. 5
5968. 6
5968. 7
5969. 0
5969. 1
5969. 2
5969. 3
5969. 4
5969. 5
5969. 6
5969. 7
5969. 8
5969. 9
5970. 0
5970. 1
5970. 2
5970. 3
5971. 0
5971. 1
5971. 2
5971. 3
5971. 4
5971. 5
5971. 6
5972. 0

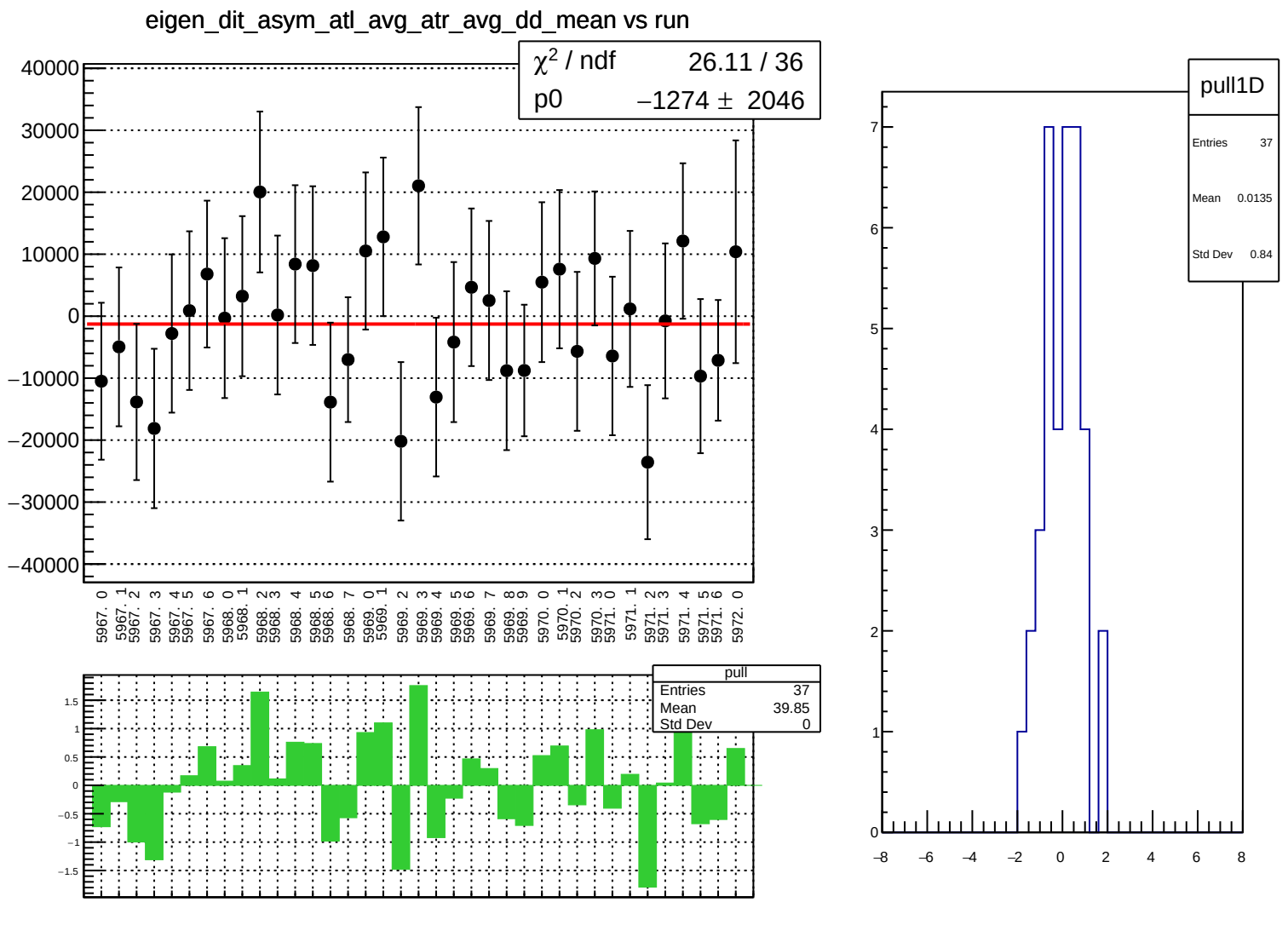
eigen_dit_asym_atl_avg_atr_avg_dd_mean vs run
χ² / ndf 26.11 / 36
p0 −1274 ± 2046
pull
Entries 37
Mean 39.85
Std Dev 0
pull1D
Entries 37
Mean 0.0135
Std Dev 0.84

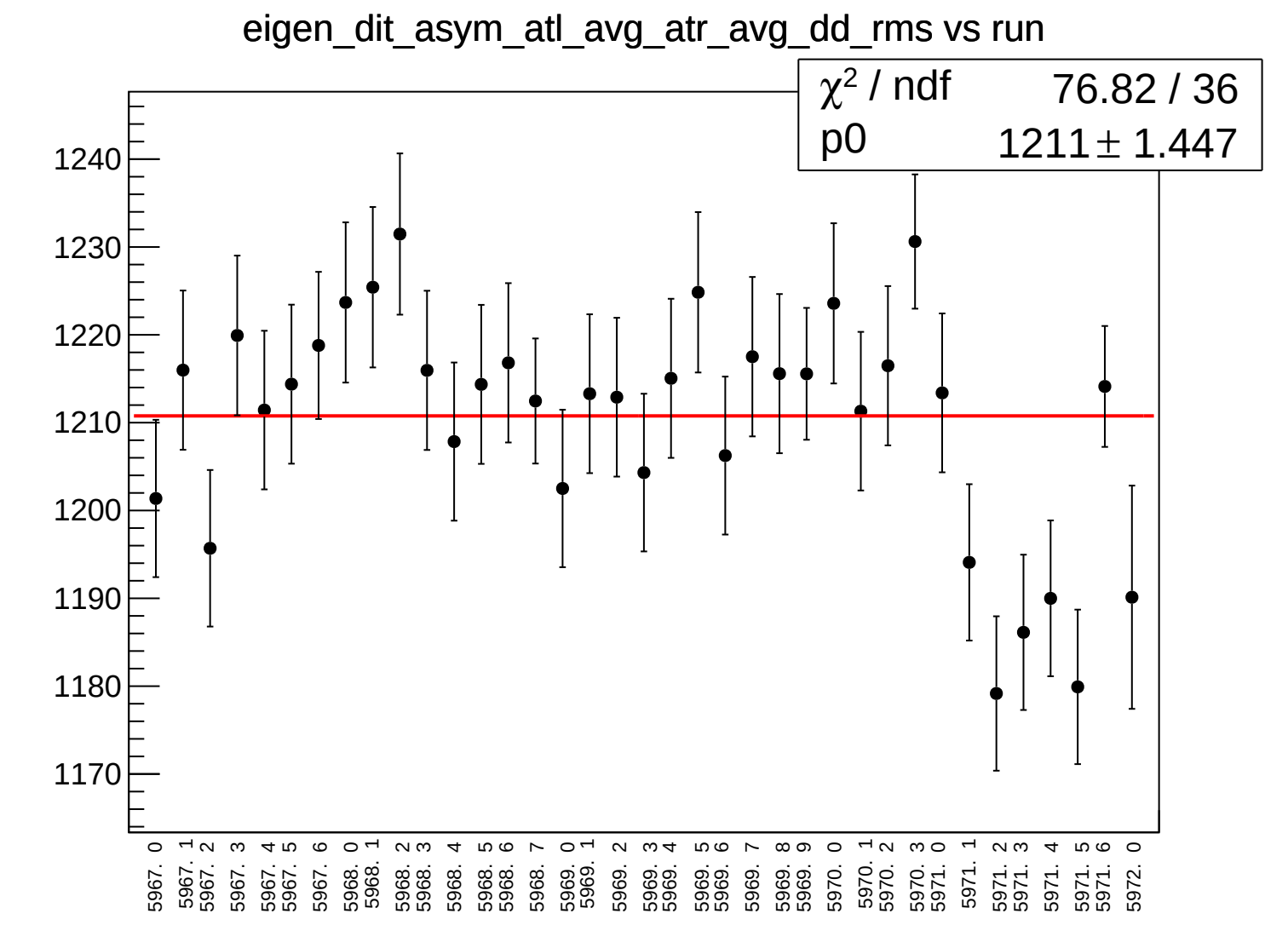
eigen_dit_asym_atl_avg_atr_avg_dd_rms vs run
χ² / ndf 76.82 / 36
p0 1211 ± 1.447
1240
1230
1220
1210
1200
1190
1180
1170
5967. 0
5967. 1
5967. 2
5967. 3
5967. 4
5967. 5
5967. 6
5968. 0
5968. 1
5968. 2
5968. 3
5968. 4
5968. 5
5968. 6
5968. 7
5969. 0
5969. 1
5969. 2
5969. 3
5969. 4
5969. 5
5969. 6
5969. 7
5969. 8
5969. 9
5970. 0
5970. 1
5970. 2
5970. 3
5971. 0
5971. 1
5971. 2
5971. 3
5971. 4
5971. 5
5971. 6
5972. 0

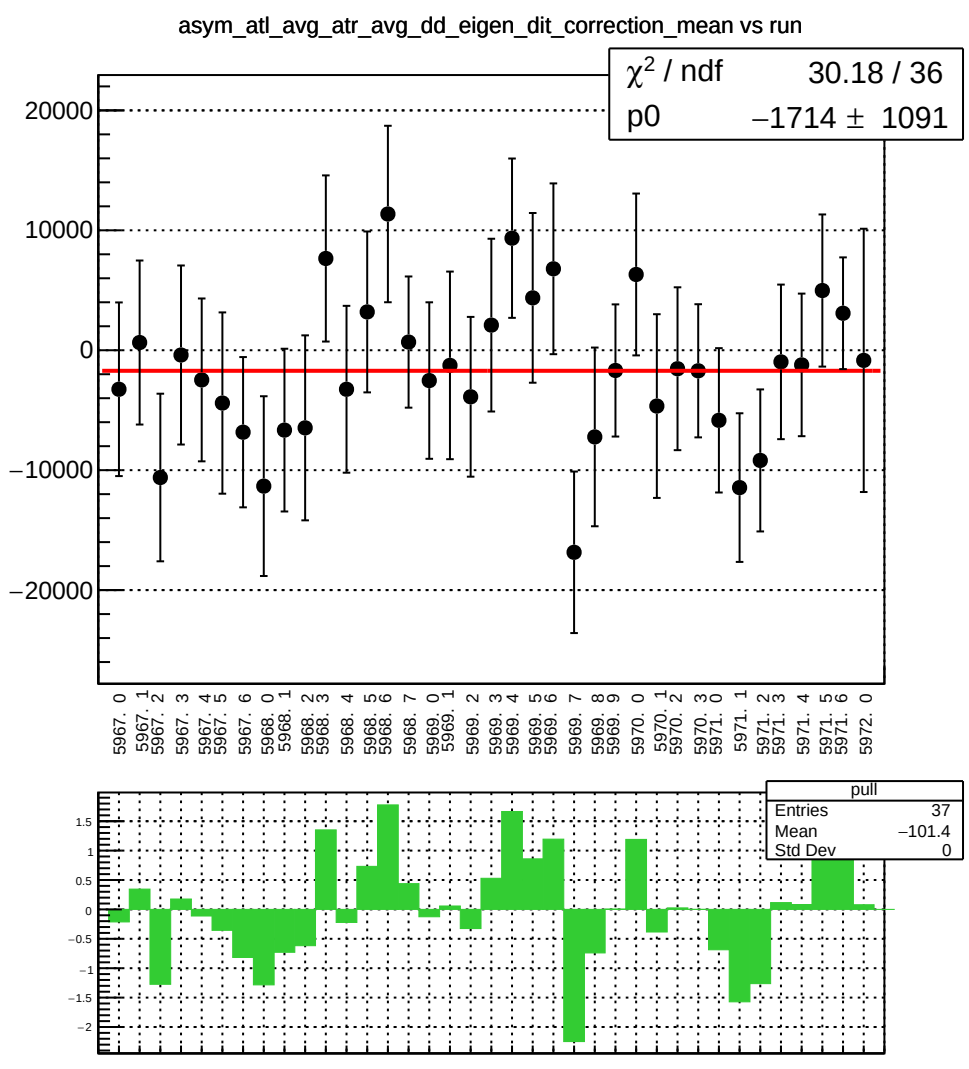
asym_atl_avg_atr_avg_dd_eigen_dit_correction_mean vs run
χ² / ndf 30.18 / 36
p0 −1714 ± 1091
20000
10000
0
−10000
−20000
5967. 0
5967. 1
5967. 2
5967. 3
5967. 4
5967. 5
5967. 6
5968. 0
5968. 1
5968. 2
5968. 3
5968. 4
5968. 5
5968. 6
5968. 7
5969. 0
5969. 1
5969. 2
5969. 3
5969. 4
5969. 5
5969. 6
5969. 7
5969. 8
5969. 9
5970. 0
5970. 1
5970. 2
5970. 3
5971. 0
5971. 1
5971. 2
5971. 3
5971. 4
5971. 5
5971. 6
5972. 0
pull
Entries 37
Mean −101.4
Std Dev 0
1.5
1
0.5
0
−0.5
−1
−1.5
−2

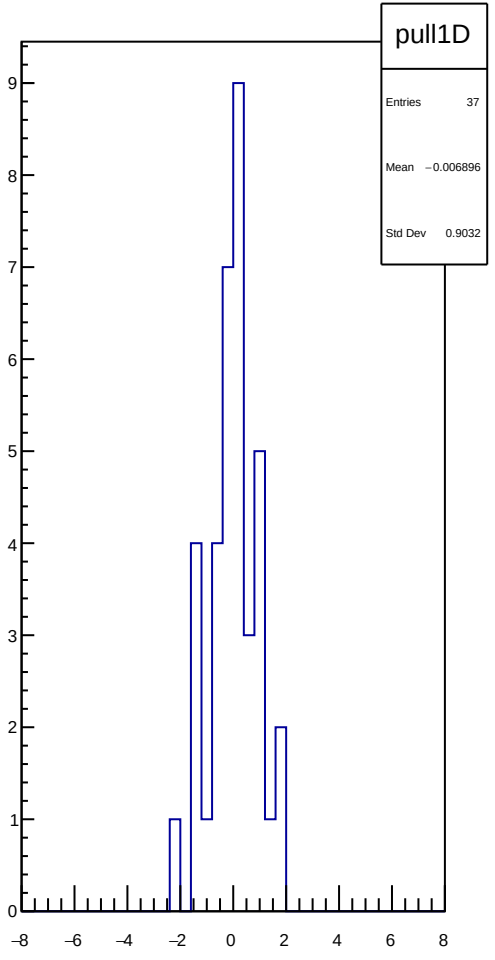
pull1D
Entries 37
Mean −0.006896
Std Dev 0.9032
9
8
7
6
5
4
3
2
1
0
−8
−6
−4
−2
0
2
4
6
8

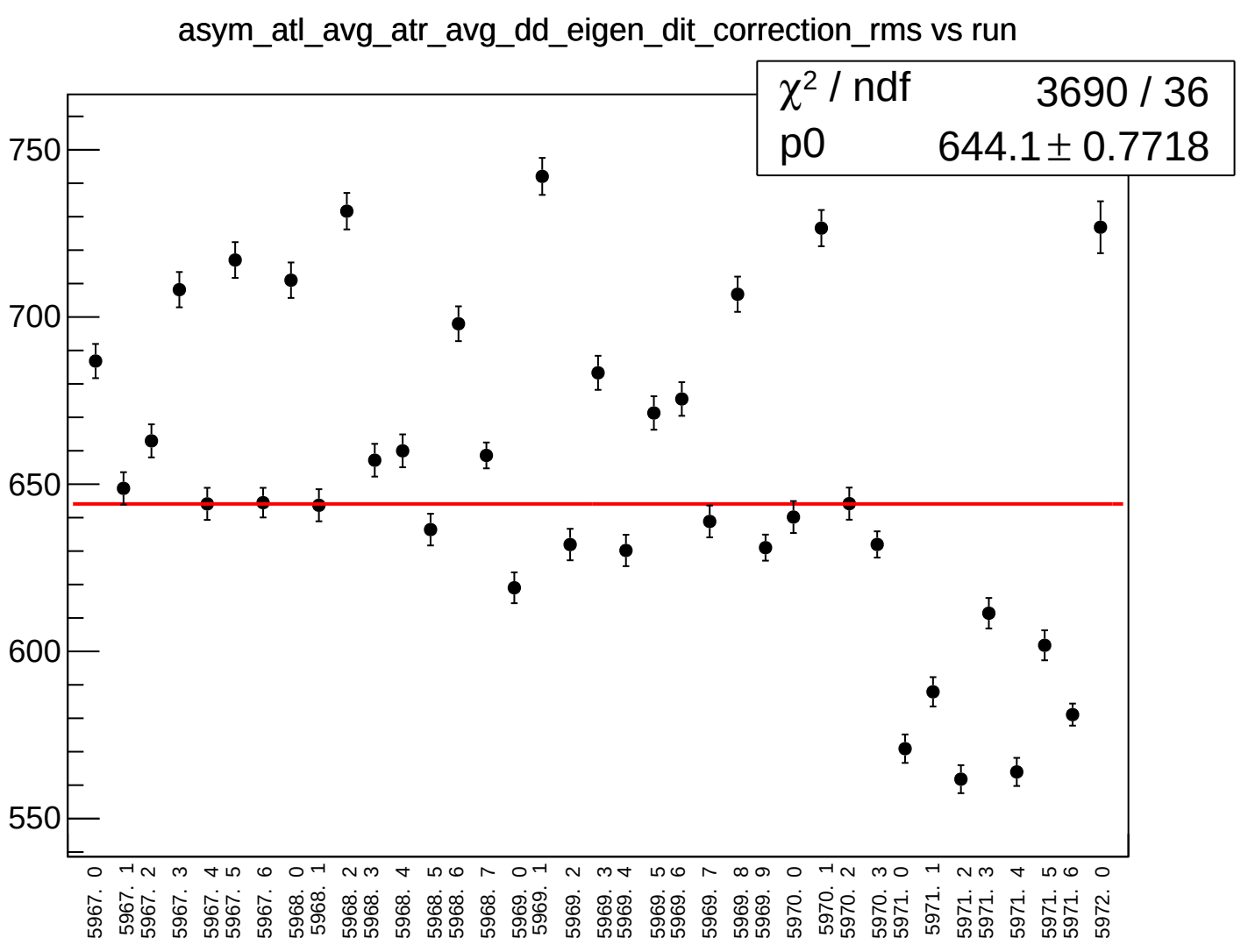
asym_atl_avg_atr_avg_dd_eigen_dit_correction_rms vs run
χ² / ndf 3690 / 36
p0 644.1 ± 0.7718
750
700
650
600
550
5967. 0
5967. 1
5967. 2
5967. 3
5967. 4
5967. 5
5967. 6
5968. 0
5968. 1
5968. 2
5968. 3
5968. 4
5968. 5
5968. 6
5968. 7
5969. 0
5969. 1
5969. 2
5969. 3
5969. 4
5969. 5
5969. 6
5969. 7
5969. 8
5969. 9
5970. 0
5970. 1
5970. 2
5970. 3
5971. 0
5971. 1
5971. 2
5971. 3
5971. 4
5971. 5
5971. 6
5972. 0

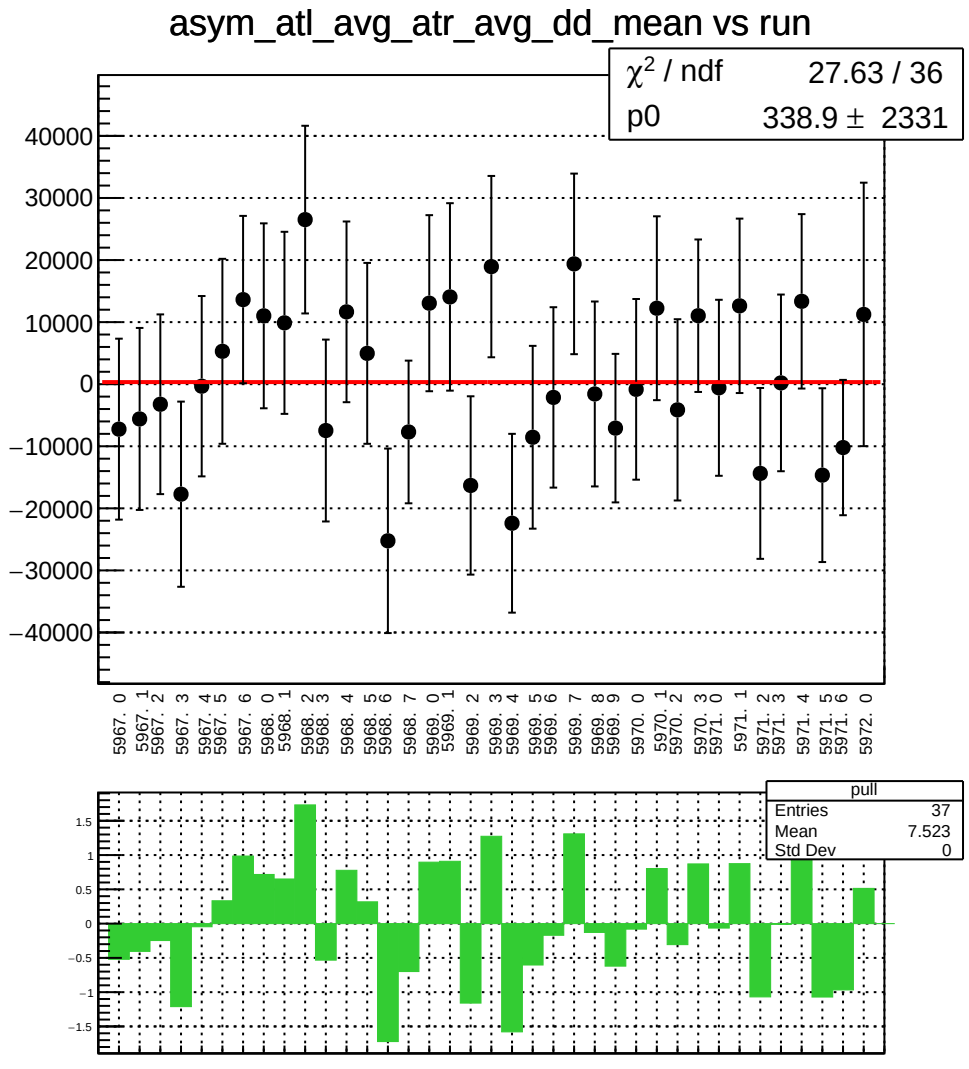
asym_atl_avg_atr_avg_dd_mean vs run
χ² / ndf 27.63 / 36
p0 338.9 ± 2331
40000
30000
20000
10000
0
−10000
−20000
−30000
−40000
5967. 0
5967. 1
5967. 2
5967. 3
5967. 4
5967. 5
5967. 6
5968. 0
5968. 1
5968. 2
5968. 3
5968. 4
5968. 5
5968. 6
5968. 7
5969. 0
5969. 1
5969. 2
5969. 3
5969. 4
5969. 5
5969. 6
5969. 7
5969. 8
5969. 9
5970. 0
5970. 1
5970. 2
5970. 3
5971. 0
5971. 1
5971. 2
5971. 3
5971. 4
5971. 5
5971. 6
5972. 0
pull
Entries 37
Mean 7.523
Std Dev 0
1.5
1
0.5
0
−0.5
−1
−1.5

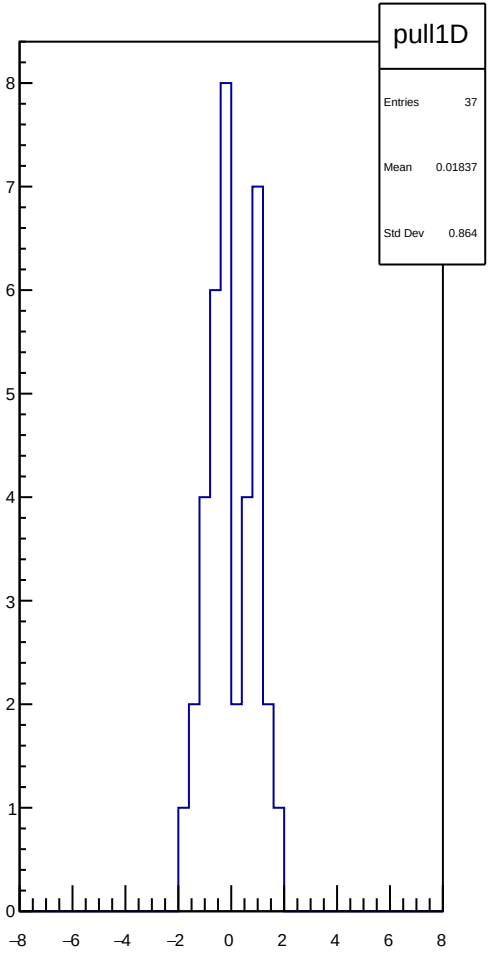
pull1D
Entries 37
Mean 0.01837
Std Dev 0.864
8
7
6
5
4
3
2
1
0
−8
−6
−4
−2
0
2
4
6
8

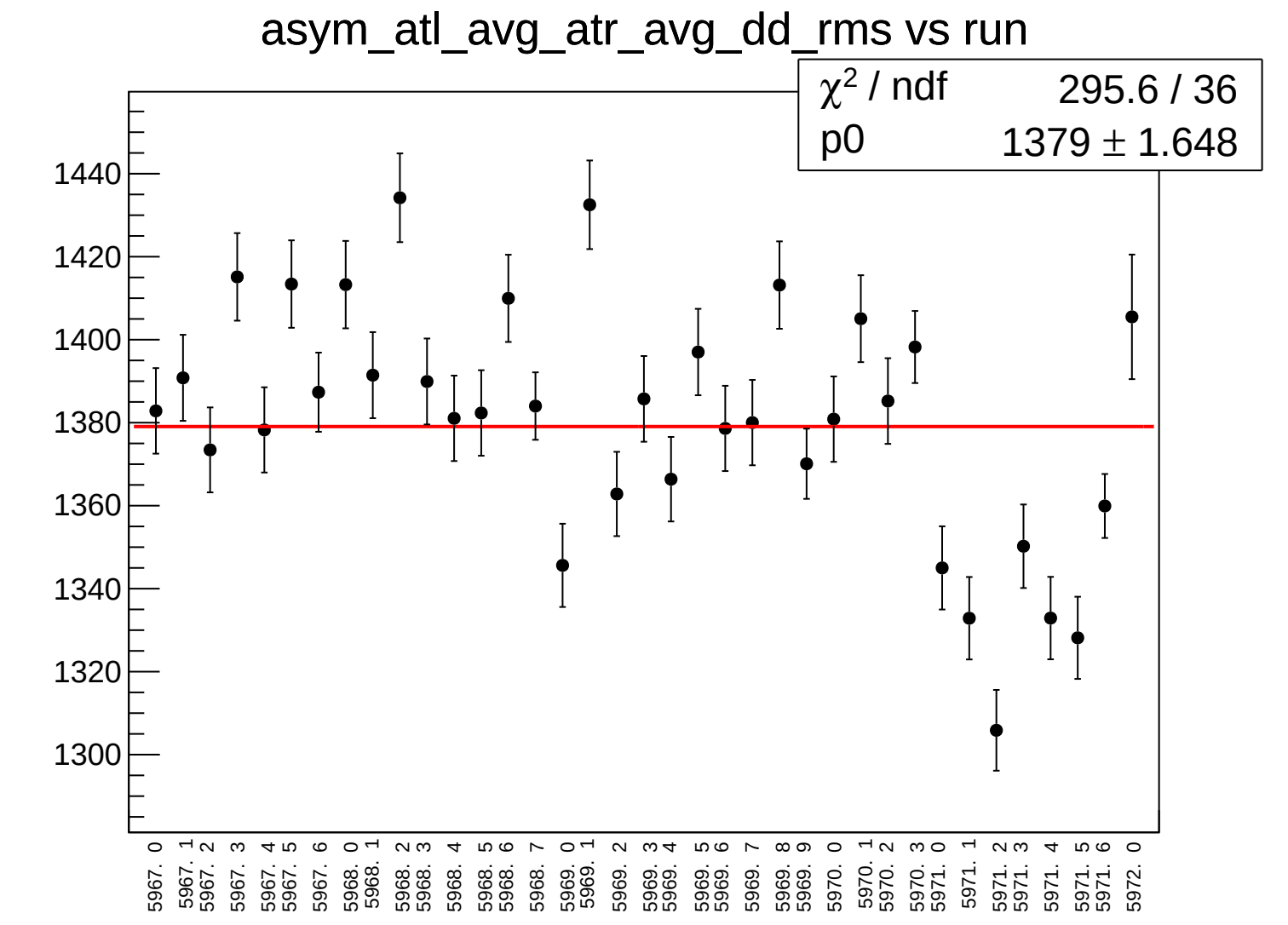
asym_atl_avg_atr_avg_dd_rms vs run
χ² / ndf 295.6 / 36
p0 1379 ± 1.648
1440
1420
1400
1380
1360
1340
1320
1300
5967. 0
5967. 1
5967. 2
5967. 3
5967. 4
5967. 5
5967. 6
5968. 0
5968. 1
5968. 2
5968. 3
5968. 4
5968. 5
5968. 6
5968. 7
5969. 0
5969. 1
5969. 2
5969. 3
5969. 4
5969. 5
5969. 6
5969. 7
5969. 8
5969. 9
5970. 0
5970. 1
5970. 2
5970. 3
5971. 0
5971. 1
5971. 2
5971. 3
5971. 4
5971. 5
5971. 6
5972. 0

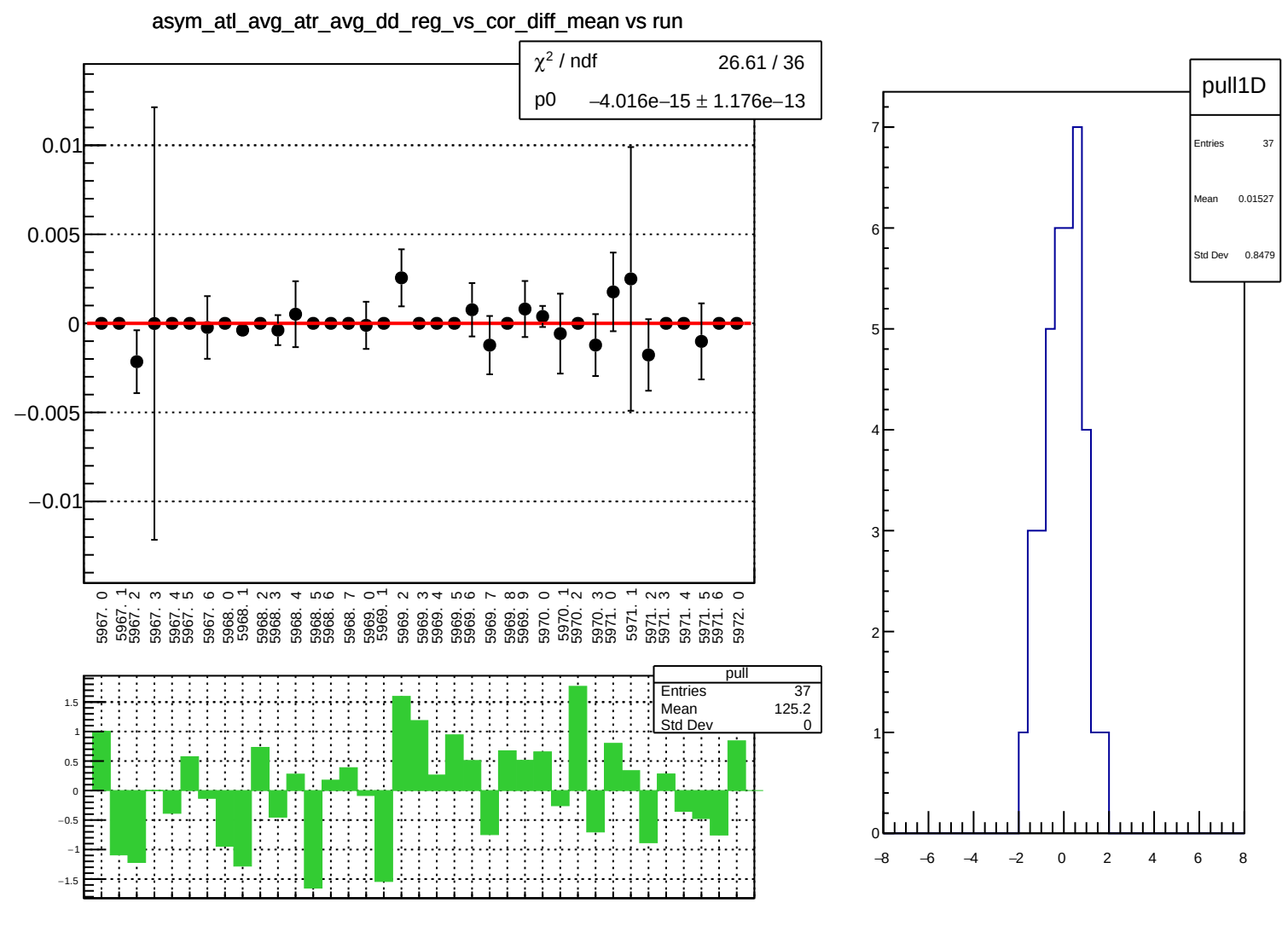
asym_atl_avg_atr_avg_dd_reg_vs_cor_diff_mean vs run
χ² / ndf 26.61 / 36
p0 −4.016e−15 ± 1.176e−13
0.01
0.005
0
−0.005
−0.01
5967. 0
5967. 1
5967. 2
5967. 3
5967. 4
5967. 5
5967. 6
5968. 0
5968. 1
5968. 2
5968. 3
5968. 4
5968. 5
5968. 6
5968. 7
5969. 0
5969. 1
5969. 2
5969. 3
5969. 4
5969. 5
5969. 6
5969. 7
5969. 8
5969. 9
5970. 0
5970. 1
5970. 2
5970. 3
5971. 0
5971. 1
5971. 2
5971. 3
5971. 4
5971. 5
5971. 6
5972. 0
pull
Entries 37
Mean 125.2
Std Dev 0
1.5
1
0.5
0
−0.5
−1
−1.5
pull1D
Entries 37
Mean 0.01527
Std Dev 0.8479
7
6
5
4
3
2
1
0
−8
−6
−4
−2
0
2
4
6
8

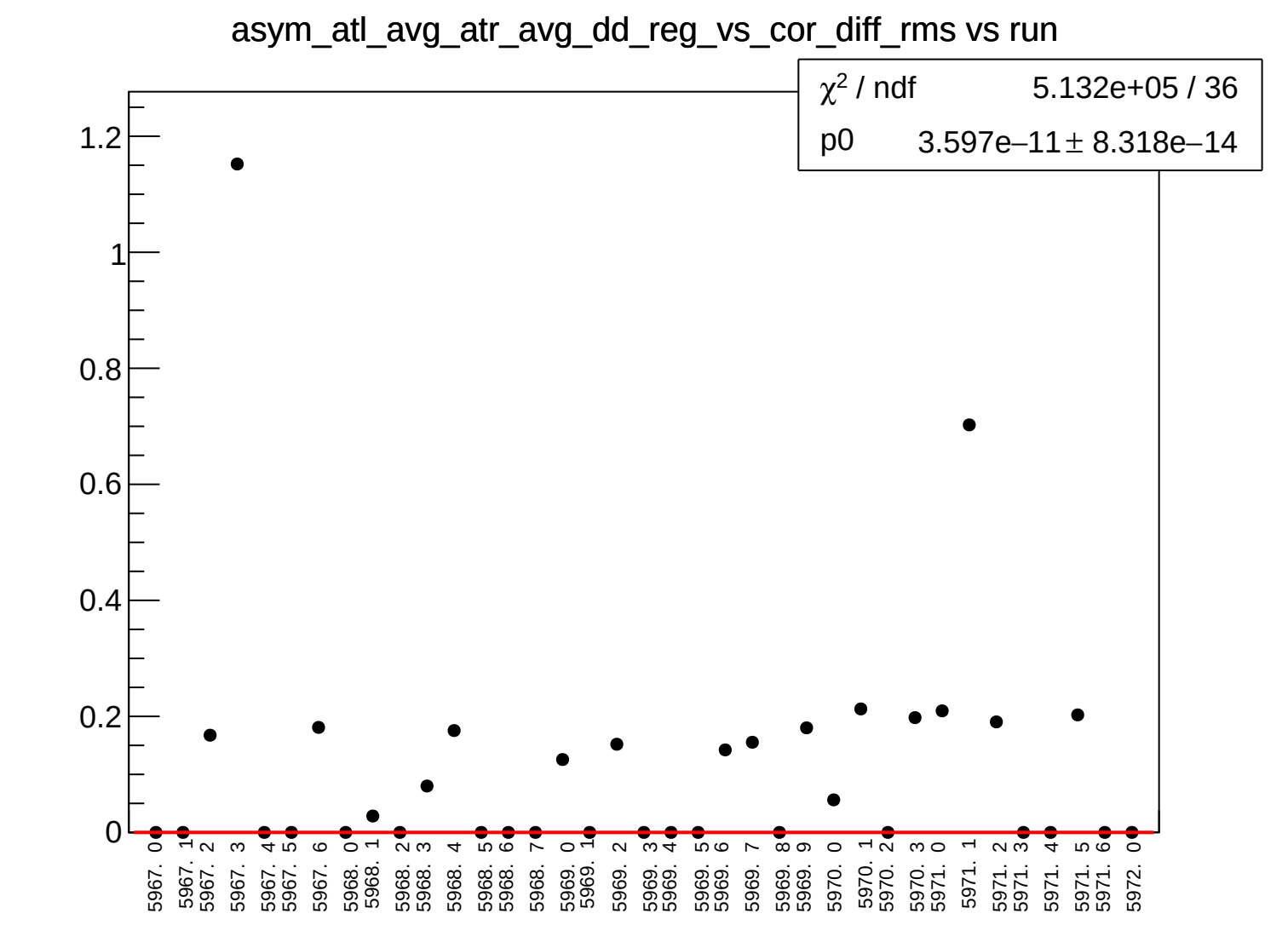
asym_atl_avg_atr_avg_dd_reg_vs_cor_diff_rms vs run
χ² / ndf 5.132e+05 / 36
p0 3.597e−11 ± 8.318e−14
1.2
1
0.8
0.6
0.4
0.2
0
5967. 0
5967. 1
5967. 2
5967. 3
5967. 4
5967. 5
5967. 6
5968. 0
5968. 1
5968. 2
5968. 3
5968. 4
5968. 5
5968. 6
5968. 7
5969. 0
5969. 1
5969. 2
5969. 3
5969. 4
5969. 5
5969. 6
5969. 7
5969. 8
5969. 9
5970. 0
5970. 1
5970. 2
5970. 3
5971. 0
5971. 1
5971. 2
5971. 3
5971. 4
5971. 5
5971. 6
5972. 0

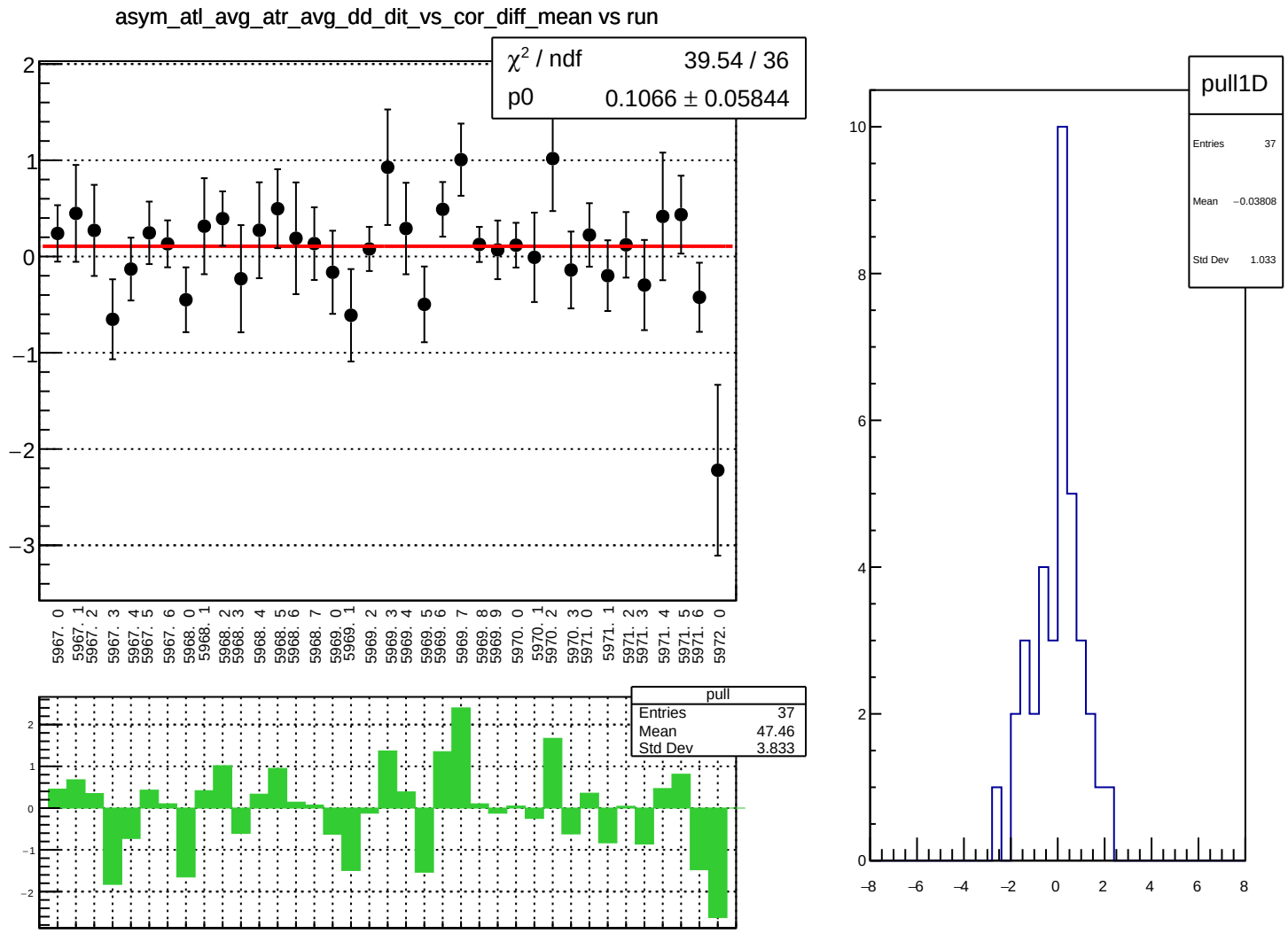
asym_atl_avg_atr_avg_dd_dit_vs_cor_diff_mean vs run
χ² / ndf 39.54 / 36
p0 0.1066 ± 0.05844
pull
Entries 37
Mean 47.46
Std Dev 3.833
pull1D
Entries 37
Mean −0.03808
Std Dev 1.033

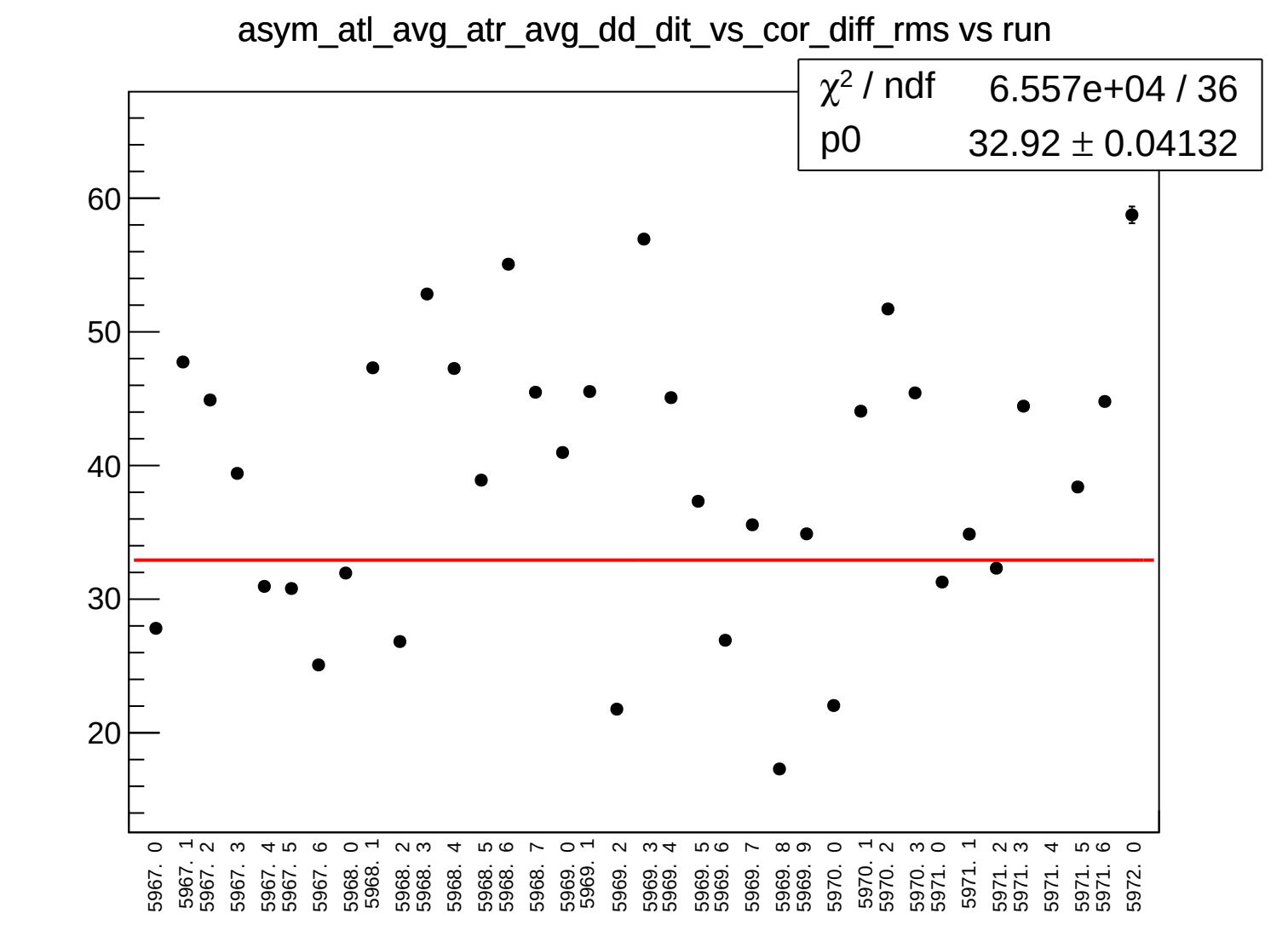
asym_atl_avg_atr_avg_dd_dit_vs_cor_diff_rms vs run
χ² / ndf 6.557e+04 / 36
p0 32.92 ± 0.04132
60
50
40
30
20
5967. 0
5967. 1
5967. 2
5967. 3
5967. 4
5967. 5
5967. 6
5968. 0
5968. 1
5968. 2
5968. 3
5968. 4
5968. 5
5968. 6
5968. 7
5969. 0
5969. 1
5969. 2
5969. 3
5969. 4
5969. 5
5969. 6
5969. 7
5969. 8
5969. 9
5970. 0
5970. 1
5970. 2
5970. 3
5971. 0
5971. 1
5971. 2
5971. 3
5971. 4
5971. 5
5971. 6
5972. 0

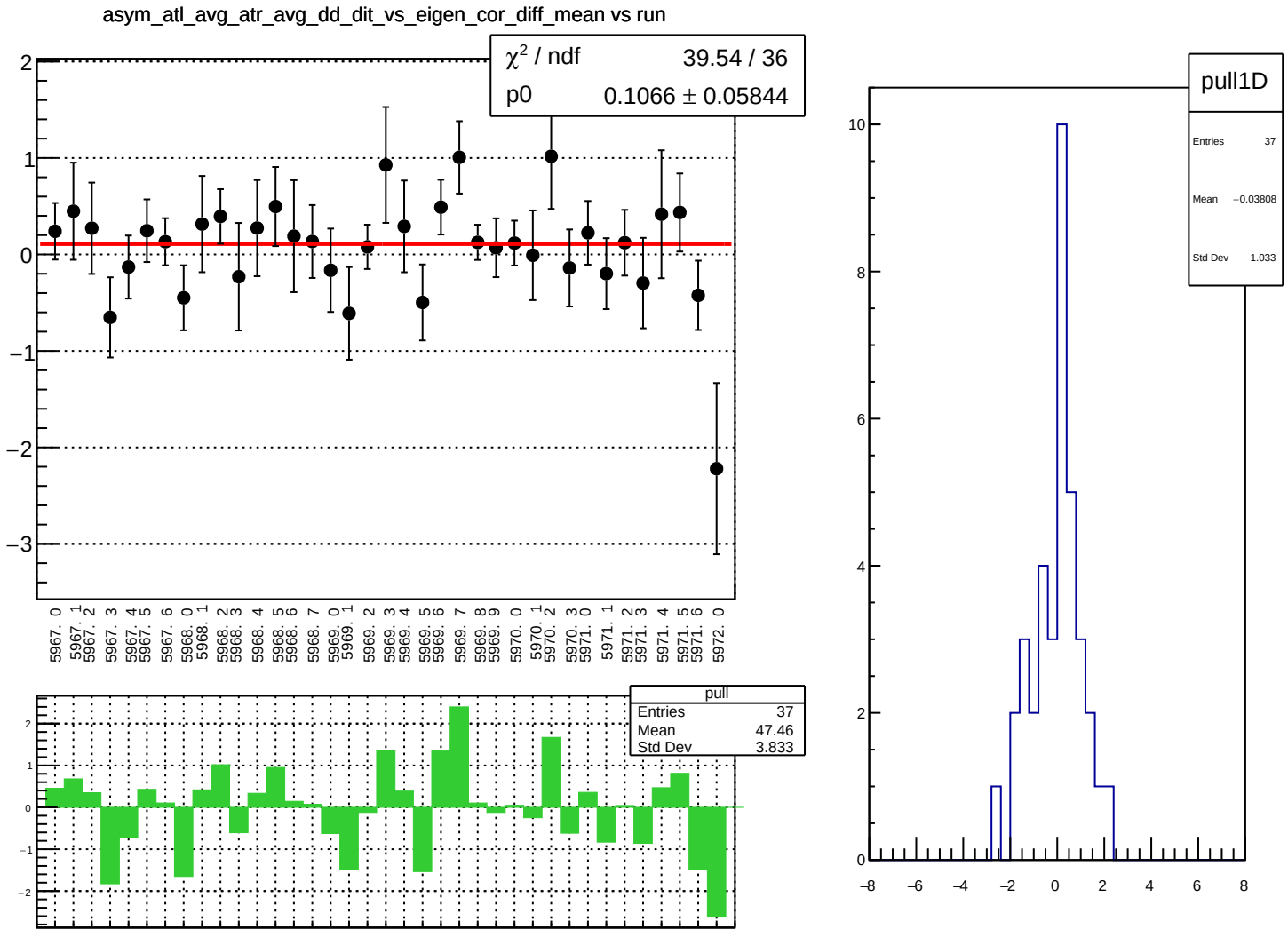
asym_atl_avg_atr_avg_dd_dit_vs_eigen_cor_diff_mean vs run
χ² / ndf 39.54 / 36
p0 0.1066 ± 0.05844
pull
Entries 37
Mean 47.46
Std Dev 3.833
pull1D
Entries 37
Mean −0.03808
Std Dev 1.033

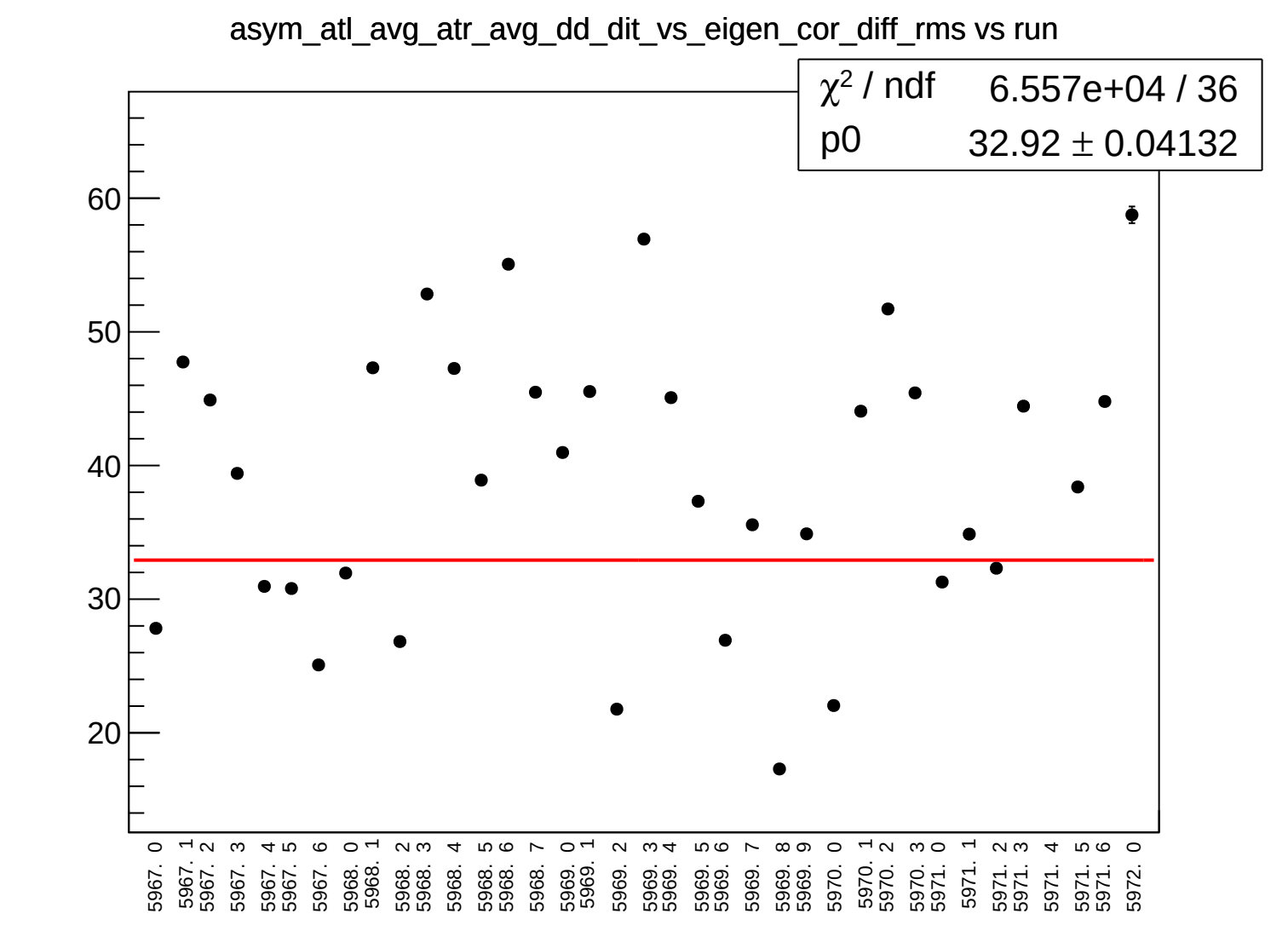
asym_atl_avg_atr_avg_dd_dit_vs_eigen_cor_diff_rms vs run
χ² / ndf 6.557e+04 / 36
p0 32.92 ± 0.04132
60
50
40
30
20
5967. 0
5967. 1
5967. 2
5967. 3
5967. 4
5967. 5
5967. 6
5968. 0
5968. 1
5968. 2
5968. 3
5968. 4
5968. 5
5968. 6
5968. 7
5969. 0
5969. 1
5969. 2
5969. 3
5969. 4
5969. 5
5969. 6
5969. 7
5969. 8
5969. 9
5970. 0
5970. 1
5970. 2
5970. 3
5971. 0
5971. 1
5971. 2
5971. 3
5971. 4
5971. 5
5971. 6
5972. 0

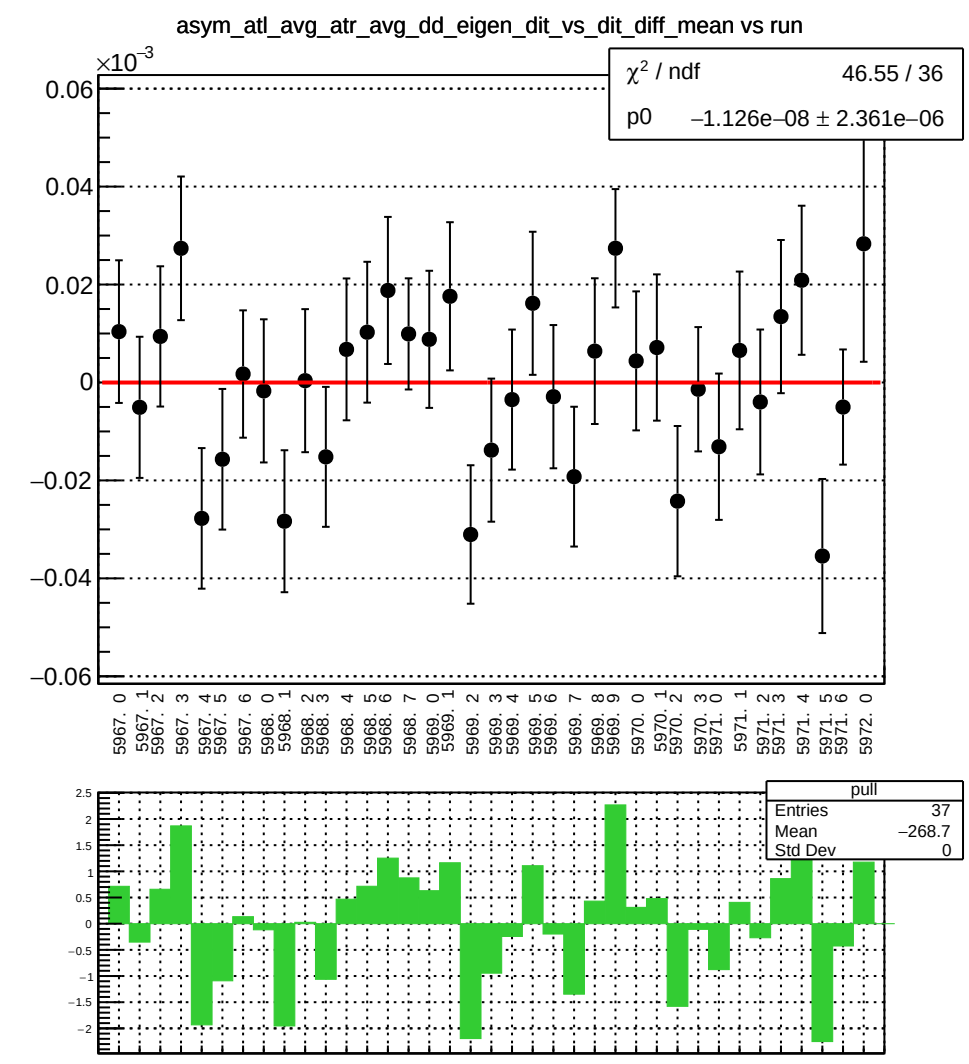
asym_atl_avg_atr_avg_dd_eigen_dit_vs_dit_diff_mean vs run
×10⁻³
χ² / ndf 46.55 / 36
p0 −1.126e−08 ± 2.361e−06
0.06
0.04
0.02
0
−0.02
−0.04
−0.06
5967. 0
5967. 1
5967. 2
5967. 3
5967. 4
5967. 5
5967. 6
5968. 0
5968. 1
5968. 2
5968. 3
5968. 4
5968. 5
5968. 6
5968. 7
5969. 0
5969. 1
5969. 2
5969. 3
5969. 4
5969. 5
5969. 6
5969. 7
5969. 8
5969. 9
5970. 0
5970. 1
5970. 2
5970. 3
5971. 0
5971. 1
5971. 2
5971. 3
5971. 4
5971. 5
5971. 6
5972. 0
pull
Entries 37
Mean −268.7
Std Dev 0
2.5
2
1.5
1
0.5
0
−0.5
−1
−1.5
−2

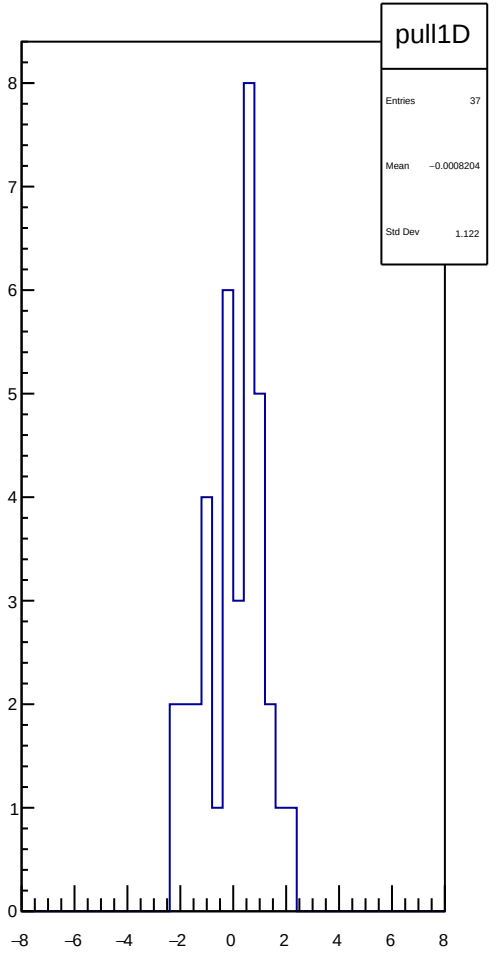
pull1D
Entries 37
Mean −0.0008204
Std Dev 1.122
8
7
6
5
4
3
2
1
0
−8
−6
−4
−2
0
2
4
6
8

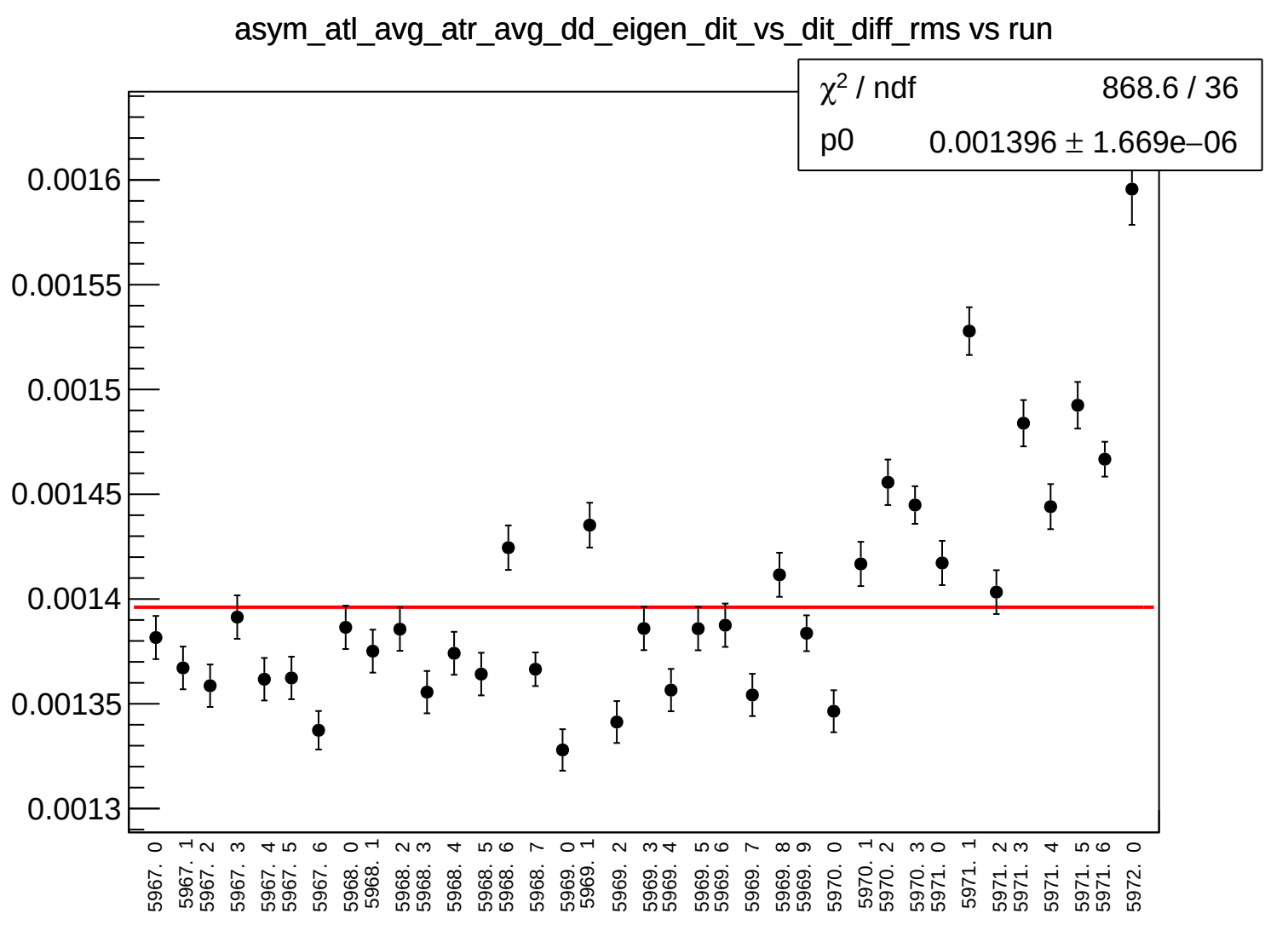
asym_atl_avg_atr_avg_dd_eigen_dit_vs_dit_diff_rms vs run
χ² / ndf 868.6 / 36
p0 0.001396 ± 1.669e−06
0.0016
0.00155
0.0015
0.00145
0.0014
0.00135
0.0013
5967. 0
5967. 1
5967. 2
5967. 3
5967. 4
5967. 5
5967. 6
5968. 0
5968. 1
5968. 2
5968. 3
5968. 4
5968. 5
5968. 6
5968. 7
5969. 0
5969. 1
5969. 2
5969. 3
5969. 4
5969. 5
5969. 6
5969. 7
5969. 8
5969. 9
5970. 0
5970. 1
5970. 2
5970. 3
5971. 0
5971. 1
5971. 2
5971. 3
5971. 4
5971. 5
5971. 6
5972. 0

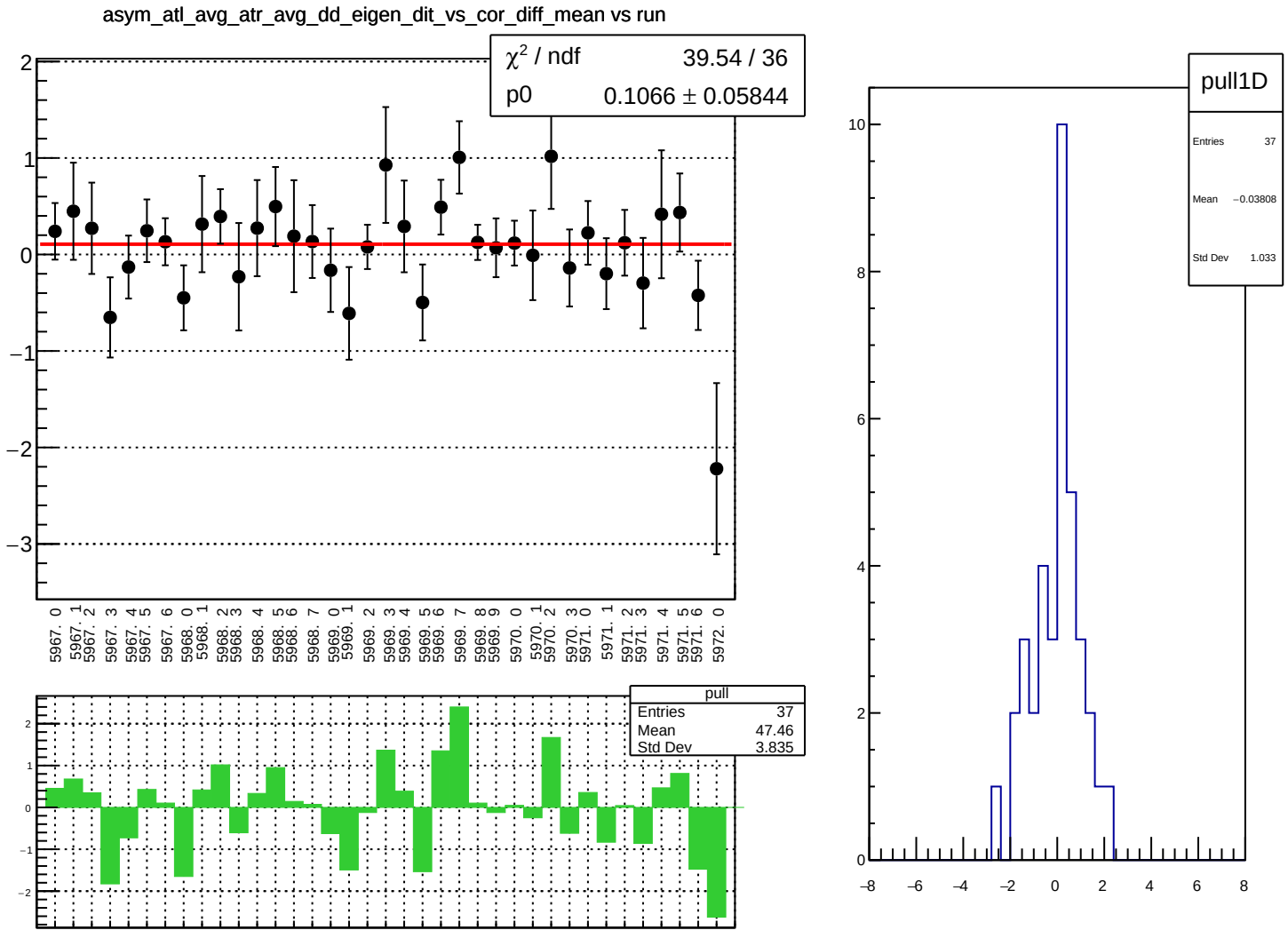
asym_atl_avg_atr_avg_dd_eigen_dit_vs_cor_diff_mean vs run
χ² / ndf 39.54 / 36
p0 0.1066 ± 0.05844
pull
Entries 37
Mean 47.46
Std Dev 3.835
pull1D
Entries 37
Mean −0.03808
Std Dev 1.033

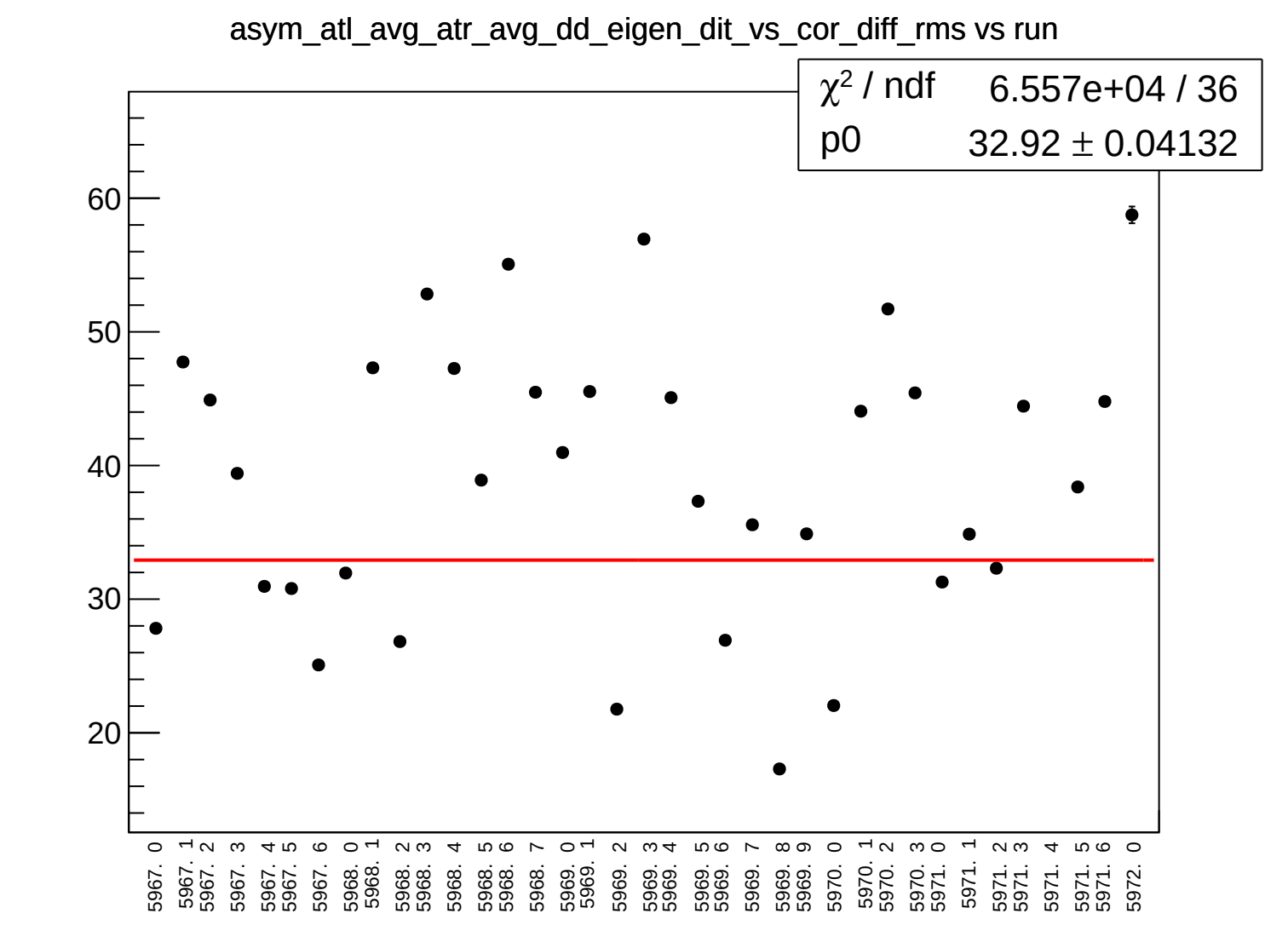
asym_atl_avg_atr_avg_dd_eigen_dit_vs_cor_diff_rms vs run
χ² / ndf 6.557e+04 / 36
p0 32.92 ± 0.04132
60
50
40
30
20
5967. 0
5967. 1
5967. 2
5967. 3
5967. 4
5967. 5
5967. 6
5968. 0
5968. 1
5968. 2
5968. 3
5968. 4
5968. 5
5968. 6
5968. 7
5969. 0
5969. 1
5969. 2
5969. 3
5969. 4
5969. 5
5969. 6
5969. 7
5969. 8
5969. 9
5970. 0
5970. 1
5970. 2
5970. 3
5971. 0
5971. 1
5971. 2
5971. 3
5971. 4
5971. 5
5971. 6
5972. 0

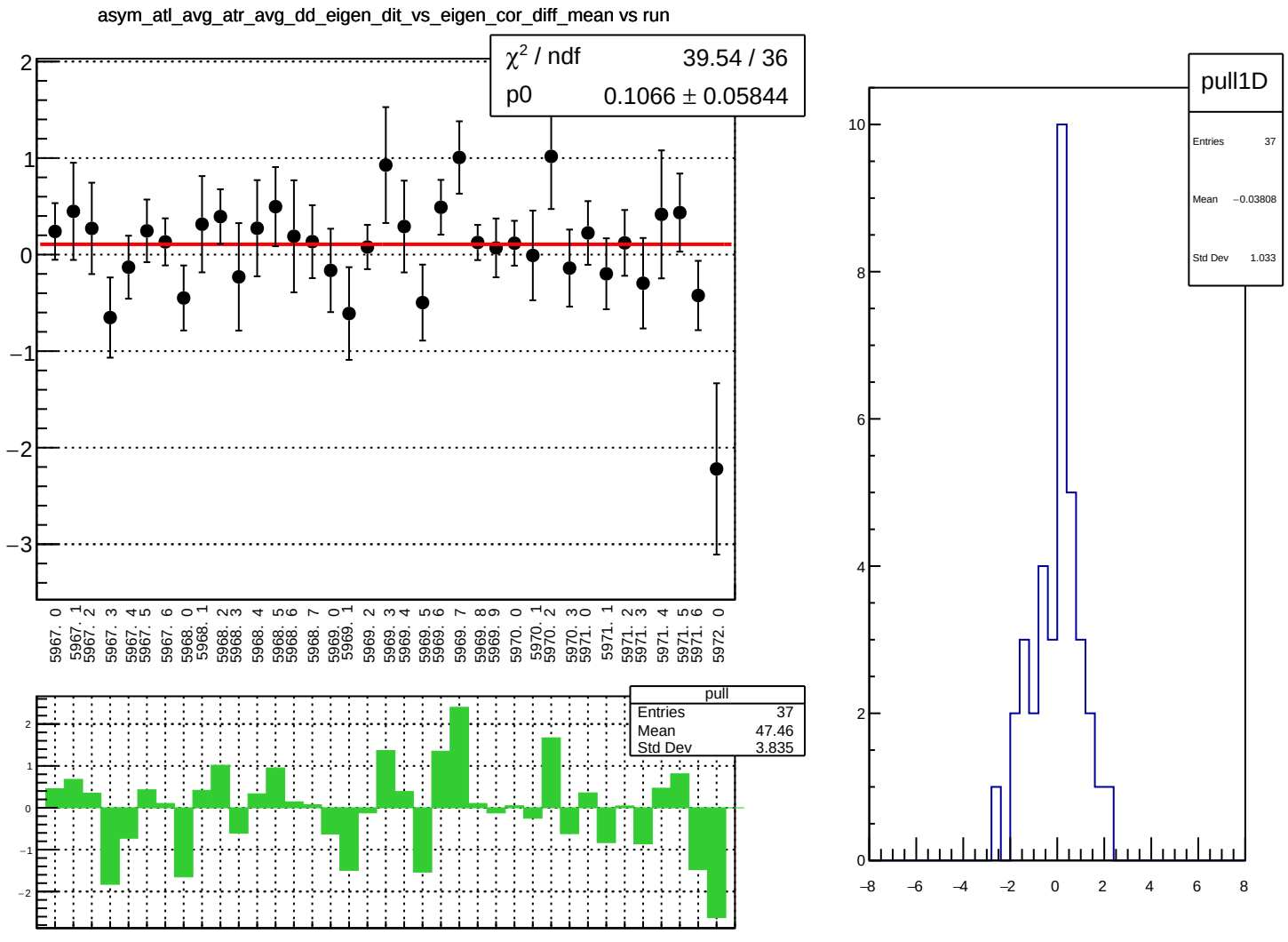
asym_atl_avg_atr_avg_dd_eigen_dit_vs_eigen_cor_diff_mean vs run
χ² / ndf 39.54 / 36
p0 0.1066 ± 0.05844
pull
Entries 37
Mean 47.46
Std Dev 3.835
pull1D
Entries 37
Mean −0.03808
Std Dev 1.033

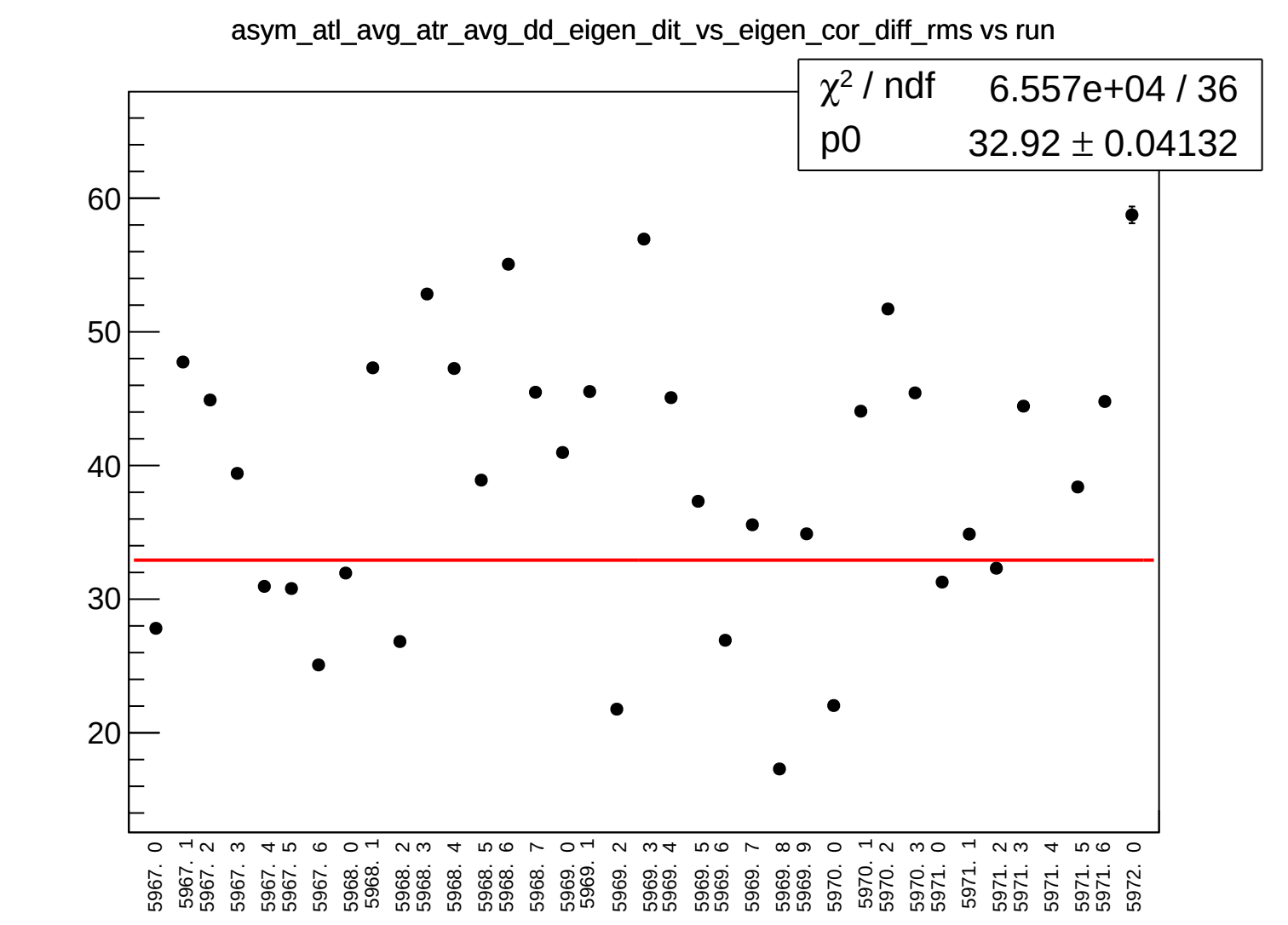
asym_atl_avg_atr_avg_dd_eigen_dit_vs_eigen_cor_diff_rms vs run
χ² / ndf 6.557e+04 / 36
p0 32.92 ± 0.04132
60
50
40
30
20
5967. 0
5967. 1
5967. 2
5967. 3
5967. 4
5967. 5
5967. 6
5968. 0
5968. 1
5968. 2
5968. 3
5968. 4
5968. 5
5968. 6
5968. 7
5969. 0
5969. 1
5969. 2
5969. 3
5969. 4
5969. 5
5969. 6
5969. 7
5969. 8
5969. 9
5970. 0
5970. 1
5970. 2
5970. 3
5971. 0
5971. 1
5971. 2
5971. 3
5971. 4
5971. 5
5971. 6
5972. 0

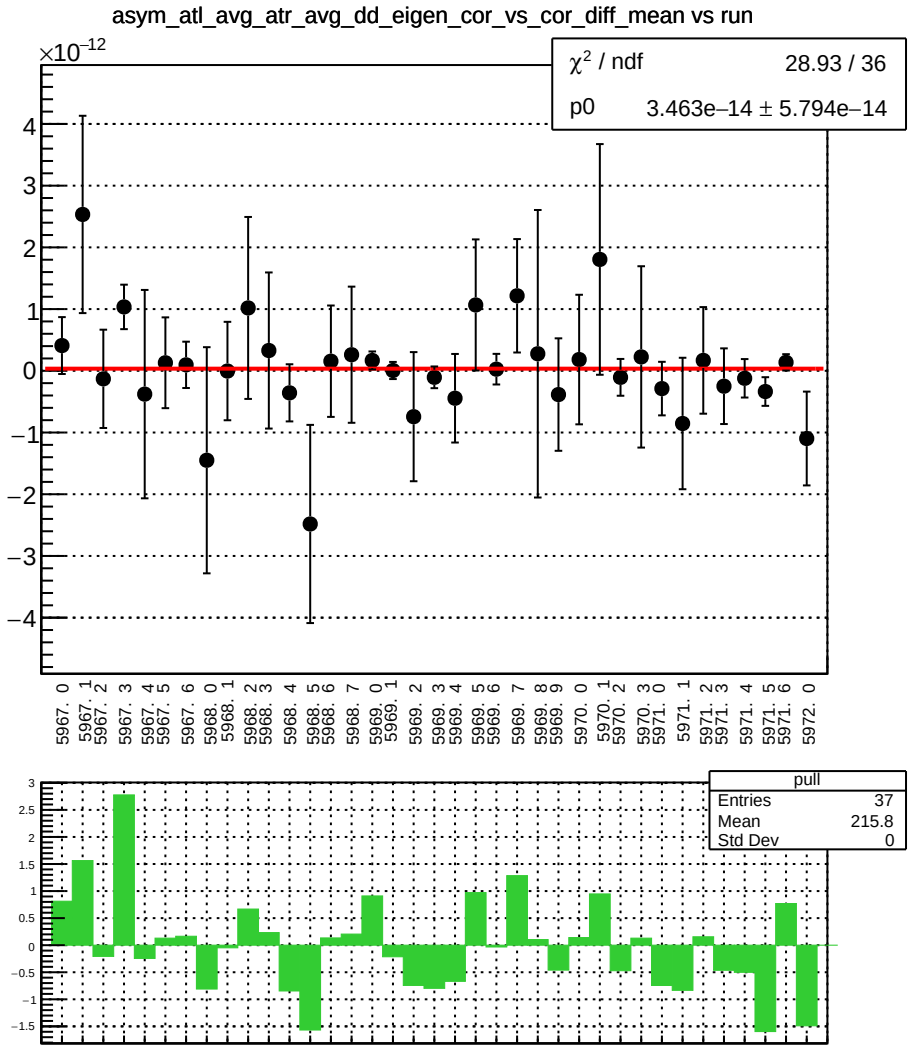
asym_atl_avg_atr_avg_dd_eigen_cor_vs_cor_diff_mean vs run
×10⁻¹²
χ² / ndf 28.93 / 36
p0 3.463e−14 ± 5.794e−14
pull
Entries 37
Mean 215.8
Std Dev 0

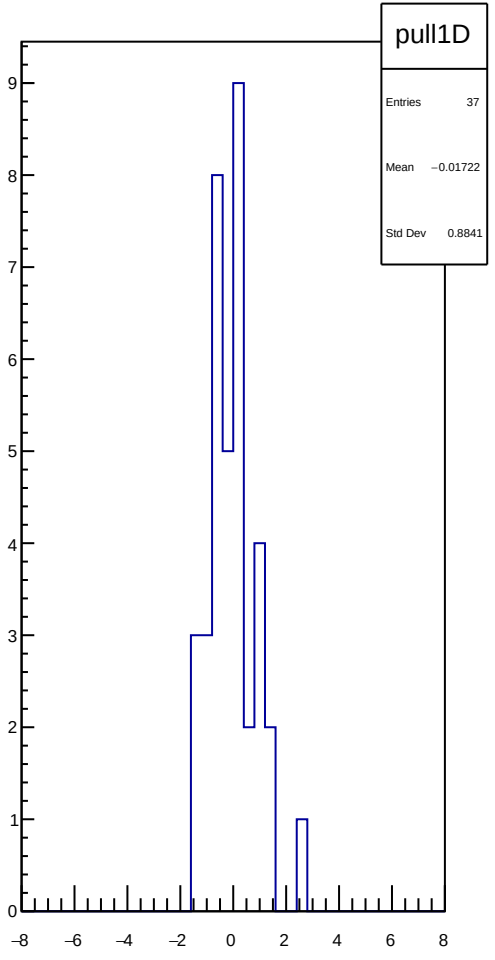
pull1D
Entries 37
Mean −0.01722
Std Dev 0.8841

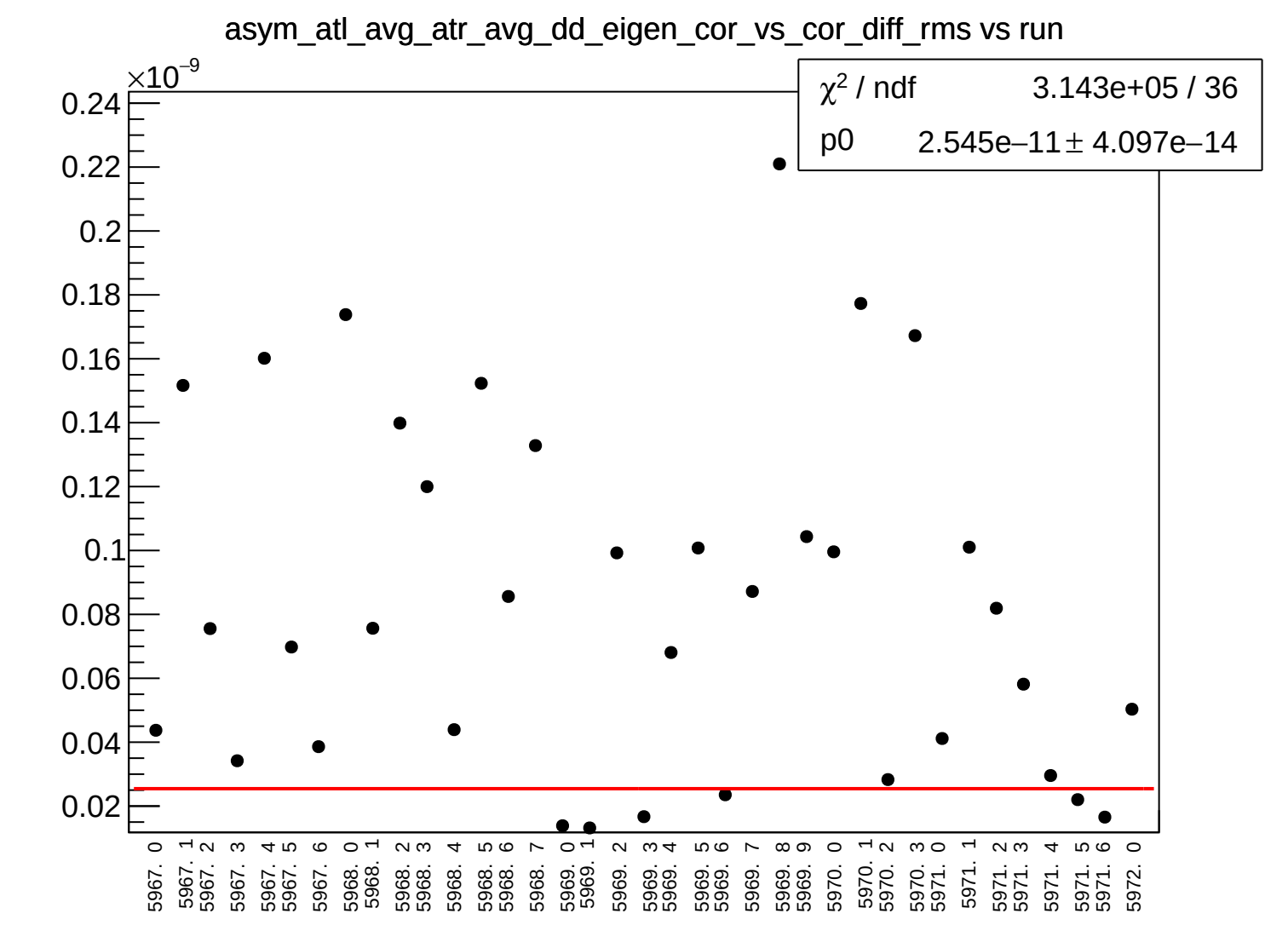
asym_atl_avg_atr_avg_dd_eigen_cor_vs_cor_diff_rms vs run
×10⁻⁹
χ² / ndf 3.143e+05 / 36
p0 2.545e−11 ± 4.097e−14
0.24
0.22
0.2
0.18
0.16
0.14
0.12
0.1
0.08
0.06
0.04
0.02
5967. 0
5967. 1
5967. 2
5967. 3
5967. 4
5967. 5
5967. 6
5968. 0
5968. 1
5968. 2
5968. 3
5968. 4
5968. 5
5968. 6
5968. 7
5969. 0
5969. 1
5969. 2
5969. 3
5969. 4
5969. 5
5969. 6
5969. 7
5969. 8
5969. 9
5970. 0
5970. 1
5970. 2
5970. 3
5971. 0
5971. 1
5971. 2
5971. 3
5971. 4
5971. 5
5971. 6
5972. 0

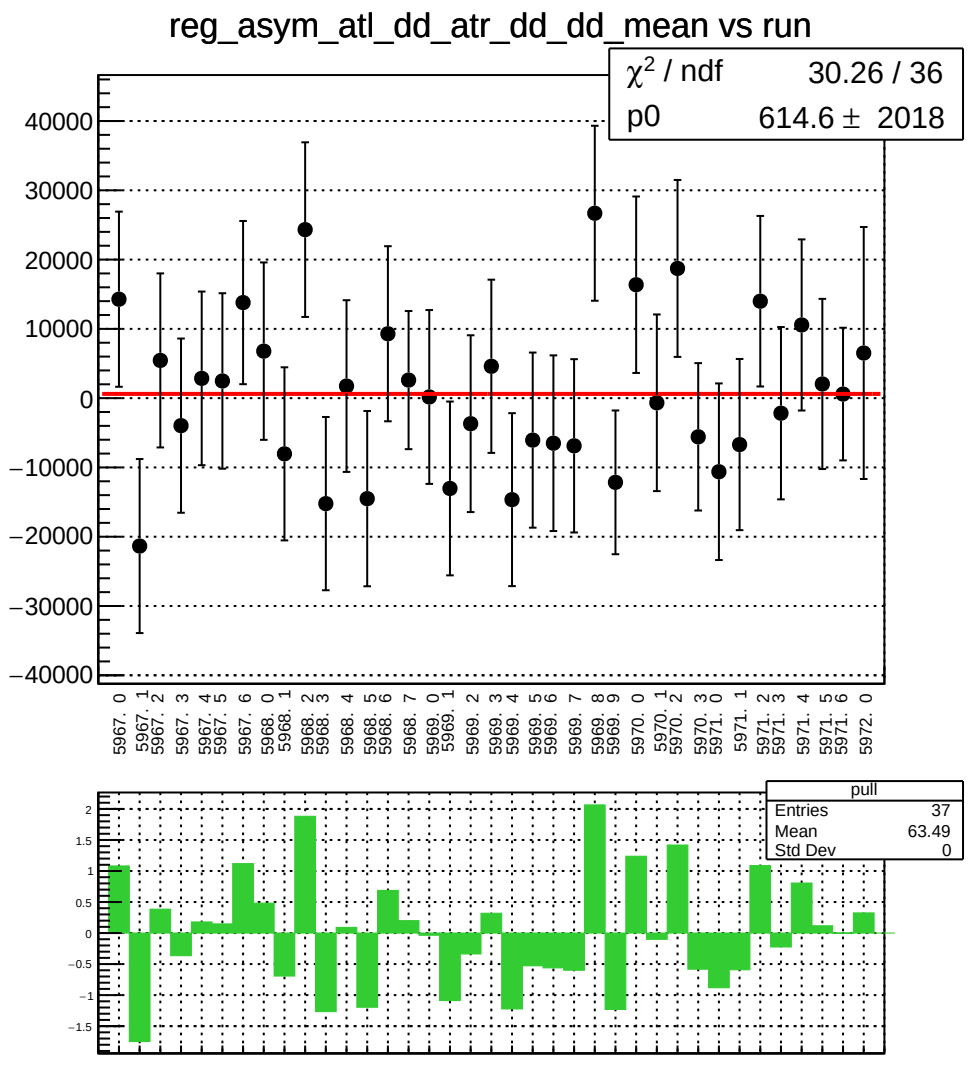
reg_asym_atl_dd_atr_dd_dd_mean vs run
χ² / ndf 30.26 / 36
p0 614.6 ± 2018
40000
30000
20000
10000
0
−10000
−20000
−30000
−40000
5967. 0
5967. 1
5967. 2
5967. 3
5967. 4
5967. 5
5967. 6
5968. 0
5968. 1
5968. 2
5968. 3
5968. 4
5968. 5
5968. 6
5968. 7
5969. 0
5969. 1
5969. 2
5969. 3
5969. 4
5969. 5
5969. 6
5969. 7
5969. 8
5969. 9
5970. 0
5970. 1
5970. 2
5970. 3
5971. 0
5971. 1
5971. 2
5971. 3
5971. 4
5971. 5
5971. 6
5972. 0
pull
Entries 37
Mean 63.49
Std Dev 0
2
1.5
1
0.5
0
−0.5
−1
−1.5

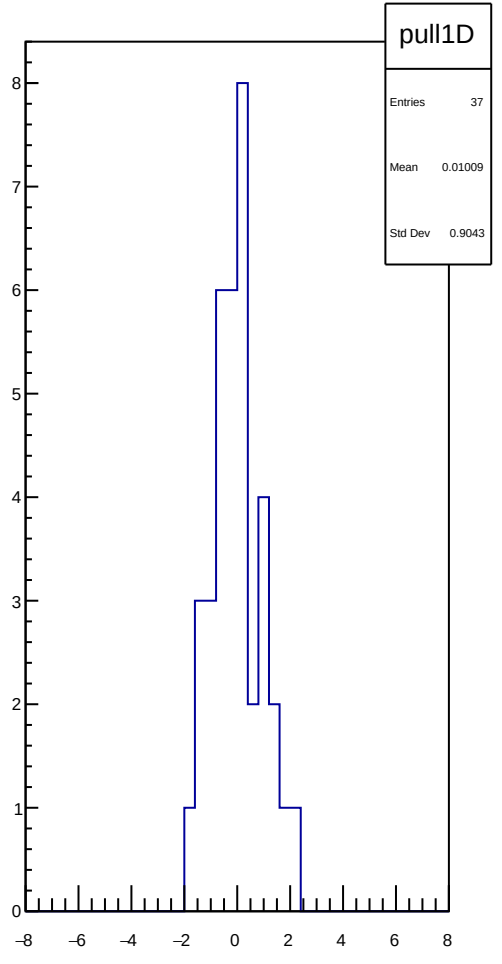
pull1D
Entries 37
Mean 0.01009
Std Dev 0.9043
8
7
6
5
4
3
2
1
0
−8
−6
−4
−2
0
2
4
6
8

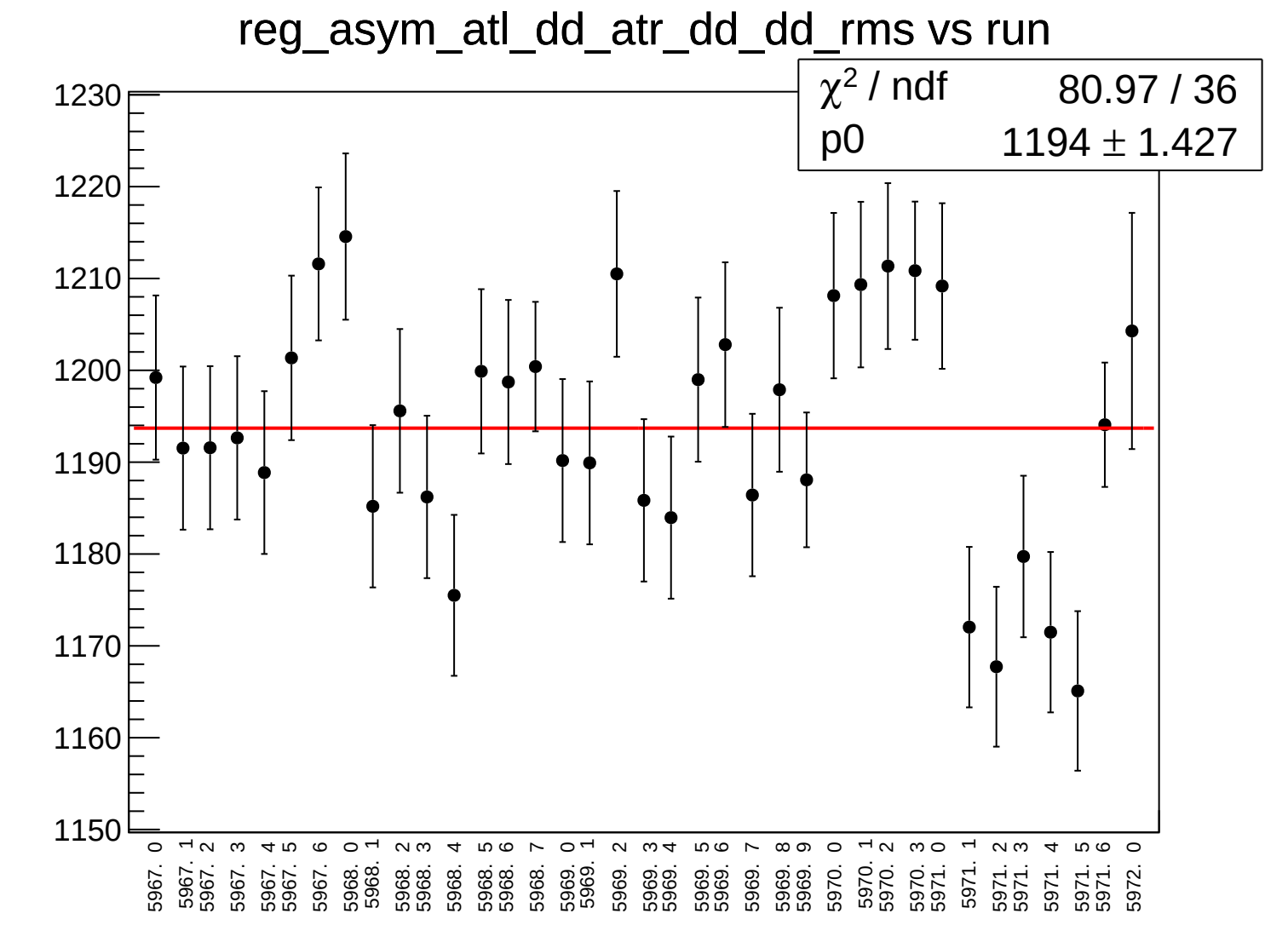
reg_asym_atl_dd_atr_dd_dd_rms vs run
χ² / ndf 80.97 / 36
p0 1194 ± 1.427
1230
1220
1210
1200
1190
1180
1170
1160
1150
5967. 0
5967. 1
5967. 2
5967. 3
5967. 4
5967. 5
5967. 6
5968. 0
5968. 1
5968. 2
5968. 3
5968. 4
5968. 5
5968. 6
5968. 7
5969. 0
5969. 1
5969. 2
5969. 3
5969. 4
5969. 5
5969. 6
5969. 7
5969. 8
5969. 9
5970. 0
5970. 1
5970. 2
5970. 3
5971. 0
5971. 1
5971. 2
5971. 3
5971. 4
5971. 5
5971. 6
5972. 0

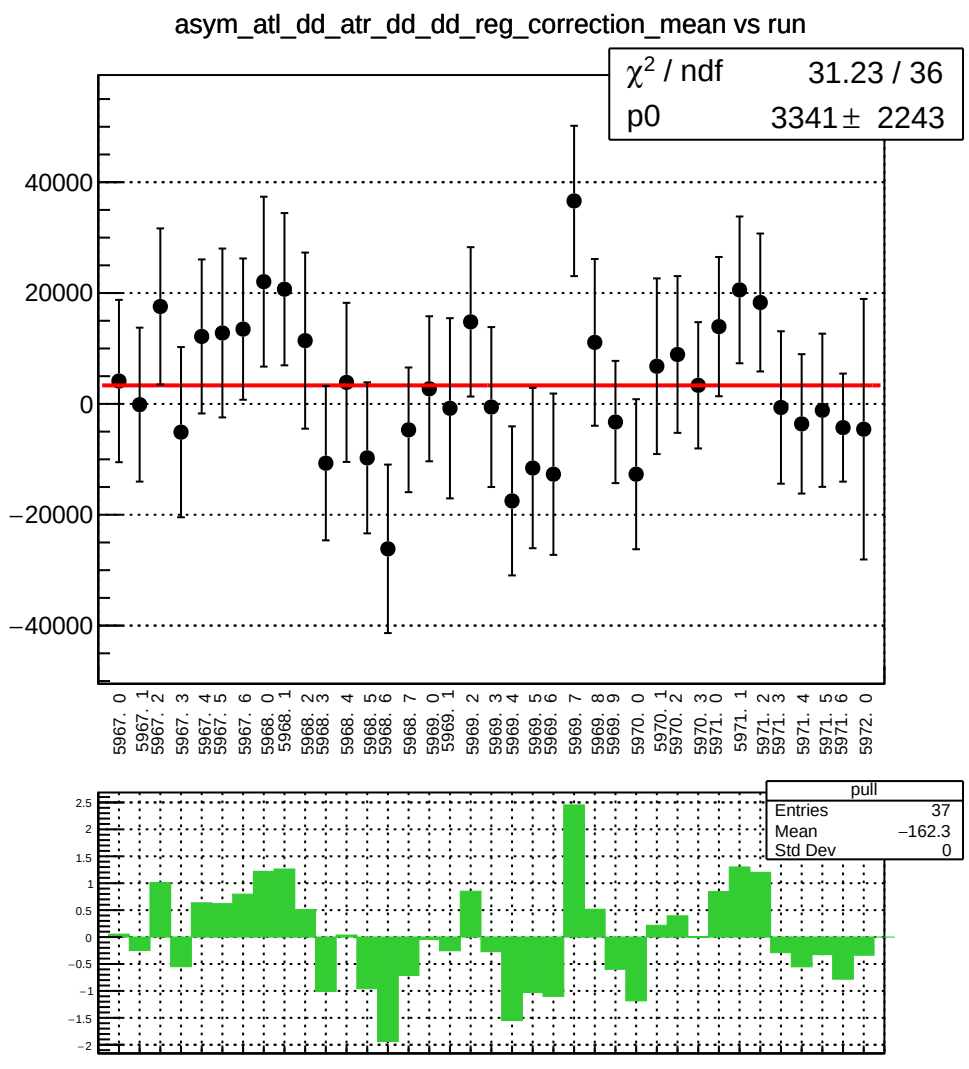
asym_atl_dd_atr_dd_dd_reg_correction_mean vs run
χ² / ndf 31.23 / 36
p0 3341 ± 2243
40000
20000
0
−20000
−40000
5967. 0
5967. 1
5967. 2
5967. 3
5967. 4
5967. 5
5967. 6
5968. 0
5968. 1
5968. 2
5968. 3
5968. 4
5968. 5
5968. 6
5968. 7
5969. 0
5969. 1
5969. 2
5969. 3
5969. 4
5969. 5
5969. 6
5969. 7
5969. 8
5969. 9
5970. 0
5970. 1
5970. 2
5970. 3
5971. 0
5971. 1
5971. 2
5971. 3
5971. 4
5971. 5
5971. 6
5972. 0
pull
Entries 37
Mean −162.3
Std Dev 0
2.5
2
1.5
1
0.5
0
−0.5
−1
−1.5
−2
pull1D
Entries 37
Mean 0.004985
Std Dev 0.9187
7
6
5
4
3
2
1
0
−8
−6
−4
−2
0
2
4
6
8

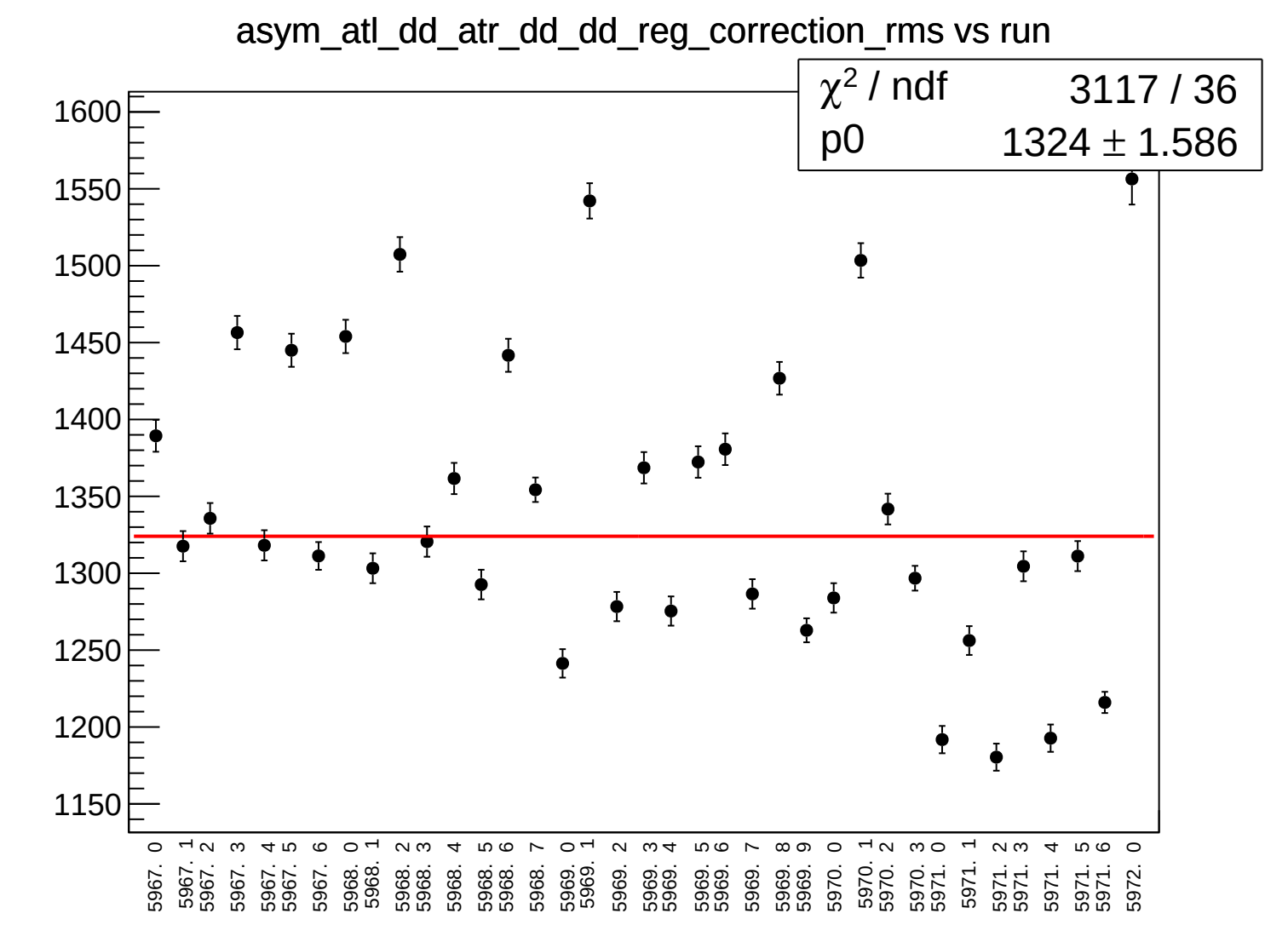
asym_atl_dd_atr_dd_dd_reg_correction_rms vs run
χ² / ndf 3117 / 36
p0 1324 ± 1.586
1600
1550
1500
1450
1400
1350
1300
1250
1200
1150
5967. 0
5967. 1
5967. 2
5967. 3
5967. 4
5967. 5
5967. 6
5968. 0
5968. 1
5968. 2
5968. 3
5968. 4
5968. 5
5968. 6
5968. 7
5969. 0
5969. 1
5969. 2
5969. 3
5969. 4
5969. 5
5969. 6
5969. 7
5969. 8
5969. 9
5970. 0
5970. 1
5970. 2
5970. 3
5971. 0
5971. 1
5971. 2
5971. 3
5971. 4
5971. 5
5971. 6
5972. 0

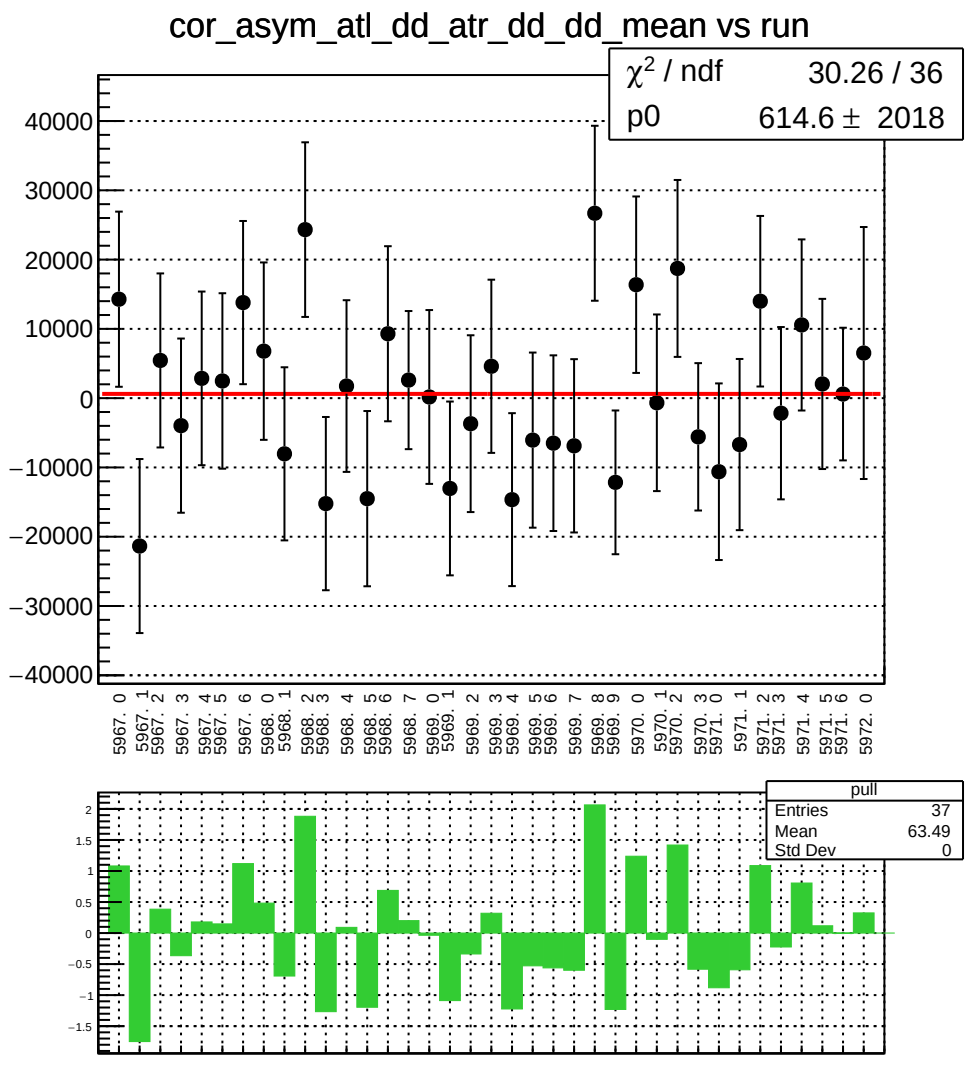
cor_asym_atl_dd_atr_dd_dd_mean vs run
χ² / ndf 30.26 / 36
p0 614.6 ± 2018
40000
30000
20000
10000
0
−10000
−20000
−30000
−40000
5967. 0
5967. 1
5967. 2
5967. 3
5967. 4
5967. 5
5967. 6
5968. 0
5968. 1
5968. 2
5968. 3
5968. 4
5968. 5
5968. 6
5968. 7
5969. 0
5969. 1
5969. 2
5969. 3
5969. 4
5969. 5
5969. 6
5969. 7
5969. 8
5969. 9
5970. 0
5970. 1
5970. 2
5970. 3
5971. 0
5971. 1
5971. 2
5971. 3
5971. 4
5971. 5
5971. 6
5972. 0
pull
Entries 37
Mean 63.49
Std Dev 0
2
1.5
1
0.5
0
−0.5
−1
−1.5

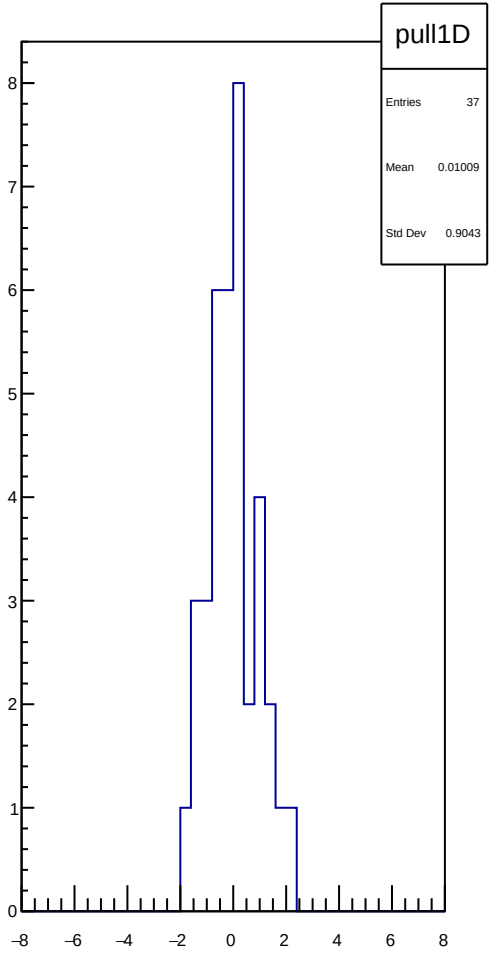
pull1D
Entries 37
Mean 0.01009
Std Dev 0.9043
8
7
6
5
4
3
2
1
0
−8
−6
−4
−2
0
2
4
6
8

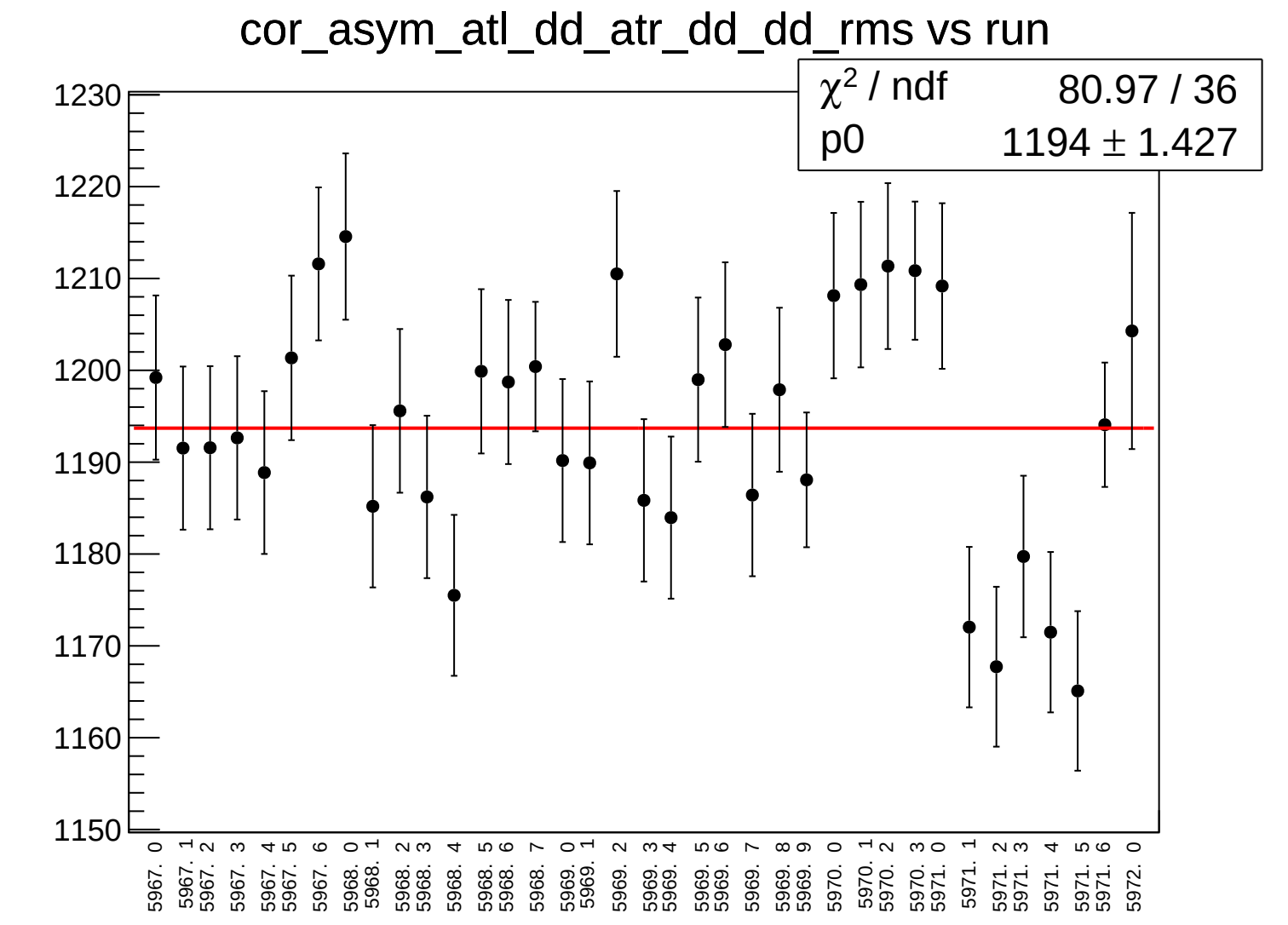
cor_asym_atl_dd_atr_dd_dd_rms vs run
χ² / ndf 80.97 / 36
p0 1194 ± 1.427
1230
1220
1210
1200
1190
1180
1170
1160
1150
5967. 0
5967. 1
5967. 2
5967. 3
5967. 4
5967. 5
5967. 6
5968. 0
5968. 1
5968. 2
5968. 3
5968. 4
5968. 5
5968. 6
5968. 7
5969. 0
5969. 1
5969. 2
5969. 3
5969. 4
5969. 5
5969. 6
5969. 7
5969. 8
5969. 9
5970. 0
5970. 1
5970. 2
5970. 3
5971. 0
5971. 1
5971. 2
5971. 3
5971. 4
5971. 5
5971. 6
5972. 0

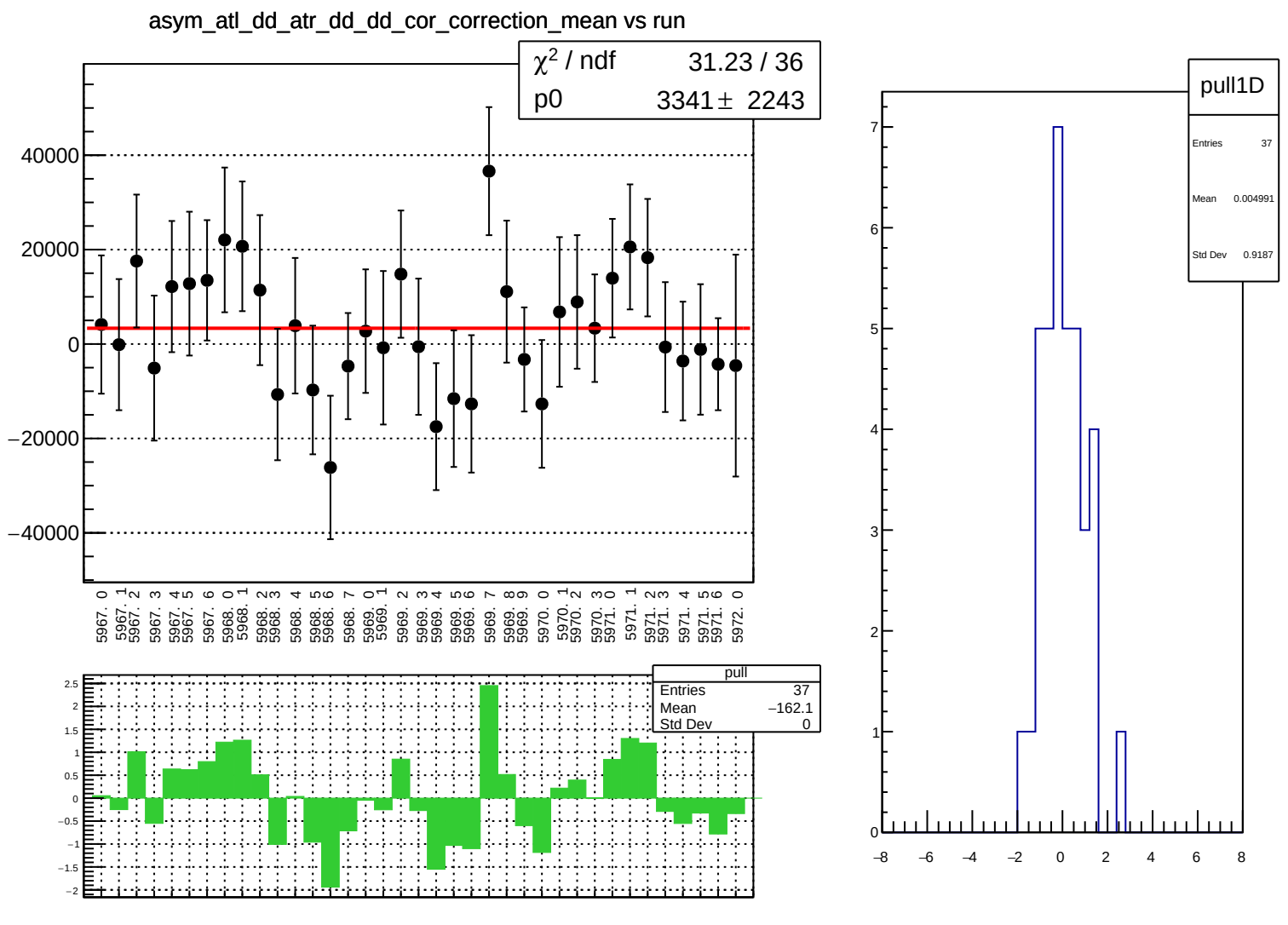
asym_atl_dd_atr_dd_dd_cor_correction_mean vs run
χ² / ndf 31.23 / 36
p0 3341 ± 2243
40000
20000
0
−20000
−40000
5967. 0
5967. 1
5967. 2
5967. 3
5967. 4
5967. 5
5967. 6
5968. 0
5968. 1
5968. 2
5968. 3
5968. 4
5968. 5
5968. 6
5968. 7
5969. 0
5969. 1
5969. 2
5969. 3
5969. 4
5969. 5
5969. 6
5969. 7
5969. 8
5969. 9
5970. 0
5970. 1
5970. 2
5970. 3
5971. 0
5971. 1
5971. 2
5971. 3
5971. 4
5971. 5
5971. 6
5972. 0
pull
Entries 37
Mean −162.1
Std Dev 0
2.5
2
1.5
1
0.5
0
−0.5
−1
−1.5
−2
pull1D
Entries 37
Mean 0.004991
Std Dev 0.9187
7
6
5
4
3
2
1
0
−8
−6
−4
−2
0
2
4
6
8

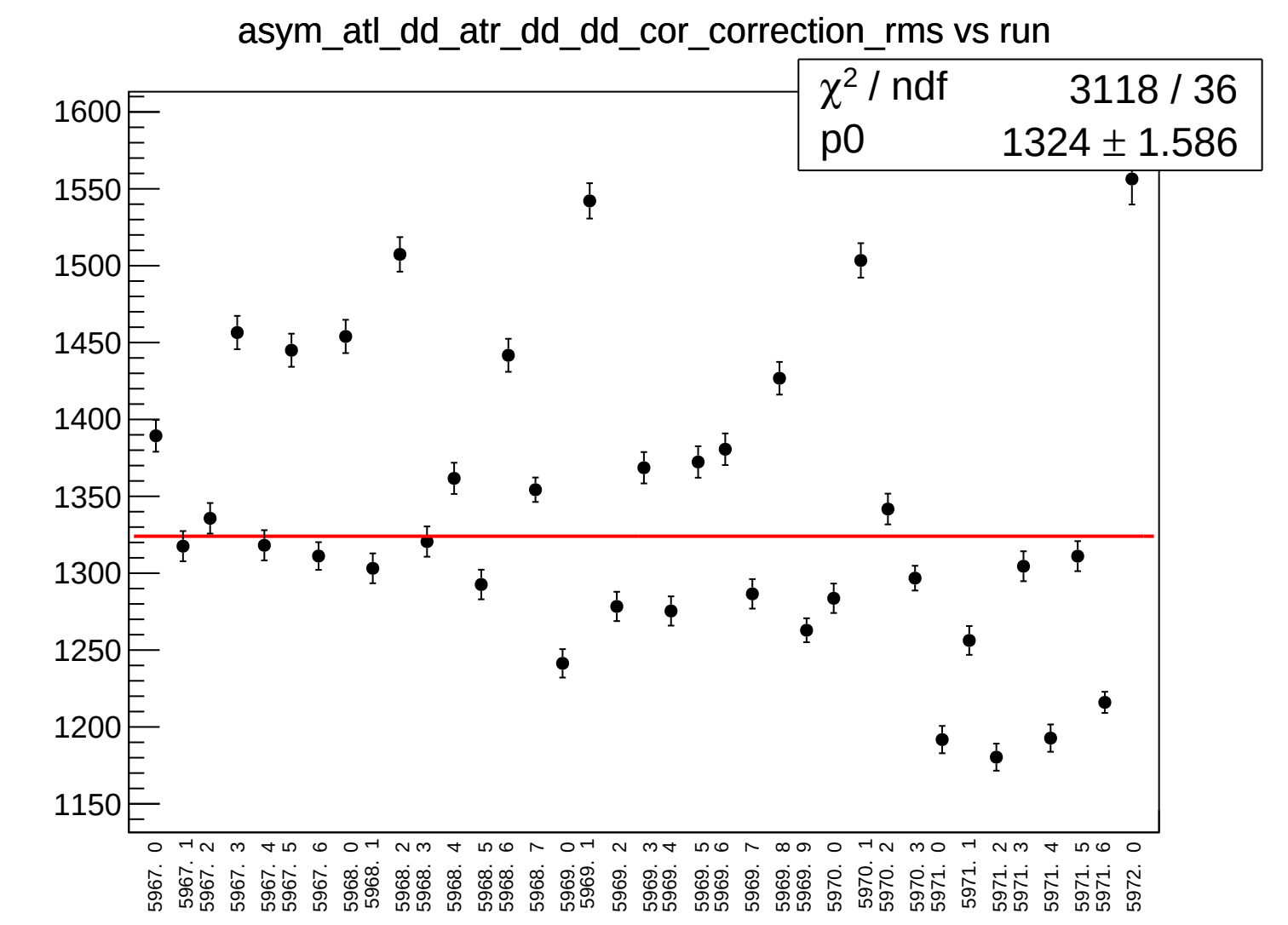
asym_atl_dd_atr_dd_dd_cor_correction_rms vs run
χ² / ndf 3118 / 36
p0 1324 ± 1.586
1600
1550
1500
1450
1400
1350
1300
1250
1200
1150
5967. 0
5967. 1
5967. 2
5967. 3
5967. 4
5967. 5
5967. 6
5968. 0
5968. 1
5968. 2
5968. 3
5968. 4
5968. 5
5968. 6
5968. 7
5969. 0
5969. 1
5969. 2
5969. 3
5969. 4
5969. 5
5969. 6
5969. 7
5969. 8
5969. 9
5970. 0
5970. 1
5970. 2
5970. 3
5971. 0
5971. 1
5971. 2
5971. 3
5971. 4
5971. 5
5971. 6
5972. 0

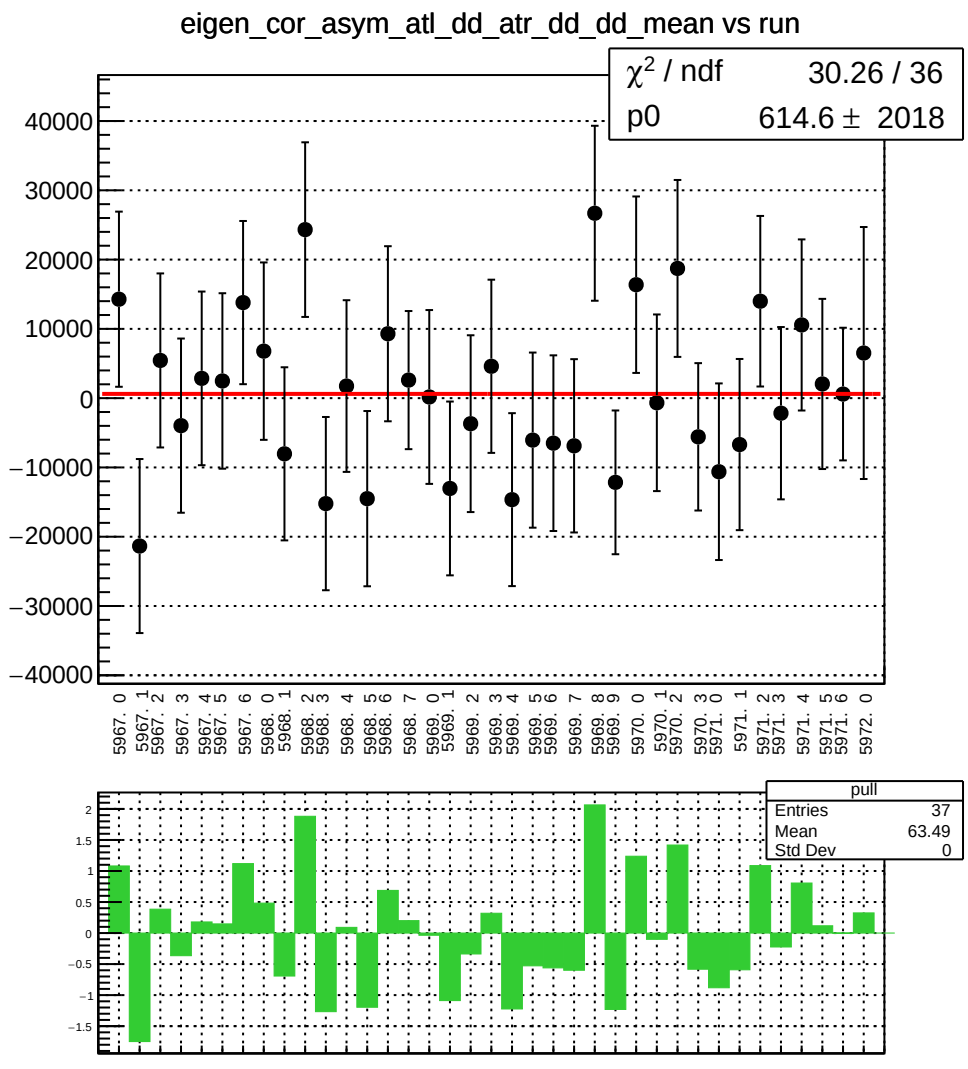
eigen_cor_asym_atl_dd_atr_dd_dd_mean vs run
χ² / ndf 30.26 / 36
p0 614.6 ± 2018
40000
30000
20000
10000
0
−10000
−20000
−30000
−40000
5967. 0
5967. 1
5967. 2
5967. 3
5967. 4
5967. 5
5967. 6
5968. 0
5968. 1
5968. 2
5968. 3
5968. 4
5968. 5
5968. 6
5968. 7
5969. 0
5969. 1
5969. 2
5969. 3
5969. 4
5969. 5
5969. 6
5969. 7
5969. 8
5969. 9
5970. 0
5970. 1
5970. 2
5970. 3
5971. 0
5971. 1
5971. 2
5971. 3
5971. 4
5971. 5
5971. 6
5972. 0
pull
Entries 37
Mean 63.49
Std Dev 0
2
1.5
1
0.5
0
−0.5
−1
−1.5

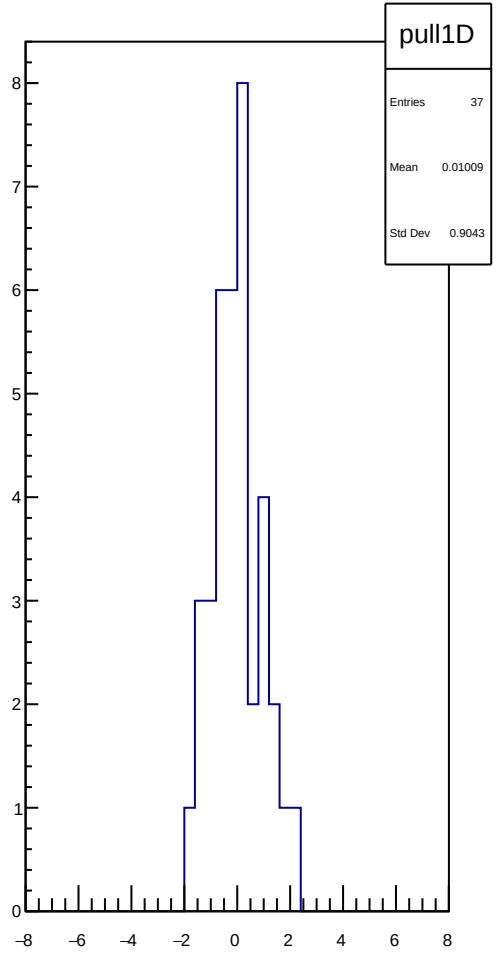
pull1D
Entries 37
Mean 0.01009
Std Dev 0.9043
8
7
6
5
4
3
2
1
0
−8
−6
−4
−2
0
2
4
6
8

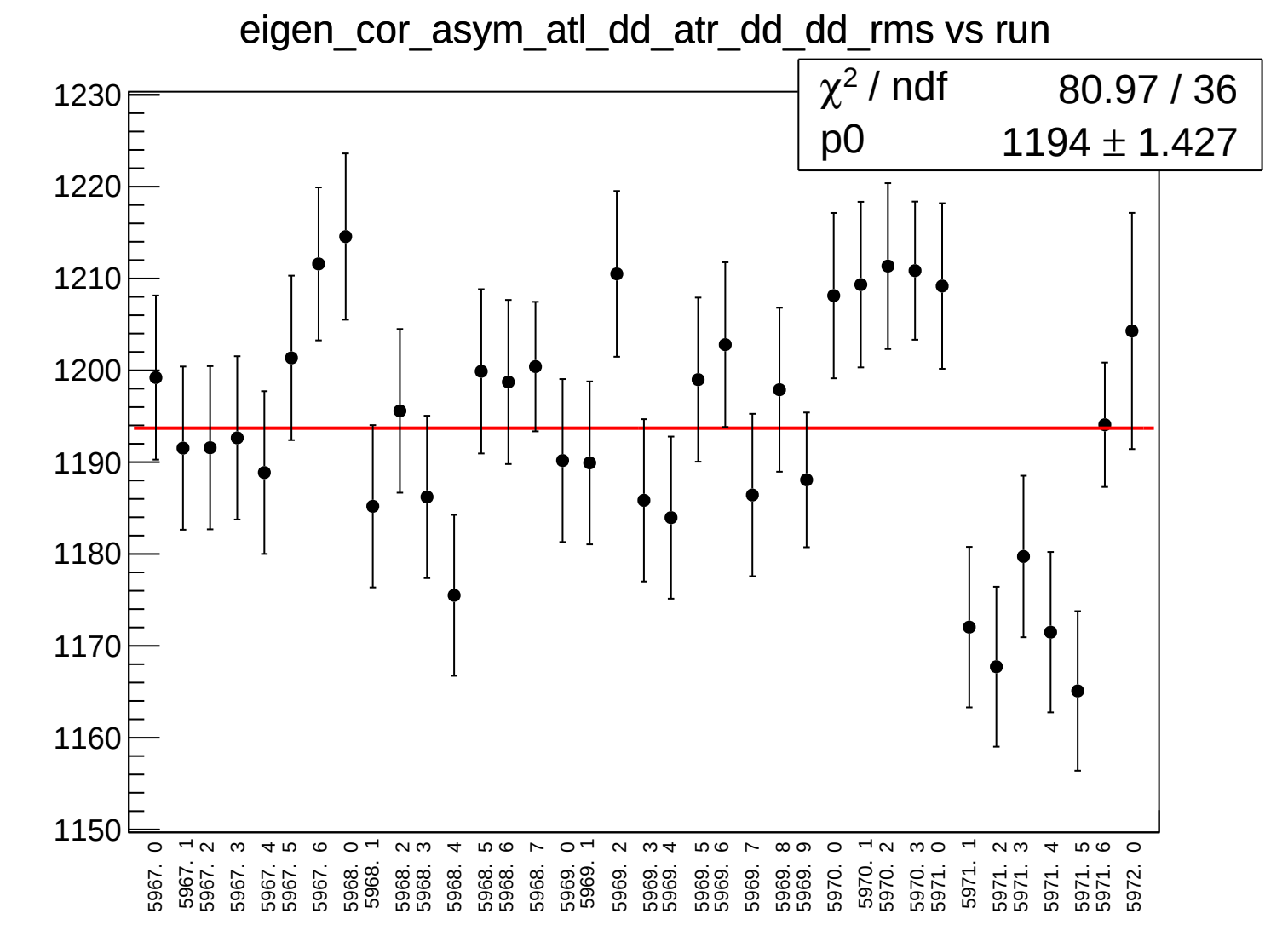
eigen_cor_asym_atl_dd_atr_dd_dd_rms vs run
χ² / ndf 80.97 / 36
p0 1194 ± 1.427
1230
1220
1210
1200
1190
1180
1170
1160
1150
5967. 0
5967. 1
5967. 2
5967. 3
5967. 4
5967. 5
5967. 6
5968. 0
5968. 1
5968. 2
5968. 3
5968. 4
5968. 5
5968. 6
5968. 7
5969. 0
5969. 1
5969. 2
5969. 3
5969. 4
5969. 5
5969. 6
5969. 7
5969. 8
5969. 9
5970. 0
5970. 1
5970. 2
5970. 3
5971. 0
5971. 1
5971. 2
5971. 3
5971. 4
5971. 5
5971. 6
5972. 0

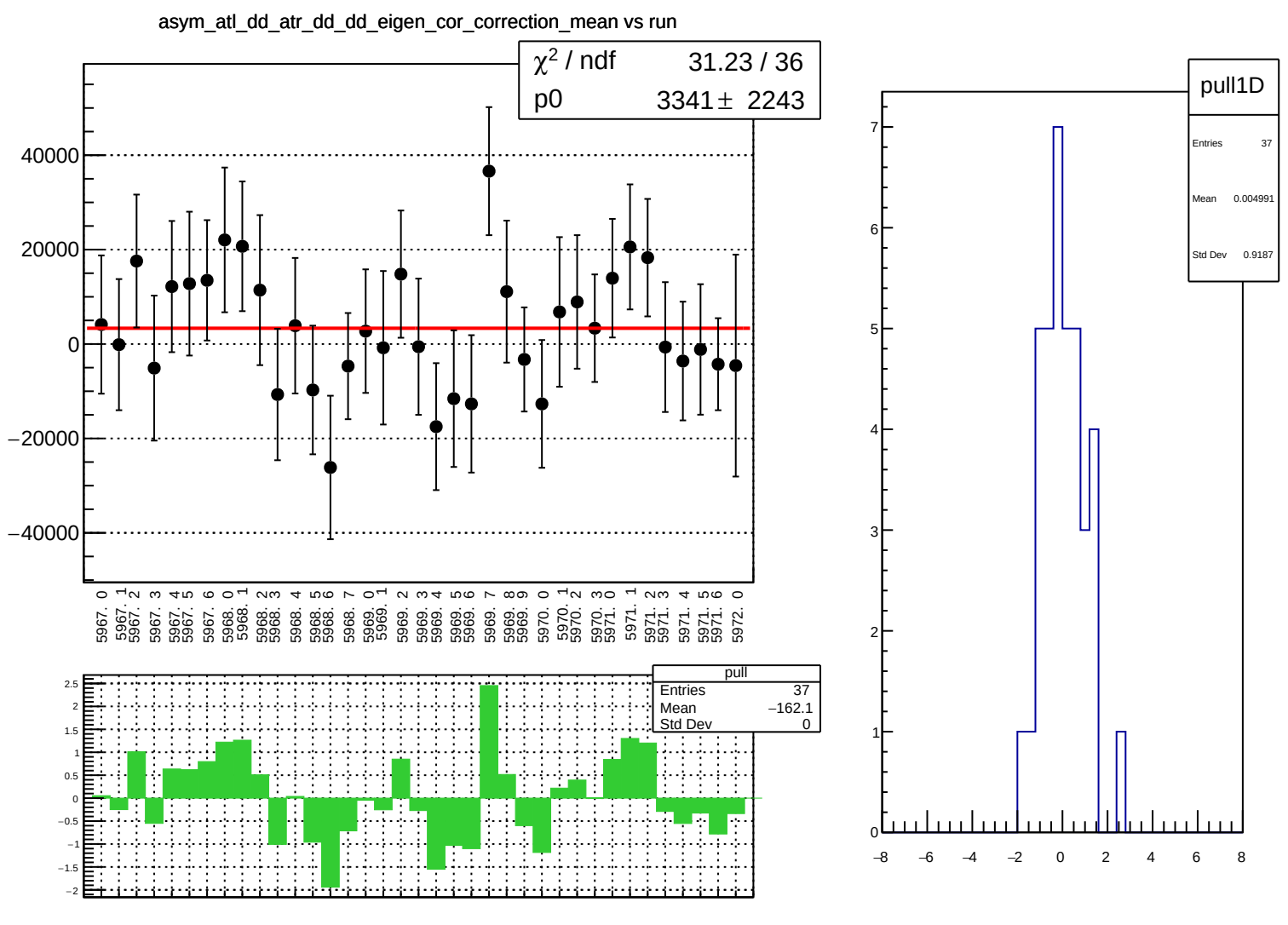
asym_atl_dd_atr_dd_dd_eigen_cor_correction_mean vs run
χ² / ndf 31.23 / 36
p0 3341 ± 2243
40000
20000
0
−20000
−40000
5967. 0
5967. 1
5967. 2
5967. 3
5967. 4
5967. 5
5967. 6
5968. 0
5968. 1
5968. 2
5968. 3
5968. 4
5968. 5
5968. 6
5968. 7
5969. 0
5969. 1
5969. 2
5969. 3
5969. 4
5969. 5
5969. 6
5969. 7
5969. 8
5969. 9
5970. 0
5970. 1
5970. 2
5970. 3
5971. 0
5971. 1
5971. 2
5971. 3
5971. 4
5971. 5
5971. 6
5972. 0
pull
Entries 37
Mean −162.1
Std Dev 0
2.5
2
1.5
1
0.5
0
−0.5
−1
−1.5
−2
pull1D
Entries 37
Mean 0.004991
Std Dev 0.9187
7
6
5
4
3
2
1
0
−8
−6
−4
−2
0
2
4
6
8

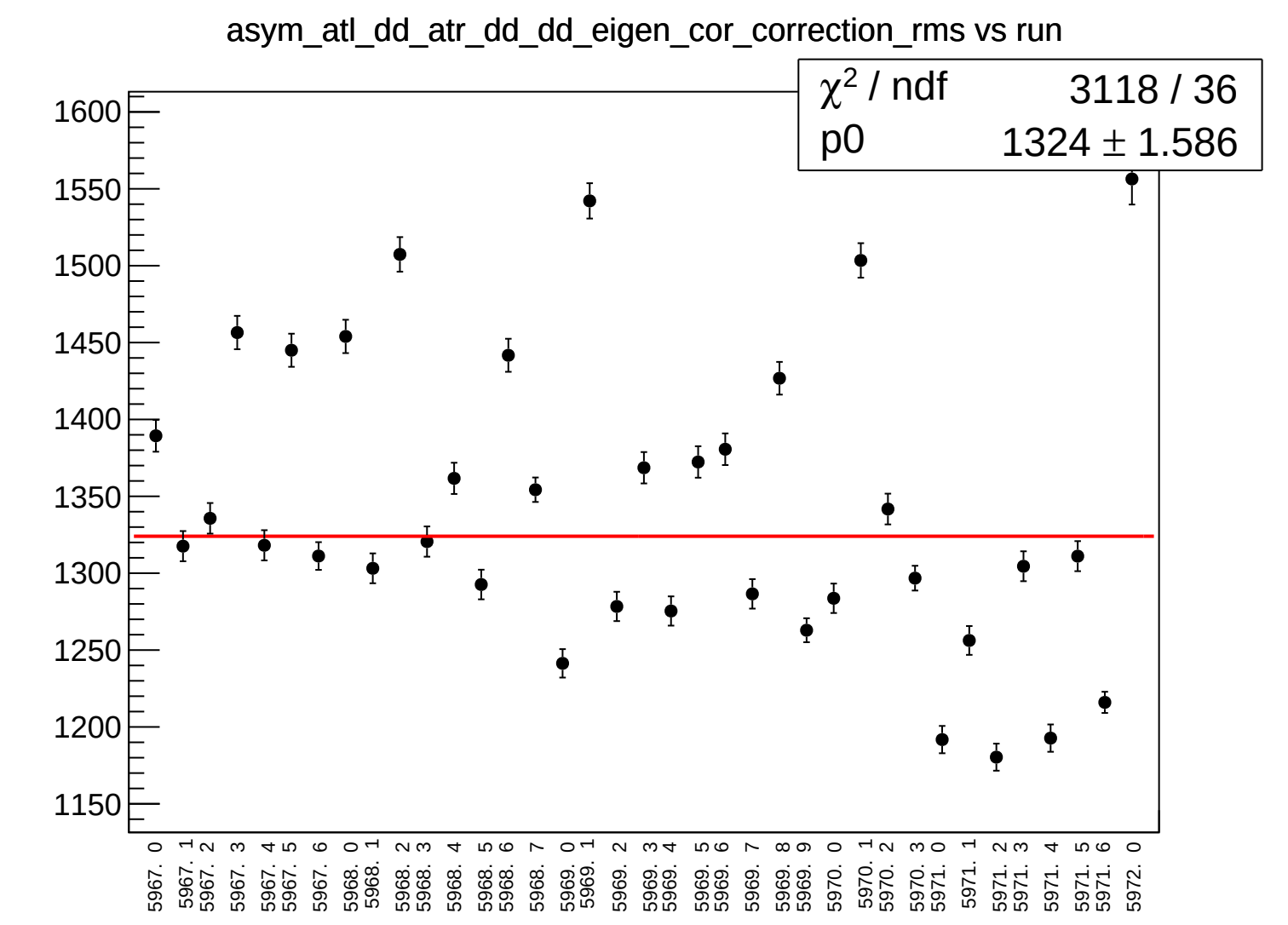
asym_atl_dd_atr_dd_dd_eigen_cor_correction_rms vs run
χ² / ndf 3118 / 36
p0 1324 ± 1.586
1600
1550
1500
1450
1400
1350
1300
1250
1200
1150
5967. 0
5967. 1
5967. 2
5967. 3
5967. 4
5967. 5
5967. 6
5968. 0
5968. 1
5968. 2
5968. 3
5968. 4
5968. 5
5968. 6
5968. 7
5969. 0
5969. 1
5969. 2
5969. 3
5969. 4
5969. 5
5969. 6
5969. 7
5969. 8
5969. 9
5970. 0
5970. 1
5970. 2
5970. 3
5971. 0
5971. 1
5971. 2
5971. 3
5971. 4
5971. 5
5971. 6
5972. 0

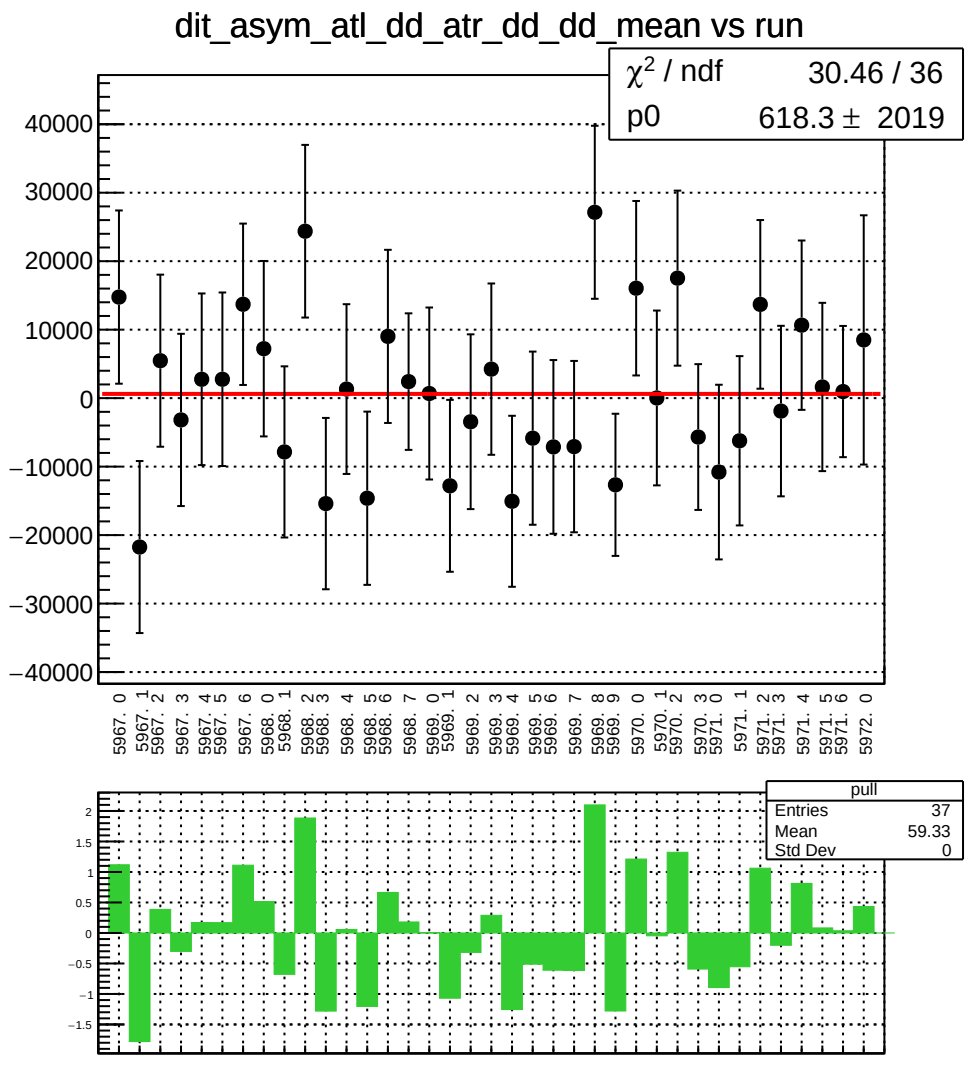
dit_asym_atl_dd_atr_dd_dd_mean vs run
χ² / ndf 30.46 / 36
p0 618.3 ± 2019
40000
30000
20000
10000
0
−10000
−20000
−30000
−40000
5967. 0
5967. 1
5967. 2
5967. 3
5967. 4
5967. 5
5967. 6
5968. 0
5968. 1
5968. 2
5968. 3
5968. 4
5968. 5
5968. 6
5968. 7
5969. 0
5969. 1
5969. 2
5969. 3
5969. 4
5969. 5
5969. 6
5969. 7
5969. 8
5969. 9
5970. 0
5970. 1
5970. 2
5970. 3
5971. 0
5971. 1
5971. 2
5971. 3
5971. 4
5971. 5
5971. 6
5972. 0
pull
Entries 37
Mean 59.33
Std Dev 0
2
1.5
1
0.5
0
−0.5
−1
−1.5

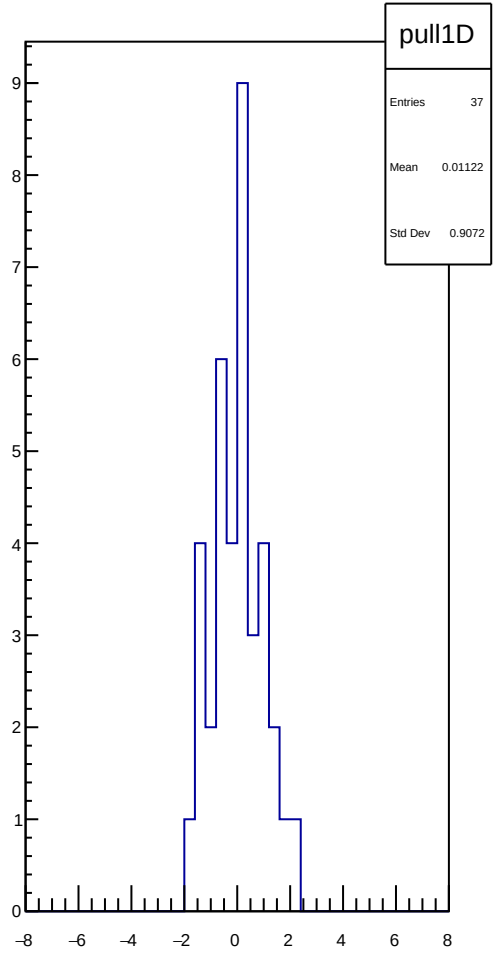
pull1D
Entries 37
Mean 0.01122
Std Dev 0.9072
9
8
7
6
5
4
3
2
1
0
−8
−6
−4
−2
0
2
4
6
8

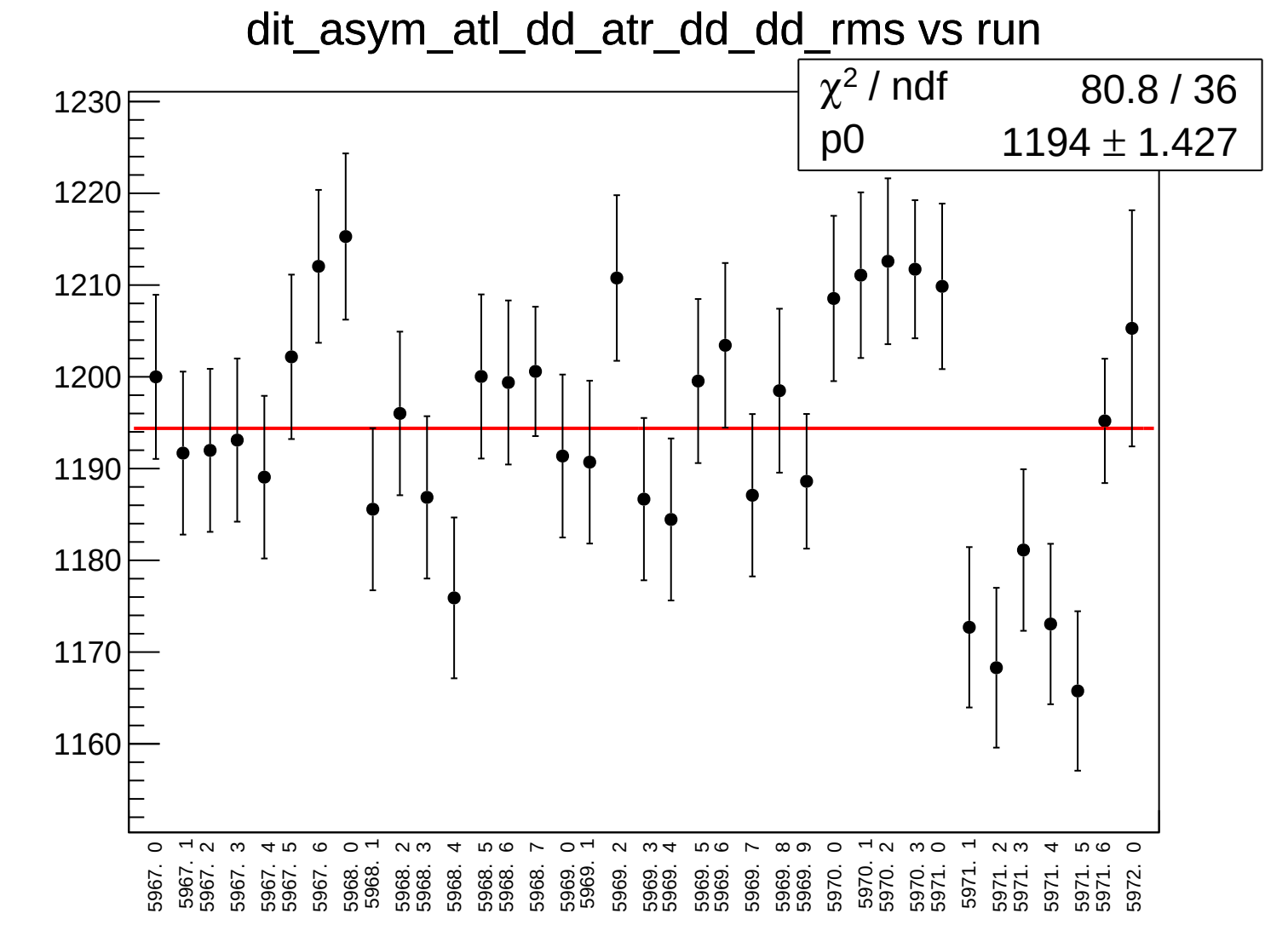
dit_asym_atl_dd_atr_dd_dd_rms vs run
χ² / ndf 80.8 / 36
p0 1194 ± 1.427
1230
1220
1210
1200
1190
1180
1170
1160
5967. 0
5967. 1
5967. 2
5967. 3
5967. 4
5967. 5
5967. 6
5968. 0
5968. 1
5968. 2
5968. 3
5968. 4
5968. 5
5968. 6
5968. 7
5969. 0
5969. 1
5969. 2
5969. 3
5969. 4
5969. 5
5969. 6
5969. 7
5969. 8
5969. 9
5970. 0
5970. 1
5970. 2
5970. 3
5971. 0
5971. 1
5971. 2
5971. 3
5971. 4
5971. 5
5971. 6
5972. 0

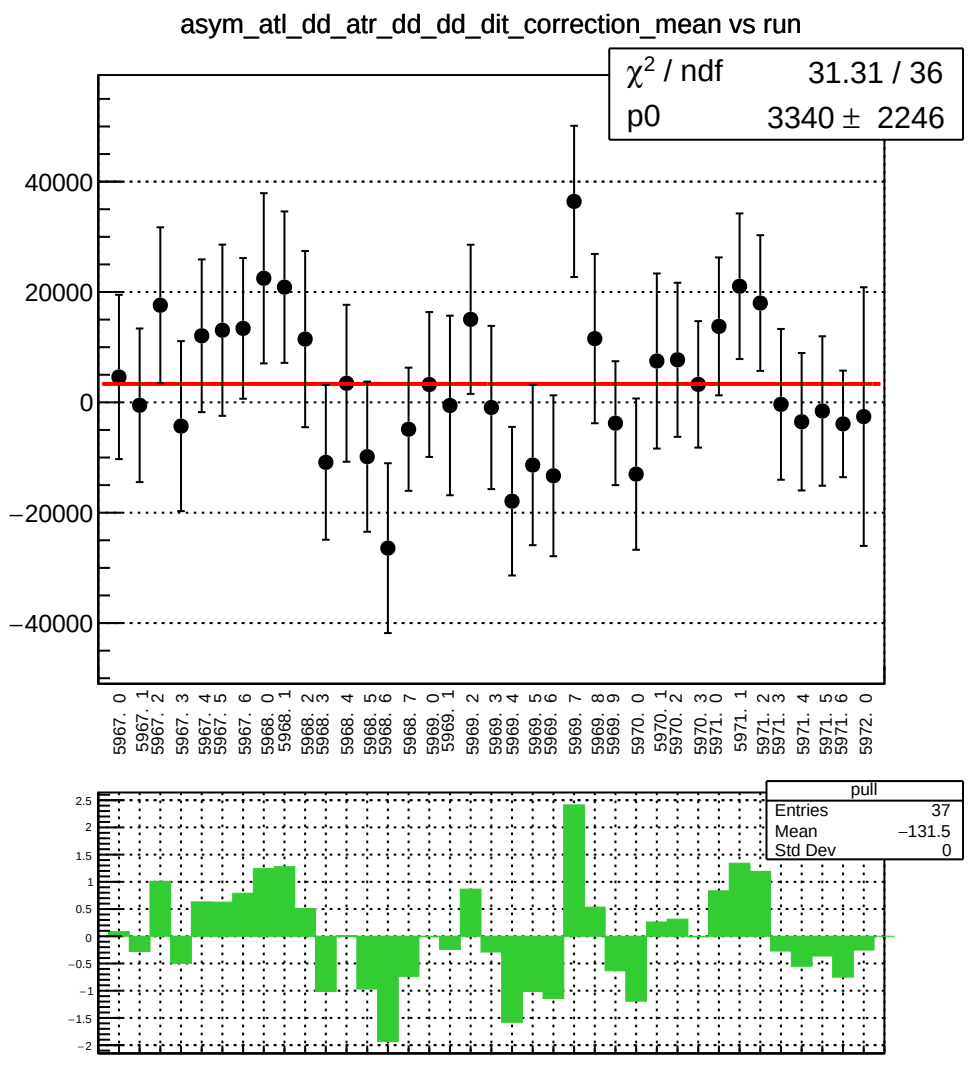
asym_atl_dd_atr_dd_dd_dit_correction_mean vs run
χ² / ndf 31.31 / 36
p0 3340 ± 2246
40000
20000
0
−20000
−40000
5967. 0
5967. 1
5967. 2
5967. 3
5967. 4
5967. 5
5967. 6
5968. 0
5968. 1
5968. 2
5968. 3
5968. 4
5968. 5
5968. 6
5968. 7
5969. 0
5969. 1
5969. 2
5969. 3
5969. 4
5969. 5
5969. 6
5969. 7
5969. 8
5969. 9
5970. 0
5970. 1
5970. 2
5970. 3
5971. 0
5971. 1
5971. 2
5971. 3
5971. 4
5971. 5
5971. 6
5972. 0
pull
Entries 37
Mean −131.5
Std Dev 0
2.5
2
1.5
1
0.5
0
−0.5
−1
−1.5
−2
pull1D
Entries 37
Mean 0.005987
Std Dev 0.9198
8
7
6
5
4
3
2
1
0
−8
−6
−4
−2
0
2
4
6
8

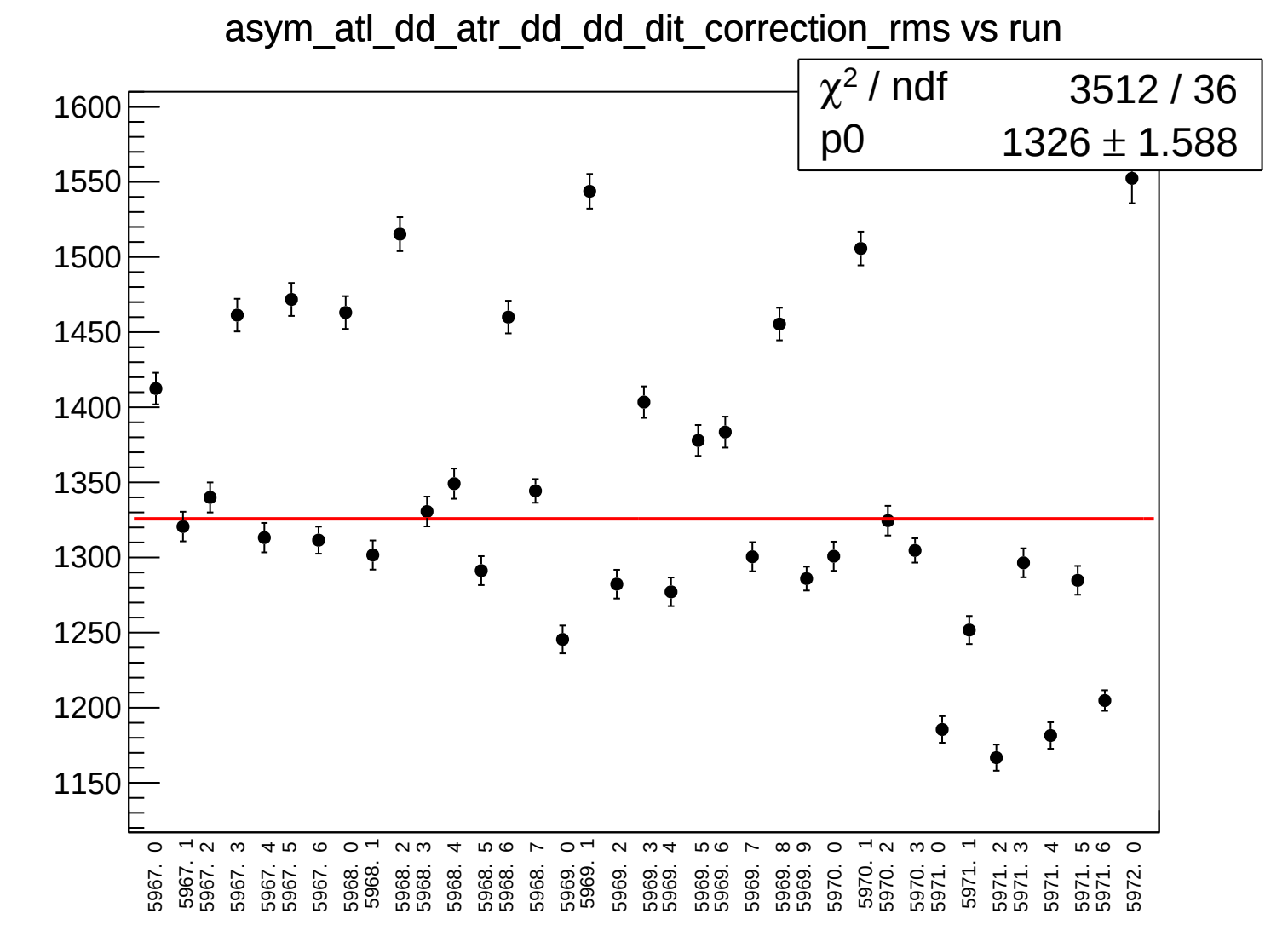
asym_atl_dd_atr_dd_dd_dit_correction_rms vs run
χ² / ndf 3512 / 36
p0 1326 ± 1.588
1600
1550
1500
1450
1400
1350
1300
1250
1200
1150
5967. 0
5967. 1
5967. 2
5967. 3
5967. 4
5967. 5
5967. 6
5968. 0
5968. 1
5968. 2
5968. 3
5968. 4
5968. 5
5968. 6
5968. 7
5969. 0
5969. 1
5969. 2
5969. 3
5969. 4
5969. 5
5969. 6
5969. 7
5969. 8
5969. 9
5970. 0
5970. 1
5970. 2
5970. 3
5971. 0
5971. 1
5971. 2
5971. 3
5971. 4
5971. 5
5971. 6
5972. 0

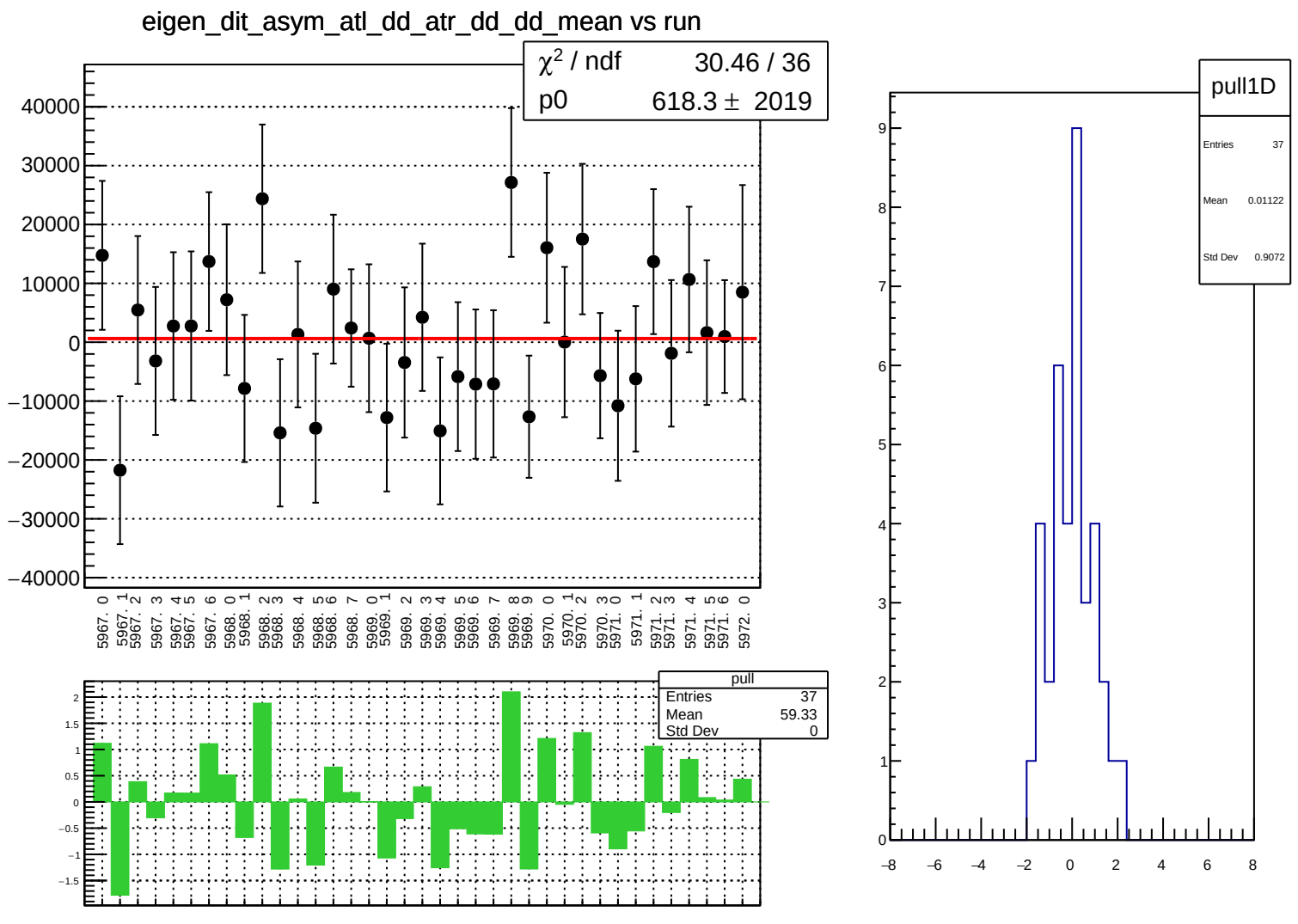
eigen_dit_asym_atl_dd_atr_dd_dd_mean vs run
χ² / ndf 30.46 / 36
p0 618.3 ± 2019
40000
30000
20000
10000
0
−10000
−20000
−30000
−40000
5967. 0
5967. 1
5967. 2
5967. 3
5967. 4
5967. 5
5967. 6
5968. 0
5968. 1
5968. 2
5968. 3
5968. 4
5968. 5
5968. 6
5968. 7
5969. 0
5969. 1
5969. 2
5969. 3
5969. 4
5969. 5
5969. 6
5969. 7
5969. 8
5969. 9
5970. 0
5970. 1
5970. 2
5970. 3
5971. 0
5971. 1
5971. 2
5971. 3
5971. 4
5971. 5
5971. 6
5972. 0
pull
Entries 37
Mean 59.33
Std Dev 0
2
1.5
1
0.5
0
−0.5
−1
−1.5
pull1D
Entries 37
Mean 0.01122
Std Dev 0.9072
9
8
7
6
5
4
3
2
1
0
−8
−6
−4
−2
0
2
4
6
8

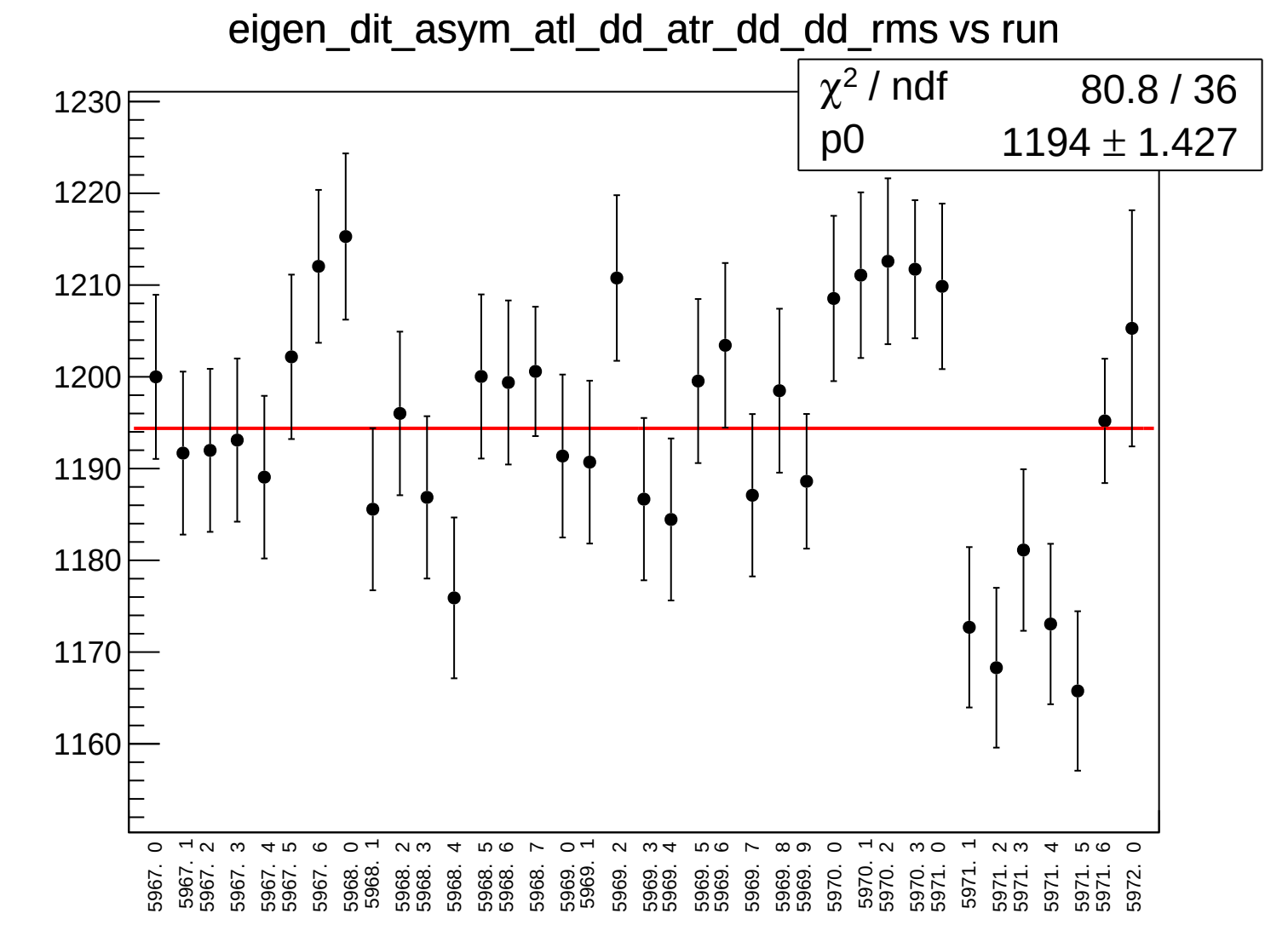
eigen_dit_asym_atl_dd_atr_dd_dd_rms vs run
χ² / ndf 80.8 / 36
p0 1194 ± 1.427
1230
1220
1210
1200
1190
1180
1170
1160
5967. 0
5967. 1
5967. 2
5967. 3
5967. 4
5967. 5
5967. 6
5968. 0
5968. 1
5968. 2
5968. 3
5968. 4
5968. 5
5968. 6
5968. 7
5969. 0
5969. 1
5969. 2
5969. 3
5969. 4
5969. 5
5969. 6
5969. 7
5969. 8
5969. 9
5970. 0
5970. 1
5970. 2
5970. 3
5971. 0
5971. 1
5971. 2
5971. 3
5971. 4
5971. 5
5971. 6
5972. 0

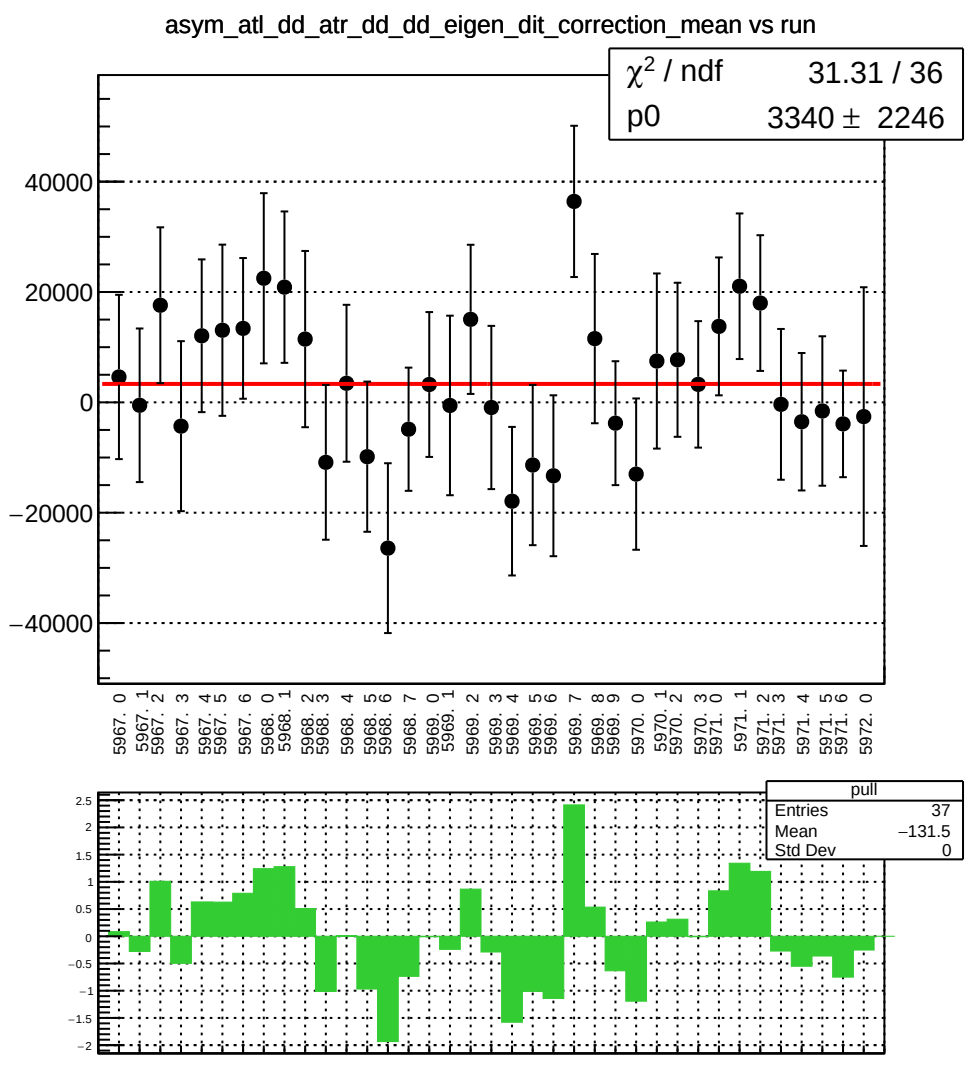
asym_atl_dd_atr_dd_dd_eigen_dit_correction_mean vs run
χ² / ndf 31.31 / 36
p0 3340 ± 2246
40000
20000
0
−20000
−40000
5967. 0
5967. 1
5967. 2
5967. 3
5967. 4
5967. 5
5967. 6
5968. 0
5968. 1
5968. 2
5968. 3
5968. 4
5968. 5
5968. 6
5968. 7
5969. 0
5969. 1
5969. 2
5969. 3
5969. 4
5969. 5
5969. 6
5969. 7
5969. 8
5969. 9
5970. 0
5970. 1
5970. 2
5970. 3
5971. 0
5971. 1
5971. 2
5971. 3
5971. 4
5971. 5
5971. 6
5972. 0
pull
Entries 37
Mean −131.5
Std Dev 0
2.5
2
1.5
1
0.5
0
−0.5
−1
−1.5
−2
pull1D
Entries 37
Mean 0.005987
Std Dev 0.9198
8
7
6
5
4
3
2
1
0
−8
−6
−4
−2
0
2
4
6
8

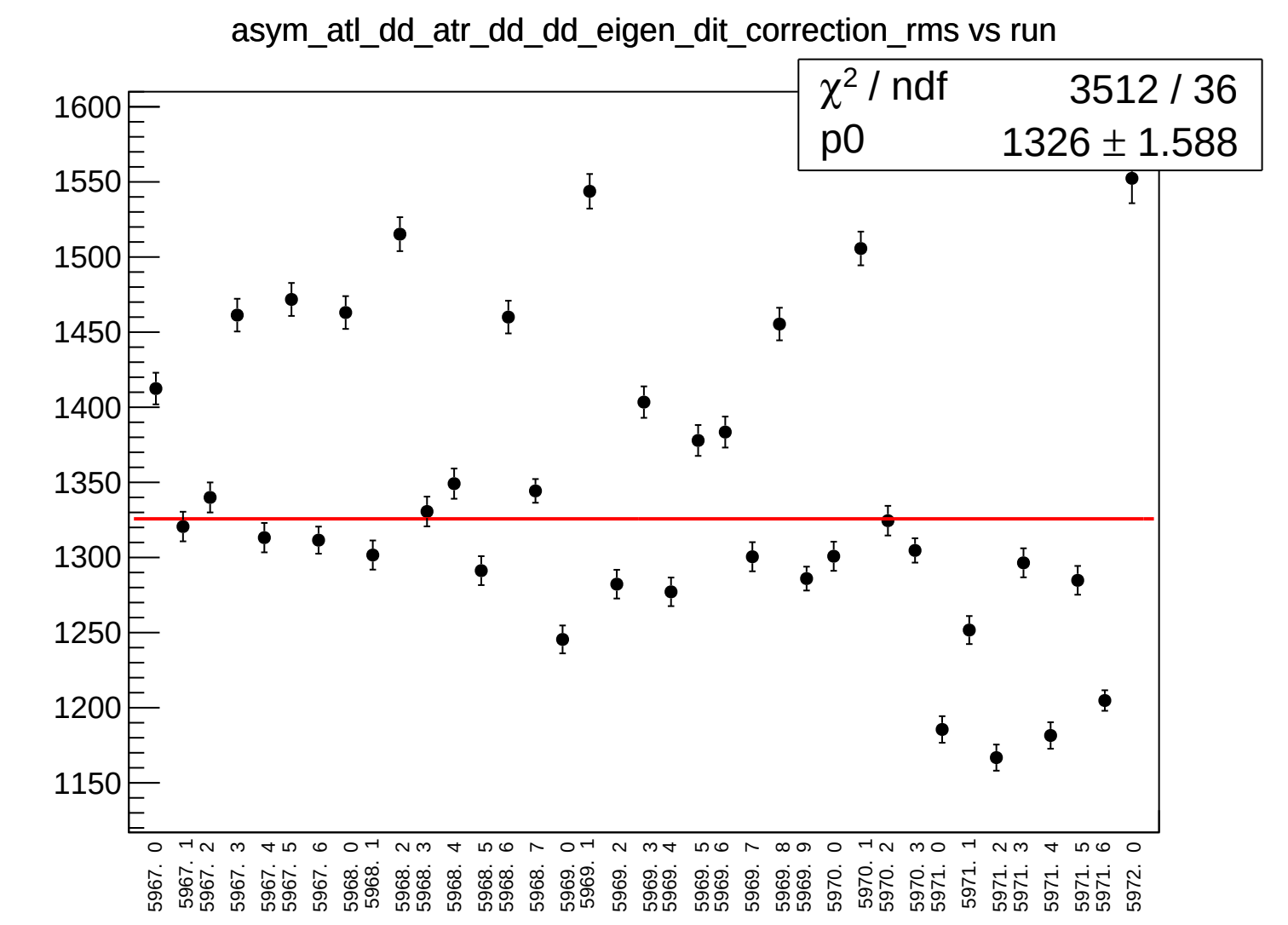
asym_atl_dd_atr_dd_dd_eigen_dit_correction_rms vs run
χ² / ndf 3512 / 36
p0 1326 ± 1.588
1600
1550
1500
1450
1400
1350
1300
1250
1200
1150
5967. 0
5967. 1
5967. 2
5967. 3
5967. 4
5967. 5
5967. 6
5968. 0
5968. 1
5968. 2
5968. 3
5968. 4
5968. 5
5968. 6
5968. 7
5969. 0
5969. 1
5969. 2
5969. 3
5969. 4
5969. 5
5969. 6
5969. 7
5969. 8
5969. 9
5970. 0
5970. 1
5970. 2
5970. 3
5971. 0
5971. 1
5971. 2
5971. 3
5971. 4
5971. 5
5971. 6
5972. 0

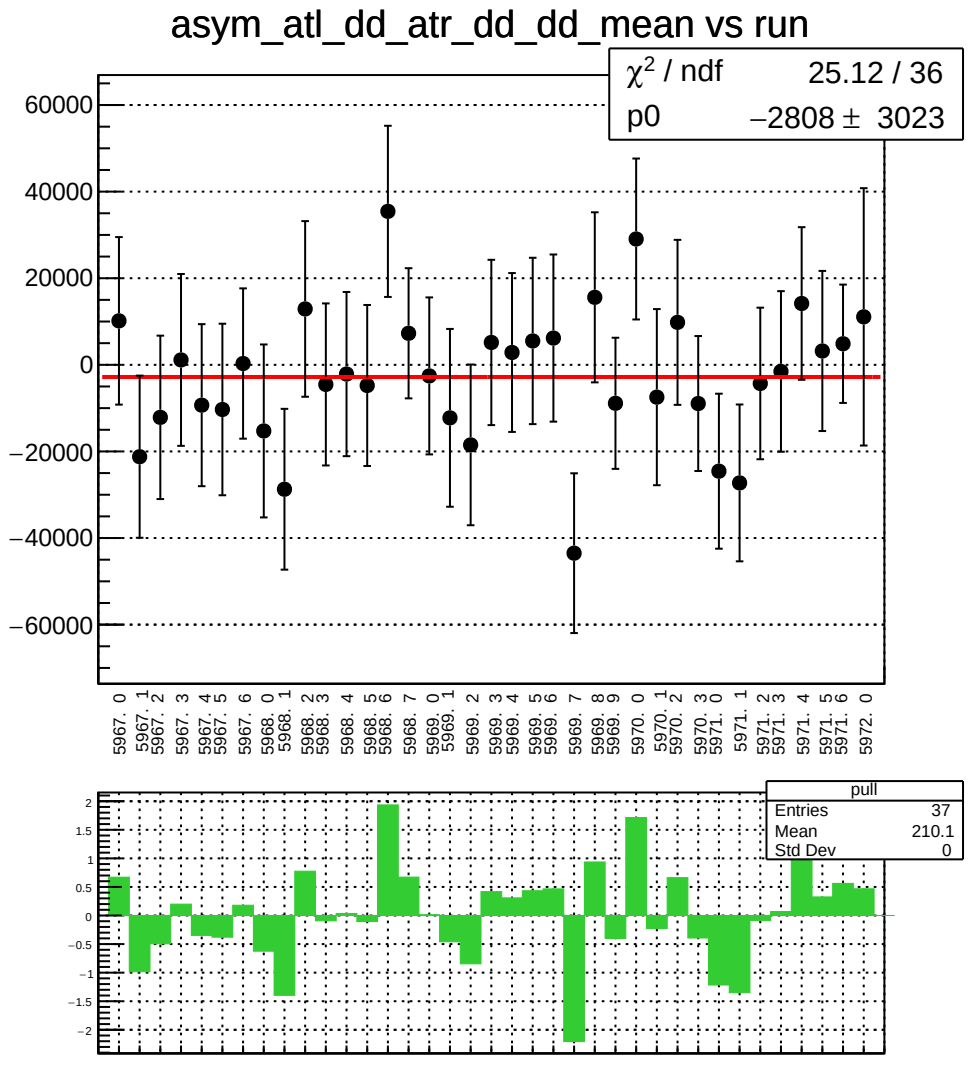
asym_atl_dd_atr_dd_dd_mean vs run
χ² / ndf 25.12 / 36
p0 −2808 ± 3023
60000
40000
20000
0
−20000
−40000
−60000
5967. 0
5967. 1
5967. 2
5967. 3
5967. 4
5967. 5
5967. 6
5968. 0
5968. 1
5968. 2
5968. 3
5968. 4
5968. 5
5968. 6
5968. 7
5969. 0
5969. 1
5969. 2
5969. 3
5969. 4
5969. 5
5969. 6
5969. 7
5969. 8
5969. 9
5970. 0
5970. 1
5970. 2
5970. 3
5971. 0
5971. 1
5971. 2
5971. 3
5971. 4
5971. 5
5971. 6
5972. 0
pull
Entries 37
Mean 210.1
Std Dev 0
2
1.5
1
0.5
0
−0.5
−1
−1.5
−2

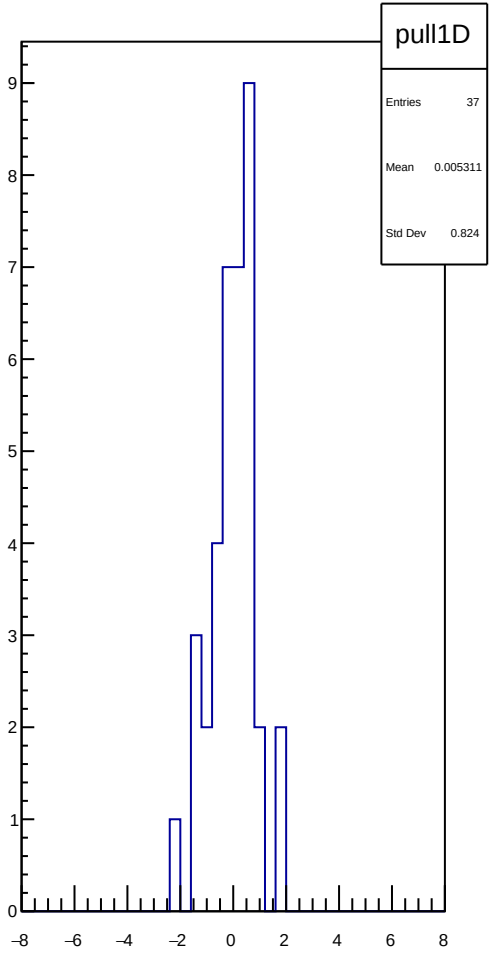
pull1D
Entries 37
Mean 0.005311
Std Dev 0.824
9
8
7
6
5
4
3
2
1
0
−8
−6
−4
−2
0
2
4
6
8

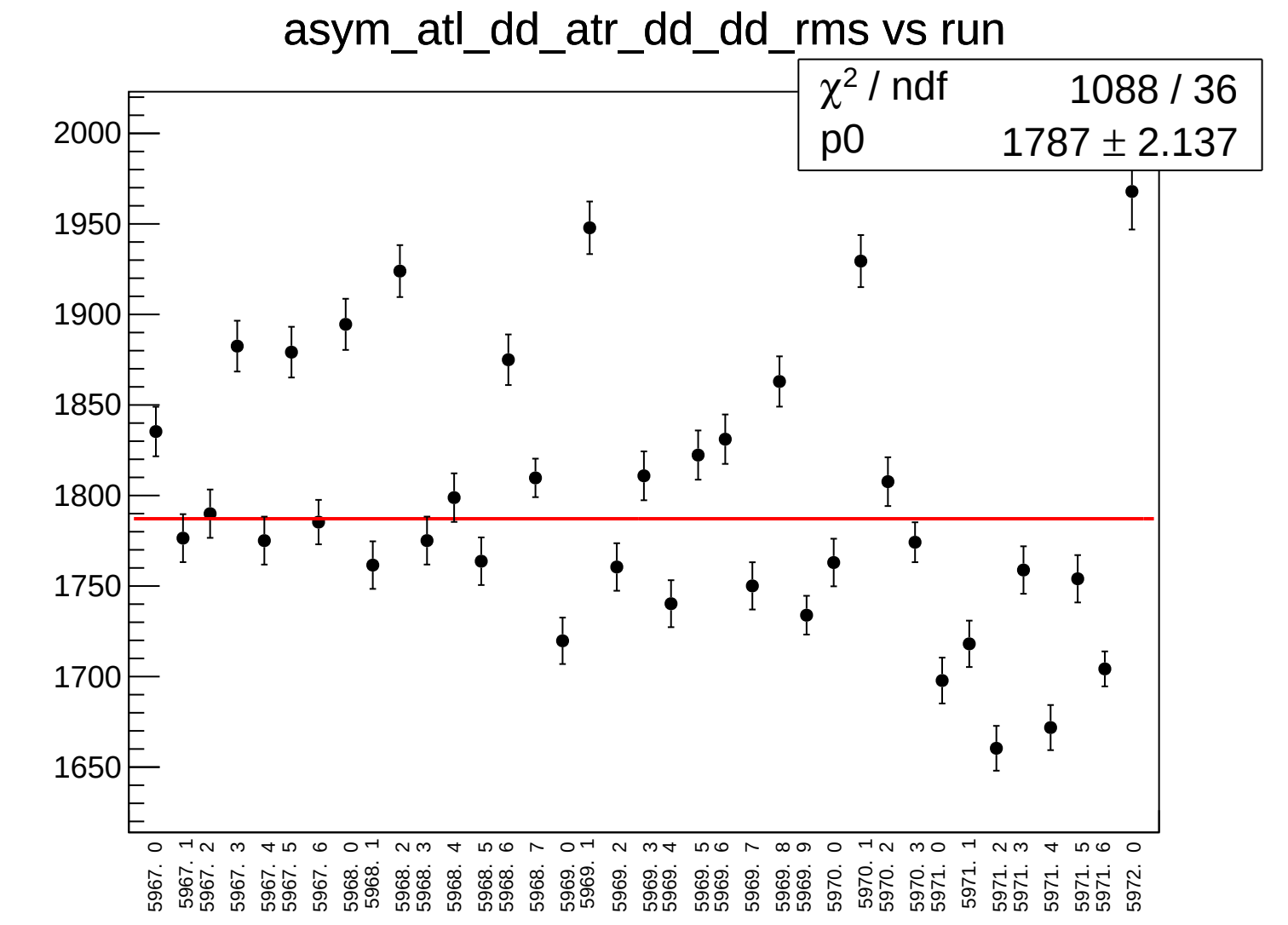
asym_atl_dd_atr_dd_dd_rms vs run
χ² / ndf 1088 / 36
p0 1787 ± 2.137
2000
1950
1900
1850
1800
1750
1700
1650
5967. 0
5967. 1
5967. 2
5967. 3
5967. 4
5967. 5
5967. 6
5968. 0
5968. 1
5968. 2
5968. 3
5968. 4
5968. 5
5968. 6
5968. 7
5969. 0
5969. 1
5969. 2
5969. 3
5969. 4
5969. 5
5969. 6
5969. 7
5969. 8
5969. 9
5970. 0
5970. 1
5970. 2
5970. 3
5971. 0
5971. 1
5971. 2
5971. 3
5971. 4
5971. 5
5971. 6
5972. 0

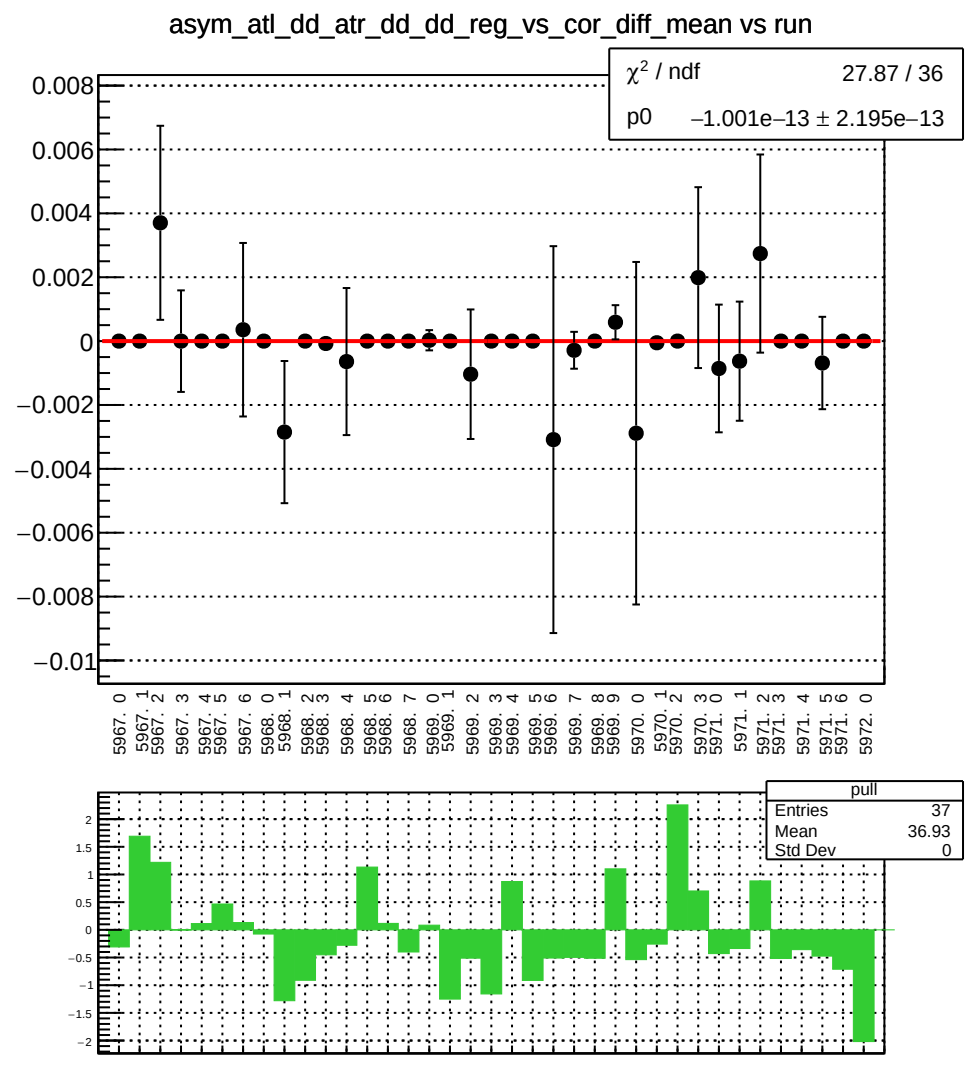
asym_atl_dd_atr_dd_dd_reg_vs_cor_diff_mean vs run
χ² / ndf 27.87 / 36
p0 −1.001e−13 ± 2.195e−13
0.008
0.006
0.004
0.002
0
−0.002
−0.004
−0.006
−0.008
−0.01
5967. 0
5967. 1
5967. 2
5967. 3
5967. 4
5967. 5
5967. 6
5968. 0
5968. 1
5968. 2
5968. 3
5968. 4
5968. 5
5968. 6
5968. 7
5969. 0
5969. 1
5969. 2
5969. 3
5969. 4
5969. 5
5969. 6
5969. 7
5969. 8
5969. 9
5970. 0
5970. 1
5970. 2
5970. 3
5971. 0
5971. 1
5971. 2
5971. 3
5971. 4
5971. 5
5971. 6
5972. 0
pull
Entries 37
Mean 36.93
Std Dev 0
2
1.5
1
0.5
0
−0.5
−1
−1.5
−2

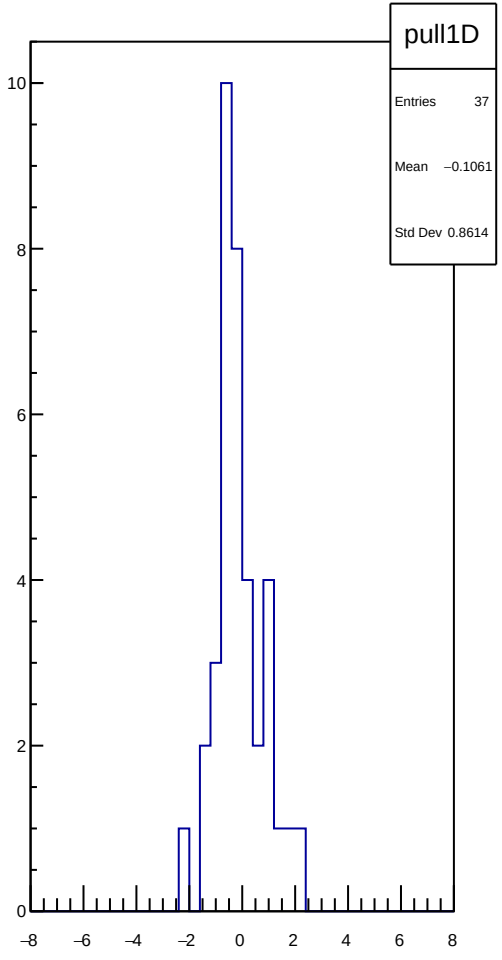
pull1D
Entries 37
Mean −0.1061
Std Dev 0.8614
10
8
6
4
2
0
−8
−6
−4
−2
0
2
4
6
8

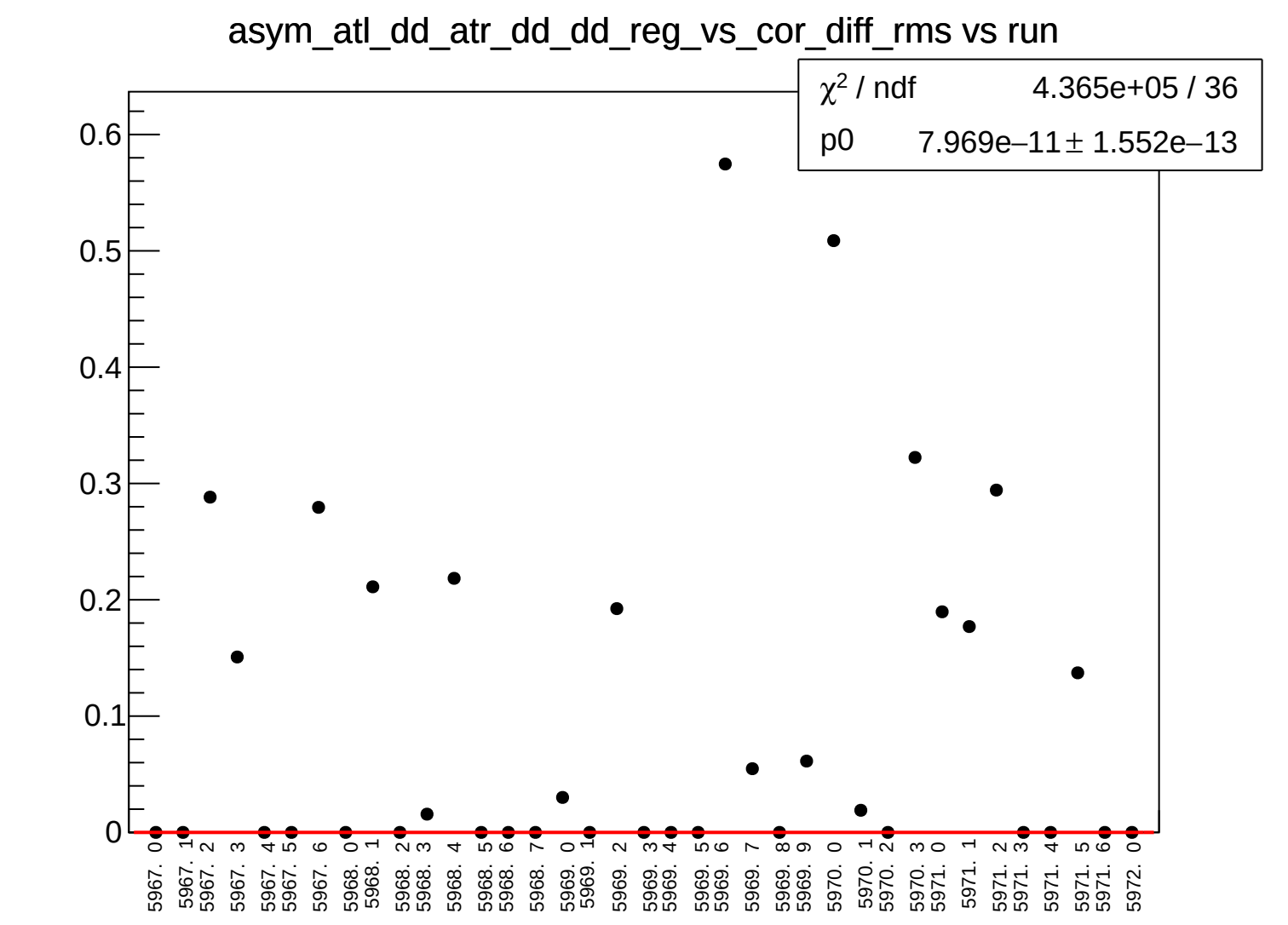
asym_atl_dd_atr_dd_dd_reg_vs_cor_diff_rms vs run
χ² / ndf 4.365e+05 / 36
p0 7.969e−11 ± 1.552e−13
0.6
0.5
0.4
0.3
0.2
0.1
0
5967. 0
5967. 1
5967. 2
5967. 3
5967. 4
5967. 5
5967. 6
5968. 0
5968. 1
5968. 2
5968. 3
5968. 4
5968. 5
5968. 6
5968. 7
5969. 0
5969. 1
5969. 2
5969. 3
5969. 4
5969. 5
5969. 6
5969. 7
5969. 8
5969. 9
5970. 0
5970. 1
5970. 2
5970. 3
5971. 0
5971. 1
5971. 2
5971. 3
5971. 4
5971. 5
5971. 6
5972. 0

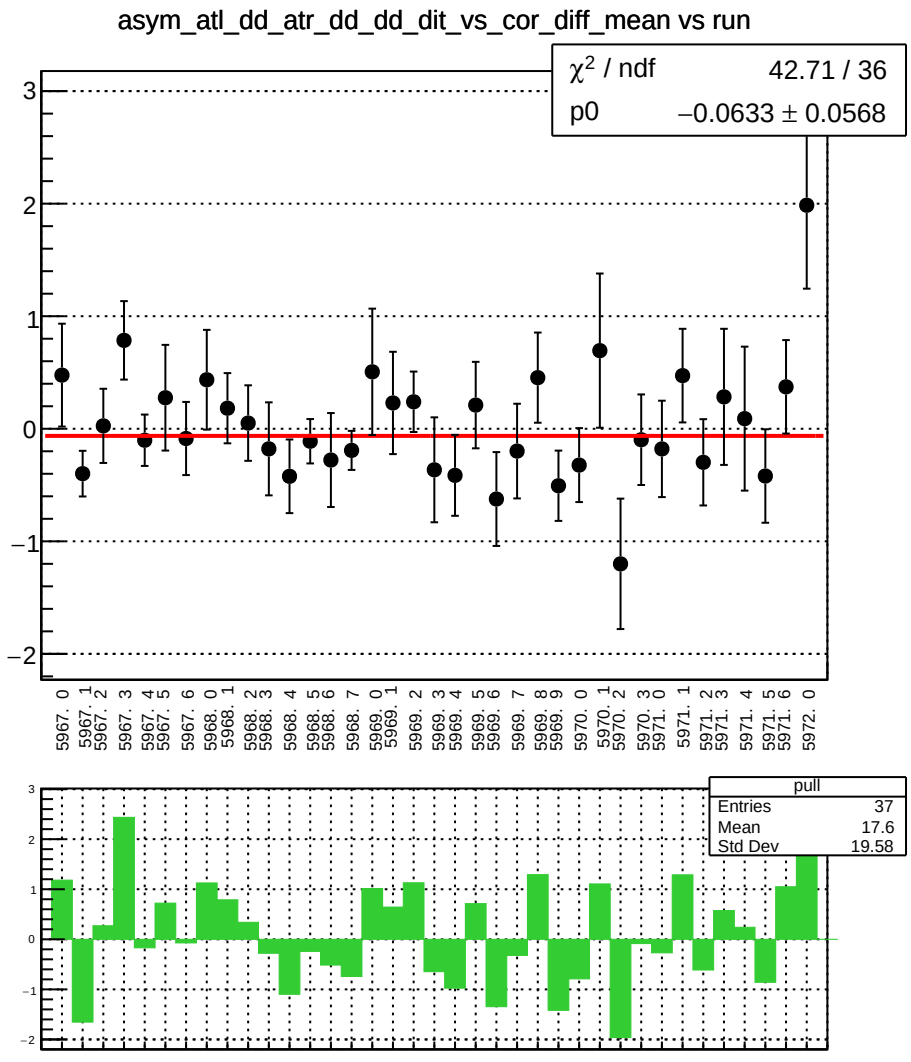
asym_atl_dd_atr_dd_dd_dit_vs_cor_diff_mean vs run
χ² / ndf 42.71 / 36
p0 −0.0633 ± 0.0568
pull
Entries 37
Mean 17.6
Std Dev 19.58

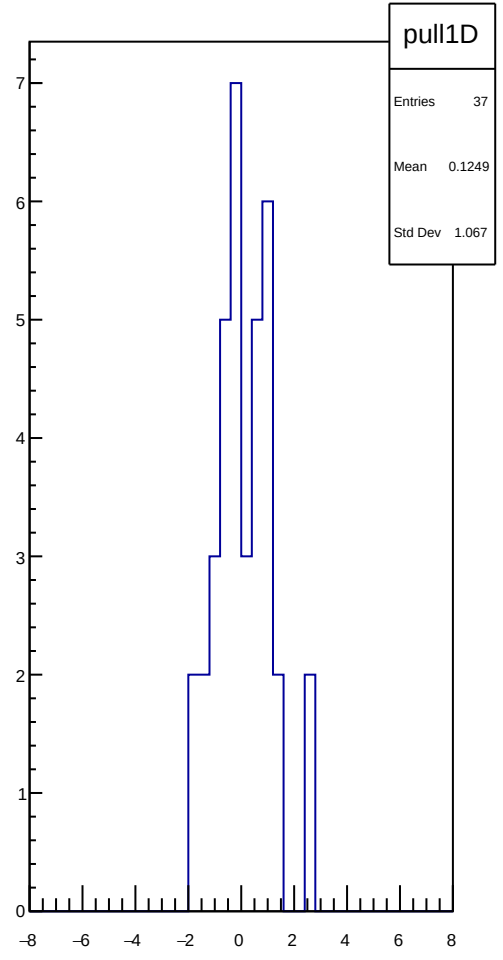
pull1D
Entries 37
Mean 0.1249
Std Dev 1.067

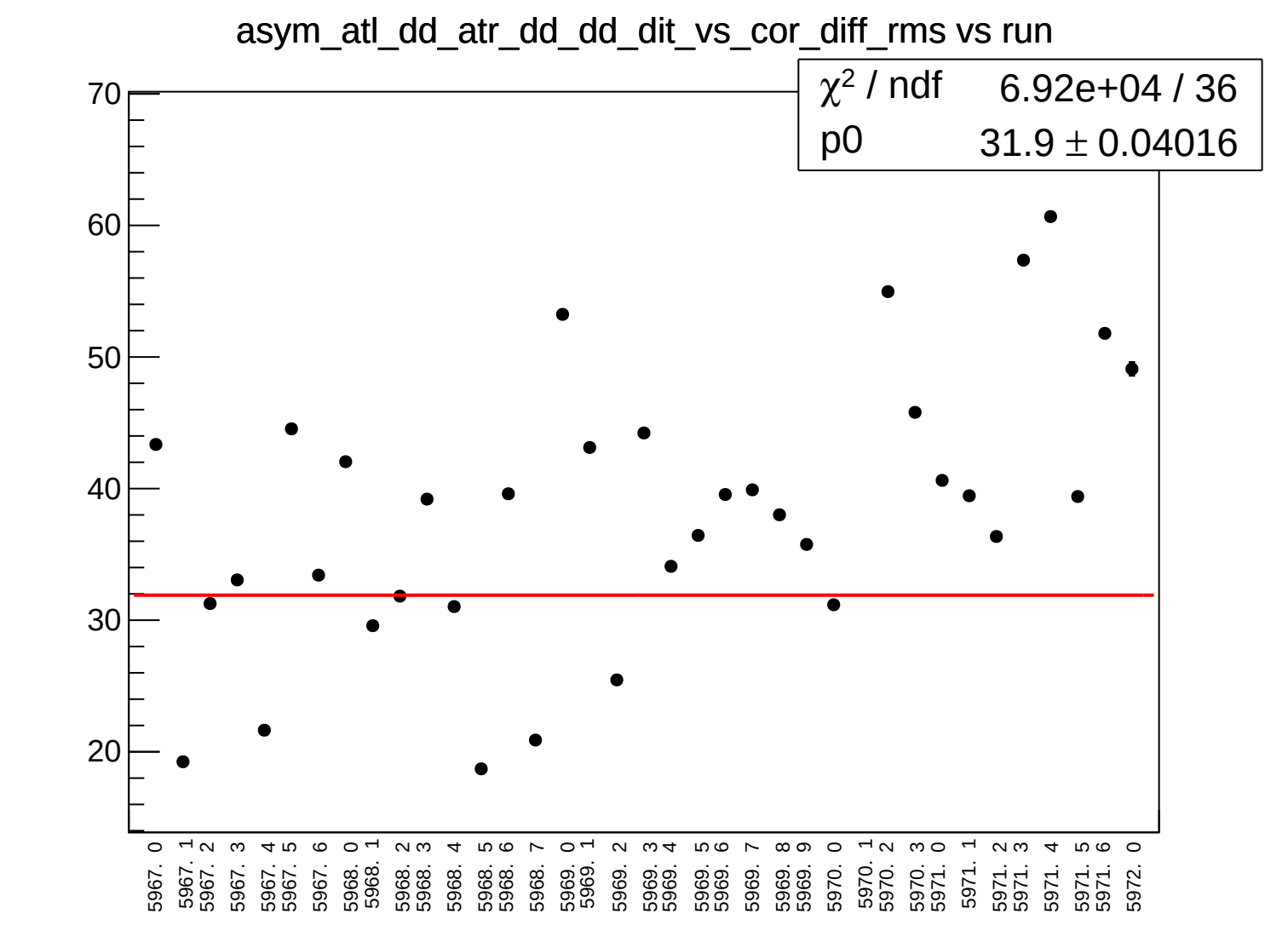
asym_atl_dd_atr_dd_dd_dit_vs_cor_diff_rms vs run
χ² / ndf 6.92e+04 / 36
p0 31.9 ± 0.04016
70
60
50
40
30
20
5967. 0
5967. 1
5967. 2
5967. 3
5967. 4
5967. 5
5967. 6
5968. 0
5968. 1
5968. 2
5968. 3
5968. 4
5968. 5
5968. 6
5968. 7
5969. 0
5969. 1
5969. 2
5969. 3
5969. 4
5969. 5
5969. 6
5969. 7
5969. 8
5969. 9
5970. 0
5970. 1
5970. 2
5970. 3
5971. 0
5971. 1
5971. 2
5971. 3
5971. 4
5971. 5
5971. 6
5972. 0

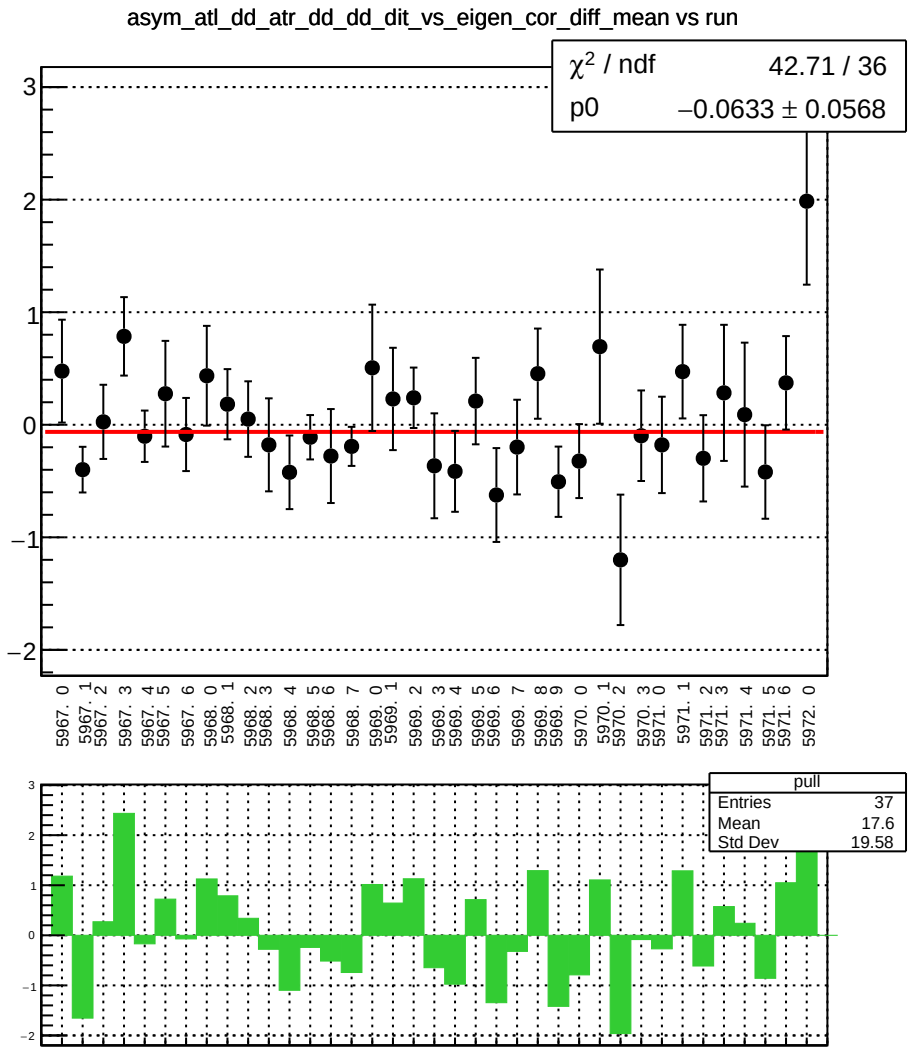
asym_atl_dd_atr_dd_dd_dit_vs_eigen_cor_diff_mean vs run
χ² / ndf 42.71 / 36
p0 −0.0633 ± 0.0568
pull
Entries 37
Mean 17.6
Std Dev 19.58

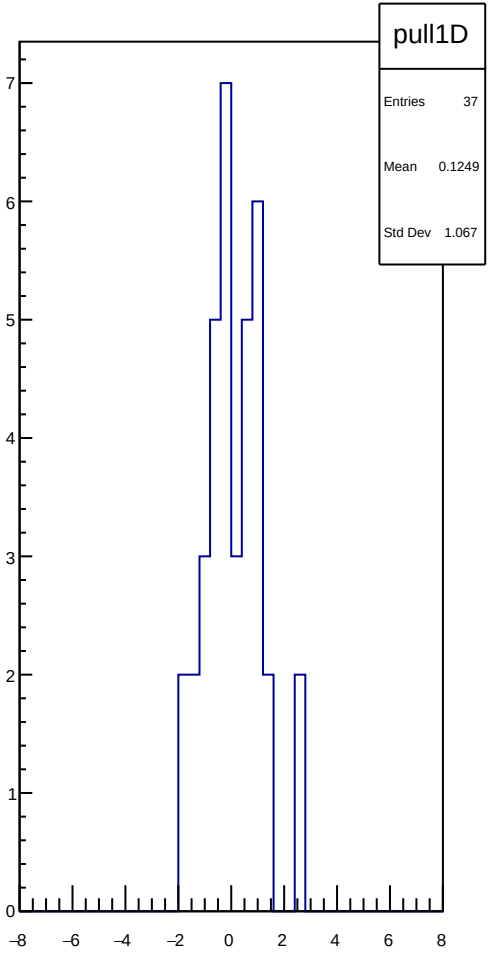
pull1D
Entries 37
Mean 0.1249
Std Dev 1.067

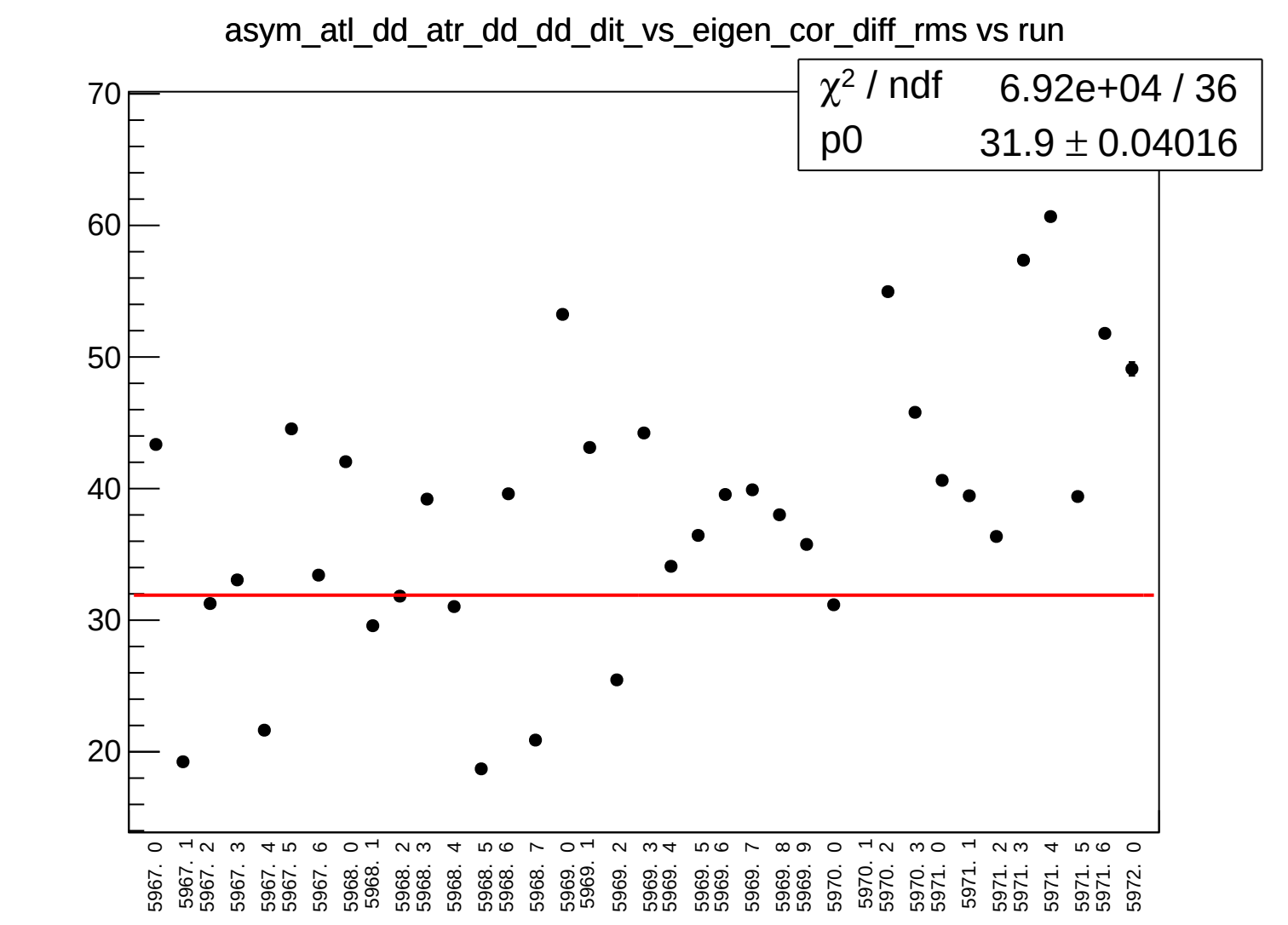
asym_atl_dd_atr_dd_dd_dit_vs_eigen_cor_diff_rms vs run
χ² / ndf 6.92e+04 / 36
p0 31.9 ± 0.04016
70
60
50
40
30
20
5967. 0
5967. 1
5967. 2
5967. 3
5967. 4
5967. 5
5967. 6
5968. 0
5968. 1
5968. 2
5968. 3
5968. 4
5968. 5
5968. 6
5968. 7
5969. 0
5969. 1
5969. 2
5969. 3
5969. 4
5969. 5
5969. 6
5969. 7
5969. 8
5969. 9
5970. 0
5970. 1
5970. 2
5970. 3
5971. 0
5971. 1
5971. 2
5971. 3
5971. 4
5971. 5
5971. 6
5972. 0

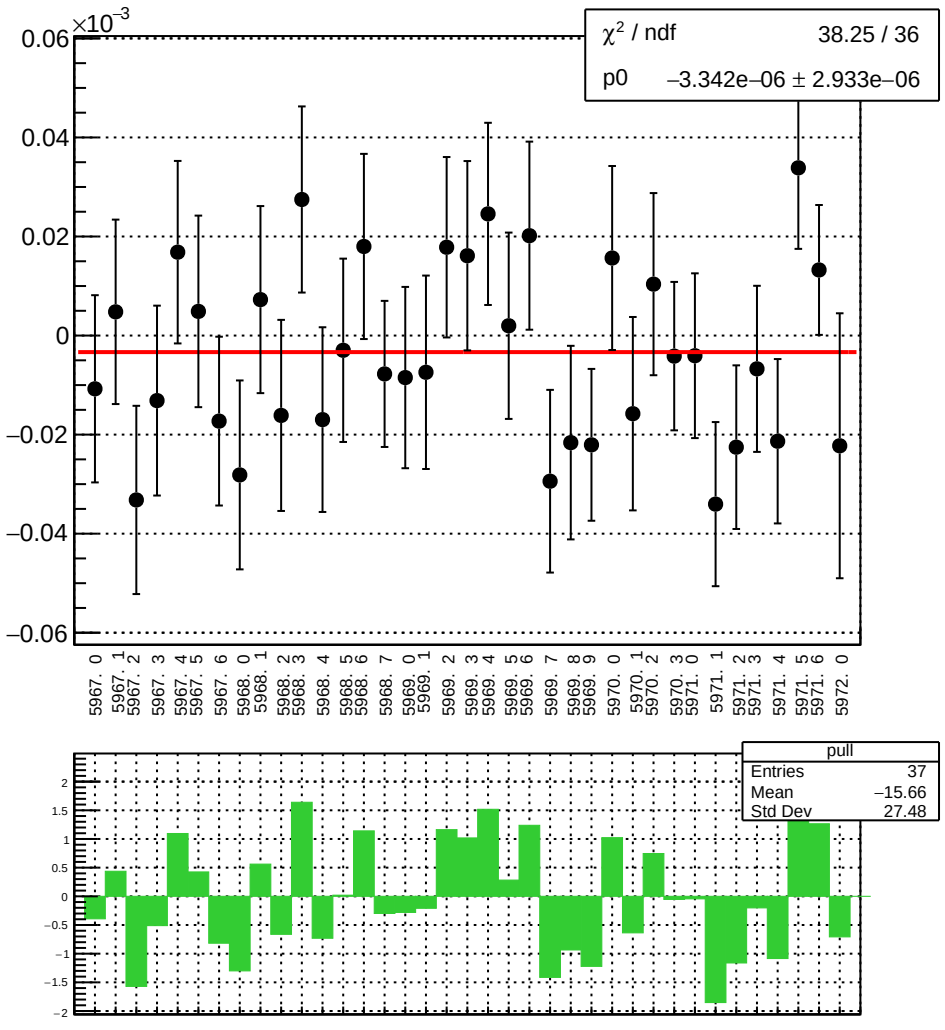
asym_atl_dd_atr_dd_dd_eigen_dit_vs_dit_diff_mean vs run
×10⁻³
χ² / ndf 38.25 / 36
p0 −3.342e−06 ± 2.933e−06
pull
Entries 37
Mean −15.66
Std Dev 27.48

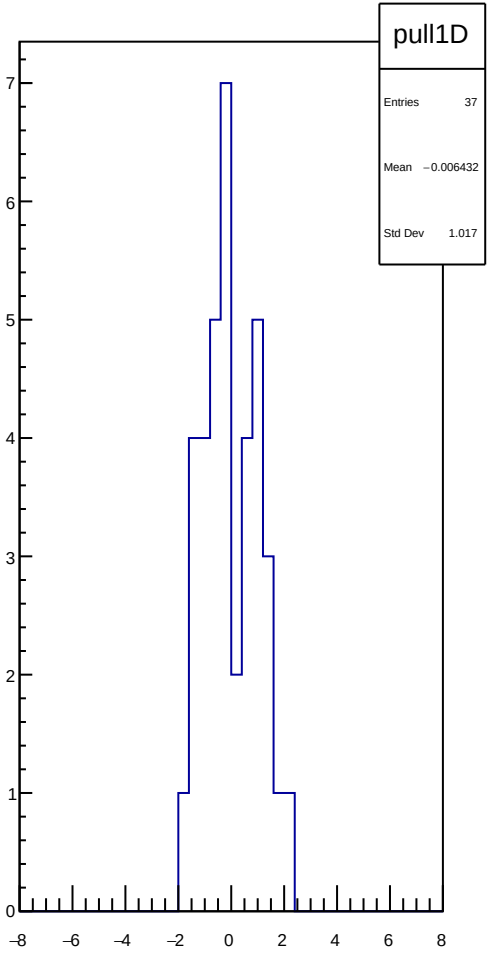
pull1D
Entries 37
Mean −0.006432
Std Dev 1.017

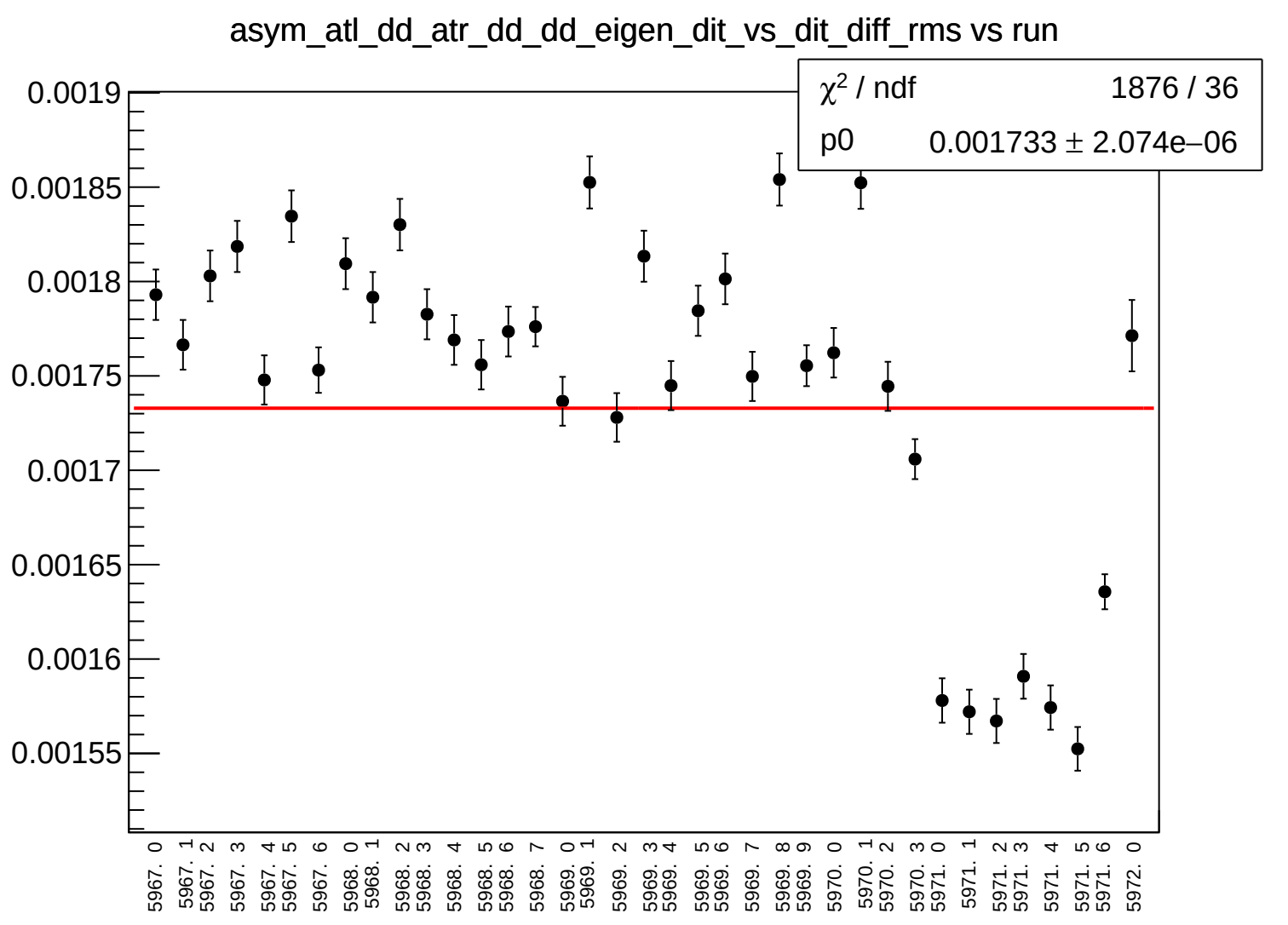
asym_atl_dd_atr_dd_dd_eigen_dit_vs_dit_diff_rms vs run
χ² / ndf 1876 / 36
p0 0.001733 ± 2.074e−06
0.0019
0.00185
0.0018
0.00175
0.0017
0.00165
0.0016
0.00155
5967. 0
5967. 1
5967. 2
5967. 3
5967. 4
5967. 5
5967. 6
5968. 0
5968. 1
5968. 2
5968. 3
5968. 4
5968. 5
5968. 6
5968. 7
5969. 0
5969. 1
5969. 2
5969. 3
5969. 4
5969. 5
5969. 6
5969. 7
5969. 8
5969. 9
5970. 0
5970. 1
5970. 2
5970. 3
5971. 0
5971. 1
5971. 2
5971. 3
5971. 4
5971. 5
5971. 6
5972. 0

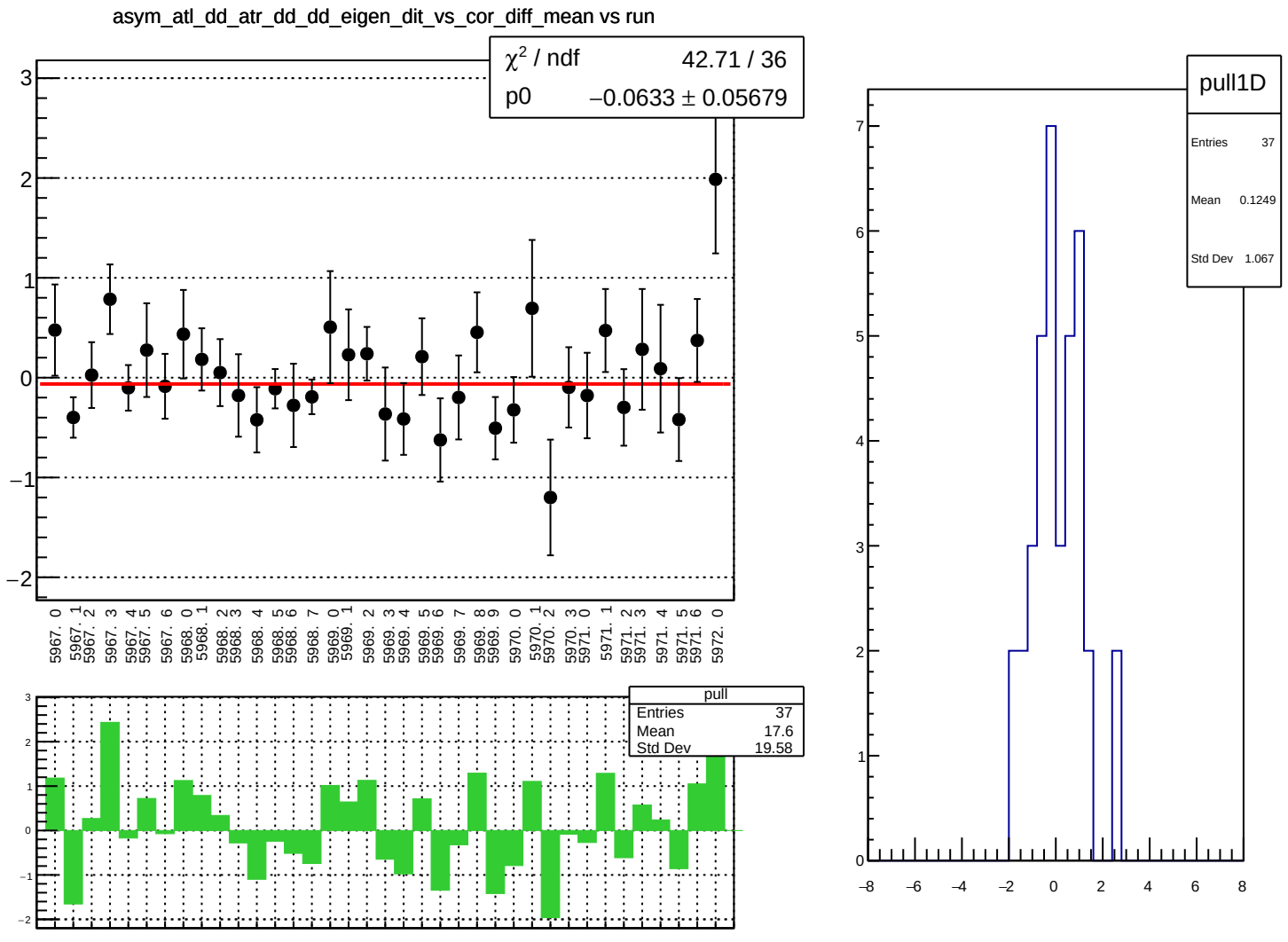
asym_atl_dd_atr_dd_dd_eigen_dit_vs_cor_diff_mean vs run
χ² / ndf 42.71 / 36
p0 −0.0633 ± 0.05679
pull
Entries 37
Mean 17.6
Std Dev 19.58
pull1D
Entries 37
Mean 0.1249
Std Dev 1.067

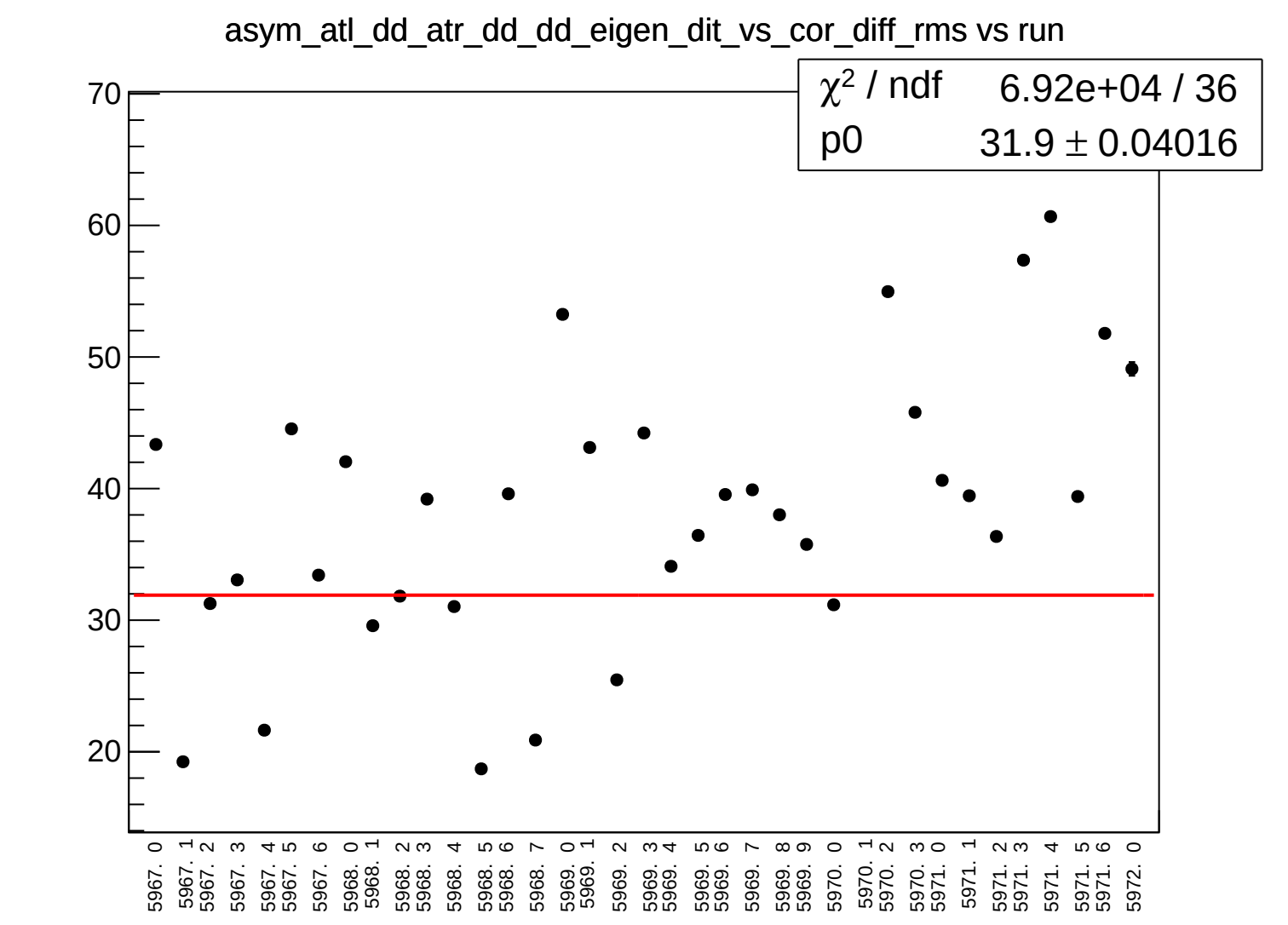
asym_atl_dd_atr_dd_dd_eigen_dit_vs_cor_diff_rms vs run
χ² / ndf 6.92e+04 / 36
p0 31.9 ± 0.04016
70
60
50
40
30
20
5967. 0
5967. 1
5967. 2
5967. 3
5967. 4
5967. 5
5967. 6
5968. 0
5968. 1
5968. 2
5968. 3
5968. 4
5968. 5
5968. 6
5968. 7
5969. 0
5969. 1
5969. 2
5969. 3
5969. 4
5969. 5
5969. 6
5969. 7
5969. 8
5969. 9
5970. 0
5970. 1
5970. 2
5970. 3
5971. 0
5971. 1
5971. 2
5971. 3
5971. 4
5971. 5
5971. 6
5972. 0

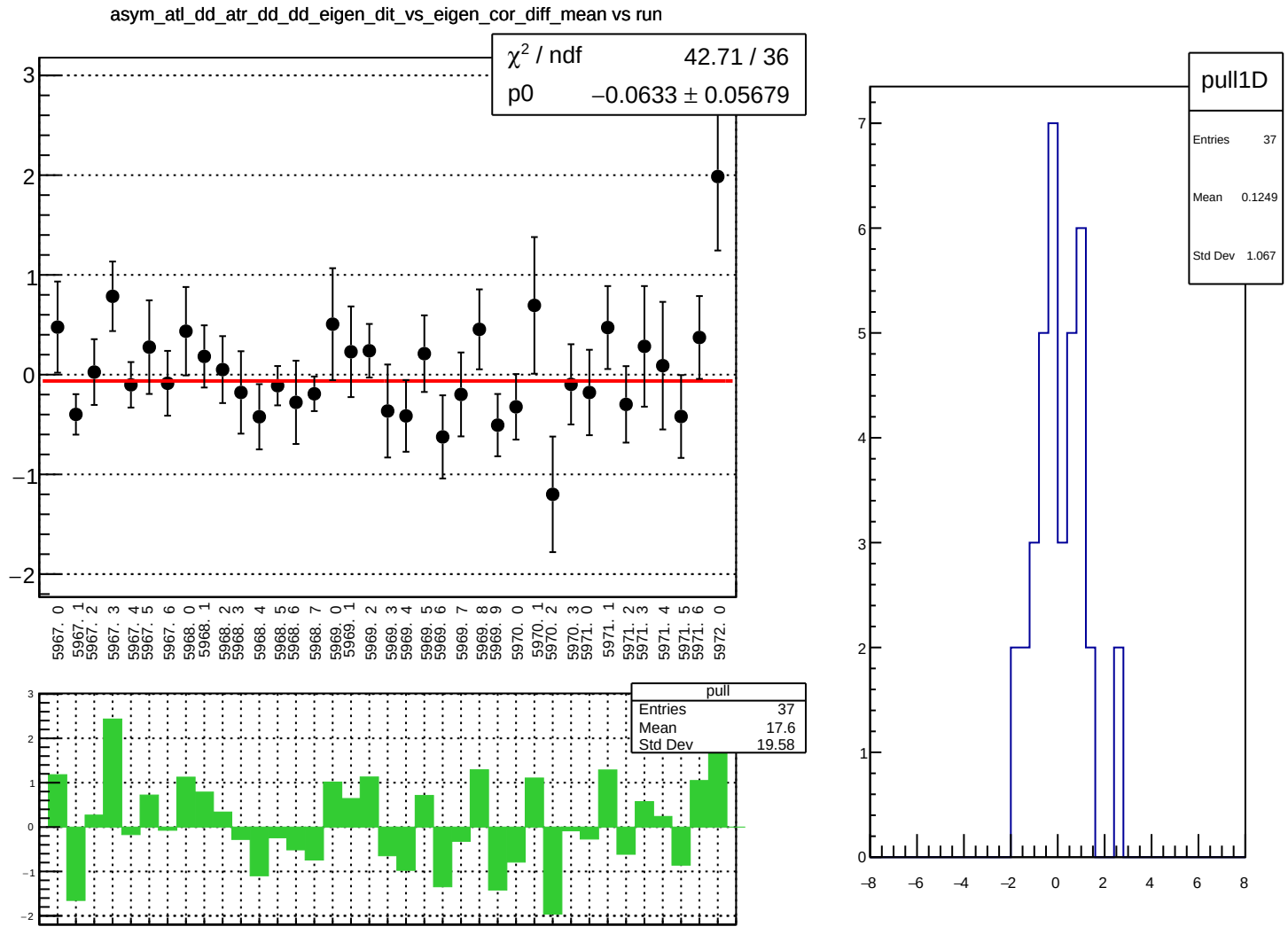
asym_atl_dd_atr_dd_dd_eigen_dit_vs_eigen_cor_diff_mean vs run
χ² / ndf 42.71 / 36
p0 −0.0633 ± 0.05679
pull
Entries 37
Mean 17.6
Std Dev 19.58
pull1D
Entries 37
Mean 0.1249
Std Dev 1.067

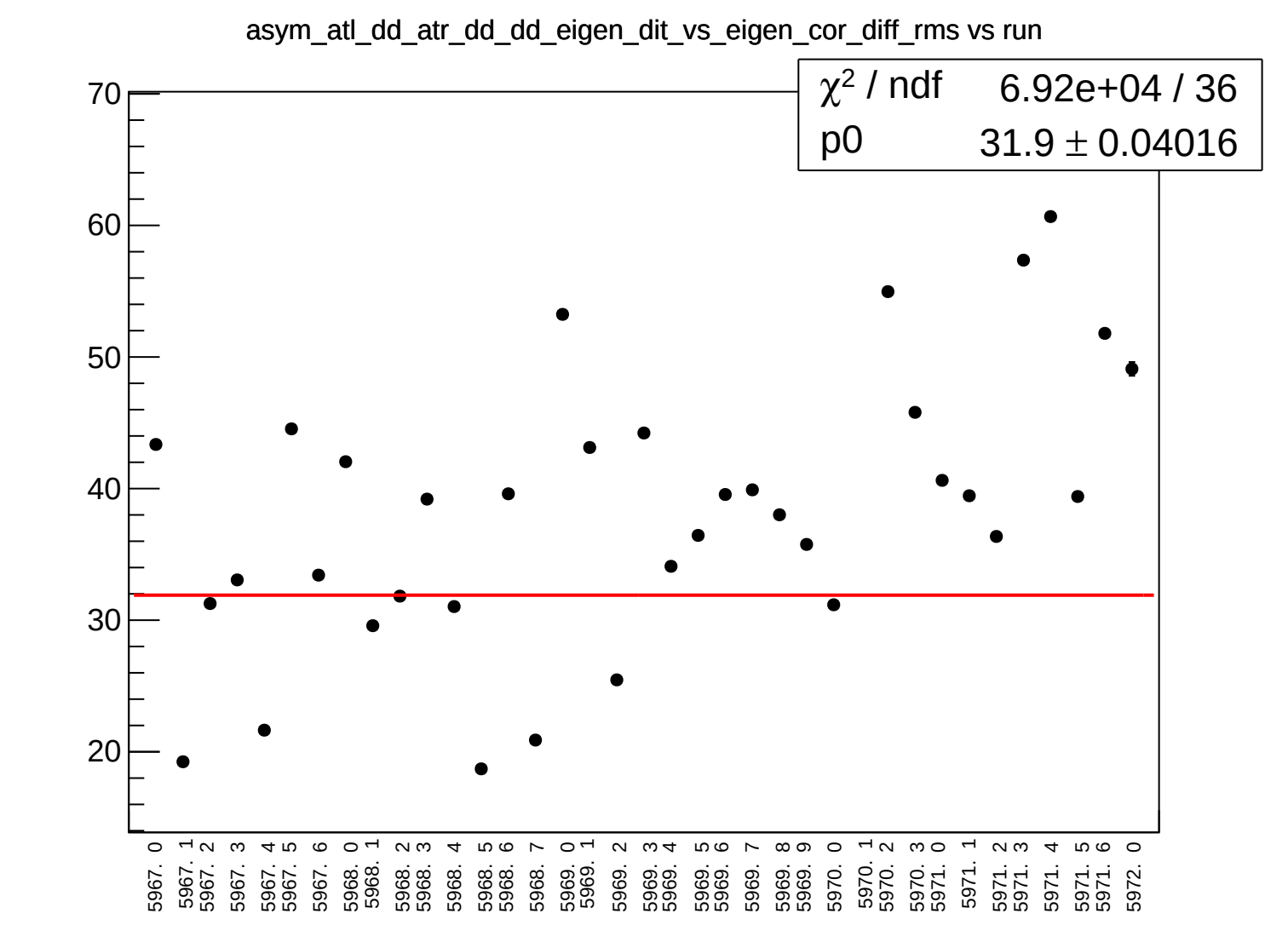
asym_atl_dd_atr_dd_dd_eigen_dit_vs_eigen_cor_diff_rms vs run
χ² / ndf 6.92e+04 / 36
p0 31.9 ± 0.04016
70
60
50
40
30
20
5967. 0
5967. 1
5967. 2
5967. 3
5967. 4
5967. 5
5967. 6
5968. 0
5968. 1
5968. 2
5968. 3
5968. 4
5968. 5
5968. 6
5968. 7
5969. 0
5969. 1
5969. 2
5969. 3
5969. 4
5969. 5
5969. 6
5969. 7
5969. 8
5969. 9
5970. 0
5970. 1
5970. 2
5970. 3
5971. 0
5971. 1
5971. 2
5971. 3
5971. 4
5971. 5
5971. 6
5972. 0

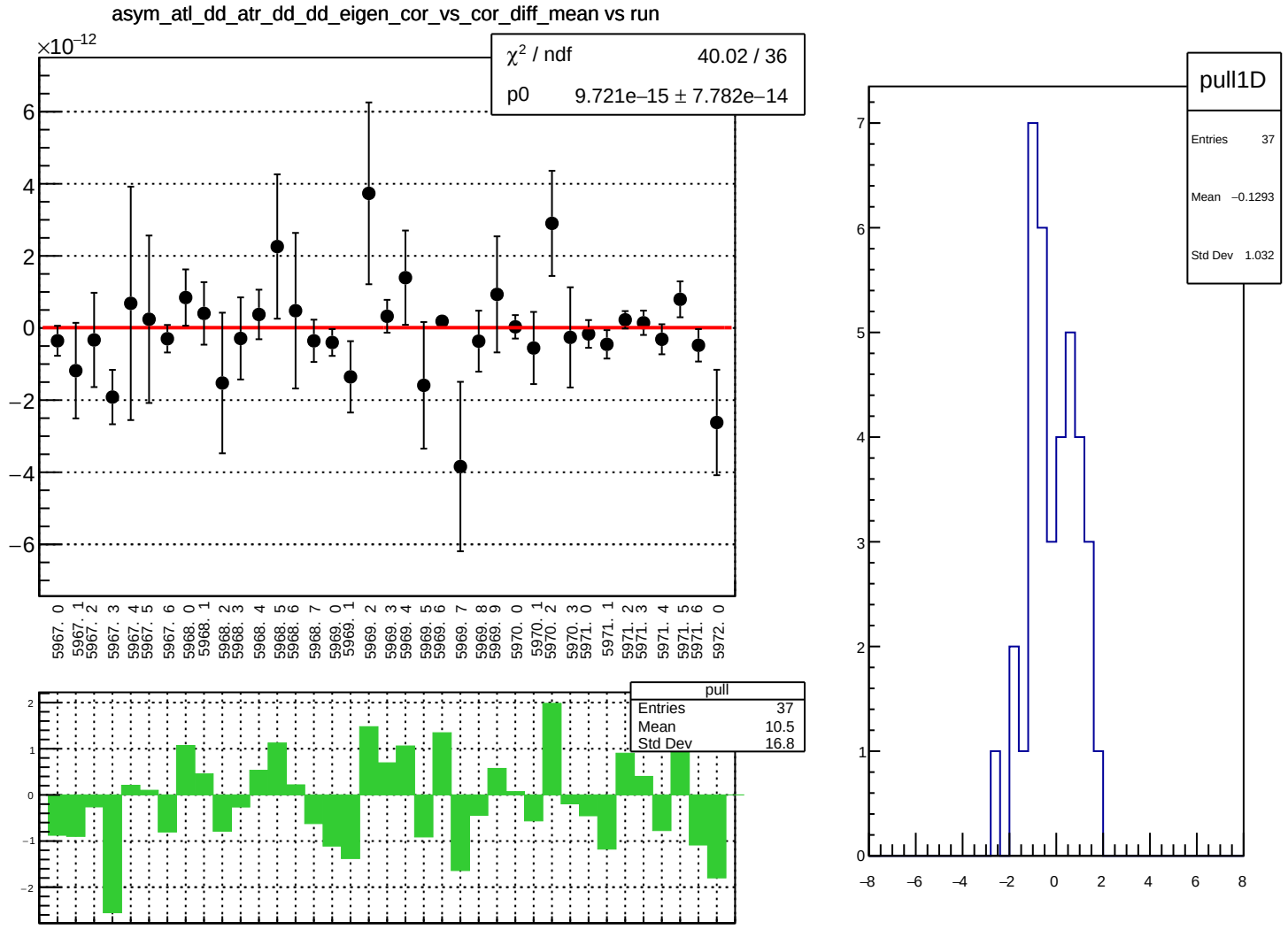
asym_atl_dd_atr_dd_dd_eigen_cor_vs_cor_diff_mean vs run
×10⁻¹²
χ² / ndf 40.02 / 36
p0 9.721e−15 ± 7.782e−14
6
4
2
0
−2
−4
−6
5967. 0
5967. 1
5967. 2
5967. 3
5967. 4
5967. 5
5967. 6
5968. 0
5968. 1
5968. 2
5968. 3
5968. 4
5968. 5
5968. 6
5968. 7
5969. 0
5969. 1
5969. 2
5969. 3
5969. 4
5969. 5
5969. 6
5969. 7
5969. 8
5969. 9
5970. 0
5970. 1
5970. 2
5970. 3
5971. 0
5971. 1
5971. 2
5971. 3
5971. 4
5971. 5
5971. 6
5972. 0
pull
Entries 37
Mean 10.5
Std Dev 16.8
2
1
0
−1
−2
pull1D
Entries 37
Mean −0.1293
Std Dev 1.032
7
6
5
4
3
2
1
0
−8
−6
−4
−2
0
2
4
6
8

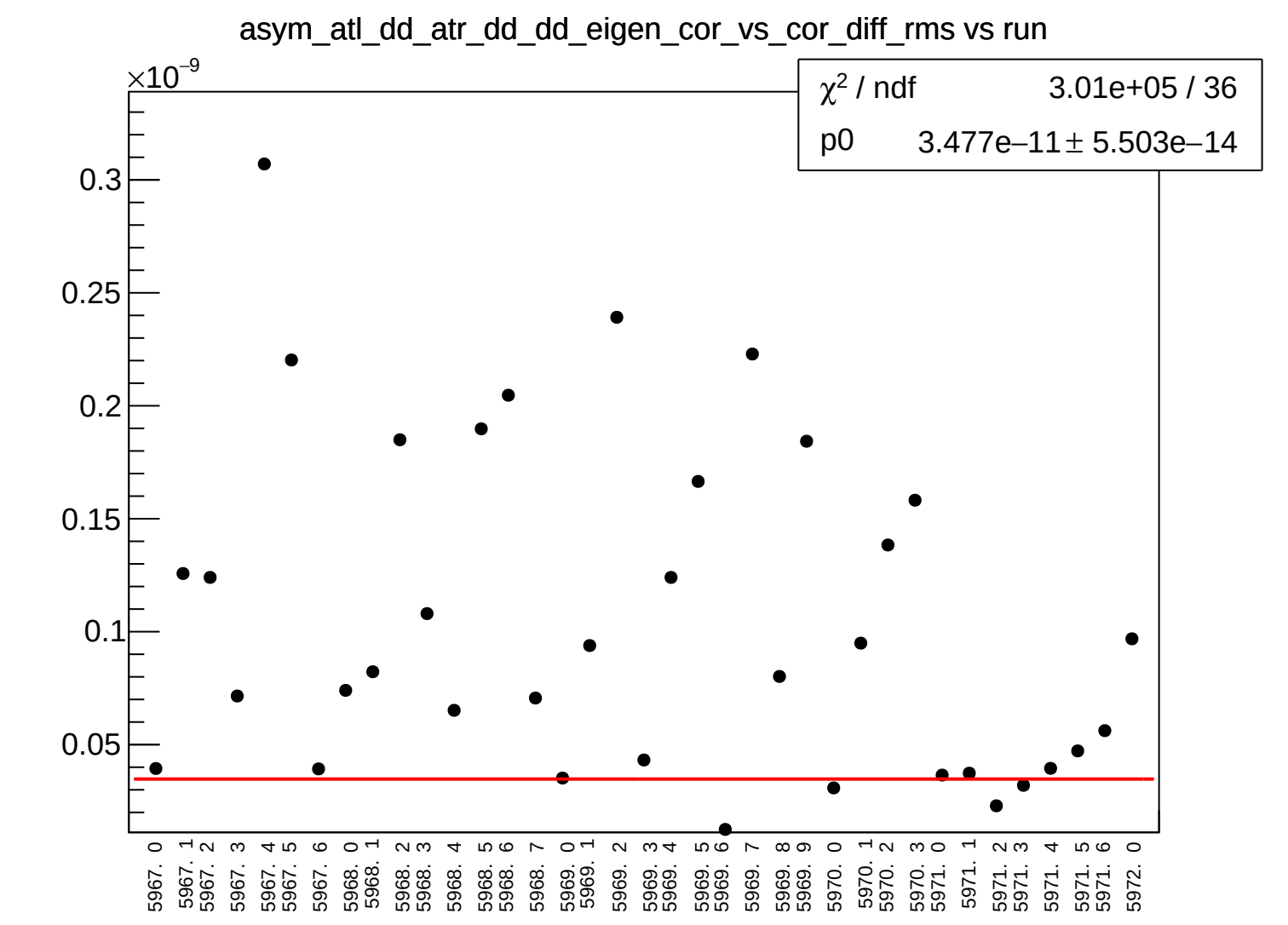
asym_atl_dd_atr_dd_dd_eigen_cor_vs_cor_diff_rms vs run
×10⁻⁹
χ² / ndf 3.01e+05 / 36
p0 3.477e−11 ± 5.503e−14
0.3
0.25
0.2
0.15
0.1
0.05
5967. 0
5967. 1
5967. 2
5967. 3
5967. 4
5967. 5
5967. 6
5968. 0
5968. 1
5968. 2
5968. 3
5968. 4
5968. 5
5968. 6
5968. 7
5969. 0
5969. 1
5969. 2
5969. 3
5969. 4
5969. 5
5969. 6
5969. 7
5969. 8
5969. 9
5970. 0
5970. 1
5970. 2
5970. 3
5971. 0
5971. 1
5971. 2
5971. 3
5971. 4
5971. 5
5971. 6
5972. 0

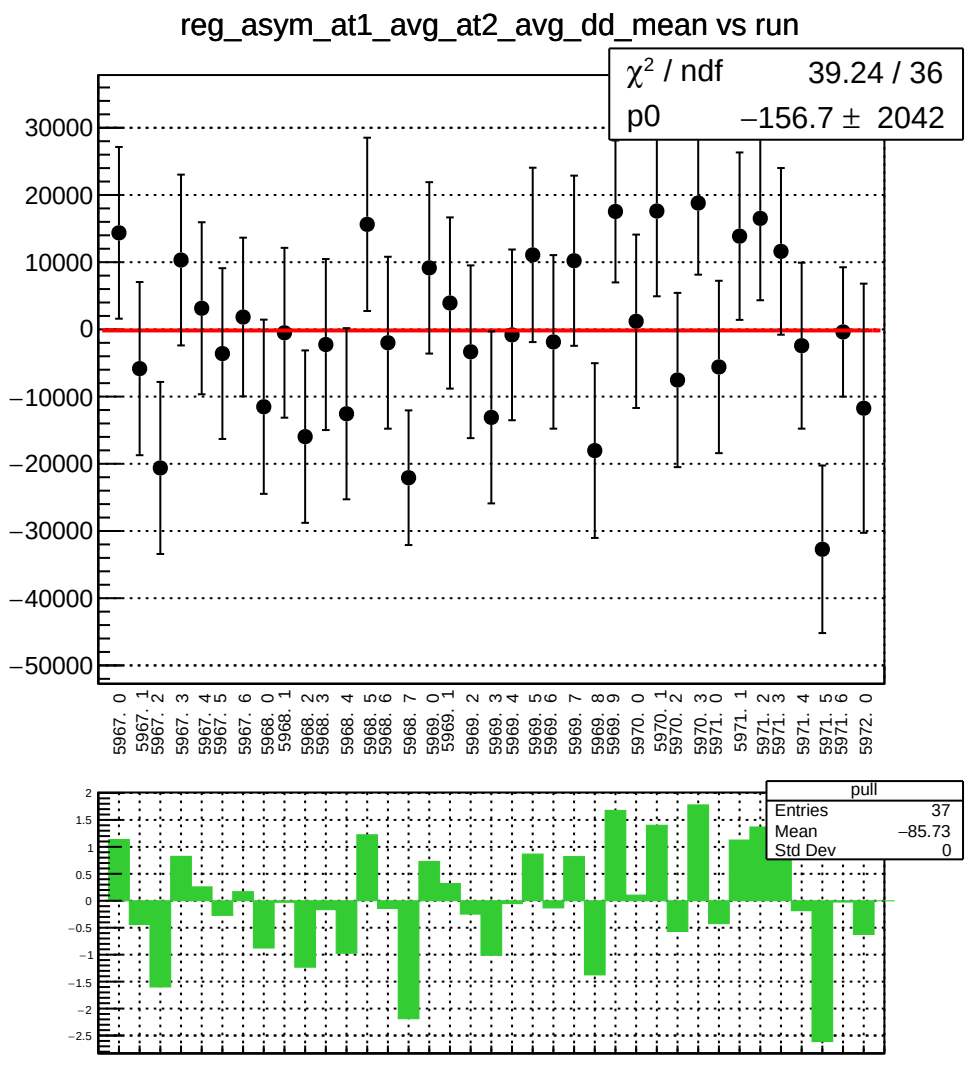
reg_asym_at1_avg_at2_avg_dd_mean vs run
χ² / ndf 39.24 / 36
p0 −156.7 ± 2042
30000
20000
10000
0
−10000
−20000
−30000
−40000
−50000
5967. 0
5967. 1
5967. 2
5967. 3
5967. 4
5967. 5
5967. 6
5968. 0
5968. 1
5968. 2
5968. 3
5968. 4
5968. 5
5968. 6
5968. 7
5969. 0
5969. 1
5969. 2
5969. 3
5969. 4
5969. 5
5969. 6
5969. 7
5969. 8
5969. 9
5970. 0
5970. 1
5970. 2
5970. 3
5971. 0
5971. 1
5971. 2
5971. 3
5971. 4
5971. 5
5971. 6
5972. 0
pull
Entries 37
Mean −85.73
Std Dev 0
2
1.5
1
0.5
0
−0.5
−1
−1.5
−2
−2.5

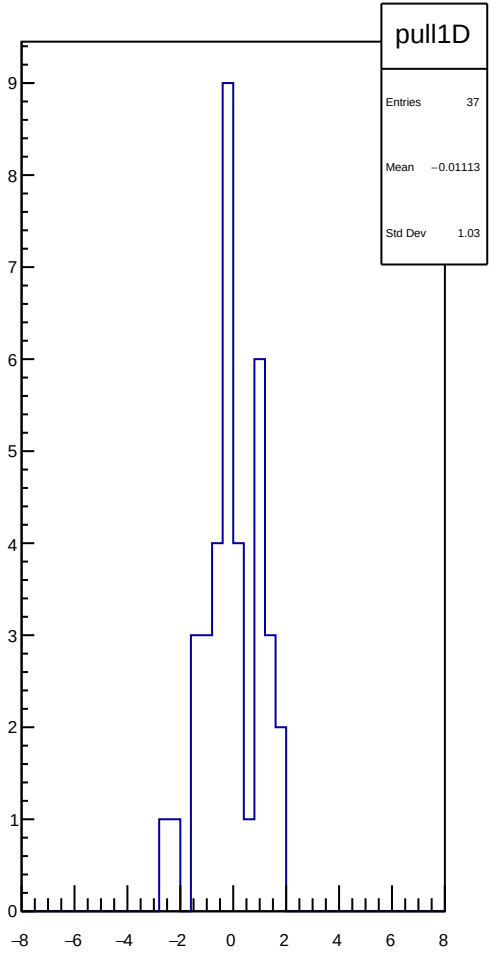
pull1D
Entries 37
Mean −0.01113
Std Dev 1.03
9
8
7
6
5
4
3
2
1
0
−8
−6
−4
−2
0
2
4
6
8

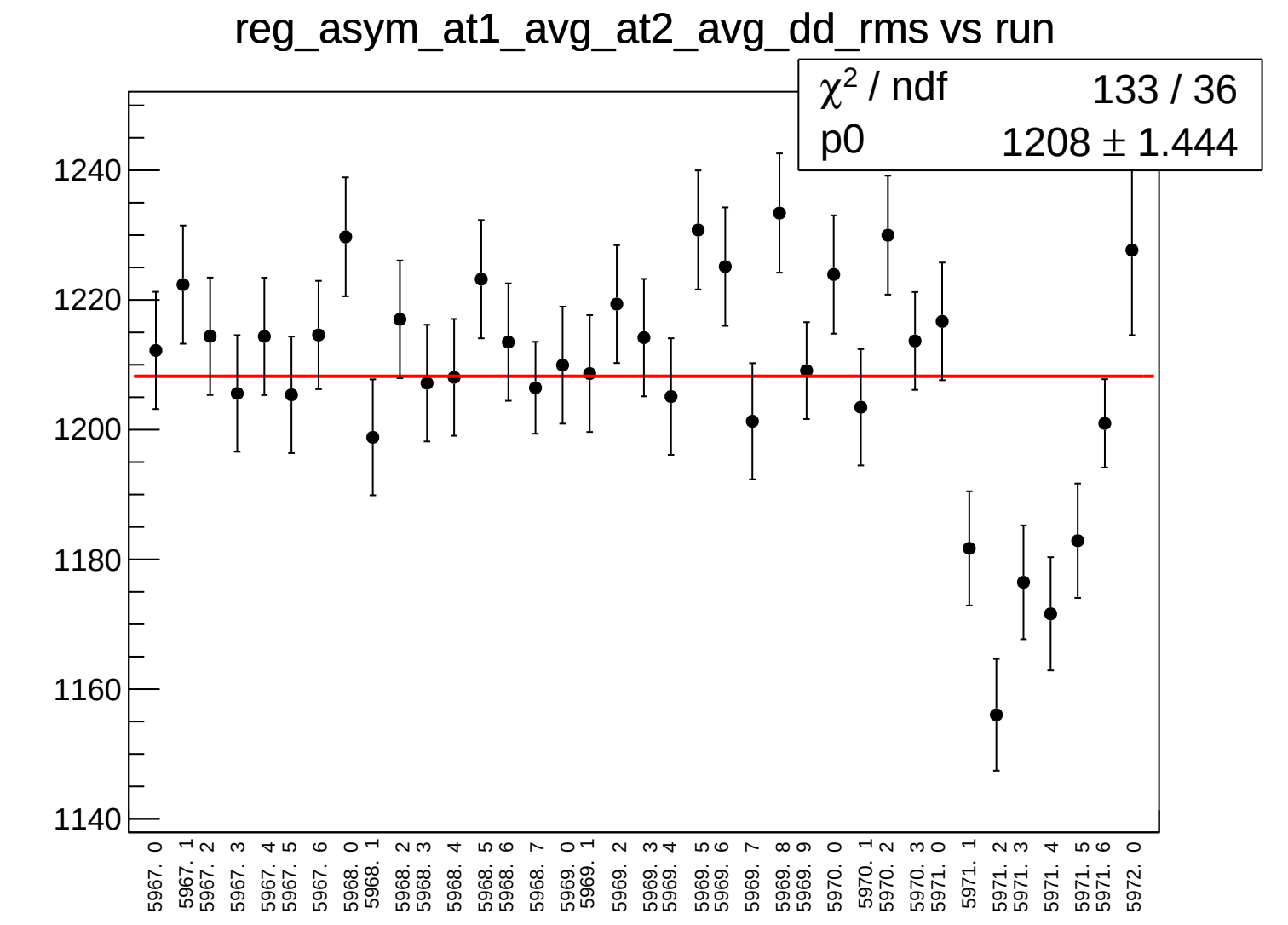
reg_asym_at1_avg_at2_avg_dd_rms vs run
χ² / ndf 133 / 36
p0 1208 ± 1.444
1240
1220
1200
1180
1160
1140
5967. 0
5967. 1
5967. 2
5967. 3
5967. 4
5967. 5
5967. 6
5968. 0
5968. 1
5968. 2
5968. 3
5968. 4
5968. 5
5968. 6
5968. 7
5969. 0
5969. 1
5969. 2
5969. 3
5969. 4
5969. 5
5969. 6
5969. 7
5969. 8
5969. 9
5970. 0
5970. 1
5970. 2
5970. 3
5971. 0
5971. 1
5971. 2
5971. 3
5971. 4
5971. 5
5971. 6
5972. 0

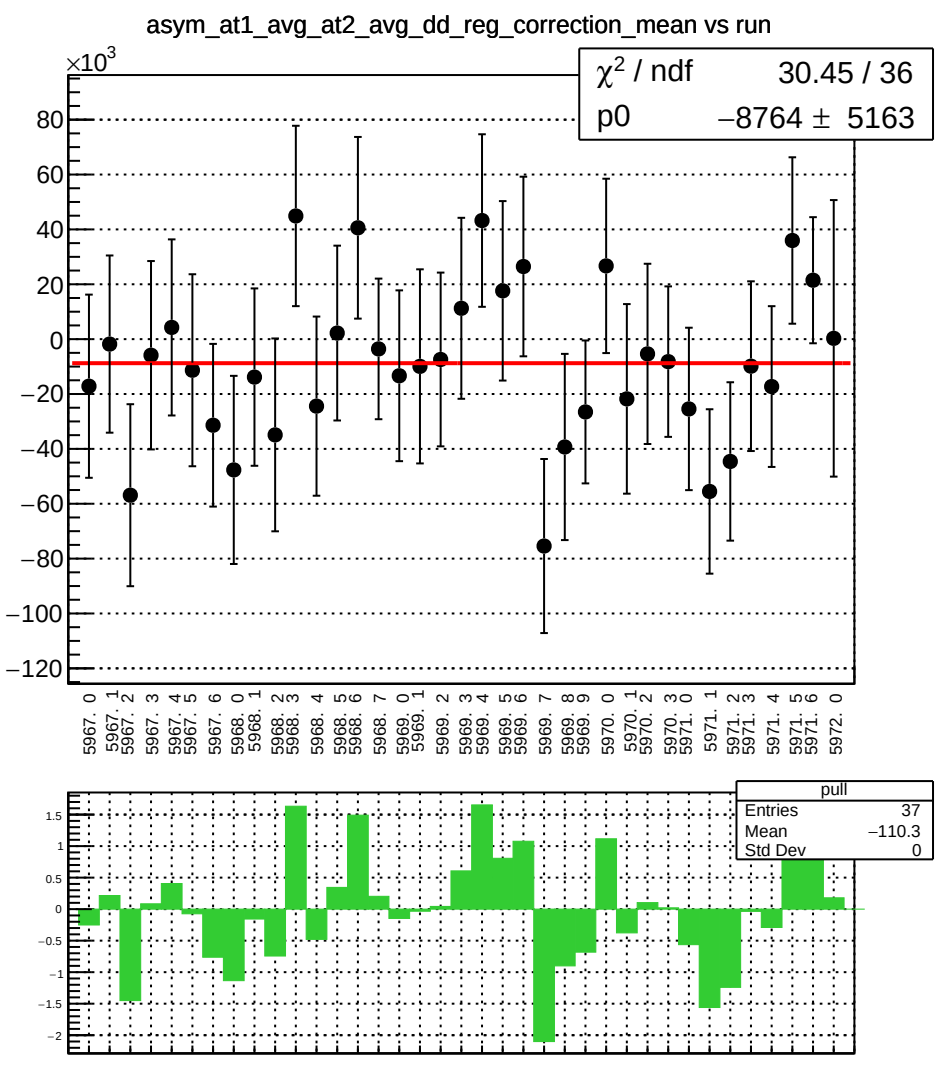
asym_at1_avg_at2_avg_dd_reg_correction_mean vs run
×10^3
χ² / ndf 30.45 / 36
p0 −8764 ± 5163
80
60
40
20
0
−20
−40
−60
−80
−100
−120
5967. 0
5967. 1
5967. 2
5967. 3
5967. 4
5967. 5
5967. 6
5968. 0
5968. 1
5968. 2
5968. 3
5968. 4
5968. 5
5968. 6
5968. 7
5969. 0
5969. 1
5969. 2
5969. 3
5969. 4
5969. 5
5969. 6
5969. 7
5969. 8
5969. 9
5970. 0
5970. 1
5970. 2
5970. 3
5971. 0
5971. 1
5971. 2
5971. 3
5971. 4
5971. 5
5971. 6
5972. 0
pull
Entries 37
Mean −110.3
Std Dev 0
1.5
1
0.5
0
−0.5
−1
−1.5
−2

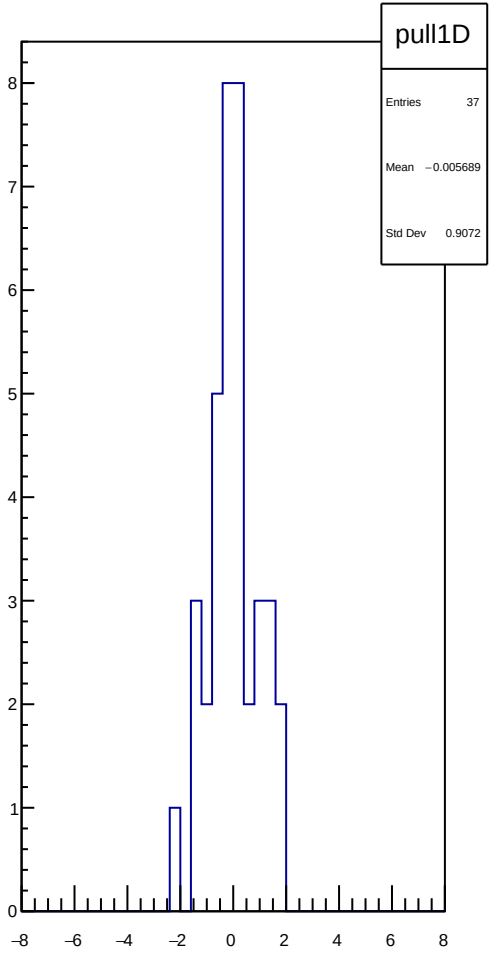
pull1D
Entries 37
Mean −0.005689
Std Dev 0.9072
8
7
6
5
4
3
2
1
0
−8
−6
−4
−2
0
2
4
6
8

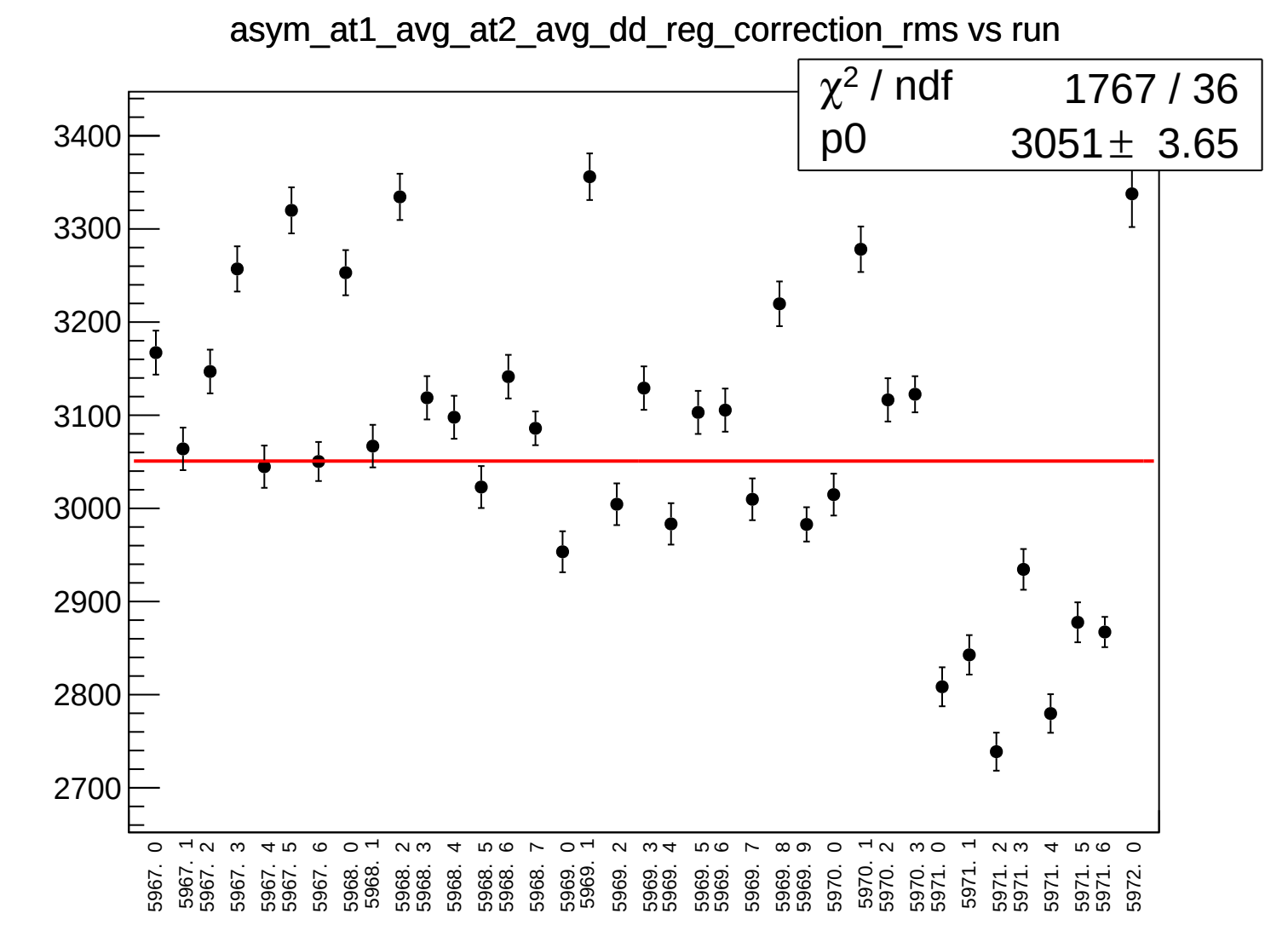
asym_at1_avg_at2_avg_dd_reg_correction_rms vs run
χ² / ndf 1767 / 36
p0 3051 ± 3.65
3400
3300
3200
3100
3000
2900
2800
2700
5967. 0
5967. 1
5967. 2
5967. 3
5967. 4
5967. 5
5967. 6
5968. 0
5968. 1
5968. 2
5968. 3
5968. 4
5968. 5
5968. 6
5968. 7
5969. 0
5969. 1
5969. 2
5969. 3
5969. 4
5969. 5
5969. 6
5969. 7
5969. 8
5969. 9
5970. 0
5970. 1
5970. 2
5970. 3
5971. 0
5971. 1
5971. 2
5971. 3
5971. 4
5971. 5
5971. 6
5972. 0

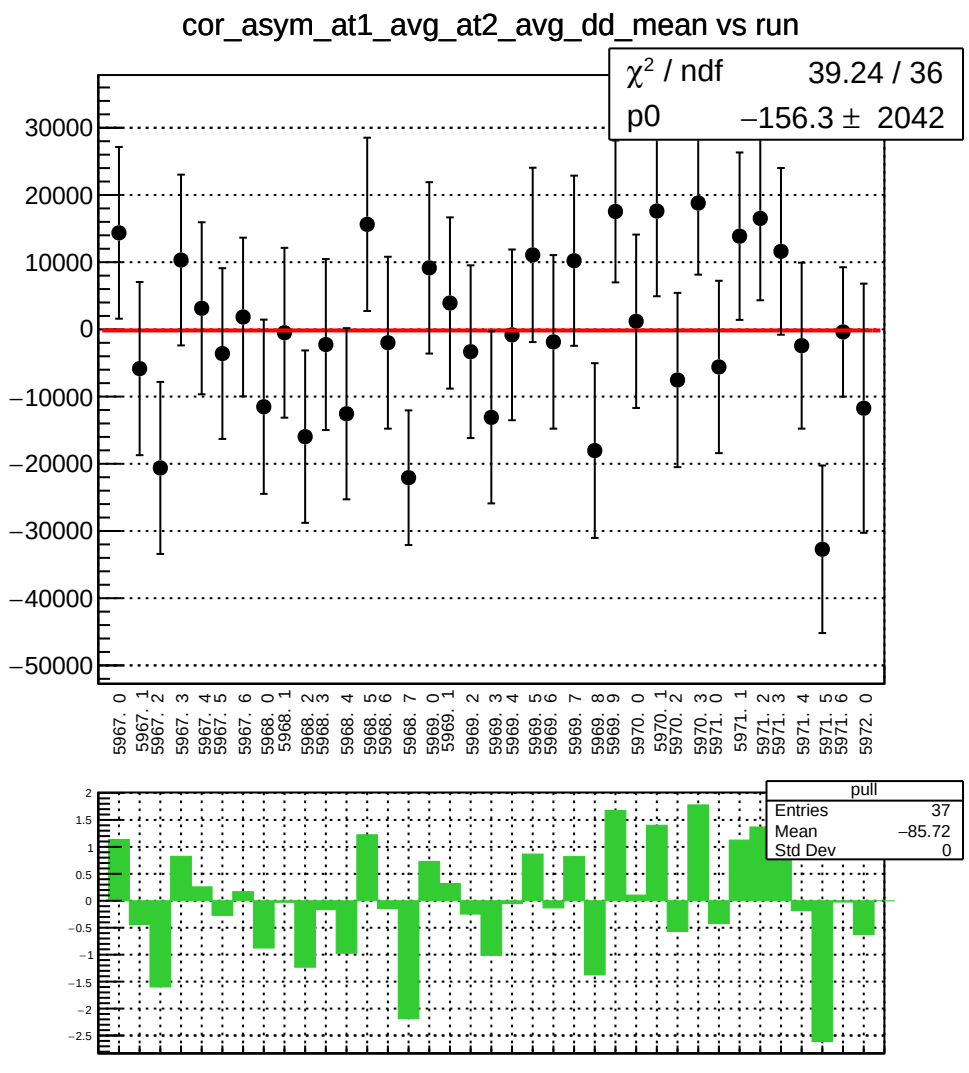
cor_asym_at1_avg_at2_avg_dd_mean vs run
χ² / ndf 39.24 / 36
p0 −156.3 ± 2042
30000
20000
10000
0
−10000
−20000
−30000
−40000
−50000
5967. 0
5967. 1
5967. 2
5967. 3
5967. 4
5967. 5
5967. 6
5968. 0
5968. 1
5968. 2
5968. 3
5968. 4
5968. 5
5968. 6
5968. 7
5969. 0
5969. 1
5969. 2
5969. 3
5969. 4
5969. 5
5969. 6
5969. 7
5969. 8
5969. 9
5970. 0
5970. 1
5970. 2
5970. 3
5971. 0
5971. 1
5971. 2
5971. 3
5971. 4
5971. 5
5971. 6
5972. 0
pull
Entries 37
Mean −85.72
Std Dev 0
2
1.5
1
0.5
0
−0.5
−1
−1.5
−2
−2.5

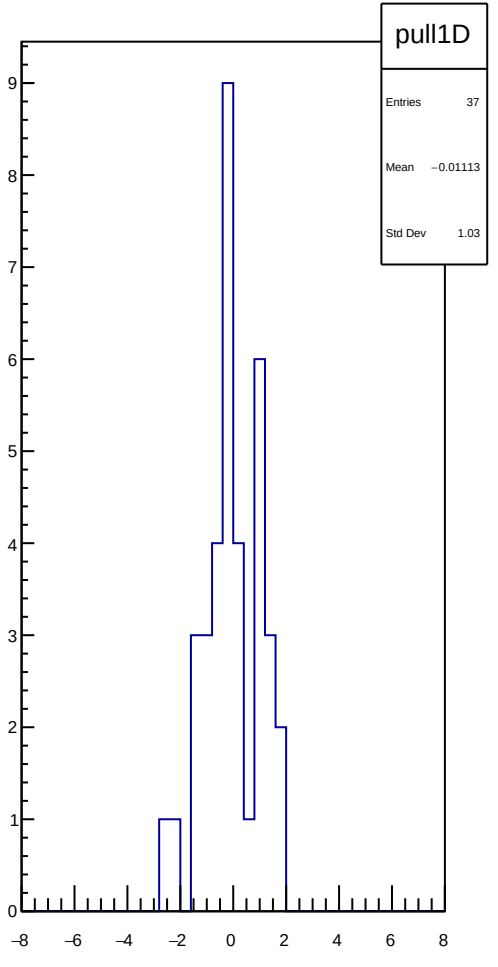
pull1D
Entries 37
Mean −0.01113
Std Dev 1.03
9
8
7
6
5
4
3
2
1
0
−8
−6
−4
−2
0
2
4
6
8

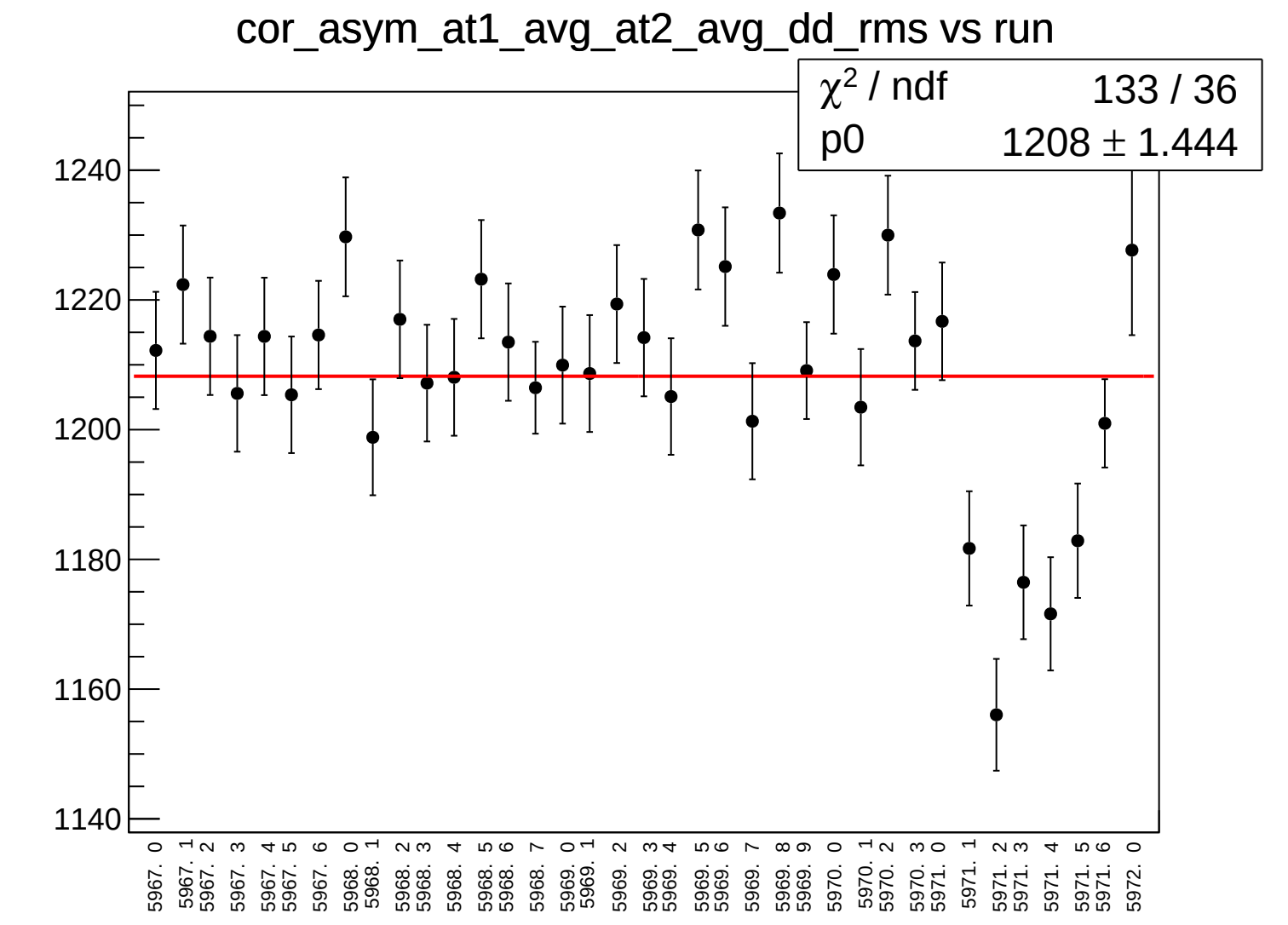
cor_asym_at1_avg_at2_avg_dd_rms vs run
χ² / ndf 133 / 36
p0 1208 ± 1.444
1240
1220
1200
1180
1160
1140
5967. 0
5967. 1
5967. 2
5967. 3
5967. 4
5967. 5
5967. 6
5968. 0
5968. 1
5968. 2
5968. 3
5968. 4
5968. 5
5968. 6
5968. 7
5969. 0
5969. 1
5969. 2
5969. 3
5969. 4
5969. 5
5969. 6
5969. 7
5969. 8
5969. 9
5970. 0
5970. 1
5970. 2
5970. 3
5971. 0
5971. 1
5971. 2
5971. 3
5971. 4
5971. 5
5971. 6
5972. 0

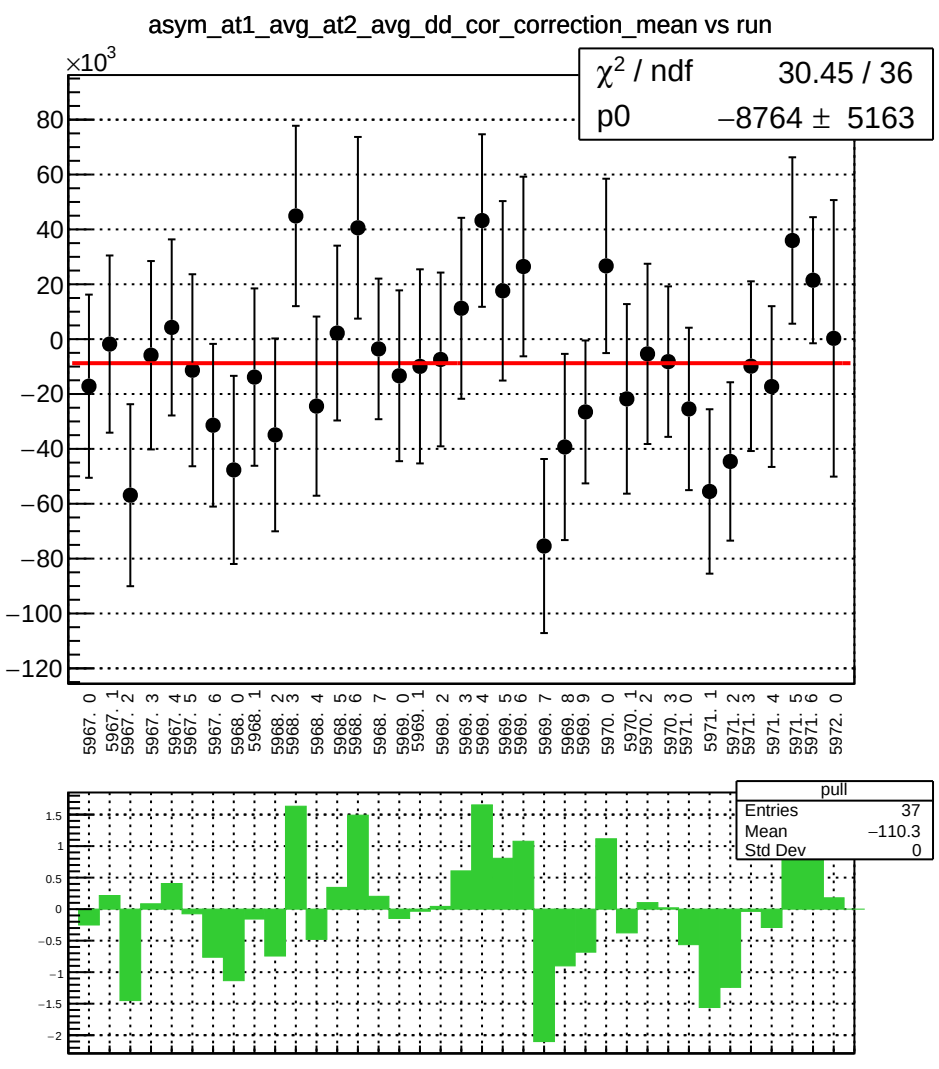
asym_at1_avg_at2_avg_dd_cor_correction_mean vs run
×10^3
χ² / ndf 30.45 / 36
p0 −8764 ± 5163
80
60
40
20
0
−20
−40
−60
−80
−100
−120
5967. 0
5967. 1
5967. 2
5967. 3
5967. 4
5967. 5
5967. 6
5968. 0
5968. 1
5968. 2
5968. 3
5968. 4
5968. 5
5968. 6
5968. 7
5969. 0
5969. 1
5969. 2
5969. 3
5969. 4
5969. 5
5969. 6
5969. 7
5969. 8
5969. 9
5970. 0
5970. 1
5970. 2
5970. 3
5971. 0
5971. 1
5971. 2
5971. 3
5971. 4
5971. 5
5971. 6
5972. 0
pull
Entries 37
Mean −110.3
Std Dev 0
1.5
1
0.5
0
−0.5
−1
−1.5
−2

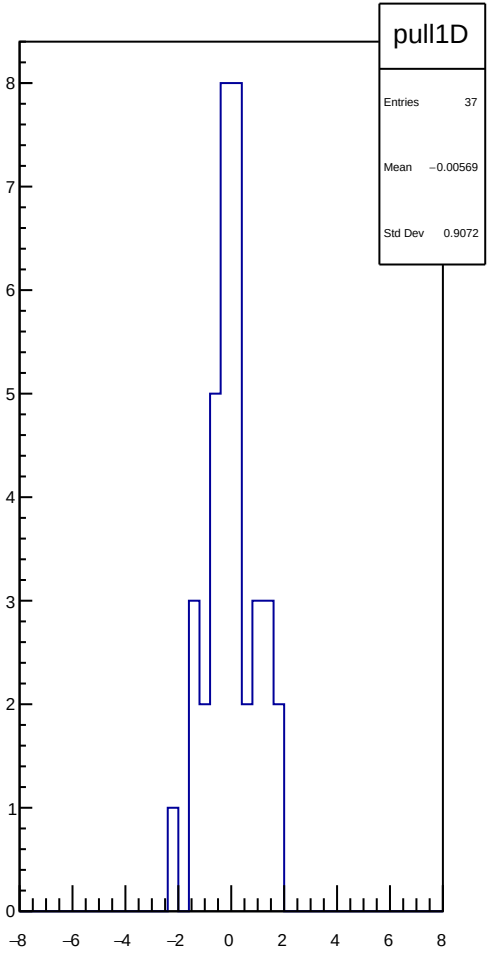
pull1D
Entries 37
Mean −0.00569
Std Dev 0.9072
8
7
6
5
4
3
2
1
0
−8
−6
−4
−2
0
2
4
6
8

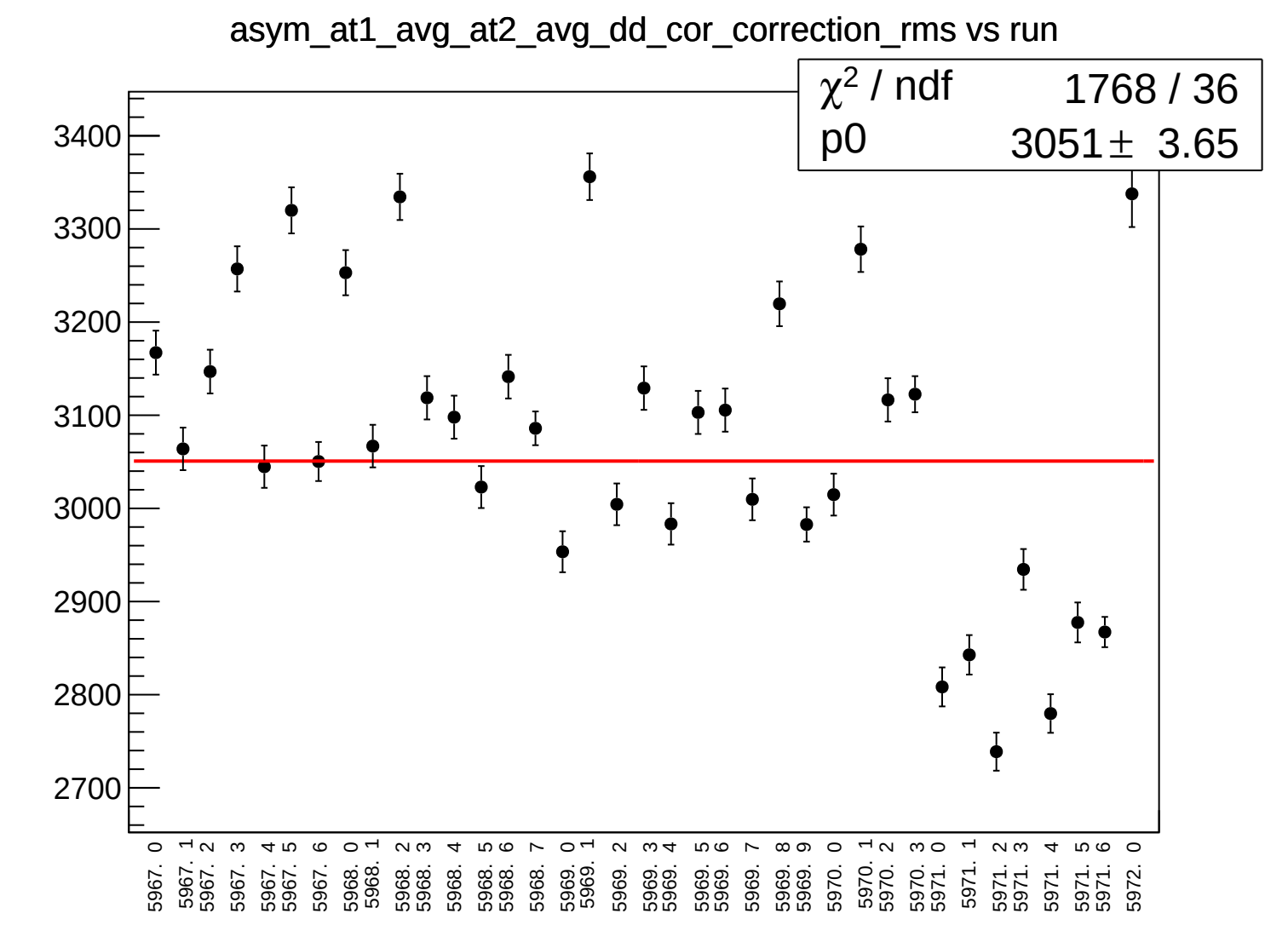
asym_at1_avg_at2_avg_dd_cor_correction_rms vs run
χ² / ndf 1768 / 36
p0 3051 ± 3.65
3400
3300
3200
3100
3000
2900
2800
2700
5967. 0
5967. 1
5967. 2
5967. 3
5967. 4
5967. 5
5967. 6
5968. 0
5968. 1
5968. 2
5968. 3
5968. 4
5968. 5
5968. 6
5968. 7
5969. 0
5969. 1
5969. 2
5969. 3
5969. 4
5969. 5
5969. 6
5969. 7
5969. 8
5969. 9
5970. 0
5970. 1
5970. 2
5970. 3
5971. 0
5971. 1
5971. 2
5971. 3
5971. 4
5971. 5
5971. 6
5972. 0

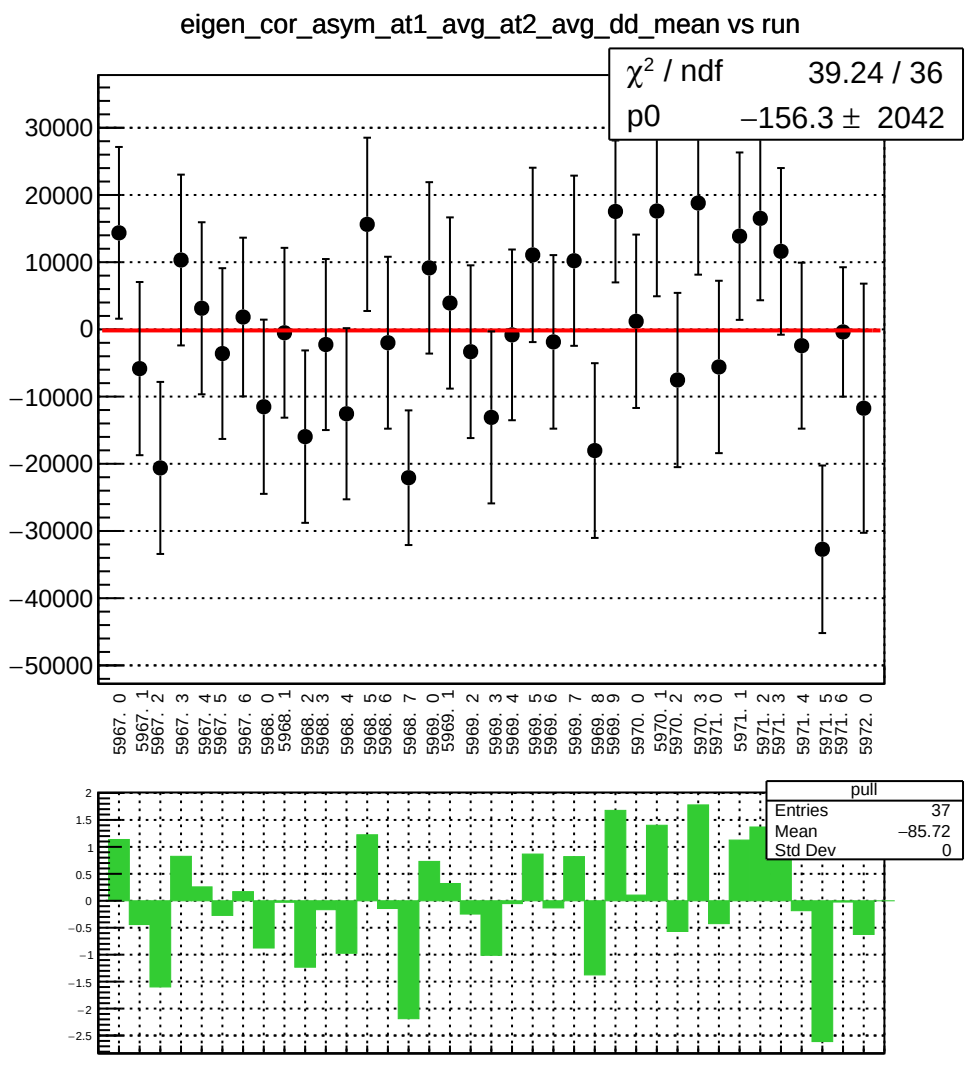
eigen_cor_asym_at1_avg_at2_avg_dd_mean vs run
χ² / ndf 39.24 / 36
p0 −156.3 ± 2042
30000
20000
10000
0
−10000
−20000
−30000
−40000
−50000
5967. 0
5967. 1
5967. 2
5967. 3
5967. 4
5967. 5
5967. 6
5968. 0
5968. 1
5968. 2
5968. 3
5968. 4
5968. 5
5968. 6
5968. 7
5969. 0
5969. 1
5969. 2
5969. 3
5969. 4
5969. 5
5969. 6
5969. 7
5969. 8
5969. 9
5970. 0
5970. 1
5970. 2
5970. 3
5971. 0
5971. 1
5971. 2
5971. 3
5971. 4
5971. 5
5971. 6
5972. 0
pull
Entries 37
Mean −85.72
Std Dev 0
2
1.5
1
0.5
0
−0.5
−1
−1.5
−2
−2.5

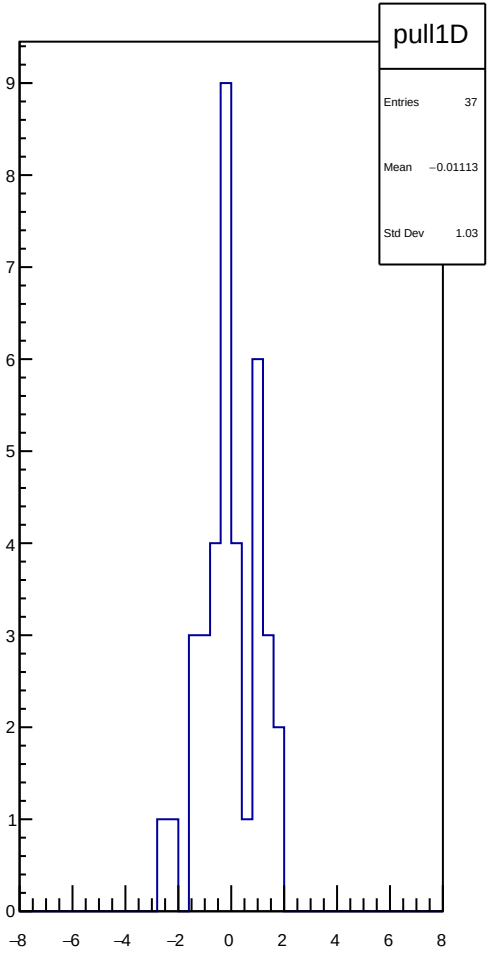
pull1D
Entries 37
Mean −0.01113
Std Dev 1.03
9
8
7
6
5
4
3
2
1
0
−8
−6
−4
−2
0
2
4
6
8

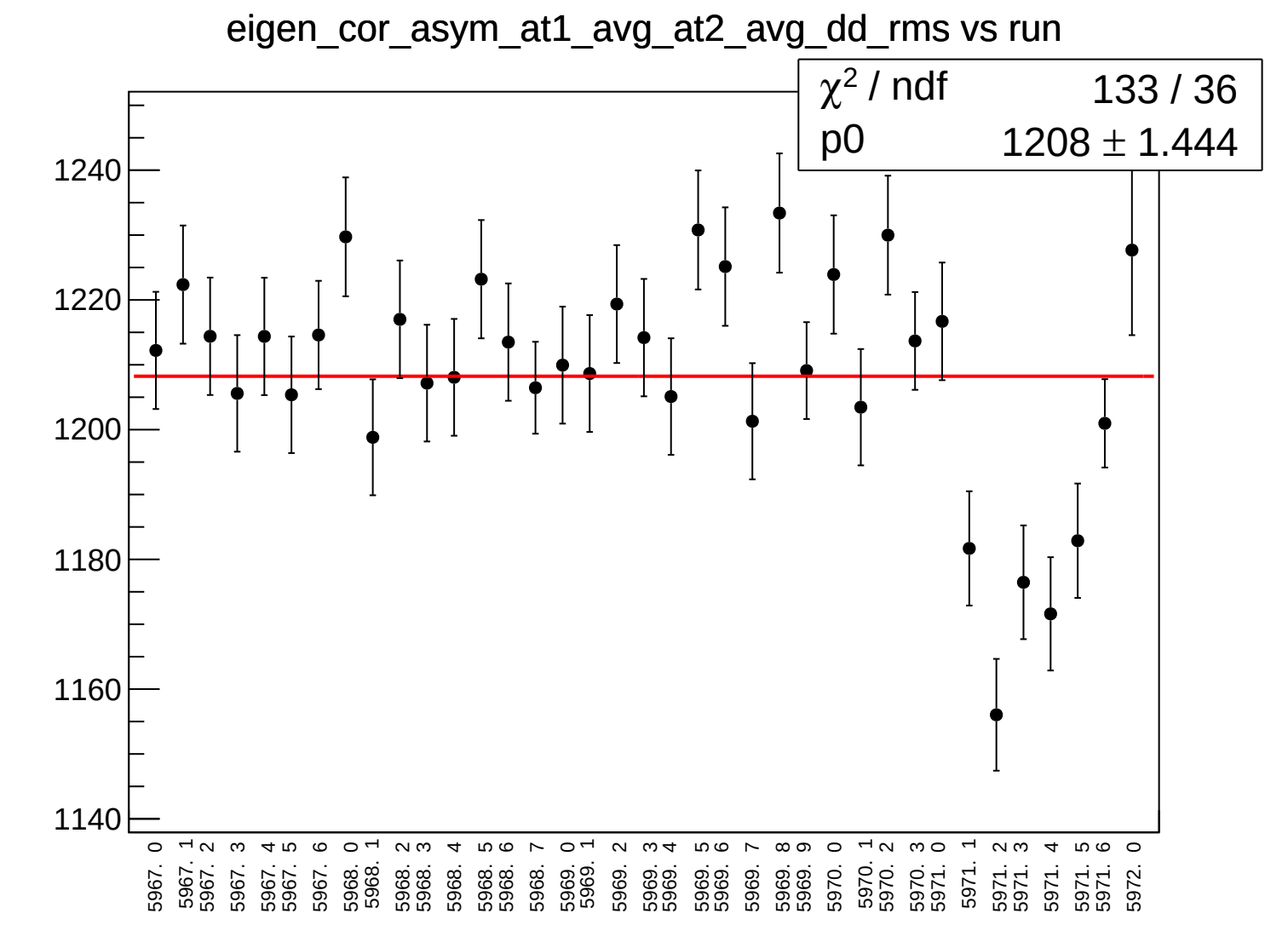
eigen_cor_asym_at1_avg_at2_avg_dd_rms vs run
χ² / ndf 133 / 36
p0 1208 ± 1.444
1240
1220
1200
1180
1160
1140
5967. 0
5967. 1
5967. 2
5967. 3
5967. 4
5967. 5
5967. 6
5968. 0
5968. 1
5968. 2
5968. 3
5968. 4
5968. 5
5968. 6
5968. 7
5969. 0
5969. 1
5969. 2
5969. 3
5969. 4
5969. 5
5969. 6
5969. 7
5969. 8
5969. 9
5970. 0
5970. 1
5970. 2
5970. 3
5971. 0
5971. 1
5971. 2
5971. 3
5971. 4
5971. 5
5971. 6
5972. 0

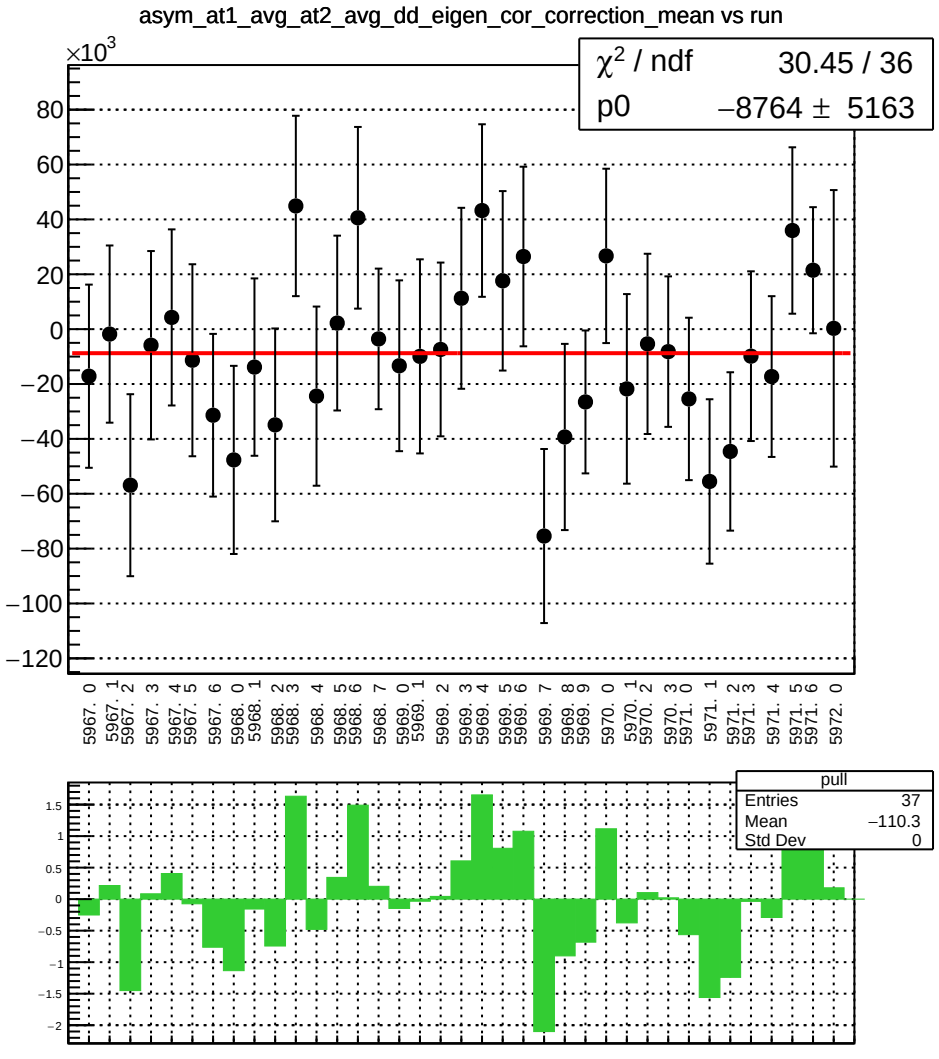
asym_at1_avg_at2_avg_dd_eigen_cor_correction_mean vs run
×10^3
χ^2 / ndf 30.45 / 36
p0 −8764 ± 5163
80
60
40
20
0
−20
−40
−60
−80
−100
−120
5967. 0
5967. 1
5967. 2
5967. 3
5967. 4
5967. 5
5967. 6
5968. 0
5968. 1
5968. 2
5968. 3
5968. 4
5968. 5
5968. 6
5968. 7
5969. 0
5969. 1
5969. 2
5969. 3
5969. 4
5969. 5
5969. 6
5969. 7
5969. 8
5969. 9
5970. 0
5970. 1
5970. 2
5970. 3
5971. 0
5971. 1
5971. 2
5971. 3
5971. 4
5971. 5
5971. 6
5972. 0
pull
Entries 37
Mean −110.3
Std Dev 0
1.5
1
0.5
0
−0.5
−1
−1.5
−2

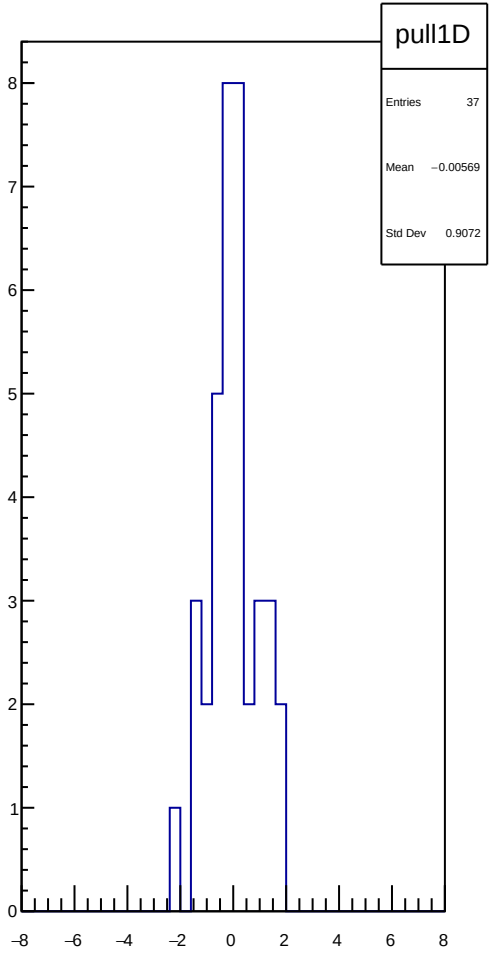
pull1D
Entries 37
Mean −0.00569
Std Dev 0.9072
8
7
6
5
4
3
2
1
0
−8
−6
−4
−2
0
2
4
6
8

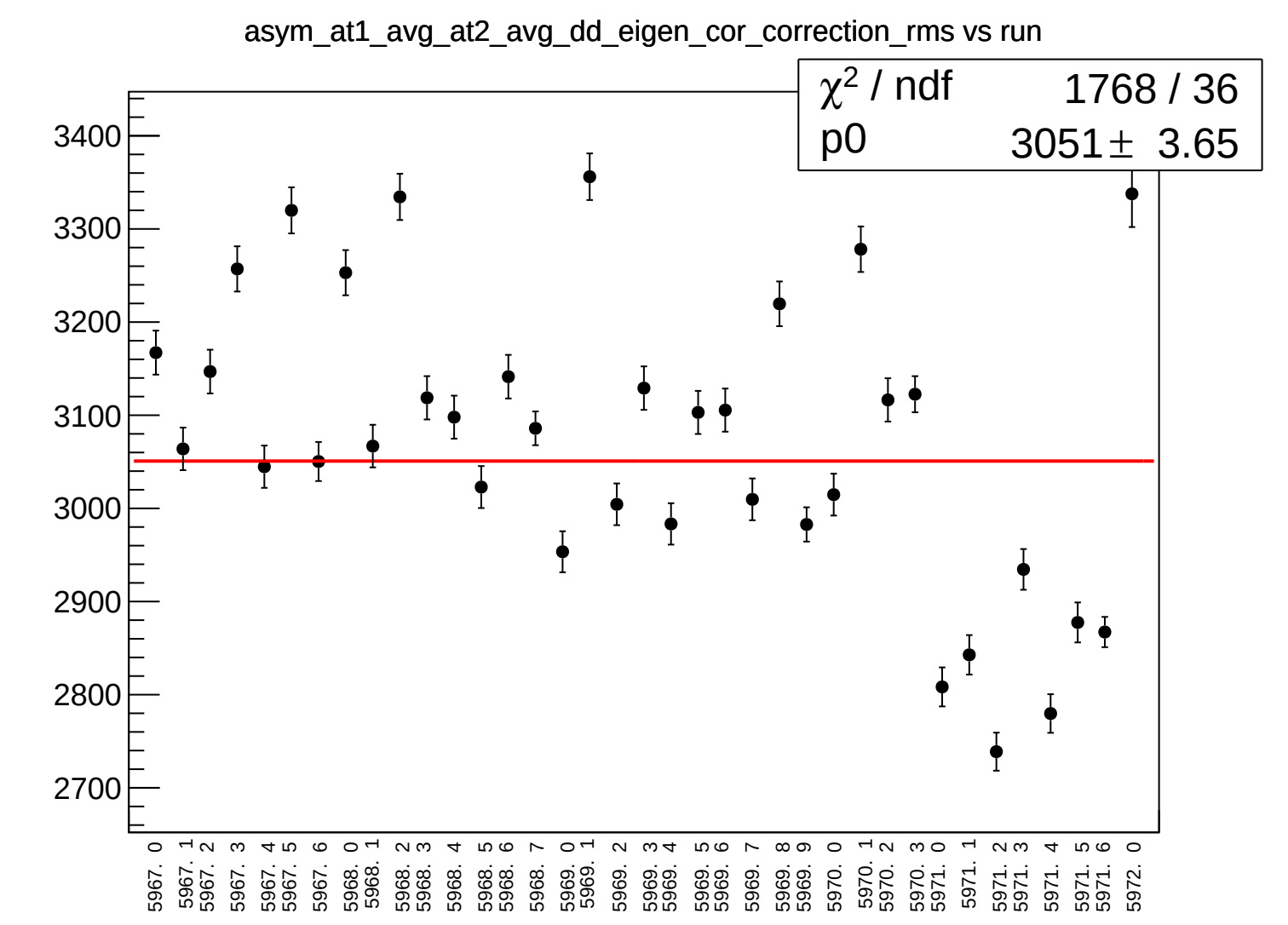
asym_at1_avg_at2_avg_dd_eigen_cor_correction_rms vs run
χ² / ndf 1768 / 36
p0 3051 ± 3.65
3400
3300
3200
3100
3000
2900
2800
2700
5967. 0
5967. 1
5967. 2
5967. 3
5967. 4
5967. 5
5967. 6
5968. 0
5968. 1
5968. 2
5968. 3
5968. 4
5968. 5
5968. 6
5968. 7
5969. 0
5969. 1
5969. 2
5969. 3
5969. 4
5969. 5
5969. 6
5969. 7
5969. 8
5969. 9
5970. 0
5970. 1
5970. 2
5970. 3
5971. 0
5971. 1
5971. 2
5971. 3
5971. 4
5971. 5
5971. 6
5972. 0

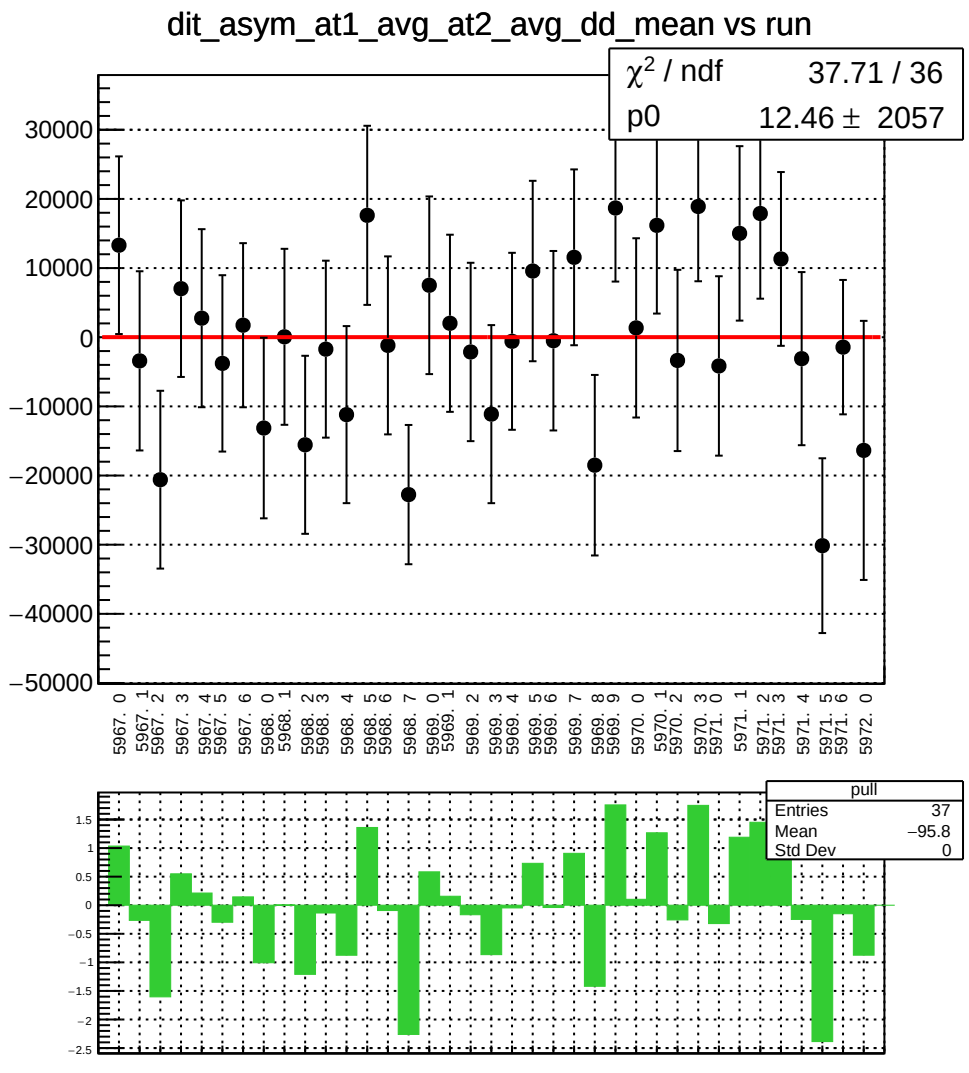
dit_asym_at1_avg_at2_avg_dd_mean vs run
χ² / ndf 37.71 / 36
p0 12.46 ± 2057
30000
20000
10000
0
−10000
−20000
−30000
−40000
−50000
5967. 0
5967. 1
5967. 2
5967. 3
5967. 4
5967. 5
5967. 6
5968. 0
5968. 1
5968. 2
5968. 3
5968. 4
5968. 5
5968. 6
5968. 7
5969. 0
5969. 1
5969. 2
5969. 3
5969. 4
5969. 5
5969. 6
5969. 7
5969. 8
5969. 9
5970. 0
5970. 1
5970. 2
5970. 3
5971. 0
5971. 1
5971. 2
5971. 3
5971. 4
5971. 5
5971. 6
5972. 0
pull
Entries 37
Mean −95.8
Std Dev 0
1.5
1
0.5
0
−0.5
−1
−1.5
−2
−2.5

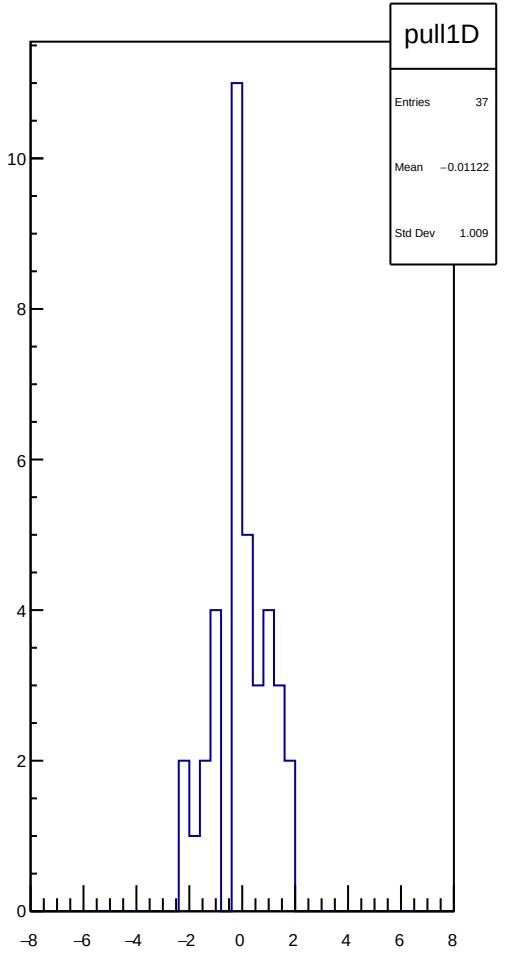
pull1D
Entries 37
Mean −0.01122
Std Dev 1.009
10
8
6
4
2
0
−8
−6
−4
−2
0
2
4
6
8

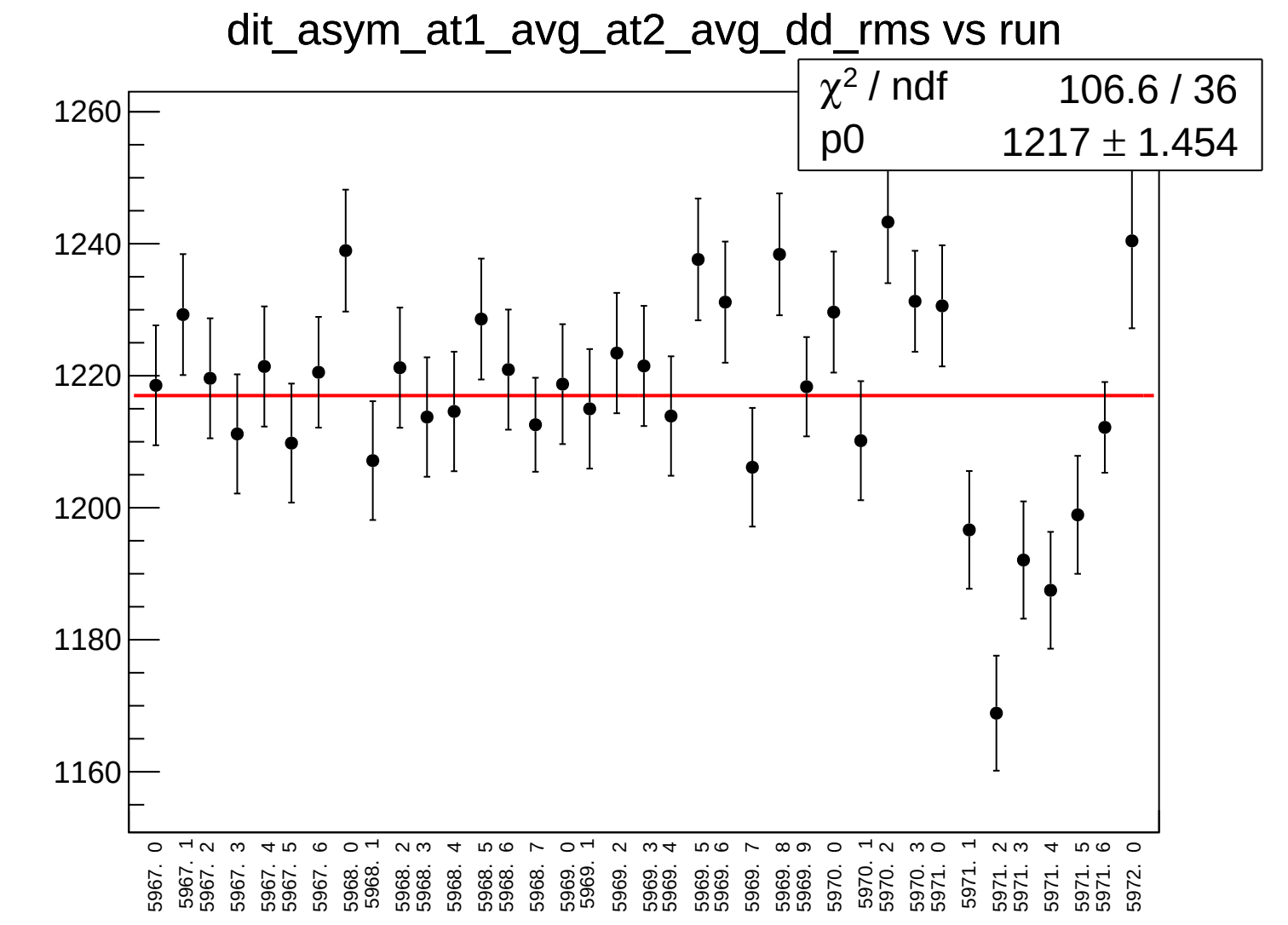
dit_asym_at1_avg_at2_avg_dd_rms vs run
χ² / ndf 106.6 / 36
p0 1217 ± 1.454
1260
1240
1220
1200
1180
1160
5967. 0
5967. 1
5967. 2
5967. 3
5967. 4
5967. 5
5967. 6
5968. 0
5968. 1
5968. 2
5968. 3
5968. 4
5968. 5
5968. 6
5968. 7
5969. 0
5969. 1
5969. 2
5969. 3
5969. 4
5969. 5
5969. 6
5969. 7
5969. 8
5969. 9
5970. 0
5970. 1
5970. 2
5970. 3
5971. 0
5971. 1
5971. 2
5971. 3
5971. 4
5971. 5
5971. 6
5972. 0

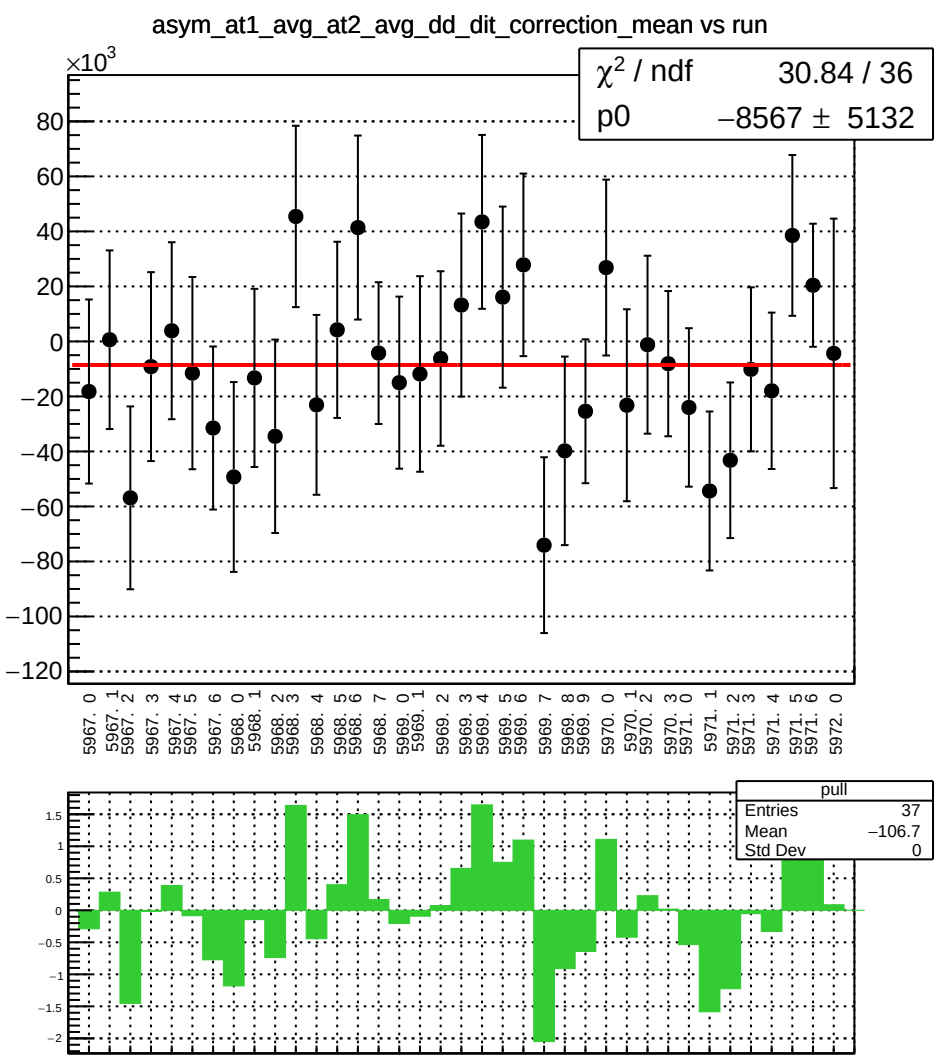
asym_at1_avg_at2_avg_dd_dit_correction_mean vs run
×10^3
χ² / ndf 30.84 / 36
p0 −8567 ± 5132
80
60
40
20
0
−20
−40
−60
−80
−100
−120
5967. 0
5967. 1
5967. 2
5967. 3
5967. 4
5967. 5
5967. 6
5968. 0
5968. 1
5968. 2
5968. 3
5968. 4
5968. 5
5968. 6
5968. 7
5969. 0
5969. 1
5969. 2
5969. 3
5969. 4
5969. 5
5969. 6
5969. 7
5969. 8
5969. 9
5970. 0
5970. 1
5970. 2
5970. 3
5971. 0
5971. 1
5971. 2
5971. 3
5971. 4
5971. 5
5971. 6
5972. 0
pull
Entries 37
Mean −106.7
Std Dev 0
1.5
1
0.5
0
−0.5
−1
−1.5
−2

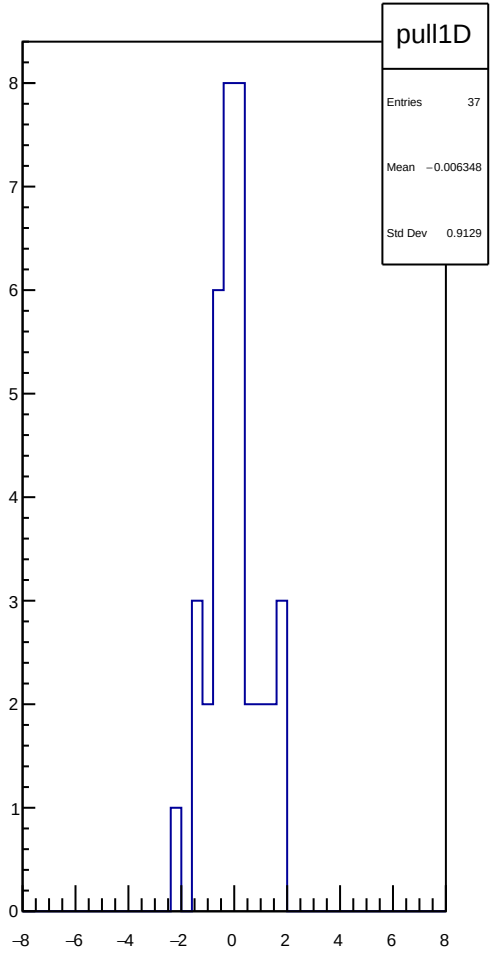
pull1D
Entries 37
Mean −0.006348
Std Dev 0.9129
8
7
6
5
4
3
2
1
0
−8
−6
−4
−2
0
2
4
6
8

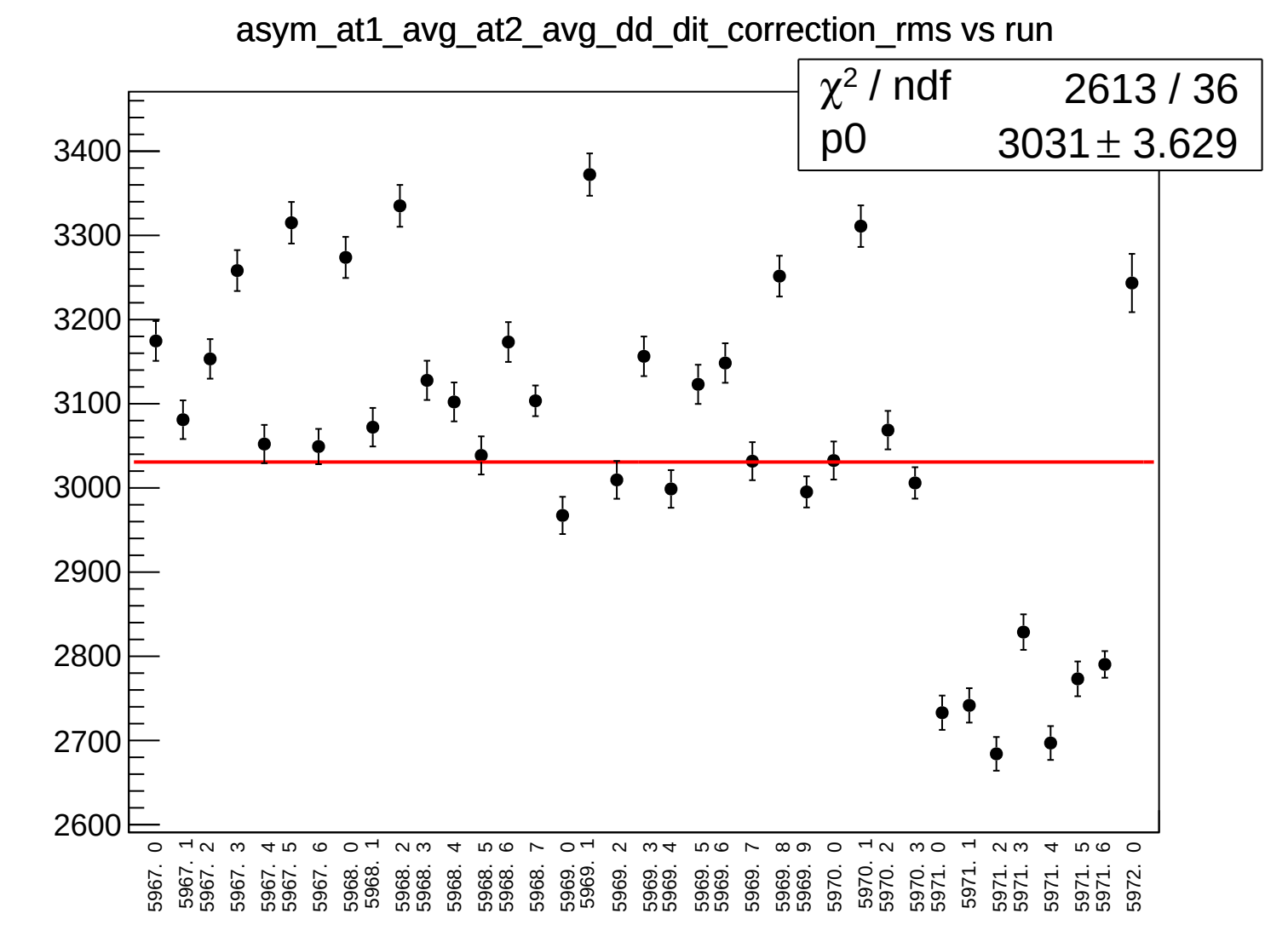
asym_at1_avg_at2_avg_dd_dit_correction_rms vs run
χ² / ndf 2613 / 36
p0 3031 ± 3.629
3400
3300
3200
3100
3000
2900
2800
2700
2600
5967. 0
5967. 1
5967. 2
5967. 3
5967. 4
5967. 5
5967. 6
5968. 0
5968. 1
5968. 2
5968. 3
5968. 4
5968. 5
5968. 6
5968. 7
5969. 0
5969. 1
5969. 2
5969. 3
5969. 4
5969. 5
5969. 6
5969. 7
5969. 8
5969. 9
5970. 0
5970. 1
5970. 2
5970. 3
5971. 0
5971. 1
5971. 2
5971. 3
5971. 4
5971. 5
5971. 6
5972. 0

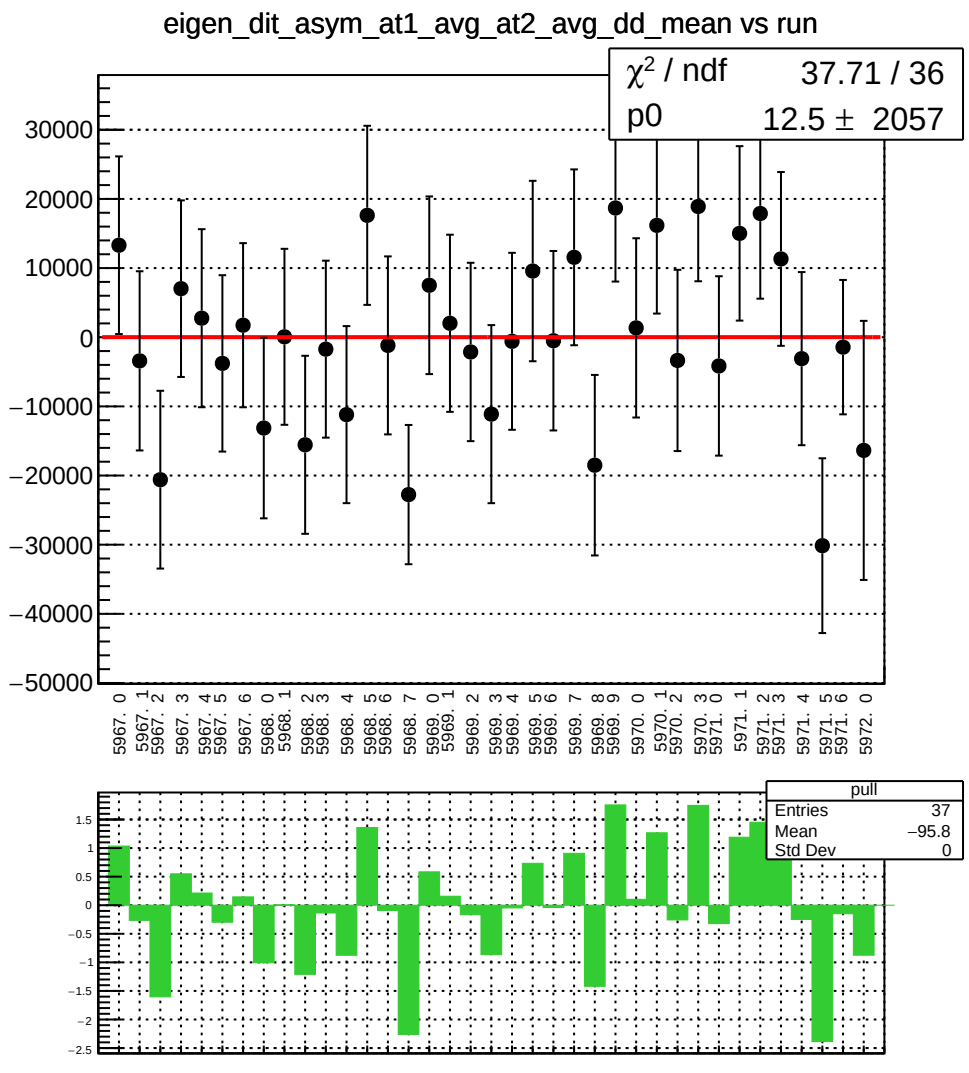
eigen_dit_asym_at1_avg_at2_avg_dd_mean vs run
χ² / ndf 37.71 / 36
p0 12.5 ± 2057
30000
20000
10000
0
−10000
−20000
−30000
−40000
−50000
5967. 0
5967. 1
5967. 2
5967. 3
5967. 4
5967. 5
5967. 6
5968. 0
5968. 1
5968. 2
5968. 3
5968. 4
5968. 5
5968. 6
5968. 7
5969. 0
5969. 1
5969. 2
5969. 3
5969. 4
5969. 5
5969. 6
5969. 7
5969. 8
5969. 9
5970. 0
5970. 1
5970. 2
5970. 3
5971. 0
5971. 1
5971. 2
5971. 3
5971. 4
5971. 5
5971. 6
5972. 0
pull
Entries 37
Mean −95.8
Std Dev 0
1.5
1
0.5
0
−0.5
−1
−1.5
−2
−2.5

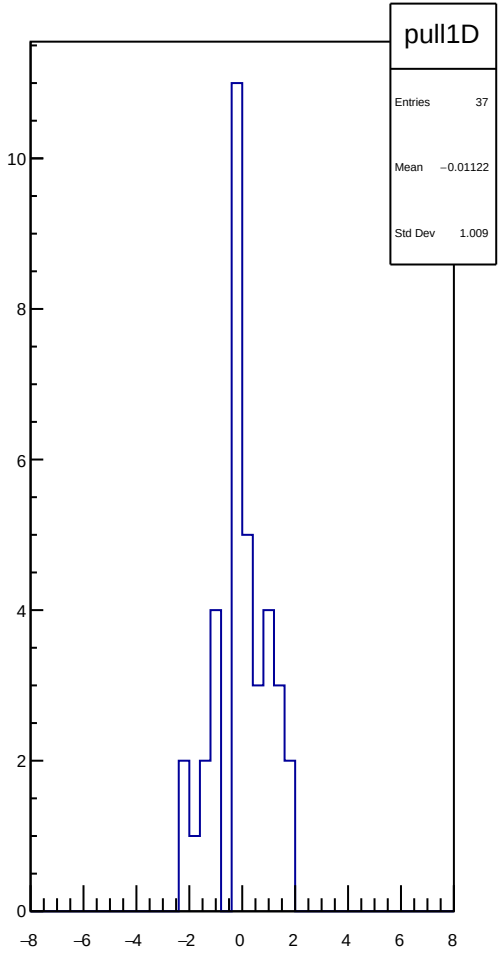
pull1D
Entries 37
Mean −0.01122
Std Dev 1.009
10
8
6
4
2
0
−8
−6
−4
−2
0
2
4
6
8

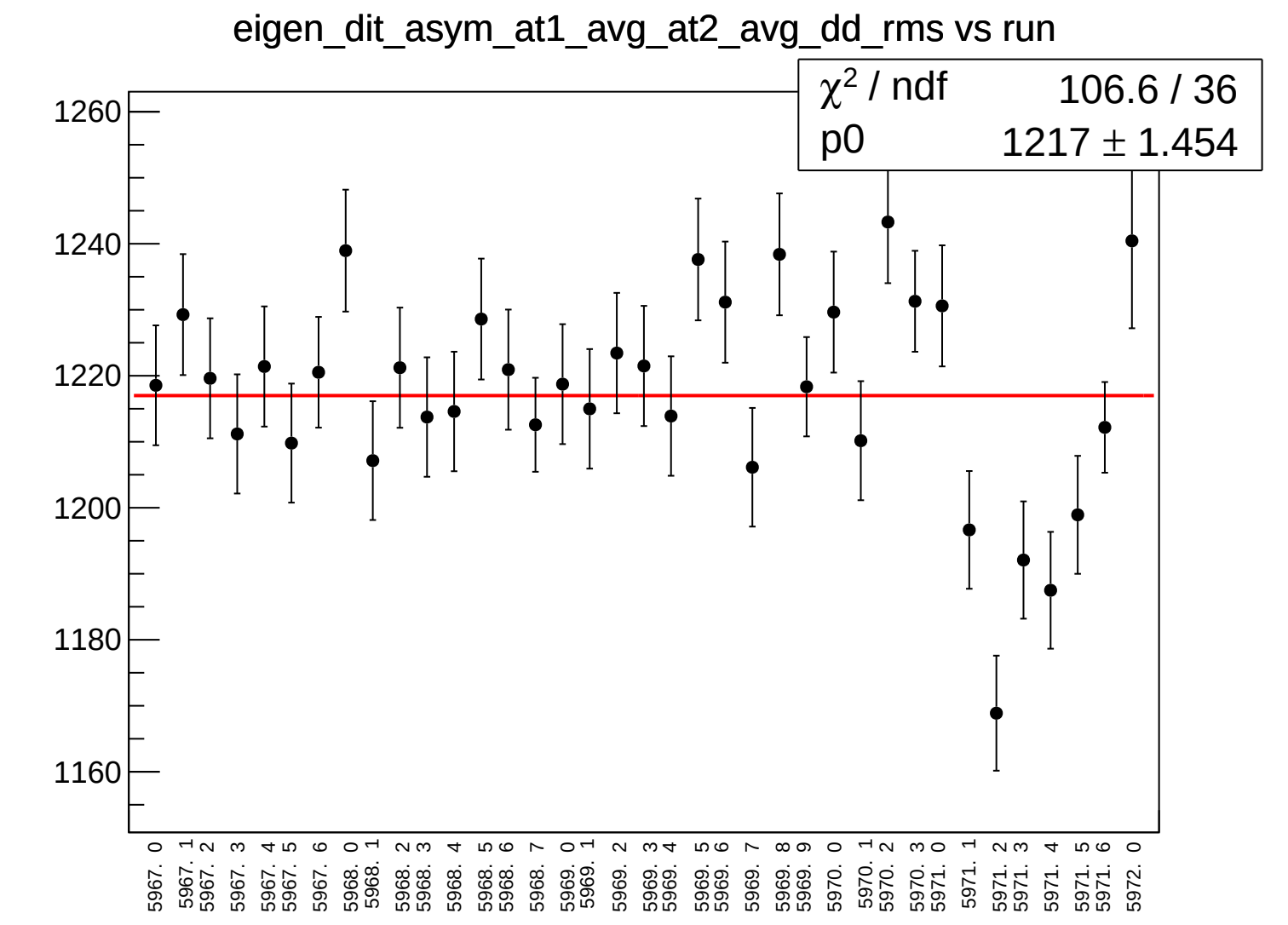
eigen_dit_asym_at1_avg_at2_avg_dd_rms vs run
χ² / ndf 106.6 / 36
p0 1217 ± 1.454
1260
1240
1220
1200
1180
1160
5967. 0
5967. 1
5967. 2
5967. 3
5967. 4
5967. 5
5967. 6
5968. 0
5968. 1
5968. 2
5968. 3
5968. 4
5968. 5
5968. 6
5968. 7
5969. 0
5969. 1
5969. 2
5969. 3
5969. 4
5969. 5
5969. 6
5969. 7
5969. 8
5969. 9
5970. 0
5970. 1
5970. 2
5970. 3
5971. 0
5971. 1
5971. 2
5971. 3
5971. 4
5971. 5
5971. 6
5972. 0

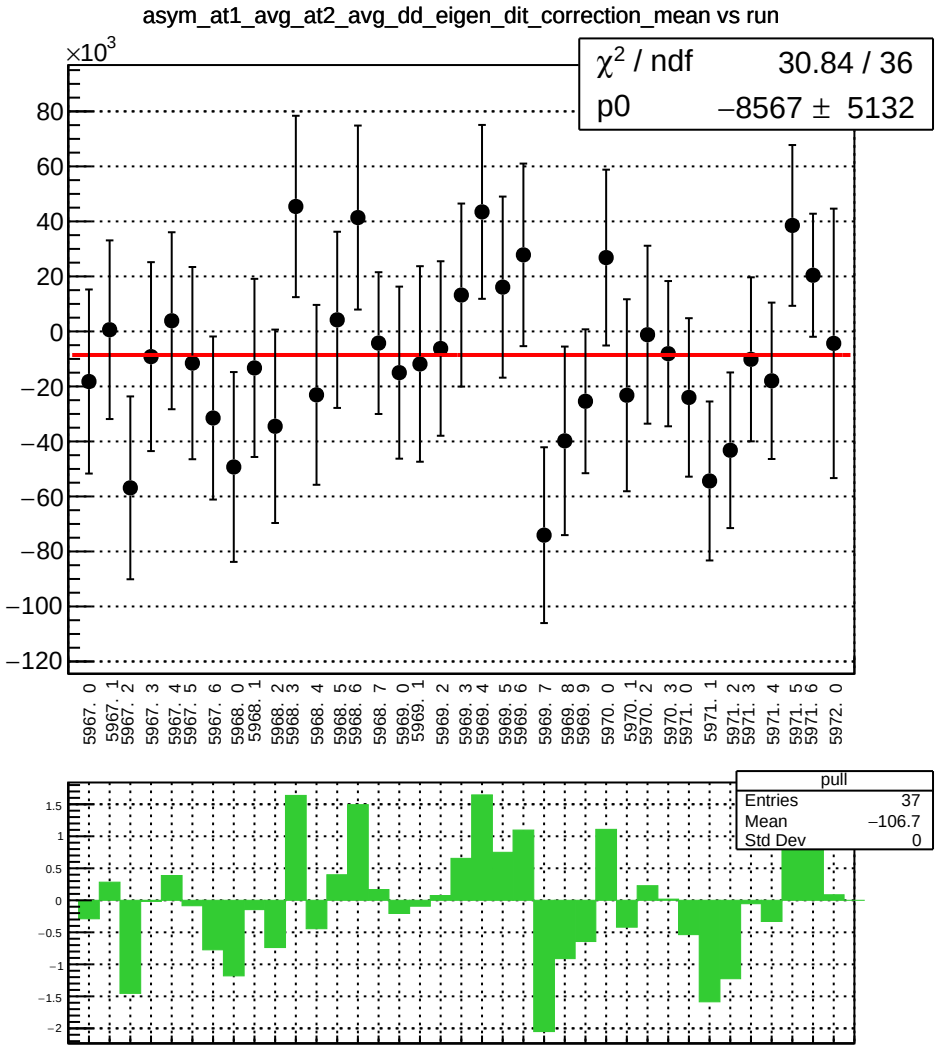
asym_at1_avg_at2_avg_dd_eigen_dit_correction_mean vs run
χ² / ndf 30.84 / 36
p0 −8567 ± 5132
×10³
pull
Entries 37
Mean −106.7
Std Dev 0

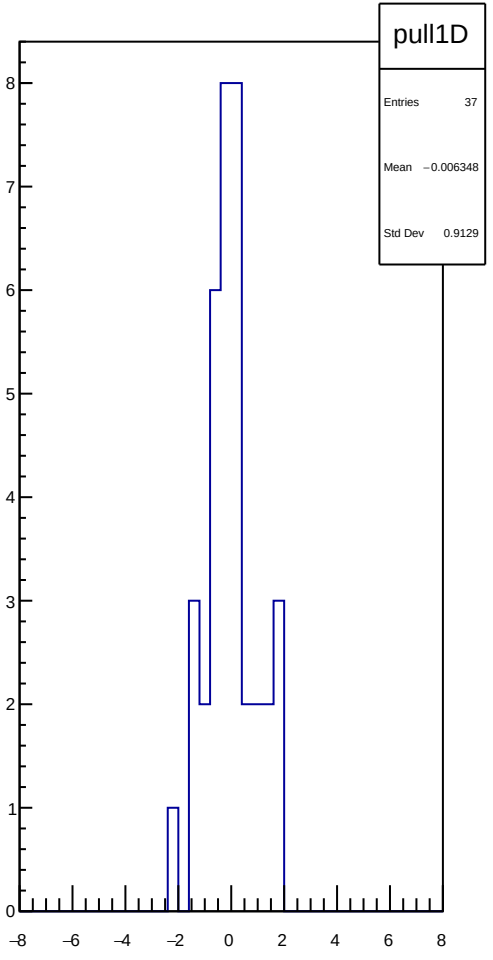
pull1D
Entries 37
Mean −0.006348
Std Dev 0.9129

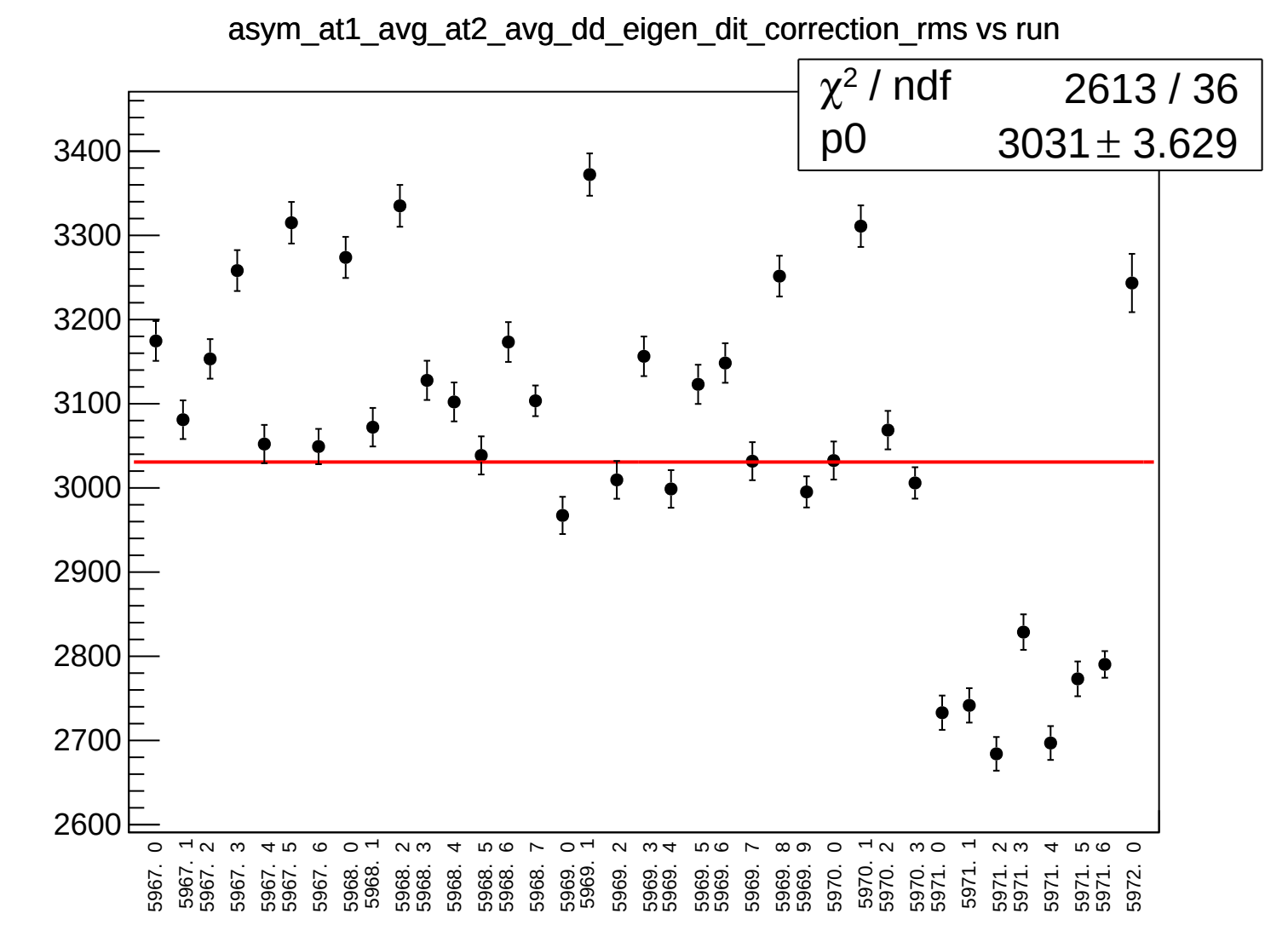
asym_at1_avg_at2_avg_dd_eigen_dit_correction_rms vs run
χ² / ndf 2613 / 36
p0 3031 ± 3.629
3400
3300
3200
3100
3000
2900
2800
2700
2600
5967. 0
5967. 1
5967. 2
5967. 3
5967. 4
5967. 5
5967. 6
5968. 0
5968. 1
5968. 2
5968. 3
5968. 4
5968. 5
5968. 6
5968. 7
5969. 0
5969. 1
5969. 2
5969. 3
5969. 4
5969. 5
5969. 6
5969. 7
5969. 8
5969. 9
5970. 0
5970. 1
5970. 2
5970. 3
5971. 0
5971. 1
5971. 2
5971. 3
5971. 4
5971. 5
5971. 6
5972. 0

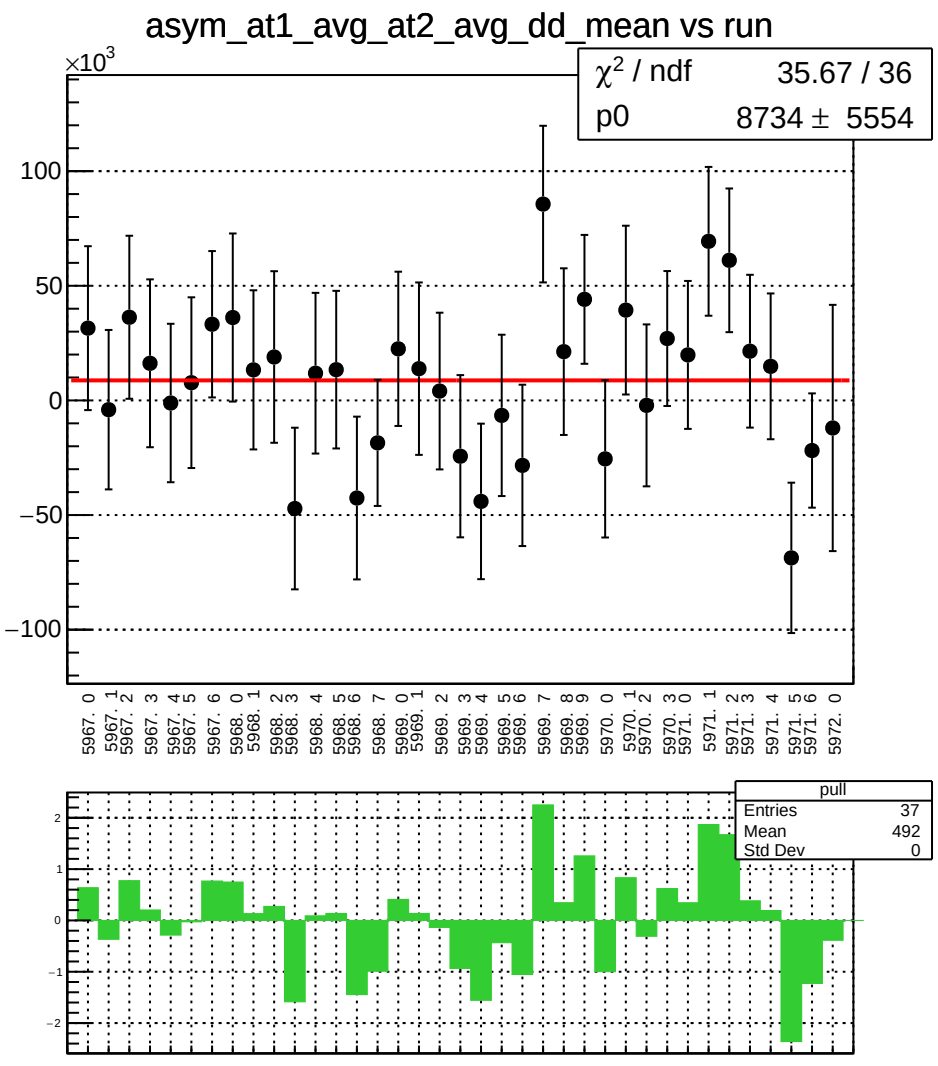
asym_at1_avg_at2_avg_dd_mean vs run
×10^3
χ² / ndf 35.67 / 36
p0 8734 ± 5554
100
50
0
−50
−100
5967. 0
5967. 1
5967. 2
5967. 3
5967. 4
5967. 5
5967. 6
5968. 0
5968. 1
5968. 2
5968. 3
5968. 4
5968. 5
5968. 6
5968. 7
5969. 0
5969. 1
5969. 2
5969. 3
5969. 4
5969. 5
5969. 6
5969. 7
5969. 8
5969. 9
5970. 0
5970. 1
5970. 2
5970. 3
5971. 0
5971. 1
5971. 2
5971. 3
5971. 4
5971. 5
5971. 6
5972. 0
pull
Entries 37
Mean 492
Std Dev 0
2
1
0
−1
−2

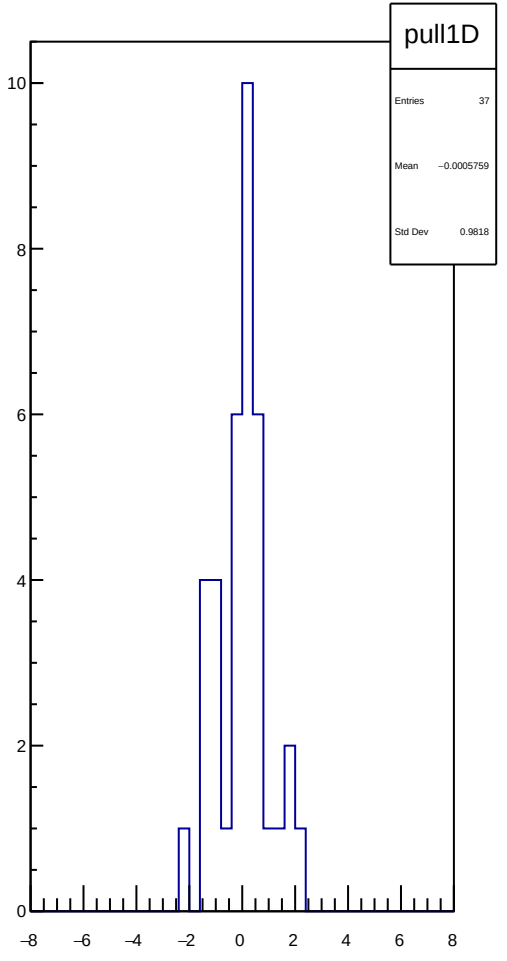
pull1D
Entries 37
Mean −0.0005759
Std Dev 0.9818
10
8
6
4
2
0
−8
−6
−4
−2
0
2
4
6
8

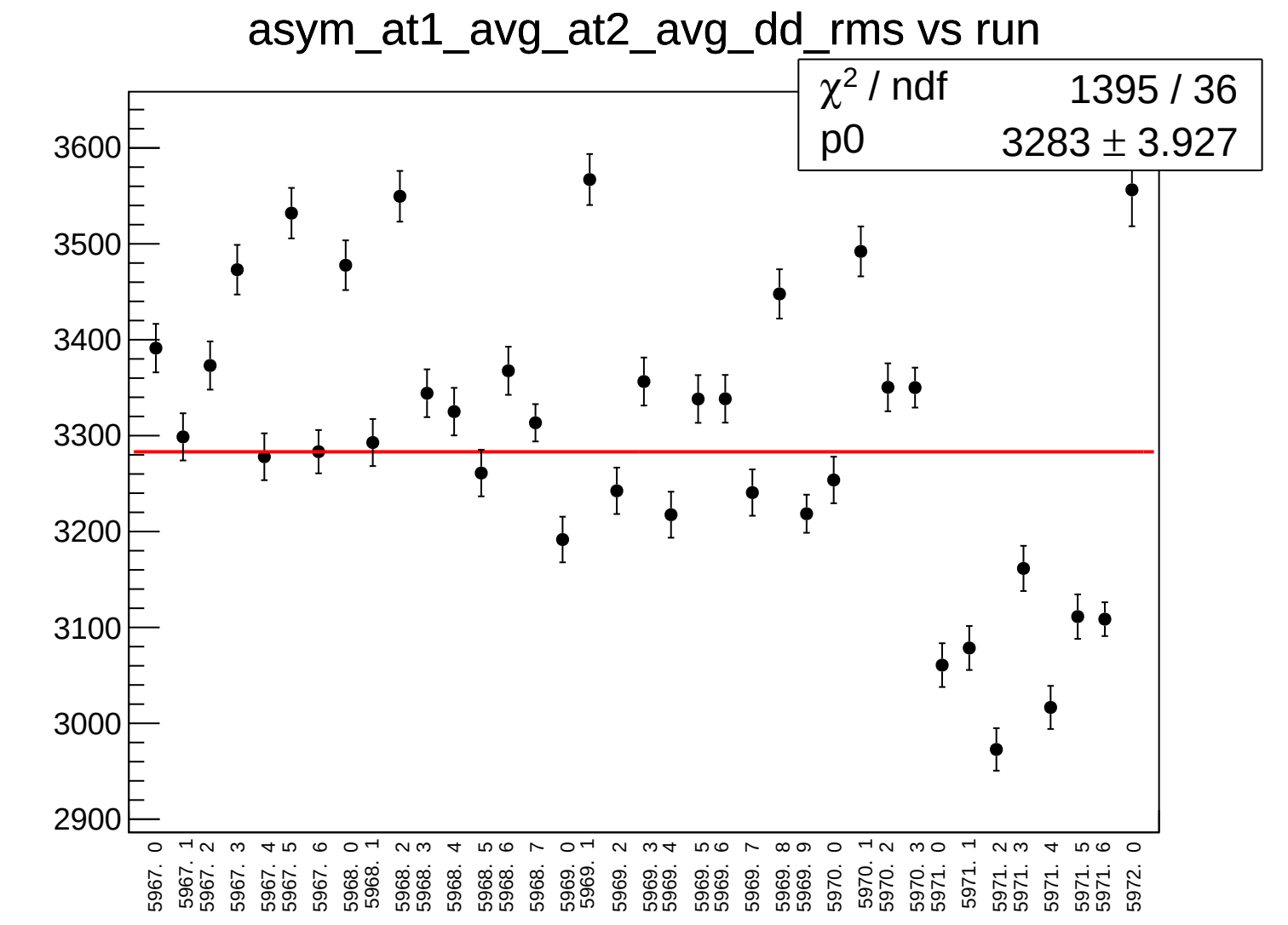
asym_at1_avg_at2_avg_dd_rms vs run
χ² / ndf 1395 / 36
p0 3283 ± 3.927
3600
3500
3400
3300
3200
3100
3000
2900
5967. 0
5967. 1
5967. 2
5967. 3
5967. 4
5967. 5
5967. 6
5968. 0
5968. 1
5968. 2
5968. 3
5968. 4
5968. 5
5968. 6
5968. 7
5969. 0
5969. 1
5969. 2
5969. 3
5969. 4
5969. 5
5969. 6
5969. 7
5969. 8
5969. 9
5970. 0
5970. 1
5970. 2
5970. 3
5971. 0
5971. 1
5971. 2
5971. 3
5971. 4
5971. 5
5971. 6
5972. 0

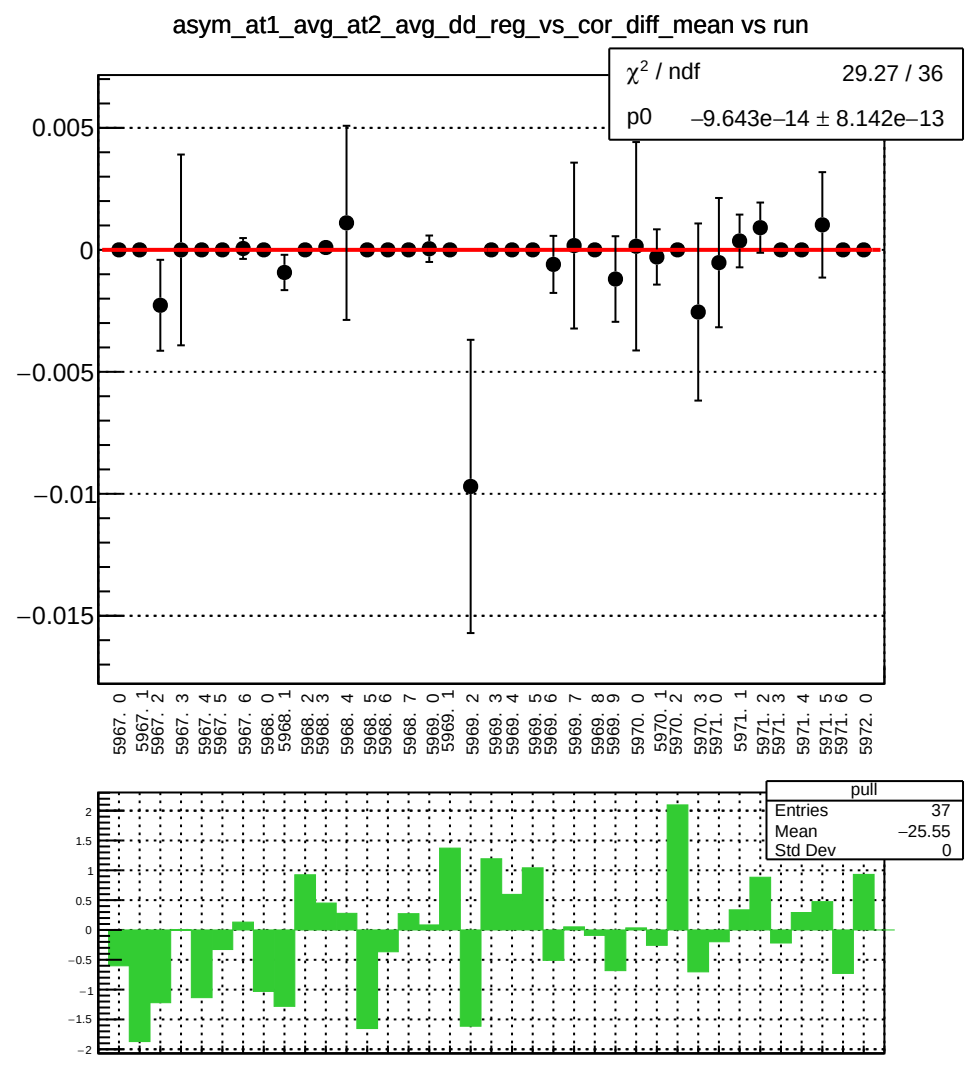
asym_at1_avg_at2_avg_dd_reg_vs_cor_diff_mean vs run
χ² / ndf 29.27 / 36
p0 −9.643e−14 ± 8.142e−13
0.005
0
−0.005
−0.01
−0.015
5967. 0
5967. 1
5967. 2
5967. 3
5967. 4
5967. 5
5967. 6
5968. 0
5968. 1
5968. 2
5968. 3
5968. 4
5968. 5
5968. 6
5968. 7
5969. 0
5969. 1
5969. 2
5969. 3
5969. 4
5969. 5
5969. 6
5969. 7
5969. 8
5969. 9
5970. 0
5970. 1
5970. 2
5970. 3
5971. 0
5971. 1
5971. 2
5971. 3
5971. 4
5971. 5
5971. 6
5972. 0
pull
Entries 37
Mean −25.55
Std Dev 0
2
1.5
1
0.5
0
−0.5
−1
−1.5
−2

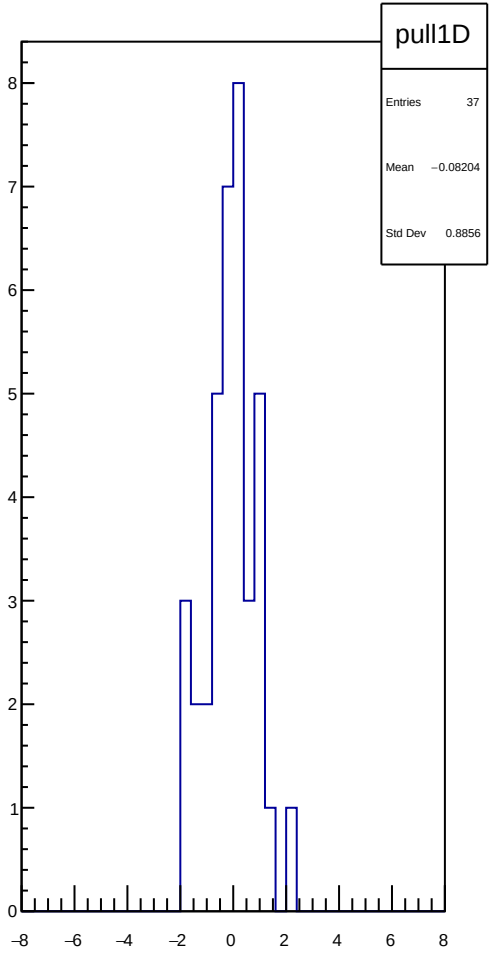
pull1D
Entries 37
Mean −0.08204
Std Dev 0.8856
8
7
6
5
4
3
2
1
0
−8
−6
−4
−2
0
2
4
6
8

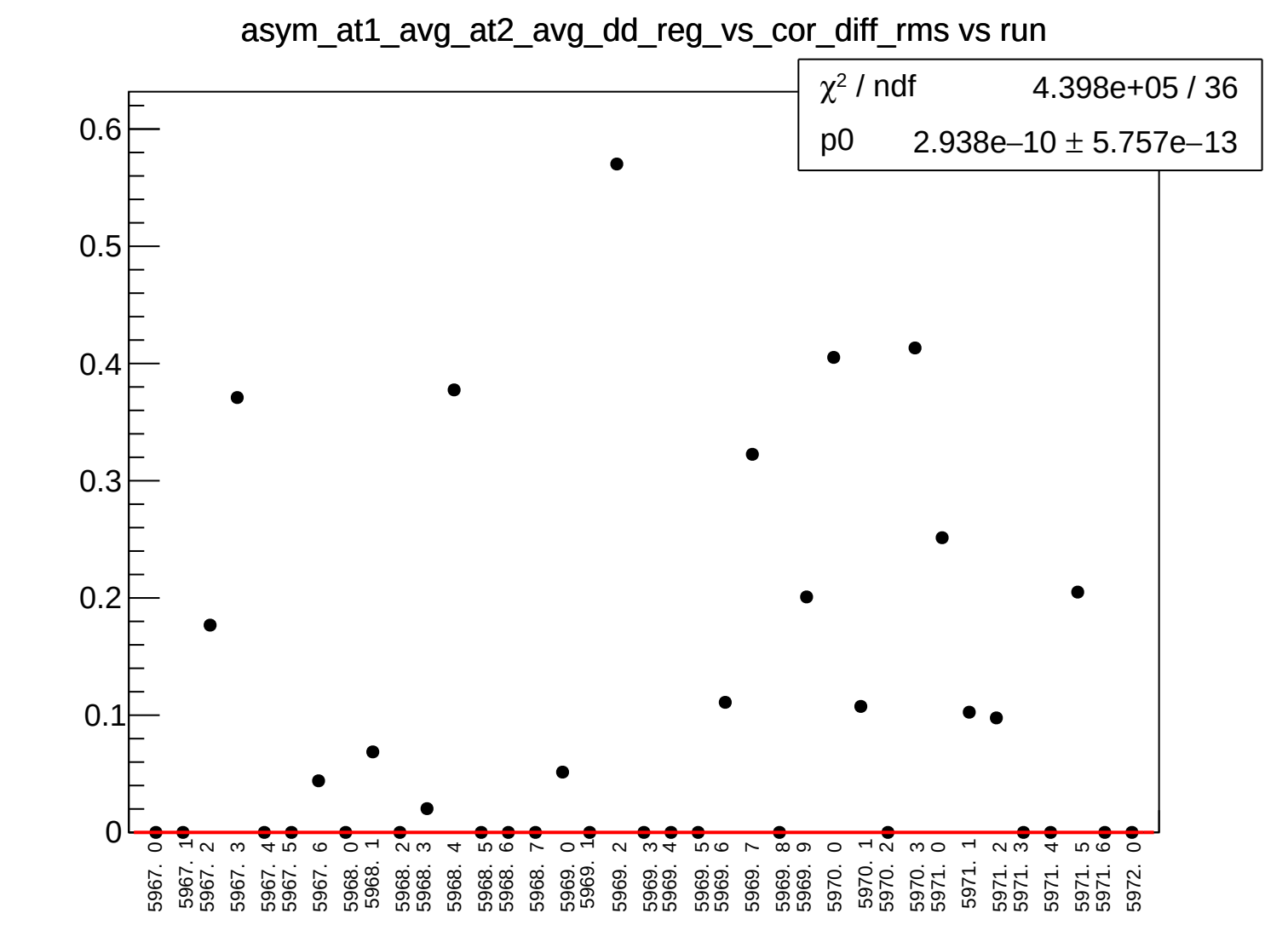
asym_at1_avg_at2_avg_dd_reg_vs_cor_diff_rms vs run
χ² / ndf 4.398e+05 / 36
p0 2.938e−10 ± 5.757e−13
0.6
0.5
0.4
0.3
0.2
0.1
0
5967. 0
5967. 1
5967. 2
5967. 3
5967. 4
5967. 5
5967. 6
5968. 0
5968. 1
5968. 2
5968. 3
5968. 4
5968. 5
5968. 6
5968. 7
5969. 0
5969. 1
5969. 2
5969. 3
5969. 4
5969. 5
5969. 6
5969. 7
5969. 8
5969. 9
5970. 0
5970. 1
5970. 2
5970. 3
5971. 0
5971. 1
5971. 2
5971. 3
5971. 4
5971. 5
5971. 6
5972. 0

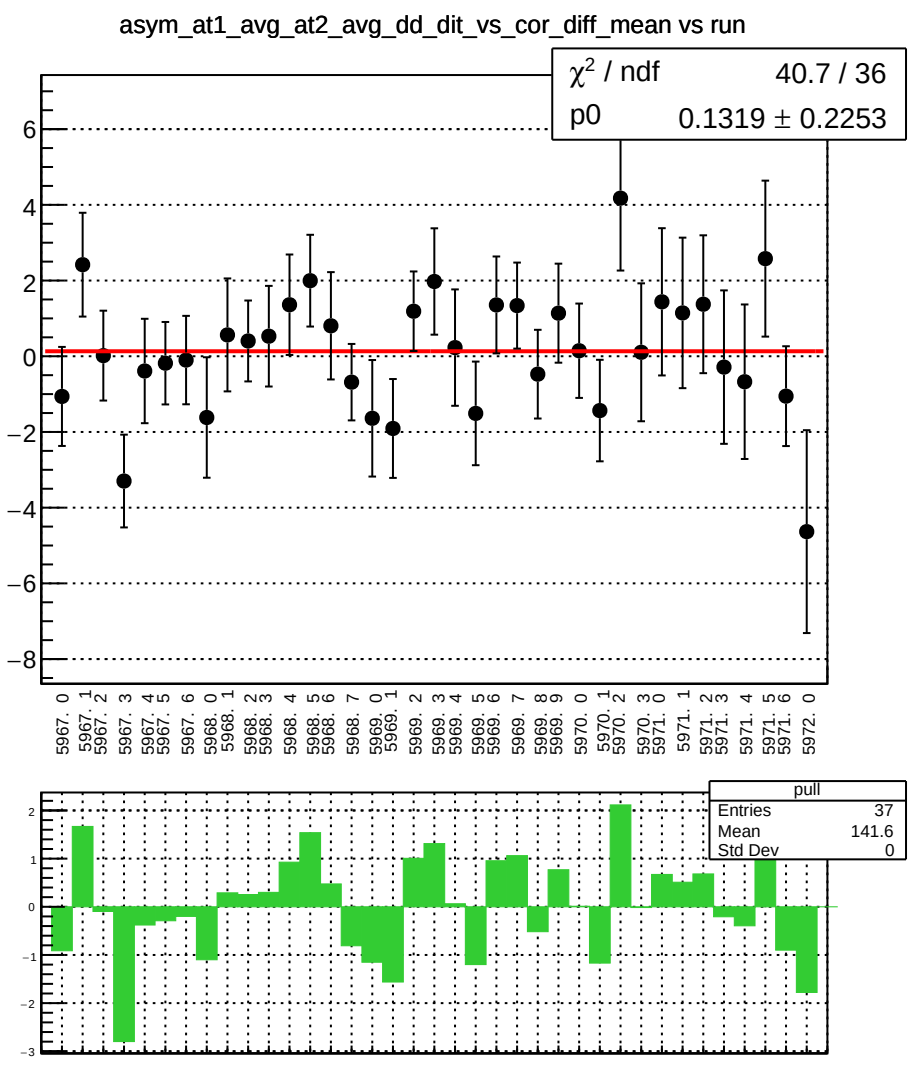
asym_at1_avg_at2_avg_dd_dit_vs_cor_diff_mean vs run
χ² / ndf 40.7 / 36
p0 0.1319 ± 0.2253
pull
Entries 37
Mean 141.6
Std Dev 0

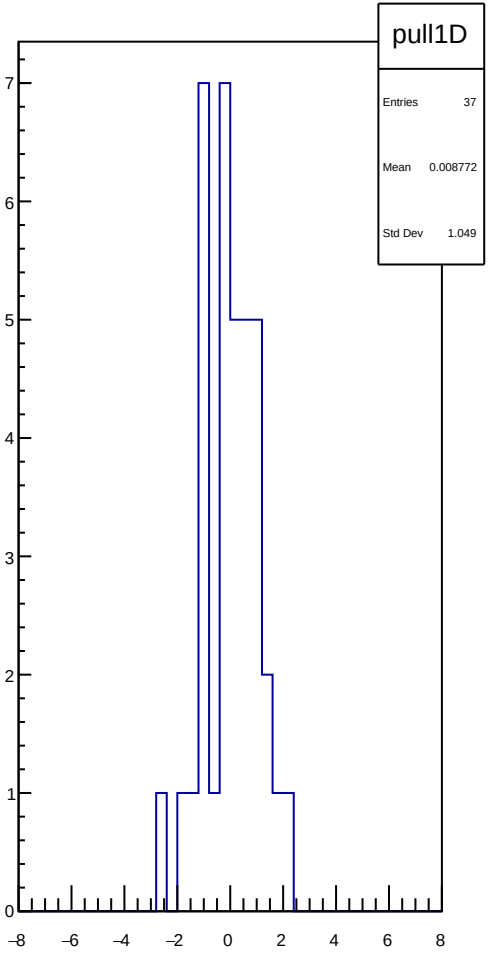
pull1D
Entries 37
Mean 0.008772
Std Dev 1.049

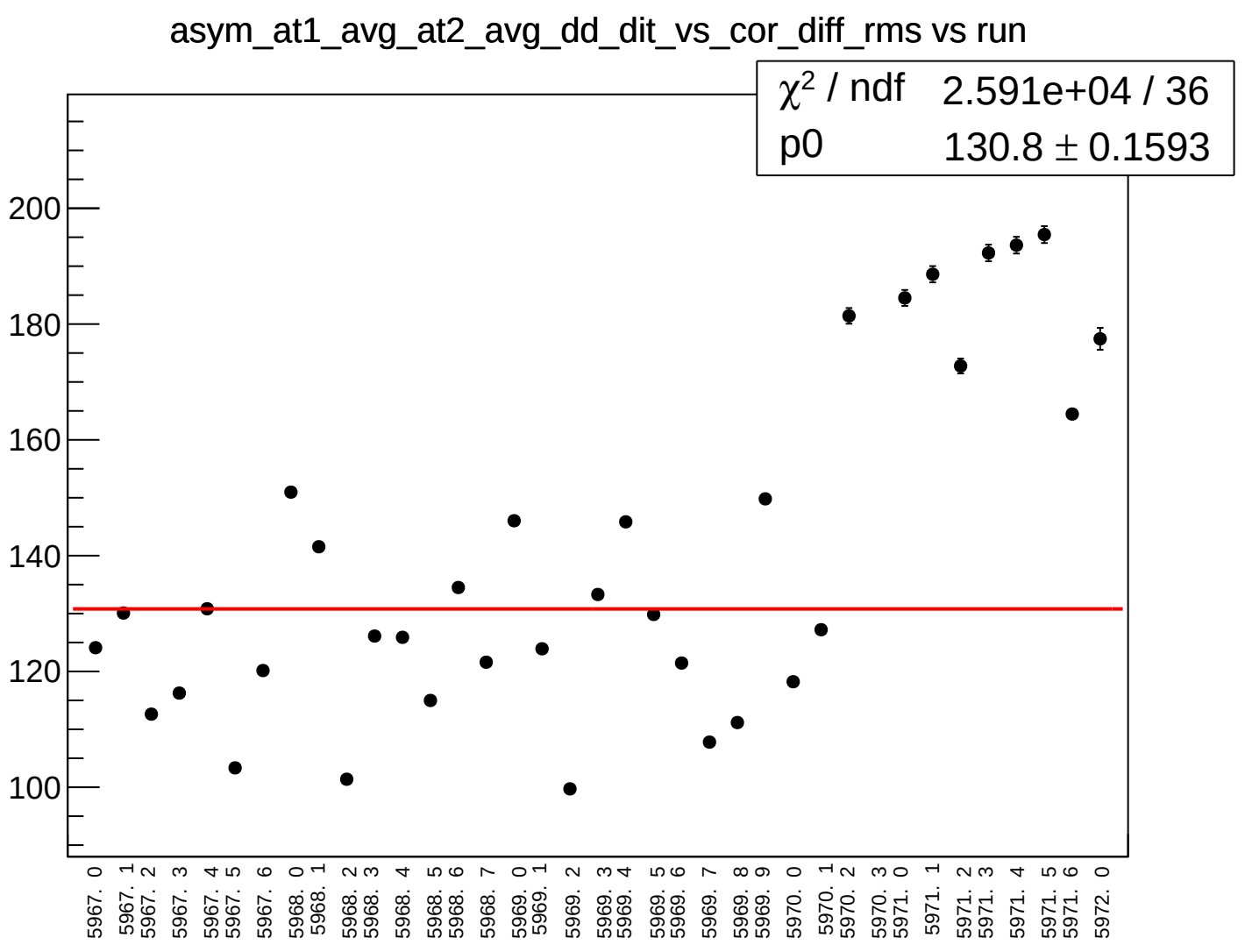
asym_at1_avg_at2_avg_dd_dit_vs_cor_diff_rms vs run
χ² / ndf 2.591e+04 / 36
p0 130.8 ± 0.1593
200
180
160
140
120
100
5967. 0
5967. 1
5967. 2
5967. 3
5967. 4
5967. 5
5967. 6
5968. 0
5968. 1
5968. 2
5968. 3
5968. 4
5968. 5
5968. 6
5968. 7
5969. 0
5969. 1
5969. 2
5969. 3
5969. 4
5969. 5
5969. 6
5969. 7
5969. 8
5969. 9
5970. 0
5970. 1
5970. 2
5970. 3
5971. 0
5971. 1
5971. 2
5971. 3
5971. 4
5971. 5
5971. 6
5972. 0

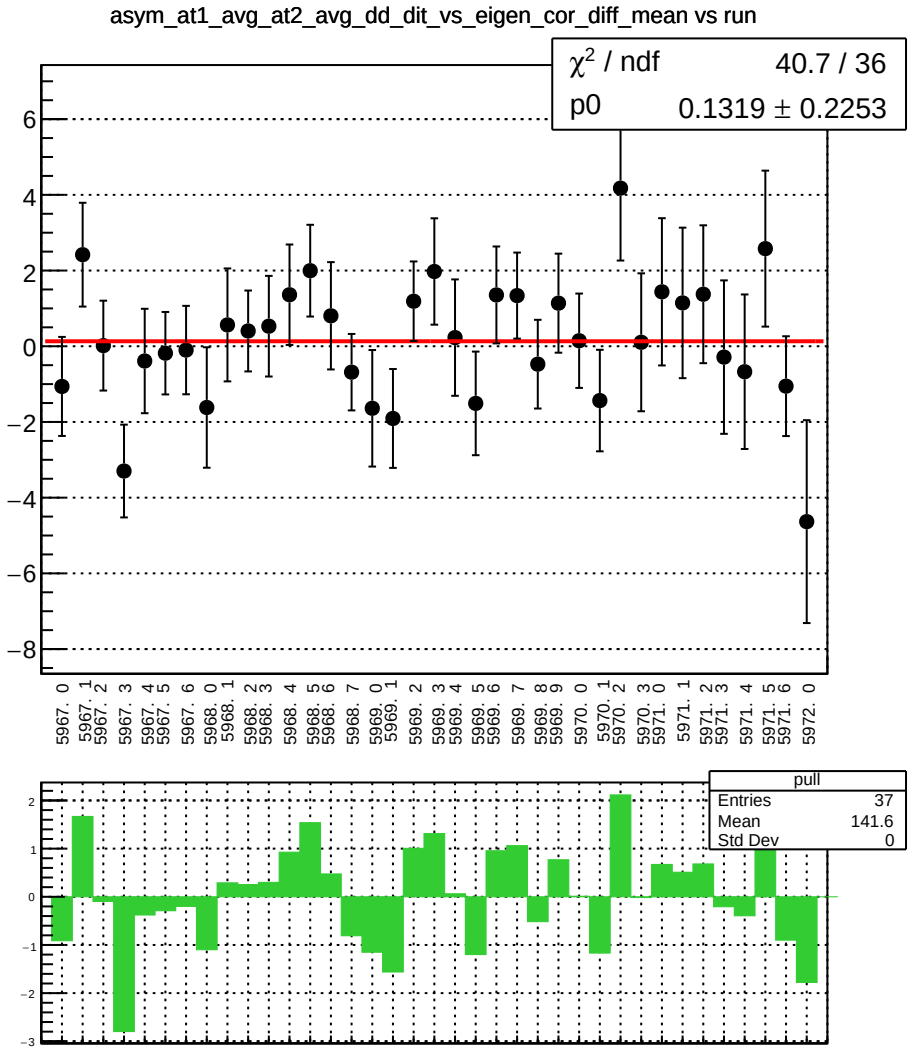
asym_at1_avg_at2_avg_dd_dit_vs_eigen_cor_diff_mean vs run
χ² / ndf 40.7 / 36
p0 0.1319 ± 0.2253
pull
Entries 37
Mean 141.6
Std Dev 0

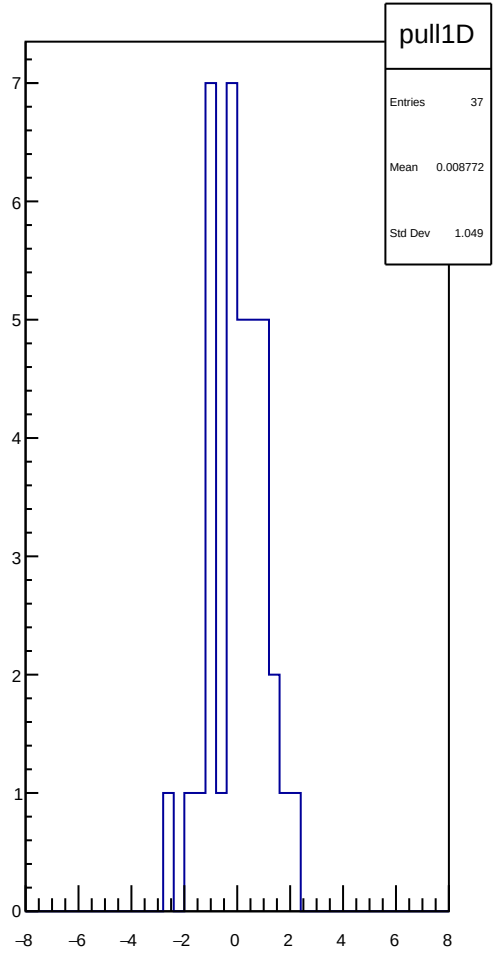
pull1D
Entries 37
Mean 0.008772
Std Dev 1.049

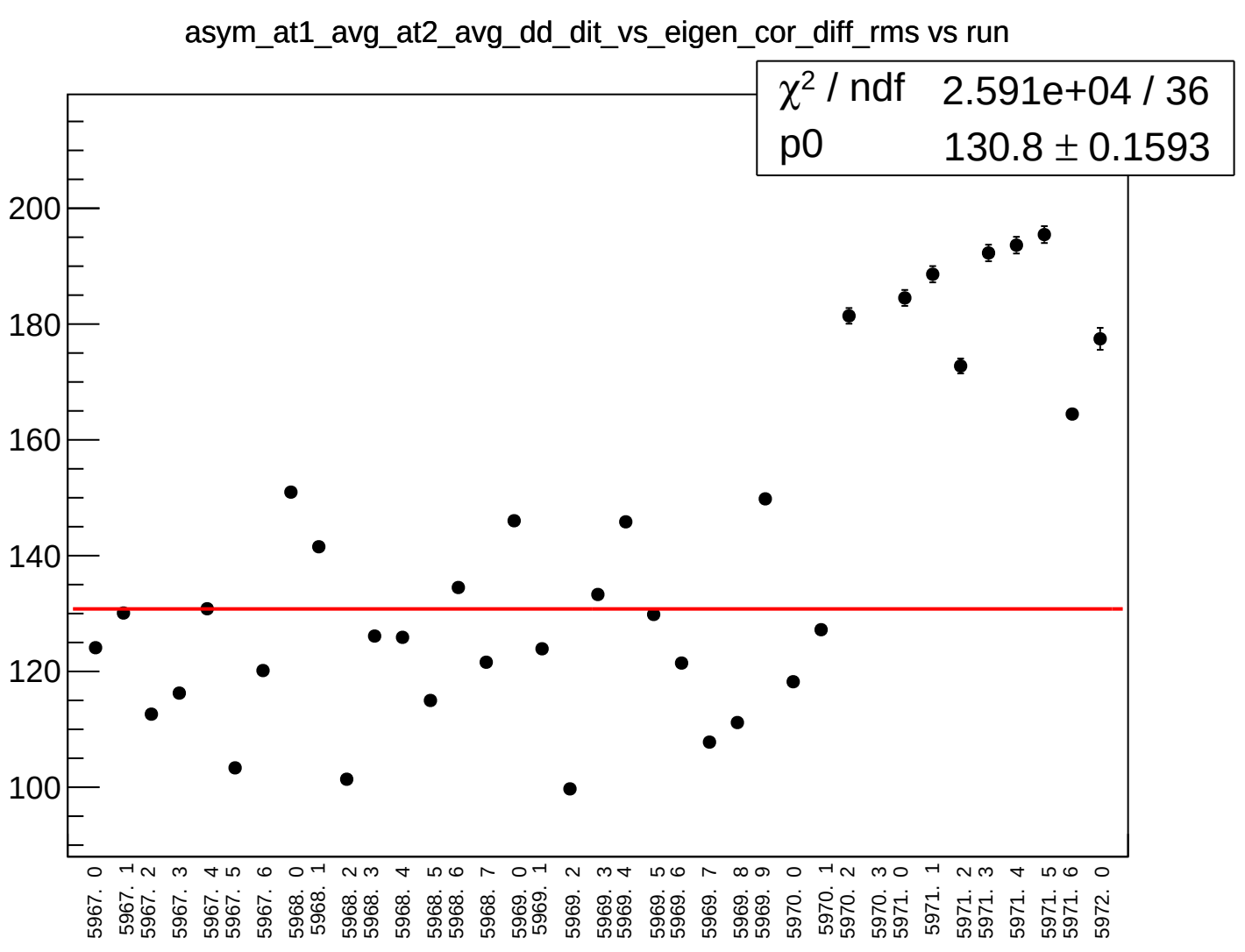
asym_at1_avg_at2_avg_dd_dit_vs_eigen_cor_diff_rms vs run
χ² / ndf 2.591e+04 / 36
p0 130.8 ± 0.1593
200
180
160
140
120
100
5967. 0
5967. 1
5967. 2
5967. 3
5967. 4
5967. 5
5967. 6
5968. 0
5968. 1
5968. 2
5968. 3
5968. 4
5968. 5
5968. 6
5968. 7
5969. 0
5969. 1
5969. 2
5969. 3
5969. 4
5969. 5
5969. 6
5969. 7
5969. 8
5969. 9
5970. 0
5970. 1
5970. 2
5970. 3
5971. 0
5971. 1
5971. 2
5971. 3
5971. 4
5971. 5
5971. 6
5972. 0

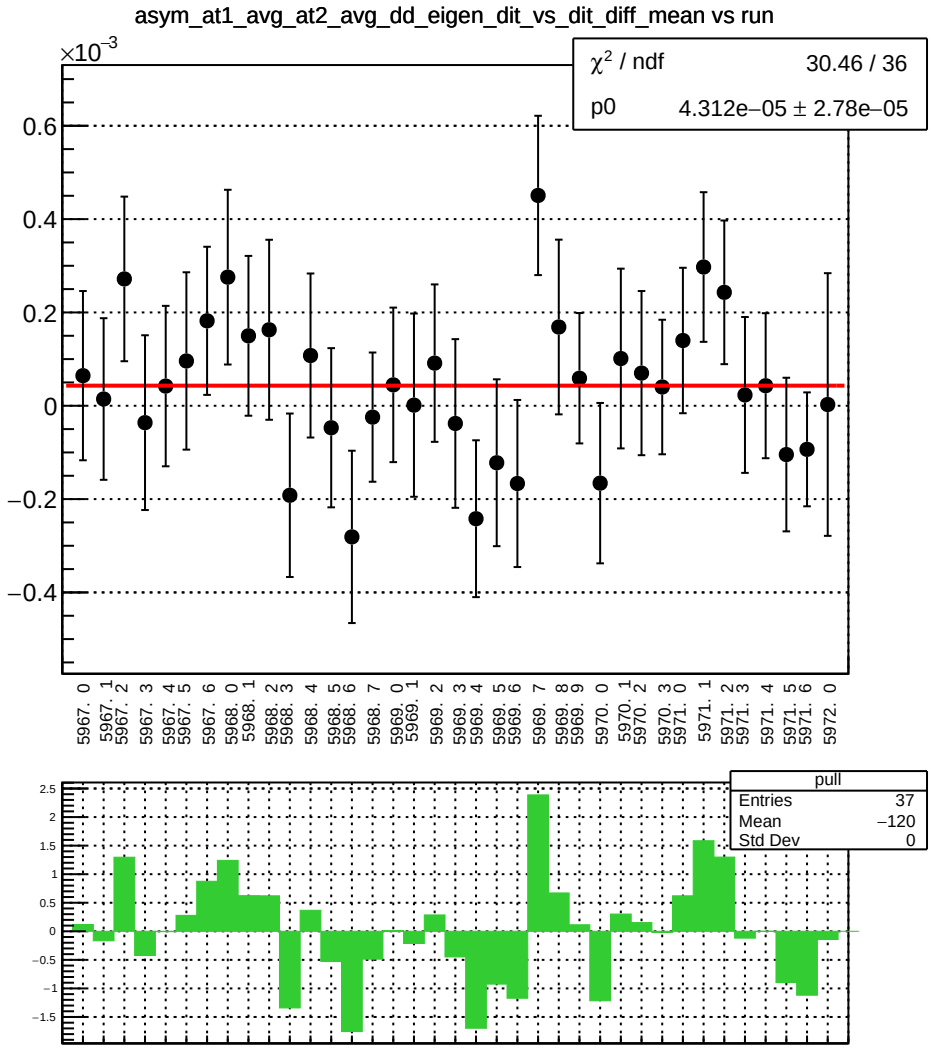
asym_at1_avg_at2_avg_dd_eigen_dit_vs_dit_diff_mean vs run
×10⁻³
χ² / ndf 30.46 / 36
p0 4.312e−05 ± 2.78e−05
pull
Entries 37
Mean −120
Std Dev 0

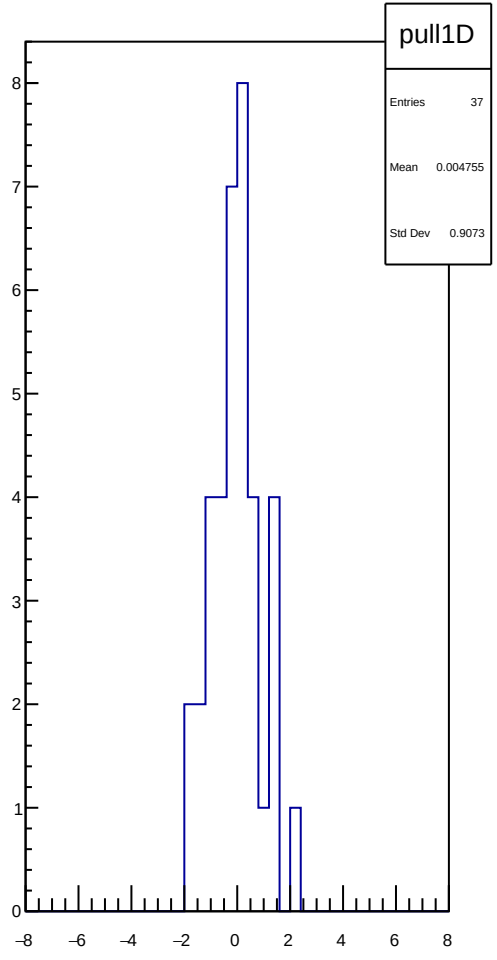
pull1D
Entries 37
Mean 0.004755
Std Dev 0.9073

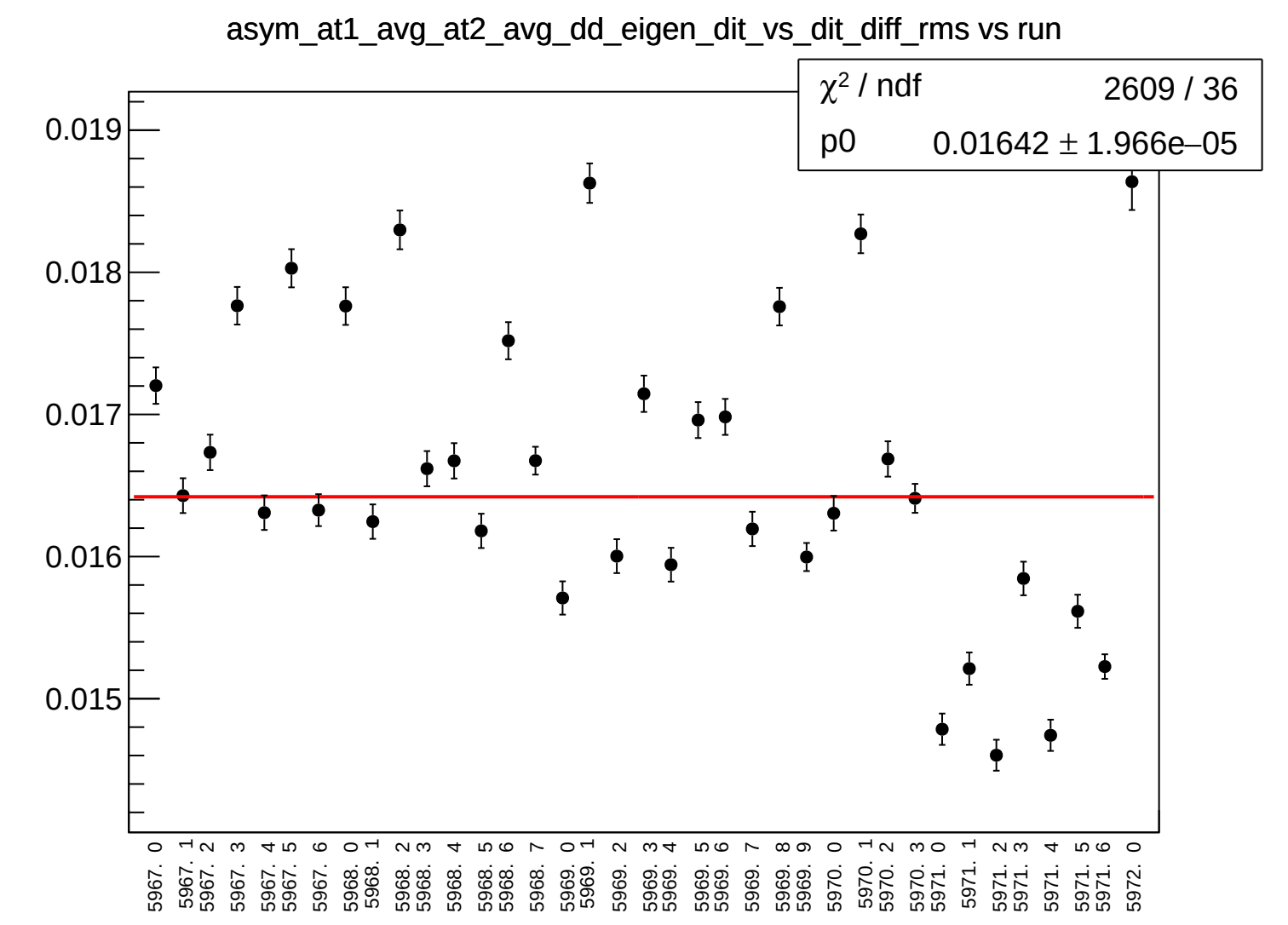
asym_at1_avg_at2_avg_dd_eigen_dit_vs_dit_diff_rms vs run
χ² / ndf 2609 / 36
p0 0.01642 ± 1.966e−05
0.019
0.018
0.017
0.016
0.015
5967. 0
5967. 1
5967. 2
5967. 3
5967. 4
5967. 5
5967. 6
5968. 0
5968. 1
5968. 2
5968. 3
5968. 4
5968. 5
5968. 6
5968. 7
5969. 0
5969. 1
5969. 2
5969. 3
5969. 4
5969. 5
5969. 6
5969. 7
5969. 8
5969. 9
5970. 0
5970. 1
5970. 2
5970. 3
5971. 0
5971. 1
5971. 2
5971. 3
5971. 4
5971. 5
5971. 6
5972. 0

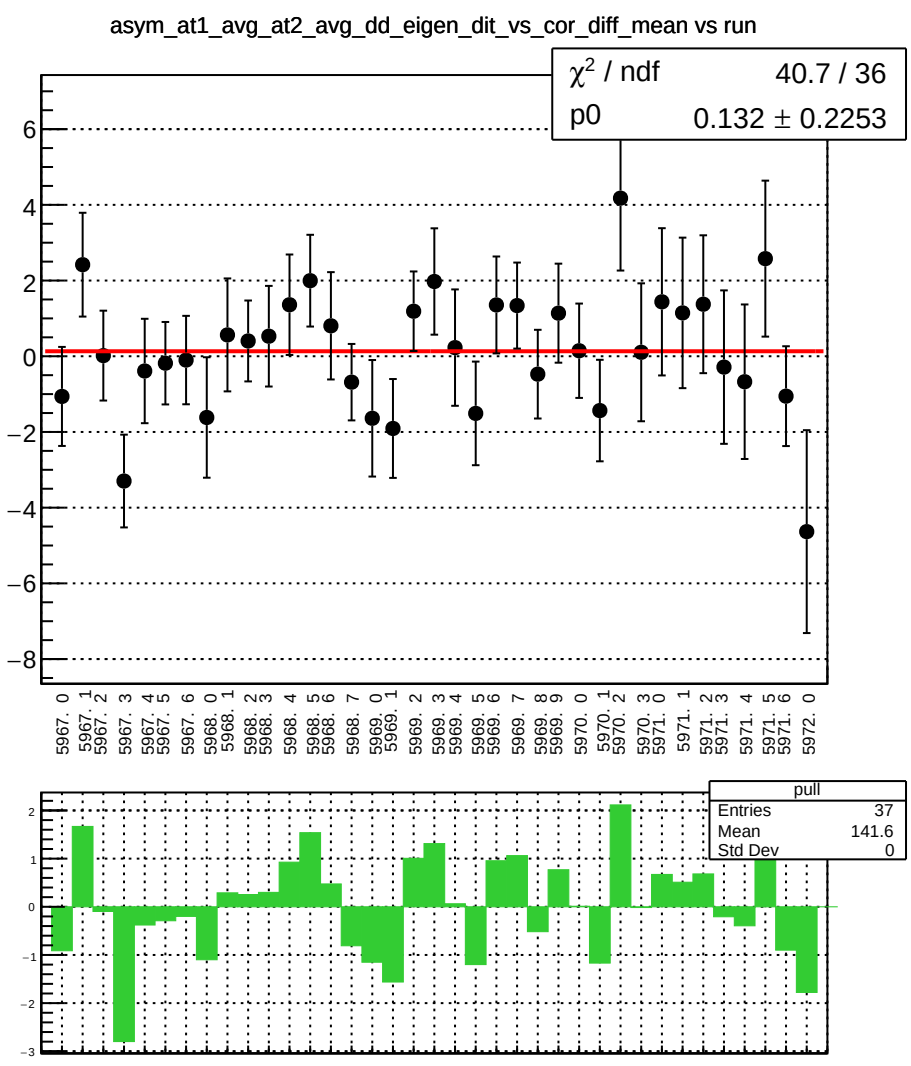
asym_at1_avg_at2_avg_dd_eigen_dit_vs_cor_diff_mean vs run
χ² / ndf 40.7 / 36
p0 0.132 ± 0.2253
pull
Entries 37
Mean 141.6
Std Dev 0

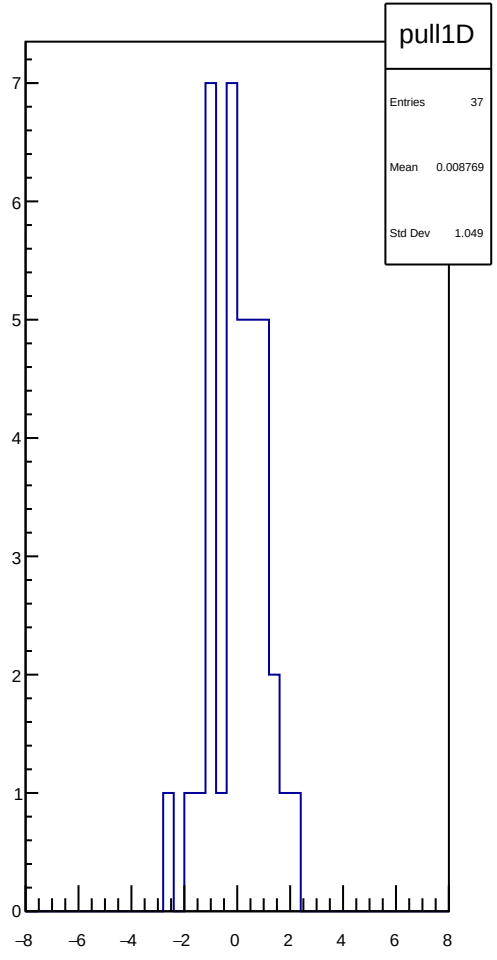
pull1D
Entries 37
Mean 0.008769
Std Dev 1.049

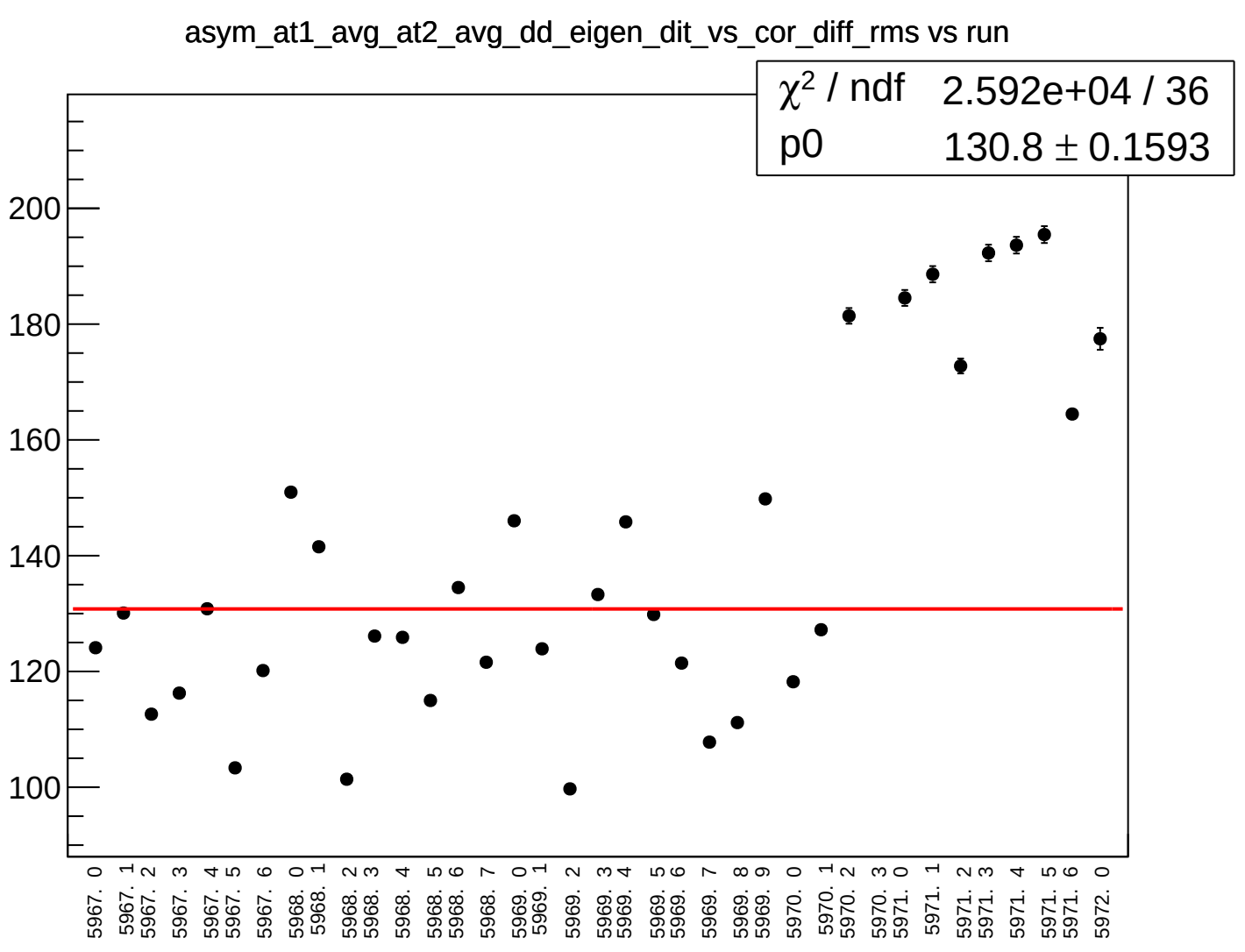
asym_at1_avg_at2_avg_dd_eigen_dit_vs_cor_diff_rms vs run
χ² / ndf 2.592e+04 / 36
p0 130.8 ± 0.1593
200
180
160
140
120
100
5967. 0
5967. 1
5967. 2
5967. 3
5967. 4
5967. 5
5967. 6
5968. 0
5968. 1
5968. 2
5968. 3
5968. 4
5968. 5
5968. 6
5968. 7
5969. 0
5969. 1
5969. 2
5969. 3
5969. 4
5969. 5
5969. 6
5969. 7
5969. 8
5969. 9
5970. 0
5970. 1
5970. 2
5970. 3
5971. 0
5971. 1
5971. 2
5971. 3
5971. 4
5971. 5
5971. 6
5972. 0

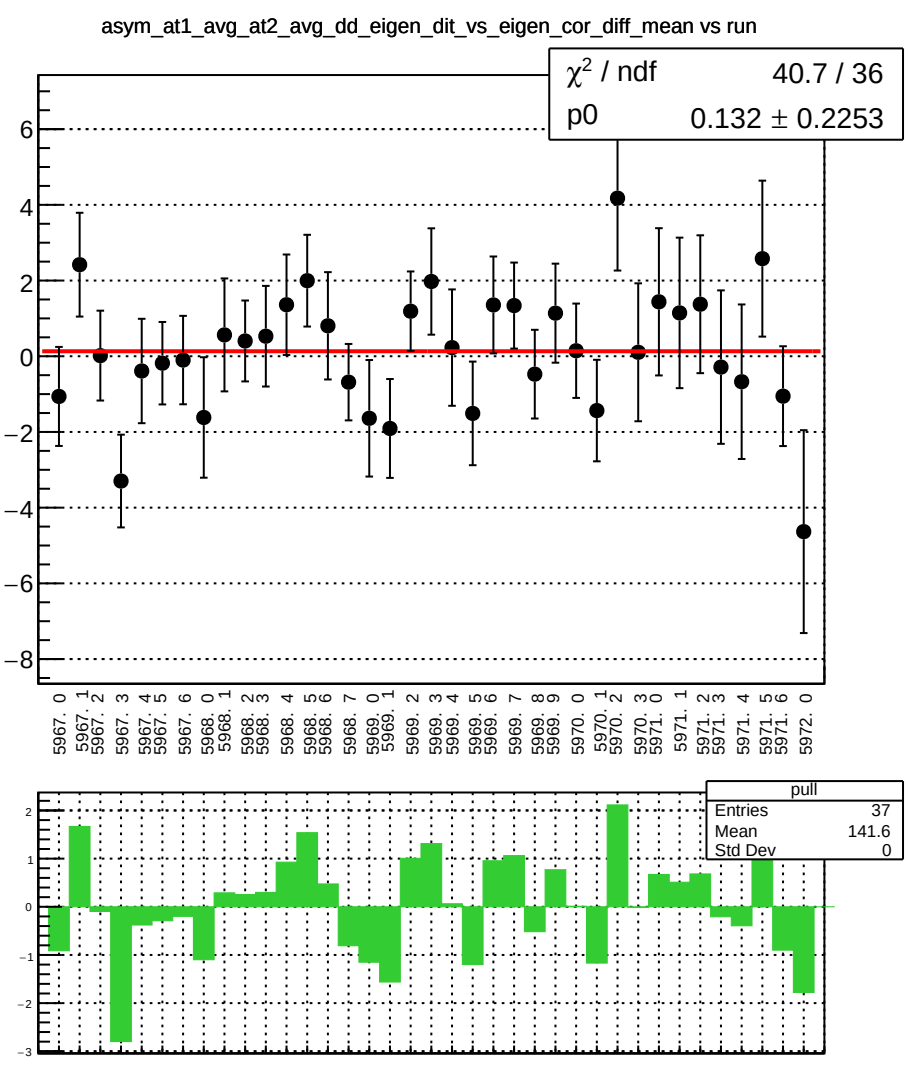
asym_at1_avg_at2_avg_dd_eigen_dit_vs_eigen_cor_diff_mean vs run
χ² / ndf 40.7 / 36
p0 0.132 ± 0.2253
pull
Entries 37
Mean 141.6
Std Dev 0

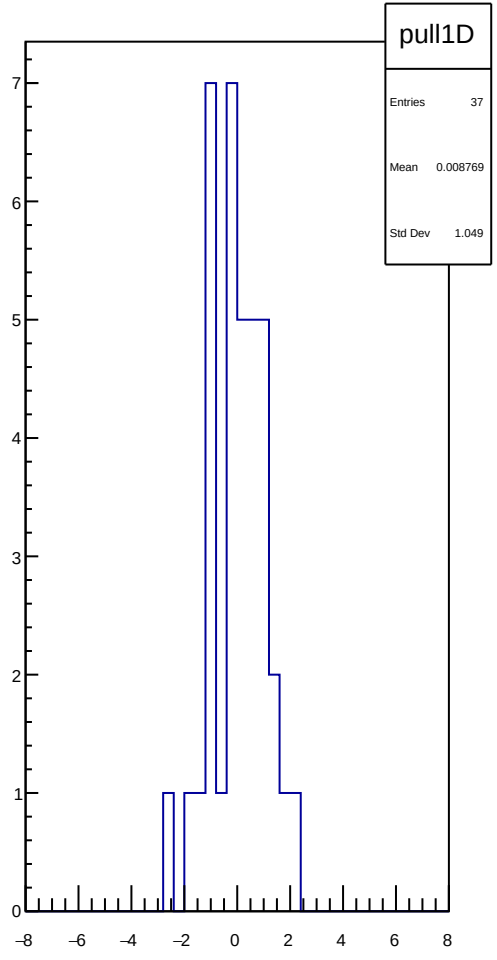
pull1D
Entries 37
Mean 0.008769
Std Dev 1.049

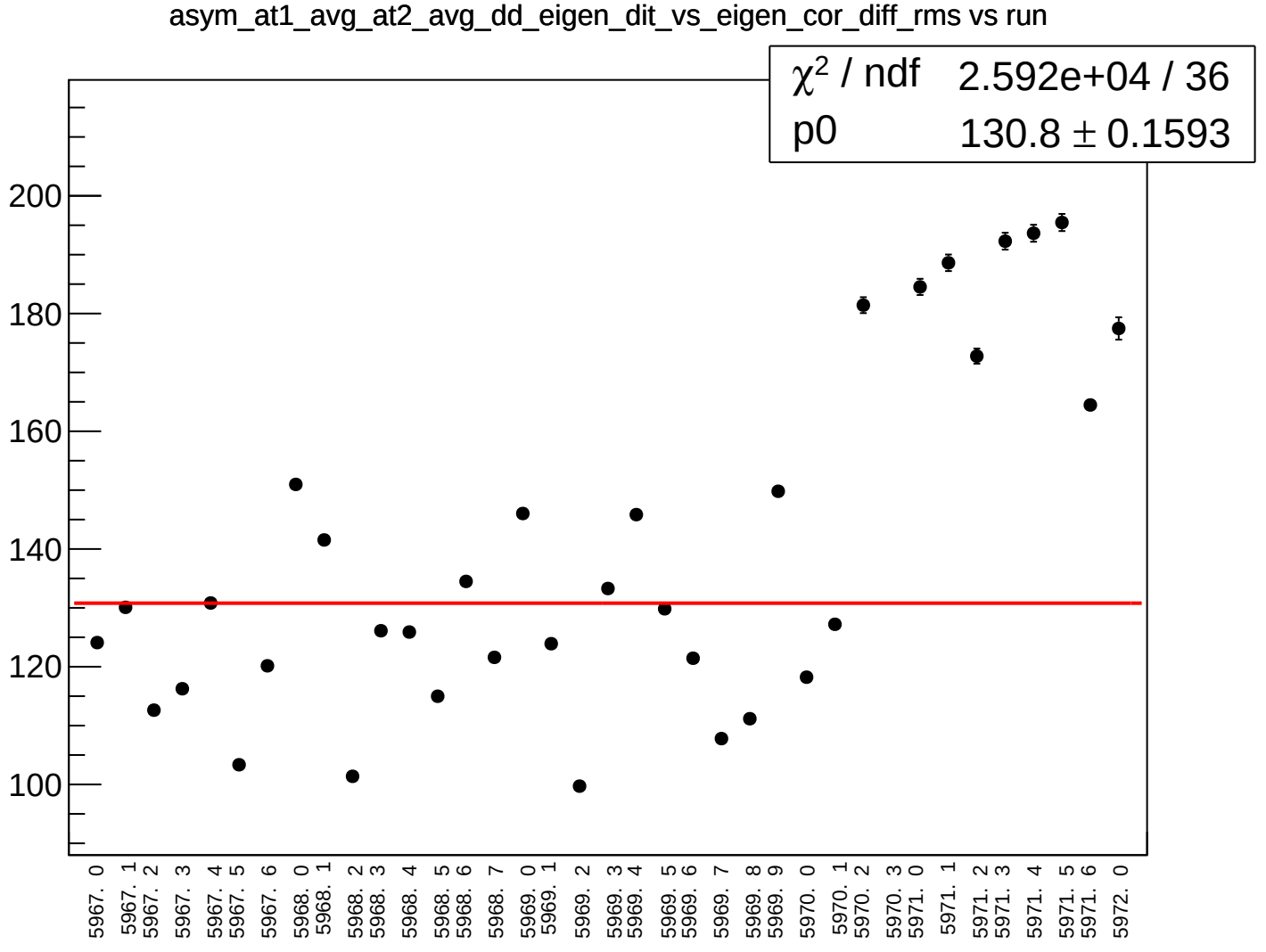
asym_at1_avg_at2_avg_dd_eigen_dit_vs_eigen_cor_diff_rms vs run
χ² / ndf 2.592e+04 / 36
p0 130.8 ± 0.1593
200
180
160
140
120
100
5967. 0
5967. 1
5967. 2
5967. 3
5967. 4
5967. 5
5967. 6
5968. 0
5968. 1
5968. 2
5968. 3
5968. 4
5968. 5
5968. 6
5968. 7
5969. 0
5969. 1
5969. 2
5969. 3
5969. 4
5969. 5
5969. 6
5969. 7
5969. 8
5969. 9
5970. 0
5970. 1
5970. 2
5970. 3
5971. 0
5971. 1
5971. 2
5971. 3
5971. 4
5971. 5
5971. 6
5972. 0

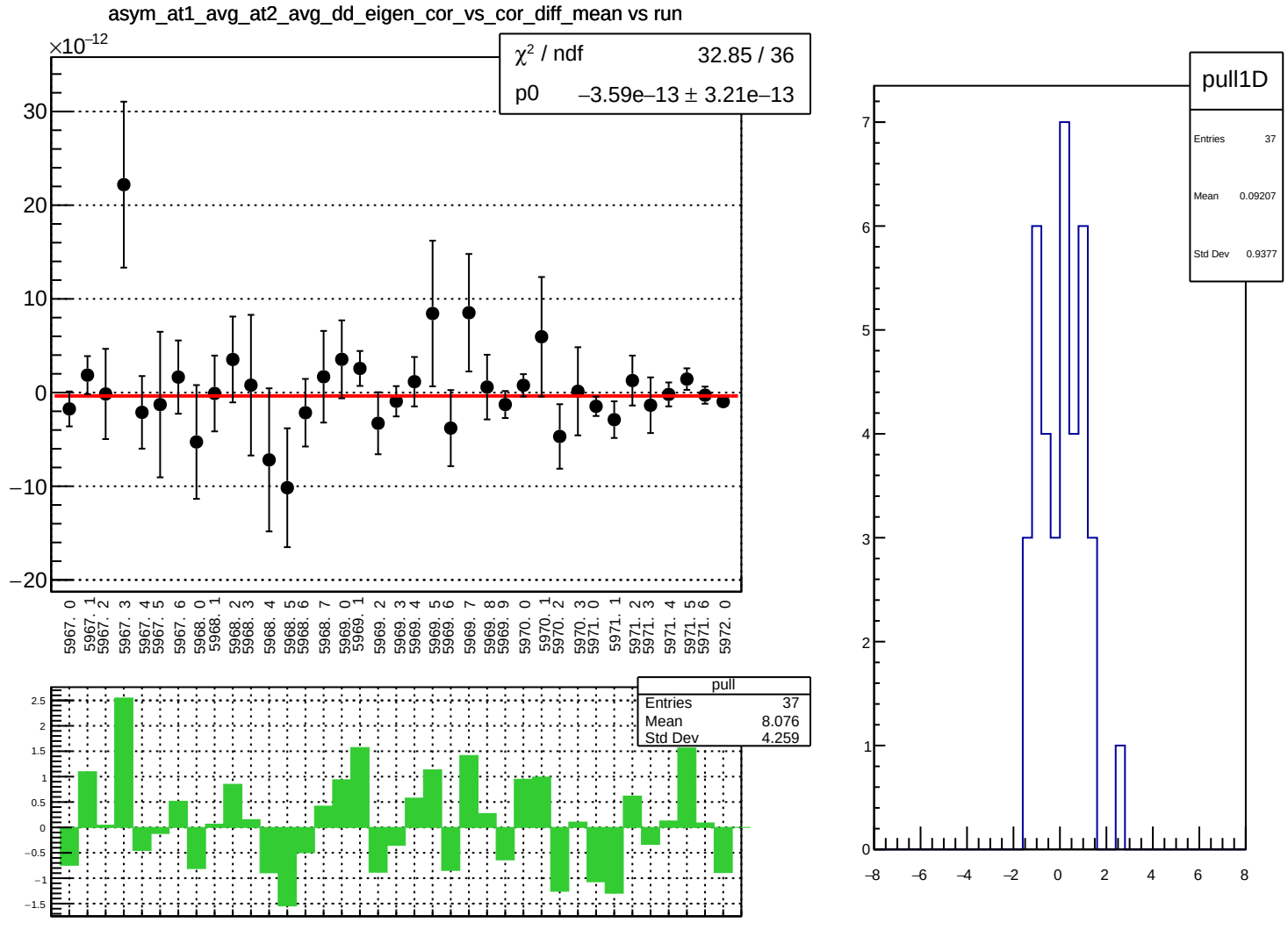
asym_at1_avg_at2_avg_dd_eigen_cor_vs_cor_diff_mean vs run
×10⁻¹²
χ² / ndf 32.85 / 36
p0 −3.59e−13 ± 3.21e−13
30
20
10
0
−10
−20
5967. 0
5967. 1
5967. 2
5967. 3
5967. 4
5967. 5
5967. 6
5968. 0
5968. 1
5968. 2
5968. 3
5968. 4
5968. 5
5968. 6
5968. 7
5969. 0
5969. 1
5969. 2
5969. 3
5969. 4
5969. 5
5969. 6
5969. 7
5969. 8
5969. 9
5970. 0
5970. 1
5970. 2
5970. 3
5971. 0
5971. 1
5971. 2
5971. 3
5971. 4
5971. 5
5971. 6
5972. 0
pull
Entries 37
Mean 8.076
Std Dev 4.259
2.5
2
1.5
1
0.5
0
−0.5
−1
−1.5
pull1D
Entries 37
Mean 0.09207
Std Dev 0.9377
7
6
5
4
3
2
1
0
−8
−6
−4
−2
0
2
4
6
8

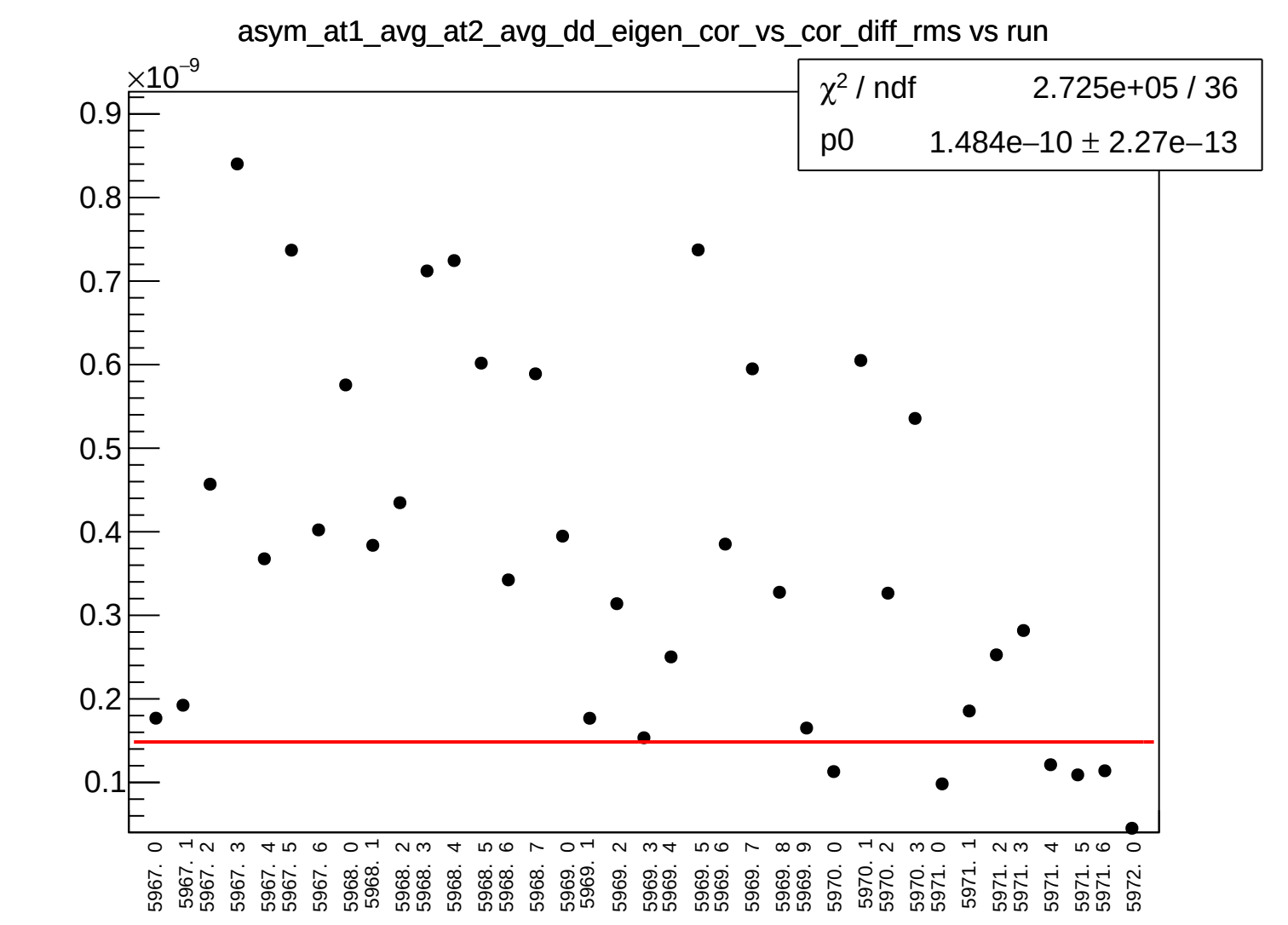
asym_at1_avg_at2_avg_dd_eigen_cor_vs_cor_diff_rms vs run
×10⁻⁹
χ² / ndf 2.725e+05 / 36
p0 1.484e−10 ± 2.27e−13
0.9
0.8
0.7
0.6
0.5
0.4
0.3
0.2
0.1
5967. 0
5967. 1
5967. 2
5967. 3
5967. 4
5967. 5
5967. 6
5968. 0
5968. 1
5968. 2
5968. 3
5968. 4
5968. 5
5968. 6
5968. 7
5969. 0
5969. 1
5969. 2
5969. 3
5969. 4
5969. 5
5969. 6
5969. 7
5969. 8
5969. 9
5970. 0
5970. 1
5970. 2
5970. 3
5971. 0
5971. 1
5971. 2
5971. 3
5971. 4
5971. 5
5971. 6
5972. 0

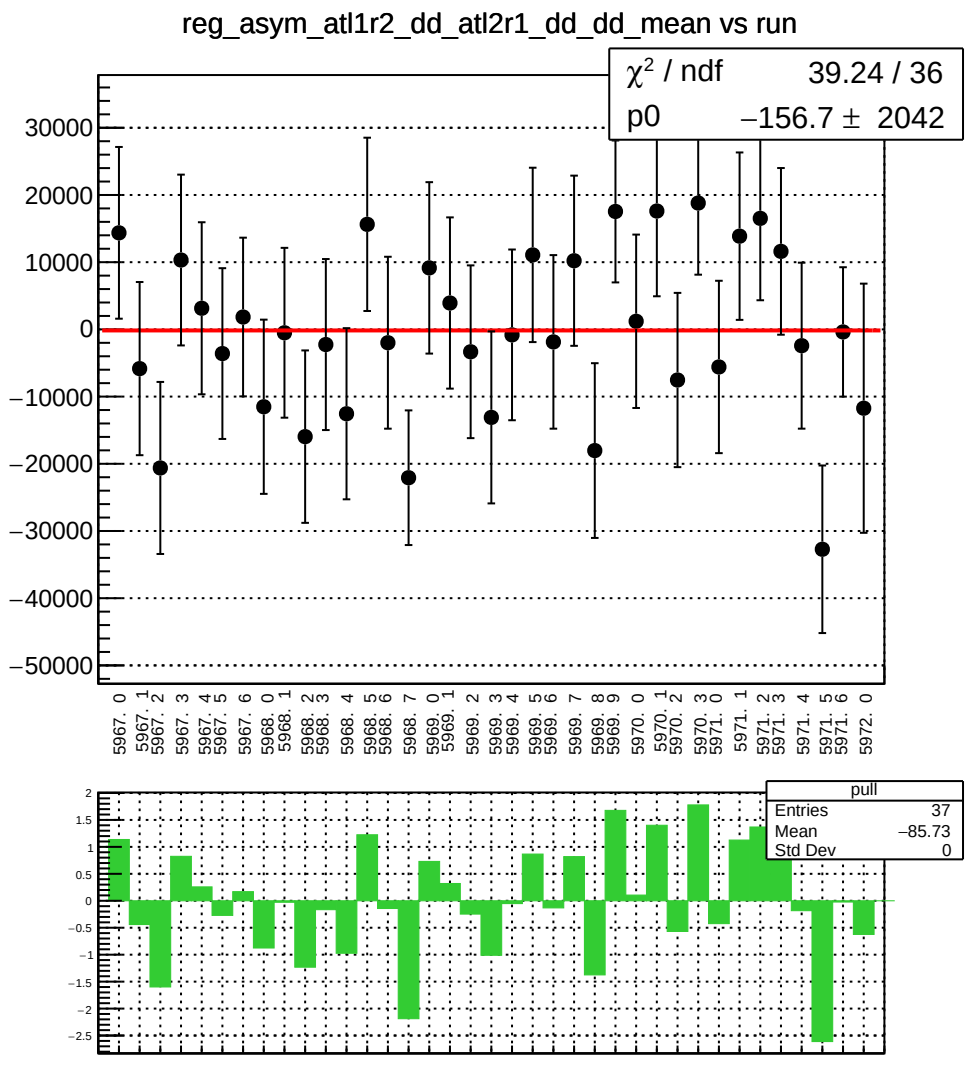
reg_asym_atl1r2_dd_atl2r1_dd_dd_mean vs run
χ² / ndf 39.24 / 36
p0 −156.7 ± 2042
30000
20000
10000
0
−10000
−20000
−30000
−40000
−50000
5967. 0
5967. 1
5967. 2
5967. 3
5967. 4
5967. 5
5967. 6
5968. 0
5968. 1
5968. 2
5968. 3
5968. 4
5968. 5
5968. 6
5968. 7
5969. 0
5969. 1
5969. 2
5969. 3
5969. 4
5969. 5
5969. 6
5969. 7
5969. 8
5969. 9
5970. 0
5970. 1
5970. 2
5970. 3
5971. 0
5971. 1
5971. 2
5971. 3
5971. 4
5971. 5
5971. 6
5972. 0
pull
Entries 37
Mean −85.73
Std Dev 0
2
1.5
1
0.5
0
−0.5
−1
−1.5
−2
−2.5

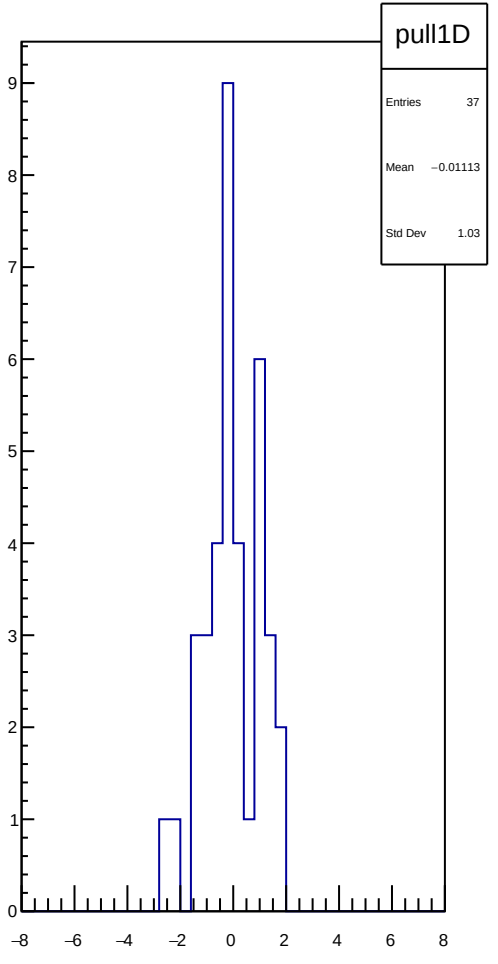
pull1D
Entries 37
Mean −0.01113
Std Dev 1.03
9
8
7
6
5
4
3
2
1
0
−8
−6
−4
−2
0
2
4
6
8

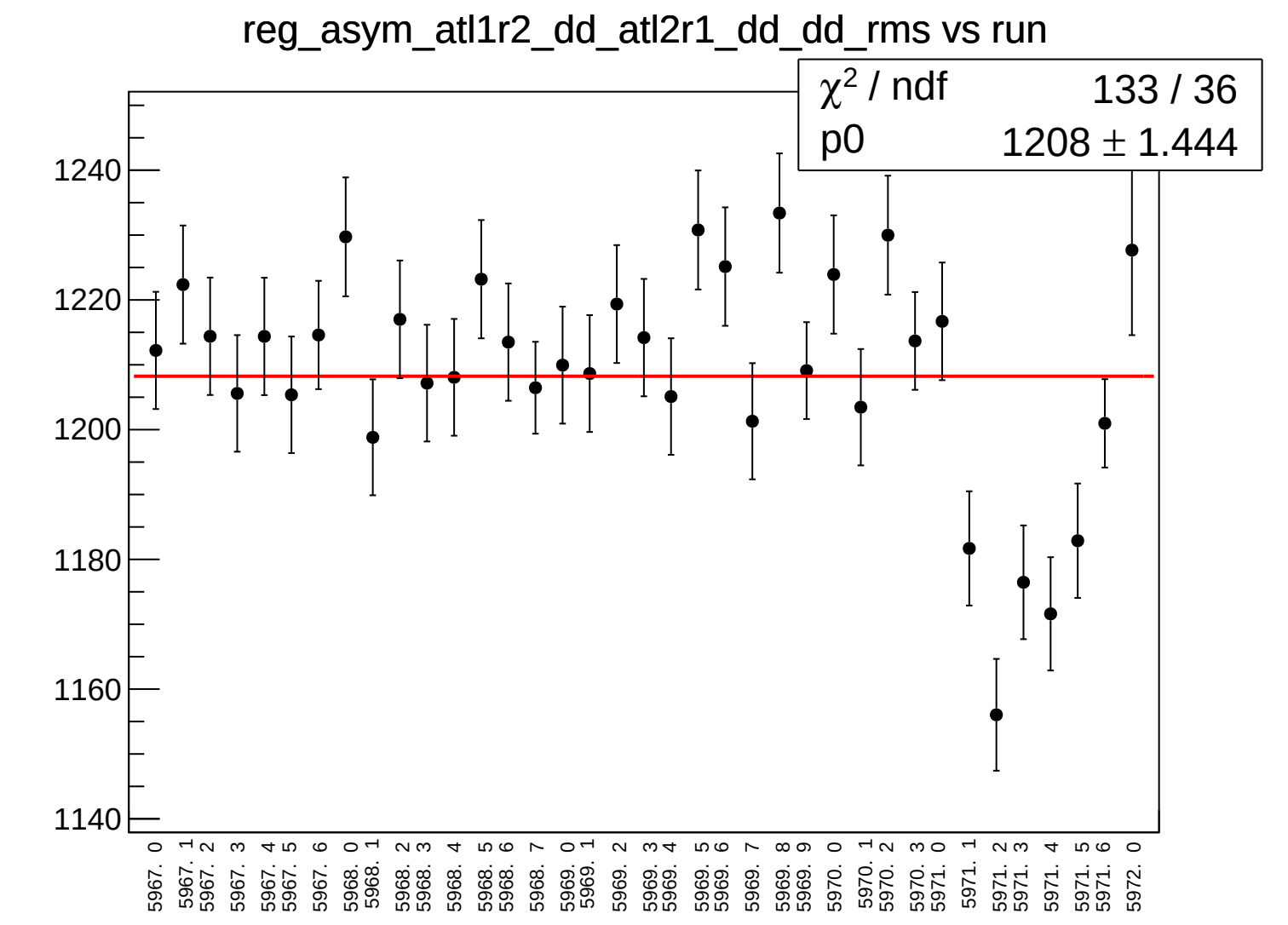
reg_asym_atl1r2_dd_atl2r1_dd_dd_rms vs run
χ² / ndf 133 / 36
p0 1208 ± 1.444
1240
1220
1200
1180
1160
1140
5967. 0
5967. 1
5967. 2
5967. 3
5967. 4
5967. 5
5967. 6
5968. 0
5968. 1
5968. 2
5968. 3
5968. 4
5968. 5
5968. 6
5968. 7
5969. 0
5969. 1
5969. 2
5969. 3
5969. 4
5969. 5
5969. 6
5969. 7
5969. 8
5969. 9
5970. 0
5970. 1
5970. 2
5970. 3
5971. 0
5971. 1
5971. 2
5971. 3
5971. 4
5971. 5
5971. 6
5972. 0

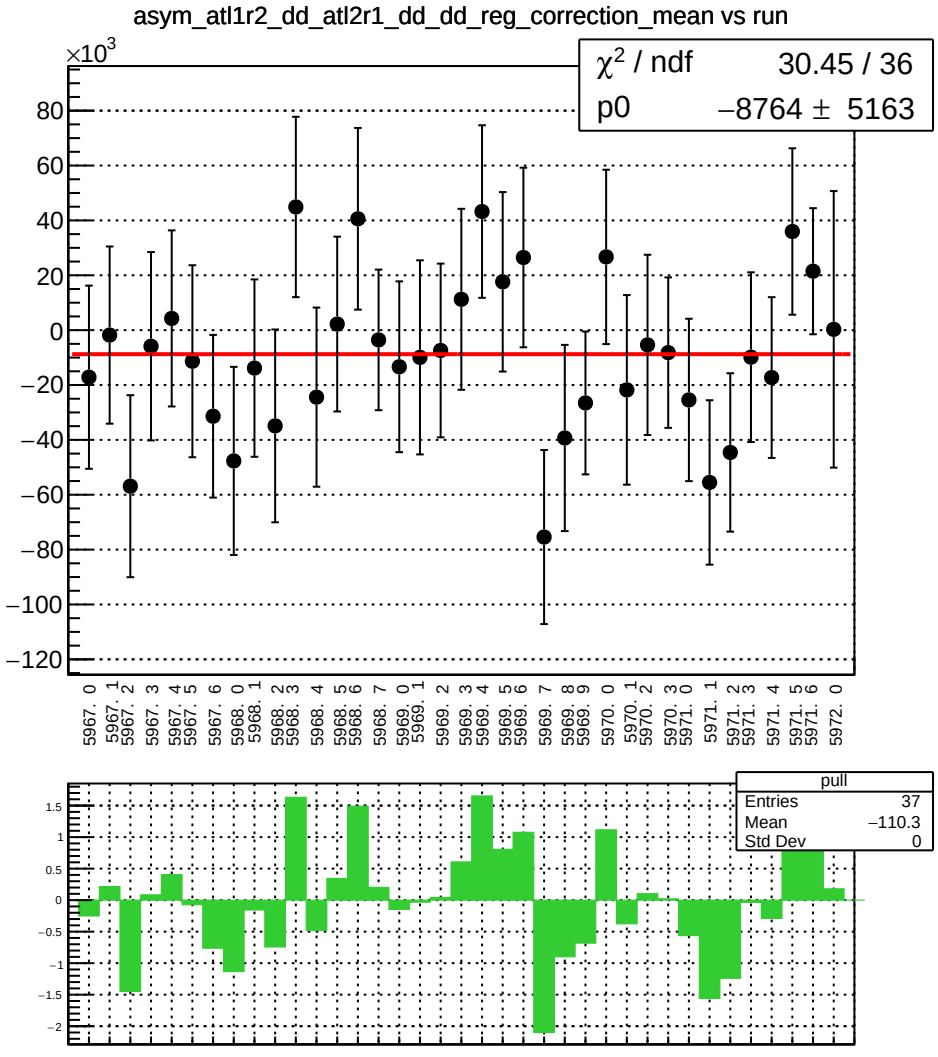
asym_atl1r2_dd_atl2r1_dd_dd_reg_correction_mean vs run
×10^3
χ² / ndf 30.45 / 36
p0 −8764 ± 5163
80
60
40
20
0
−20
−40
−60
−80
−100
−120
5967. 0
5967. 1
5967. 2
5967. 3
5967. 4
5967. 5
5967. 6
5968. 0
5968. 1
5968. 2
5968. 3
5968. 4
5968. 5
5968. 6
5968. 7
5969. 0
5969. 1
5969. 2
5969. 3
5969. 4
5969. 5
5969. 6
5969. 7
5969. 8
5969. 9
5970. 0
5970. 1
5970. 2
5970. 3
5971. 0
5971. 1
5971. 2
5971. 3
5971. 4
5971. 5
5971. 6
5972. 0
pull
Entries 37
Mean −110.3
Std Dev 0
1.5
1
0.5
0
−0.5
−1
−1.5
−2

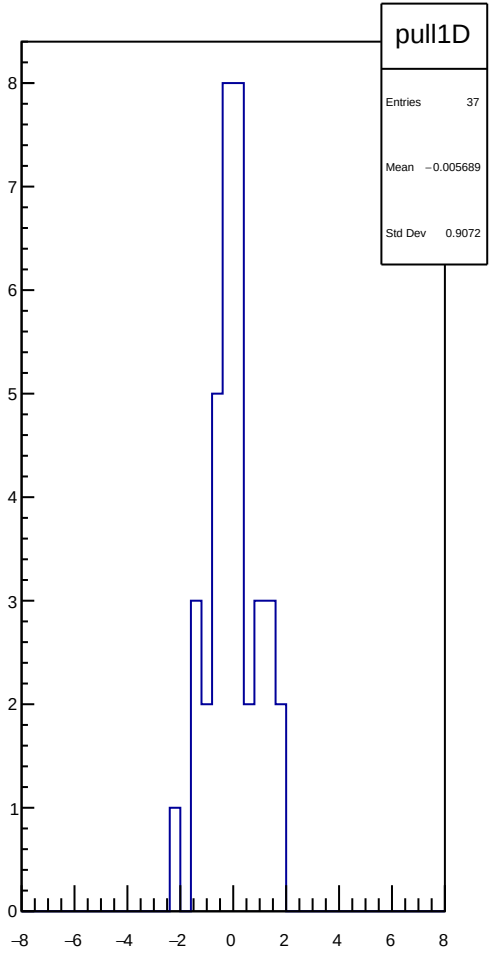
pull1D
Entries 37
Mean −0.005689
Std Dev 0.9072
8
7
6
5
4
3
2
1
0
−8
−6
−4
−2
0
2
4
6
8

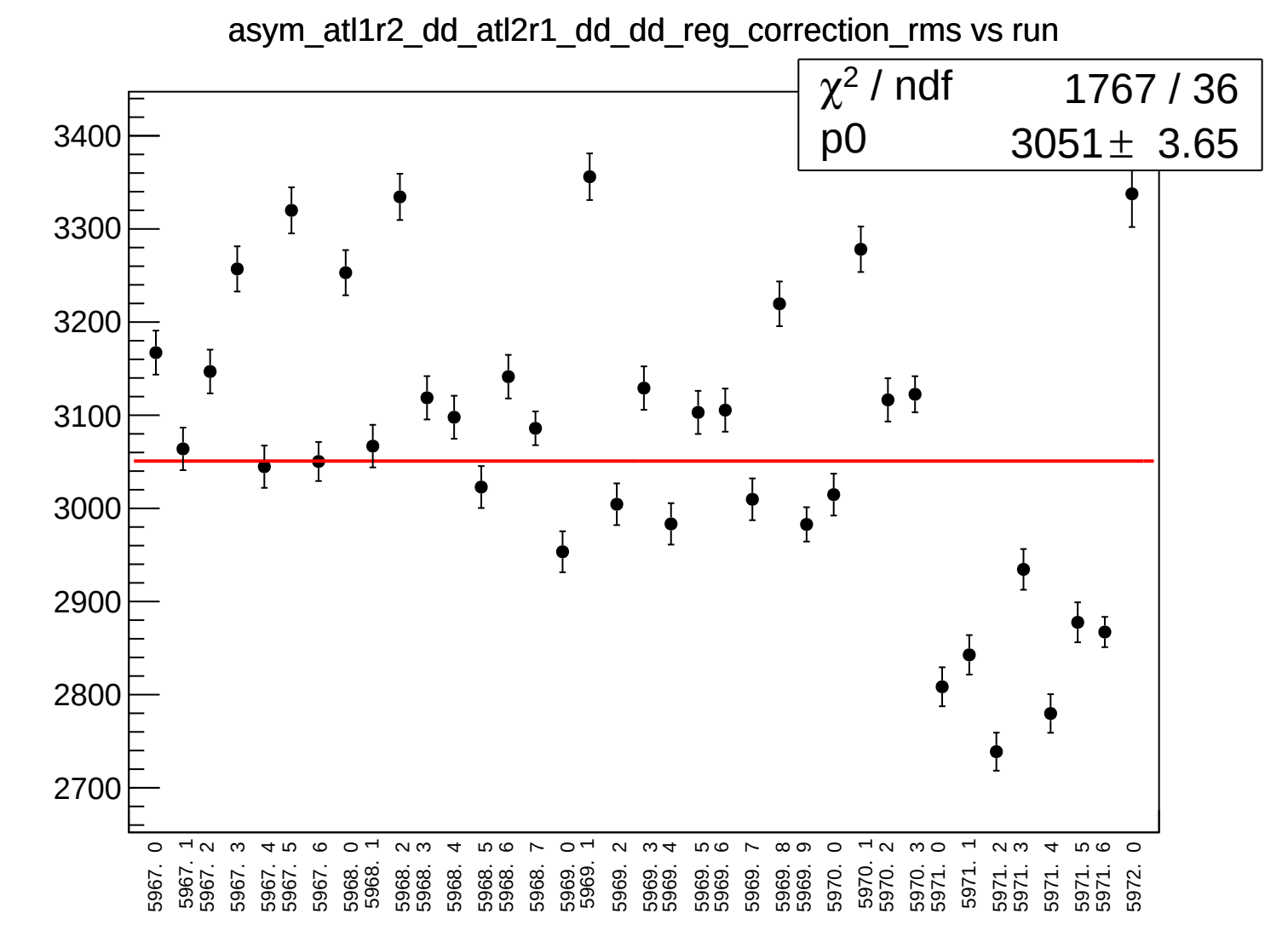
asym_atl1r2_dd_atl2r1_dd_dd_reg_correction_rms vs run
χ² / ndf 1767 / 36
p0 3051 ± 3.65
3400
3300
3200
3100
3000
2900
2800
2700
5967. 0
5967. 1
5967. 2
5967. 3
5967. 4
5967. 5
5967. 6
5968. 0
5968. 1
5968. 2
5968. 3
5968. 4
5968. 5
5968. 6
5968. 7
5969. 0
5969. 1
5969. 2
5969. 3
5969. 4
5969. 5
5969. 6
5969. 7
5969. 8
5969. 9
5970. 0
5970. 1
5970. 2
5970. 3
5971. 0
5971. 1
5971. 2
5971. 3
5971. 4
5971. 5
5971. 6
5972. 0

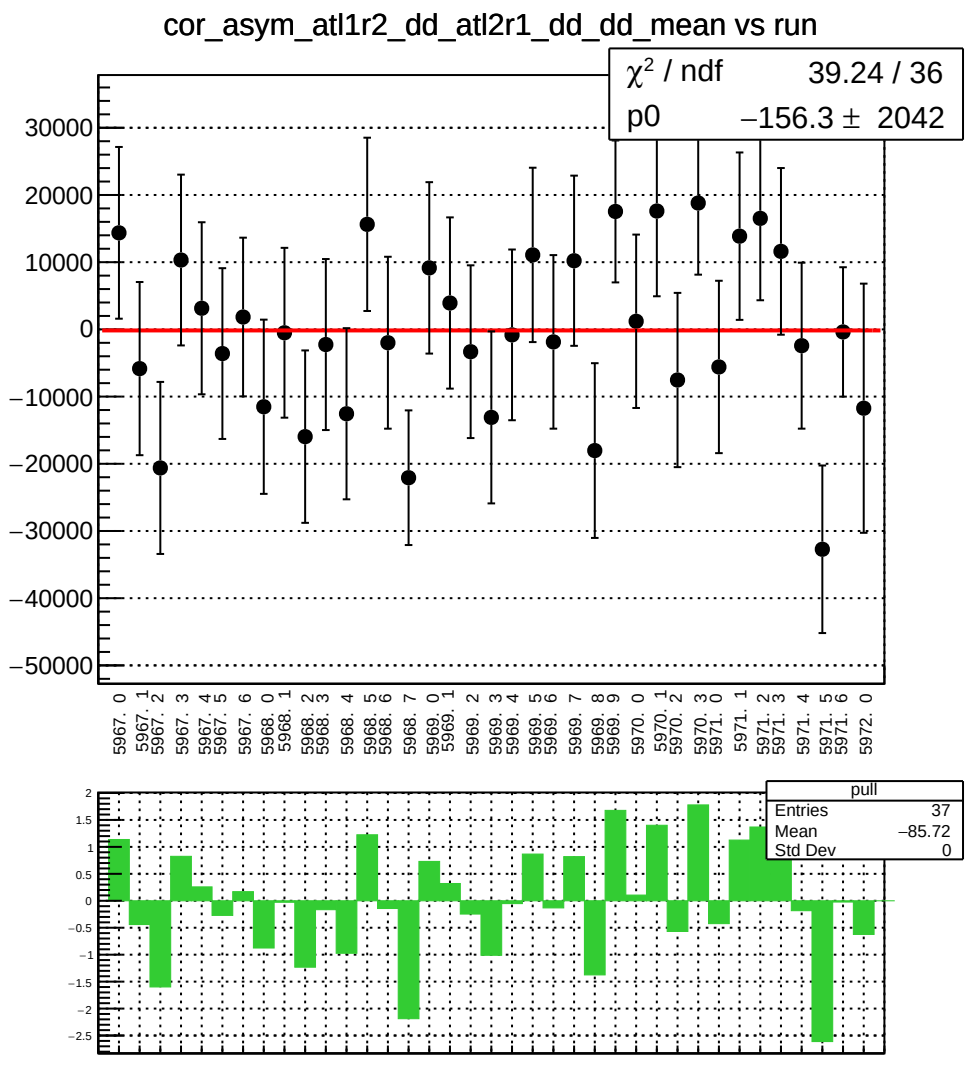
cor_asym_atl1r2_dd_atl2r1_dd_dd_mean vs run
χ² / ndf 39.24 / 36
p0 −156.3 ± 2042
30000
20000
10000
0
−10000
−20000
−30000
−40000
−50000
5967. 0
5967. 1
5967. 2
5967. 3
5967. 4
5967. 5
5967. 6
5968. 0
5968. 1
5968. 2
5968. 3
5968. 4
5968. 5
5968. 6
5968. 7
5969. 0
5969. 1
5969. 2
5969. 3
5969. 4
5969. 5
5969. 6
5969. 7
5969. 8
5969. 9
5970. 0
5970. 1
5970. 2
5970. 3
5971. 0
5971. 1
5971. 2
5971. 3
5971. 4
5971. 5
5971. 6
5972. 0
pull
Entries 37
Mean −85.72
Std Dev 0
2
1.5
1
0.5
0
−0.5
−1
−1.5
−2
−2.5

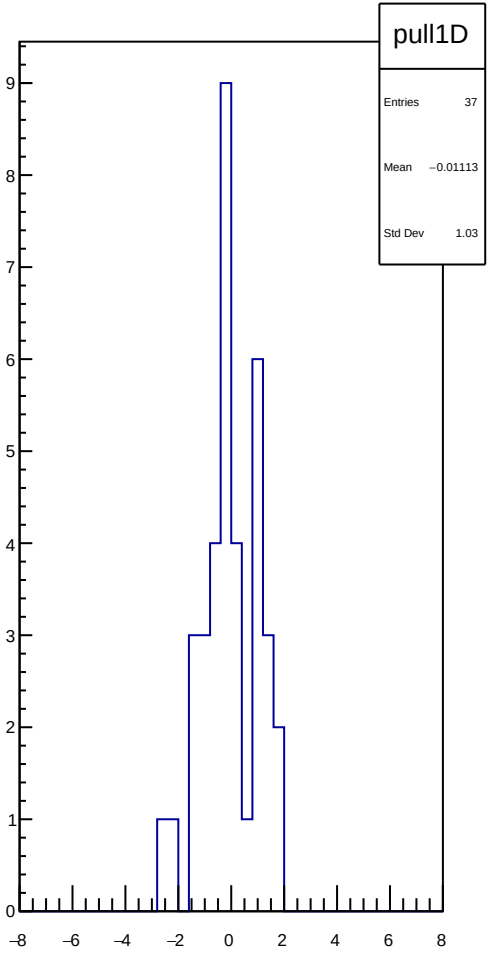
pull1D
Entries 37
Mean −0.01113
Std Dev 1.03
9
8
7
6
5
4
3
2
1
0
−8
−6
−4
−2
0
2
4
6
8

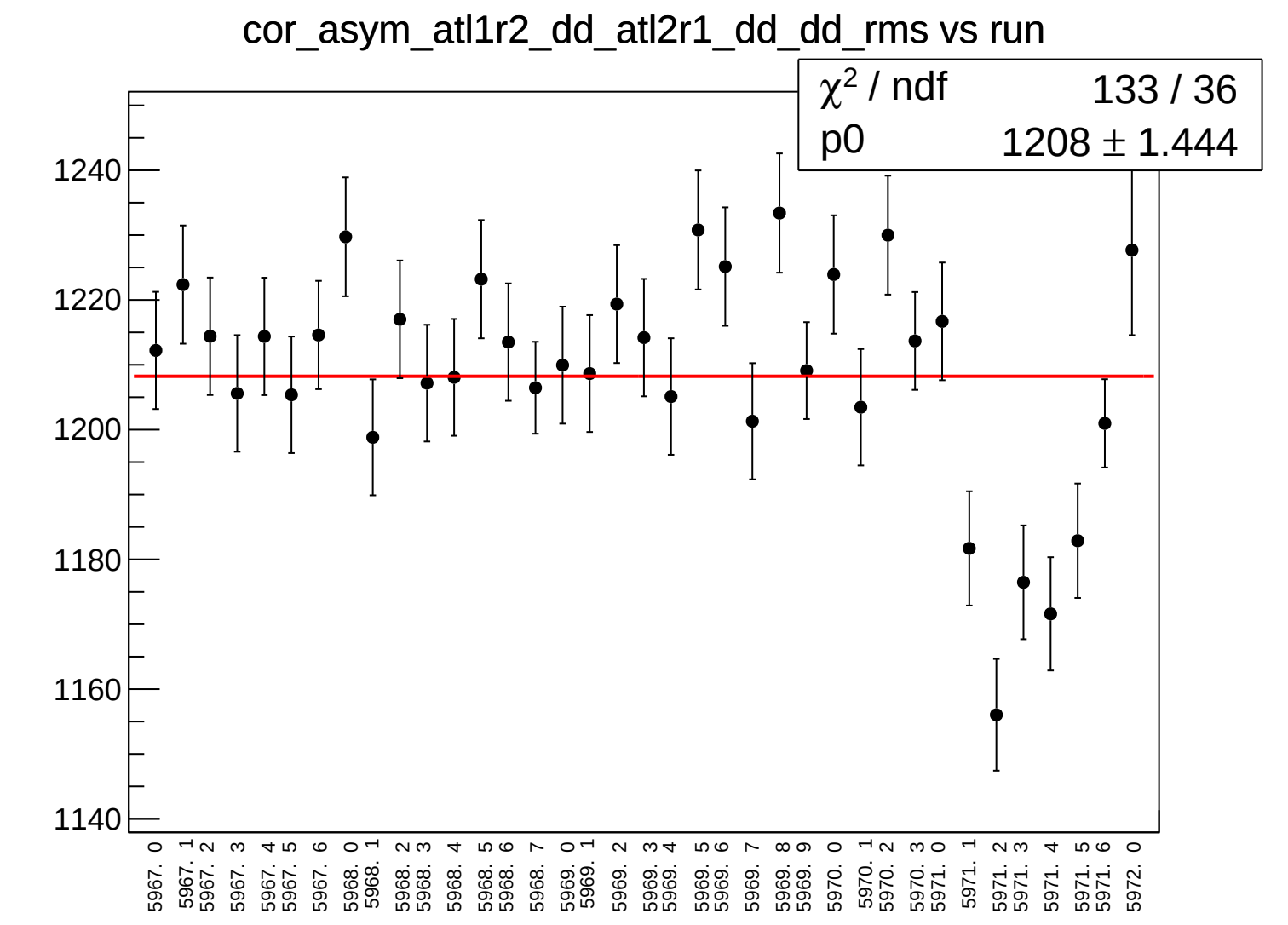
cor_asym_atl1r2_dd_atl2r1_dd_dd_rms vs run
χ² / ndf 133 / 36
p0 1208 ± 1.444
1240
1220
1200
1180
1160
1140
5967. 0
5967. 1
5967. 2
5967. 3
5967. 4
5967. 5
5967. 6
5968. 0
5968. 1
5968. 2
5968. 3
5968. 4
5968. 5
5968. 6
5968. 7
5969. 0
5969. 1
5969. 2
5969. 3
5969. 4
5969. 5
5969. 6
5969. 7
5969. 8
5969. 9
5970. 0
5970. 1
5970. 2
5970. 3
5971. 0
5971. 1
5971. 2
5971. 3
5971. 4
5971. 5
5971. 6
5972. 0

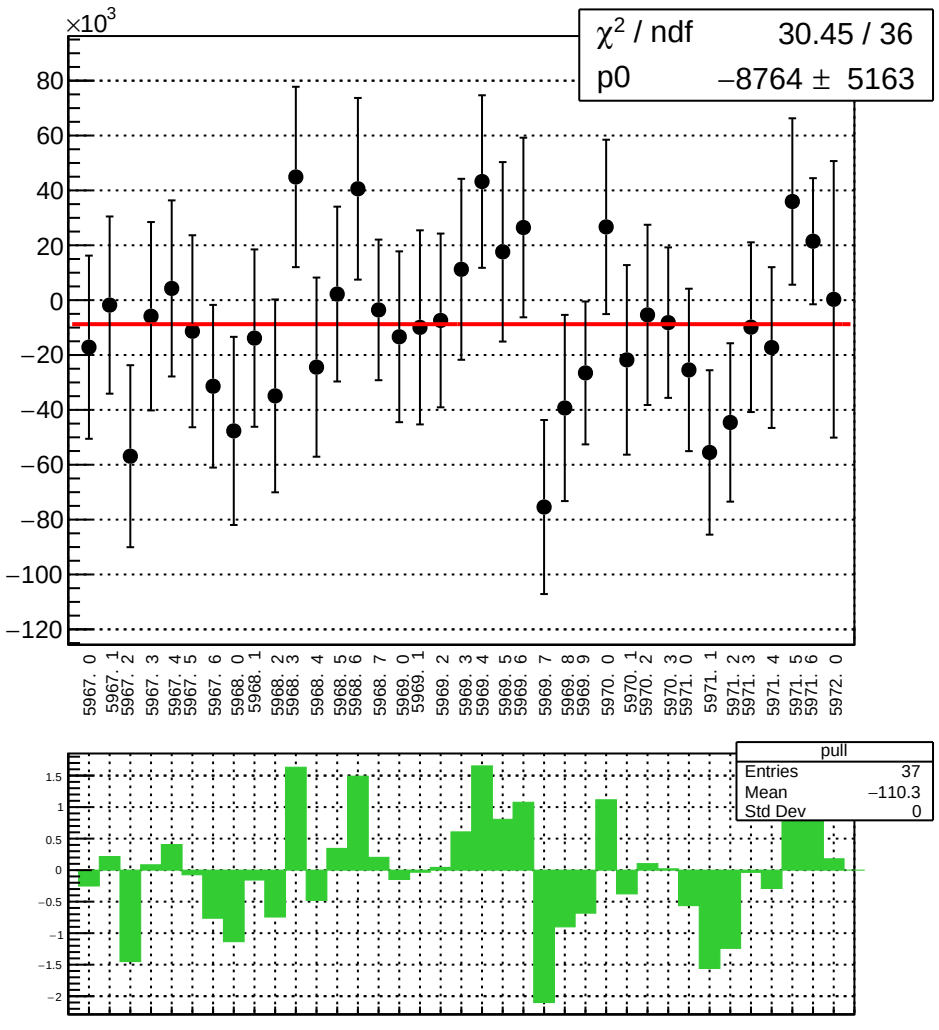
asym_atl1r2_dd_atl2r1_dd_dd_cor_correction_mean vs run
×10^3
χ² / ndf 30.45 / 36
p0 −8764 ± 5163
80
60
40
20
0
−20
−40
−60
−80
−100
−120
5967. 0
5967. 1
5967. 2
5967. 3
5967. 4
5967. 5
5967. 6
5968. 0
5968. 1
5968. 2
5968. 3
5968. 4
5968. 5
5968. 6
5968. 7
5969. 0
5969. 1
5969. 2
5969. 3
5969. 4
5969. 5
5969. 6
5969. 7
5969. 8
5969. 9
5970. 0
5970. 1
5970. 2
5970. 3
5971. 0
5971. 1
5971. 2
5971. 3
5971. 4
5971. 5
5971. 6
5972. 0
pull
Entries 37
Mean −110.3
Std Dev 0
1.5
1
0.5
0
−0.5
−1
−1.5
−2

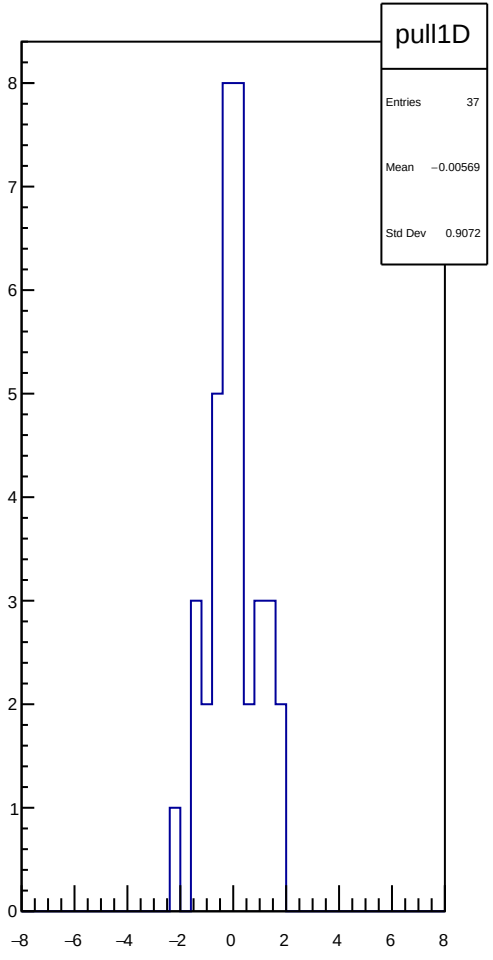
pull1D
Entries 37
Mean −0.00569
Std Dev 0.9072
8
7
6
5
4
3
2
1
0
−8
−6
−4
−2
0
2
4
6
8

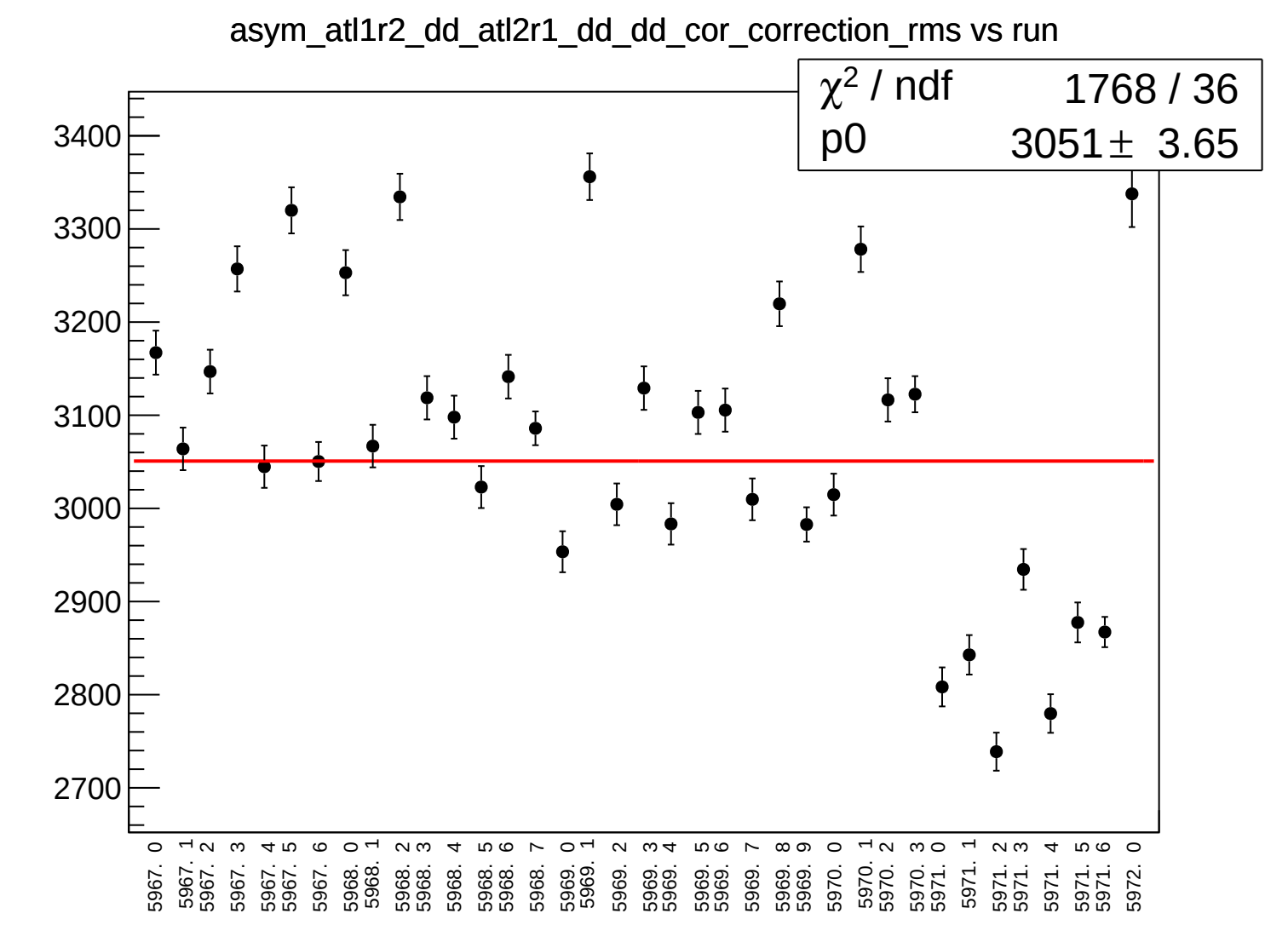
asym_atl1r2_dd_atl2r1_dd_dd_cor_correction_rms vs run
χ² / ndf 1768 / 36
p0 3051 ± 3.65
3400
3300
3200
3100
3000
2900
2800
2700
5967. 0
5967. 1
5967. 2
5967. 3
5967. 4
5967. 5
5967. 6
5968. 0
5968. 1
5968. 2
5968. 3
5968. 4
5968. 5
5968. 6
5968. 7
5969. 0
5969. 1
5969. 2
5969. 3
5969. 4
5969. 5
5969. 6
5969. 7
5969. 8
5969. 9
5970. 0
5970. 1
5970. 2
5970. 3
5971. 0
5971. 1
5971. 2
5971. 3
5971. 4
5971. 5
5971. 6
5972. 0

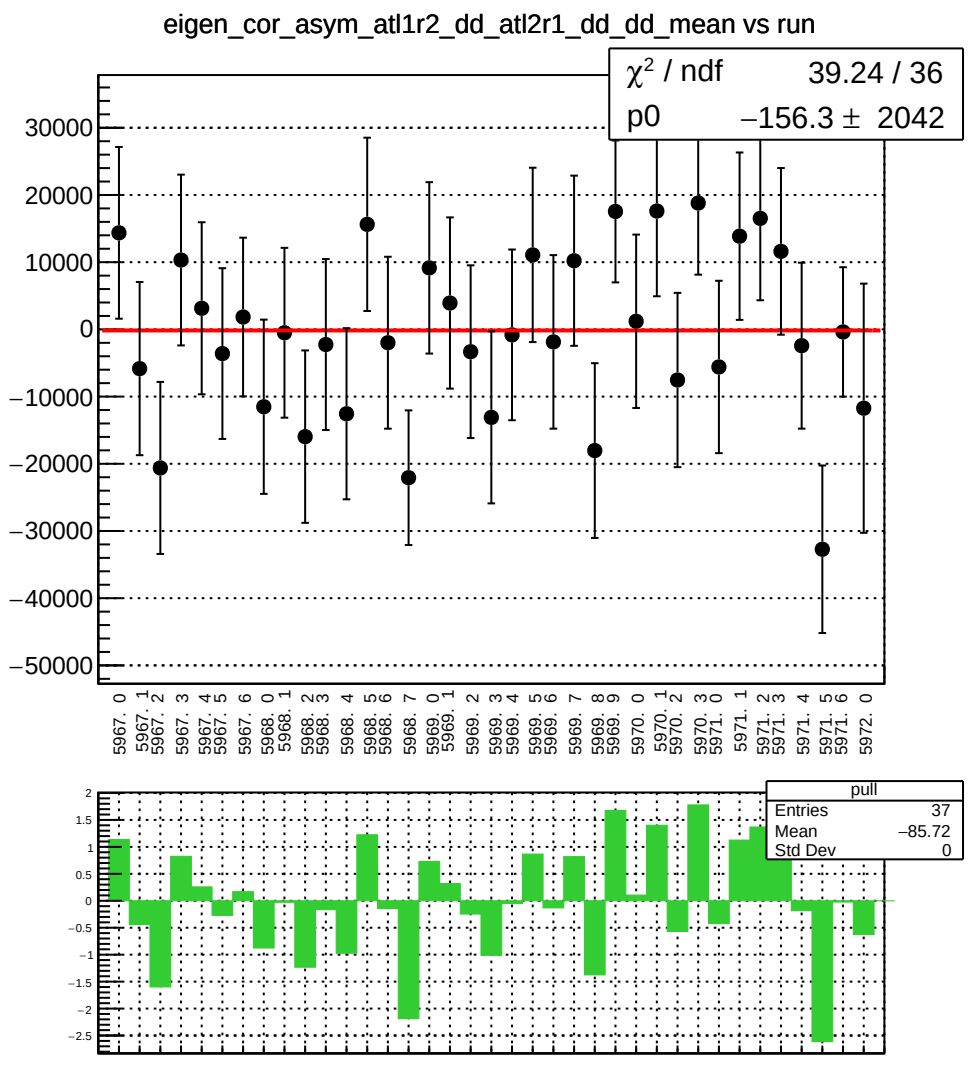
eigen_cor_asym_atl1r2_dd_atl2r1_dd_dd_mean vs run
χ² / ndf 39.24 / 36
p0 −156.3 ± 2042
30000
20000
10000
0
−10000
−20000
−30000
−40000
−50000
5967. 0
5967. 1
5967. 2
5967. 3
5967. 4
5967. 5
5967. 6
5968. 0
5968. 1
5968. 2
5968. 3
5968. 4
5968. 5
5968. 6
5968. 7
5969. 0
5969. 1
5969. 2
5969. 3
5969. 4
5969. 5
5969. 6
5969. 7
5969. 8
5969. 9
5970. 0
5970. 1
5970. 2
5970. 3
5971. 0
5971. 1
5971. 2
5971. 3
5971. 4
5971. 5
5971. 6
5972. 0
pull
Entries 37
Mean −85.72
Std Dev 0
2
1.5
1
0.5
0
−0.5
−1
−1.5
−2
−2.5

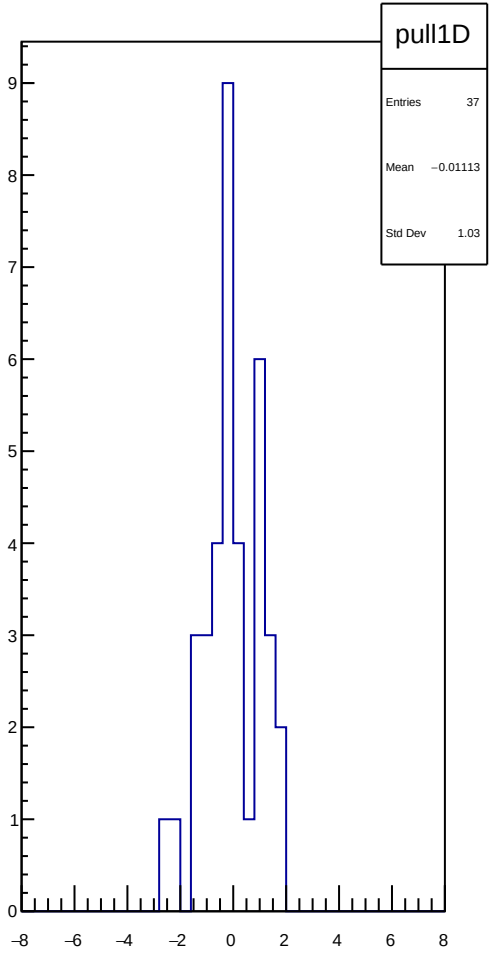
pull1D
Entries 37
Mean −0.01113
Std Dev 1.03
9
8
7
6
5
4
3
2
1
0
−8
−6
−4
−2
0
2
4
6
8

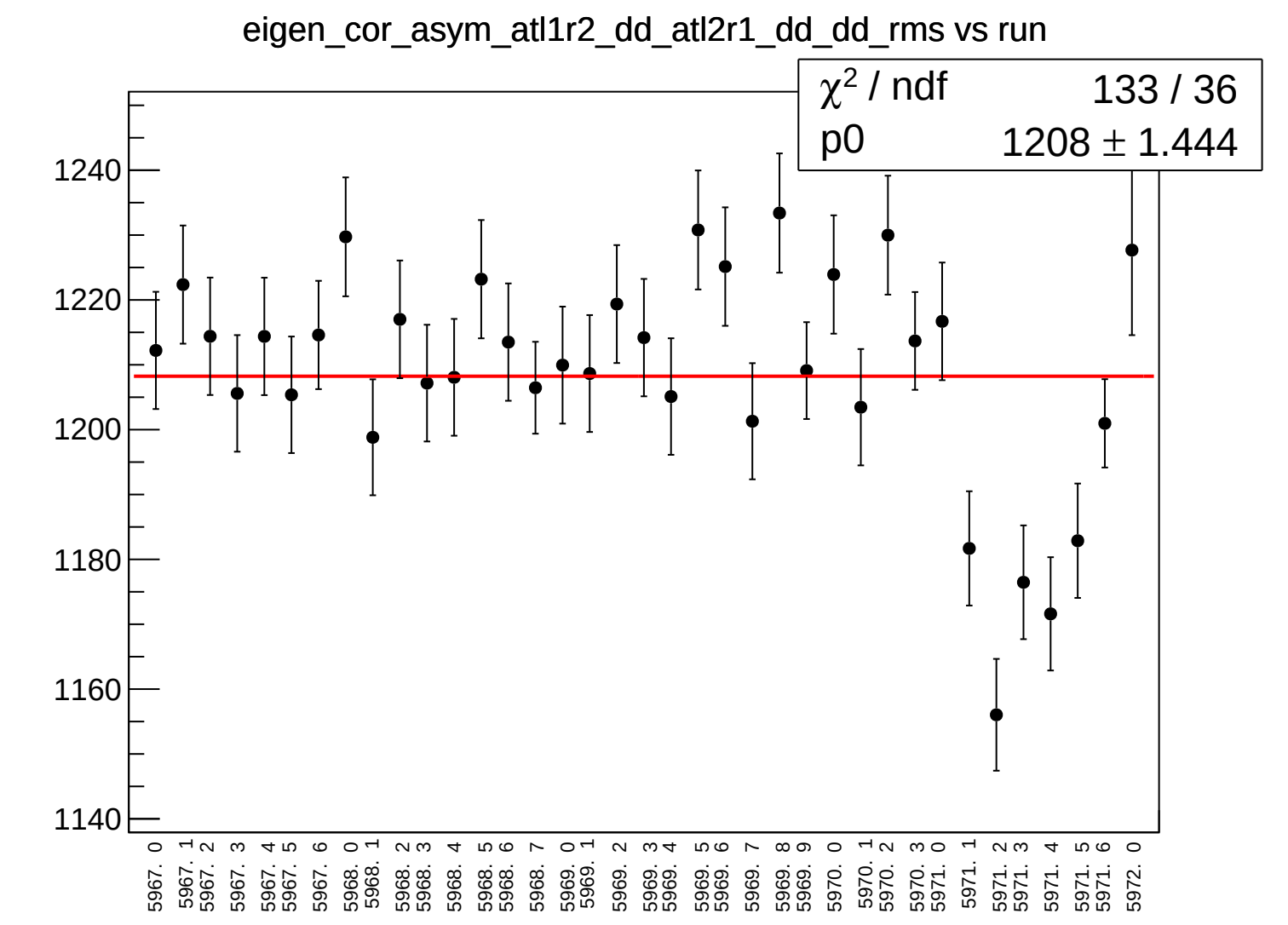
eigen_cor_asym_atl1r2_dd_atl2r1_dd_dd_rms vs run
χ² / ndf 133 / 36
p0 1208 ± 1.444
1240
1220
1200
1180
1160
1140
5967. 0
5967. 1
5967. 2
5967. 3
5967. 4
5967. 5
5967. 6
5968. 0
5968. 1
5968. 2
5968. 3
5968. 4
5968. 5
5968. 6
5968. 7
5969. 0
5969. 1
5969. 2
5969. 3
5969. 4
5969. 5
5969. 6
5969. 7
5969. 8
5969. 9
5970. 0
5970. 1
5970. 2
5970. 3
5971. 0
5971. 1
5971. 2
5971. 3
5971. 4
5971. 5
5971. 6
5972. 0

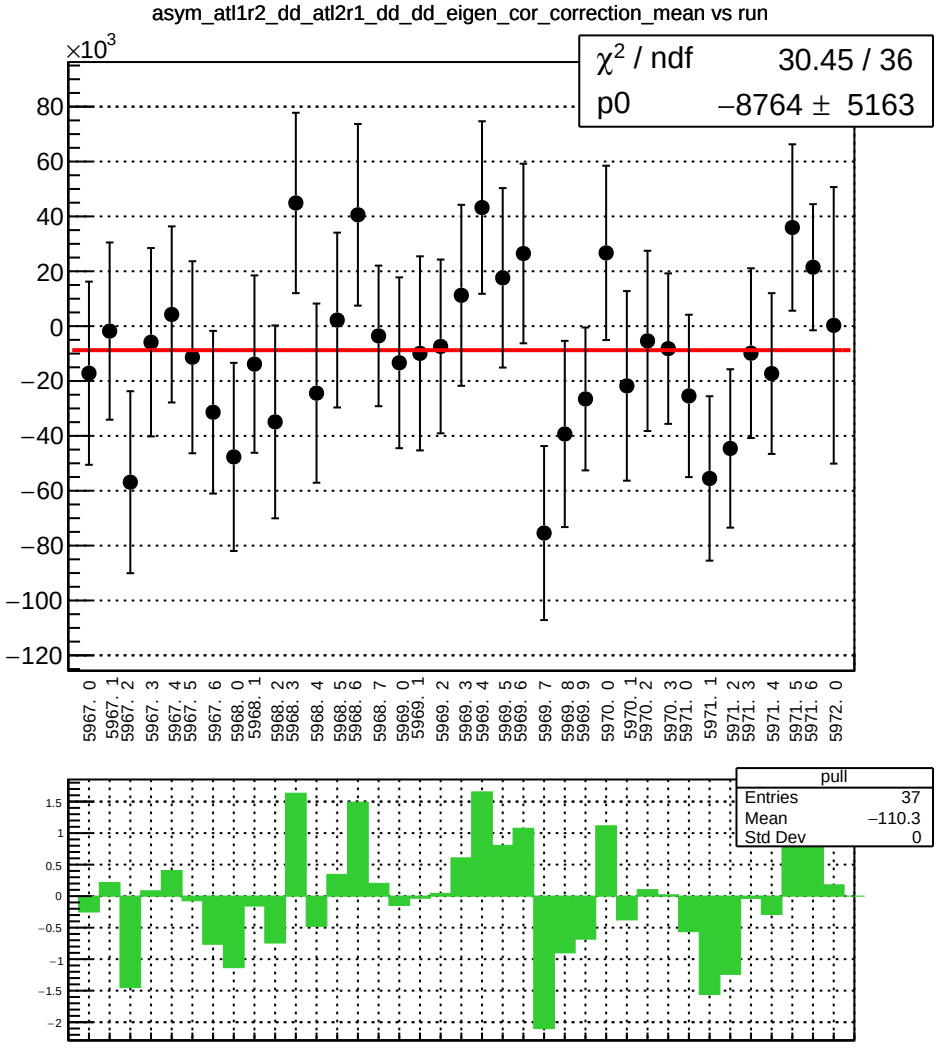
asym_atl1r2_dd_atl2r1_dd_dd_eigen_cor_correction_mean vs run
×10^3
χ² / ndf 30.45 / 36
p0 −8764 ± 5163
80
60
40
20
0
−20
−40
−60
−80
−100
−120
5967. 0
5967. 1
5967. 2
5967. 3
5967. 4
5967. 5
5967. 6
5968. 0
5968. 1
5968. 2
5968. 3
5968. 4
5968. 5
5968. 6
5968. 7
5969. 0
5969. 1
5969. 2
5969. 3
5969. 4
5969. 5
5969. 6
5969. 7
5969. 8
5969. 9
5970. 0
5970. 1
5970. 2
5970. 3
5971. 0
5971. 1
5971. 2
5971. 3
5971. 4
5971. 5
5971. 6
5972. 0
pull
Entries 37
Mean −110.3
Std Dev 0
1.5
1
0.5
0
−0.5
−1
−1.5
−2

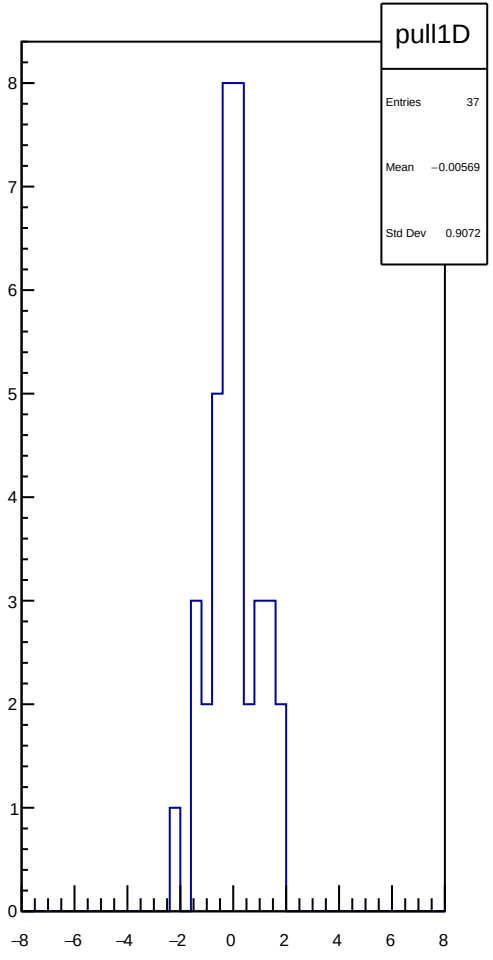
pull1D
Entries 37
Mean −0.00569
Std Dev 0.9072
8
7
6
5
4
3
2
1
0
−8
−6
−4
−2
0
2
4
6
8

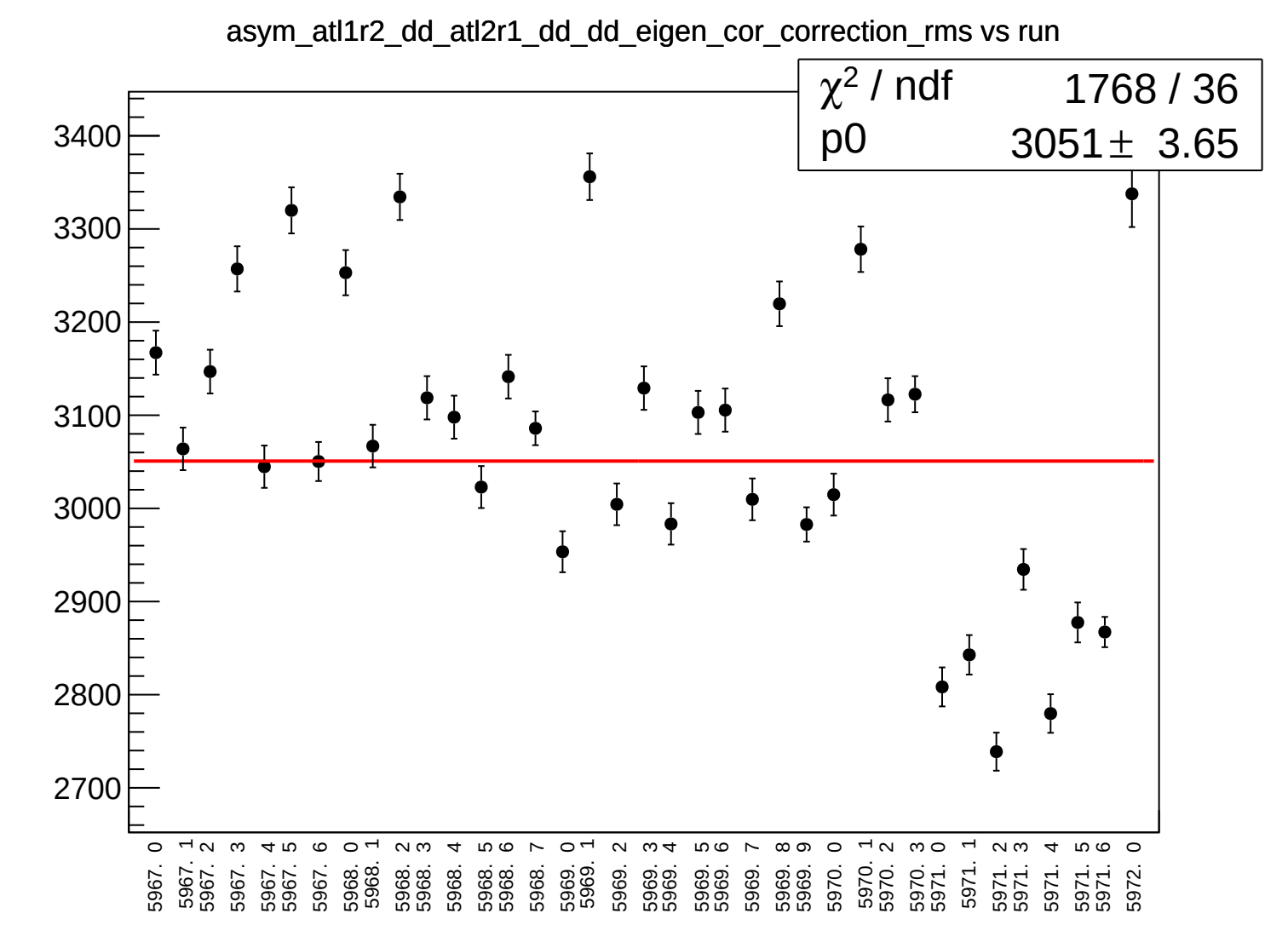
asym_atl1r2_dd_atl2r1_dd_dd_eigen_cor_correction_rms vs run
χ² / ndf 1768 / 36
p0 3051 ± 3.65
3400
3300
3200
3100
3000
2900
2800
2700
5967. 0
5967. 1
5967. 2
5967. 3
5967. 4
5967. 5
5967. 6
5968. 0
5968. 1
5968. 2
5968. 3
5968. 4
5968. 5
5968. 6
5968. 7
5969. 0
5969. 1
5969. 2
5969. 3
5969. 4
5969. 5
5969. 6
5969. 7
5969. 8
5969. 9
5970. 0
5970. 1
5970. 2
5970. 3
5971. 0
5971. 1
5971. 2
5971. 3
5971. 4
5971. 5
5971. 6
5972. 0

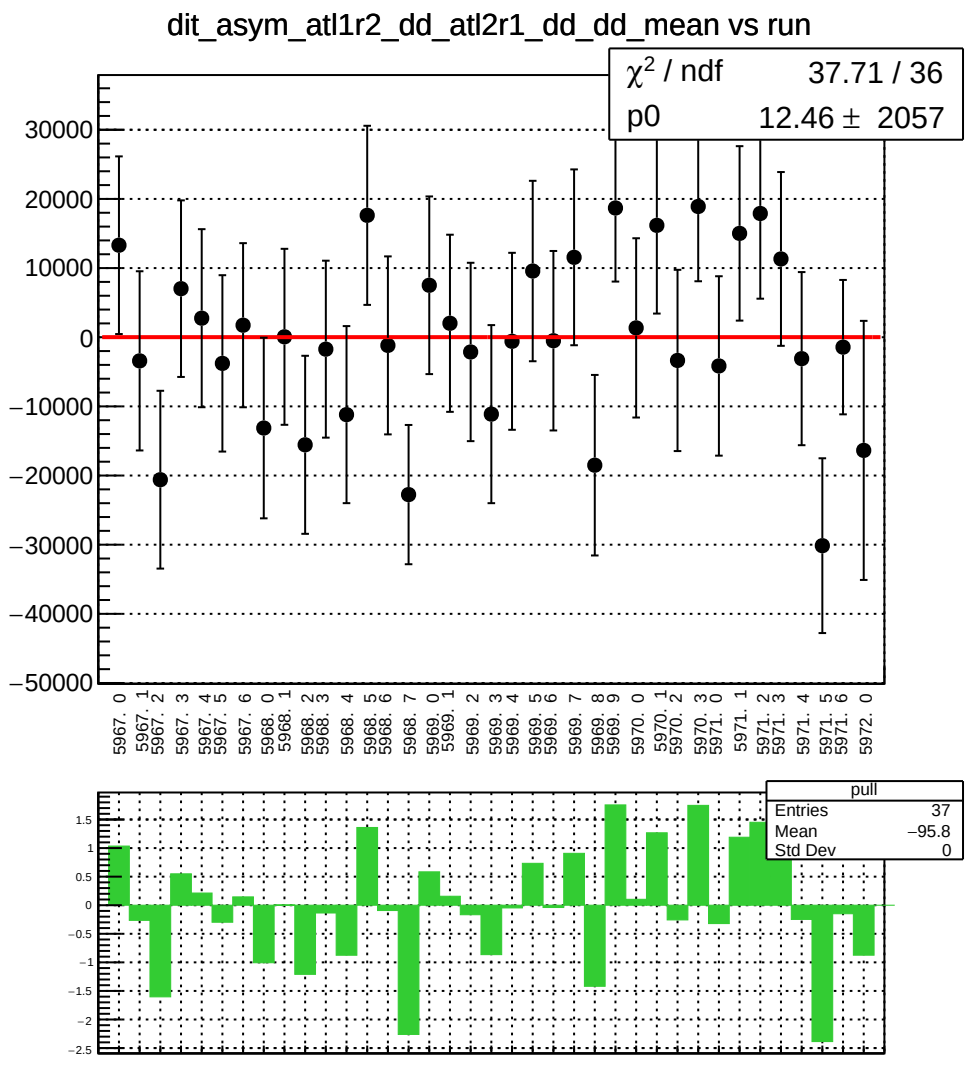
dit_asym_atl1r2_dd_atl2r1_dd_dd_mean vs run
χ² / ndf 37.71 / 36
p0 12.46 ± 2057
30000
20000
10000
0
−10000
−20000
−30000
−40000
−50000
5967. 0
5967. 1
5967. 2
5967. 3
5967. 4
5967. 5
5967. 6
5968. 0
5968. 1
5968. 2
5968. 3
5968. 4
5968. 5
5968. 6
5968. 7
5969. 0
5969. 1
5969. 2
5969. 3
5969. 4
5969. 5
5969. 6
5969. 7
5969. 8
5969. 9
5970. 0
5970. 1
5970. 2
5970. 3
5971. 0
5971. 1
5971. 2
5971. 3
5971. 4
5971. 5
5971. 6
5972. 0
pull
Entries 37
Mean −95.8
Std Dev 0
1.5
1
0.5
0
−0.5
−1
−1.5
−2
−2.5

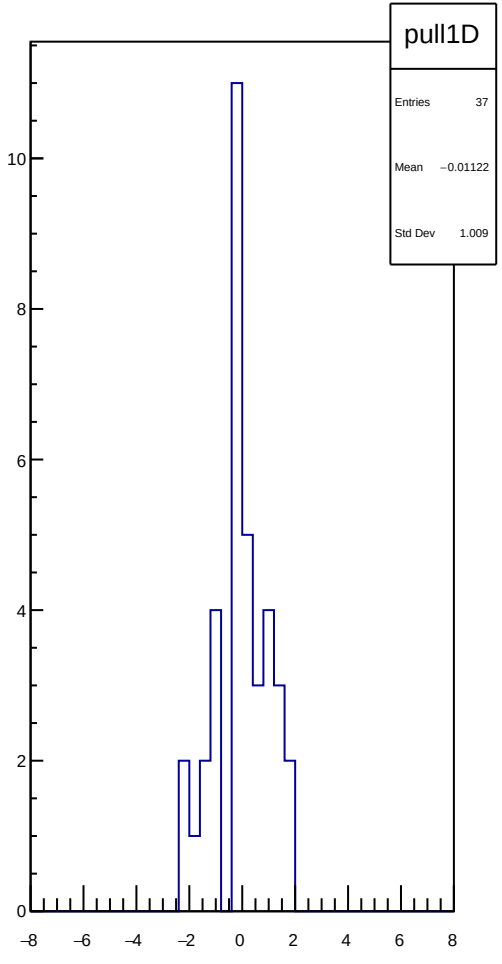
pull1D
Entries 37
Mean −0.01122
Std Dev 1.009
10
8
6
4
2
0
−8
−6
−4
−2
0
2
4
6
8

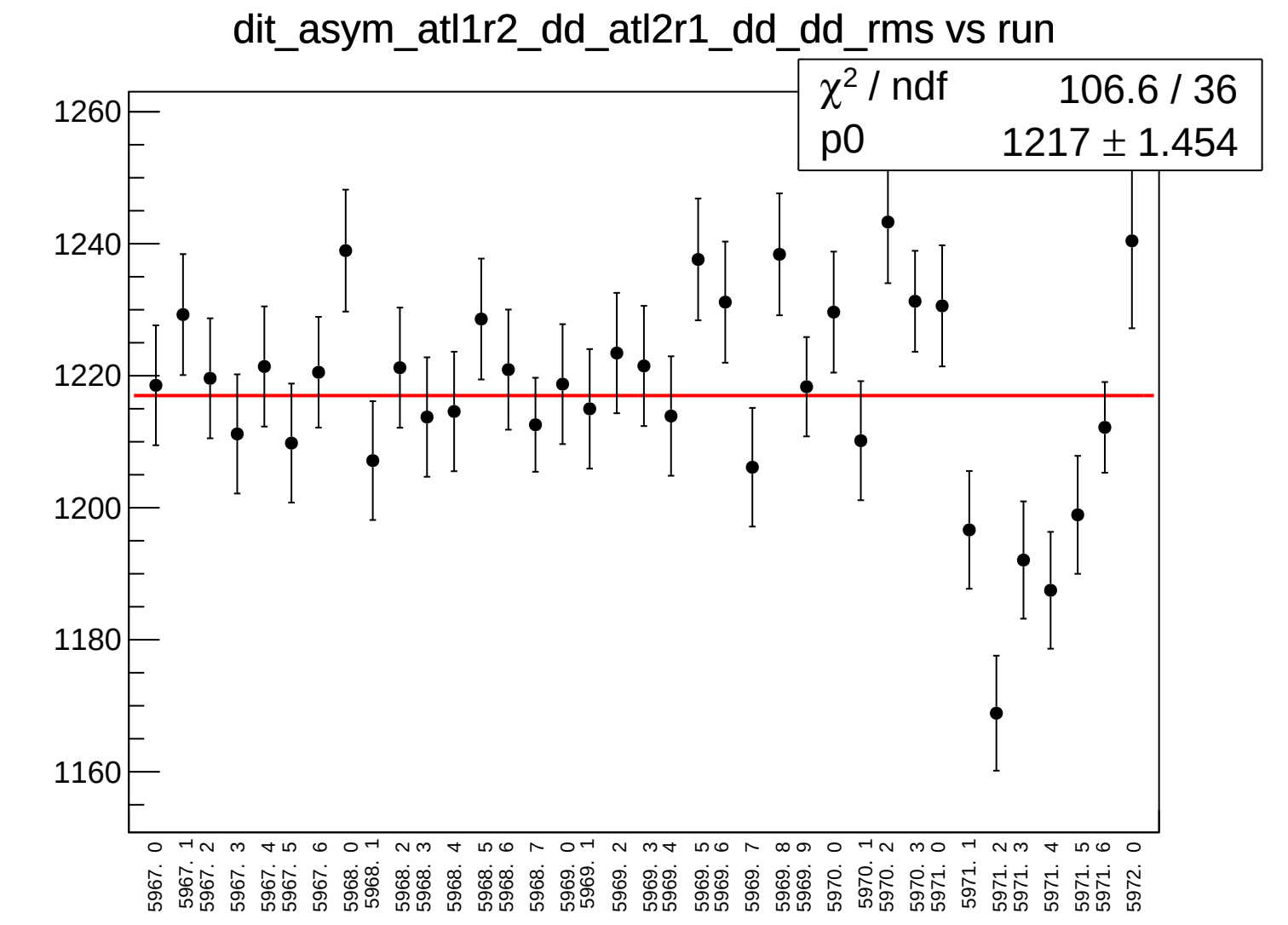
dit_asym_atl1r2_dd_atl2r1_dd_dd_rms vs run
χ² / ndf 106.6 / 36
p0 1217 ± 1.454
1260
1240
1220
1200
1180
1160
5967. 0
5967. 1
5967. 2
5967. 3
5967. 4
5967. 5
5967. 6
5968. 0
5968. 1
5968. 2
5968. 3
5968. 4
5968. 5
5968. 6
5968. 7
5969. 0
5969. 1
5969. 2
5969. 3
5969. 4
5969. 5
5969. 6
5969. 7
5969. 8
5969. 9
5970. 0
5970. 1
5970. 2
5970. 3
5971. 0
5971. 1
5971. 2
5971. 3
5971. 4
5971. 5
5971. 6
5972. 0

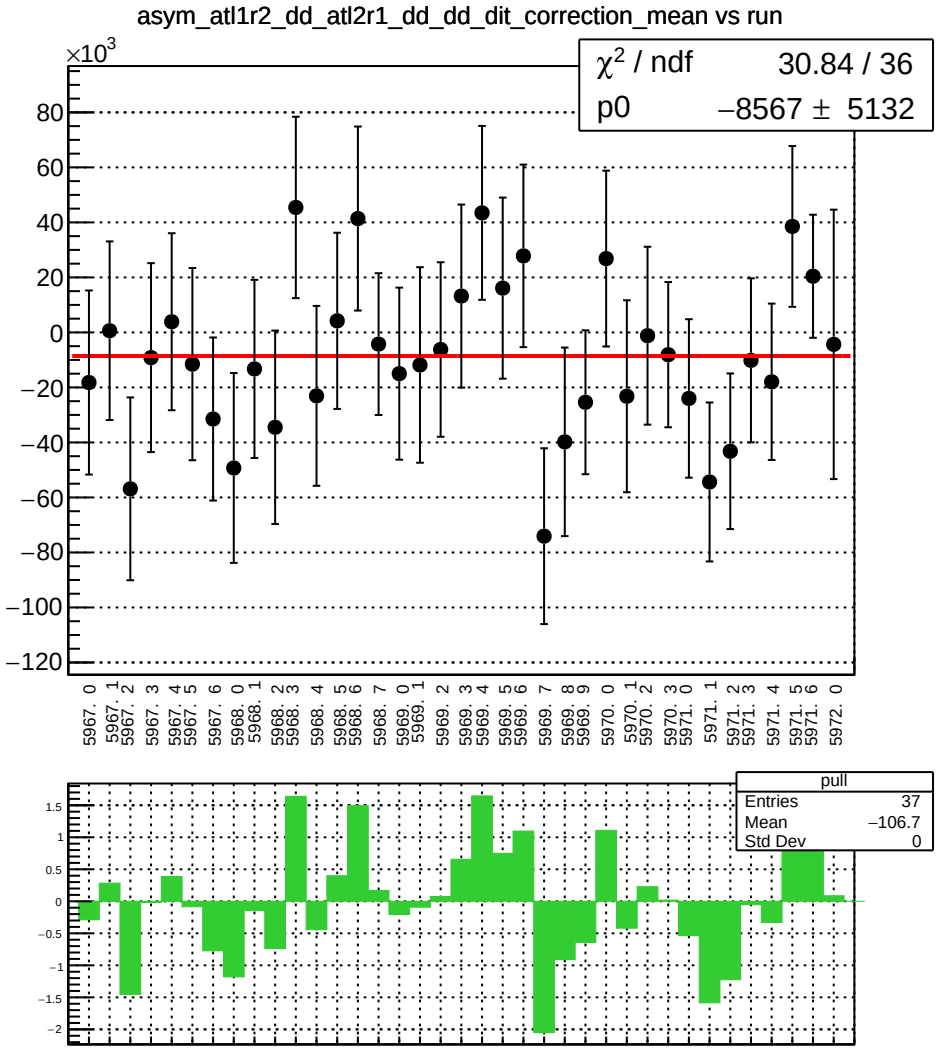
asym_atl1r2_dd_atl2r1_dd_dd_dit_correction_mean vs run
×10^3
χ² / ndf 30.84 / 36
p0 −8567 ± 5132
80
60
40
20
0
−20
−40
−60
−80
−100
−120
5967. 0
5967. 1
5967. 2
5967. 3
5967. 4
5967. 5
5967. 6
5968. 0
5968. 1
5968. 2
5968. 3
5968. 4
5968. 5
5968. 6
5968. 7
5969. 0
5969. 1
5969. 2
5969. 3
5969. 4
5969. 5
5969. 6
5969. 7
5969. 8
5969. 9
5970. 0
5970. 1
5970. 2
5970. 3
5971. 0
5971. 1
5971. 2
5971. 3
5971. 4
5971. 5
5971. 6
5972. 0
pull
Entries 37
Mean −106.7
Std Dev 0
1.5
1
0.5
0
−0.5
−1
−1.5
−2

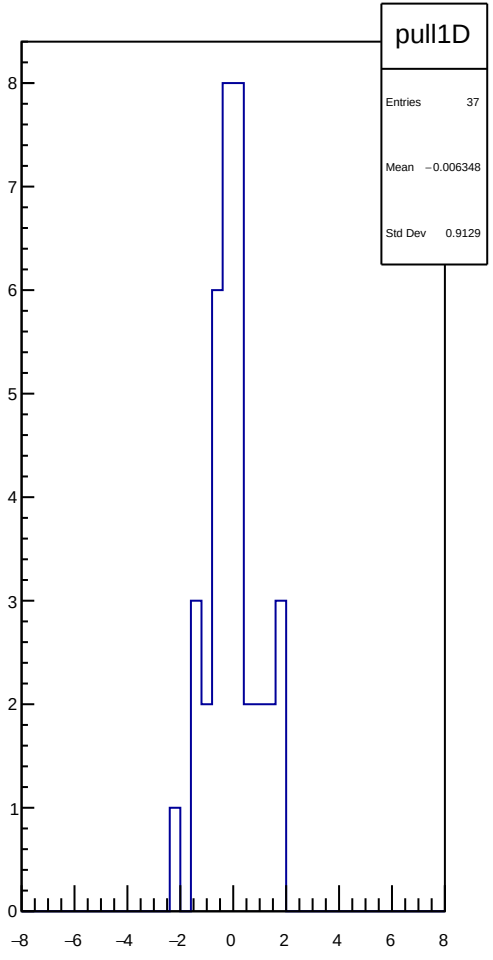
pull1D
Entries 37
Mean −0.006348
Std Dev 0.9129
8
7
6
5
4
3
2
1
0
−8
−6
−4
−2
0
2
4
6
8

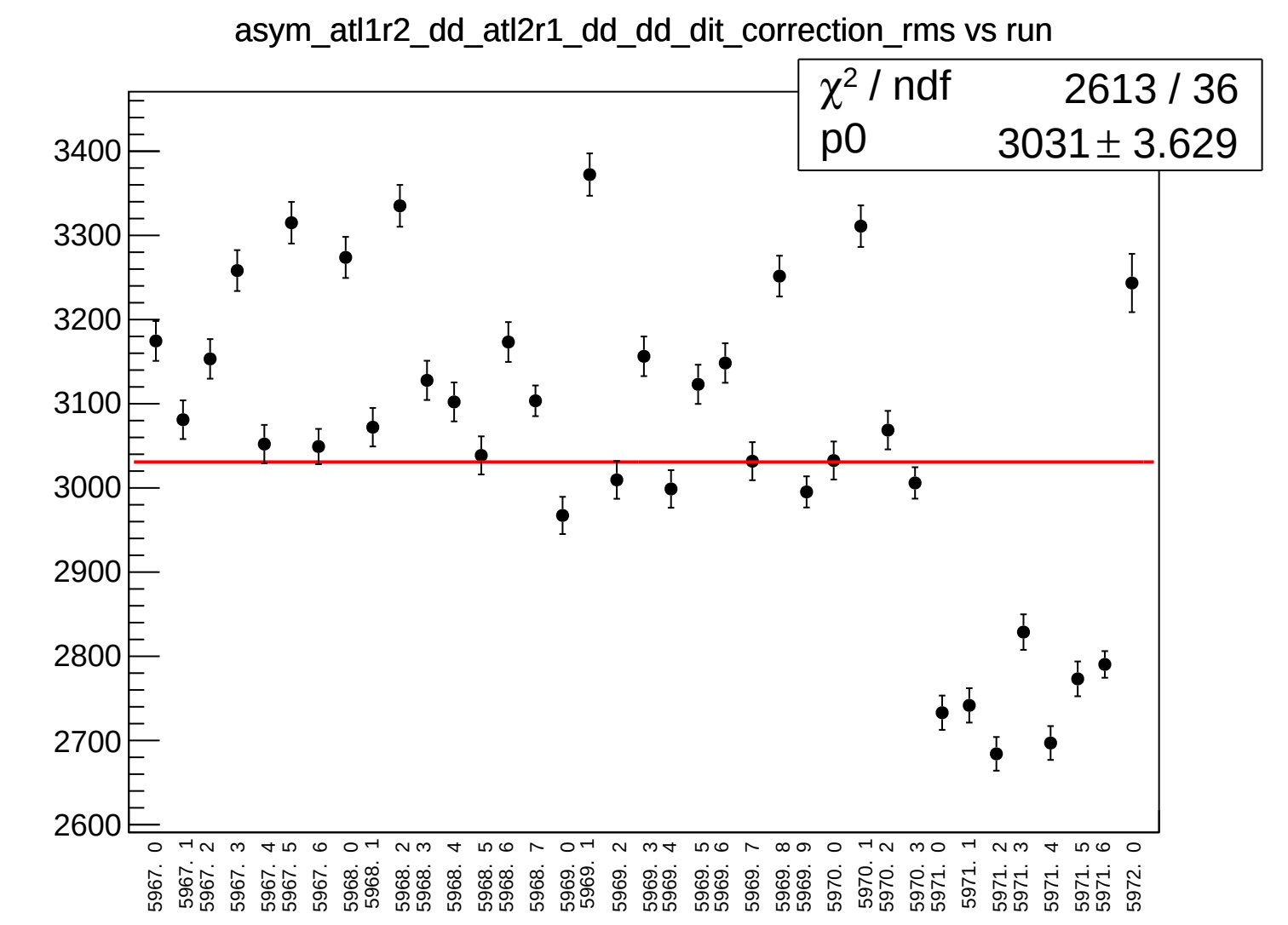
asym_atl1r2_dd_atl2r1_dd_dd_dit_correction_rms vs run
χ² / ndf 2613 / 36
p0 3031 ± 3.629
3400
3300
3200
3100
3000
2900
2800
2700
2600
5967. 0
5967. 1
5967. 2
5967. 3
5967. 4
5967. 5
5967. 6
5968. 0
5968. 1
5968. 2
5968. 3
5968. 4
5968. 5
5968. 6
5968. 7
5969. 0
5969. 1
5969. 2
5969. 3
5969. 4
5969. 5
5969. 6
5969. 7
5969. 8
5969. 9
5970. 0
5970. 1
5970. 2
5970. 3
5971. 0
5971. 1
5971. 2
5971. 3
5971. 4
5971. 5
5971. 6
5972. 0

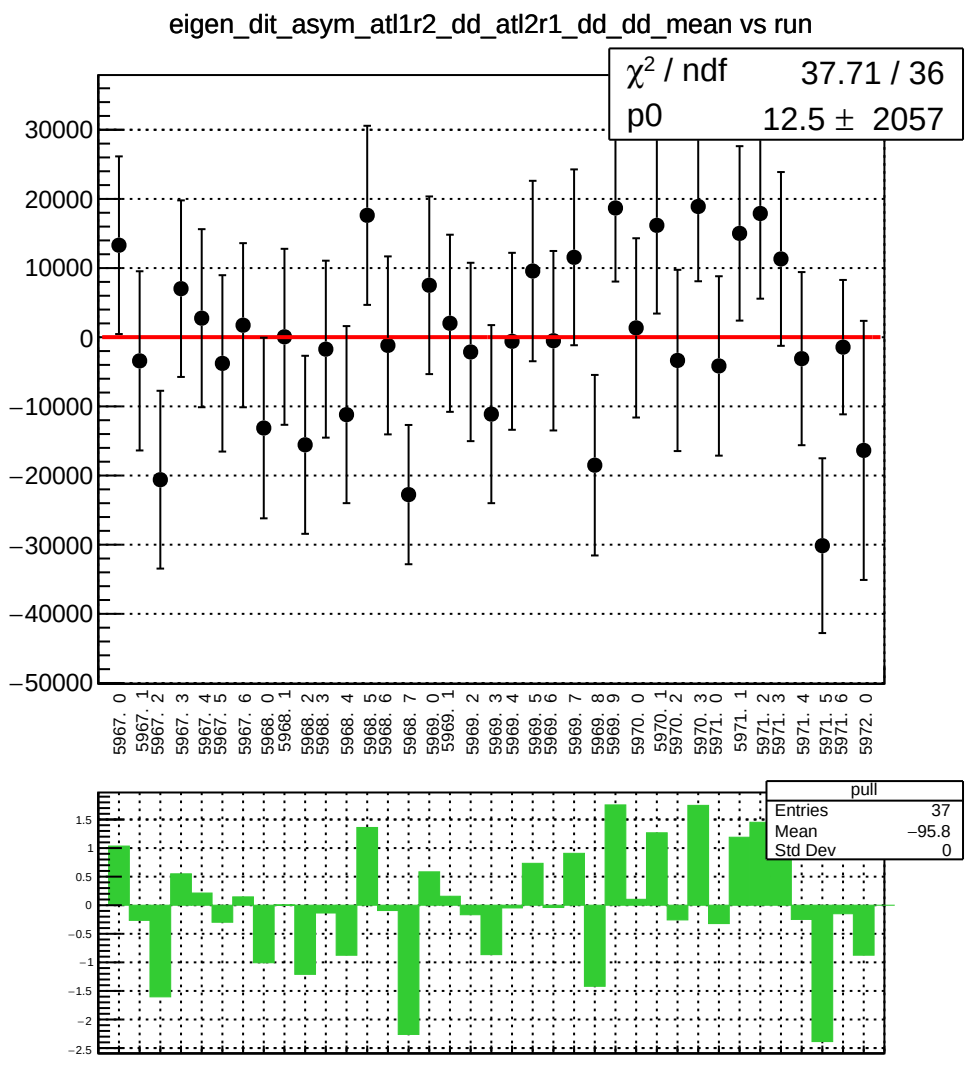
eigen_dit_asym_atl1r2_dd_atl2r1_dd_dd_mean vs run
χ² / ndf 37.71 / 36
p0 12.5 ± 2057
30000
20000
10000
0
−10000
−20000
−30000
−40000
−50000
5967. 0
5967. 1
5967. 2
5967. 3
5967. 4
5967. 5
5967. 6
5968. 0
5968. 1
5968. 2
5968. 3
5968. 4
5968. 5
5968. 6
5968. 7
5969. 0
5969. 1
5969. 2
5969. 3
5969. 4
5969. 5
5969. 6
5969. 7
5969. 8
5969. 9
5970. 0
5970. 1
5970. 2
5970. 3
5971. 0
5971. 1
5971. 2
5971. 3
5971. 4
5971. 5
5971. 6
5972. 0
pull
Entries 37
Mean −95.8
Std Dev 0
1.5
1
0.5
0
−0.5
−1
−1.5
−2
−2.5

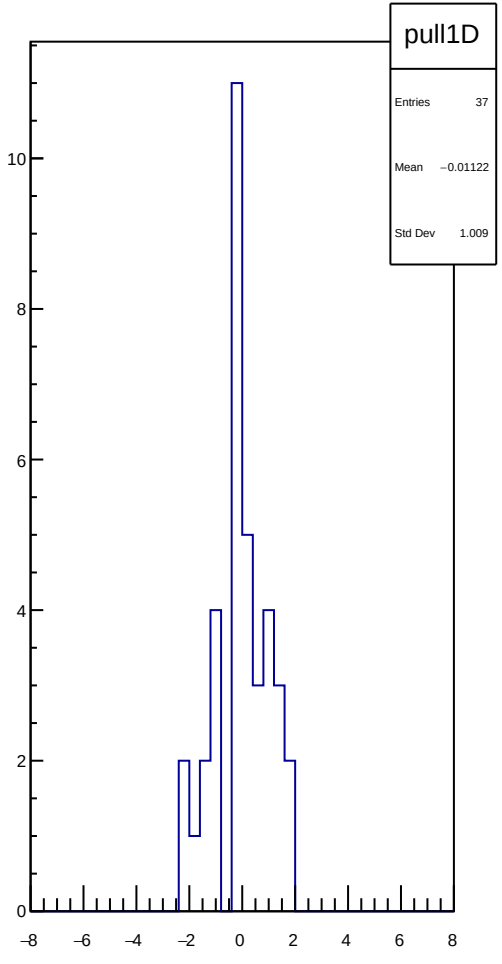
pull1D
Entries 37
Mean −0.01122
Std Dev 1.009
10
8
6
4
2
0
−8
−6
−4
−2
0
2
4
6
8

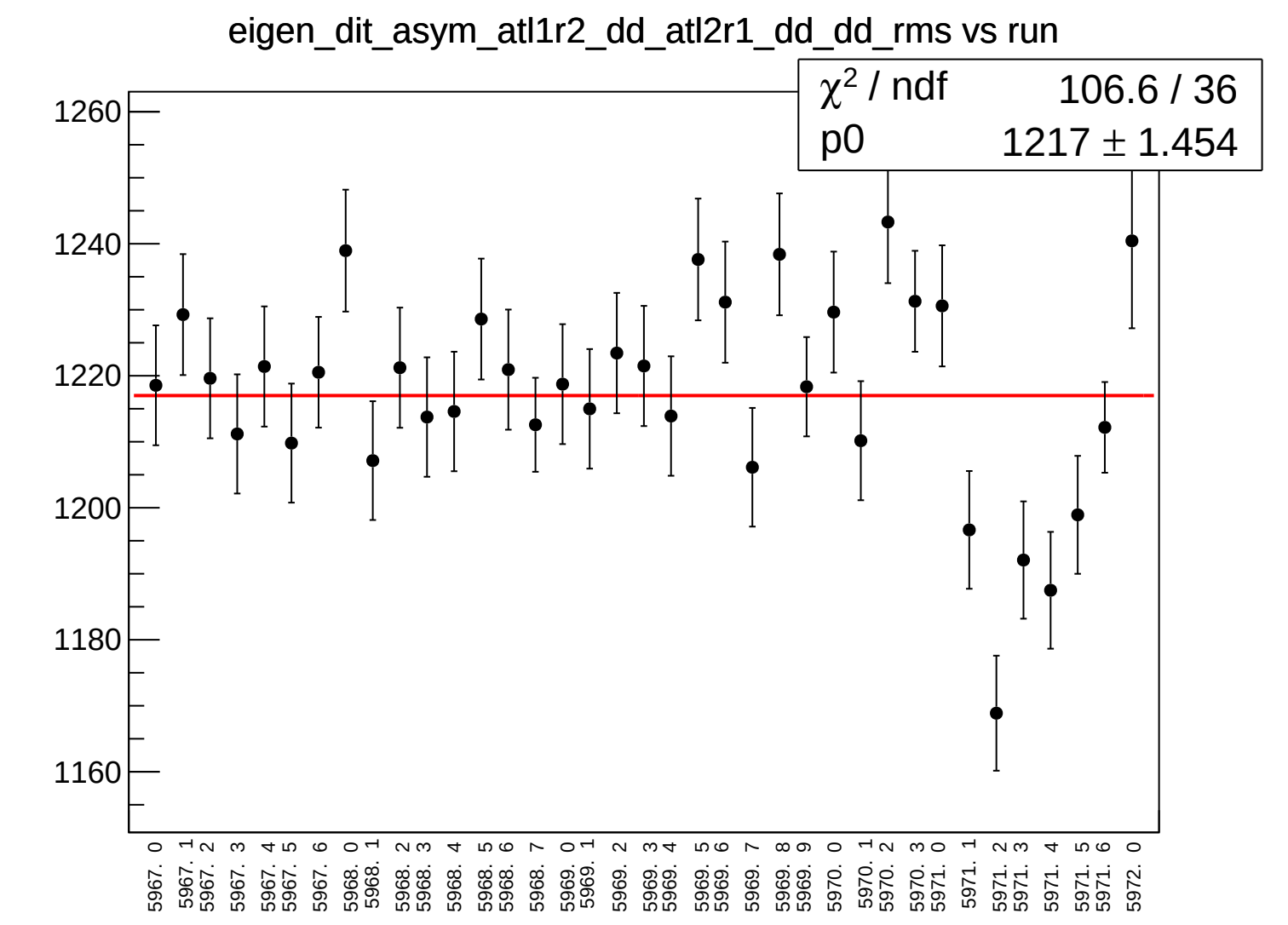
eigen_dit_asym_atl1r2_dd_atl2r1_dd_dd_rms vs run
χ² / ndf 106.6 / 36
p0 1217 ± 1.454
1260
1240
1220
1200
1180
1160
5967. 0
5967. 1
5967. 2
5967. 3
5967. 4
5967. 5
5967. 6
5968. 0
5968. 1
5968. 2
5968. 3
5968. 4
5968. 5
5968. 6
5968. 7
5969. 0
5969. 1
5969. 2
5969. 3
5969. 4
5969. 5
5969. 6
5969. 7
5969. 8
5969. 9
5970. 0
5970. 1
5970. 2
5970. 3
5971. 0
5971. 1
5971. 2
5971. 3
5971. 4
5971. 5
5971. 6
5972. 0

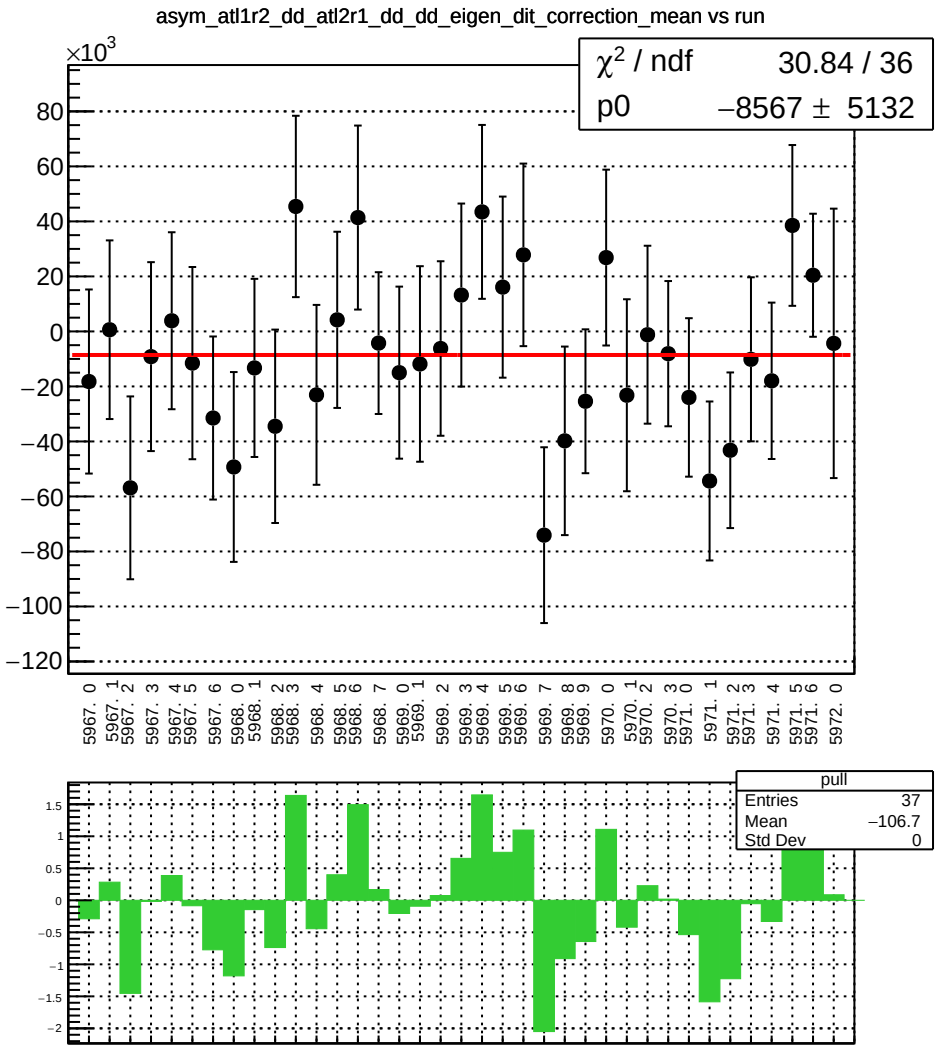
asym_atl1r2_dd_atl2r1_dd_dd_eigen_dit_correction_mean vs run
×10^3
χ² / ndf 30.84 / 36
p0 −8567 ± 5132
80
60
40
20
0
−20
−40
−60
−80
−100
−120
5967. 0
5967. 1
5967. 2
5967. 3
5967. 4
5967. 5
5967. 6
5968. 0
5968. 1
5968. 2
5968. 3
5968. 4
5968. 5
5968. 6
5968. 7
5969. 0
5969. 1
5969. 2
5969. 3
5969. 4
5969. 5
5969. 6
5969. 7
5969. 8
5969. 9
5970. 0
5970. 1
5970. 2
5970. 3
5971. 0
5971. 1
5971. 2
5971. 3
5971. 4
5971. 5
5971. 6
5972. 0
pull
Entries 37
Mean −106.7
Std Dev 0
1.5
1
0.5
0
−0.5
−1
−1.5
−2

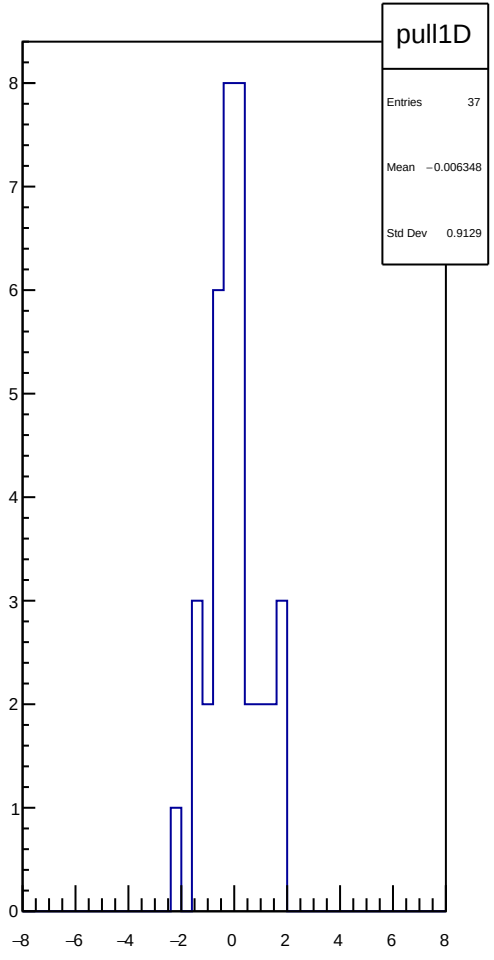
pull1D
Entries 37
Mean −0.006348
Std Dev 0.9129
8
7
6
5
4
3
2
1
0
−8
−6
−4
−2
0
2
4
6
8

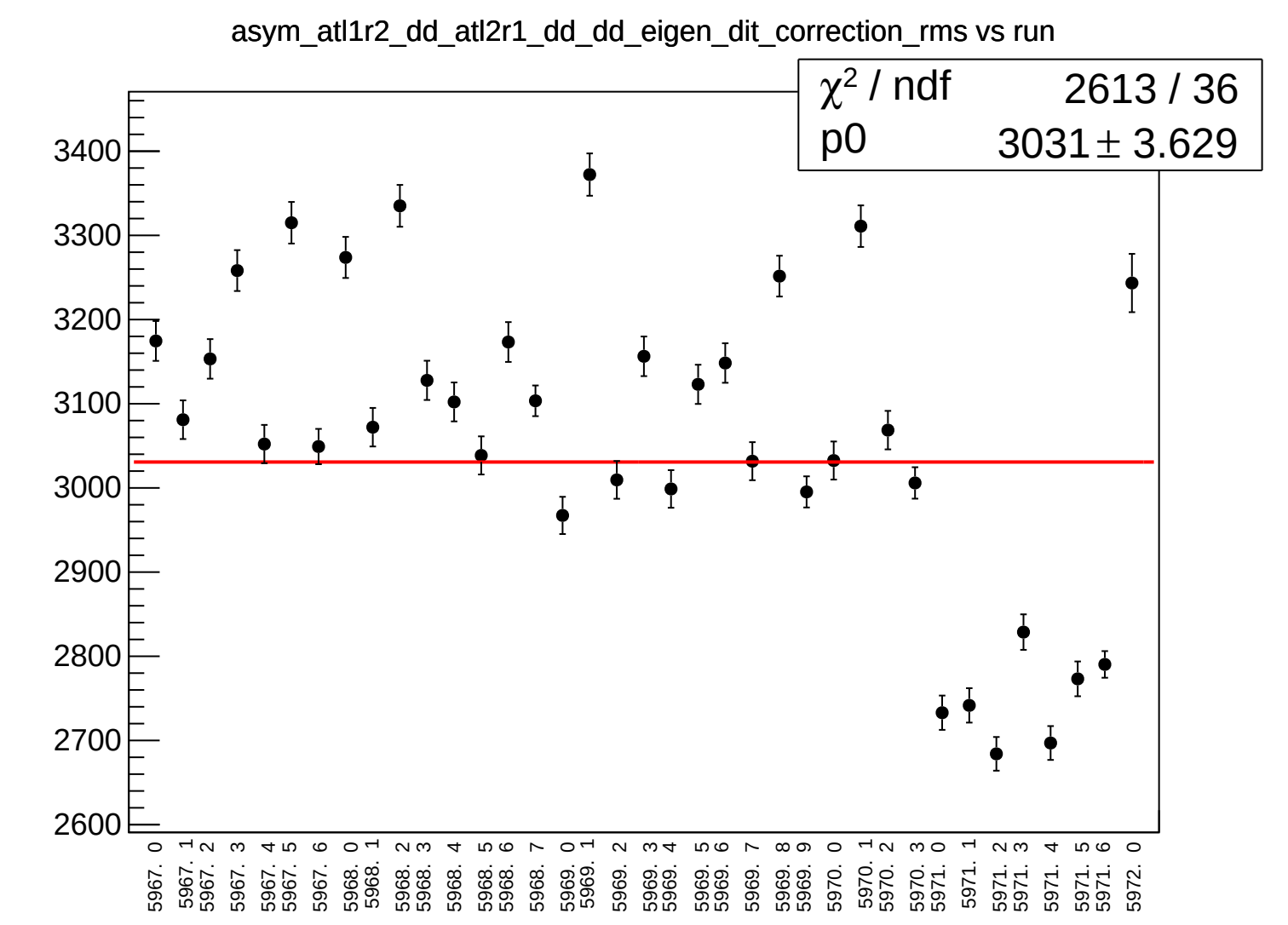
asym_atl1r2_dd_atl2r1_dd_dd_eigen_dit_correction_rms vs run
χ² / ndf 2613 / 36
p0 3031 ± 3.629
3400
3300
3200
3100
3000
2900
2800
2700
2600
5967. 0
5967. 1
5967. 2
5967. 3
5967. 4
5967. 5
5967. 6
5968. 0
5968. 1
5968. 2
5968. 3
5968. 4
5968. 5
5968. 6
5968. 7
5969. 0
5969. 1
5969. 2
5969. 3
5969. 4
5969. 5
5969. 6
5969. 7
5969. 8
5969. 9
5970. 0
5970. 1
5970. 2
5970. 3
5971. 0
5971. 1
5971. 2
5971. 3
5971. 4
5971. 5
5971. 6
5972. 0

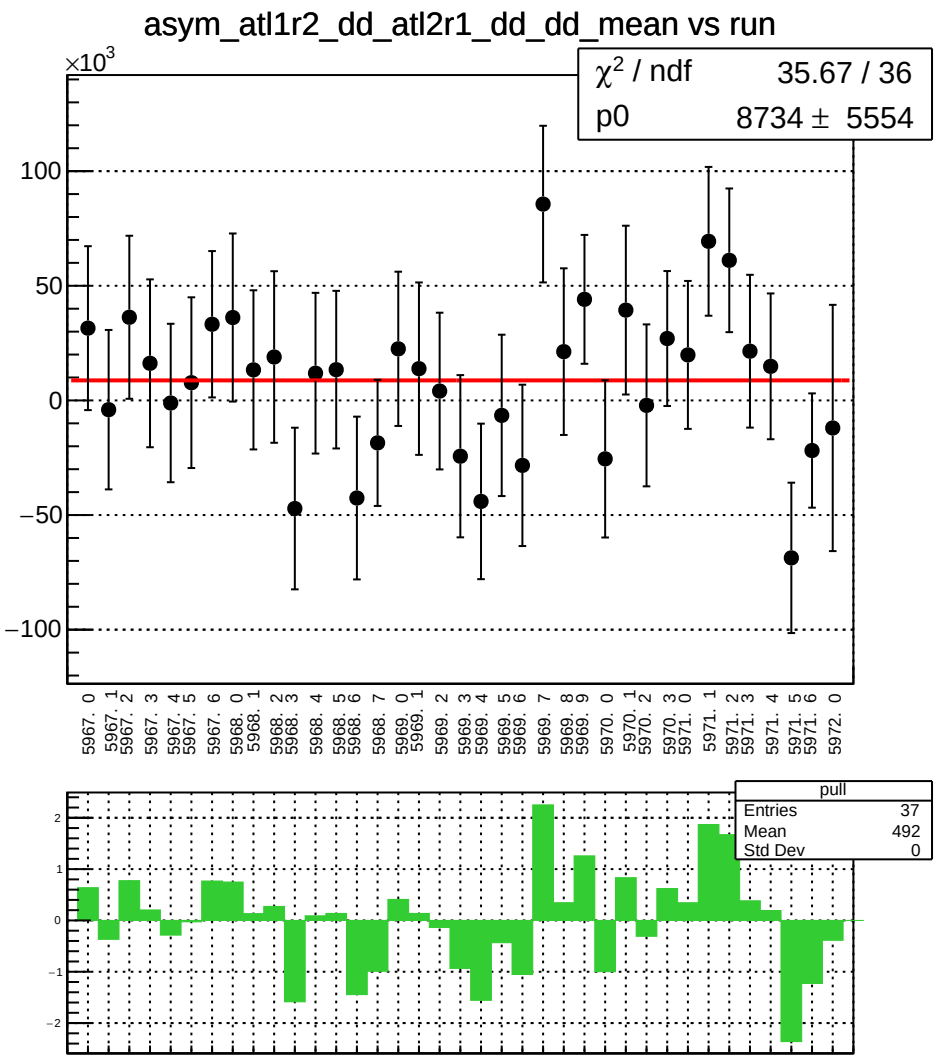
asym_atl1r2_dd_atl2r1_dd_dd_mean vs run
×10^3
χ² / ndf 35.67 / 36
p0 8734 ± 5554
100
50
0
−50
−100
5967. 0
5967. 1
5967. 2
5967. 3
5967. 4
5967. 5
5967. 6
5968. 0
5968. 1
5968. 2
5968. 3
5968. 4
5968. 5
5968. 6
5968. 7
5969. 0
5969. 1
5969. 2
5969. 3
5969. 4
5969. 5
5969. 6
5969. 7
5969. 8
5969. 9
5970. 0
5970. 1
5970. 2
5970. 3
5971. 0
5971. 1
5971. 2
5971. 3
5971. 4
5971. 5
5971. 6
5972. 0
pull
Entries 37
Mean 492
Std Dev 0
2
1
0
−1
−2
pull1D
Entries 37
Mean −0.0005759
Std Dev 0.9818
10
8
6
4
2
0
−8
−6
−4
−2
0
2
4
6
8

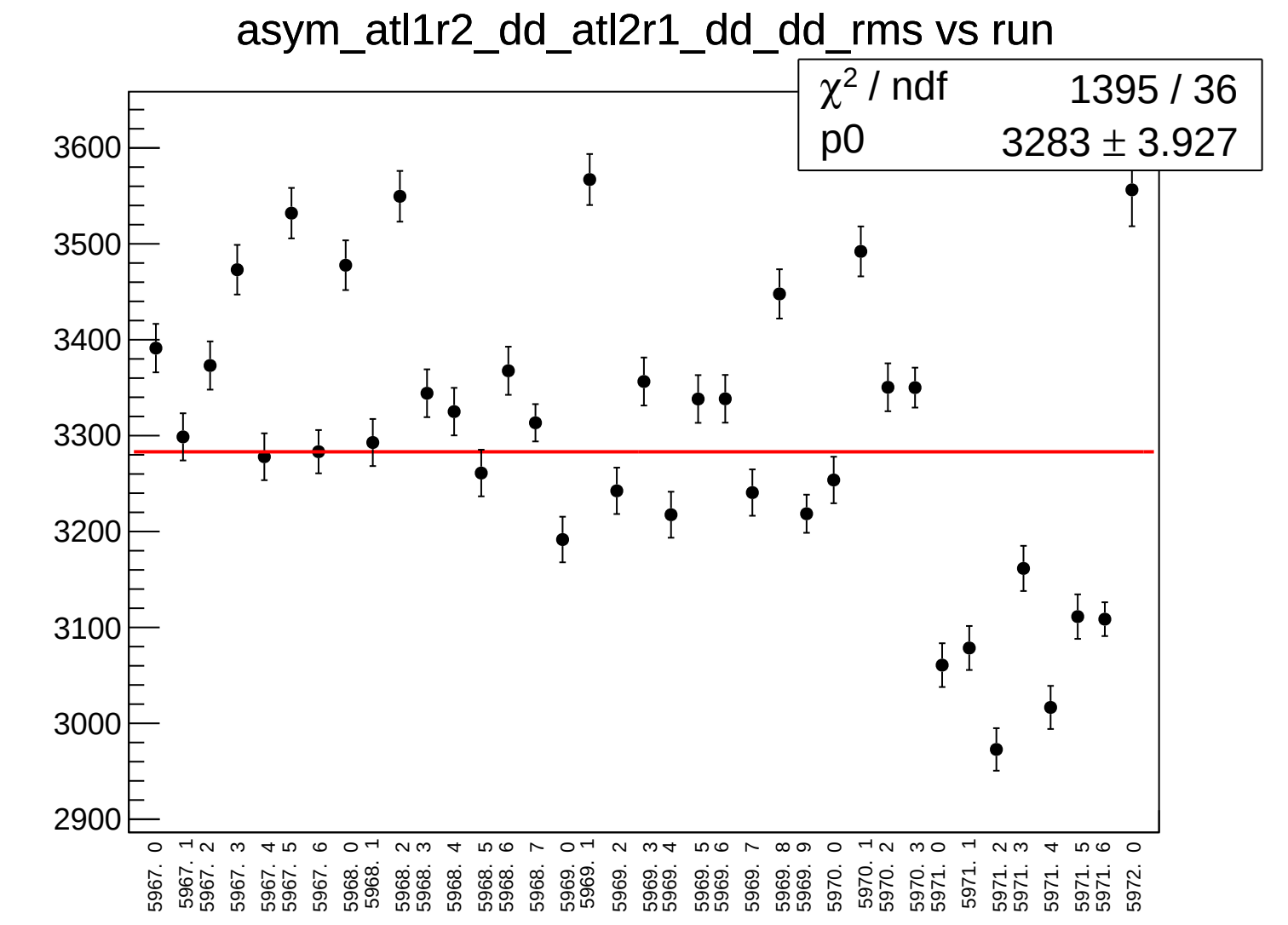
asym_atl1r2_dd_atl2r1_dd_dd_rms vs run
χ² / ndf 1395 / 36
p0 3283 ± 3.927
3600
3500
3400
3300
3200
3100
3000
2900
5967. 0
5967. 1
5967. 2
5967. 3
5967. 4
5967. 5
5967. 6
5968. 0
5968. 1
5968. 2
5968. 3
5968. 4
5968. 5
5968. 6
5968. 7
5969. 0
5969. 1
5969. 2
5969. 3
5969. 4
5969. 5
5969. 6
5969. 7
5969. 8
5969. 9
5970. 0
5970. 1
5970. 2
5970. 3
5971. 0
5971. 1
5971. 2
5971. 3
5971. 4
5971. 5
5971. 6
5972. 0

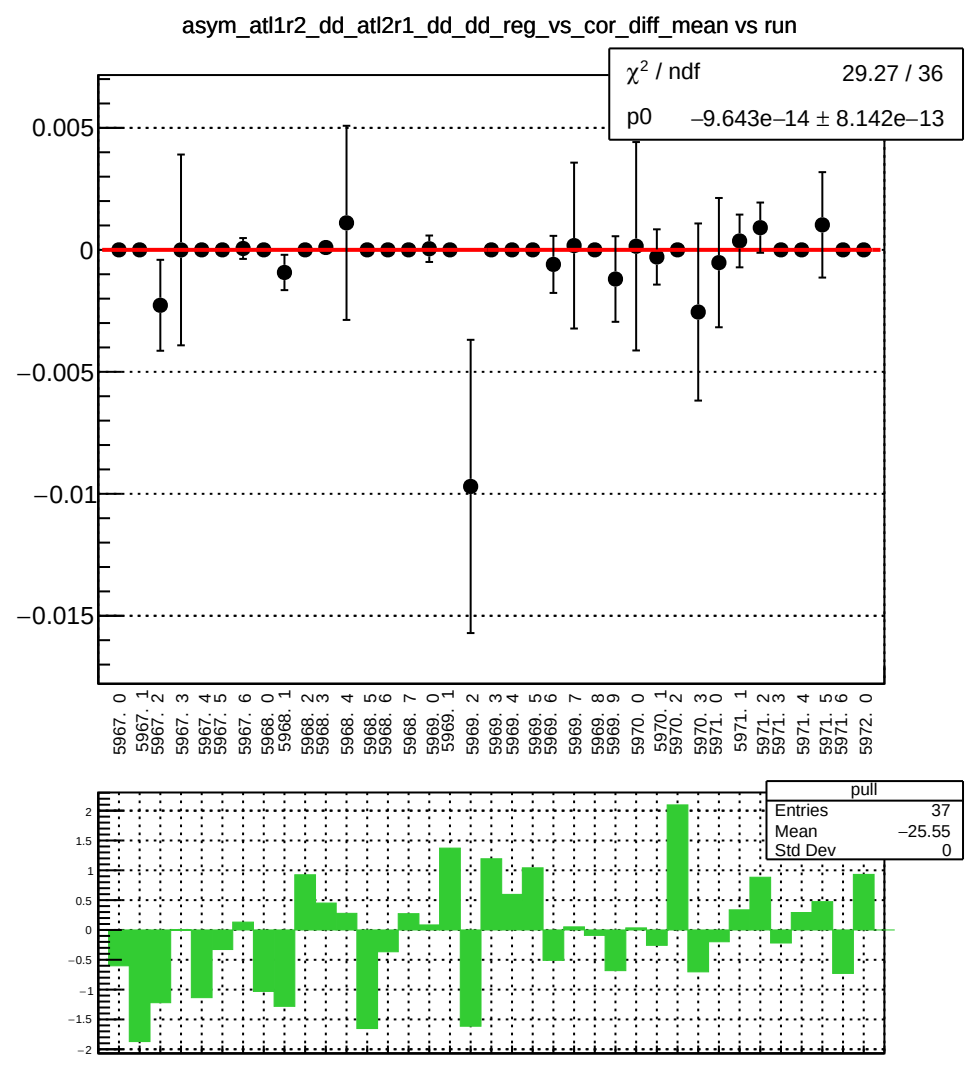
asym_atl1r2_dd_atl2r1_dd_dd_reg_vs_cor_diff_mean vs run
χ² / ndf 29.27 / 36
p0 −9.643e−14 ± 8.142e−13
0.005
0
−0.005
−0.01
−0.015
5967. 0
5967. 1
5967. 2
5967. 3
5967. 4
5967. 5
5967. 6
5968. 0
5968. 1
5968. 2
5968. 3
5968. 4
5968. 5
5968. 6
5968. 7
5969. 0
5969. 1
5969. 2
5969. 3
5969. 4
5969. 5
5969. 6
5969. 7
5969. 8
5969. 9
5970. 0
5970. 1
5970. 2
5970. 3
5971. 0
5971. 1
5971. 2
5971. 3
5971. 4
5971. 5
5971. 6
5972. 0
pull
Entries 37
Mean −25.55
Std Dev 0
2
1.5
1
0.5
0
−0.5
−1
−1.5
−2

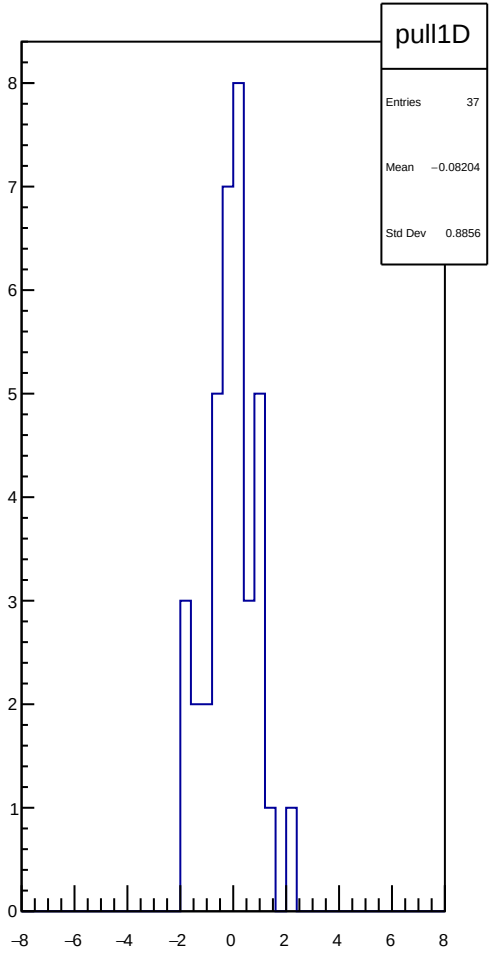
pull1D
Entries 37
Mean −0.08204
Std Dev 0.8856
8
7
6
5
4
3
2
1
0
−8
−6
−4
−2
0
2
4
6
8

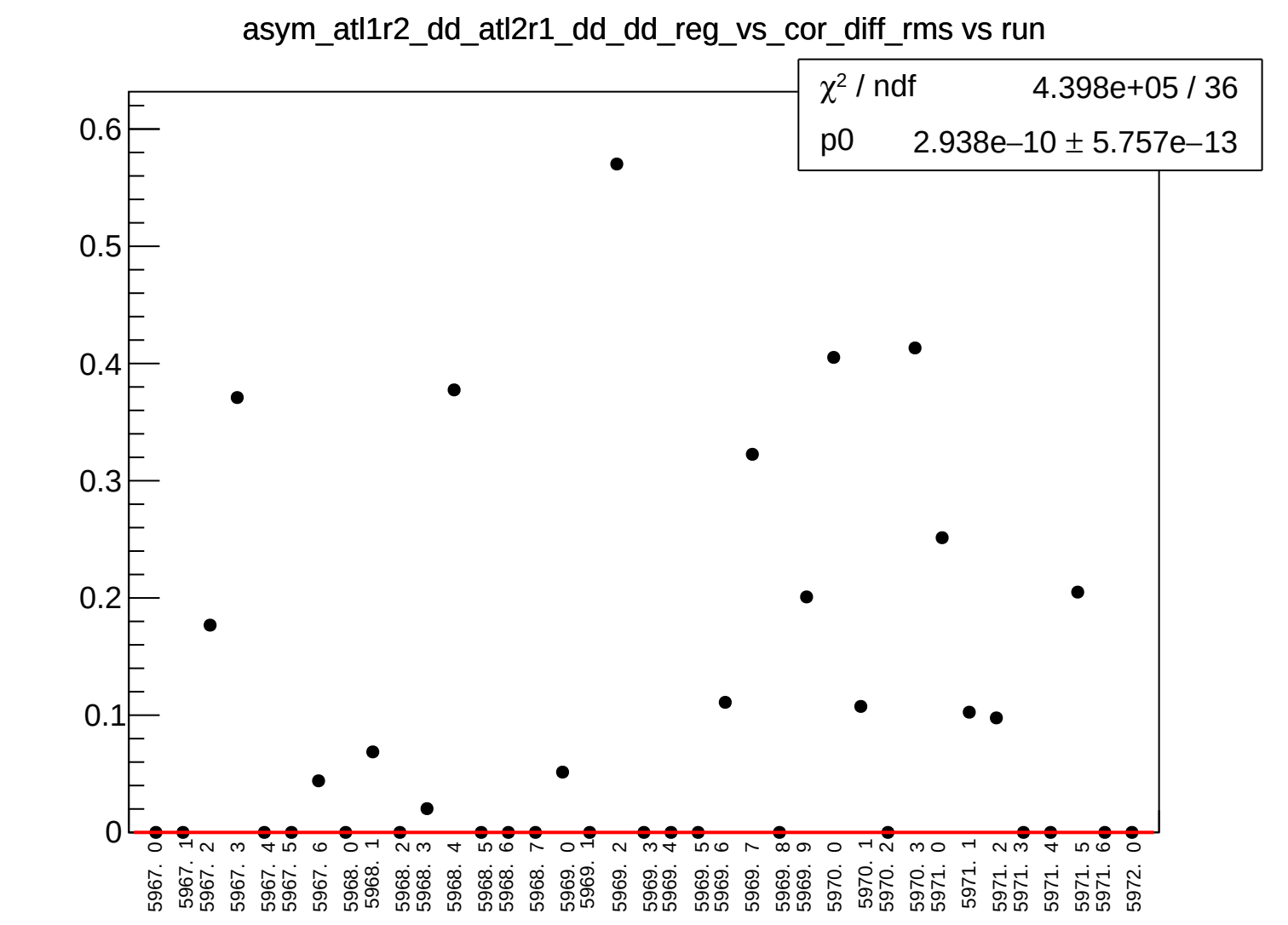
asym_atl1r2_dd_atl2r1_dd_dd_reg_vs_cor_diff_rms vs run
χ² / ndf 4.398e+05 / 36
p0 2.938e−10 ± 5.757e−13
0.6
0.5
0.4
0.3
0.2
0.1
0
5967. 0
5967. 1
5967. 2
5967. 3
5967. 4
5967. 5
5967. 6
5968. 0
5968. 1
5968. 2
5968. 3
5968. 4
5968. 5
5968. 6
5968. 7
5969. 0
5969. 1
5969. 2
5969. 3
5969. 4
5969. 5
5969. 6
5969. 7
5969. 8
5969. 9
5970. 0
5970. 1
5970. 2
5970. 3
5971. 0
5971. 1
5971. 2
5971. 3
5971. 4
5971. 5
5971. 6
5972. 0

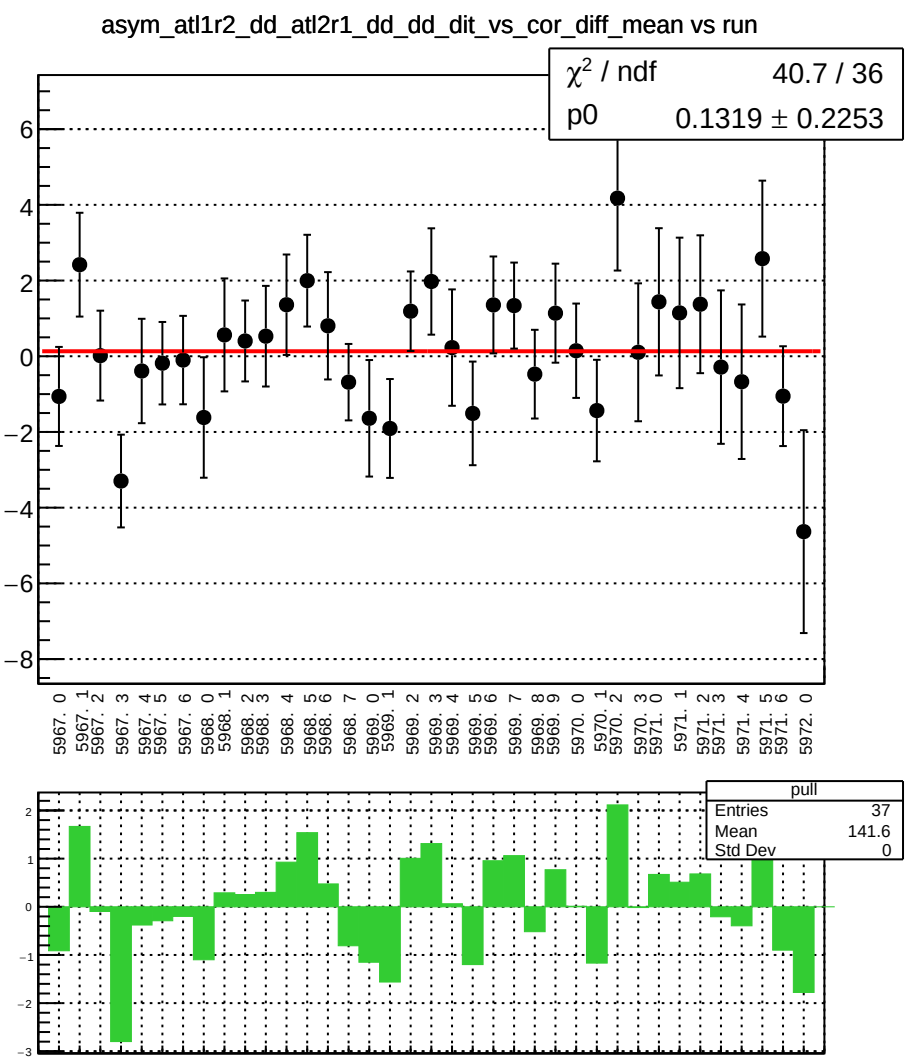
asym_atl1r2_dd_atl2r1_dd_dd_dit_vs_cor_diff_mean vs run
χ² / ndf 40.7 / 36
p0 0.1319 ± 0.2253
pull
Entries 37
Mean 141.6
Std Dev 0

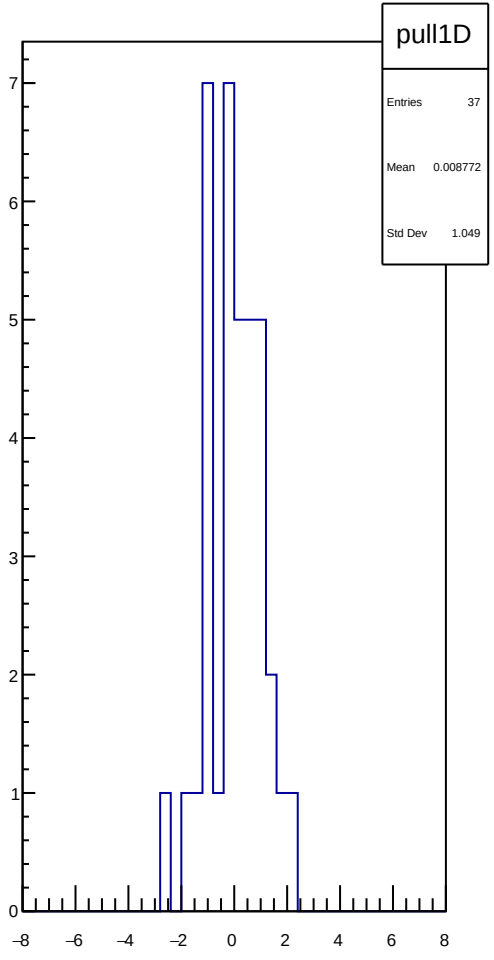
pull1D
Entries 37
Mean 0.008772
Std Dev 1.049

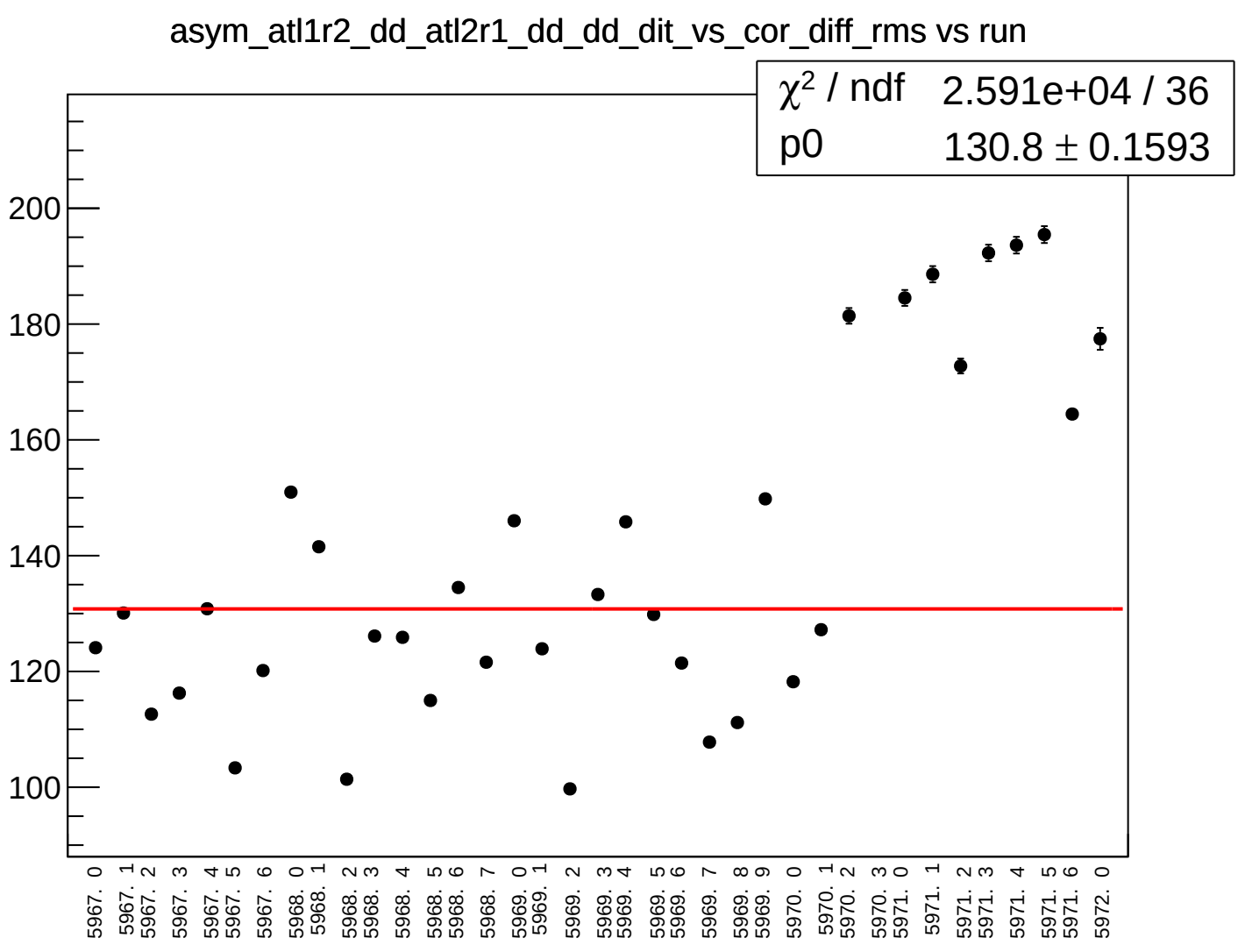
asym_atl1r2_dd_atl2r1_dd_dd_dit_vs_cor_diff_rms vs run
χ² / ndf 2.591e+04 / 36
p0 130.8 ± 0.1593
200
180
160
140
120
100
5967. 0
5967. 1
5967. 2
5967. 3
5967. 4
5967. 5
5967. 6
5968. 0
5968. 1
5968. 2
5968. 3
5968. 4
5968. 5
5968. 6
5968. 7
5969. 0
5969. 1
5969. 2
5969. 3
5969. 4
5969. 5
5969. 6
5969. 7
5969. 8
5969. 9
5970. 0
5970. 1
5970. 2
5970. 3
5971. 0
5971. 1
5971. 2
5971. 3
5971. 4
5971. 5
5971. 6
5972. 0

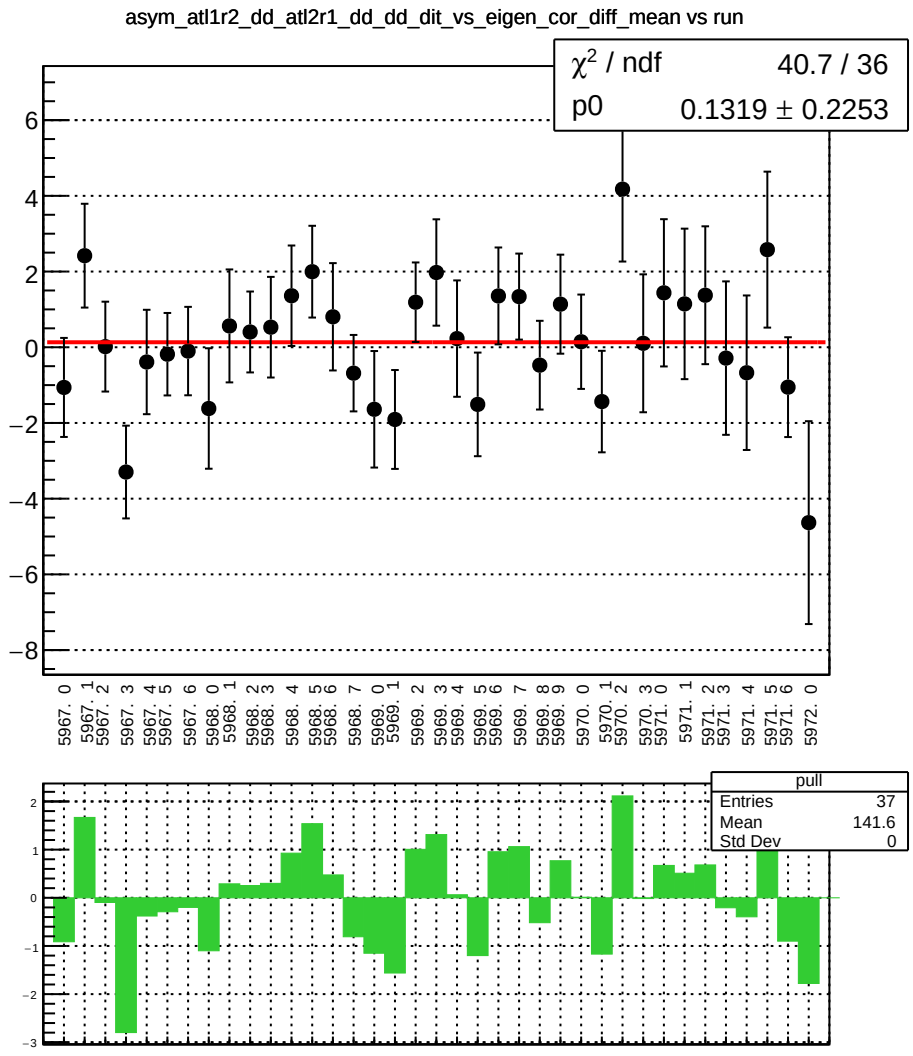
asym_atl1r2_dd_atl2r1_dd_dd_dit_vs_eigen_cor_diff_mean vs run
χ² / ndf 40.7 / 36
p0 0.1319 ± 0.2253
pull
Entries 37
Mean 141.6
Std Dev 0
pull1D
Entries 37
Mean 0.008772
Std Dev 1.049

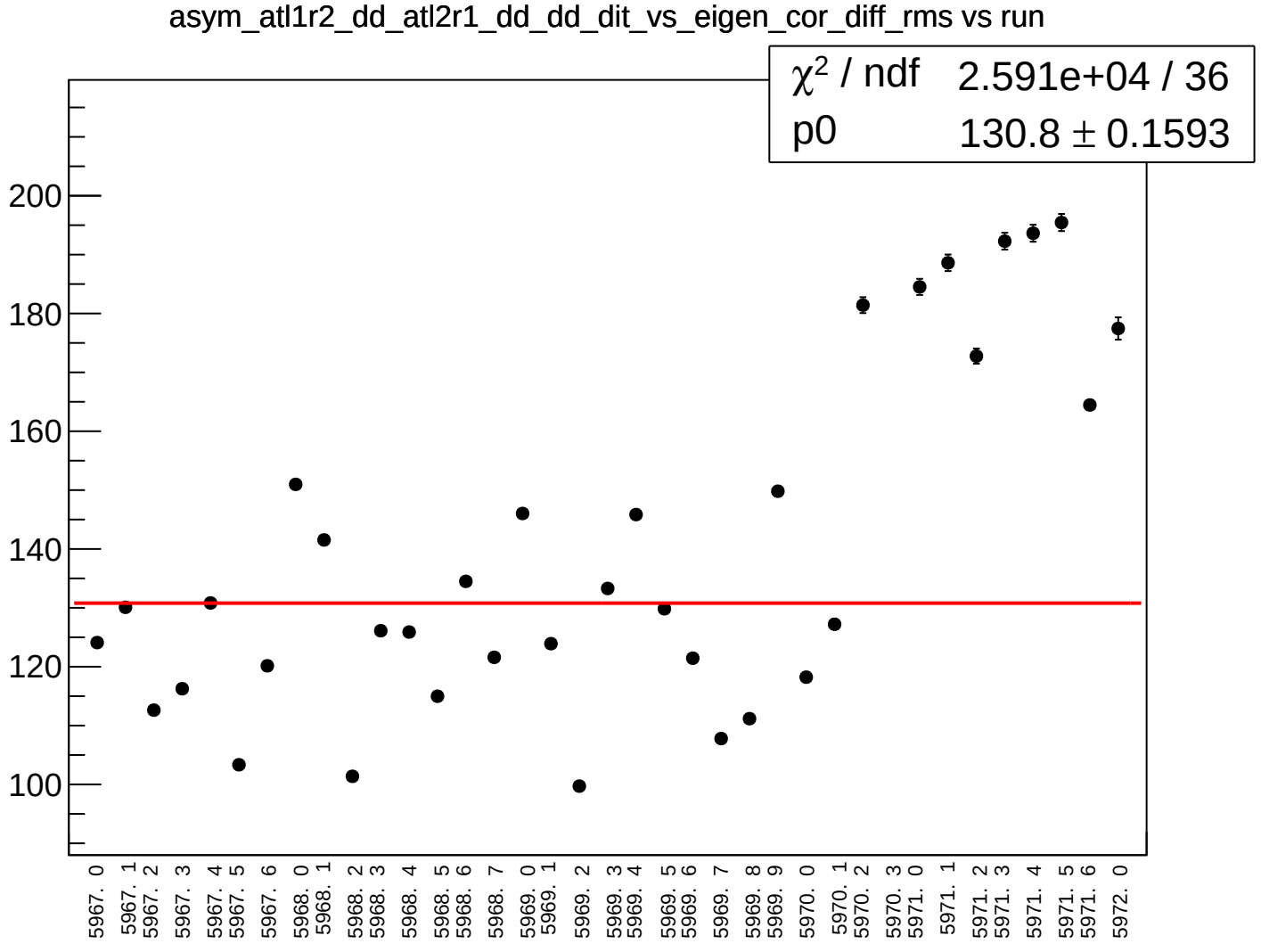
asym_atl1r2_dd_atl2r1_dd_dd_dit_vs_eigen_cor_diff_rms vs run
χ² / ndf 2.591e+04 / 36
p0 130.8 ± 0.1593
200
180
160
140
120
100
5967. 0
5967. 1
5967. 2
5967. 3
5967. 4
5967. 5
5967. 6
5968. 0
5968. 1
5968. 2
5968. 3
5968. 4
5968. 5
5968. 6
5968. 7
5969. 0
5969. 1
5969. 2
5969. 3
5969. 4
5969. 5
5969. 6
5969. 7
5969. 8
5969. 9
5970. 0
5970. 1
5970. 2
5970. 3
5971. 0
5971. 1
5971. 2
5971. 3
5971. 4
5971. 5
5971. 6
5972. 0

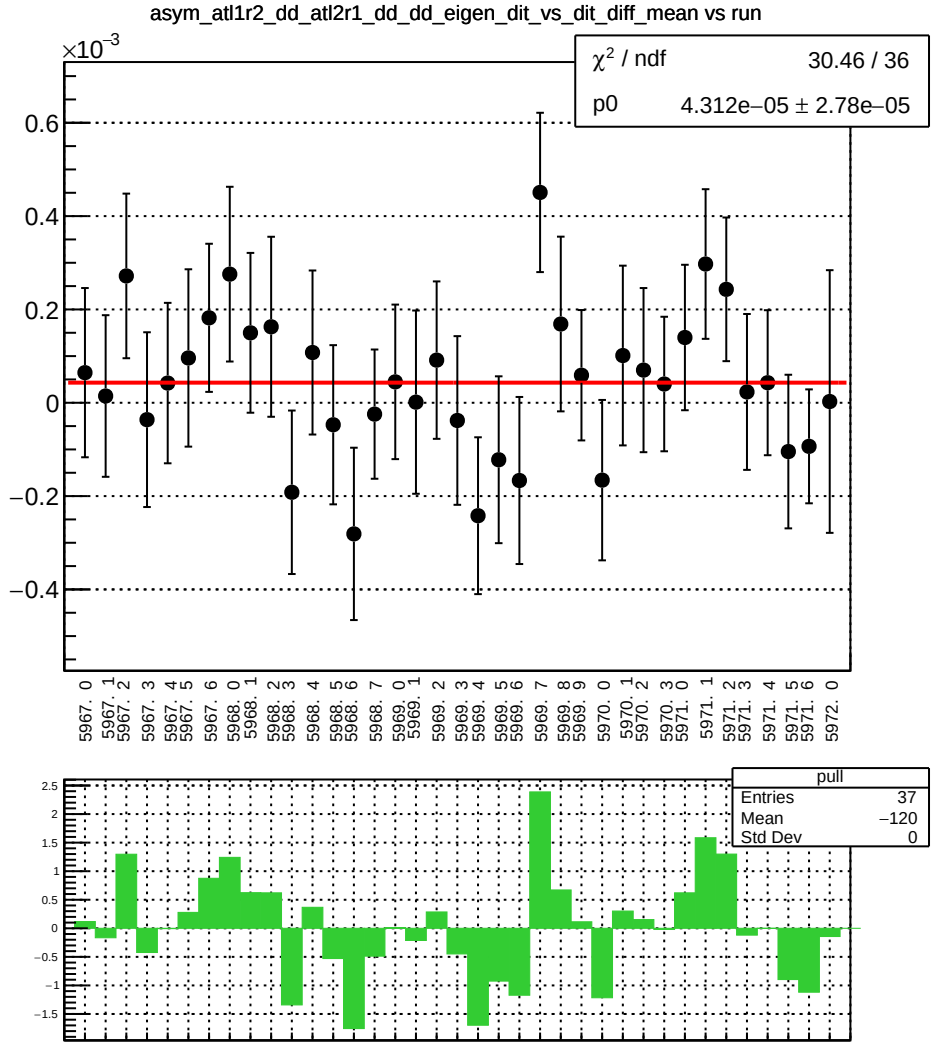
asym_atl1r2_dd_atl2r1_dd_dd_eigen_dit_vs_dit_diff_mean vs run
×10^−3
χ² / ndf 30.46 / 36
p0 4.312e−05 ± 2.78e−05
0.6
0.4
0.2
0
−0.2
−0.4
5967. 0
5967. 1
5967. 2
5967. 3
5967. 4
5967. 5
5967. 6
5968. 0
5968. 1
5968. 2
5968. 3
5968. 4
5968. 5
5968. 6
5968. 7
5969. 0
5969. 1
5969. 2
5969. 3
5969. 4
5969. 5
5969. 6
5969. 7
5969. 8
5969. 9
5970. 0
5970. 1
5970. 2
5970. 3
5971. 0
5971. 1
5971. 2
5971. 3
5971. 4
5971. 5
5971. 6
5972. 0
pull
Entries 37
Mean −120
Std Dev 0
2.5
2
1.5
1
0.5
0
−0.5
−1
−1.5

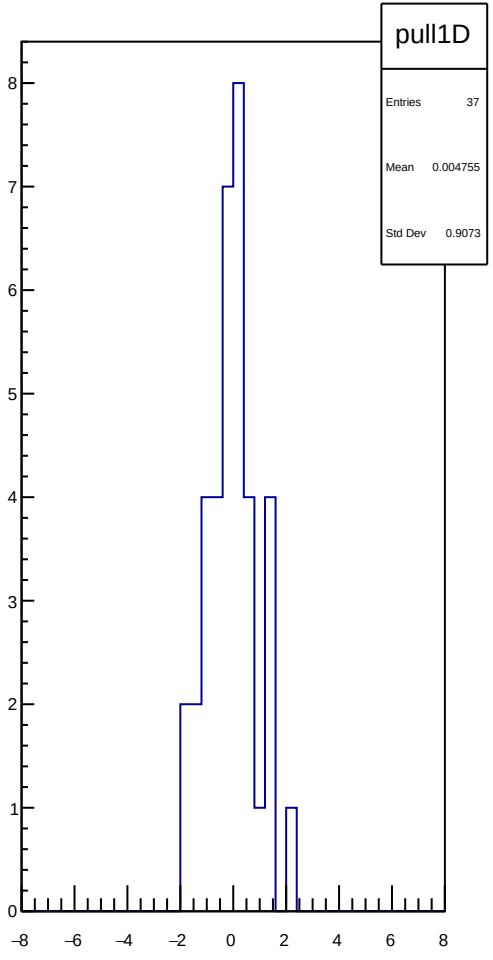
pull1D
Entries 37
Mean 0.004755
Std Dev 0.9073
8
7
6
5
4
3
2
1
0
−8
−6
−4
−2
0
2
4
6
8

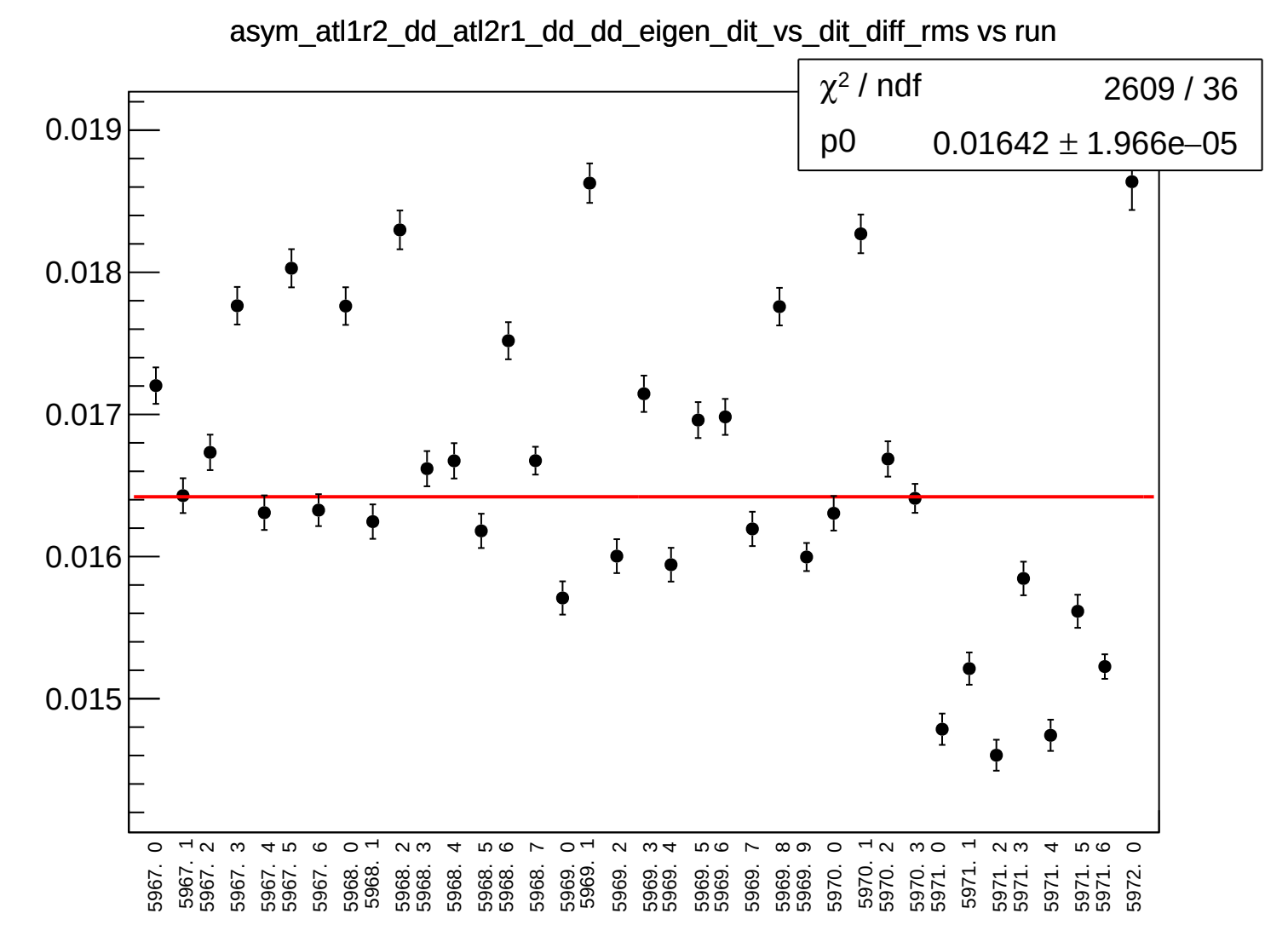
asym_atl1r2_dd_atl2r1_dd_dd_eigen_dit_vs_dit_diff_rms vs run
χ² / ndf 2609 / 36
p0 0.01642 ± 1.966e−05
0.019
0.018
0.017
0.016
0.015
5967. 0
5967. 1
5967. 2
5967. 3
5967. 4
5967. 5
5967. 6
5968. 0
5968. 1
5968. 2
5968. 3
5968. 4
5968. 5
5968. 6
5968. 7
5969. 0
5969. 1
5969. 2
5969. 3
5969. 4
5969. 5
5969. 6
5969. 7
5969. 8
5969. 9
5970. 0
5970. 1
5970. 2
5970. 3
5971. 0
5971. 1
5971. 2
5971. 3
5971. 4
5971. 5
5971. 6
5972. 0

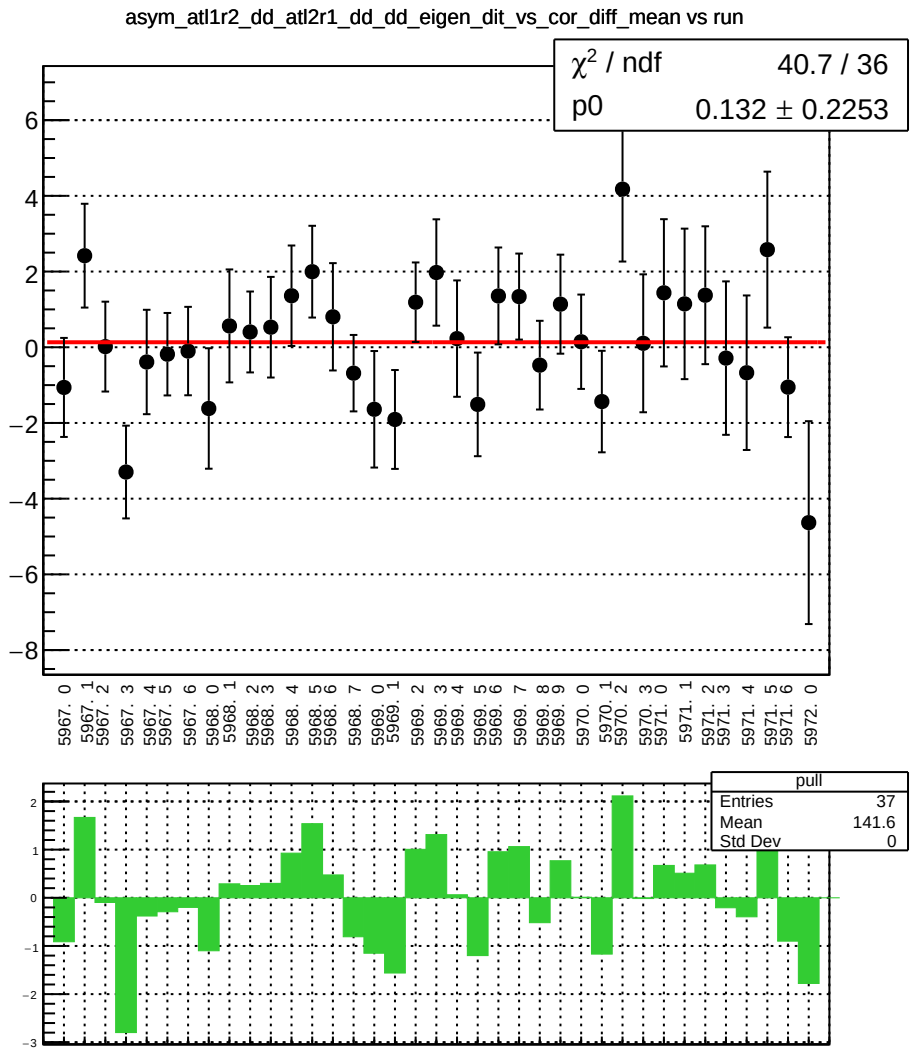
asym_atl1r2_dd_atl2r1_dd_dd_eigen_dit_vs_cor_diff_mean vs run
χ² / ndf 40.7 / 36
p0 0.132 ± 0.2253
pull
Entries 37
Mean 141.6
Std Dev 0

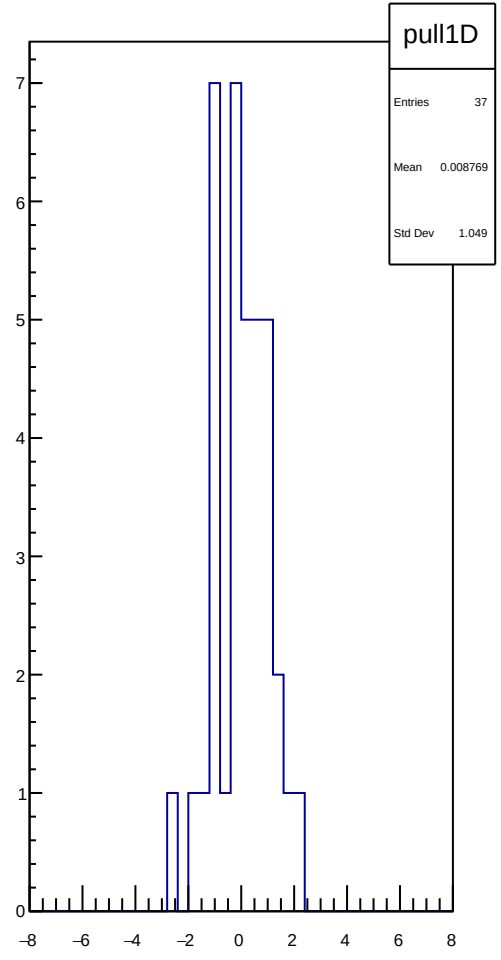
pull1D
Entries 37
Mean 0.008769
Std Dev 1.049

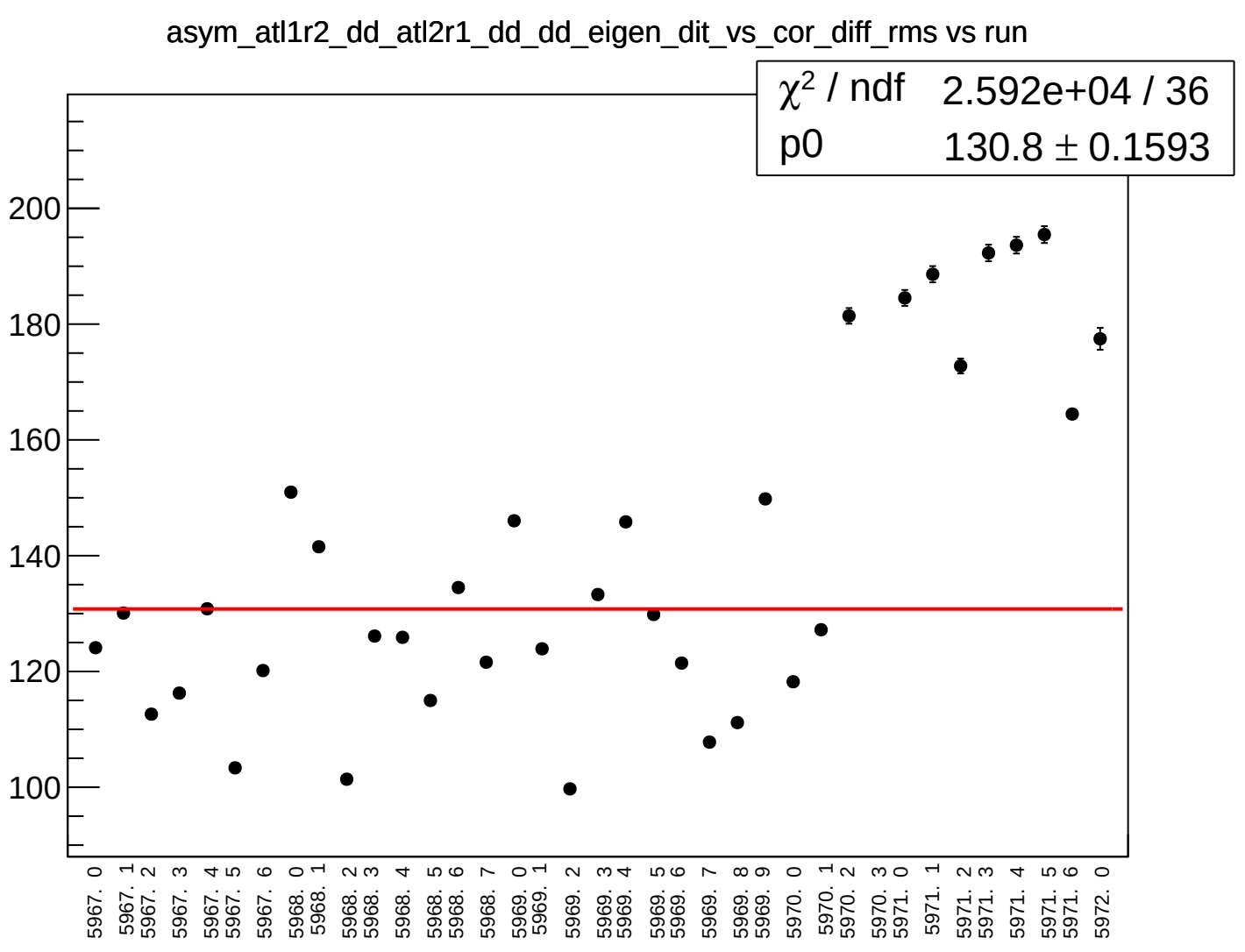
asym_atl1r2_dd_atl2r1_dd_dd_eigen_dit_vs_cor_diff_rms vs run
χ² / ndf 2.592e+04 / 36
p0 130.8 ± 0.1593
200
180
160
140
120
100
5967. 0
5967. 1
5967. 2
5967. 3
5967. 4
5967. 5
5967. 6
5968. 0
5968. 1
5968. 2
5968. 3
5968. 4
5968. 5
5968. 6
5968. 7
5969. 0
5969. 1
5969. 2
5969. 3
5969. 4
5969. 5
5969. 6
5969. 7
5969. 8
5969. 9
5970. 0
5970. 1
5970. 2
5970. 3
5971. 0
5971. 1
5971. 2
5971. 3
5971. 4
5971. 5
5971. 6
5972. 0

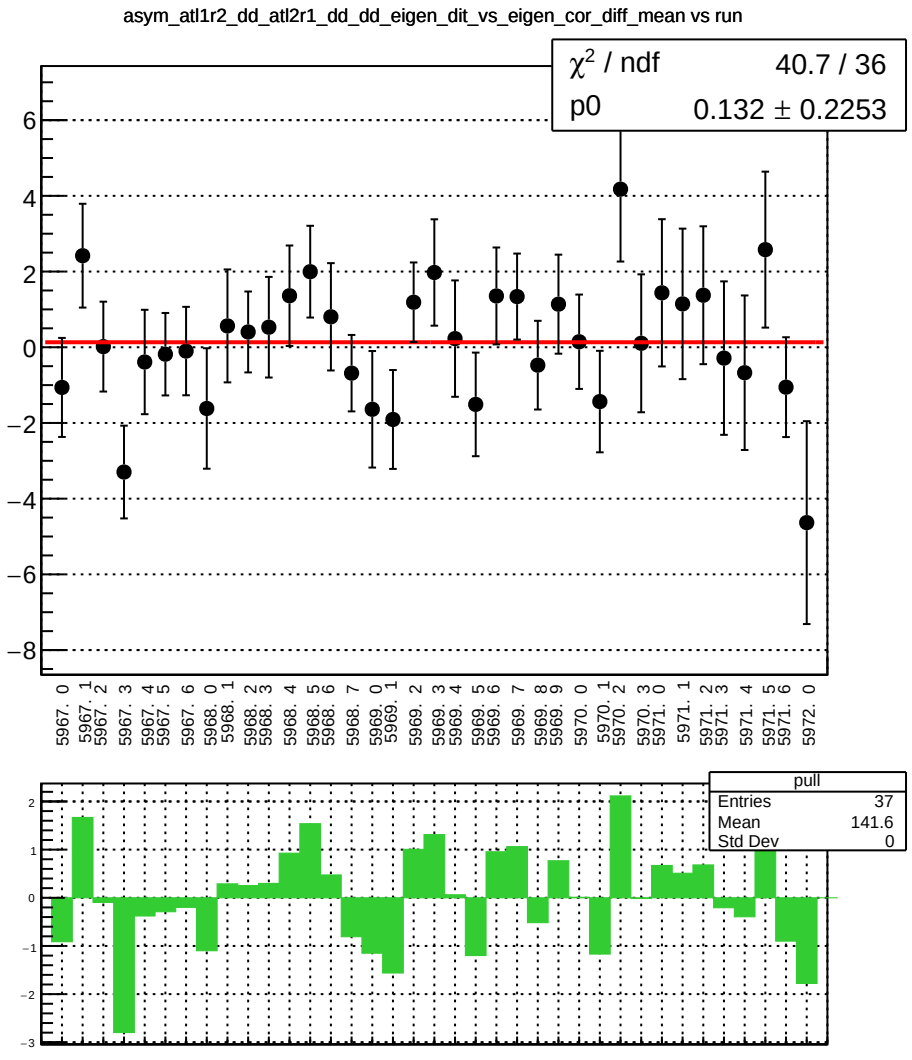
asym_atl1r2_dd_atl2r1_dd_dd_eigen_dit_vs_eigen_cor_diff_mean vs run
χ² / ndf 40.7 / 36
p0 0.132 ± 0.2253
pull
Entries 37
Mean 141.6
Std Dev 0

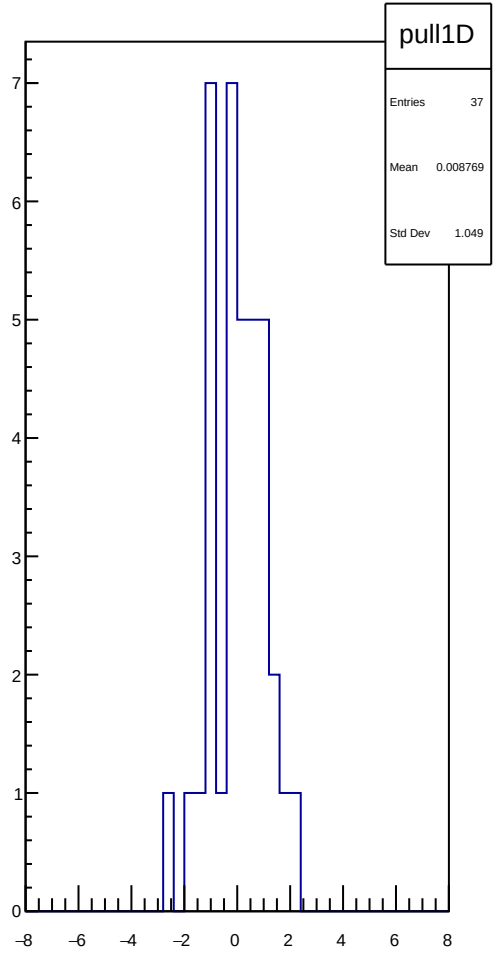
pull1D
Entries 37
Mean 0.008769
Std Dev 1.049

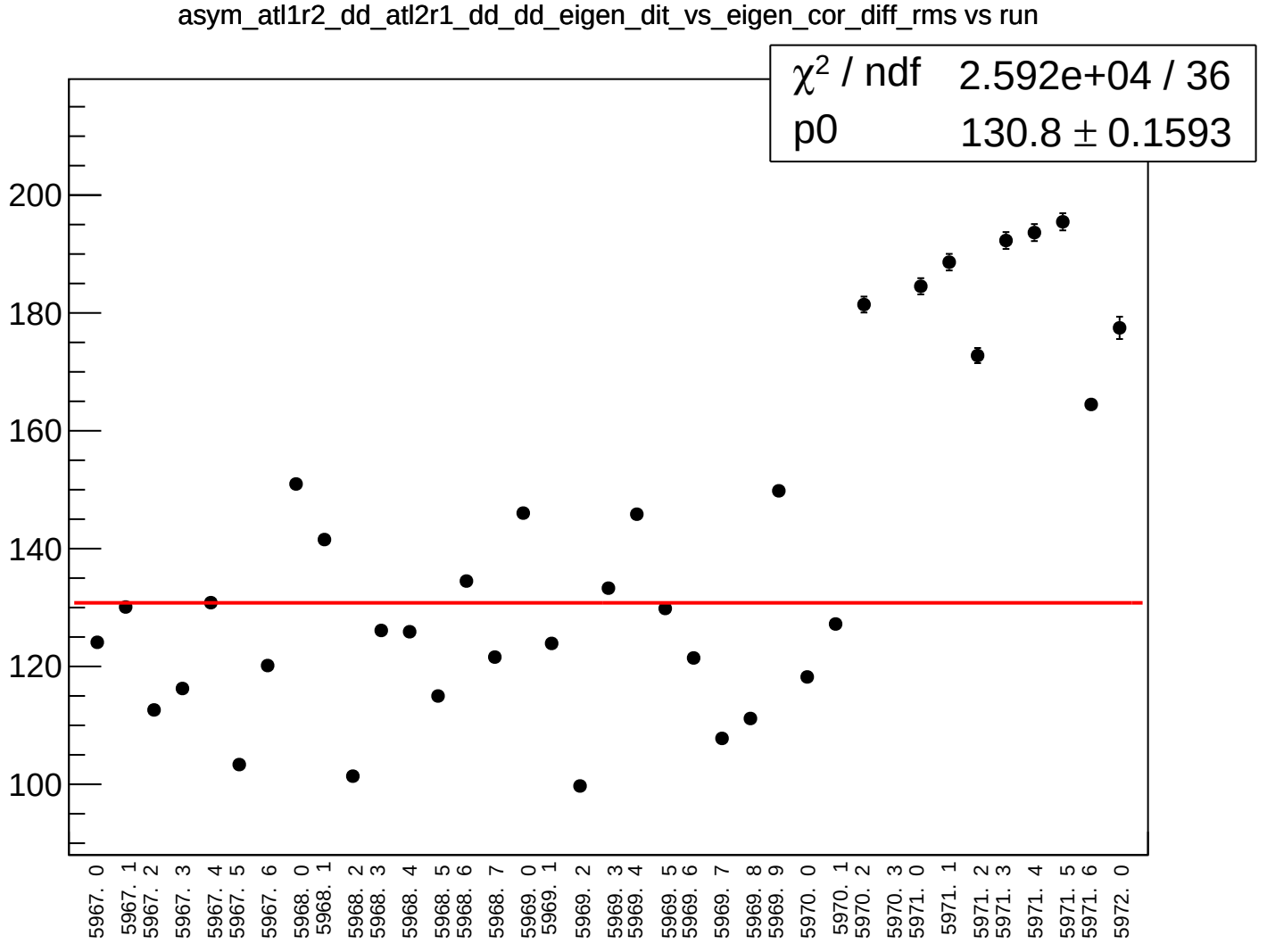
asym_atl1r2_dd_atl2r1_dd_dd_eigen_dit_vs_eigen_cor_diff_rms vs run
χ² / ndf 2.592e+04 / 36
p0 130.8 ± 0.1593
200
180
160
140
120
100
5967. 0
5967. 1
5967. 2
5967. 3
5967. 4
5967. 5
5967. 6
5968. 0
5968. 1
5968. 2
5968. 3
5968. 4
5968. 5
5968. 6
5968. 7
5969. 0
5969. 1
5969. 2
5969. 3
5969. 4
5969. 5
5969. 6
5969. 7
5969. 8
5969. 9
5970. 0
5970. 1
5970. 2
5970. 3
5971. 0
5971. 1
5971. 2
5971. 3
5971. 4
5971. 5
5971. 6
5972. 0

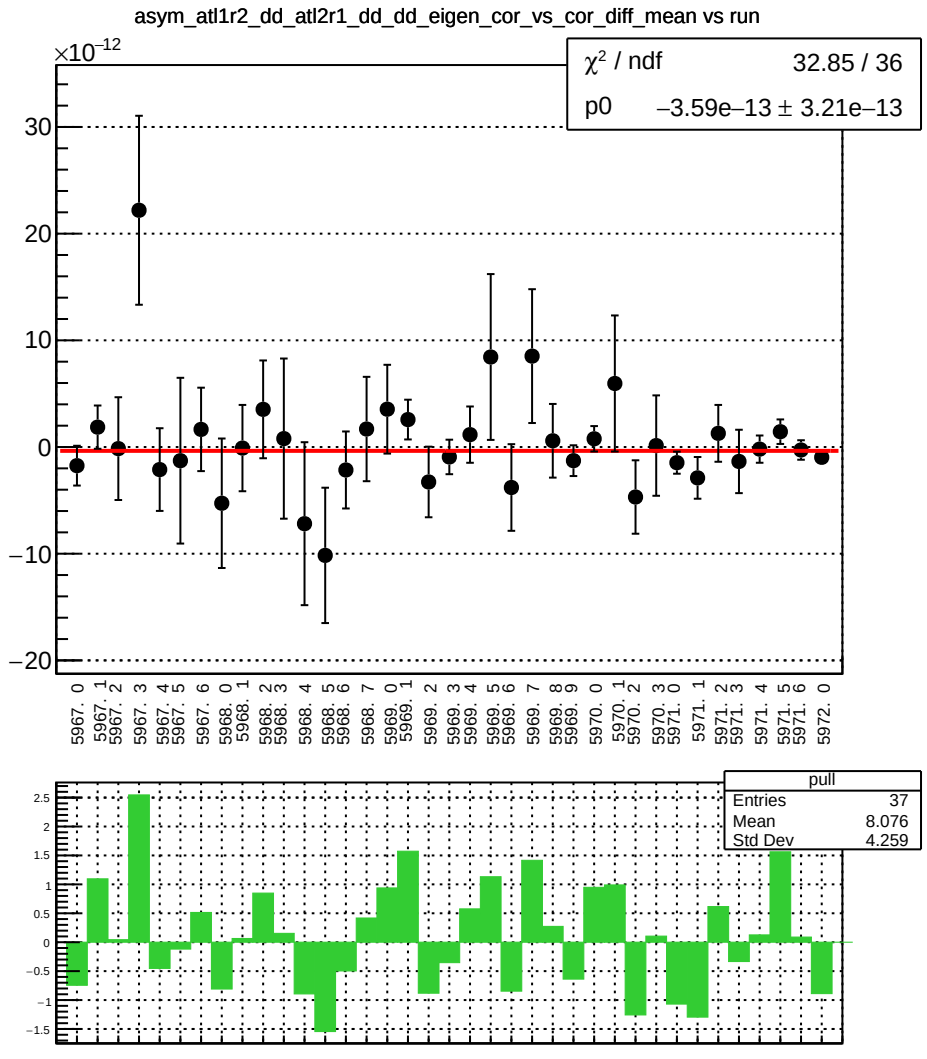
asym_atl1r2_dd_atl2r1_dd_dd_eigen_cor_vs_cor_diff_mean vs run
×10⁻¹²
χ² / ndf 32.85 / 36
p0 −3.59e−13 ± 3.21e−13
pull
Entries 37
Mean 8.076
Std Dev 4.259

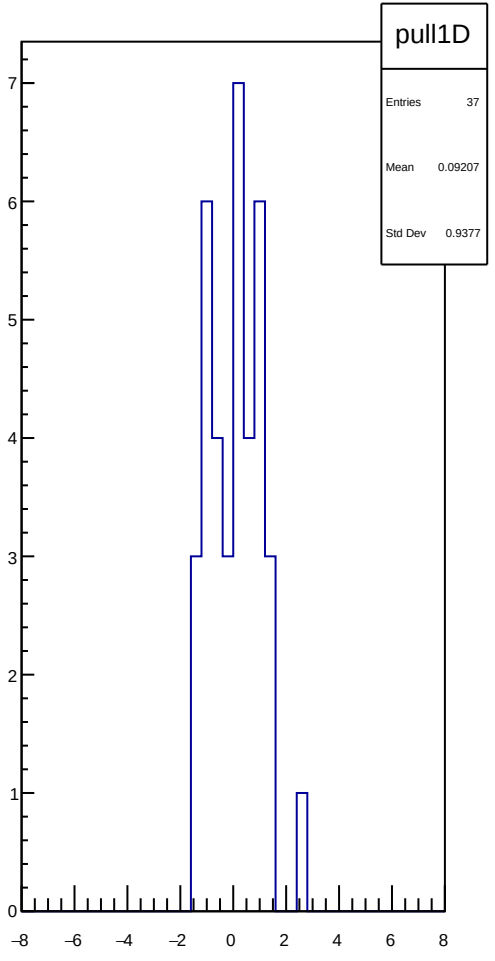
pull1D
Entries 37
Mean 0.09207
Std Dev 0.9377

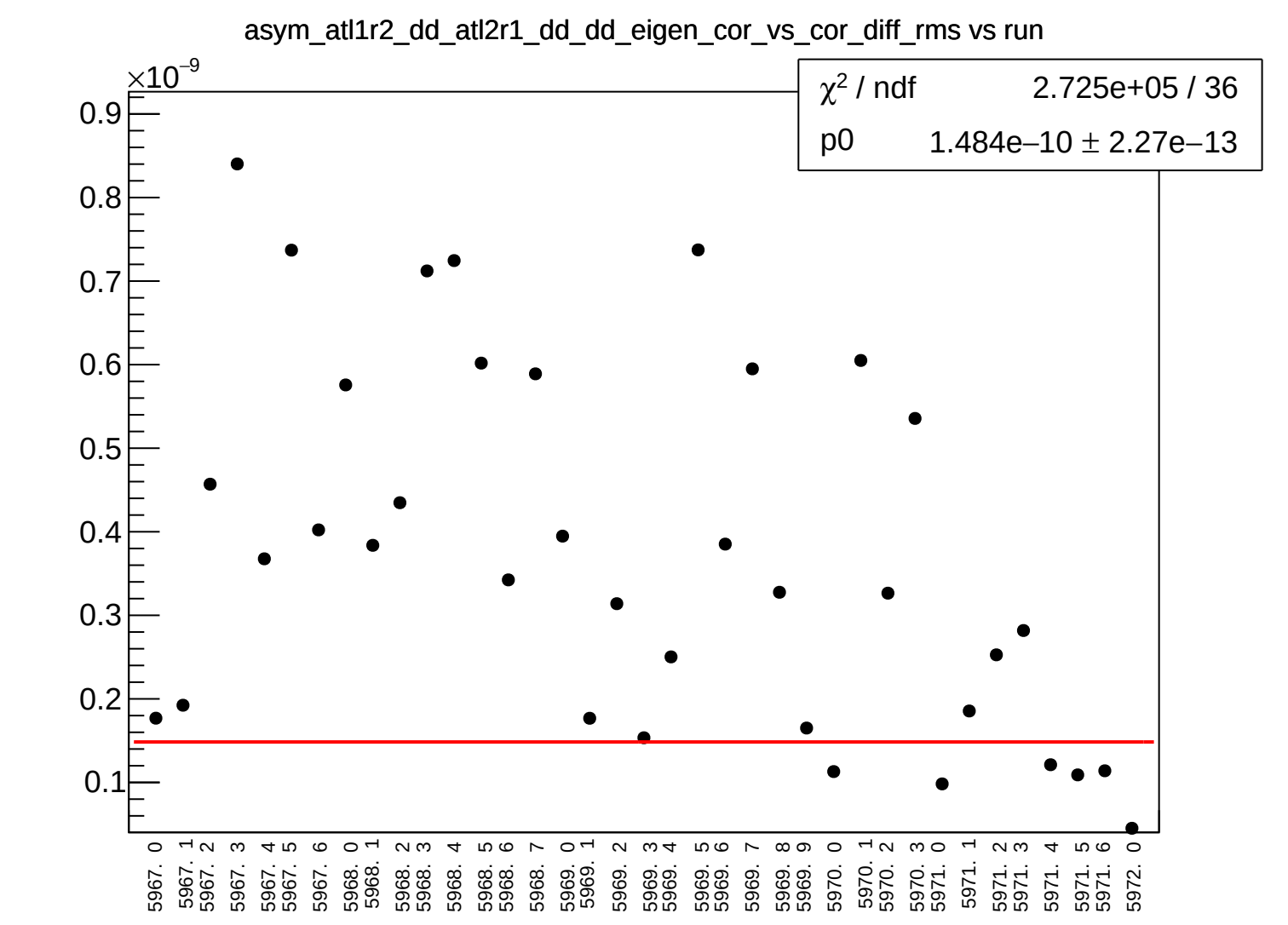
asym_atl1r2_dd_atl2r1_dd_dd_eigen_cor_vs_cor_diff_rms vs run
×10⁻⁹
χ² / ndf 2.725e+05 / 36
p0 1.484e−10 ± 2.27e−13
0.9
0.8
0.7
0.6
0.5
0.4
0.3
0.2
0.1
5967. 0
5967. 1
5967. 2
5967. 3
5967. 4
5967. 5
5967. 6
5968. 0
5968. 1
5968. 2
5968. 3
5968. 4
5968. 5
5968. 6
5968. 7
5969. 0
5969. 1
5969. 2
5969. 3
5969. 4
5969. 5
5969. 6
5969. 7
5969. 8
5969. 9
5970. 0
5970. 1
5970. 2
5970. 3
5971. 0
5971. 1
5971. 2
5971. 3
5971. 4
5971. 5
5971. 6
5972. 0

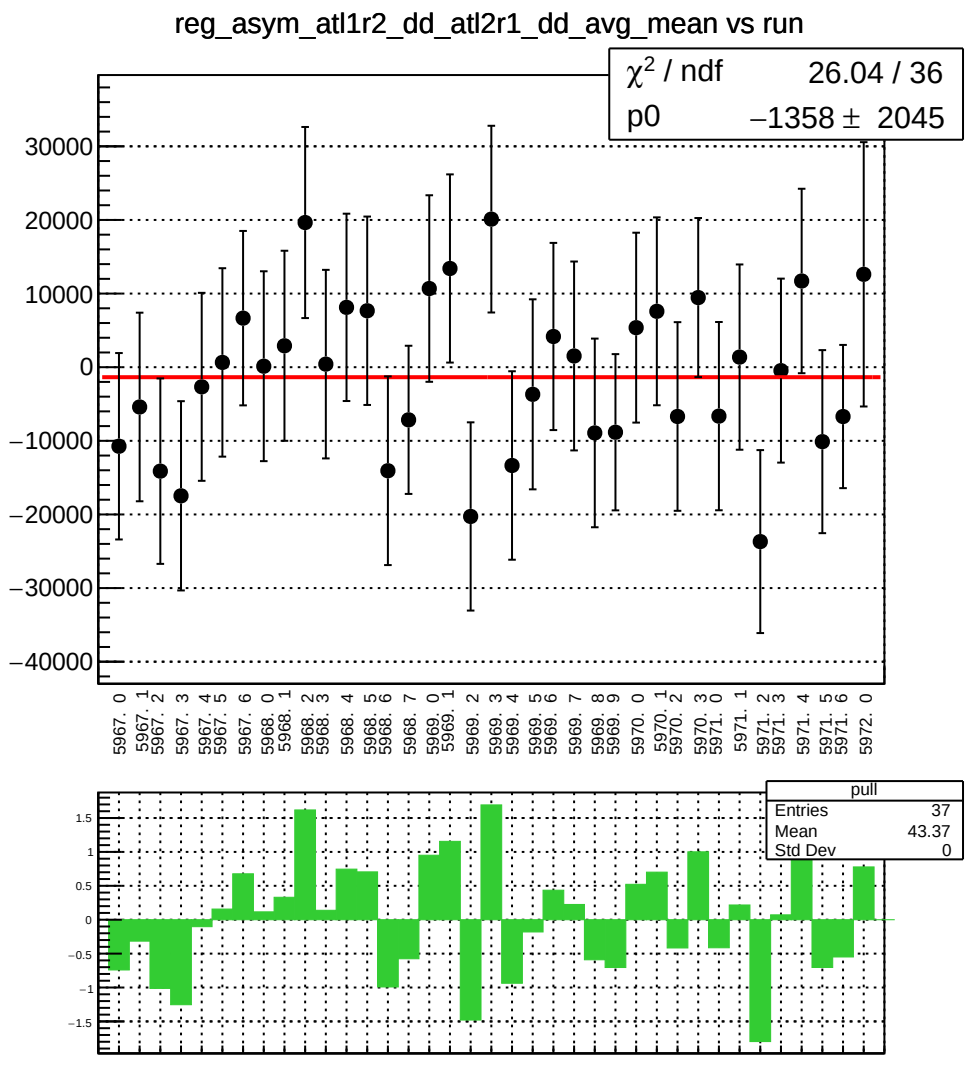
reg_asym_atl1r2_dd_atl2r1_dd_avg_mean vs run
χ² / ndf 26.04 / 36
p0 −1358 ± 2045
30000
20000
10000
0
−10000
−20000
−30000
−40000
5967. 0
5967. 1
5967. 2
5967. 3
5967. 4
5967. 5
5967. 6
5968. 0
5968. 1
5968. 2
5968. 3
5968. 4
5968. 5
5968. 6
5968. 7
5969. 0
5969. 1
5969. 2
5969. 3
5969. 4
5969. 5
5969. 6
5969. 7
5969. 8
5969. 9
5970. 0
5970. 1
5970. 2
5970. 3
5971. 0
5971. 1
5971. 2
5971. 3
5971. 4
5971. 5
5971. 6
5972. 0
pull
Entries 37
Mean 43.37
Std Dev 0
1.5
1
0.5
0
−0.5
−1
−1.5

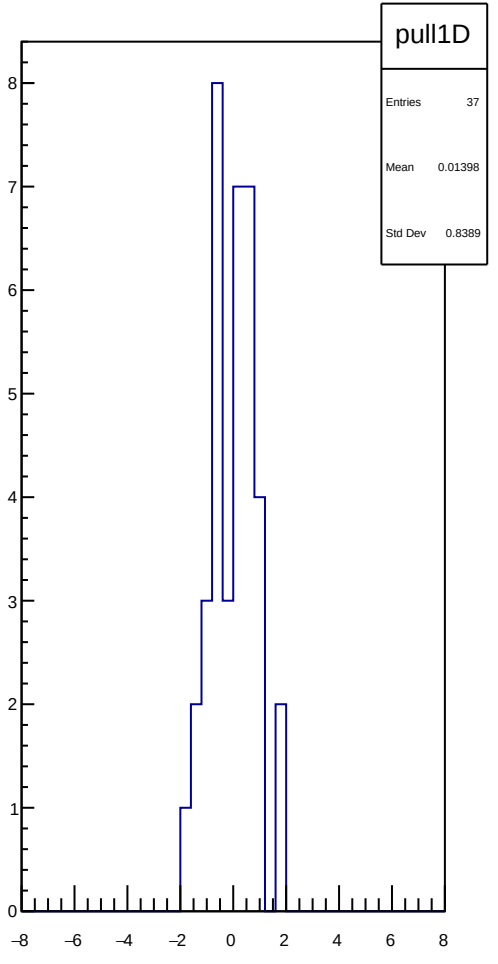
pull1D
Entries 37
Mean 0.01398
Std Dev 0.8389
8
7
6
5
4
3
2
1
0
−8
−6
−4
−2
0
2
4
6
8

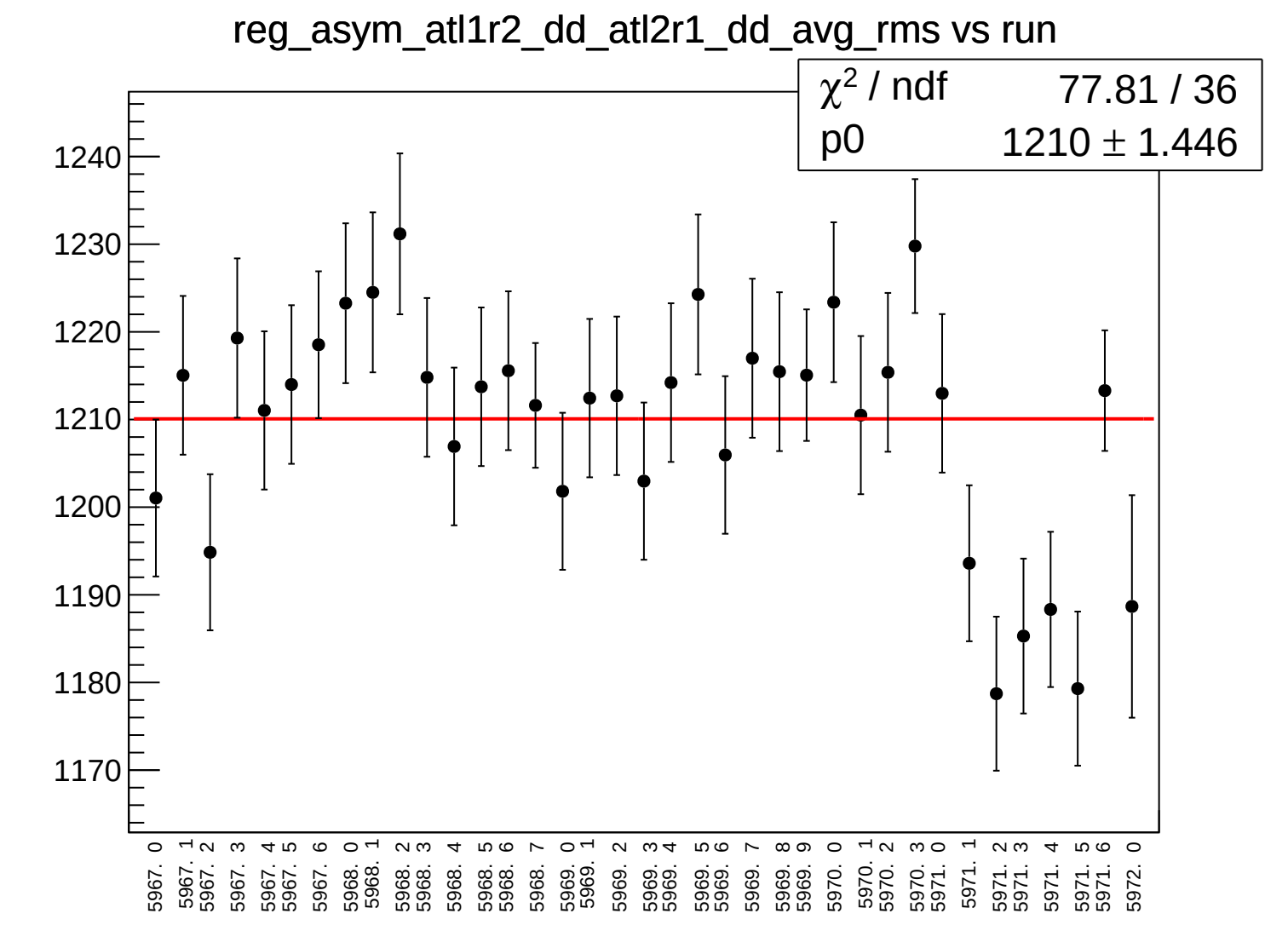
reg_asym_atl1r2_dd_atl2r1_dd_avg_rms vs run
χ² / ndf 77.81 / 36
p0 1210 ± 1.446
1240
1230
1220
1210
1200
1190
1180
1170
5967. 0
5967. 1
5967. 2
5967. 3
5967. 4
5967. 5
5967. 6
5968. 0
5968. 1
5968. 2
5968. 3
5968. 4
5968. 5
5968. 6
5968. 7
5969. 0
5969. 1
5969. 2
5969. 3
5969. 4
5969. 5
5969. 6
5969. 7
5969. 8
5969. 9
5970. 0
5970. 1
5970. 2
5970. 3
5971. 0
5971. 1
5971. 2
5971. 3
5971. 4
5971. 5
5971. 6
5972. 0

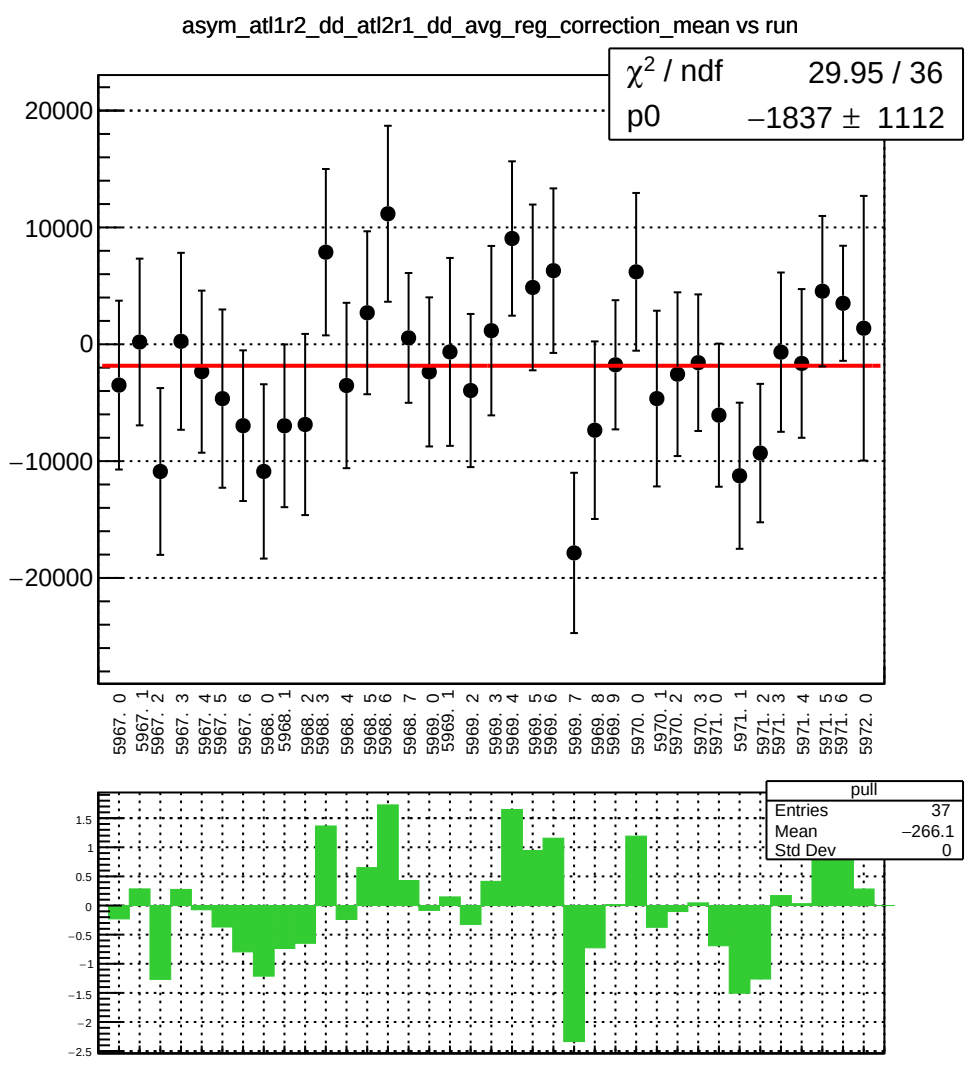
asym_atl1r2_dd_atl2r1_dd_avg_reg_correction_mean vs run
χ² / ndf 29.95 / 36
p0 −1837 ± 1112
20000
10000
0
−10000
−20000
5967. 0
5967. 1
5967. 2
5967. 3
5967. 4
5967. 5
5967. 6
5968. 0
5968. 1
5968. 2
5968. 3
5968. 4
5968. 5
5968. 6
5968. 7
5969. 0
5969. 1
5969. 2
5969. 3
5969. 4
5969. 5
5969. 6
5969. 7
5969. 8
5969. 9
5970. 0
5970. 1
5970. 2
5970. 3
5971. 0
5971. 1
5971. 2
5971. 3
5971. 4
5971. 5
5971. 6
5972. 0
pull
Entries 37
Mean −266.1
Std Dev 0
1.5
1
0.5
0
−0.5
−1
−1.5
−2
−2.5

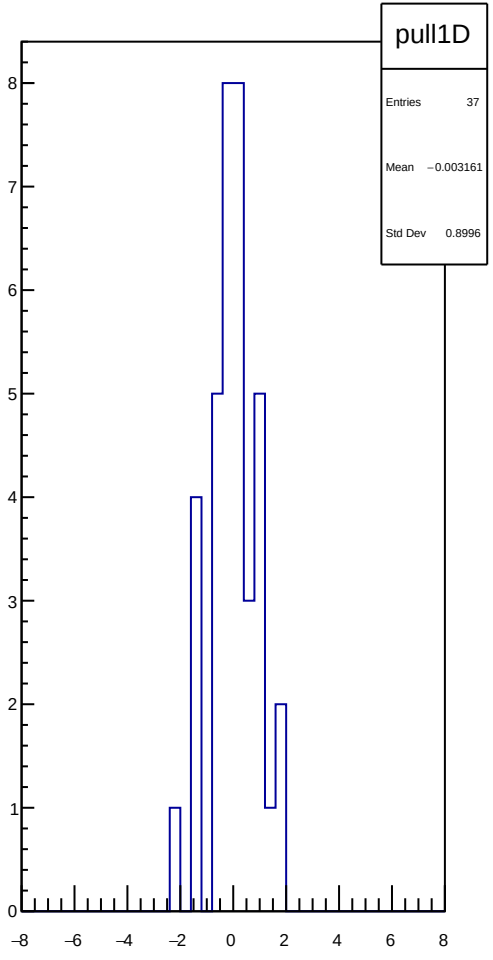
pull1D
Entries 37
Mean −0.003161
Std Dev 0.8996
8
7
6
5
4
3
2
1
0
−8
−6
−4
−2
0
2
4
6
8

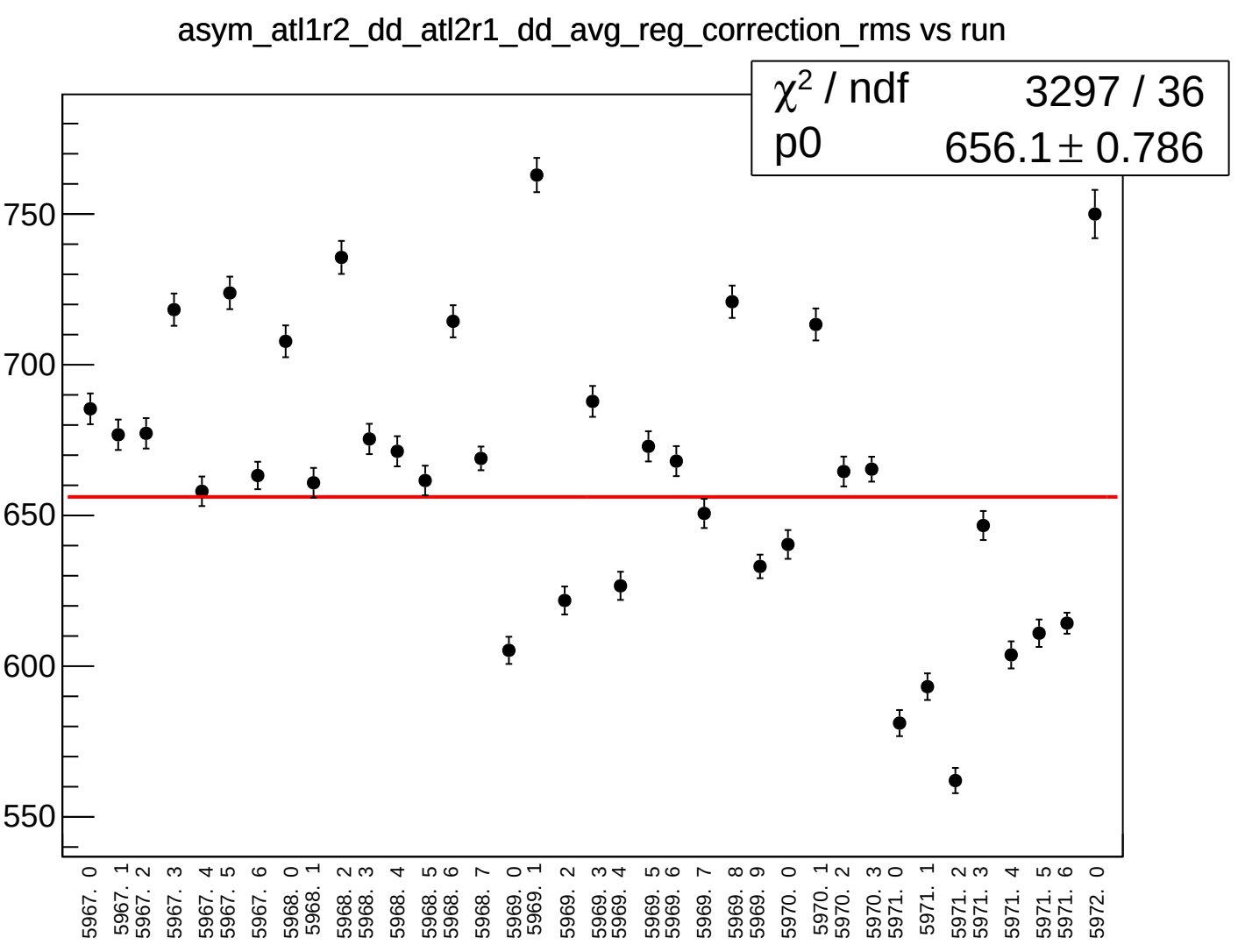
asym_atl1r2_dd_atl2r1_dd_avg_reg_correction_rms vs run
χ² / ndf 3297 / 36
p0 656.1 ± 0.786
750
700
650
600
550
5967. 0
5967. 1
5967. 2
5967. 3
5967. 4
5967. 5
5967. 6
5968. 0
5968. 1
5968. 2
5968. 3
5968. 4
5968. 5
5968. 6
5968. 7
5969. 0
5969. 1
5969. 2
5969. 3
5969. 4
5969. 5
5969. 6
5969. 7
5969. 8
5969. 9
5970. 0
5970. 1
5970. 2
5970. 3
5971. 0
5971. 1
5971. 2
5971. 3
5971. 4
5971. 5
5971. 6
5972. 0

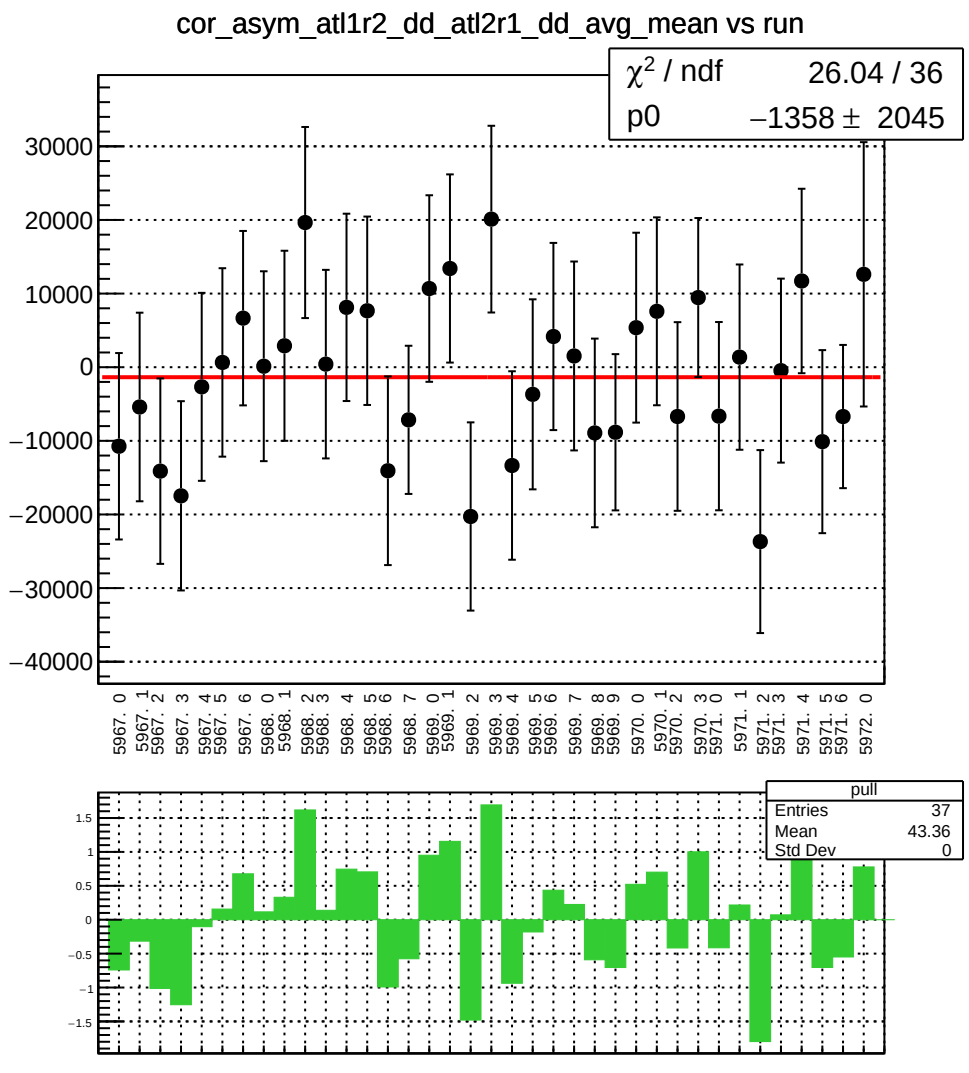
cor_asym_atl1r2_dd_atl2r1_dd_avg_mean vs run
χ² / ndf 26.04 / 36
p0 −1358 ± 2045
30000
20000
10000
0
−10000
−20000
−30000
−40000
5967. 0
5967. 1
5967. 2
5967. 3
5967. 4
5967. 5
5967. 6
5968. 0
5968. 1
5968. 2
5968. 3
5968. 4
5968. 5
5968. 6
5968. 7
5969. 0
5969. 1
5969. 2
5969. 3
5969. 4
5969. 5
5969. 6
5969. 7
5969. 8
5969. 9
5970. 0
5970. 1
5970. 2
5970. 3
5971. 0
5971. 1
5971. 2
5971. 3
5971. 4
5971. 5
5971. 6
5972. 0
pull
Entries 37
Mean 43.36
Std Dev 0
1.5
1
0.5
0
−0.5
−1
−1.5
pull1D
Entries 37
Mean 0.01398
Std Dev 0.8389
8
7
6
5
4
3
2
1
0
−8
−6
−4
−2
0
2
4
6
8

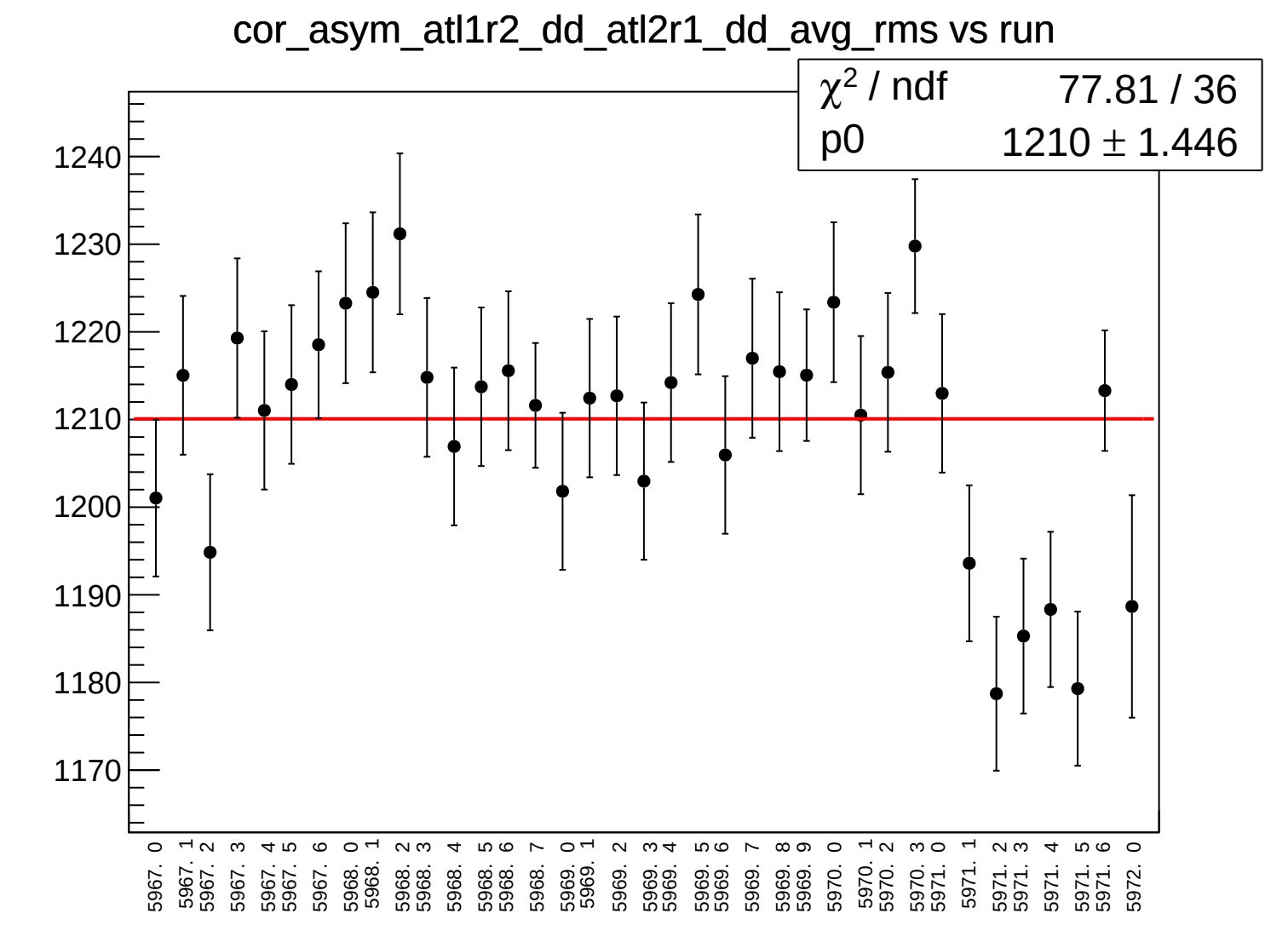
cor_asym_atl1r2_dd_atl2r1_dd_avg_rms vs run
χ² / ndf 77.81 / 36
p0 1210 ± 1.446
1240
1230
1220
1210
1200
1190
1180
1170
5967. 0
5967. 1
5967. 2
5967. 3
5967. 4
5967. 5
5967. 6
5968. 0
5968. 1
5968. 2
5968. 3
5968. 4
5968. 5
5968. 6
5968. 7
5969. 0
5969. 1
5969. 2
5969. 3
5969. 4
5969. 5
5969. 6
5969. 7
5969. 8
5969. 9
5970. 0
5970. 1
5970. 2
5970. 3
5971. 0
5971. 1
5971. 2
5971. 3
5971. 4
5971. 5
5971. 6
5972. 0

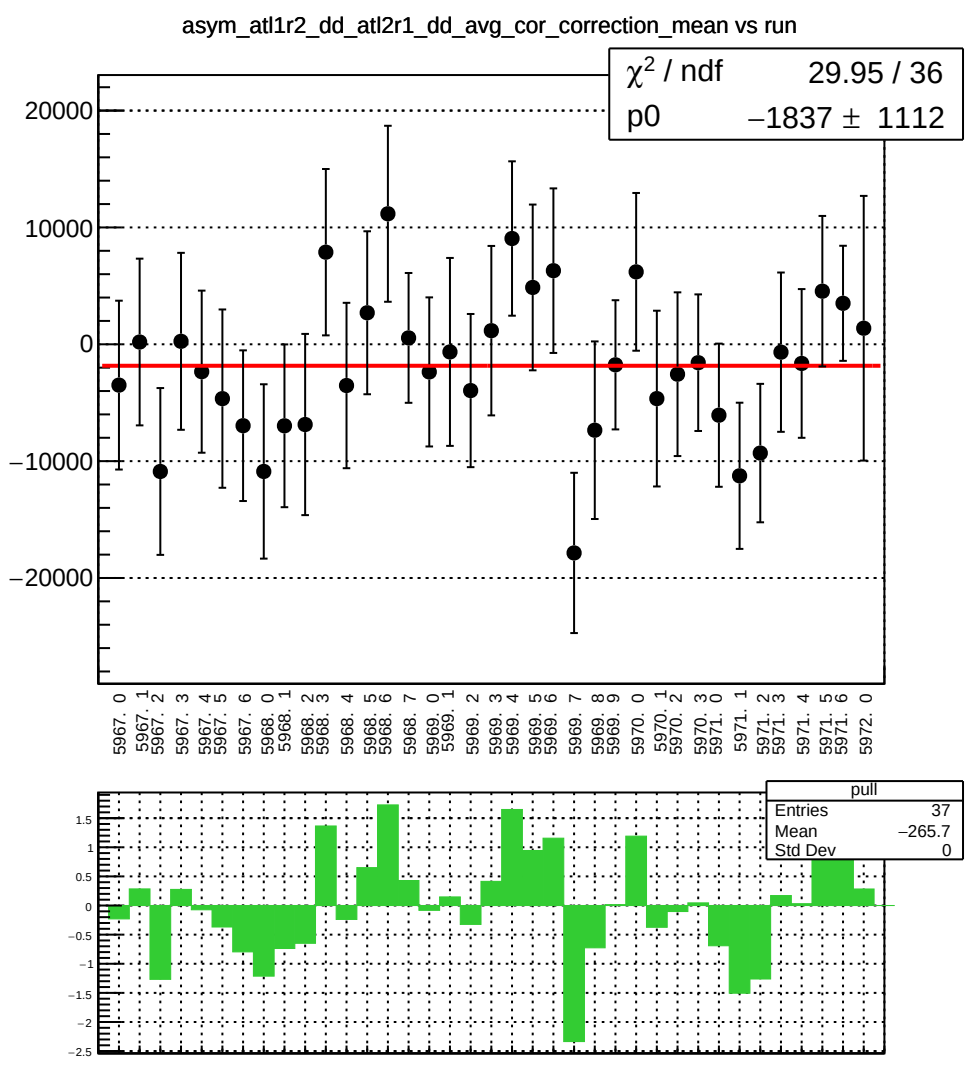
asym_atl1r2_dd_atl2r1_dd_avg_cor_correction_mean vs run
χ² / ndf 29.95 / 36
p0 −1837 ± 1112
20000
10000
0
−10000
−20000
5967. 0
5967. 1
5967. 2
5967. 3
5967. 4
5967. 5
5967. 6
5968. 0
5968. 1
5968. 2
5968. 3
5968. 4
5968. 5
5968. 6
5968. 7
5969. 0
5969. 1
5969. 2
5969. 3
5969. 4
5969. 5
5969. 6
5969. 7
5969. 8
5969. 9
5970. 0
5970. 1
5970. 2
5970. 3
5971. 0
5971. 1
5971. 2
5971. 3
5971. 4
5971. 5
5971. 6
5972. 0
pull
Entries 37
Mean −265.7
Std Dev 0
1.5
1
0.5
0
−0.5
−1
−1.5
−2
−2.5

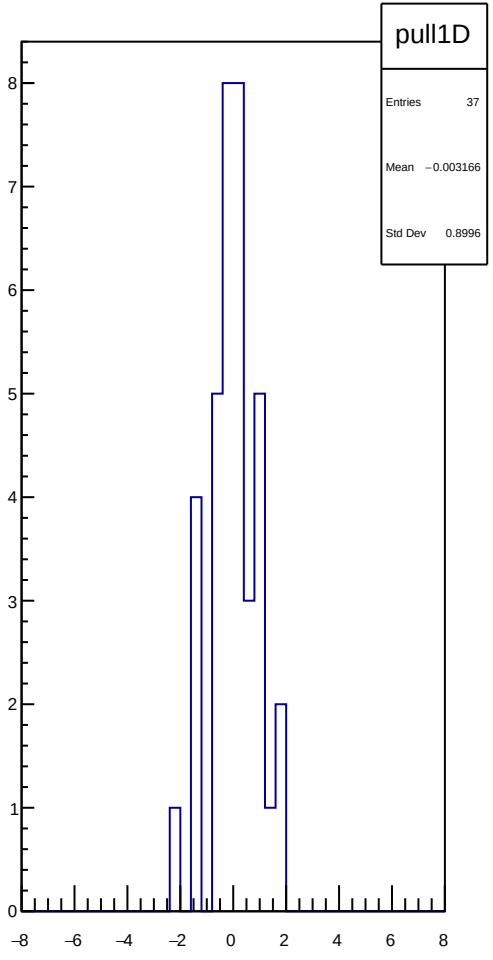
pull1D
Entries 37
Mean −0.003166
Std Dev 0.8996
8
7
6
5
4
3
2
1
0
−8
−6
−4
−2
0
2
4
6
8

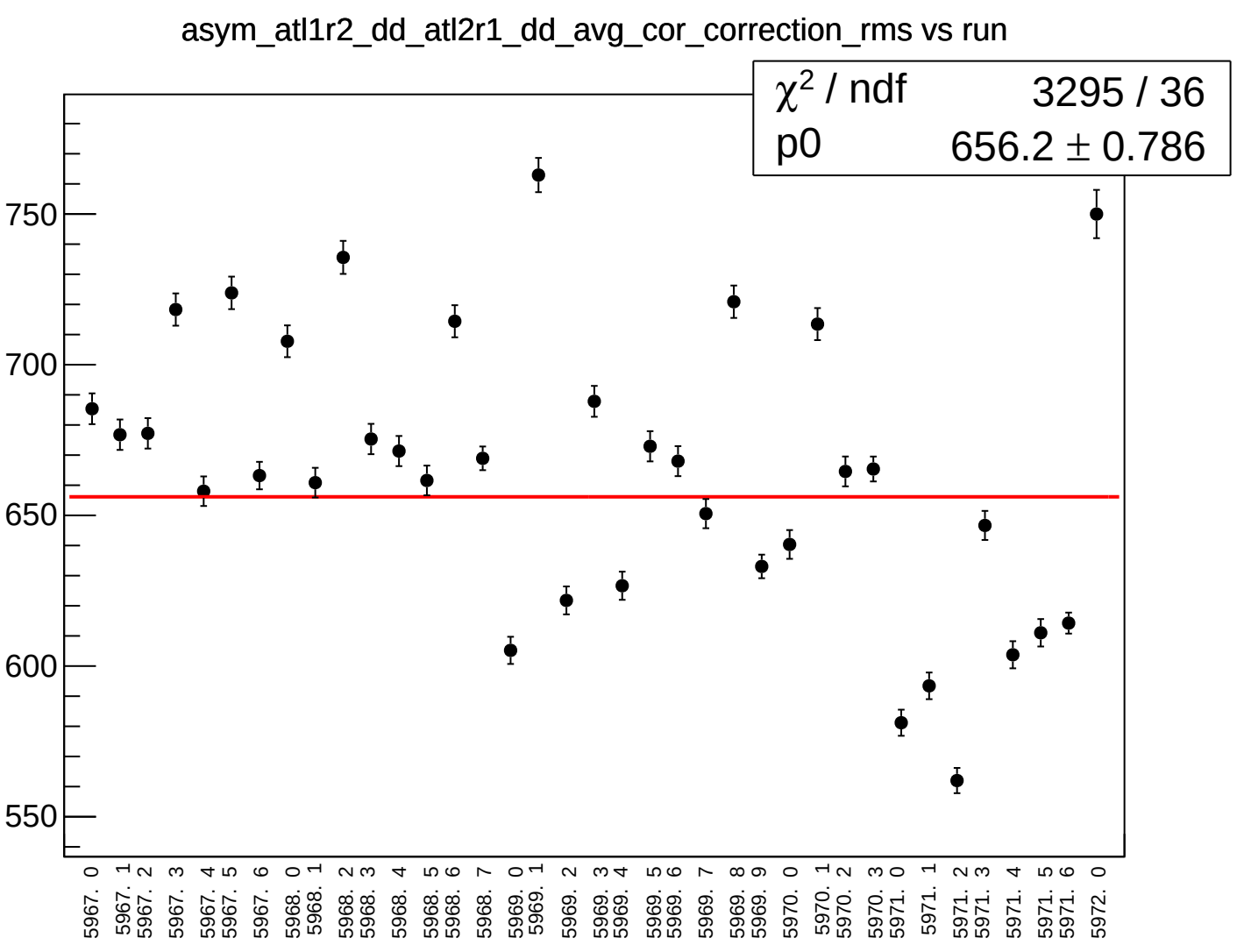
asym_atl1r2_dd_atl2r1_dd_avg_cor_correction_rms vs run
χ² / ndf 3295 / 36
p0 656.2 ± 0.786
750
700
650
600
550
5967. 0
5967. 1
5967. 2
5967. 3
5967. 4
5967. 5
5967. 6
5968. 0
5968. 1
5968. 2
5968. 3
5968. 4
5968. 5
5968. 6
5968. 7
5969. 0
5969. 1
5969. 2
5969. 3
5969. 4
5969. 5
5969. 6
5969. 7
5969. 8
5969. 9
5970. 0
5970. 1
5970. 2
5970. 3
5971. 0
5971. 1
5971. 2
5971. 3
5971. 4
5971. 5
5971. 6
5972. 0

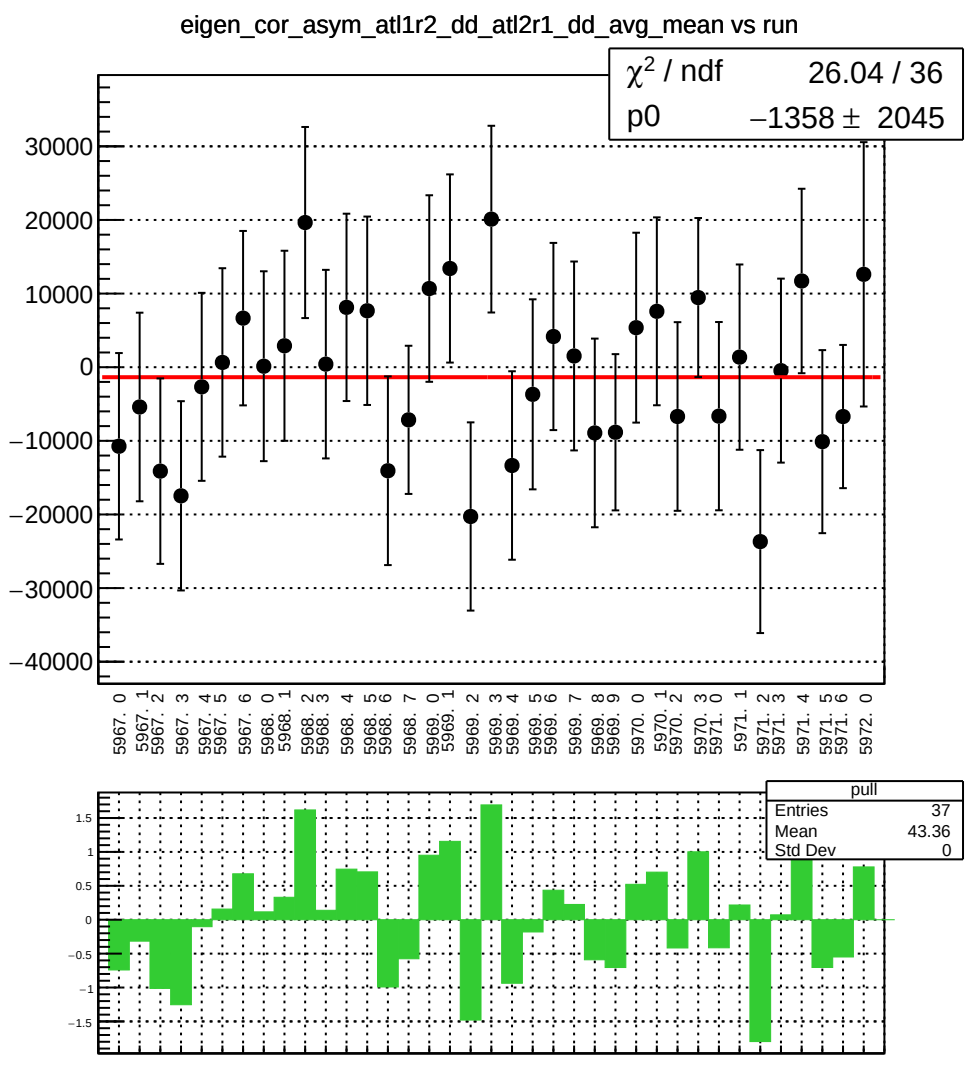
eigen_cor_asym_atl1r2_dd_atl2r1_dd_avg_mean vs run
χ² / ndf 26.04 / 36
p0 −1358 ± 2045
30000
20000
10000
0
−10000
−20000
−30000
−40000
5967. 0
5967. 1
5967. 2
5967. 3
5967. 4
5967. 5
5967. 6
5968. 0
5968. 1
5968. 2
5968. 3
5968. 4
5968. 5
5968. 6
5968. 7
5969. 0
5969. 1
5969. 2
5969. 3
5969. 4
5969. 5
5969. 6
5969. 7
5969. 8
5969. 9
5970. 0
5970. 1
5970. 2
5970. 3
5971. 0
5971. 1
5971. 2
5971. 3
5971. 4
5971. 5
5971. 6
5972. 0
pull
Entries 37
Mean 43.36
Std Dev 0
1.5
1
0.5
0
−0.5
−1
−1.5

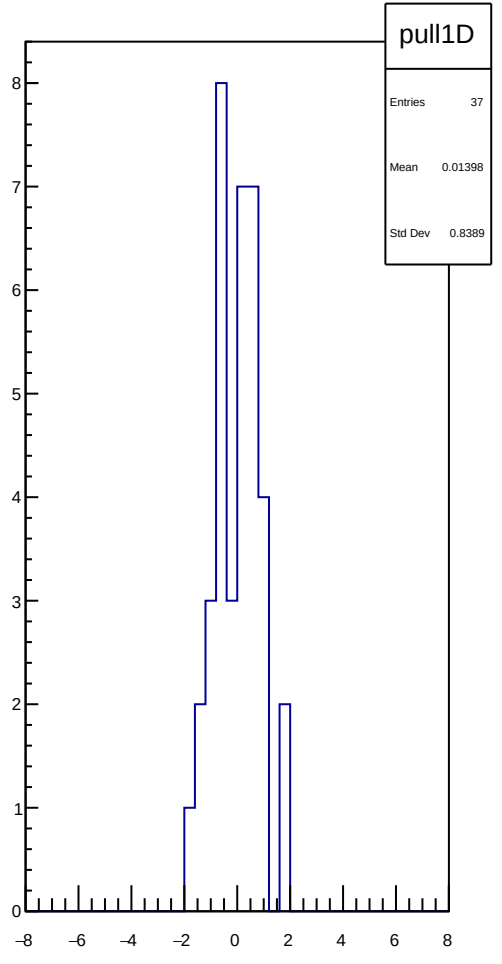
pull1D
Entries 37
Mean 0.01398
Std Dev 0.8389
8
7
6
5
4
3
2
1
0
−8
−6
−4
−2
0
2
4
6
8

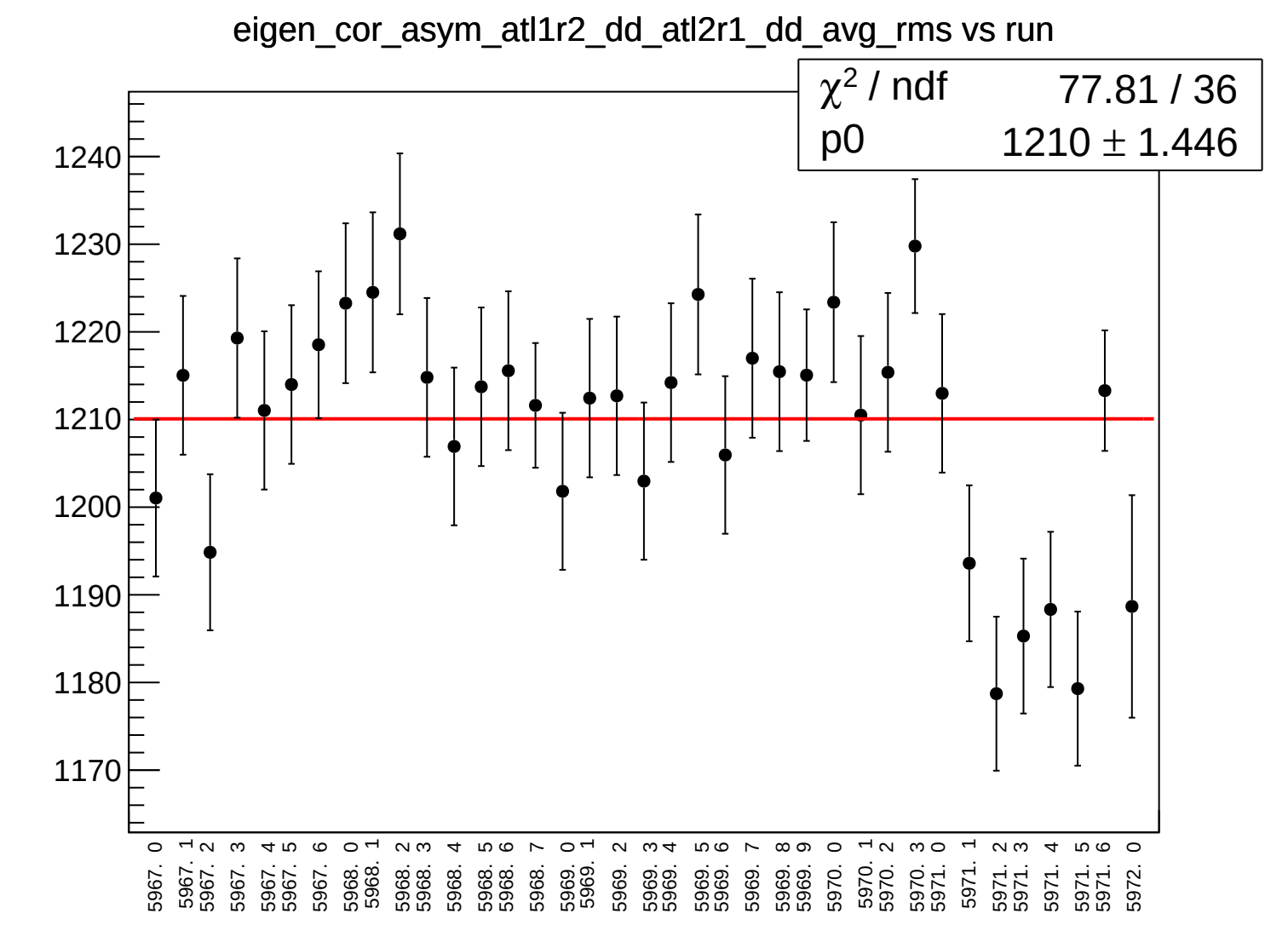
eigen_cor_asym_atl1r2_dd_atl2r1_dd_avg_rms vs run
χ² / ndf 77.81 / 36
p0 1210 ± 1.446
1240
1230
1220
1210
1200
1190
1180
1170
5967. 0
5967. 1
5967. 2
5967. 3
5967. 4
5967. 5
5967. 6
5968. 0
5968. 1
5968. 2
5968. 3
5968. 4
5968. 5
5968. 6
5968. 7
5969. 0
5969. 1
5969. 2
5969. 3
5969. 4
5969. 5
5969. 6
5969. 7
5969. 8
5969. 9
5970. 0
5970. 1
5970. 2
5970. 3
5971. 0
5971. 1
5971. 2
5971. 3
5971. 4
5971. 5
5971. 6
5972. 0

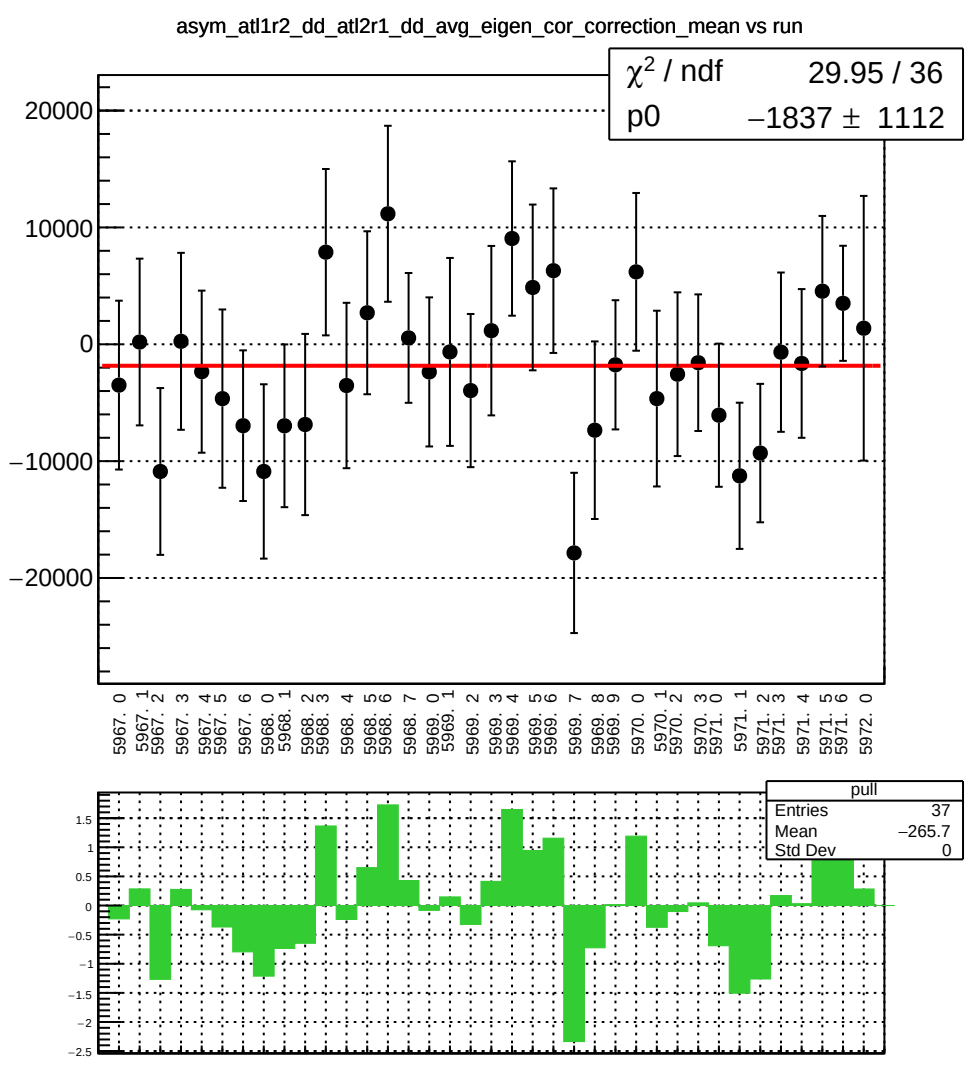
asym_atl1r2_dd_atl2r1_dd_avg_eigen_cor_correction_mean vs run
χ² / ndf 29.95 / 36
p0 −1837 ± 1112
20000
10000
0
−10000
−20000
5967. 0
5967. 1
5967. 2
5967. 3
5967. 4
5967. 5
5967. 6
5968. 0
5968. 1
5968. 2
5968. 3
5968. 4
5968. 5
5968. 6
5968. 7
5969. 0
5969. 1
5969. 2
5969. 3
5969. 4
5969. 5
5969. 6
5969. 7
5969. 8
5969. 9
5970. 0
5970. 1
5970. 2
5970. 3
5971. 0
5971. 1
5971. 2
5971. 3
5971. 4
5971. 5
5971. 6
5972. 0
pull
Entries 37
Mean −265.7
Std Dev 0
1.5
1
0.5
0
−0.5
−1
−1.5
−2
−2.5

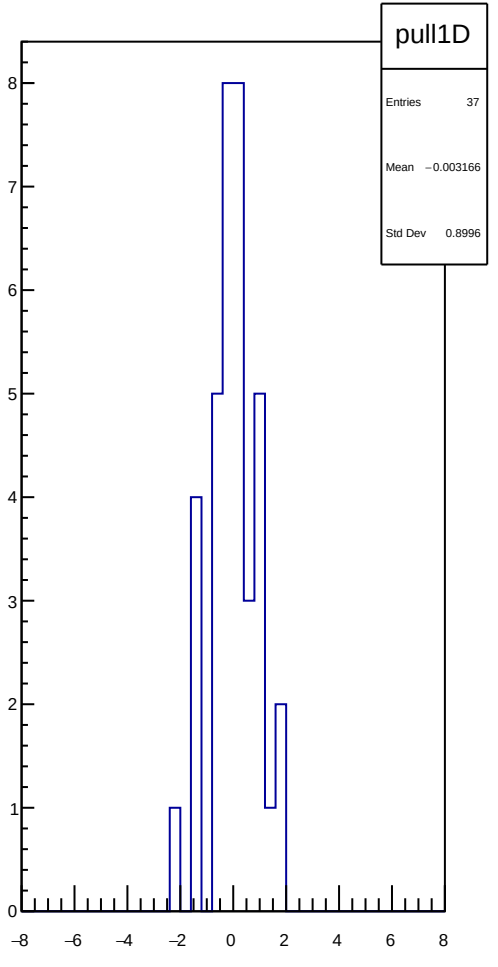
pull1D
Entries 37
Mean −0.003166
Std Dev 0.8996
8
7
6
5
4
3
2
1
0
−8
−6
−4
−2
0
2
4
6
8

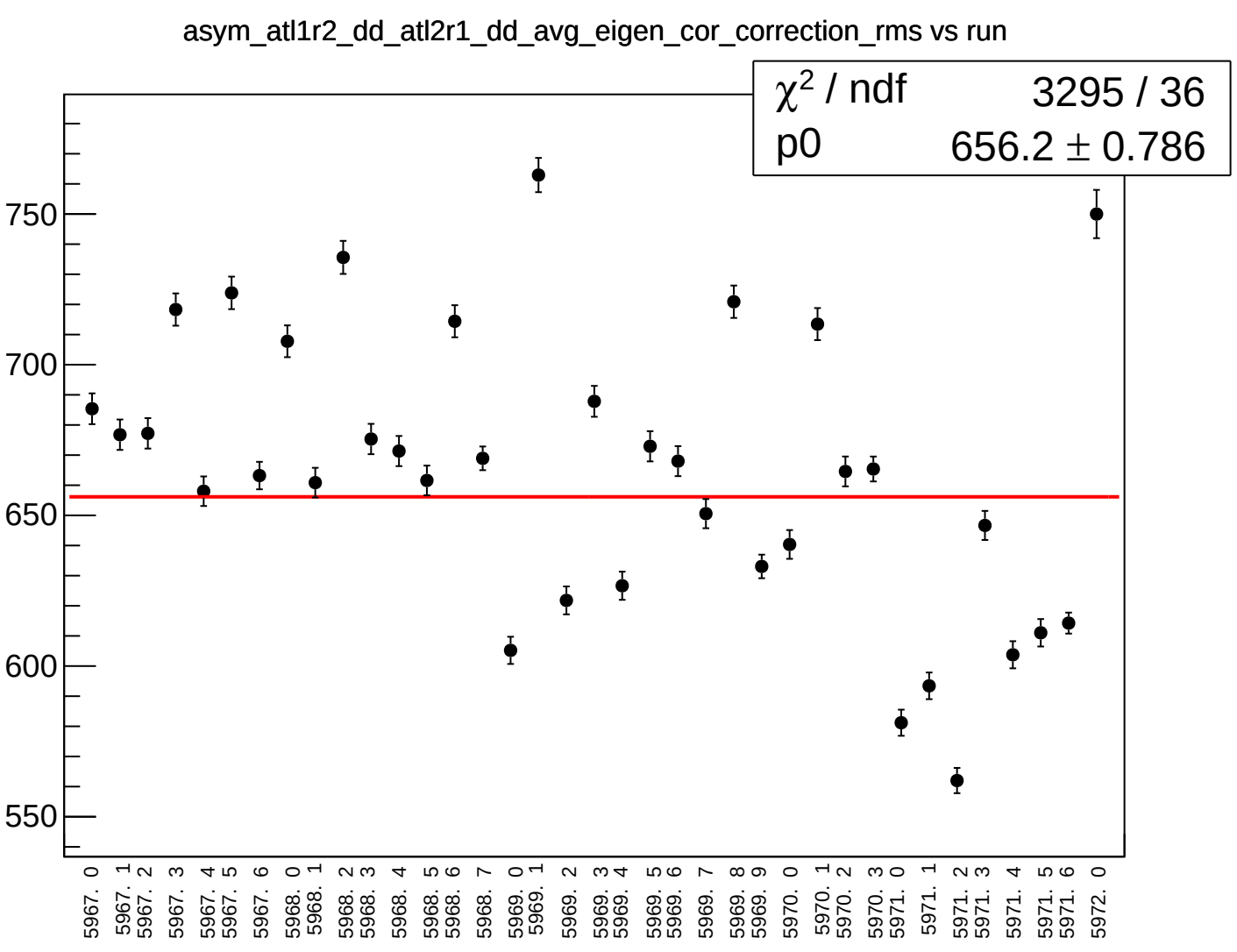
asym_atl1r2_dd_atl2r1_dd_avg_eigen_cor_correction_rms vs run
χ² / ndf 3295 / 36
p0 656.2 ± 0.786
750
700
650
600
550
5967. 0
5967. 1
5967. 2
5967. 3
5967. 4
5967. 5
5967. 6
5968. 0
5968. 1
5968. 2
5968. 3
5968. 4
5968. 5
5968. 6
5968. 7
5969. 0
5969. 1
5969. 2
5969. 3
5969. 4
5969. 5
5969. 6
5969. 7
5969. 8
5969. 9
5970. 0
5970. 1
5970. 2
5970. 3
5971. 0
5971. 1
5971. 2
5971. 3
5971. 4
5971. 5
5971. 6
5972. 0

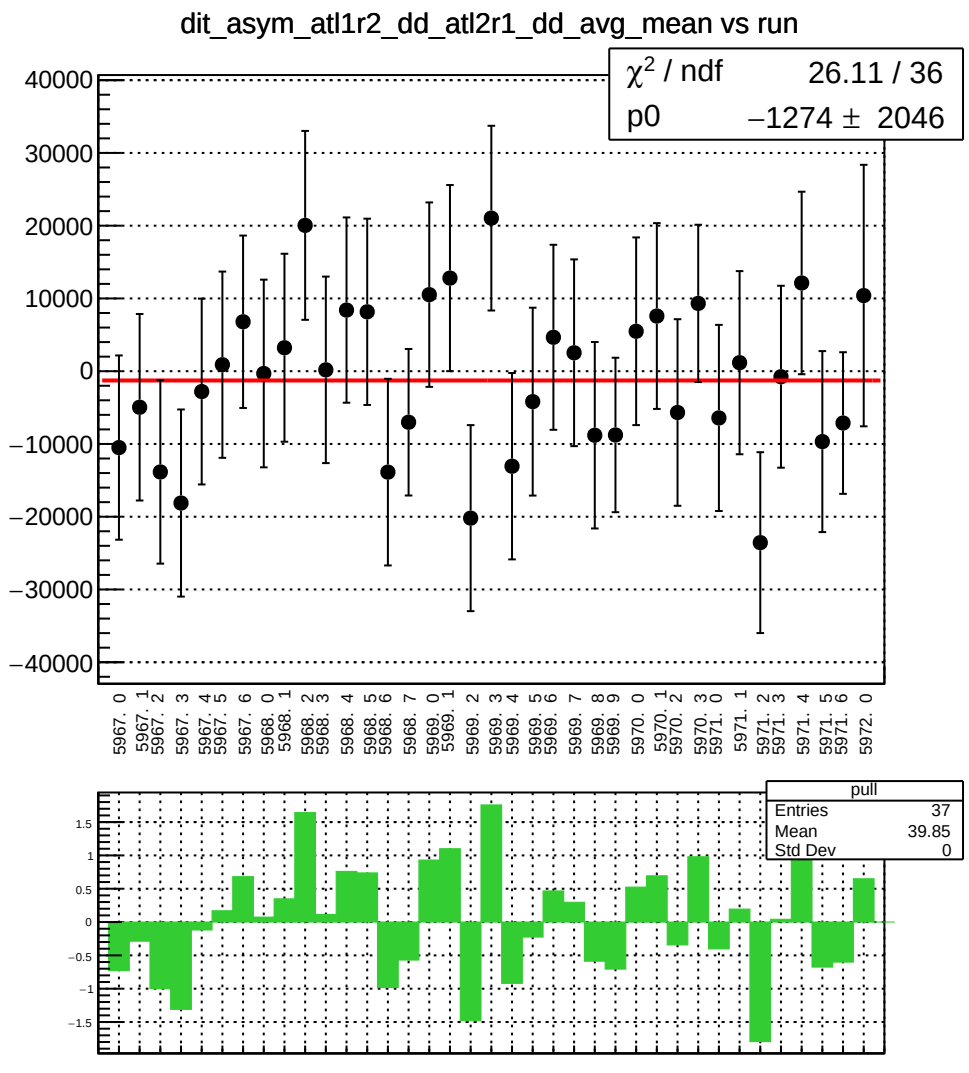
dit_asym_atl1r2_dd_atl2r1_dd_avg_mean vs run
χ² / ndf 26.11 / 36
p0 −1274 ± 2046
40000
30000
20000
10000
0
−10000
−20000
−30000
−40000
5967. 0
5967. 1
5967. 2
5967. 3
5967. 4
5967. 5
5967. 6
5968. 0
5968. 1
5968. 2
5968. 3
5968. 4
5968. 5
5968. 6
5968. 7
5969. 0
5969. 1
5969. 2
5969. 3
5969. 4
5969. 5
5969. 6
5969. 7
5969. 8
5969. 9
5970. 0
5970. 1
5970. 2
5970. 3
5971. 0
5971. 1
5971. 2
5971. 3
5971. 4
5971. 5
5971. 6
5972. 0
pull
Entries 37
Mean 39.85
Std Dev 0
1.5
1
0.5
0
−0.5
−1
−1.5

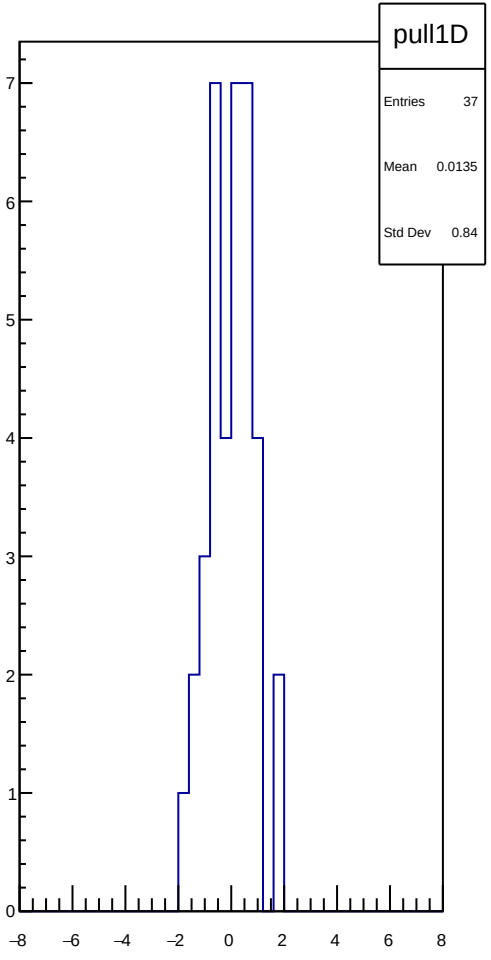
pull1D
Entries 37
Mean 0.0135
Std Dev 0.84
7
6
5
4
3
2
1
0
−8
−6
−4
−2
0
2
4
6
8

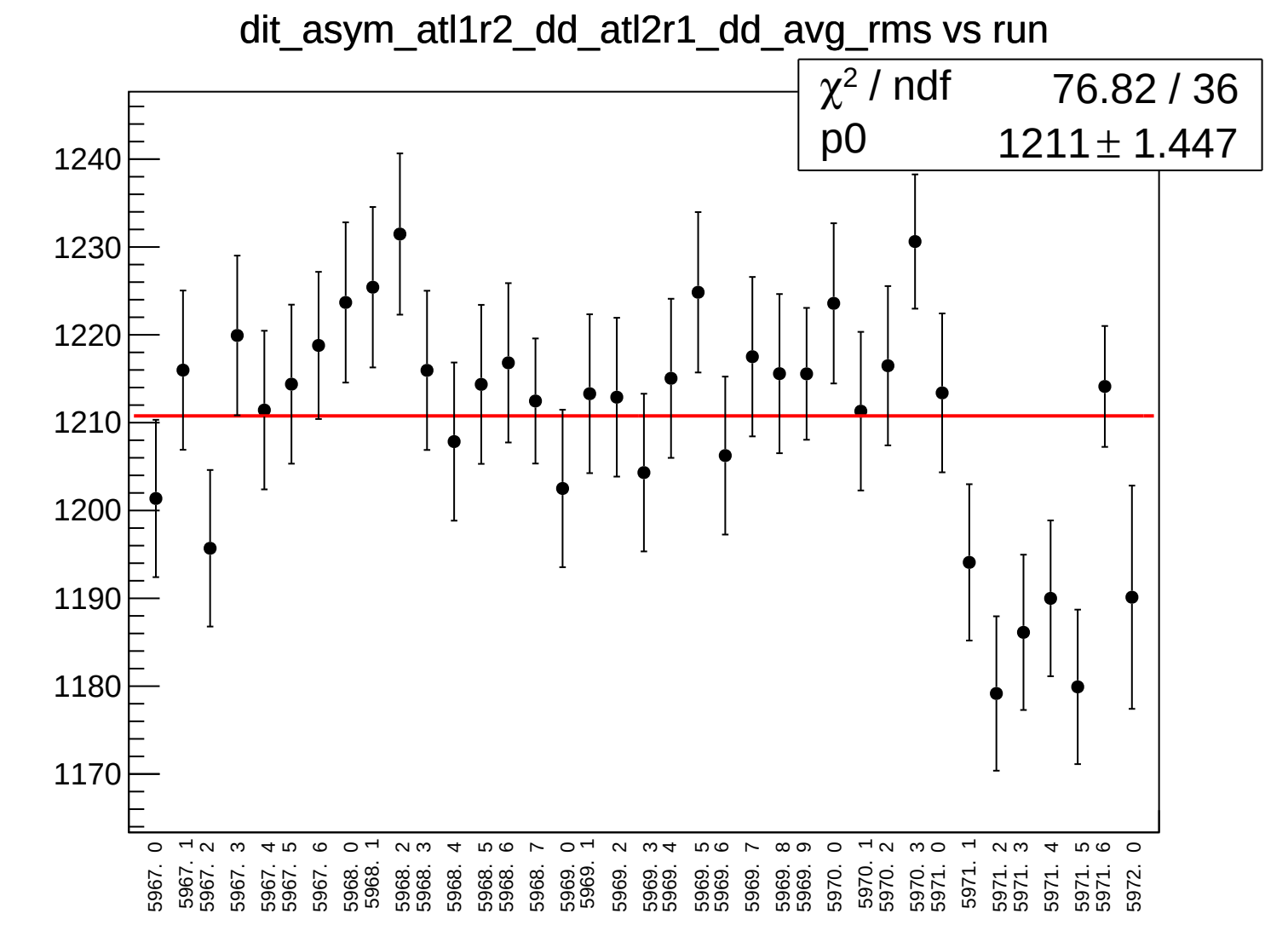
dit_asym_atl1r2_dd_atl2r1_dd_avg_rms vs run
χ² / ndf 76.82 / 36
p0 1211 ± 1.447
1240
1230
1220
1210
1200
1190
1180
1170
5967. 0
5967. 1
5967. 2
5967. 3
5967. 4
5967. 5
5967. 6
5968. 0
5968. 1
5968. 2
5968. 3
5968. 4
5968. 5
5968. 6
5968. 7
5969. 0
5969. 1
5969. 2
5969. 3
5969. 4
5969. 5
5969. 6
5969. 7
5969. 8
5969. 9
5970. 0
5970. 1
5970. 2
5970. 3
5971. 0
5971. 1
5971. 2
5971. 3
5971. 4
5971. 5
5971. 6
5972. 0

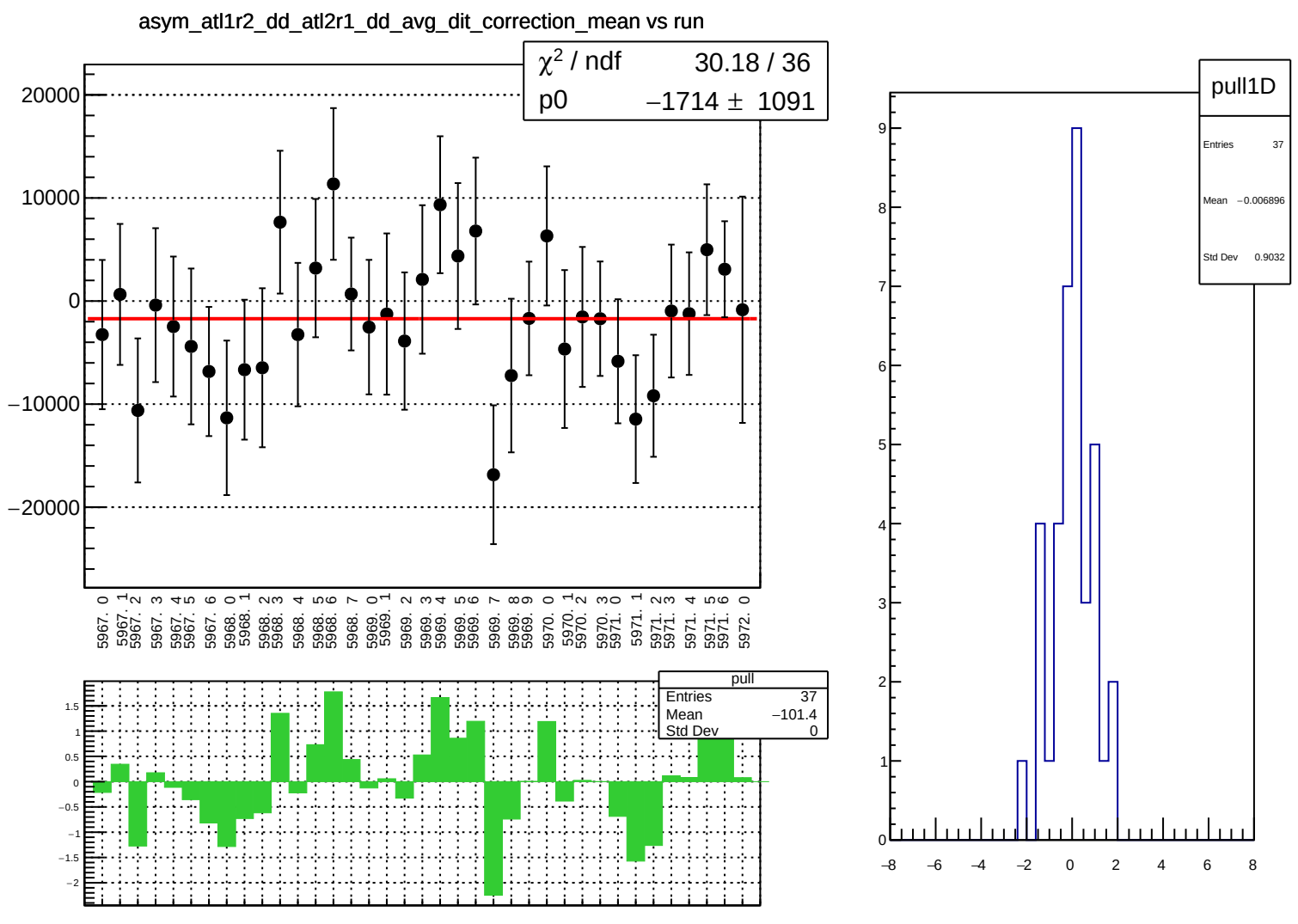
asym_atl1r2_dd_atl2r1_dd_avg_dit_correction_mean vs run
χ² / ndf 30.18 / 36
p0 −1714 ± 1091
20000
10000
0
−10000
−20000
5967. 0
5967. 1
5967. 2
5967. 3
5967. 4
5967. 5
5967. 6
5968. 0
5968. 1
5968. 2
5968. 3
5968. 4
5968. 5
5968. 6
5968. 7
5969. 0
5969. 1
5969. 2
5969. 3
5969. 4
5969. 5
5969. 6
5969. 7
5969. 8
5969. 9
5970. 0
5970. 1
5970. 2
5970. 3
5971. 0
5971. 1
5971. 2
5971. 3
5971. 4
5971. 5
5971. 6
5972. 0
pull
Entries 37
Mean −101.4
Std Dev 0
1.5
1
0.5
0
−0.5
−1
−1.5
−2
pull1D
Entries 37
Mean −0.006896
Std Dev 0.9032
9
8
7
6
5
4
3
2
1
0
−8
−6
−4
−2
0
2
4
6
8

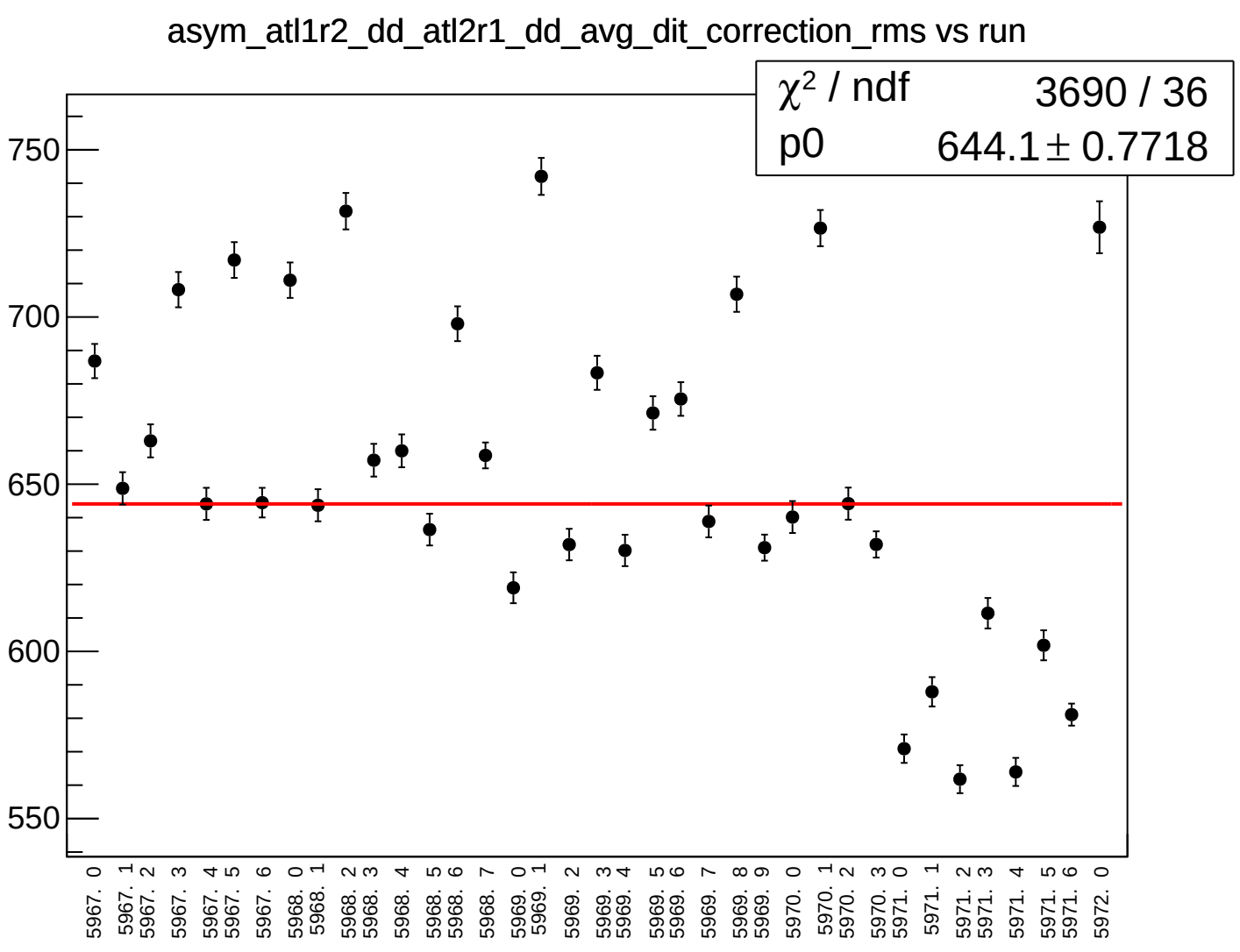
asym_atl1r2_dd_atl2r1_dd_avg_dit_correction_rms vs run
χ² / ndf 3690 / 36
p0 644.1 ± 0.7718
750
700
650
600
550
5967. 0
5967. 1
5967. 2
5967. 3
5967. 4
5967. 5
5967. 6
5968. 0
5968. 1
5968. 2
5968. 3
5968. 4
5968. 5
5968. 6
5968. 7
5969. 0
5969. 1
5969. 2
5969. 3
5969. 4
5969. 5
5969. 6
5969. 7
5969. 8
5969. 9
5970. 0
5970. 1
5970. 2
5970. 3
5971. 0
5971. 1
5971. 2
5971. 3
5971. 4
5971. 5
5971. 6
5972. 0

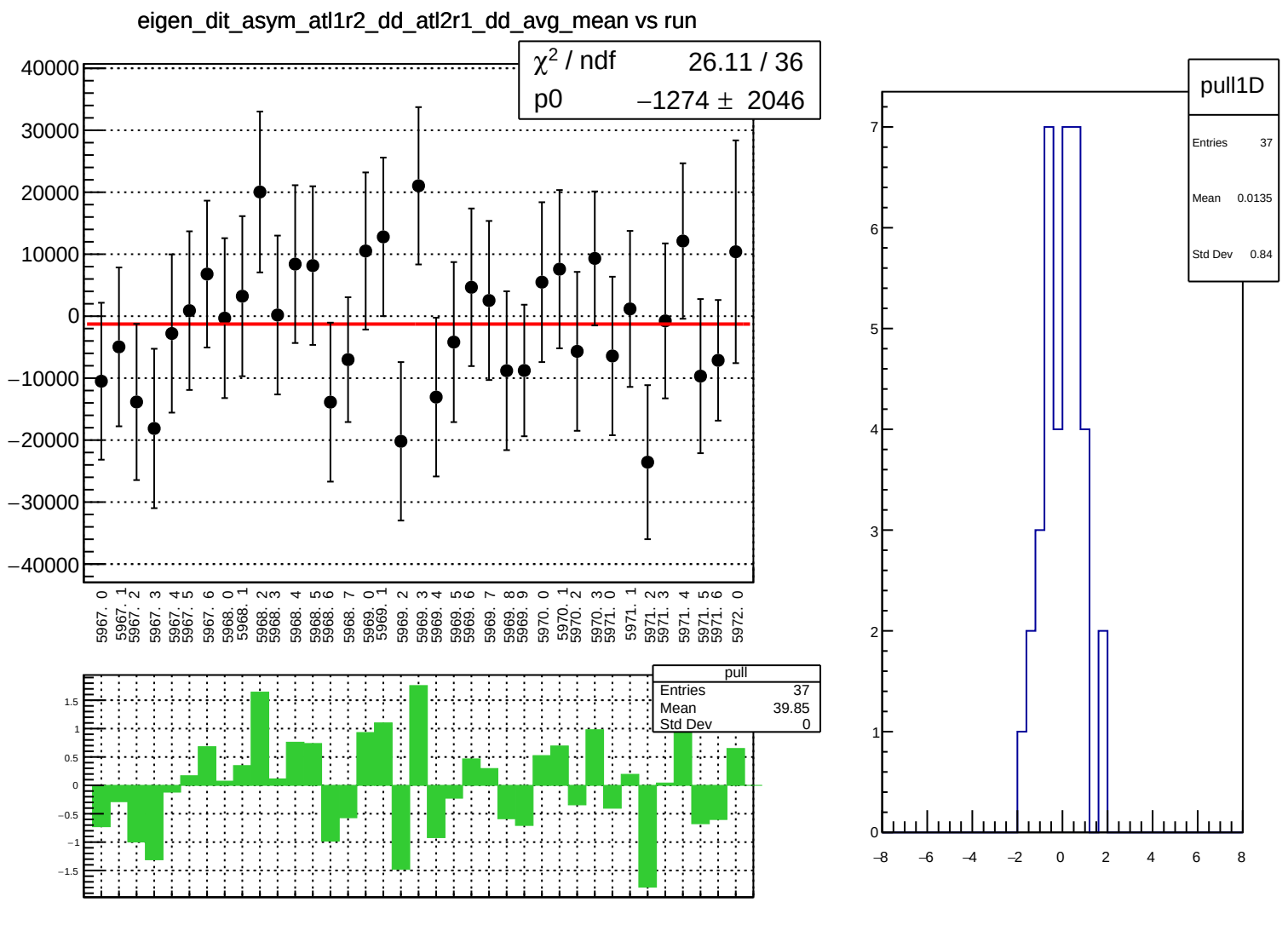
eigen_dit_asym_atl1r2_dd_atl2r1_dd_avg_mean vs run
χ² / ndf 26.11 / 36
p0 −1274 ± 2046
pull
Entries 37
Mean 39.85
Std Dev 0
pull1D
Entries 37
Mean 0.0135
Std Dev 0.84

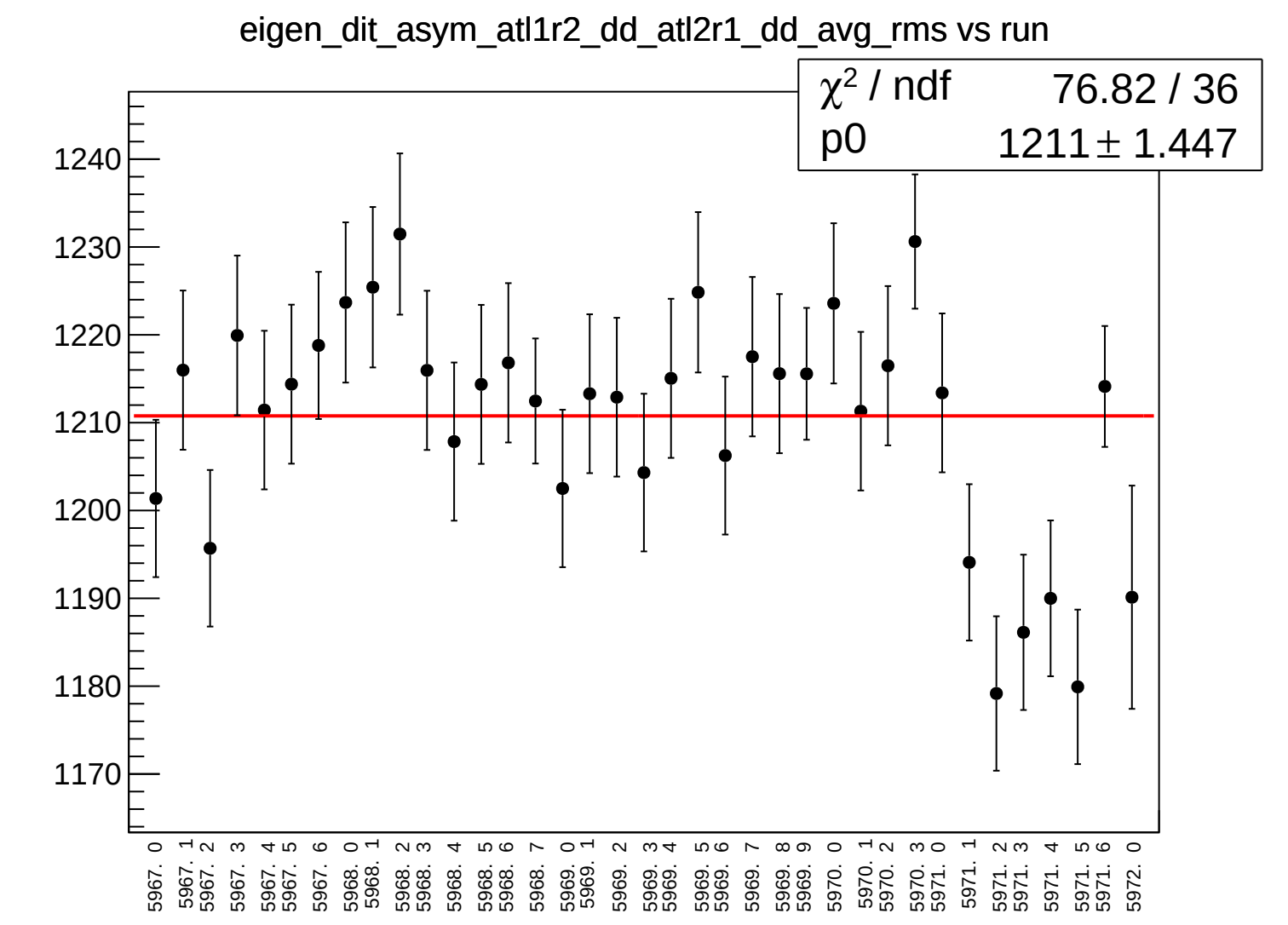
eigen_dit_asym_atl1r2_dd_atl2r1_dd_avg_rms vs run
χ² / ndf 76.82 / 36
p0 1211 ± 1.447
1240
1230
1220
1210
1200
1190
1180
1170
5967. 0
5967. 1
5967. 2
5967. 3
5967. 4
5967. 5
5967. 6
5968. 0
5968. 1
5968. 2
5968. 3
5968. 4
5968. 5
5968. 6
5968. 7
5969. 0
5969. 1
5969. 2
5969. 3
5969. 4
5969. 5
5969. 6
5969. 7
5969. 8
5969. 9
5970. 0
5970. 1
5970. 2
5970. 3
5971. 0
5971. 1
5971. 2
5971. 3
5971. 4
5971. 5
5971. 6
5972. 0

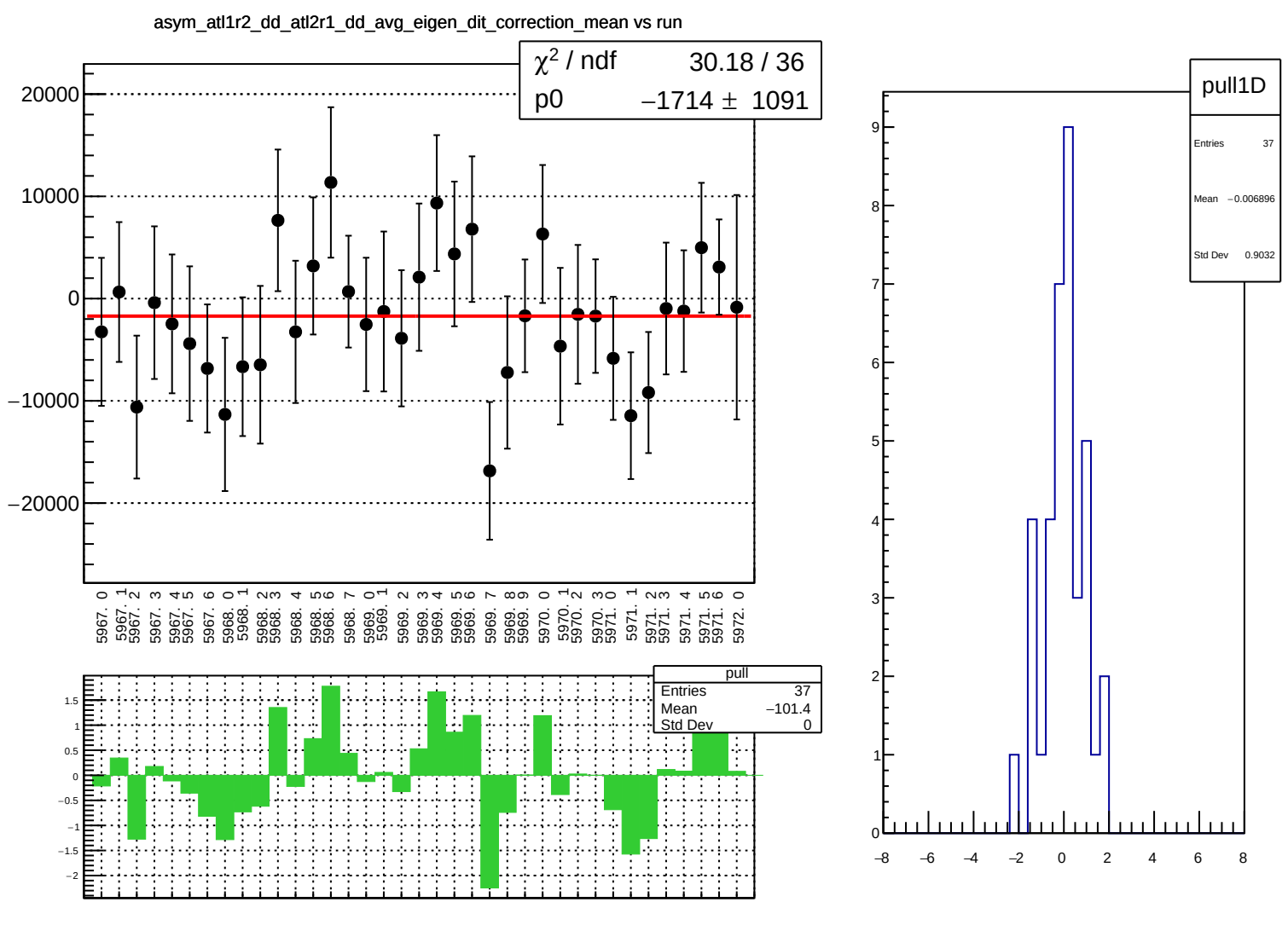
asym_atl1r2_dd_atl2r1_dd_avg_eigen_dit_correction_mean vs run
χ² / ndf 30.18 / 36
p0 −1714 ± 1091
20000
10000
0
−10000
−20000
5967. 0
5967. 1
5967. 2
5967. 3
5967. 4
5967. 5
5967. 6
5968. 0
5968. 1
5968. 2
5968. 3
5968. 4
5968. 5
5968. 6
5968. 7
5969. 0
5969. 1
5969. 2
5969. 3
5969. 4
5969. 5
5969. 6
5969. 7
5969. 8
5969. 9
5970. 0
5970. 1
5970. 2
5970. 3
5971. 0
5971. 1
5971. 2
5971. 3
5971. 4
5971. 5
5971. 6
5972. 0
pull
Entries 37
Mean −101.4
Std Dev 0
1.5
1
0.5
0
−0.5
−1
−1.5
−2
pull1D
Entries 37
Mean −0.006896
Std Dev 0.9032
9
8
7
6
5
4
3
2
1
0
−8
−6
−4
−2
0
2
4
6
8

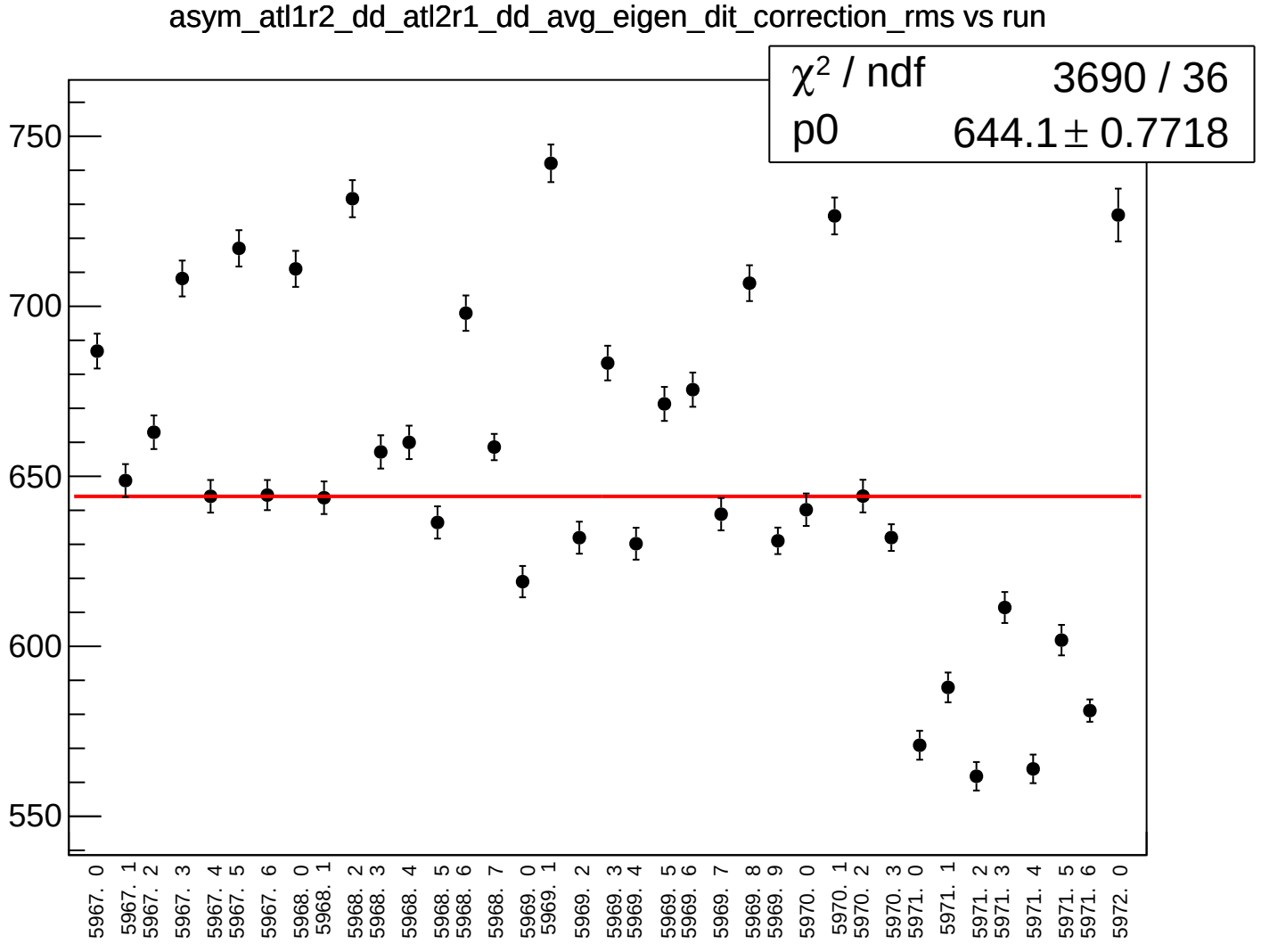
asym_atl1r2_dd_atl2r1_dd_avg_eigen_dit_correction_rms vs run
χ² / ndf 3690 / 36
p0 644.1 ± 0.7718
750
700
650
600
550
5967. 0
5967. 1
5967. 2
5967. 3
5967. 4
5967. 5
5967. 6
5968. 0
5968. 1
5968. 2
5968. 3
5968. 4
5968. 5
5968. 6
5968. 7
5969. 0
5969. 1
5969. 2
5969. 3
5969. 4
5969. 5
5969. 6
5969. 7
5969. 8
5969. 9
5970. 0
5970. 1
5970. 2
5970. 3
5971. 0
5971. 1
5971. 2
5971. 3
5971. 4
5971. 5
5971. 6
5972. 0

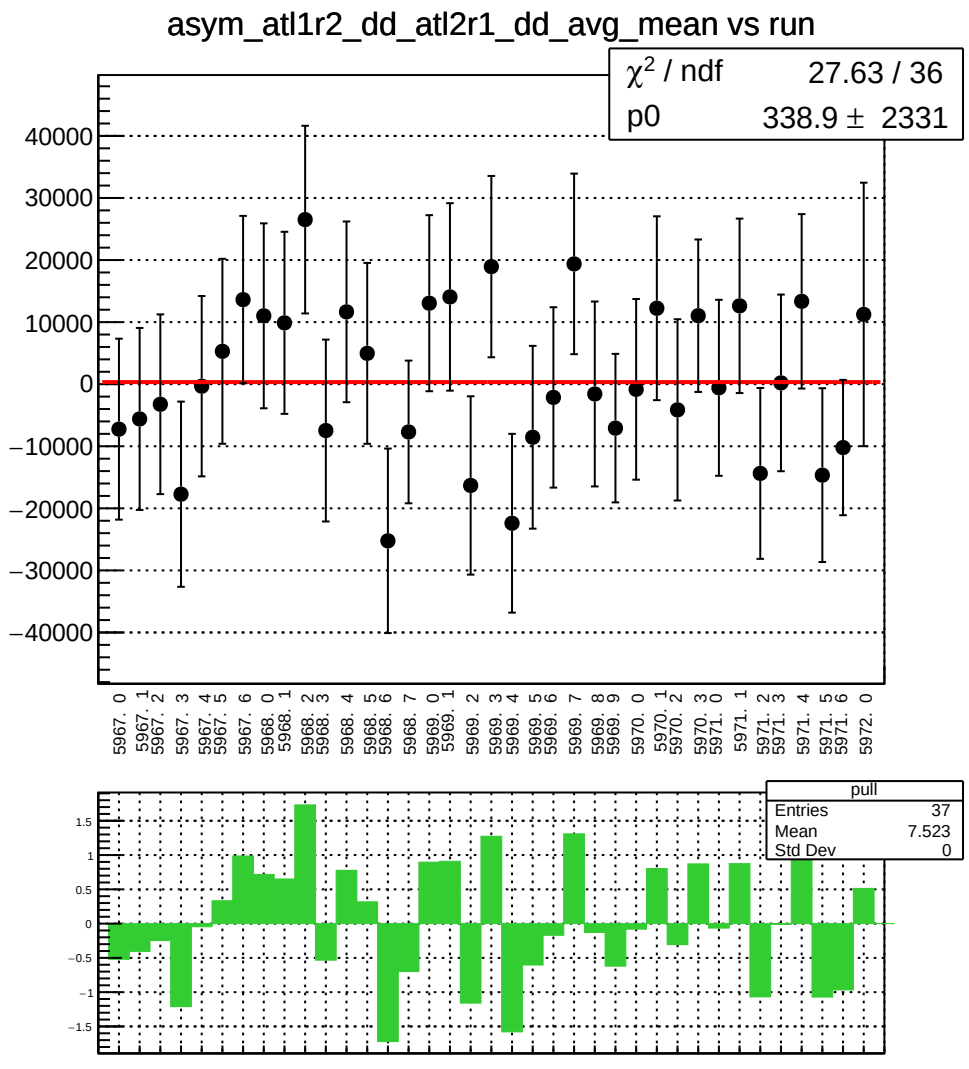
asym_atl1r2_dd_atl2r1_dd_avg_mean vs run
χ² / ndf 27.63 / 36
p0 338.9 ± 2331
40000
30000
20000
10000
0
−10000
−20000
−30000
−40000
5967. 0
5967. 1
5967. 2
5967. 3
5967. 4
5967. 5
5967. 6
5968. 0
5968. 1
5968. 2
5968. 3
5968. 4
5968. 5
5968. 6
5968. 7
5969. 0
5969. 1
5969. 2
5969. 3
5969. 4
5969. 5
5969. 6
5969. 7
5969. 8
5969. 9
5970. 0
5970. 1
5970. 2
5970. 3
5971. 0
5971. 1
5971. 2
5971. 3
5971. 4
5971. 5
5971. 6
5972. 0
pull
Entries 37
Mean 7.523
Std Dev 0
1.5
1
0.5
0
−0.5
−1
−1.5

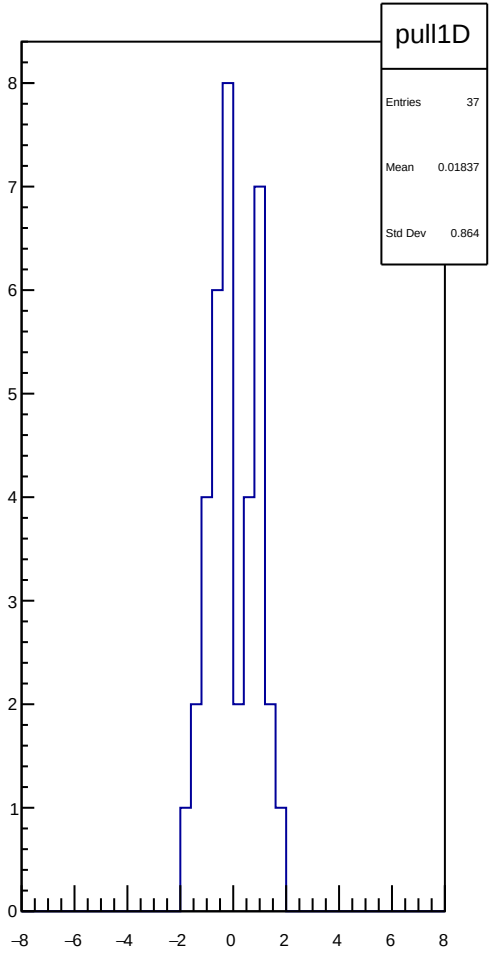
pull1D
Entries 37
Mean 0.01837
Std Dev 0.864
8
7
6
5
4
3
2
1
0
−8
−6
−4
−2
0
2
4
6
8

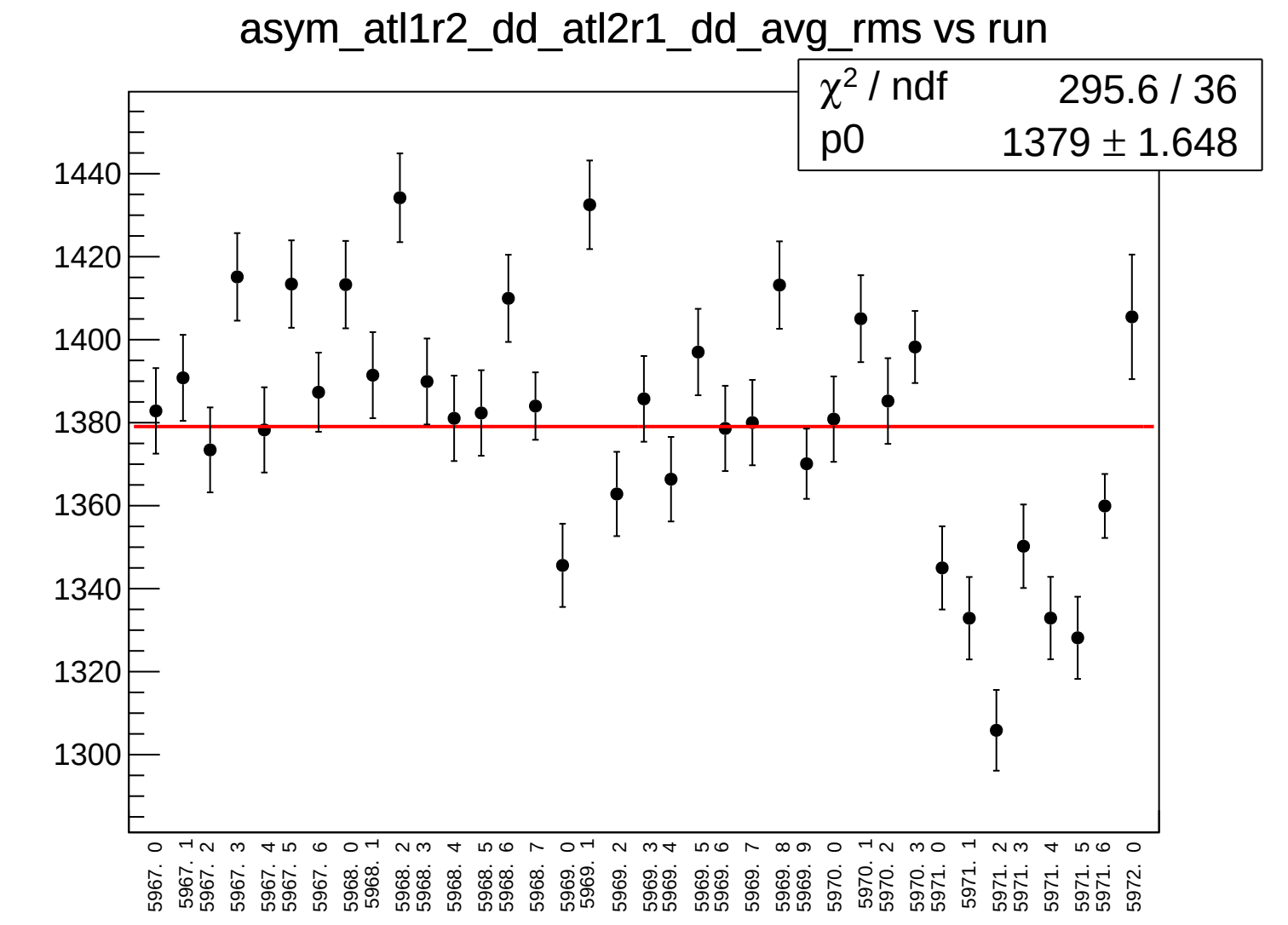
asym_atl1r2_dd_atl2r1_dd_avg_rms vs run
χ² / ndf 295.6 / 36
p0 1379 ± 1.648
1440
1420
1400
1380
1360
1340
1320
1300
5967. 0
5967. 1
5967. 2
5967. 3
5967. 4
5967. 5
5967. 6
5968. 0
5968. 1
5968. 2
5968. 3
5968. 4
5968. 5
5968. 6
5968. 7
5969. 0
5969. 1
5969. 2
5969. 3
5969. 4
5969. 5
5969. 6
5969. 7
5969. 8
5969. 9
5970. 0
5970. 1
5970. 2
5970. 3
5971. 0
5971. 1
5971. 2
5971. 3
5971. 4
5971. 5
5971. 6
5972. 0

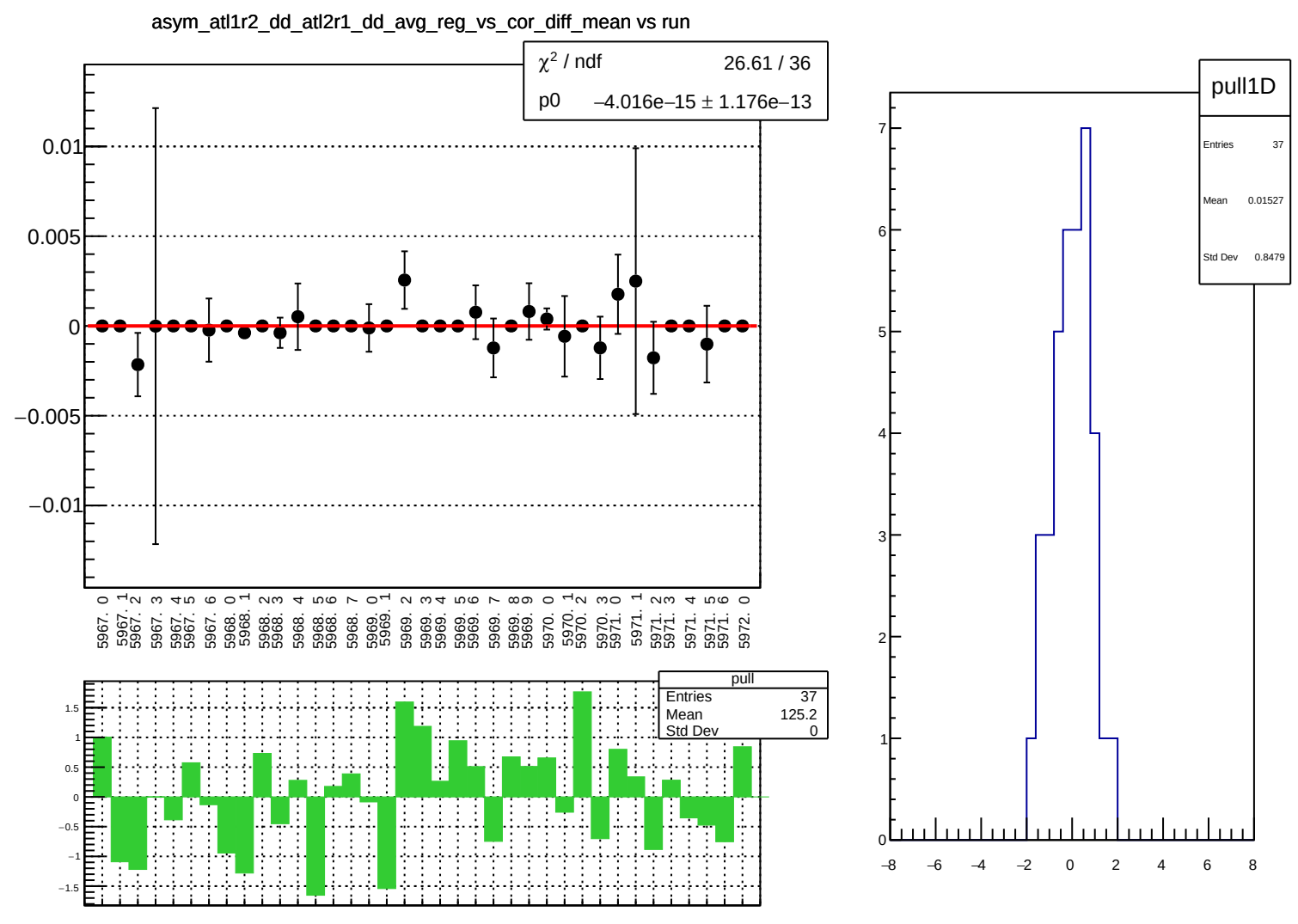
asym_atl1r2_dd_atl2r1_dd_avg_reg_vs_cor_diff_mean vs run
χ² / ndf 26.61 / 36
p0 −4.016e−15 ± 1.176e−13
0.01
0.005
0
−0.005
−0.01
5967. 0
5967. 1
5967. 2
5967. 3
5967. 4
5967. 5
5967. 6
5968. 0
5968. 1
5968. 2
5968. 3
5968. 4
5968. 5
5968. 6
5968. 7
5969. 0
5969. 1
5969. 2
5969. 3
5969. 4
5969. 5
5969. 6
5969. 7
5969. 8
5969. 9
5970. 0
5970. 1
5970. 2
5970. 3
5971. 0
5971. 1
5971. 2
5971. 3
5971. 4
5971. 5
5971. 6
5972. 0
pull
Entries 37
Mean 125.2
Std Dev 0
1.5
1
0.5
0
−0.5
−1
−1.5
pull1D
Entries 37
Mean 0.01527
Std Dev 0.8479
7
6
5
4
3
2
1
0
−8
−6
−4
−2
0
2
4
6
8

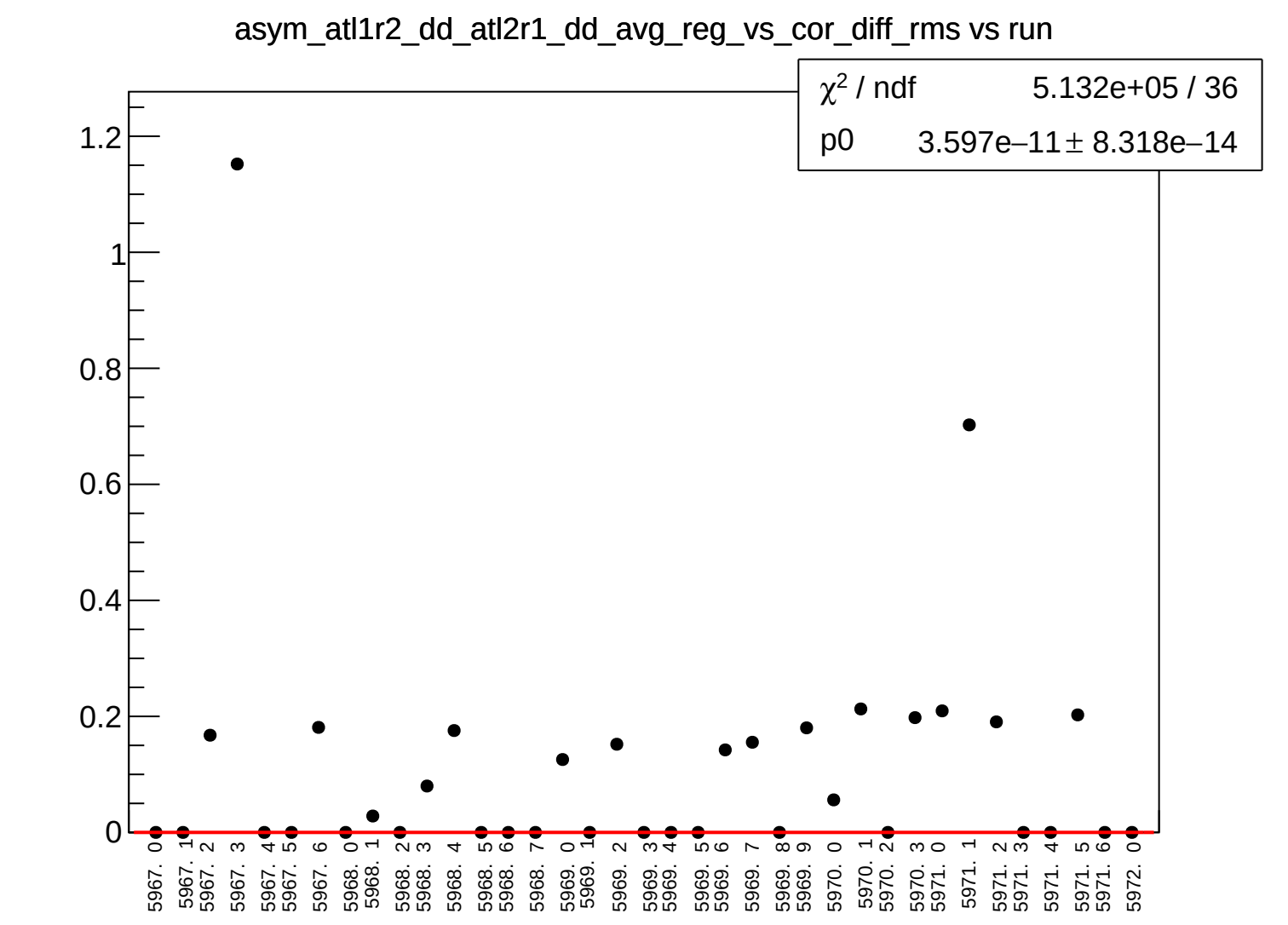
asym_atl1r2_dd_atl2r1_dd_avg_reg_vs_cor_diff_rms vs run
χ² / ndf 5.132e+05 / 36
p0 3.597e−11 ± 8.318e−14
1.2
1
0.8
0.6
0.4
0.2
0
5967. 0
5967. 1
5967. 2
5967. 3
5967. 4
5967. 5
5967. 6
5968. 0
5968. 1
5968. 2
5968. 3
5968. 4
5968. 5
5968. 6
5968. 7
5969. 0
5969. 1
5969. 2
5969. 3
5969. 4
5969. 5
5969. 6
5969. 7
5969. 8
5969. 9
5970. 0
5970. 1
5970. 2
5970. 3
5971. 0
5971. 1
5971. 2
5971. 3
5971. 4
5971. 5
5971. 6
5972. 0

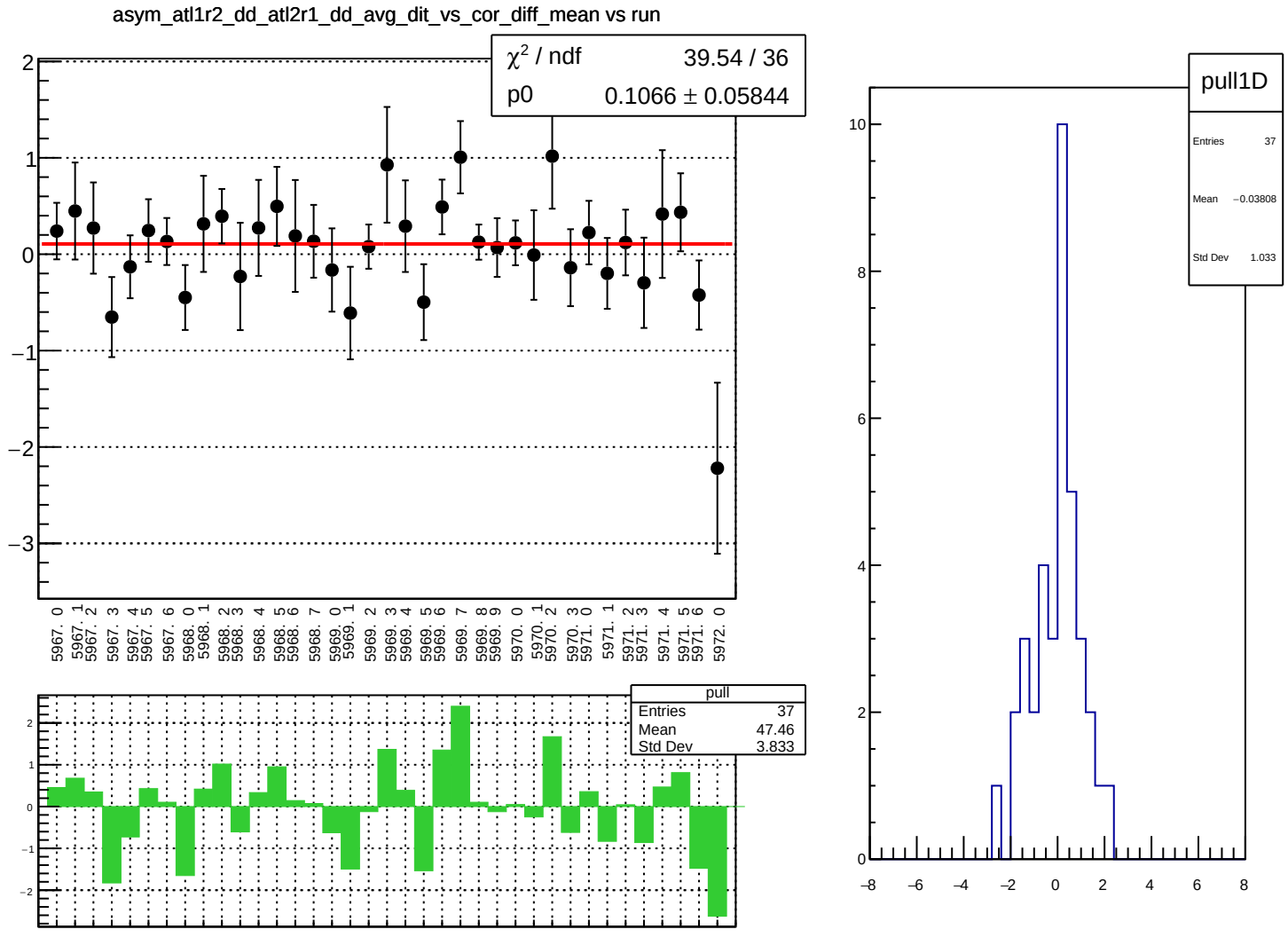
asym_atl1r2_dd_atl2r1_dd_avg_dit_vs_cor_diff_mean vs run
χ² / ndf 39.54 / 36
p0 0.1066 ± 0.05844
pull
Entries 37
Mean 47.46
Std Dev 3.833
pull1D
Entries 37
Mean −0.03808
Std Dev 1.033

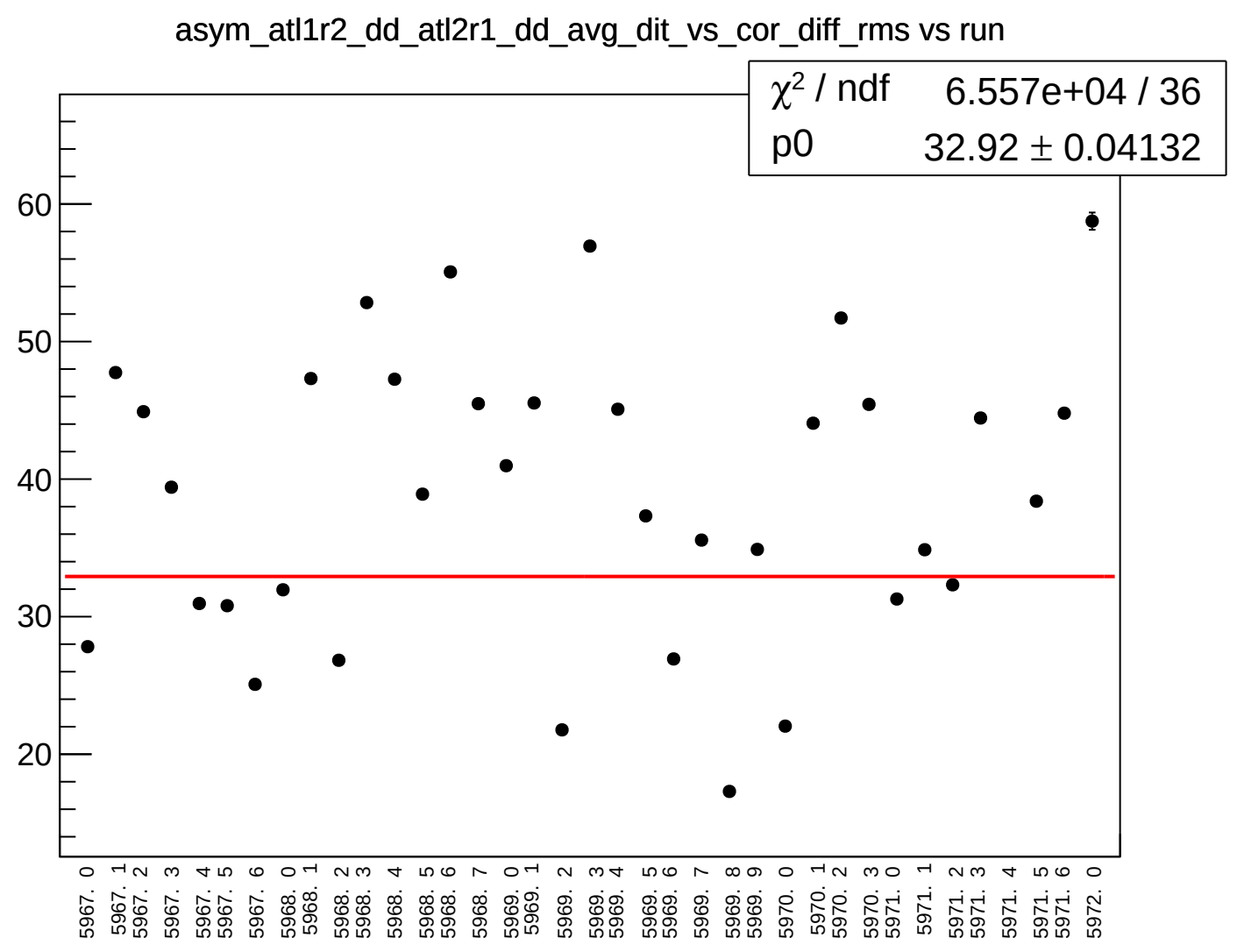
asym_atl1r2_dd_atl2r1_dd_avg_dit_vs_cor_diff_rms vs run
χ² / ndf 6.557e+04 / 36
p0 32.92 ± 0.04132
60
50
40
30
20
5967. 0
5967. 1
5967. 2
5967. 3
5967. 4
5967. 5
5967. 6
5968. 0
5968. 1
5968. 2
5968. 3
5968. 4
5968. 5
5968. 6
5968. 7
5969. 0
5969. 1
5969. 2
5969. 3
5969. 4
5969. 5
5969. 6
5969. 7
5969. 8
5969. 9
5970. 0
5970. 1
5970. 2
5970. 3
5971. 0
5971. 1
5971. 2
5971. 3
5971. 4
5971. 5
5971. 6
5972. 0

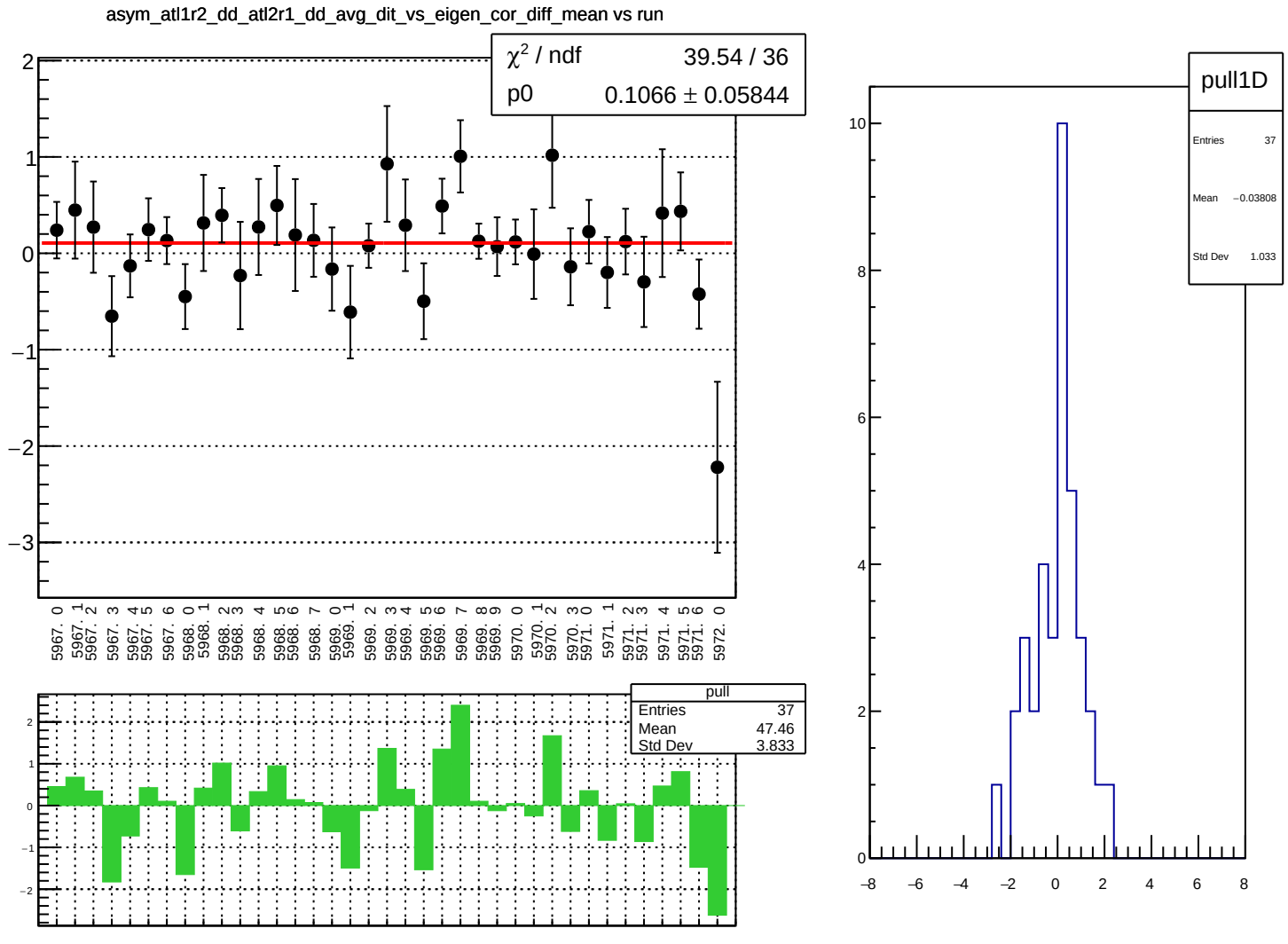
asym_atl1r2_dd_atl2r1_dd_avg_dit_vs_eigen_cor_diff_mean vs run
χ² / ndf 39.54 / 36
p0 0.1066 ± 0.05844
pull
Entries 37
Mean 47.46
Std Dev 3.833
pull1D
Entries 37
Mean −0.03808
Std Dev 1.033

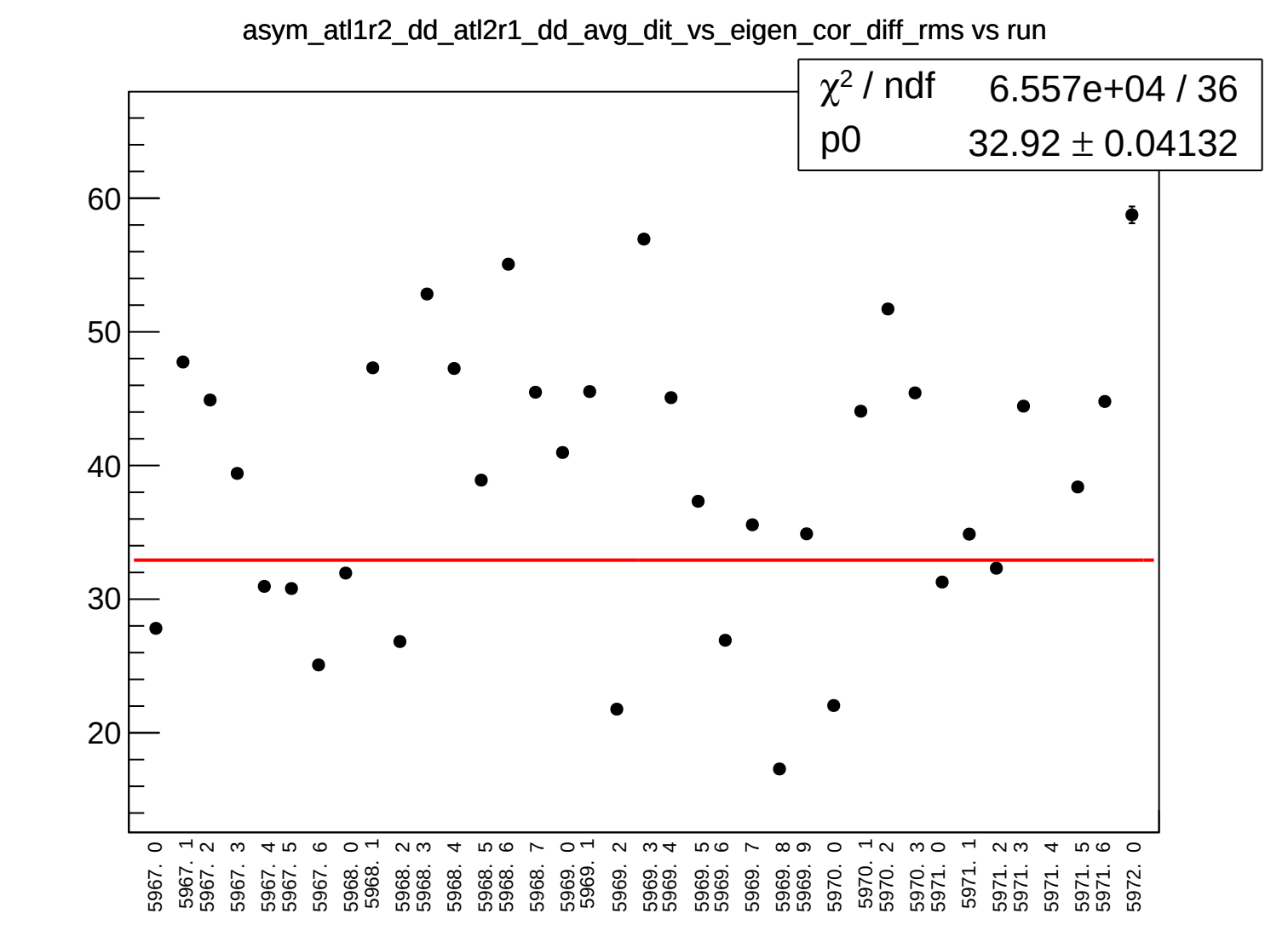
asym_atl1r2_dd_atl2r1_dd_avg_dit_vs_eigen_cor_diff_rms vs run
χ² / ndf 6.557e+04 / 36
p0 32.92 ± 0.04132
60
50
40
30
20
5967. 0
5967. 1
5967. 2
5967. 3
5967. 4
5967. 5
5967. 6
5968. 0
5968. 1
5968. 2
5968. 3
5968. 4
5968. 5
5968. 6
5968. 7
5969. 0
5969. 1
5969. 2
5969. 3
5969. 4
5969. 5
5969. 6
5969. 7
5969. 8
5969. 9
5970. 0
5970. 1
5970. 2
5970. 3
5971. 0
5971. 1
5971. 2
5971. 3
5971. 4
5971. 5
5971. 6
5972. 0

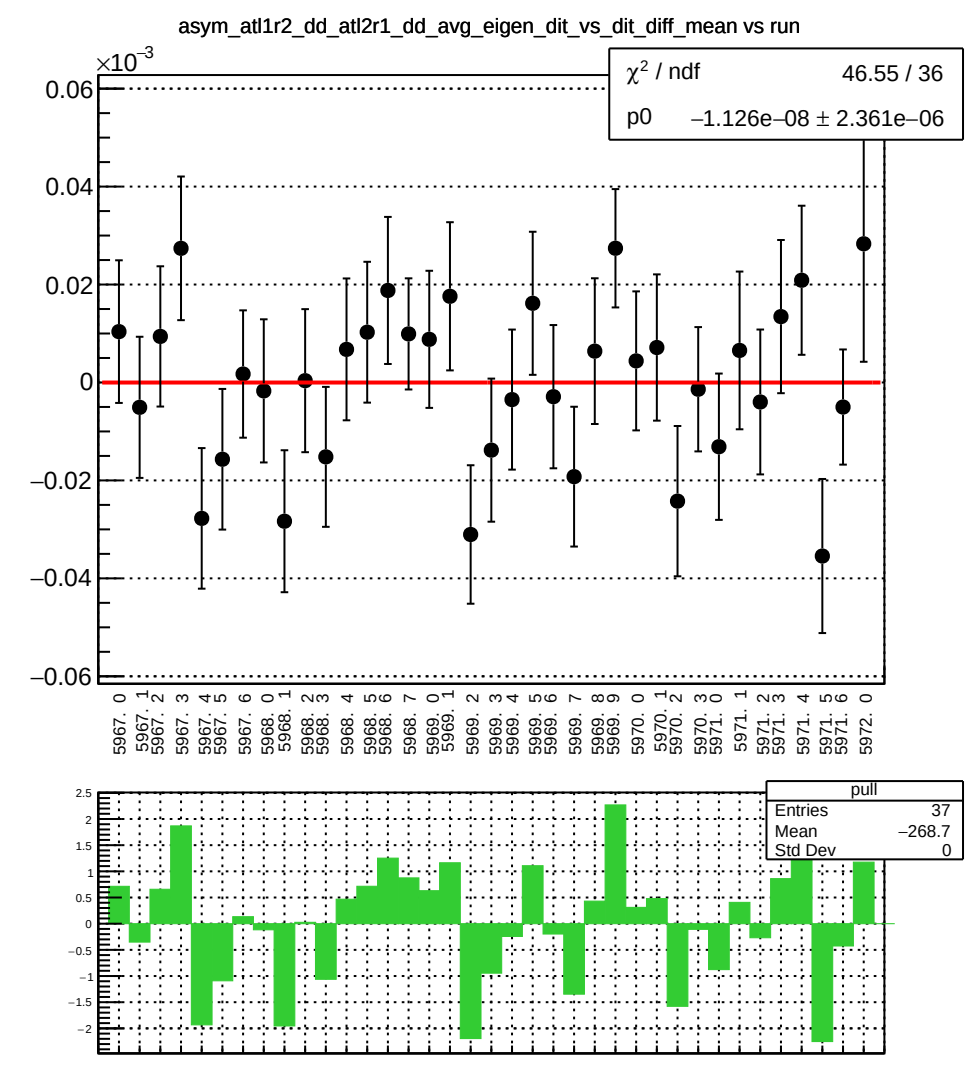
asym_atl1r2_dd_atl2r1_dd_avg_eigen_dit_vs_dit_diff_mean vs run
×10^−3
χ² / ndf 46.55 / 36
p0 −1.126e−08 ± 2.361e−06
0.06
0.04
0.02
0
−0.02
−0.04
−0.06
5967. 0
5967. 1
5967. 2
5967. 3
5967. 4
5967. 5
5967. 6
5968. 0
5968. 1
5968. 2
5968. 3
5968. 4
5968. 5
5968. 6
5968. 7
5969. 0
5969. 1
5969. 2
5969. 3
5969. 4
5969. 5
5969. 6
5969. 7
5969. 8
5969. 9
5970. 0
5970. 1
5970. 2
5970. 3
5971. 0
5971. 1
5971. 2
5971. 3
5971. 4
5971. 5
5971. 6
5972. 0
pull
Entries 37
Mean −268.7
Std Dev 0
2.5
2
1.5
1
0.5
0
−0.5
−1
−1.5
−2

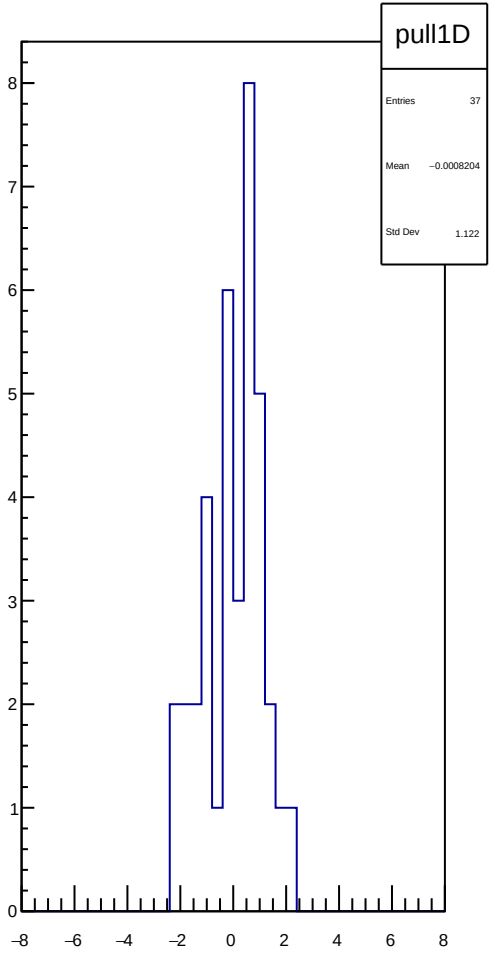
pull1D
Entries 37
Mean −0.0008204
Std Dev 1.122
8
7
6
5
4
3
2
1
0
−8
−6
−4
−2
0
2
4
6
8

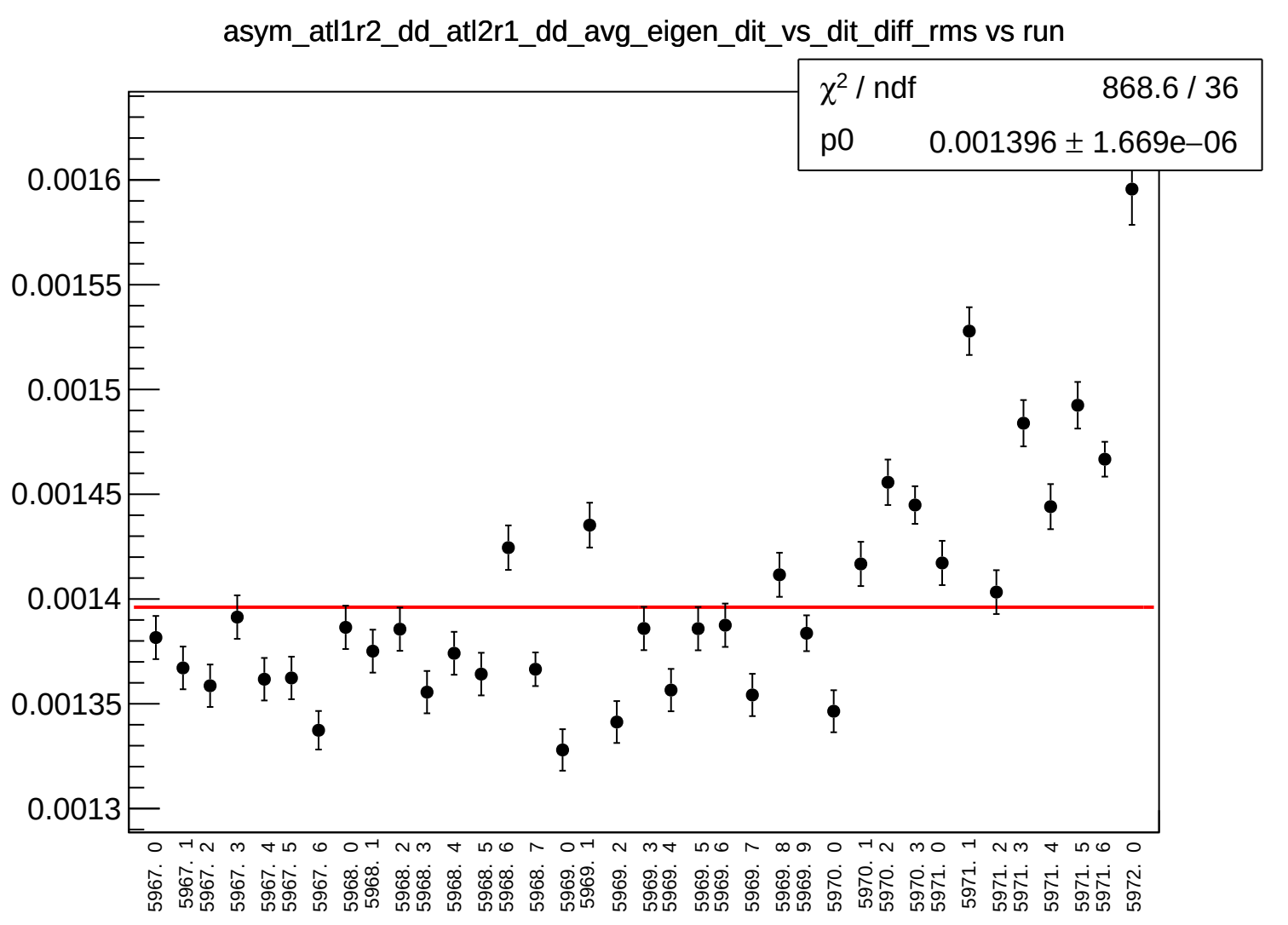
asym_atl1r2_dd_atl2r1_dd_avg_eigen_dit_vs_dit_diff_rms vs run
χ² / ndf 868.6 / 36
p0 0.001396 ± 1.669e−06
0.0016
0.00155
0.0015
0.00145
0.0014
0.00135
0.0013
5967. 0
5967. 1
5967. 2
5967. 3
5967. 4
5967. 5
5967. 6
5968. 0
5968. 1
5968. 2
5968. 3
5968. 4
5968. 5
5968. 6
5968. 7
5969. 0
5969. 1
5969. 2
5969. 3
5969. 4
5969. 5
5969. 6
5969. 7
5969. 8
5969. 9
5970. 0
5970. 1
5970. 2
5970. 3
5971. 0
5971. 1
5971. 2
5971. 3
5971. 4
5971. 5
5971. 6
5972. 0

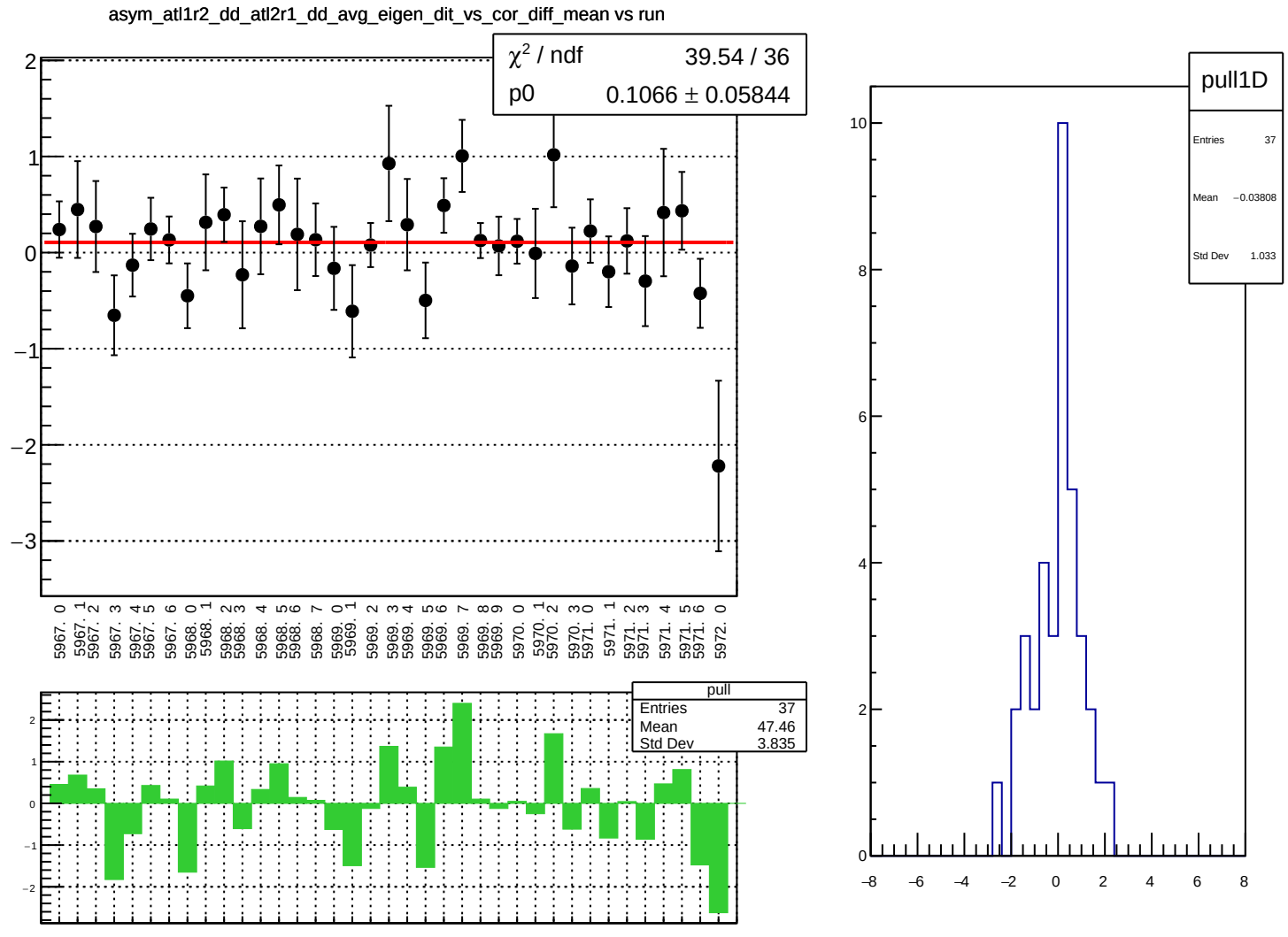
asym_atl1r2_dd_atl2r1_dd_avg_eigen_dit_vs_cor_diff_mean vs run
χ² / ndf 39.54 / 36
p0 0.1066 ± 0.05844
pull
Entries 37
Mean 47.46
Std Dev 3.835
pull1D
Entries 37
Mean −0.03808
Std Dev 1.033

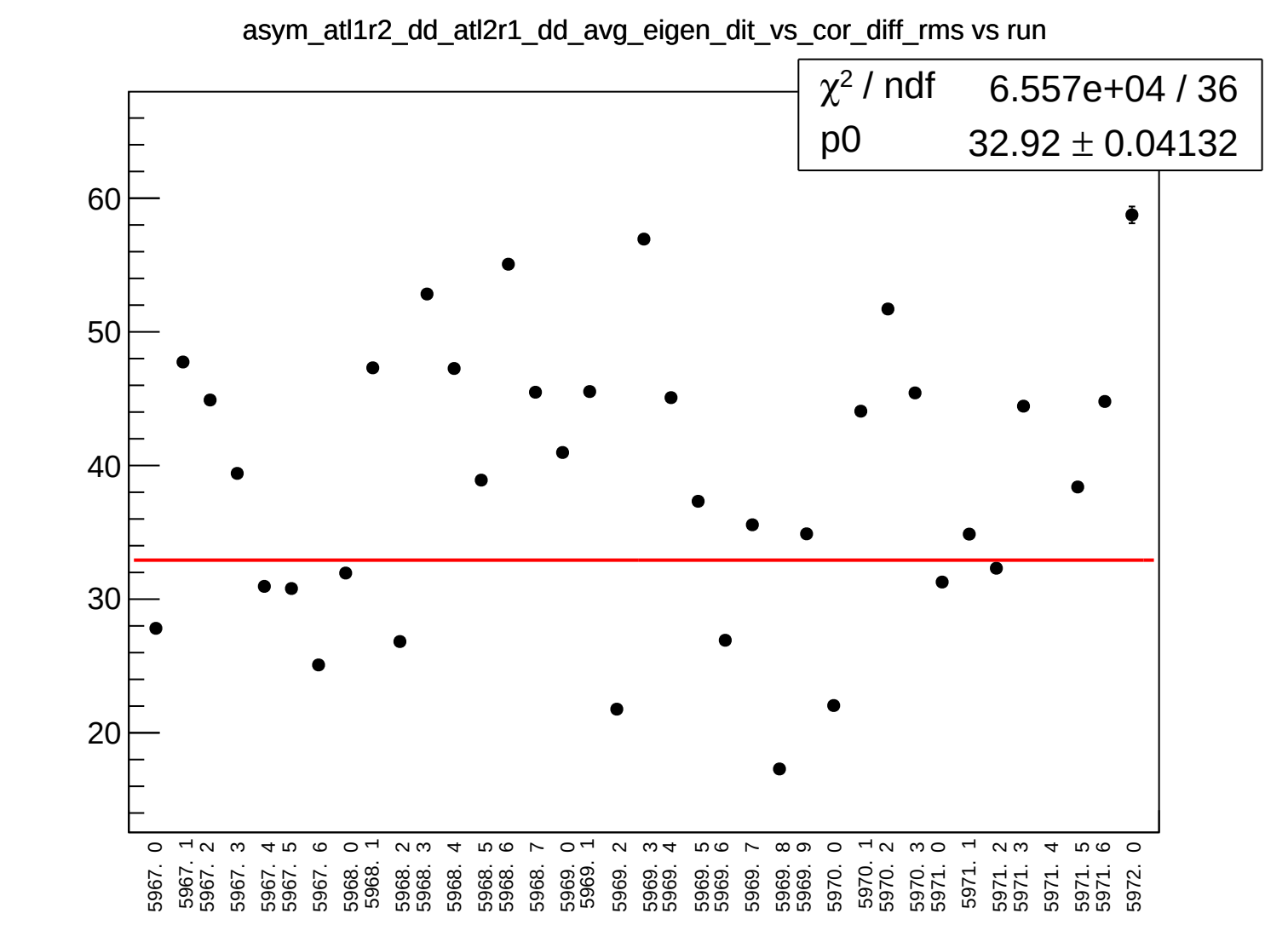
asym_atl1r2_dd_atl2r1_dd_avg_eigen_dit_vs_cor_diff_rms vs run
χ² / ndf 6.557e+04 / 36
p0 32.92 ± 0.04132
60
50
40
30
20
5967. 0
5967. 1
5967. 2
5967. 3
5967. 4
5967. 5
5967. 6
5968. 0
5968. 1
5968. 2
5968. 3
5968. 4
5968. 5
5968. 6
5968. 7
5969. 0
5969. 1
5969. 2
5969. 3
5969. 4
5969. 5
5969. 6
5969. 7
5969. 8
5969. 9
5970. 0
5970. 1
5970. 2
5970. 3
5971. 0
5971. 1
5971. 2
5971. 3
5971. 4
5971. 5
5971. 6
5972. 0

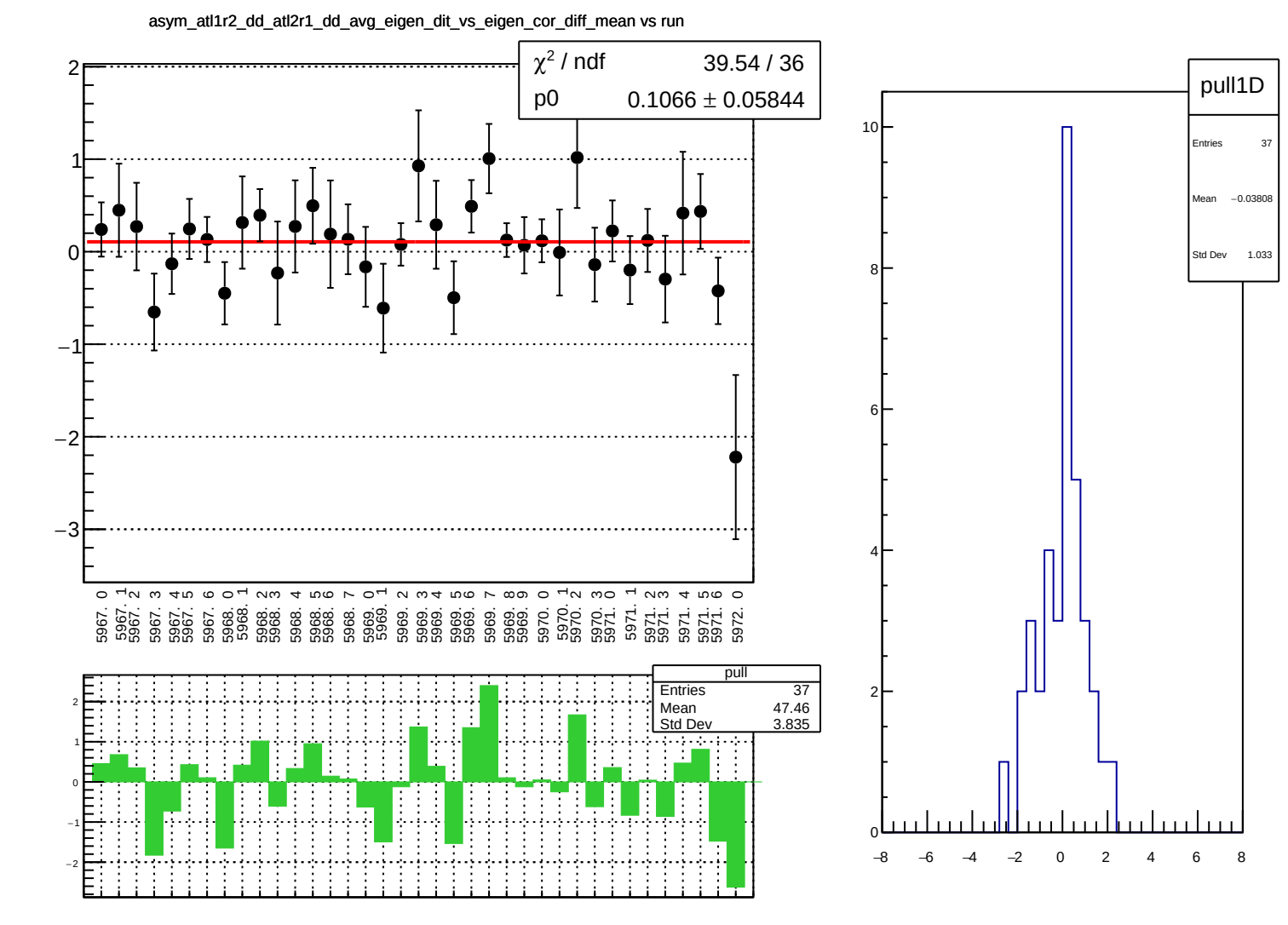
asym_atl1r2_dd_atl2r1_dd_avg_eigen_dit_vs_eigen_cor_diff_mean vs run
χ² / ndf 39.54 / 36
p0 0.1066 ± 0.05844
pull
Entries 37
Mean 47.46
Std Dev 3.835
pull1D
Entries 37
Mean −0.03808
Std Dev 1.033

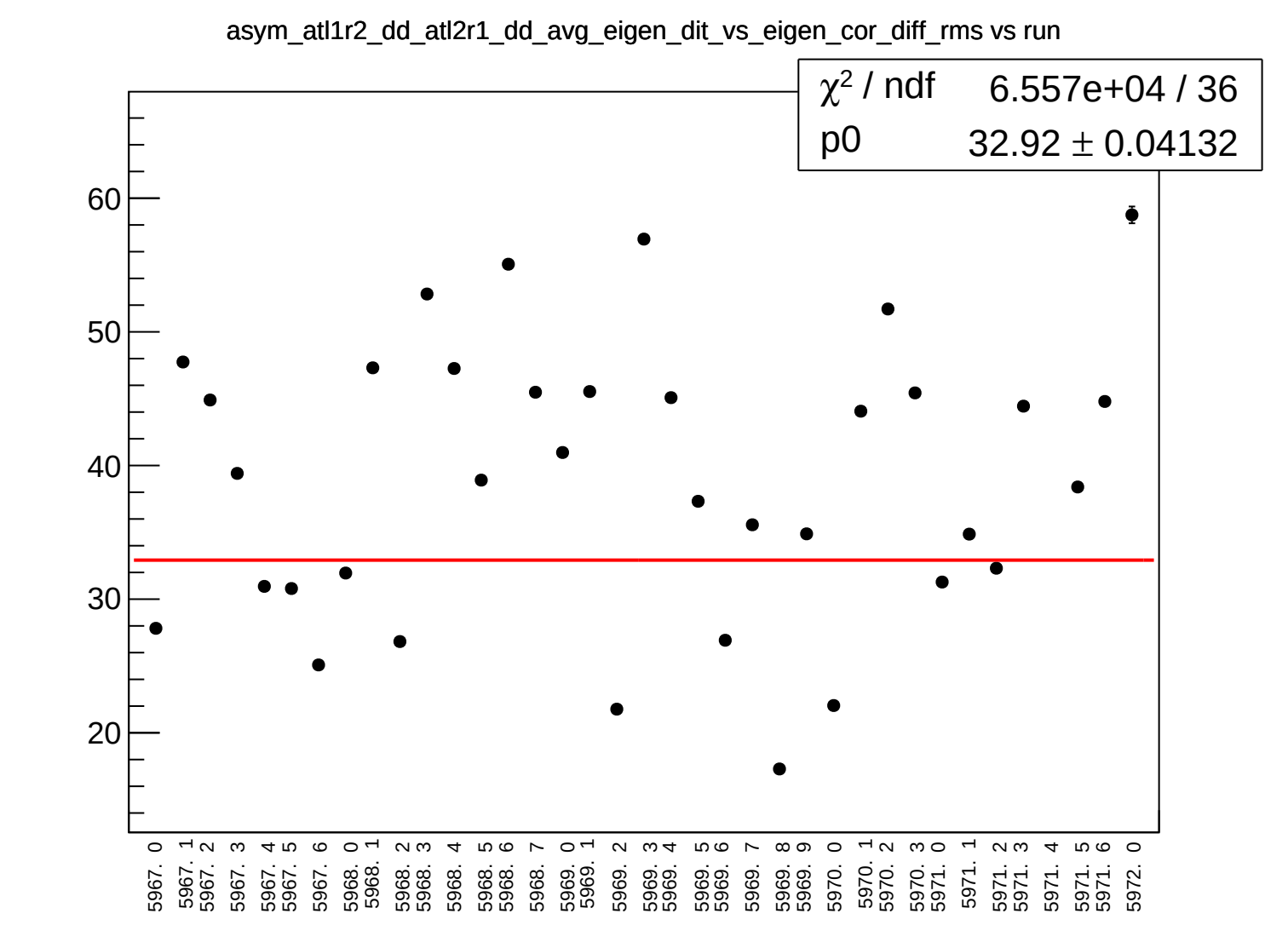
asym_atl1r2_dd_atl2r1_dd_avg_eigen_dit_vs_eigen_cor_diff_rms vs run
χ² / ndf 6.557e+04 / 36
p0 32.92 ± 0.04132
60
50
40
30
20
5967. 0
5967. 1
5967. 2
5967. 3
5967. 4
5967. 5
5967. 6
5968. 0
5968. 1
5968. 2
5968. 3
5968. 4
5968. 5
5968. 6
5968. 7
5969. 0
5969. 1
5969. 2
5969. 3
5969. 4
5969. 5
5969. 6
5969. 7
5969. 8
5969. 9
5970. 0
5970. 1
5970. 2
5970. 3
5971. 0
5971. 1
5971. 2
5971. 3
5971. 4
5971. 5
5971. 6
5972. 0

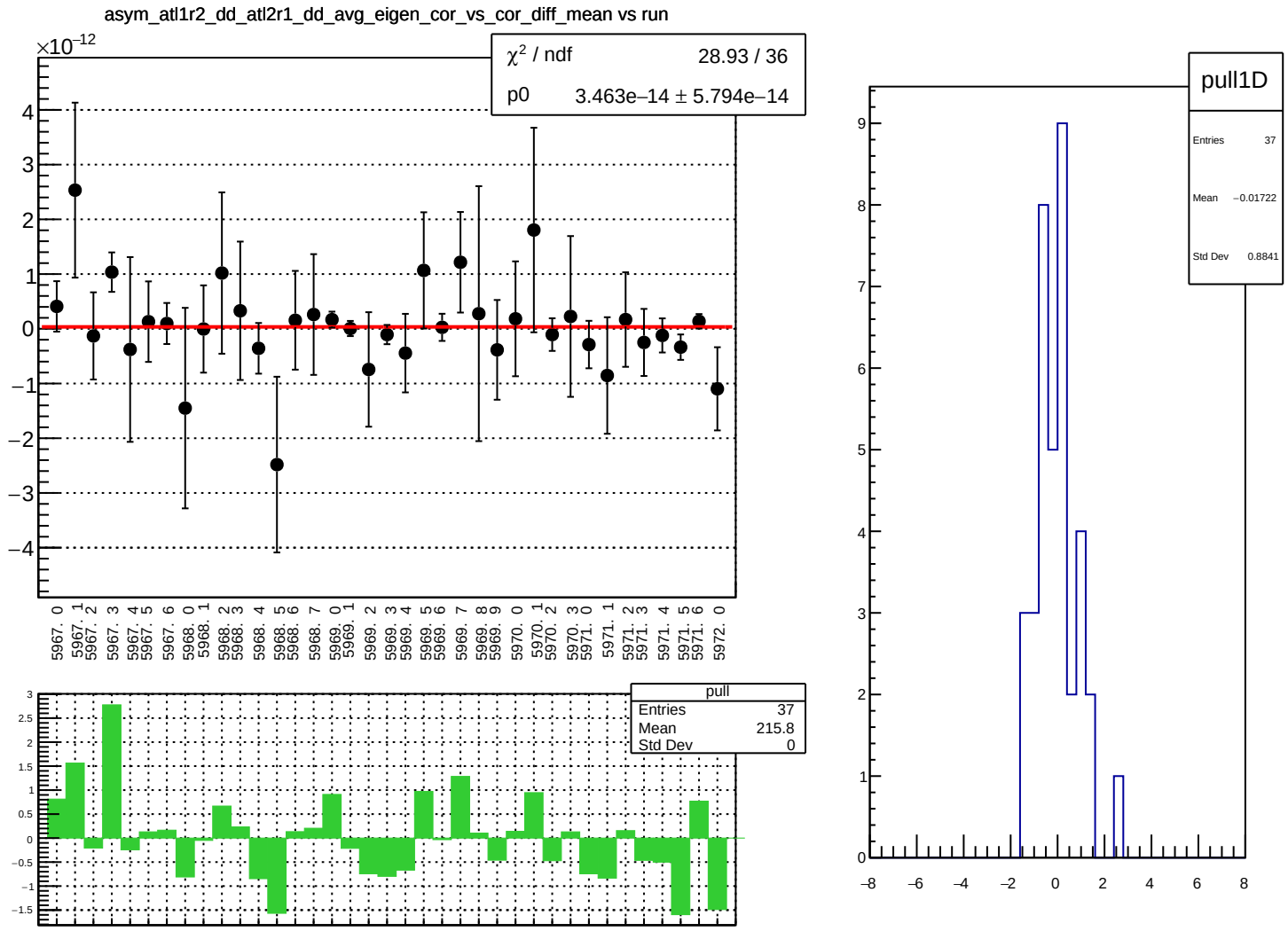
asym_atl1r2_dd_atl2r1_dd_avg_eigen_cor_vs_cor_diff_mean vs run
×10−12
χ2 / ndf 28.93 / 36
p0 3.463e−14 ± 5.794e−14
pull
Entries 37
Mean 215.8
Std Dev 0
pull1D
Entries 37
Mean −0.01722
Std Dev 0.8841

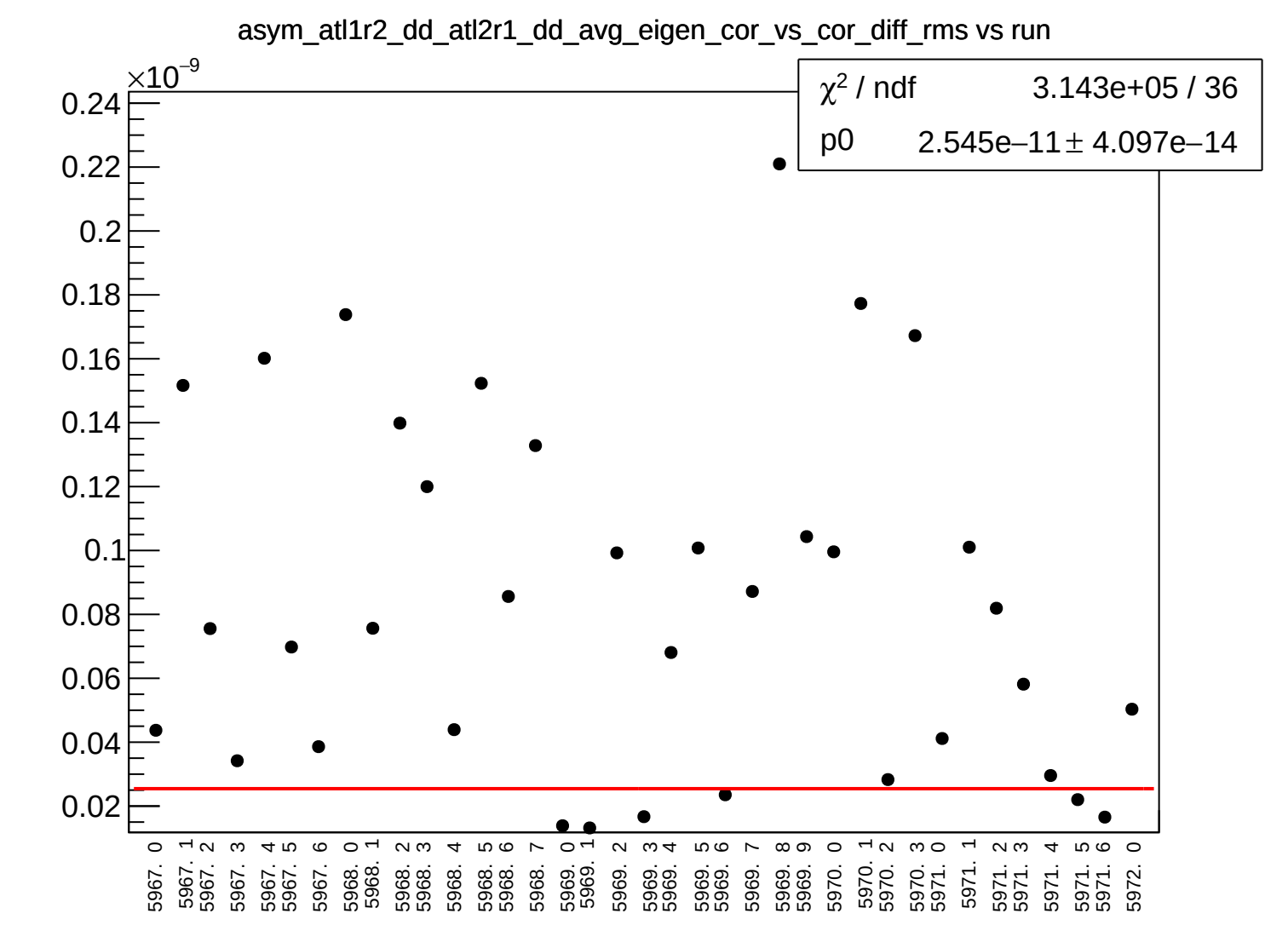
asym_atl1r2_dd_atl2r1_dd_avg_eigen_cor_vs_cor_diff_rms vs run
×10⁻⁹
χ² / ndf 3.143e+05 / 36
p0 2.545e−11 ± 4.097e−14
0.24
0.22
0.2
0.18
0.16
0.14
0.12
0.1
0.08
0.06
0.04
0.02
5967. 0
5967. 1
5967. 2
5967. 3
5967. 4
5967. 5
5967. 6
5968. 0
5968. 1
5968. 2
5968. 3
5968. 4
5968. 5
5968. 6
5968. 7
5969. 0
5969. 1
5969. 2
5969. 3
5969. 4
5969. 5
5969. 6
5969. 7
5969. 8
5969. 9
5970. 0
5970. 1
5970. 2
5970. 3
5971. 0
5971. 1
5971. 2
5971. 3
5971. 4
5971. 5
5971. 6
5972. 0

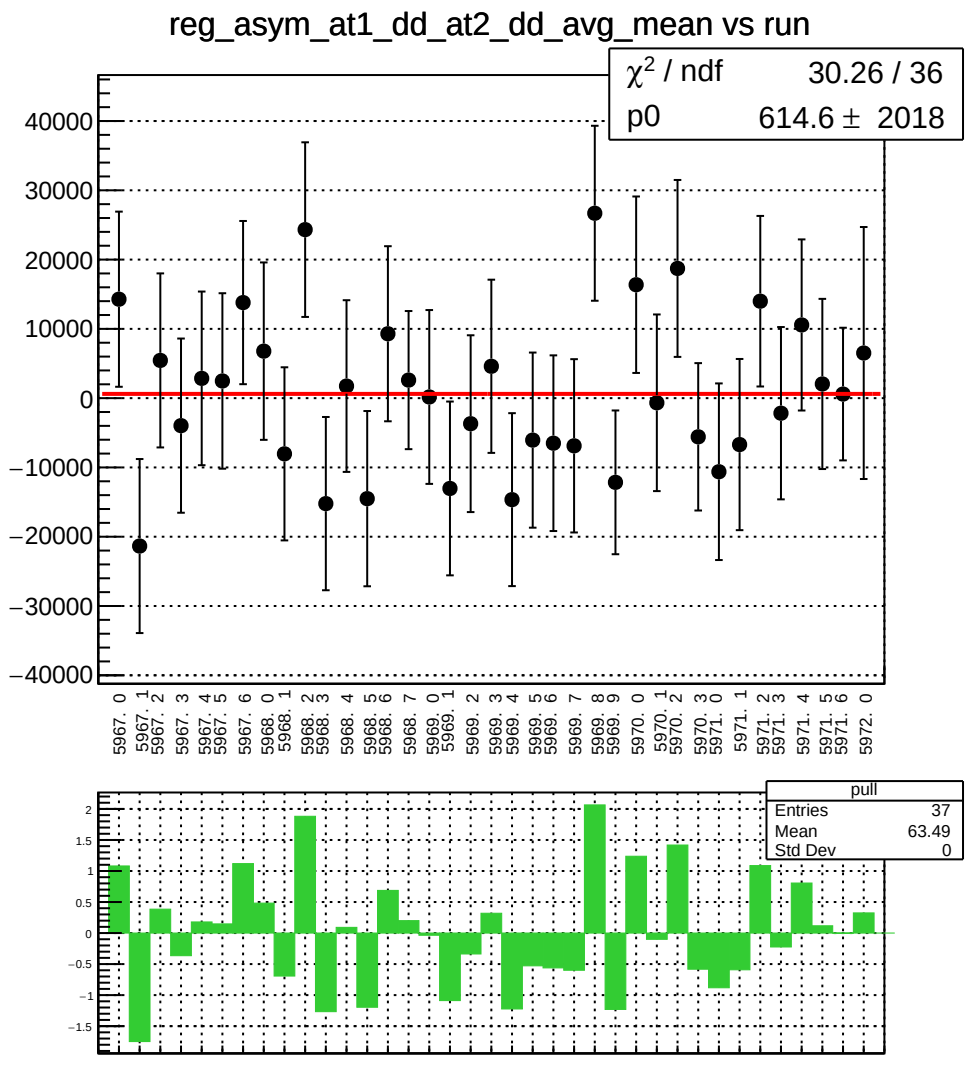
reg_asym_at1_dd_at2_dd_avg_mean vs run
χ² / ndf 30.26 / 36
p0 614.6 ± 2018
40000
30000
20000
10000
0
−10000
−20000
−30000
−40000
5967. 0
5967. 1
5967. 2
5967. 3
5967. 4
5967. 5
5967. 6
5968. 0
5968. 1
5968. 2
5968. 3
5968. 4
5968. 5
5968. 6
5968. 7
5969. 0
5969. 1
5969. 2
5969. 3
5969. 4
5969. 5
5969. 6
5969. 7
5969. 8
5969. 9
5970. 0
5970. 1
5970. 2
5970. 3
5971. 0
5971. 1
5971. 2
5971. 3
5971. 4
5971. 5
5971. 6
5972. 0
pull
Entries 37
Mean 63.49
Std Dev 0
2
1.5
1
0.5
0
−0.5
−1
−1.5

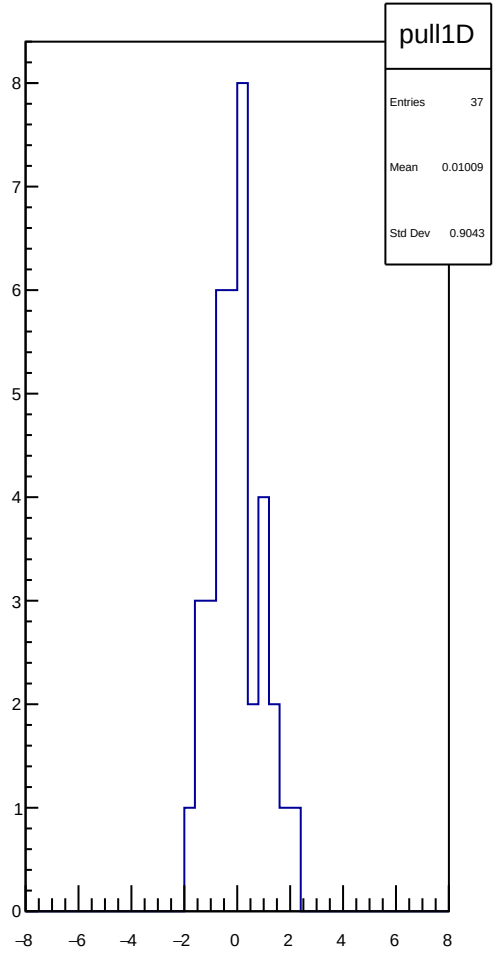
pull1D
Entries 37
Mean 0.01009
Std Dev 0.9043
8
7
6
5
4
3
2
1
0
−8
−6
−4
−2
0
2
4
6
8

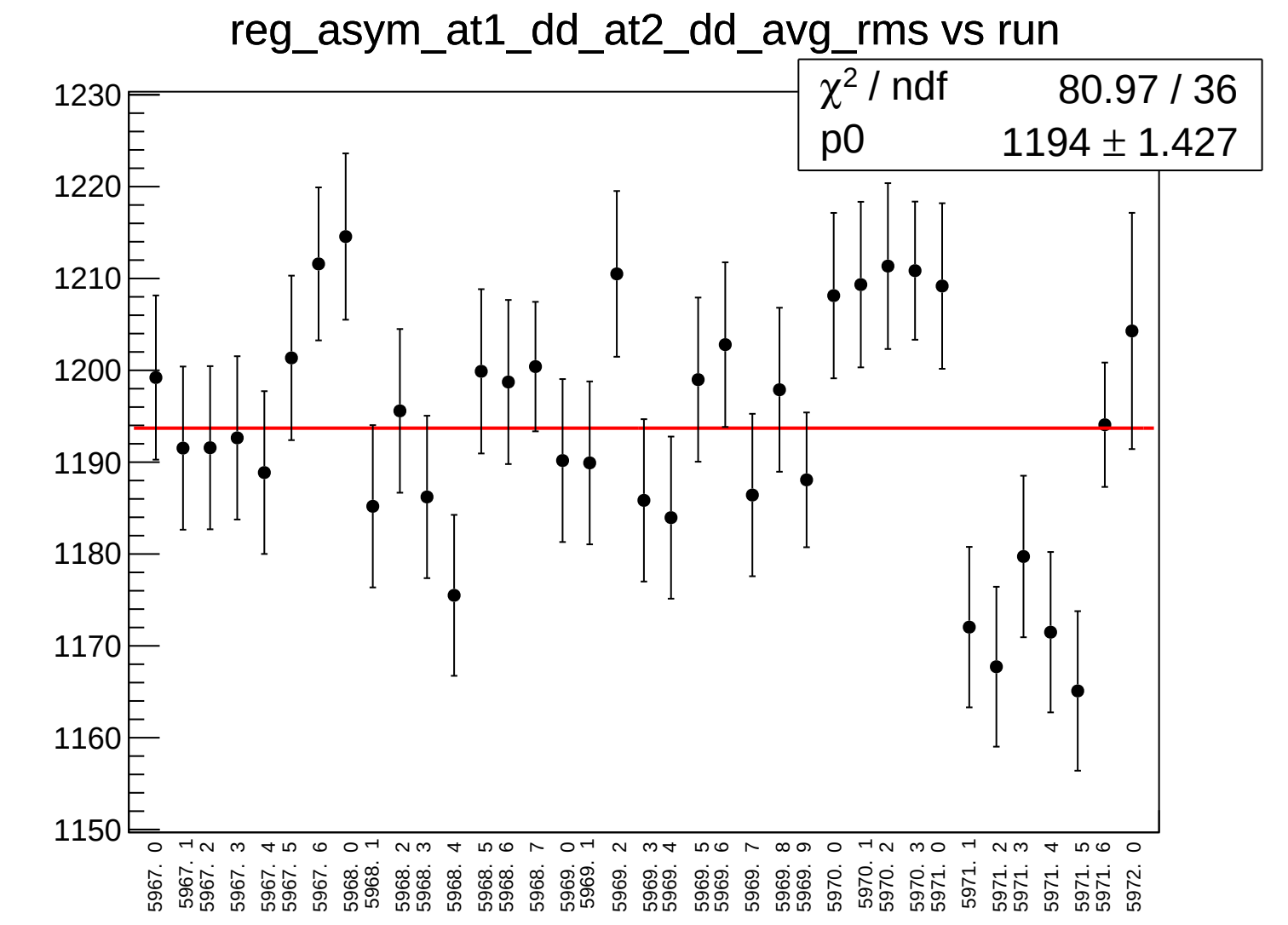
reg_asym_at1_dd_at2_dd_avg_rms vs run
χ² / ndf 80.97 / 36
p0 1194 ± 1.427
1230
1220
1210
1200
1190
1180
1170
1160
1150
5967. 0
5967. 1
5967. 2
5967. 3
5967. 4
5967. 5
5967. 6
5968. 0
5968. 1
5968. 2
5968. 3
5968. 4
5968. 5
5968. 6
5968. 7
5969. 0
5969. 1
5969. 2
5969. 3
5969. 4
5969. 5
5969. 6
5969. 7
5969. 8
5969. 9
5970. 0
5970. 1
5970. 2
5970. 3
5971. 0
5971. 1
5971. 2
5971. 3
5971. 4
5971. 5
5971. 6
5972. 0

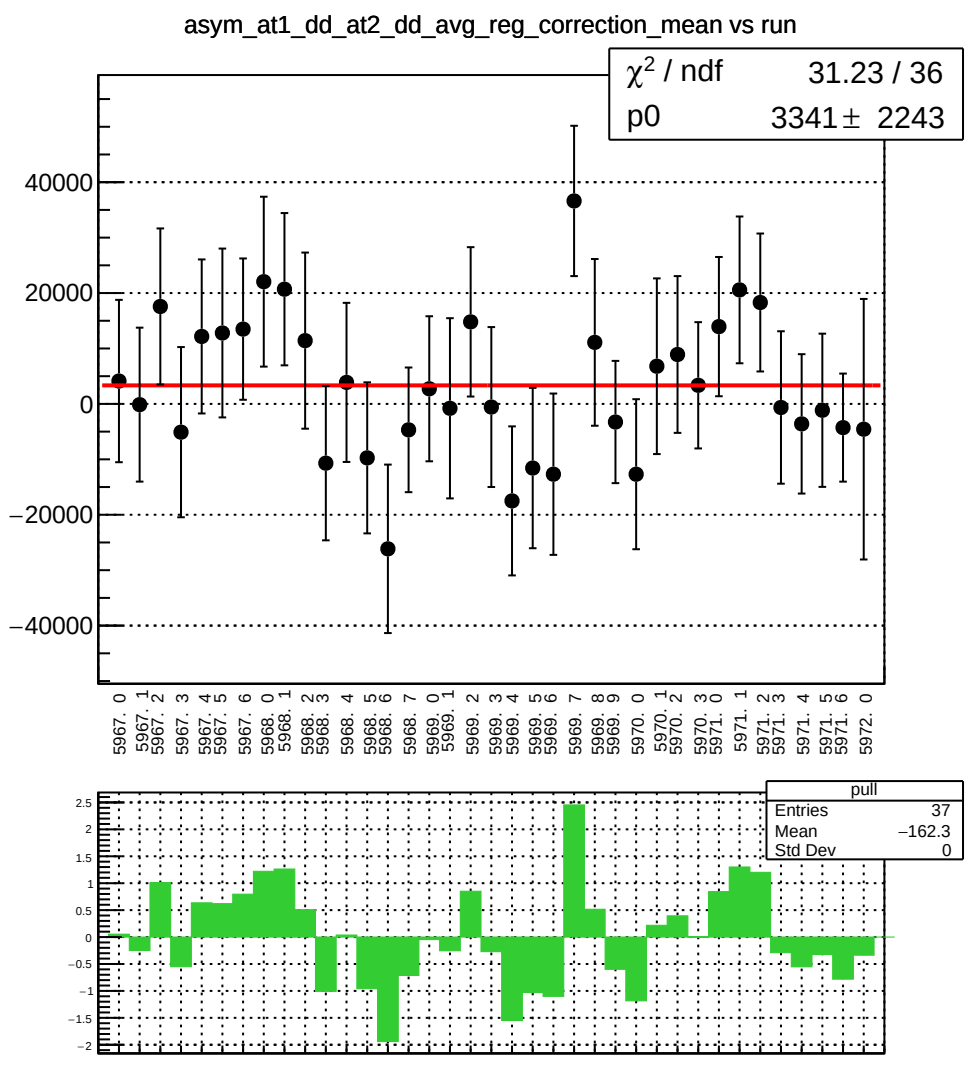
asym_at1_dd_at2_dd_avg_reg_correction_mean vs run
χ² / ndf 31.23 / 36
p0 3341 ± 2243
40000
20000
0
−20000
−40000
5967. 0
5967. 1
5967. 2
5967. 3
5967. 4
5967. 5
5967. 6
5968. 0
5968. 1
5968. 2
5968. 3
5968. 4
5968. 5
5968. 6
5968. 7
5969. 0
5969. 1
5969. 2
5969. 3
5969. 4
5969. 5
5969. 6
5969. 7
5969. 8
5969. 9
5970. 0
5970. 1
5970. 2
5970. 3
5971. 0
5971. 1
5971. 2
5971. 3
5971. 4
5971. 5
5971. 6
5972. 0
pull
Entries 37
Mean −162.3
Std Dev 0
2.5
2
1.5
1
0.5
0
−0.5
−1
−1.5
−2
pull1D
Entries 37
Mean 0.004985
Std Dev 0.9187
7
6
5
4
3
2
1
0
−8
−6
−4
−2
0
2
4
6
8

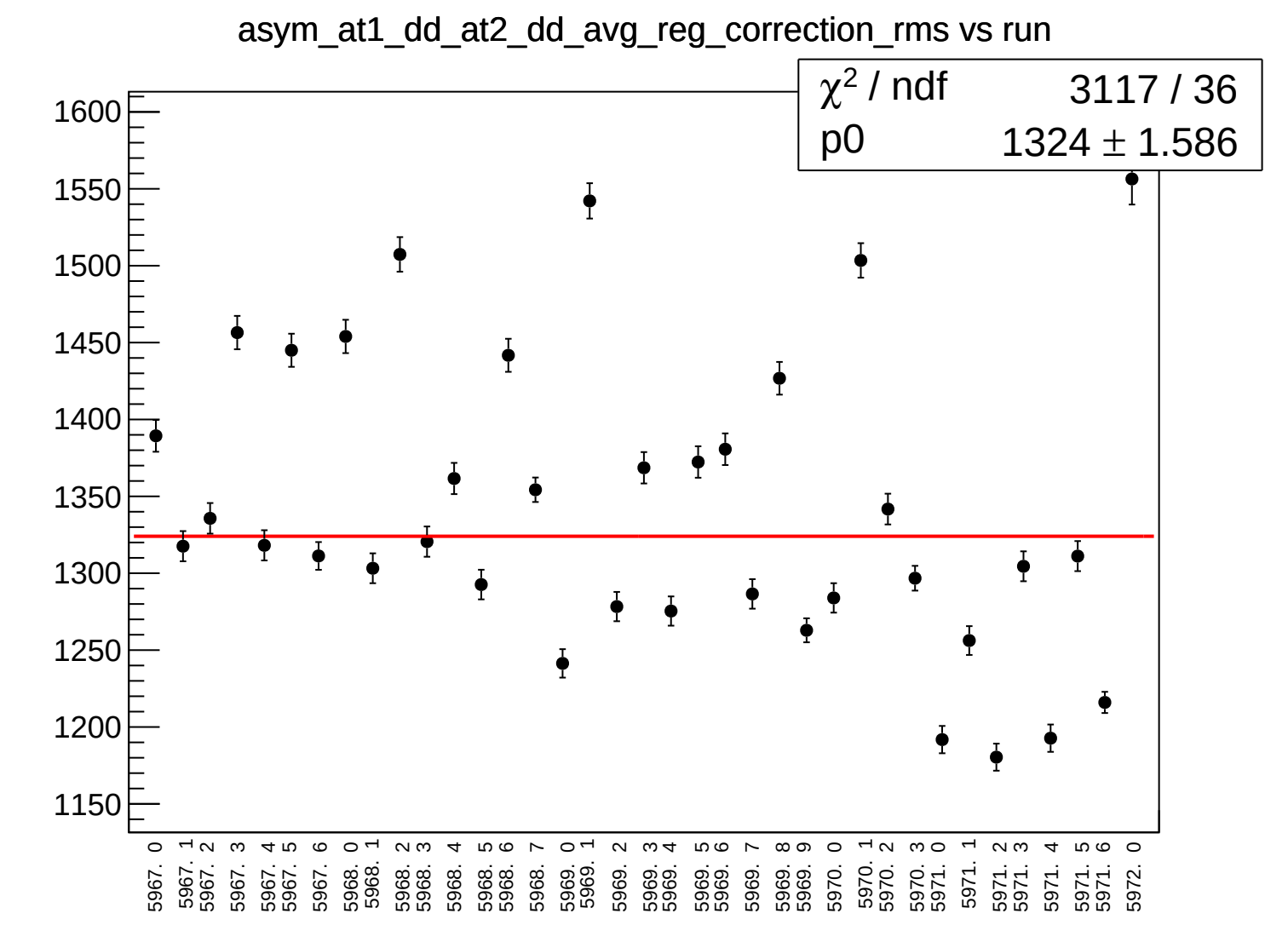
asym_at1_dd_at2_dd_avg_reg_correction_rms vs run
χ² / ndf 3117 / 36
p0 1324 ± 1.586
1600
1550
1500
1450
1400
1350
1300
1250
1200
1150
5967. 0
5967. 1
5967. 2
5967. 3
5967. 4
5967. 5
5967. 6
5968. 0
5968. 1
5968. 2
5968. 3
5968. 4
5968. 5
5968. 6
5968. 7
5969. 0
5969. 1
5969. 2
5969. 3
5969. 4
5969. 5
5969. 6
5969. 7
5969. 8
5969. 9
5970. 0
5970. 1
5970. 2
5970. 3
5971. 0
5971. 1
5971. 2
5971. 3
5971. 4
5971. 5
5971. 6
5972. 0

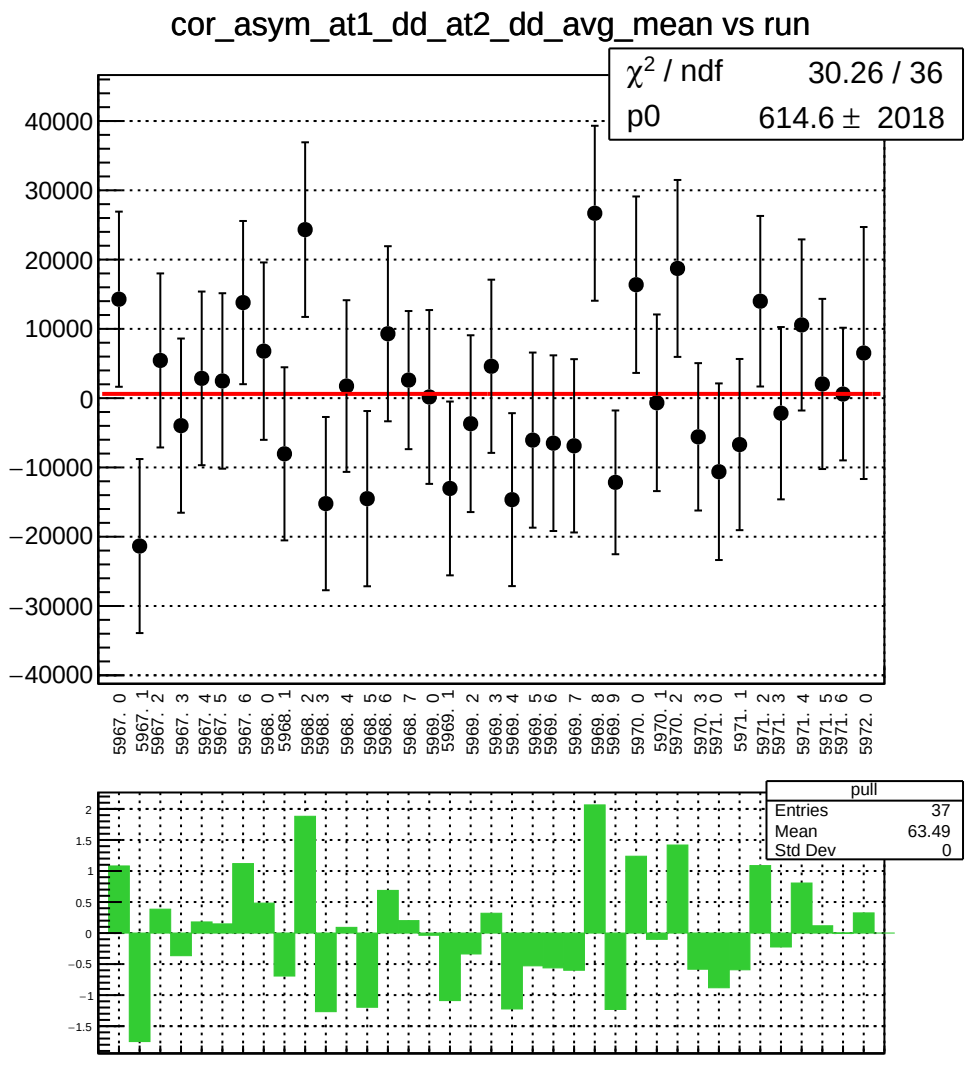
cor_asym_at1_dd_at2_dd_avg_mean vs run
χ² / ndf 30.26 / 36
p0 614.6 ± 2018
40000
30000
20000
10000
0
−10000
−20000
−30000
−40000
5967. 0
5967. 1
5967. 2
5967. 3
5967. 4
5967. 5
5967. 6
5968. 0
5968. 1
5968. 2
5968. 3
5968. 4
5968. 5
5968. 6
5968. 7
5969. 0
5969. 1
5969. 2
5969. 3
5969. 4
5969. 5
5969. 6
5969. 7
5969. 8
5969. 9
5970. 0
5970. 1
5970. 2
5970. 3
5971. 0
5971. 1
5971. 2
5971. 3
5971. 4
5971. 5
5971. 6
5972. 0
pull
Entries 37
Mean 63.49
Std Dev 0
2
1.5
1
0.5
0
−0.5
−1
−1.5

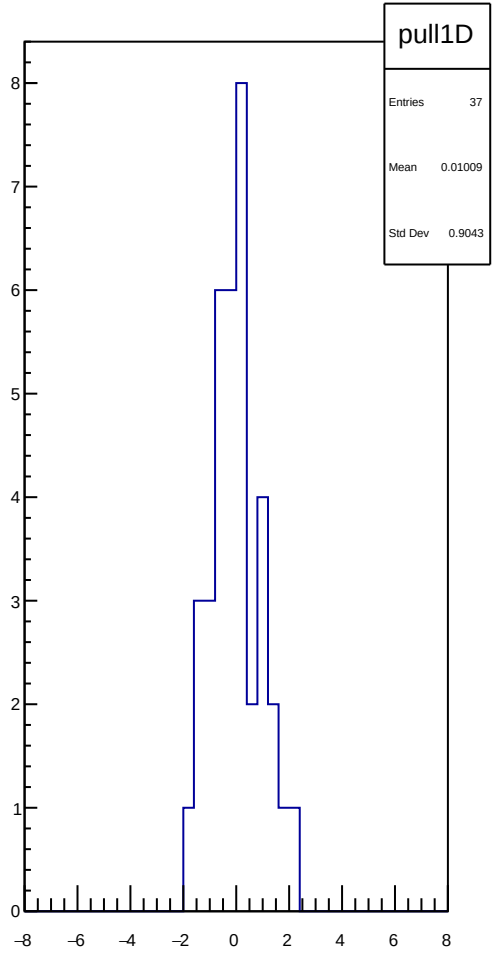
pull1D
Entries 37
Mean 0.01009
Std Dev 0.9043
8
7
6
5
4
3
2
1
0
−8
−6
−4
−2
0
2
4
6
8

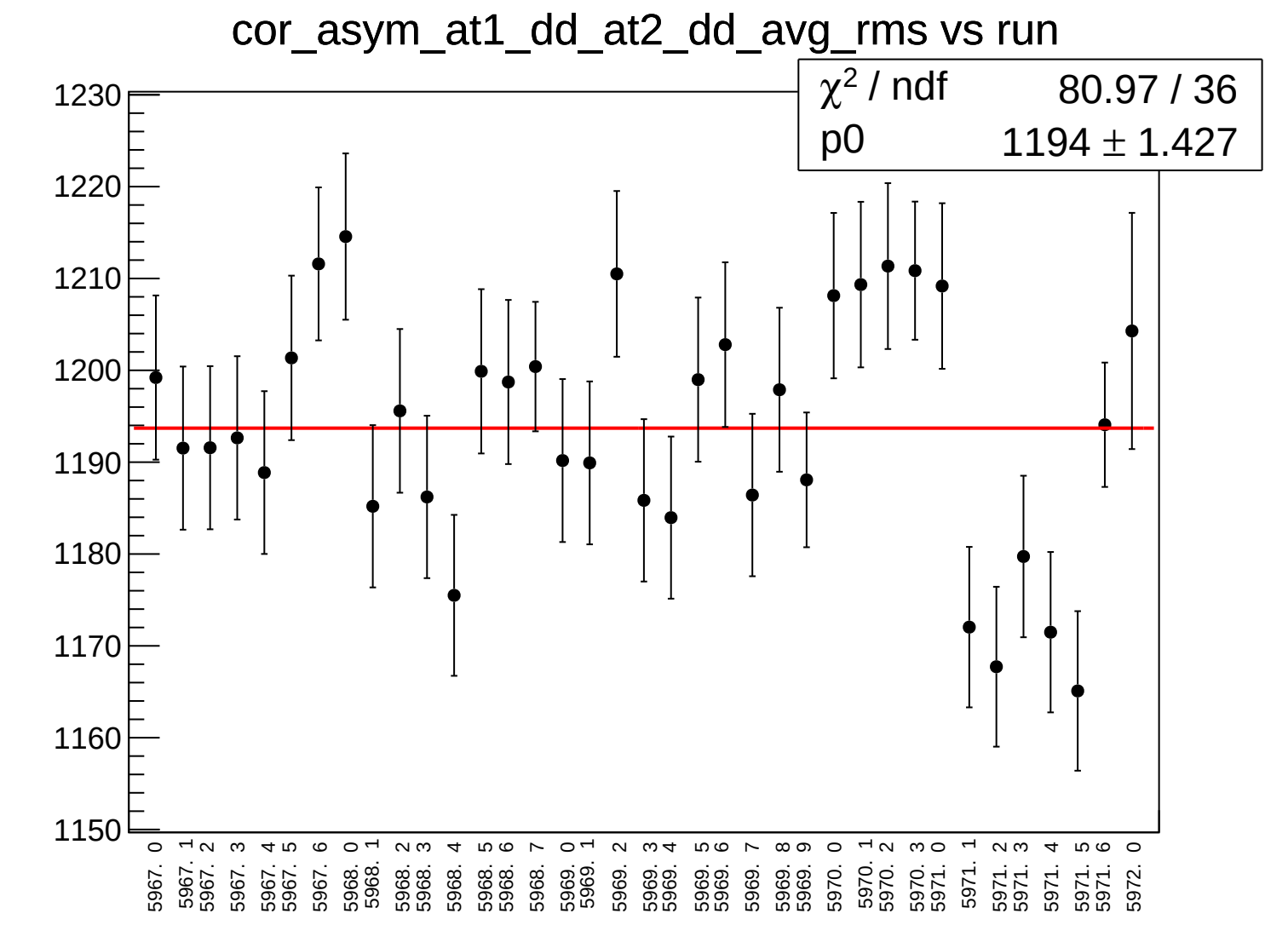
cor_asym_at1_dd_at2_dd_avg_rms vs run
χ² / ndf 80.97 / 36
p0 1194 ± 1.427
1230
1220
1210
1200
1190
1180
1170
1160
1150
5967. 0
5967. 1
5967. 2
5967. 3
5967. 4
5967. 5
5967. 6
5968. 0
5968. 1
5968. 2
5968. 3
5968. 4
5968. 5
5968. 6
5968. 7
5969. 0
5969. 1
5969. 2
5969. 3
5969. 4
5969. 5
5969. 6
5969. 7
5969. 8
5969. 9
5970. 0
5970. 1
5970. 2
5970. 3
5971. 0
5971. 1
5971. 2
5971. 3
5971. 4
5971. 5
5971. 6
5972. 0

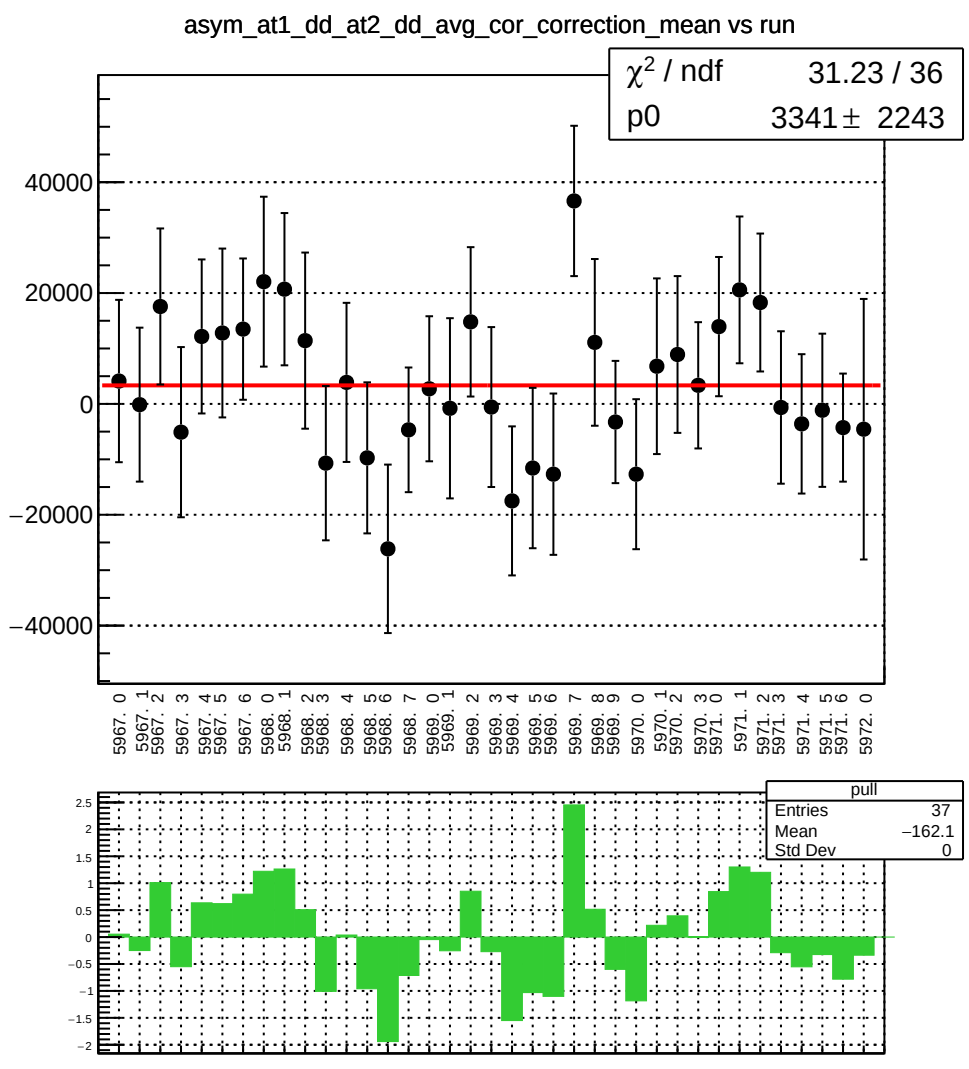
asym_at1_dd_at2_dd_avg_cor_correction_mean vs run
χ² / ndf 31.23 / 36
p0 3341 ± 2243
40000
20000
0
−20000
−40000
5967. 0
5967. 1
5967. 2
5967. 3
5967. 4
5967. 5
5967. 6
5968. 0
5968. 1
5968. 2
5968. 3
5968. 4
5968. 5
5968. 6
5968. 7
5969. 0
5969. 1
5969. 2
5969. 3
5969. 4
5969. 5
5969. 6
5969. 7
5969. 8
5969. 9
5970. 0
5970. 1
5970. 2
5970. 3
5971. 0
5971. 1
5971. 2
5971. 3
5971. 4
5971. 5
5971. 6
5972. 0
pull
Entries 37
Mean −162.1
Std Dev 0
2.5
2
1.5
1
0.5
0
−0.5
−1
−1.5
−2
pull1D
Entries 37
Mean 0.004991
Std Dev 0.9187
7
6
5
4
3
2
1
0
−8
−6
−4
−2
0
2
4
6
8

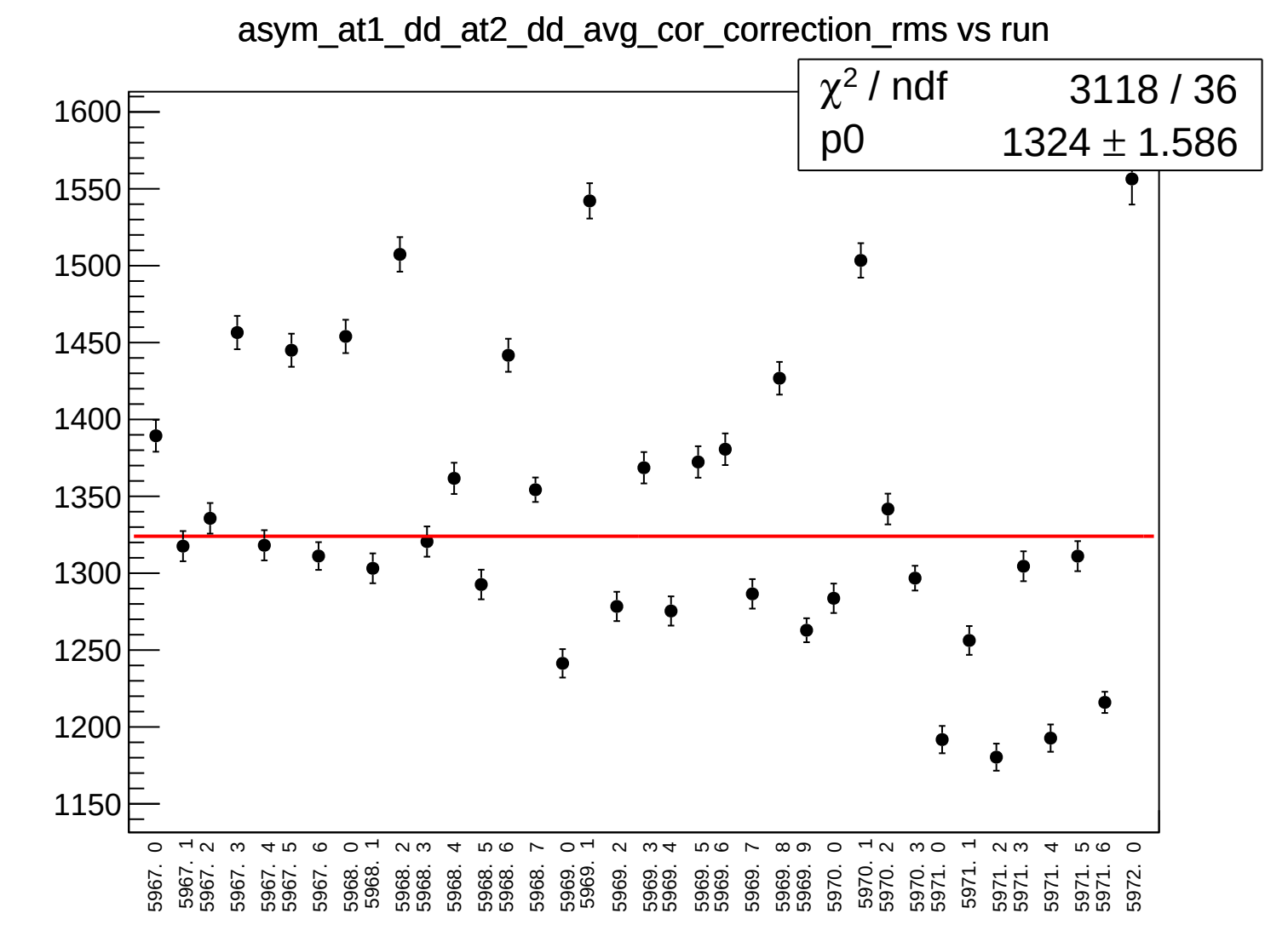
asym_at1_dd_at2_dd_avg_cor_correction_rms vs run
χ² / ndf 3118 / 36
p0 1324 ± 1.586
1600
1550
1500
1450
1400
1350
1300
1250
1200
1150
5967. 0
5967. 1
5967. 2
5967. 3
5967. 4
5967. 5
5967. 6
5968. 0
5968. 1
5968. 2
5968. 3
5968. 4
5968. 5
5968. 6
5968. 7
5969. 0
5969. 1
5969. 2
5969. 3
5969. 4
5969. 5
5969. 6
5969. 7
5969. 8
5969. 9
5970. 0
5970. 1
5970. 2
5970. 3
5971. 0
5971. 1
5971. 2
5971. 3
5971. 4
5971. 5
5971. 6
5972. 0

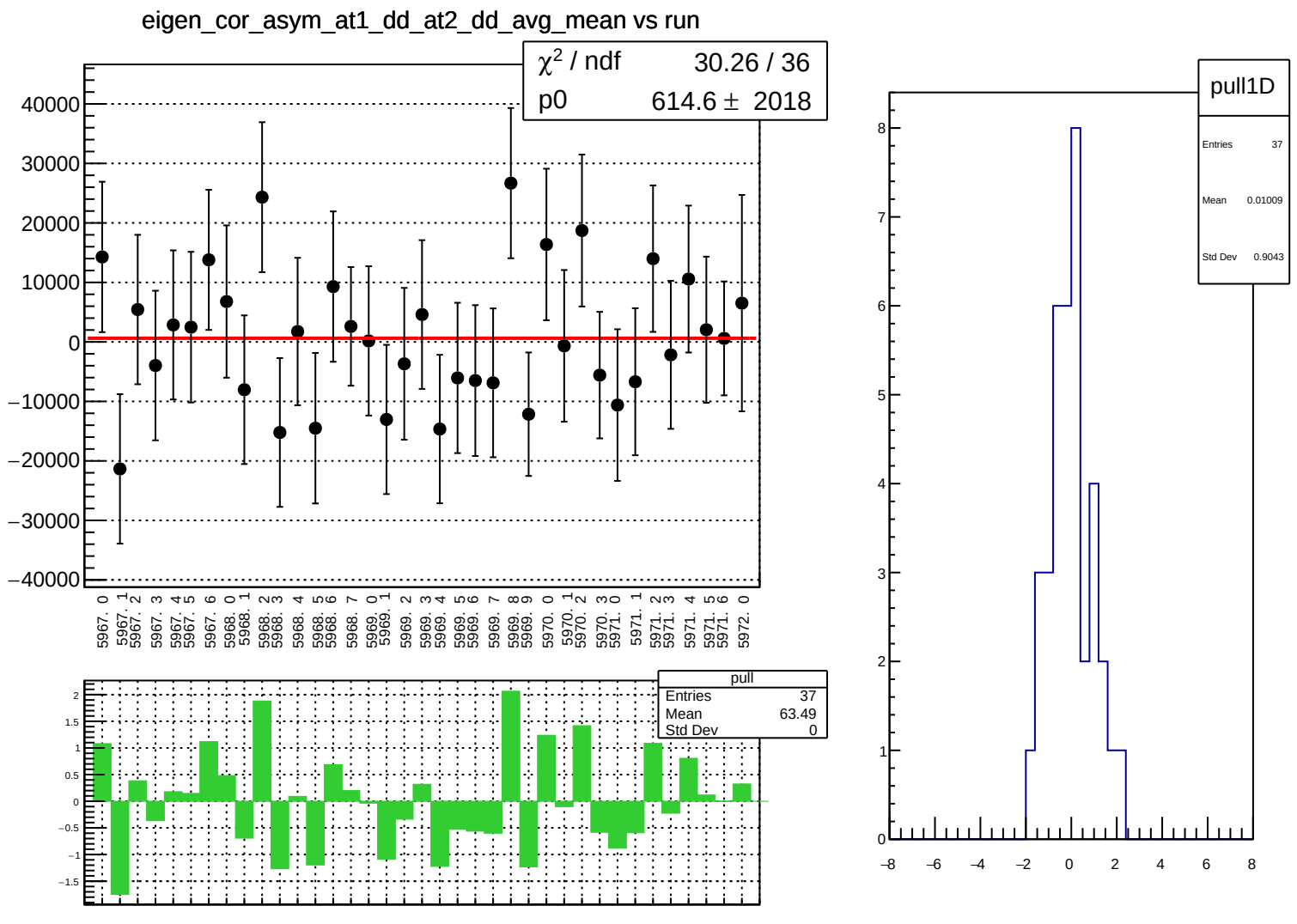
eigen_cor_asym_at1_dd_at2_dd_avg_mean vs run
χ² / ndf 30.26 / 36
p0 614.6 ± 2018
40000
30000
20000
10000
0
−10000
−20000
−30000
−40000
5967. 0
5967. 1
5967. 2
5967. 3
5967. 4
5967. 5
5967. 6
5968. 0
5968. 1
5968. 2
5968. 3
5968. 4
5968. 5
5968. 6
5968. 7
5969. 0
5969. 1
5969. 2
5969. 3
5969. 4
5969. 5
5969. 6
5969. 7
5969. 8
5969. 9
5970. 0
5970. 1
5970. 2
5970. 3
5971. 0
5971. 1
5971. 2
5971. 3
5971. 4
5971. 5
5971. 6
5972. 0
pull
Entries 37
Mean 63.49
Std Dev 0
2
1.5
1
0.5
0
−0.5
−1
−1.5
pull1D
Entries 37
Mean 0.01009
Std Dev 0.9043
8
7
6
5
4
3
2
1
0
−8
−6
−4
−2
0
2
4
6
8

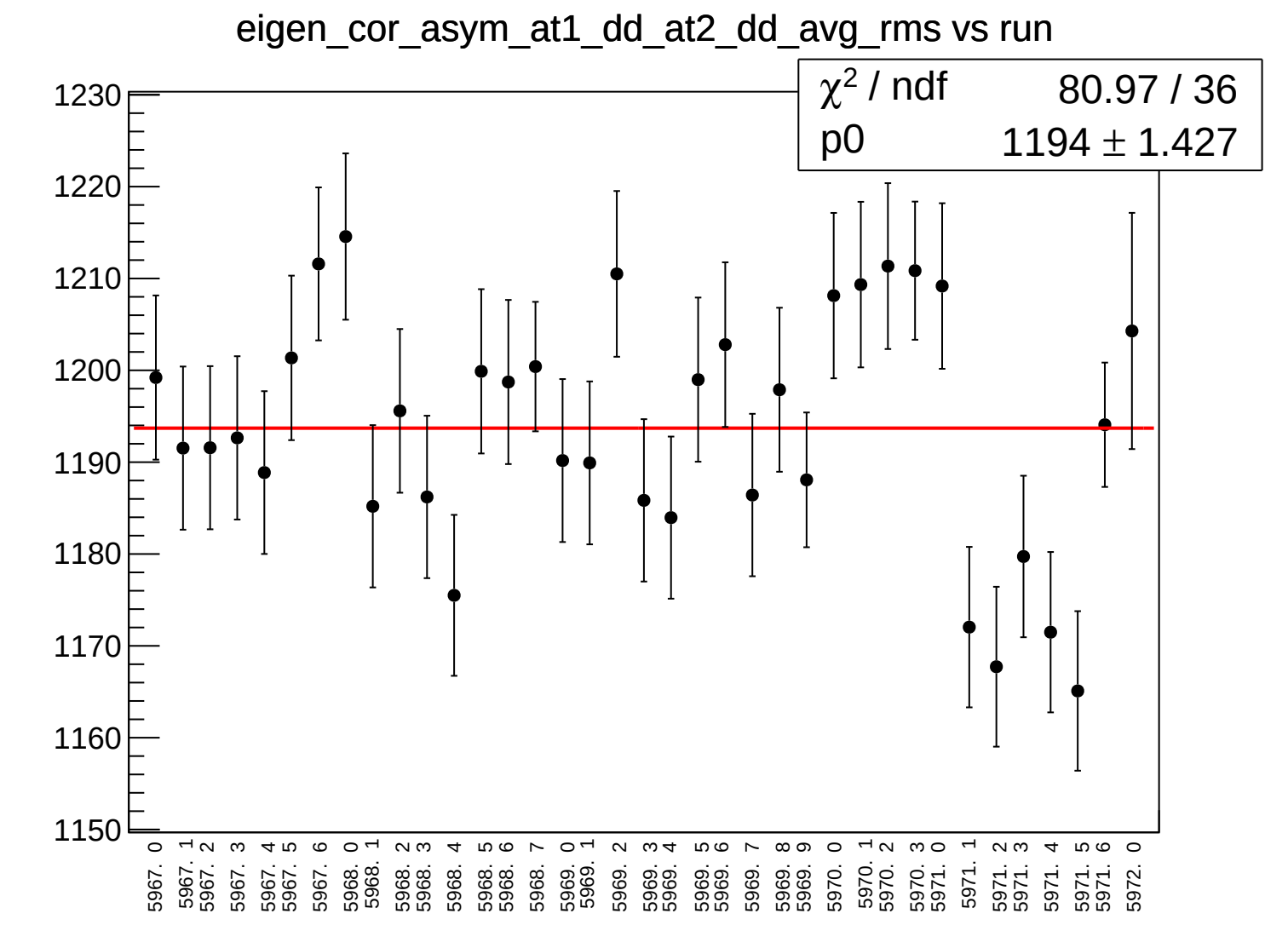
eigen_cor_asym_at1_dd_at2_dd_avg_rms vs run
χ² / ndf 80.97 / 36
p0 1194 ± 1.427
1230
1220
1210
1200
1190
1180
1170
1160
1150
5967. 0
5967. 1
5967. 2
5967. 3
5967. 4
5967. 5
5967. 6
5968. 0
5968. 1
5968. 2
5968. 3
5968. 4
5968. 5
5968. 6
5968. 7
5969. 0
5969. 1
5969. 2
5969. 3
5969. 4
5969. 5
5969. 6
5969. 7
5969. 8
5969. 9
5970. 0
5970. 1
5970. 2
5970. 3
5971. 0
5971. 1
5971. 2
5971. 3
5971. 4
5971. 5
5971. 6
5972. 0

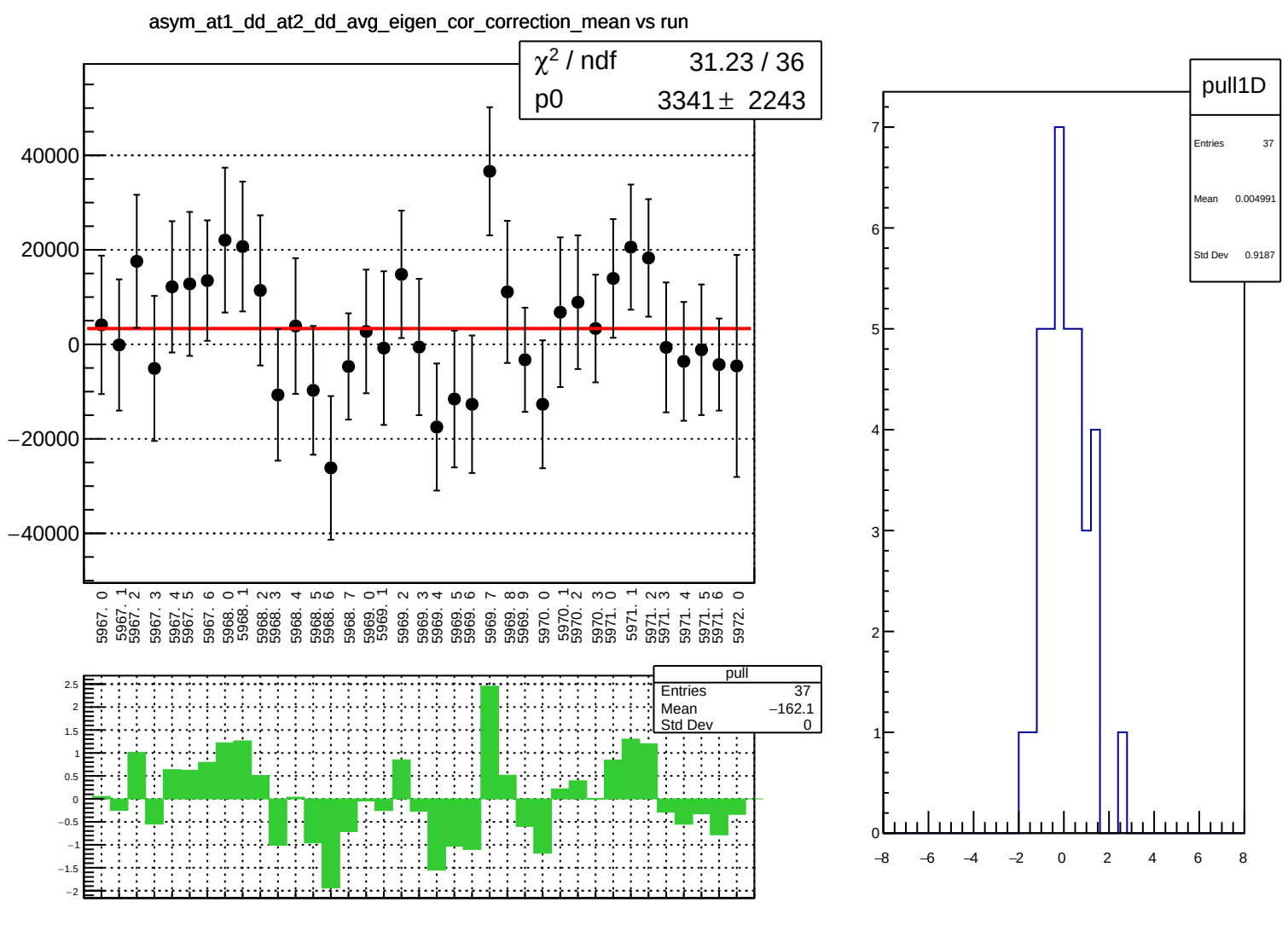
asym_at1_dd_at2_dd_avg_eigen_cor_correction_mean vs run
χ² / ndf 31.23 / 36
p0 3341 ± 2243
40000
20000
0
−20000
−40000
5967. 0
5967. 1
5967. 2
5967. 3
5967. 4
5967. 5
5967. 6
5968. 0
5968. 1
5968. 2
5968. 3
5968. 4
5968. 5
5968. 6
5968. 7
5969. 0
5969. 1
5969. 2
5969. 3
5969. 4
5969. 5
5969. 6
5969. 7
5969. 8
5969. 9
5970. 0
5970. 1
5970. 2
5970. 3
5971. 0
5971. 1
5971. 2
5971. 3
5971. 4
5971. 5
5971. 6
5972. 0
pull
Entries 37
Mean −162.1
Std Dev 0
2.5
2
1.5
1
0.5
0
−0.5
−1
−1.5
−2
pull1D
Entries 37
Mean 0.004991
Std Dev 0.9187
7
6
5
4
3
2
1
0
−8
−6
−4
−2
0
2
4
6
8

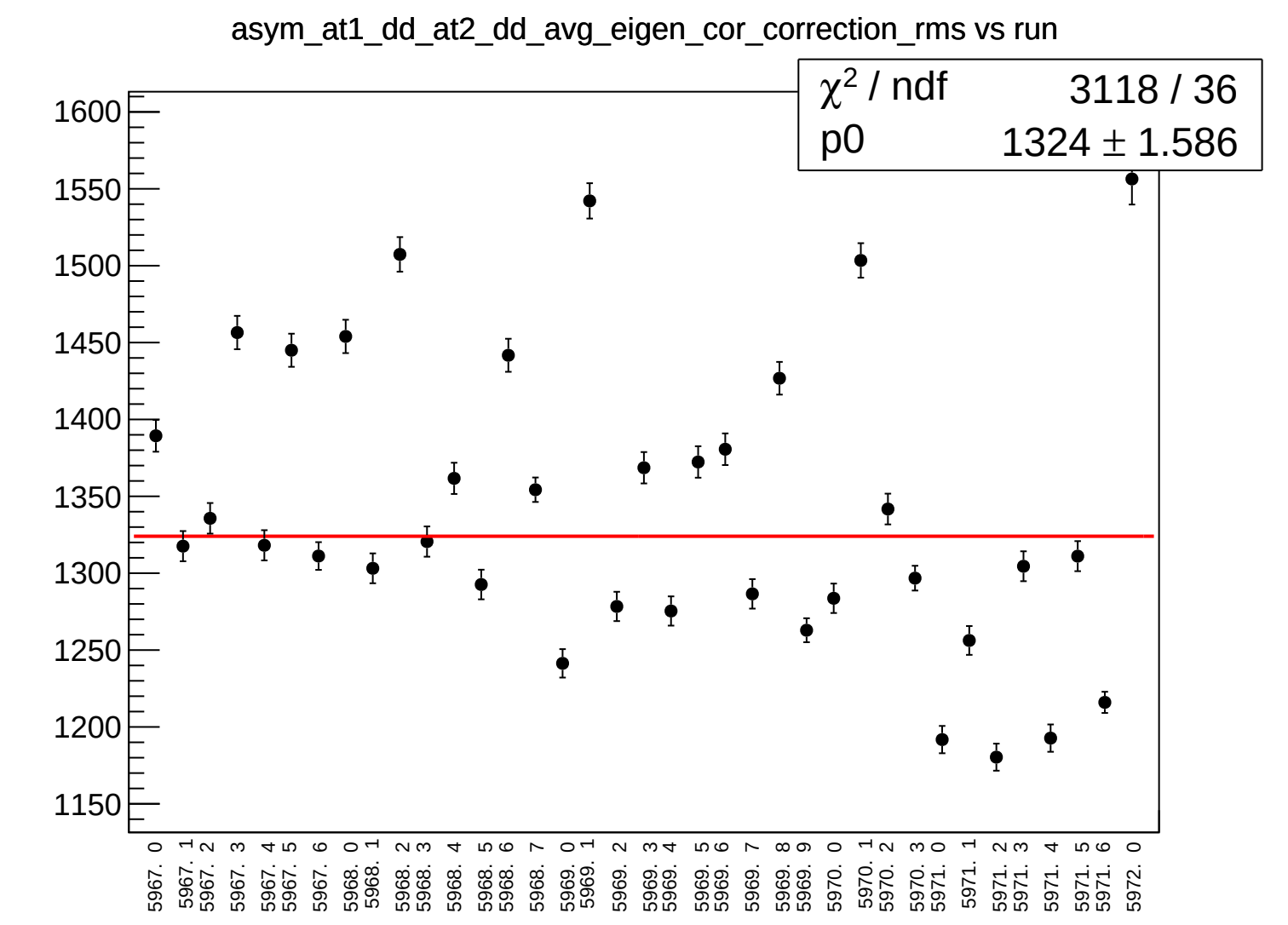
asym_at1_dd_at2_dd_avg_eigen_cor_correction_rms vs run
χ² / ndf 3118 / 36
p0 1324 ± 1.586
1600
1550
1500
1450
1400
1350
1300
1250
1200
1150
5967. 0
5967. 1
5967. 2
5967. 3
5967. 4
5967. 5
5967. 6
5968. 0
5968. 1
5968. 2
5968. 3
5968. 4
5968. 5
5968. 6
5968. 7
5969. 0
5969. 1
5969. 2
5969. 3
5969. 4
5969. 5
5969. 6
5969. 7
5969. 8
5969. 9
5970. 0
5970. 1
5970. 2
5970. 3
5971. 0
5971. 1
5971. 2
5971. 3
5971. 4
5971. 5
5971. 6
5972. 0

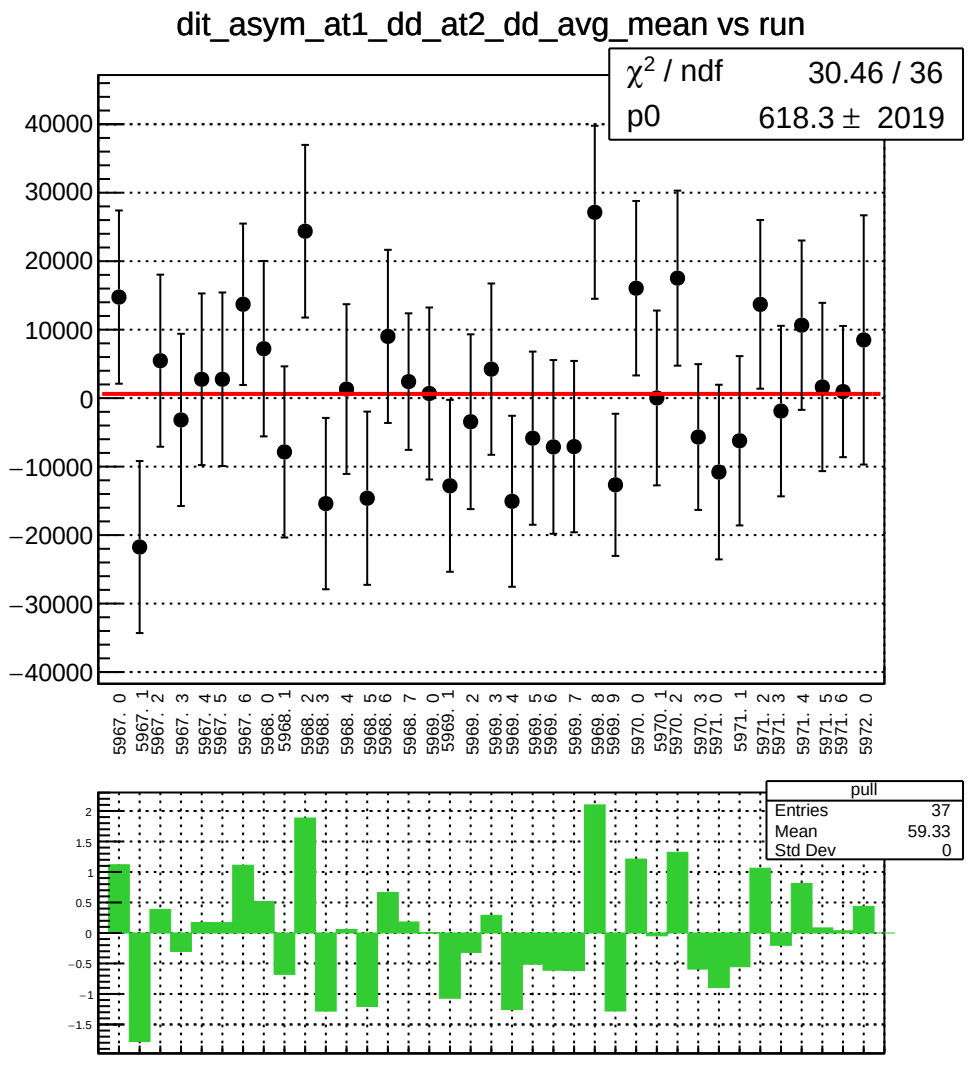
dit_asym_at1_dd_at2_dd_avg_mean vs run
χ² / ndf 30.46 / 36
p0 618.3 ± 2019
40000
30000
20000
10000
0
−10000
−20000
−30000
−40000
5967. 0
5967. 1
5967. 2
5967. 3
5967. 4
5967. 5
5967. 6
5968. 0
5968. 1
5968. 2
5968. 3
5968. 4
5968. 5
5968. 6
5968. 7
5969. 0
5969. 1
5969. 2
5969. 3
5969. 4
5969. 5
5969. 6
5969. 7
5969. 8
5969. 9
5970. 0
5970. 1
5970. 2
5970. 3
5971. 0
5971. 1
5971. 2
5971. 3
5971. 4
5971. 5
5971. 6
5972. 0
pull
Entries 37
Mean 59.33
Std Dev 0
2
1.5
1
0.5
0
−0.5
−1
−1.5

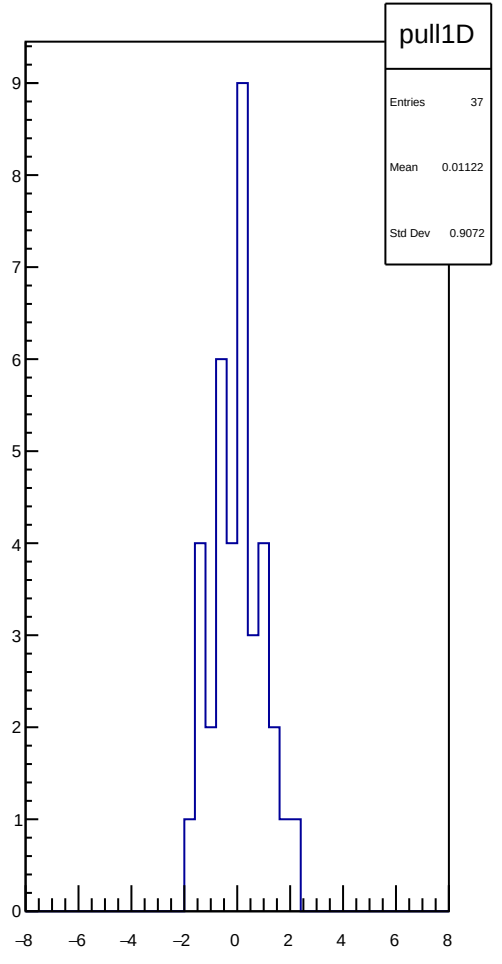
pull1D
Entries 37
Mean 0.01122
Std Dev 0.9072
9
8
7
6
5
4
3
2
1
0
−8
−6
−4
−2
0
2
4
6
8

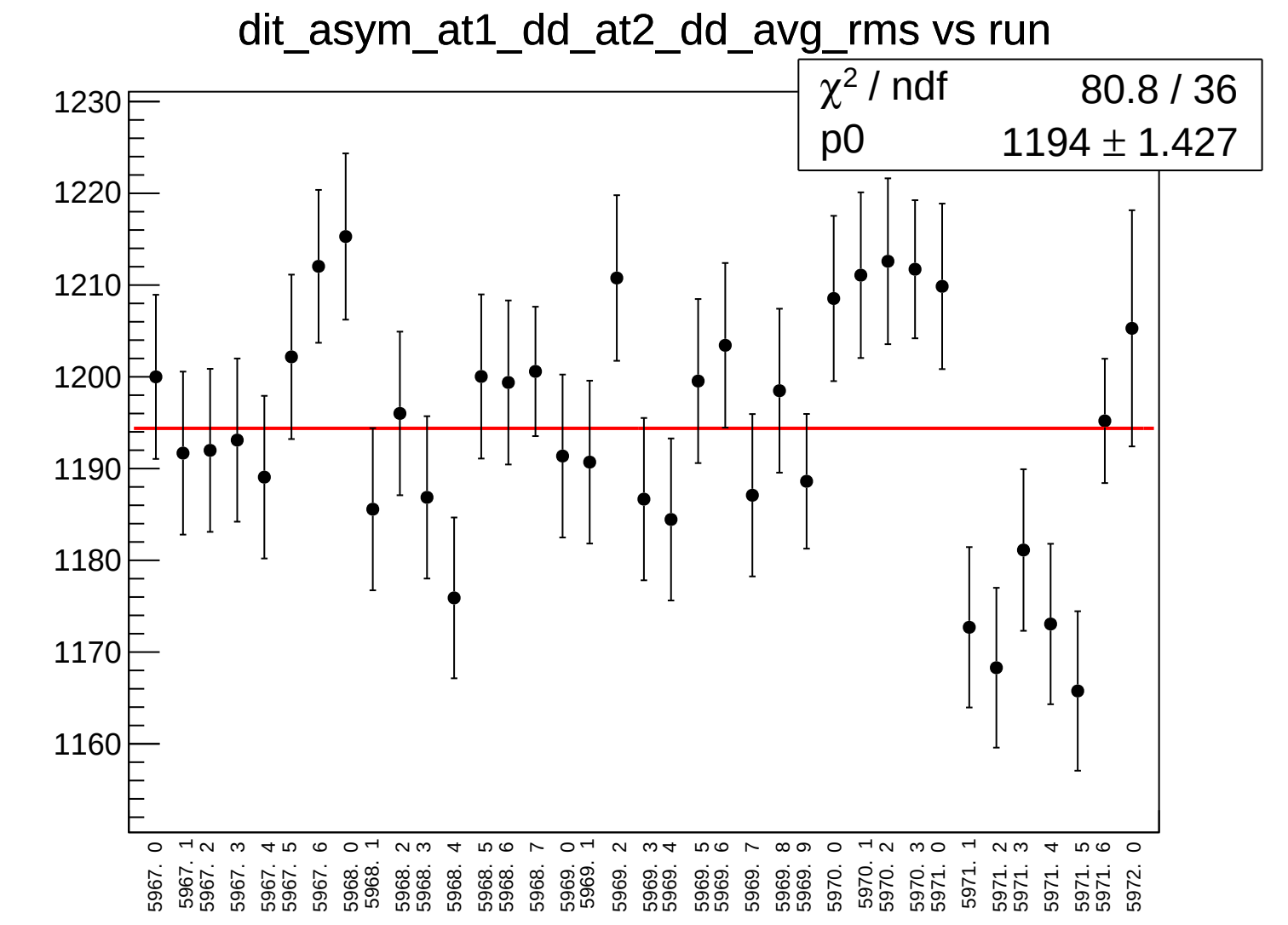
dit_asym_at1_dd_at2_dd_avg_rms vs run
χ² / ndf 80.8 / 36
p0 1194 ± 1.427
1230
1220
1210
1200
1190
1180
1170
1160
5967. 0
5967. 1
5967. 2
5967. 3
5967. 4
5967. 5
5967. 6
5968. 0
5968. 1
5968. 2
5968. 3
5968. 4
5968. 5
5968. 6
5968. 7
5969. 0
5969. 1
5969. 2
5969. 3
5969. 4
5969. 5
5969. 6
5969. 7
5969. 8
5969. 9
5970. 0
5970. 1
5970. 2
5970. 3
5971. 0
5971. 1
5971. 2
5971. 3
5971. 4
5971. 5
5971. 6
5972. 0

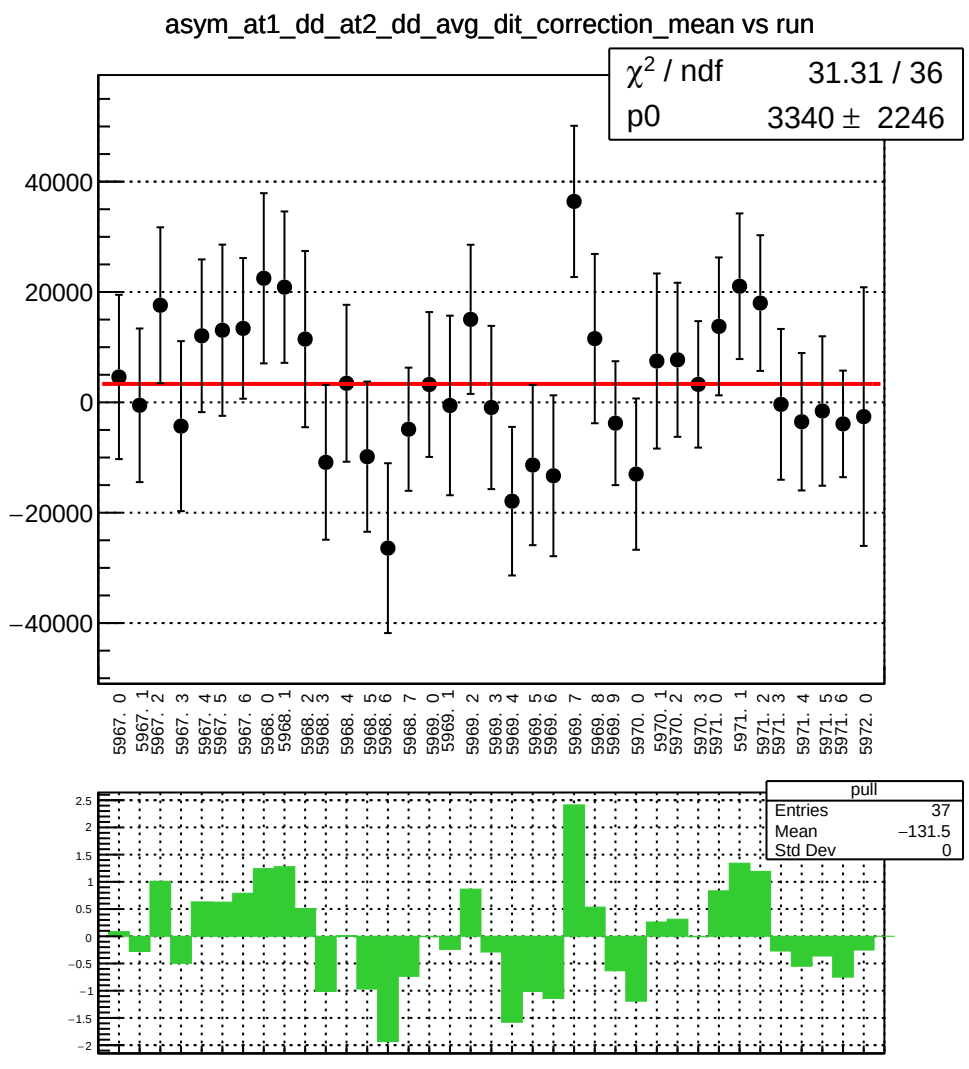
asym_at1_dd_at2_dd_avg_dit_correction_mean vs run
χ² / ndf 31.31 / 36
p0 3340 ± 2246
40000
20000
0
−20000
−40000
5967. 0
5967. 1
5967. 2
5967. 3
5967. 4
5967. 5
5967. 6
5968. 0
5968. 1
5968. 2
5968. 3
5968. 4
5968. 5
5968. 6
5968. 7
5969. 0
5969. 1
5969. 2
5969. 3
5969. 4
5969. 5
5969. 6
5969. 7
5969. 8
5969. 9
5970. 0
5970. 1
5970. 2
5970. 3
5971. 0
5971. 1
5971. 2
5971. 3
5971. 4
5971. 5
5971. 6
5972. 0
pull
Entries 37
Mean −131.5
Std Dev 0
2.5
2
1.5
1
0.5
0
−0.5
−1
−1.5
−2
pull1D
Entries 37
Mean 0.005987
Std Dev 0.9198
8
7
6
5
4
3
2
1
0
−8
−6
−4
−2
0
2
4
6
8

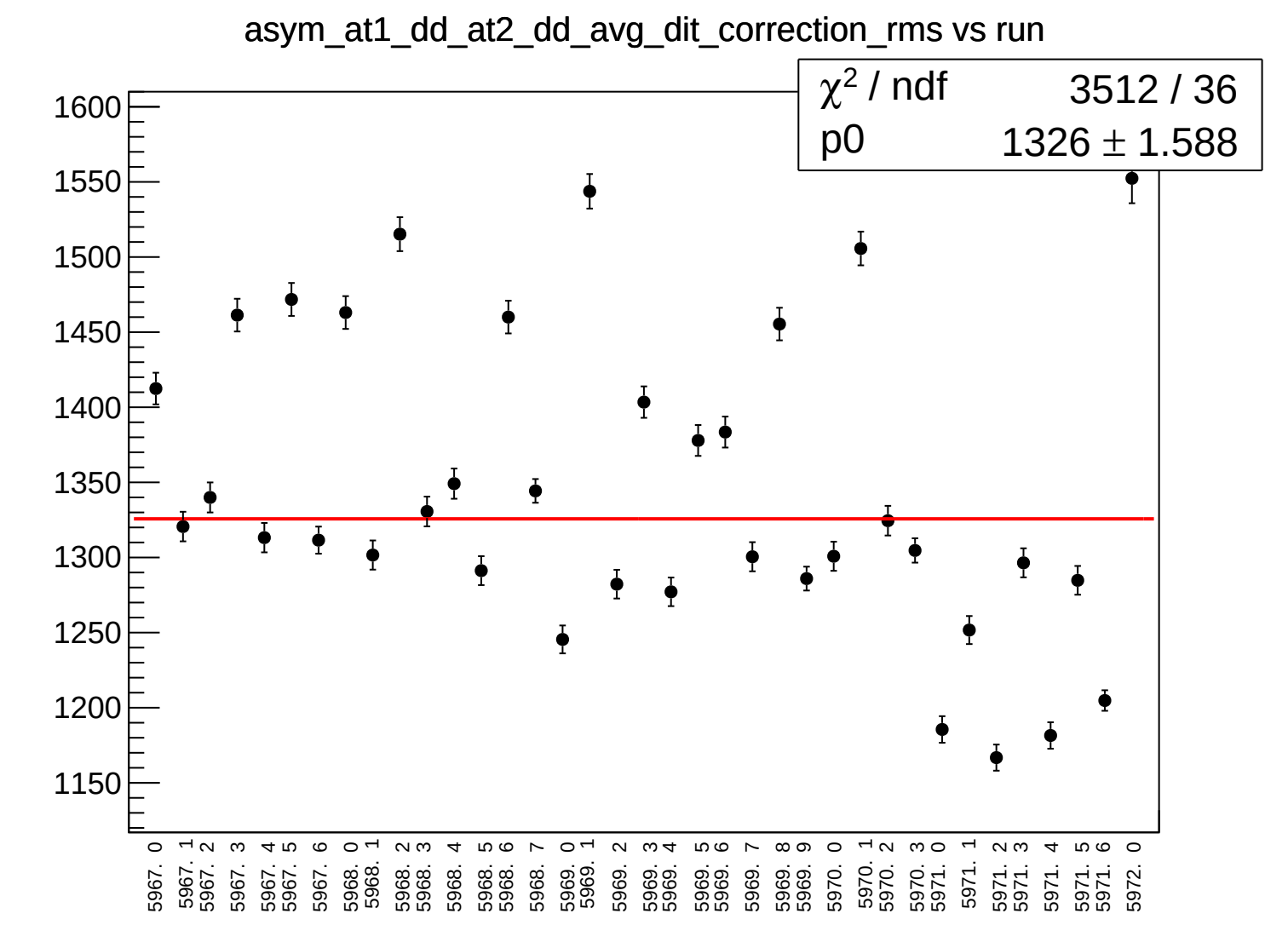
asym_at1_dd_at2_dd_avg_dit_correction_rms vs run
χ² / ndf 3512 / 36
p0 1326 ± 1.588
1600
1550
1500
1450
1400
1350
1300
1250
1200
1150
5967. 0
5967. 1
5967. 2
5967. 3
5967. 4
5967. 5
5967. 6
5968. 0
5968. 1
5968. 2
5968. 3
5968. 4
5968. 5
5968. 6
5968. 7
5969. 0
5969. 1
5969. 2
5969. 3
5969. 4
5969. 5
5969. 6
5969. 7
5969. 8
5969. 9
5970. 0
5970. 1
5970. 2
5970. 3
5971. 0
5971. 1
5971. 2
5971. 3
5971. 4
5971. 5
5971. 6
5972. 0

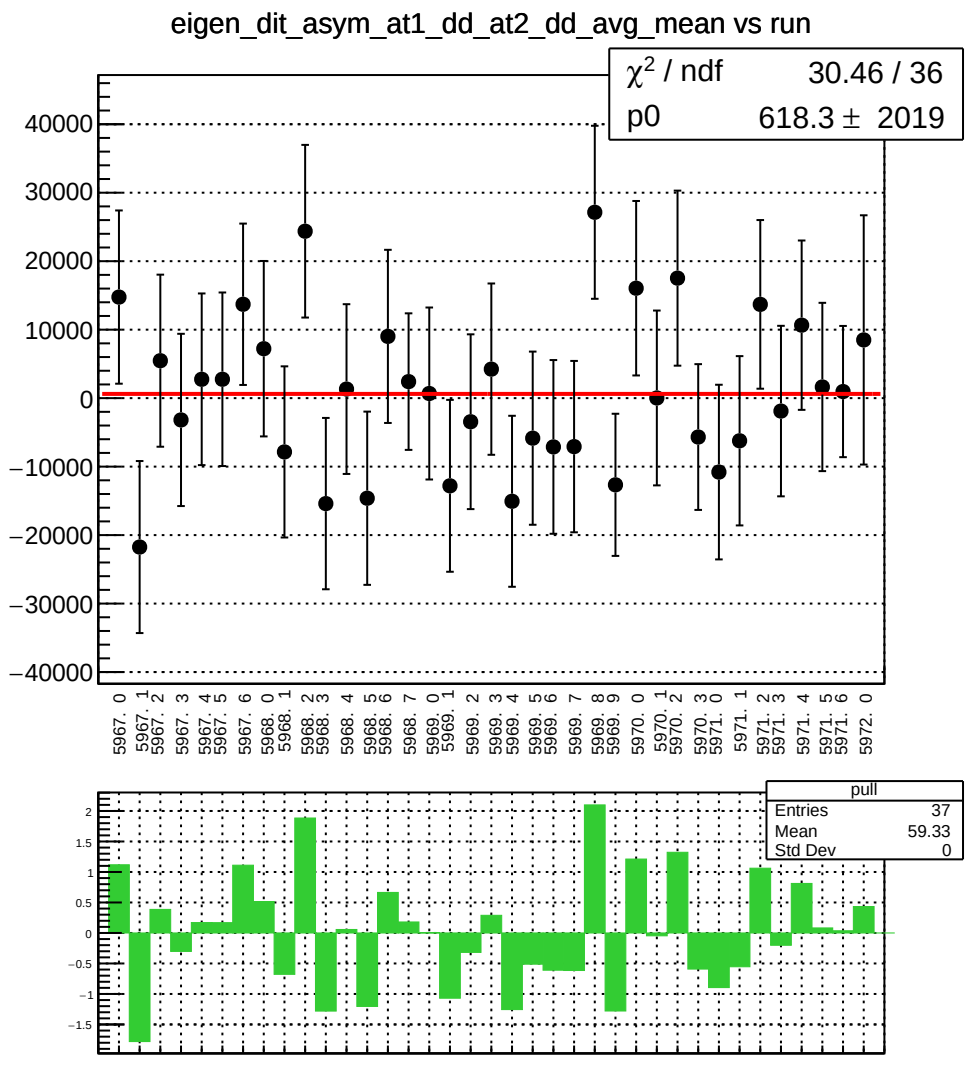
eigen_dit_asym_at1_dd_at2_dd_avg_mean vs run
χ² / ndf 30.46 / 36
p0 618.3 ± 2019
40000
30000
20000
10000
0
−10000
−20000
−30000
−40000
5967. 0
5967. 1
5967. 2
5967. 3
5967. 4
5967. 5
5967. 6
5968. 0
5968. 1
5968. 2
5968. 3
5968. 4
5968. 5
5968. 6
5968. 7
5969. 0
5969. 1
5969. 2
5969. 3
5969. 4
5969. 5
5969. 6
5969. 7
5969. 8
5969. 9
5970. 0
5970. 1
5970. 2
5970. 3
5971. 0
5971. 1
5971. 2
5971. 3
5971. 4
5971. 5
5971. 6
5972. 0
pull
Entries 37
Mean 59.33
Std Dev 0
2
1.5
1
0.5
0
−0.5
−1
−1.5

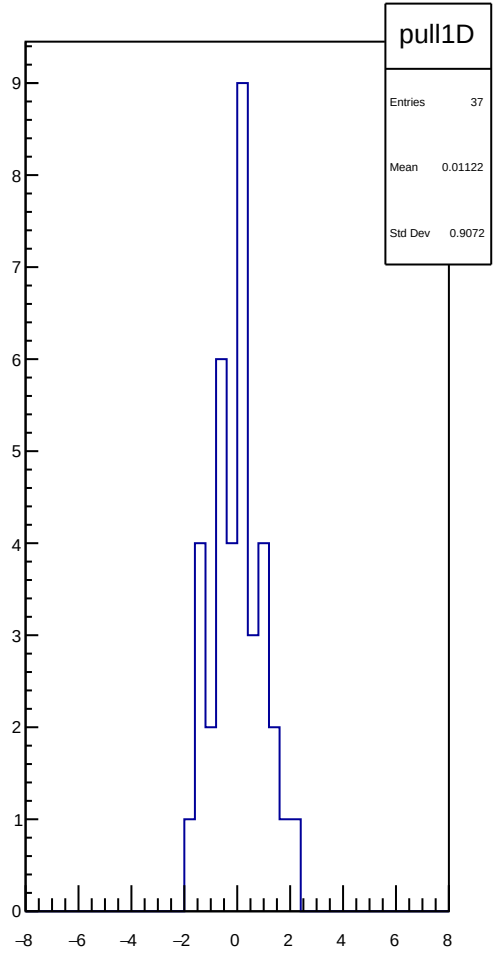
pull1D
Entries 37
Mean 0.01122
Std Dev 0.9072
9
8
7
6
5
4
3
2
1
0
−8
−6
−4
−2
0
2
4
6
8

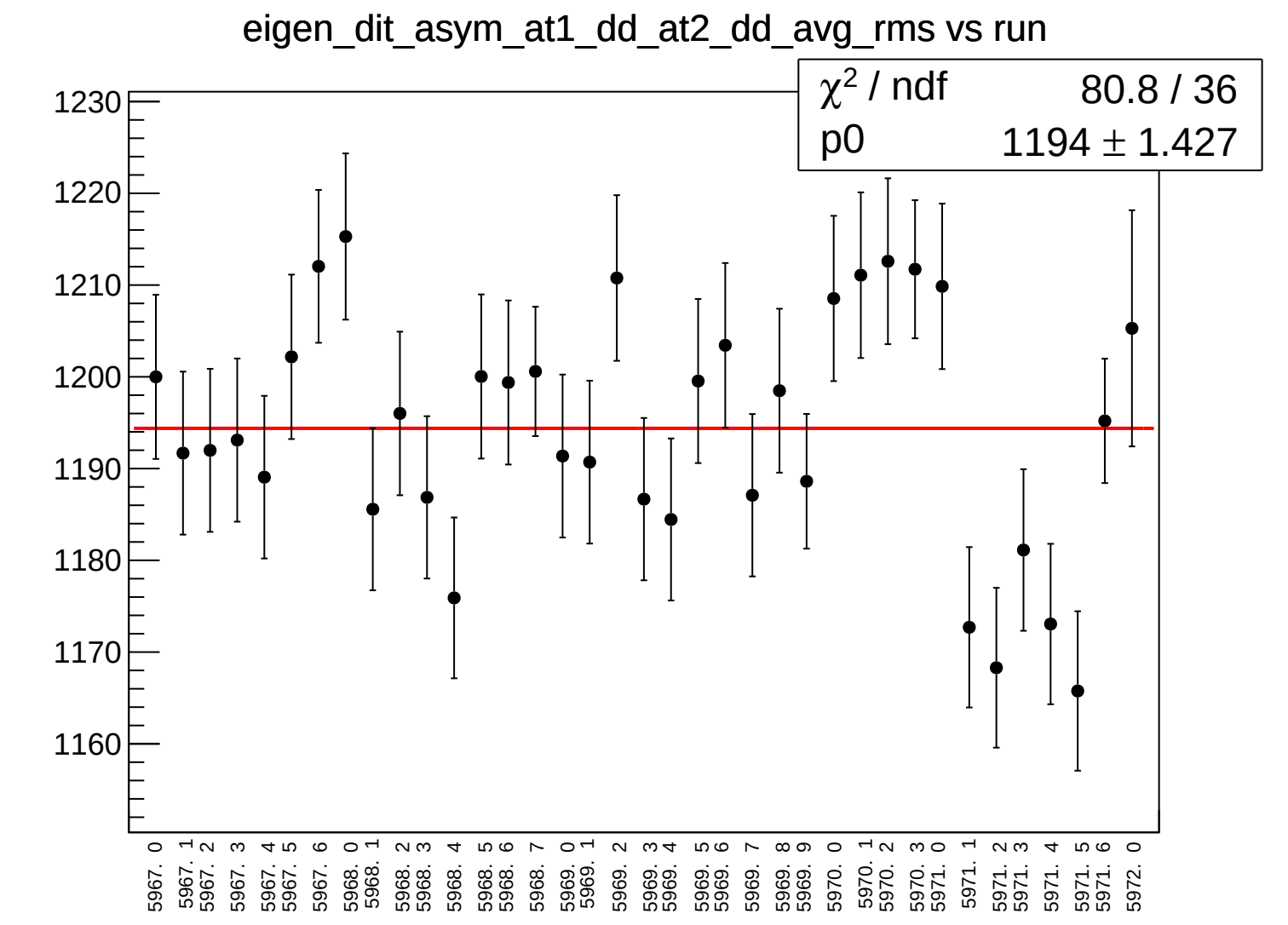
eigen_dit_asym_at1_dd_at2_dd_avg_rms vs run
χ² / ndf 80.8 / 36
p0 1194 ± 1.427
1230
1220
1210
1200
1190
1180
1170
1160
5967. 0
5967. 1
5967. 2
5967. 3
5967. 4
5967. 5
5967. 6
5968. 0
5968. 1
5968. 2
5968. 3
5968. 4
5968. 5
5968. 6
5968. 7
5969. 0
5969. 1
5969. 2
5969. 3
5969. 4
5969. 5
5969. 6
5969. 7
5969. 8
5969. 9
5970. 0
5970. 1
5970. 2
5970. 3
5971. 0
5971. 1
5971. 2
5971. 3
5971. 4
5971. 5
5971. 6
5972. 0

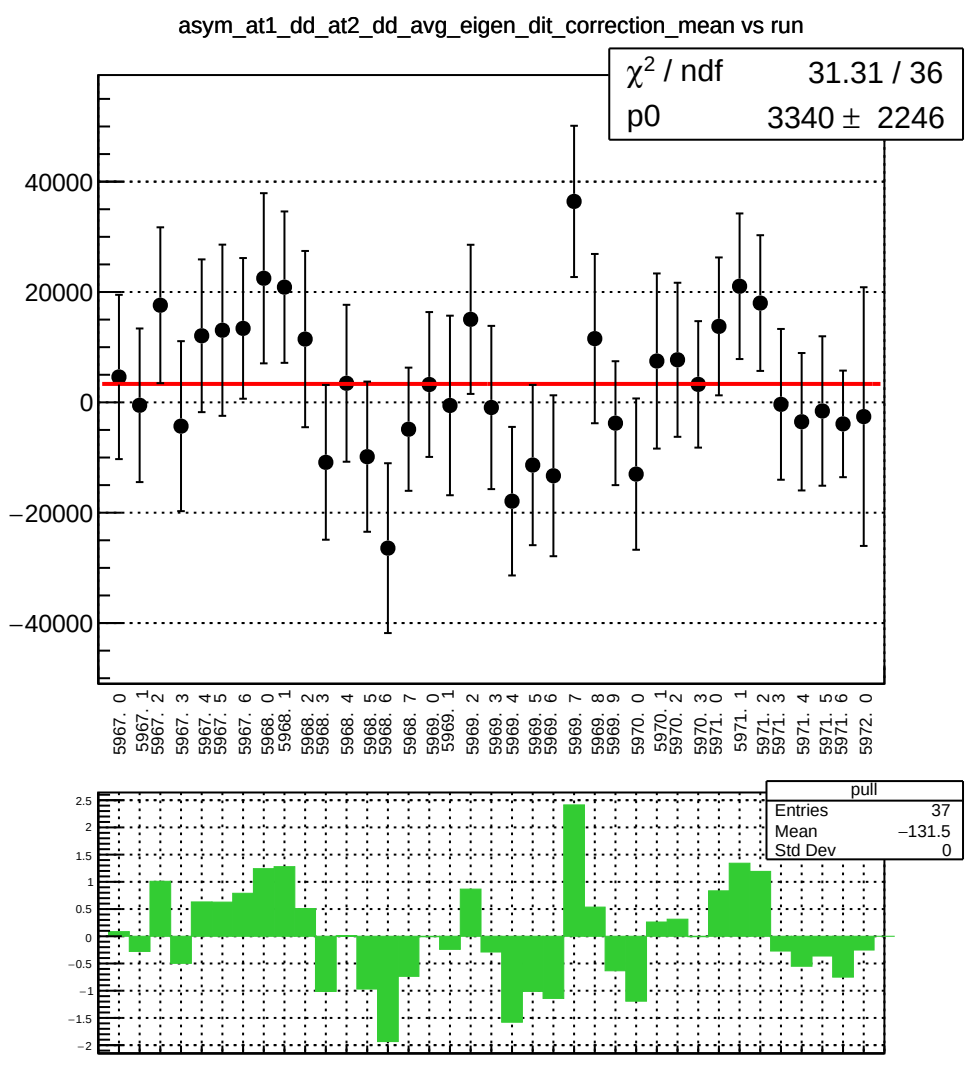
asym_at1_dd_at2_dd_avg_eigen_dit_correction_mean vs run
χ² / ndf 31.31 / 36
p0 3340 ± 2246
40000
20000
0
−20000
−40000
5967. 0
5967. 1
5967. 2
5967. 3
5967. 4
5967. 5
5967. 6
5968. 0
5968. 1
5968. 2
5968. 3
5968. 4
5968. 5
5968. 6
5968. 7
5969. 0
5969. 1
5969. 2
5969. 3
5969. 4
5969. 5
5969. 6
5969. 7
5969. 8
5969. 9
5970. 0
5970. 1
5970. 2
5970. 3
5971. 0
5971. 1
5971. 2
5971. 3
5971. 4
5971. 5
5971. 6
5972. 0
pull
Entries 37
Mean −131.5
Std Dev 0
2.5
2
1.5
1
0.5
0
−0.5
−1
−1.5
−2
pull1D
Entries 37
Mean 0.005987
Std Dev 0.9198
8
7
6
5
4
3
2
1
0
−8
−6
−4
−2
0
2
4
6
8

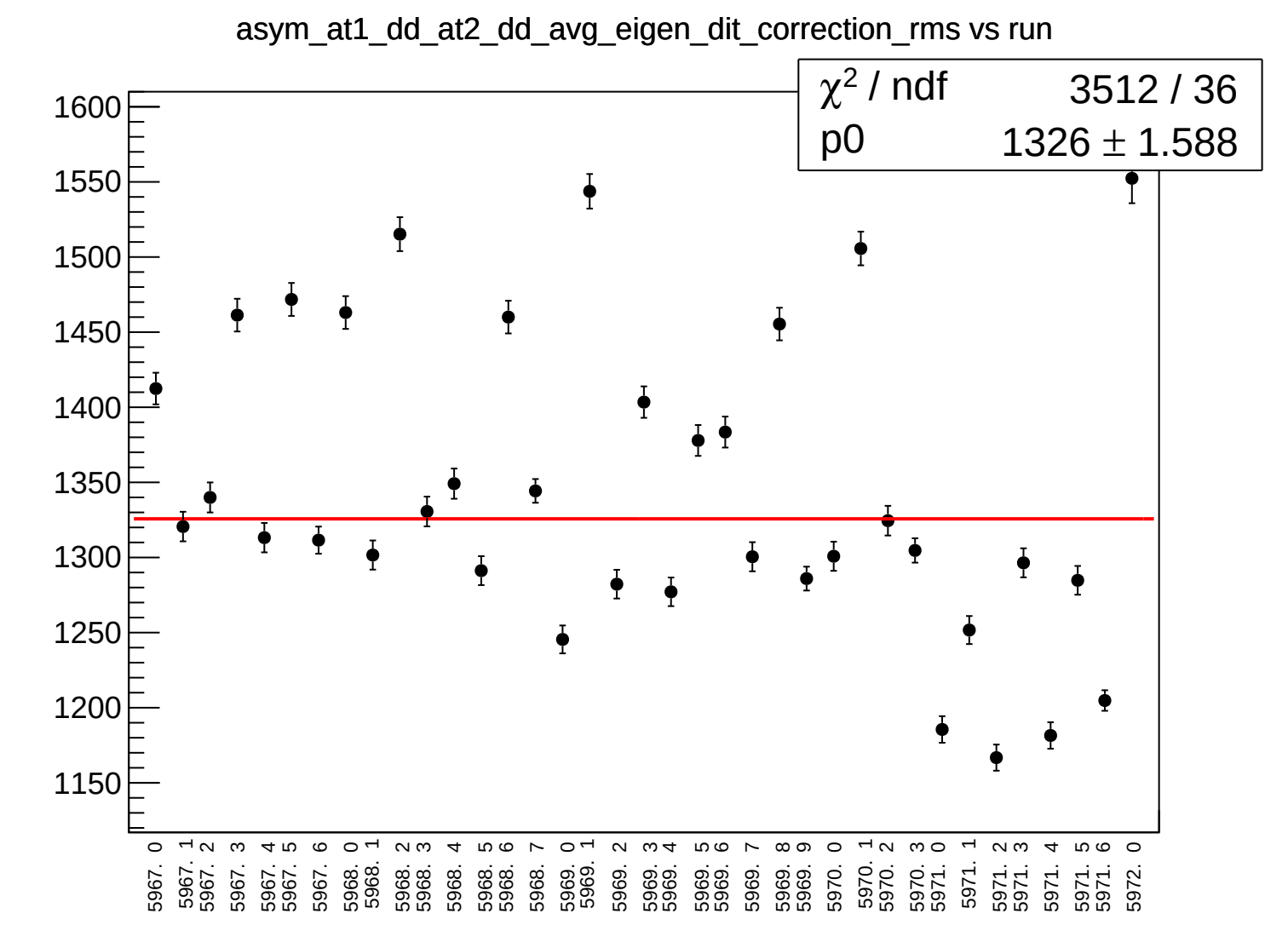
asym_at1_dd_at2_dd_avg_eigen_dit_correction_rms vs run
χ² / ndf 3512 / 36
p0 1326 ± 1.588
1600
1550
1500
1450
1400
1350
1300
1250
1200
1150
5967. 0
5967. 1
5967. 2
5967. 3
5967. 4
5967. 5
5967. 6
5968. 0
5968. 1
5968. 2
5968. 3
5968. 4
5968. 5
5968. 6
5968. 7
5969. 0
5969. 1
5969. 2
5969. 3
5969. 4
5969. 5
5969. 6
5969. 7
5969. 8
5969. 9
5970. 0
5970. 1
5970. 2
5970. 3
5971. 0
5971. 1
5971. 2
5971. 3
5971. 4
5971. 5
5971. 6
5972. 0

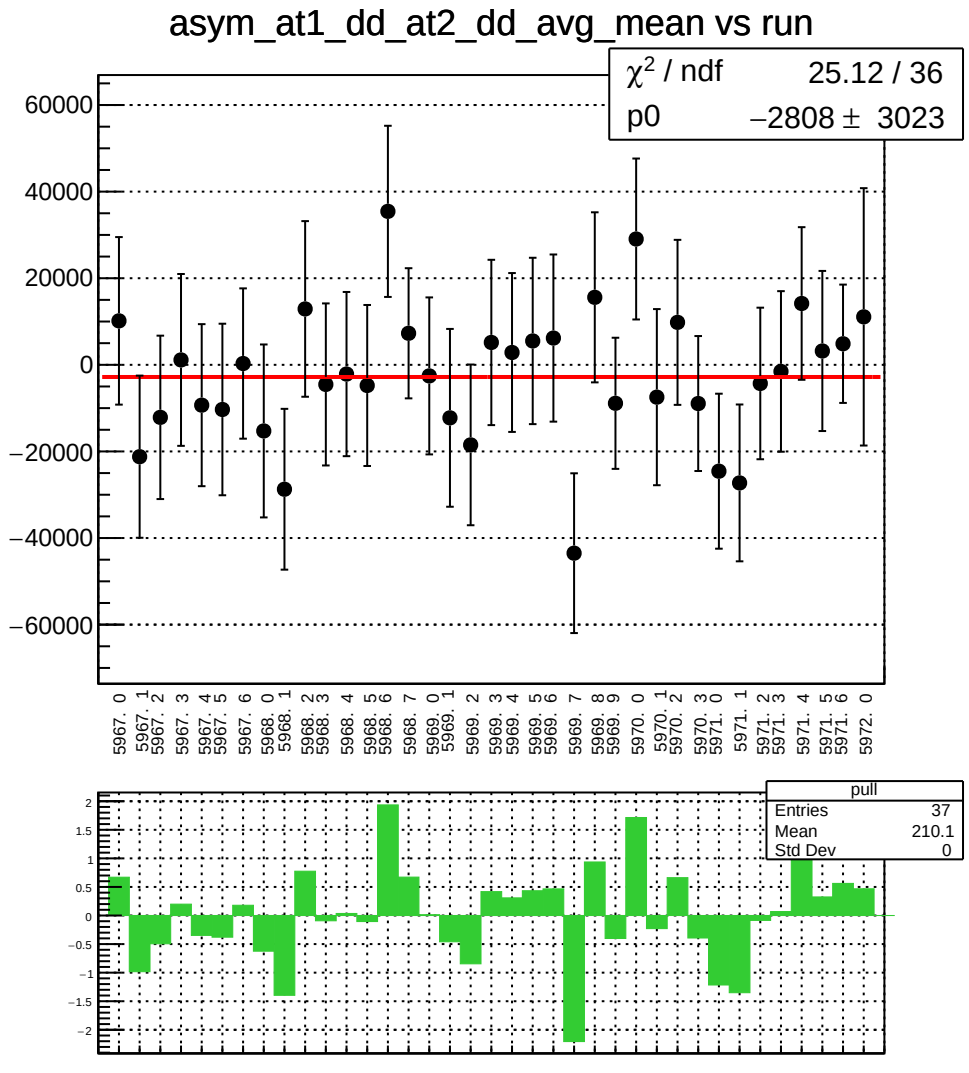
asym_at1_dd_at2_dd_avg_mean vs run
χ² / ndf 25.12 / 36
p0 −2808 ± 3023
60000
40000
20000
0
−20000
−40000
−60000
5967. 0
5967. 1
5967. 2
5967. 3
5967. 4
5967. 5
5967. 6
5968. 0
5968. 1
5968. 2
5968. 3
5968. 4
5968. 5
5968. 6
5968. 7
5969. 0
5969. 1
5969. 2
5969. 3
5969. 4
5969. 5
5969. 6
5969. 7
5969. 8
5969. 9
5970. 0
5970. 1
5970. 2
5970. 3
5971. 0
5971. 1
5971. 2
5971. 3
5971. 4
5971. 5
5971. 6
5972. 0
pull
Entries 37
Mean 210.1
Std Dev 0
2
1.5
1
0.5
0
−0.5
−1
−1.5
−2

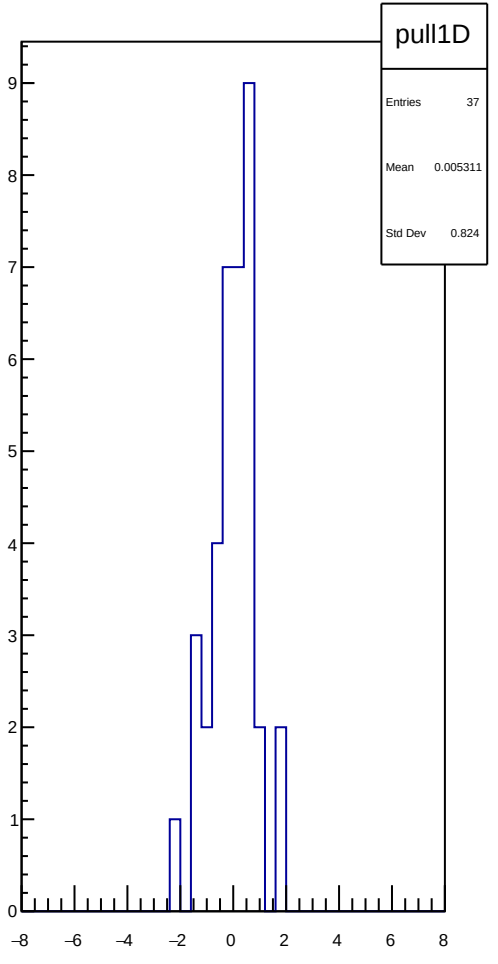
pull1D
Entries 37
Mean 0.005311
Std Dev 0.824
9
8
7
6
5
4
3
2
1
0
−8
−6
−4
−2
0
2
4
6
8

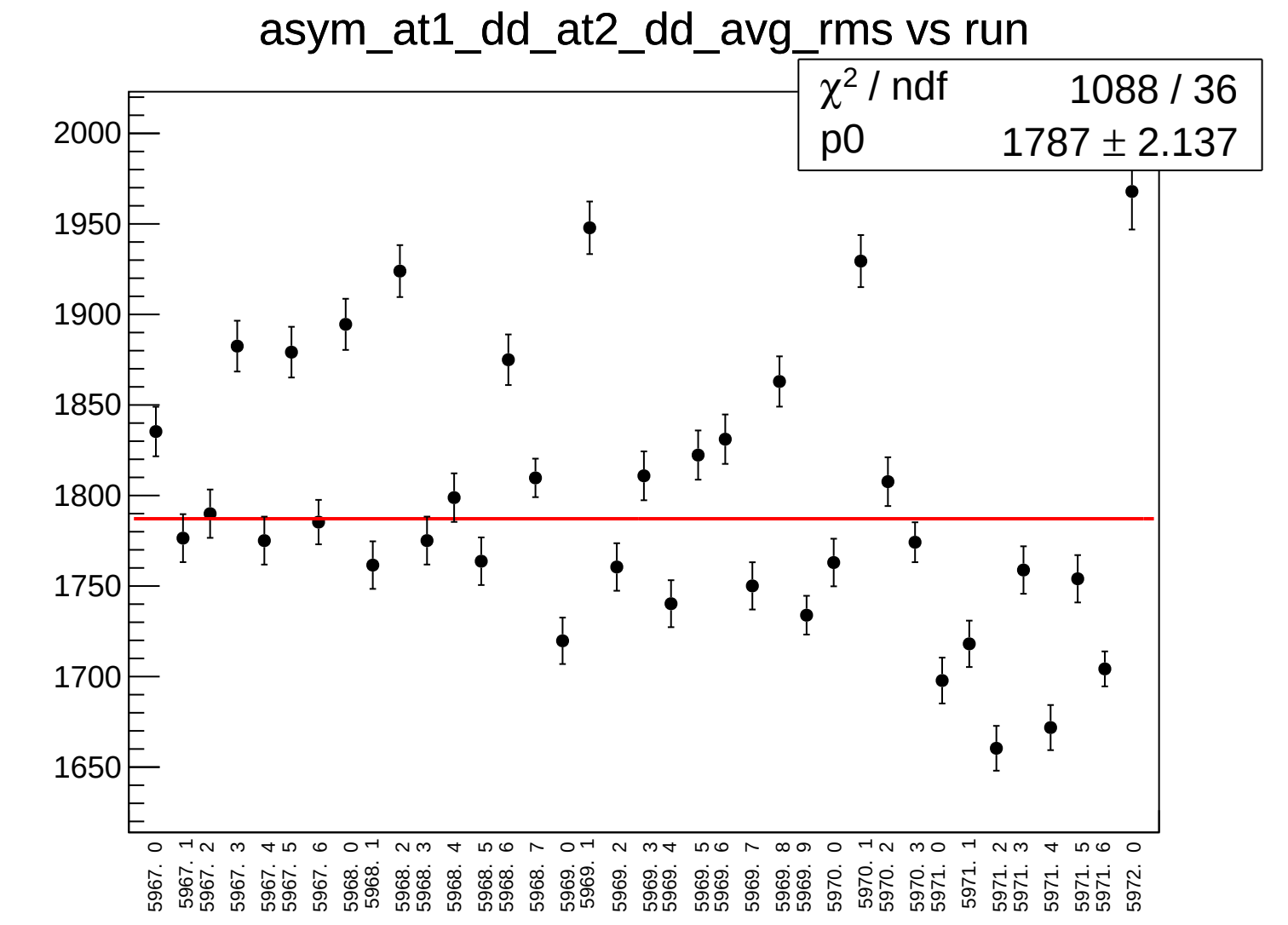
asym_at1_dd_at2_dd_avg_rms vs run
χ² / ndf 1088 / 36
p0 1787 ± 2.137
2000
1950
1900
1850
1800
1750
1700
1650
5967. 0
5967. 1
5967. 2
5967. 3
5967. 4
5967. 5
5967. 6
5968. 0
5968. 1
5968. 2
5968. 3
5968. 4
5968. 5
5968. 6
5968. 7
5969. 0
5969. 1
5969. 2
5969. 3
5969. 4
5969. 5
5969. 6
5969. 7
5969. 8
5969. 9
5970. 0
5970. 1
5970. 2
5970. 3
5971. 0
5971. 1
5971. 2
5971. 3
5971. 4
5971. 5
5971. 6
5972. 0

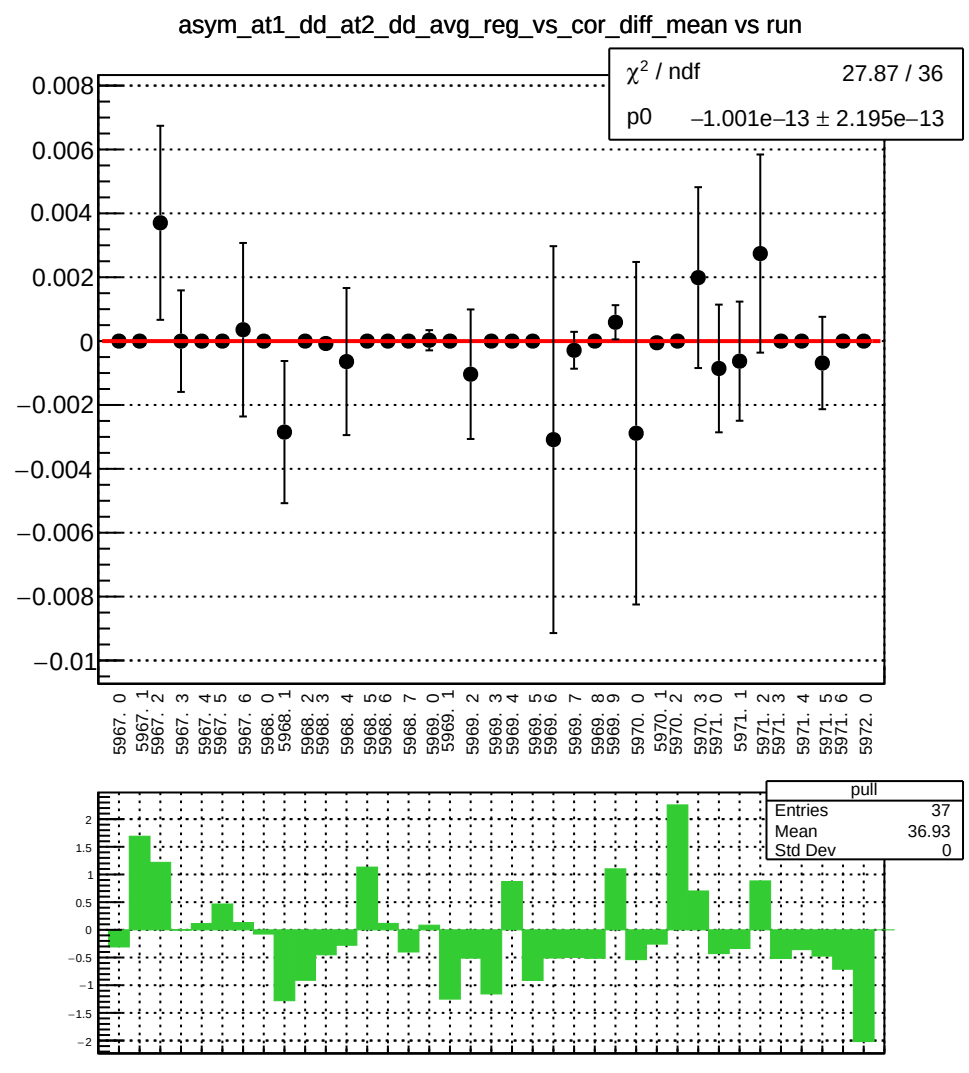
asym_at1_dd_at2_dd_avg_reg_vs_cor_diff_mean vs run
χ² / ndf 27.87 / 36
p0 −1.001e−13 ± 2.195e−13
0.008
0.006
0.004
0.002
0
−0.002
−0.004
−0.006
−0.008
−0.01
5967. 0
5967. 1
5967. 2
5967. 3
5967. 4
5967. 5
5967. 6
5968. 0
5968. 1
5968. 2
5968. 3
5968. 4
5968. 5
5968. 6
5968. 7
5969. 0
5969. 1
5969. 2
5969. 3
5969. 4
5969. 5
5969. 6
5969. 7
5969. 8
5969. 9
5970. 0
5970. 1
5970. 2
5970. 3
5971. 0
5971. 1
5971. 2
5971. 3
5971. 4
5971. 5
5971. 6
5972. 0
pull
Entries 37
Mean 36.93
Std Dev 0
2
1.5
1
0.5
0
−0.5
−1
−1.5
−2
pull1D
Entries 37
Mean −0.1061
Std Dev 0.8614
10
8
6
4
2
0
−8
−6
−4
−2
0
2
4
6
8

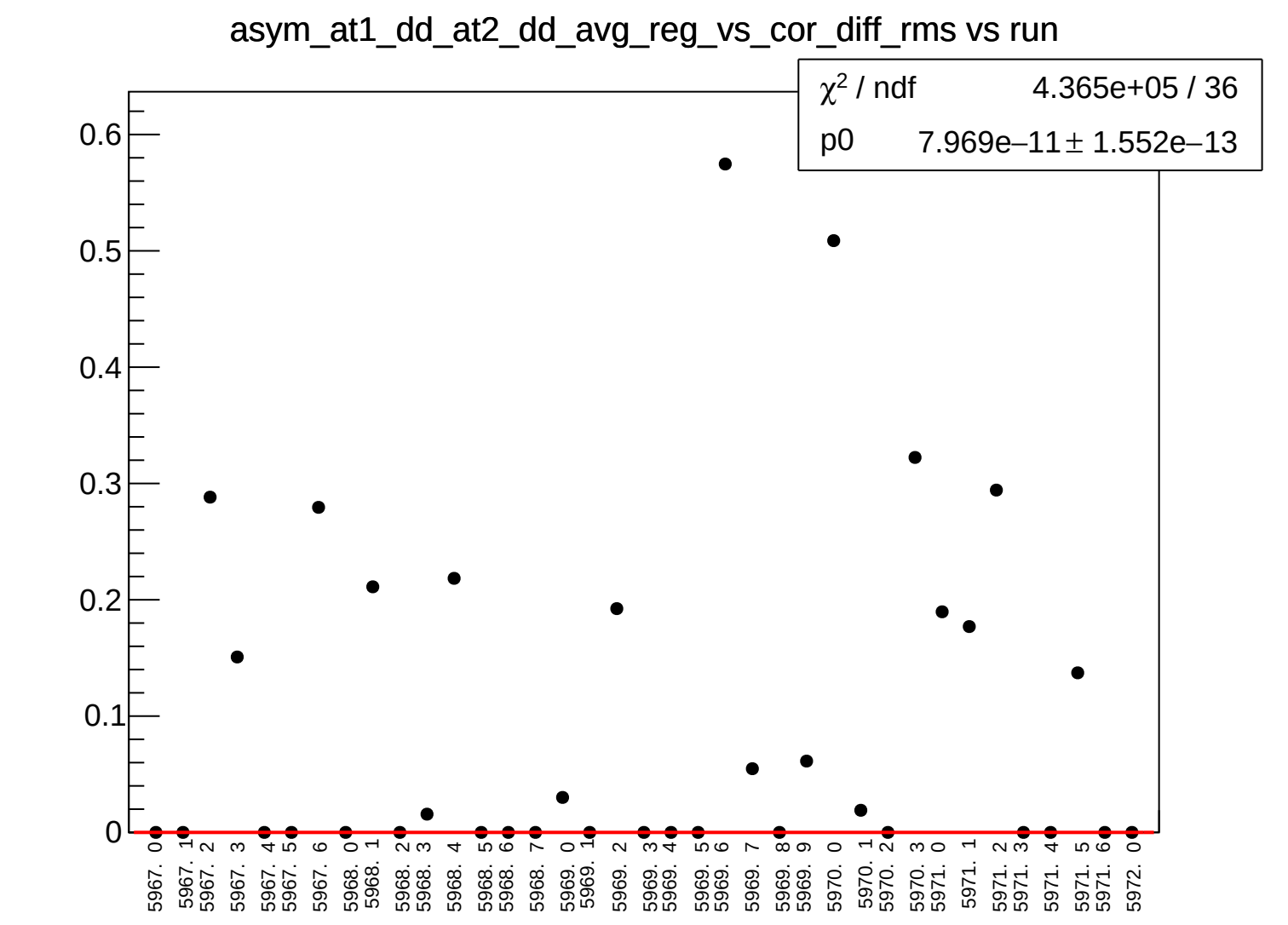
asym_at1_dd_at2_dd_avg_reg_vs_cor_diff_rms vs run
χ² / ndf 4.365e+05 / 36
p0 7.969e−11 ± 1.552e−13
0.6
0.5
0.4
0.3
0.2
0.1
0
5967. 0
5967. 1
5967. 2
5967. 3
5967. 4
5967. 5
5967. 6
5968. 0
5968. 1
5968. 2
5968. 3
5968. 4
5968. 5
5968. 6
5968. 7
5969. 0
5969. 1
5969. 2
5969. 3
5969. 4
5969. 5
5969. 6
5969. 7
5969. 8
5969. 9
5970. 0
5970. 1
5970. 2
5970. 3
5971. 0
5971. 1
5971. 2
5971. 3
5971. 4
5971. 5
5971. 6
5972. 0

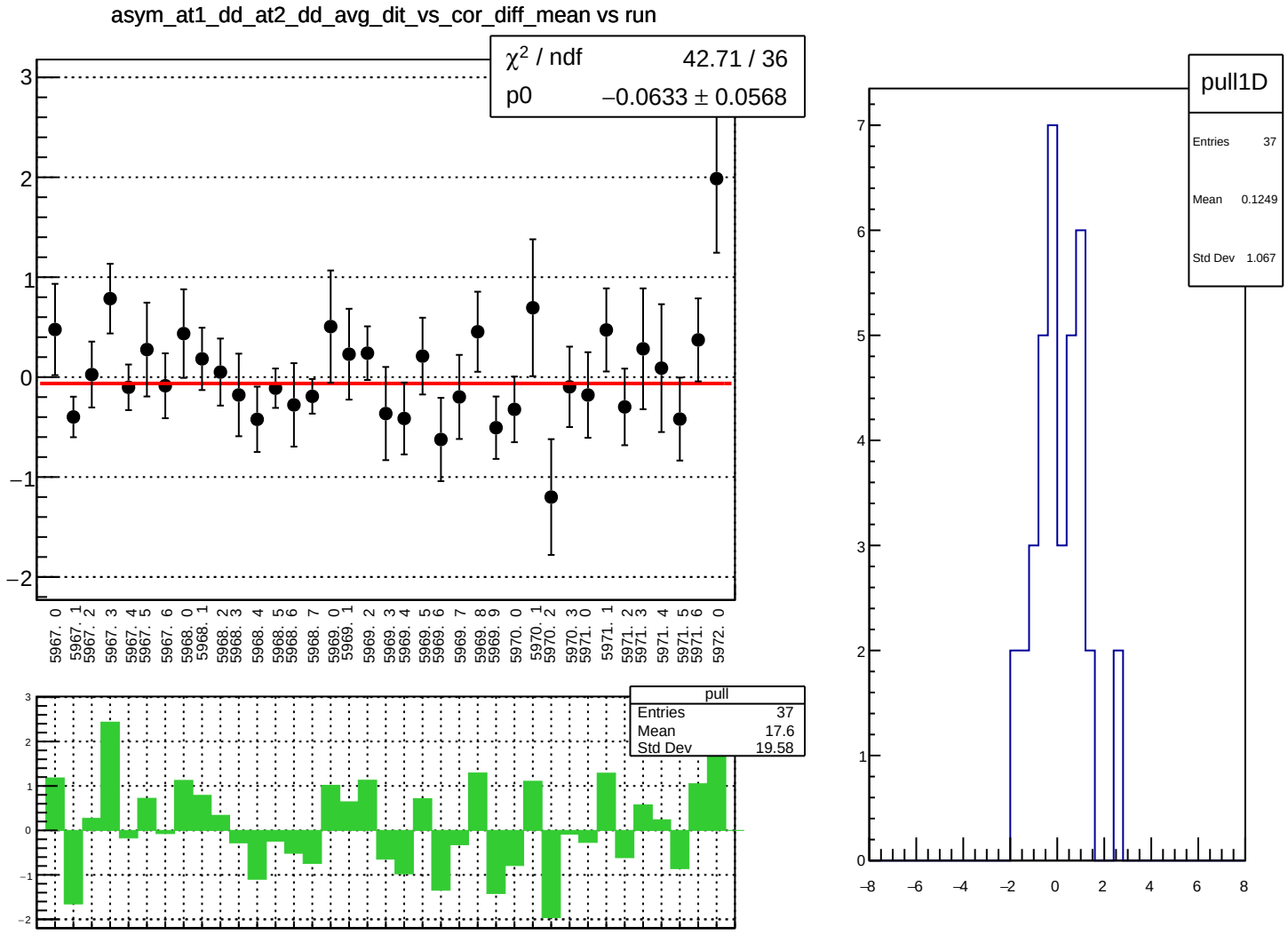
asym_at1_dd_at2_dd_avg_dit_vs_cor_diff_mean vs run
χ² / ndf 42.71 / 36
p0 −0.0633 ± 0.0568
pull
Entries 37
Mean 17.6
Std Dev 19.58
pull1D
Entries 37
Mean 0.1249
Std Dev 1.067

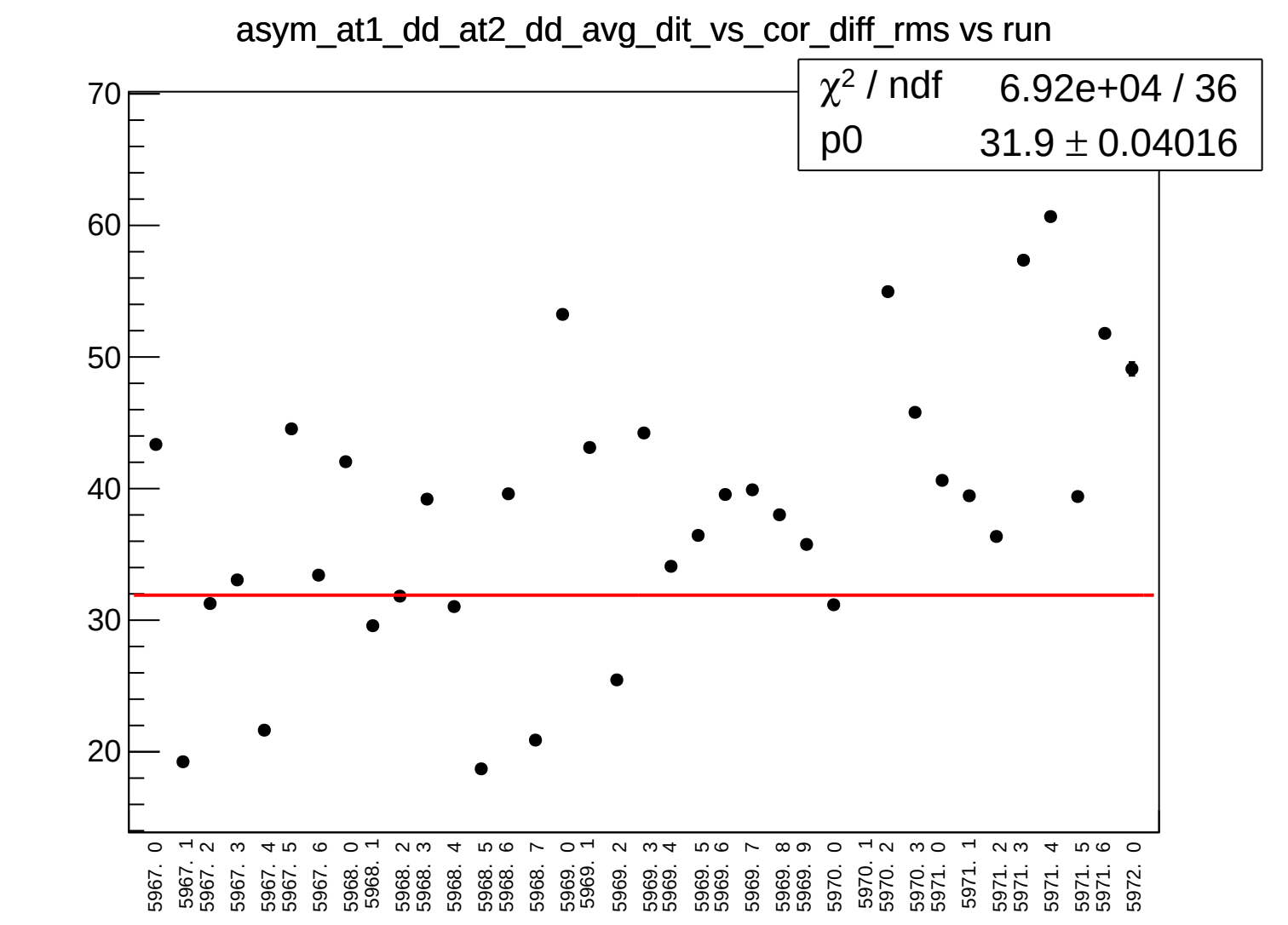
asym_at1_dd_at2_dd_avg_dit_vs_cor_diff_rms vs run
χ² / ndf 6.92e+04 / 36
p0 31.9 ± 0.04016
70
60
50
40
30
20
5967. 0
5967. 1
5967. 2
5967. 3
5967. 4
5967. 5
5967. 6
5968. 0
5968. 1
5968. 2
5968. 3
5968. 4
5968. 5
5968. 6
5968. 7
5969. 0
5969. 1
5969. 2
5969. 3
5969. 4
5969. 5
5969. 6
5969. 7
5969. 8
5969. 9
5970. 0
5970. 1
5970. 2
5970. 3
5971. 0
5971. 1
5971. 2
5971. 3
5971. 4
5971. 5
5971. 6
5972. 0

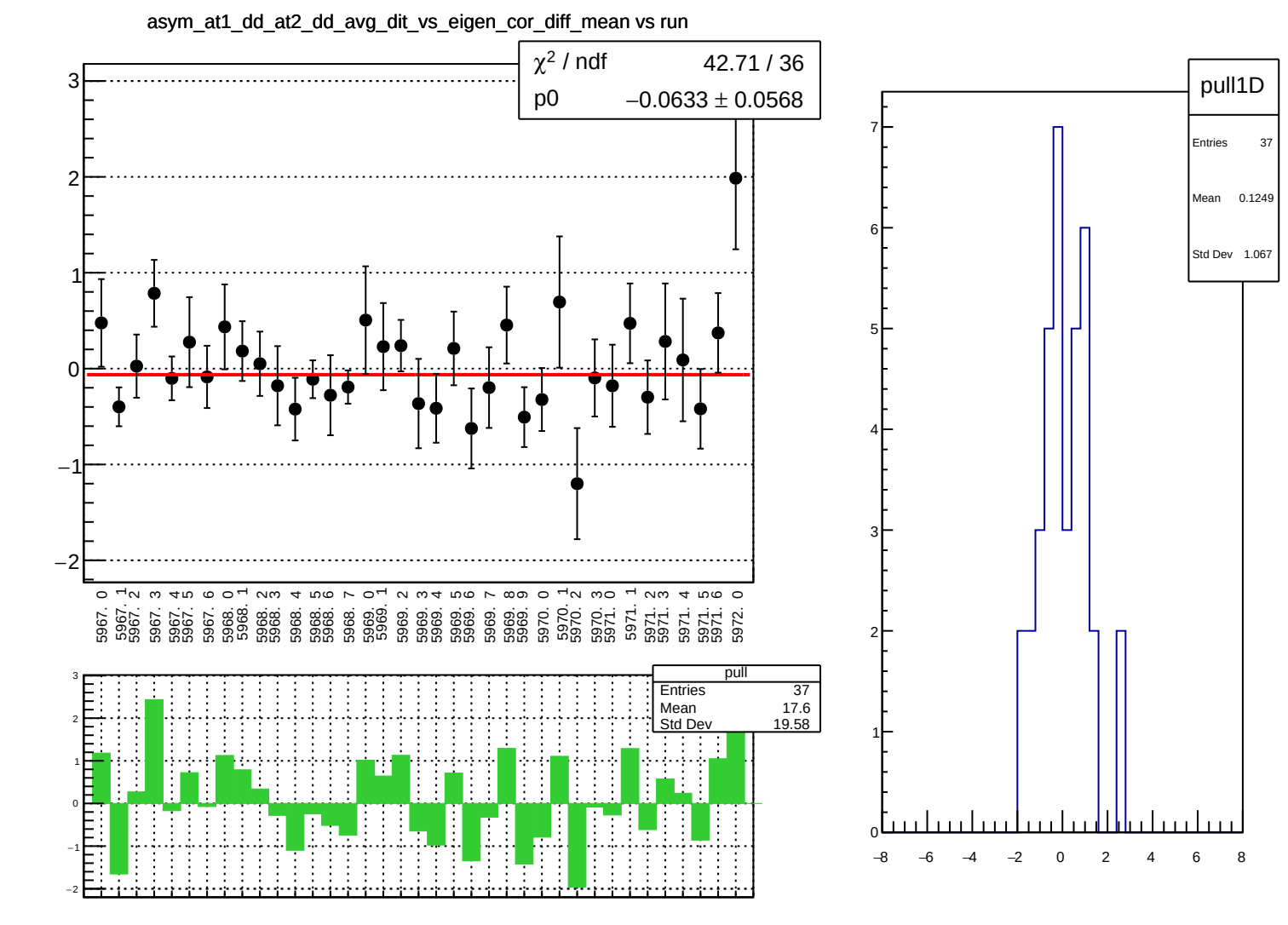
asym_at1_dd_at2_dd_avg_dit_vs_eigen_cor_diff_mean vs run
χ² / ndf 42.71 / 36
p0 −0.0633 ± 0.0568
pull
Entries 37
Mean 17.6
Std Dev 19.58
pull1D
Entries 37
Mean 0.1249
Std Dev 1.067

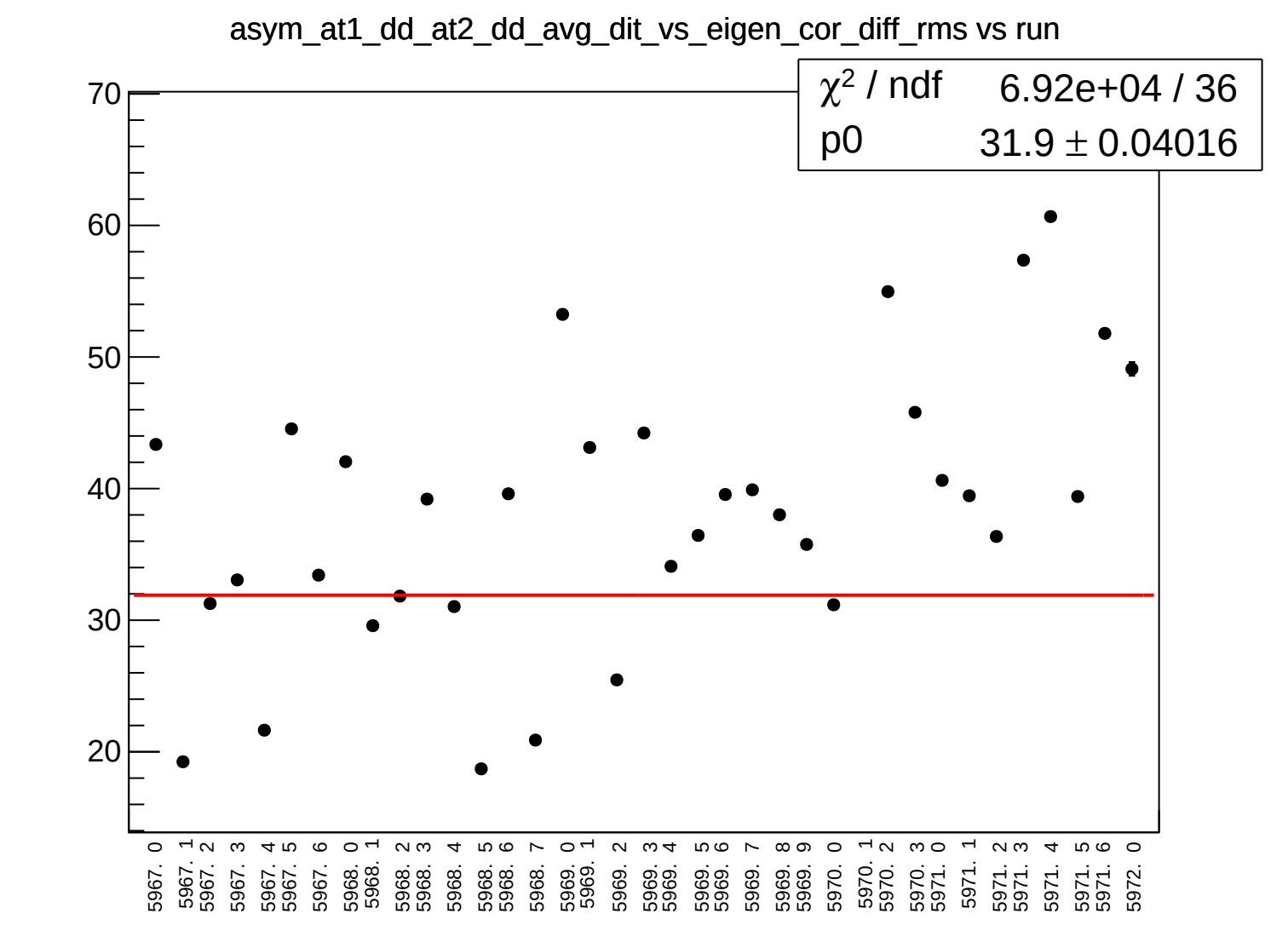
asym_at1_dd_at2_dd_avg_dit_vs_eigen_cor_diff_rms vs run
χ² / ndf 6.92e+04 / 36
p0 31.9 ± 0.04016
70
60
50
40
30
20
5967. 0
5967. 1
5967. 2
5967. 3
5967. 4
5967. 5
5967. 6
5968. 0
5968. 1
5968. 2
5968. 3
5968. 4
5968. 5
5968. 6
5968. 7
5969. 0
5969. 1
5969. 2
5969. 3
5969. 4
5969. 5
5969. 6
5969. 7
5969. 8
5969. 9
5970. 0
5970. 1
5970. 2
5970. 3
5971. 0
5971. 1
5971. 2
5971. 3
5971. 4
5971. 5
5971. 6
5972. 0

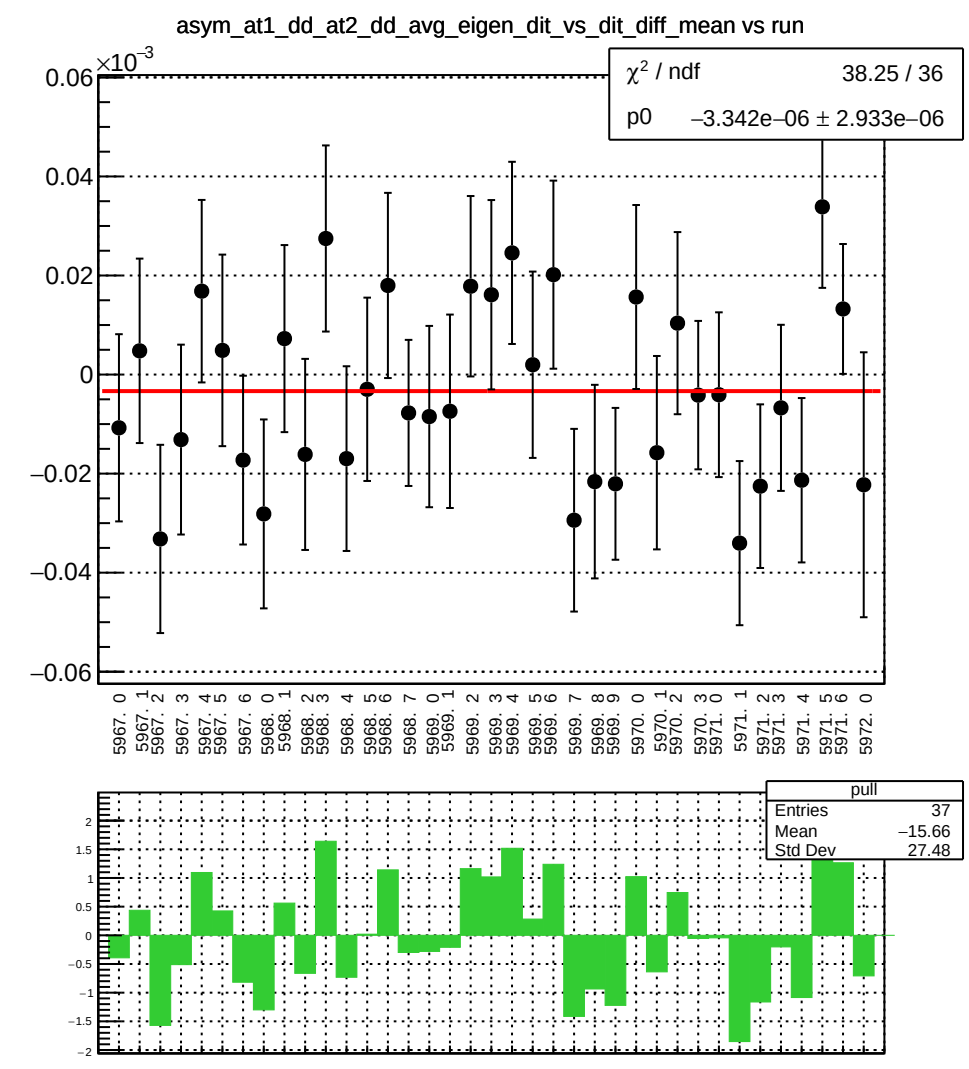
asym_at1_dd_at2_dd_avg_eigen_dit_vs_dit_diff_mean vs run
×10⁻³
χ² / ndf 38.25 / 36
p0 −3.342e−06 ± 2.933e−06
0.06
0.04
0.02
0
−0.02
−0.04
−0.06
5967. 0
5967. 1
5967. 2
5967. 3
5967. 4
5967. 5
5967. 6
5968. 0
5968. 1
5968. 2
5968. 3
5968. 4
5968. 5
5968. 6
5968. 7
5969. 0
5969. 1
5969. 2
5969. 3
5969. 4
5969. 5
5969. 6
5969. 7
5969. 8
5969. 9
5970. 0
5970. 1
5970. 2
5970. 3
5971. 0
5971. 1
5971. 2
5971. 3
5971. 4
5971. 5
5971. 6
5972. 0
pull
Entries 37
Mean −15.66
Std Dev 27.48
2
1.5
1
0.5
0
−0.5
−1
−1.5
−2

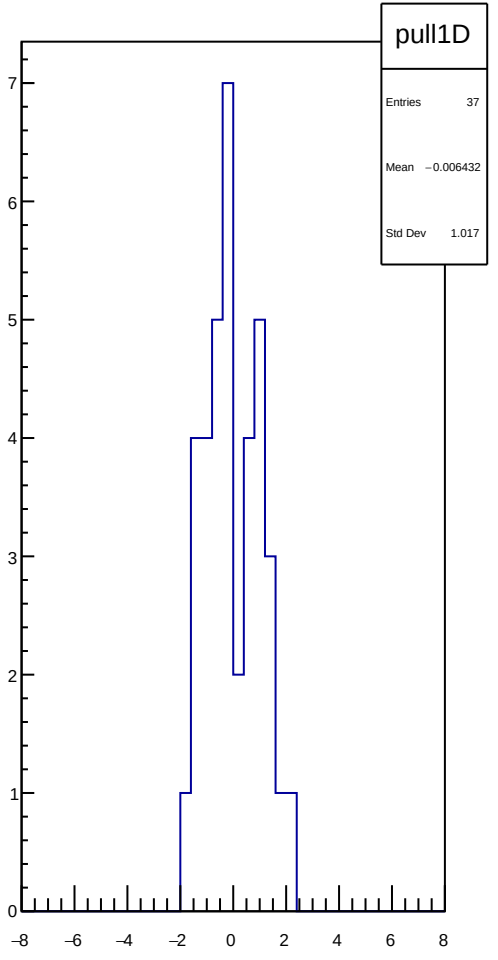
pull1D
Entries 37
Mean −0.006432
Std Dev 1.017
7
6
5
4
3
2
1
0
−8
−6
−4
−2
0
2
4
6
8

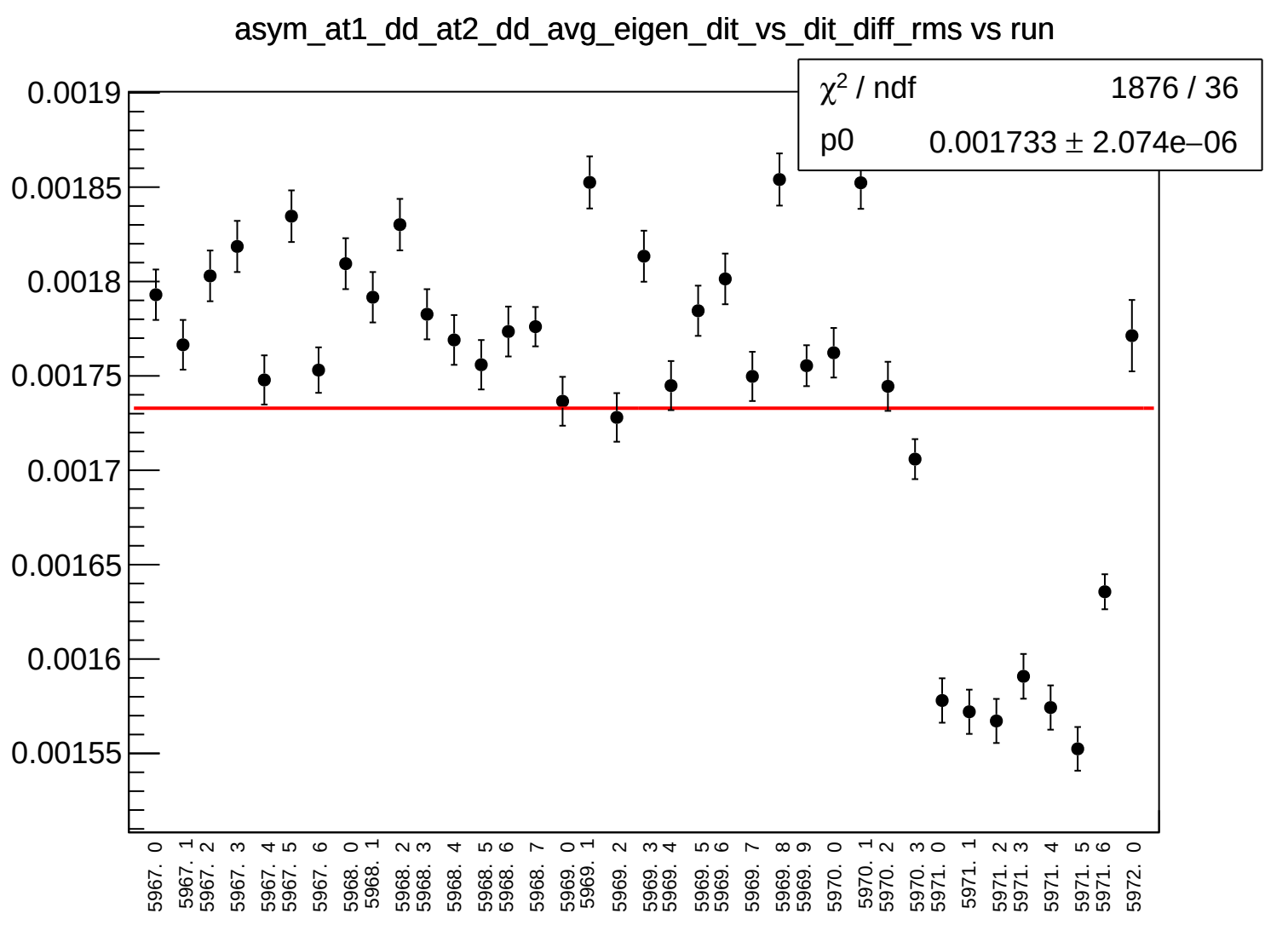
asym_at1_dd_at2_dd_avg_eigen_dit_vs_dit_diff_rms vs run
χ² / ndf 1876 / 36
p0 0.001733 ± 2.074e−06
0.0019
0.00185
0.0018
0.00175
0.0017
0.00165
0.0016
0.00155
5967. 0
5967. 1
5967. 2
5967. 3
5967. 4
5967. 5
5967. 6
5968. 0
5968. 1
5968. 2
5968. 3
5968. 4
5968. 5
5968. 6
5968. 7
5969. 0
5969. 1
5969. 2
5969. 3
5969. 4
5969. 5
5969. 6
5969. 7
5969. 8
5969. 9
5970. 0
5970. 1
5970. 2
5970. 3
5971. 0
5971. 1
5971. 2
5971. 3
5971. 4
5971. 5
5971. 6
5972. 0

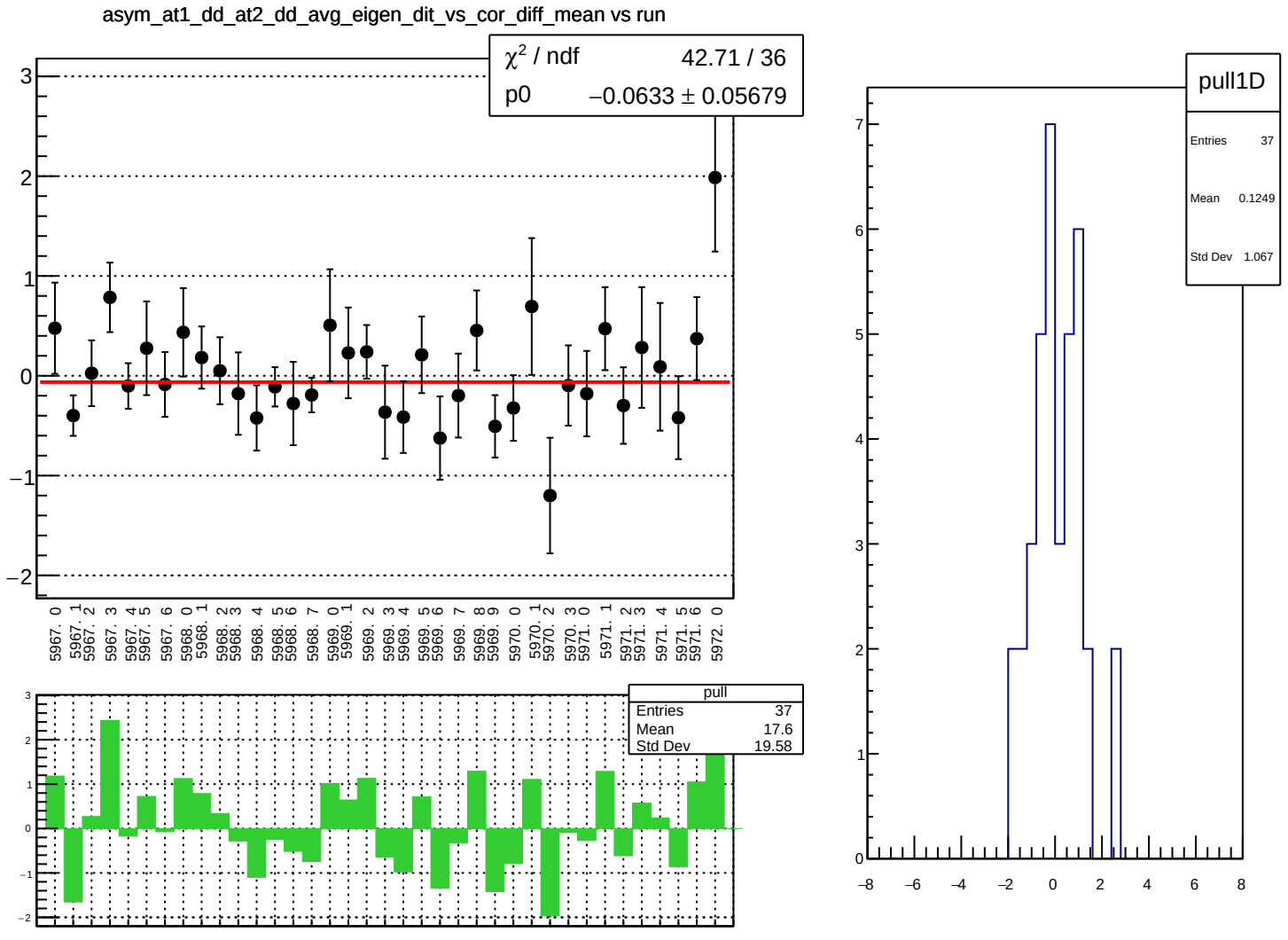
asym_at1_dd_at2_dd_avg_eigen_dit_vs_cor_diff_mean vs run
χ² / ndf 42.71 / 36
p0 −0.0633 ± 0.05679
pull
Entries 37
Mean 17.6
Std Dev 19.58
pull1D
Entries 37
Mean 0.1249
Std Dev 1.067

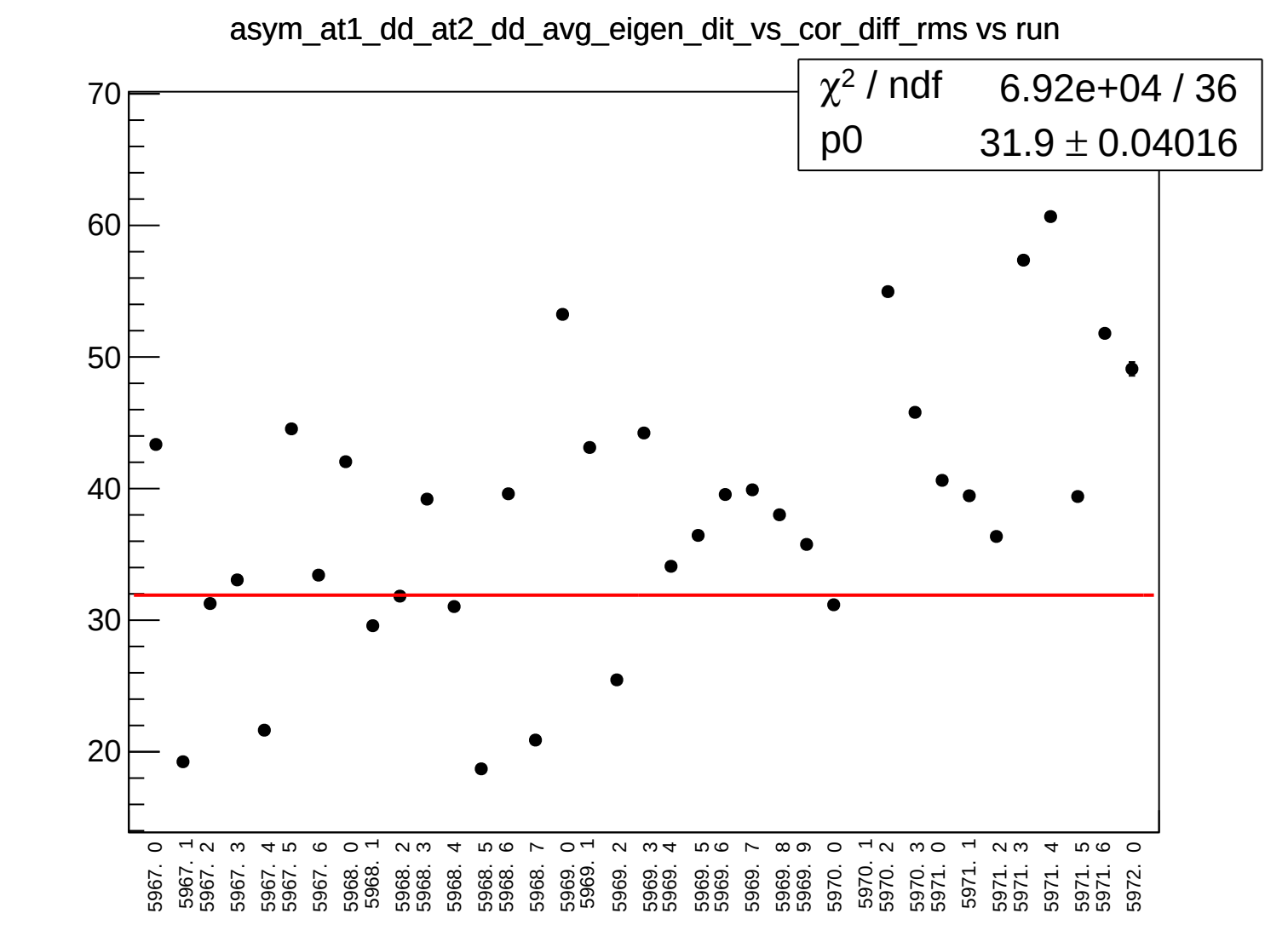
asym_at1_dd_at2_dd_avg_eigen_dit_vs_cor_diff_rms vs run
χ² / ndf 6.92e+04 / 36
p0 31.9 ± 0.04016
70
60
50
40
30
20
5967. 0
5967. 1
5967. 2
5967. 3
5967. 4
5967. 5
5967. 6
5968. 0
5968. 1
5968. 2
5968. 3
5968. 4
5968. 5
5968. 6
5968. 7
5969. 0
5969. 1
5969. 2
5969. 3
5969. 4
5969. 5
5969. 6
5969. 7
5969. 8
5969. 9
5970. 0
5970. 1
5970. 2
5970. 3
5971. 0
5971. 1
5971. 2
5971. 3
5971. 4
5971. 5
5971. 6
5972. 0

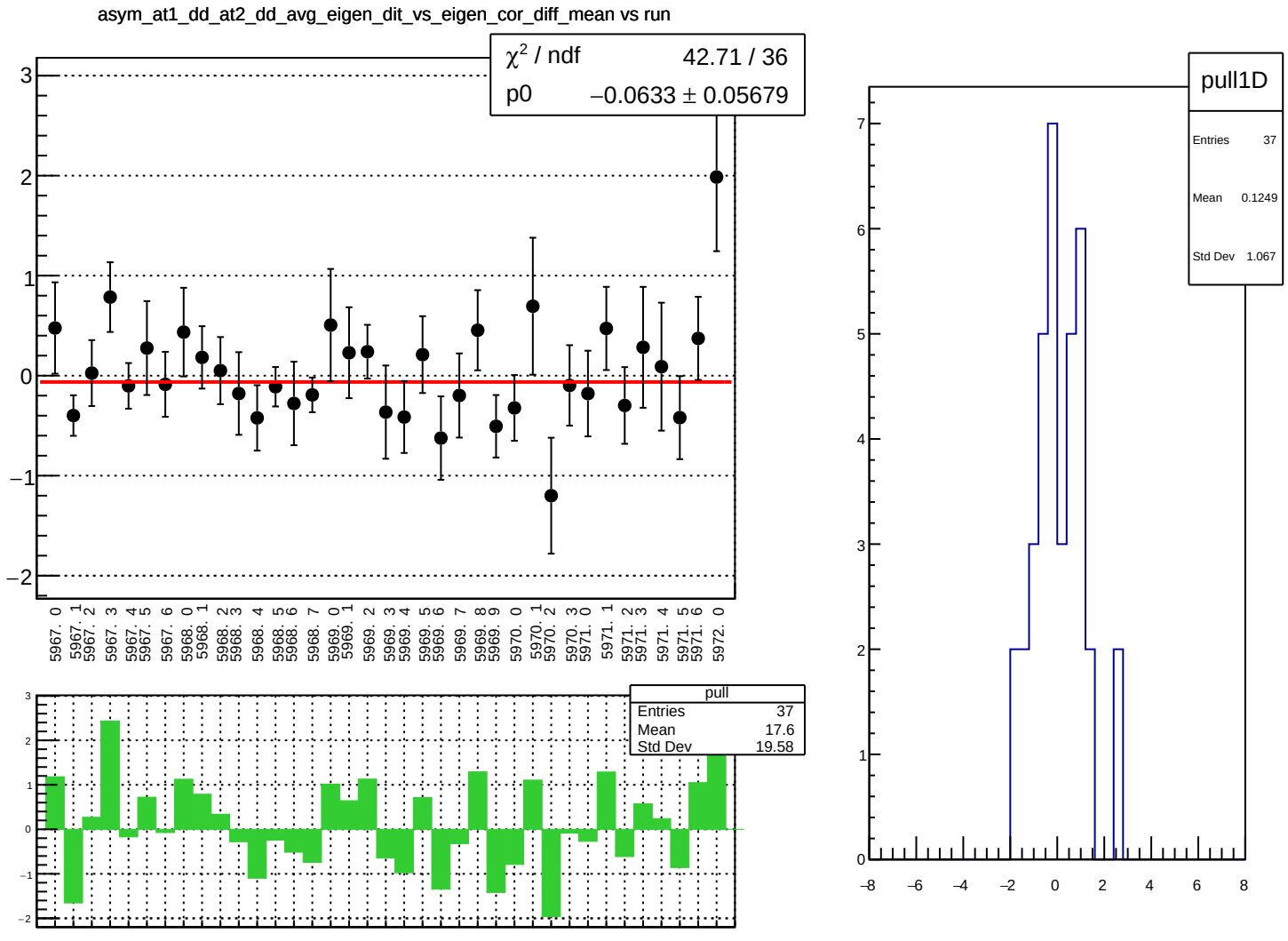
asym_at1_dd_at2_dd_avg_eigen_dit_vs_eigen_cor_diff_mean vs run
χ² / ndf 42.71 / 36
p0 −0.0633 ± 0.05679
pull
Entries 37
Mean 17.6
Std Dev 19.58
pull1D
Entries 37
Mean 0.1249
Std Dev 1.067

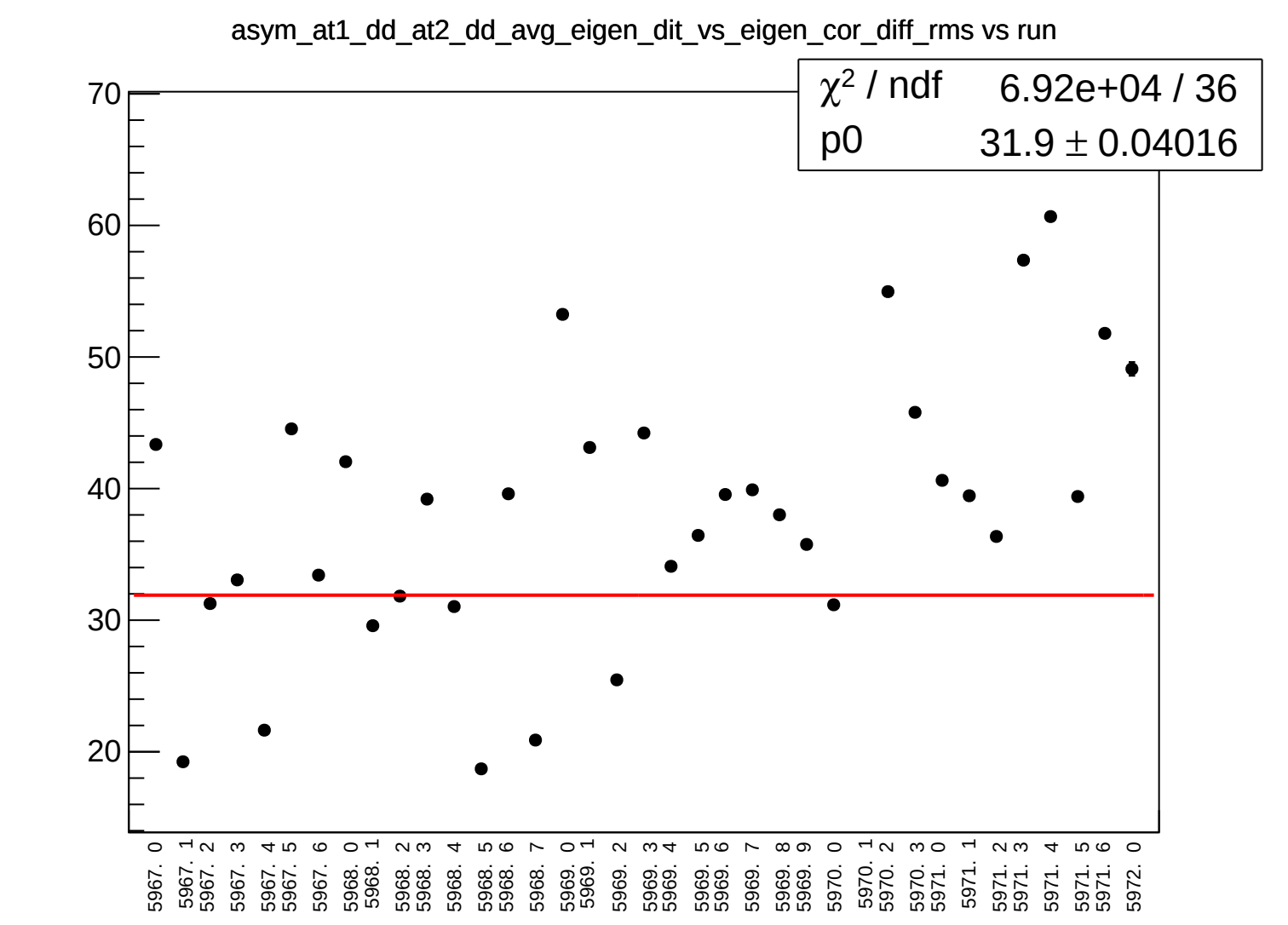
asym_at1_dd_at2_dd_avg_eigen_dit_vs_eigen_cor_diff_rms vs run
χ² / ndf 6.92e+04 / 36
p0 31.9 ± 0.04016
70
60
50
40
30
20
5967. 0
5967. 1
5967. 2
5967. 3
5967. 4
5967. 5
5967. 6
5968. 0
5968. 1
5968. 2
5968. 3
5968. 4
5968. 5
5968. 6
5968. 7
5969. 0
5969. 1
5969. 2
5969. 3
5969. 4
5969. 5
5969. 6
5969. 7
5969. 8
5969. 9
5970. 0
5970. 1
5970. 2
5970. 3
5971. 0
5971. 1
5971. 2
5971. 3
5971. 4
5971. 5
5971. 6
5972. 0

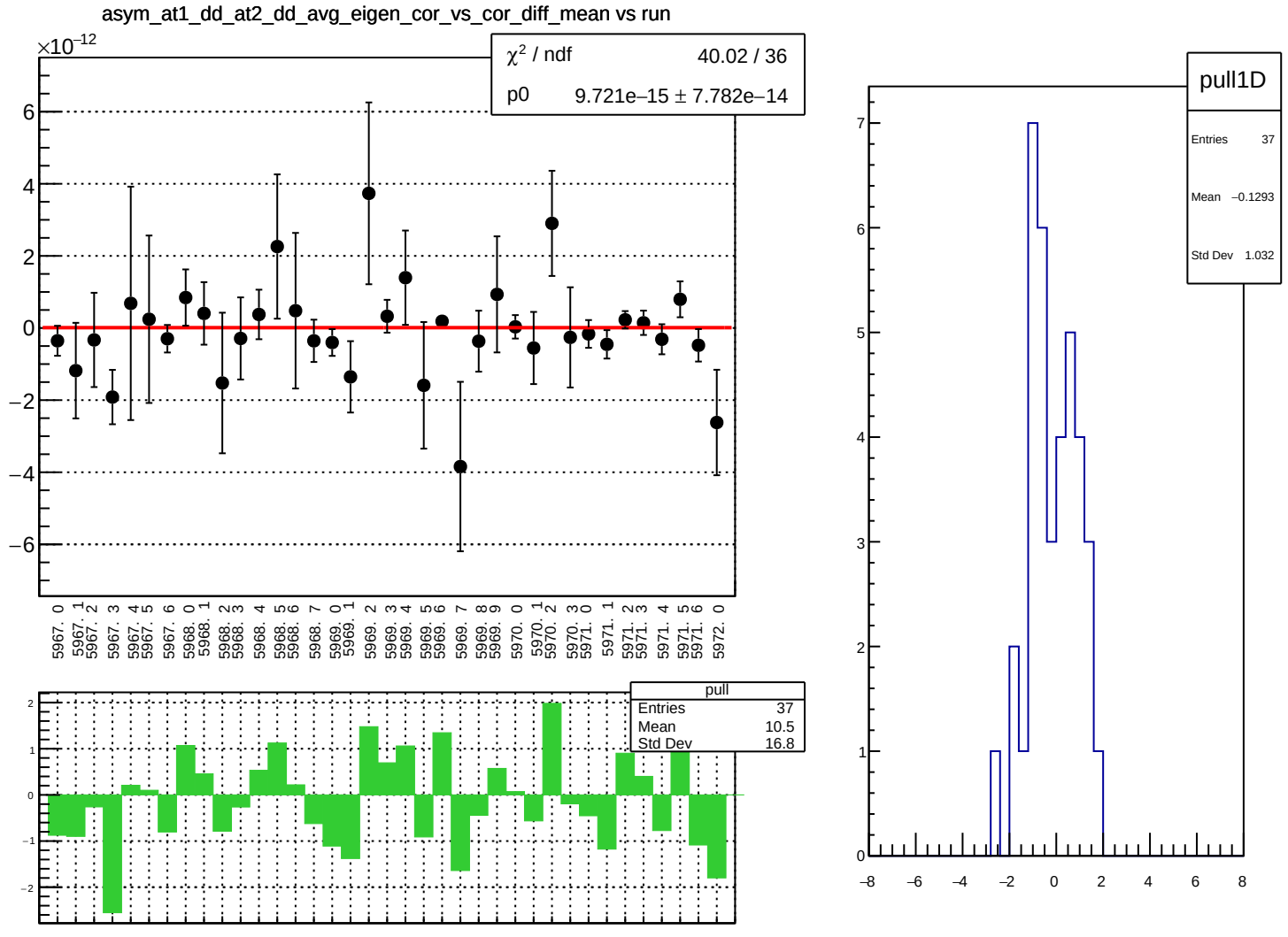
asym_at1_dd_at2_dd_avg_eigen_cor_vs_cor_diff_mean vs run
×10⁻¹²
χ² / ndf 40.02 / 36
p0 9.721e−15 ± 7.782e−14
6
4
2
0
−2
−4
−6
5967. 0
5967. 1
5967. 2
5967. 3
5967. 4
5967. 5
5967. 6
5968. 0
5968. 1
5968. 2
5968. 3
5968. 4
5968. 5
5968. 6
5968. 7
5969. 0
5969. 1
5969. 2
5969. 3
5969. 4
5969. 5
5969. 6
5969. 7
5969. 8
5969. 9
5970. 0
5970. 1
5970. 2
5970. 3
5971. 0
5971. 1
5971. 2
5971. 3
5971. 4
5971. 5
5971. 6
5972. 0
pull
Entries 37
Mean 10.5
Std Dev 16.8
2
1
0
−1
−2
pull1D
Entries 37
Mean −0.1293
Std Dev 1.032
7
6
5
4
3
2
1
0
−8
−6
−4
−2
0
2
4
6
8

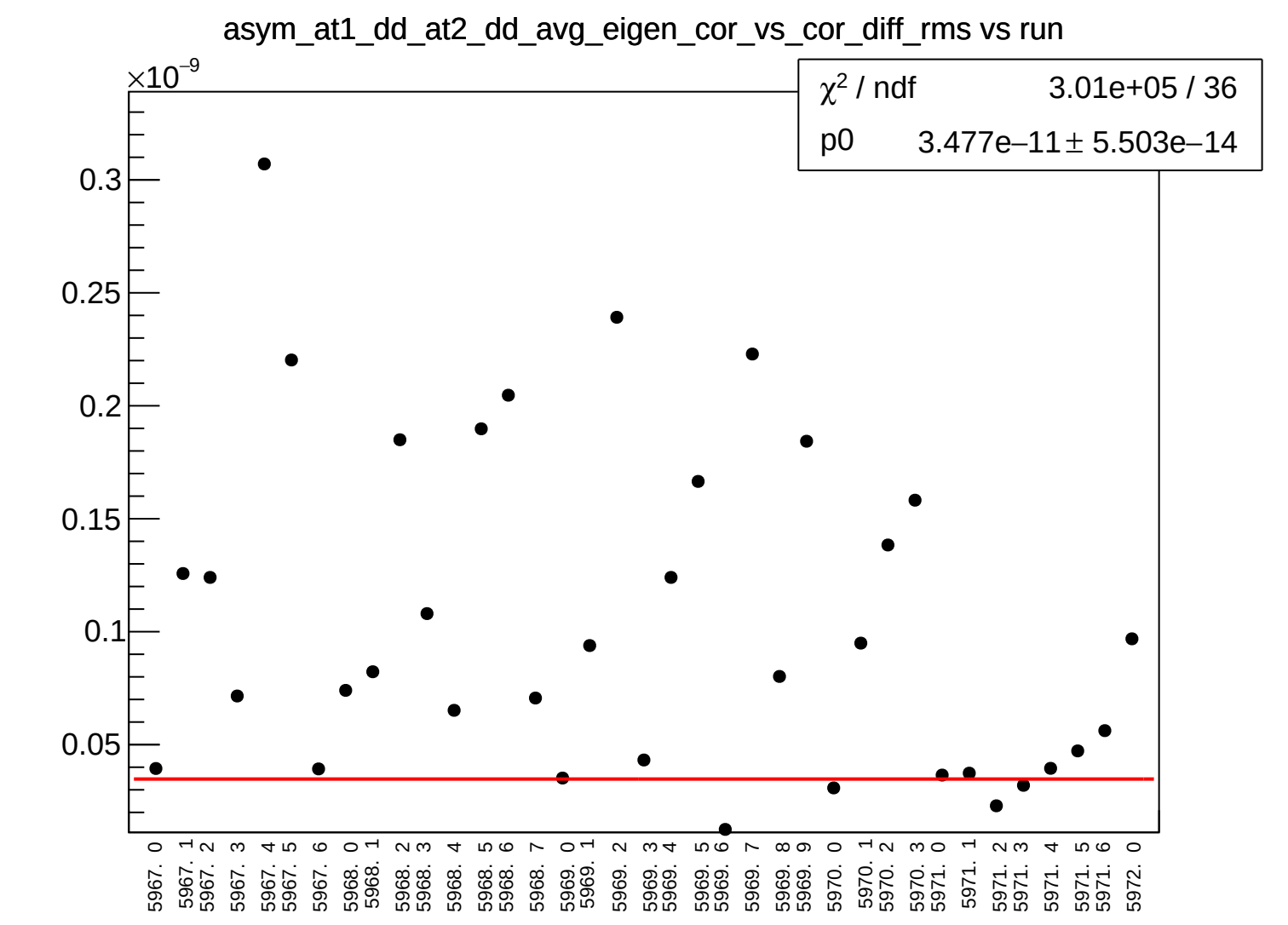
asym_at1_dd_at2_dd_avg_eigen_cor_vs_cor_diff_rms vs run
×10⁻⁹
χ² / ndf 3.01e+05 / 36
p0 3.477e−11 ± 5.503e−14
0.3
0.25
0.2
0.15
0.1
0.05
5967. 0
5967. 1
5967. 2
5967. 3
5967. 4
5967. 5
5967. 6
5968. 0
5968. 1
5968. 2
5968. 3
5968. 4
5968. 5
5968. 6
5968. 7
5969. 0
5969. 1
5969. 2
5969. 3
5969. 4
5969. 5
5969. 6
5969. 7
5969. 8
5969. 9
5970. 0
5970. 1
5970. 2
5970. 3
5971. 0
5971. 1
5971. 2
5971. 3
5971. 4
5971. 5
5971. 6
5972. 0

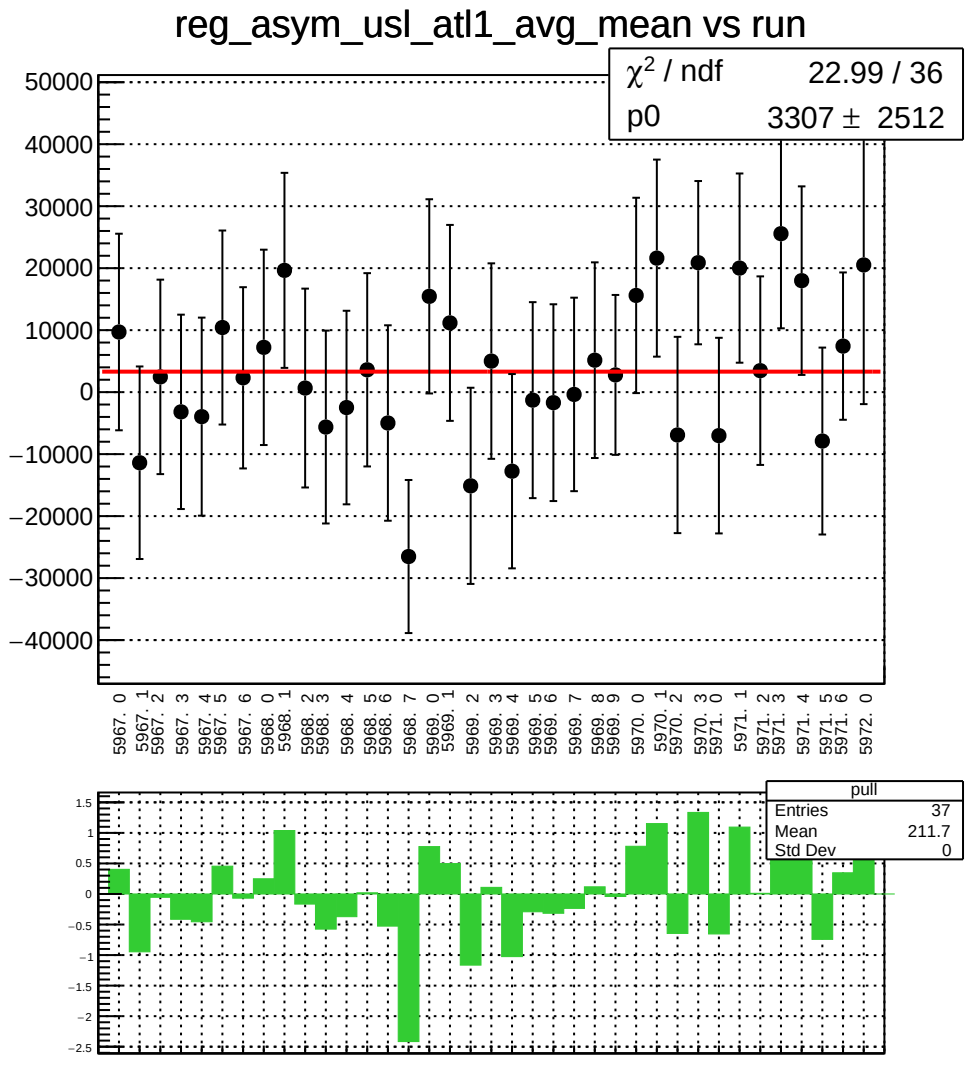
reg_asym_usl_atl1_avg_mean vs run
χ² / ndf 22.99 / 36
p0 3307 ± 2512
pull
Entries 37
Mean 211.7
Std Dev 0

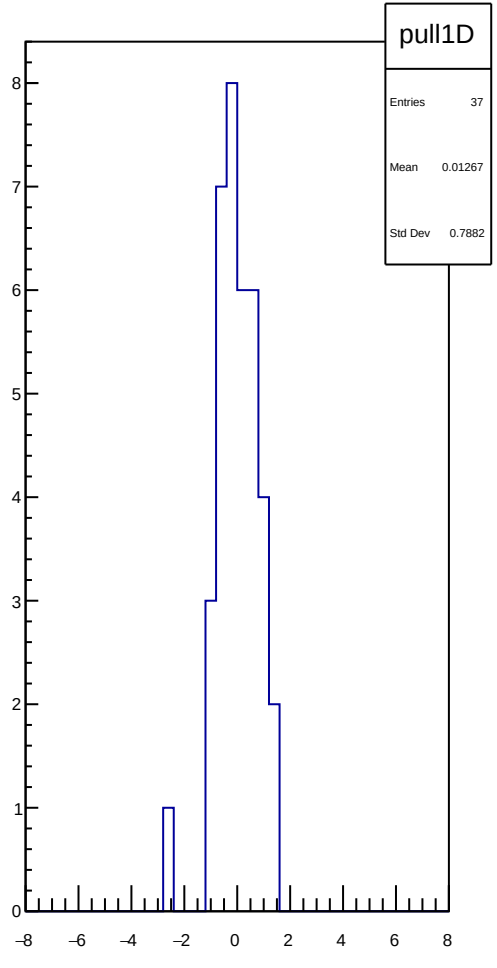
pull1D
Entries 37
Mean 0.01267
Std Dev 0.7882

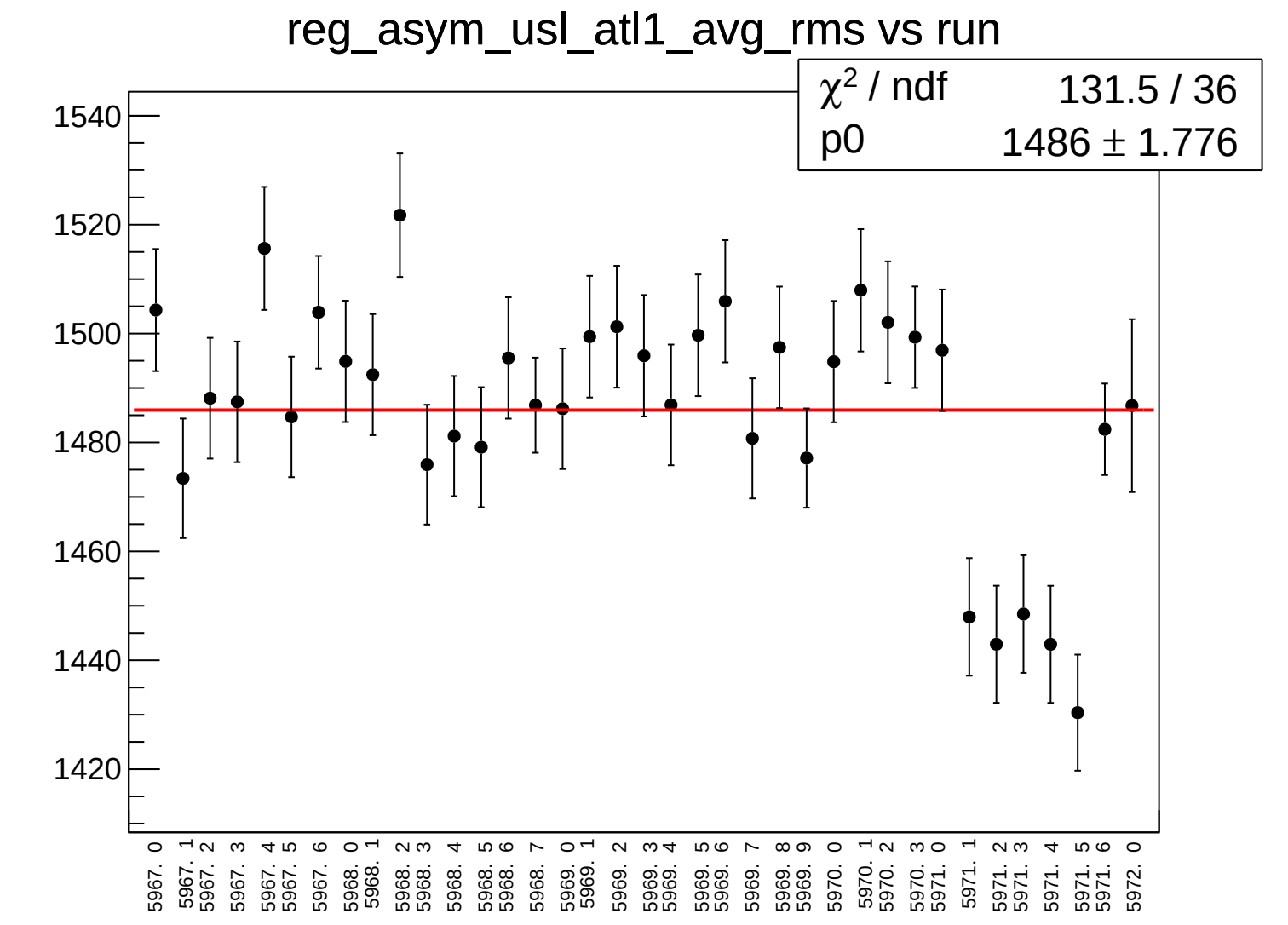
reg_asym_usl_atl1_avg_rms vs run
χ² / ndf 131.5 / 36
p0 1486 ± 1.776
1540
1520
1500
1480
1460
1440
1420
5967. 0
5967. 1
5967. 2
5967. 3
5967. 4
5967. 5
5967. 6
5968. 0
5968. 1
5968. 2
5968. 3
5968. 4
5968. 5
5968. 6
5968. 7
5969. 0
5969. 1
5969. 2
5969. 3
5969. 4
5969. 5
5969. 6
5969. 7
5969. 8
5969. 9
5970. 0
5970. 1
5970. 2
5970. 3
5971. 0
5971. 1
5971. 2
5971. 3
5971. 4
5971. 5
5971. 6
5972. 0

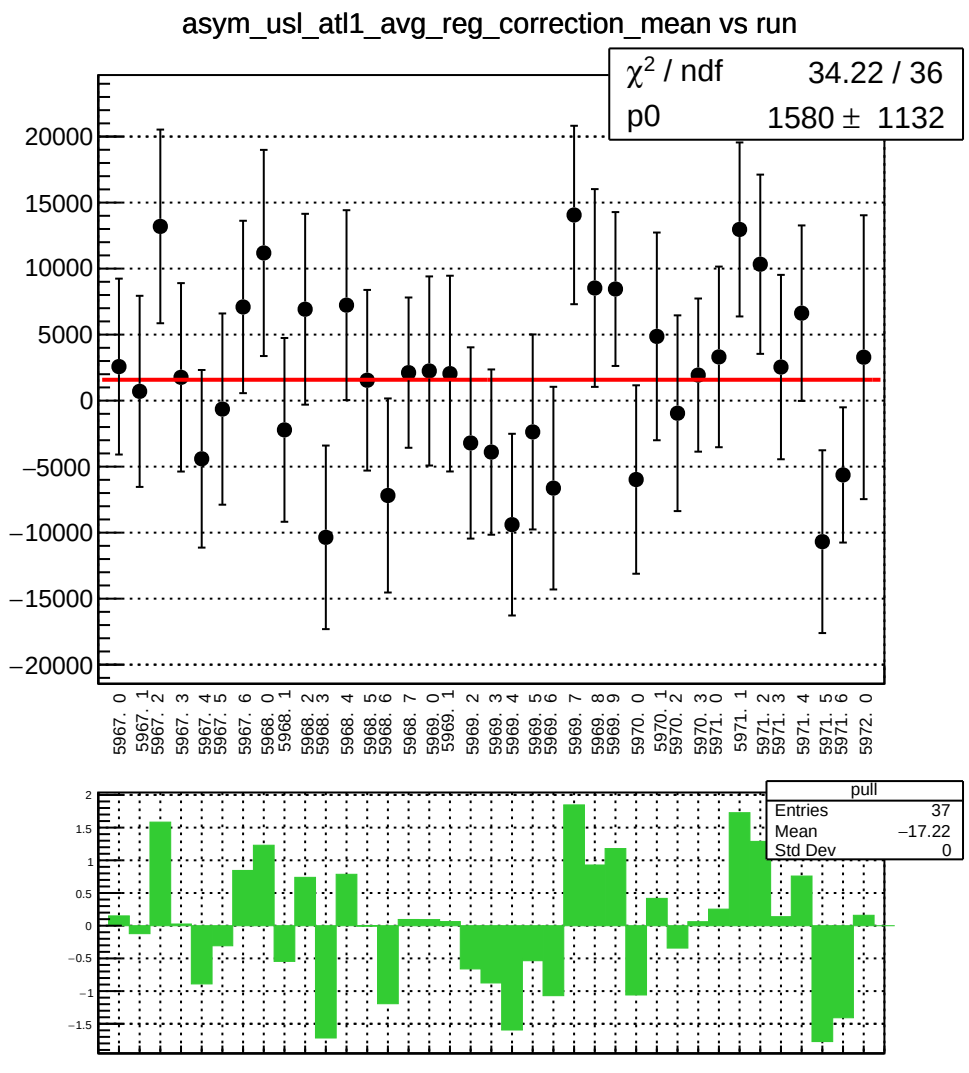
asym_usl_atl1_avg_reg_correction_mean vs run
χ² / ndf 34.22 / 36
p0 1580 ± 1132
pull
Entries 37
Mean −17.22
Std Dev 0

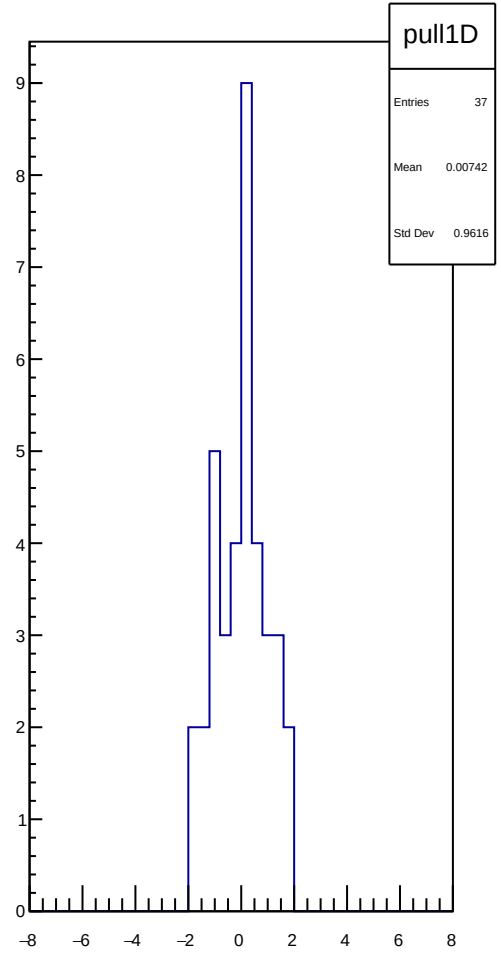
pull1D
Entries 37
Mean 0.00742
Std Dev 0.9616

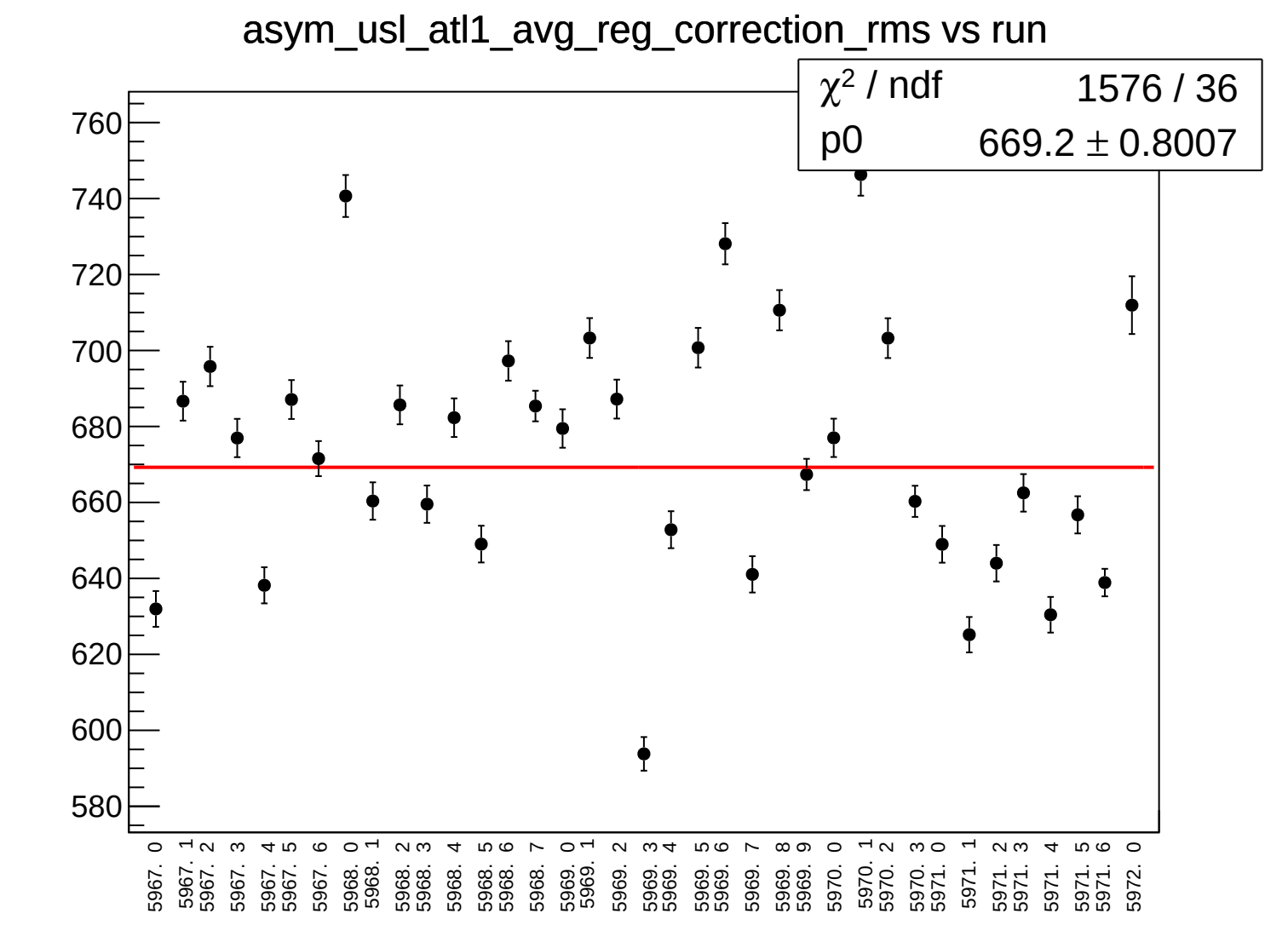
asym_usl_atl1_avg_reg_correction_rms vs run
χ² / ndf 1576 / 36
p0 669.2 ± 0.8007
760
740
720
700
680
660
640
620
600
580
5967. 0
5967. 1
5967. 2
5967. 3
5967. 4
5967. 5
5967. 6
5968. 0
5968. 1
5968. 2
5968. 3
5968. 4
5968. 5
5968. 6
5968. 7
5969. 0
5969. 1
5969. 2
5969. 3
5969. 4
5969. 5
5969. 6
5969. 7
5969. 8
5969. 9
5970. 0
5970. 1
5970. 2
5970. 3
5971. 0
5971. 1
5971. 2
5971. 3
5971. 4
5971. 5
5971. 6
5972. 0

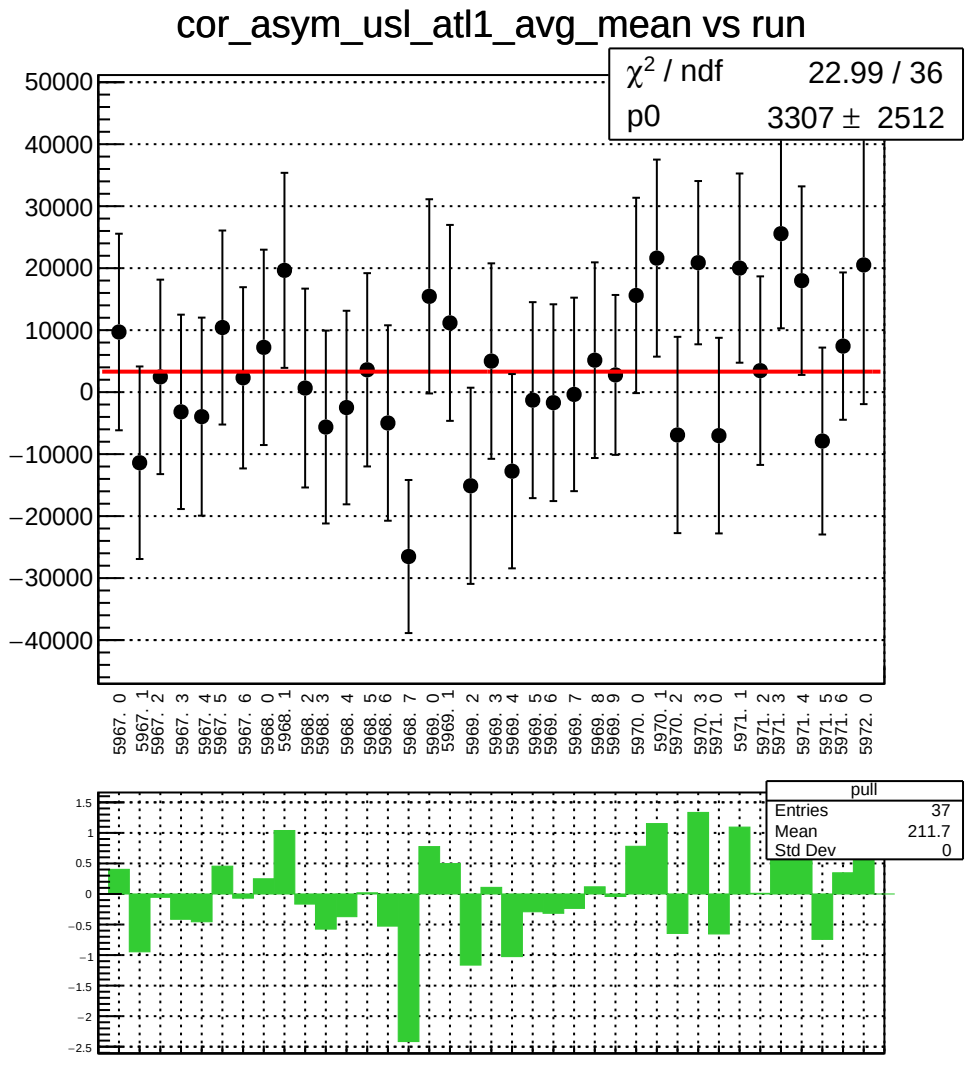
cor_asym_usl_atl1_avg_mean vs run
χ² / ndf 22.99 / 36
p0 3307 ± 2512
pull
Entries 37
Mean 211.7
Std Dev 0

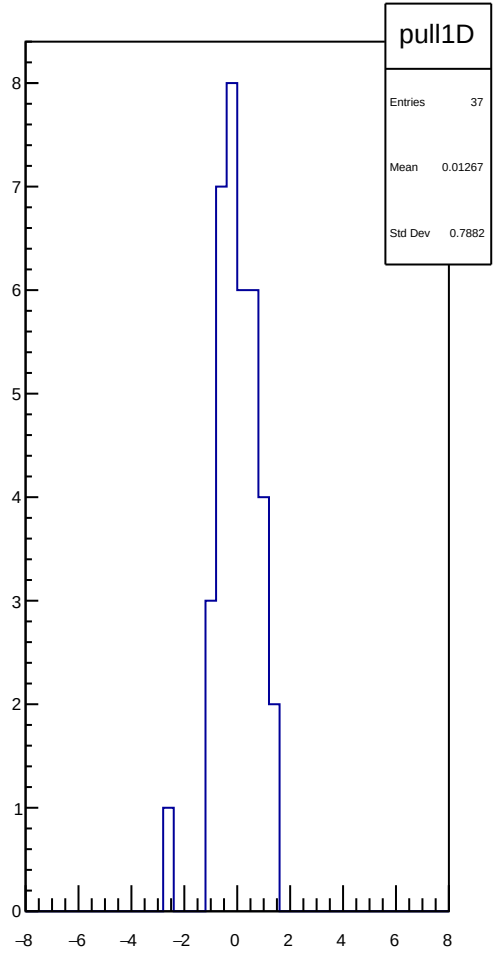
pull1D
Entries 37
Mean 0.01267
Std Dev 0.7882

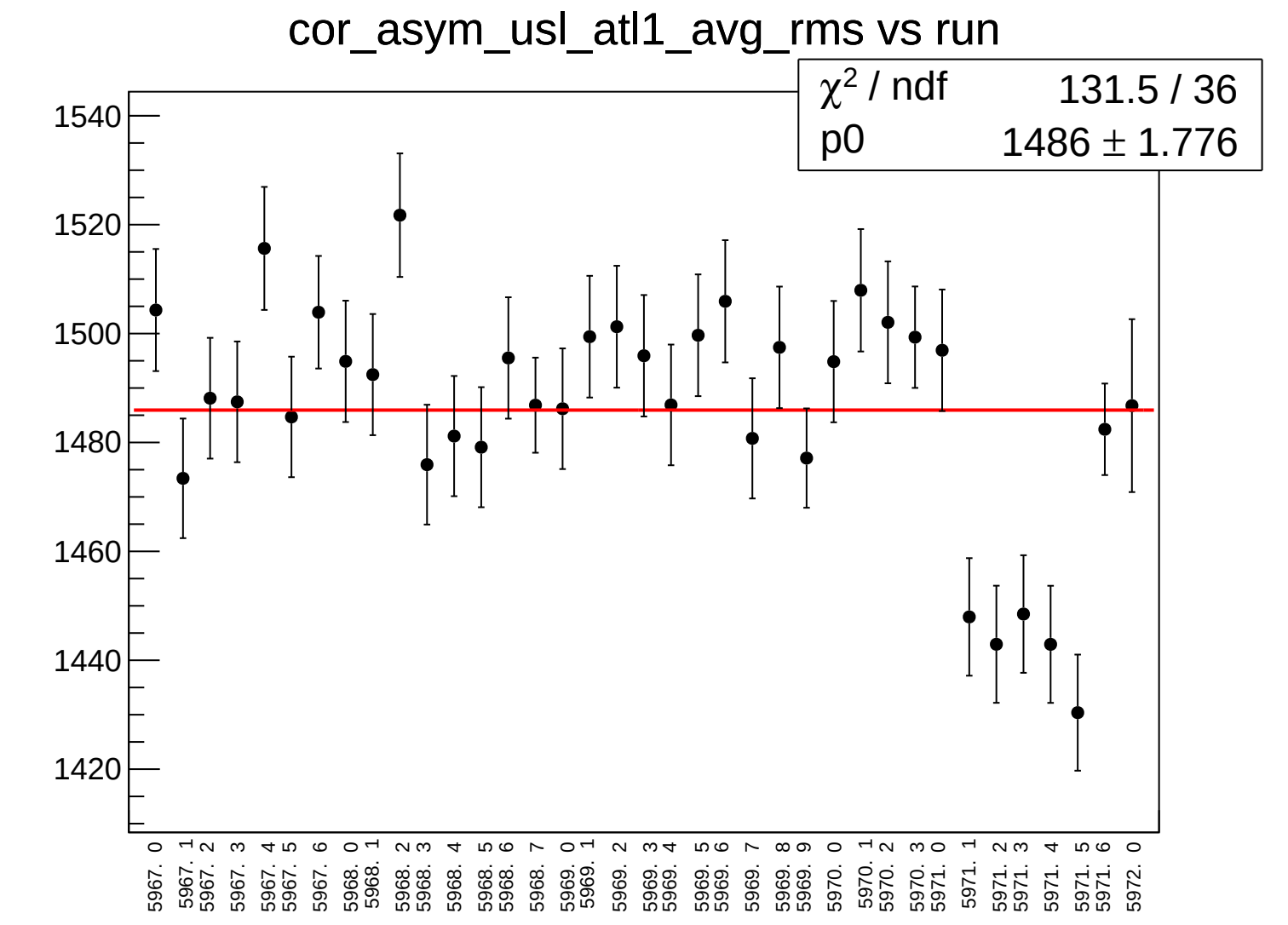
cor_asym_usl_atl1_avg_rms vs run
χ² / ndf 131.5 / 36
p0 1486 ± 1.776
1540
1520
1500
1480
1460
1440
1420
5967. 0
5967. 1
5967. 2
5967. 3
5967. 4
5967. 5
5967. 6
5968. 0
5968. 1
5968. 2
5968. 3
5968. 4
5968. 5
5968. 6
5968. 7
5969. 0
5969. 1
5969. 2
5969. 3
5969. 4
5969. 5
5969. 6
5969. 7
5969. 8
5969. 9
5970. 0
5970. 1
5970. 2
5970. 3
5971. 0
5971. 1
5971. 2
5971. 3
5971. 4
5971. 5
5971. 6
5972. 0

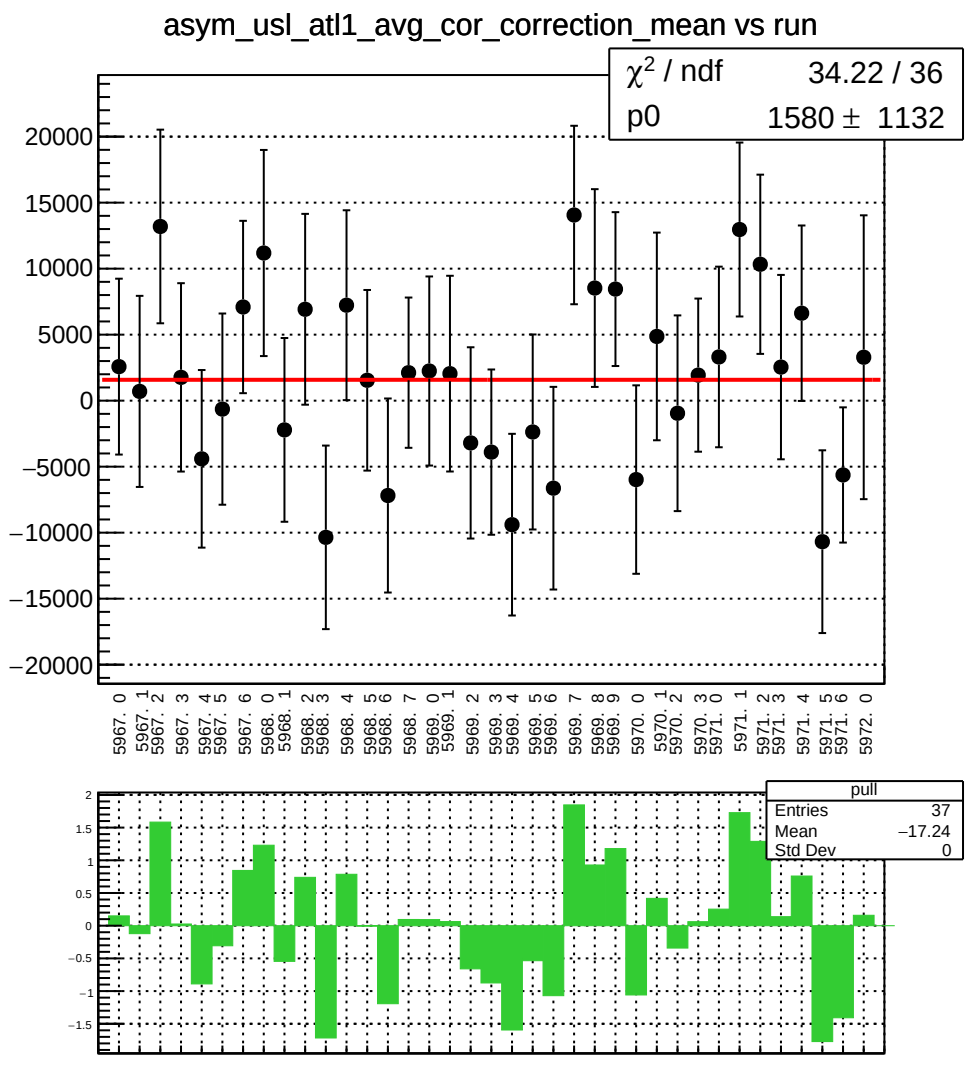
asym_usl_atl1_avg_cor_correction_mean vs run
χ² / ndf 34.22 / 36
p0 1580 ± 1132
pull
Entries 37
Mean −17.24
Std Dev 0

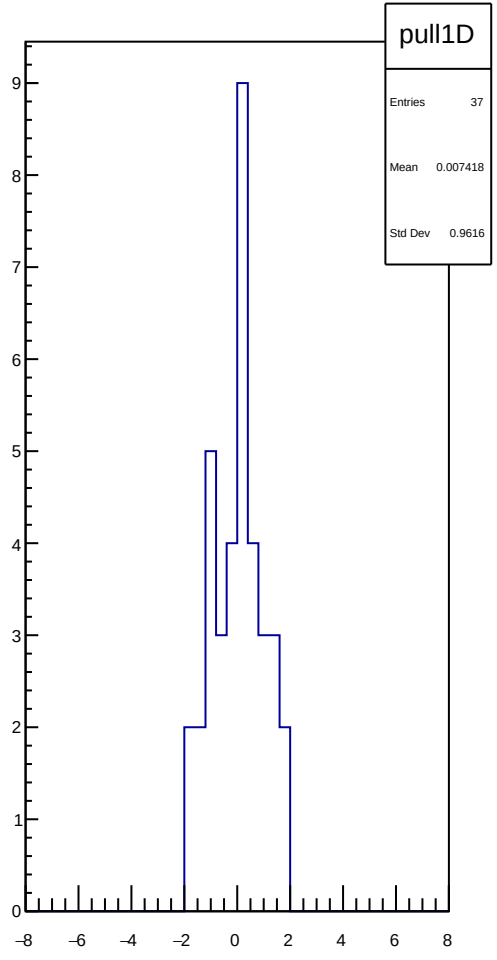
pull1D
Entries 37
Mean 0.007418
Std Dev 0.9616

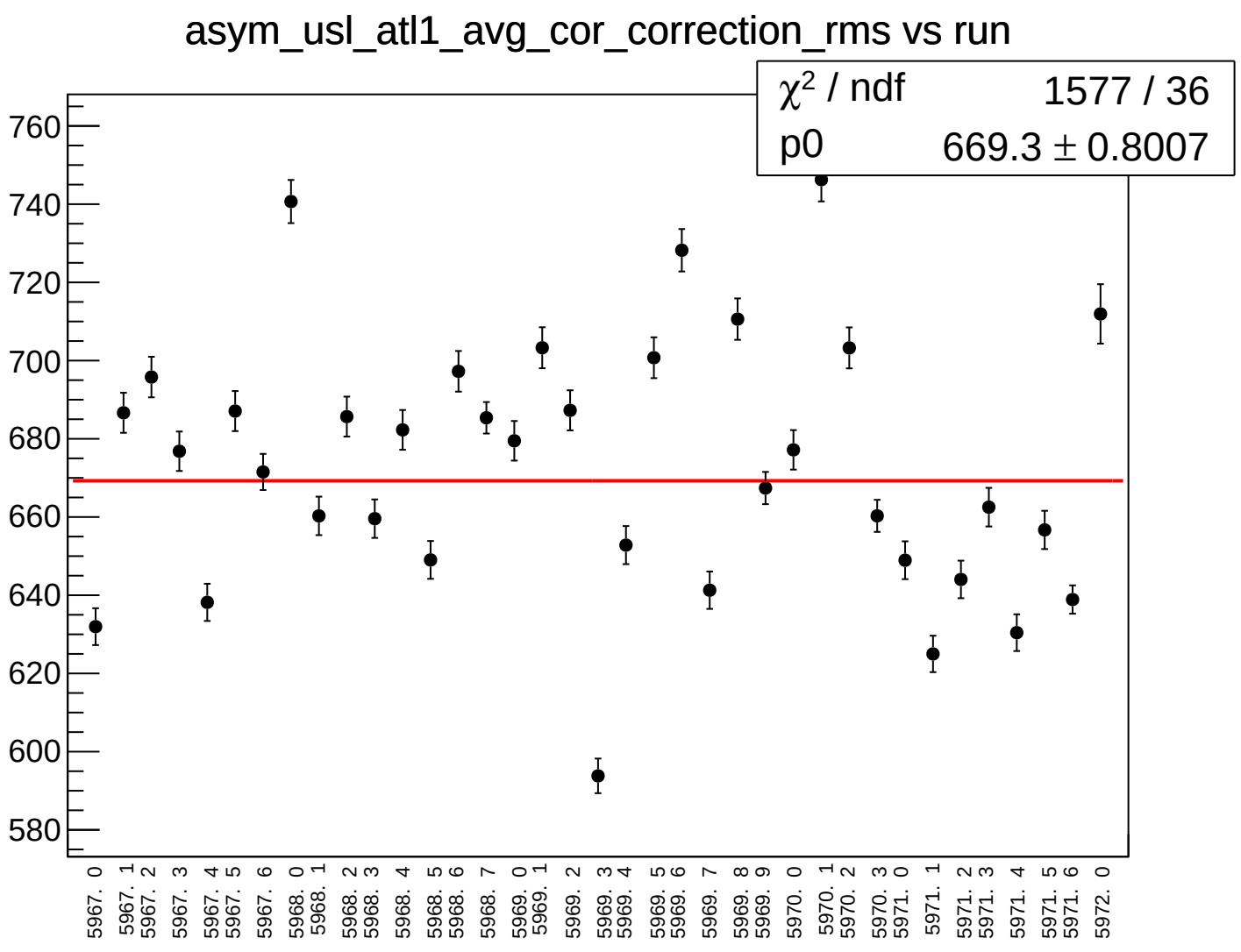
asym_usl_atl1_avg_cor_correction_rms vs run
χ² / ndf 1577 / 36
p0 669.3 ± 0.8007
760
740
720
700
680
660
640
620
600
580
5967. 0
5967. 1
5967. 2
5967. 3
5967. 4
5967. 5
5967. 6
5968. 0
5968. 1
5968. 2
5968. 3
5968. 4
5968. 5
5968. 6
5968. 7
5969. 0
5969. 1
5969. 2
5969. 3
5969. 4
5969. 5
5969. 6
5969. 7
5969. 8
5969. 9
5970. 0
5970. 1
5970. 2
5970. 3
5971. 0
5971. 1
5971. 2
5971. 3
5971. 4
5971. 5
5971. 6
5972. 0

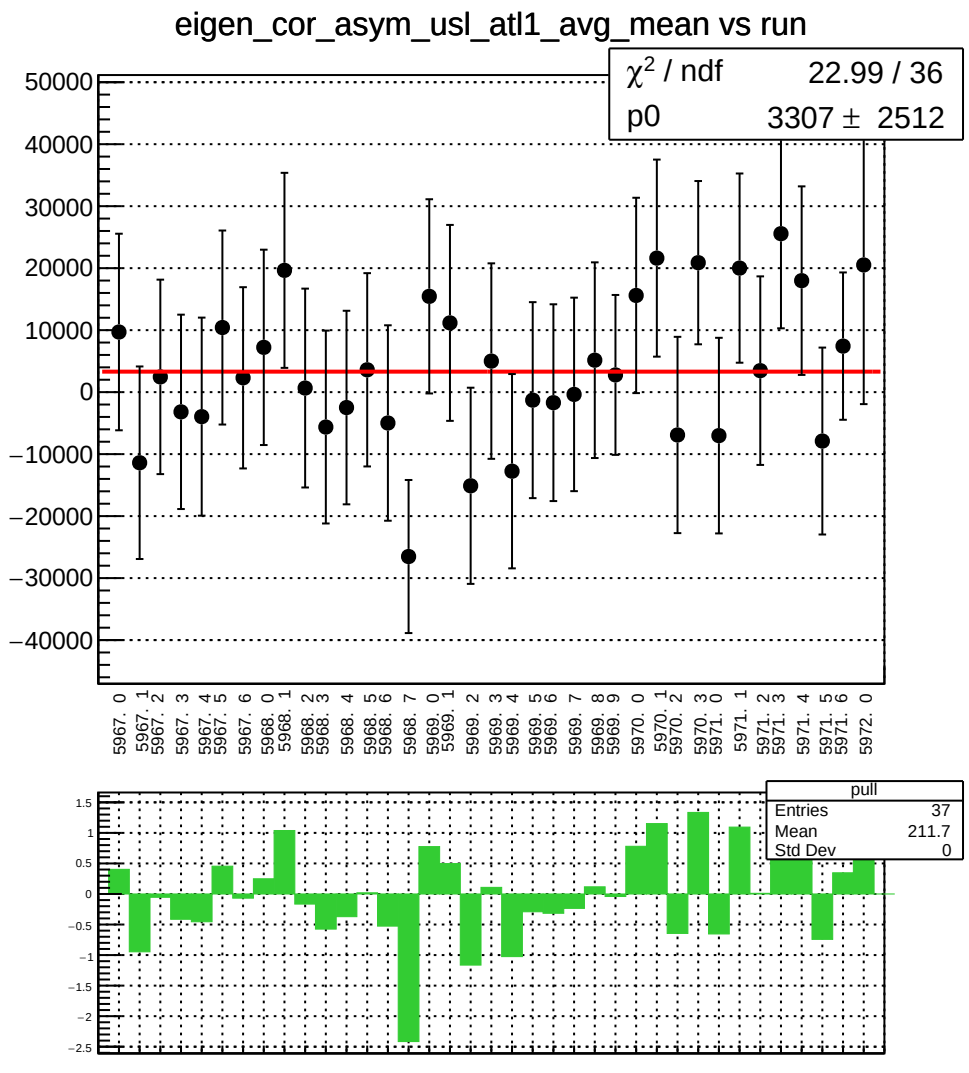
eigen_cor_asym_usl_atl1_avg_mean vs run
χ² / ndf 22.99 / 36
p0 3307 ± 2512
50000
40000
30000
20000
10000
0
−10000
−20000
−30000
−40000
5967. 0
5967. 1
5967. 2
5967. 3
5967. 4
5967. 5
5967. 6
5968. 0
5968. 1
5968. 2
5968. 3
5968. 4
5968. 5
5968. 6
5968. 7
5969. 0
5969. 1
5969. 2
5969. 3
5969. 4
5969. 5
5969. 6
5969. 7
5969. 8
5969. 9
5970. 0
5970. 1
5970. 2
5970. 3
5971. 0
5971. 1
5971. 2
5971. 3
5971. 4
5971. 5
5971. 6
5972. 0
pull
Entries 37
Mean 211.7
Std Dev 0
1.5
1
0.5
0
−0.5
−1
−1.5
−2
−2.5

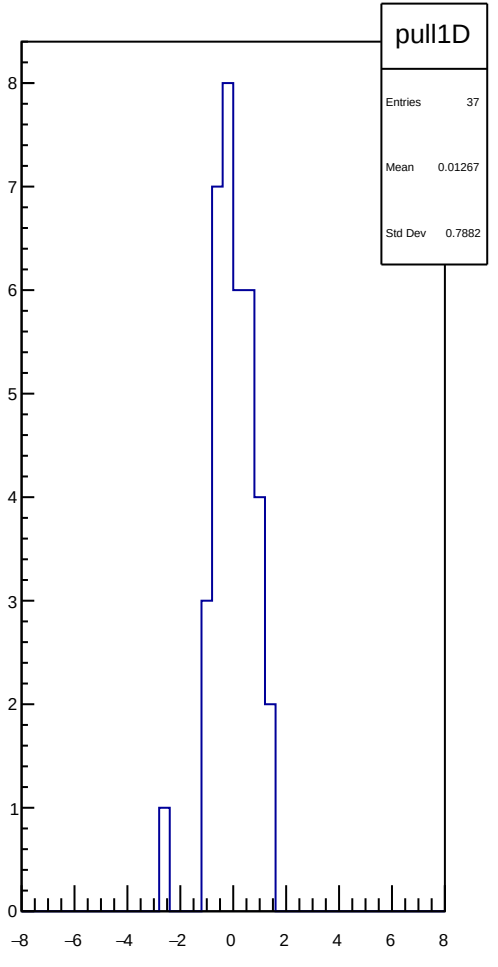
pull1D
Entries 37
Mean 0.01267
Std Dev 0.7882
8
7
6
5
4
3
2
1
0
−8
−6
−4
−2
0
2
4
6
8

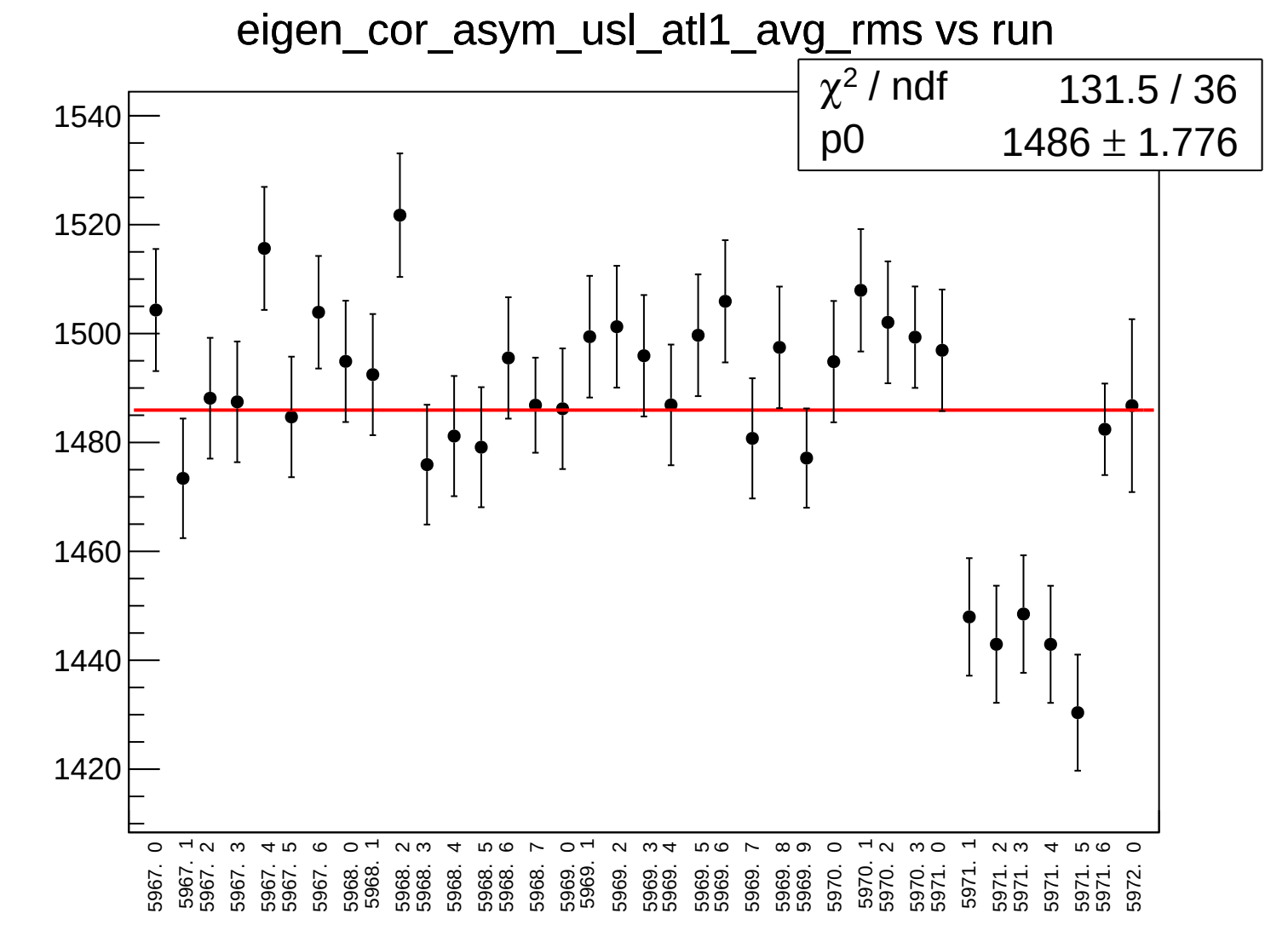
eigen_cor_asym_usl_atl1_avg_rms vs run
χ² / ndf 131.5 / 36
p0 1486 ± 1.776
1540
1520
1500
1480
1460
1440
1420
5967. 0
5967. 1
5967. 2
5967. 3
5967. 4
5967. 5
5967. 6
5968. 0
5968. 1
5968. 2
5968. 3
5968. 4
5968. 5
5968. 6
5968. 7
5969. 0
5969. 1
5969. 2
5969. 3
5969. 4
5969. 5
5969. 6
5969. 7
5969. 8
5969. 9
5970. 0
5970. 1
5970. 2
5970. 3
5971. 0
5971. 1
5971. 2
5971. 3
5971. 4
5971. 5
5971. 6
5972. 0

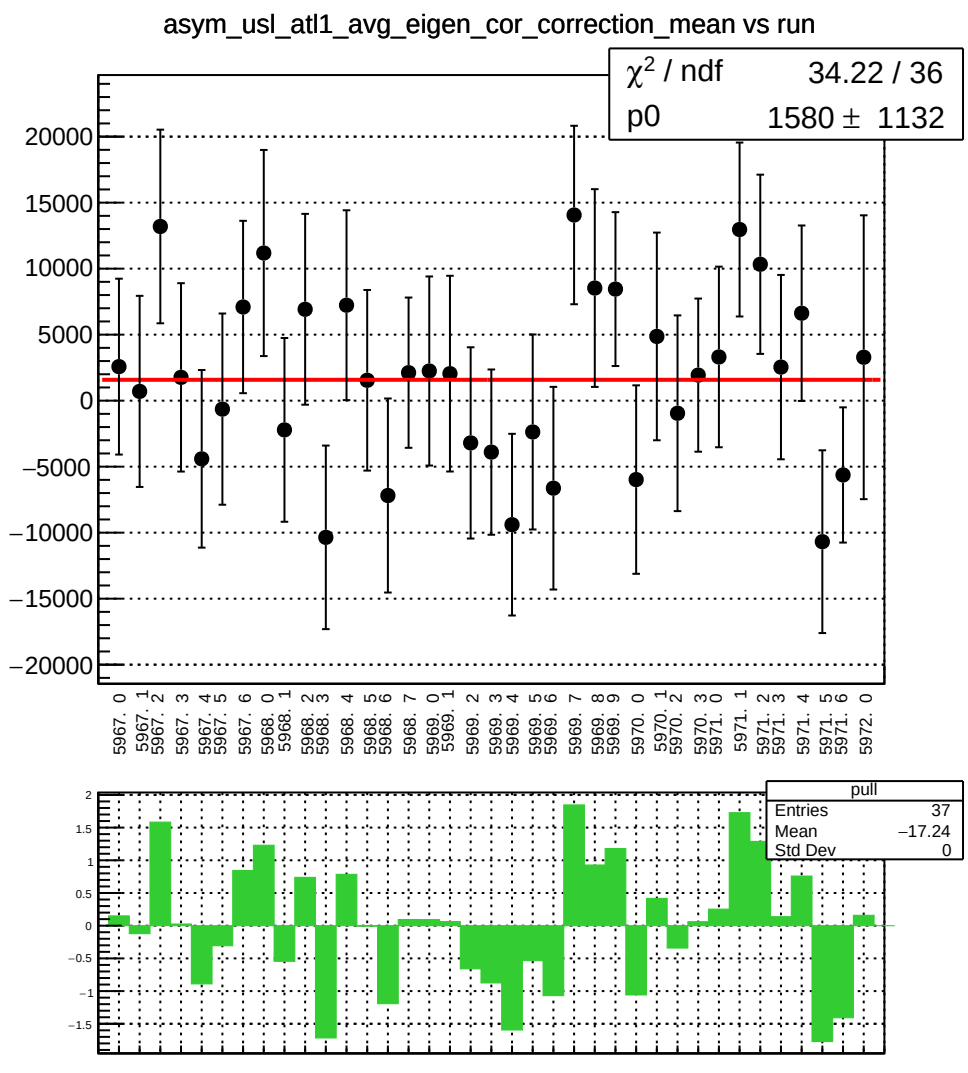
asym_usl_atl1_avg_eigen_cor_correction_mean vs run
χ² / ndf 34.22 / 36
p0 1580 ± 1132
pull
Entries 37
Mean −17.24
Std Dev 0
pull1D
Entries 37
Mean 0.007418
Std Dev 0.9616

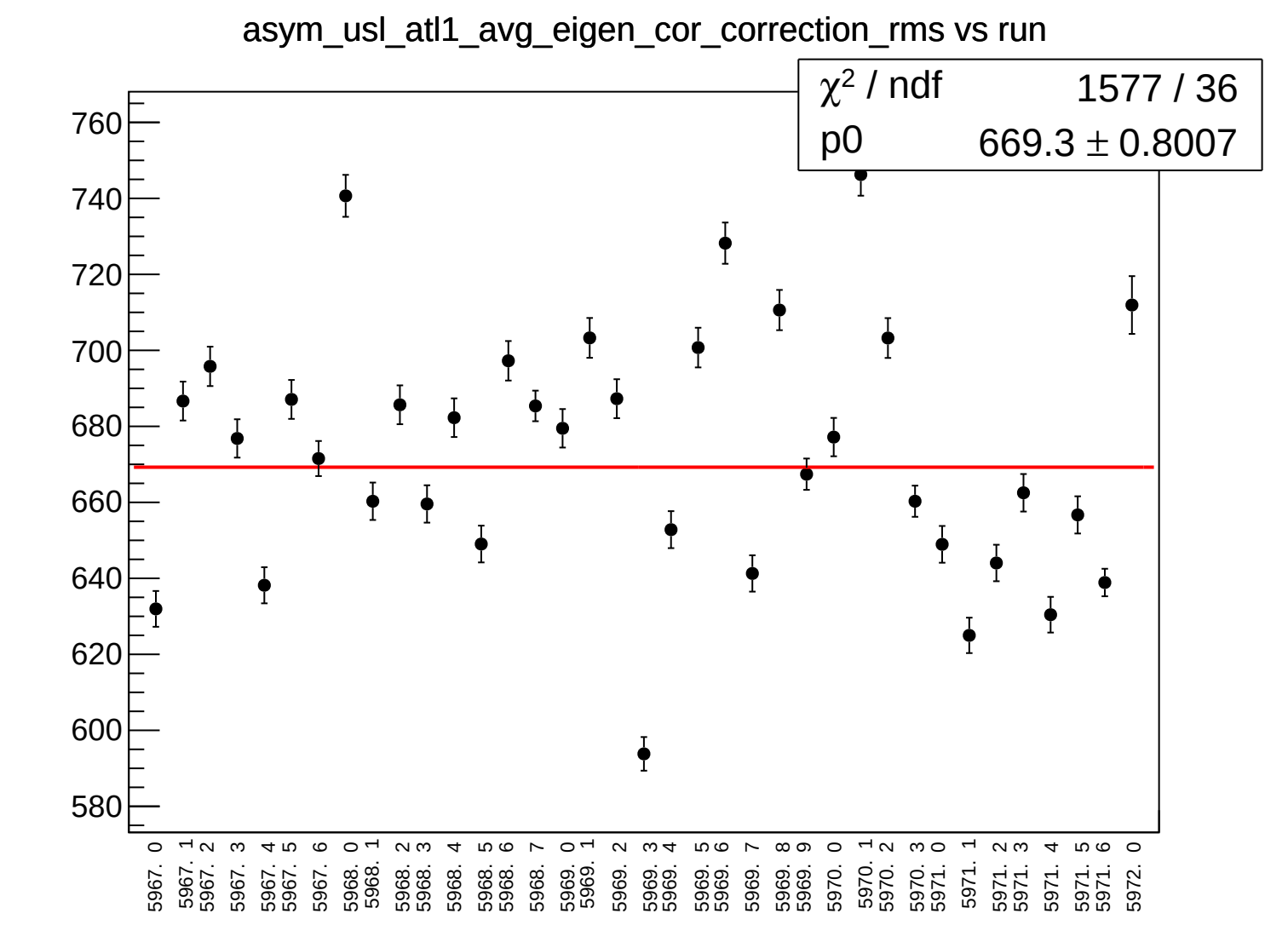
asym_usl_atl1_avg_eigen_cor_correction_rms vs run
χ² / ndf 1577 / 36
p0 669.3 ± 0.8007
760
740
720
700
680
660
640
620
600
580
5967. 0
5967. 1
5967. 2
5967. 3
5967. 4
5967. 5
5967. 6
5968. 0
5968. 1
5968. 2
5968. 3
5968. 4
5968. 5
5968. 6
5968. 7
5969. 0
5969. 1
5969. 2
5969. 3
5969. 4
5969. 5
5969. 6
5969. 7
5969. 8
5969. 9
5970. 0
5970. 1
5970. 2
5970. 3
5971. 0
5971. 1
5971. 2
5971. 3
5971. 4
5971. 5
5971. 6
5972. 0

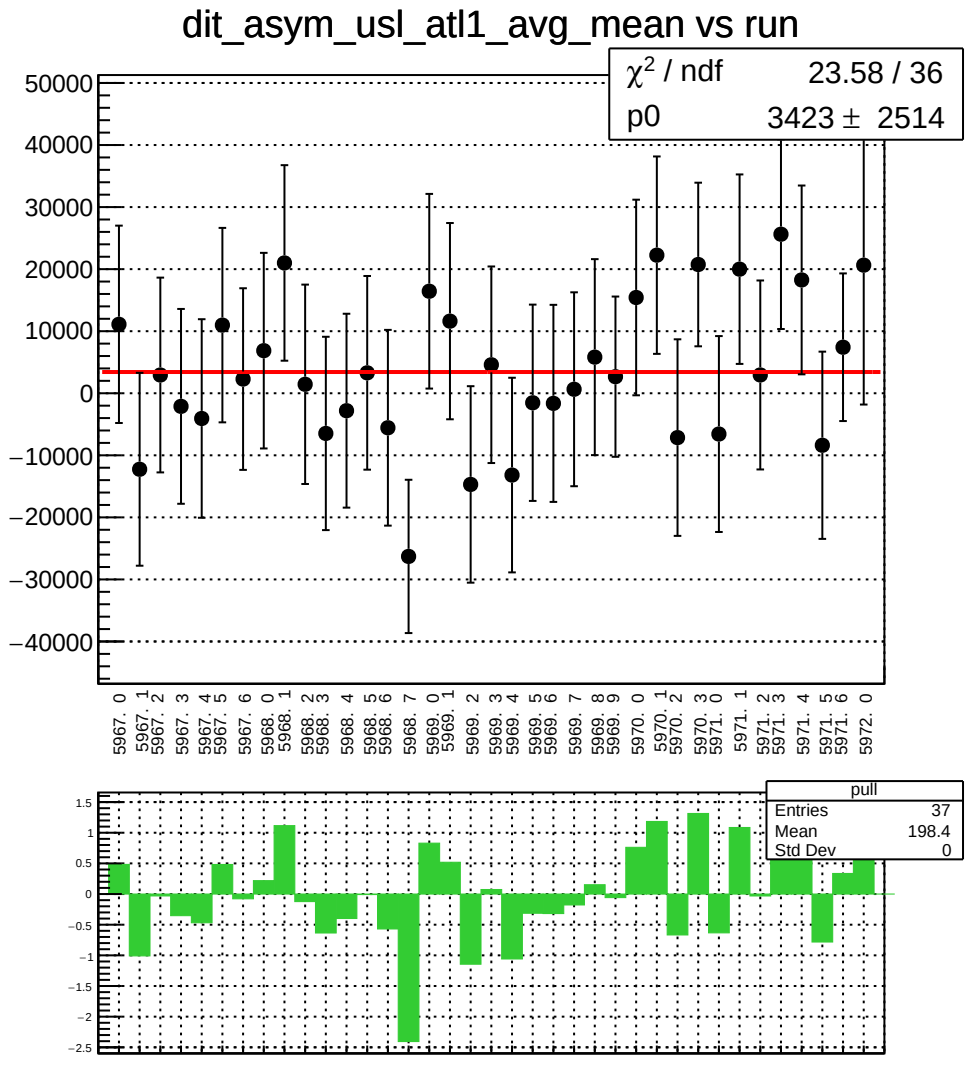
dit_asym_usl_atl1_avg_mean vs run
χ² / ndf 23.58 / 36
p0 3423 ± 2514
pull
Entries 37
Mean 198.4
Std Dev 0

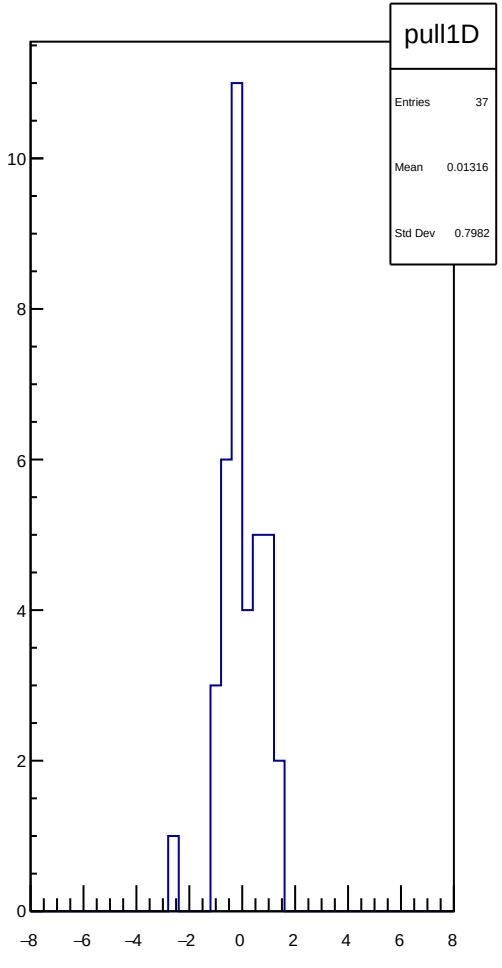
pull1D
Entries 37
Mean 0.01316
Std Dev 0.7982

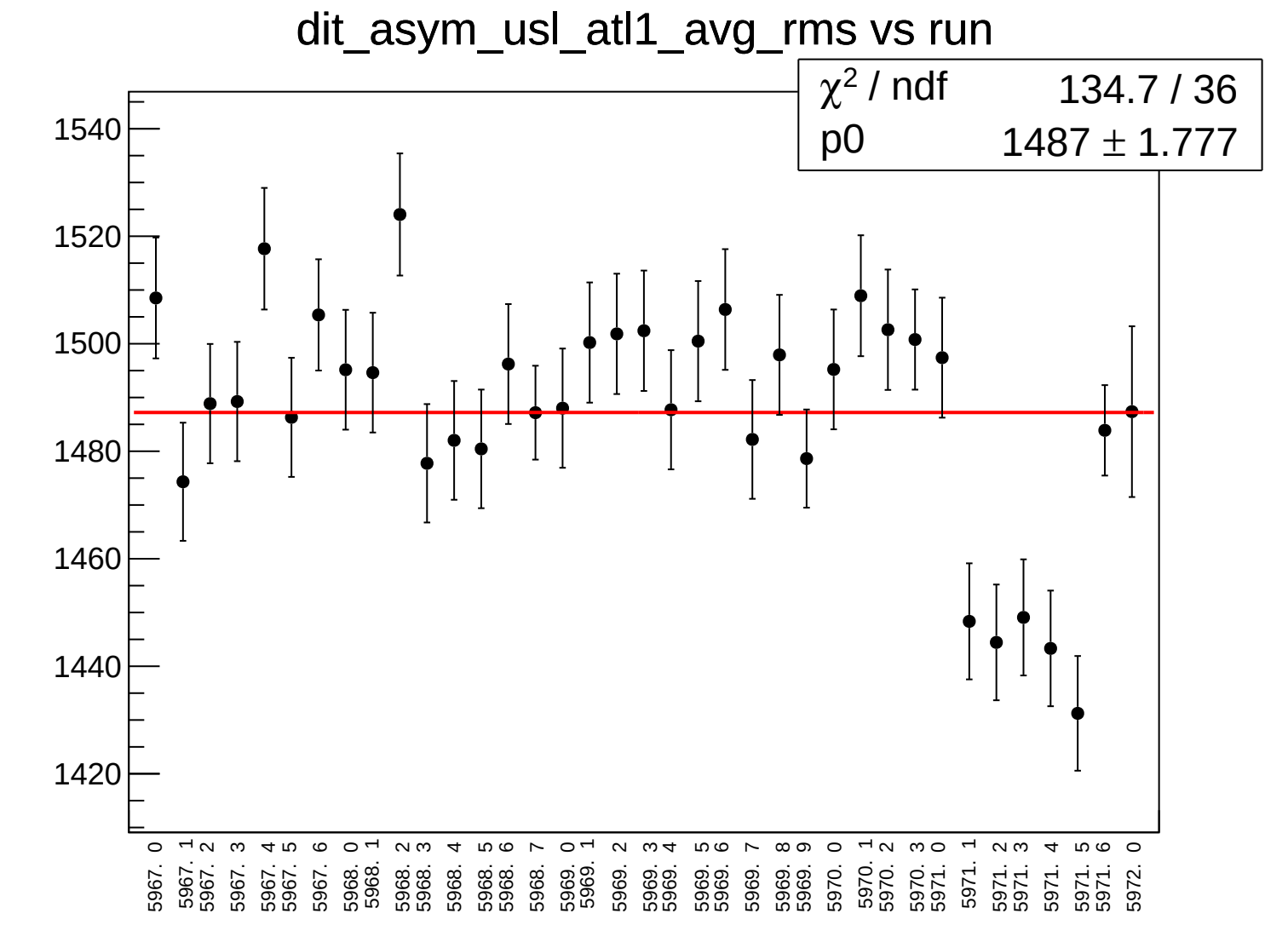
dit_asym_usl_atl1_avg_rms vs run
χ² / ndf 134.7 / 36
p0 1487 ± 1.777
1540
1520
1500
1480
1460
1440
1420
5967. 0
5967. 1
5967. 2
5967. 3
5967. 4
5967. 5
5967. 6
5968. 0
5968. 1
5968. 2
5968. 3
5968. 4
5968. 5
5968. 6
5968. 7
5969. 0
5969. 1
5969. 2
5969. 3
5969. 4
5969. 5
5969. 6
5969. 7
5969. 8
5969. 9
5970. 0
5970. 1
5970. 2
5970. 3
5971. 0
5971. 1
5971. 2
5971. 3
5971. 4
5971. 5
5971. 6
5972. 0

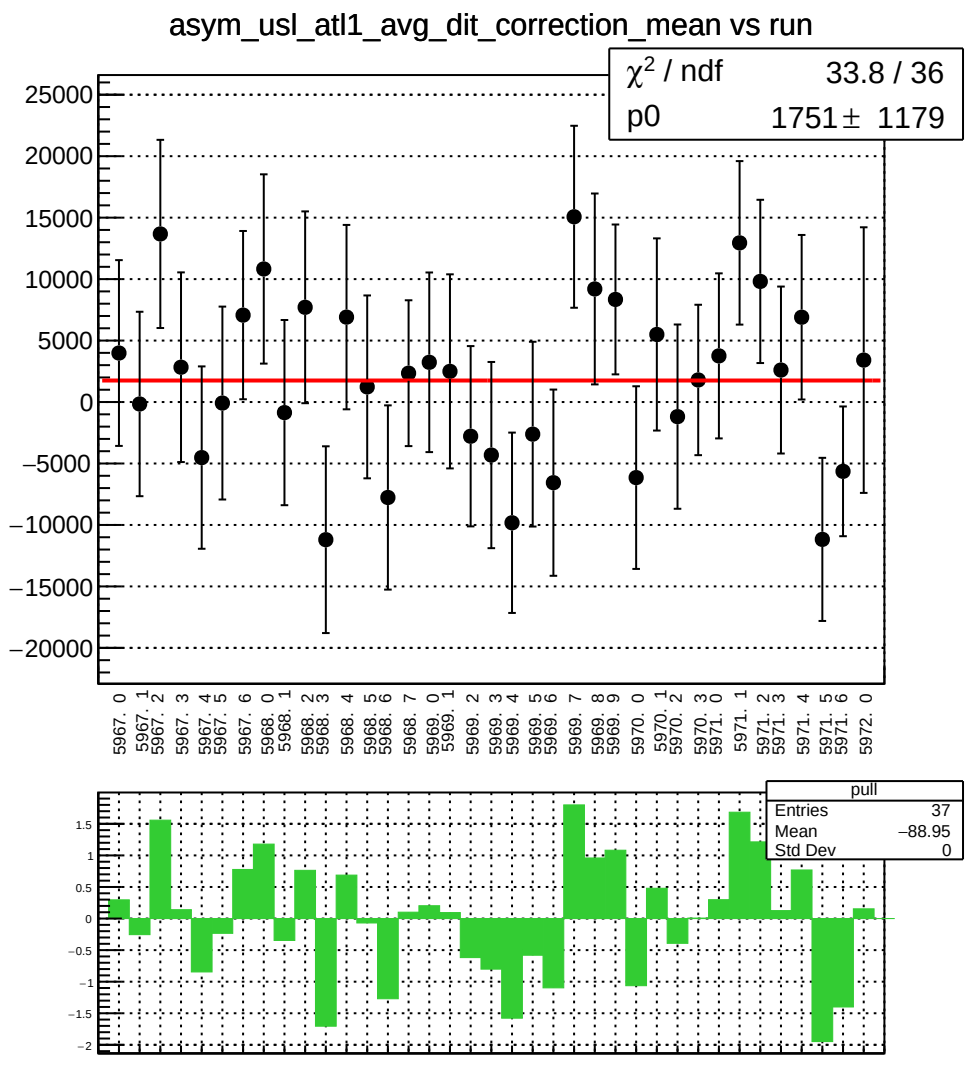
asym_usl_atl1_avg_dit_correction_mean vs run
χ² / ndf 33.8 / 36
p0 1751 ± 1179
pull
Entries 37
Mean −88.95
Std Dev 0

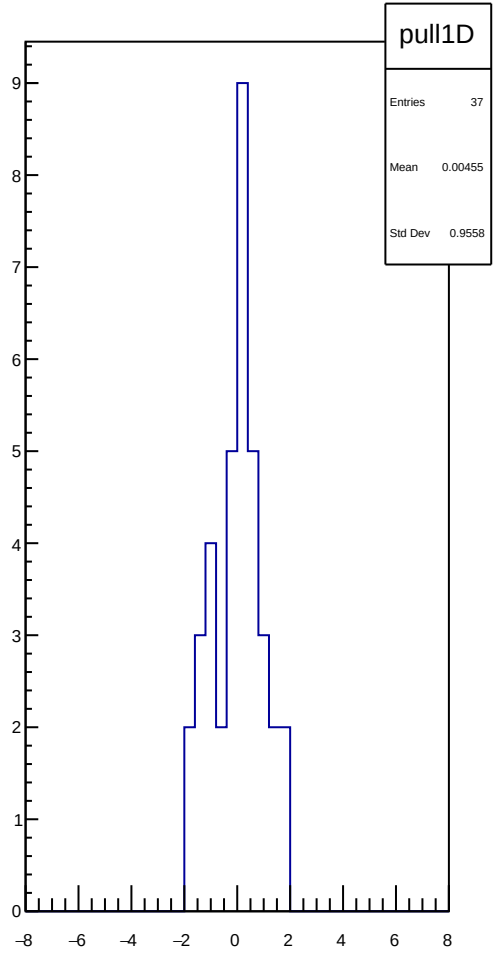
pull1D
Entries 37
Mean 0.00455
Std Dev 0.9558

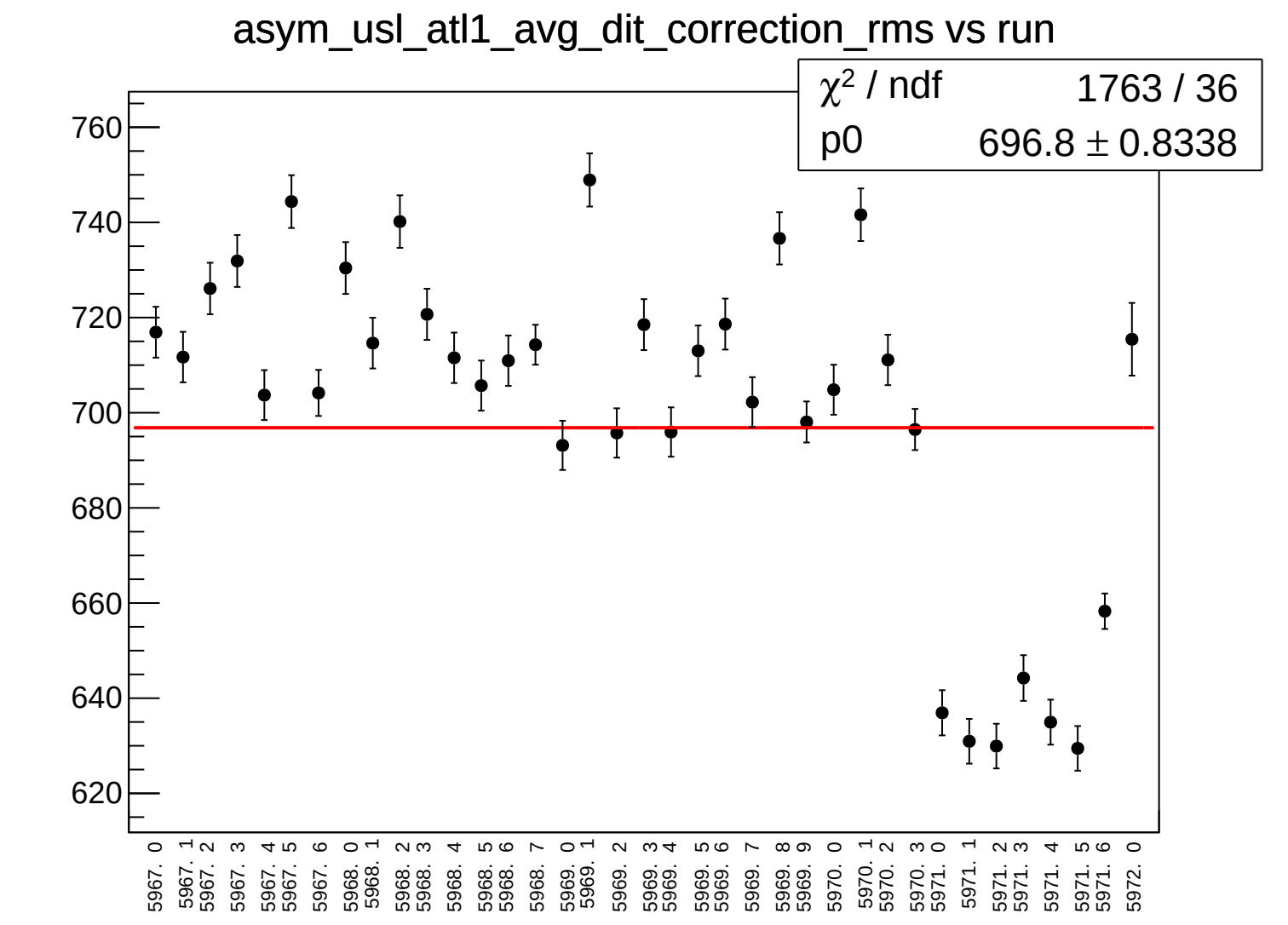
asym_usl_atl1_avg_dit_correction_rms vs run
χ² / ndf 1763 / 36
p0 696.8 ± 0.8338
760
740
720
700
680
660
640
620
5967. 0
5967. 1
5967. 2
5967. 3
5967. 4
5967. 5
5967. 6
5968. 0
5968. 1
5968. 2
5968. 3
5968. 4
5968. 5
5968. 6
5968. 7
5969. 0
5969. 1
5969. 2
5969. 3
5969. 4
5969. 5
5969. 6
5969. 7
5969. 8
5969. 9
5970. 0
5970. 1
5970. 2
5970. 3
5971. 0
5971. 1
5971. 2
5971. 3
5971. 4
5971. 5
5971. 6
5972. 0

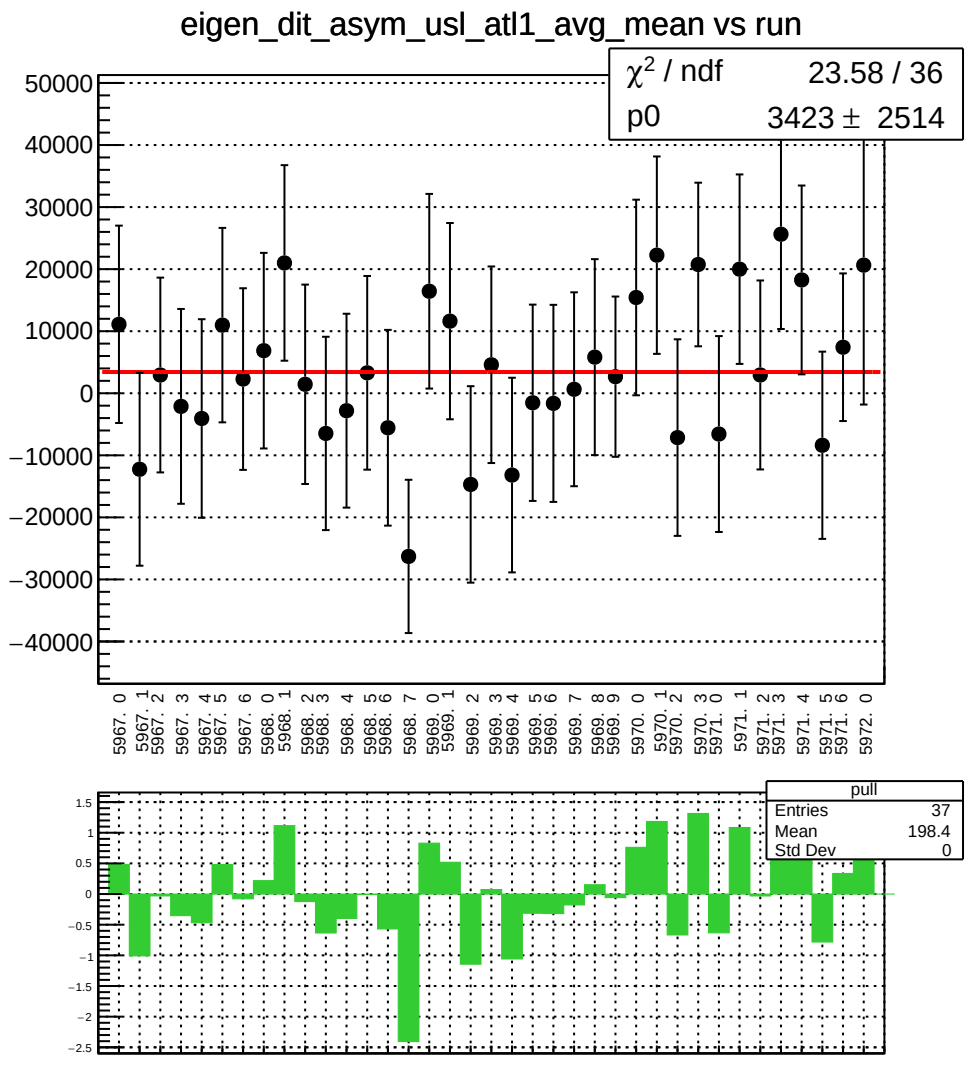
eigen_dit_asym_usl_atl1_avg_mean vs run
χ² / ndf 23.58 / 36
p0 3423 ± 2514
50000
40000
30000
20000
10000
0
−10000
−20000
−30000
−40000
5967. 0
5967. 1
5967. 2
5967. 3
5967. 4
5967. 5
5967. 6
5968. 0
5968. 1
5968. 2
5968. 3
5968. 4
5968. 5
5968. 6
5968. 7
5969. 0
5969. 1
5969. 2
5969. 3
5969. 4
5969. 5
5969. 6
5969. 7
5969. 8
5969. 9
5970. 0
5970. 1
5970. 2
5970. 3
5971. 0
5971. 1
5971. 2
5971. 3
5971. 4
5971. 5
5971. 6
5972. 0
pull
Entries 37
Mean 198.4
Std Dev 0
1.5
1
0.5
0
−0.5
−1
−1.5
−2
−2.5
pull1D
Entries 37
Mean 0.01316
Std Dev 0.7982
10
8
6
4
2
0
−8
−6
−4
−2
0
2
4
6
8

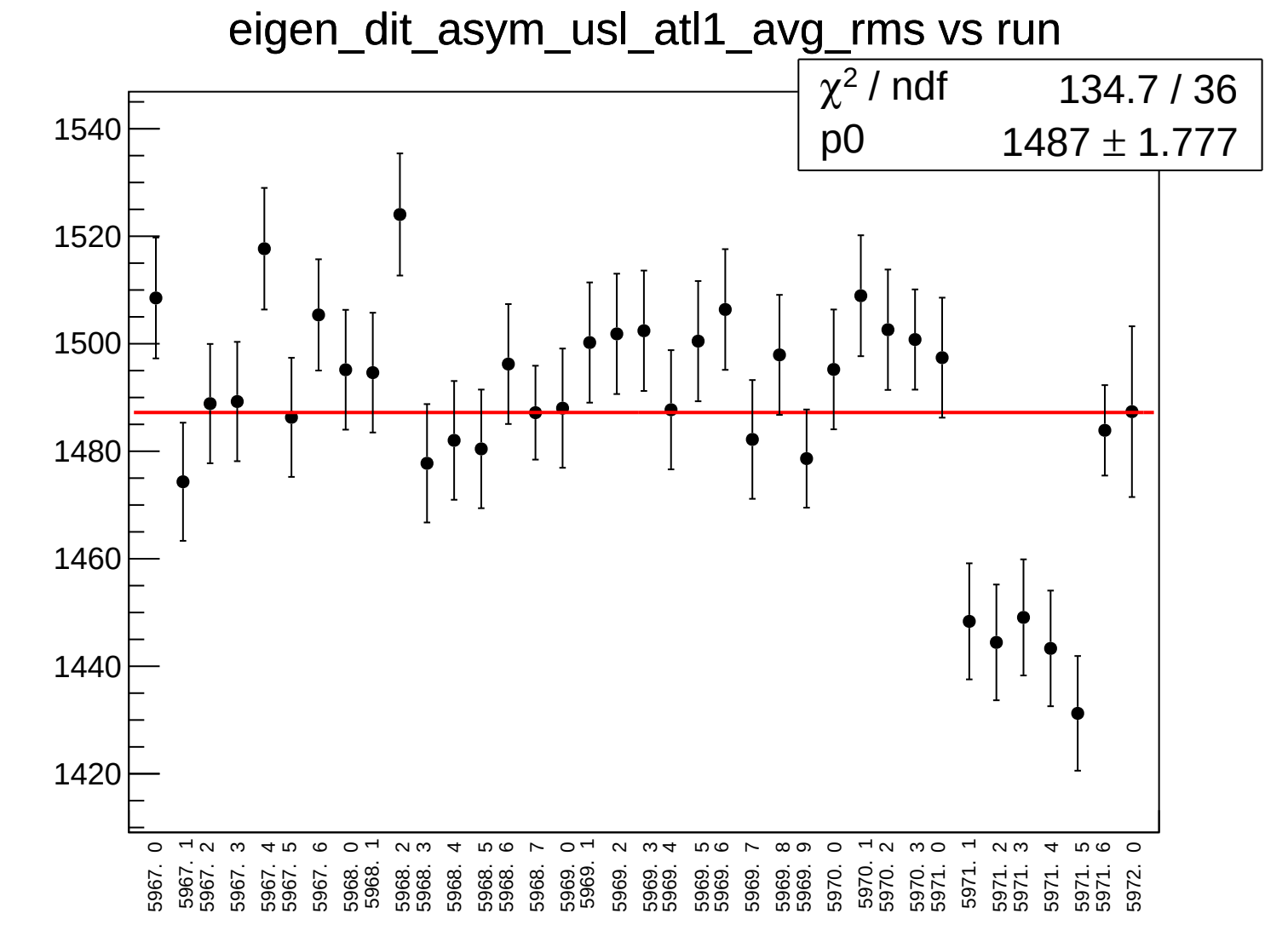
eigen_dit_asym_usl_atl1_avg_rms vs run
χ² / ndf 134.7 / 36
p0 1487 ± 1.777
1540
1520
1500
1480
1460
1440
1420
5967. 0
5967. 1
5967. 2
5967. 3
5967. 4
5967. 5
5967. 6
5968. 0
5968. 1
5968. 2
5968. 3
5968. 4
5968. 5
5968. 6
5968. 7
5969. 0
5969. 1
5969. 2
5969. 3
5969. 4
5969. 5
5969. 6
5969. 7
5969. 8
5969. 9
5970. 0
5970. 1
5970. 2
5970. 3
5971. 0
5971. 1
5971. 2
5971. 3
5971. 4
5971. 5
5971. 6
5972. 0

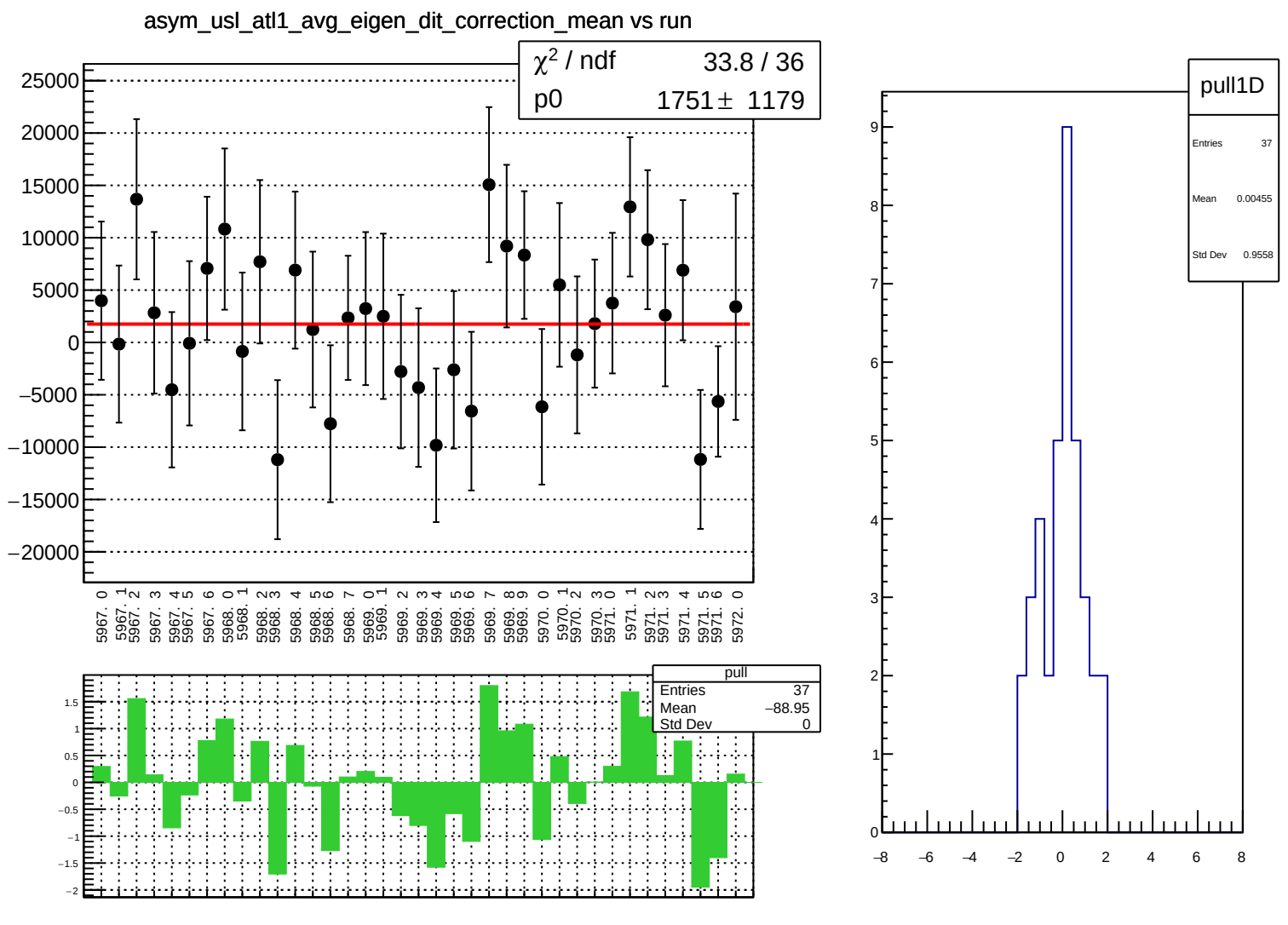
asym_usl_atl1_avg_eigen_dit_correction_mean vs run
χ² / ndf 33.8 / 36
p0 1751 ± 1179
pull
Entries 37
Mean −88.95
Std Dev 0
pull1D
Entries 37
Mean 0.00455
Std Dev 0.9558

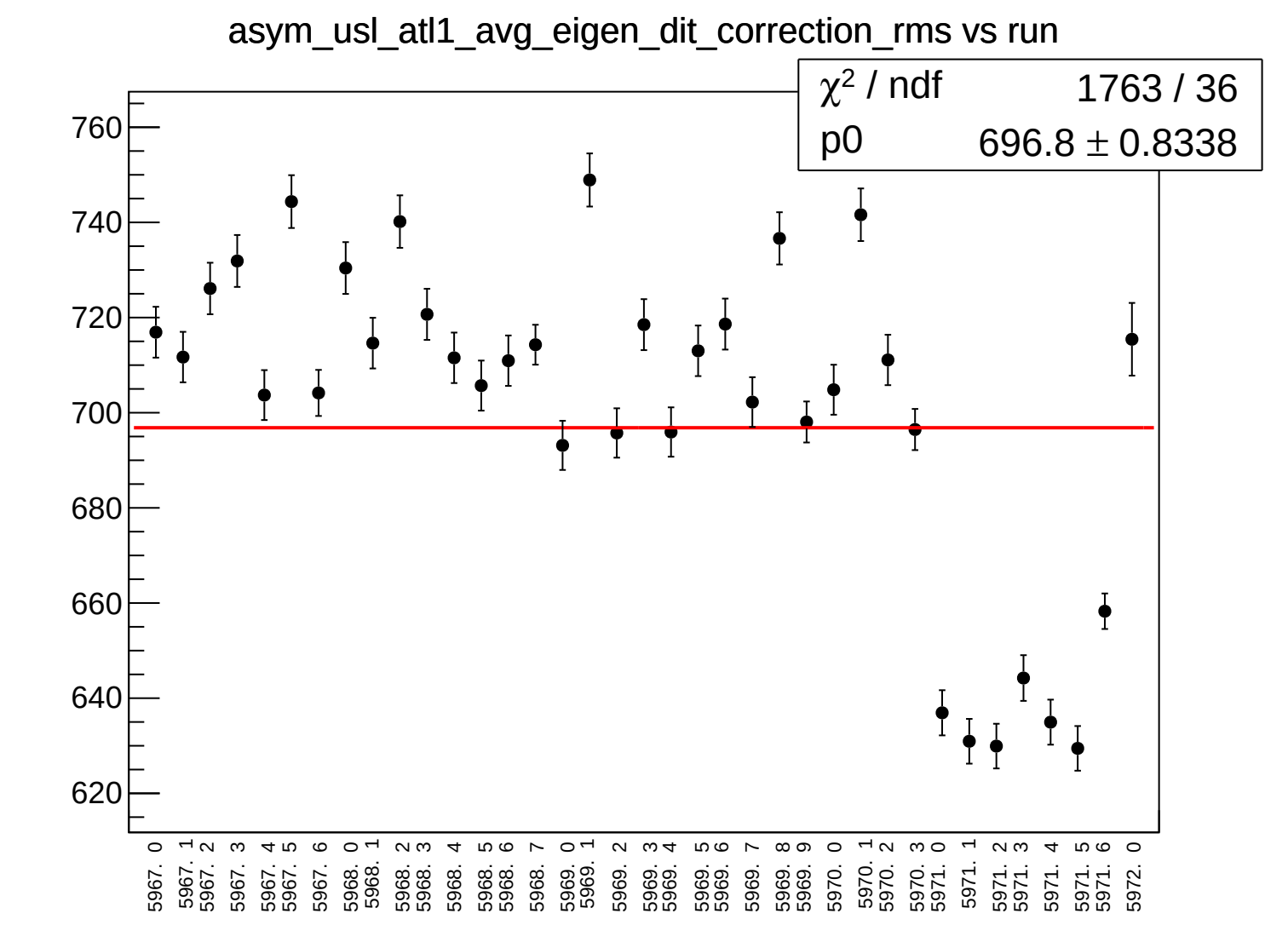
asym_usl_atl1_avg_eigen_dit_correction_rms vs run
χ² / ndf 1763 / 36
p0 696.8 ± 0.8338
760
740
720
700
680
660
640
620
5967. 0
5967. 1
5967. 2
5967. 3
5967. 4
5967. 5
5967. 6
5968. 0
5968. 1
5968. 2
5968. 3
5968. 4
5968. 5
5968. 6
5968. 7
5969. 0
5969. 1
5969. 2
5969. 3
5969. 4
5969. 5
5969. 6
5969. 7
5969. 8
5969. 9
5970. 0
5970. 1
5970. 2
5970. 3
5971. 0
5971. 1
5971. 2
5971. 3
5971. 4
5971. 5
5971. 6
5972. 0

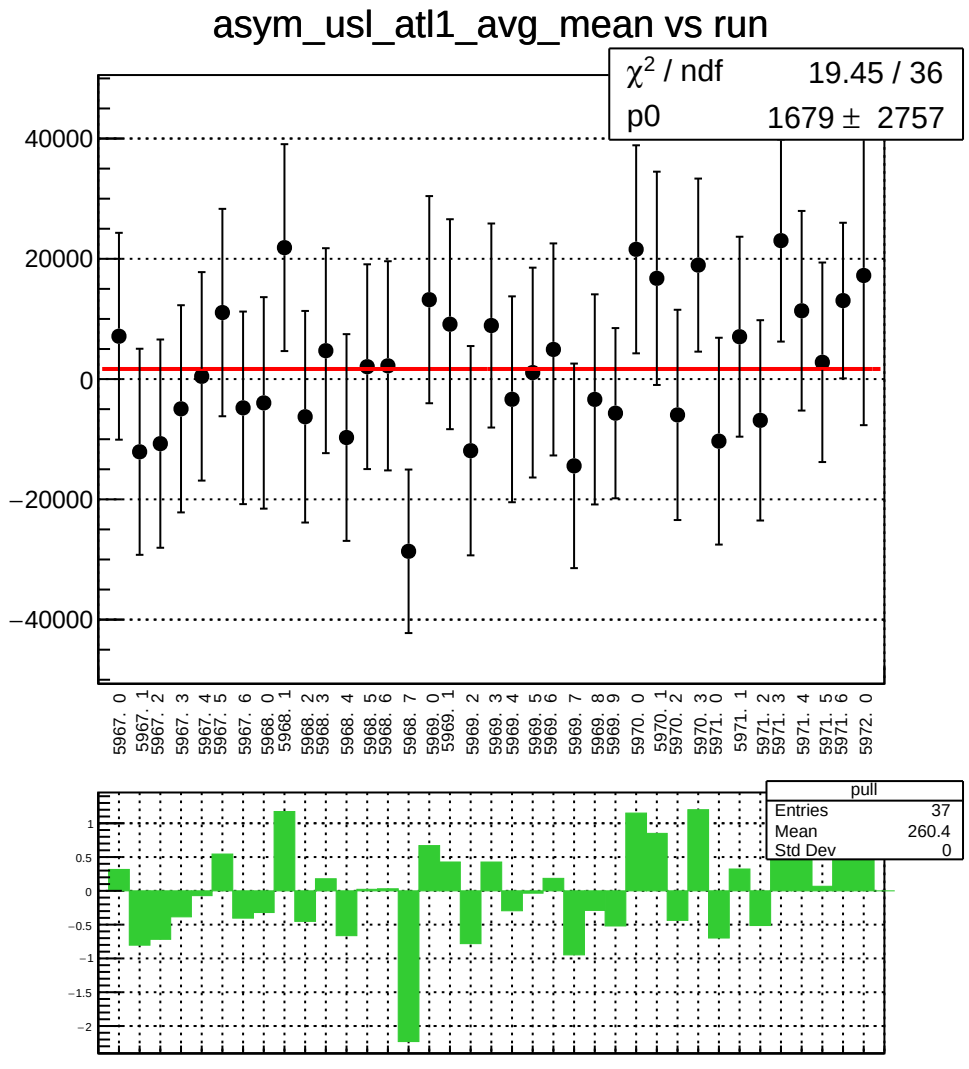
asym_usl_atl1_avg_mean vs run
χ² / ndf 19.45 / 36
p0 1679 ± 2757
40000
20000
0
−20000
−40000
5967. 0
5967. 1
5967. 2
5967. 3
5967. 4
5967. 5
5967. 6
5968. 0
5968. 1
5968. 2
5968. 3
5968. 4
5968. 5
5968. 6
5968. 7
5969. 0
5969. 1
5969. 2
5969. 3
5969. 4
5969. 5
5969. 6
5969. 7
5969. 8
5969. 9
5970. 0
5970. 1
5970. 2
5970. 3
5971. 0
5971. 1
5971. 2
5971. 3
5971. 4
5971. 5
5971. 6
5972. 0
pull
Entries 37
Mean 260.4
Std Dev 0
1
0.5
0
−0.5
−1
−1.5
−2

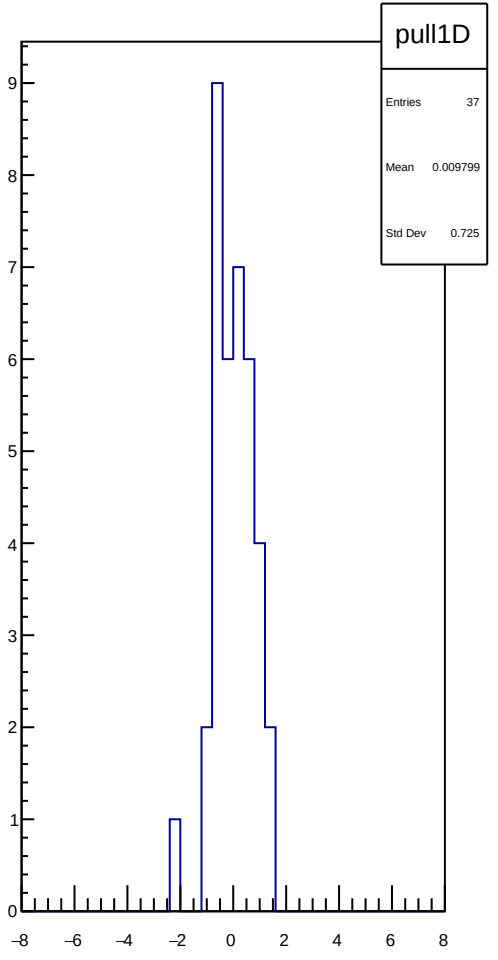
pull1D
Entries 37
Mean 0.009799
Std Dev 0.725
9
8
7
6
5
4
3
2
1
0
−8
−6
−4
−2
0
2
4
6
8

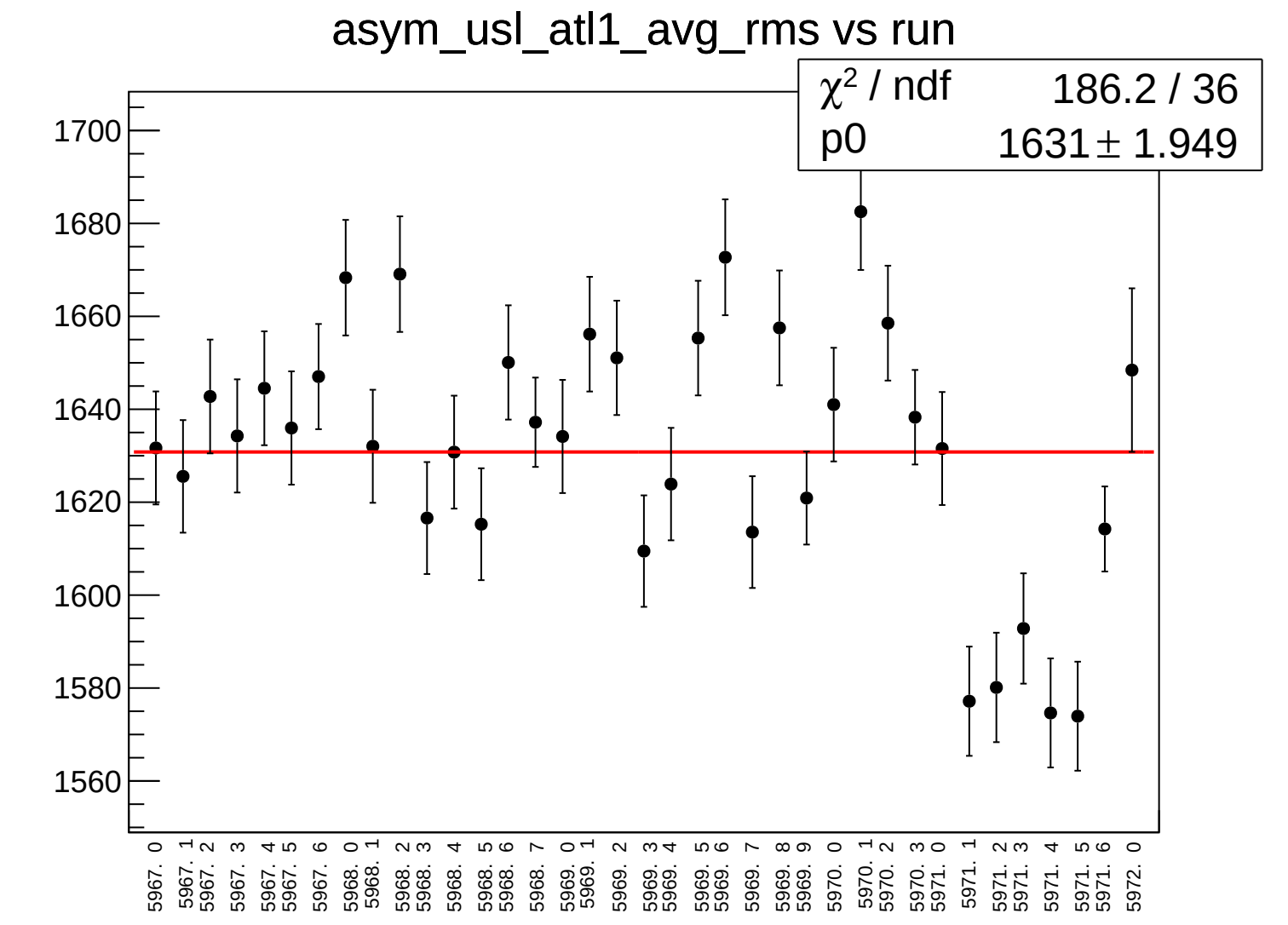
asym_usl_atl1_avg_rms vs run
χ² / ndf 186.2 / 36
p0 1631 ± 1.949
1700
1680
1660
1640
1620
1600
1580
1560
5967. 0
5967. 1
5967. 2
5967. 3
5967. 4
5967. 5
5967. 6
5968. 0
5968. 1
5968. 2
5968. 3
5968. 4
5968. 5
5968. 6
5968. 7
5969. 0
5969. 1
5969. 2
5969. 3
5969. 4
5969. 5
5969. 6
5969. 7
5969. 8
5969. 9
5970. 0
5970. 1
5970. 2
5970. 3
5971. 0
5971. 1
5971. 2
5971. 3
5971. 4
5971. 5
5971. 6
5972. 0

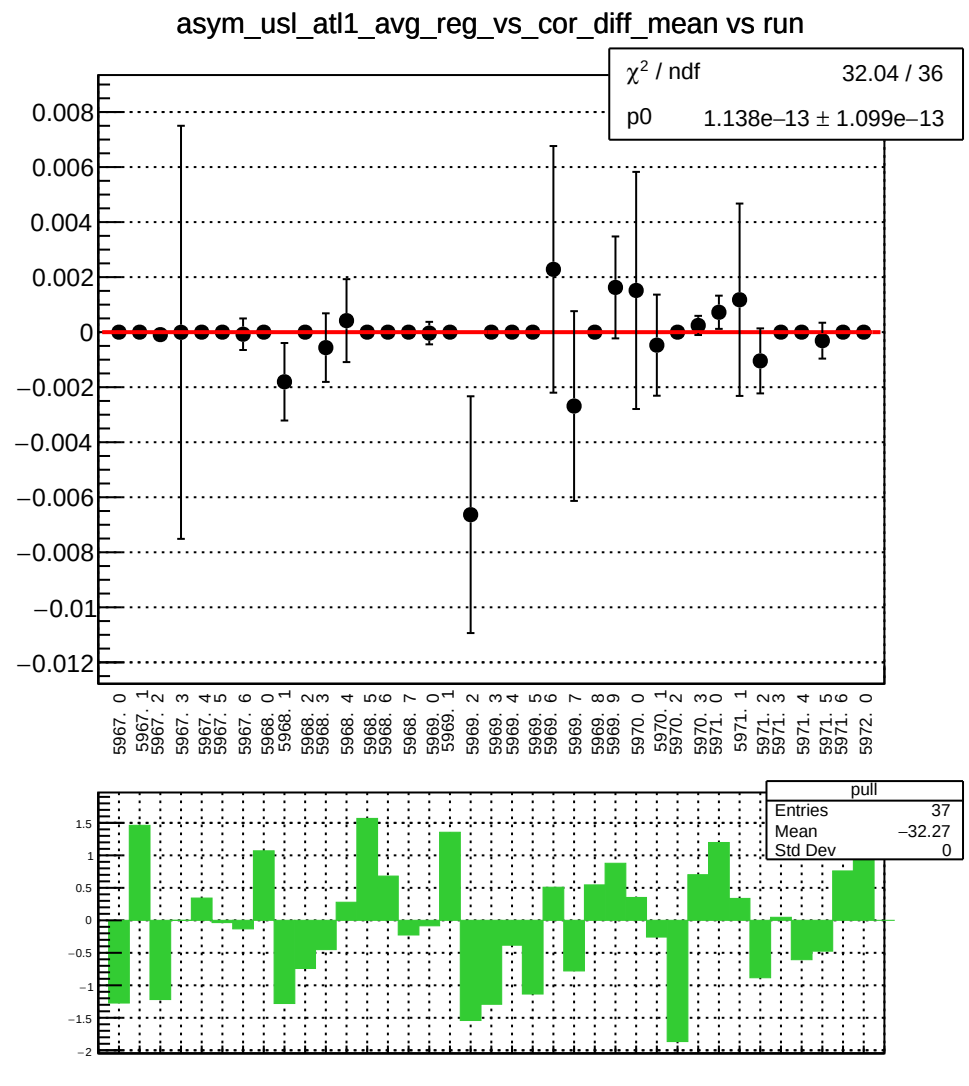
asym_usl_atl1_avg_reg_vs_cor_diff_mean vs run
χ² / ndf 32.04 / 36
p0 1.138e−13 ± 1.099e−13
0.008
0.006
0.004
0.002
0
−0.002
−0.004
−0.006
−0.008
−0.01
−0.012
5967. 0
5967. 1
5967. 2
5967. 3
5967. 4
5967. 5
5967. 6
5968. 0
5968. 1
5968. 2
5968. 3
5968. 4
5968. 5
5968. 6
5968. 7
5969. 0
5969. 1
5969. 2
5969. 3
5969. 4
5969. 5
5969. 6
5969. 7
5969. 8
5969. 9
5970. 0
5970. 1
5970. 2
5970. 3
5971. 0
5971. 1
5971. 2
5971. 3
5971. 4
5971. 5
5971. 6
5972. 0
pull
Entries 37
Mean −32.27
Std Dev 0
1.5
1
0.5
0
−0.5
−1
−1.5
−2

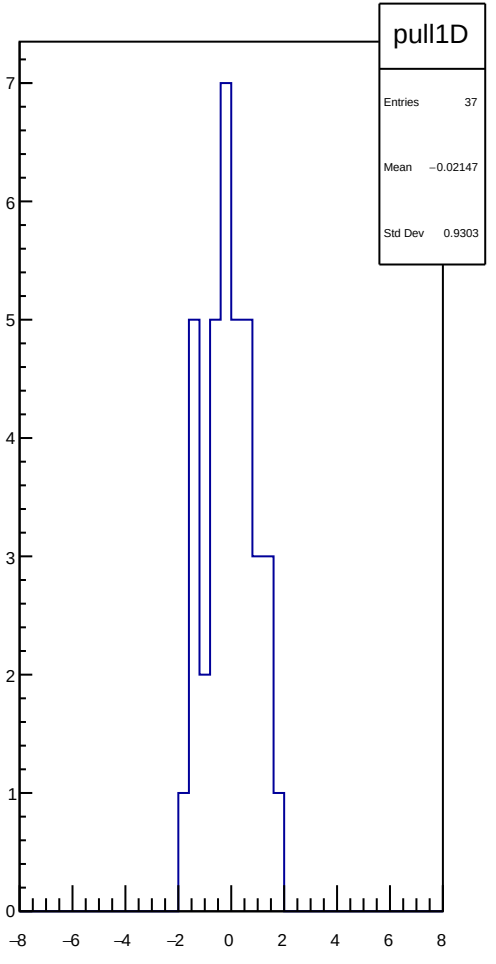
pull1D
Entries 37
Mean −0.02147
Std Dev 0.9303
7
6
5
4
3
2
1
0
−8
−6
−4
−2
0
2
4
6
8

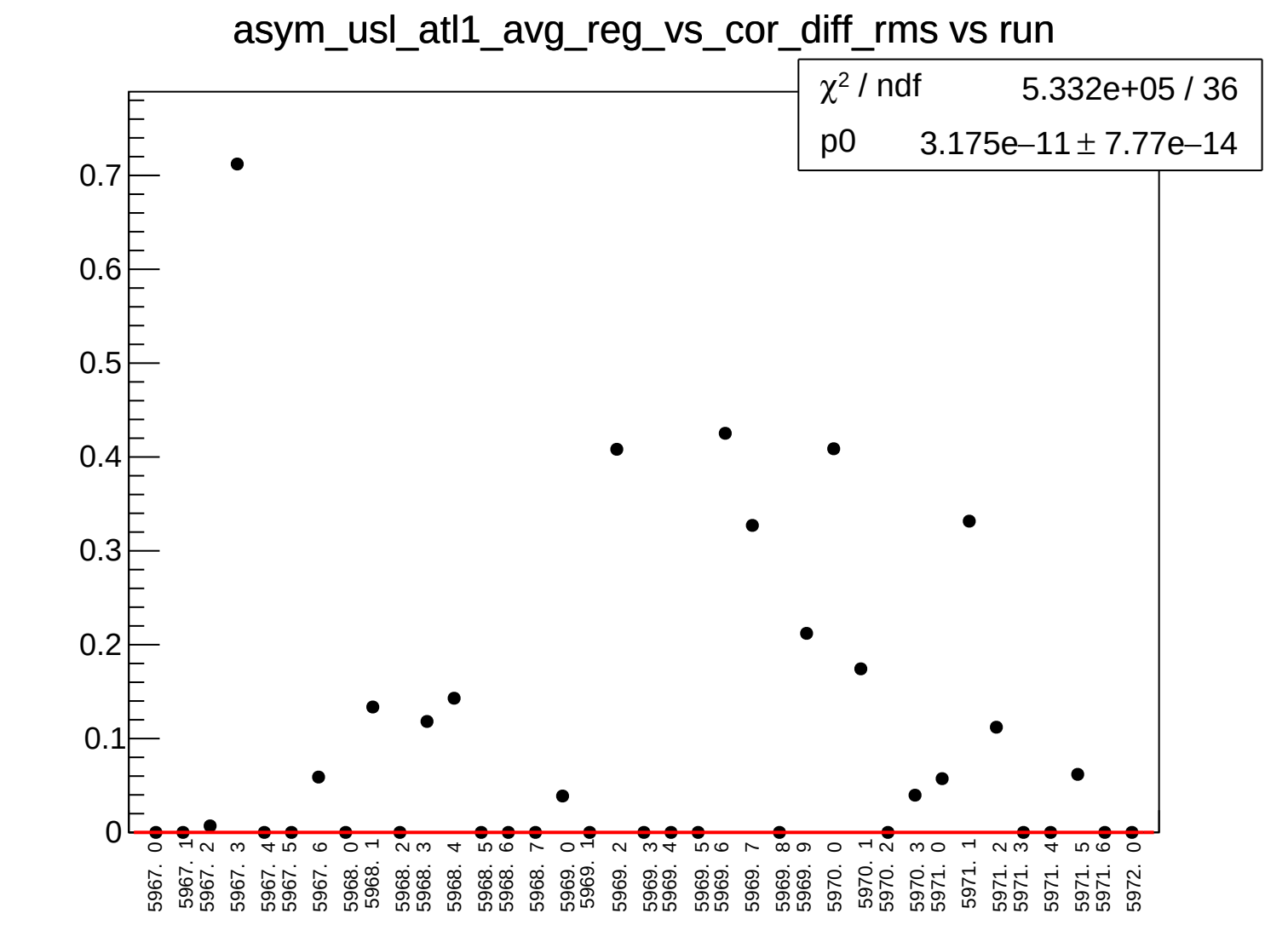
asym_usl_atl1_avg_reg_vs_cor_diff_rms vs run
χ² / ndf 5.332e+05 / 36
p0 3.175e−11 ± 7.77e−14
0.7
0.6
0.5
0.4
0.3
0.2
0.1
0
5967. 0
5967. 1
5967. 2
5967. 3
5967. 4
5967. 5
5967. 6
5968. 0
5968. 1
5968. 2
5968. 3
5968. 4
5968. 5
5968. 6
5968. 7
5969. 0
5969. 1
5969. 2
5969. 3
5969. 4
5969. 5
5969. 6
5969. 7
5969. 8
5969. 9
5970. 0
5970. 1
5970. 2
5970. 3
5971. 0
5971. 1
5971. 2
5971. 3
5971. 4
5971. 5
5971. 6
5972. 0

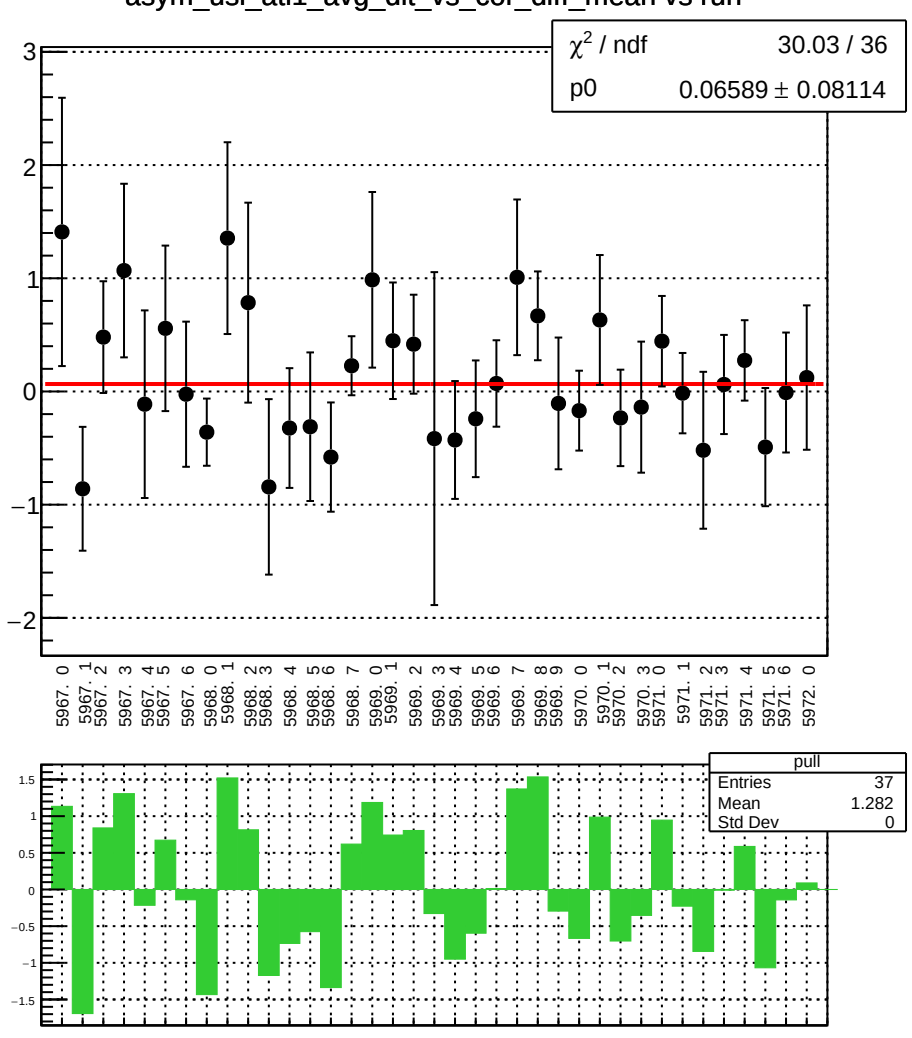
asym_usl_atl1_avg_dit_vs_cor_diff_mean vs run
χ² / ndf 30.03 / 36
p0 0.06589 ± 0.08114
pull
Entries 37
Mean 1.282
Std Dev 0

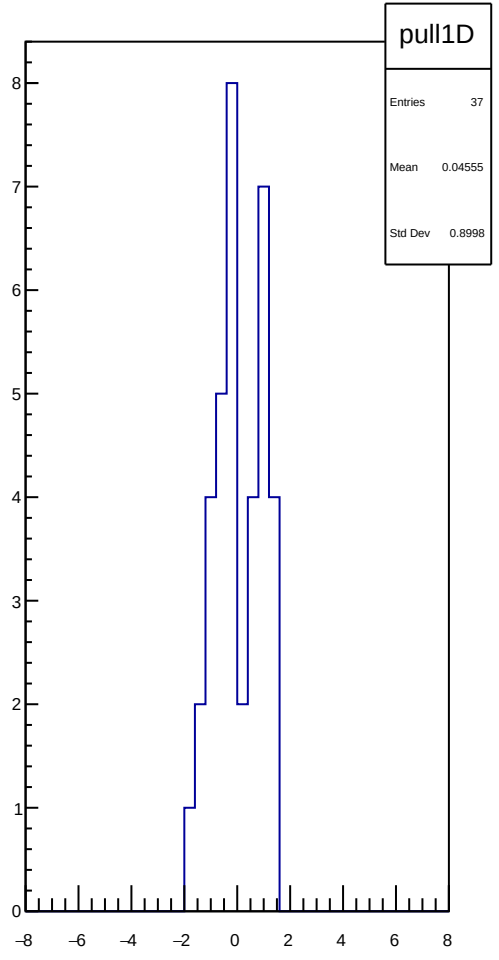
pull1D
Entries 37
Mean 0.04555
Std Dev 0.8998

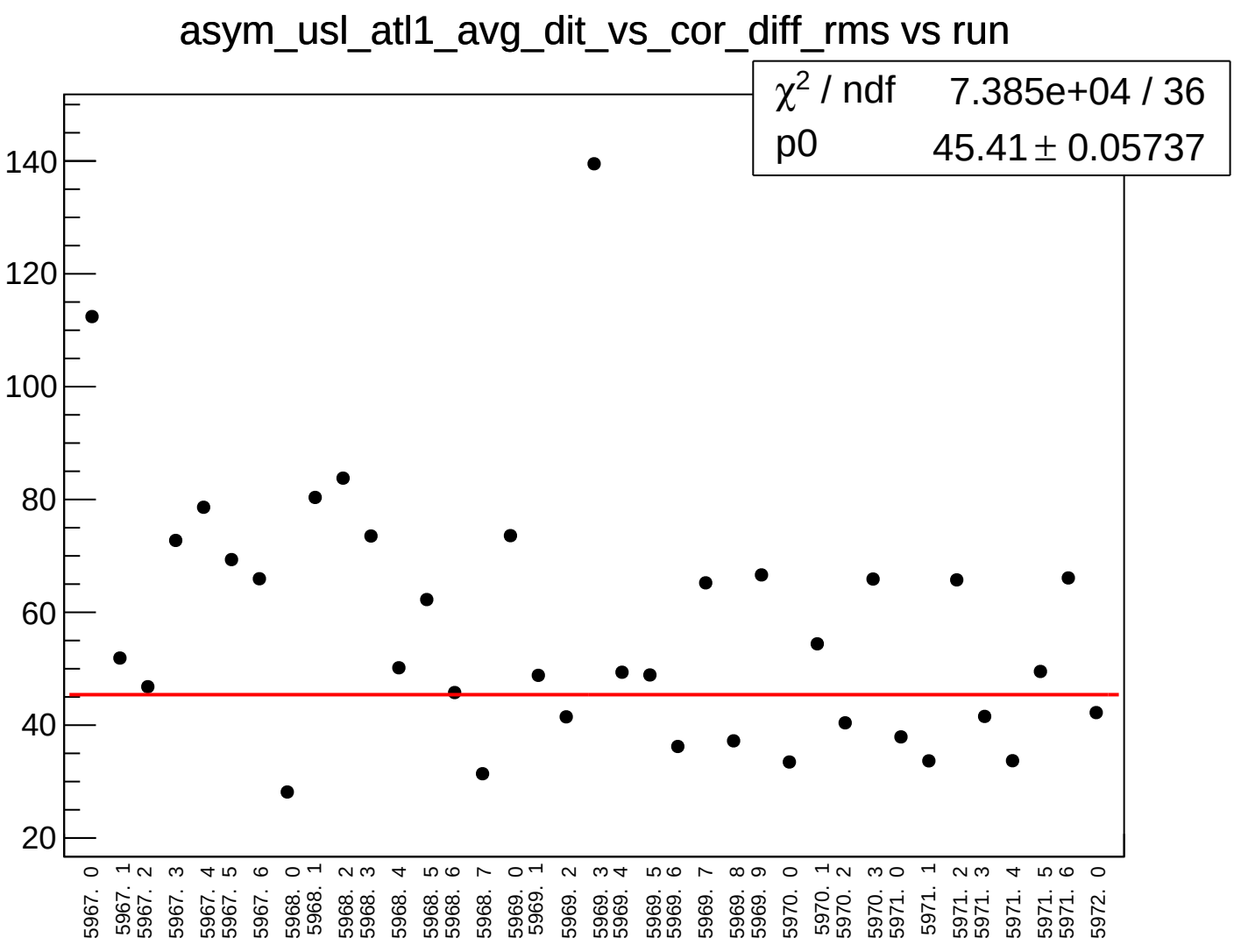
asym_usl_atl1_avg_dit_vs_cor_diff_rms vs run
χ² / ndf 7.385e+04 / 36
p0 45.41 ± 0.05737
140
120
100
80
60
40
20
5967. 0
5967. 1
5967. 2
5967. 3
5967. 4
5967. 5
5967. 6
5968. 0
5968. 1
5968. 2
5968. 3
5968. 4
5968. 5
5968. 6
5968. 7
5969. 0
5969. 1
5969. 2
5969. 3
5969. 4
5969. 5
5969. 6
5969. 7
5969. 8
5969. 9
5970. 0
5970. 1
5970. 2
5970. 3
5971. 0
5971. 1
5971. 2
5971. 3
5971. 4
5971. 5
5971. 6
5972. 0

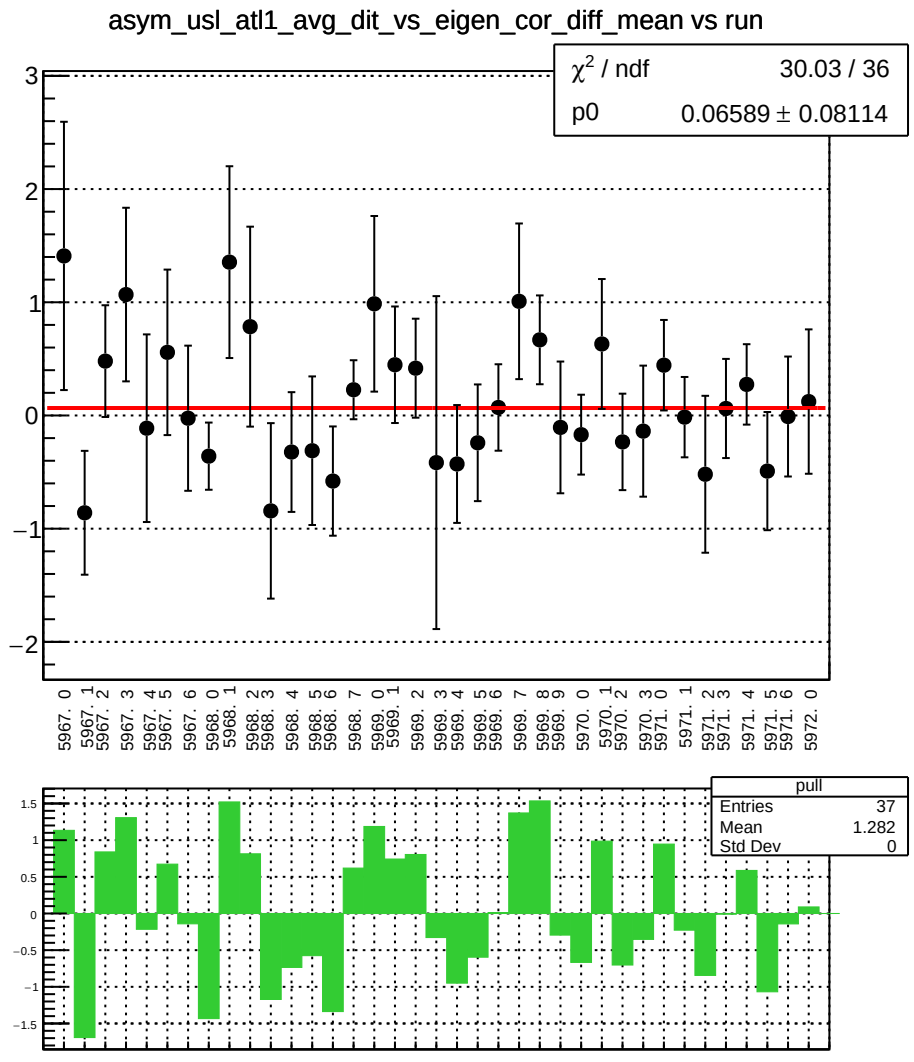
asym_usl_atl1_avg_dit_vs_eigen_cor_diff_mean vs run
χ² / ndf 30.03 / 36
p0 0.06589 ± 0.08114
pull
Entries 37
Mean 1.282
Std Dev 0

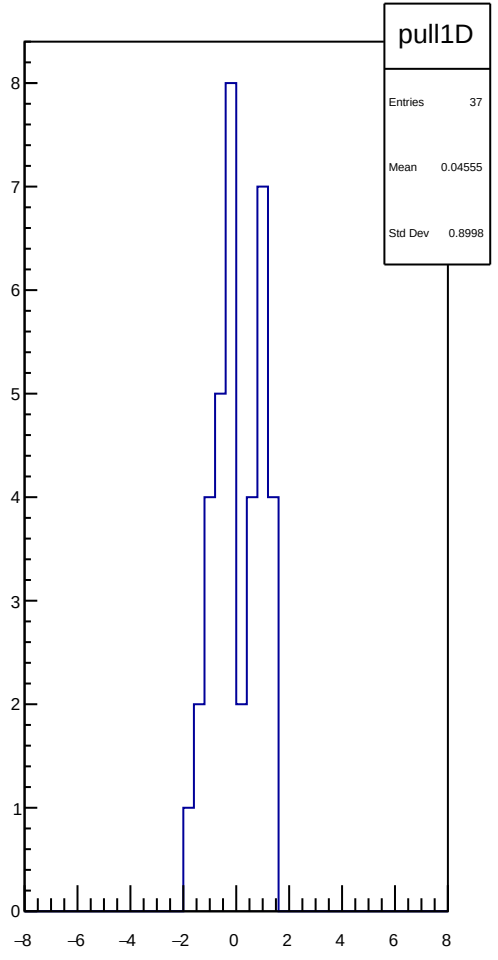
pull1D
Entries 37
Mean 0.04555
Std Dev 0.8998

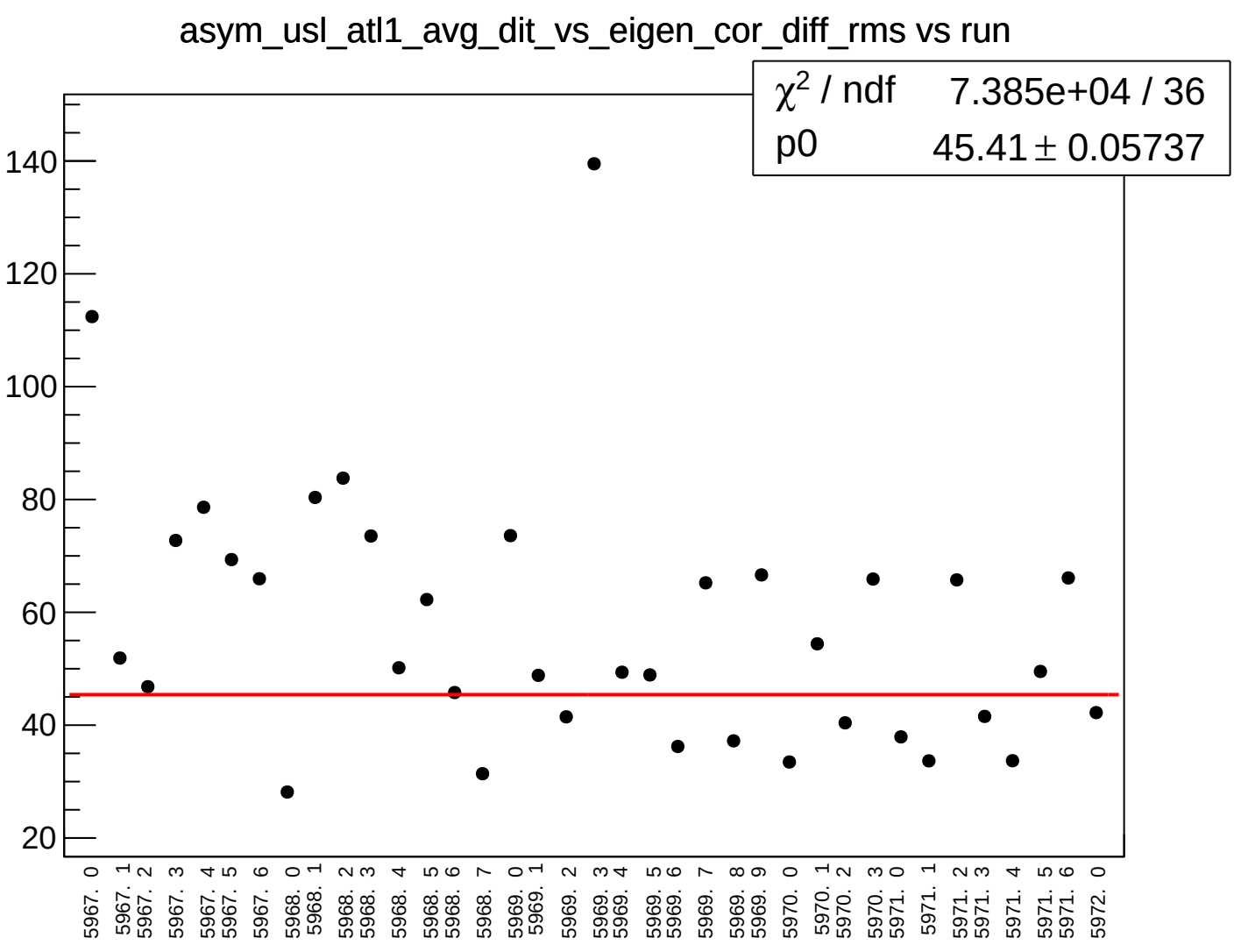
asym_usl_atl1_avg_dit_vs_eigen_cor_diff_rms vs run
χ² / ndf 7.385e+04 / 36
p0 45.41 ± 0.05737
140
120
100
80
60
40
20
5967. 0
5967. 1
5967. 2
5967. 3
5967. 4
5967. 5
5967. 6
5968. 0
5968. 1
5968. 2
5968. 3
5968. 4
5968. 5
5968. 6
5968. 7
5969. 0
5969. 1
5969. 2
5969. 3
5969. 4
5969. 5
5969. 6
5969. 7
5969. 8
5969. 9
5970. 0
5970. 1
5970. 2
5970. 3
5971. 0
5971. 1
5971. 2
5971. 3
5971. 4
5971. 5
5971. 6
5972. 0

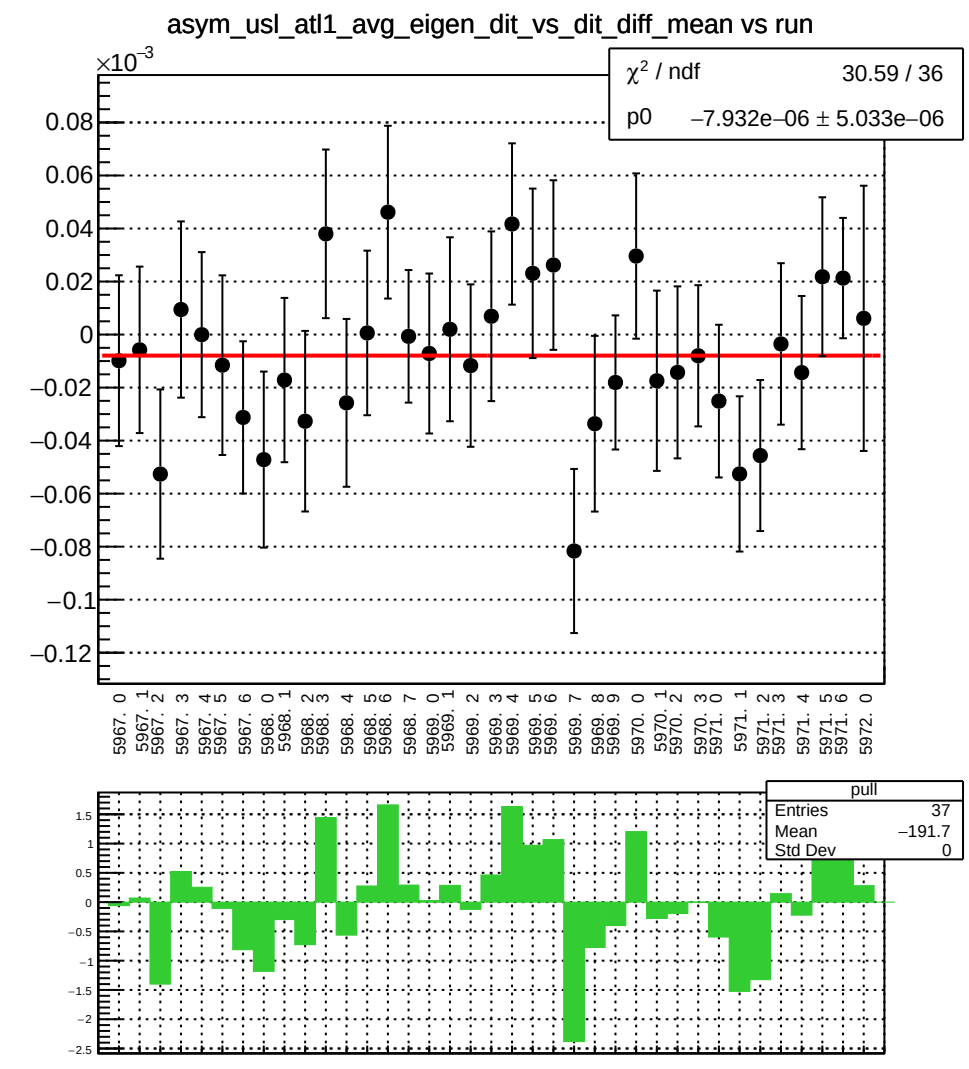
asym_usl_atl1_avg_eigen_dit_vs_dit_diff_mean vs run
×10⁻³
χ² / ndf 30.59 / 36
p0 −7.932e−06 ± 5.033e−06
pull
Entries 37
Mean −191.7
Std Dev 0

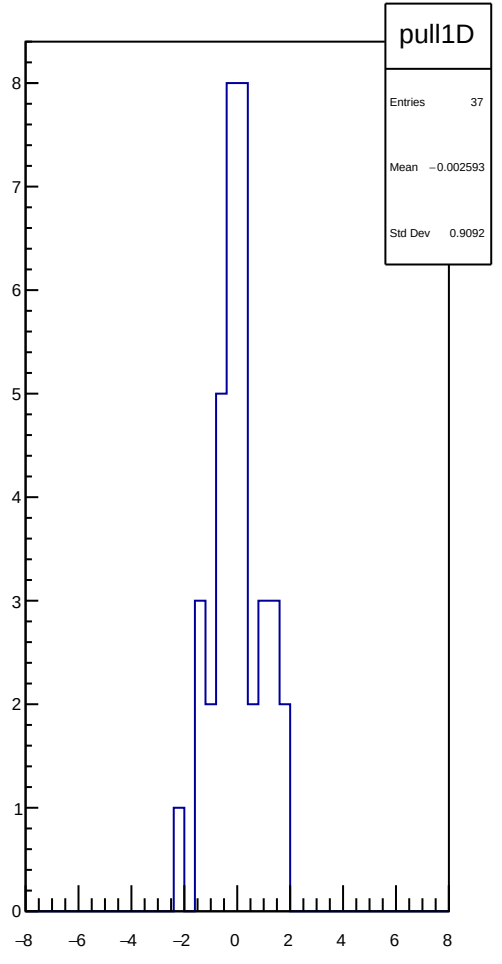
pull1D
Entries 37
Mean −0.002593
Std Dev 0.9092

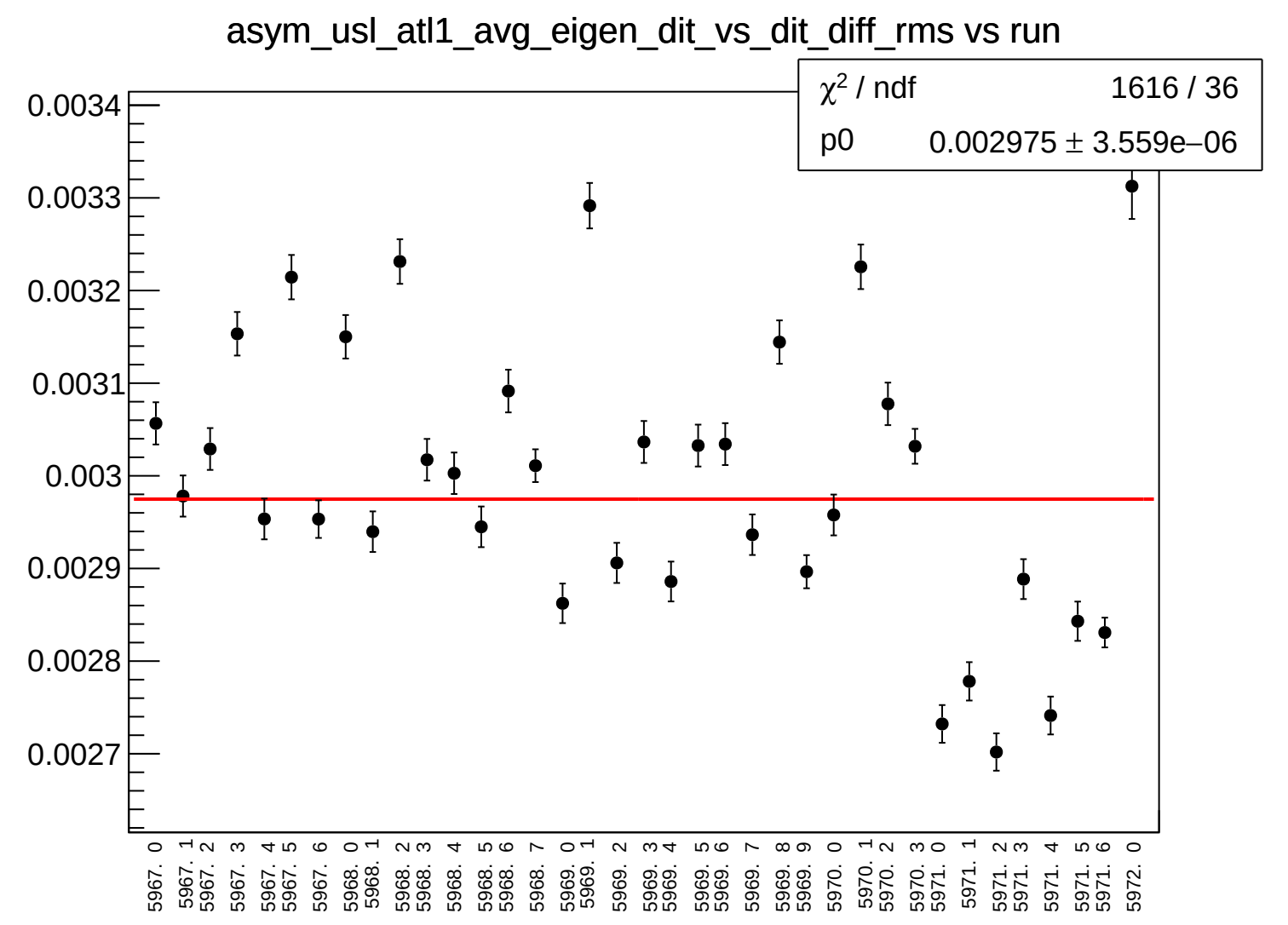
asym_usl_atl1_avg_eigen_dit_vs_dit_diff_rms vs run
χ² / ndf 1616 / 36
p0 0.002975 ± 3.559e−06
0.0034
0.0033
0.0032
0.0031
0.003
0.0029
0.0028
0.0027
5967. 0
5967. 1
5967. 2
5967. 3
5967. 4
5967. 5
5967. 6
5968. 0
5968. 1
5968. 2
5968. 3
5968. 4
5968. 5
5968. 6
5968. 7
5969. 0
5969. 1
5969. 2
5969. 3
5969. 4
5969. 5
5969. 6
5969. 7
5969. 8
5969. 9
5970. 0
5970. 1
5970. 2
5970. 3
5971. 0
5971. 1
5971. 2
5971. 3
5971. 4
5971. 5
5971. 6
5972. 0

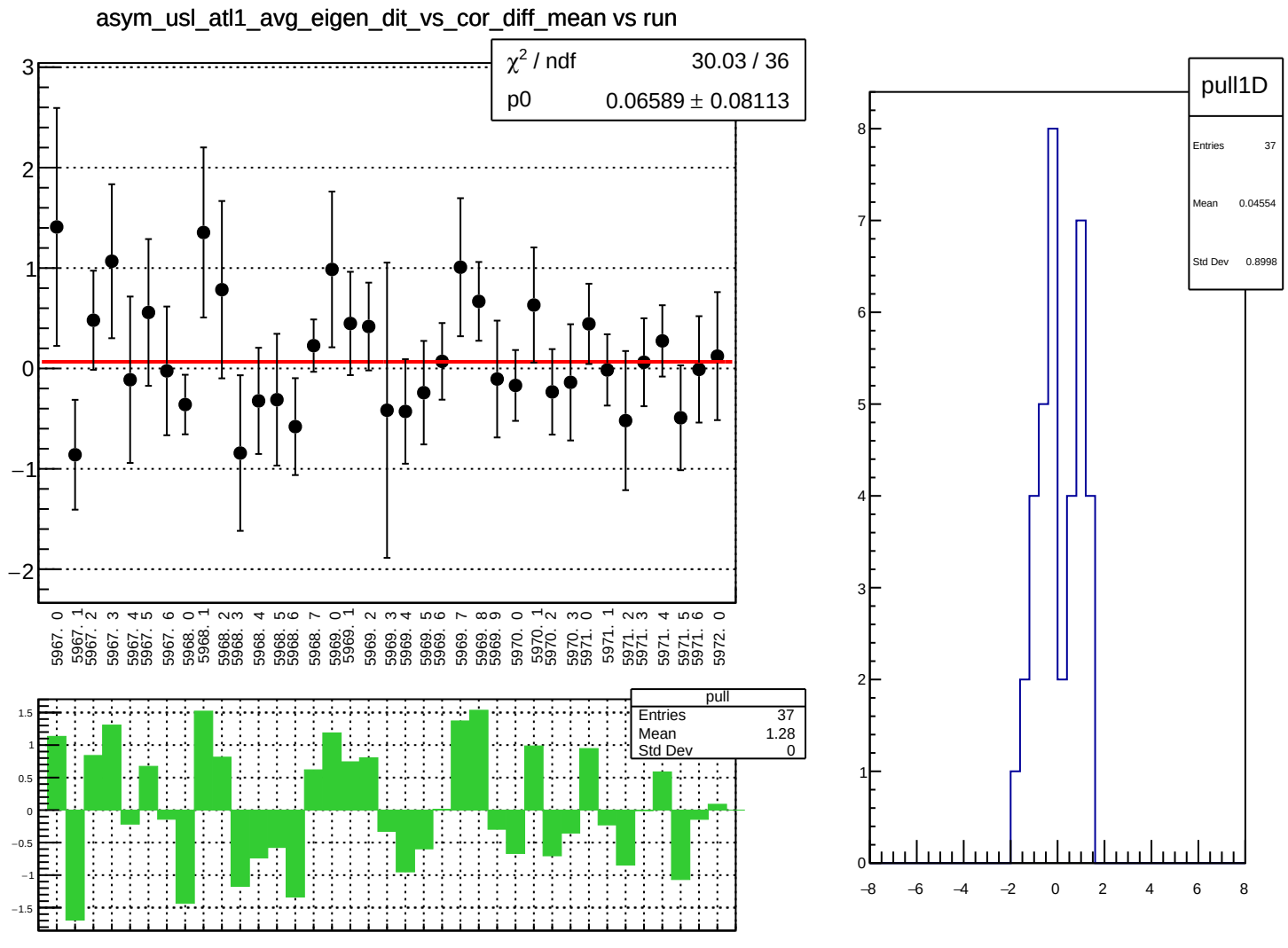
asym_usl_atl1_avg_eigen_dit_vs_cor_diff_mean vs run
χ² / ndf 30.03 / 36
p0 0.06589 ± 0.08113
pull
Entries 37
Mean 1.28
Std Dev 0
pull1D
Entries 37
Mean 0.04554
Std Dev 0.8998

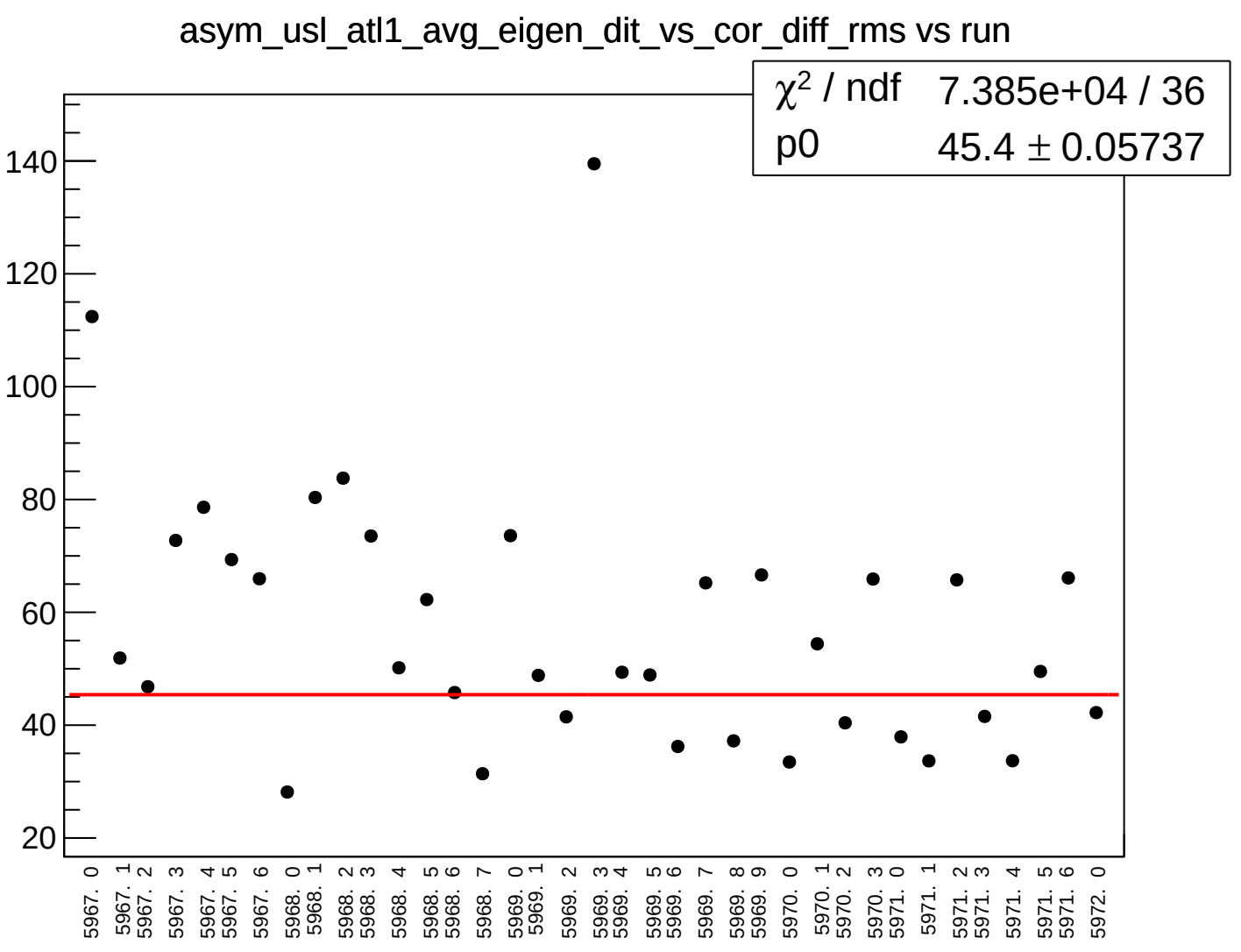
asym_usl_atl1_avg_eigen_dit_vs_cor_diff_rms vs run
χ² / ndf 7.385e+04 / 36
p0 45.4 ± 0.05737
140
120
100
80
60
40
20
5967. 0
5967. 1
5967. 2
5967. 3
5967. 4
5967. 5
5967. 6
5968. 0
5968. 1
5968. 2
5968. 3
5968. 4
5968. 5
5968. 6
5968. 7
5969. 0
5969. 1
5969. 2
5969. 3
5969. 4
5969. 5
5969. 6
5969. 7
5969. 8
5969. 9
5970. 0
5970. 1
5970. 2
5970. 3
5971. 0
5971. 1
5971. 2
5971. 3
5971. 4
5971. 5
5971. 6
5972. 0

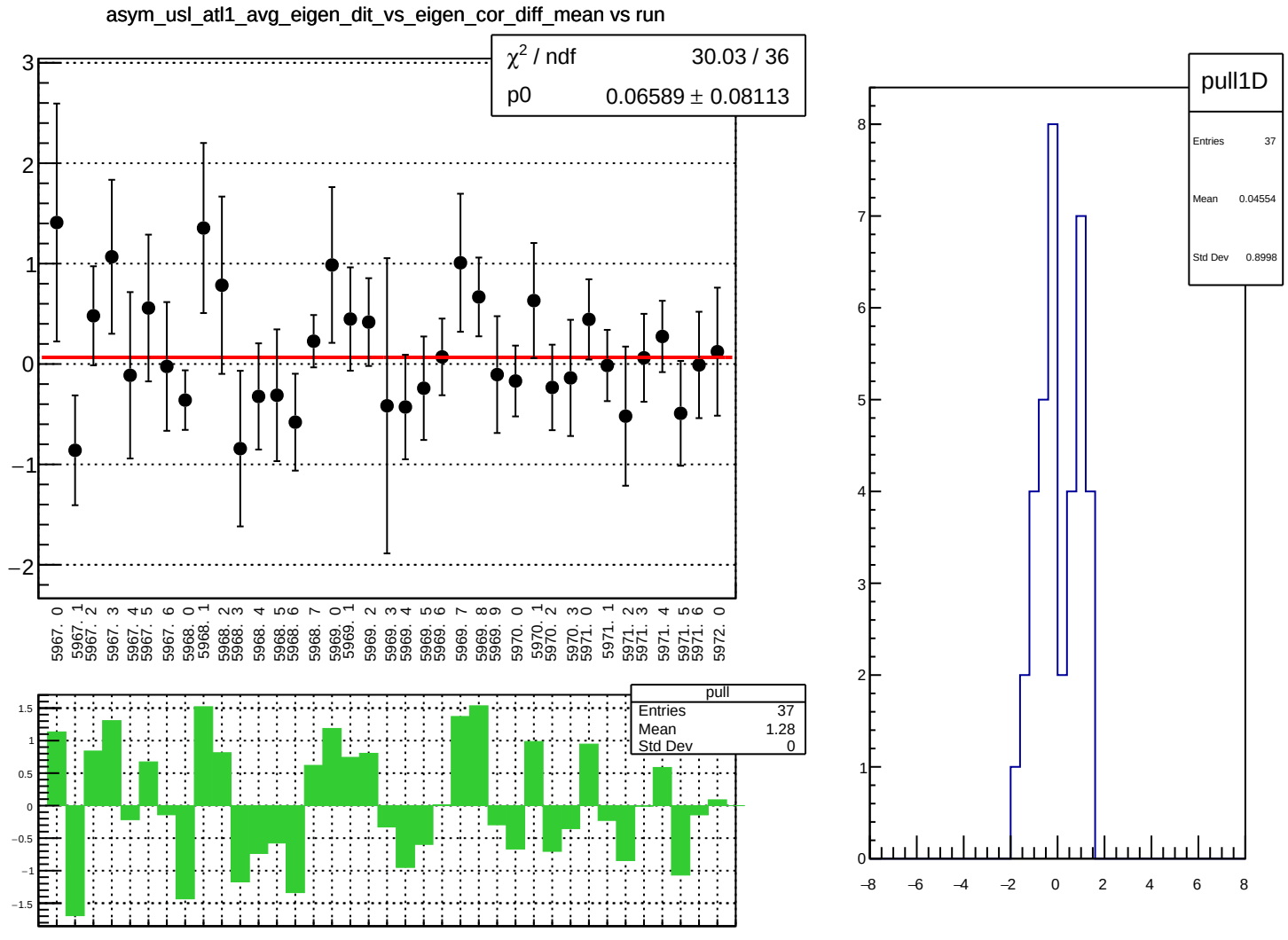
asym_usl_atl1_avg_eigen_dit_vs_eigen_cor_diff_mean vs run
χ² / ndf 30.03 / 36
p0 0.06589 ± 0.08113
pull
Entries 37
Mean 1.28
Std Dev 0
pull1D
Entries 37
Mean 0.04554
Std Dev 0.8998

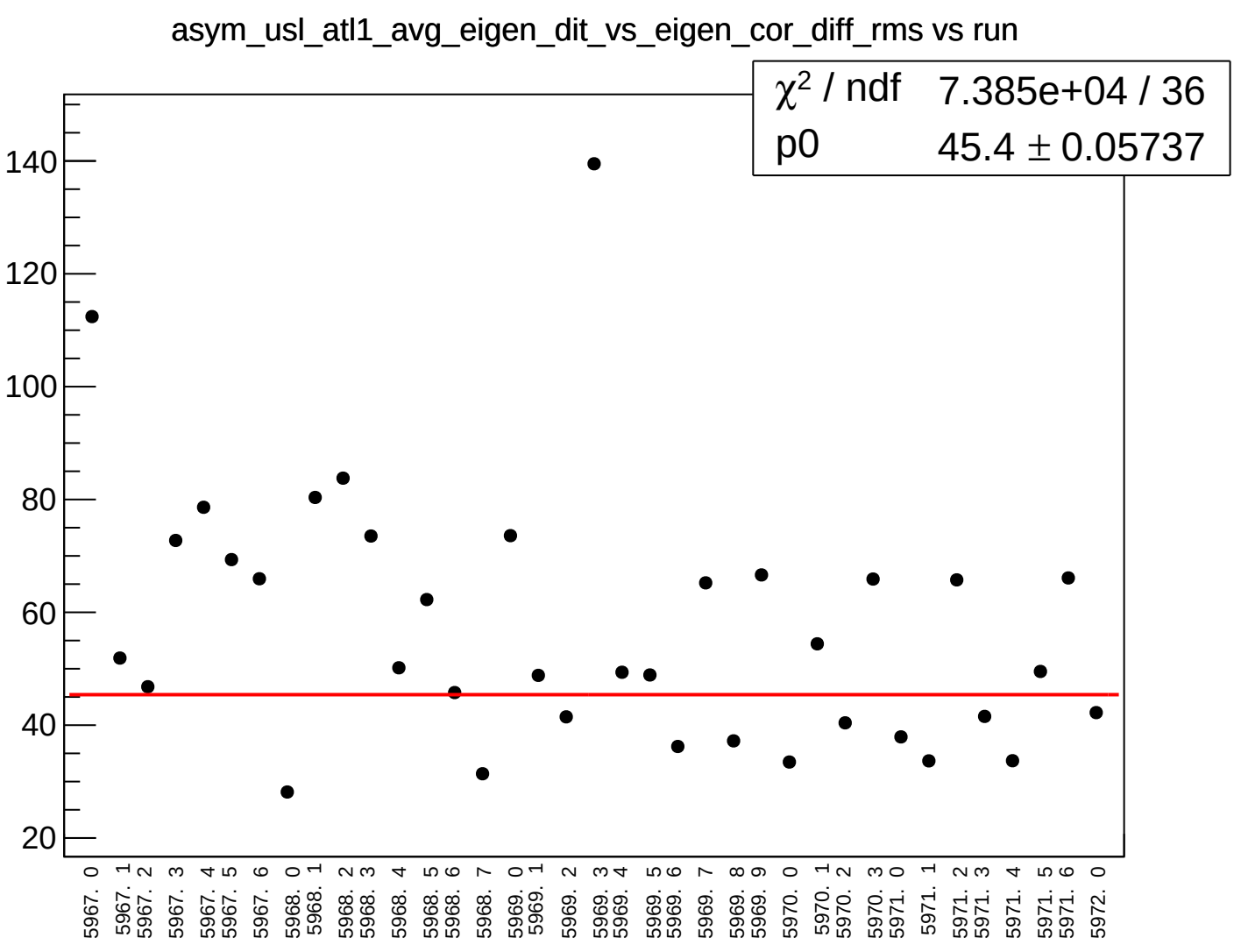
asym_usl_atl1_avg_eigen_dit_vs_eigen_cor_diff_rms vs run
χ² / ndf 7.385e+04 / 36
p0 45.4 ± 0.05737
140
120
100
80
60
40
20
5967. 0
5967. 1
5967. 2
5967. 3
5967. 4
5967. 5
5967. 6
5968. 0
5968. 1
5968. 2
5968. 3
5968. 4
5968. 5
5968. 6
5968. 7
5969. 0
5969. 1
5969. 2
5969. 3
5969. 4
5969. 5
5969. 6
5969. 7
5969. 8
5969. 9
5970. 0
5970. 1
5970. 2
5970. 3
5971. 0
5971. 1
5971. 2
5971. 3
5971. 4
5971. 5
5971. 6
5972. 0

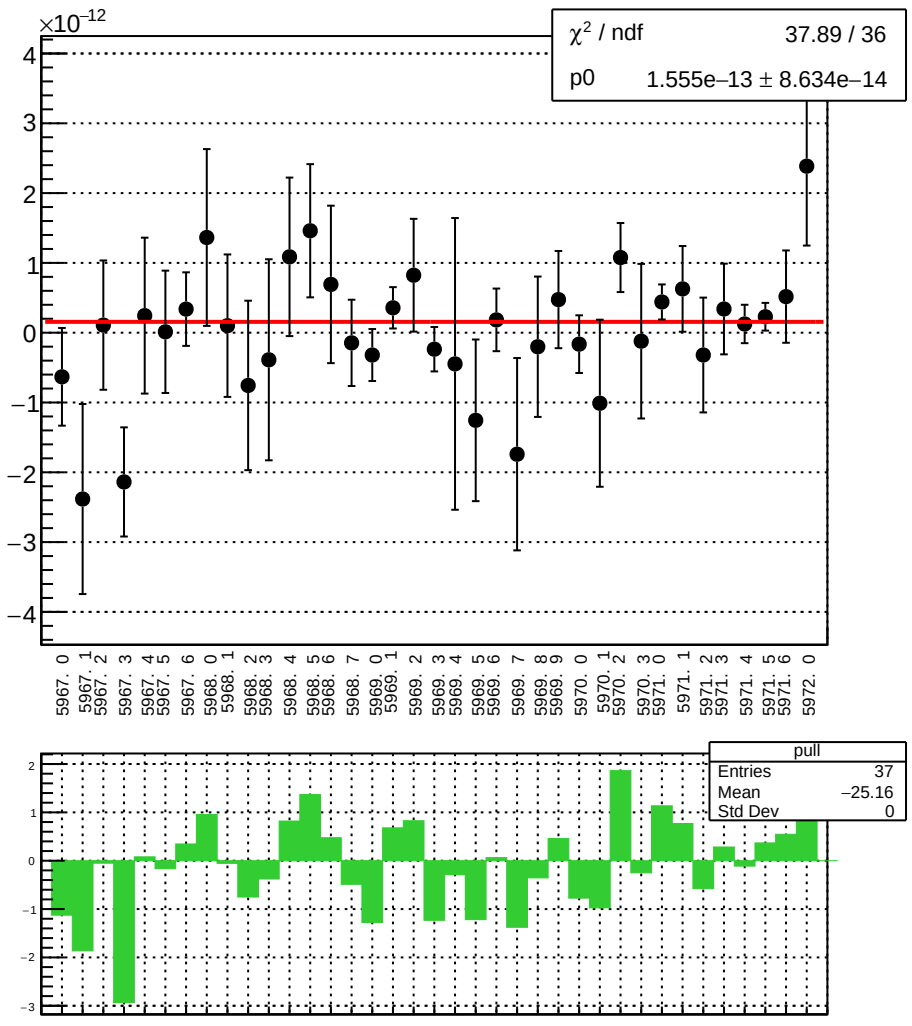
asym_usl_atl1_avg_eigen_cor_vs_cor_diff_mean vs run
×10⁻¹²
χ² / ndf 37.89 / 36
p0 1.555e−13 ± 8.634e−14
pull
Entries 37
Mean −25.16
Std Dev 0

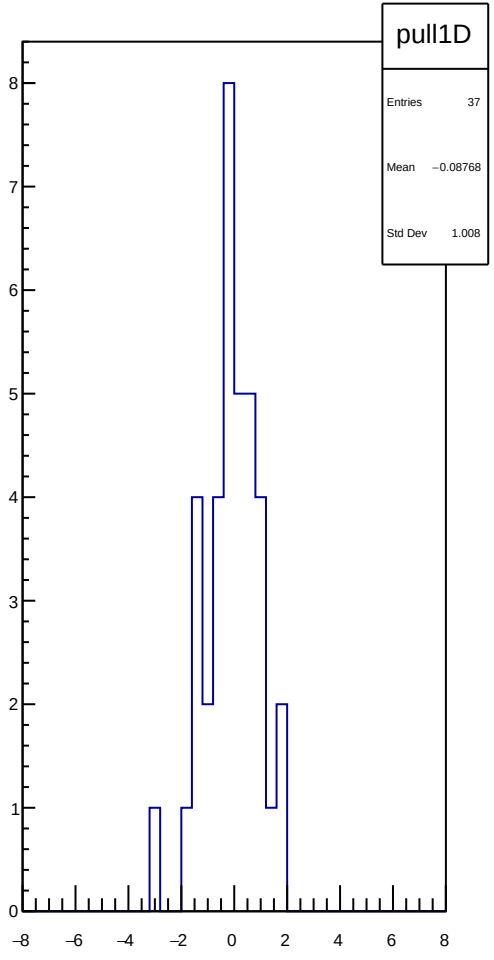
pull1D
Entries 37
Mean −0.08768
Std Dev 1.008

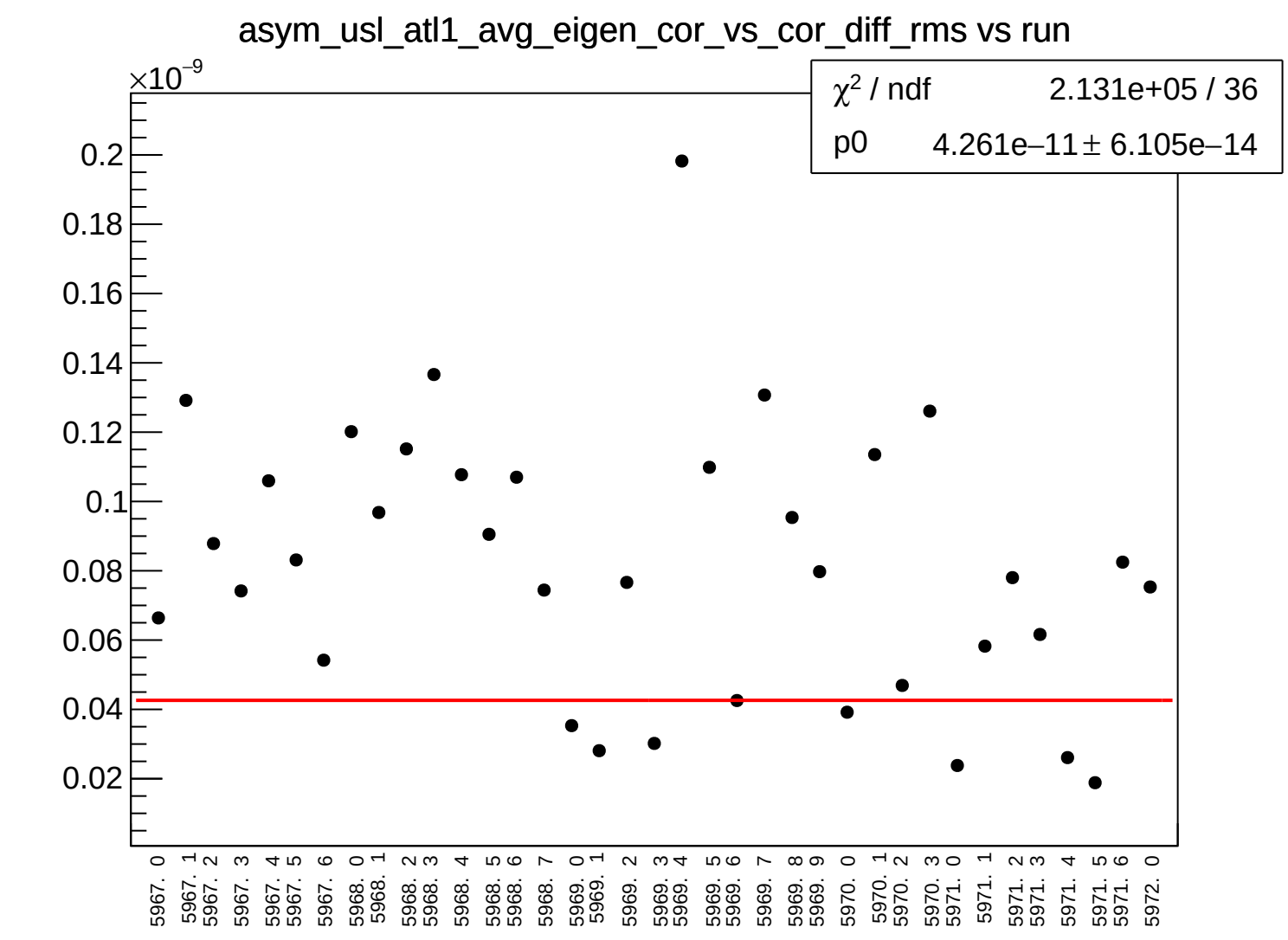
asym_usl_atl1_avg_eigen_cor_vs_cor_diff_rms vs run
×10⁻⁹
χ² / ndf 2.131e+05 / 36
p0 4.261e−11 ± 6.105e−14
0.2
0.18
0.16
0.14
0.12
0.1
0.08
0.06
0.04
0.02
5967. 0
5967. 1
5967. 2
5967. 3
5967. 4
5967. 5
5967. 6
5968. 0
5968. 1
5968. 2
5968. 3
5968. 4
5968. 5
5968. 6
5968. 7
5969. 0
5969. 1
5969. 2
5969. 3
5969. 4
5969. 5
5969. 6
5969. 7
5969. 8
5969. 9
5970. 0
5970. 1
5970. 2
5970. 3
5971. 0
5971. 1
5971. 2
5971. 3
5971. 4
5971. 5
5971. 6
5972. 0

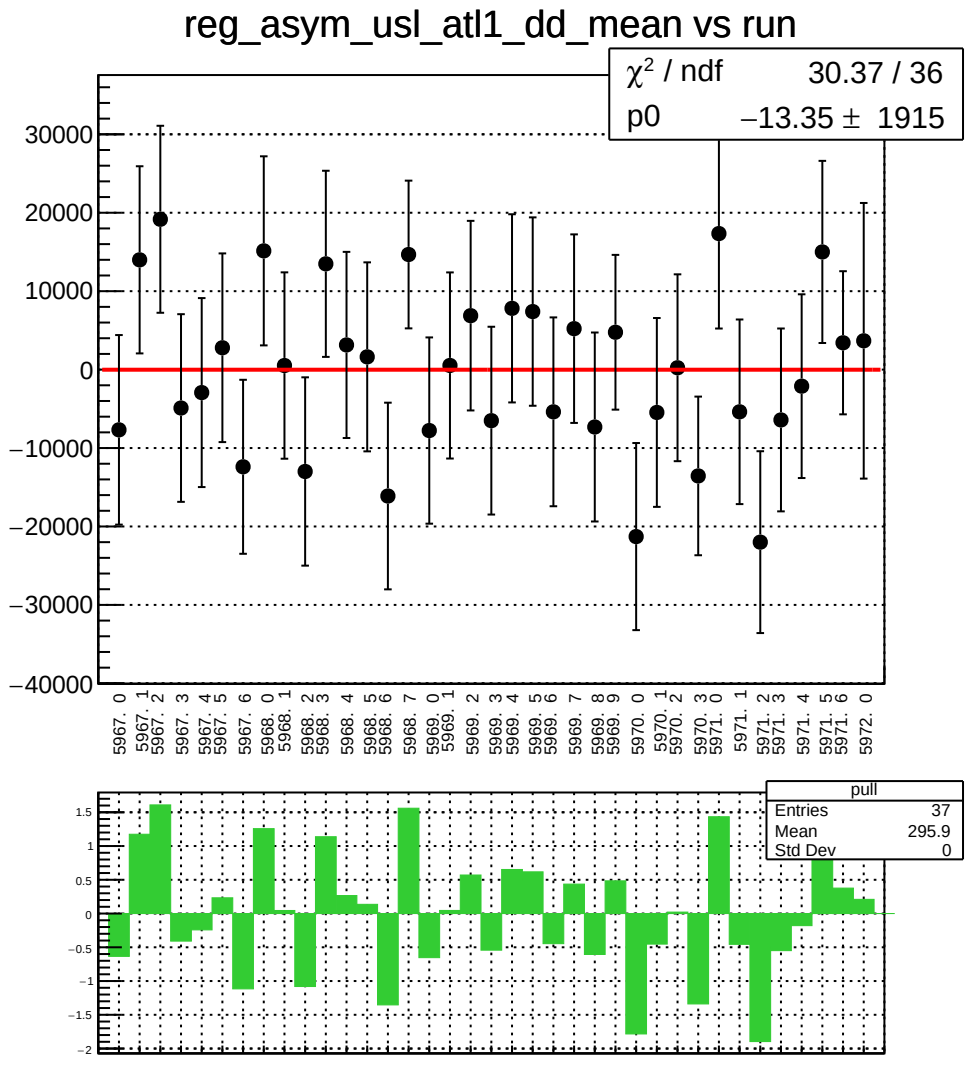
reg_asym_usl_atl1_dd_mean vs run
χ² / ndf 30.37 / 36
p0 −13.35 ± 1915
30000
20000
10000
0
−10000
−20000
−30000
−40000
5967. 0
5967. 1
5967. 2
5967. 3
5967. 4
5967. 5
5967. 6
5968. 0
5968. 1
5968. 2
5968. 3
5968. 4
5968. 5
5968. 6
5968. 7
5969. 0
5969. 1
5969. 2
5969. 3
5969. 4
5969. 5
5969. 6
5969. 7
5969. 8
5969. 9
5970. 0
5970. 1
5970. 2
5970. 3
5971. 0
5971. 1
5971. 2
5971. 3
5971. 4
5971. 5
5971. 6
5972. 0
pull
Entries 37
Mean 295.9
Std Dev 0
1.5
1
0.5
0
−0.5
−1
−1.5
−2

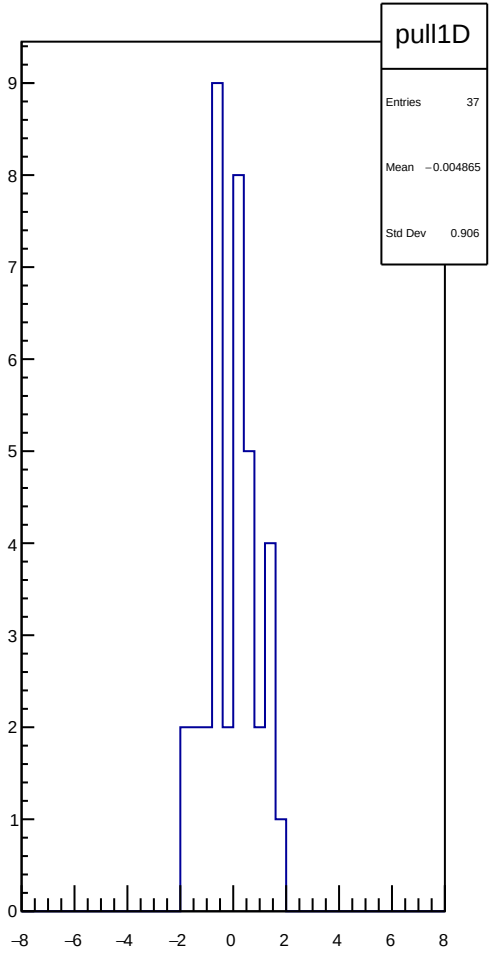
pull1D
Entries 37
Mean −0.004865
Std Dev 0.906
9
8
7
6
5
4
3
2
1
0
−8
−6
−4
−2
0
2
4
6
8

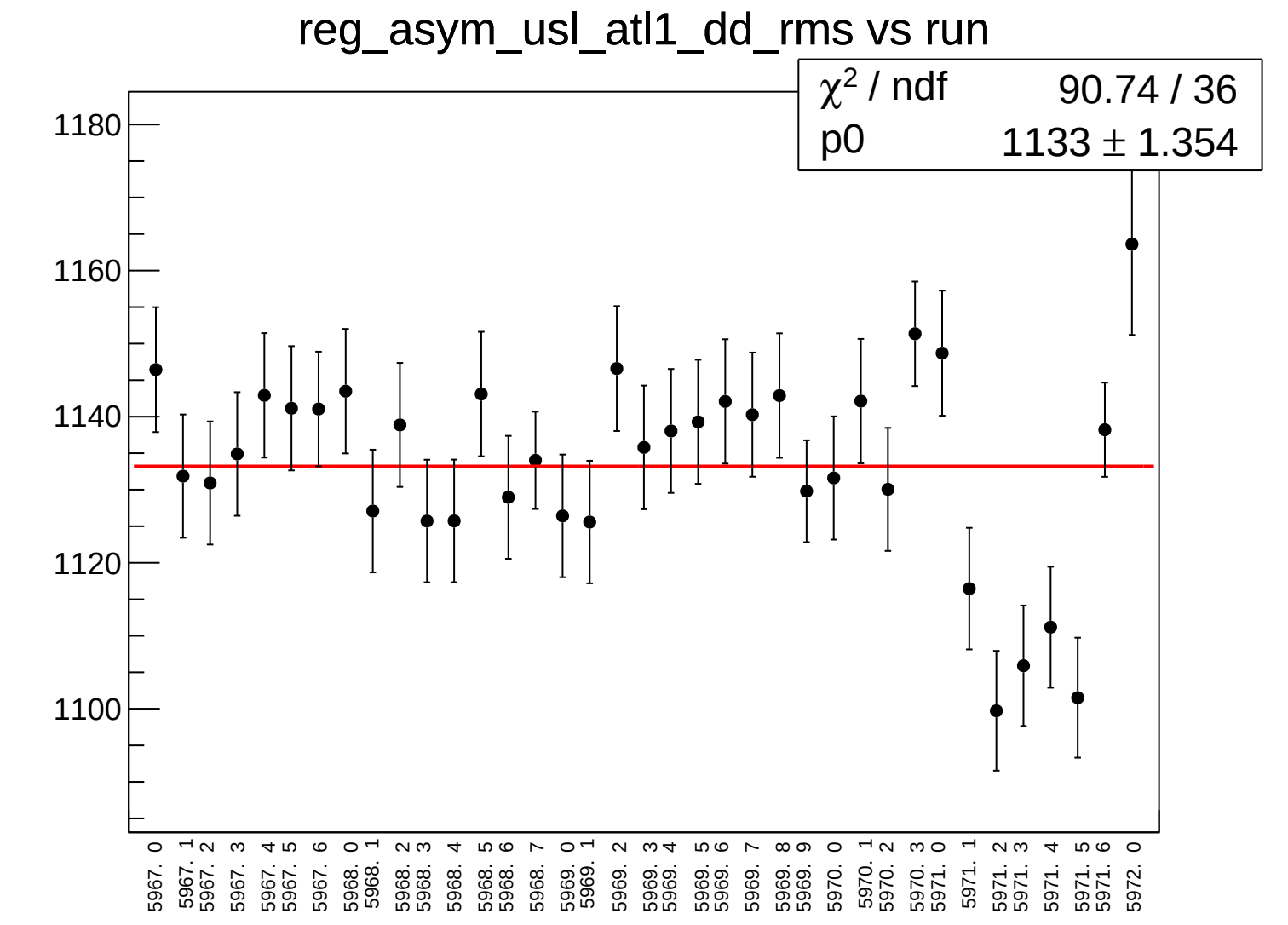
reg_asym_usl_atl1_dd_rms vs run
χ² / ndf 90.74 / 36
p0 1133 ± 1.354
1180
1160
1140
1120
1100
5967. 0
5967. 1
5967. 2
5967. 3
5967. 4
5967. 5
5967. 6
5968. 0
5968. 1
5968. 2
5968. 3
5968. 4
5968. 5
5968. 6
5968. 7
5969. 0
5969. 1
5969. 2
5969. 3
5969. 4
5969. 5
5969. 6
5969. 7
5969. 8
5969. 9
5970. 0
5970. 1
5970. 2
5970. 3
5971. 0
5971. 1
5971. 2
5971. 3
5971. 4
5971. 5
5971. 6
5972. 0

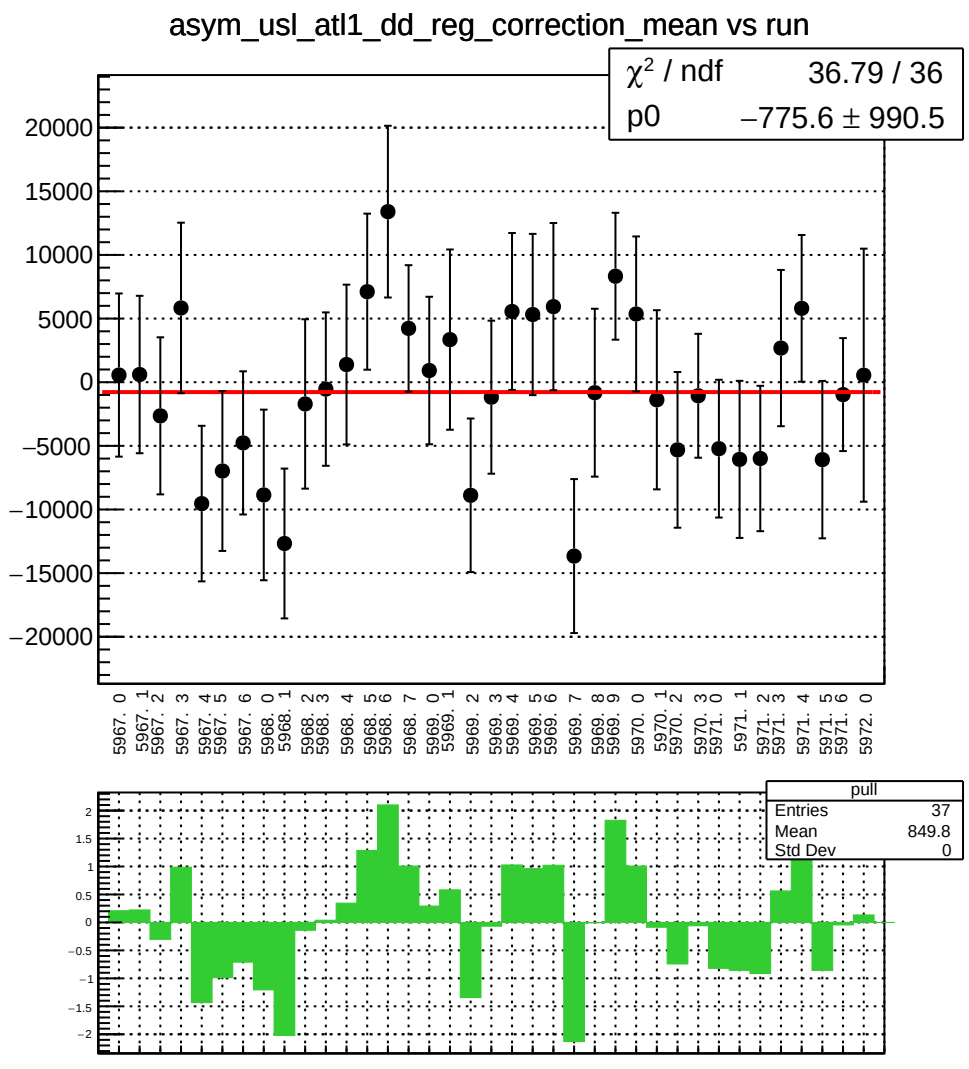
asym_usl_atl1_dd_reg_correction_mean vs run
χ² / ndf 36.79 / 36
p0 −775.6 ± 990.5
20000
15000
10000
5000
0
−5000
−10000
−15000
−20000
5967. 0
5967. 1
5967. 2
5967. 3
5967. 4
5967. 5
5967. 6
5968. 0
5968. 1
5968. 2
5968. 3
5968. 4
5968. 5
5968. 6
5968. 7
5969. 0
5969. 1
5969. 2
5969. 3
5969. 4
5969. 5
5969. 6
5969. 7
5969. 8
5969. 9
5970. 0
5970. 1
5970. 2
5970. 3
5971. 0
5971. 1
5971. 2
5971. 3
5971. 4
5971. 5
5971. 6
5972. 0
pull
Entries 37
Mean 849.8
Std Dev 0
2
1.5
1
0.5
0
−0.5
−1
−1.5
−2

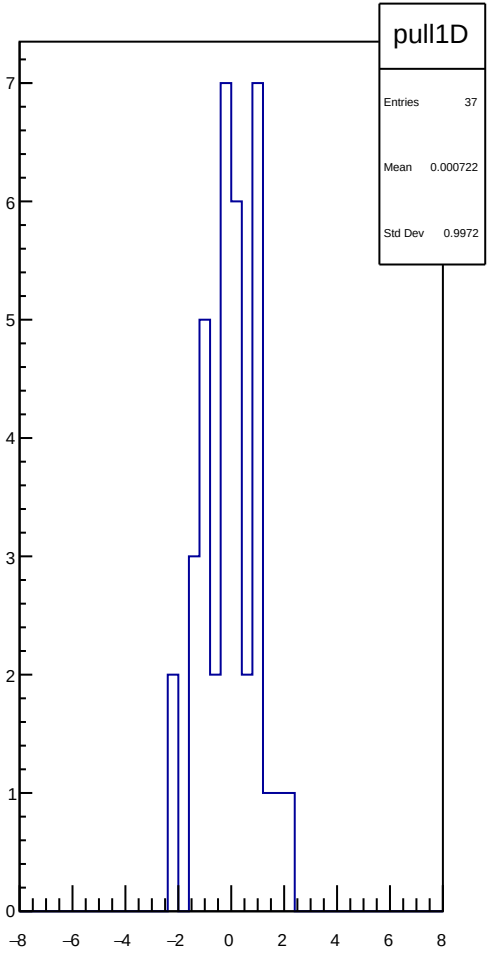
pull1D
Entries 37
Mean 0.000722
Std Dev 0.9972
7
6
5
4
3
2
1
0
−8
−6
−4
−2
0
2
4
6
8

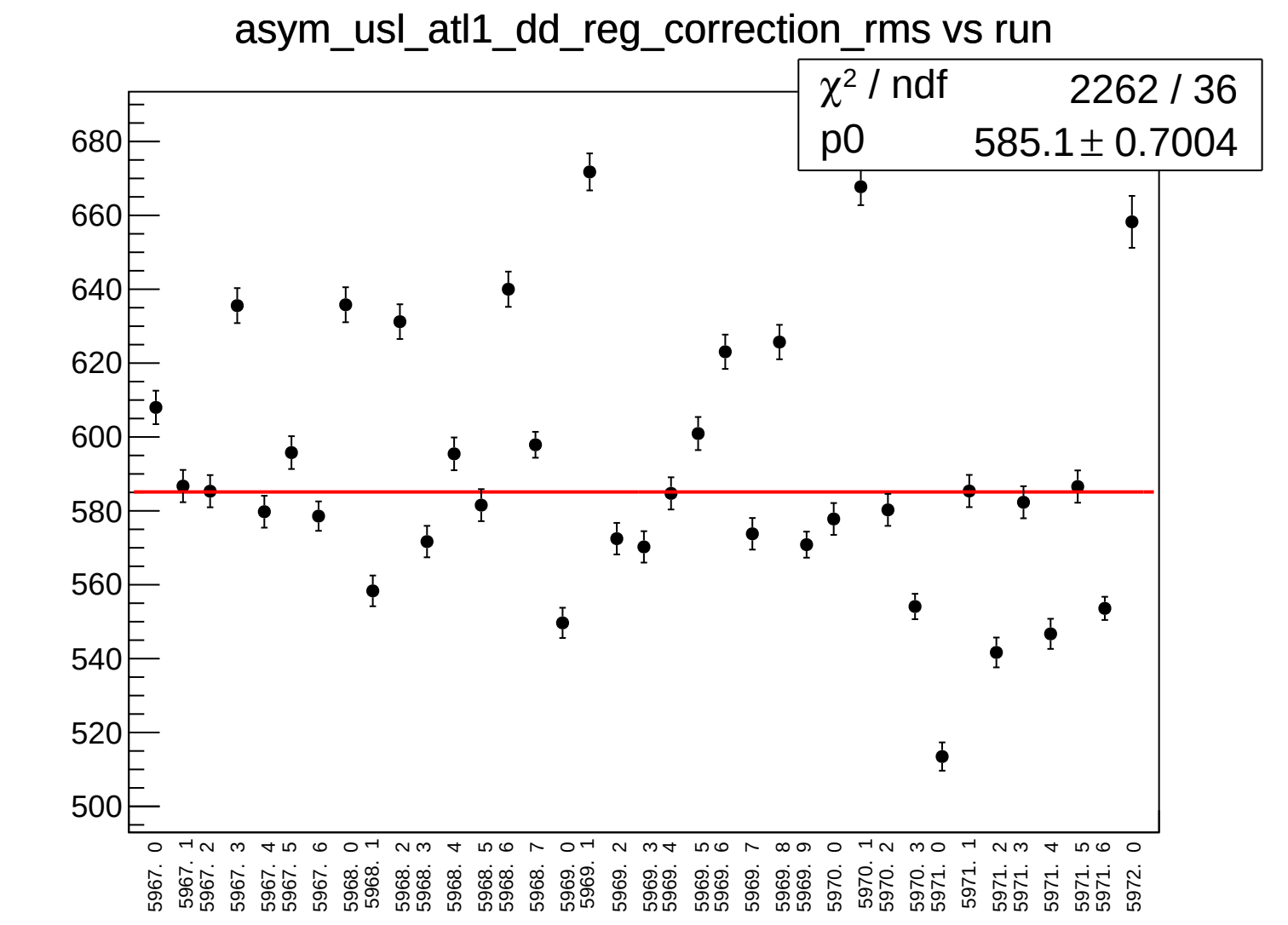
asym_usl_atl1_dd_reg_correction_rms vs run
χ² / ndf 2262 / 36
p0 585.1 ± 0.7004
680
660
640
620
600
580
560
540
520
500
5967. 0
5967. 1
5967. 2
5967. 3
5967. 4
5967. 5
5967. 6
5968. 0
5968. 1
5968. 2
5968. 3
5968. 4
5968. 5
5968. 6
5968. 7
5969. 0
5969. 1
5969. 2
5969. 3
5969. 4
5969. 5
5969. 6
5969. 7
5969. 8
5969. 9
5970. 0
5970. 1
5970. 2
5970. 3
5971. 0
5971. 1
5971. 2
5971. 3
5971. 4
5971. 5
5971. 6
5972. 0

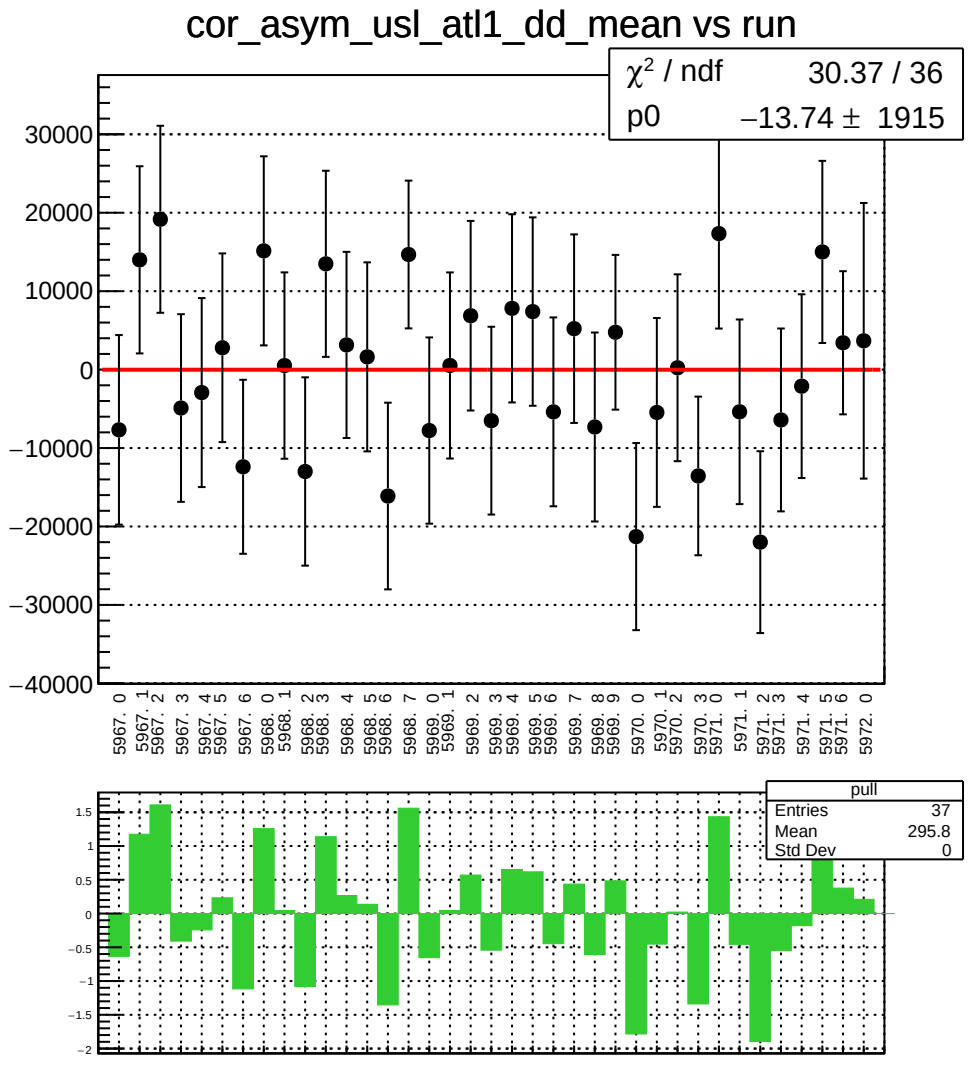
cor_asym_usl_atl1_dd_mean vs run
χ² / ndf 30.37 / 36
p0 −13.74 ± 1915
30000
20000
10000
0
−10000
−20000
−30000
−40000
5967. 0
5967. 1
5967. 2
5967. 3
5967. 4
5967. 5
5967. 6
5968. 0
5968. 1
5968. 2
5968. 3
5968. 4
5968. 5
5968. 6
5968. 7
5969. 0
5969. 1
5969. 2
5969. 3
5969. 4
5969. 5
5969. 6
5969. 7
5969. 8
5969. 9
5970. 0
5970. 1
5970. 2
5970. 3
5971. 0
5971. 1
5971. 2
5971. 3
5971. 4
5971. 5
5971. 6
5972. 0
pull
Entries 37
Mean 295.8
Std Dev 0
1.5
1
0.5
0
−0.5
−1
−1.5
−2

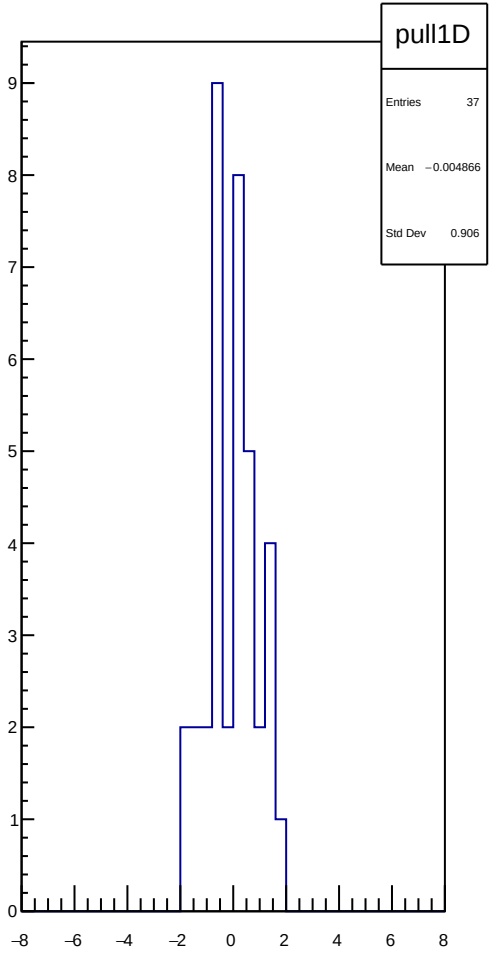
pull1D
Entries 37
Mean −0.004866
Std Dev 0.906
9
8
7
6
5
4
3
2
1
0
−8
−6
−4
−2
0
2
4
6
8

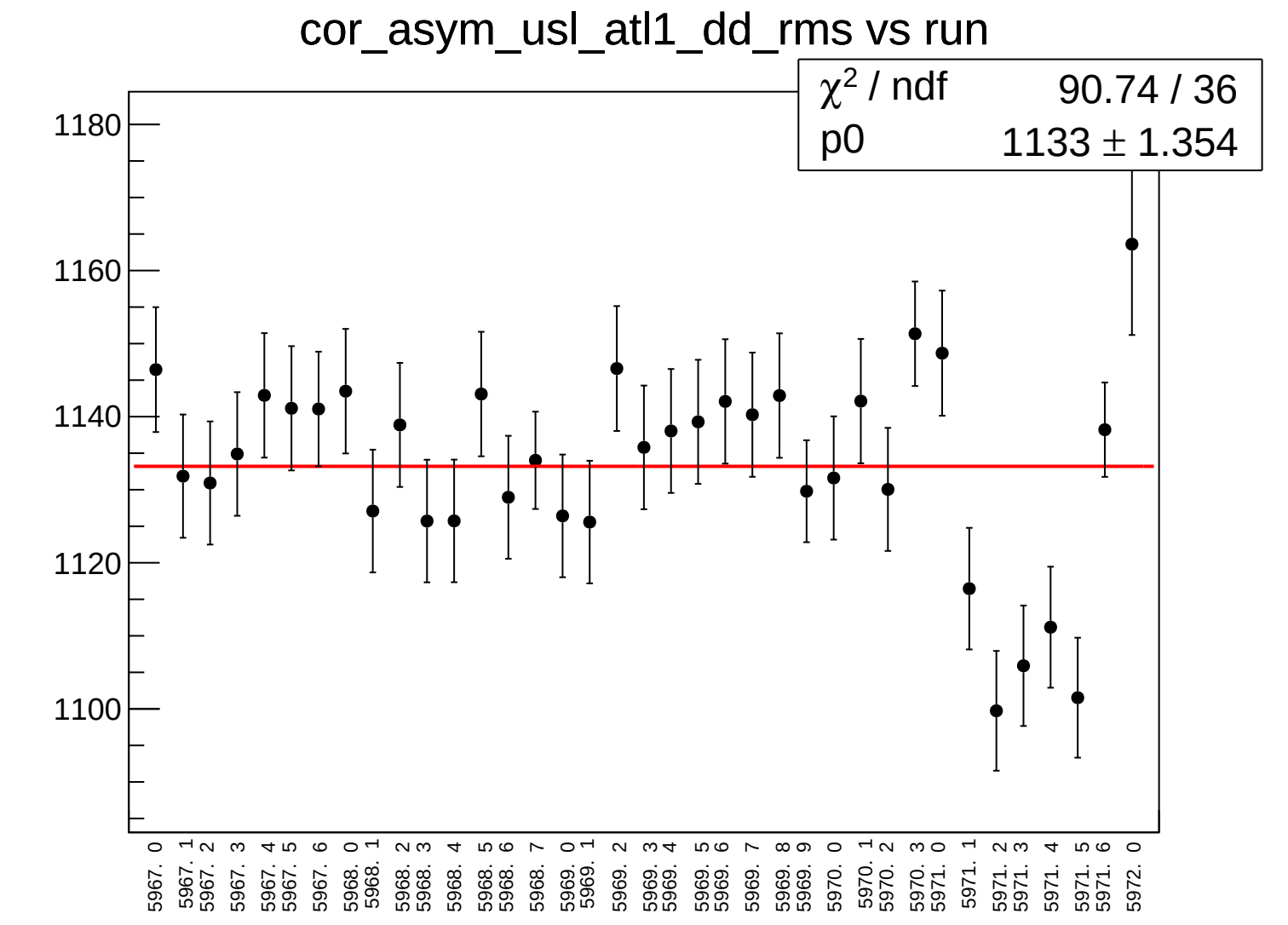
cor_asym_usl_atl1_dd_rms vs run
χ^2 / ndf 90.74 / 36
p0 1133 ± 1.354
1180
1160
1140
1120
1100
5967. 0
5967. 1
5967. 2
5967. 3
5967. 4
5967. 5
5967. 6
5968. 0
5968. 1
5968. 2
5968. 3
5968. 4
5968. 5
5968. 6
5968. 7
5969. 0
5969. 1
5969. 2
5969. 3
5969. 4
5969. 5
5969. 6
5969. 7
5969. 8
5969. 9
5970. 0
5970. 1
5970. 2
5970. 3
5971. 0
5971. 1
5971. 2
5971. 3
5971. 4
5971. 5
5971. 6
5972. 0

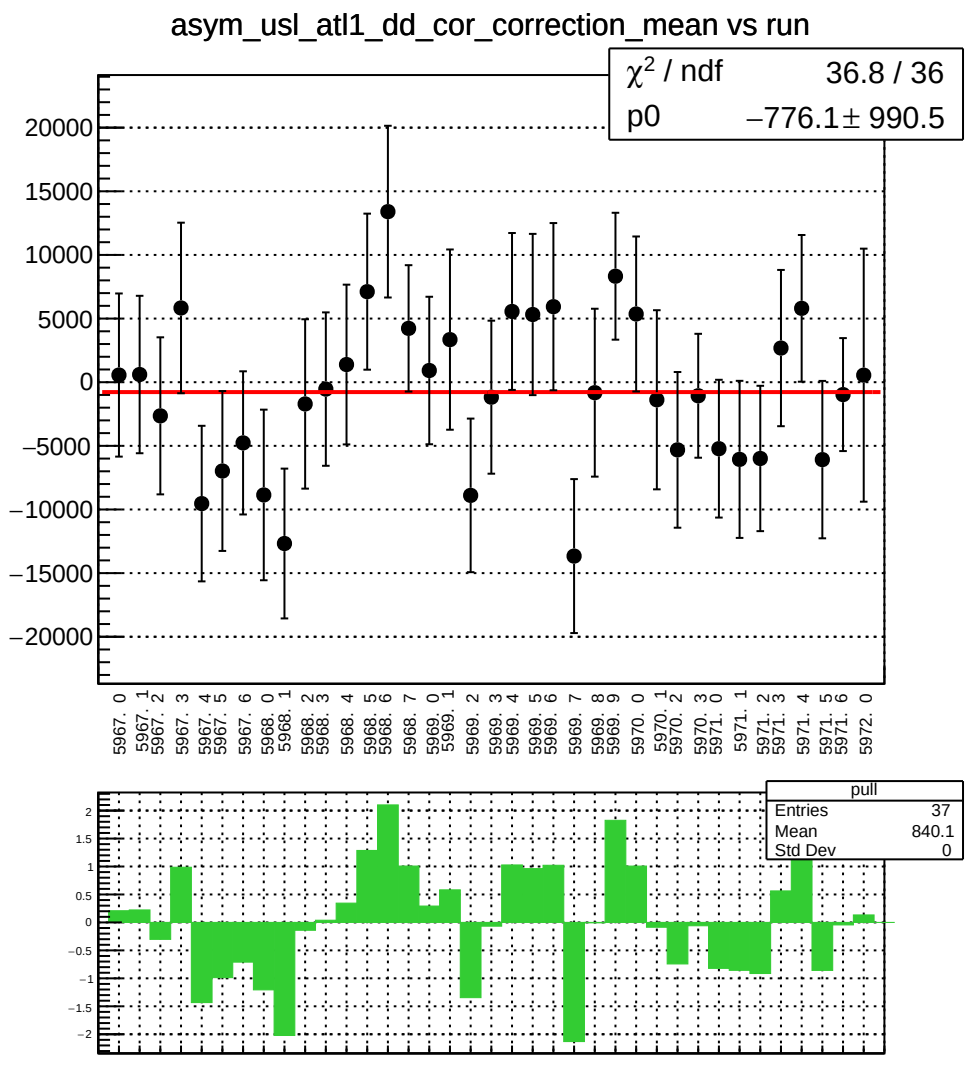
asym_usl_atl1_dd_cor_correction_mean vs run
χ² / ndf 36.8 / 36
p0 −776.1± 990.5
20000
15000
10000
5000
0
−5000
−10000
−15000
−20000
5967. 0
5967. 1
5967. 2
5967. 3
5967. 4
5967. 5
5967. 6
5968. 0
5968. 1
5968. 2
5968. 3
5968. 4
5968. 5
5968. 6
5968. 7
5969. 0
5969. 1
5969. 2
5969. 3
5969. 4
5969. 5
5969. 6
5969. 7
5969. 8
5969. 9
5970. 0
5970. 1
5970. 2
5970. 3
5971. 0
5971. 1
5971. 2
5971. 3
5971. 4
5971. 5
5971. 6
5972. 0
pull
Entries 37
Mean 840.1
Std Dev 0
2
1.5
1
0.5
0
−0.5
−1
−1.5
−2

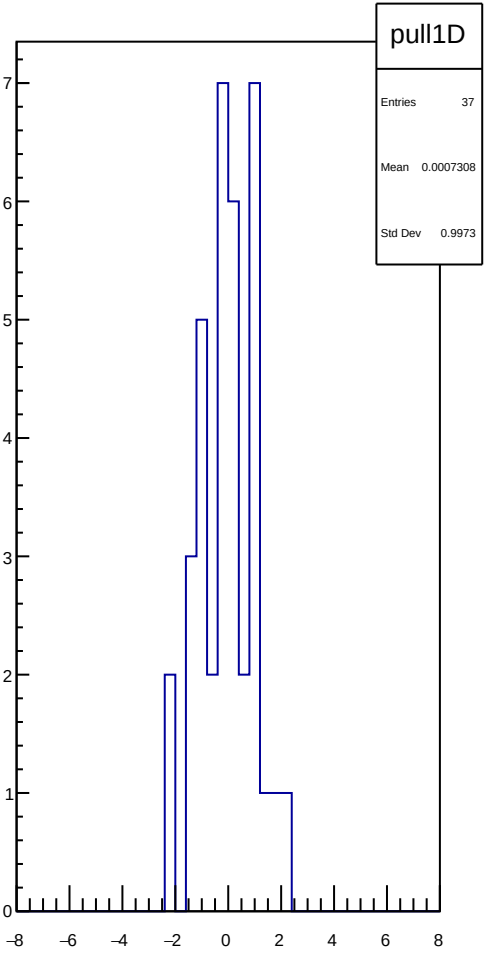
pull1D
Entries 37
Mean 0.0007308
Std Dev 0.9973
7
6
5
4
3
2
1
0
−8
−6
−4
−2
0
2
4
6
8

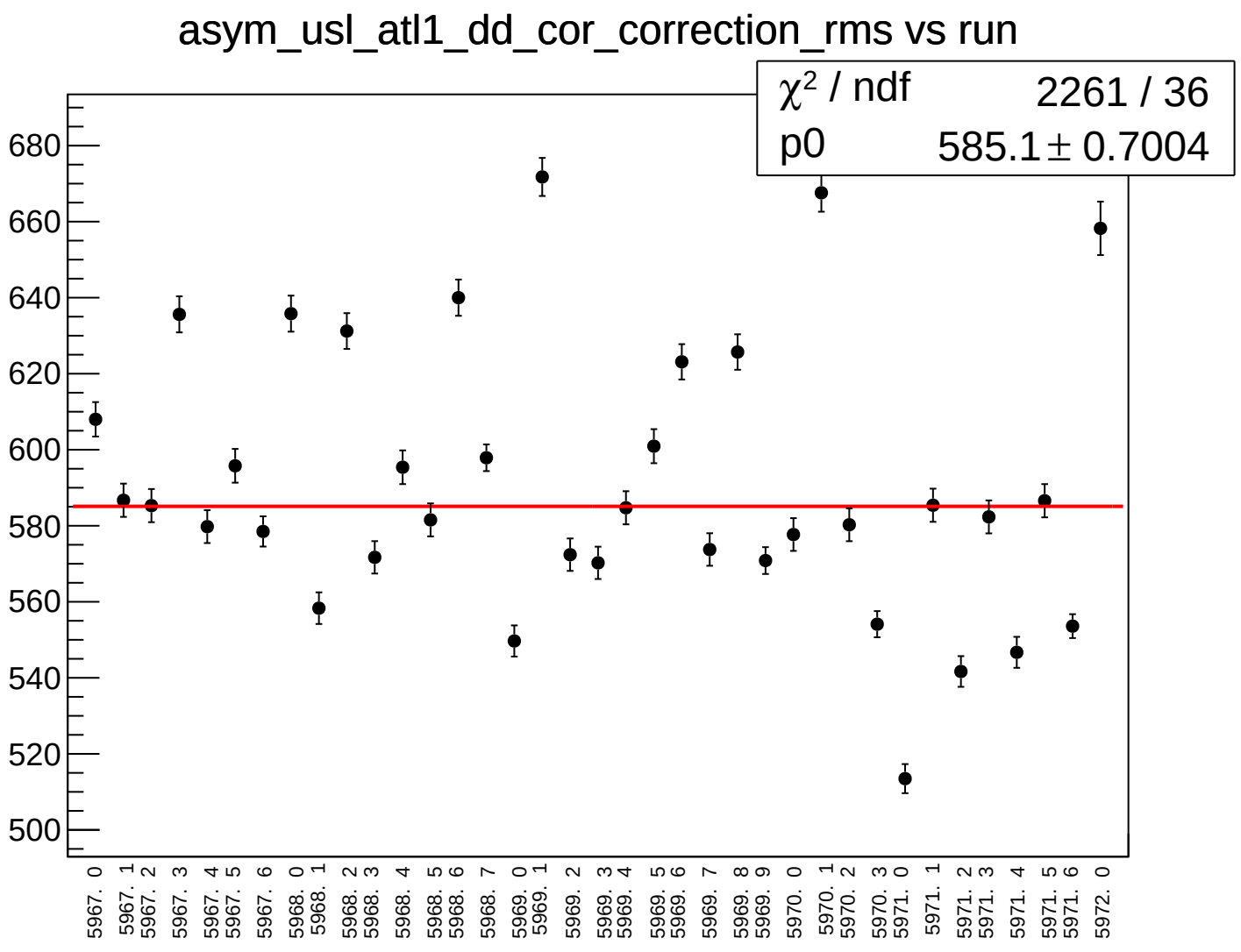
asym_usl_atl1_dd_cor_correction_rms vs run
χ² / ndf 2261 / 36
p0 585.1 ± 0.7004
680
660
640
620
600
580
560
540
520
500
5967. 0
5967. 1
5967. 2
5967. 3
5967. 4
5967. 5
5967. 6
5968. 0
5968. 1
5968. 2
5968. 3
5968. 4
5968. 5
5968. 6
5968. 7
5969. 0
5969. 1
5969. 2
5969. 3
5969. 4
5969. 5
5969. 6
5969. 7
5969. 8
5969. 9
5970. 0
5970. 1
5970. 2
5970. 3
5971. 0
5971. 1
5971. 2
5971. 3
5971. 4
5971. 5
5971. 6
5972. 0

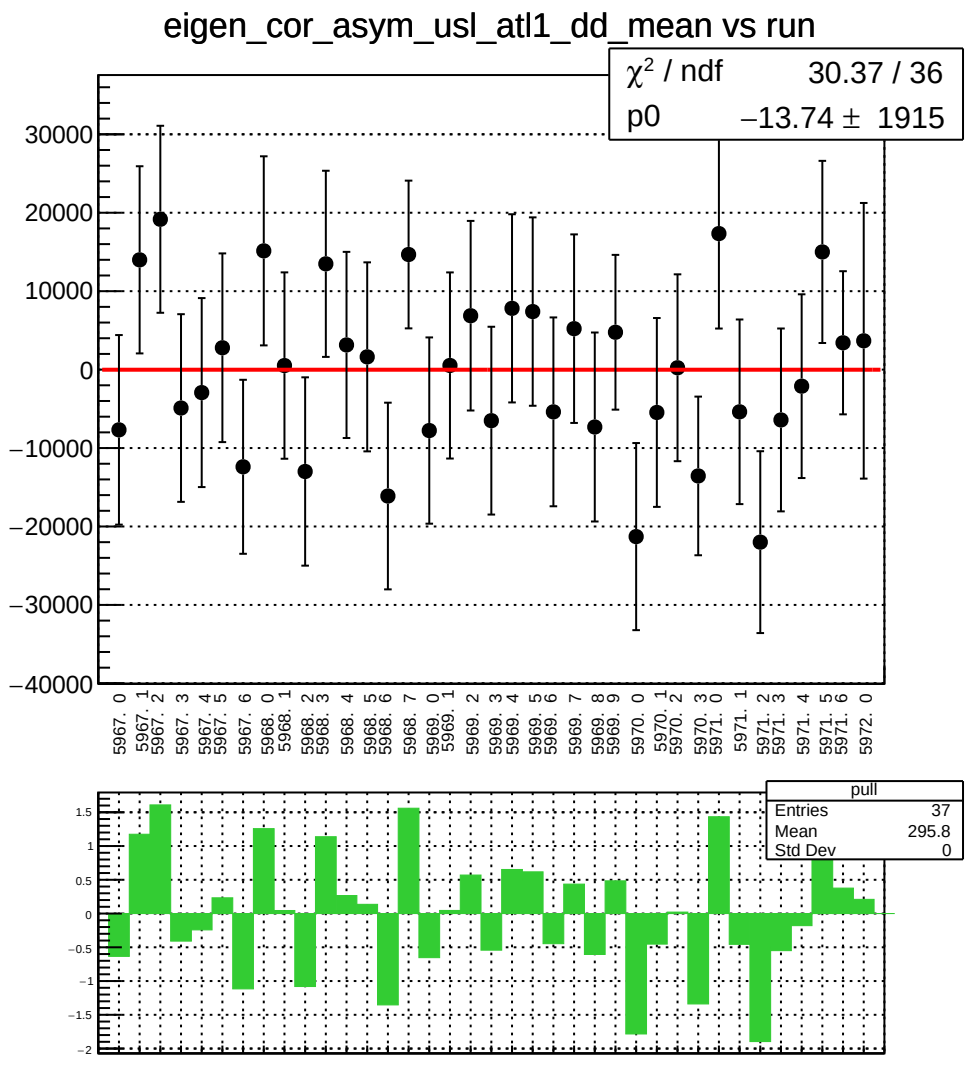
eigen_cor_asym_usl_atl1_dd_mean vs run
χ² / ndf 30.37 / 36
p0 −13.74 ± 1915
30000
20000
10000
0
−10000
−20000
−30000
−40000
5967. 0
5967. 1
5967. 2
5967. 3
5967. 4
5967. 5
5967. 6
5968. 0
5968. 1
5968. 2
5968. 3
5968. 4
5968. 5
5968. 6
5968. 7
5969. 0
5969. 1
5969. 2
5969. 3
5969. 4
5969. 5
5969. 6
5969. 7
5969. 8
5969. 9
5970. 0
5970. 1
5970. 2
5970. 3
5971. 0
5971. 1
5971. 2
5971. 3
5971. 4
5971. 5
5971. 6
5972. 0
pull
Entries 37
Mean 295.8
Std Dev 0
1.5
1
0.5
0
−0.5
−1
−1.5
−2

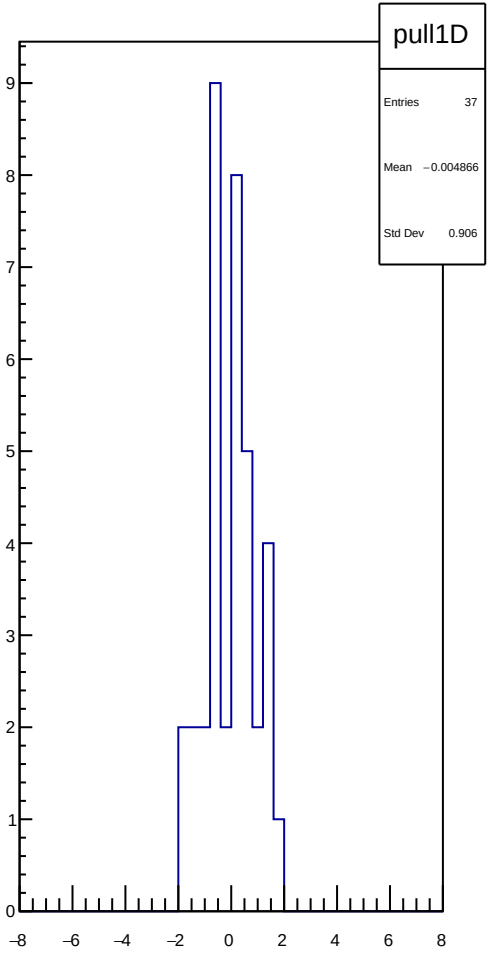
pull1D
Entries 37
Mean −0.004866
Std Dev 0.906
9
8
7
6
5
4
3
2
1
0
−8
−6
−4
−2
0
2
4
6
8

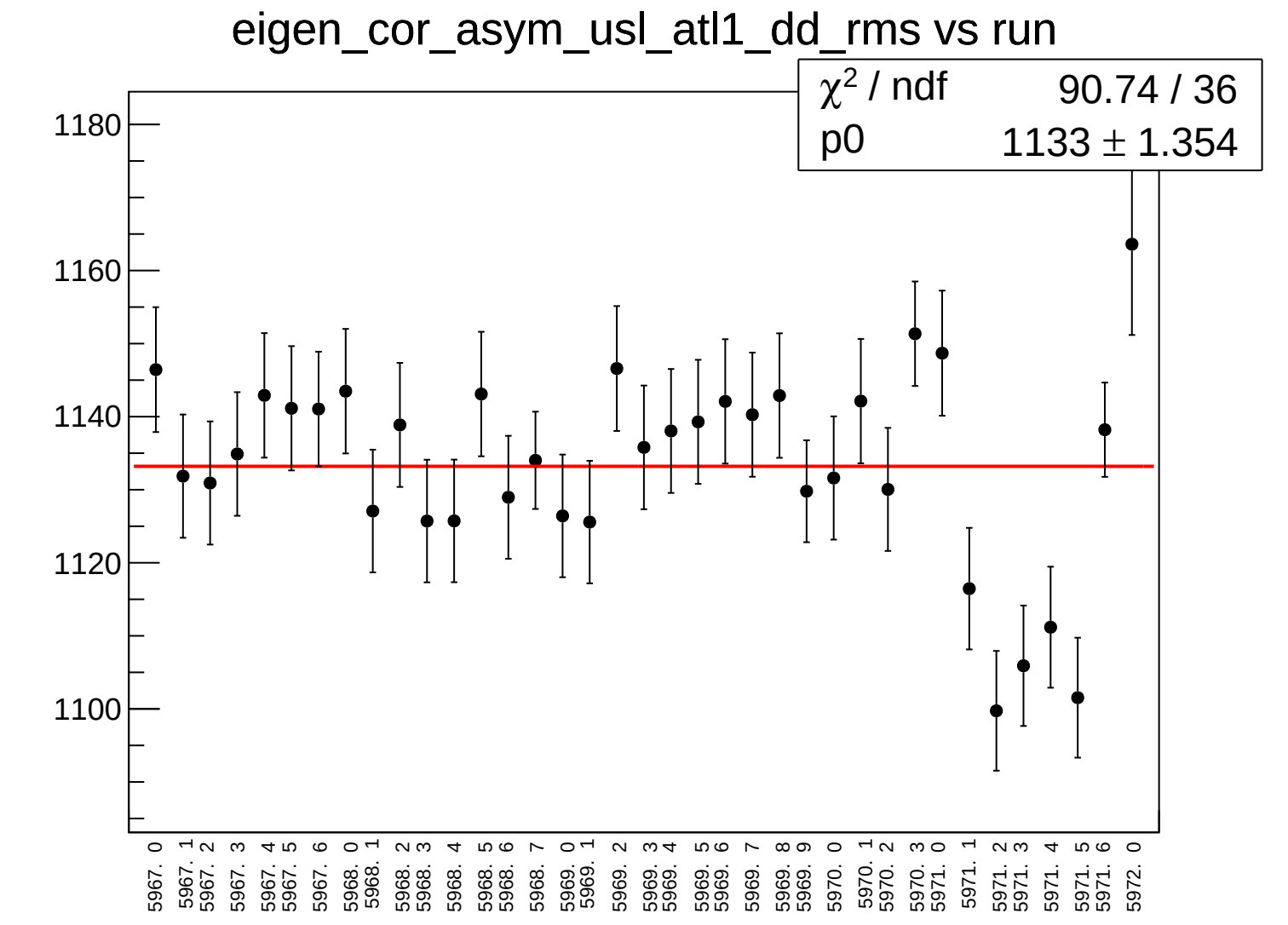
eigen_cor_asym_usl_atl1_dd_rms vs run
χ² / ndf 90.74 / 36
p0 1133 ± 1.354
1180
1160
1140
1120
1100
5967. 0
5967. 1
5967. 2
5967. 3
5967. 4
5967. 5
5967. 6
5968. 0
5968. 1
5968. 2
5968. 3
5968. 4
5968. 5
5968. 6
5968. 7
5969. 0
5969. 1
5969. 2
5969. 3
5969. 4
5969. 5
5969. 6
5969. 7
5969. 8
5969. 9
5970. 0
5970. 1
5970. 2
5970. 3
5971. 0
5971. 1
5971. 2
5971. 3
5971. 4
5971. 5
5971. 6
5972. 0

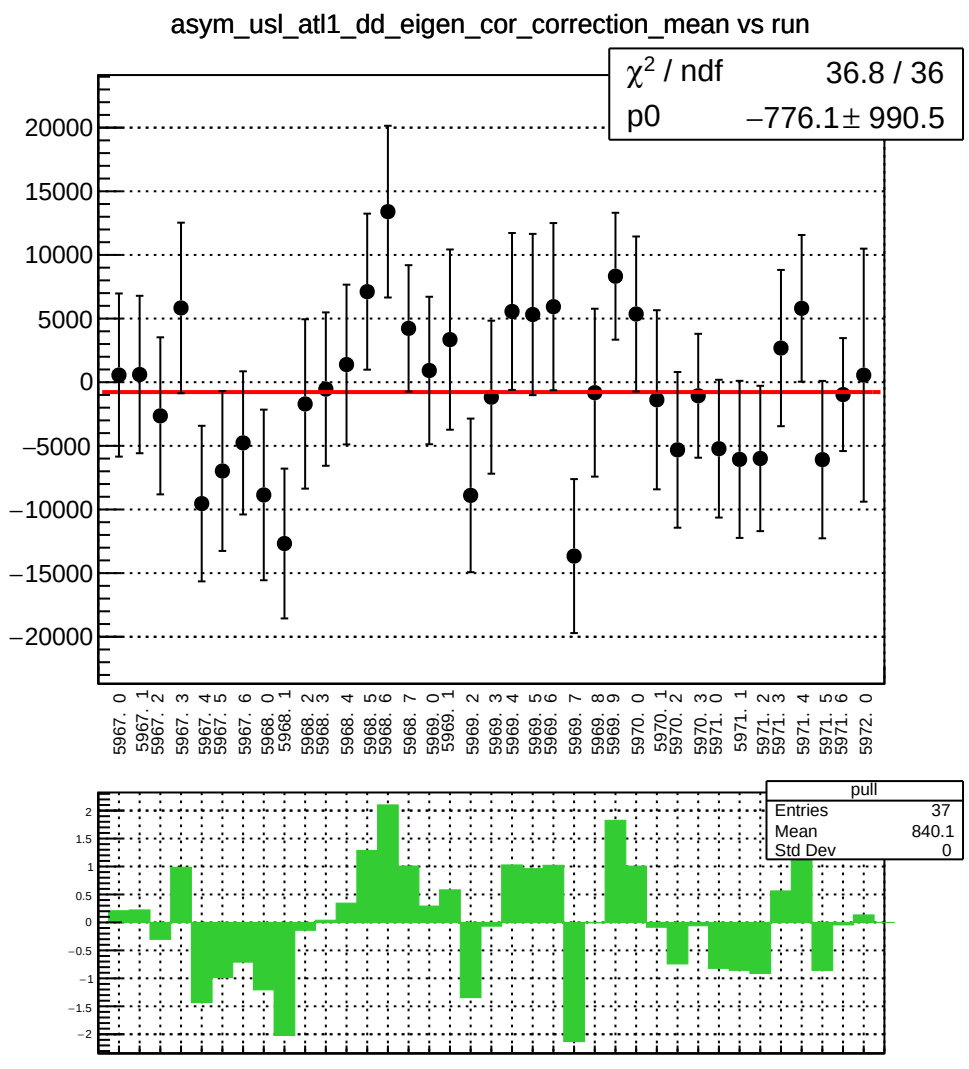
asym_usl_atl1_dd_eigen_cor_correction_mean vs run
χ² / ndf 36.8 / 36
p0 −776.1± 990.5
20000
15000
10000
5000
0
−5000
−10000
−15000
−20000
5967. 0
5967. 1
5967. 2
5967. 3
5967. 4
5967. 5
5967. 6
5968. 0
5968. 1
5968. 2
5968. 3
5968. 4
5968. 5
5968. 6
5968. 7
5969. 0
5969. 1
5969. 2
5969. 3
5969. 4
5969. 5
5969. 6
5969. 7
5969. 8
5969. 9
5970. 0
5970. 1
5970. 2
5970. 3
5971. 0
5971. 1
5971. 2
5971. 3
5971. 4
5971. 5
5971. 6
5972. 0
pull
Entries 37
Mean 840.1
Std Dev 0
2
1.5
1
0.5
0
−0.5
−1
−1.5
−2

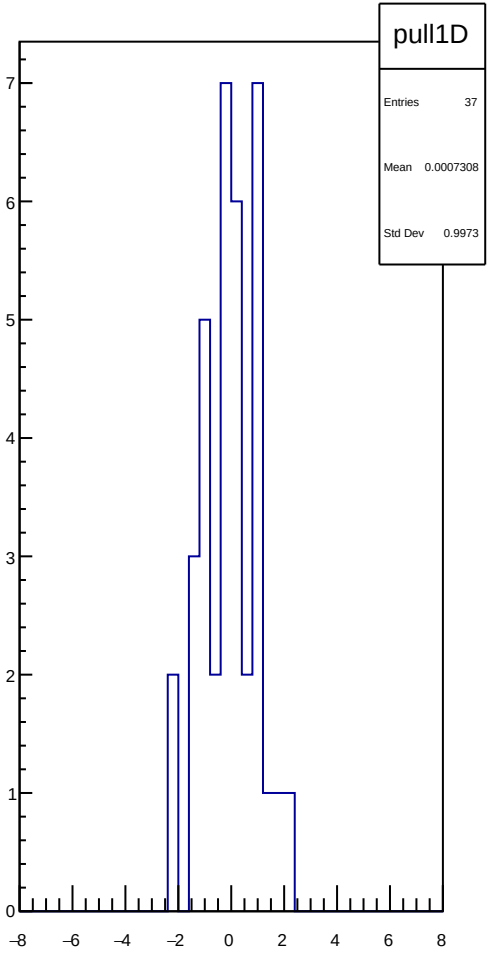
pull1D
Entries 37
Mean 0.0007308
Std Dev 0.9973
7
6
5
4
3
2
1
0
−8
−6
−4
−2
0
2
4
6
8

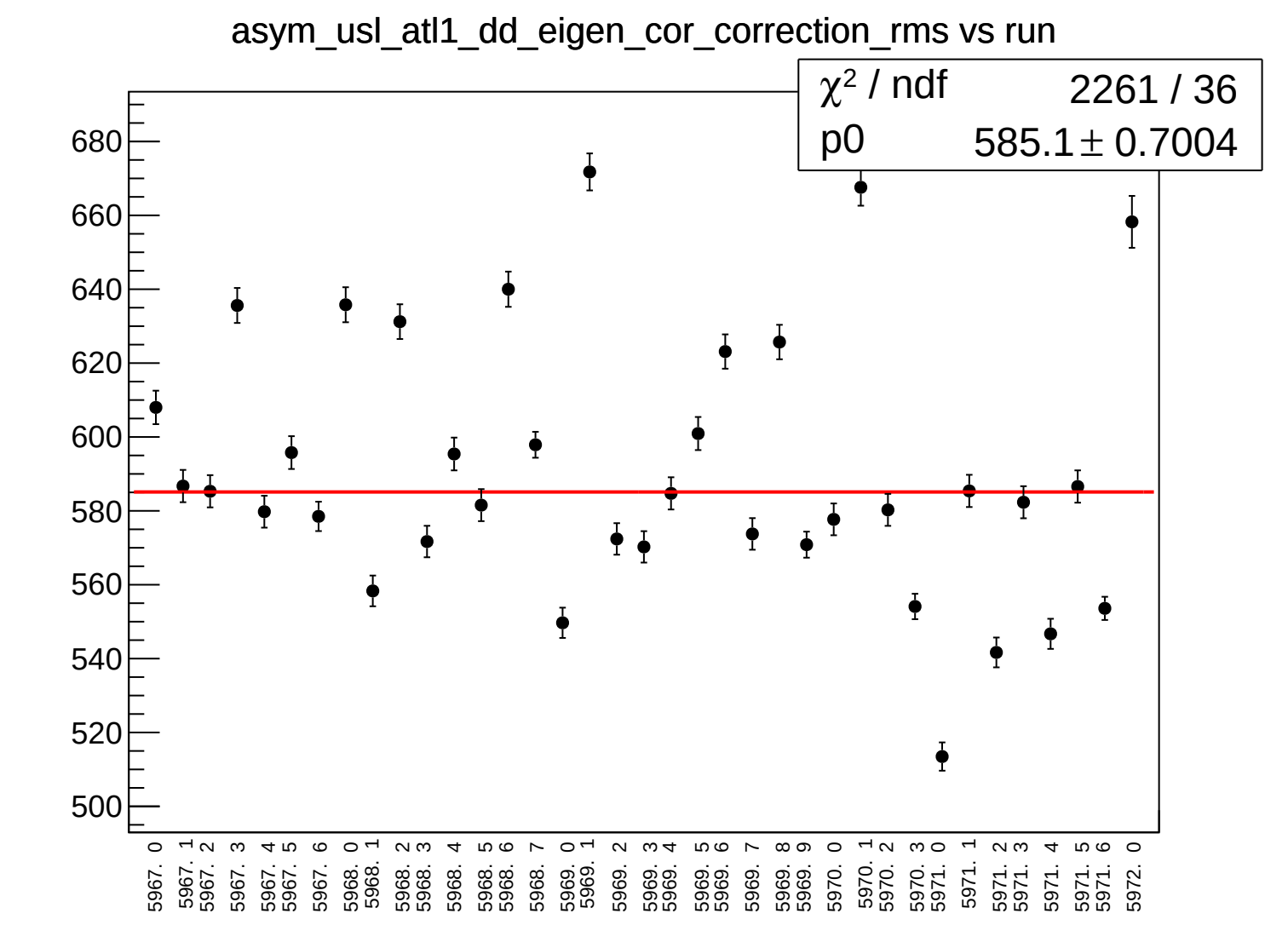
asym_usl_atl1_dd_eigen_cor_correction_rms vs run
χ² / ndf 2261 / 36
p0 585.1 ± 0.7004
680
660
640
620
600
580
560
540
520
500
5967. 0
5967. 1
5967. 2
5967. 3
5967. 4
5967. 5
5967. 6
5968. 0
5968. 1
5968. 2
5968. 3
5968. 4
5968. 5
5968. 6
5968. 7
5969. 0
5969. 1
5969. 2
5969. 3
5969. 4
5969. 5
5969. 6
5969. 7
5969. 8
5969. 9
5970. 0
5970. 1
5970. 2
5970. 3
5971. 0
5971. 1
5971. 2
5971. 3
5971. 4
5971. 5
5971. 6
5972. 0

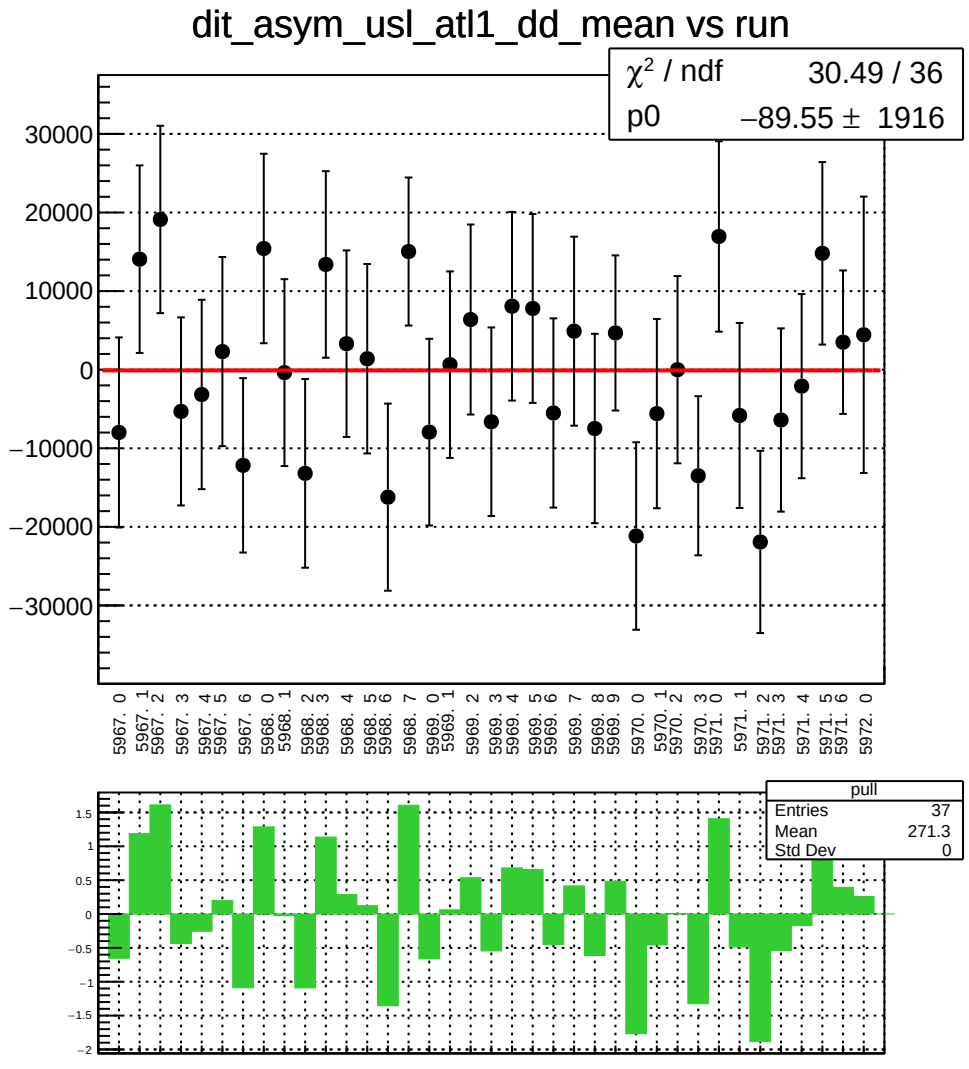
dit_asym_usl_atl1_dd_mean vs run
χ² / ndf 30.49 / 36
p0 −89.55 ± 1916
30000
20000
10000
0
−10000
−20000
−30000
5967. 0
5967. 1
5967. 2
5967. 3
5967. 4
5967. 5
5967. 6
5968. 0
5968. 1
5968. 2
5968. 3
5968. 4
5968. 5
5968. 6
5968. 7
5969. 0
5969. 1
5969. 2
5969. 3
5969. 4
5969. 5
5969. 6
5969. 7
5969. 8
5969. 9
5970. 0
5970. 1
5970. 2
5970. 3
5971. 0
5971. 1
5971. 2
5971. 3
5971. 4
5971. 5
5971. 6
5972. 0
pull
Entries 37
Mean 271.3
Std Dev 0
1.5
1
0.5
0
−0.5
−1
−1.5
−2

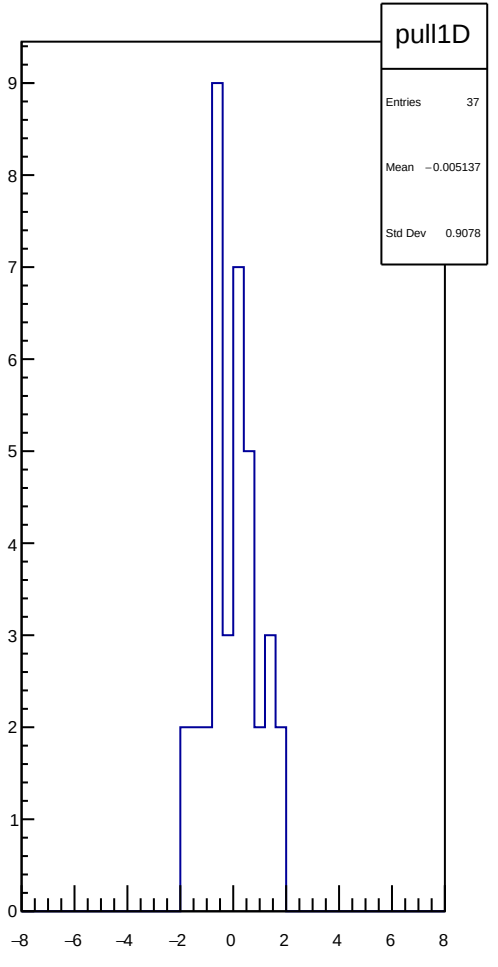
pull1D
Entries 37
Mean −0.005137
Std Dev 0.9078
9
8
7
6
5
4
3
2
1
0
−8
−6
−4
−2
0
2
4
6
8

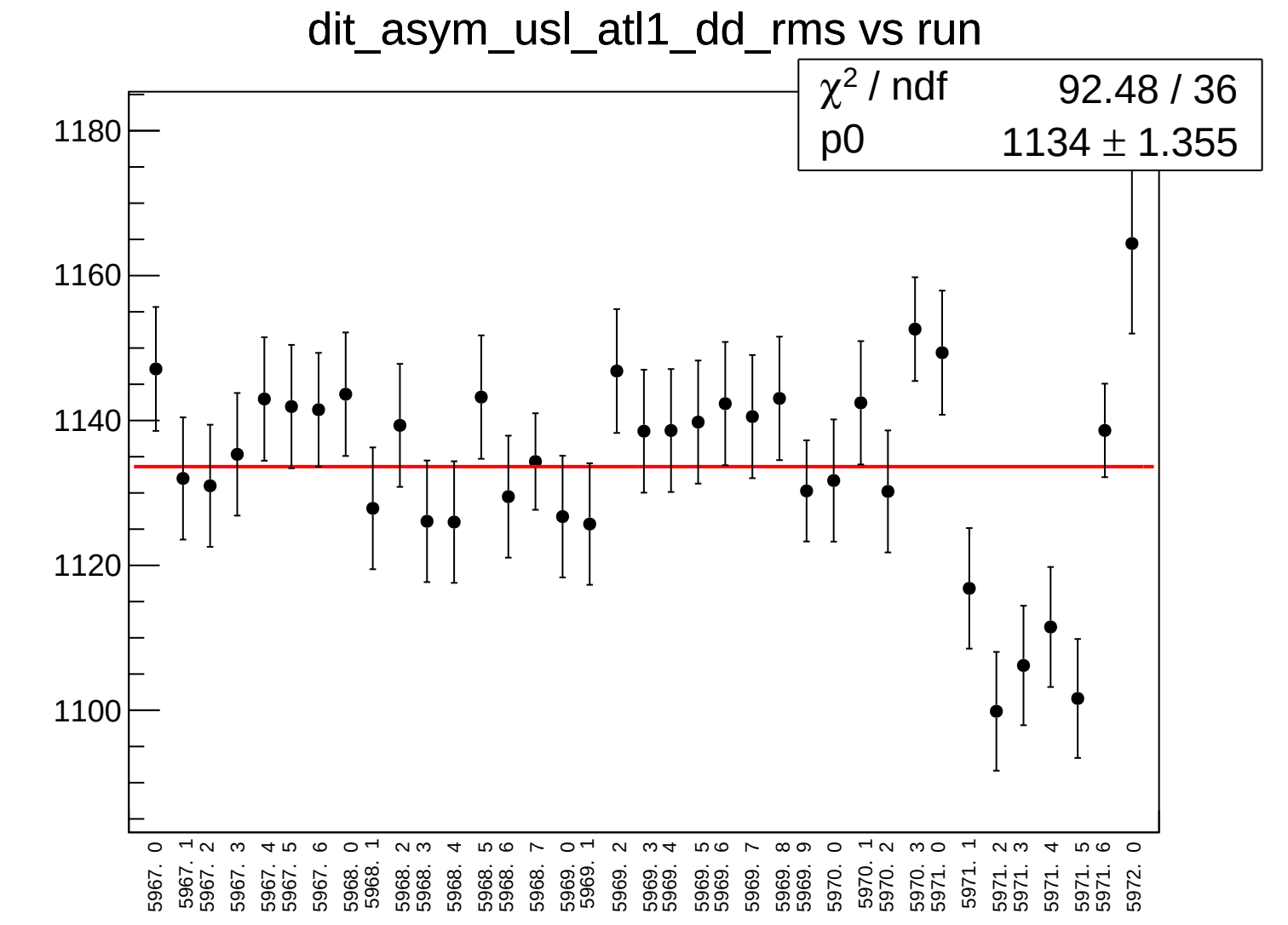
dit_asym_usl_atl1_dd_rms vs run
χ² / ndf 92.48 / 36
p0 1134 ± 1.355
1180
1160
1140
1120
1100
5967. 0
5967. 1
5967. 2
5967. 3
5967. 4
5967. 5
5967. 6
5968. 0
5968. 1
5968. 2
5968. 3
5968. 4
5968. 5
5968. 6
5968. 7
5969. 0
5969. 1
5969. 2
5969. 3
5969. 4
5969. 5
5969. 6
5969. 7
5969. 8
5969. 9
5970. 0
5970. 1
5970. 2
5970. 3
5971. 0
5971. 1
5971. 2
5971. 3
5971. 4
5971. 5
5971. 6
5972. 0

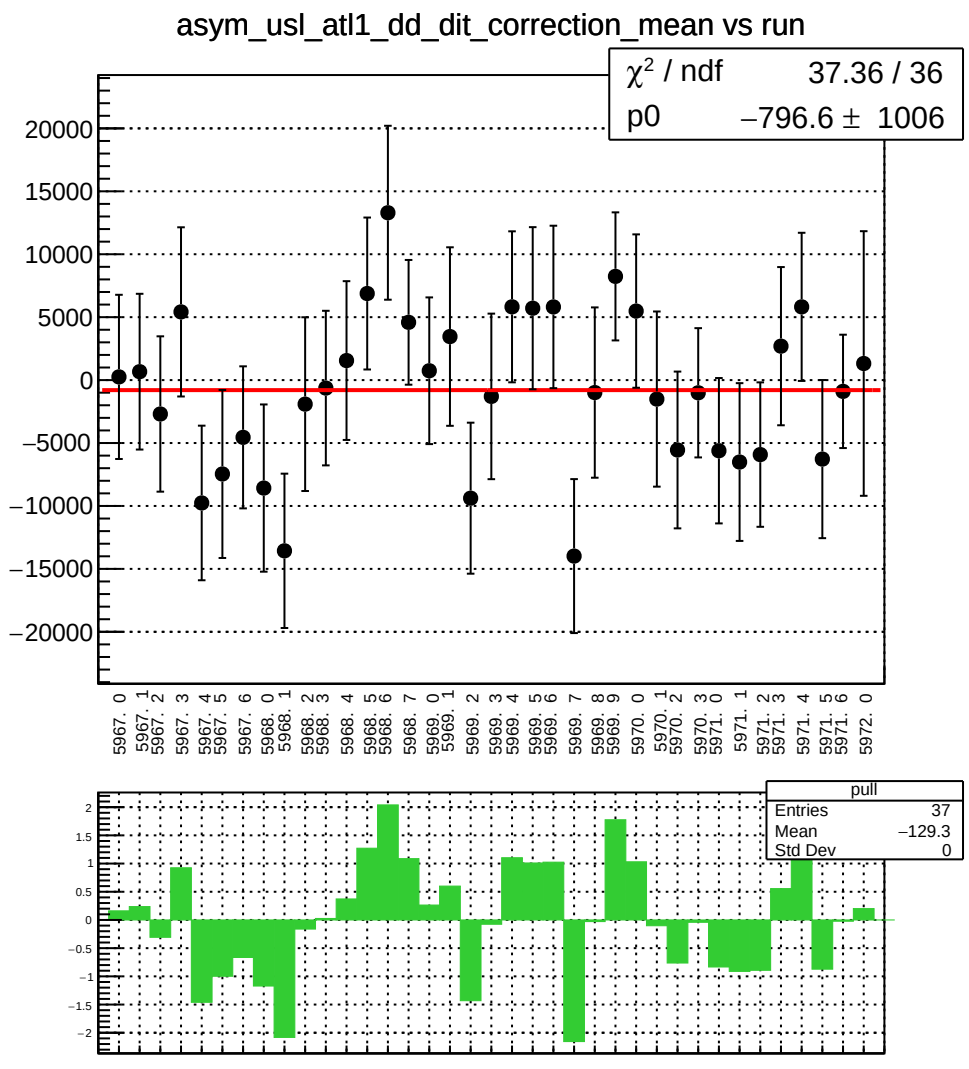
asym_usl_atl1_dd_dit_correction_mean vs run
χ² / ndf 37.36 / 36
p0 −796.6 ± 1006
20000
15000
10000
5000
0
−5000
−10000
−15000
−20000
5967. 0
5967. 1
5967. 2
5967. 3
5967. 4
5967. 5
5967. 6
5968. 0
5968. 1
5968. 2
5968. 3
5968. 4
5968. 5
5968. 6
5968. 7
5969. 0
5969. 1
5969. 2
5969. 3
5969. 4
5969. 5
5969. 6
5969. 7
5969. 8
5969. 9
5970. 0
5970. 1
5970. 2
5970. 3
5971. 0
5971. 1
5971. 2
5971. 3
5971. 4
5971. 5
5971. 6
5972. 0
pull
Entries 37
Mean −129.3
Std Dev 0
2
1.5
1
0.5
0
−0.5
−1
−1.5
−2

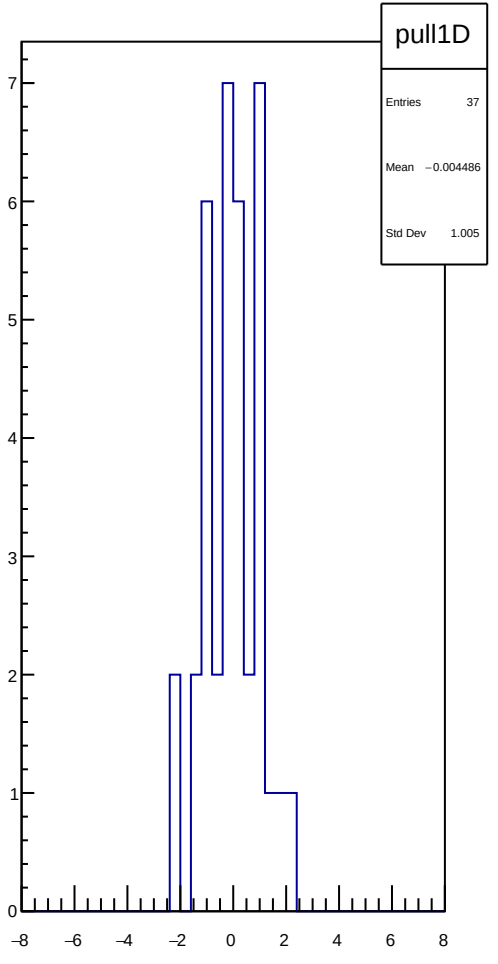
pull1D
Entries 37
Mean −0.004486
Std Dev 1.005
7
6
5
4
3
2
1
0
−8
−6
−4
−2
0
2
4
6
8

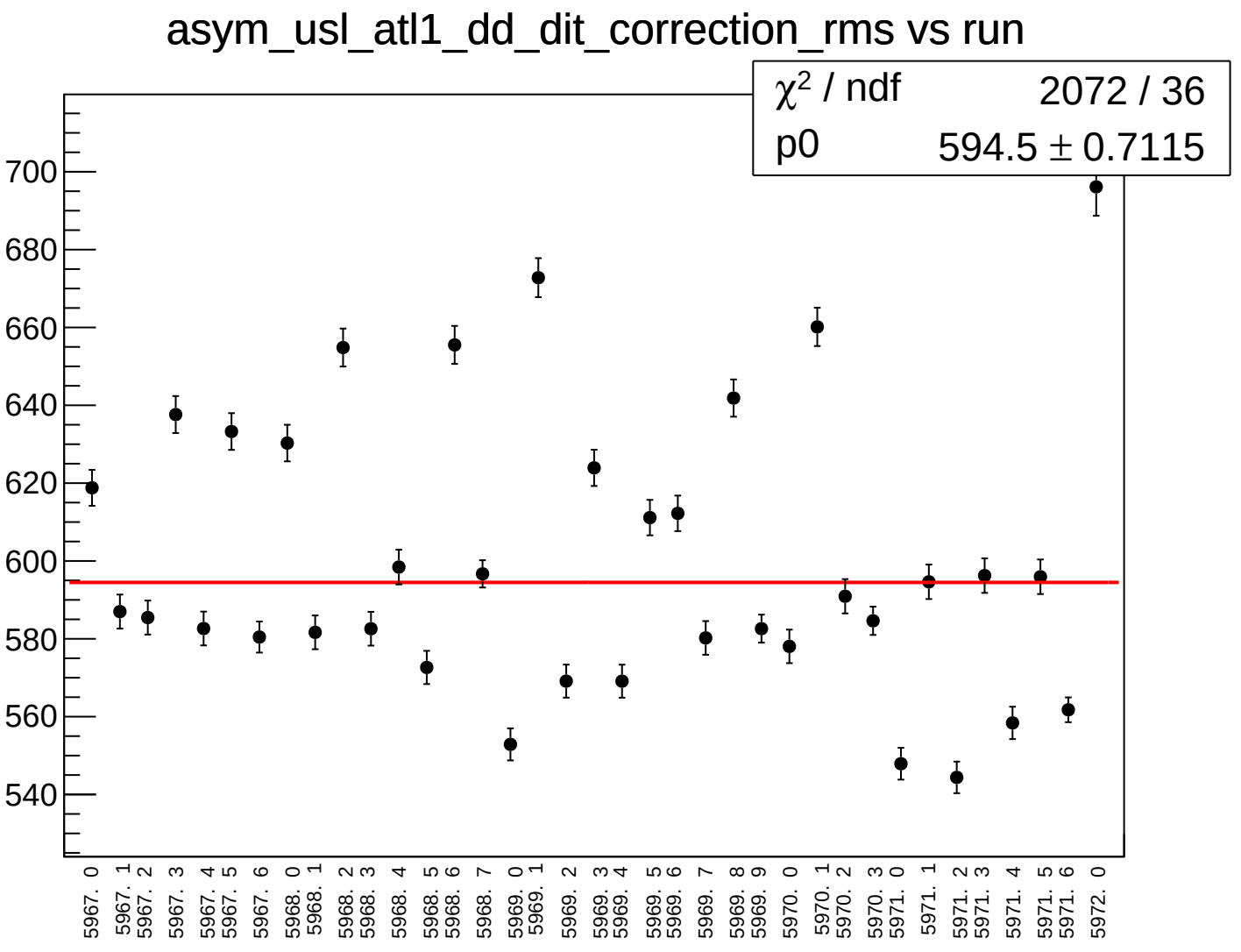
asym_usl_atl1_dd_dit_correction_rms vs run
χ² / ndf 2072 / 36
p0 594.5 ± 0.7115
700
680
660
640
620
600
580
560
540
5967. 0
5967. 1
5967. 2
5967. 3
5967. 4
5967. 5
5967. 6
5968. 0
5968. 1
5968. 2
5968. 3
5968. 4
5968. 5
5968. 6
5968. 7
5969. 0
5969. 1
5969. 2
5969. 3
5969. 4
5969. 5
5969. 6
5969. 7
5969. 8
5969. 9
5970. 0
5970. 1
5970. 2
5970. 3
5971. 0
5971. 1
5971. 2
5971. 3
5971. 4
5971. 5
5971. 6
5972. 0

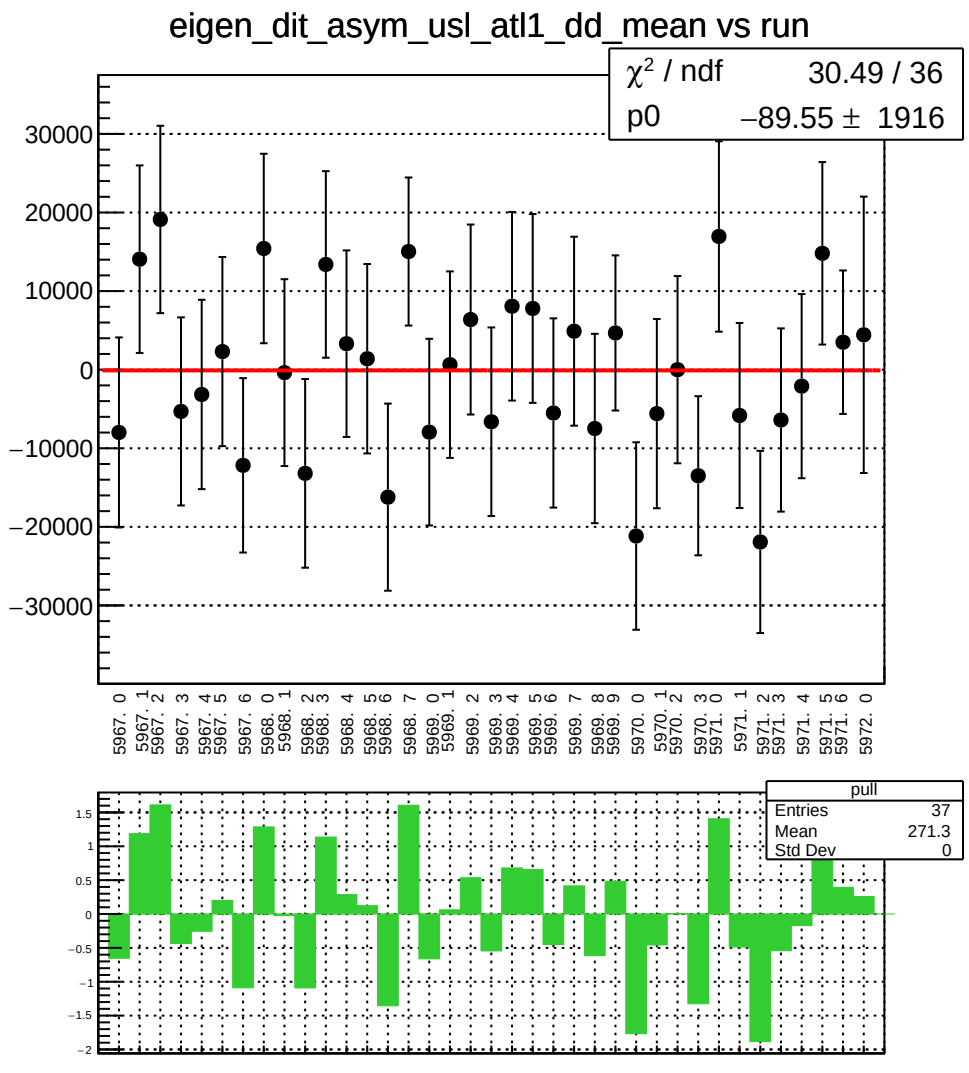
eigen_dit_asym_usl_atl1_dd_mean vs run
χ² / ndf 30.49 / 36
p0 −89.55 ± 1916
30000
20000
10000
0
−10000
−20000
−30000
5967. 0
5967. 1
5967. 2
5967. 3
5967. 4
5967. 5
5967. 6
5968. 0
5968. 1
5968. 2
5968. 3
5968. 4
5968. 5
5968. 6
5968. 7
5969. 0
5969. 1
5969. 2
5969. 3
5969. 4
5969. 5
5969. 6
5969. 7
5969. 8
5969. 9
5970. 0
5970. 1
5970. 2
5970. 3
5971. 0
5971. 1
5971. 2
5971. 3
5971. 4
5971. 5
5971. 6
5972. 0
pull
Entries 37
Mean 271.3
Std Dev 0
1.5
1
0.5
0
−0.5
−1
−1.5
−2
pull1D
Entries 37
Mean −0.005137
Std Dev 0.9078
9
8
7
6
5
4
3
2
1
0
−8
−6
−4
−2
0
2
4
6
8

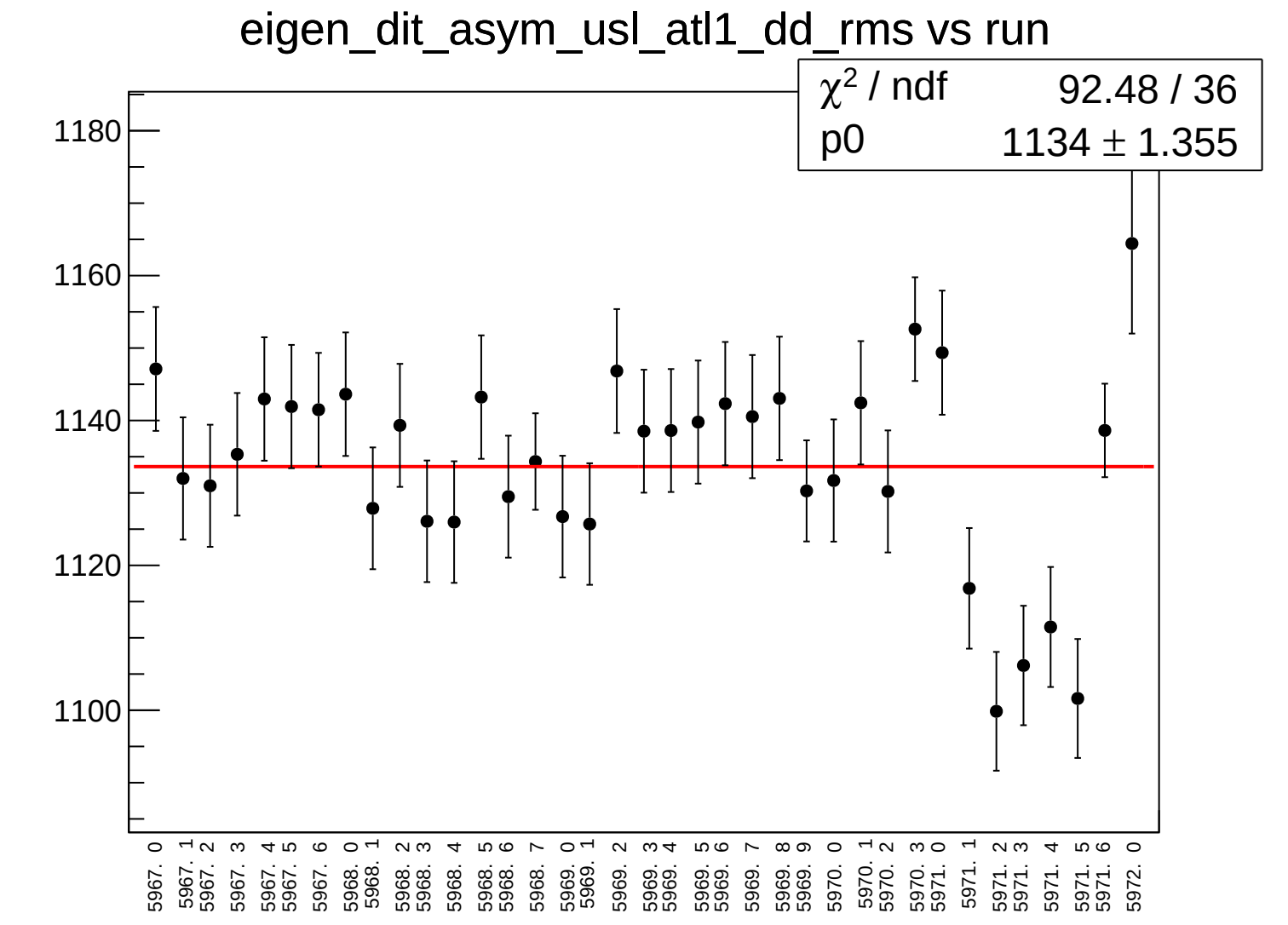
eigen_dit_asym_usl_atl1_dd_rms vs run
χ² / ndf 92.48 / 36
p0 1134 ± 1.355
1180
1160
1140
1120
1100
5967. 0
5967. 1
5967. 2
5967. 3
5967. 4
5967. 5
5967. 6
5968. 0
5968. 1
5968. 2
5968. 3
5968. 4
5968. 5
5968. 6
5968. 7
5969. 0
5969. 1
5969. 2
5969. 3
5969. 4
5969. 5
5969. 6
5969. 7
5969. 8
5969. 9
5970. 0
5970. 1
5970. 2
5970. 3
5971. 0
5971. 1
5971. 2
5971. 3
5971. 4
5971. 5
5971. 6
5972. 0

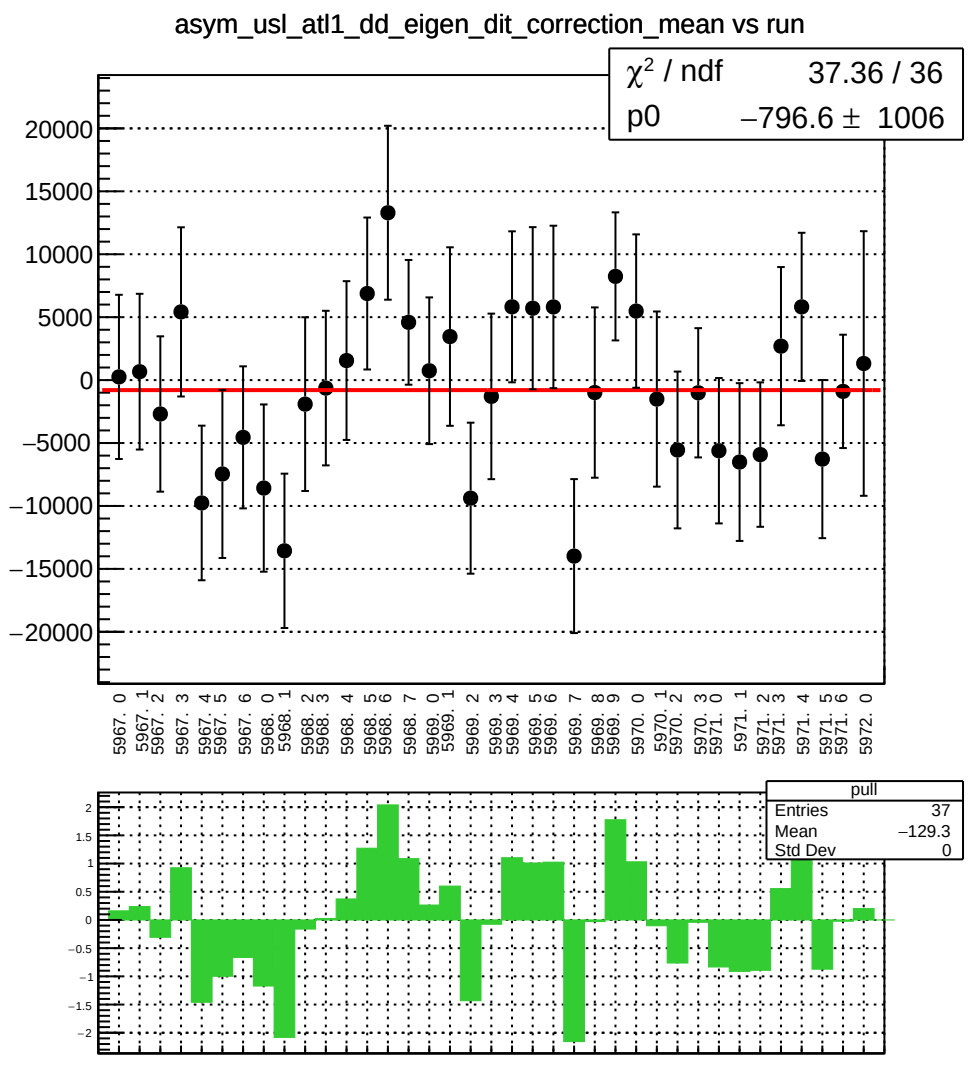
asym_usl_atl1_dd_eigen_dit_correction_mean vs run
χ² / ndf 37.36 / 36
p0 −796.6 ± 1006
20000
15000
10000
5000
0
−5000
−10000
−15000
−20000
5967. 0
5967. 1
5967. 2
5967. 3
5967. 4
5967. 5
5967. 6
5968. 0
5968. 1
5968. 2
5968. 3
5968. 4
5968. 5
5968. 6
5968. 7
5969. 0
5969. 1
5969. 2
5969. 3
5969. 4
5969. 5
5969. 6
5969. 7
5969. 8
5969. 9
5970. 0
5970. 1
5970. 2
5970. 3
5971. 0
5971. 1
5971. 2
5971. 3
5971. 4
5971. 5
5971. 6
5972. 0
pull
Entries 37
Mean −129.3
Std Dev 0
2
1.5
1
0.5
0
−0.5
−1
−1.5
−2

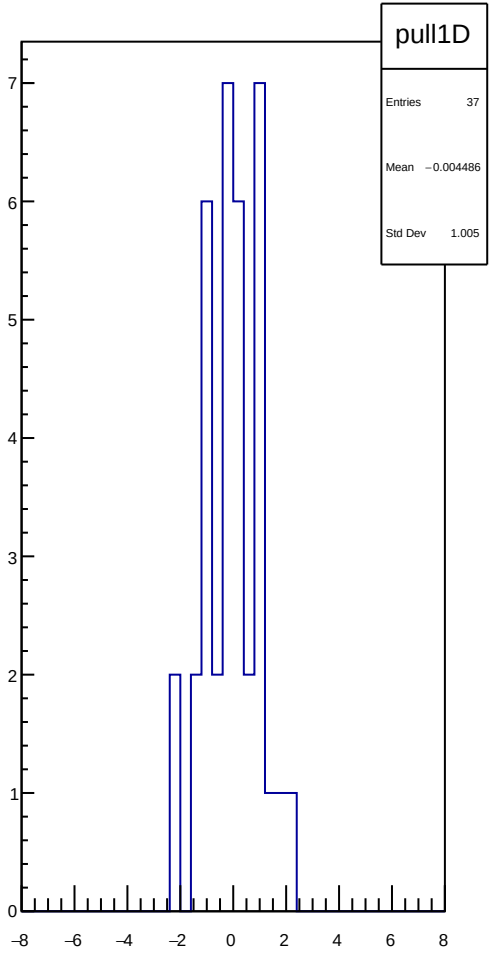
pull1D
Entries 37
Mean −0.004486
Std Dev 1.005
7
6
5
4
3
2
1
0
−8
−6
−4
−2
0
2
4
6
8

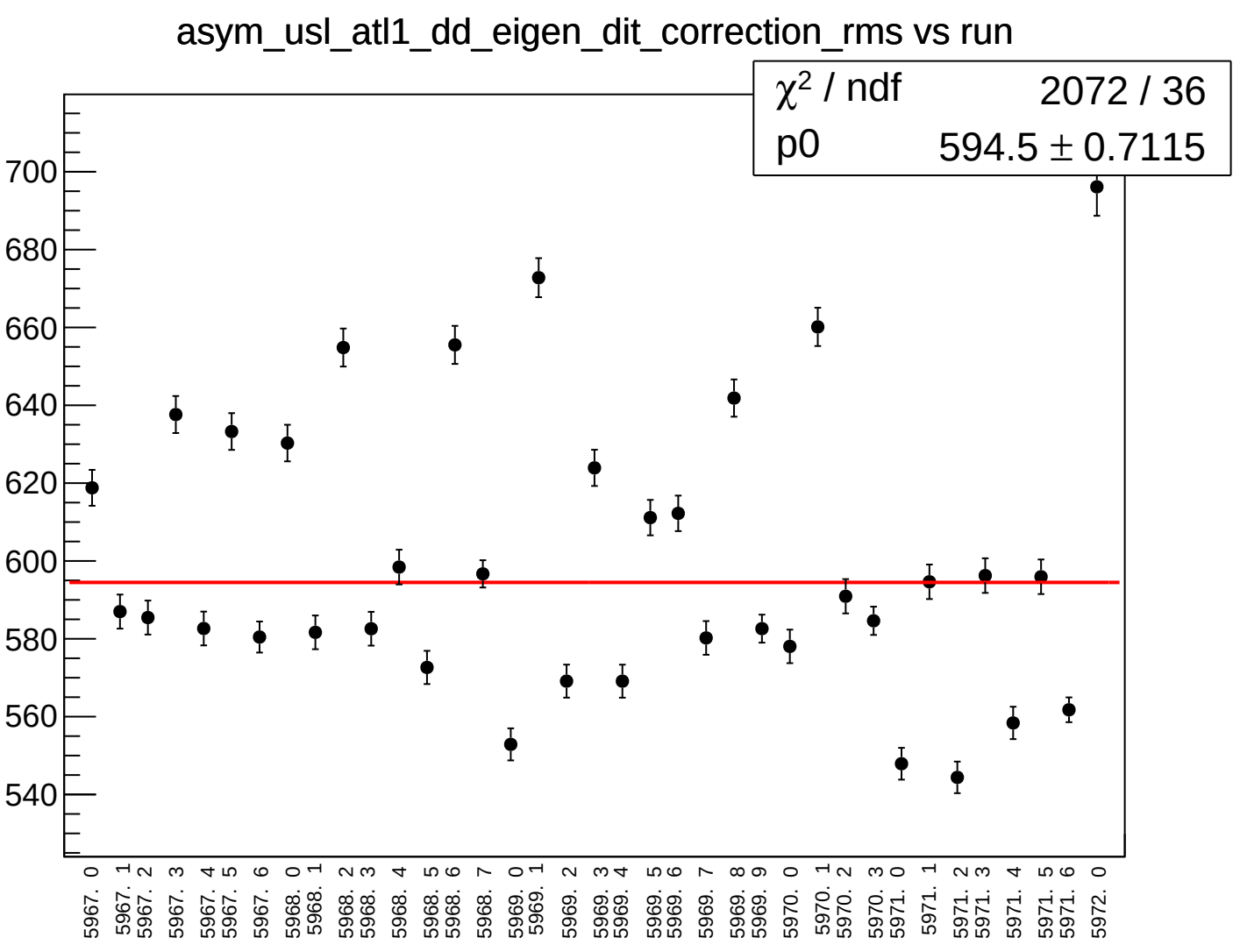
asym_usl_atl1_dd_eigen_dit_correction_rms vs run
χ² / ndf 2072 / 36
p0 594.5 ± 0.7115
700
680
660
640
620
600
580
560
540
5967. 0
5967. 1
5967. 2
5967. 3
5967. 4
5967. 5
5967. 6
5968. 0
5968. 1
5968. 2
5968. 3
5968. 4
5968. 5
5968. 6
5968. 7
5969. 0
5969. 1
5969. 2
5969. 3
5969. 4
5969. 5
5969. 6
5969. 7
5969. 8
5969. 9
5970. 0
5970. 1
5970. 2
5970. 3
5971. 0
5971. 1
5971. 2
5971. 3
5971. 4
5971. 5
5971. 6
5972. 0

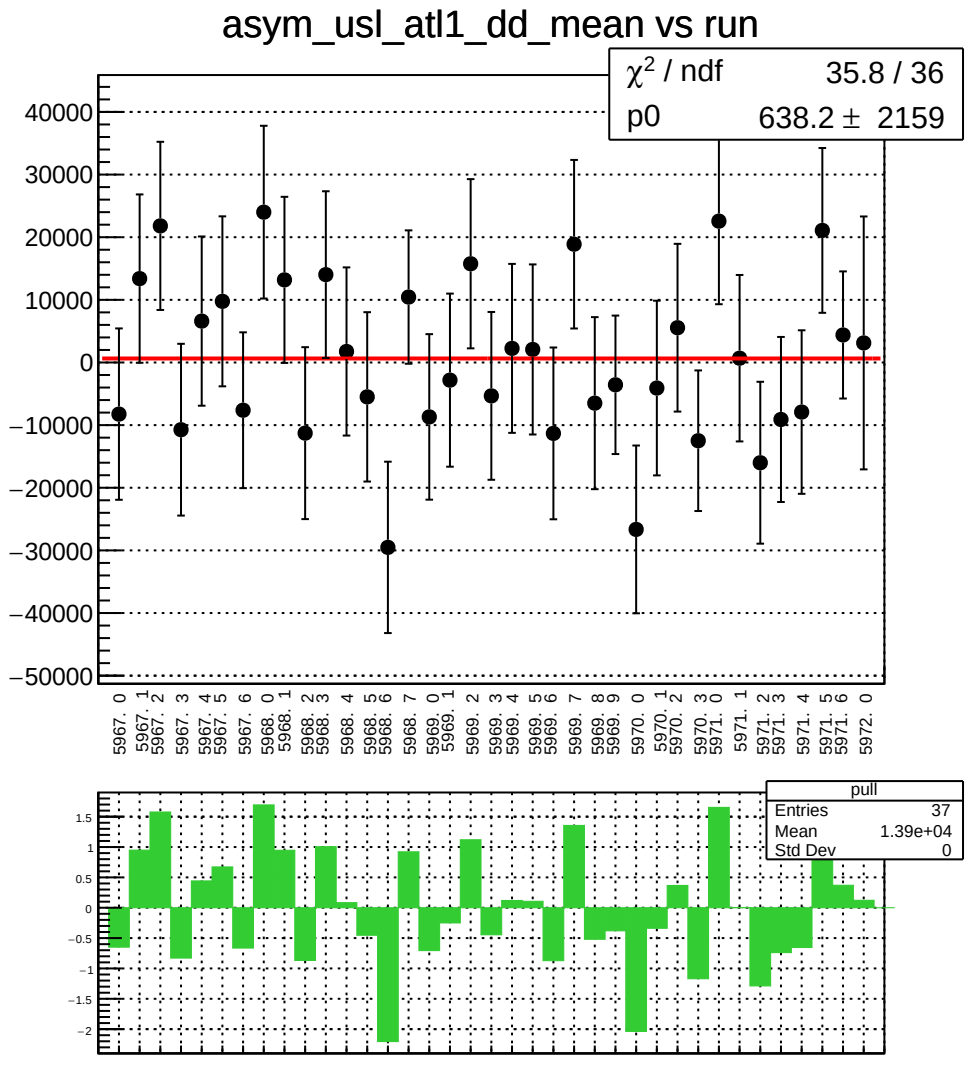
asym_usl_atl1_dd_mean vs run
χ² / ndf 35.8 / 36
p0 638.2 ± 2159
pull
Entries 37
Mean 1.39e+04
Std Dev 0

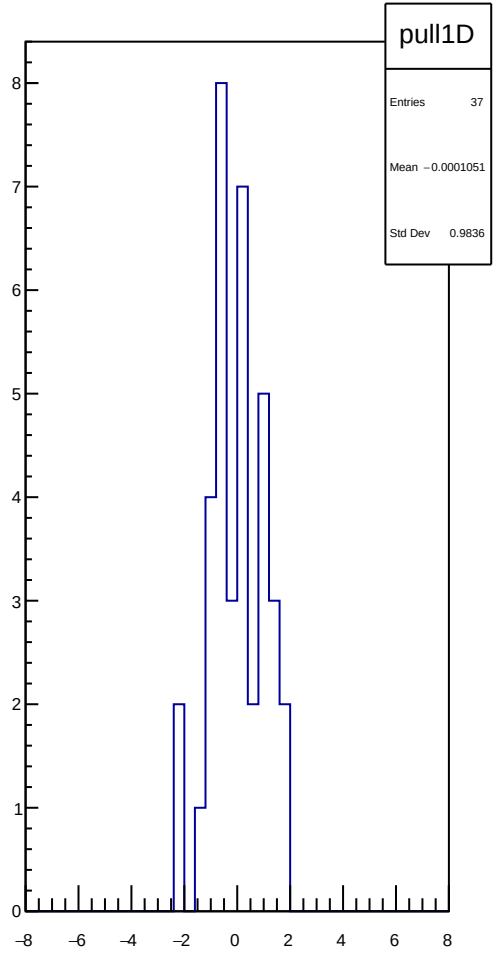
pull1D
Entries 37
Mean −0.0001051
Std Dev 0.9836

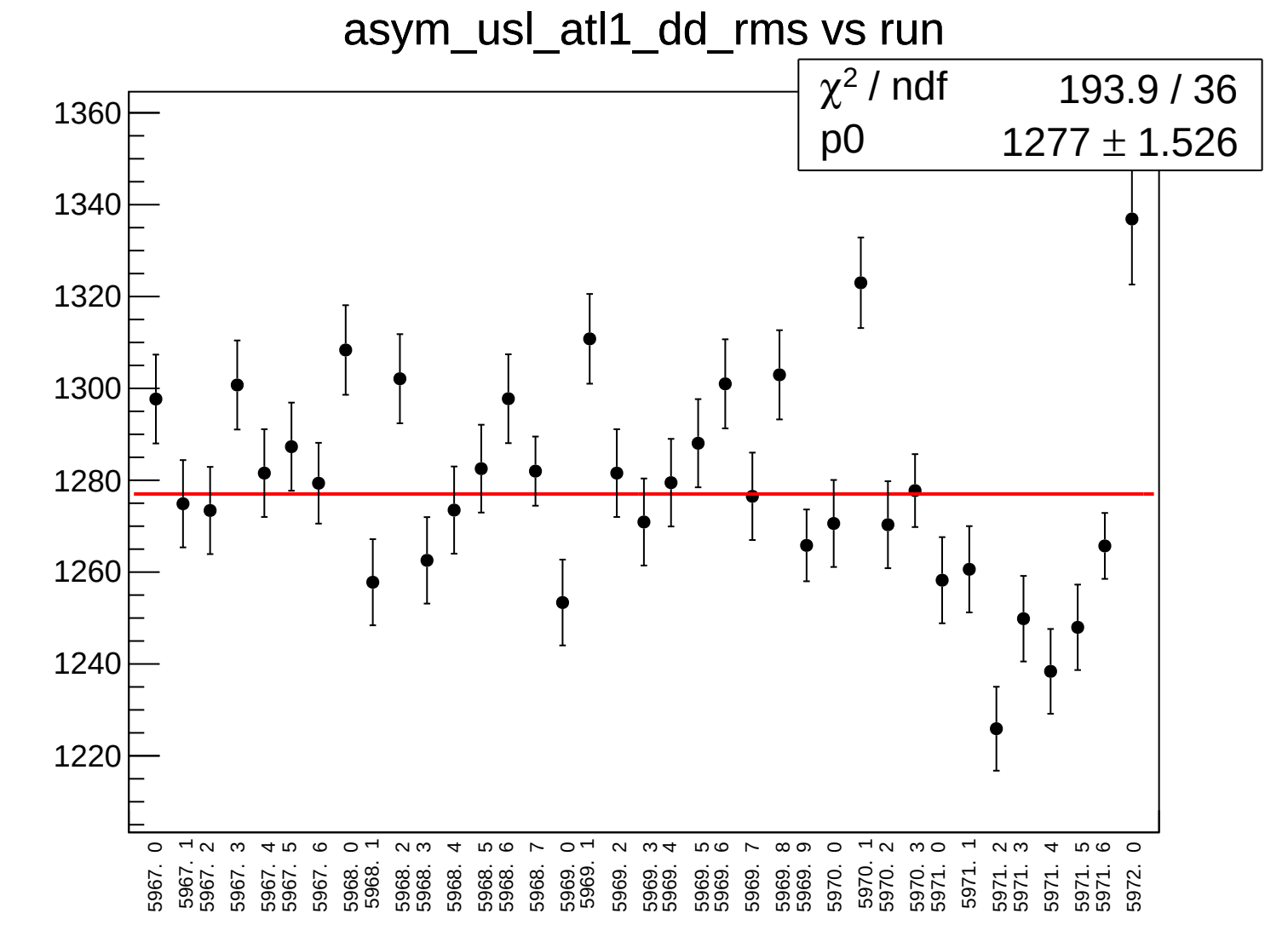
asym_usl_atl1_dd_rms vs run
χ² / ndf 193.9 / 36
p0 1277 ± 1.526
1360
1340
1320
1300
1280
1260
1240
1220
5967. 0
5967. 1
5967. 2
5967. 3
5967. 4
5967. 5
5967. 6
5968. 0
5968. 1
5968. 2
5968. 3
5968. 4
5968. 5
5968. 6
5968. 7
5969. 0
5969. 1
5969. 2
5969. 3
5969. 4
5969. 5
5969. 6
5969. 7
5969. 8
5969. 9
5970. 0
5970. 1
5970. 2
5970. 3
5971. 0
5971. 1
5971. 2
5971. 3
5971. 4
5971. 5
5971. 6
5972. 0

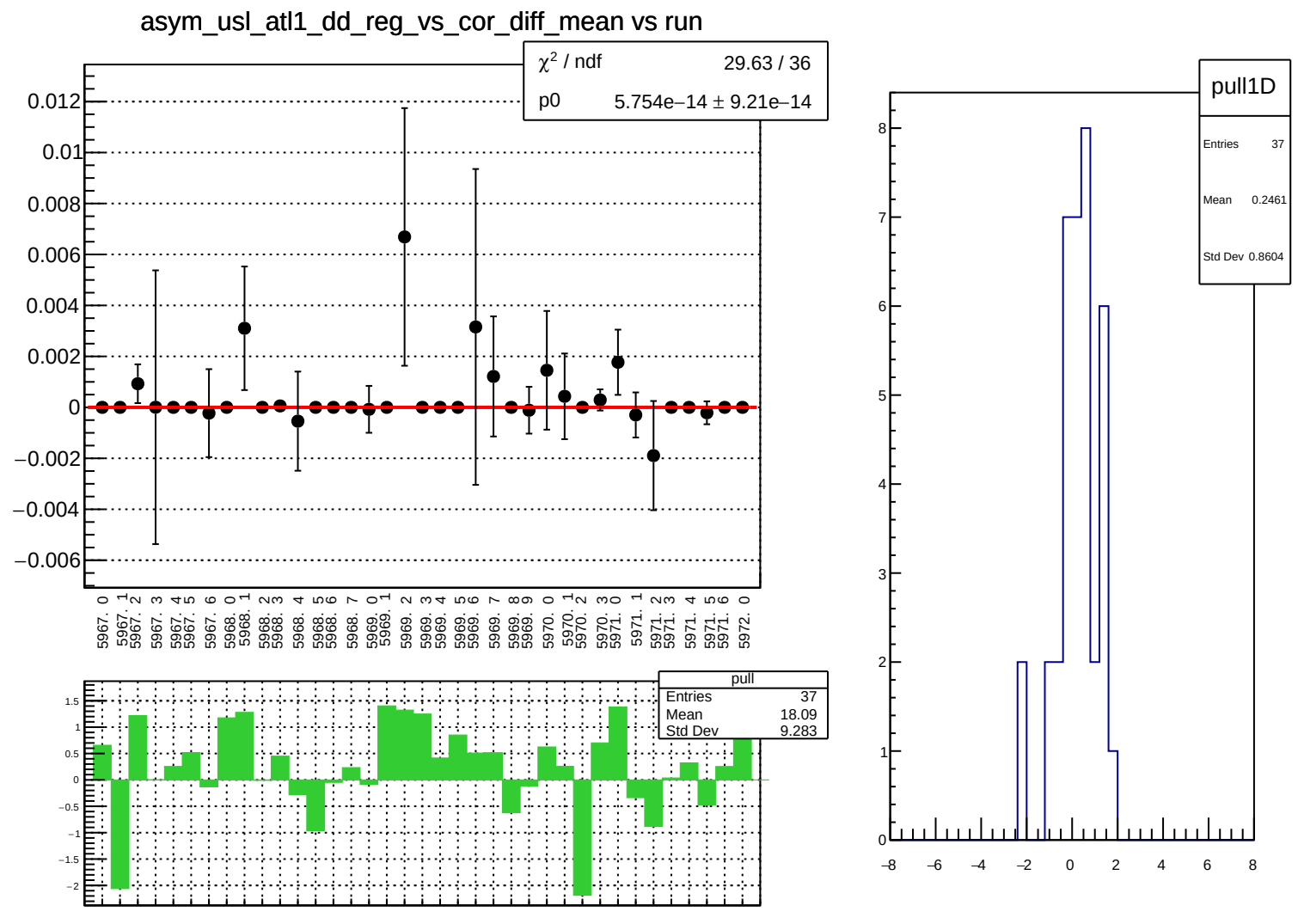
asym_usl_atl1_dd_reg_vs_cor_diff_mean vs run
χ² / ndf 29.63 / 36
p0 5.754e−14 ± 9.21e−14
0.012
0.01
0.008
0.006
0.004
0.002
0
−0.002
−0.004
−0.006
5967. 0
5967. 1
5967. 2
5967. 3
5967. 4
5967. 5
5967. 6
5968. 0
5968. 1
5968. 2
5968. 3
5968. 4
5968. 5
5968. 6
5968. 7
5969. 0
5969. 1
5969. 2
5969. 3
5969. 4
5969. 5
5969. 6
5969. 7
5969. 8
5969. 9
5970. 0
5970. 1
5970. 2
5970. 3
5971. 0
5971. 1
5971. 2
5971. 3
5971. 4
5971. 5
5971. 6
5972. 0
pull
Entries 37
Mean 18.09
Std Dev 9.283
1.5
1
0.5
0
−0.5
−1
−1.5
−2
pull1D
Entries 37
Mean 0.2461
Std Dev 0.8604
8
7
6
5
4
3
2
1
0
−8
−6
−4
−2
0
2
4
6
8

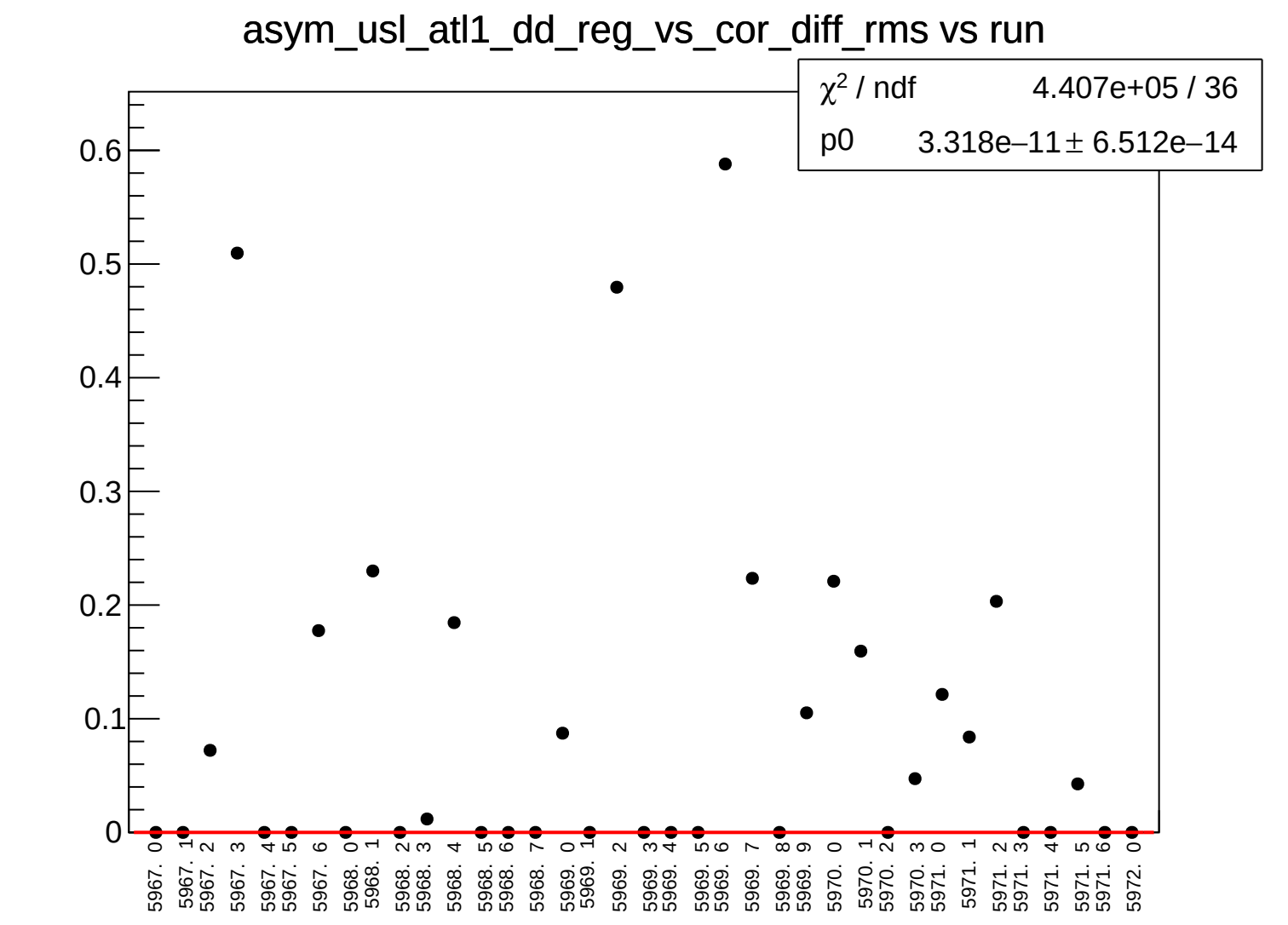
asym_usl_atl1_dd_reg_vs_cor_diff_rms vs run
χ² / ndf 4.407e+05 / 36
p0 3.318e−11 ± 6.512e−14
0.6
0.5
0.4
0.3
0.2
0.1
0
5967. 0
5967. 1
5967. 2
5967. 3
5967. 4
5967. 5
5967. 6
5968. 0
5968. 1
5968. 2
5968. 3
5968. 4
5968. 5
5968. 6
5968. 7
5969. 0
5969. 1
5969. 2
5969. 3
5969. 4
5969. 5
5969. 6
5969. 7
5969. 8
5969. 9
5970. 0
5970. 1
5970. 2
5970. 3
5971. 0
5971. 1
5971. 2
5971. 3
5971. 4
5971. 5
5971. 6
5972. 0

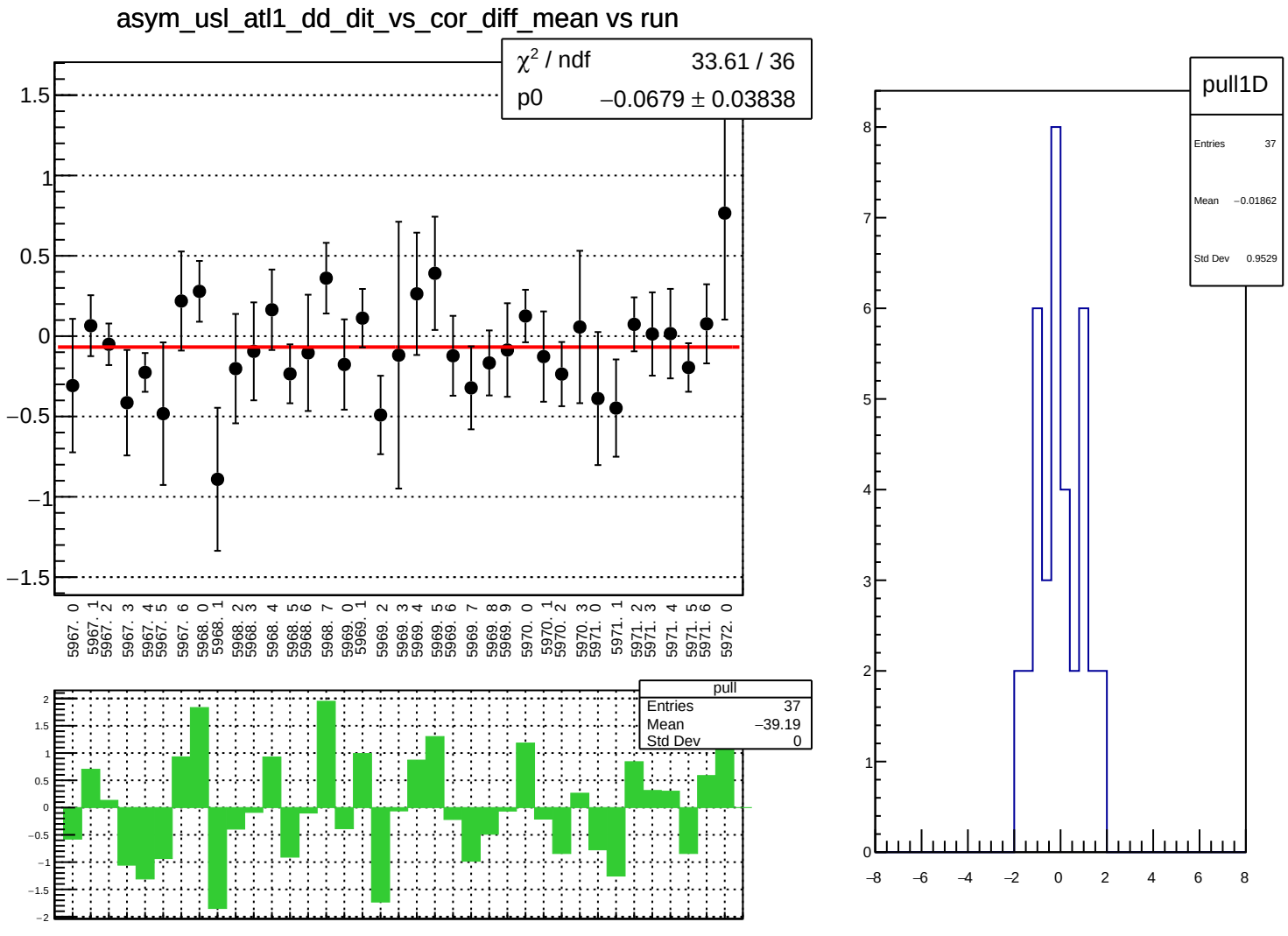
asym_usl_atl1_dd_dit_vs_cor_diff_mean vs run
χ² / ndf 33.61 / 36
p0 −0.0679 ± 0.03838
pull
Entries 37
Mean −39.19
Std Dev 0
pull1D
Entries 37
Mean −0.01862
Std Dev 0.9529

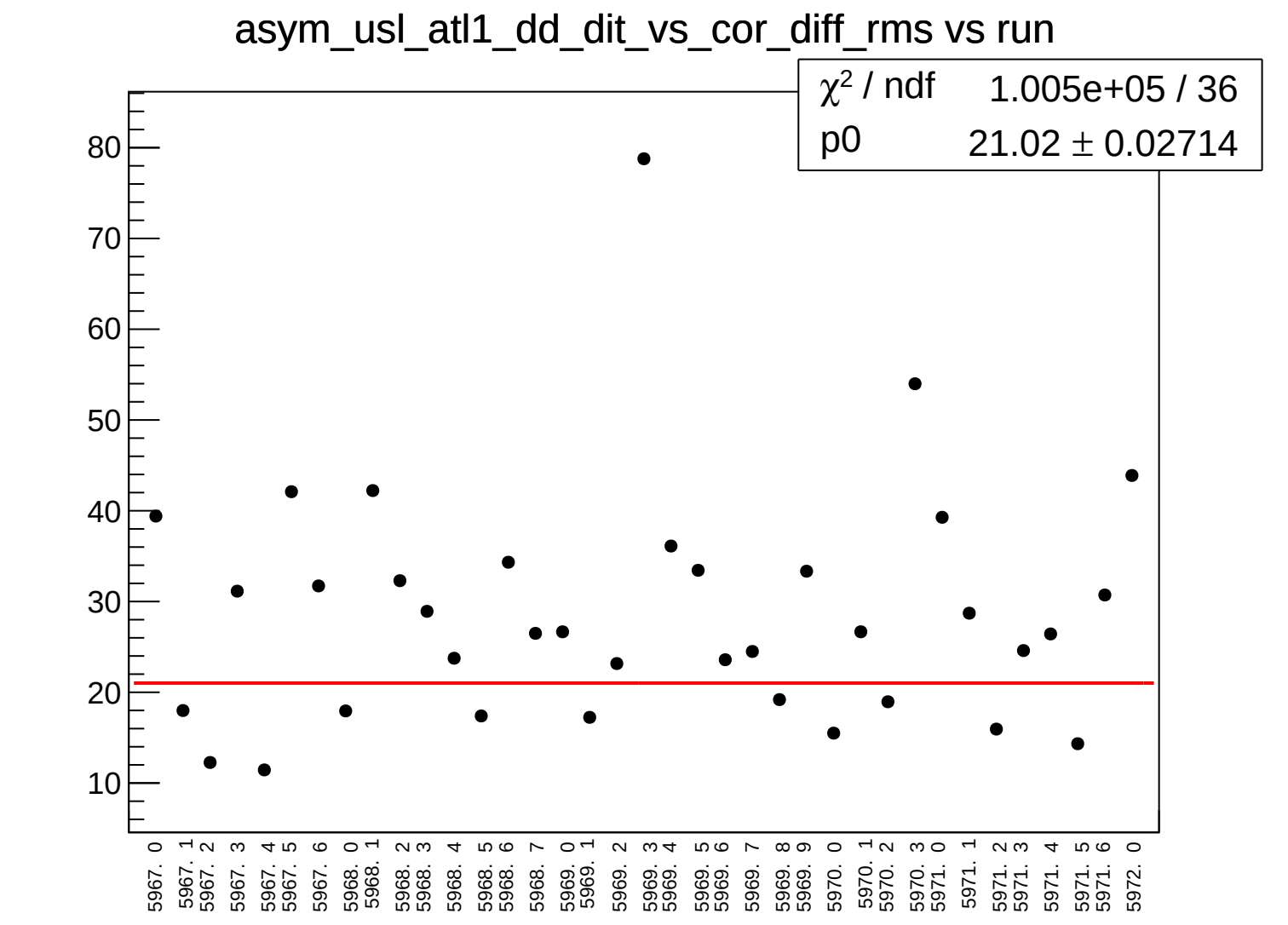
asym_usl_atl1_dd_dit_vs_cor_diff_rms vs run
χ² / ndf 1.005e+05 / 36
p0 21.02 ± 0.02714
80
70
60
50
40
30
20
10
5967. 0
5967. 1
5967. 2
5967. 3
5967. 4
5967. 5
5967. 6
5968. 0
5968. 1
5968. 2
5968. 3
5968. 4
5968. 5
5968. 6
5968. 7
5969. 0
5969. 1
5969. 2
5969. 3
5969. 4
5969. 5
5969. 6
5969. 7
5969. 8
5969. 9
5970. 0
5970. 1
5970. 2
5970. 3
5971. 0
5971. 1
5971. 2
5971. 3
5971. 4
5971. 5
5971. 6
5972. 0

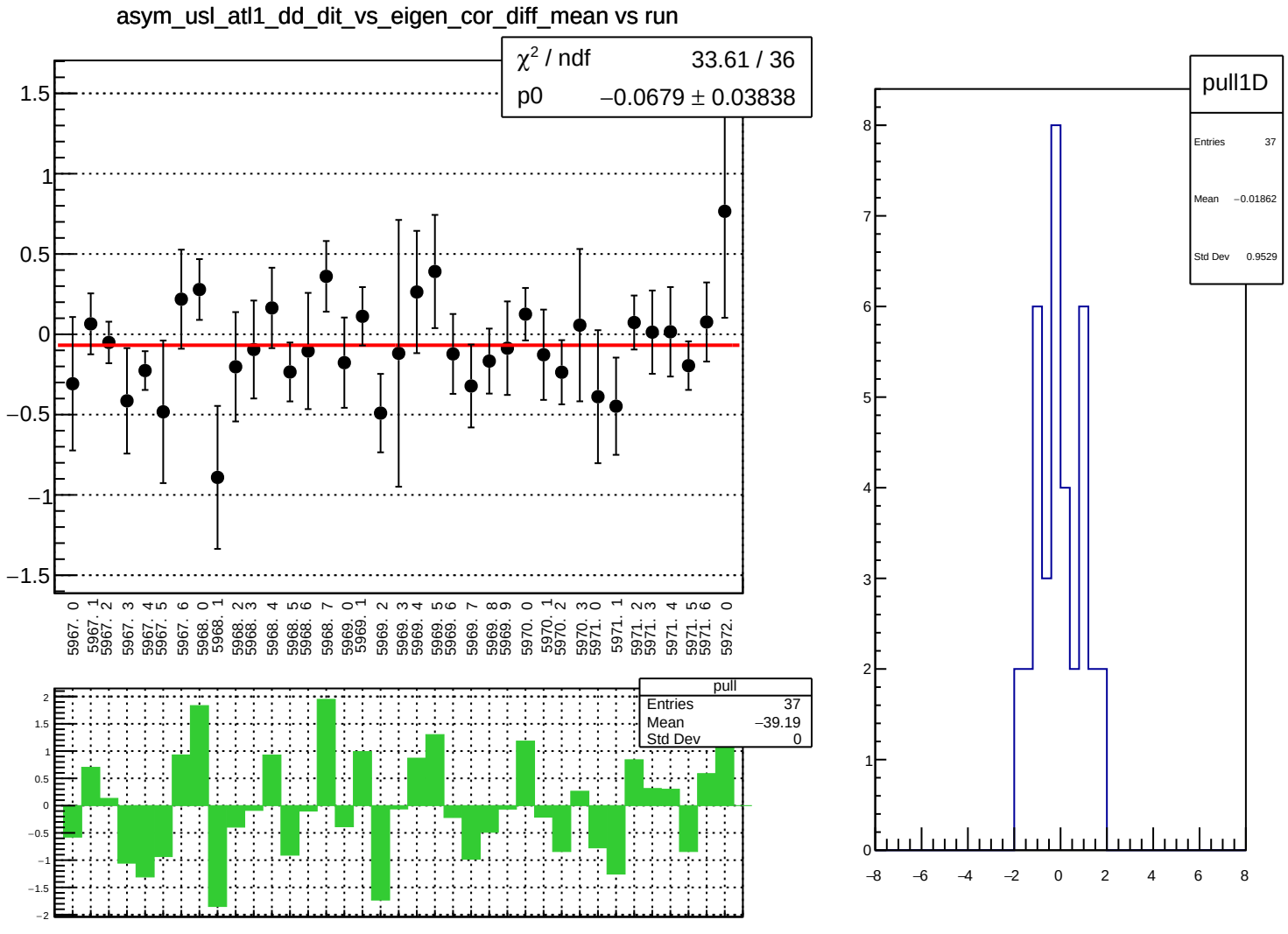
asym_usl_atl1_dd_dit_vs_eigen_cor_diff_mean vs run
χ² / ndf 33.61 / 36
p0 −0.0679 ± 0.03838
pull
Entries 37
Mean −39.19
Std Dev 0
pull1D
Entries 37
Mean −0.01862
Std Dev 0.9529

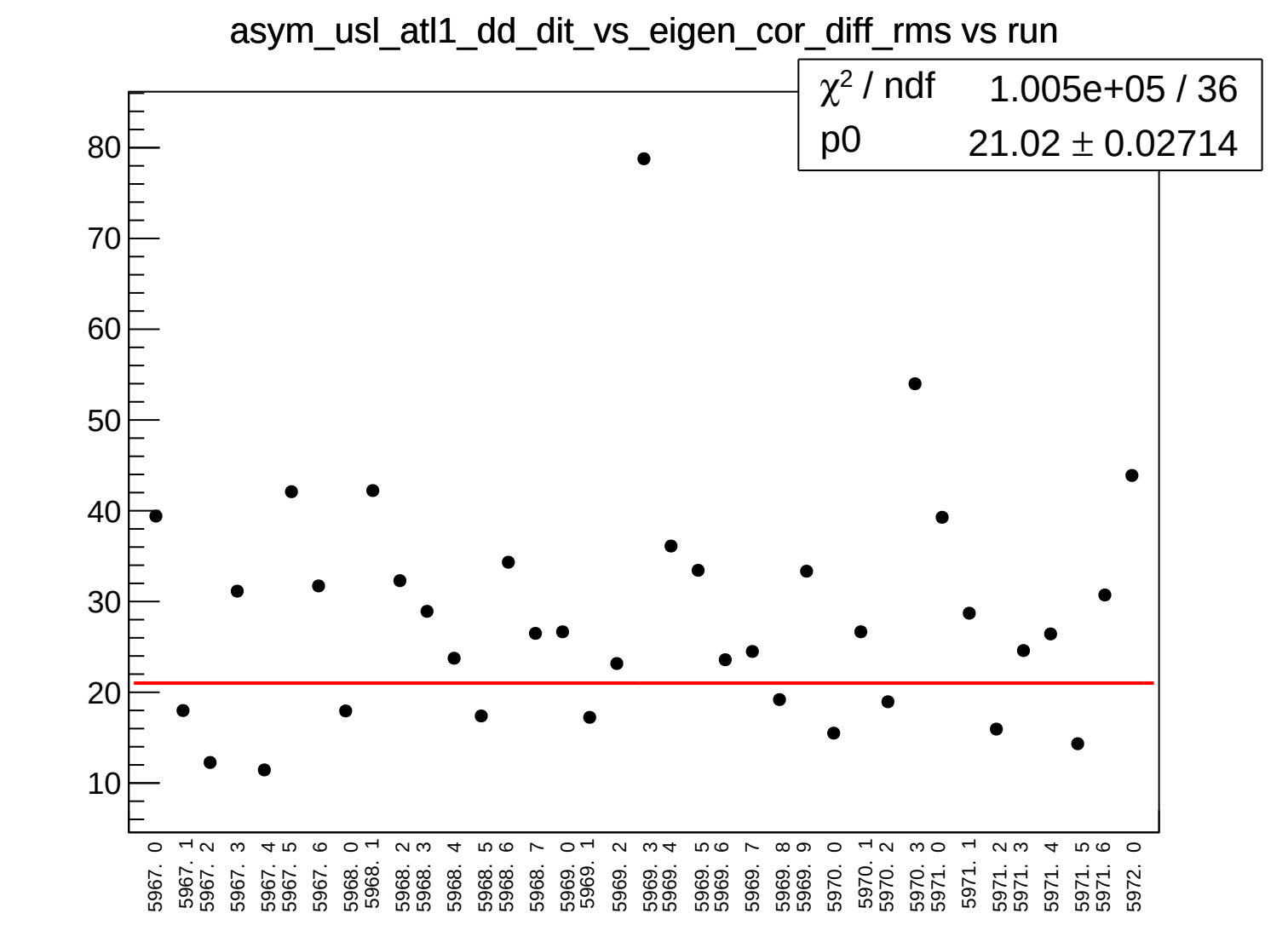
asym_usl_atl1_dd_dit_vs_eigen_cor_diff_rms vs run
χ² / ndf 1.005e+05 / 36
p0 21.02 ± 0.02714
80
70
60
50
40
30
20
10
5967. 0
5967. 1
5967. 2
5967. 3
5967. 4
5967. 5
5967. 6
5968. 0
5968. 1
5968. 2
5968. 3
5968. 4
5968. 5
5968. 6
5968. 7
5969. 0
5969. 1
5969. 2
5969. 3
5969. 4
5969. 5
5969. 6
5969. 7
5969. 8
5969. 9
5970. 0
5970. 1
5970. 2
5970. 3
5971. 0
5971. 1
5971. 2
5971. 3
5971. 4
5971. 5
5971. 6
5972. 0

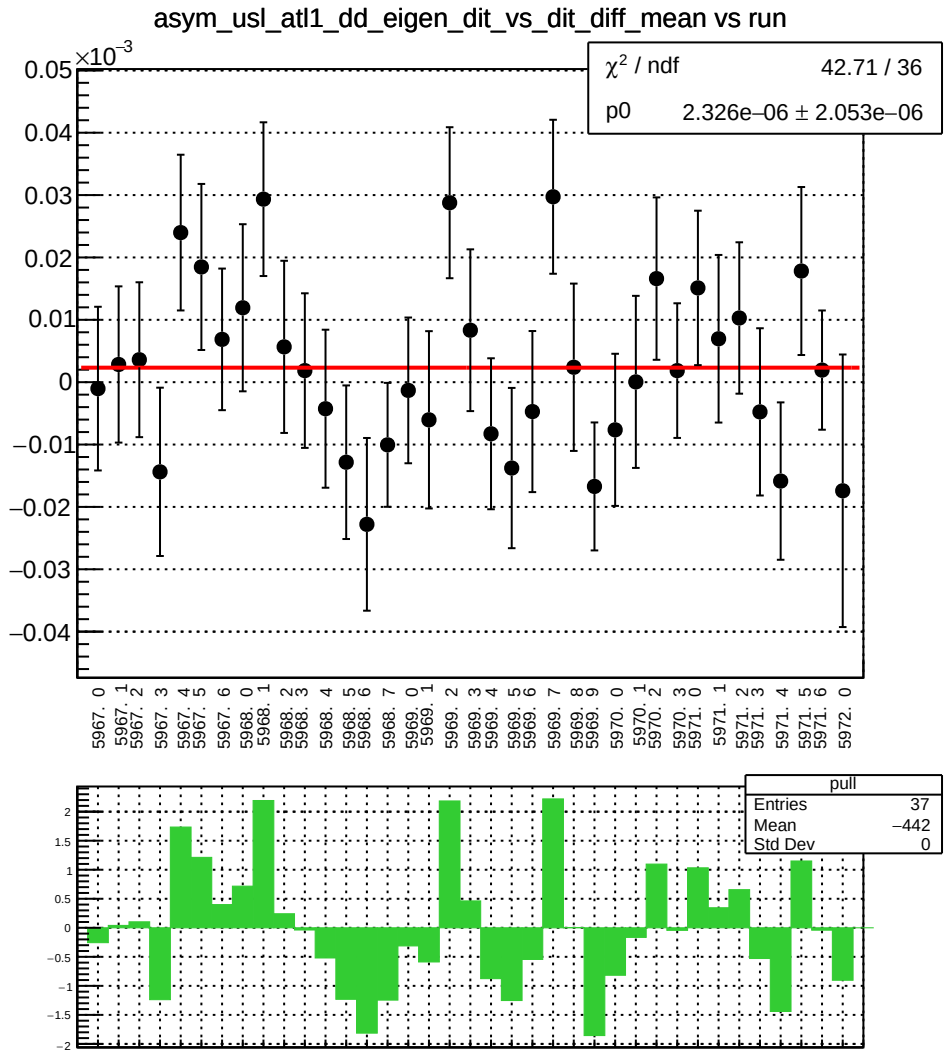
asym_usl_atl1_dd_eigen_dit_vs_dit_diff_mean vs run
×10⁻³
χ² / ndf 42.71 / 36
p0 2.326e−06 ± 2.053e−06
pull
Entries 37
Mean −442
Std Dev 0

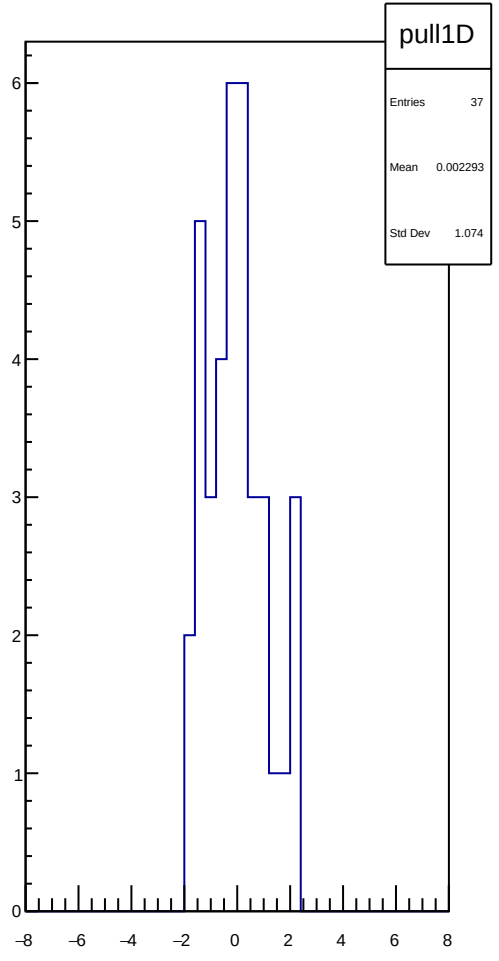
pull1D
Entries 37
Mean 0.002293
Std Dev 1.074

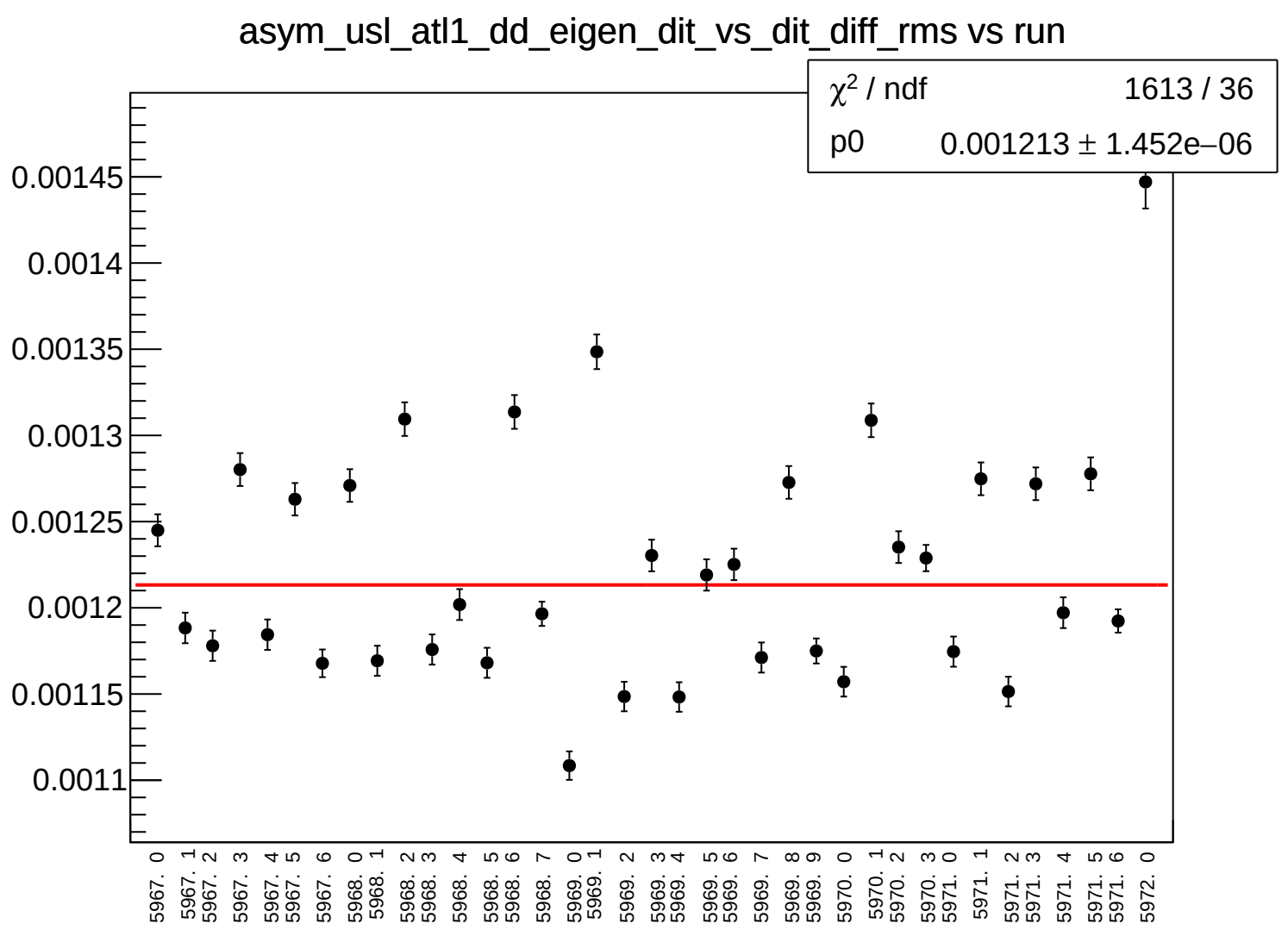
asym_usl_atl1_dd_eigen_dit_vs_dit_diff_rms vs run
χ² / ndf 1613 / 36
p0 0.001213 ± 1.452e−06
0.00145
0.0014
0.00135
0.0013
0.00125
0.0012
0.00115
0.0011
5967. 0
5967. 1
5967. 2
5967. 3
5967. 4
5967. 5
5967. 6
5968. 0
5968. 1
5968. 2
5968. 3
5968. 4
5968. 5
5968. 6
5968. 7
5969. 0
5969. 1
5969. 2
5969. 3
5969. 4
5969. 5
5969. 6
5969. 7
5969. 8
5969. 9
5970. 0
5970. 1
5970. 2
5970. 3
5971. 0
5971. 1
5971. 2
5971. 3
5971. 4
5971. 5
5971. 6
5972. 0

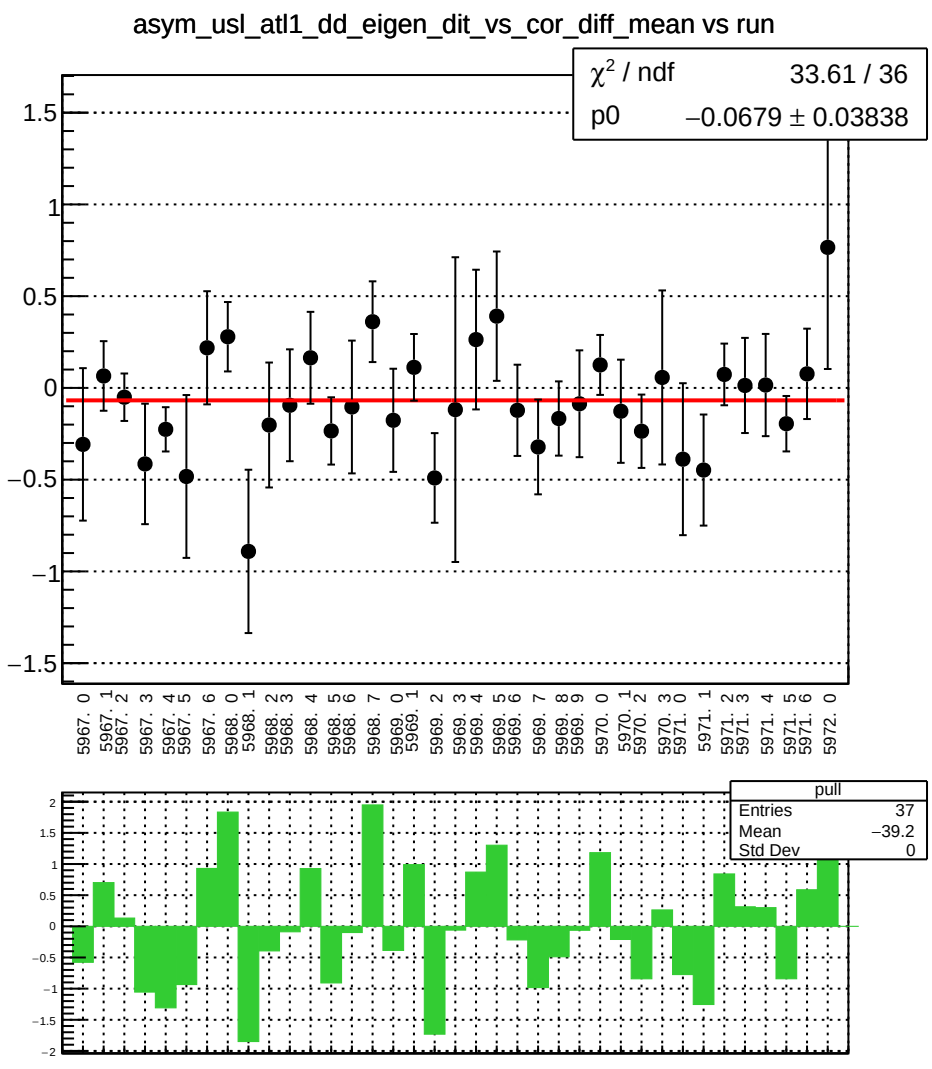
asym_usl_atl1_dd_eigen_dit_vs_cor_diff_mean vs run
χ² / ndf 33.61 / 36
p0 −0.0679 ± 0.03838
pull
Entries 37
Mean −39.2
Std Dev 0

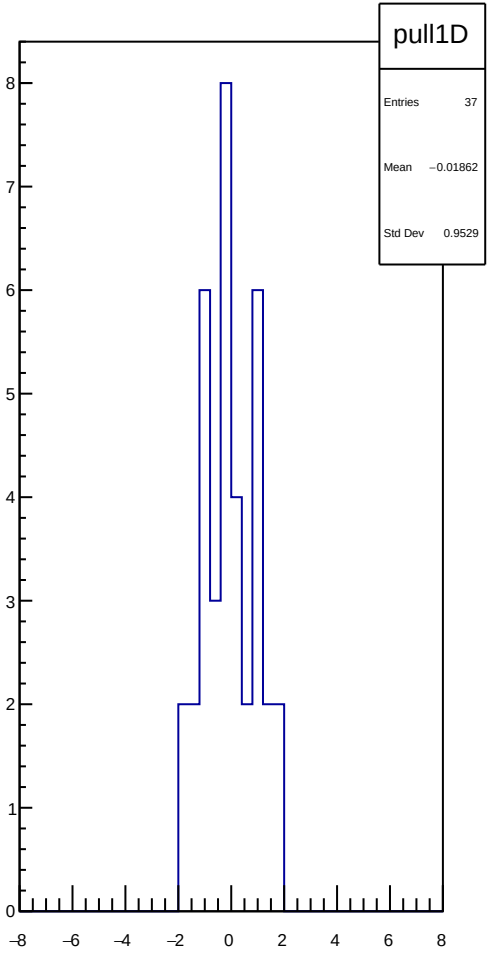
pull1D
Entries 37
Mean −0.01862
Std Dev 0.9529

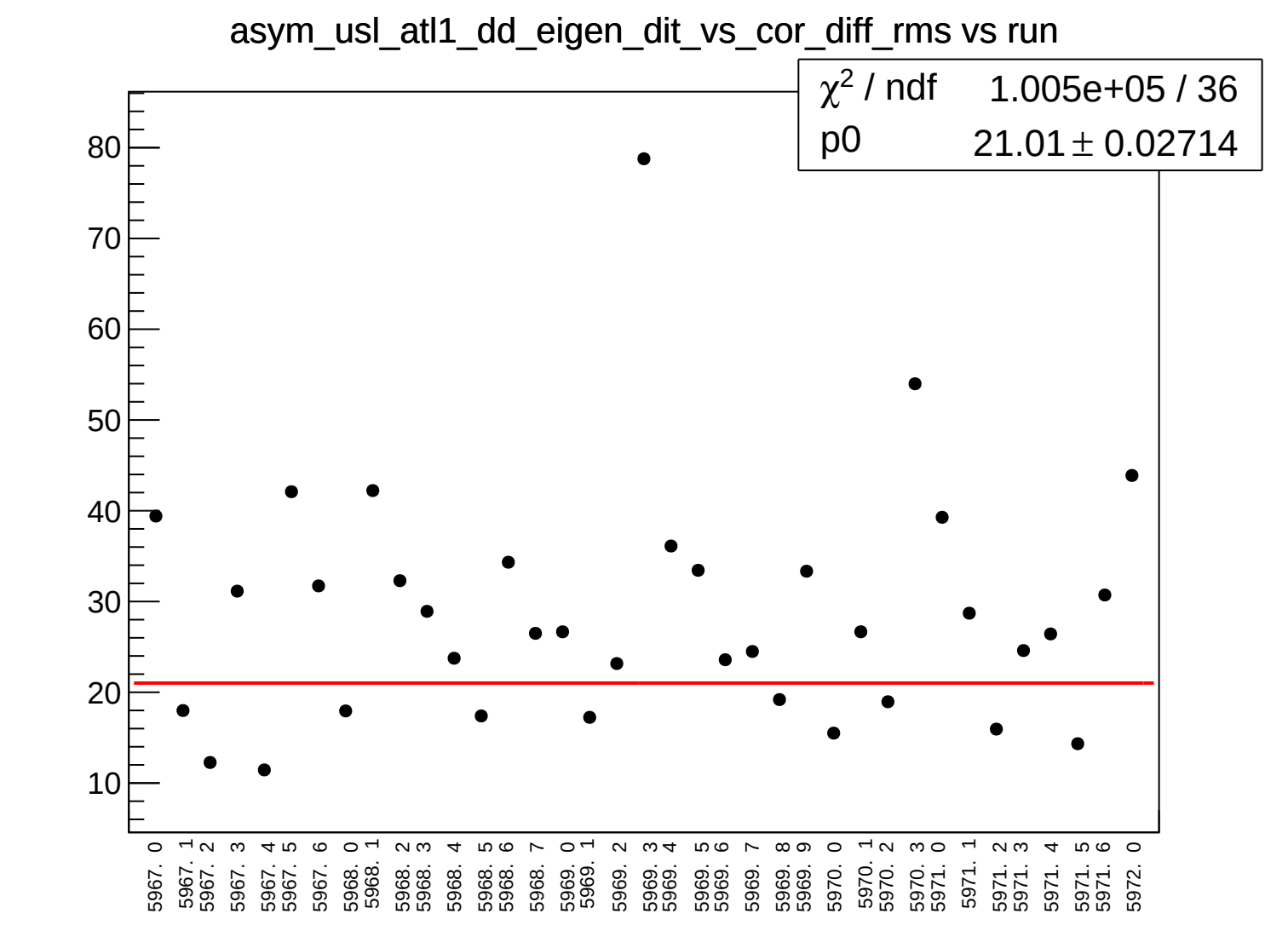
asym_usl_atl1_dd_eigen_dit_vs_cor_diff_rms vs run
χ² / ndf 1.005e+05 / 36
p0 21.01 ± 0.02714
80
70
60
50
40
30
20
10
5967. 0
5967. 1
5967. 2
5967. 3
5967. 4
5967. 5
5967. 6
5968. 0
5968. 1
5968. 2
5968. 3
5968. 4
5968. 5
5968. 6
5968. 7
5969. 0
5969. 1
5969. 2
5969. 3
5969. 4
5969. 5
5969. 6
5969. 7
5969. 8
5969. 9
5970. 0
5970. 1
5970. 2
5970. 3
5971. 0
5971. 1
5971. 2
5971. 3
5971. 4
5971. 5
5971. 6
5972. 0

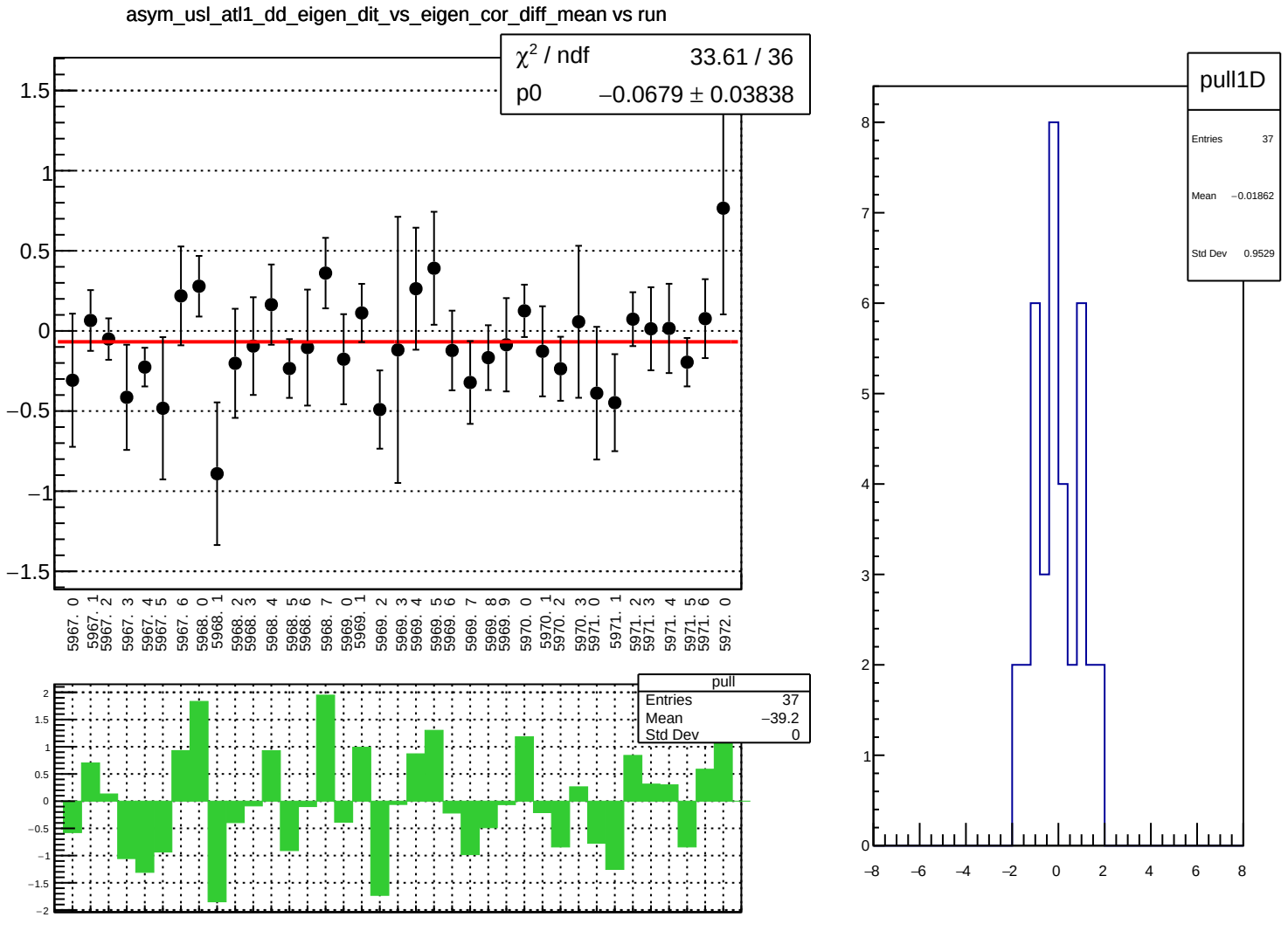
asym_usl_atl1_dd_eigen_dit_vs_eigen_cor_diff_mean vs run
χ² / ndf 33.61 / 36
p0 −0.0679 ± 0.03838
pull
Entries 37
Mean −39.2
Std Dev 0
pull1D
Entries 37
Mean −0.01862
Std Dev 0.9529

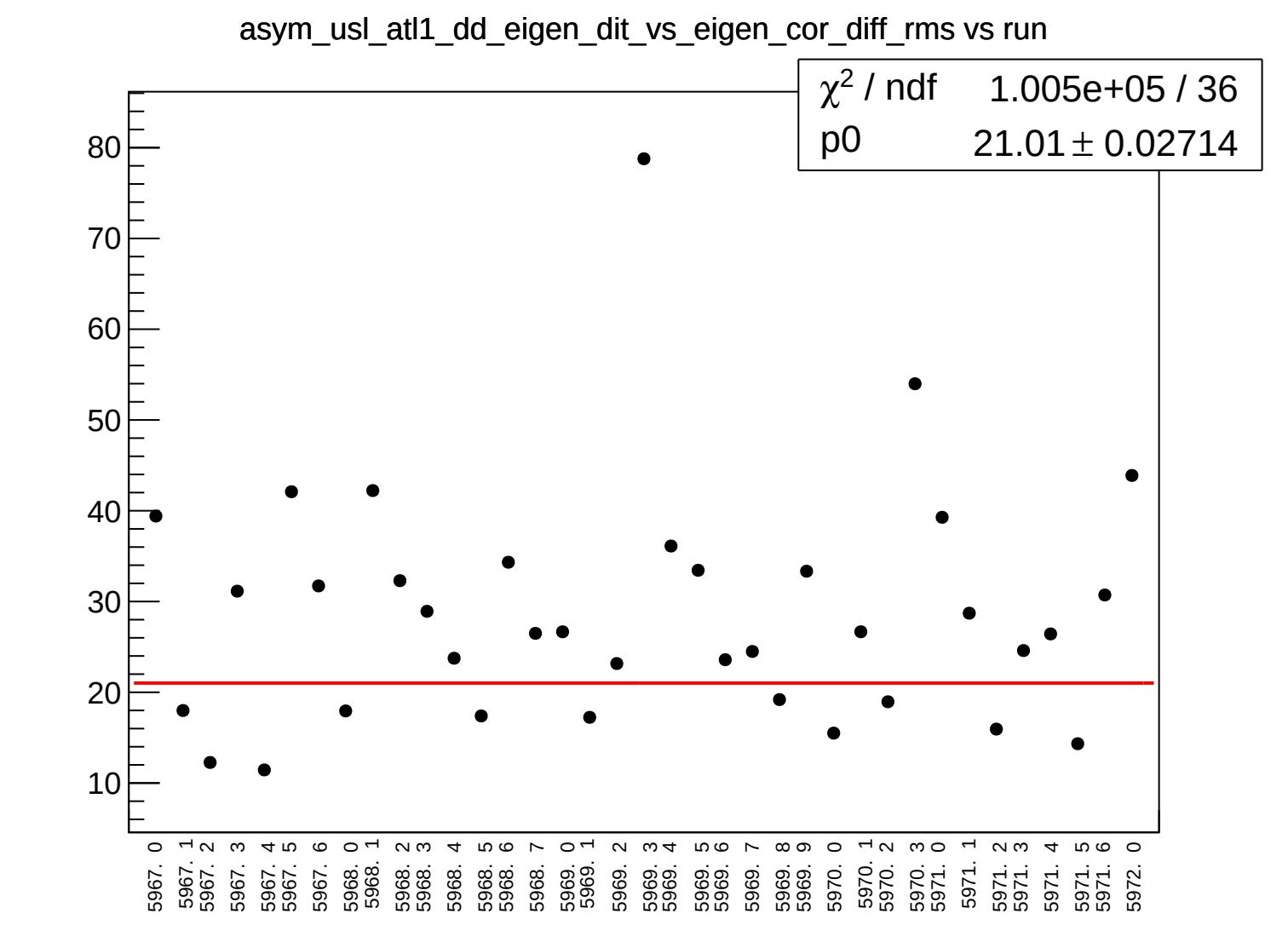
asym_usl_atl1_dd_eigen_dit_vs_eigen_cor_diff_rms vs run
χ² / ndf 1.005e+05 / 36
p0 21.01 ± 0.02714
80
70
60
50
40
30
20
10
5967. 0
5967. 1
5967. 2
5967. 3
5967. 4
5967. 5
5967. 6
5968. 0
5968. 1
5968. 2
5968. 3
5968. 4
5968. 5
5968. 6
5968. 7
5969. 0
5969. 1
5969. 2
5969. 3
5969. 4
5969. 5
5969. 6
5969. 7
5969. 8
5969. 9
5970. 0
5970. 1
5970. 2
5970. 3
5971. 0
5971. 1
5971. 2
5971. 3
5971. 4
5971. 5
5971. 6
5972. 0

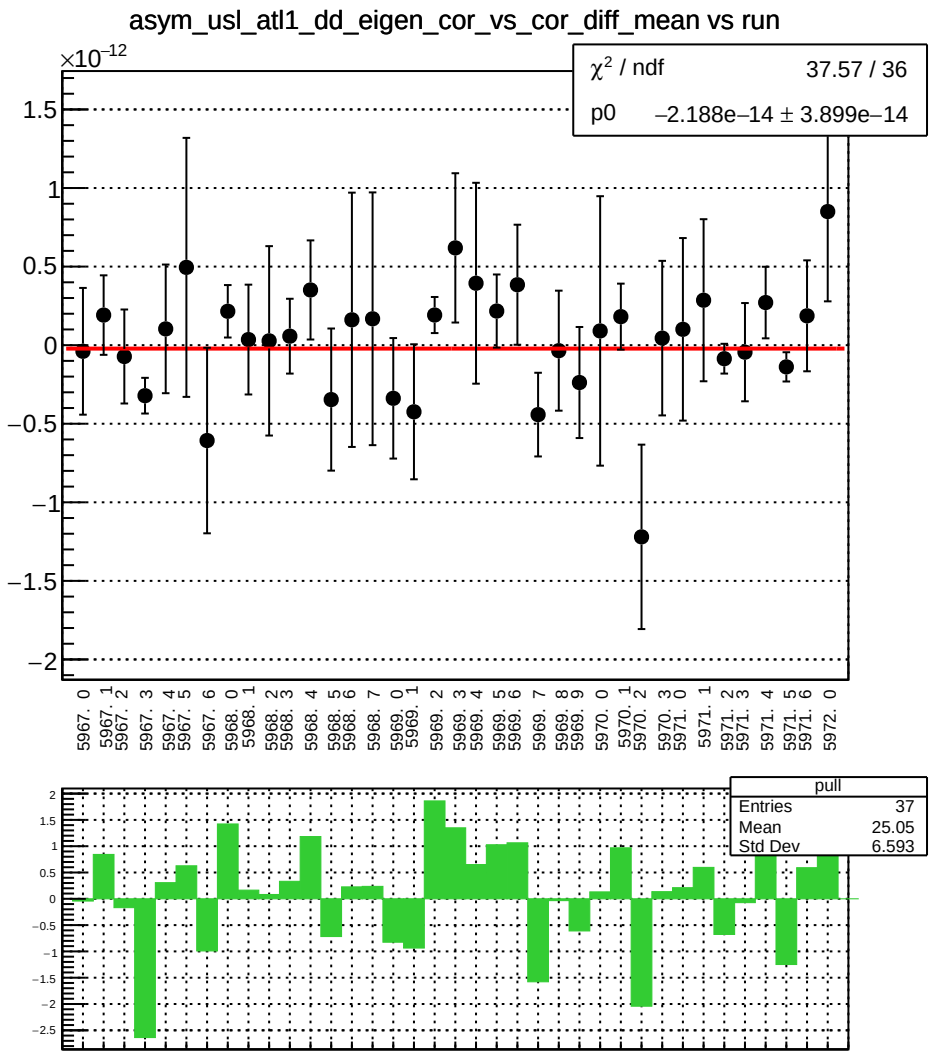
asym_usl_atl1_dd_eigen_cor_vs_cor_diff_mean vs run
×10⁻¹²
χ² / ndf 37.57 / 36
p0 −2.188e−14 ± 3.899e−14
1.5
1
0.5
0
−0.5
−1
−1.5
−2
5967. 0
5967. 1
5967. 2
5967. 3
5967. 4
5967. 5
5967. 6
5968. 0
5968. 1
5968. 2
5968. 3
5968. 4
5968. 5
5968. 6
5968. 7
5969. 0
5969. 1
5969. 2
5969. 3
5969. 4
5969. 5
5969. 6
5969. 7
5969. 8
5969. 9
5970. 0
5970. 1
5970. 2
5970. 3
5971. 0
5971. 1
5971. 2
5971. 3
5971. 4
5971. 5
5971. 6
5972. 0
pull
Entries 37
Mean 25.05
Std Dev 6.593
2
1.5
1
0.5
0
−0.5
−1
−1.5
−2
−2.5

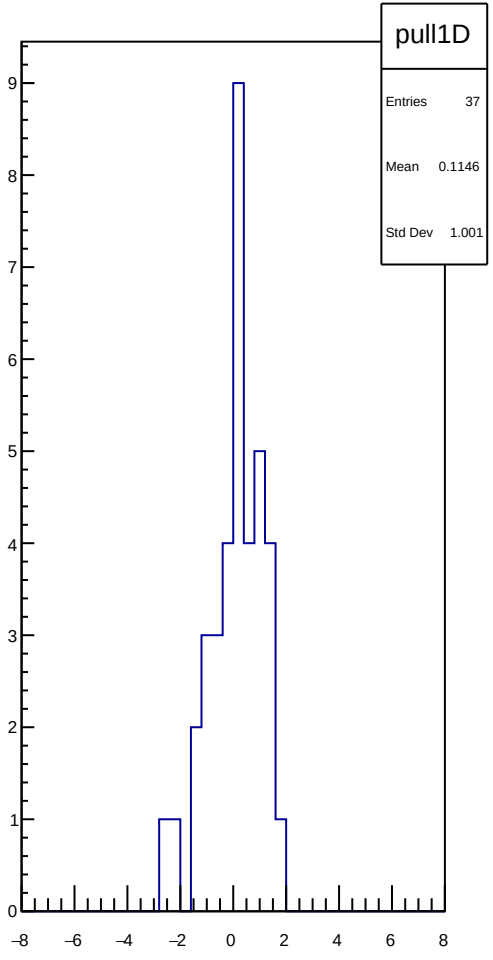
pull1D
Entries 37
Mean 0.1146
Std Dev 1.001
9
8
7
6
5
4
3
2
1
0
−8
−6
−4
−2
0
2
4
6
8

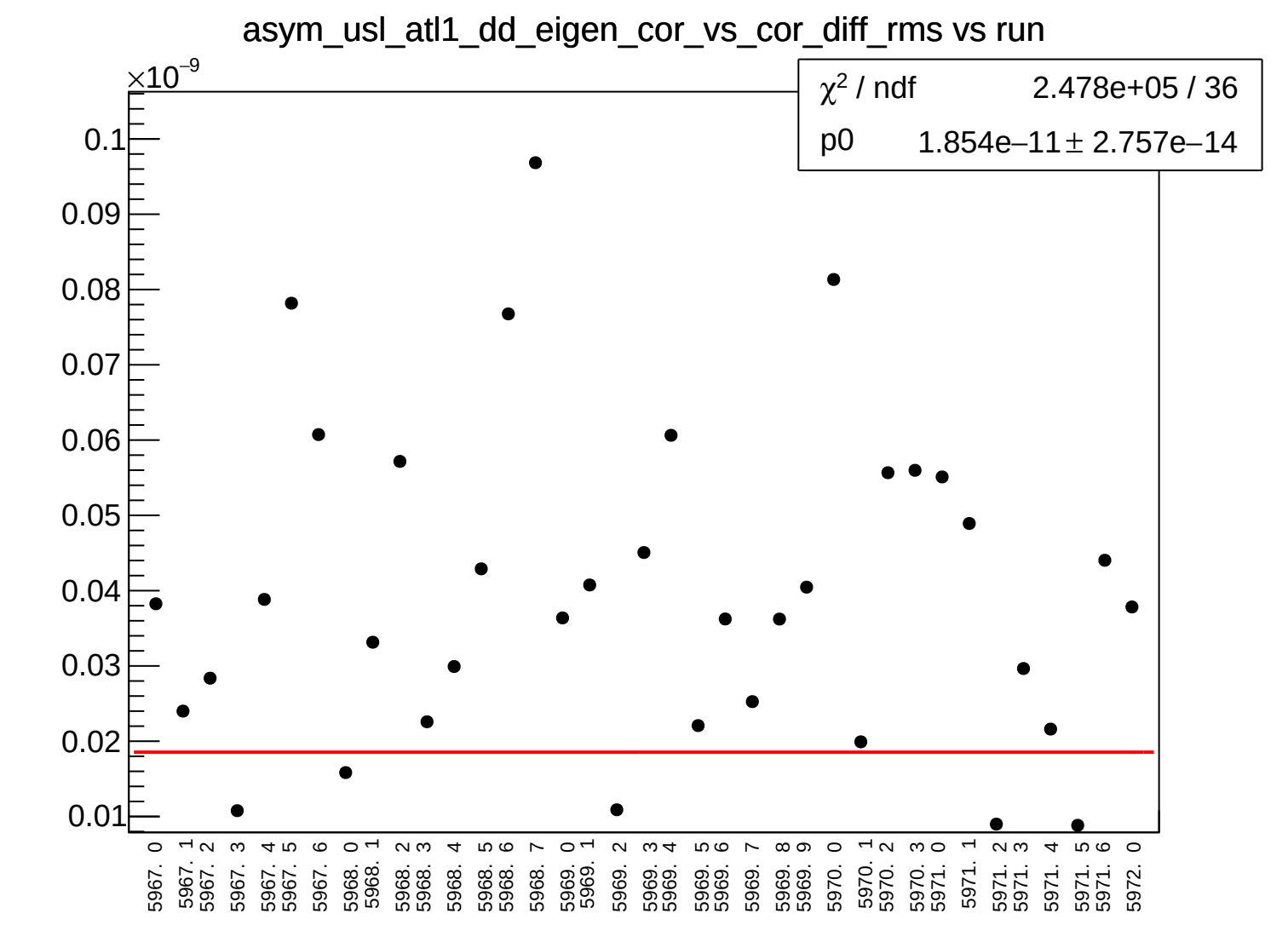
asym_usl_atl1_dd_eigen_cor_vs_cor_diff_rms vs run
×10⁻⁹
χ² / ndf 2.478e+05 / 36
p0 1.854e−11 ± 2.757e−14
0.1
0.09
0.08
0.07
0.06
0.05
0.04
0.03
0.02
0.01
5967. 0
5967. 1
5967. 2
5967. 3
5967. 4
5967. 5
5967. 6
5968. 0
5968. 1
5968. 2
5968. 3
5968. 4
5968. 5
5968. 6
5968. 7
5969. 0
5969. 1
5969. 2
5969. 3
5969. 4
5969. 5
5969. 6
5969. 7
5969. 8
5969. 9
5970. 0
5970. 1
5970. 2
5970. 3
5971. 0
5971. 1
5971. 2
5971. 3
5971. 4
5971. 5
5971. 6
5972. 0

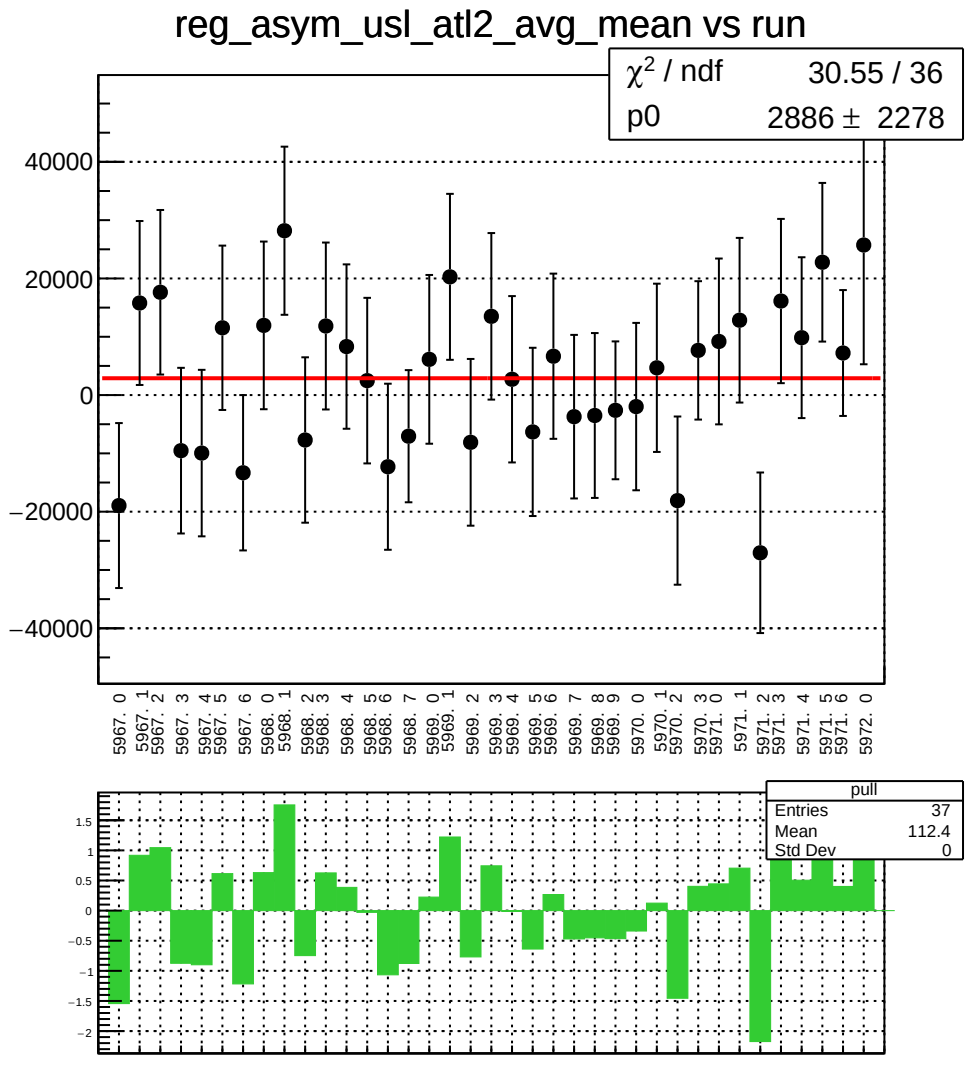
reg_asym_usl_atl2_avg_mean vs run
χ² / ndf 30.55 / 36
p0 2886 ± 2278
40000
20000
0
−20000
−40000
5967. 0
5967. 1
5967. 2
5967. 3
5967. 4
5967. 5
5967. 6
5968. 0
5968. 1
5968. 2
5968. 3
5968. 4
5968. 5
5968. 6
5968. 7
5969. 0
5969. 1
5969. 2
5969. 3
5969. 4
5969. 5
5969. 6
5969. 7
5969. 8
5969. 9
5970. 0
5970. 1
5970. 2
5970. 3
5971. 0
5971. 1
5971. 2
5971. 3
5971. 4
5971. 5
5971. 6
5972. 0
pull
Entries 37
Mean 112.4
Std Dev 0
1.5
1
0.5
0
−0.5
−1
−1.5
−2
pull1D
Entries 37
Mean 0.0136
Std Dev 0.9085
9
8
7
6
5
4
3
2
1
0
−8
−6
−4
−2
0
2
4
6
8

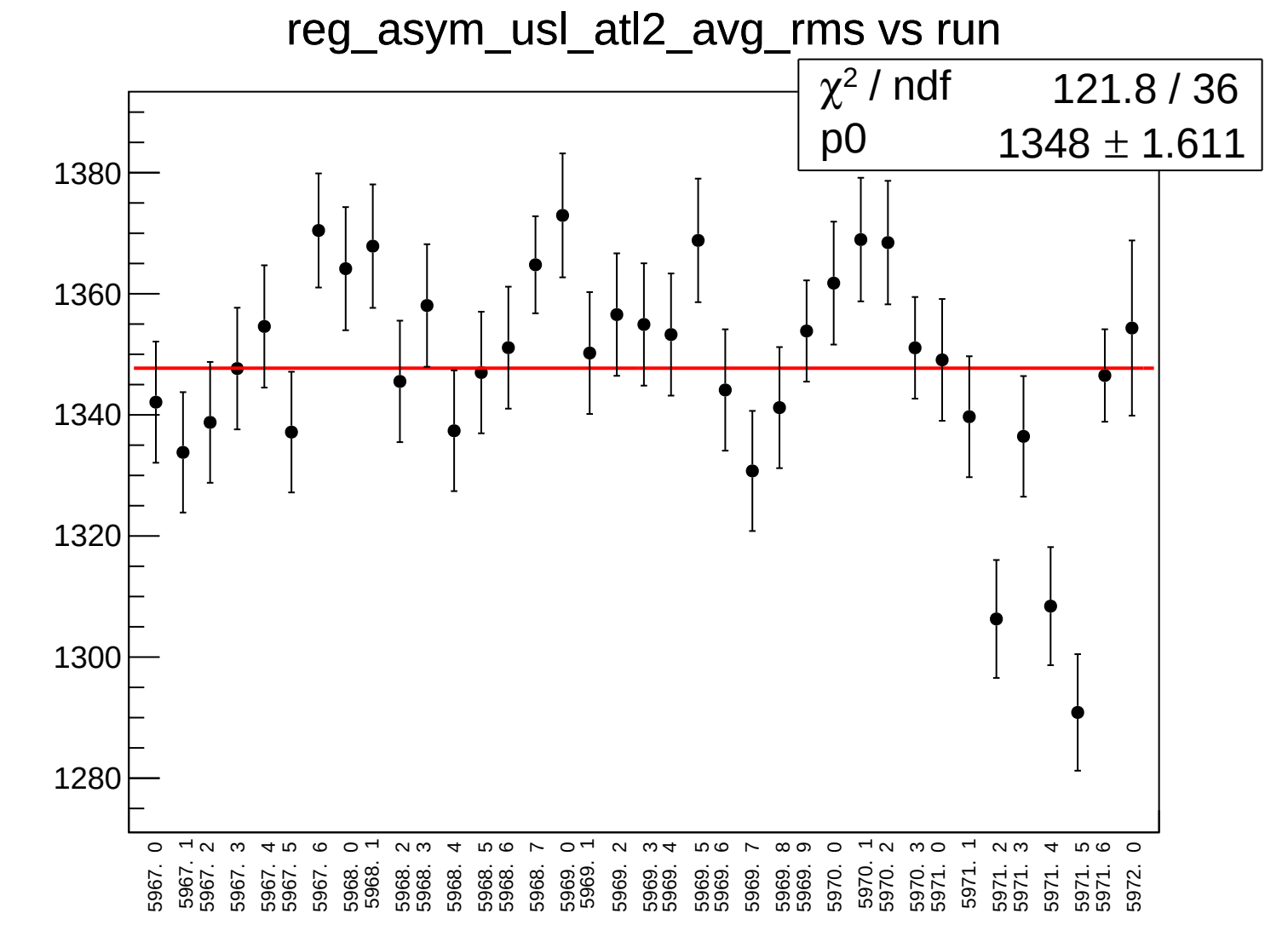
reg_asym_usl_atl2_avg_rms vs run
χ² / ndf 121.8 / 36
p0 1348 ± 1.611
1380
1360
1340
1320
1300
1280
5967. 0
5967. 1
5967. 2
5967. 3
5967. 4
5967. 5
5967. 6
5968. 0
5968. 1
5968. 2
5968. 3
5968. 4
5968. 5
5968. 6
5968. 7
5969. 0
5969. 1
5969. 2
5969. 3
5969. 4
5969. 5
5969. 6
5969. 7
5969. 8
5969. 9
5970. 0
5970. 1
5970. 2
5970. 3
5971. 0
5971. 1
5971. 2
5971. 3
5971. 4
5971. 5
5971. 6
5972. 0

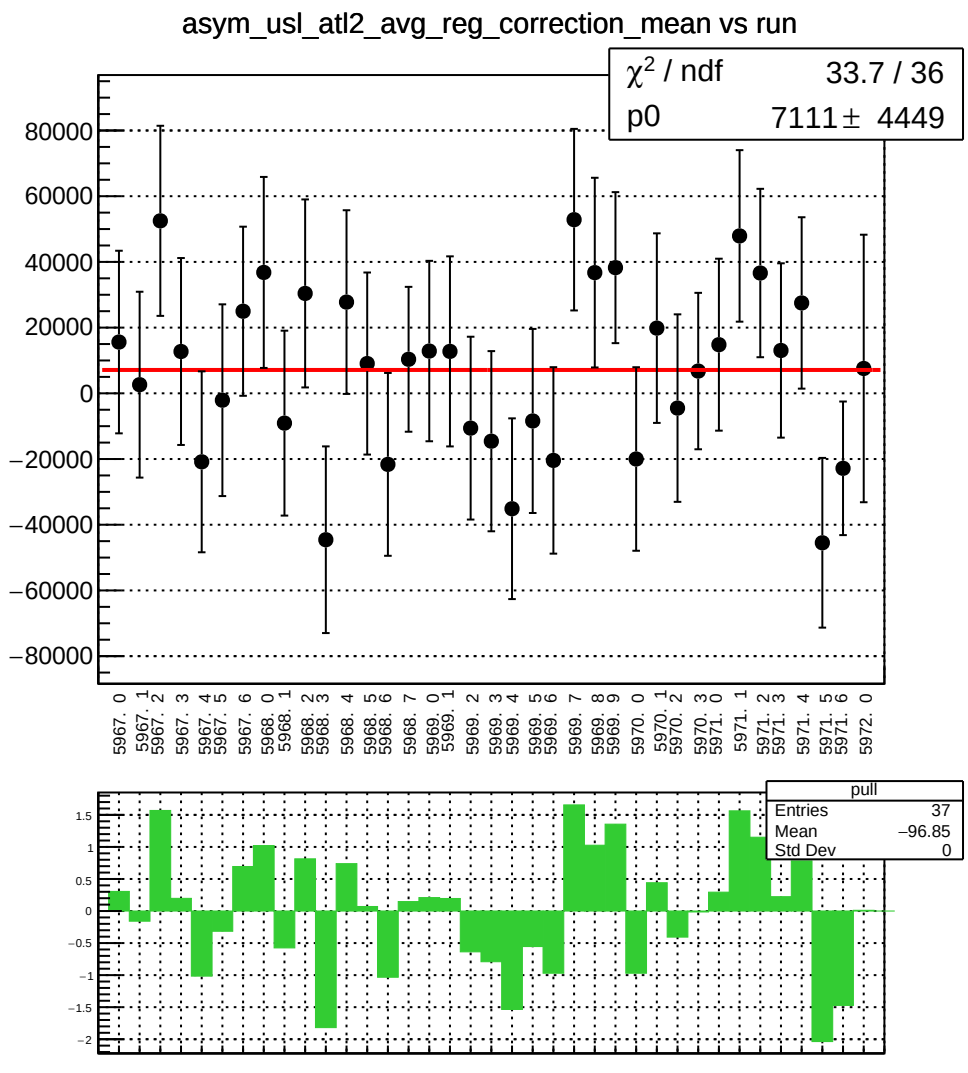
asym_usl_atl2_avg_reg_correction_mean vs run
χ² / ndf 33.7 / 36
p0 7111 ± 4449
80000
60000
40000
20000
0
−20000
−40000
−60000
−80000
5967. 0
5967. 1
5967. 2
5967. 3
5967. 4
5967. 5
5967. 6
5968. 0
5968. 1
5968. 2
5968. 3
5968. 4
5968. 5
5968. 6
5968. 7
5969. 0
5969. 1
5969. 2
5969. 3
5969. 4
5969. 5
5969. 6
5969. 7
5969. 8
5969. 9
5970. 0
5970. 1
5970. 2
5970. 3
5971. 0
5971. 1
5971. 2
5971. 3
5971. 4
5971. 5
5971. 6
5972. 0
pull
Entries 37
Mean −96.85
Std Dev 0
1.5
1
0.5
0
−0.5
−1
−1.5
−2

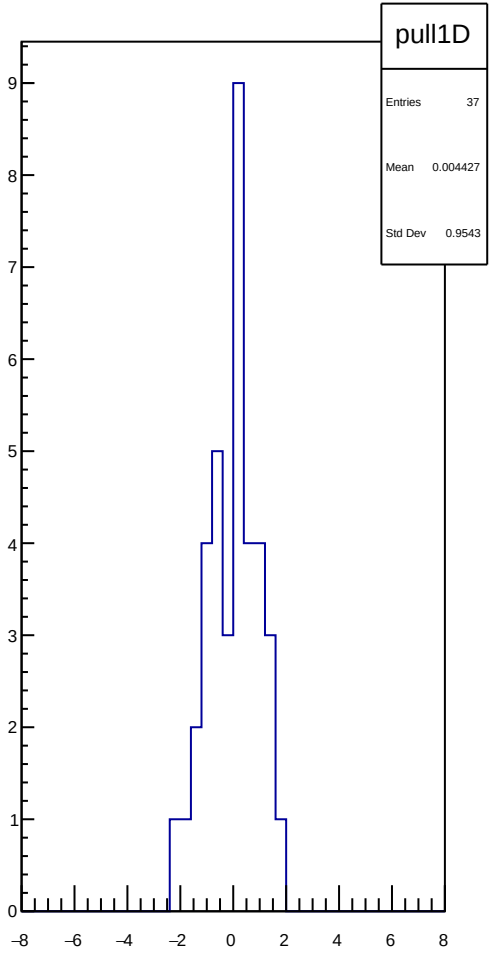
pull1D
Entries 37
Mean 0.004427
Std Dev 0.9543
9
8
7
6
5
4
3
2
1
0
−8
−6
−4
−2
0
2
4
6
8

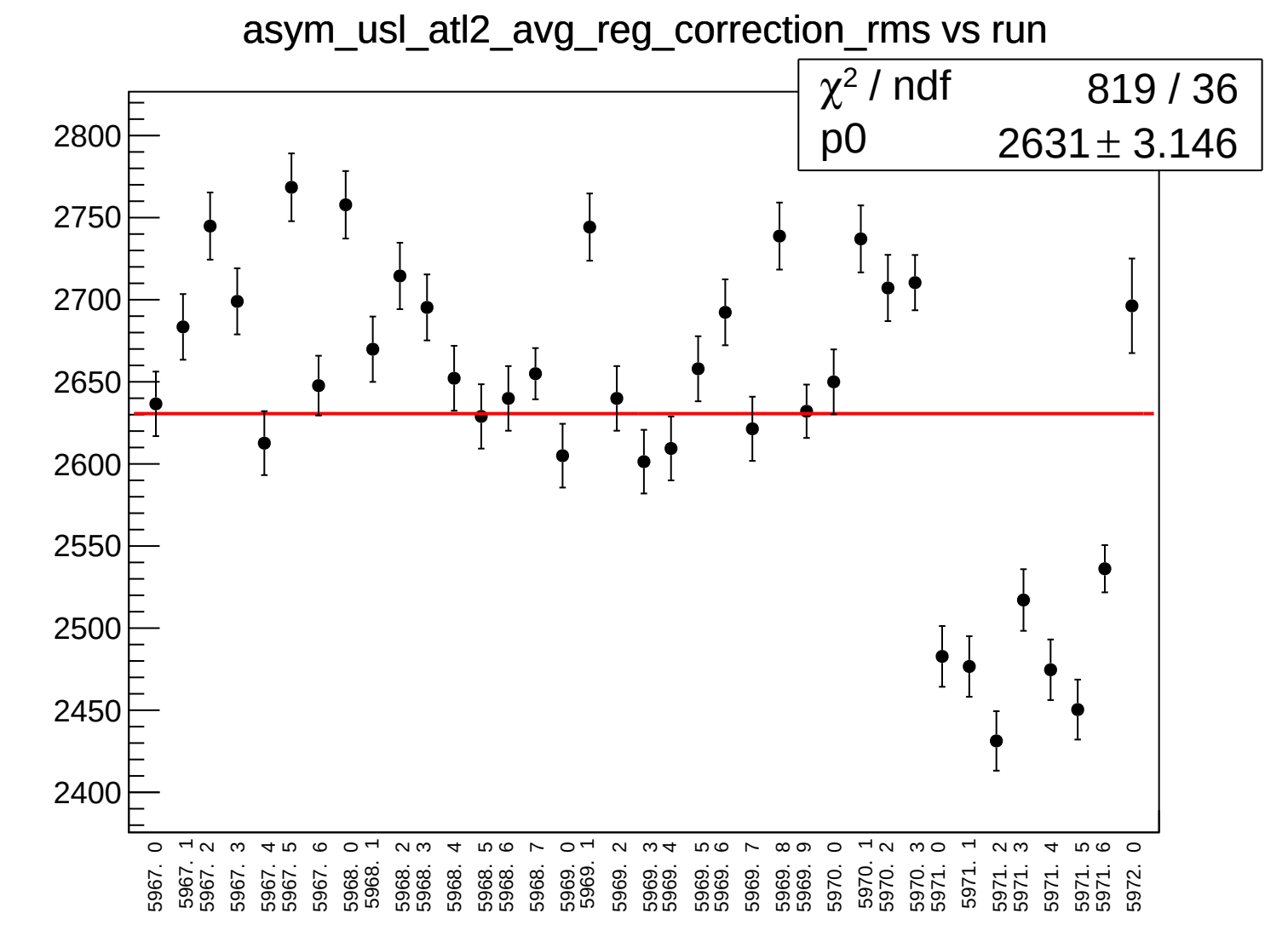
asym_usl_atl2_avg_reg_correction_rms vs run
χ² / ndf 819 / 36
p0 2631 ± 3.146
2800
2750
2700
2650
2600
2550
2500
2450
2400
5967. 0
5967. 1
5967. 2
5967. 3
5967. 4
5967. 5
5967. 6
5968. 0
5968. 1
5968. 2
5968. 3
5968. 4
5968. 5
5968. 6
5968. 7
5969. 0
5969. 1
5969. 2
5969. 3
5969. 4
5969. 5
5969. 6
5969. 7
5969. 8
5969. 9
5970. 0
5970. 1
5970. 2
5970. 3
5971. 0
5971. 1
5971. 2
5971. 3
5971. 4
5971. 5
5971. 6
5972. 0

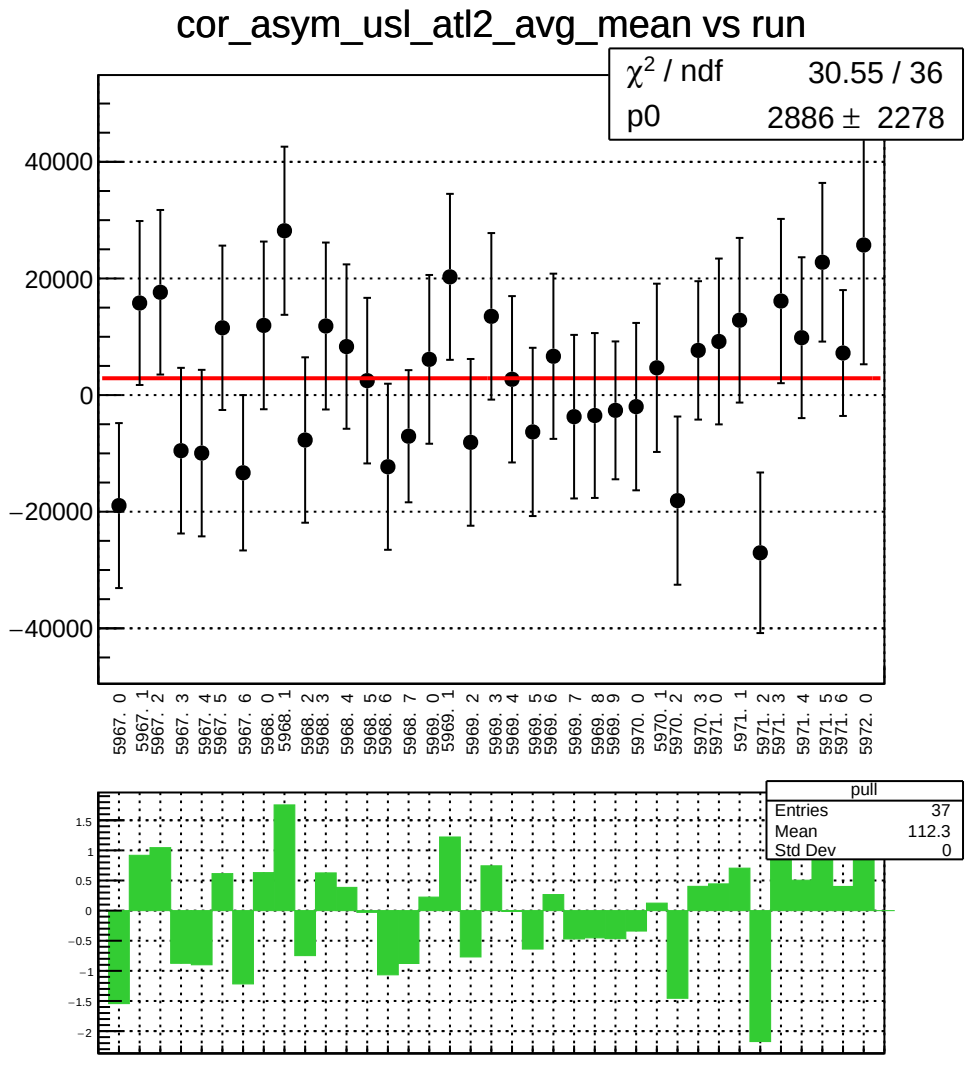
cor_asym_usl_atl2_avg_mean vs run
χ² / ndf 30.55 / 36
p0 2886 ± 2278
40000
20000
0
−20000
−40000
5967. 0
5967. 1
5967. 2
5967. 3
5967. 4
5967. 5
5967. 6
5968. 0
5968. 1
5968. 2
5968. 3
5968. 4
5968. 5
5968. 6
5968. 7
5969. 0
5969. 1
5969. 2
5969. 3
5969. 4
5969. 5
5969. 6
5969. 7
5969. 8
5969. 9
5970. 0
5970. 1
5970. 2
5970. 3
5971. 0
5971. 1
5971. 2
5971. 3
5971. 4
5971. 5
5971. 6
5972. 0
pull
Entries 37
Mean 112.3
Std Dev 0
1.5
1
0.5
0
−0.5
−1
−1.5
−2
pull1D
Entries 37
Mean 0.0136
Std Dev 0.9085
9
8
7
6
5
4
3
2
1
0
−8
−6
−4
−2
0
2
4
6
8

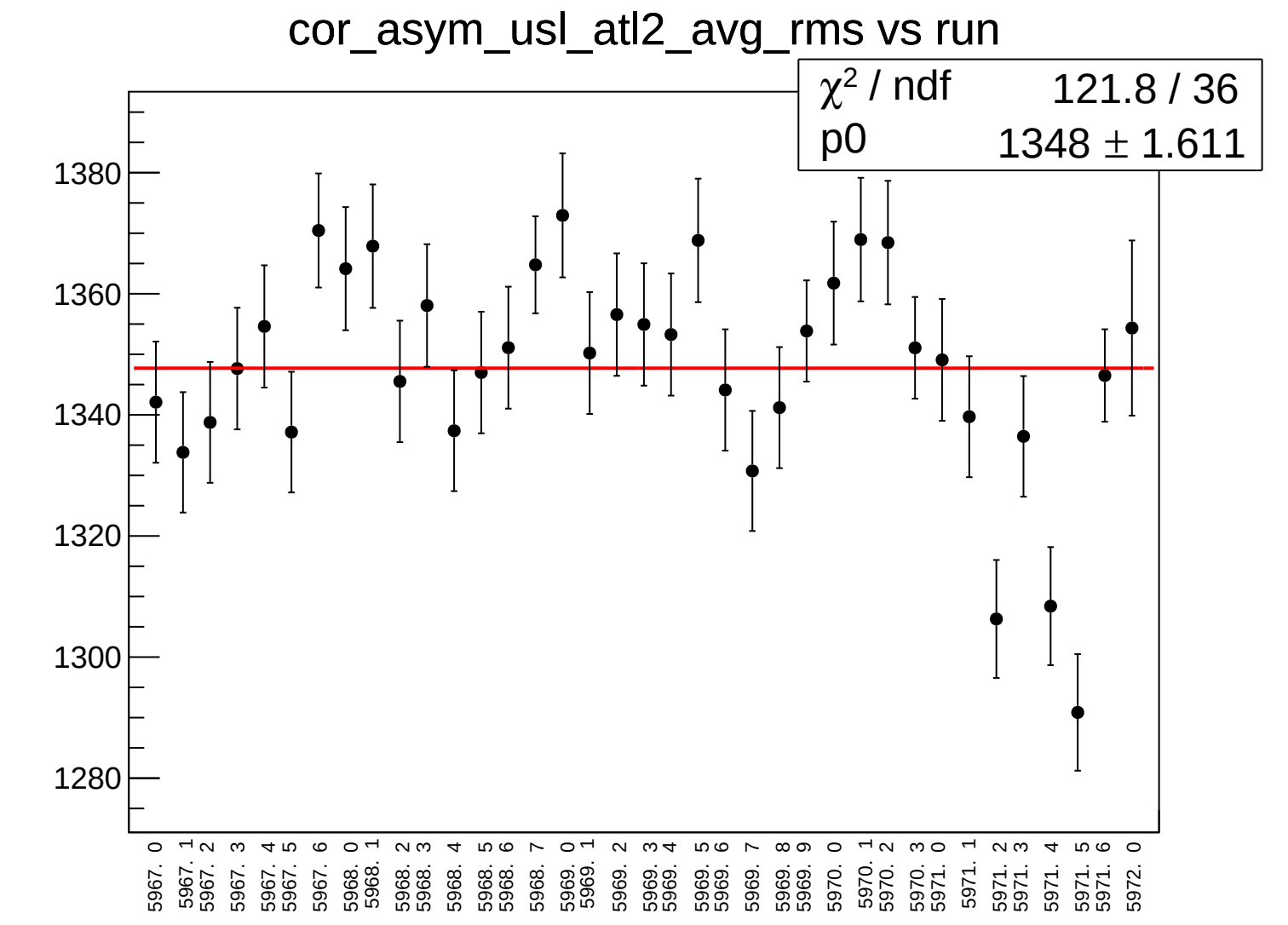
cor_asym_usl_atl2_avg_rms vs run
χ² / ndf 121.8 / 36
p0 1348 ± 1.611
1380
1360
1340
1320
1300
1280
5967. 0
5967. 1
5967. 2
5967. 3
5967. 4
5967. 5
5967. 6
5968. 0
5968. 1
5968. 2
5968. 3
5968. 4
5968. 5
5968. 6
5968. 7
5969. 0
5969. 1
5969. 2
5969. 3
5969. 4
5969. 5
5969. 6
5969. 7
5969. 8
5969. 9
5970. 0
5970. 1
5970. 2
5970. 3
5971. 0
5971. 1
5971. 2
5971. 3
5971. 4
5971. 5
5971. 6
5972. 0

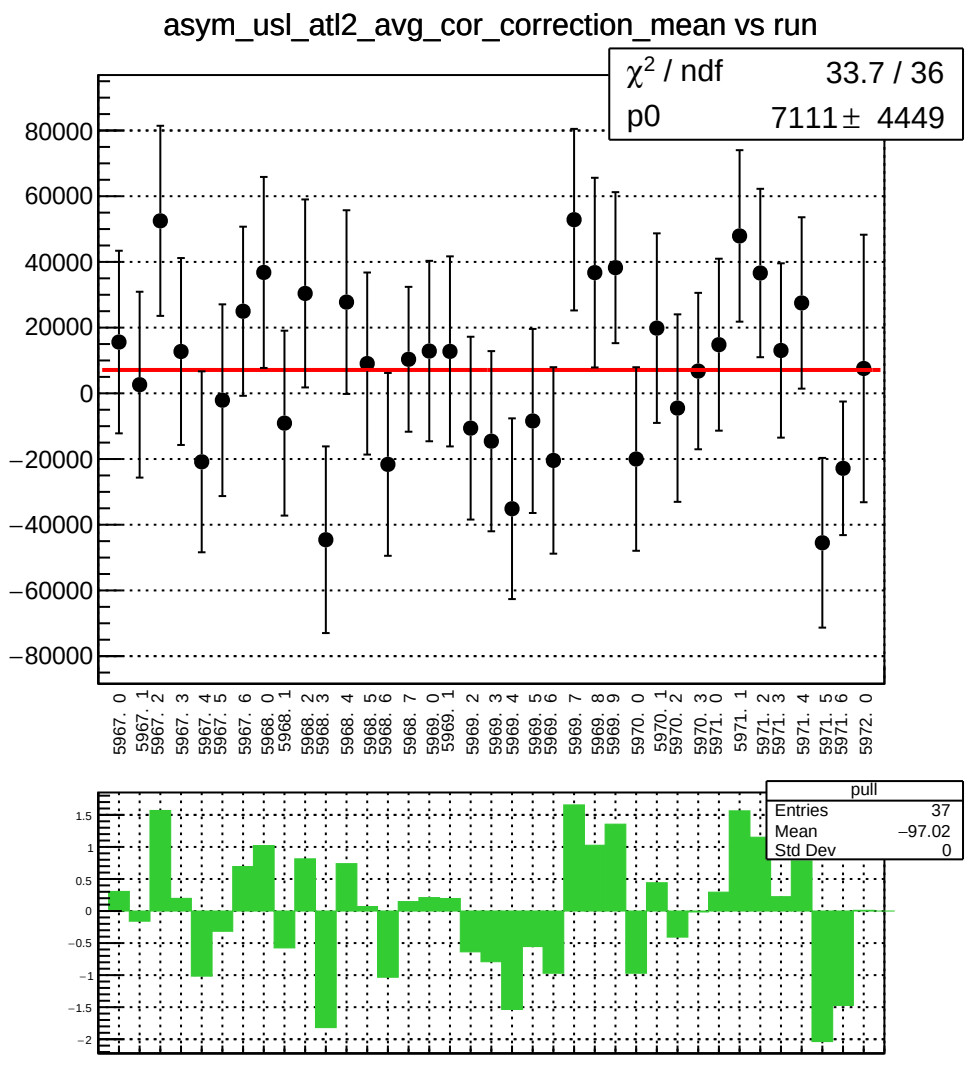
asym_usl_atl2_avg_cor_correction_mean vs run
χ² / ndf 33.7 / 36
p0 7111 ± 4449
80000
60000
40000
20000
0
−20000
−40000
−60000
−80000
5967. 0
5967. 1
5967. 2
5967. 3
5967. 4
5967. 5
5967. 6
5968. 0
5968. 1
5968. 2
5968. 3
5968. 4
5968. 5
5968. 6
5968. 7
5969. 0
5969. 1
5969. 2
5969. 3
5969. 4
5969. 5
5969. 6
5969. 7
5969. 8
5969. 9
5970. 0
5970. 1
5970. 2
5970. 3
5971. 0
5971. 1
5971. 2
5971. 3
5971. 4
5971. 5
5971. 6
5972. 0
pull
Entries 37
Mean −97.02
Std Dev 0
1.5
1
0.5
0
−0.5
−1
−1.5
−2
pull1D
Entries 37
Mean 0.00442
Std Dev 0.9544
9
8
7
6
5
4
3
2
1
0
−8
−6
−4
−2
0
2
4
6
8

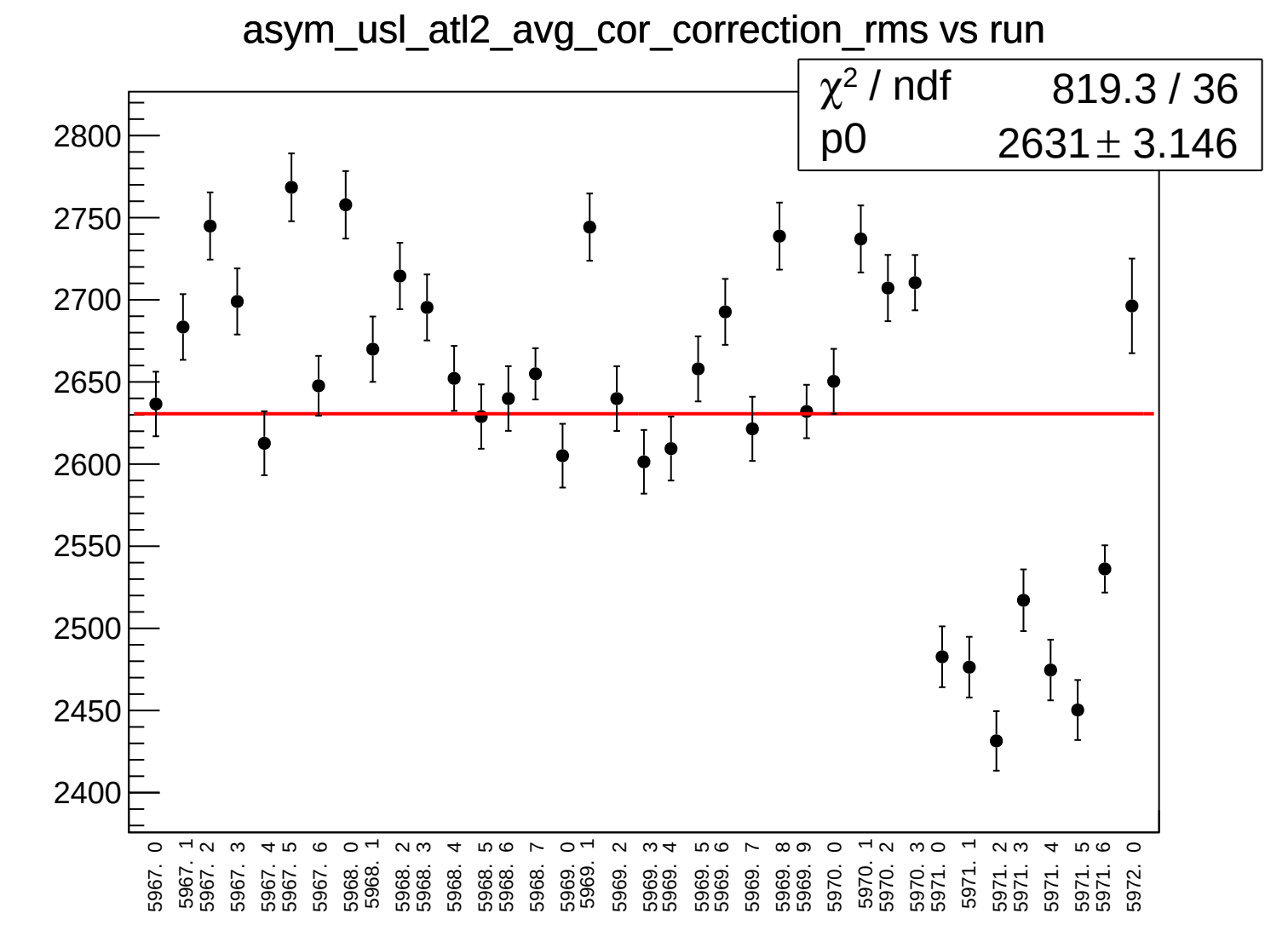
asym_usl_atl2_avg_cor_correction_rms vs run
χ² / ndf 819.3 / 36
p0 2631 ± 3.146
2800
2750
2700
2650
2600
2550
2500
2450
2400
5967. 0
5967. 1
5967. 2
5967. 3
5967. 4
5967. 5
5967. 6
5968. 0
5968. 1
5968. 2
5968. 3
5968. 4
5968. 5
5968. 6
5968. 7
5969. 0
5969. 1
5969. 2
5969. 3
5969. 4
5969. 5
5969. 6
5969. 7
5969. 8
5969. 9
5970. 0
5970. 1
5970. 2
5970. 3
5971. 0
5971. 1
5971. 2
5971. 3
5971. 4
5971. 5
5971. 6
5972. 0

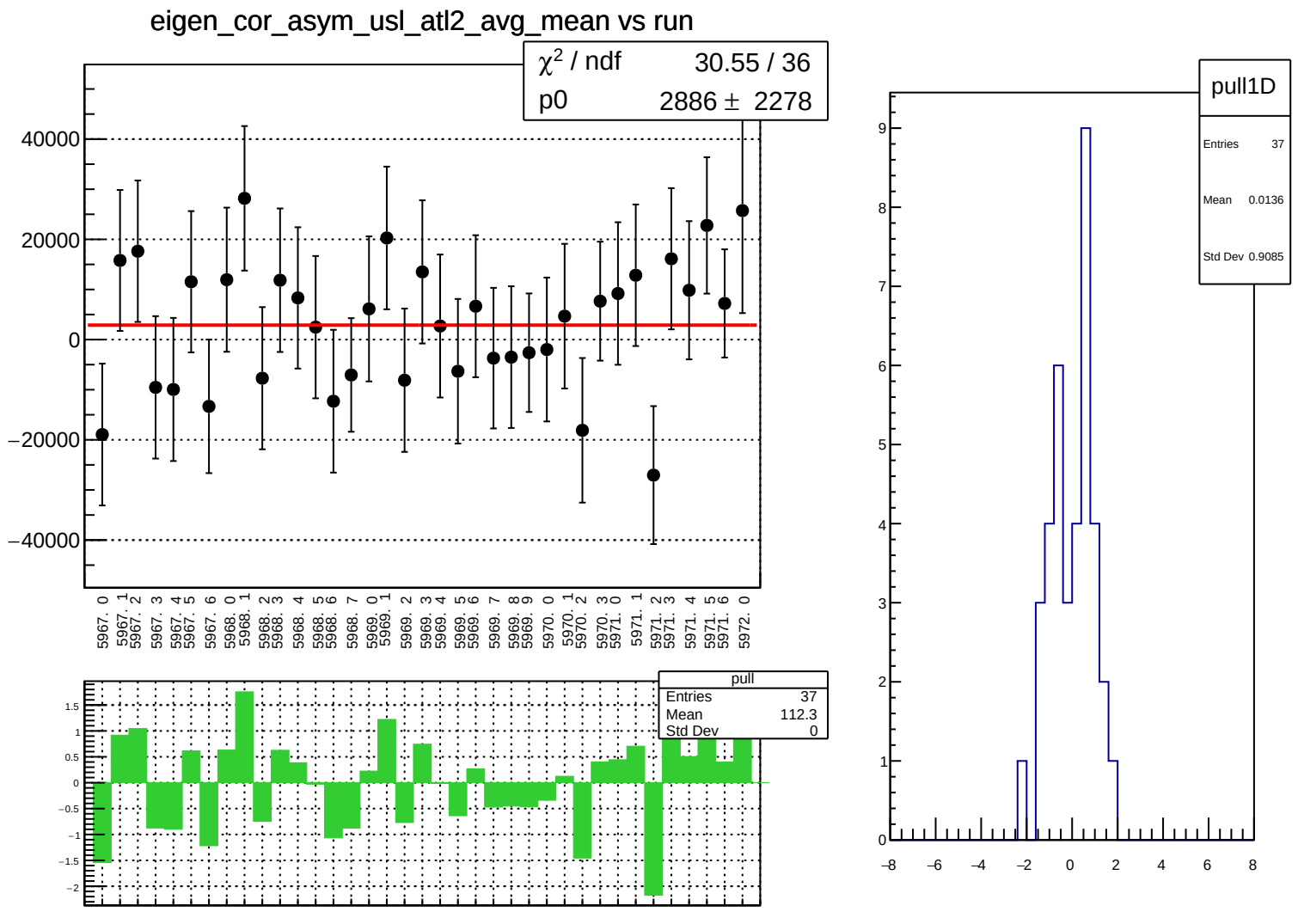
eigen_cor_asym_usl_atl2_avg_mean vs run
χ² / ndf 30.55 / 36
p0 2886 ± 2278
40000
20000
0
−20000
−40000
5967. 0
5967. 1
5967. 2
5967. 3
5967. 4
5967. 5
5967. 6
5968. 0
5968. 1
5968. 2
5968. 3
5968. 4
5968. 5
5968. 6
5968. 7
5969. 0
5969. 1
5969. 2
5969. 3
5969. 4
5969. 5
5969. 6
5969. 7
5969. 8
5969. 9
5970. 0
5970. 1
5970. 2
5970. 3
5971. 0
5971. 1
5971. 2
5971. 3
5971. 4
5971. 5
5971. 6
5972. 0
pull
Entries 37
Mean 112.3
Std Dev 0
1.5
1
0.5
0
−0.5
−1
−1.5
−2
pull1D
Entries 37
Mean 0.0136
Std Dev 0.9085
9
8
7
6
5
4
3
2
1
0
−8
−6
−4
−2
0
2
4
6
8

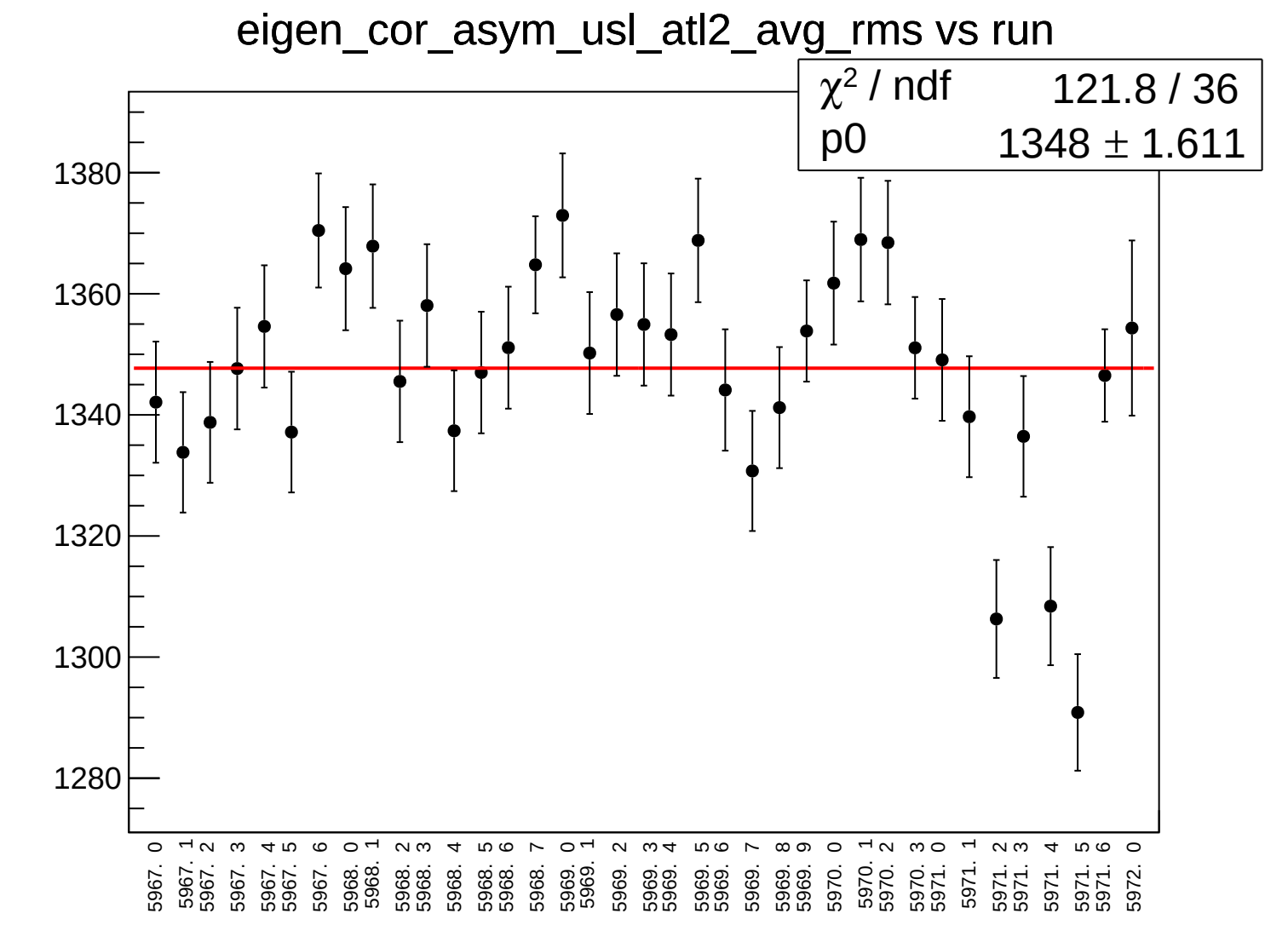
eigen_cor_asym_usl_atl2_avg_rms vs run
χ² / ndf 121.8 / 36
p0 1348 ± 1.611
1380
1360
1340
1320
1300
1280
5967. 0
5967. 1
5967. 2
5967. 3
5967. 4
5967. 5
5967. 6
5968. 0
5968. 1
5968. 2
5968. 3
5968. 4
5968. 5
5968. 6
5968. 7
5969. 0
5969. 1
5969. 2
5969. 3
5969. 4
5969. 5
5969. 6
5969. 7
5969. 8
5969. 9
5970. 0
5970. 1
5970. 2
5970. 3
5971. 0
5971. 1
5971. 2
5971. 3
5971. 4
5971. 5
5971. 6
5972. 0

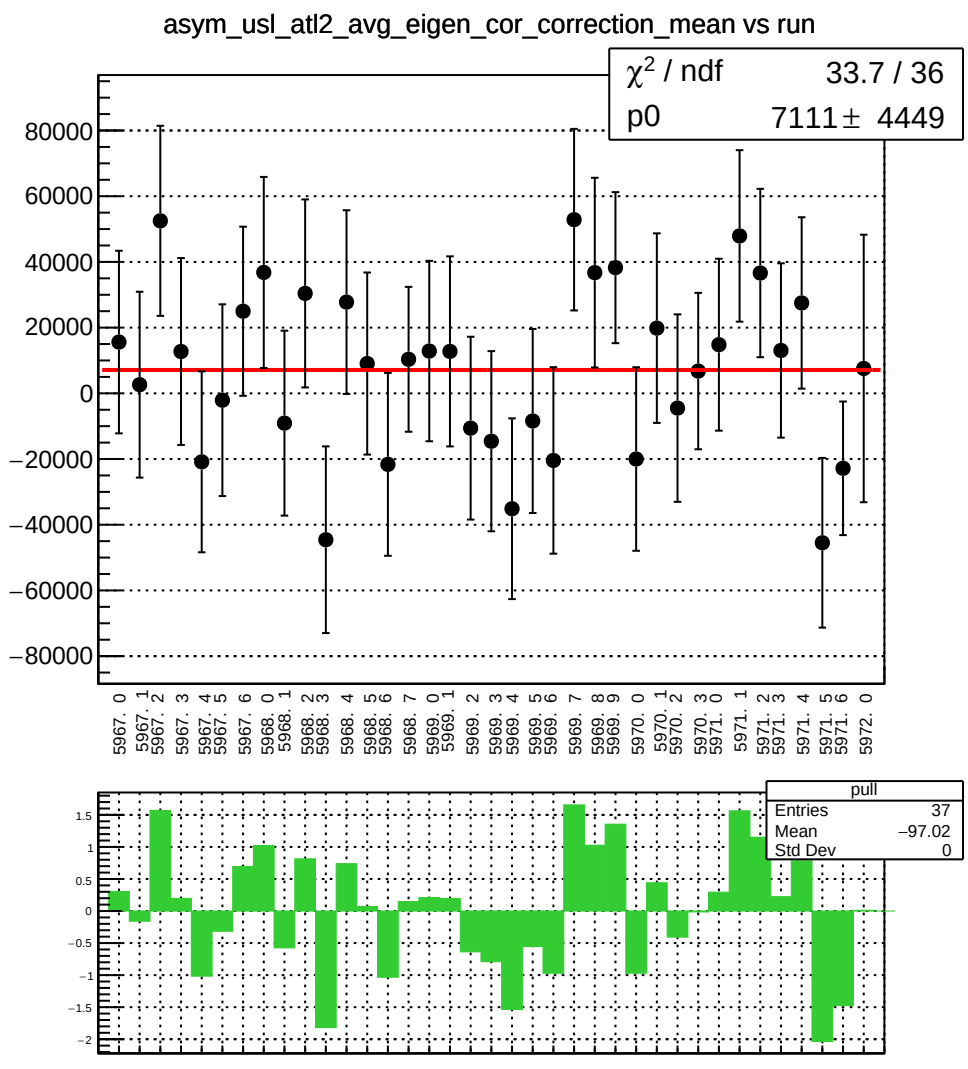
asym_usl_atl2_avg_eigen_cor_correction_mean vs run
χ² / ndf 33.7 / 36
p0 7111 ± 4449
80000
60000
40000
20000
0
−20000
−40000
−60000
−80000
5967. 0
5967. 1
5967. 2
5967. 3
5967. 4
5967. 5
5967. 6
5968. 0
5968. 1
5968. 2
5968. 3
5968. 4
5968. 5
5968. 6
5968. 7
5969. 0
5969. 1
5969. 2
5969. 3
5969. 4
5969. 5
5969. 6
5969. 7
5969. 8
5969. 9
5970. 0
5970. 1
5970. 2
5970. 3
5971. 0
5971. 1
5971. 2
5971. 3
5971. 4
5971. 5
5971. 6
5972. 0
pull
Entries 37
Mean −97.02
Std Dev 0
1.5
1
0.5
0
−0.5
−1
−1.5
−2
pull1D
Entries 37
Mean 0.00442
Std Dev 0.9544
9
8
7
6
5
4
3
2
1
0
−8
−6
−4
−2
0
2
4
6
8

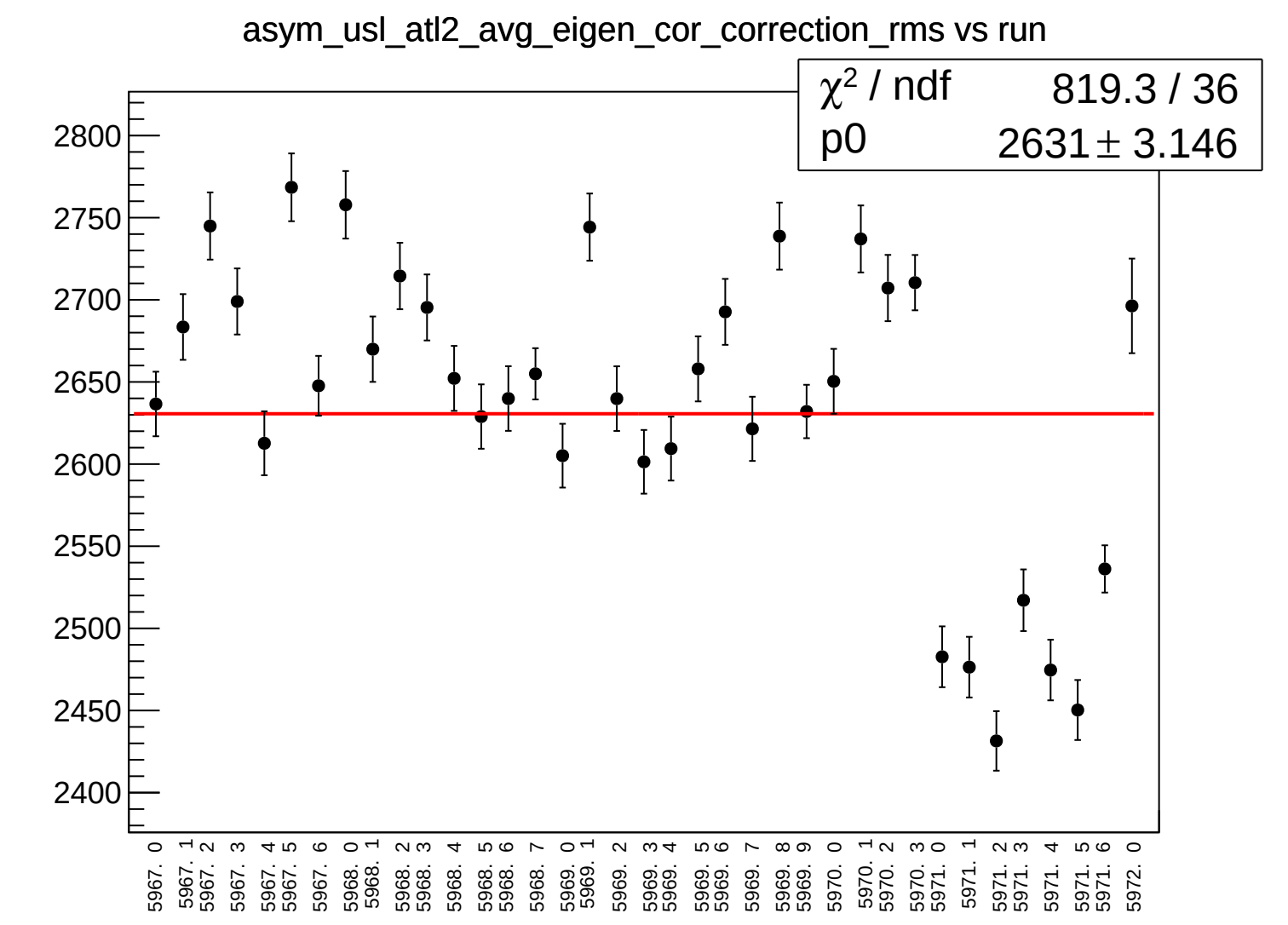
asym_usl_atl2_avg_eigen_cor_correction_rms vs run
χ² / ndf 819.3 / 36
p0 2631 ± 3.146
2800
2750
2700
2650
2600
2550
2500
2450
2400
5967. 0
5967. 1
5967. 2
5967. 3
5967. 4
5967. 5
5967. 6
5968. 0
5968. 1
5968. 2
5968. 3
5968. 4
5968. 5
5968. 6
5968. 7
5969. 0
5969. 1
5969. 2
5969. 3
5969. 4
5969. 5
5969. 6
5969. 7
5969. 8
5969. 9
5970. 0
5970. 1
5970. 2
5970. 3
5971. 0
5971. 1
5971. 2
5971. 3
5971. 4
5971. 5
5971. 6
5972. 0

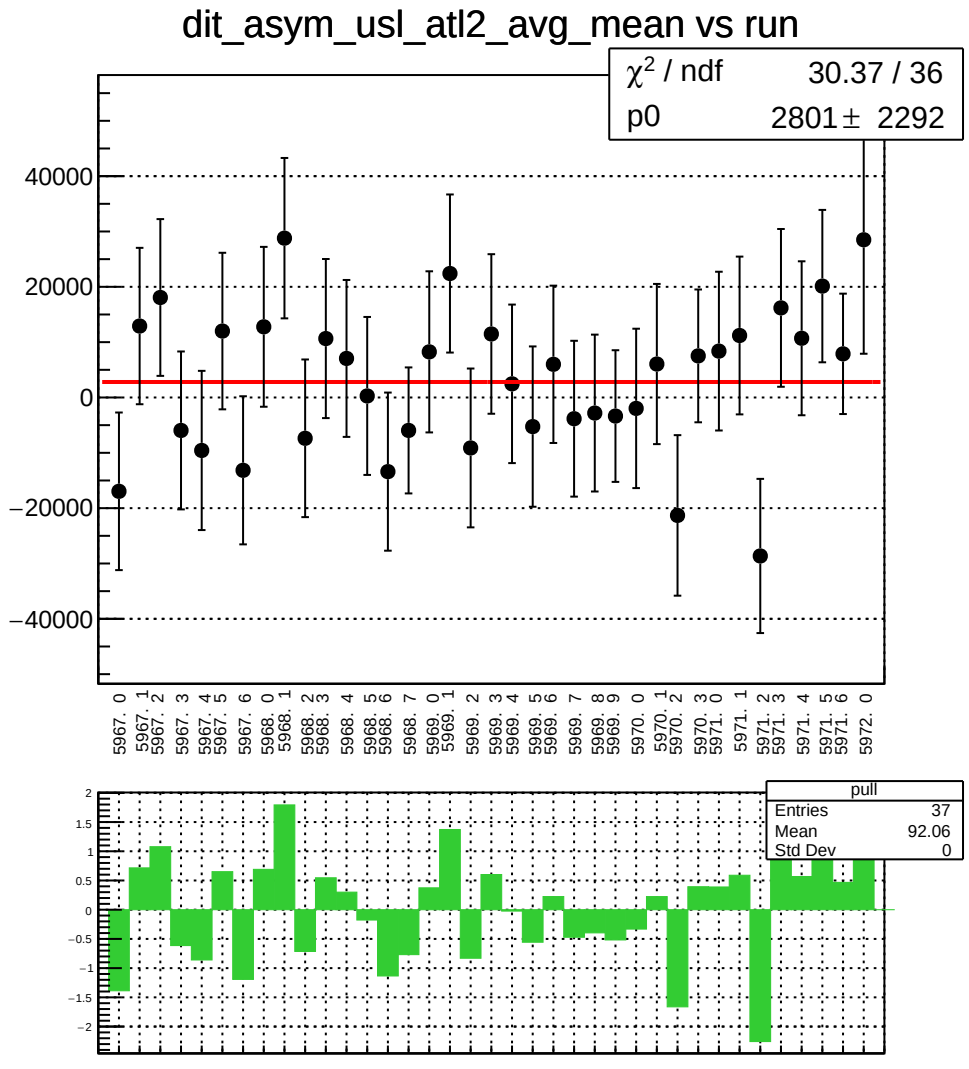
dit_asym_usl_atl2_avg_mean vs run
χ² / ndf 30.37 / 36
p0 2801 ± 2292
40000
20000
0
−20000
−40000
5967. 0
5967. 1
5967. 2
5967. 3
5967. 4
5967. 5
5967. 6
5968. 0
5968. 1
5968. 2
5968. 3
5968. 4
5968. 5
5968. 6
5968. 7
5969. 0
5969. 1
5969. 2
5969. 3
5969. 4
5969. 5
5969. 6
5969. 7
5969. 8
5969. 9
5970. 0
5970. 1
5970. 2
5970. 3
5971. 0
5971. 1
5971. 2
5971. 3
5971. 4
5971. 5
5971. 6
5972. 0
pull
Entries 37
Mean 92.06
Std Dev 0
2
1.5
1
0.5
0
−0.5
−1
−1.5
−2
pull1D
Entries 37
Mean 0.01437
Std Dev 0.9059
8
7
6
5
4
3
2
1
0
−8
−6
−4
−2
0
2
4
6
8

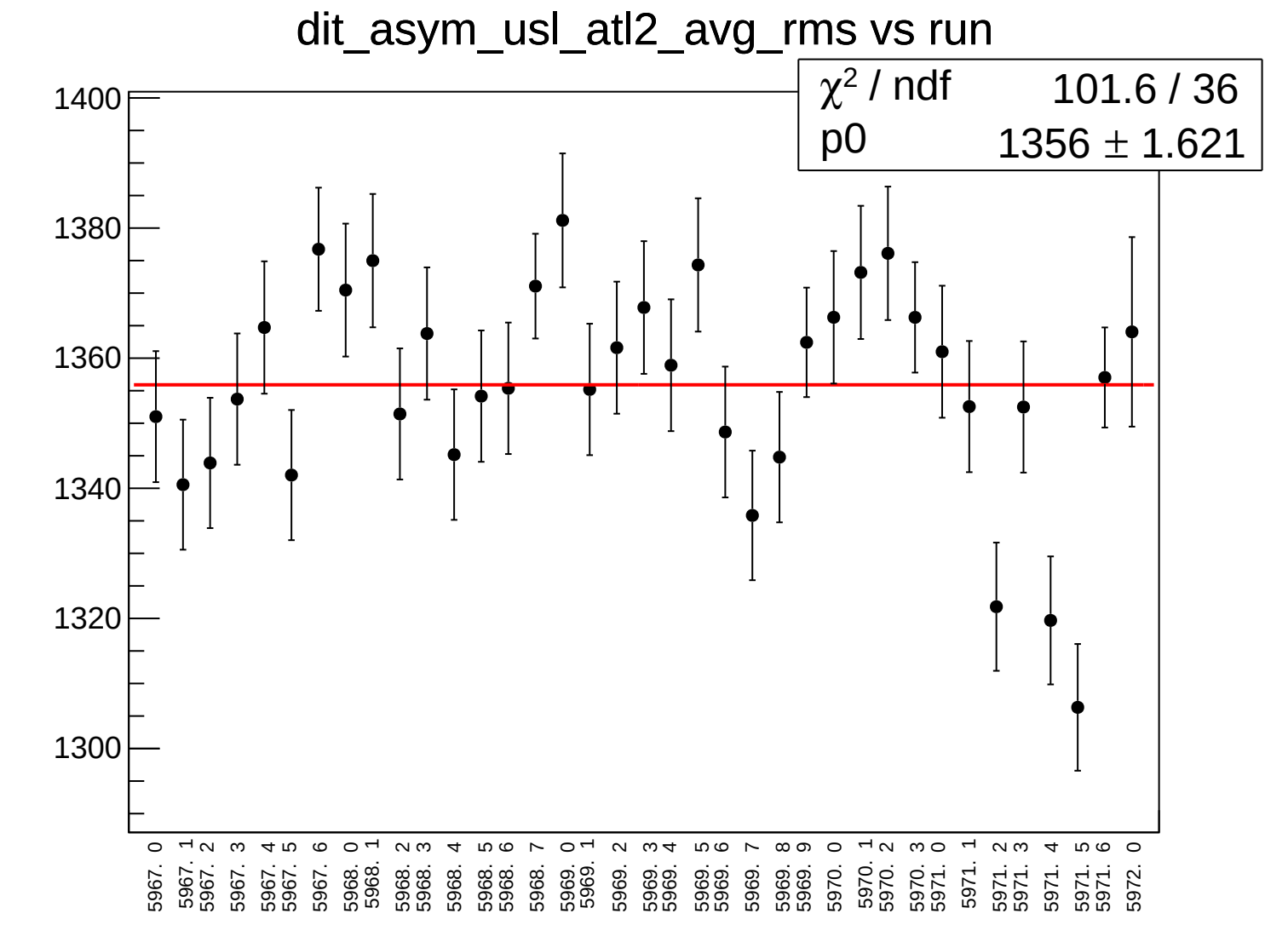
dit_asym_usl_atl2_avg_rms vs run
χ² / ndf 101.6 / 36
p0 1356 ± 1.621
1400
1380
1360
1340
1320
1300
5967. 0
5967. 1
5967. 2
5967. 3
5967. 4
5967. 5
5967. 6
5968. 0
5968. 1
5968. 2
5968. 3
5968. 4
5968. 5
5968. 6
5968. 7
5969. 0
5969. 1
5969. 2
5969. 3
5969. 4
5969. 5
5969. 6
5969. 7
5969. 8
5969. 9
5970. 0
5970. 1
5970. 2
5970. 3
5971. 0
5971. 1
5971. 2
5971. 3
5971. 4
5971. 5
5971. 6
5972. 0

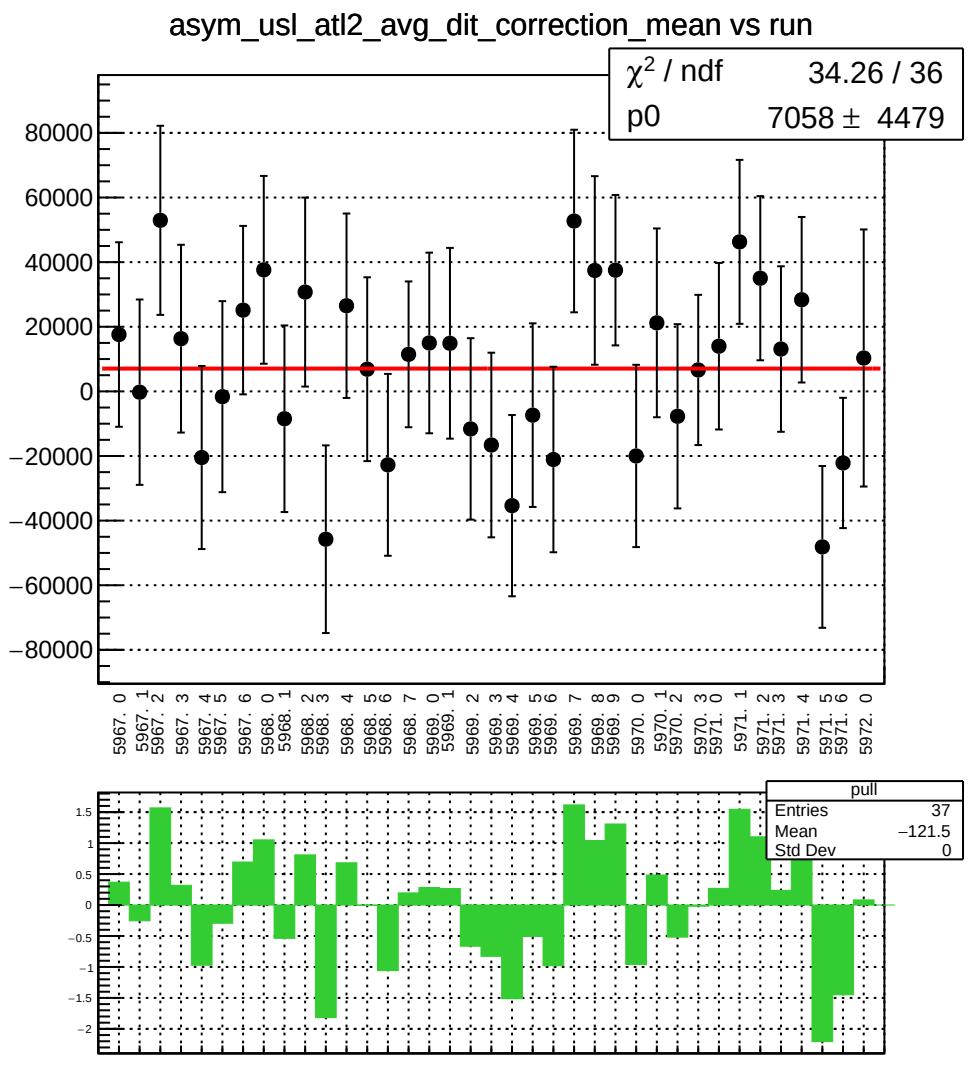
asym_usl_atl2_avg_dit_correction_mean vs run
χ² / ndf 34.26 / 36
p0 7058 ± 4479
80000
60000
40000
20000
0
−20000
−40000
−60000
−80000
5967. 0
5967. 1
5967. 2
5967. 3
5967. 4
5967. 5
5967. 6
5968. 0
5968. 1
5968. 2
5968. 3
5968. 4
5968. 5
5968. 6
5968. 7
5969. 0
5969. 1
5969. 2
5969. 3
5969. 4
5969. 5
5969. 6
5969. 7
5969. 8
5969. 9
5970. 0
5970. 1
5970. 2
5970. 3
5971. 0
5971. 1
5971. 2
5971. 3
5971. 4
5971. 5
5971. 6
5972. 0
pull
Entries 37
Mean −121.5
Std Dev 0
1.5
1
0.5
0
−0.5
−1
−1.5
−2

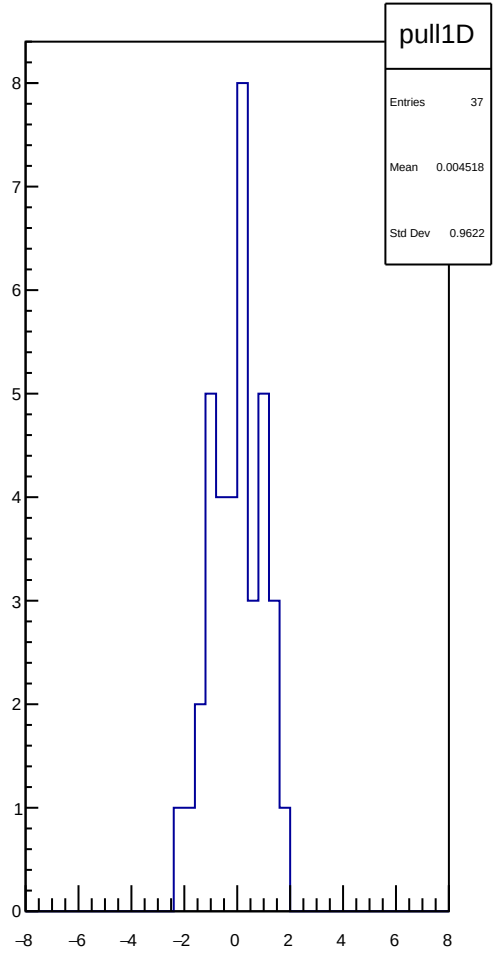
pull1D
Entries 37
Mean 0.004518
Std Dev 0.9622
8
7
6
5
4
3
2
1
0
−8
−6
−4
−2
0
2
4
6
8

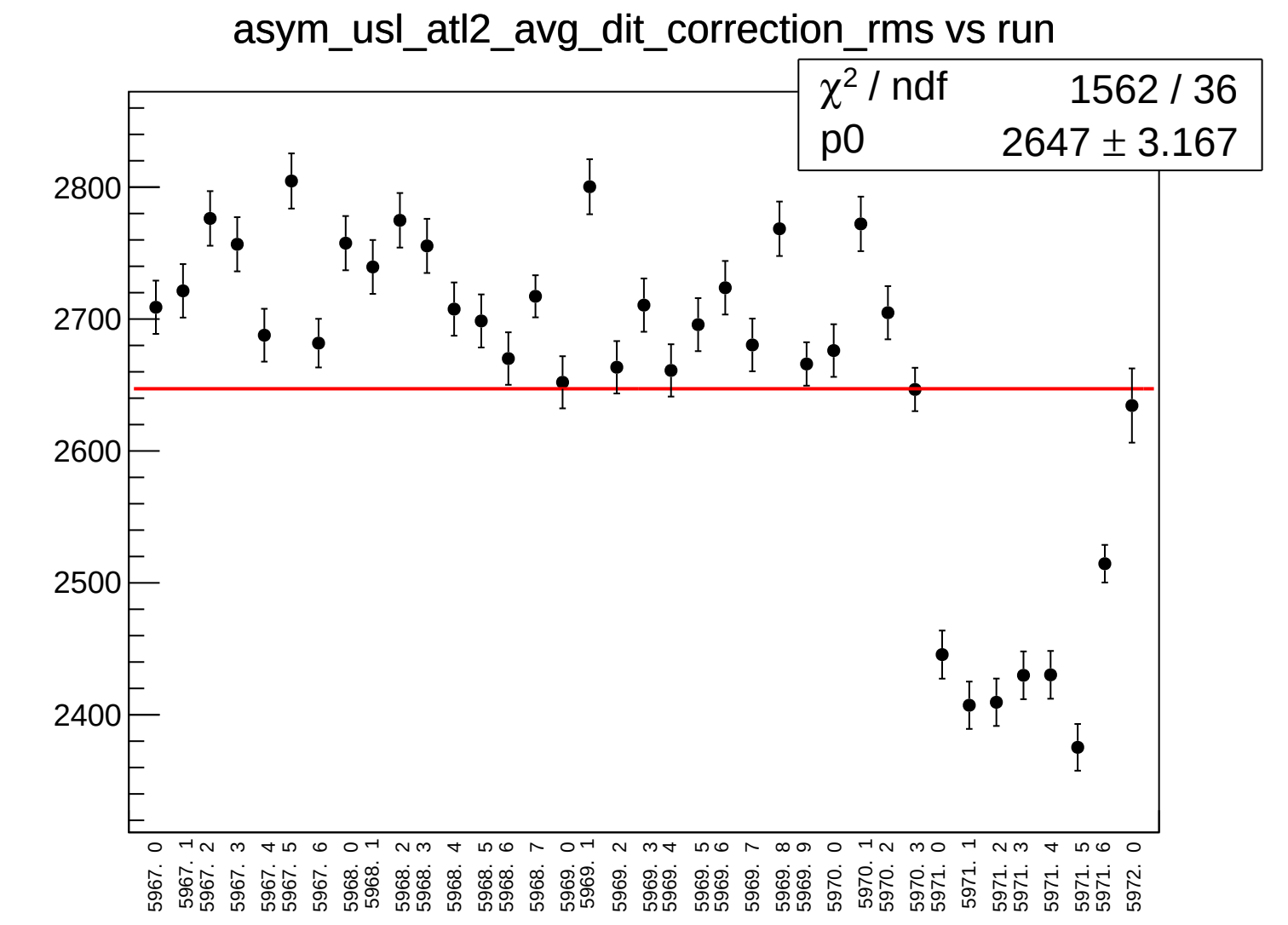
asym_usl_atl2_avg_dit_correction_rms vs run
χ² / ndf 1562 / 36
p0 2647 ± 3.167
2800
2700
2600
2500
2400
5967. 0
5967. 1
5967. 2
5967. 3
5967. 4
5967. 5
5967. 6
5968. 0
5968. 1
5968. 2
5968. 3
5968. 4
5968. 5
5968. 6
5968. 7
5969. 0
5969. 1
5969. 2
5969. 3
5969. 4
5969. 5
5969. 6
5969. 7
5969. 8
5969. 9
5970. 0
5970. 1
5970. 2
5970. 3
5971. 0
5971. 1
5971. 2
5971. 3
5971. 4
5971. 5
5971. 6
5972. 0

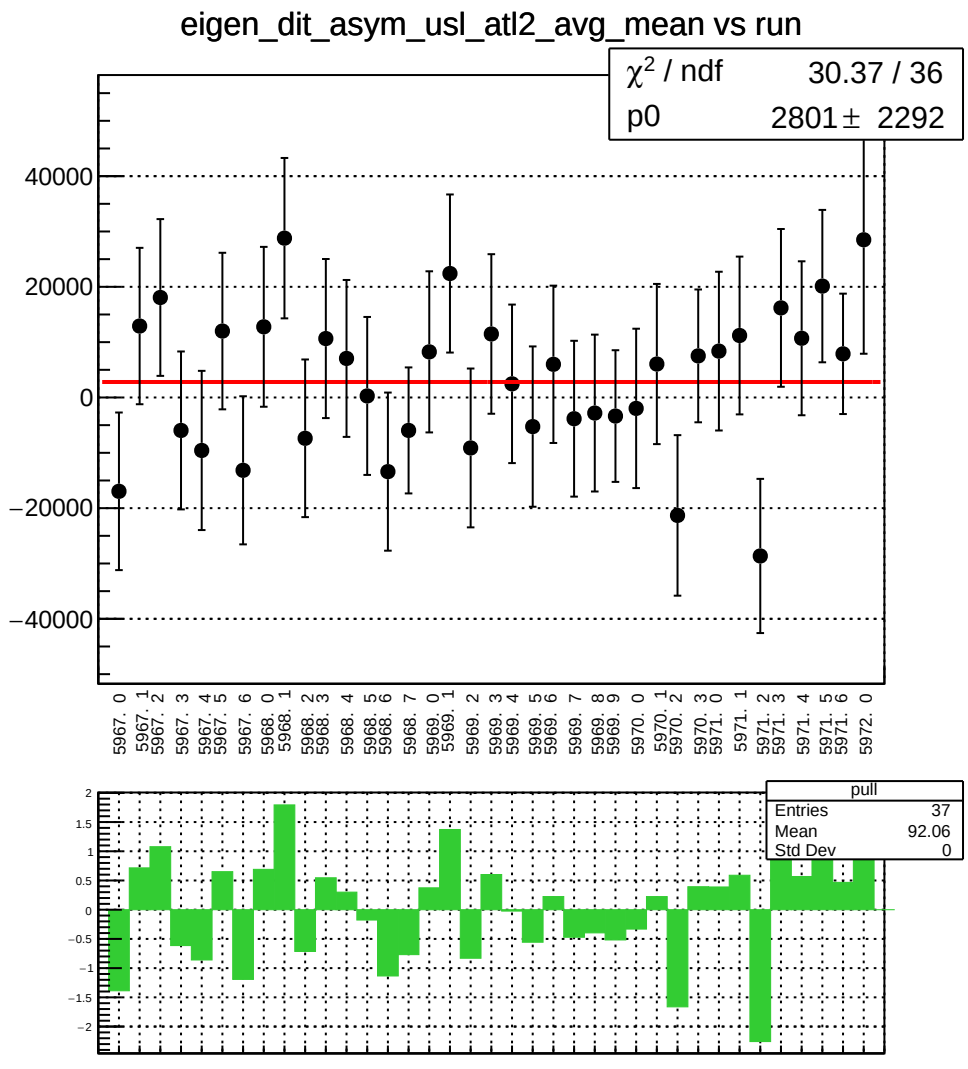
eigen_dit_asym_usl_atl2_avg_mean vs run
χ² / ndf 30.37 / 36
p0 2801 ± 2292
40000
20000
0
−20000
−40000
5967. 0
5967. 1
5967. 2
5967. 3
5967. 4
5967. 5
5967. 6
5968. 0
5968. 1
5968. 2
5968. 3
5968. 4
5968. 5
5968. 6
5968. 7
5969. 0
5969. 1
5969. 2
5969. 3
5969. 4
5969. 5
5969. 6
5969. 7
5969. 8
5969. 9
5970. 0
5970. 1
5970. 2
5970. 3
5971. 0
5971. 1
5971. 2
5971. 3
5971. 4
5971. 5
5971. 6
5972. 0
pull
Entries 37
Mean 92.06
Std Dev 0
2
1.5
1
0.5
0
−0.5
−1
−1.5
−2
pull1D
Entries 37
Mean 0.01437
Std Dev 0.9059
8
7
6
5
4
3
2
1
0
−8
−6
−4
−2
0
2
4
6
8

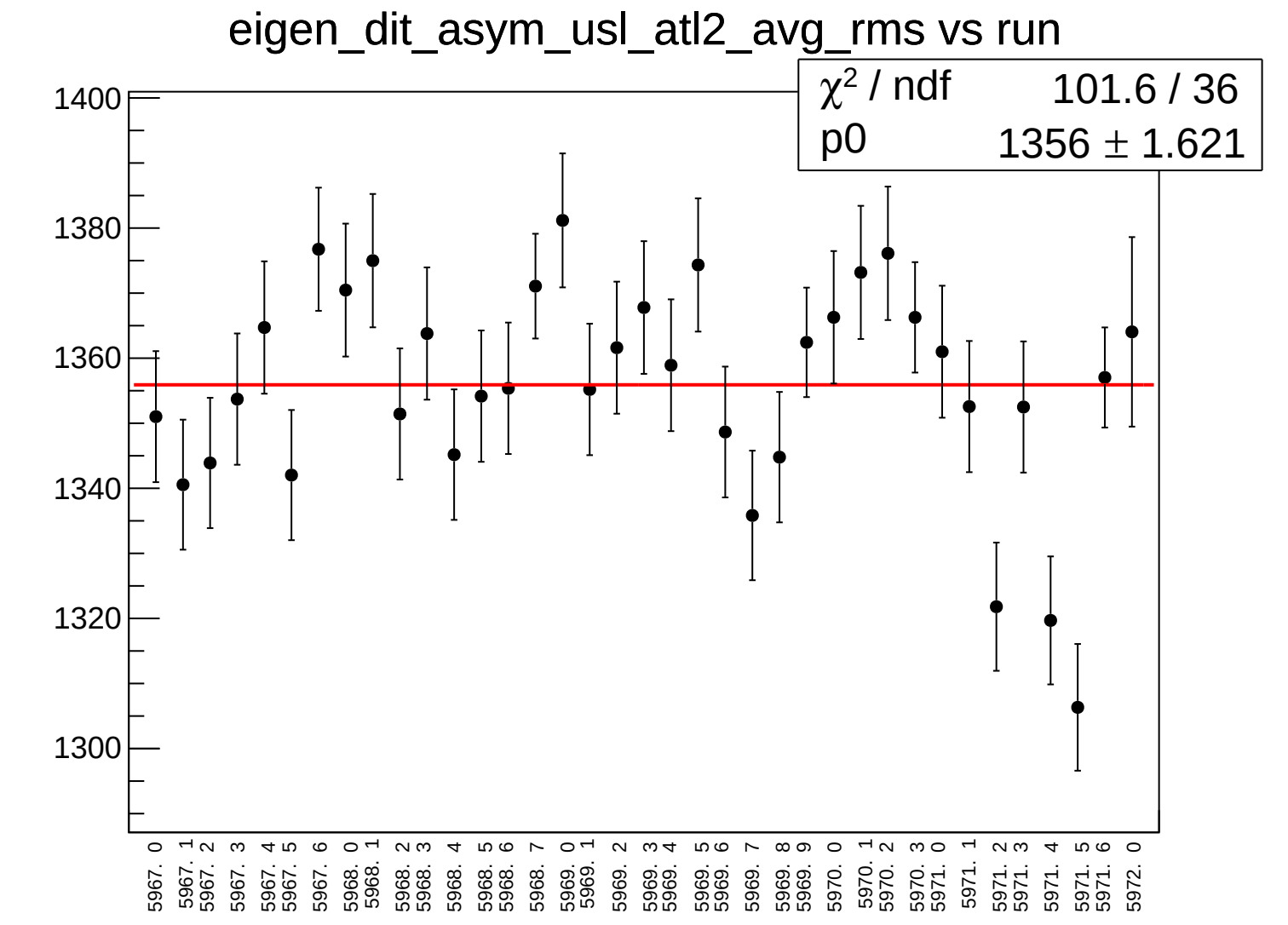
eigen_dit_asym_usl_atl2_avg_rms vs run
χ² / ndf 101.6 / 36
p0 1356 ± 1.621
1400
1380
1360
1340
1320
1300
5967. 0
5967. 1
5967. 2
5967. 3
5967. 4
5967. 5
5967. 6
5968. 0
5968. 1
5968. 2
5968. 3
5968. 4
5968. 5
5968. 6
5968. 7
5969. 0
5969. 1
5969. 2
5969. 3
5969. 4
5969. 5
5969. 6
5969. 7
5969. 8
5969. 9
5970. 0
5970. 1
5970. 2
5970. 3
5971. 0
5971. 1
5971. 2
5971. 3
5971. 4
5971. 5
5971. 6
5972. 0

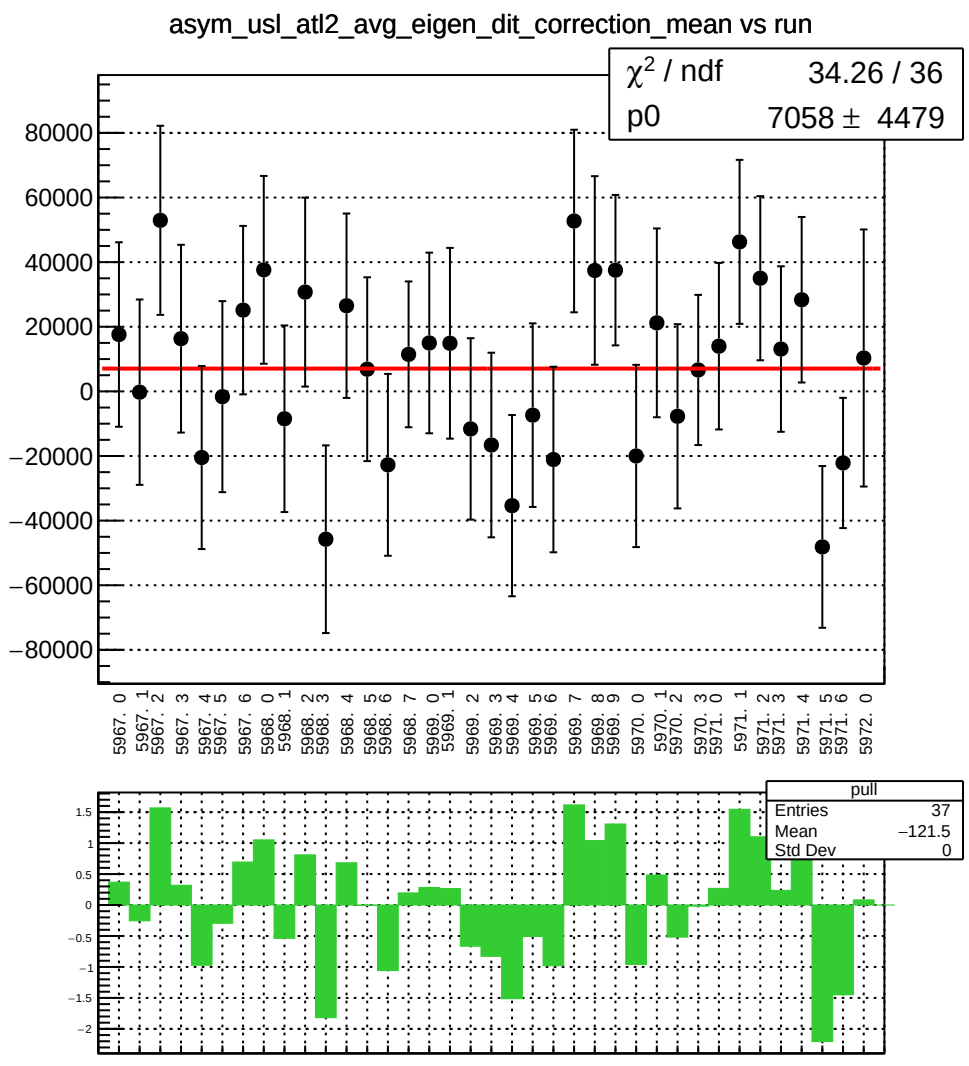
asym_usl_atl2_avg_eigen_dit_correction_mean vs run
χ² / ndf 34.26 / 36
p0 7058 ± 4479
80000
60000
40000
20000
0
−20000
−40000
−60000
−80000
5967. 0
5967. 1
5967. 2
5967. 3
5967. 4
5967. 5
5967. 6
5968. 0
5968. 1
5968. 2
5968. 3
5968. 4
5968. 5
5968. 6
5968. 7
5969. 0
5969. 1
5969. 2
5969. 3
5969. 4
5969. 5
5969. 6
5969. 7
5969. 8
5969. 9
5970. 0
5970. 1
5970. 2
5970. 3
5971. 0
5971. 1
5971. 2
5971. 3
5971. 4
5971. 5
5971. 6
5972. 0
pull
Entries 37
Mean −121.5
Std Dev 0
1.5
1
0.5
0
−0.5
−1
−1.5
−2

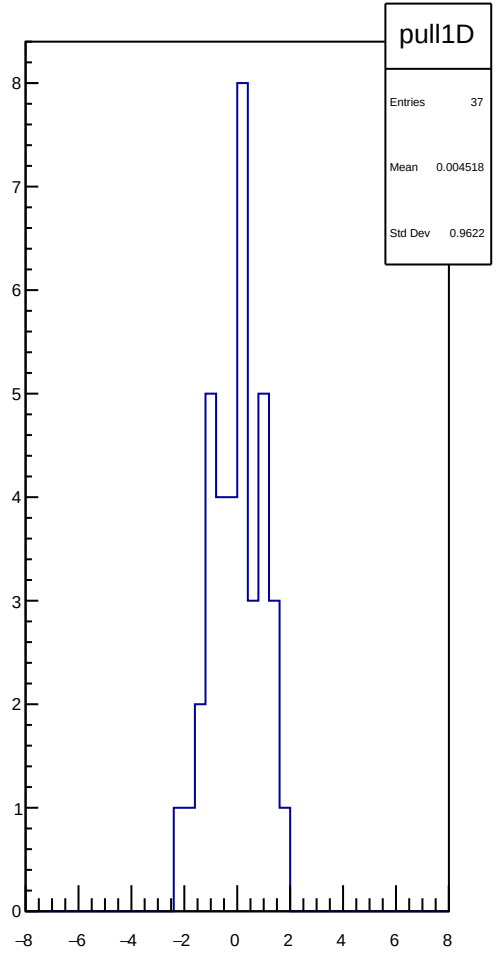
pull1D
Entries 37
Mean 0.004518
Std Dev 0.9622
8
7
6
5
4
3
2
1
0
−8
−6
−4
−2
0
2
4
6
8

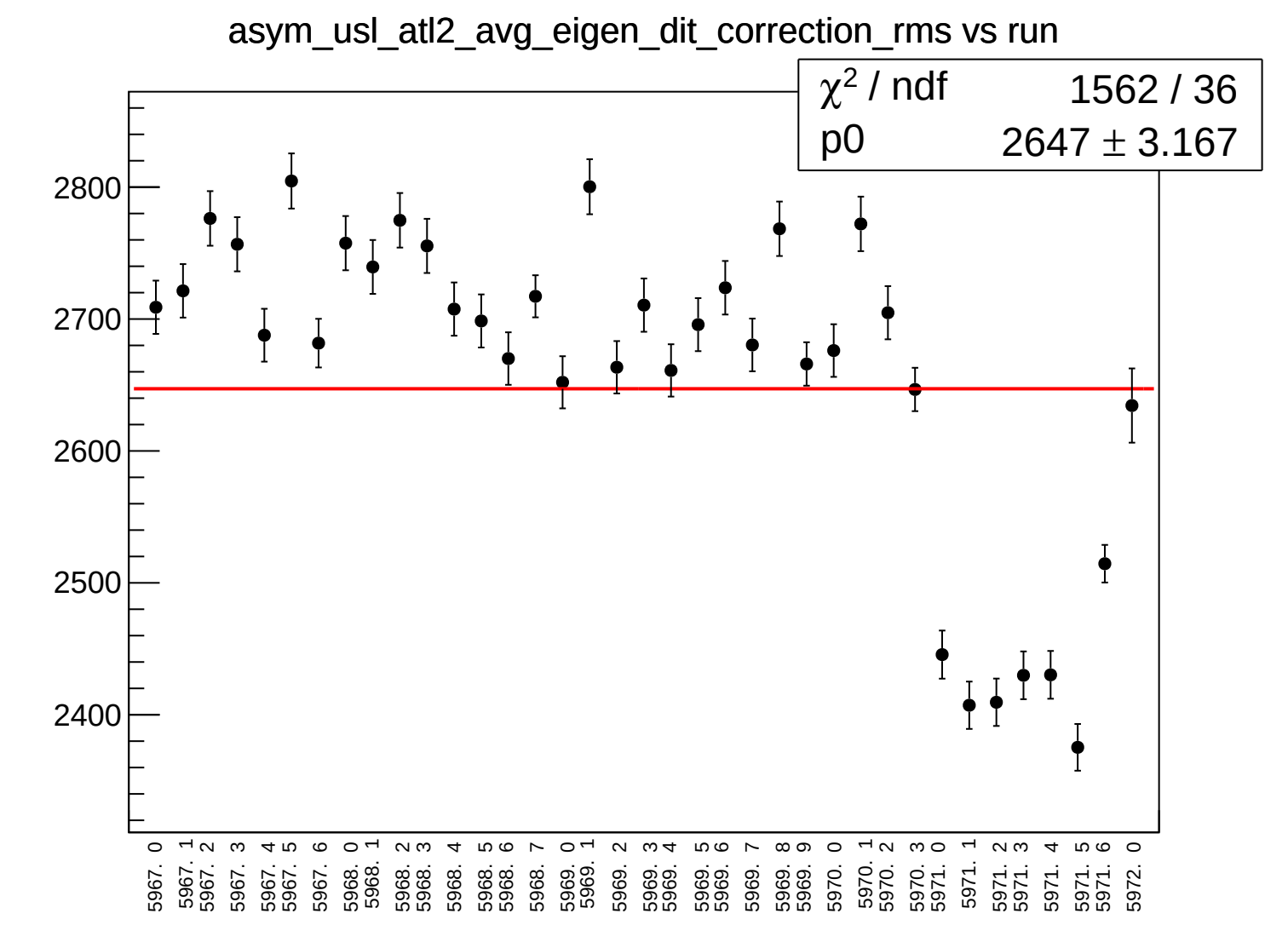
asym_usl_atl2_avg_eigen_dit_correction_rms vs run
χ² / ndf 1562 / 36
p0 2647 ± 3.167
2800
2700
2600
2500
2400
5967. 0
5967. 1
5967. 2
5967. 3
5967. 4
5967. 5
5967. 6
5968. 0
5968. 1
5968. 2
5968. 3
5968. 4
5968. 5
5968. 6
5968. 7
5969. 0
5969. 1
5969. 2
5969. 3
5969. 4
5969. 5
5969. 6
5969. 7
5969. 8
5969. 9
5970. 0
5970. 1
5970. 2
5970. 3
5971. 0
5971. 1
5971. 2
5971. 3
5971. 4
5971. 5
5971. 6
5972. 0

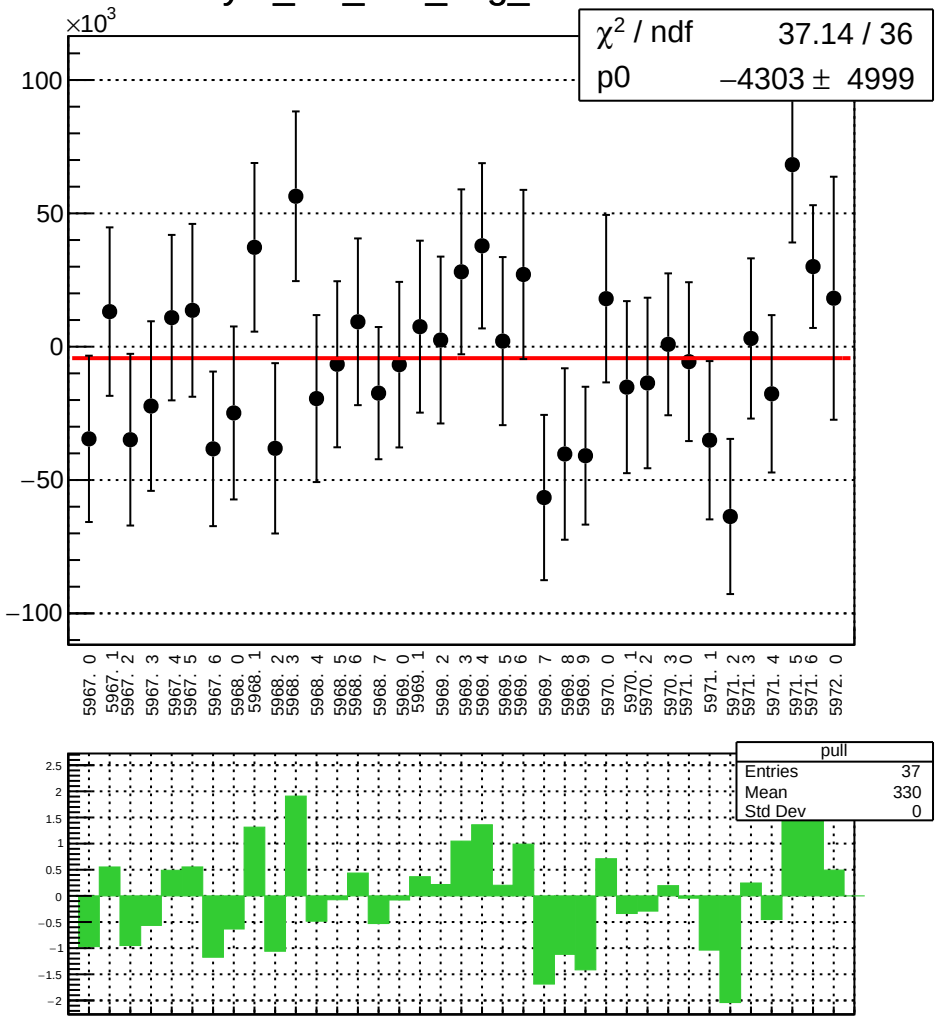
asym_usl_atl2_avg_mean vs run
×10^3
χ² / ndf 37.14 / 36
p0 −4303 ± 4999
100
50
0
−50
−100
5967. 0
5967. 1
5967. 2
5967. 3
5967. 4
5967. 5
5967. 6
5968. 0
5968. 1
5968. 2
5968. 3
5968. 4
5968. 5
5968. 6
5968. 7
5969. 0
5969. 1
5969. 2
5969. 3
5969. 4
5969. 5
5969. 6
5969. 7
5969. 8
5969. 9
5970. 0
5970. 1
5970. 2
5970. 3
5971. 0
5971. 1
5971. 2
5971. 3
5971. 4
5971. 5
5971. 6
5972. 0
pull
Entries 37
Mean 330
Std Dev 0
2.5
2
1.5
1
0.5
0
−0.5
−1
−1.5
−2

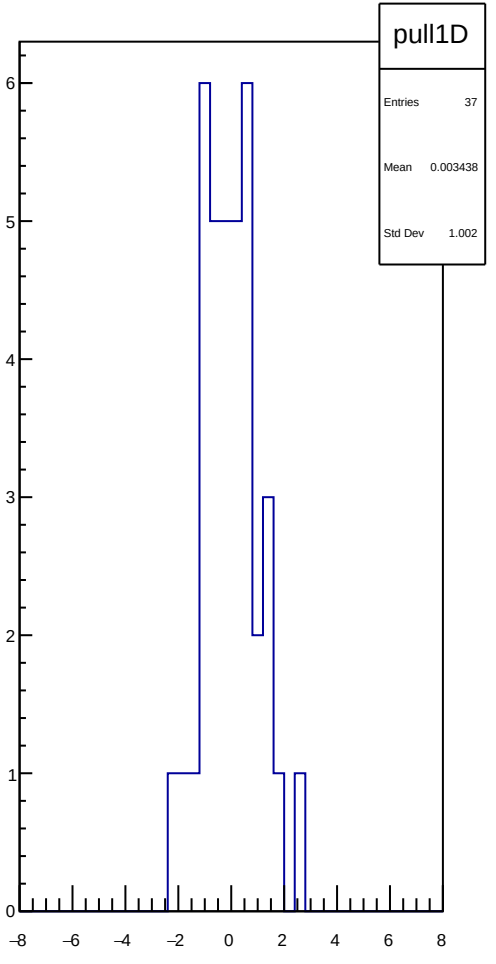
pull1D
Entries 37
Mean 0.003438
Std Dev 1.002
6
5
4
3
2
1
0
−8
−6
−4
−2
0
2
4
6
8

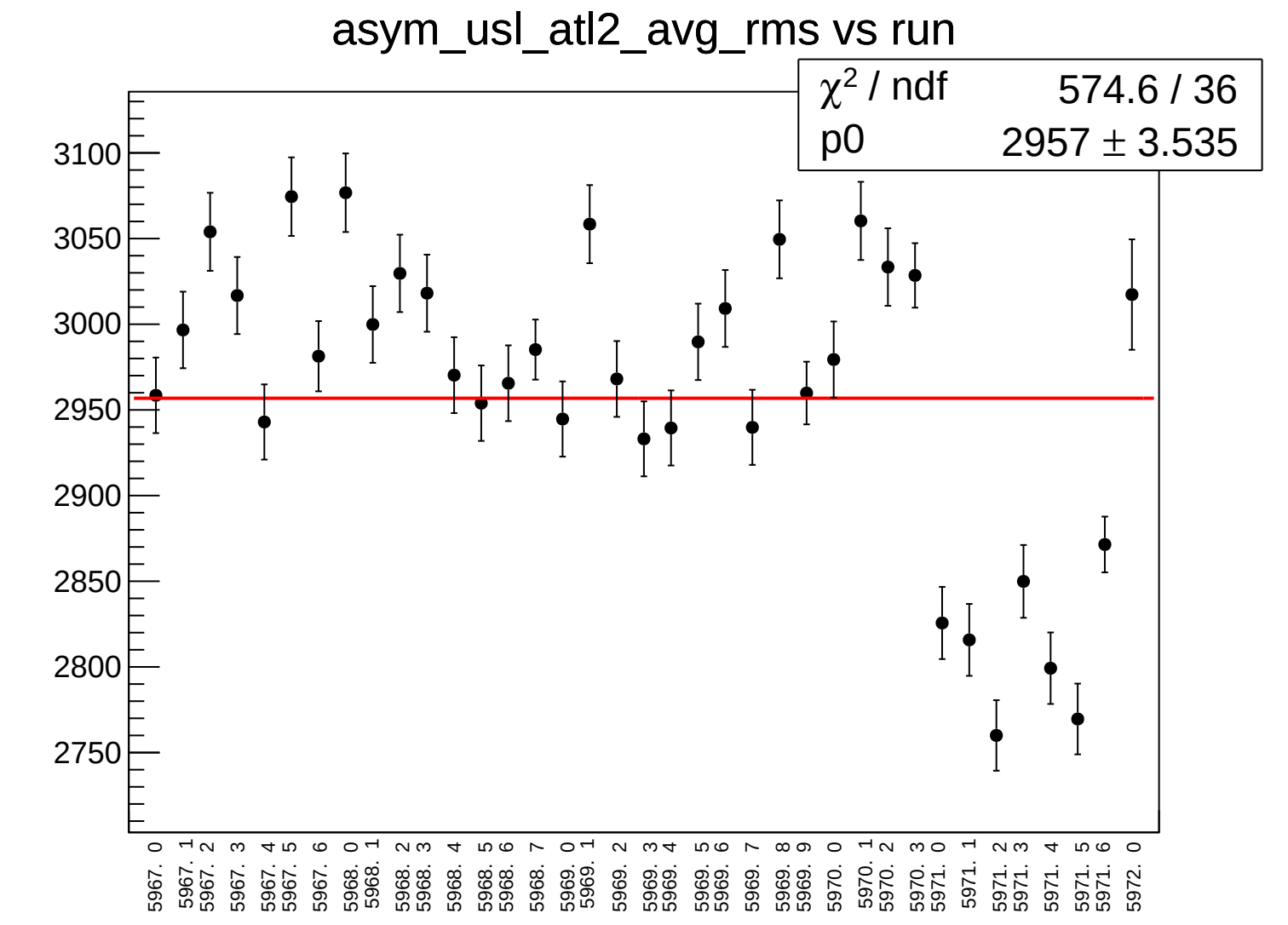
asym_usl_atl2_avg_rms vs run
χ² / ndf 574.6 / 36
p0 2957 ± 3.535
3100
3050
3000
2950
2900
2850
2800
2750
5967. 0
5967. 1
5967. 2
5967. 3
5967. 4
5967. 5
5967. 6
5968. 0
5968. 1
5968. 2
5968. 3
5968. 4
5968. 5
5968. 6
5968. 7
5969. 0
5969. 1
5969. 2
5969. 3
5969. 4
5969. 5
5969. 6
5969. 7
5969. 8
5969. 9
5970. 0
5970. 1
5970. 2
5970. 3
5971. 0
5971. 1
5971. 2
5971. 3
5971. 4
5971. 5
5971. 6
5972. 0

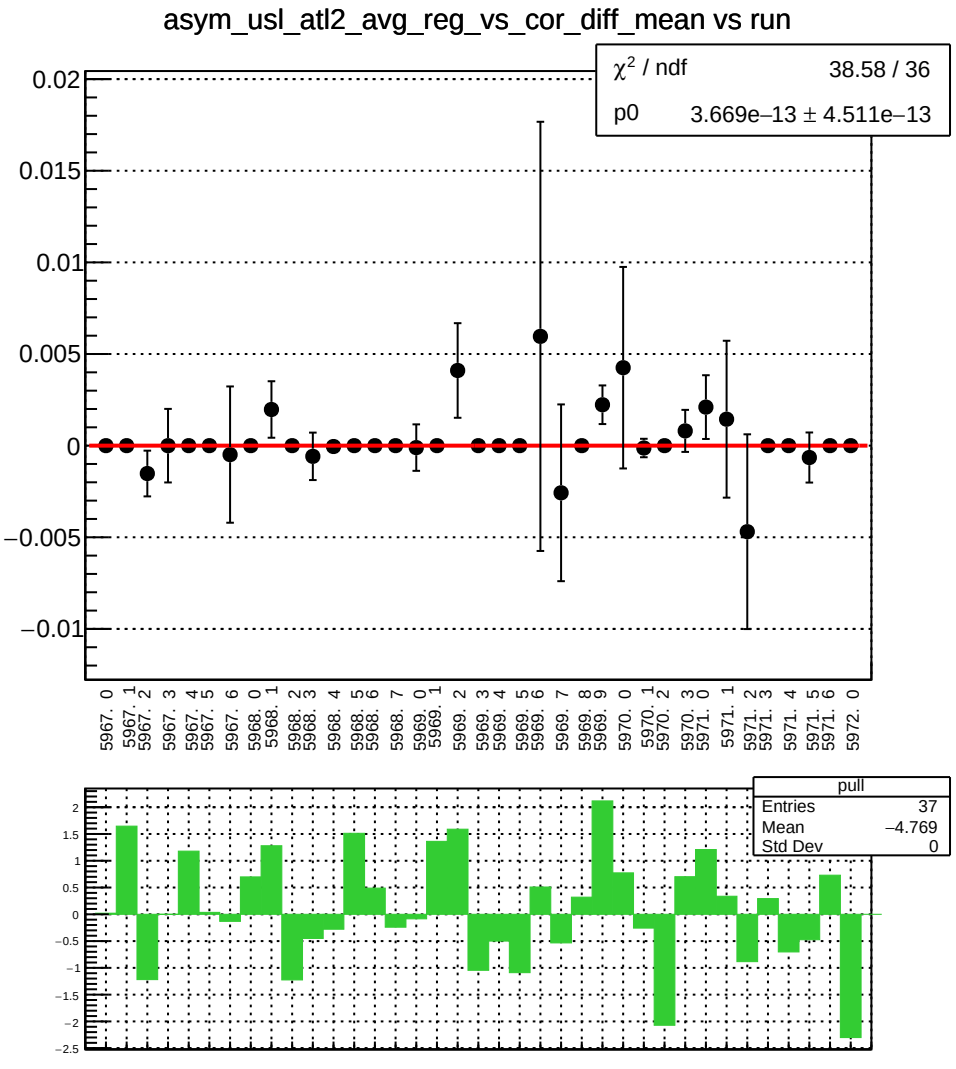
asym_usl_atl2_avg_reg_vs_cor_diff_mean vs run
χ² / ndf 38.58 / 36
p0 3.669e−13 ± 4.511e−13
0.02
0.015
0.01
0.005
0
−0.005
−0.01
5967. 0
5967. 1
5967. 2
5967. 3
5967. 4
5967. 5
5967. 6
5968. 0
5968. 1
5968. 2
5968. 3
5968. 4
5968. 5
5968. 6
5968. 7
5969. 0
5969. 1
5969. 2
5969. 3
5969. 4
5969. 5
5969. 6
5969. 7
5969. 8
5969. 9
5970. 0
5970. 1
5970. 2
5970. 3
5971. 0
5971. 1
5971. 2
5971. 3
5971. 4
5971. 5
5971. 6
5972. 0
pull
Entries 37
Mean −4.769
Std Dev 0
2
1.5
1
0.5
0
−0.5
−1
−1.5
−2
−2.5
pull1D
Entries 37
Mean 0.08963
Std Dev 1.017
6
5
4
3
2
1
0
−8
−6
−4
−2
0
2
4
6
8

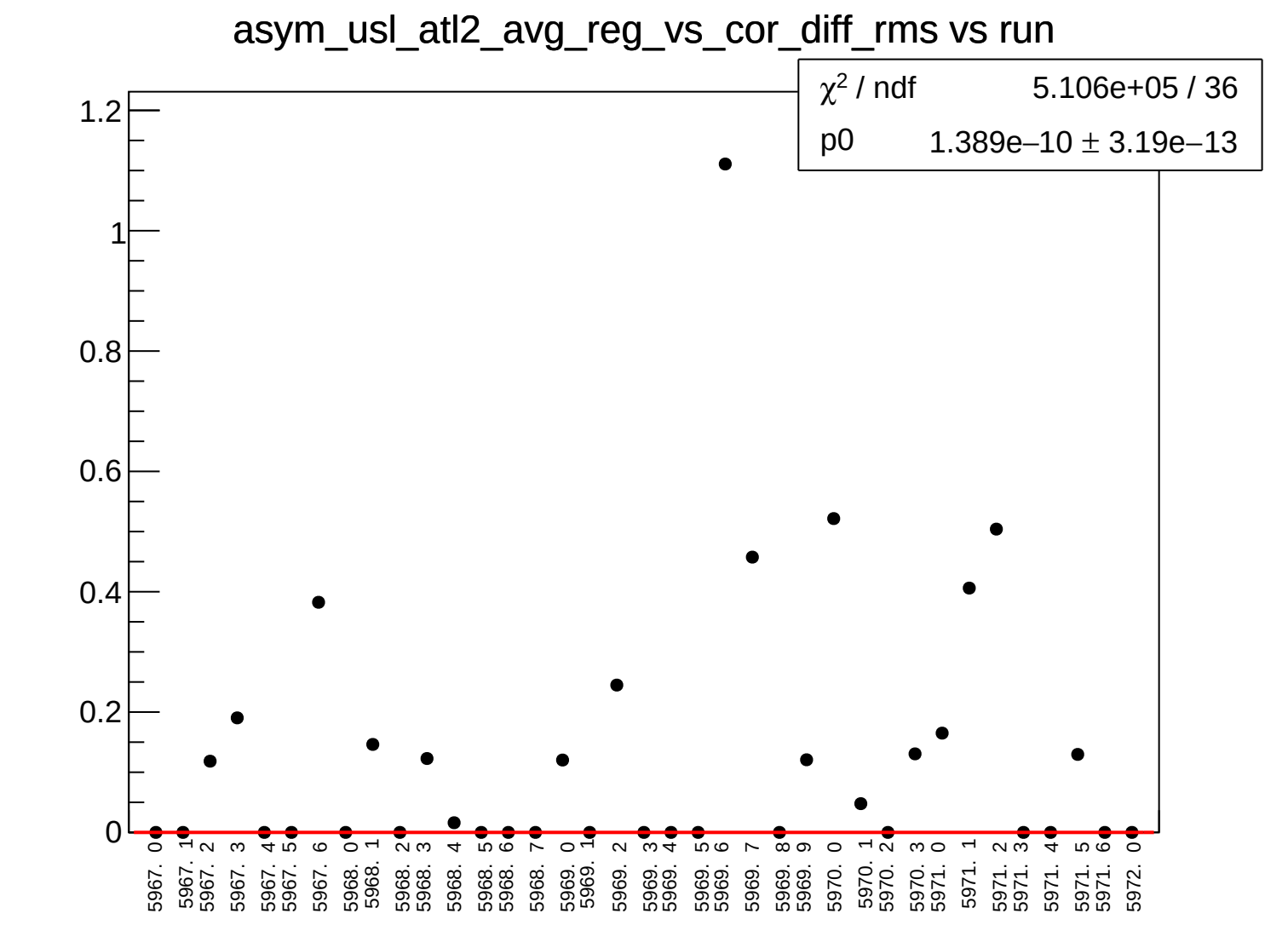
asym_usl_atl2_avg_reg_vs_cor_diff_rms vs run
χ² / ndf 5.106e+05 / 36
p0 1.389e−10 ± 3.19e−13
1.2
1
0.8
0.6
0.4
0.2
0
5967. 0
5967. 1
5967. 2
5967. 3
5967. 4
5967. 5
5967. 6
5968. 0
5968. 1
5968. 2
5968. 3
5968. 4
5968. 5
5968. 6
5968. 7
5969. 0
5969. 1
5969. 2
5969. 3
5969. 4
5969. 5
5969. 6
5969. 7
5969. 8
5969. 9
5970. 0
5970. 1
5970. 2
5970. 3
5971. 0
5971. 1
5971. 2
5971. 3
5971. 4
5971. 5
5971. 6
5972. 0

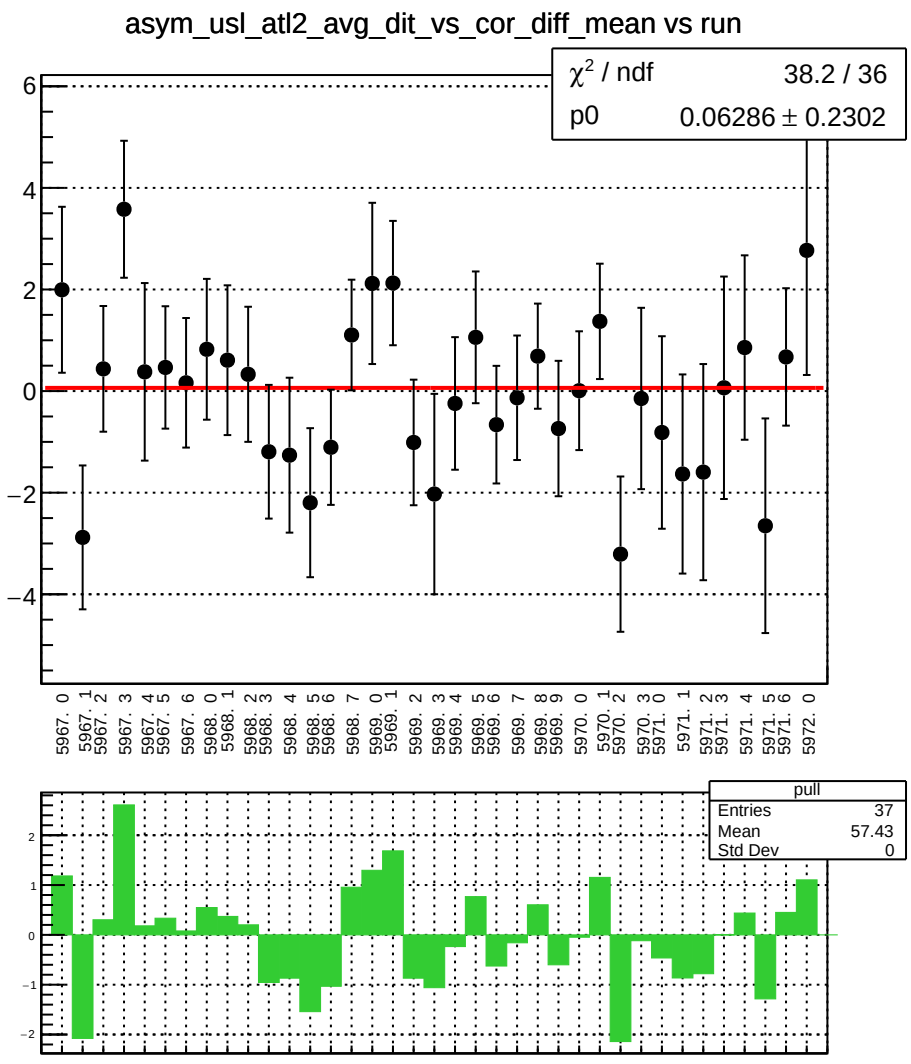
asym_usl_atl2_avg_dit_vs_cor_diff_mean vs run
χ² / ndf 38.2 / 36
p0 0.06286 ± 0.2302
pull
Entries 37
Mean 57.43
Std Dev 0

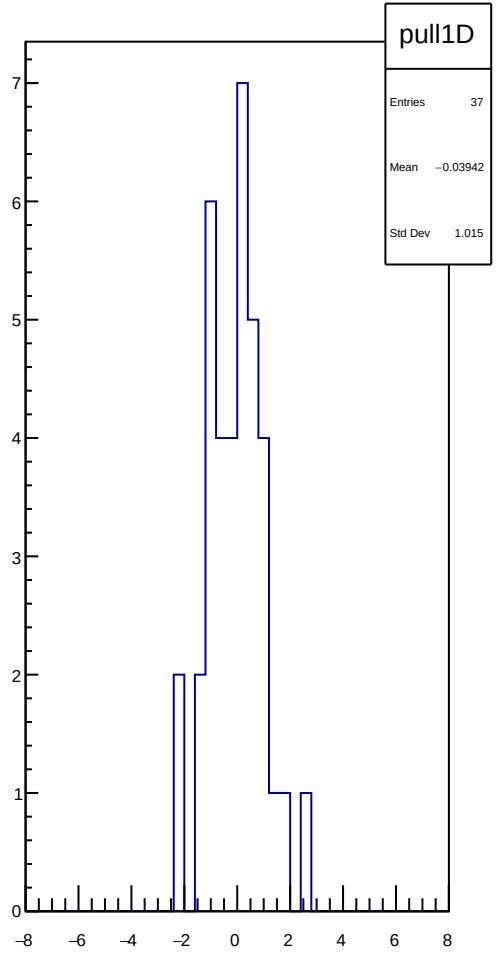
pull1D
Entries 37
Mean −0.03942
Std Dev 1.015

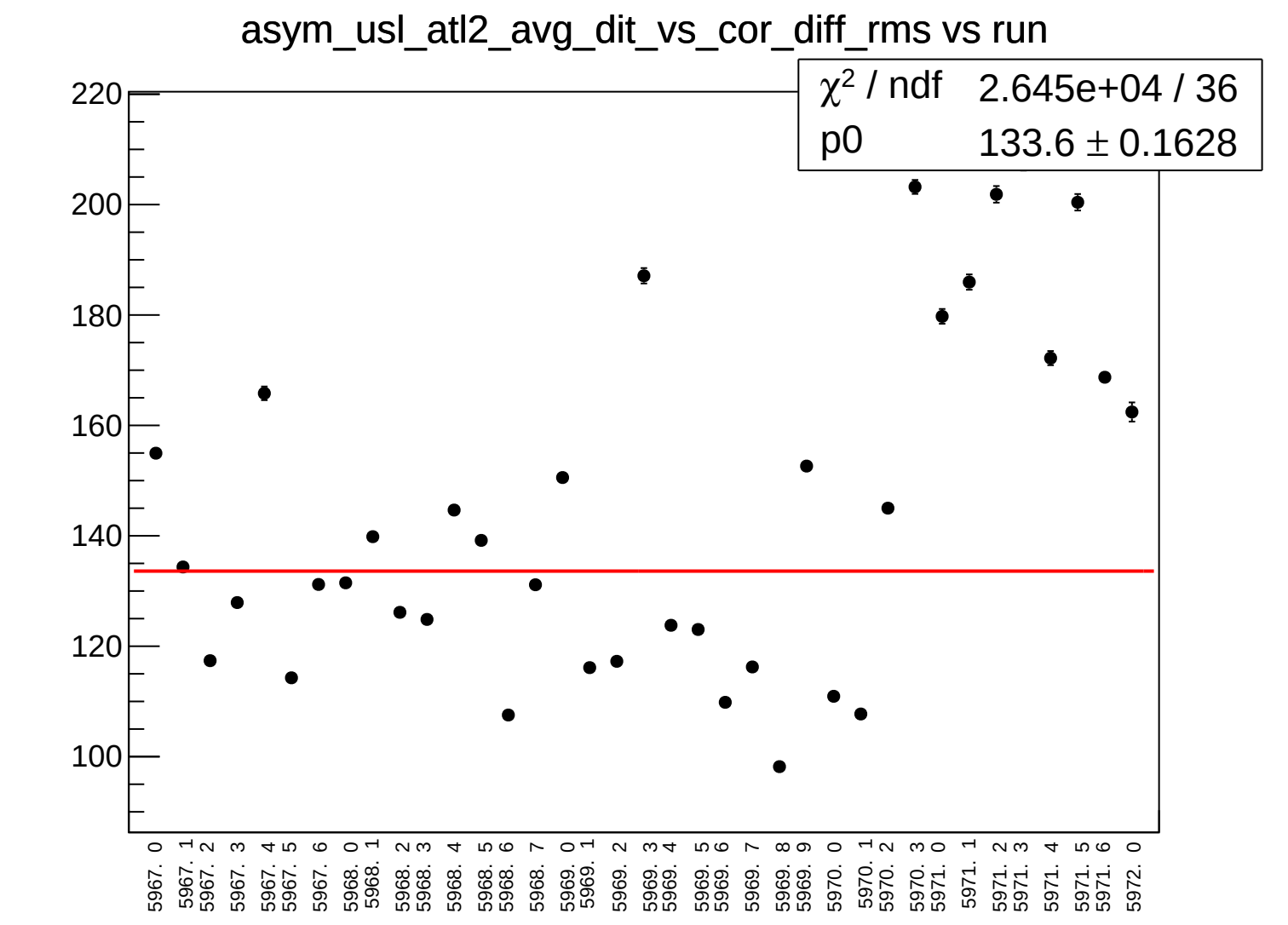
asym_usl_atl2_avg_dit_vs_cor_diff_rms vs run
χ² / ndf 2.645e+04 / 36
p0 133.6 ± 0.1628
220
200
180
160
140
120
100
5967. 0
5967. 1
5967. 2
5967. 3
5967. 4
5967. 5
5967. 6
5968. 0
5968. 1
5968. 2
5968. 3
5968. 4
5968. 5
5968. 6
5968. 7
5969. 0
5969. 1
5969. 2
5969. 3
5969. 4
5969. 5
5969. 6
5969. 7
5969. 8
5969. 9
5970. 0
5970. 1
5970. 2
5970. 3
5971. 0
5971. 1
5971. 2
5971. 3
5971. 4
5971. 5
5971. 6
5972. 0

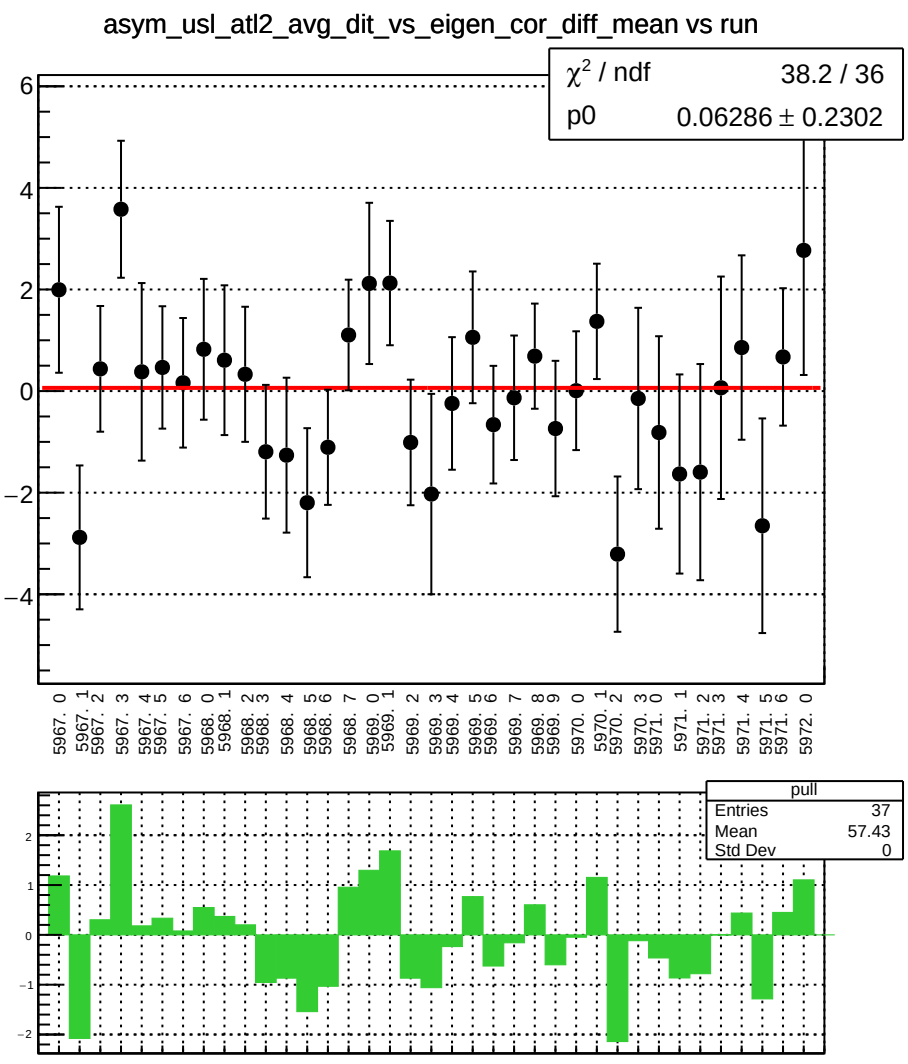
asym_usl_atl2_avg_dit_vs_eigen_cor_diff_mean vs run
χ² / ndf 38.2 / 36
p0 0.06286 ± 0.2302
pull
Entries 37
Mean 57.43
Std Dev 0

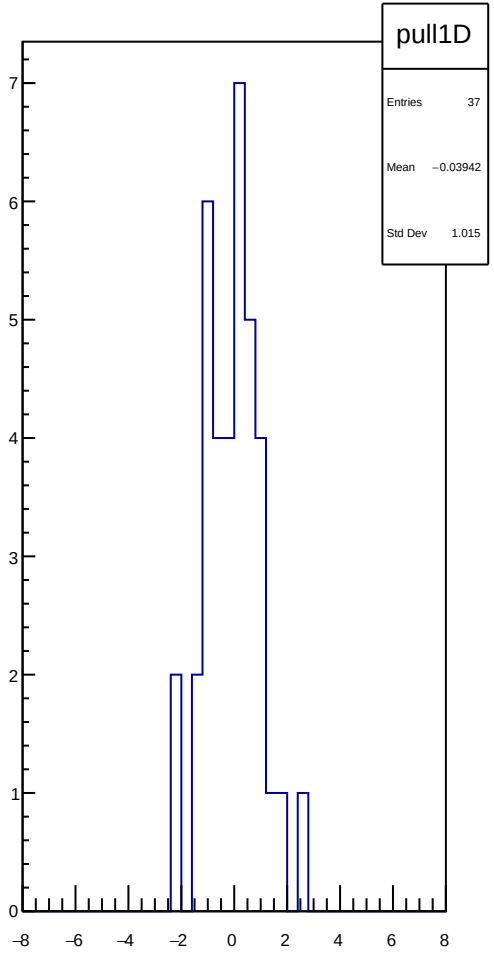
pull1D
Entries 37
Mean −0.03942
Std Dev 1.015

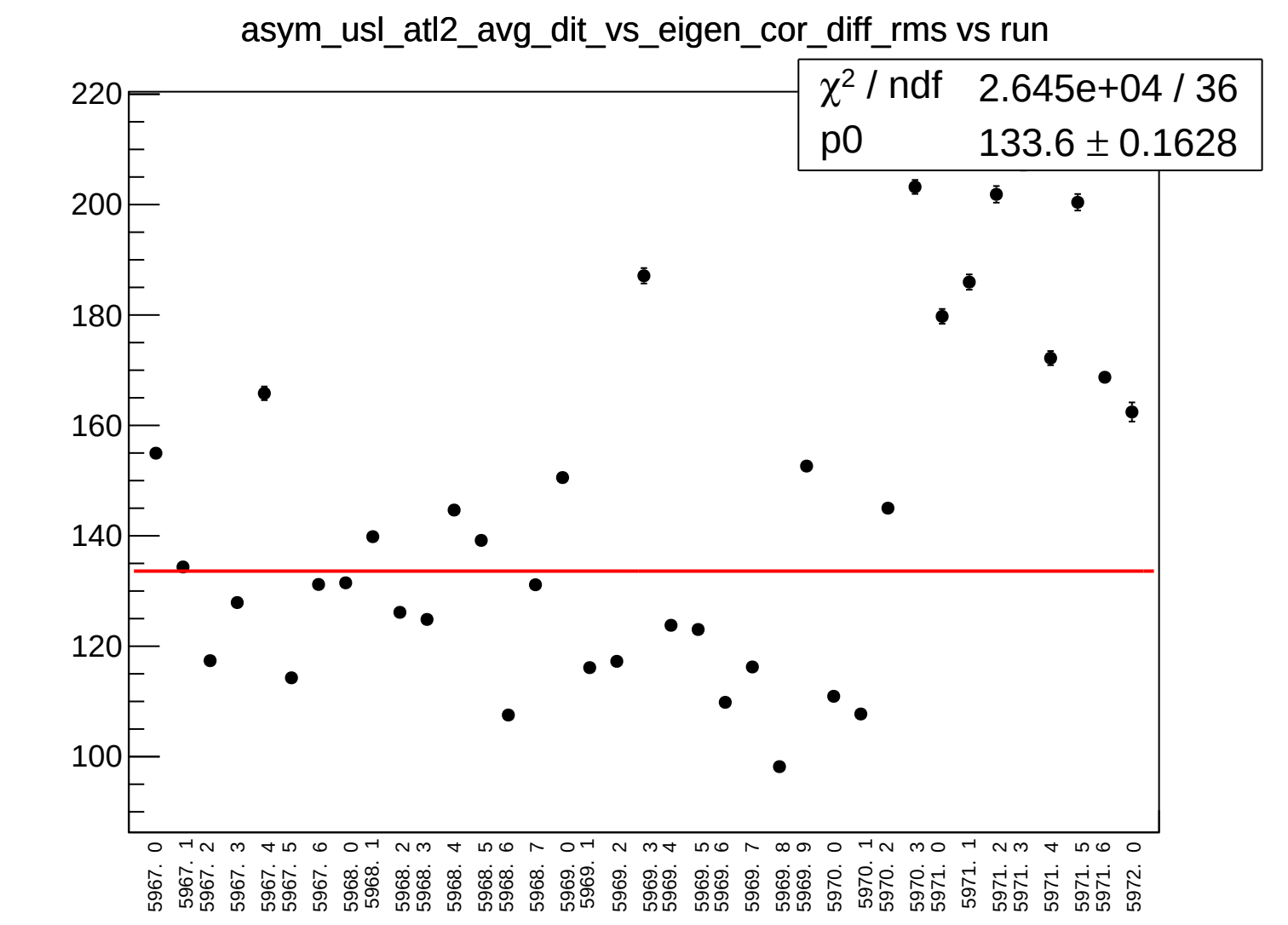
asym_usl_atl2_avg_dit_vs_eigen_cor_diff_rms vs run
χ² / ndf 2.645e+04 / 36
p0 133.6 ± 0.1628
220
200
180
160
140
120
100
5967. 0
5967. 1
5967. 2
5967. 3
5967. 4
5967. 5
5967. 6
5968. 0
5968. 1
5968. 2
5968. 3
5968. 4
5968. 5
5968. 6
5968. 7
5969. 0
5969. 1
5969. 2
5969. 3
5969. 4
5969. 5
5969. 6
5969. 7
5969. 8
5969. 9
5970. 0
5970. 1
5970. 2
5970. 3
5971. 0
5971. 1
5971. 2
5971. 3
5971. 4
5971. 5
5971. 6
5972. 0

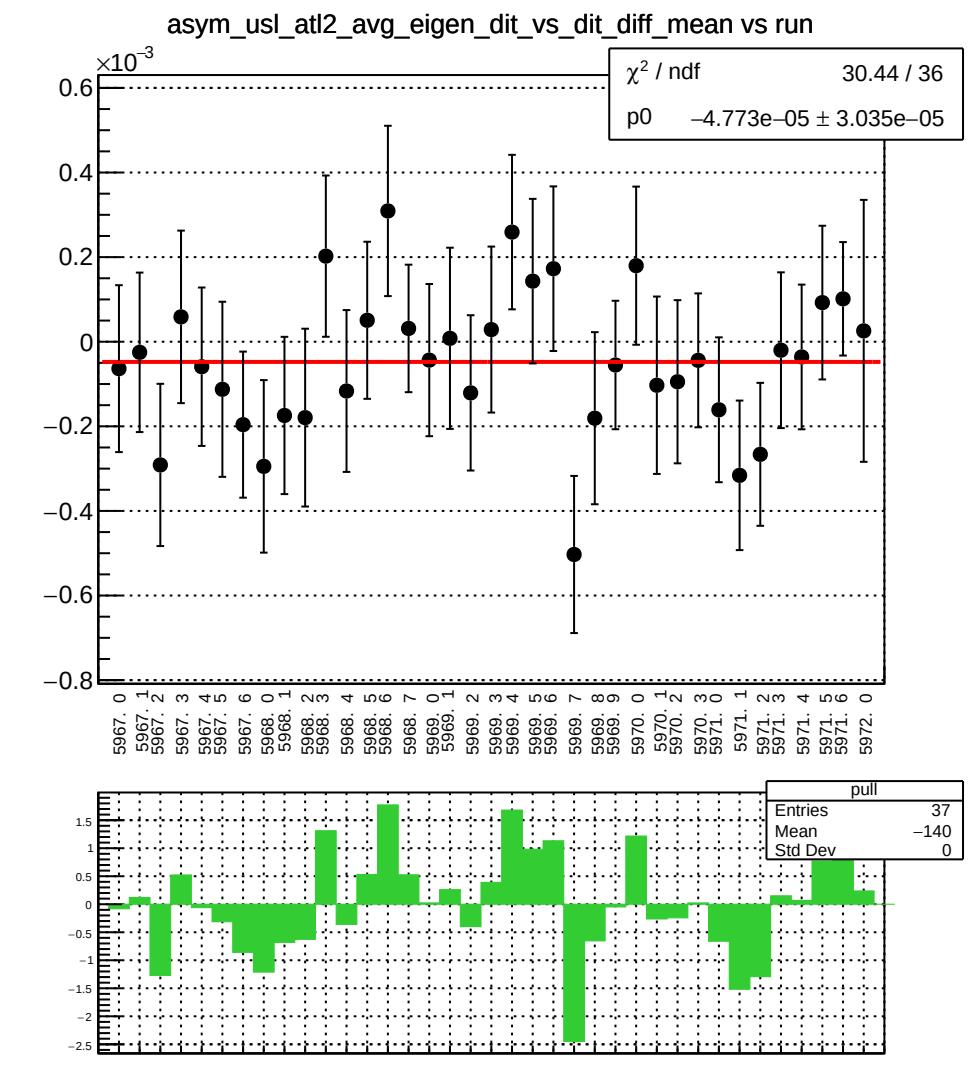
asym_usl_atl2_avg_eigen_dit_vs_dit_diff_mean vs run
×10⁻³
χ² / ndf 30.44 / 36
p0 −4.773e−05 ± 3.035e−05
pull
Entries 37
Mean −140
Std Dev 0

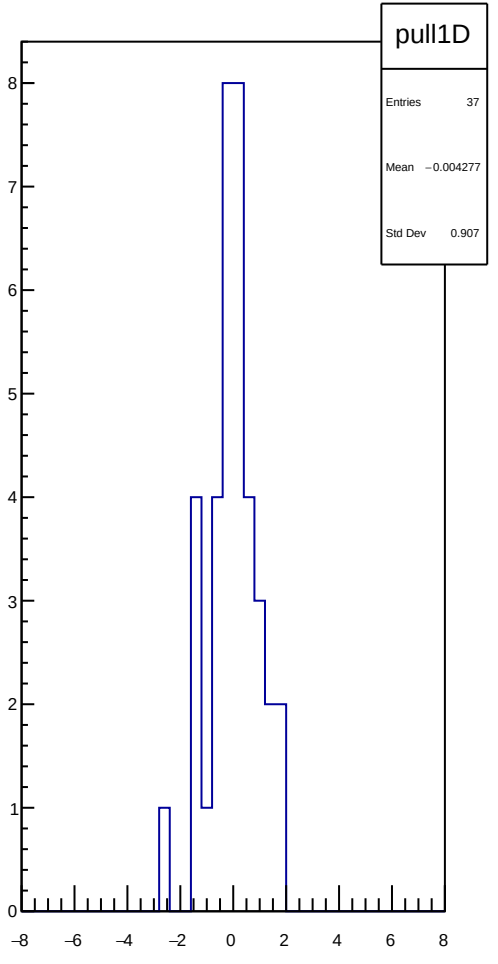
pull1D
Entries 37
Mean −0.004277
Std Dev 0.907

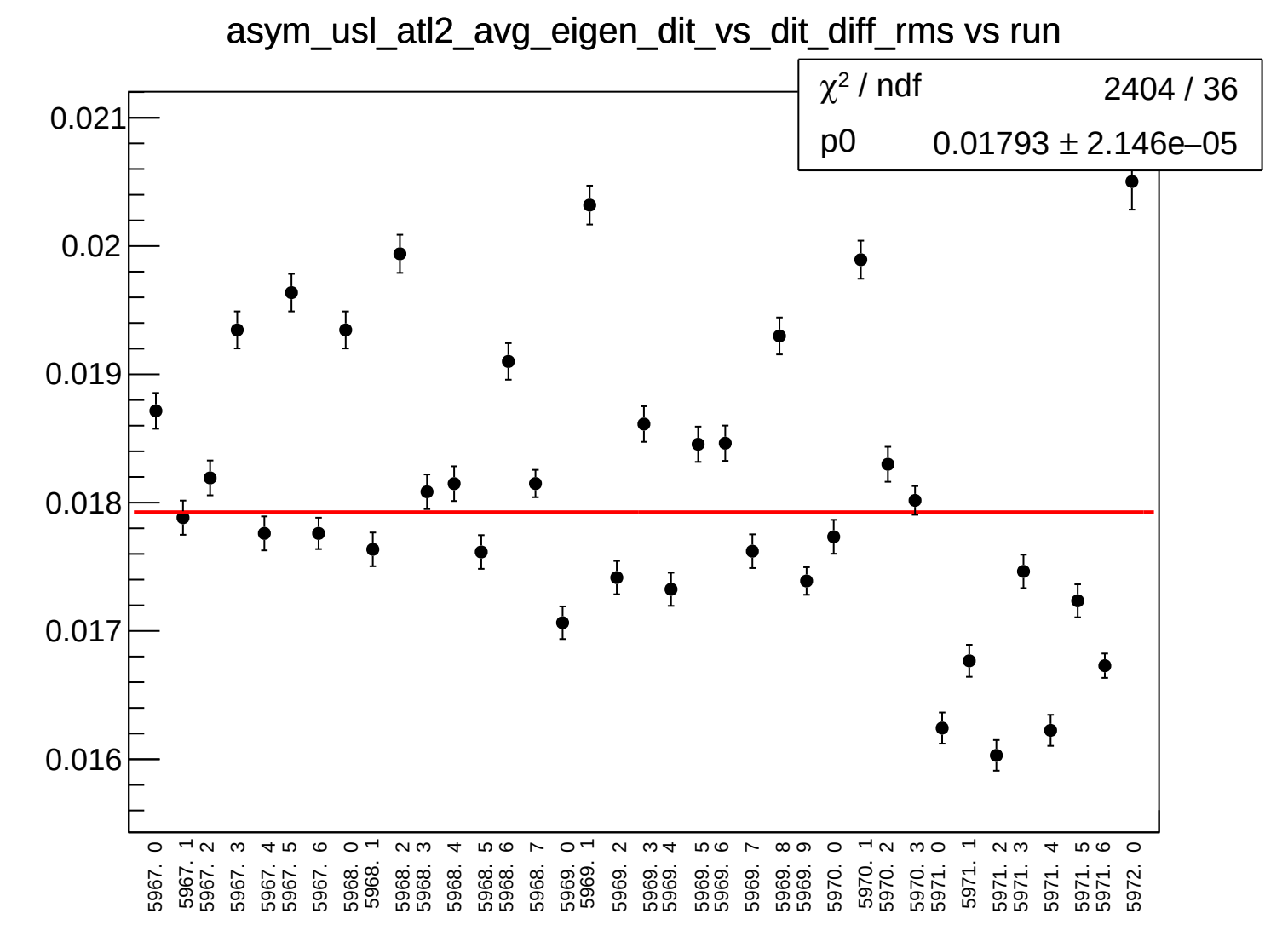
asym_usl_atl2_avg_eigen_dit_vs_dit_diff_rms vs run
χ² / ndf 2404 / 36
p0 0.01793 ± 2.146e–05
0.021
0.02
0.019
0.018
0.017
0.016
5967. 0
5967. 1
5967. 2
5967. 3
5967. 4
5967. 5
5967. 6
5968. 0
5968. 1
5968. 2
5968. 3
5968. 4
5968. 5
5968. 6
5968. 7
5969. 0
5969. 1
5969. 2
5969. 3
5969. 4
5969. 5
5969. 6
5969. 7
5969. 8
5969. 9
5970. 0
5970. 1
5970. 2
5970. 3
5971. 0
5971. 1
5971. 2
5971. 3
5971. 4
5971. 5
5971. 6
5972. 0

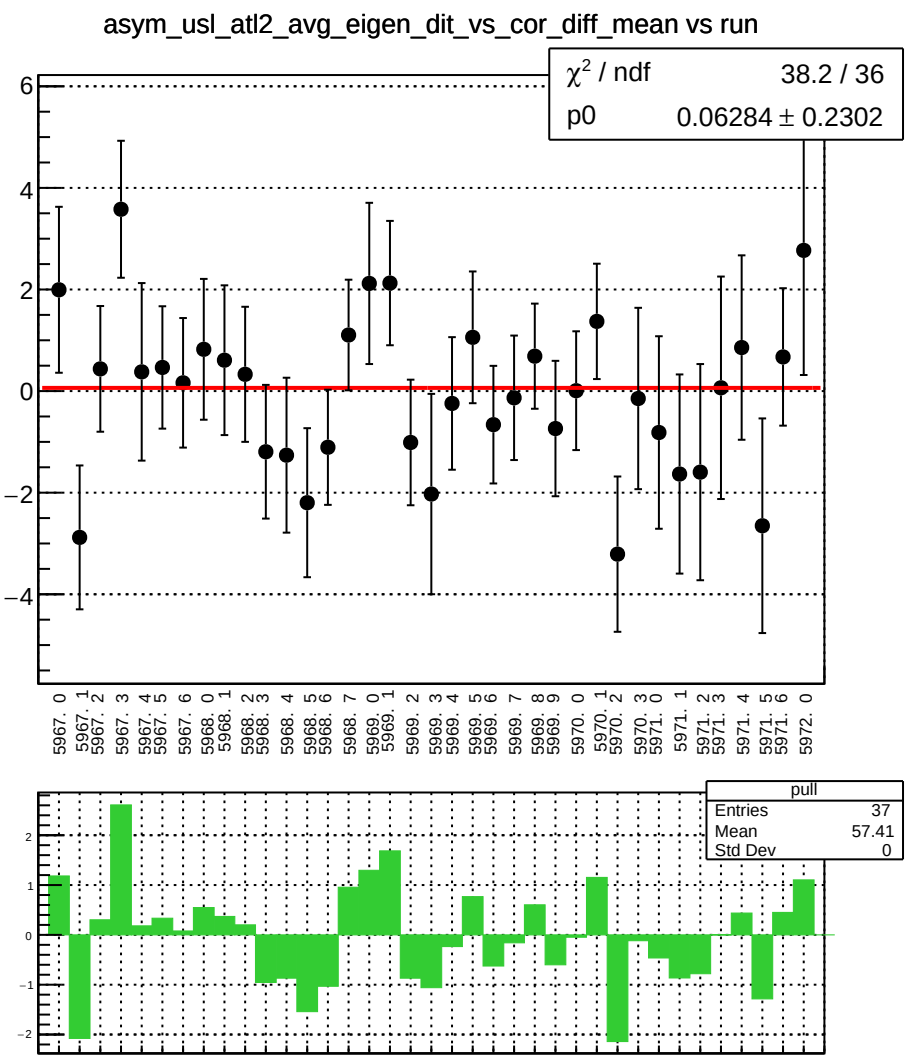
asym_usl_atl2_avg_eigen_dit_vs_cor_diff_mean vs run
χ² / ndf 38.2 / 36
p0 0.06284 ± 0.2302
pull
Entries 37
Mean 57.41
Std Dev 0

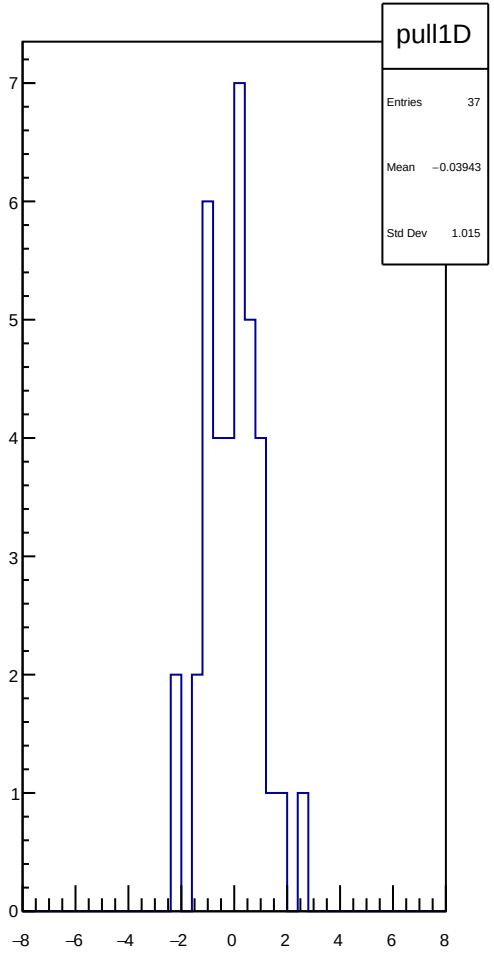
pull1D
Entries 37
Mean −0.03943
Std Dev 1.015

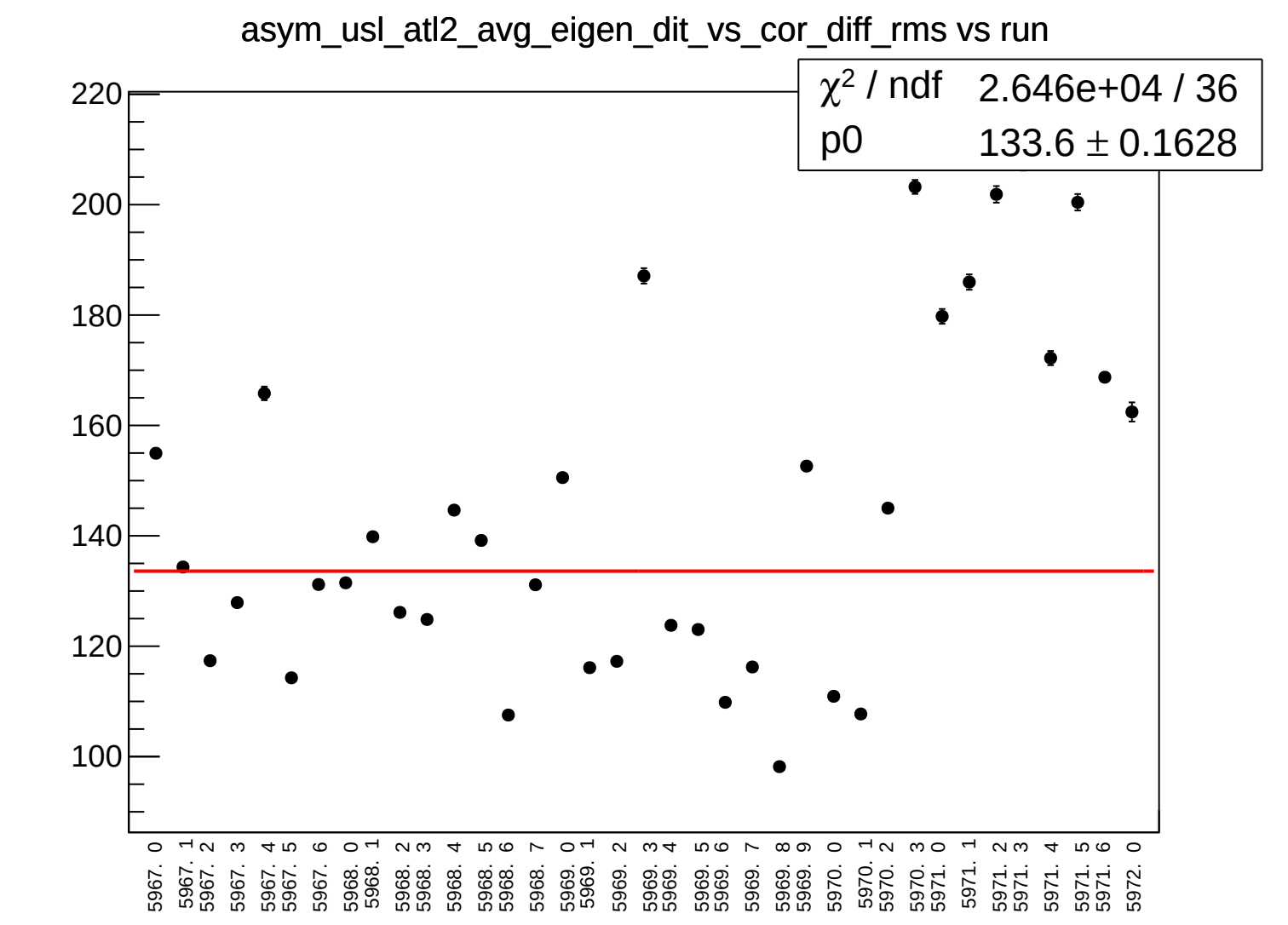
asym_usl_atl2_avg_eigen_dit_vs_cor_diff_rms vs run
χ² / ndf 2.646e+04 / 36
p0 133.6 ± 0.1628
220
200
180
160
140
120
100
5967. 0
5967. 1
5967. 2
5967. 3
5967. 4
5967. 5
5967. 6
5968. 0
5968. 1
5968. 2
5968. 3
5968. 4
5968. 5
5968. 6
5968. 7
5969. 0
5969. 1
5969. 2
5969. 3
5969. 4
5969. 5
5969. 6
5969. 7
5969. 8
5969. 9
5970. 0
5970. 1
5970. 2
5970. 3
5971. 0
5971. 1
5971. 2
5971. 3
5971. 4
5971. 5
5971. 6
5972. 0

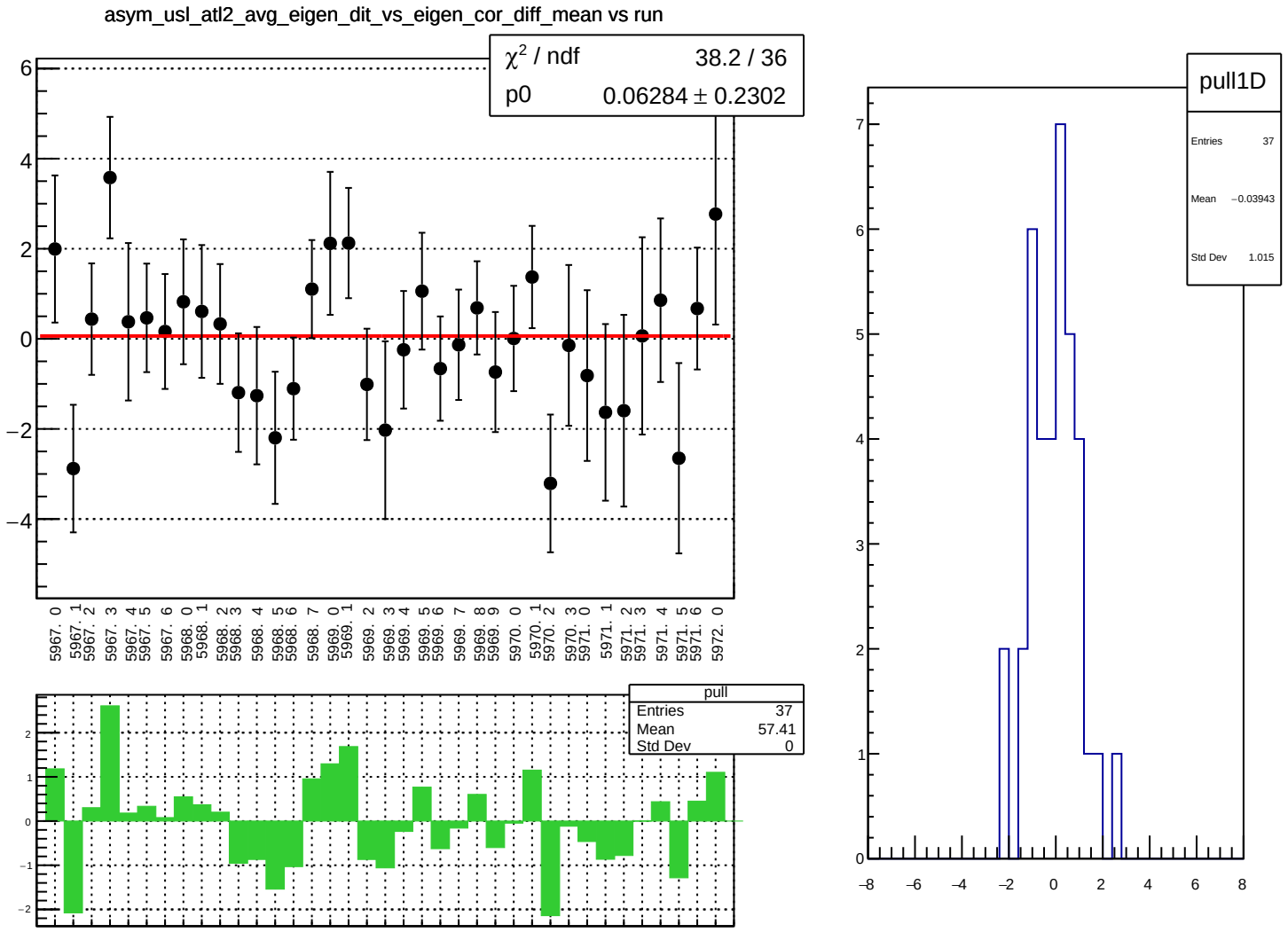
asym_usl_atl2_avg_eigen_dit_vs_eigen_cor_diff_mean vs run
χ² / ndf 38.2 / 36
p0 0.06284 ± 0.2302
pull
Entries 37
Mean 57.41
Std Dev 0
pull1D
Entries 37
Mean −0.03943
Std Dev 1.015

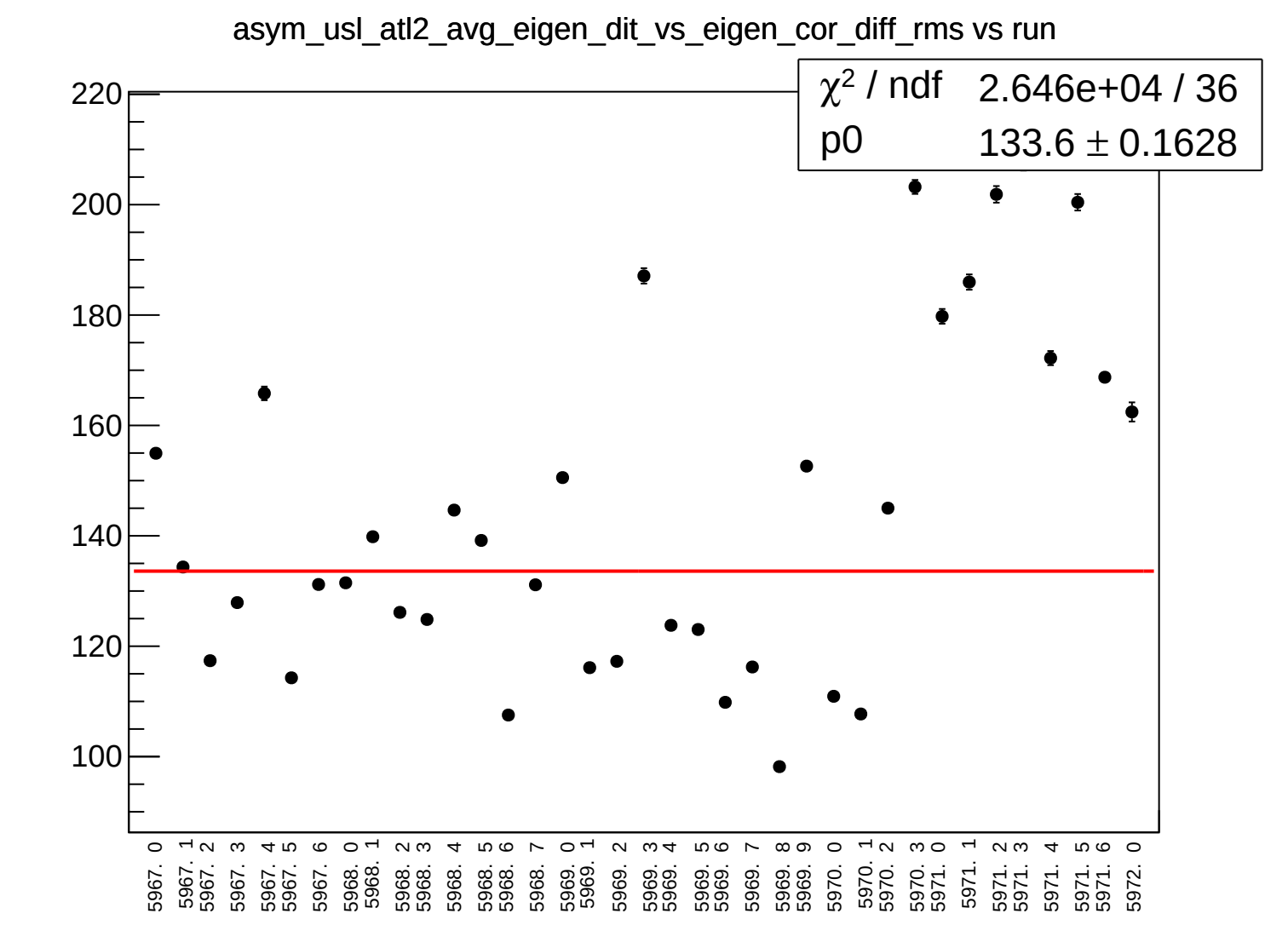
asym_usl_atl2_avg_eigen_dit_vs_eigen_cor_diff_rms vs run
χ² / ndf 2.646e+04 / 36
p0 133.6 ± 0.1628
220
200
180
160
140
120
100
5967. 0
5967. 1
5967. 2
5967. 3
5967. 4
5967. 5
5967. 6
5968. 0
5968. 1
5968. 2
5968. 3
5968. 4
5968. 5
5968. 6
5968. 7
5969. 0
5969. 1
5969. 2
5969. 3
5969. 4
5969. 5
5969. 6
5969. 7
5969. 8
5969. 9
5970. 0
5970. 1
5970. 2
5970. 3
5971. 0
5971. 1
5971. 2
5971. 3
5971. 4
5971. 5
5971. 6
5972. 0

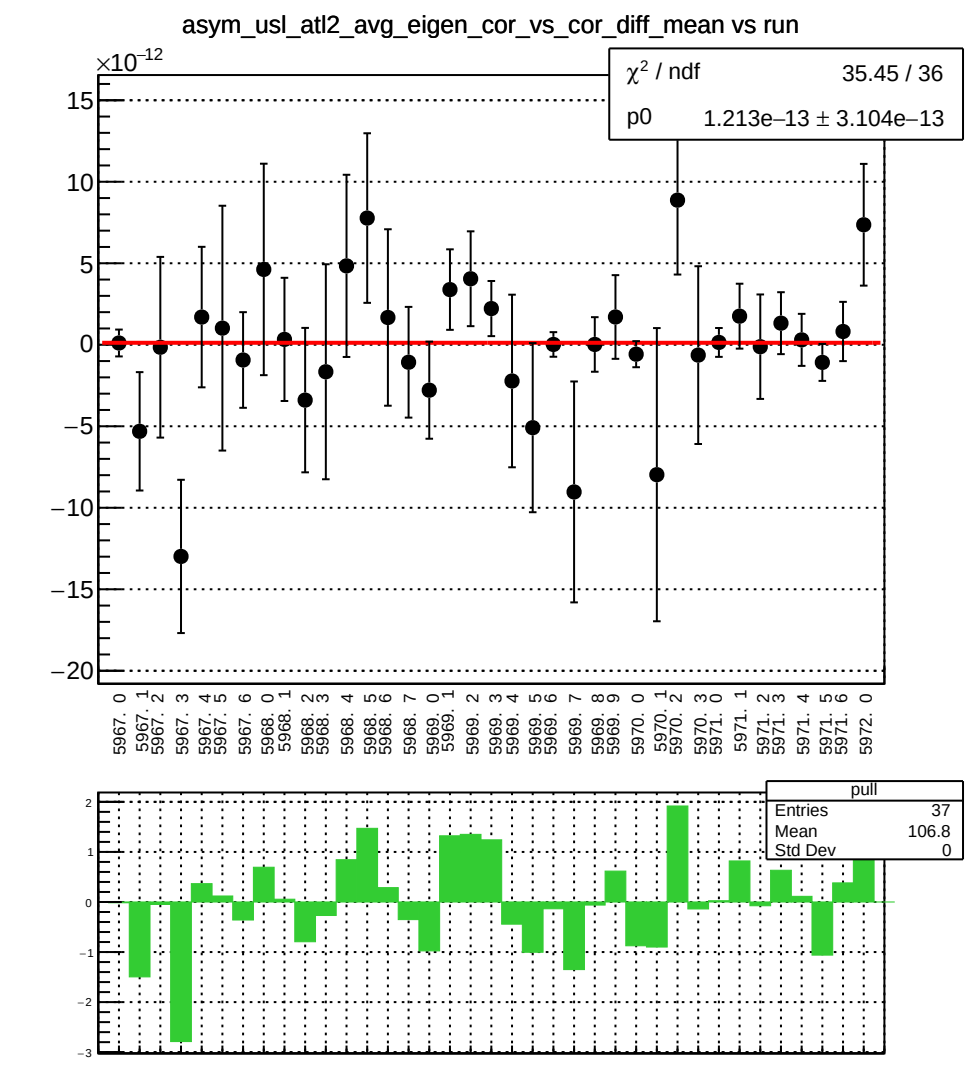
asym_usl_atl2_avg_eigen_cor_vs_cor_diff_mean vs run
×10⁻¹²
χ² / ndf 35.45 / 36
p0 1.213e−13 ± 3.104e−13
15
10
5
0
−5
−10
−15
−20
5967. 0
5967. 1
5967. 2
5967. 3
5967. 4
5967. 5
5967. 6
5968. 0
5968. 1
5968. 2
5968. 3
5968. 4
5968. 5
5968. 6
5968. 7
5969. 0
5969. 1
5969. 2
5969. 3
5969. 4
5969. 5
5969. 6
5969. 7
5969. 8
5969. 9
5970. 0
5970. 1
5970. 2
5970. 3
5971. 0
5971. 1
5971. 2
5971. 3
5971. 4
5971. 5
5971. 6
5972. 0
pull
Entries 37
Mean 106.8
Std Dev 0
2
1
0
−1
−2
−3

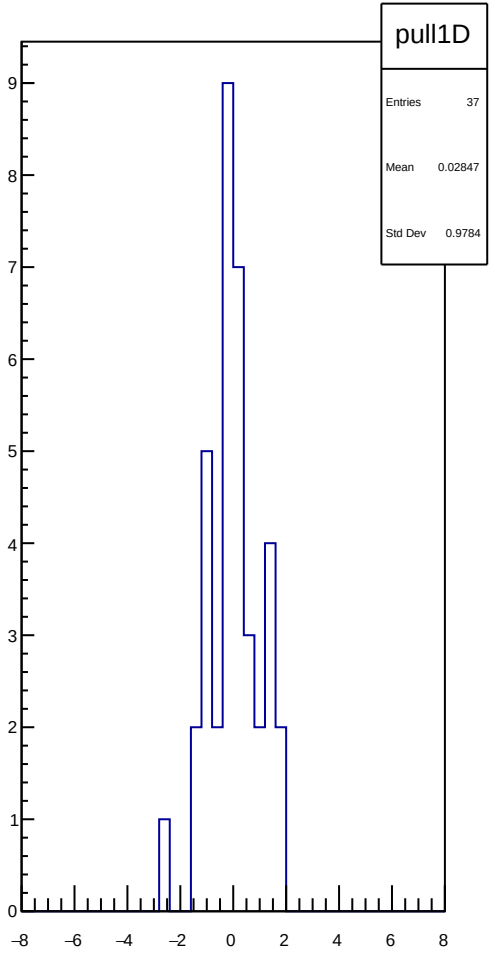
pull1D
Entries 37
Mean 0.02847
Std Dev 0.9784
9
8
7
6
5
4
3
2
1
0
−8
−6
−4
−2
0
2
4
6
8

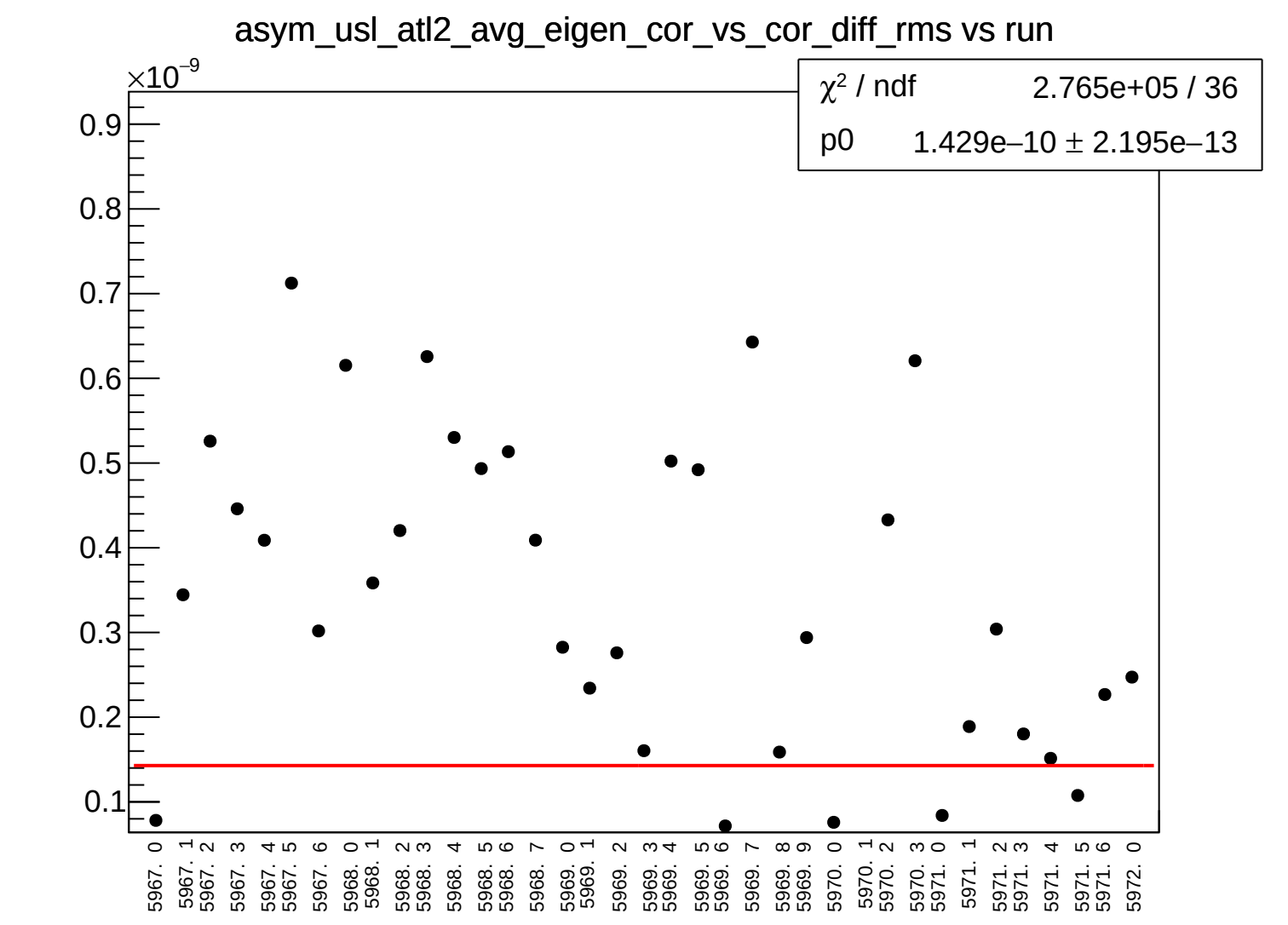
asym_usl_atl2_avg_eigen_cor_vs_cor_diff_rms vs run
×10⁻⁹
χ² / ndf 2.765e+05 / 36
p0 1.429e−10 ± 2.195e−13
0.9
0.8
0.7
0.6
0.5
0.4
0.3
0.2
0.1
5967. 0
5967. 1
5967. 2
5967. 3
5967. 4
5967. 5
5967. 6
5968. 0
5968. 1
5968. 2
5968. 3
5968. 4
5968. 5
5968. 6
5968. 7
5969. 0
5969. 1
5969. 2
5969. 3
5969. 4
5969. 5
5969. 6
5969. 7
5969. 8
5969. 9
5970. 0
5970. 1
5970. 2
5970. 3
5971. 0
5971. 1
5971. 2
5971. 3
5971. 4
5971. 5
5971. 6
5972. 0

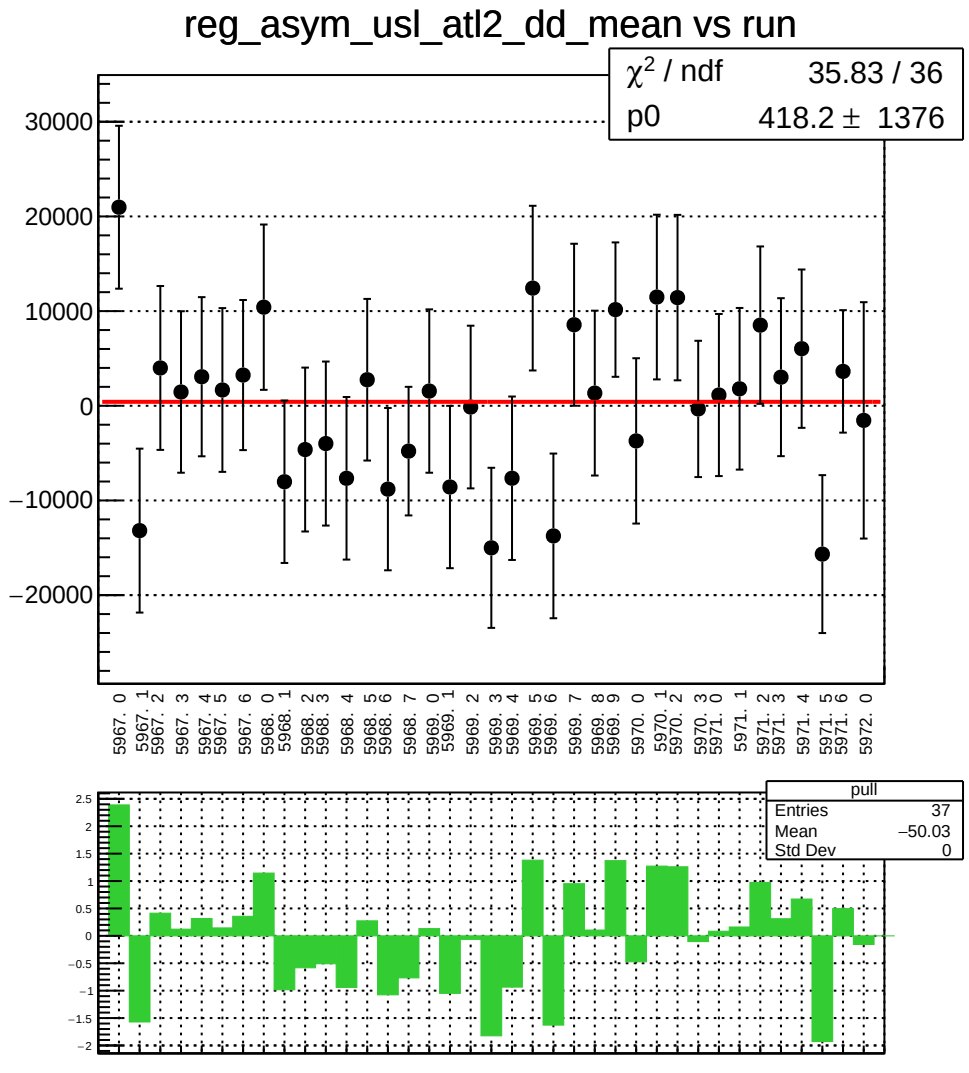
reg_asym_usl_atl2_dd_mean vs run
χ² / ndf 35.83 / 36
p0 418.2 ± 1376
30000
20000
10000
0
−10000
−20000
5967. 0
5967. 1
5967. 2
5967. 3
5967. 4
5967. 5
5967. 6
5968. 0
5968. 1
5968. 2
5968. 3
5968. 4
5968. 5
5968. 6
5968. 7
5969. 0
5969. 1
5969. 2
5969. 3
5969. 4
5969. 5
5969. 6
5969. 7
5969. 8
5969. 9
5970. 0
5970. 1
5970. 2
5970. 3
5971. 0
5971. 1
5971. 2
5971. 3
5971. 4
5971. 5
5971. 6
5972. 0
pull
Entries 37
Mean −50.03
Std Dev 0
2.5
2
1.5
1
0.5
0
−0.5
−1
−1.5
−2
pull1D
Entries 37
Mean −0.007024
Std Dev 0.9841
10
8
6
4
2
0
−8
−6
−4
−2
0
2
4
6
8

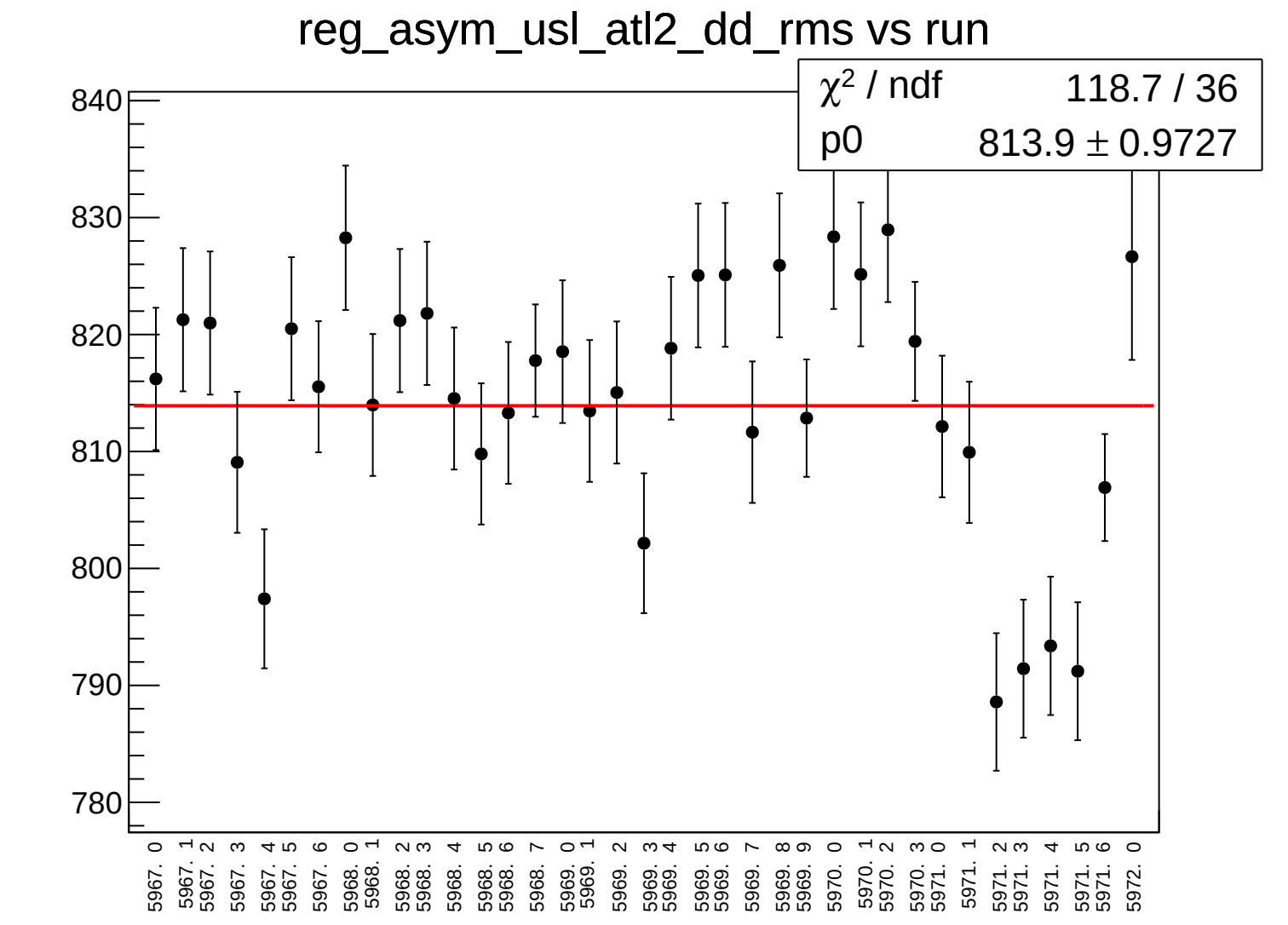
reg_asym_usl_atl2_dd_rms vs run
χ² / ndf 118.7 / 36
p0 813.9 ± 0.9727
840
830
820
810
800
790
780
5967. 0
5967. 1
5967. 2
5967. 3
5967. 4
5967. 5
5967. 6
5968. 0
5968. 1
5968. 2
5968. 3
5968. 4
5968. 5
5968. 6
5968. 7
5969. 0
5969. 1
5969. 2
5969. 3
5969. 4
5969. 5
5969. 6
5969. 7
5969. 8
5969. 9
5970. 0
5970. 1
5970. 2
5970. 3
5971. 0
5971. 1
5971. 2
5971. 3
5971. 4
5971. 5
5971. 6
5972. 0

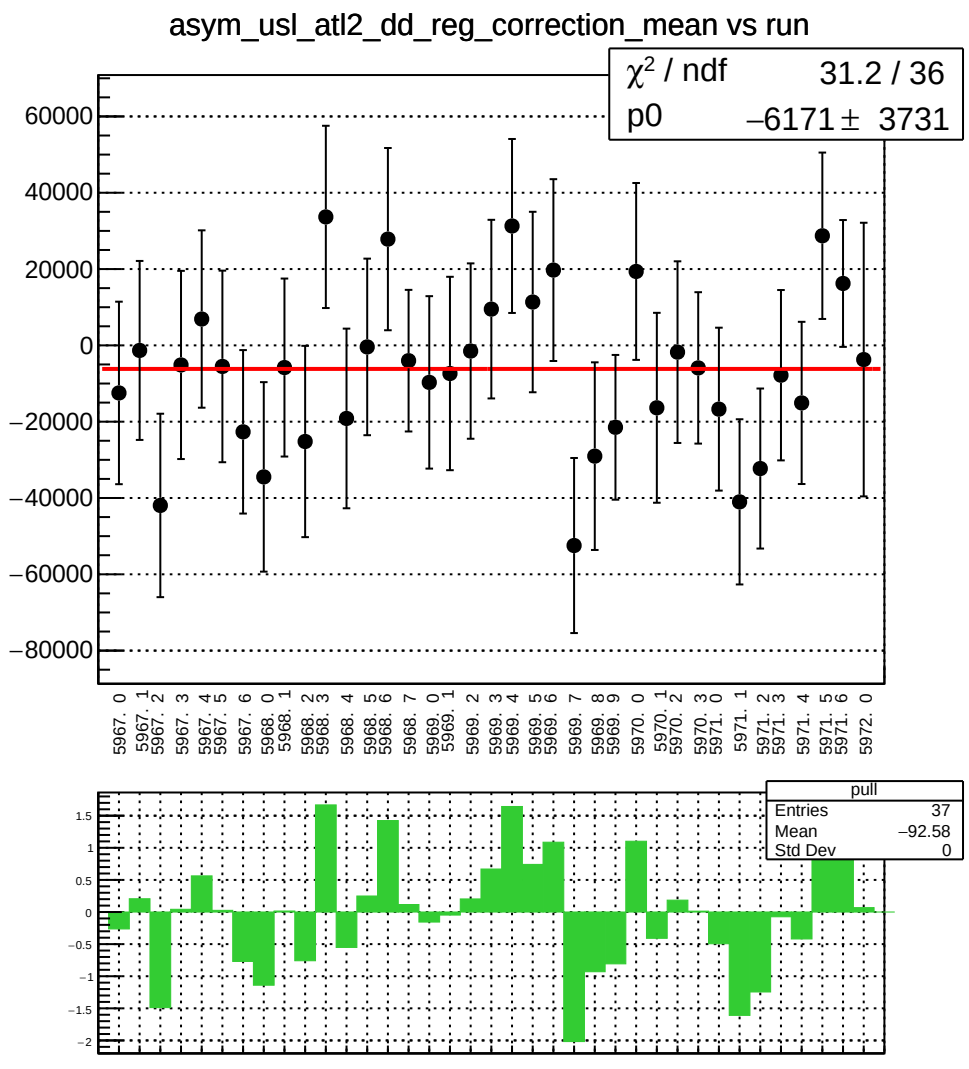
asym_usl_atl2_dd_reg_correction_mean vs run
χ² / ndf 31.2 / 36
p0 −6171 ± 3731
60000
40000
20000
0
−20000
−40000
−60000
−80000
5967. 0
5967. 1
5967. 2
5967. 3
5967. 4
5967. 5
5967. 6
5968. 0
5968. 1
5968. 2
5968. 3
5968. 4
5968. 5
5968. 6
5968. 7
5969. 0
5969. 1
5969. 2
5969. 3
5969. 4
5969. 5
5969. 6
5969. 7
5969. 8
5969. 9
5970. 0
5970. 1
5970. 2
5970. 3
5971. 0
5971. 1
5971. 2
5971. 3
5971. 4
5971. 5
5971. 6
5972. 0
pull
Entries 37
Mean −92.58
Std Dev 0
1.5
1
0.5
0
−0.5
−1
−1.5
−2

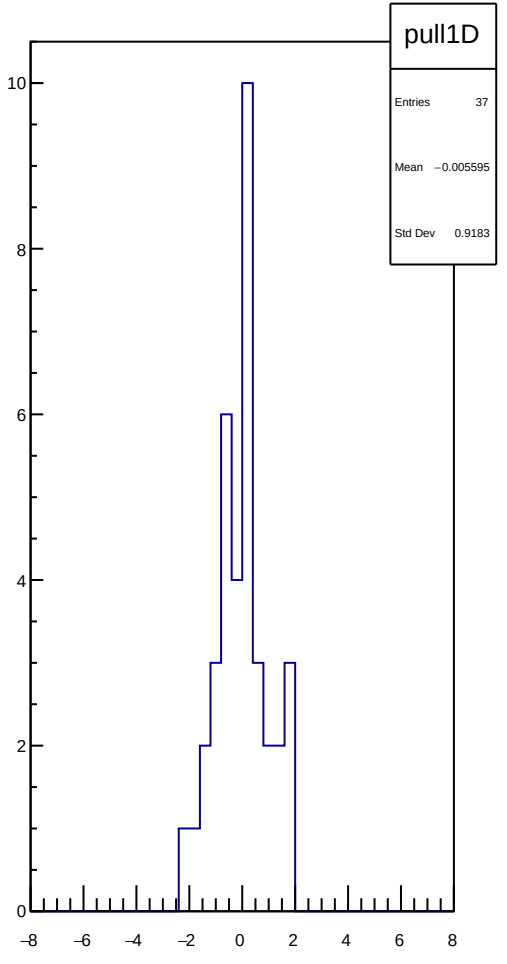
pull1D
Entries 37
Mean −0.005595
Std Dev 0.9183
10
8
6
4
2
0
−8
−6
−4
−2
0
2
4
6
8

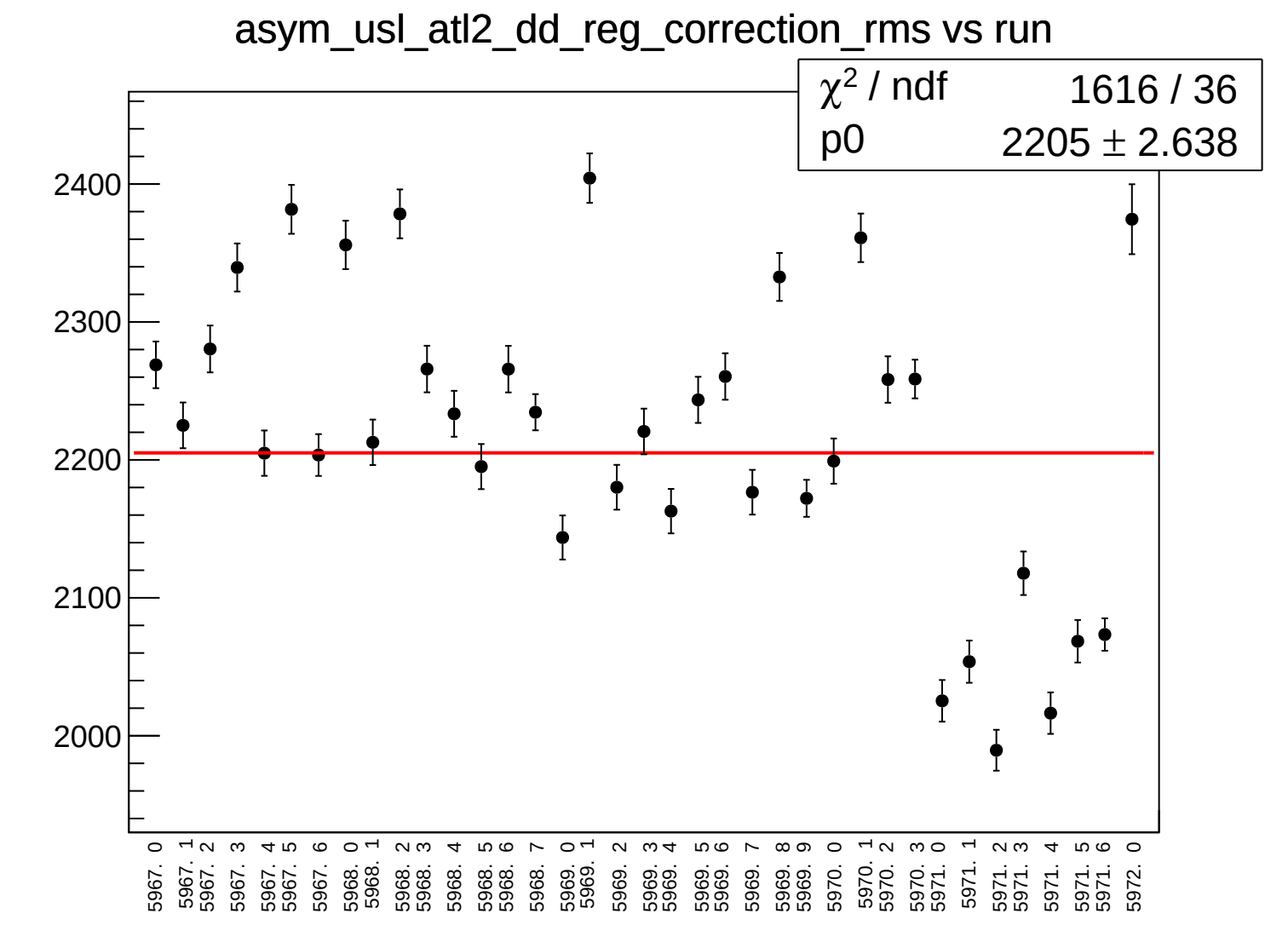
asym_usl_atl2_dd_reg_correction_rms vs run
χ² / ndf 1616 / 36
p0 2205 ± 2.638
2400
2300
2200
2100
2000
5967. 0
5967. 1
5967. 2
5967. 3
5967. 4
5967. 5
5967. 6
5968. 0
5968. 1
5968. 2
5968. 3
5968. 4
5968. 5
5968. 6
5968. 7
5969. 0
5969. 1
5969. 2
5969. 3
5969. 4
5969. 5
5969. 6
5969. 7
5969. 8
5969. 9
5970. 0
5970. 1
5970. 2
5970. 3
5971. 0
5971. 1
5971. 2
5971. 3
5971. 4
5971. 5
5971. 6
5972. 0

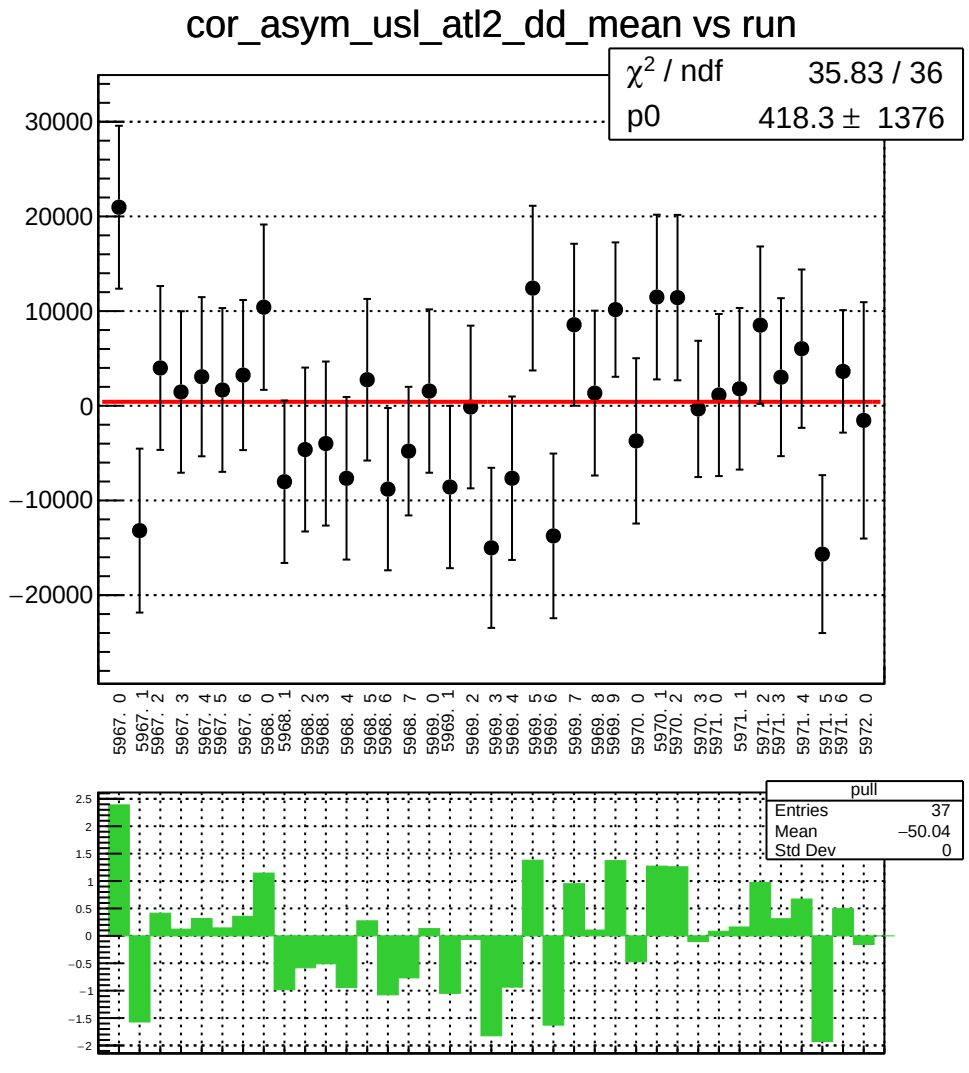
cor_asym_usl_atl2_dd_mean vs run
χ² / ndf 35.83 / 36
p0 418.3 ± 1376
30000
20000
10000
0
−10000
−20000
5967. 0
5967. 1
5967. 2
5967. 3
5967. 4
5967. 5
5967. 6
5968. 0
5968. 1
5968. 2
5968. 3
5968. 4
5968. 5
5968. 6
5968. 7
5969. 0
5969. 1
5969. 2
5969. 3
5969. 4
5969. 5
5969. 6
5969. 7
5969. 8
5969. 9
5970. 0
5970. 1
5970. 2
5970. 3
5971. 0
5971. 1
5971. 2
5971. 3
5971. 4
5971. 5
5971. 6
5972. 0
pull
Entries 37
Mean −50.04
Std Dev 0
2.5
2
1.5
1
0.5
0
−0.5
−1
−1.5
−2
pull1D
Entries 37
Mean −0.007024
Std Dev 0.9841
10
8
6
4
2
0
−8
−6
−4
−2
0
2
4
6
8

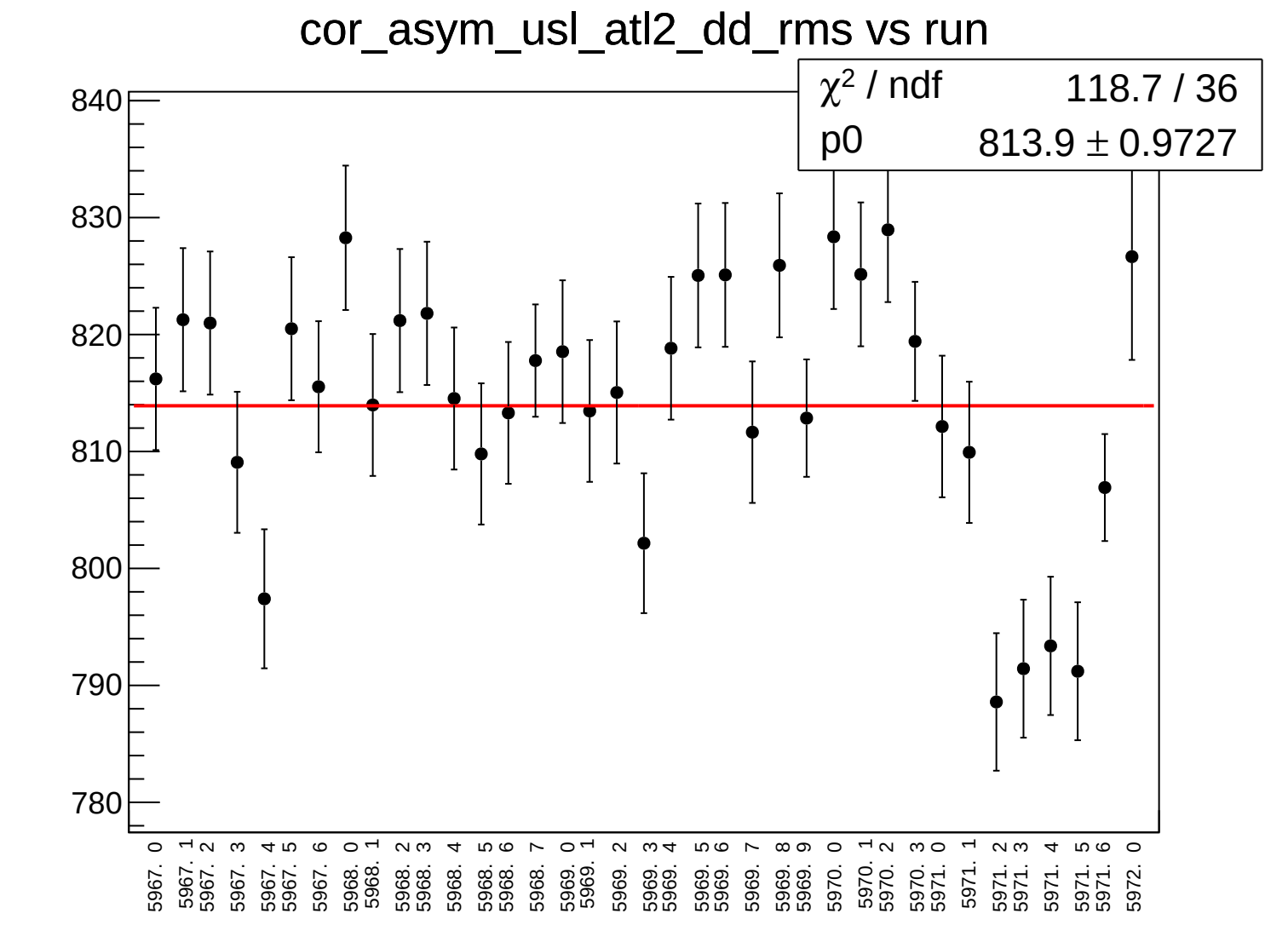
cor_asym_usl_atl2_dd_rms vs run
χ² / ndf 118.7 / 36
p0 813.9 ± 0.9727
840
830
820
810
800
790
780
5967. 0
5967. 1
5967. 2
5967. 3
5967. 4
5967. 5
5967. 6
5968. 0
5968. 1
5968. 2
5968. 3
5968. 4
5968. 5
5968. 6
5968. 7
5969. 0
5969. 1
5969. 2
5969. 3
5969. 4
5969. 5
5969. 6
5969. 7
5969. 8
5969. 9
5970. 0
5970. 1
5970. 2
5970. 3
5971. 0
5971. 1
5971. 2
5971. 3
5971. 4
5971. 5
5971. 6
5972. 0

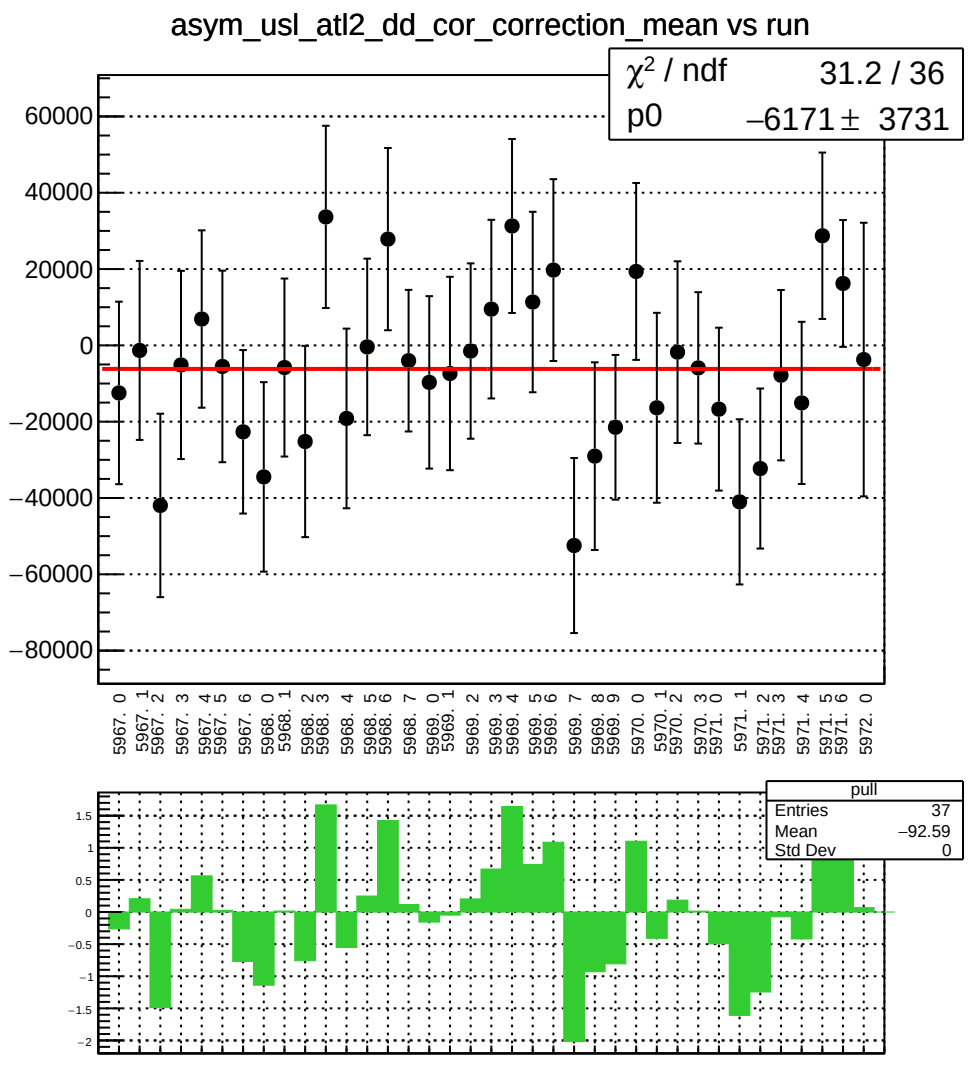
asym_usl_atl2_dd_cor_correction_mean vs run
χ² / ndf 31.2 / 36
p0 −6171 ± 3731
60000
40000
20000
0
−20000
−40000
−60000
−80000
5967. 0
5967. 1
5967. 2
5967. 3
5967. 4
5967. 5
5967. 6
5968. 0
5968. 1
5968. 2
5968. 3
5968. 4
5968. 5
5968. 6
5968. 7
5969. 0
5969. 1
5969. 2
5969. 3
5969. 4
5969. 5
5969. 6
5969. 7
5969. 8
5969. 9
5970. 0
5970. 1
5970. 2
5970. 3
5971. 0
5971. 1
5971. 2
5971. 3
5971. 4
5971. 5
5971. 6
5972. 0
pull
Entries 37
Mean −92.59
Std Dev 0
1.5
1
0.5
0
−0.5
−1
−1.5
−2

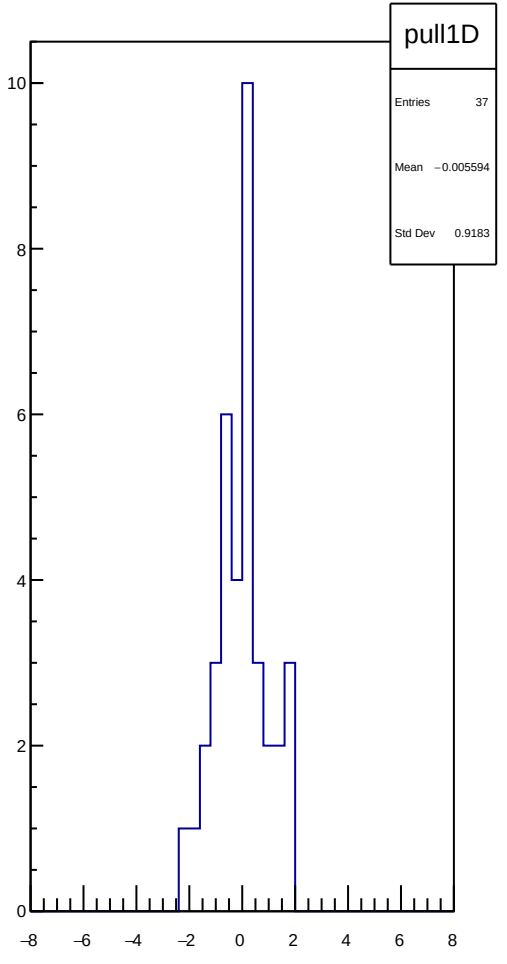
pull1D
Entries 37
Mean −0.005594
Std Dev 0.9183
10
8
6
4
2
0
−8
−6
−4
−2
0
2
4
6
8

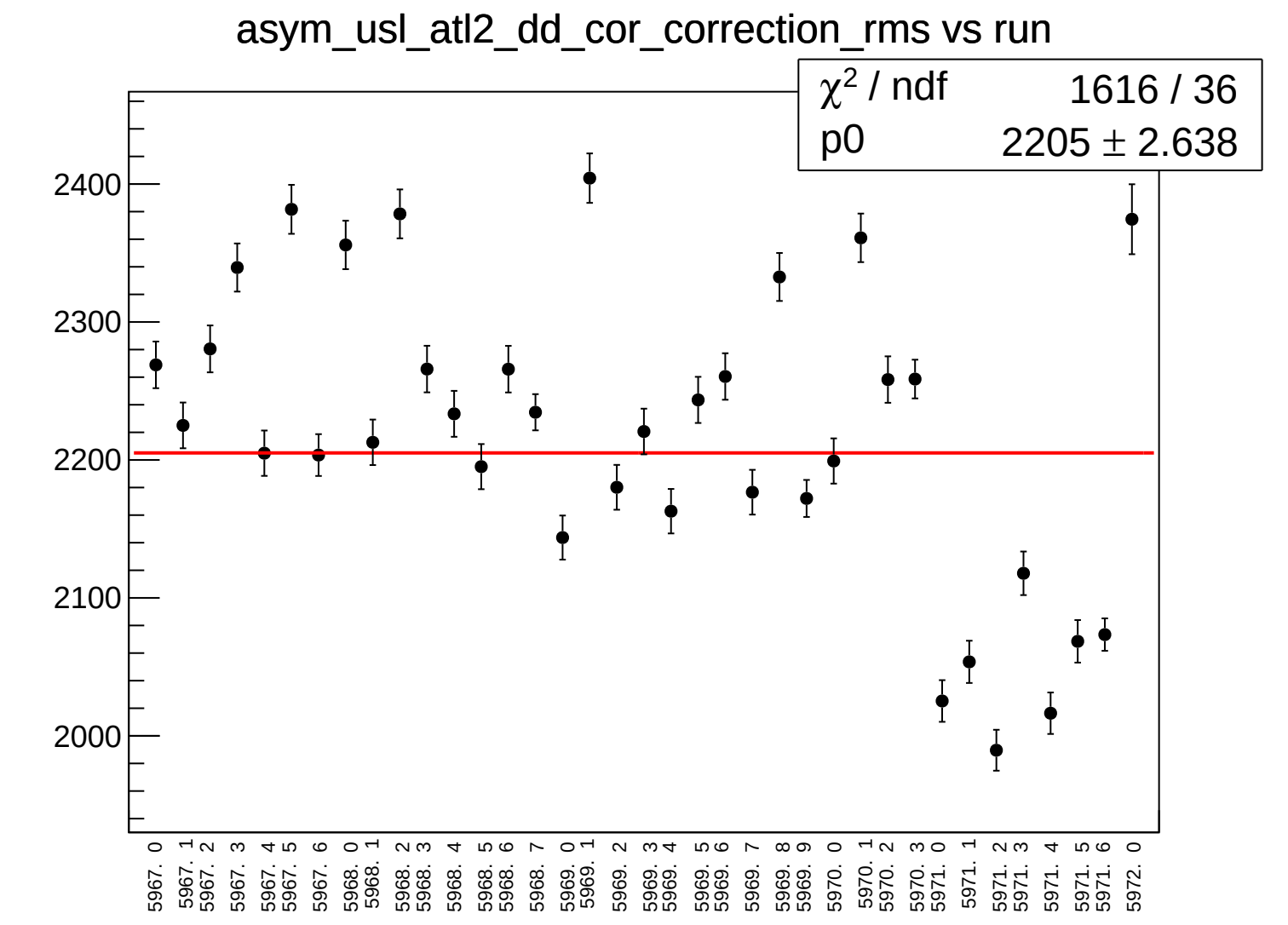
asym_usl_atl2_dd_cor_correction_rms vs run
χ² / ndf 1616 / 36
p0 2205 ± 2.638
2400
2300
2200
2100
2000
5967. 0
5967. 1
5967. 2
5967. 3
5967. 4
5967. 5
5967. 6
5968. 0
5968. 1
5968. 2
5968. 3
5968. 4
5968. 5
5968. 6
5968. 7
5969. 0
5969. 1
5969. 2
5969. 3
5969. 4
5969. 5
5969. 6
5969. 7
5969. 8
5969. 9
5970. 0
5970. 1
5970. 2
5970. 3
5971. 0
5971. 1
5971. 2
5971. 3
5971. 4
5971. 5
5971. 6
5972. 0

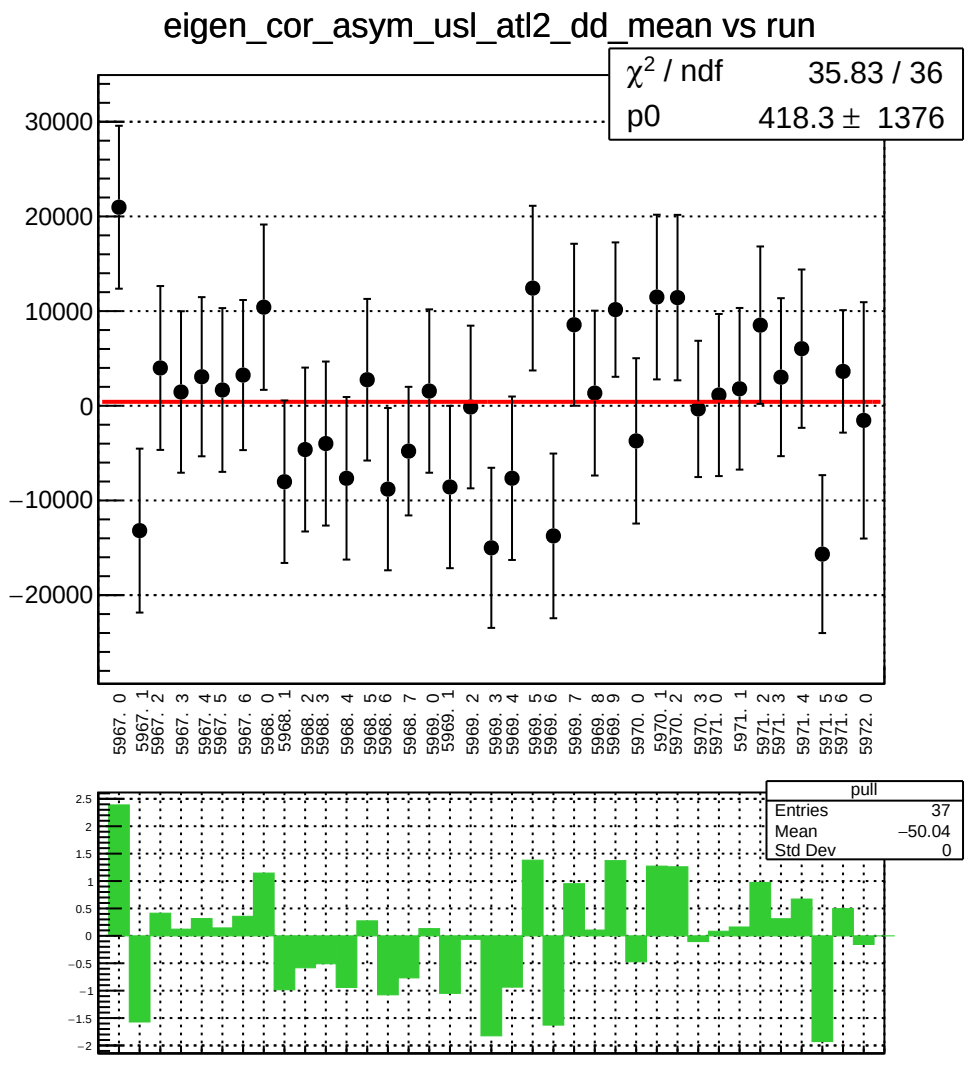
eigen_cor_asym_usl_atl2_dd_mean vs run
χ² / ndf 35.83 / 36
p0 418.3 ± 1376
30000
20000
10000
0
−10000
−20000
5967. 0
5967. 1
5967. 2
5967. 3
5967. 4
5967. 5
5967. 6
5968. 0
5968. 1
5968. 2
5968. 3
5968. 4
5968. 5
5968. 6
5968. 7
5969. 0
5969. 1
5969. 2
5969. 3
5969. 4
5969. 5
5969. 6
5969. 7
5969. 8
5969. 9
5970. 0
5970. 1
5970. 2
5970. 3
5971. 0
5971. 1
5971. 2
5971. 3
5971. 4
5971. 5
5971. 6
5972. 0
pull
Entries 37
Mean −50.04
Std Dev 0
2.5
2
1.5
1
0.5
0
−0.5
−1
−1.5
−2

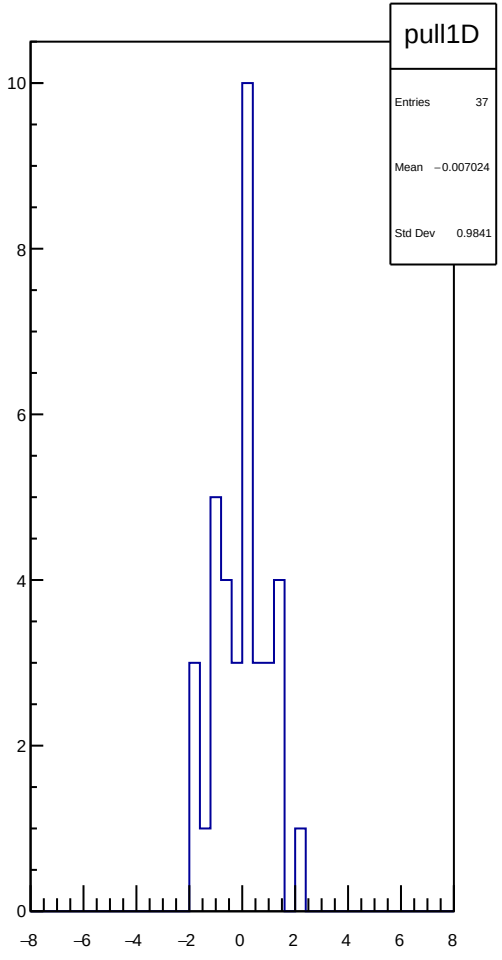
pull1D
Entries 37
Mean −0.007024
Std Dev 0.9841
10
8
6
4
2
0
−8
−6
−4
−2
0
2
4
6
8

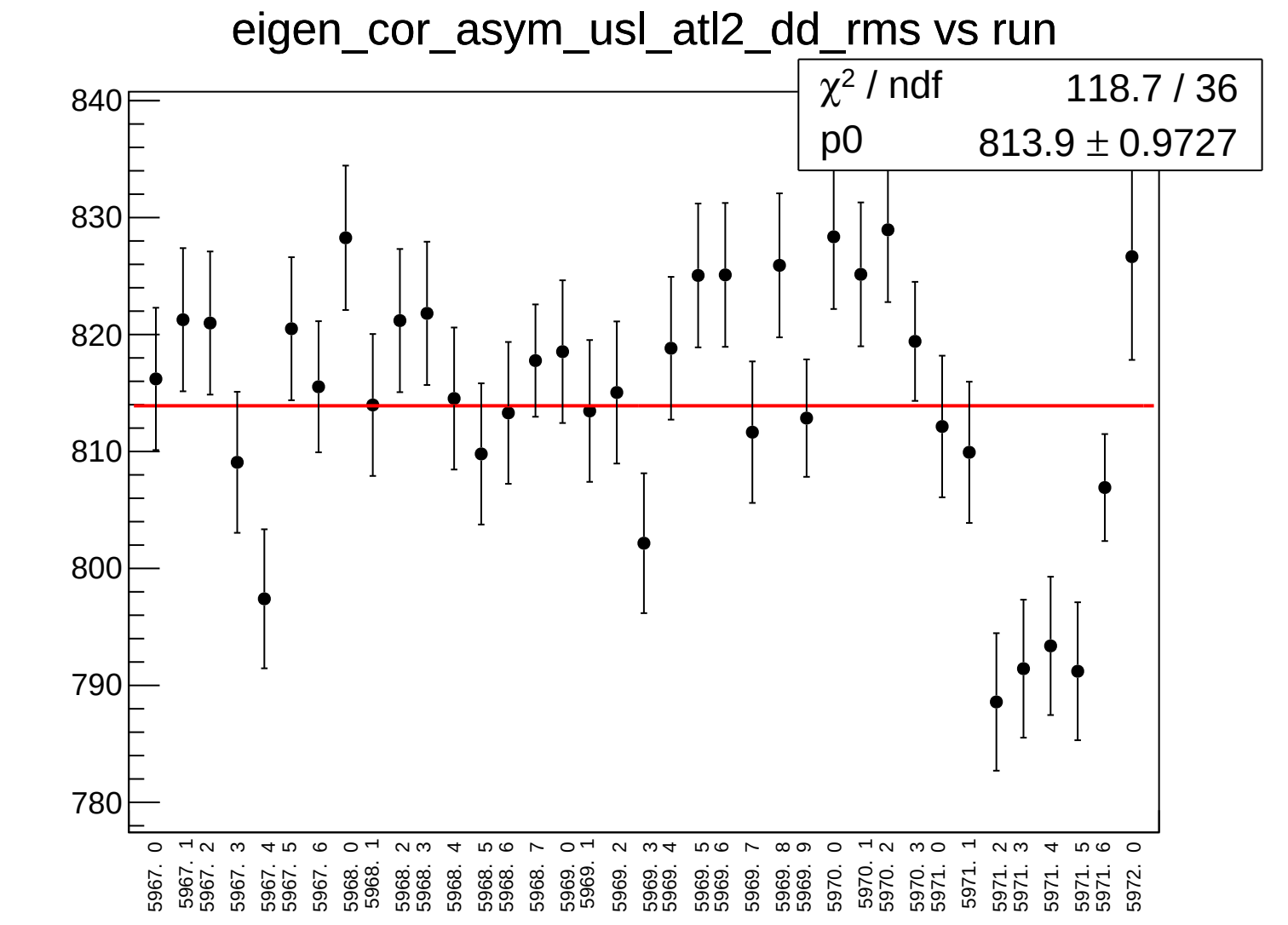
eigen_cor_asym_usl_atl2_dd_rms vs run
χ² / ndf 118.7 / 36
p0 813.9 ± 0.9727
840
830
820
810
800
790
780
5967. 0
5967. 1
5967. 2
5967. 3
5967. 4
5967. 5
5967. 6
5968. 0
5968. 1
5968. 2
5968. 3
5968. 4
5968. 5
5968. 6
5968. 7
5969. 0
5969. 1
5969. 2
5969. 3
5969. 4
5969. 5
5969. 6
5969. 7
5969. 8
5969. 9
5970. 0
5970. 1
5970. 2
5970. 3
5971. 0
5971. 1
5971. 2
5971. 3
5971. 4
5971. 5
5971. 6
5972. 0

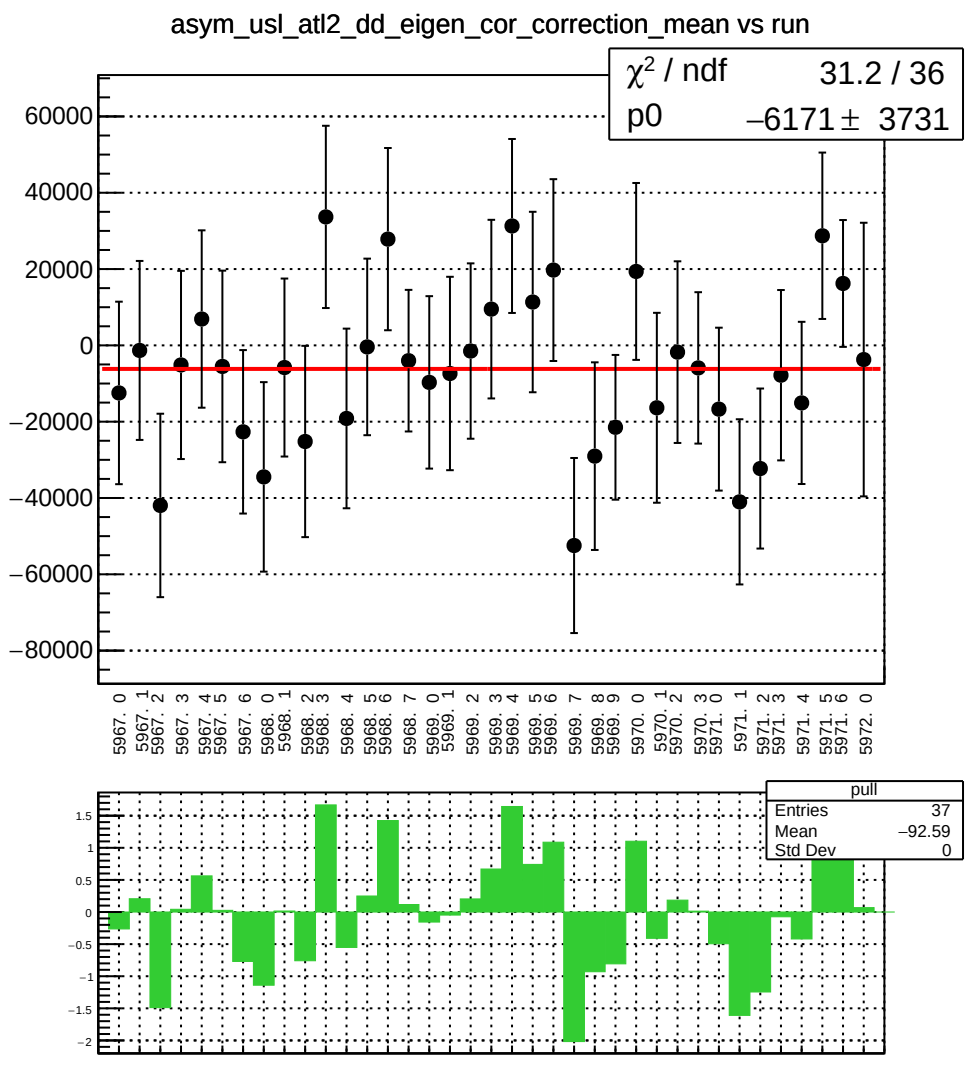
asym_usl_atl2_dd_eigen_cor_correction_mean vs run
χ² / ndf 31.2 / 36
p0 −6171 ± 3731
60000
40000
20000
0
−20000
−40000
−60000
−80000
5967. 0
5967. 1
5967. 2
5967. 3
5967. 4
5967. 5
5967. 6
5968. 0
5968. 1
5968. 2
5968. 3
5968. 4
5968. 5
5968. 6
5968. 7
5969. 0
5969. 1
5969. 2
5969. 3
5969. 4
5969. 5
5969. 6
5969. 7
5969. 8
5969. 9
5970. 0
5970. 1
5970. 2
5970. 3
5971. 0
5971. 1
5971. 2
5971. 3
5971. 4
5971. 5
5971. 6
5972. 0
pull
Entries 37
Mean −92.59
Std Dev 0
1.5
1
0.5
0
−0.5
−1
−1.5
−2

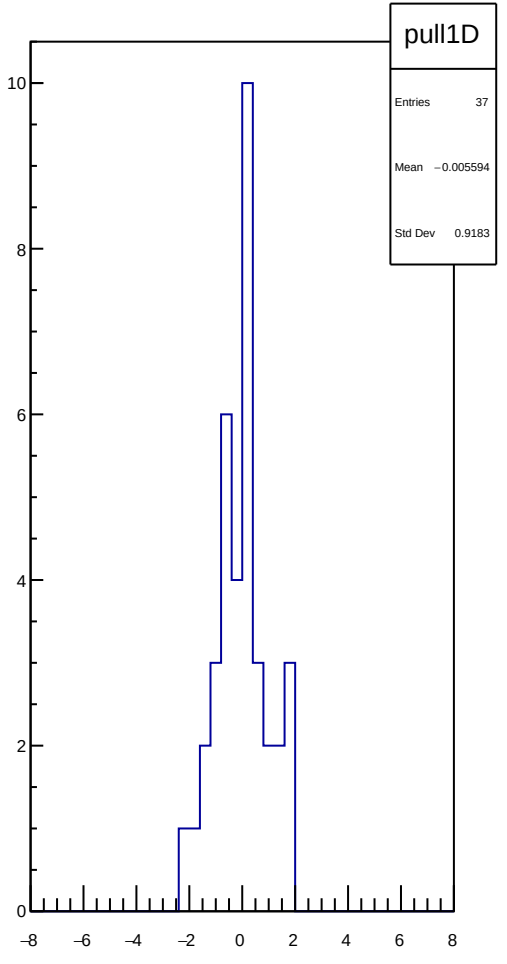
pull1D
Entries 37
Mean −0.005594
Std Dev 0.9183
10
8
6
4
2
0
−8
−6
−4
−2
0
2
4
6
8

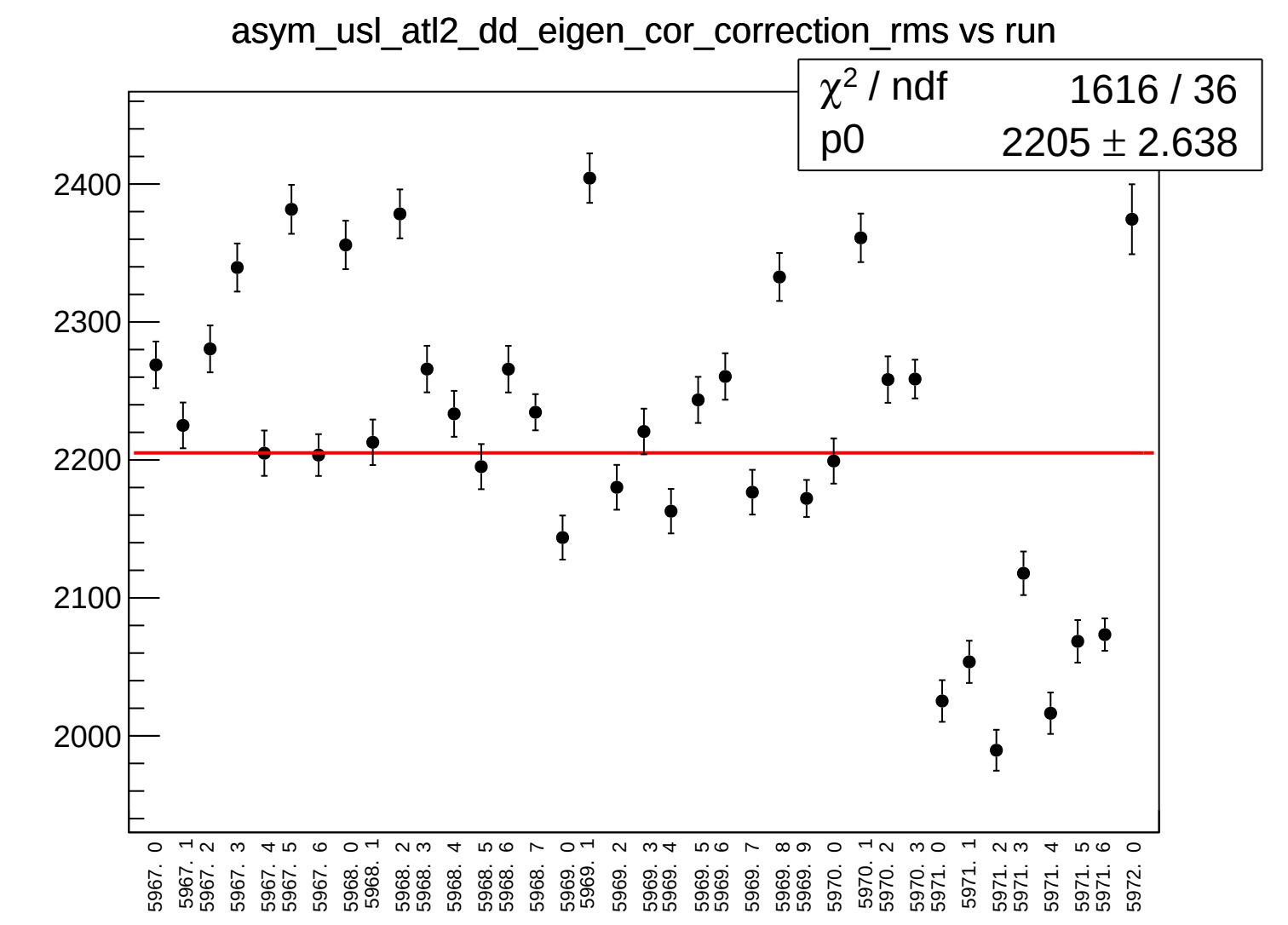
asym_usl_atl2_dd_eigen_cor_correction_rms vs run
χ² / ndf 1616 / 36
p0 2205 ± 2.638
2400
2300
2200
2100
2000
5967. 0
5967. 1
5967. 2
5967. 3
5967. 4
5967. 5
5967. 6
5968. 0
5968. 1
5968. 2
5968. 3
5968. 4
5968. 5
5968. 6
5968. 7
5969. 0
5969. 1
5969. 2
5969. 3
5969. 4
5969. 5
5969. 6
5969. 7
5969. 8
5969. 9
5970. 0
5970. 1
5970. 2
5970. 3
5971. 0
5971. 1
5971. 2
5971. 3
5971. 4
5971. 5
5971. 6
5972. 0

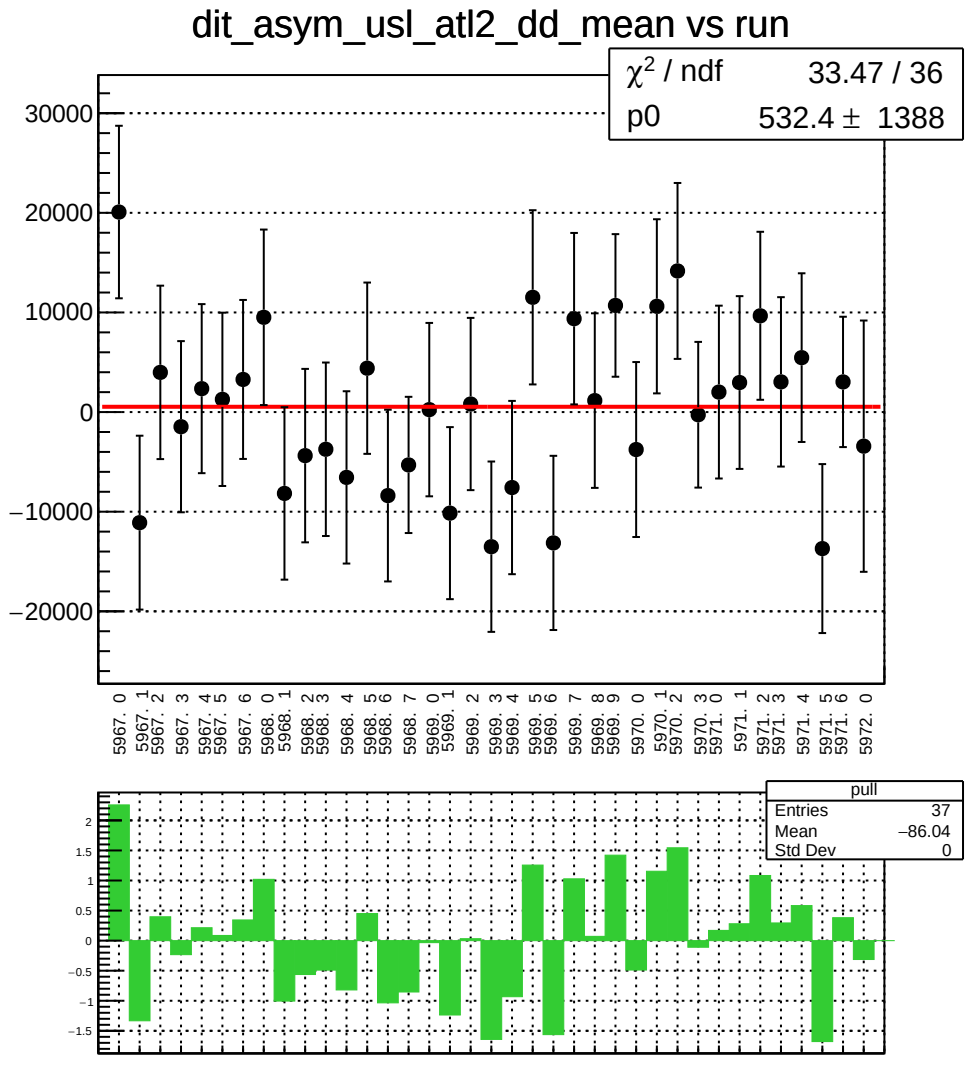
dit_asym_usl_atl2_dd_mean vs run
χ² / ndf 33.47 / 36
p0 532.4 ± 1388
30000
20000
10000
0
−10000
−20000
5967. 0
5967. 1
5967. 2
5967. 3
5967. 4
5967. 5
5967. 6
5968. 0
5968. 1
5968. 2
5968. 3
5968. 4
5968. 5
5968. 6
5968. 7
5969. 0
5969. 1
5969. 2
5969. 3
5969. 4
5969. 5
5969. 6
5969. 7
5969. 8
5969. 9
5970. 0
5970. 1
5970. 2
5970. 3
5971. 0
5971. 1
5971. 2
5971. 3
5971. 4
5971. 5
5971. 6
5972. 0
pull
Entries 37
Mean −86.04
Std Dev 0
2
1.5
1
0.5
0
−0.5
−1
−1.5
pull1D
Entries 37
Mean −0.007127
Std Dev 0.9511
10
8
6
4
2
0
−8
−6
−4
−2
0
2
4
6
8

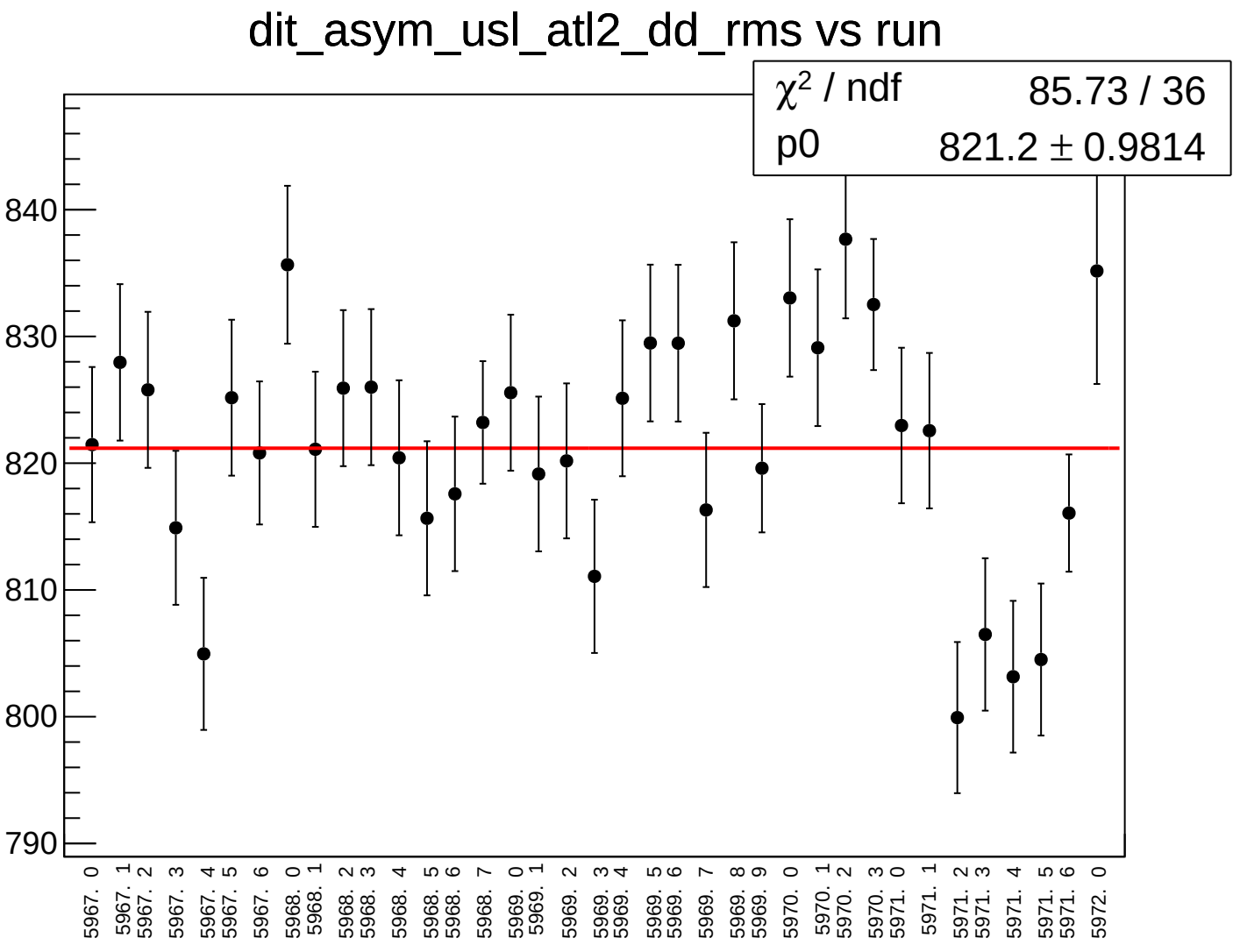
dit_asym_usl_atl2_dd_rms vs run
χ² / ndf 85.73 / 36
p0 821.2 ± 0.9814
840
830
820
810
800
790
5967. 0
5967. 1
5967. 2
5967. 3
5967. 4
5967. 5
5967. 6
5968. 0
5968. 1
5968. 2
5968. 3
5968. 4
5968. 5
5968. 6
5968. 7
5969. 0
5969. 1
5969. 2
5969. 3
5969. 4
5969. 5
5969. 6
5969. 7
5969. 8
5969. 9
5970. 0
5970. 1
5970. 2
5970. 3
5971. 0
5971. 1
5971. 2
5971. 3
5971. 4
5971. 5
5971. 6
5972. 0

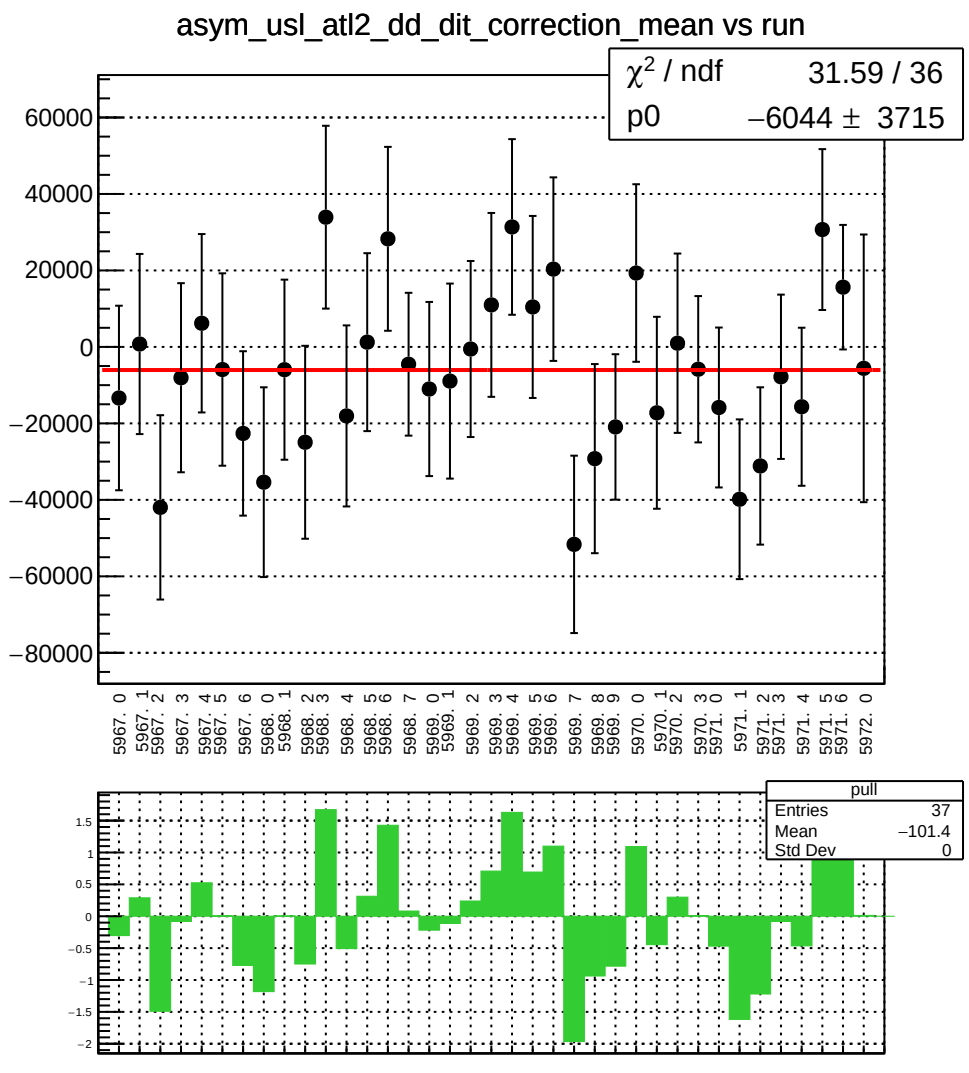
asym_usl_atl2_dd_dit_correction_mean vs run
χ² / ndf 31.59 / 36
p0 −6044 ± 3715
60000
40000
20000
0
−20000
−40000
−60000
−80000
5967. 0
5967. 1
5967. 2
5967. 3
5967. 4
5967. 5
5967. 6
5968. 0
5968. 1
5968. 2
5968. 3
5968. 4
5968. 5
5968. 6
5968. 7
5969. 0
5969. 1
5969. 2
5969. 3
5969. 4
5969. 5
5969. 6
5969. 7
5969. 8
5969. 9
5970. 0
5970. 1
5970. 2
5970. 3
5971. 0
5971. 1
5971. 2
5971. 3
5971. 4
5971. 5
5971. 6
5972. 0
pull
Entries 37
Mean −101.4
Std Dev 0
1.5
1
0.5
0
−0.5
−1
−1.5
−2

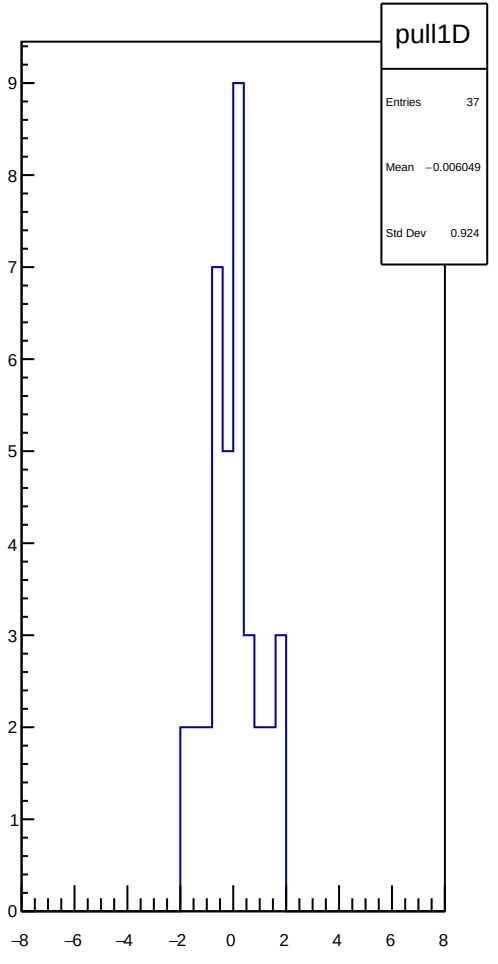
pull1D
Entries 37
Mean −0.006049
Std Dev 0.924
9
8
7
6
5
4
3
2
1
0
−8
−6
−4
−2
0
2
4
6
8

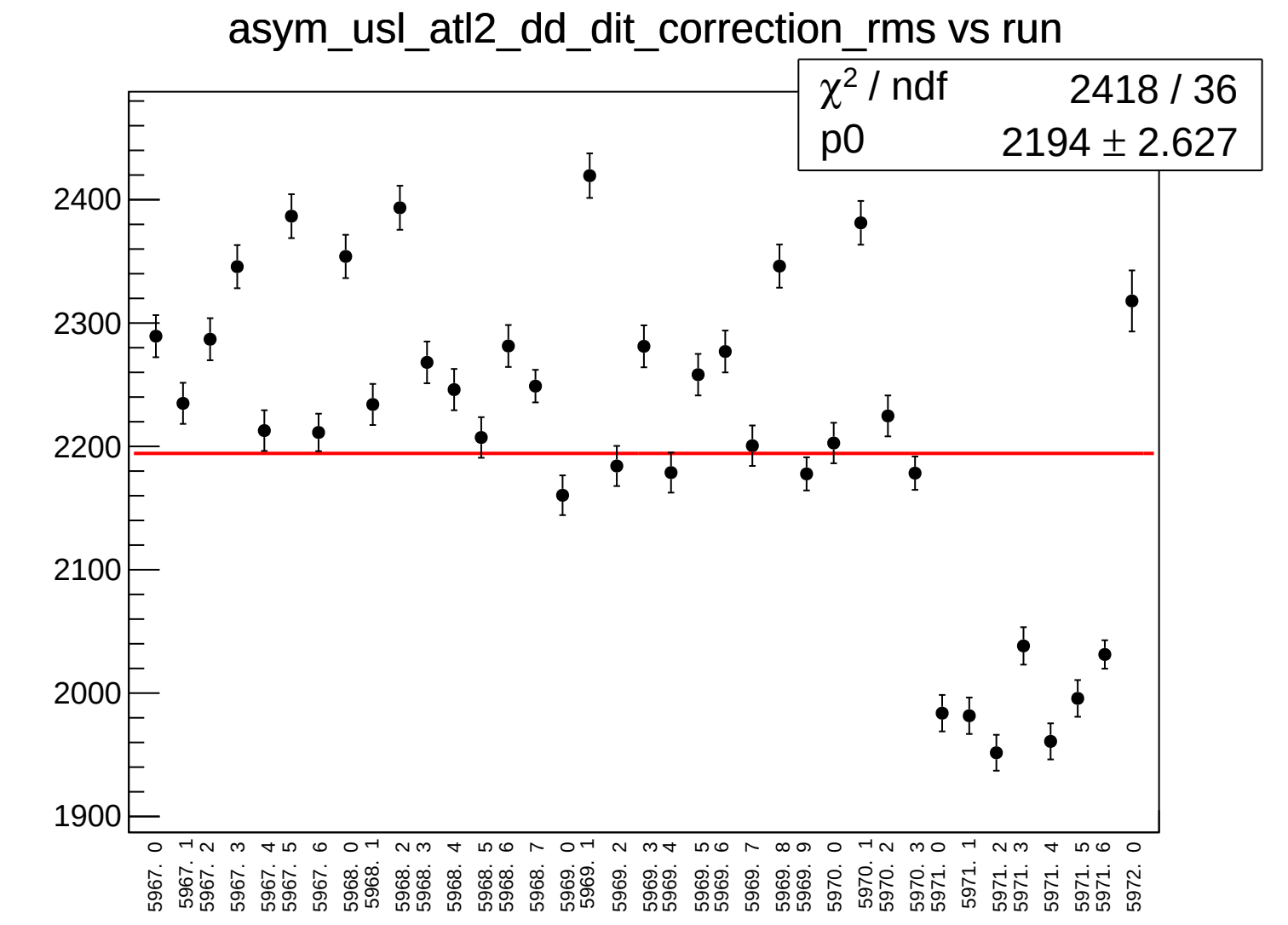
asym_usl_atl2_dd_dit_correction_rms vs run
χ² / ndf 2418 / 36
p0 2194 ± 2.627
2400
2300
2200
2100
2000
1900
5967. 0
5967. 1
5967. 2
5967. 3
5967. 4
5967. 5
5967. 6
5968. 0
5968. 1
5968. 2
5968. 3
5968. 4
5968. 5
5968. 6
5968. 7
5969. 0
5969. 1
5969. 2
5969. 3
5969. 4
5969. 5
5969. 6
5969. 7
5969. 8
5969. 9
5970. 0
5970. 1
5970. 2
5970. 3
5971. 0
5971. 1
5971. 2
5971. 3
5971. 4
5971. 5
5971. 6
5972. 0

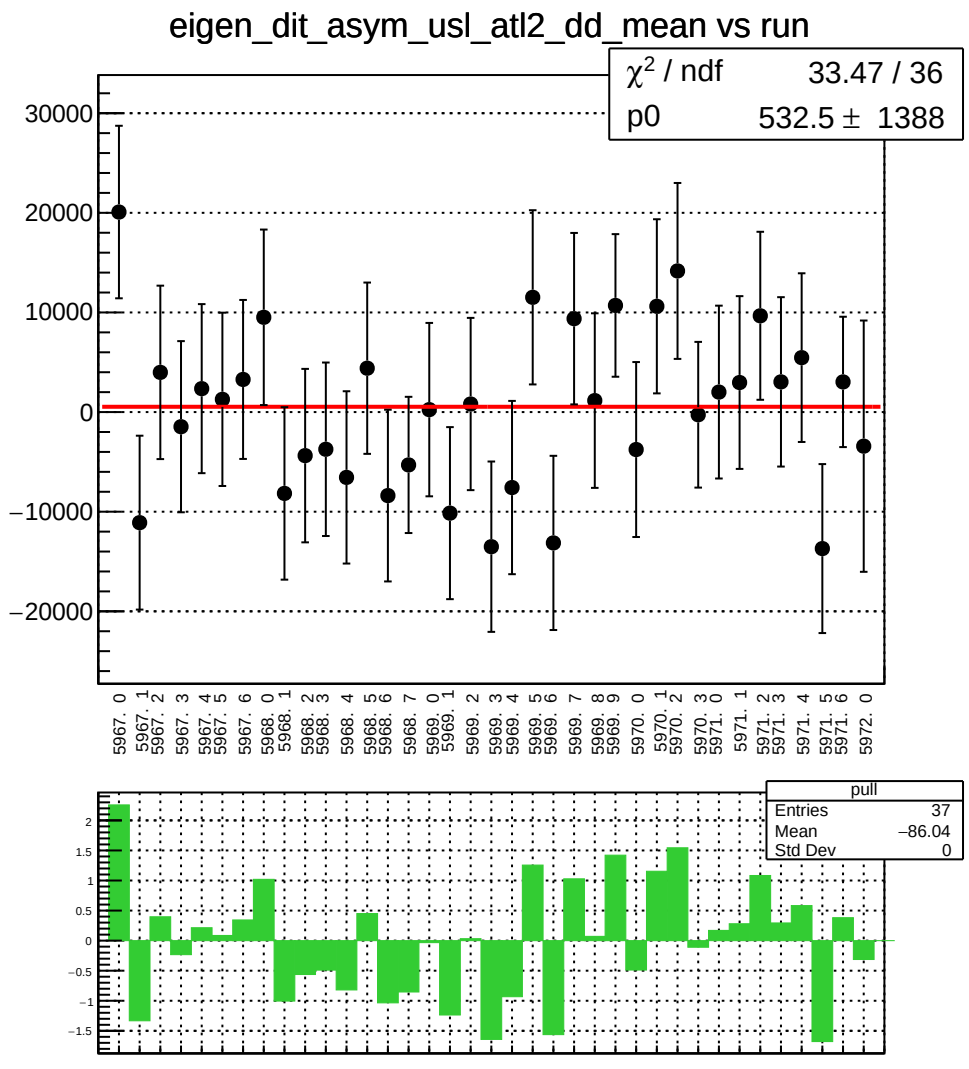
eigen_dit_asym_usl_atl2_dd_mean vs run
χ² / ndf 33.47 / 36
p0 532.5 ± 1388
30000
20000
10000
0
−10000
−20000
5967. 0
5967. 1
5967. 2
5967. 3
5967. 4
5967. 5
5967. 6
5968. 0
5968. 1
5968. 2
5968. 3
5968. 4
5968. 5
5968. 6
5968. 7
5969. 0
5969. 1
5969. 2
5969. 3
5969. 4
5969. 5
5969. 6
5969. 7
5969. 8
5969. 9
5970. 0
5970. 1
5970. 2
5970. 3
5971. 0
5971. 1
5971. 2
5971. 3
5971. 4
5971. 5
5971. 6
5972. 0
pull
Entries 37
Mean −86.04
Std Dev 0
2
1.5
1
0.5
0
−0.5
−1
−1.5
pull1D
Entries 37
Mean −0.007127
Std Dev 0.9511
10
8
6
4
2
0
−8
−6
−4
−2
0
2
4
6
8

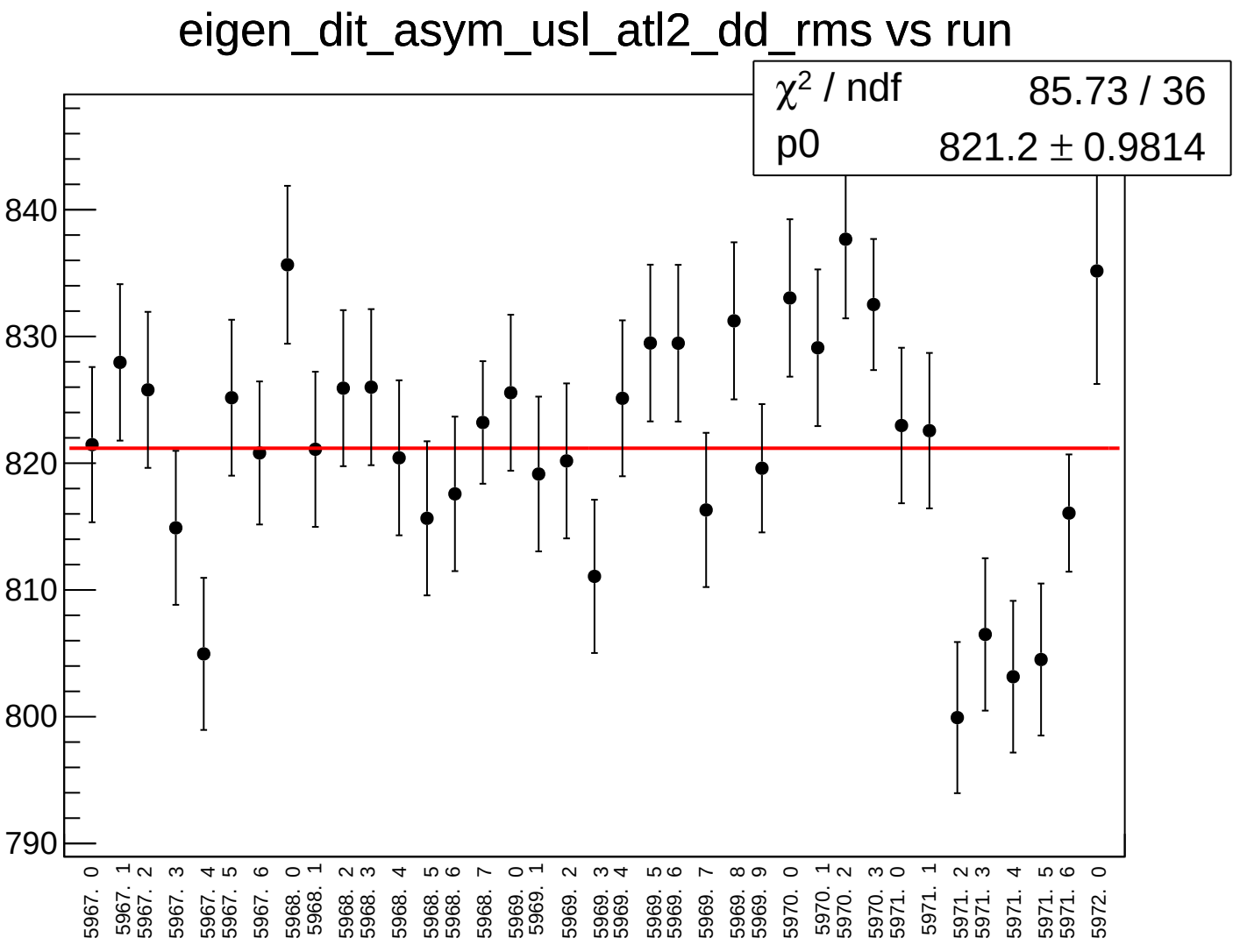
eigen_dit_asym_usl_atl2_dd_rms vs run
χ² / ndf 85.73 / 36
p0 821.2 ± 0.9814
840
830
820
810
800
790
5967. 0
5967. 1
5967. 2
5967. 3
5967. 4
5967. 5
5967. 6
5968. 0
5968. 1
5968. 2
5968. 3
5968. 4
5968. 5
5968. 6
5968. 7
5969. 0
5969. 1
5969. 2
5969. 3
5969. 4
5969. 5
5969. 6
5969. 7
5969. 8
5969. 9
5970. 0
5970. 1
5970. 2
5970. 3
5971. 0
5971. 1
5971. 2
5971. 3
5971. 4
5971. 5
5971. 6
5972. 0

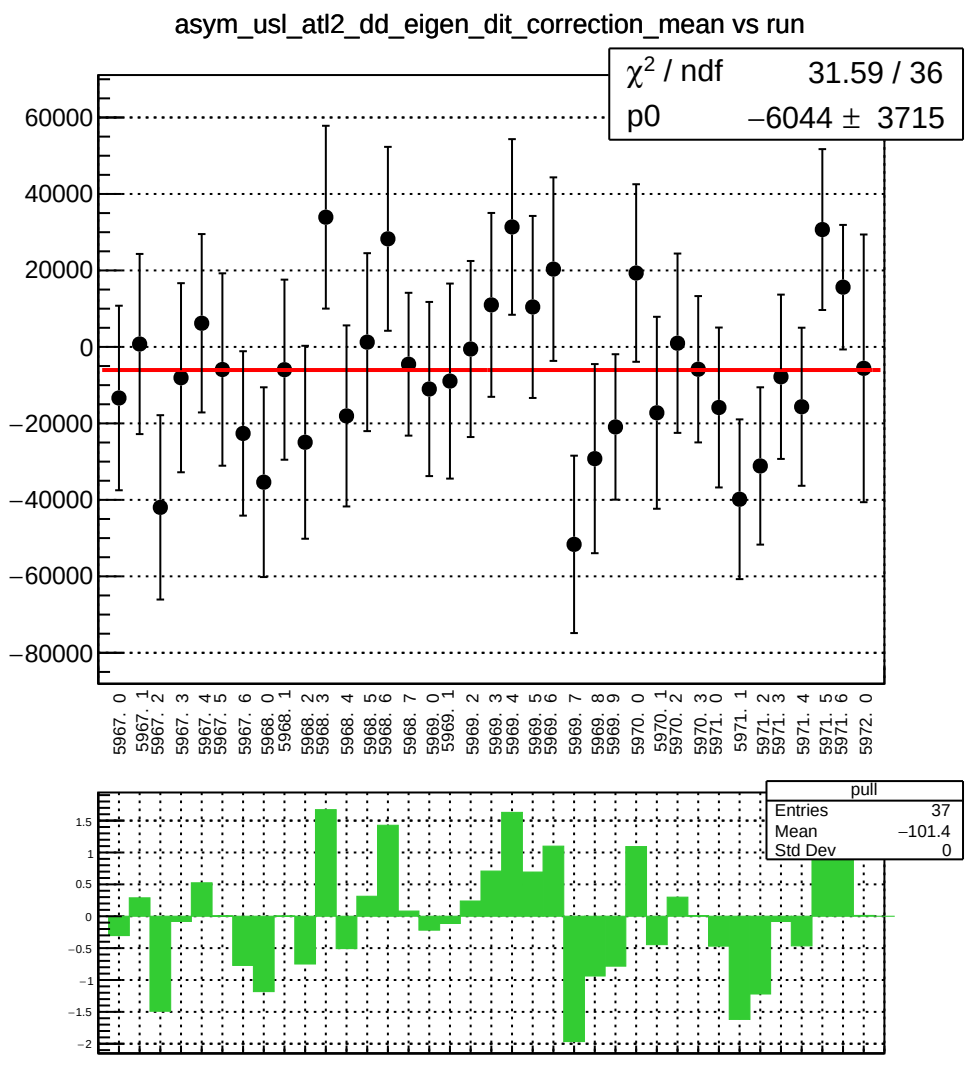
asym_usl_atl2_dd_eigen_dit_correction_mean vs run
χ² / ndf 31.59 / 36
p0 −6044 ± 3715
60000
40000
20000
0
−20000
−40000
−60000
−80000
5967. 0
5967. 1
5967. 2
5967. 3
5967. 4
5967. 5
5967. 6
5968. 0
5968. 1
5968. 2
5968. 3
5968. 4
5968. 5
5968. 6
5968. 7
5969. 0
5969. 1
5969. 2
5969. 3
5969. 4
5969. 5
5969. 6
5969. 7
5969. 8
5969. 9
5970. 0
5970. 1
5970. 2
5970. 3
5971. 0
5971. 1
5971. 2
5971. 3
5971. 4
5971. 5
5971. 6
5972. 0
pull
Entries 37
Mean −101.4
Std Dev 0
1.5
1
0.5
0
−0.5
−1
−1.5
−2

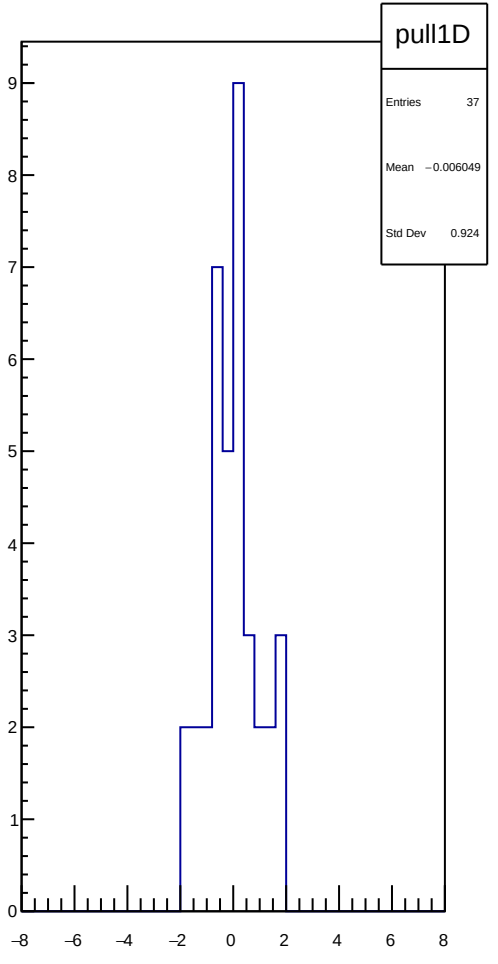
pull1D
Entries 37
Mean −0.006049
Std Dev 0.924
9
8
7
6
5
4
3
2
1
0
−8
−6
−4
−2
0
2
4
6
8

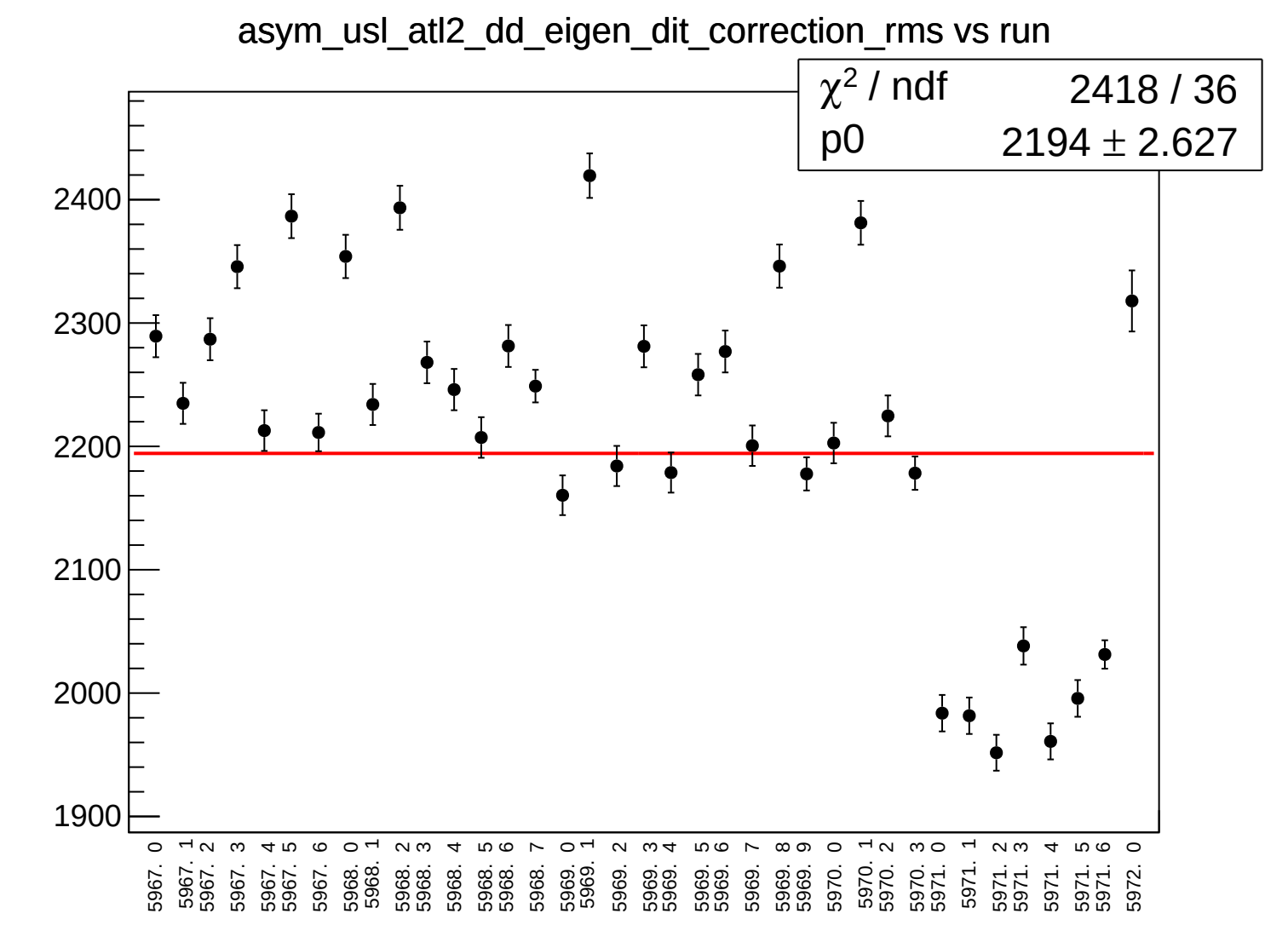
asym_usl_atl2_dd_eigen_dit_correction_rms vs run
χ² / ndf 2418 / 36
p0 2194 ± 2.627
2400
2300
2200
2100
2000
1900
5967. 0
5967. 1
5967. 2
5967. 3
5967. 4
5967. 5
5967. 6
5968. 0
5968. 1
5968. 2
5968. 3
5968. 4
5968. 5
5968. 6
5968. 7
5969. 0
5969. 1
5969. 2
5969. 3
5969. 4
5969. 5
5969. 6
5969. 7
5969. 8
5969. 9
5970. 0
5970. 1
5970. 2
5970. 3
5971. 0
5971. 1
5971. 2
5971. 3
5971. 4
5971. 5
5971. 6
5972. 0

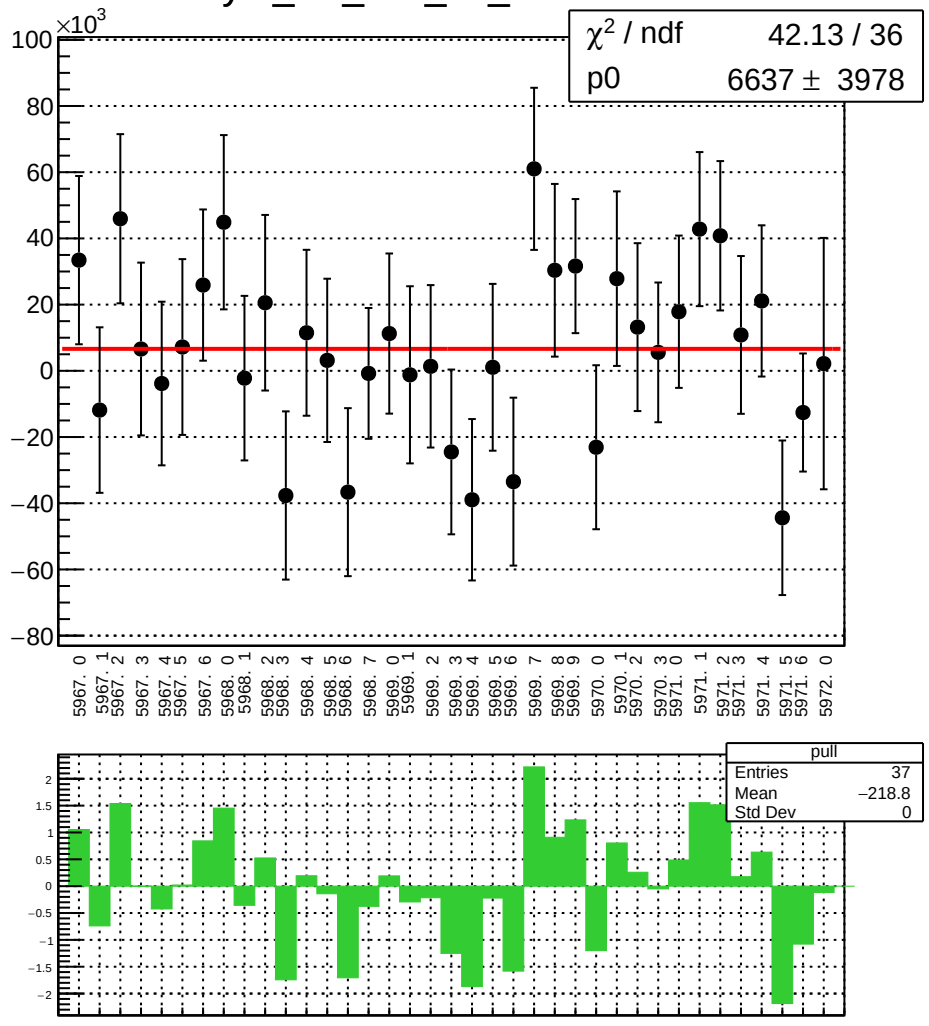
asym_usl_atl2_dd_mean vs run
χ² / ndf 42.13 / 36
p0 6637 ± 3978
×10³
pull
Entries 37
Mean −218.8
Std Dev 0

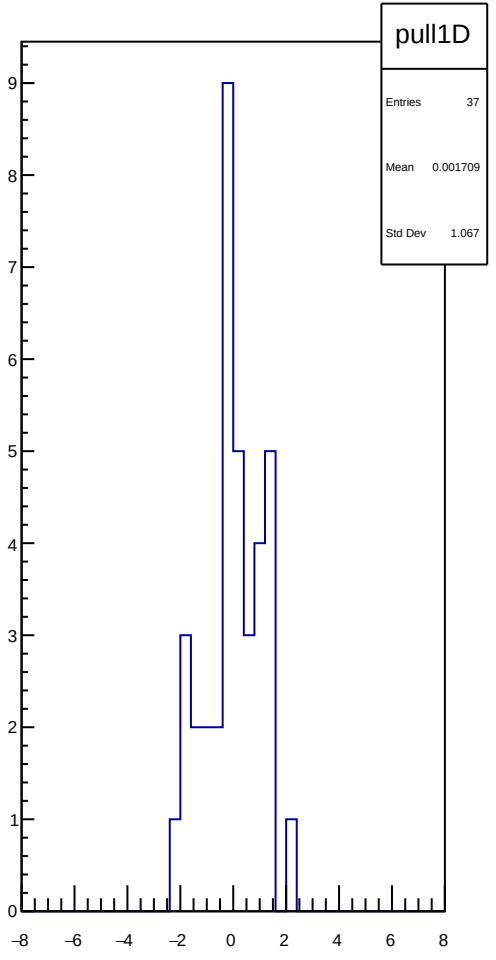
pull1D
Entries 37
Mean 0.001709
Std Dev 1.067

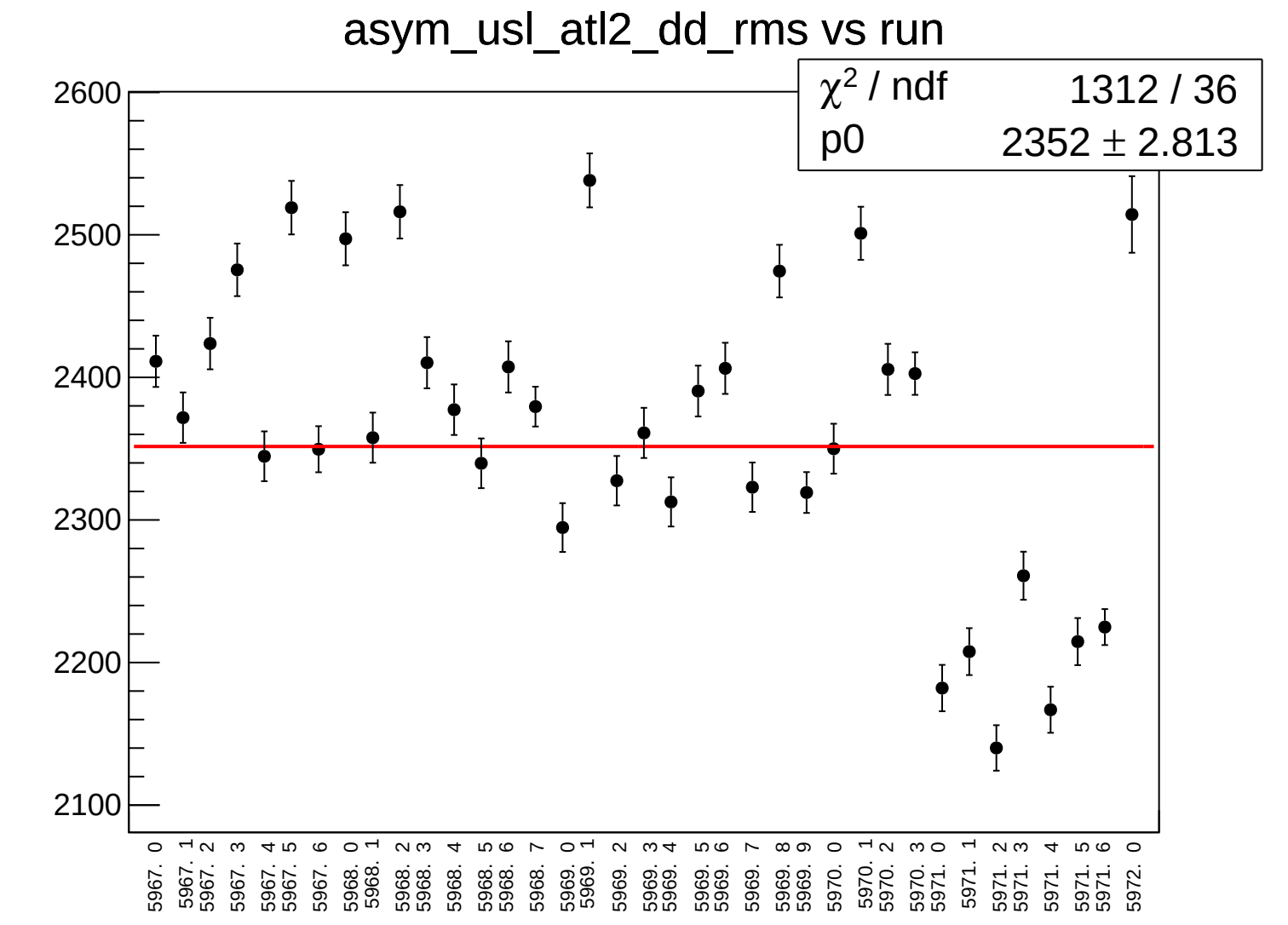
asym_usl_atl2_dd_rms vs run
χ² / ndf 1312 / 36
p0 2352 ± 2.813
2600
2500
2400
2300
2200
2100
5967. 0
5967. 1
5967. 2
5967. 3
5967. 4
5967. 5
5967. 6
5968. 0
5968. 1
5968. 2
5968. 3
5968. 4
5968. 5
5968. 6
5968. 7
5969. 0
5969. 1
5969. 2
5969. 3
5969. 4
5969. 5
5969. 6
5969. 7
5969. 8
5969. 9
5970. 0
5970. 1
5970. 2
5970. 3
5971. 0
5971. 1
5971. 2
5971. 3
5971. 4
5971. 5
5971. 6
5972. 0

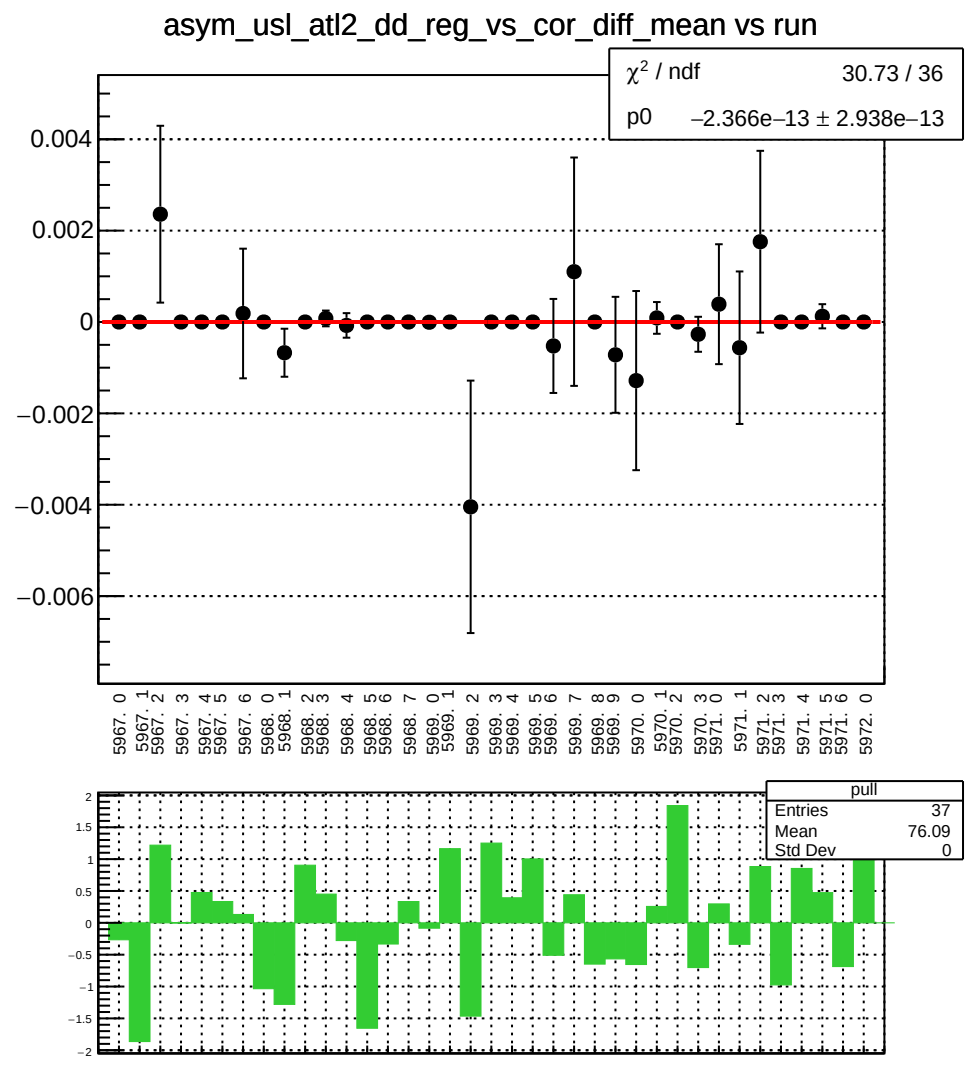
asym_usl_atl2_dd_reg_vs_cor_diff_mean vs run
χ² / ndf 30.73 / 36
p0 −2.366e−13 ± 2.938e−13
0.004
0.002
0
−0.002
−0.004
−0.006
5967. 0
5967. 1
5967. 2
5967. 3
5967. 4
5967. 5
5967. 6
5968. 0
5968. 1
5968. 2
5968. 3
5968. 4
5968. 5
5968. 6
5968. 7
5969. 0
5969. 1
5969. 2
5969. 3
5969. 4
5969. 5
5969. 6
5969. 7
5969. 8
5969. 9
5970. 0
5970. 1
5970. 2
5970. 3
5971. 0
5971. 1
5971. 2
5971. 3
5971. 4
5971. 5
5971. 6
5972. 0
pull
Entries 37
Mean 76.09
Std Dev 0
2
1.5
1
0.5
0
−0.5
−1
−1.5
−2

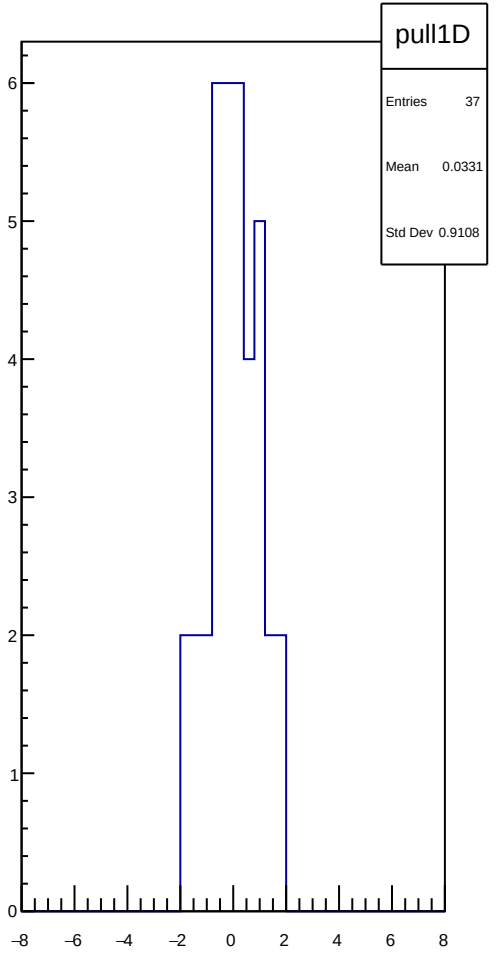
pull1D
Entries 37
Mean 0.0331
Std Dev 0.9108
6
5
4
3
2
1
0
−8
−6
−4
−2
0
2
4
6
8

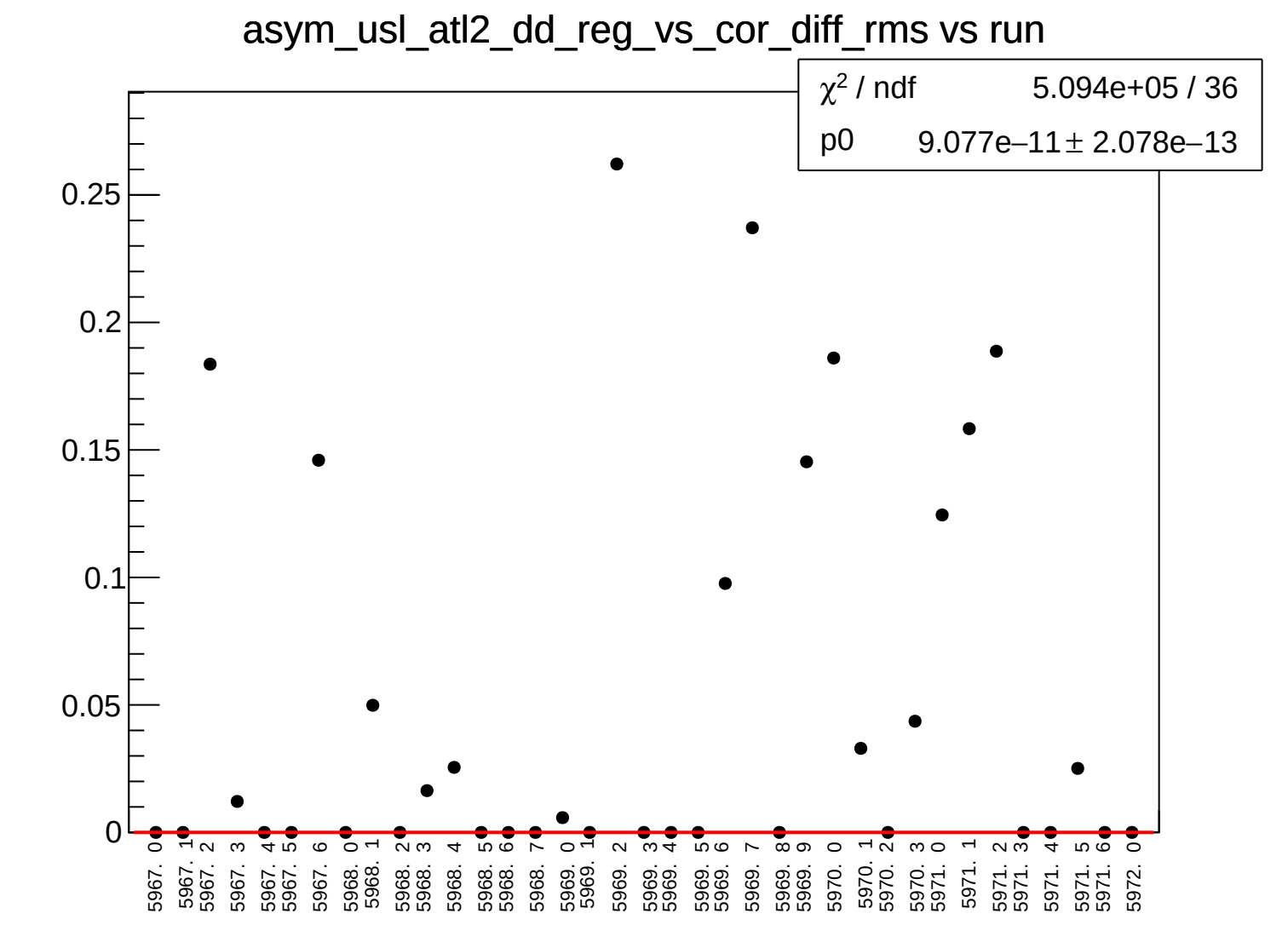
asym_usl_atl2_dd_reg_vs_cor_diff_rms vs run
χ2 / ndf 5.094e+05 / 36
p0 9.077e−11 ± 2.078e−13
0.25
0.2
0.15
0.1
0.05
0
5967. 0
5967. 1
5967. 2
5967. 3
5967. 4
5967. 5
5967. 6
5968. 0
5968. 1
5968. 2
5968. 3
5968. 4
5968. 5
5968. 6
5968. 7
5969. 0
5969. 1
5969. 2
5969. 3
5969. 4
5969. 5
5969. 6
5969. 7
5969. 8
5969. 9
5970. 0
5970. 1
5970. 2
5970. 3
5971. 0
5971. 1
5971. 2
5971. 3
5971. 4
5971. 5
5971. 6
5972. 0

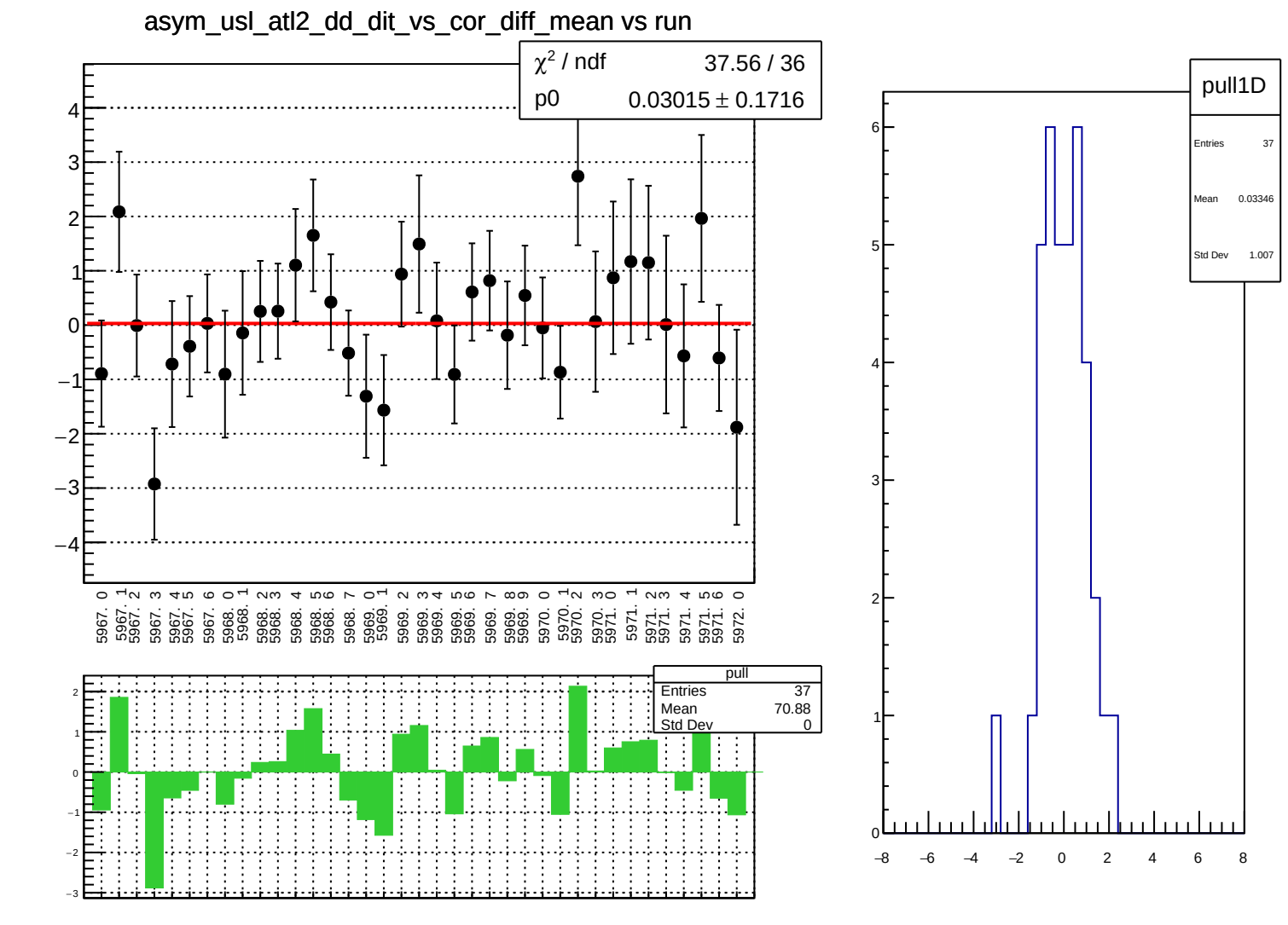
asym_usl_atl2_dd_dit_vs_cor_diff_mean vs run
χ² / ndf 37.56 / 36
p0 0.03015 ± 0.1716
pull
Entries 37
Mean 70.88
Std Dev 0
pull1D
Entries 37
Mean 0.03346
Std Dev 1.007

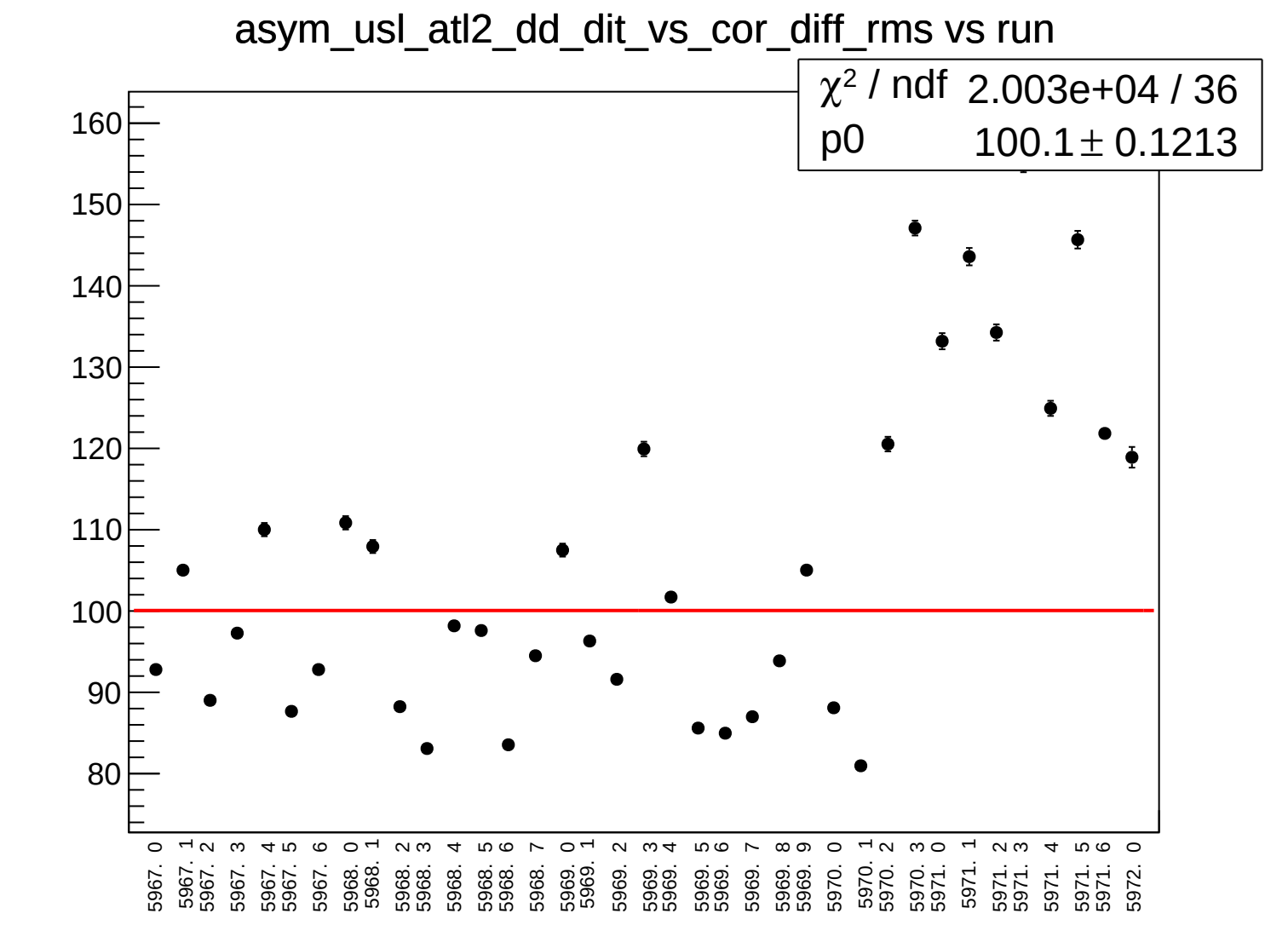
asym_usl_atl2_dd_dit_vs_cor_diff_rms vs run
χ² / ndf 2.003e+04 / 36
p0 100.1 ± 0.1213
160
150
140
130
120
110
100
90
80
5967. 0
5967. 1
5967. 2
5967. 3
5967. 4
5967. 5
5967. 6
5968. 0
5968. 1
5968. 2
5968. 3
5968. 4
5968. 5
5968. 6
5968. 7
5969. 0
5969. 1
5969. 2
5969. 3
5969. 4
5969. 5
5969. 6
5969. 7
5969. 8
5969. 9
5970. 0
5970. 1
5970. 2
5970. 3
5971. 0
5971. 1
5971. 2
5971. 3
5971. 4
5971. 5
5971. 6
5972. 0

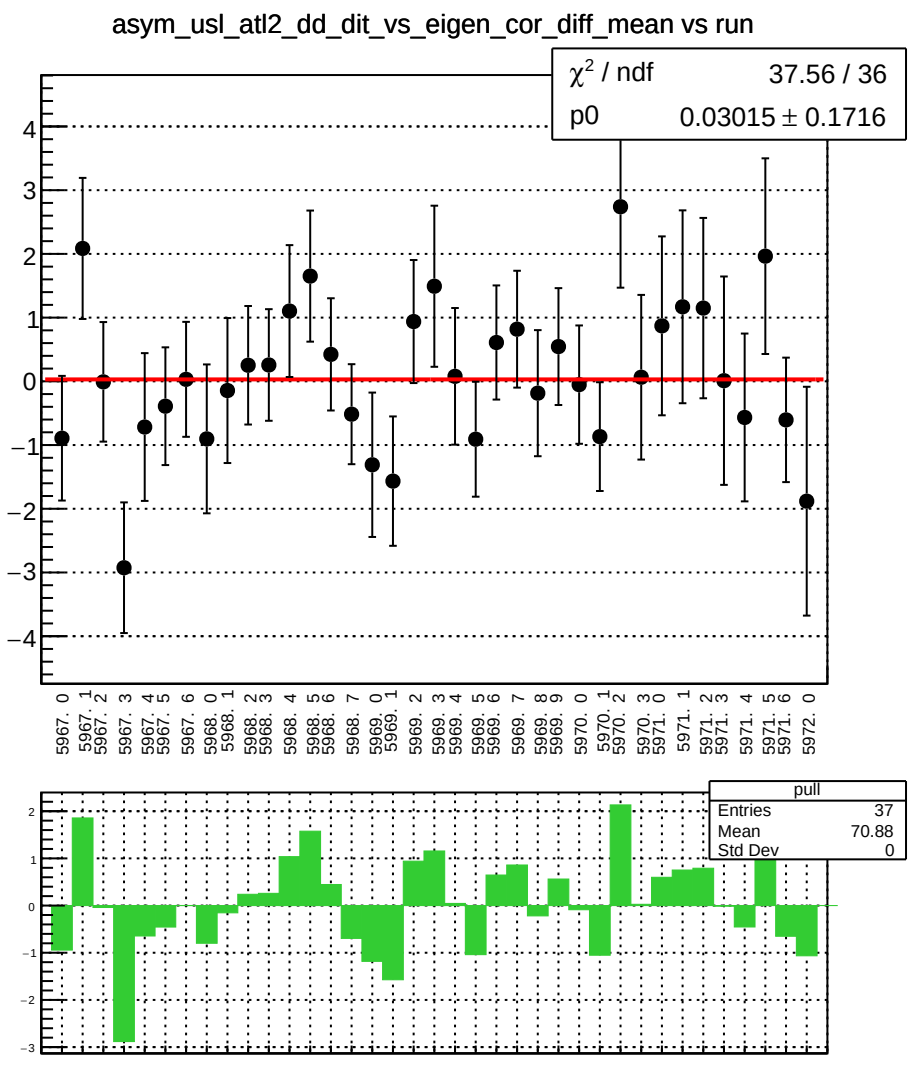
asym_usl_atl2_dd_dit_vs_eigen_cor_diff_mean vs run
χ² / ndf 37.56 / 36
p0 0.03015 ± 0.1716
pull
Entries 37
Mean 70.88
Std Dev 0

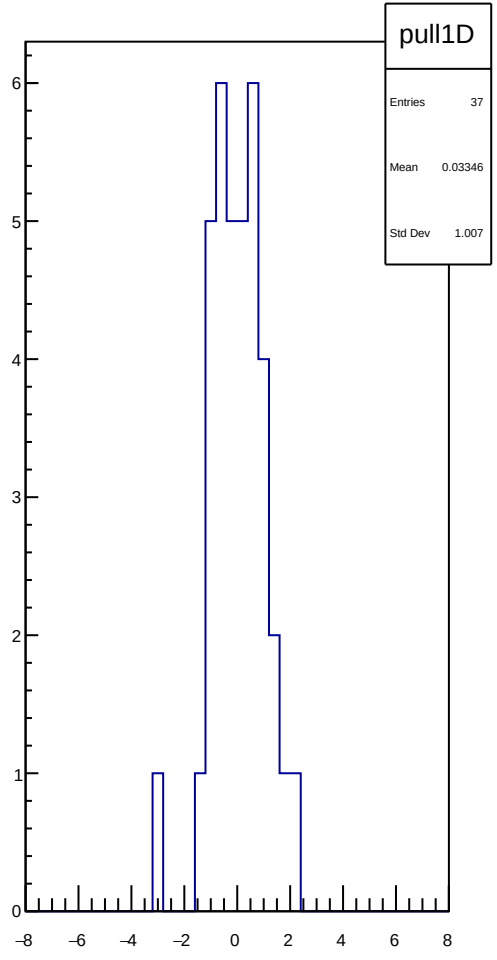
pull1D
Entries 37
Mean 0.03346
Std Dev 1.007

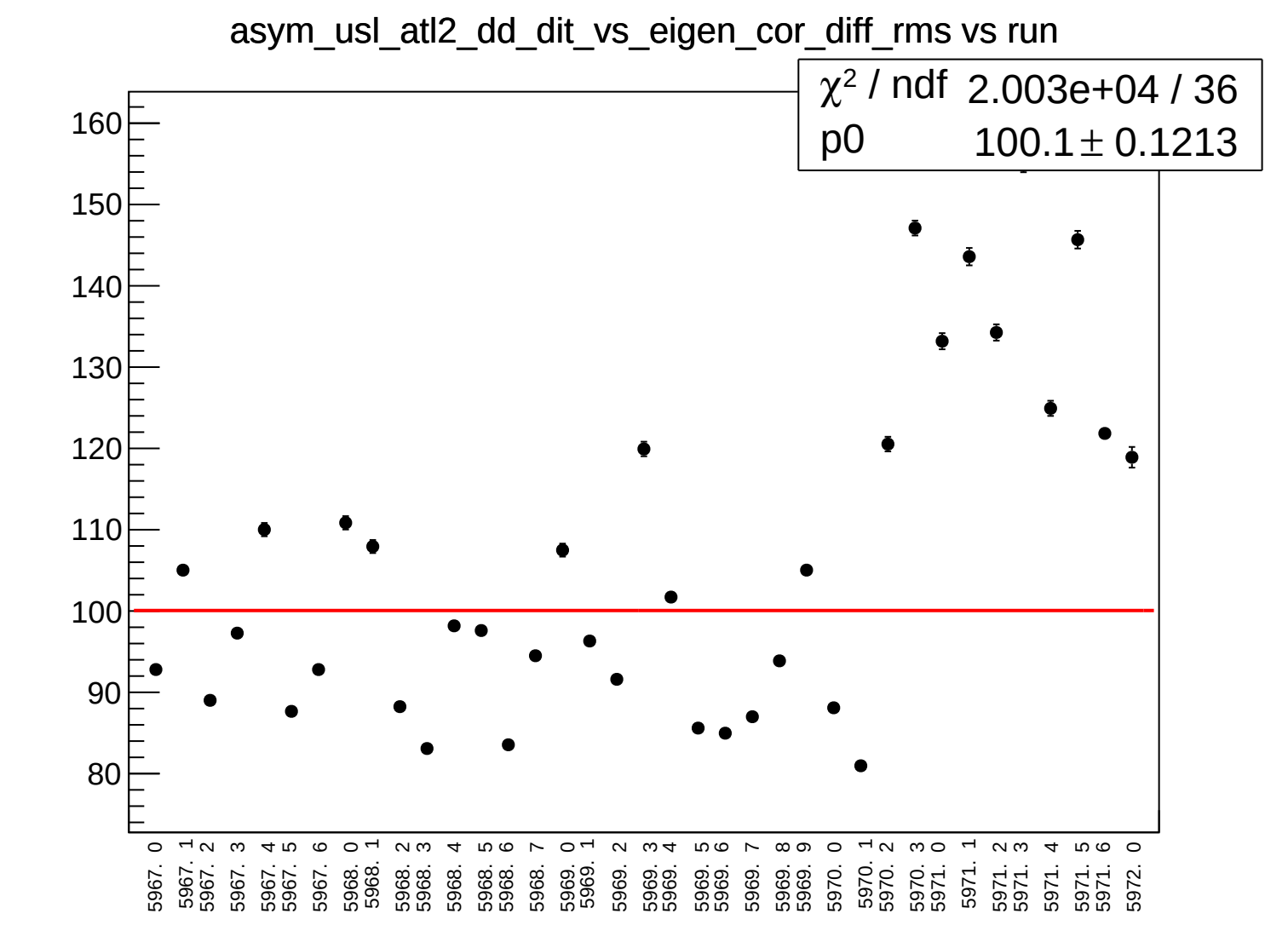
asym_usl_atl2_dd_dit_vs_eigen_cor_diff_rms vs run
χ² / ndf 2.003e+04 / 36
p0 100.1 ± 0.1213
160
150
140
130
120
110
100
90
80
5967. 0
5967. 1
5967. 2
5967. 3
5967. 4
5967. 5
5967. 6
5968. 0
5968. 1
5968. 2
5968. 3
5968. 4
5968. 5
5968. 6
5968. 7
5969. 0
5969. 1
5969. 2
5969. 3
5969. 4
5969. 5
5969. 6
5969. 7
5969. 8
5969. 9
5970. 0
5970. 1
5970. 2
5970. 3
5971. 0
5971. 1
5971. 2
5971. 3
5971. 4
5971. 5
5971. 6
5972. 0

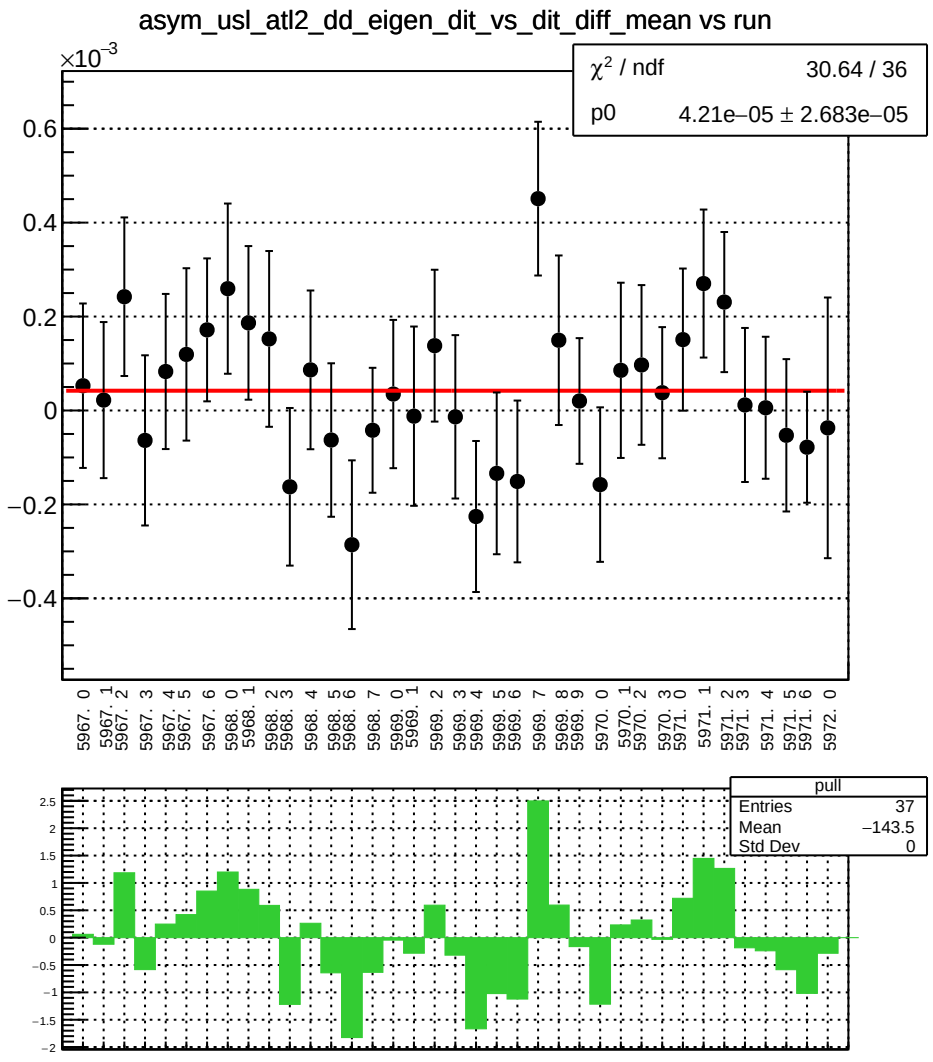
asym_usl_atl2_dd_eigen_dit_vs_dit_diff_mean vs run
×10⁻³
χ² / ndf 30.64 / 36
p0 4.21e−05 ± 2.683e−05
0.6
0.4
0.2
0
−0.2
−0.4
5967. 0
5967. 1
5967. 2
5967. 3
5967. 4
5967. 5
5967. 6
5968. 0
5968. 1
5968. 2
5968. 3
5968. 4
5968. 5
5968. 6
5968. 7
5969. 0
5969. 1
5969. 2
5969. 3
5969. 4
5969. 5
5969. 6
5969. 7
5969. 8
5969. 9
5970. 0
5970. 1
5970. 2
5970. 3
5971. 0
5971. 1
5971. 2
5971. 3
5971. 4
5971. 5
5971. 6
5972. 0
pull
Entries 37
Mean −143.5
Std Dev 0
2.5
2
1.5
1
0.5
0
−0.5
−1
−1.5
−2

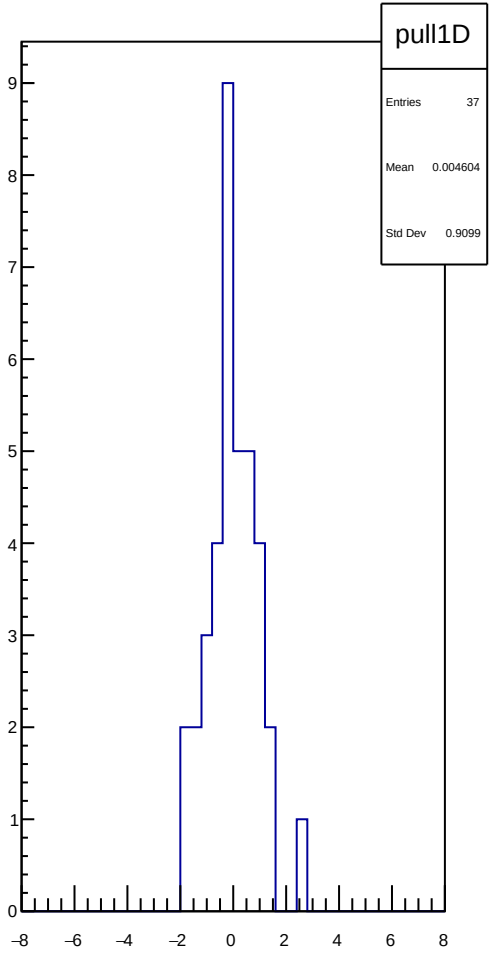
pull1D
Entries 37
Mean 0.004604
Std Dev 0.9099
9
8
7
6
5
4
3
2
1
0
−8
−6
−4
−2
0
2
4
6
8

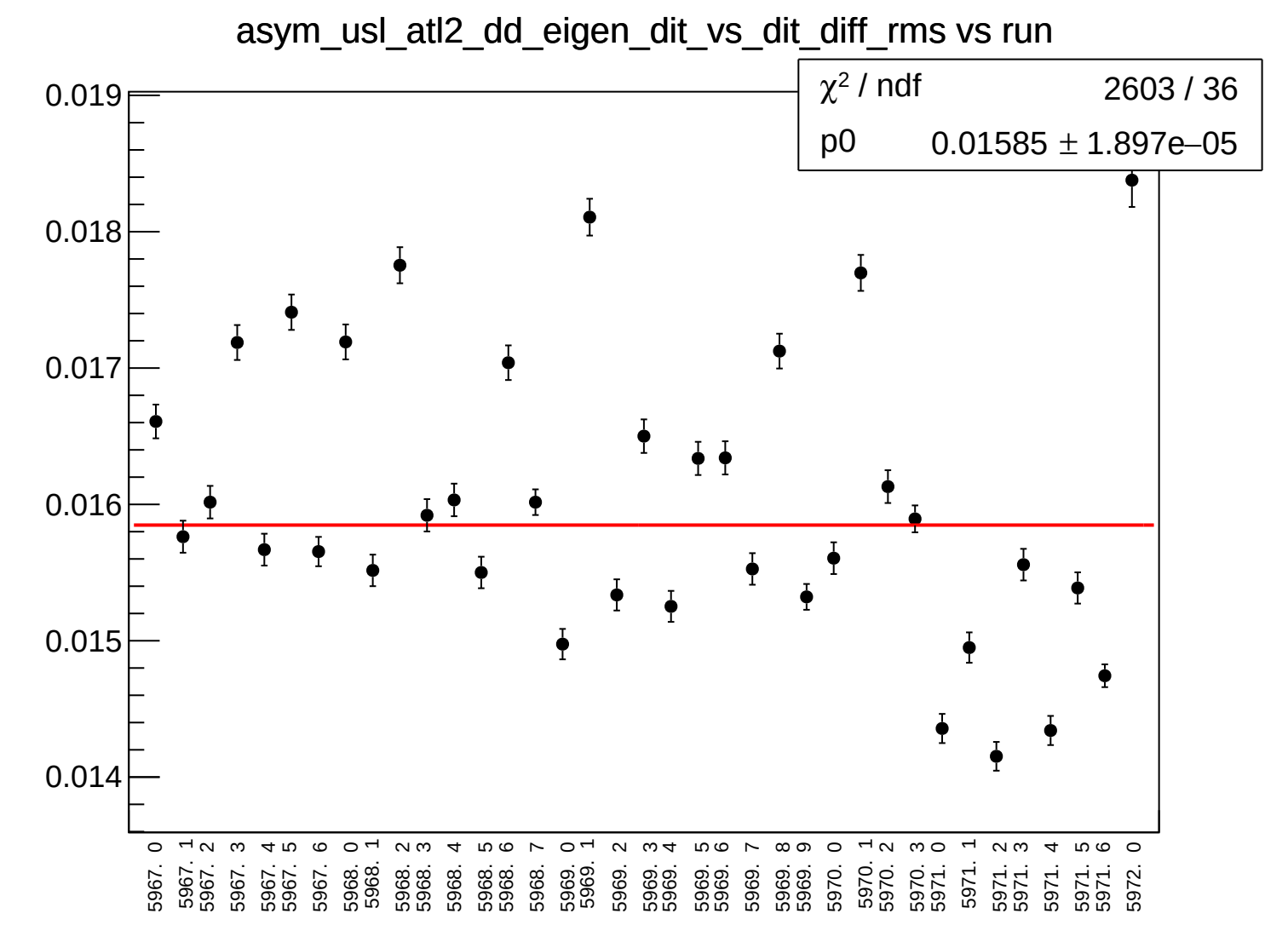
asym_usl_atl2_dd_eigen_dit_vs_dit_diff_rms vs run
χ² / ndf 2603 / 36
p0 0.01585 ± 1.897e–05
0.019
0.018
0.017
0.016
0.015
0.014
5967. 0
5967. 1
5967. 2
5967. 3
5967. 4
5967. 5
5967. 6
5968. 0
5968. 1
5968. 2
5968. 3
5968. 4
5968. 5
5968. 6
5968. 7
5969. 0
5969. 1
5969. 2
5969. 3
5969. 4
5969. 5
5969. 6
5969. 7
5969. 8
5969. 9
5970. 0
5970. 1
5970. 2
5970. 3
5971. 0
5971. 1
5971. 2
5971. 3
5971. 4
5971. 5
5971. 6
5972. 0

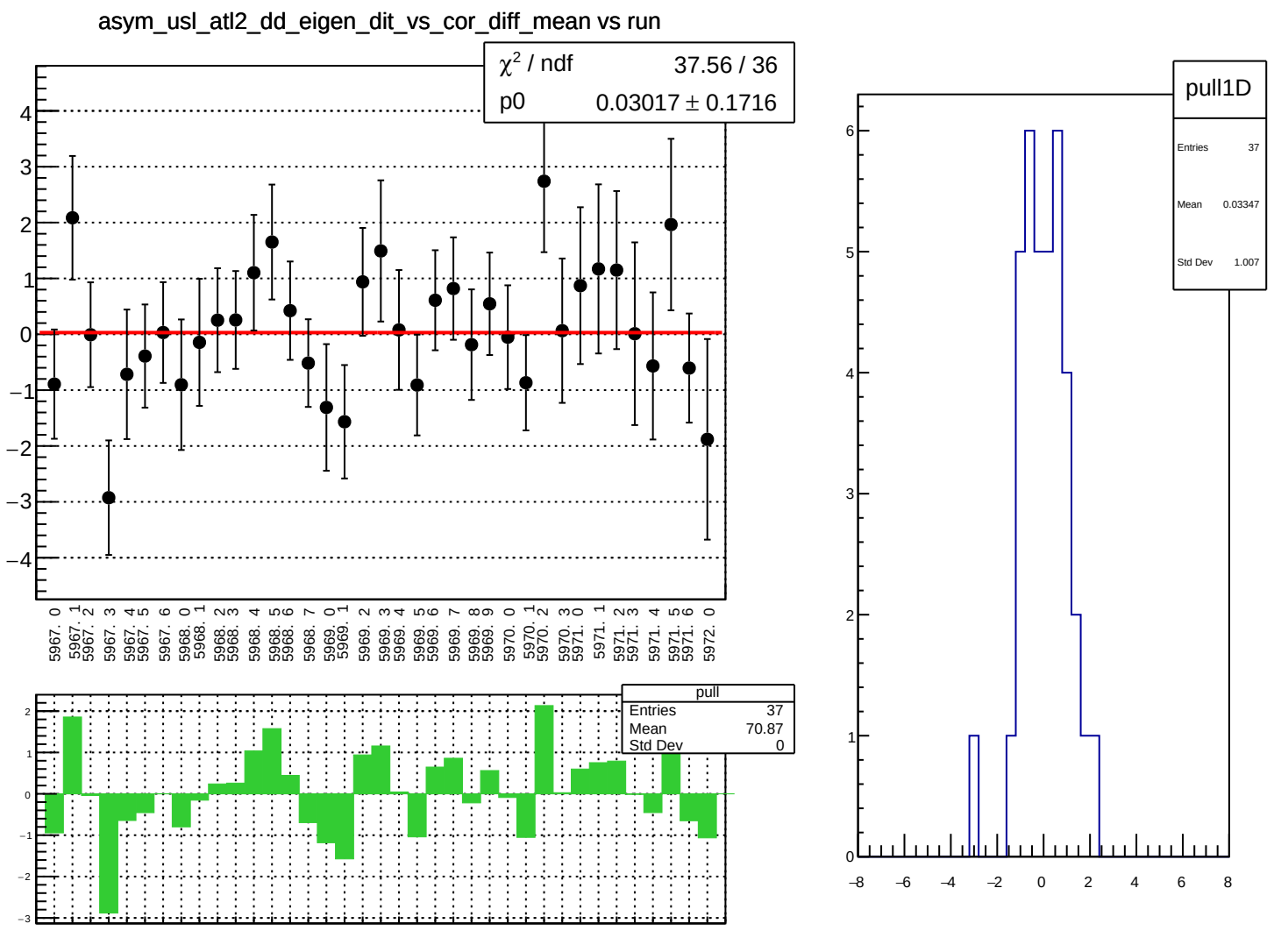
asym_usl_atl2_dd_eigen_dit_vs_cor_diff_mean vs run
χ² / ndf 37.56 / 36
p0 0.03017 ± 0.1716
pull
Entries 37
Mean 70.87
Std Dev 0
pull1D
Entries 37
Mean 0.03347
Std Dev 1.007

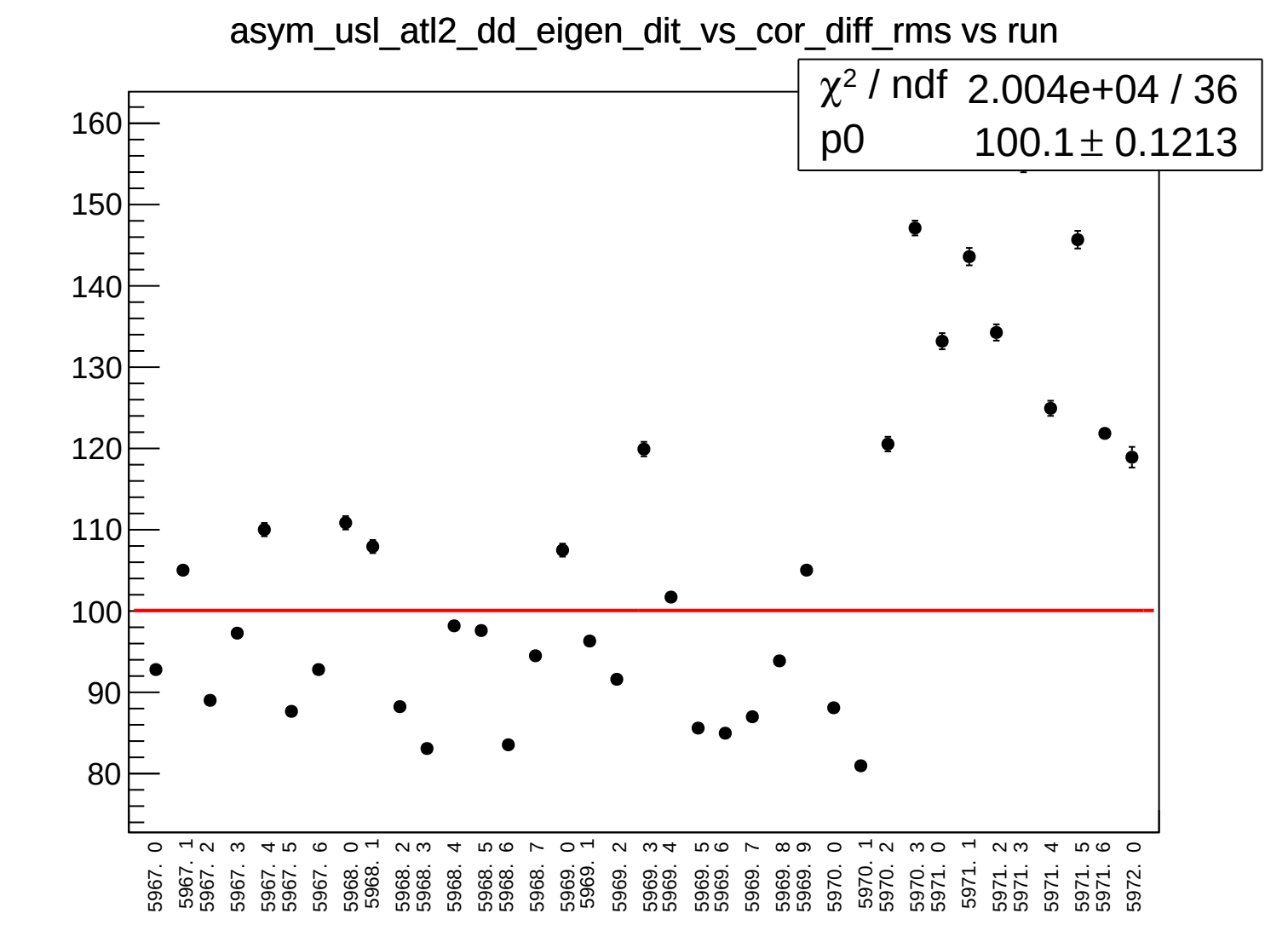
asym_usl_atl2_dd_eigen_dit_vs_cor_diff_rms vs run
χ² / ndf 2.004e+04 / 36
p0 100.1 ± 0.1213
160
150
140
130
120
110
100
90
80
5967. 0
5967. 1
5967. 2
5967. 3
5967. 4
5967. 5
5967. 6
5968. 0
5968. 1
5968. 2
5968. 3
5968. 4
5968. 5
5968. 6
5968. 7
5969. 0
5969. 1
5969. 2
5969. 3
5969. 4
5969. 5
5969. 6
5969. 7
5969. 8
5969. 9
5970. 0
5970. 1
5970. 2
5970. 3
5971. 0
5971. 1
5971. 2
5971. 3
5971. 4
5971. 5
5971. 6
5972. 0

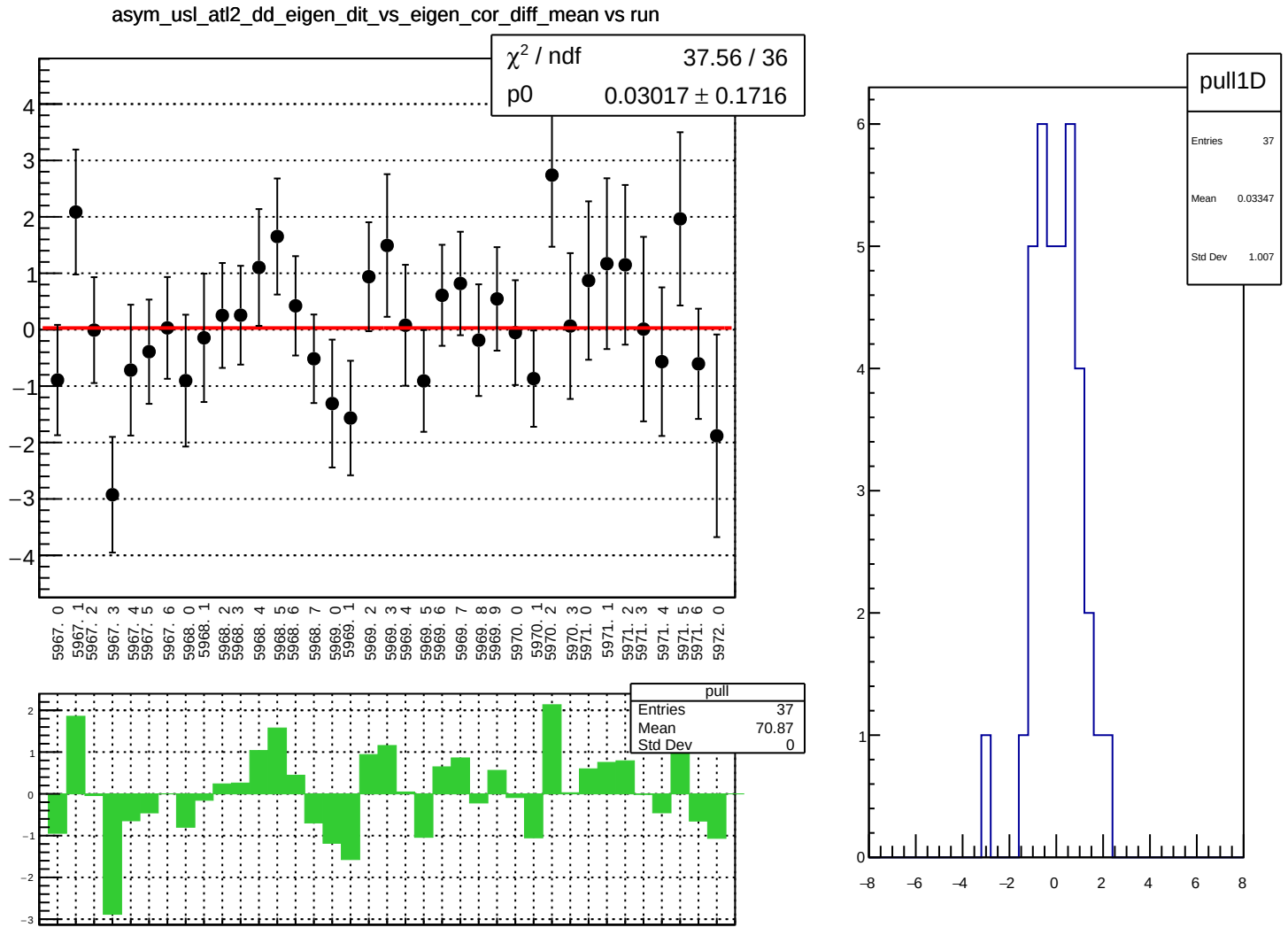
asym_usl_atl2_dd_eigen_dit_vs_eigen_cor_diff_mean vs run
χ² / ndf 37.56 / 36
p0 0.03017 ± 0.1716
pull
Entries 37
Mean 70.87
Std Dev 0
pull1D
Entries 37
Mean 0.03347
Std Dev 1.007

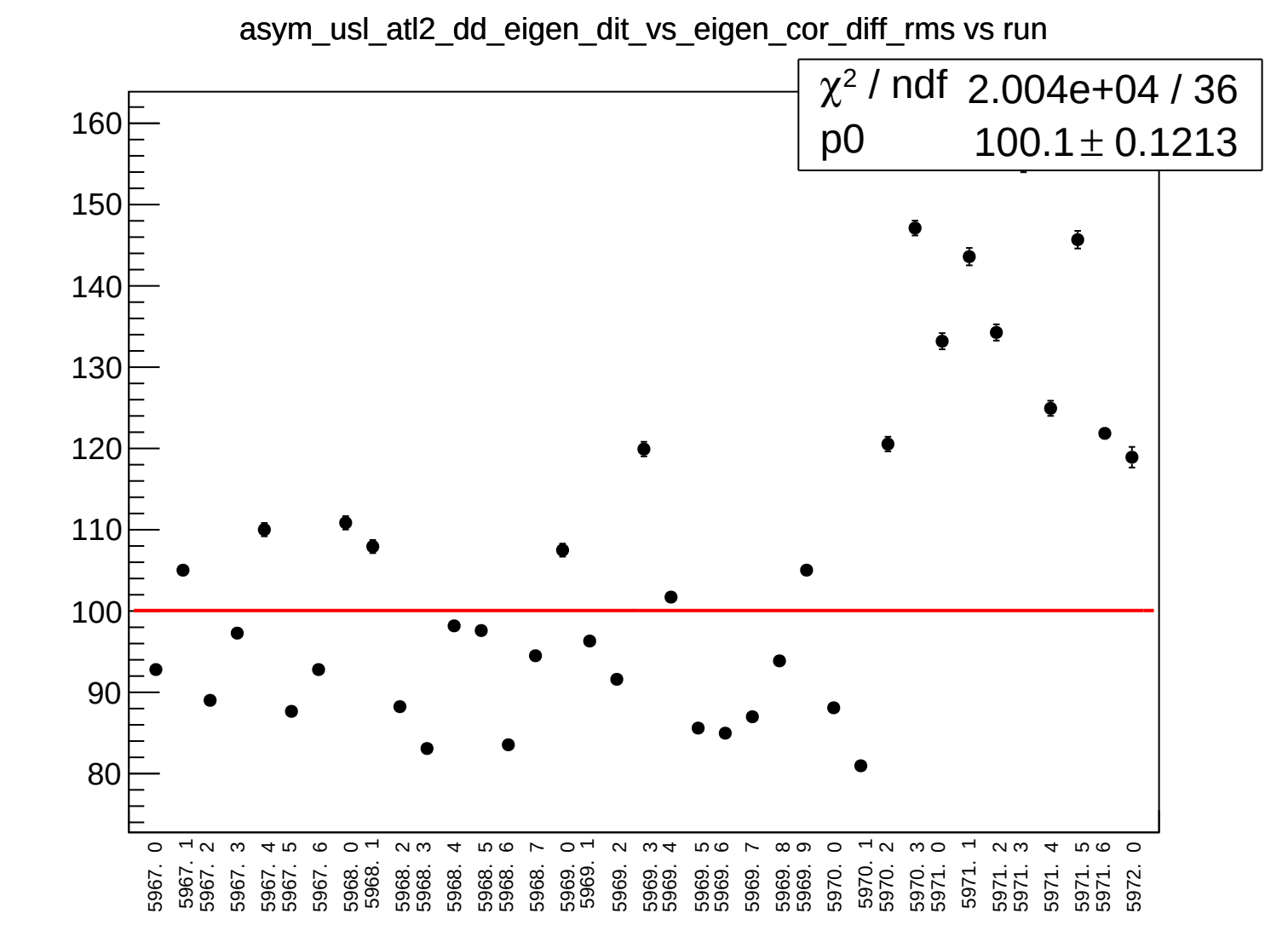
asym_usl_atl2_dd_eigen_dit_vs_eigen_cor_diff_rms vs run
χ² / ndf 2.004e+04 / 36
p0 100.1 ± 0.1213
160
150
140
130
120
110
100
90
80
5967. 0
5967. 1
5967. 2
5967. 3
5967. 4
5967. 5
5967. 6
5968. 0
5968. 1
5968. 2
5968. 3
5968. 4
5968. 5
5968. 6
5968. 7
5969. 0
5969. 1
5969. 2
5969. 3
5969. 4
5969. 5
5969. 6
5969. 7
5969. 8
5969. 9
5970. 0
5970. 1
5970. 2
5970. 3
5971. 0
5971. 1
5971. 2
5971. 3
5971. 4
5971. 5
5971. 6
5972. 0

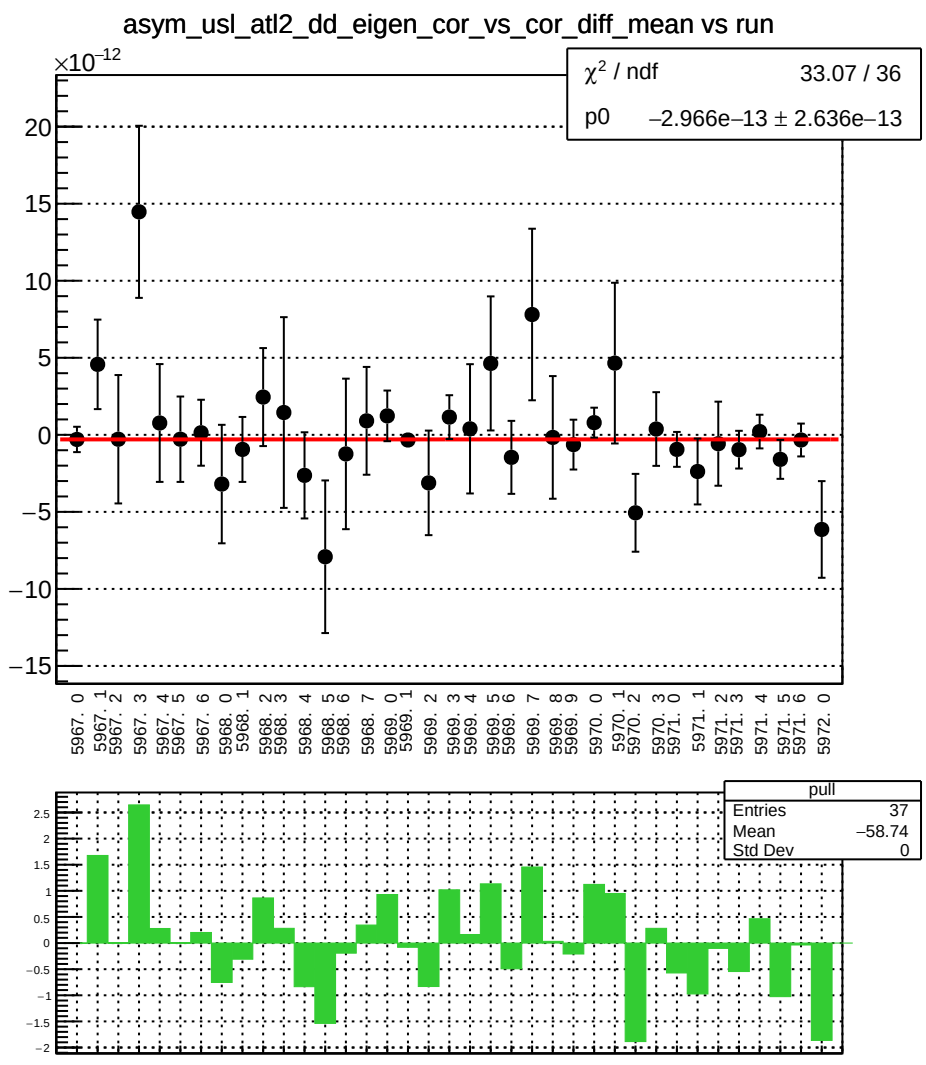
asym_usl_atl2_dd_eigen_cor_vs_cor_diff_mean vs run
×10⁻¹²
χ² / ndf 33.07 / 36
p0 −2.966e−13 ± 2.636e−13
20
15
10
5
0
−5
−10
−15
5967. 0
5967. 1
5967. 2
5967. 3
5967. 4
5967. 5
5967. 6
5968. 0
5968. 1
5968. 2
5968. 3
5968. 4
5968. 5
5968. 6
5968. 7
5969. 0
5969. 1
5969. 2
5969. 3
5969. 4
5969. 5
5969. 6
5969. 7
5969. 8
5969. 9
5970. 0
5970. 1
5970. 2
5970. 3
5971. 0
5971. 1
5971. 2
5971. 3
5971. 4
5971. 5
5971. 6
5972. 0
pull
Entries 37
Mean −58.74
Std Dev 0
2.5
2
1.5
1
0.5
0
−0.5
−1
−1.5
−2

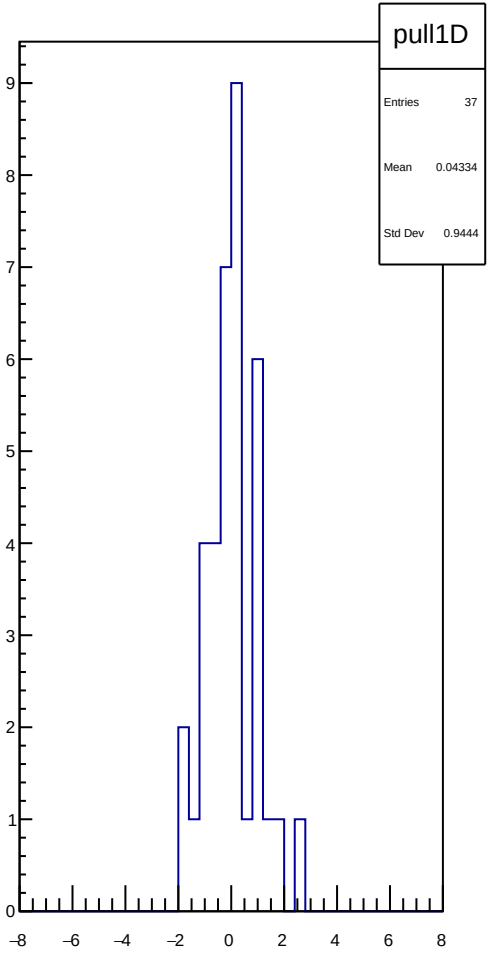
pull1D
Entries 37
Mean 0.04334
Std Dev 0.9444
9
8
7
6
5
4
3
2
1
0
−8
−6
−4
−2
0
2
4
6
8

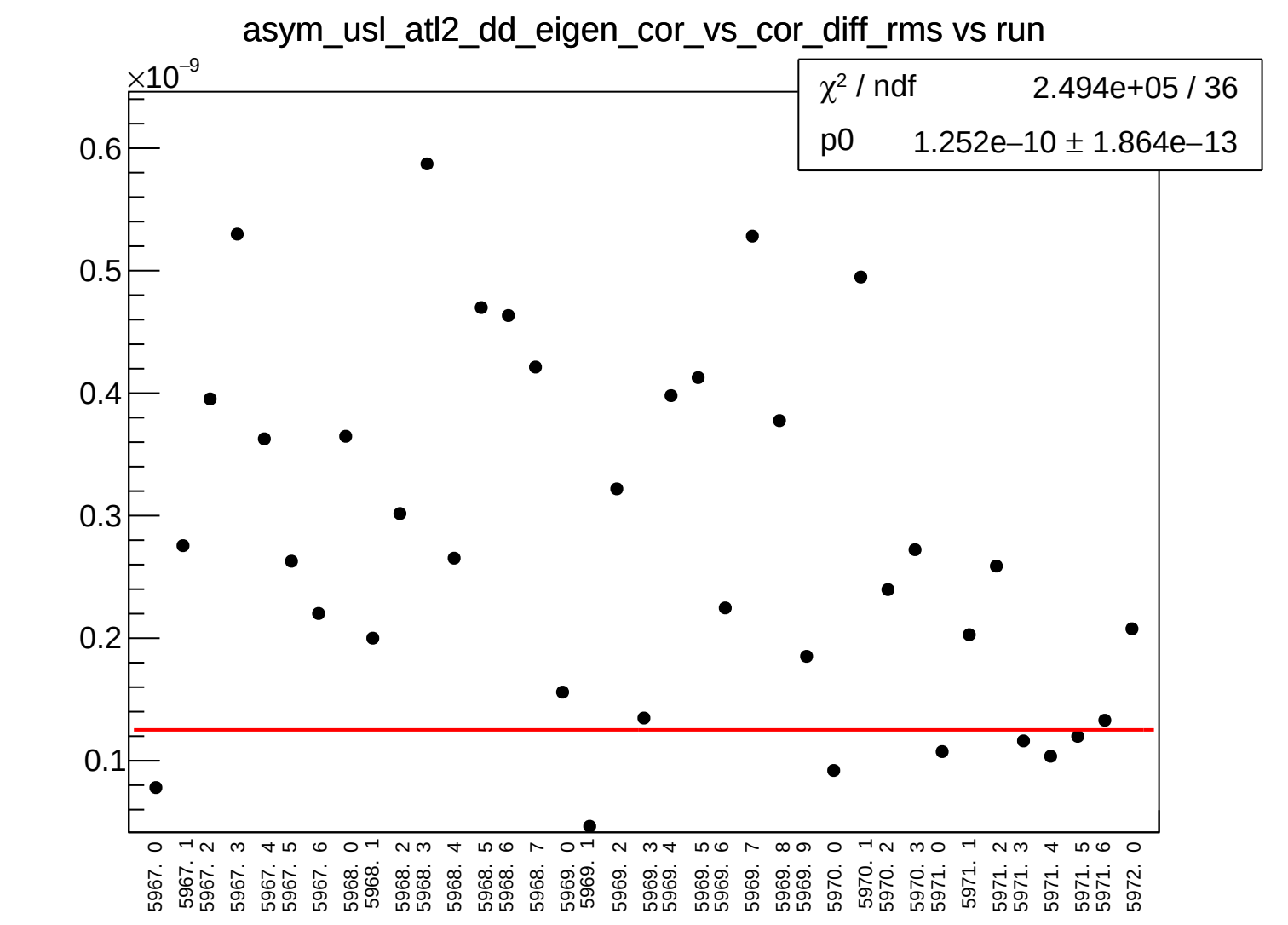
asym_usl_atl2_dd_eigen_cor_vs_cor_diff_rms vs run
×10⁻⁹
χ² / ndf 2.494e+05 / 36
p0 1.252e−10 ± 1.864e−13
0.6
0.5
0.4
0.3
0.2
0.1
5967. 0
5967. 1
5967. 2
5967. 3
5967. 4
5967. 5
5967. 6
5968. 0
5968. 1
5968. 2
5968. 3
5968. 4
5968. 5
5968. 6
5968. 7
5969. 0
5969. 1
5969. 2
5969. 3
5969. 4
5969. 5
5969. 6
5969. 7
5969. 8
5969. 9
5970. 0
5970. 1
5970. 2
5970. 3
5971. 0
5971. 1
5971. 2
5971. 3
5971. 4
5971. 5
5971. 6
5972. 0

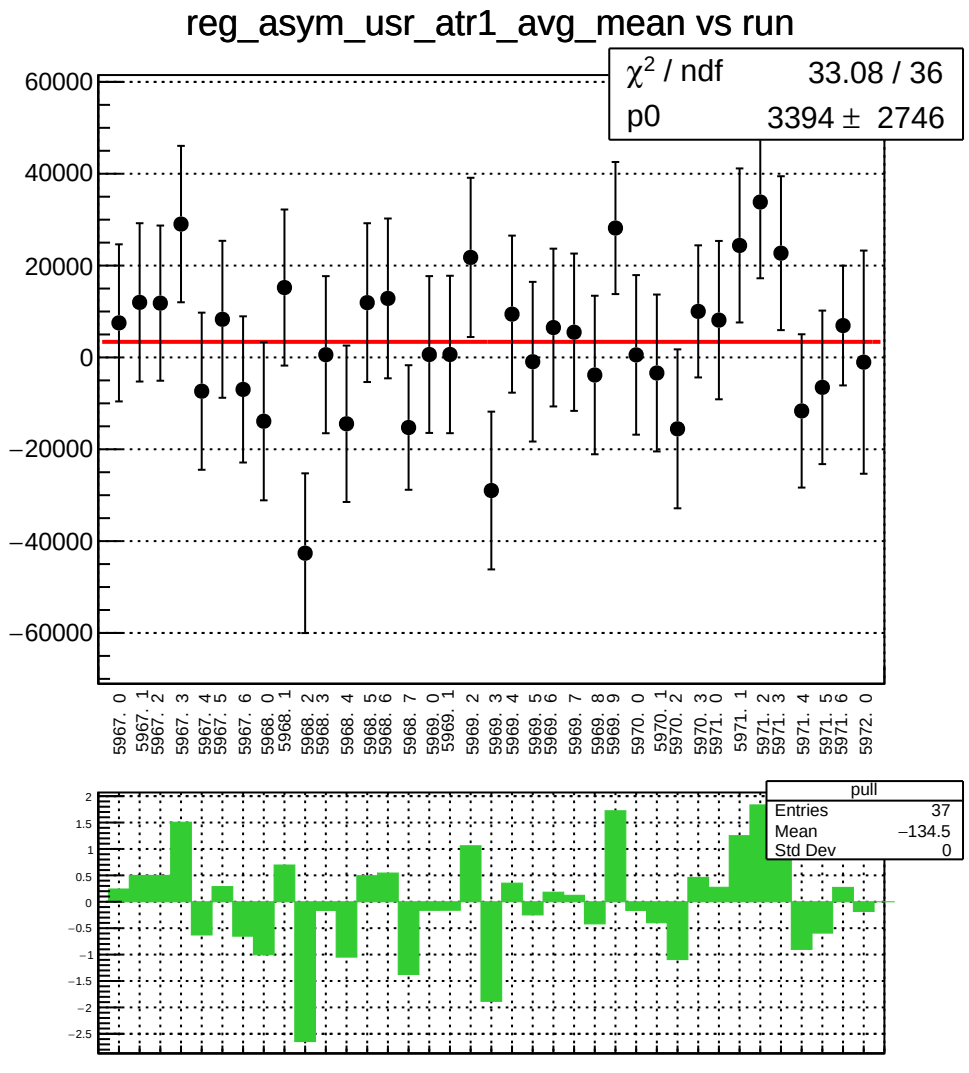
reg_asym_usr_atr1_avg_mean vs run
χ² / ndf 33.08 / 36
p0 3394 ± 2746
pull
Entries 37
Mean −134.5
Std Dev 0

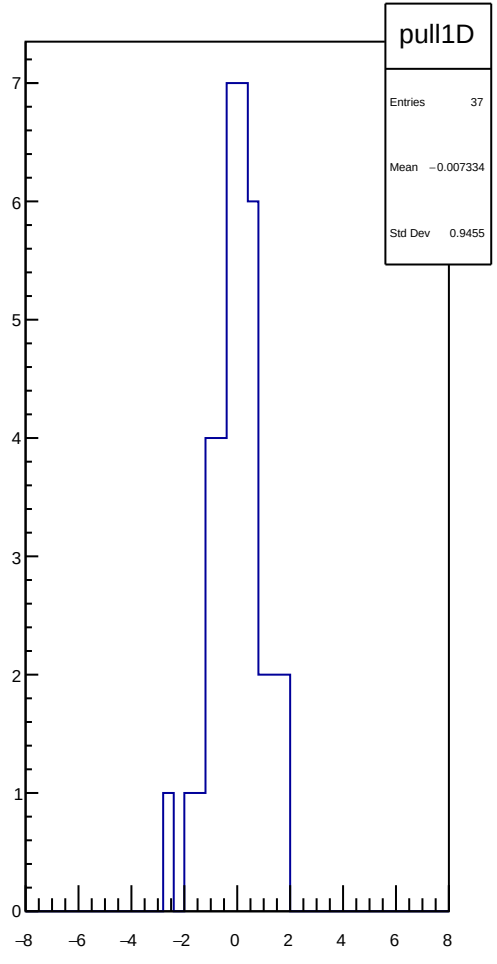
pull1D
Entries 37
Mean −0.007334
Std Dev 0.9455

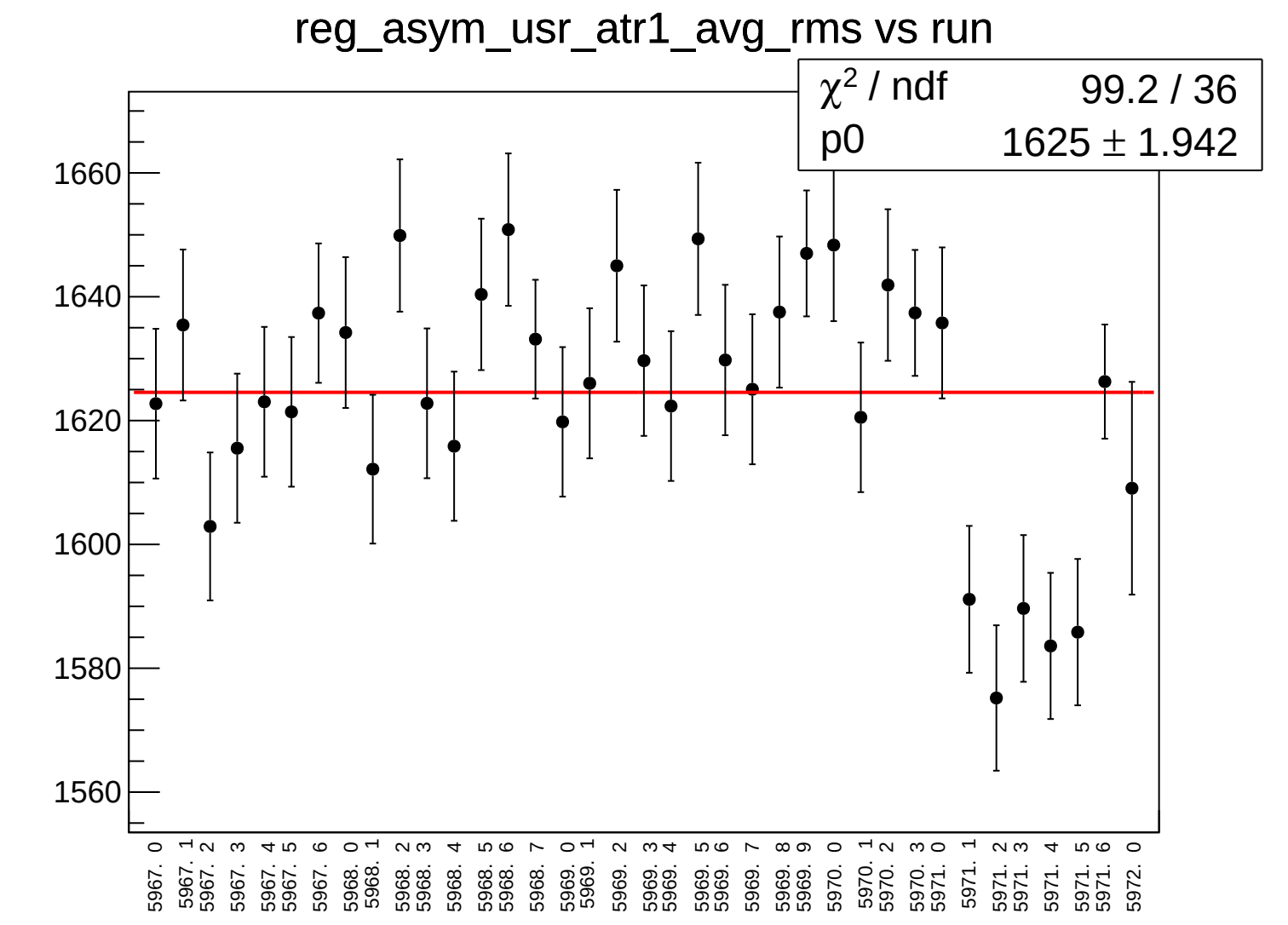
reg_asym_usr_atr1_avg_rms vs run
χ² / ndf 99.2 / 36
p0 1625 ± 1.942
1660
1640
1620
1600
1580
1560
5967. 0
5967. 1
5967. 2
5967. 3
5967. 4
5967. 5
5967. 6
5968. 0
5968. 1
5968. 2
5968. 3
5968. 4
5968. 5
5968. 6
5968. 7
5969. 0
5969. 1
5969. 2
5969. 3
5969. 4
5969. 5
5969. 6
5969. 7
5969. 8
5969. 9
5970. 0
5970. 1
5970. 2
5970. 3
5971. 0
5971. 1
5971. 2
5971. 3
5971. 4
5971. 5
5971. 6
5972. 0

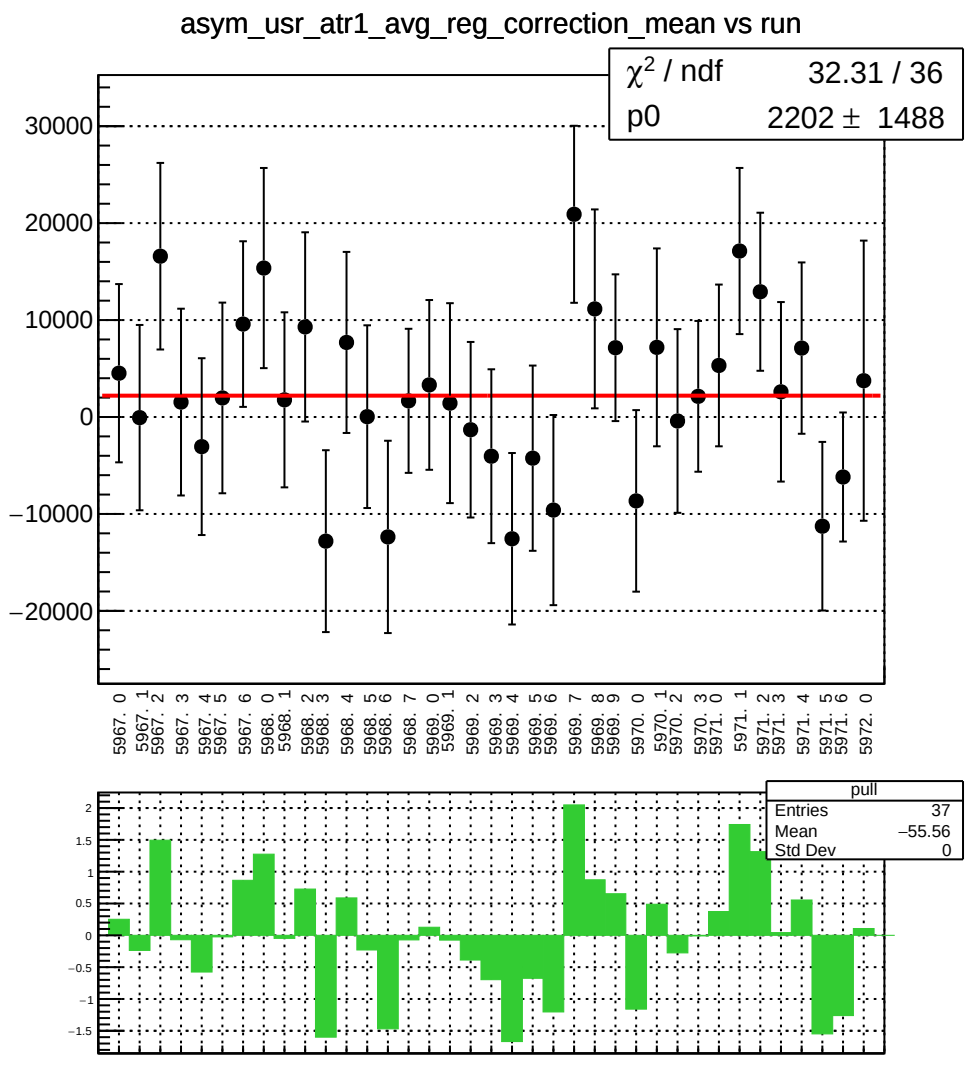
asym_usr_atr1_avg_reg_correction_mean vs run
χ² / ndf 32.31 / 36
p0 2202 ± 1488
30000
20000
10000
0
−10000
−20000
5967. 0
5967. 1
5967. 2
5967. 3
5967. 4
5967. 5
5967. 6
5968. 0
5968. 1
5968. 2
5968. 3
5968. 4
5968. 5
5968. 6
5968. 7
5969. 0
5969. 1
5969. 2
5969. 3
5969. 4
5969. 5
5969. 6
5969. 7
5969. 8
5969. 9
5970. 0
5970. 1
5970. 2
5970. 3
5971. 0
5971. 1
5971. 2
5971. 3
5971. 4
5971. 5
5971. 6
5972. 0
pull
Entries 37
Mean −55.56
Std Dev 0
2
1.5
1
0.5
0
−0.5
−1
−1.5

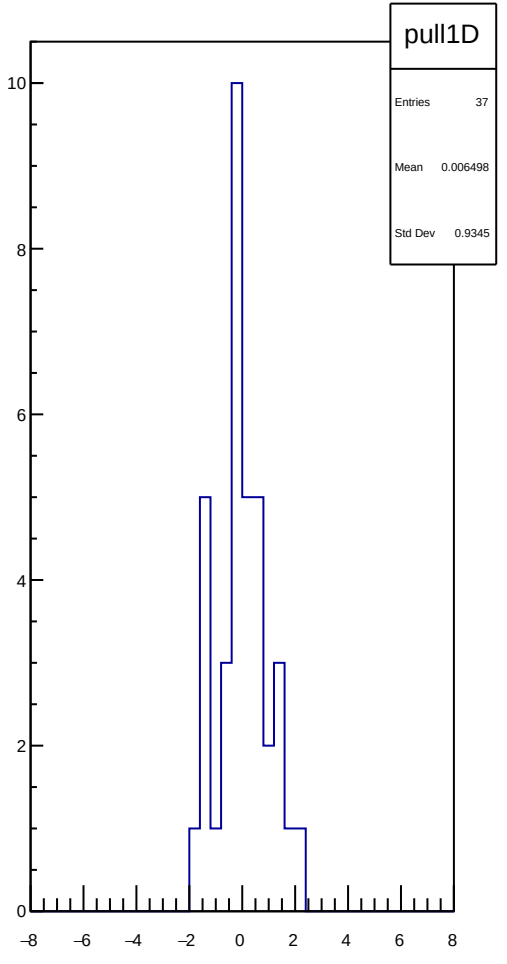
pull1D
Entries 37
Mean 0.006498
Std Dev 0.9345
10
8
6
4
2
0
−8
−6
−4
−2
0
2
4
6
8

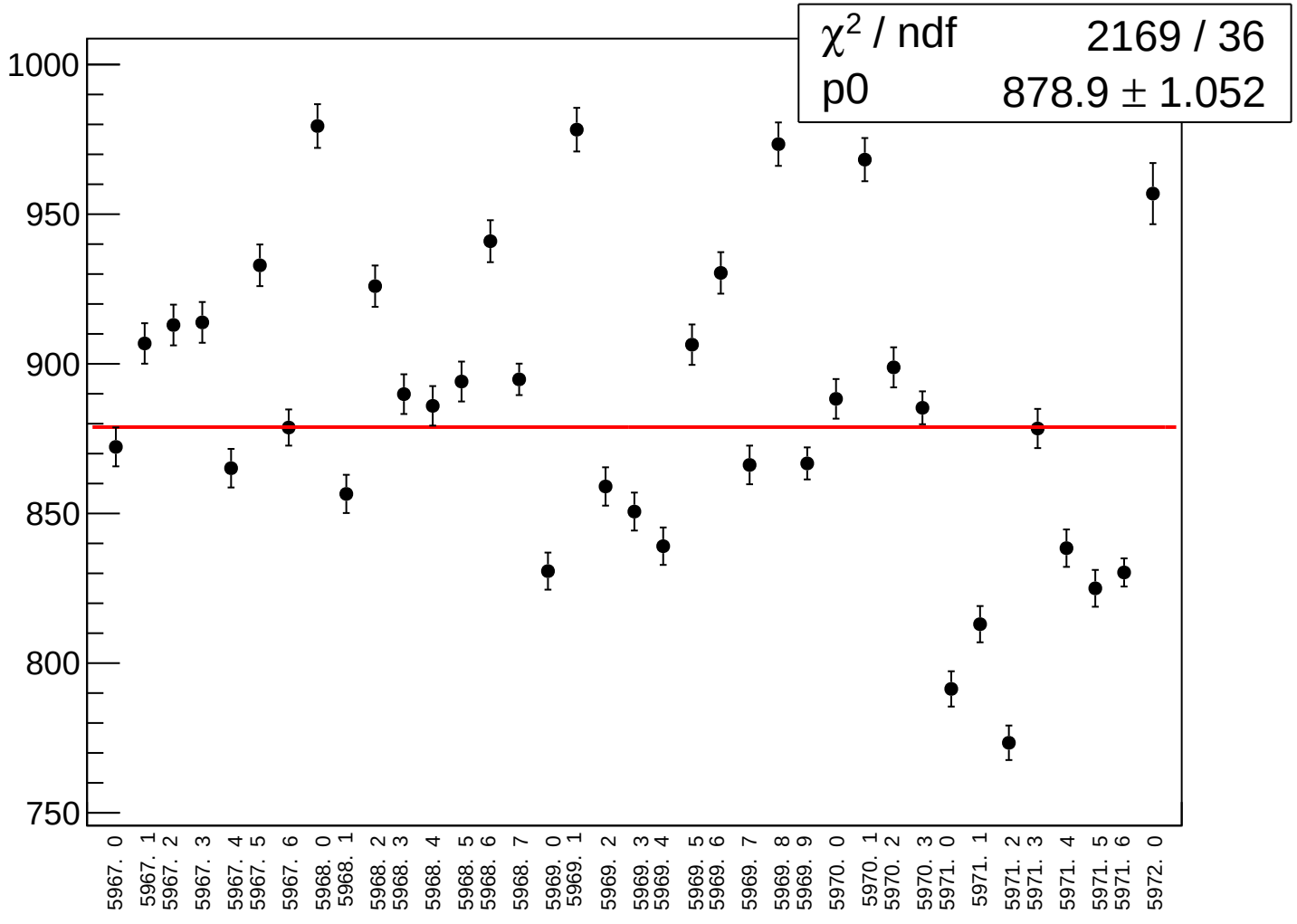
asym_usr_atr1_avg_reg_correction_rms vs run
χ² / ndf 2169 / 36
p0 878.9 ± 1.052
1000
950
900
850
800
750
5967. 0
5967. 1
5967. 2
5967. 3
5967. 4
5967. 5
5967. 6
5968. 0
5968. 1
5968. 2
5968. 3
5968. 4
5968. 5
5968. 6
5968. 7
5969. 0
5969. 1
5969. 2
5969. 3
5969. 4
5969. 5
5969. 6
5969. 7
5969. 8
5969. 9
5970. 0
5970. 1
5970. 2
5970. 3
5971. 0
5971. 1
5971. 2
5971. 3
5971. 4
5971. 5
5971. 6
5972. 0

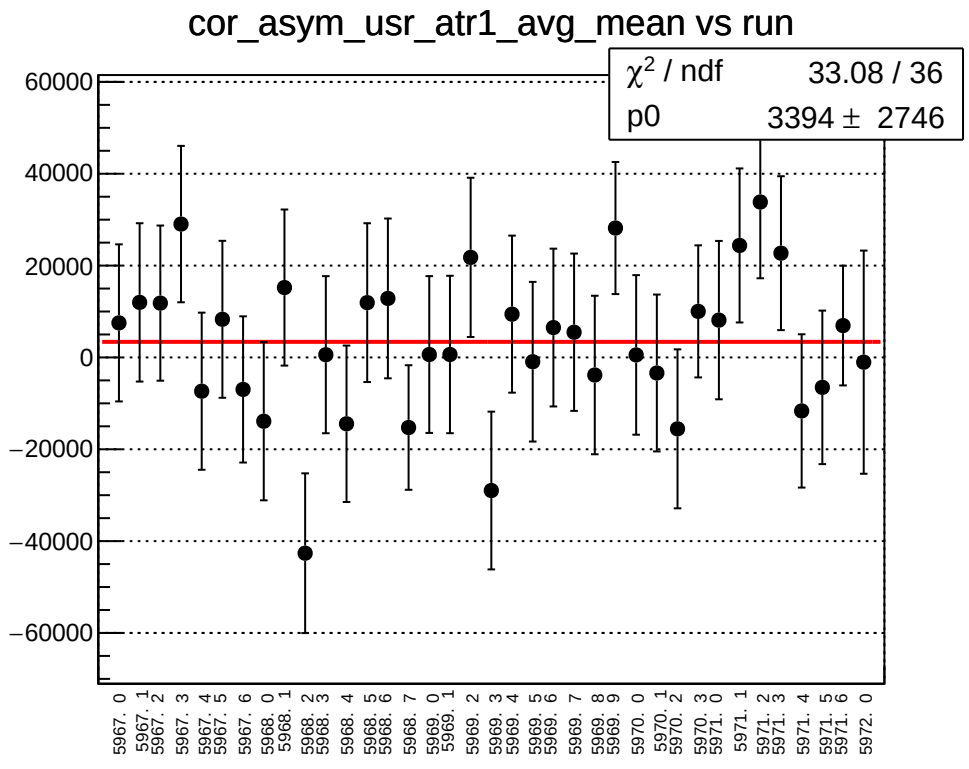
cor_asym_usr_atr1_avg_mean vs run
χ² / ndf 33.08 / 36
p0 3394 ± 2746
60000
40000
20000
0
−20000
−40000
−60000
5967. 0
5967. 1
5967. 2
5967. 3
5967. 4
5967. 5
5967. 6
5968. 0
5968. 1
5968. 2
5968. 3
5968. 4
5968. 5
5968. 6
5968. 7
5969. 0
5969. 1
5969. 2
5969. 3
5969. 4
5969. 5
5969. 6
5969. 7
5969. 8
5969. 9
5970. 0
5970. 1
5970. 2
5970. 3
5971. 0
5971. 1
5971. 2
5971. 3
5971. 4
5971. 5
5971. 6
5972. 0
pull
Entries 37
Mean −134.5
Std Dev 0
2
1.5
1
0.5
0
−0.5
−1
−1.5
−2
−2.5

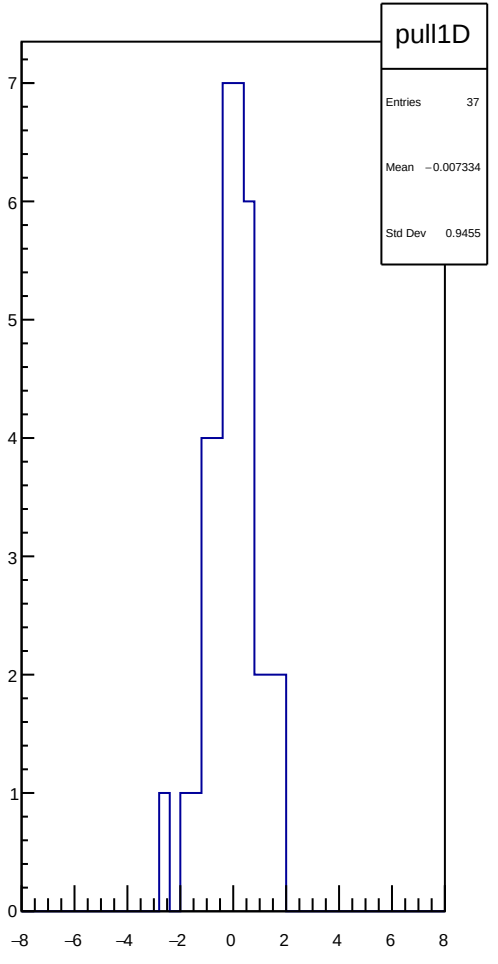
pull1D
Entries 37
Mean −0.007334
Std Dev 0.9455
7
6
5
4
3
2
1
0
−8
−6
−4
−2
0
2
4
6
8

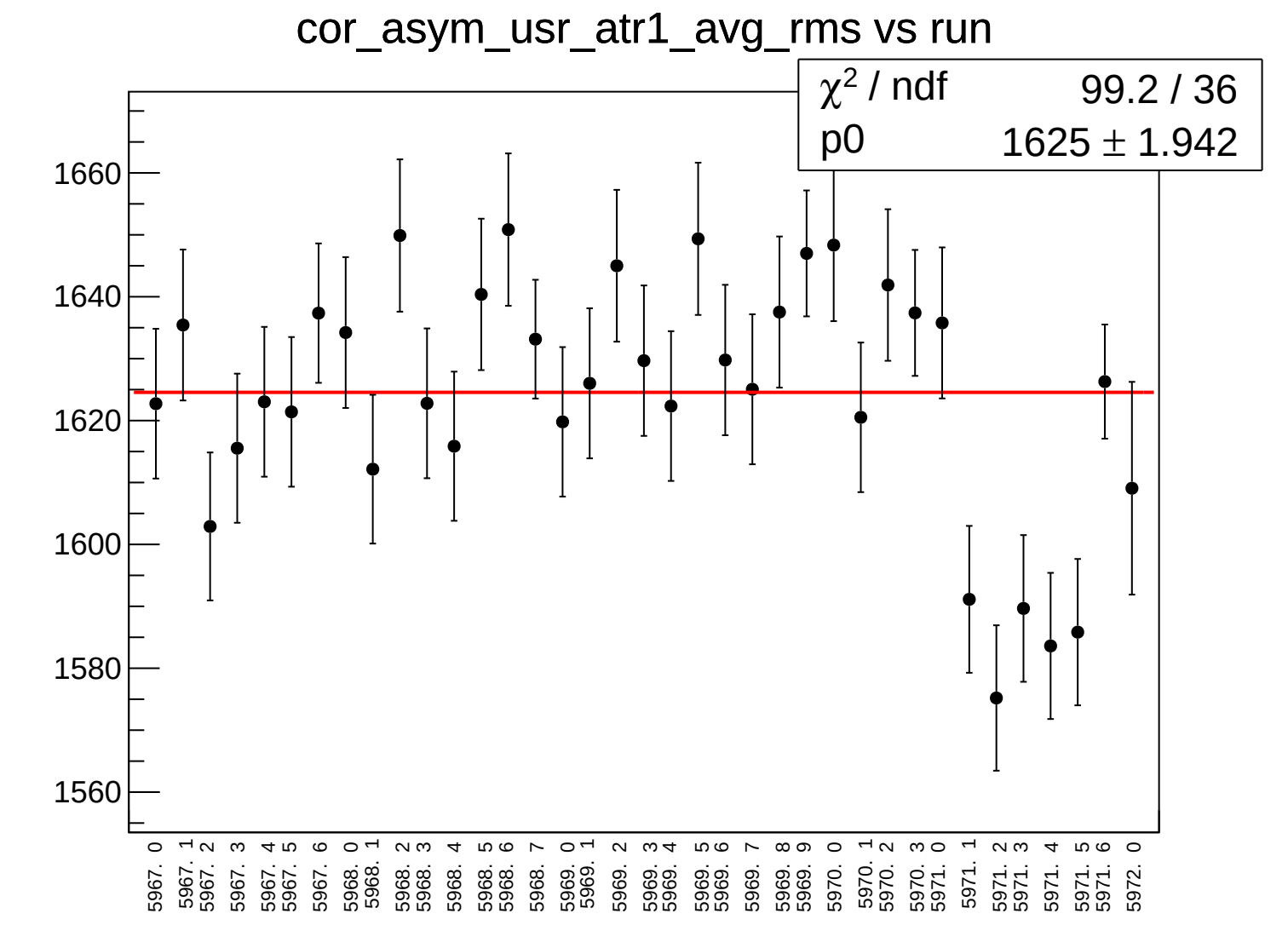
cor_asym_usr_atr1_avg_rms vs run
χ² / ndf 99.2 / 36
p0 1625 ± 1.942
1660
1640
1620
1600
1580
1560
5967. 0
5967. 1
5967. 2
5967. 3
5967. 4
5967. 5
5967. 6
5968. 0
5968. 1
5968. 2
5968. 3
5968. 4
5968. 5
5968. 6
5968. 7
5969. 0
5969. 1
5969. 2
5969. 3
5969. 4
5969. 5
5969. 6
5969. 7
5969. 8
5969. 9
5970. 0
5970. 1
5970. 2
5970. 3
5971. 0
5971. 1
5971. 2
5971. 3
5971. 4
5971. 5
5971. 6
5972. 0

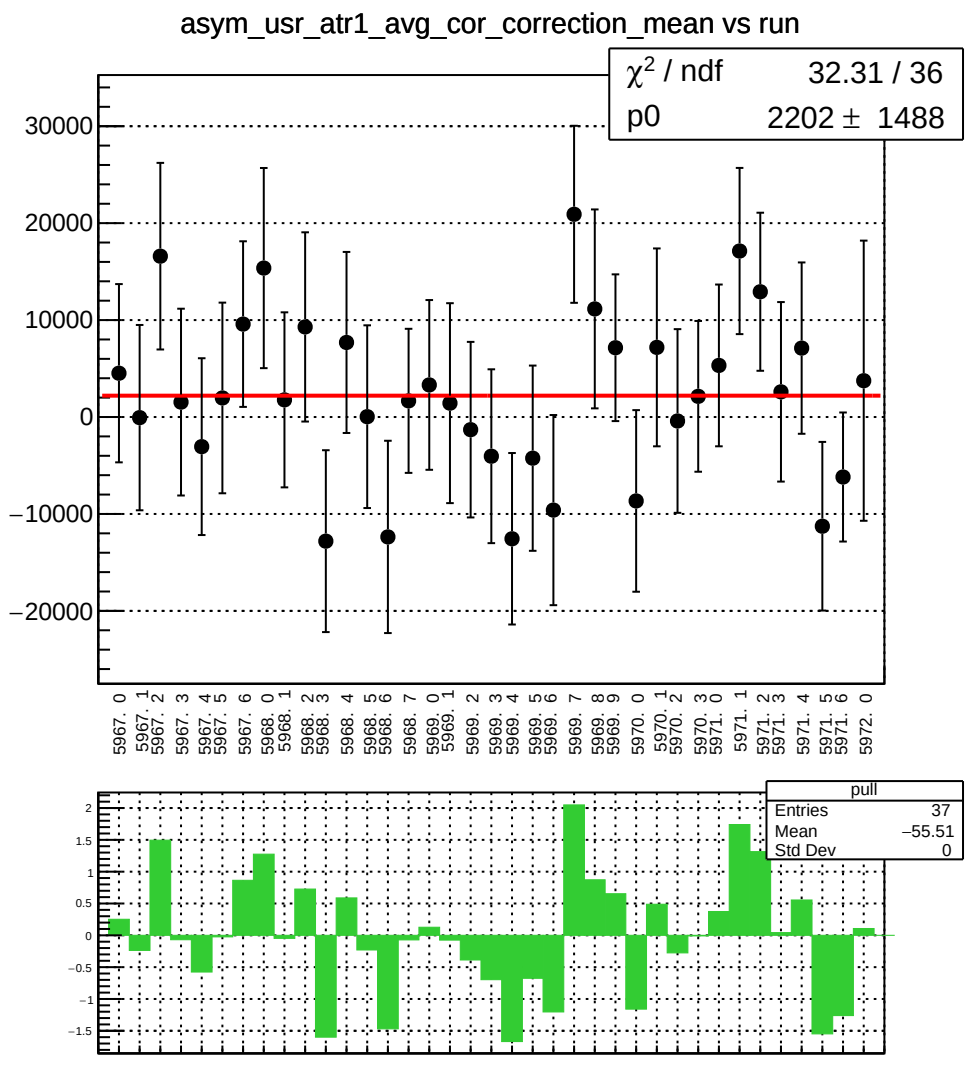
asym_usr_atr1_avg_cor_correction_mean vs run
χ² / ndf 32.31 / 36
p0 2202 ± 1488
30000
20000
10000
0
−10000
−20000
5967. 0
5967. 1
5967. 2
5967. 3
5967. 4
5967. 5
5967. 6
5968. 0
5968. 1
5968. 2
5968. 3
5968. 4
5968. 5
5968. 6
5968. 7
5969. 0
5969. 1
5969. 2
5969. 3
5969. 4
5969. 5
5969. 6
5969. 7
5969. 8
5969. 9
5970. 0
5970. 1
5970. 2
5970. 3
5971. 0
5971. 1
5971. 2
5971. 3
5971. 4
5971. 5
5971. 6
5972. 0
pull
Entries 37
Mean −55.51
Std Dev 0
2
1.5
1
0.5
0
−0.5
−1
−1.5

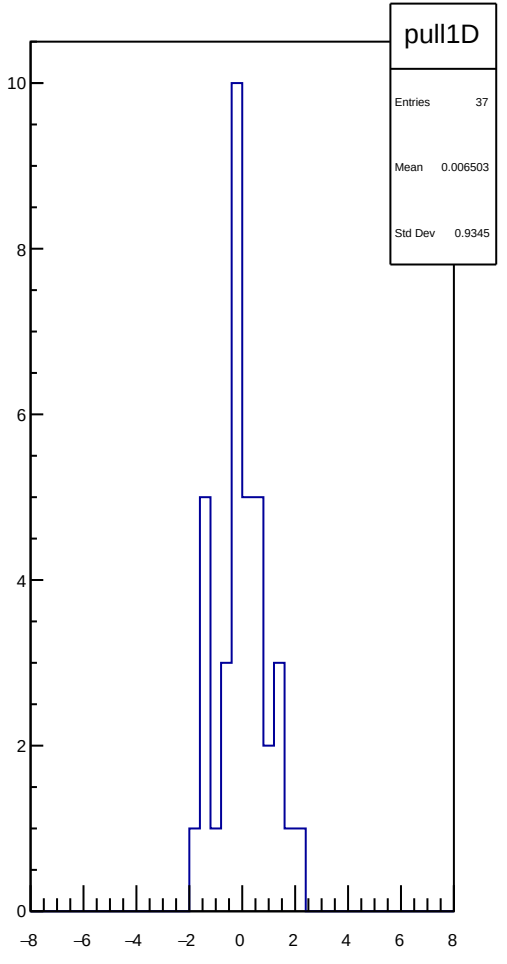
pull1D
Entries 37
Mean 0.006503
Std Dev 0.9345
10
8
6
4
2
0
−8
−6
−4
−2
0
2
4
6
8

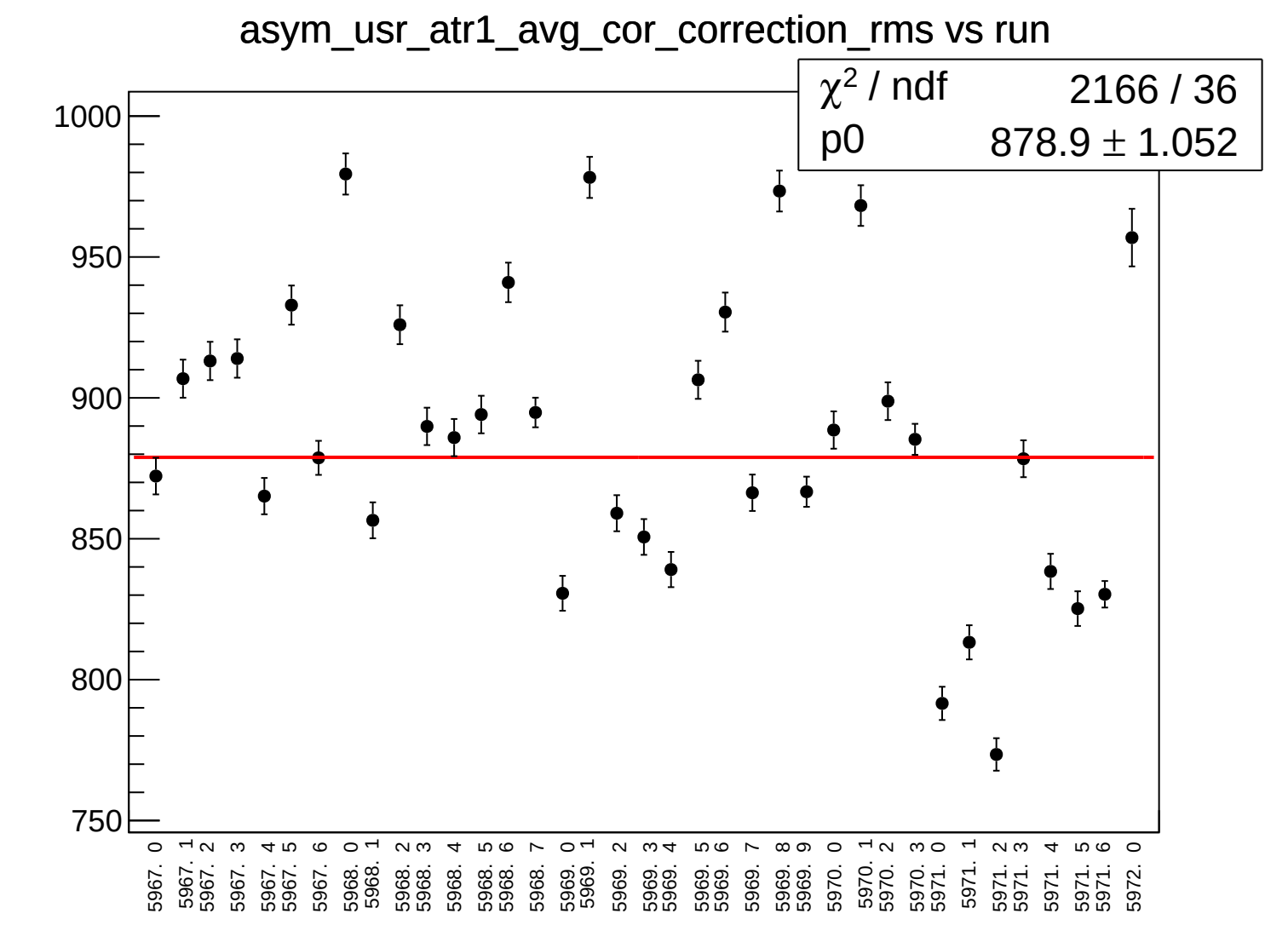
asym_usr_atr1_avg_cor_correction_rms vs run
χ² / ndf 2166 / 36
p0 878.9 ± 1.052
1000
950
900
850
800
750
5967. 0
5967. 1
5967. 2
5967. 3
5967. 4
5967. 5
5967. 6
5968. 0
5968. 1
5968. 2
5968. 3
5968. 4
5968. 5
5968. 6
5968. 7
5969. 0
5969. 1
5969. 2
5969. 3
5969. 4
5969. 5
5969. 6
5969. 7
5969. 8
5969. 9
5970. 0
5970. 1
5970. 2
5970. 3
5971. 0
5971. 1
5971. 2
5971. 3
5971. 4
5971. 5
5971. 6
5972. 0

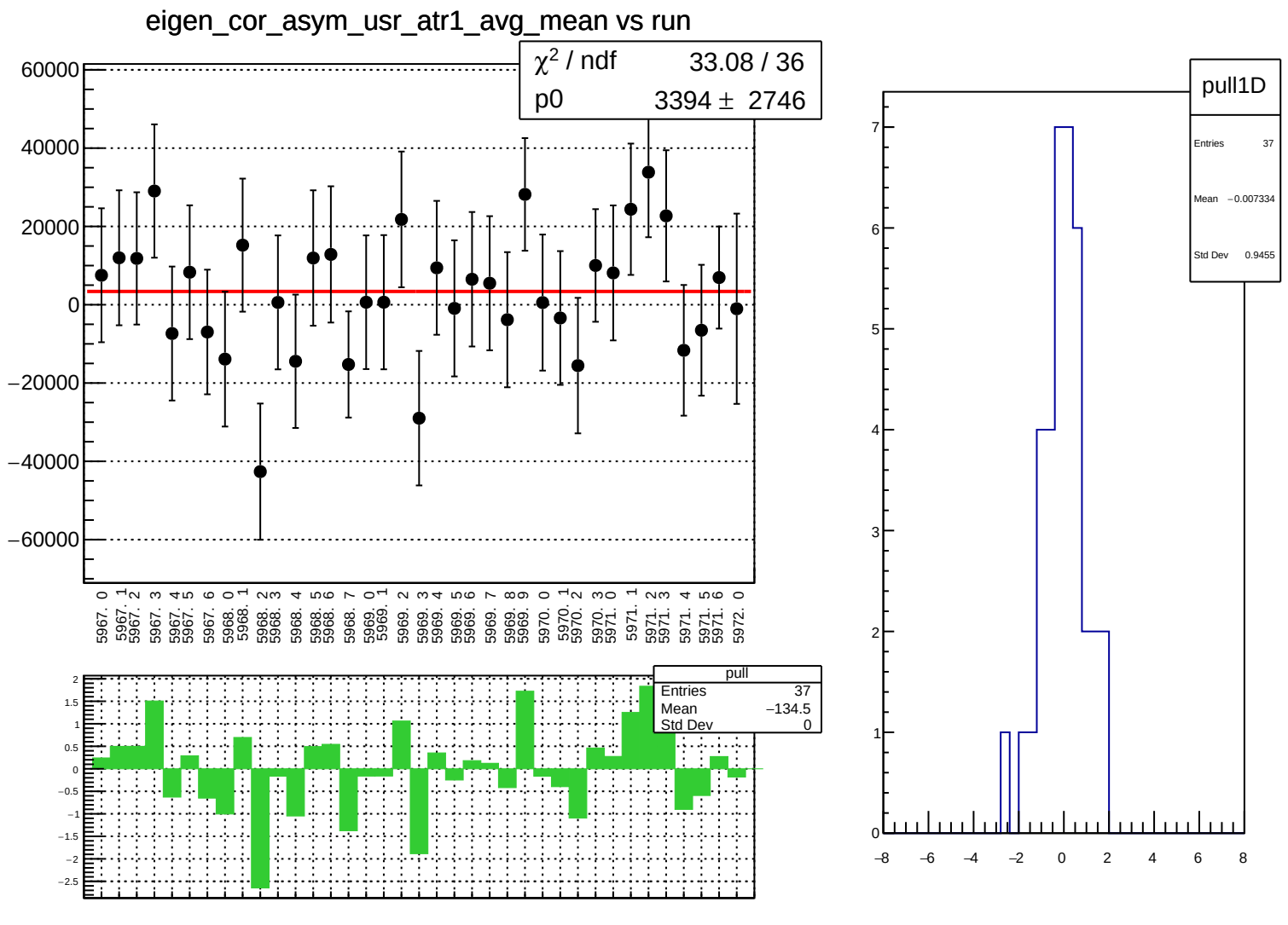
eigen_cor_asym_usr_atr1_avg_mean vs run
χ² / ndf 33.08 / 36
p0 3394 ± 2746
60000
40000
20000
0
−20000
−40000
−60000
5967. 0
5967. 1
5967. 2
5967. 3
5967. 4
5967. 5
5967. 6
5968. 0
5968. 1
5968. 2
5968. 3
5968. 4
5968. 5
5968. 6
5968. 7
5969. 0
5969. 1
5969. 2
5969. 3
5969. 4
5969. 5
5969. 6
5969. 7
5969. 8
5969. 9
5970. 0
5970. 1
5970. 2
5970. 3
5971. 0
5971. 1
5971. 2
5971. 3
5971. 4
5971. 5
5971. 6
5972. 0
pull
Entries 37
Mean −134.5
Std Dev 0
2
1.5
1
0.5
0
−0.5
−1
−1.5
−2
−2.5
pull1D
Entries 37
Mean −0.007334
Std Dev 0.9455
7
6
5
4
3
2
1
0
−8
−6
−4
−2
0
2
4
6
8

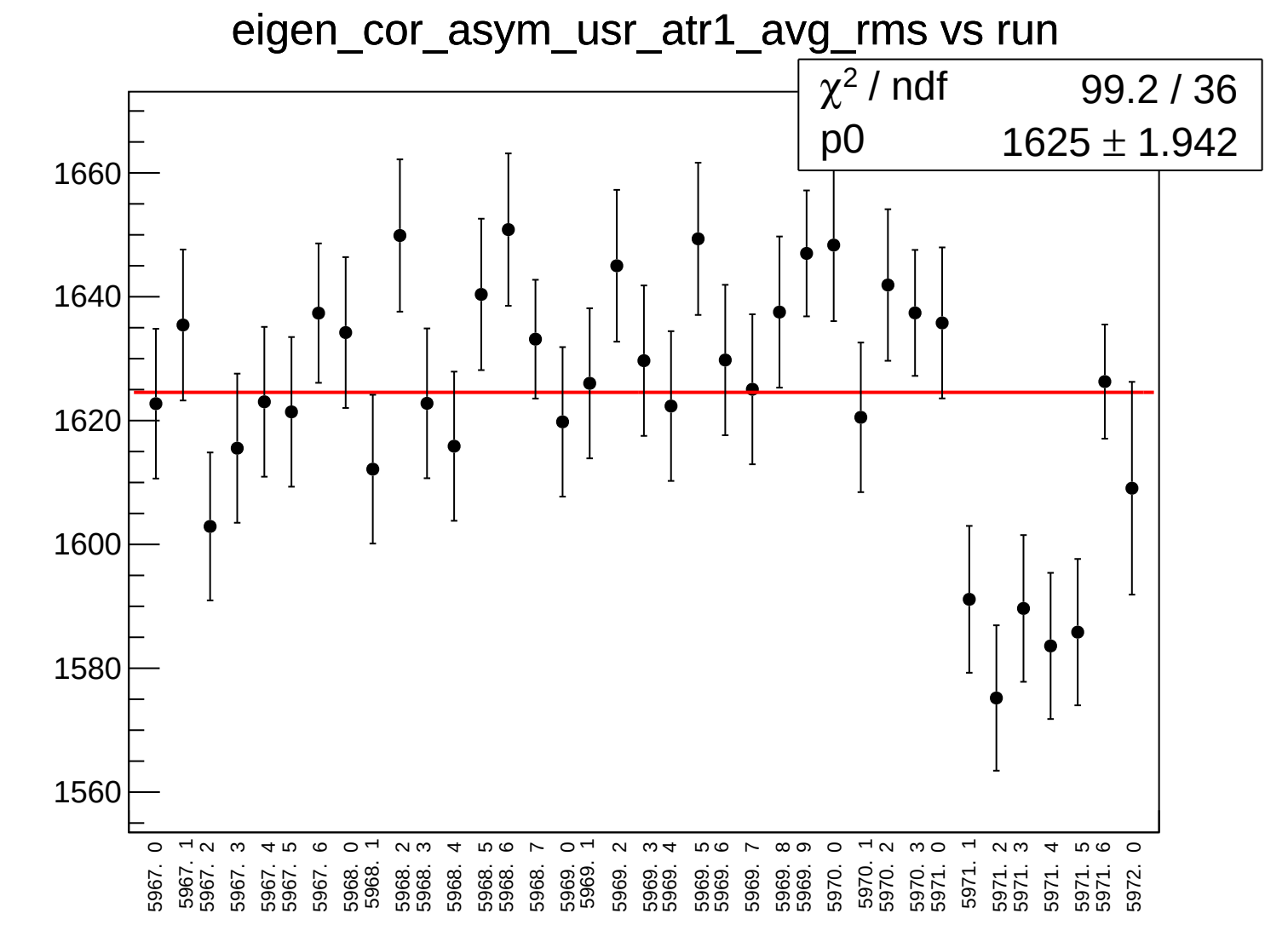
eigen_cor_asym_usr_atr1_avg_rms vs run
χ² / ndf 99.2 / 36
p0 1625 ± 1.942
1660
1640
1620
1600
1580
1560
5967. 0
5967. 1
5967. 2
5967. 3
5967. 4
5967. 5
5967. 6
5968. 0
5968. 1
5968. 2
5968. 3
5968. 4
5968. 5
5968. 6
5968. 7
5969. 0
5969. 1
5969. 2
5969. 3
5969. 4
5969. 5
5969. 6
5969. 7
5969. 8
5969. 9
5970. 0
5970. 1
5970. 2
5970. 3
5971. 0
5971. 1
5971. 2
5971. 3
5971. 4
5971. 5
5971. 6
5972. 0

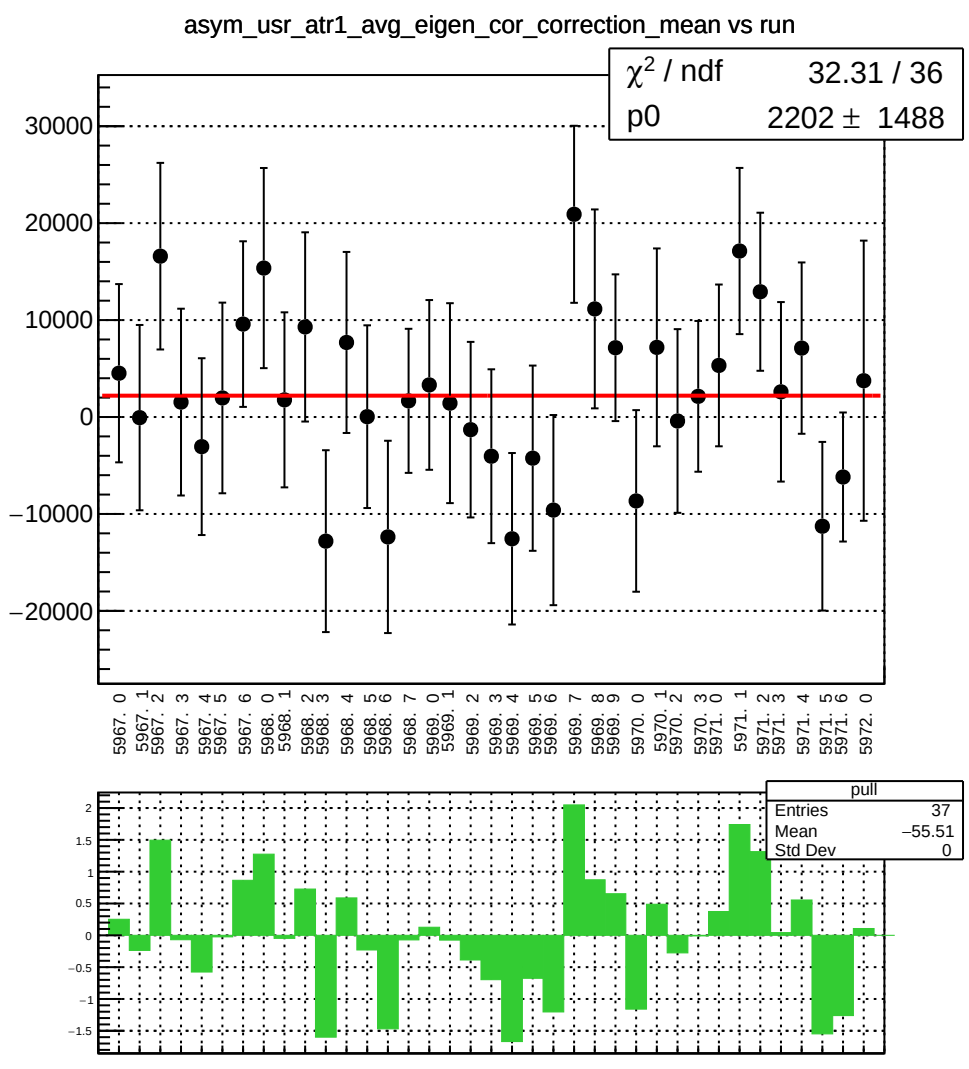
asym_usr_atr1_avg_eigen_cor_correction_mean vs run
χ² / ndf 32.31 / 36
p0 2202 ± 1488
30000
20000
10000
0
−10000
−20000
5967. 0
5967. 1
5967. 2
5967. 3
5967. 4
5967. 5
5967. 6
5968. 0
5968. 1
5968. 2
5968. 3
5968. 4
5968. 5
5968. 6
5968. 7
5969. 0
5969. 1
5969. 2
5969. 3
5969. 4
5969. 5
5969. 6
5969. 7
5969. 8
5969. 9
5970. 0
5970. 1
5970. 2
5970. 3
5971. 0
5971. 1
5971. 2
5971. 3
5971. 4
5971. 5
5971. 6
5972. 0
pull
Entries 37
Mean −55.51
Std Dev 0
2
1.5
1
0.5
0
−0.5
−1
−1.5

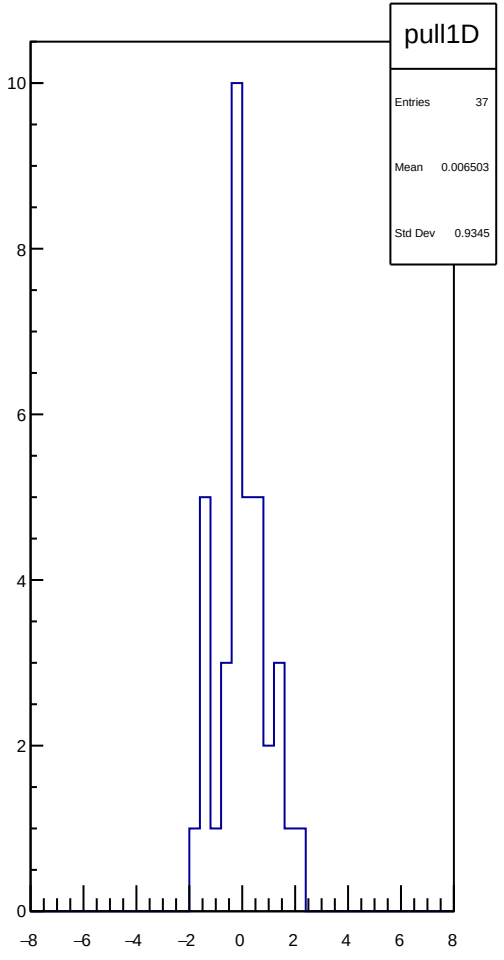
pull1D
Entries 37
Mean 0.006503
Std Dev 0.9345
10
8
6
4
2
0
−8
−6
−4
−2
0
2
4
6
8

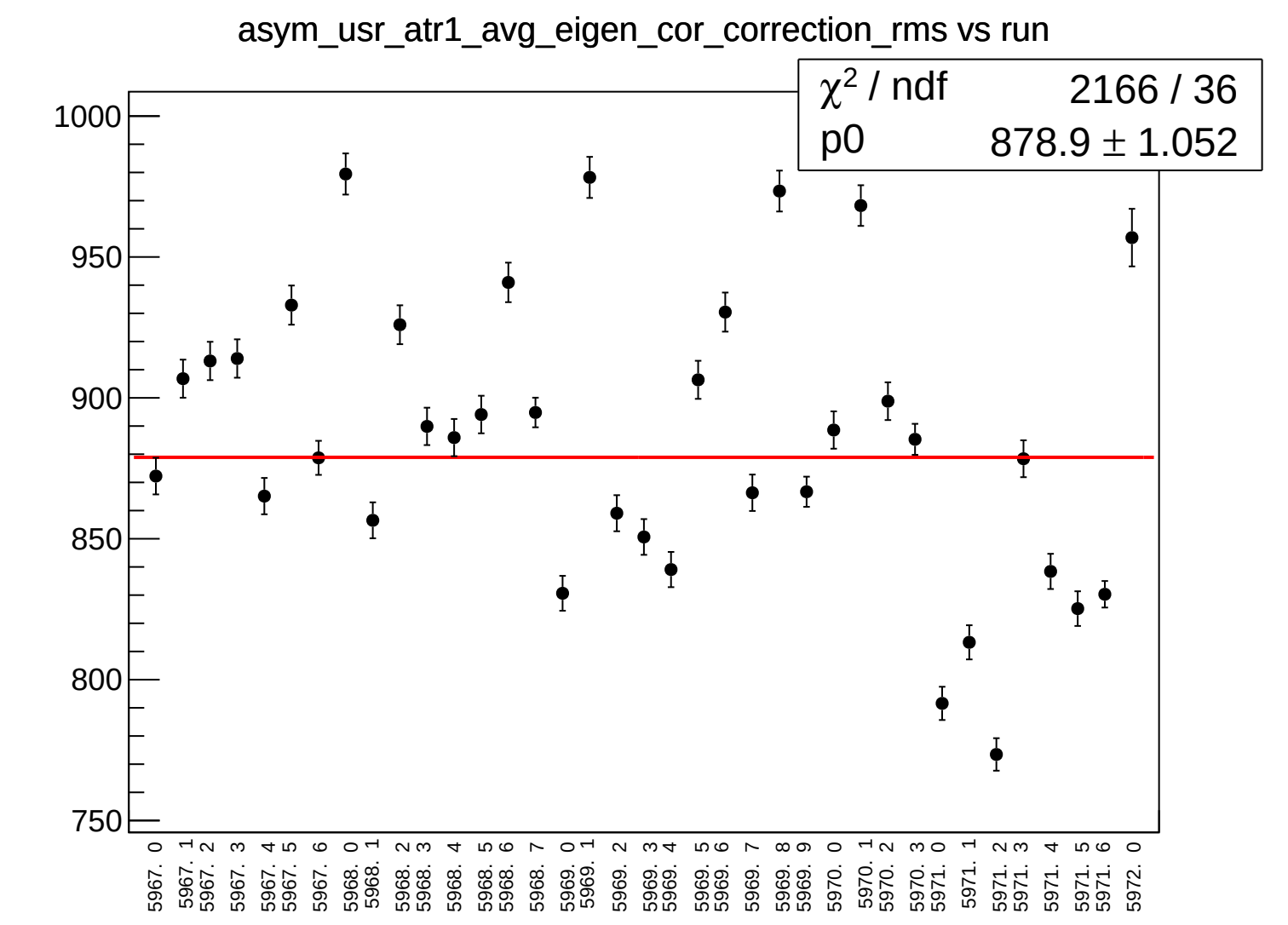
asym_usr_atr1_avg_eigen_cor_correction_rms vs run
χ² / ndf 2166 / 36
p0 878.9 ± 1.052
1000
950
900
850
800
750
5967. 0
5967. 1
5967. 2
5967. 3
5967. 4
5967. 5
5967. 6
5968. 0
5968. 1
5968. 2
5968. 3
5968. 4
5968. 5
5968. 6
5968. 7
5969. 0
5969. 1
5969. 2
5969. 3
5969. 4
5969. 5
5969. 6
5969. 7
5969. 8
5969. 9
5970. 0
5970. 1
5970. 2
5970. 3
5971. 0
5971. 1
5971. 2
5971. 3
5971. 4
5971. 5
5971. 6
5972. 0

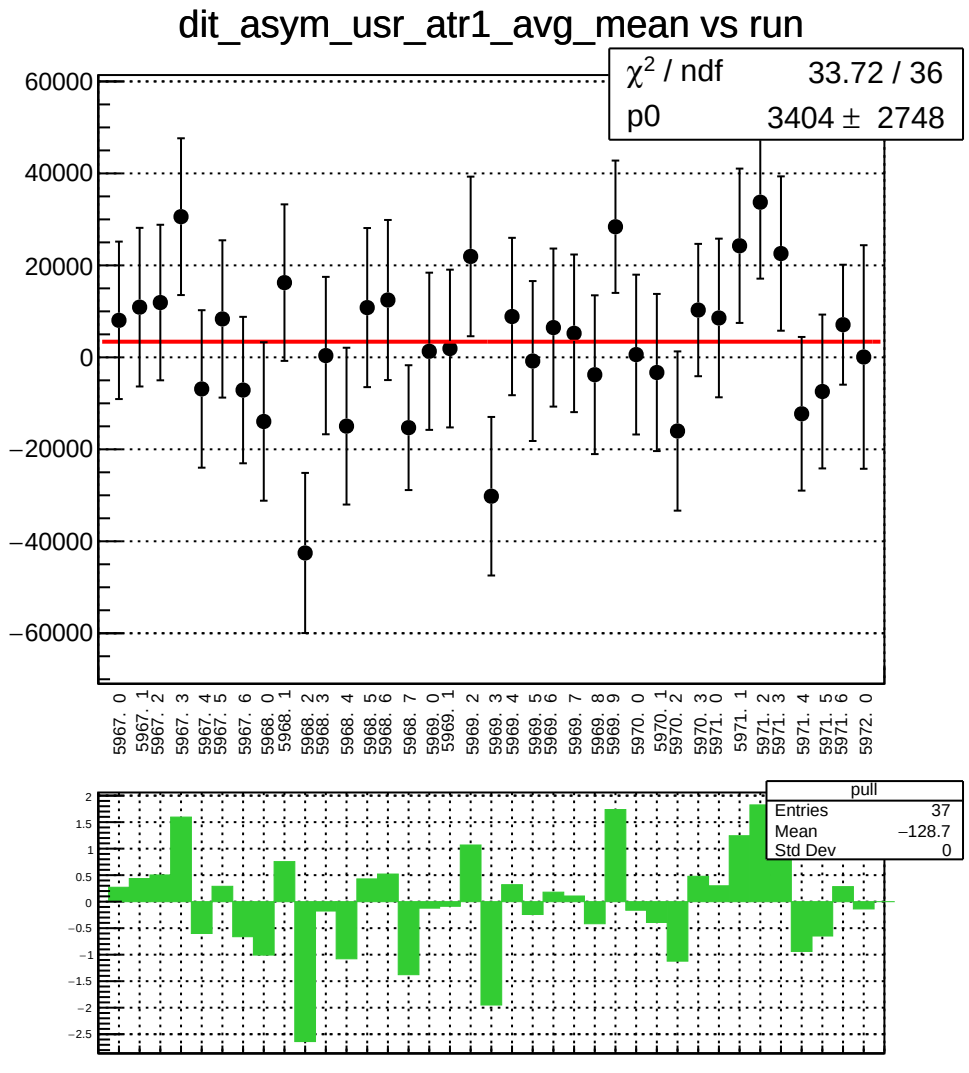
dit_asym_usr_atr1_avg_mean vs run
χ² / ndf 33.72 / 36
p0 3404 ± 2748
60000
40000
20000
0
−20000
−40000
−60000
5967. 0
5967. 1
5967. 2
5967. 3
5967. 4
5967. 5
5967. 6
5968. 0
5968. 1
5968. 2
5968. 3
5968. 4
5968. 5
5968. 6
5968. 7
5969. 0
5969. 1
5969. 2
5969. 3
5969. 4
5969. 5
5969. 6
5969. 7
5969. 8
5969. 9
5970. 0
5970. 1
5970. 2
5970. 3
5971. 0
5971. 1
5971. 2
5971. 3
5971. 4
5971. 5
5971. 6
5972. 0
pull
Entries 37
Mean −128.7
Std Dev 0
2
1.5
1
0.5
0
−0.5
−1
−1.5
−2
−2.5
pull1D
Entries 37
Mean −0.007296
Std Dev 0.9547
7
6
5
4
3
2
1
0
−8
−6
−4
−2
0
2
4
6
8

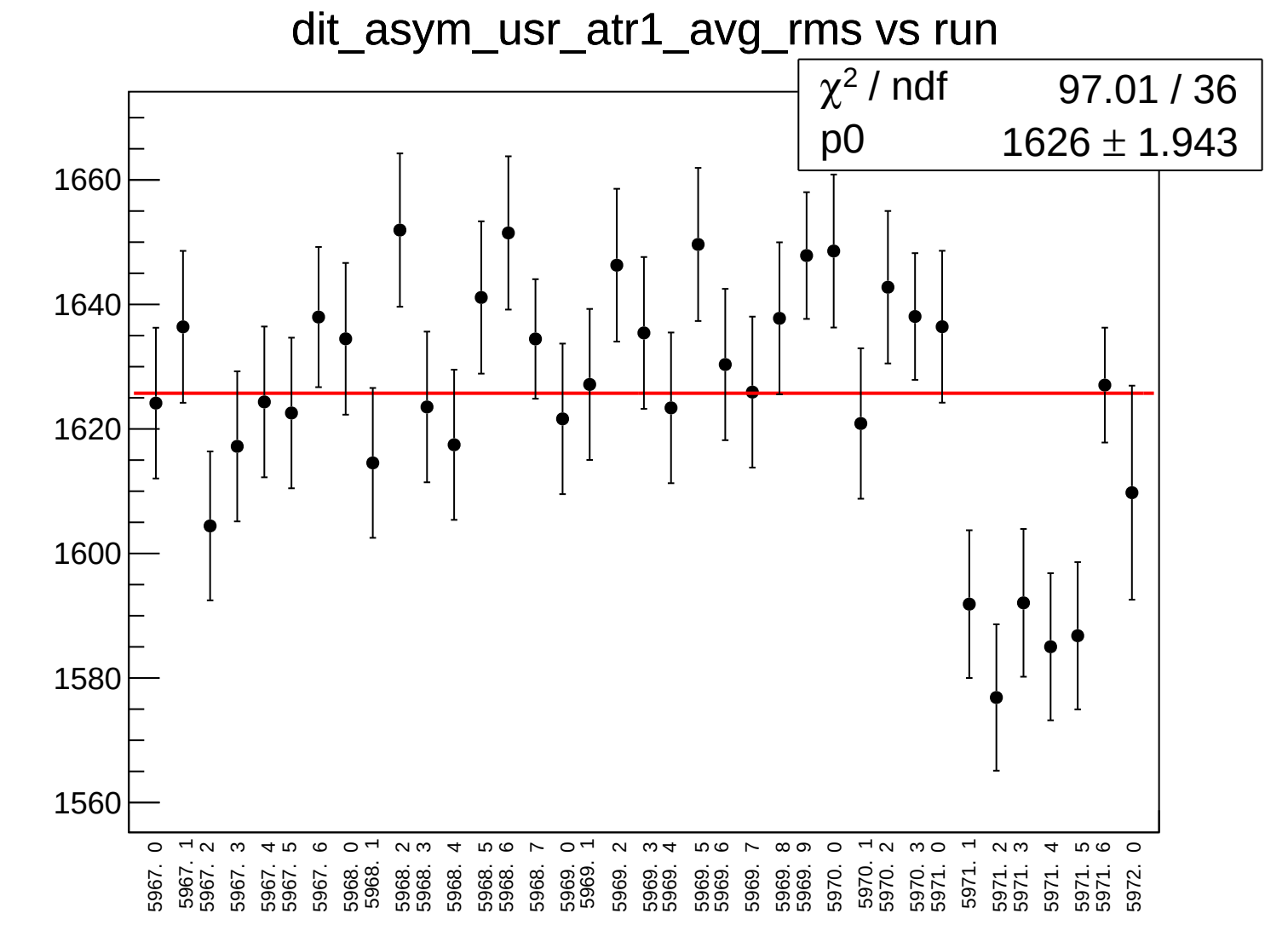
dit_asym_usr_atr1_avg_rms vs run
χ² / ndf 97.01 / 36
p0 1626 ± 1.943
1660
1640
1620
1600
1580
1560
5967. 0
5967. 1
5967. 2
5967. 3
5967. 4
5967. 5
5967. 6
5968. 0
5968. 1
5968. 2
5968. 3
5968. 4
5968. 5
5968. 6
5968. 7
5969. 0
5969. 1
5969. 2
5969. 3
5969. 4
5969. 5
5969. 6
5969. 7
5969. 8
5969. 9
5970. 0
5970. 1
5970. 2
5970. 3
5971. 0
5971. 1
5971. 2
5971. 3
5971. 4
5971. 5
5971. 6
5972. 0

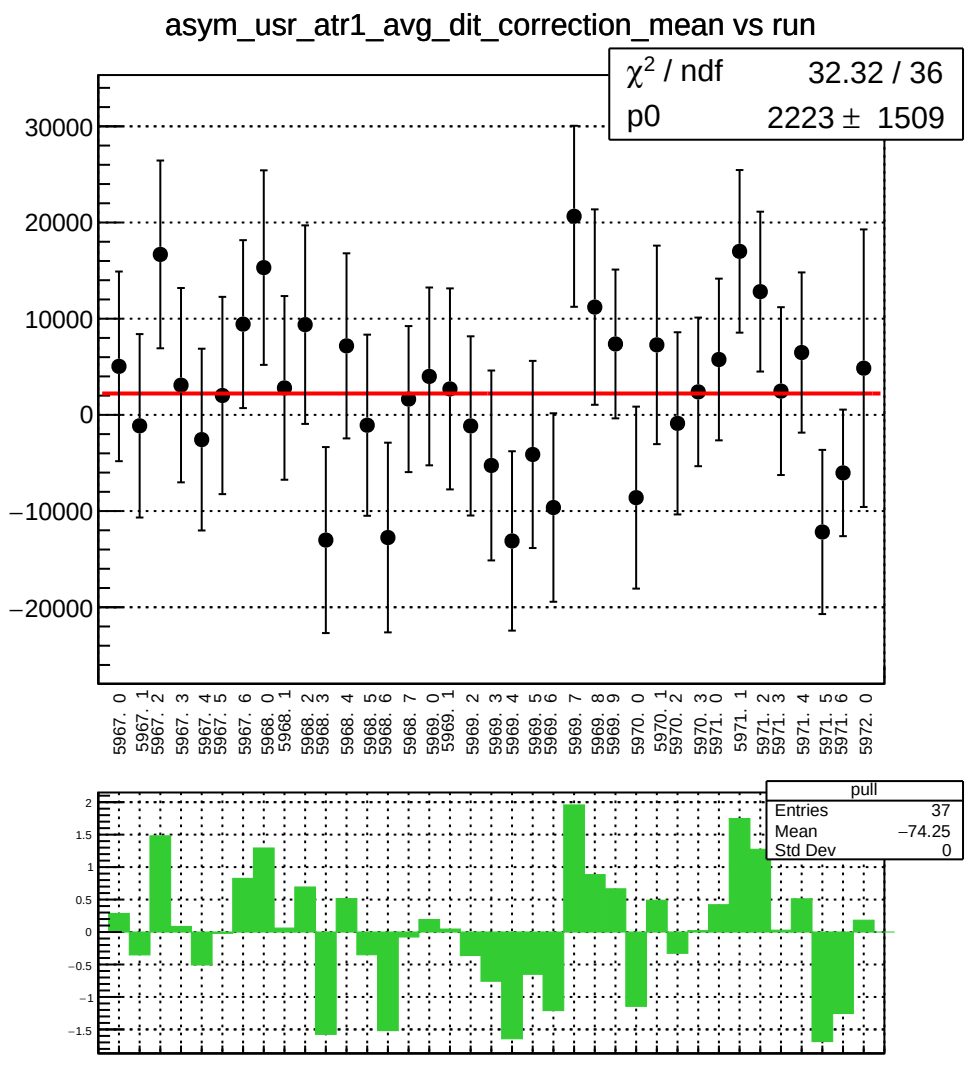
asym_usr_atr1_avg_dit_correction_mean vs run
χ² / ndf 32.32 / 36
p0 2223 ± 1509
30000
20000
10000
0
−10000
−20000
5967. 0
5967. 1
5967. 2
5967. 3
5967. 4
5967. 5
5967. 6
5968. 0
5968. 1
5968. 2
5968. 3
5968. 4
5968. 5
5968. 6
5968. 7
5969. 0
5969. 1
5969. 2
5969. 3
5969. 4
5969. 5
5969. 6
5969. 7
5969. 8
5969. 9
5970. 0
5970. 1
5970. 2
5970. 3
5971. 0
5971. 1
5971. 2
5971. 3
5971. 4
5971. 5
5971. 6
5972. 0
pull
Entries 37
Mean −74.25
Std Dev 0
2
1.5
1
0.5
0
−0.5
−1
−1.5
pull1D
Entries 37
Mean 0.006131
Std Dev 0.9345
8
7
6
5
4
3
2
1
0
−8
−6
−4
−2
0
2
4
6
8

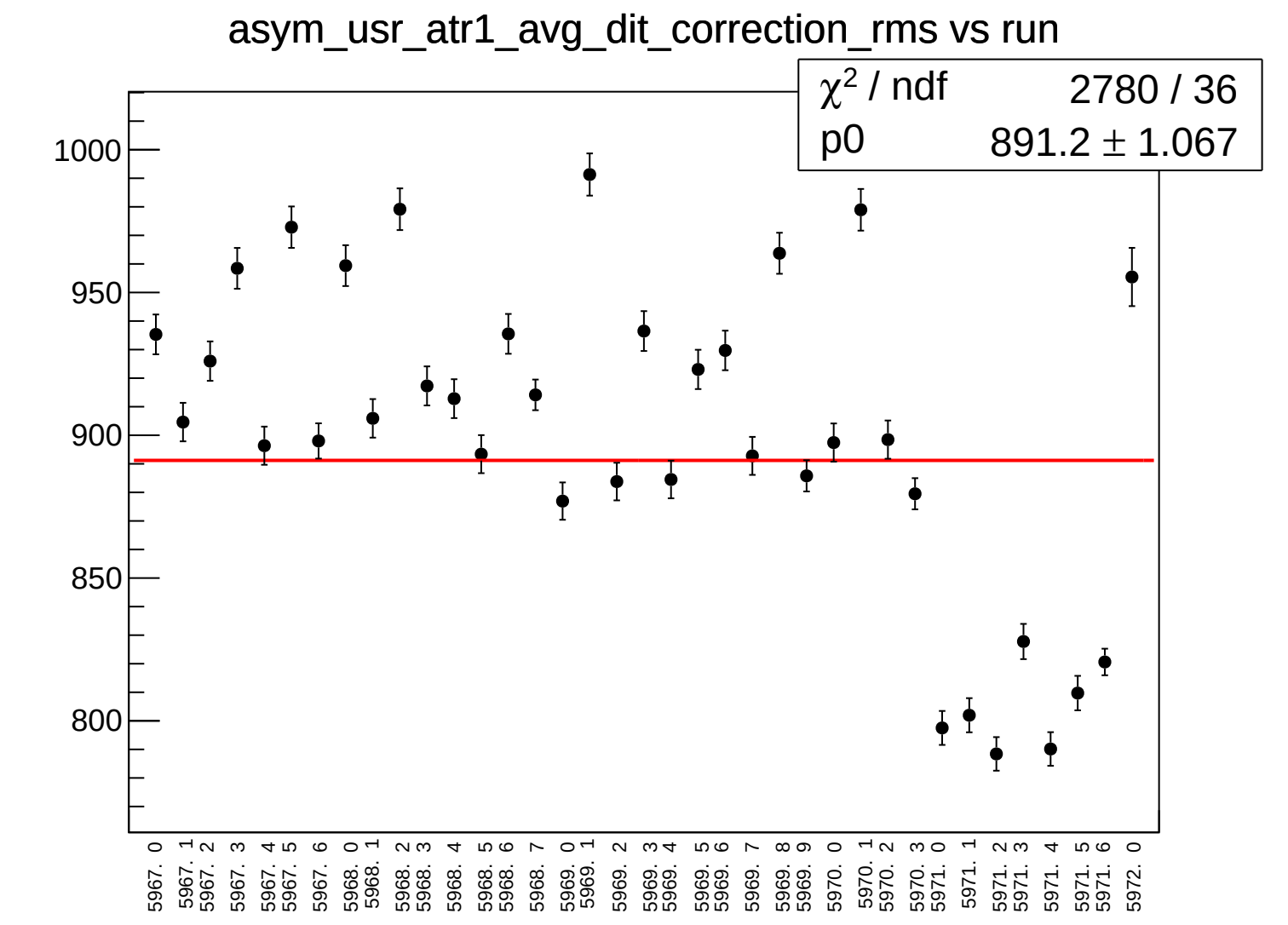
asym_usr_atr1_avg_dit_correction_rms vs run
χ² / ndf 2780 / 36
p0 891.2 ± 1.067
1000
950
900
850
800
5967. 0
5967. 1
5967. 2
5967. 3
5967. 4
5967. 5
5967. 6
5968. 0
5968. 1
5968. 2
5968. 3
5968. 4
5968. 5
5968. 6
5968. 7
5969. 0
5969. 1
5969. 2
5969. 3
5969. 4
5969. 5
5969. 6
5969. 7
5969. 8
5969. 9
5970. 0
5970. 1
5970. 2
5970. 3
5971. 0
5971. 1
5971. 2
5971. 3
5971. 4
5971. 5
5971. 6
5972. 0

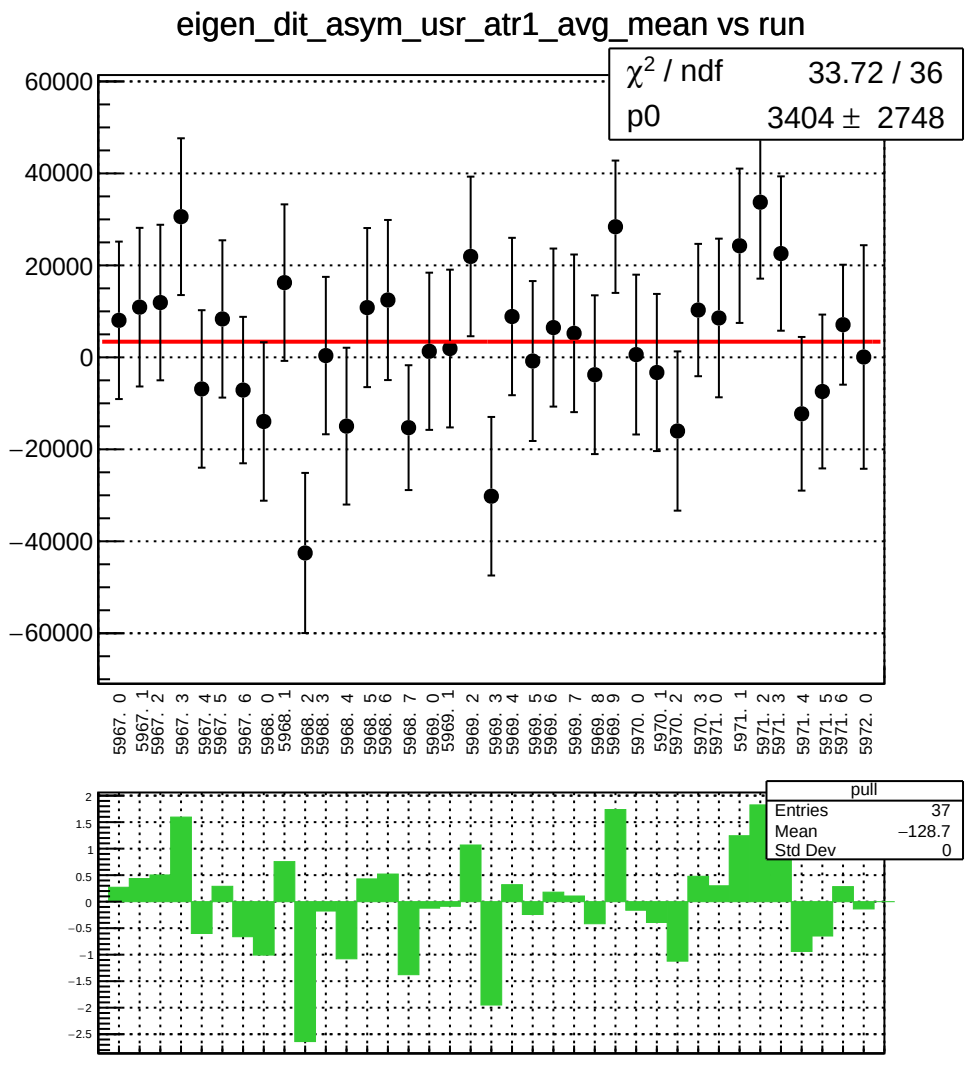
eigen_dit_asym_usr_atr1_avg_mean vs run
χ² / ndf 33.72 / 36
p0 3404 ± 2748
60000
40000
20000
0
−20000
−40000
−60000
5967. 0
5967. 1
5967. 2
5967. 3
5967. 4
5967. 5
5967. 6
5968. 0
5968. 1
5968. 2
5968. 3
5968. 4
5968. 5
5968. 6
5968. 7
5969. 0
5969. 1
5969. 2
5969. 3
5969. 4
5969. 5
5969. 6
5969. 7
5969. 8
5969. 9
5970. 0
5970. 1
5970. 2
5970. 3
5971. 0
5971. 1
5971. 2
5971. 3
5971. 4
5971. 5
5971. 6
5972. 0
pull
Entries 37
Mean −128.7
Std Dev 0
2
1.5
1
0.5
0
−0.5
−1
−1.5
−2
−2.5
pull1D
Entries 37
Mean −0.007296
Std Dev 0.9547
7
6
5
4
3
2
1
0
−8
−6
−4
−2
0
2
4
6
8

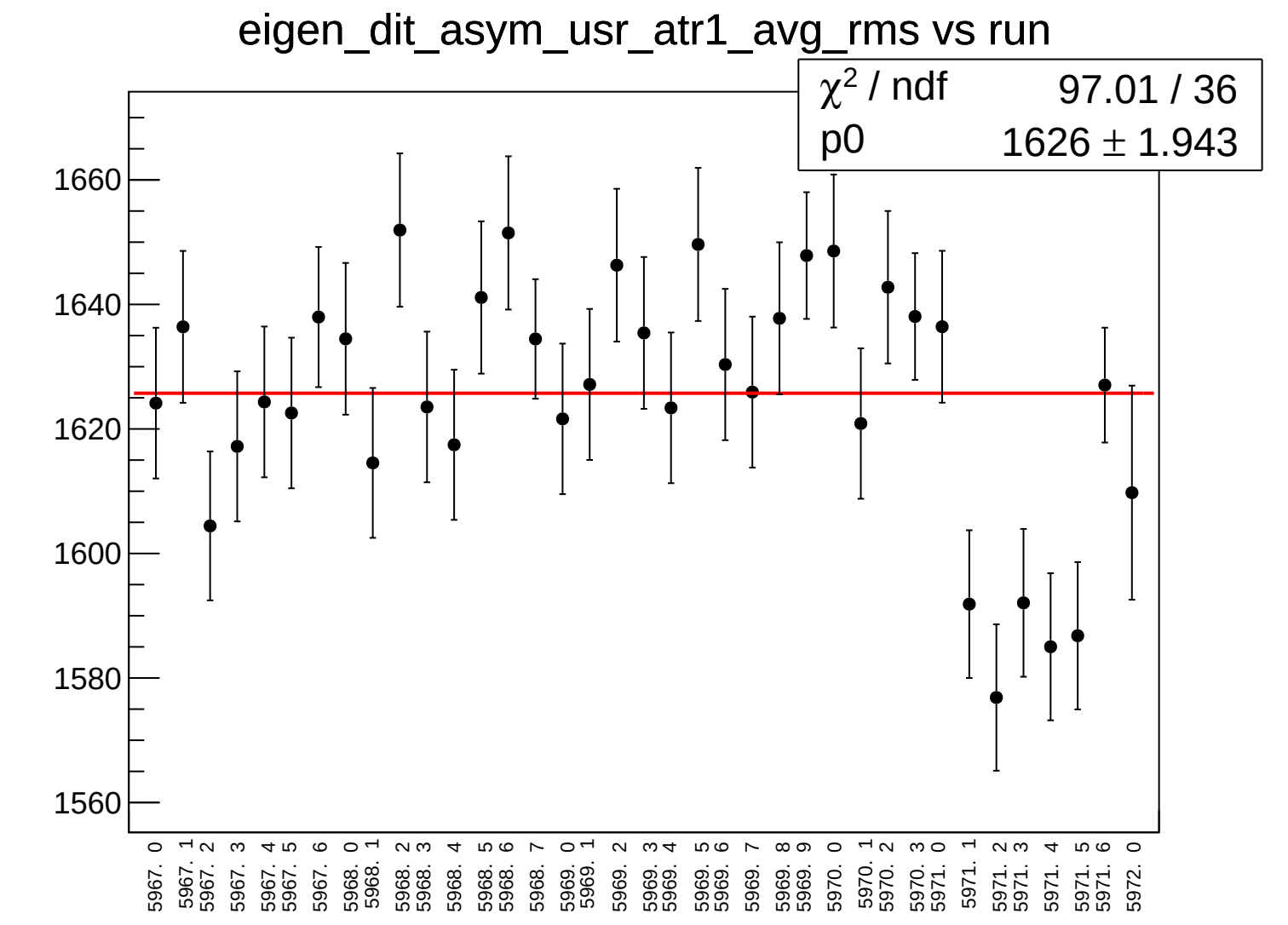
eigen_dit_asym_usr_atr1_avg_rms vs run
χ² / ndf 97.01 / 36
p0 1626 ± 1.943
1660
1640
1620
1600
1580
1560
5967. 0
5967. 1
5967. 2
5967. 3
5967. 4
5967. 5
5967. 6
5968. 0
5968. 1
5968. 2
5968. 3
5968. 4
5968. 5
5968. 6
5968. 7
5969. 0
5969. 1
5969. 2
5969. 3
5969. 4
5969. 5
5969. 6
5969. 7
5969. 8
5969. 9
5970. 0
5970. 1
5970. 2
5970. 3
5971. 0
5971. 1
5971. 2
5971. 3
5971. 4
5971. 5
5971. 6
5972. 0

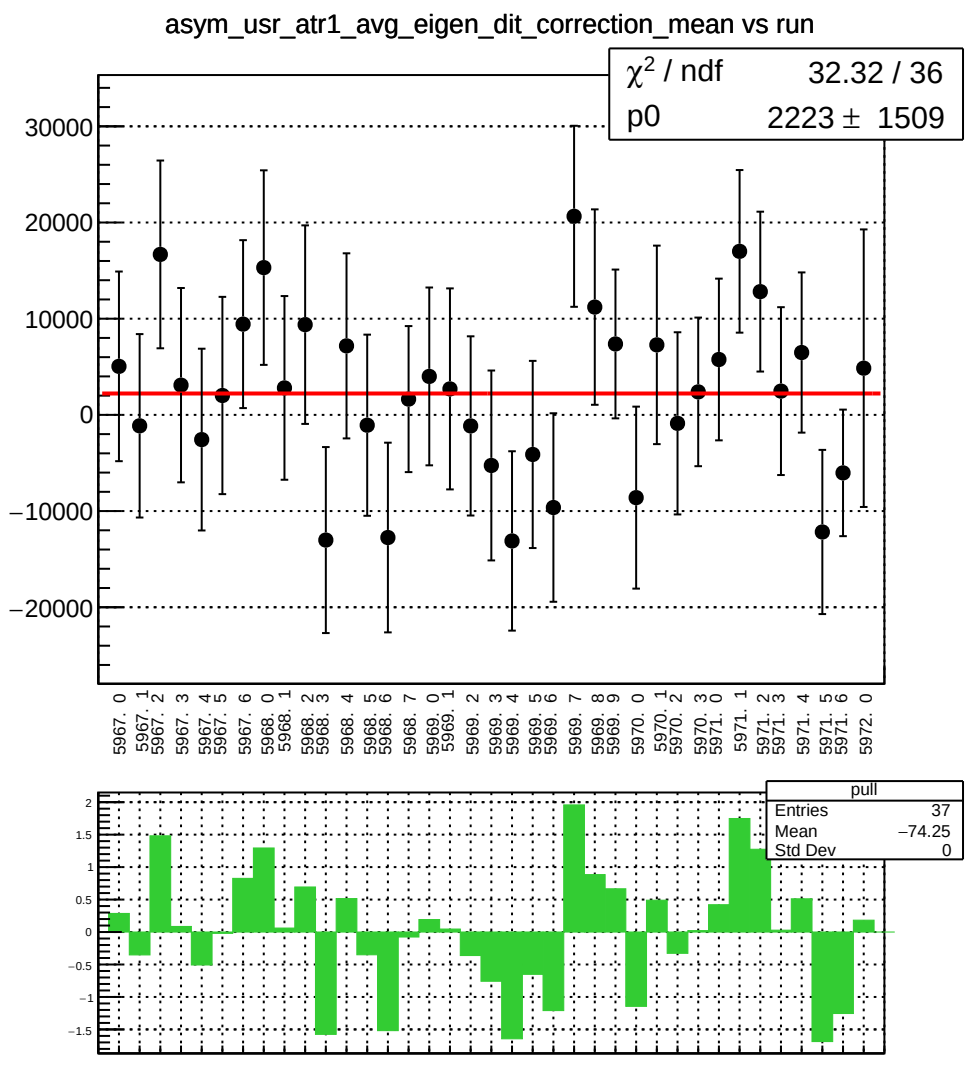
asym_usr_atr1_avg_eigen_dit_correction_mean vs run
χ² / ndf 32.32 / 36
p0 2223 ± 1509
30000
20000
10000
0
−10000
−20000
5967. 0
5967. 1
5967. 2
5967. 3
5967. 4
5967. 5
5967. 6
5968. 0
5968. 1
5968. 2
5968. 3
5968. 4
5968. 5
5968. 6
5968. 7
5969. 0
5969. 1
5969. 2
5969. 3
5969. 4
5969. 5
5969. 6
5969. 7
5969. 8
5969. 9
5970. 0
5970. 1
5970. 2
5970. 3
5971. 0
5971. 1
5971. 2
5971. 3
5971. 4
5971. 5
5971. 6
5972. 0
pull
Entries 37
Mean −74.25
Std Dev 0
2
1.5
1
0.5
0
−0.5
−1
−1.5
pull1D
Entries 37
Mean 0.006131
Std Dev 0.9345
8
7
6
5
4
3
2
1
0
−8
−6
−4
−2
0
2
4
6
8

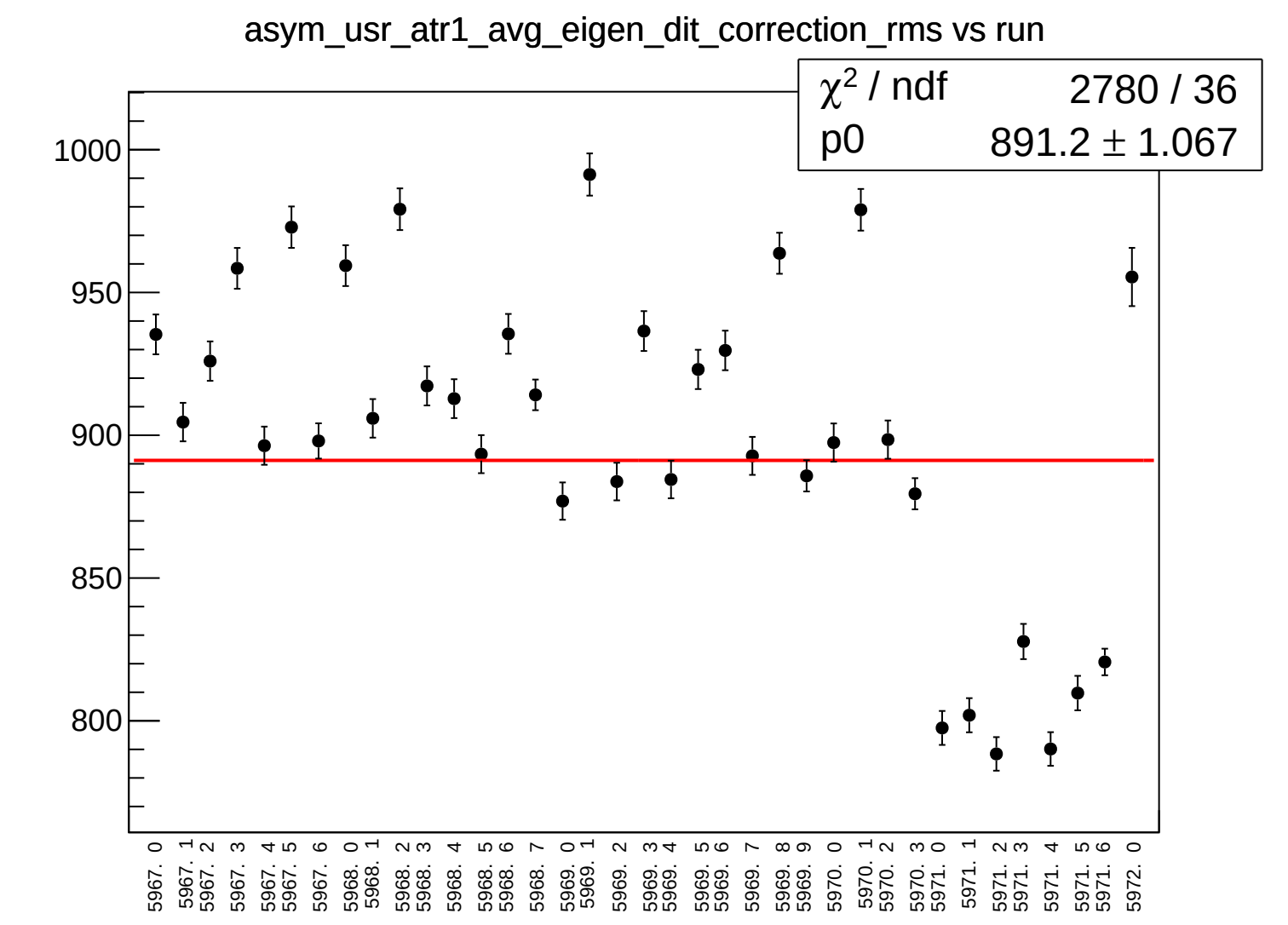
asym_usr_atr1_avg_eigen_dit_correction_rms vs run
χ² / ndf 2780 / 36
p0 891.2 ± 1.067
1000
950
900
850
800
5967. 0
5967. 1
5967. 2
5967. 3
5967. 4
5967. 5
5967. 6
5968. 0
5968. 1
5968. 2
5968. 3
5968. 4
5968. 5
5968. 6
5968. 7
5969. 0
5969. 1
5969. 2
5969. 3
5969. 4
5969. 5
5969. 6
5969. 7
5969. 8
5969. 9
5970. 0
5970. 1
5970. 2
5970. 3
5971. 0
5971. 1
5971. 2
5971. 3
5971. 4
5971. 5
5971. 6
5972. 0

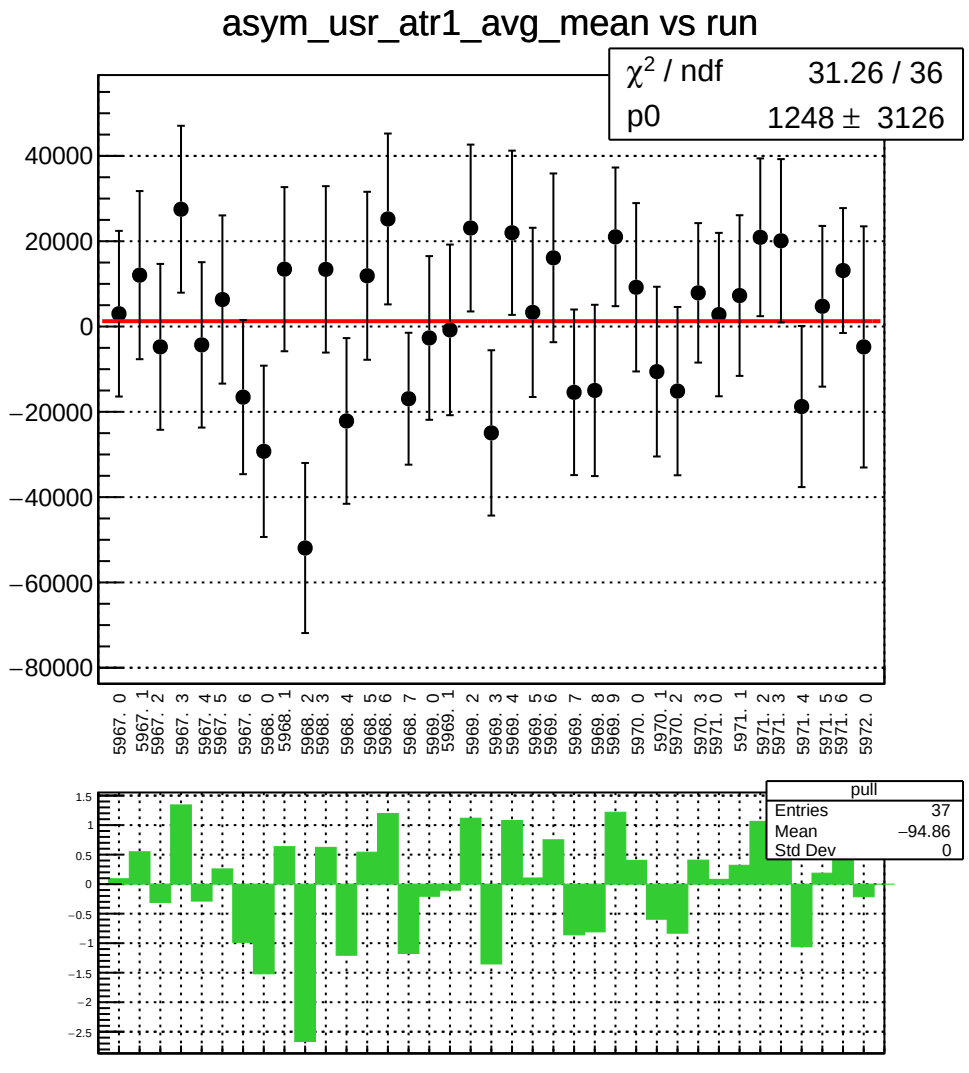
asym_usr_atr1_avg_mean vs run
χ² / ndf 31.26 / 36
p0 1248 ± 3126
40000
20000
0
−20000
−40000
−60000
−80000
5967. 0
5967. 1
5967. 2
5967. 3
5967. 4
5967. 5
5967. 6
5968. 0
5968. 1
5968. 2
5968. 3
5968. 4
5968. 5
5968. 6
5968. 7
5969. 0
5969. 1
5969. 2
5969. 3
5969. 4
5969. 5
5969. 6
5969. 7
5969. 8
5969. 9
5970. 0
5970. 1
5970. 2
5970. 3
5971. 0
5971. 1
5971. 2
5971. 3
5971. 4
5971. 5
5971. 6
5972. 0
pull
Entries 37
Mean −94.86
Std Dev 0
1.5
1
0.5
0
−0.5
−1
−1.5
−2
−2.5

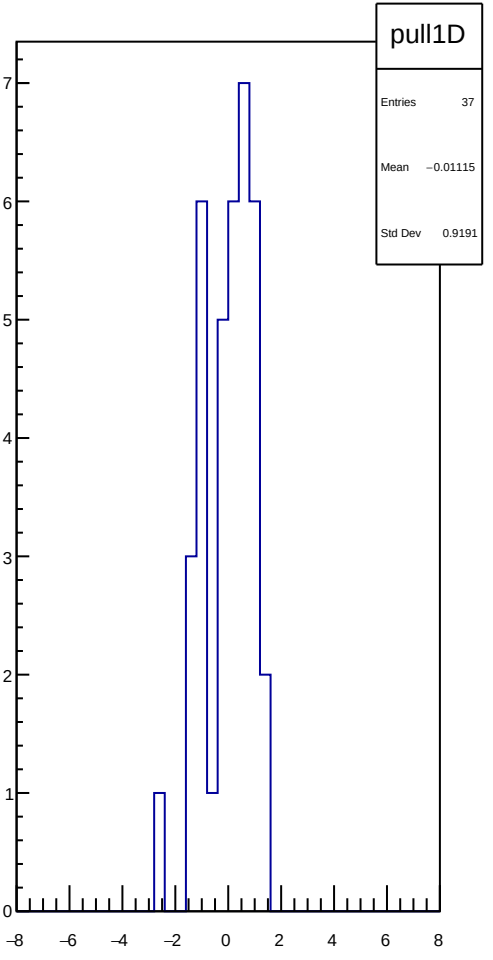
pull1D
Entries 37
Mean −0.01115
Std Dev 0.9191
7
6
5
4
3
2
1
0
−8
−6
−4
−2
0
2
4
6
8

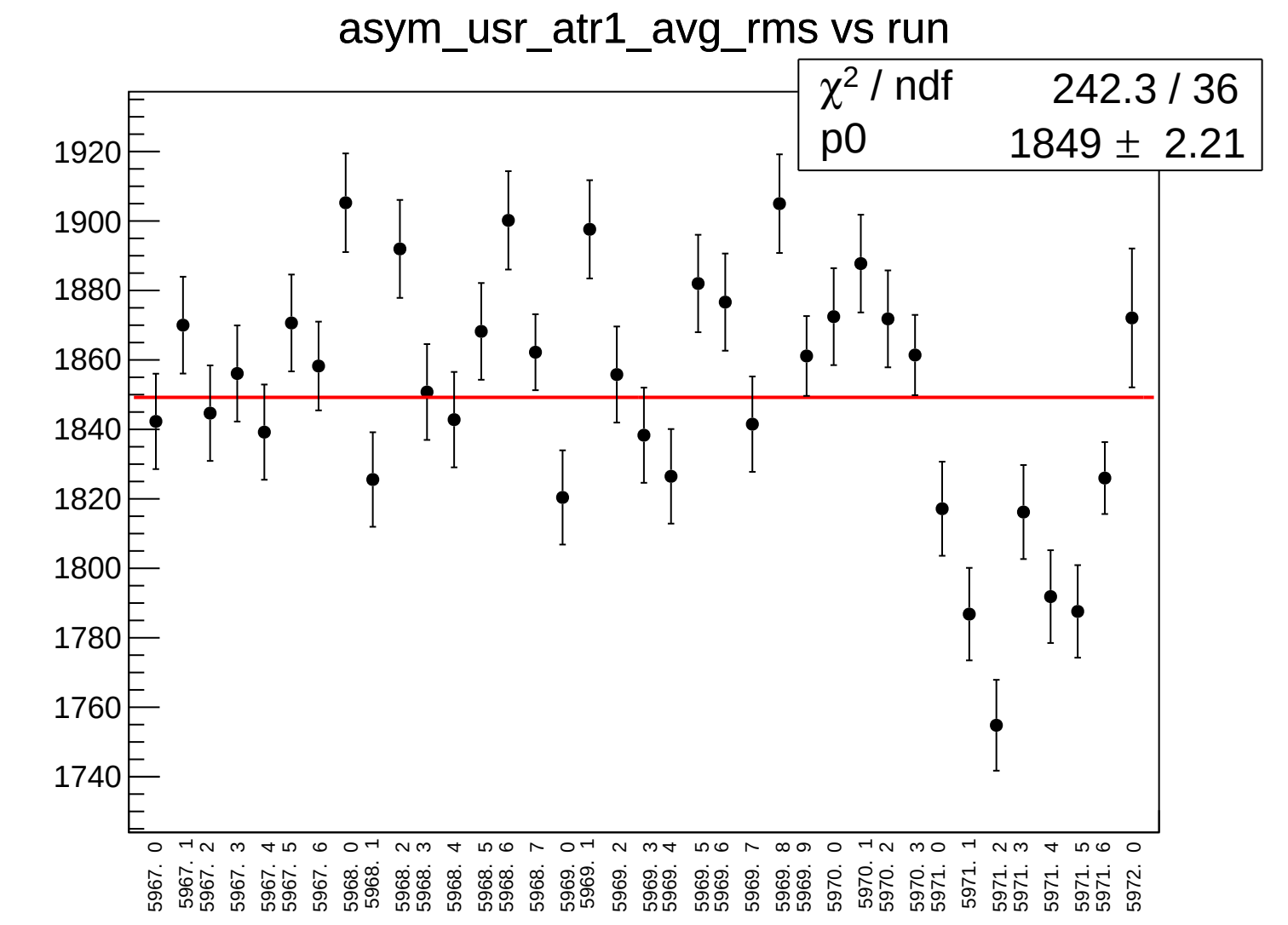
asym_usr_atr1_avg_rms vs run
χ² / ndf 242.3 / 36
p0 1849 ± 2.21
1920
1900
1880
1860
1840
1820
1800
1780
1760
1740
5967. 0
5967. 1
5967. 2
5967. 3
5967. 4
5967. 5
5967. 6
5968. 0
5968. 1
5968. 2
5968. 3
5968. 4
5968. 5
5968. 6
5968. 7
5969. 0
5969. 1
5969. 2
5969. 3
5969. 4
5969. 5
5969. 6
5969. 7
5969. 8
5969. 9
5970. 0
5970. 1
5970. 2
5970. 3
5971. 0
5971. 1
5971. 2
5971. 3
5971. 4
5971. 5
5971. 6
5972. 0

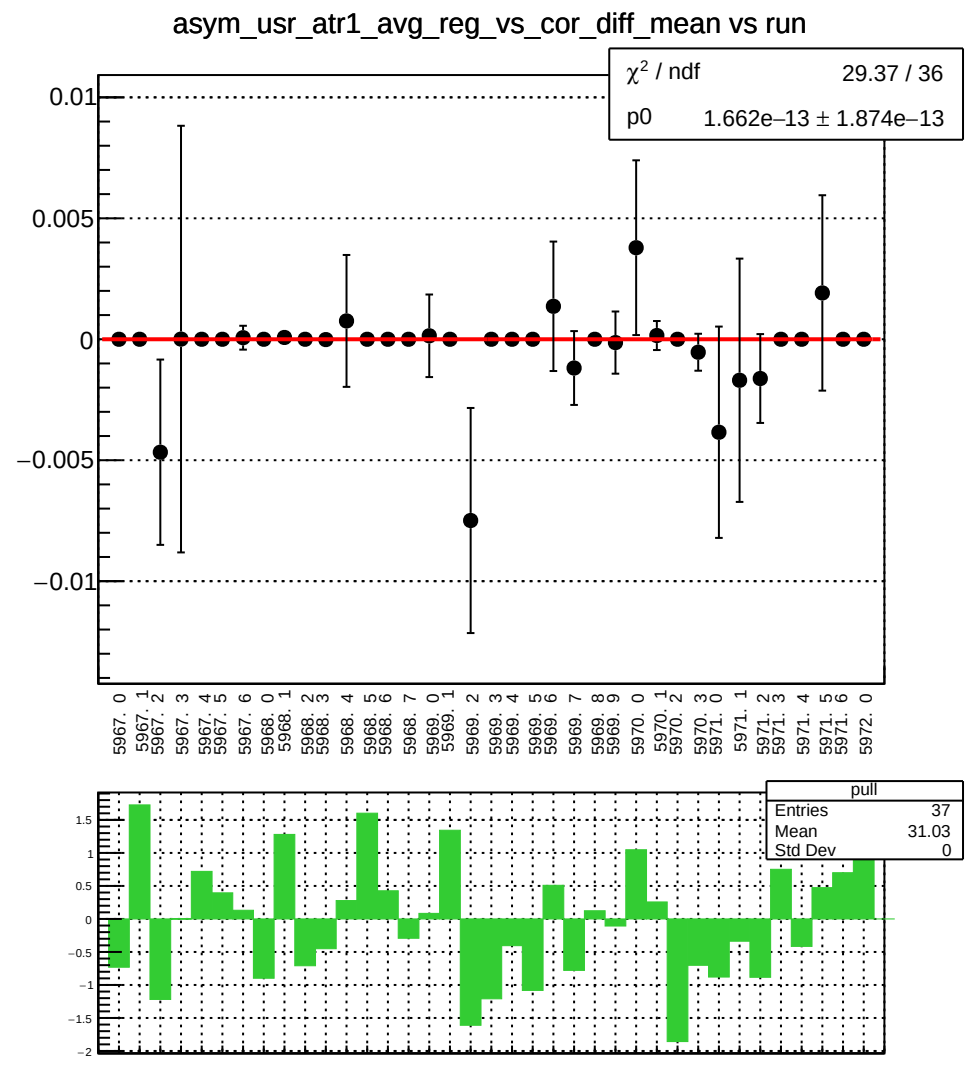
asym_usr_atr1_avg_reg_vs_cor_diff_mean vs run
χ² / ndf 29.37 / 36
p0 1.662e−13 ± 1.874e−13
0.01
0.005
0
−0.005
−0.01
5967. 0
5967. 1
5967. 2
5967. 3
5967. 4
5967. 5
5967. 6
5968. 0
5968. 1
5968. 2
5968. 3
5968. 4
5968. 5
5968. 6
5968. 7
5969. 0
5969. 1
5969. 2
5969. 3
5969. 4
5969. 5
5969. 6
5969. 7
5969. 8
5969. 9
5970. 0
5970. 1
5970. 2
5970. 3
5971. 0
5971. 1
5971. 2
5971. 3
5971. 4
5971. 5
5971. 6
5972. 0
pull
Entries 37
Mean 31.03
Std Dev 0
1.5
1
0.5
0
−0.5
−1
−1.5
−2

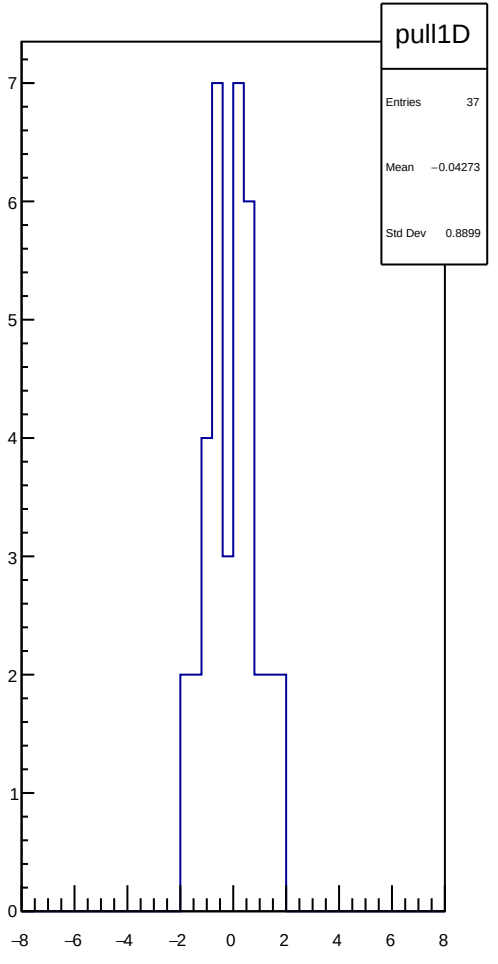
pull1D
Entries 37
Mean −0.04273
Std Dev 0.8899
7
6
5
4
3
2
1
0
−8
−6
−4
−2
0
2
4
6
8

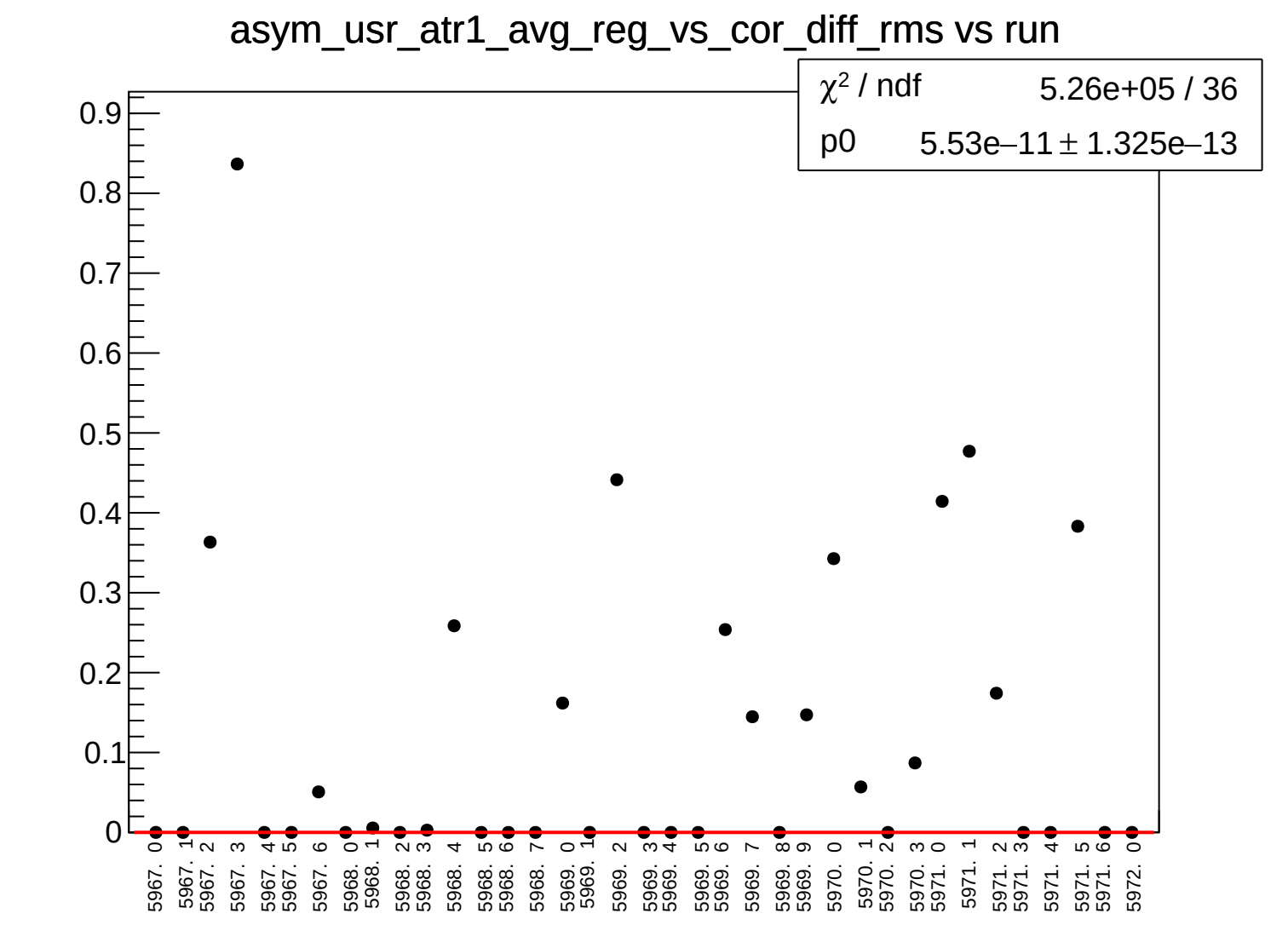
asym_usr_atr1_avg_reg_vs_cor_diff_rms vs run
χ² / ndf 5.26e+05 / 36
p0 5.53e−11 ± 1.325e−13
0.9
0.8
0.7
0.6
0.5
0.4
0.3
0.2
0.1
0
5967. 0
5967. 1
5967. 2
5967. 3
5967. 4
5967. 5
5967. 6
5968. 0
5968. 1
5968. 2
5968. 3
5968. 4
5968. 5
5968. 6
5968. 7
5969. 0
5969. 1
5969. 2
5969. 3
5969. 4
5969. 5
5969. 6
5969. 7
5969. 8
5969. 9
5970. 0
5970. 1
5970. 2
5970. 3
5971. 0
5971. 1
5971. 2
5971. 3
5971. 4
5971. 5
5971. 6
5972. 0

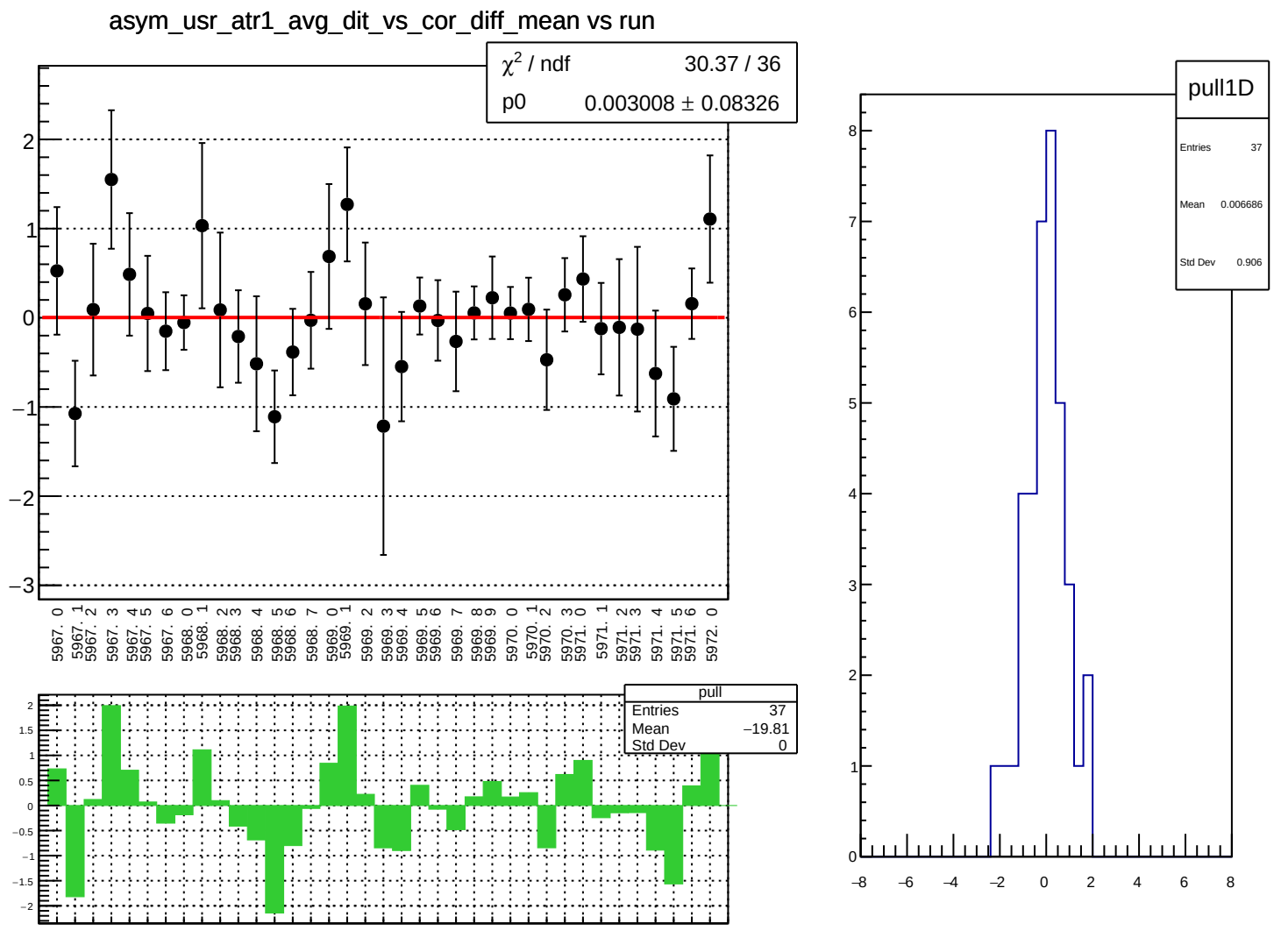
asym_usr_atr1_avg_dit_vs_cor_diff_mean vs run
χ² / ndf 30.37 / 36
p0 0.003008 ± 0.08326
pull
Entries 37
Mean −19.81
Std Dev 0
pull1D
Entries 37
Mean 0.006686
Std Dev 0.906

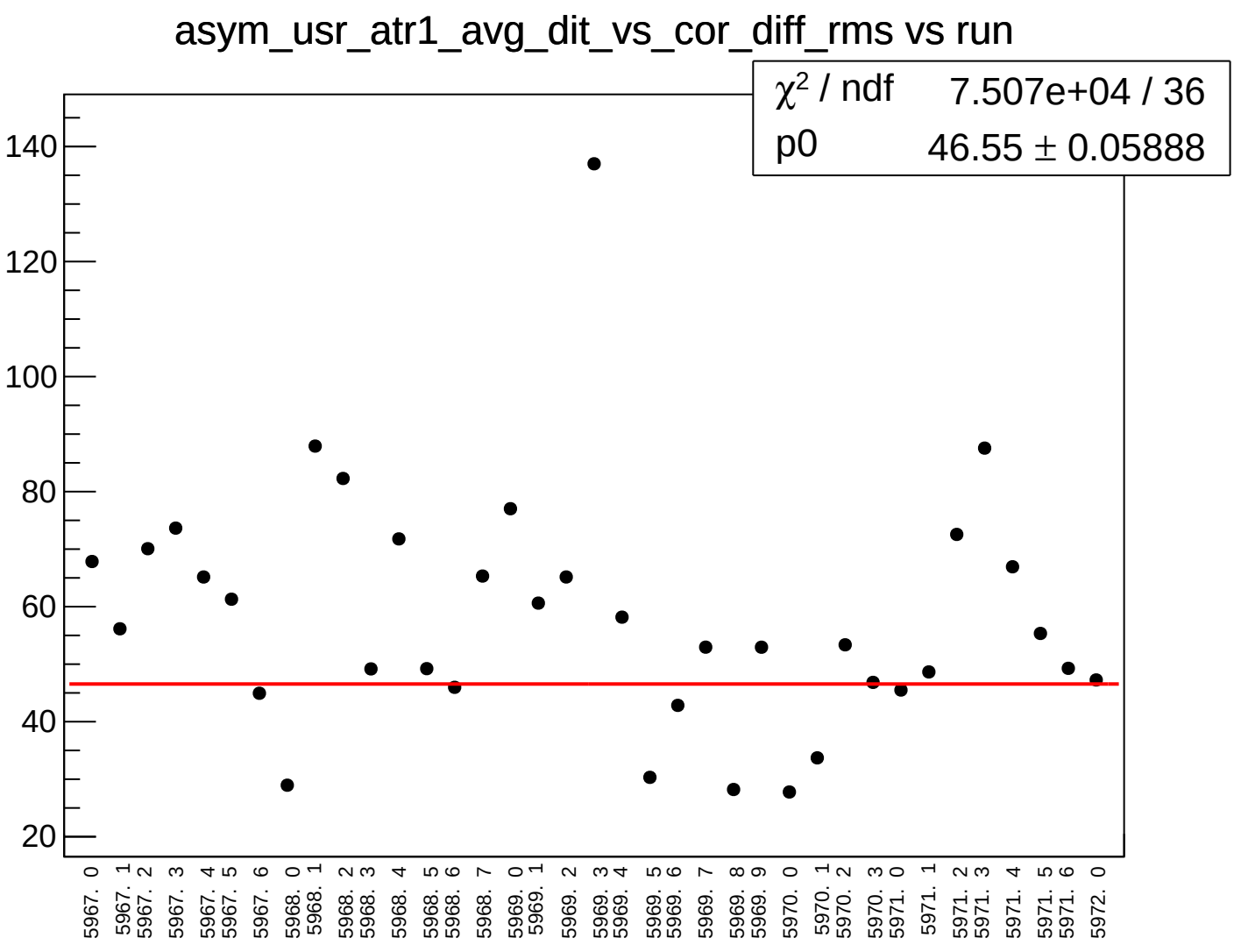
asym_usr_atr1_avg_dit_vs_cor_diff_rms vs run
χ² / ndf 7.507e+04 / 36
p0 46.55 ± 0.05888
140
120
100
80
60
40
20
5967. 0
5967. 1
5967. 2
5967. 3
5967. 4
5967. 5
5967. 6
5968. 0
5968. 1
5968. 2
5968. 3
5968. 4
5968. 5
5968. 6
5968. 7
5969. 0
5969. 1
5969. 2
5969. 3
5969. 4
5969. 5
5969. 6
5969. 7
5969. 8
5969. 9
5970. 0
5970. 1
5970. 2
5970. 3
5971. 0
5971. 1
5971. 2
5971. 3
5971. 4
5971. 5
5971. 6
5972. 0

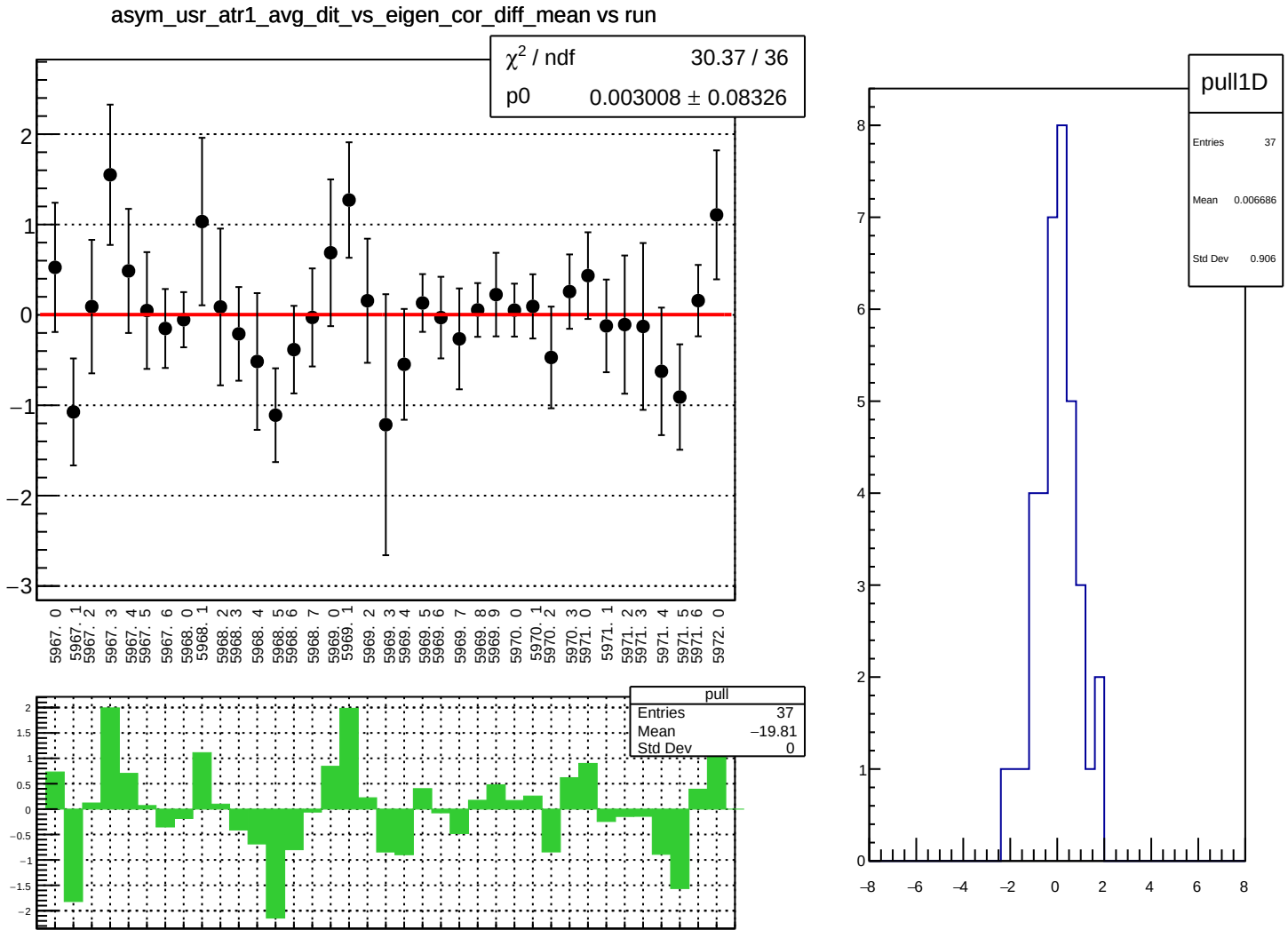
asym_usr_atr1_avg_dit_vs_eigen_cor_diff_mean vs run
χ² / ndf 30.37 / 36
p0 0.003008 ± 0.08326
pull
Entries 37
Mean −19.81
Std Dev 0
pull1D
Entries 37
Mean 0.006686
Std Dev 0.906

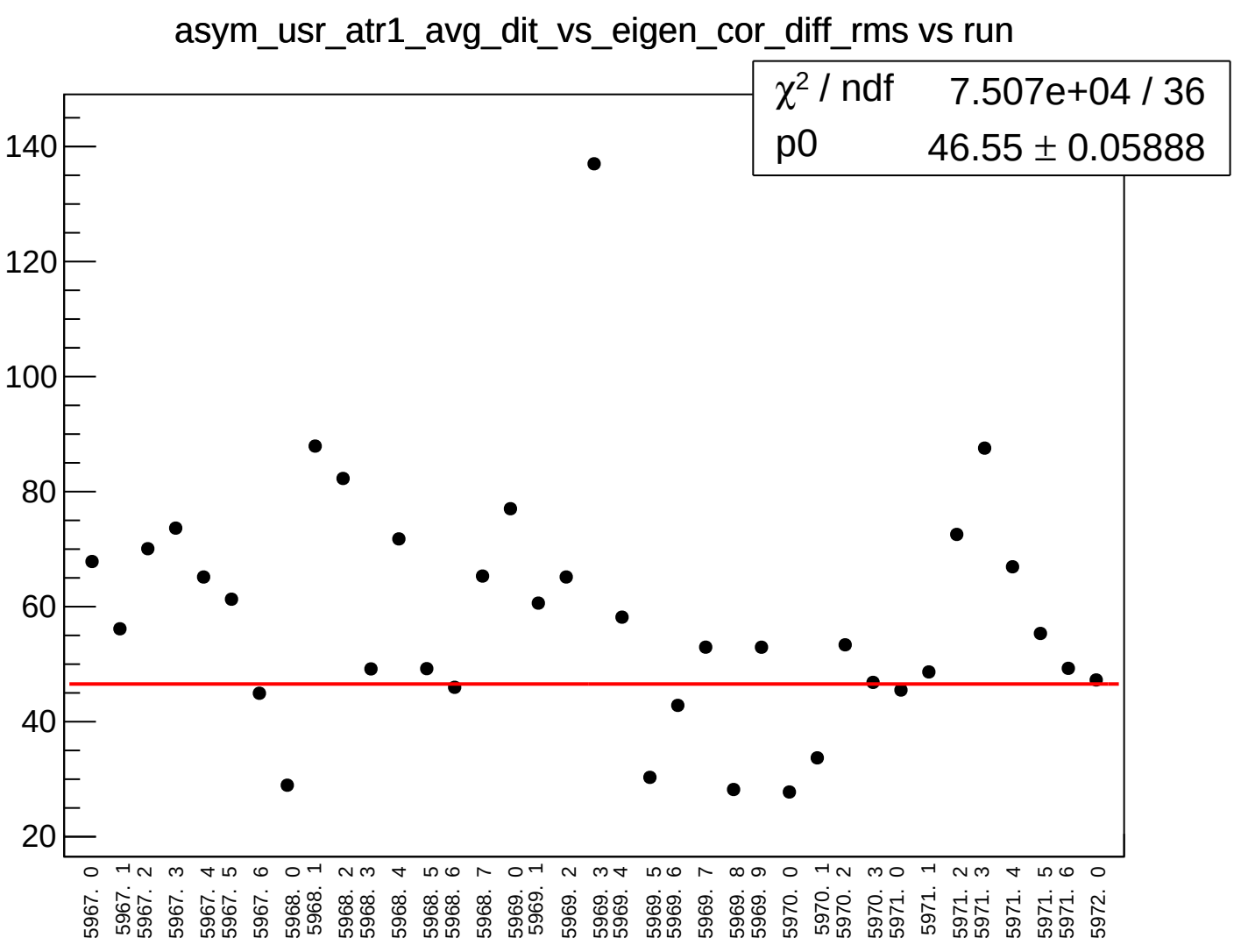
asym_usr_atr1_avg_dit_vs_eigen_cor_diff_rms vs run
χ² / ndf 7.507e+04 / 36
p0 46.55 ± 0.05888
140
120
100
80
60
40
20
5967. 0
5967. 1
5967. 2
5967. 3
5967. 4
5967. 5
5967. 6
5968. 0
5968. 1
5968. 2
5968. 3
5968. 4
5968. 5
5968. 6
5968. 7
5969. 0
5969. 1
5969. 2
5969. 3
5969. 4
5969. 5
5969. 6
5969. 7
5969. 8
5969. 9
5970. 0
5970. 1
5970. 2
5970. 3
5971. 0
5971. 1
5971. 2
5971. 3
5971. 4
5971. 5
5971. 6
5972. 0

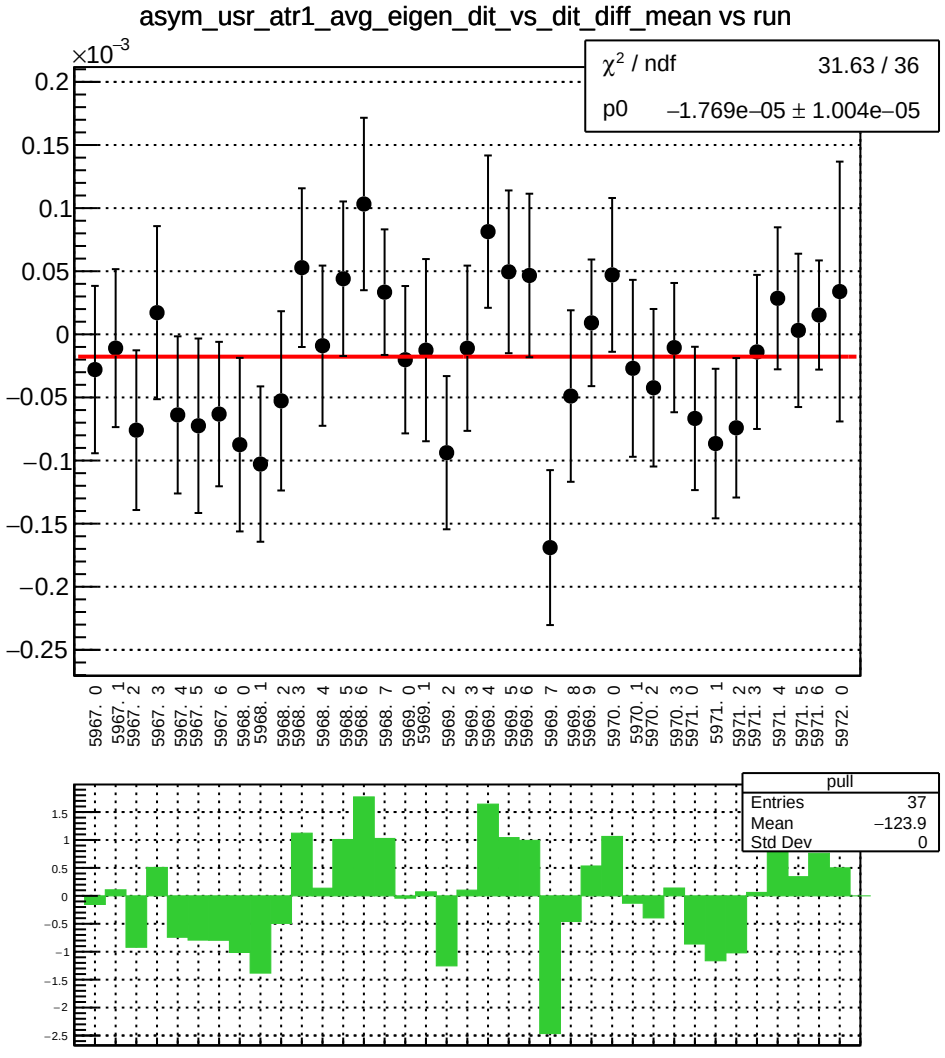
asym_usr_atr1_avg_eigen_dit_vs_dit_diff_mean vs run
×10⁻³
χ² / ndf 31.63 / 36
p0 −1.769e−05 ± 1.004e−05
pull
Entries 37
Mean −123.9
Std Dev 0

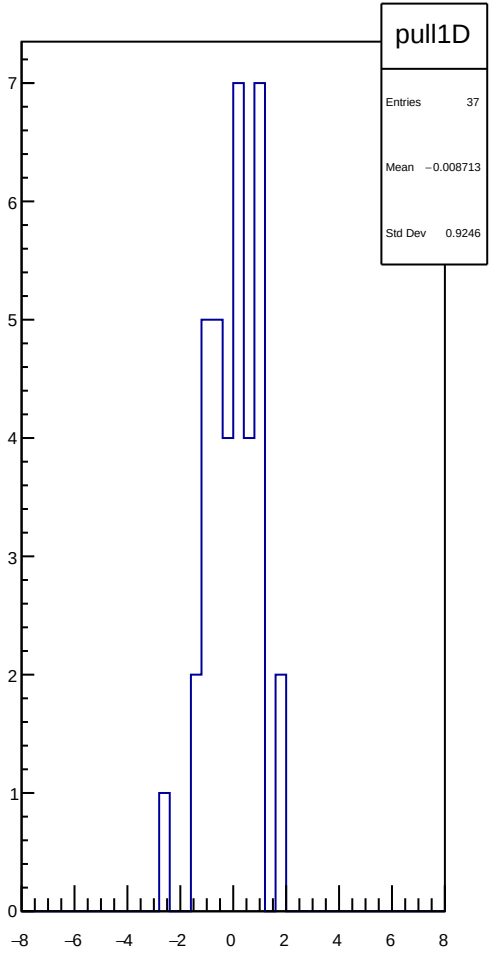
pull1D
Entries 37
Mean −0.008713
Std Dev 0.9246

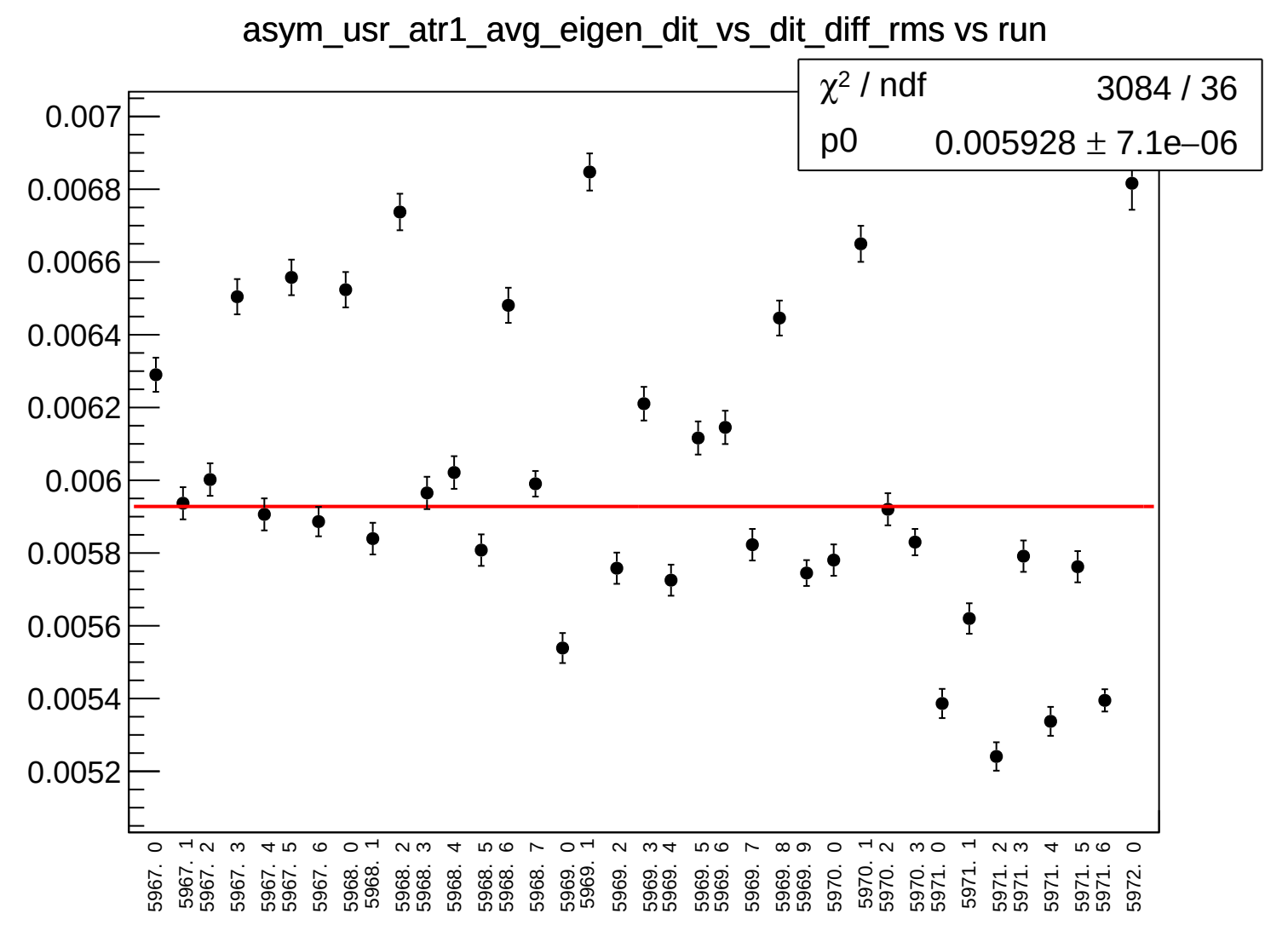
asym_usr_atr1_avg_eigen_dit_vs_dit_diff_rms vs run
χ² / ndf 3084 / 36
p0 0.005928 ± 7.1e−06
0.007
0.0068
0.0066
0.0064
0.0062
0.006
0.0058
0.0056
0.0054
0.0052
5967. 0
5967. 1
5967. 2
5967. 3
5967. 4
5967. 5
5967. 6
5968. 0
5968. 1
5968. 2
5968. 3
5968. 4
5968. 5
5968. 6
5968. 7
5969. 0
5969. 1
5969. 2
5969. 3
5969. 4
5969. 5
5969. 6
5969. 7
5969. 8
5969. 9
5970. 0
5970. 1
5970. 2
5970. 3
5971. 0
5971. 1
5971. 2
5971. 3
5971. 4
5971. 5
5971. 6
5972. 0

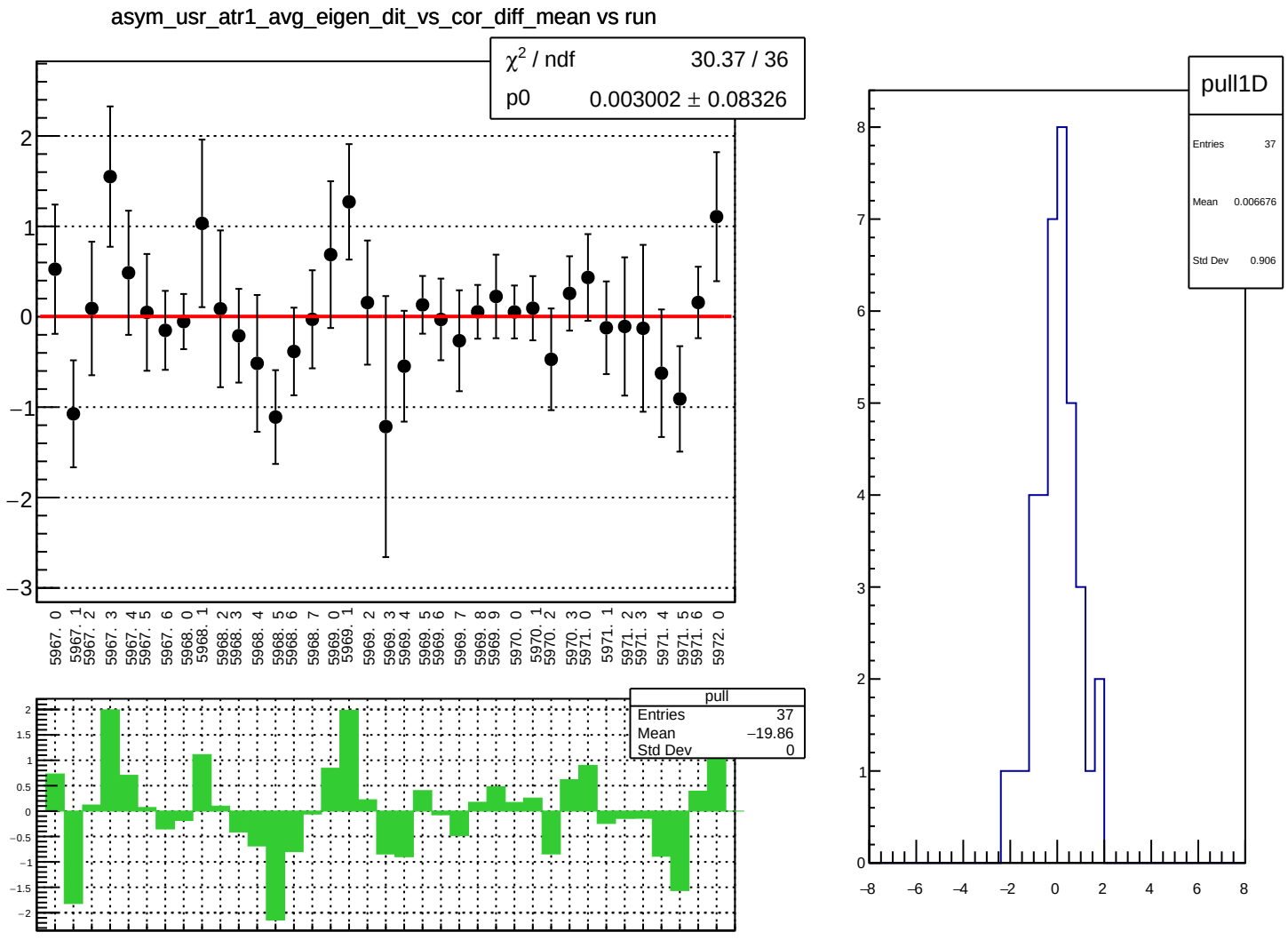
asym_usr_atr1_avg_eigen_dit_vs_cor_diff_mean vs run
χ² / ndf 30.37 / 36
p0 0.003002 ± 0.08326
pull
Entries 37
Mean −19.86
Std Dev 0
pull1D
Entries 37
Mean 0.006676
Std Dev 0.906

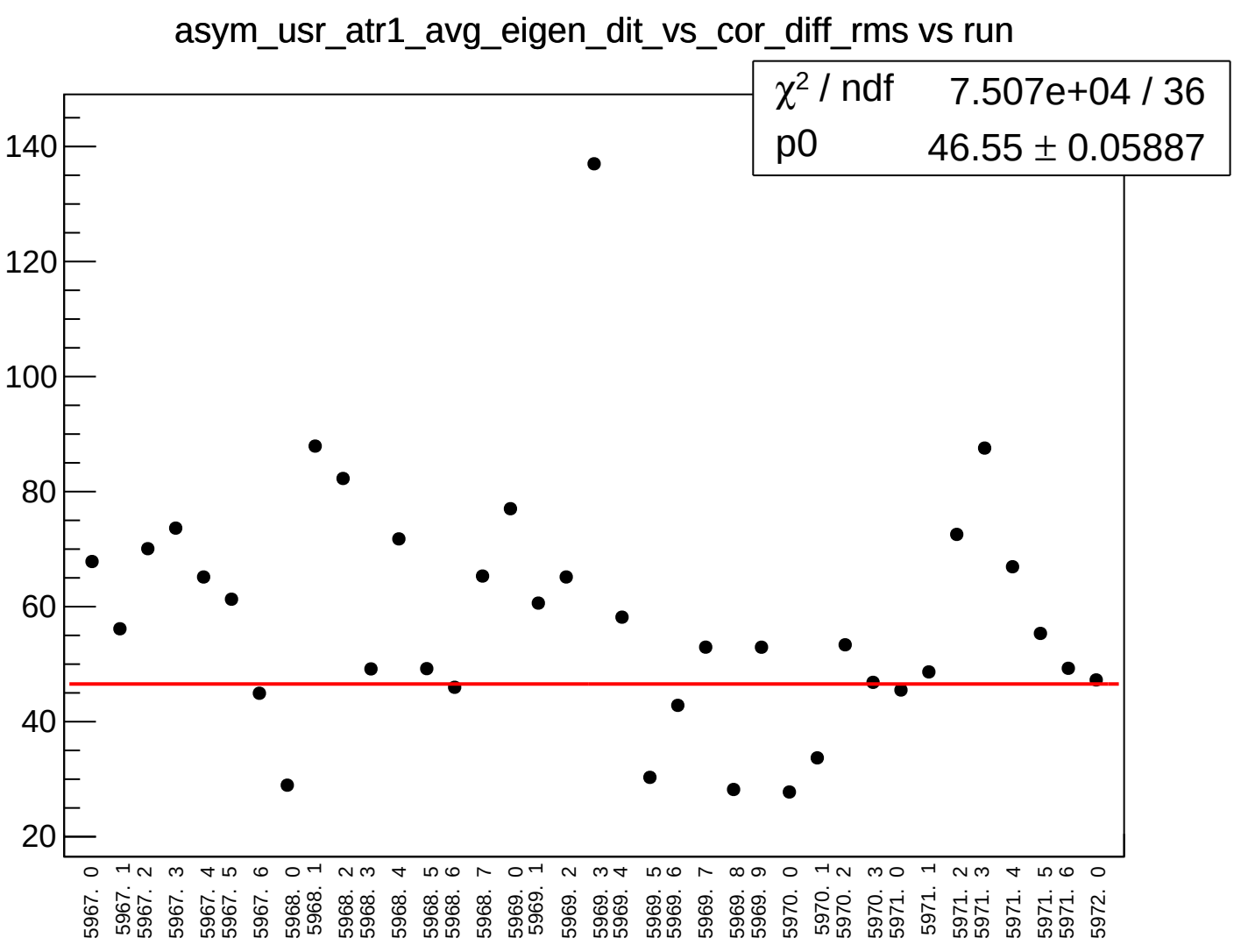
asym_usr_atr1_avg_eigen_dit_vs_cor_diff_rms vs run
χ² / ndf 7.507e+04 / 36
p0 46.55 ± 0.05887
140
120
100
80
60
40
20
5967. 0
5967. 1
5967. 2
5967. 3
5967. 4
5967. 5
5967. 6
5968. 0
5968. 1
5968. 2
5968. 3
5968. 4
5968. 5
5968. 6
5968. 7
5969. 0
5969. 1
5969. 2
5969. 3
5969. 4
5969. 5
5969. 6
5969. 7
5969. 8
5969. 9
5970. 0
5970. 1
5970. 2
5970. 3
5971. 0
5971. 1
5971. 2
5971. 3
5971. 4
5971. 5
5971. 6
5972. 0

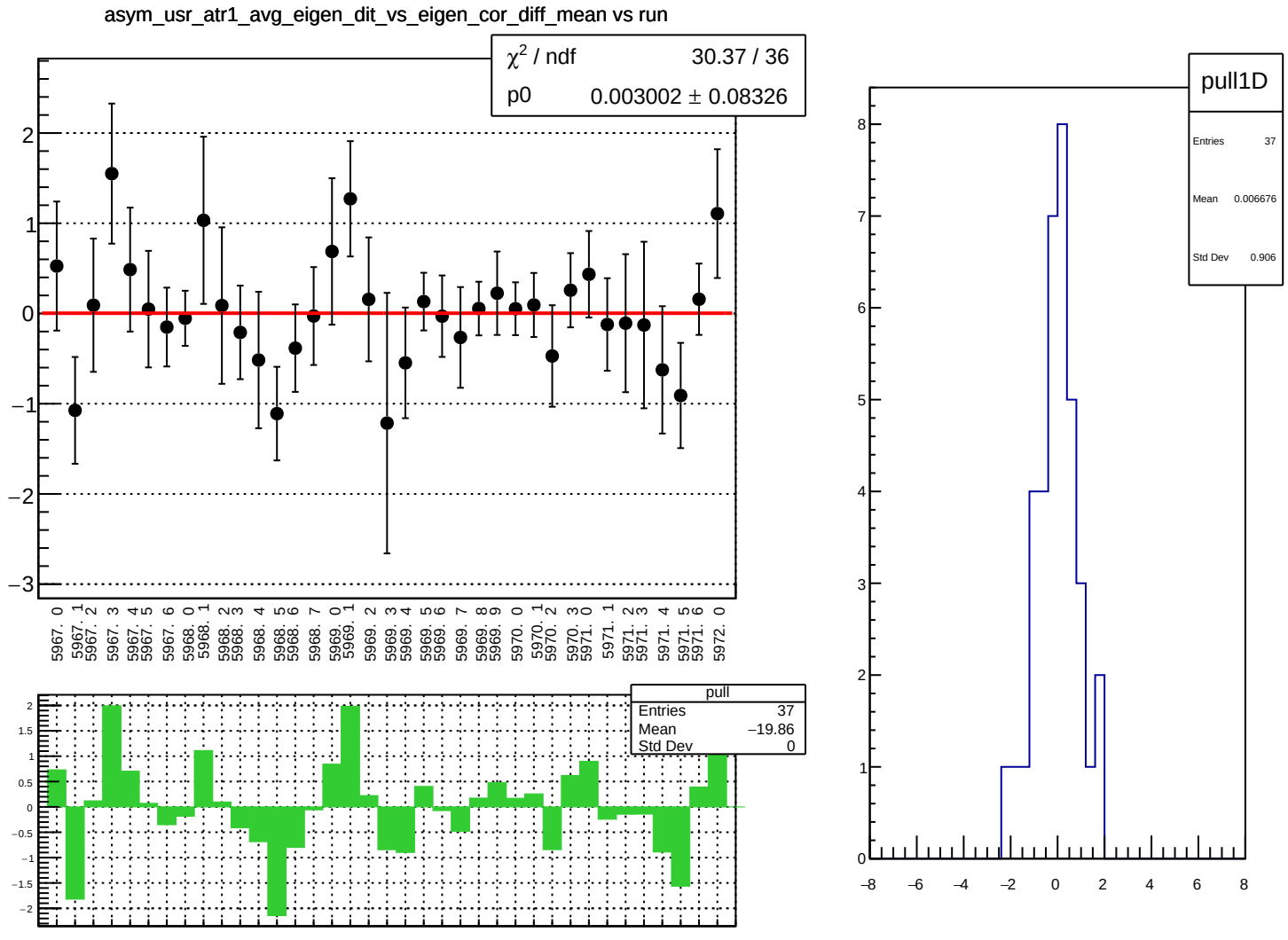
asym_usr_atr1_avg_eigen_dit_vs_eigen_cor_diff_mean vs run
χ² / ndf 30.37 / 36
p0 0.003002 ± 0.08326
pull
Entries 37
Mean −19.86
Std Dev 0
pull1D
Entries 37
Mean 0.006676
Std Dev 0.906

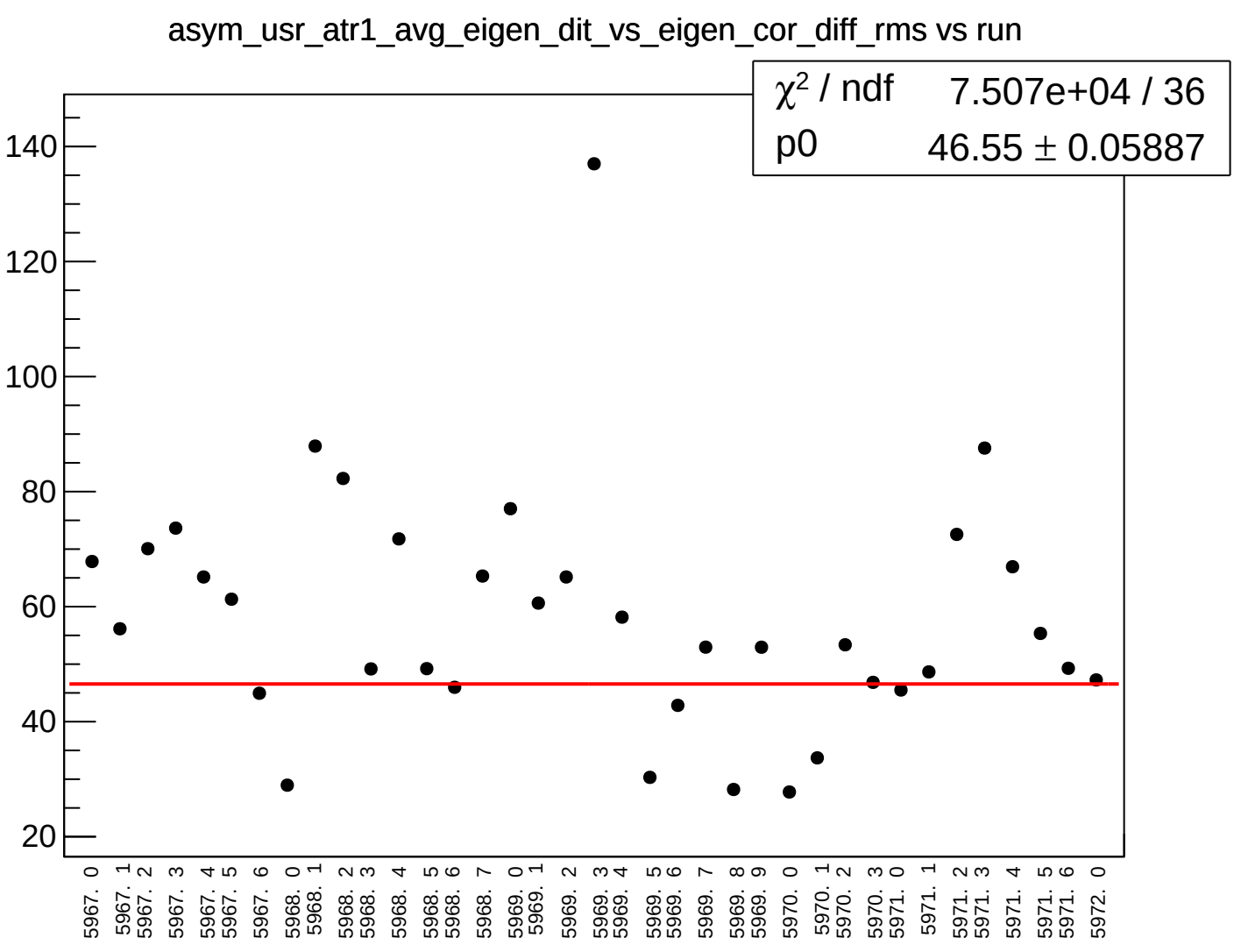
asym_usr_atr1_avg_eigen_dit_vs_eigen_cor_diff_rms vs run
χ² / ndf 7.507e+04 / 36
p0 46.55 ± 0.05887
140
120
100
80
60
40
20
5967. 0
5967. 1
5967. 2
5967. 3
5967. 4
5967. 5
5967. 6
5968. 0
5968. 1
5968. 2
5968. 3
5968. 4
5968. 5
5968. 6
5968. 7
5969. 0
5969. 1
5969. 2
5969. 3
5969. 4
5969. 5
5969. 6
5969. 7
5969. 8
5969. 9
5970. 0
5970. 1
5970. 2
5970. 3
5971. 0
5971. 1
5971. 2
5971. 3
5971. 4
5971. 5
5971. 6
5972. 0

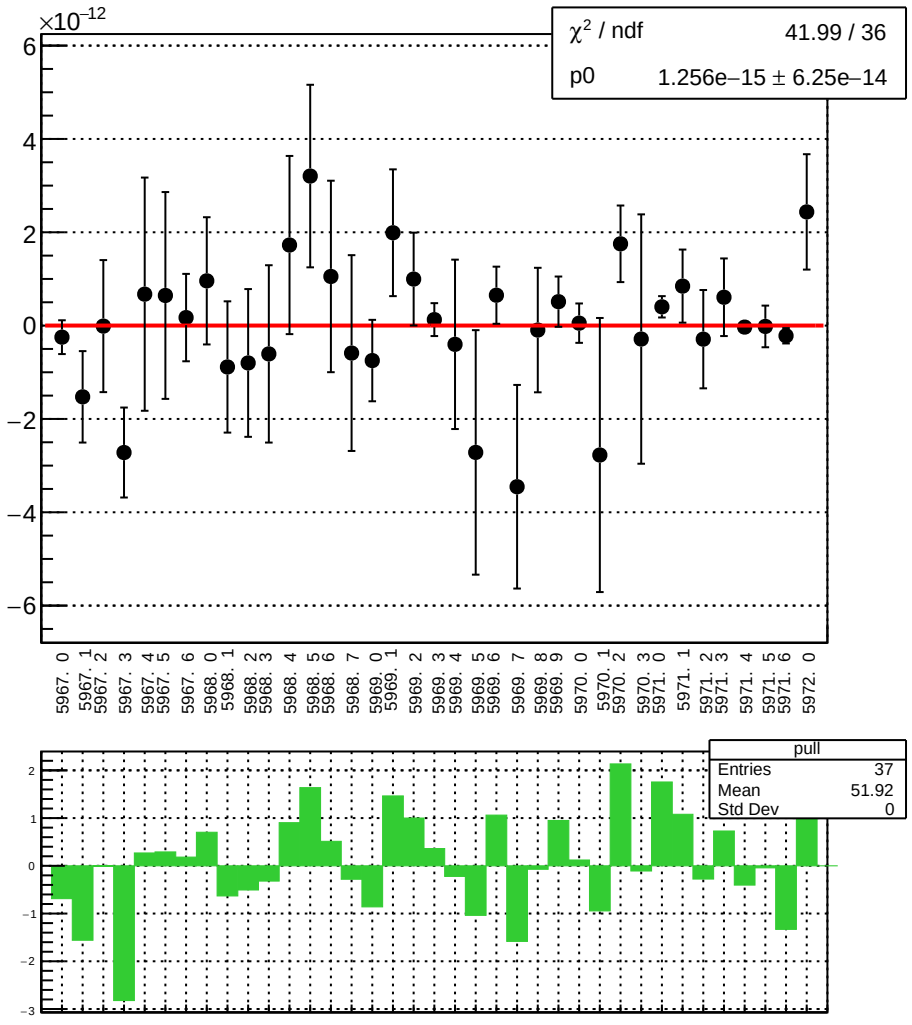
asym_usr_atr1_avg_eigen_cor_vs_cor_diff_mean vs run
×10⁻¹²
χ² / ndf 41.99 / 36
p0 1.256e−15 ± 6.25e−14
pull
Entries 37
Mean 51.92
Std Dev 0

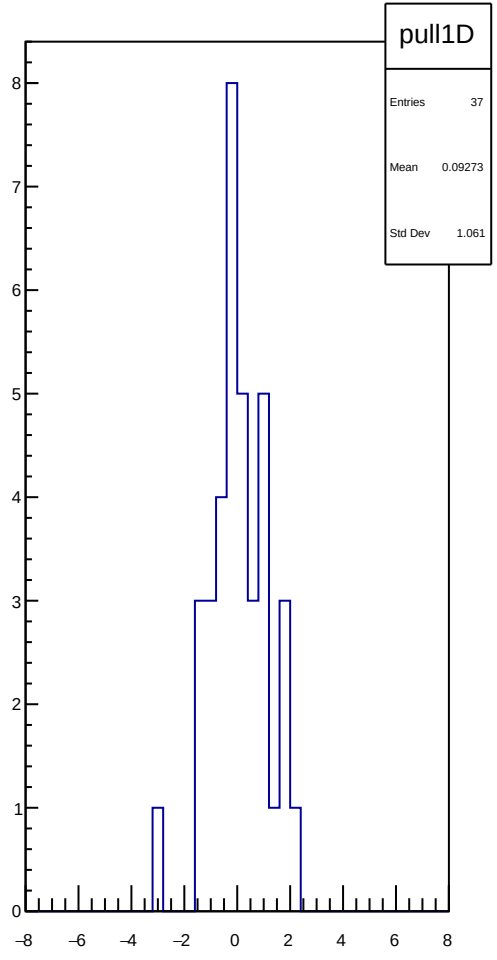
pull1D
Entries 37
Mean 0.09273
Std Dev 1.061

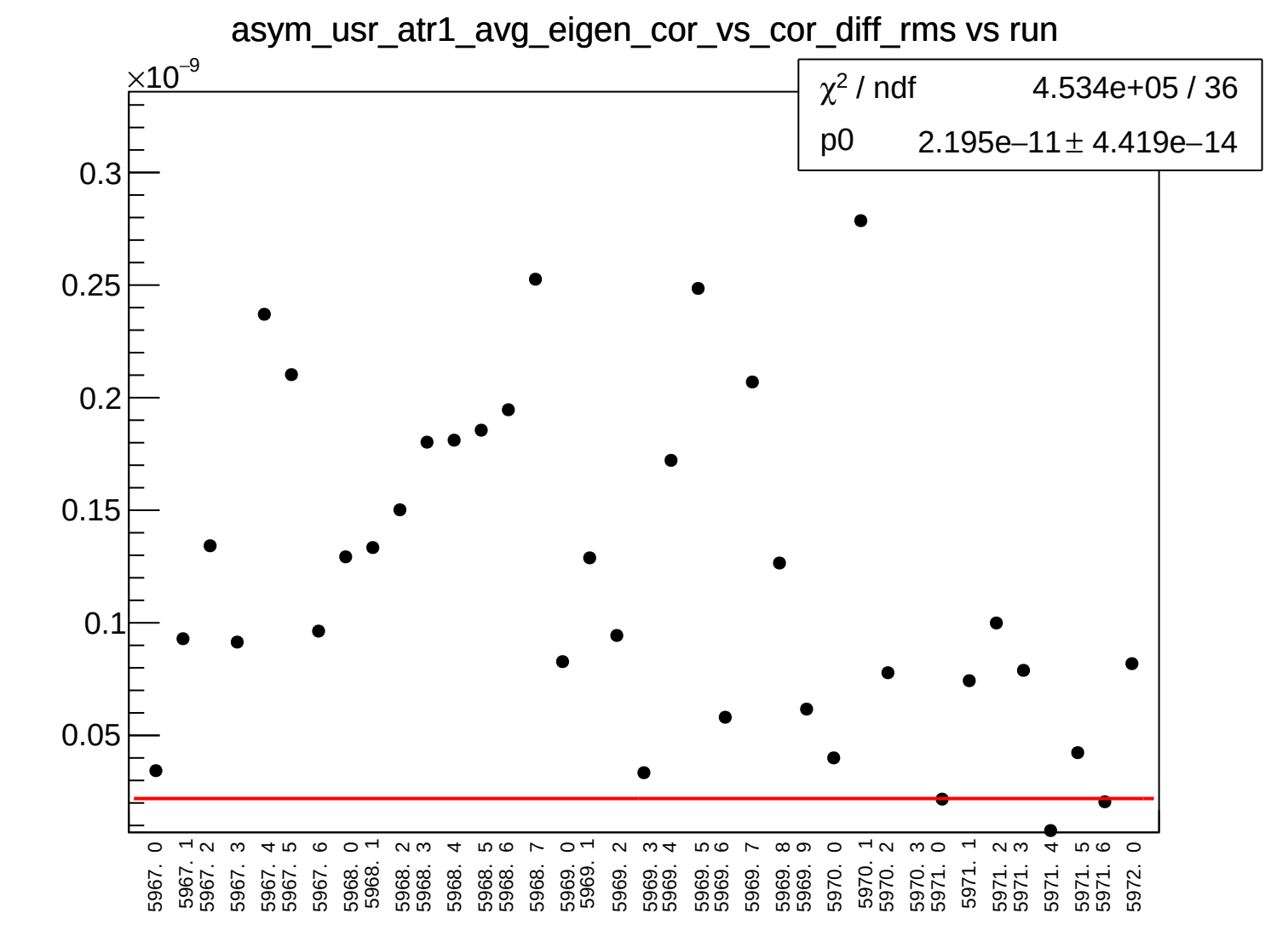
asym_usr_atr1_avg_eigen_cor_vs_cor_diff_rms vs run
×10⁻⁹
χ² / ndf 4.534e+05 / 36
p0 2.195e−11 ± 4.419e−14
0.3
0.25
0.2
0.15
0.1
0.05
5967. 0
5967. 1
5967. 2
5967. 3
5967. 4
5967. 5
5967. 6
5968. 0
5968. 1
5968. 2
5968. 3
5968. 4
5968. 5
5968. 6
5968. 7
5969. 0
5969. 1
5969. 2
5969. 3
5969. 4
5969. 5
5969. 6
5969. 7
5969. 8
5969. 9
5970. 0
5970. 1
5970. 2
5970. 3
5971. 0
5971. 1
5971. 2
5971. 3
5971. 4
5971. 5
5971. 6
5972. 0

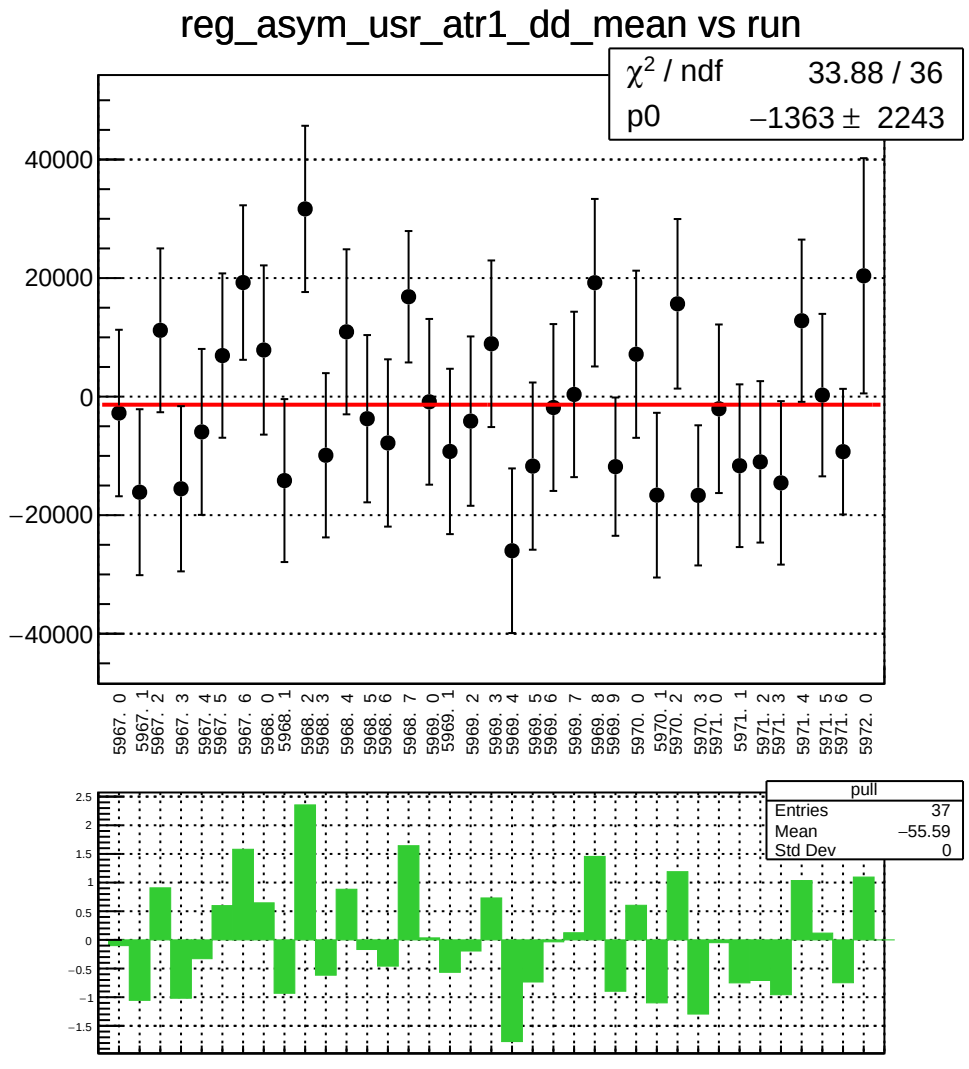
reg_asym_usr_atr1_dd_mean vs run
χ² / ndf 33.88 / 36
p0 −1363 ± 2243
40000
20000
0
−20000
−40000
5967. 0
5967. 1
5967. 2
5967. 3
5967. 4
5967. 5
5967. 6
5968. 0
5968. 1
5968. 2
5968. 3
5968. 4
5968. 5
5968. 6
5968. 7
5969. 0
5969. 1
5969. 2
5969. 3
5969. 4
5969. 5
5969. 6
5969. 7
5969. 8
5969. 9
5970. 0
5970. 1
5970. 2
5970. 3
5971. 0
5971. 1
5971. 2
5971. 3
5971. 4
5971. 5
5971. 6
5972. 0
pull
Entries 37
Mean −55.59
Std Dev 0
2.5
2
1.5
1
0.5
0
−0.5
−1
−1.5
pull1D
Entries 37
Mean 0.01438
Std Dev 0.9568
7
6
5
4
3
2
1
0
−8
−6
−4
−2
0
2
4
6
8

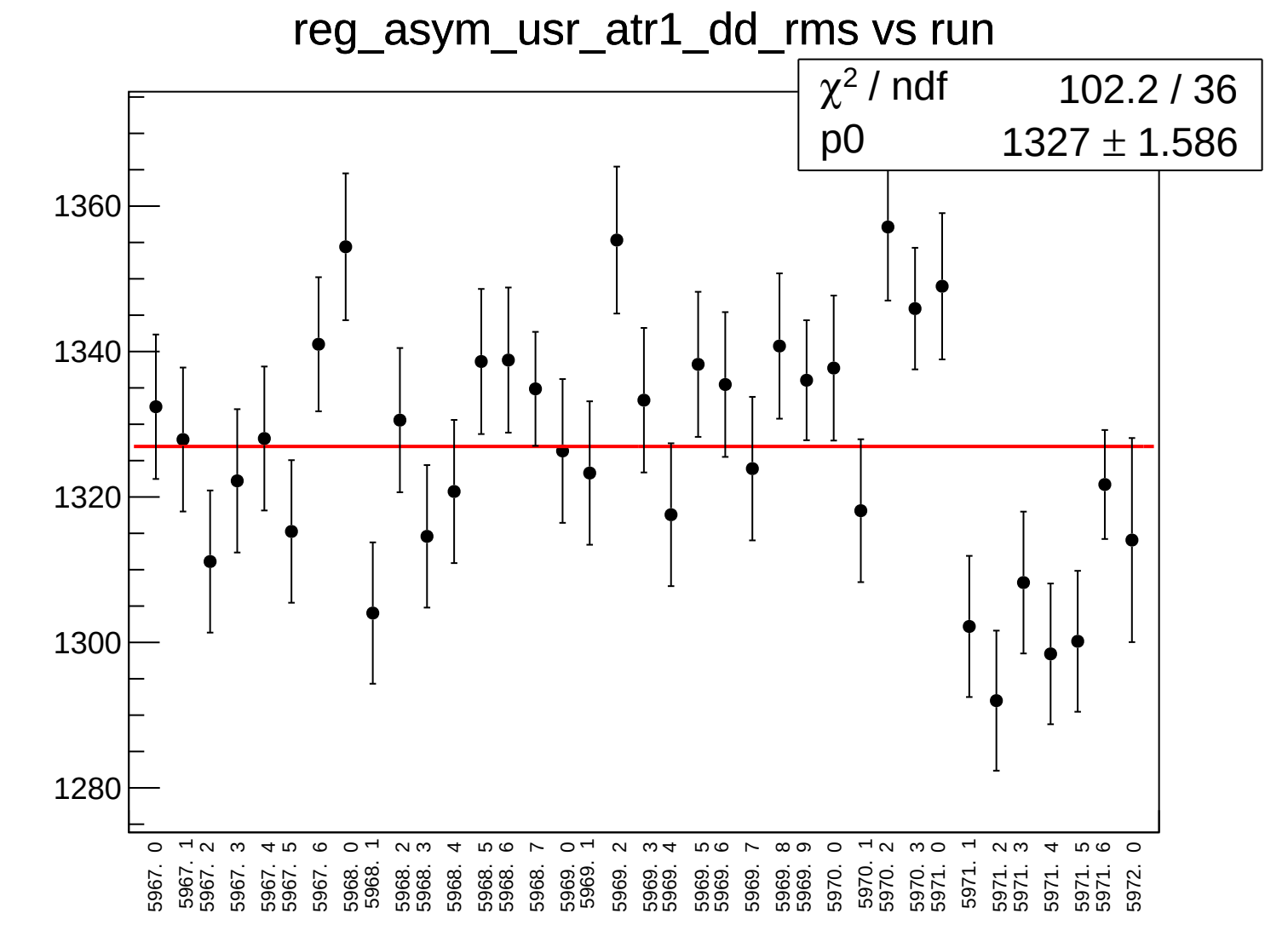
reg_asym_usr_atr1_dd_rms vs run
χ² / ndf 102.2 / 36
p0 1327 ± 1.586
1360
1340
1320
1300
1280
5967. 0
5967. 1
5967. 2
5967. 3
5967. 4
5967. 5
5967. 6
5968. 0
5968. 1
5968. 2
5968. 3
5968. 4
5968. 5
5968. 6
5968. 7
5969. 0
5969. 1
5969. 2
5969. 3
5969. 4
5969. 5
5969. 6
5969. 7
5969. 8
5969. 9
5970. 0
5970. 1
5970. 2
5970. 3
5971. 0
5971. 1
5971. 2
5971. 3
5971. 4
5971. 5
5971. 6
5972. 0

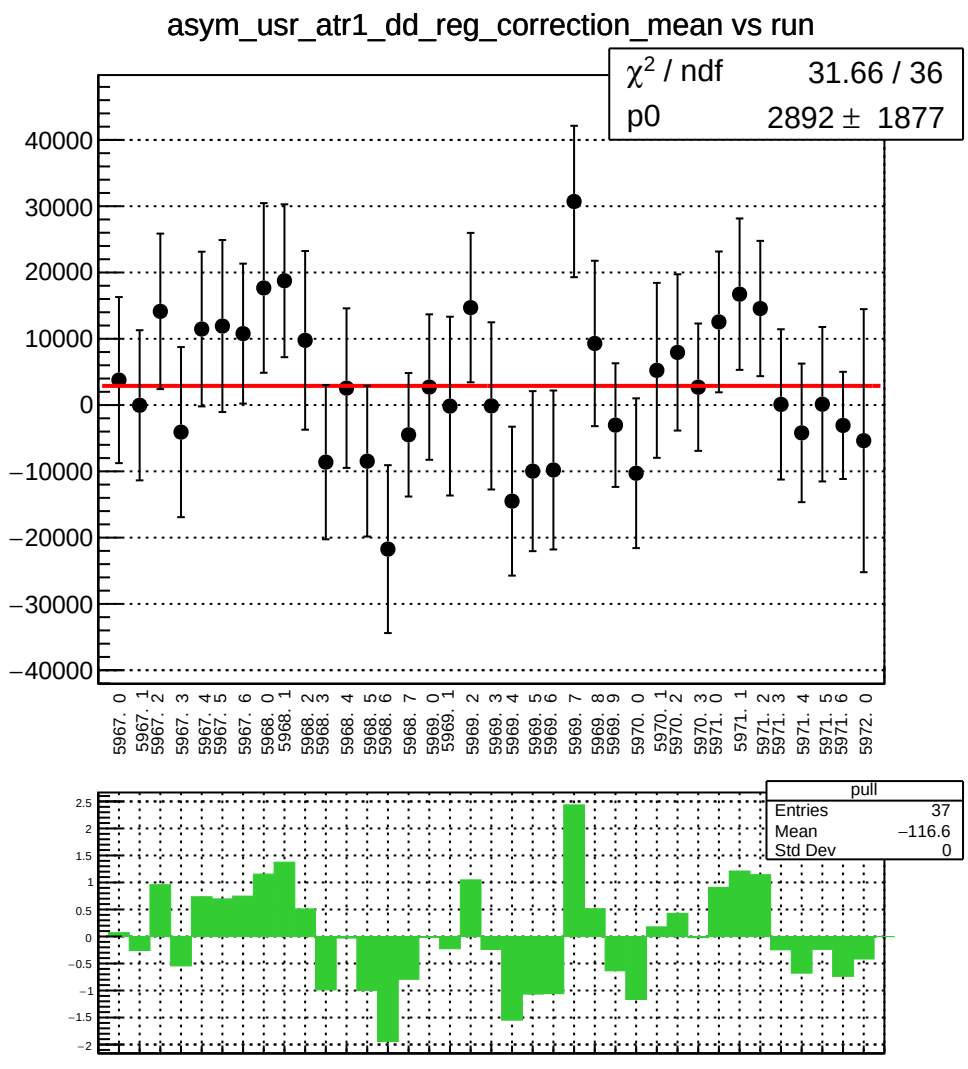
asym_usr_atr1_dd_reg_correction_mean vs run
χ² / ndf 31.66 / 36
p0 2892 ± 1877
40000
30000
20000
10000
0
−10000
−20000
−30000
−40000
5967. 0
5967. 1
5967. 2
5967. 3
5967. 4
5967. 5
5967. 6
5968. 0
5968. 1
5968. 2
5968. 3
5968. 4
5968. 5
5968. 6
5968. 7
5969. 0
5969. 1
5969. 2
5969. 3
5969. 4
5969. 5
5969. 6
5969. 7
5969. 8
5969. 9
5970. 0
5970. 1
5970. 2
5970. 3
5971. 0
5971. 1
5971. 2
5971. 3
5971. 4
5971. 5
5971. 6
5972. 0
pull
Entries 37
Mean −116.6
Std Dev 0
2.5
2
1.5
1
0.5
0
−0.5
−1
−1.5
−2

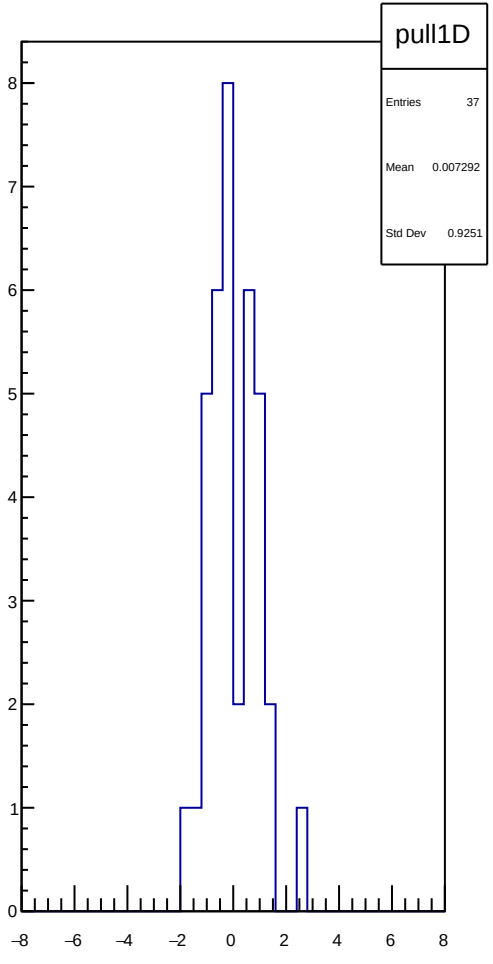
pull1D
Entries 37
Mean 0.007292
Std Dev 0.9251
8
7
6
5
4
3
2
1
0
−8
−6
−4
−2
0
2
4
6
8

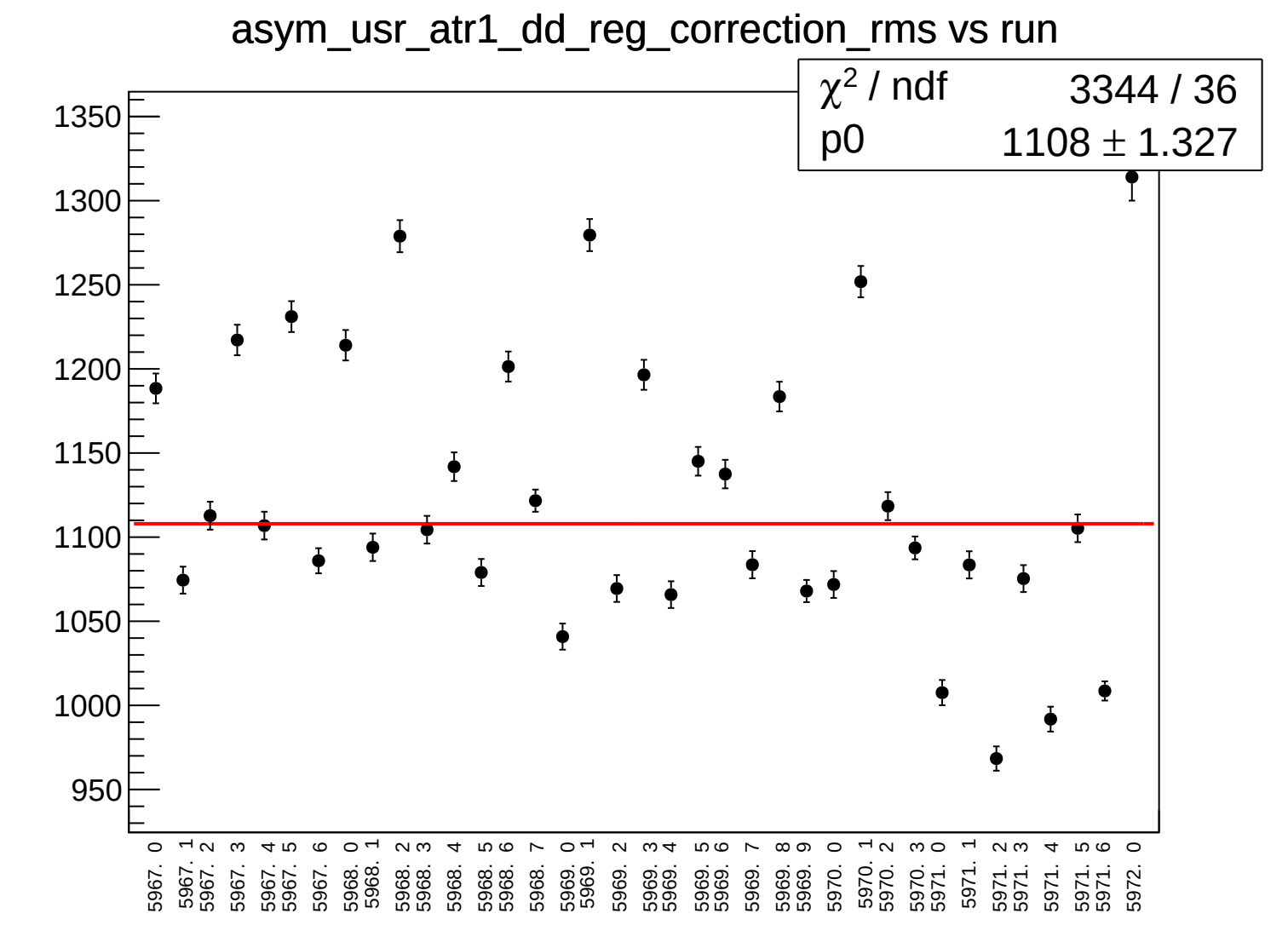
asym_usr_atr1_dd_reg_correction_rms vs run
χ² / ndf 3344 / 36
p0 1108 ± 1.327
1350
1300
1250
1200
1150
1100
1050
1000
950
5967. 0
5967. 1
5967. 2
5967. 3
5967. 4
5967. 5
5967. 6
5968. 0
5968. 1
5968. 2
5968. 3
5968. 4
5968. 5
5968. 6
5968. 7
5969. 0
5969. 1
5969. 2
5969. 3
5969. 4
5969. 5
5969. 6
5969. 7
5969. 8
5969. 9
5970. 0
5970. 1
5970. 2
5970. 3
5971. 0
5971. 1
5971. 2
5971. 3
5971. 4
5971. 5
5971. 6
5972. 0

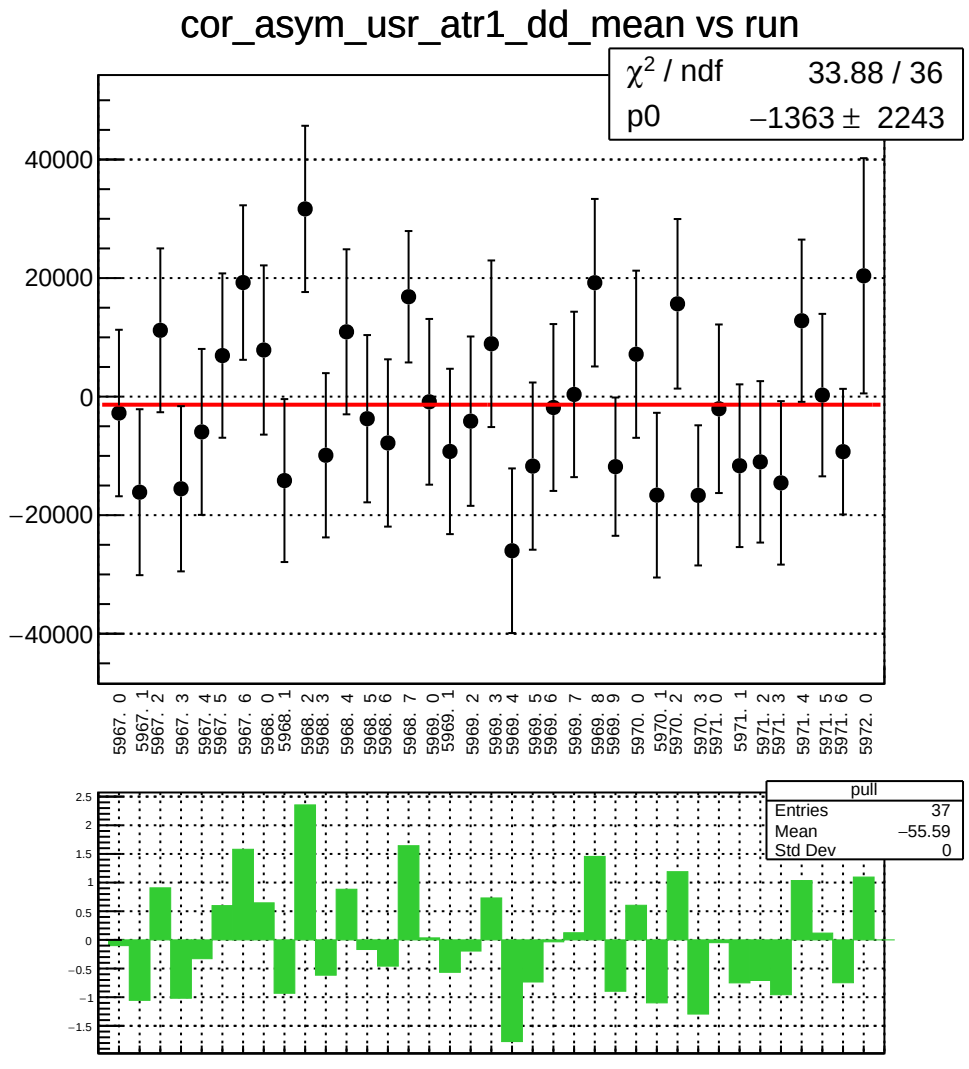
cor_asym_usr_atr1_dd_mean vs run
χ² / ndf 33.88 / 36
p0 −1363 ± 2243
40000
20000
0
−20000
−40000
5967. 0
5967. 1
5967. 2
5967. 3
5967. 4
5967. 5
5967. 6
5968. 0
5968. 1
5968. 2
5968. 3
5968. 4
5968. 5
5968. 6
5968. 7
5969. 0
5969. 1
5969. 2
5969. 3
5969. 4
5969. 5
5969. 6
5969. 7
5969. 8
5969. 9
5970. 0
5970. 1
5970. 2
5970. 3
5971. 0
5971. 1
5971. 2
5971. 3
5971. 4
5971. 5
5971. 6
5972. 0
pull
Entries 37
Mean −55.59
Std Dev 0
2.5
2
1.5
1
0.5
0
−0.5
−1
−1.5
pull1D
Entries 37
Mean 0.01438
Std Dev 0.9568
7
6
5
4
3
2
1
0
−8
−6
−4
−2
0
2
4
6
8

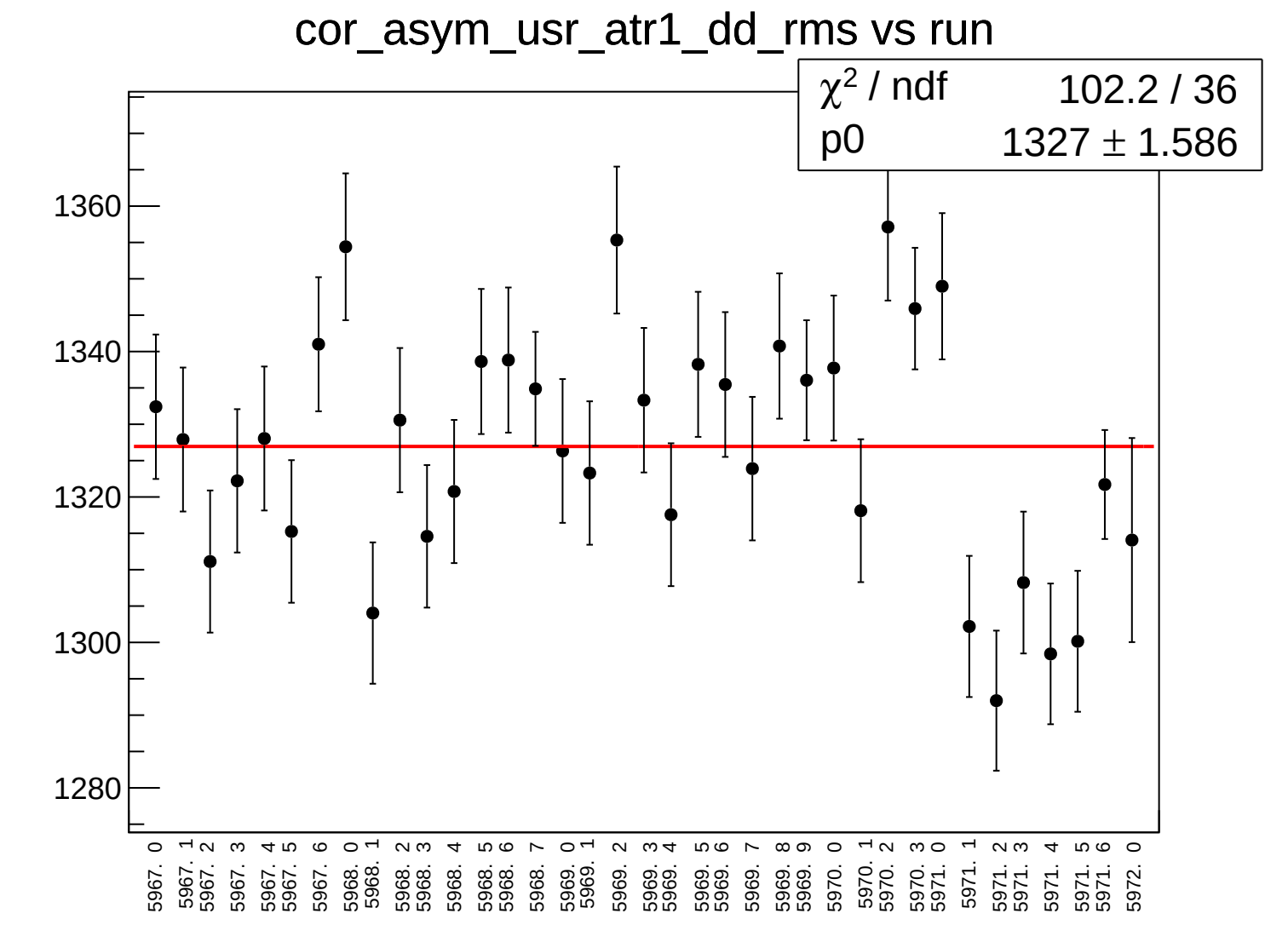
cor_asym_usr_atr1_dd_rms vs run
χ² / ndf 102.2 / 36
p0 1327 ± 1.586
1360
1340
1320
1300
1280
5967. 0
5967. 1
5967. 2
5967. 3
5967. 4
5967. 5
5967. 6
5968. 0
5968. 1
5968. 2
5968. 3
5968. 4
5968. 5
5968. 6
5968. 7
5969. 0
5969. 1
5969. 2
5969. 3
5969. 4
5969. 5
5969. 6
5969. 7
5969. 8
5969. 9
5970. 0
5970. 1
5970. 2
5970. 3
5971. 0
5971. 1
5971. 2
5971. 3
5971. 4
5971. 5
5971. 6
5972. 0

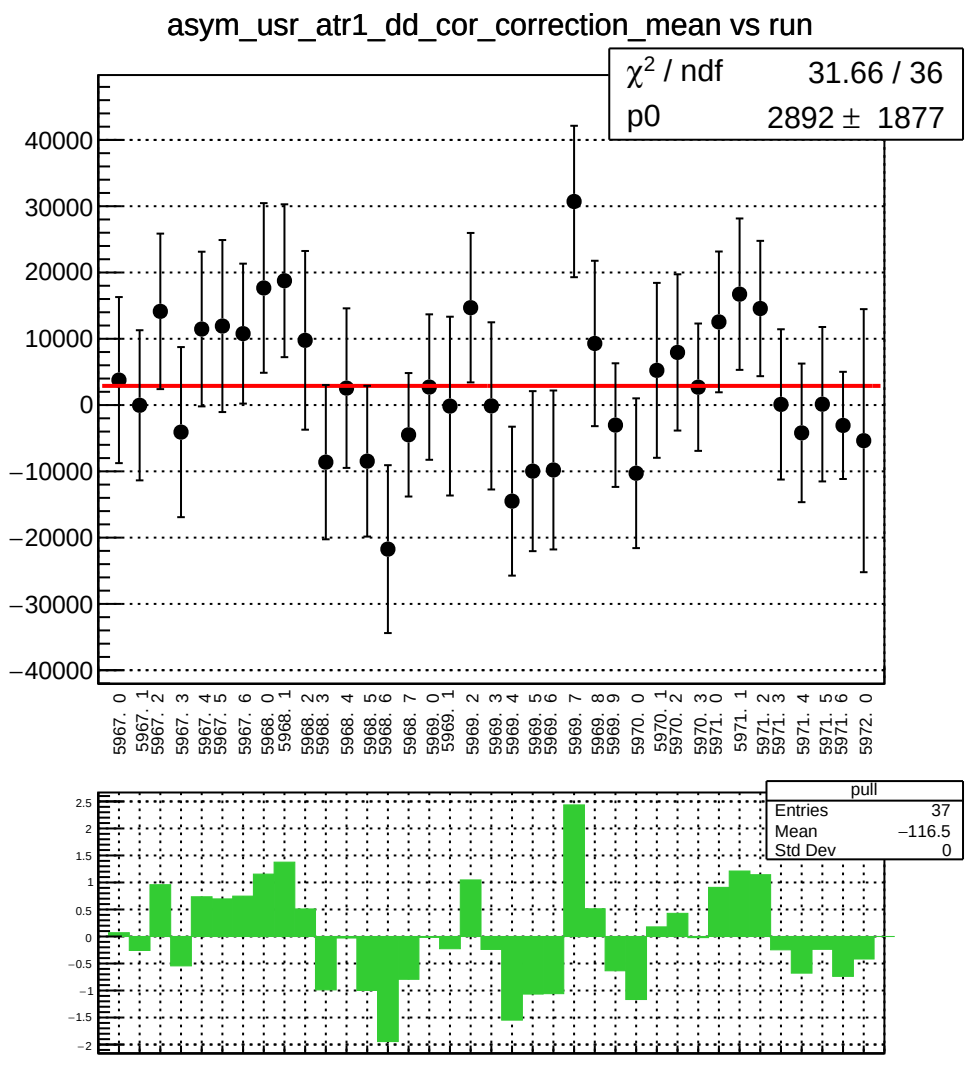
asym_usr_atr1_dd_cor_correction_mean vs run
χ² / ndf 31.66 / 36
p0 2892 ± 1877
pull
Entries 37
Mean −116.5
Std Dev 0

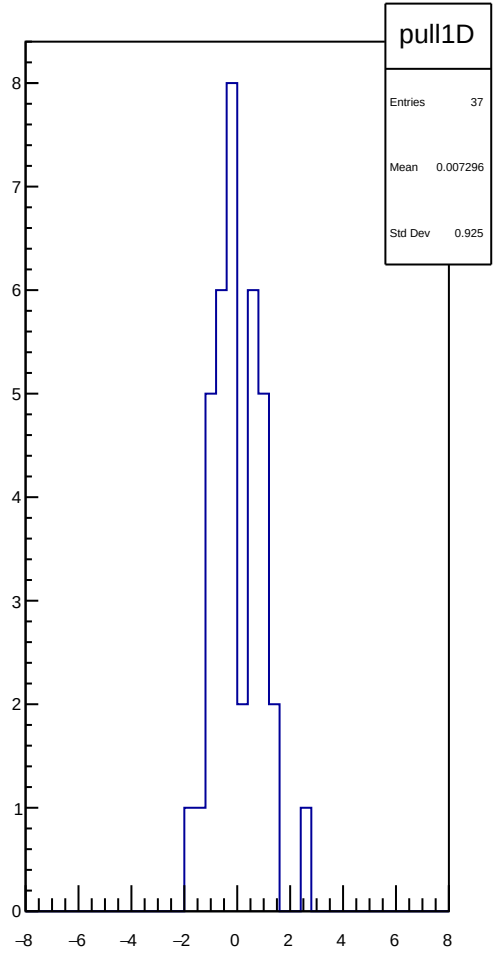
pull1D
Entries 37
Mean 0.007296
Std Dev 0.925

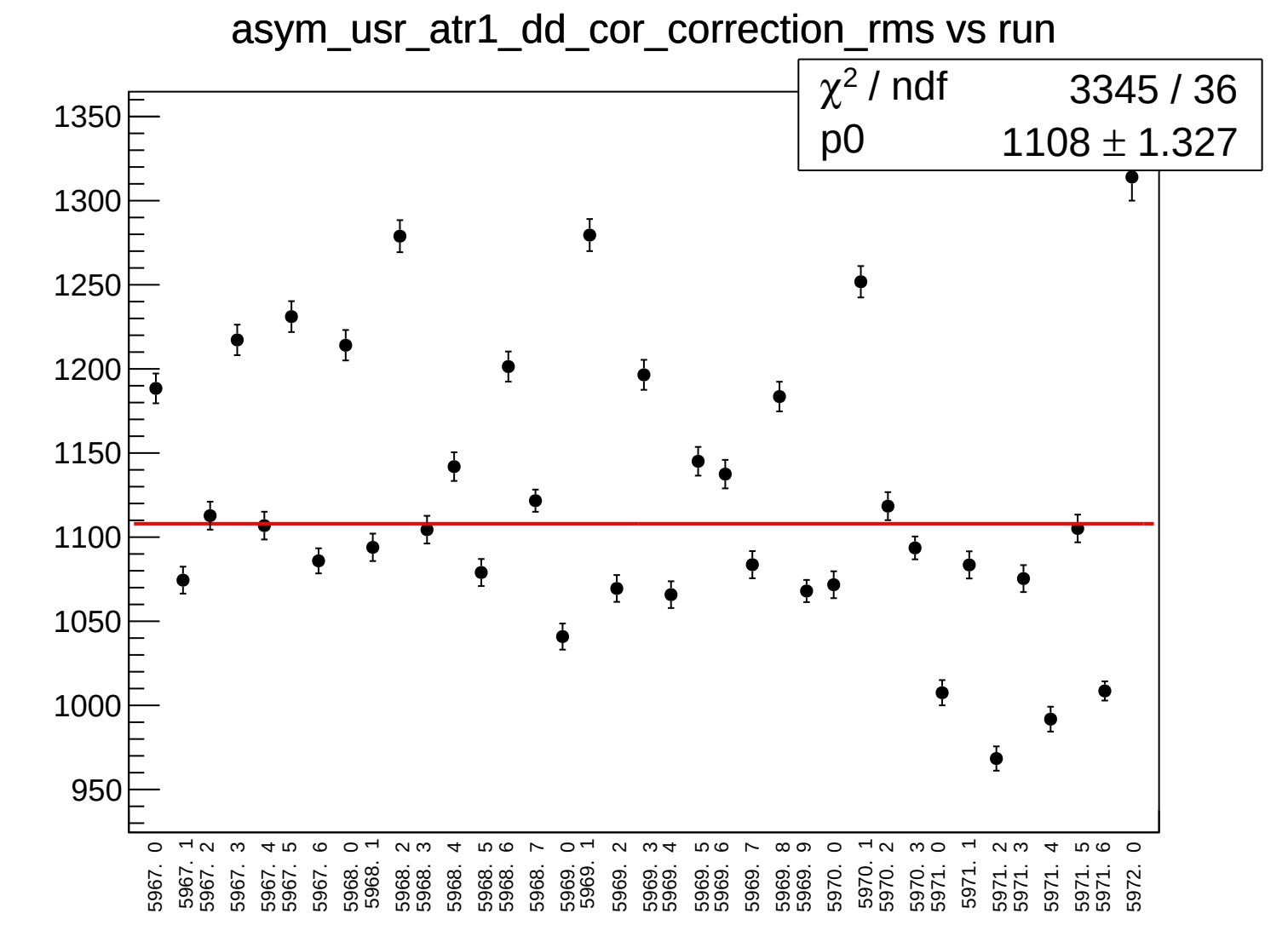
asym_usr_atr1_dd_cor_correction_rms vs run
χ² / ndf 3345 / 36
p0 1108 ± 1.327
1350
1300
1250
1200
1150
1100
1050
1000
950
5967. 0
5967. 1
5967. 2
5967. 3
5967. 4
5967. 5
5967. 6
5968. 0
5968. 1
5968. 2
5968. 3
5968. 4
5968. 5
5968. 6
5968. 7
5969. 0
5969. 1
5969. 2
5969. 3
5969. 4
5969. 5
5969. 6
5969. 7
5969. 8
5969. 9
5970. 0
5970. 1
5970. 2
5970. 3
5971. 0
5971. 1
5971. 2
5971. 3
5971. 4
5971. 5
5971. 6
5972. 0

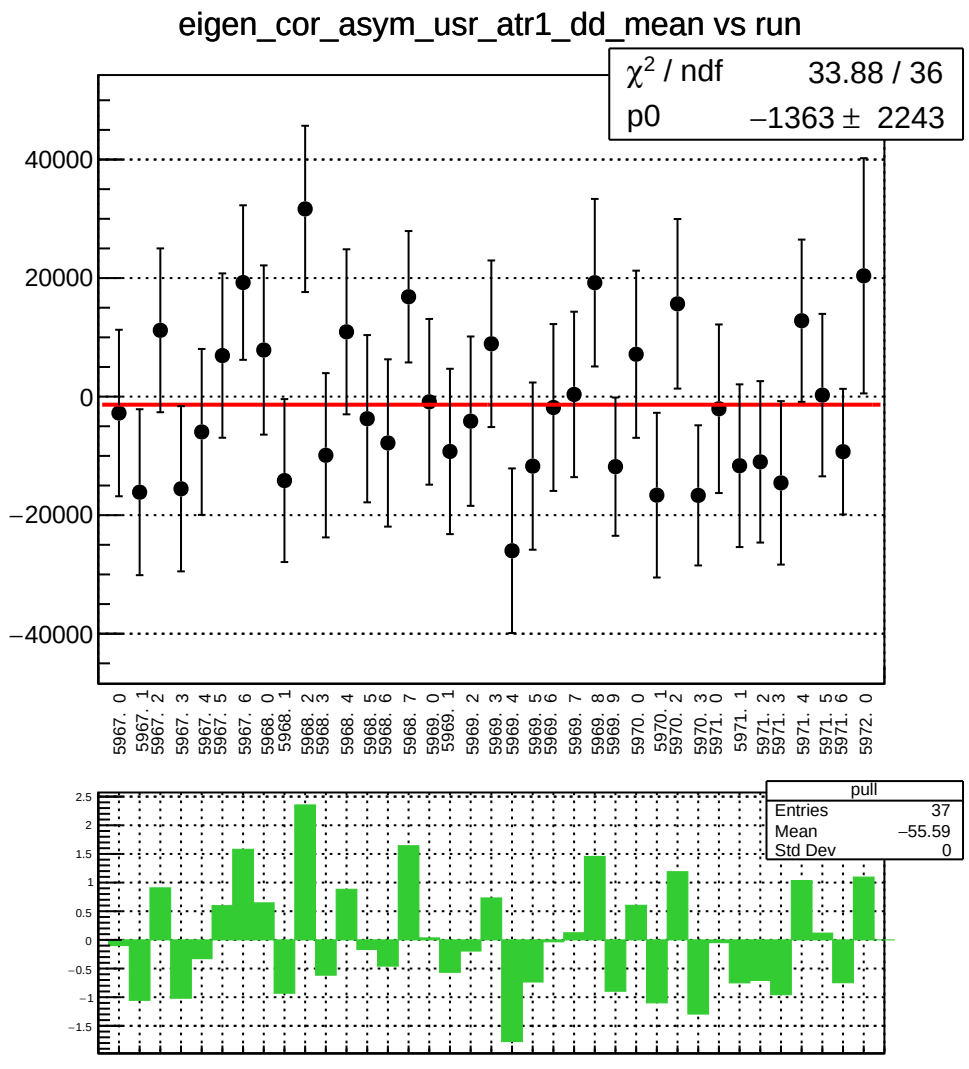
eigen_cor_asym_usr_atr1_dd_mean vs run
χ² / ndf 33.88 / 36
p0 −1363 ± 2243
40000
20000
0
−20000
−40000
5967. 0
5967. 1
5967. 2
5967. 3
5967. 4
5967. 5
5967. 6
5968. 0
5968. 1
5968. 2
5968. 3
5968. 4
5968. 5
5968. 6
5968. 7
5969. 0
5969. 1
5969. 2
5969. 3
5969. 4
5969. 5
5969. 6
5969. 7
5969. 8
5969. 9
5970. 0
5970. 1
5970. 2
5970. 3
5971. 0
5971. 1
5971. 2
5971. 3
5971. 4
5971. 5
5971. 6
5972. 0
pull
Entries 37
Mean −55.59
Std Dev 0
2.5
2
1.5
1
0.5
0
−0.5
−1
−1.5

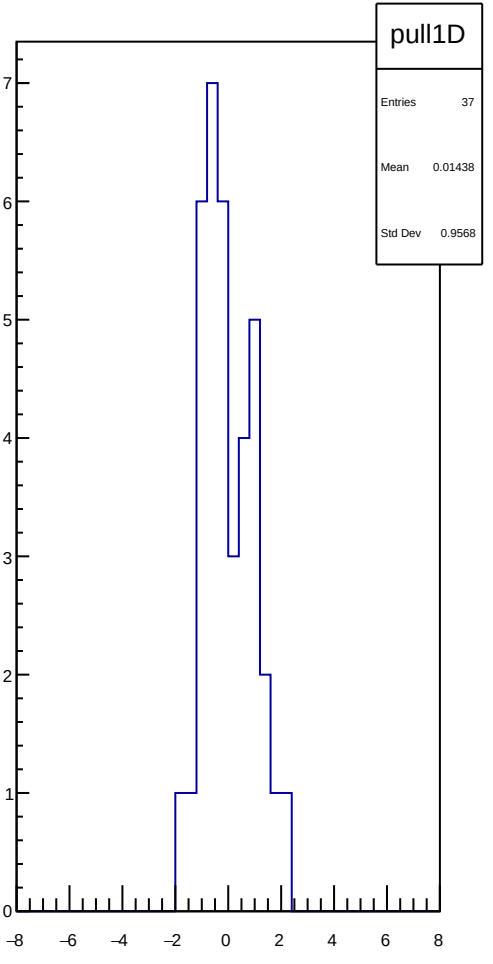
pull1D
Entries 37
Mean 0.01438
Std Dev 0.9568
7
6
5
4
3
2
1
0
−8
−6
−4
−2
0
2
4
6
8

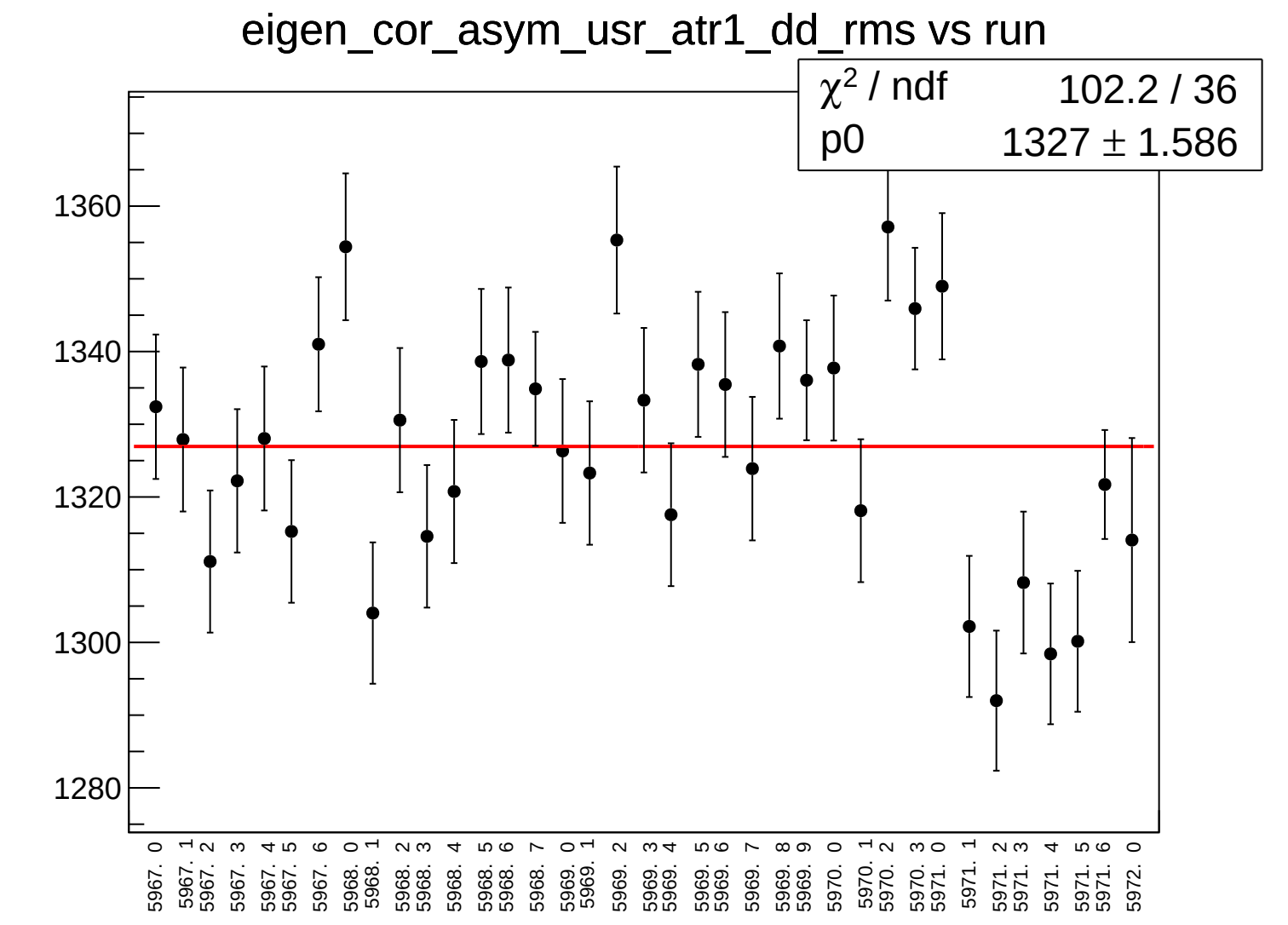
eigen_cor_asym_usr_atr1_dd_rms vs run
χ² / ndf 102.2 / 36
p0 1327 ± 1.586
1360
1340
1320
1300
1280
5967. 0
5967. 1
5967. 2
5967. 3
5967. 4
5967. 5
5967. 6
5968. 0
5968. 1
5968. 2
5968. 3
5968. 4
5968. 5
5968. 6
5968. 7
5969. 0
5969. 1
5969. 2
5969. 3
5969. 4
5969. 5
5969. 6
5969. 7
5969. 8
5969. 9
5970. 0
5970. 1
5970. 2
5970. 3
5971. 0
5971. 1
5971. 2
5971. 3
5971. 4
5971. 5
5971. 6
5972. 0

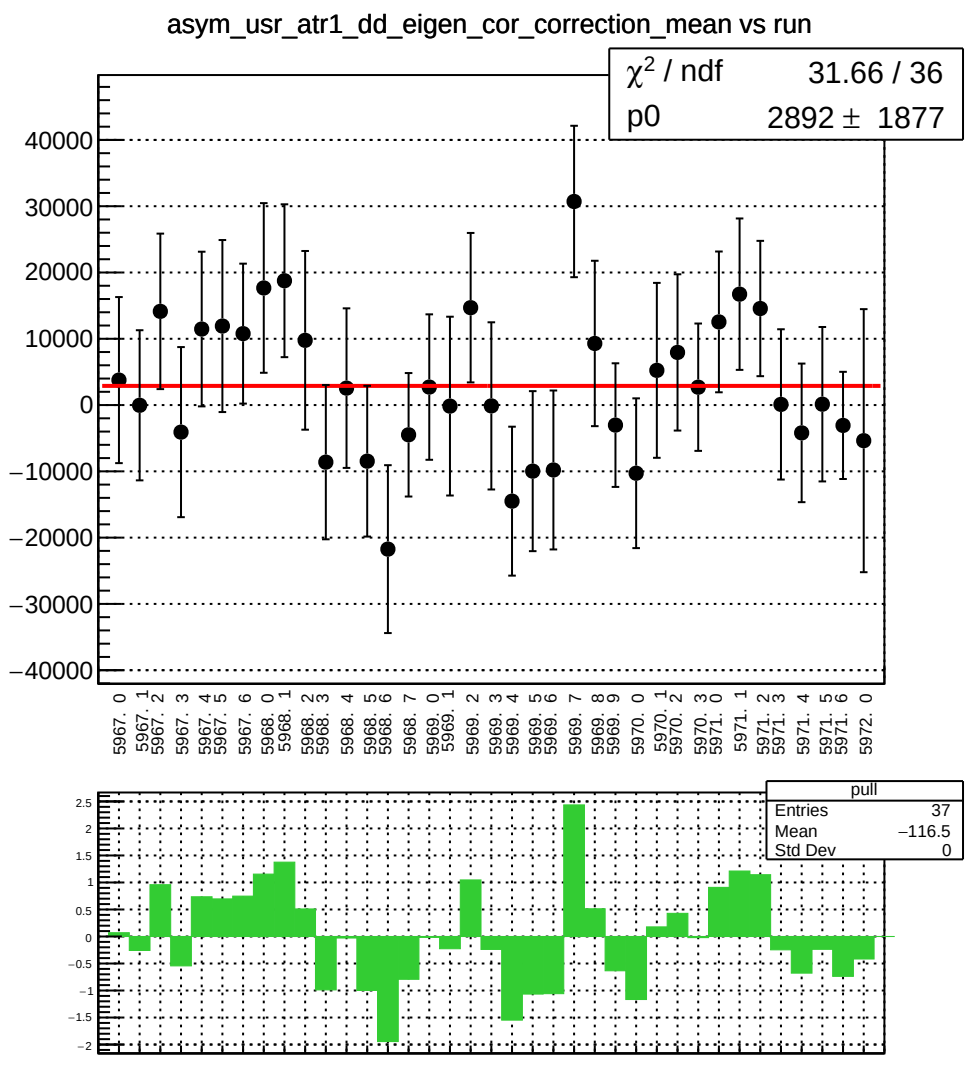
asym_usr_atr1_dd_eigen_cor_correction_mean vs run
χ² / ndf 31.66 / 36
p0 2892 ± 1877
40000
30000
20000
10000
0
−10000
−20000
−30000
−40000
5967. 0
5967. 1
5967. 2
5967. 3
5967. 4
5967. 5
5967. 6
5968. 0
5968. 1
5968. 2
5968. 3
5968. 4
5968. 5
5968. 6
5968. 7
5969. 0
5969. 1
5969. 2
5969. 3
5969. 4
5969. 5
5969. 6
5969. 7
5969. 8
5969. 9
5970. 0
5970. 1
5970. 2
5970. 3
5971. 0
5971. 1
5971. 2
5971. 3
5971. 4
5971. 5
5971. 6
5972. 0
pull
Entries 37
Mean −116.5
Std Dev 0
2.5
2
1.5
1
0.5
0
−0.5
−1
−1.5
−2

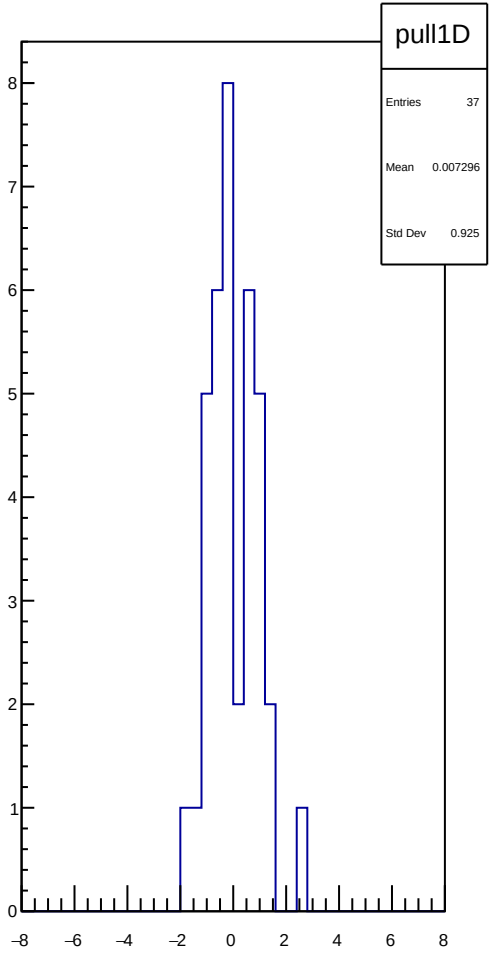
pull1D
Entries 37
Mean 0.007296
Std Dev 0.925
8
7
6
5
4
3
2
1
0
−8
−6
−4
−2
0
2
4
6
8

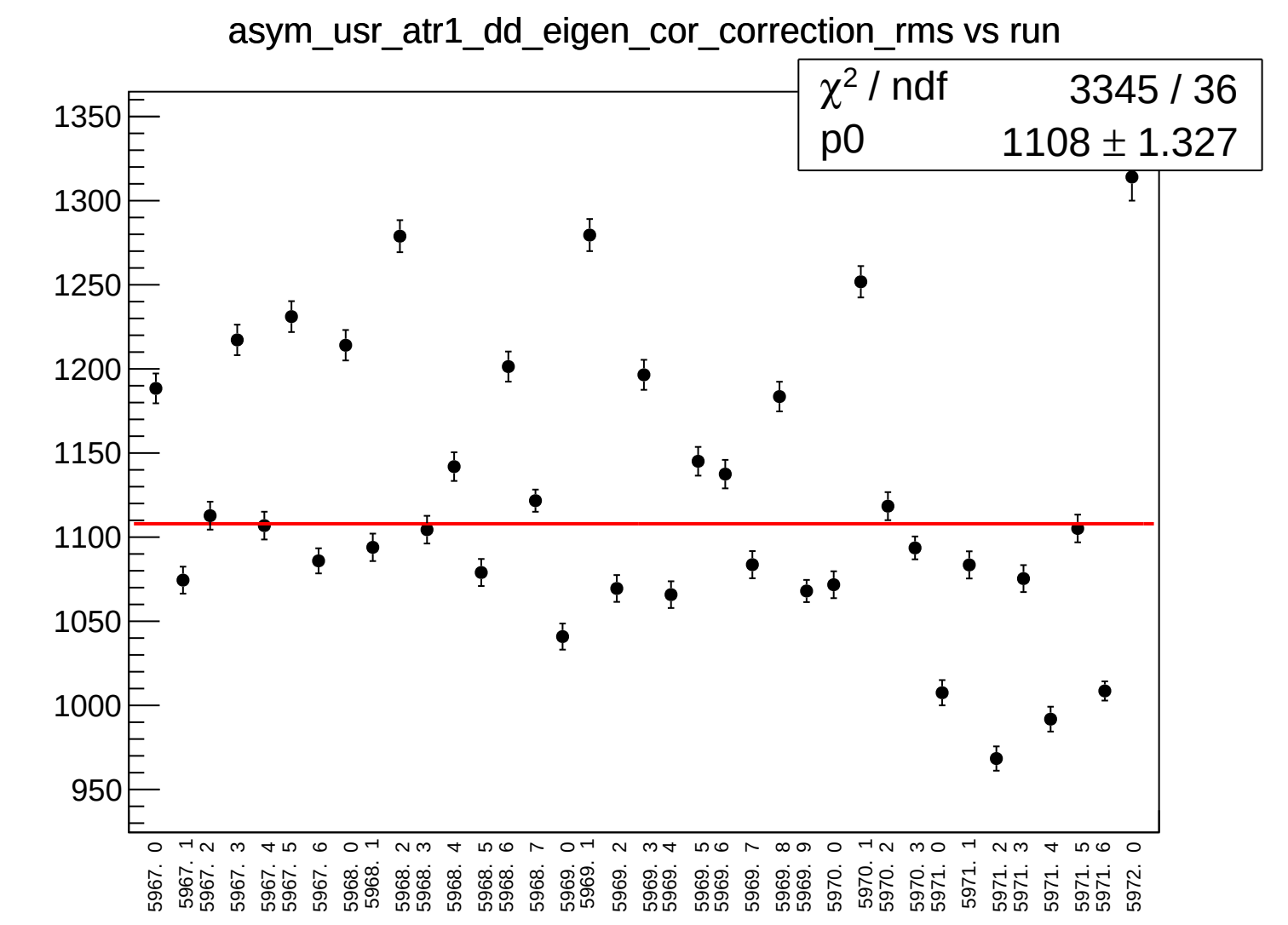
asym_usr_atr1_dd_eigen_cor_correction_rms vs run
χ² / ndf 3345 / 36
p0 1108 ± 1.327
1350
1300
1250
1200
1150
1100
1050
1000
950
5967. 0
5967. 1
5967. 2
5967. 3
5967. 4
5967. 5
5967. 6
5968. 0
5968. 1
5968. 2
5968. 3
5968. 4
5968. 5
5968. 6
5968. 7
5969. 0
5969. 1
5969. 2
5969. 3
5969. 4
5969. 5
5969. 6
5969. 7
5969. 8
5969. 9
5970. 0
5970. 1
5970. 2
5970. 3
5971. 0
5971. 1
5971. 2
5971. 3
5971. 4
5971. 5
5971. 6
5972. 0

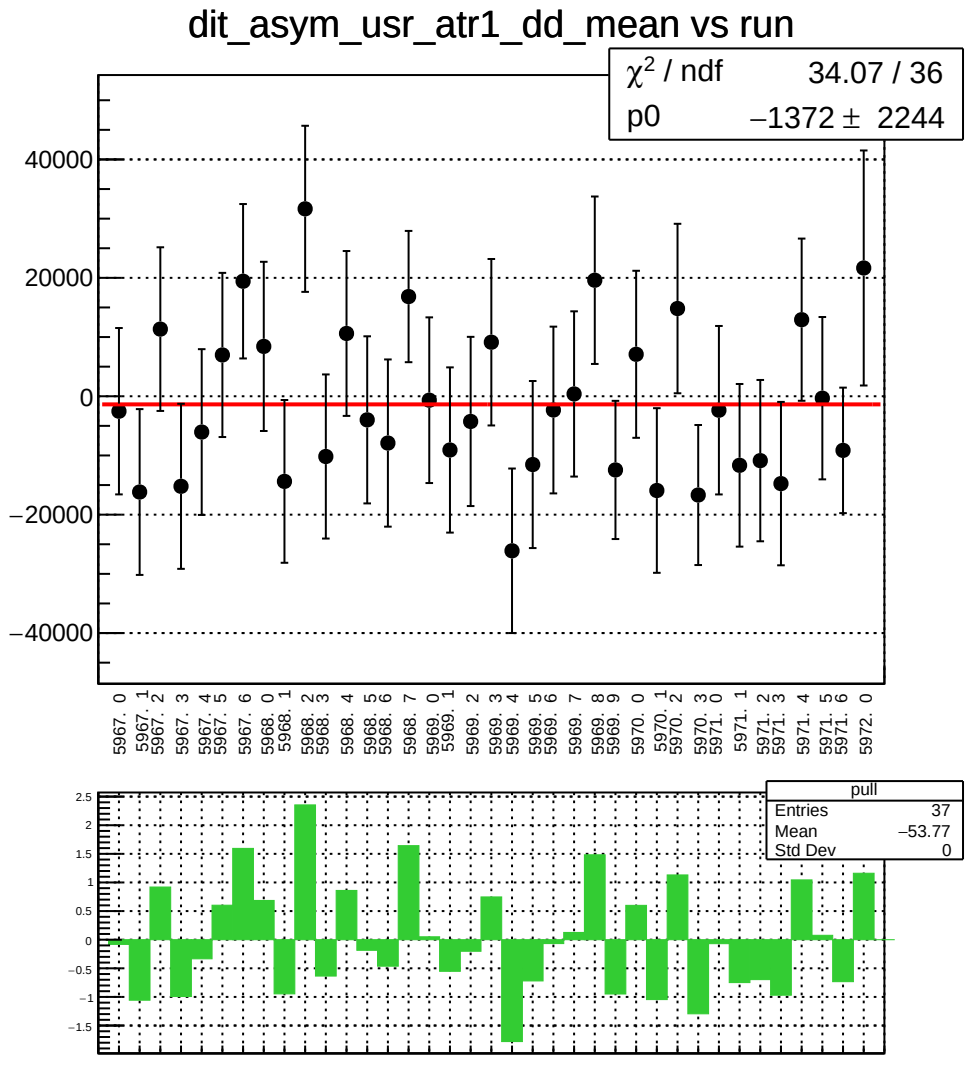
dit_asym_usr_atr1_dd_mean vs run
χ^2 / ndf 34.07 / 36
p0 −1372 ± 2244
40000
20000
0
−20000
−40000
5967. 0
5967. 1
5967. 2
5967. 3
5967. 4
5967. 5
5967. 6
5968. 0
5968. 1
5968. 2
5968. 3
5968. 4
5968. 5
5968. 6
5968. 7
5969. 0
5969. 1
5969. 2
5969. 3
5969. 4
5969. 5
5969. 6
5969. 7
5969. 8
5969. 9
5970. 0
5970. 1
5970. 2
5970. 3
5971. 0
5971. 1
5971. 2
5971. 3
5971. 4
5971. 5
5971. 6
5972. 0
pull
Entries 37
Mean −53.77
Std Dev 0
2.5
2
1.5
1
0.5
0
−0.5
−1
−1.5
pull1D
Entries 37
Mean 0.01499
Std Dev 0.9595
7
6
5
4
3
2
1
0
−8
−6
−4
−2
0
2
4
6
8

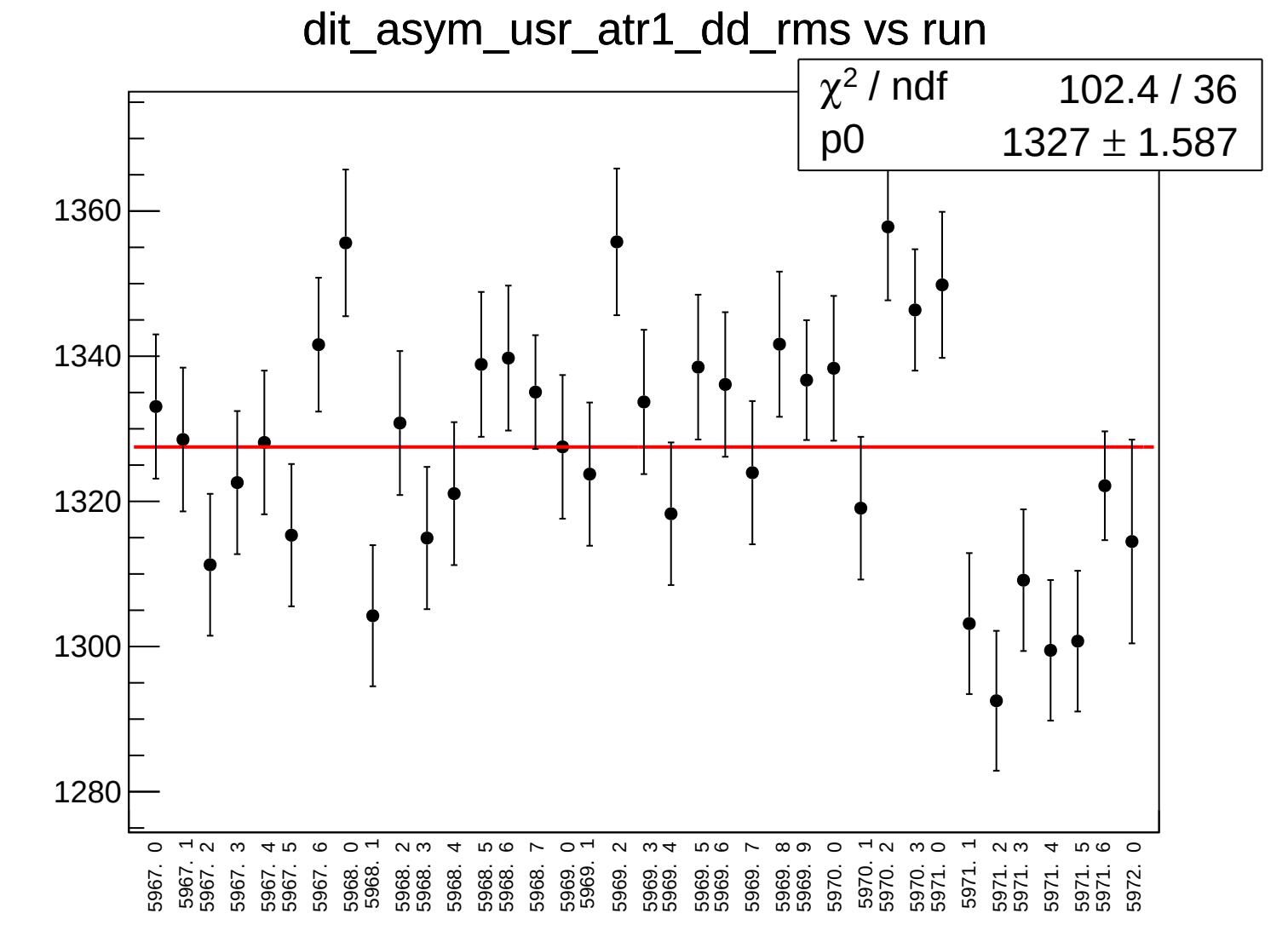
dit_asym_usr_atr1_dd_rms vs run
χ² / ndf 102.4 / 36
p0 1327 ± 1.587
1360
1340
1320
1300
1280
5967. 0
5967. 1
5967. 2
5967. 3
5967. 4
5967. 5
5967. 6
5968. 0
5968. 1
5968. 2
5968. 3
5968. 4
5968. 5
5968. 6
5968. 7
5969. 0
5969. 1
5969. 2
5969. 3
5969. 4
5969. 5
5969. 6
5969. 7
5969. 8
5969. 9
5970. 0
5970. 1
5970. 2
5970. 3
5971. 0
5971. 1
5971. 2
5971. 3
5971. 4
5971. 5
5971. 6
5972. 0

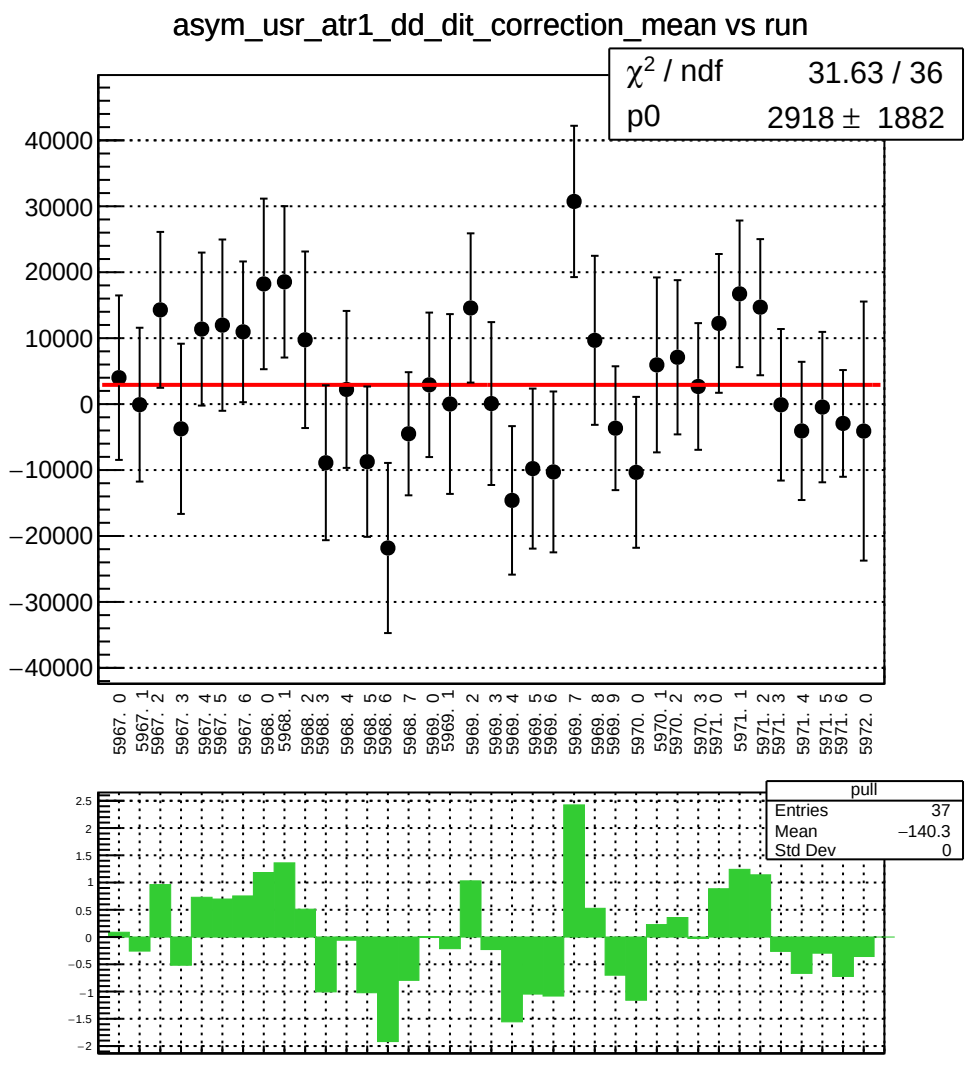
asym_usr_atr1_dd_dit_correction_mean vs run
χ² / ndf 31.63 / 36
p0 2918 ± 1882
40000
30000
20000
10000
0
−10000
−20000
−30000
−40000
5967. 0
5967. 1
5967. 2
5967. 3
5967. 4
5967. 5
5967. 6
5968. 0
5968. 1
5968. 2
5968. 3
5968. 4
5968. 5
5968. 6
5968. 7
5969. 0
5969. 1
5969. 2
5969. 3
5969. 4
5969. 5
5969. 6
5969. 7
5969. 8
5969. 9
5970. 0
5970. 1
5970. 2
5970. 3
5971. 0
5971. 1
5971. 2
5971. 3
5971. 4
5971. 5
5971. 6
5972. 0
pull
Entries 37
Mean −140.3
Std Dev 0
2.5
2
1.5
1
0.5
0
−0.5
−1
−1.5
−2

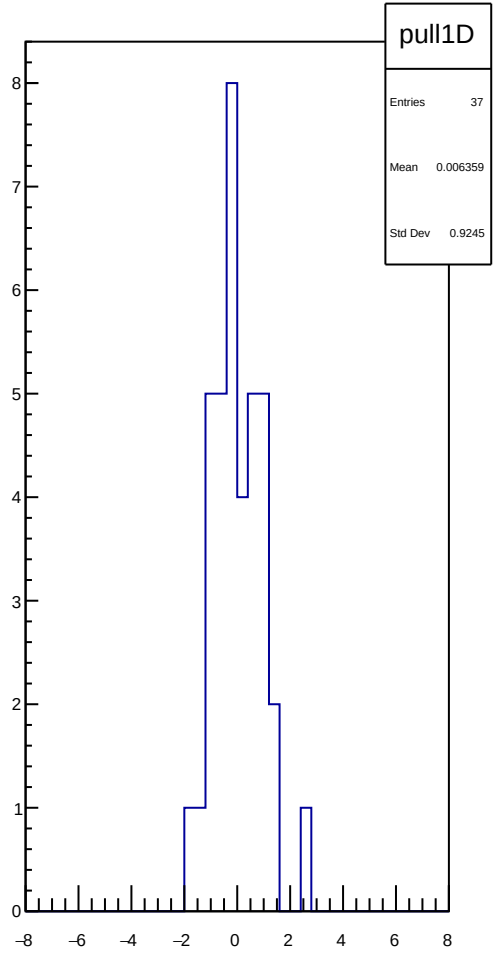
pull1D
Entries 37
Mean 0.006359
Std Dev 0.9245
8
7
6
5
4
3
2
1
0
−8
−6
−4
−2
0
2
4
6
8

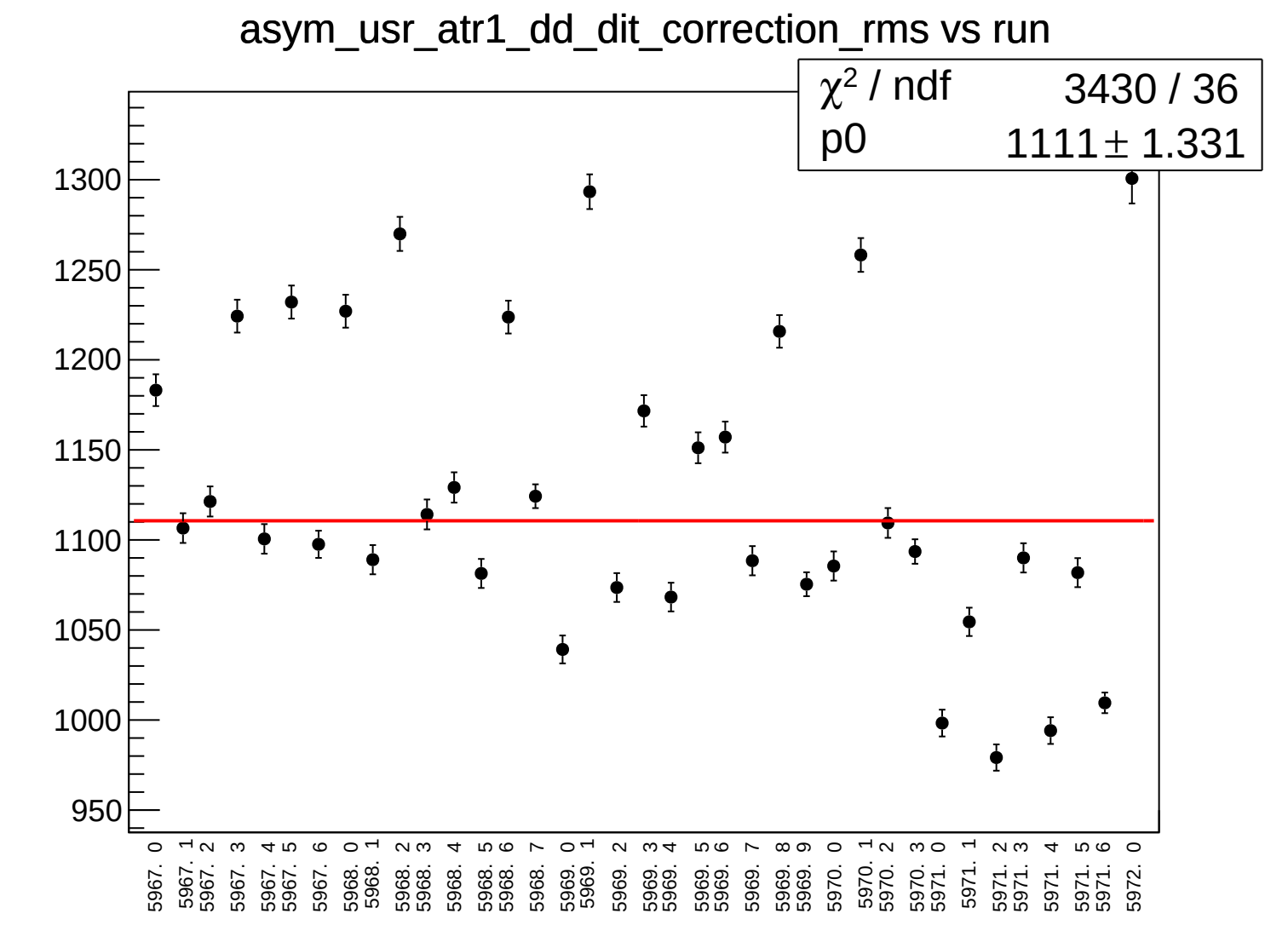
asym_usr_atr1_dd_dit_correction_rms vs run
χ² / ndf 3430 / 36
p0 1111 ± 1.331
1300
1250
1200
1150
1100
1050
1000
950
5967. 0
5967. 1
5967. 2
5967. 3
5967. 4
5967. 5
5967. 6
5968. 0
5968. 1
5968. 2
5968. 3
5968. 4
5968. 5
5968. 6
5968. 7
5969. 0
5969. 1
5969. 2
5969. 3
5969. 4
5969. 5
5969. 6
5969. 7
5969. 8
5969. 9
5970. 0
5970. 1
5970. 2
5970. 3
5971. 0
5971. 1
5971. 2
5971. 3
5971. 4
5971. 5
5971. 6
5972. 0

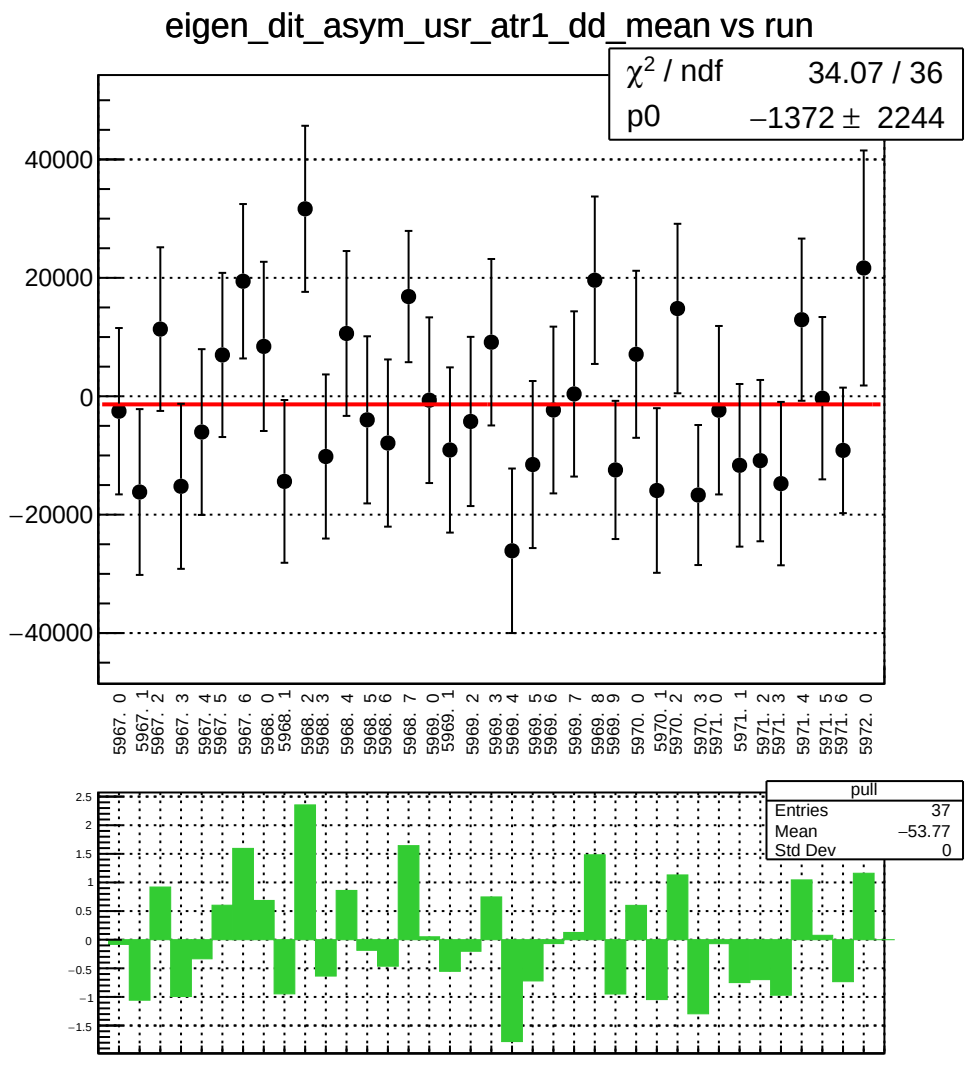
eigen_dit_asym_usr_atr1_dd_mean vs run
χ² / ndf 34.07 / 36
p0 −1372 ± 2244
40000
20000
0
−20000
−40000
5967. 0
5967. 1
5967. 2
5967. 3
5967. 4
5967. 5
5967. 6
5968. 0
5968. 1
5968. 2
5968. 3
5968. 4
5968. 5
5968. 6
5968. 7
5969. 0
5969. 1
5969. 2
5969. 3
5969. 4
5969. 5
5969. 6
5969. 7
5969. 8
5969. 9
5970. 0
5970. 1
5970. 2
5970. 3
5971. 0
5971. 1
5971. 2
5971. 3
5971. 4
5971. 5
5971. 6
5972. 0
pull
Entries 37
Mean −53.77
Std Dev 0
2.5
2
1.5
1
0.5
0
−0.5
−1
−1.5
pull1D
Entries 37
Mean 0.01499
Std Dev 0.9595
7
6
5
4
3
2
1
0
−8
−6
−4
−2
0
2
4
6
8

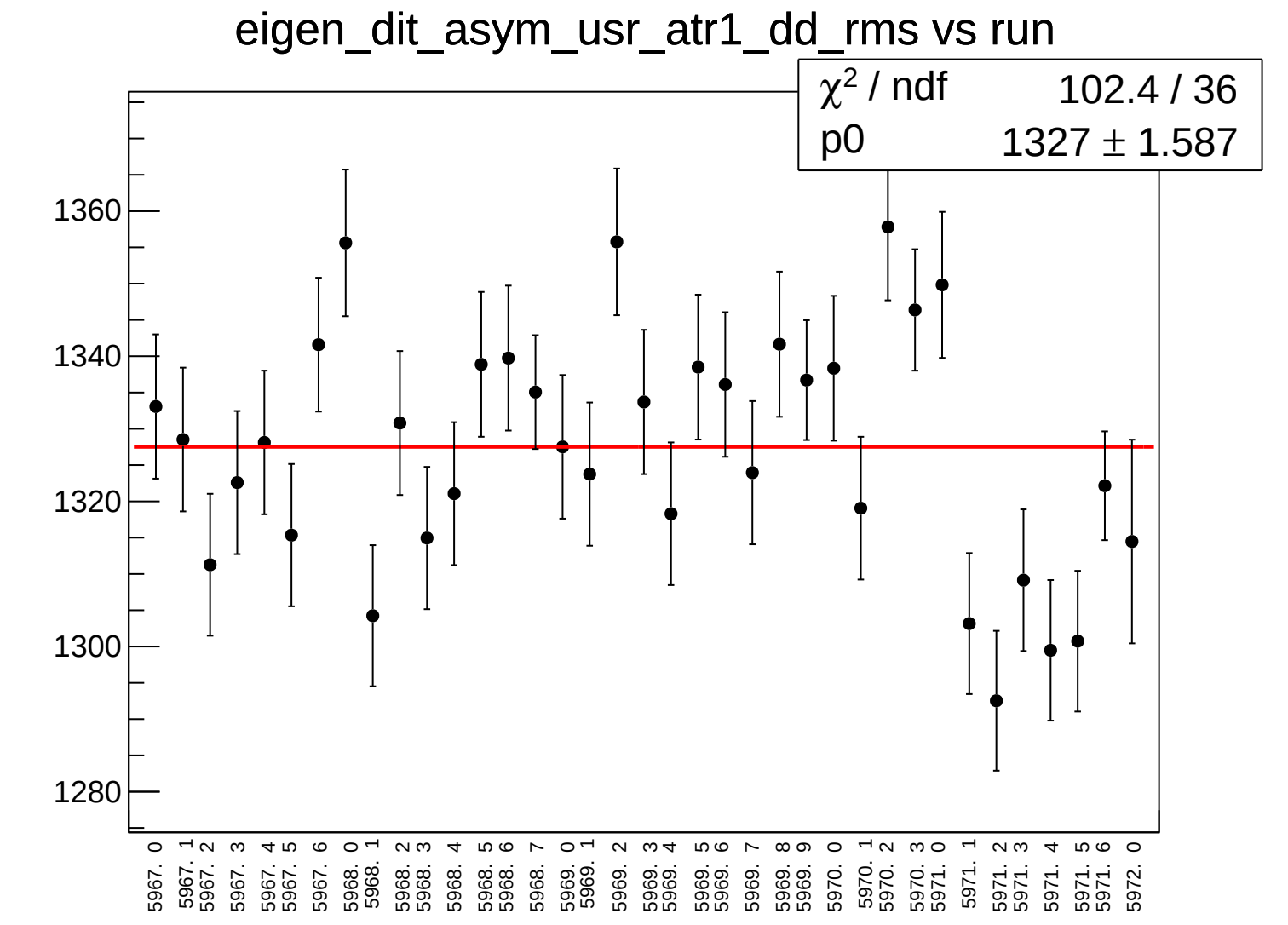
eigen_dit_asym_usr_atr1_dd_rms vs run
χ² / ndf 102.4 / 36
p0 1327 ± 1.587
1360
1340
1320
1300
1280
5967. 0
5967. 1
5967. 2
5967. 3
5967. 4
5967. 5
5967. 6
5968. 0
5968. 1
5968. 2
5968. 3
5968. 4
5968. 5
5968. 6
5968. 7
5969. 0
5969. 1
5969. 2
5969. 3
5969. 4
5969. 5
5969. 6
5969. 7
5969. 8
5969. 9
5970. 0
5970. 1
5970. 2
5970. 3
5971. 0
5971. 1
5971. 2
5971. 3
5971. 4
5971. 5
5971. 6
5972. 0

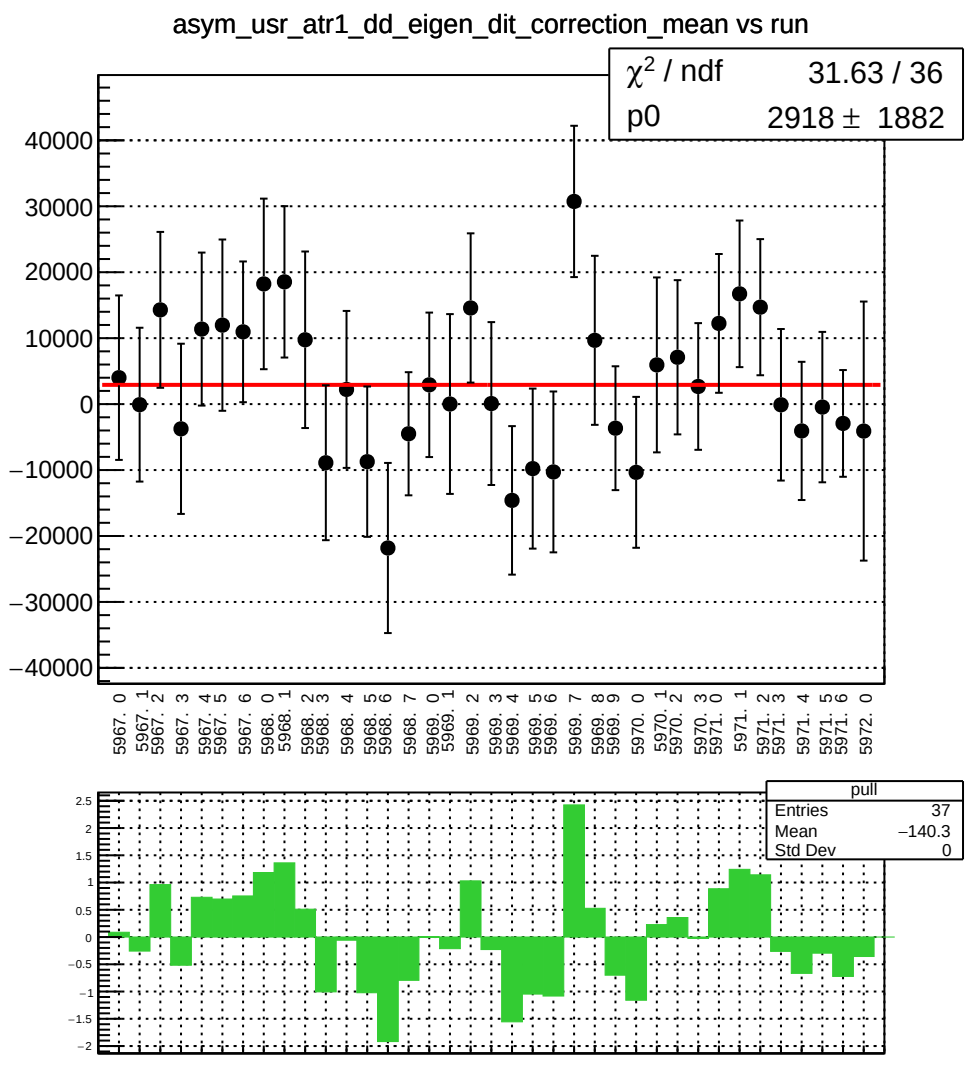
asym_usr_atr1_dd_eigen_dit_correction_mean vs run
χ² / ndf 31.63 / 36
p0 2918 ± 1882
40000
30000
20000
10000
0
−10000
−20000
−30000
−40000
5967. 0
5967. 1
5967. 2
5967. 3
5967. 4
5967. 5
5967. 6
5968. 0
5968. 1
5968. 2
5968. 3
5968. 4
5968. 5
5968. 6
5968. 7
5969. 0
5969. 1
5969. 2
5969. 3
5969. 4
5969. 5
5969. 6
5969. 7
5969. 8
5969. 9
5970. 0
5970. 1
5970. 2
5970. 3
5971. 0
5971. 1
5971. 2
5971. 3
5971. 4
5971. 5
5971. 6
5972. 0
pull
Entries 37
Mean −140.3
Std Dev 0
2.5
2
1.5
1
0.5
0
−0.5
−1
−1.5
−2

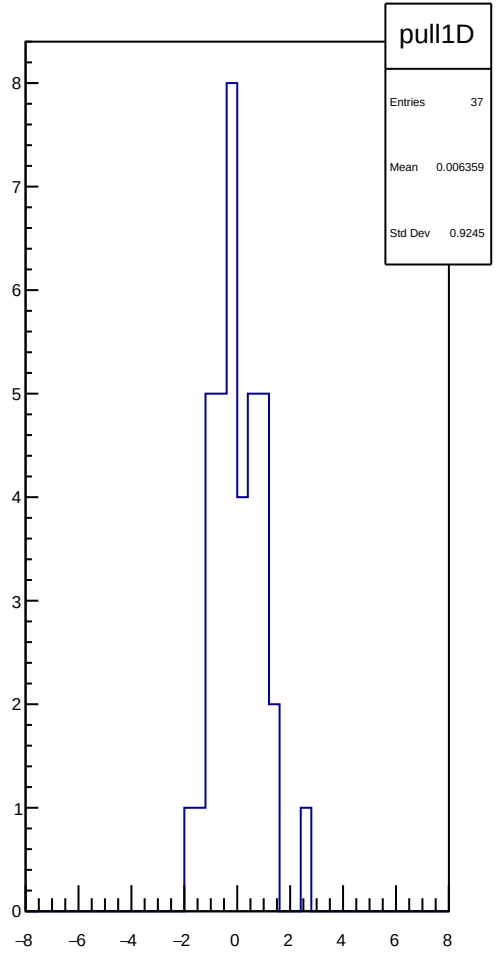
pull1D
Entries 37
Mean 0.006359
Std Dev 0.9245
8
7
6
5
4
3
2
1
0
−8
−6
−4
−2
0
2
4
6
8

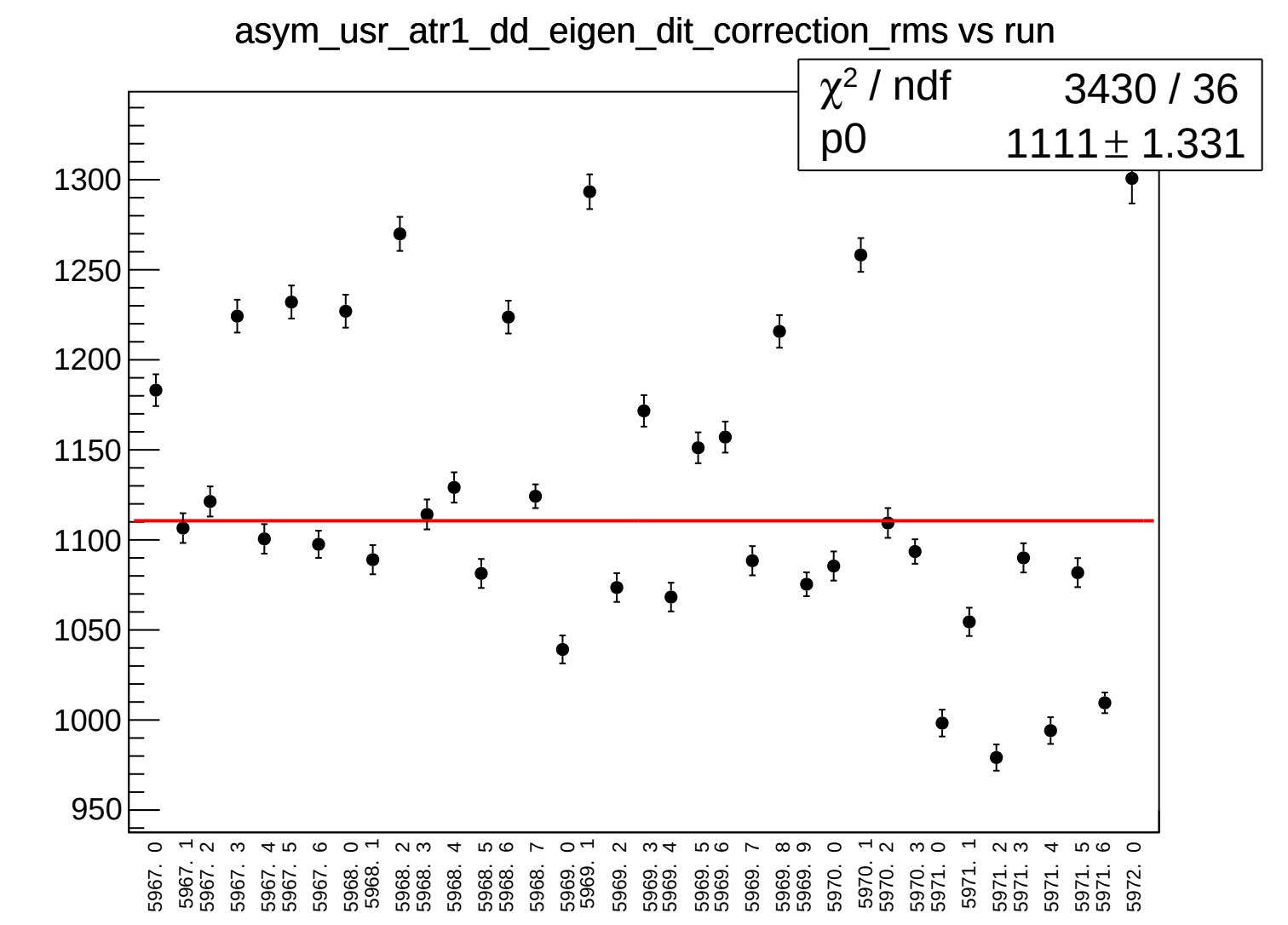
asym_usr_atr1_dd_eigen_dit_correction_rms vs run
χ² / ndf 3430 / 36
p0 1111 ± 1.331
1300
1250
1200
1150
1100
1050
1000
950
5967. 0
5967. 1
5967. 2
5967. 3
5967. 4
5967. 5
5967. 6
5968. 0
5968. 1
5968. 2
5968. 3
5968. 4
5968. 5
5968. 6
5968. 7
5969. 0
5969. 1
5969. 2
5969. 3
5969. 4
5969. 5
5969. 6
5969. 7
5969. 8
5969. 9
5970. 0
5970. 1
5970. 2
5970. 3
5971. 0
5971. 1
5971. 2
5971. 3
5971. 4
5971. 5
5971. 6
5972. 0

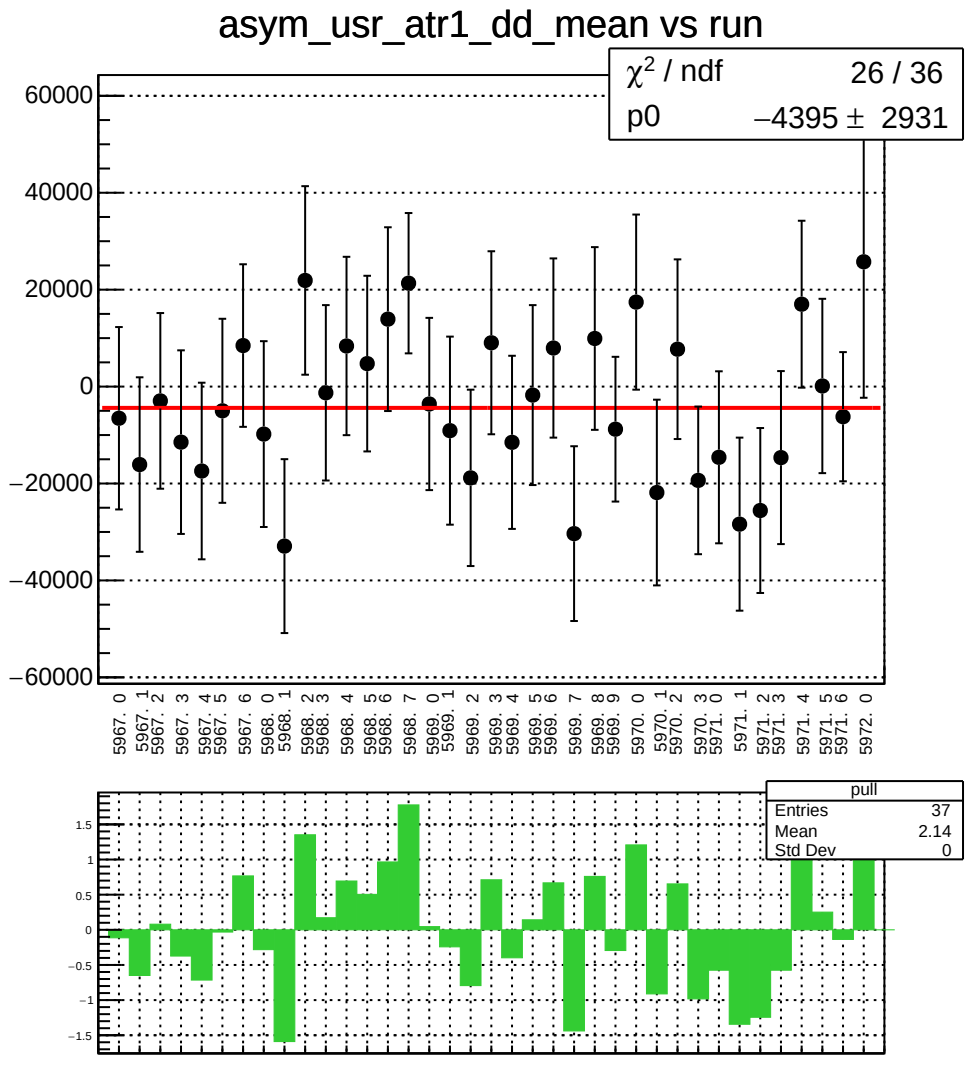
asym_usr_atr1_dd_mean vs run
χ² / ndf 26 / 36
p0 −4395 ± 2931
60000
40000
20000
0
−20000
−40000
−60000
5967. 0
5967. 1
5967. 2
5967. 3
5967. 4
5967. 5
5967. 6
5968. 0
5968. 1
5968. 2
5968. 3
5968. 4
5968. 5
5968. 6
5968. 7
5969. 0
5969. 1
5969. 2
5969. 3
5969. 4
5969. 5
5969. 6
5969. 7
5969. 8
5969. 9
5970. 0
5970. 1
5970. 2
5970. 3
5971. 0
5971. 1
5971. 2
5971. 3
5971. 4
5971. 5
5971. 6
5972. 0
pull
Entries 37
Mean 2.14
Std Dev 0
1.5
1
0.5
0
−0.5
−1
−1.5
pull1D
Entries 37
Mean 0.01023
Std Dev 0.8382
8
7
6
5
4
3
2
1
0
−8
−6
−4
−2
0
2
4
6
8

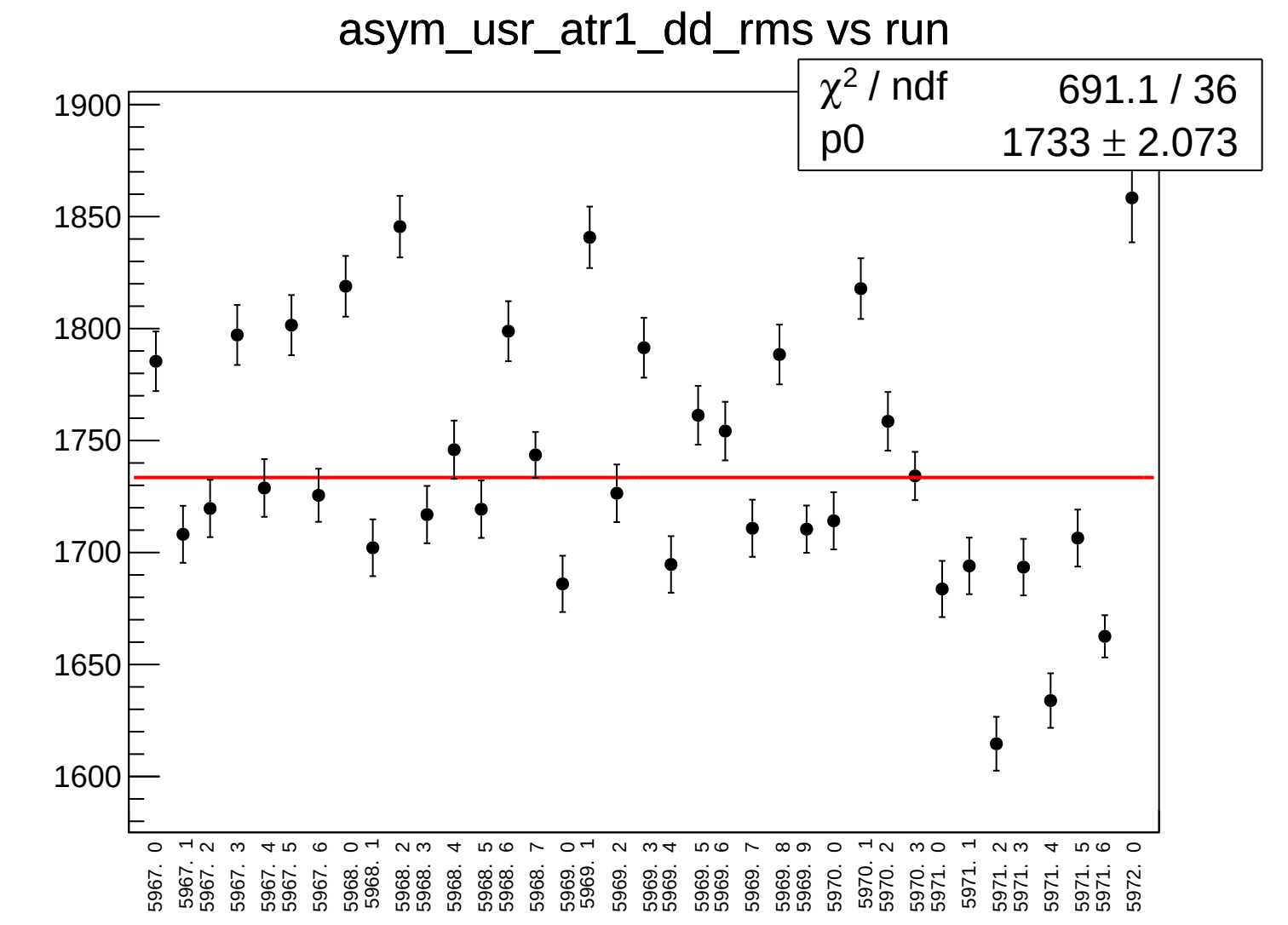
asym_usr_atr1_dd_rms vs run
χ² / ndf 691.1 / 36
p0 1733 ± 2.073
1900
1850
1800
1750
1700
1650
1600
5967. 0
5967. 1
5967. 2
5967. 3
5967. 4
5967. 5
5967. 6
5968. 0
5968. 1
5968. 2
5968. 3
5968. 4
5968. 5
5968. 6
5968. 7
5969. 0
5969. 1
5969. 2
5969. 3
5969. 4
5969. 5
5969. 6
5969. 7
5969. 8
5969. 9
5970. 0
5970. 1
5970. 2
5970. 3
5971. 0
5971. 1
5971. 2
5971. 3
5971. 4
5971. 5
5971. 6
5972. 0

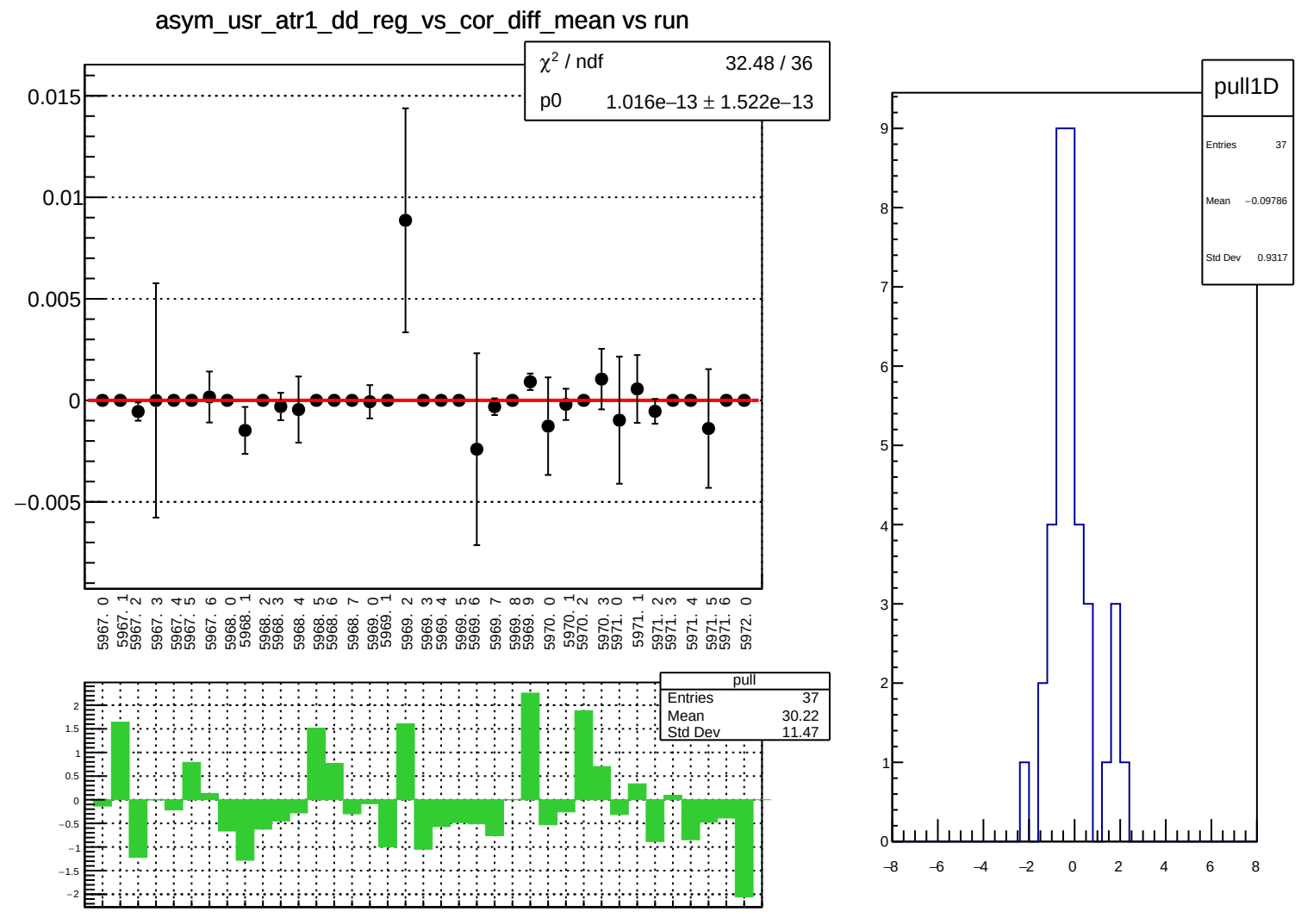
asym_usr_atr1_dd_reg_vs_cor_diff_mean vs run
χ² / ndf 32.48 / 36
p0 1.016e−13 ± 1.522e−13
0.015
0.01
0.005
0
−0.005
5967. 0
5967. 1
5967. 2
5967. 3
5967. 4
5967. 5
5967. 6
5968. 0
5968. 1
5968. 2
5968. 3
5968. 4
5968. 5
5968. 6
5968. 7
5969. 0
5969. 1
5969. 2
5969. 3
5969. 4
5969. 5
5969. 6
5969. 7
5969. 8
5969. 9
5970. 0
5970. 1
5970. 2
5970. 3
5971. 0
5971. 1
5971. 2
5971. 3
5971. 4
5971. 5
5971. 6
5972. 0
pull
Entries 37
Mean 30.22
Std Dev 11.47
2
1.5
1
0.5
0
−0.5
−1
−1.5
−2
pull1D
Entries 37
Mean −0.09786
Std Dev 0.9317
9
8
7
6
5
4
3
2
1
0
−8
−6
−4
−2
0
2
4
6
8

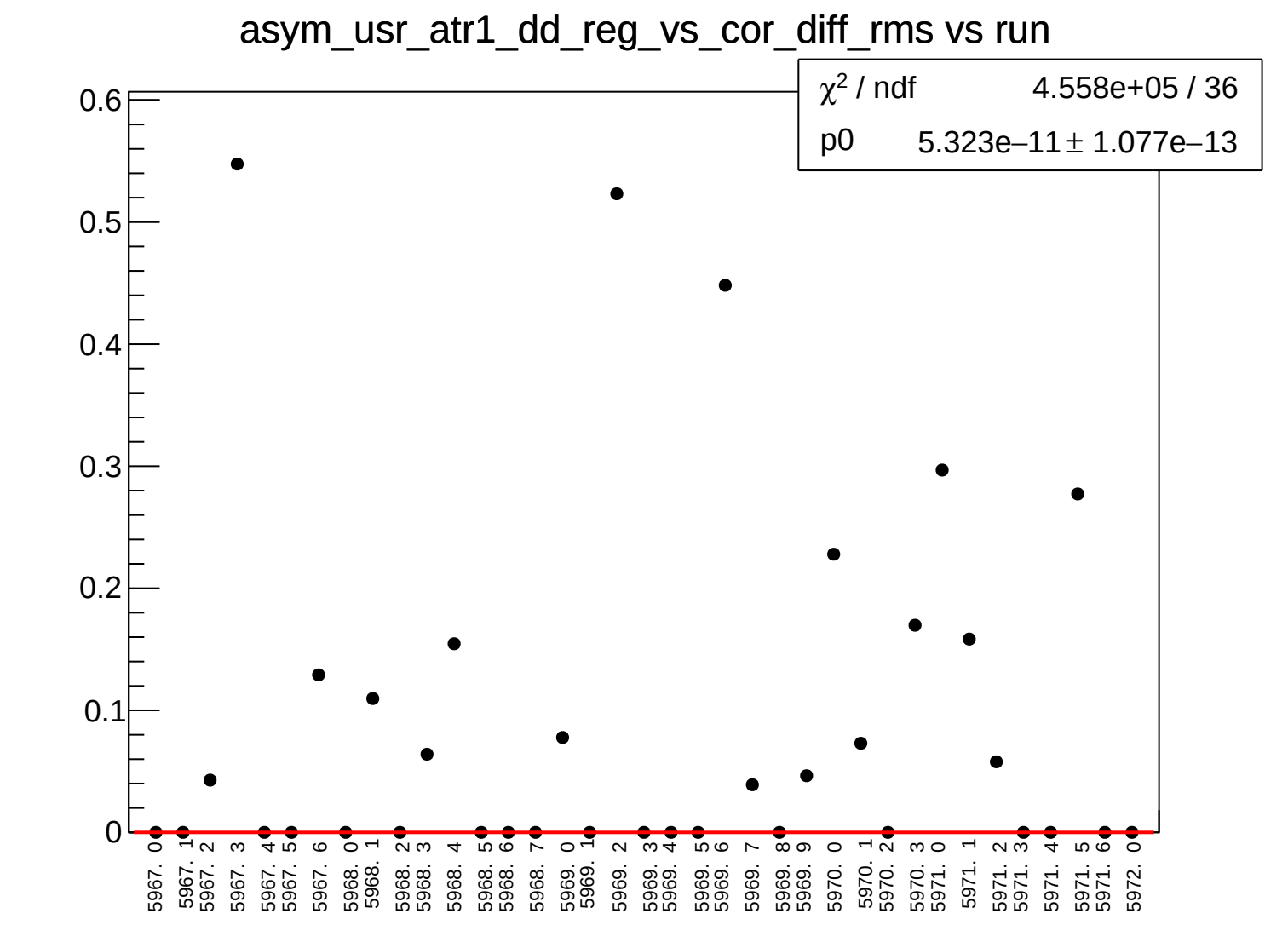
asym_usr_atr1_dd_reg_vs_cor_diff_rms vs run
χ² / ndf 4.558e+05 / 36
p0 5.323e−11 ± 1.077e−13
0.6
0.5
0.4
0.3
0.2
0.1
0
5967. 0
5967. 1
5967. 2
5967. 3
5967. 4
5967. 5
5967. 6
5968. 0
5968. 1
5968. 2
5968. 3
5968. 4
5968. 5
5968. 6
5968. 7
5969. 0
5969. 1
5969. 2
5969. 3
5969. 4
5969. 5
5969. 6
5969. 7
5969. 8
5969. 9
5970. 0
5970. 1
5970. 2
5970. 3
5971. 0
5971. 1
5971. 2
5971. 3
5971. 4
5971. 5
5971. 6
5972. 0

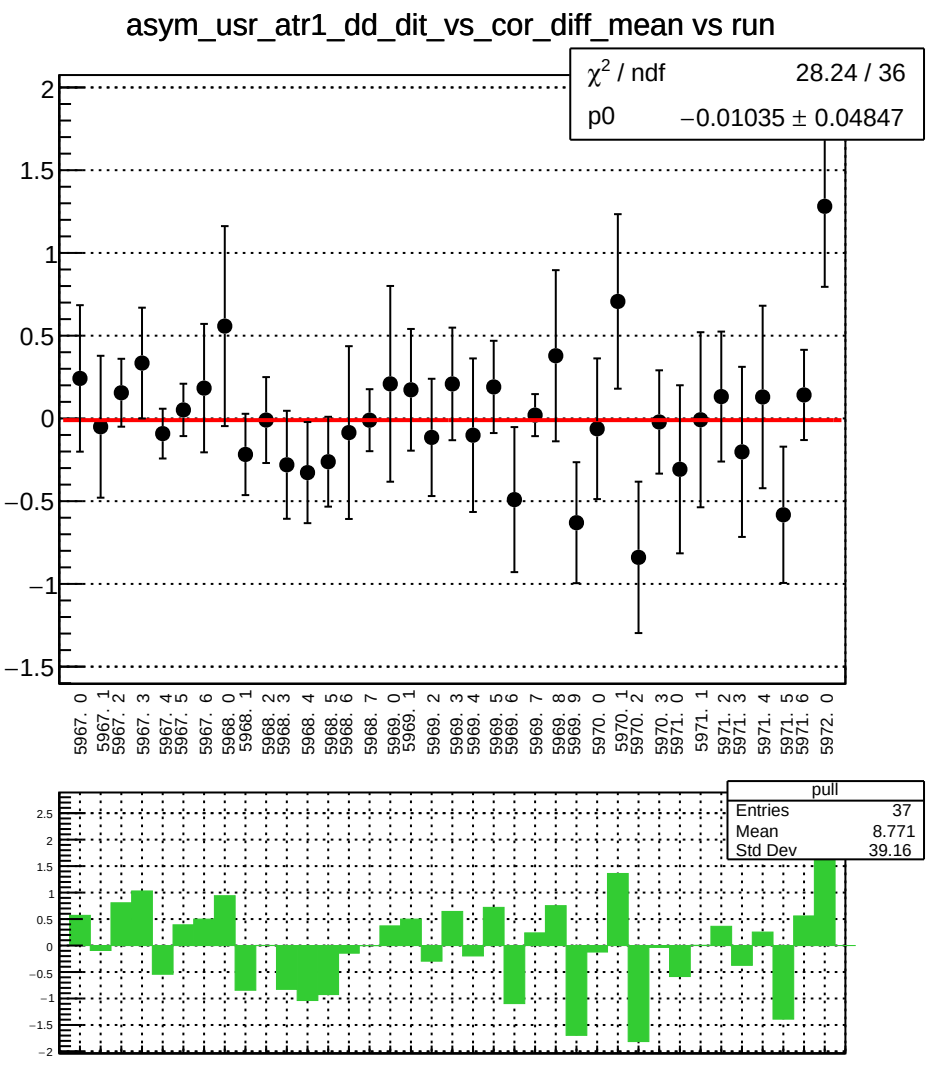
asym_usr_atr1_dd_dit_vs_cor_diff_mean vs run
χ² / ndf 28.24 / 36
p0 −0.01035 ± 0.04847
pull
Entries 37
Mean 8.771
Std Dev 39.16

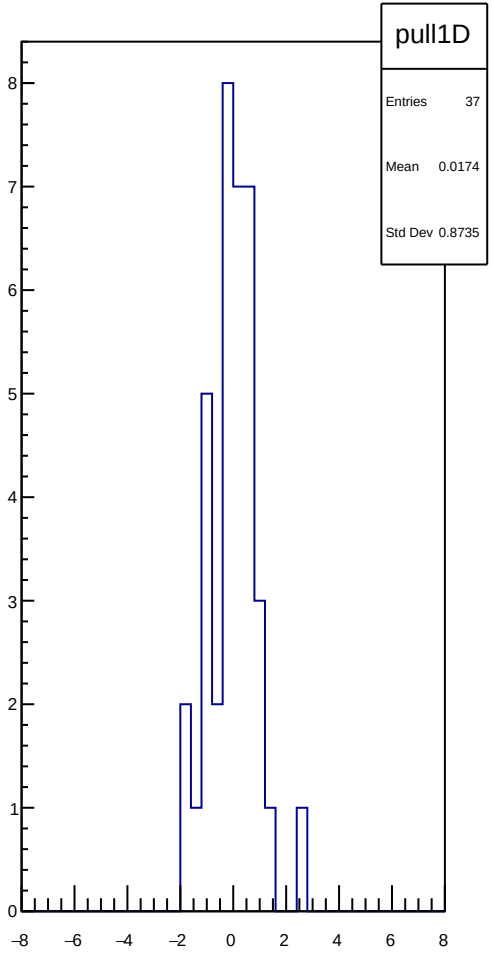
pull1D
Entries 37
Mean 0.0174
Std Dev 0.8735

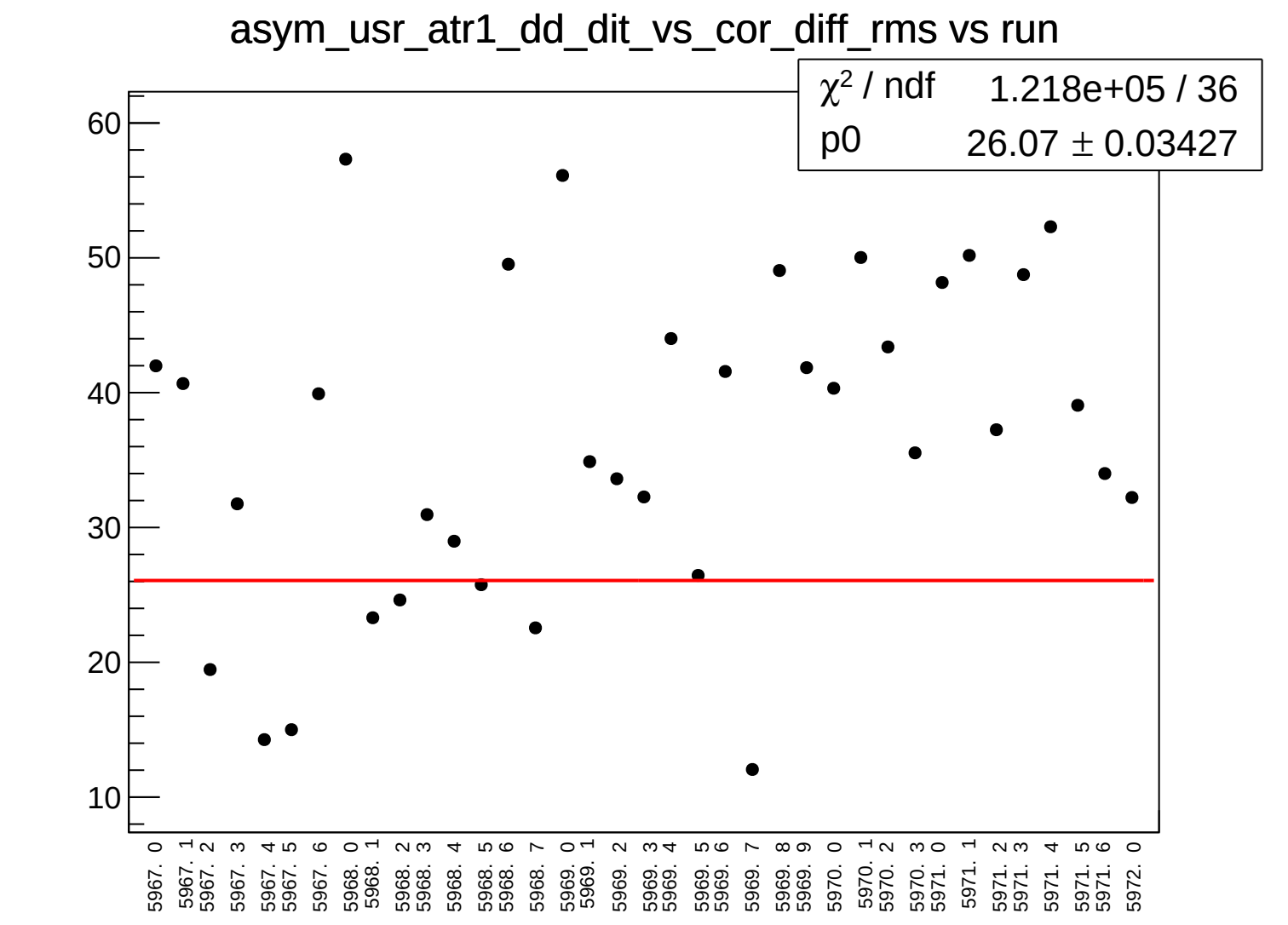
asym_usr_atr1_dd_dit_vs_cor_diff_rms vs run
χ² / ndf 1.218e+05 / 36
p0 26.07 ± 0.03427
60
50
40
30
20
10
5967. 0
5967. 1
5967. 2
5967. 3
5967. 4
5967. 5
5967. 6
5968. 0
5968. 1
5968. 2
5968. 3
5968. 4
5968. 5
5968. 6
5968. 7
5969. 0
5969. 1
5969. 2
5969. 3
5969. 4
5969. 5
5969. 6
5969. 7
5969. 8
5969. 9
5970. 0
5970. 1
5970. 2
5970. 3
5971. 0
5971. 1
5971. 2
5971. 3
5971. 4
5971. 5
5971. 6
5972. 0

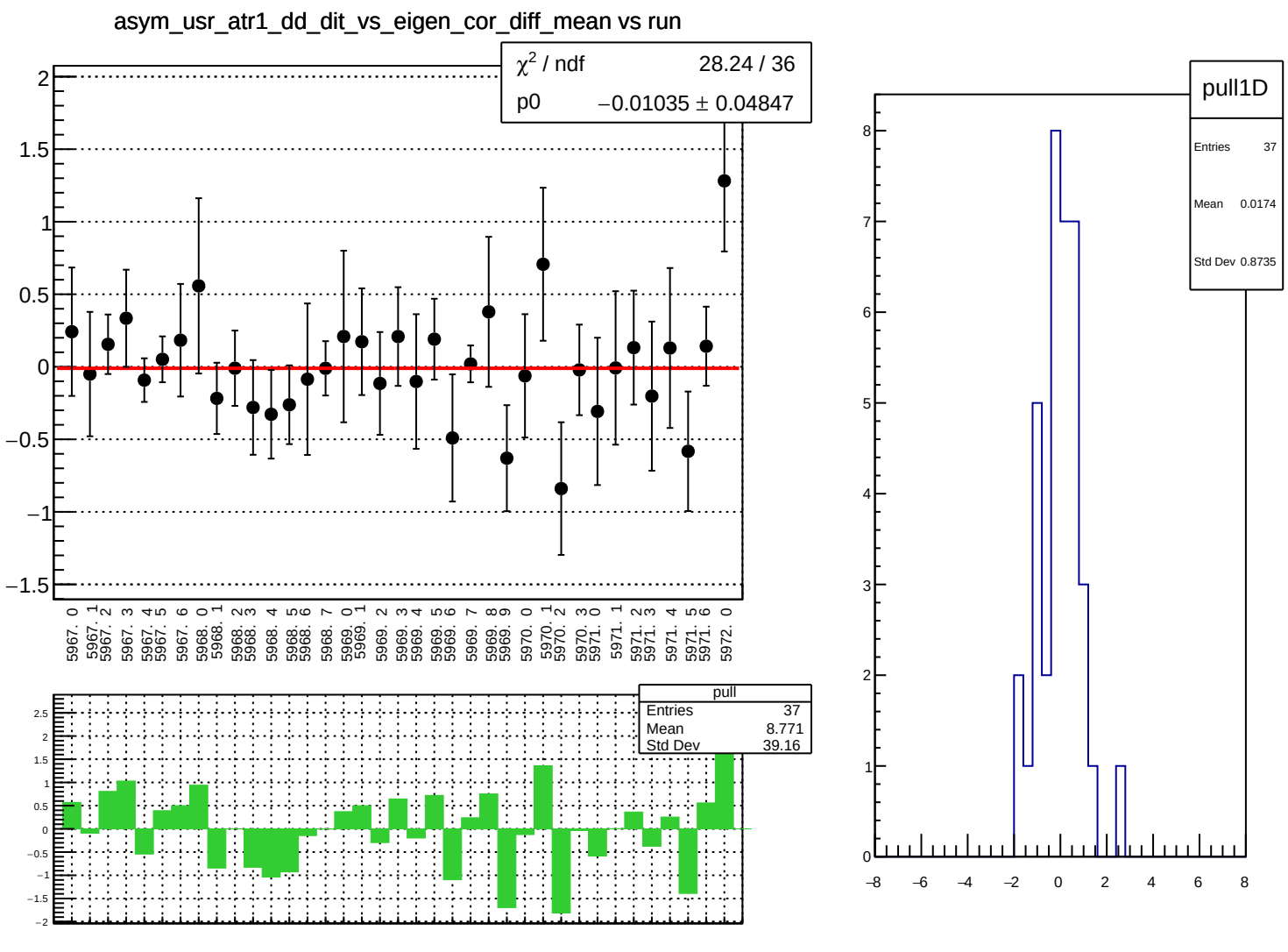
asym_usr_atr1_dd_dit_vs_eigen_cor_diff_mean vs run
χ² / ndf 28.24 / 36
p0 −0.01035 ± 0.04847
pull
Entries 37
Mean 8.771
Std Dev 39.16
pull1D
Entries 37
Mean 0.0174
Std Dev 0.8735

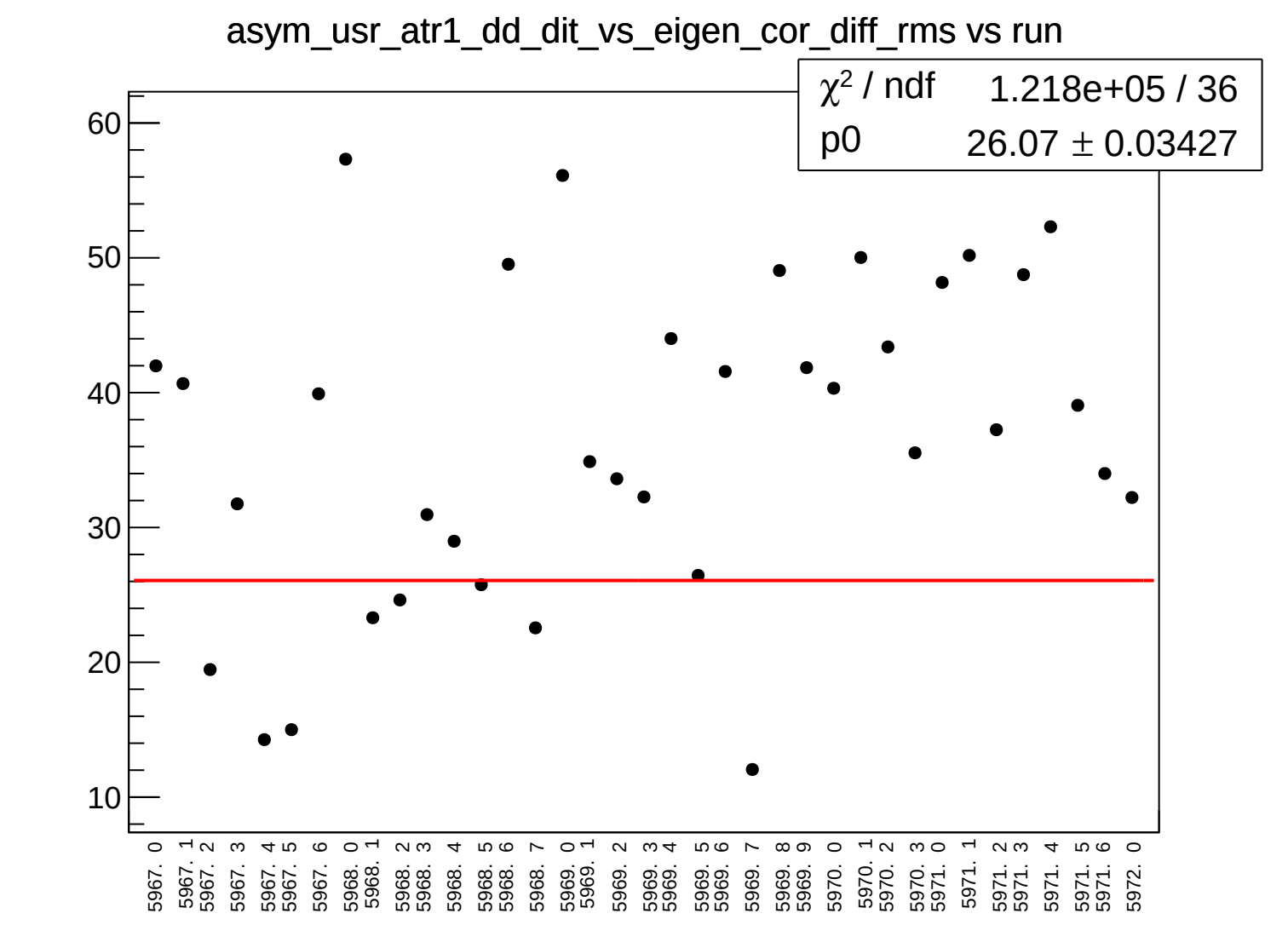
asym_usr_atr1_dd_dit_vs_eigen_cor_diff_rms vs run
χ² / ndf 1.218e+05 / 36
p0 26.07 ± 0.03427
60
50
40
30
20
10
5967. 0
5967. 1
5967. 2
5967. 3
5967. 4
5967. 5
5967. 6
5968. 0
5968. 1
5968. 2
5968. 3
5968. 4
5968. 5
5968. 6
5968. 7
5969. 0
5969. 1
5969. 2
5969. 3
5969. 4
5969. 5
5969. 6
5969. 7
5969. 8
5969. 9
5970. 0
5970. 1
5970. 2
5970. 3
5971. 0
5971. 1
5971. 2
5971. 3
5971. 4
5971. 5
5971. 6
5972. 0

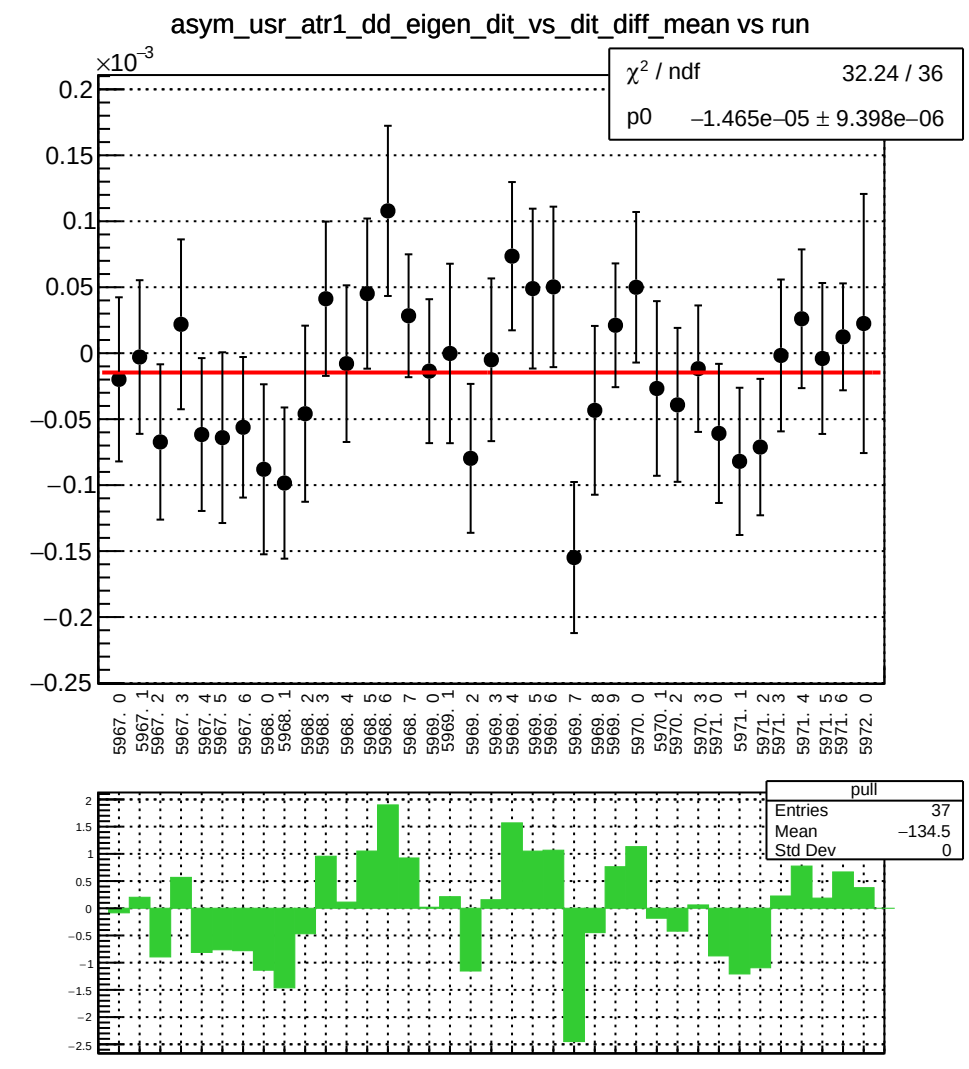
asym_usr_atr1_dd_eigen_dit_vs_dit_diff_mean vs run
×10⁻³
χ² / ndf 32.24 / 36
p0 −1.465e−05 ± 9.398e−06
pull
Entries 37
Mean −134.5
Std Dev 0

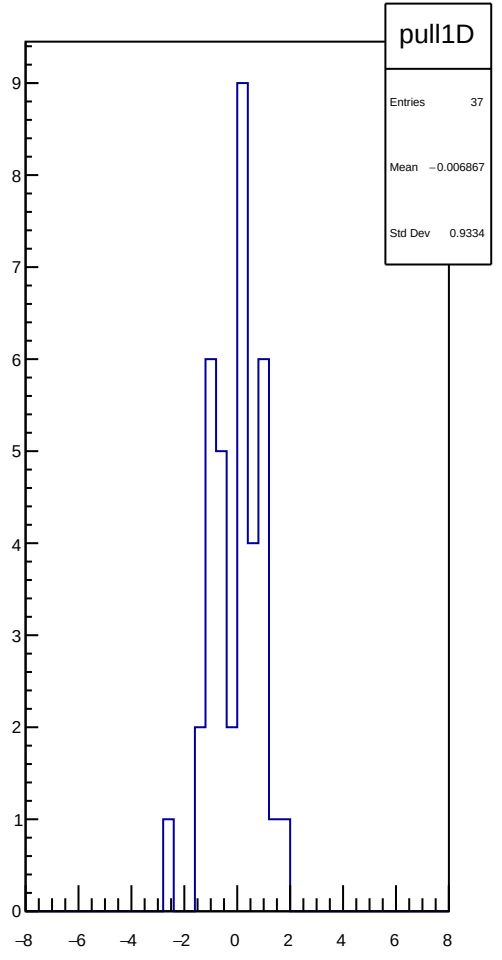
pull1D
Entries 37
Mean −0.006867
Std Dev 0.9334

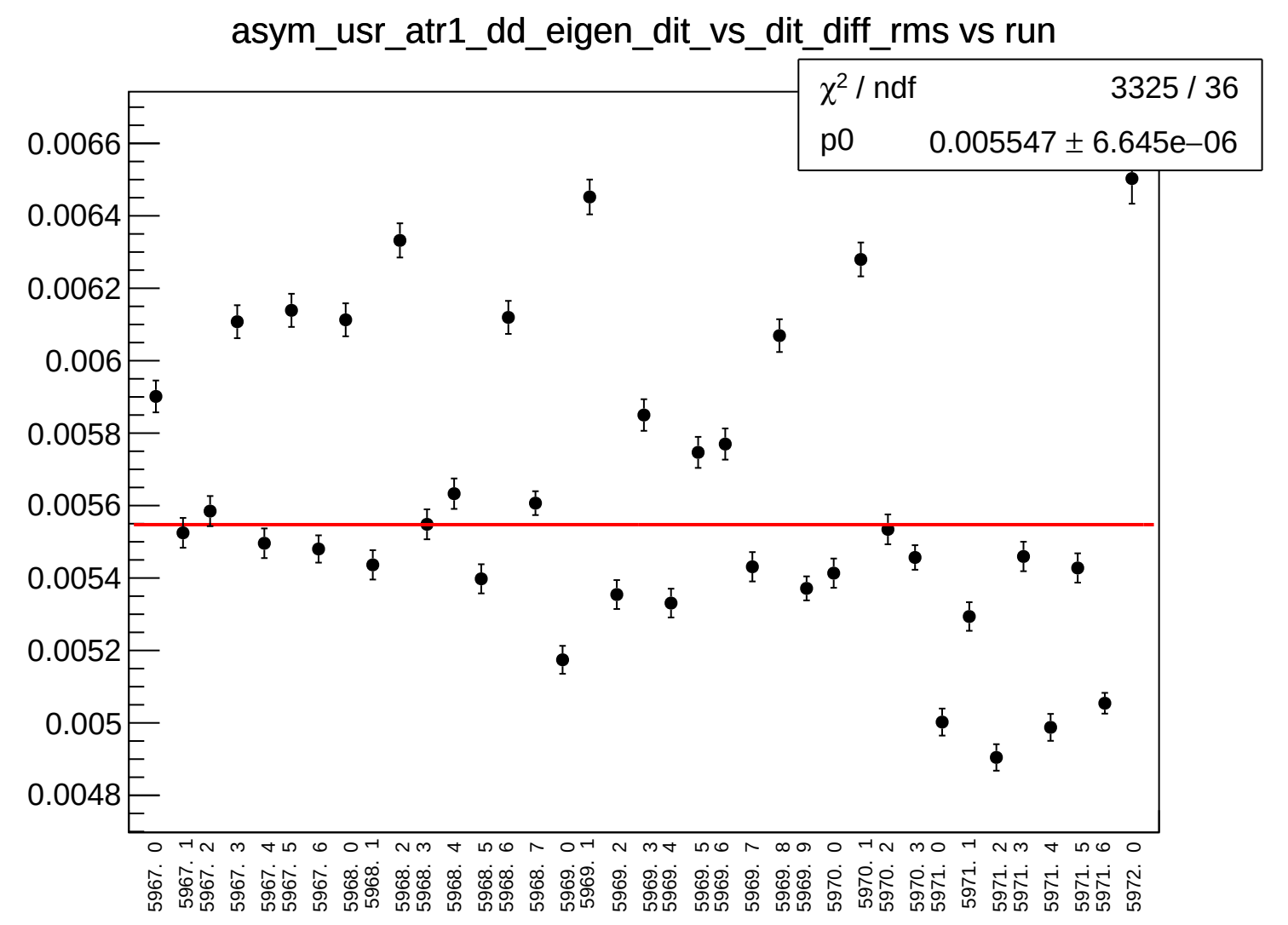
asym_usr_atr1_dd_eigen_dit_vs_dit_diff_rms vs run
χ² / ndf 3325 / 36
p0 0.005547 ± 6.645e−06
0.0066
0.0064
0.0062
0.006
0.0058
0.0056
0.0054
0.0052
0.005
0.0048
5967. 0
5967. 1
5967. 2
5967. 3
5967. 4
5967. 5
5967. 6
5968. 0
5968. 1
5968. 2
5968. 3
5968. 4
5968. 5
5968. 6
5968. 7
5969. 0
5969. 1
5969. 2
5969. 3
5969. 4
5969. 5
5969. 6
5969. 7
5969. 8
5969. 9
5970. 0
5970. 1
5970. 2
5970. 3
5971. 0
5971. 1
5971. 2
5971. 3
5971. 4
5971. 5
5971. 6
5972. 0

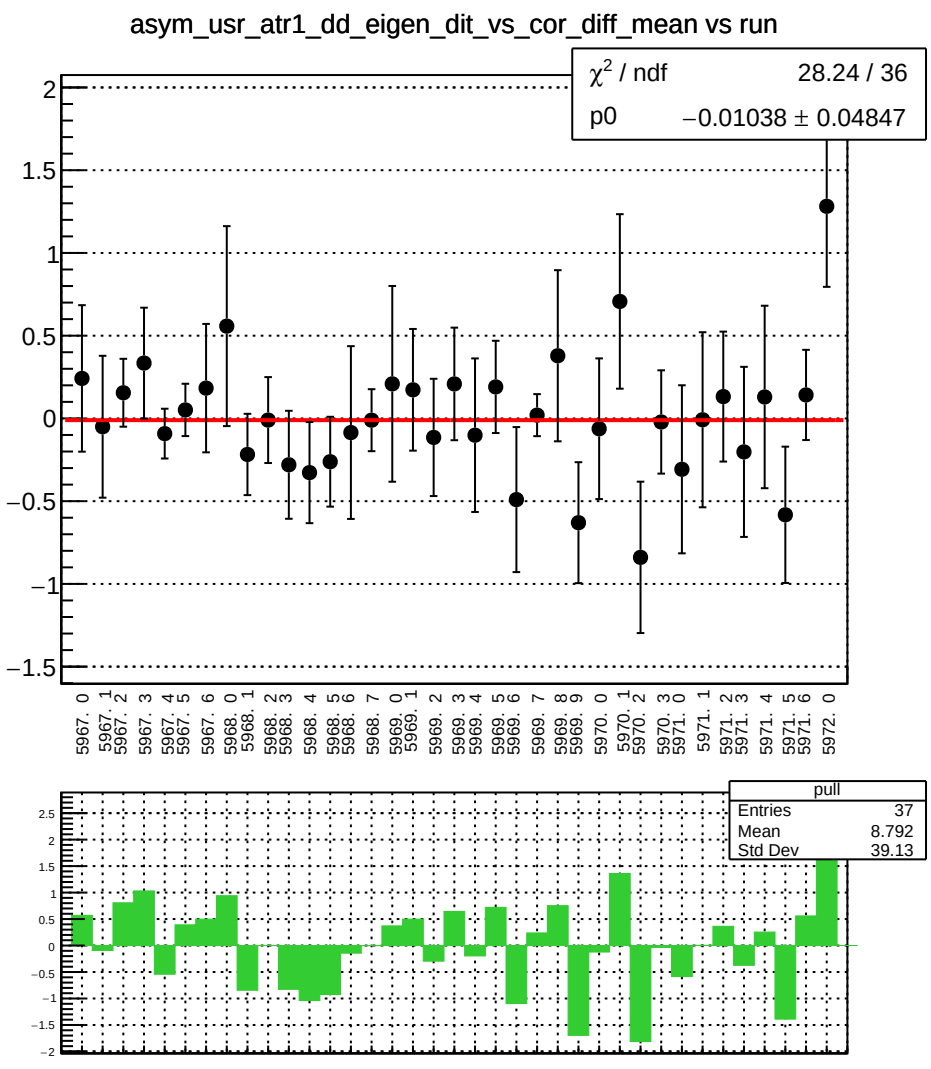
asym_usr_atr1_dd_eigen_dit_vs_cor_diff_mean vs run
χ² / ndf 28.24 / 36
p0 −0.01038 ± 0.04847
pull
Entries 37
Mean 8.792
Std Dev 39.13

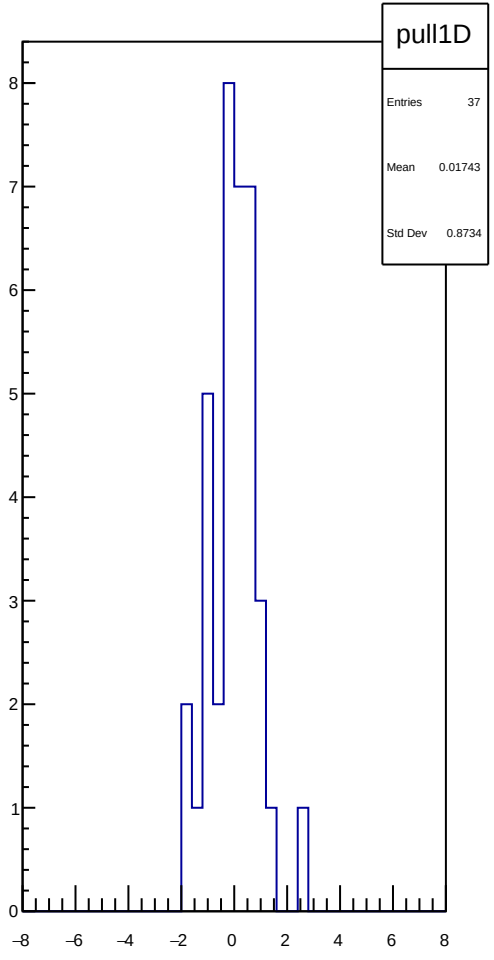
pull1D
Entries 37
Mean 0.01743
Std Dev 0.8734

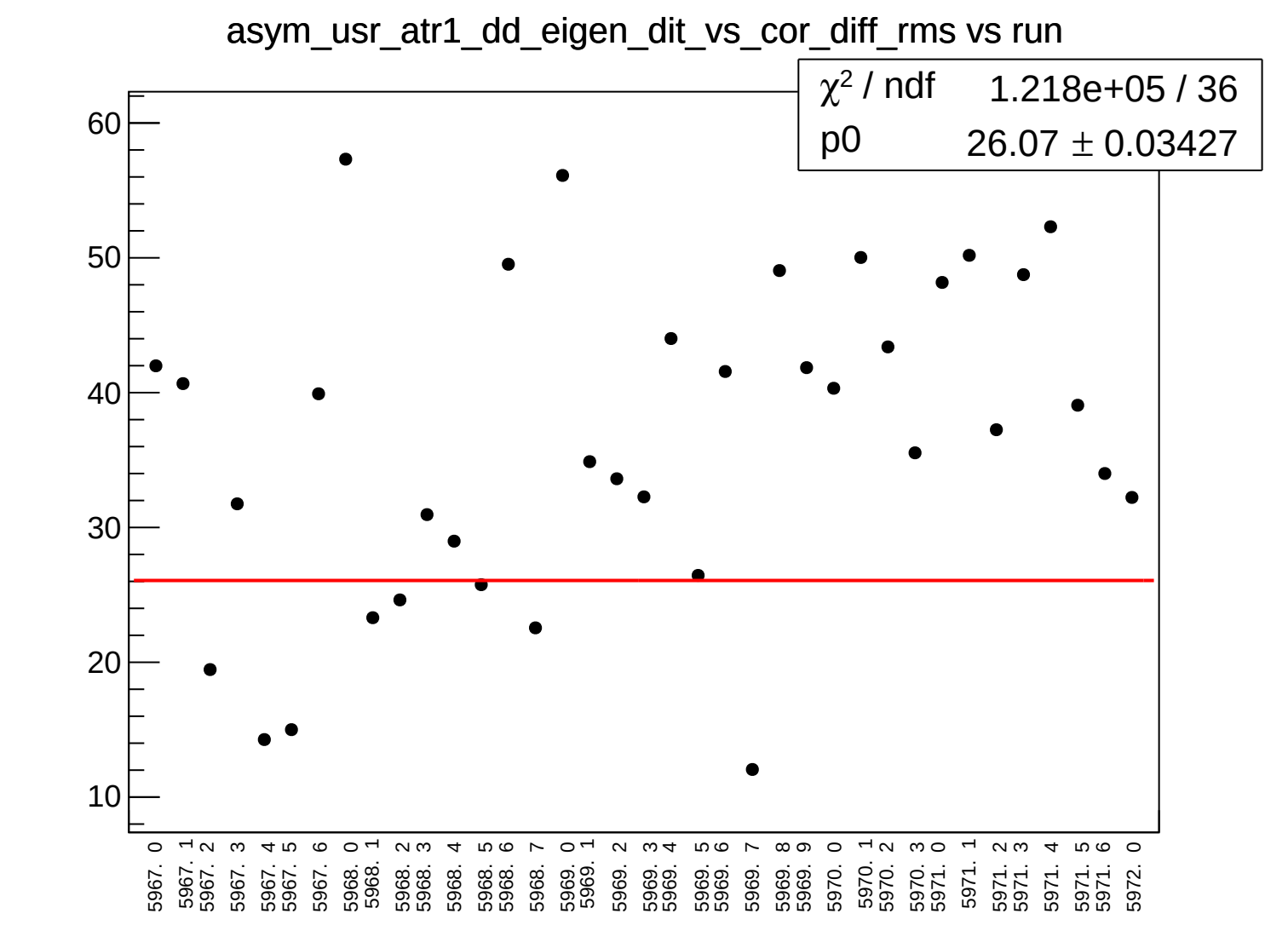
asym_usr_atr1_dd_eigen_dit_vs_cor_diff_rms vs run
χ² / ndf 1.218e+05 / 36
p0 26.07 ± 0.03427
60
50
40
30
20
10
5967. 0
5967. 1
5967. 2
5967. 3
5967. 4
5967. 5
5967. 6
5968. 0
5968. 1
5968. 2
5968. 3
5968. 4
5968. 5
5968. 6
5968. 7
5969. 0
5969. 1
5969. 2
5969. 3
5969. 4
5969. 5
5969. 6
5969. 7
5969. 8
5969. 9
5970. 0
5970. 1
5970. 2
5970. 3
5971. 0
5971. 1
5971. 2
5971. 3
5971. 4
5971. 5
5971. 6
5972. 0

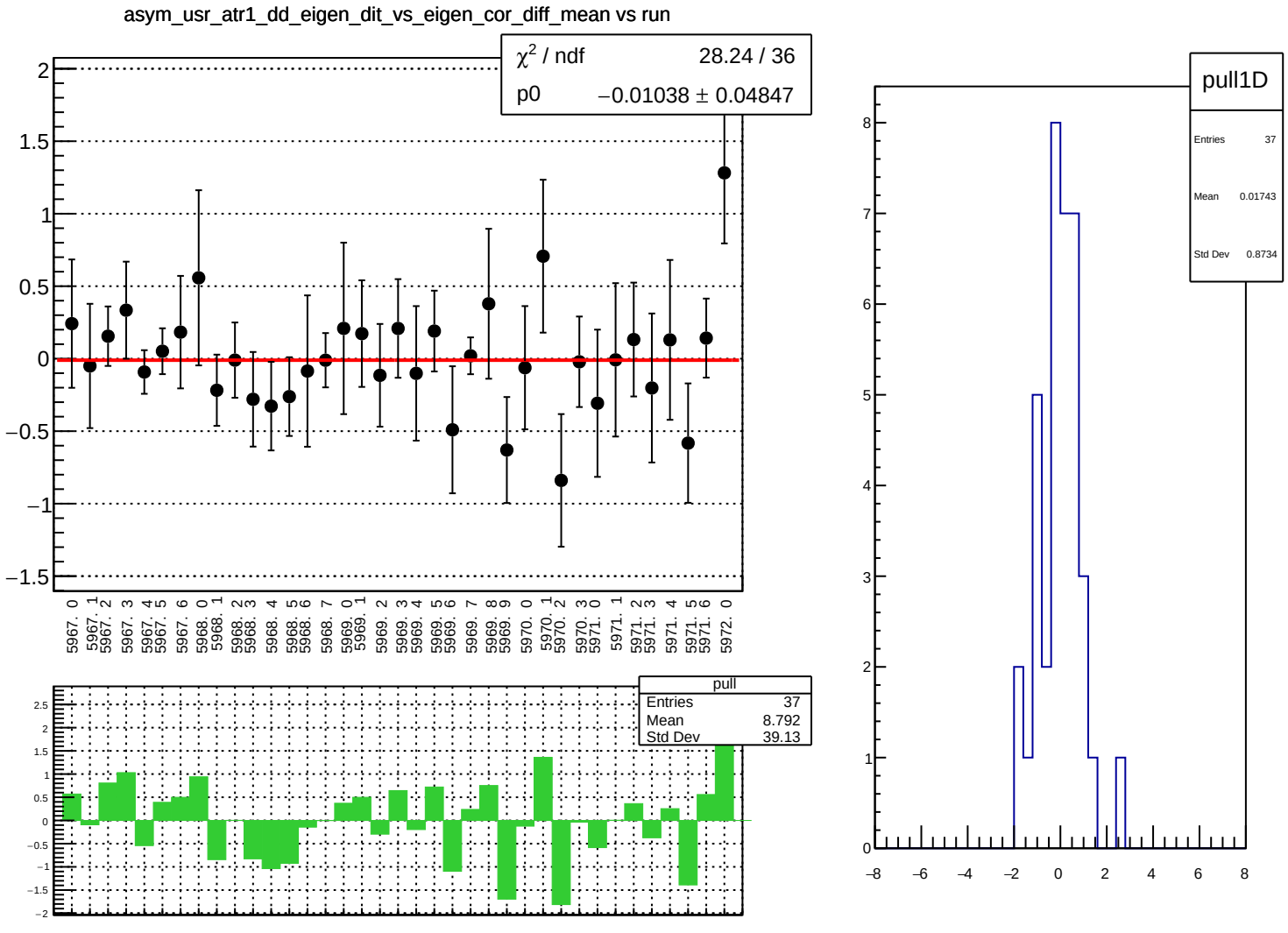
asym_usr_atr1_dd_eigen_dit_vs_eigen_cor_diff_mean vs run
χ² / ndf 28.24 / 36
p0 −0.01038 ± 0.04847
pull
Entries 37
Mean 8.792
Std Dev 39.13
pull1D
Entries 37
Mean 0.01743
Std Dev 0.8734

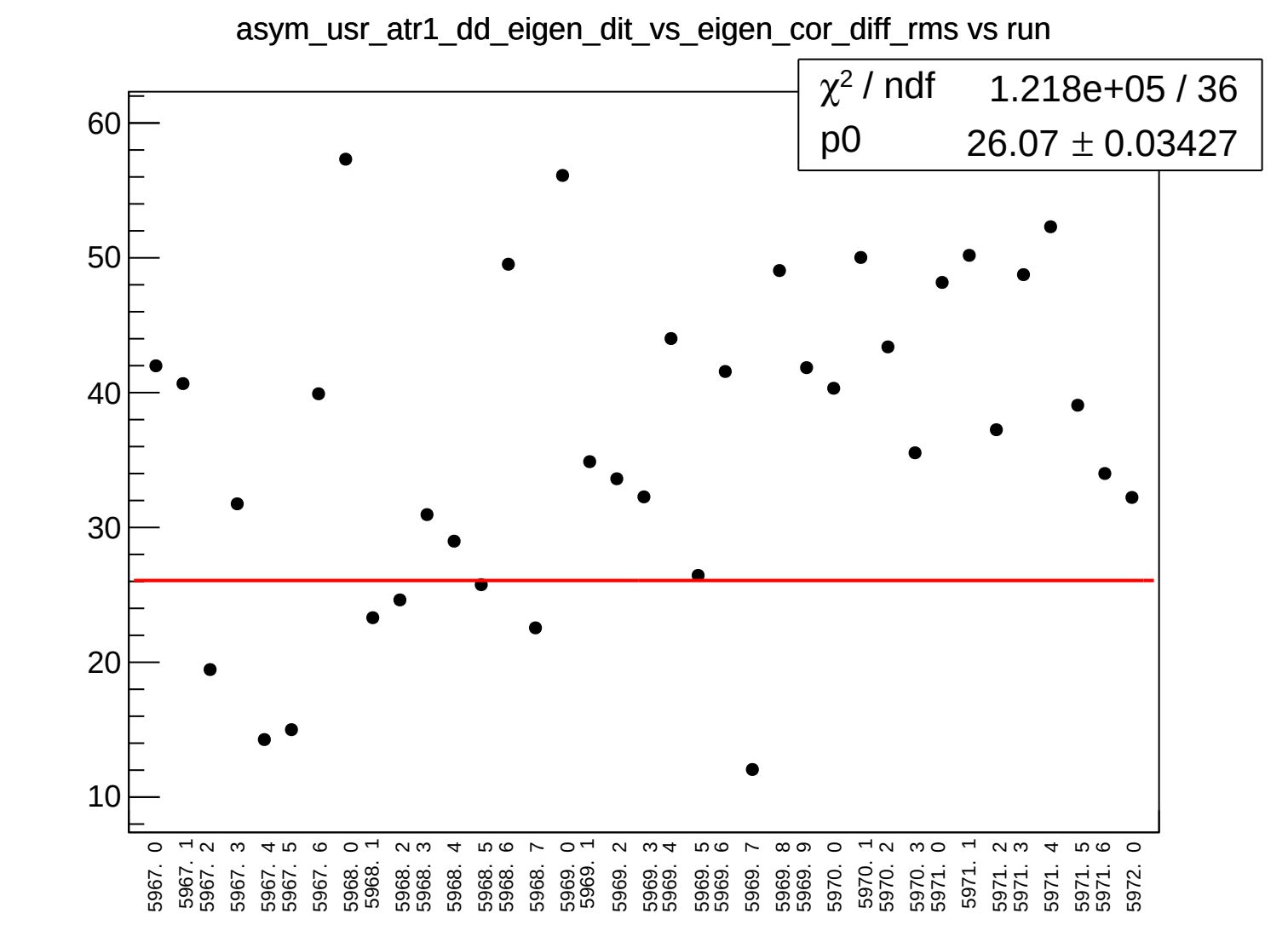
asym_usr_atr1_dd_eigen_dit_vs_eigen_cor_diff_rms vs run
χ² / ndf 1.218e+05 / 36
p0 26.07 ± 0.03427
60
50
40
30
20
10
5967. 0
5967. 1
5967. 2
5967. 3
5967. 4
5967. 5
5967. 6
5968. 0
5968. 1
5968. 2
5968. 3
5968. 4
5968. 5
5968. 6
5968. 7
5969. 0
5969. 1
5969. 2
5969. 3
5969. 4
5969. 5
5969. 6
5969. 7
5969. 8
5969. 9
5970. 0
5970. 1
5970. 2
5970. 3
5971. 0
5971. 1
5971. 2
5971. 3
5971. 4
5971. 5
5971. 6
5972. 0

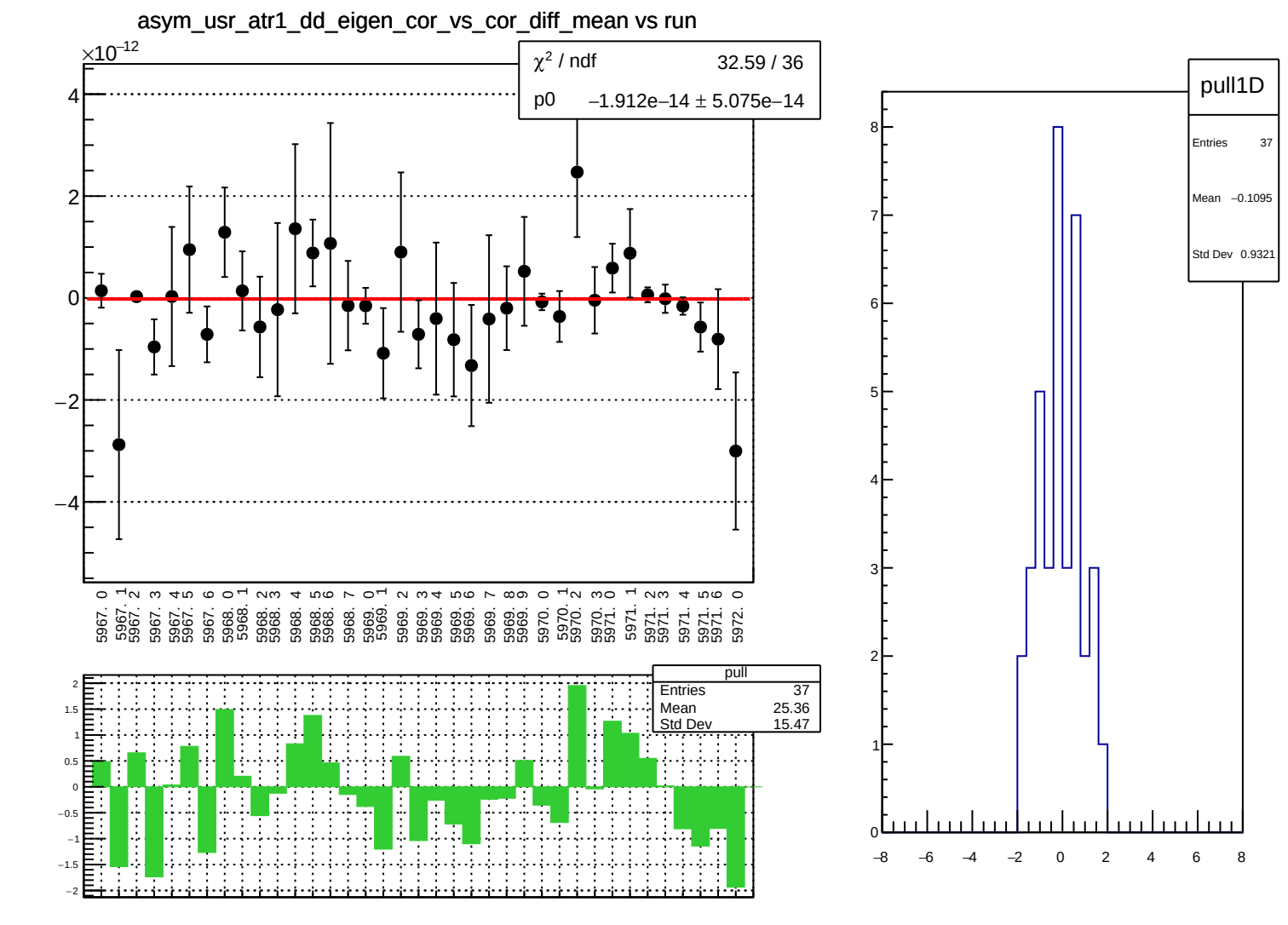
asym_usr_atr1_dd_eigen_cor_vs_cor_diff_mean vs run
×10⁻¹²
χ² / ndf 32.59 / 36
p0 −1.912e−14 ± 5.075e−14
pull
Entries 37
Mean 25.36
Std Dev 15.47
pull1D
Entries 37
Mean −0.1095
Std Dev 0.9321

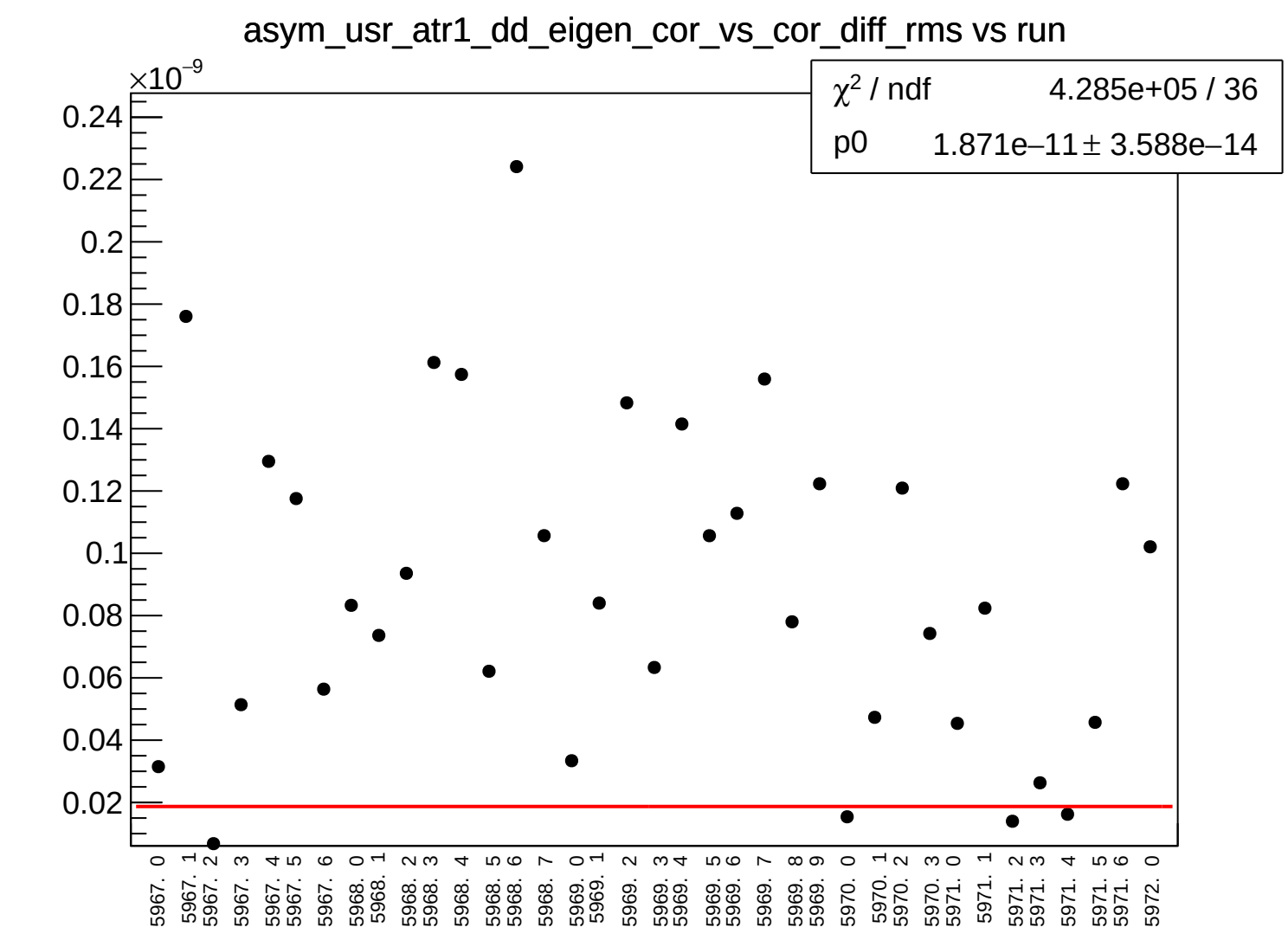
asym_usr_atr1_dd_eigen_cor_vs_cor_diff_rms vs run
×10⁻⁹
χ² / ndf 4.285e+05 / 36
p0 1.871e−11 ± 3.588e−14
0.24
0.22
0.2
0.18
0.16
0.14
0.12
0.1
0.08
0.06
0.04
0.02
5967. 0
5967. 1
5967. 2
5967. 3
5967. 4
5967. 5
5967. 6
5968. 0
5968. 1
5968. 2
5968. 3
5968. 4
5968. 5
5968. 6
5968. 7
5969. 0
5969. 1
5969. 2
5969. 3
5969. 4
5969. 5
5969. 6
5969. 7
5969. 8
5969. 9
5970. 0
5970. 1
5970. 2
5970. 3
5971. 0
5971. 1
5971. 2
5971. 3
5971. 4
5971. 5
5971. 6
5972. 0

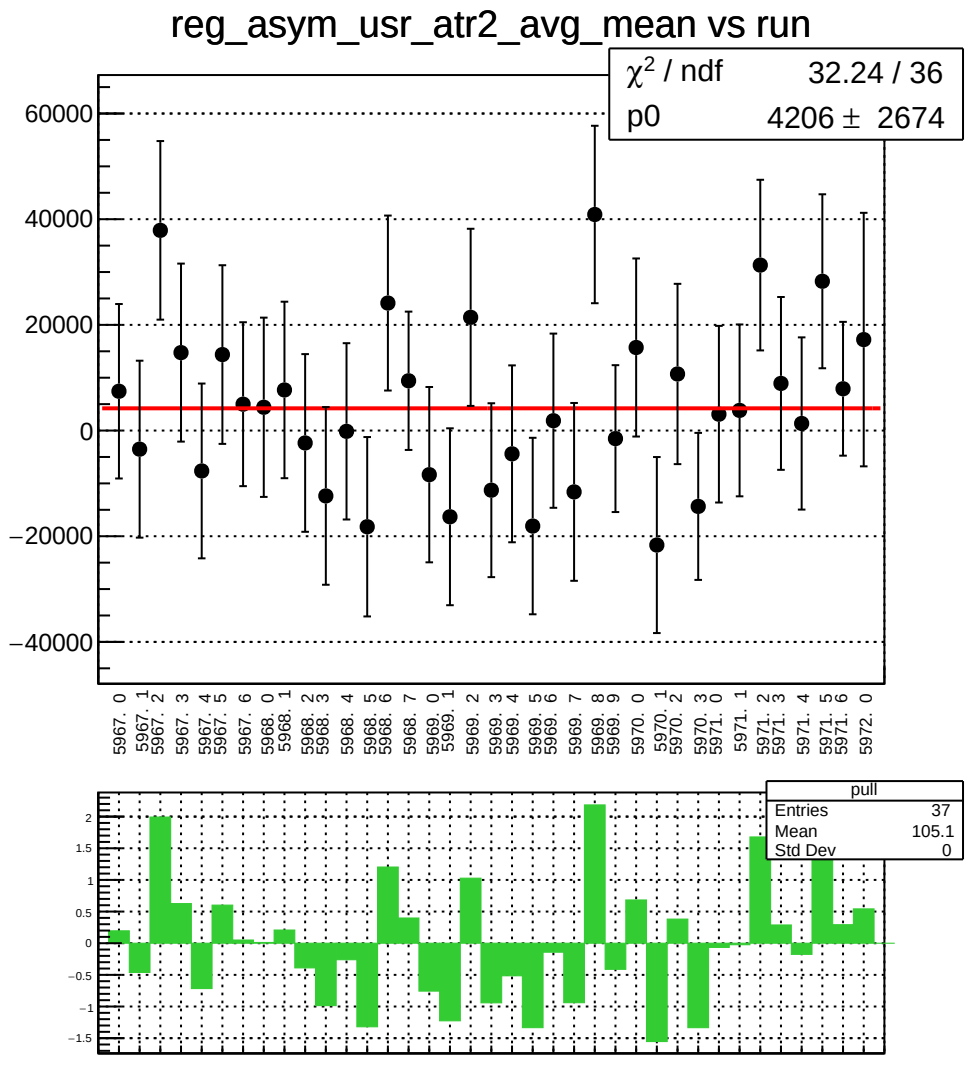
reg_asym_usr_atr2_avg_mean vs run
χ² / ndf 32.24 / 36
p0 4206 ± 2674
60000
40000
20000
0
−20000
−40000
5967. 0
5967. 1
5967. 2
5967. 3
5967. 4
5967. 5
5967. 6
5968. 0
5968. 1
5968. 2
5968. 3
5968. 4
5968. 5
5968. 6
5968. 7
5969. 0
5969. 1
5969. 2
5969. 3
5969. 4
5969. 5
5969. 6
5969. 7
5969. 8
5969. 9
5970. 0
5970. 1
5970. 2
5970. 3
5971. 0
5971. 1
5971. 2
5971. 3
5971. 4
5971. 5
5971. 6
5972. 0
pull
Entries 37
Mean 105.1
Std Dev 0
2
1.5
1
0.5
0
−0.5
−1
−1.5

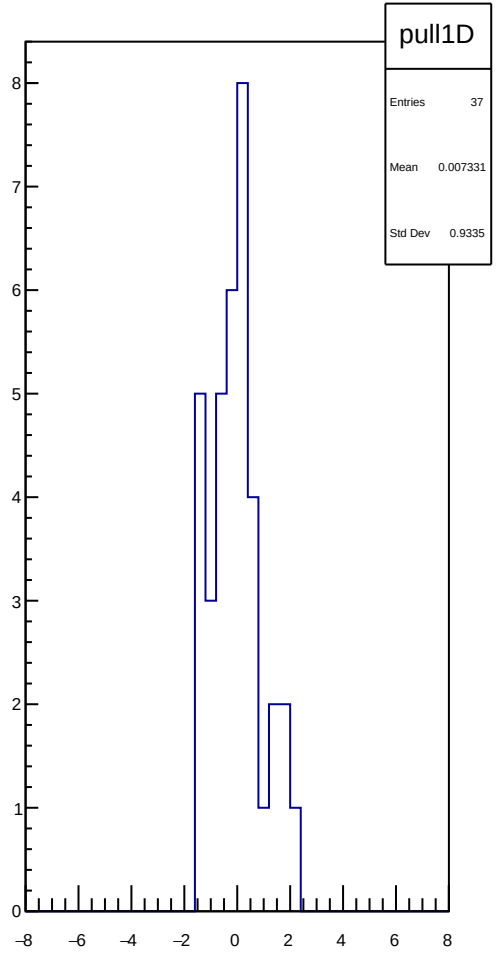
pull1D
Entries 37
Mean 0.007331
Std Dev 0.9335
8
7
6
5
4
3
2
1
0
−8
−6
−4
−2
0
2
4
6
8

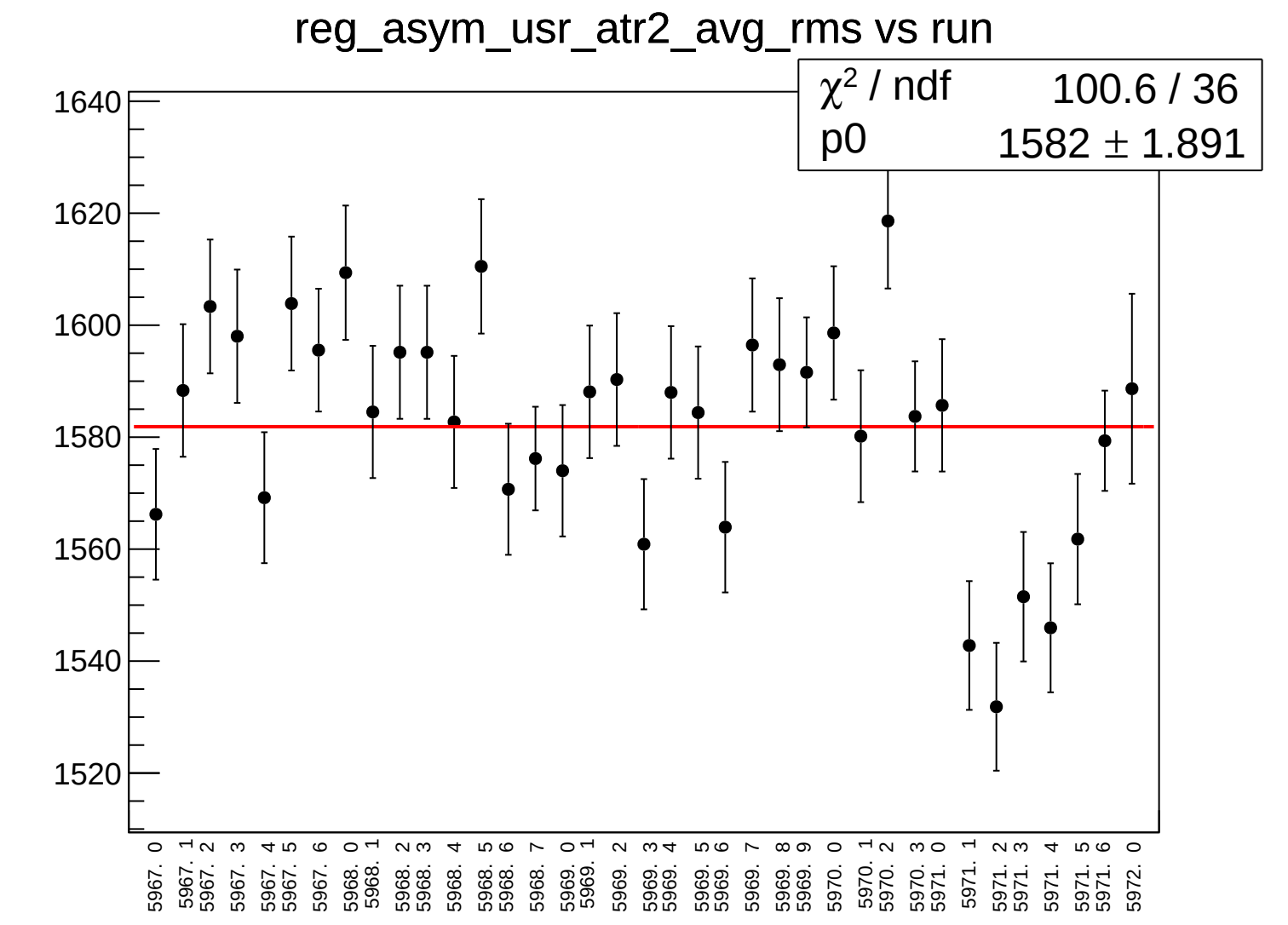
reg_asym_usr_atr2_avg_rms vs run
χ² / ndf 100.6 / 36
p0 1582 ± 1.891
1640
1620
1600
1580
1560
1540
1520
5967. 0
5967. 1
5967. 2
5967. 3
5967. 4
5967. 5
5967. 6
5968. 0
5968. 1
5968. 2
5968. 3
5968. 4
5968. 5
5968. 6
5968. 7
5969. 0
5969. 1
5969. 2
5969. 3
5969. 4
5969. 5
5969. 6
5969. 7
5969. 8
5969. 9
5970. 0
5970. 1
5970. 2
5970. 3
5971. 0
5971. 1
5971. 2
5971. 3
5971. 4
5971. 5
5971. 6
5972. 0

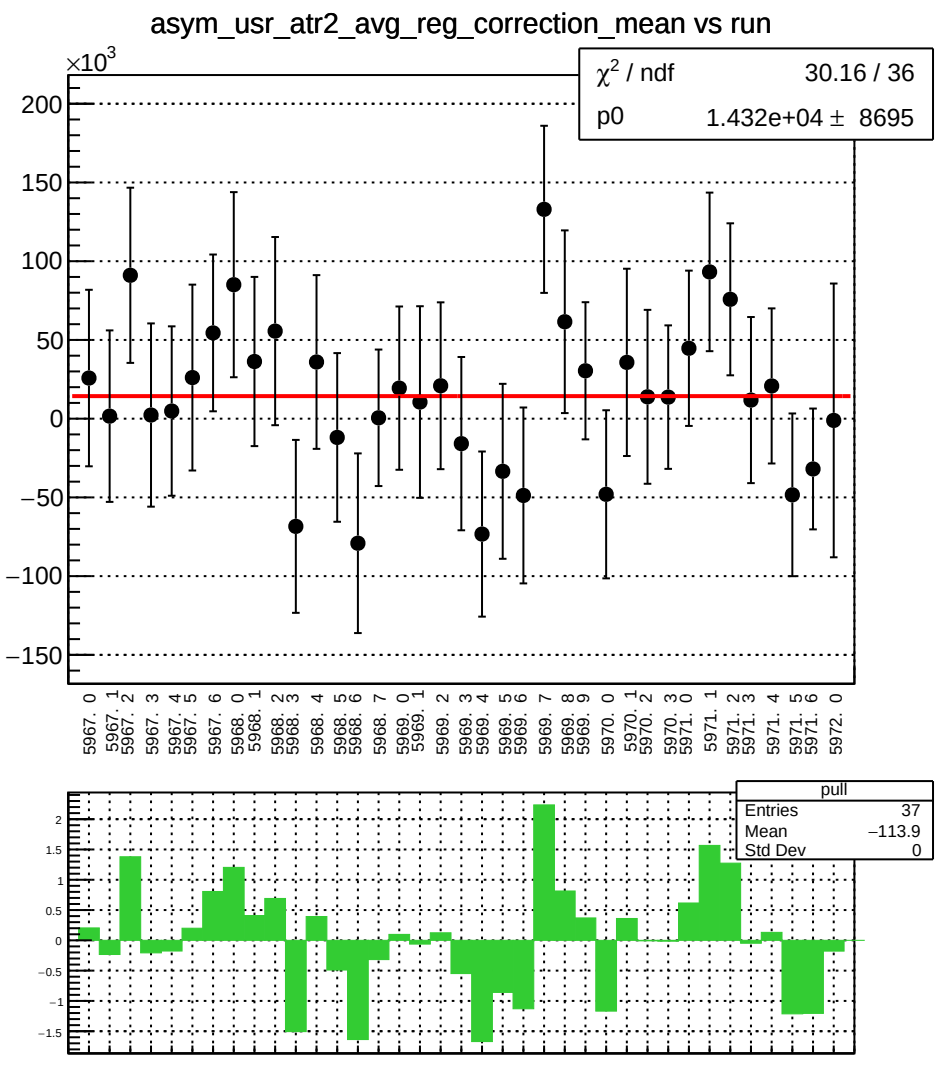
asym_usr_atr2_avg_reg_correction_mean vs run
×10^3
χ² / ndf 30.16 / 36
p0 1.432e+04 ± 8695
200
150
100
50
0
−50
−100
−150
5967. 0
5967. 1
5967. 2
5967. 3
5967. 4
5967. 5
5967. 6
5968. 0
5968. 1
5968. 2
5968. 3
5968. 4
5968. 5
5968. 6
5968. 7
5969. 0
5969. 1
5969. 2
5969. 3
5969. 4
5969. 5
5969. 6
5969. 7
5969. 8
5969. 9
5970. 0
5970. 1
5970. 2
5970. 3
5971. 0
5971. 1
5971. 2
5971. 3
5971. 4
5971. 5
5971. 6
5972. 0
pull
Entries 37
Mean −113.9
Std Dev 0
2
1.5
1
0.5
0
−0.5
−1
−1.5

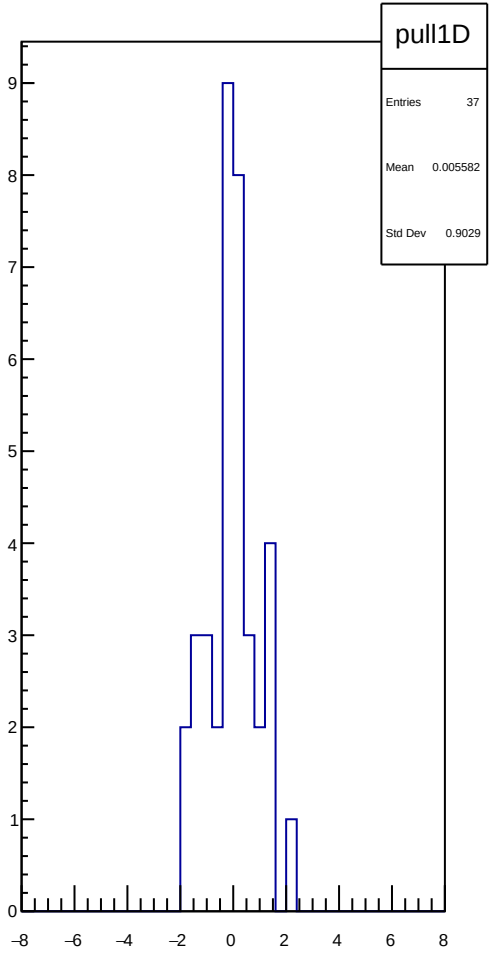
pull1D
Entries 37
Mean 0.005582
Std Dev 0.9029
9
8
7
6
5
4
3
2
1
0
−8
−6
−4
−2
0
2
4
6
8

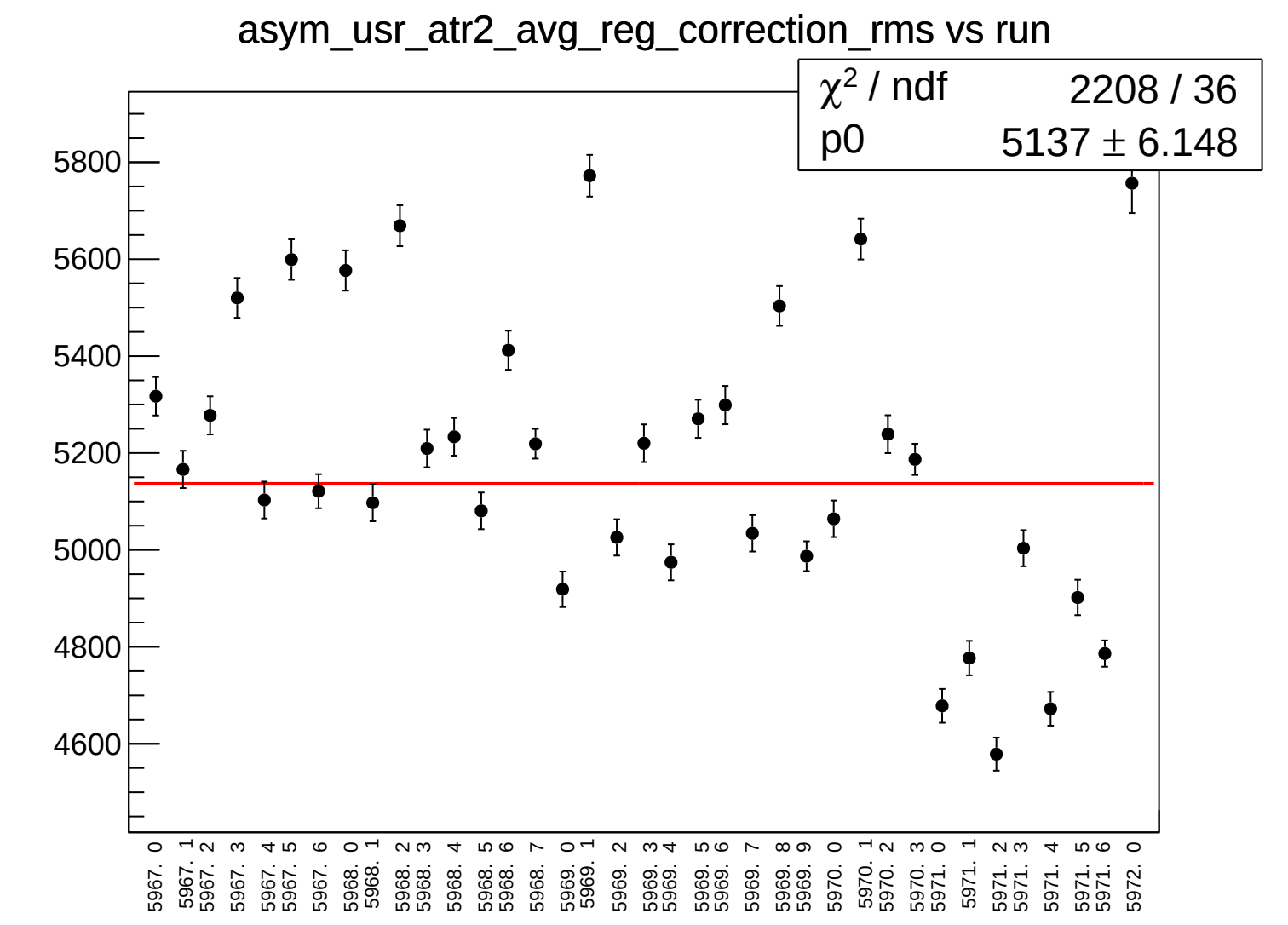
asym_usr_atr2_avg_reg_correction_rms vs run
χ² / ndf 2208 / 36
p0 5137 ± 6.148
5800
5600
5400
5200
5000
4800
4600
5967. 0
5967. 1
5967. 2
5967. 3
5967. 4
5967. 5
5967. 6
5968. 0
5968. 1
5968. 2
5968. 3
5968. 4
5968. 5
5968. 6
5968. 7
5969. 0
5969. 1
5969. 2
5969. 3
5969. 4
5969. 5
5969. 6
5969. 7
5969. 8
5969. 9
5970. 0
5970. 1
5970. 2
5970. 3
5971. 0
5971. 1
5971. 2
5971. 3
5971. 4
5971. 5
5971. 6
5972. 0

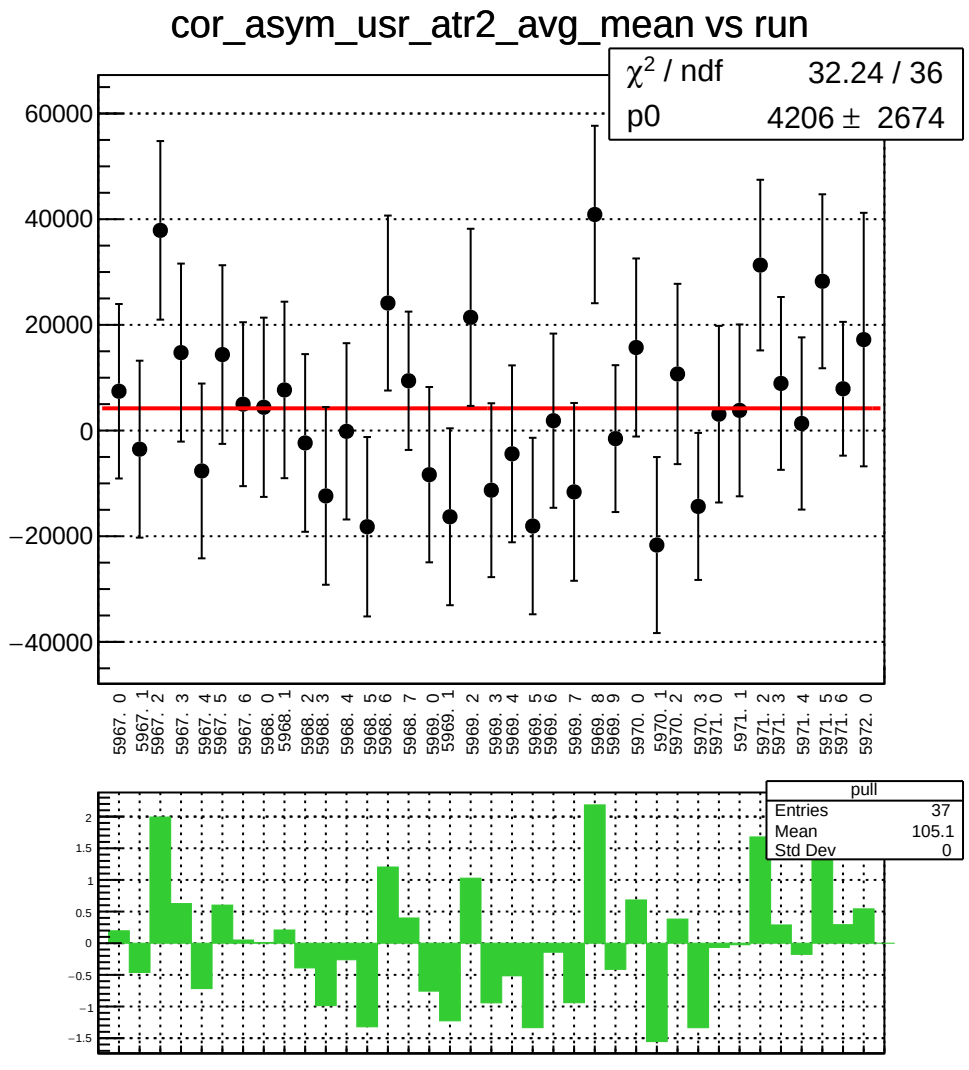
cor_asym_usr_atr2_avg_mean vs run
χ² / ndf 32.24 / 36
p0 4206 ± 2674
60000
40000
20000
0
−20000
−40000
5967. 0
5967. 1
5967. 2
5967. 3
5967. 4
5967. 5
5967. 6
5968. 0
5968. 1
5968. 2
5968. 3
5968. 4
5968. 5
5968. 6
5968. 7
5969. 0
5969. 1
5969. 2
5969. 3
5969. 4
5969. 5
5969. 6
5969. 7
5969. 8
5969. 9
5970. 0
5970. 1
5970. 2
5970. 3
5971. 0
5971. 1
5971. 2
5971. 3
5971. 4
5971. 5
5971. 6
5972. 0
pull
Entries 37
Mean 105.1
Std Dev 0
2
1.5
1
0.5
0
−0.5
−1
−1.5

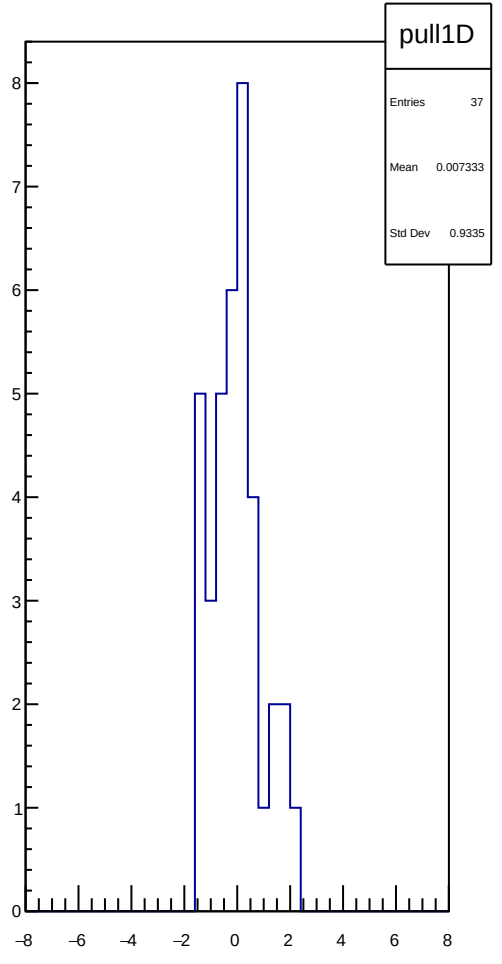
pull1D
Entries 37
Mean 0.007333
Std Dev 0.9335
8
7
6
5
4
3
2
1
0
−8
−6
−4
−2
0
2
4
6
8

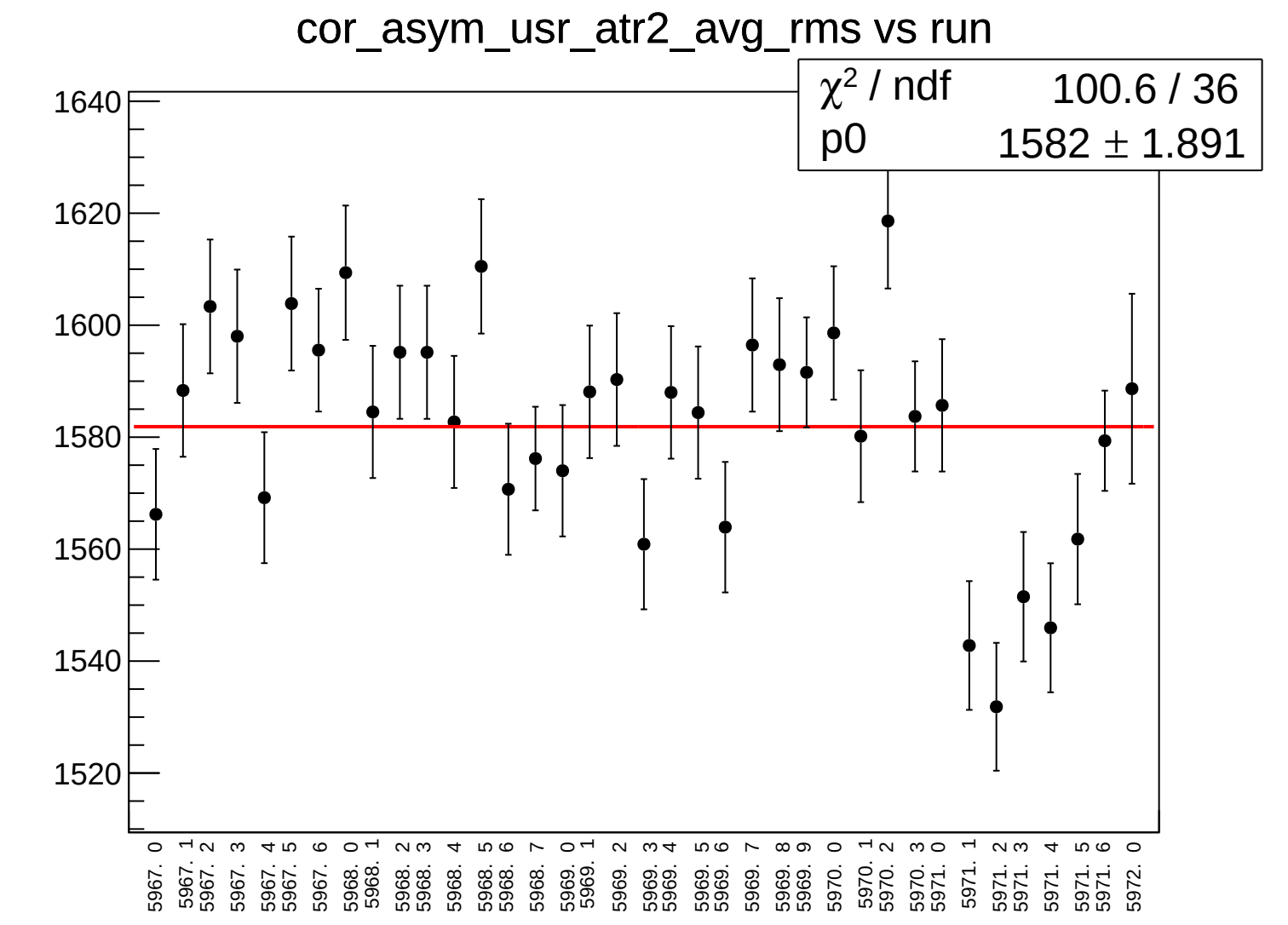
cor_asym_usr_atr2_avg_rms vs run
χ² / ndf 100.6 / 36
p0 1582 ± 1.891
1640
1620
1600
1580
1560
1540
1520
5967. 0
5967. 1
5967. 2
5967. 3
5967. 4
5967. 5
5967. 6
5968. 0
5968. 1
5968. 2
5968. 3
5968. 4
5968. 5
5968. 6
5968. 7
5969. 0
5969. 1
5969. 2
5969. 3
5969. 4
5969. 5
5969. 6
5969. 7
5969. 8
5969. 9
5970. 0
5970. 1
5970. 2
5970. 3
5971. 0
5971. 1
5971. 2
5971. 3
5971. 4
5971. 5
5971. 6
5972. 0

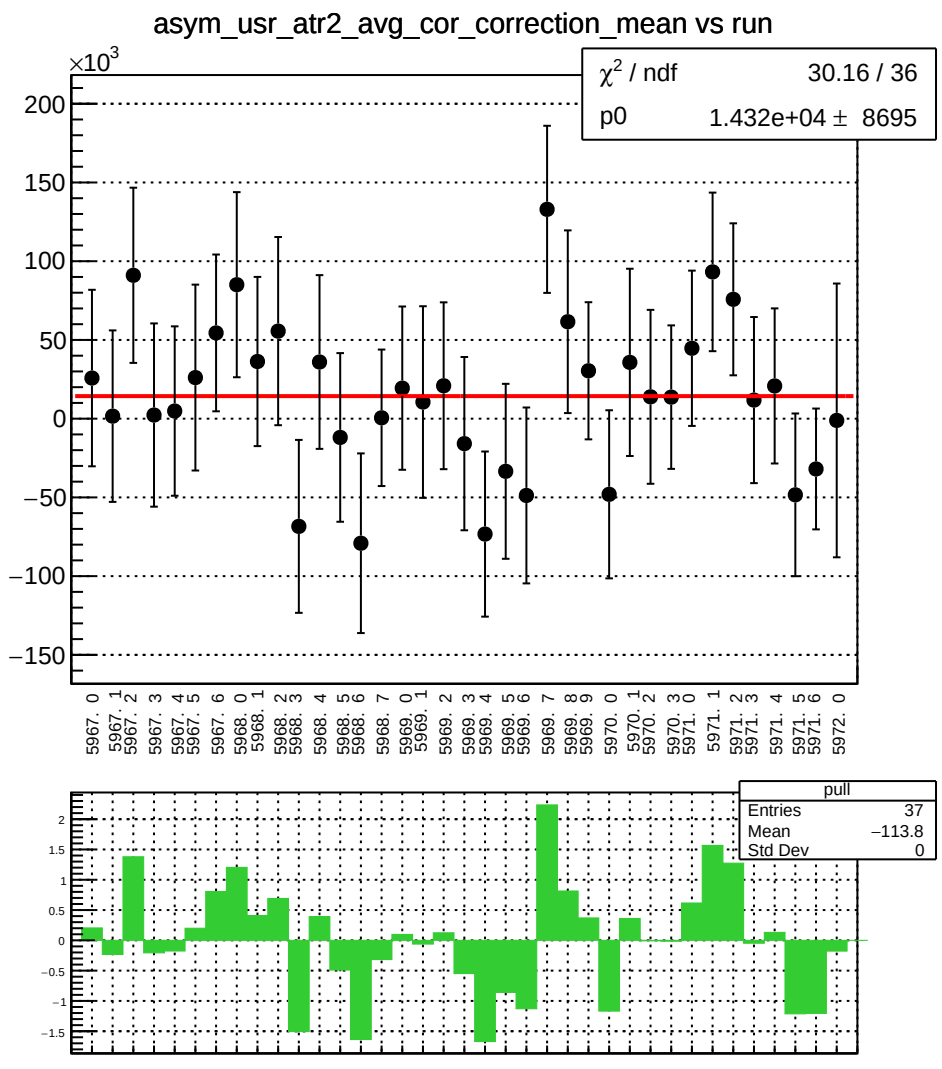
asym_usr_atr2_avg_cor_correction_mean vs run
×10^3
χ² / ndf 30.16 / 36
p0 1.432e+04 ± 8695
200
150
100
50
0
−50
−100
−150
5967. 0
5967. 1
5967. 2
5967. 3
5967. 4
5967. 5
5967. 6
5968. 0
5968. 1
5968. 2
5968. 3
5968. 4
5968. 5
5968. 6
5968. 7
5969. 0
5969. 1
5969. 2
5969. 3
5969. 4
5969. 5
5969. 6
5969. 7
5969. 8
5969. 9
5970. 0
5970. 1
5970. 2
5970. 3
5971. 0
5971. 1
5971. 2
5971. 3
5971. 4
5971. 5
5971. 6
5972. 0
pull
Entries 37
Mean −113.8
Std Dev 0
2
1.5
1
0.5
0
−0.5
−1
−1.5

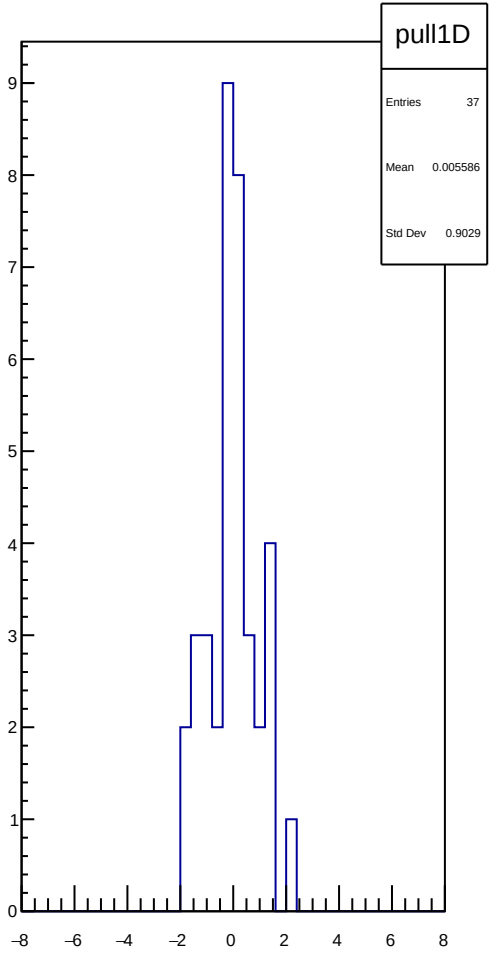
pull1D
Entries 37
Mean 0.005586
Std Dev 0.9029
9
8
7
6
5
4
3
2
1
0
−8
−6
−4
−2
0
2
4
6
8

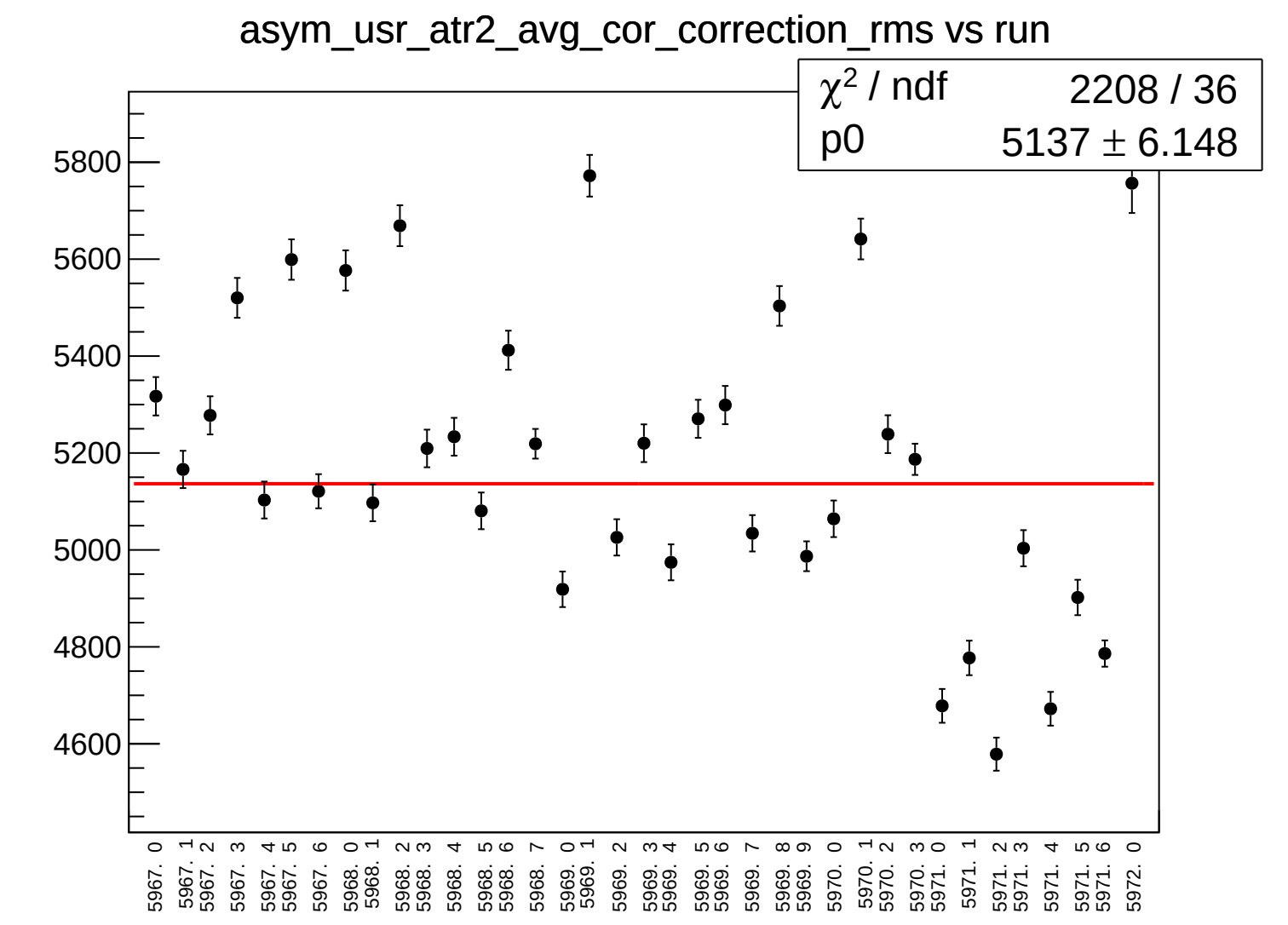
asym_usr_atr2_avg_cor_correction_rms vs run
χ² / ndf 2208 / 36
p0 5137 ± 6.148
5800
5600
5400
5200
5000
4800
4600
5967. 0
5967. 1
5967. 2
5967. 3
5967. 4
5967. 5
5967. 6
5968. 0
5968. 1
5968. 2
5968. 3
5968. 4
5968. 5
5968. 6
5968. 7
5969. 0
5969. 1
5969. 2
5969. 3
5969. 4
5969. 5
5969. 6
5969. 7
5969. 8
5969. 9
5970. 0
5970. 1
5970. 2
5970. 3
5971. 0
5971. 1
5971. 2
5971. 3
5971. 4
5971. 5
5971. 6
5972. 0

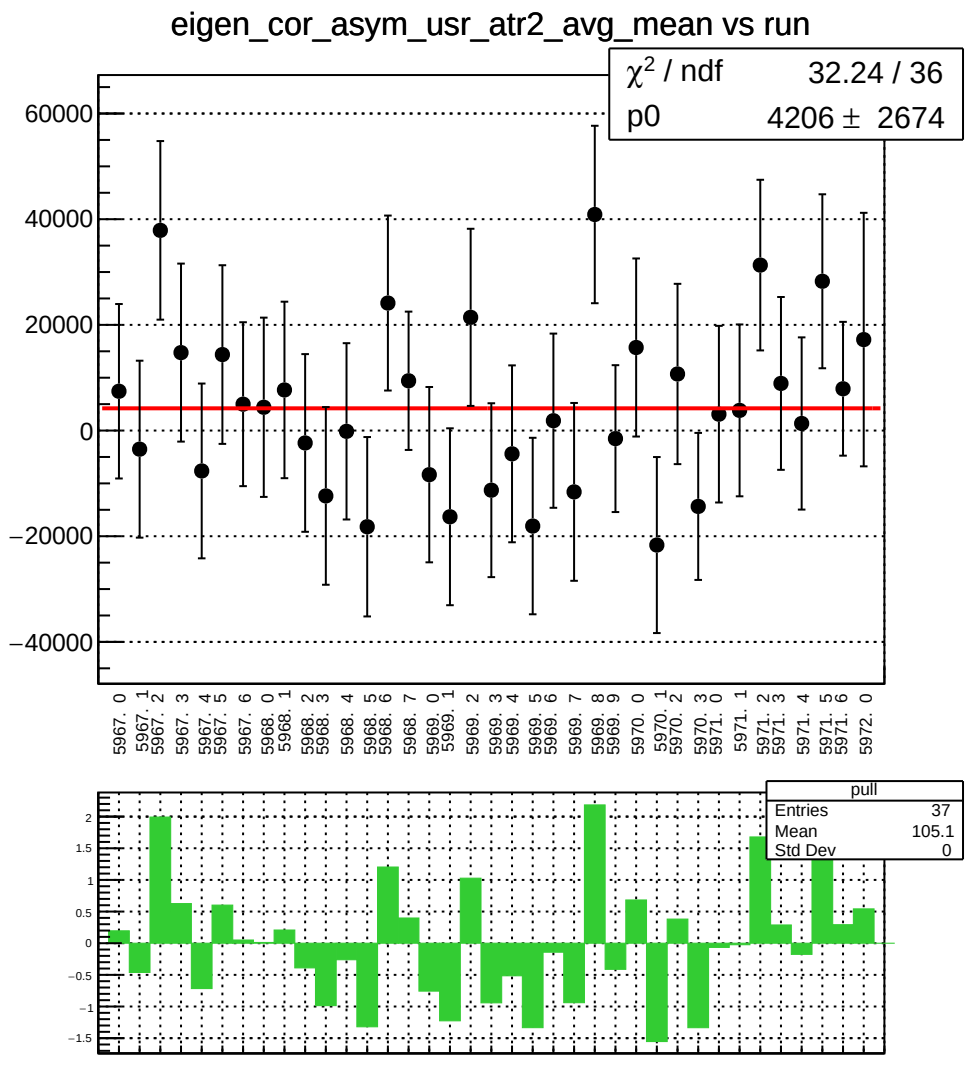
eigen_cor_asym_usr_atr2_avg_mean vs run
χ² / ndf 32.24 / 36
p0 4206 ± 2674
60000
40000
20000
0
−20000
−40000
5967. 0
5967. 1
5967. 2
5967. 3
5967. 4
5967. 5
5967. 6
5968. 0
5968. 1
5968. 2
5968. 3
5968. 4
5968. 5
5968. 6
5968. 7
5969. 0
5969. 1
5969. 2
5969. 3
5969. 4
5969. 5
5969. 6
5969. 7
5969. 8
5969. 9
5970. 0
5970. 1
5970. 2
5970. 3
5971. 0
5971. 1
5971. 2
5971. 3
5971. 4
5971. 5
5971. 6
5972. 0
pull
Entries 37
Mean 105.1
Std Dev 0
2
1.5
1
0.5
0
−0.5
−1
−1.5
pull1D
Entries 37
Mean 0.007333
Std Dev 0.9335
8
7
6
5
4
3
2
1
0
−8
−6
−4
−2
0
2
4
6
8

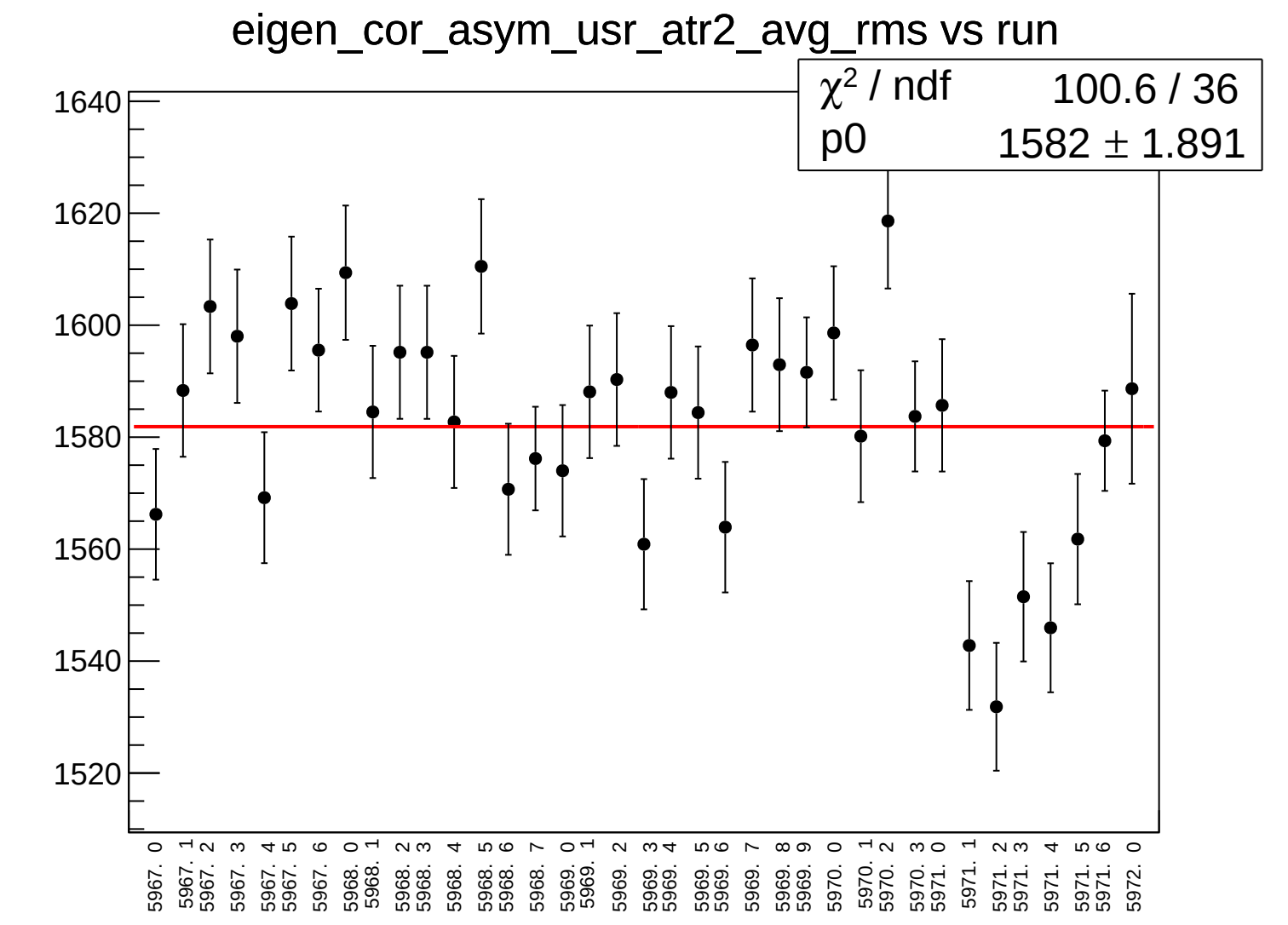
eigen_cor_asym_usr_atr2_avg_rms vs run
χ² / ndf 100.6 / 36
p0 1582 ± 1.891
1640
1620
1600
1580
1560
1540
1520
5967. 0
5967. 1
5967. 2
5967. 3
5967. 4
5967. 5
5967. 6
5968. 0
5968. 1
5968. 2
5968. 3
5968. 4
5968. 5
5968. 6
5968. 7
5969. 0
5969. 1
5969. 2
5969. 3
5969. 4
5969. 5
5969. 6
5969. 7
5969. 8
5969. 9
5970. 0
5970. 1
5970. 2
5970. 3
5971. 0
5971. 1
5971. 2
5971. 3
5971. 4
5971. 5
5971. 6
5972. 0

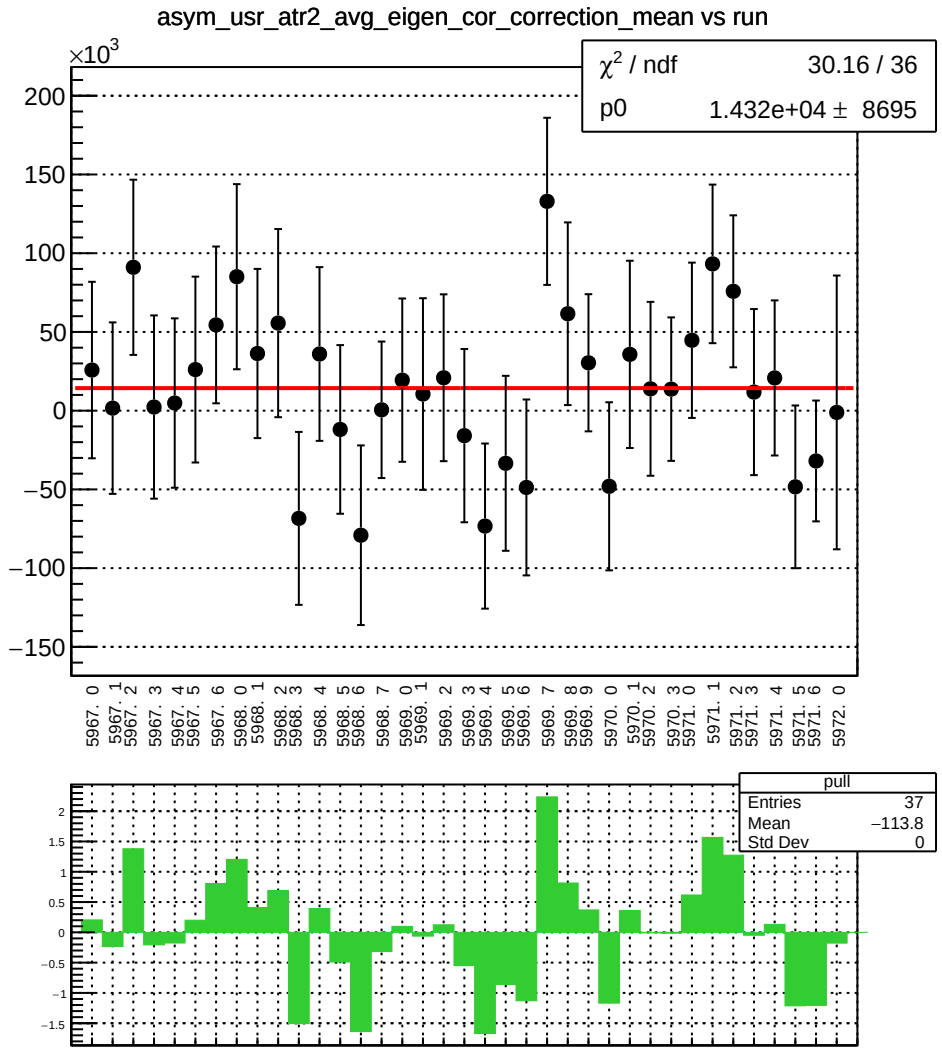
asym_usr_atr2_avg_eigen_cor_correction_mean vs run
×10^3
χ² / ndf 30.16 / 36
p0 1.432e+04 ± 8695
200
150
100
50
0
−50
−100
−150
5967. 0
5967. 1
5967. 2
5967. 3
5967. 4
5967. 5
5967. 6
5968. 0
5968. 1
5968. 2
5968. 3
5968. 4
5968. 5
5968. 6
5968. 7
5969. 0
5969. 1
5969. 2
5969. 3
5969. 4
5969. 5
5969. 6
5969. 7
5969. 8
5969. 9
5970. 0
5970. 1
5970. 2
5970. 3
5971. 0
5971. 1
5971. 2
5971. 3
5971. 4
5971. 5
5971. 6
5972. 0
pull
Entries 37
Mean −113.8
Std Dev 0
2
1.5
1
0.5
0
−0.5
−1
−1.5

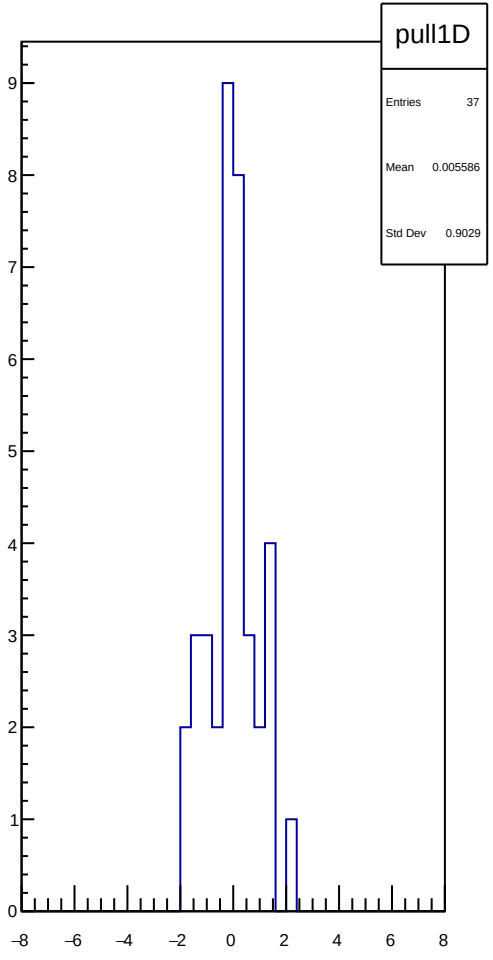
pull1D
Entries 37
Mean 0.005586
Std Dev 0.9029
9
8
7
6
5
4
3
2
1
0
−8
−6
−4
−2
0
2
4
6
8

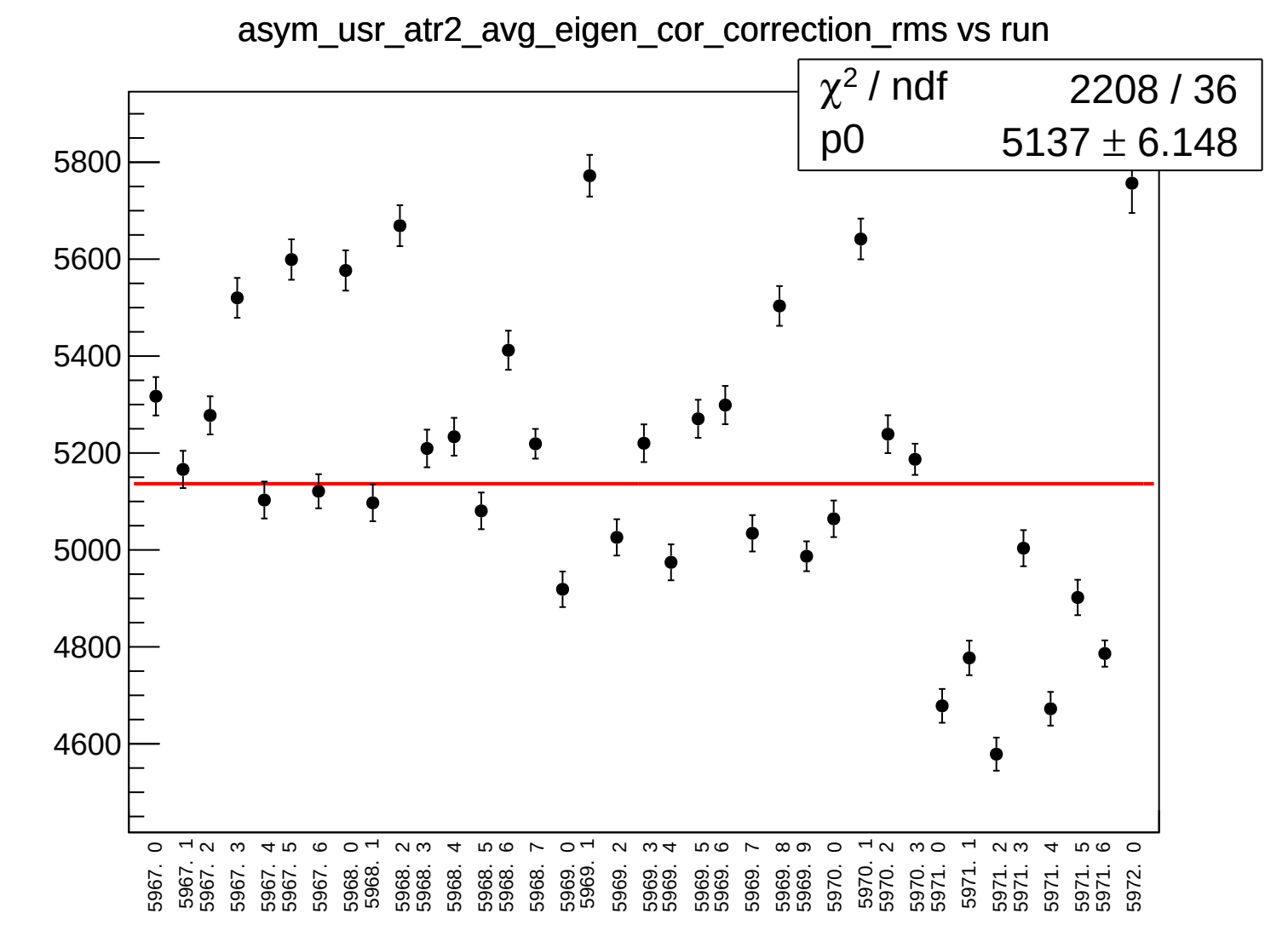
asym_usr_atr2_avg_eigen_cor_correction_rms vs run
χ² / ndf 2208 / 36
p0 5137 ± 6.148
5800
5600
5400
5200
5000
4800
4600
5967. 0
5967. 1
5967. 2
5967. 3
5967. 4
5967. 5
5967. 6
5968. 0
5968. 1
5968. 2
5968. 3
5968. 4
5968. 5
5968. 6
5968. 7
5969. 0
5969. 1
5969. 2
5969. 3
5969. 4
5969. 5
5969. 6
5969. 7
5969. 8
5969. 9
5970. 0
5970. 1
5970. 2
5970. 3
5971. 0
5971. 1
5971. 2
5971. 3
5971. 4
5971. 5
5971. 6
5972. 0

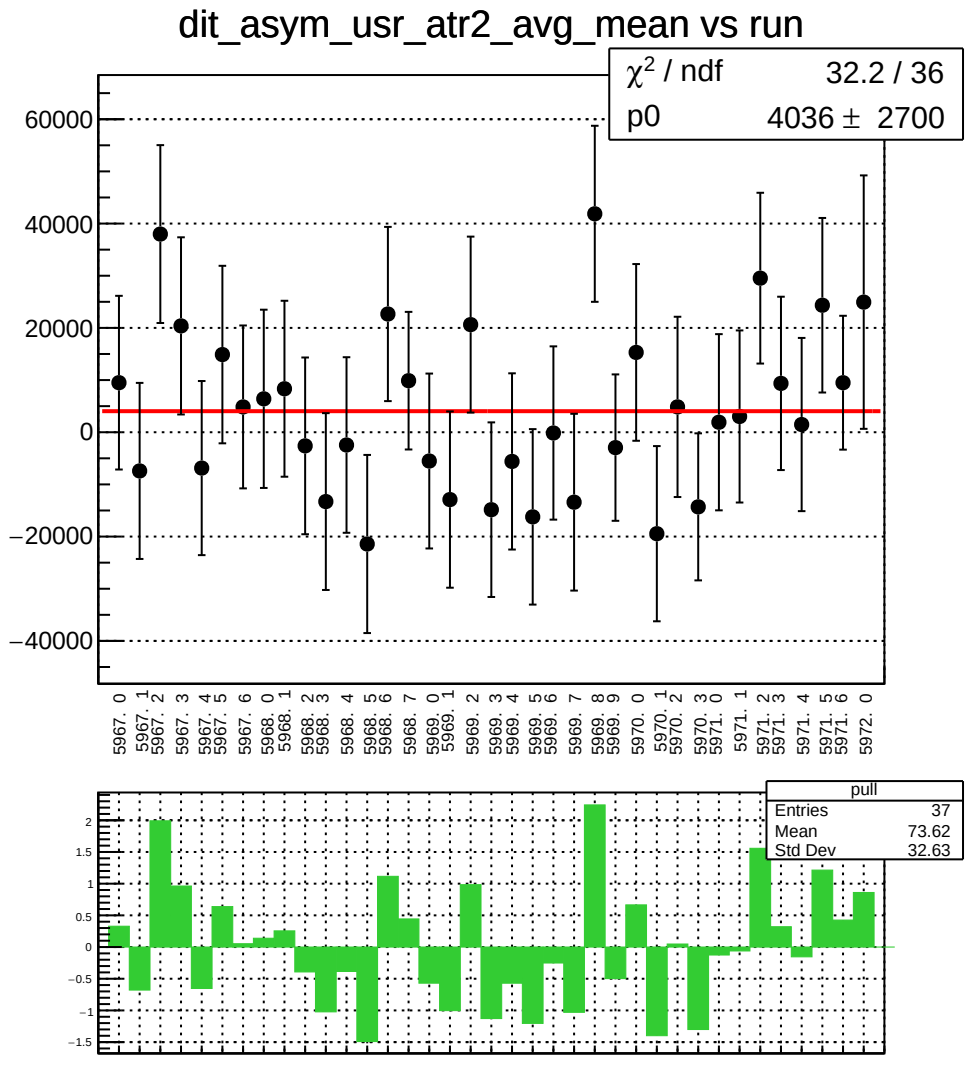
dit_asym_usr_atr2_avg_mean vs run
χ^2 / ndf 32.2 / 36
p0 4036 ± 2700
60000
40000
20000
0
−20000
−40000
5967. 0
5967. 1
5967. 2
5967. 3
5967. 4
5967. 5
5967. 6
5968. 0
5968. 1
5968. 2
5968. 3
5968. 4
5968. 5
5968. 6
5968. 7
5969. 0
5969. 1
5969. 2
5969. 3
5969. 4
5969. 5
5969. 6
5969. 7
5969. 8
5969. 9
5970. 0
5970. 1
5970. 2
5970. 3
5971. 0
5971. 1
5971. 2
5971. 3
5971. 4
5971. 5
5971. 6
5972. 0
pull
Entries 37
Mean 73.62
Std Dev 32.63
2
1.5
1
0.5
0
−0.5
−1
−1.5
pull1D
Entries 37
Mean 0.008787
Std Dev 0.9329
6
5
4
3
2
1
0
−8
−6
−4
−2
0
2
4
6
8

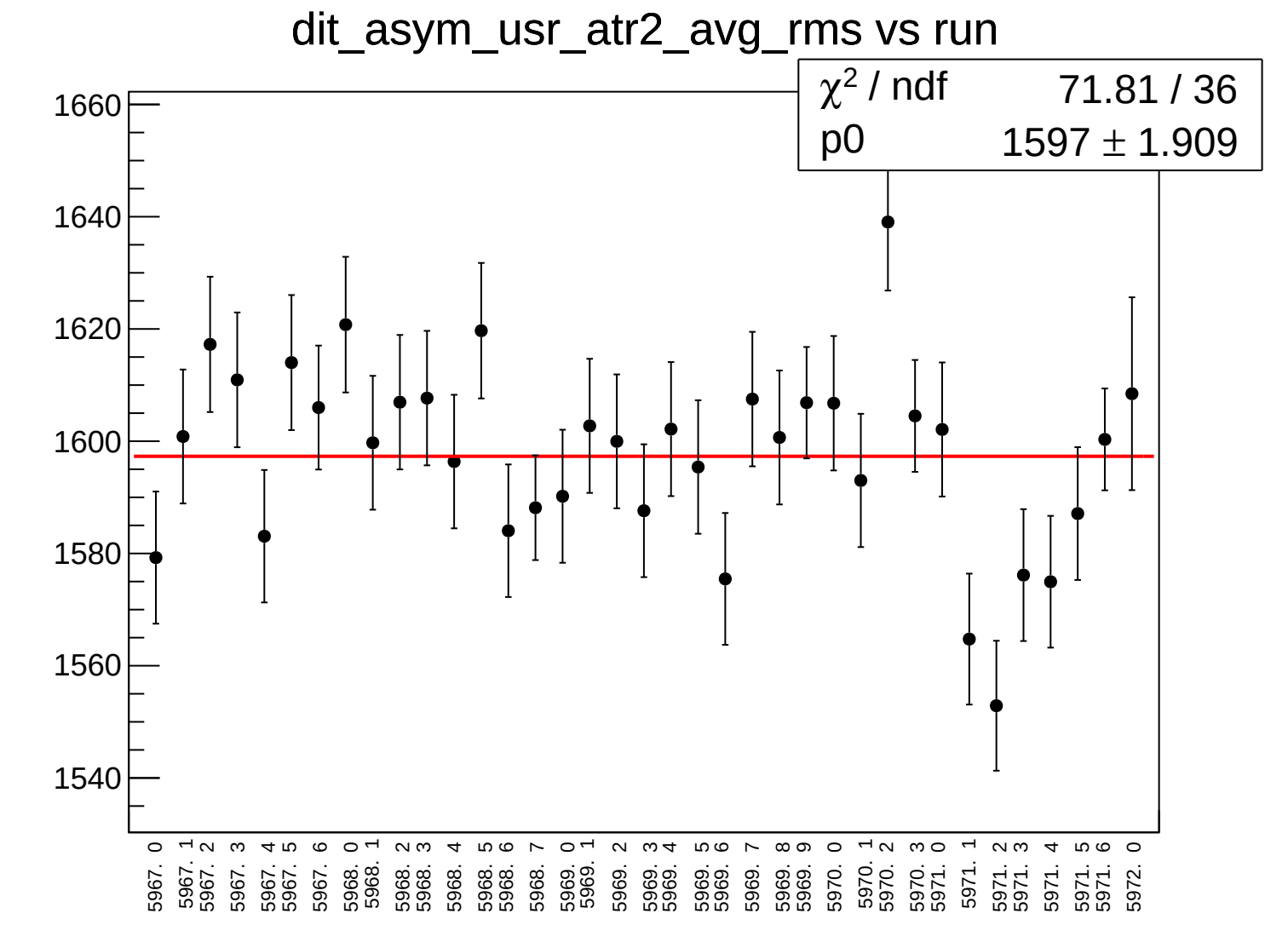
dit_asym_usr_atr2_avg_rms vs run
χ² / ndf 71.81 / 36
p0 1597 ± 1.909
1660
1640
1620
1600
1580
1560
1540
5967. 0
5967. 1
5967. 2
5967. 3
5967. 4
5967. 5
5967. 6
5968. 0
5968. 1
5968. 2
5968. 3
5968. 4
5968. 5
5968. 6
5968. 7
5969. 0
5969. 1
5969. 2
5969. 3
5969. 4
5969. 5
5969. 6
5969. 7
5969. 8
5969. 9
5970. 0
5970. 1
5970. 2
5970. 3
5971. 0
5971. 1
5971. 2
5971. 3
5971. 4
5971. 5
5971. 6
5972. 0

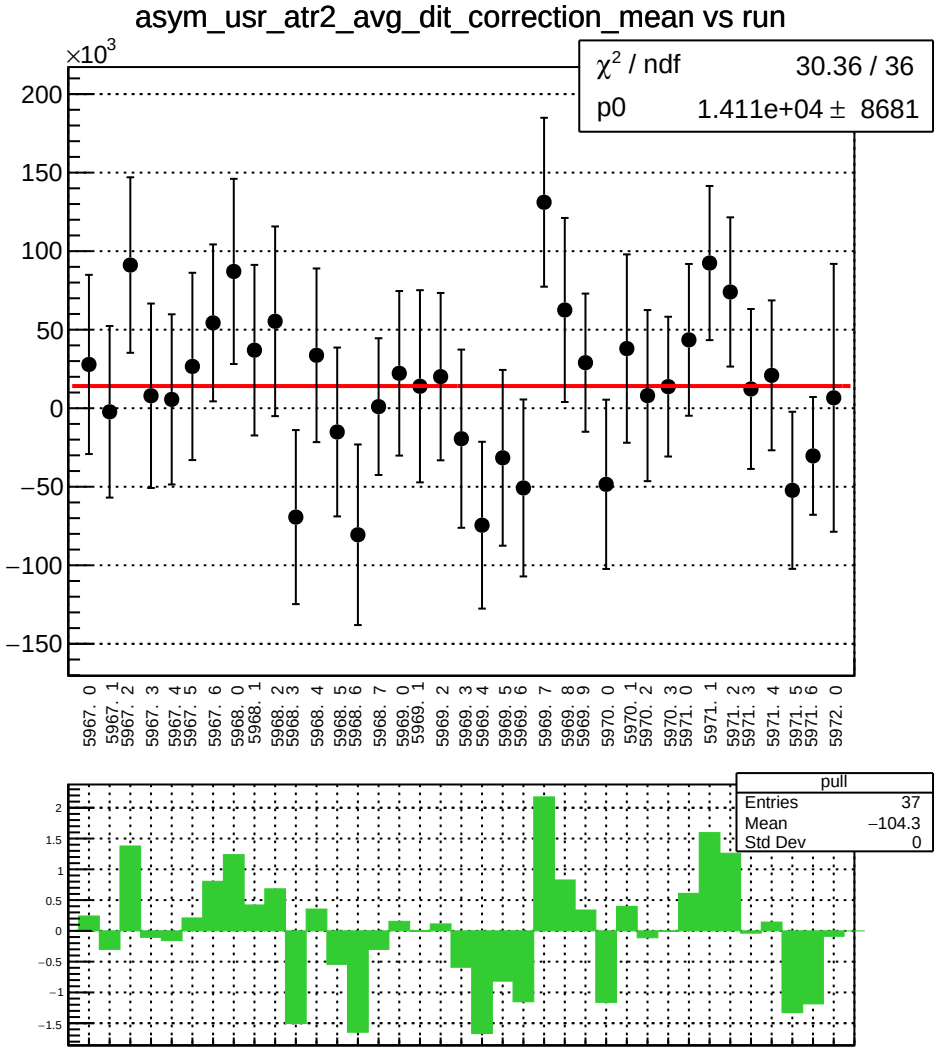
asym_usr_atr2_avg_dit_correction_mean vs run
×10^3
χ² / ndf 30.36 / 36
p0 1.411e+04 ± 8681
200
150
100
50
0
−50
−100
−150
5967. 0
5967. 1
5967. 2
5967. 3
5967. 4
5967. 5
5967. 6
5968. 0
5968. 1
5968. 2
5968. 3
5968. 4
5968. 5
5968. 6
5968. 7
5969. 0
5969. 1
5969. 2
5969. 3
5969. 4
5969. 5
5969. 6
5969. 7
5969. 8
5969. 9
5970. 0
5970. 1
5970. 2
5970. 3
5971. 0
5971. 1
5971. 2
5971. 3
5971. 4
5971. 5
5971. 6
5972. 0
pull
Entries 37
Mean −104.3
Std Dev 0
2
1.5
1
0.5
0
−0.5
−1
−1.5
pull1D
Entries 37
Mean 0.006428
Std Dev 0.9059
9
8
7
6
5
4
3
2
1
0
−8
−6
−4
−2
0
2
4
6
8

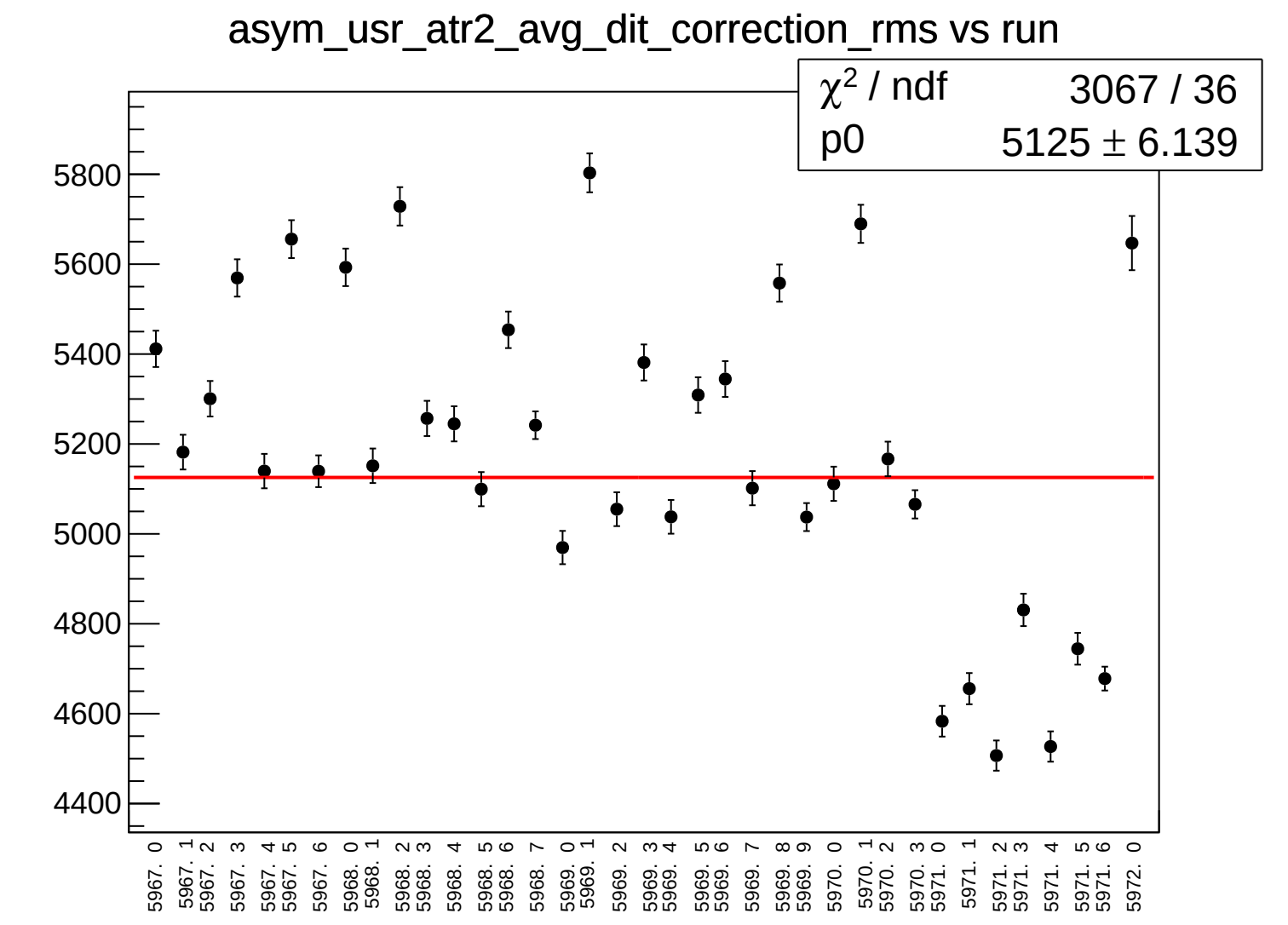
asym_usr_atr2_avg_dit_correction_rms vs run
χ² / ndf 3067 / 36
p0 5125 ± 6.139
5800
5600
5400
5200
5000
4800
4600
4400
5967. 0
5967. 1
5967. 2
5967. 3
5967. 4
5967. 5
5967. 6
5968. 0
5968. 1
5968. 2
5968. 3
5968. 4
5968. 5
5968. 6
5968. 7
5969. 0
5969. 1
5969. 2
5969. 3
5969. 4
5969. 5
5969. 6
5969. 7
5969. 8
5969. 9
5970. 0
5970. 1
5970. 2
5970. 3
5971. 0
5971. 1
5971. 2
5971. 3
5971. 4
5971. 5
5971. 6
5972. 0

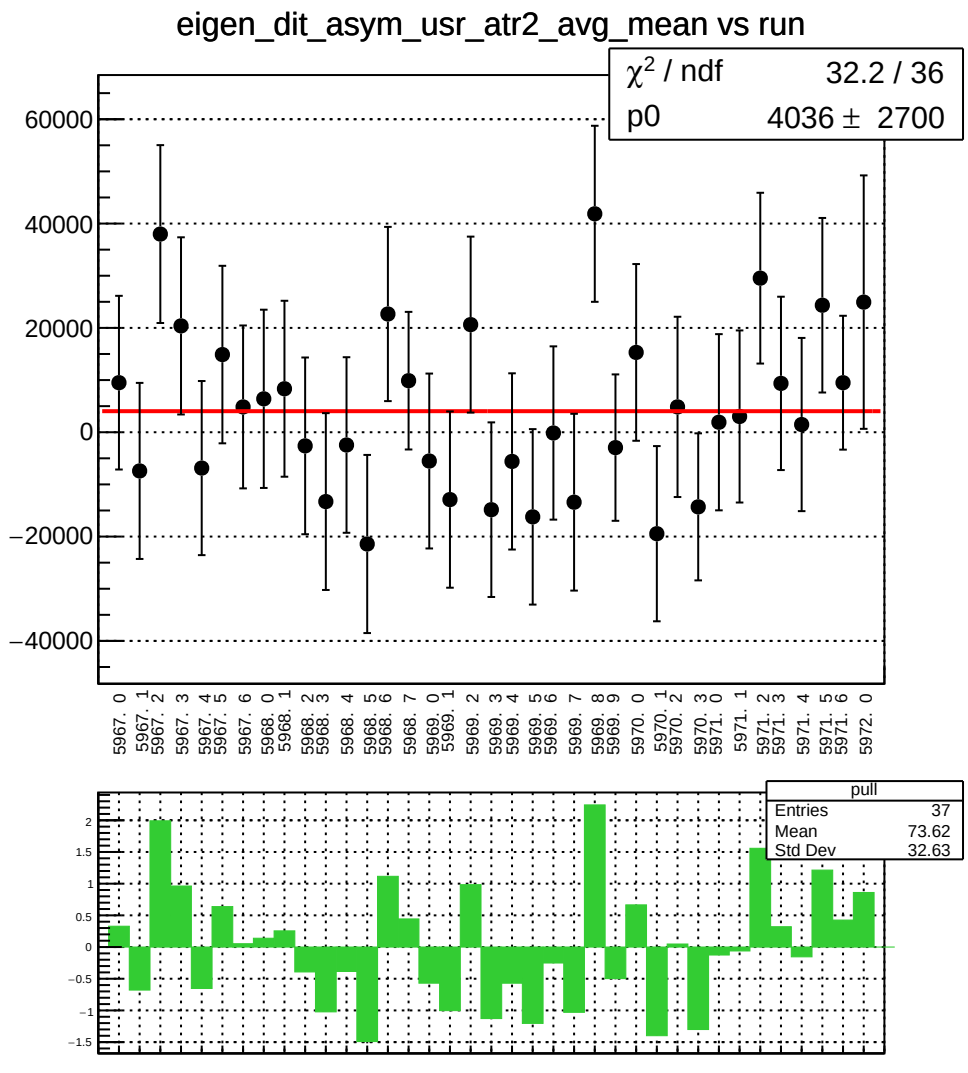
eigen_dit_asym_usr_atr2_avg_mean vs run
χ² / ndf 32.2 / 36
p0 4036 ± 2700
60000
40000
20000
0
−20000
−40000
5967. 0
5967. 1
5967. 2
5967. 3
5967. 4
5967. 5
5967. 6
5968. 0
5968. 1
5968. 2
5968. 3
5968. 4
5968. 5
5968. 6
5968. 7
5969. 0
5969. 1
5969. 2
5969. 3
5969. 4
5969. 5
5969. 6
5969. 7
5969. 8
5969. 9
5970. 0
5970. 1
5970. 2
5970. 3
5971. 0
5971. 1
5971. 2
5971. 3
5971. 4
5971. 5
5971. 6
5972. 0
pull
Entries 37
Mean 73.62
Std Dev 32.63
2
1.5
1
0.5
0
−0.5
−1
−1.5
pull1D
Entries 37
Mean 0.008787
Std Dev 0.9329
6
5
4
3
2
1
0
−8
−6
−4
−2
0
2
4
6
8

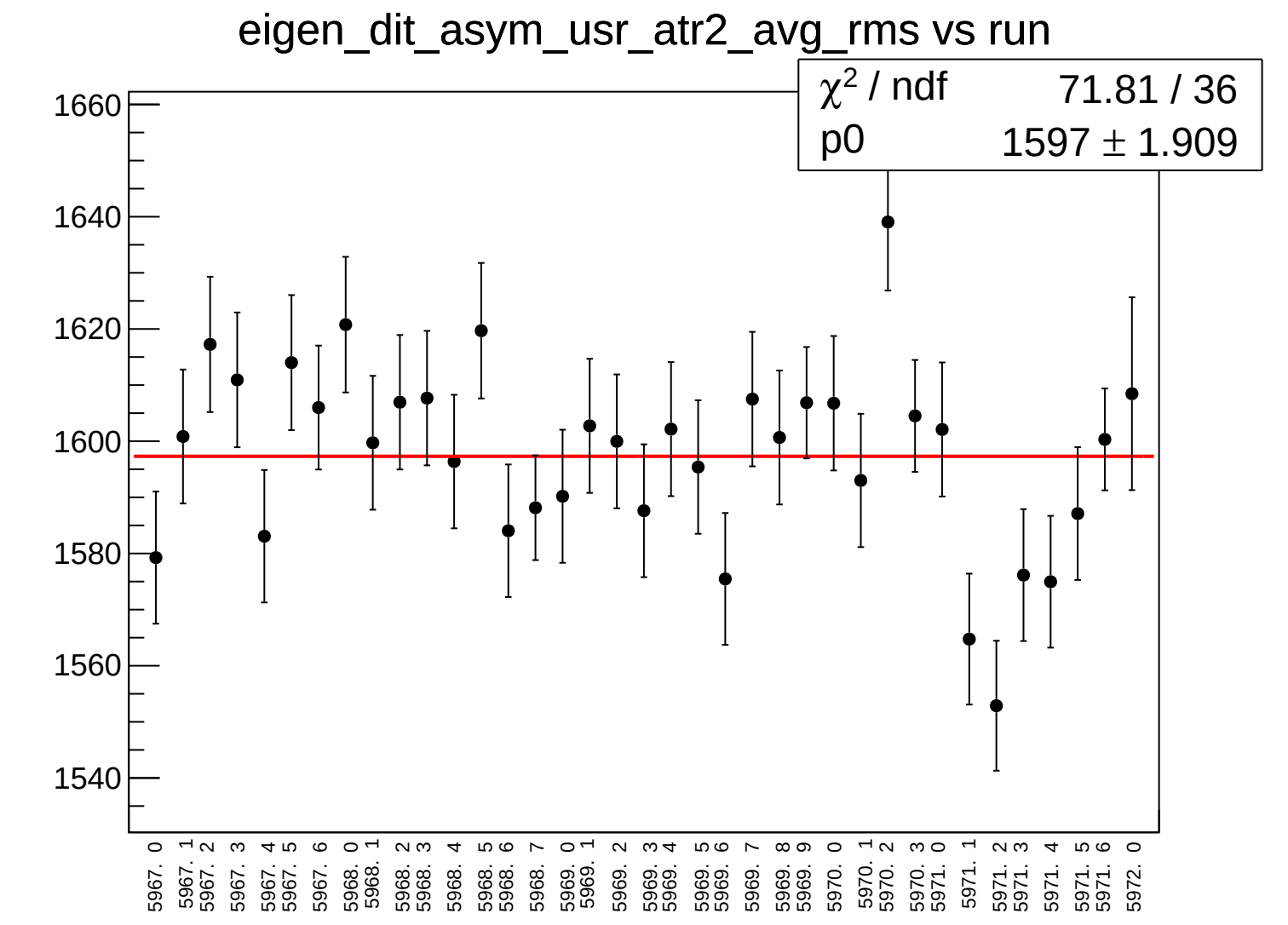
eigen_dit_asym_usr_atr2_avg_rms vs run
χ² / ndf 71.81 / 36
p0 1597 ± 1.909
1660
1640
1620
1600
1580
1560
1540
5967. 0
5967. 1
5967. 2
5967. 3
5967. 4
5967. 5
5967. 6
5968. 0
5968. 1
5968. 2
5968. 3
5968. 4
5968. 5
5968. 6
5968. 7
5969. 0
5969. 1
5969. 2
5969. 3
5969. 4
5969. 5
5969. 6
5969. 7
5969. 8
5969. 9
5970. 0
5970. 1
5970. 2
5970. 3
5971. 0
5971. 1
5971. 2
5971. 3
5971. 4
5971. 5
5971. 6
5972. 0

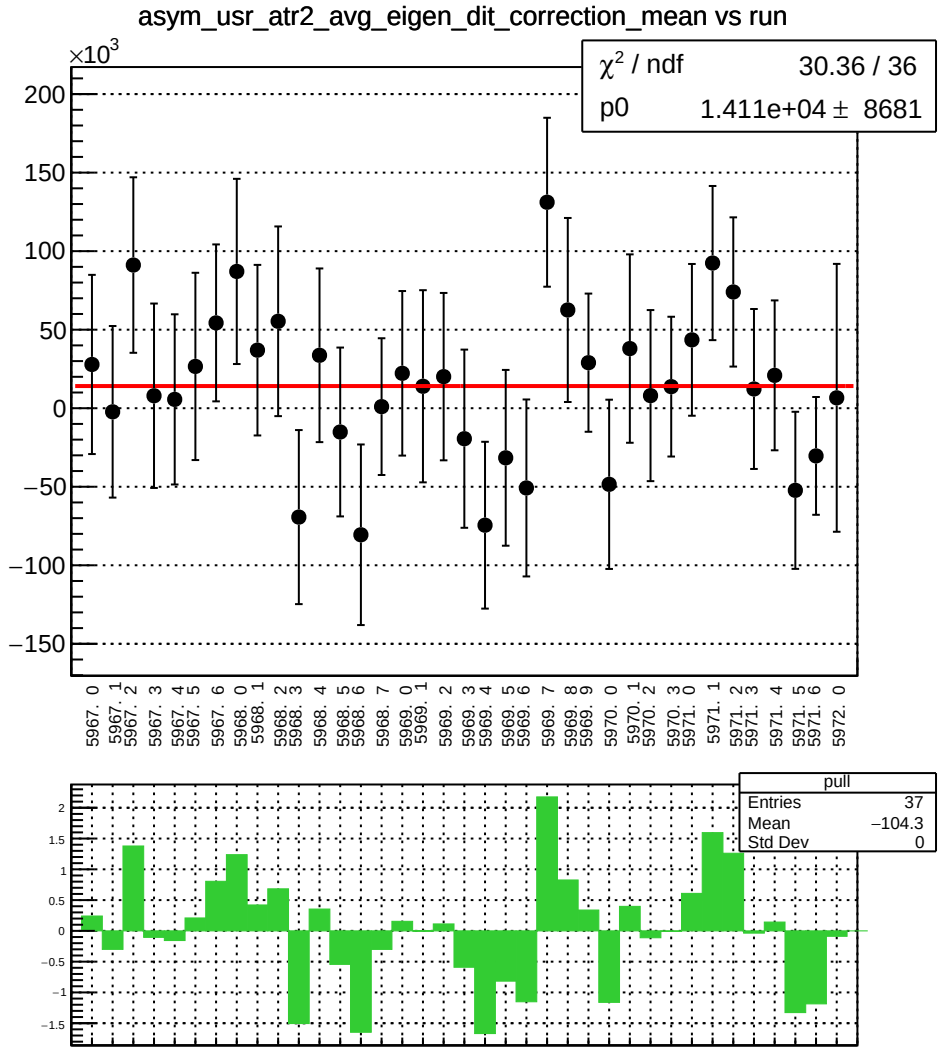
asym_usr_atr2_avg_eigen_dit_correction_mean vs run
×10^3
χ² / ndf 30.36 / 36
p0 1.411e+04 ± 8681
200
150
100
50
0
−50
−100
−150
5967. 0
5967. 1
5967. 2
5967. 3
5967. 4
5967. 5
5967. 6
5968. 0
5968. 1
5968. 2
5968. 3
5968. 4
5968. 5
5968. 6
5968. 7
5969. 0
5969. 1
5969. 2
5969. 3
5969. 4
5969. 5
5969. 6
5969. 7
5969. 8
5969. 9
5970. 0
5970. 1
5970. 2
5970. 3
5971. 0
5971. 1
5971. 2
5971. 3
5971. 4
5971. 5
5971. 6
5972. 0
pull
Entries 37
Mean −104.3
Std Dev 0
2
1.5
1
0.5
0
−0.5
−1
−1.5

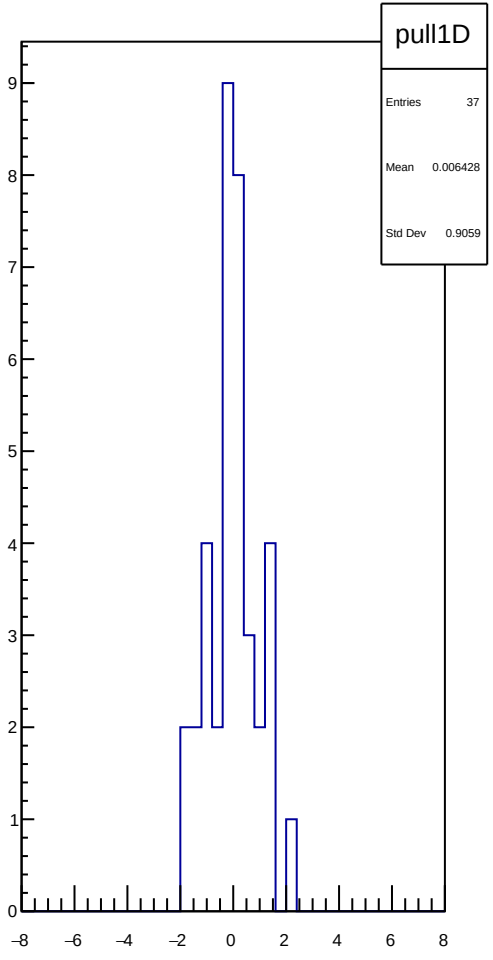
pull1D
Entries 37
Mean 0.006428
Std Dev 0.9059
9
8
7
6
5
4
3
2
1
0
−8
−6
−4
−2
0
2
4
6
8

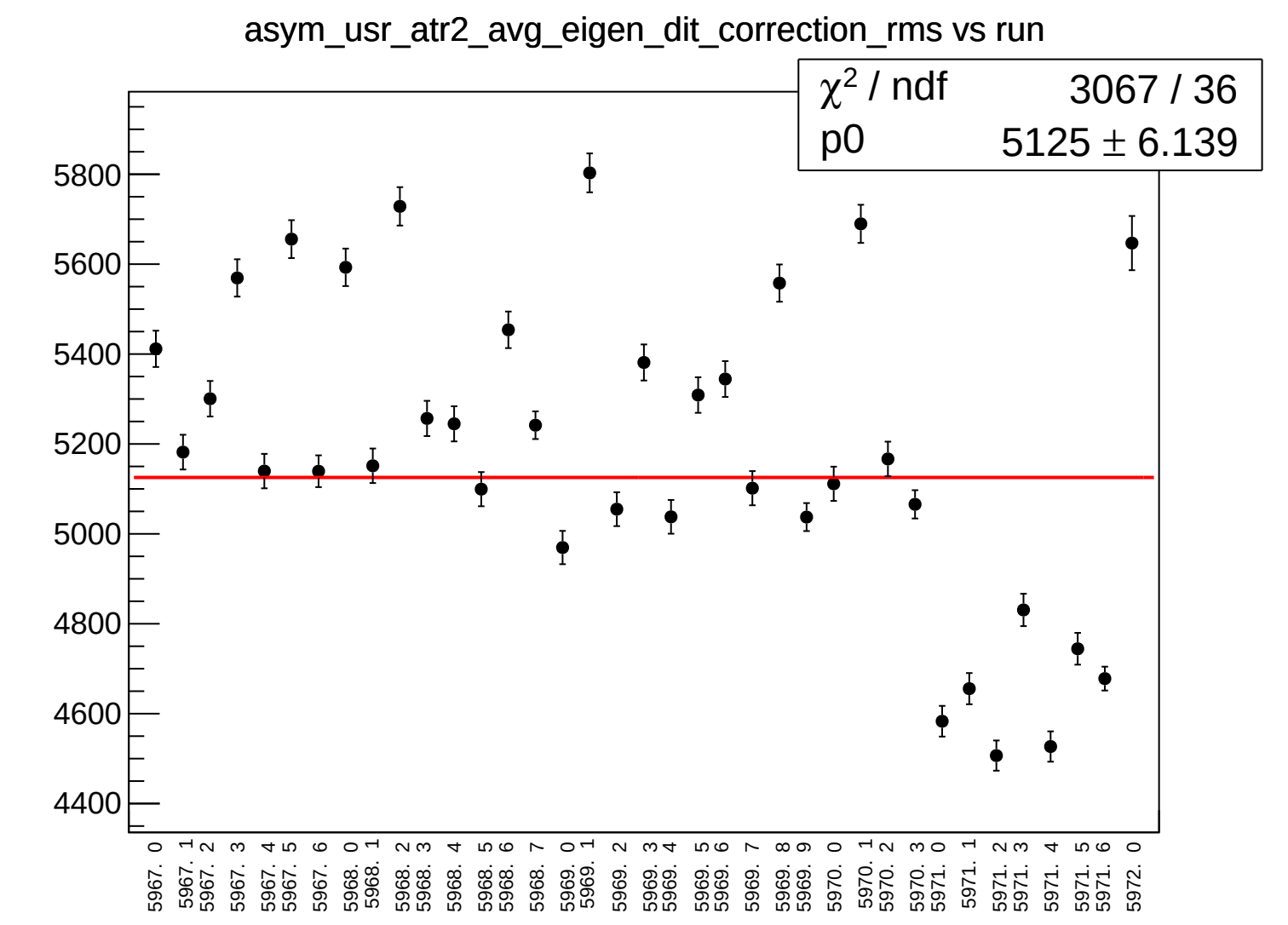
asym_usr_atr2_avg_eigen_dit_correction_rms vs run
χ² / ndf 3067 / 36
p0 5125 ± 6.139
5800
5600
5400
5200
5000
4800
4600
4400
5967. 0
5967. 1
5967. 2
5967. 3
5967. 4
5967. 5
5967. 6
5968. 0
5968. 1
5968. 2
5968. 3
5968. 4
5968. 5
5968. 6
5968. 7
5969. 0
5969. 1
5969. 2
5969. 3
5969. 4
5969. 5
5969. 6
5969. 7
5969. 8
5969. 9
5970. 0
5970. 1
5970. 2
5970. 3
5971. 0
5971. 1
5971. 2
5971. 3
5971. 4
5971. 5
5971. 6
5972. 0

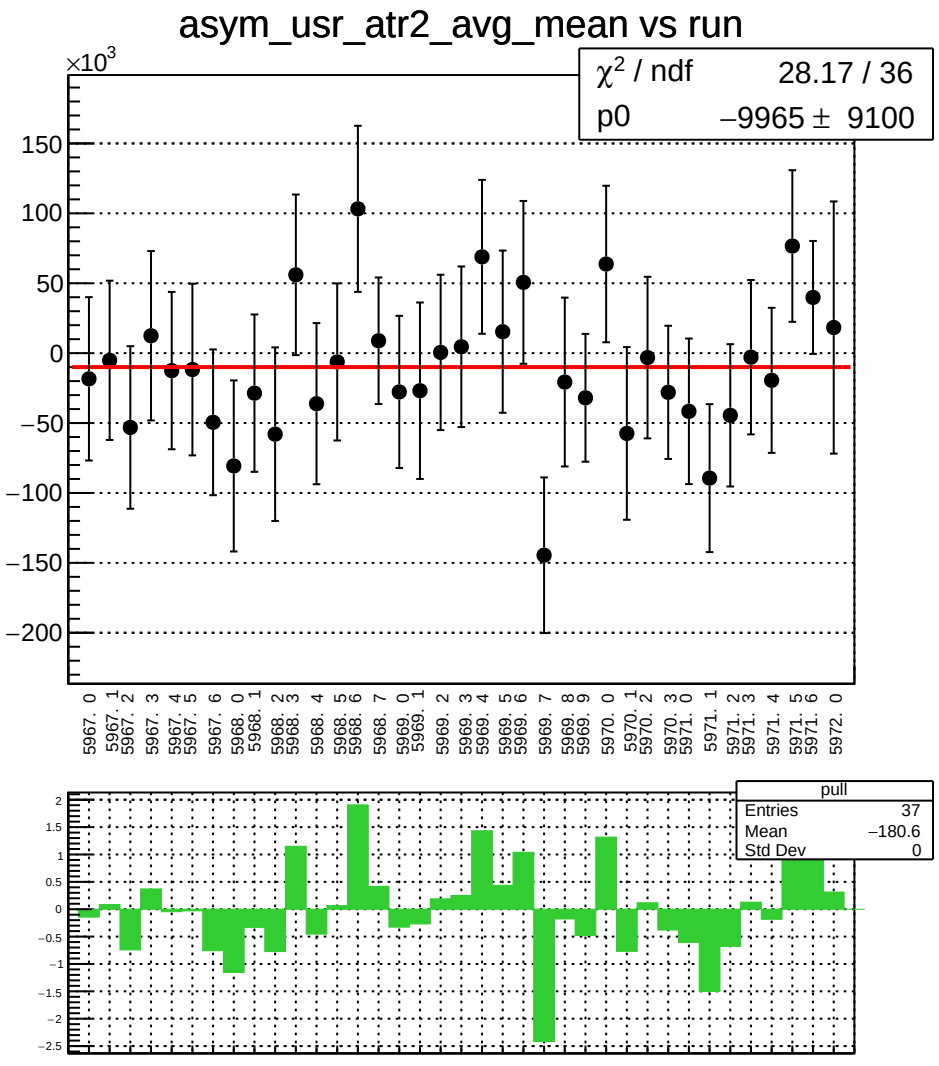
asym_usr_atr2_avg_mean vs run
×10^3
χ² / ndf 28.17 / 36
p0 −9965 ± 9100
150
100
50
0
−50
−100
−150
−200
5967. 0
5967. 1
5967. 2
5967. 3
5967. 4
5967. 5
5967. 6
5968. 0
5968. 1
5968. 2
5968. 3
5968. 4
5968. 5
5968. 6
5968. 7
5969. 0
5969. 1
5969. 2
5969. 3
5969. 4
5969. 5
5969. 6
5969. 7
5969. 8
5969. 9
5970. 0
5970. 1
5970. 2
5970. 3
5971. 0
5971. 1
5971. 2
5971. 3
5971. 4
5971. 5
5971. 6
5972. 0
pull
Entries 37
Mean −180.6
Std Dev 0
2
1.5
1
0.5
0
−0.5
−1
−1.5
−2
−2.5
pull1D
Entries 37
Mean −0.004655
Std Dev 0.8725
9
8
7
6
5
4
3
2
1
0
−8
−6
−4
−2
0
2
4
6
8

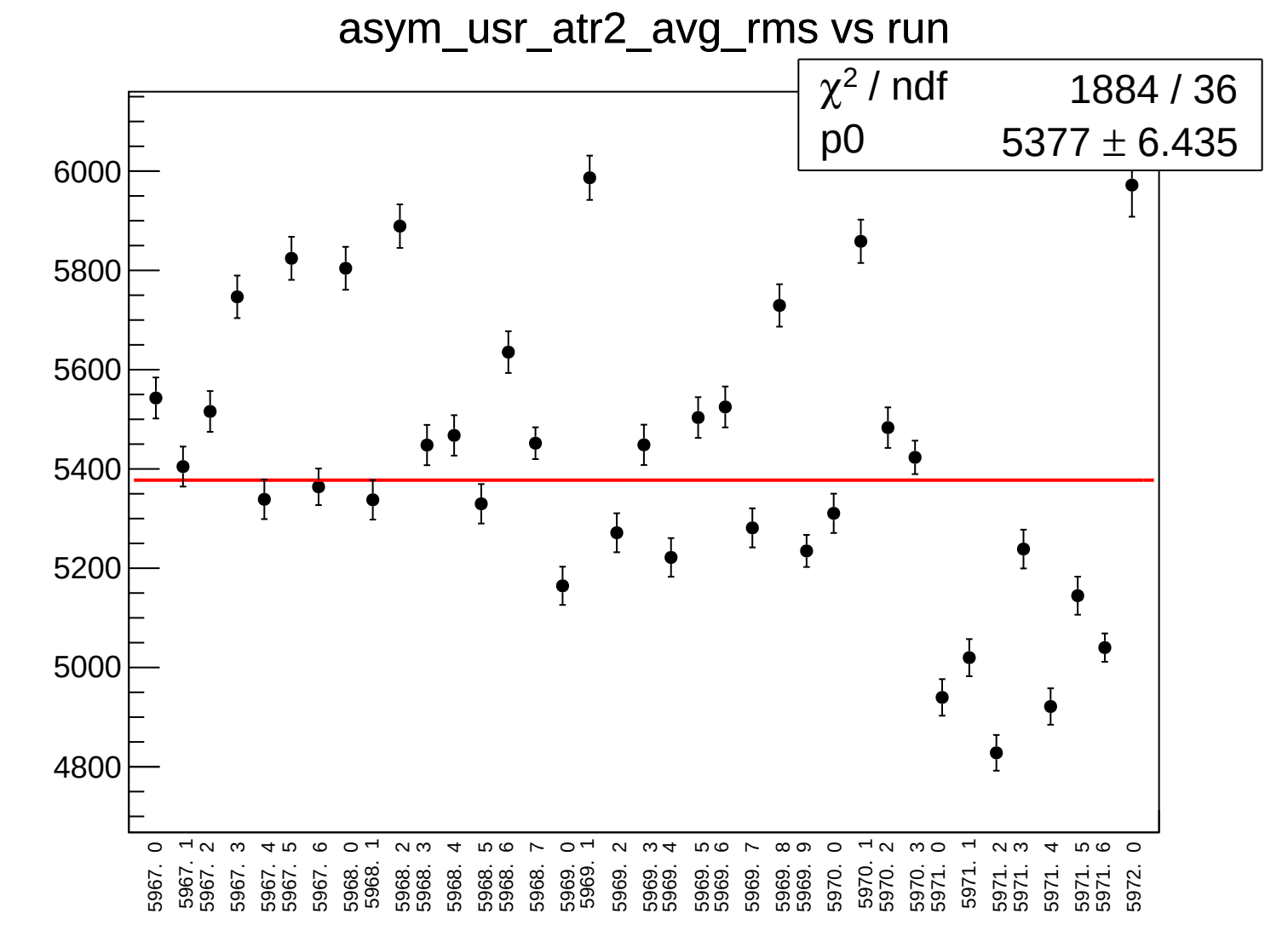
asym_usr_atr2_avg_rms vs run
χ² / ndf 1884 / 36
p0 5377 ± 6.435
6000
5800
5600
5400
5200
5000
4800
5967. 0
5967. 1
5967. 2
5967. 3
5967. 4
5967. 5
5967. 6
5968. 0
5968. 1
5968. 2
5968. 3
5968. 4
5968. 5
5968. 6
5968. 7
5969. 0
5969. 1
5969. 2
5969. 3
5969. 4
5969. 5
5969. 6
5969. 7
5969. 8
5969. 9
5970. 0
5970. 1
5970. 2
5970. 3
5971. 0
5971. 1
5971. 2
5971. 3
5971. 4
5971. 5
5971. 6
5972. 0

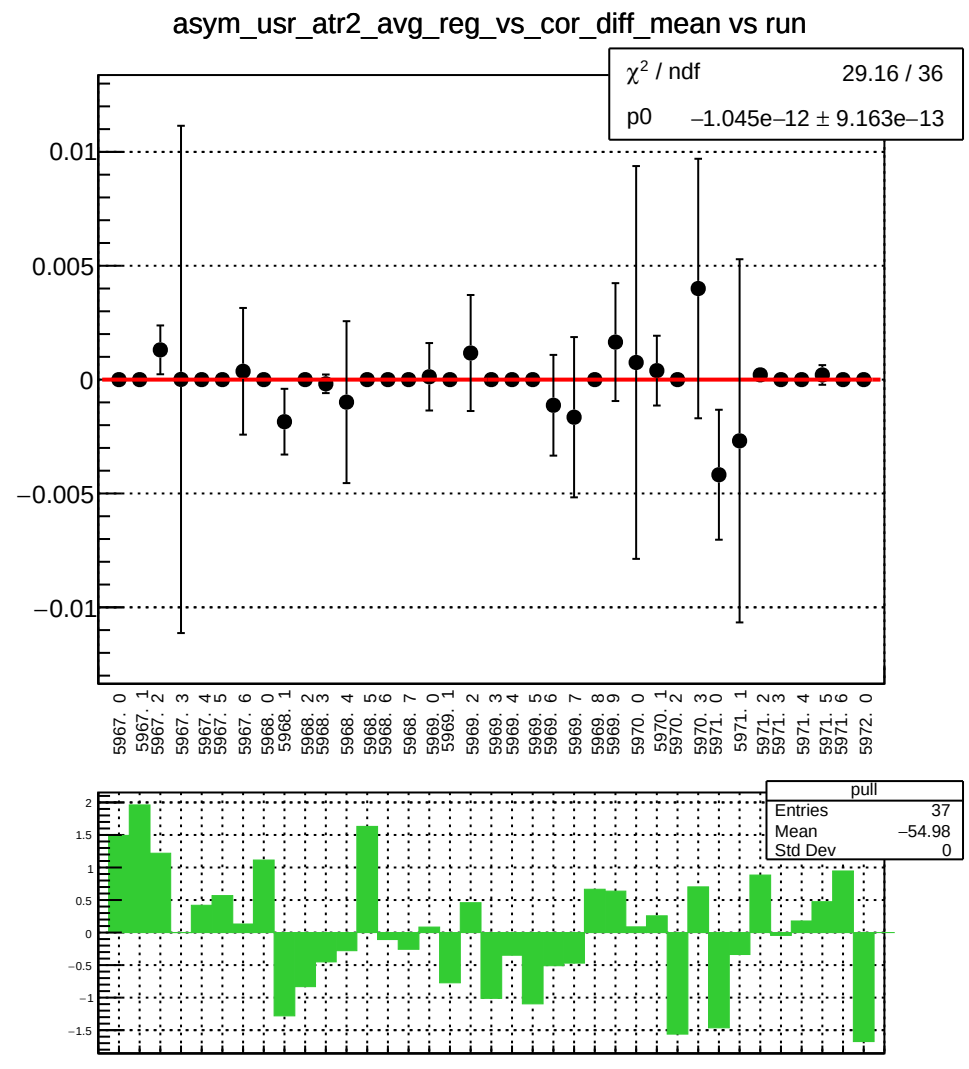
asym_usr_atr2_avg_reg_vs_cor_diff_mean vs run
χ² / ndf 29.16 / 36
p0 −1.045e−12 ± 9.163e−13
0.01
0.005
0
−0.005
−0.01
5967. 0
5967. 1
5967. 2
5967. 3
5967. 4
5967. 5
5967. 6
5968. 0
5968. 1
5968. 2
5968. 3
5968. 4
5968. 5
5968. 6
5968. 7
5969. 0
5969. 1
5969. 2
5969. 3
5969. 4
5969. 5
5969. 6
5969. 7
5969. 8
5969. 9
5970. 0
5970. 1
5970. 2
5970. 3
5971. 0
5971. 1
5971. 2
5971. 3
5971. 4
5971. 5
5971. 6
5972. 0
pull
Entries 37
Mean −54.98
Std Dev 0
2
1.5
1
0.5
0
−0.5
−1
−1.5

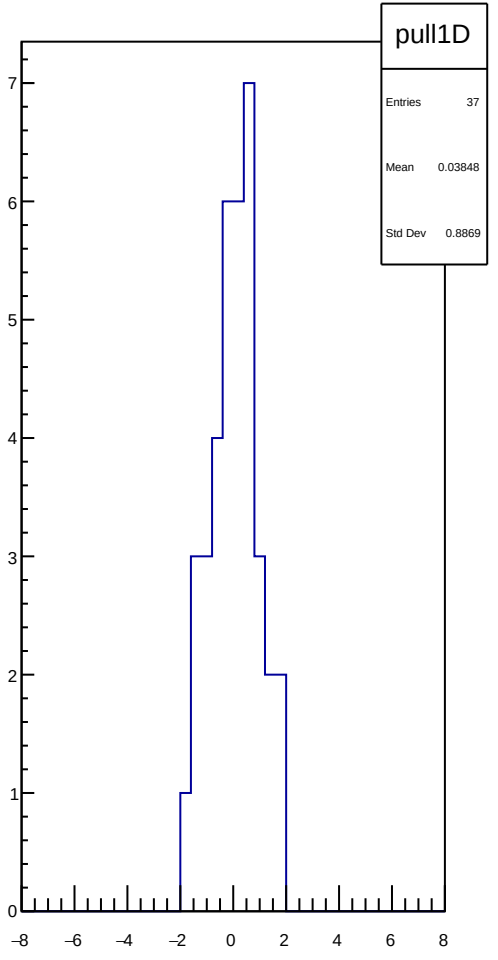
pull1D
Entries 37
Mean 0.03848
Std Dev 0.8869
7
6
5
4
3
2
1
0
−8
−6
−4
−2
0
2
4
6
8

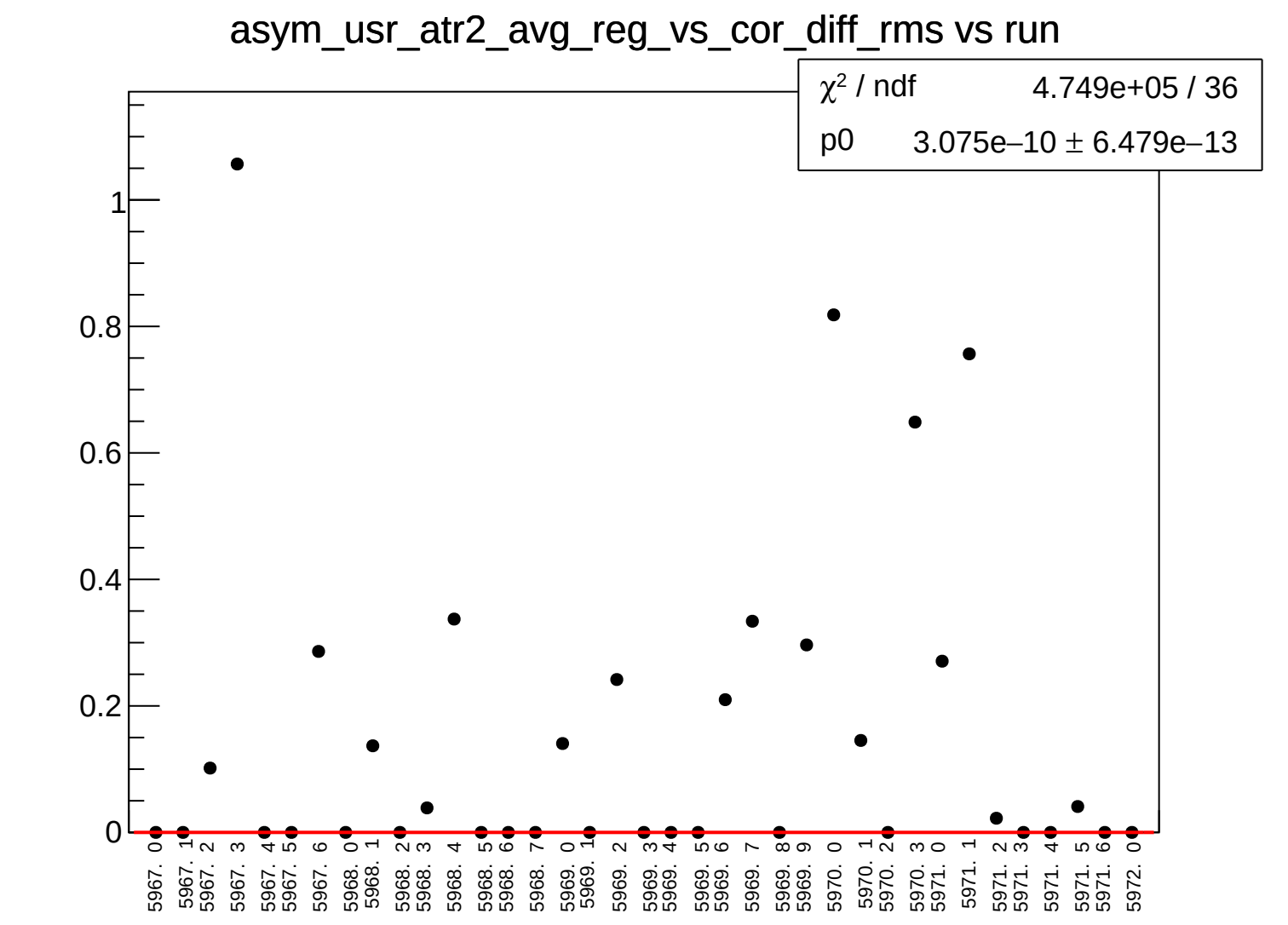
asym_usr_atr2_avg_reg_vs_cor_diff_rms vs run
χ² / ndf 4.749e+05 / 36
p0 3.075e−10 ± 6.479e−13
0
0.2
0.4
0.6
0.8
1
5967. 0
5967. 1
5967. 2
5967. 3
5967. 4
5967. 5
5967. 6
5968. 0
5968. 1
5968. 2
5968. 3
5968. 4
5968. 5
5968. 6
5968. 7
5969. 0
5969. 1
5969. 2
5969. 3
5969. 4
5969. 5
5969. 6
5969. 7
5969. 8
5969. 9
5970. 0
5970. 1
5970. 2
5970. 3
5971. 0
5971. 1
5971. 2
5971. 3
5971. 4
5971. 5
5971. 6
5972. 0

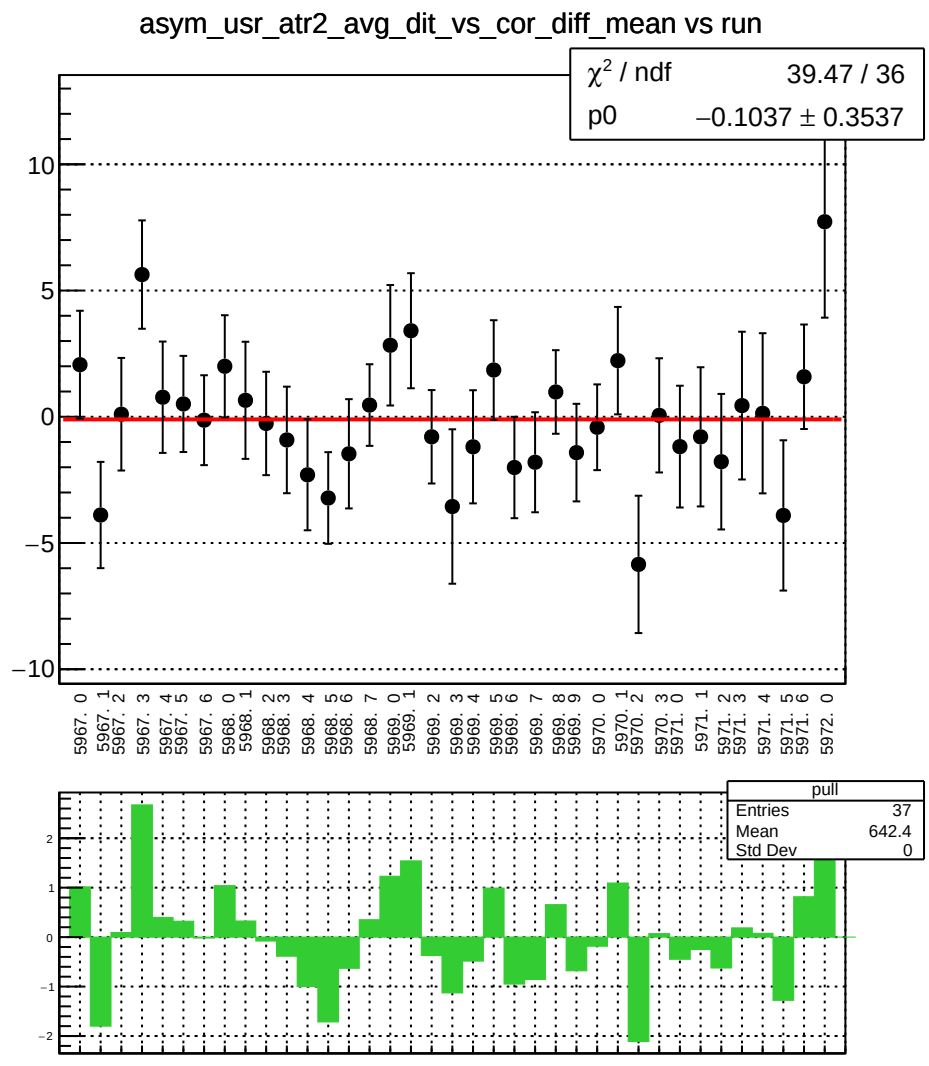
asym_usr_atr2_avg_dit_vs_cor_diff_mean vs run
χ² / ndf 39.47 / 36
p0 −0.1037 ± 0.3537
10
5
0
−5
−10
5967. 0
5967. 1
5967. 2
5967. 3
5967. 4
5967. 5
5967. 6
5968. 0
5968. 1
5968. 2
5968. 3
5968. 4
5968. 5
5968. 6
5968. 7
5969. 0
5969. 1
5969. 2
5969. 3
5969. 4
5969. 5
5969. 6
5969. 7
5969. 8
5969. 9
5970. 0
5970. 1
5970. 2
5970. 3
5971. 0
5971. 1
5971. 2
5971. 3
5971. 4
5971. 5
5971. 6
5972. 0
pull
Entries 37
Mean 642.4
Std Dev 0
2
1
0
−1
−2
pull1D
Entries 37
Mean −0.001527
Std Dev 1.033
8
7
6
5
4
3
2
1
0
−8
−6
−4
−2
0
2
4
6
8

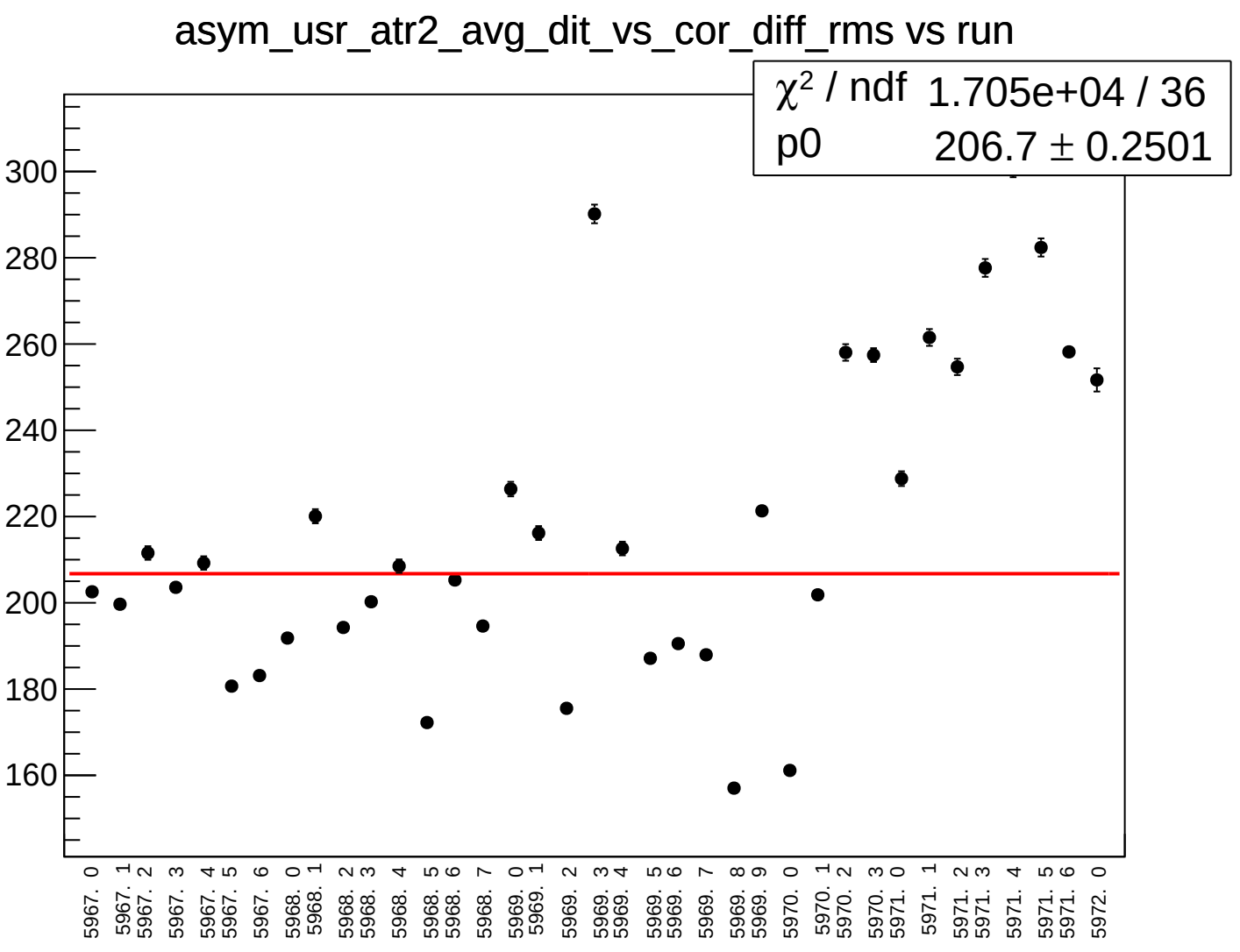
asym_usr_atr2_avg_dit_vs_cor_diff_rms vs run
χ² / ndf 1.705e+04 / 36
p0 206.7 ± 0.2501
300
280
260
240
220
200
180
160
5967. 0
5967. 1
5967. 2
5967. 3
5967. 4
5967. 5
5967. 6
5968. 0
5968. 1
5968. 2
5968. 3
5968. 4
5968. 5
5968. 6
5968. 7
5969. 0
5969. 1
5969. 2
5969. 3
5969. 4
5969. 5
5969. 6
5969. 7
5969. 8
5969. 9
5970. 0
5970. 1
5970. 2
5970. 3
5971. 0
5971. 1
5971. 2
5971. 3
5971. 4
5971. 5
5971. 6
5972. 0

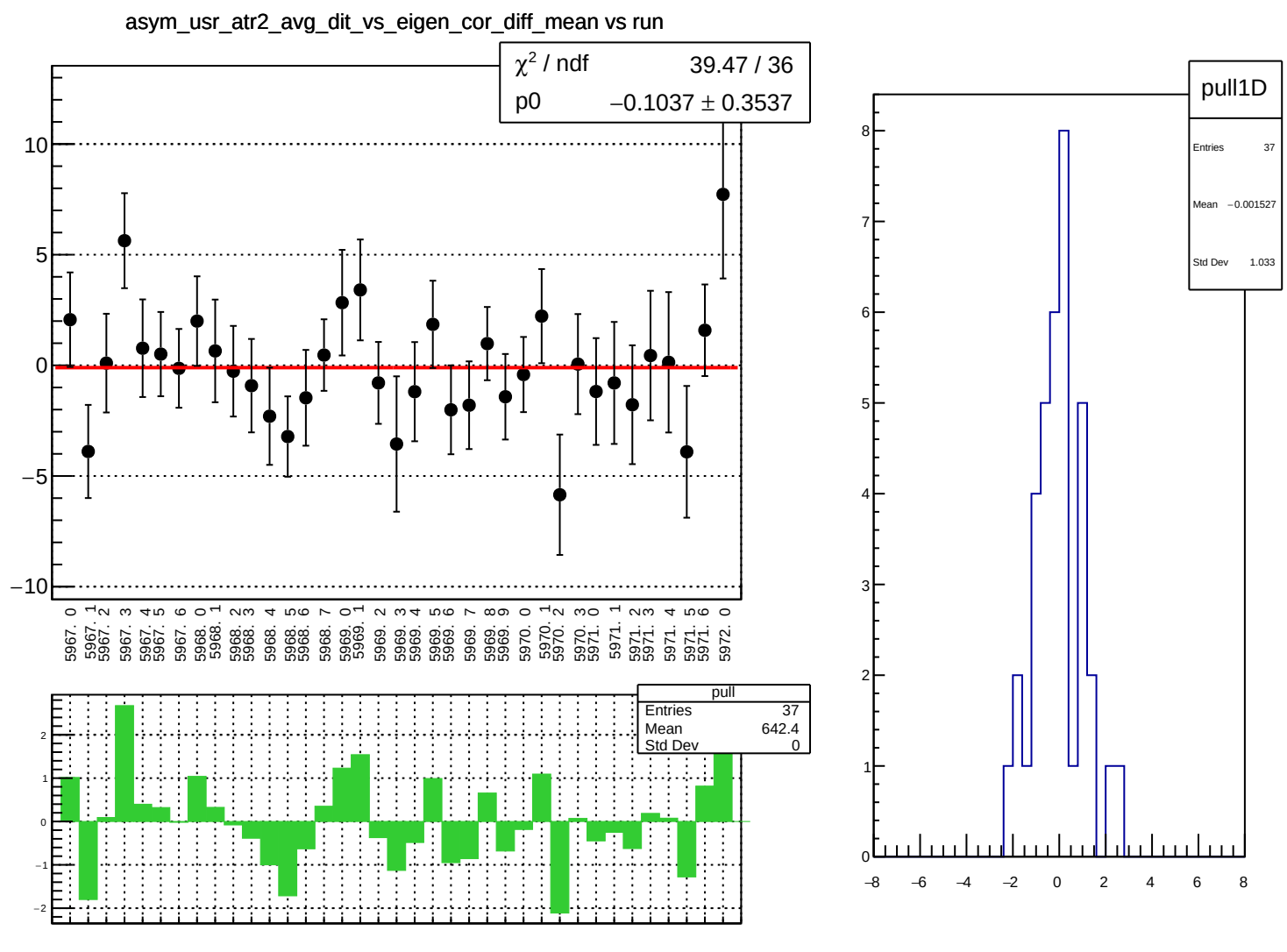
asym_usr_atr2_avg_dit_vs_eigen_cor_diff_mean vs run
χ² / ndf 39.47 / 36
p0 −0.1037 ± 0.3537
10
5
0
−5
−10
5967. 0
5967. 1
5967. 2
5967. 3
5967. 4
5967. 5
5967. 6
5968. 0
5968. 1
5968. 2
5968. 3
5968. 4
5968. 5
5968. 6
5968. 7
5969. 0
5969. 1
5969. 2
5969. 3
5969. 4
5969. 5
5969. 6
5969. 7
5969. 8
5969. 9
5970. 0
5970. 1
5970. 2
5970. 3
5971. 0
5971. 1
5971. 2
5971. 3
5971. 4
5971. 5
5971. 6
5972. 0
pull
Entries 37
Mean 642.4
Std Dev 0
2
1
0
−1
−2
pull1D
Entries 37
Mean −0.001527
Std Dev 1.033
8
7
6
5
4
3
2
1
0
−8
−6
−4
−2
0
2
4
6
8

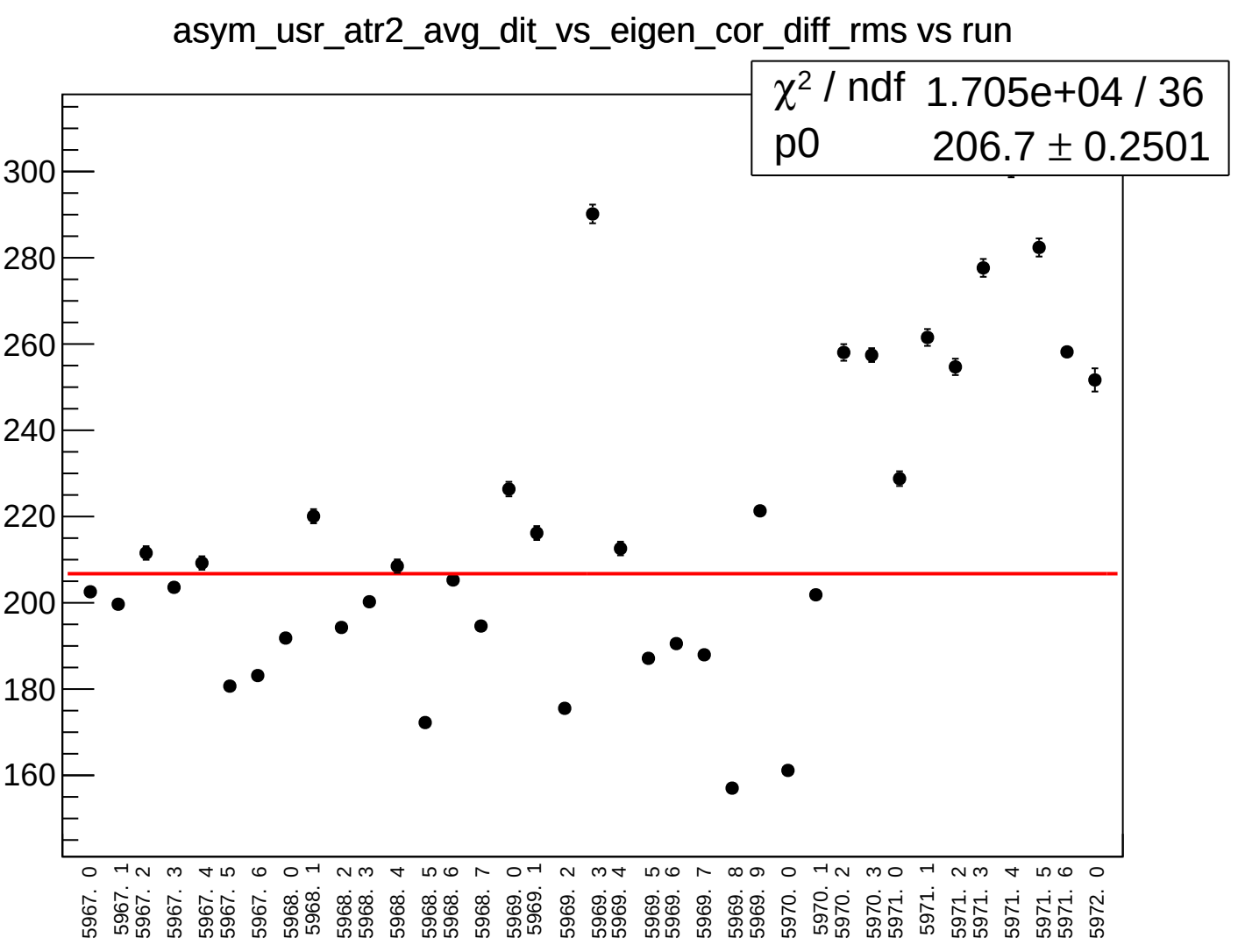
asym_usr_atr2_avg_dit_vs_eigen_cor_diff_rms vs run
χ² / ndf 1.705e+04 / 36
p0 206.7 ± 0.2501
300
280
260
240
220
200
180
160
5967. 0
5967. 1
5967. 2
5967. 3
5967. 4
5967. 5
5967. 6
5968. 0
5968. 1
5968. 2
5968. 3
5968. 4
5968. 5
5968. 6
5968. 7
5969. 0
5969. 1
5969. 2
5969. 3
5969. 4
5969. 5
5969. 6
5969. 7
5969. 8
5969. 9
5970. 0
5970. 1
5970. 2
5970. 3
5971. 0
5971. 1
5971. 2
5971. 3
5971. 4
5971. 5
5971. 6
5972. 0

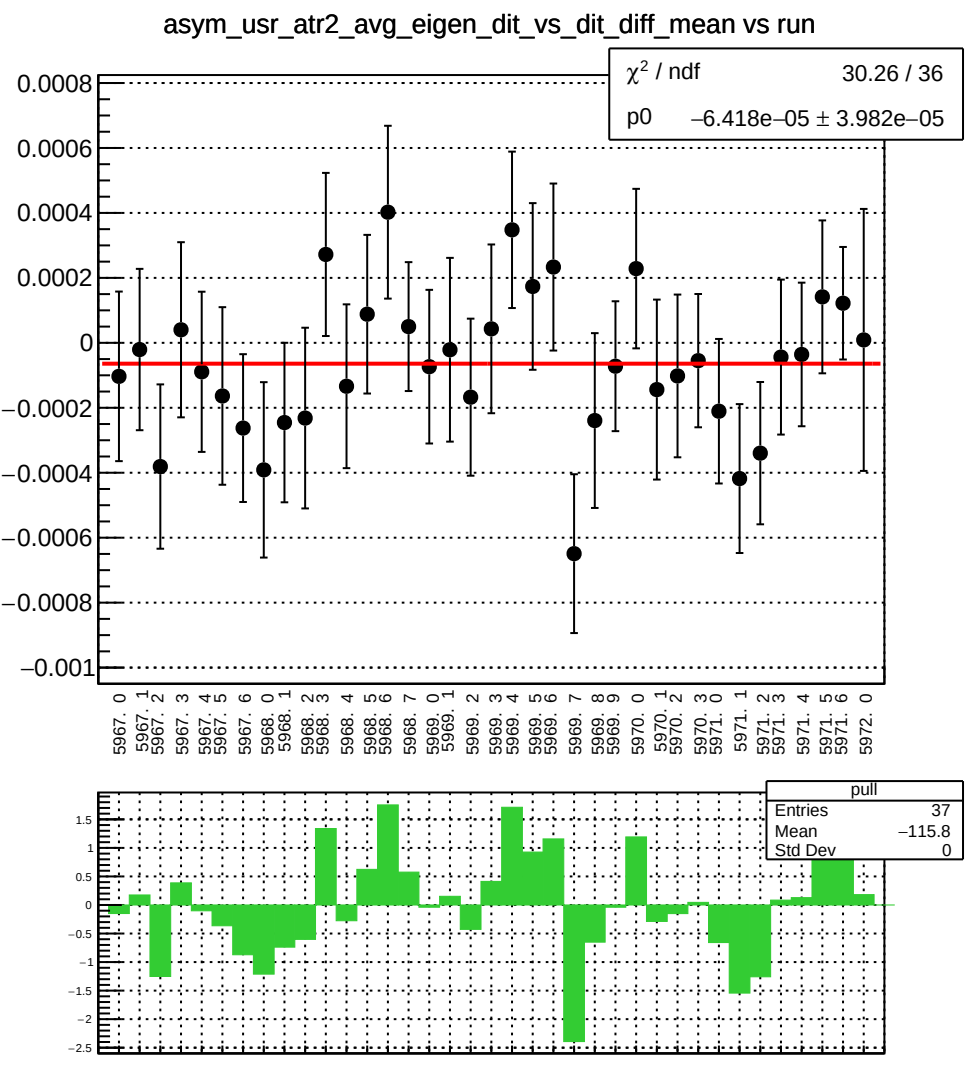
asym_usr_atr2_avg_eigen_dit_vs_dit_diff_mean vs run
χ² / ndf 30.26 / 36
p0 −6.418e−05 ± 3.982e−05
pull
Entries 37
Mean −115.8
Std Dev 0

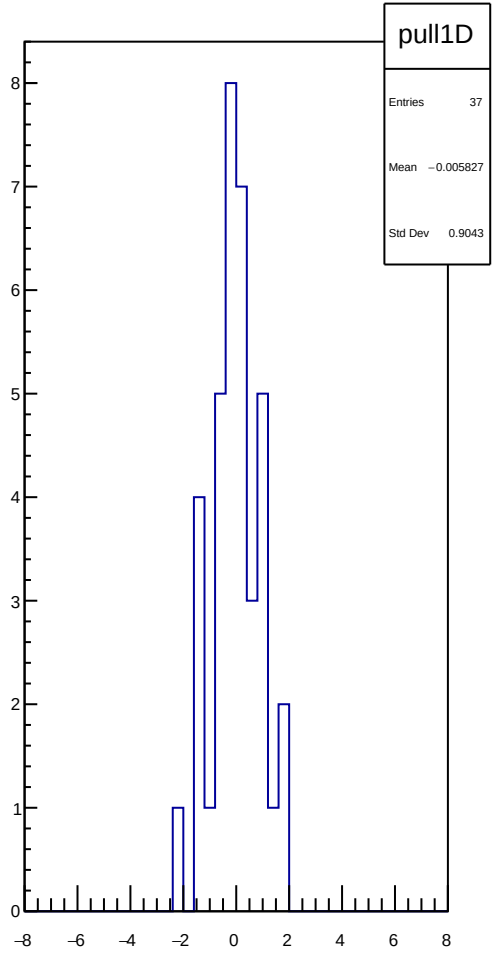
pull1D
Entries 37
Mean −0.005827
Std Dev 0.9043

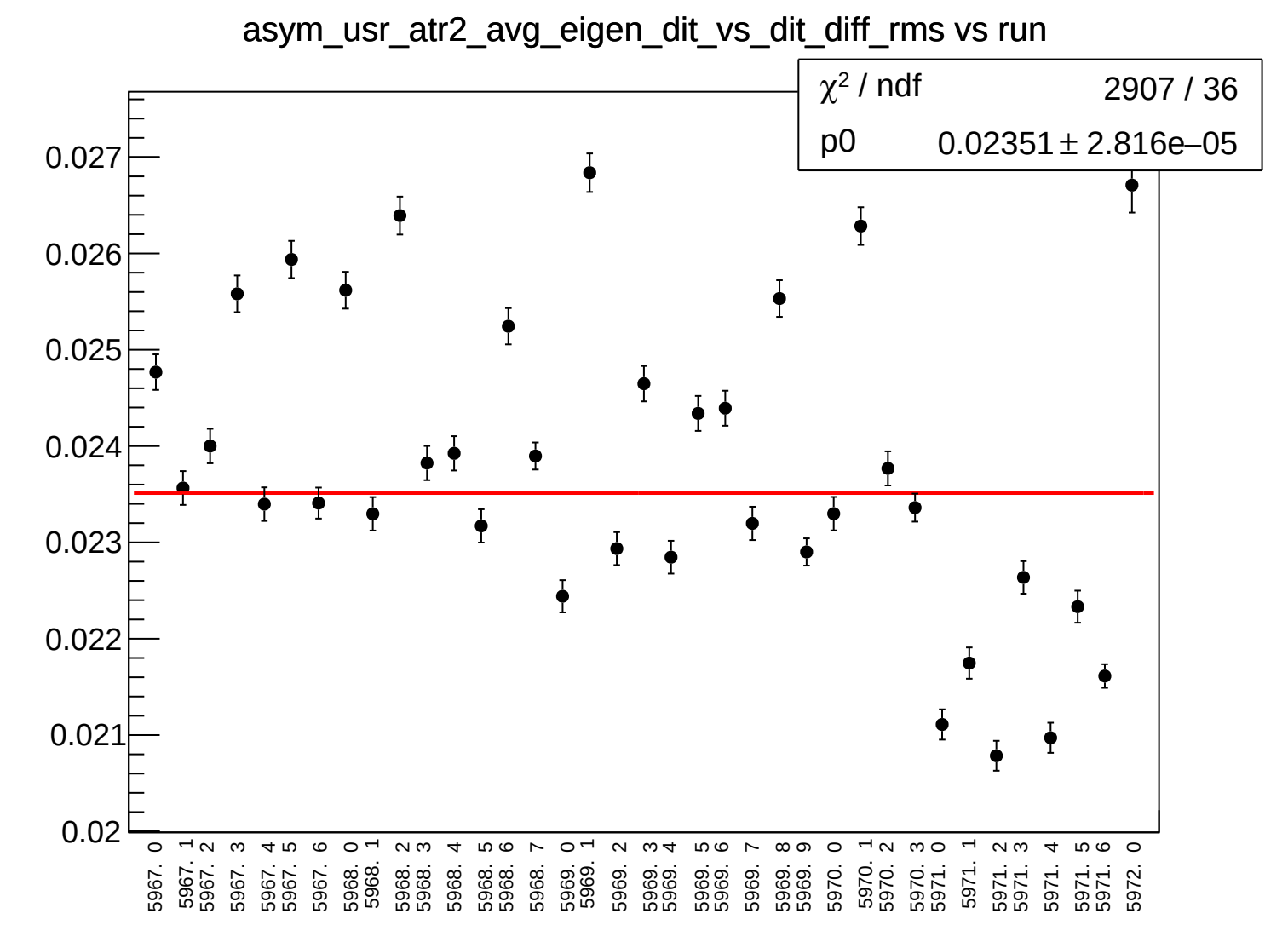
asym_usr_atr2_avg_eigen_dit_vs_dit_diff_rms vs run
χ² / ndf 2907 / 36
p0 0.02351 ± 2.816e−05
0.027
0.026
0.025
0.024
0.023
0.022
0.021
0.02
5967. 0
5967. 1
5967. 2
5967. 3
5967. 4
5967. 5
5967. 6
5968. 0
5968. 1
5968. 2
5968. 3
5968. 4
5968. 5
5968. 6
5968. 7
5969. 0
5969. 1
5969. 2
5969. 3
5969. 4
5969. 5
5969. 6
5969. 7
5969. 8
5969. 9
5970. 0
5970. 1
5970. 2
5970. 3
5971. 0
5971. 1
5971. 2
5971. 3
5971. 4
5971. 5
5971. 6
5972. 0

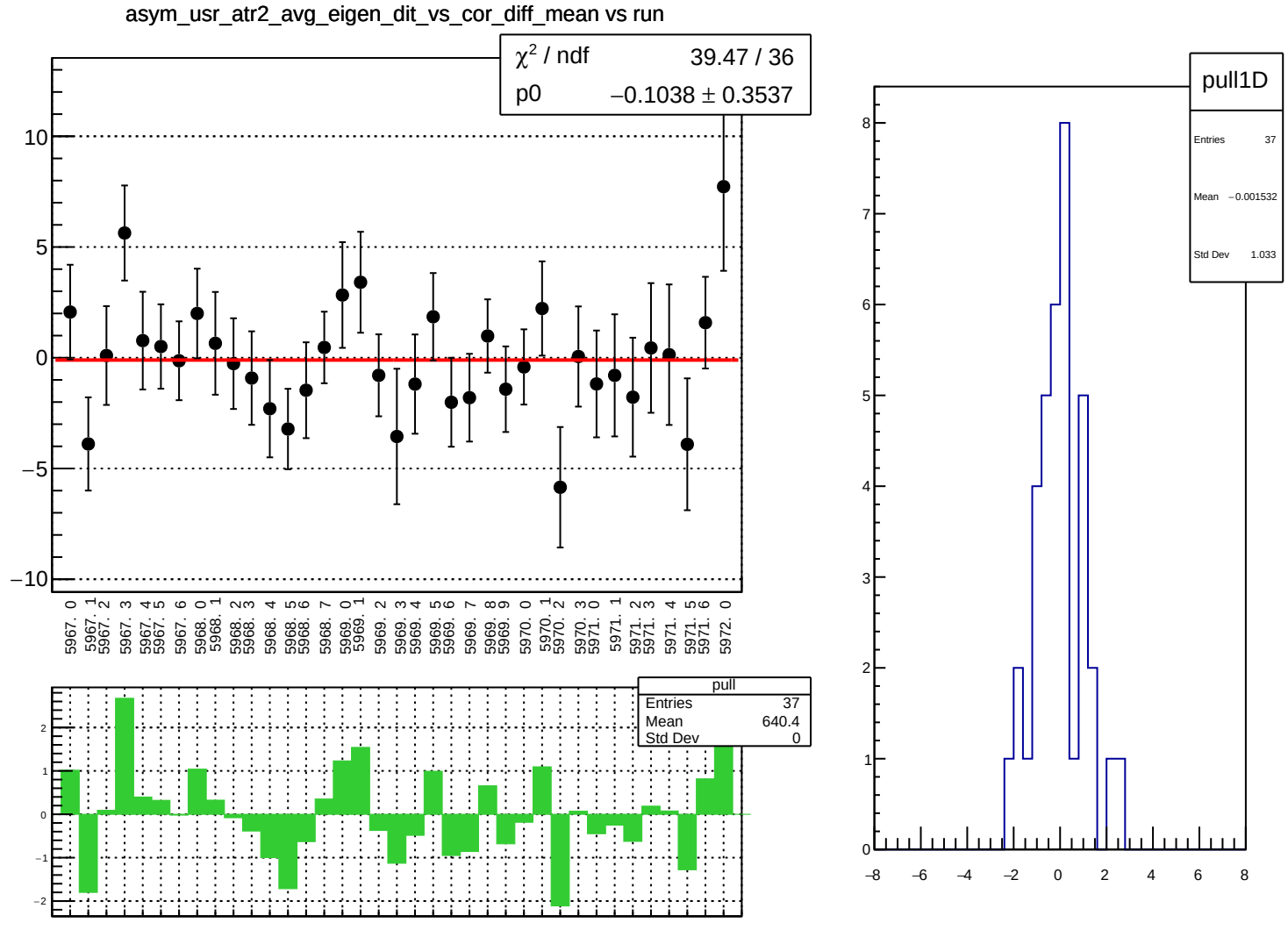
asym_usr_atr2_avg_eigen_dit_vs_cor_diff_mean vs run
χ² / ndf 39.47 / 36
p0 −0.1038 ± 0.3537
10
5
0
−5
−10
5967. 0
5967. 1
5967. 2
5967. 3
5967. 4
5967. 5
5967. 6
5968. 0
5968. 1
5968. 2
5968. 3
5968. 4
5968. 5
5968. 6
5968. 7
5969. 0
5969. 1
5969. 2
5969. 3
5969. 4
5969. 5
5969. 6
5969. 7
5969. 8
5969. 9
5970. 0
5970. 1
5970. 2
5970. 3
5971. 0
5971. 1
5971. 2
5971. 3
5971. 4
5971. 5
5971. 6
5972. 0
pull
Entries 37
Mean 640.4
Std Dev 0
2
1
0
−1
−2
pull1D
Entries 37
Mean −0.001532
Std Dev 1.033
8
7
6
5
4
3
2
1
0
−8
−6
−4
−2
0
2
4
6
8

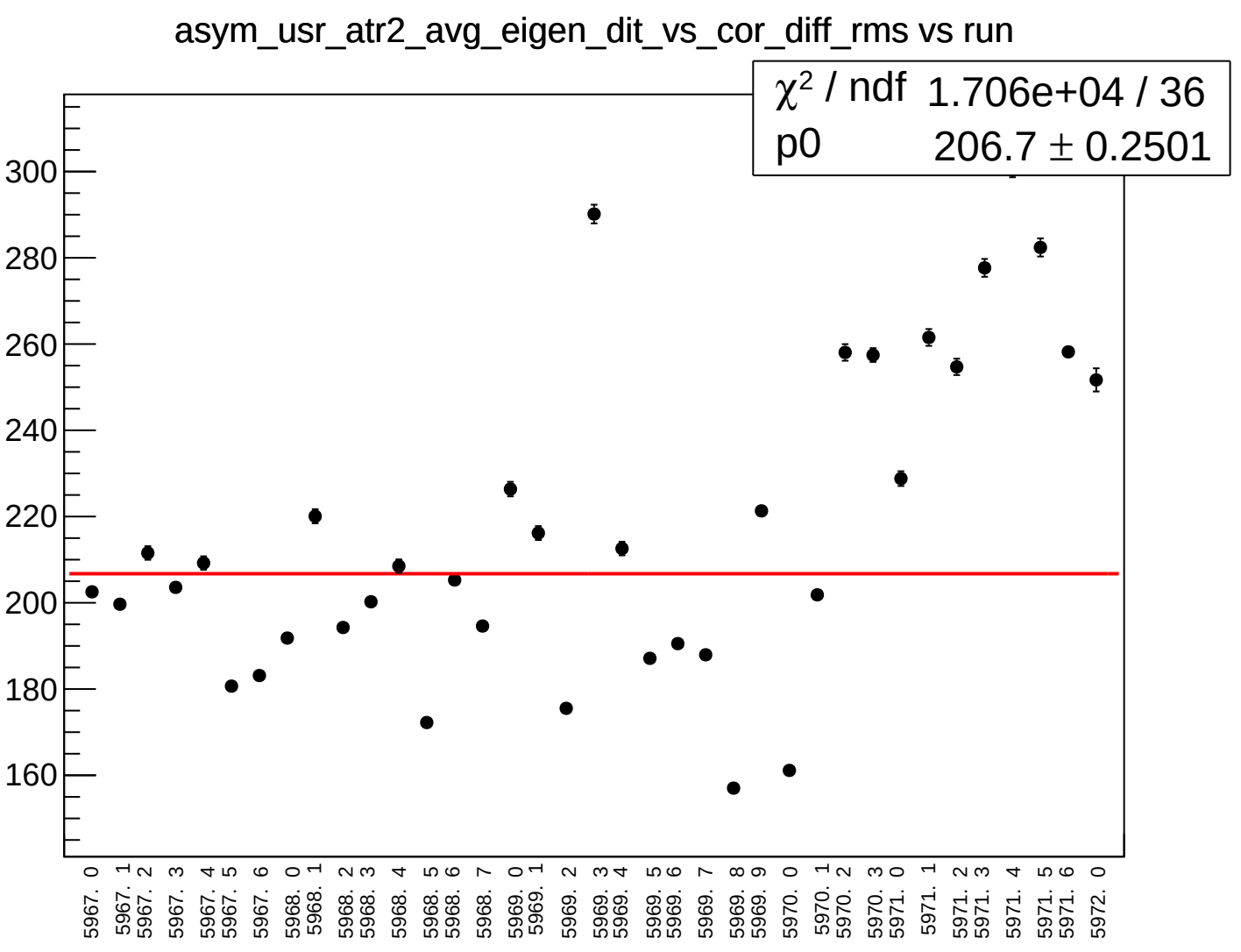
asym_usr_atr2_avg_eigen_dit_vs_cor_diff_rms vs run
χ² / ndf 1.706e+04 / 36
p0 206.7 ± 0.2501
300
280
260
240
220
200
180
160
5967. 0
5967. 1
5967. 2
5967. 3
5967. 4
5967. 5
5967. 6
5968. 0
5968. 1
5968. 2
5968. 3
5968. 4
5968. 5
5968. 6
5968. 7
5969. 0
5969. 1
5969. 2
5969. 3
5969. 4
5969. 5
5969. 6
5969. 7
5969. 8
5969. 9
5970. 0
5970. 1
5970. 2
5970. 3
5971. 0
5971. 1
5971. 2
5971. 3
5971. 4
5971. 5
5971. 6
5972. 0

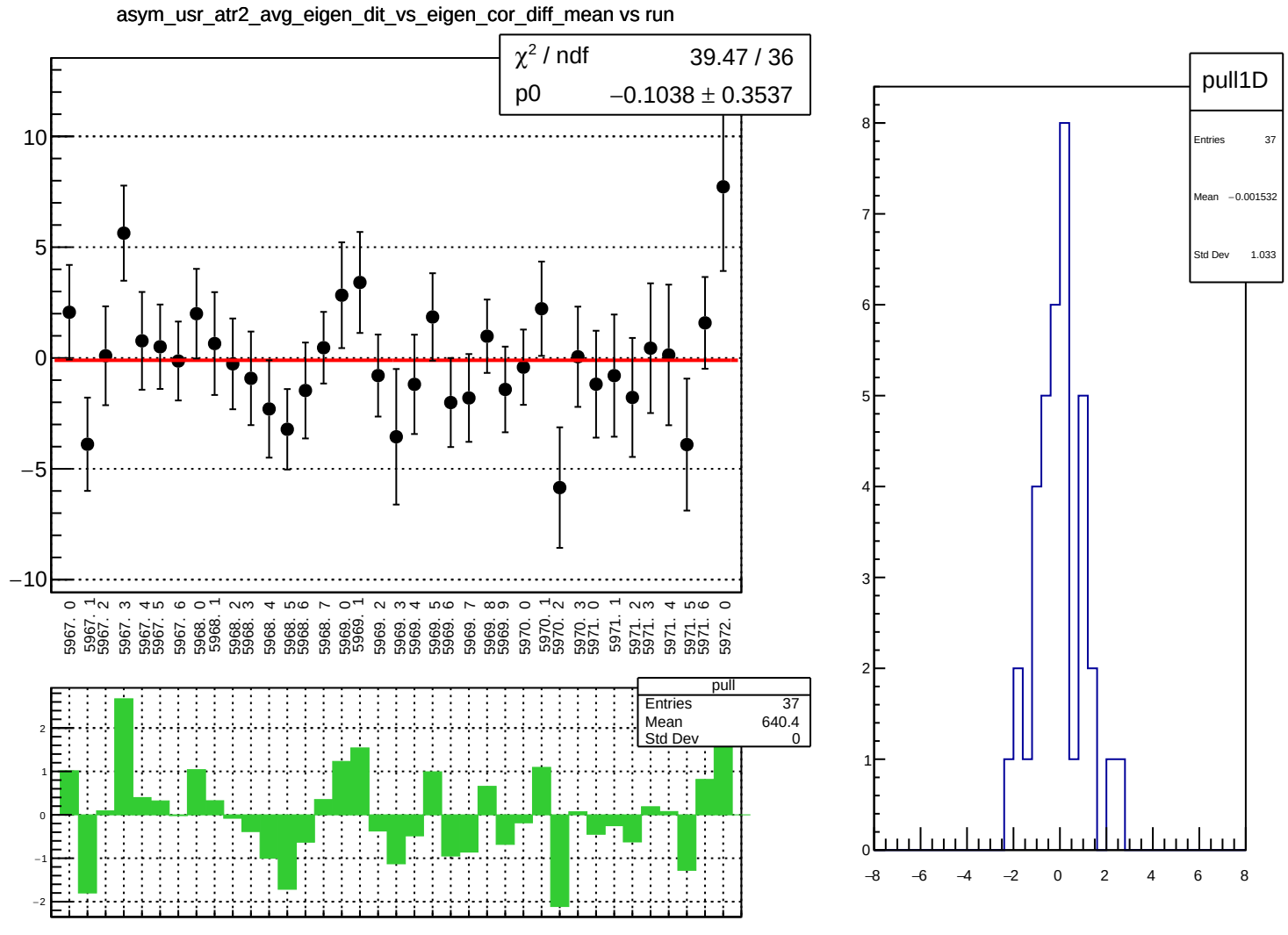
asym_usr_atr2_avg_eigen_dit_vs_eigen_cor_diff_mean vs run
χ² / ndf 39.47 / 36
p0 −0.1038 ± 0.3537
10
5
0
−5
−10
5967. 0
5967. 1
5967. 2
5967. 3
5967. 4
5967. 5
5967. 6
5968. 0
5968. 1
5968. 2
5968. 3
5968. 4
5968. 5
5968. 6
5968. 7
5969. 0
5969. 1
5969. 2
5969. 3
5969. 4
5969. 5
5969. 6
5969. 7
5969. 8
5969. 9
5970. 0
5970. 1
5970. 2
5970. 3
5971. 0
5971. 1
5971. 2
5971. 3
5971. 4
5971. 5
5971. 6
5972. 0
pull
Entries 37
Mean 640.4
Std Dev 0
2
1
0
−1
−2
pull1D
Entries 37
Mean −0.001532
Std Dev 1.033
8
7
6
5
4
3
2
1
0
−8
−6
−4
−2
0
2
4
6
8

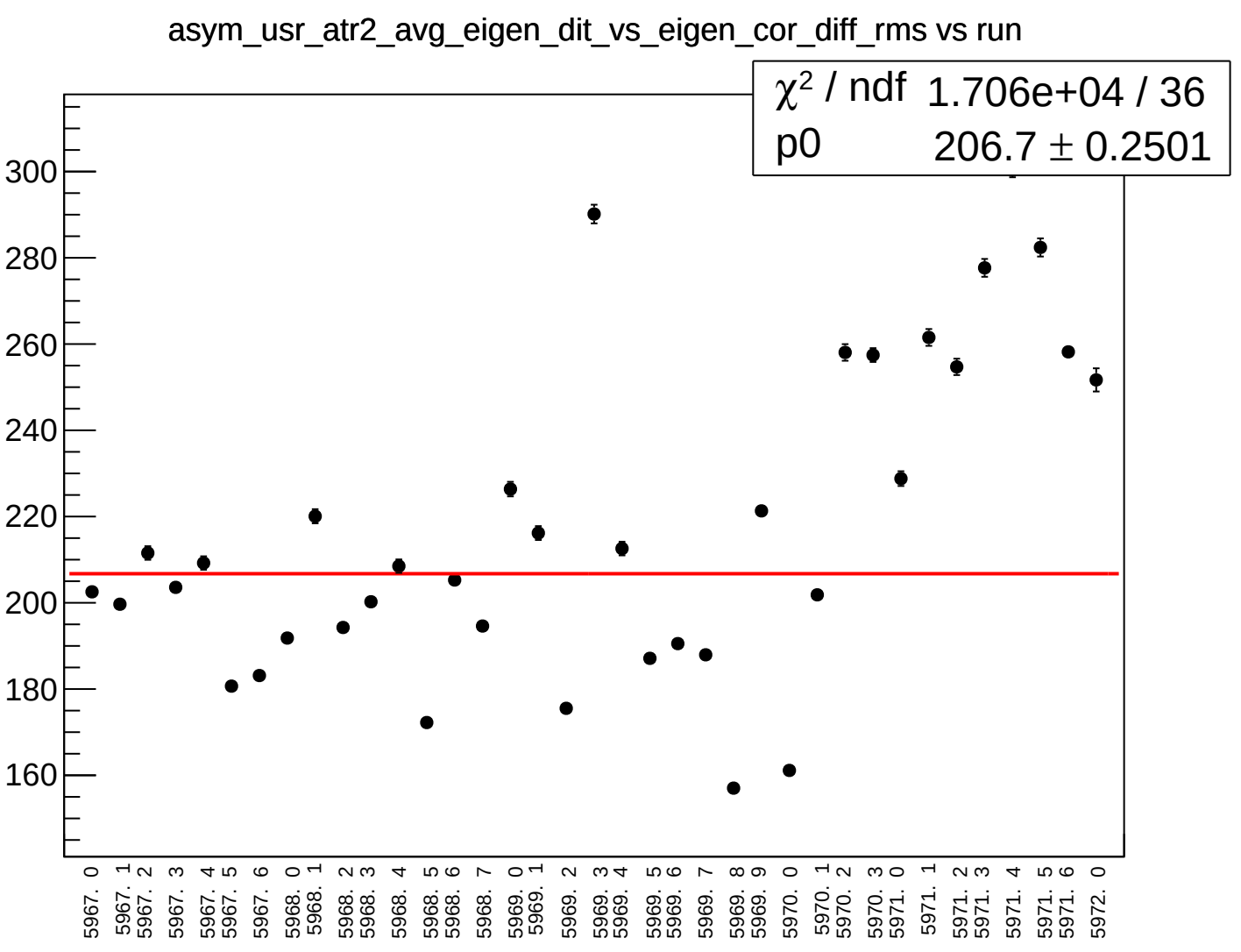
asym_usr_atr2_avg_eigen_dit_vs_eigen_cor_diff_rms vs run
χ² / ndf 1.706e+04 / 36
p0 206.7 ± 0.2501
300
280
260
240
220
200
180
160
5967. 0
5967. 1
5967. 2
5967. 3
5967. 4
5967. 5
5967. 6
5968. 0
5968. 1
5968. 2
5968. 3
5968. 4
5968. 5
5968. 6
5968. 7
5969. 0
5969. 1
5969. 2
5969. 3
5969. 4
5969. 5
5969. 6
5969. 7
5969. 8
5969. 9
5970. 0
5970. 1
5970. 2
5970. 3
5971. 0
5971. 1
5971. 2
5971. 3
5971. 4
5971. 5
5971. 6
5972. 0

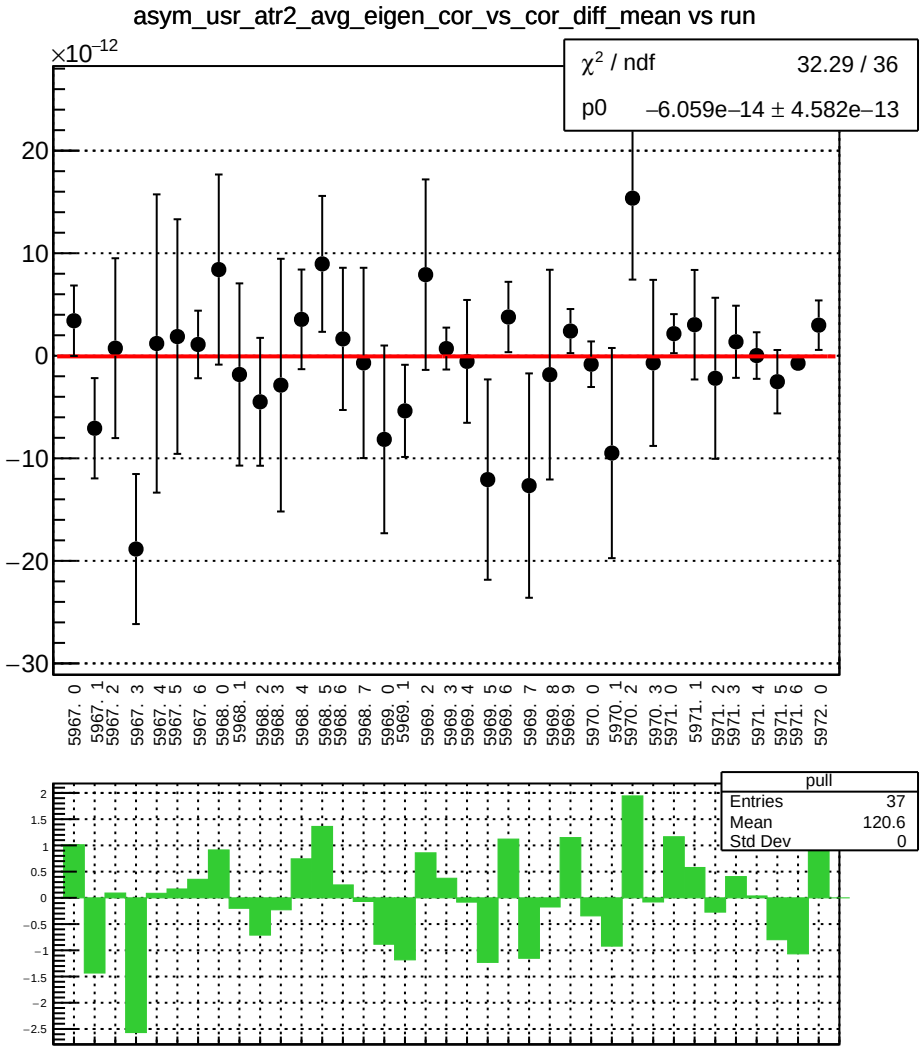
asym_usr_atr2_avg_eigen_cor_vs_cor_diff_mean vs run
×10⁻¹²
χ² / ndf 32.29 / 36
p0 −6.059e−14 ± 4.582e−13
pull
Entries 37
Mean 120.6
Std Dev 0

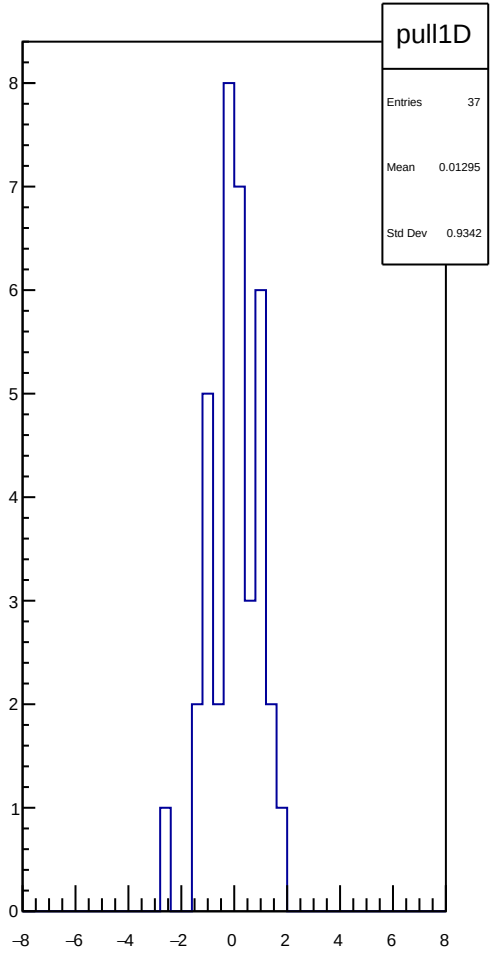
pull1D
Entries 37
Mean 0.01295
Std Dev 0.9342

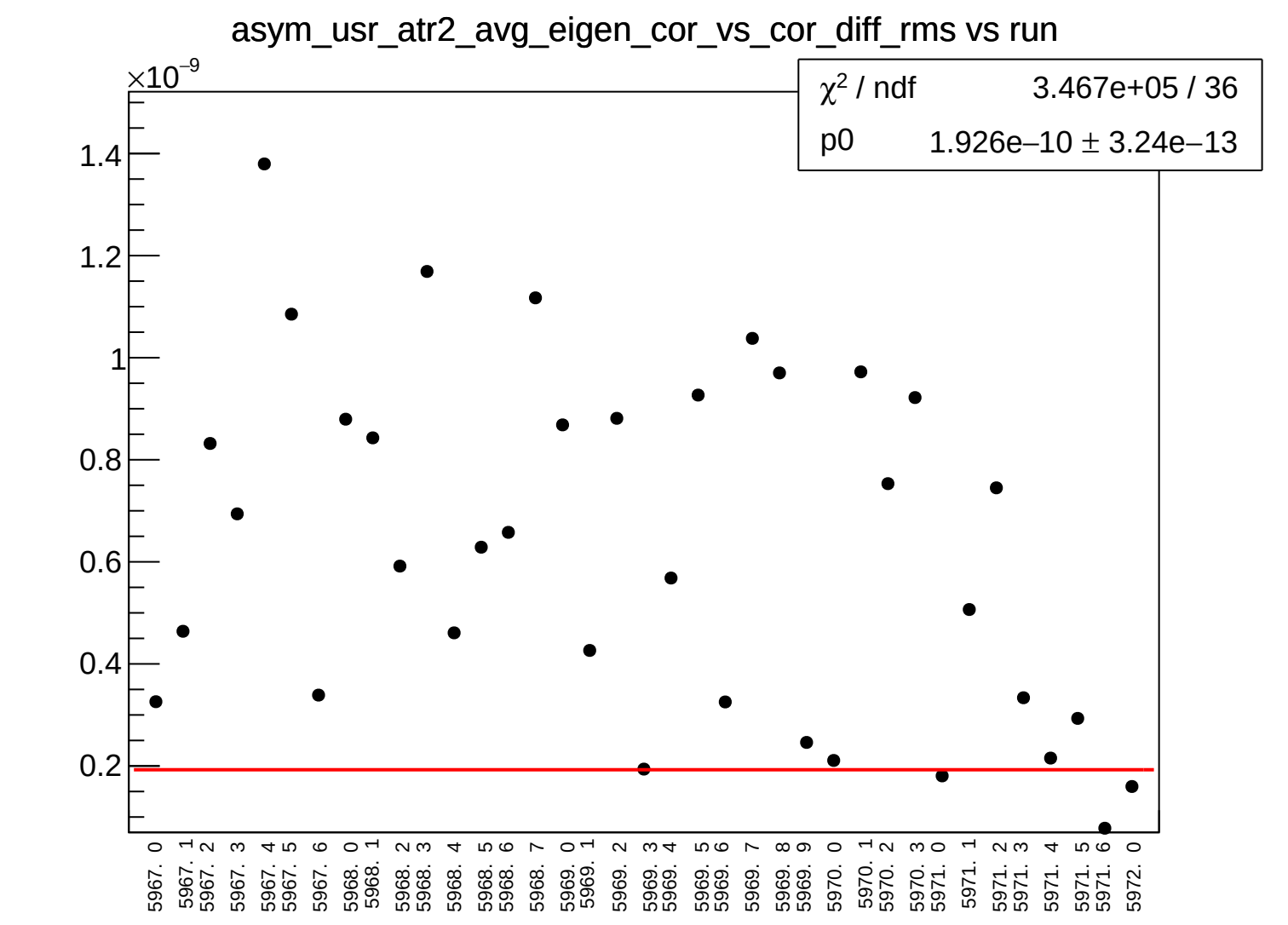
asym_usr_atr2_avg_eigen_cor_vs_cor_diff_rms vs run
×10⁻⁹
χ² / ndf 3.467e+05 / 36
p0 1.926e−10 ± 3.24e−13
1.4
1.2
1
0.8
0.6
0.4
0.2
5967. 0
5967. 1
5967. 2
5967. 3
5967. 4
5967. 5
5967. 6
5968. 0
5968. 1
5968. 2
5968. 3
5968. 4
5968. 5
5968. 6
5968. 7
5969. 0
5969. 1
5969. 2
5969. 3
5969. 4
5969. 5
5969. 6
5969. 7
5969. 8
5969. 9
5970. 0
5970. 1
5970. 2
5970. 3
5971. 0
5971. 1
5971. 2
5971. 3
5971. 4
5971. 5
5971. 6
5972. 0

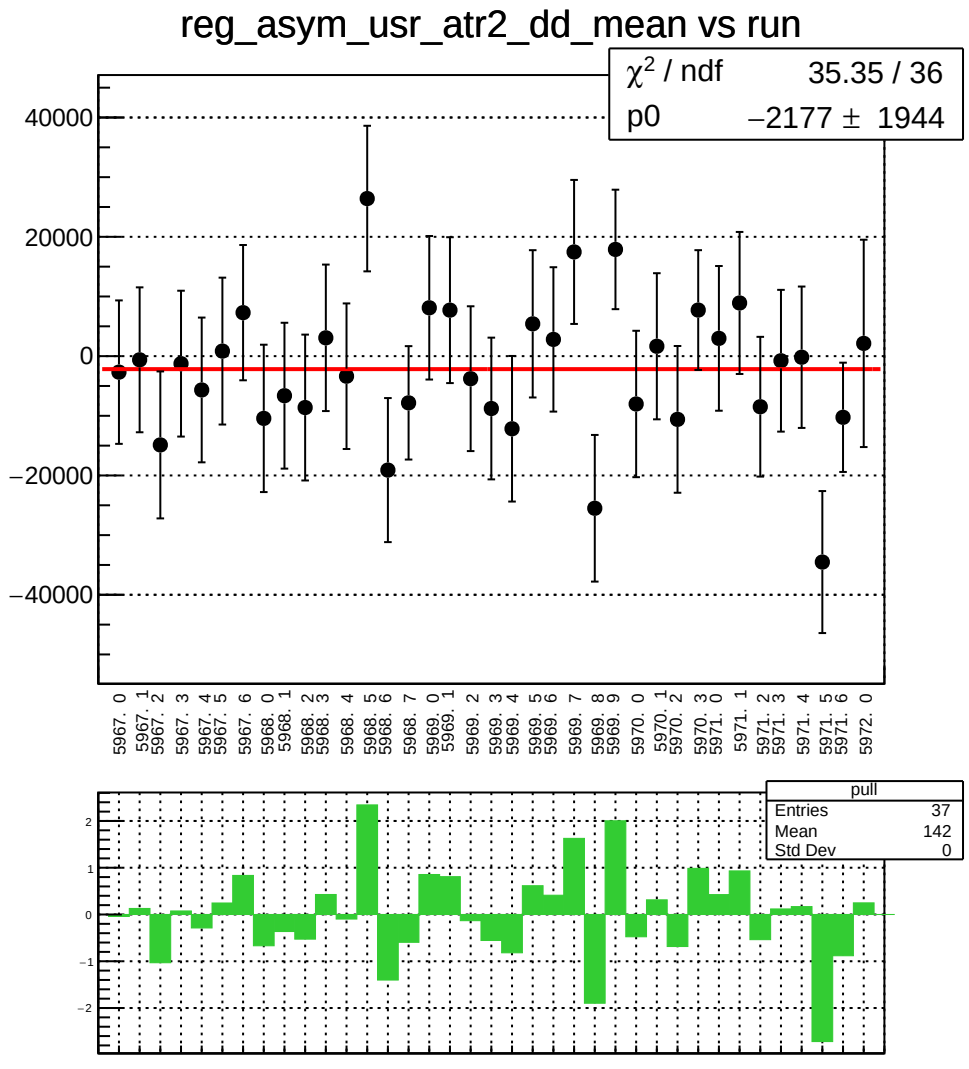
reg_asym_usr_atr2_dd_mean vs run
χ² / ndf 35.35 / 36
p0 −2177 ± 1944
40000
20000
0
−20000
−40000
5967. 0
5967. 1
5967. 2
5967. 3
5967. 4
5967. 5
5967. 6
5968. 0
5968. 1
5968. 2
5968. 3
5968. 4
5968. 5
5968. 6
5968. 7
5969. 0
5969. 1
5969. 2
5969. 3
5969. 4
5969. 5
5969. 6
5969. 7
5969. 8
5969. 9
5970. 0
5970. 1
5970. 2
5970. 3
5971. 0
5971. 1
5971. 2
5971. 3
5971. 4
5971. 5
5971. 6
5972. 0
pull
Entries 37
Mean 142
Std Dev 0
2
1
0
−1
−2
pull1D
Entries 37
Mean −0.004019
Std Dev 0.9774
7
6
5
4
3
2
1
0
−8
−6
−4
−2
0
2
4
6
8

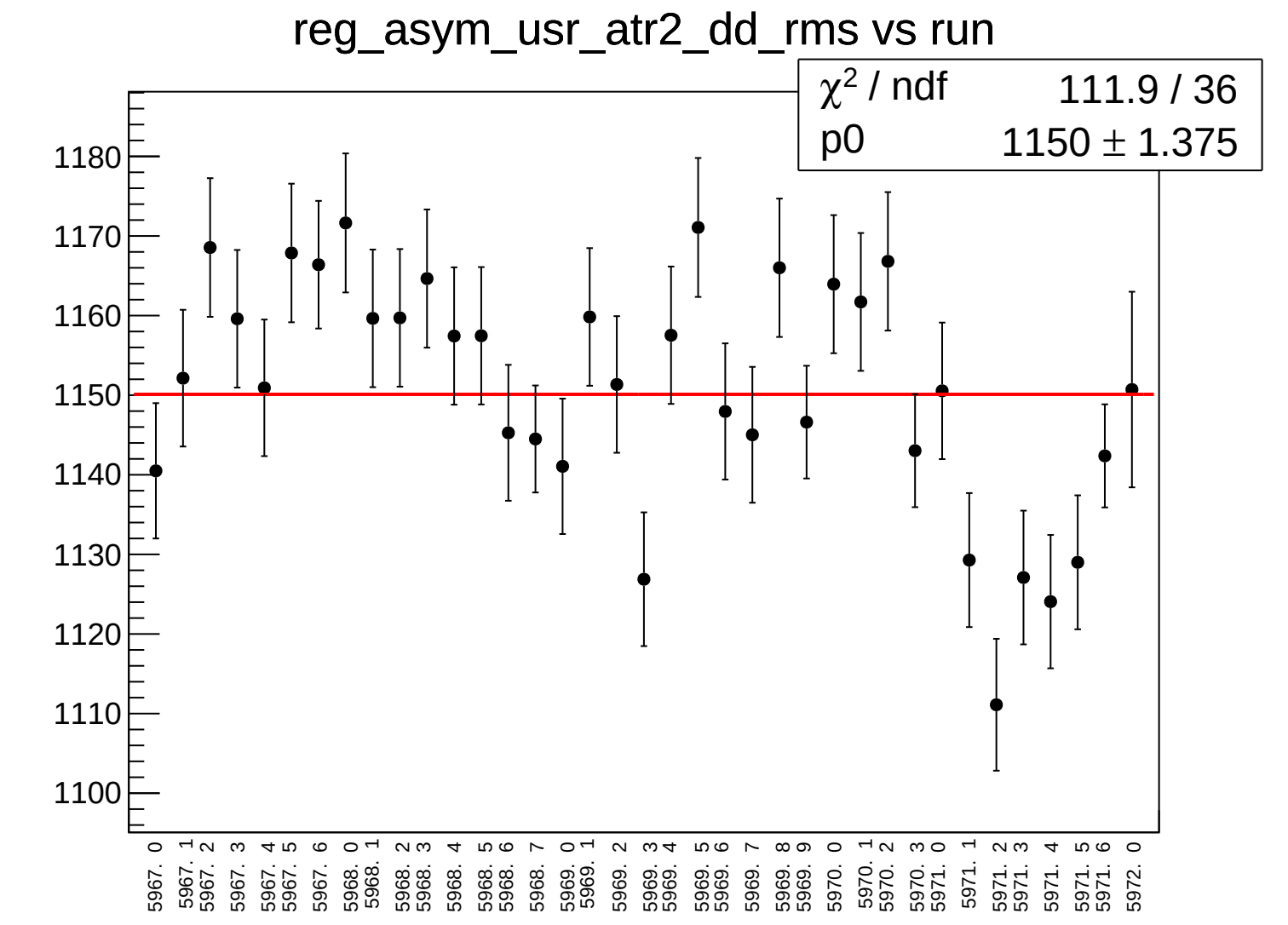
reg_asym_usr_atr2_dd_rms vs run
χ² / ndf 111.9 / 36
p0 1150 ± 1.375
1180
1170
1160
1150
1140
1130
1120
1110
1100
5967. 0
5967. 1
5967. 2
5967. 3
5967. 4
5967. 5
5967. 6
5968. 0
5968. 1
5968. 2
5968. 3
5968. 4
5968. 5
5968. 6
5968. 7
5969. 0
5969. 1
5969. 2
5969. 3
5969. 4
5969. 5
5969. 6
5969. 7
5969. 8
5969. 9
5970. 0
5970. 1
5970. 2
5970. 3
5971. 0
5971. 1
5971. 2
5971. 3
5971. 4
5971. 5
5971. 6
5972. 0

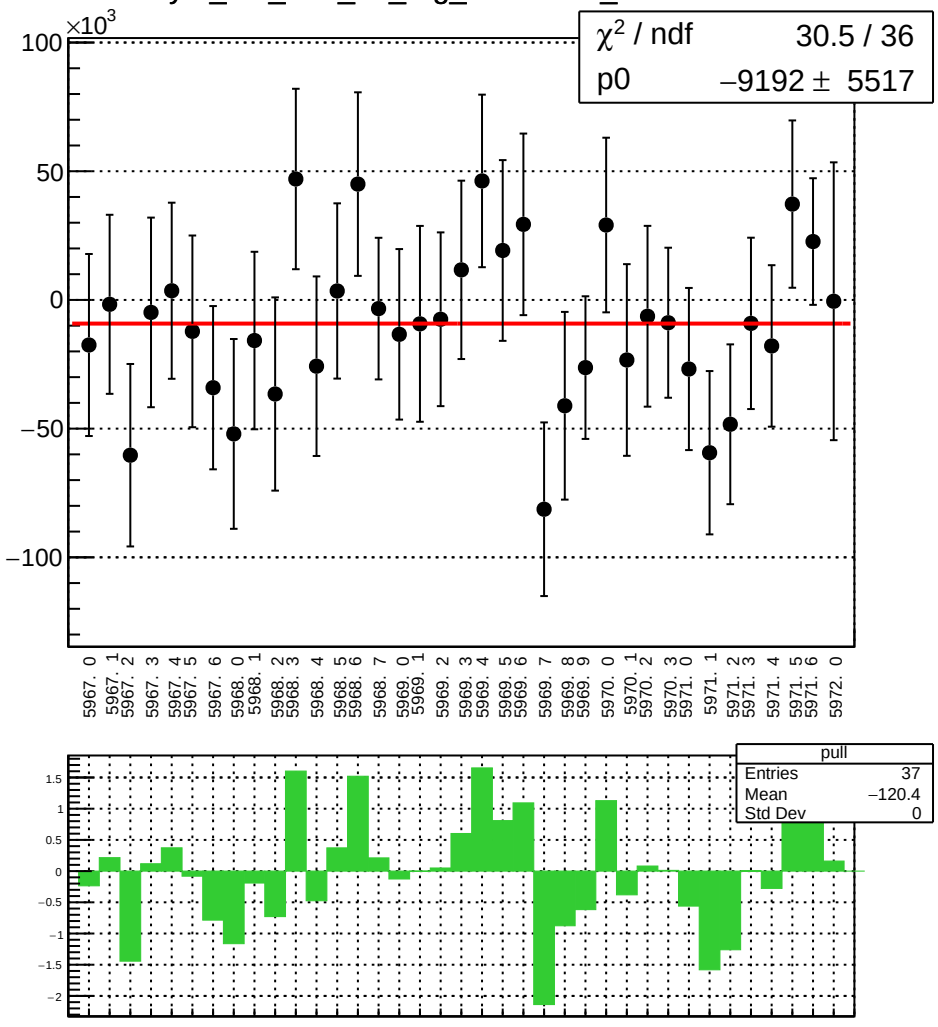
asym_usr_atr2_dd_reg_correction_mean vs run
×10^3
χ² / ndf 30.5 / 36
p0 −9192 ± 5517
100
50
0
−50
−100
5967. 0
5967. 1
5967. 2
5967. 3
5967. 4
5967. 5
5967. 6
5968. 0
5968. 1
5968. 2
5968. 3
5968. 4
5968. 5
5968. 6
5968. 7
5969. 0
5969. 1
5969. 2
5969. 3
5969. 4
5969. 5
5969. 6
5969. 7
5969. 8
5969. 9
5970. 0
5970. 1
5970. 2
5970. 3
5971. 0
5971. 1
5971. 2
5971. 3
5971. 4
5971. 5
5971. 6
5972. 0
pull
Entries 37
Mean −120.4
Std Dev 0
1.5
1
0.5
0
−0.5
−1
−1.5
−2
pull1D
Entries 37
Mean −0.005122
Std Dev 0.9079
10
8
6
4
2
0
−8
−6
−4
−2
0
2
4
6
8

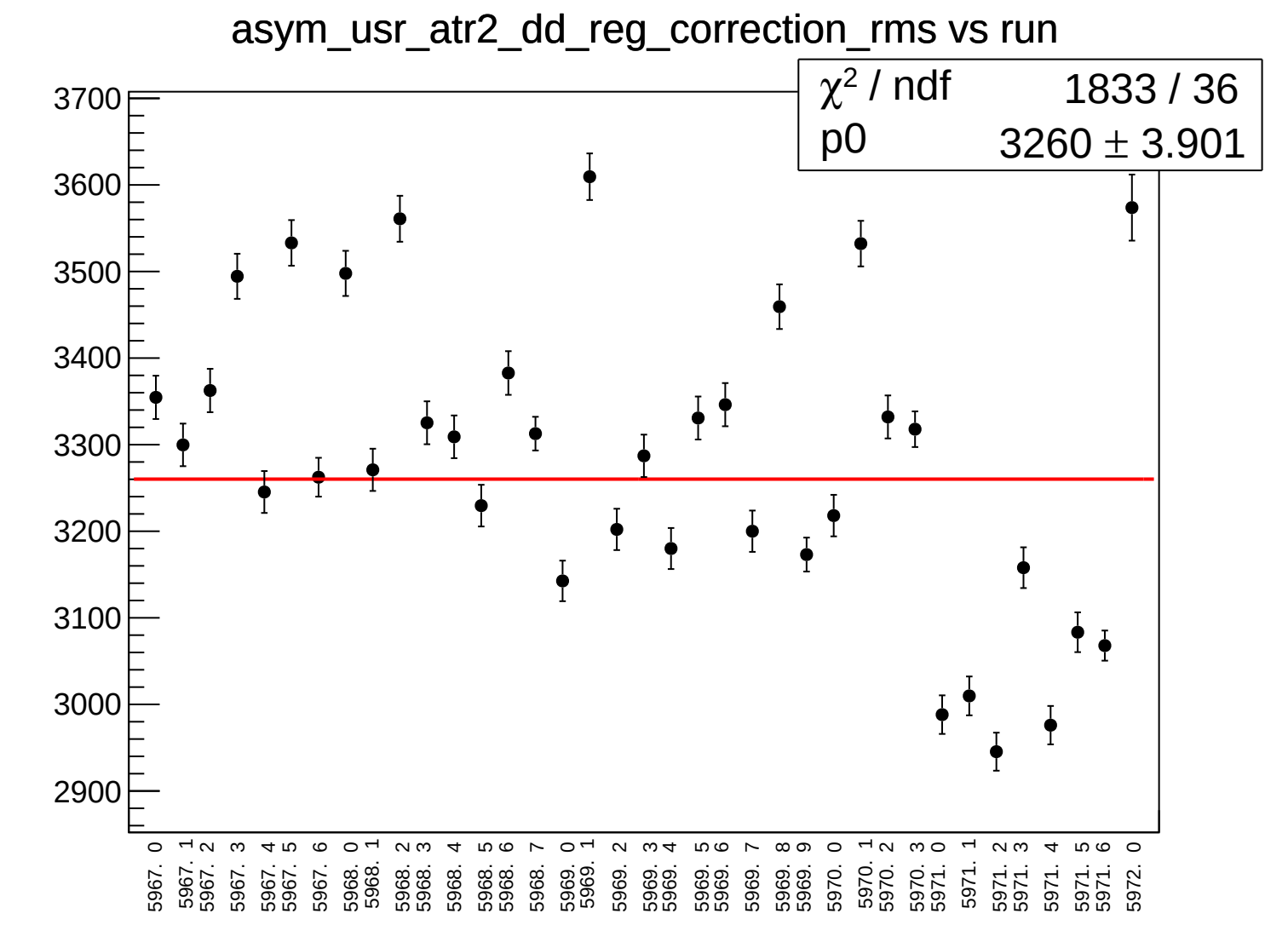
asym_usr_atr2_dd_reg_correction_rms vs run
χ² / ndf 1833 / 36
p0 3260 ± 3.901
3700
3600
3500
3400
3300
3200
3100
3000
2900
5967. 0
5967. 1
5967. 2
5967. 3
5967. 4
5967. 5
5967. 6
5968. 0
5968. 1
5968. 2
5968. 3
5968. 4
5968. 5
5968. 6
5968. 7
5969. 0
5969. 1
5969. 2
5969. 3
5969. 4
5969. 5
5969. 6
5969. 7
5969. 8
5969. 9
5970. 0
5970. 1
5970. 2
5970. 3
5971. 0
5971. 1
5971. 2
5971. 3
5971. 4
5971. 5
5971. 6
5972. 0

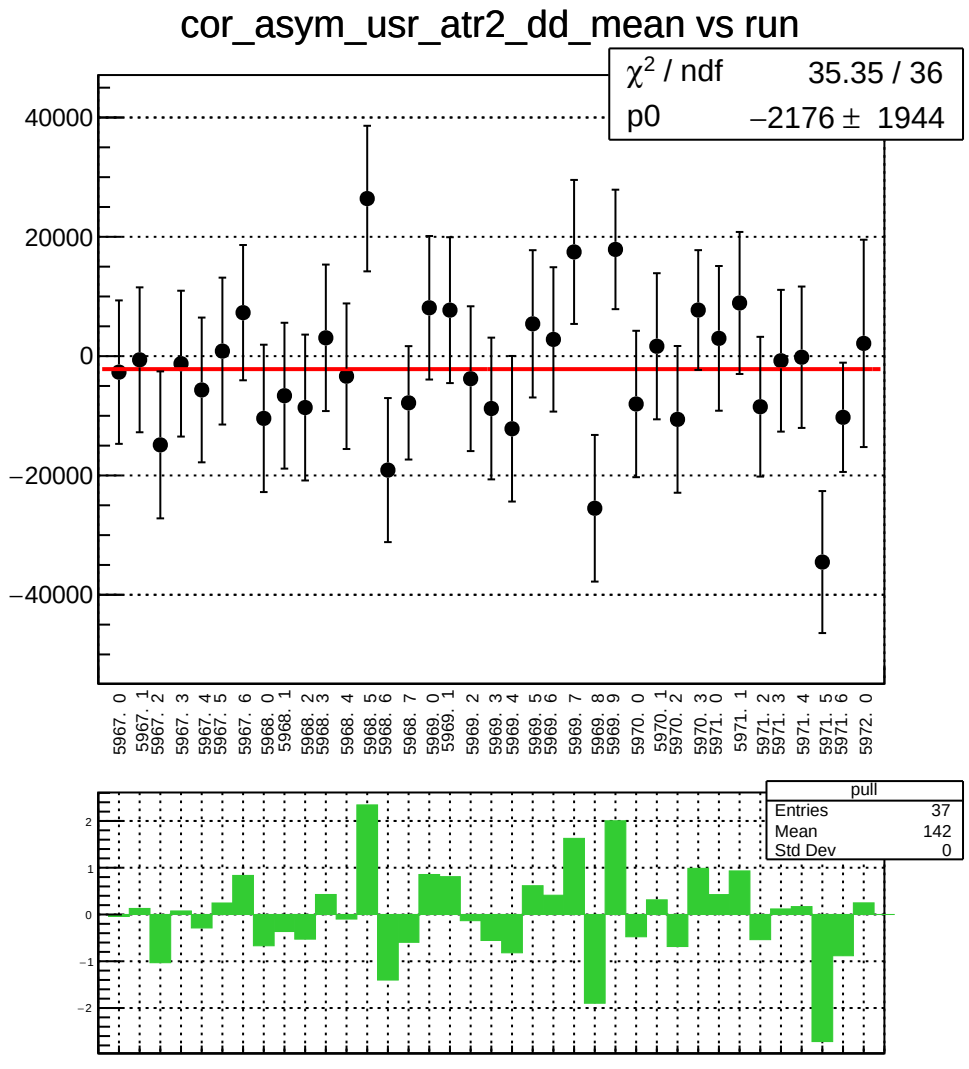
cor_asym_usr_atr2_dd_mean vs run
χ² / ndf 35.35 / 36
p0 −2176 ± 1944
40000
20000
0
−20000
−40000
5967. 0
5967. 1
5967. 2
5967. 3
5967. 4
5967. 5
5967. 6
5968. 0
5968. 1
5968. 2
5968. 3
5968. 4
5968. 5
5968. 6
5968. 7
5969. 0
5969. 1
5969. 2
5969. 3
5969. 4
5969. 5
5969. 6
5969. 7
5969. 8
5969. 9
5970. 0
5970. 1
5970. 2
5970. 3
5971. 0
5971. 1
5971. 2
5971. 3
5971. 4
5971. 5
5971. 6
5972. 0
pull
Entries 37
Mean 142
Std Dev 0
2
1
0
−1
−2
pull1D
Entries 37
Mean −0.004021
Std Dev 0.9774
7
6
5
4
3
2
1
0
−8
−6
−4
−2
0
2
4
6
8

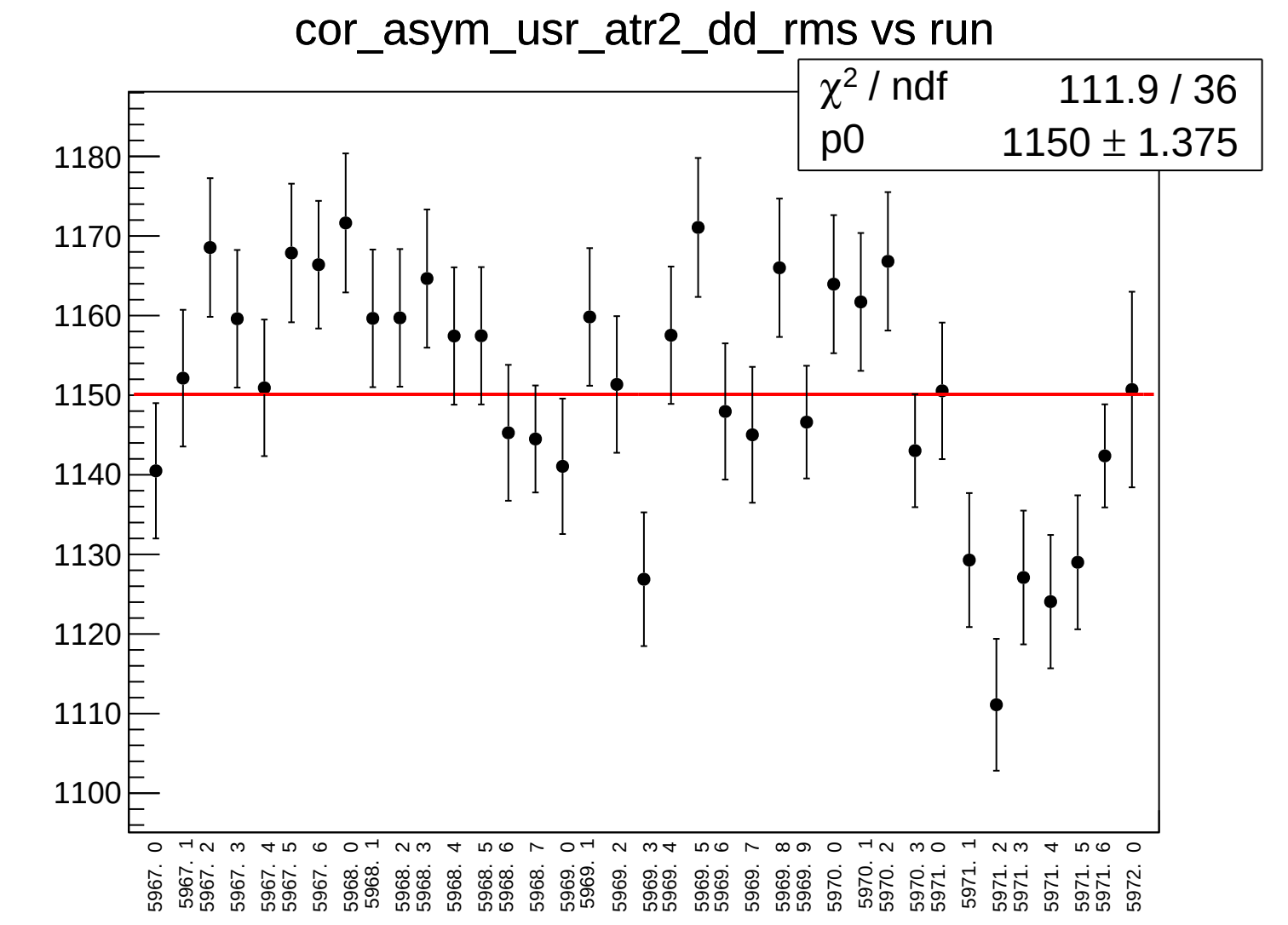
cor_asym_usr_atr2_dd_rms vs run
χ^2 / ndf 111.9 / 36
p0 1150 ± 1.375
1180
1170
1160
1150
1140
1130
1120
1110
1100
5967. 0
5967. 1
5967. 2
5967. 3
5967. 4
5967. 5
5967. 6
5968. 0
5968. 1
5968. 2
5968. 3
5968. 4
5968. 5
5968. 6
5968. 7
5969. 0
5969. 1
5969. 2
5969. 3
5969. 4
5969. 5
5969. 6
5969. 7
5969. 8
5969. 9
5970. 0
5970. 1
5970. 2
5970. 3
5971. 0
5971. 1
5971. 2
5971. 3
5971. 4
5971. 5
5971. 6
5972. 0

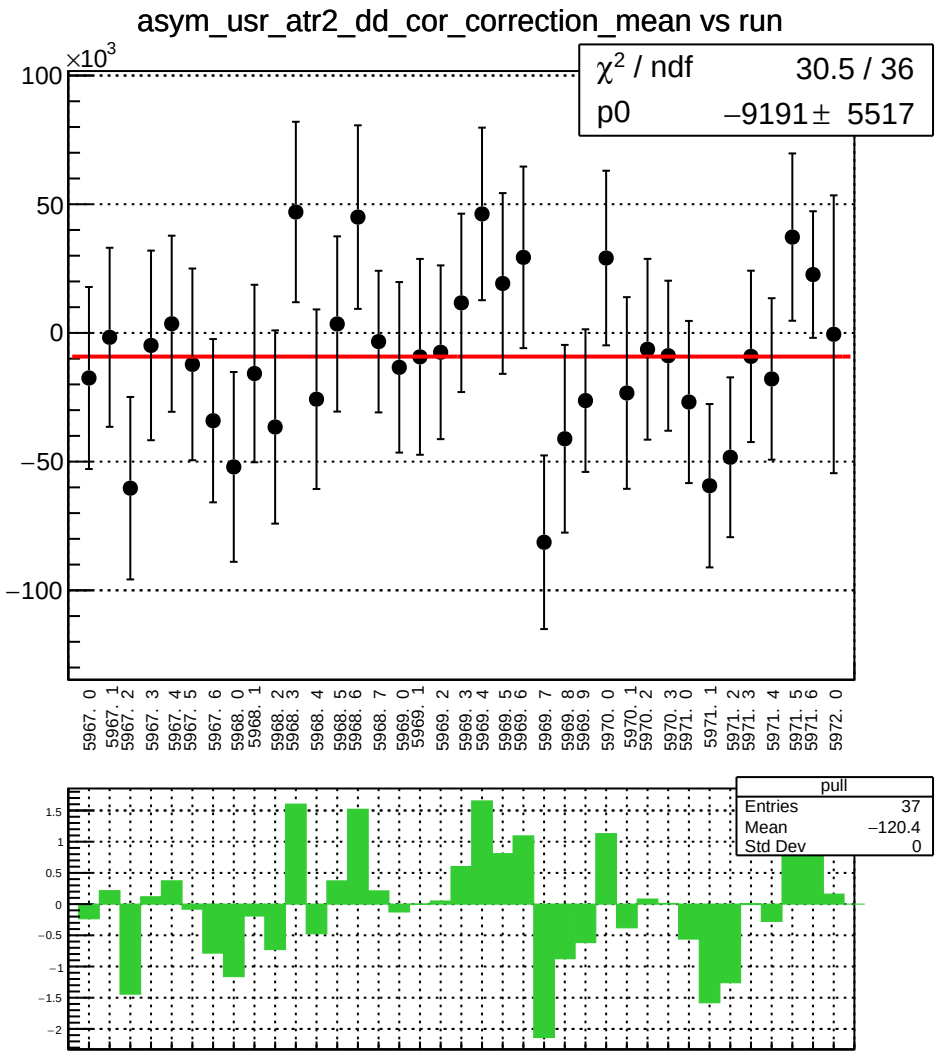
asym_usr_atr2_dd_cor_correction_mean vs run
×10^3
χ² / ndf 30.5 / 36
p0 −9191 ± 5517
100
50
0
−50
−100
5967. 0
5967. 1
5967. 2
5967. 3
5967. 4
5967. 5
5967. 6
5968. 0
5968. 1
5968. 2
5968. 3
5968. 4
5968. 5
5968. 6
5968. 7
5969. 0
5969. 1
5969. 2
5969. 3
5969. 4
5969. 5
5969. 6
5969. 7
5969. 8
5969. 9
5970. 0
5970. 1
5970. 2
5970. 3
5971. 0
5971. 1
5971. 2
5971. 3
5971. 4
5971. 5
5971. 6
5972. 0
pull
Entries 37
Mean −120.4
Std Dev 0
1.5
1
0.5
0
−0.5
−1
−1.5
−2
pull1D
Entries 37
Mean −0.005124
Std Dev 0.9079
10
8
6
4
2
0
−8
−6
−4
−2
0
2
4
6
8

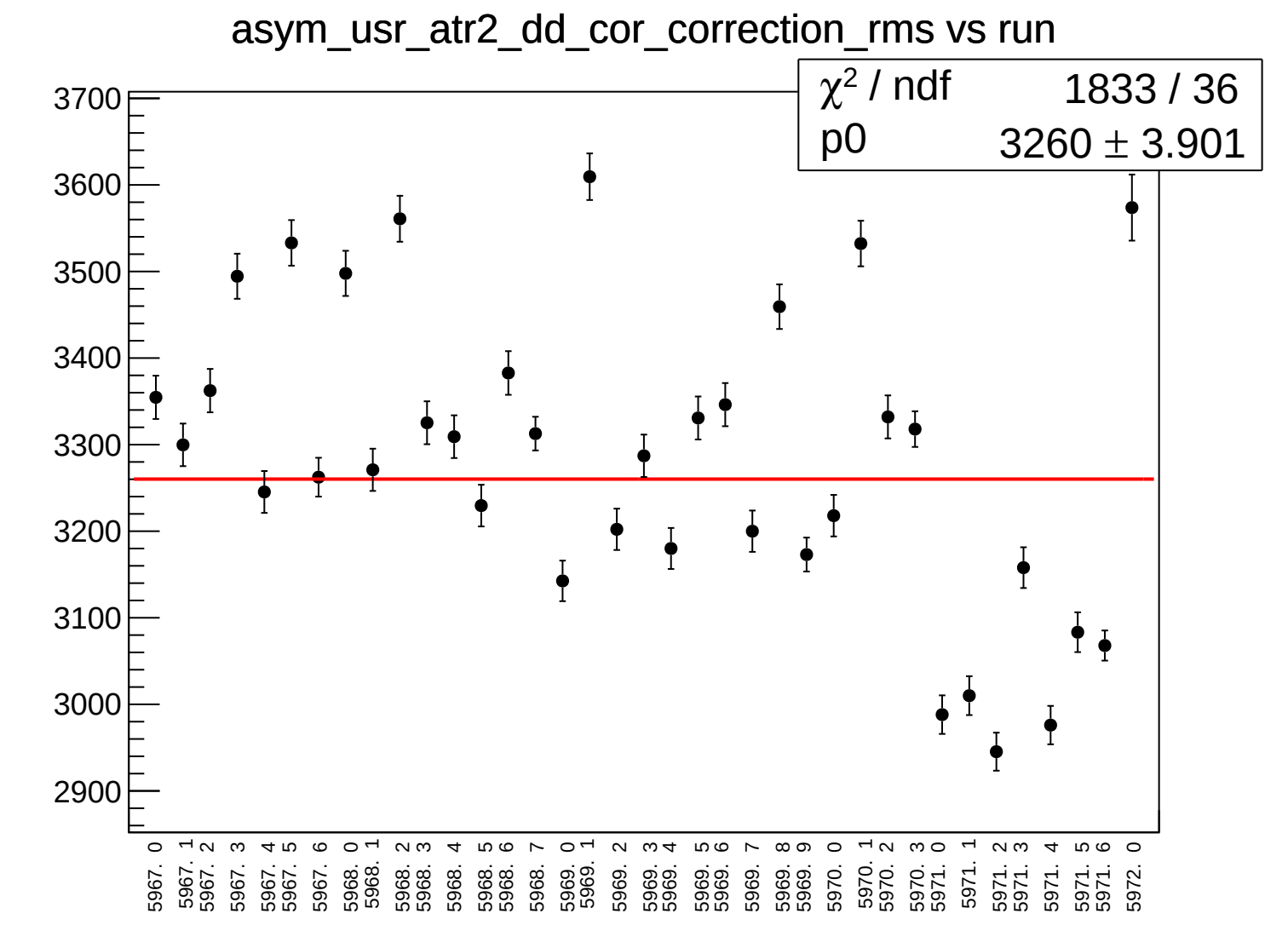
asym_usr_atr2_dd_cor_correction_rms vs run
χ² / ndf 1833 / 36
p0 3260 ± 3.901
3700
3600
3500
3400
3300
3200
3100
3000
2900
5967. 0
5967. 1
5967. 2
5967. 3
5967. 4
5967. 5
5967. 6
5968. 0
5968. 1
5968. 2
5968. 3
5968. 4
5968. 5
5968. 6
5968. 7
5969. 0
5969. 1
5969. 2
5969. 3
5969. 4
5969. 5
5969. 6
5969. 7
5969. 8
5969. 9
5970. 0
5970. 1
5970. 2
5970. 3
5971. 0
5971. 1
5971. 2
5971. 3
5971. 4
5971. 5
5971. 6
5972. 0

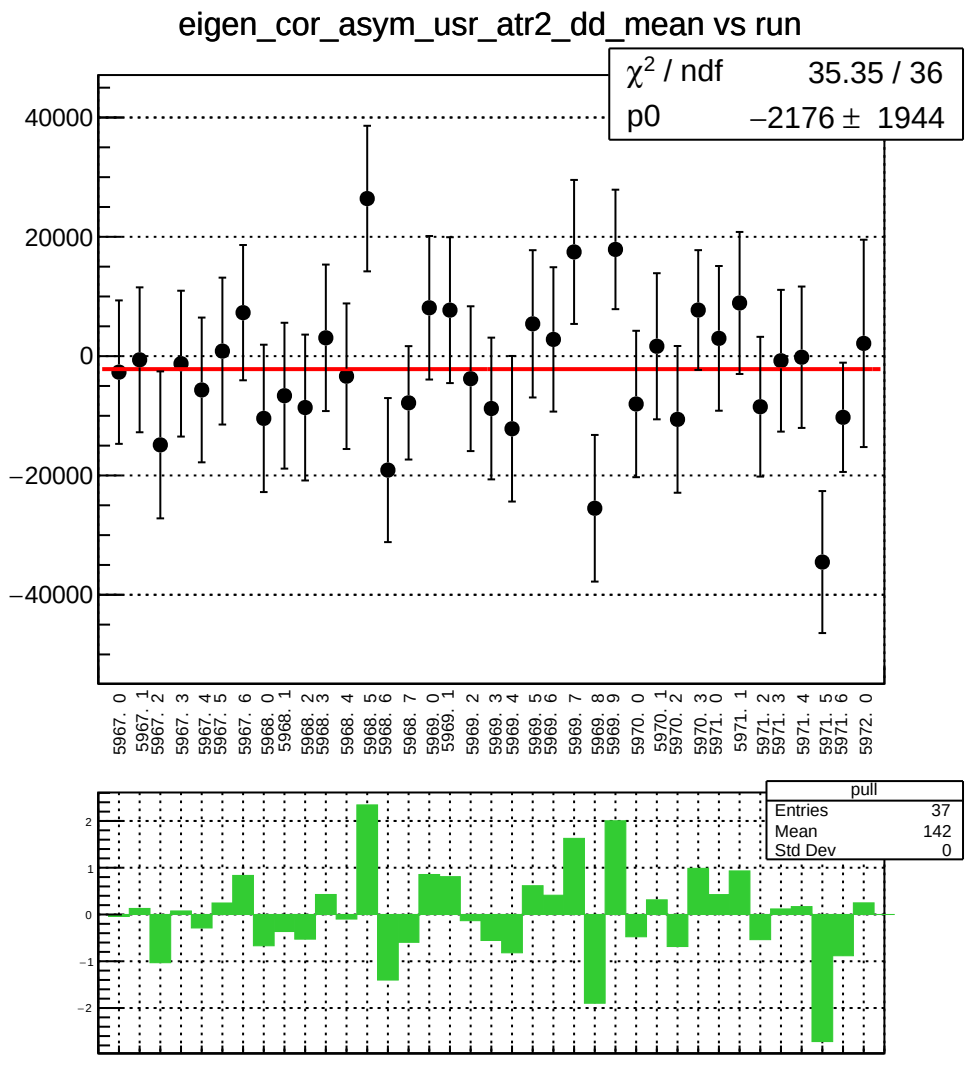
eigen_cor_asym_usr_atr2_dd_mean vs run
χ² / ndf 35.35 / 36
p0 −2176 ± 1944
40000
20000
0
−20000
−40000
5967. 0
5967. 1
5967. 2
5967. 3
5967. 4
5967. 5
5967. 6
5968. 0
5968. 1
5968. 2
5968. 3
5968. 4
5968. 5
5968. 6
5968. 7
5969. 0
5969. 1
5969. 2
5969. 3
5969. 4
5969. 5
5969. 6
5969. 7
5969. 8
5969. 9
5970. 0
5970. 1
5970. 2
5970. 3
5971. 0
5971. 1
5971. 2
5971. 3
5971. 4
5971. 5
5971. 6
5972. 0
pull
Entries 37
Mean 142
Std Dev 0
2
1
0
−1
−2
pull1D
Entries 37
Mean −0.004021
Std Dev 0.9774
7
6
5
4
3
2
1
0
−8
−6
−4
−2
0
2
4
6
8

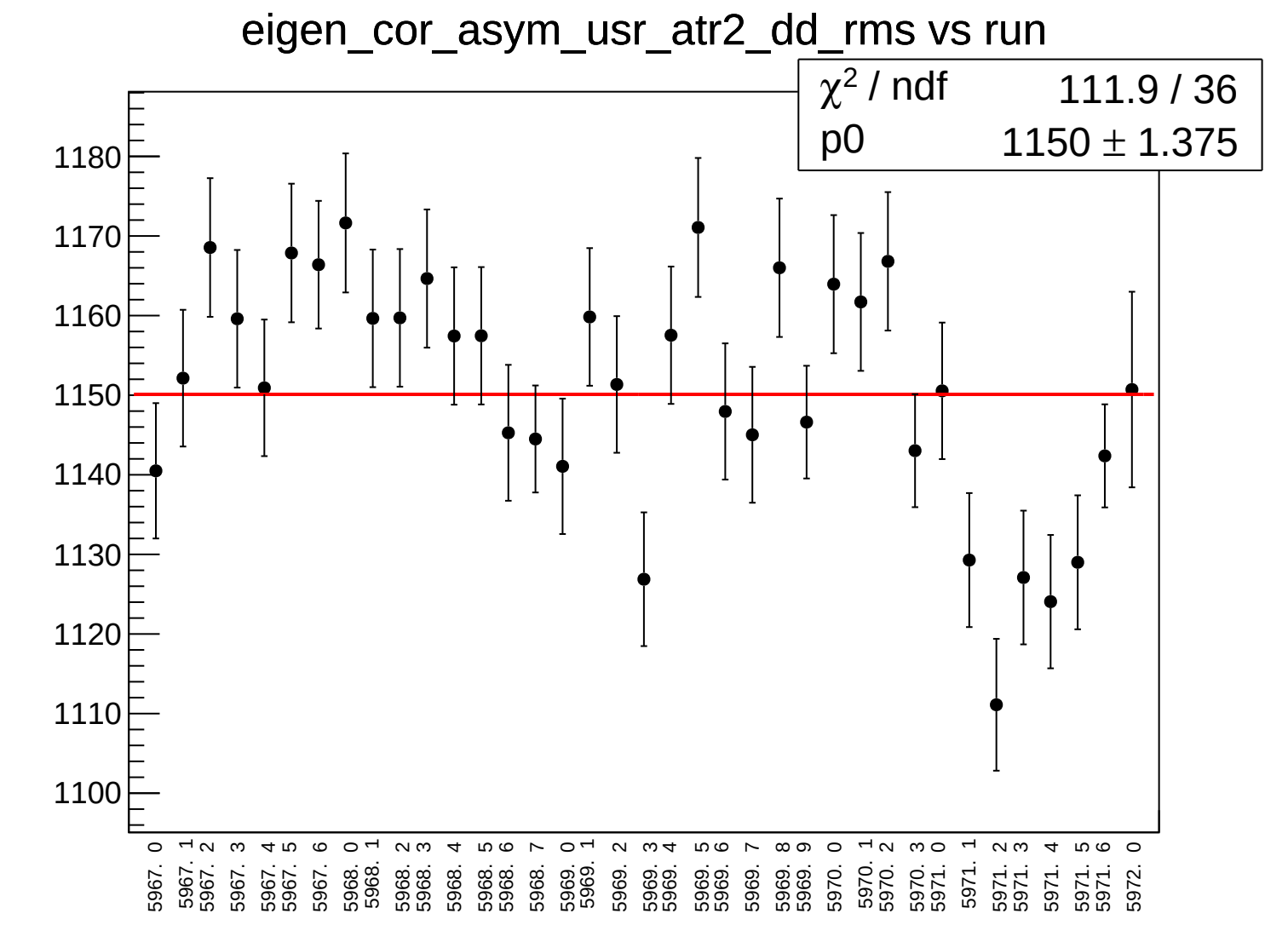
eigen_cor_asym_usr_atr2_dd_rms vs run
χ² / ndf 111.9 / 36
p0 1150 ± 1.375
1180
1170
1160
1150
1140
1130
1120
1110
1100
5967. 0
5967. 1
5967. 2
5967. 3
5967. 4
5967. 5
5967. 6
5968. 0
5968. 1
5968. 2
5968. 3
5968. 4
5968. 5
5968. 6
5968. 7
5969. 0
5969. 1
5969. 2
5969. 3
5969. 4
5969. 5
5969. 6
5969. 7
5969. 8
5969. 9
5970. 0
5970. 1
5970. 2
5970. 3
5971. 0
5971. 1
5971. 2
5971. 3
5971. 4
5971. 5
5971. 6
5972. 0

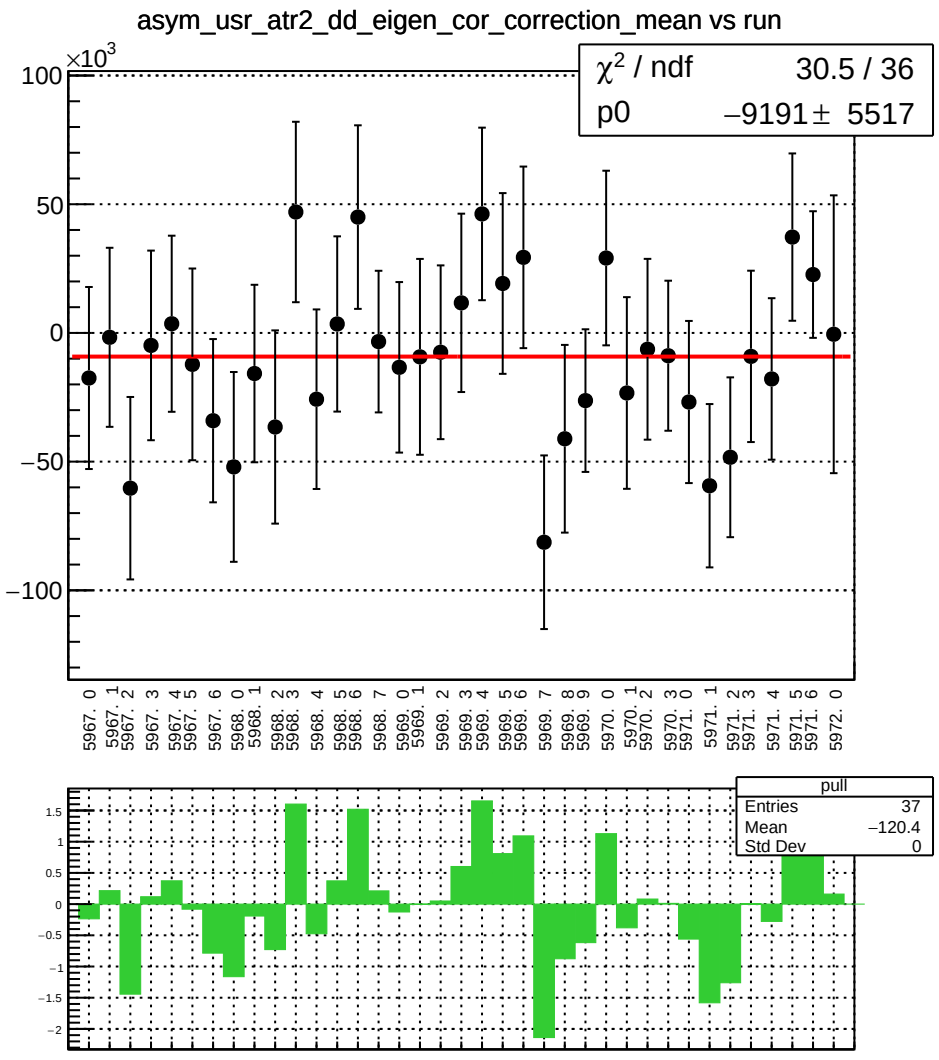
asym_usr_atr2_dd_eigen_cor_correction_mean vs run
×10^3
χ² / ndf 30.5 / 36
p0 −9191 ± 5517
100
50
0
−50
−100
5967. 0
5967. 1
5967. 2
5967. 3
5967. 4
5967. 5
5967. 6
5968. 0
5968. 1
5968. 2
5968. 3
5968. 4
5968. 5
5968. 6
5968. 7
5969. 0
5969. 1
5969. 2
5969. 3
5969. 4
5969. 5
5969. 6
5969. 7
5969. 8
5969. 9
5970. 0
5970. 1
5970. 2
5970. 3
5971. 0
5971. 1
5971. 2
5971. 3
5971. 4
5971. 5
5971. 6
5972. 0
pull
Entries 37
Mean −120.4
Std Dev 0
1.5
1
0.5
0
−0.5
−1
−1.5
−2

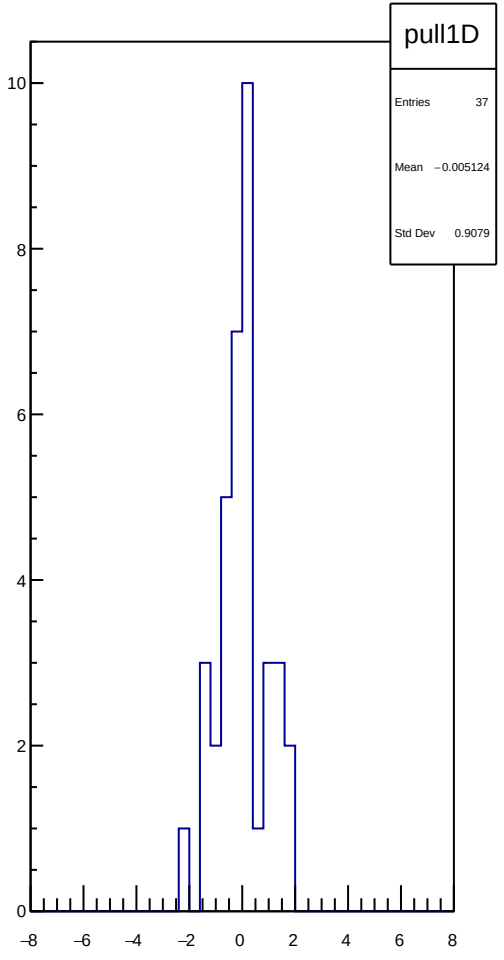
pull1D
Entries 37
Mean −0.005124
Std Dev 0.9079
10
8
6
4
2
0
−8
−6
−4
−2
0
2
4
6
8

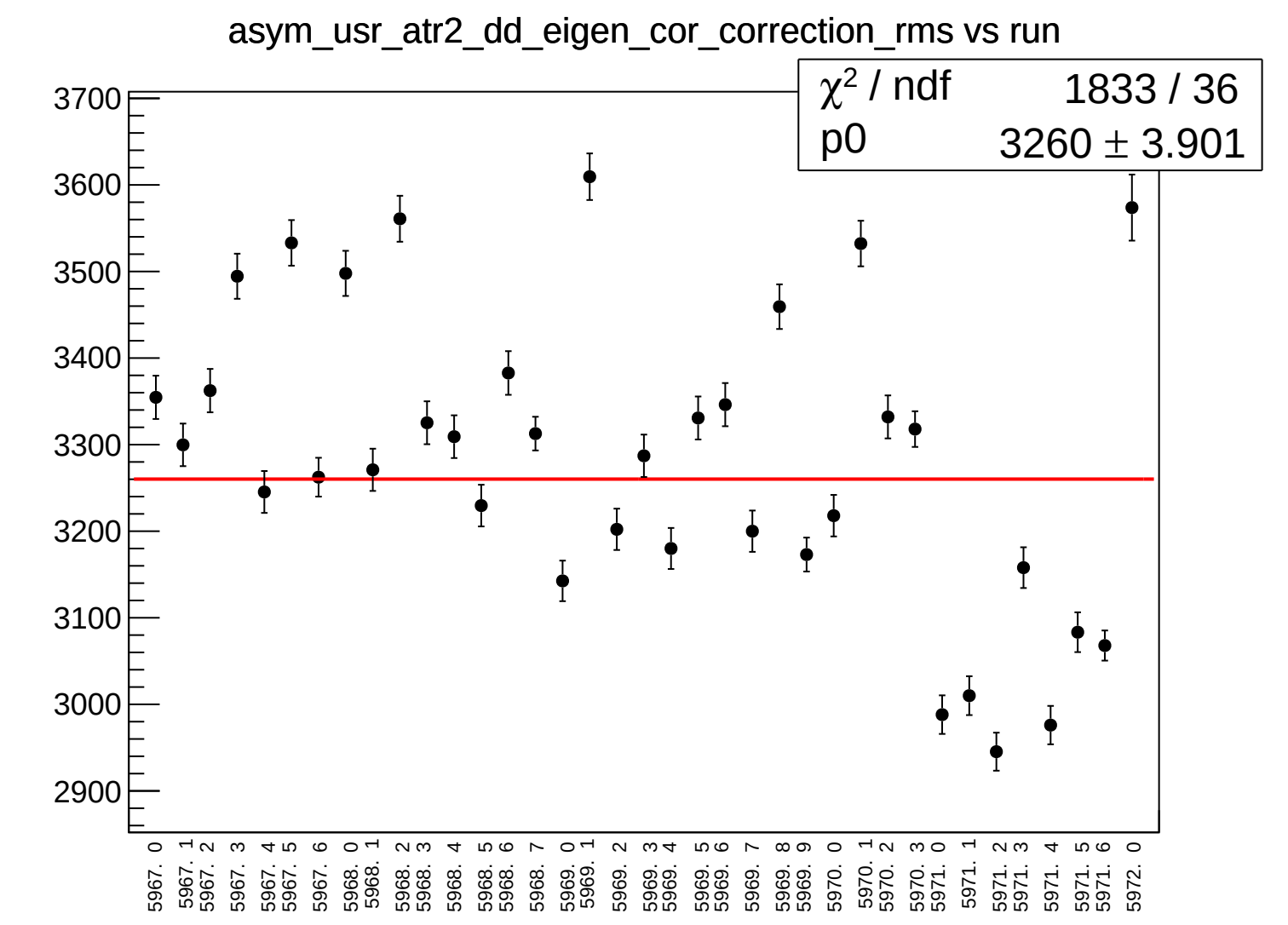
asym_usr_atr2_dd_eigen_cor_correction_rms vs run
χ² / ndf 1833 / 36
p0 3260 ± 3.901
3700
3600
3500
3400
3300
3200
3100
3000
2900
5967. 0
5967. 1
5967. 2
5967. 3
5967. 4
5967. 5
5967. 6
5968. 0
5968. 1
5968. 2
5968. 3
5968. 4
5968. 5
5968. 6
5968. 7
5969. 0
5969. 1
5969. 2
5969. 3
5969. 4
5969. 5
5969. 6
5969. 7
5969. 8
5969. 9
5970. 0
5970. 1
5970. 2
5970. 3
5971. 0
5971. 1
5971. 2
5971. 3
5971. 4
5971. 5
5971. 6
5972. 0

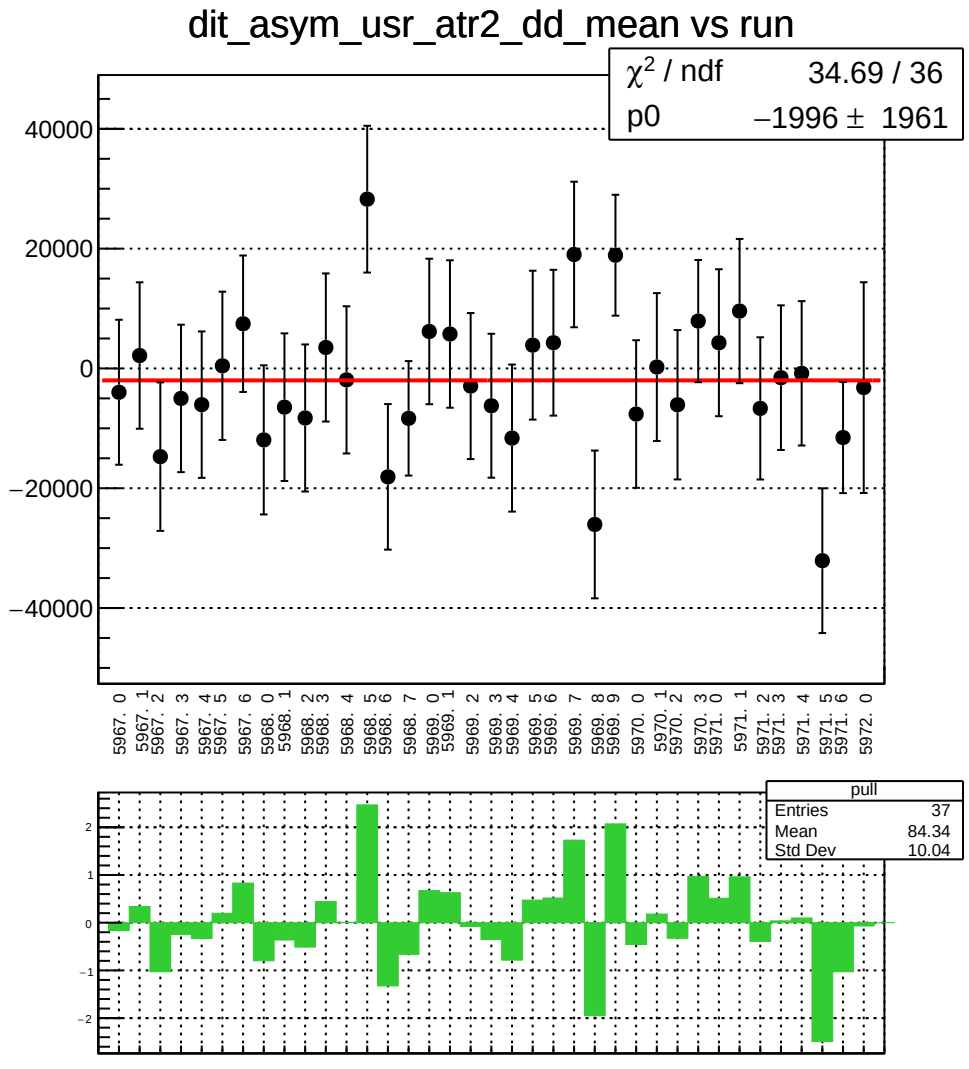
dit_asym_usr_atr2_dd_mean vs run
χ² / ndf 34.69 / 36
p0 −1996 ± 1961
40000
20000
0
−20000
−40000
5967. 0
5967. 1
5967. 2
5967. 3
5967. 4
5967. 5
5967. 6
5968. 0
5968. 1
5968. 2
5968. 3
5968. 4
5968. 5
5968. 6
5968. 7
5969. 0
5969. 1
5969. 2
5969. 3
5969. 4
5969. 5
5969. 6
5969. 7
5969. 8
5969. 9
5970. 0
5970. 1
5970. 2
5970. 3
5971. 0
5971. 1
5971. 2
5971. 3
5971. 4
5971. 5
5971. 6
5972. 0
pull
Entries 37
Mean 84.34
Std Dev 10.04
2
1
0
−1
−2
pull1D
Entries 37
Mean −0.005797
Std Dev 0.9683
9
8
7
6
5
4
3
2
1
0
−8
−6
−4
−2
0
2
4
6
8

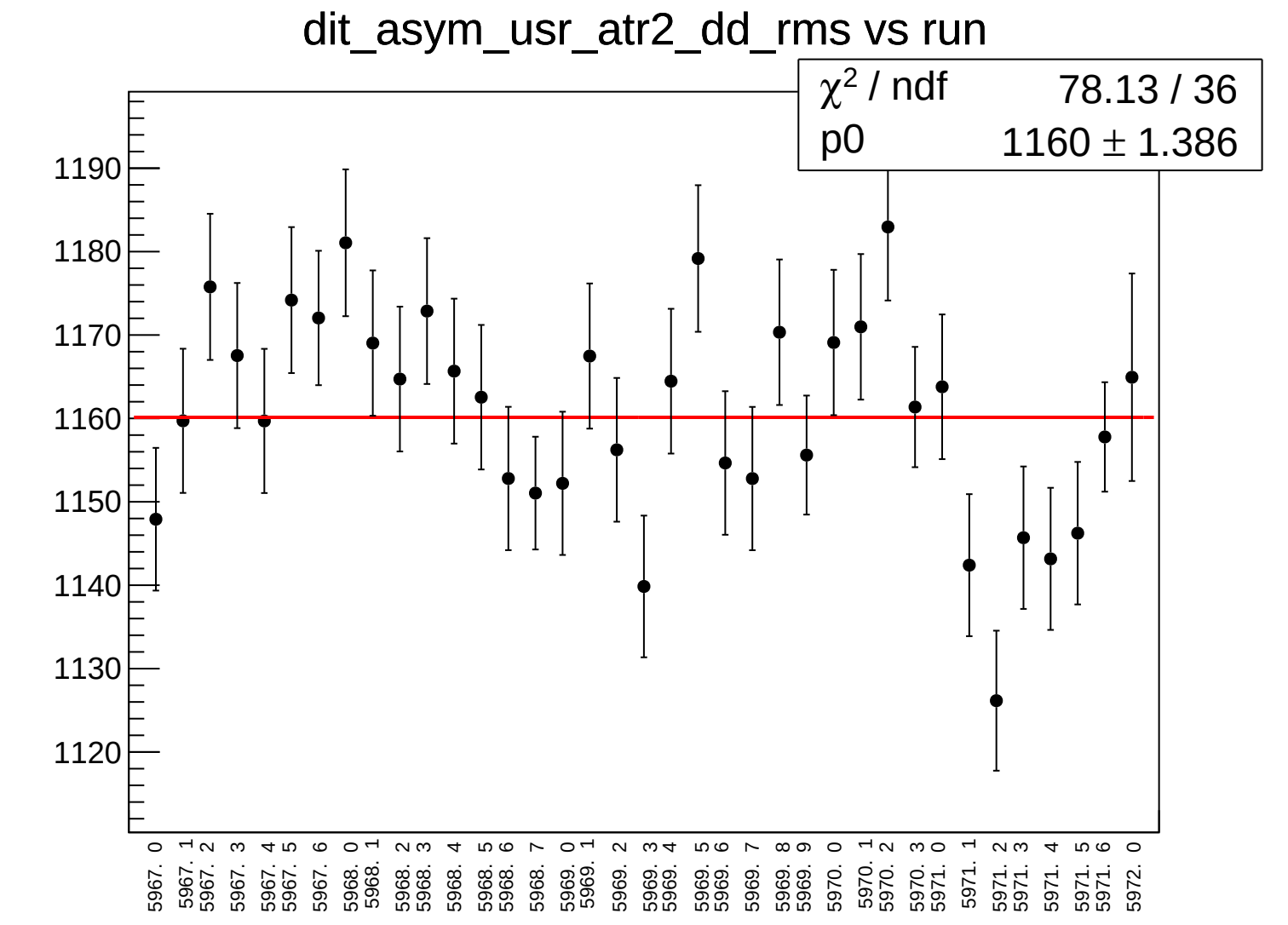
dit_asym_usr_atr2_dd_rms vs run
χ² / ndf 78.13 / 36
p0 1160 ± 1.386
1190
1180
1170
1160
1150
1140
1130
1120
5967. 0
5967. 1
5967. 2
5967. 3
5967. 4
5967. 5
5967. 6
5968. 0
5968. 1
5968. 2
5968. 3
5968. 4
5968. 5
5968. 6
5968. 7
5969. 0
5969. 1
5969. 2
5969. 3
5969. 4
5969. 5
5969. 6
5969. 7
5969. 8
5969. 9
5970. 0
5970. 1
5970. 2
5970. 3
5971. 0
5971. 1
5971. 2
5971. 3
5971. 4
5971. 5
5971. 6
5972. 0

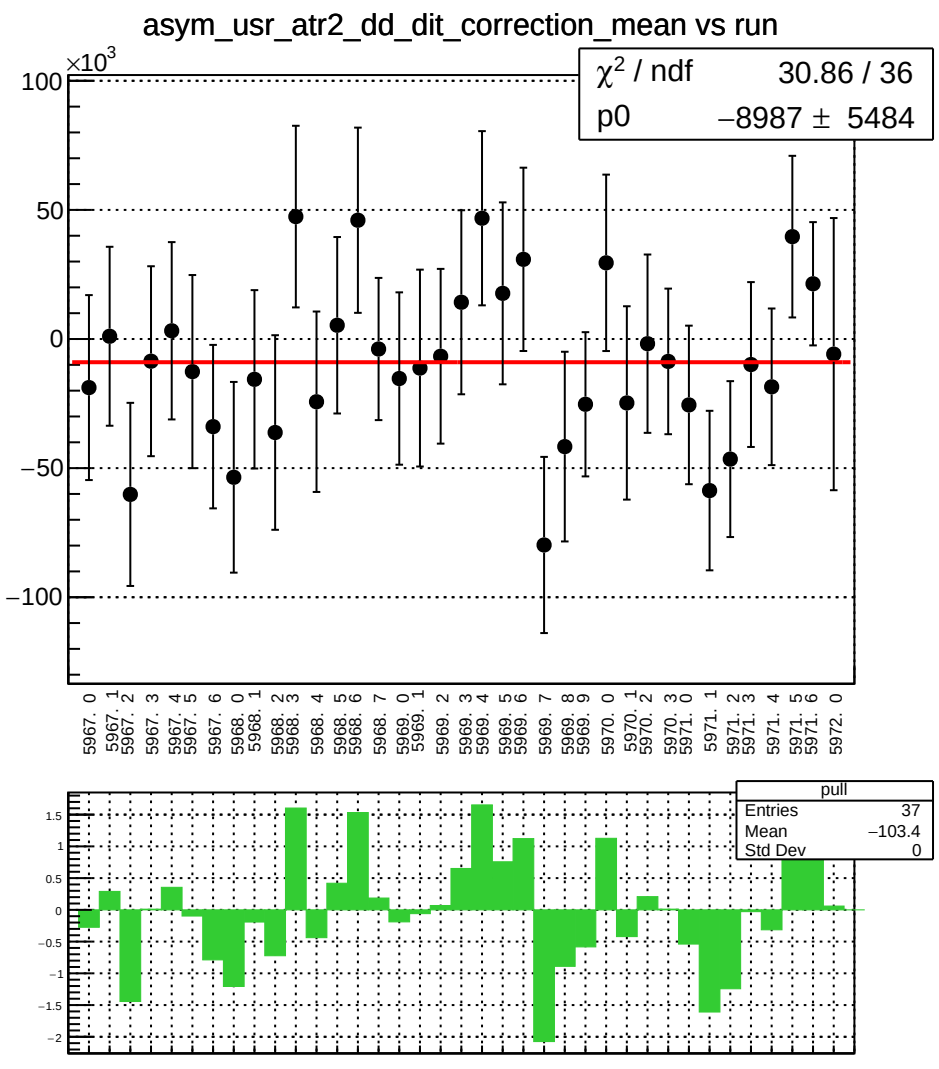
asym_usr_atr2_dd_dit_correction_mean vs run
×10^3
χ² / ndf 30.86 / 36
p0 −8987 ± 5484
100
50
0
−50
−100
5967. 0
5967. 1
5967. 2
5967. 3
5967. 4
5967. 5
5967. 6
5968. 0
5968. 1
5968. 2
5968. 3
5968. 4
5968. 5
5968. 6
5968. 7
5969. 0
5969. 1
5969. 2
5969. 3
5969. 4
5969. 5
5969. 6
5969. 7
5969. 8
5969. 9
5970. 0
5970. 1
5970. 2
5970. 3
5971. 0
5971. 1
5971. 2
5971. 3
5971. 4
5971. 5
5971. 6
5972. 0
pull
Entries 37
Mean −103.4
Std Dev 0
1.5
1
0.5
0
−0.5
−1
−1.5
−2

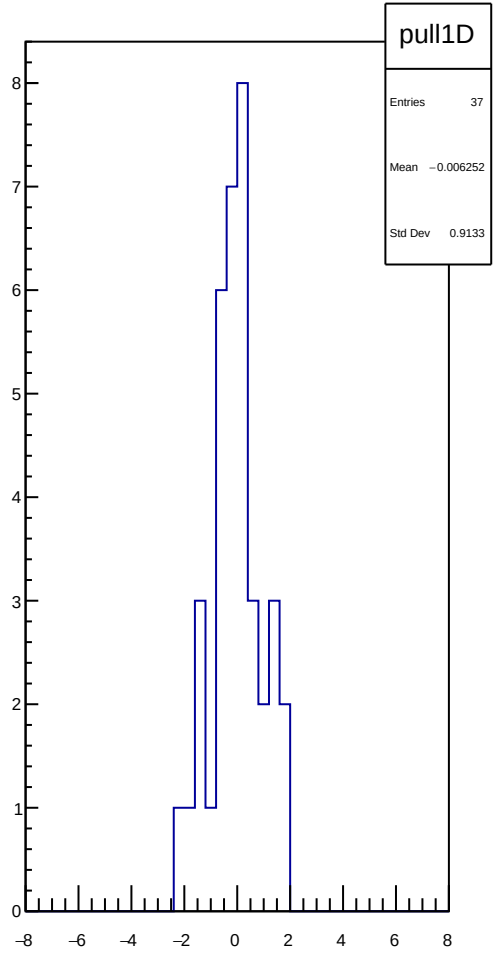
pull1D
Entries 37
Mean −0.006252
Std Dev 0.9133
8
7
6
5
4
3
2
1
0
−8
−6
−4
−2
0
2
4
6
8

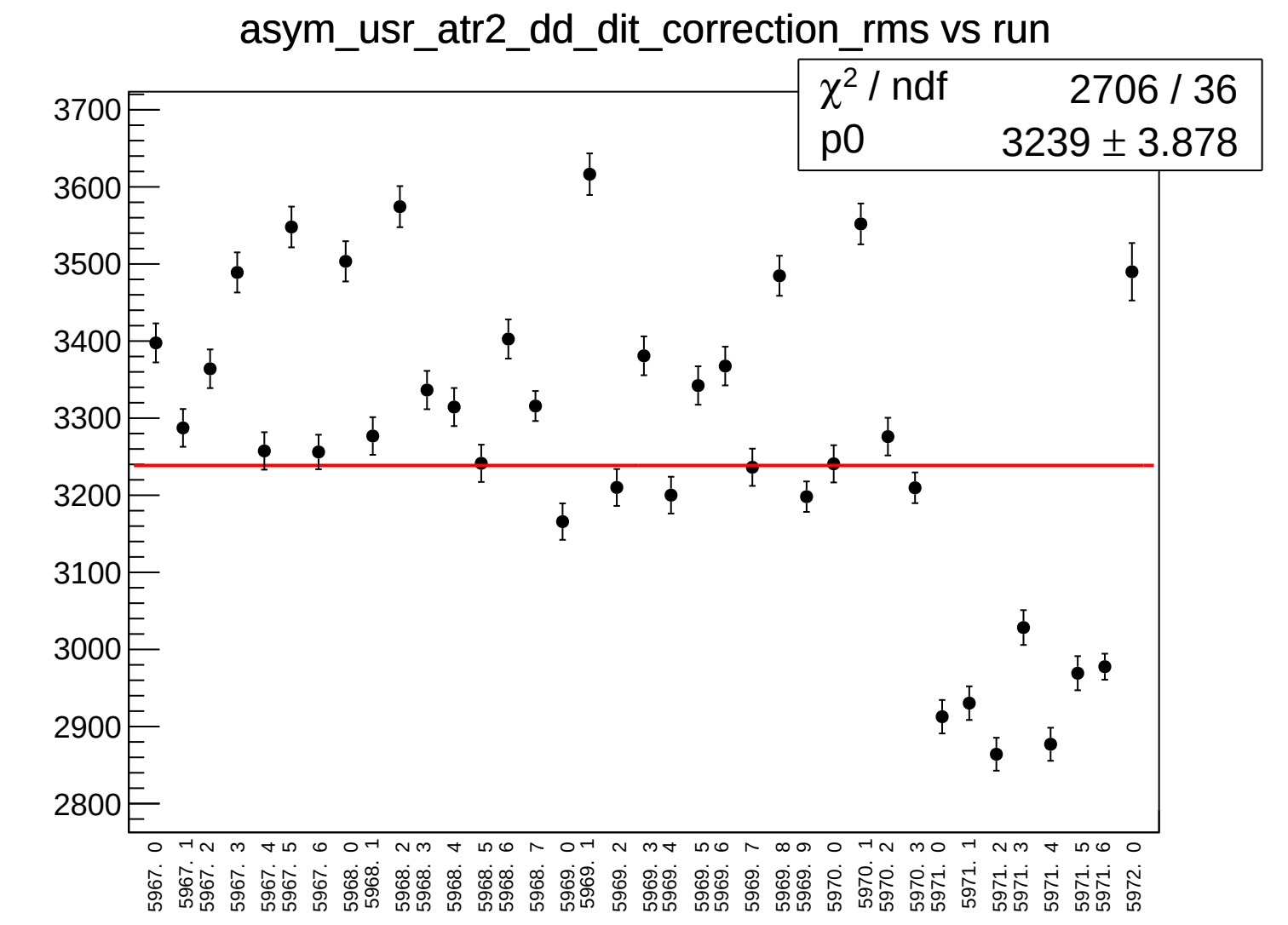
asym_usr_atr2_dd_dit_correction_rms vs run
χ² / ndf 2706 / 36
p0 3239 ± 3.878
3700
3600
3500
3400
3300
3200
3100
3000
2900
2800
5967. 0
5967. 1
5967. 2
5967. 3
5967. 4
5967. 5
5967. 6
5968. 0
5968. 1
5968. 2
5968. 3
5968. 4
5968. 5
5968. 6
5968. 7
5969. 0
5969. 1
5969. 2
5969. 3
5969. 4
5969. 5
5969. 6
5969. 7
5969. 8
5969. 9
5970. 0
5970. 1
5970. 2
5970. 3
5971. 0
5971. 1
5971. 2
5971. 3
5971. 4
5971. 5
5971. 6
5972. 0

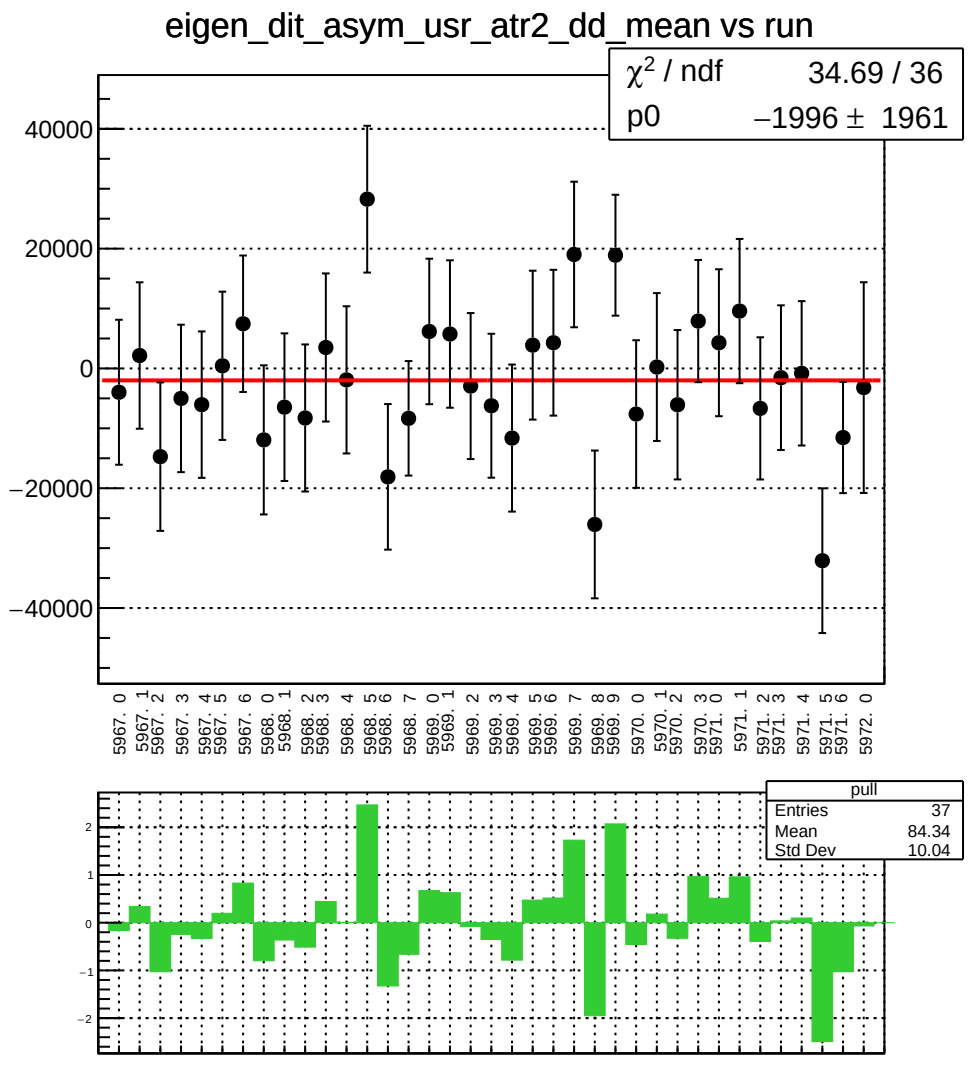
eigen_dit_asym_usr_atr2_dd_mean vs run
χ² / ndf 34.69 / 36
p0 −1996 ± 1961
40000
20000
0
−20000
−40000
5967. 0
5967. 1
5967. 2
5967. 3
5967. 4
5967. 5
5967. 6
5968. 0
5968. 1
5968. 2
5968. 3
5968. 4
5968. 5
5968. 6
5968. 7
5969. 0
5969. 1
5969. 2
5969. 3
5969. 4
5969. 5
5969. 6
5969. 7
5969. 8
5969. 9
5970. 0
5970. 1
5970. 2
5970. 3
5971. 0
5971. 1
5971. 2
5971. 3
5971. 4
5971. 5
5971. 6
5972. 0
pull
Entries 37
Mean 84.34
Std Dev 10.04
2
1
0
−1
−2

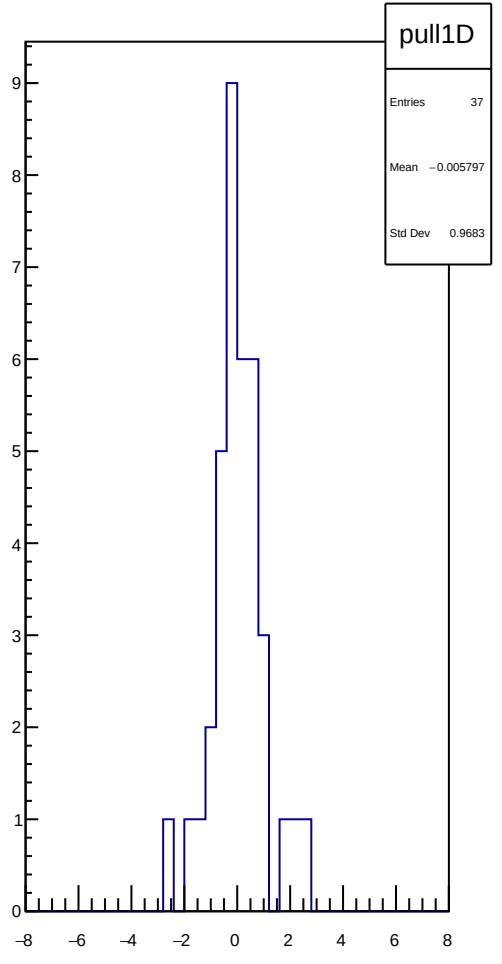
pull1D
Entries 37
Mean −0.005797
Std Dev 0.9683
9
8
7
6
5
4
3
2
1
0
−8
−6
−4
−2
0
2
4
6
8

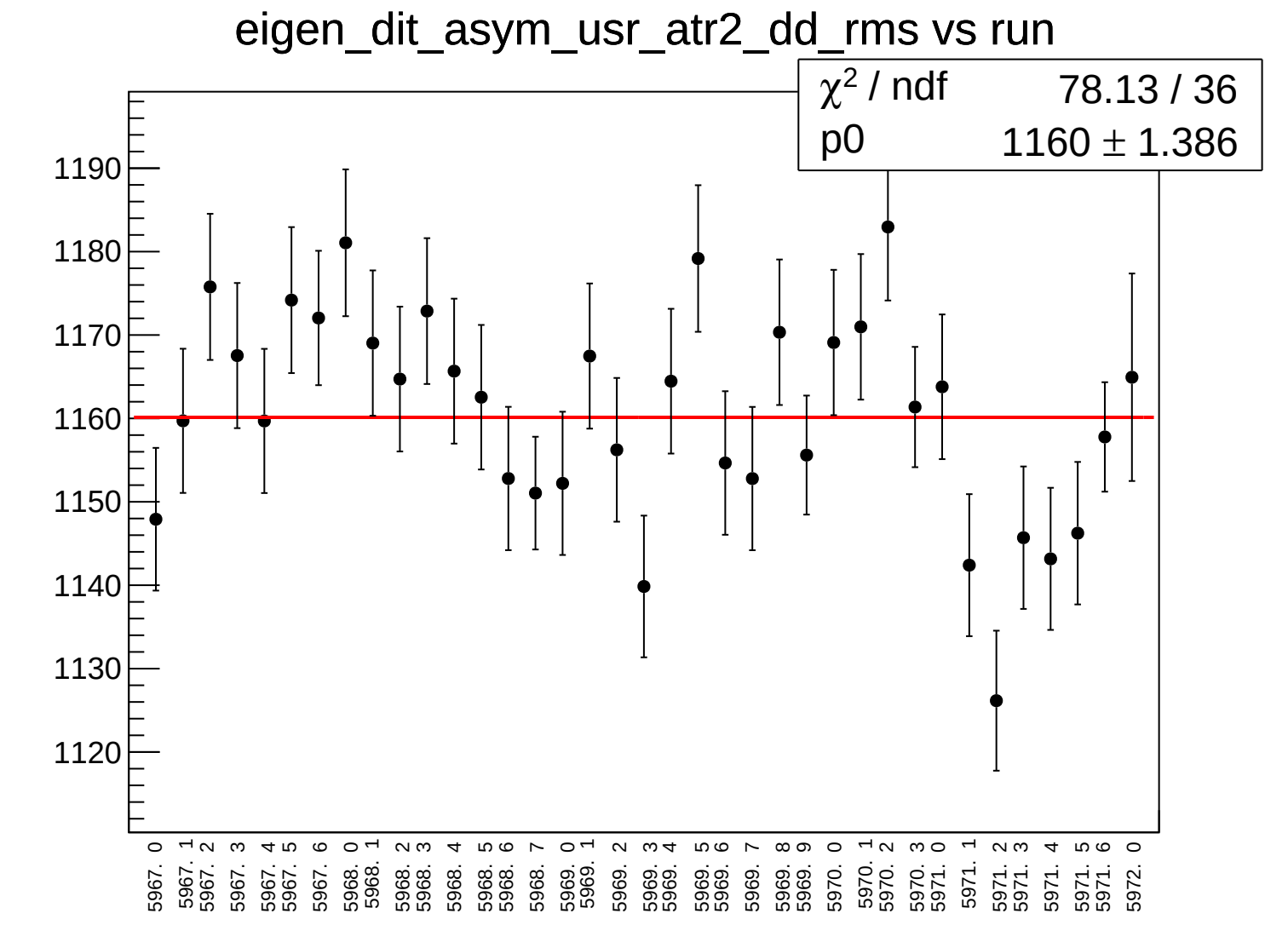
eigen_dit_asym_usr_atr2_dd_rms vs run
χ² / ndf 78.13 / 36
p0 1160 ± 1.386
1190
1180
1170
1160
1150
1140
1130
1120
5967. 0
5967. 1
5967. 2
5967. 3
5967. 4
5967. 5
5967. 6
5968. 0
5968. 1
5968. 2
5968. 3
5968. 4
5968. 5
5968. 6
5968. 7
5969. 0
5969. 1
5969. 2
5969. 3
5969. 4
5969. 5
5969. 6
5969. 7
5969. 8
5969. 9
5970. 0
5970. 1
5970. 2
5970. 3
5971. 0
5971. 1
5971. 2
5971. 3
5971. 4
5971. 5
5971. 6
5972. 0

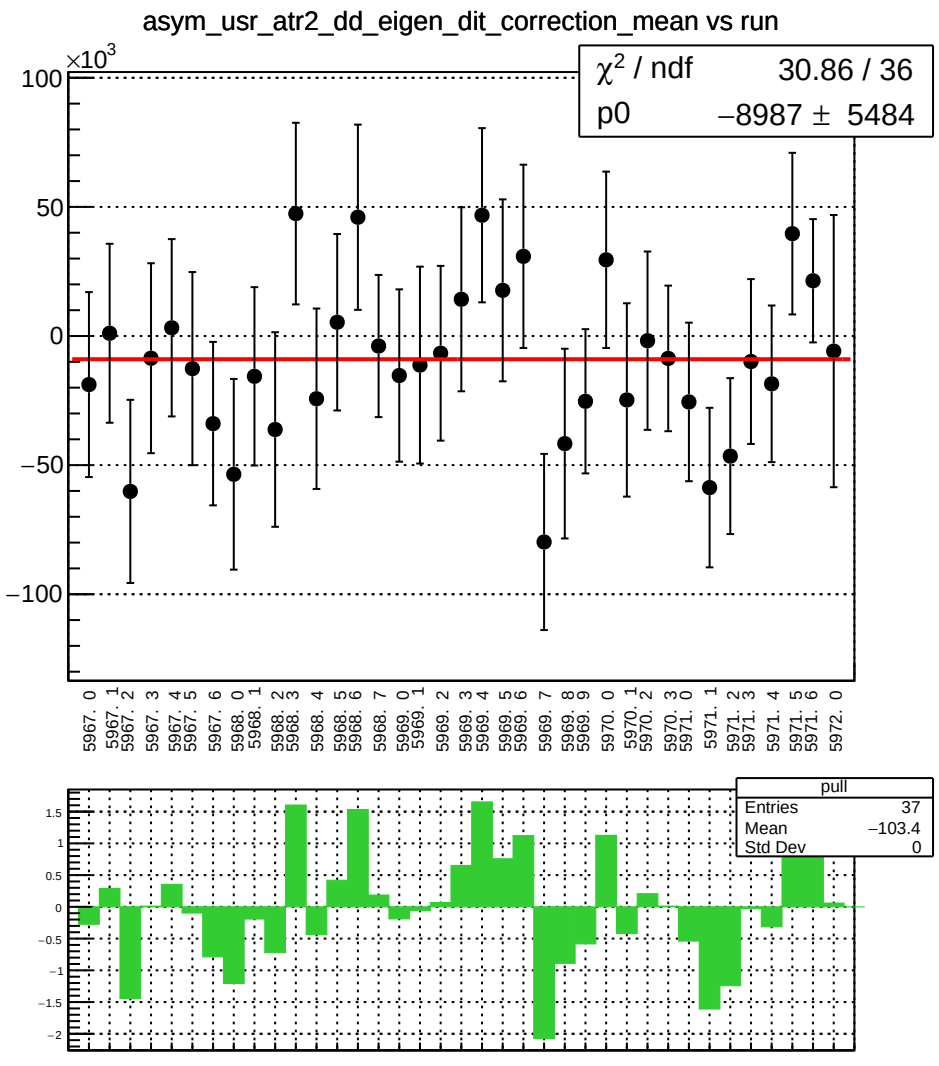
asym_usr_atr2_dd_eigen_dit_correction_mean vs run
×10^3
χ² / ndf 30.86 / 36
p0 −8987 ± 5484
100
50
0
−50
−100
5967. 0
5967. 1
5967. 2
5967. 3
5967. 4
5967. 5
5967. 6
5968. 0
5968. 1
5968. 2
5968. 3
5968. 4
5968. 5
5968. 6
5968. 7
5969. 0
5969. 1
5969. 2
5969. 3
5969. 4
5969. 5
5969. 6
5969. 7
5969. 8
5969. 9
5970. 0
5970. 1
5970. 2
5970. 3
5971. 0
5971. 1
5971. 2
5971. 3
5971. 4
5971. 5
5971. 6
5972. 0
pull
Entries 37
Mean −103.4
Std Dev 0
1.5
1
0.5
0
−0.5
−1
−1.5
−2
pull1D
Entries 37
Mean −0.006252
Std Dev 0.9133
8
7
6
5
4
3
2
1
0
−8
−6
−4
−2
0
2
4
6
8

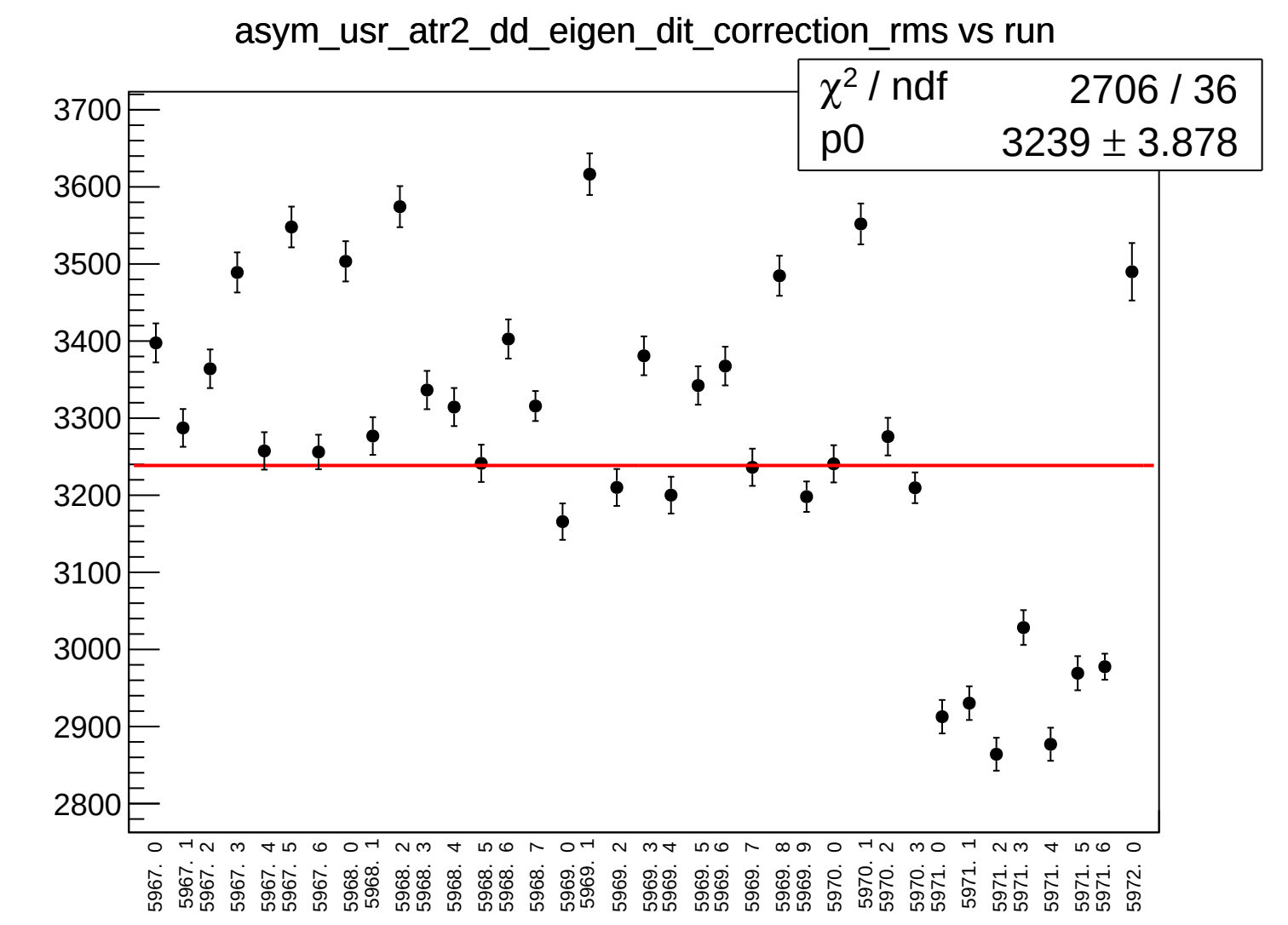
asym_usr_atr2_dd_eigen_dit_correction_rms vs run
χ² / ndf 2706 / 36
p0 3239 ± 3.878
3700
3600
3500
3400
3300
3200
3100
3000
2900
2800
5967. 0
5967. 1
5967. 2
5967. 3
5967. 4
5967. 5
5967. 6
5968. 0
5968. 1
5968. 2
5968. 3
5968. 4
5968. 5
5968. 6
5968. 7
5969. 0
5969. 1
5969. 2
5969. 3
5969. 4
5969. 5
5969. 6
5969. 7
5969. 8
5969. 9
5970. 0
5970. 1
5970. 2
5970. 3
5971. 0
5971. 1
5971. 2
5971. 3
5971. 4
5971. 5
5971. 6
5972. 0

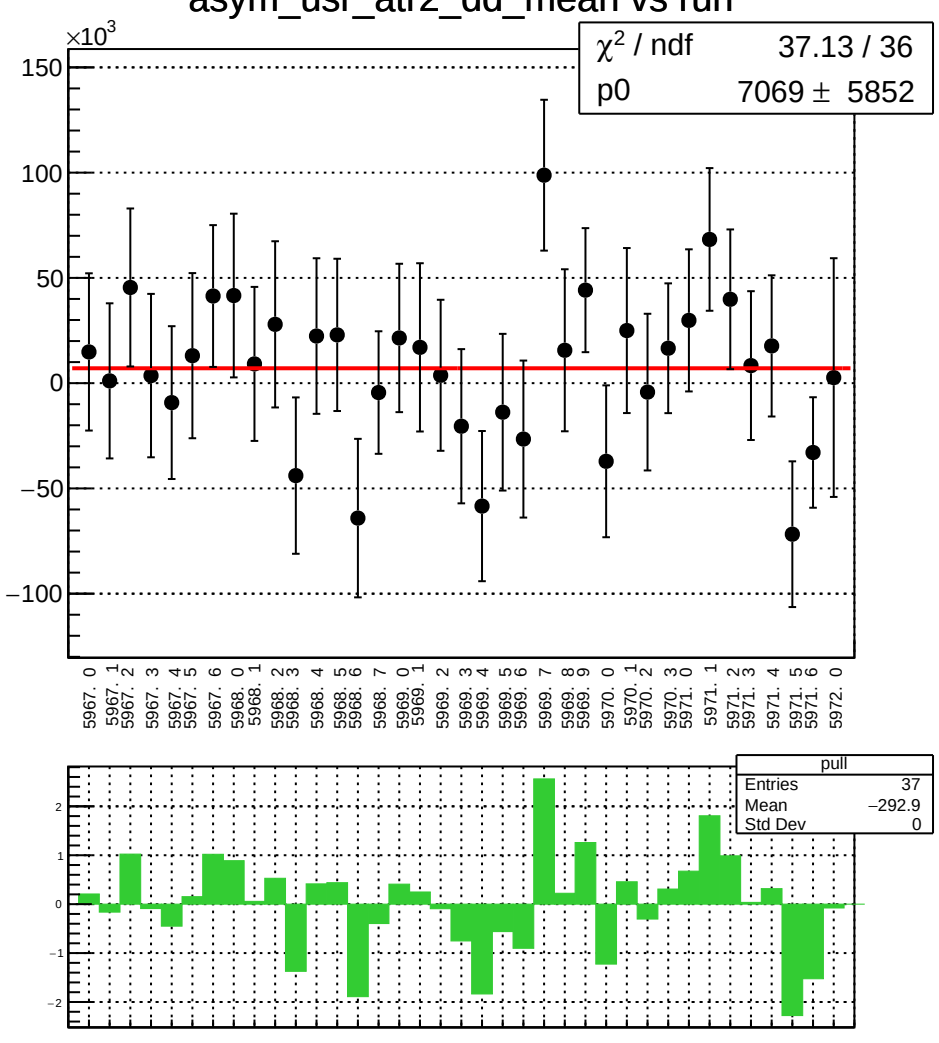
asym_usr_atr2_dd_mean vs run
×10^3
χ² / ndf 37.13 / 36
p0 7069 ± 5852
150
100
50
0
−50
−100
5967. 0
5967. 1
5967. 2
5967. 3
5967. 4
5967. 5
5967. 6
5968. 0
5968. 1
5968. 2
5968. 3
5968. 4
5968. 5
5968. 6
5968. 7
5969. 0
5969. 1
5969. 2
5969. 3
5969. 4
5969. 5
5969. 6
5969. 7
5969. 8
5969. 9
5970. 0
5970. 1
5970. 2
5970. 3
5971. 0
5971. 1
5971. 2
5971. 3
5971. 4
5971. 5
5971. 6
5972. 0
pull
Entries 37
Mean −292.9
Std Dev 0
2
1
0
−1
−2

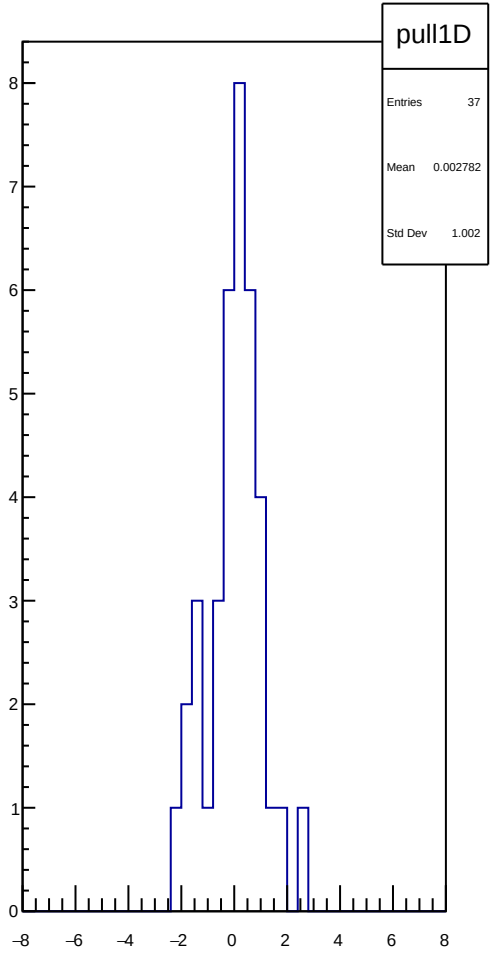
pull1D
Entries 37
Mean 0.002782
Std Dev 1.002
8
7
6
5
4
3
2
1
0
−8
−6
−4
−2
0
2
4
6
8

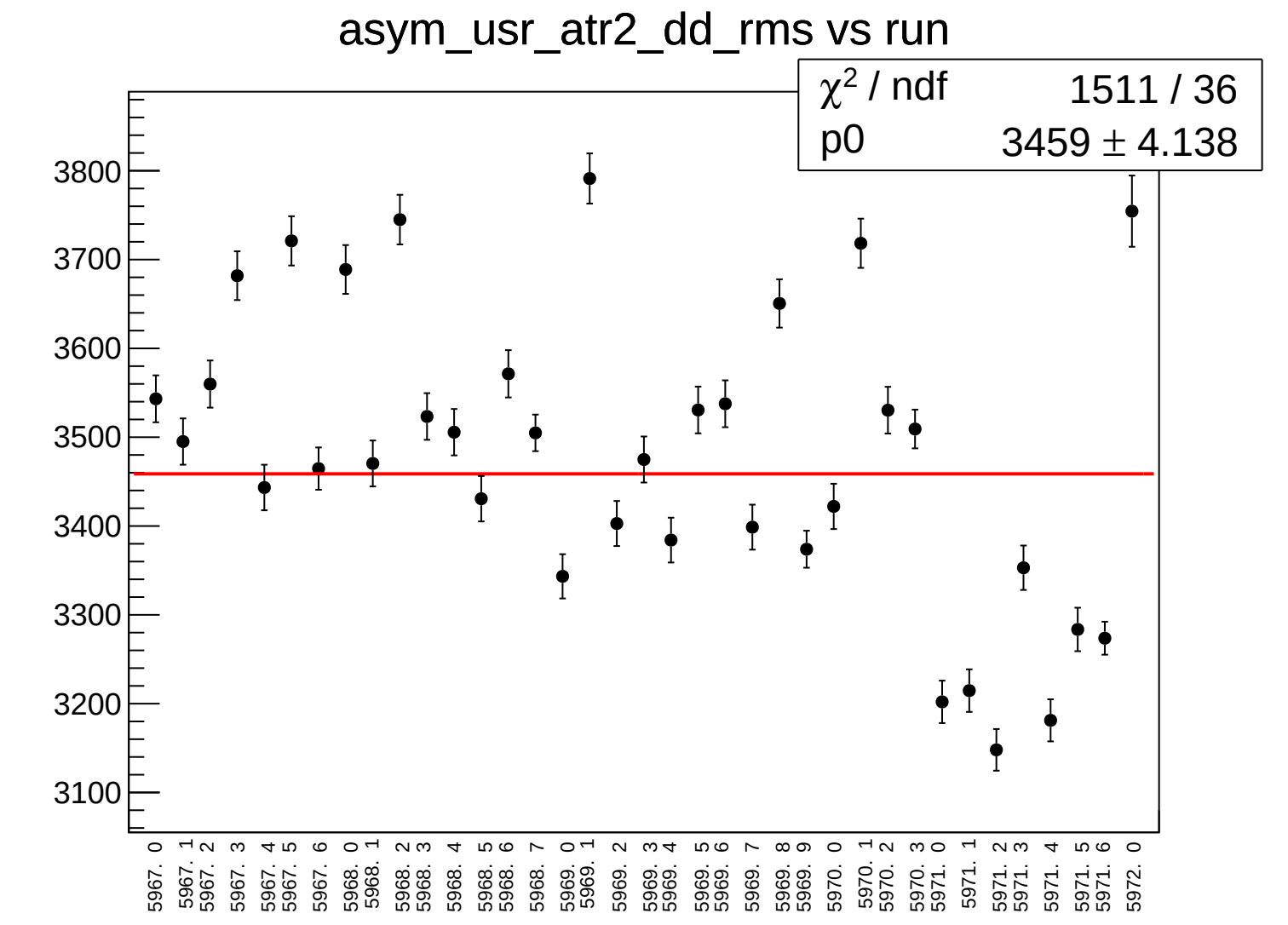
asym_usr_atr2_dd_rms vs run
χ² / ndf 1511 / 36
p0 3459 ± 4.138
3800
3700
3600
3500
3400
3300
3200
3100
5967. 0
5967. 1
5967. 2
5967. 3
5967. 4
5967. 5
5967. 6
5968. 0
5968. 1
5968. 2
5968. 3
5968. 4
5968. 5
5968. 6
5968. 7
5969. 0
5969. 1
5969. 2
5969. 3
5969. 4
5969. 5
5969. 6
5969. 7
5969. 8
5969. 9
5970. 0
5970. 1
5970. 2
5970. 3
5971. 0
5971. 1
5971. 2
5971. 3
5971. 4
5971. 5
5971. 6
5972. 0

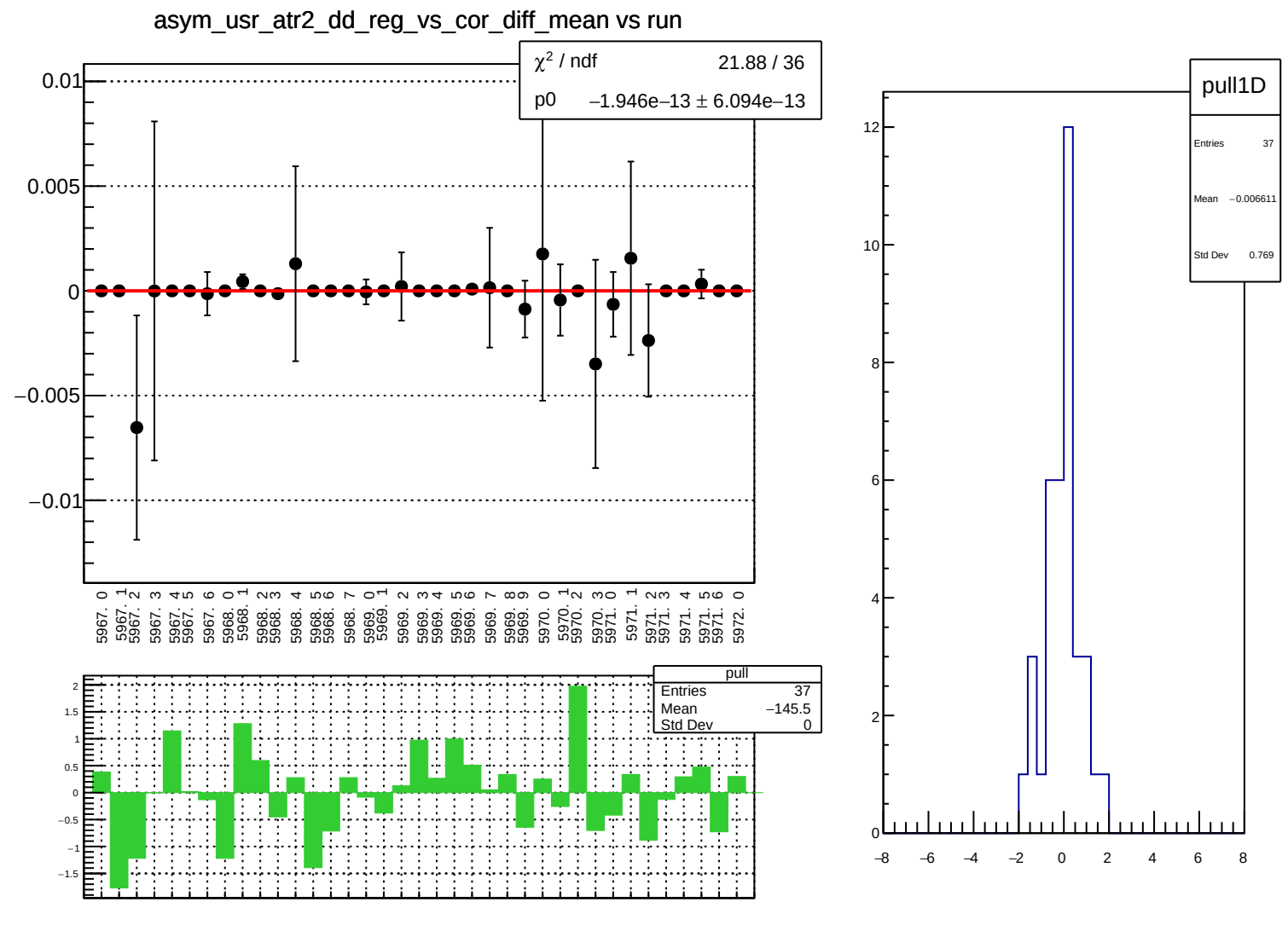
asym_usr_atr2_dd_reg_vs_cor_diff_mean vs run
χ² / ndf 21.88 / 36
p0 −1.946e−13 ± 6.094e−13
0.01
0.005
0
−0.005
−0.01
5967. 0
5967. 1
5967. 2
5967. 3
5967. 4
5967. 5
5967. 6
5968. 0
5968. 1
5968. 2
5968. 3
5968. 4
5968. 5
5968. 6
5968. 7
5969. 0
5969. 1
5969. 2
5969. 3
5969. 4
5969. 5
5969. 6
5969. 7
5969. 8
5969. 9
5970. 0
5970. 1
5970. 2
5970. 3
5971. 0
5971. 1
5971. 2
5971. 3
5971. 4
5971. 5
5971. 6
5972. 0
pull
Entries 37
Mean −145.5
Std Dev 0
2
1.5
1
0.5
0
−0.5
−1
−1.5
pull1D
Entries 37
Mean −0.006611
Std Dev 0.769
12
10
8
6
4
2
0
−8
−6
−4
−2
0
2
4
6
8

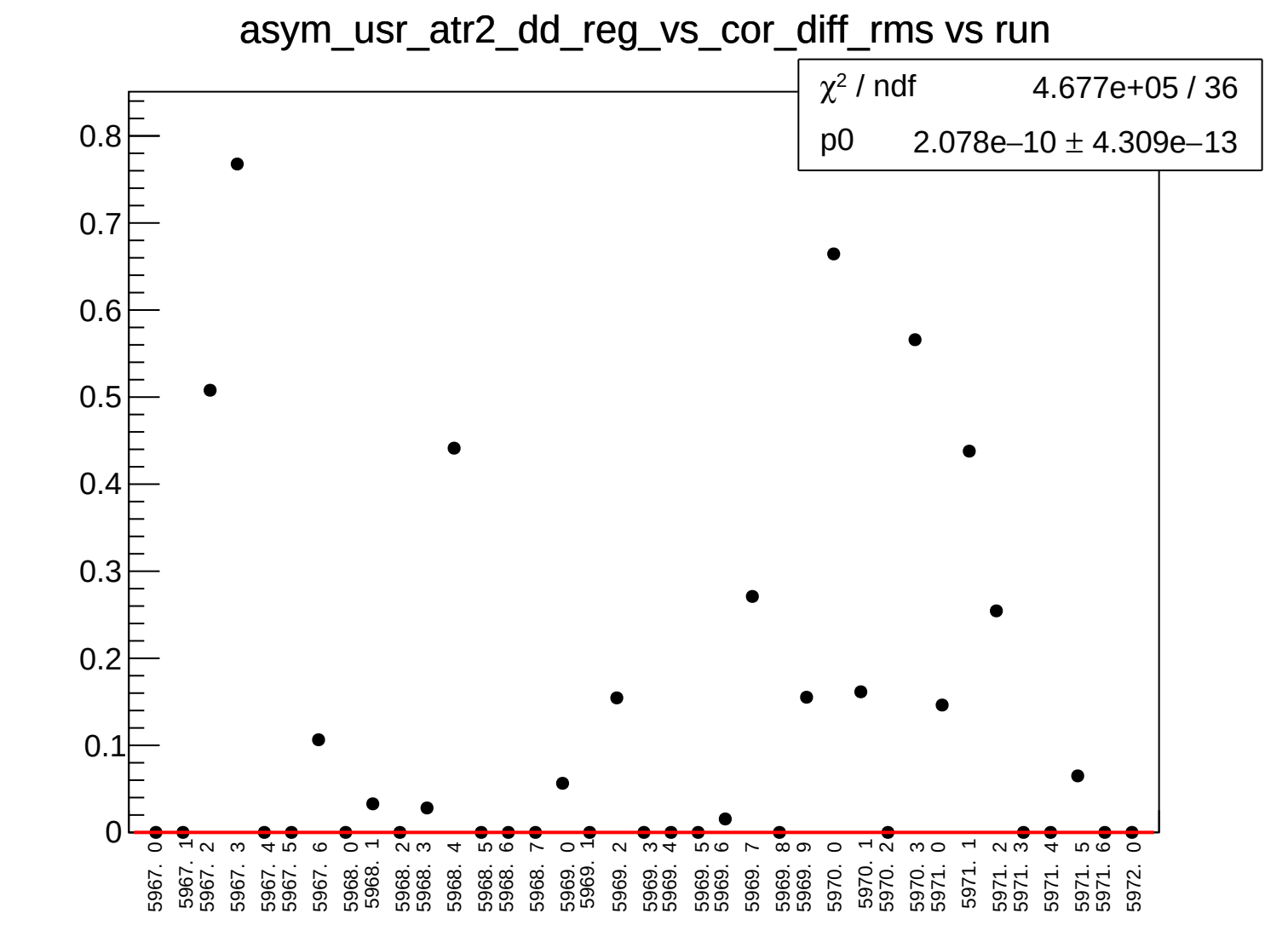
asym_usr_atr2_dd_reg_vs_cor_diff_rms vs run
χ² / ndf 4.677e+05 / 36
p0 2.078e−10 ± 4.309e−13
0.8
0.7
0.6
0.5
0.4
0.3
0.2
0.1
0
5967. 0
5967. 1
5967. 2
5967. 3
5967. 4
5967. 5
5967. 6
5968. 0
5968. 1
5968. 2
5968. 3
5968. 4
5968. 5
5968. 6
5968. 7
5969. 0
5969. 1
5969. 2
5969. 3
5969. 4
5969. 5
5969. 6
5969. 7
5969. 8
5969. 9
5970. 0
5970. 1
5970. 2
5970. 3
5971. 0
5971. 1
5971. 2
5971. 3
5971. 4
5971. 5
5971. 6
5972. 0

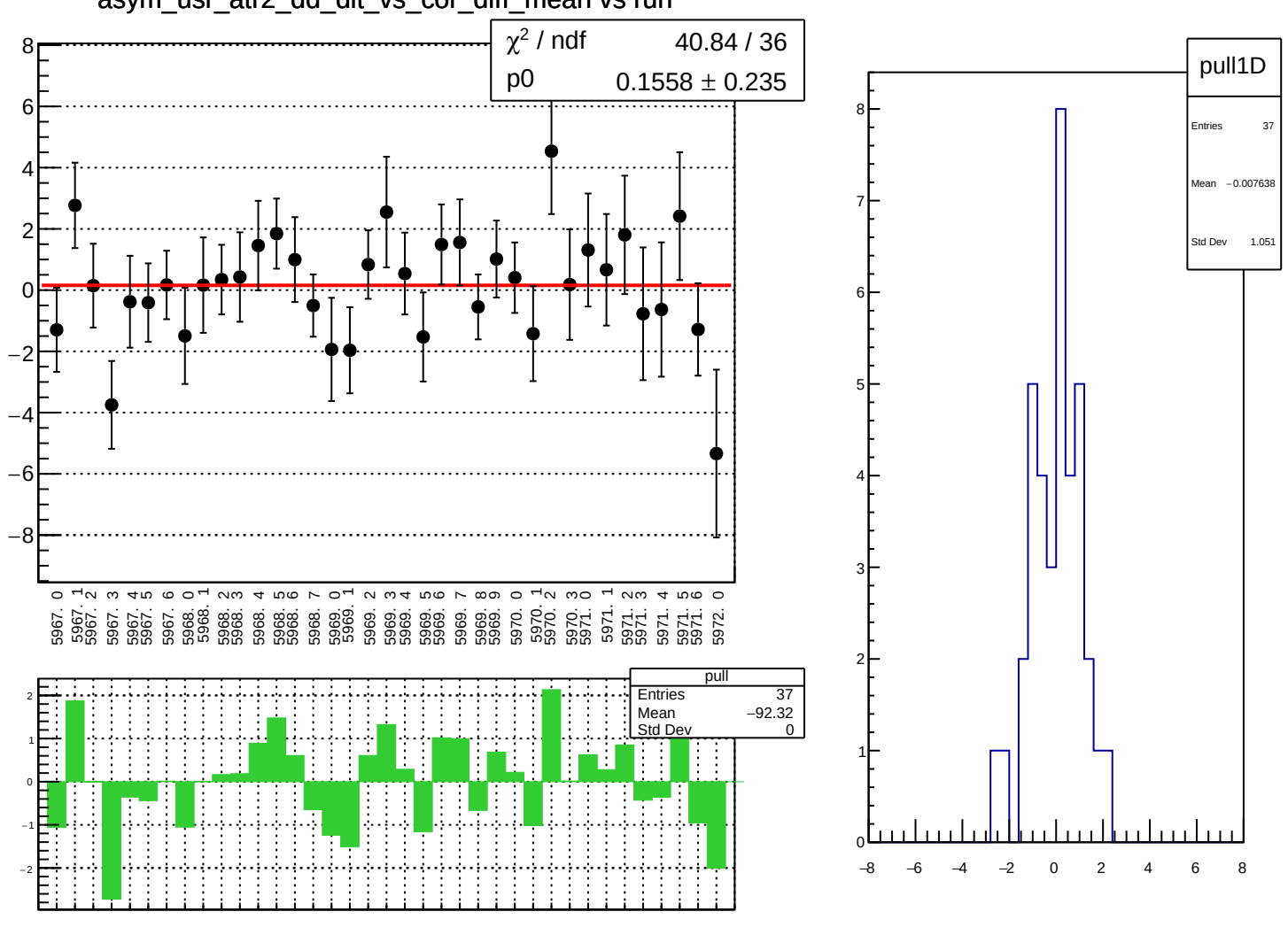
asym_usr_atr2_dd_dit_vs_cor_diff_mean vs run
χ² / ndf 40.84 / 36
p0 0.1558 ± 0.235
pull
Entries 37
Mean −92.32
Std Dev 0
pull1D
Entries 37
Mean −0.007638
Std Dev 1.051

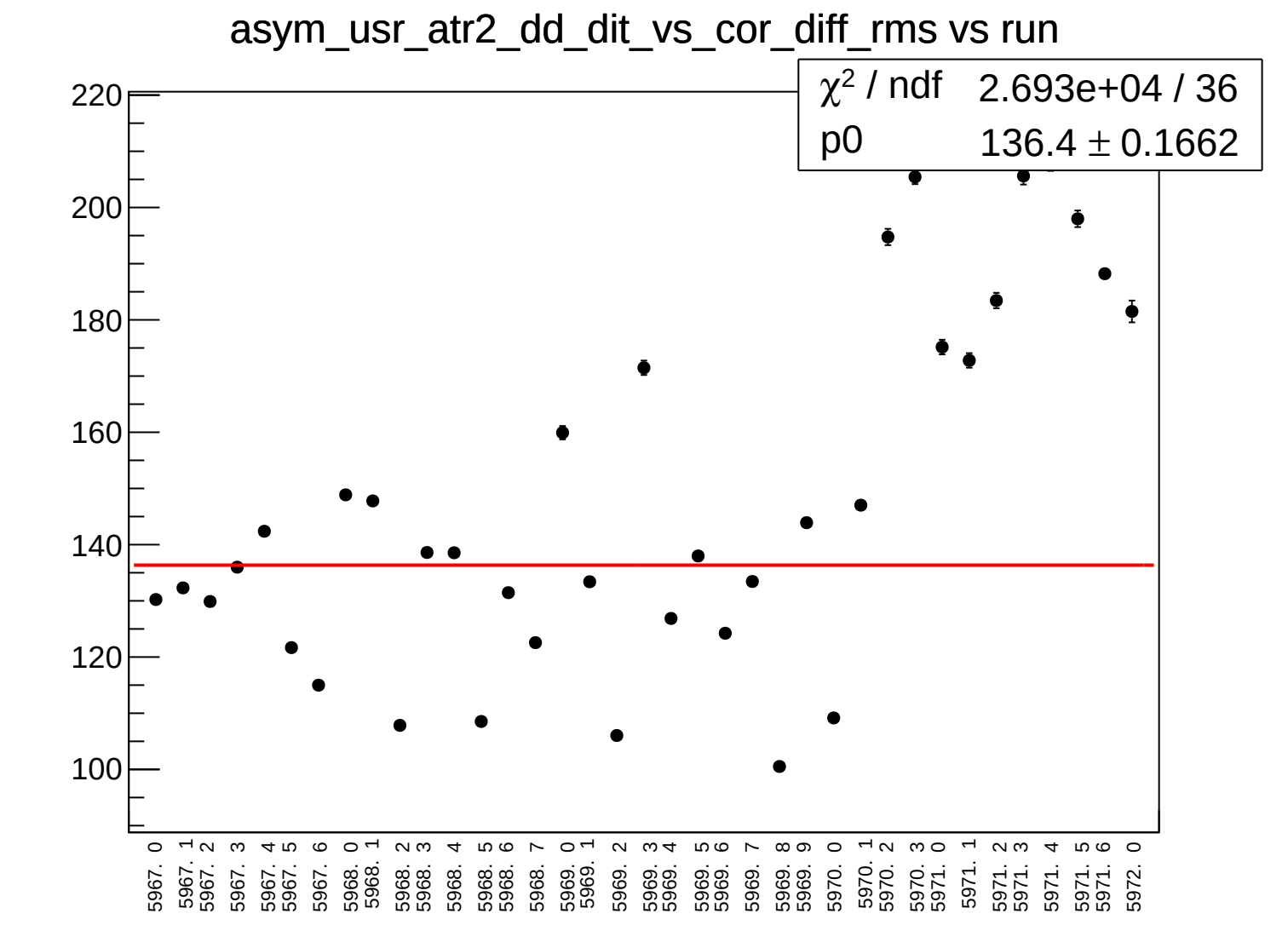
asym_usr_atr2_dd_dit_vs_cor_diff_rms vs run
χ² / ndf 2.693e+04 / 36
p0 136.4 ± 0.1662
220
200
180
160
140
120
100
5967. 0
5967. 1
5967. 2
5967. 3
5967. 4
5967. 5
5967. 6
5968. 0
5968. 1
5968. 2
5968. 3
5968. 4
5968. 5
5968. 6
5968. 7
5969. 0
5969. 1
5969. 2
5969. 3
5969. 4
5969. 5
5969. 6
5969. 7
5969. 8
5969. 9
5970. 0
5970. 1
5970. 2
5970. 3
5971. 0
5971. 1
5971. 2
5971. 3
5971. 4
5971. 5
5971. 6
5972. 0

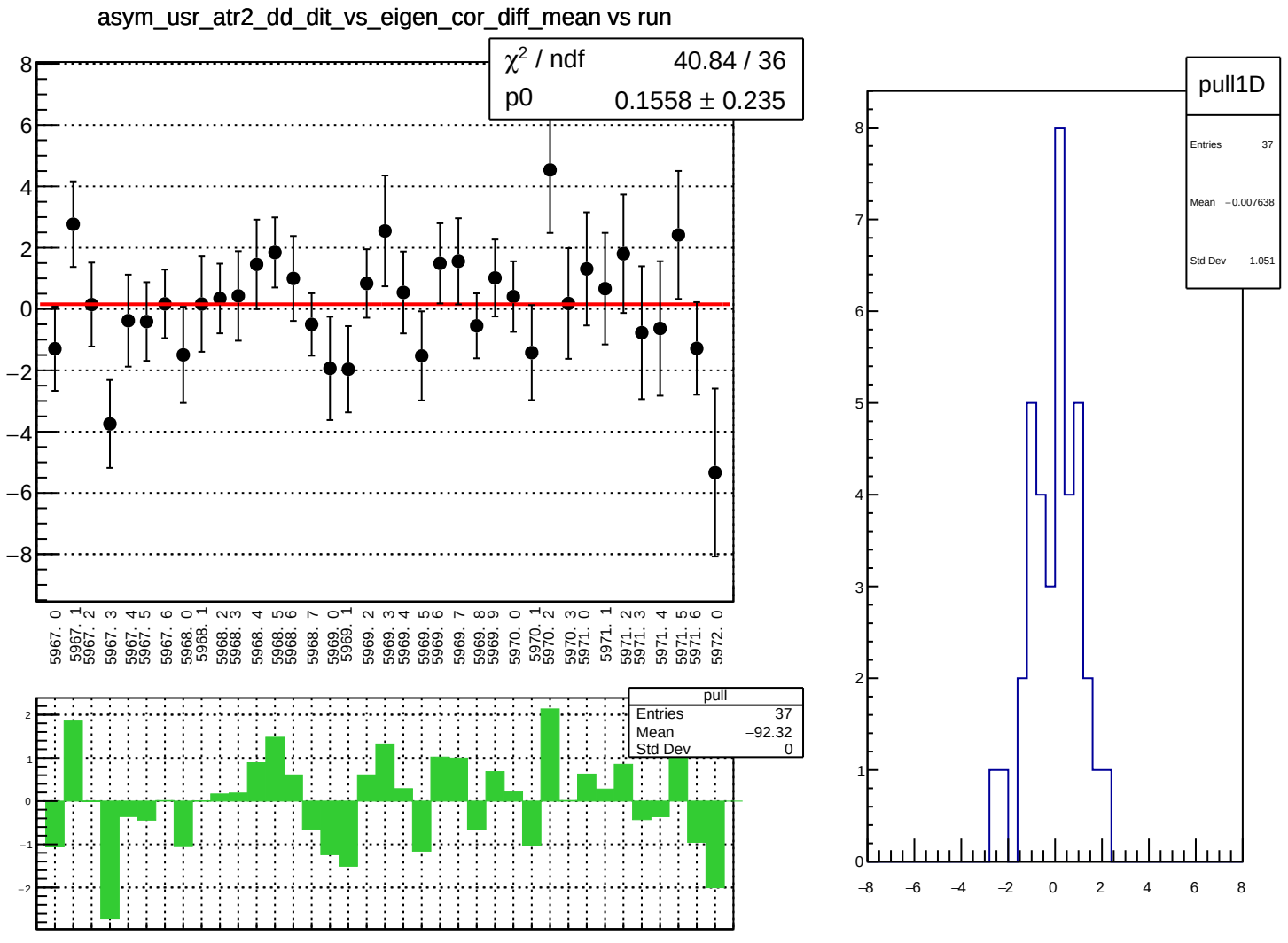
asym_usr_atr2_dd_dit_vs_eigen_cor_diff_mean vs run
χ² / ndf 40.84 / 36
p0 0.1558 ± 0.235
pull
Entries 37
Mean −92.32
Std Dev 0
pull1D
Entries 37
Mean −0.007638
Std Dev 1.051

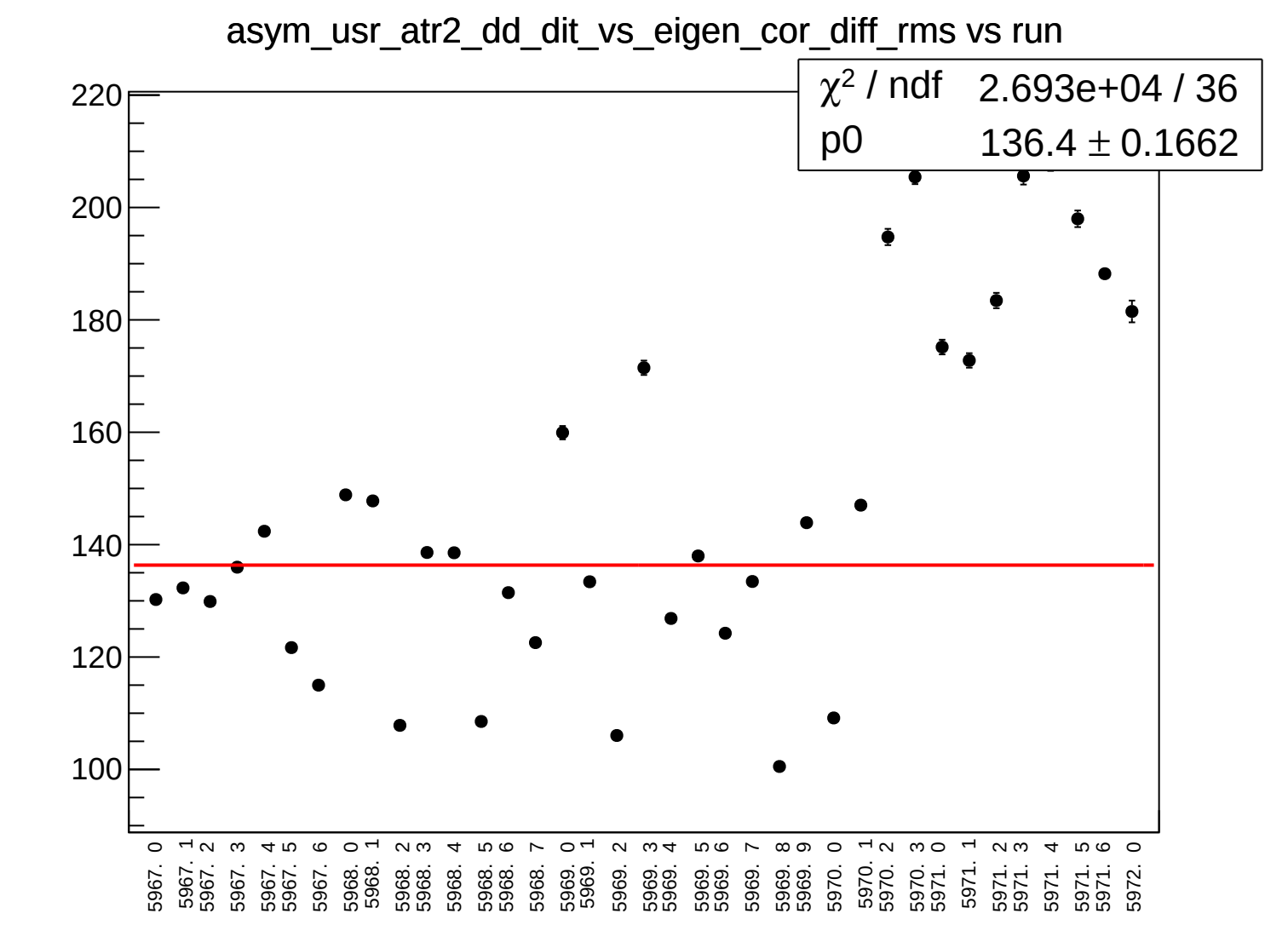
asym_usr_atr2_dd_dit_vs_eigen_cor_diff_rms vs run
χ² / ndf 2.693e+04 / 36
p0 136.4 ± 0.1662
220
200
180
160
140
120
100
5967. 0
5967. 1
5967. 2
5967. 3
5967. 4
5967. 5
5967. 6
5968. 0
5968. 1
5968. 2
5968. 3
5968. 4
5968. 5
5968. 6
5968. 7
5969. 0
5969. 1
5969. 2
5969. 3
5969. 4
5969. 5
5969. 6
5969. 7
5969. 8
5969. 9
5970. 0
5970. 1
5970. 2
5970. 3
5971. 0
5971. 1
5971. 2
5971. 3
5971. 4
5971. 5
5971. 6
5972. 0

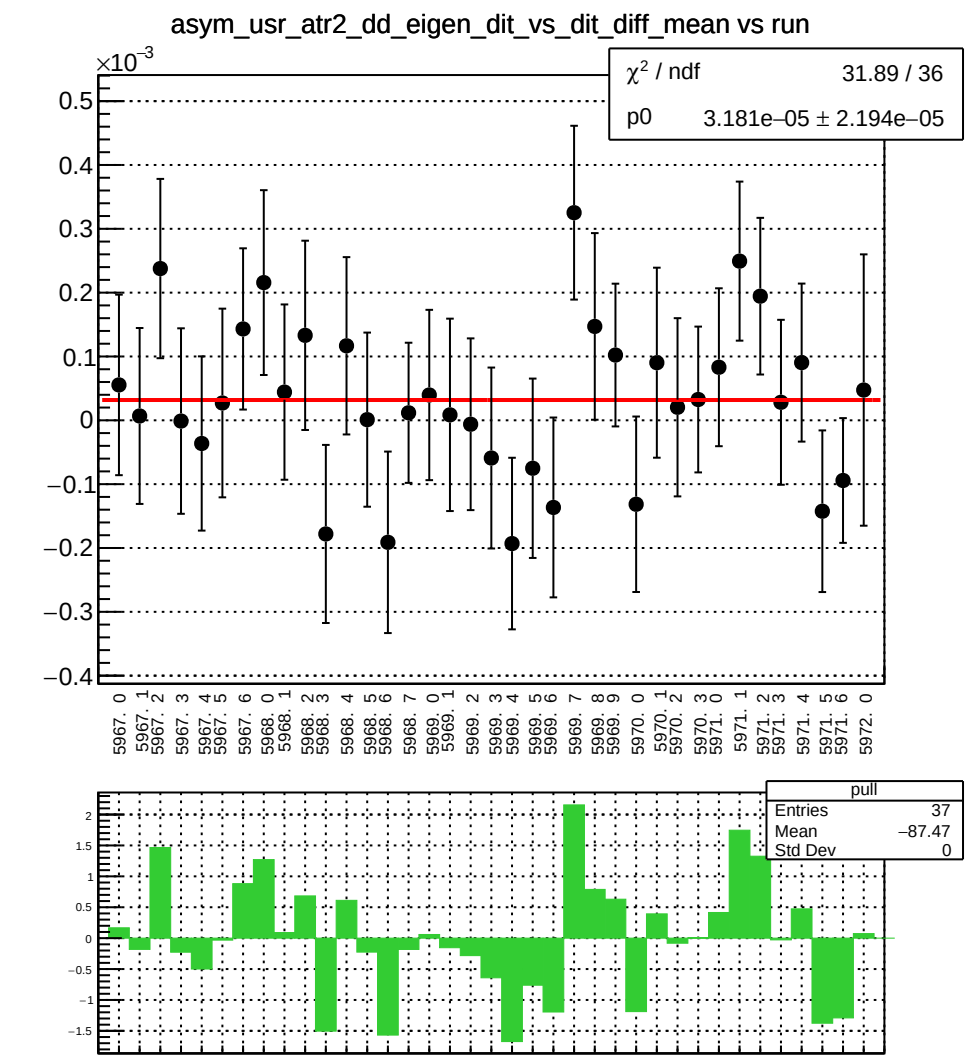
asym_usr_atr2_dd_eigen_dit_vs_dit_diff_mean vs run
×10⁻³
χ² / ndf 31.89 / 36
p0 3.181e−05 ± 2.194e−05
pull
Entries 37
Mean −87.47
Std Dev 0

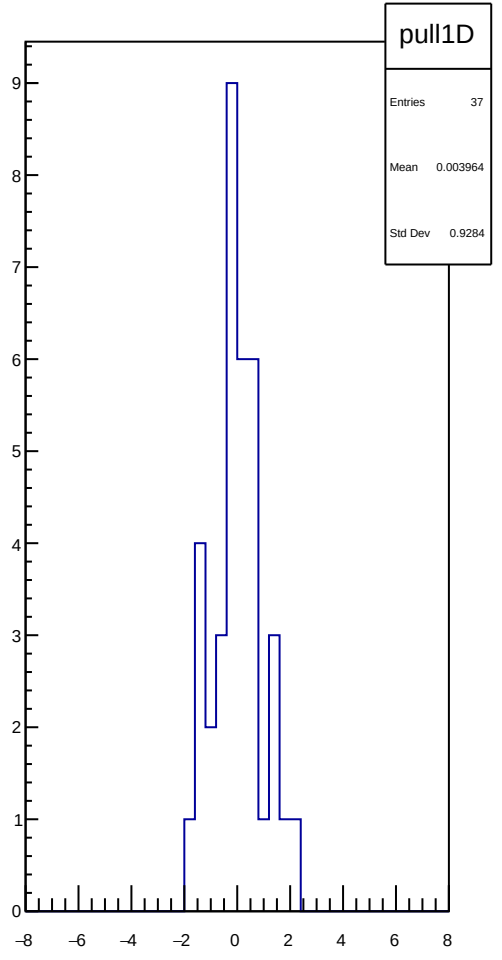
pull1D
Entries 37
Mean 0.003964
Std Dev 0.9284

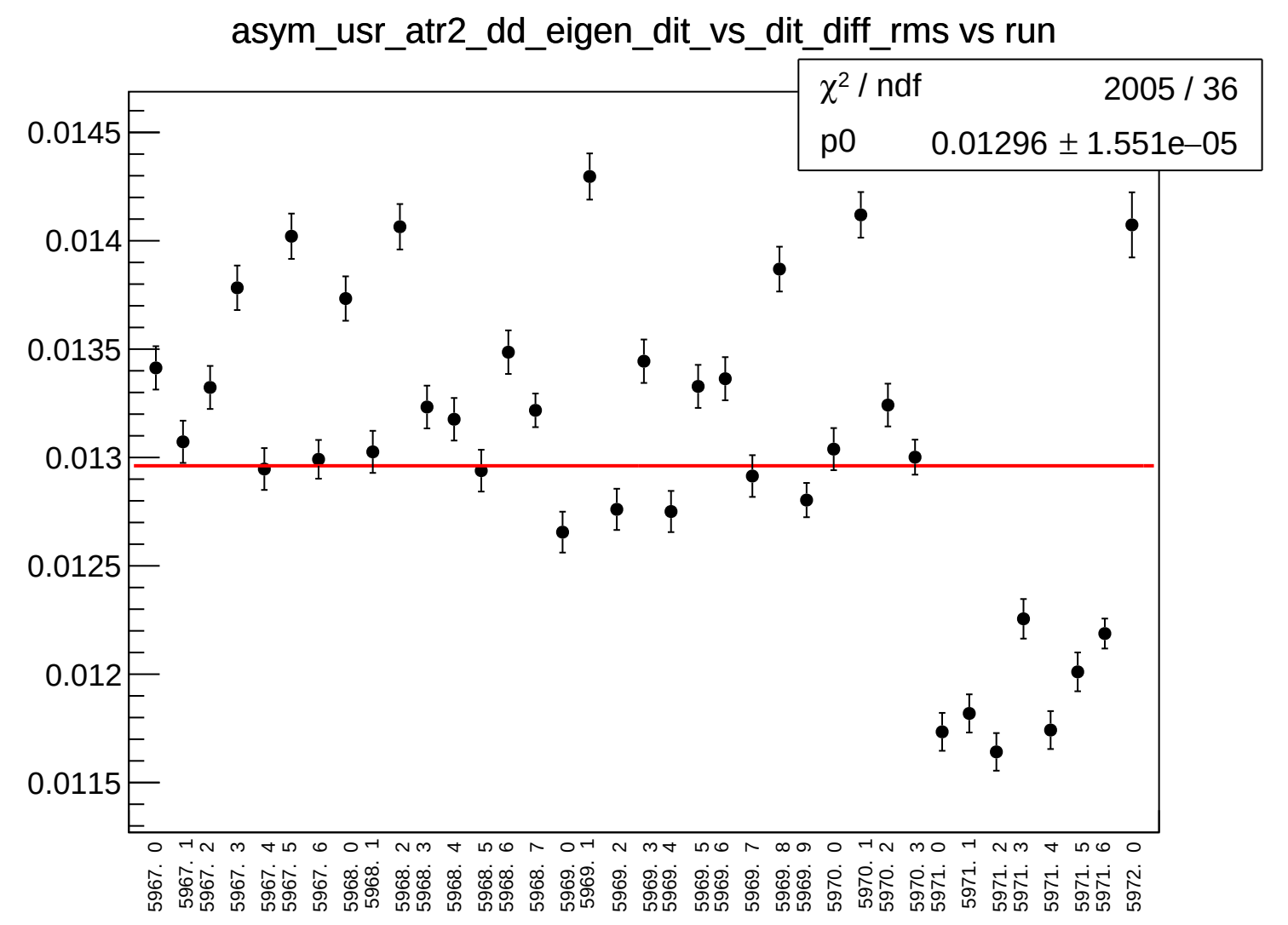
asym_usr_atr2_dd_eigen_dit_vs_dit_diff_rms vs run
χ² / ndf 2005 / 36
p0 0.01296 ± 1.551e–05
0.0145
0.014
0.0135
0.013
0.0125
0.012
0.0115
5967. 0
5967. 1
5967. 2
5967. 3
5967. 4
5967. 5
5967. 6
5968. 0
5968. 1
5968. 2
5968. 3
5968. 4
5968. 5
5968. 6
5968. 7
5969. 0
5969. 1
5969. 2
5969. 3
5969. 4
5969. 5
5969. 6
5969. 7
5969. 8
5969. 9
5970. 0
5970. 1
5970. 2
5970. 3
5971. 0
5971. 1
5971. 2
5971. 3
5971. 4
5971. 5
5971. 6
5972. 0

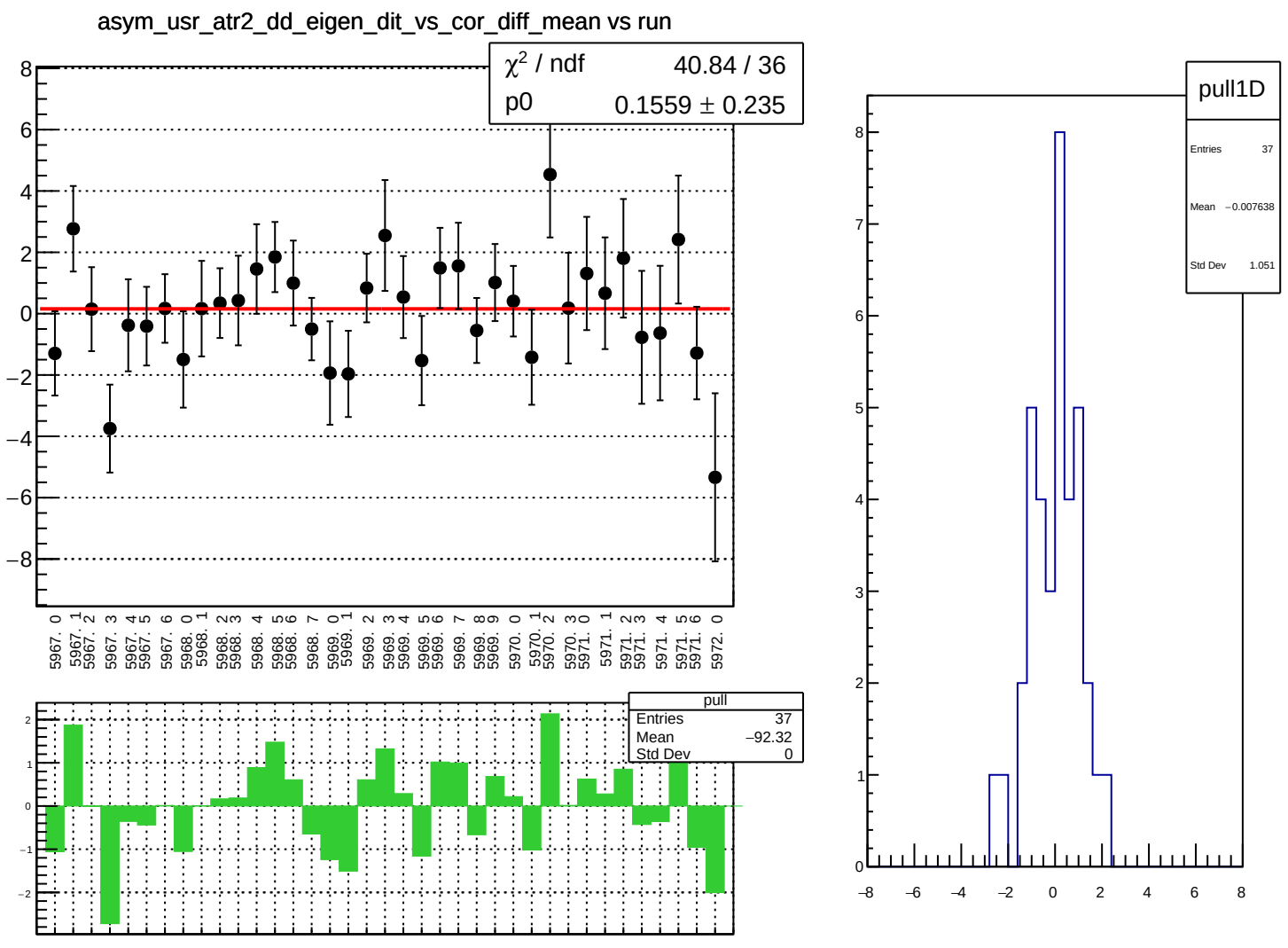
asym_usr_atr2_dd_eigen_dit_vs_cor_diff_mean vs run
χ² / ndf 40.84 / 36
p0 0.1559 ± 0.235
pull
Entries 37
Mean −92.32
Std Dev 0
pull1D
Entries 37
Mean −0.007638
Std Dev 1.051

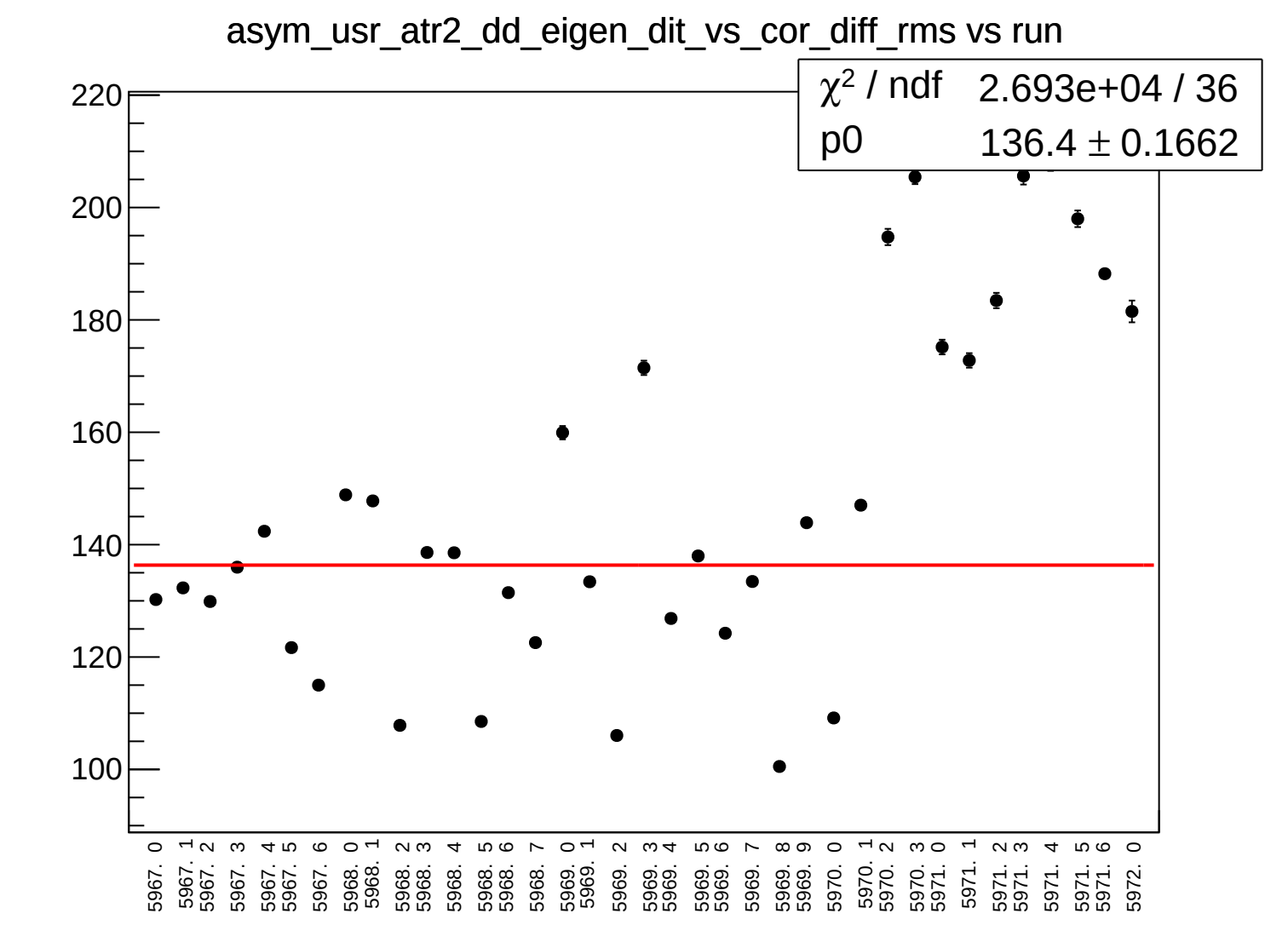
asym_usr_atr2_dd_eigen_dit_vs_cor_diff_rms vs run
χ² / ndf 2.693e+04 / 36
p0 136.4 ± 0.1662
220
200
180
160
140
120
100
5967. 0
5967. 1
5967. 2
5967. 3
5967. 4
5967. 5
5967. 6
5968. 0
5968. 1
5968. 2
5968. 3
5968. 4
5968. 5
5968. 6
5968. 7
5969. 0
5969. 1
5969. 2
5969. 3
5969. 4
5969. 5
5969. 6
5969. 7
5969. 8
5969. 9
5970. 0
5970. 1
5970. 2
5970. 3
5971. 0
5971. 1
5971. 2
5971. 3
5971. 4
5971. 5
5971. 6
5972. 0

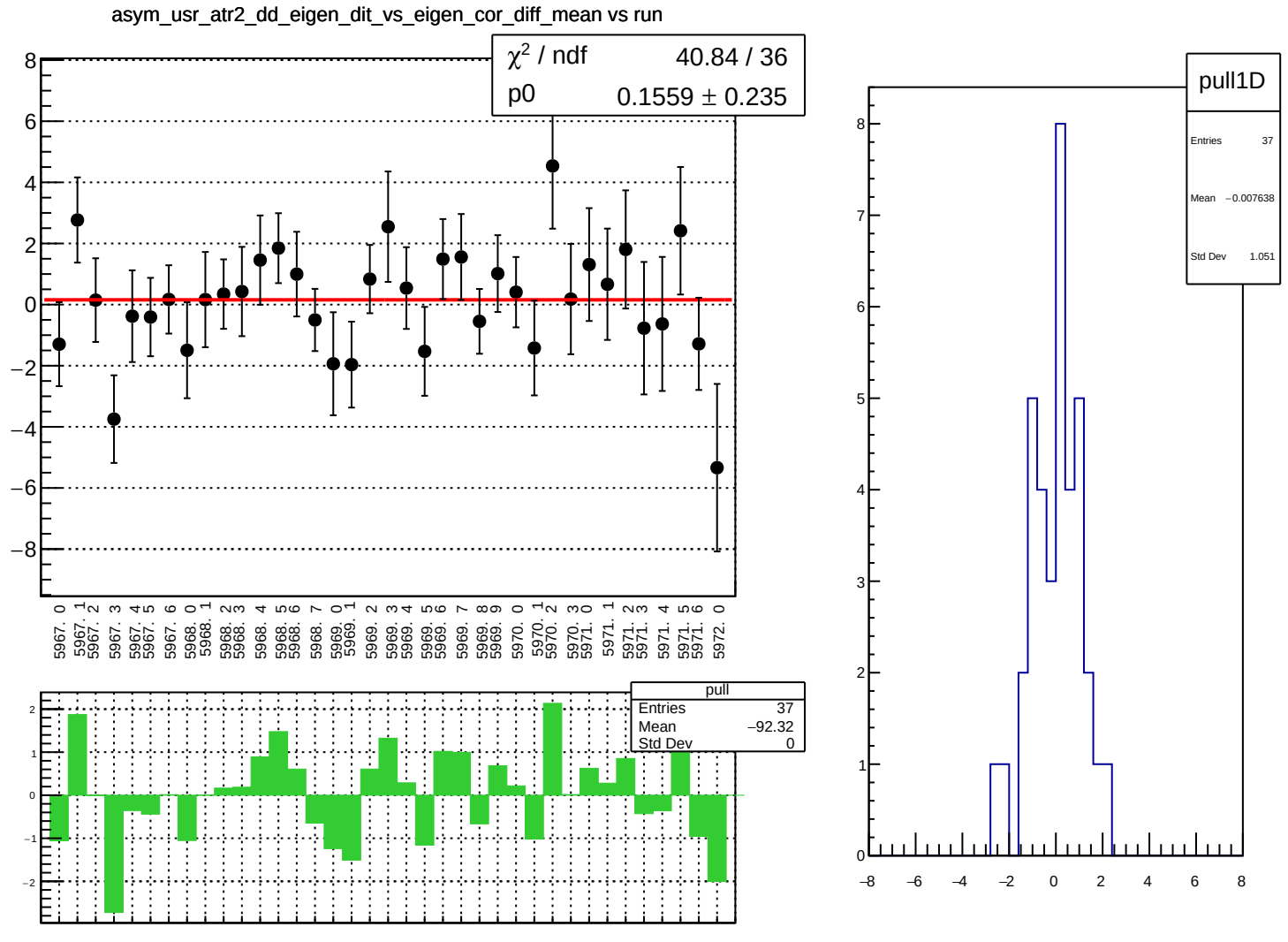
asym_usr_atr2_dd_eigen_dit_vs_eigen_cor_diff_mean vs run
χ² / ndf 40.84 / 36
p0 0.1559 ± 0.235
pull
Entries 37
Mean −92.32
Std Dev 0
pull1D
Entries 37
Mean −0.007638
Std Dev 1.051

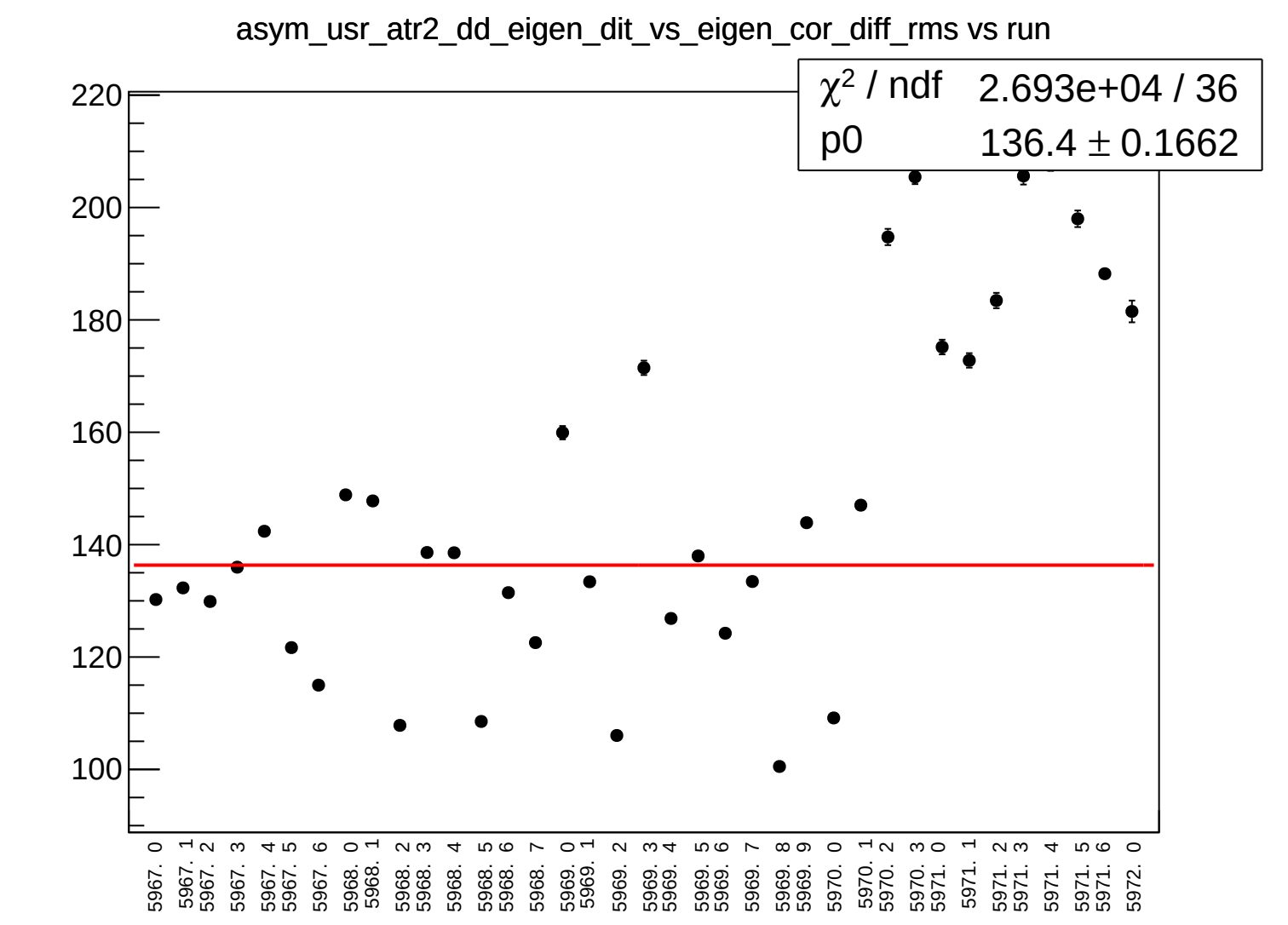
asym_usr_atr2_dd_eigen_dit_vs_eigen_cor_diff_rms vs run
χ² / ndf 2.693e+04 / 36
p0 136.4 ± 0.1662
220
200
180
160
140
120
100
5967. 0
5967. 1
5967. 2
5967. 3
5967. 4
5967. 5
5967. 6
5968. 0
5968. 1
5968. 2
5968. 3
5968. 4
5968. 5
5968. 6
5968. 7
5969. 0
5969. 1
5969. 2
5969. 3
5969. 4
5969. 5
5969. 6
5969. 7
5969. 8
5969. 9
5970. 0
5970. 1
5970. 2
5970. 3
5971. 0
5971. 1
5971. 2
5971. 3
5971. 4
5971. 5
5971. 6
5972. 0

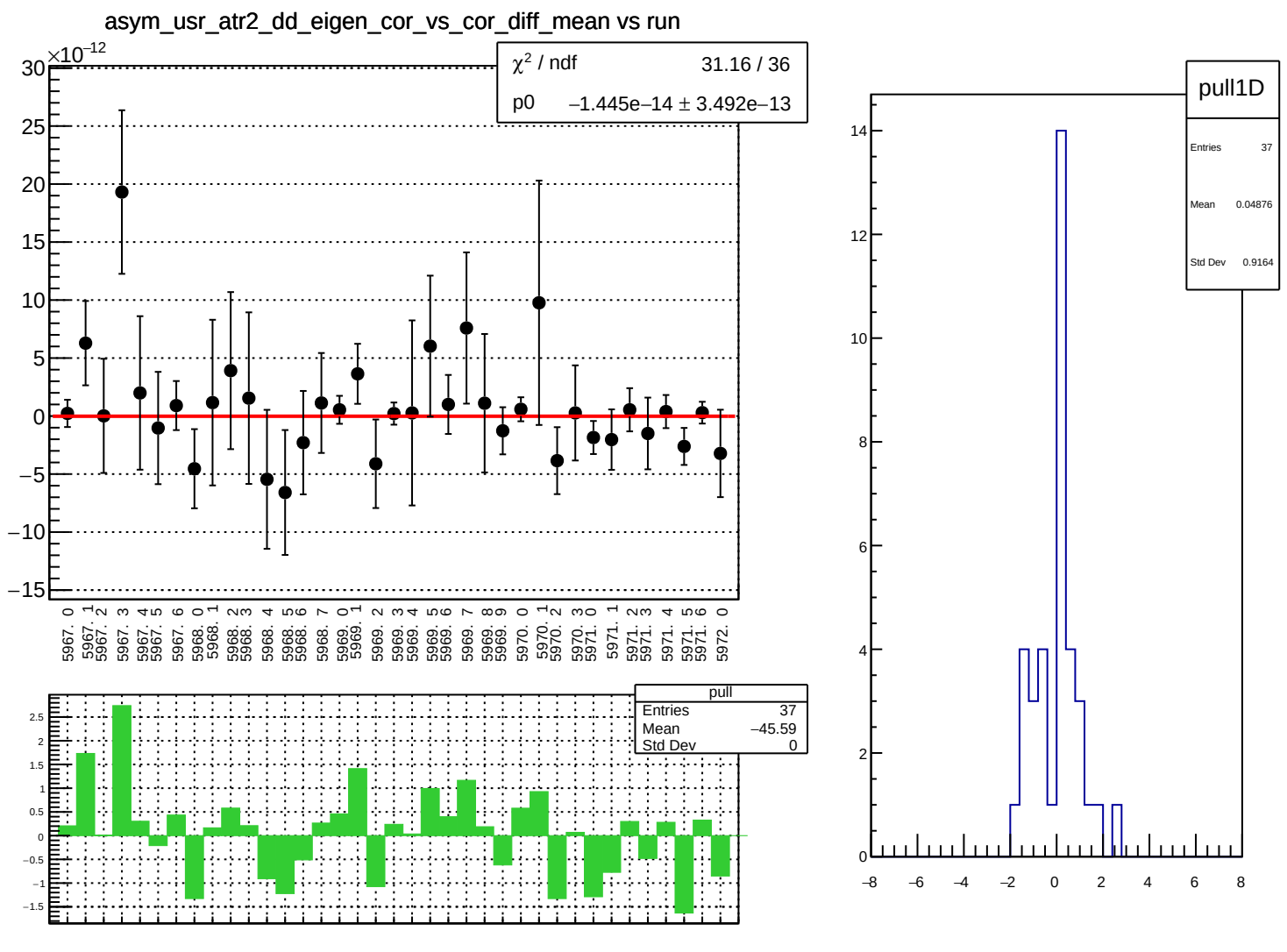
asym_usr_atr2_dd_eigen_cor_vs_cor_diff_mean vs run
×10⁻¹²
χ² / ndf 31.16 / 36
p0 −1.445e−14 ± 3.492e−13
30
25
20
15
10
5
0
−5
−10
−15
5967. 0
5967. 1
5967. 2
5967. 3
5967. 4
5967. 5
5967. 6
5968. 0
5968. 1
5968. 2
5968. 3
5968. 4
5968. 5
5968. 6
5968. 7
5969. 0
5969. 1
5969. 2
5969. 3
5969. 4
5969. 5
5969. 6
5969. 7
5969. 8
5969. 9
5970. 0
5970. 1
5970. 2
5970. 3
5971. 0
5971. 1
5971. 2
5971. 3
5971. 4
5971. 5
5971. 6
5972. 0
pull
Entries 37
Mean −45.59
Std Dev 0
2.5
2
1.5
1
0.5
0
−0.5
−1
−1.5
pull1D
Entries 37
Mean 0.04876
Std Dev 0.9164
14
12
10
8
6
4
2
0
−8
−6
−4
−2
0
2
4
6
8

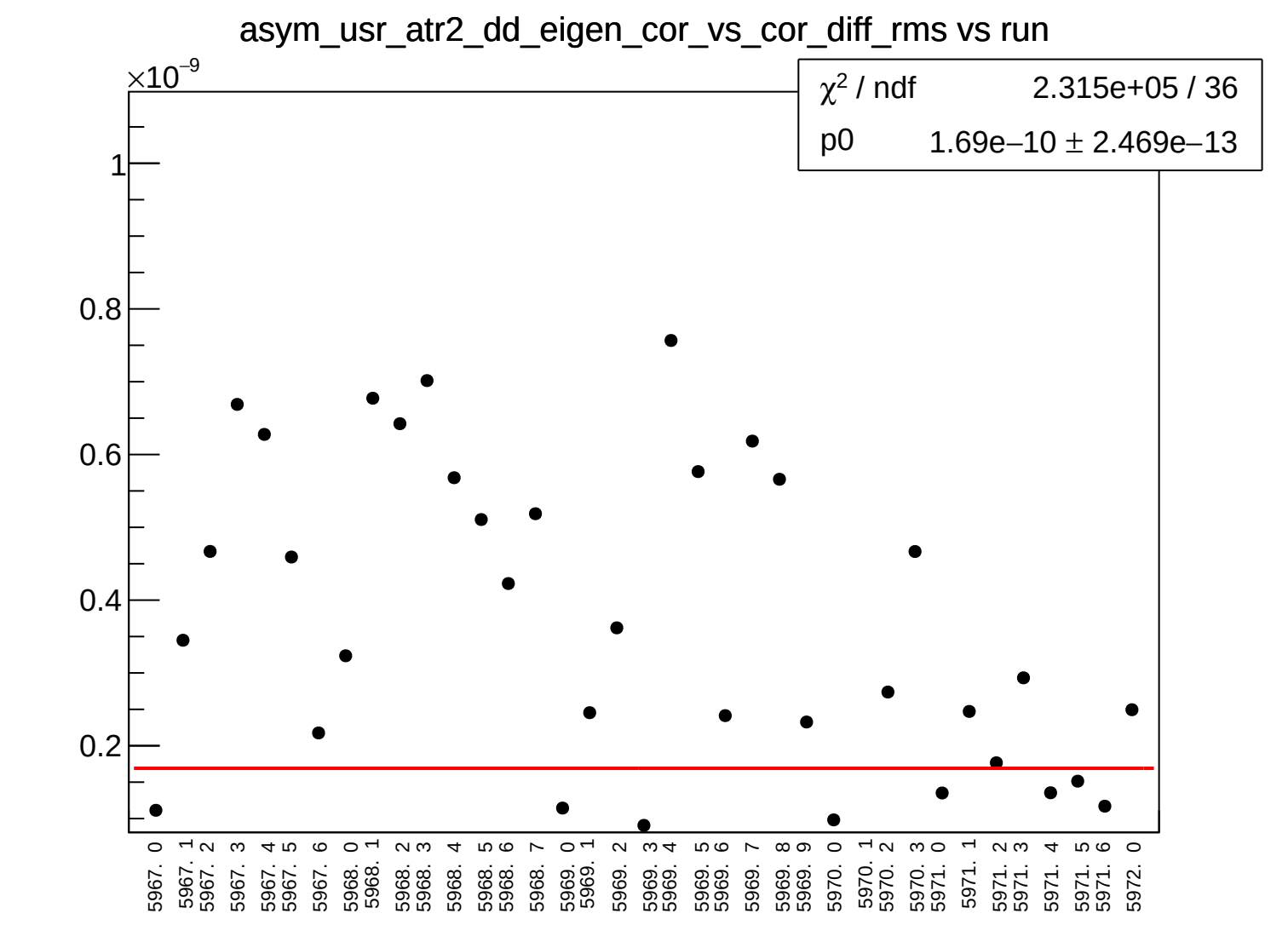
asym_usr_atr2_dd_eigen_cor_vs_cor_diff_rms vs run
×10⁻⁹
χ² / ndf 2.315e+05 / 36
p0 1.69e−10 ± 2.469e−13
1
0.8
0.6
0.4
0.2
5967. 0
5967. 1
5967. 2
5967. 3
5967. 4
5967. 5
5967. 6
5968. 0
5968. 1
5968. 2
5968. 3
5968. 4
5968. 5
5968. 6
5968. 7
5969. 0
5969. 1
5969. 2
5969. 3
5969. 4
5969. 5
5969. 6
5969. 7
5969. 8
5969. 9
5970. 0
5970. 1
5970. 2
5970. 3
5971. 0
5971. 1
5971. 2
5971. 3
5971. 4
5971. 5
5971. 6
5972. 0

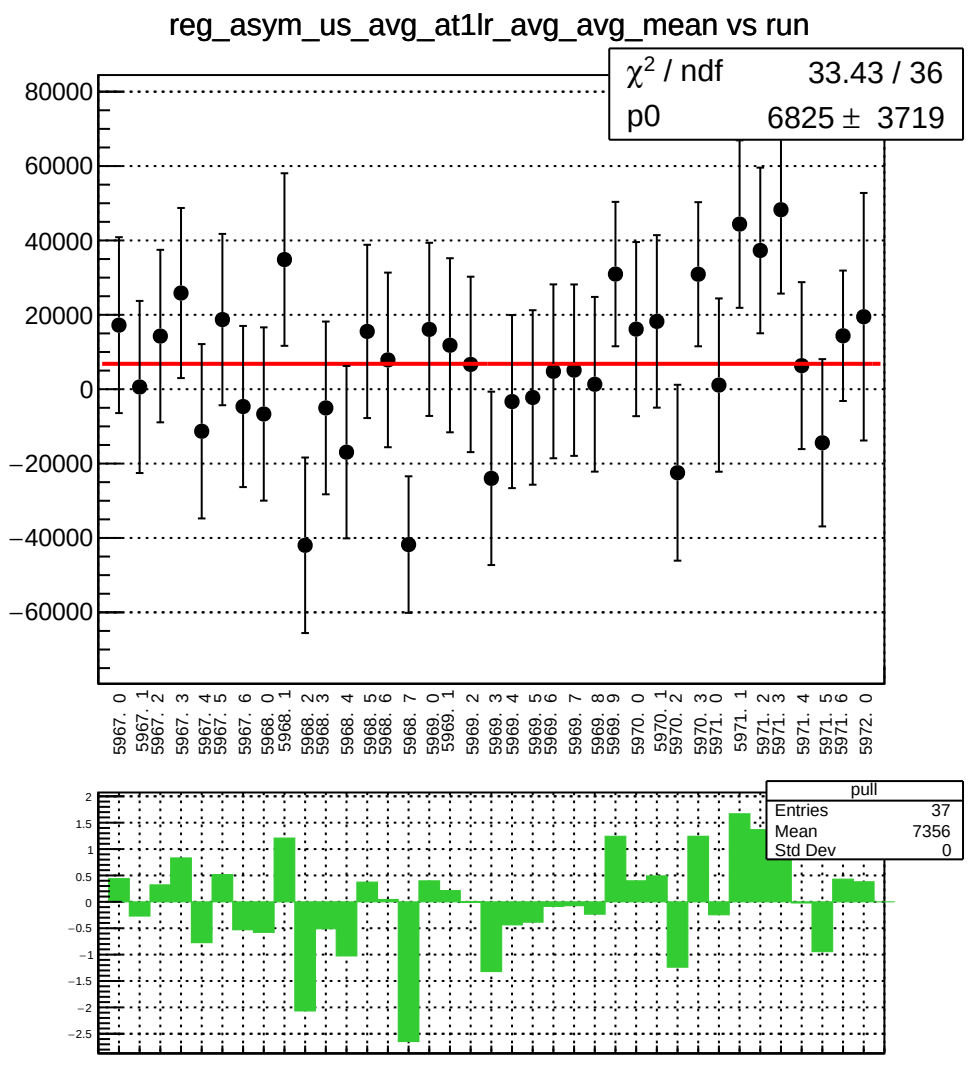
reg_asym_us_avg_at1lr_avg_avg_mean vs run
χ² / ndf 33.43 / 36
p0 6825 ± 3719
80000
60000
40000
20000
0
−20000
−40000
−60000
5967. 0
5967. 1
5967. 2
5967. 3
5967. 4
5967. 5
5967. 6
5968. 0
5968. 1
5968. 2
5968. 3
5968. 4
5968. 5
5968. 6
5968. 7
5969. 0
5969. 1
5969. 2
5969. 3
5969. 4
5969. 5
5969. 6
5969. 7
5969. 8
5969. 9
5970. 0
5970. 1
5970. 2
5970. 3
5971. 0
5971. 1
5971. 2
5971. 3
5971. 4
5971. 5
5971. 6
5972. 0
pull
Entries 37
Mean 7356
Std Dev 0
2
1.5
1
0.5
0
−0.5
−1
−1.5
−2
−2.5
pull1D
Entries 37
Mean 0.0003399
Std Dev 0.9506
8
7
6
5
4
3
2
1
0
−8
−6
−4
−2
0
2
4
6
8

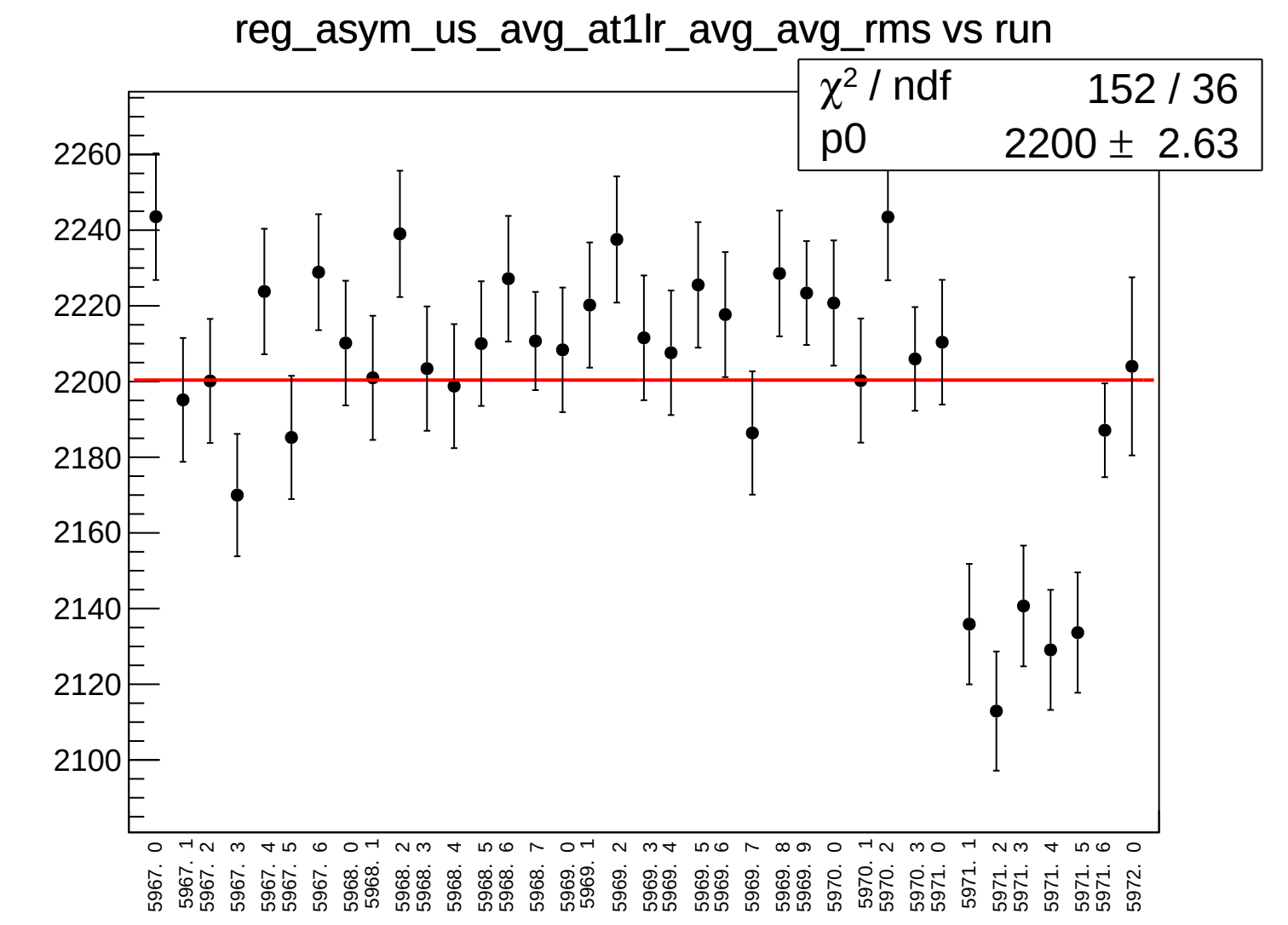
reg_asym_us_avg_at1lr_avg_avg_rms vs run
χ² / ndf 152 / 36
p0 2200 ± 2.63
2260
2240
2220
2200
2180
2160
2140
2120
2100
5967. 0
5967. 1
5967. 2
5967. 3
5967. 4
5967. 5
5967. 6
5968. 0
5968. 1
5968. 2
5968. 3
5968. 4
5968. 5
5968. 6
5968. 7
5969. 0
5969. 1
5969. 2
5969. 3
5969. 4
5969. 5
5969. 6
5969. 7
5969. 8
5969. 9
5970. 0
5970. 1
5970. 2
5970. 3
5971. 0
5971. 1
5971. 2
5971. 3
5971. 4
5971. 5
5971. 6
5972. 0

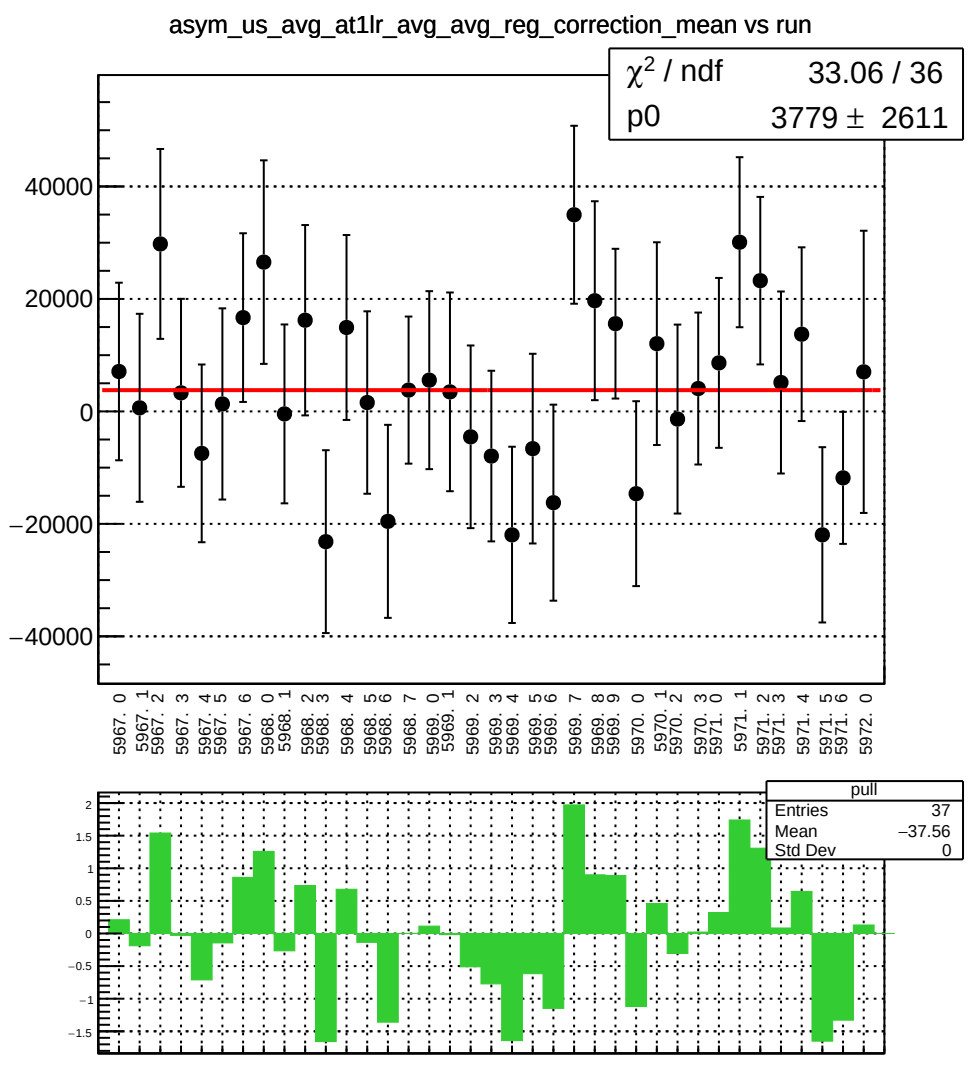
asym_us_avg_at1lr_avg_avg_reg_correction_mean vs run
χ² / ndf 33.06 / 36
p0 3779 ± 2611
40000
20000
0
−20000
−40000
5967. 0
5967. 1
5967. 2
5967. 3
5967. 4
5967. 5
5967. 6
5968. 0
5968. 1
5968. 2
5968. 3
5968. 4
5968. 5
5968. 6
5968. 7
5969. 0
5969. 1
5969. 2
5969. 3
5969. 4
5969. 5
5969. 6
5969. 7
5969. 8
5969. 9
5970. 0
5970. 1
5970. 2
5970. 3
5971. 0
5971. 1
5971. 2
5971. 3
5971. 4
5971. 5
5971. 6
5972. 0
pull
Entries 37
Mean −37.56
Std Dev 0
2
1.5
1
0.5
0
−0.5
−1
−1.5
pull1D
Entries 37
Mean 0.006983
Std Dev 0.9452
7
6
5
4
3
2
1
0
−8
−6
−4
−2
0
2
4
6
8

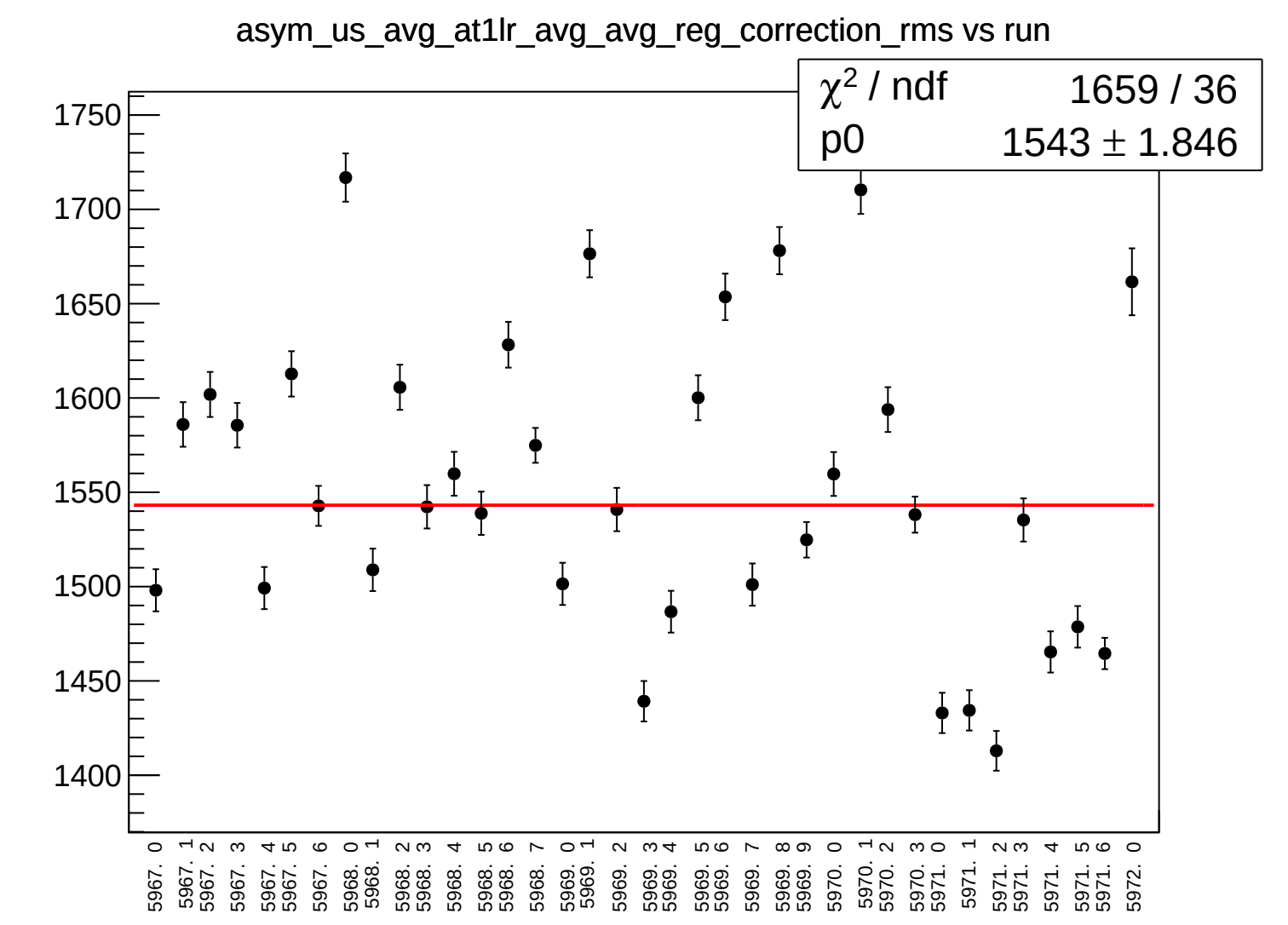
asym_us_avg_at1lr_avg_avg_reg_correction_rms vs run
χ² / ndf 1659 / 36
p0 1543 ± 1.846
1750
1700
1650
1600
1550
1500
1450
1400
5967. 0
5967. 1
5967. 2
5967. 3
5967. 4
5967. 5
5967. 6
5968. 0
5968. 1
5968. 2
5968. 3
5968. 4
5968. 5
5968. 6
5968. 7
5969. 0
5969. 1
5969. 2
5969. 3
5969. 4
5969. 5
5969. 6
5969. 7
5969. 8
5969. 9
5970. 0
5970. 1
5970. 2
5970. 3
5971. 0
5971. 1
5971. 2
5971. 3
5971. 4
5971. 5
5971. 6
5972. 0

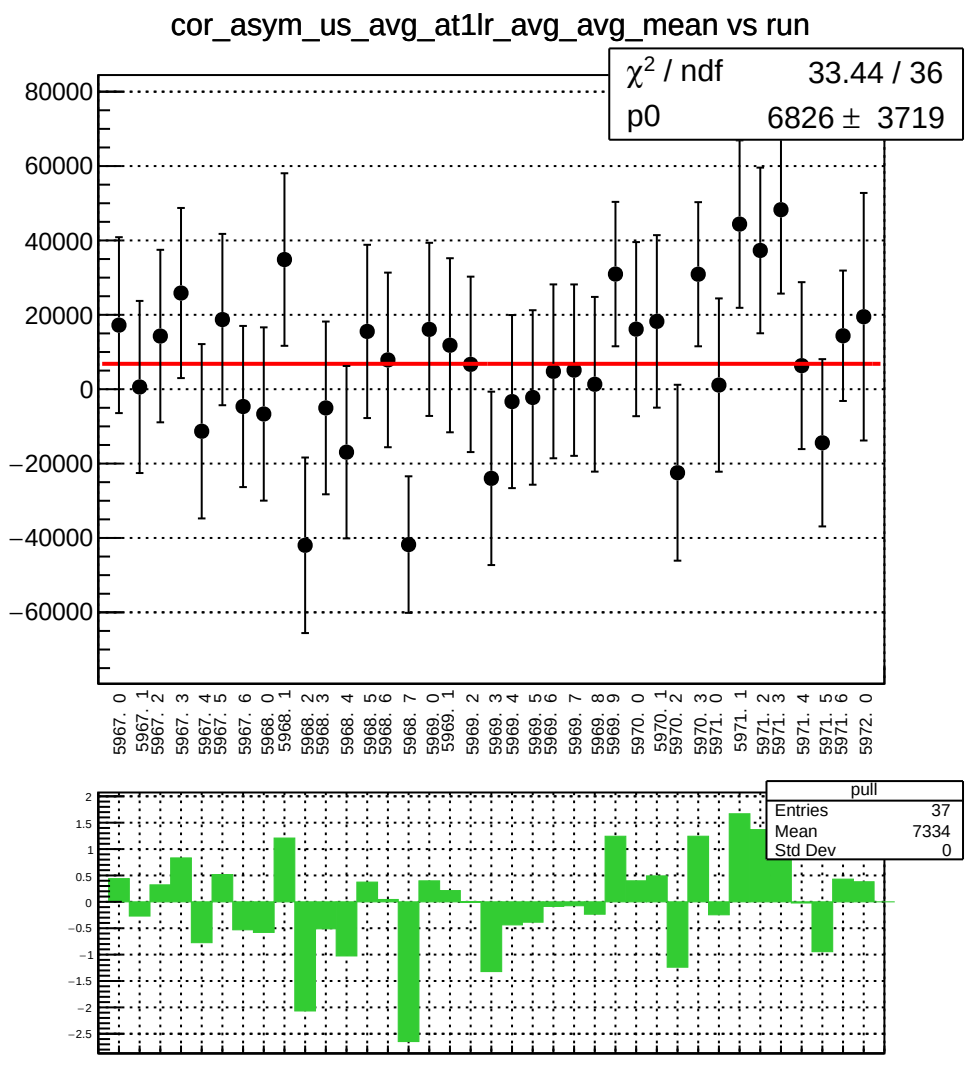
cor_asym_us_avg_at1lr_avg_avg_mean vs run
χ² / ndf 33.44 / 36
p0 6826 ± 3719
80000
60000
40000
20000
0
−20000
−40000
−60000
5967. 0
5967. 1
5967. 2
5967. 3
5967. 4
5967. 5
5967. 6
5968. 0
5968. 1
5968. 2
5968. 3
5968. 4
5968. 5
5968. 6
5968. 7
5969. 0
5969. 1
5969. 2
5969. 3
5969. 4
5969. 5
5969. 6
5969. 7
5969. 8
5969. 9
5970. 0
5970. 1
5970. 2
5970. 3
5971. 0
5971. 1
5971. 2
5971. 3
5971. 4
5971. 5
5971. 6
5972. 0
pull
Entries 37
Mean 7334
Std Dev 0
2
1.5
1
0.5
0
−0.5
−1
−1.5
−2
−2.5
pull1D
Entries 37
Mean 0.0003409
Std Dev 0.9506
8
7
6
5
4
3
2
1
0
−8
−6
−4
−2
0
2
4
6
8

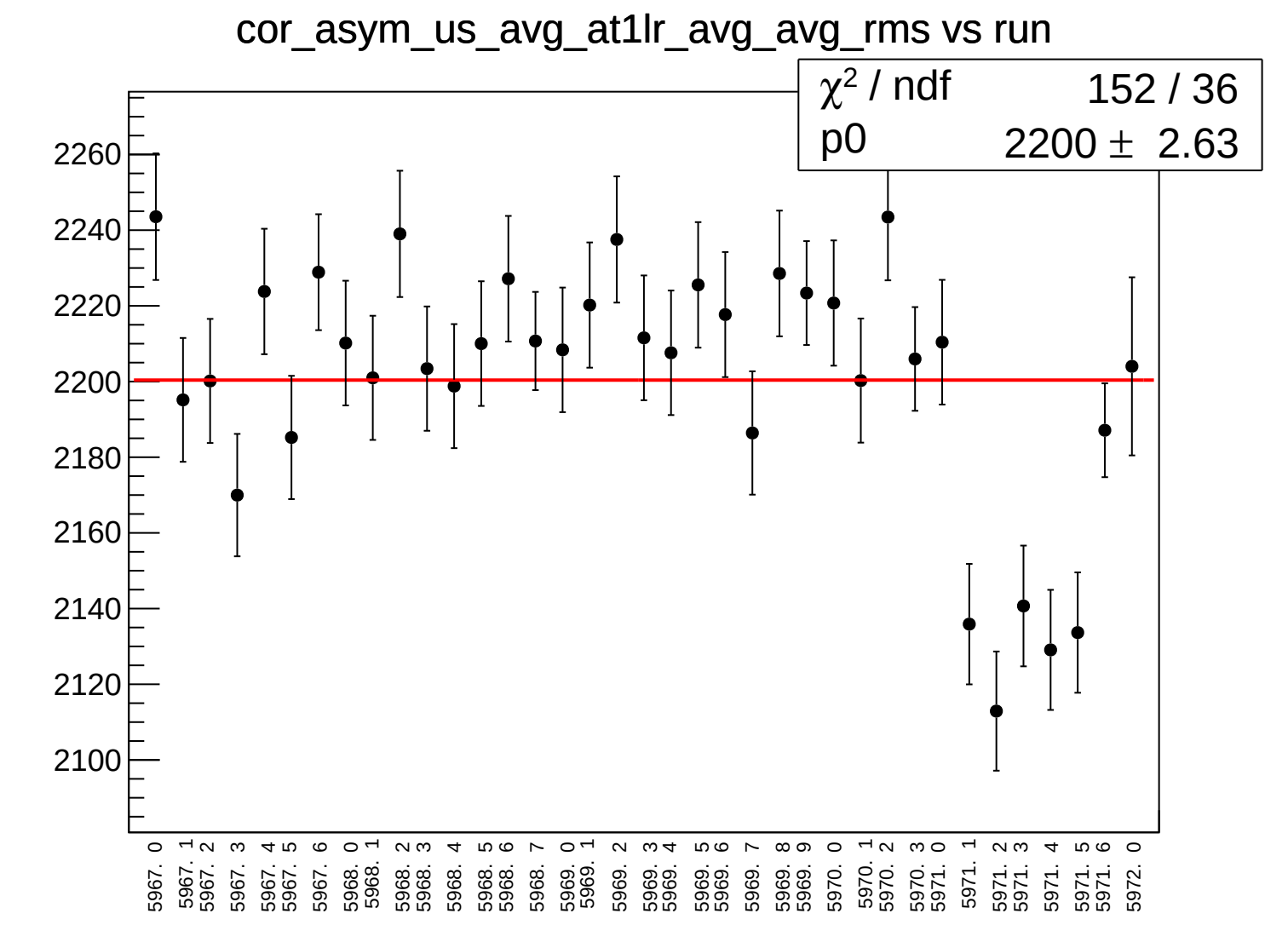
cor_asym_us_avg_at1lr_avg_avg_rms vs run
χ² / ndf 152 / 36
p0 2200 ± 2.63
2260
2240
2220
2200
2180
2160
2140
2120
2100
5967. 0
5967. 1
5967. 2
5967. 3
5967. 4
5967. 5
5967. 6
5968. 0
5968. 1
5968. 2
5968. 3
5968. 4
5968. 5
5968. 6
5968. 7
5969. 0
5969. 1
5969. 2
5969. 3
5969. 4
5969. 5
5969. 6
5969. 7
5969. 8
5969. 9
5970. 0
5970. 1
5970. 2
5970. 3
5971. 0
5971. 1
5971. 2
5971. 3
5971. 4
5971. 5
5971. 6
5972. 0

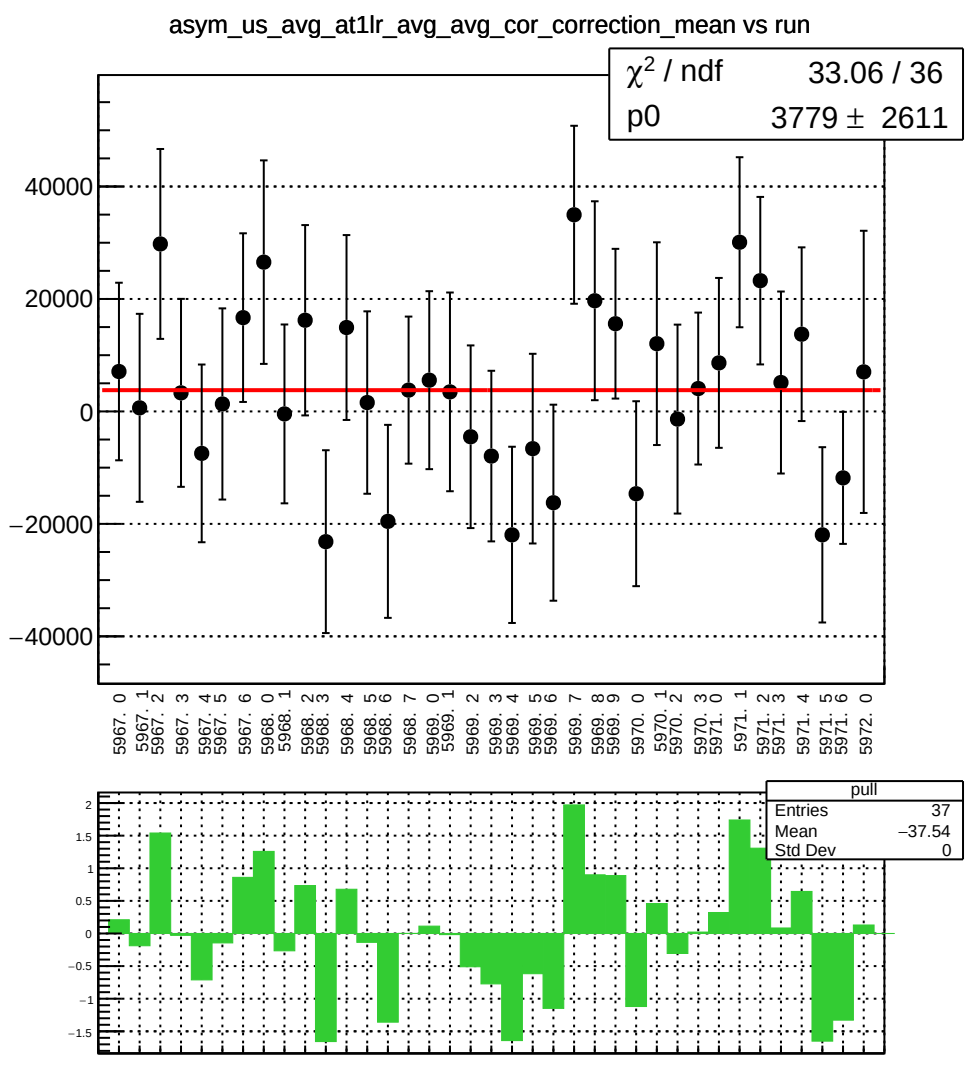
asym_us_avg_at1lr_avg_avg_cor_correction_mean vs run
χ² / ndf 33.06 / 36
p0 3779 ± 2611
40000
20000
0
−20000
−40000
5967. 0
5967. 1
5967. 2
5967. 3
5967. 4
5967. 5
5967. 6
5968. 0
5968. 1
5968. 2
5968. 3
5968. 4
5968. 5
5968. 6
5968. 7
5969. 0
5969. 1
5969. 2
5969. 3
5969. 4
5969. 5
5969. 6
5969. 7
5969. 8
5969. 9
5970. 0
5970. 1
5970. 2
5970. 3
5971. 0
5971. 1
5971. 2
5971. 3
5971. 4
5971. 5
5971. 6
5972. 0
pull
Entries 37
Mean −37.54
Std Dev 0
2
1.5
1
0.5
0
−0.5
−1
−1.5
pull1D
Entries 37
Mean 0.006986
Std Dev 0.9452
7
6
5
4
3
2
1
0
−8
−6
−4
−2
0
2
4
6
8

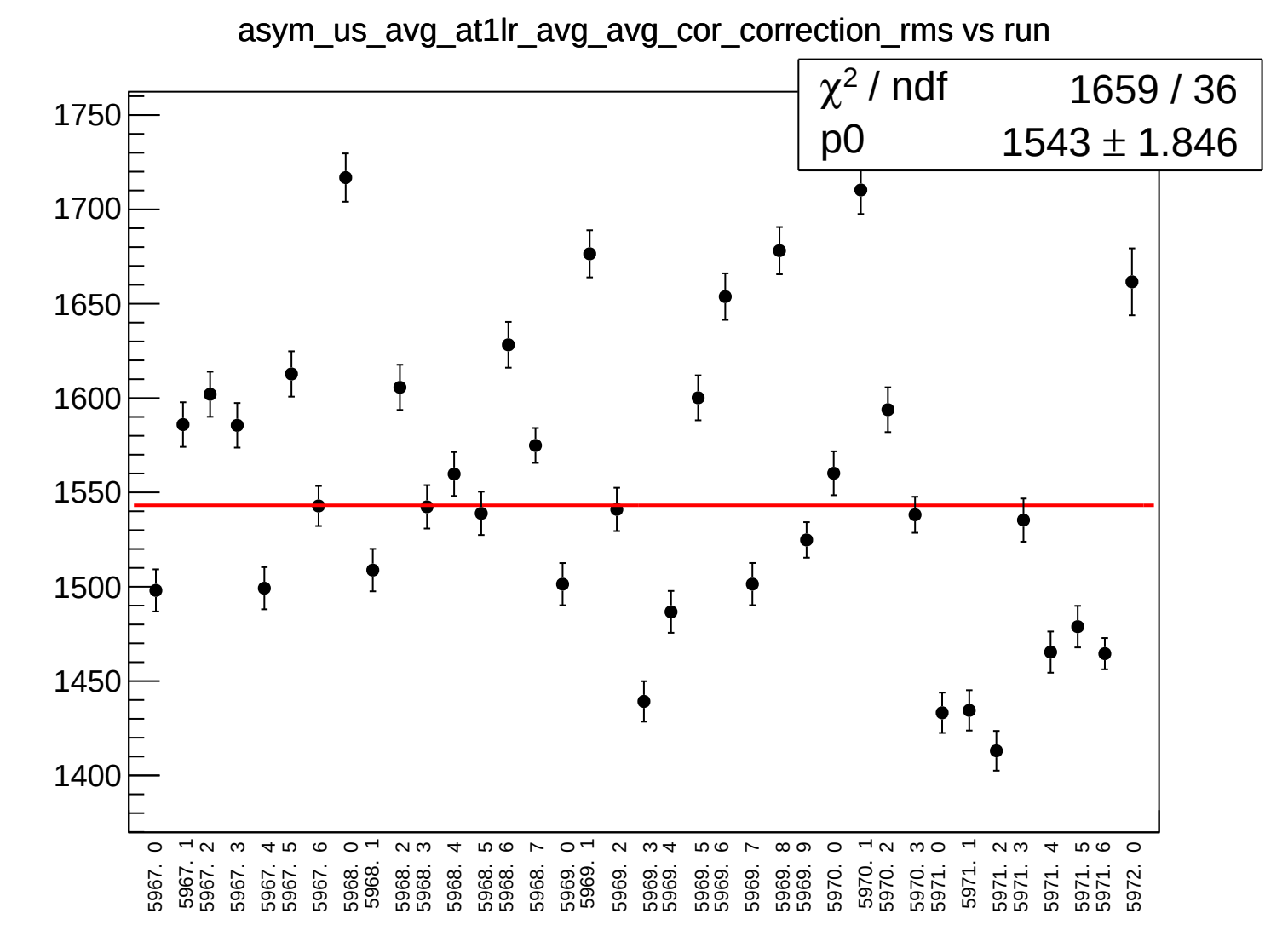
asym_us_avg_at1lr_avg_avg_cor_correction_rms vs run
χ² / ndf 1659 / 36
p0 1543 ± 1.846
1750
1700
1650
1600
1550
1500
1450
1400
5967. 0
5967. 1
5967. 2
5967. 3
5967. 4
5967. 5
5967. 6
5968. 0
5968. 1
5968. 2
5968. 3
5968. 4
5968. 5
5968. 6
5968. 7
5969. 0
5969. 1
5969. 2
5969. 3
5969. 4
5969. 5
5969. 6
5969. 7
5969. 8
5969. 9
5970. 0
5970. 1
5970. 2
5970. 3
5971. 0
5971. 1
5971. 2
5971. 3
5971. 4
5971. 5
5971. 6
5972. 0

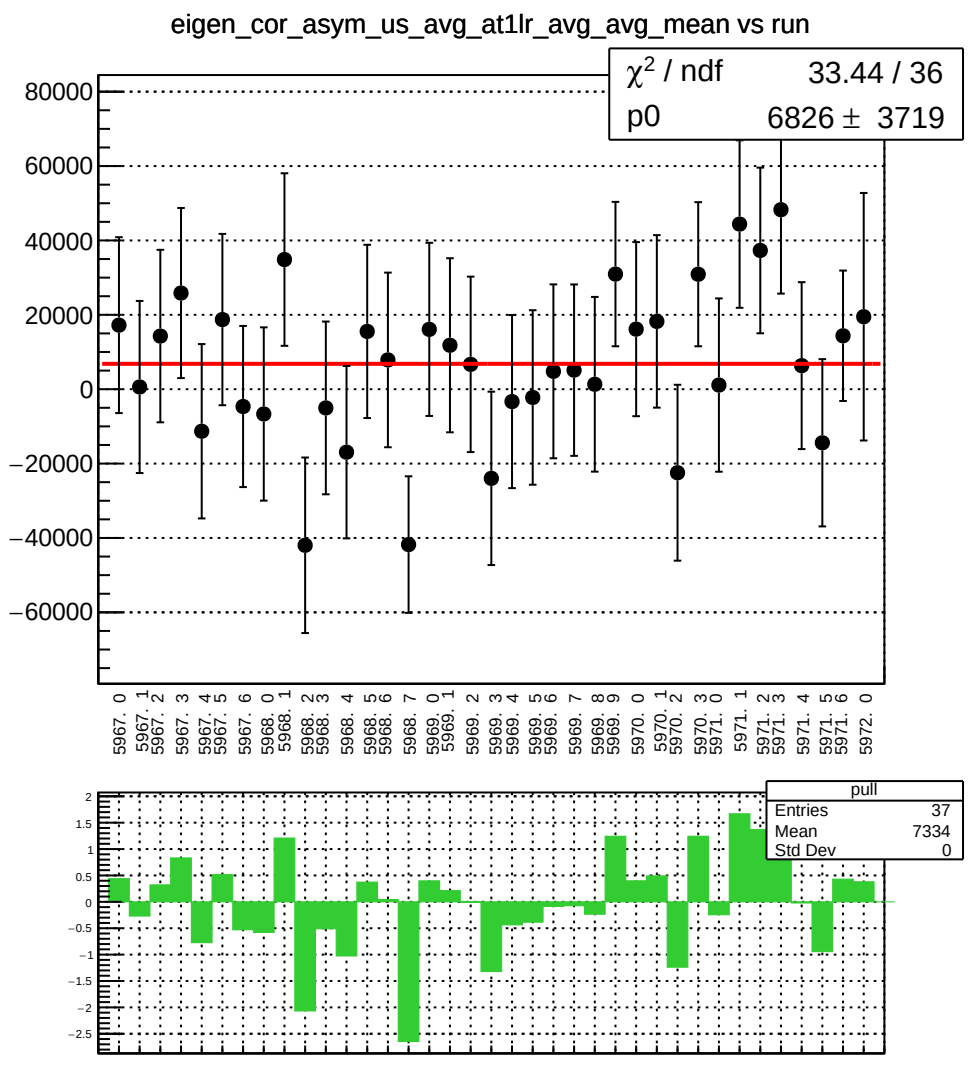
eigen_cor_asym_us_avg_at1lr_avg_avg_mean vs run
χ² / ndf 33.44 / 36
p0 6826 ± 3719
80000
60000
40000
20000
0
−20000
−40000
−60000
5967. 0
5967. 1
5967. 2
5967. 3
5967. 4
5967. 5
5967. 6
5968. 0
5968. 1
5968. 2
5968. 3
5968. 4
5968. 5
5968. 6
5968. 7
5969. 0
5969. 1
5969. 2
5969. 3
5969. 4
5969. 5
5969. 6
5969. 7
5969. 8
5969. 9
5970. 0
5970. 1
5970. 2
5970. 3
5971. 0
5971. 1
5971. 2
5971. 3
5971. 4
5971. 5
5971. 6
5972. 0
pull
Entries 37
Mean 7334
Std Dev 0
2
1.5
1
0.5
0
−0.5
−1
−1.5
−2
−2.5

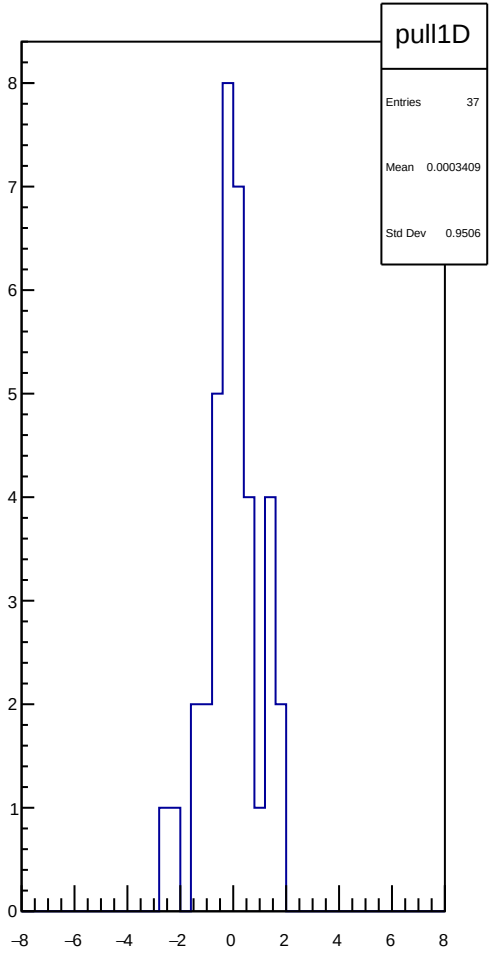
pull1D
Entries 37
Mean 0.0003409
Std Dev 0.9506
8
7
6
5
4
3
2
1
0
−8
−6
−4
−2
0
2
4
6
8

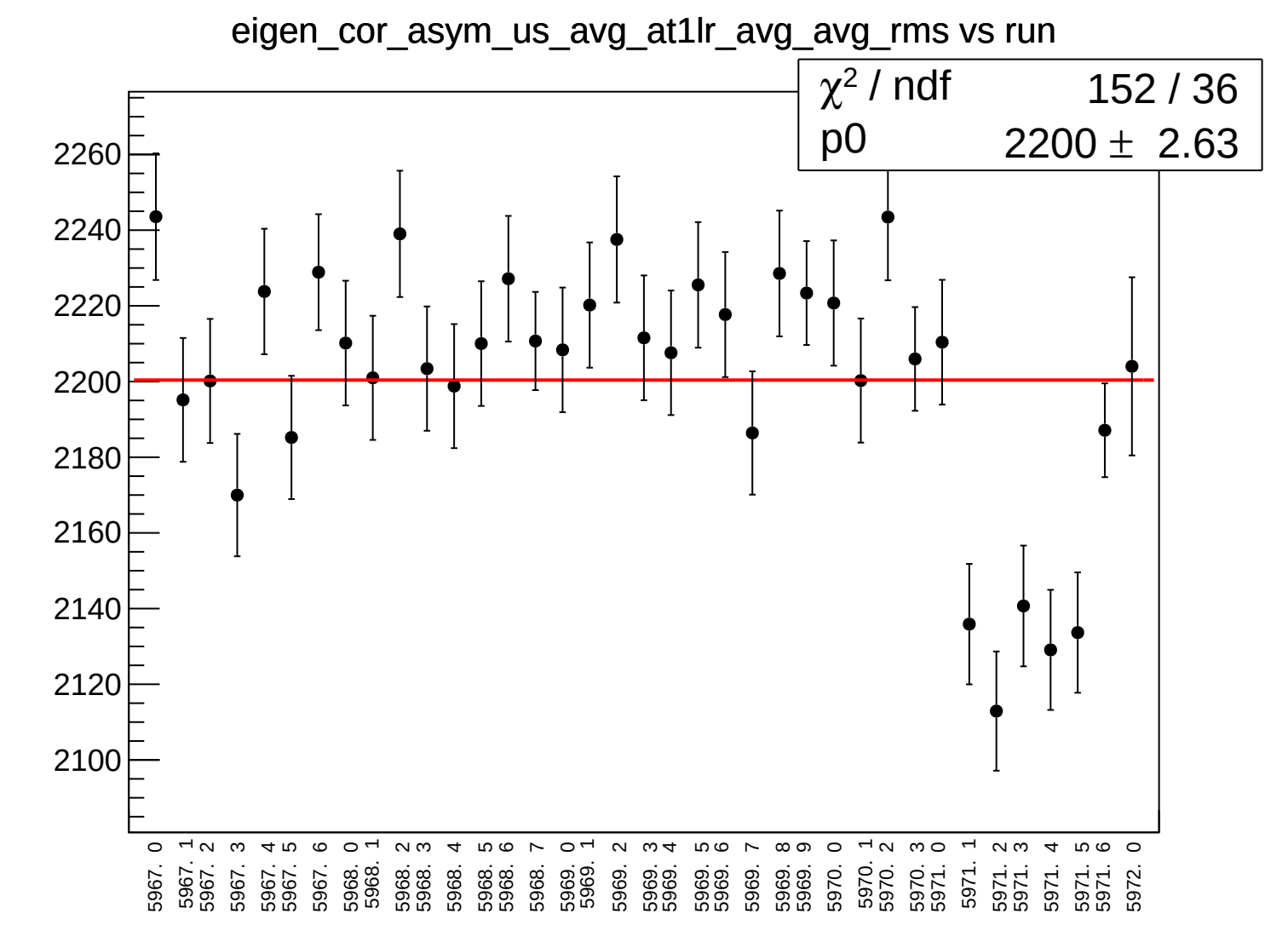
eigen_cor_asym_us_avg_at1lr_avg_avg_rms vs run
χ² / ndf 152 / 36
p0 2200 ± 2.63
2260
2240
2220
2200
2180
2160
2140
2120
2100
5967. 0
5967. 1
5967. 2
5967. 3
5967. 4
5967. 5
5967. 6
5968. 0
5968. 1
5968. 2
5968. 3
5968. 4
5968. 5
5968. 6
5968. 7
5969. 0
5969. 1
5969. 2
5969. 3
5969. 4
5969. 5
5969. 6
5969. 7
5969. 8
5969. 9
5970. 0
5970. 1
5970. 2
5970. 3
5971. 0
5971. 1
5971. 2
5971. 3
5971. 4
5971. 5
5971. 6
5972. 0

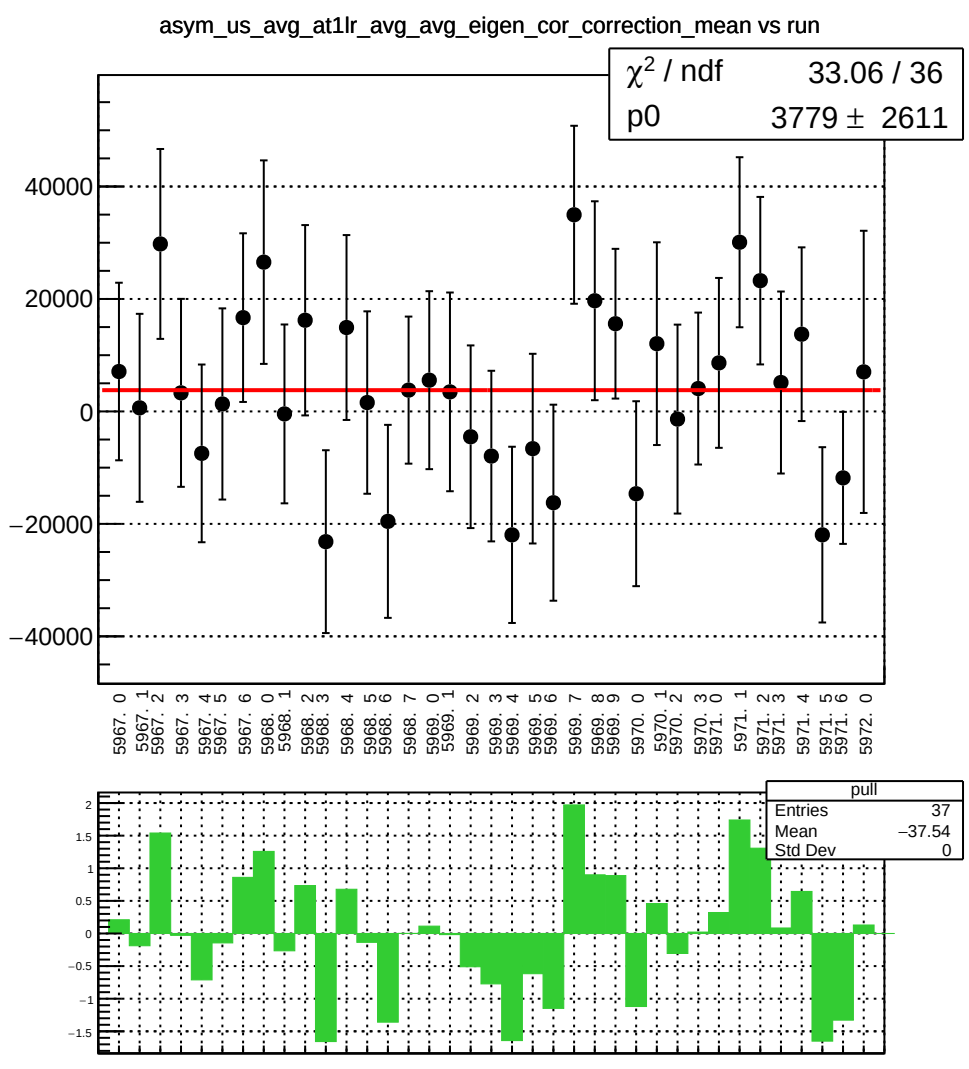
asym_us_avg_at1lr_avg_avg_eigen_cor_correction_mean vs run
χ² / ndf 33.06 / 36
p0 3779 ± 2611
40000
20000
0
−20000
−40000
5967. 0
5967. 1
5967. 2
5967. 3
5967. 4
5967. 5
5967. 6
5968. 0
5968. 1
5968. 2
5968. 3
5968. 4
5968. 5
5968. 6
5968. 7
5969. 0
5969. 1
5969. 2
5969. 3
5969. 4
5969. 5
5969. 6
5969. 7
5969. 8
5969. 9
5970. 0
5970. 1
5970. 2
5970. 3
5971. 0
5971. 1
5971. 2
5971. 3
5971. 4
5971. 5
5971. 6
5972. 0
pull
Entries 37
Mean −37.54
Std Dev 0
2
1.5
1
0.5
0
−0.5
−1
−1.5
pull1D
Entries 37
Mean 0.006986
Std Dev 0.9452
7
6
5
4
3
2
1
0
−8
−6
−4
−2
0
2
4
6
8

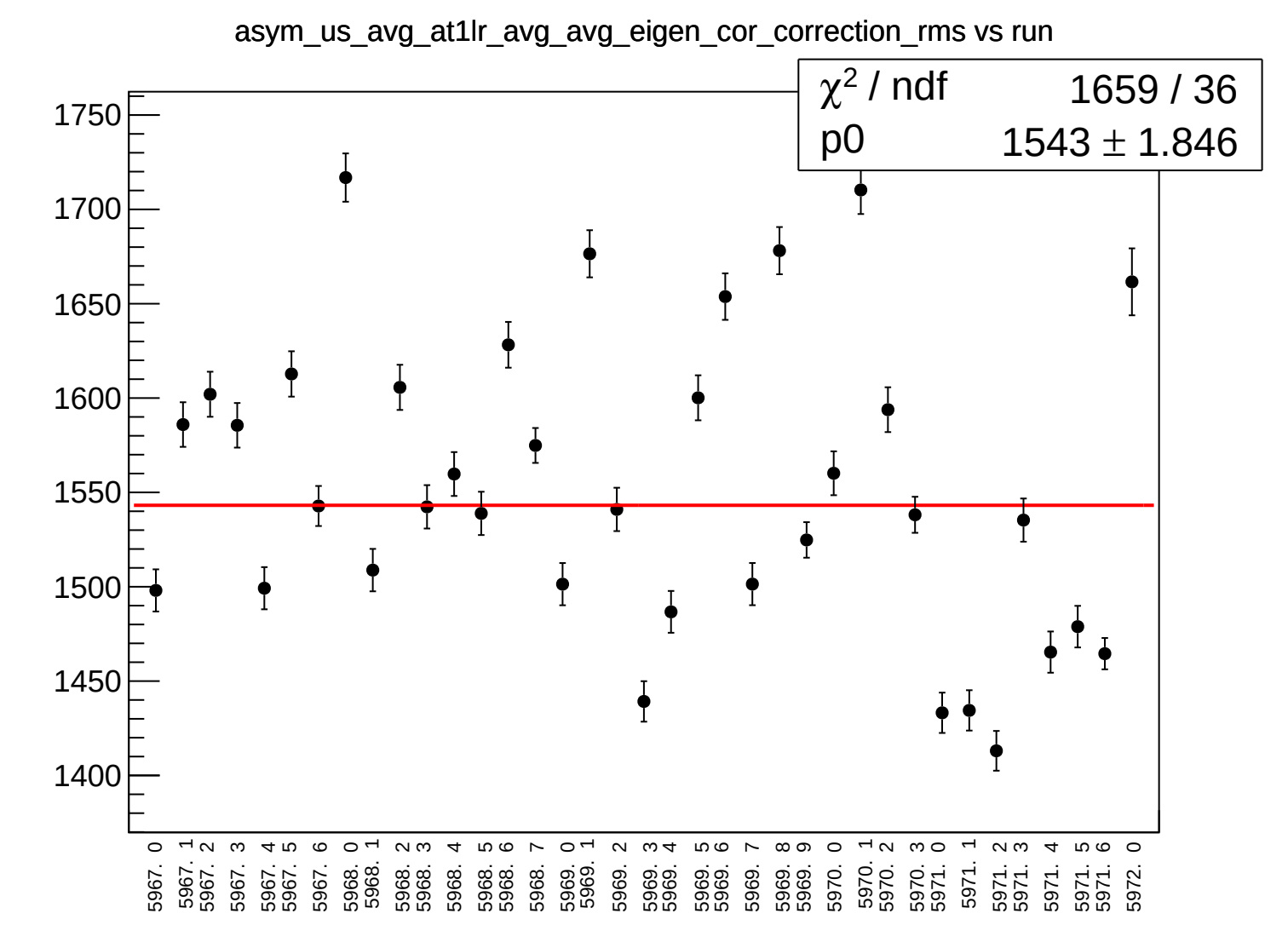
asym_us_avg_at1lr_avg_avg_eigen_cor_correction_rms vs run
χ² / ndf 1659 / 36
p0 1543 ± 1.846
1750
1700
1650
1600
1550
1500
1450
1400
5967. 0
5967. 1
5967. 2
5967. 3
5967. 4
5967. 5
5967. 6
5968. 0
5968. 1
5968. 2
5968. 3
5968. 4
5968. 5
5968. 6
5968. 7
5969. 0
5969. 1
5969. 2
5969. 3
5969. 4
5969. 5
5969. 6
5969. 7
5969. 8
5969. 9
5970. 0
5970. 1
5970. 2
5970. 3
5971. 0
5971. 1
5971. 2
5971. 3
5971. 4
5971. 5
5971. 6
5972. 0

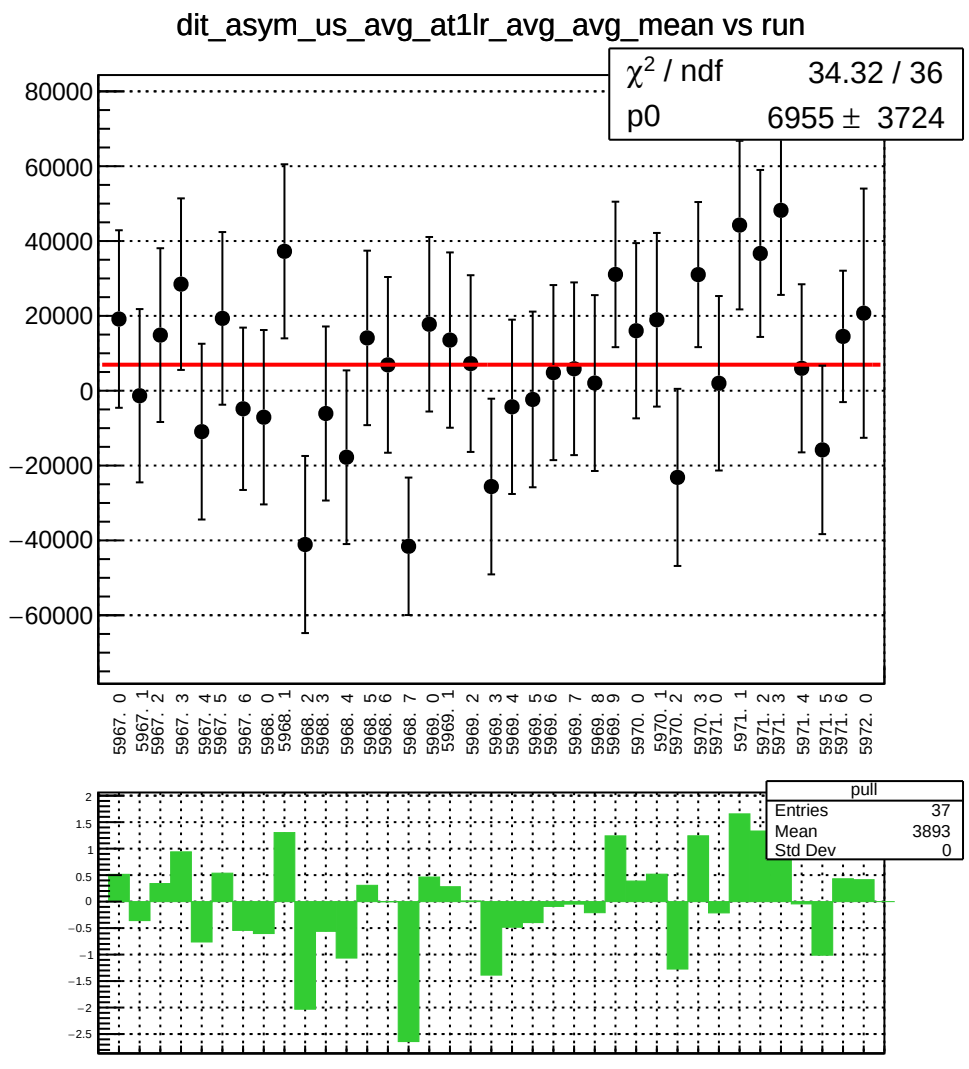
dit_asym_us_avg_at1lr_avg_avg_mean vs run
χ² / ndf 34.32 / 36
p0 6955 ± 3724
80000
60000
40000
20000
0
−20000
−40000
−60000
5967. 0
5967. 1
5967. 2
5967. 3
5967. 4
5967. 5
5967. 6
5968. 0
5968. 1
5968. 2
5968. 3
5968. 4
5968. 5
5968. 6
5968. 7
5969. 0
5969. 1
5969. 2
5969. 3
5969. 4
5969. 5
5969. 6
5969. 7
5969. 8
5969. 9
5970. 0
5970. 1
5970. 2
5970. 3
5971. 0
5971. 1
5971. 2
5971. 3
5971. 4
5971. 5
5971. 6
5972. 0
pull
Entries 37
Mean 3893
Std Dev 0
2
1.5
1
0.5
0
−0.5
−1
−1.5
−2
−2.5
pull1D
Entries 37
Mean 0.0006203
Std Dev 0.963
8
7
6
5
4
3
2
1
0
−8
−6
−4
−2
0
2
4
6
8

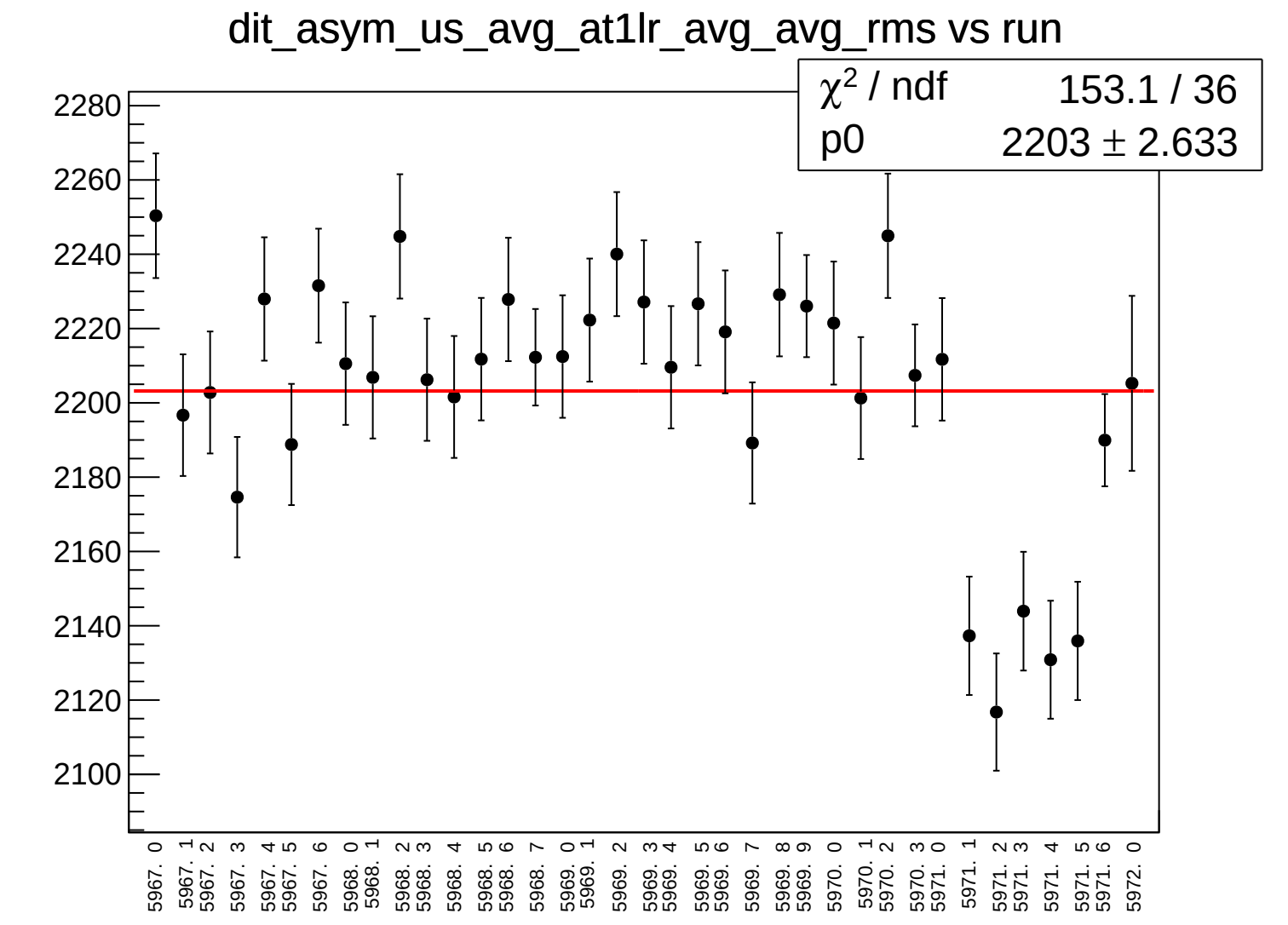
dit_asym_us_avg_at1lr_avg_avg_rms vs run
χ² / ndf 153.1 / 36
p0 2203 ± 2.633
2280
2260
2240
2220
2200
2180
2160
2140
2120
2100
5967. 0
5967. 1
5967. 2
5967. 3
5967. 4
5967. 5
5967. 6
5968. 0
5968. 1
5968. 2
5968. 3
5968. 4
5968. 5
5968. 6
5968. 7
5969. 0
5969. 1
5969. 2
5969. 3
5969. 4
5969. 5
5969. 6
5969. 7
5969. 8
5969. 9
5970. 0
5970. 1
5970. 2
5970. 3
5971. 0
5971. 1
5971. 2
5971. 3
5971. 4
5971. 5
5971. 6
5972. 0

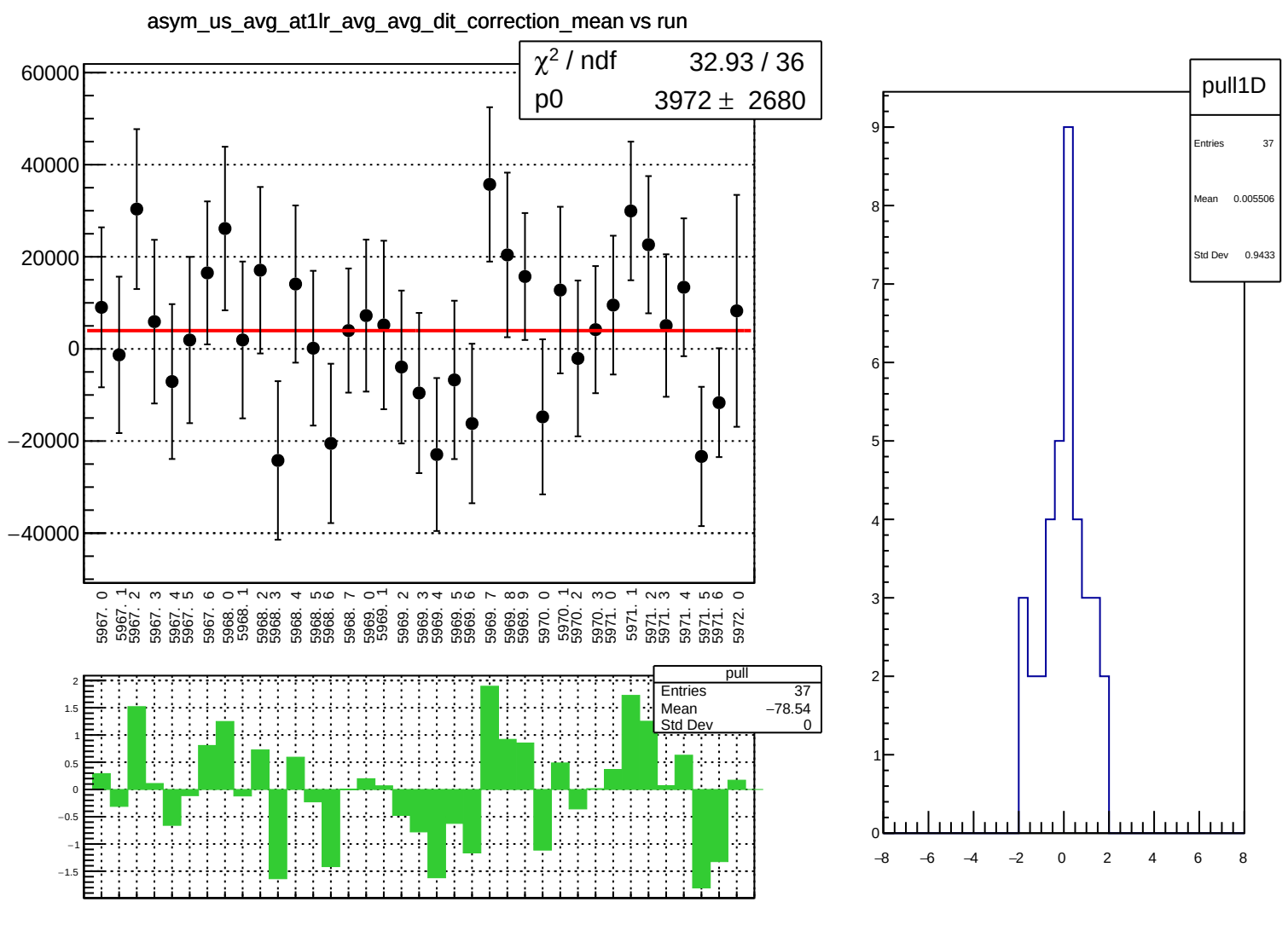
asym_us_avg_at1lr_avg_avg_dit_correction_mean vs run
χ² / ndf 32.93 / 36
p0 3972 ± 2680
60000
40000
20000
0
−20000
−40000
5967. 0
5967. 1
5967. 2
5967. 3
5967. 4
5967. 5
5967. 6
5968. 0
5968. 1
5968. 2
5968. 3
5968. 4
5968. 5
5968. 6
5968. 7
5969. 0
5969. 1
5969. 2
5969. 3
5969. 4
5969. 5
5969. 6
5969. 7
5969. 8
5969. 9
5970. 0
5970. 1
5970. 2
5970. 3
5971. 0
5971. 1
5971. 2
5971. 3
5971. 4
5971. 5
5971. 6
5972. 0
pull
Entries 37
Mean −78.54
Std Dev 0
2
1.5
1
0.5
0
−0.5
−1
−1.5
pull1D
Entries 37
Mean 0.005506
Std Dev 0.9433
9
8
7
6
5
4
3
2
1
0
−8
−6
−4
−2
0
2
4
6
8

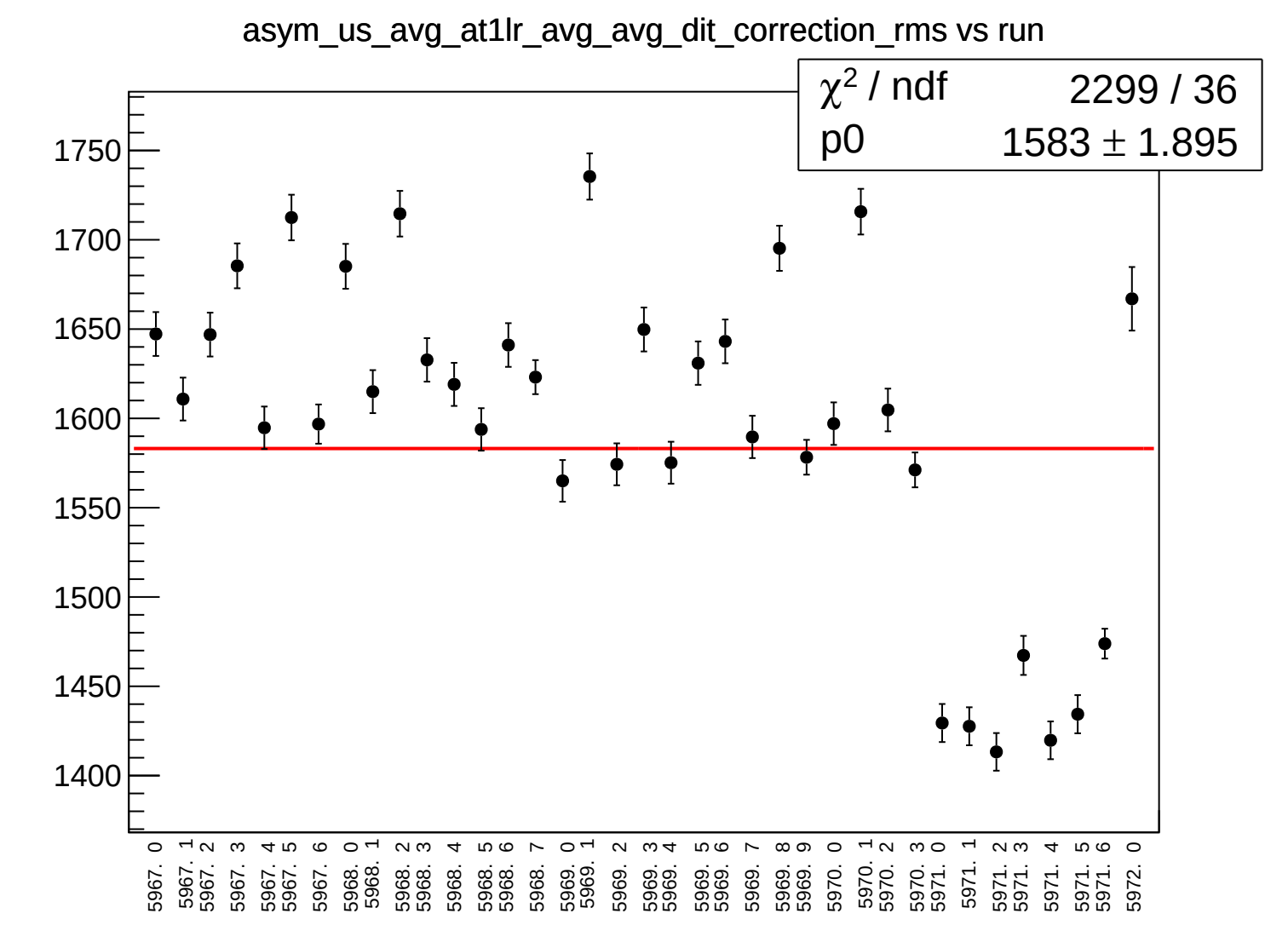
asym_us_avg_at1lr_avg_avg_dit_correction_rms vs run
χ² / ndf 2299 / 36
p0 1583 ± 1.895
1750
1700
1650
1600
1550
1500
1450
1400
5967. 0
5967. 1
5967. 2
5967. 3
5967. 4
5967. 5
5967. 6
5968. 0
5968. 1
5968. 2
5968. 3
5968. 4
5968. 5
5968. 6
5968. 7
5969. 0
5969. 1
5969. 2
5969. 3
5969. 4
5969. 5
5969. 6
5969. 7
5969. 8
5969. 9
5970. 0
5970. 1
5970. 2
5970. 3
5971. 0
5971. 1
5971. 2
5971. 3
5971. 4
5971. 5
5971. 6
5972. 0

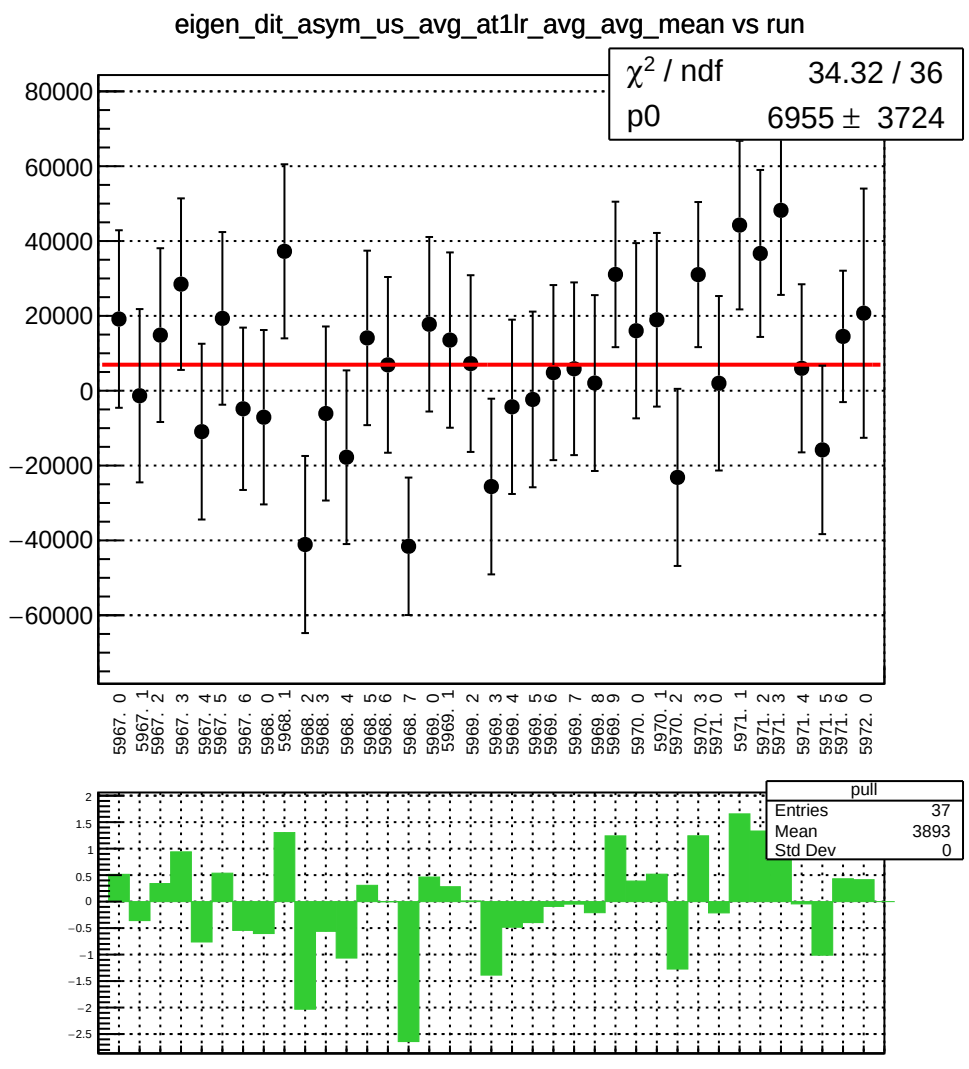
eigen_dit_asym_us_avg_at1lr_avg_avg_mean vs run
χ² / ndf 34.32 / 36
p0 6955 ± 3724
80000
60000
40000
20000
0
−20000
−40000
−60000
5967. 0
5967. 1
5967. 2
5967. 3
5967. 4
5967. 5
5967. 6
5968. 0
5968. 1
5968. 2
5968. 3
5968. 4
5968. 5
5968. 6
5968. 7
5969. 0
5969. 1
5969. 2
5969. 3
5969. 4
5969. 5
5969. 6
5969. 7
5969. 8
5969. 9
5970. 0
5970. 1
5970. 2
5970. 3
5971. 0
5971. 1
5971. 2
5971. 3
5971. 4
5971. 5
5971. 6
5972. 0
pull
Entries 37
Mean 3893
Std Dev 0
2
1.5
1
0.5
0
−0.5
−1
−1.5
−2
−2.5

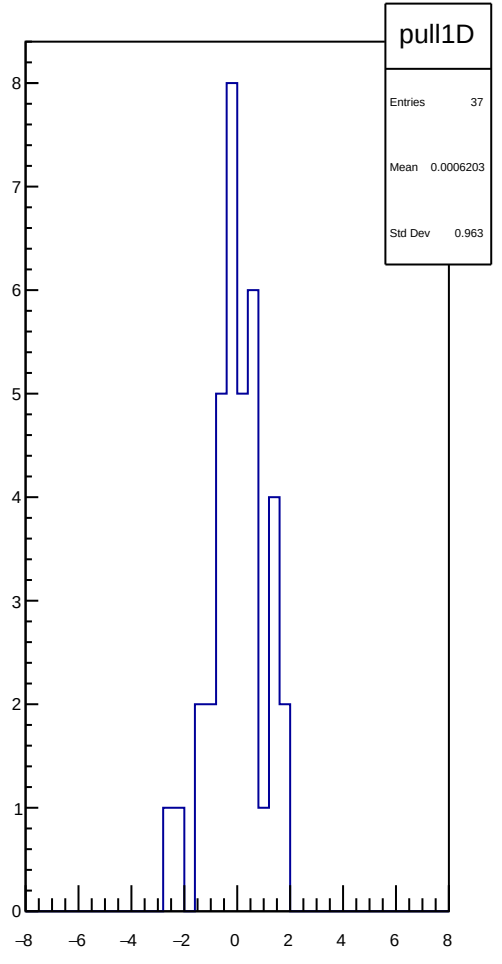
pull1D
Entries 37
Mean 0.0006203
Std Dev 0.963
8
7
6
5
4
3
2
1
0
−8
−6
−4
−2
0
2
4
6
8

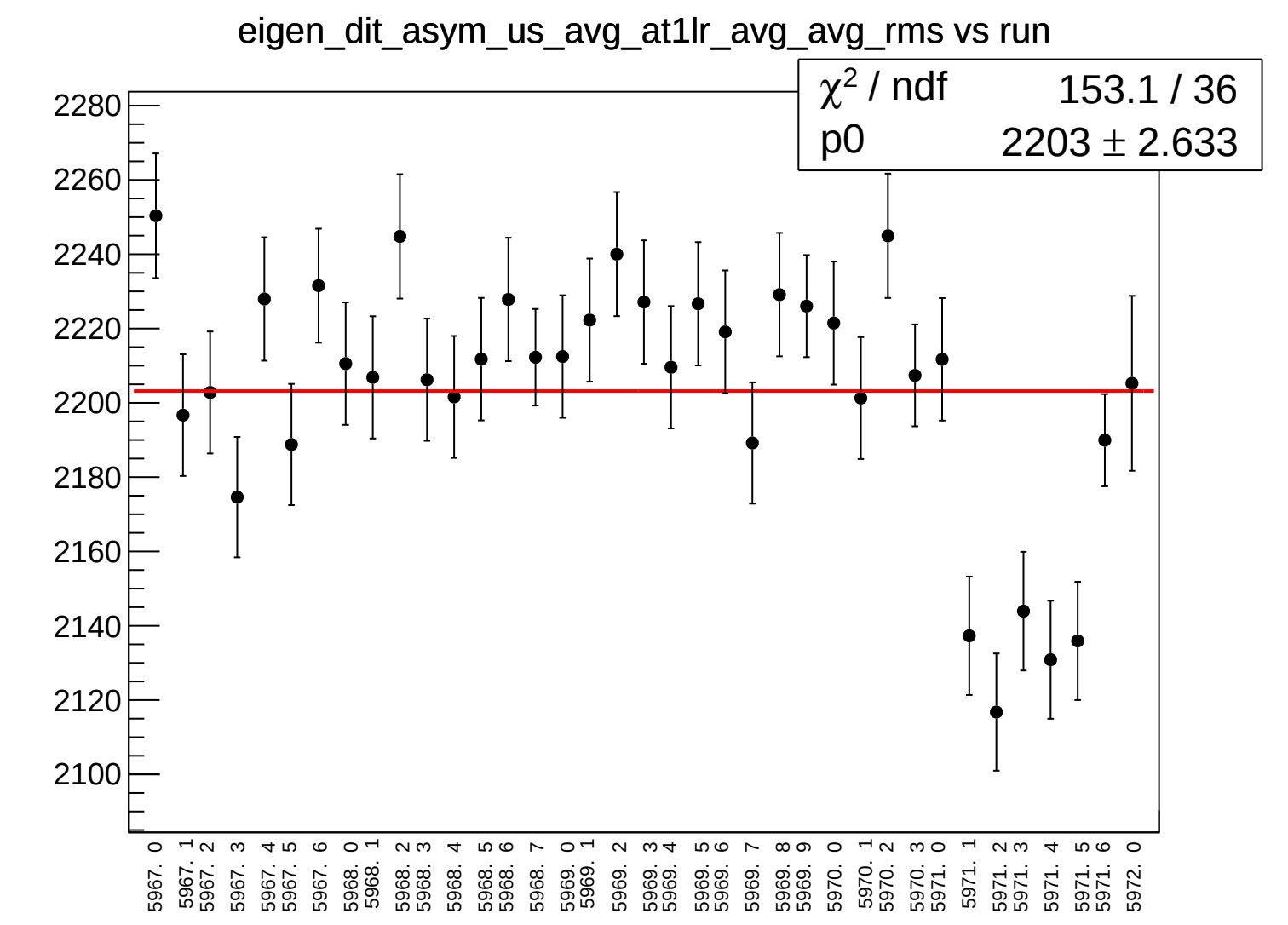
eigen_dit_asym_us_avg_at1lr_avg_avg_rms vs run
χ² / ndf 153.1 / 36
p0 2203 ± 2.633
2280
2260
2240
2220
2200
2180
2160
2140
2120
2100
5967. 0
5967. 1
5967. 2
5967. 3
5967. 4
5967. 5
5967. 6
5968. 0
5968. 1
5968. 2
5968. 3
5968. 4
5968. 5
5968. 6
5968. 7
5969. 0
5969. 1
5969. 2
5969. 3
5969. 4
5969. 5
5969. 6
5969. 7
5969. 8
5969. 9
5970. 0
5970. 1
5970. 2
5970. 3
5971. 0
5971. 1
5971. 2
5971. 3
5971. 4
5971. 5
5971. 6
5972. 0

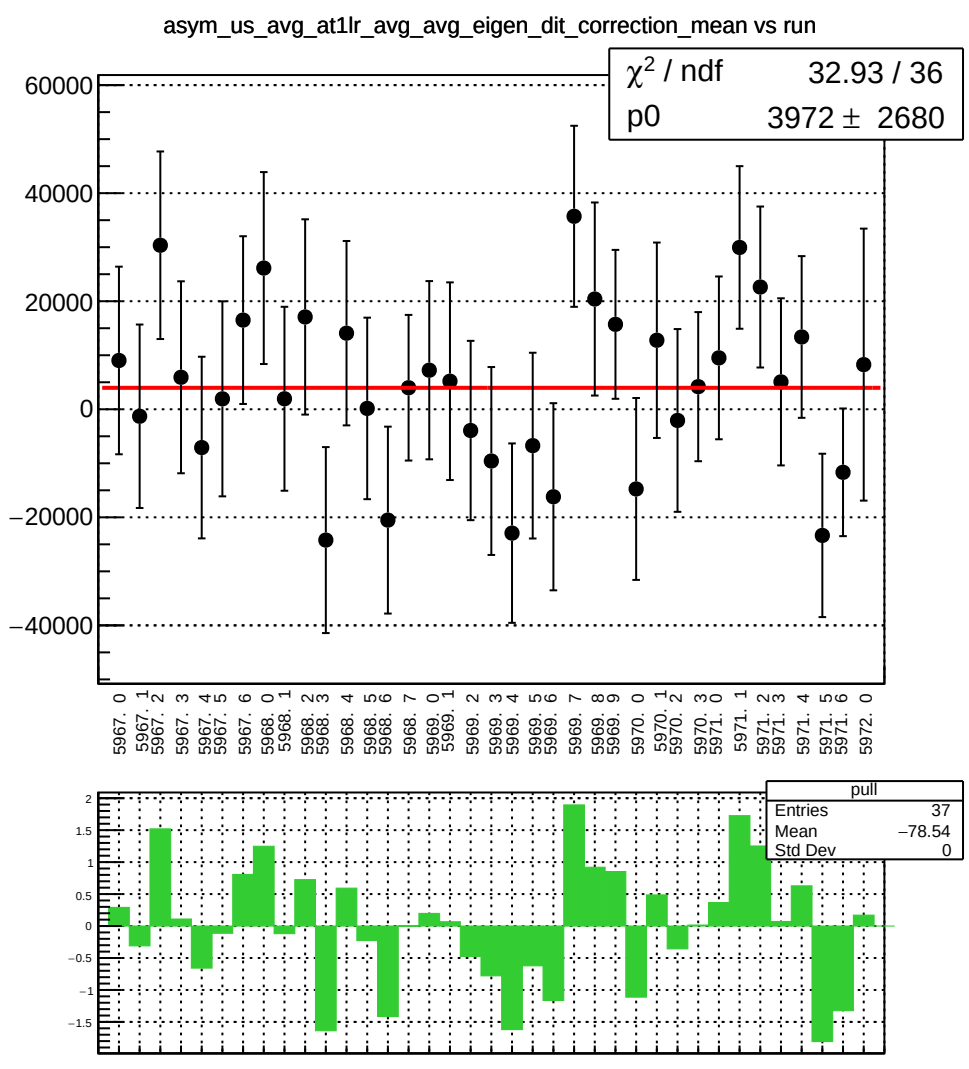
asym_us_avg_at1lr_avg_avg_eigen_dit_correction_mean vs run
χ² / ndf 32.93 / 36
p0 3972 ± 2680
60000
40000
20000
0
−20000
−40000
5967. 0
5967. 1
5967. 2
5967. 3
5967. 4
5967. 5
5967. 6
5968. 0
5968. 1
5968. 2
5968. 3
5968. 4
5968. 5
5968. 6
5968. 7
5969. 0
5969. 1
5969. 2
5969. 3
5969. 4
5969. 5
5969. 6
5969. 7
5969. 8
5969. 9
5970. 0
5970. 1
5970. 2
5970. 3
5971. 0
5971. 1
5971. 2
5971. 3
5971. 4
5971. 5
5971. 6
5972. 0
pull
Entries 37
Mean −78.54
Std Dev 0
2
1.5
1
0.5
0
−0.5
−1
−1.5

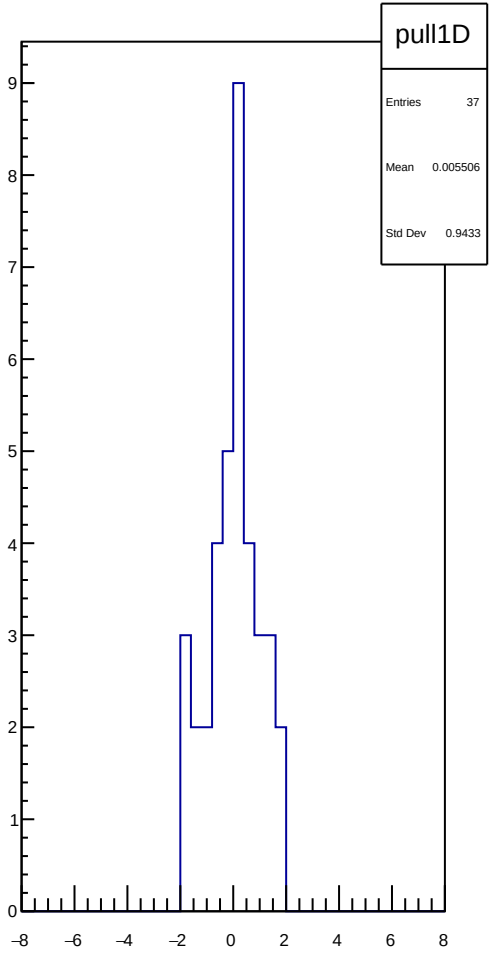
pull1D
Entries 37
Mean 0.005506
Std Dev 0.9433
9
8
7
6
5
4
3
2
1
0
−8
−6
−4
−2
0
2
4
6
8

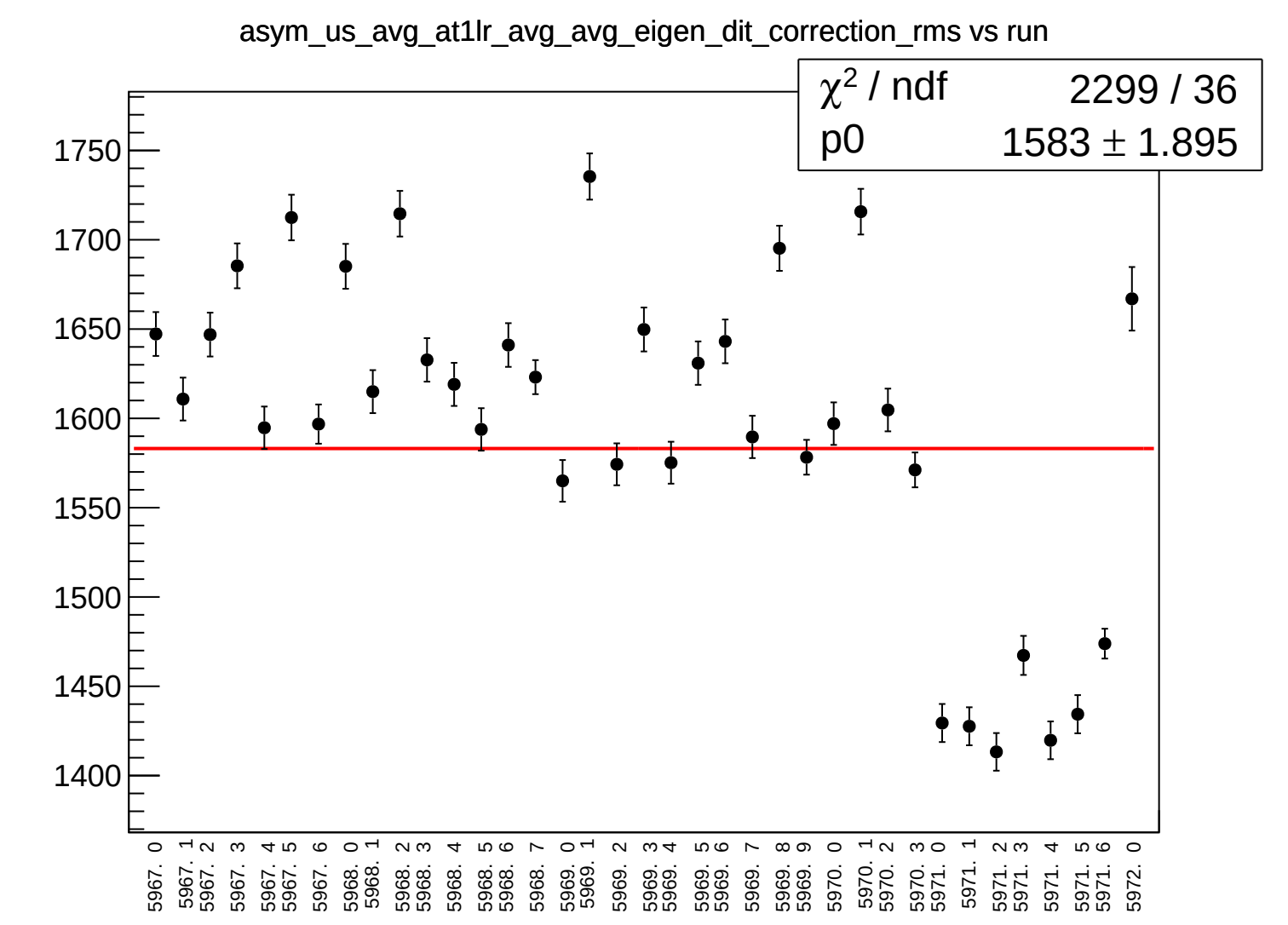
asym_us_avg_at1lr_avg_avg_eigen_dit_correction_rms vs run
χ² / ndf 2299 / 36
p0 1583 ± 1.895
1750
1700
1650
1600
1550
1500
1450
1400
5967. 0
5967. 1
5967. 2
5967. 3
5967. 4
5967. 5
5967. 6
5968. 0
5968. 1
5968. 2
5968. 3
5968. 4
5968. 5
5968. 6
5968. 7
5969. 0
5969. 1
5969. 2
5969. 3
5969. 4
5969. 5
5969. 6
5969. 7
5969. 8
5969. 9
5970. 0
5970. 1
5970. 2
5970. 3
5971. 0
5971. 1
5971. 2
5971. 3
5971. 4
5971. 5
5971. 6
5972. 0

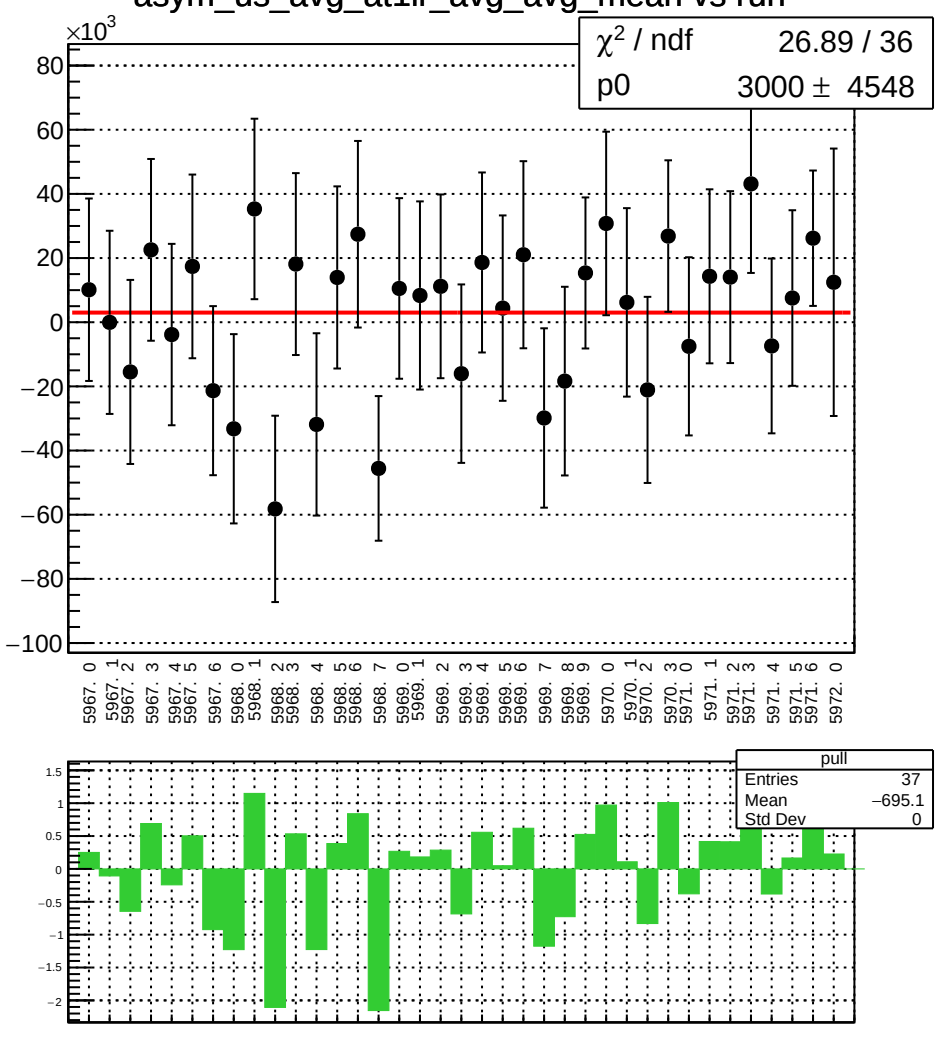
asym_us_avg_at1lr_avg_avg_mean vs run
×10^3
χ² / ndf 26.89 / 36
p0 3000 ± 4548
80
60
40
20
0
−20
−40
−60
−80
−100
5967. 0
5967. 1
5967. 2
5967. 3
5967. 4
5967. 5
5967. 6
5968. 0
5968. 1
5968. 2
5968. 3
5968. 4
5968. 5
5968. 6
5968. 7
5969. 0
5969. 1
5969. 2
5969. 3
5969. 4
5969. 5
5969. 6
5969. 7
5969. 8
5969. 9
5970. 0
5970. 1
5970. 2
5970. 3
5971. 0
5971. 1
5971. 2
5971. 3
5971. 4
5971. 5
5971. 6
5972. 0
pull
Entries 37
Mean −695.1
Std Dev 0
1.5
1
0.5
0
−0.5
−1
−1.5
−2

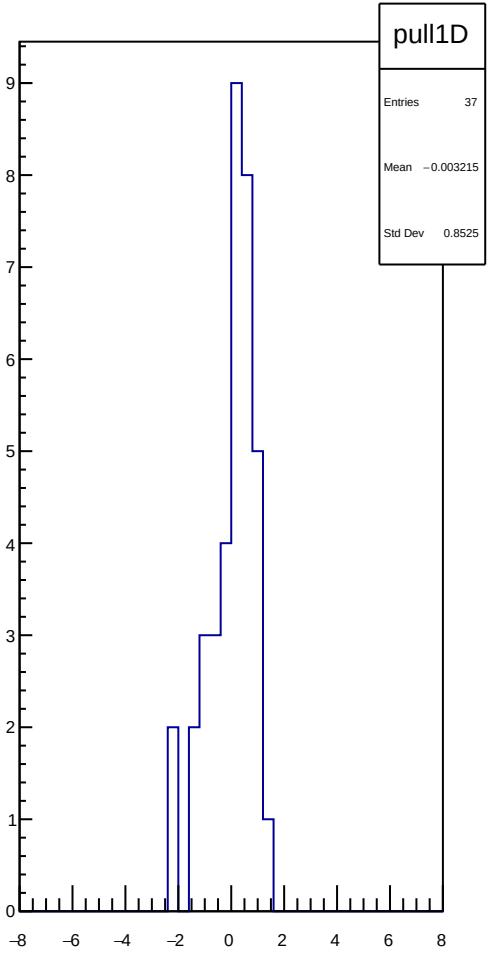
pull1D
Entries 37
Mean −0.003215
Std Dev 0.8525
9
8
7
6
5
4
3
2
1
0
−8
−6
−4
−2
0
2
4
6
8

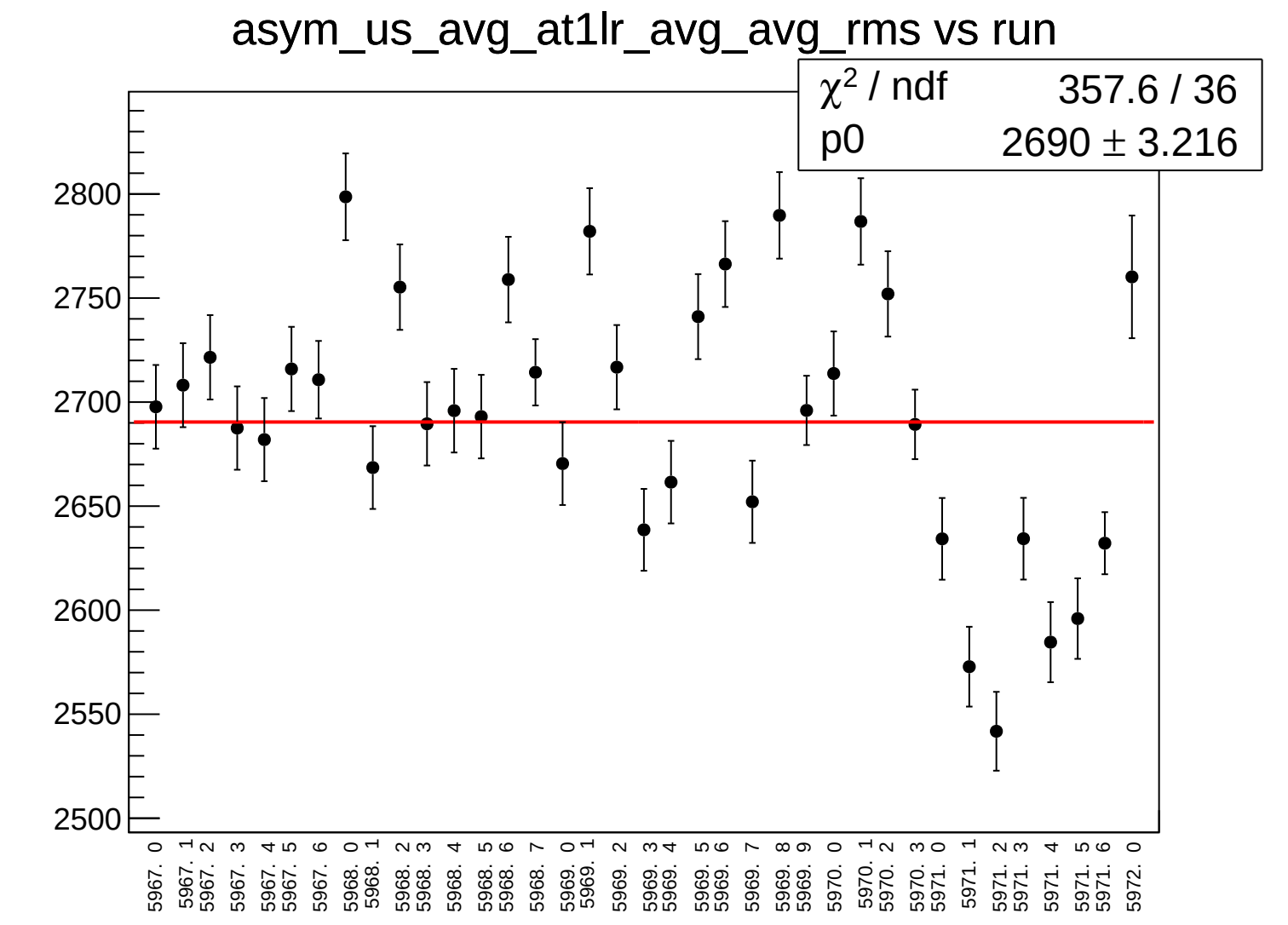
asym_us_avg_at1lr_avg_avg_rms vs run
χ² / ndf 357.6 / 36
p0 2690 ± 3.216
2800
2750
2700
2650
2600
2550
2500
5967. 0
5967. 1
5967. 2
5967. 3
5967. 4
5967. 5
5967. 6
5968. 0
5968. 1
5968. 2
5968. 3
5968. 4
5968. 5
5968. 6
5968. 7
5969. 0
5969. 1
5969. 2
5969. 3
5969. 4
5969. 5
5969. 6
5969. 7
5969. 8
5969. 9
5970. 0
5970. 1
5970. 2
5970. 3
5971. 0
5971. 1
5971. 2
5971. 3
5971. 4
5971. 5
5971. 6
5972. 0

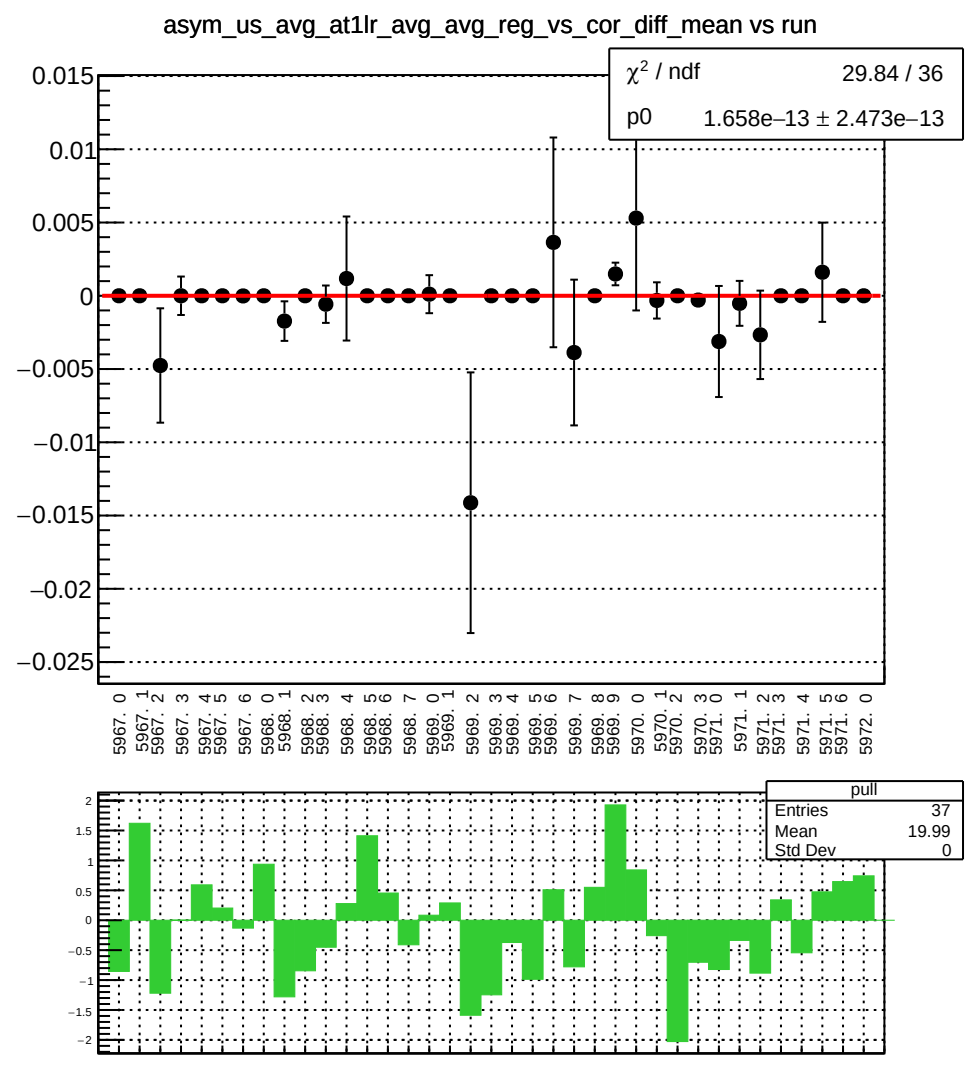
asym_us_avg_at1lr_avg_avg_reg_vs_cor_diff_mean vs run
χ² / ndf 29.84 / 36
p0 1.658e−13 ± 2.473e−13
pull
Entries 37
Mean 19.99
Std Dev 0

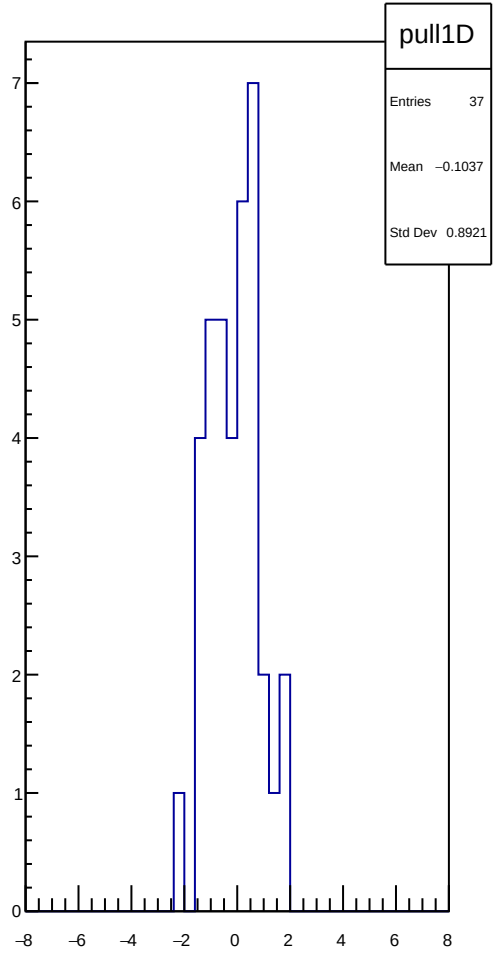
pull1D
Entries 37
Mean −0.1037
Std Dev 0.8921

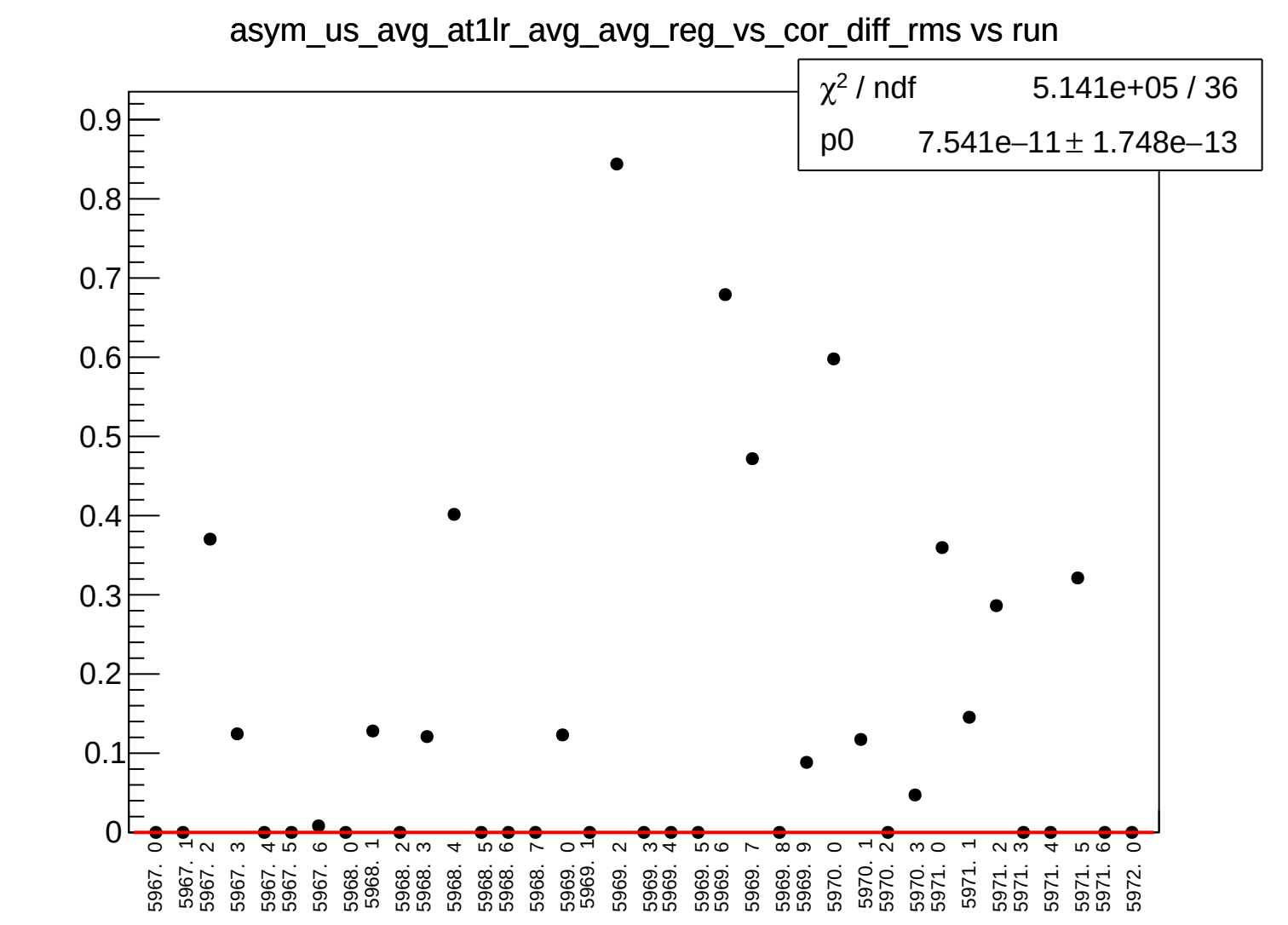
asym_us_avg_at1lr_avg_avg_reg_vs_cor_diff_rms vs run
χ² / ndf 5.141e+05 / 36
p0 7.541e−11 ± 1.748e−13
0.9
0.8
0.7
0.6
0.5
0.4
0.3
0.2
0.1
0
5967. 0
5967. 1
5967. 2
5967. 3
5967. 4
5967. 5
5967. 6
5968. 0
5968. 1
5968. 2
5968. 3
5968. 4
5968. 5
5968. 6
5968. 7
5969. 0
5969. 1
5969. 2
5969. 3
5969. 4
5969. 5
5969. 6
5969. 7
5969. 8
5969. 9
5970. 0
5970. 1
5970. 2
5970. 3
5971. 0
5971. 1
5971. 2
5971. 3
5971. 4
5971. 5
5971. 6
5972. 0

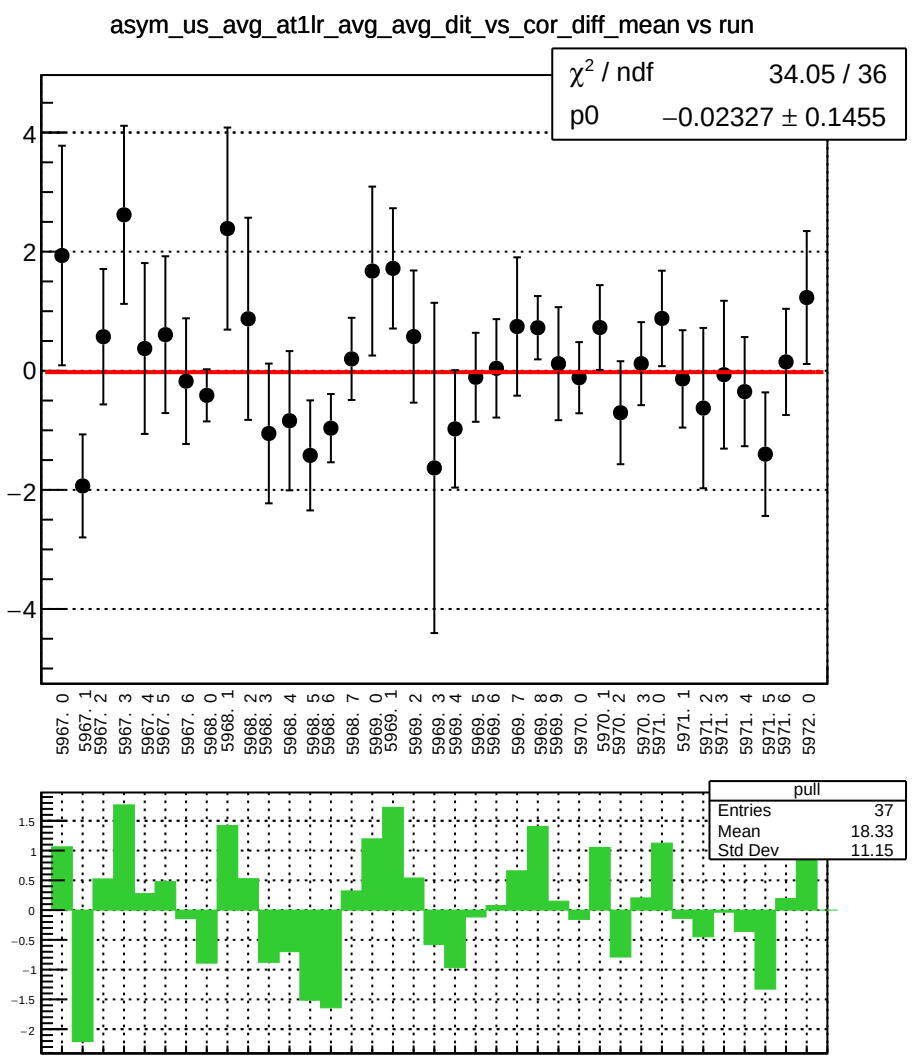
asym_us_avg_at1lr_avg_avg_dit_vs_cor_diff_mean vs run
χ² / ndf 34.05 / 36
p0 −0.02327 ± 0.1455
pull
Entries 37
Mean 18.33
Std Dev 11.15

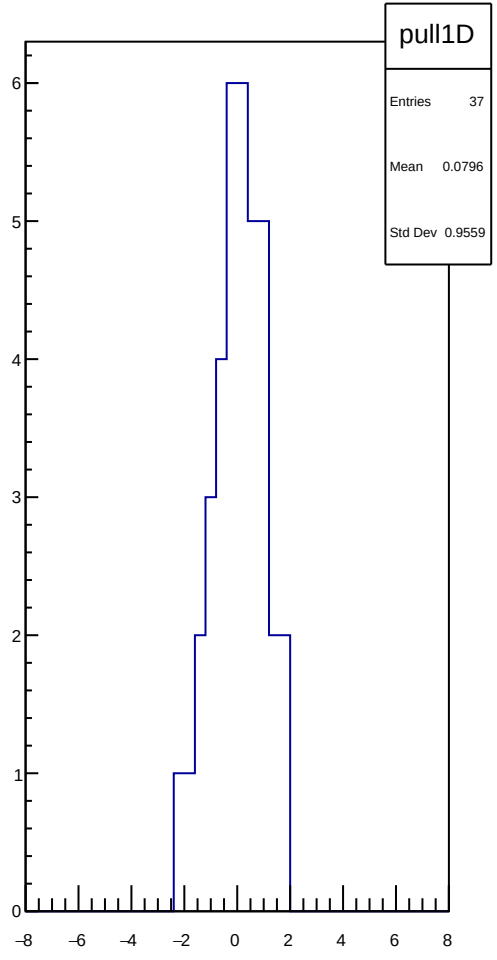
pull1D
Entries 37
Mean 0.0796
Std Dev 0.9559

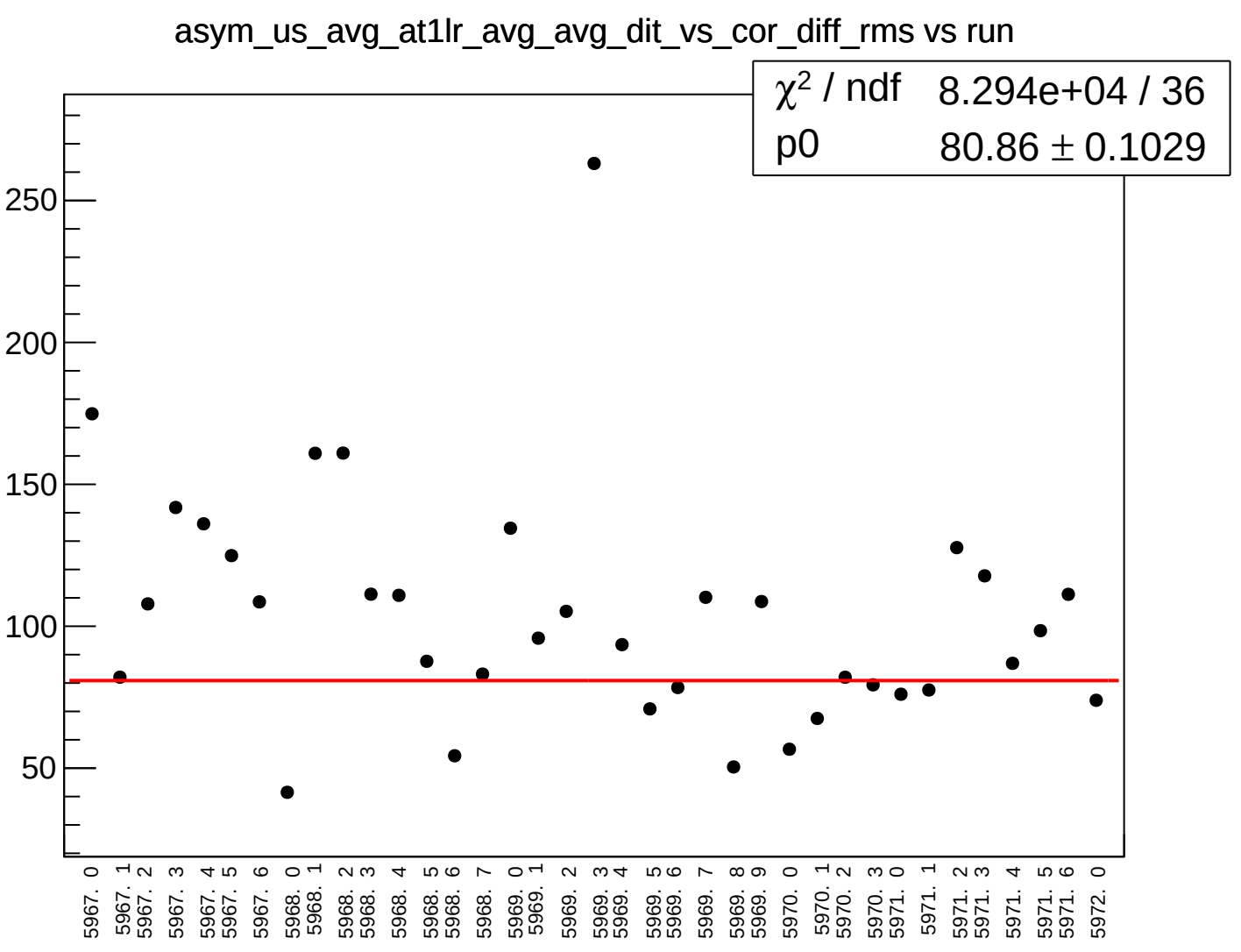
asym_us_avg_at1lr_avg_avg_dit_vs_cor_diff_rms vs run
χ² / ndf 8.294e+04 / 36
p0 80.86 ± 0.1029
250
200
150
100
50
5967. 0
5967. 1
5967. 2
5967. 3
5967. 4
5967. 5
5967. 6
5968. 0
5968. 1
5968. 2
5968. 3
5968. 4
5968. 5
5968. 6
5968. 7
5969. 0
5969. 1
5969. 2
5969. 3
5969. 4
5969. 5
5969. 6
5969. 7
5969. 8
5969. 9
5970. 0
5970. 1
5970. 2
5970. 3
5971. 0
5971. 1
5971. 2
5971. 3
5971. 4
5971. 5
5971. 6
5972. 0

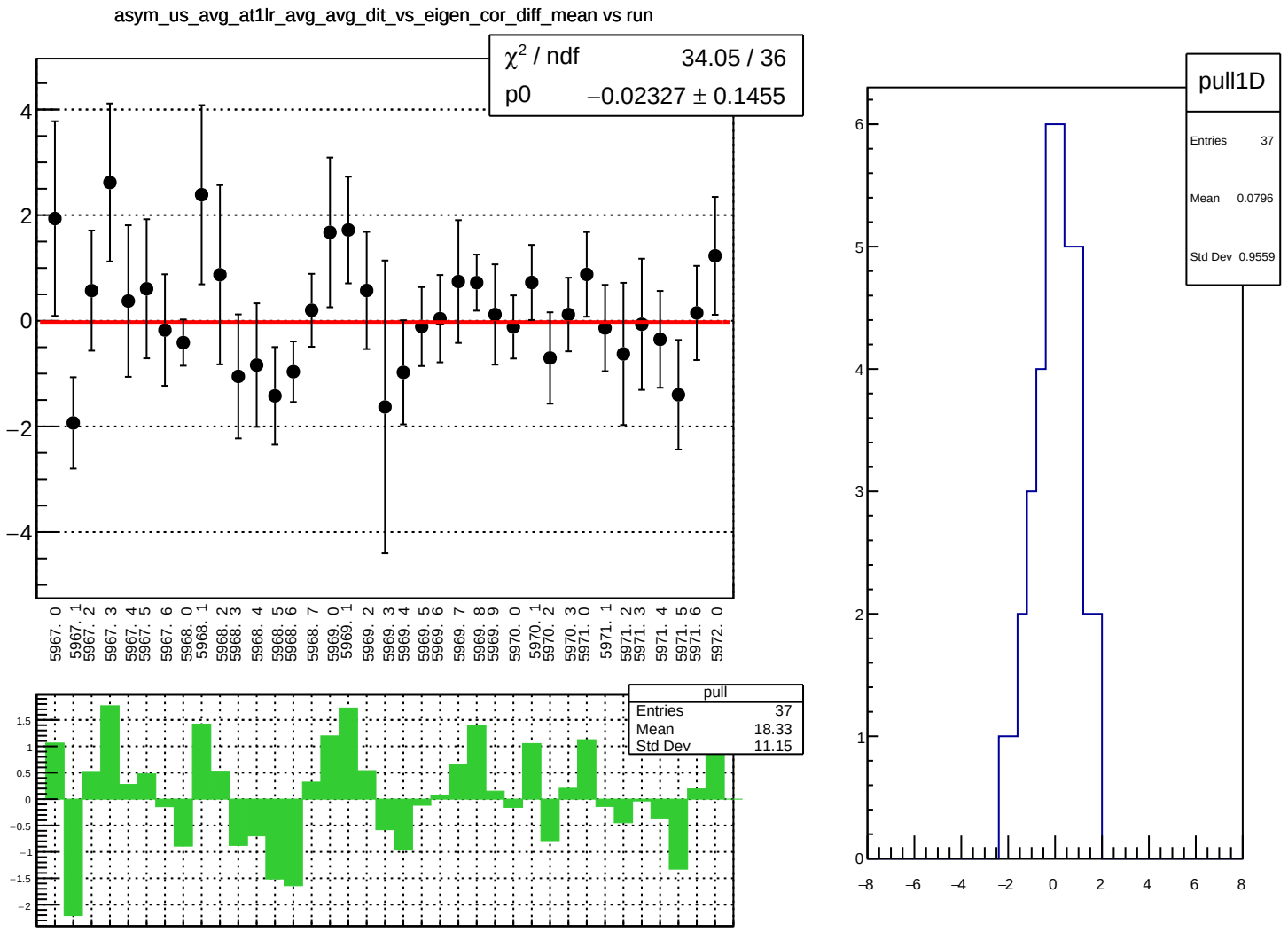
asym_us_avg_at1lr_avg_avg_dit_vs_eigen_cor_diff_mean vs run
χ² / ndf 34.05 / 36
p0 −0.02327 ± 0.1455
pull
Entries 37
Mean 18.33
Std Dev 11.15
pull1D
Entries 37
Mean 0.0796
Std Dev 0.9559

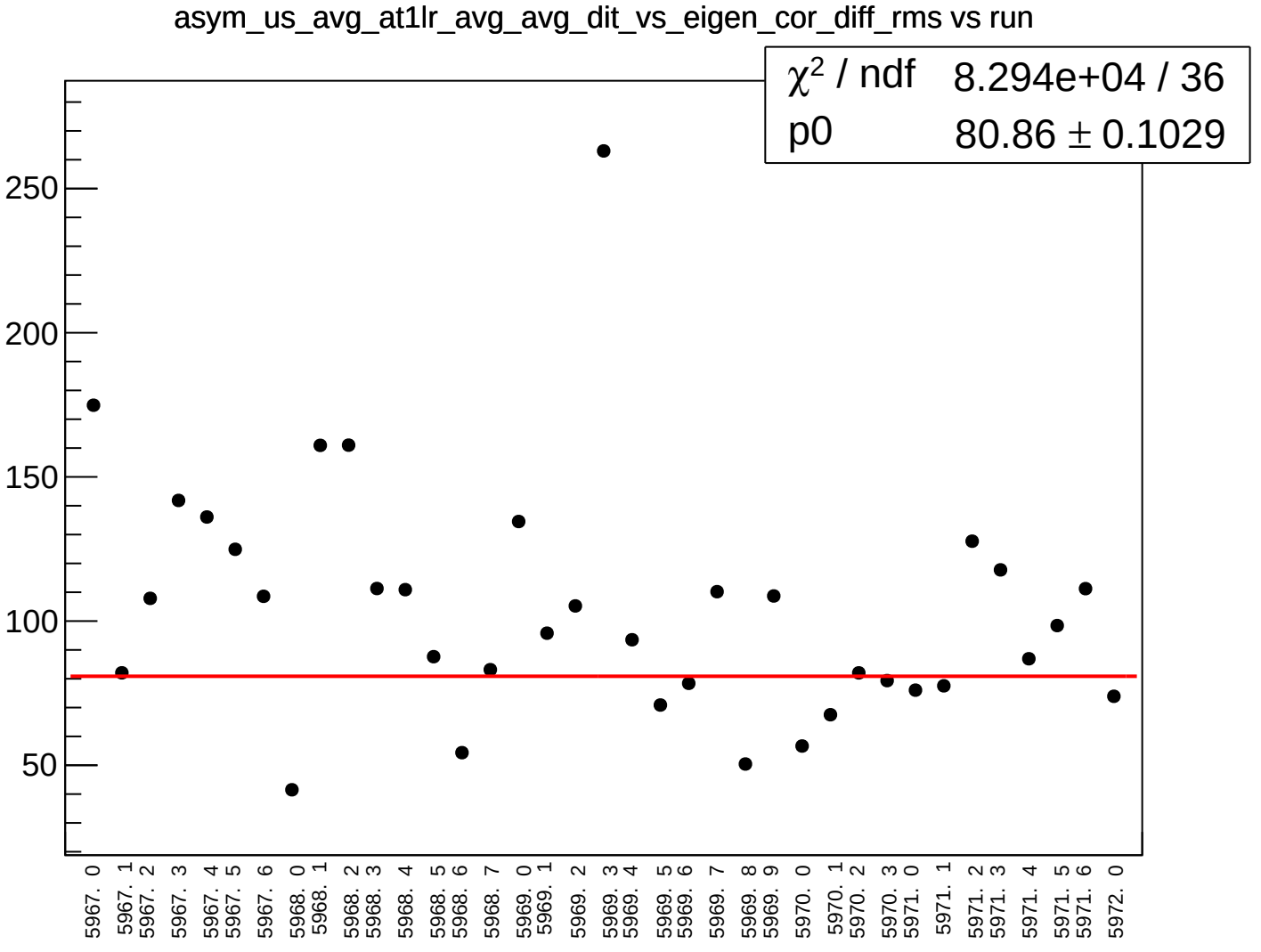
asym_us_avg_at1lr_avg_avg_dit_vs_eigen_cor_diff_rms vs run
χ² / ndf 8.294e+04 / 36
p0 80.86 ± 0.1029
250
200
150
100
50
5967. 0
5967. 1
5967. 2
5967. 3
5967. 4
5967. 5
5967. 6
5968. 0
5968. 1
5968. 2
5968. 3
5968. 4
5968. 5
5968. 6
5968. 7
5969. 0
5969. 1
5969. 2
5969. 3
5969. 4
5969. 5
5969. 6
5969. 7
5969. 8
5969. 9
5970. 0
5970. 1
5970. 2
5970. 3
5971. 0
5971. 1
5971. 2
5971. 3
5971. 4
5971. 5
5971. 6
5972. 0

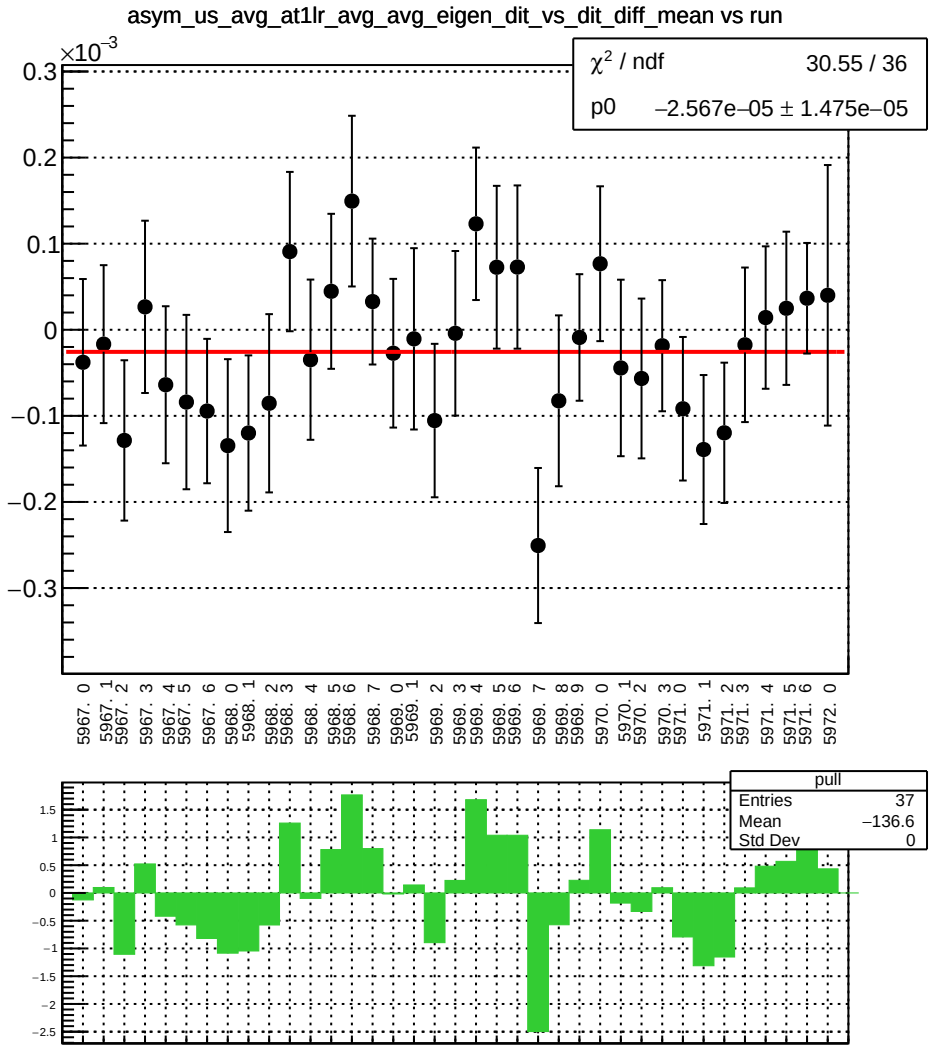
asym_us_avg_at1lr_avg_avg_eigen_dit_vs_dit_diff_mean vs run
×10^−3
χ² / ndf 30.55 / 36
p0 −2.567e−05 ± 1.475e−05
0.3
0.2
0.1
0
−0.1
−0.2
−0.3
5967. 0
5967. 1
5967. 2
5967. 3
5967. 4
5967. 5
5967. 6
5968. 0
5968. 1
5968. 2
5968. 3
5968. 4
5968. 5
5968. 6
5968. 7
5969. 0
5969. 1
5969. 2
5969. 3
5969. 4
5969. 5
5969. 6
5969. 7
5969. 8
5969. 9
5970. 0
5970. 1
5970. 2
5970. 3
5971. 0
5971. 1
5971. 2
5971. 3
5971. 4
5971. 5
5971. 6
5972. 0
pull
Entries 37
Mean −136.6
Std Dev 0
1.5
1
0.5
0
−0.5
−1
−1.5
−2
−2.5

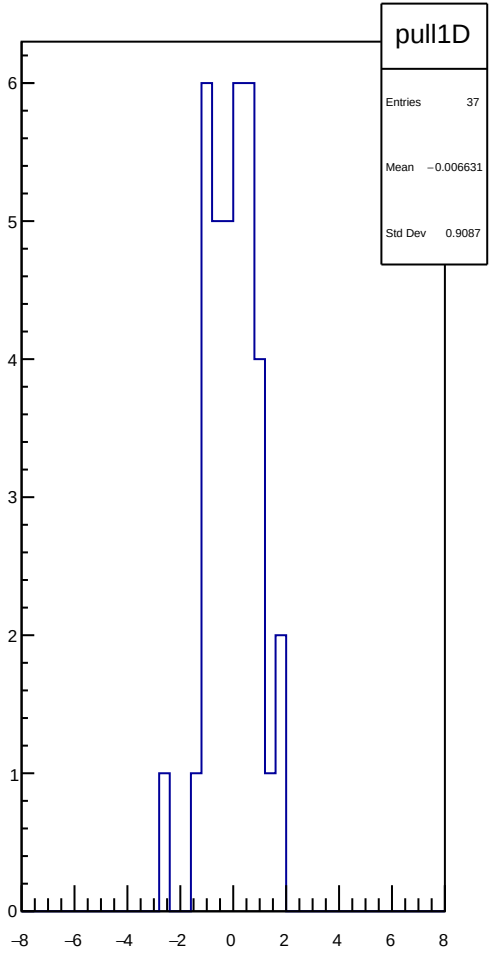
pull1D
Entries 37
Mean −0.006631
Std Dev 0.9087
6
5
4
3
2
1
0
−8
−6
−4
−2
0
2
4
6
8

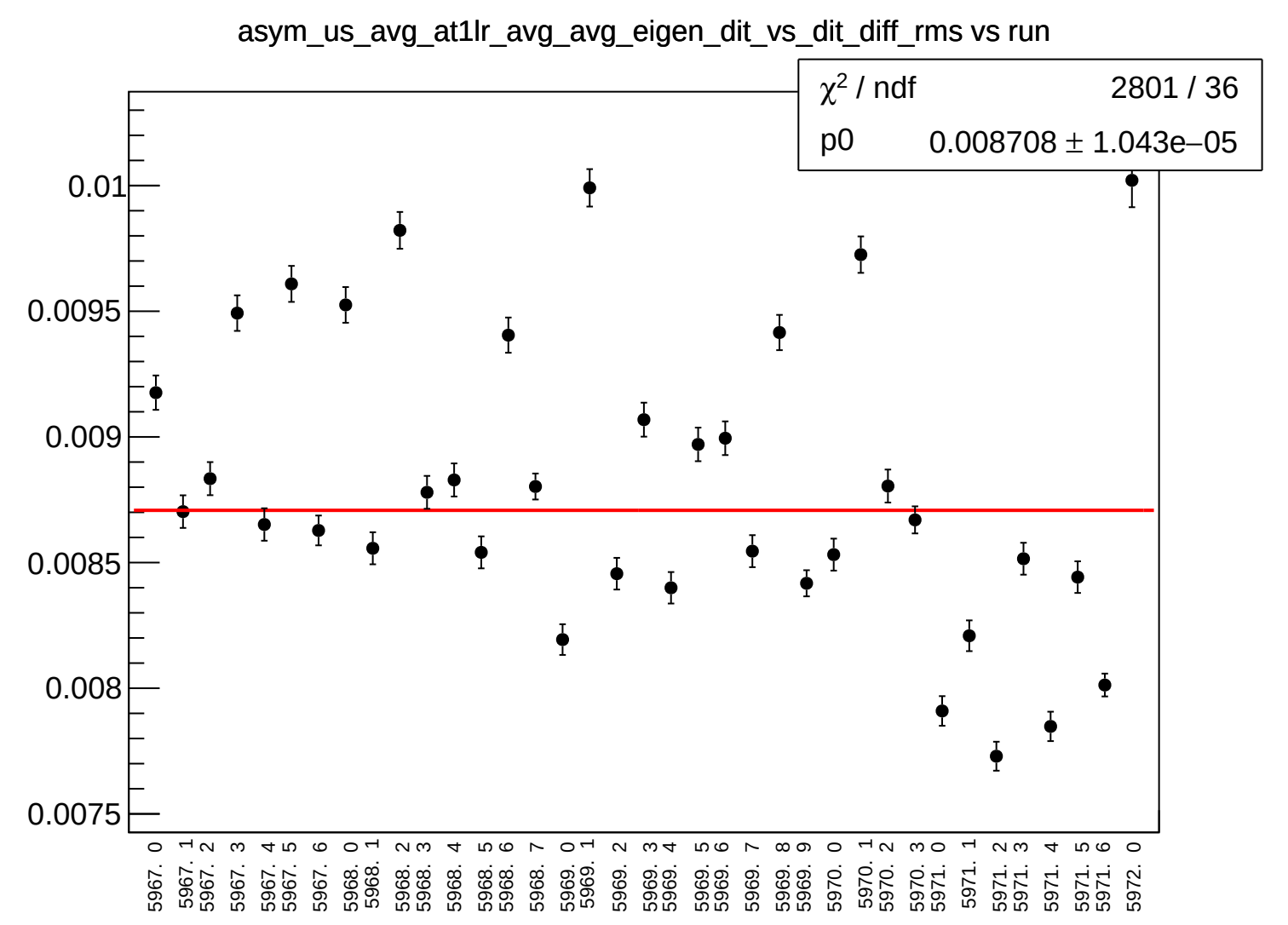
asym_us_avg_at1lr_avg_avg_eigen_dit_vs_dit_diff_rms vs run
χ² / ndf 2801 / 36
p0 0.008708 ± 1.043e−05
0.01
0.0095
0.009
0.0085
0.008
0.0075
5967. 0
5967. 1
5967. 2
5967. 3
5967. 4
5967. 5
5967. 6
5968. 0
5968. 1
5968. 2
5968. 3
5968. 4
5968. 5
5968. 6
5968. 7
5969. 0
5969. 1
5969. 2
5969. 3
5969. 4
5969. 5
5969. 6
5969. 7
5969. 8
5969. 9
5970. 0
5970. 1
5970. 2
5970. 3
5971. 0
5971. 1
5971. 2
5971. 3
5971. 4
5971. 5
5971. 6
5972. 0

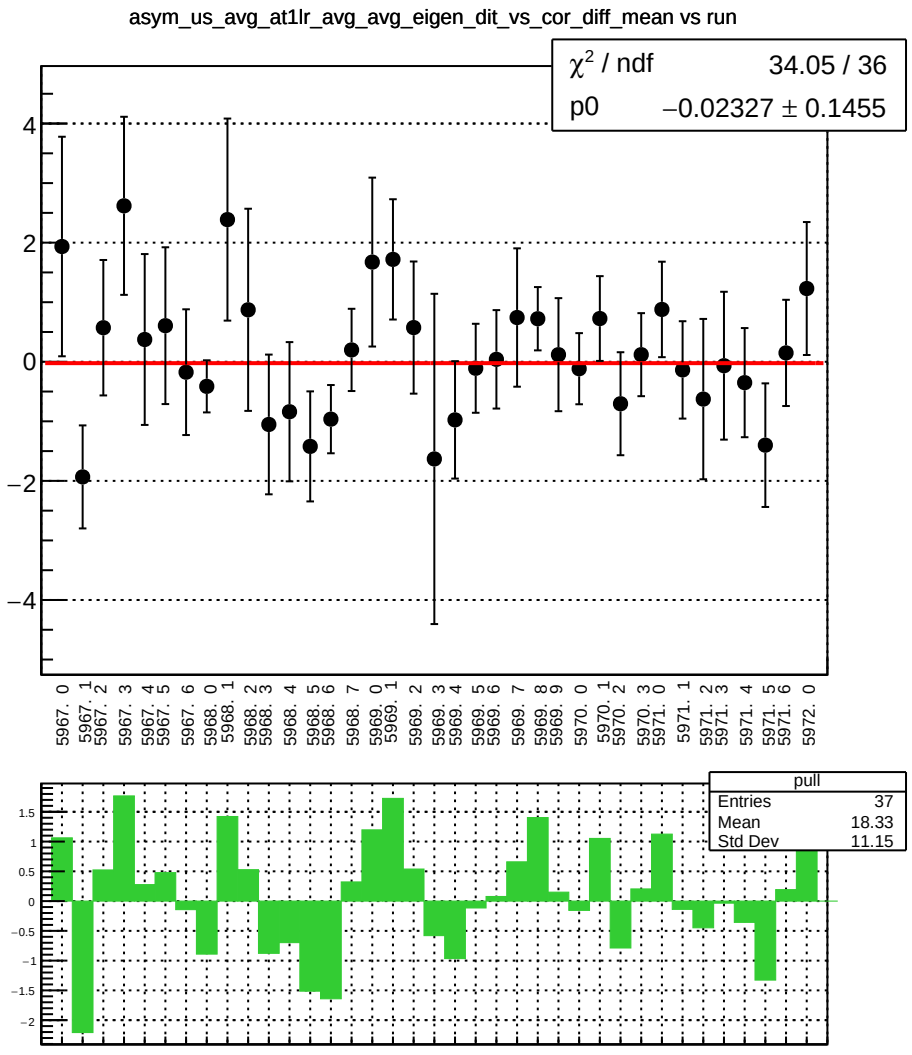
asym_us_avg_at1lr_avg_avg_eigen_dit_vs_cor_diff_mean vs run
χ² / ndf 34.05 / 36
p0 −0.02327 ± 0.1455
pull
Entries 37
Mean 18.33
Std Dev 11.15

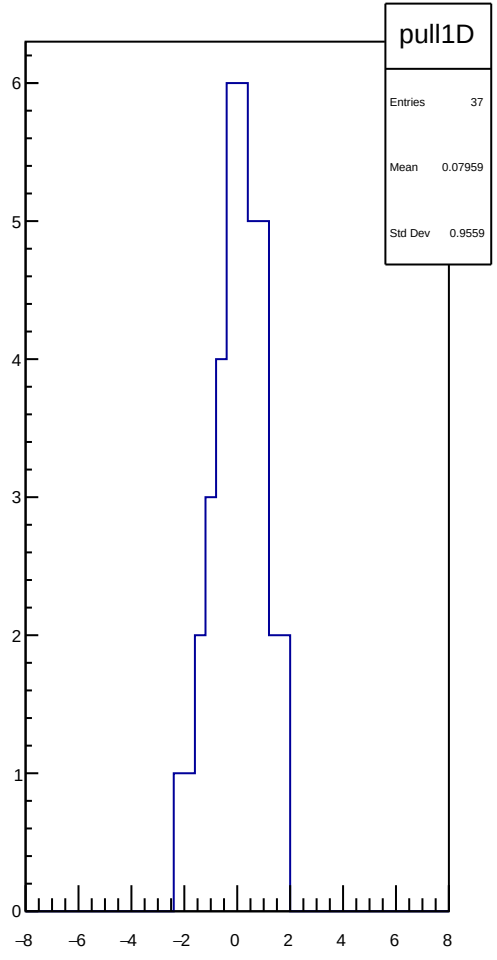
pull1D
Entries 37
Mean 0.07959
Std Dev 0.9559

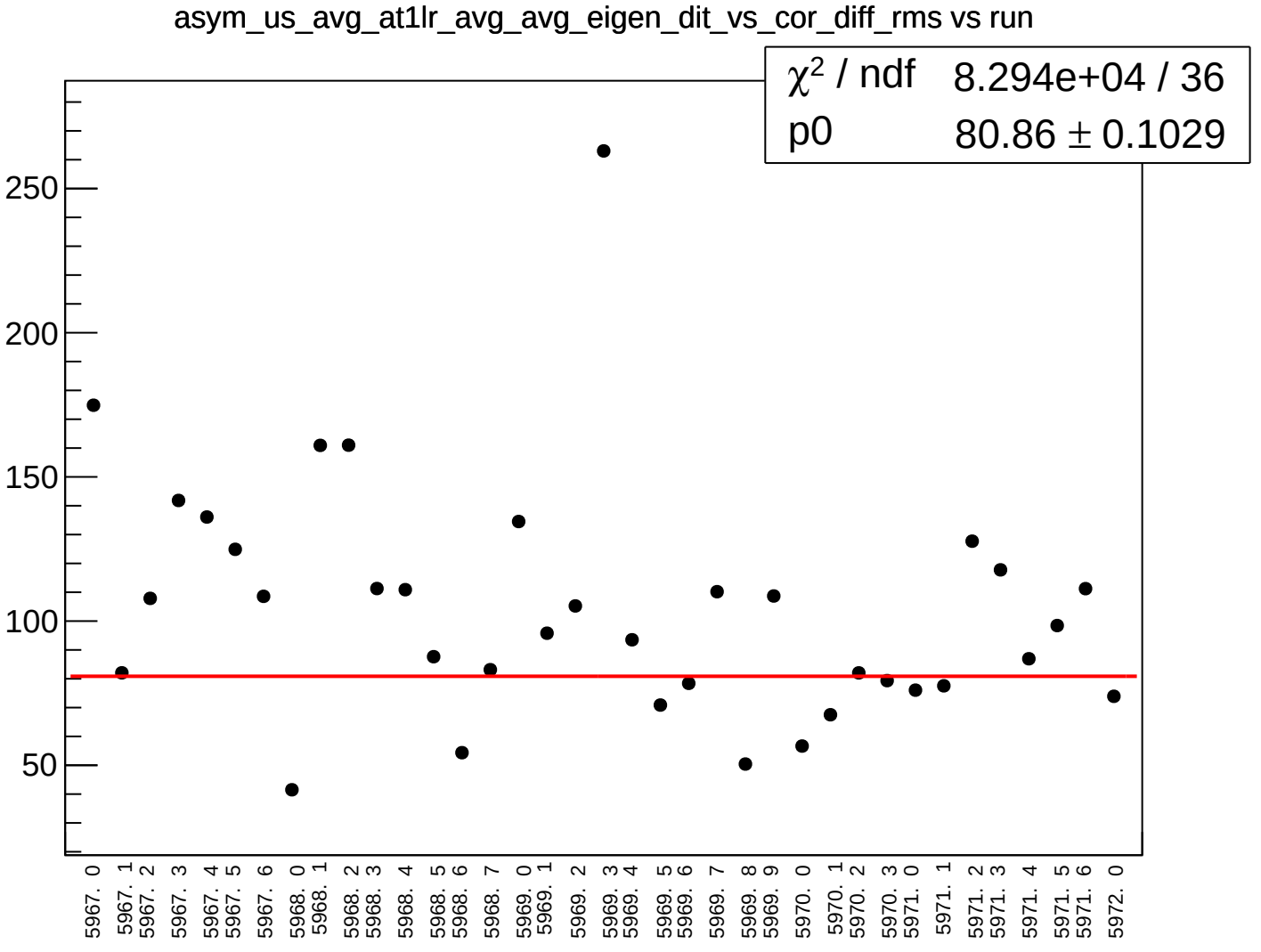
asym_us_avg_at1lr_avg_avg_eigen_dit_vs_cor_diff_rms vs run
χ² / ndf 8.294e+04 / 36
p0 80.86 ± 0.1029
250
200
150
100
50
5967. 0
5967. 1
5967. 2
5967. 3
5967. 4
5967. 5
5967. 6
5968. 0
5968. 1
5968. 2
5968. 3
5968. 4
5968. 5
5968. 6
5968. 7
5969. 0
5969. 1
5969. 2
5969. 3
5969. 4
5969. 5
5969. 6
5969. 7
5969. 8
5969. 9
5970. 0
5970. 1
5970. 2
5970. 3
5971. 0
5971. 1
5971. 2
5971. 3
5971. 4
5971. 5
5971. 6
5972. 0

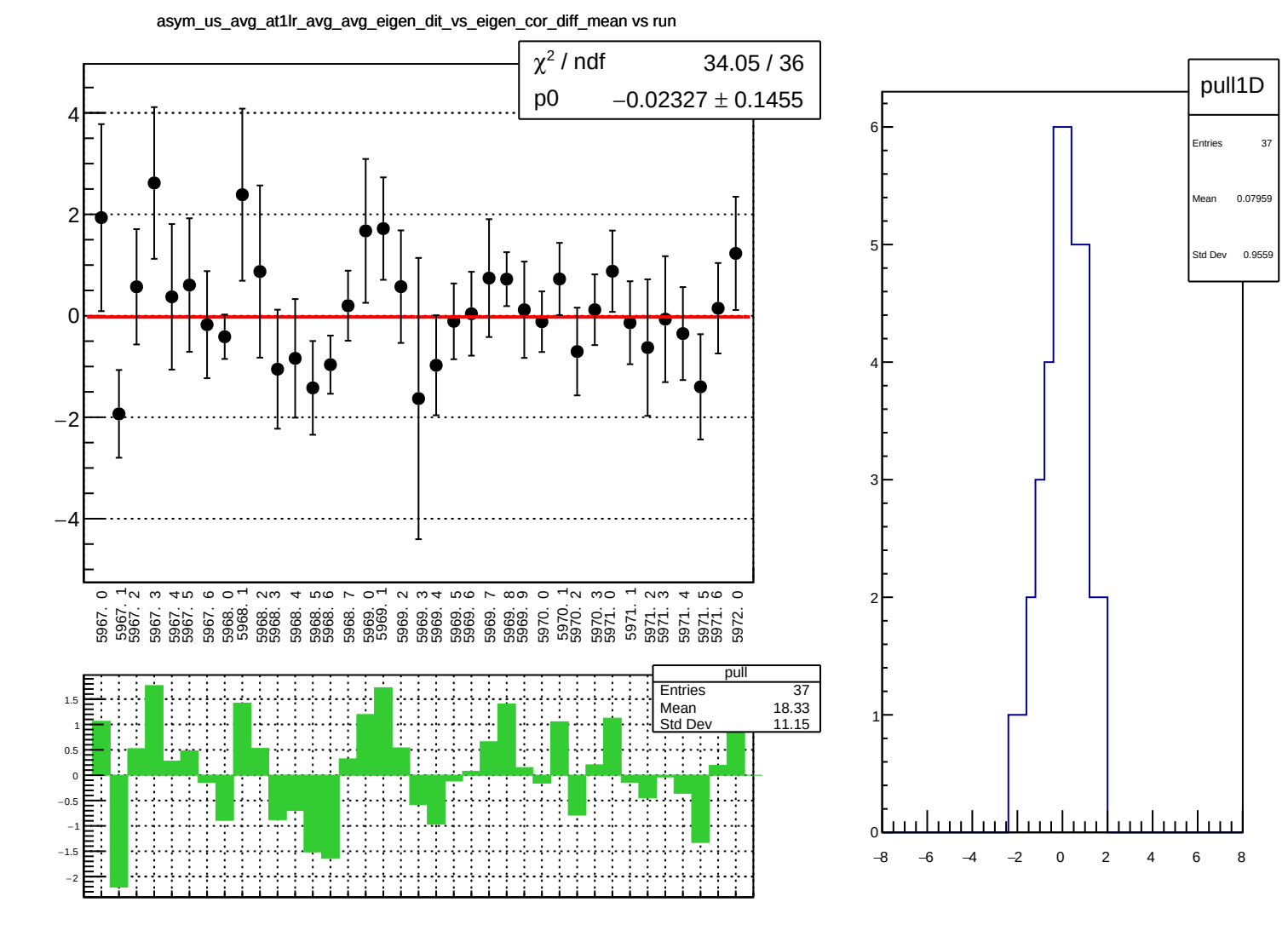
asym_us_avg_at1lr_avg_avg_eigen_dit_vs_eigen_cor_diff_mean vs run
χ² / ndf 34.05 / 36
p0 −0.02327 ± 0.1455
pull
Entries 37
Mean 18.33
Std Dev 11.15
pull1D
Entries 37
Mean 0.07959
Std Dev 0.9559

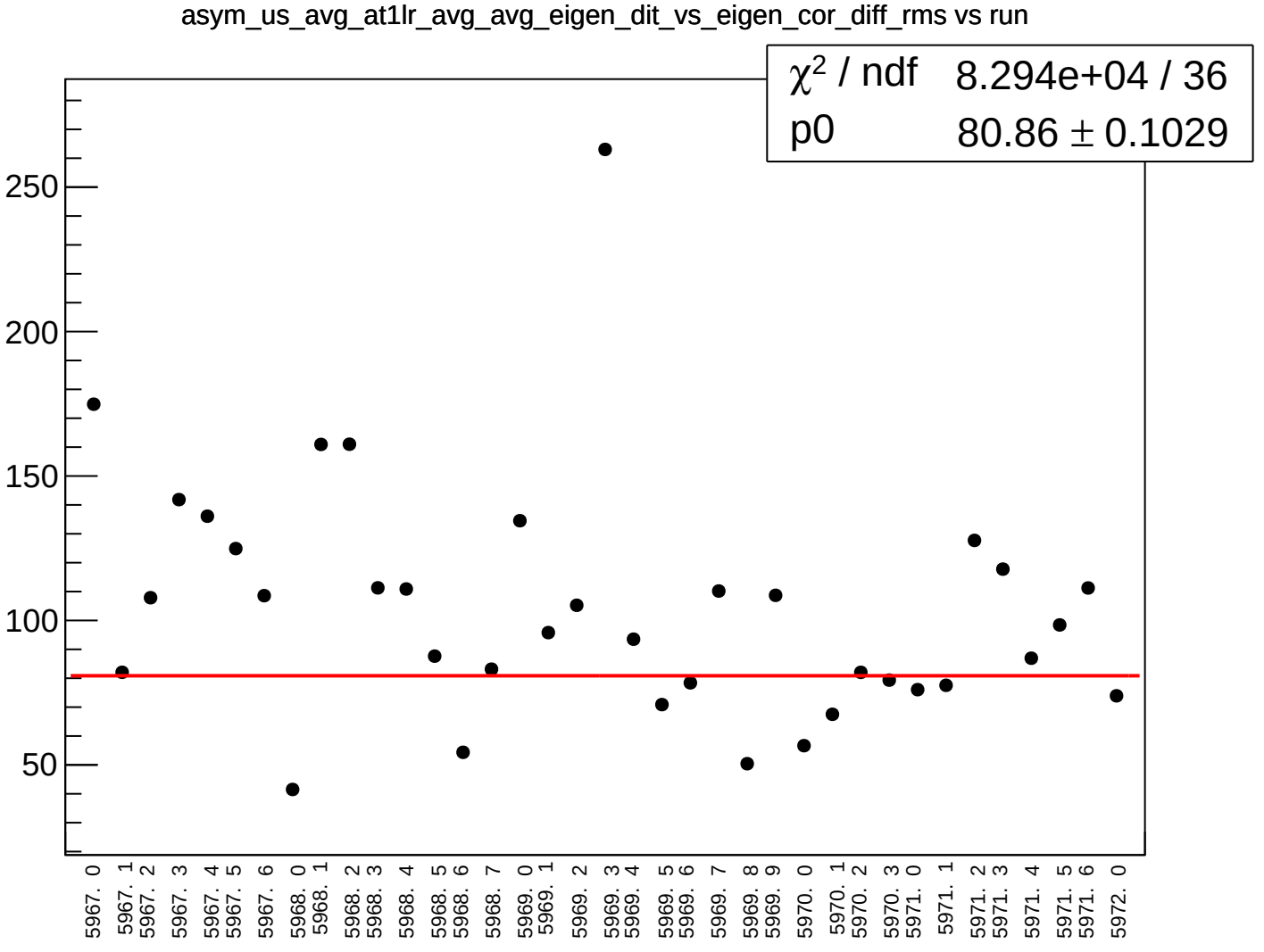
asym_us_avg_at1lr_avg_avg_eigen_dit_vs_eigen_cor_diff_rms vs run
χ² / ndf 8.294e+04 / 36
p0 80.86 ± 0.1029
250
200
150
100
50
5967. 0
5967. 1
5967. 2
5967. 3
5967. 4
5967. 5
5967. 6
5968. 0
5968. 1
5968. 2
5968. 3
5968. 4
5968. 5
5968. 6
5968. 7
5969. 0
5969. 1
5969. 2
5969. 3
5969. 4
5969. 5
5969. 6
5969. 7
5969. 8
5969. 9
5970. 0
5970. 1
5970. 2
5970. 3
5971. 0
5971. 1
5971. 2
5971. 3
5971. 4
5971. 5
5971. 6
5972. 0

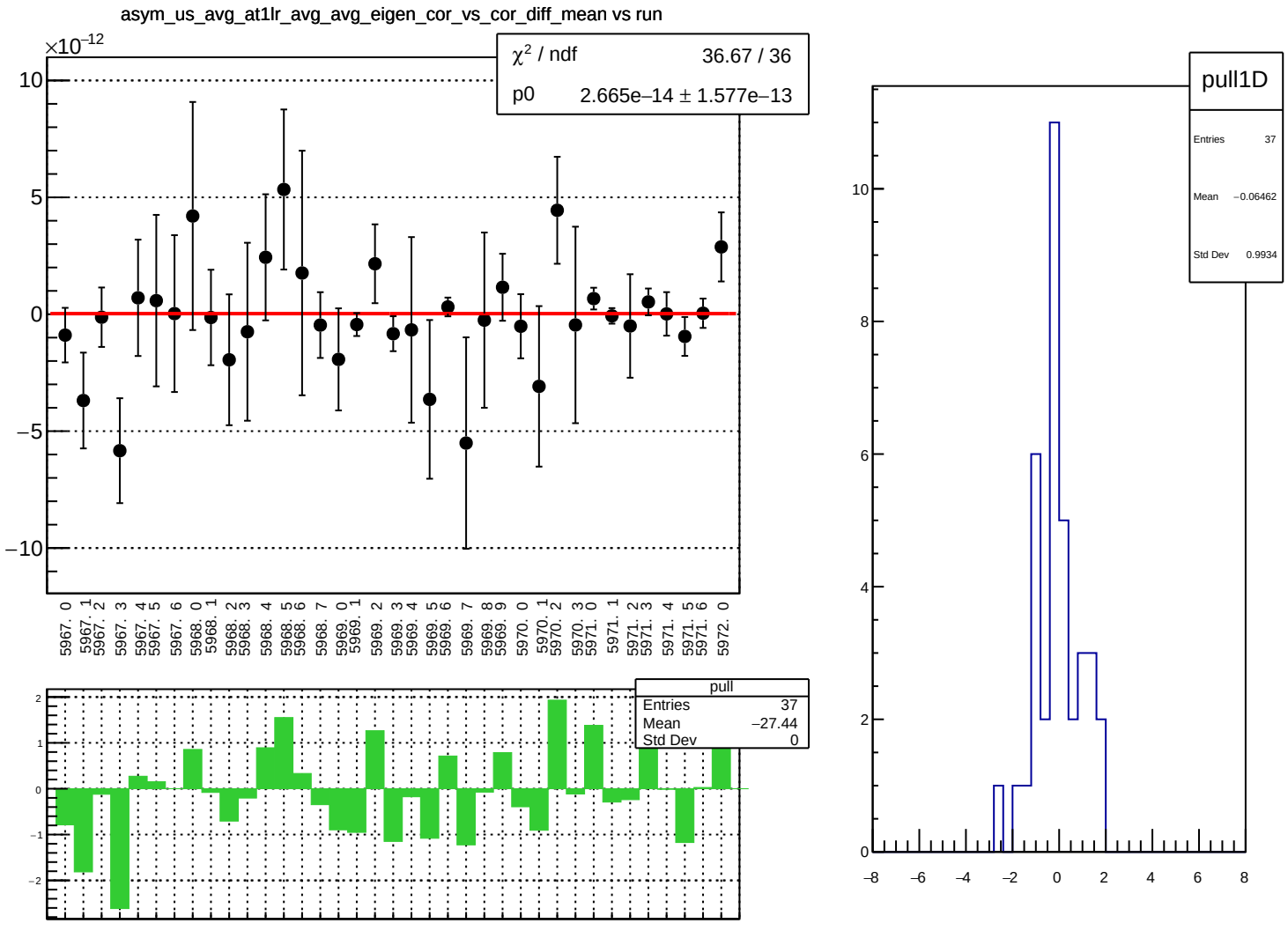
asym_us_avg_at1lr_avg_avg_eigen_cor_vs_cor_diff_mean vs run
×10⁻¹²
χ² / ndf 36.67 / 36
p0 2.665e−14 ± 1.577e−13
10
5
0
−5
−10
5967. 0
5967. 1
5967. 2
5967. 3
5967. 4
5967. 5
5967. 6
5968. 0
5968. 1
5968. 2
5968. 3
5968. 4
5968. 5
5968. 6
5968. 7
5969. 0
5969. 1
5969. 2
5969. 3
5969. 4
5969. 5
5969. 6
5969. 7
5969. 8
5969. 9
5970. 0
5970. 1
5970. 2
5970. 3
5971. 0
5971. 1
5971. 2
5971. 3
5971. 4
5971. 5
5971. 6
5972. 0
pull
Entries 37
Mean −27.44
Std Dev 0
2
1
0
−1
−2
pull1D
Entries 37
Mean −0.06462
Std Dev 0.9934
10
8
6
4
2
0
−8
−6
−4
−2
0
2
4
6
8

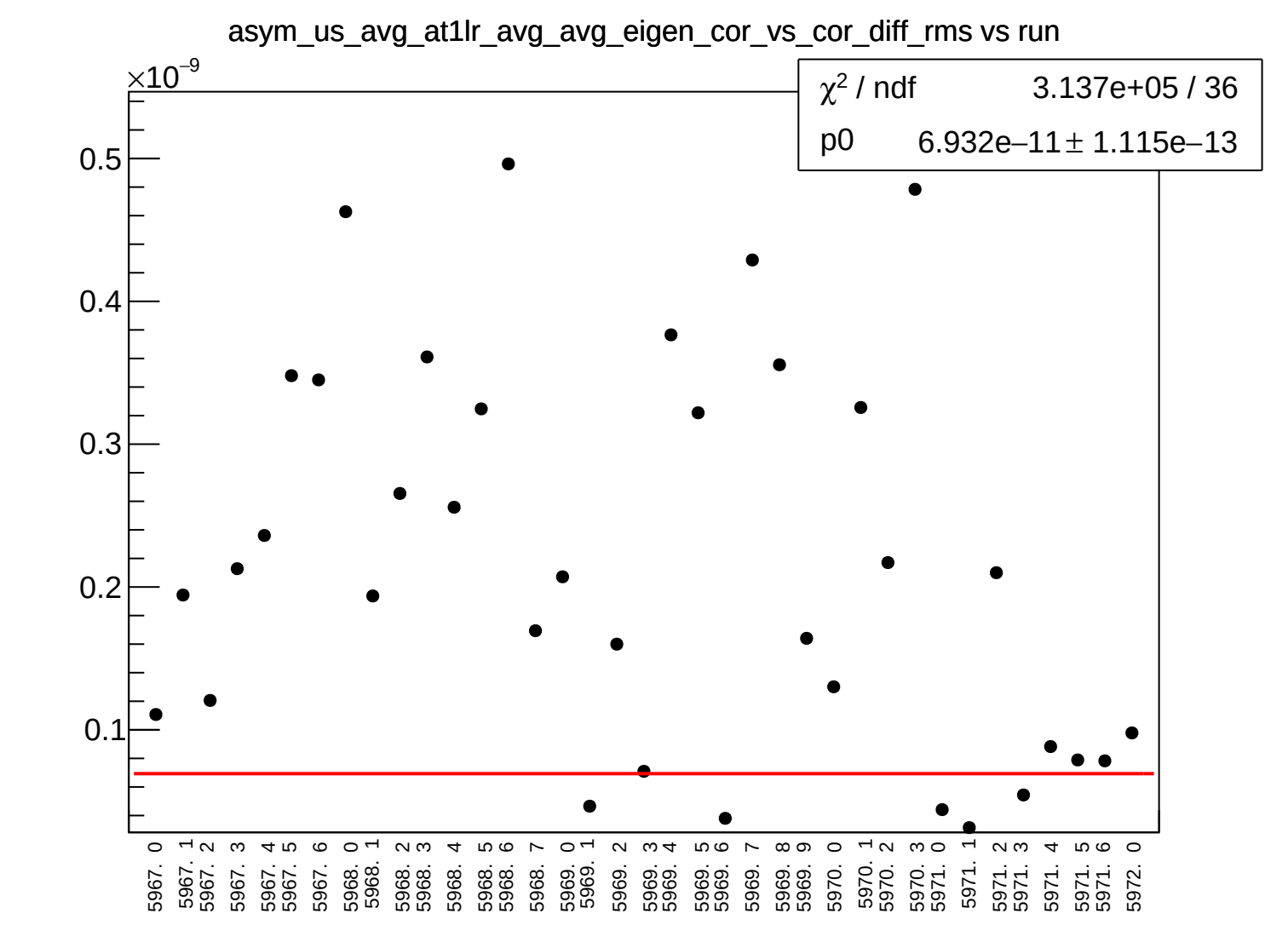
asym_us_avg_at1lr_avg_avg_eigen_cor_vs_cor_diff_rms vs run
×10⁻⁹
χ² / ndf 3.137e+05 / 36
p0 6.932e−11 ± 1.115e−13
0.5
0.4
0.3
0.2
0.1
5967. 0
5967. 1
5967. 2
5967. 3
5967. 4
5967. 5
5967. 6
5968. 0
5968. 1
5968. 2
5968. 3
5968. 4
5968. 5
5968. 6
5968. 7
5969. 0
5969. 1
5969. 2
5969. 3
5969. 4
5969. 5
5969. 6
5969. 7
5969. 8
5969. 9
5970. 0
5970. 1
5970. 2
5970. 3
5971. 0
5971. 1
5971. 2
5971. 3
5971. 4
5971. 5
5971. 6
5972. 0

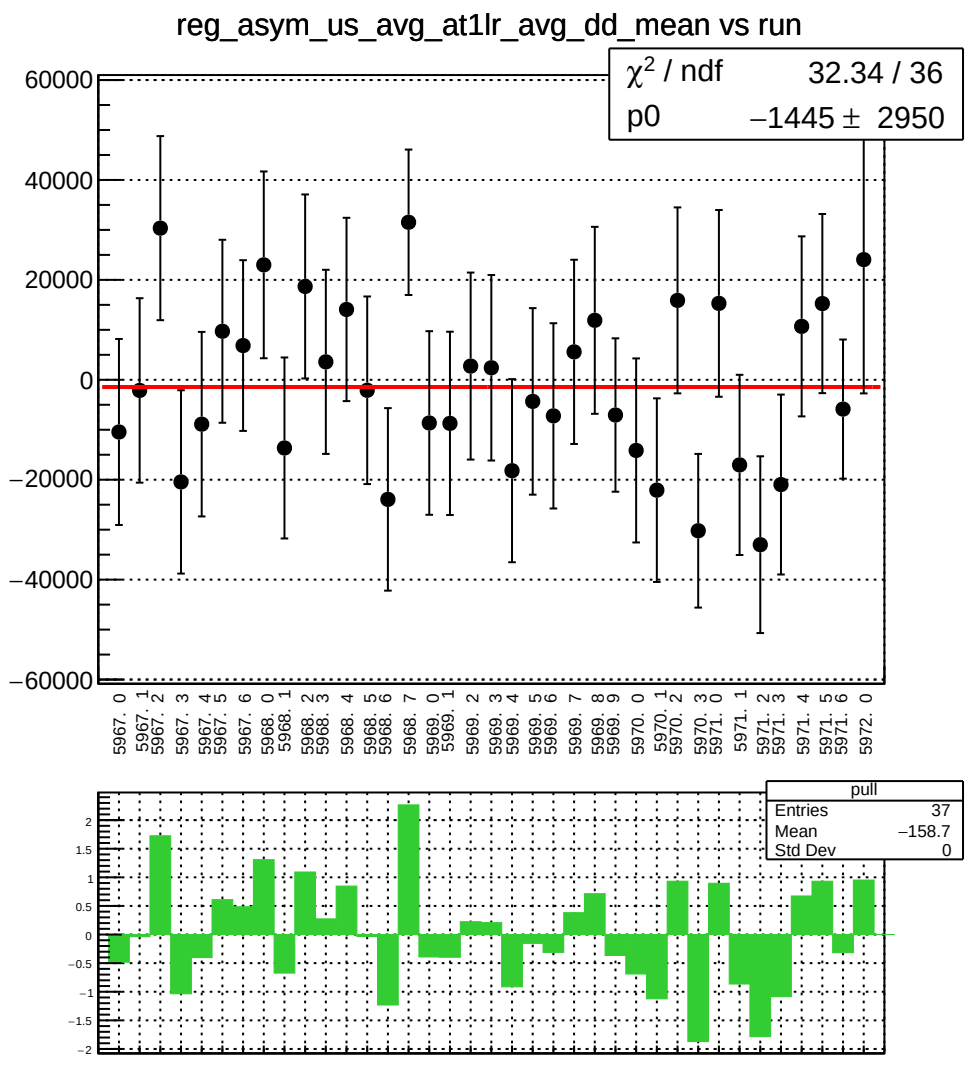
reg_asym_us_avg_at1lr_avg_dd_mean vs run
χ² / ndf 32.34 / 36
p0 −1445 ± 2950
60000
40000
20000
0
−20000
−40000
−60000
5967. 0
5967. 1
5967. 2
5967. 3
5967. 4
5967. 5
5967. 6
5968. 0
5968. 1
5968. 2
5968. 3
5968. 4
5968. 5
5968. 6
5968. 7
5969. 0
5969. 1
5969. 2
5969. 3
5969. 4
5969. 5
5969. 6
5969. 7
5969. 8
5969. 9
5970. 0
5970. 1
5970. 2
5970. 3
5971. 0
5971. 1
5971. 2
5971. 3
5971. 4
5971. 5
5971. 6
5972. 0
pull
Entries 37
Mean −158.7
Std Dev 0
2
1.5
1
0.5
0
−0.5
−1
−1.5
−2

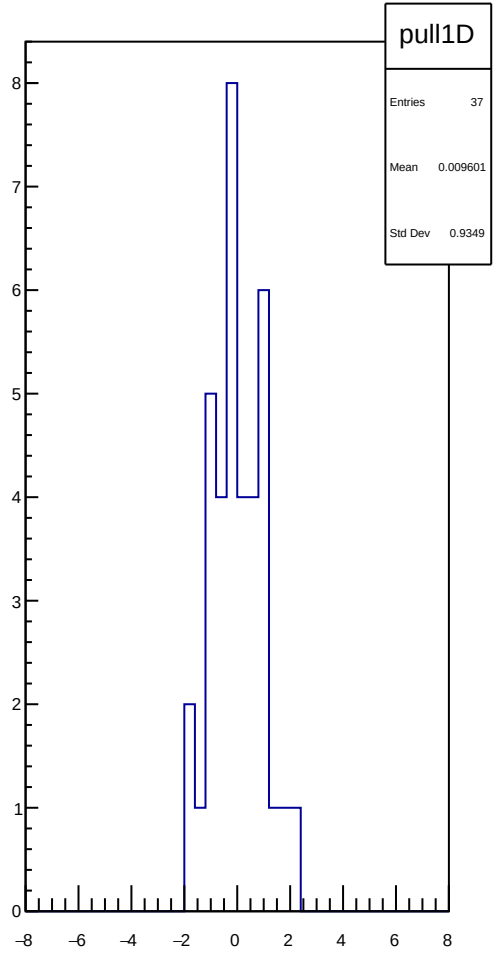
pull1D
Entries 37
Mean 0.009601
Std Dev 0.9349
8
7
6
5
4
3
2
1
0
−8
−6
−4
−2
0
2
4
6
8

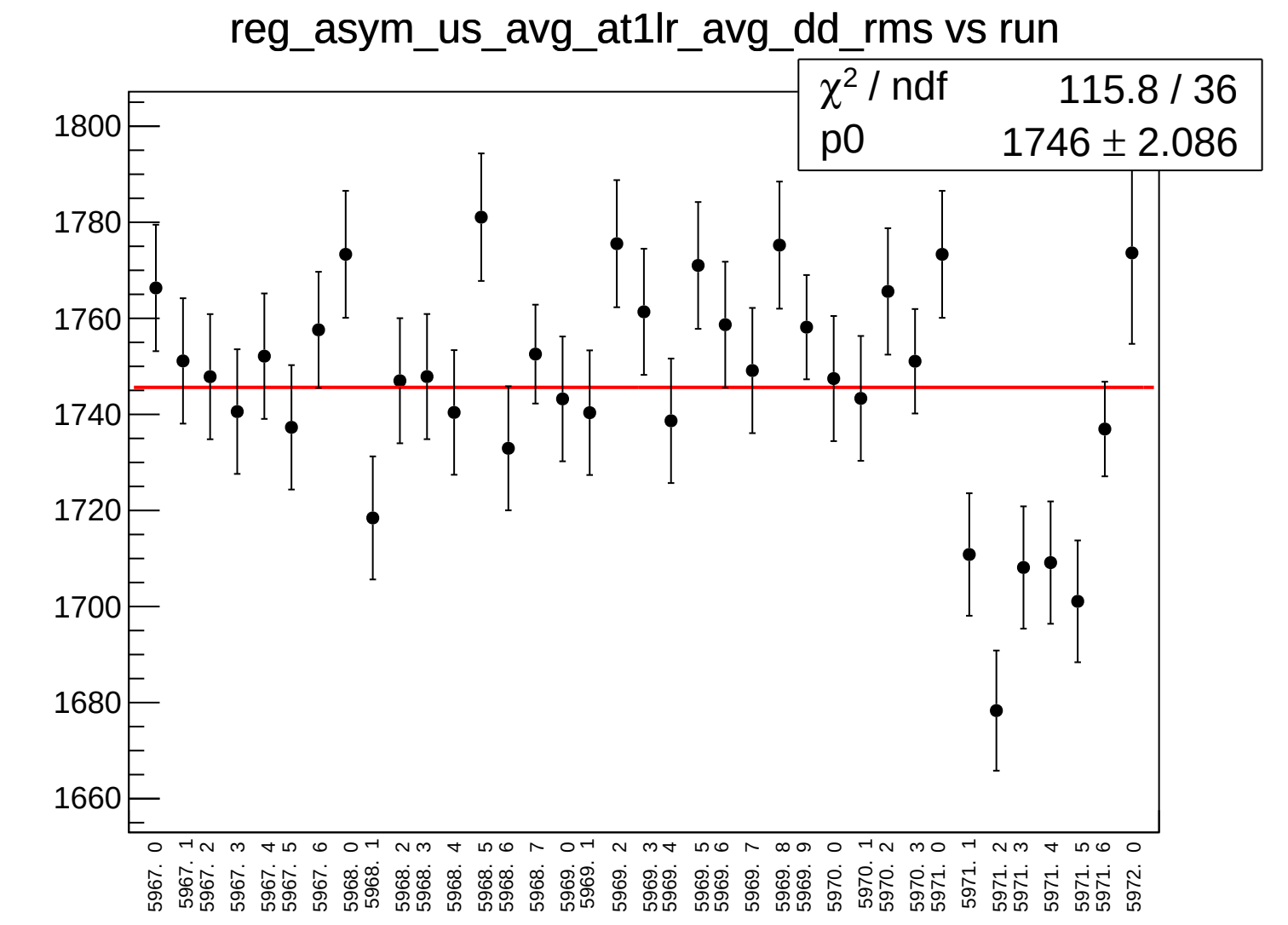
reg_asym_us_avg_at1lr_avg_dd_rms vs run
χ² / ndf 115.8 / 36
p0 1746 ± 2.086
1800
1780
1760
1740
1720
1700
1680
1660
5967. 0
5967. 1
5967. 2
5967. 3
5967. 4
5967. 5
5967. 6
5968. 0
5968. 1
5968. 2
5968. 3
5968. 4
5968. 5
5968. 6
5968. 7
5969. 0
5969. 1
5969. 2
5969. 3
5969. 4
5969. 5
5969. 6
5969. 7
5969. 8
5969. 9
5970. 0
5970. 1
5970. 2
5970. 3
5971. 0
5971. 1
5971. 2
5971. 3
5971. 4
5971. 5
5971. 6
5972. 0

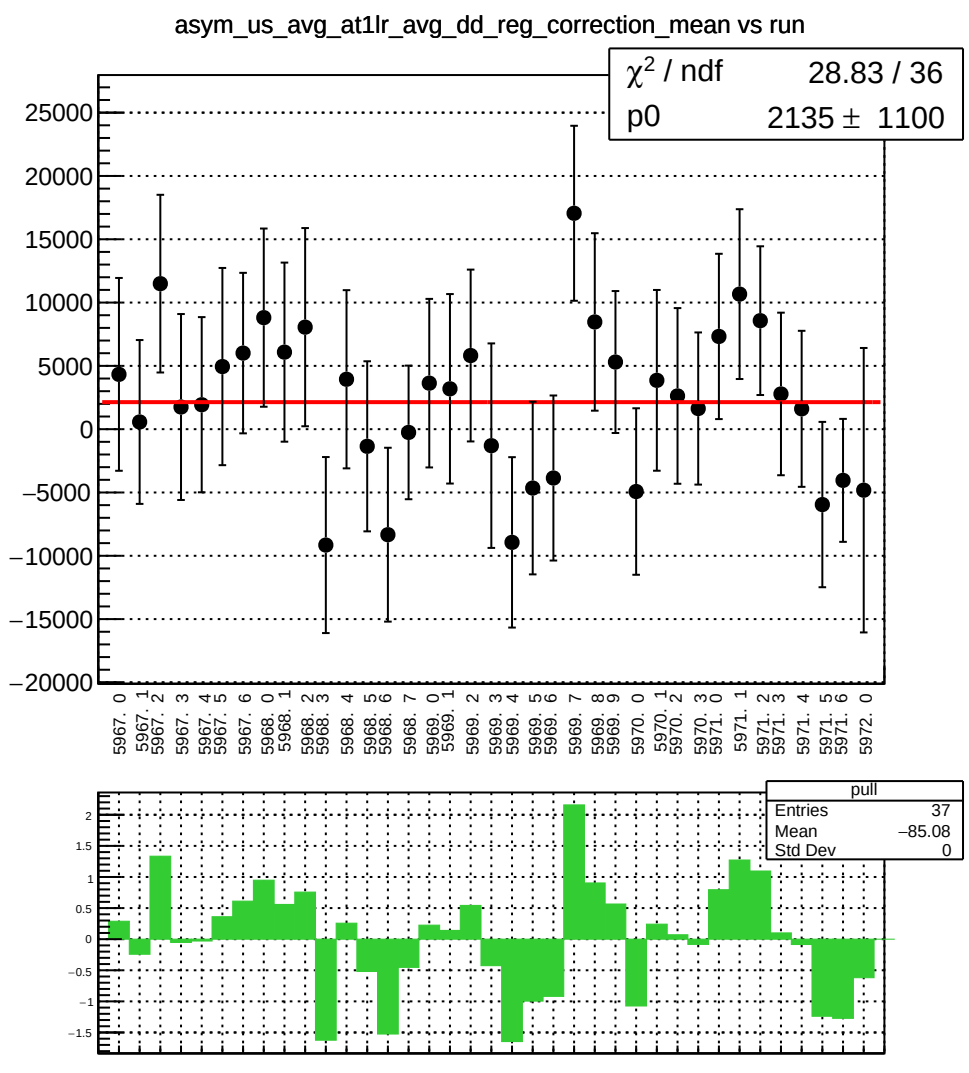
asym_us_avg_at1lr_avg_dd_reg_correction_mean vs run
χ² / ndf 28.83 / 36
p0 2135 ± 1100
pull
Entries 37
Mean −85.08
Std Dev 0

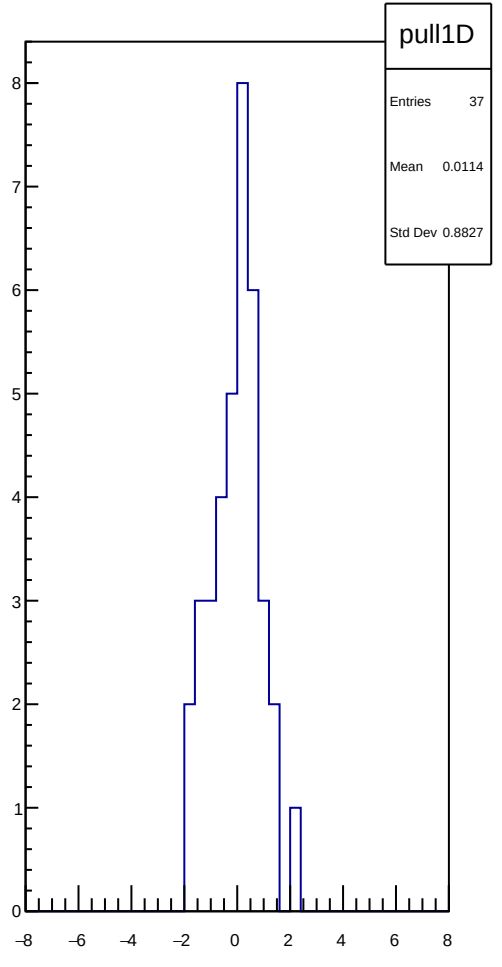
pull1D
Entries 37
Mean 0.0114
Std Dev 0.8827

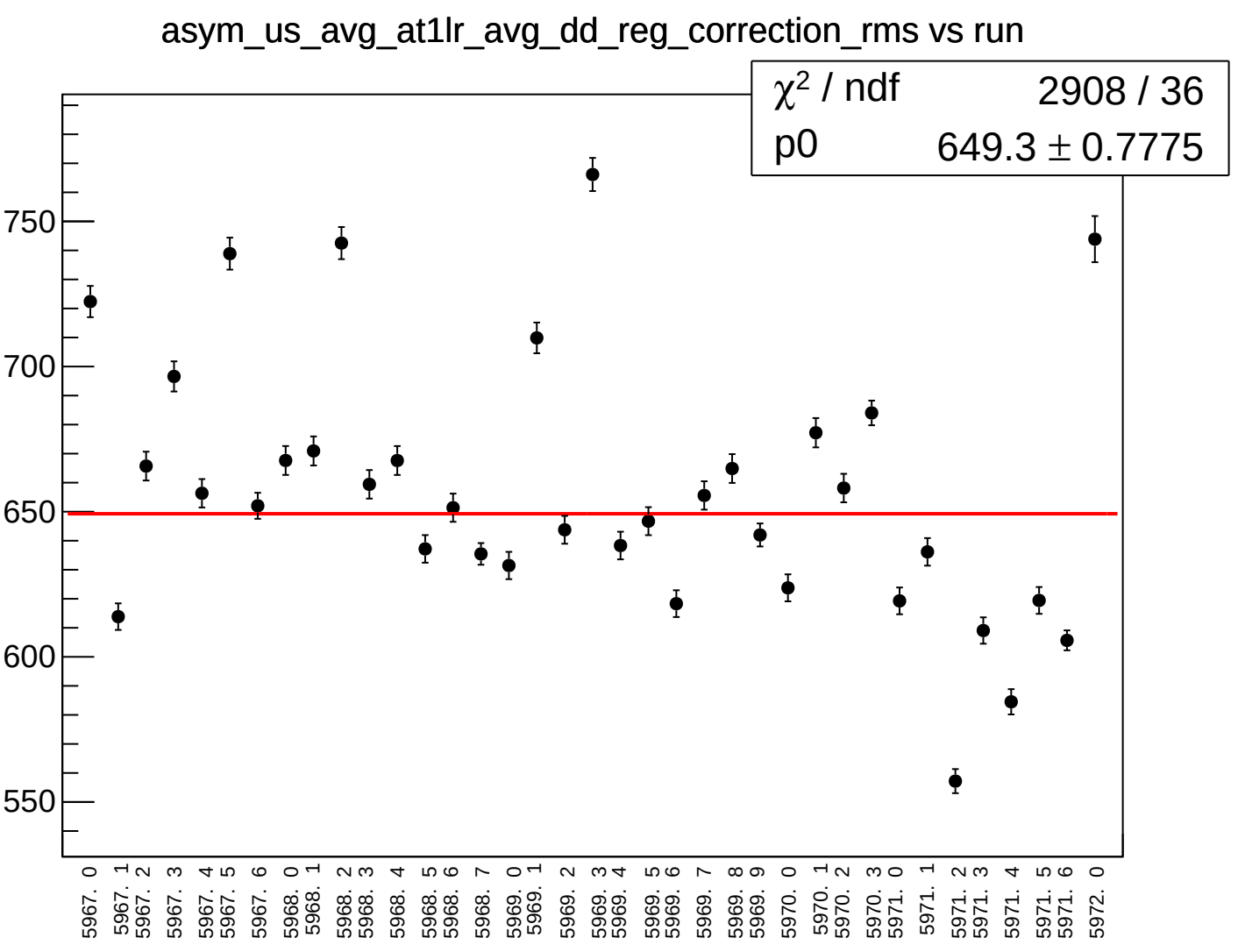
asym_us_avg_at1lr_avg_dd_reg_correction_rms vs run
χ² / ndf 2908 / 36
p0 649.3 ± 0.7775
750
700
650
600
550
5967. 0
5967. 1
5967. 2
5967. 3
5967. 4
5967. 5
5967. 6
5968. 0
5968. 1
5968. 2
5968. 3
5968. 4
5968. 5
5968. 6
5968. 7
5969. 0
5969. 1
5969. 2
5969. 3
5969. 4
5969. 5
5969. 6
5969. 7
5969. 8
5969. 9
5970. 0
5970. 1
5970. 2
5970. 3
5971. 0
5971. 1
5971. 2
5971. 3
5971. 4
5971. 5
5971. 6
5972. 0

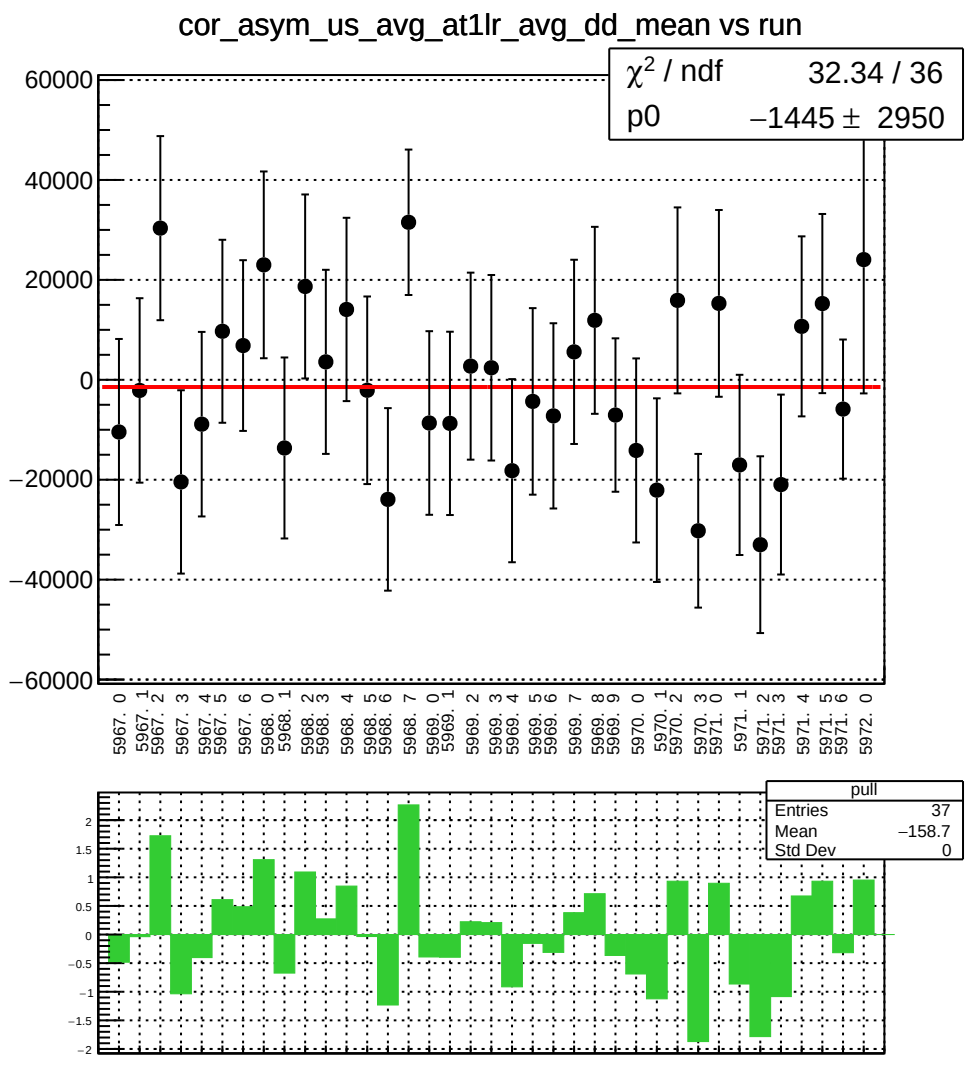
cor_asym_us_avg_at1lr_avg_dd_mean vs run
χ² / ndf 32.34 / 36
p0 −1445 ± 2950
60000
40000
20000
0
−20000
−40000
−60000
5967. 0
5967. 1
5967. 2
5967. 3
5967. 4
5967. 5
5967. 6
5968. 0
5968. 1
5968. 2
5968. 3
5968. 4
5968. 5
5968. 6
5968. 7
5969. 0
5969. 1
5969. 2
5969. 3
5969. 4
5969. 5
5969. 6
5969. 7
5969. 8
5969. 9
5970. 0
5970. 1
5970. 2
5970. 3
5971. 0
5971. 1
5971. 2
5971. 3
5971. 4
5971. 5
5971. 6
5972. 0
pull
Entries 37
Mean −158.7
Std Dev 0
2
1.5
1
0.5
0
−0.5
−1
−1.5
−2

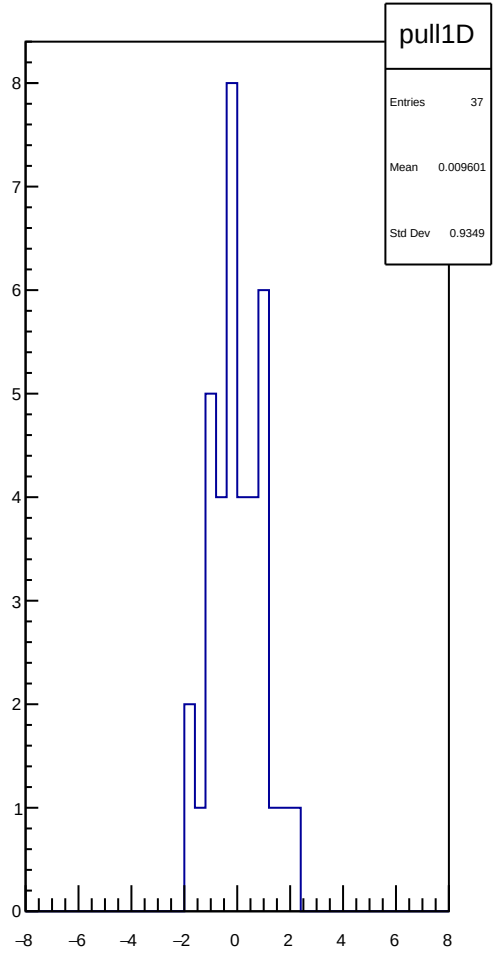
pull1D
Entries 37
Mean 0.009601
Std Dev 0.9349
8
7
6
5
4
3
2
1
0
−8
−6
−4
−2
0
2
4
6
8

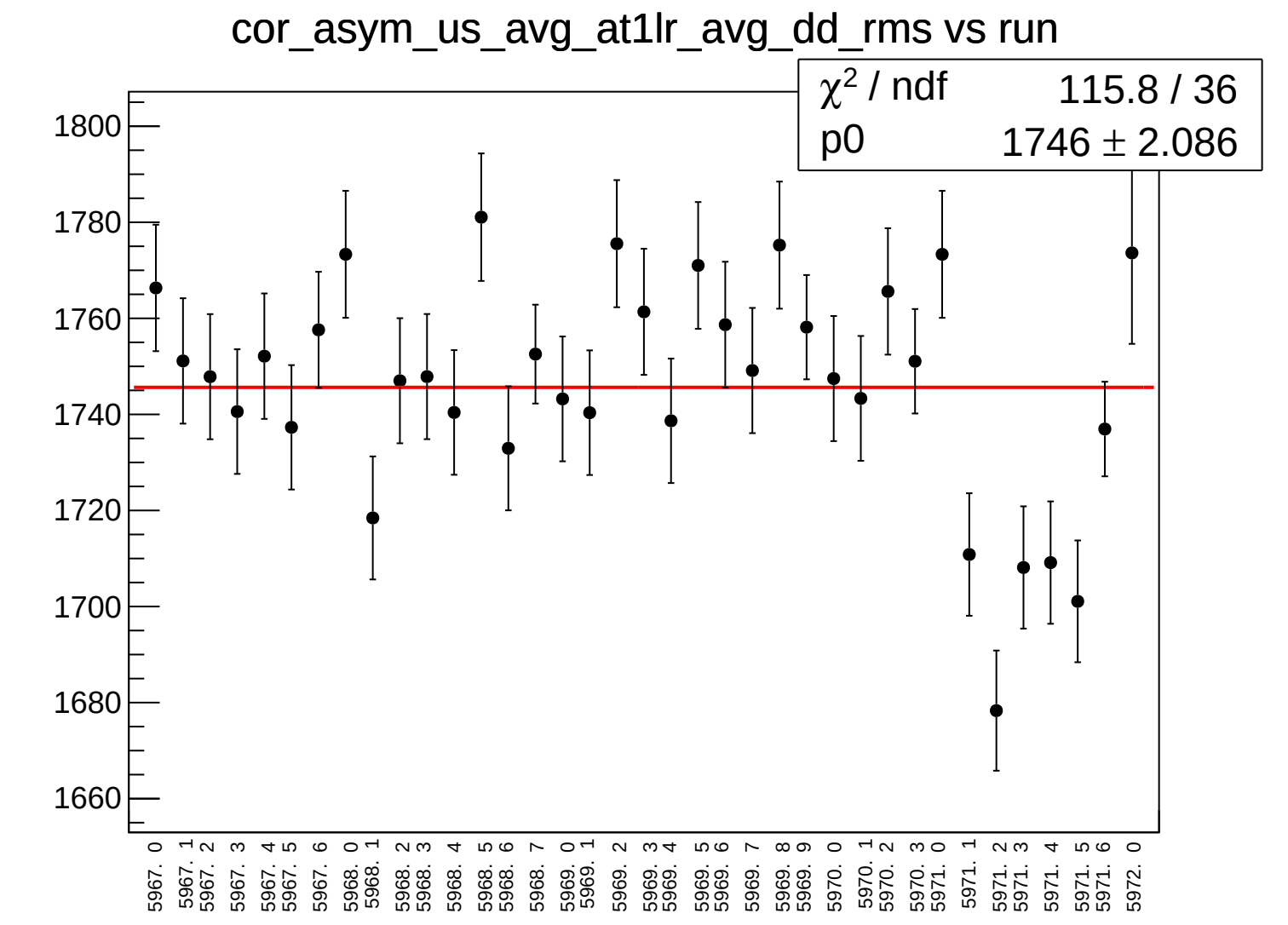
cor_asym_us_avg_at1lr_avg_dd_rms vs run
χ² / ndf 115.8 / 36
p0 1746 ± 2.086
1800
1780
1760
1740
1720
1700
1680
1660
5967. 0
5967. 1
5967. 2
5967. 3
5967. 4
5967. 5
5967. 6
5968. 0
5968. 1
5968. 2
5968. 3
5968. 4
5968. 5
5968. 6
5968. 7
5969. 0
5969. 1
5969. 2
5969. 3
5969. 4
5969. 5
5969. 6
5969. 7
5969. 8
5969. 9
5970. 0
5970. 1
5970. 2
5970. 3
5971. 0
5971. 1
5971. 2
5971. 3
5971. 4
5971. 5
5971. 6
5972. 0

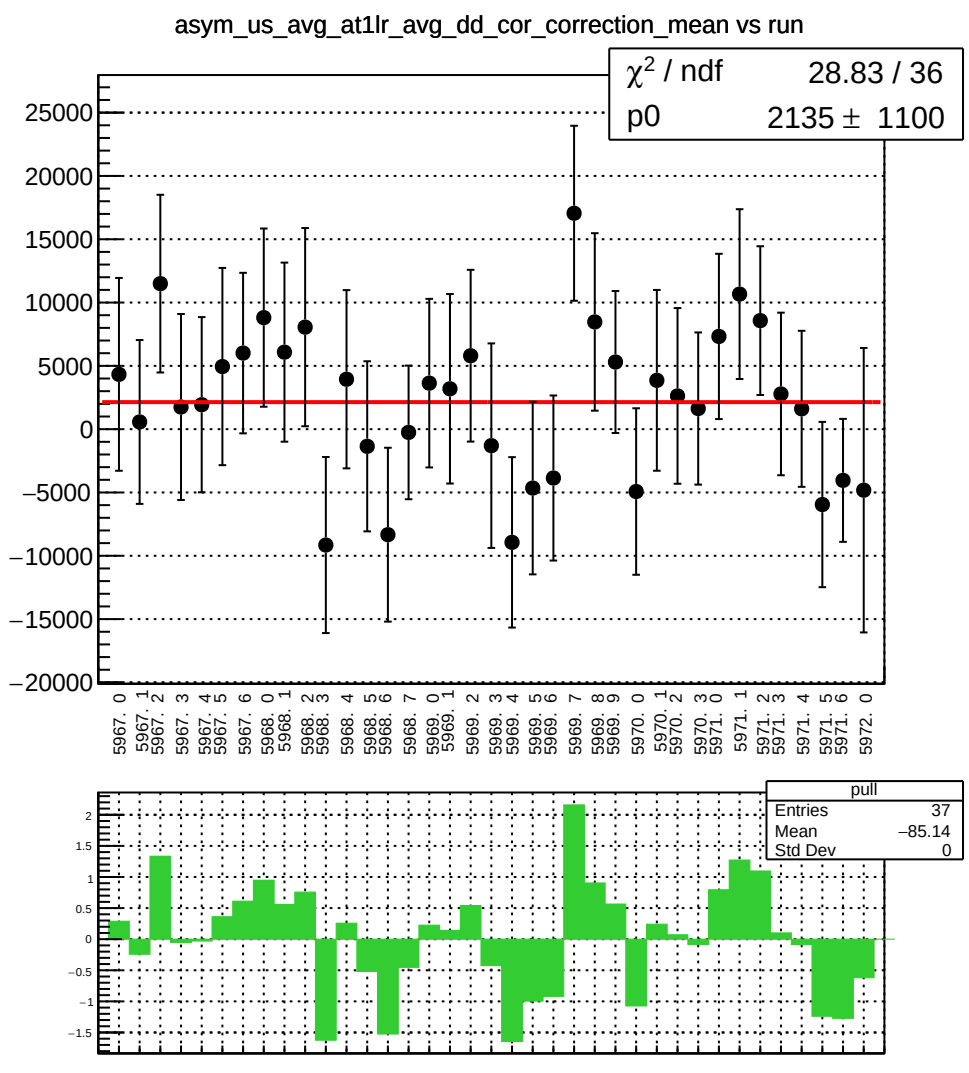
asym_us_avg_at1lr_avg_dd_cor_correction_mean vs run
χ² / ndf 28.83 / 36
p0 2135 ± 1100
pull
Entries 37
Mean −85.14
Std Dev 0

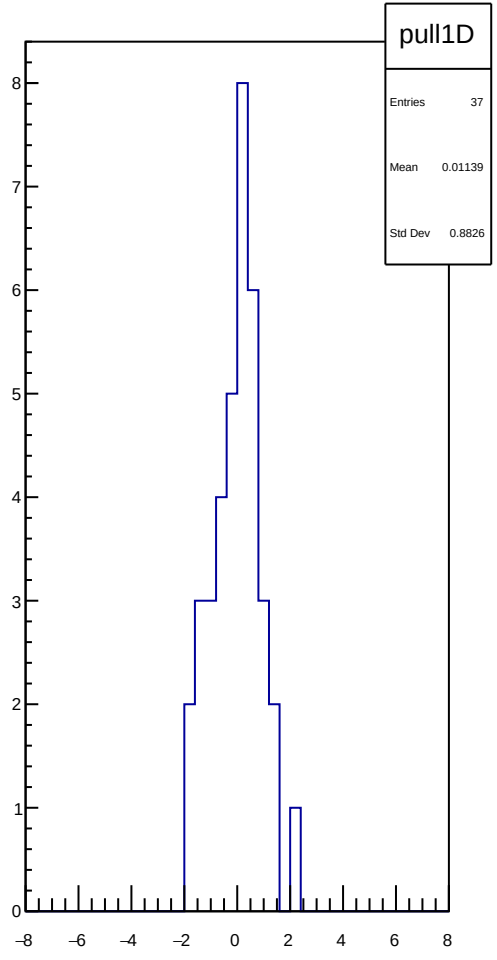
pull1D
Entries 37
Mean 0.01139
Std Dev 0.8826

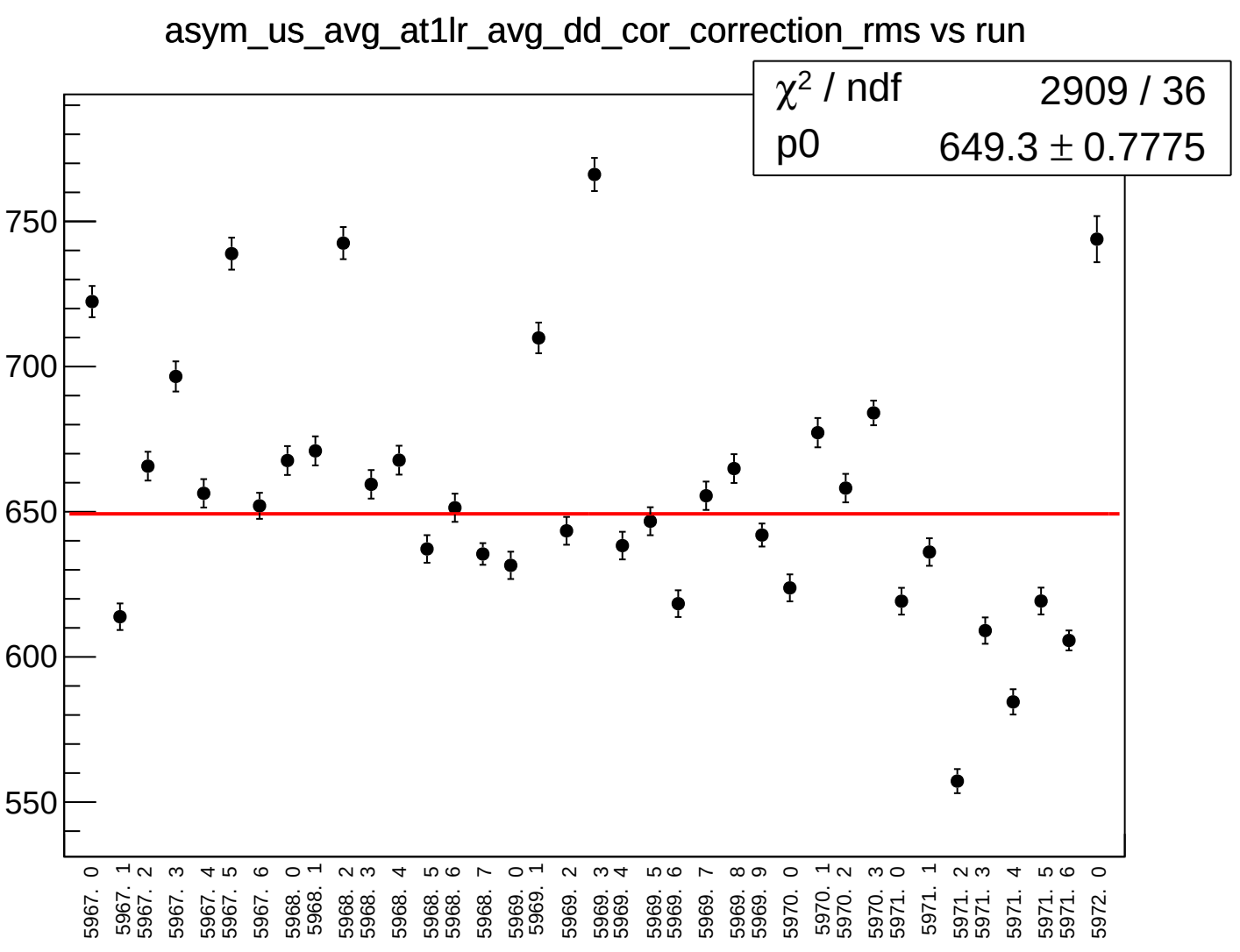
asym_us_avg_at1lr_avg_dd_cor_correction_rms vs run
χ² / ndf 2909 / 36
p0 649.3 ± 0.7775
750
700
650
600
550
5967. 0
5967. 1
5967. 2
5967. 3
5967. 4
5967. 5
5967. 6
5968. 0
5968. 1
5968. 2
5968. 3
5968. 4
5968. 5
5968. 6
5968. 7
5969. 0
5969. 1
5969. 2
5969. 3
5969. 4
5969. 5
5969. 6
5969. 7
5969. 8
5969. 9
5970. 0
5970. 1
5970. 2
5970. 3
5971. 0
5971. 1
5971. 2
5971. 3
5971. 4
5971. 5
5971. 6
5972. 0

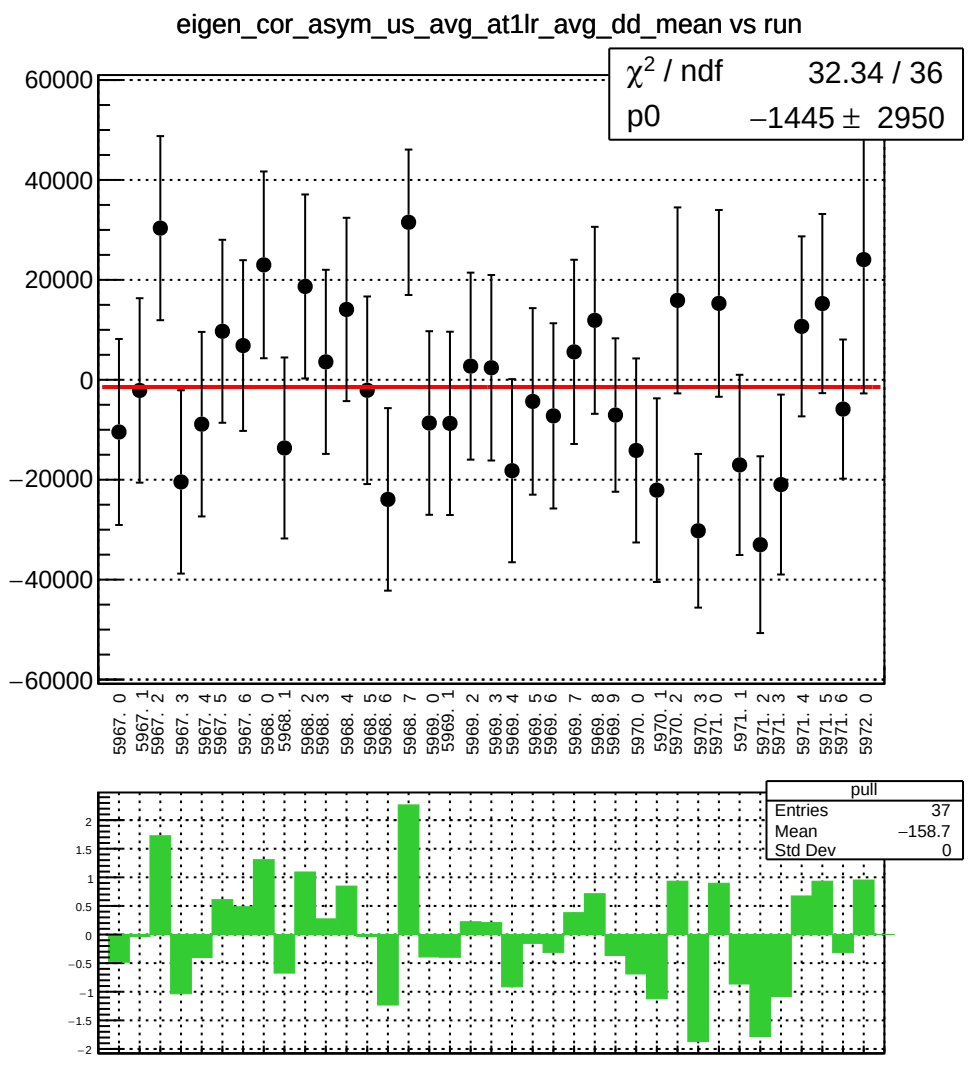
eigen_cor_asym_us_avg_at1lr_avg_dd_mean vs run
χ² / ndf 32.34 / 36
p0 −1445 ± 2950
60000
40000
20000
0
−20000
−40000
−60000
5967. 0
5967. 1
5967. 2
5967. 3
5967. 4
5967. 5
5967. 6
5968. 0
5968. 1
5968. 2
5968. 3
5968. 4
5968. 5
5968. 6
5968. 7
5969. 0
5969. 1
5969. 2
5969. 3
5969. 4
5969. 5
5969. 6
5969. 7
5969. 8
5969. 9
5970. 0
5970. 1
5970. 2
5970. 3
5971. 0
5971. 1
5971. 2
5971. 3
5971. 4
5971. 5
5971. 6
5972. 0
pull
Entries 37
Mean −158.7
Std Dev 0
2
1.5
1
0.5
0
−0.5
−1
−1.5
−2

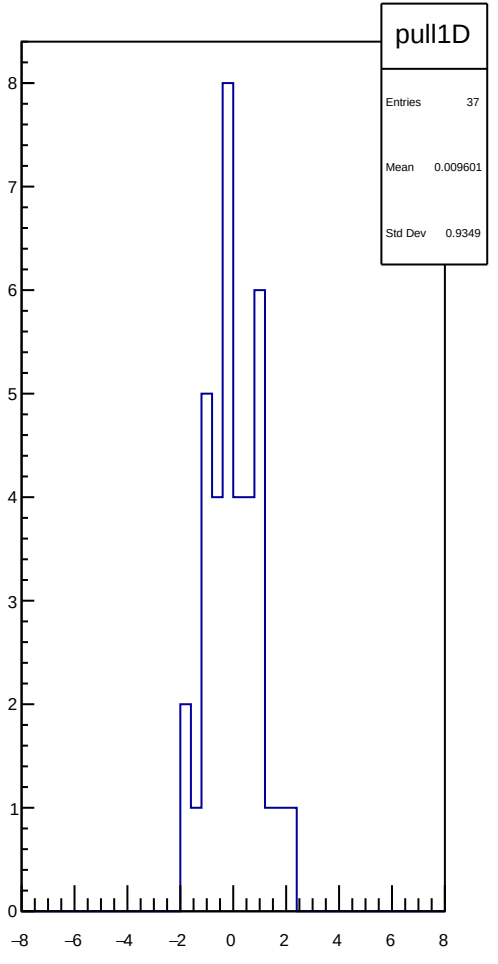
pull1D
Entries 37
Mean 0.009601
Std Dev 0.9349
8
7
6
5
4
3
2
1
0
−8
−6
−4
−2
0
2
4
6
8

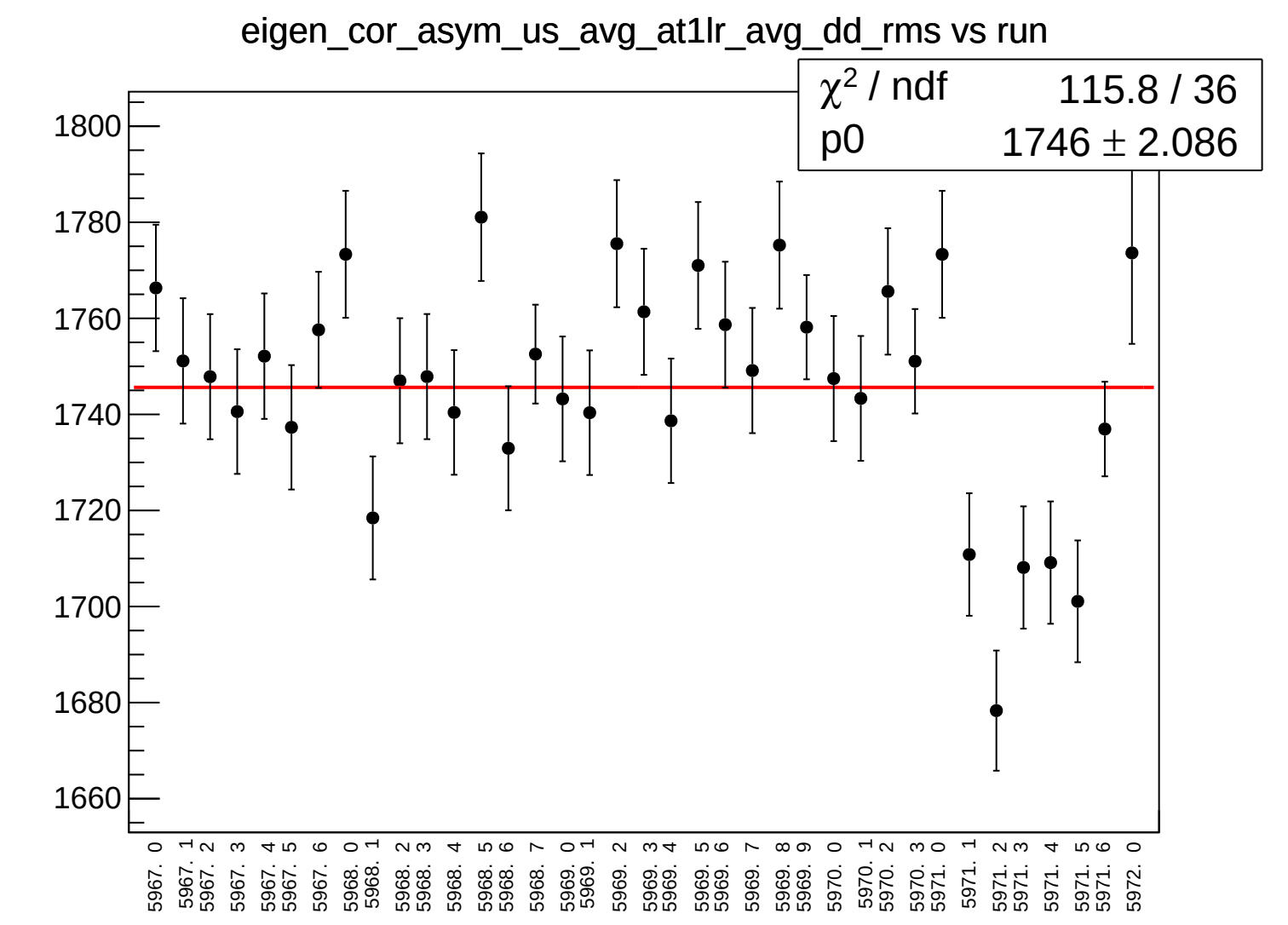
eigen_cor_asym_us_avg_at1lr_avg_dd_rms vs run
χ² / ndf 115.8 / 36
p0 1746 ± 2.086
1800
1780
1760
1740
1720
1700
1680
1660
5967. 0
5967. 1
5967. 2
5967. 3
5967. 4
5967. 5
5967. 6
5968. 0
5968. 1
5968. 2
5968. 3
5968. 4
5968. 5
5968. 6
5968. 7
5969. 0
5969. 1
5969. 2
5969. 3
5969. 4
5969. 5
5969. 6
5969. 7
5969. 8
5969. 9
5970. 0
5970. 1
5970. 2
5970. 3
5971. 0
5971. 1
5971. 2
5971. 3
5971. 4
5971. 5
5971. 6
5972. 0

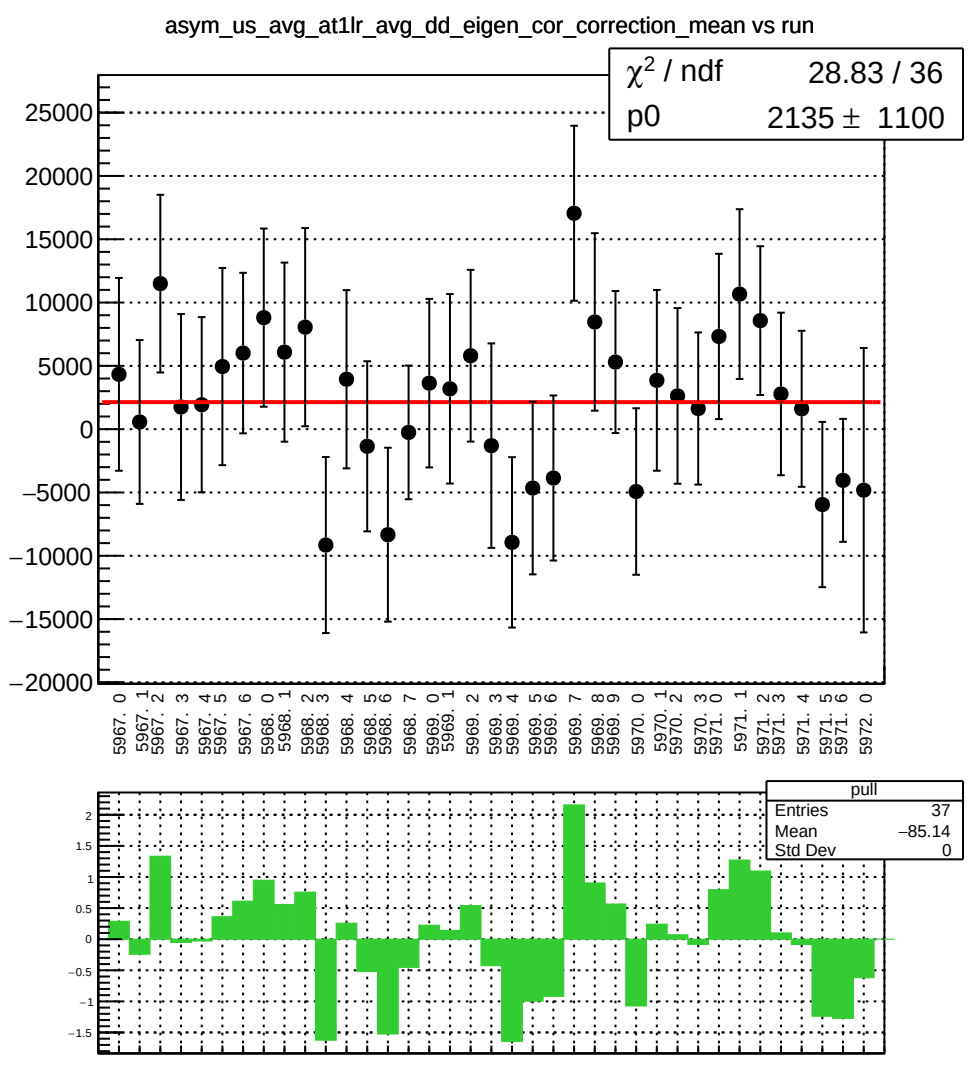
asym_us_avg_at1lr_avg_dd_eigen_cor_correction_mean vs run
χ² / ndf 28.83 / 36
p0 2135 ± 1100
pull
Entries 37
Mean −85.14
Std Dev 0

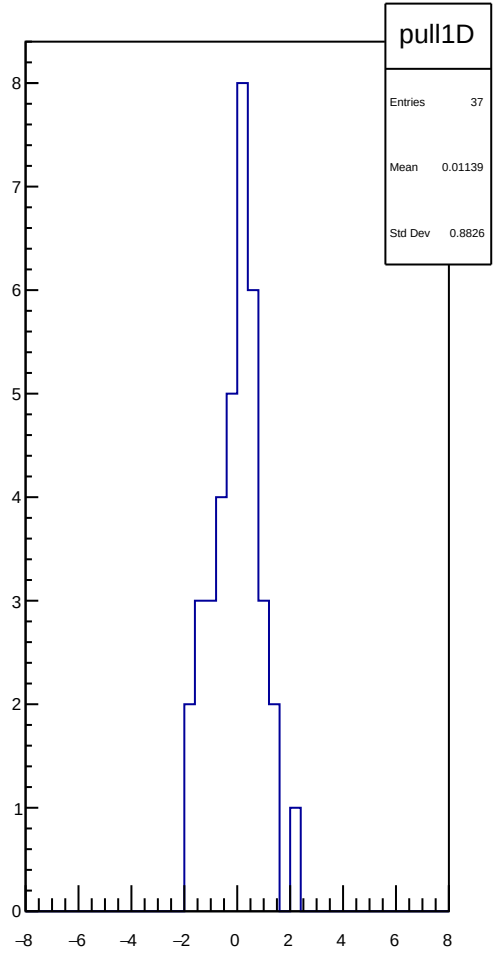
pull1D
Entries 37
Mean 0.01139
Std Dev 0.8826

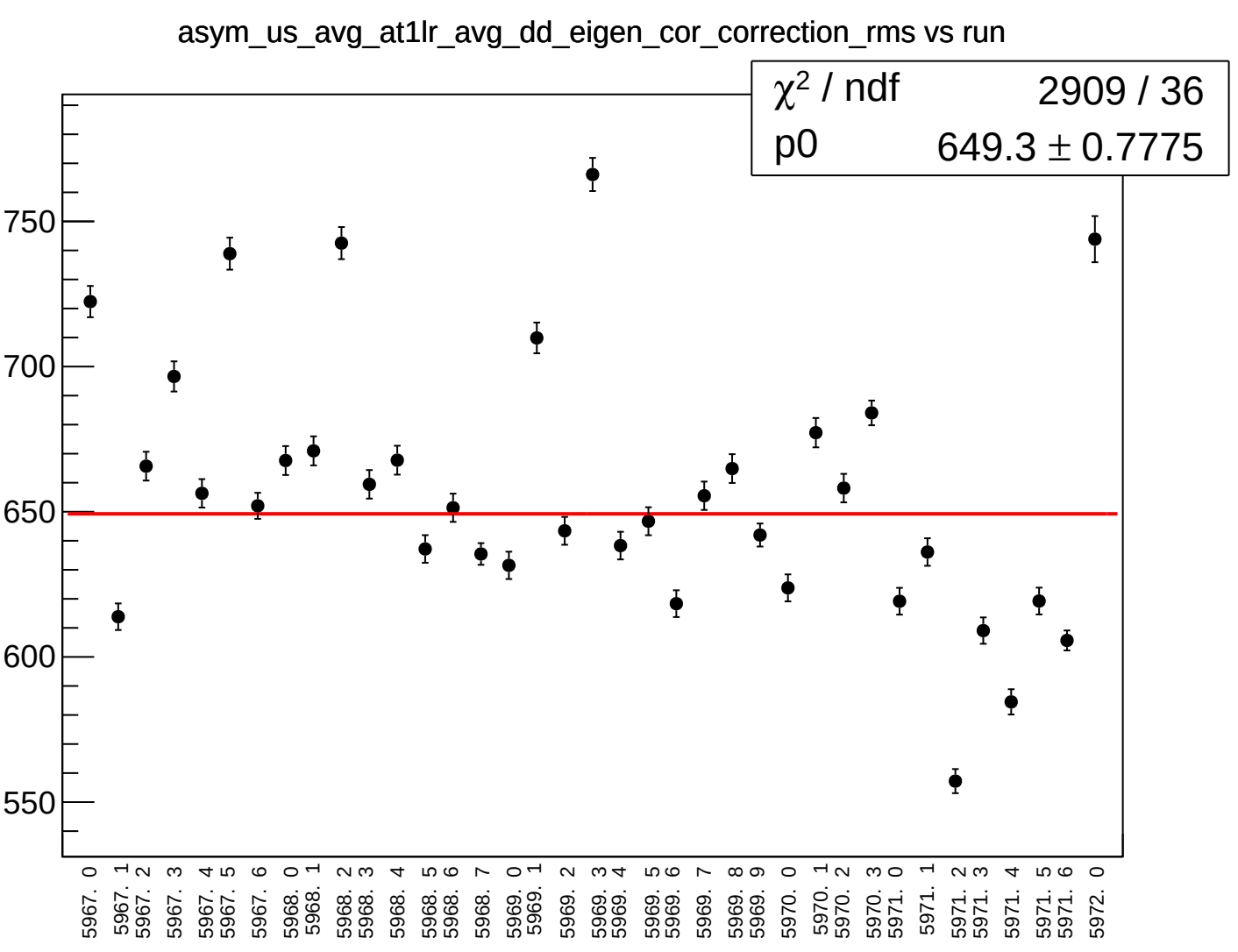
asym_us_avg_at1lr_avg_dd_eigen_cor_correction_rms vs run
χ² / ndf 2909 / 36
p0 649.3 ± 0.7775
750
700
650
600
550
5967. 0
5967. 1
5967. 2
5967. 3
5967. 4
5967. 5
5967. 6
5968. 0
5968. 1
5968. 2
5968. 3
5968. 4
5968. 5
5968. 6
5968. 7
5969. 0
5969. 1
5969. 2
5969. 3
5969. 4
5969. 5
5969. 6
5969. 7
5969. 8
5969. 9
5970. 0
5970. 1
5970. 2
5970. 3
5971. 0
5971. 1
5971. 2
5971. 3
5971. 4
5971. 5
5971. 6
5972. 0

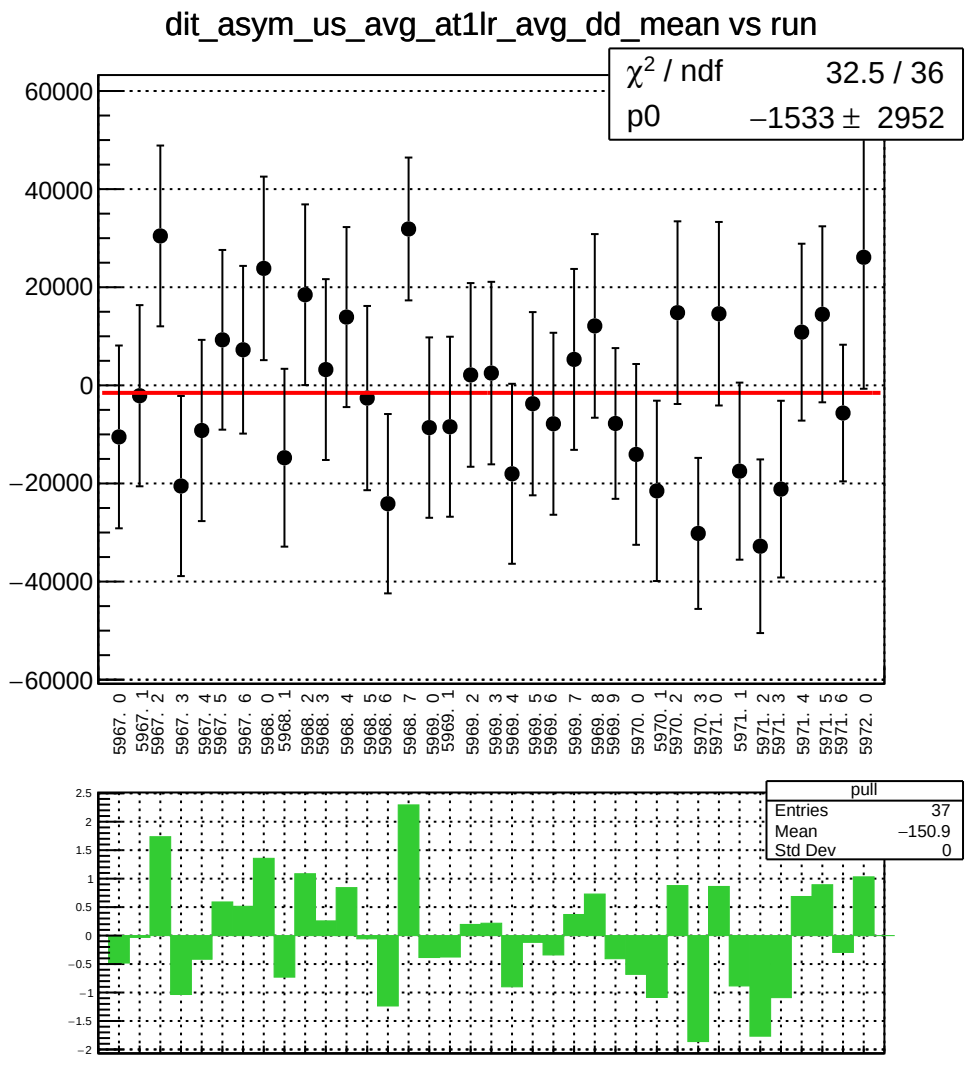
dit_asym_us_avg_at1lr_avg_dd_mean vs run
χ² / ndf 32.5 / 36
p0 −1533 ± 2952
60000
40000
20000
0
−20000
−40000
−60000
5967. 0
5967. 1
5967. 2
5967. 3
5967. 4
5967. 5
5967. 6
5968. 0
5968. 1
5968. 2
5968. 3
5968. 4
5968. 5
5968. 6
5968. 7
5969. 0
5969. 1
5969. 2
5969. 3
5969. 4
5969. 5
5969. 6
5969. 7
5969. 8
5969. 9
5970. 0
5970. 1
5970. 2
5970. 3
5971. 0
5971. 1
5971. 2
5971. 3
5971. 4
5971. 5
5971. 6
5972. 0
pull
Entries 37
Mean −150.9
Std Dev 0
2.5
2
1.5
1
0.5
0
−0.5
−1
−1.5
−2

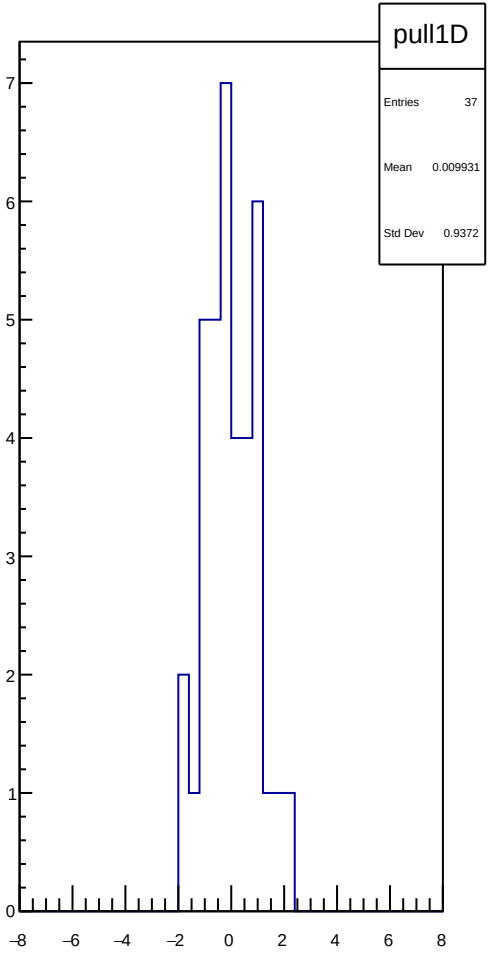
pull1D
Entries 37
Mean 0.009931
Std Dev 0.9372
7
6
5
4
3
2
1
0
−8
−6
−4
−2
0
2
4
6
8

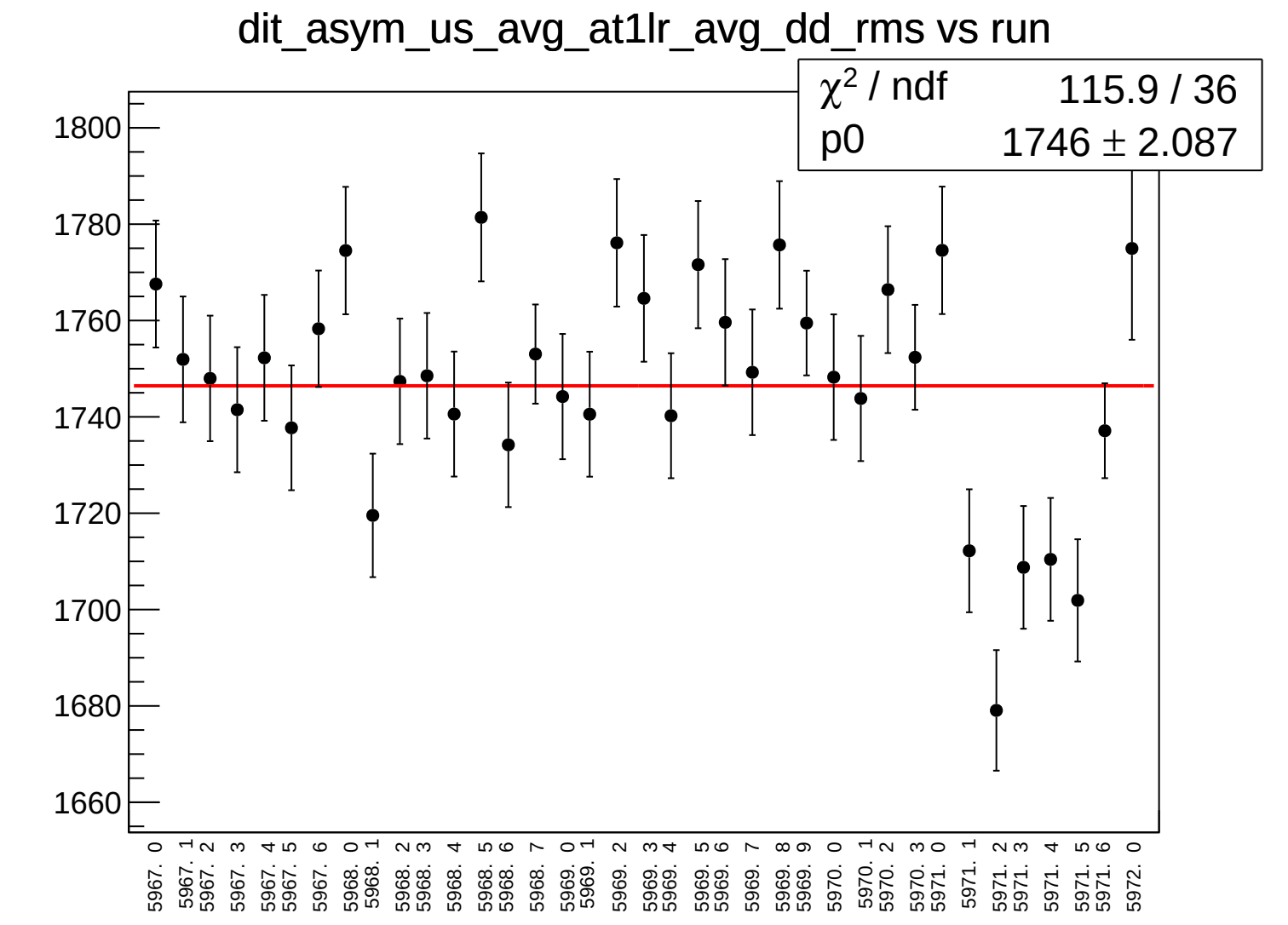
dit_asym_us_avg_at1lr_avg_dd_rms vs run
χ² / ndf 115.9 / 36
p0 1746 ± 2.087
1800
1780
1760
1740
1720
1700
1680
1660
5967. 0
5967. 1
5967. 2
5967. 3
5967. 4
5967. 5
5967. 6
5968. 0
5968. 1
5968. 2
5968. 3
5968. 4
5968. 5
5968. 6
5968. 7
5969. 0
5969. 1
5969. 2
5969. 3
5969. 4
5969. 5
5969. 6
5969. 7
5969. 8
5969. 9
5970. 0
5970. 1
5970. 2
5970. 3
5971. 0
5971. 1
5971. 2
5971. 3
5971. 4
5971. 5
5971. 6
5972. 0

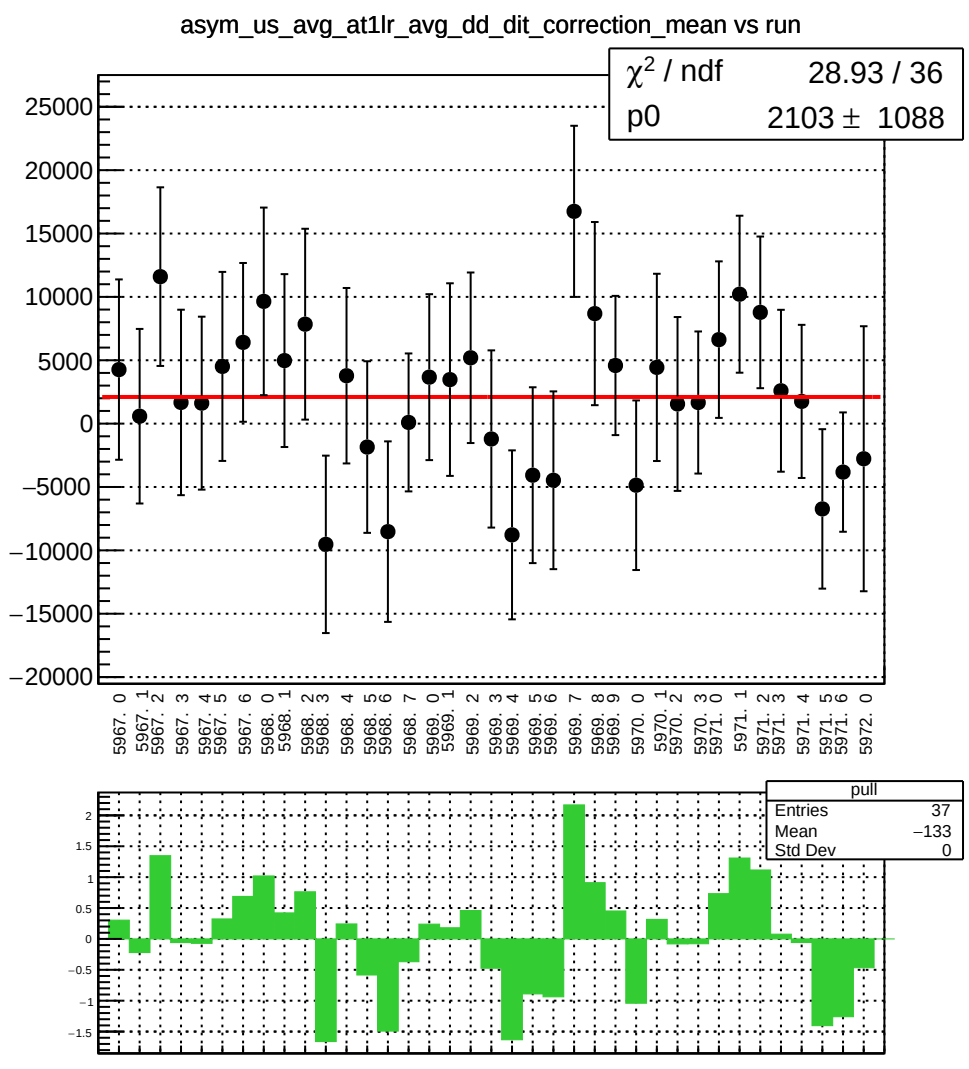
asym_us_avg_at1lr_avg_dd_dit_correction_mean vs run
χ² / ndf 28.93 / 36
p0 2103 ± 1088
pull
Entries 37
Mean −133
Std Dev 0

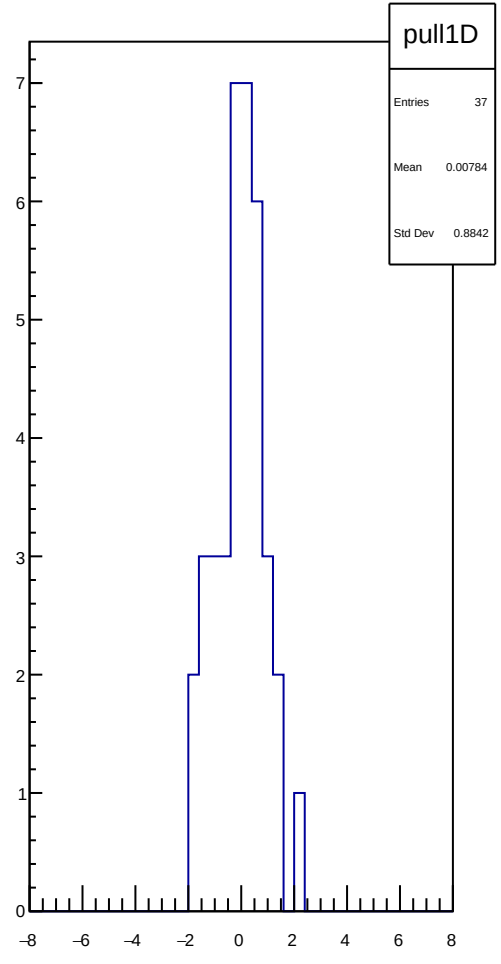
pull1D
Entries 37
Mean 0.00784
Std Dev 0.8842

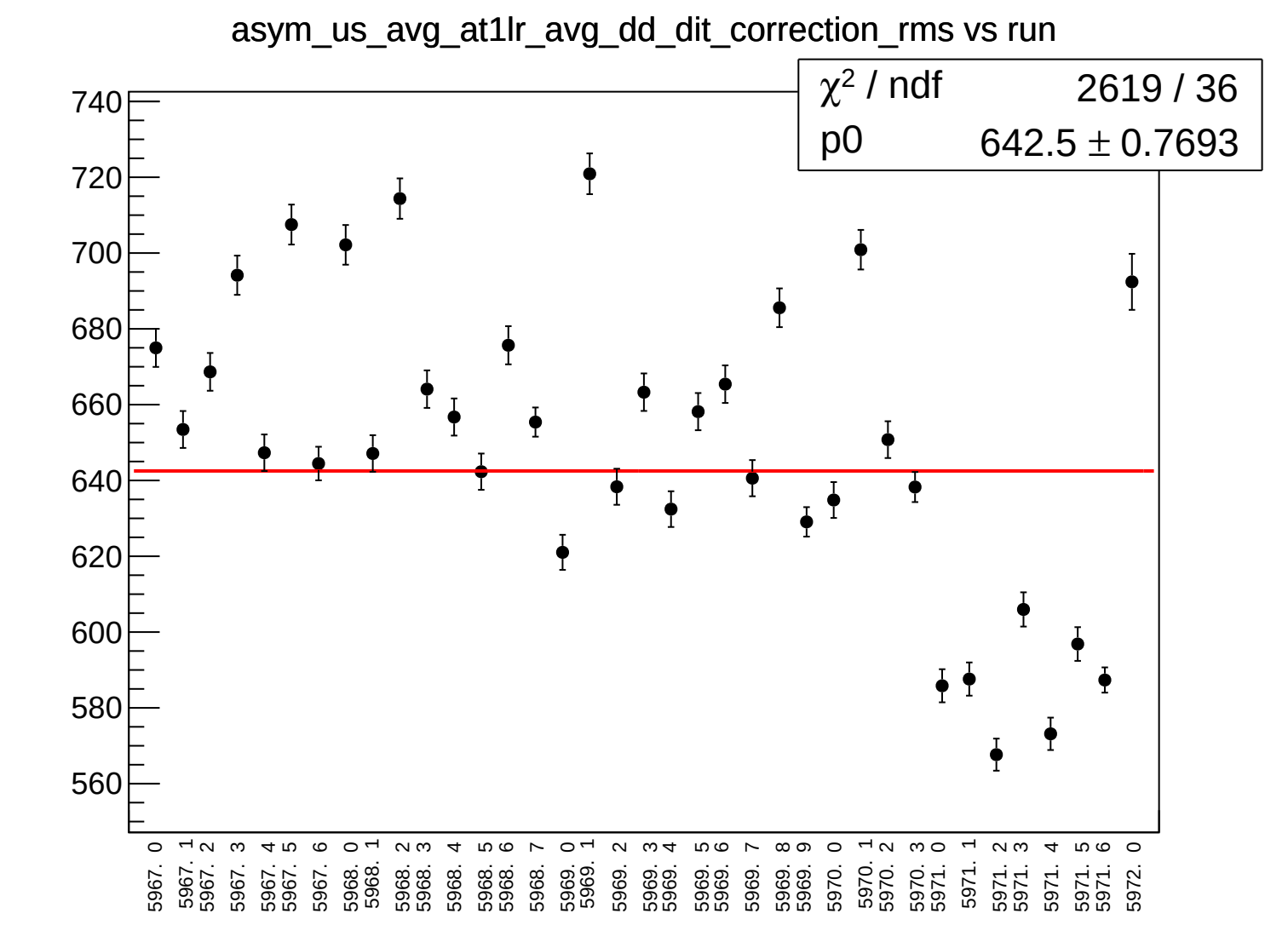
asym_us_avg_at1lr_avg_dd_dit_correction_rms vs run
χ² / ndf 2619 / 36
p0 642.5 ± 0.7693
740
720
700
680
660
640
620
600
580
560
5967. 0
5967. 1
5967. 2
5967. 3
5967. 4
5967. 5
5967. 6
5968. 0
5968. 1
5968. 2
5968. 3
5968. 4
5968. 5
5968. 6
5968. 7
5969. 0
5969. 1
5969. 2
5969. 3
5969. 4
5969. 5
5969. 6
5969. 7
5969. 8
5969. 9
5970. 0
5970. 1
5970. 2
5970. 3
5971. 0
5971. 1
5971. 2
5971. 3
5971. 4
5971. 5
5971. 6
5972. 0

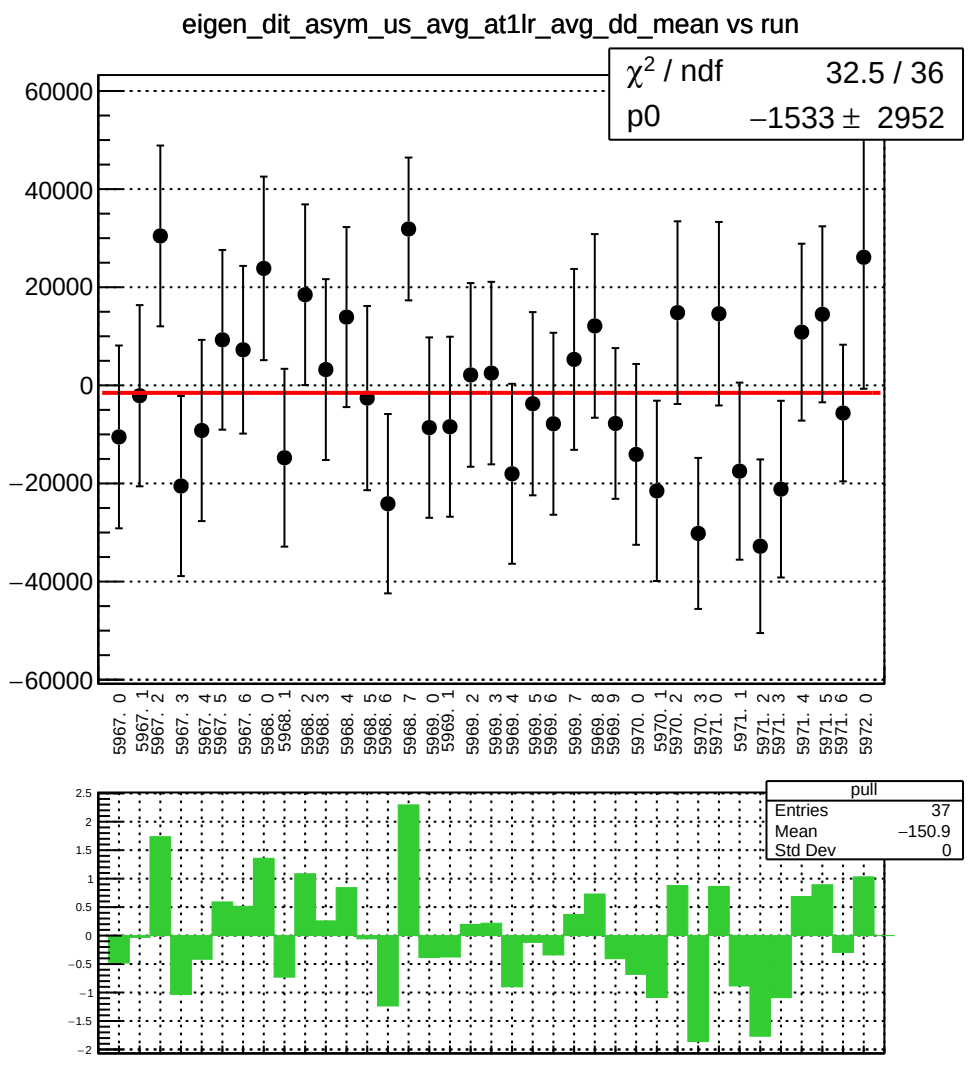
eigen_dit_asym_us_avg_at1lr_avg_dd_mean vs run
χ² / ndf 32.5 / 36
p0 −1533 ± 2952
60000
40000
20000
0
−20000
−40000
−60000
5967. 0
5967. 1
5967. 2
5967. 3
5967. 4
5967. 5
5967. 6
5968. 0
5968. 1
5968. 2
5968. 3
5968. 4
5968. 5
5968. 6
5968. 7
5969. 0
5969. 1
5969. 2
5969. 3
5969. 4
5969. 5
5969. 6
5969. 7
5969. 8
5969. 9
5970. 0
5970. 1
5970. 2
5970. 3
5971. 0
5971. 1
5971. 2
5971. 3
5971. 4
5971. 5
5971. 6
5972. 0
pull
Entries 37
Mean −150.9
Std Dev 0
2.5
2
1.5
1
0.5
0
−0.5
−1
−1.5
−2

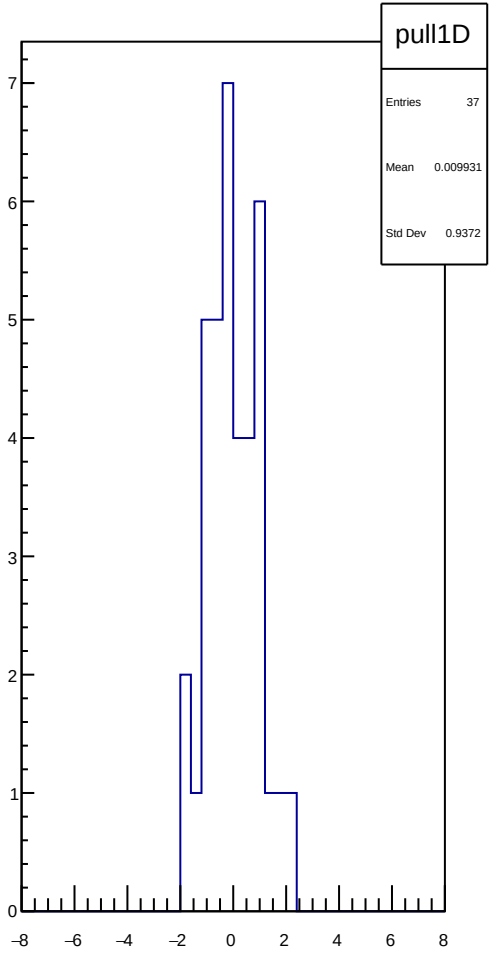
pull1D
Entries 37
Mean 0.009931
Std Dev 0.9372
7
6
5
4
3
2
1
0
−8
−6
−4
−2
0
2
4
6
8

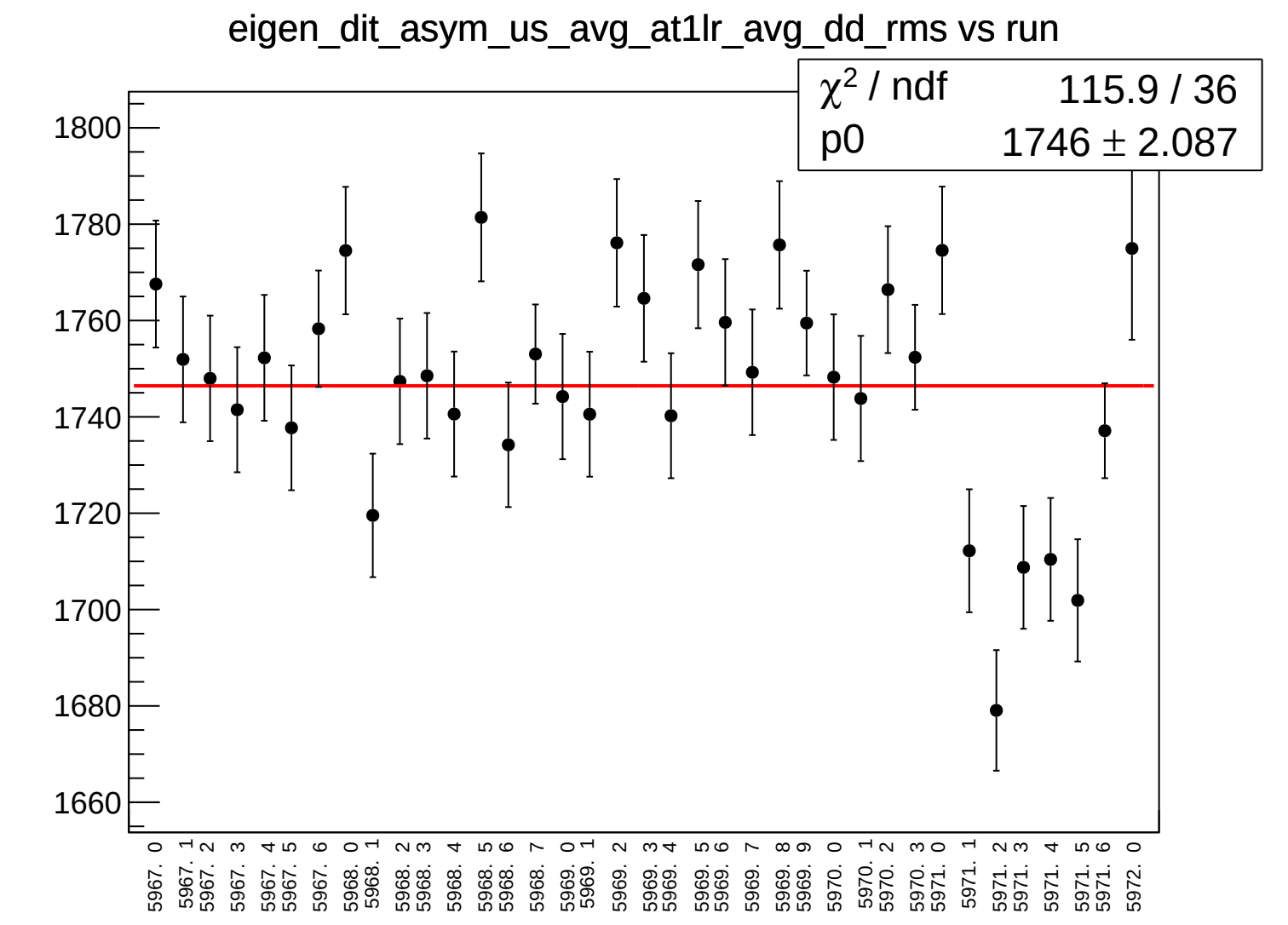
eigen_dit_asym_us_avg_at1lr_avg_dd_rms vs run
χ² / ndf 115.9 / 36
p0 1746 ± 2.087
1800
1780
1760
1740
1720
1700
1680
1660
5967. 0
5967. 1
5967. 2
5967. 3
5967. 4
5967. 5
5967. 6
5968. 0
5968. 1
5968. 2
5968. 3
5968. 4
5968. 5
5968. 6
5968. 7
5969. 0
5969. 1
5969. 2
5969. 3
5969. 4
5969. 5
5969. 6
5969. 7
5969. 8
5969. 9
5970. 0
5970. 1
5970. 2
5970. 3
5971. 0
5971. 1
5971. 2
5971. 3
5971. 4
5971. 5
5971. 6
5972. 0

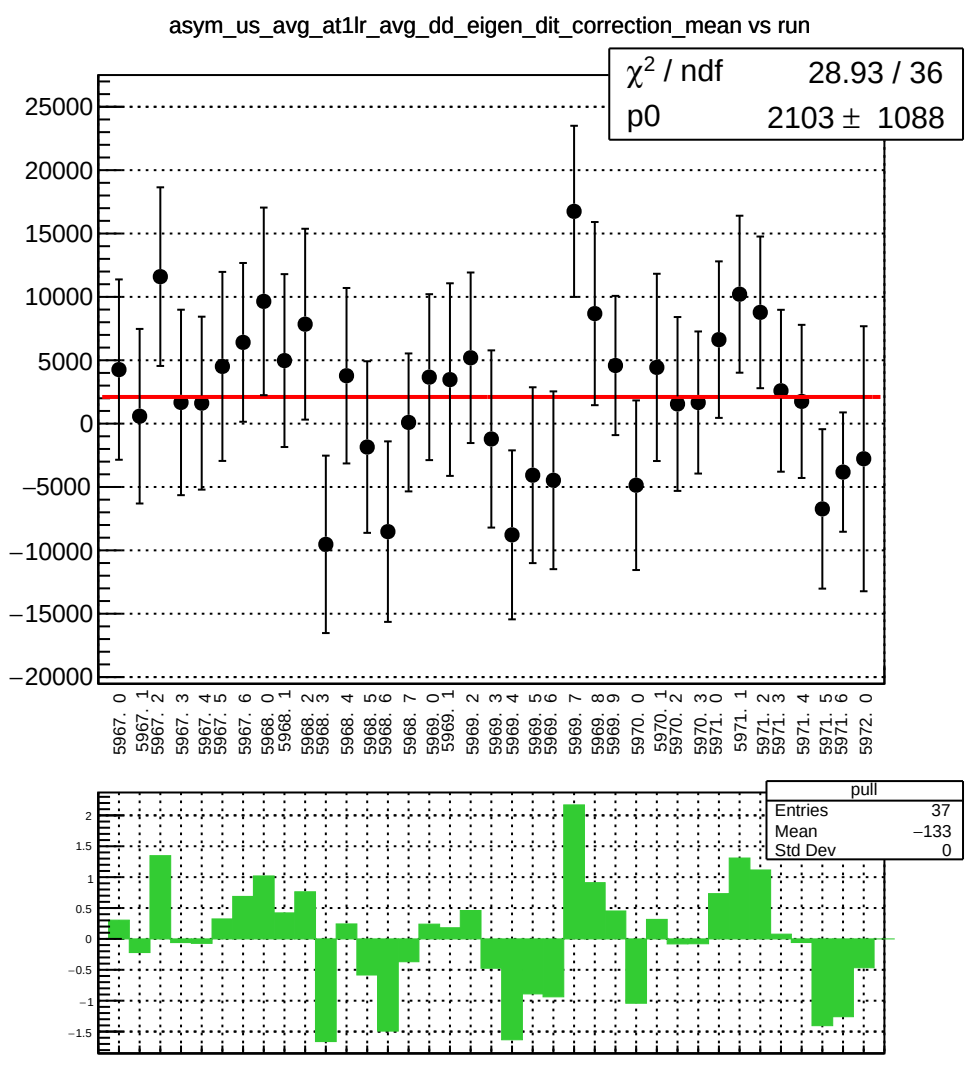
asym_us_avg_at1lr_avg_dd_eigen_dit_correction_mean vs run
χ² / ndf 28.93 / 36
p0 2103 ± 1088
pull
Entries 37
Mean −133
Std Dev 0

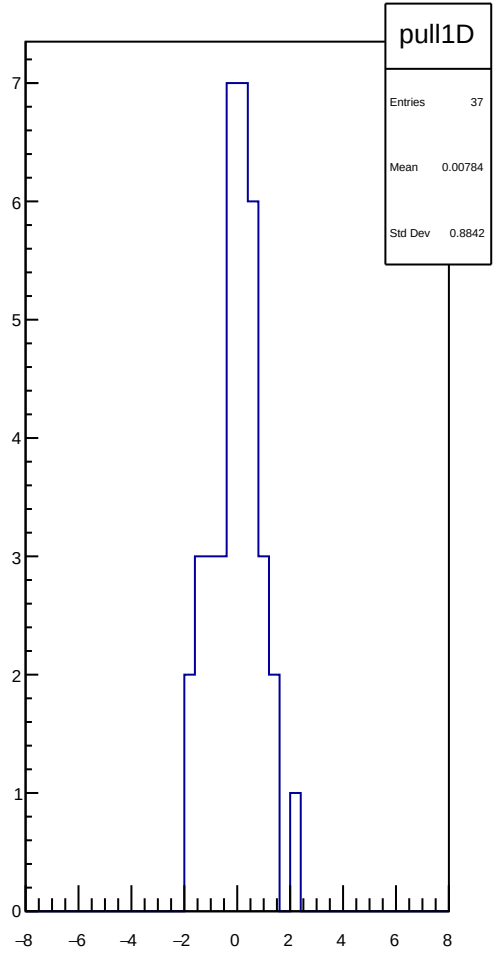
pull1D
Entries 37
Mean 0.00784
Std Dev 0.8842

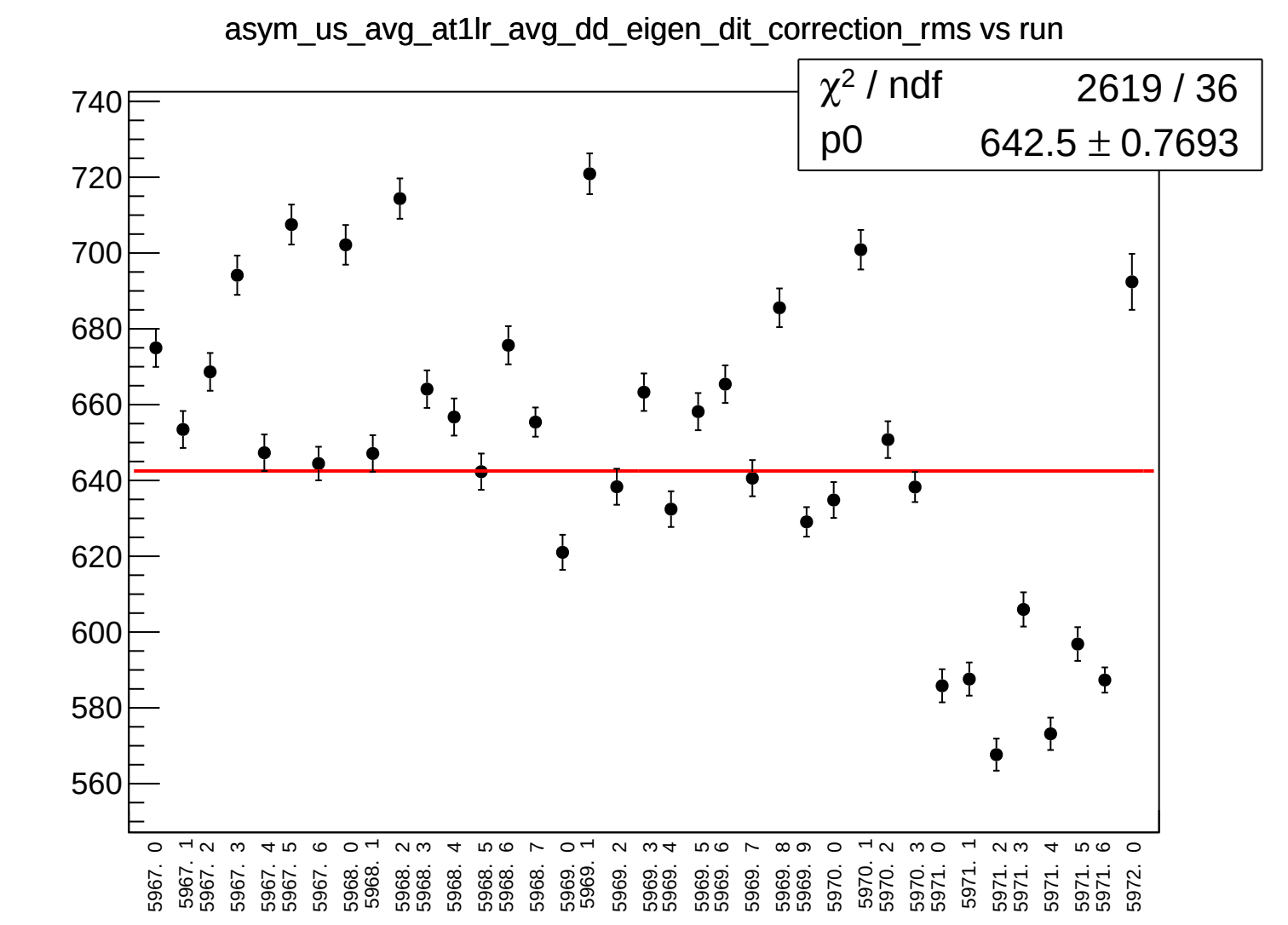
asym_us_avg_at1lr_avg_dd_eigen_dit_correction_rms vs run
χ² / ndf 2619 / 36
p0 642.5 ± 0.7693
740
720
700
680
660
640
620
600
580
560
5967. 0
5967. 1
5967. 2
5967. 3
5967. 4
5967. 5
5967. 6
5968. 0
5968. 1
5968. 2
5968. 3
5968. 4
5968. 5
5968. 6
5968. 7
5969. 0
5969. 1
5969. 2
5969. 3
5969. 4
5969. 5
5969. 6
5969. 7
5969. 8
5969. 9
5970. 0
5970. 1
5970. 2
5970. 3
5971. 0
5971. 1
5971. 2
5971. 3
5971. 4
5971. 5
5971. 6
5972. 0

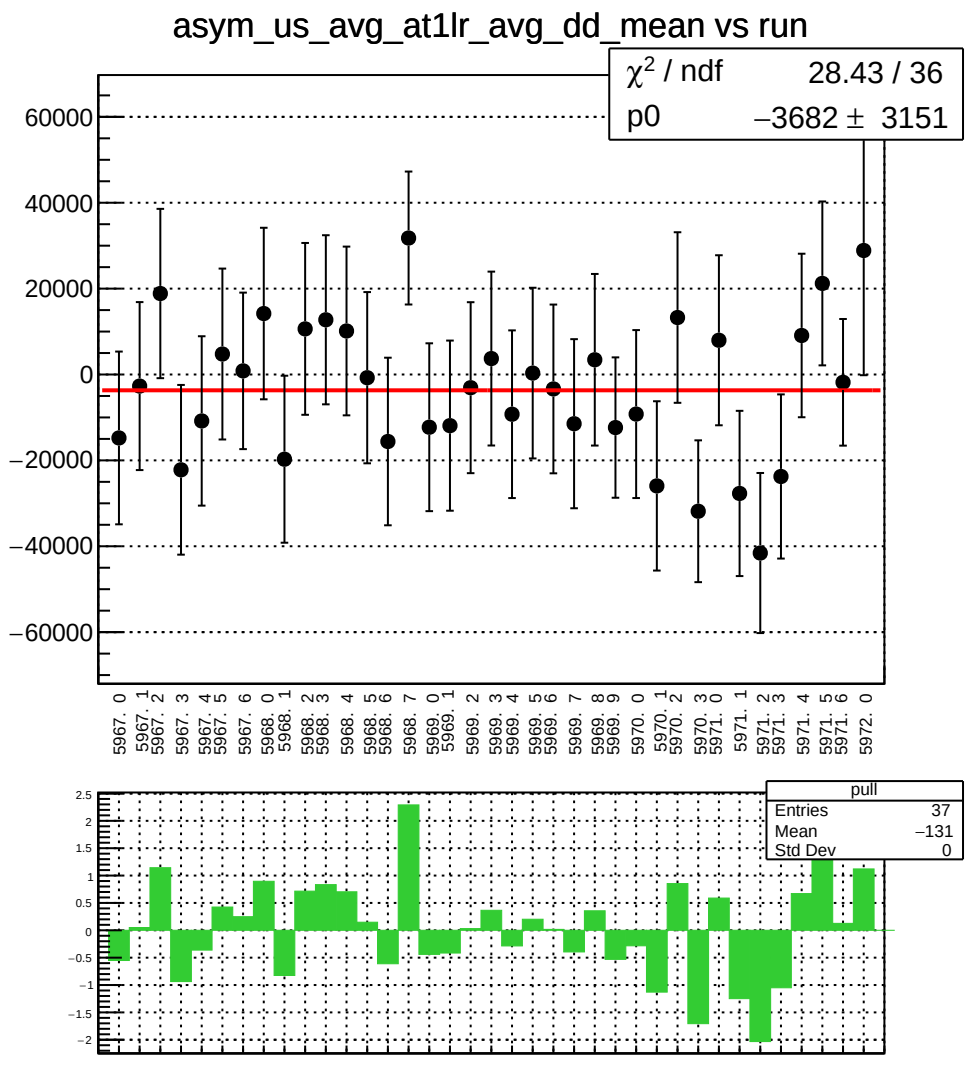
asym_us_avg_at1lr_avg_dd_mean vs run
χ² / ndf 28.43 / 36
p0 −3682 ± 3151
60000
40000
20000
0
−20000
−40000
−60000
5967. 0
5967. 1
5967. 2
5967. 3
5967. 4
5967. 5
5967. 6
5968. 0
5968. 1
5968. 2
5968. 3
5968. 4
5968. 5
5968. 6
5968. 7
5969. 0
5969. 1
5969. 2
5969. 3
5969. 4
5969. 5
5969. 6
5969. 7
5969. 8
5969. 9
5970. 0
5970. 1
5970. 2
5970. 3
5971. 0
5971. 1
5971. 2
5971. 3
5971. 4
5971. 5
5971. 6
5972. 0
pull
Entries 37
Mean −131
Std Dev 0
2.5
2
1.5
1
0.5
0
−0.5
−1
−1.5
−2
pull1D
Entries 37
Mean 0.007719
Std Dev 0.8766
9
8
7
6
5
4
3
2
1
0
−8
−6
−4
−2
0
2
4
6
8

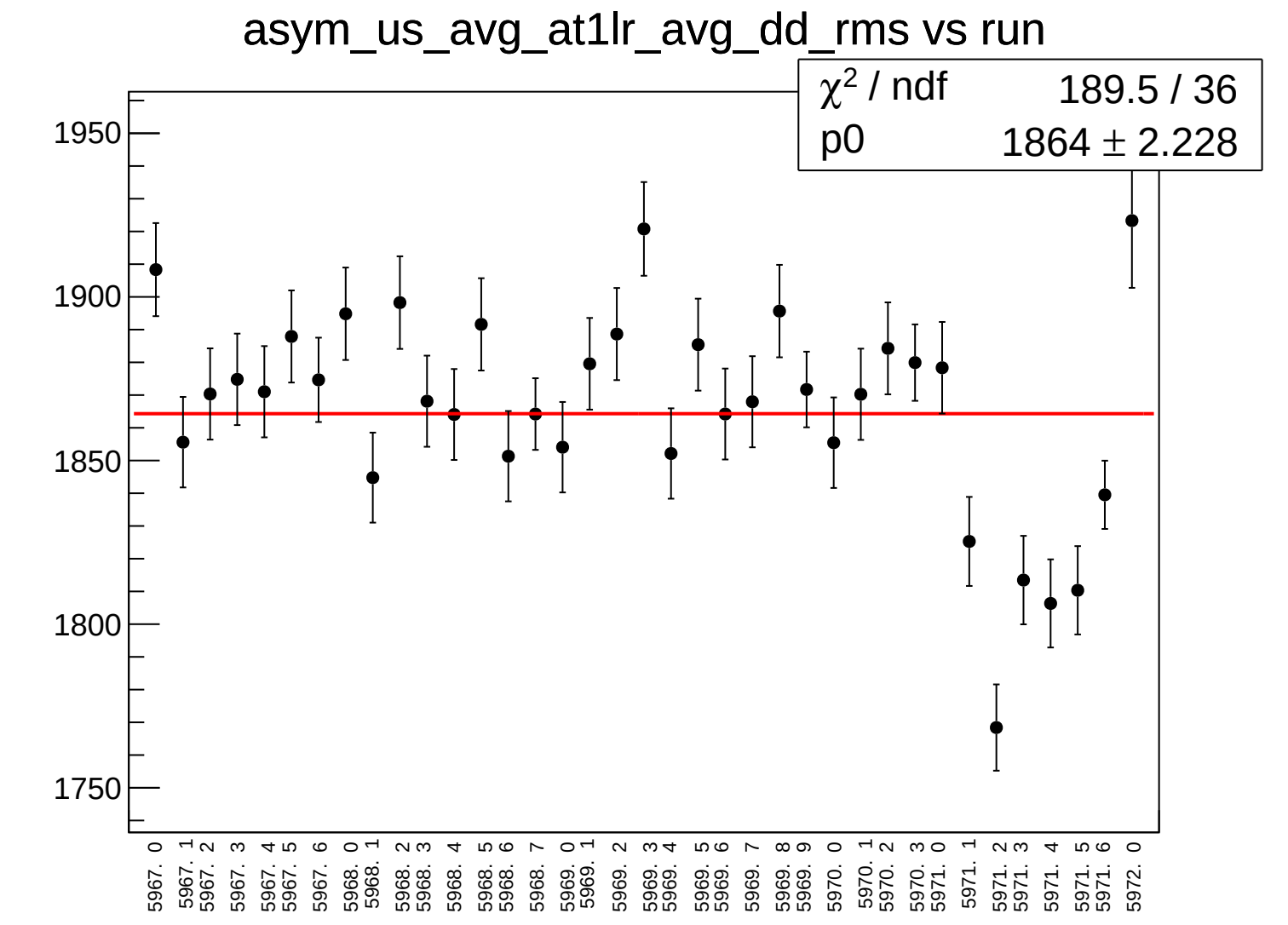
asym_us_avg_at1lr_avg_dd_rms vs run
χ² / ndf 189.5 / 36
p0 1864 ± 2.228
1950
1900
1850
1800
1750
5967. 0
5967. 1
5967. 2
5967. 3
5967. 4
5967. 5
5967. 6
5968. 0
5968. 1
5968. 2
5968. 3
5968. 4
5968. 5
5968. 6
5968. 7
5969. 0
5969. 1
5969. 2
5969. 3
5969. 4
5969. 5
5969. 6
5969. 7
5969. 8
5969. 9
5970. 0
5970. 1
5970. 2
5970. 3
5971. 0
5971. 1
5971. 2
5971. 3
5971. 4
5971. 5
5971. 6
5972. 0

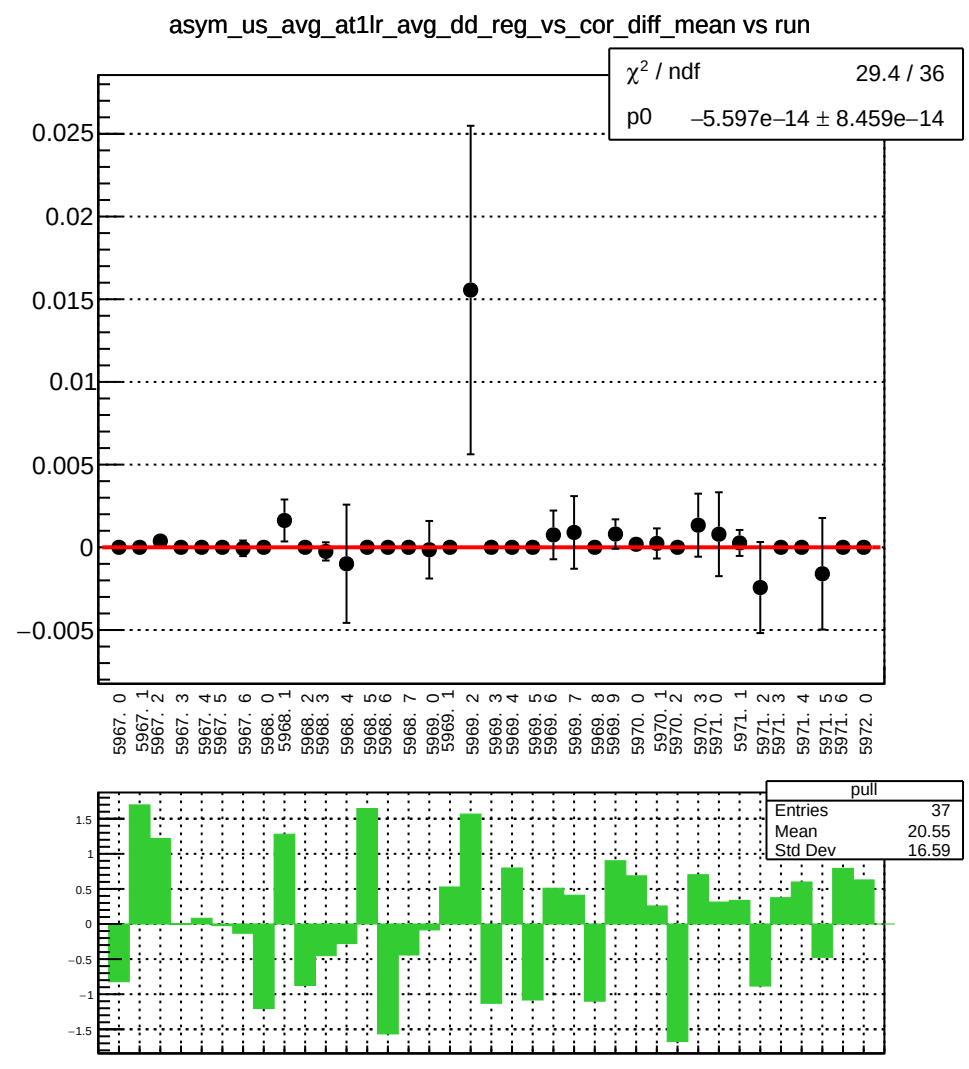
asym_us_avg_at1lr_avg_dd_reg_vs_cor_diff_mean vs run
χ² / ndf 29.4 / 36
p0 −5.597e−14 ± 8.459e−14
0.025
0.02
0.015
0.01
0.005
0
−0.005
5967. 0
5967. 1
5967. 2
5967. 3
5967. 4
5967. 5
5967. 6
5968. 0
5968. 1
5968. 2
5968. 3
5968. 4
5968. 5
5968. 6
5968. 7
5969. 0
5969. 1
5969. 2
5969. 3
5969. 4
5969. 5
5969. 6
5969. 7
5969. 8
5969. 9
5970. 0
5970. 1
5970. 2
5970. 3
5971. 0
5971. 1
5971. 2
5971. 3
5971. 4
5971. 5
5971. 6
5972. 0
pull
Entries 37
Mean 20.55
Std Dev 16.59
1.5
1
0.5
0
−0.5
−1
−1.5

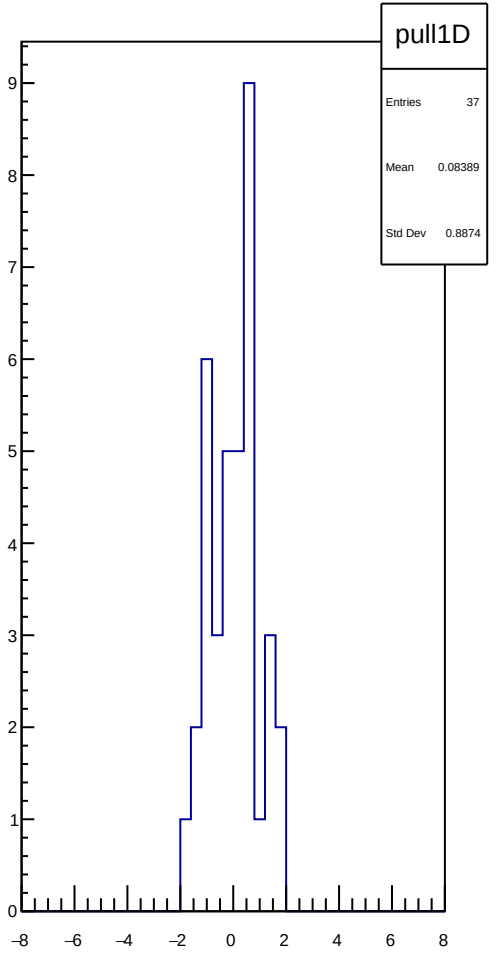
pull1D
Entries 37
Mean 0.08389
Std Dev 0.8874
9
8
7
6
5
4
3
2
1
0
−8
−6
−4
−2
0
2
4
6
8

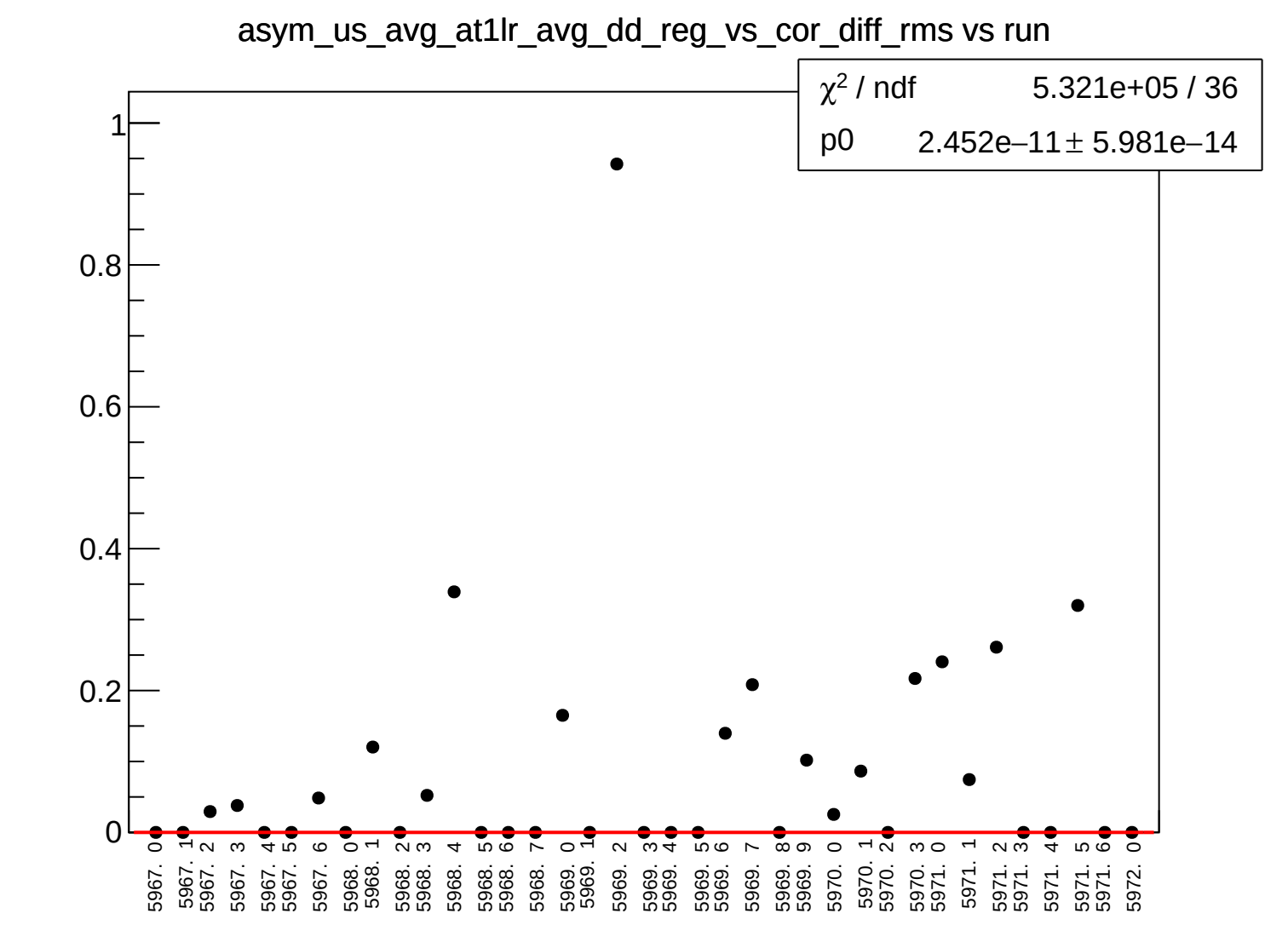
asym_us_avg_at1lr_avg_dd_reg_vs_cor_diff_rms vs run
χ² / ndf 5.321e+05 / 36
p0 2.452e−11 ± 5.981e−14
1
0.8
0.6
0.4
0.2
0
5967. 0
5967. 1
5967. 2
5967. 3
5967. 4
5967. 5
5967. 6
5968. 0
5968. 1
5968. 2
5968. 3
5968. 4
5968. 5
5968. 6
5968. 7
5969. 0
5969. 1
5969. 2
5969. 3
5969. 4
5969. 5
5969. 6
5969. 7
5969. 8
5969. 9
5970. 0
5970. 1
5970. 2
5970. 3
5971. 0
5971. 1
5971. 2
5971. 3
5971. 4
5971. 5
5971. 6
5972. 0

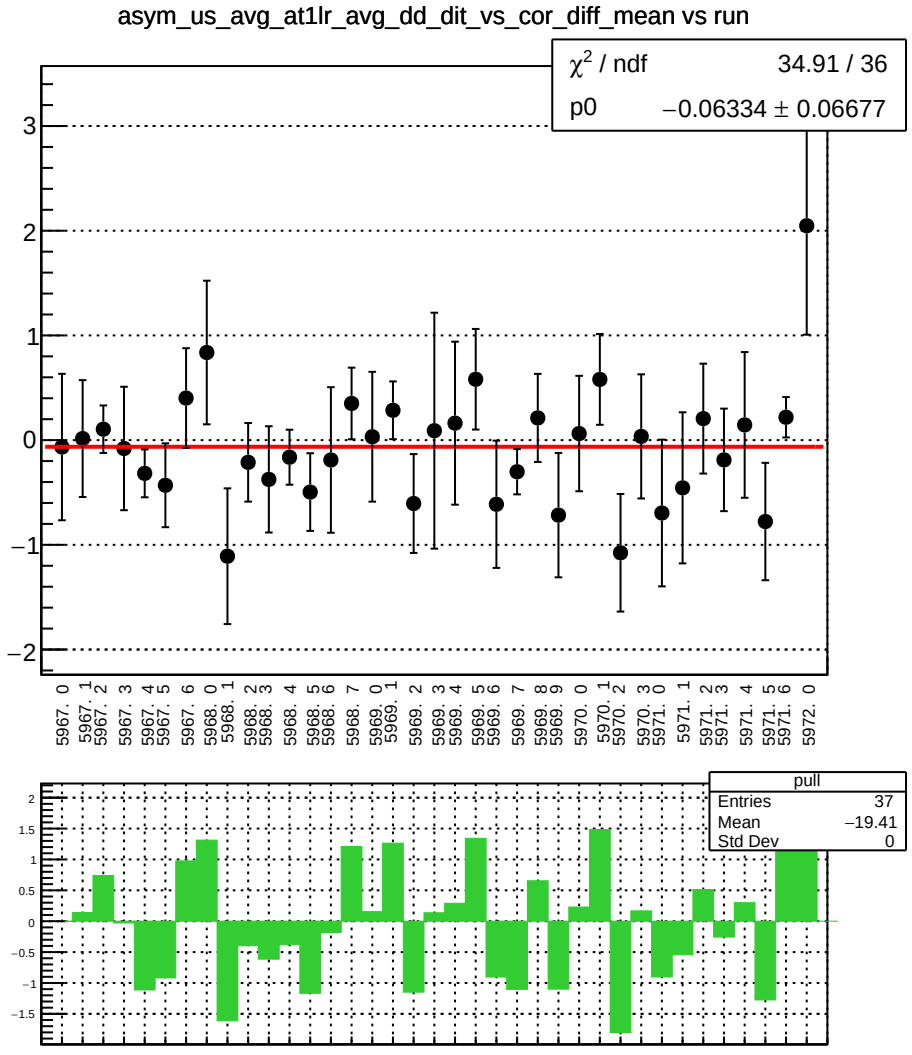
asym_us_avg_at1lr_avg_dd_dit_vs_cor_diff_mean vs run
χ² / ndf 34.91 / 36
p0 −0.06334 ± 0.06677
pull
Entries 37
Mean −19.41
Std Dev 0

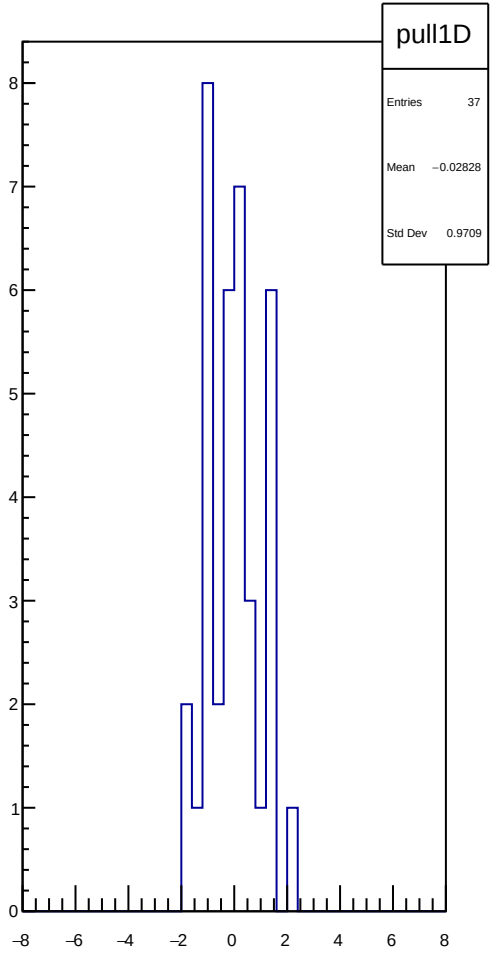
pull1D
Entries 37
Mean −0.02828
Std Dev 0.9709

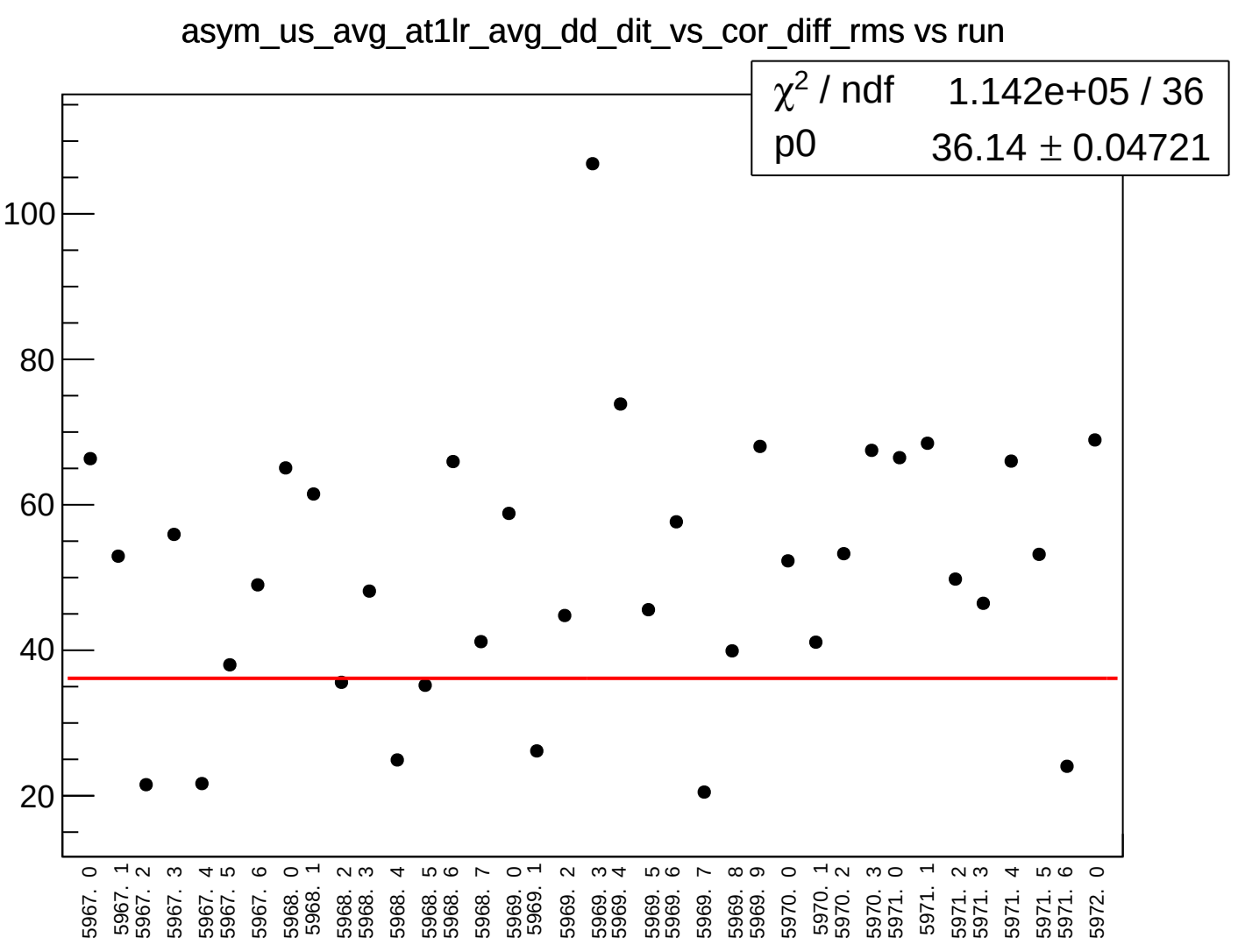
asym_us_avg_at1lr_avg_dd_dit_vs_cor_diff_rms vs run
χ² / ndf 1.142e+05 / 36
p0 36.14 ± 0.04721
100
80
60
40
20
5967. 0
5967. 1
5967. 2
5967. 3
5967. 4
5967. 5
5967. 6
5968. 0
5968. 1
5968. 2
5968. 3
5968. 4
5968. 5
5968. 6
5968. 7
5969. 0
5969. 1
5969. 2
5969. 3
5969. 4
5969. 5
5969. 6
5969. 7
5969. 8
5969. 9
5970. 0
5970. 1
5970. 2
5970. 3
5971. 0
5971. 1
5971. 2
5971. 3
5971. 4
5971. 5
5971. 6
5972. 0

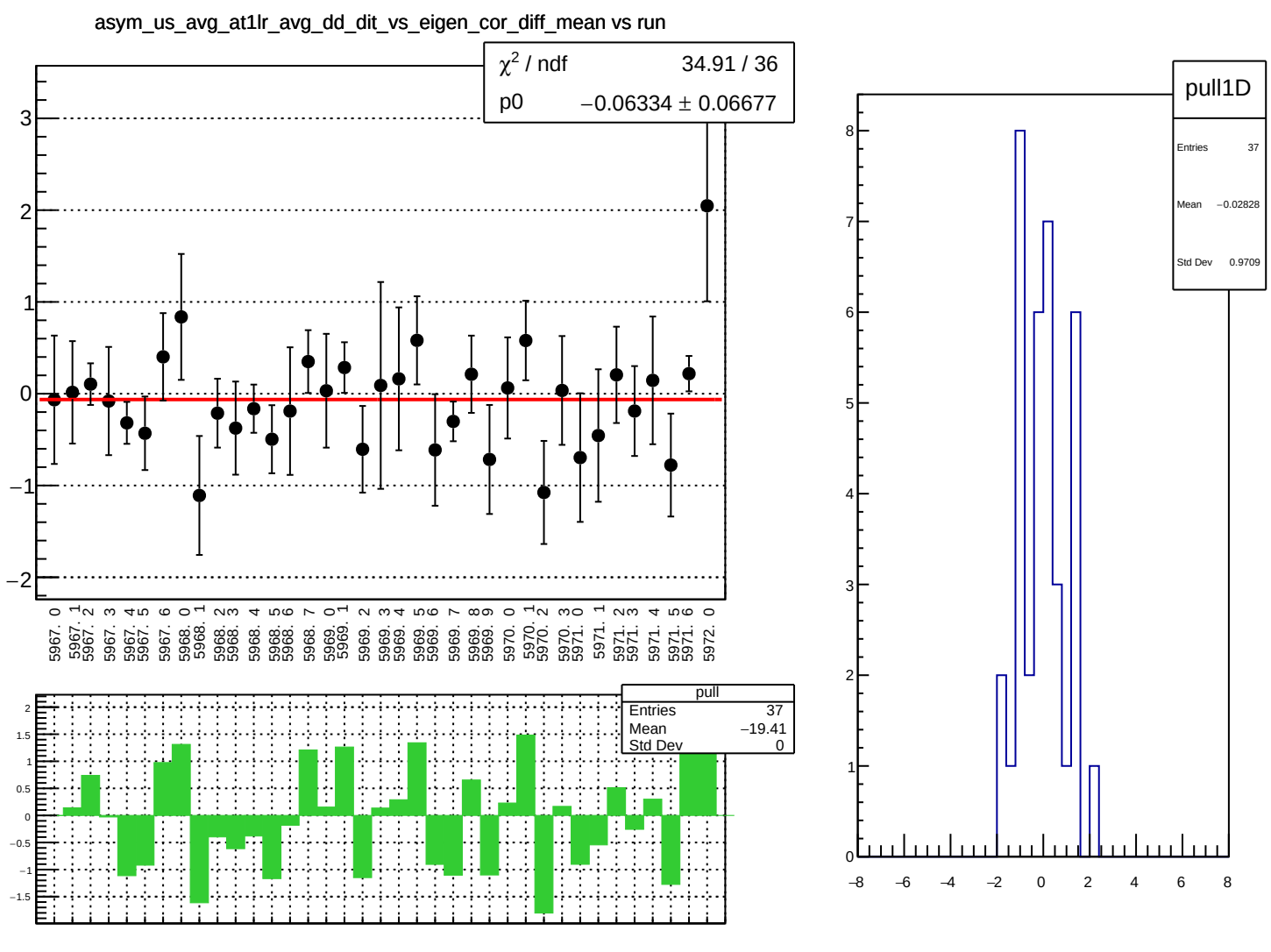
asym_us_avg_at1lr_avg_dd_dit_vs_eigen_cor_diff_mean vs run
χ² / ndf 34.91 / 36
p0 −0.06334 ± 0.06677
pull
Entries 37
Mean −19.41
Std Dev 0
pull1D
Entries 37
Mean −0.02828
Std Dev 0.9709

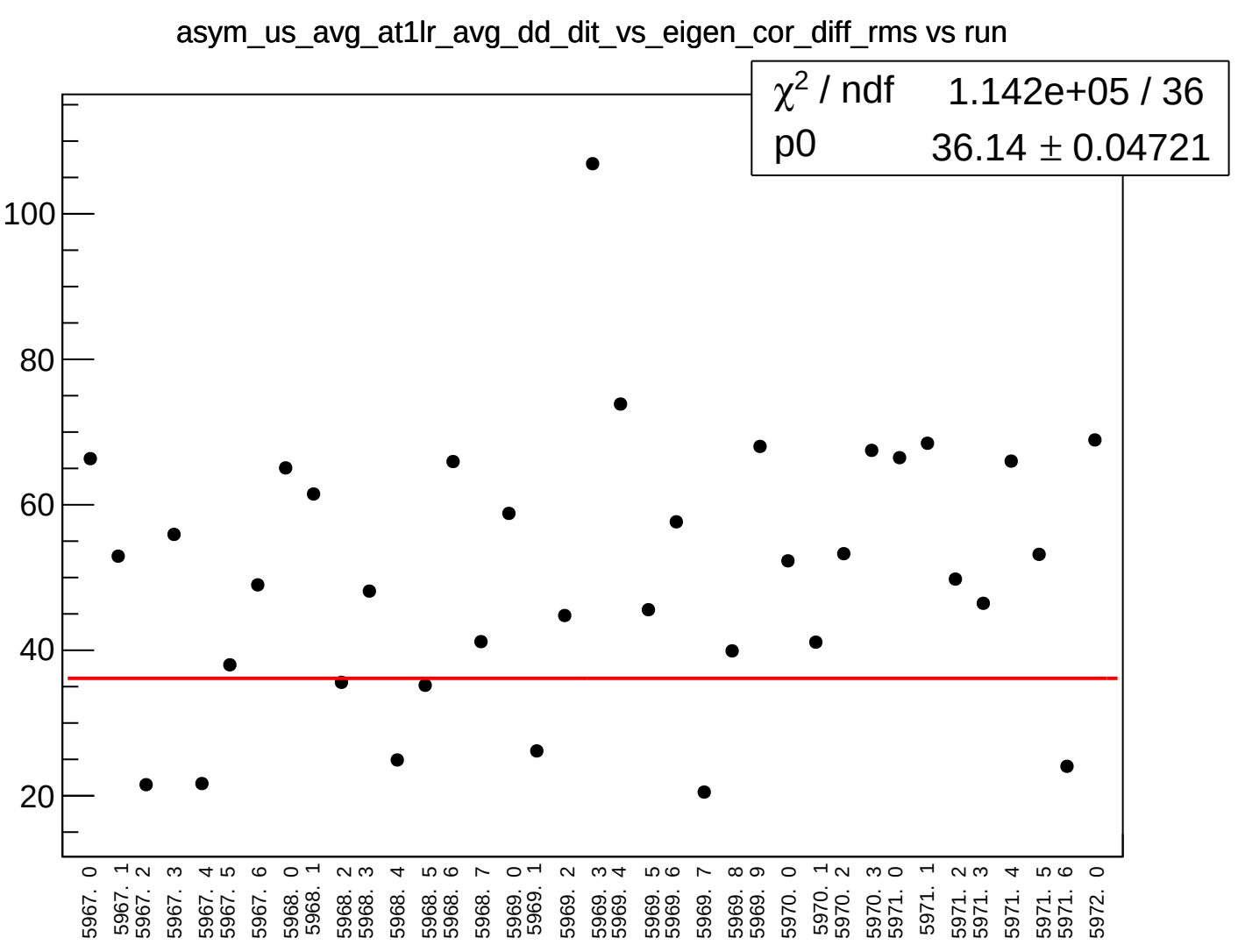
asym_us_avg_at1lr_avg_dd_dit_vs_eigen_cor_diff_rms vs run
χ² / ndf 1.142e+05 / 36
p0 36.14 ± 0.04721
100
80
60
40
20
5967. 0
5967. 1
5967. 2
5967. 3
5967. 4
5967. 5
5967. 6
5968. 0
5968. 1
5968. 2
5968. 3
5968. 4
5968. 5
5968. 6
5968. 7
5969. 0
5969. 1
5969. 2
5969. 3
5969. 4
5969. 5
5969. 6
5969. 7
5969. 8
5969. 9
5970. 0
5970. 1
5970. 2
5970. 3
5971. 0
5971. 1
5971. 2
5971. 3
5971. 4
5971. 5
5971. 6
5972. 0

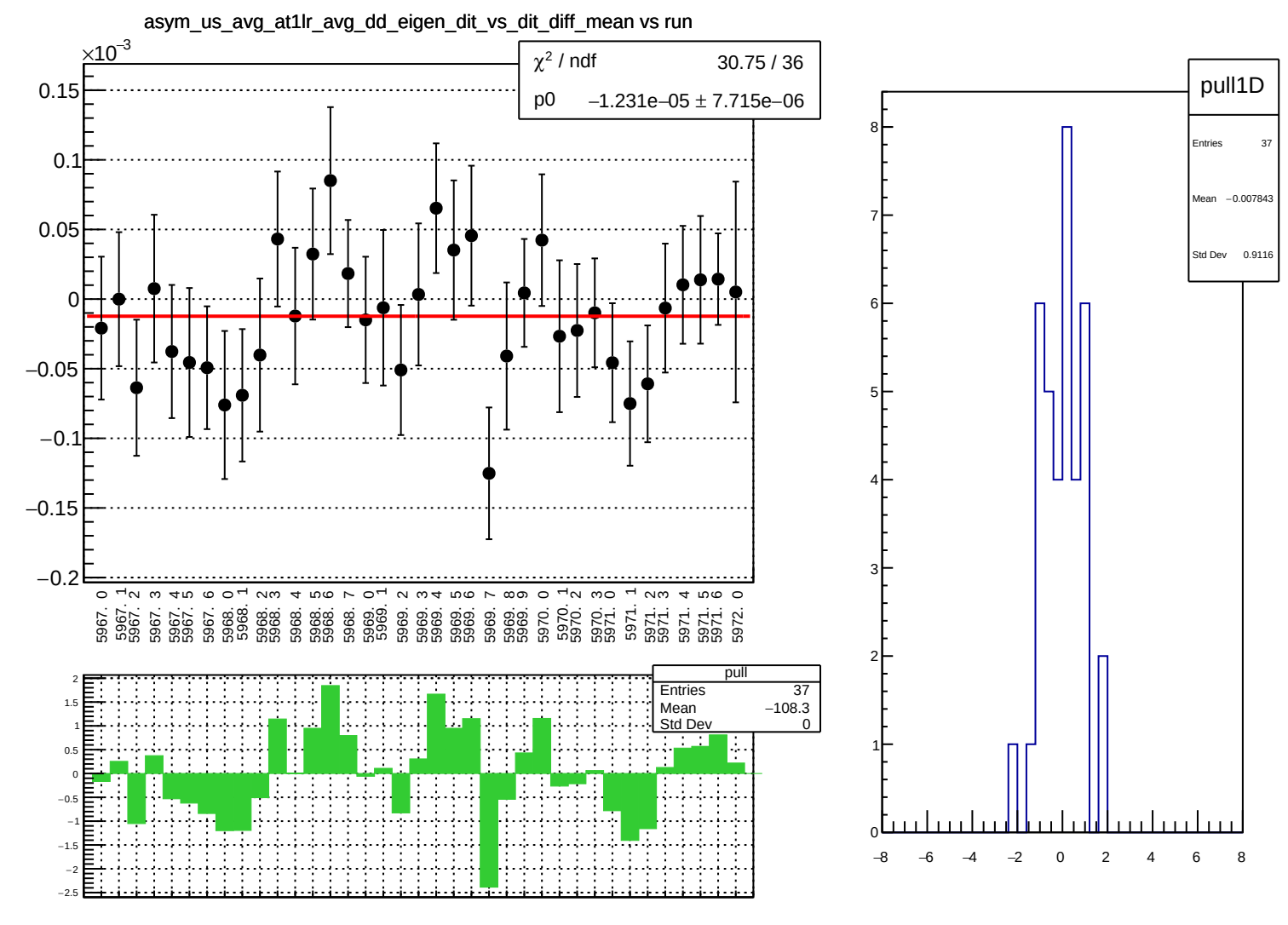
asym_us_avg_at1lr_avg_dd_eigen_dit_vs_dit_diff_mean vs run
×10⁻³
χ² / ndf 30.75 / 36
p0 −1.231e−05 ± 7.715e−06
pull
Entries 37
Mean −108.3
Std Dev 0
pull1D
Entries 37
Mean −0.007843
Std Dev 0.9116

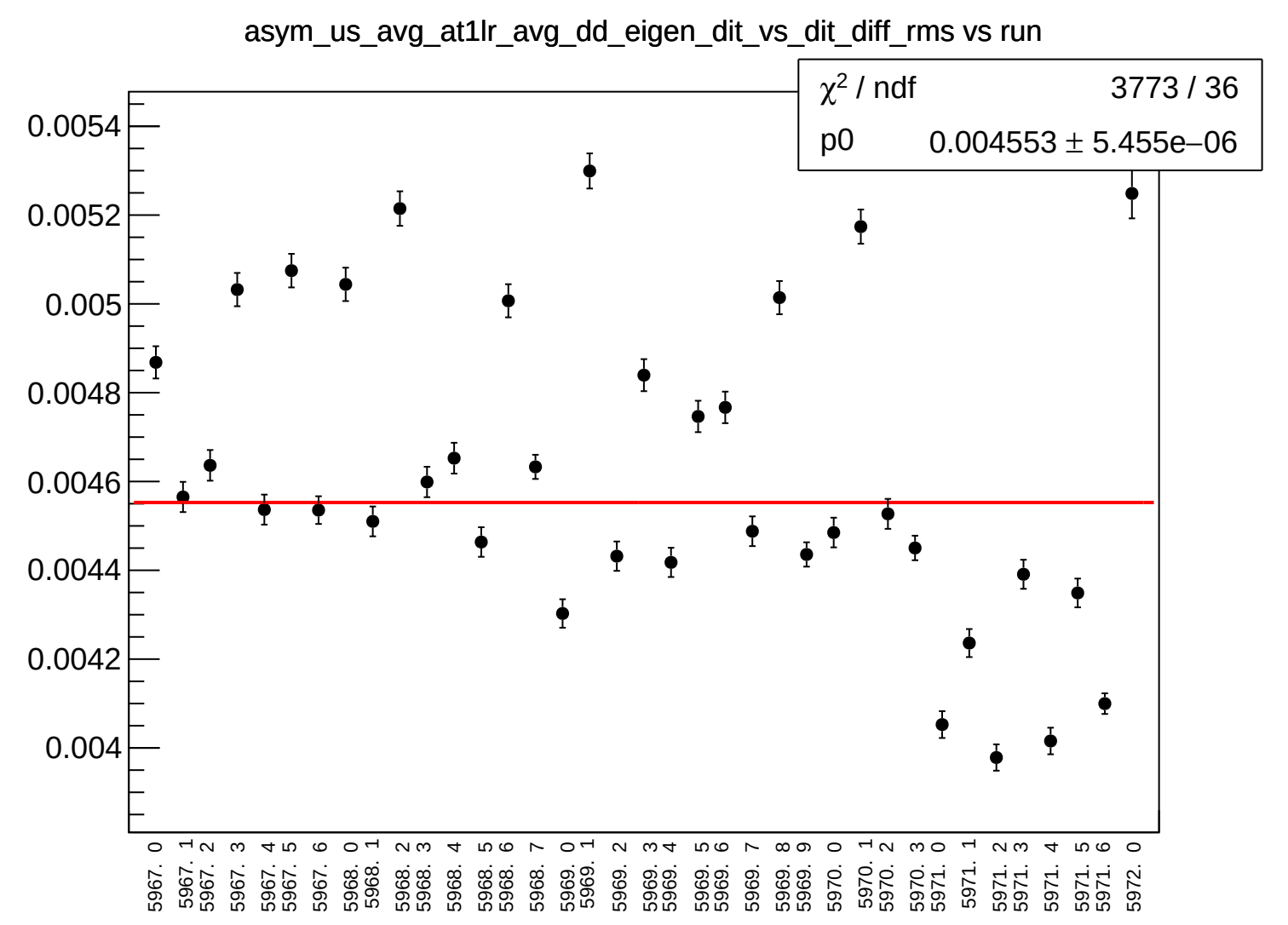
asym_us_avg_at1lr_avg_dd_eigen_dit_vs_dit_diff_rms vs run
χ² / ndf 3773 / 36
p0 0.004553 ± 5.455e−06
0.0054
0.0052
0.005
0.0048
0.0046
0.0044
0.0042
0.004
5967. 0
5967. 1
5967. 2
5967. 3
5967. 4
5967. 5
5967. 6
5968. 0
5968. 1
5968. 2
5968. 3
5968. 4
5968. 5
5968. 6
5968. 7
5969. 0
5969. 1
5969. 2
5969. 3
5969. 4
5969. 5
5969. 6
5969. 7
5969. 8
5969. 9
5970. 0
5970. 1
5970. 2
5970. 3
5971. 0
5971. 1
5971. 2
5971. 3
5971. 4
5971. 5
5971. 6
5972. 0

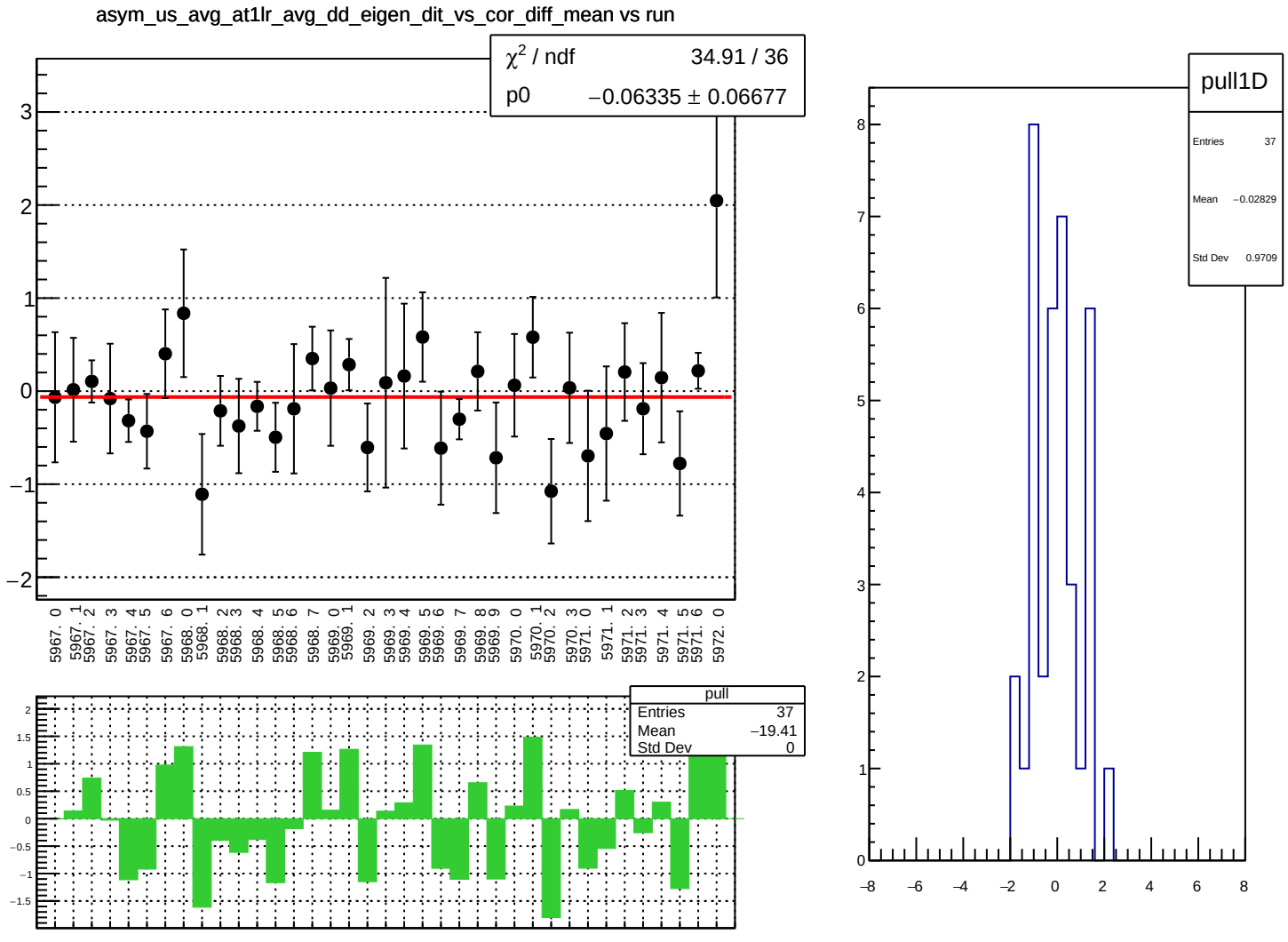
asym_us_avg_at1lr_avg_dd_eigen_dit_vs_cor_diff_mean vs run
χ² / ndf 34.91 / 36
p0 −0.06335 ± 0.06677
pull
Entries 37
Mean −19.41
Std Dev 0
pull1D
Entries 37
Mean −0.02829
Std Dev 0.9709

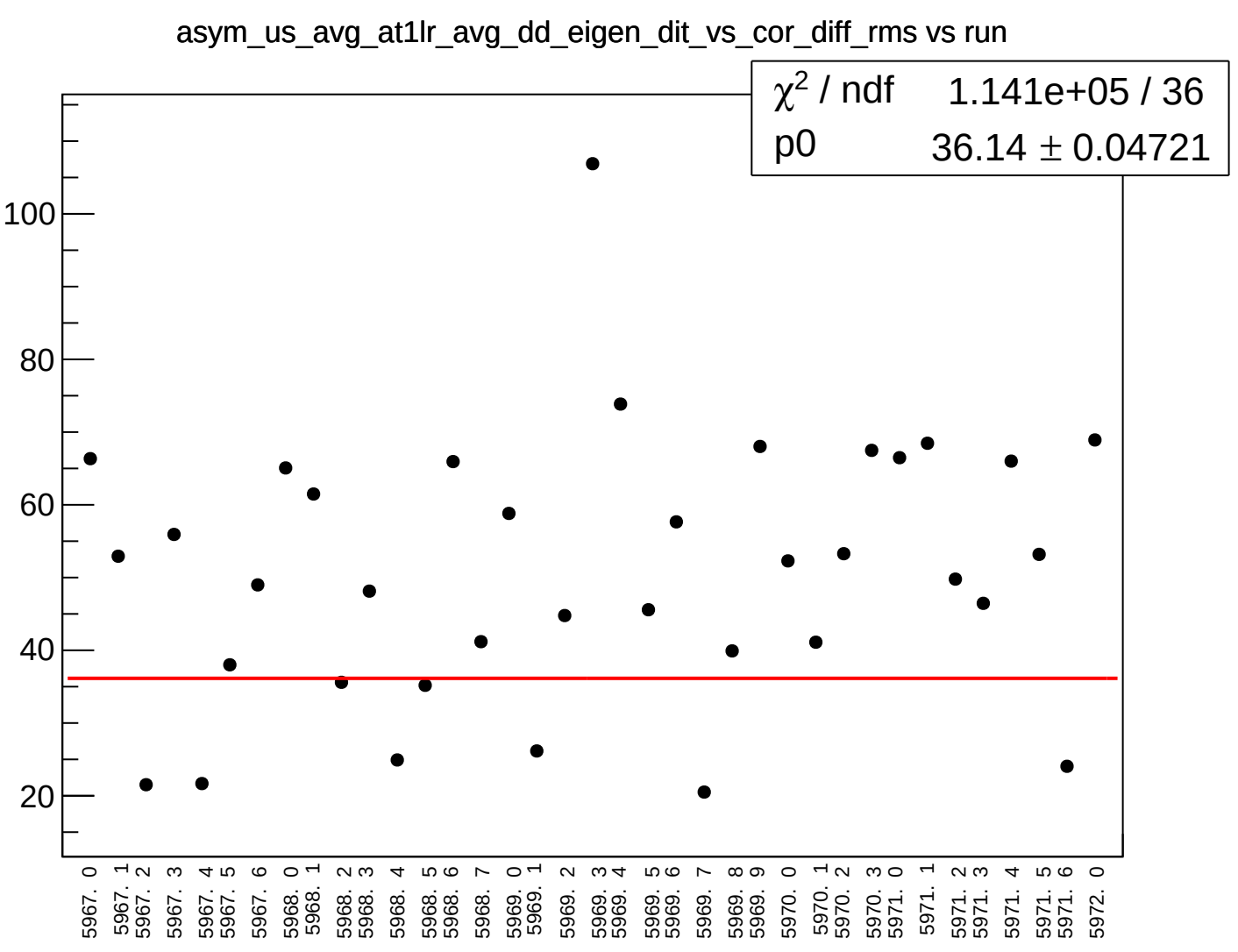
asym_us_avg_at1lr_avg_dd_eigen_dit_vs_cor_diff_rms vs run
χ² / ndf 1.141e+05 / 36
p0 36.14 ± 0.04721
100
80
60
40
20
5967. 0
5967. 1
5967. 2
5967. 3
5967. 4
5967. 5
5967. 6
5968. 0
5968. 1
5968. 2
5968. 3
5968. 4
5968. 5
5968. 6
5968. 7
5969. 0
5969. 1
5969. 2
5969. 3
5969. 4
5969. 5
5969. 6
5969. 7
5969. 8
5969. 9
5970. 0
5970. 1
5970. 2
5970. 3
5971. 0
5971. 1
5971. 2
5971. 3
5971. 4
5971. 5
5971. 6
5972. 0

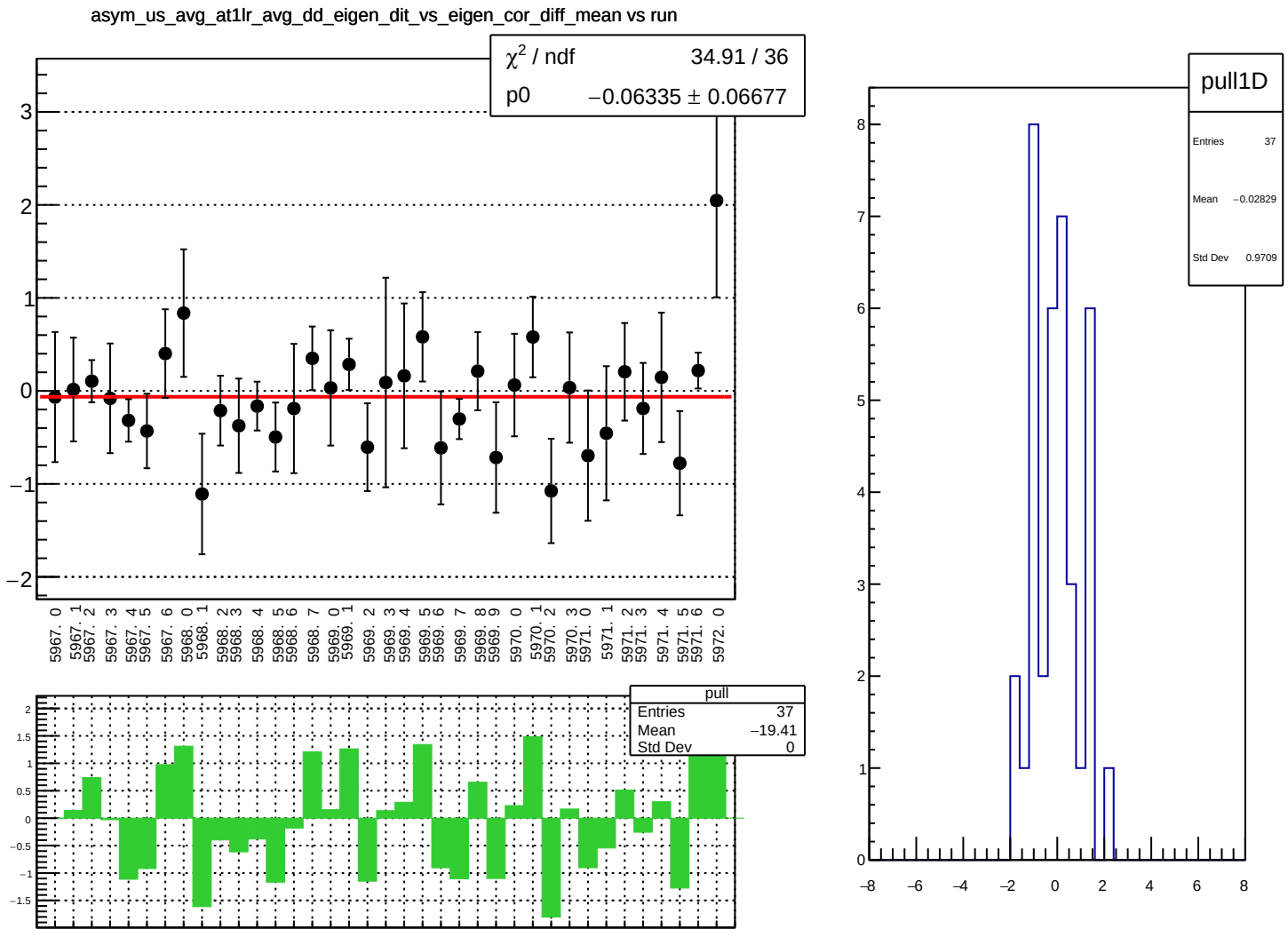
asym_us_avg_at1lr_avg_dd_eigen_dit_vs_eigen_cor_diff_mean vs run
χ² / ndf 34.91 / 36
p0 −0.06335 ± 0.06677
pull
Entries 37
Mean −19.41
Std Dev 0
pull1D
Entries 37
Mean −0.02829
Std Dev 0.9709

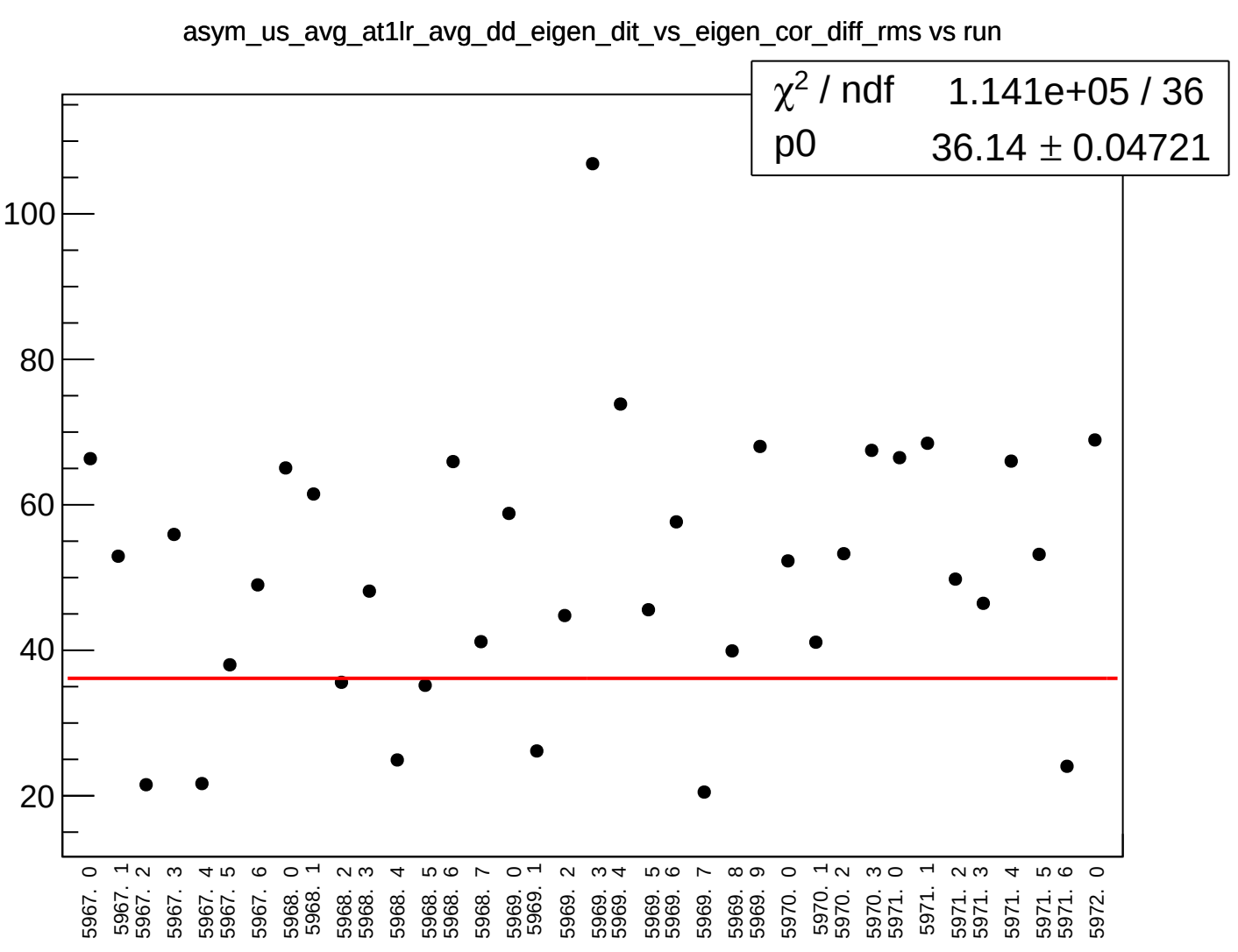
asym_us_avg_at1lr_avg_dd_eigen_dit_vs_eigen_cor_diff_rms vs run
χ2 / ndf 1.141e+05 / 36
p0 36.14 ± 0.04721
100
80
60
40
20
5967. 0
5967. 1
5967. 2
5967. 3
5967. 4
5967. 5
5967. 6
5968. 0
5968. 1
5968. 2
5968. 3
5968. 4
5968. 5
5968. 6
5968. 7
5969. 0
5969. 1
5969. 2
5969. 3
5969. 4
5969. 5
5969. 6
5969. 7
5969. 8
5969. 9
5970. 0
5970. 1
5970. 2
5970. 3
5971. 0
5971. 1
5971. 2
5971. 3
5971. 4
5971. 5
5971. 6
5972. 0

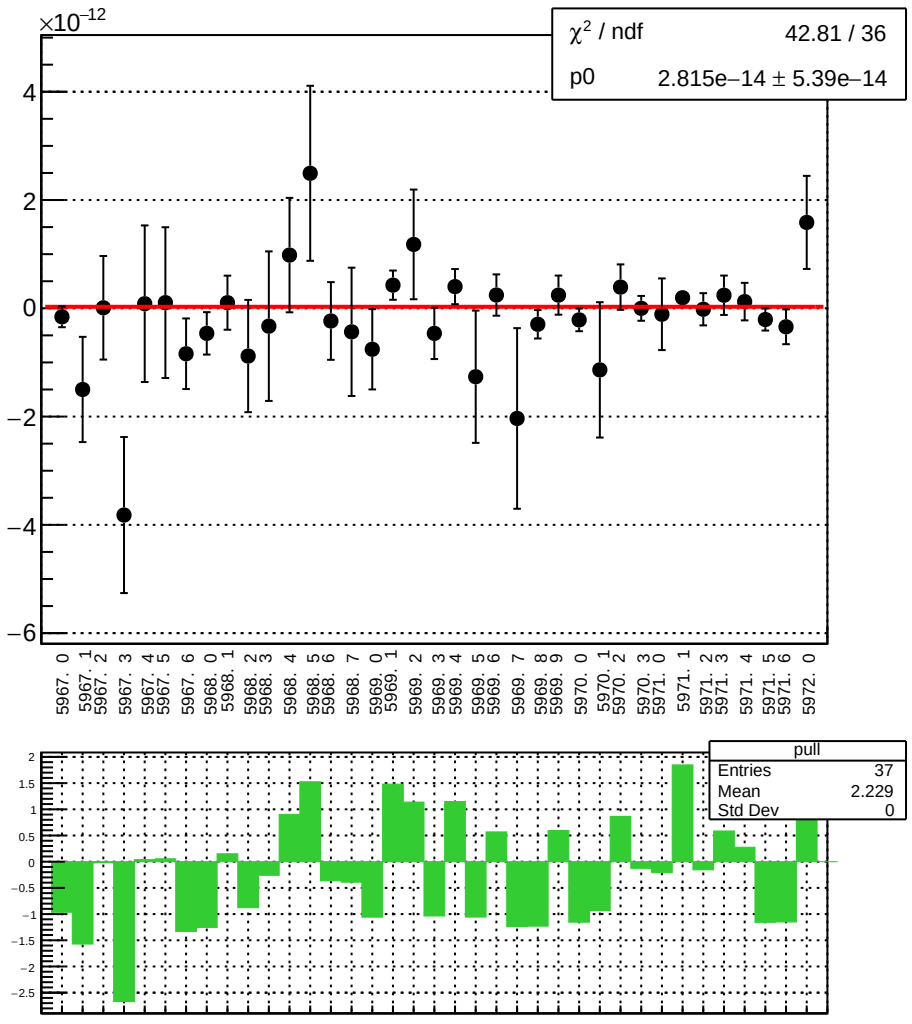
asym_us_avg_at1lr_avg_dd_eigen_cor_vs_cor_diff_mean vs run
×10⁻¹²
χ² / ndf 42.81 / 36
p0 2.815e−14 ± 5.39e−14
pull
Entries 37
Mean 2.229
Std Dev 0

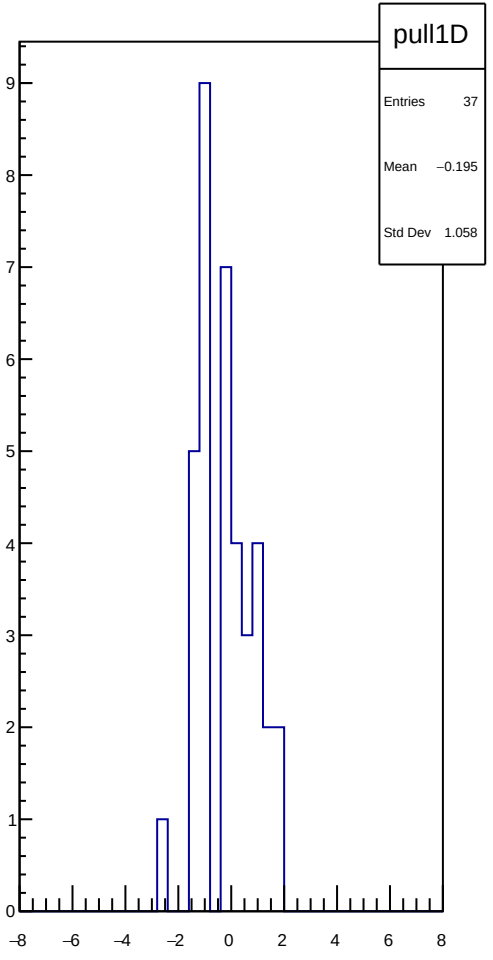
pull1D
Entries 37
Mean −0.195
Std Dev 1.058

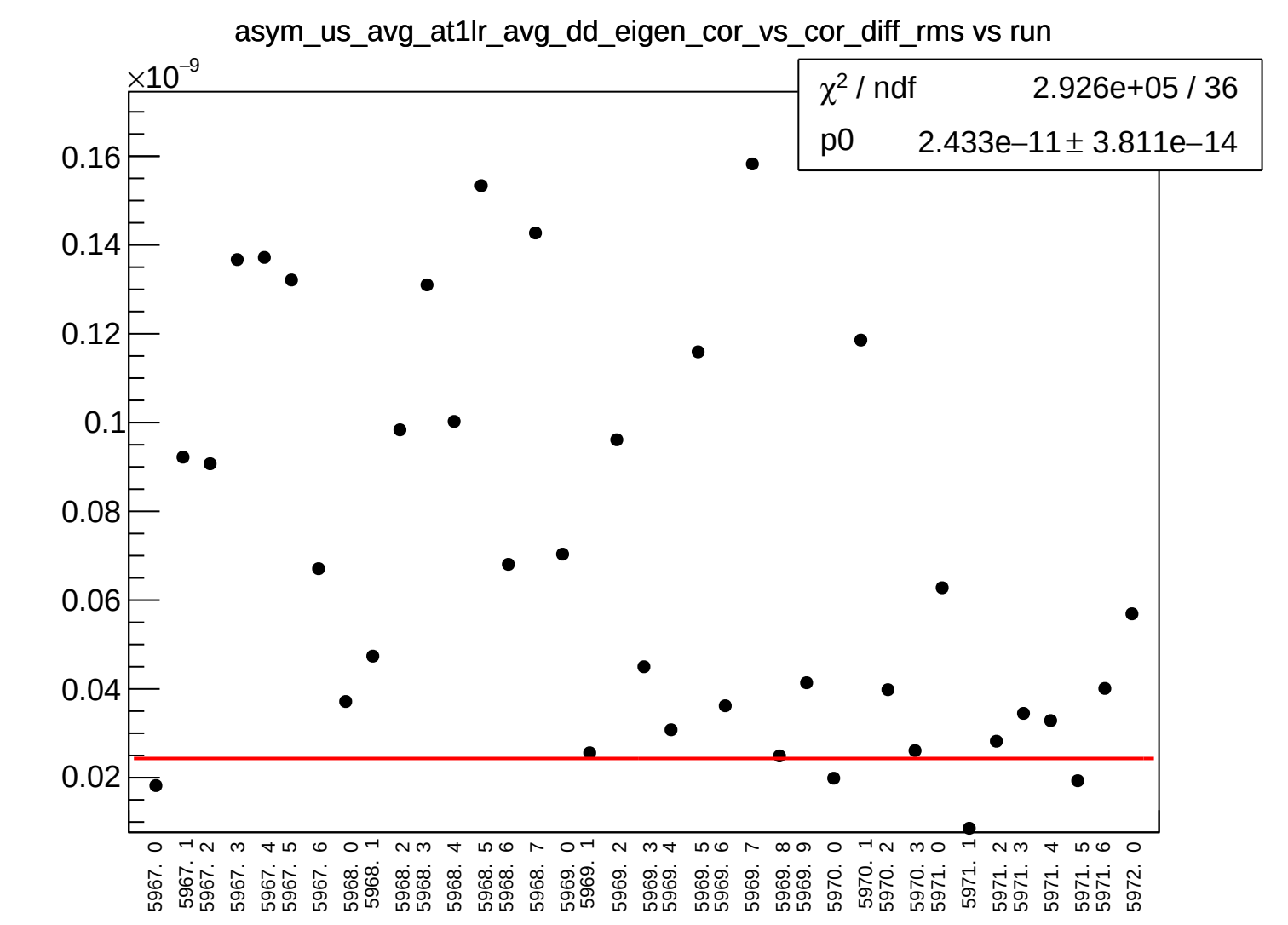
asym_us_avg_at1lr_avg_dd_eigen_cor_vs_cor_diff_rms vs run
×10⁻⁹
χ² / ndf 2.926e+05 / 36
p0 2.433e−11 ± 3.811e−14
0.16
0.14
0.12
0.1
0.08
0.06
0.04
0.02
5967. 0
5967. 1
5967. 2
5967. 3
5967. 4
5967. 5
5967. 6
5968. 0
5968. 1
5968. 2
5968. 3
5968. 4
5968. 5
5968. 6
5968. 7
5969. 0
5969. 1
5969. 2
5969. 3
5969. 4
5969. 5
5969. 6
5969. 7
5969. 8
5969. 9
5970. 0
5970. 1
5970. 2
5970. 3
5971. 0
5971. 1
5971. 2
5971. 3
5971. 4
5971. 5
5971. 6
5972. 0

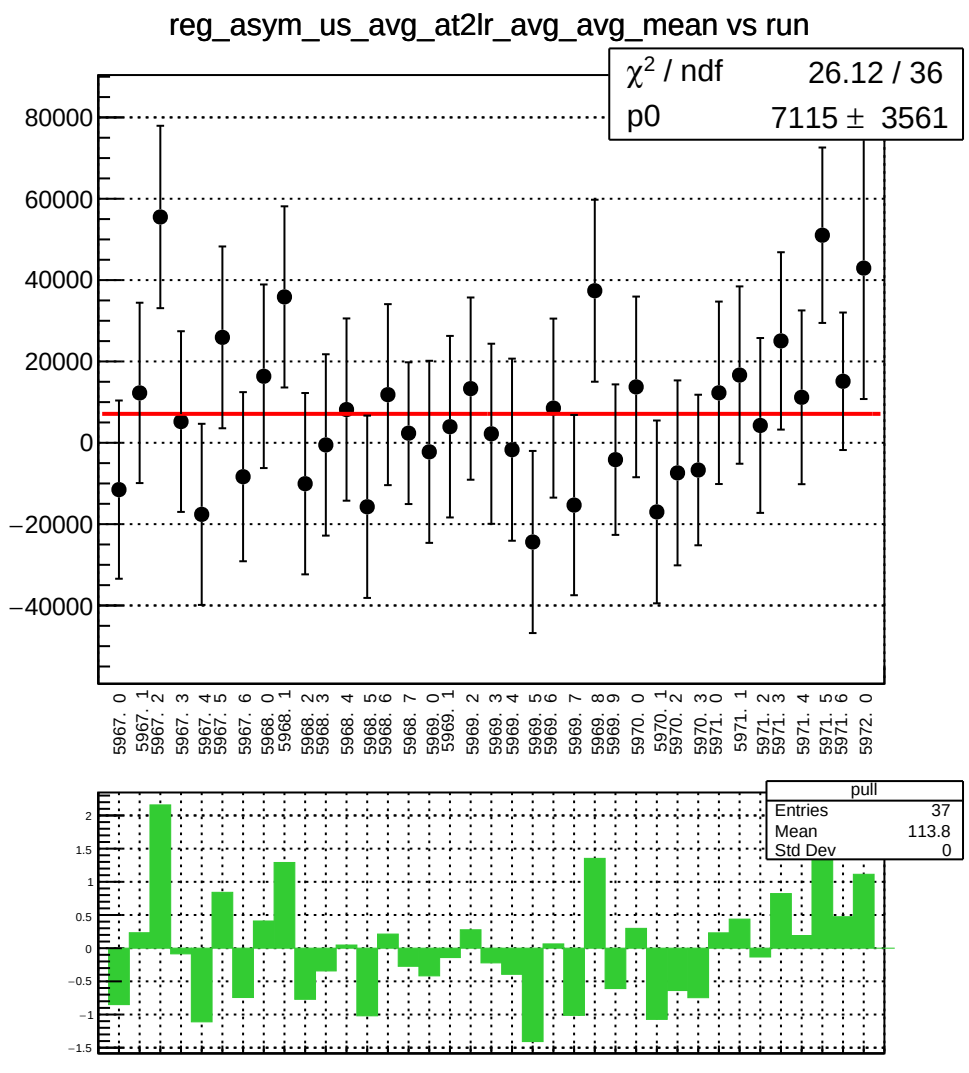
reg_asym_us_avg_at2lr_avg_avg_mean vs run
χ² / ndf 26.12 / 36
p0 7115 ± 3561
80000
60000
40000
20000
0
−20000
−40000
5967. 0
5967. 1
5967. 2
5967. 3
5967. 4
5967. 5
5967. 6
5968. 0
5968. 1
5968. 2
5968. 3
5968. 4
5968. 5
5968. 6
5968. 7
5969. 0
5969. 1
5969. 2
5969. 3
5969. 4
5969. 5
5969. 6
5969. 7
5969. 8
5969. 9
5970. 0
5970. 1
5970. 2
5970. 3
5971. 0
5971. 1
5971. 2
5971. 3
5971. 4
5971. 5
5971. 6
5972. 0
pull
Entries 37
Mean 113.8
Std Dev 0
2
1.5
1
0.5
0
−0.5
−1
−1.5

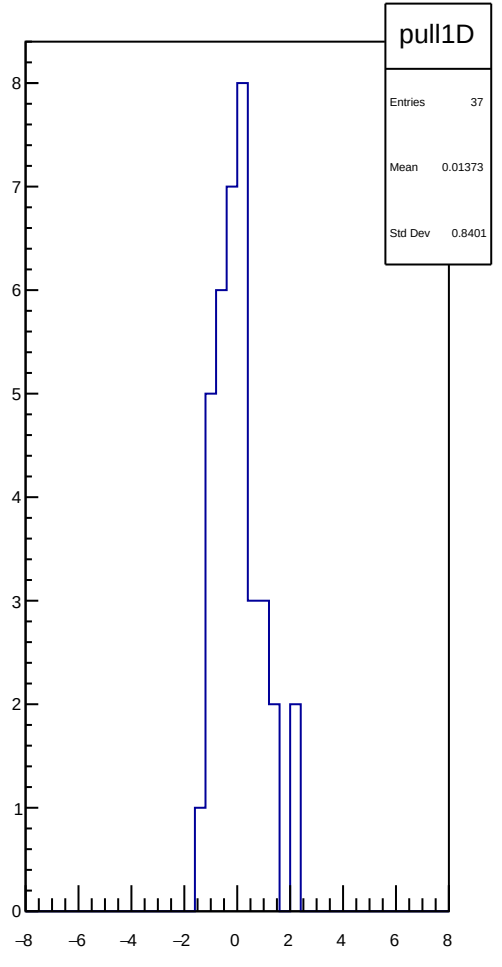
pull1D
Entries 37
Mean 0.01373
Std Dev 0.8401
8
7
6
5
4
3
2
1
0
−8
−6
−4
−2
0
2
4
6
8

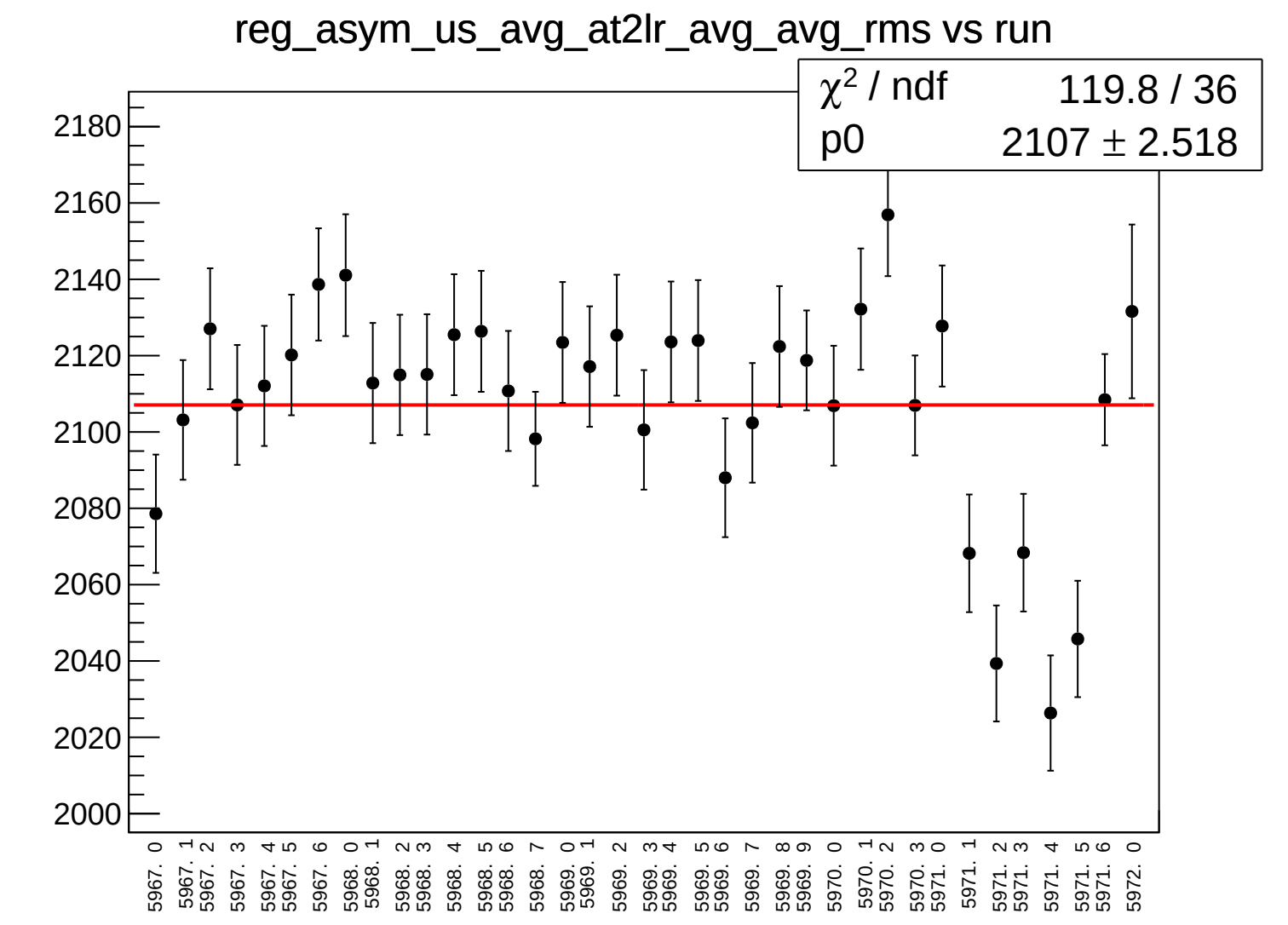
reg_asym_us_avg_at2lr_avg_avg_rms vs run
χ² / ndf 119.8 / 36
p0 2107 ± 2.518
2180
2160
2140
2120
2100
2080
2060
2040
2020
2000
5967. 0
5967. 1
5967. 2
5967. 3
5967. 4
5967. 5
5967. 6
5968. 0
5968. 1
5968. 2
5968. 3
5968. 4
5968. 5
5968. 6
5968. 7
5969. 0
5969. 1
5969. 2
5969. 3
5969. 4
5969. 5
5969. 6
5969. 7
5969. 8
5969. 9
5970. 0
5970. 1
5970. 2
5970. 3
5971. 0
5971. 1
5971. 2
5971. 3
5971. 4
5971. 5
5971. 6
5972. 0

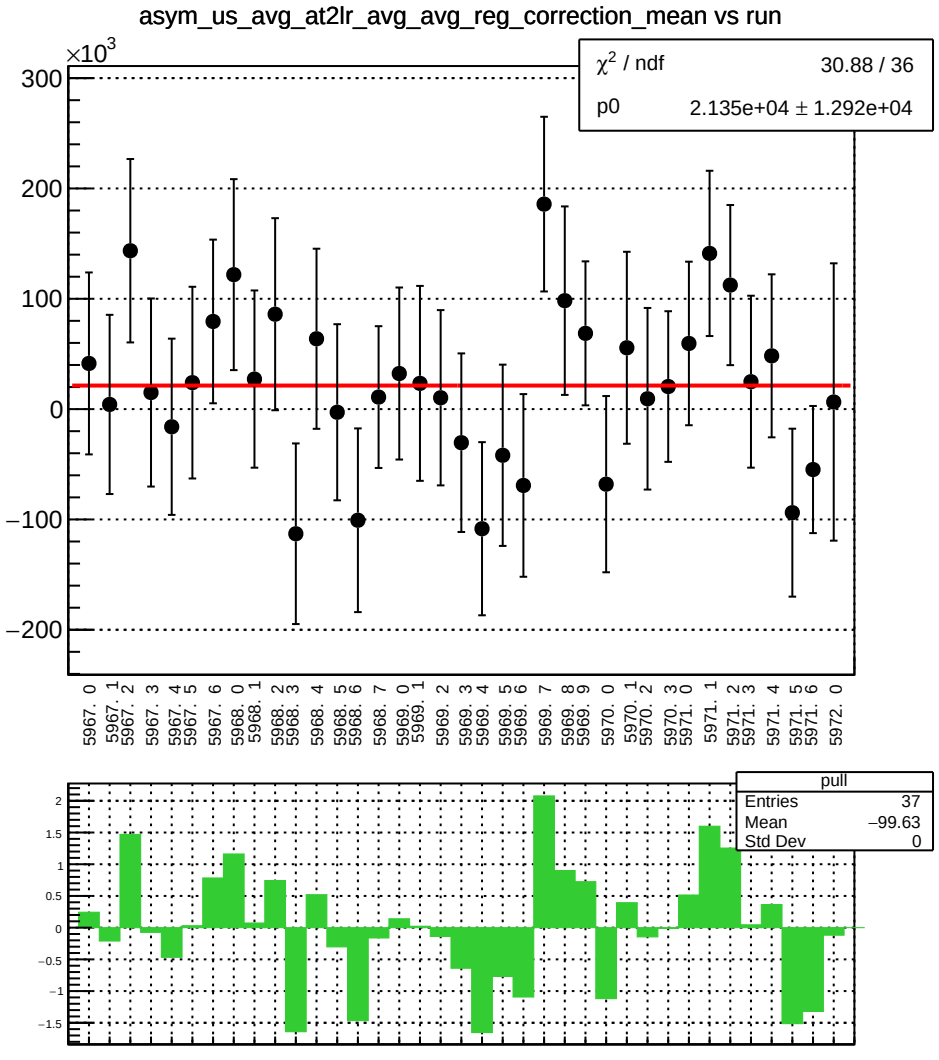
asym_us_avg_at2lr_avg_avg_reg_correction_mean vs run
×10^3
χ² / ndf 30.88 / 36
p0 2.135e+04 ± 1.292e+04
pull
Entries 37
Mean −99.63
Std Dev 0

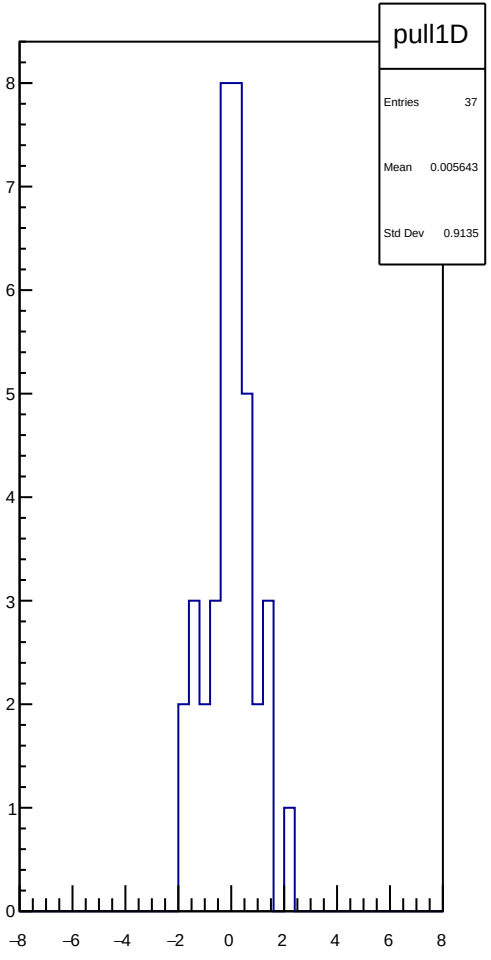
pull1D
Entries 37
Mean 0.005643
Std Dev 0.9135

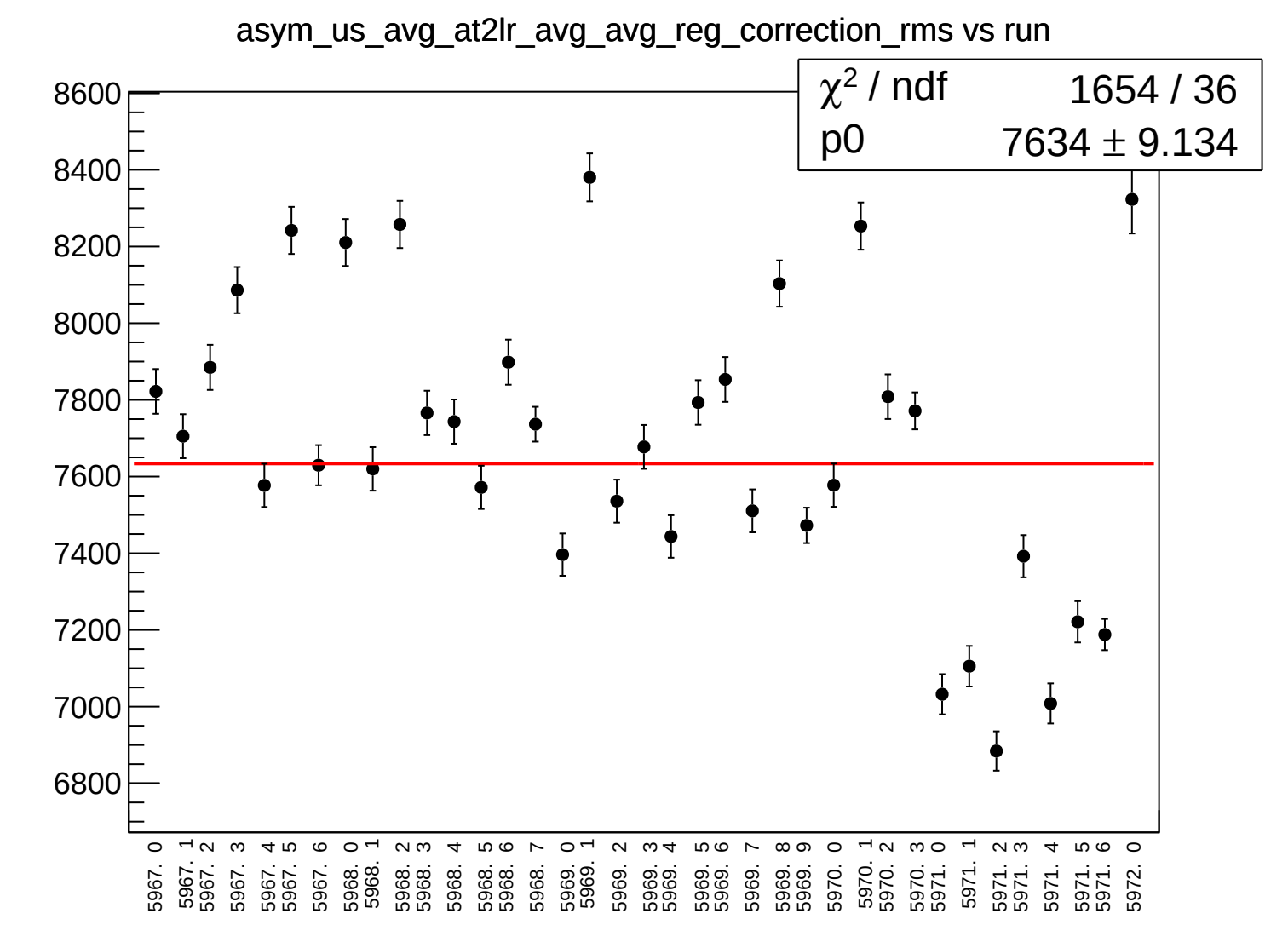
asym_us_avg_at2lr_avg_avg_reg_correction_rms vs run
χ² / ndf 1654 / 36
p0 7634 ± 9.134
8600
8400
8200
8000
7800
7600
7400
7200
7000
6800
5967. 0
5967. 1
5967. 2
5967. 3
5967. 4
5967. 5
5967. 6
5968. 0
5968. 1
5968. 2
5968. 3
5968. 4
5968. 5
5968. 6
5968. 7
5969. 0
5969. 1
5969. 2
5969. 3
5969. 4
5969. 5
5969. 6
5969. 7
5969. 8
5969. 9
5970. 0
5970. 1
5970. 2
5970. 3
5971. 0
5971. 1
5971. 2
5971. 3
5971. 4
5971. 5
5971. 6
5972. 0

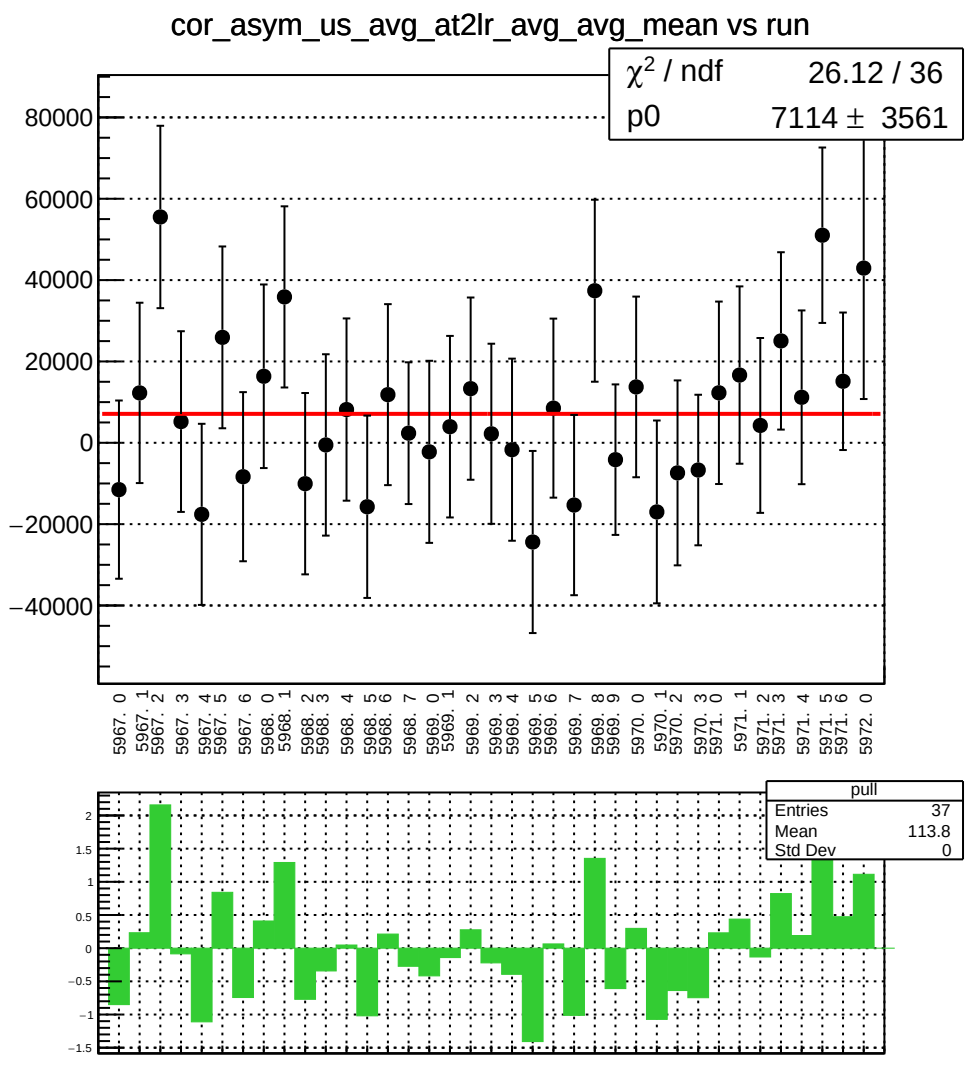
cor_asym_us_avg_at2lr_avg_avg_mean vs run
χ² / ndf 26.12 / 36
p0 7114 ± 3561
80000
60000
40000
20000
0
−20000
−40000
5967. 0
5967. 1
5967. 2
5967. 3
5967. 4
5967. 5
5967. 6
5968. 0
5968. 1
5968. 2
5968. 3
5968. 4
5968. 5
5968. 6
5968. 7
5969. 0
5969. 1
5969. 2
5969. 3
5969. 4
5969. 5
5969. 6
5969. 7
5969. 8
5969. 9
5970. 0
5970. 1
5970. 2
5970. 3
5971. 0
5971. 1
5971. 2
5971. 3
5971. 4
5971. 5
5971. 6
5972. 0
pull
Entries 37
Mean 113.8
Std Dev 0
2
1.5
1
0.5
0
−0.5
−1
−1.5
pull1D
Entries 37
Mean 0.01373
Std Dev 0.8401
8
7
6
5
4
3
2
1
0
−8
−6
−4
−2
0
2
4
6
8

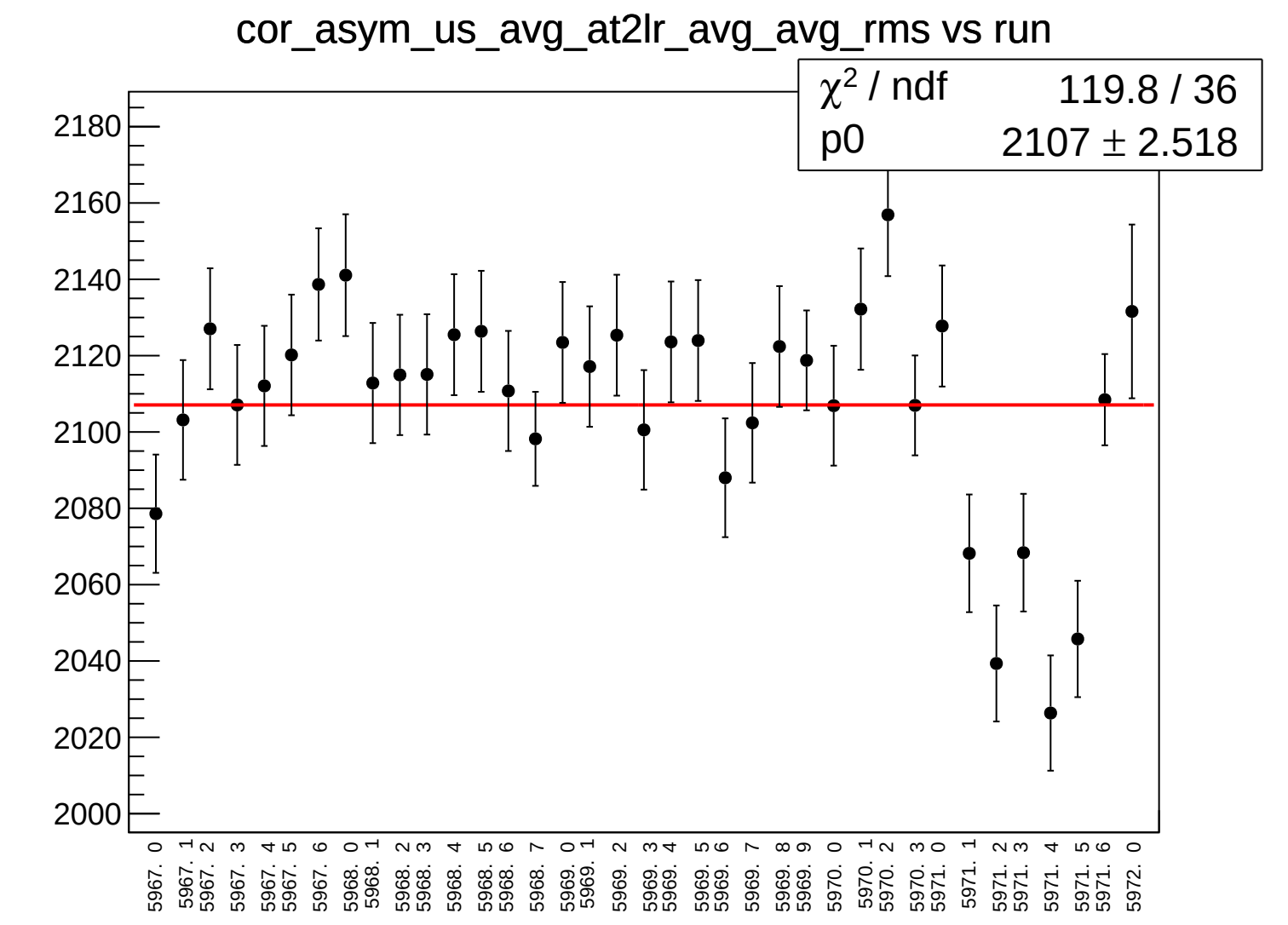
cor_asym_us_avg_at2lr_avg_avg_rms vs run
χ² / ndf 119.8 / 36
p0 2107 ± 2.518
2180
2160
2140
2120
2100
2080
2060
2040
2020
2000
5967. 0
5967. 1
5967. 2
5967. 3
5967. 4
5967. 5
5967. 6
5968. 0
5968. 1
5968. 2
5968. 3
5968. 4
5968. 5
5968. 6
5968. 7
5969. 0
5969. 1
5969. 2
5969. 3
5969. 4
5969. 5
5969. 6
5969. 7
5969. 8
5969. 9
5970. 0
5970. 1
5970. 2
5970. 3
5971. 0
5971. 1
5971. 2
5971. 3
5971. 4
5971. 5
5971. 6
5972. 0

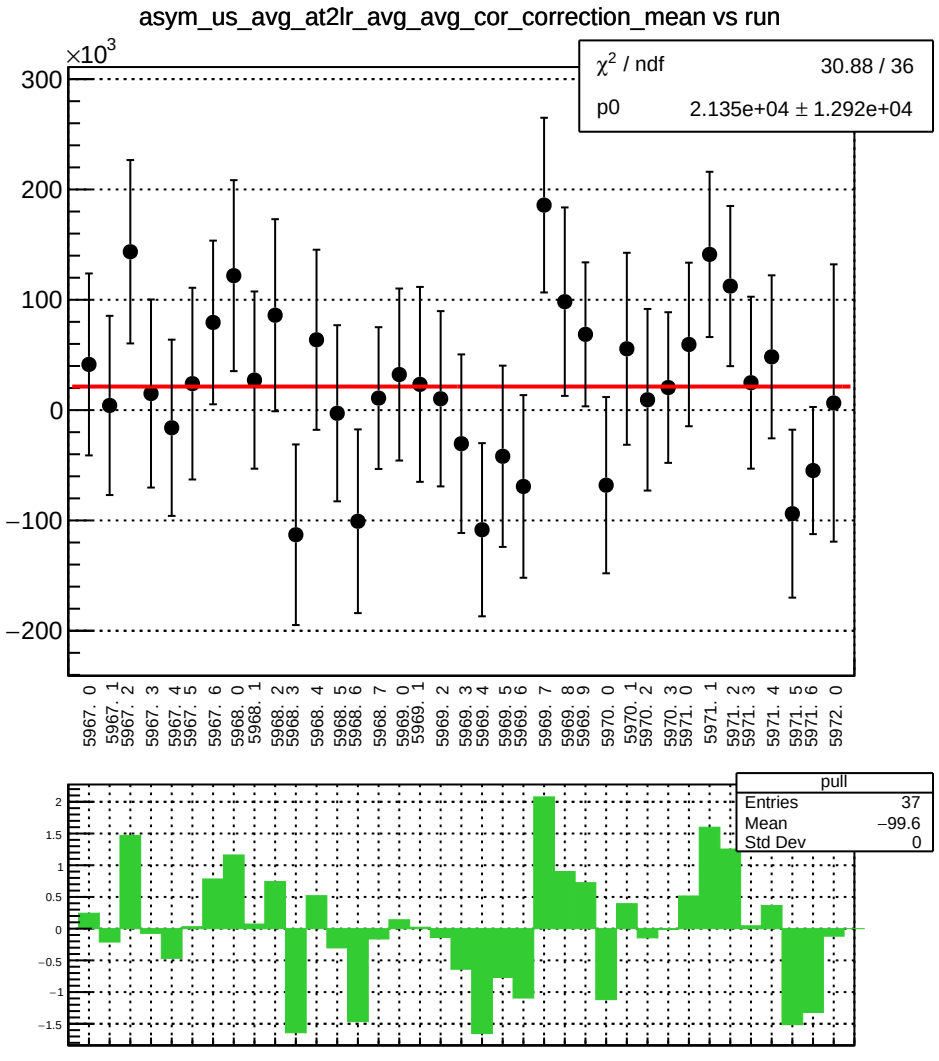
asym_us_avg_at2lr_avg_avg_cor_correction_mean vs run
×10^3
χ² / ndf 30.88 / 36
p0 2.135e+04 ± 1.292e+04
pull
Entries 37
Mean −99.6
Std Dev 0

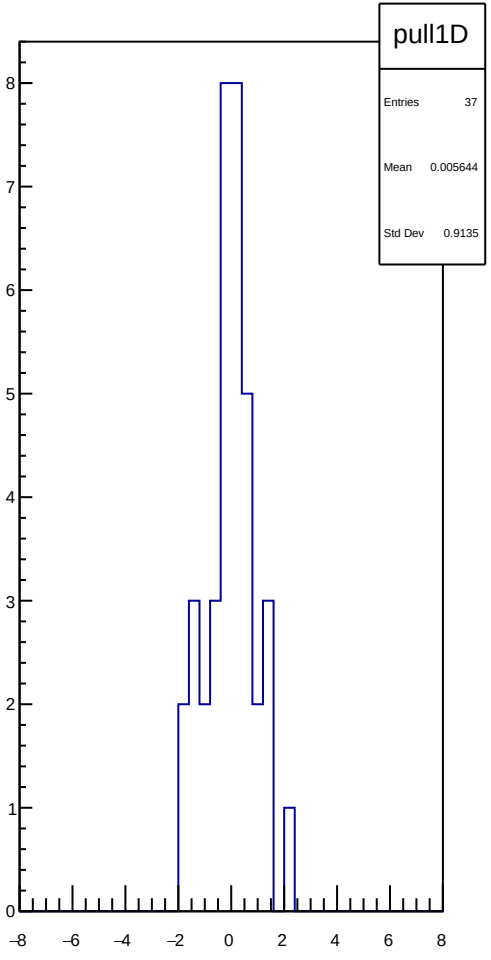
pull1D
Entries 37
Mean 0.005644
Std Dev 0.9135

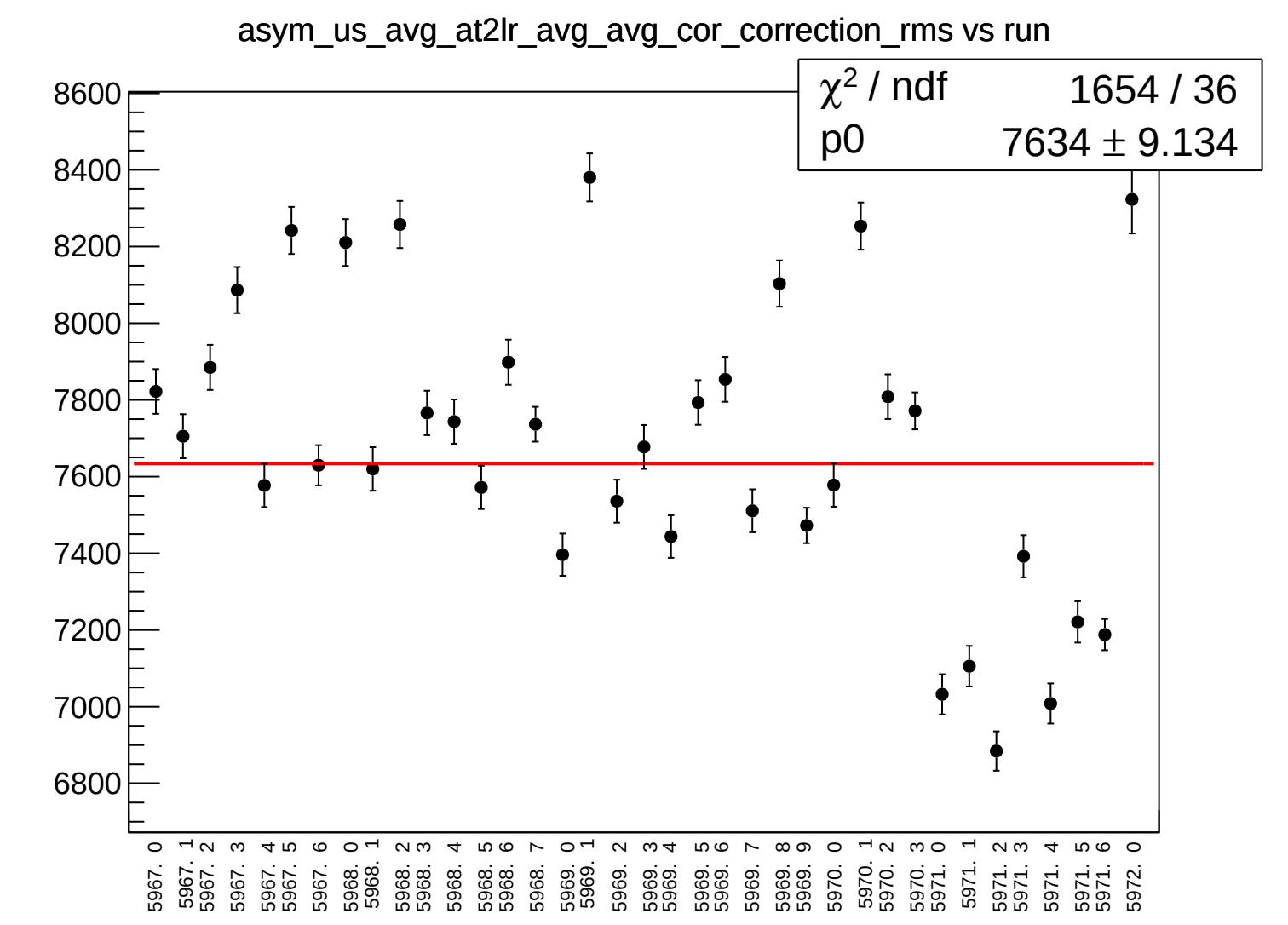
asym_us_avg_at2lr_avg_avg_cor_correction_rms vs run
χ² / ndf 1654 / 36
p0 7634 ± 9.134
8600
8400
8200
8000
7800
7600
7400
7200
7000
6800
5967. 0
5967. 1
5967. 2
5967. 3
5967. 4
5967. 5
5967. 6
5968. 0
5968. 1
5968. 2
5968. 3
5968. 4
5968. 5
5968. 6
5968. 7
5969. 0
5969. 1
5969. 2
5969. 3
5969. 4
5969. 5
5969. 6
5969. 7
5969. 8
5969. 9
5970. 0
5970. 1
5970. 2
5970. 3
5971. 0
5971. 1
5971. 2
5971. 3
5971. 4
5971. 5
5971. 6
5972. 0

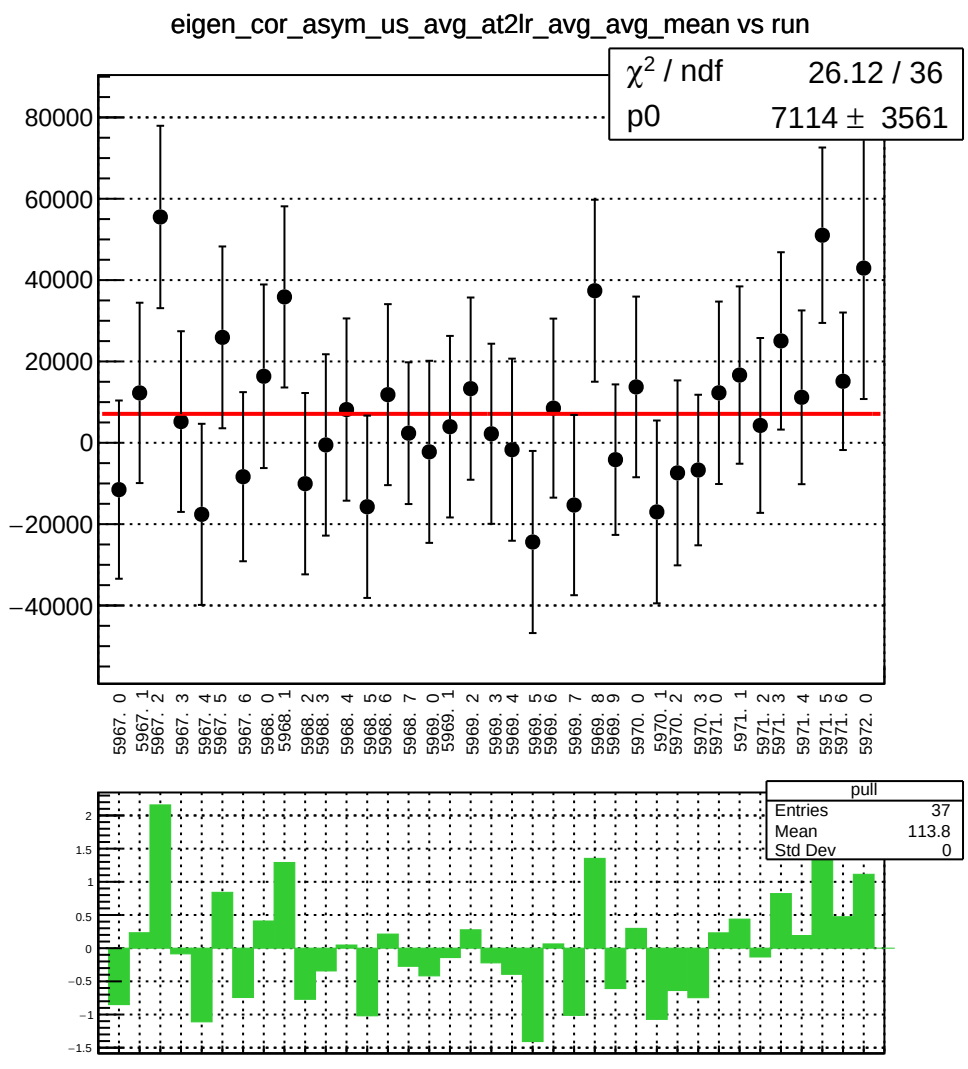
eigen_cor_asym_us_avg_at2lr_avg_avg_mean vs run
χ² / ndf 26.12 / 36
p0 7114 ± 3561
80000
60000
40000
20000
0
−20000
−40000
5967. 0
5967. 1
5967. 2
5967. 3
5967. 4
5967. 5
5967. 6
5968. 0
5968. 1
5968. 2
5968. 3
5968. 4
5968. 5
5968. 6
5968. 7
5969. 0
5969. 1
5969. 2
5969. 3
5969. 4
5969. 5
5969. 6
5969. 7
5969. 8
5969. 9
5970. 0
5970. 1
5970. 2
5970. 3
5971. 0
5971. 1
5971. 2
5971. 3
5971. 4
5971. 5
5971. 6
5972. 0
pull
Entries 37
Mean 113.8
Std Dev 0
2
1.5
1
0.5
0
−0.5
−1
−1.5

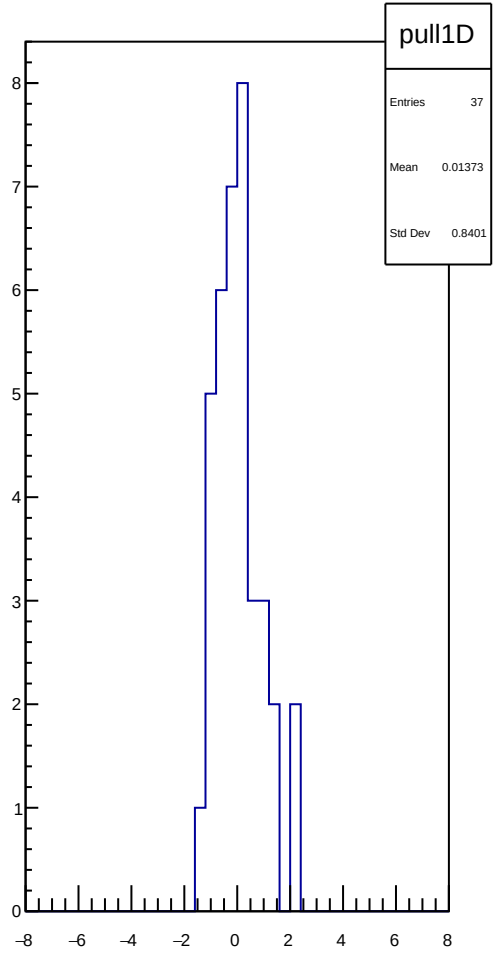
pull1D
Entries 37
Mean 0.01373
Std Dev 0.8401
8
7
6
5
4
3
2
1
0
−8
−6
−4
−2
0
2
4
6
8

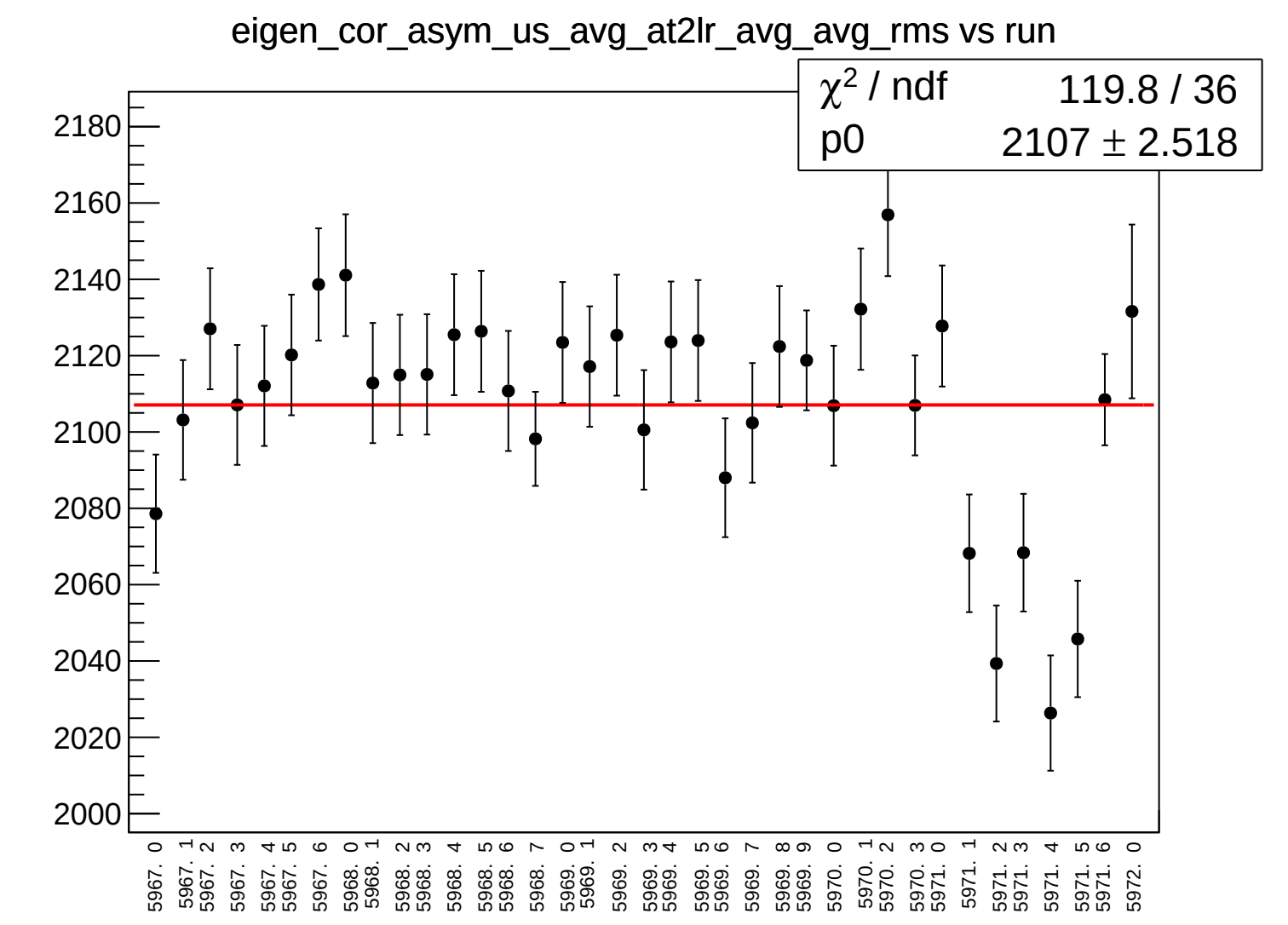
eigen_cor_asym_us_avg_at2lr_avg_avg_rms vs run
χ² / ndf 119.8 / 36
p0 2107 ± 2.518
2180
2160
2140
2120
2100
2080
2060
2040
2020
2000
5967. 0
5967. 1
5967. 2
5967. 3
5967. 4
5967. 5
5967. 6
5968. 0
5968. 1
5968. 2
5968. 3
5968. 4
5968. 5
5968. 6
5968. 7
5969. 0
5969. 1
5969. 2
5969. 3
5969. 4
5969. 5
5969. 6
5969. 7
5969. 8
5969. 9
5970. 0
5970. 1
5970. 2
5970. 3
5971. 0
5971. 1
5971. 2
5971. 3
5971. 4
5971. 5
5971. 6
5972. 0

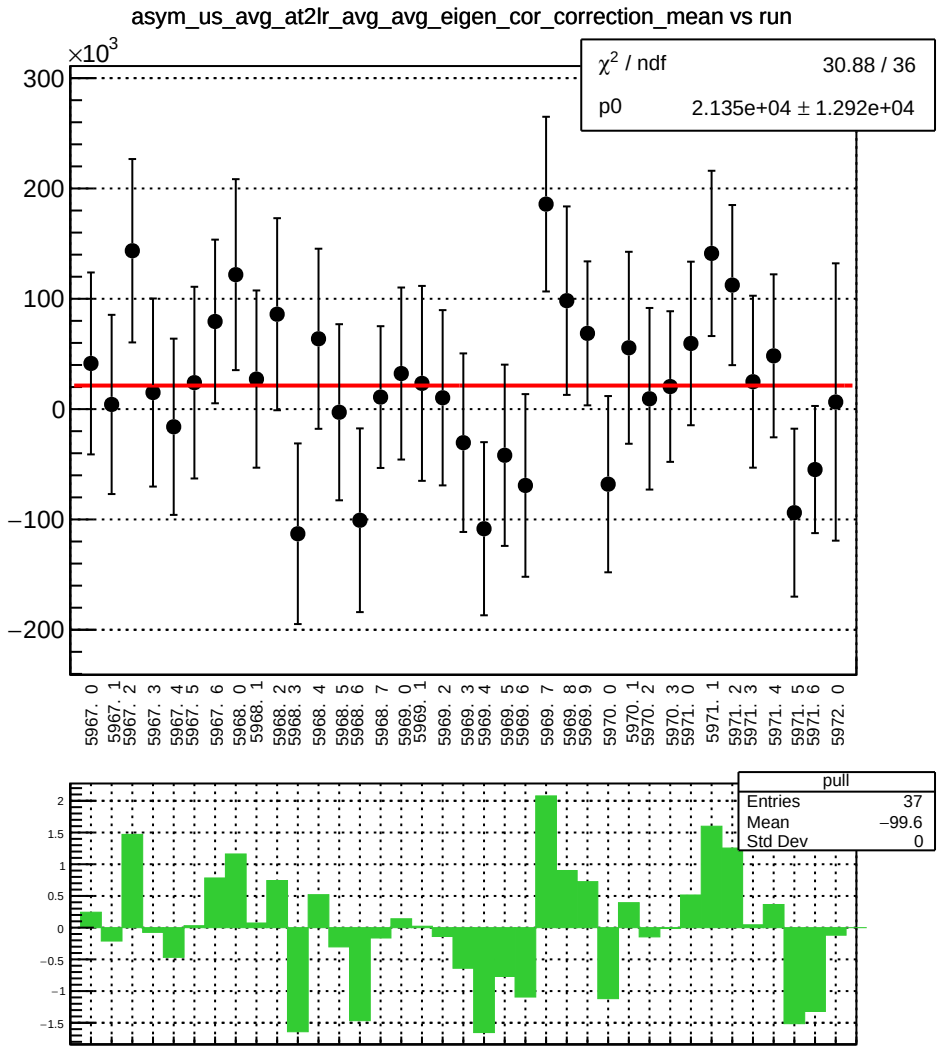
asym_us_avg_at2lr_avg_avg_eigen_cor_correction_mean vs run
×10^3
χ² / ndf 30.88 / 36
p0 2.135e+04 ± 1.292e+04
300
200
100
0
−100
−200
5967. 0
5967. 1
5967. 2
5967. 3
5967. 4
5967. 5
5967. 6
5968. 0
5968. 1
5968. 2
5968. 3
5968. 4
5968. 5
5968. 6
5968. 7
5969. 0
5969. 1
5969. 2
5969. 3
5969. 4
5969. 5
5969. 6
5969. 7
5969. 8
5969. 9
5970. 0
5970. 1
5970. 2
5970. 3
5971. 0
5971. 1
5971. 2
5971. 3
5971. 4
5971. 5
5971. 6
5972. 0
pull
Entries 37
Mean −99.6
Std Dev 0
2
1.5
1
0.5
0
−0.5
−1
−1.5

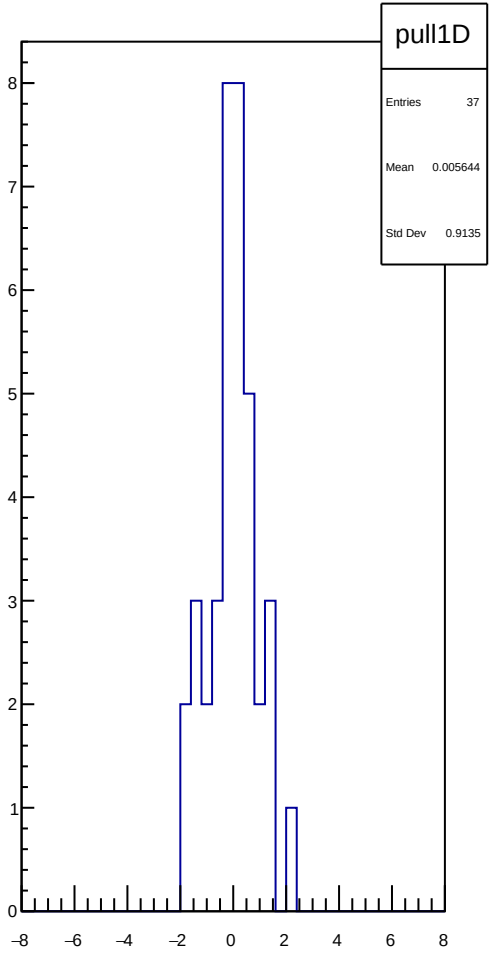
pull1D
Entries 37
Mean 0.005644
Std Dev 0.9135
8
7
6
5
4
3
2
1
0
−8
−6
−4
−2
0
2
4
6
8

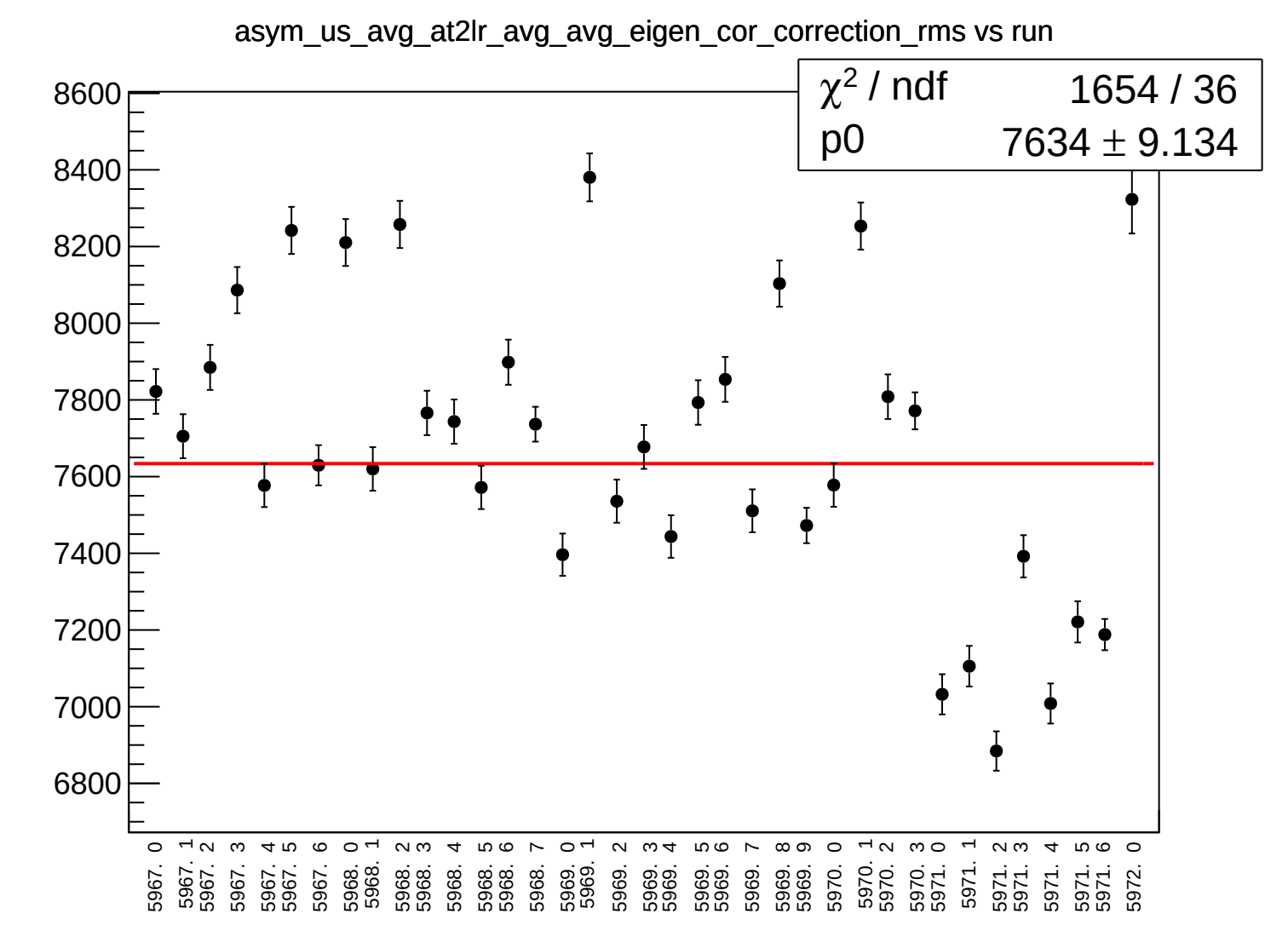
asym_us_avg_at2lr_avg_avg_eigen_cor_correction_rms vs run
χ² / ndf 1654 / 36
p0 7634 ± 9.134
8600
8400
8200
8000
7800
7600
7400
7200
7000
6800
5967. 0
5967. 1
5967. 2
5967. 3
5967. 4
5967. 5
5967. 6
5968. 0
5968. 1
5968. 2
5968. 3
5968. 4
5968. 5
5968. 6
5968. 7
5969. 0
5969. 1
5969. 2
5969. 3
5969. 4
5969. 5
5969. 6
5969. 7
5969. 8
5969. 9
5970. 0
5970. 1
5970. 2
5970. 3
5971. 0
5971. 1
5971. 2
5971. 3
5971. 4
5971. 5
5971. 6
5972. 0

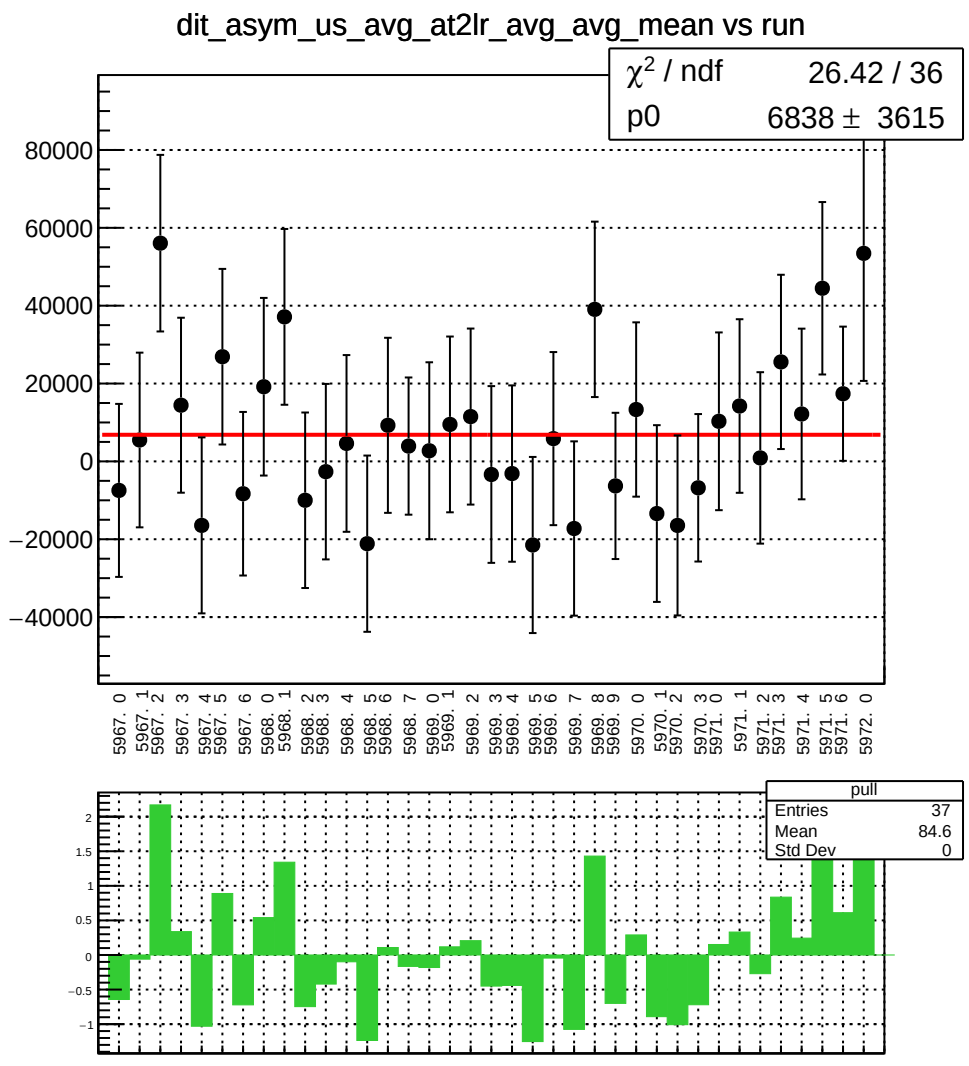
dit_asym_us_avg_at2lr_avg_avg_mean vs run
χ² / ndf 26.42 / 36
p0 6838 ± 3615
80000
60000
40000
20000
0
−20000
−40000
5967. 0
5967. 1
5967. 2
5967. 3
5967. 4
5967. 5
5967. 6
5968. 0
5968. 1
5968. 2
5968. 3
5968. 4
5968. 5
5968. 6
5968. 7
5969. 0
5969. 1
5969. 2
5969. 3
5969. 4
5969. 5
5969. 6
5969. 7
5969. 8
5969. 9
5970. 0
5970. 1
5970. 2
5970. 3
5971. 0
5971. 1
5971. 2
5971. 3
5971. 4
5971. 5
5971. 6
5972. 0
pull
Entries 37
Mean 84.6
Std Dev 0
2
1.5
1
0.5
0
−0.5
−1

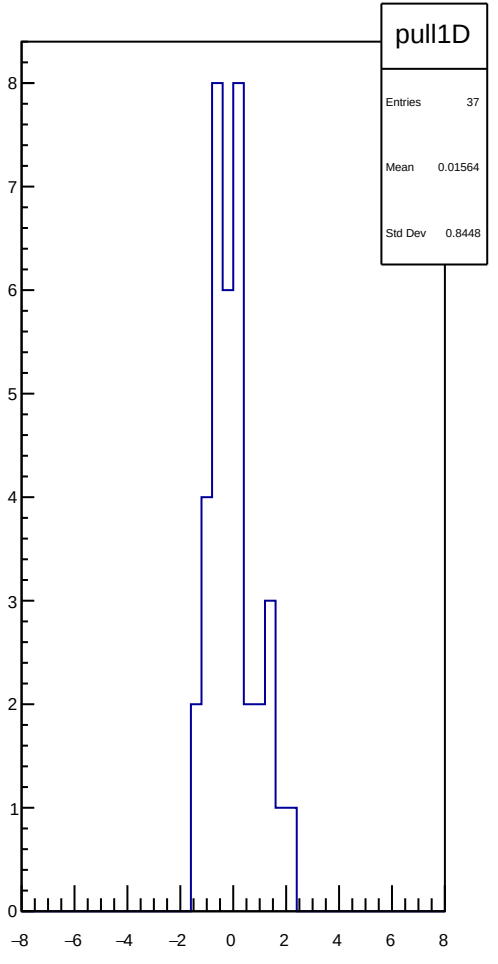
pull1D
Entries 37
Mean 0.01564
Std Dev 0.8448
8
7
6
5
4
3
2
1
0
−8
−6
−4
−2
0
2
4
6
8

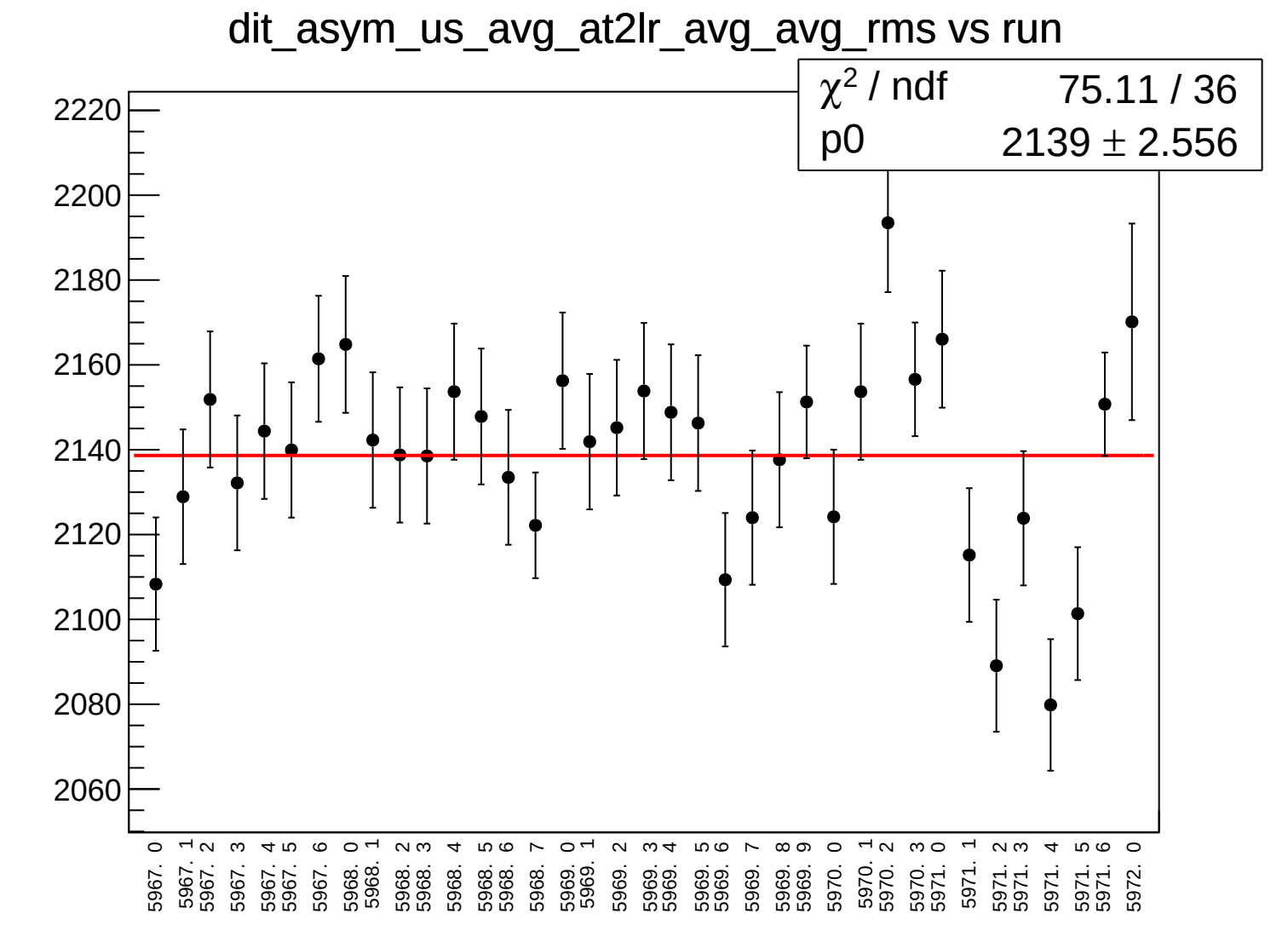
dit_asym_us_avg_at2lr_avg_avg_rms vs run
χ² / ndf 75.11 / 36
p0 2139 ± 2.556
2220
2200
2180
2160
2140
2120
2100
2080
2060
5967. 0
5967. 1
5967. 2
5967. 3
5967. 4
5967. 5
5967. 6
5968. 0
5968. 1
5968. 2
5968. 3
5968. 4
5968. 5
5968. 6
5968. 7
5969. 0
5969. 1
5969. 2
5969. 3
5969. 4
5969. 5
5969. 6
5969. 7
5969. 8
5969. 9
5970. 0
5970. 1
5970. 2
5970. 3
5971. 0
5971. 1
5971. 2
5971. 3
5971. 4
5971. 5
5971. 6
5972. 0

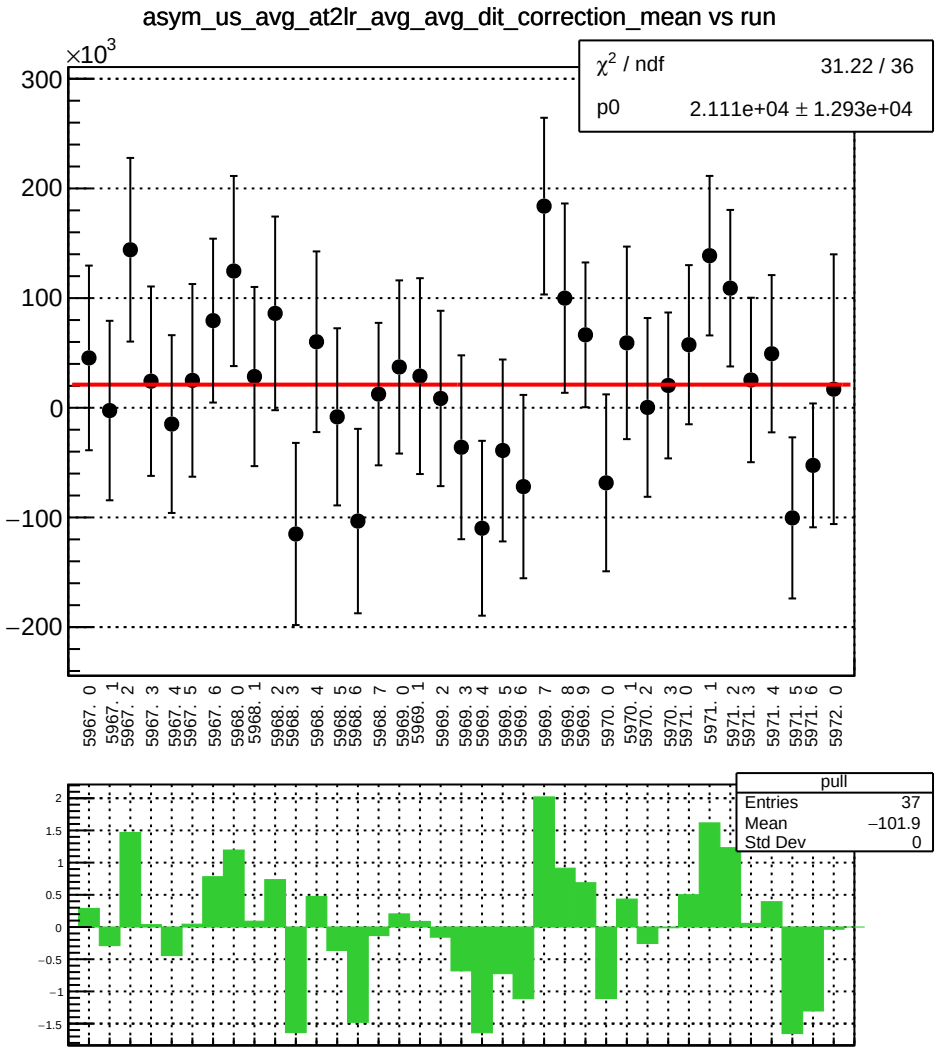
asym_us_avg_at2lr_avg_avg_dit_correction_mean vs run
×10^3
χ² / ndf 31.22 / 36
p0 2.111e+04 ± 1.293e+04
pull
Entries 37
Mean −101.9
Std Dev 0

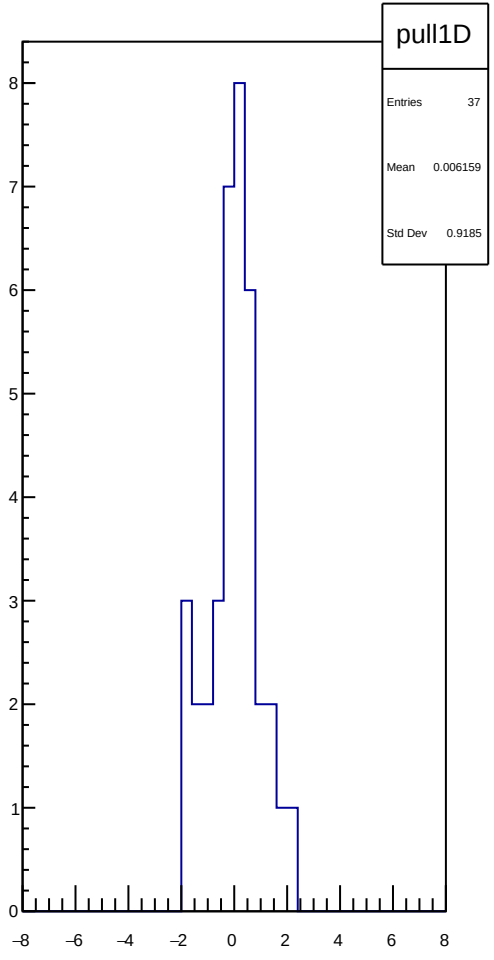
pull1D
Entries 37
Mean 0.006159
Std Dev 0.9185

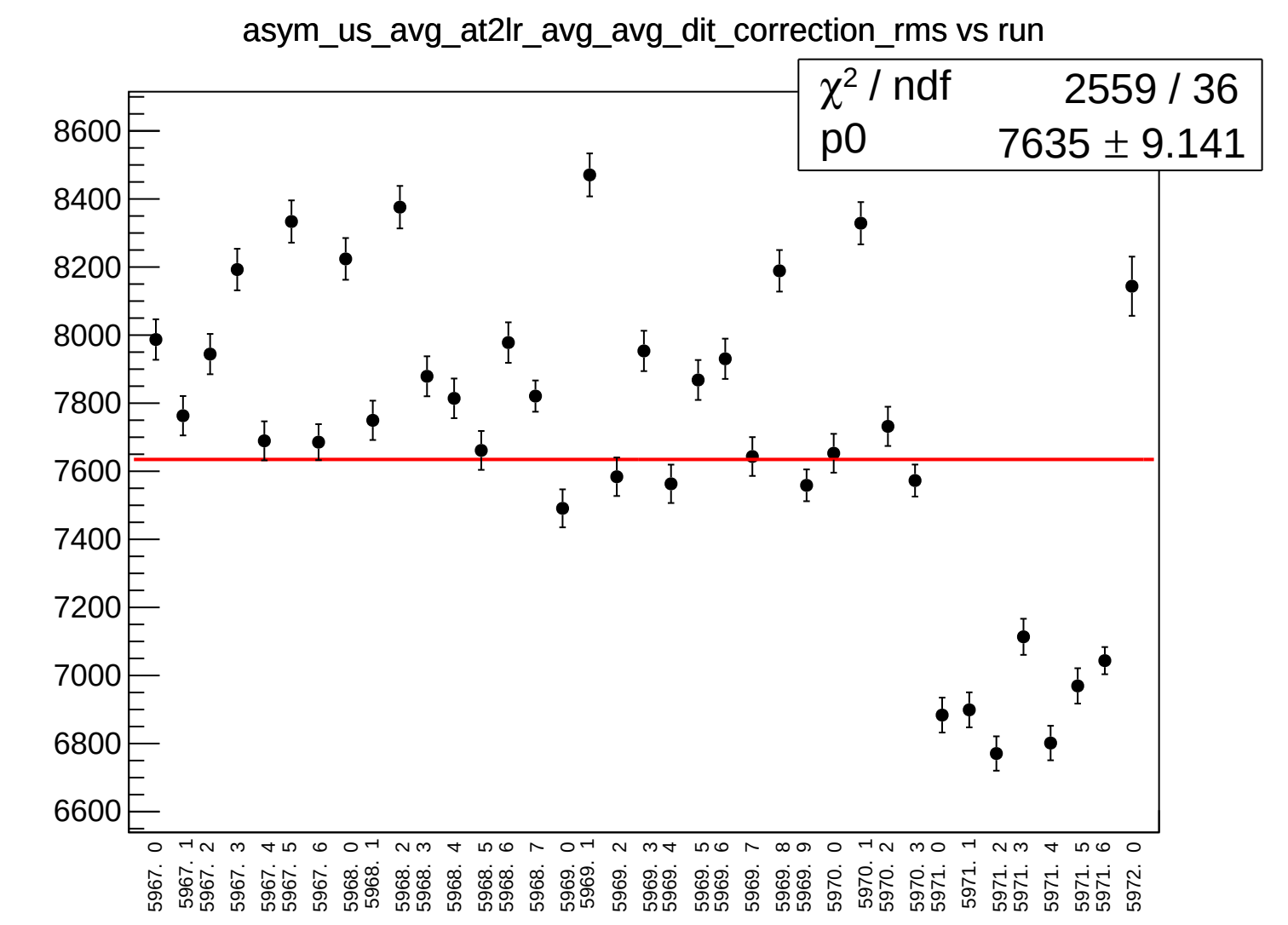
asym_us_avg_at2lr_avg_avg_dit_correction_rms vs run
χ² / ndf 2559 / 36
p0 7635 ± 9.141
8600
8400
8200
8000
7800
7600
7400
7200
7000
6800
6600
5967. 0
5967. 1
5967. 2
5967. 3
5967. 4
5967. 5
5967. 6
5968. 0
5968. 1
5968. 2
5968. 3
5968. 4
5968. 5
5968. 6
5968. 7
5969. 0
5969. 1
5969. 2
5969. 3
5969. 4
5969. 5
5969. 6
5969. 7
5969. 8
5969. 9
5970. 0
5970. 1
5970. 2
5970. 3
5971. 0
5971. 1
5971. 2
5971. 3
5971. 4
5971. 5
5971. 6
5972. 0

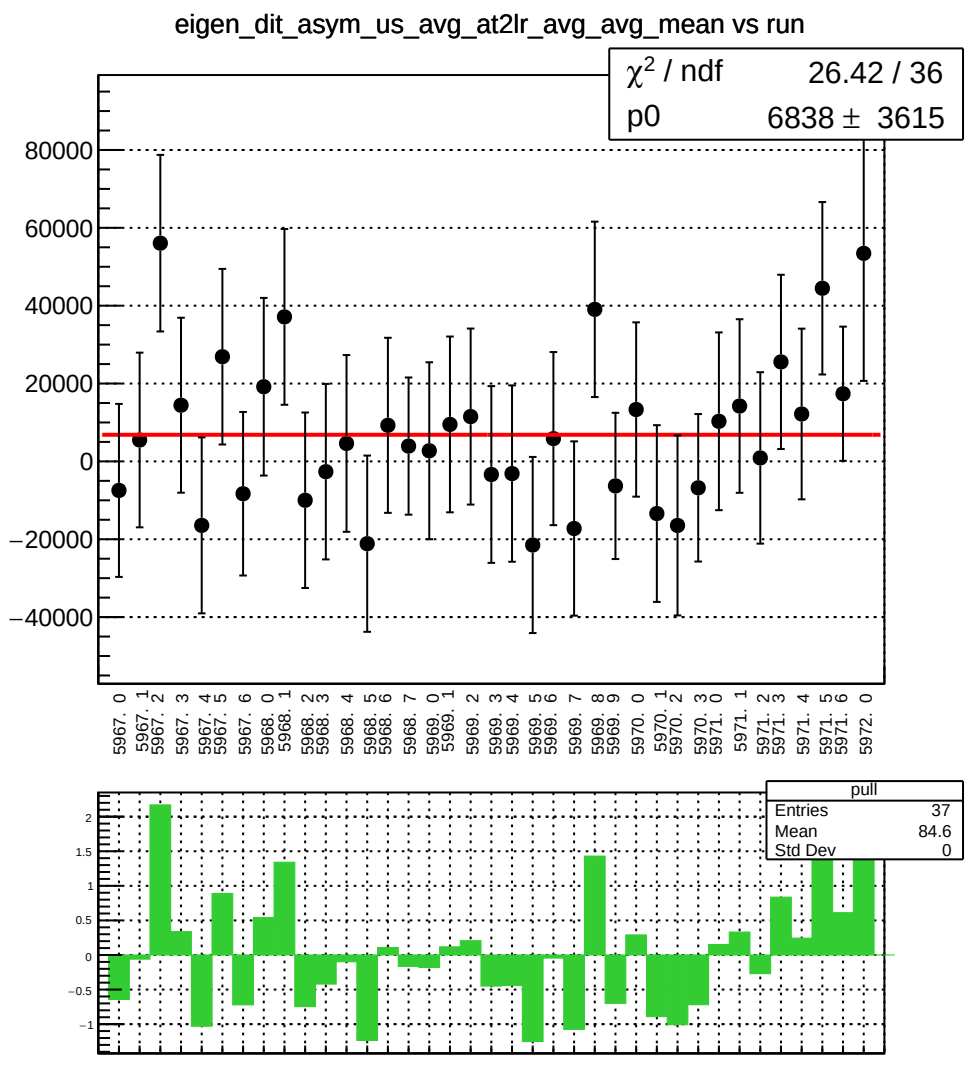
eigen_dit_asym_us_avg_at2lr_avg_avg_mean vs run
χ² / ndf 26.42 / 36
p0 6838 ± 3615
80000
60000
40000
20000
0
−20000
−40000
5967. 0
5967. 1
5967. 2
5967. 3
5967. 4
5967. 5
5967. 6
5968. 0
5968. 1
5968. 2
5968. 3
5968. 4
5968. 5
5968. 6
5968. 7
5969. 0
5969. 1
5969. 2
5969. 3
5969. 4
5969. 5
5969. 6
5969. 7
5969. 8
5969. 9
5970. 0
5970. 1
5970. 2
5970. 3
5971. 0
5971. 1
5971. 2
5971. 3
5971. 4
5971. 5
5971. 6
5972. 0
pull
Entries 37
Mean 84.6
Std Dev 0
2
1.5
1
0.5
0
−0.5
−1

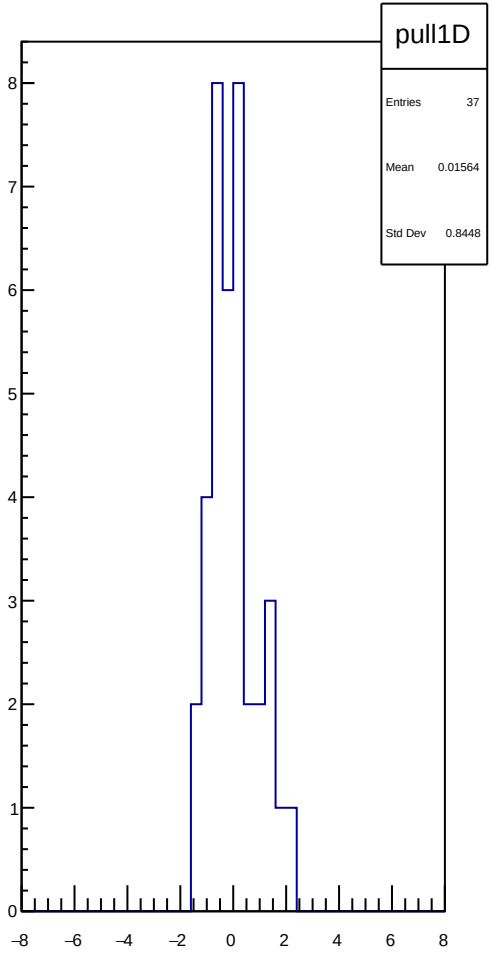
pull1D
Entries 37
Mean 0.01564
Std Dev 0.8448
8
7
6
5
4
3
2
1
0
−8
−6
−4
−2
0
2
4
6
8

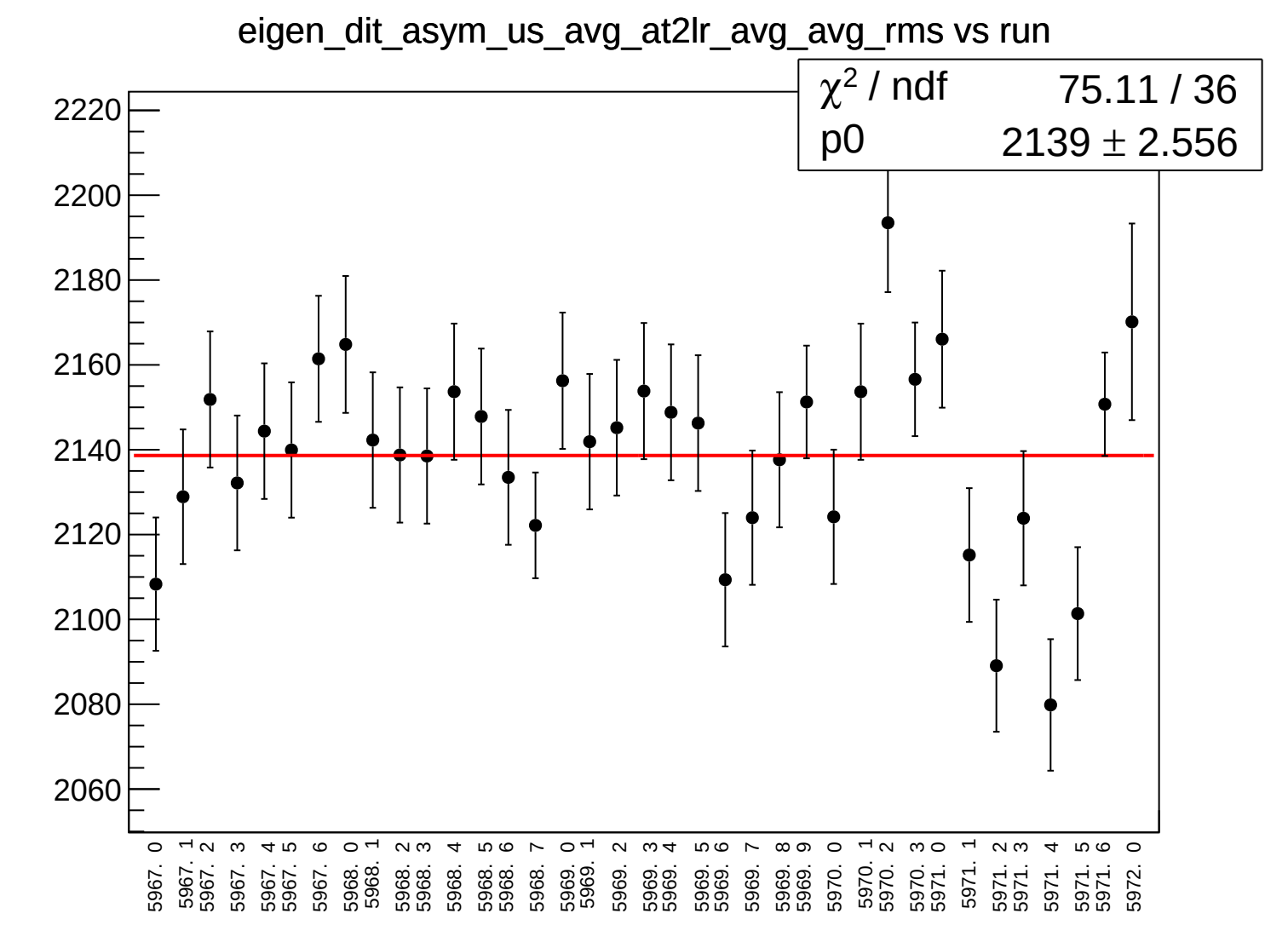
eigen_dit_asym_us_avg_at2lr_avg_avg_rms vs run
χ² / ndf 75.11 / 36
p0 2139 ± 2.556
2220
2200
2180
2160
2140
2120
2100
2080
2060
5967. 0
5967. 1
5967. 2
5967. 3
5967. 4
5967. 5
5967. 6
5968. 0
5968. 1
5968. 2
5968. 3
5968. 4
5968. 5
5968. 6
5968. 7
5969. 0
5969. 1
5969. 2
5969. 3
5969. 4
5969. 5
5969. 6
5969. 7
5969. 8
5969. 9
5970. 0
5970. 1
5970. 2
5970. 3
5971. 0
5971. 1
5971. 2
5971. 3
5971. 4
5971. 5
5971. 6
5972. 0

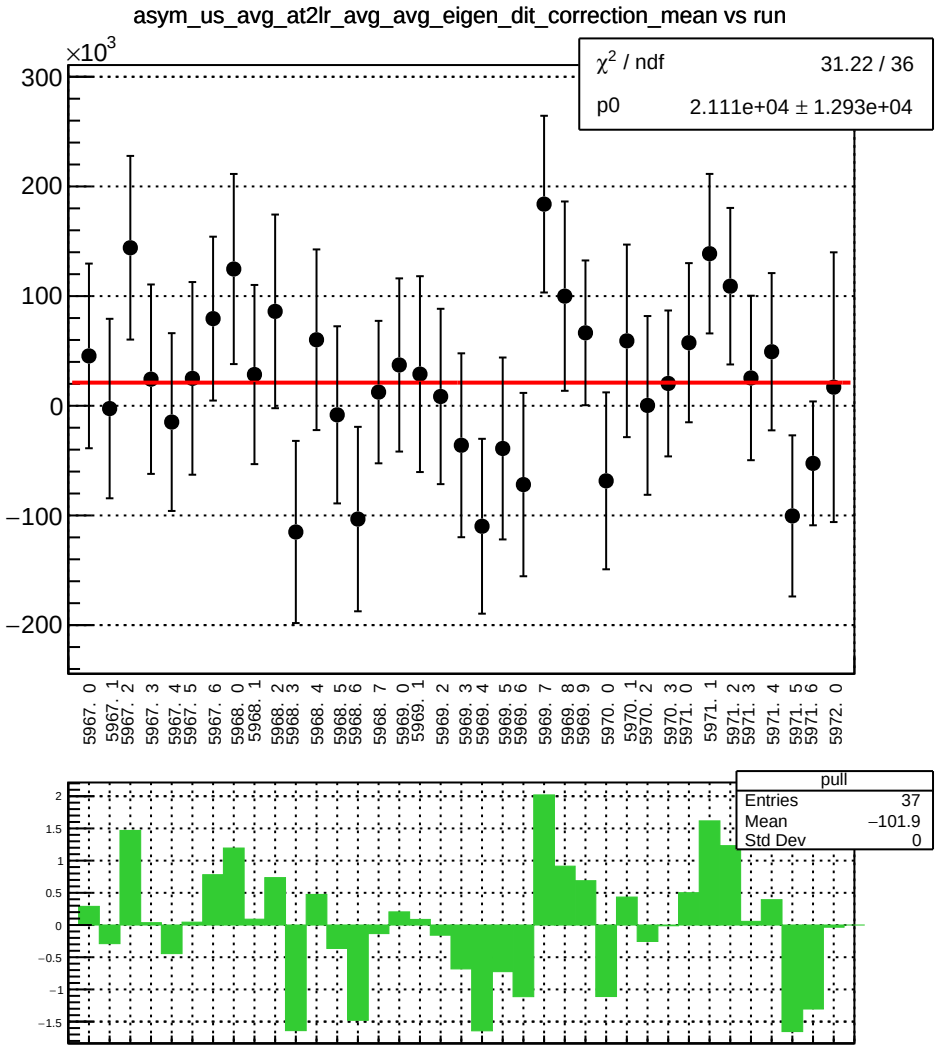
asym_us_avg_at2lr_avg_avg_eigen_dit_correction_mean vs run
×10^3
χ² / ndf 31.22 / 36
p0 2.111e+04 ± 1.293e+04
300
200
100
0
−100
−200
5967. 0
5967. 1
5967. 2
5967. 3
5967. 4
5967. 5
5967. 6
5968. 0
5968. 1
5968. 2
5968. 3
5968. 4
5968. 5
5968. 6
5968. 7
5969. 0
5969. 1
5969. 2
5969. 3
5969. 4
5969. 5
5969. 6
5969. 7
5969. 8
5969. 9
5970. 0
5970. 1
5970. 2
5970. 3
5971. 0
5971. 1
5971. 2
5971. 3
5971. 4
5971. 5
5971. 6
5972. 0
pull
Entries 37
Mean −101.9
Std Dev 0
2
1.5
1
0.5
0
−0.5
−1
−1.5
pull1D
Entries 37
Mean 0.006159
Std Dev 0.9185
8
7
6
5
4
3
2
1
0
−8
−6
−4
−2
0
2
4
6
8

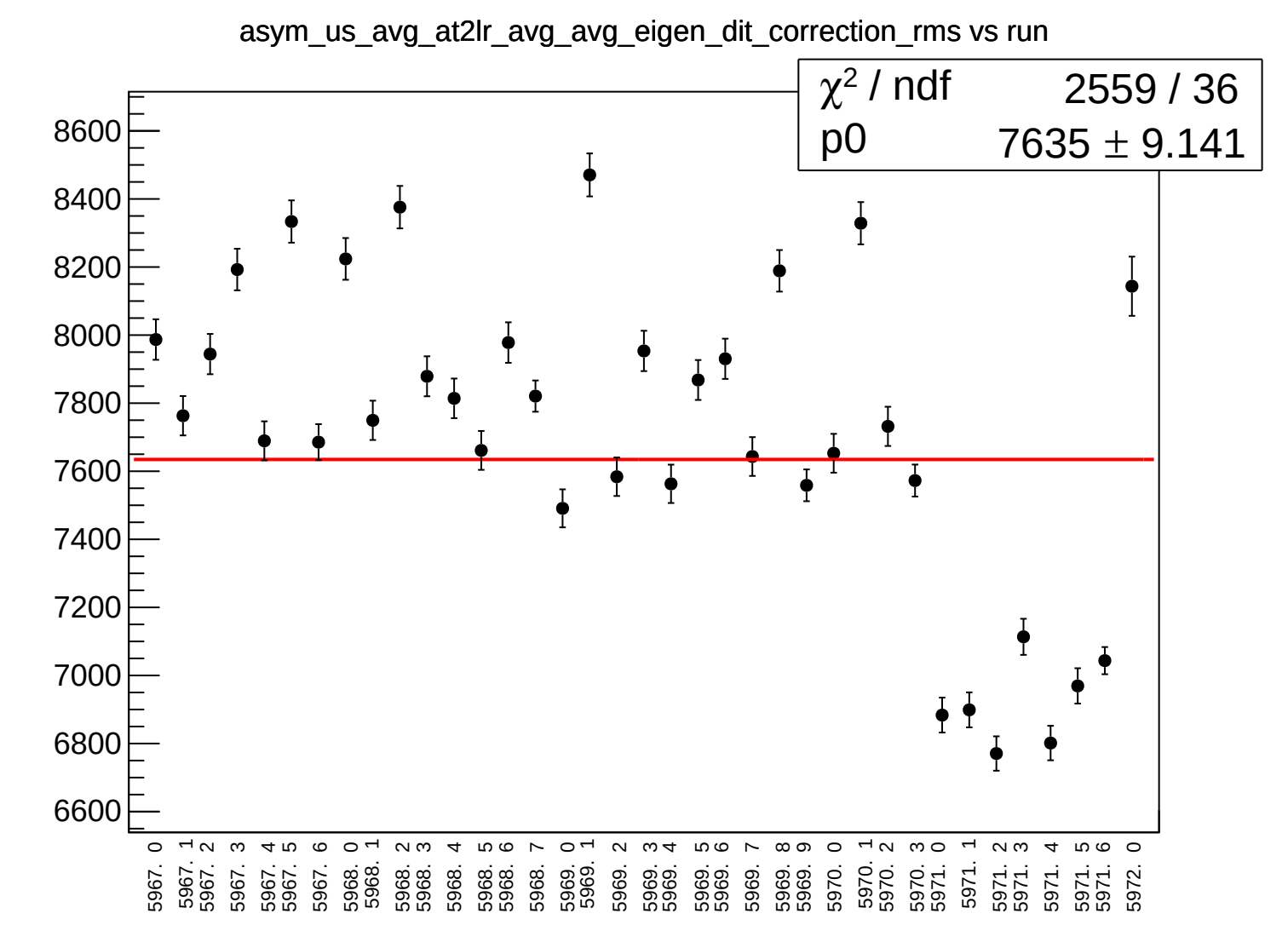
asym_us_avg_at2lr_avg_avg_eigen_dit_correction_rms vs run
χ² / ndf 2559 / 36
p0 7635 ± 9.141
8600
8400
8200
8000
7800
7600
7400
7200
7000
6800
6600
5967. 0
5967. 1
5967. 2
5967. 3
5967. 4
5967. 5
5967. 6
5968. 0
5968. 1
5968. 2
5968. 3
5968. 4
5968. 5
5968. 6
5968. 7
5969. 0
5969. 1
5969. 2
5969. 3
5969. 4
5969. 5
5969. 6
5969. 7
5969. 8
5969. 9
5970. 0
5970. 1
5970. 2
5970. 3
5971. 0
5971. 1
5971. 2
5971. 3
5971. 4
5971. 5
5971. 6
5972. 0

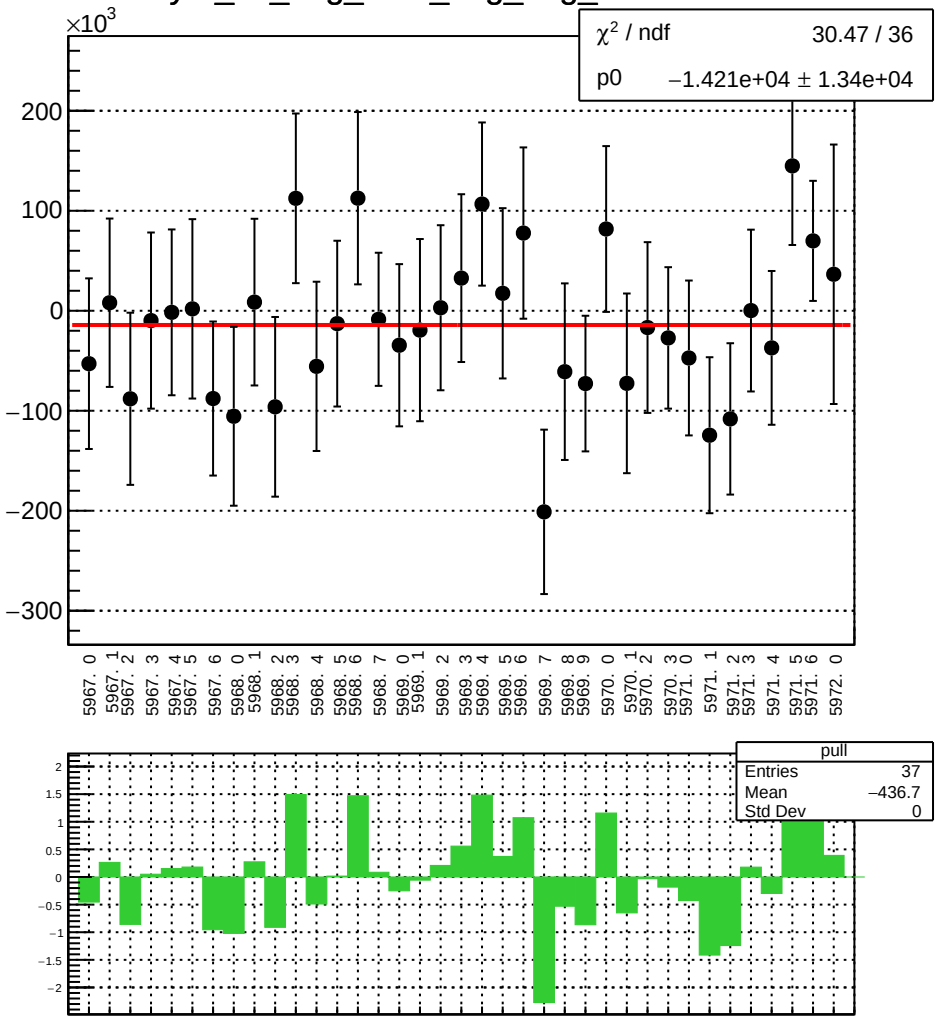
asym_us_avg_at2lr_avg_avg_mean vs run
×10^3
χ² / ndf 30.47 / 36
p0 −1.421e+04 ± 1.34e+04
200
100
0
−100
−200
−300
5967. 0
5967. 1
5967. 2
5967. 3
5967. 4
5967. 5
5967. 6
5968. 0
5968. 1
5968. 2
5968. 3
5968. 4
5968. 5
5968. 6
5968. 7
5969. 0
5969. 1
5969. 2
5969. 3
5969. 4
5969. 5
5969. 6
5969. 7
5969. 8
5969. 9
5970. 0
5970. 1
5970. 2
5970. 3
5971. 0
5971. 1
5971. 2
5971. 3
5971. 4
5971. 5
5971. 6
5972. 0
pull
Entries 37
Mean −436.7
Std Dev 0
2
1.5
1
0.5
0
−0.5
−1
−1.5
−2

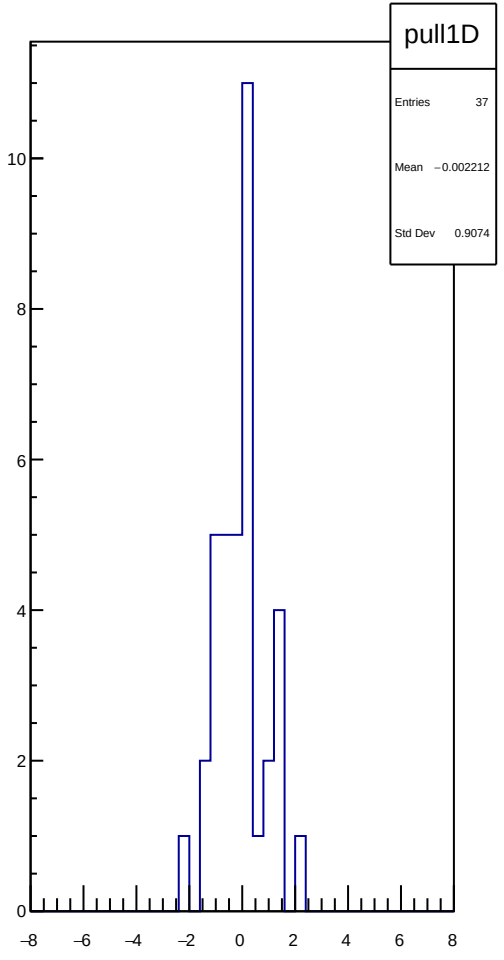
pull1D
Entries 37
Mean −0.002212
Std Dev 0.9074
10
8
6
4
2
0
−8
−6
−4
−2
0
2
4
6
8

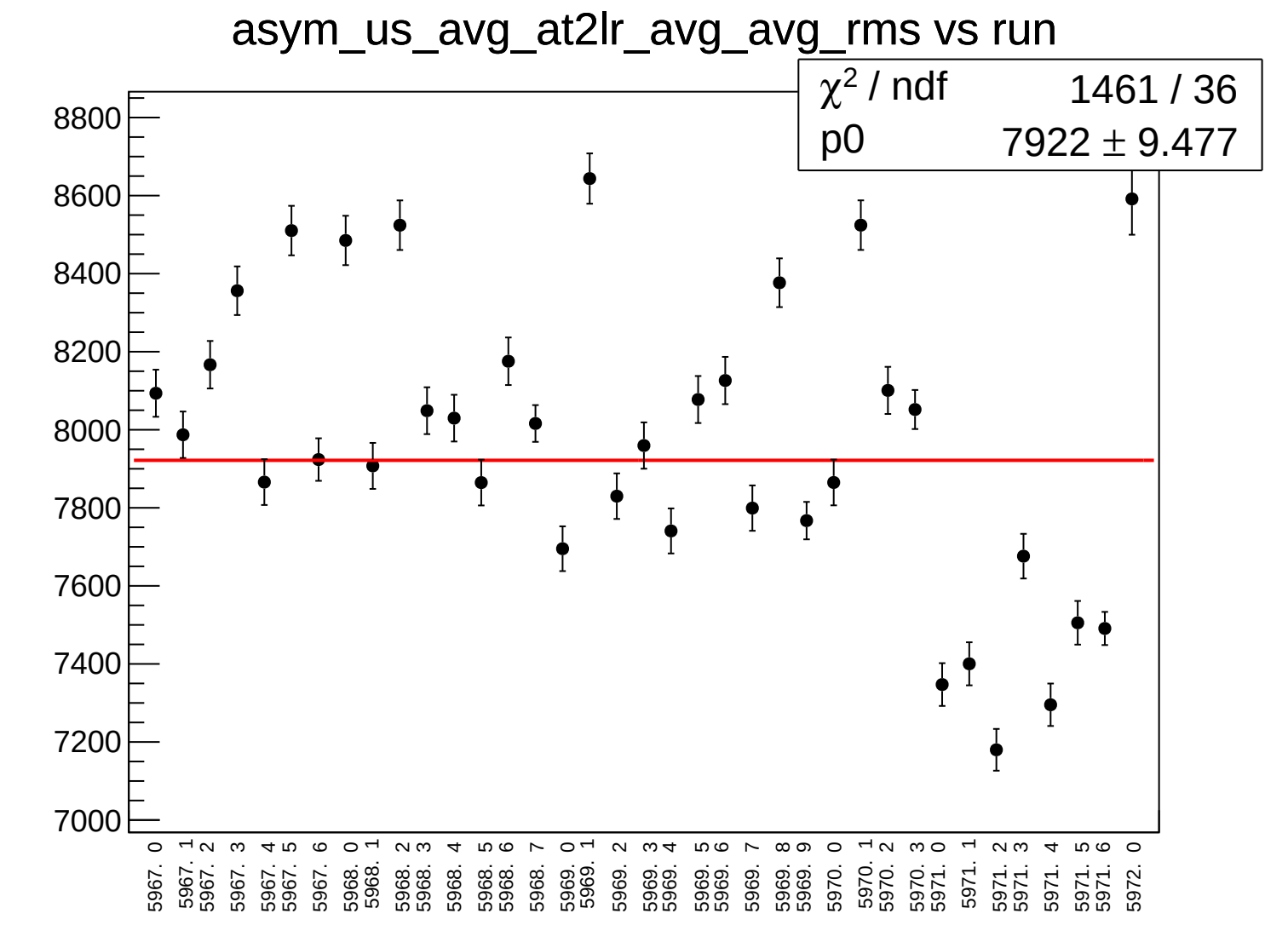
asym_us_avg_at2lr_avg_avg_rms vs run
χ² / ndf 1461 / 36
p0 7922 ± 9.477
8800
8600
8400
8200
8000
7800
7600
7400
7200
7000
5967. 0
5967. 1
5967. 2
5967. 3
5967. 4
5967. 5
5967. 6
5968. 0
5968. 1
5968. 2
5968. 3
5968. 4
5968. 5
5968. 6
5968. 7
5969. 0
5969. 1
5969. 2
5969. 3
5969. 4
5969. 5
5969. 6
5969. 7
5969. 8
5969. 9
5970. 0
5970. 1
5970. 2
5970. 3
5971. 0
5971. 1
5971. 2
5971. 3
5971. 4
5971. 5
5971. 6
5972. 0

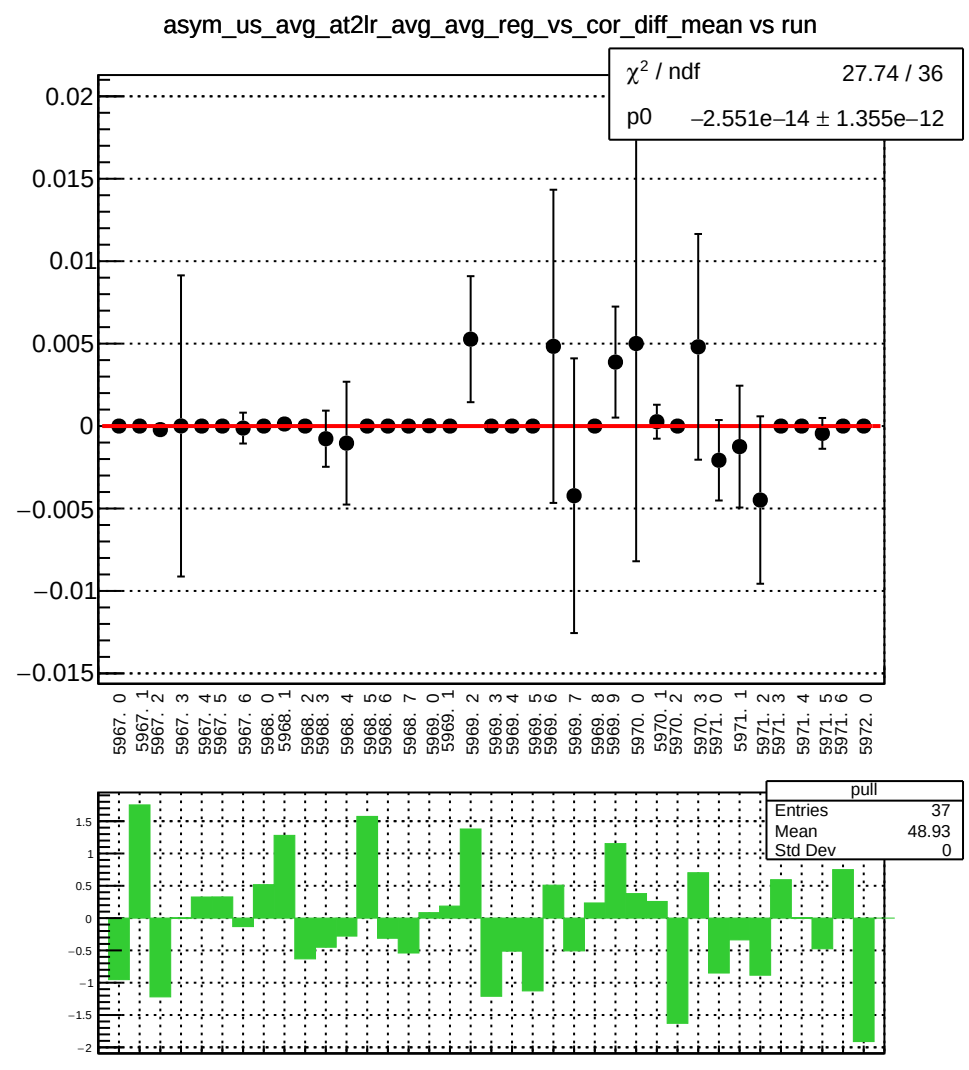
asym_us_avg_at2lr_avg_avg_reg_vs_cor_diff_mean vs run
χ² / ndf 27.74 / 36
p0 −2.551e−14 ± 1.355e−12
0.02
0.015
0.01
0.005
0
−0.005
−0.01
−0.015
5967. 0
5967. 1
5967. 2
5967. 3
5967. 4
5967. 5
5967. 6
5968. 0
5968. 1
5968. 2
5968. 3
5968. 4
5968. 5
5968. 6
5968. 7
5969. 0
5969. 1
5969. 2
5969. 3
5969. 4
5969. 5
5969. 6
5969. 7
5969. 8
5969. 9
5970. 0
5970. 1
5970. 2
5970. 3
5971. 0
5971. 1
5971. 2
5971. 3
5971. 4
5971. 5
5971. 6
5972. 0
pull
Entries 37
Mean 48.93
Std Dev 0
1.5
1
0.5
0
−0.5
−1
−1.5
−2

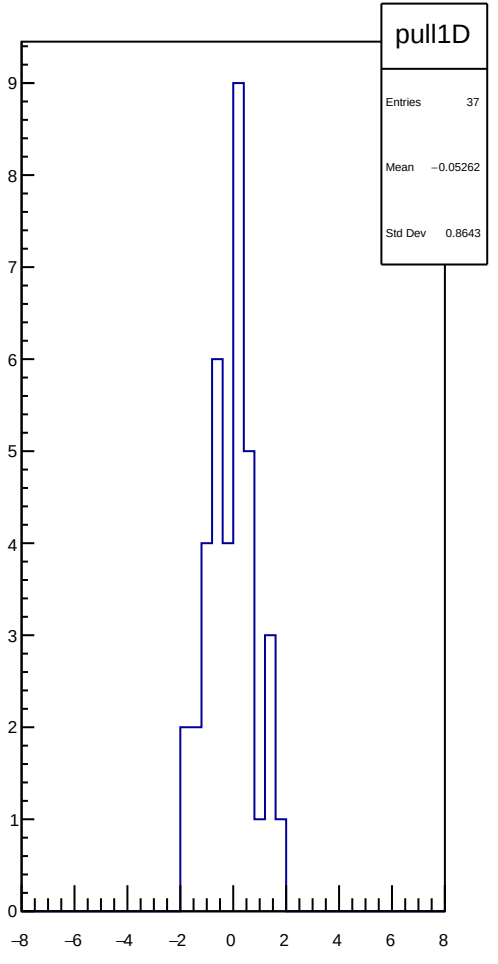
pull1D
Entries 37
Mean −0.05262
Std Dev 0.8643
9
8
7
6
5
4
3
2
1
0
−8
−6
−4
−2
0
2
4
6
8

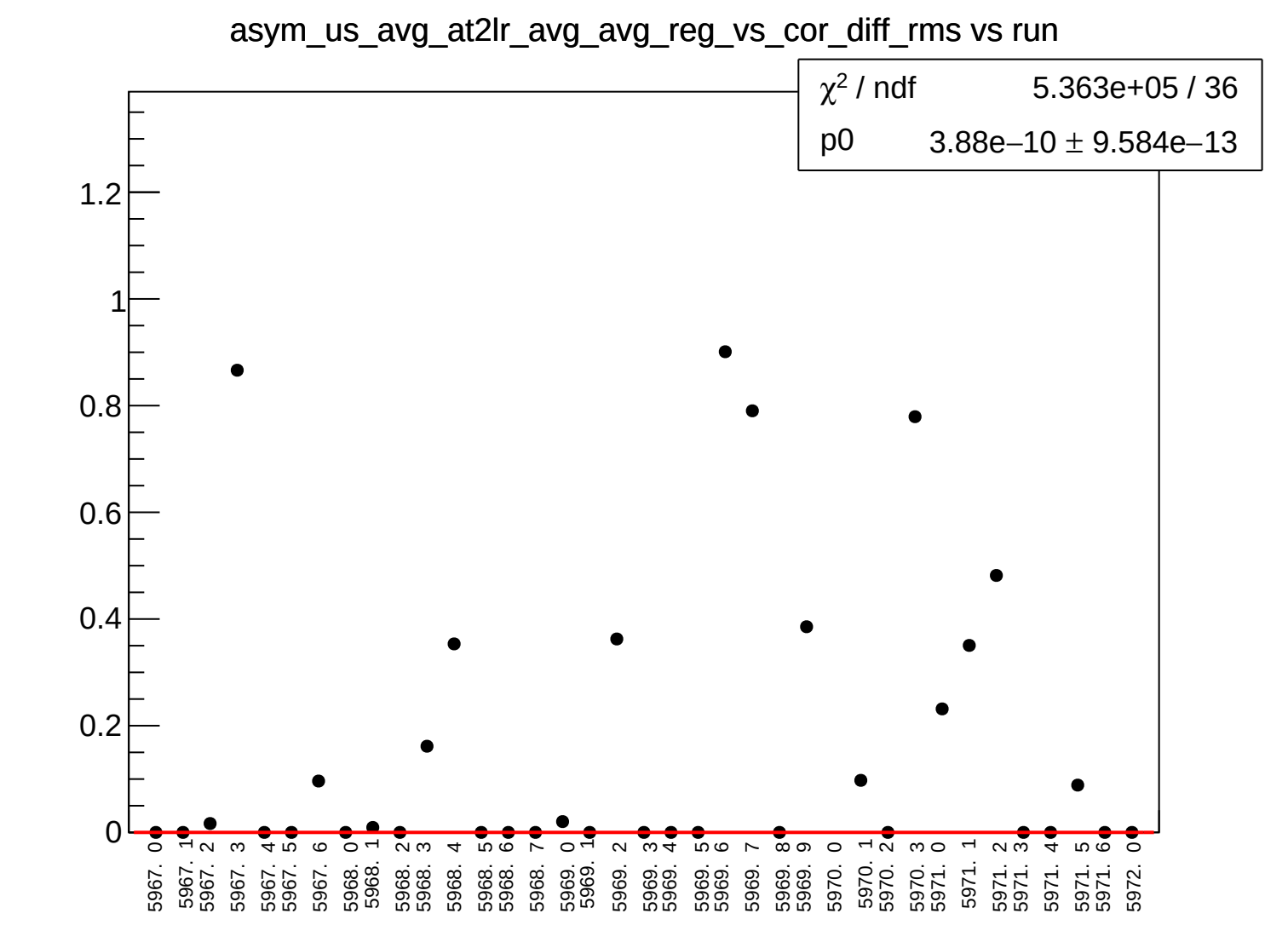
asym_us_avg_at2lr_avg_avg_reg_vs_cor_diff_rms vs run
χ² / ndf 5.363e+05 / 36
p0 3.88e−10 ± 9.584e−13
1.2
1
0.8
0.6
0.4
0.2
0
5967. 0
5967. 1
5967. 2
5967. 3
5967. 4
5967. 5
5967. 6
5968. 0
5968. 1
5968. 2
5968. 3
5968. 4
5968. 5
5968. 6
5968. 7
5969. 0
5969. 1
5969. 2
5969. 3
5969. 4
5969. 5
5969. 6
5969. 7
5969. 8
5969. 9
5970. 0
5970. 1
5970. 2
5970. 3
5971. 0
5971. 1
5971. 2
5971. 3
5971. 4
5971. 5
5971. 6
5972. 0

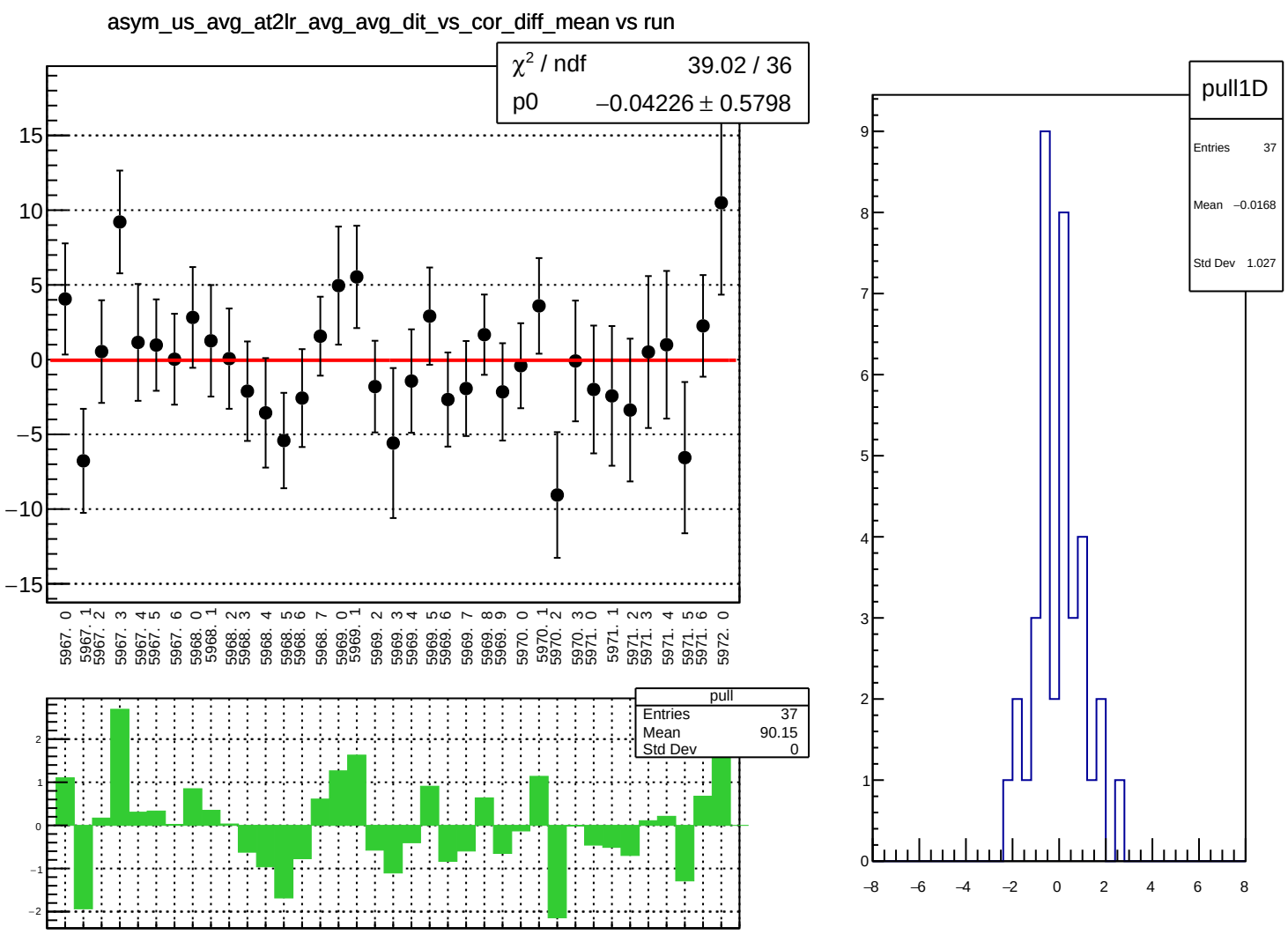
asym_us_avg_at2lr_avg_avg_dit_vs_cor_diff_mean vs run
χ² / ndf 39.02 / 36
p0 −0.04226 ± 0.5798
pull
Entries 37
Mean 90.15
Std Dev 0
pull1D
Entries 37
Mean −0.0168
Std Dev 1.027

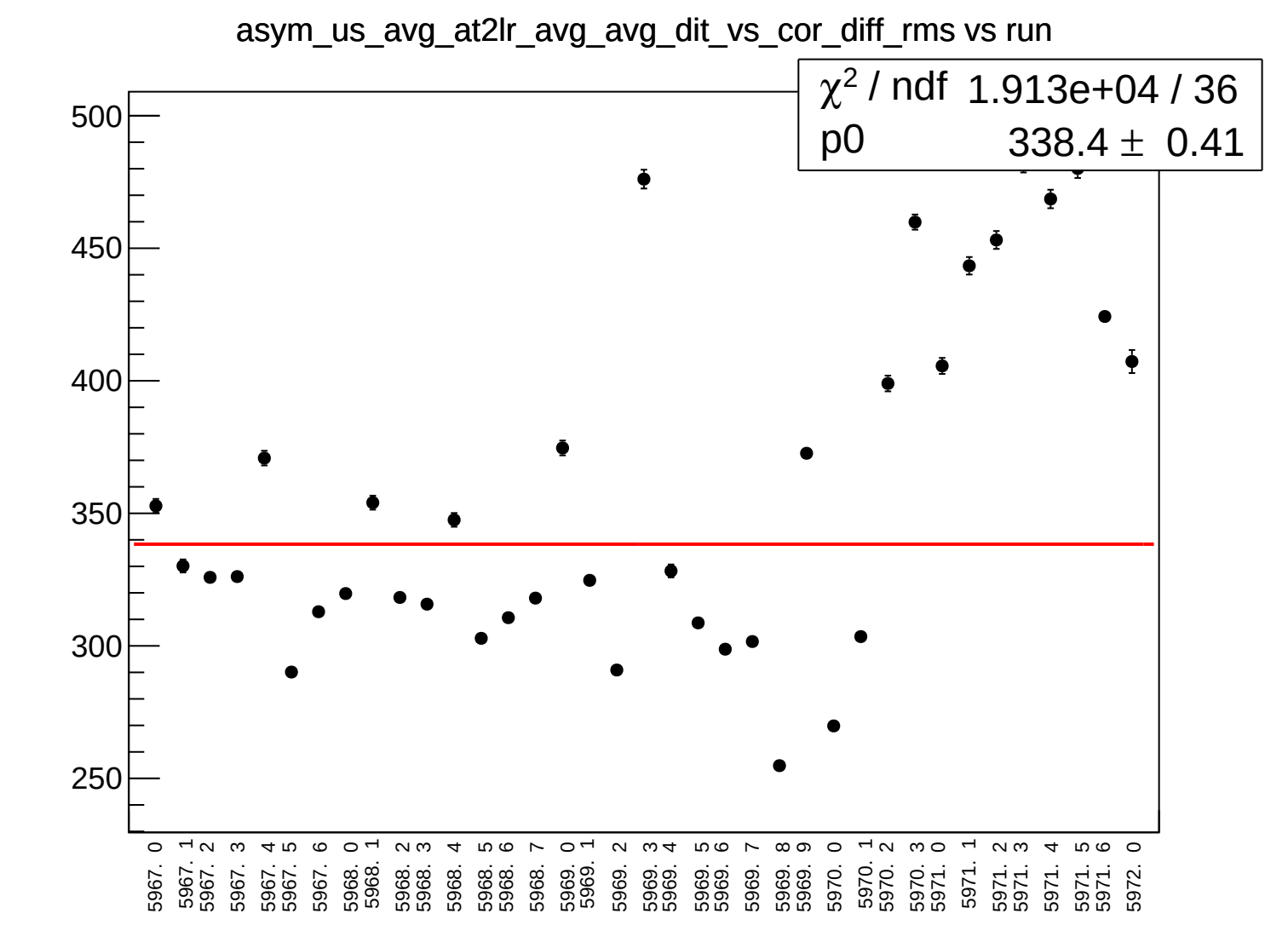
asym_us_avg_at2lr_avg_avg_dit_vs_cor_diff_rms vs run
χ² / ndf 1.913e+04 / 36
p0 338.4 ± 0.41
500
450
400
350
300
250
5967. 0
5967. 1
5967. 2
5967. 3
5967. 4
5967. 5
5967. 6
5968. 0
5968. 1
5968. 2
5968. 3
5968. 4
5968. 5
5968. 6
5968. 7
5969. 0
5969. 1
5969. 2
5969. 3
5969. 4
5969. 5
5969. 6
5969. 7
5969. 8
5969. 9
5970. 0
5970. 1
5970. 2
5970. 3
5971. 0
5971. 1
5971. 2
5971. 3
5971. 4
5971. 5
5971. 6
5972. 0

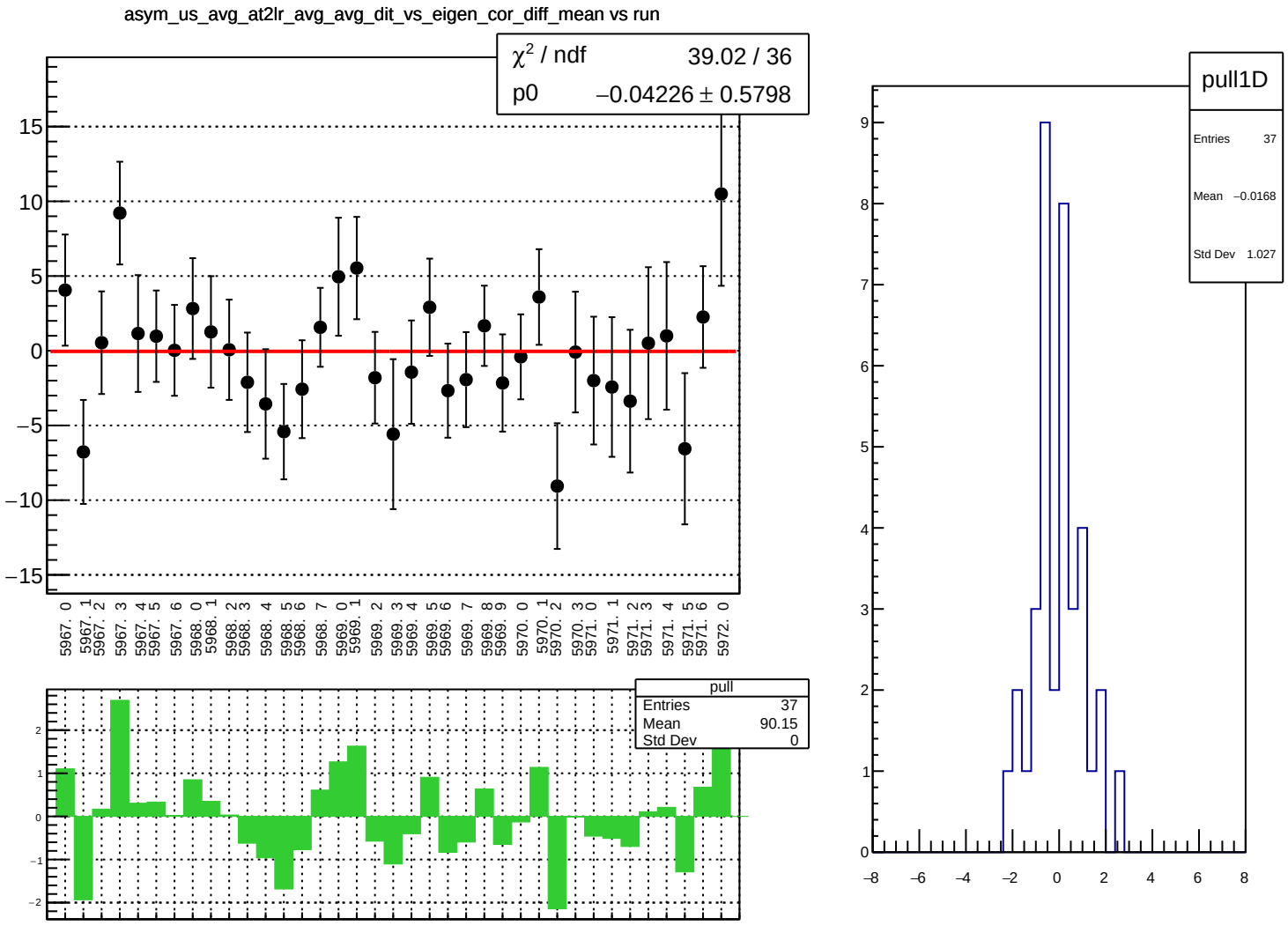
asym_us_avg_at2lr_avg_avg_dit_vs_eigen_cor_diff_mean vs run
χ² / ndf 39.02 / 36
p0 −0.04226 ± 0.5798
15
10
5
0
−5
−10
−15
5967. 0
5967. 1
5967. 2
5967. 3
5967. 4
5967. 5
5967. 6
5968. 0
5968. 1
5968. 2
5968. 3
5968. 4
5968. 5
5968. 6
5968. 7
5969. 0
5969. 1
5969. 2
5969. 3
5969. 4
5969. 5
5969. 6
5969. 7
5969. 8
5969. 9
5970. 0
5970. 1
5970. 2
5970. 3
5971. 0
5971. 1
5971. 2
5971. 3
5971. 4
5971. 5
5971. 6
5972. 0
pull
Entries 37
Mean 90.15
Std Dev 0
2
1
0
−1
−2
pull1D
Entries 37
Mean −0.0168
Std Dev 1.027
9
8
7
6
5
4
3
2
1
0
−8
−6
−4
−2
0
2
4
6
8

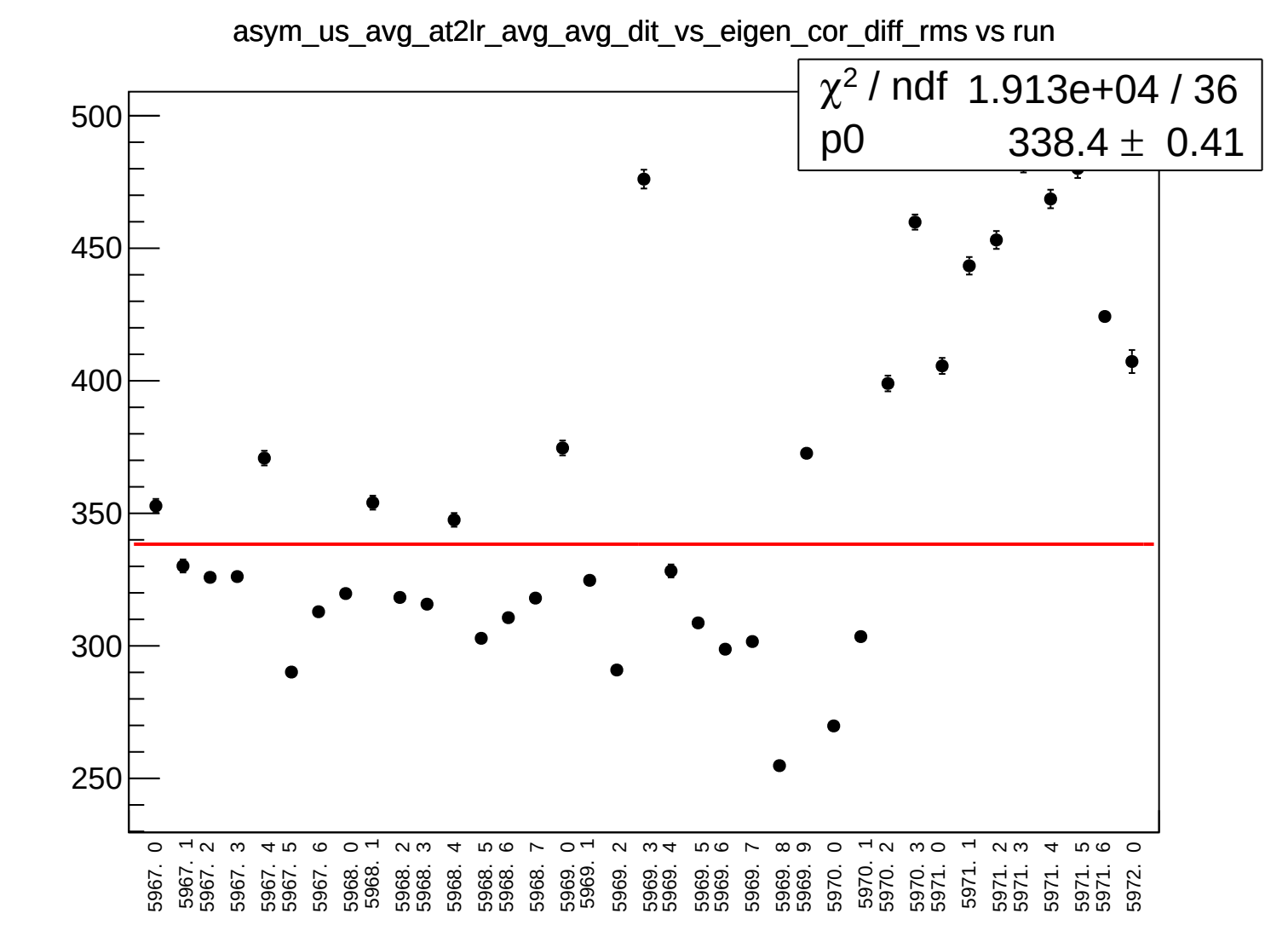
asym_us_avg_at2lr_avg_avg_dit_vs_eigen_cor_diff_rms vs run
χ² / ndf 1.913e+04 / 36
p0 338.4 ± 0.41
500
450
400
350
300
250
5967. 0
5967. 1
5967. 2
5967. 3
5967. 4
5967. 5
5967. 6
5968. 0
5968. 1
5968. 2
5968. 3
5968. 4
5968. 5
5968. 6
5968. 7
5969. 0
5969. 1
5969. 2
5969. 3
5969. 4
5969. 5
5969. 6
5969. 7
5969. 8
5969. 9
5970. 0
5970. 1
5970. 2
5970. 3
5971. 0
5971. 1
5971. 2
5971. 3
5971. 4
5971. 5
5971. 6
5972. 0

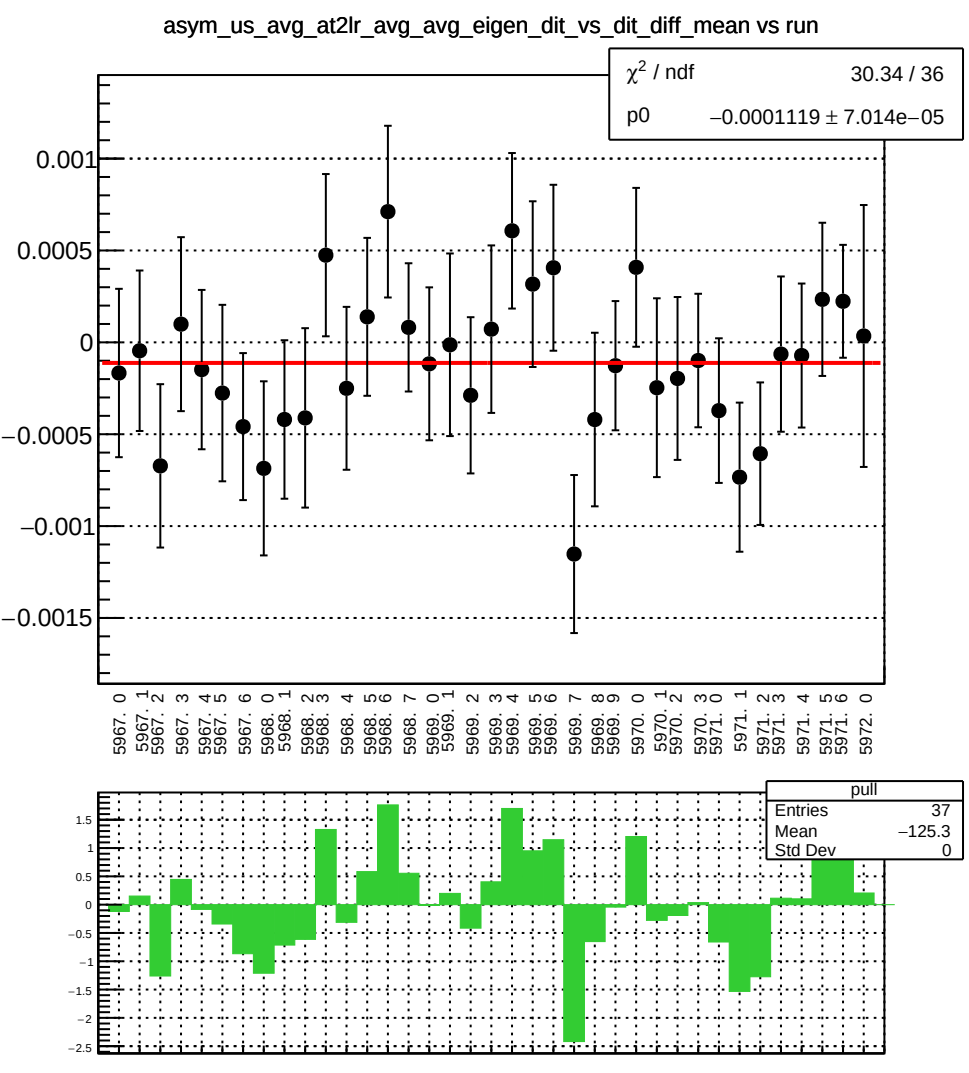
asym_us_avg_at2lr_avg_avg_eigen_dit_vs_dit_diff_mean vs run
χ² / ndf 30.34 / 36
p0 −0.0001119 ± 7.014e−05
0.001
0.0005
0
−0.0005
−0.001
−0.0015
5967. 0
5967. 1
5967. 2
5967. 3
5967. 4
5967. 5
5967. 6
5968. 0
5968. 1
5968. 2
5968. 3
5968. 4
5968. 5
5968. 6
5968. 7
5969. 0
5969. 1
5969. 2
5969. 3
5969. 4
5969. 5
5969. 6
5969. 7
5969. 8
5969. 9
5970. 0
5970. 1
5970. 2
5970. 3
5971. 0
5971. 1
5971. 2
5971. 3
5971. 4
5971. 5
5971. 6
5972. 0
pull
Entries 37
Mean −125.3
Std Dev 0
1.5
1
0.5
0
−0.5
−1
−1.5
−2
−2.5

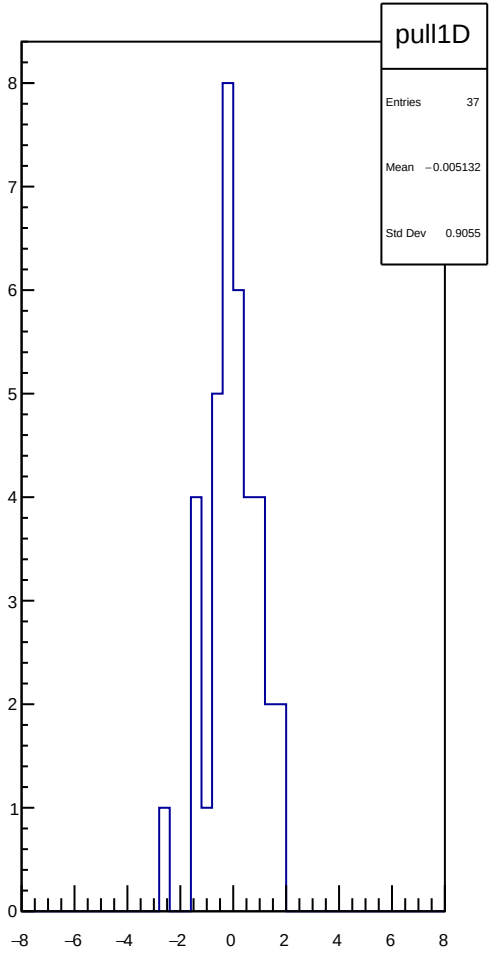
pull1D
Entries 37
Mean −0.005132
Std Dev 0.9055
8
7
6
5
4
3
2
1
0
−8
−6
−4
−2
0
2
4
6
8

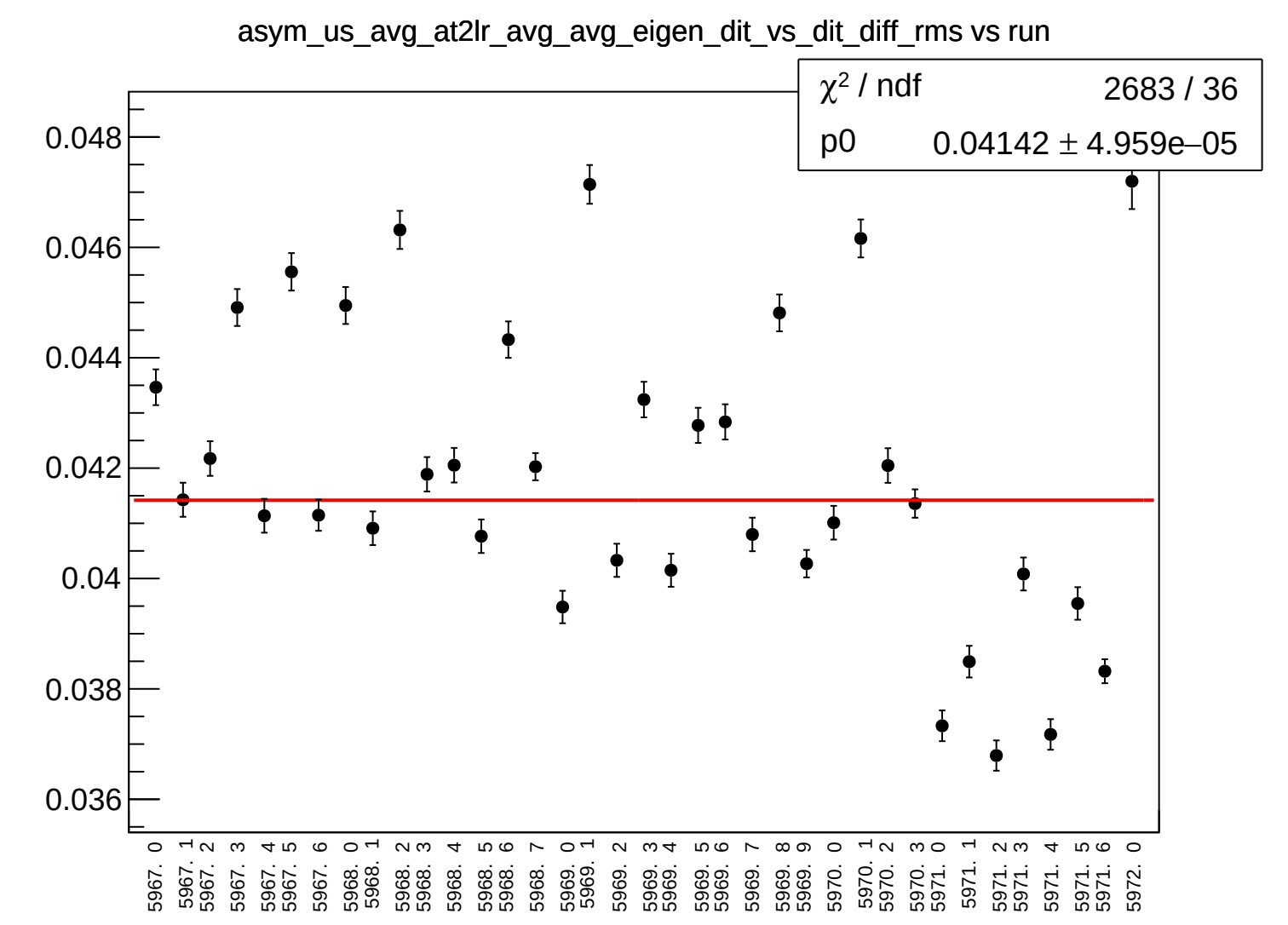
asym_us_avg_at2lr_avg_avg_eigen_dit_vs_dit_diff_rms vs run
χ² / ndf 2683 / 36
p0 0.04142 ± 4.959e−05
0.048
0.046
0.044
0.042
0.04
0.038
0.036
5967. 0
5967. 1
5967. 2
5967. 3
5967. 4
5967. 5
5967. 6
5968. 0
5968. 1
5968. 2
5968. 3
5968. 4
5968. 5
5968. 6
5968. 7
5969. 0
5969. 1
5969. 2
5969. 3
5969. 4
5969. 5
5969. 6
5969. 7
5969. 8
5969. 9
5970. 0
5970. 1
5970. 2
5970. 3
5971. 0
5971. 1
5971. 2
5971. 3
5971. 4
5971. 5
5971. 6
5972. 0

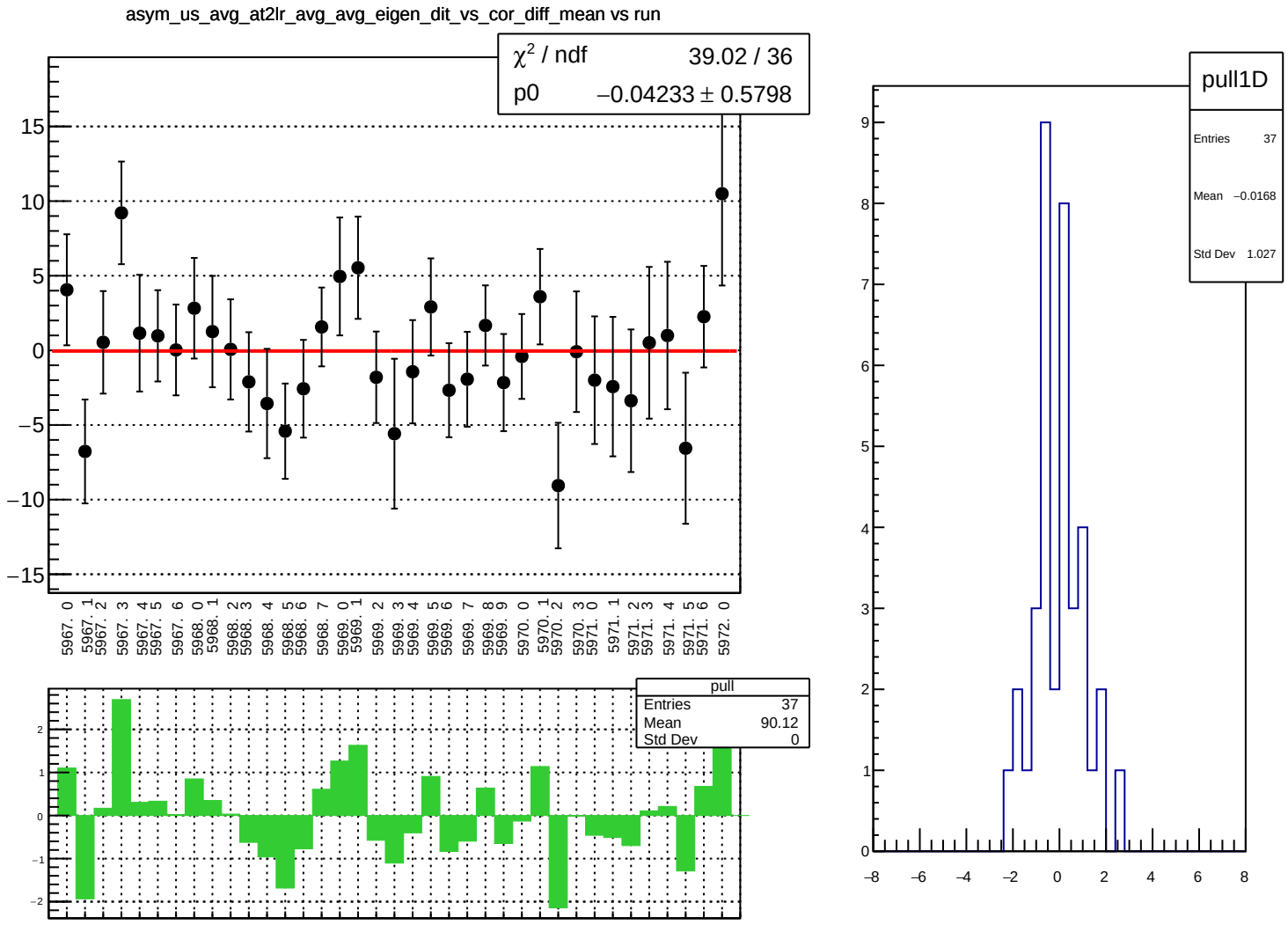
asym_us_avg_at2lr_avg_avg_eigen_dit_vs_cor_diff_mean vs run
χ² / ndf 39.02 / 36
p0 −0.04233 ± 0.5798
15
10
5
0
−5
−10
−15
5967. 0
5967. 1
5967. 2
5967. 3
5967. 4
5967. 5
5967. 6
5968. 0
5968. 1
5968. 2
5968. 3
5968. 4
5968. 5
5968. 6
5968. 7
5969. 0
5969. 1
5969. 2
5969. 3
5969. 4
5969. 5
5969. 6
5969. 7
5969. 8
5969. 9
5970. 0
5970. 1
5970. 2
5970. 3
5971. 0
5971. 1
5971. 2
5971. 3
5971. 4
5971. 5
5971. 6
5972. 0
pull
Entries 37
Mean 90.12
Std Dev 0
2
1
0
−1
−2
pull1D
Entries 37
Mean −0.0168
Std Dev 1.027
9
8
7
6
5
4
3
2
1
0
−8
−6
−4
−2
0
2
4
6
8

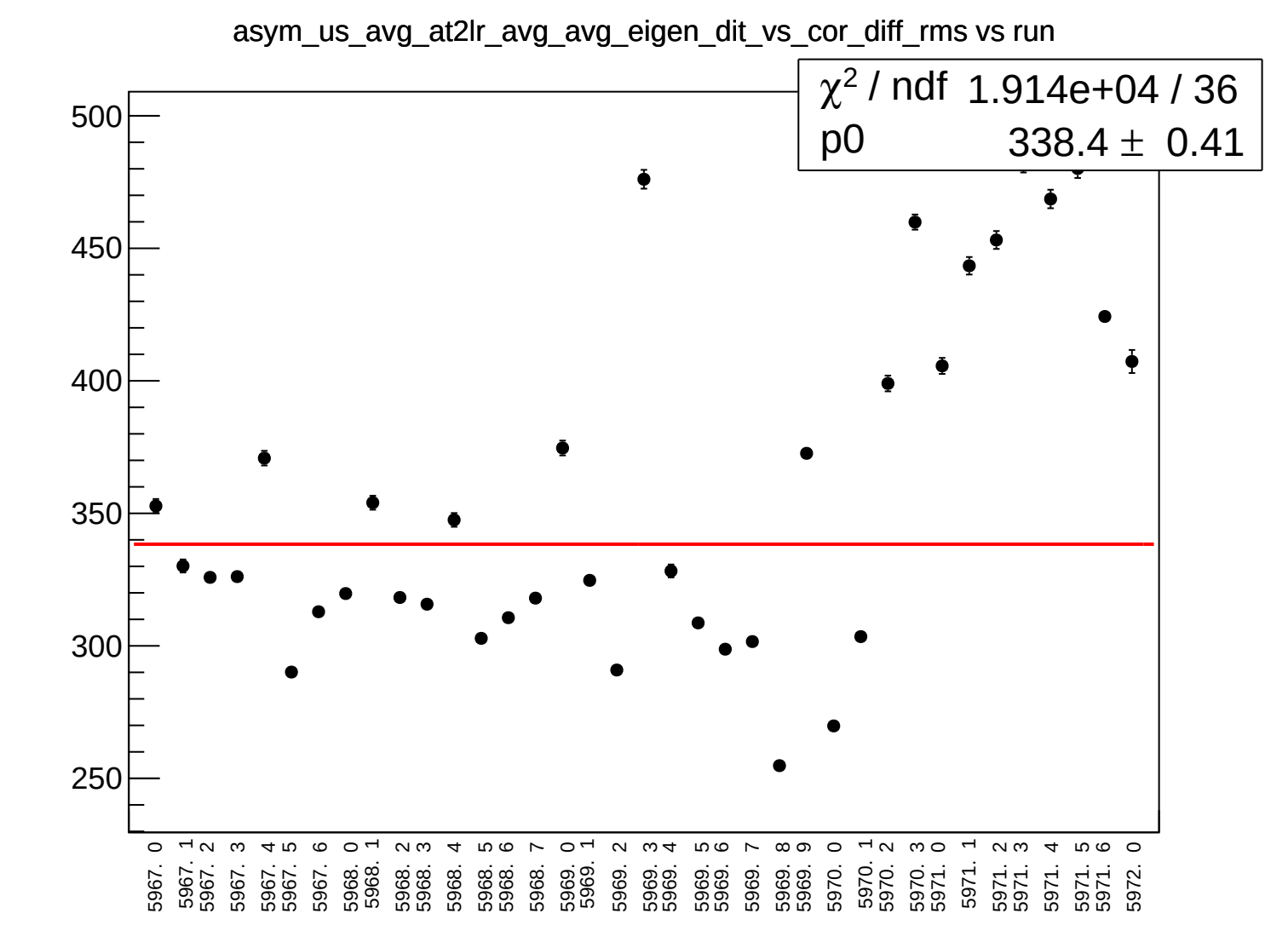
asym_us_avg_at2lr_avg_avg_eigen_dit_vs_cor_diff_rms vs run
χ² / ndf 1.914e+04 / 36
p0 338.4 ± 0.41
500
450
400
350
300
250
5967. 0
5967. 1
5967. 2
5967. 3
5967. 4
5967. 5
5967. 6
5968. 0
5968. 1
5968. 2
5968. 3
5968. 4
5968. 5
5968. 6
5968. 7
5969. 0
5969. 1
5969. 2
5969. 3
5969. 4
5969. 5
5969. 6
5969. 7
5969. 8
5969. 9
5970. 0
5970. 1
5970. 2
5970. 3
5971. 0
5971. 1
5971. 2
5971. 3
5971. 4
5971. 5
5971. 6
5972. 0

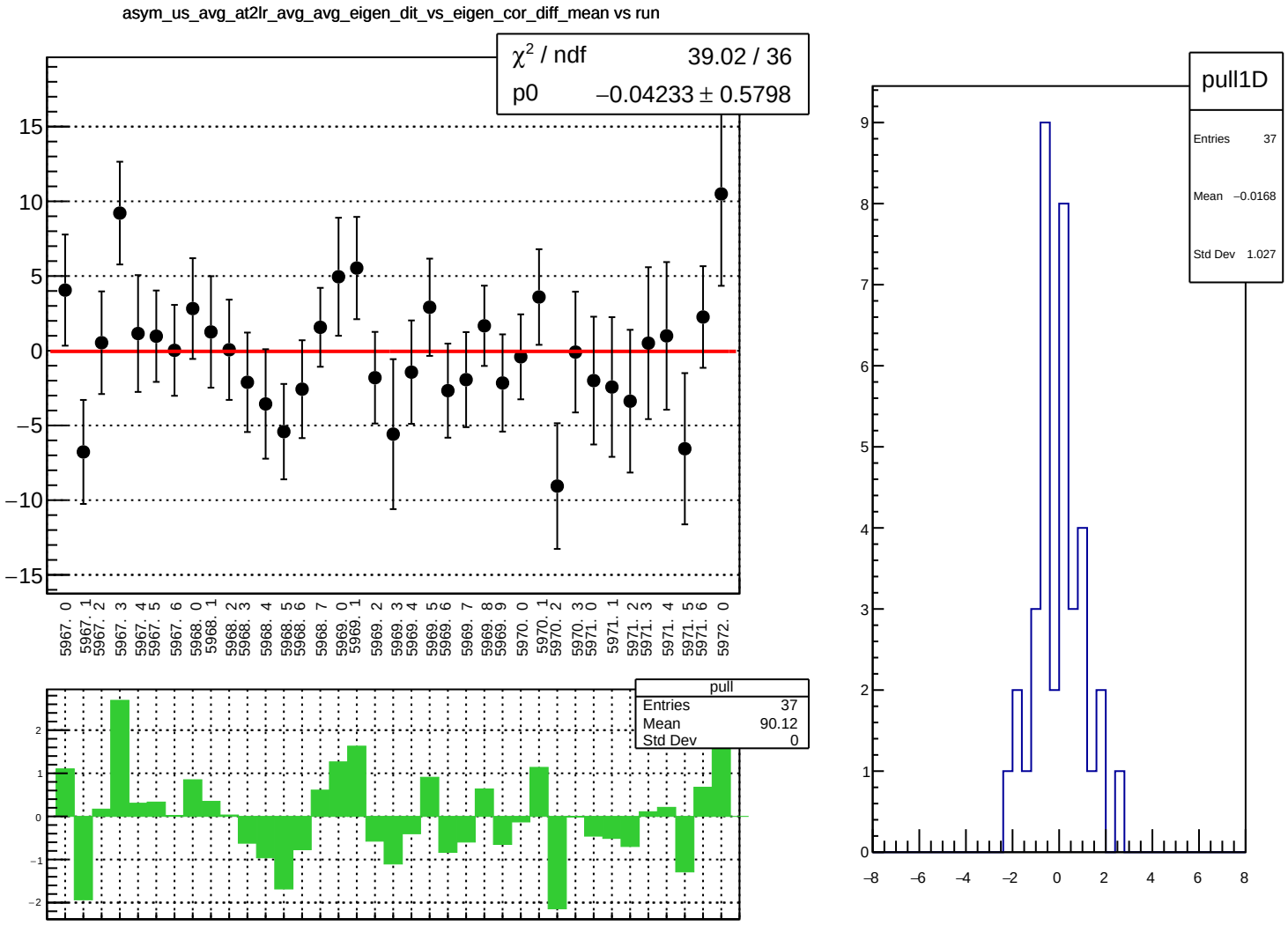
asym_us_avg_at2lr_avg_avg_eigen_dit_vs_eigen_cor_diff_mean vs run
χ² / ndf 39.02 / 36
p0 −0.04233 ± 0.5798
pull
Entries 37
Mean 90.12
Std Dev 0
pull1D
Entries 37
Mean −0.0168
Std Dev 1.027

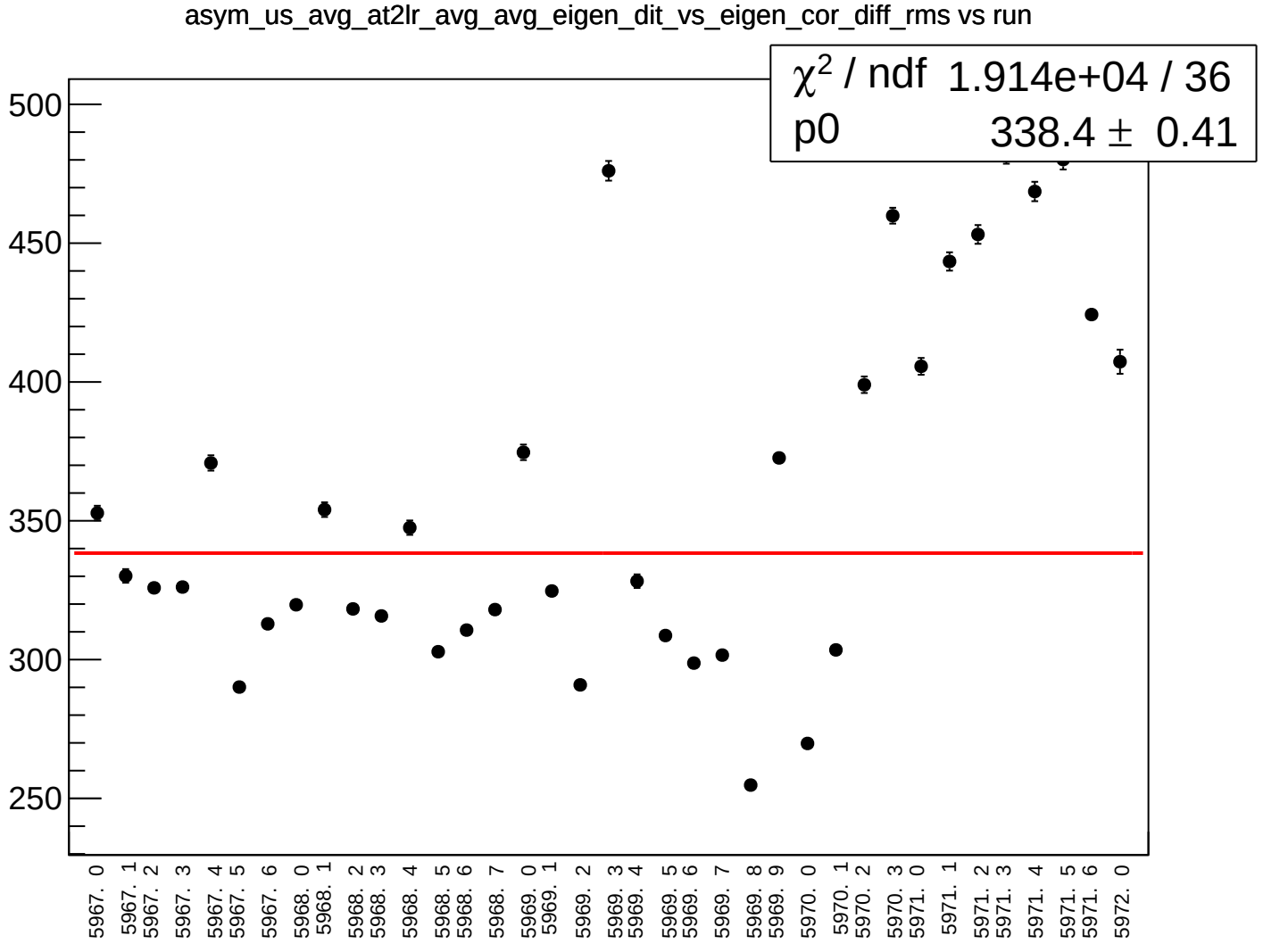
asym_us_avg_at2lr_avg_avg_eigen_dit_vs_eigen_cor_diff_rms vs run
χ² / ndf 1.914e+04 / 36
p0 338.4 ± 0.41
500
450
400
350
300
250
5967. 0
5967. 1
5967. 2
5967. 3
5967. 4
5967. 5
5967. 6
5968. 0
5968. 1
5968. 2
5968. 3
5968. 4
5968. 5
5968. 6
5968. 7
5969. 0
5969. 1
5969. 2
5969. 3
5969. 4
5969. 5
5969. 6
5969. 7
5969. 8
5969. 9
5970. 0
5970. 1
5970. 2
5970. 3
5971. 0
5971. 1
5971. 2
5971. 3
5971. 4
5971. 5
5971. 6
5972. 0

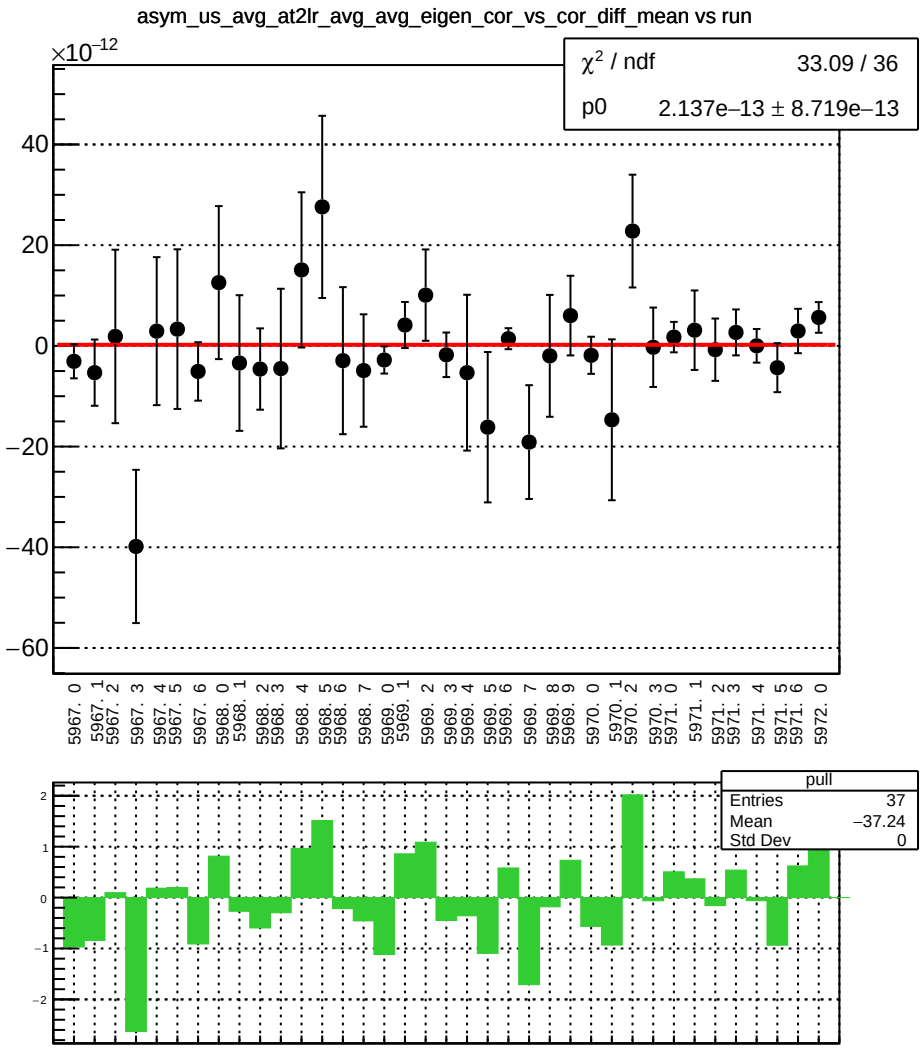
asym_us_avg_at2lr_avg_avg_eigen_cor_vs_cor_diff_mean vs run
×10⁻¹²
χ² / ndf 33.09 / 36
p0 2.137e−13 ± 8.719e−13
40
20
0
−20
−40
−60
5967. 0
5967. 1
5967. 2
5967. 3
5967. 4
5967. 5
5967. 6
5968. 0
5968. 1
5968. 2
5968. 3
5968. 4
5968. 5
5968. 6
5968. 7
5969. 0
5969. 1
5969. 2
5969. 3
5969. 4
5969. 5
5969. 6
5969. 7
5969. 8
5969. 9
5970. 0
5970. 1
5970. 2
5970. 3
5971. 0
5971. 1
5971. 2
5971. 3
5971. 4
5971. 5
5971. 6
5972. 0
pull
Entries 37
Mean −37.24
Std Dev 0
2
1
0
−1
−2

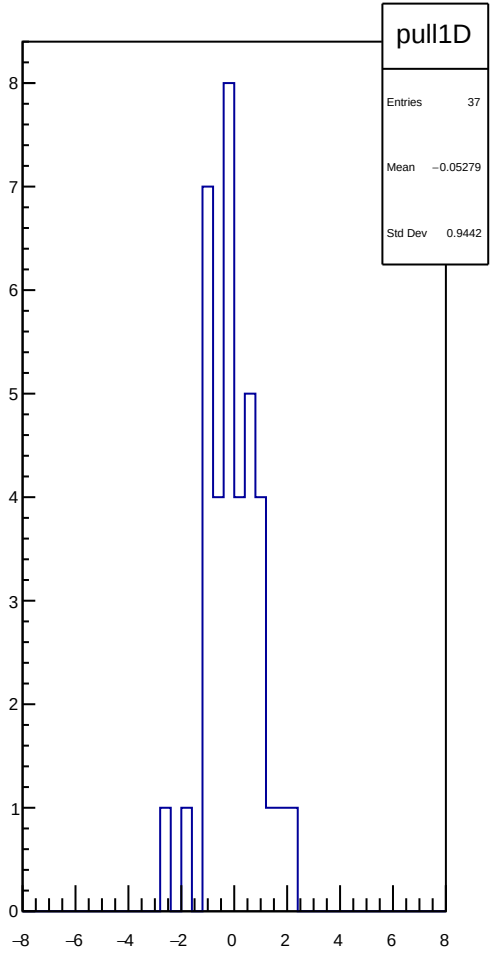
pull1D
Entries 37
Mean −0.05279
Std Dev 0.9442
8
7
6
5
4
3
2
1
0
−8
−6
−4
−2
0
2
4
6
8

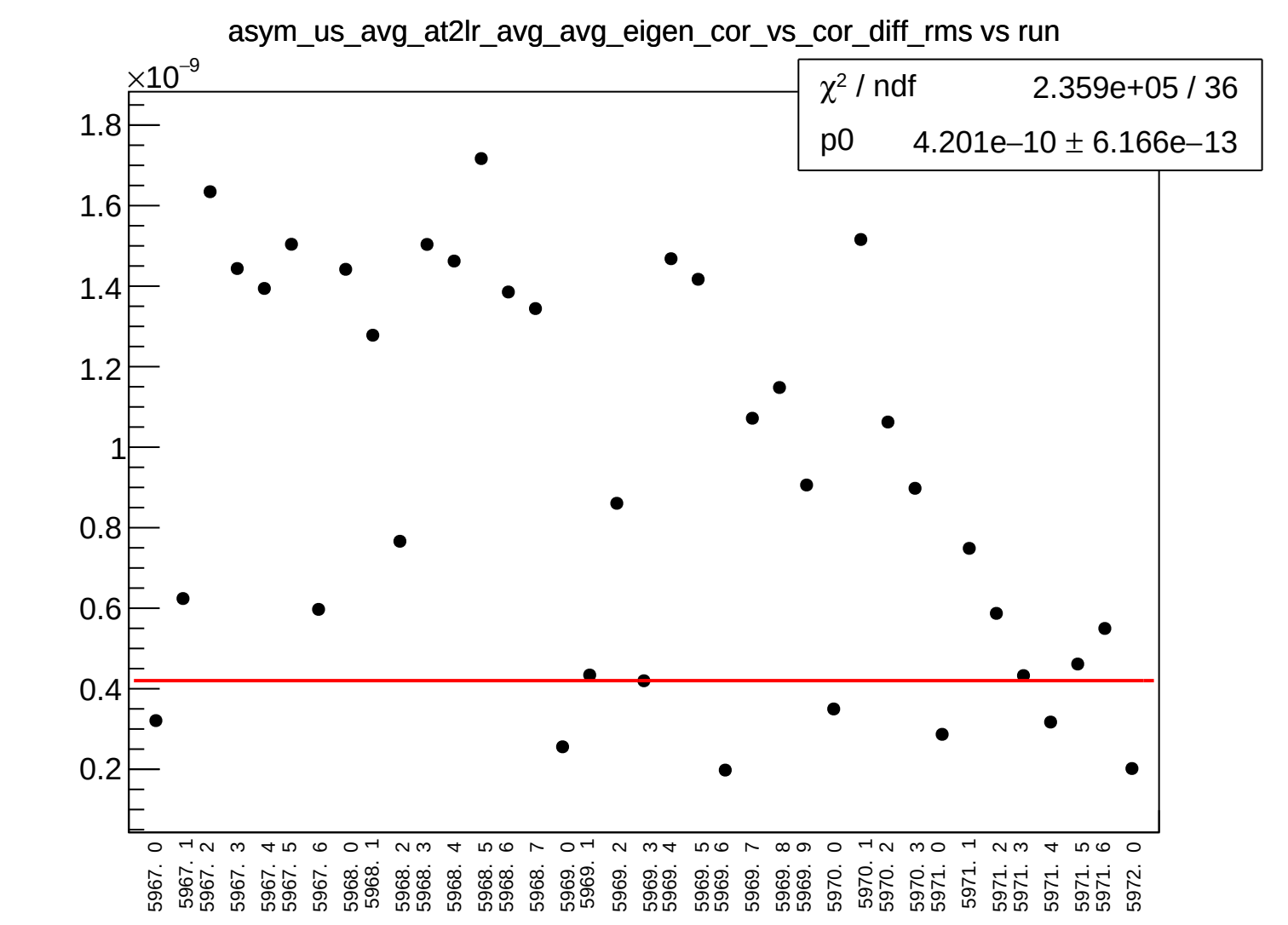
asym_us_avg_at2lr_avg_avg_eigen_cor_vs_cor_diff_rms vs run
×10⁻⁹
χ² / ndf 2.359e+05 / 36
p0 4.201e−10 ± 6.166e−13
1.8
1.6
1.4
1.2
1
0.8
0.6
0.4
0.2
5967. 0
5967. 1
5967. 2
5967. 3
5967. 4
5967. 5
5967. 6
5968. 0
5968. 1
5968. 2
5968. 3
5968. 4
5968. 5
5968. 6
5968. 7
5969. 0
5969. 1
5969. 2
5969. 3
5969. 4
5969. 5
5969. 6
5969. 7
5969. 8
5969. 9
5970. 0
5970. 1
5970. 2
5970. 3
5971. 0
5971. 1
5971. 2
5971. 3
5971. 4
5971. 5
5971. 6
5972. 0

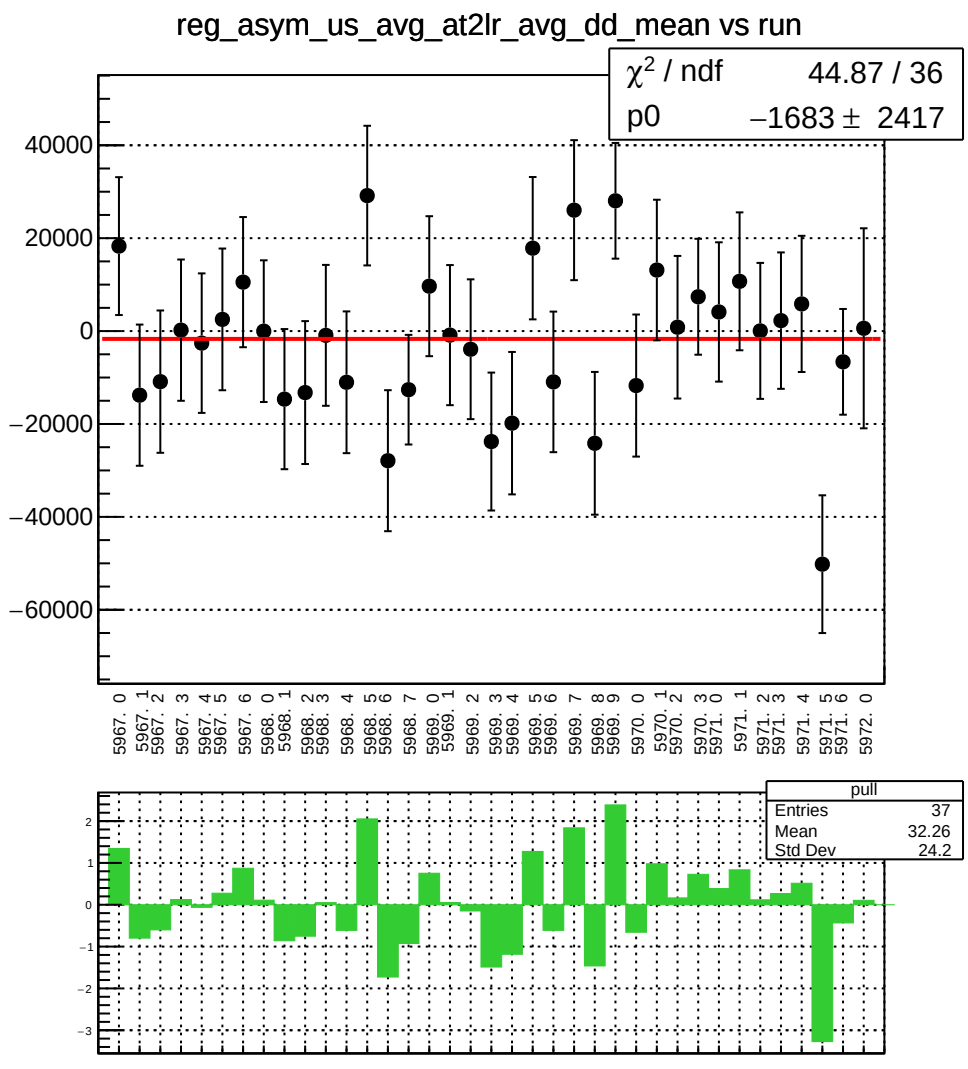
reg_asym_us_avg_at2lr_avg_dd_mean vs run
χ² / ndf 44.87 / 36
p0 −1683 ± 2417
40000
20000
0
−20000
−40000
−60000
5967. 0
5967. 1
5967. 2
5967. 3
5967. 4
5967. 5
5967. 6
5968. 0
5968. 1
5968. 2
5968. 3
5968. 4
5968. 5
5968. 6
5968. 7
5969. 0
5969. 1
5969. 2
5969. 3
5969. 4
5969. 5
5969. 6
5969. 7
5969. 8
5969. 9
5970. 0
5970. 1
5970. 2
5970. 3
5971. 0
5971. 1
5971. 2
5971. 3
5971. 4
5971. 5
5971. 6
5972. 0
pull
Entries 37
Mean 32.26
Std Dev 24.2
2
1
0
−1
−2
−3
pull1D
Entries 37
Mean −0.00967
Std Dev 1.101
10
8
6
4
2
0
−8
−6
−4
−2
0
2
4
6
8

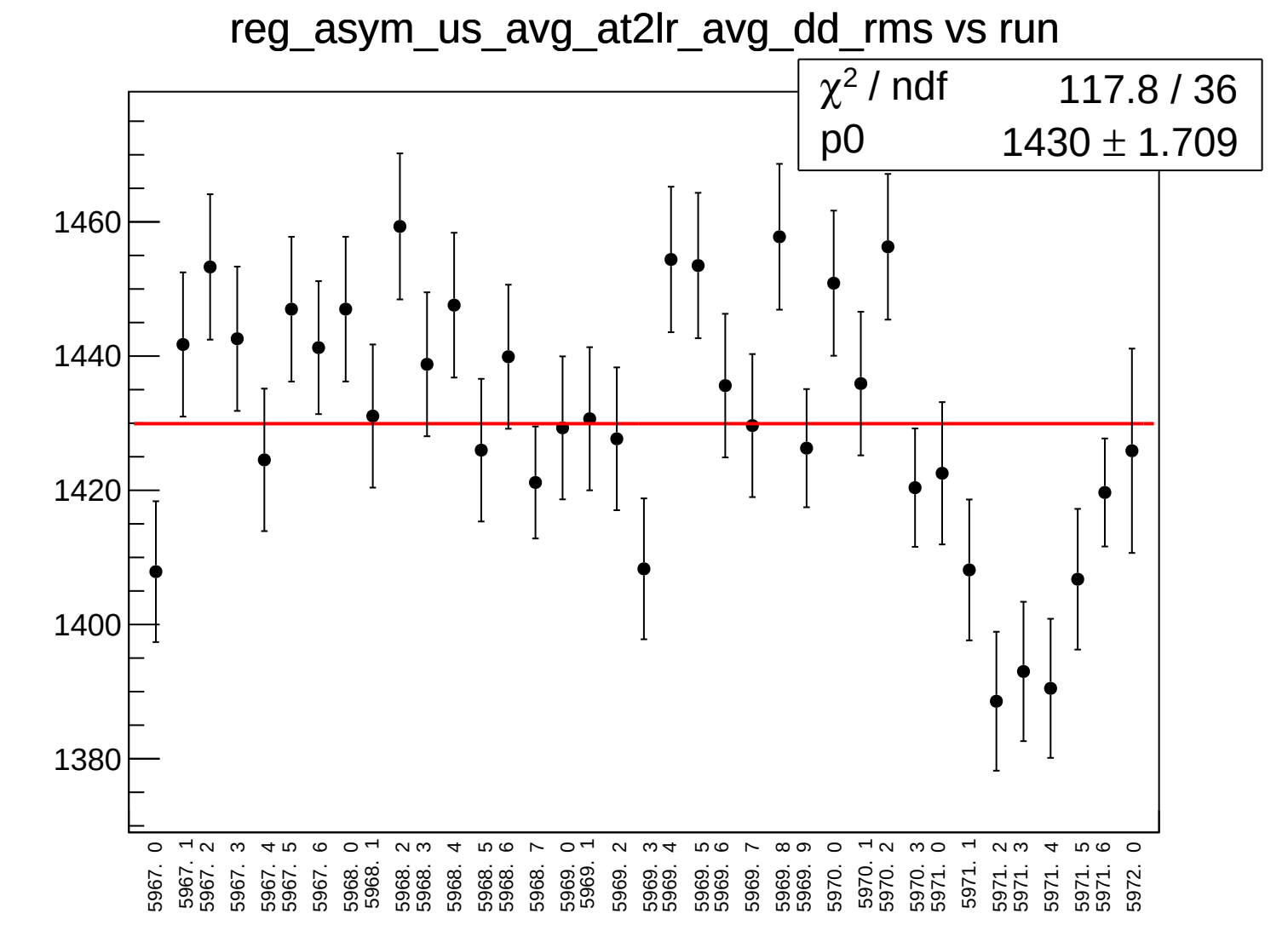
reg_asym_us_avg_at2lr_avg_dd_rms vs run
χ² / ndf 117.8 / 36
p0 1430 ± 1.709
1460
1440
1420
1400
1380
5967. 0
5967. 1
5967. 2
5967. 3
5967. 4
5967. 5
5967. 6
5968. 0
5968. 1
5968. 2
5968. 3
5968. 4
5968. 5
5968. 6
5968. 7
5969. 0
5969. 1
5969. 2
5969. 3
5969. 4
5969. 5
5969. 6
5969. 7
5969. 8
5969. 9
5970. 0
5970. 1
5970. 2
5970. 3
5971. 0
5971. 1
5971. 2
5971. 3
5971. 4
5971. 5
5971. 6
5972. 0

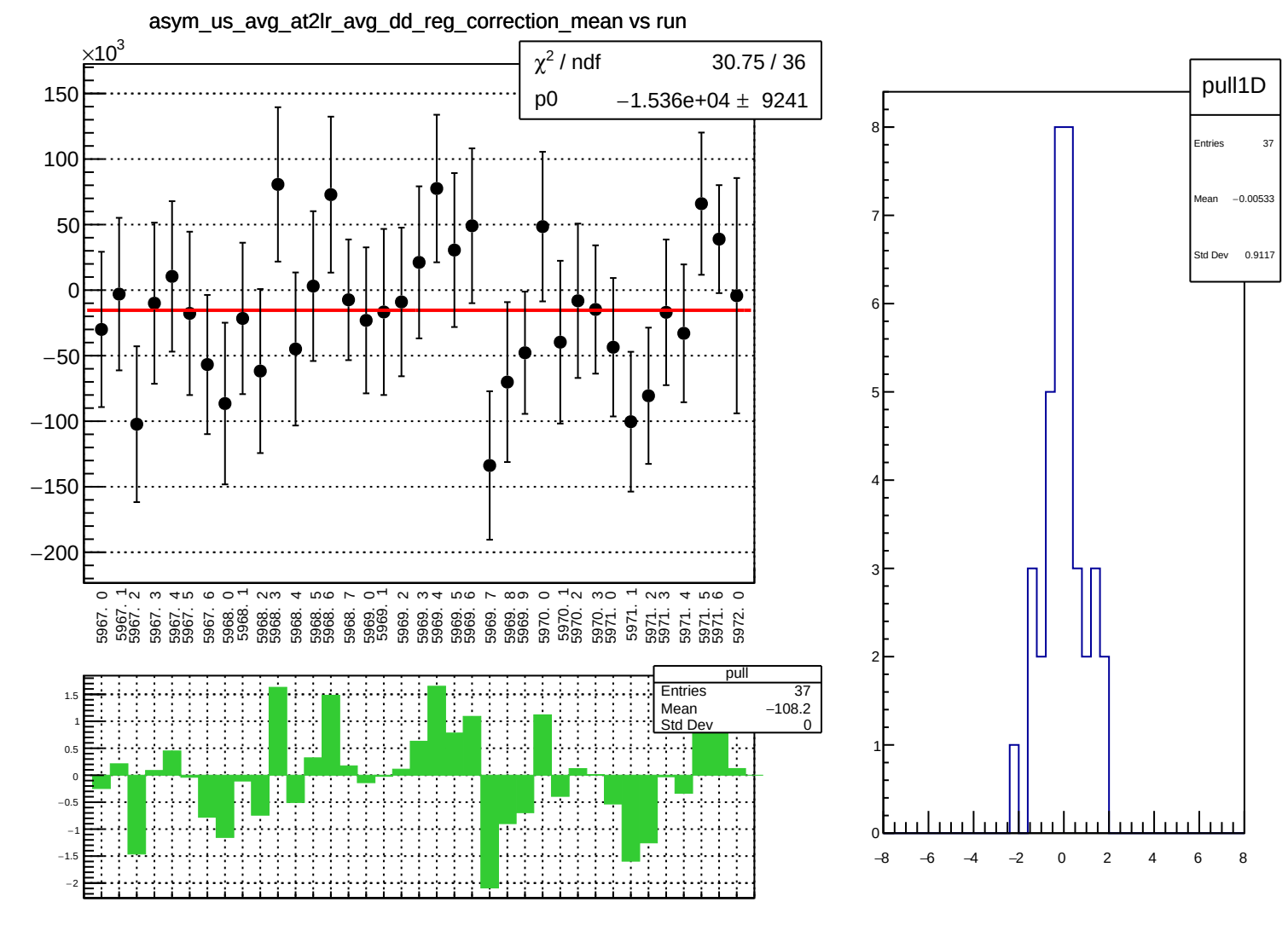
asym_us_avg_at2lr_avg_dd_reg_correction_mean vs run
×10^3
χ² / ndf 30.75 / 36
p0 −1.536e+04 ± 9241
150
100
50
0
−50
−100
−150
−200
5967. 0
5967. 1
5967. 2
5967. 3
5967. 4
5967. 5
5967. 6
5968. 0
5968. 1
5968. 2
5968. 3
5968. 4
5968. 5
5968. 6
5968. 7
5969. 0
5969. 1
5969. 2
5969. 3
5969. 4
5969. 5
5969. 6
5969. 7
5969. 8
5969. 9
5970. 0
5970. 1
5970. 2
5970. 3
5971. 0
5971. 1
5971. 2
5971. 3
5971. 4
5971. 5
5971. 6
5972. 0
pull
Entries 37
Mean −108.2
Std Dev 0
1.5
1
0.5
0
−0.5
−1
−1.5
−2
pull1D
Entries 37
Mean −0.00533
Std Dev 0.9117
8
7
6
5
4
3
2
1
0
−8
−6
−4
−2
0
2
4
6
8

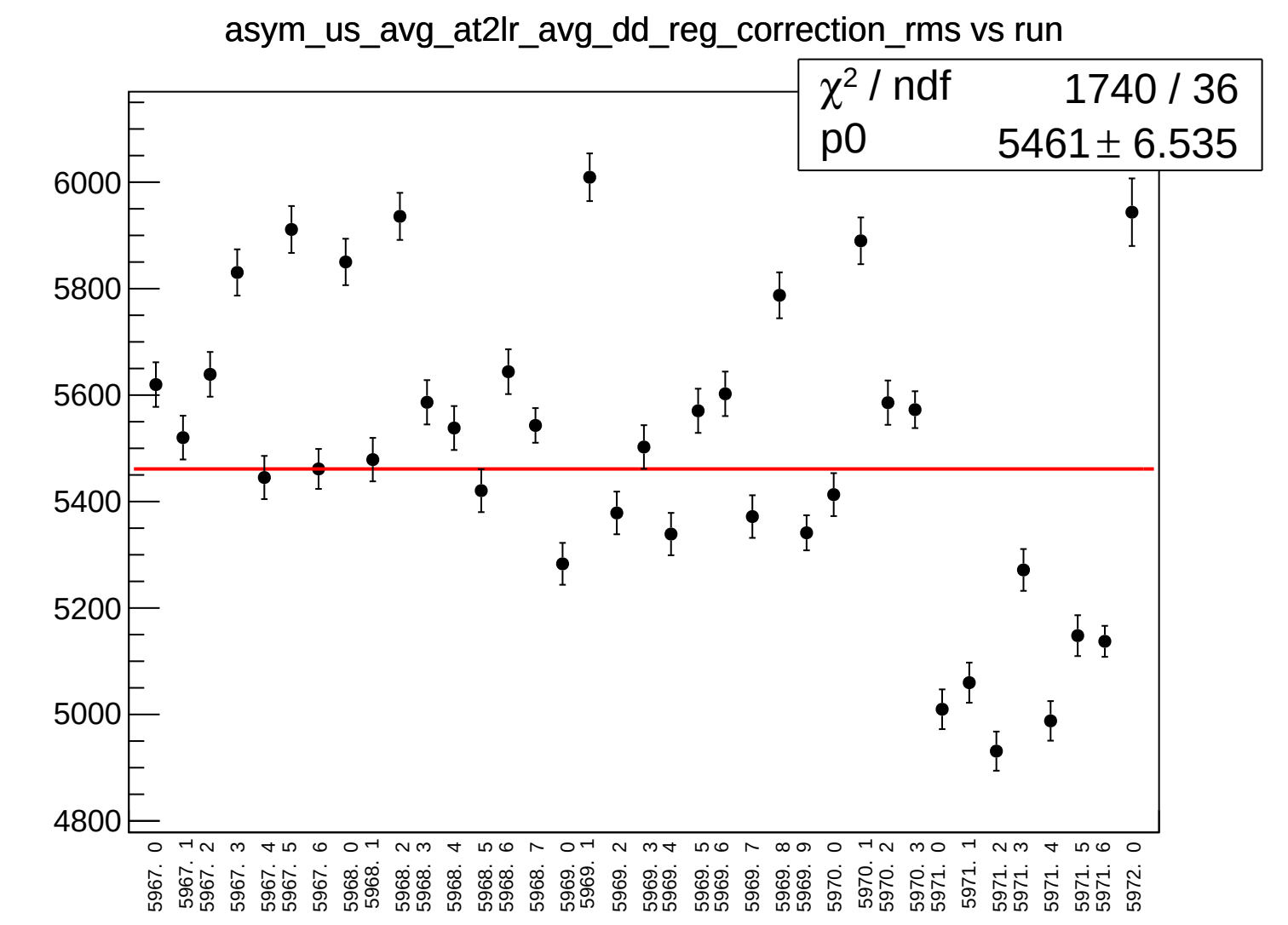
asym_us_avg_at2lr_avg_dd_reg_correction_rms vs run
χ² / ndf 1740 / 36
p0 5461 ± 6.535
6000
5800
5600
5400
5200
5000
4800
5967. 0
5967. 1
5967. 2
5967. 3
5967. 4
5967. 5
5967. 6
5968. 0
5968. 1
5968. 2
5968. 3
5968. 4
5968. 5
5968. 6
5968. 7
5969. 0
5969. 1
5969. 2
5969. 3
5969. 4
5969. 5
5969. 6
5969. 7
5969. 8
5969. 9
5970. 0
5970. 1
5970. 2
5970. 3
5971. 0
5971. 1
5971. 2
5971. 3
5971. 4
5971. 5
5971. 6
5972. 0

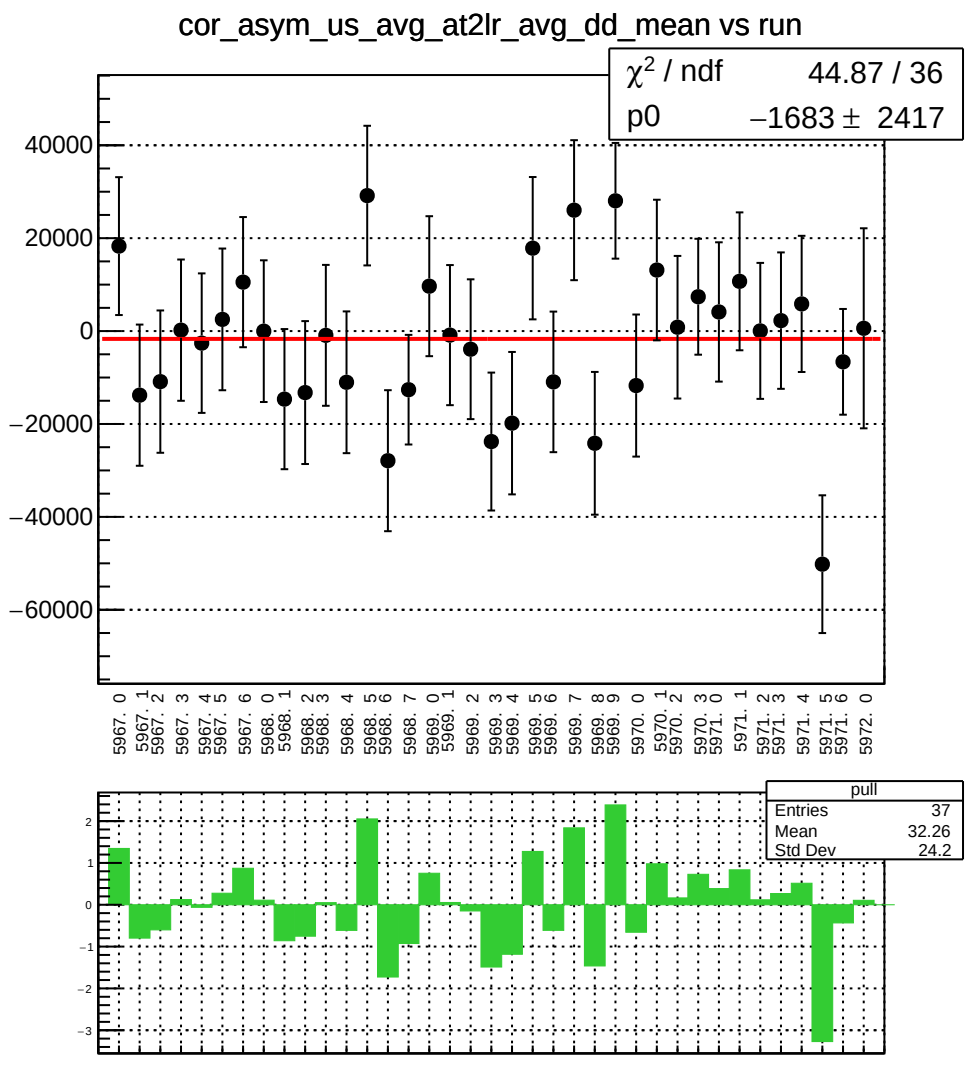
cor_asym_us_avg_at2lr_avg_dd_mean vs run
χ² / ndf 44.87 / 36
p0 −1683 ± 2417
40000
20000
0
−20000
−40000
−60000
5967. 0
5967. 1
5967. 2
5967. 3
5967. 4
5967. 5
5967. 6
5968. 0
5968. 1
5968. 2
5968. 3
5968. 4
5968. 5
5968. 6
5968. 7
5969. 0
5969. 1
5969. 2
5969. 3
5969. 4
5969. 5
5969. 6
5969. 7
5969. 8
5969. 9
5970. 0
5970. 1
5970. 2
5970. 3
5971. 0
5971. 1
5971. 2
5971. 3
5971. 4
5971. 5
5971. 6
5972. 0
pull
Entries 37
Mean 32.26
Std Dev 24.2
2
1
0
−1
−2
−3
pull1D
Entries 37
Mean −0.009671
Std Dev 1.101
10
8
6
4
2
0
−8
−6
−4
−2
0
2
4
6
8

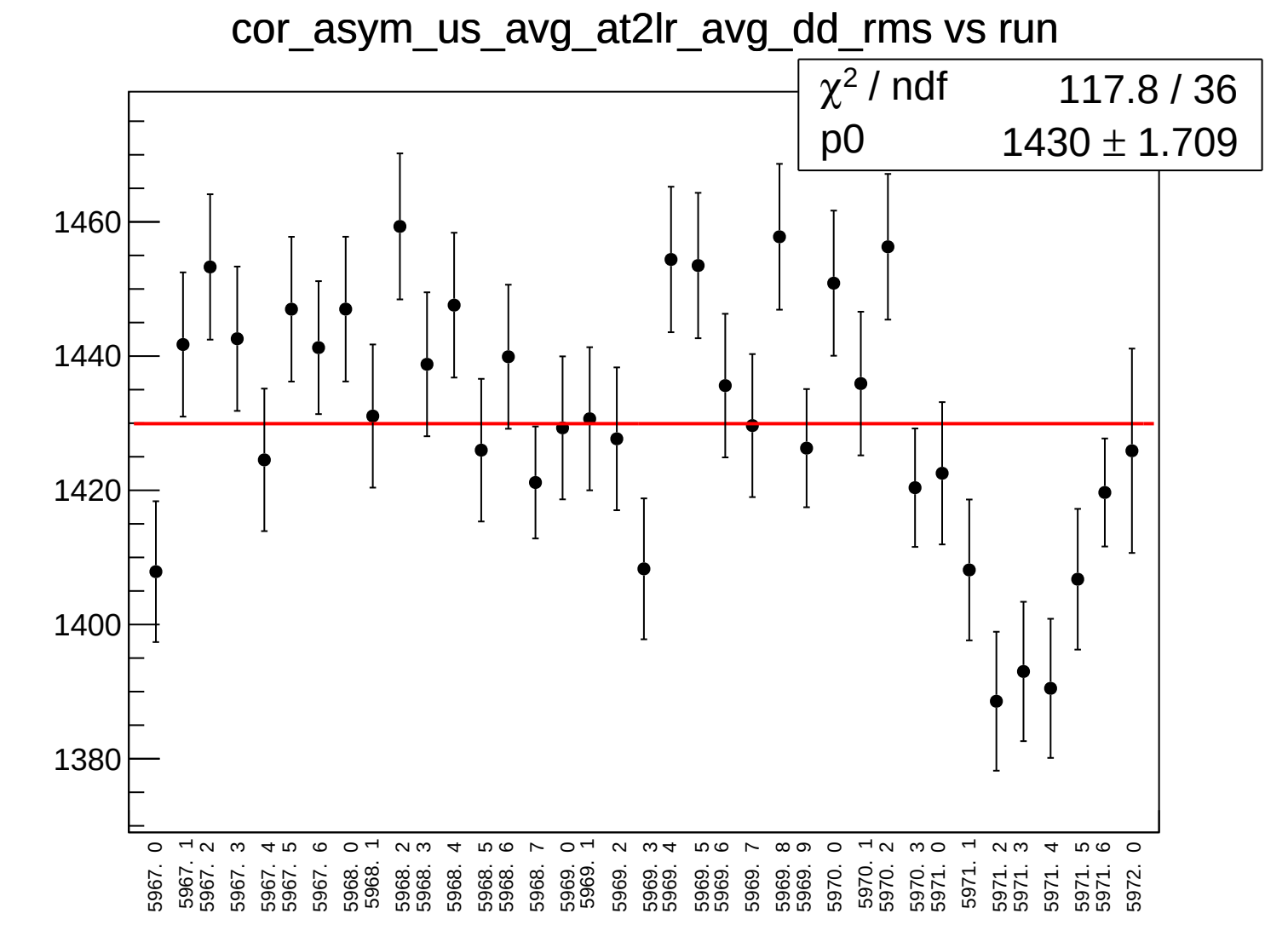
cor_asym_us_avg_at2lr_avg_dd_rms vs run
χ² / ndf 117.8 / 36
p0 1430 ± 1.709
1460
1440
1420
1400
1380
5967. 0
5967. 1
5967. 2
5967. 3
5967. 4
5967. 5
5967. 6
5968. 0
5968. 1
5968. 2
5968. 3
5968. 4
5968. 5
5968. 6
5968. 7
5969. 0
5969. 1
5969. 2
5969. 3
5969. 4
5969. 5
5969. 6
5969. 7
5969. 8
5969. 9
5970. 0
5970. 1
5970. 2
5970. 3
5971. 0
5971. 1
5971. 2
5971. 3
5971. 4
5971. 5
5971. 6
5972. 0

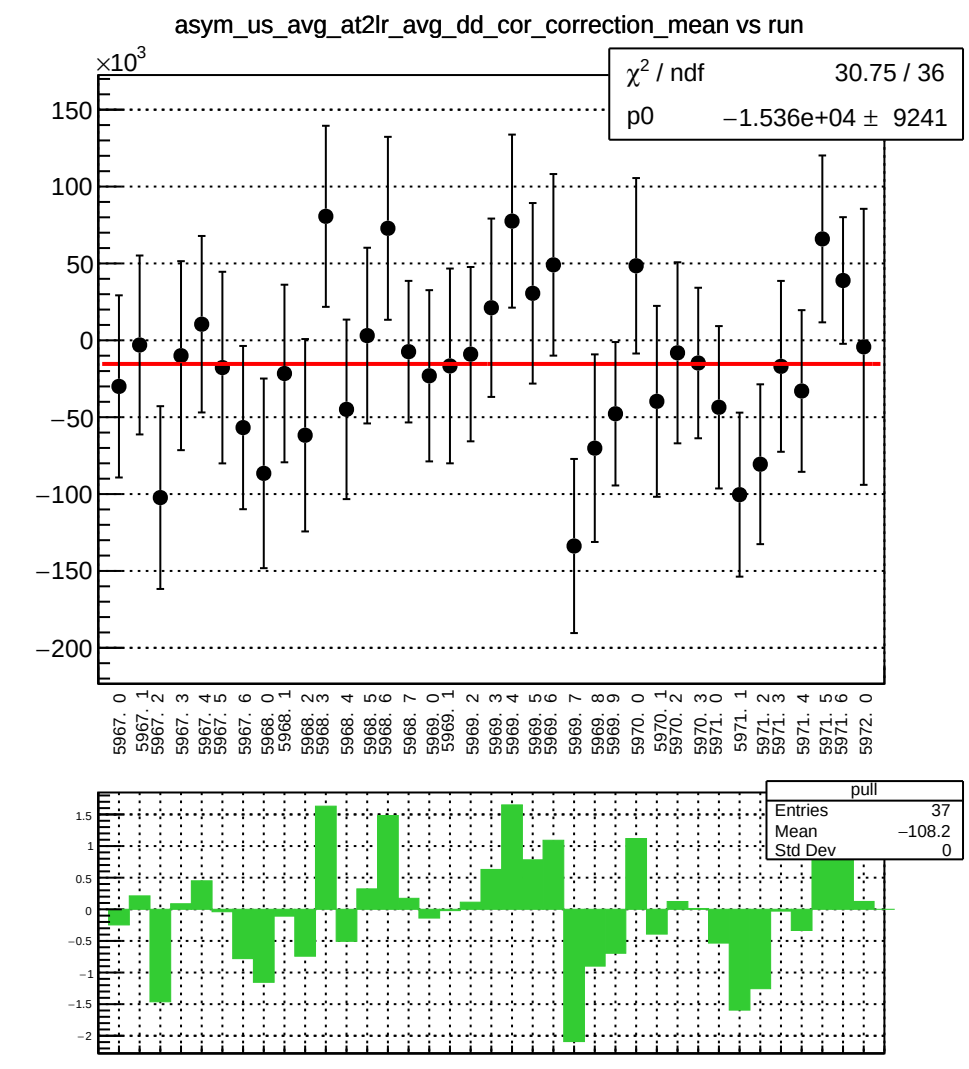
asym_us_avg_at2lr_avg_dd_cor_correction_mean vs run
×10^3
χ² / ndf 30.75 / 36
p0 −1.536e+04 ± 9241
150
100
50
0
−50
−100
−150
−200
5967. 0
5967. 1
5967. 2
5967. 3
5967. 4
5967. 5
5967. 6
5968. 0
5968. 1
5968. 2
5968. 3
5968. 4
5968. 5
5968. 6
5968. 7
5969. 0
5969. 1
5969. 2
5969. 3
5969. 4
5969. 5
5969. 6
5969. 7
5969. 8
5969. 9
5970. 0
5970. 1
5970. 2
5970. 3
5971. 0
5971. 1
5971. 2
5971. 3
5971. 4
5971. 5
5971. 6
5972. 0
pull
Entries 37
Mean −108.2
Std Dev 0
1.5
1
0.5
0
−0.5
−1
−1.5
−2

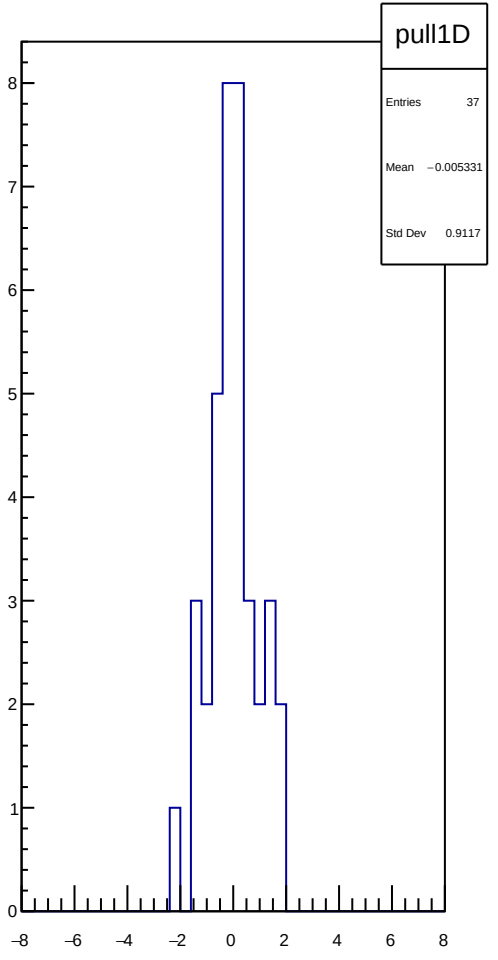
pull1D
Entries 37
Mean −0.005331
Std Dev 0.9117
8
7
6
5
4
3
2
1
0
−8
−6
−4
−2
0
2
4
6
8

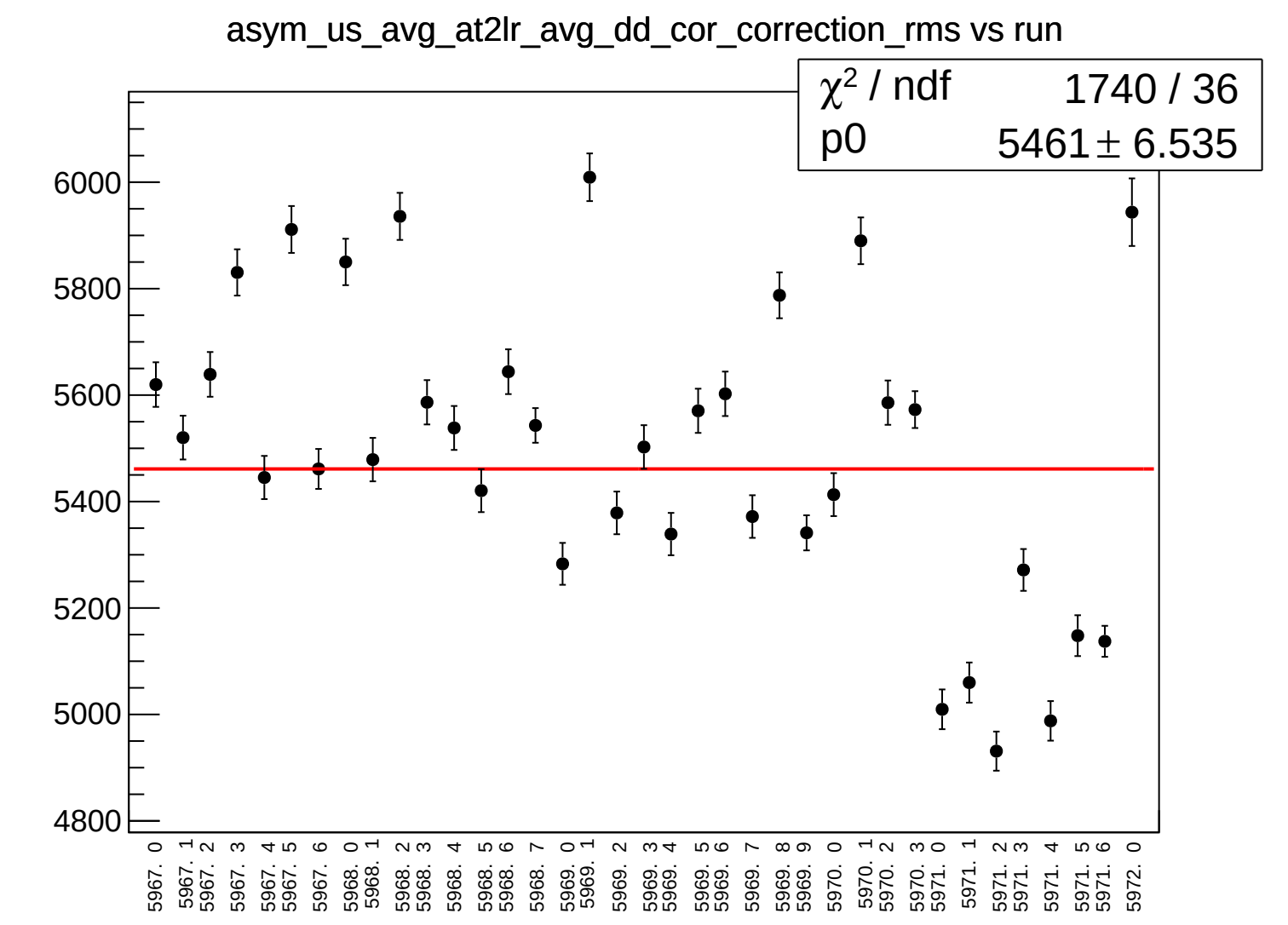
asym_us_avg_at2lr_avg_dd_cor_correction_rms vs run
χ² / ndf 1740 / 36
p0 5461 ± 6.535
6000
5800
5600
5400
5200
5000
4800
5967. 0
5967. 1
5967. 2
5967. 3
5967. 4
5967. 5
5967. 6
5968. 0
5968. 1
5968. 2
5968. 3
5968. 4
5968. 5
5968. 6
5968. 7
5969. 0
5969. 1
5969. 2
5969. 3
5969. 4
5969. 5
5969. 6
5969. 7
5969. 8
5969. 9
5970. 0
5970. 1
5970. 2
5970. 3
5971. 0
5971. 1
5971. 2
5971. 3
5971. 4
5971. 5
5971. 6
5972. 0

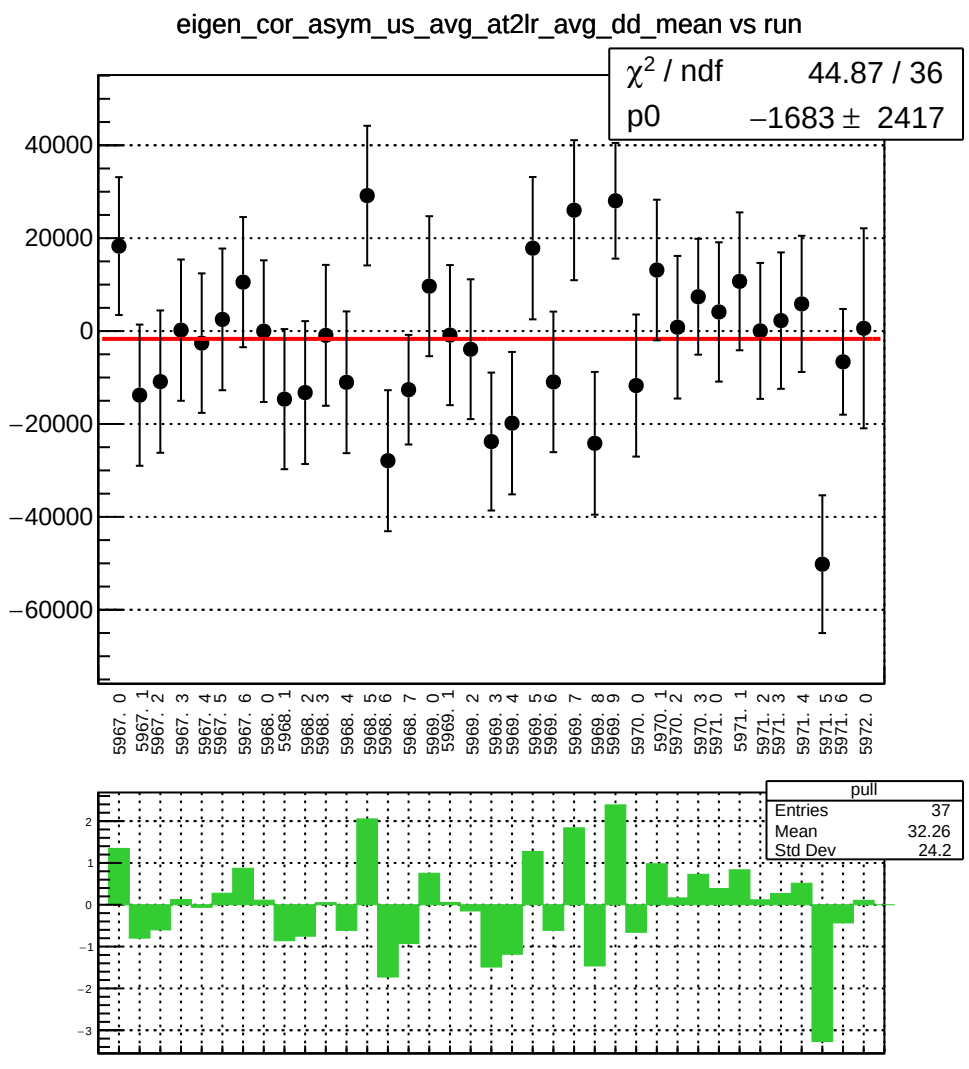
eigen_cor_asym_us_avg_at2lr_avg_dd_mean vs run
χ² / ndf 44.87 / 36
p0 −1683 ± 2417
40000
20000
0
−20000
−40000
−60000
5967. 0
5967. 1
5967. 2
5967. 3
5967. 4
5967. 5
5967. 6
5968. 0
5968. 1
5968. 2
5968. 3
5968. 4
5968. 5
5968. 6
5968. 7
5969. 0
5969. 1
5969. 2
5969. 3
5969. 4
5969. 5
5969. 6
5969. 7
5969. 8
5969. 9
5970. 0
5970. 1
5970. 2
5970. 3
5971. 0
5971. 1
5971. 2
5971. 3
5971. 4
5971. 5
5971. 6
5972. 0
pull
Entries 37
Mean 32.26
Std Dev 24.2
2
1
0
−1
−2
−3
pull1D
Entries 37
Mean −0.009671
Std Dev 1.101
10
8
6
4
2
0
−8
−6
−4
−2
0
2
4
6
8

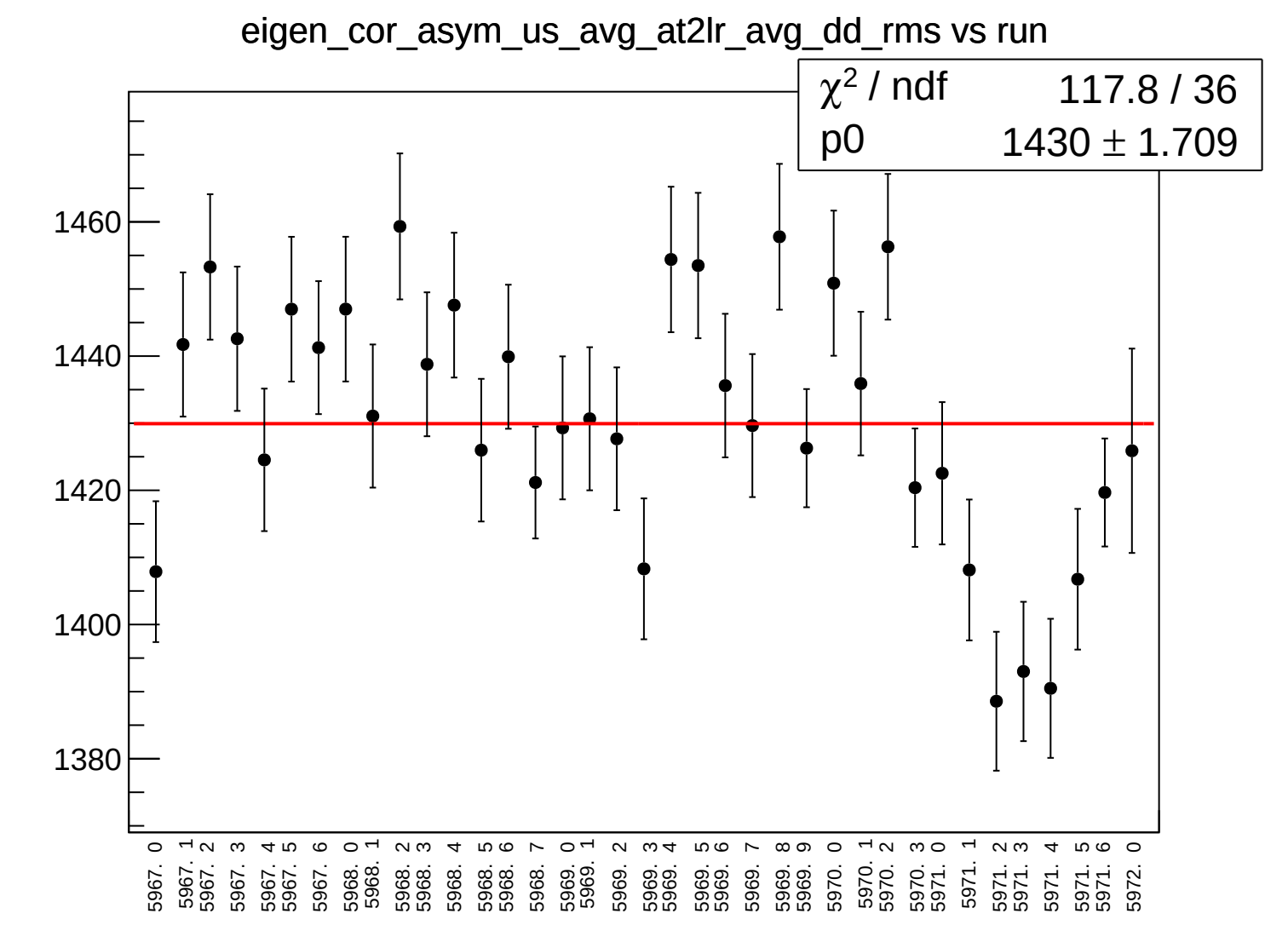
eigen_cor_asym_us_avg_at2lr_avg_dd_rms vs run
χ² / ndf 117.8 / 36
p0 1430 ± 1.709
1460
1440
1420
1400
1380
5967. 0
5967. 1
5967. 2
5967. 3
5967. 4
5967. 5
5967. 6
5968. 0
5968. 1
5968. 2
5968. 3
5968. 4
5968. 5
5968. 6
5968. 7
5969. 0
5969. 1
5969. 2
5969. 3
5969. 4
5969. 5
5969. 6
5969. 7
5969. 8
5969. 9
5970. 0
5970. 1
5970. 2
5970. 3
5971. 0
5971. 1
5971. 2
5971. 3
5971. 4
5971. 5
5971. 6
5972. 0

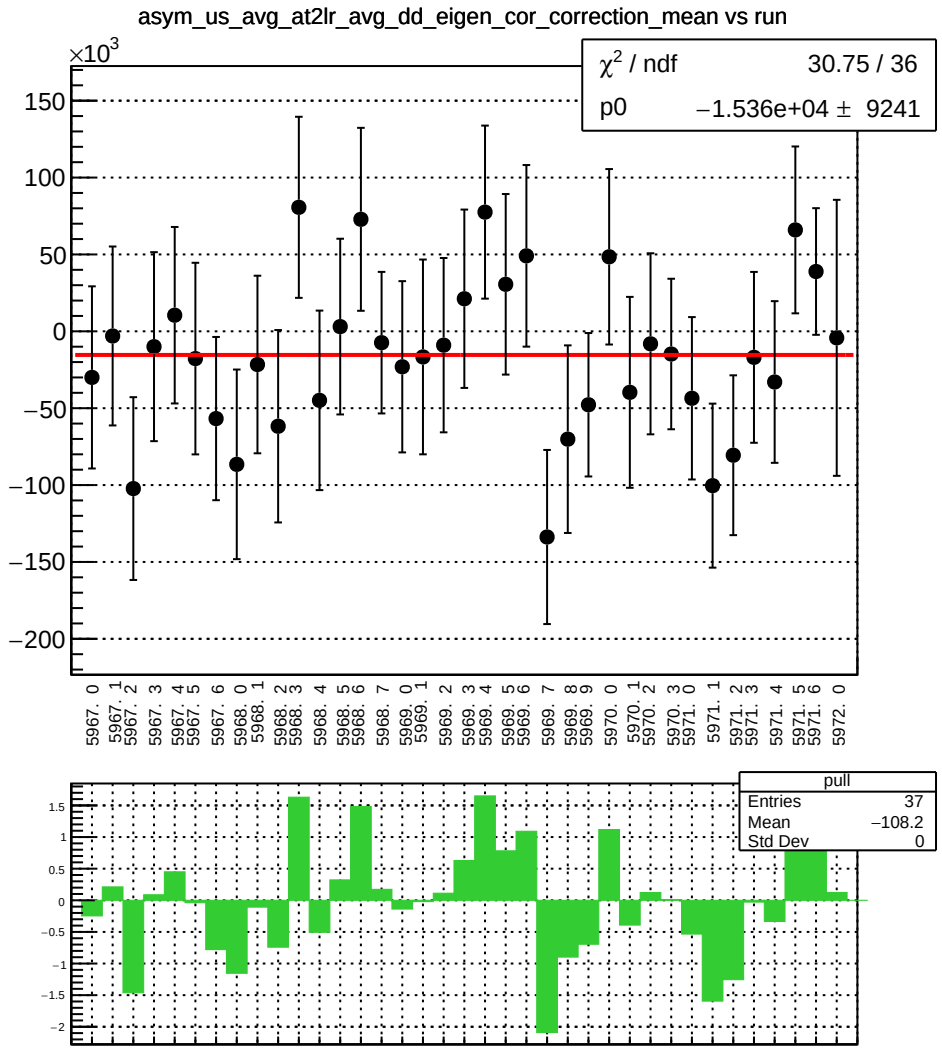
asym_us_avg_at2lr_avg_dd_eigen_cor_correction_mean vs run
×10^3
χ^2 / ndf 30.75 / 36
p0 −1.536e+04 ± 9241
150
100
50
0
−50
−100
−150
−200
5967. 0
5967. 1
5967. 2
5967. 3
5967. 4
5967. 5
5967. 6
5968. 0
5968. 1
5968. 2
5968. 3
5968. 4
5968. 5
5968. 6
5968. 7
5969. 0
5969. 1
5969. 2
5969. 3
5969. 4
5969. 5
5969. 6
5969. 7
5969. 8
5969. 9
5970. 0
5970. 1
5970. 2
5970. 3
5971. 0
5971. 1
5971. 2
5971. 3
5971. 4
5971. 5
5971. 6
5972. 0
pull
Entries 37
Mean −108.2
Std Dev 0
1.5
1
0.5
0
−0.5
−1
−1.5
−2

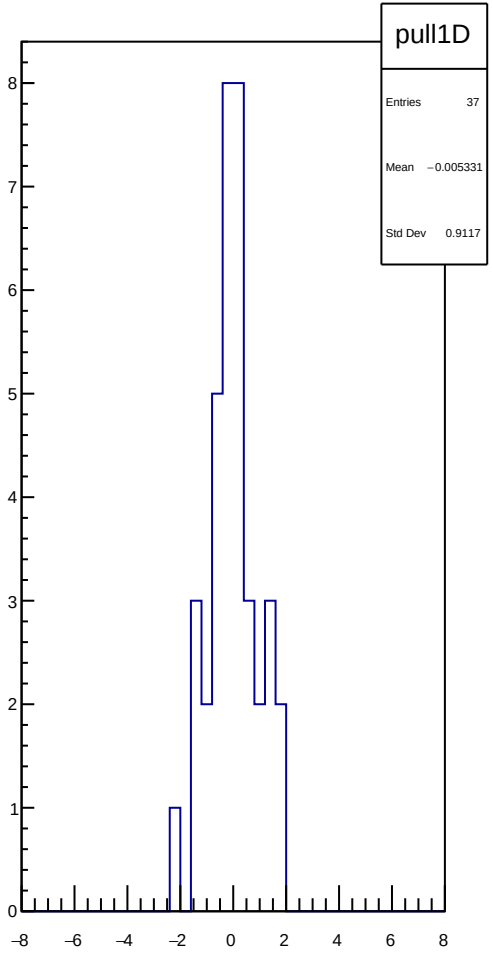
pull1D
Entries 37
Mean −0.005331
Std Dev 0.9117
8
7
6
5
4
3
2
1
0
−8
−6
−4
−2
0
2
4
6
8

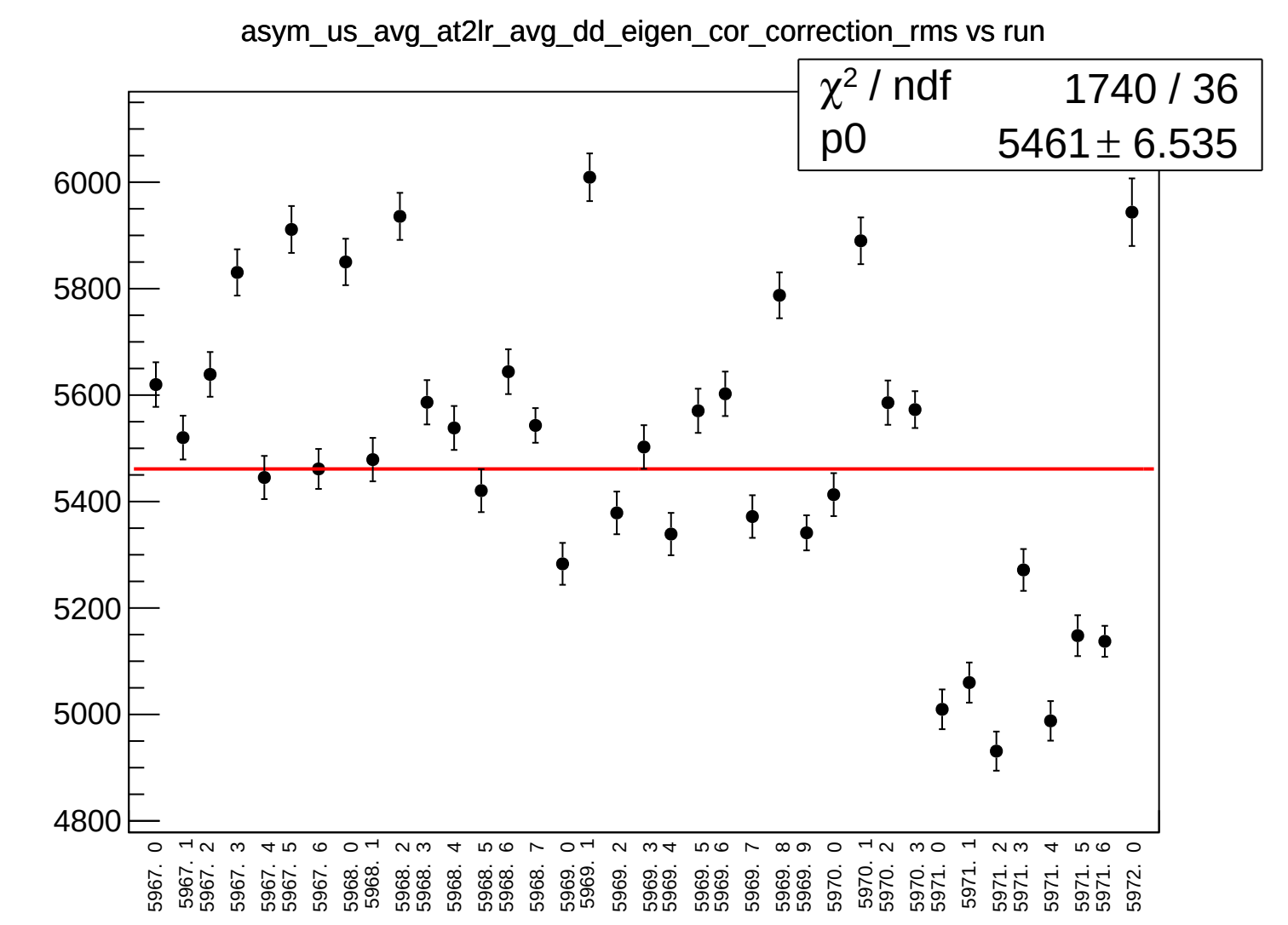
asym_us_avg_at2lr_avg_dd_eigen_cor_correction_rms vs run
χ² / ndf 1740 / 36
p0 5461 ± 6.535
6000
5800
5600
5400
5200
5000
4800
5967. 0
5967. 1
5967. 2
5967. 3
5967. 4
5967. 5
5967. 6
5968. 0
5968. 1
5968. 2
5968. 3
5968. 4
5968. 5
5968. 6
5968. 7
5969. 0
5969. 1
5969. 2
5969. 3
5969. 4
5969. 5
5969. 6
5969. 7
5969. 8
5969. 9
5970. 0
5970. 1
5970. 2
5970. 3
5971. 0
5971. 1
5971. 2
5971. 3
5971. 4
5971. 5
5971. 6
5972. 0

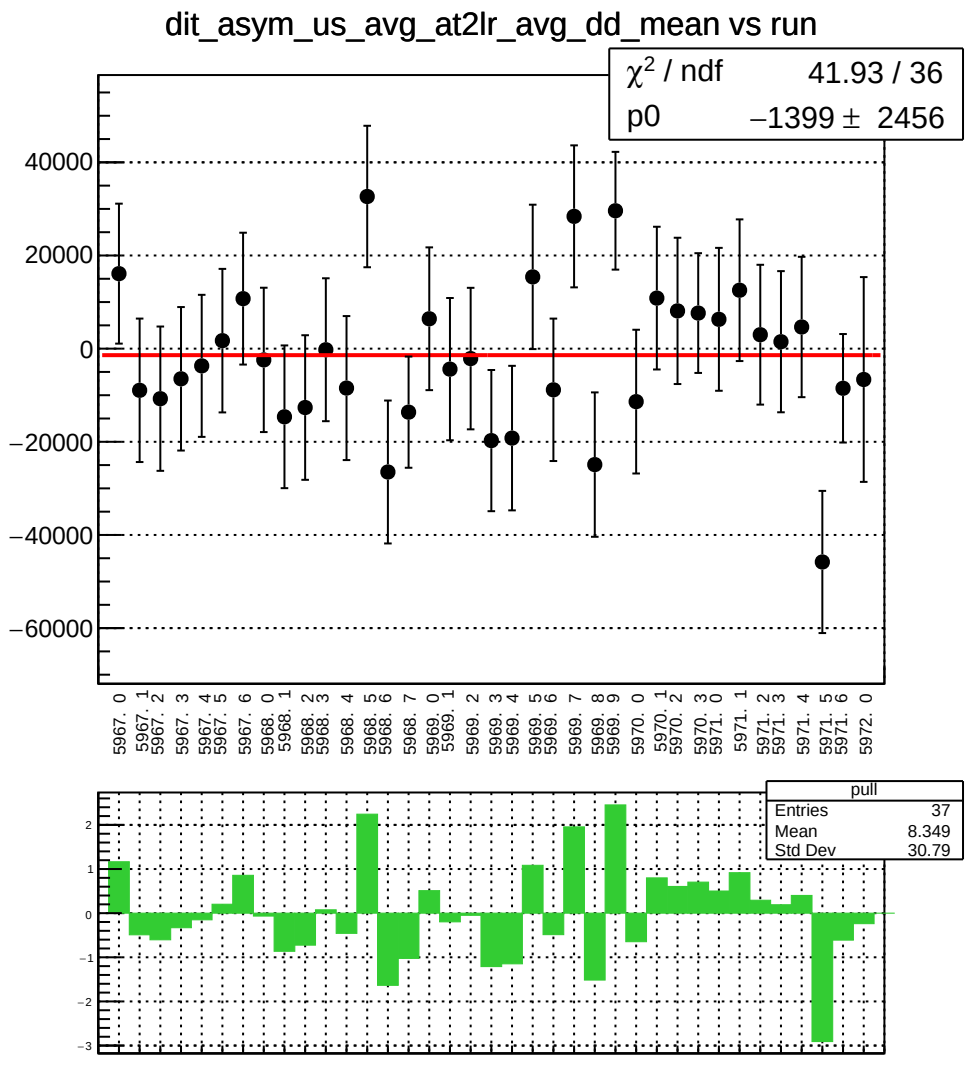
dit_asym_us_avg_at2lr_avg_dd_mean vs run
χ² / ndf 41.93 / 36
p0 −1399 ± 2456
40000
20000
0
−20000
−40000
−60000
5967. 0
5967. 1
5967. 2
5967. 3
5967. 4
5967. 5
5967. 6
5968. 0
5968. 1
5968. 2
5968. 3
5968. 4
5968. 5
5968. 6
5968. 7
5969. 0
5969. 1
5969. 2
5969. 3
5969. 4
5969. 5
5969. 6
5969. 7
5969. 8
5969. 9
5970. 0
5970. 1
5970. 2
5970. 3
5971. 0
5971. 1
5971. 2
5971. 3
5971. 4
5971. 5
5971. 6
5972. 0
pull
Entries 37
Mean 8.349
Std Dev 30.79
2
1
0
−1
−2
−3

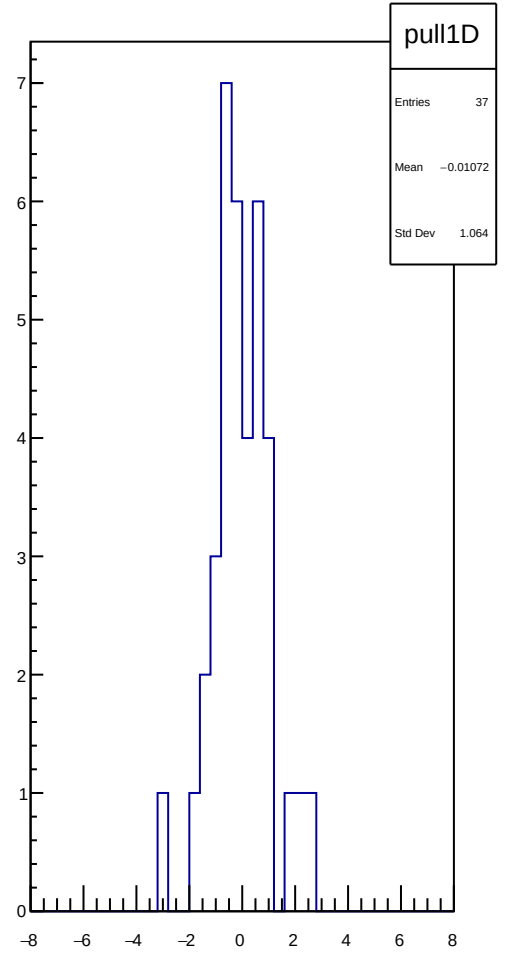
pull1D
Entries 37
Mean −0.01072
Std Dev 1.064
7
6
5
4
3
2
1
0
−8
−6
−4
−2
0
2
4
6
8

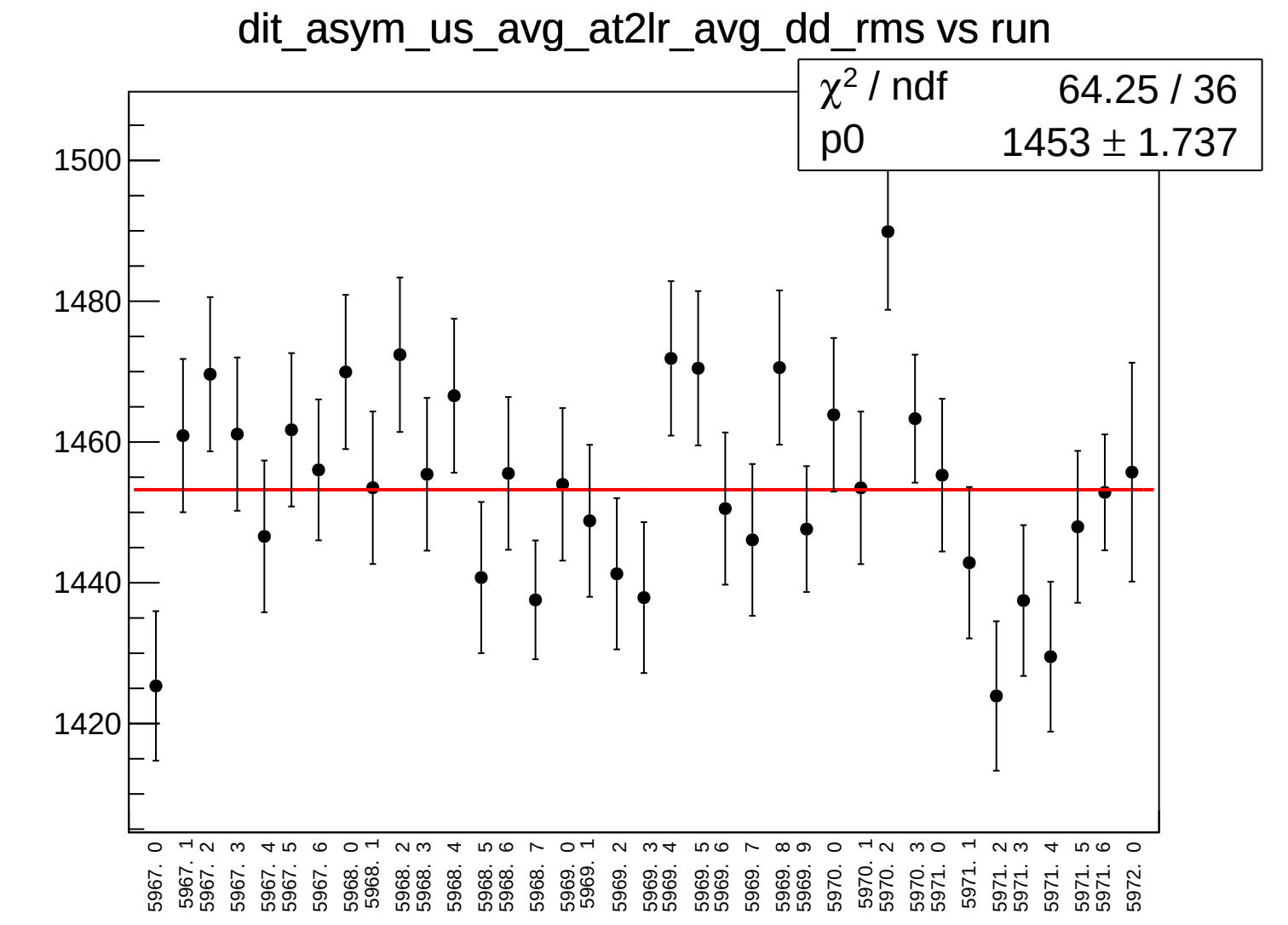
dit_asym_us_avg_at2lr_avg_dd_rms vs run
χ² / ndf 64.25 / 36
p0 1453 ± 1.737
1500
1480
1460
1440
1420
5967. 0
5967. 1
5967. 2
5967. 3
5967. 4
5967. 5
5967. 6
5968. 0
5968. 1
5968. 2
5968. 3
5968. 4
5968. 5
5968. 6
5968. 7
5969. 0
5969. 1
5969. 2
5969. 3
5969. 4
5969. 5
5969. 6
5969. 7
5969. 8
5969. 9
5970. 0
5970. 1
5970. 2
5970. 3
5971. 0
5971. 1
5971. 2
5971. 3
5971. 4
5971. 5
5971. 6
5972. 0

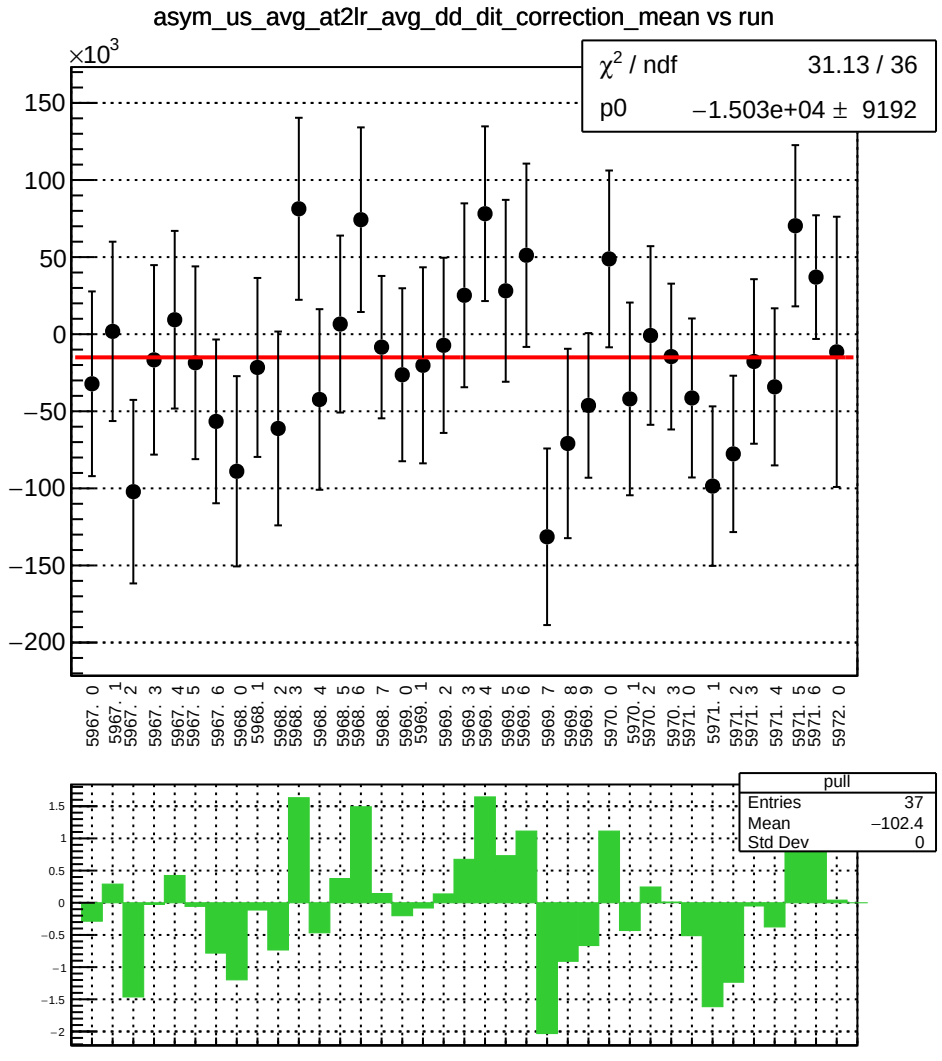
asym_us_avg_at2lr_avg_dd_dit_correction_mean vs run
×10^3
χ² / ndf 31.13 / 36
p0 −1.503e+04 ± 9192
150
100
50
0
−50
−100
−150
−200
5967. 0
5967. 1
5967. 2
5967. 3
5967. 4
5967. 5
5967. 6
5968. 0
5968. 1
5968. 2
5968. 3
5968. 4
5968. 5
5968. 6
5968. 7
5969. 0
5969. 1
5969. 2
5969. 3
5969. 4
5969. 5
5969. 6
5969. 7
5969. 8
5969. 9
5970. 0
5970. 1
5970. 2
5970. 3
5971. 0
5971. 1
5971. 2
5971. 3
5971. 4
5971. 5
5971. 6
5972. 0
pull
Entries 37
Mean −102.4
Std Dev 0
1.5
1
0.5
0
−0.5
−1
−1.5
−2

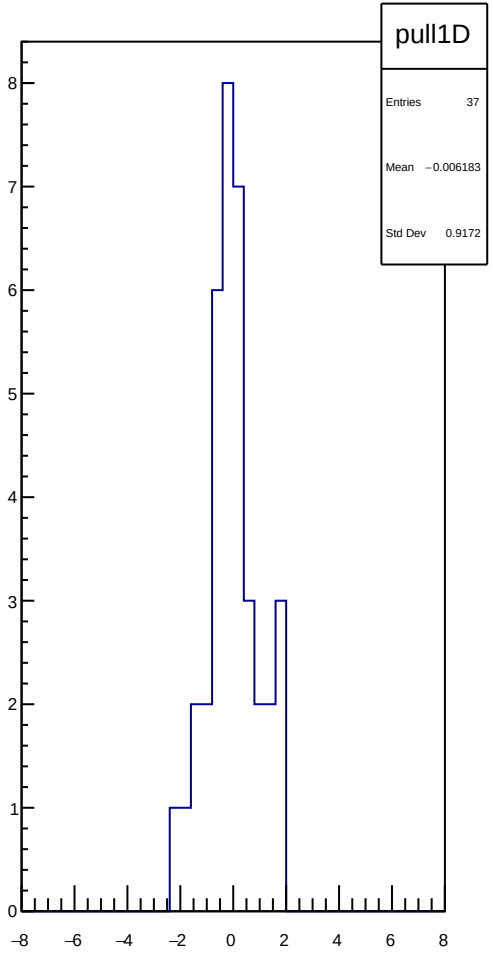
pull1D
Entries 37
Mean −0.006183
Std Dev 0.9172
8
7
6
5
4
3
2
1
0
−8
−6
−4
−2
0
2
4
6
8

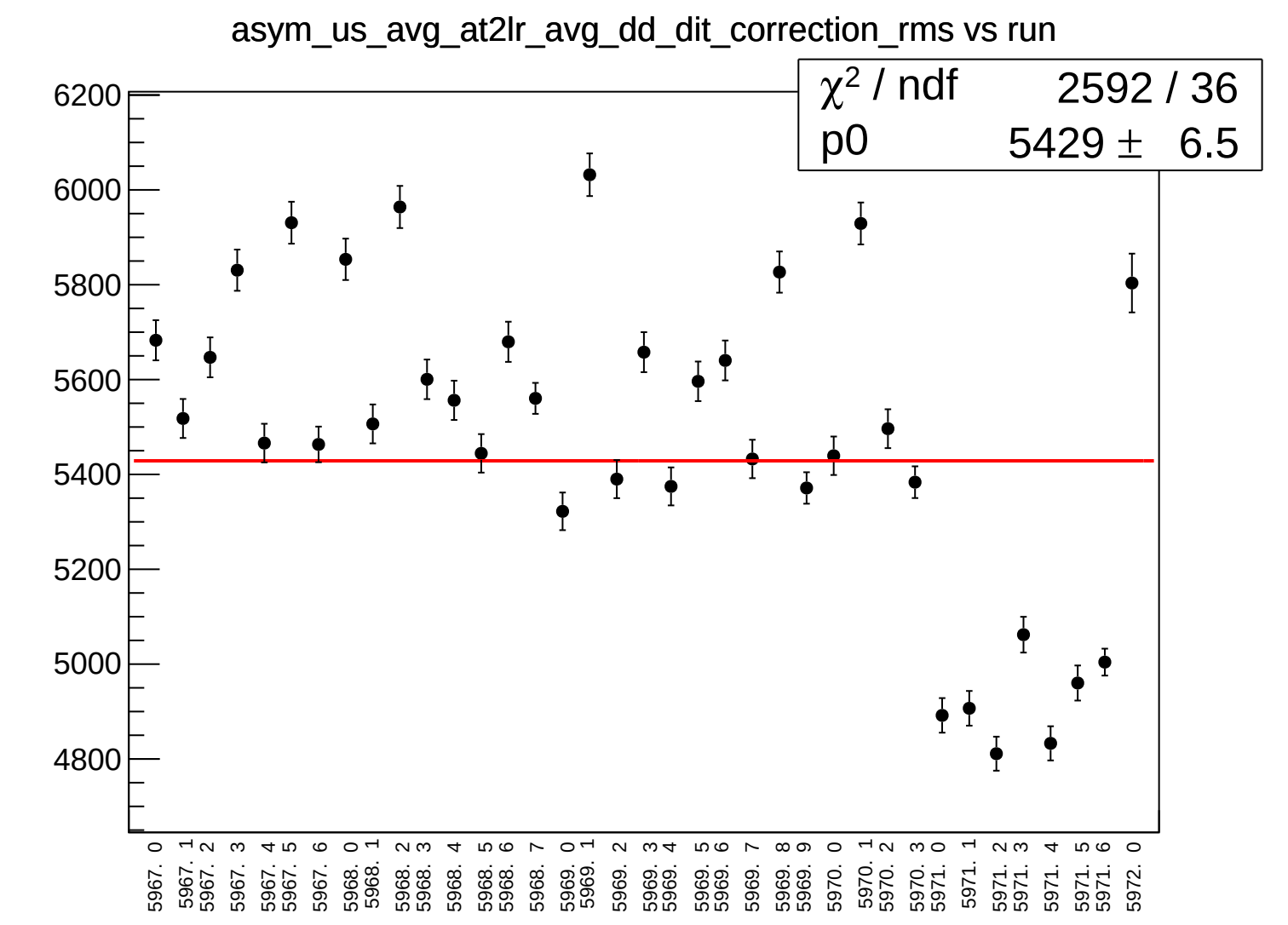
asym_us_avg_at2lr_avg_dd_dit_correction_rms vs run
χ² / ndf 2592 / 36
p0 5429 ± 6.5
6200
6000
5800
5600
5400
5200
5000
4800
5967. 0
5967. 1
5967. 2
5967. 3
5967. 4
5967. 5
5967. 6
5968. 0
5968. 1
5968. 2
5968. 3
5968. 4
5968. 5
5968. 6
5968. 7
5969. 0
5969. 1
5969. 2
5969. 3
5969. 4
5969. 5
5969. 6
5969. 7
5969. 8
5969. 9
5970. 0
5970. 1
5970. 2
5970. 3
5971. 0
5971. 1
5971. 2
5971. 3
5971. 4
5971. 5
5971. 6
5972. 0

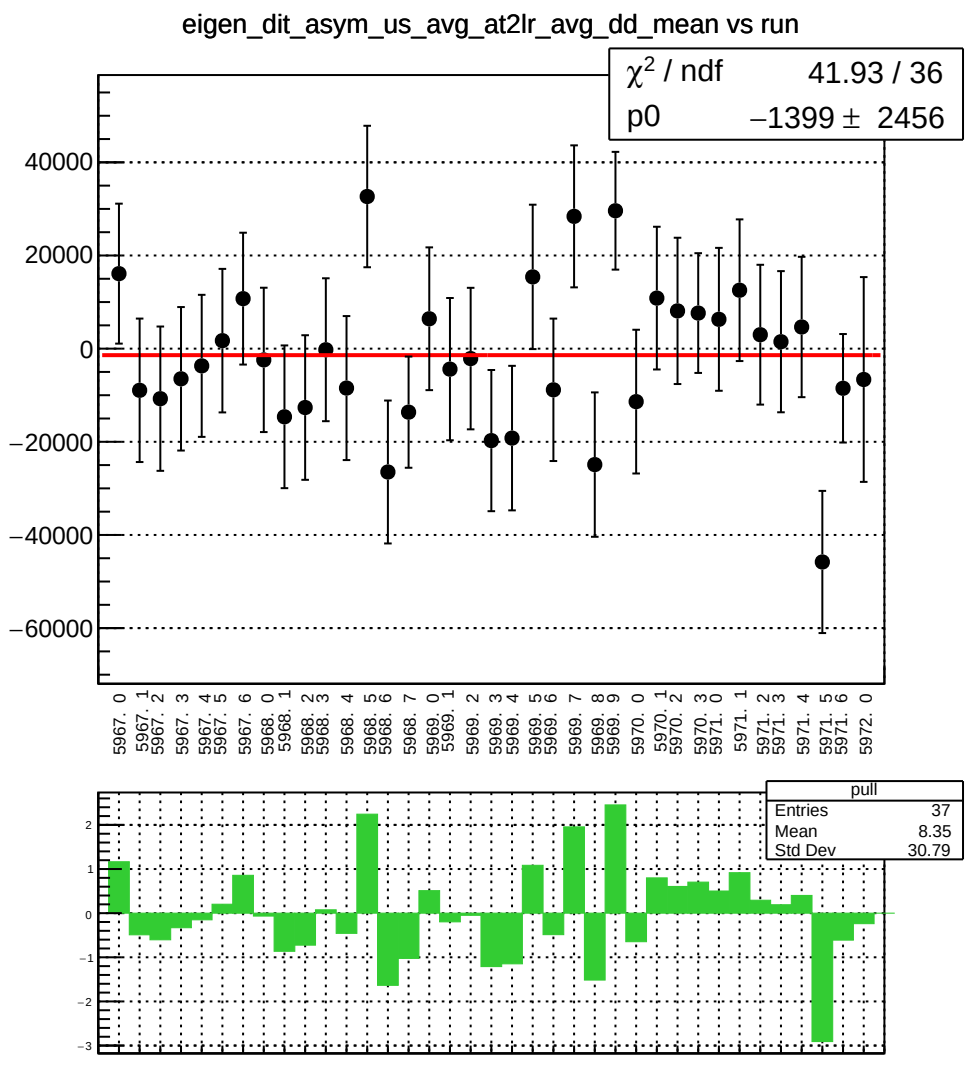
eigen_dit_asym_us_avg_at2lr_avg_dd_mean vs run
χ² / ndf 41.93 / 36
p0 −1399 ± 2456
40000
20000
0
−20000
−40000
−60000
5967. 0
5967. 1
5967. 2
5967. 3
5967. 4
5967. 5
5967. 6
5968. 0
5968. 1
5968. 2
5968. 3
5968. 4
5968. 5
5968. 6
5968. 7
5969. 0
5969. 1
5969. 2
5969. 3
5969. 4
5969. 5
5969. 6
5969. 7
5969. 8
5969. 9
5970. 0
5970. 1
5970. 2
5970. 3
5971. 0
5971. 1
5971. 2
5971. 3
5971. 4
5971. 5
5971. 6
5972. 0
pull
Entries 37
Mean 8.35
Std Dev 30.79
2
1
0
−1
−2
−3
pull1D
Entries 37
Mean −0.01072
Std Dev 1.064
7
6
5
4
3
2
1
0
−8
−6
−4
−2
0
2
4
6
8

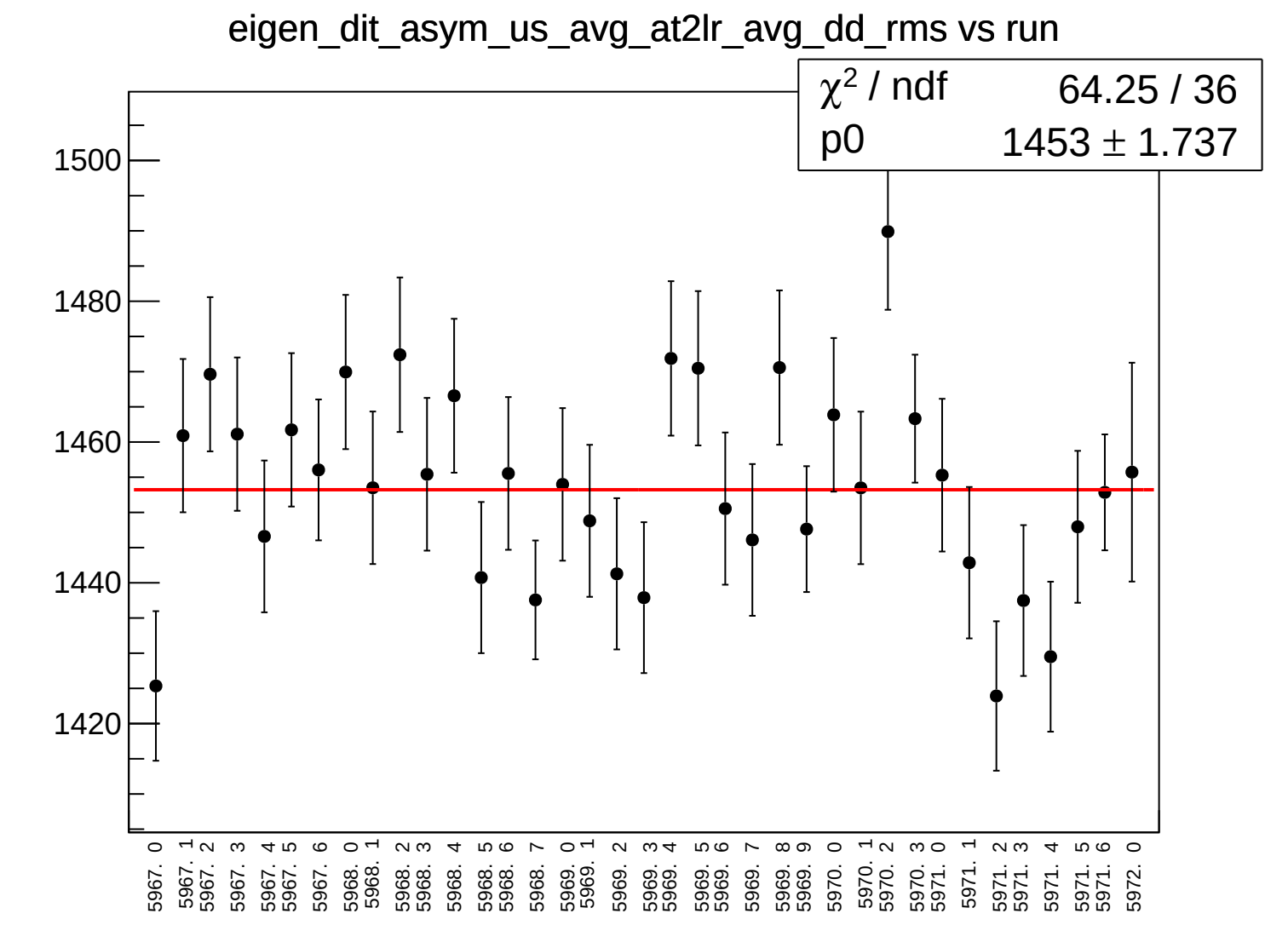
eigen_dit_asym_us_avg_at2lr_avg_dd_rms vs run
χ² / ndf 64.25 / 36
p0 1453 ± 1.737
1500
1480
1460
1440
1420
5967. 0
5967. 1
5967. 2
5967. 3
5967. 4
5967. 5
5967. 6
5968. 0
5968. 1
5968. 2
5968. 3
5968. 4
5968. 5
5968. 6
5968. 7
5969. 0
5969. 1
5969. 2
5969. 3
5969. 4
5969. 5
5969. 6
5969. 7
5969. 8
5969. 9
5970. 0
5970. 1
5970. 2
5970. 3
5971. 0
5971. 1
5971. 2
5971. 3
5971. 4
5971. 5
5971. 6
5972. 0

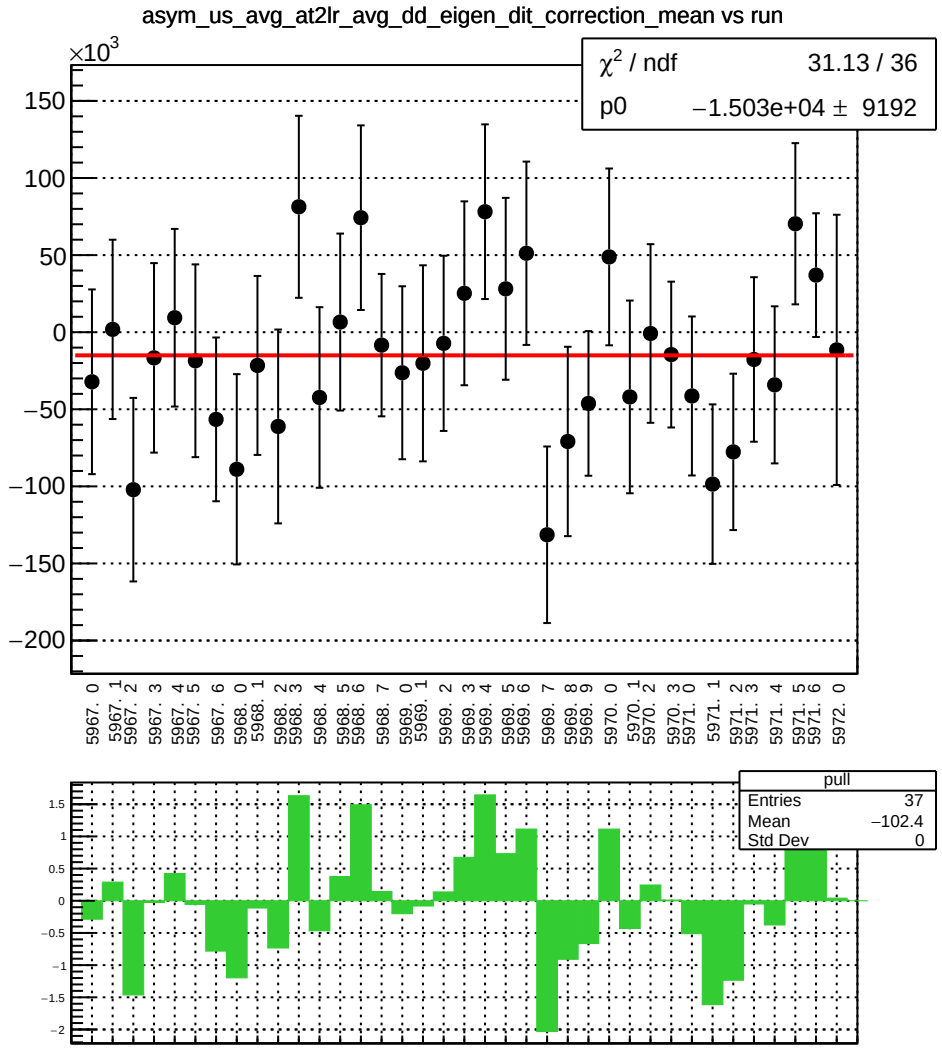
asym_us_avg_at2lr_avg_dd_eigen_dit_correction_mean vs run
×10^3
χ² / ndf 31.13 / 36
p0 −1.503e+04 ± 9192
150
100
50
0
−50
−100
−150
−200
5967. 0
5967. 1
5967. 2
5967. 3
5967. 4
5967. 5
5967. 6
5968. 0
5968. 1
5968. 2
5968. 3
5968. 4
5968. 5
5968. 6
5968. 7
5969. 0
5969. 1
5969. 2
5969. 3
5969. 4
5969. 5
5969. 6
5969. 7
5969. 8
5969. 9
5970. 0
5970. 1
5970. 2
5970. 3
5971. 0
5971. 1
5971. 2
5971. 3
5971. 4
5971. 5
5971. 6
5972. 0
pull
Entries 37
Mean −102.4
Std Dev 0
1.5
1
0.5
0
−0.5
−1
−1.5
−2

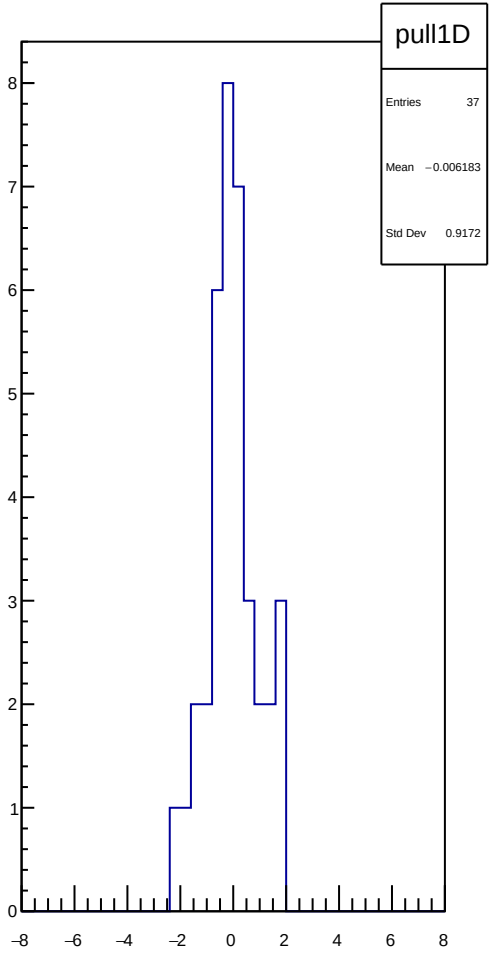
pull1D
Entries 37
Mean −0.006183
Std Dev 0.9172
8
7
6
5
4
3
2
1
0
−8
−6
−4
−2
0
2
4
6
8

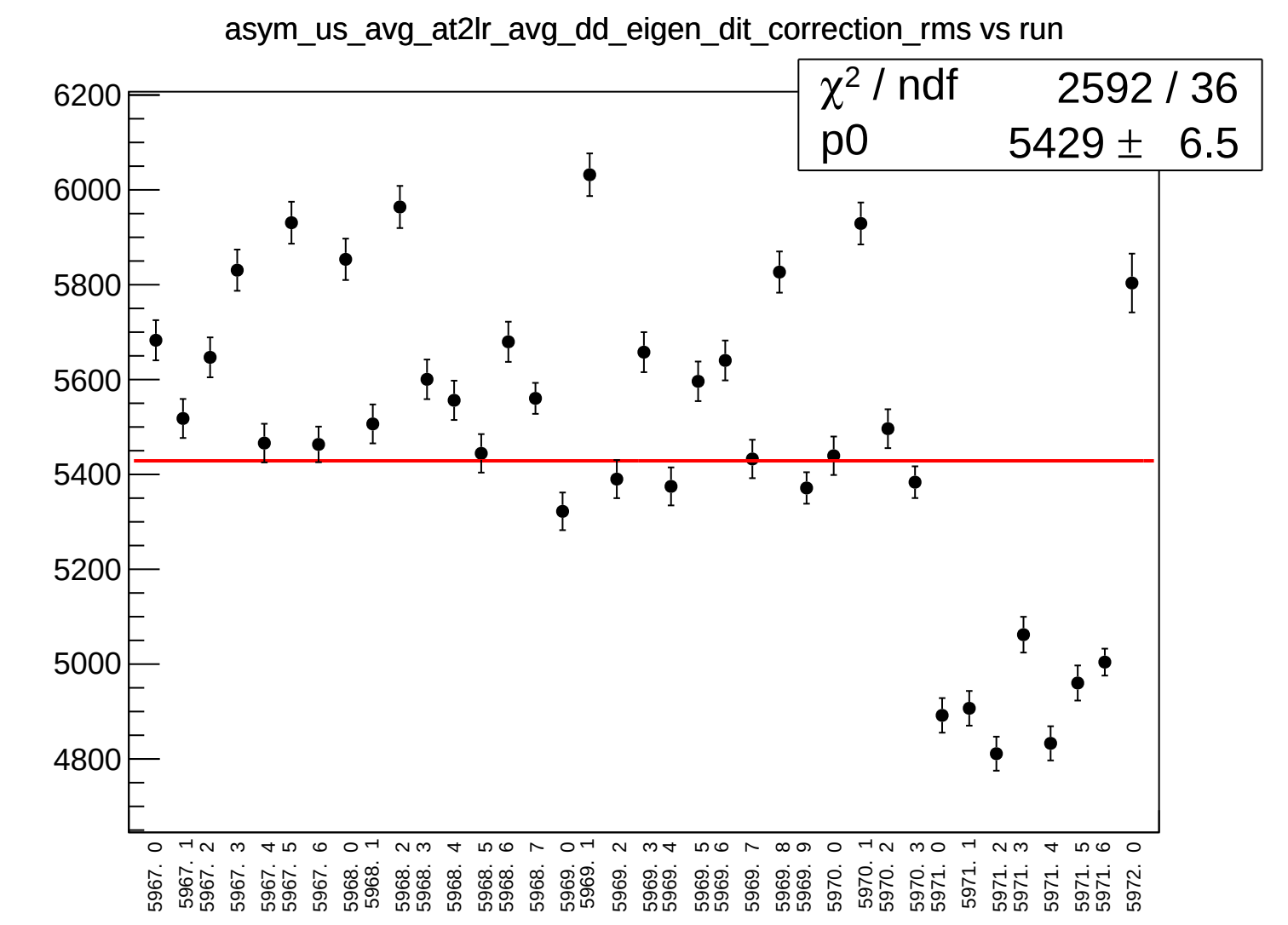
asym_us_avg_at2lr_avg_dd_eigen_dit_correction_rms vs run
χ² / ndf 2592 / 36
p0 5429 ± 6.5
6200
6000
5800
5600
5400
5200
5000
4800
5967. 0
5967. 1
5967. 2
5967. 3
5967. 4
5967. 5
5967. 6
5968. 0
5968. 1
5968. 2
5968. 3
5968. 4
5968. 5
5968. 6
5968. 7
5969. 0
5969. 1
5969. 2
5969. 3
5969. 4
5969. 5
5969. 6
5969. 7
5969. 8
5969. 9
5970. 0
5970. 1
5970. 2
5970. 3
5971. 0
5971. 1
5971. 2
5971. 3
5971. 4
5971. 5
5971. 6
5972. 0

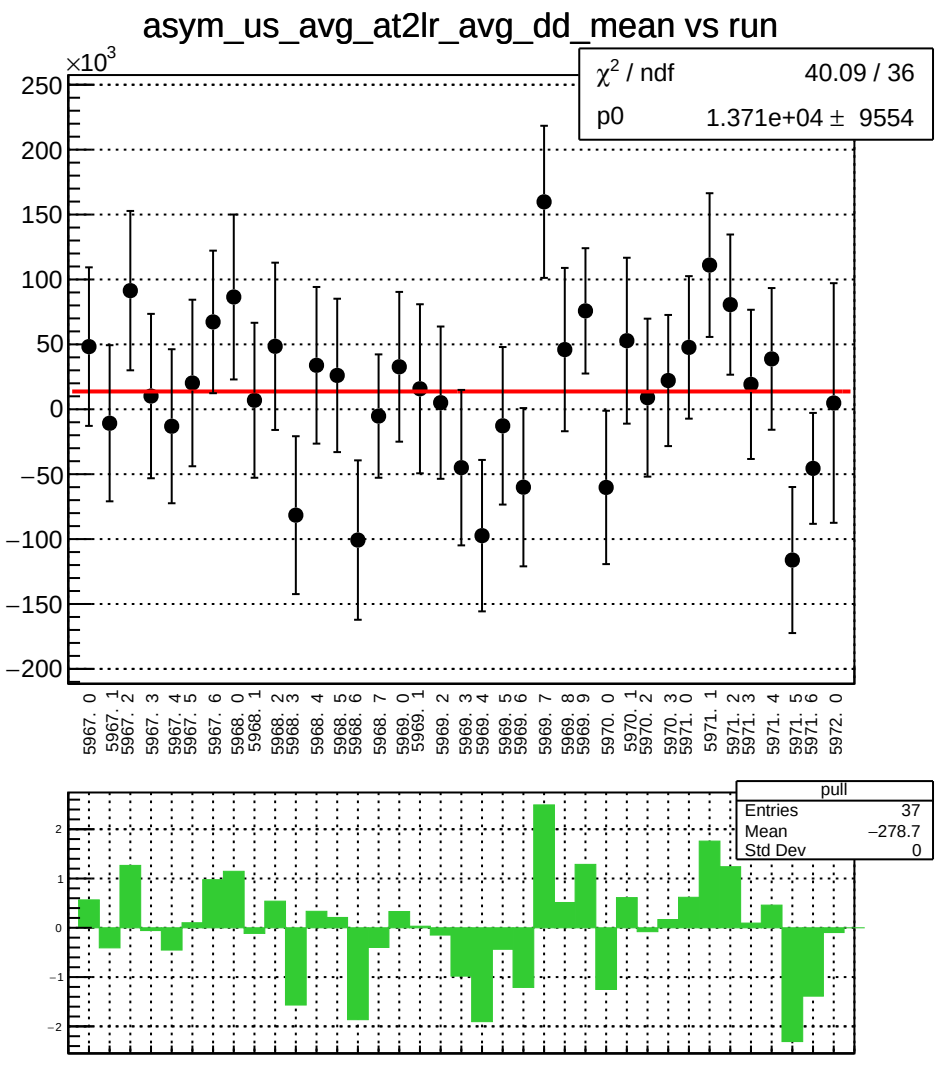
asym_us_avg_at2lr_avg_dd_mean vs run
×10^3
χ² / ndf 40.09 / 36
p0 1.371e+04 ± 9554
250
200
150
100
50
0
−50
−100
−150
−200
5967. 0
5967. 1
5967. 2
5967. 3
5967. 4
5967. 5
5967. 6
5968. 0
5968. 1
5968. 2
5968. 3
5968. 4
5968. 5
5968. 6
5968. 7
5969. 0
5969. 1
5969. 2
5969. 3
5969. 4
5969. 5
5969. 6
5969. 7
5969. 8
5969. 9
5970. 0
5970. 1
5970. 2
5970. 3
5971. 0
5971. 1
5971. 2
5971. 3
5971. 4
5971. 5
5971. 6
5972. 0
pull
Entries 37
Mean −278.7
Std Dev 0
2
1
0
−1
−2

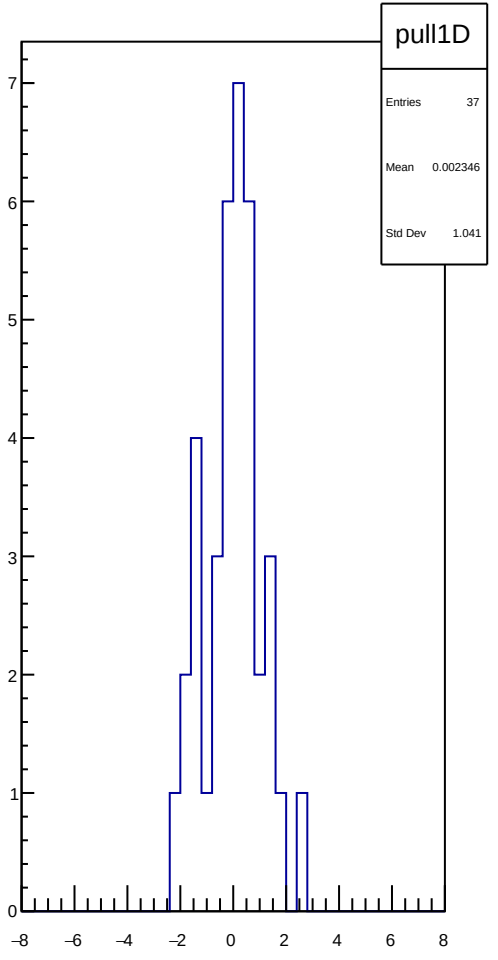
pull1D
Entries 37
Mean 0.002346
Std Dev 1.041
7
6
5
4
3
2
1
0
−8
−6
−4
−2
0
2
4
6
8

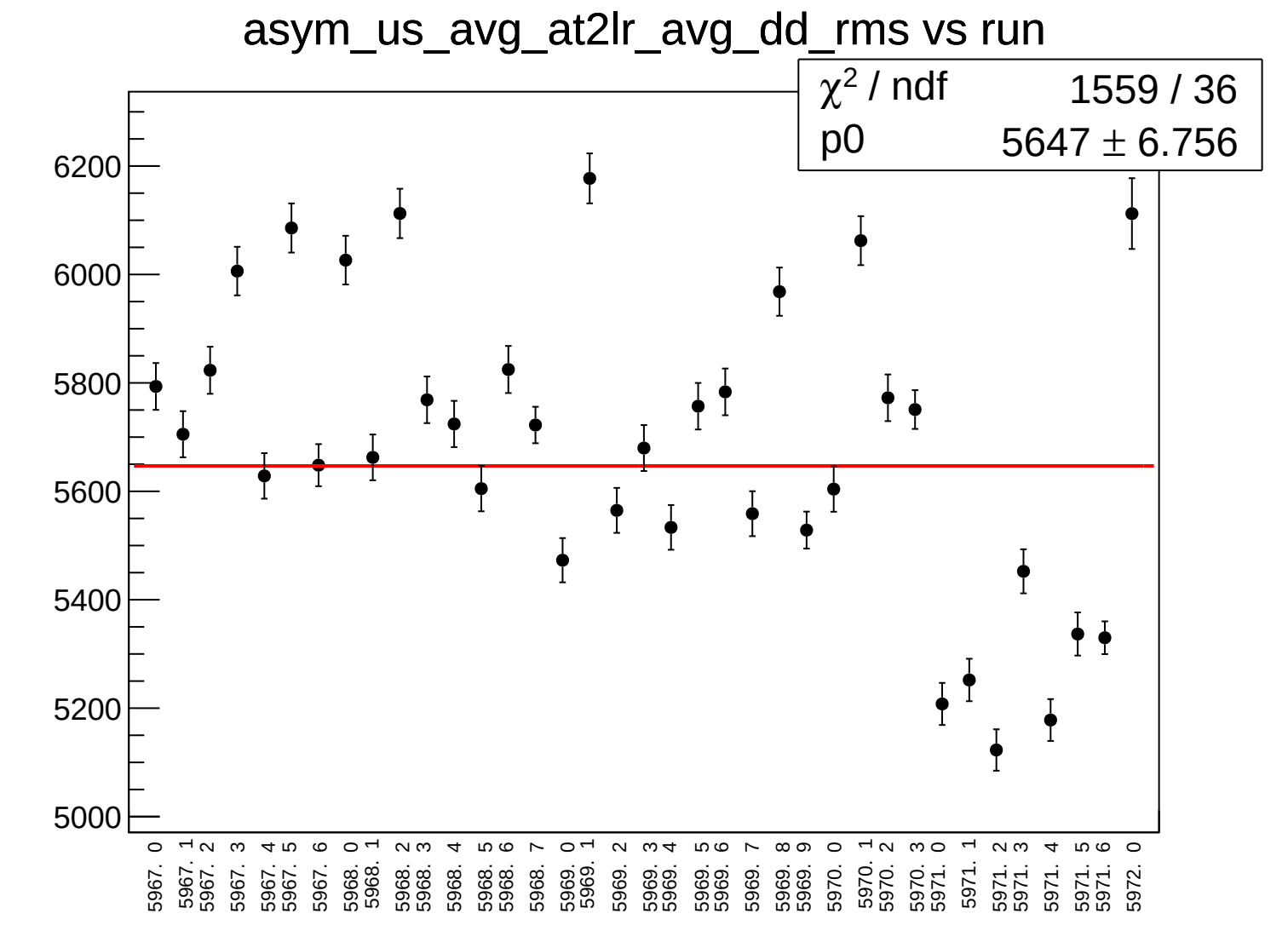
asym_us_avg_at2lr_avg_dd_rms vs run
χ² / ndf 1559 / 36
p0 5647 ± 6.756
6200
6000
5800
5600
5400
5200
5000
5967. 0
5967. 1
5967. 2
5967. 3
5967. 4
5967. 5
5967. 6
5968. 0
5968. 1
5968. 2
5968. 3
5968. 4
5968. 5
5968. 6
5968. 7
5969. 0
5969. 1
5969. 2
5969. 3
5969. 4
5969. 5
5969. 6
5969. 7
5969. 8
5969. 9
5970. 0
5970. 1
5970. 2
5970. 3
5971. 0
5971. 1
5971. 2
5971. 3
5971. 4
5971. 5
5971. 6
5972. 0

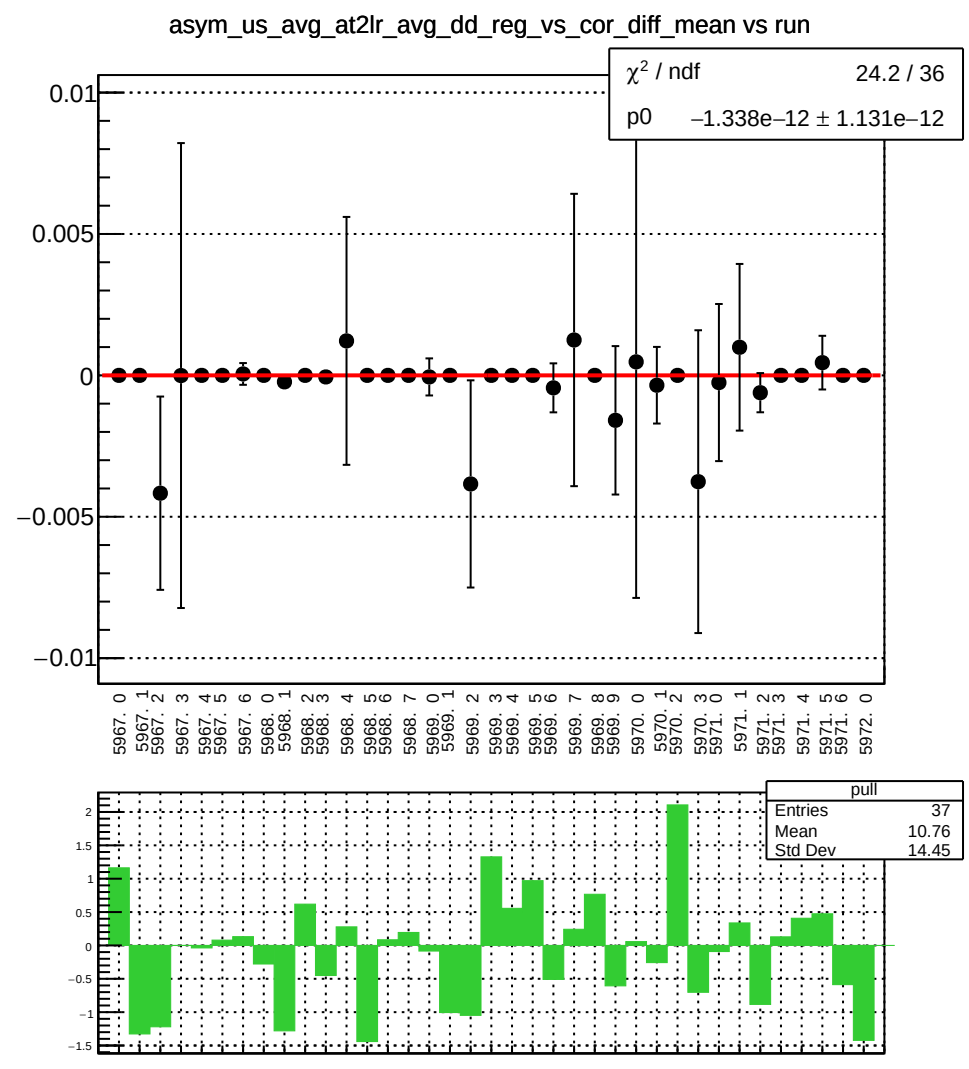
asym_us_avg_at2lr_avg_dd_reg_vs_cor_diff_mean vs run
χ² / ndf 24.2 / 36
p0 −1.338e−12 ± 1.131e−12
0.01
0.005
0
−0.005
−0.01
5967. 0
5967. 1
5967. 2
5967. 3
5967. 4
5967. 5
5967. 6
5968. 0
5968. 1
5968. 2
5968. 3
5968. 4
5968. 5
5968. 6
5968. 7
5969. 0
5969. 1
5969. 2
5969. 3
5969. 4
5969. 5
5969. 6
5969. 7
5969. 8
5969. 9
5970. 0
5970. 1
5970. 2
5970. 3
5971. 0
5971. 1
5971. 2
5971. 3
5971. 4
5971. 5
5971. 6
5972. 0
pull
Entries 37
Mean 10.76
Std Dev 14.45
2
1.5
1
0.5
0
−0.5
−1
−1.5
pull1D
Entries 37
Mean −0.08942
Std Dev 0.8038
9
8
7
6
5
4
3
2
1
0
−8
−6
−4
−2
0
2
4
6
8

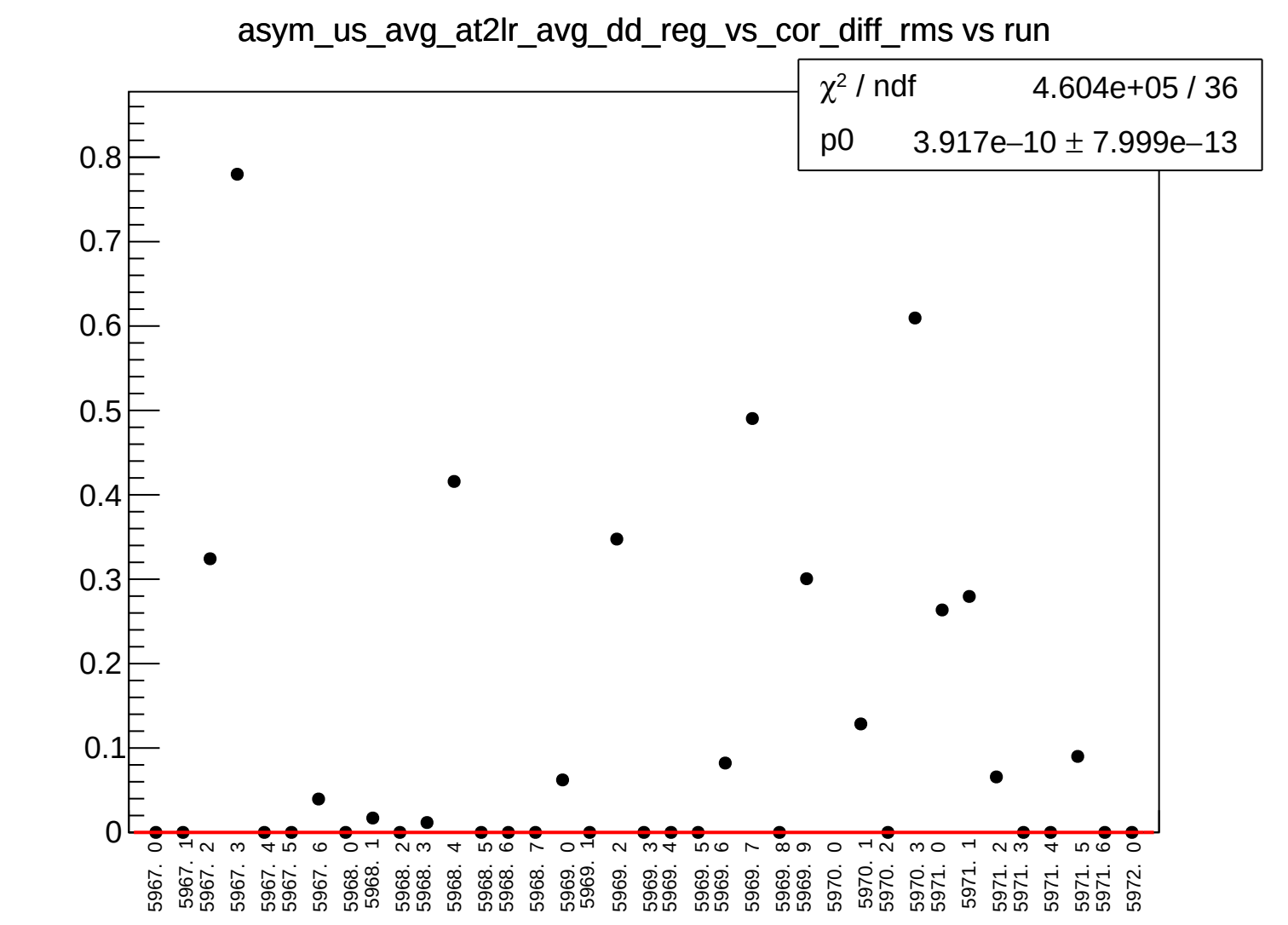
asym_us_avg_at2lr_avg_dd_reg_vs_cor_diff_rms vs run
χ² / ndf 4.604e+05 / 36
p0 3.917e−10 ± 7.999e−13
0.8
0.7
0.6
0.5
0.4
0.3
0.2
0.1
0
5967. 0
5967. 1
5967. 2
5967. 3
5967. 4
5967. 5
5967. 6
5968. 0
5968. 1
5968. 2
5968. 3
5968. 4
5968. 5
5968. 6
5968. 7
5969. 0
5969. 1
5969. 2
5969. 3
5969. 4
5969. 5
5969. 6
5969. 7
5969. 8
5969. 9
5970. 0
5970. 1
5970. 2
5970. 3
5971. 0
5971. 1
5971. 2
5971. 3
5971. 4
5971. 5
5971. 6
5972. 0

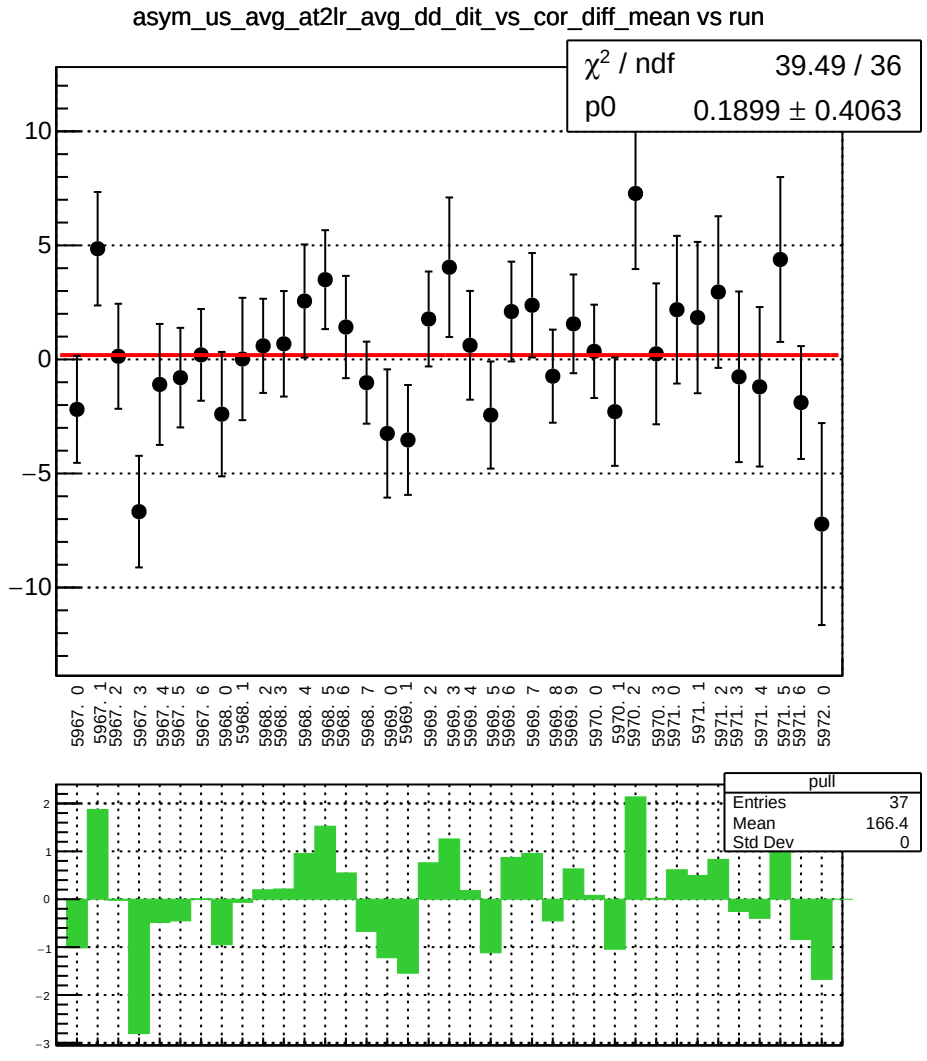
asym_us_avg_at2lr_avg_dd_dit_vs_cor_diff_mean vs run
χ² / ndf 39.49 / 36
p0 0.1899 ± 0.4063
10
5
0
−5
−10
5967. 0
5967. 1
5967. 2
5967. 3
5967. 4
5967. 5
5967. 6
5968. 0
5968. 1
5968. 2
5968. 3
5968. 4
5968. 5
5968. 6
5968. 7
5969. 0
5969. 1
5969. 2
5969. 3
5969. 4
5969. 5
5969. 6
5969. 7
5969. 8
5969. 9
5970. 0
5970. 1
5970. 2
5970. 3
5971. 0
5971. 1
5971. 2
5971. 3
5971. 4
5971. 5
5971. 6
5972. 0
pull
Entries 37
Mean 166.4
Std Dev 0
2
1
0
−1
−2
−3
pull1D
Entries 37
Mean 0.00819
Std Dev 1.033
6
5
4
3
2
1
0
−8
−6
−4
−2
0
2
4
6
8

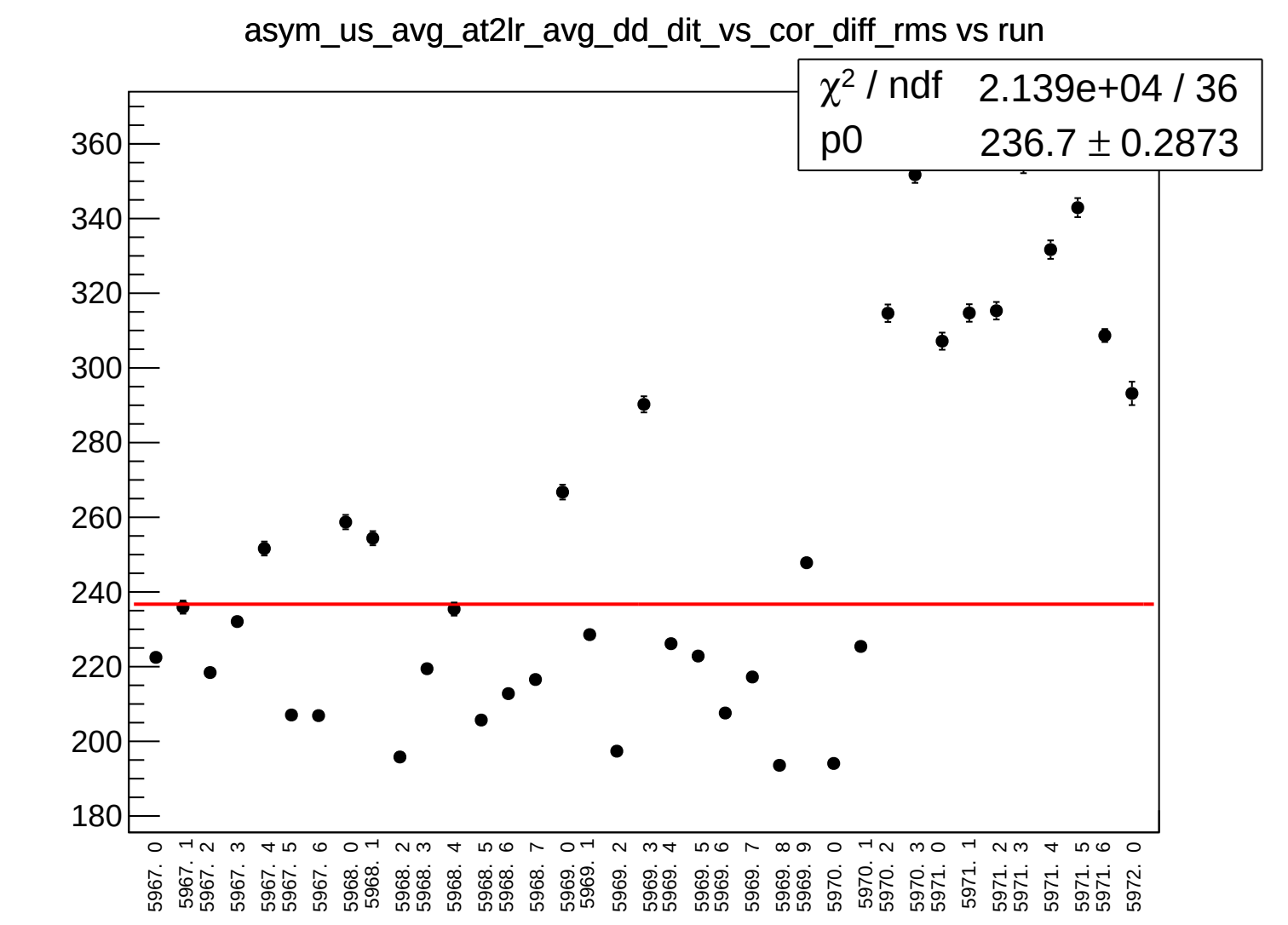
asym_us_avg_at2lr_avg_dd_dit_vs_cor_diff_rms vs run
χ² / ndf 2.139e+04 / 36
p0 236.7 ± 0.2873
360
340
320
300
280
260
240
220
200
180
5967. 0
5967. 1
5967. 2
5967. 3
5967. 4
5967. 5
5967. 6
5968. 0
5968. 1
5968. 2
5968. 3
5968. 4
5968. 5
5968. 6
5968. 7
5969. 0
5969. 1
5969. 2
5969. 3
5969. 4
5969. 5
5969. 6
5969. 7
5969. 8
5969. 9
5970. 0
5970. 1
5970. 2
5970. 3
5971. 0
5971. 1
5971. 2
5971. 3
5971. 4
5971. 5
5971. 6
5972. 0

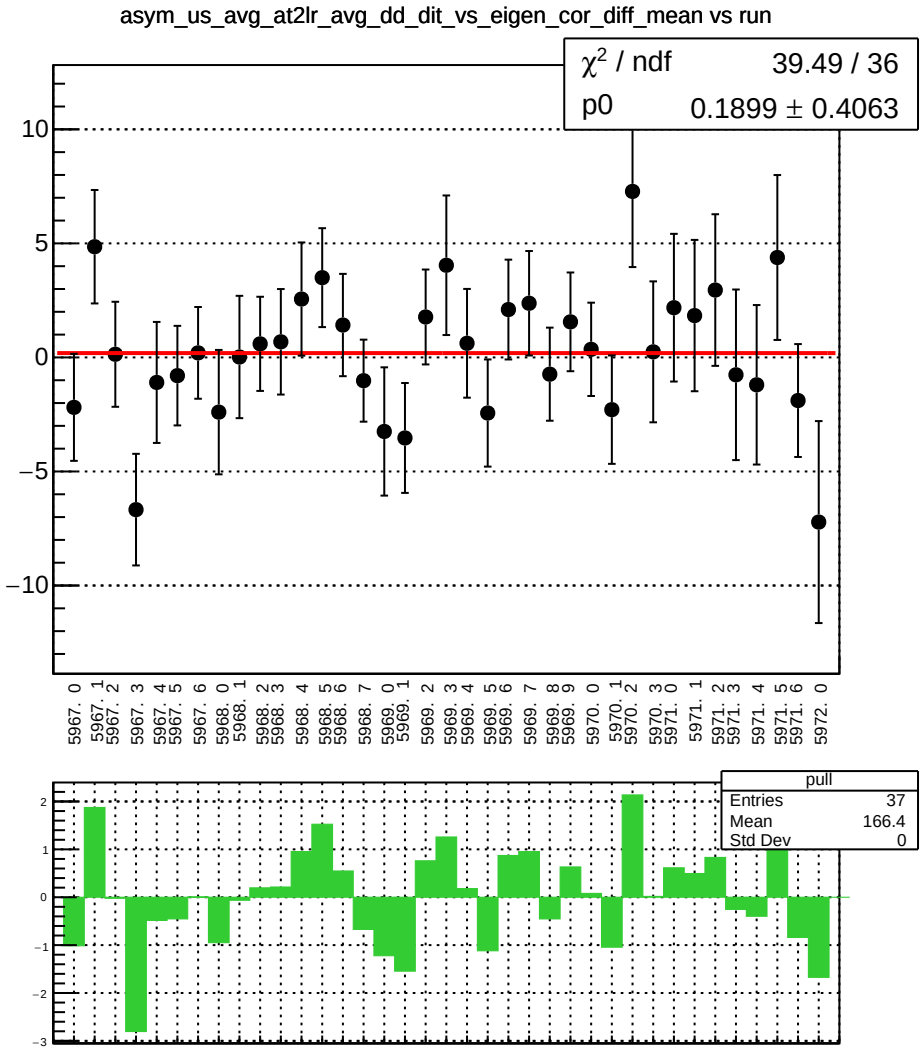
asym_us_avg_at2lr_avg_dd_dit_vs_eigen_cor_diff_mean vs run
χ² / ndf 39.49 / 36
p0 0.1899 ± 0.4063
10
5
0
−5
−10
5967. 0
5967. 1
5967. 2
5967. 3
5967. 4
5967. 5
5967. 6
5968. 0
5968. 1
5968. 2
5968. 3
5968. 4
5968. 5
5968. 6
5968. 7
5969. 0
5969. 1
5969. 2
5969. 3
5969. 4
5969. 5
5969. 6
5969. 7
5969. 8
5969. 9
5970. 0
5970. 1
5970. 2
5970. 3
5971. 0
5971. 1
5971. 2
5971. 3
5971. 4
5971. 5
5971. 6
5972. 0
pull
Entries 37
Mean 166.4
Std Dev 0
2
1
0
−1
−2
−3
pull1D
Entries 37
Mean 0.00819
Std Dev 1.033
6
5
4
3
2
1
0
−8
−6
−4
−2
0
2
4
6
8

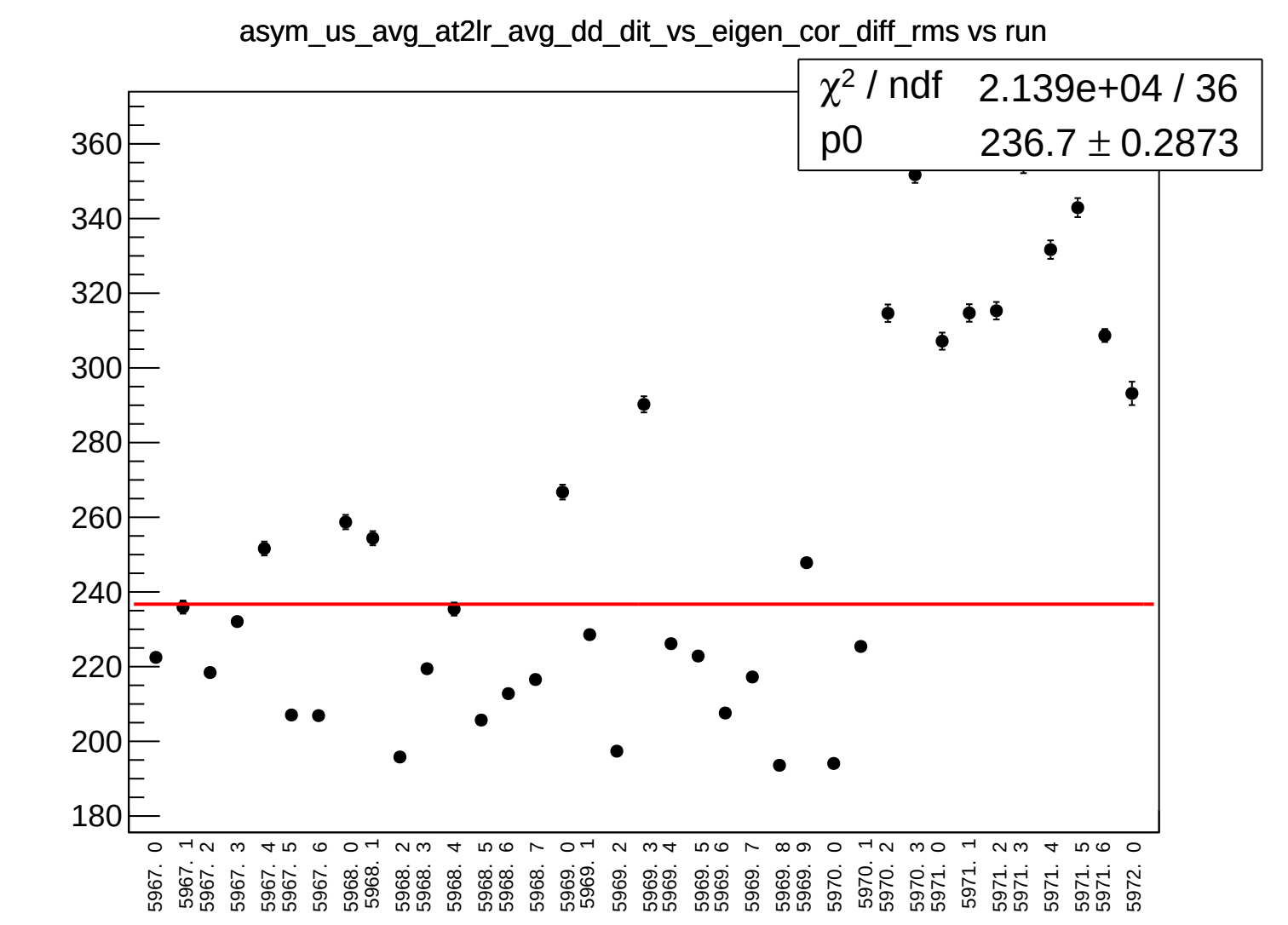
asym_us_avg_at2lr_avg_dd_dit_vs_eigen_cor_diff_rms vs run
χ² / ndf 2.139e+04 / 36
p0 236.7 ± 0.2873
360
340
320
300
280
260
240
220
200
180
5967. 0
5967. 1
5967. 2
5967. 3
5967. 4
5967. 5
5967. 6
5968. 0
5968. 1
5968. 2
5968. 3
5968. 4
5968. 5
5968. 6
5968. 7
5969. 0
5969. 1
5969. 2
5969. 3
5969. 4
5969. 5
5969. 6
5969. 7
5969. 8
5969. 9
5970. 0
5970. 1
5970. 2
5970. 3
5971. 0
5971. 1
5971. 2
5971. 3
5971. 4
5971. 5
5971. 6
5972. 0

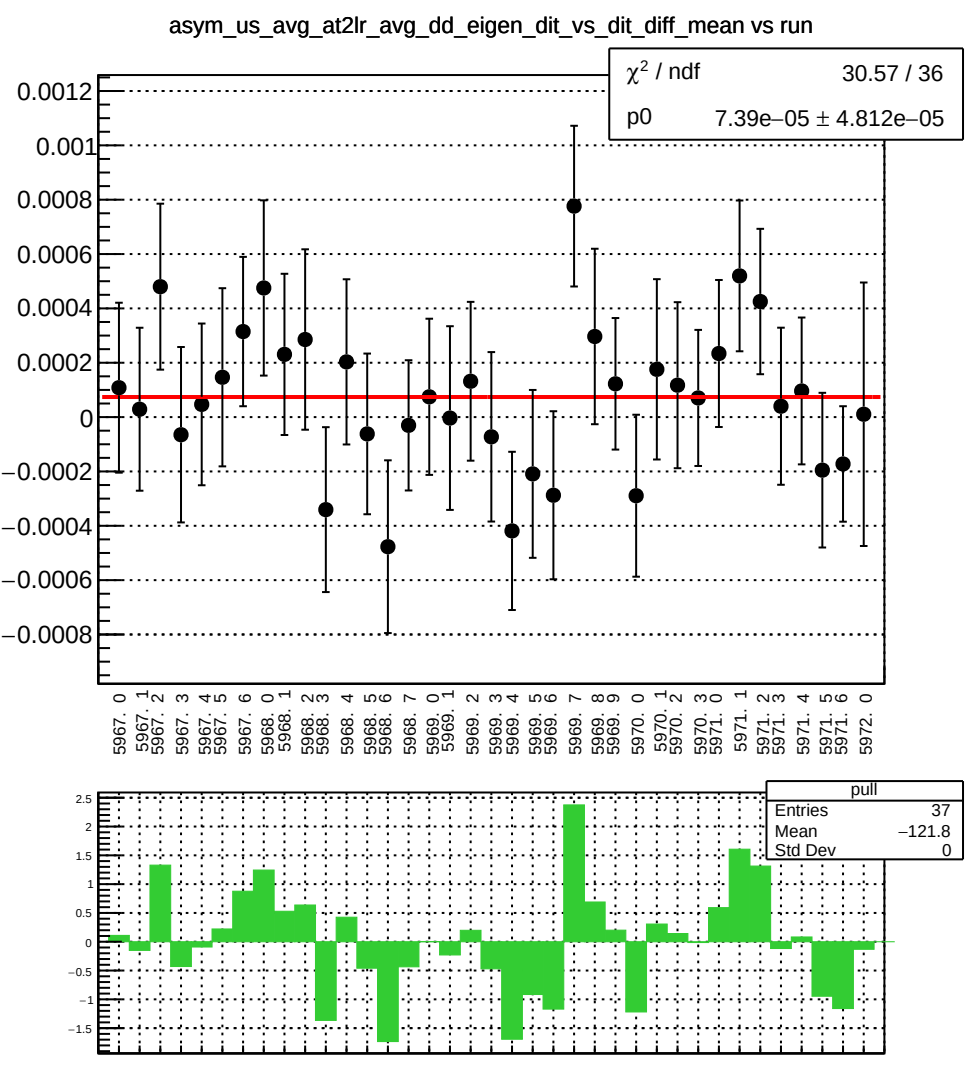
asym_us_avg_at2lr_avg_dd_eigen_dit_vs_dit_diff_mean vs run
χ² / ndf 30.57 / 36
p0 7.39e−05 ± 4.812e−05
0.0012
0.001
0.0008
0.0006
0.0004
0.0002
0
−0.0002
−0.0004
−0.0006
−0.0008
5967. 0
5967. 1
5967. 2
5967. 3
5967. 4
5967. 5
5967. 6
5968. 0
5968. 1
5968. 2
5968. 3
5968. 4
5968. 5
5968. 6
5968. 7
5969. 0
5969. 1
5969. 2
5969. 3
5969. 4
5969. 5
5969. 6
5969. 7
5969. 8
5969. 9
5970. 0
5970. 1
5970. 2
5970. 3
5971. 0
5971. 1
5971. 2
5971. 3
5971. 4
5971. 5
5971. 6
5972. 0
pull
Entries 37
Mean −121.8
Std Dev 0
2.5
2
1.5
1
0.5
0
−0.5
−1
−1.5
pull1D
Entries 37
Mean 0.004292
Std Dev 0.909
8
7
6
5
4
3
2
1
0
−8
−6
−4
−2
0
2
4
6
8

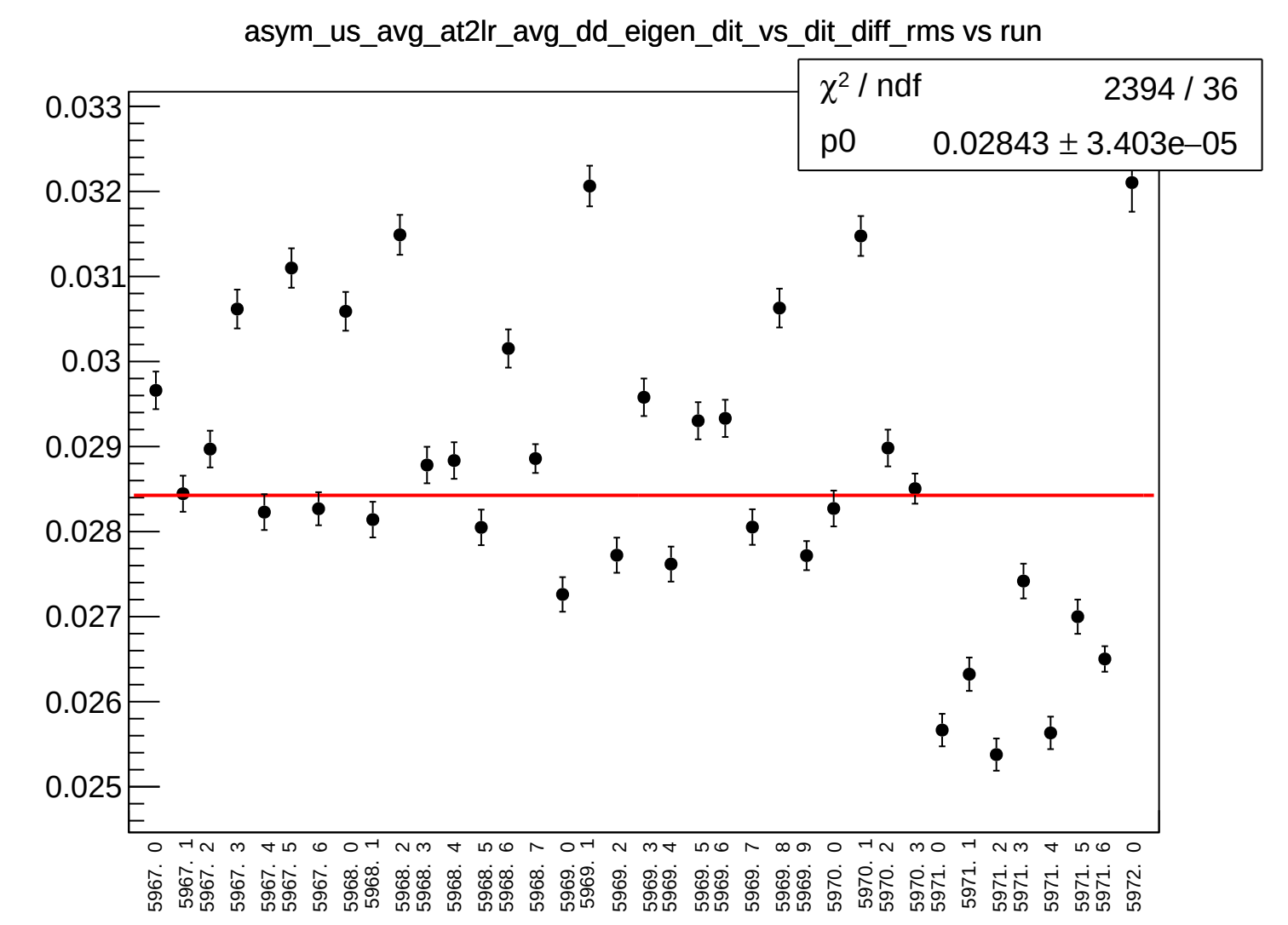
asym_us_avg_at2lr_avg_dd_eigen_dit_vs_dit_diff_rms vs run
χ² / ndf 2394 / 36
p0 0.02843 ± 3.403e−05
0.033
0.032
0.031
0.03
0.029
0.028
0.027
0.026
0.025
5967. 0
5967. 1
5967. 2
5967. 3
5967. 4
5967. 5
5967. 6
5968. 0
5968. 1
5968. 2
5968. 3
5968. 4
5968. 5
5968. 6
5968. 7
5969. 0
5969. 1
5969. 2
5969. 3
5969. 4
5969. 5
5969. 6
5969. 7
5969. 8
5969. 9
5970. 0
5970. 1
5970. 2
5970. 3
5971. 0
5971. 1
5971. 2
5971. 3
5971. 4
5971. 5
5971. 6
5972. 0

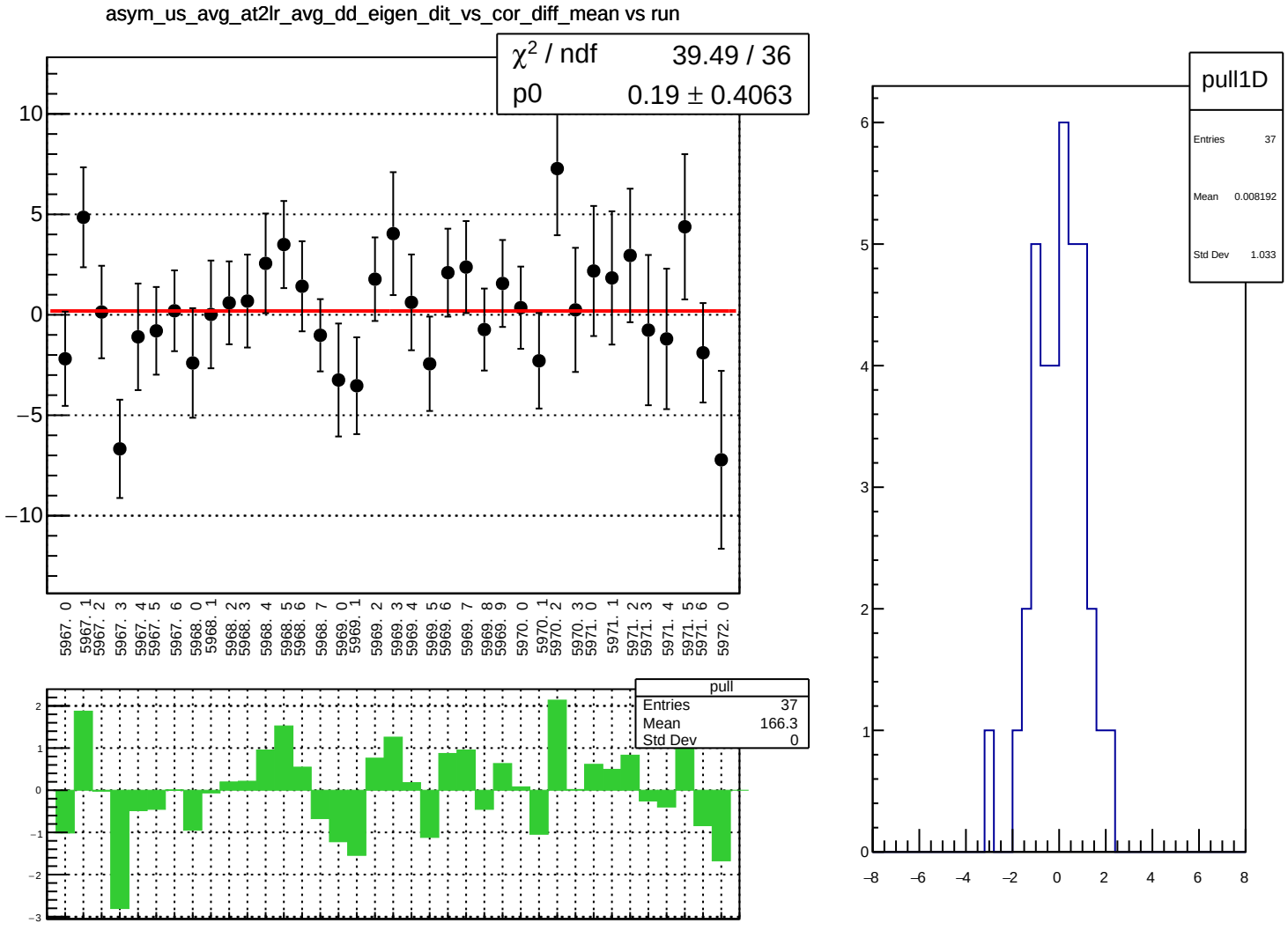
asym_us_avg_at2lr_avg_dd_eigen_dit_vs_cor_diff_mean vs run
χ² / ndf 39.49 / 36
p0 0.19 ± 0.4063
10
5
0
−5
−10
5967. 0
5967. 1
5967. 2
5967. 3
5967. 4
5967. 5
5967. 6
5968. 0
5968. 1
5968. 2
5968. 3
5968. 4
5968. 5
5968. 6
5968. 7
5969. 0
5969. 1
5969. 2
5969. 3
5969. 4
5969. 5
5969. 6
5969. 7
5969. 8
5969. 9
5970. 0
5970. 1
5970. 2
5970. 3
5971. 0
5971. 1
5971. 2
5971. 3
5971. 4
5971. 5
5971. 6
5972. 0
pull
Entries 37
Mean 166.3
Std Dev 0
2
1
0
−1
−2
−3
pull1D
Entries 37
Mean 0.008192
Std Dev 1.033
6
5
4
3
2
1
0
−8
−6
−4
−2
0
2
4
6
8

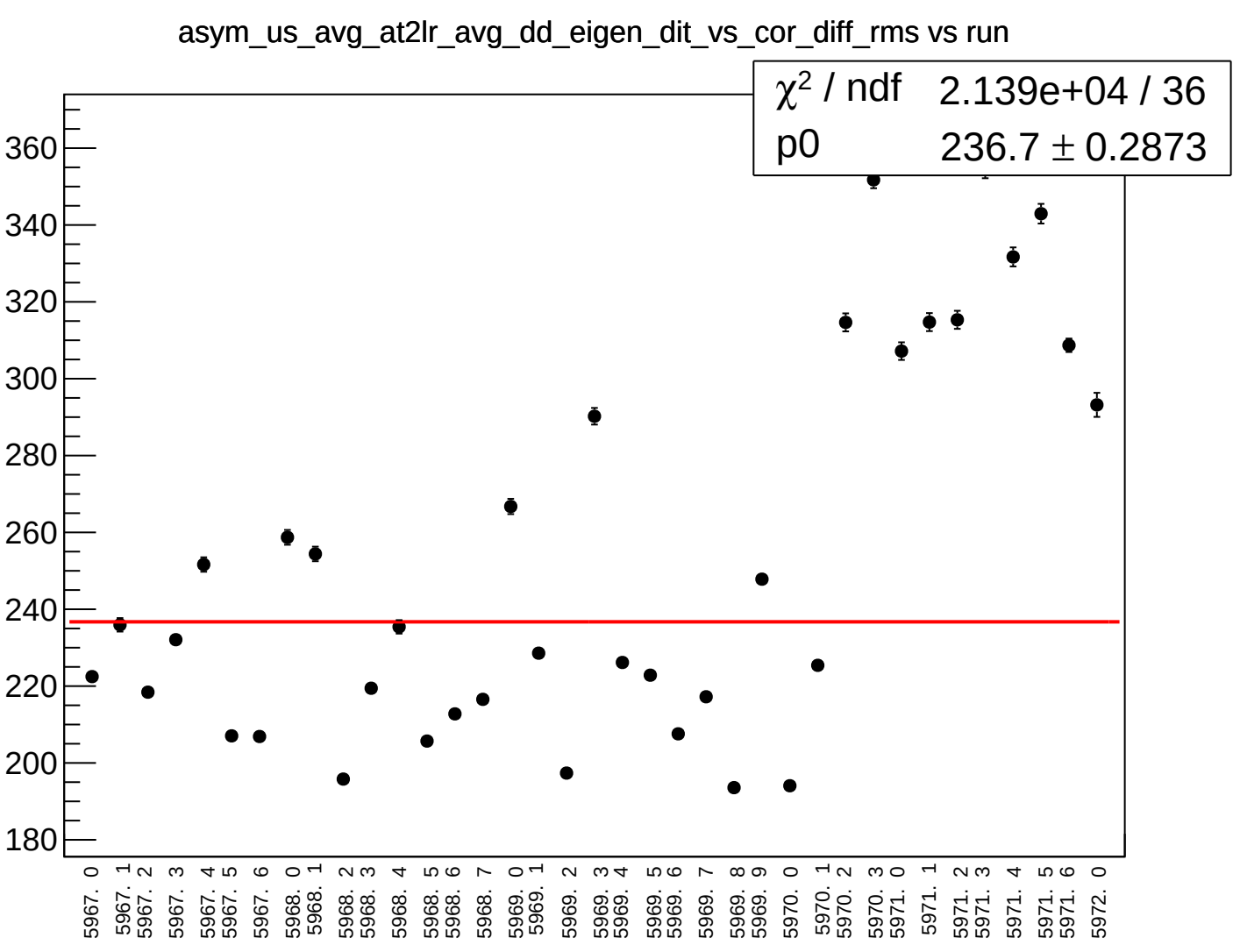
asym_us_avg_at2lr_avg_dd_eigen_dit_vs_cor_diff_rms vs run
χ² / ndf 2.139e+04 / 36
p0 236.7 ± 0.2873
360
340
320
300
280
260
240
220
200
180
5967. 0
5967. 1
5967. 2
5967. 3
5967. 4
5967. 5
5967. 6
5968. 0
5968. 1
5968. 2
5968. 3
5968. 4
5968. 5
5968. 6
5968. 7
5969. 0
5969. 1
5969. 2
5969. 3
5969. 4
5969. 5
5969. 6
5969. 7
5969. 8
5969. 9
5970. 0
5970. 1
5970. 2
5970. 3
5971. 0
5971. 1
5971. 2
5971. 3
5971. 4
5971. 5
5971. 6
5972. 0

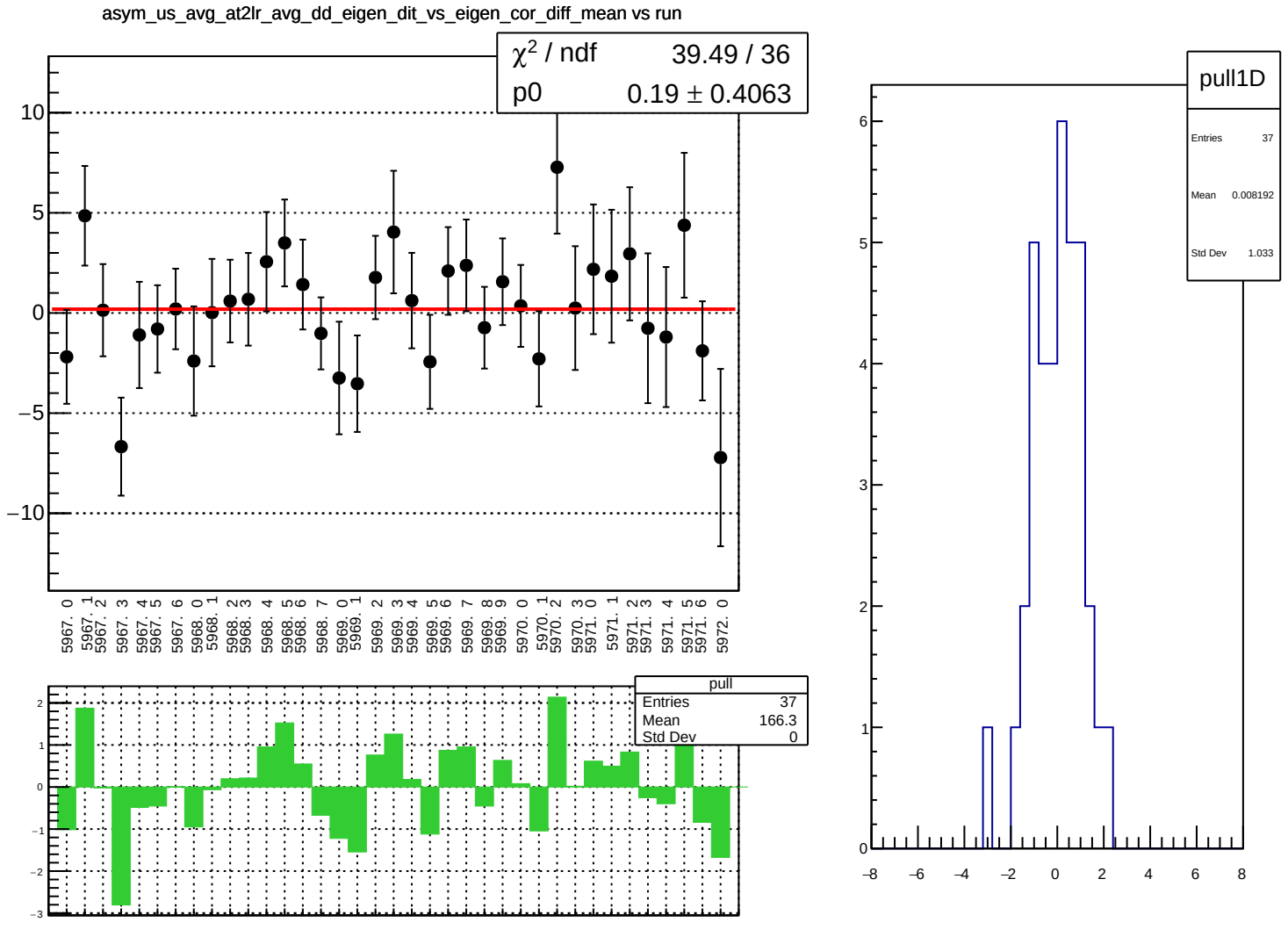
asym_us_avg_at2lr_avg_dd_eigen_dit_vs_eigen_cor_diff_mean vs run
χ² / ndf 39.49 / 36
p0 0.19 ± 0.4063
10
5
0
−5
−10
5967. 0
5967. 1
5967. 2
5967. 3
5967. 4
5967. 5
5967. 6
5968. 0
5968. 1
5968. 2
5968. 3
5968. 4
5968. 5
5968. 6
5968. 7
5969. 0
5969. 1
5969. 2
5969. 3
5969. 4
5969. 5
5969. 6
5969. 7
5969. 8
5969. 9
5970. 0
5970. 1
5970. 2
5970. 3
5971. 0
5971. 1
5971. 2
5971. 3
5971. 4
5971. 5
5971. 6
5972. 0
pull
Entries 37
Mean 166.3
Std Dev 0
2
1
0
−1
−2
−3
pull1D
Entries 37
Mean 0.008192
Std Dev 1.033
6
5
4
3
2
1
0
−8
−6
−4
−2
0
2
4
6
8

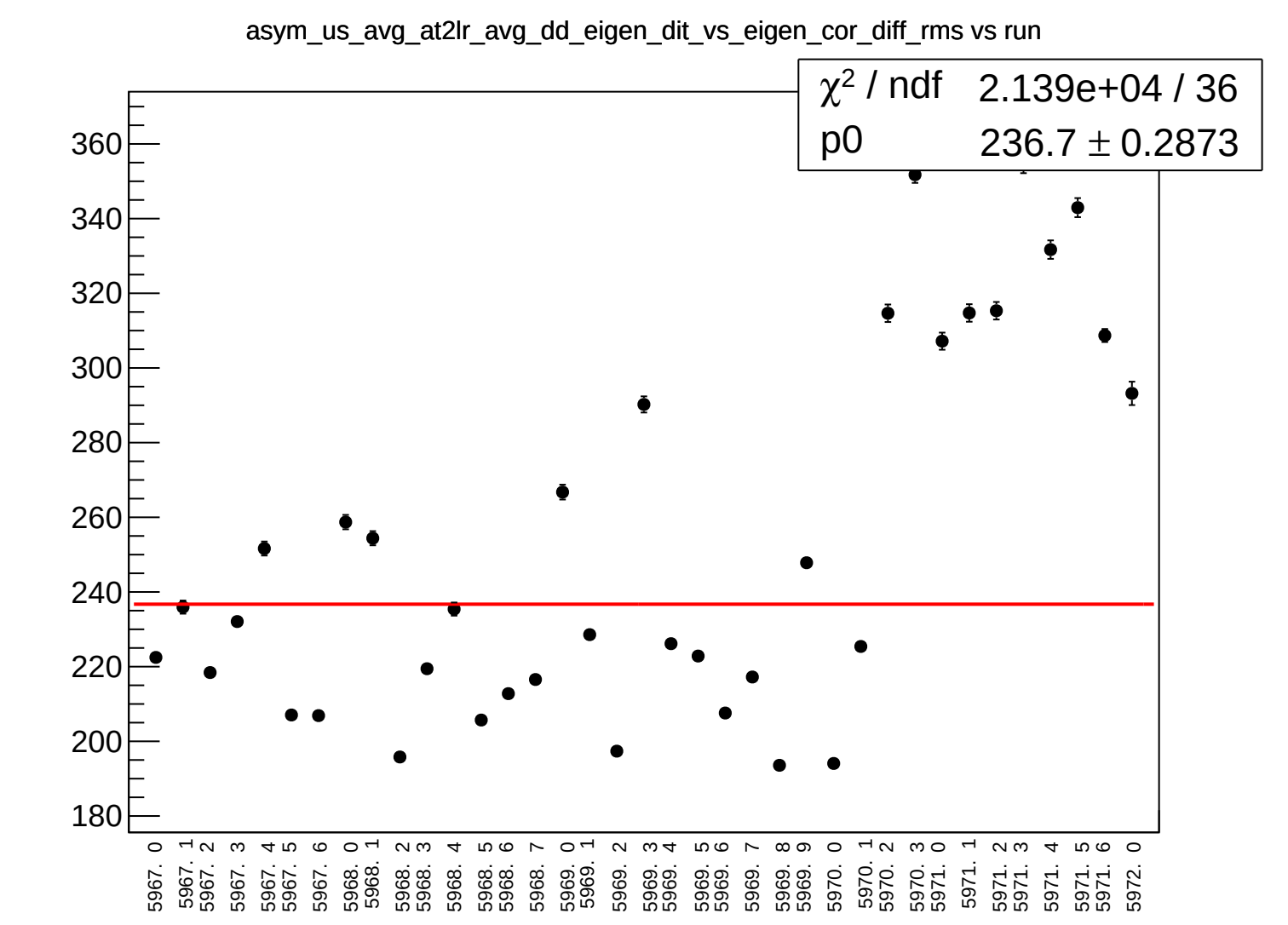
asym_us_avg_at2lr_avg_dd_eigen_dit_vs_eigen_cor_diff_rms vs run
χ² / ndf 2.139e+04 / 36
p0 236.7 ± 0.2873
360
340
320
300
280
260
240
220
200
180
5967. 0
5967. 1
5967. 2
5967. 3
5967. 4
5967. 5
5967. 6
5968. 0
5968. 1
5968. 2
5968. 3
5968. 4
5968. 5
5968. 6
5968. 7
5969. 0
5969. 1
5969. 2
5969. 3
5969. 4
5969. 5
5969. 6
5969. 7
5969. 8
5969. 9
5970. 0
5970. 1
5970. 2
5970. 3
5971. 0
5971. 1
5971. 2
5971. 3
5971. 4
5971. 5
5971. 6
5972. 0

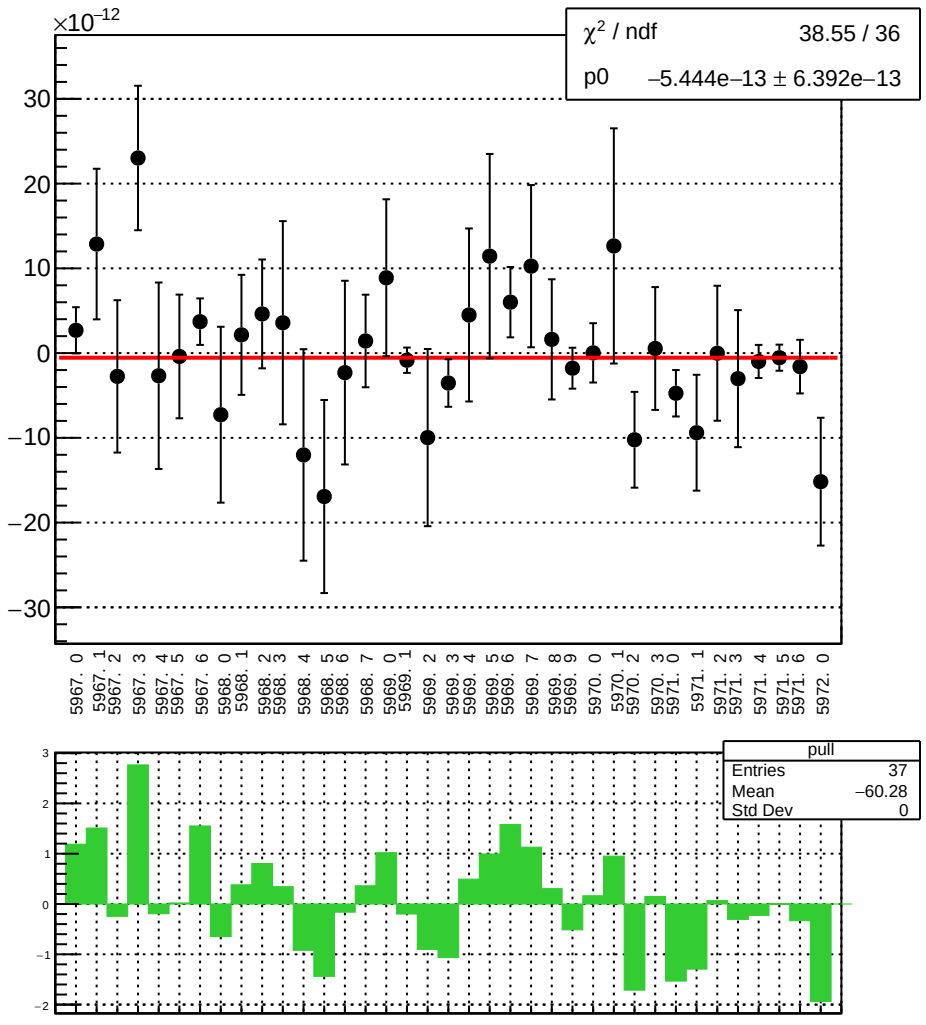
asym_us_avg_at2lr_avg_dd_eigen_cor_vs_cor_diff_mean vs run
×10⁻¹²
χ² / ndf 38.55 / 36
p0 −5.444e−13 ± 6.392e−13
30
20
10
0
−10
−20
−30
5967. 0
5967. 1
5967. 2
5967. 3
5967. 4
5967. 5
5967. 6
5968. 0
5968. 1
5968. 2
5968. 3
5968. 4
5968. 5
5968. 6
5968. 7
5969. 0
5969. 1
5969. 2
5969. 3
5969. 4
5969. 5
5969. 6
5969. 7
5969. 8
5969. 9
5970. 0
5970. 1
5970. 2
5970. 3
5971. 0
5971. 1
5971. 2
5971. 3
5971. 4
5971. 5
5971. 6
5972. 0
pull
Entries 37
Mean −60.28
Std Dev 0
3
2
1
0
−1
−2

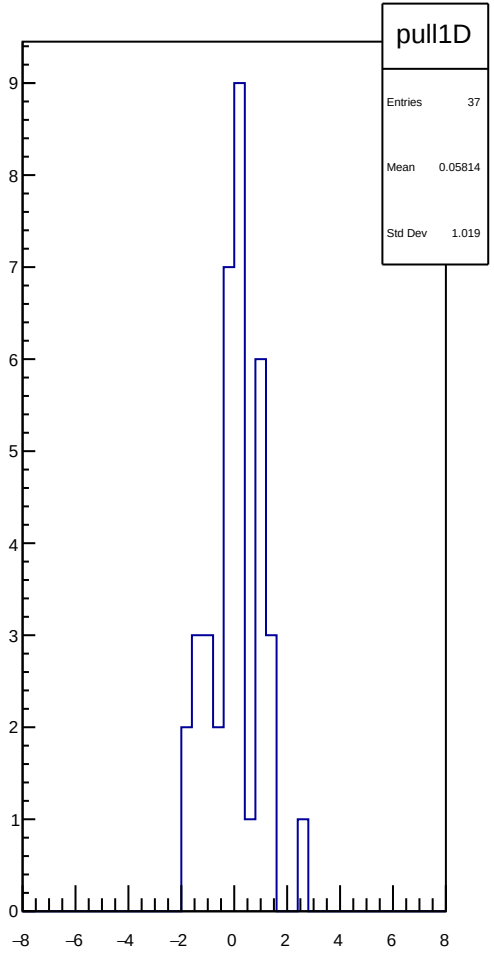
pull1D
Entries 37
Mean 0.05814
Std Dev 1.019
9
8
7
6
5
4
3
2
1
0
−8
−6
−4
−2
0
2
4
6
8

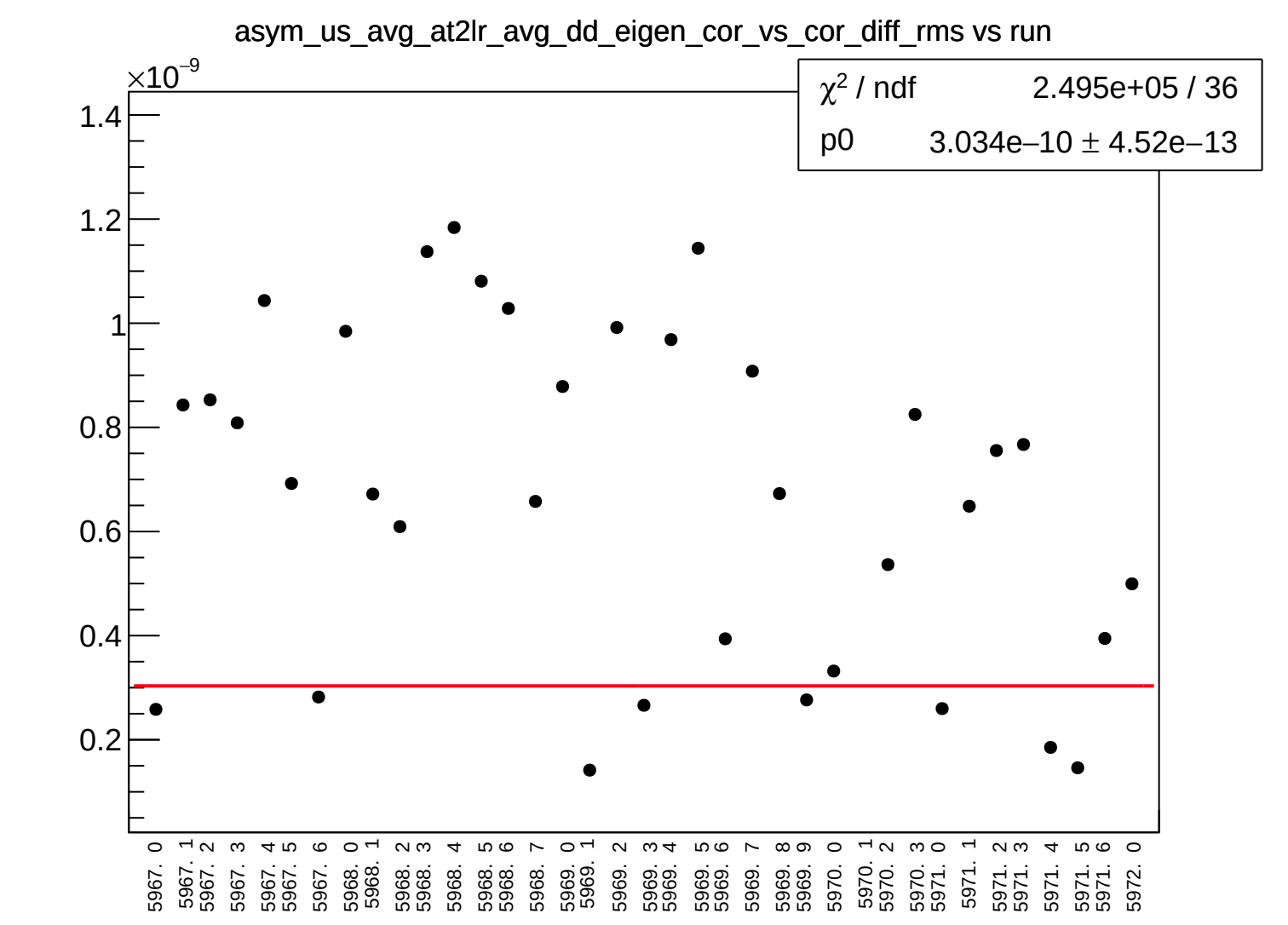
asym_us_avg_at2lr_avg_dd_eigen_cor_vs_cor_diff_rms vs run
×10⁻⁹
χ² / ndf 2.495e+05 / 36
p0 3.034e−10 ± 4.52e−13
1.4
1.2
1
0.8
0.6
0.4
0.2
5967. 0
5967. 1
5967. 2
5967. 3
5967. 4
5967. 5
5967. 6
5968. 0
5968. 1
5968. 2
5968. 3
5968. 4
5968. 5
5968. 6
5968. 7
5969. 0
5969. 1
5969. 2
5969. 3
5969. 4
5969. 5
5969. 6
5969. 7
5969. 8
5969. 9
5970. 0
5970. 1
5970. 2
5970. 3
5971. 0
5971. 1
5971. 2
5971. 3
5971. 4
5971. 5
5971. 6
5972. 0

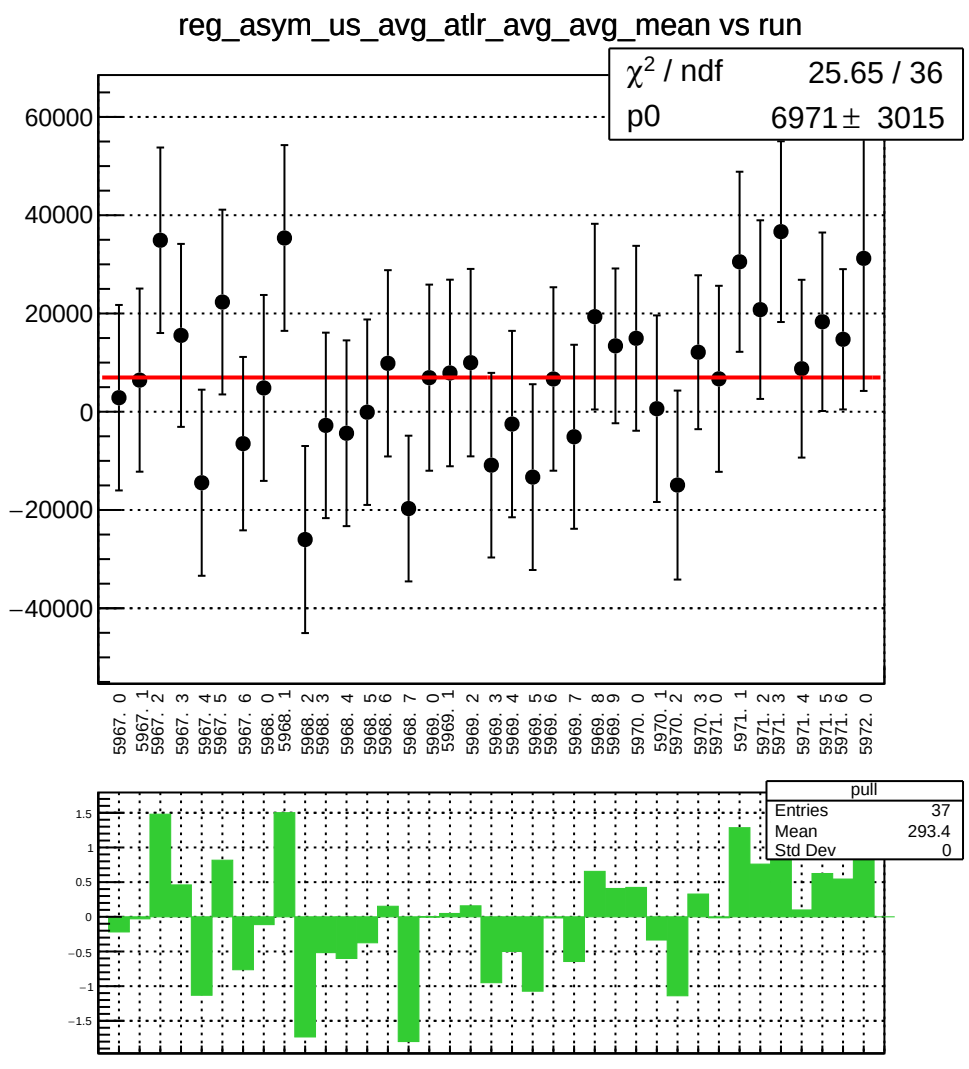
reg_asym_us_avg_atlr_avg_avg_mean vs run
χ² / ndf 25.65 / 36
p0 6971 ± 3015
60000
40000
20000
0
−20000
−40000
5967. 0
5967. 1
5967. 2
5967. 3
5967. 4
5967. 5
5967. 6
5968. 0
5968. 1
5968. 2
5968. 3
5968. 4
5968. 5
5968. 6
5968. 7
5969. 0
5969. 1
5969. 2
5969. 3
5969. 4
5969. 5
5969. 6
5969. 7
5969. 8
5969. 9
5970. 0
5970. 1
5970. 2
5970. 3
5971. 0
5971. 1
5971. 2
5971. 3
5971. 4
5971. 5
5971. 6
5972. 0
pull
Entries 37
Mean 293.4
Std Dev 0
1.5
1
0.5
0
−0.5
−1
−1.5

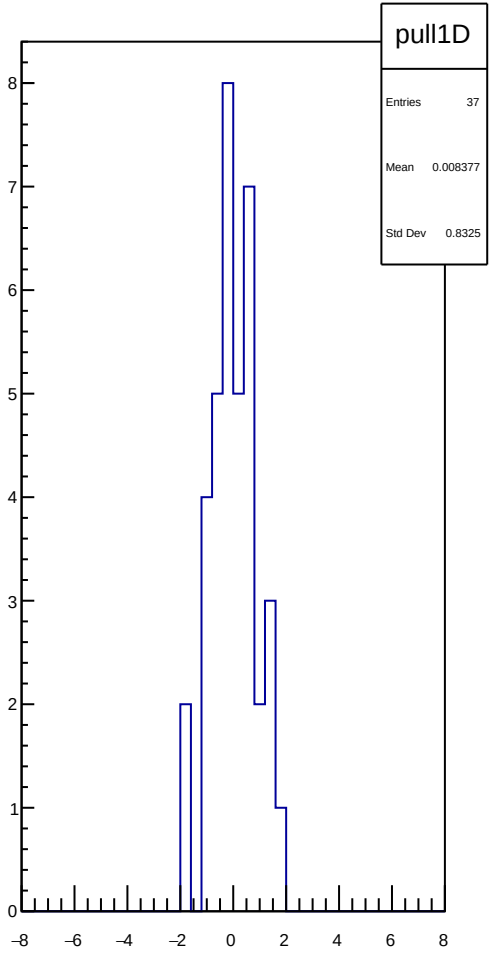
pull1D
Entries 37
Mean 0.008377
Std Dev 0.8325
8
7
6
5
4
3
2
1
0
−8
−6
−4
−2
0
2
4
6
8

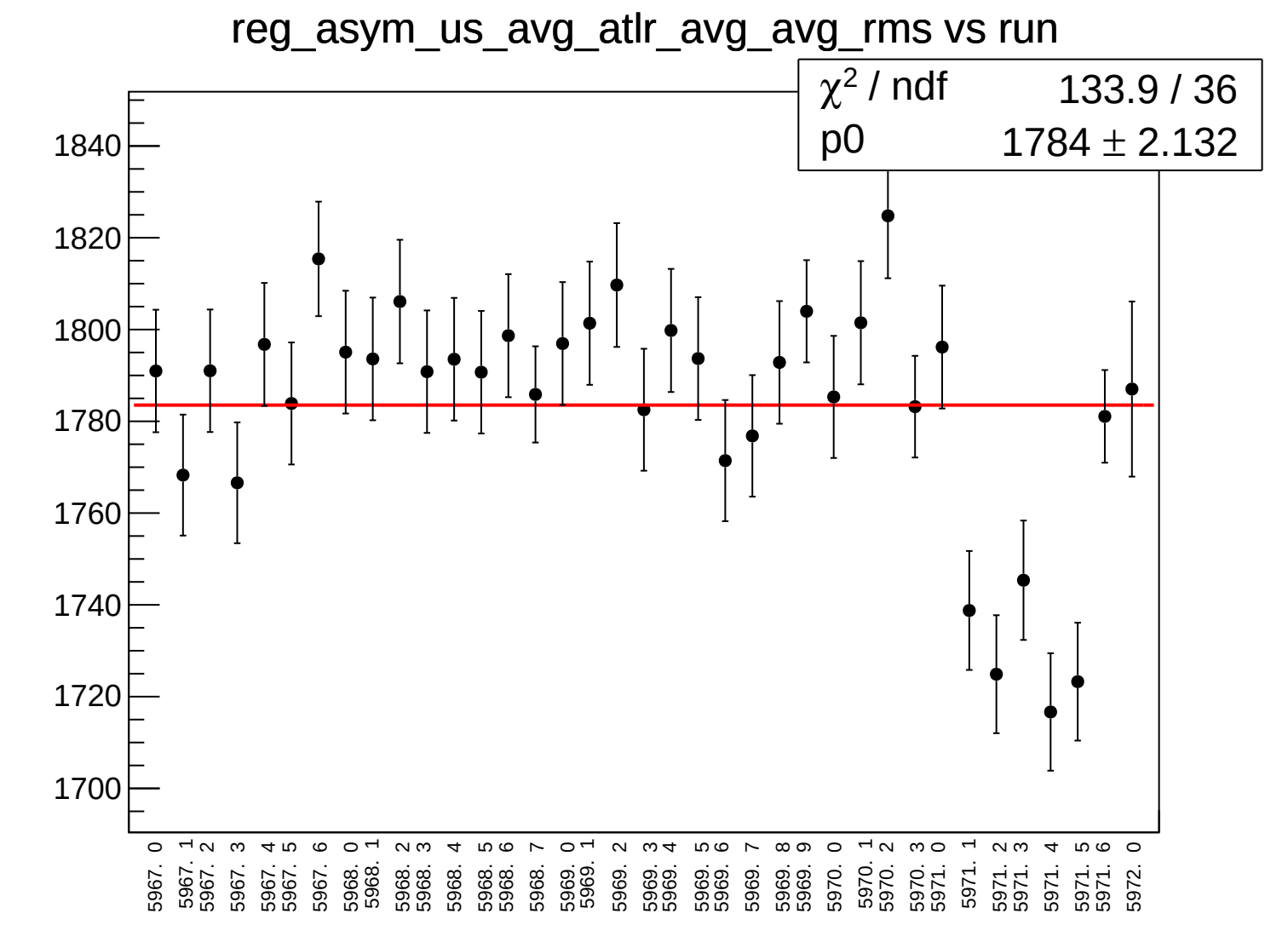
reg_asym_us_avg_atlr_avg_avg_rms vs run
χ² / ndf 133.9 / 36
p0 1784 ± 2.132
1840
1820
1800
1780
1760
1740
1720
1700
5967. 0
5967. 1
5967. 2
5967. 3
5967. 4
5967. 5
5967. 6
5968. 0
5968. 1
5968. 2
5968. 3
5968. 4
5968. 5
5968. 6
5968. 7
5969. 0
5969. 1
5969. 2
5969. 3
5969. 4
5969. 5
5969. 6
5969. 7
5969. 8
5969. 9
5970. 0
5970. 1
5970. 2
5970. 3
5971. 0
5971. 1
5971. 2
5971. 3
5971. 4
5971. 5
5971. 6
5972. 0

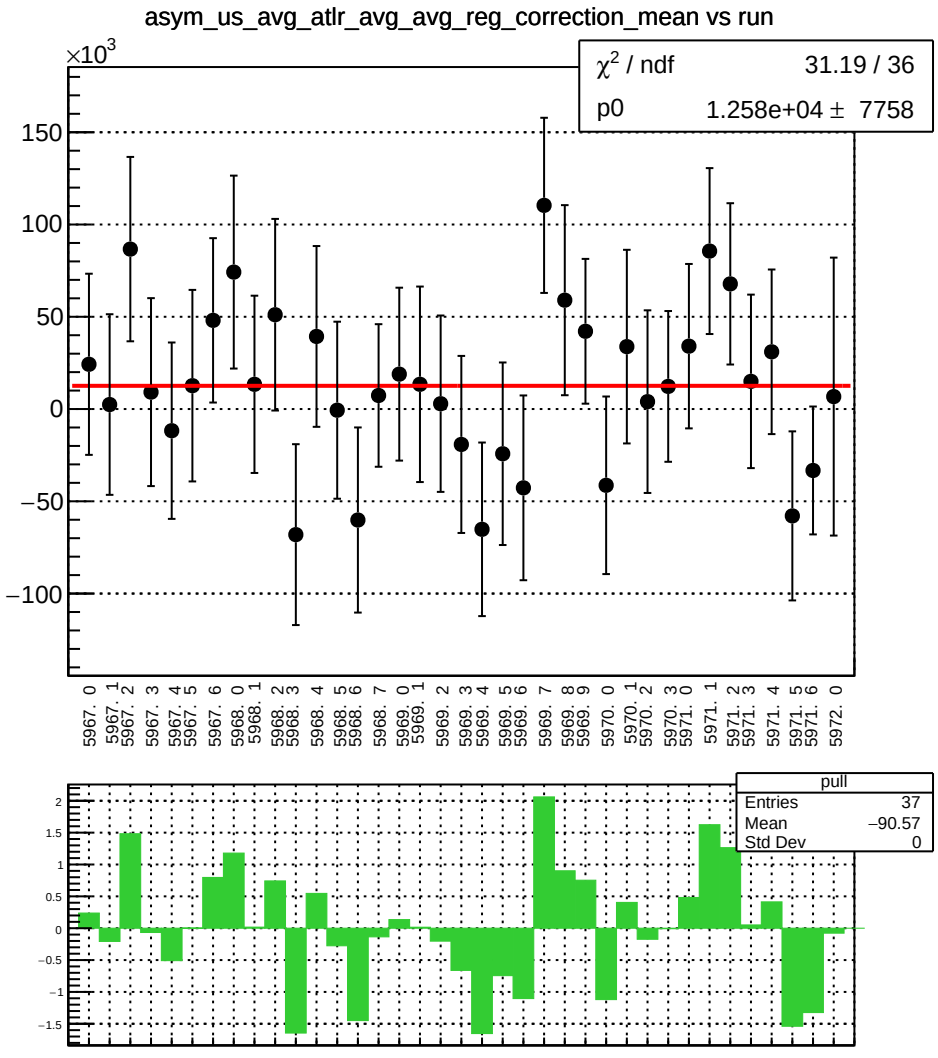
asym_us_avg_atlr_avg_avg_reg_correction_mean vs run
×10^3
χ² / ndf 31.19 / 36
p0 1.258e+04 ± 7758
150
100
50
0
−50
−100
5967. 0
5967. 1
5967. 2
5967. 3
5967. 4
5967. 5
5967. 6
5968. 0
5968. 1
5968. 2
5968. 3
5968. 4
5968. 5
5968. 6
5968. 7
5969. 0
5969. 1
5969. 2
5969. 3
5969. 4
5969. 5
5969. 6
5969. 7
5969. 8
5969. 9
5970. 0
5970. 1
5970. 2
5970. 3
5971. 0
5971. 1
5971. 2
5971. 3
5971. 4
5971. 5
5971. 6
5972. 0
pull
Entries 37
Mean −90.57
Std Dev 0
2
1.5
1
0.5
0
−0.5
−1
−1.5

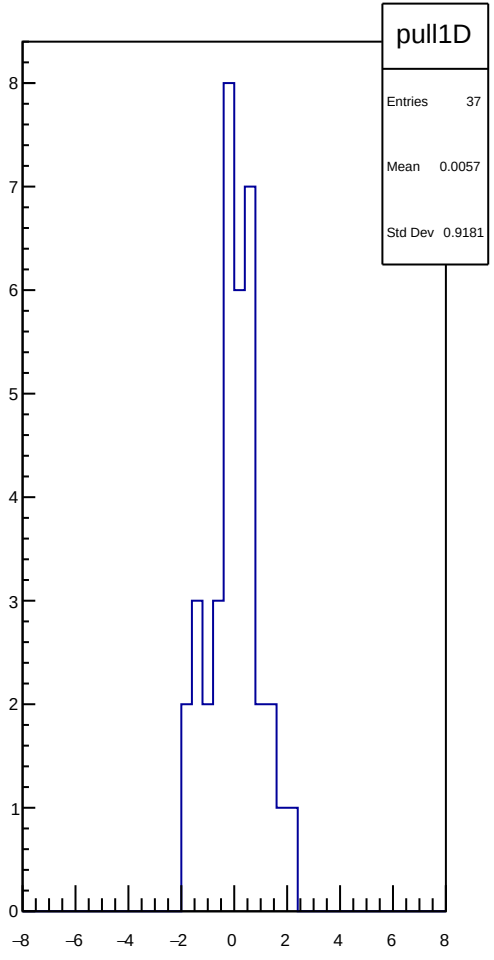
pull1D
Entries 37
Mean 0.0057
Std Dev 0.9181
8
7
6
5
4
3
2
1
0
−8
−6
−4
−2
0
2
4
6
8

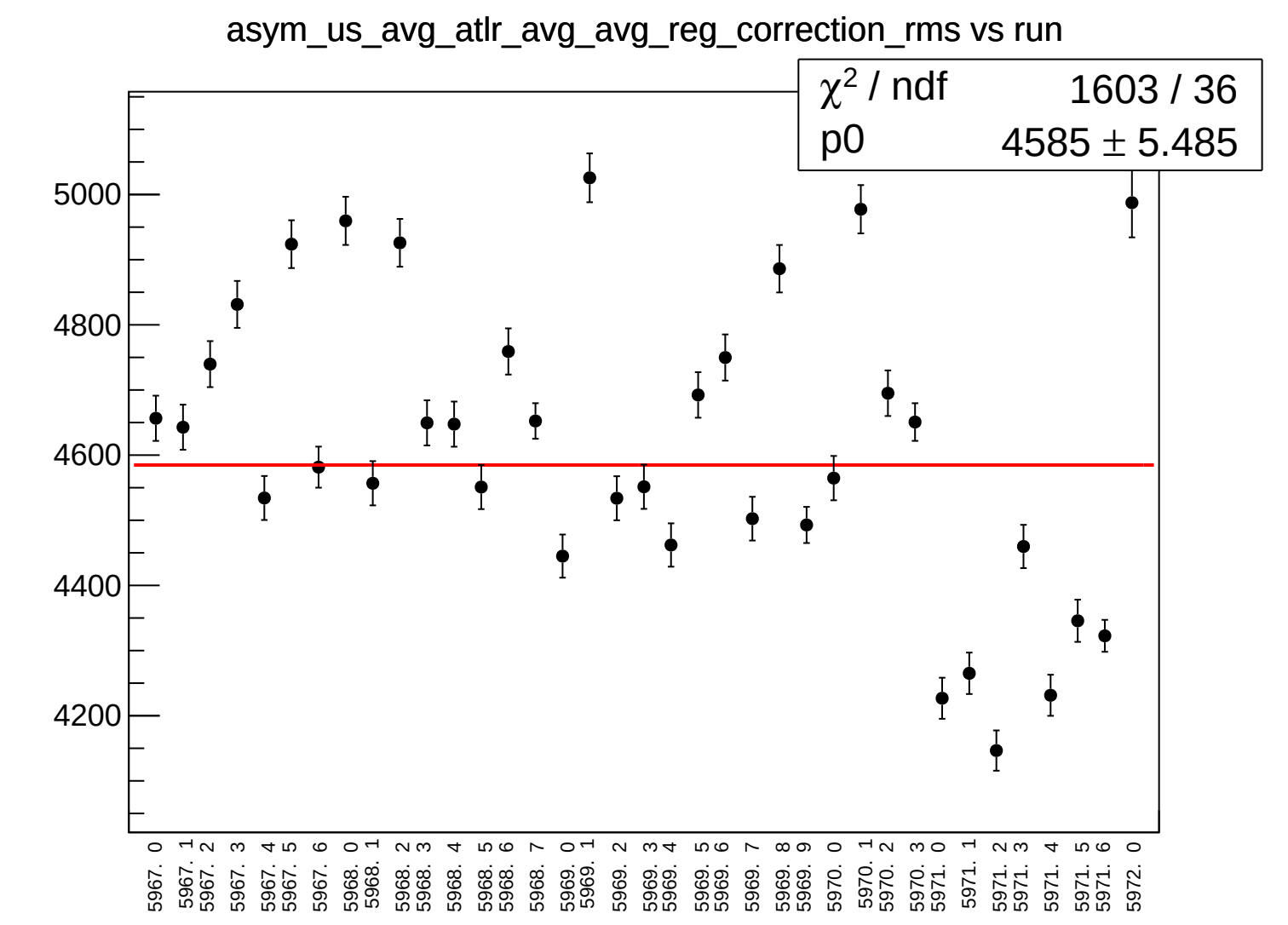
asym_us_avg_atlr_avg_avg_reg_correction_rms vs run
χ² / ndf 1603 / 36
p0 4585 ± 5.485
5000
4800
4600
4400
4200
5967. 0
5967. 1
5967. 2
5967. 3
5967. 4
5967. 5
5967. 6
5968. 0
5968. 1
5968. 2
5968. 3
5968. 4
5968. 5
5968. 6
5968. 7
5969. 0
5969. 1
5969. 2
5969. 3
5969. 4
5969. 5
5969. 6
5969. 7
5969. 8
5969. 9
5970. 0
5970. 1
5970. 2
5970. 3
5971. 0
5971. 1
5971. 2
5971. 3
5971. 4
5971. 5
5971. 6
5972. 0

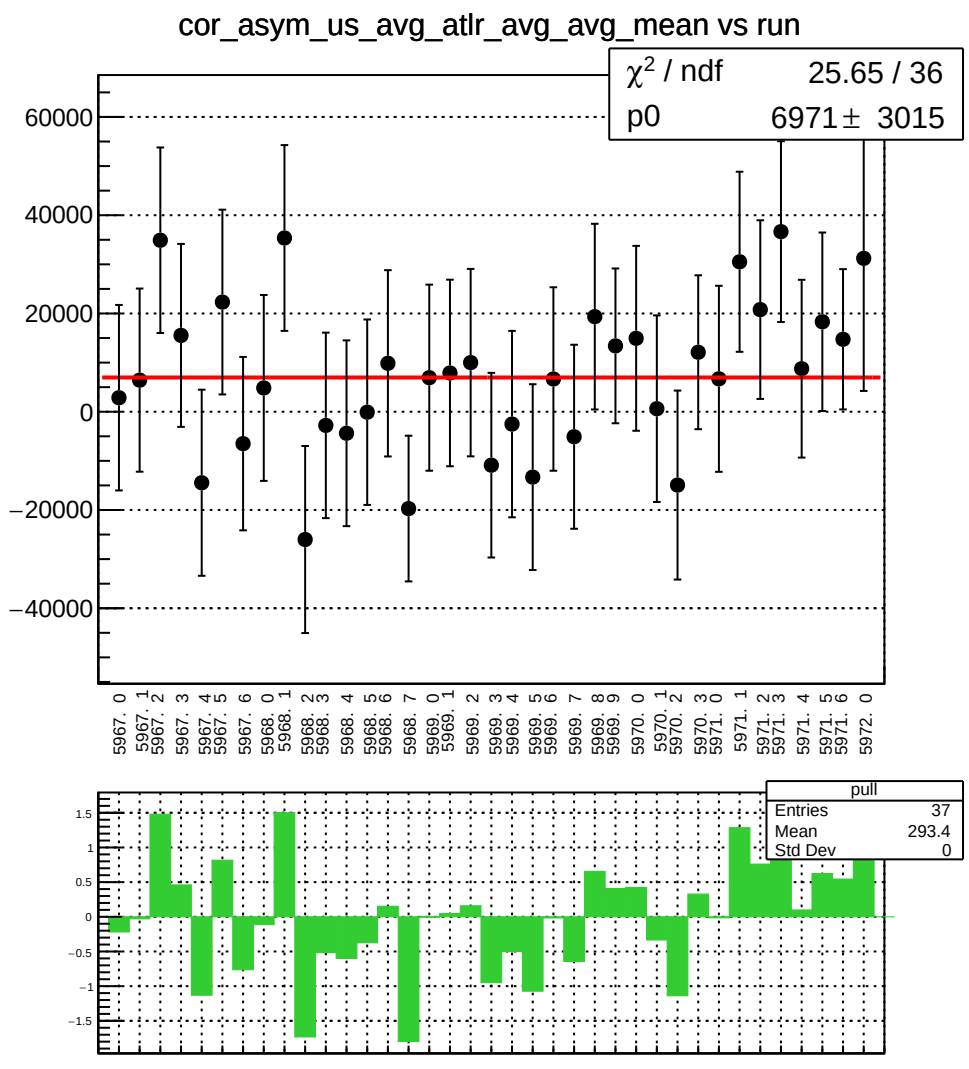
cor_asym_us_avg_atlr_avg_avg_mean vs run
χ² / ndf 25.65 / 36
p0 6971 ± 3015
60000
40000
20000
0
−20000
−40000
5967. 0
5967. 1
5967. 2
5967. 3
5967. 4
5967. 5
5967. 6
5968. 0
5968. 1
5968. 2
5968. 3
5968. 4
5968. 5
5968. 6
5968. 7
5969. 0
5969. 1
5969. 2
5969. 3
5969. 4
5969. 5
5969. 6
5969. 7
5969. 8
5969. 9
5970. 0
5970. 1
5970. 2
5970. 3
5971. 0
5971. 1
5971. 2
5971. 3
5971. 4
5971. 5
5971. 6
5972. 0
pull
Entries 37
Mean 293.4
Std Dev 0
1.5
1
0.5
0
−0.5
−1
−1.5

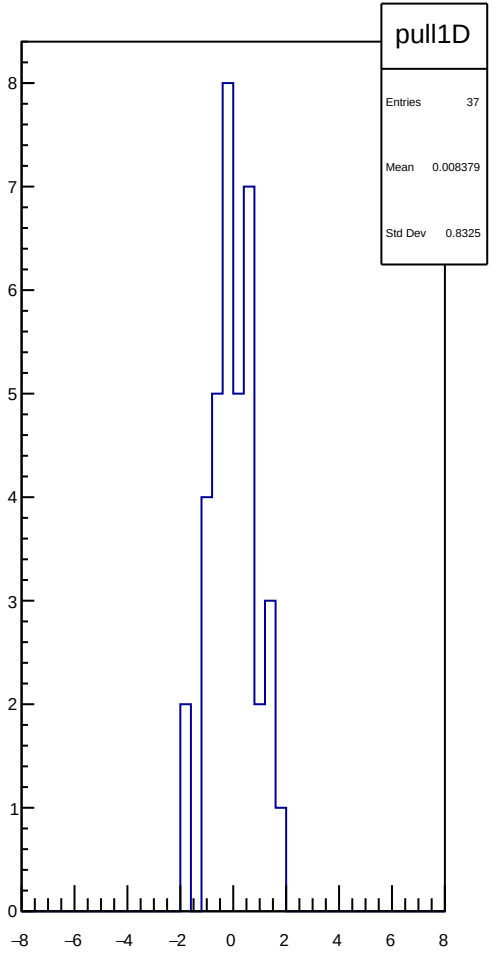
pull1D
Entries 37
Mean 0.008379
Std Dev 0.8325
8
7
6
5
4
3
2
1
0
−8
−6
−4
−2
0
2
4
6
8

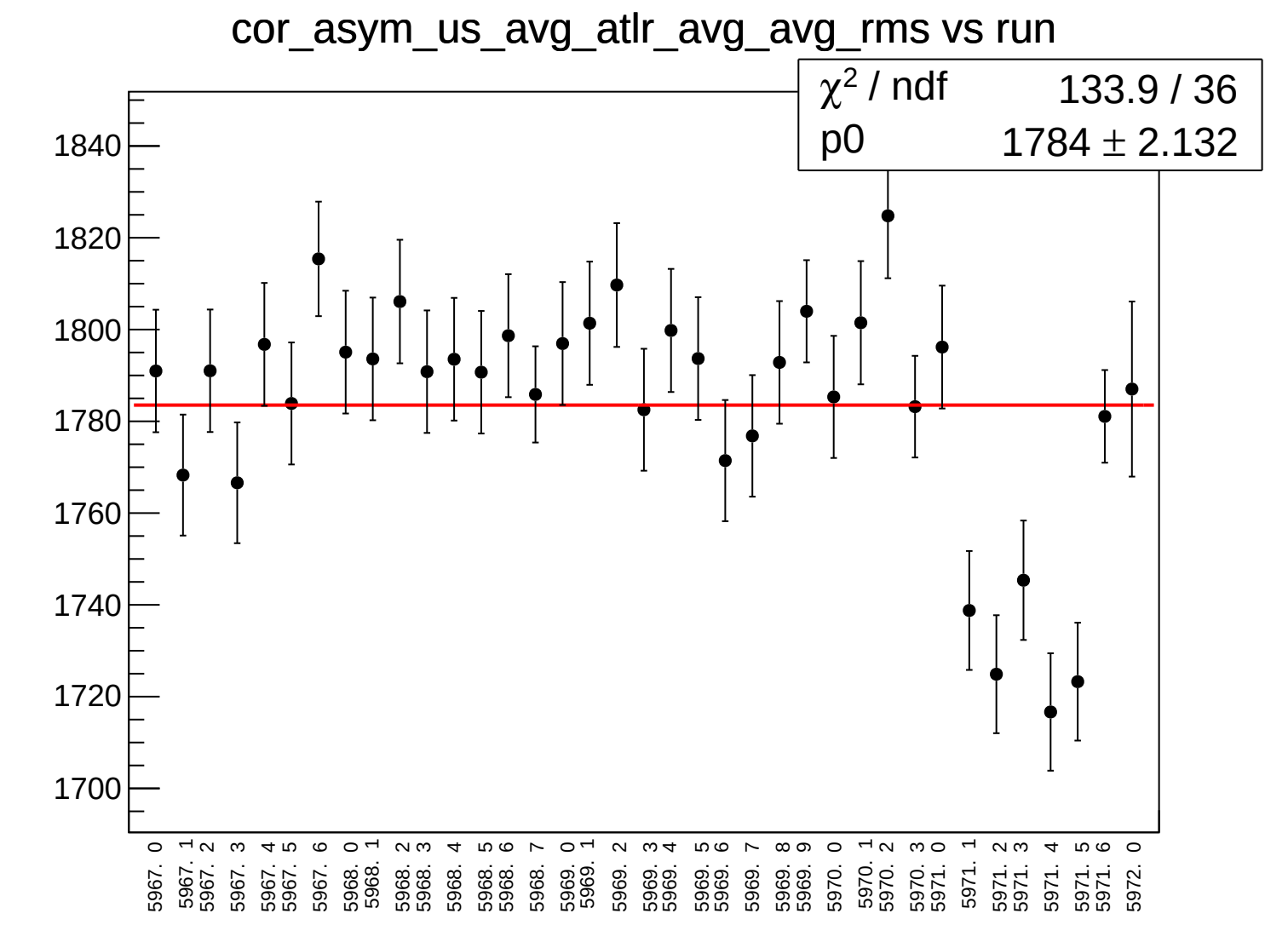
cor_asym_us_avg_atlr_avg_avg_rms vs run
χ² / ndf 133.9 / 36
p0 1784 ± 2.132
1840
1820
1800
1780
1760
1740
1720
1700
5967. 0
5967. 1
5967. 2
5967. 3
5967. 4
5967. 5
5967. 6
5968. 0
5968. 1
5968. 2
5968. 3
5968. 4
5968. 5
5968. 6
5968. 7
5969. 0
5969. 1
5969. 2
5969. 3
5969. 4
5969. 5
5969. 6
5969. 7
5969. 8
5969. 9
5970. 0
5970. 1
5970. 2
5970. 3
5971. 0
5971. 1
5971. 2
5971. 3
5971. 4
5971. 5
5971. 6
5972. 0

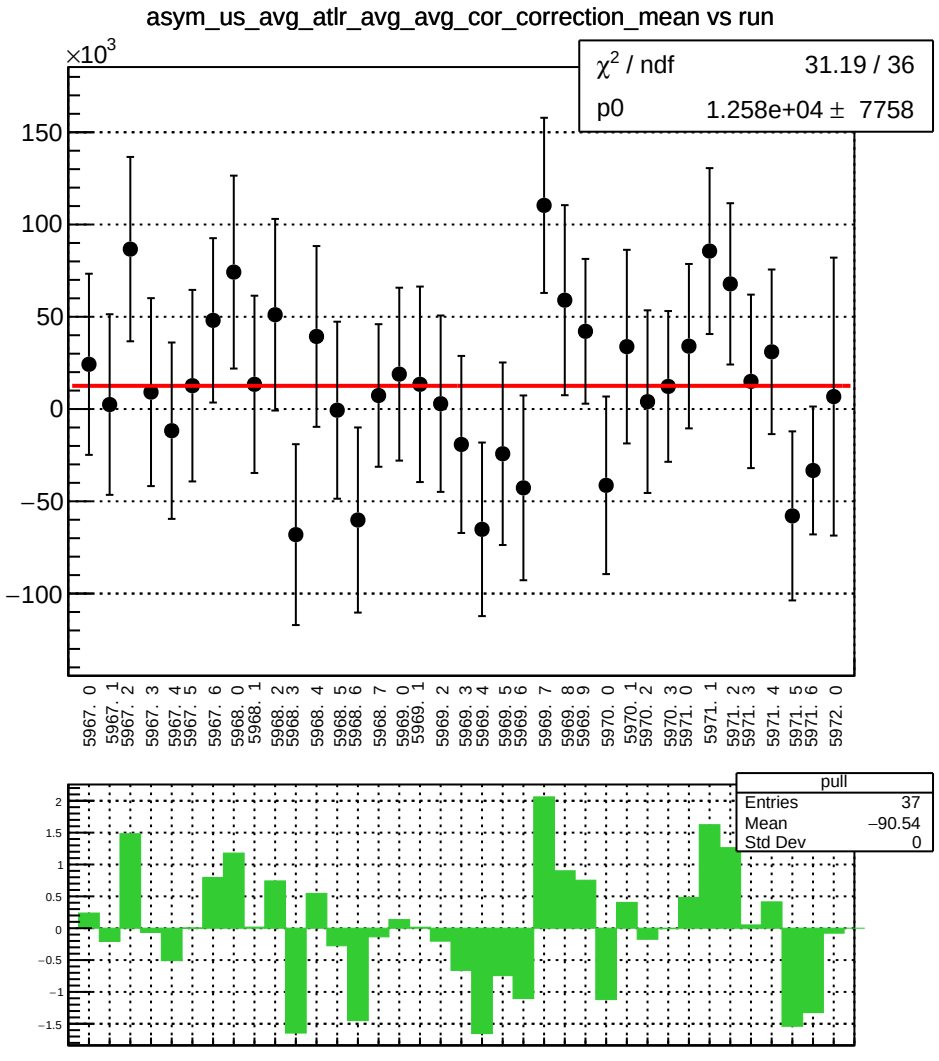
asym_us_avg_atlr_avg_avg_cor_correction_mean vs run
×10^3
χ² / ndf 31.19 / 36
p0 1.258e+04 ± 7758
150
100
50
0
−50
−100
5967. 0
5967. 1
5967. 2
5967. 3
5967. 4
5967. 5
5967. 6
5968. 0
5968. 1
5968. 2
5968. 3
5968. 4
5968. 5
5968. 6
5968. 7
5969. 0
5969. 1
5969. 2
5969. 3
5969. 4
5969. 5
5969. 6
5969. 7
5969. 8
5969. 9
5970. 0
5970. 1
5970. 2
5970. 3
5971. 0
5971. 1
5971. 2
5971. 3
5971. 4
5971. 5
5971. 6
5972. 0
pull
Entries 37
Mean −90.54
Std Dev 0
2
1.5
1
0.5
0
−0.5
−1
−1.5

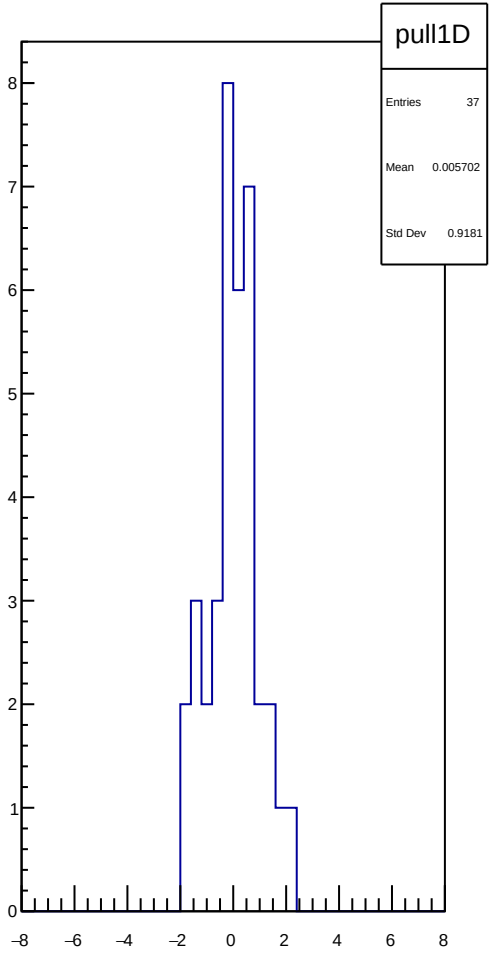
pull1D
Entries 37
Mean 0.005702
Std Dev 0.9181
8
7
6
5
4
3
2
1
0
−8
−6
−4
−2
0
2
4
6
8

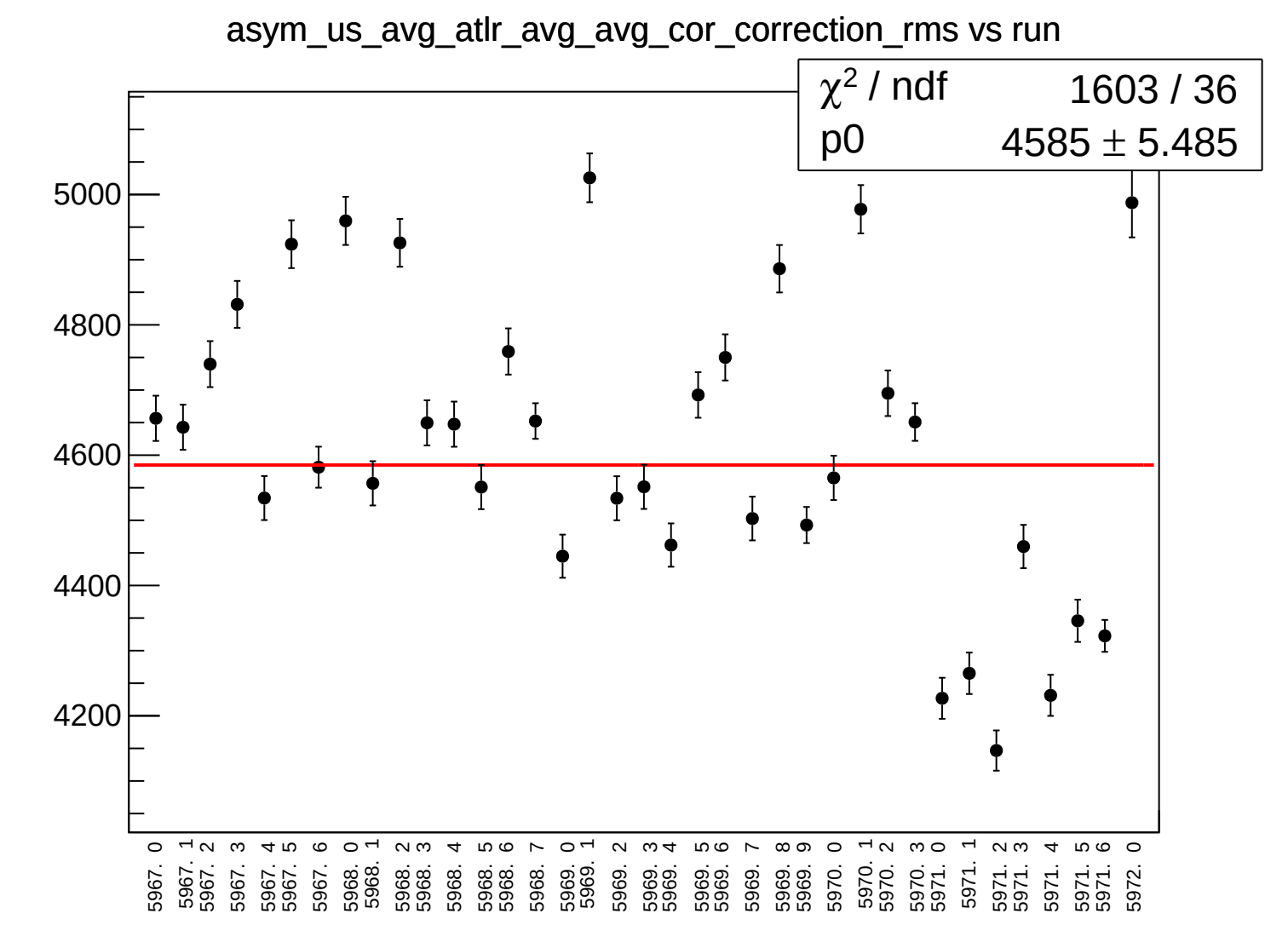
asym_us_avg_atlr_avg_avg_cor_correction_rms vs run
χ² / ndf 1603 / 36
p0 4585 ± 5.485
5000
4800
4600
4400
4200
5967. 0
5967. 1
5967. 2
5967. 3
5967. 4
5967. 5
5967. 6
5968. 0
5968. 1
5968. 2
5968. 3
5968. 4
5968. 5
5968. 6
5968. 7
5969. 0
5969. 1
5969. 2
5969. 3
5969. 4
5969. 5
5969. 6
5969. 7
5969. 8
5969. 9
5970. 0
5970. 1
5970. 2
5970. 3
5971. 0
5971. 1
5971. 2
5971. 3
5971. 4
5971. 5
5971. 6
5972. 0

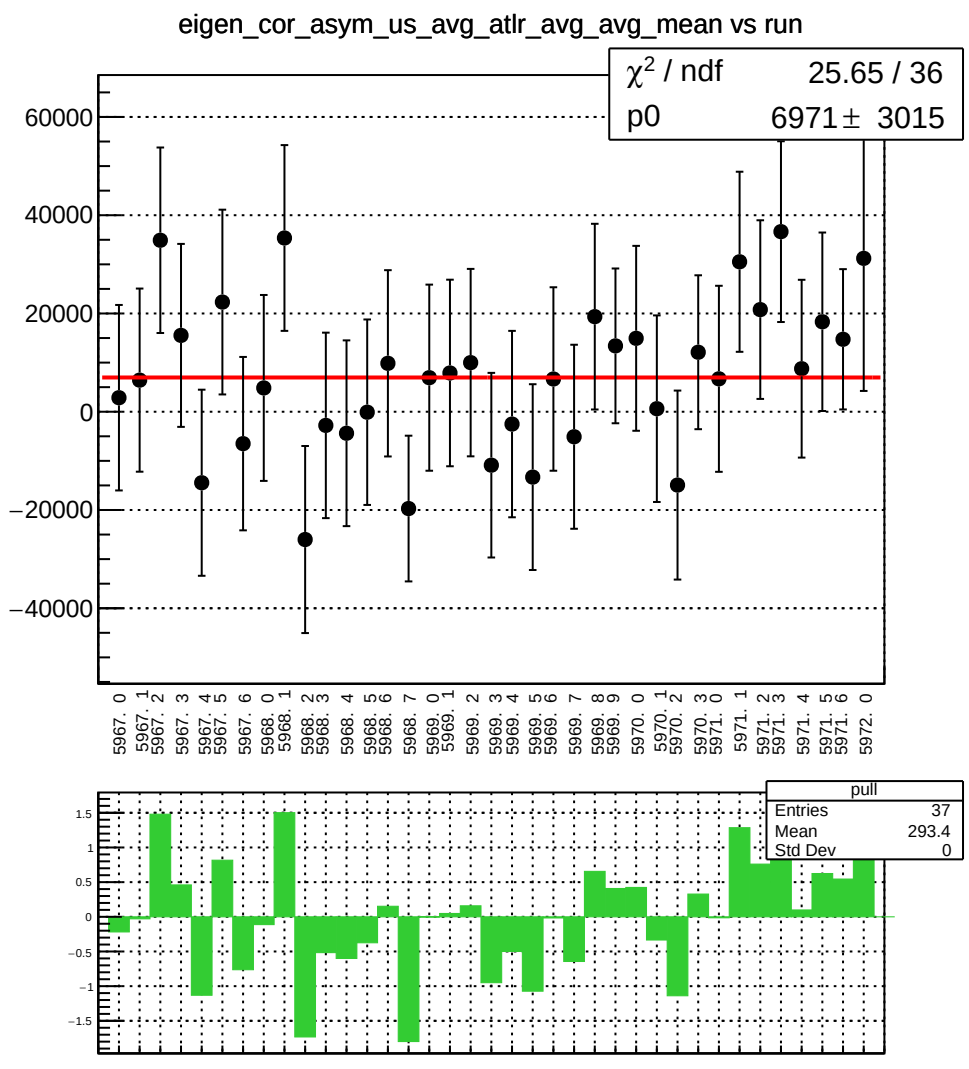
eigen_cor_asym_us_avg_atlr_avg_avg_mean vs run
χ² / ndf 25.65 / 36
p0 6971 ± 3015
60000
40000
20000
0
−20000
−40000
5967. 0
5967. 1
5967. 2
5967. 3
5967. 4
5967. 5
5967. 6
5968. 0
5968. 1
5968. 2
5968. 3
5968. 4
5968. 5
5968. 6
5968. 7
5969. 0
5969. 1
5969. 2
5969. 3
5969. 4
5969. 5
5969. 6
5969. 7
5969. 8
5969. 9
5970. 0
5970. 1
5970. 2
5970. 3
5971. 0
5971. 1
5971. 2
5971. 3
5971. 4
5971. 5
5971. 6
5972. 0
pull
Entries 37
Mean 293.4
Std Dev 0
1.5
1
0.5
0
−0.5
−1
−1.5
pull1D
Entries 37
Mean 0.008379
Std Dev 0.8325
8
7
6
5
4
3
2
1
0
−8
−6
−4
−2
0
2
4
6
8

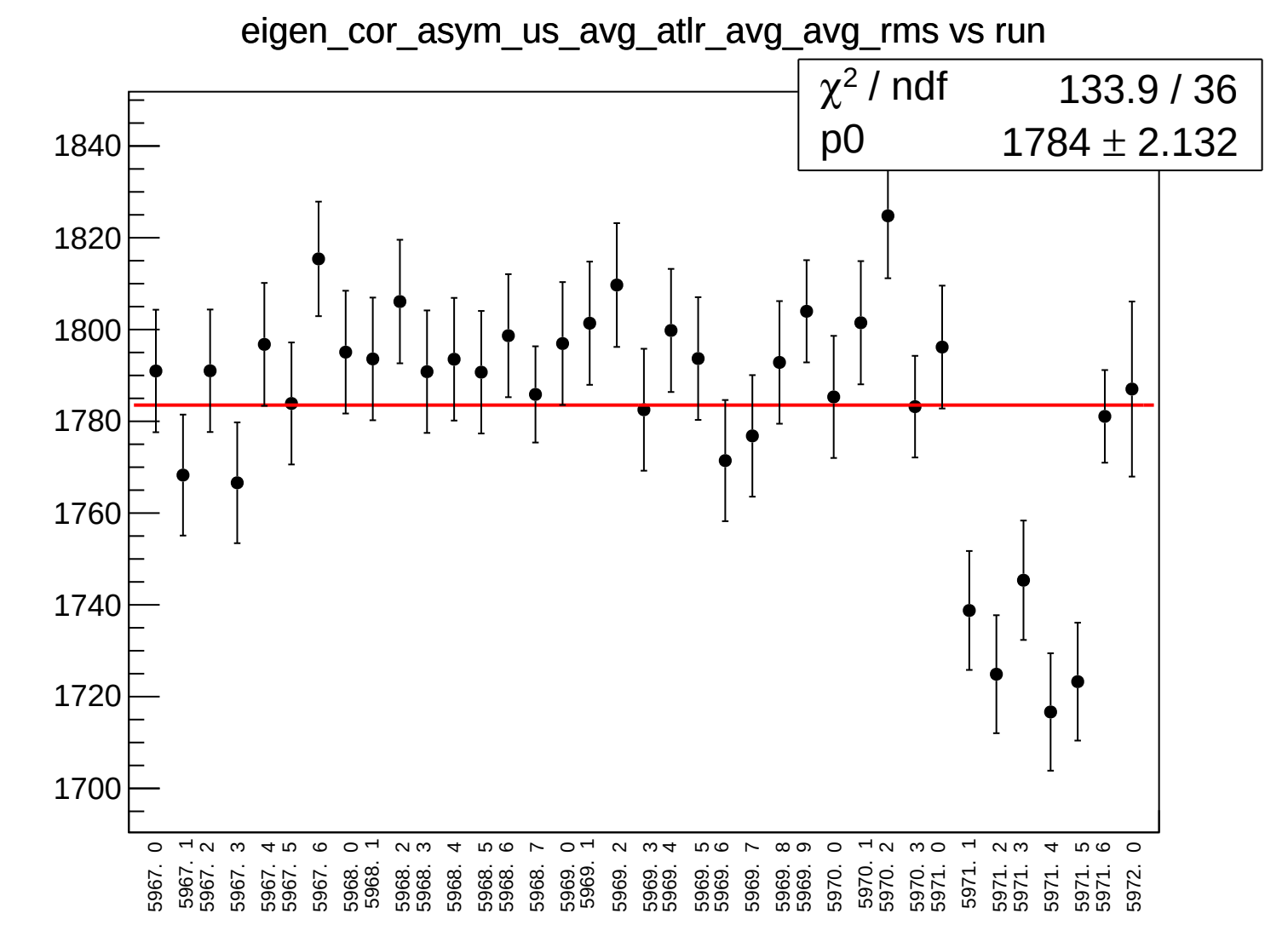
eigen_cor_asym_us_avg_atlr_avg_avg_rms vs run
χ² / ndf 133.9 / 36
p0 1784 ± 2.132
1840
1820
1800
1780
1760
1740
1720
1700
5967. 0
5967. 1
5967. 2
5967. 3
5967. 4
5967. 5
5967. 6
5968. 0
5968. 1
5968. 2
5968. 3
5968. 4
5968. 5
5968. 6
5968. 7
5969. 0
5969. 1
5969. 2
5969. 3
5969. 4
5969. 5
5969. 6
5969. 7
5969. 8
5969. 9
5970. 0
5970. 1
5970. 2
5970. 3
5971. 0
5971. 1
5971. 2
5971. 3
5971. 4
5971. 5
5971. 6
5972. 0

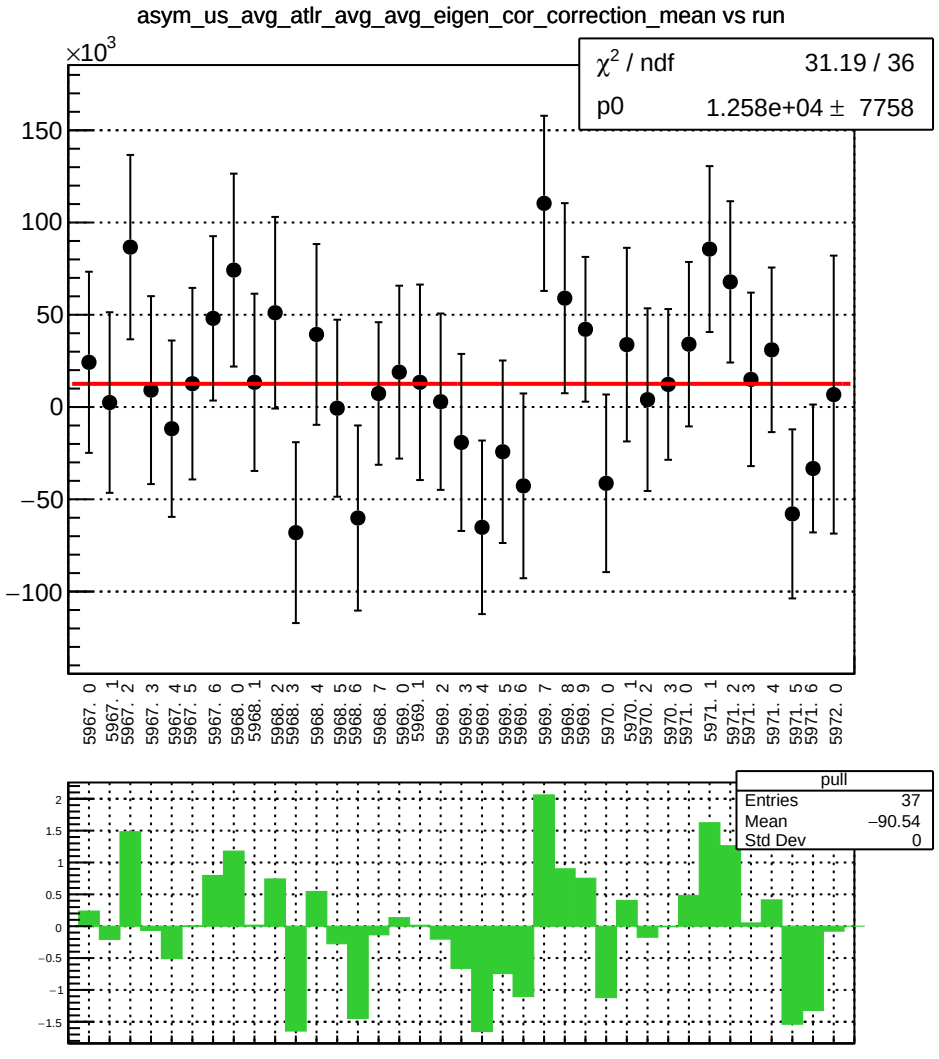
asym_us_avg_atlr_avg_avg_eigen_cor_correction_mean vs run
×10^3
χ² / ndf 31.19 / 36
p0 1.258e+04 ± 7758
150
100
50
0
−50
−100
5967. 0
5967. 1
5967. 2
5967. 3
5967. 4
5967. 5
5967. 6
5968. 0
5968. 1
5968. 2
5968. 3
5968. 4
5968. 5
5968. 6
5968. 7
5969. 0
5969. 1
5969. 2
5969. 3
5969. 4
5969. 5
5969. 6
5969. 7
5969. 8
5969. 9
5970. 0
5970. 1
5970. 2
5970. 3
5971. 0
5971. 1
5971. 2
5971. 3
5971. 4
5971. 5
5971. 6
5972. 0
pull
Entries 37
Mean −90.54
Std Dev 0
2
1.5
1
0.5
0
−0.5
−1
−1.5

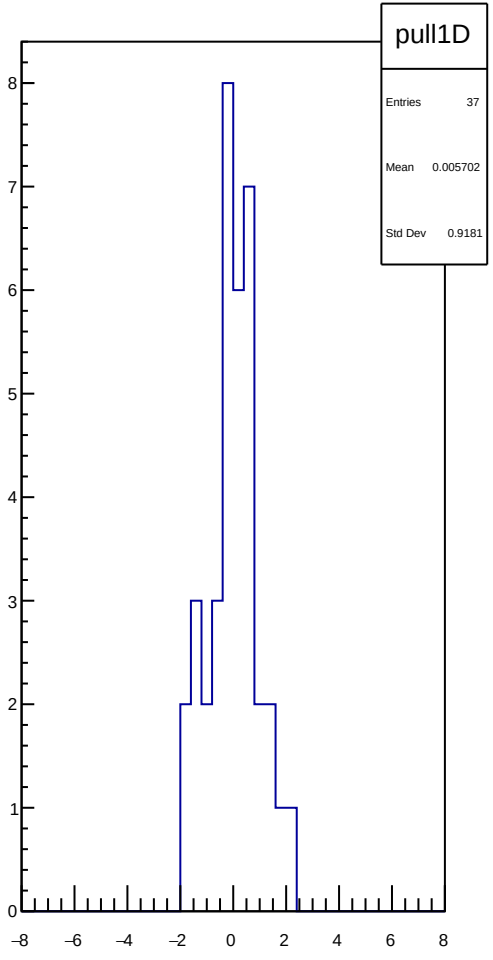
pull1D
Entries 37
Mean 0.005702
Std Dev 0.9181
8
7
6
5
4
3
2
1
0
−8
−6
−4
−2
0
2
4
6
8

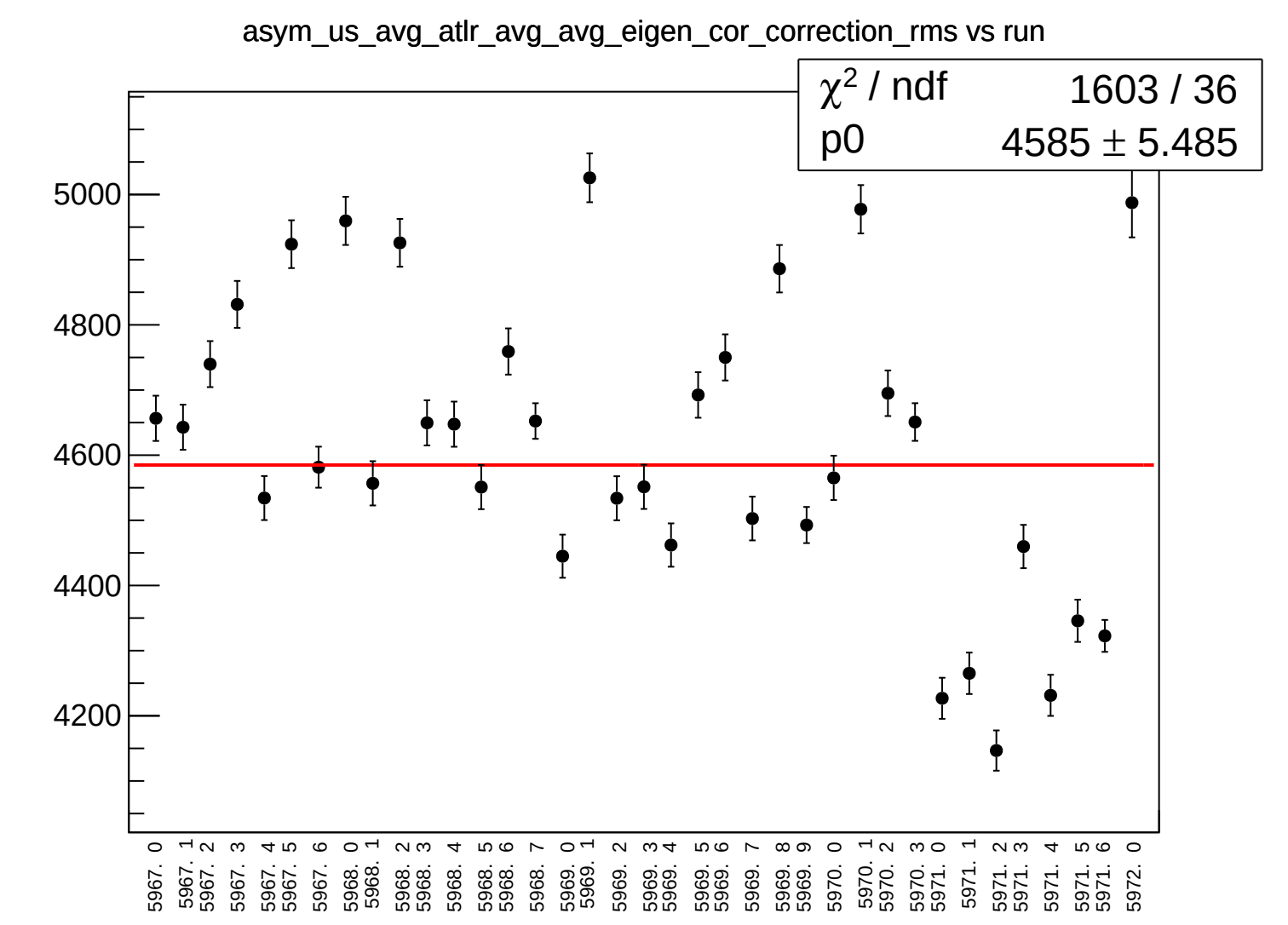
asym_us_avg_atlr_avg_avg_eigen_cor_correction_rms vs run
χ² / ndf 1603 / 36
p0 4585 ± 5.485
5000
4800
4600
4400
4200
5967. 0
5967. 1
5967. 2
5967. 3
5967. 4
5967. 5
5967. 6
5968. 0
5968. 1
5968. 2
5968. 3
5968. 4
5968. 5
5968. 6
5968. 7
5969. 0
5969. 1
5969. 2
5969. 3
5969. 4
5969. 5
5969. 6
5969. 7
5969. 8
5969. 9
5970. 0
5970. 1
5970. 2
5970. 3
5971. 0
5971. 1
5971. 2
5971. 3
5971. 4
5971. 5
5971. 6
5972. 0

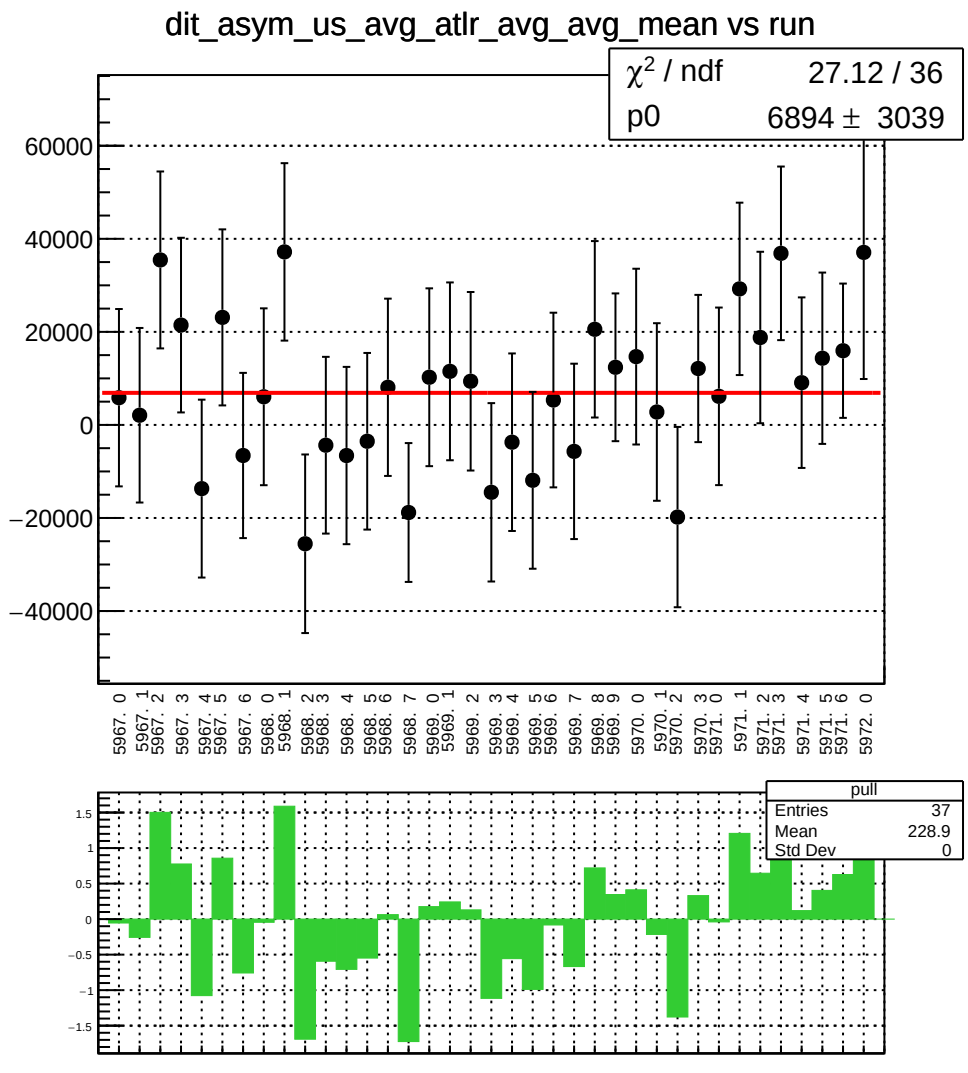
dit_asym_us_avg_atlr_avg_avg_mean vs run
χ² / ndf 27.12 / 36
p0 6894 ± 3039
60000
40000
20000
0
−20000
−40000
5967. 0
5967. 1
5967. 2
5967. 3
5967. 4
5967. 5
5967. 6
5968. 0
5968. 1
5968. 2
5968. 3
5968. 4
5968. 5
5968. 6
5968. 7
5969. 0
5969. 1
5969. 2
5969. 3
5969. 4
5969. 5
5969. 6
5969. 7
5969. 8
5969. 9
5970. 0
5970. 1
5970. 2
5970. 3
5971. 0
5971. 1
5971. 2
5971. 3
5971. 4
5971. 5
5971. 6
5972. 0
pull
Entries 37
Mean 228.9
Std Dev 0
1.5
1
0.5
0
−0.5
−1
−1.5
pull1D
Entries 37
Mean 0.009896
Std Dev 0.856
7
6
5
4
3
2
1
0
−8
−6
−4
−2
0
2
4
6
8

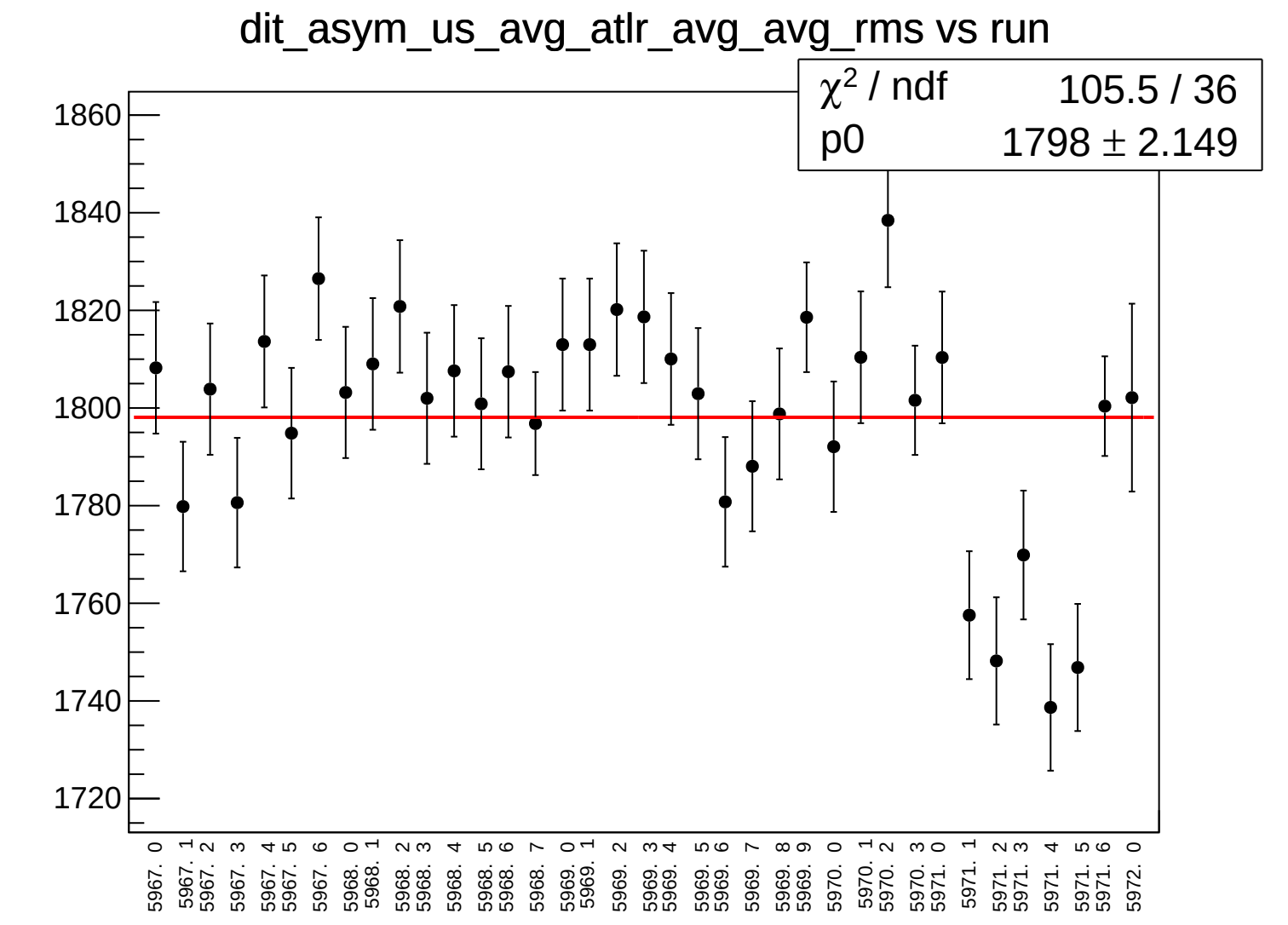
dit_asym_us_avg_atlr_avg_avg_rms vs run
χ² / ndf 105.5 / 36
p0 1798 ± 2.149
1860
1840
1820
1800
1780
1760
1740
1720
5967. 0
5967. 1
5967. 2
5967. 3
5967. 4
5967. 5
5967. 6
5968. 0
5968. 1
5968. 2
5968. 3
5968. 4
5968. 5
5968. 6
5968. 7
5969. 0
5969. 1
5969. 2
5969. 3
5969. 4
5969. 5
5969. 6
5969. 7
5969. 8
5969. 9
5970. 0
5970. 1
5970. 2
5970. 3
5971. 0
5971. 1
5971. 2
5971. 3
5971. 4
5971. 5
5971. 6
5972. 0

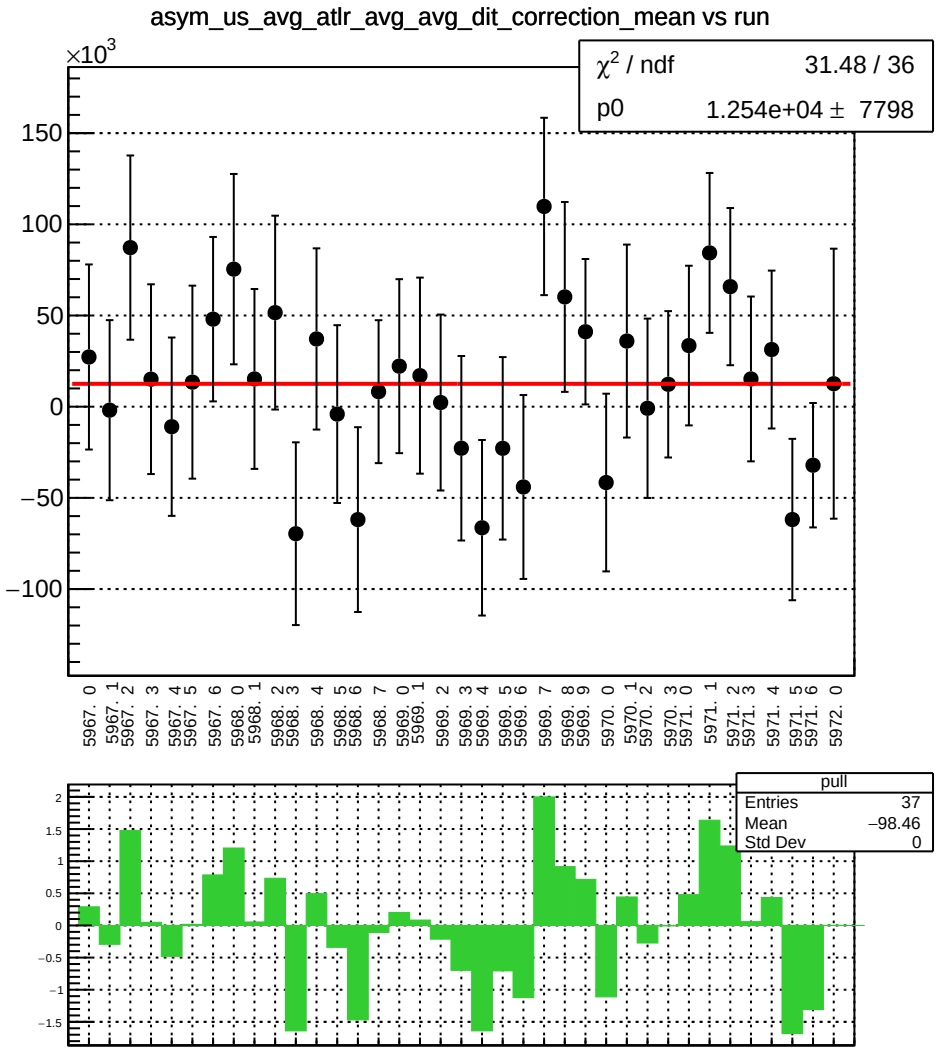
asym_us_avg_atlr_avg_avg_dit_correction_mean vs run
×10^3
χ² / ndf 31.48 / 36
p0 1.254e+04 ± 7798
150
100
50
0
−50
−100
5967. 0
5967. 1
5967. 2
5967. 3
5967. 4
5967. 5
5967. 6
5968. 0
5968. 1
5968. 2
5968. 3
5968. 4
5968. 5
5968. 6
5968. 7
5969. 0
5969. 1
5969. 2
5969. 3
5969. 4
5969. 5
5969. 6
5969. 7
5969. 8
5969. 9
5970. 0
5970. 1
5970. 2
5970. 3
5971. 0
5971. 1
5971. 2
5971. 3
5971. 4
5971. 5
5971. 6
5972. 0
pull
Entries 37
Mean −98.46
Std Dev 0
2
1.5
1
0.5
0
−0.5
−1
−1.5

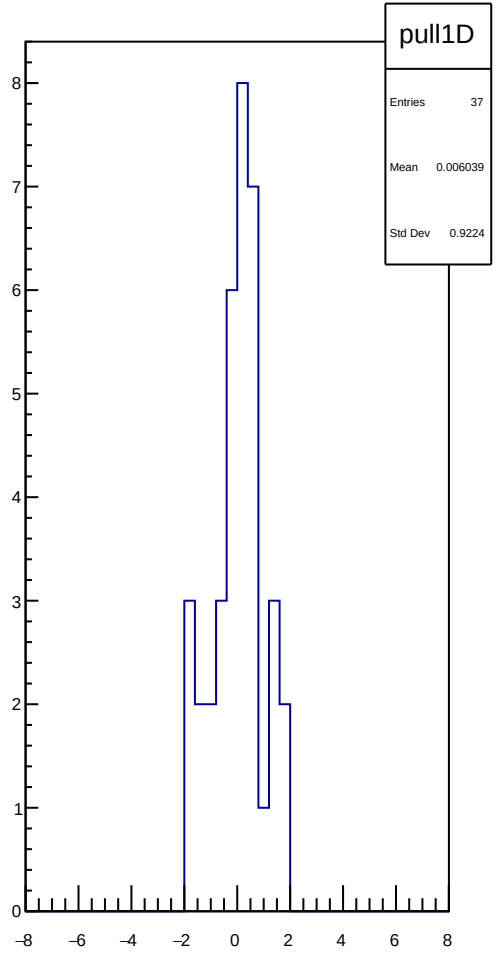
pull1D
Entries 37
Mean 0.006039
Std Dev 0.9224
8
7
6
5
4
3
2
1
0
−8
−6
−4
−2
0
2
4
6
8

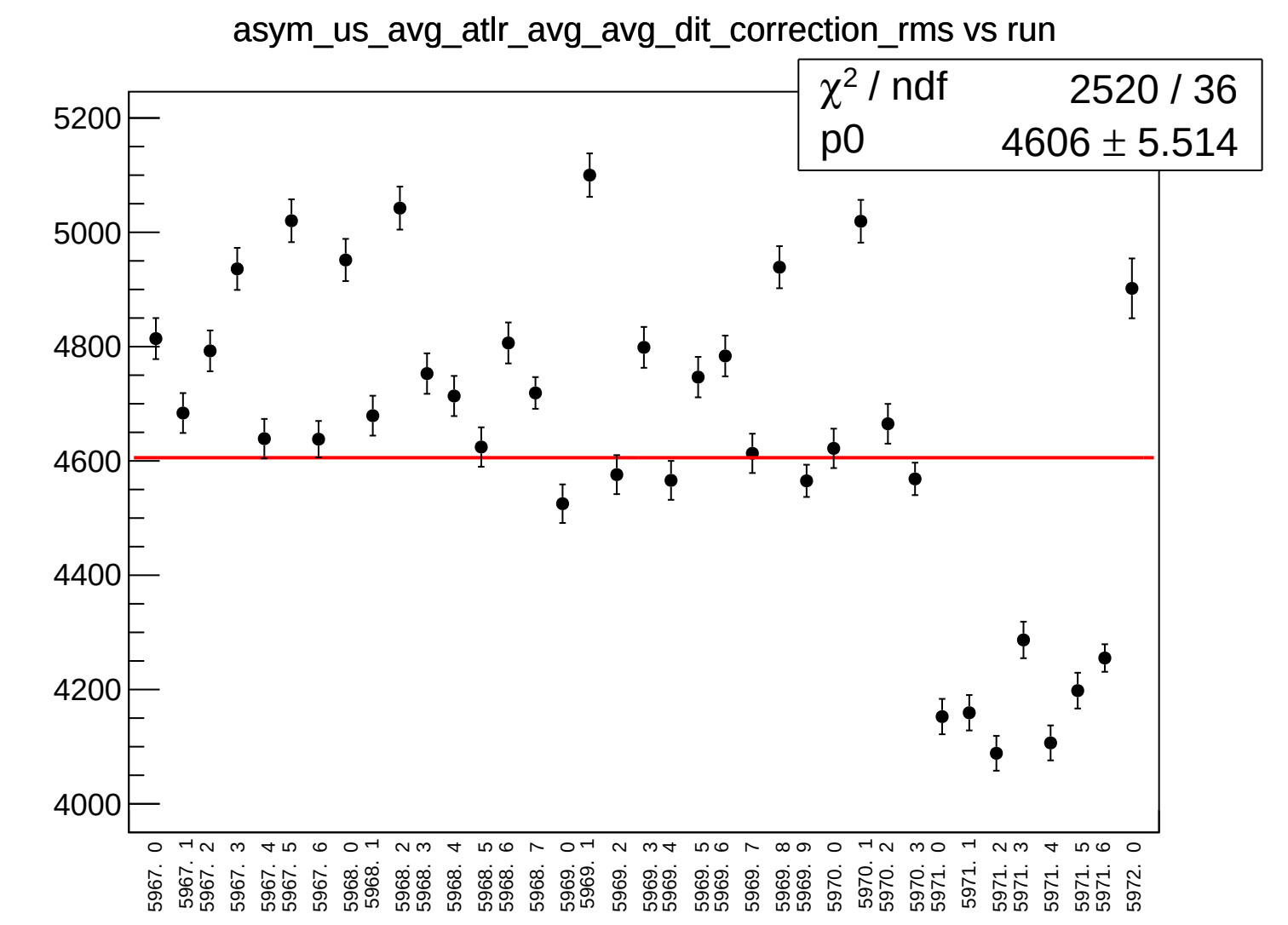
asym_us_avg_atlr_avg_avg_dit_correction_rms vs run
χ² / ndf 2520 / 36
p0 4606 ± 5.514
5200
5000
4800
4600
4400
4200
4000
5967. 0
5967. 1
5967. 2
5967. 3
5967. 4
5967. 5
5967. 6
5968. 0
5968. 1
5968. 2
5968. 3
5968. 4
5968. 5
5968. 6
5968. 7
5969. 0
5969. 1
5969. 2
5969. 3
5969. 4
5969. 5
5969. 6
5969. 7
5969. 8
5969. 9
5970. 0
5970. 1
5970. 2
5970. 3
5971. 0
5971. 1
5971. 2
5971. 3
5971. 4
5971. 5
5971. 6
5972. 0

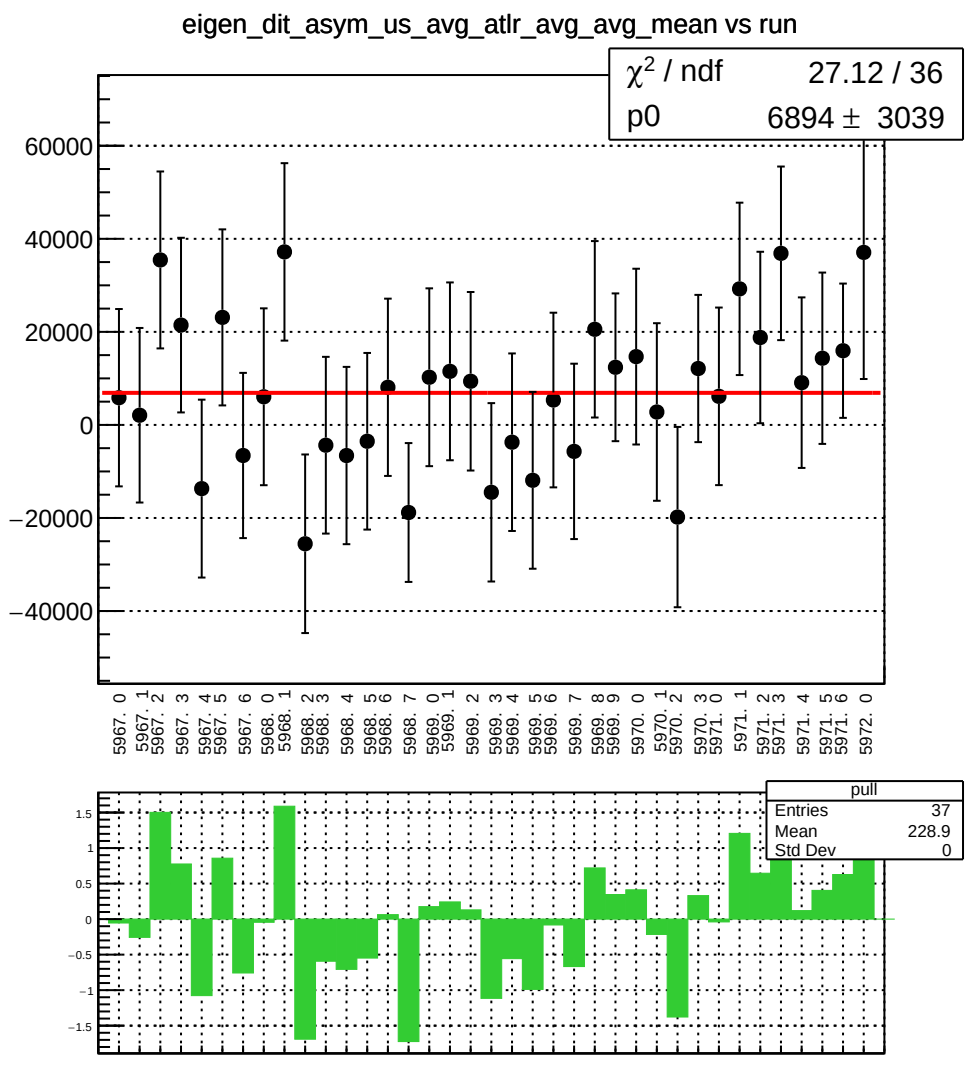
eigen_dit_asym_us_avg_atlr_avg_avg_mean vs run
χ² / ndf 27.12 / 36
p0 6894 ± 3039
60000
40000
20000
0
−20000
−40000
5967. 0
5967. 1
5967. 2
5967. 3
5967. 4
5967. 5
5967. 6
5968. 0
5968. 1
5968. 2
5968. 3
5968. 4
5968. 5
5968. 6
5968. 7
5969. 0
5969. 1
5969. 2
5969. 3
5969. 4
5969. 5
5969. 6
5969. 7
5969. 8
5969. 9
5970. 0
5970. 1
5970. 2
5970. 3
5971. 0
5971. 1
5971. 2
5971. 3
5971. 4
5971. 5
5971. 6
5972. 0
pull
Entries 37
Mean 228.9
Std Dev 0
1.5
1
0.5
0
−0.5
−1
−1.5
pull1D
Entries 37
Mean 0.009896
Std Dev 0.856
7
6
5
4
3
2
1
0
−8
−6
−4
−2
0
2
4
6
8

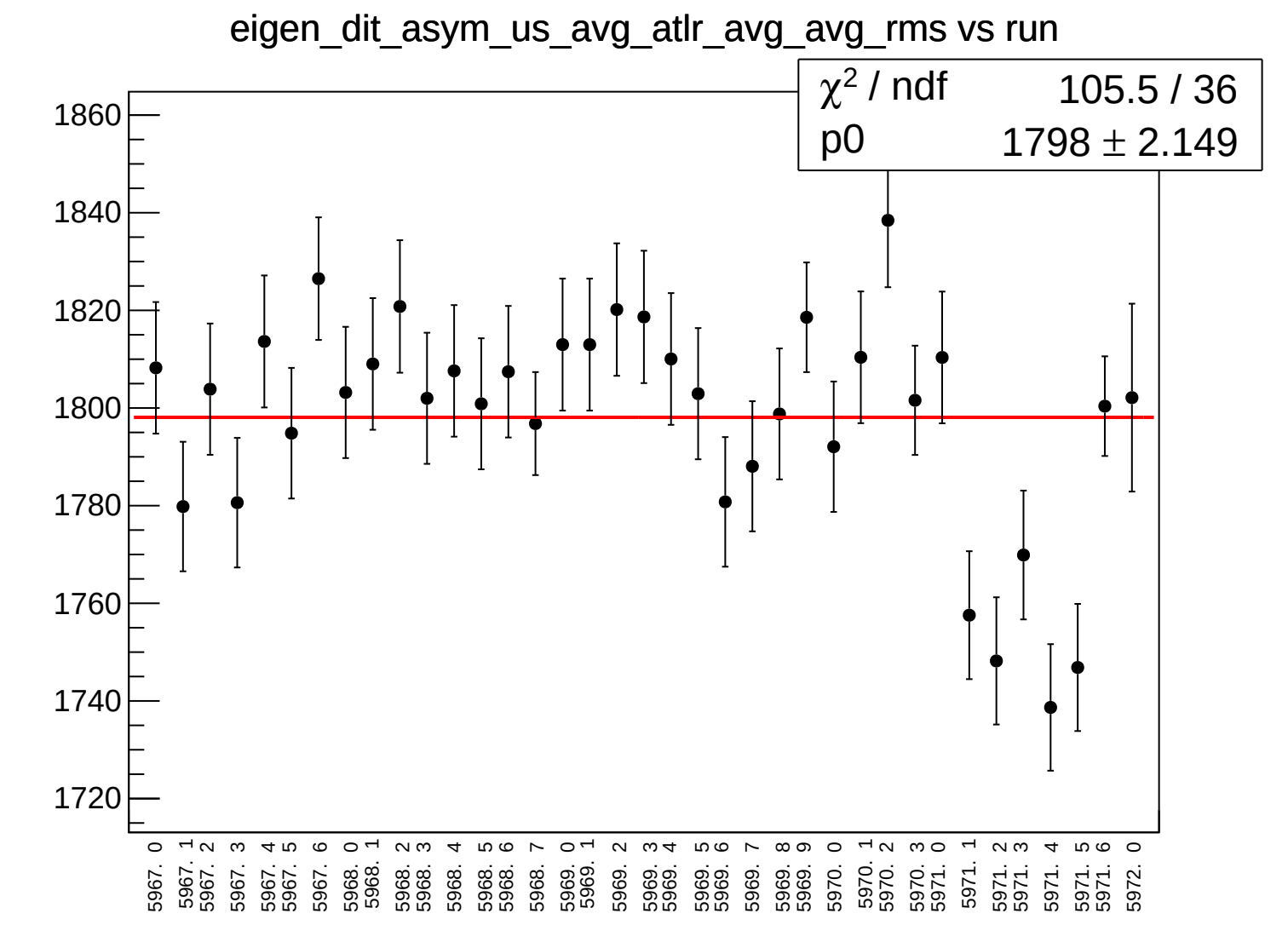
eigen_dit_asym_us_avg_atlr_avg_avg_rms vs run
χ² / ndf 105.5 / 36
p0 1798 ± 2.149
1860
1840
1820
1800
1780
1760
1740
1720
5967. 0
5967. 1
5967. 2
5967. 3
5967. 4
5967. 5
5967. 6
5968. 0
5968. 1
5968. 2
5968. 3
5968. 4
5968. 5
5968. 6
5968. 7
5969. 0
5969. 1
5969. 2
5969. 3
5969. 4
5969. 5
5969. 6
5969. 7
5969. 8
5969. 9
5970. 0
5970. 1
5970. 2
5970. 3
5971. 0
5971. 1
5971. 2
5971. 3
5971. 4
5971. 5
5971. 6
5972. 0

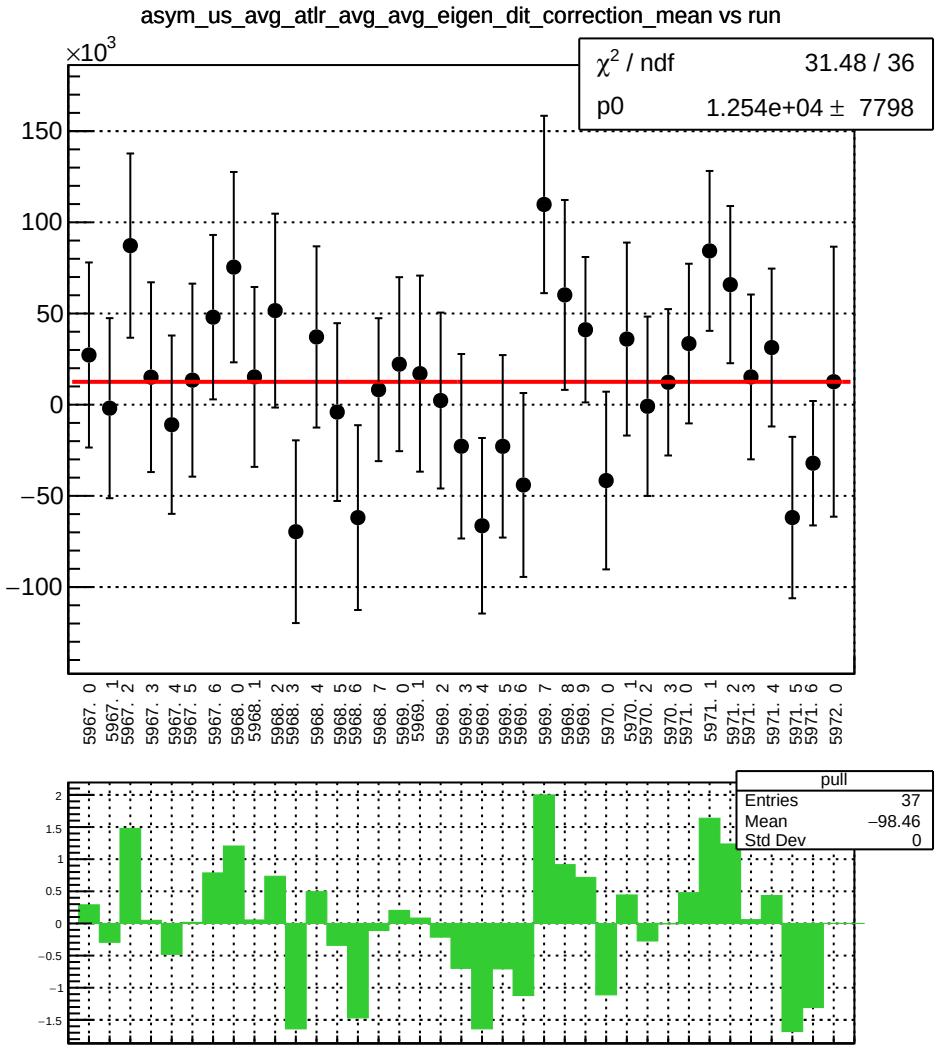
asym_us_avg_atlr_avg_avg_eigen_dit_correction_mean vs run
×10^3
χ² / ndf 31.48 / 36
p0 1.254e+04 ± 7798
150
100
50
0
−50
−100
5967. 0
5967. 1
5967. 2
5967. 3
5967. 4
5967. 5
5967. 6
5968. 0
5968. 1
5968. 2
5968. 3
5968. 4
5968. 5
5968. 6
5968. 7
5969. 0
5969. 1
5969. 2
5969. 3
5969. 4
5969. 5
5969. 6
5969. 7
5969. 8
5969. 9
5970. 0
5970. 1
5970. 2
5970. 3
5971. 0
5971. 1
5971. 2
5971. 3
5971. 4
5971. 5
5971. 6
5972. 0
pull
Entries 37
Mean −98.46
Std Dev 0
2
1.5
1
0.5
0
−0.5
−1
−1.5

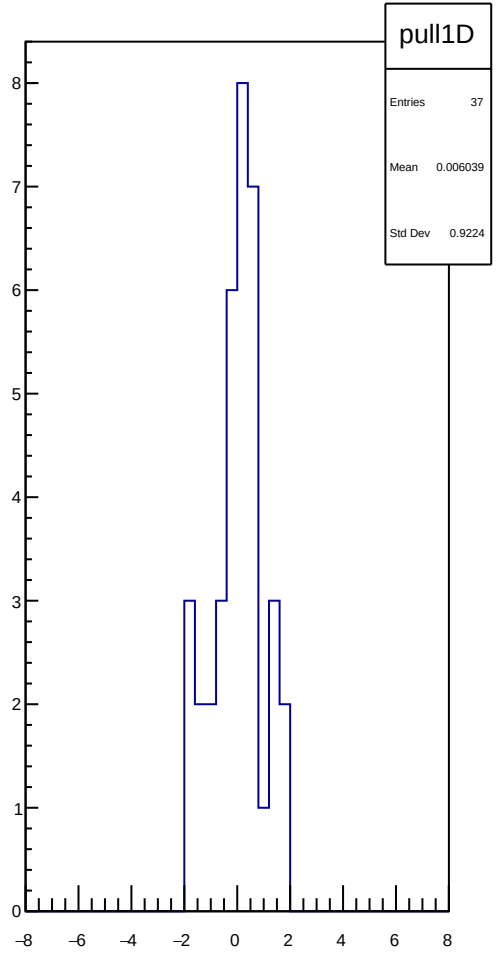
pull1D
Entries 37
Mean 0.006039
Std Dev 0.9224
8
7
6
5
4
3
2
1
0
−8
−6
−4
−2
0
2
4
6
8

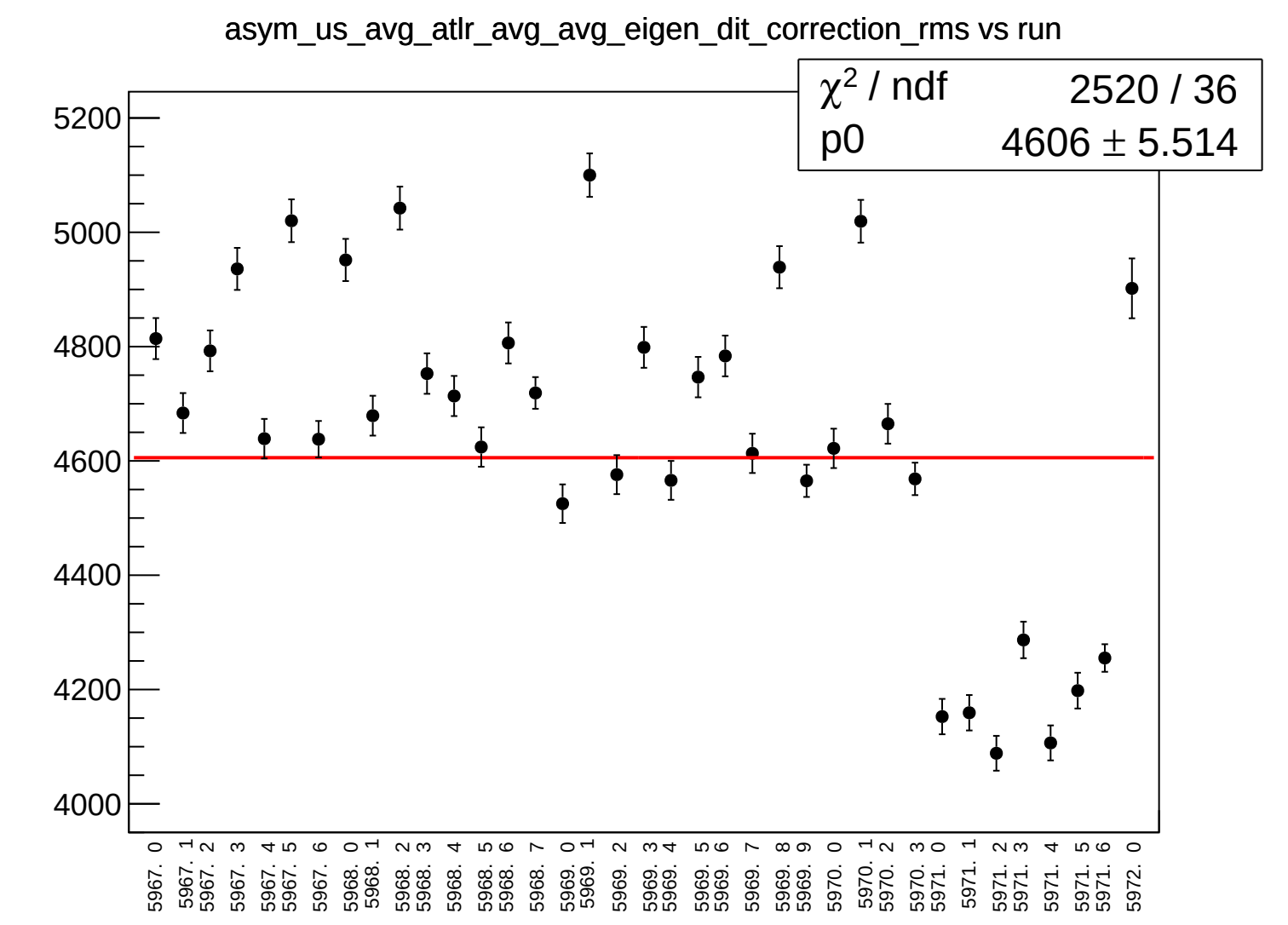
asym_us_avg_atlr_avg_avg_eigen_dit_correction_rms vs run
χ² / ndf 2520 / 36
p0 4606 ± 5.514
5200
5000
4800
4600
4400
4200
4000
5967. 0
5967. 1
5967. 2
5967. 3
5967. 4
5967. 5
5967. 6
5968. 0
5968. 1
5968. 2
5968. 3
5968. 4
5968. 5
5968. 6
5968. 7
5969. 0
5969. 1
5969. 2
5969. 3
5969. 4
5969. 5
5969. 6
5969. 7
5969. 8
5969. 9
5970. 0
5970. 1
5970. 2
5970. 3
5971. 0
5971. 1
5971. 2
5971. 3
5971. 4
5971. 5
5971. 6
5972. 0

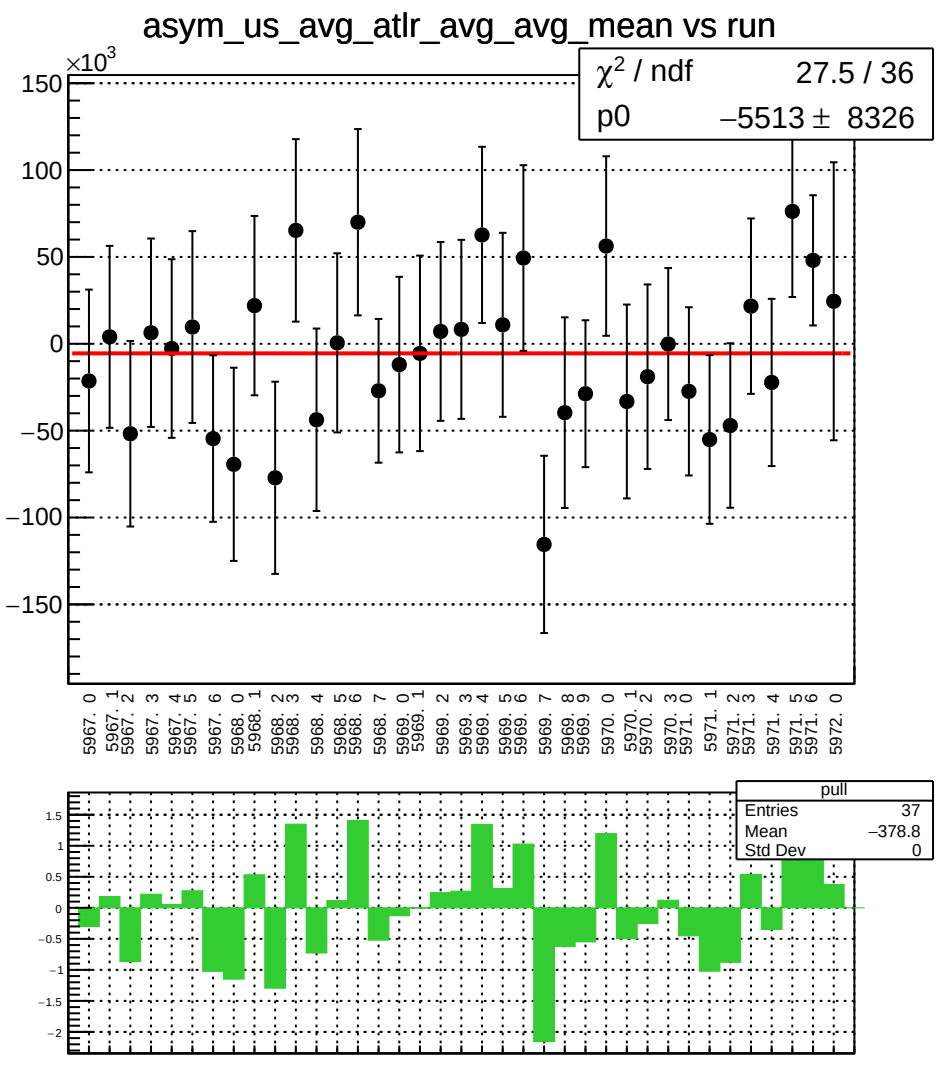
asym_us_avg_atlr_avg_avg_mean vs run
×10^3
χ² / ndf 27.5 / 36
p0 −5513 ± 8326
150
100
50
0
−50
−100
−150
5967. 0
5967. 1
5967. 2
5967. 3
5967. 4
5967. 5
5967. 6
5968. 0
5968. 1
5968. 2
5968. 3
5968. 4
5968. 5
5968. 6
5968. 7
5969. 0
5969. 1
5969. 2
5969. 3
5969. 4
5969. 5
5969. 6
5969. 7
5969. 8
5969. 9
5970. 0
5970. 1
5970. 2
5970. 3
5971. 0
5971. 1
5971. 2
5971. 3
5971. 4
5971. 5
5971. 6
5972. 0
pull
Entries 37
Mean −378.8
Std Dev 0
1.5
1
0.5
0
−0.5
−1
−1.5
−2

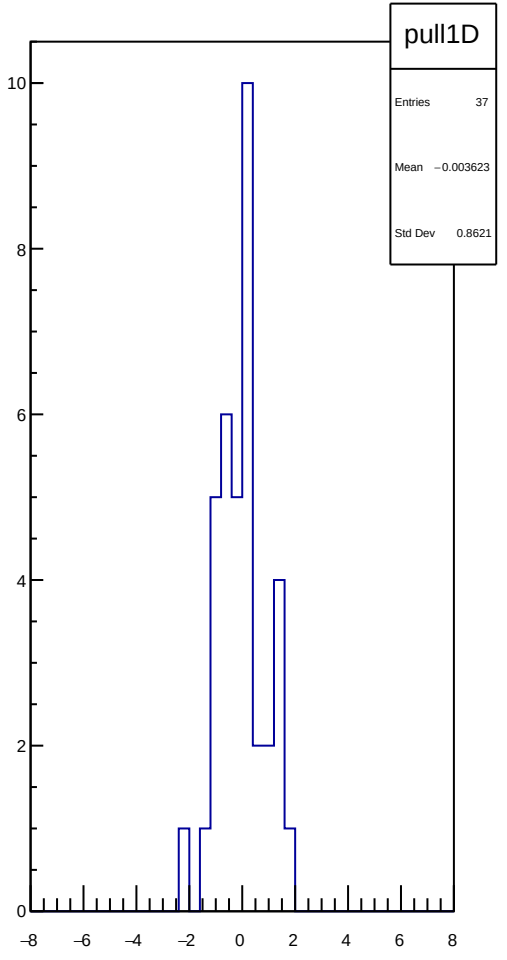
pull1D
Entries 37
Mean −0.003623
Std Dev 0.8621
10
8
6
4
2
0
−8
−6
−4
−2
0
2
4
6
8

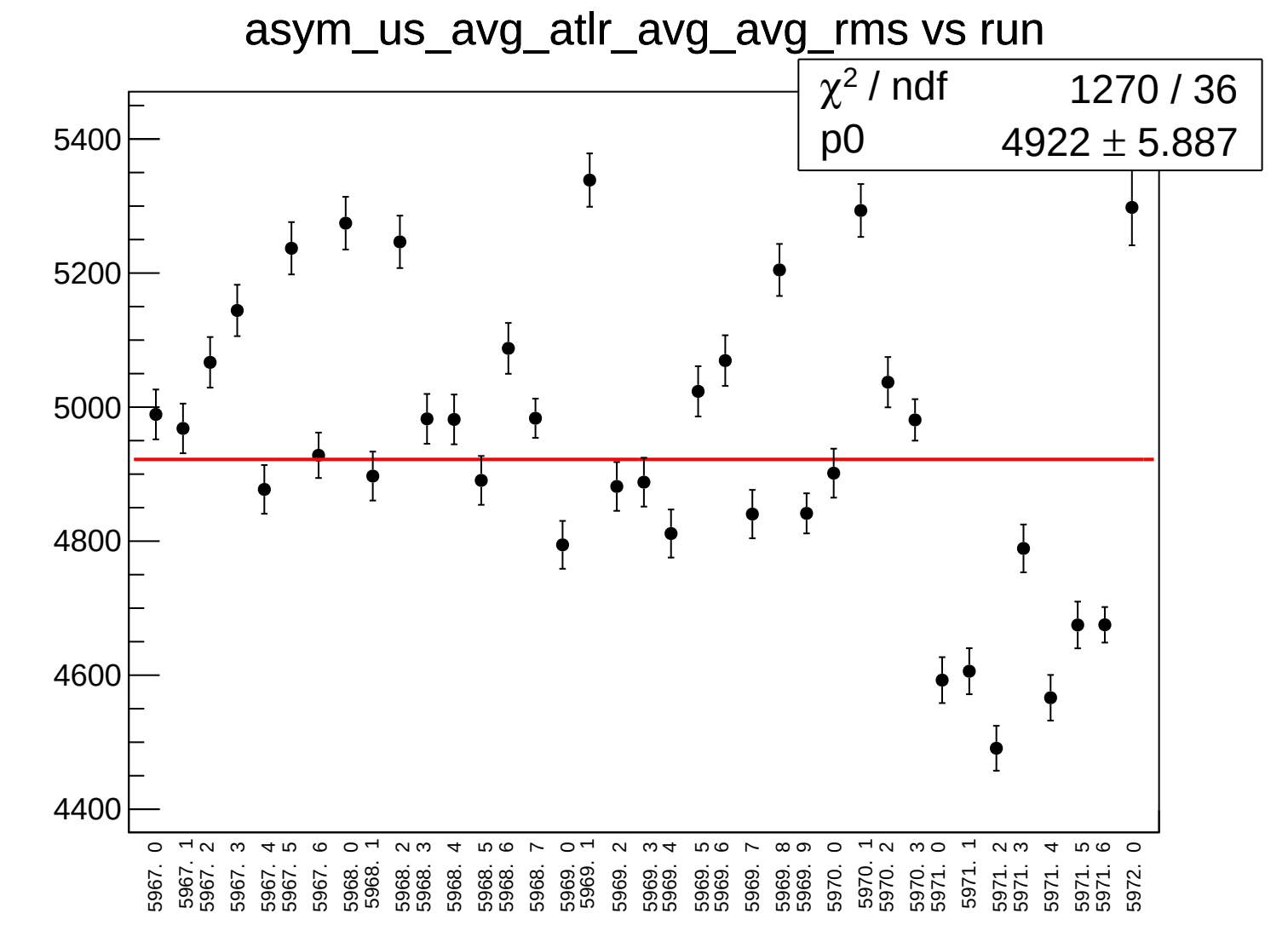
asym_us_avg_atlr_avg_avg_rms vs run
χ² / ndf 1270 / 36
p0 4922 ± 5.887
5400
5200
5000
4800
4600
4400
5967. 0
5967. 1
5967. 2
5967. 3
5967. 4
5967. 5
5967. 6
5968. 0
5968. 1
5968. 2
5968. 3
5968. 4
5968. 5
5968. 6
5968. 7
5969. 0
5969. 1
5969. 2
5969. 3
5969. 4
5969. 5
5969. 6
5969. 7
5969. 8
5969. 9
5970. 0
5970. 1
5970. 2
5970. 3
5971. 0
5971. 1
5971. 2
5971. 3
5971. 4
5971. 5
5971. 6
5972. 0

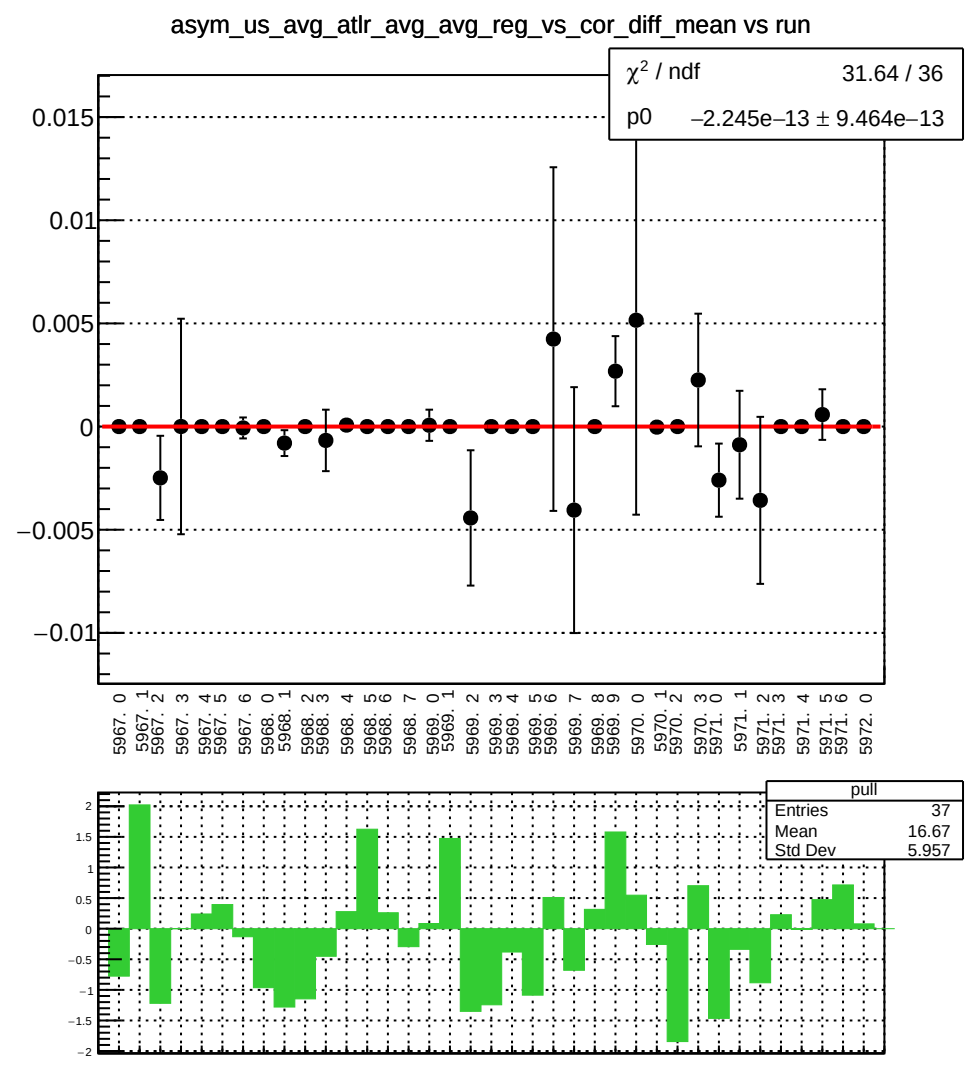
asym_us_avg_atlr_avg_avg_reg_vs_cor_diff_mean vs run
χ² / ndf 31.64 / 36
p0 −2.245e−13 ± 9.464e−13
0.015
0.01
0.005
0
−0.005
−0.01
5967. 0
5967. 1
5967. 2
5967. 3
5967. 4
5967. 5
5967. 6
5968. 0
5968. 1
5968. 2
5968. 3
5968. 4
5968. 5
5968. 6
5968. 7
5969. 0
5969. 1
5969. 2
5969. 3
5969. 4
5969. 5
5969. 6
5969. 7
5969. 8
5969. 9
5970. 0
5970. 1
5970. 2
5970. 3
5971. 0
5971. 1
5971. 2
5971. 3
5971. 4
5971. 5
5971. 6
5972. 0
pull
Entries 37
Mean 16.67
Std Dev 5.957
2
1.5
1
0.5
0
−0.5
−1
−1.5
−2
pull1D
Entries 37
Mean −0.1155
Std Dev 0.9175
9
8
7
6
5
4
3
2
1
0
−8
−6
−4
−2
0
2
4
6
8

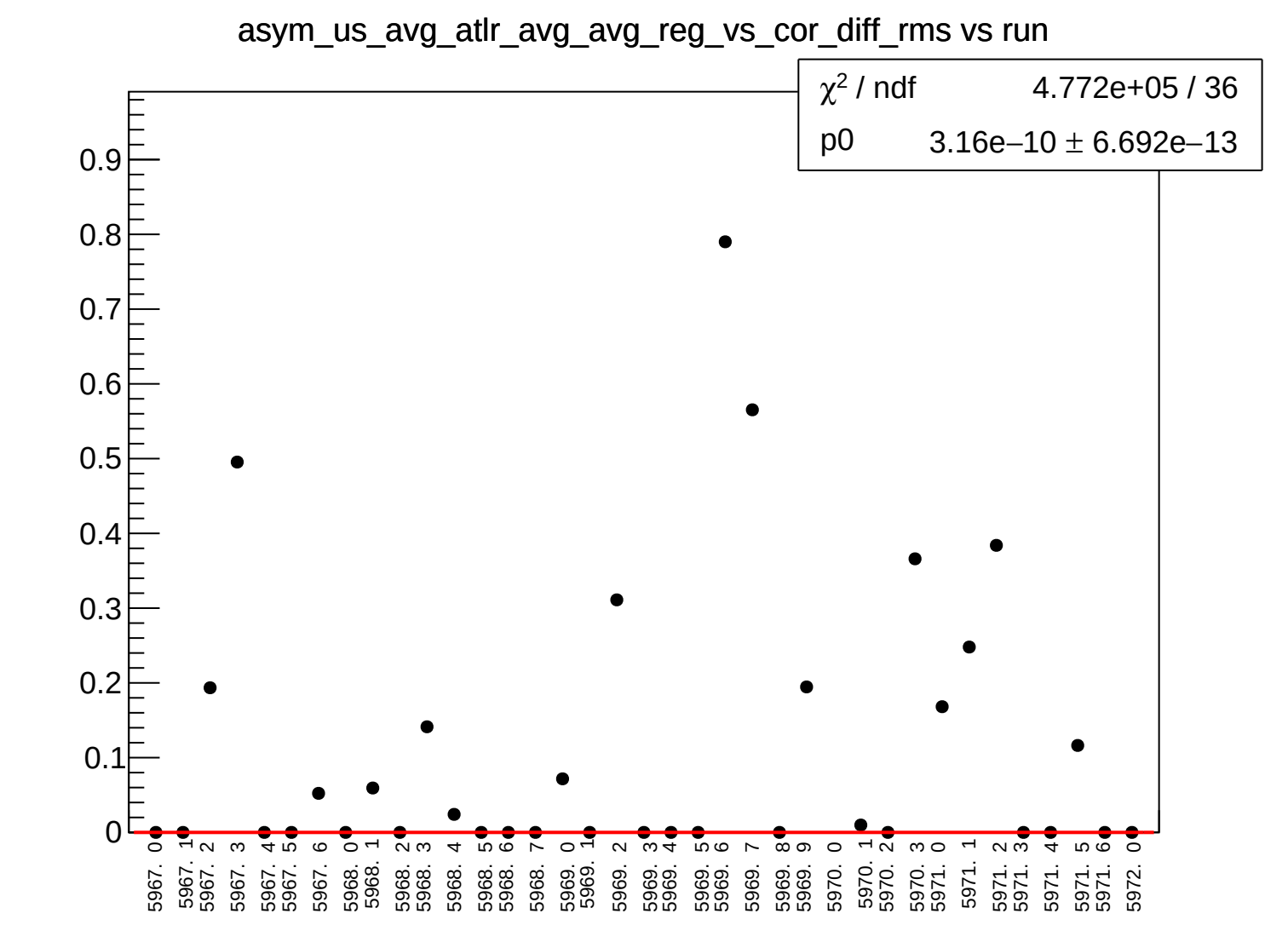
asym_us_avg_atlr_avg_avg_reg_vs_cor_diff_rms vs run
χ² / ndf 4.772e+05 / 36
p0 3.16e−10 ± 6.692e−13
0.9
0.8
0.7
0.6
0.5
0.4
0.3
0.2
0.1
0
5967. 0
5967. 1
5967. 2
5967. 3
5967. 4
5967. 5
5967. 6
5968. 0
5968. 1
5968. 2
5968. 3
5968. 4
5968. 5
5968. 6
5968. 7
5969. 0
5969. 1
5969. 2
5969. 3
5969. 4
5969. 5
5969. 6
5969. 7
5969. 8
5969. 9
5970. 0
5970. 1
5970. 2
5970. 3
5971. 0
5971. 1
5971. 2
5971. 3
5971. 4
5971. 5
5971. 6
5972. 0

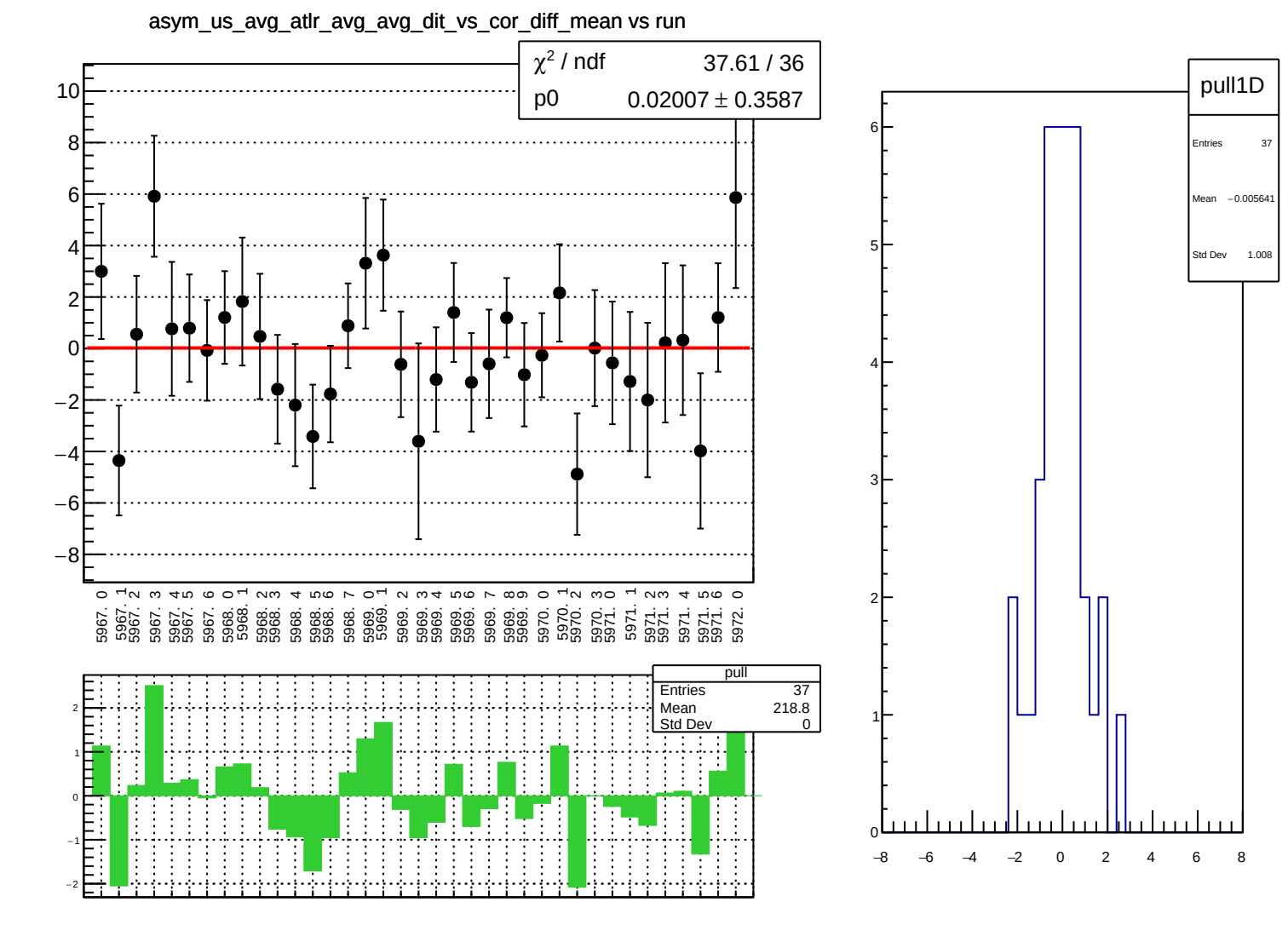
asym_us_avg_atlr_avg_avg_dit_vs_cor_diff_mean vs run
χ² / ndf 37.61 / 36
p0 0.02007 ± 0.3587
pull
Entries 37
Mean 218.8
Std Dev 0
pull1D
Entries 37
Mean −0.005641
Std Dev 1.008

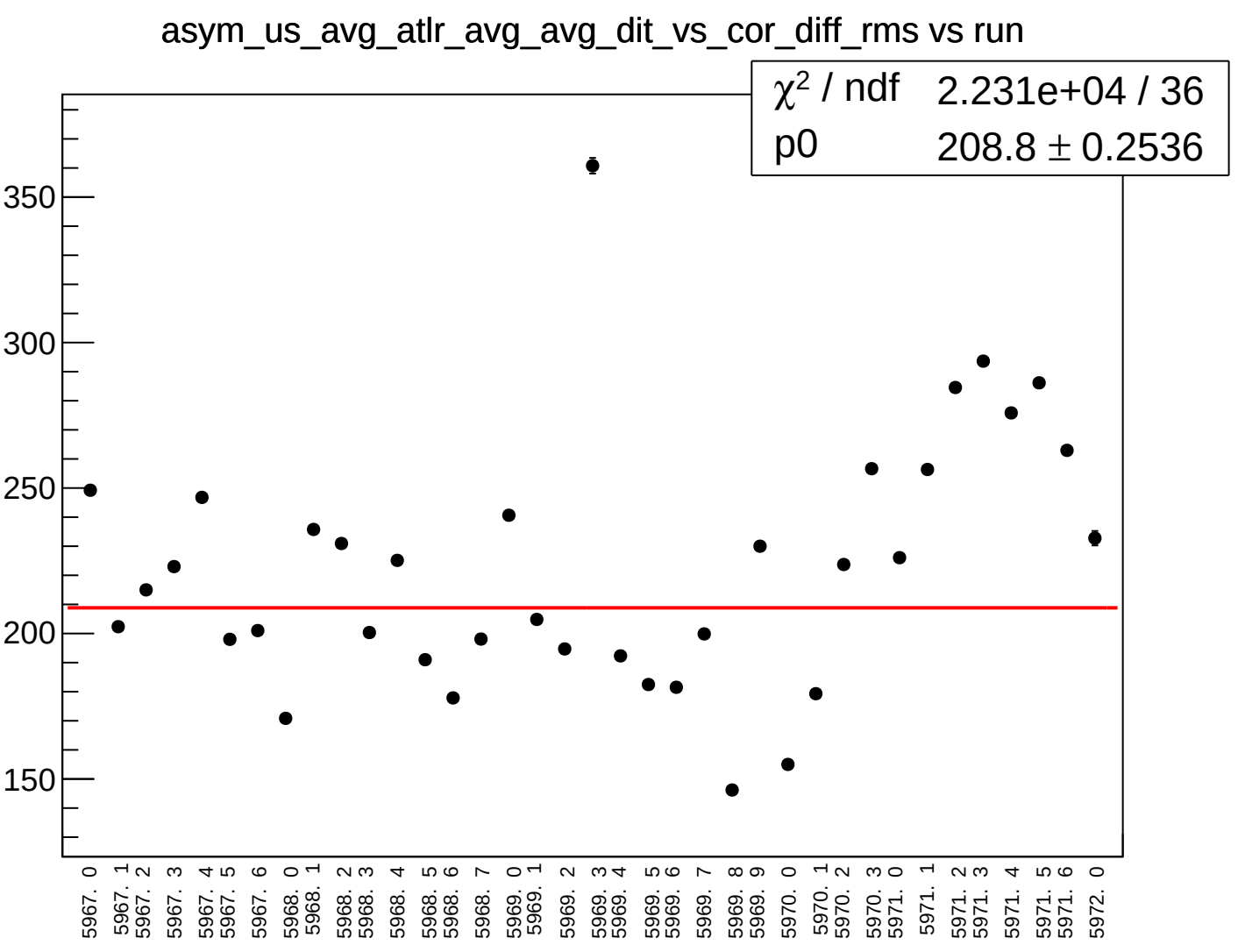
asym_us_avg_atlr_avg_avg_dit_vs_cor_diff_rms vs run
χ² / ndf 2.231e+04 / 36
p0 208.8 ± 0.2536
350
300
250
200
150
5967. 0
5967. 1
5967. 2
5967. 3
5967. 4
5967. 5
5967. 6
5968. 0
5968. 1
5968. 2
5968. 3
5968. 4
5968. 5
5968. 6
5968. 7
5969. 0
5969. 1
5969. 2
5969. 3
5969. 4
5969. 5
5969. 6
5969. 7
5969. 8
5969. 9
5970. 0
5970. 1
5970. 2
5970. 3
5971. 0
5971. 1
5971. 2
5971. 3
5971. 4
5971. 5
5971. 6
5972. 0

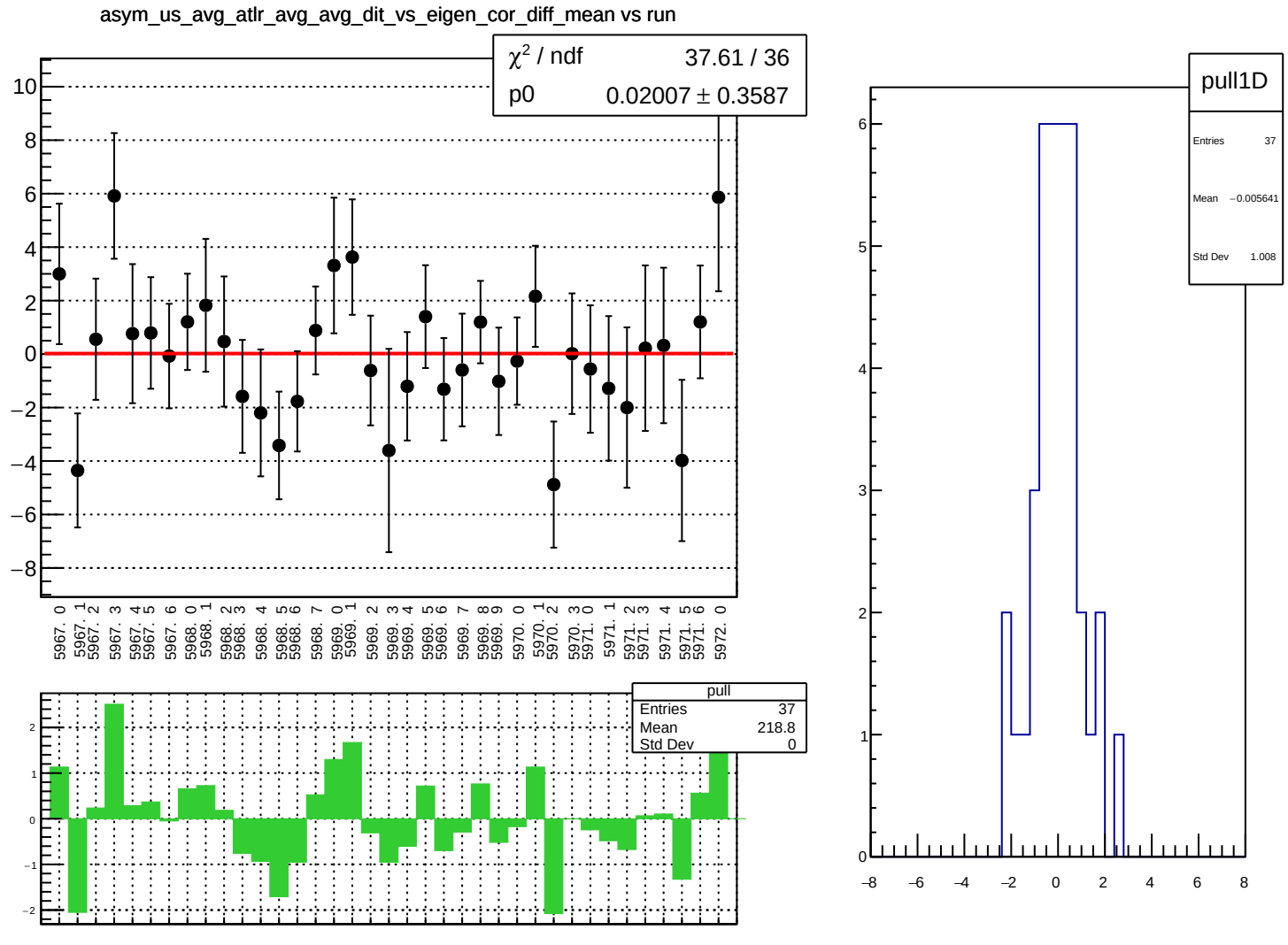
asym_us_avg_atlr_avg_avg_dit_vs_eigen_cor_diff_mean vs run
χ² / ndf 37.61 / 36
p0 0.02007 ± 0.3587
pull
Entries 37
Mean 218.8
Std Dev 0
pull1D
Entries 37
Mean −0.005641
Std Dev 1.008

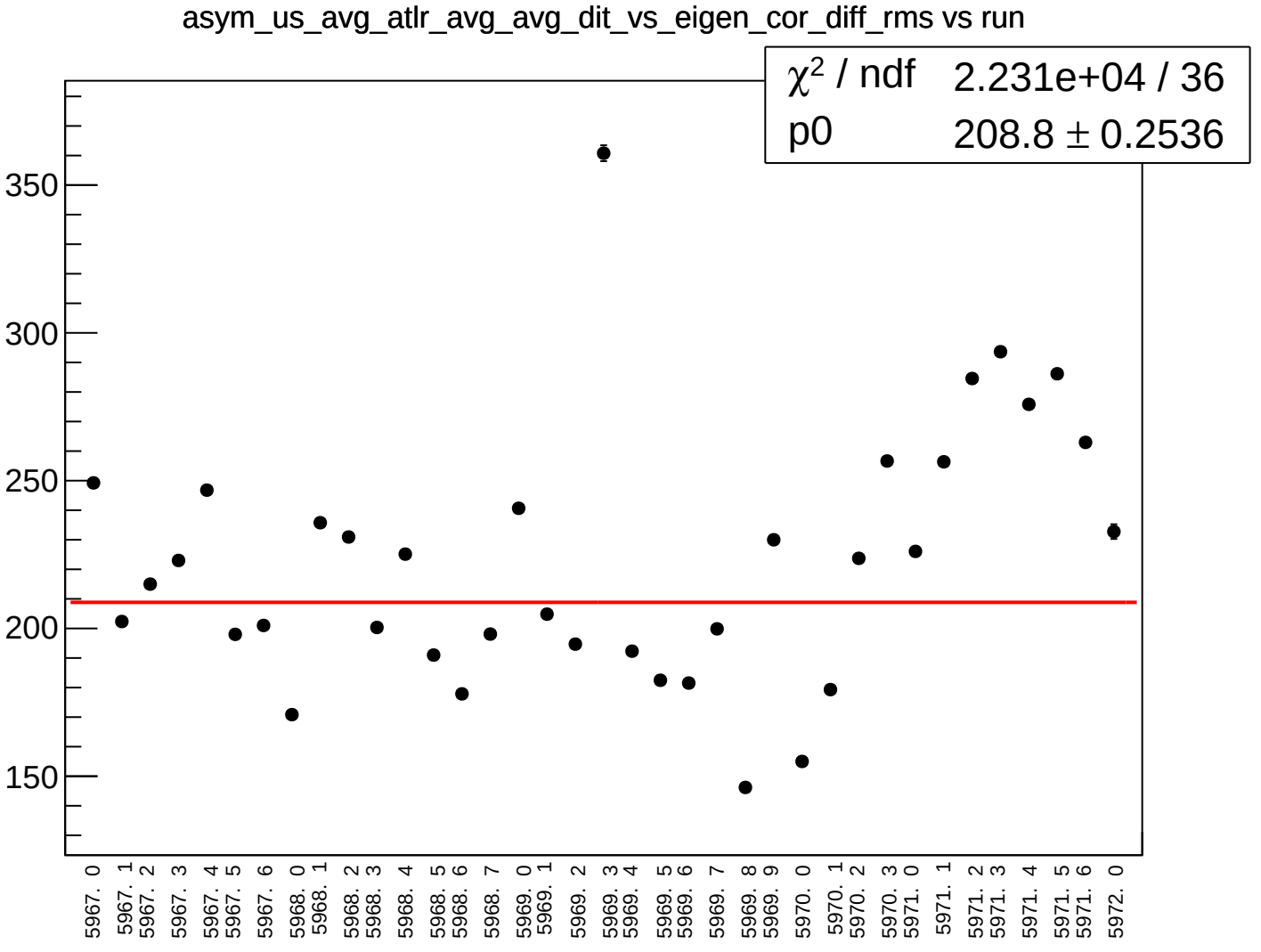
asym_us_avg_atlr_avg_avg_dit_vs_eigen_cor_diff_rms vs run
χ² / ndf 2.231e+04 / 36
p0 208.8 ± 0.2536
350
300
250
200
150
5967. 0
5967. 1
5967. 2
5967. 3
5967. 4
5967. 5
5967. 6
5968. 0
5968. 1
5968. 2
5968. 3
5968. 4
5968. 5
5968. 6
5968. 7
5969. 0
5969. 1
5969. 2
5969. 3
5969. 4
5969. 5
5969. 6
5969. 7
5969. 8
5969. 9
5970. 0
5970. 1
5970. 2
5970. 3
5971. 0
5971. 1
5971. 2
5971. 3
5971. 4
5971. 5
5971. 6
5972. 0

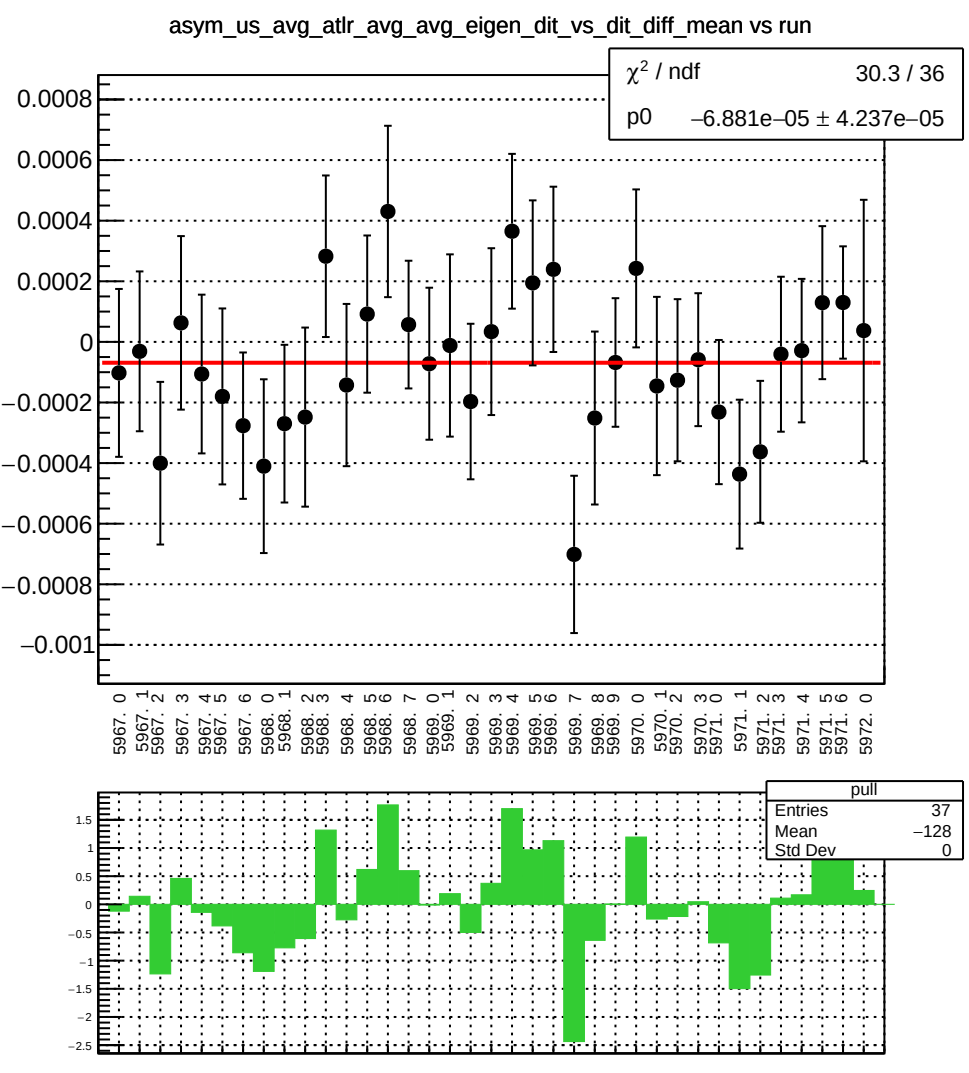
asym_us_avg_atlr_avg_avg_eigen_dit_vs_dit_diff_mean vs run
χ² / ndf 30.3 / 36
p0 −6.881e−05 ± 4.237e−05
0.0008
0.0006
0.0004
0.0002
0
−0.0002
−0.0004
−0.0006
−0.0008
−0.001
5967. 0
5967. 1
5967. 2
5967. 3
5967. 4
5967. 5
5967. 6
5968. 0
5968. 1
5968. 2
5968. 3
5968. 4
5968. 5
5968. 6
5968. 7
5969. 0
5969. 1
5969. 2
5969. 3
5969. 4
5969. 5
5969. 6
5969. 7
5969. 8
5969. 9
5970. 0
5970. 1
5970. 2
5970. 3
5971. 0
5971. 1
5971. 2
5971. 3
5971. 4
5971. 5
5971. 6
5972. 0
pull
Entries 37
Mean −128
Std Dev 0
1.5
1
0.5
0
−0.5
−1
−1.5
−2
−2.5

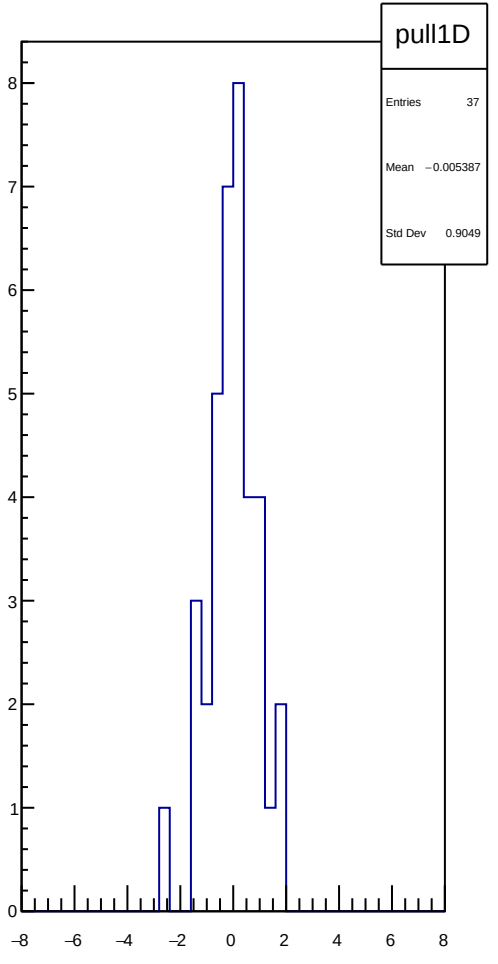
pull1D
Entries 37
Mean −0.005387
Std Dev 0.9049
8
7
6
5
4
3
2
1
0
−8
−6
−4
−2
0
2
4
6
8

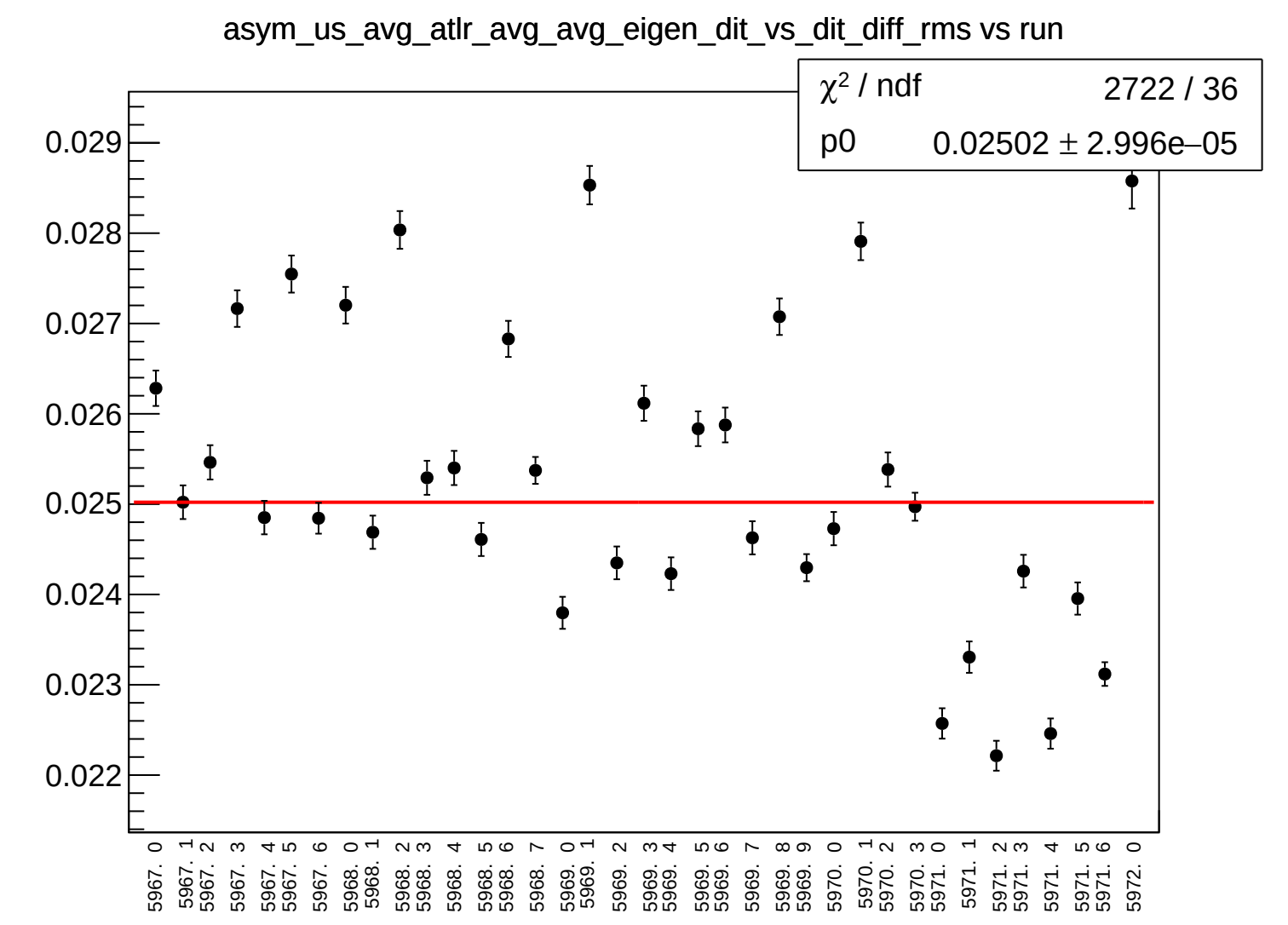
asym_us_avg_atlr_avg_avg_eigen_dit_vs_dit_diff_rms vs run
χ² / ndf 2722 / 36
p0 0.02502 ± 2.996e−05
0.029
0.028
0.027
0.026
0.025
0.024
0.023
0.022
5967. 0
5967. 1
5967. 2
5967. 3
5967. 4
5967. 5
5967. 6
5968. 0
5968. 1
5968. 2
5968. 3
5968. 4
5968. 5
5968. 6
5968. 7
5969. 0
5969. 1
5969. 2
5969. 3
5969. 4
5969. 5
5969. 6
5969. 7
5969. 8
5969. 9
5970. 0
5970. 1
5970. 2
5970. 3
5971. 0
5971. 1
5971. 2
5971. 3
5971. 4
5971. 5
5971. 6
5972. 0

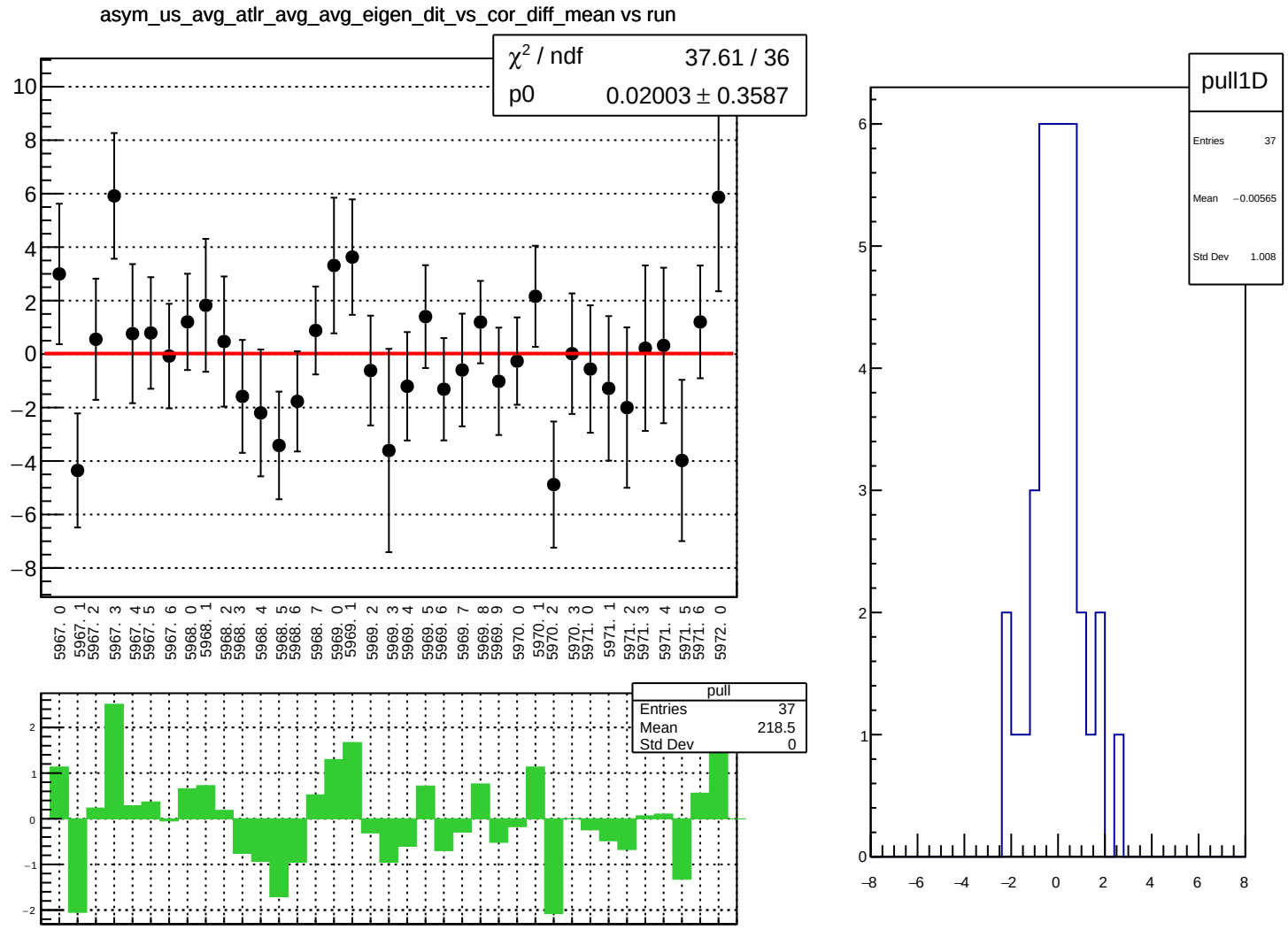
asym_us_avg_atlr_avg_avg_eigen_dit_vs_cor_diff_mean vs run
χ² / ndf 37.61 / 36
p0 0.02003 ± 0.3587
pull
Entries 37
Mean 218.5
Std Dev 0
pull1D
Entries 37
Mean −0.00565
Std Dev 1.008

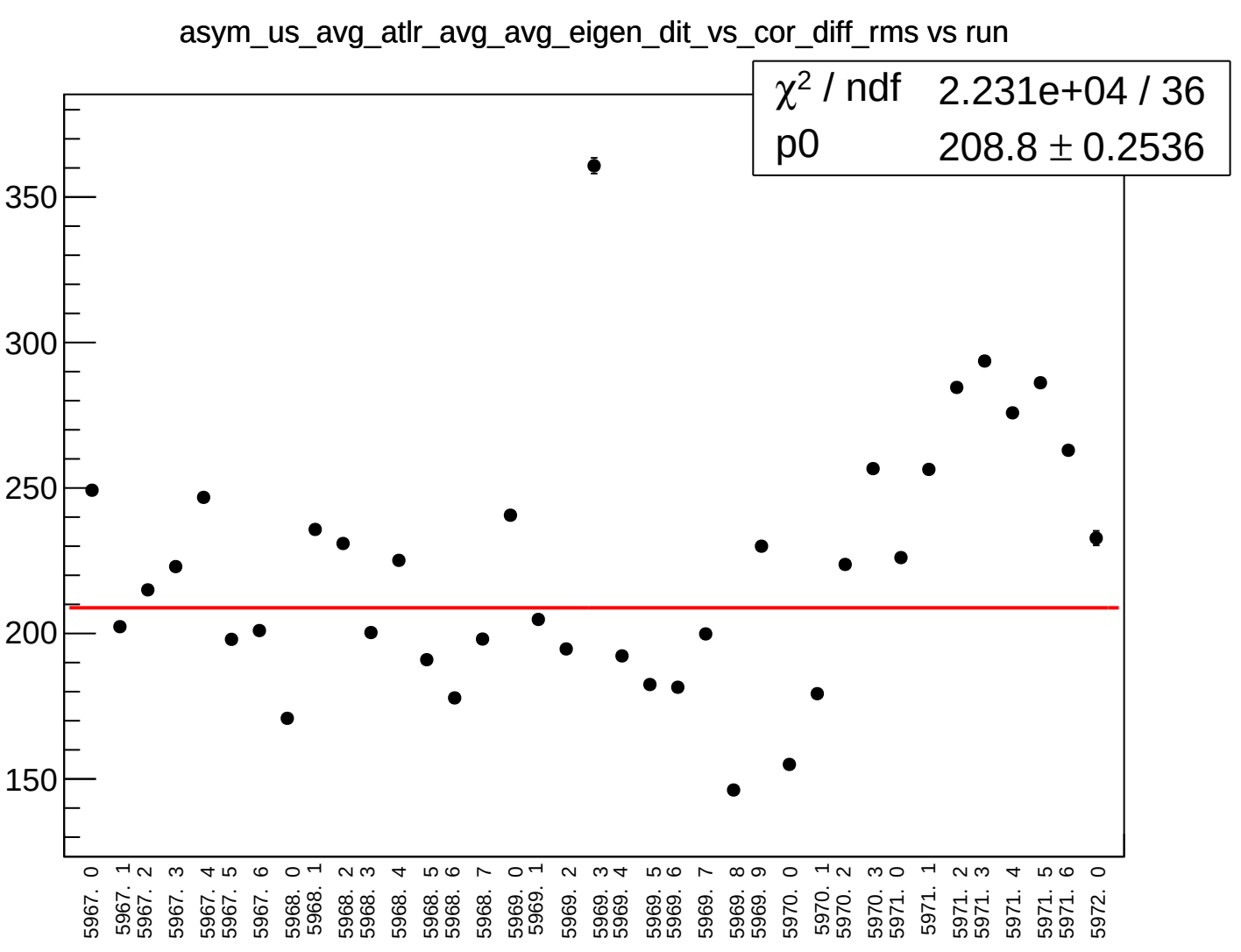
asym_us_avg_atlr_avg_avg_eigen_dit_vs_cor_diff_rms vs run
χ² / ndf 2.231e+04 / 36
p0 208.8 ± 0.2536
350
300
250
200
150
5967. 0
5967. 1
5967. 2
5967. 3
5967. 4
5967. 5
5967. 6
5968. 0
5968. 1
5968. 2
5968. 3
5968. 4
5968. 5
5968. 6
5968. 7
5969. 0
5969. 1
5969. 2
5969. 3
5969. 4
5969. 5
5969. 6
5969. 7
5969. 8
5969. 9
5970. 0
5970. 1
5970. 2
5970. 3
5971. 0
5971. 1
5971. 2
5971. 3
5971. 4
5971. 5
5971. 6
5972. 0

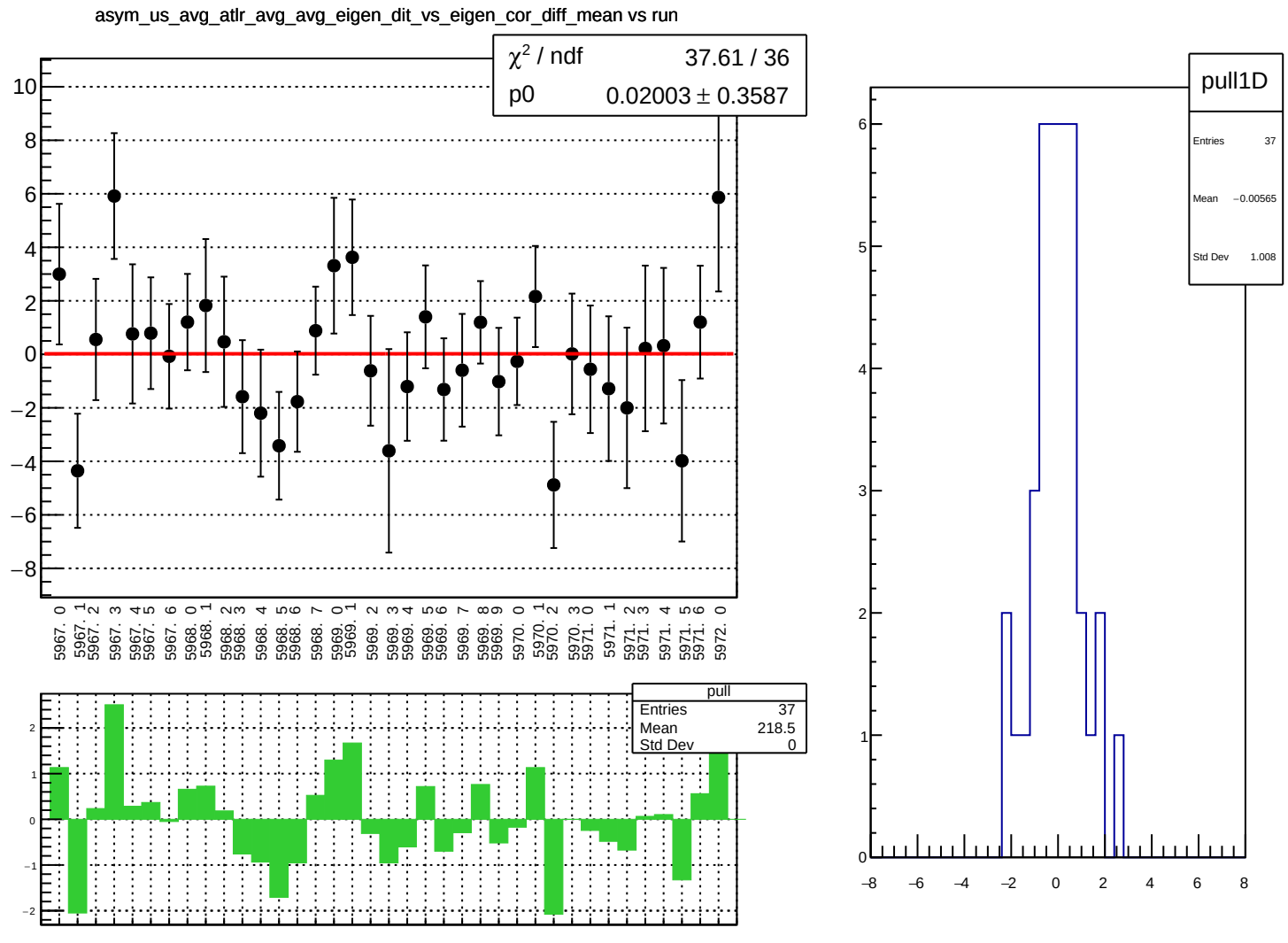
asym_us_avg_atlr_avg_avg_eigen_dit_vs_eigen_cor_diff_mean vs run
χ² / ndf 37.61 / 36
p0 0.02003 ± 0.3587
pull
Entries 37
Mean 218.5
Std Dev 0
pull1D
Entries 37
Mean −0.00565
Std Dev 1.008

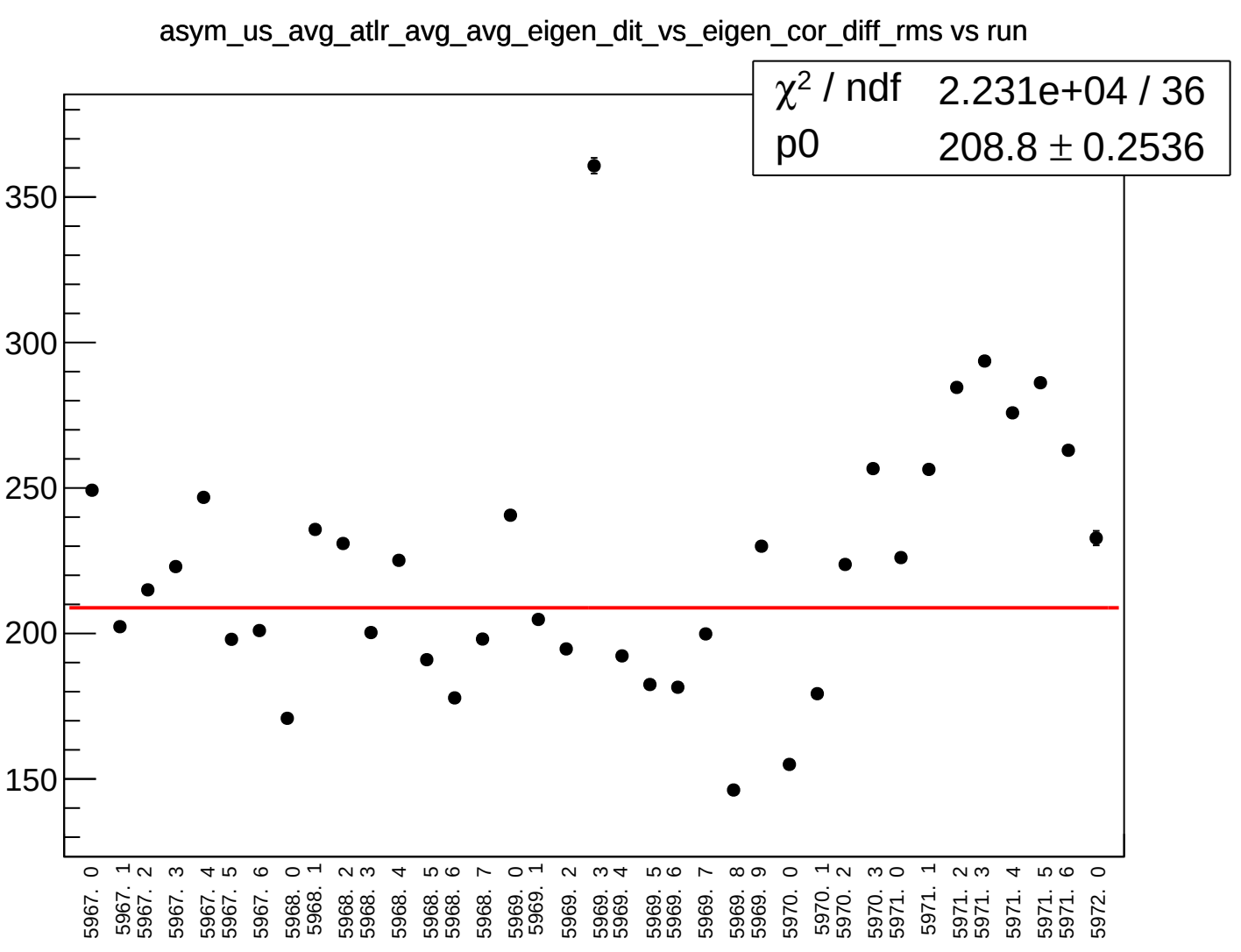
asym_us_avg_atlr_avg_avg_eigen_dit_vs_eigen_cor_diff_rms vs run
χ² / ndf 2.231e+04 / 36
p0 208.8 ± 0.2536
350
300
250
200
150
5967. 0
5967. 1
5967. 2
5967. 3
5967. 4
5967. 5
5967. 6
5968. 0
5968. 1
5968. 2
5968. 3
5968. 4
5968. 5
5968. 6
5968. 7
5969. 0
5969. 1
5969. 2
5969. 3
5969. 4
5969. 5
5969. 6
5969. 7
5969. 8
5969. 9
5970. 0
5970. 1
5970. 2
5970. 3
5971. 0
5971. 1
5971. 2
5971. 3
5971. 4
5971. 5
5971. 6
5972. 0

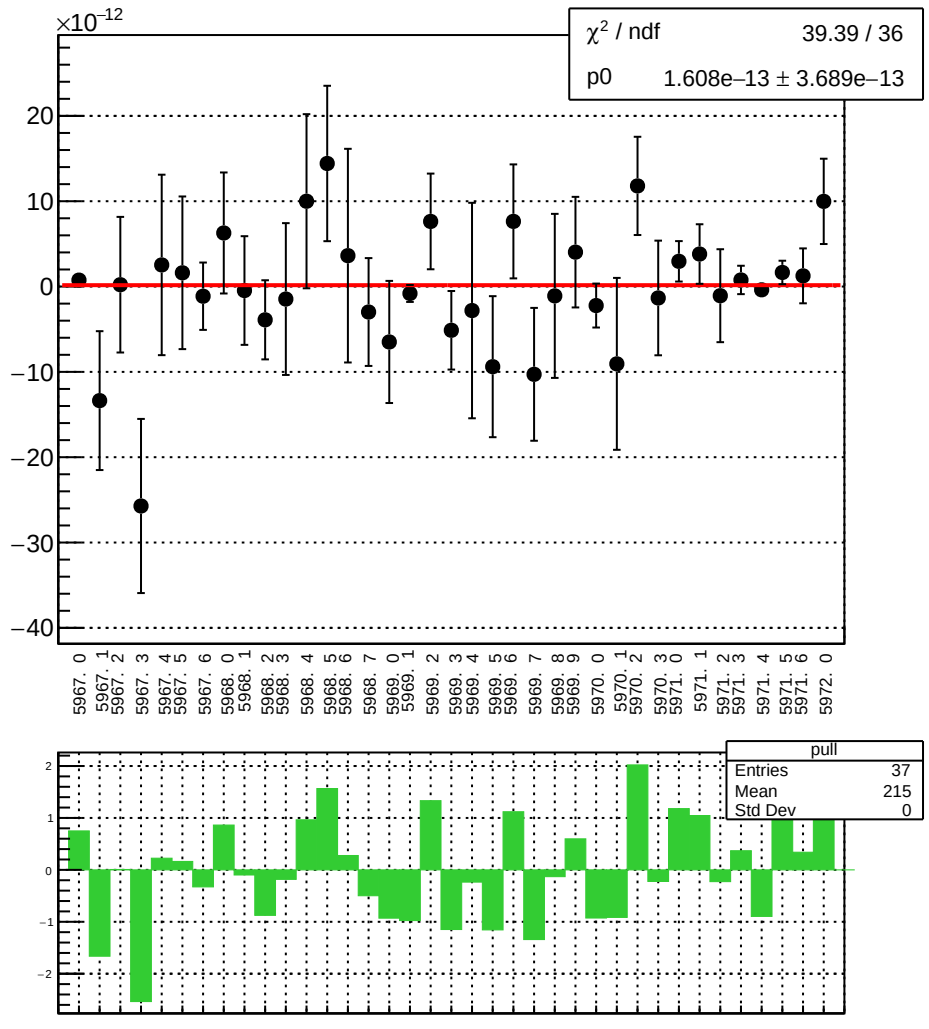
asym_us_avg_atlr_avg_avg_eigen_cor_vs_cor_diff_mean vs run
×10⁻¹²
χ² / ndf 39.39 / 36
p0 1.608e−13 ± 3.689e−13
pull
Entries 37
Mean 215
Std Dev 0

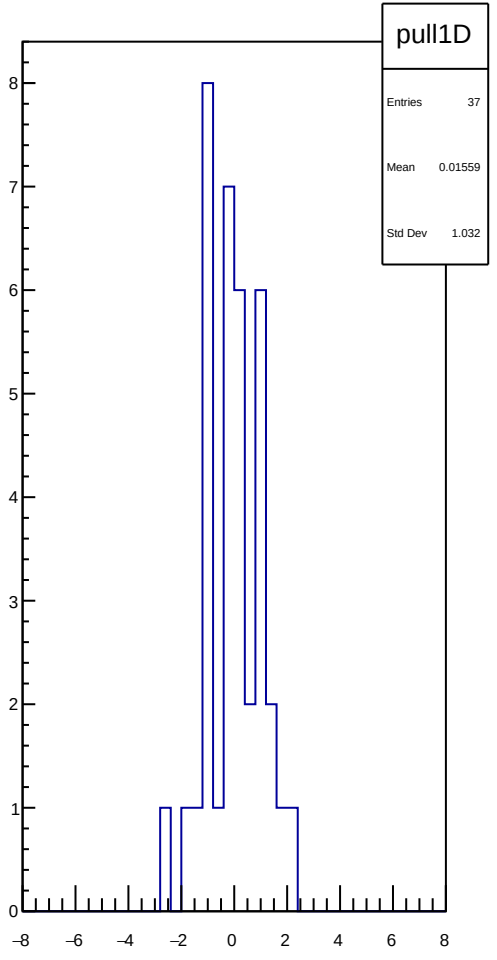
pull1D
Entries 37
Mean 0.01559
Std Dev 1.032

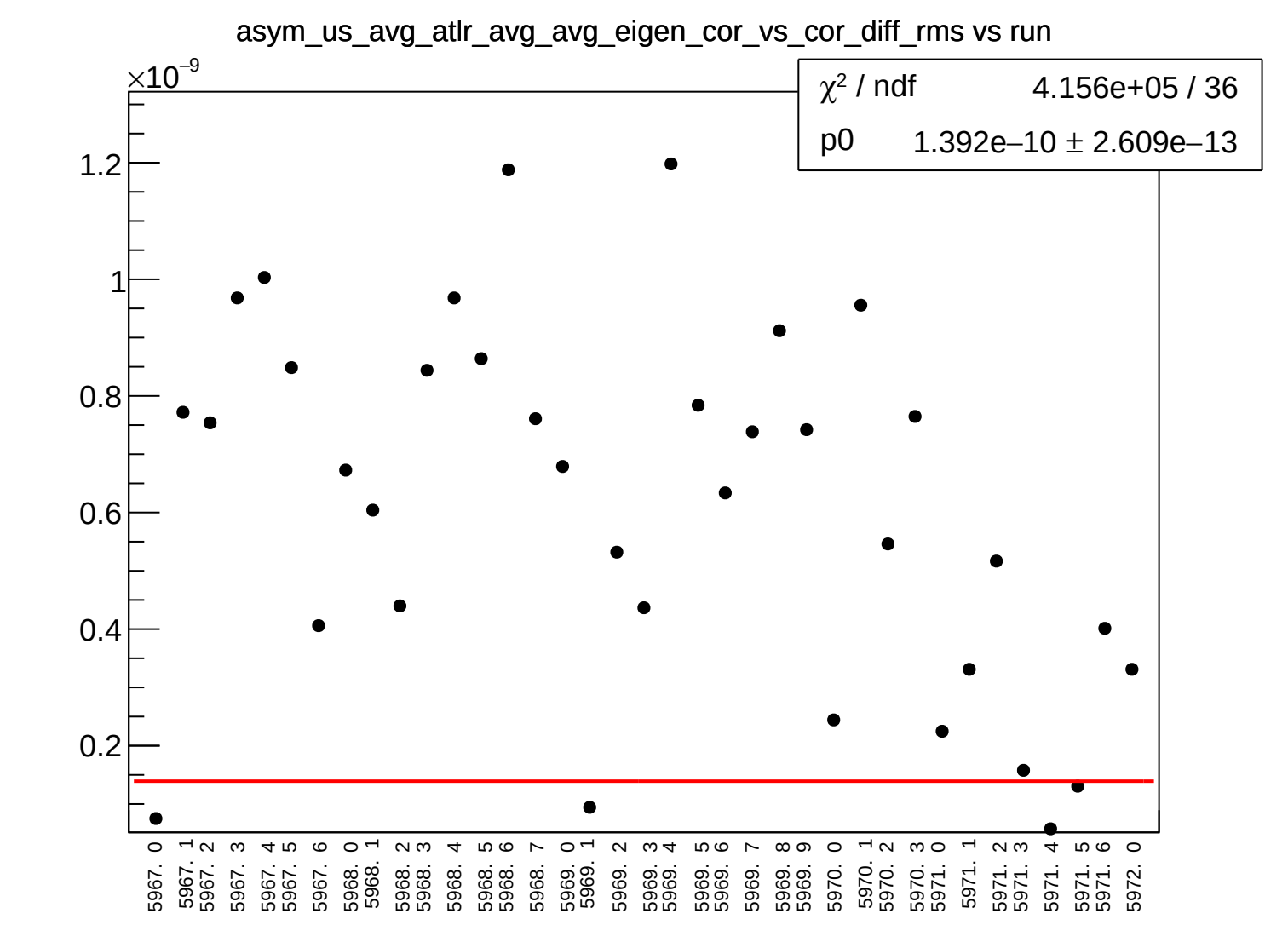
asym_us_avg_atlr_avg_avg_eigen_cor_vs_cor_diff_rms vs run
×10⁻⁹
χ² / ndf 4.156e+05 / 36
p0 1.392e−10 ± 2.609e−13
1.2
1
0.8
0.6
0.4
0.2
5967. 0
5967. 1
5967. 2
5967. 3
5967. 4
5967. 5
5967. 6
5968. 0
5968. 1
5968. 2
5968. 3
5968. 4
5968. 5
5968. 6
5968. 7
5969. 0
5969. 1
5969. 2
5969. 3
5969. 4
5969. 5
5969. 6
5969. 7
5969. 8
5969. 9
5970. 0
5970. 1
5970. 2
5970. 3
5971. 0
5971. 1
5971. 2
5971. 3
5971. 4
5971. 5
5971. 6
5972. 0

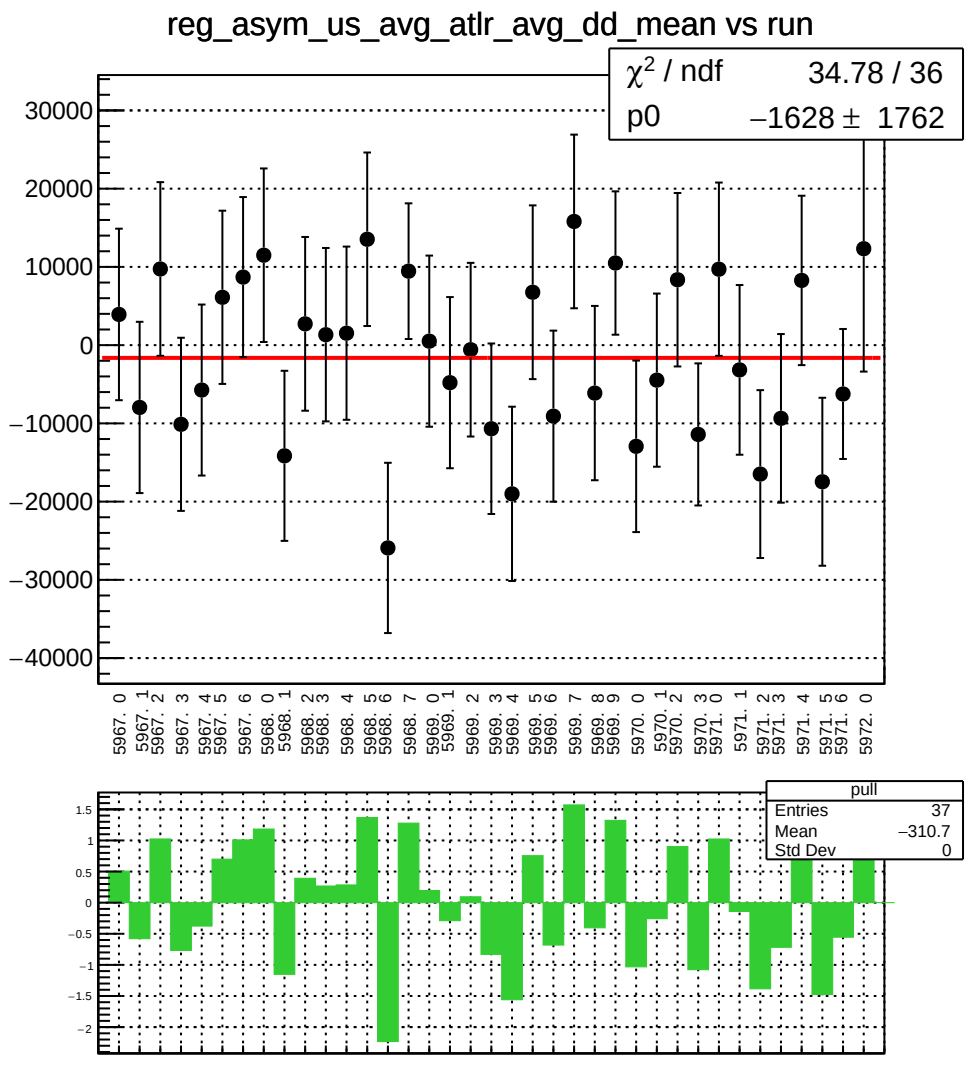
reg_asym_us_avg_atlr_avg_dd_mean vs run
χ² / ndf 34.78 / 36
p0 −1628 ± 1762
30000
20000
10000
0
−10000
−20000
−30000
−40000
5967. 0
5967. 1
5967. 2
5967. 3
5967. 4
5967. 5
5967. 6
5968. 0
5968. 1
5968. 2
5968. 3
5968. 4
5968. 5
5968. 6
5968. 7
5969. 0
5969. 1
5969. 2
5969. 3
5969. 4
5969. 5
5969. 6
5969. 7
5969. 8
5969. 9
5970. 0
5970. 1
5970. 2
5970. 3
5971. 0
5971. 1
5971. 2
5971. 3
5971. 4
5971. 5
5971. 6
5972. 0
pull
Entries 37
Mean −310.7
Std Dev 0
1.5
1
0.5
0
−0.5
−1
−1.5
−2

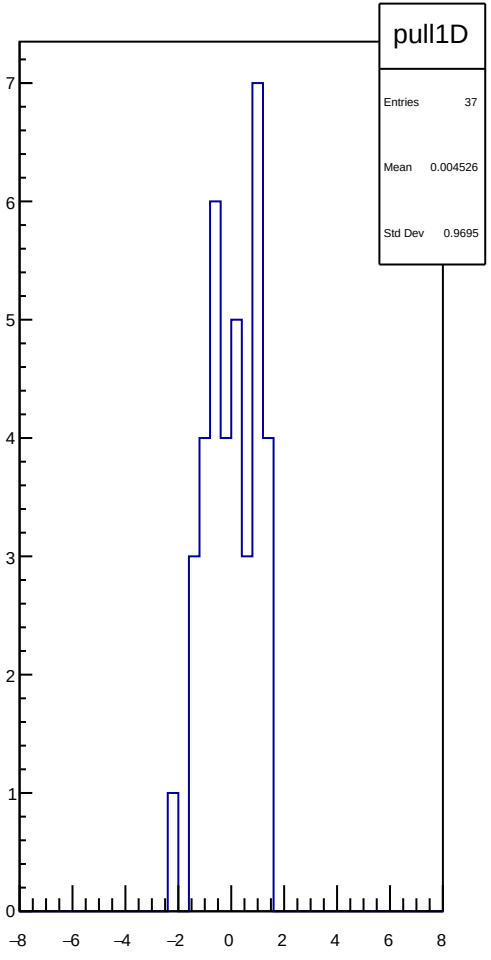
pull1D
Entries 37
Mean 0.004526
Std Dev 0.9695
7
6
5
4
3
2
1
0
−8
−6
−4
−2
0
2
4
6
8

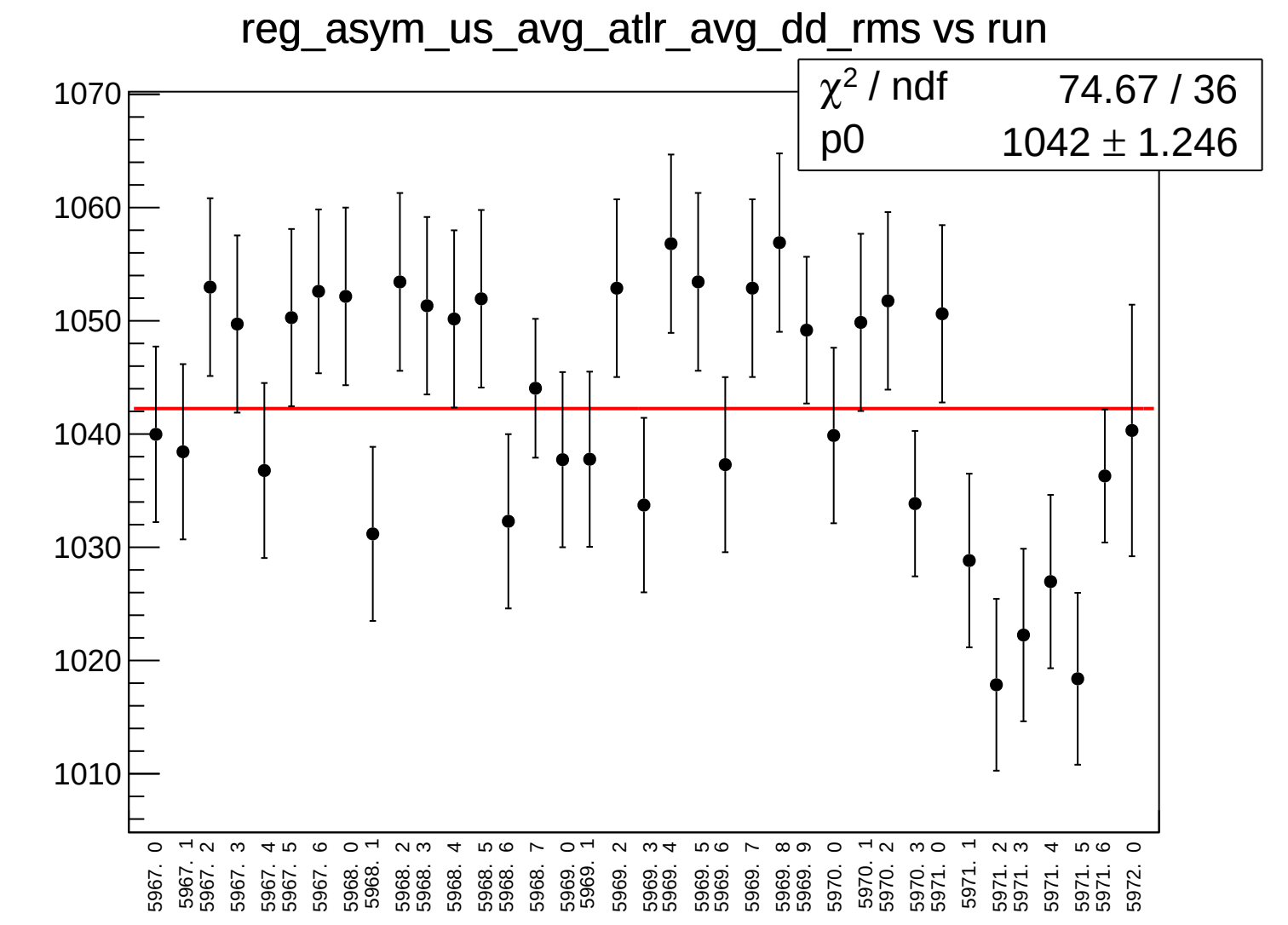
reg_asym_us_avg_atlr_avg_dd_rms vs run
χ² / ndf 74.67 / 36
p0 1042 ± 1.246
1070
1060
1050
1040
1030
1020
1010
5967. 0
5967. 1
5967. 2
5967. 3
5967. 4
5967. 5
5967. 6
5968. 0
5968. 1
5968. 2
5968. 3
5968. 4
5968. 5
5968. 6
5968. 7
5969. 0
5969. 1
5969. 2
5969. 3
5969. 4
5969. 5
5969. 6
5969. 7
5969. 8
5969. 9
5970. 0
5970. 1
5970. 2
5970. 3
5971. 0
5971. 1
5971. 2
5971. 3
5971. 4
5971. 5
5971. 6
5972. 0

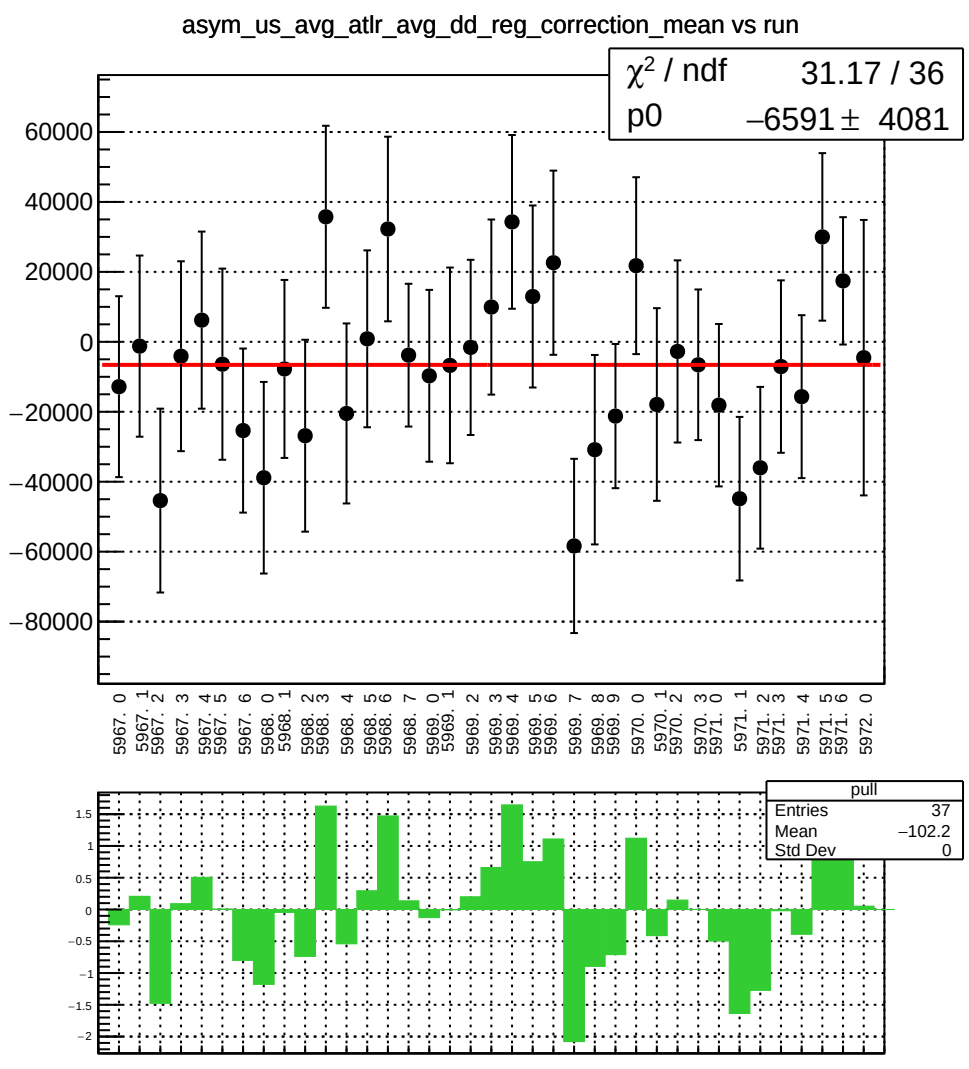
asym_us_avg_atlr_avg_dd_reg_correction_mean vs run
χ² / ndf 31.17 / 36
p0 −6591 ± 4081
60000
40000
20000
0
−20000
−40000
−60000
−80000
5967. 0
5967. 1
5967. 2
5967. 3
5967. 4
5967. 5
5967. 6
5968. 0
5968. 1
5968. 2
5968. 3
5968. 4
5968. 5
5968. 6
5968. 7
5969. 0
5969. 1
5969. 2
5969. 3
5969. 4
5969. 5
5969. 6
5969. 7
5969. 8
5969. 9
5970. 0
5970. 1
5970. 2
5970. 3
5971. 0
5971. 1
5971. 2
5971. 3
5971. 4
5971. 5
5971. 6
5972. 0
pull
Entries 37
Mean −102.2
Std Dev 0
1.5
1
0.5
0
−0.5
−1
−1.5
−2

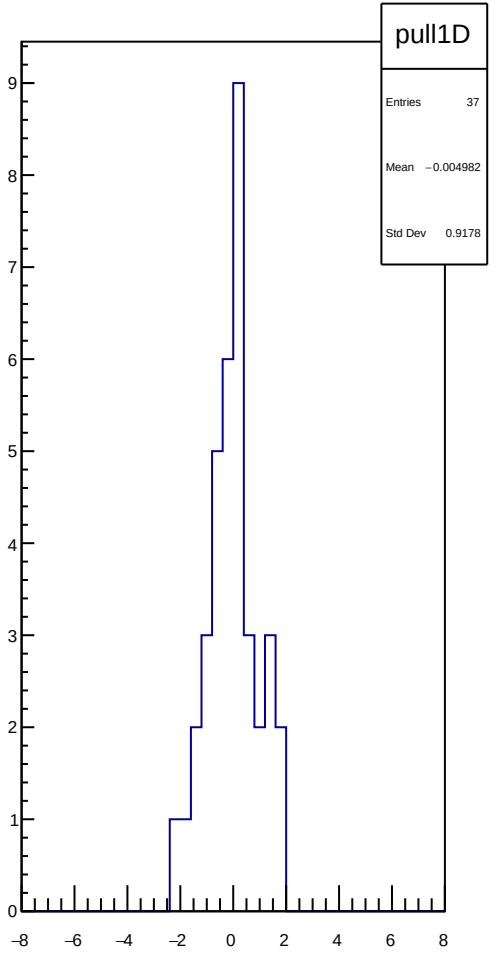
pull1D
Entries 37
Mean −0.004982
Std Dev 0.9178
9
8
7
6
5
4
3
2
1
0
−8
−6
−4
−2
0
2
4
6
8

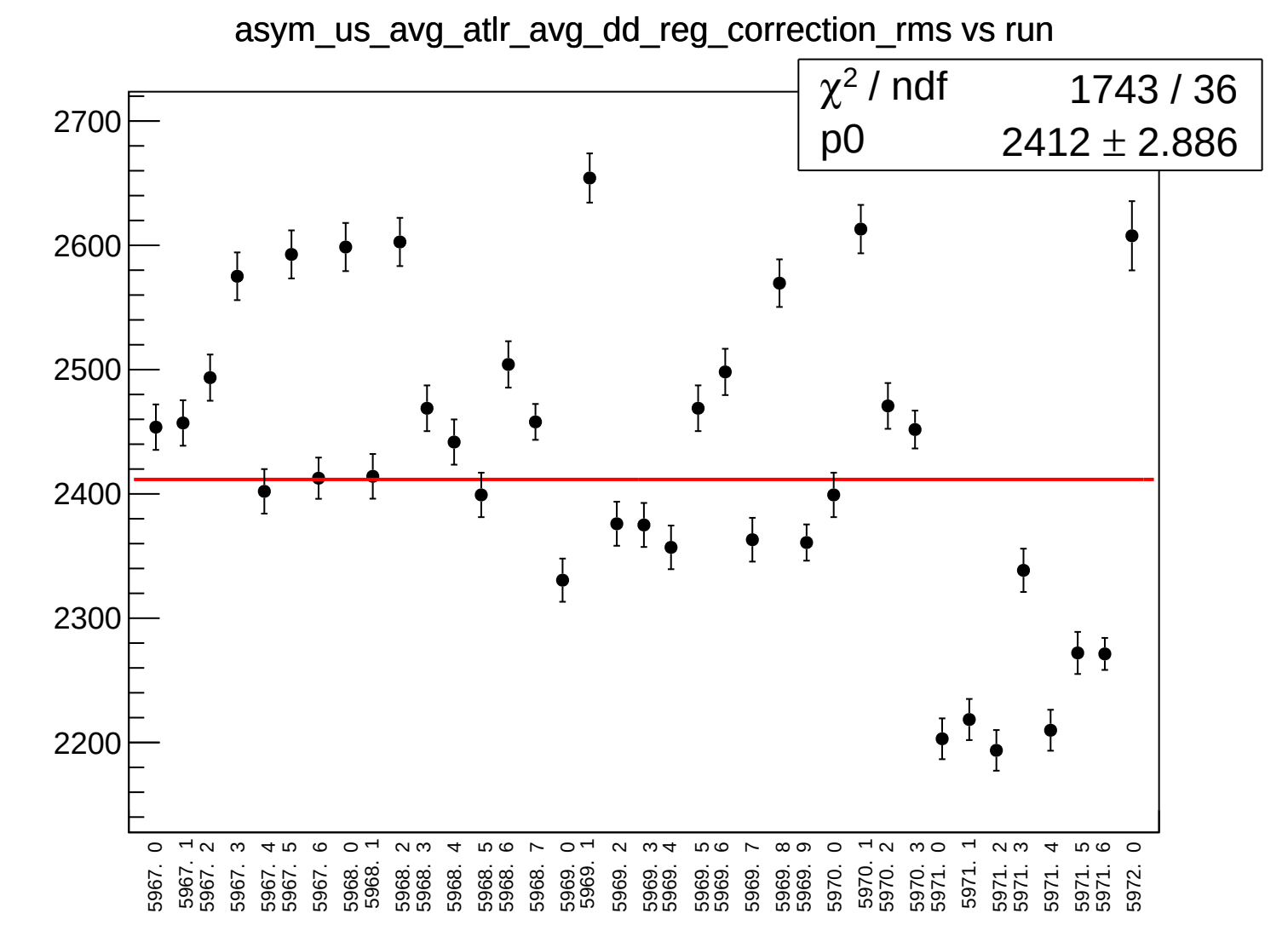
asym_us_avg_atlr_avg_dd_reg_correction_rms vs run
χ² / ndf 1743 / 36
p0 2412 ± 2.886
2700
2600
2500
2400
2300
2200
5967. 0
5967. 1
5967. 2
5967. 3
5967. 4
5967. 5
5967. 6
5968. 0
5968. 1
5968. 2
5968. 3
5968. 4
5968. 5
5968. 6
5968. 7
5969. 0
5969. 1
5969. 2
5969. 3
5969. 4
5969. 5
5969. 6
5969. 7
5969. 8
5969. 9
5970. 0
5970. 1
5970. 2
5970. 3
5971. 0
5971. 1
5971. 2
5971. 3
5971. 4
5971. 5
5971. 6
5972. 0

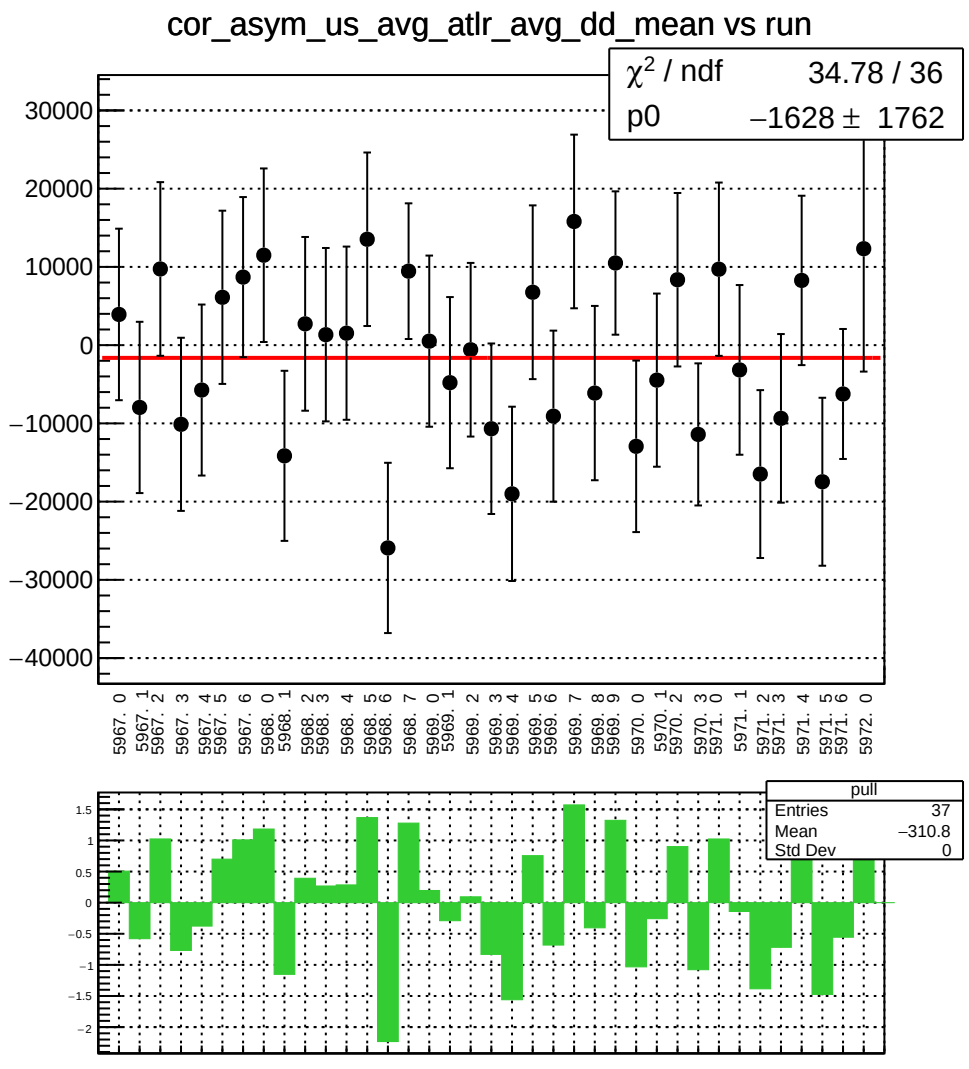
cor_asym_us_avg_atlr_avg_dd_mean vs run
χ² / ndf 34.78 / 36
p0 −1628 ± 1762
30000
20000
10000
0
−10000
−20000
−30000
−40000
5967. 0
5967. 1
5967. 2
5967. 3
5967. 4
5967. 5
5967. 6
5968. 0
5968. 1
5968. 2
5968. 3
5968. 4
5968. 5
5968. 6
5968. 7
5969. 0
5969. 1
5969. 2
5969. 3
5969. 4
5969. 5
5969. 6
5969. 7
5969. 8
5969. 9
5970. 0
5970. 1
5970. 2
5970. 3
5971. 0
5971. 1
5971. 2
5971. 3
5971. 4
5971. 5
5971. 6
5972. 0
pull
Entries 37
Mean −310.8
Std Dev 0
1.5
1
0.5
0
−0.5
−1
−1.5
−2

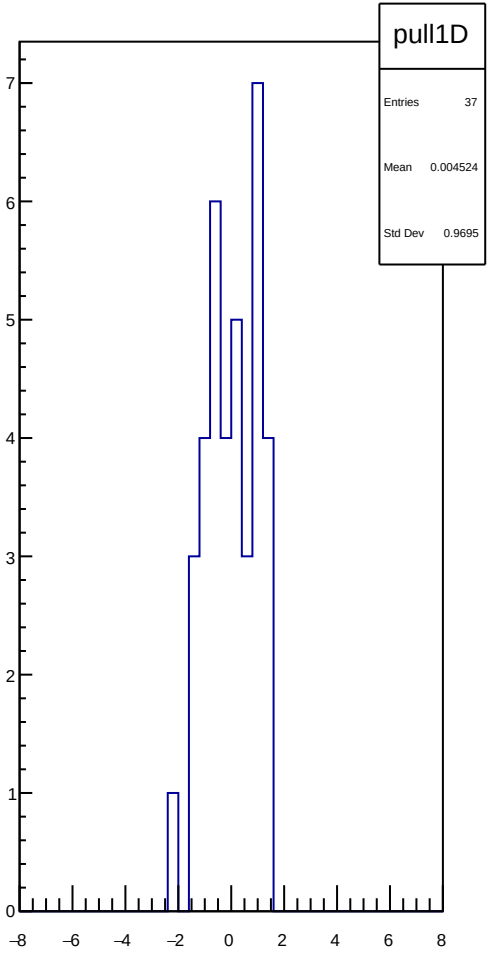
pull1D
Entries 37
Mean 0.004524
Std Dev 0.9695
7
6
5
4
3
2
1
0
−8
−6
−4
−2
0
2
4
6
8

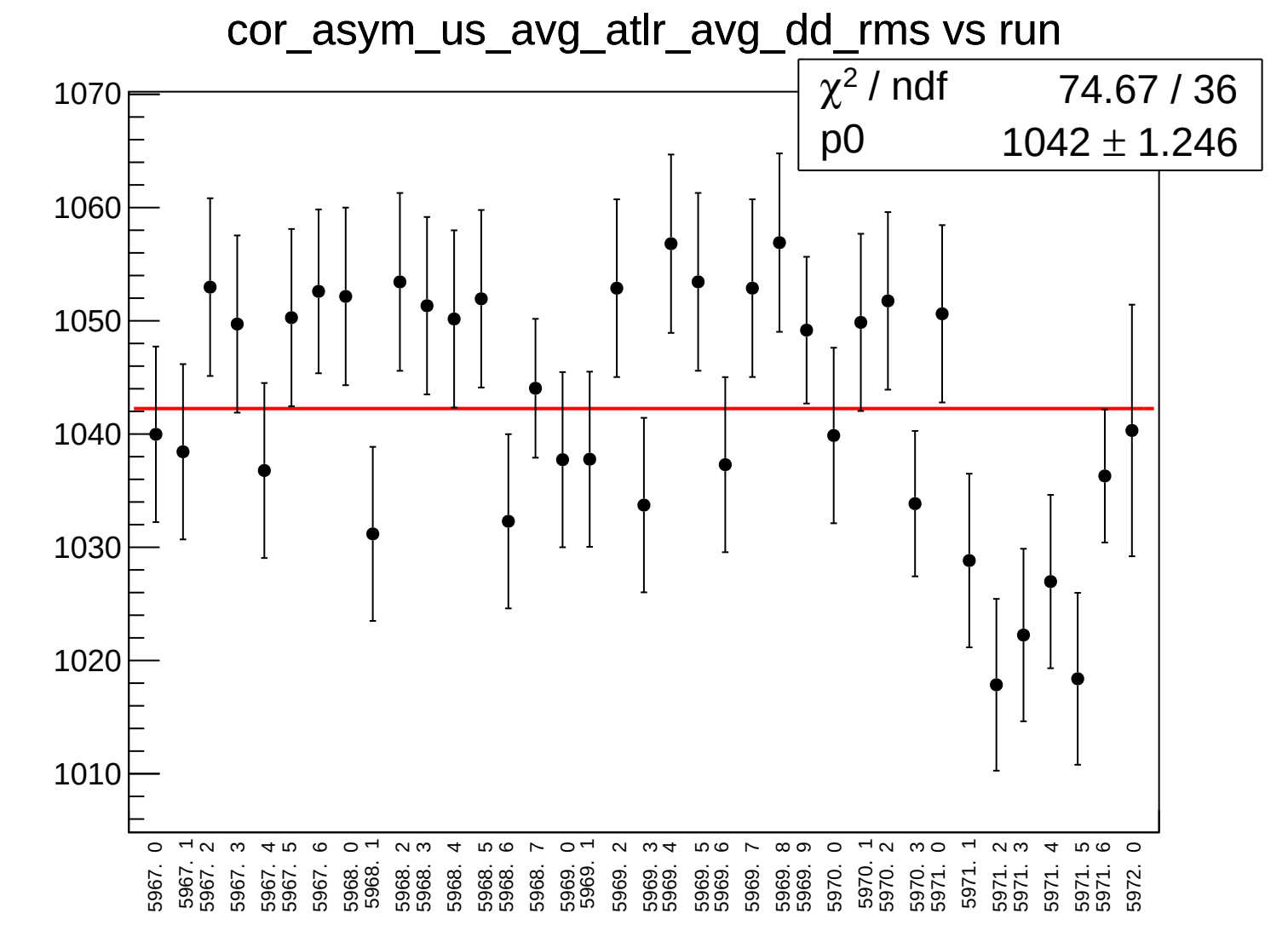
cor_asym_us_avg_atlr_avg_dd_rms vs run
χ² / ndf 74.67 / 36
p0 1042 ± 1.246
1070
1060
1050
1040
1030
1020
1010
5967. 0
5967. 1
5967. 2
5967. 3
5967. 4
5967. 5
5967. 6
5968. 0
5968. 1
5968. 2
5968. 3
5968. 4
5968. 5
5968. 6
5968. 7
5969. 0
5969. 1
5969. 2
5969. 3
5969. 4
5969. 5
5969. 6
5969. 7
5969. 8
5969. 9
5970. 0
5970. 1
5970. 2
5970. 3
5971. 0
5971. 1
5971. 2
5971. 3
5971. 4
5971. 5
5971. 6
5972. 0

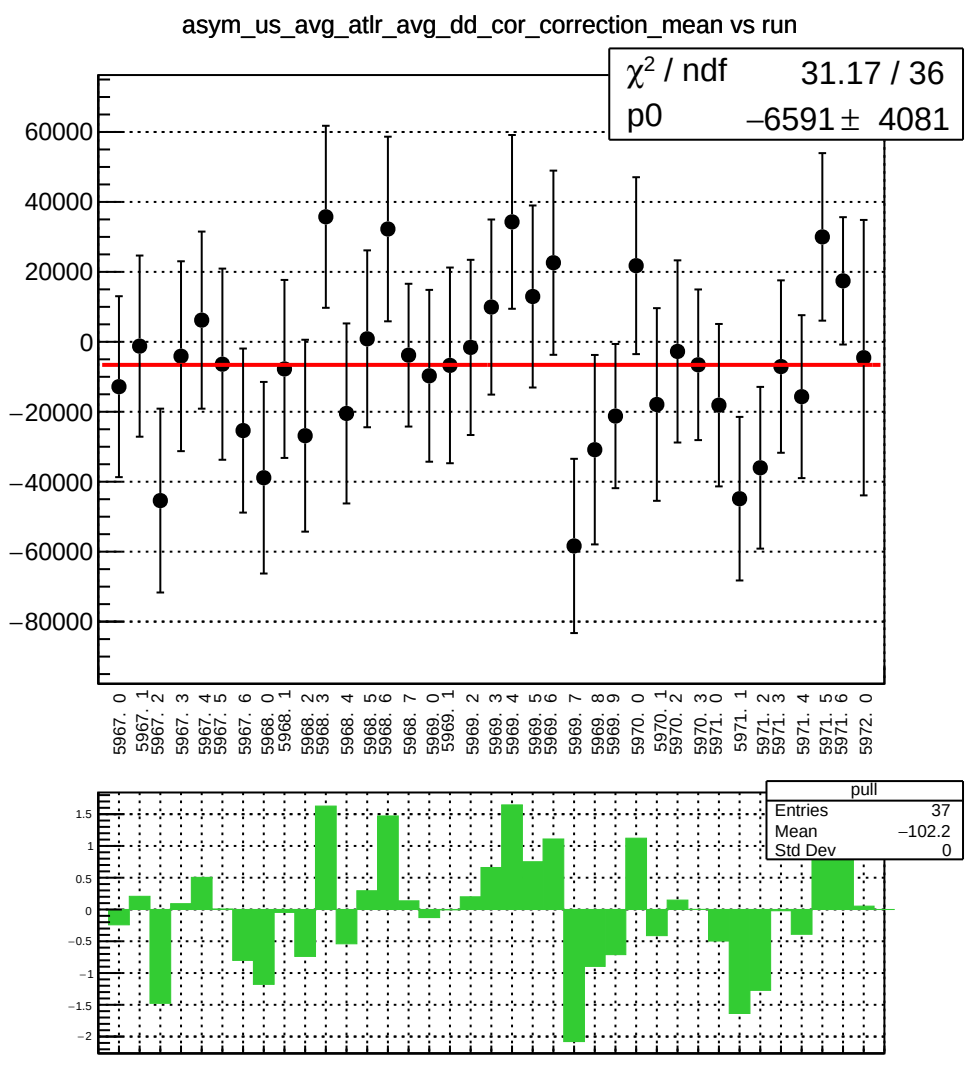
asym_us_avg_atlr_avg_dd_cor_correction_mean vs run
χ² / ndf 31.17 / 36
p0 −6591 ± 4081
60000
40000
20000
0
−20000
−40000
−60000
−80000
5967. 0
5967. 1
5967. 2
5967. 3
5967. 4
5967. 5
5967. 6
5968. 0
5968. 1
5968. 2
5968. 3
5968. 4
5968. 5
5968. 6
5968. 7
5969. 0
5969. 1
5969. 2
5969. 3
5969. 4
5969. 5
5969. 6
5969. 7
5969. 8
5969. 9
5970. 0
5970. 1
5970. 2
5970. 3
5971. 0
5971. 1
5971. 2
5971. 3
5971. 4
5971. 5
5971. 6
5972. 0
pull
Entries 37
Mean −102.2
Std Dev 0
1.5
1
0.5
0
−0.5
−1
−1.5
−2

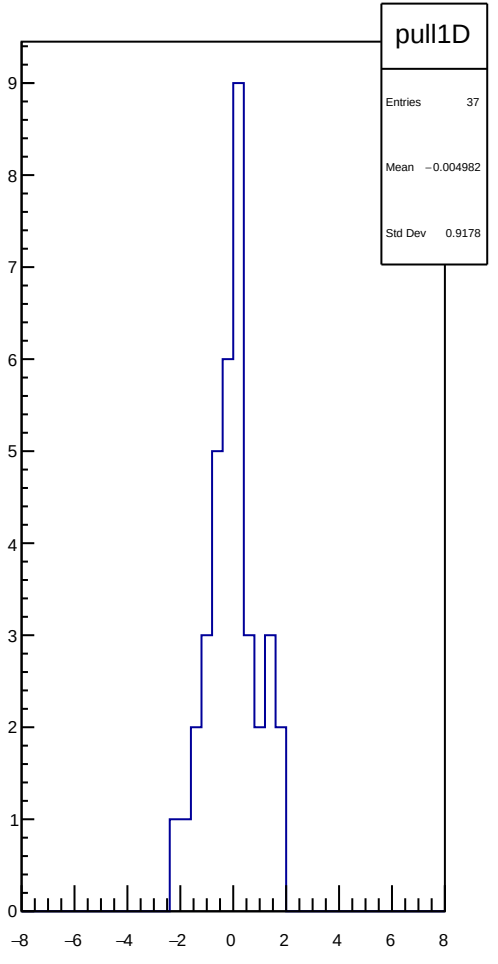
pull1D
Entries 37
Mean −0.004982
Std Dev 0.9178
9
8
7
6
5
4
3
2
1
0
−8
−6
−4
−2
0
2
4
6
8

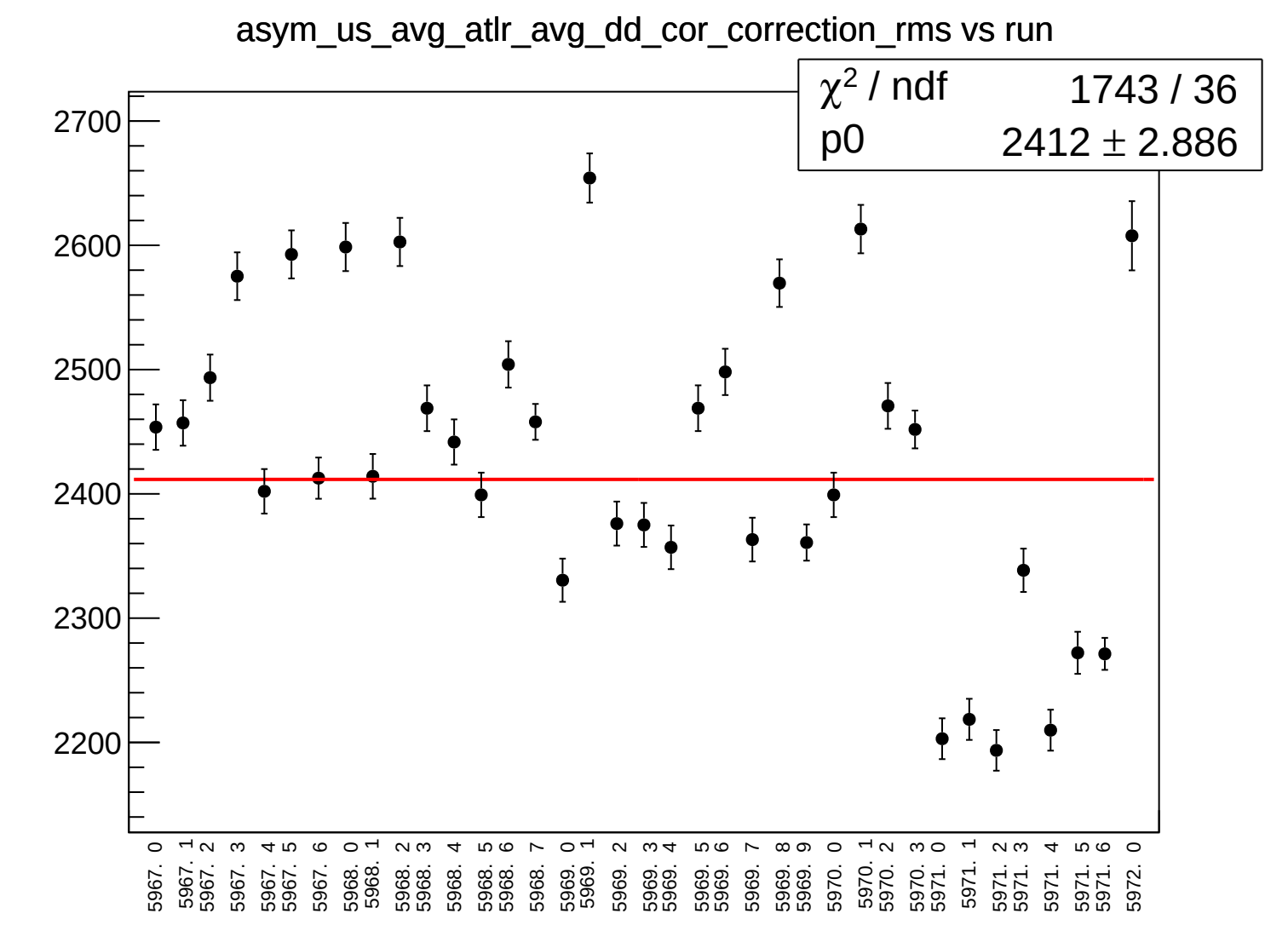
asym_us_avg_atlr_avg_dd_cor_correction_rms vs run
χ² / ndf 1743 / 36
p0 2412 ± 2.886
2700
2600
2500
2400
2300
2200
5967. 0
5967. 1
5967. 2
5967. 3
5967. 4
5967. 5
5967. 6
5968. 0
5968. 1
5968. 2
5968. 3
5968. 4
5968. 5
5968. 6
5968. 7
5969. 0
5969. 1
5969. 2
5969. 3
5969. 4
5969. 5
5969. 6
5969. 7
5969. 8
5969. 9
5970. 0
5970. 1
5970. 2
5970. 3
5971. 0
5971. 1
5971. 2
5971. 3
5971. 4
5971. 5
5971. 6
5972. 0

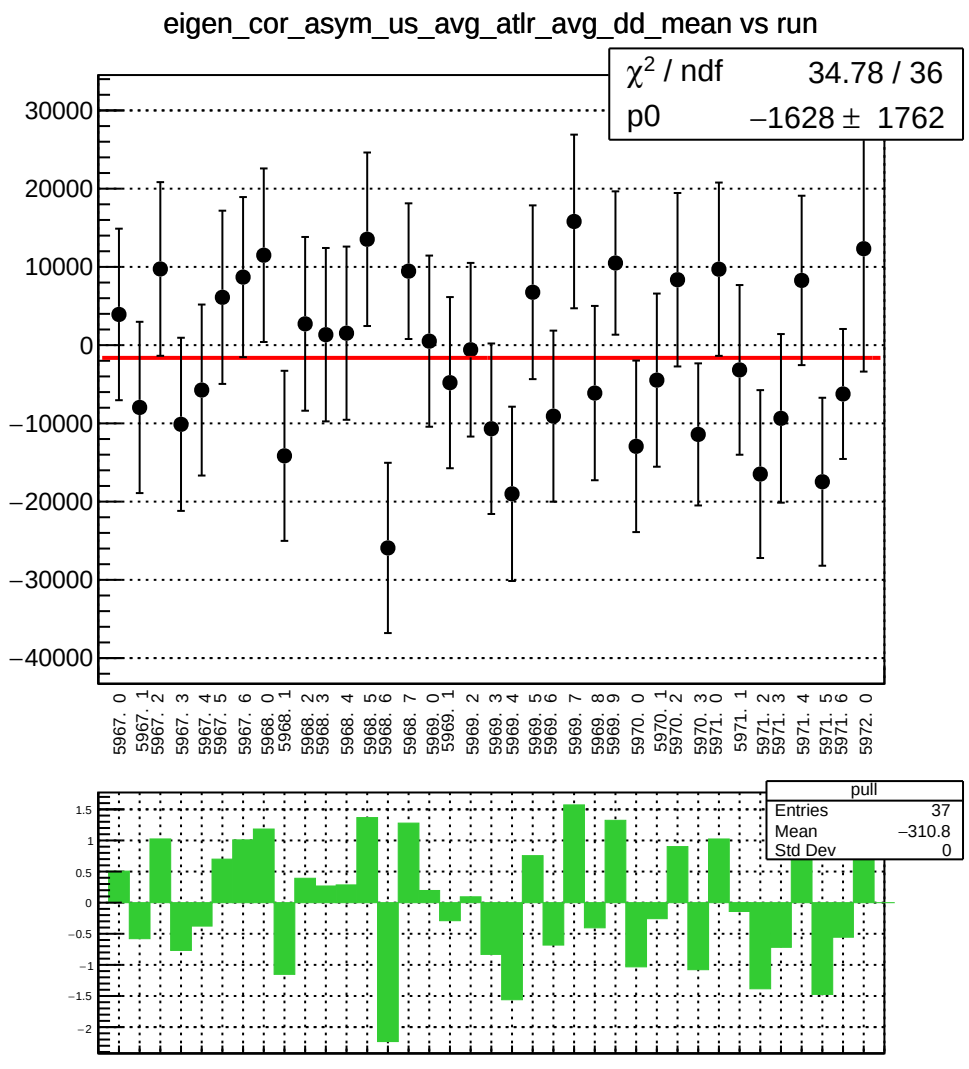
eigen_cor_asym_us_avg_atlr_avg_dd_mean vs run
χ² / ndf 34.78 / 36
p0 −1628 ± 1762
30000
20000
10000
0
−10000
−20000
−30000
−40000
5967. 0
5967. 1
5967. 2
5967. 3
5967. 4
5967. 5
5967. 6
5968. 0
5968. 1
5968. 2
5968. 3
5968. 4
5968. 5
5968. 6
5968. 7
5969. 0
5969. 1
5969. 2
5969. 3
5969. 4
5969. 5
5969. 6
5969. 7
5969. 8
5969. 9
5970. 0
5970. 1
5970. 2
5970. 3
5971. 0
5971. 1
5971. 2
5971. 3
5971. 4
5971. 5
5971. 6
5972. 0
pull
Entries 37
Mean −310.8
Std Dev 0
1.5
1
0.5
0
−0.5
−1
−1.5
−2

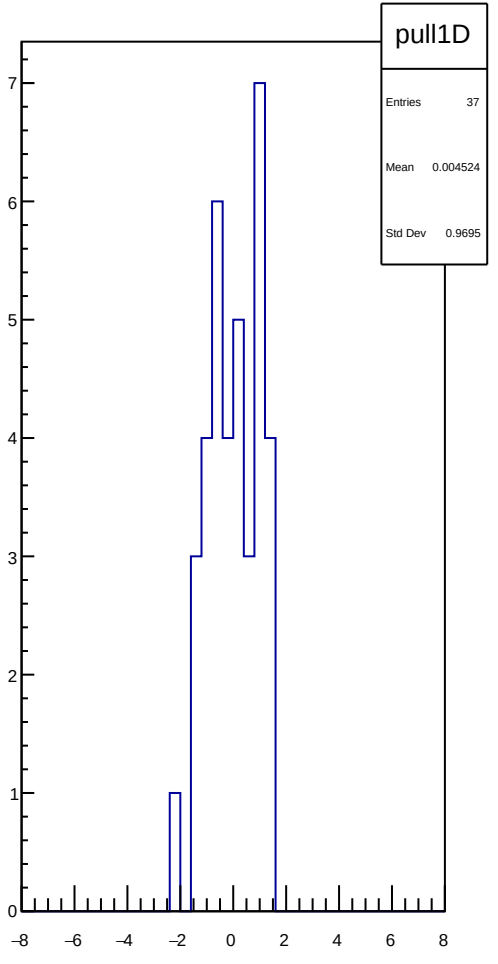
pull1D
Entries 37
Mean 0.004524
Std Dev 0.9695
7
6
5
4
3
2
1
0
−8
−6
−4
−2
0
2
4
6
8

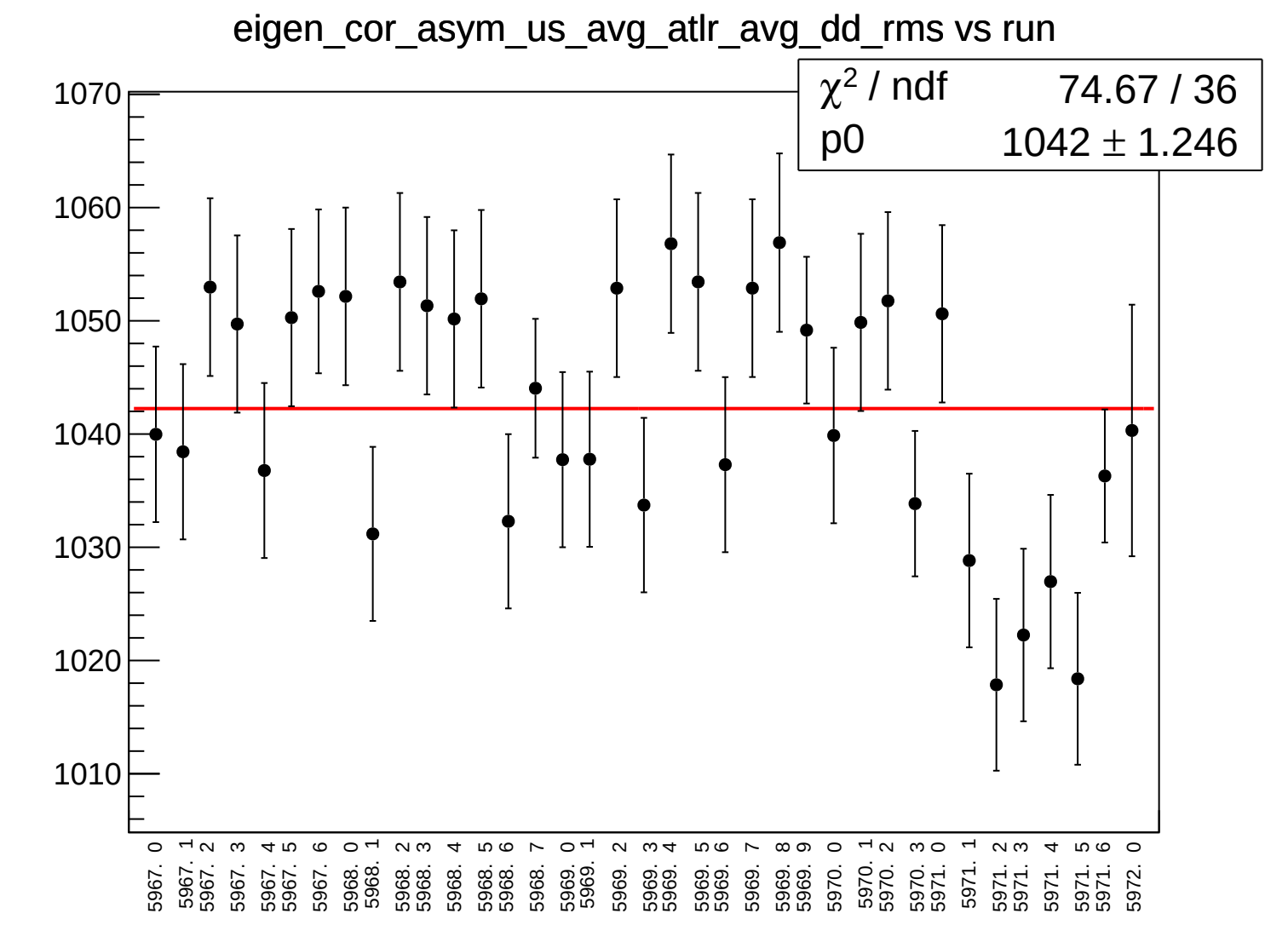
eigen_cor_asym_us_avg_atlr_avg_dd_rms vs run
χ² / ndf 74.67 / 36
p0 1042 ± 1.246
1070
1060
1050
1040
1030
1020
1010
5967. 0
5967. 1
5967. 2
5967. 3
5967. 4
5967. 5
5967. 6
5968. 0
5968. 1
5968. 2
5968. 3
5968. 4
5968. 5
5968. 6
5968. 7
5969. 0
5969. 1
5969. 2
5969. 3
5969. 4
5969. 5
5969. 6
5969. 7
5969. 8
5969. 9
5970. 0
5970. 1
5970. 2
5970. 3
5971. 0
5971. 1
5971. 2
5971. 3
5971. 4
5971. 5
5971. 6
5972. 0

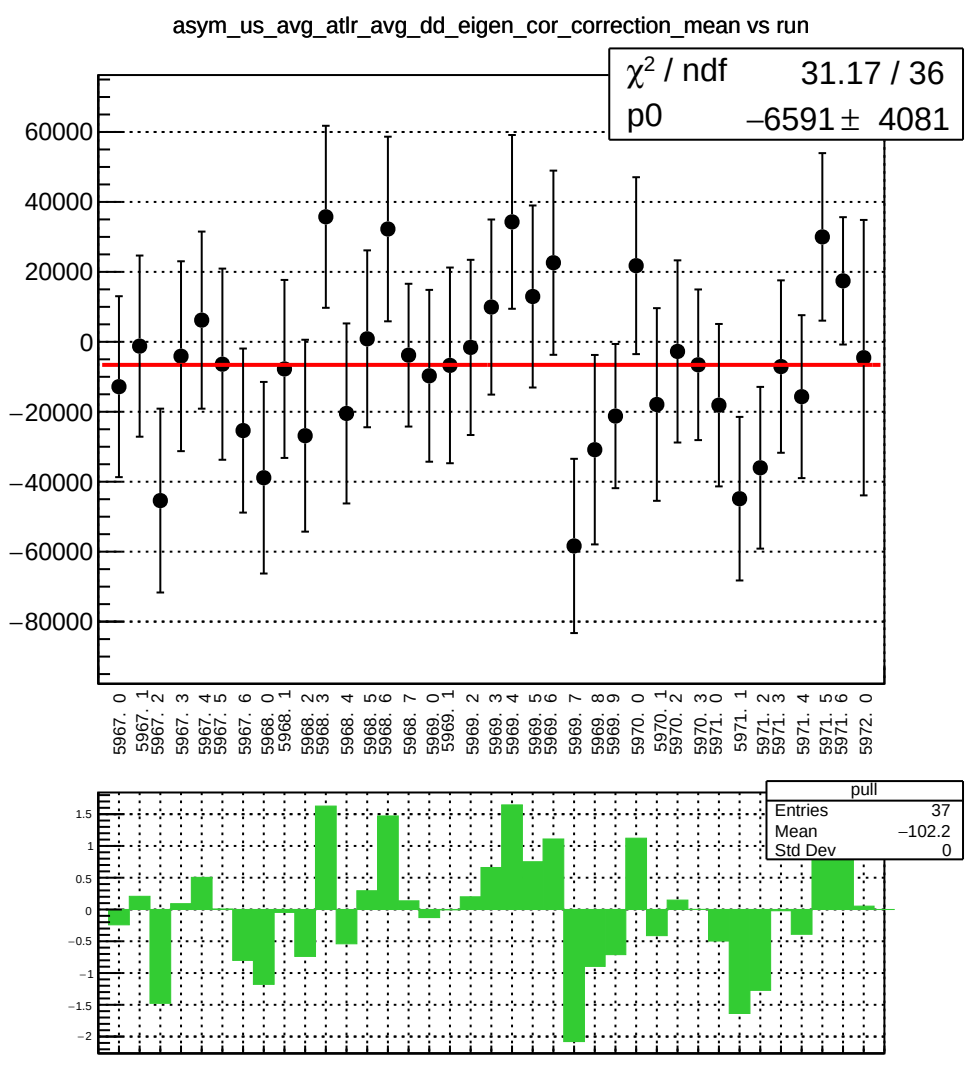
asym_us_avg_atlr_avg_dd_eigen_cor_correction_mean vs run
χ² / ndf 31.17 / 36
p0 −6591 ± 4081
60000
40000
20000
0
−20000
−40000
−60000
−80000
5967. 0
5967. 1
5967. 2
5967. 3
5967. 4
5967. 5
5967. 6
5968. 0
5968. 1
5968. 2
5968. 3
5968. 4
5968. 5
5968. 6
5968. 7
5969. 0
5969. 1
5969. 2
5969. 3
5969. 4
5969. 5
5969. 6
5969. 7
5969. 8
5969. 9
5970. 0
5970. 1
5970. 2
5970. 3
5971. 0
5971. 1
5971. 2
5971. 3
5971. 4
5971. 5
5971. 6
5972. 0
pull
Entries 37
Mean −102.2
Std Dev 0
1.5
1
0.5
0
−0.5
−1
−1.5
−2

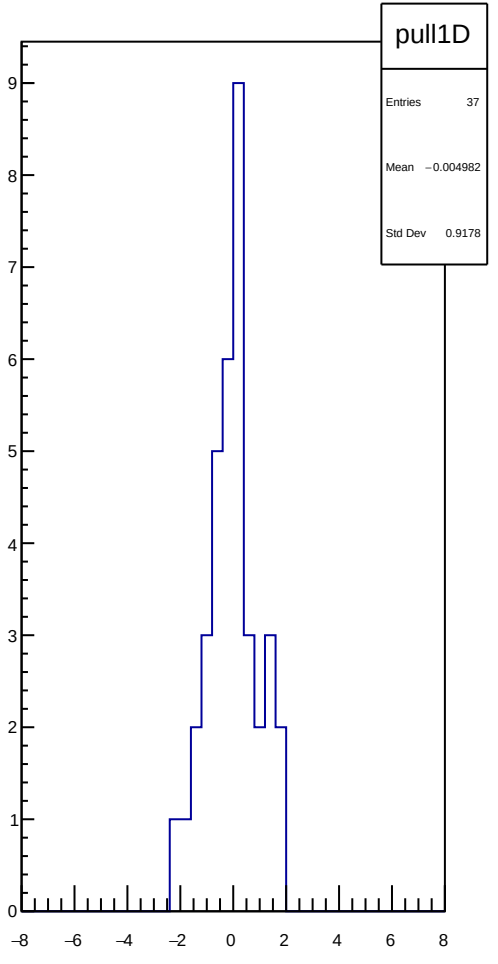
pull1D
Entries 37
Mean −0.004982
Std Dev 0.9178
9
8
7
6
5
4
3
2
1
0
−8
−6
−4
−2
0
2
4
6
8

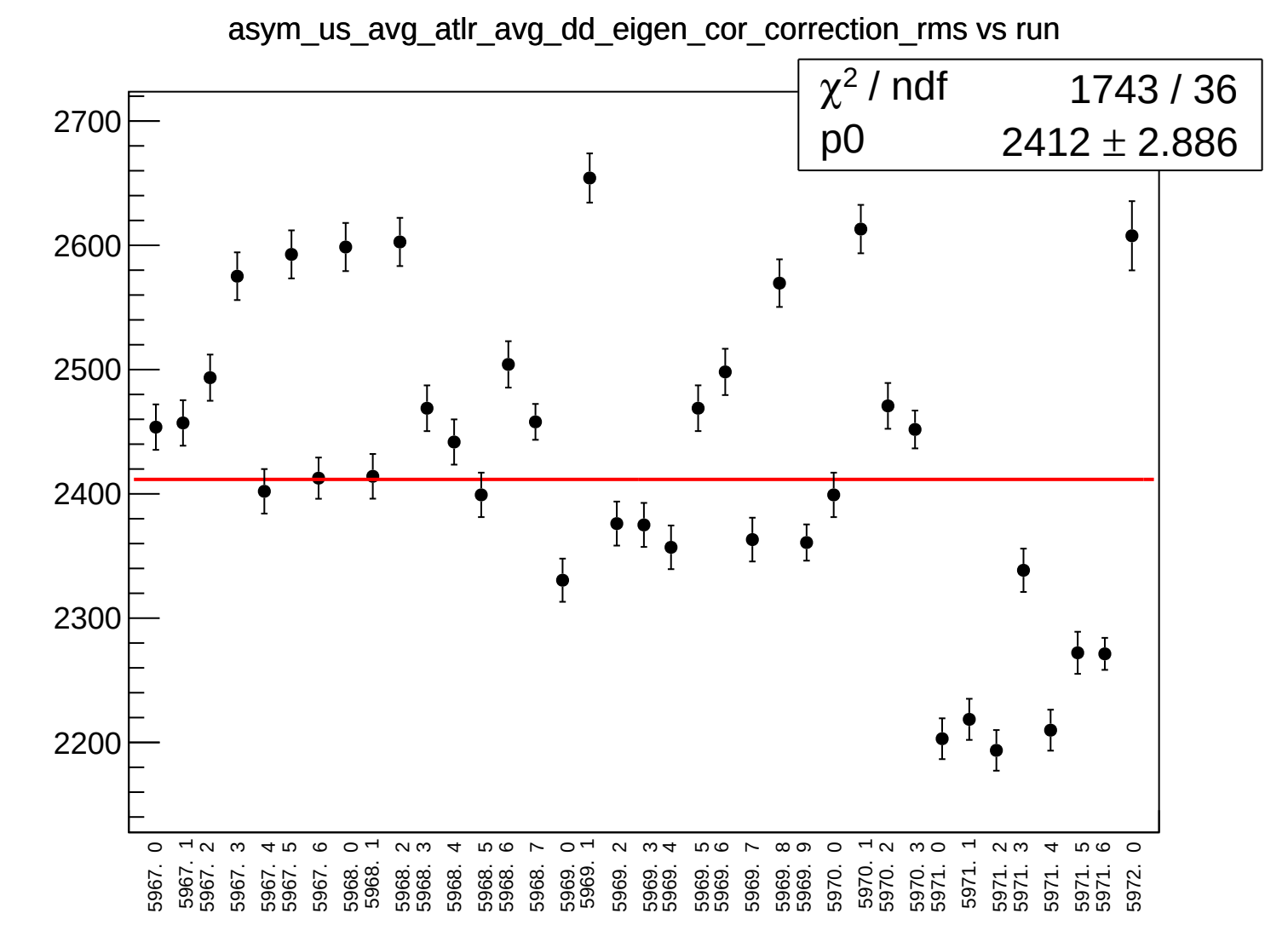
asym_us_avg_atlr_avg_dd_eigen_cor_correction_rms vs run
χ² / ndf 1743 / 36
p0 2412 ± 2.886
2700
2600
2500
2400
2300
2200
5967. 0
5967. 1
5967. 2
5967. 3
5967. 4
5967. 5
5967. 6
5968. 0
5968. 1
5968. 2
5968. 3
5968. 4
5968. 5
5968. 6
5968. 7
5969. 0
5969. 1
5969. 2
5969. 3
5969. 4
5969. 5
5969. 6
5969. 7
5969. 8
5969. 9
5970. 0
5970. 1
5970. 2
5970. 3
5971. 0
5971. 1
5971. 2
5971. 3
5971. 4
5971. 5
5971. 6
5972. 0

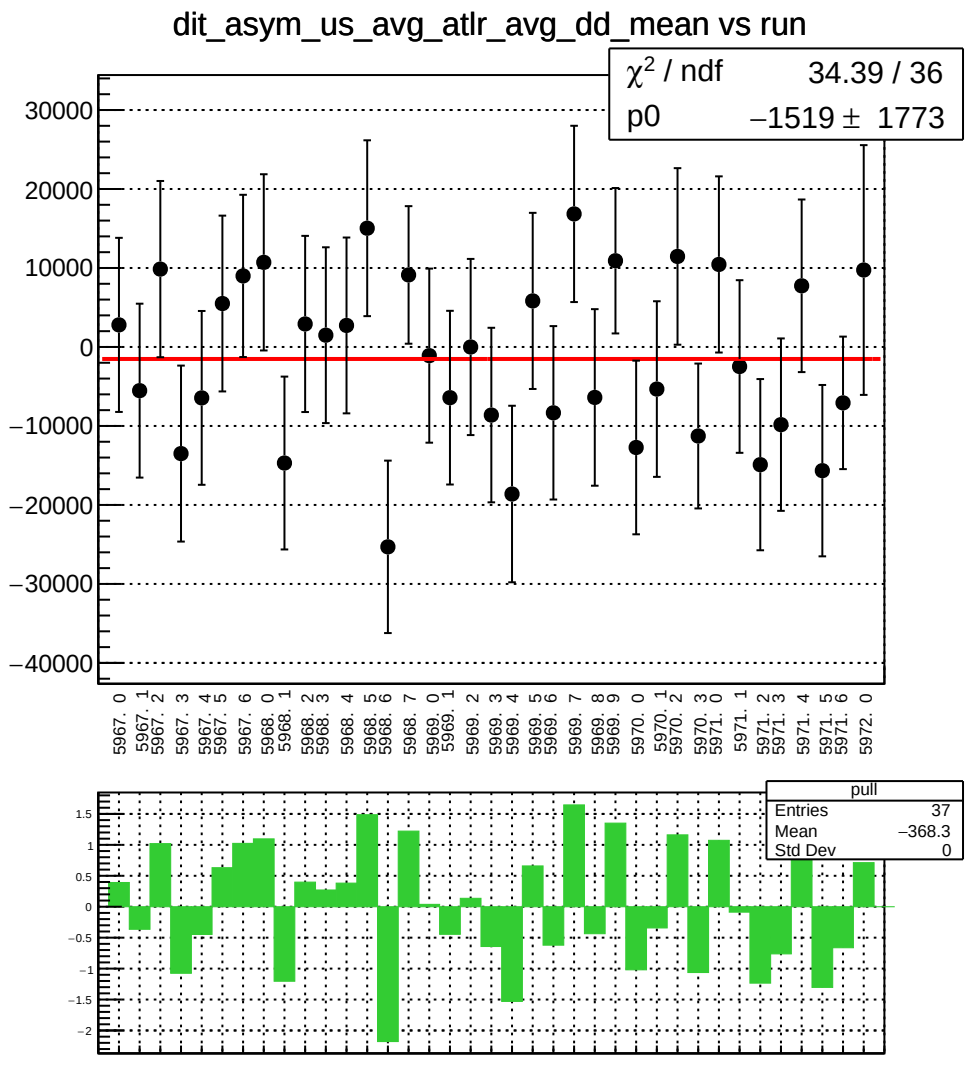
dit_asym_us_avg_atlr_avg_dd_mean vs run
χ² / ndf 34.39 / 36
p0 −1519 ± 1773
30000
20000
10000
0
−10000
−20000
−30000
−40000
5967. 0
5967. 1
5967. 2
5967. 3
5967. 4
5967. 5
5967. 6
5968. 0
5968. 1
5968. 2
5968. 3
5968. 4
5968. 5
5968. 6
5968. 7
5969. 0
5969. 1
5969. 2
5969. 3
5969. 4
5969. 5
5969. 6
5969. 7
5969. 8
5969. 9
5970. 0
5970. 1
5970. 2
5970. 3
5971. 0
5971. 1
5971. 2
5971. 3
5971. 4
5971. 5
5971. 6
5972. 0
pull
Entries 37
Mean −368.3
Std Dev 0
1.5
1
0.5
0
−0.5
−1
−1.5
−2

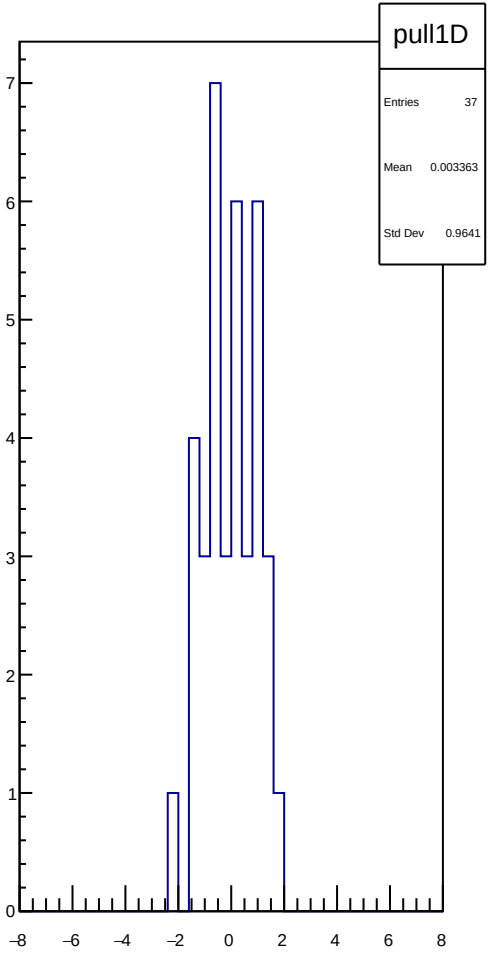
pull1D
Entries 37
Mean 0.003363
Std Dev 0.9641
7
6
5
4
3
2
1
0
−8
−6
−4
−2
0
2
4
6
8

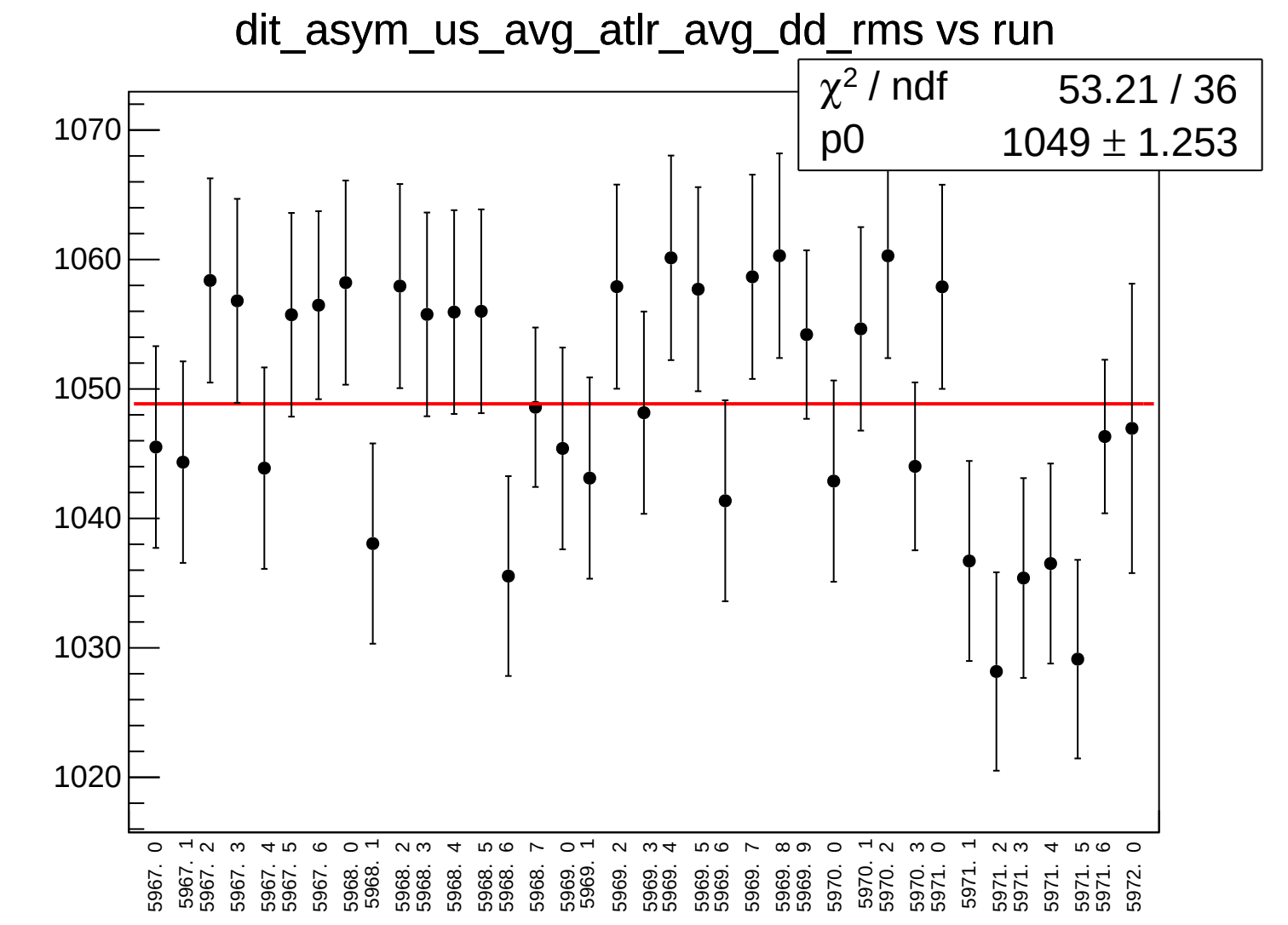
dit_asym_us_avg_atlr_avg_dd_rms vs run
χ² / ndf 53.21 / 36
p0 1049 ± 1.253
1070
1060
1050
1040
1030
1020
5967. 0
5967. 1
5967. 2
5967. 3
5967. 4
5967. 5
5967. 6
5968. 0
5968. 1
5968. 2
5968. 3
5968. 4
5968. 5
5968. 6
5968. 7
5969. 0
5969. 1
5969. 2
5969. 3
5969. 4
5969. 5
5969. 6
5969. 7
5969. 8
5969. 9
5970. 0
5970. 1
5970. 2
5970. 3
5971. 0
5971. 1
5971. 2
5971. 3
5971. 4
5971. 5
5971. 6
5972. 0

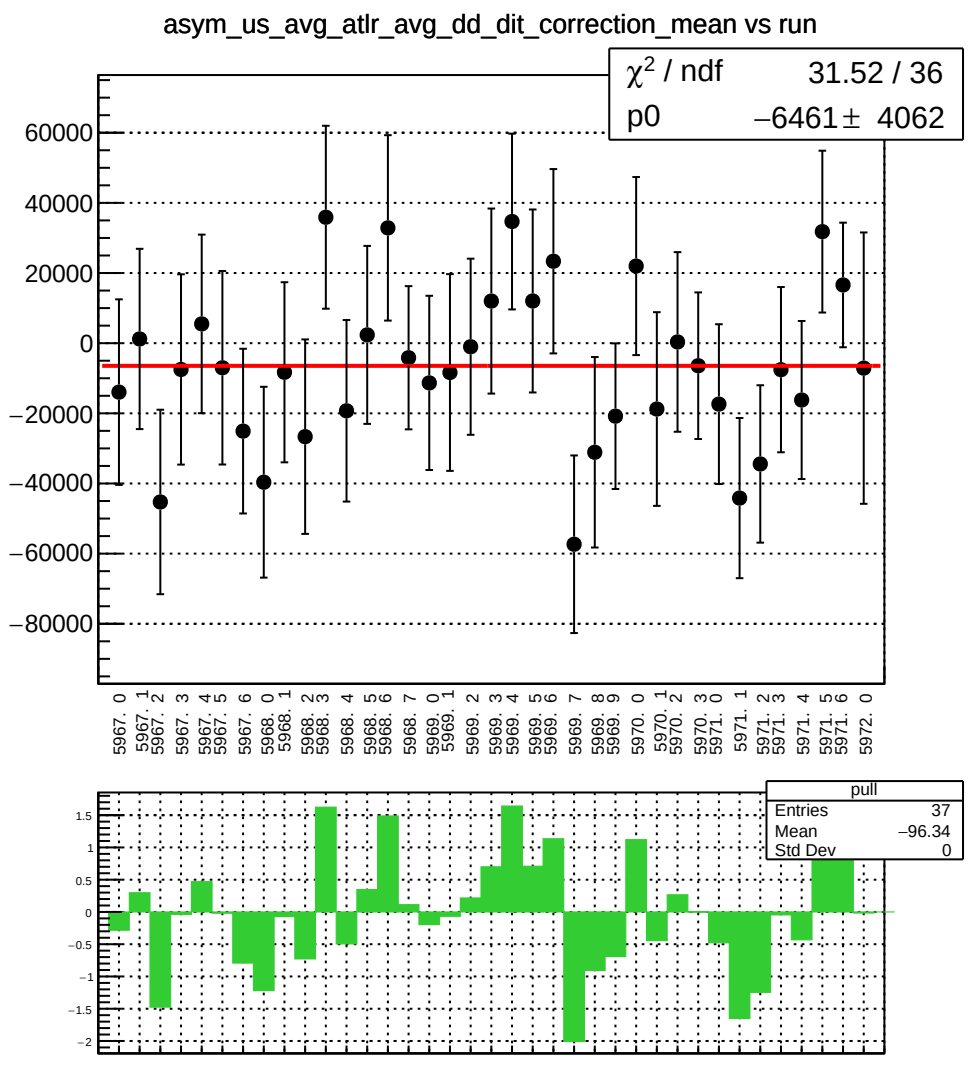
asym_us_avg_atlr_avg_dd_dit_correction_mean vs run
χ² / ndf 31.52 / 36
p0 −6461 ± 4062
60000
40000
20000
0
−20000
−40000
−60000
−80000
5967. 0
5967. 1
5967. 2
5967. 3
5967. 4
5967. 5
5967. 6
5968. 0
5968. 1
5968. 2
5968. 3
5968. 4
5968. 5
5968. 6
5968. 7
5969. 0
5969. 1
5969. 2
5969. 3
5969. 4
5969. 5
5969. 6
5969. 7
5969. 8
5969. 9
5970. 0
5970. 1
5970. 2
5970. 3
5971. 0
5971. 1
5971. 2
5971. 3
5971. 4
5971. 5
5971. 6
5972. 0
pull
Entries 37
Mean −96.34
Std Dev 0
1.5
1
0.5
0
−0.5
−1
−1.5
−2
pull1D
Entries 37
Mean −0.005981
Std Dev 0.9229
8
7
6
5
4
3
2
1
0
−8
−6
−4
−2
0
2
4
6
8

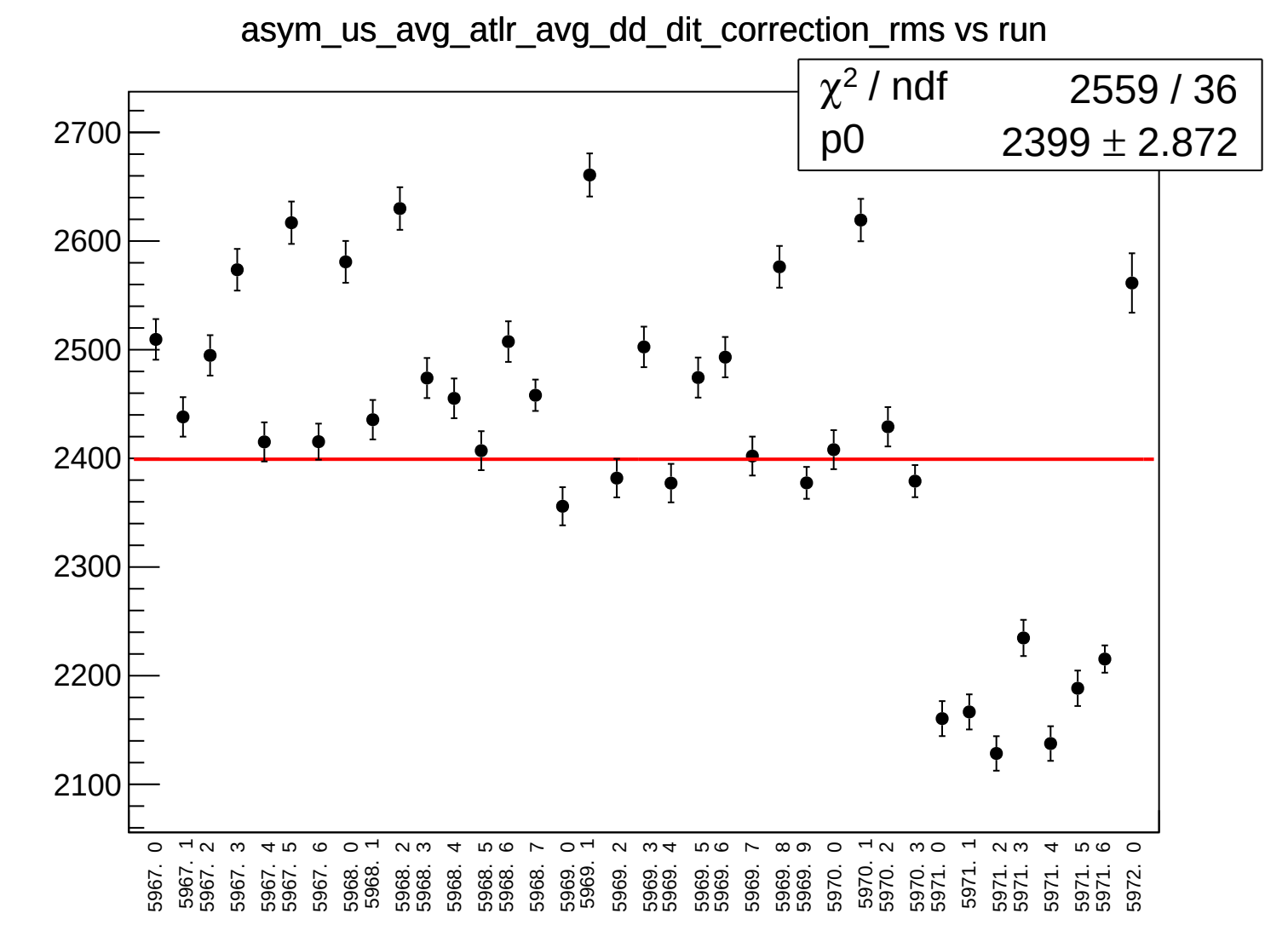
asym_us_avg_atlr_avg_dd_dit_correction_rms vs run
χ² / ndf 2559 / 36
p0 2399 ± 2.872
2700
2600
2500
2400
2300
2200
2100
5967. 0
5967. 1
5967. 2
5967. 3
5967. 4
5967. 5
5967. 6
5968. 0
5968. 1
5968. 2
5968. 3
5968. 4
5968. 5
5968. 6
5968. 7
5969. 0
5969. 1
5969. 2
5969. 3
5969. 4
5969. 5
5969. 6
5969. 7
5969. 8
5969. 9
5970. 0
5970. 1
5970. 2
5970. 3
5971. 0
5971. 1
5971. 2
5971. 3
5971. 4
5971. 5
5971. 6
5972. 0

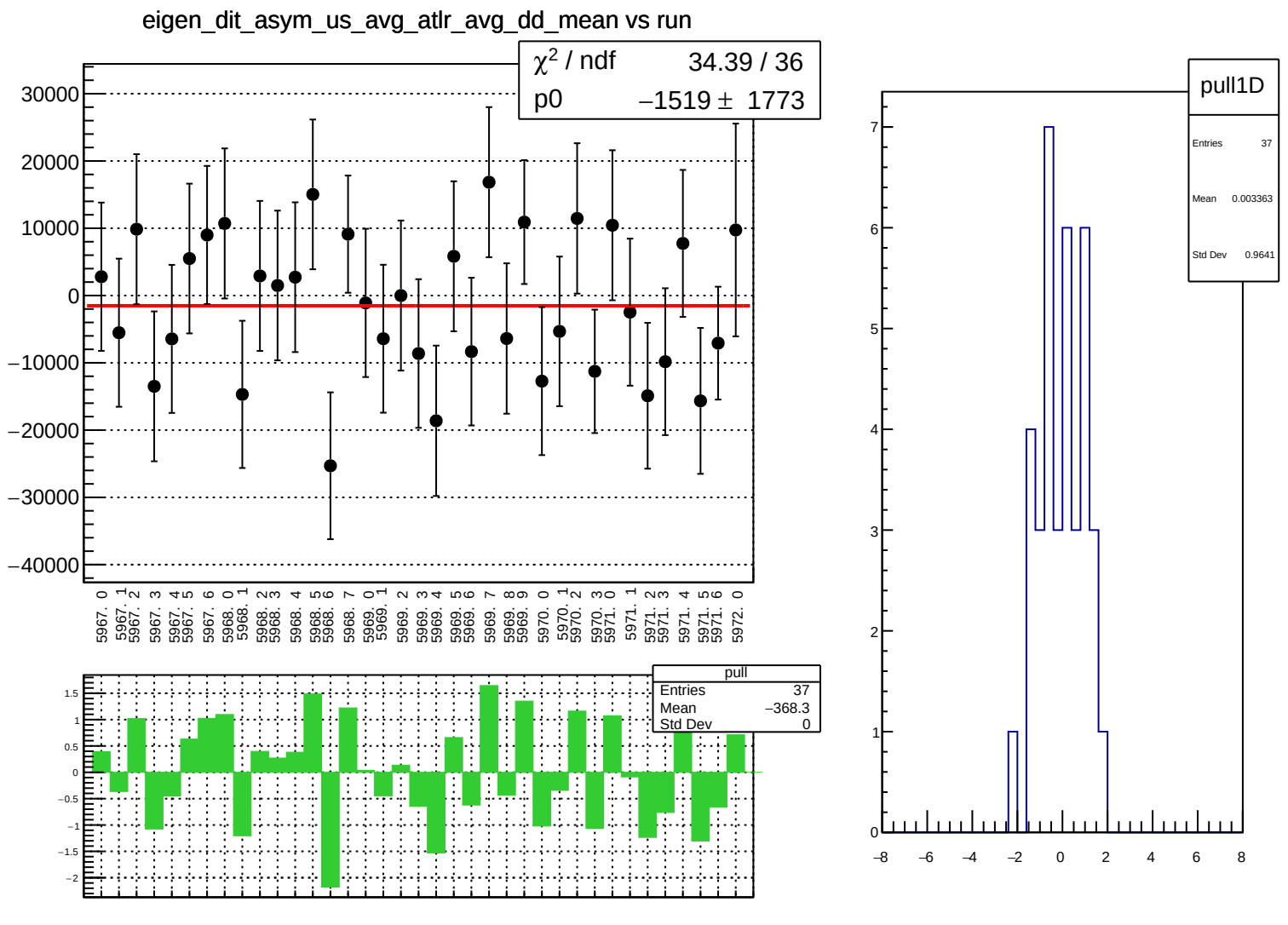
eigen_dit_asym_us_avg_atlr_avg_dd_mean vs run
χ² / ndf 34.39 / 36
p0 −1519 ± 1773
pull
Entries 37
Mean −368.3
Std Dev 0
pull1D
Entries 37
Mean 0.003363
Std Dev 0.9641

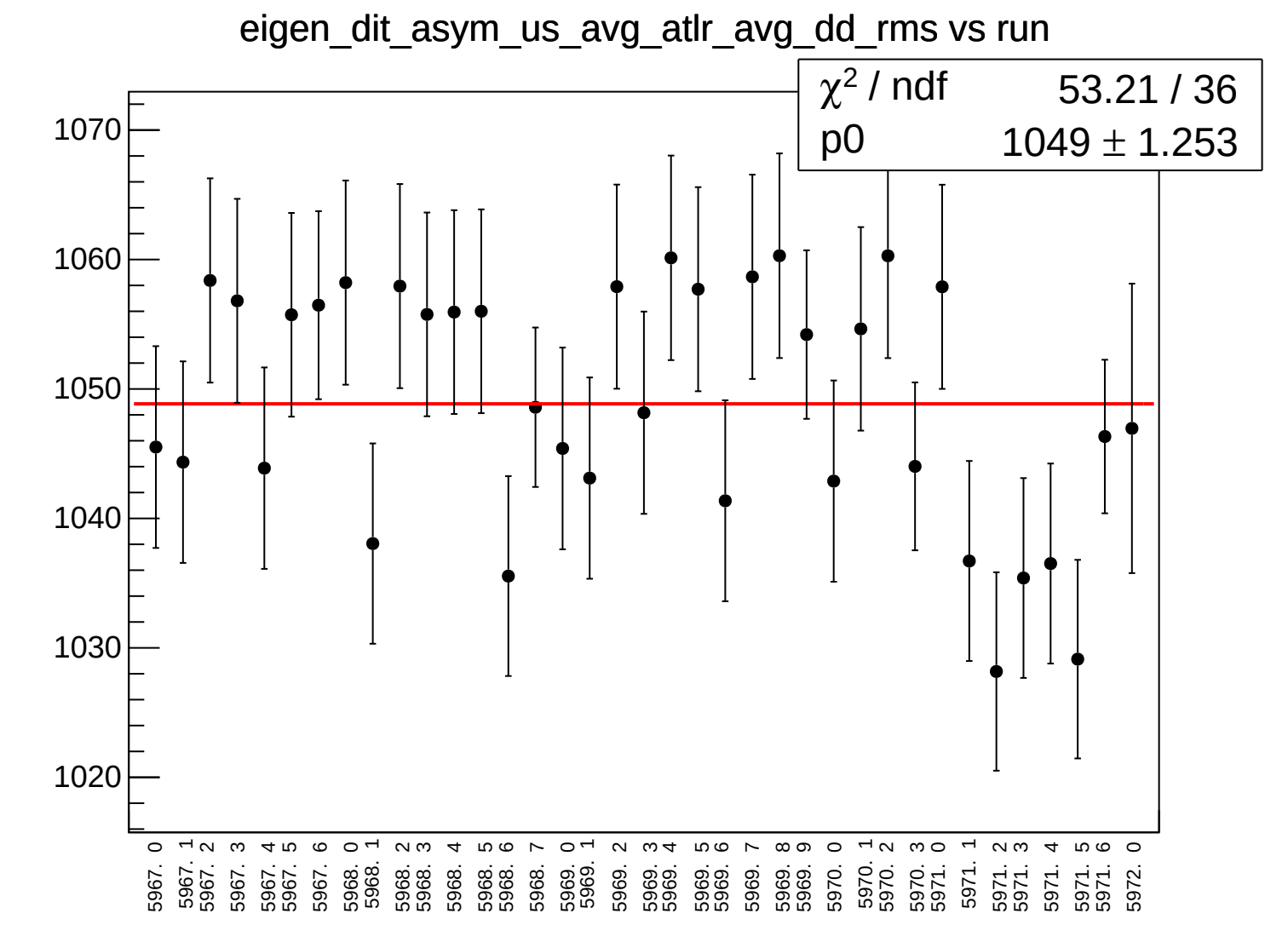
eigen_dit_asym_us_avg_atlr_avg_dd_rms vs run
χ² / ndf 53.21 / 36
p0 1049 ± 1.253
1070
1060
1050
1040
1030
1020
5967. 0
5967. 1
5967. 2
5967. 3
5967. 4
5967. 5
5967. 6
5968. 0
5968. 1
5968. 2
5968. 3
5968. 4
5968. 5
5968. 6
5968. 7
5969. 0
5969. 1
5969. 2
5969. 3
5969. 4
5969. 5
5969. 6
5969. 7
5969. 8
5969. 9
5970. 0
5970. 1
5970. 2
5970. 3
5971. 0
5971. 1
5971. 2
5971. 3
5971. 4
5971. 5
5971. 6
5972. 0

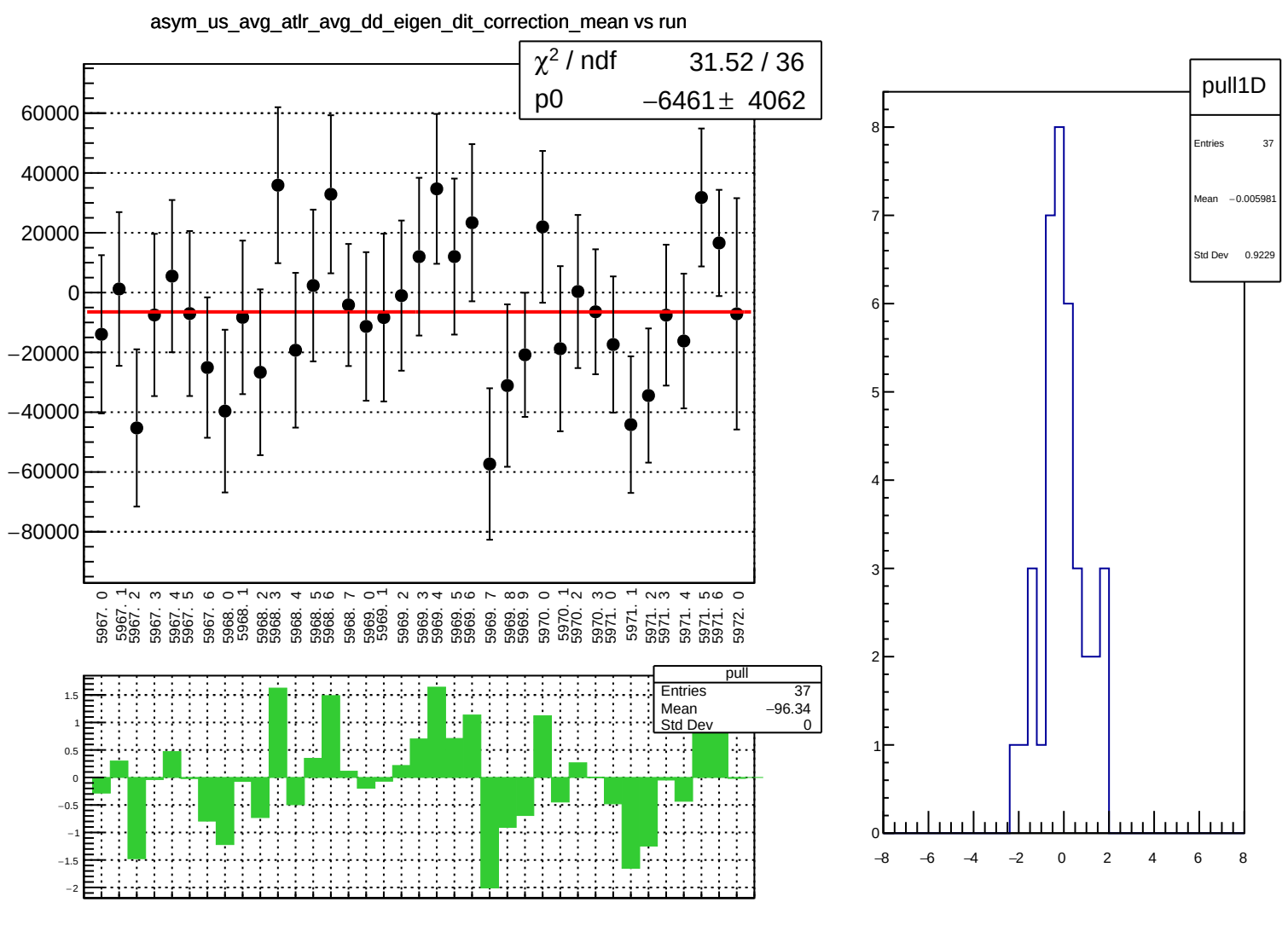
asym_us_avg_atlr_avg_dd_eigen_dit_correction_mean vs run
χ² / ndf 31.52 / 36
p0 −6461 ± 4062
60000
40000
20000
0
−20000
−40000
−60000
−80000
5967. 0
5967. 1
5967. 2
5967. 3
5967. 4
5967. 5
5967. 6
5968. 0
5968. 1
5968. 2
5968. 3
5968. 4
5968. 5
5968. 6
5968. 7
5969. 0
5969. 1
5969. 2
5969. 3
5969. 4
5969. 5
5969. 6
5969. 7
5969. 8
5969. 9
5970. 0
5970. 1
5970. 2
5970. 3
5971. 0
5971. 1
5971. 2
5971. 3
5971. 4
5971. 5
5971. 6
5972. 0
pull
Entries 37
Mean −96.34
Std Dev 0
1.5
1
0.5
0
−0.5
−1
−1.5
−2
pull1D
Entries 37
Mean −0.005981
Std Dev 0.9229
8
7
6
5
4
3
2
1
0
−8
−6
−4
−2
0
2
4
6
8

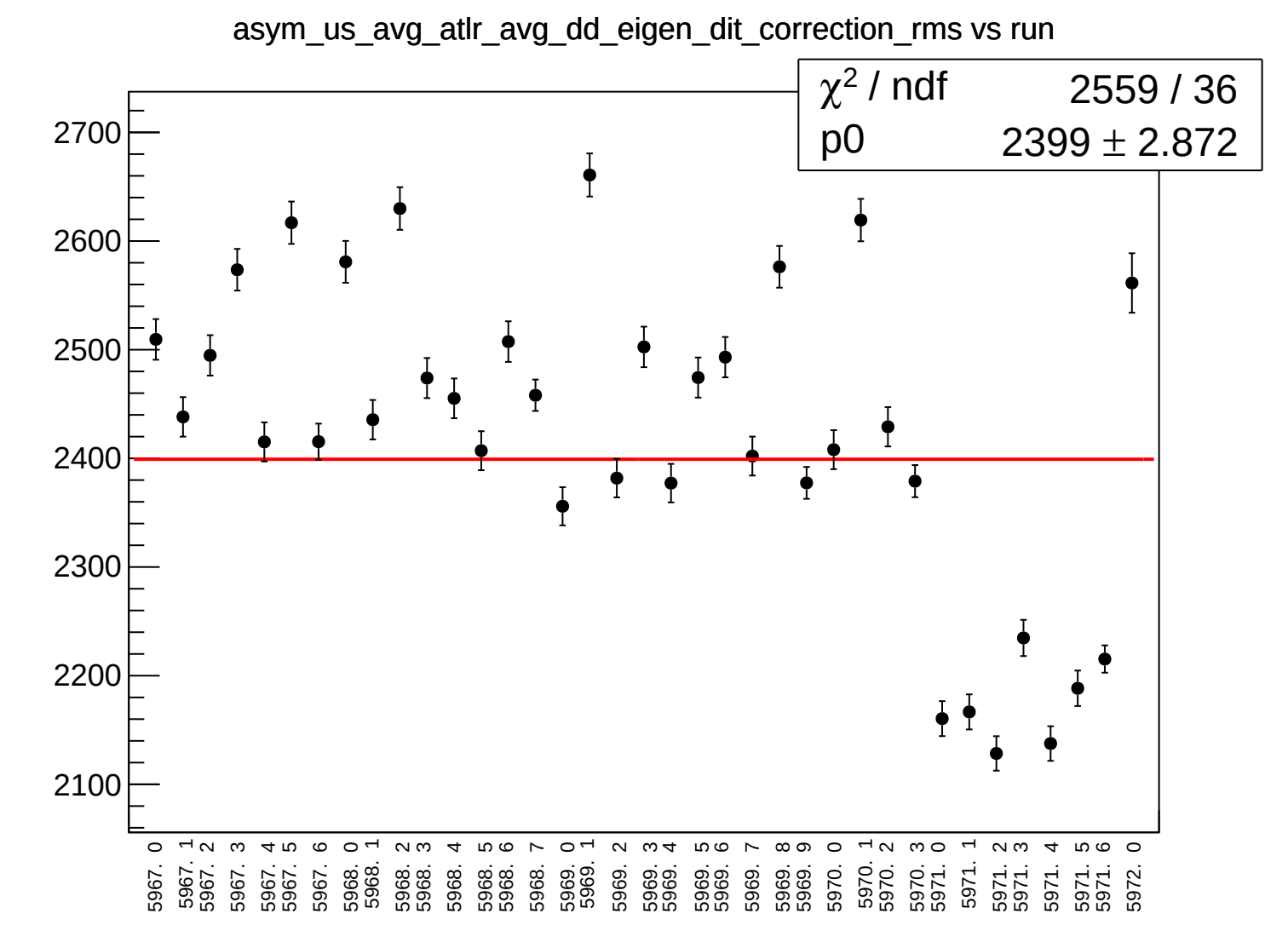
asym_us_avg_atlr_avg_dd_eigen_dit_correction_rms vs run
χ² / ndf 2559 / 36
p0 2399 ± 2.872
2700
2600
2500
2400
2300
2200
2100
5967. 0
5967. 1
5967. 2
5967. 3
5967. 4
5967. 5
5967. 6
5968. 0
5968. 1
5968. 2
5968. 3
5968. 4
5968. 5
5968. 6
5968. 7
5969. 0
5969. 1
5969. 2
5969. 3
5969. 4
5969. 5
5969. 6
5969. 7
5969. 8
5969. 9
5970. 0
5970. 1
5970. 2
5970. 3
5971. 0
5971. 1
5971. 2
5971. 3
5971. 4
5971. 5
5971. 6
5972. 0

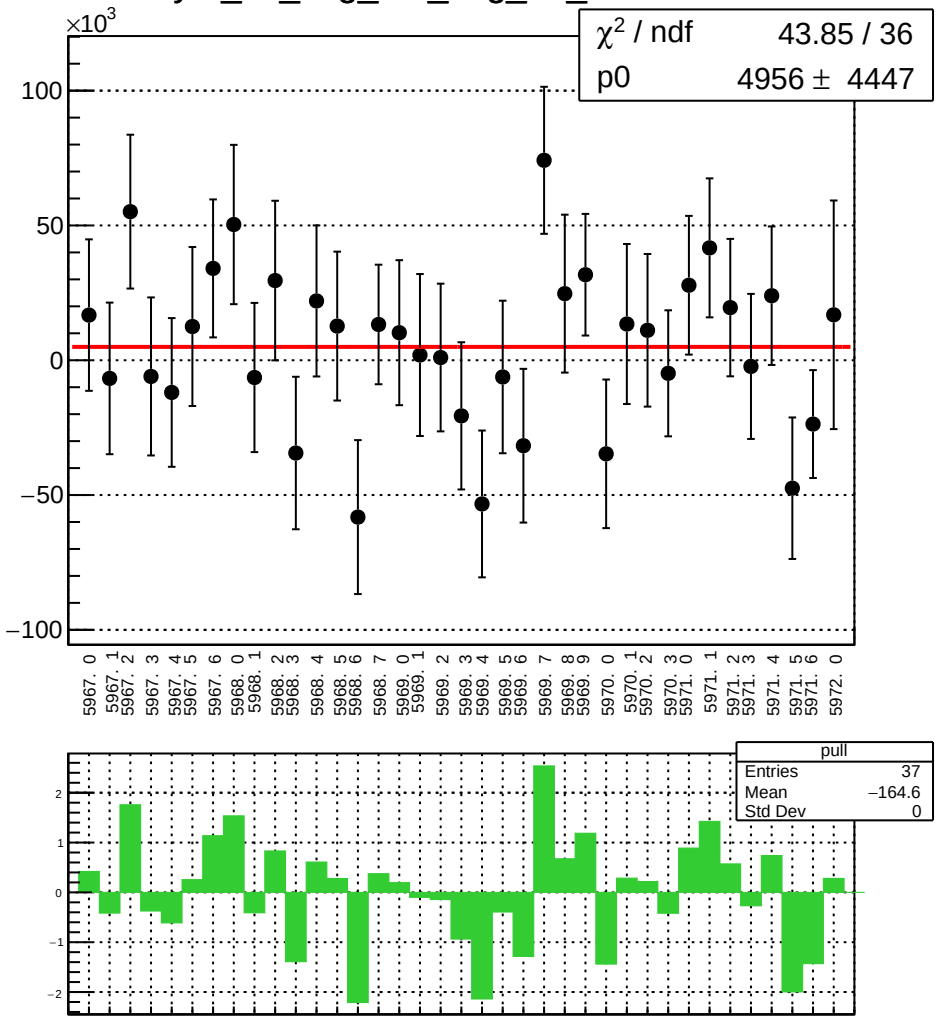
asym_us_avg_atlr_avg_dd_mean vs run
×10^3
χ² / ndf 43.85 / 36
p0 4956 ± 4447
100
50
0
−50
−100
5967. 0
5967. 1
5967. 2
5967. 3
5967. 4
5967. 5
5967. 6
5968. 0
5968. 1
5968. 2
5968. 3
5968. 4
5968. 5
5968. 6
5968. 7
5969. 0
5969. 1
5969. 2
5969. 3
5969. 4
5969. 5
5969. 6
5969. 7
5969. 8
5969. 9
5970. 0
5970. 1
5970. 2
5970. 3
5971. 0
5971. 1
5971. 2
5971. 3
5971. 4
5971. 5
5971. 6
5972. 0
pull
Entries 37
Mean −164.6
Std Dev 0
2
1
0
−1
−2
pull1D
Entries 37
Mean 0.00634
Std Dev 1.089
7
6
5
4
3
2
1
0
−8
−6
−4
−2
0
2
4
6
8

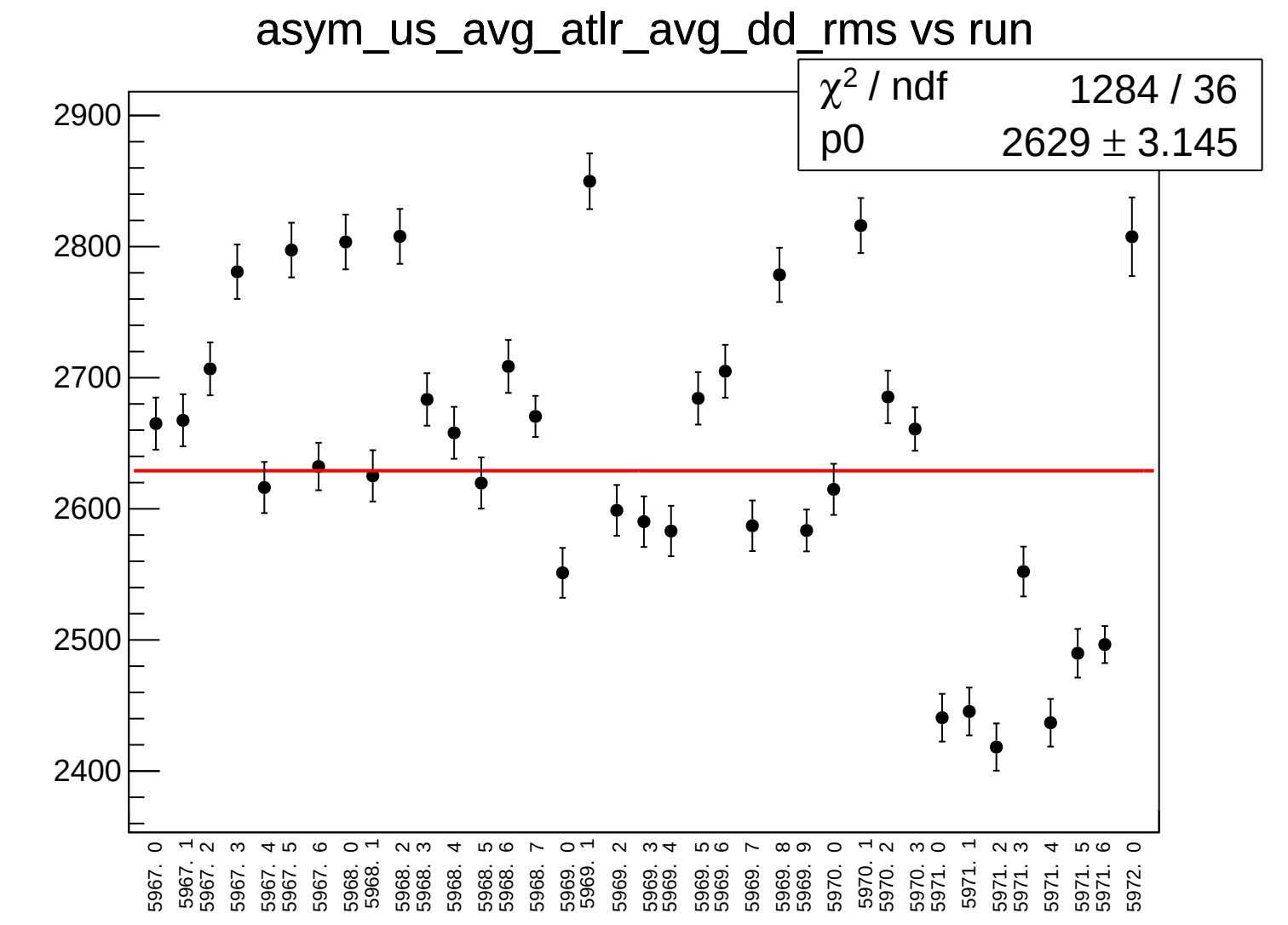
asym_us_avg_atlr_avg_dd_rms vs run
χ² / ndf 1284 / 36
p0 2629 ± 3.145
2900
2800
2700
2600
2500
2400
5967. 0
5967. 1
5967. 2
5967. 3
5967. 4
5967. 5
5967. 6
5968. 0
5968. 1
5968. 2
5968. 3
5968. 4
5968. 5
5968. 6
5968. 7
5969. 0
5969. 1
5969. 2
5969. 3
5969. 4
5969. 5
5969. 6
5969. 7
5969. 8
5969. 9
5970. 0
5970. 1
5970. 2
5970. 3
5971. 0
5971. 1
5971. 2
5971. 3
5971. 4
5971. 5
5971. 6
5972. 0

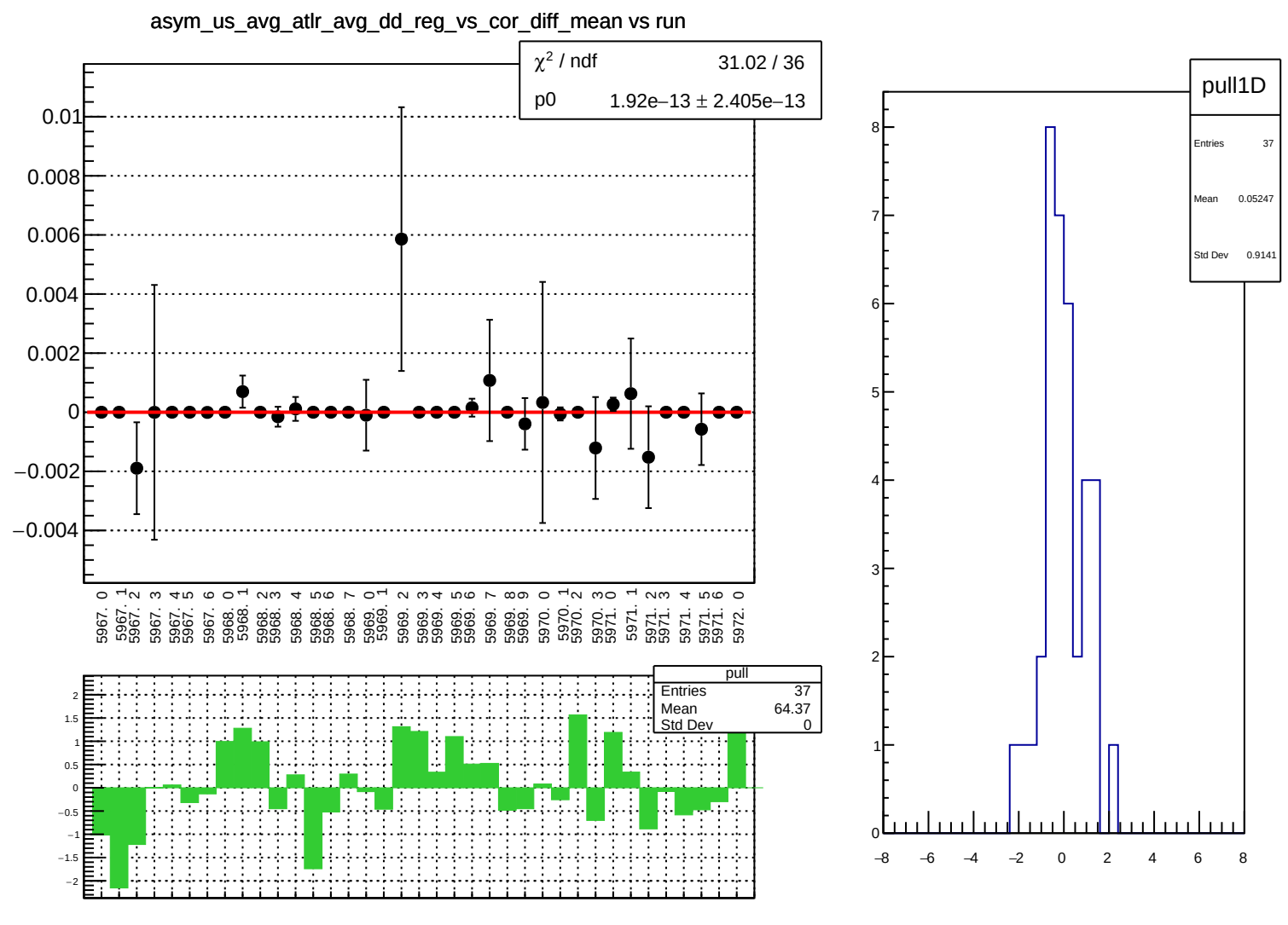
asym_us_avg_atlr_avg_dd_reg_vs_cor_diff_mean vs run
χ² / ndf 31.02 / 36
p0 1.92e−13 ± 2.405e−13
0.01
0.008
0.006
0.004
0.002
0
−0.002
−0.004
5967. 0
5967. 1
5967. 2
5967. 3
5967. 4
5967. 5
5967. 6
5968. 0
5968. 1
5968. 2
5968. 3
5968. 4
5968. 5
5968. 6
5968. 7
5969. 0
5969. 1
5969. 2
5969. 3
5969. 4
5969. 5
5969. 6
5969. 7
5969. 8
5969. 9
5970. 0
5970. 1
5970. 2
5970. 3
5971. 0
5971. 1
5971. 2
5971. 3
5971. 4
5971. 5
5971. 6
5972. 0
pull
Entries 37
Mean 64.37
Std Dev 0
2
1.5
1
0.5
0
−0.5
−1
−1.5
−2
pull1D
Entries 37
Mean 0.05247
Std Dev 0.9141
8
7
6
5
4
3
2
1
0
−8
−6
−4
−2
0
2
4
6
8

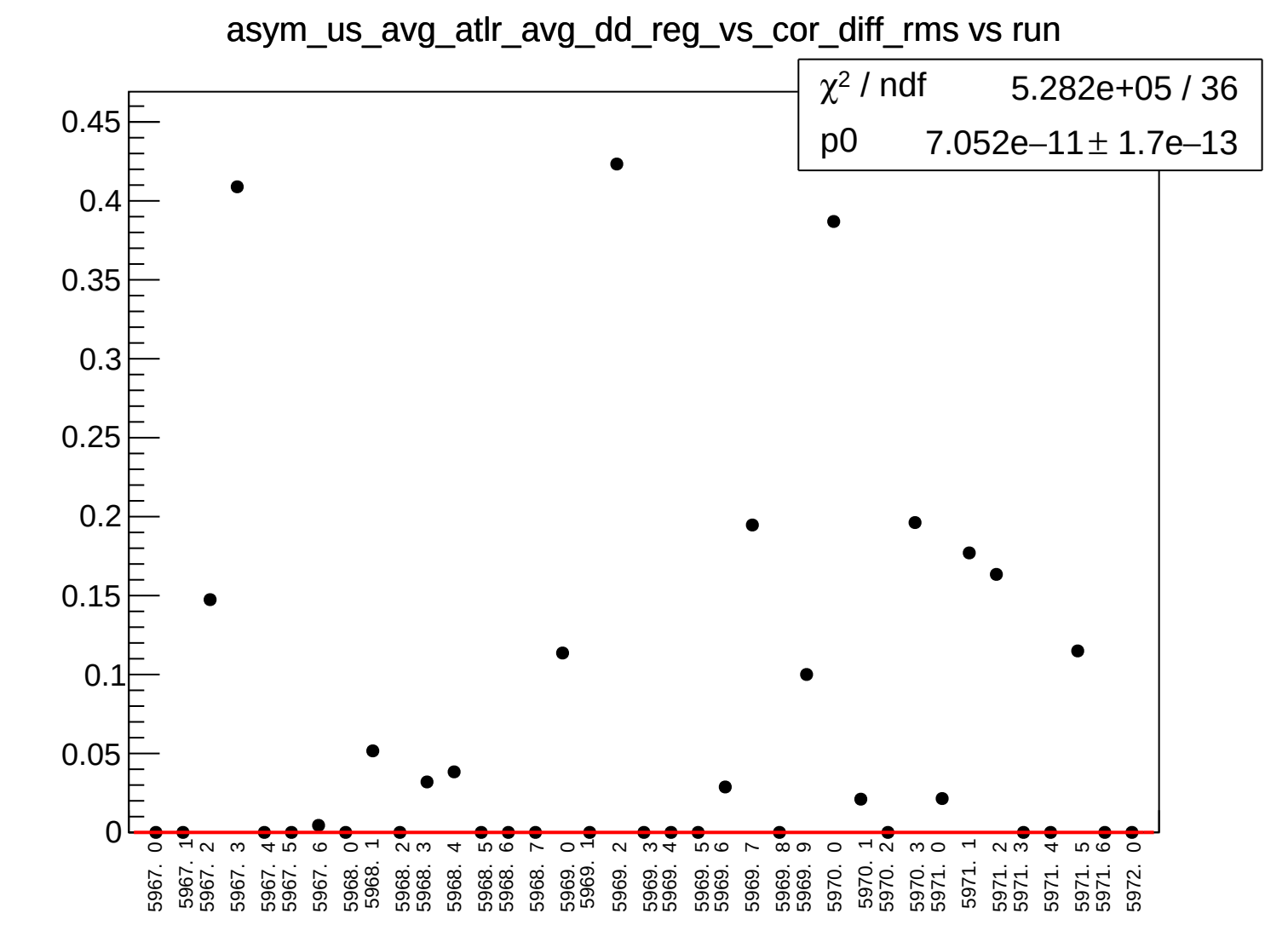
asym_us_avg_atlr_avg_dd_reg_vs_cor_diff_rms vs run
χ² / ndf 5.282e+05 / 36
p0 7.052e−11 ± 1.7e−13
0.45
0.4
0.35
0.3
0.25
0.2
0.15
0.1
0.05
0
5967. 0
5967. 1
5967. 2
5967. 3
5967. 4
5967. 5
5967. 6
5968. 0
5968. 1
5968. 2
5968. 3
5968. 4
5968. 5
5968. 6
5968. 7
5969. 0
5969. 1
5969. 2
5969. 3
5969. 4
5969. 5
5969. 6
5969. 7
5969. 8
5969. 9
5970. 0
5970. 1
5970. 2
5970. 3
5971. 0
5971. 1
5971. 2
5971. 3
5971. 4
5971. 5
5971. 6
5972. 0

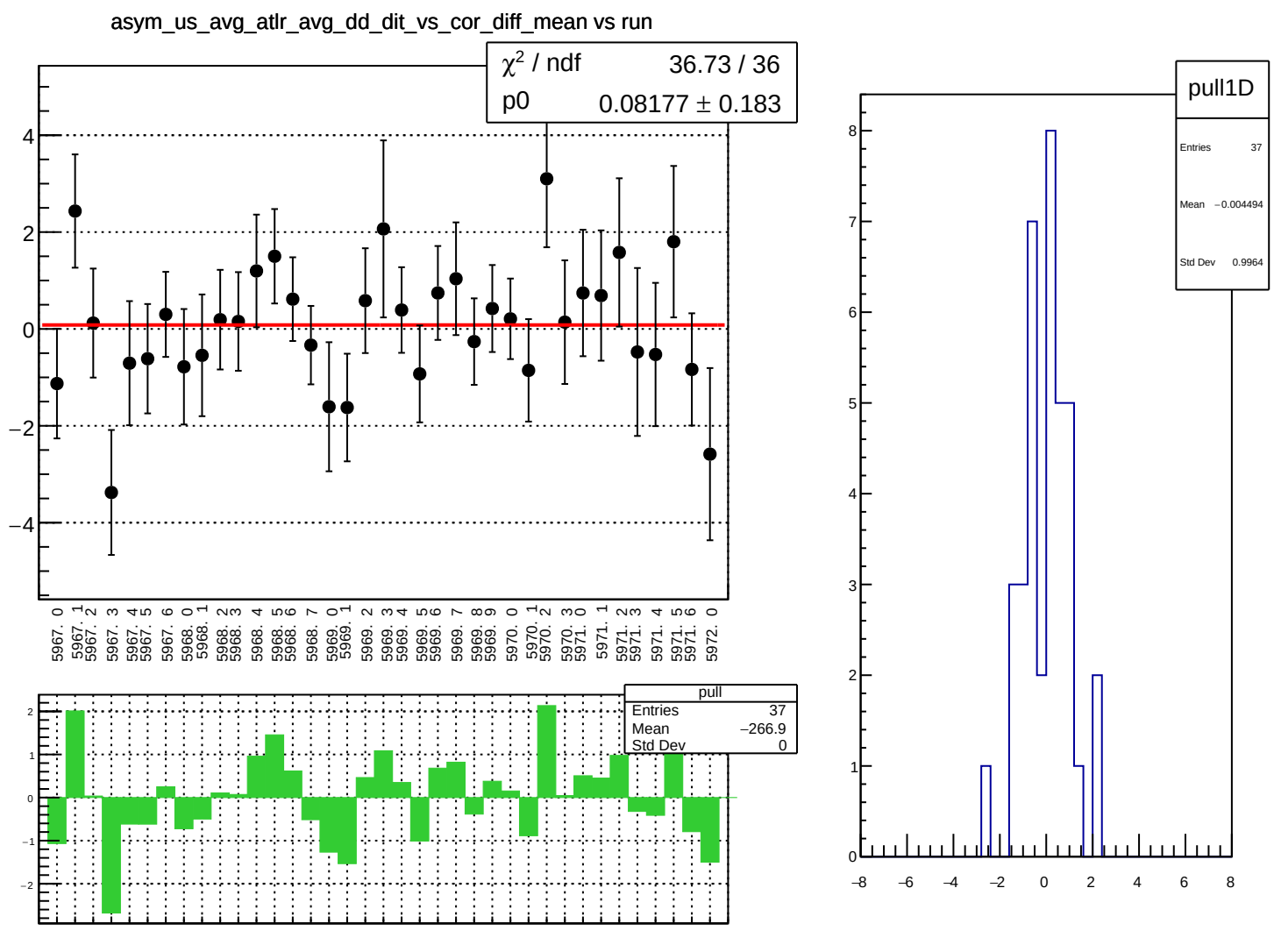
asym_us_avg_atlr_avg_dd_dit_vs_cor_diff_mean vs run
χ² / ndf 36.73 / 36
p0 0.08177 ± 0.183
pull
Entries 37
Mean −266.9
Std Dev 0
pull1D
Entries 37
Mean −0.004494
Std Dev 0.9964

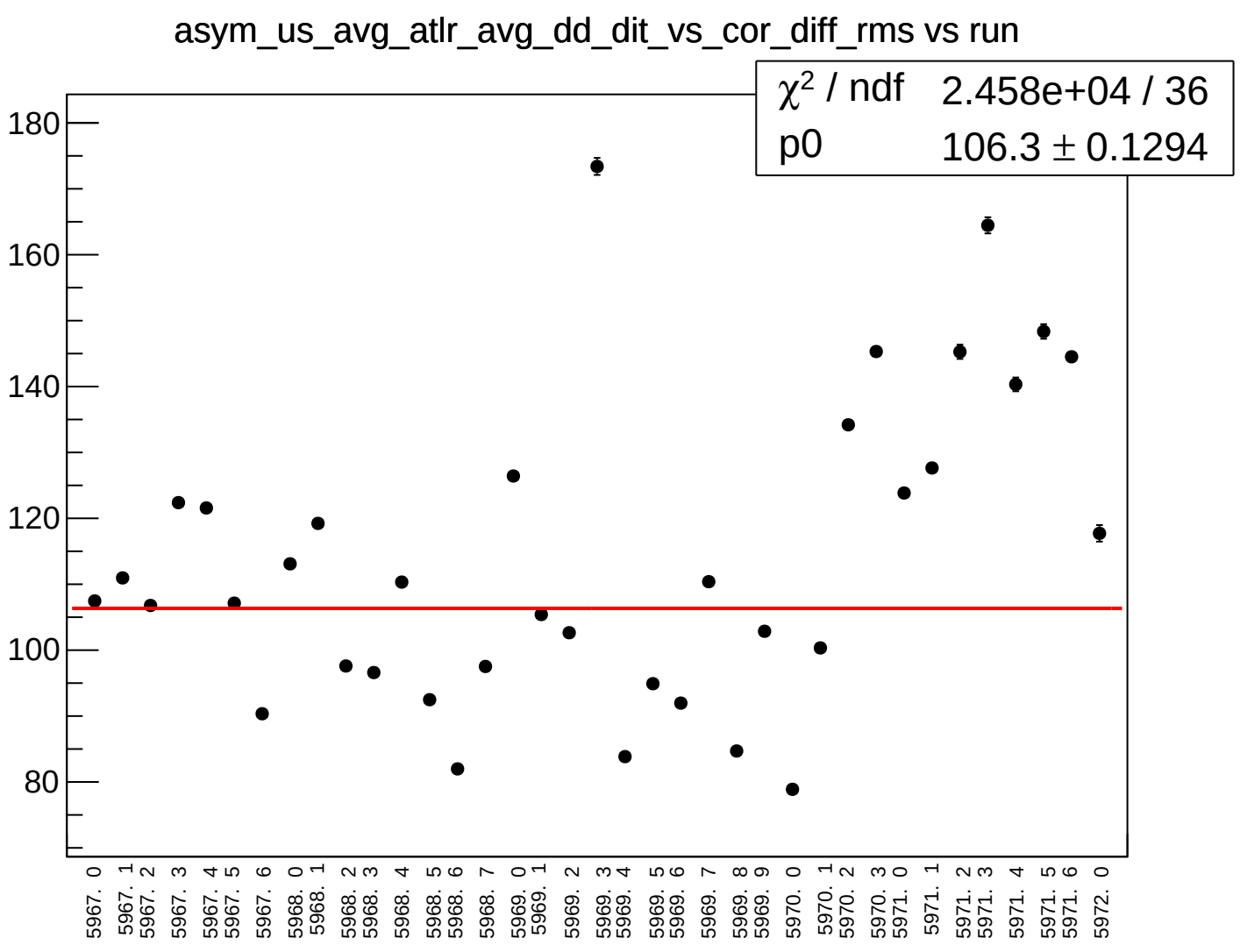
asym_us_avg_atlr_avg_dd_dit_vs_cor_diff_rms vs run
χ² / ndf 2.458e+04 / 36
p0 106.3 ± 0.1294
180
160
140
120
100
80
5967. 0
5967. 1
5967. 2
5967. 3
5967. 4
5967. 5
5967. 6
5968. 0
5968. 1
5968. 2
5968. 3
5968. 4
5968. 5
5968. 6
5968. 7
5969. 0
5969. 1
5969. 2
5969. 3
5969. 4
5969. 5
5969. 6
5969. 7
5969. 8
5969. 9
5970. 0
5970. 1
5970. 2
5970. 3
5971. 0
5971. 1
5971. 2
5971. 3
5971. 4
5971. 5
5971. 6
5972. 0

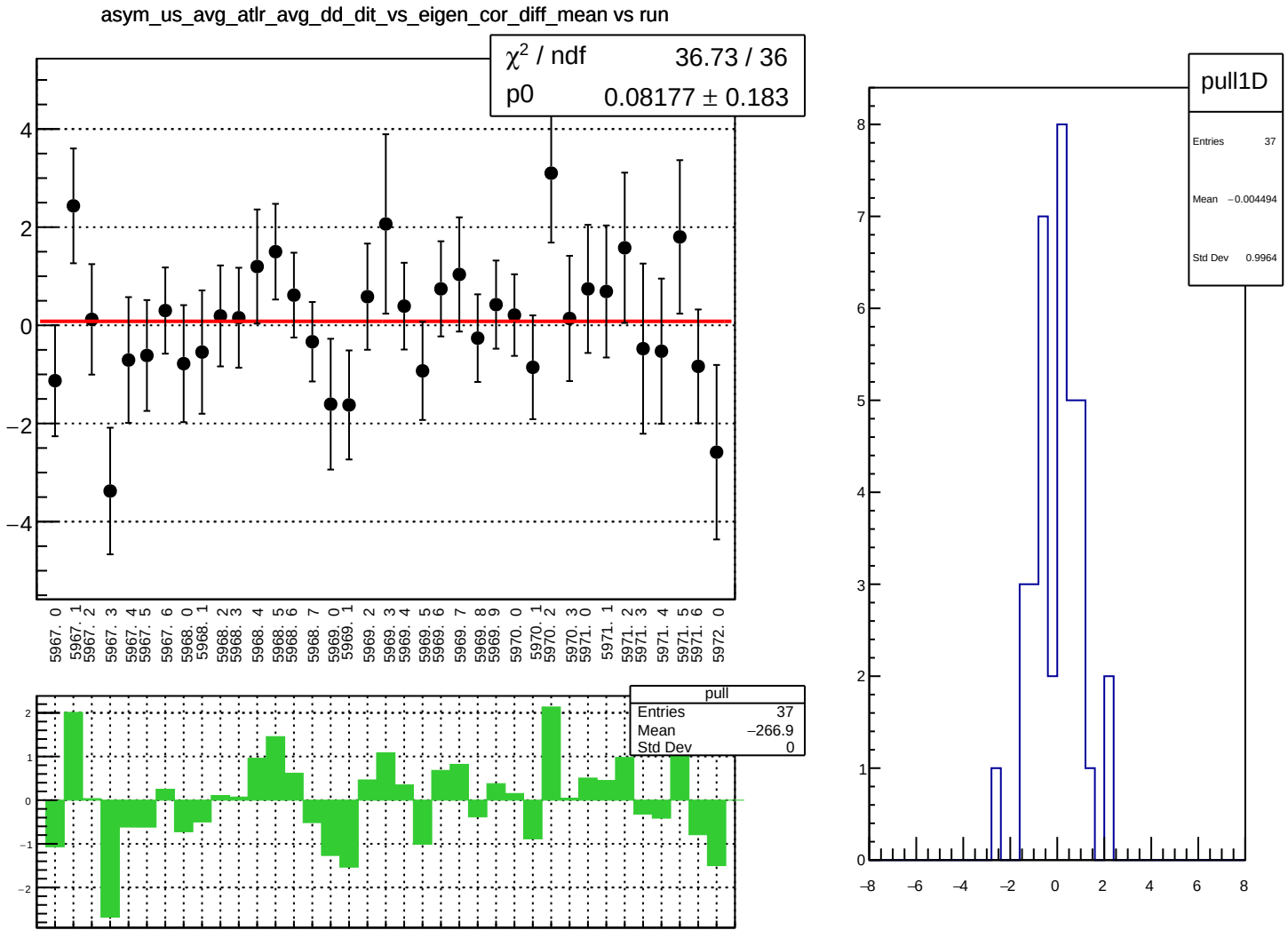
asym_us_avg_atlr_avg_dd_dit_vs_eigen_cor_diff_mean vs run
χ² / ndf 36.73 / 36
p0 0.08177 ± 0.183
pull
Entries 37
Mean −266.9
Std Dev 0
pull1D
Entries 37
Mean −0.004494
Std Dev 0.9964

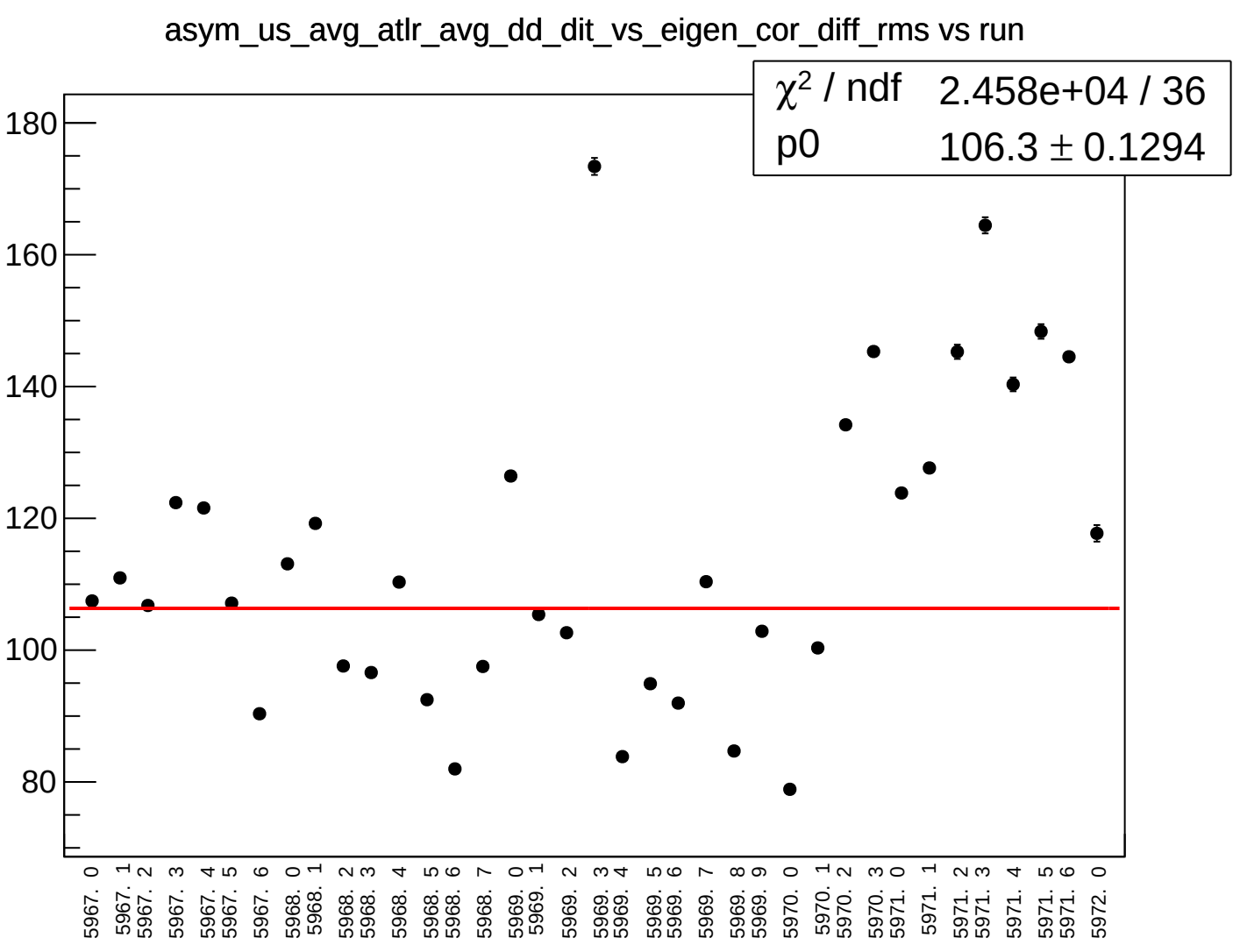
asym_us_avg_atlr_avg_dd_dit_vs_eigen_cor_diff_rms vs run
χ² / ndf 2.458e+04 / 36
p0 106.3 ± 0.1294
180
160
140
120
100
80
5967. 0
5967. 1
5967. 2
5967. 3
5967. 4
5967. 5
5967. 6
5968. 0
5968. 1
5968. 2
5968. 3
5968. 4
5968. 5
5968. 6
5968. 7
5969. 0
5969. 1
5969. 2
5969. 3
5969. 4
5969. 5
5969. 6
5969. 7
5969. 8
5969. 9
5970. 0
5970. 1
5970. 2
5970. 3
5971. 0
5971. 1
5971. 2
5971. 3
5971. 4
5971. 5
5971. 6
5972. 0

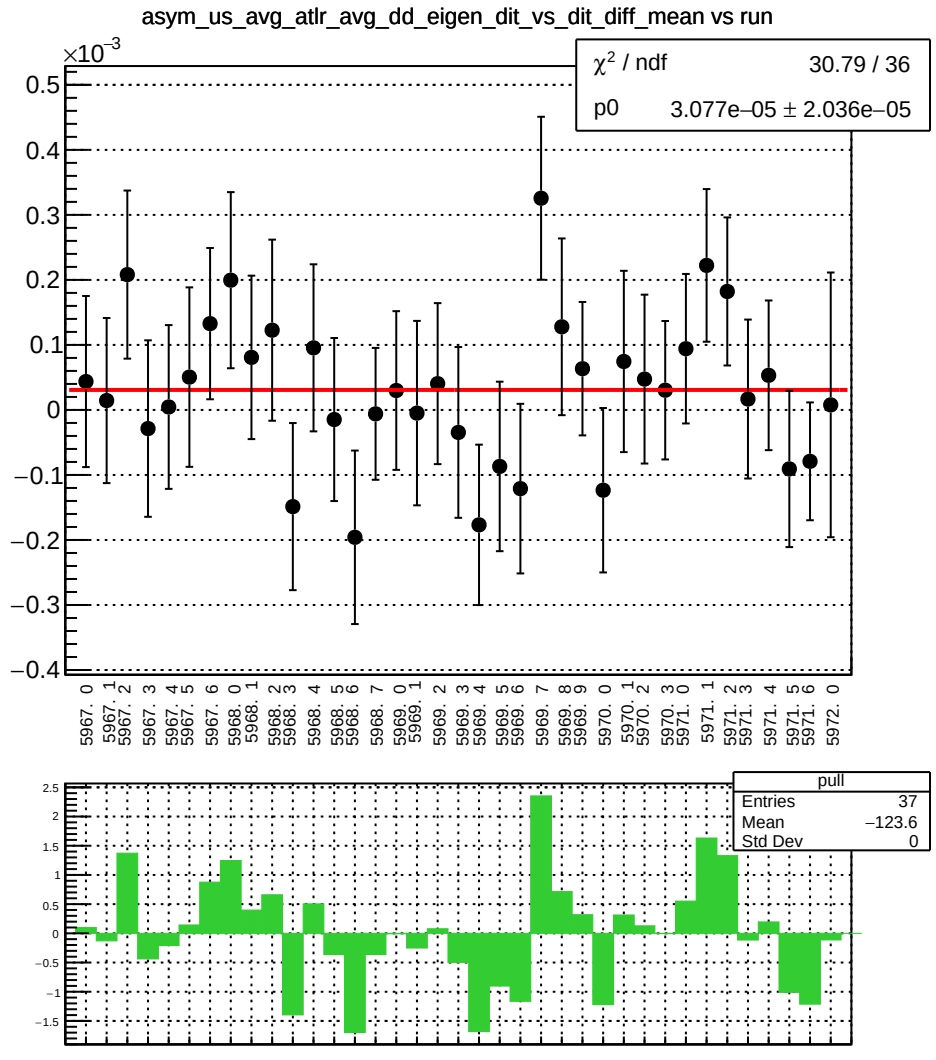
asym_us_avg_atlr_avg_dd_eigen_dit_vs_dit_diff_mean vs run
×10⁻³
χ² / ndf 30.79 / 36
p0 3.077e−05 ± 2.036e−05
pull
Entries 37
Mean −123.6
Std Dev 0

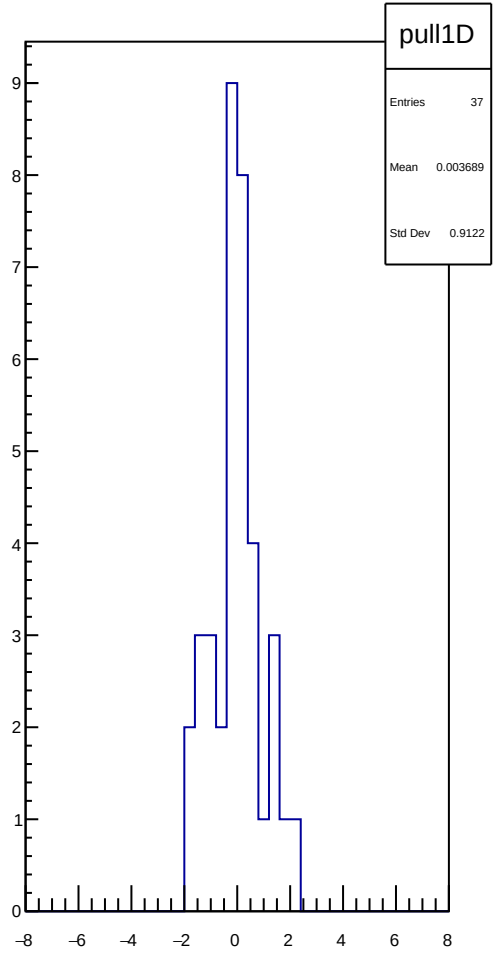
pull1D
Entries 37
Mean 0.003689
Std Dev 0.9122

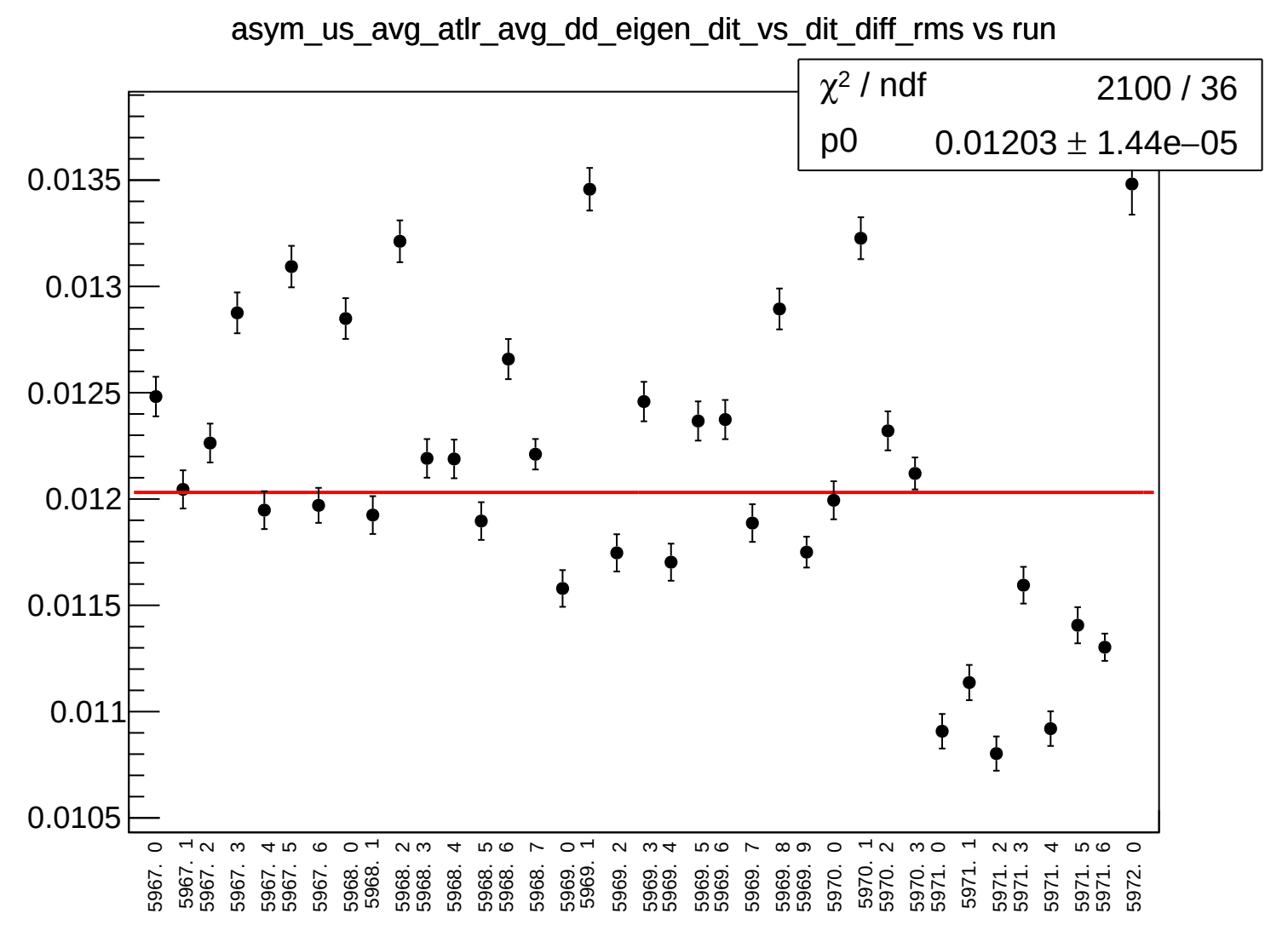
asym_us_avg_atlr_avg_dd_eigen_dit_vs_dit_diff_rms vs run
χ² / ndf 2100 / 36
p0 0.01203 ± 1.44e−05
0.0135
0.013
0.0125
0.012
0.0115
0.011
0.0105
5967. 0
5967. 1
5967. 2
5967. 3
5967. 4
5967. 5
5967. 6
5968. 0
5968. 1
5968. 2
5968. 3
5968. 4
5968. 5
5968. 6
5968. 7
5969. 0
5969. 1
5969. 2
5969. 3
5969. 4
5969. 5
5969. 6
5969. 7
5969. 8
5969. 9
5970. 0
5970. 1
5970. 2
5970. 3
5971. 0
5971. 1
5971. 2
5971. 3
5971. 4
5971. 5
5971. 6
5972. 0

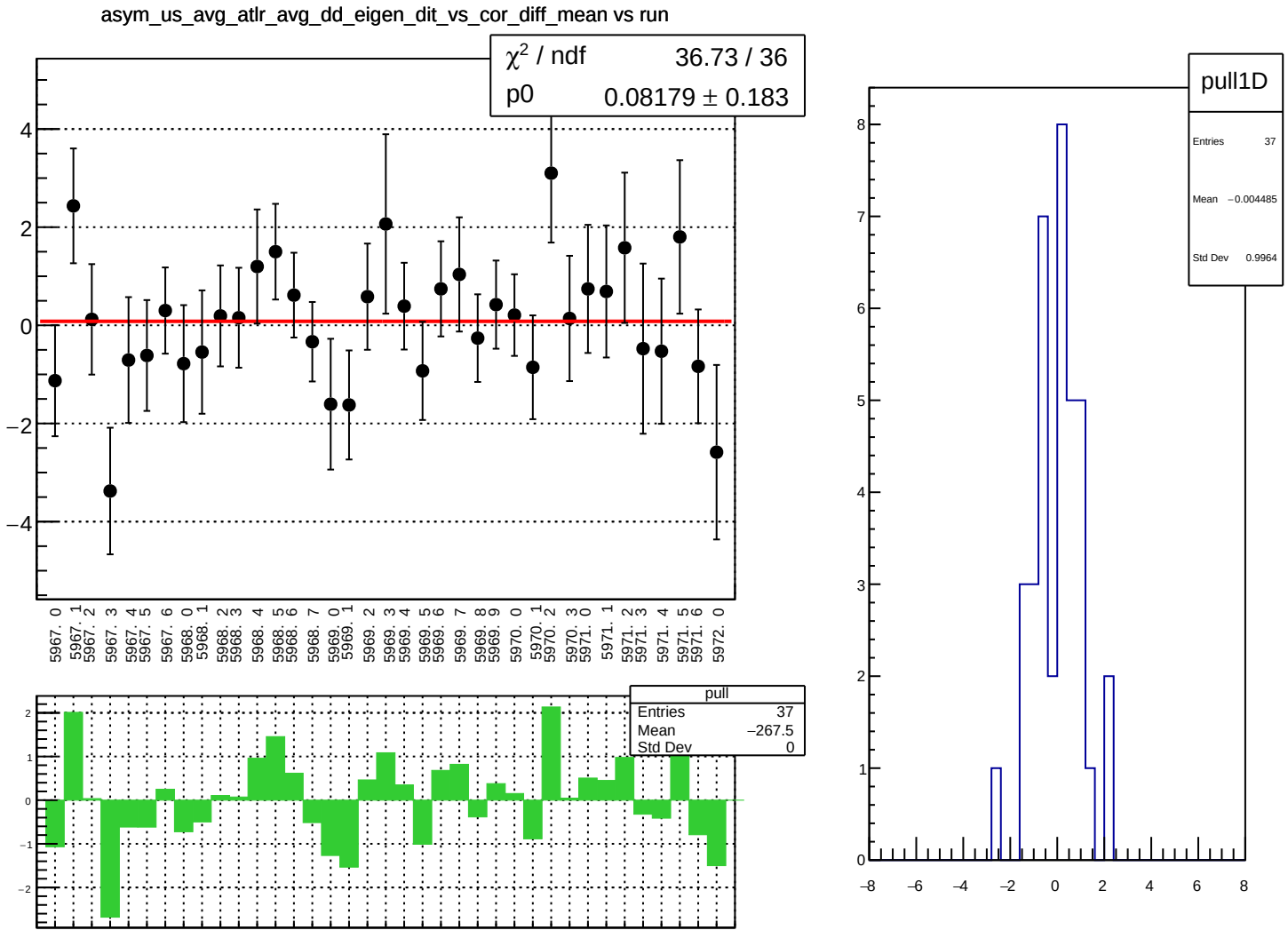
asym_us_avg_atlr_avg_dd_eigen_dit_vs_cor_diff_mean vs run
χ² / ndf 36.73 / 36
p0 0.08179 ± 0.183
pull
Entries 37
Mean −267.5
Std Dev 0
pull1D
Entries 37
Mean −0.004485
Std Dev 0.9964

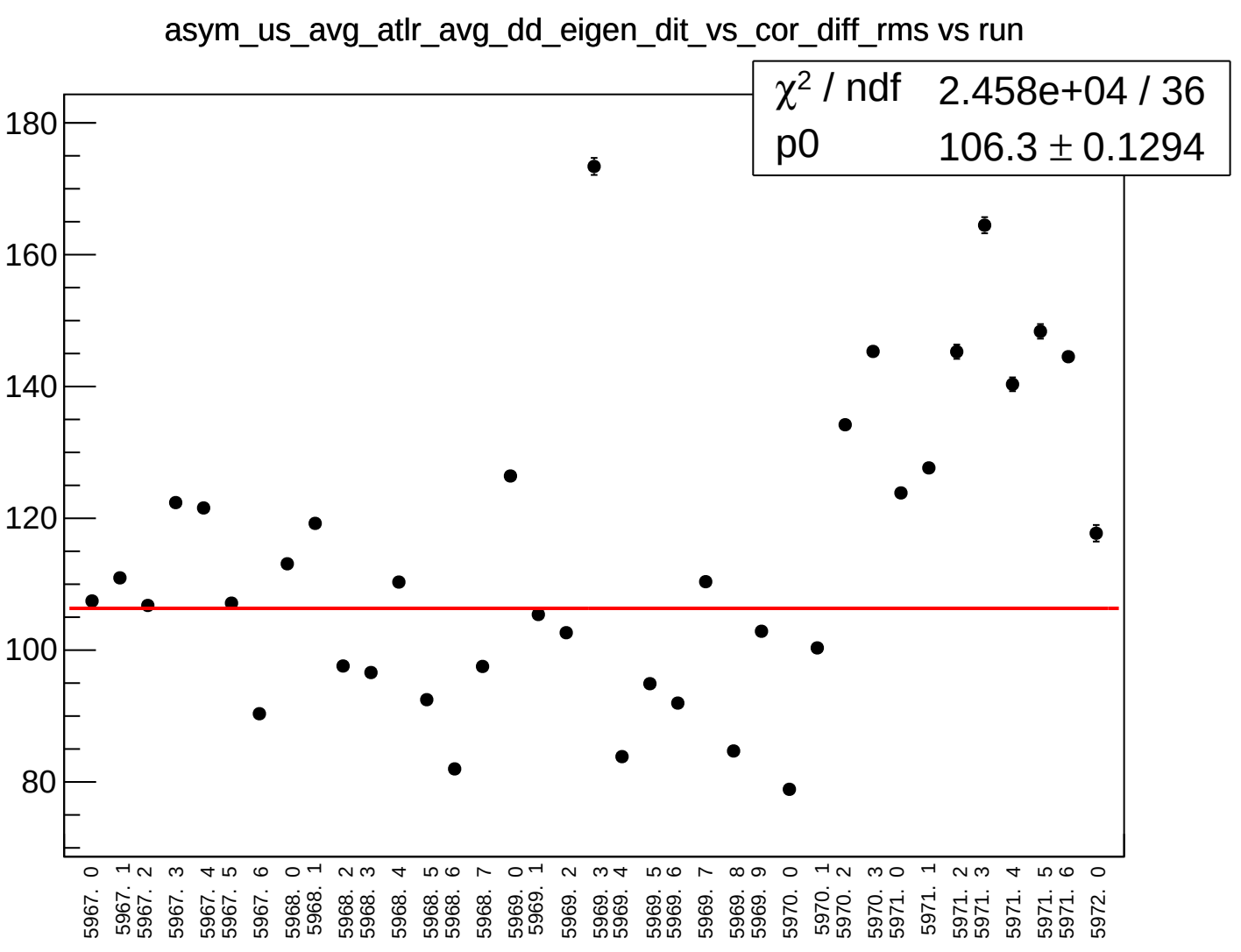
asym_us_avg_atlr_avg_dd_eigen_dit_vs_cor_diff_rms vs run
χ² / ndf 2.458e+04 / 36
p0 106.3 ± 0.1294
180
160
140
120
100
80
5967. 0
5967. 1
5967. 2
5967. 3
5967. 4
5967. 5
5967. 6
5968. 0
5968. 1
5968. 2
5968. 3
5968. 4
5968. 5
5968. 6
5968. 7
5969. 0
5969. 1
5969. 2
5969. 3
5969. 4
5969. 5
5969. 6
5969. 7
5969. 8
5969. 9
5970. 0
5970. 1
5970. 2
5970. 3
5971. 0
5971. 1
5971. 2
5971. 3
5971. 4
5971. 5
5971. 6
5972. 0

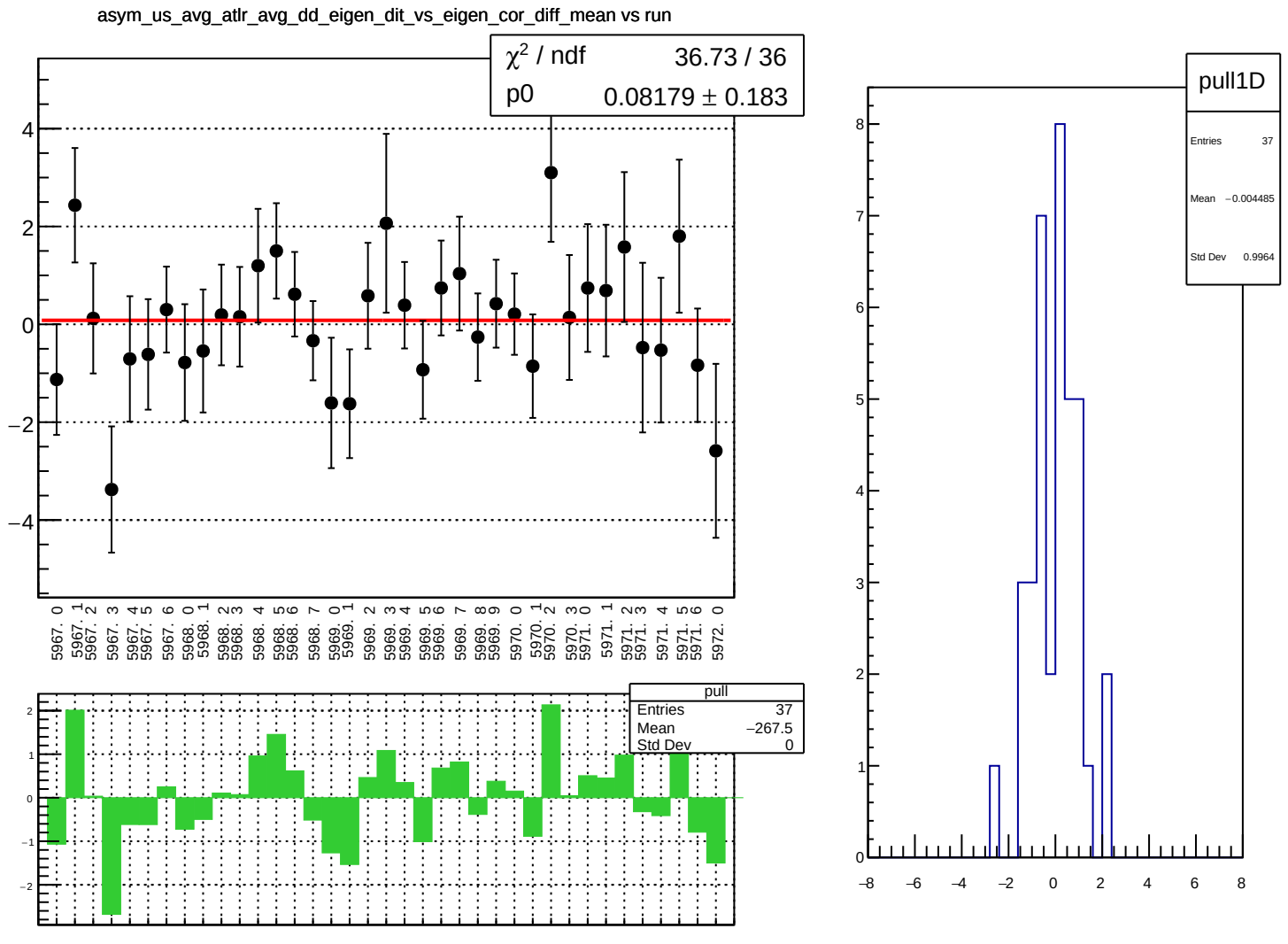
asym_us_avg_atlr_avg_dd_eigen_dit_vs_eigen_cor_diff_mean vs run
χ² / ndf 36.73 / 36
p0 0.08179 ± 0.183
pull
Entries 37
Mean −267.5
Std Dev 0
pull1D
Entries 37
Mean −0.004485
Std Dev 0.9964

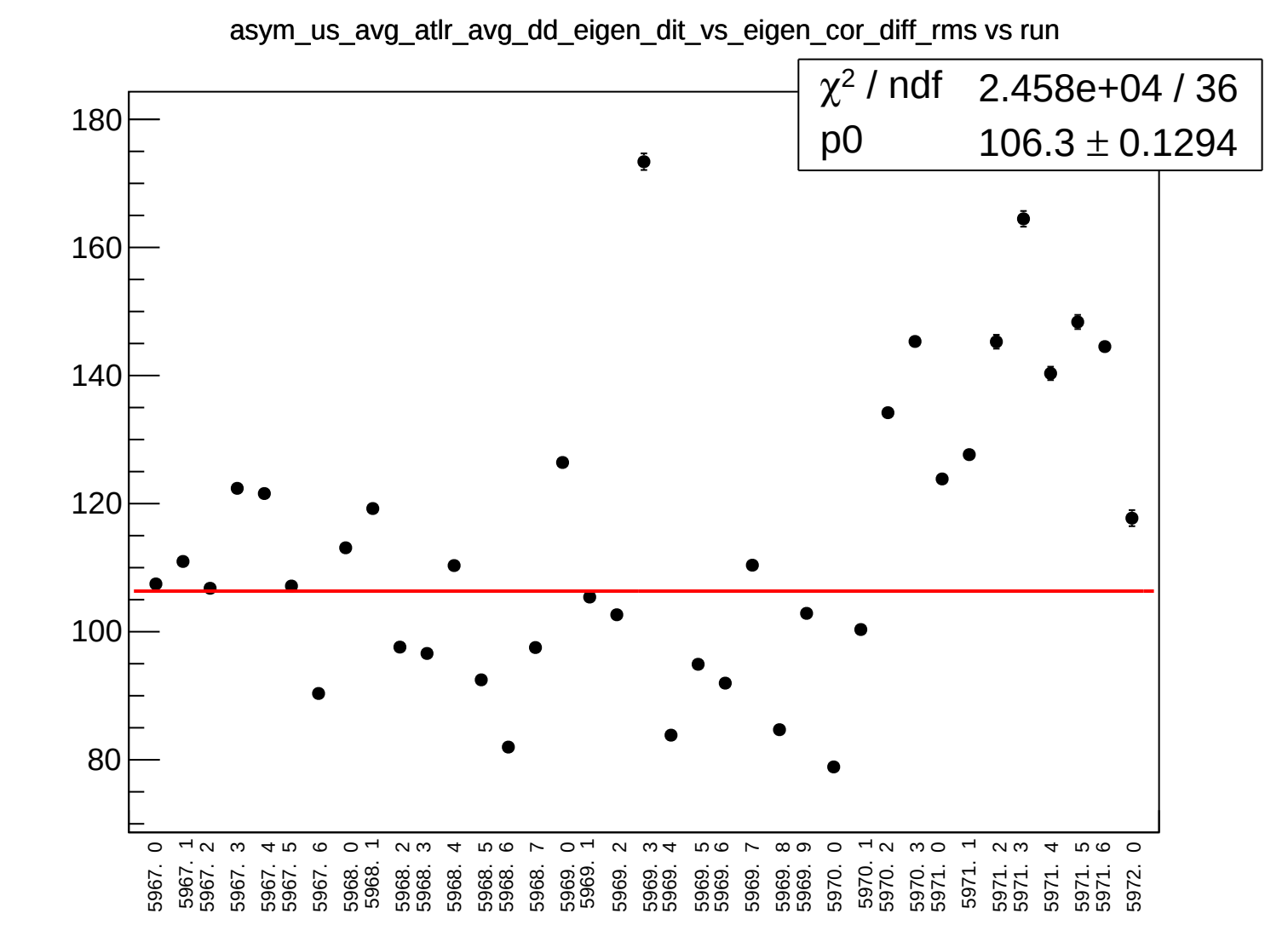
asym_us_avg_atlr_avg_dd_eigen_dit_vs_eigen_cor_diff_rms vs run
χ² / ndf 2.458e+04 / 36
p0 106.3 ± 0.1294
180
160
140
120
100
80
5967. 0
5967. 1
5967. 2
5967. 3
5967. 4
5967. 5
5967. 6
5968. 0
5968. 1
5968. 2
5968. 3
5968. 4
5968. 5
5968. 6
5968. 7
5969. 0
5969. 1
5969. 2
5969. 3
5969. 4
5969. 5
5969. 6
5969. 7
5969. 8
5969. 9
5970. 0
5970. 1
5970. 2
5970. 3
5971. 0
5971. 1
5971. 2
5971. 3
5971. 4
5971. 5
5971. 6
5972. 0

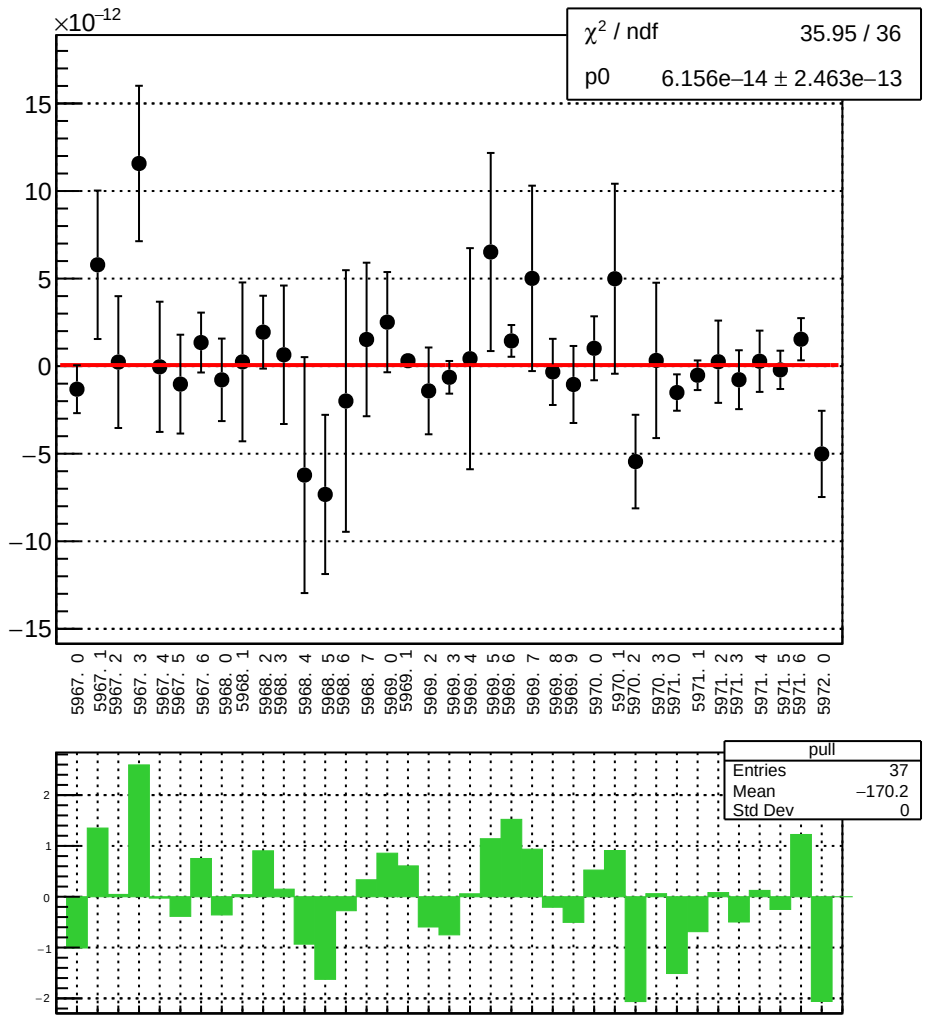
asym_us_avg_atlr_avg_dd_eigen_cor_vs_cor_diff_mean vs run
×10⁻¹²
χ² / ndf 35.95 / 36
p0 6.156e−14 ± 2.463e−13
15
10
5
0
−5
−10
−15
5967. 0
5967. 1
5967. 2
5967. 3
5967. 4
5967. 5
5967. 6
5968. 0
5968. 1
5968. 2
5968. 3
5968. 4
5968. 5
5968. 6
5968. 7
5969. 0
5969. 1
5969. 2
5969. 3
5969. 4
5969. 5
5969. 6
5969. 7
5969. 8
5969. 9
5970. 0
5970. 1
5970. 2
5970. 3
5971. 0
5971. 1
5971. 2
5971. 3
5971. 4
5971. 5
5971. 6
5972. 0
pull
Entries 37
Mean −170.2
Std Dev 0
2
1
0
−1
−2

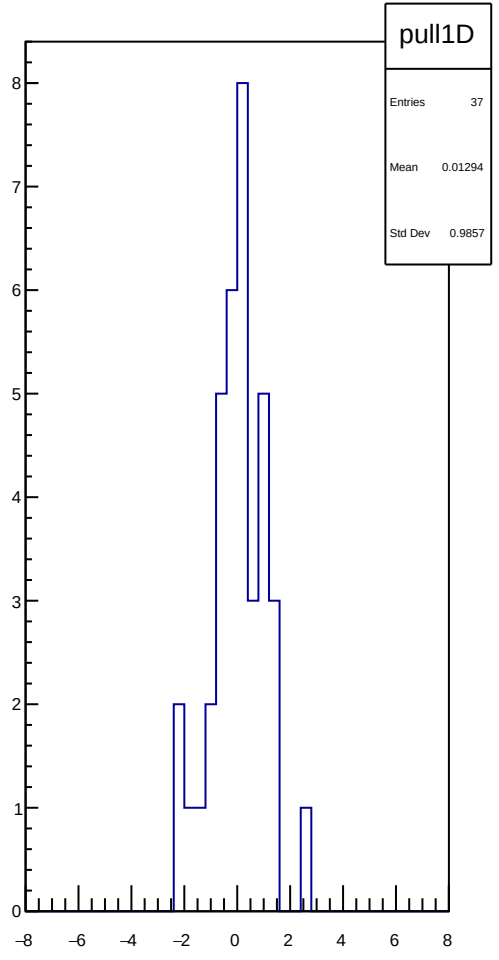
pull1D
Entries 37
Mean 0.01294
Std Dev 0.9857
8
7
6
5
4
3
2
1
0
−8
−6
−4
−2
0
2
4
6
8

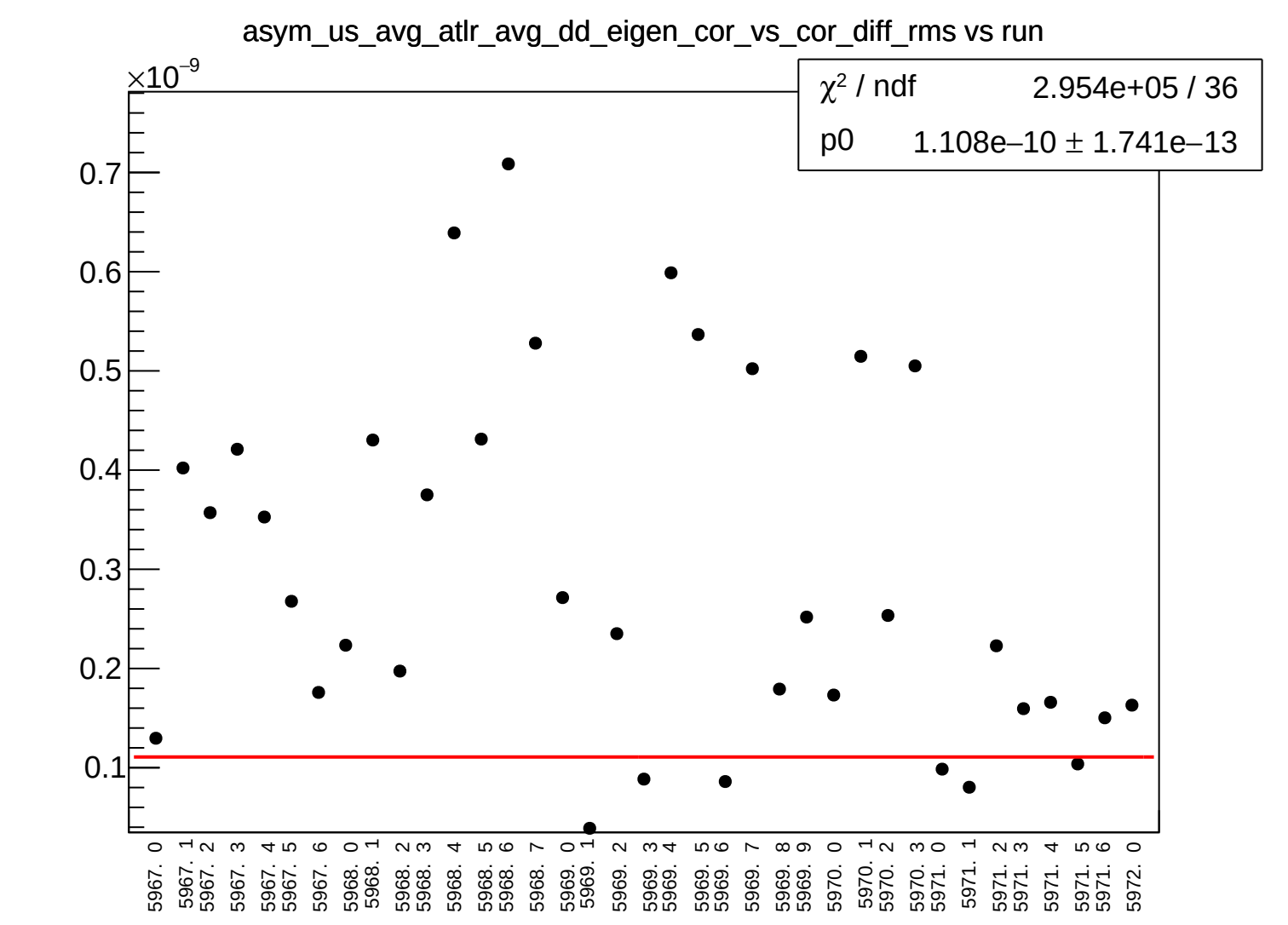
asym_us_avg_atlr_avg_dd_eigen_cor_vs_cor_diff_rms vs run
×10⁻⁹
χ² / ndf 2.954e+05 / 36
p0 1.108e−10 ± 1.741e−13
0.7
0.6
0.5
0.4
0.3
0.2
0.1
5967. 0
5967. 1
5967. 2
5967. 3
5967. 4
5967. 5
5967. 6
5968. 0
5968. 1
5968. 2
5968. 3
5968. 4
5968. 5
5968. 6
5968. 7
5969. 0
5969. 1
5969. 2
5969. 3
5969. 4
5969. 5
5969. 6
5969. 7
5969. 8
5969. 9
5970. 0
5970. 1
5970. 2
5970. 3
5971. 0
5971. 1
5971. 2
5971. 3
5971. 4
5971. 5
5971. 6
5972. 0

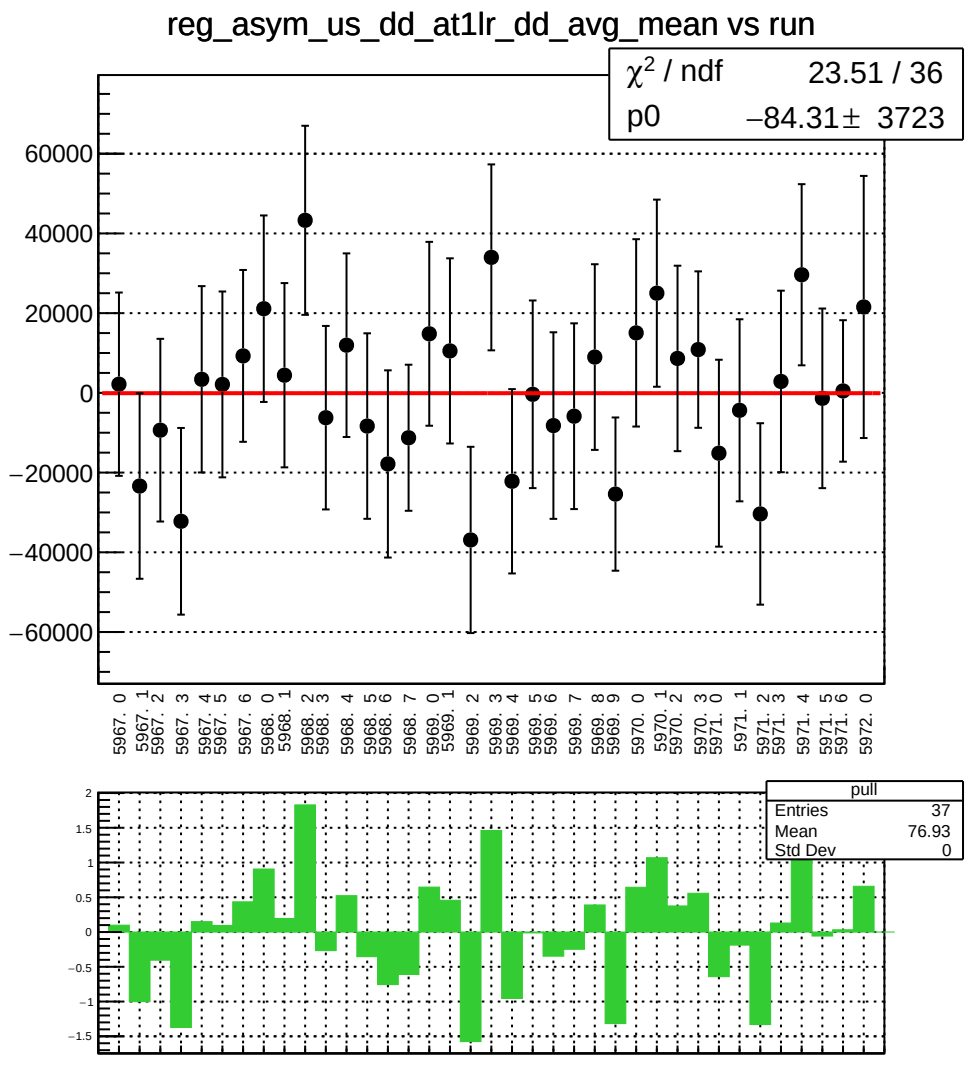
reg_asym_us_dd_at1lr_dd_avg_mean vs run
χ² / ndf 23.51 / 36
p0 −84.31± 3723
60000
40000
20000
0
−20000
−40000
−60000
5967. 0
5967. 1
5967. 2
5967. 3
5967. 4
5967. 5
5967. 6
5968. 0
5968. 1
5968. 2
5968. 3
5968. 4
5968. 5
5968. 6
5968. 7
5969. 0
5969. 1
5969. 2
5969. 3
5969. 4
5969. 5
5969. 6
5969. 7
5969. 8
5969. 9
5970. 0
5970. 1
5970. 2
5970. 3
5971. 0
5971. 1
5971. 2
5971. 3
5971. 4
5971. 5
5971. 6
5972. 0
pull
Entries 37
Mean 76.93
Std Dev 0
2
1.5
1
0.5
0
−0.5
−1
−1.5
pull1D
Entries 37
Mean 0.014
Std Dev 0.797
8
7
6
5
4
3
2
1
0
−8
−6
−4
−2
0
2
4
6
8

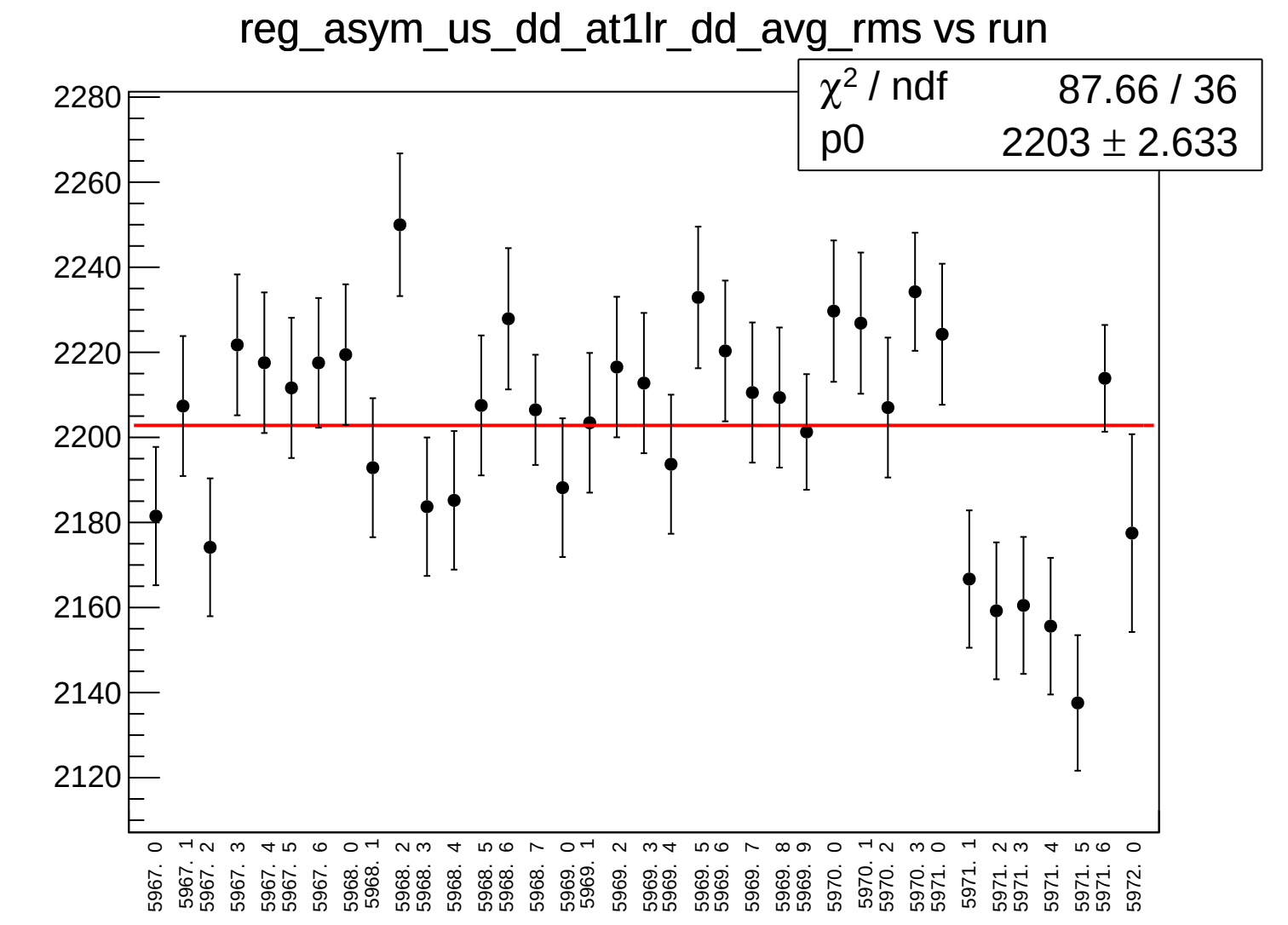
reg_asym_us_dd_at1lr_dd_avg_rms vs run
χ² / ndf 87.66 / 36
p0 2203 ± 2.633
2280
2260
2240
2220
2200
2180
2160
2140
2120
5967. 0
5967. 1
5967. 2
5967. 3
5967. 4
5967. 5
5967. 6
5968. 0
5968. 1
5968. 2
5968. 3
5968. 4
5968. 5
5968. 6
5968. 7
5969. 0
5969. 1
5969. 2
5969. 3
5969. 4
5969. 5
5969. 6
5969. 7
5969. 8
5969. 9
5970. 0
5970. 1
5970. 2
5970. 3
5971. 0
5971. 1
5971. 2
5971. 3
5971. 4
5971. 5
5971. 6
5972. 0

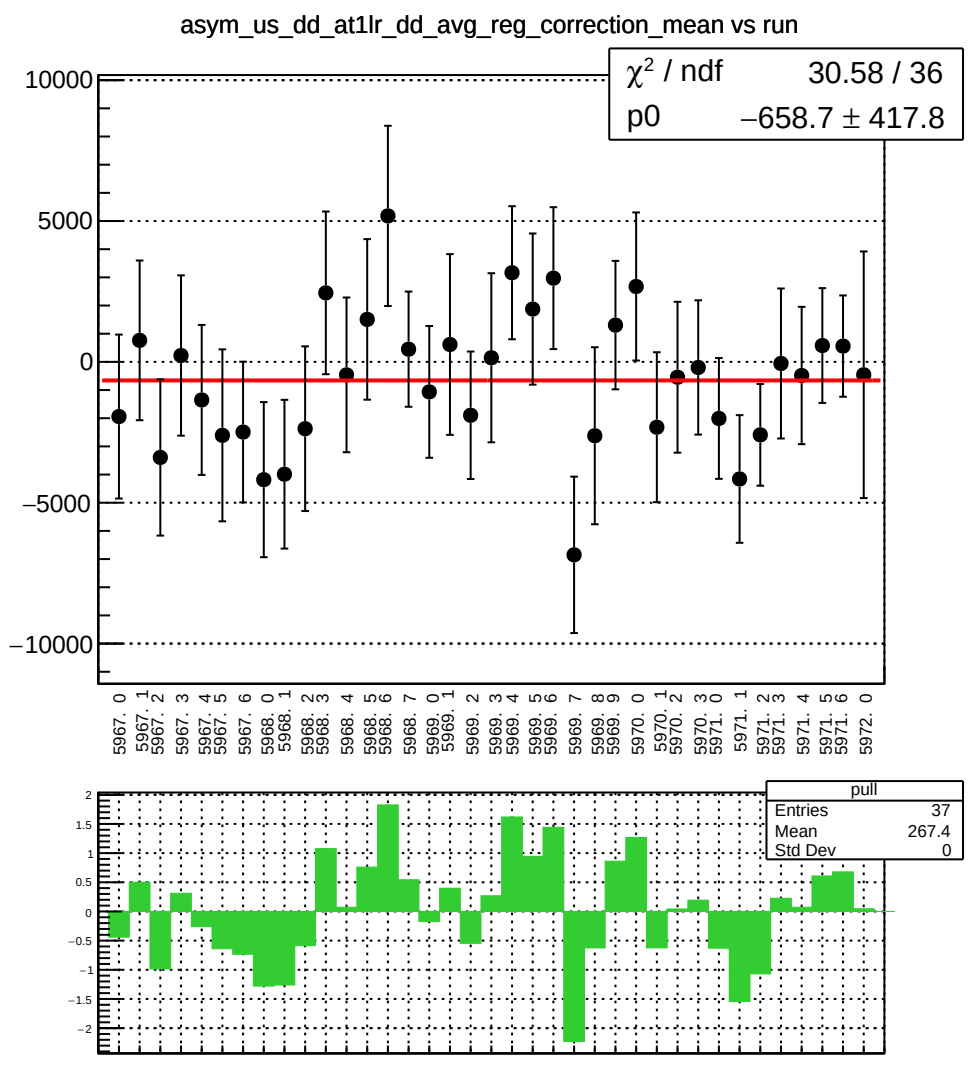
asym_us_dd_at1lr_dd_avg_reg_correction_mean vs run
χ² / ndf 30.58 / 36
p0 −658.7 ± 417.8
10000
5000
0
−5000
−10000
5967. 0
5967. 1
5967. 2
5967. 3
5967. 4
5967. 5
5967. 6
5968. 0
5968. 1
5968. 2
5968. 3
5968. 4
5968. 5
5968. 6
5968. 7
5969. 0
5969. 1
5969. 2
5969. 3
5969. 4
5969. 5
5969. 6
5969. 7
5969. 8
5969. 9
5970. 0
5970. 1
5970. 2
5970. 3
5971. 0
5971. 1
5971. 2
5971. 3
5971. 4
5971. 5
5971. 6
5972. 0
pull
Entries 37
Mean 267.4
Std Dev 0
2
1.5
1
0.5
0
−0.5
−1
−1.5
−2
pull1D
Entries 37
Mean 0.003542
Std Dev 0.909
9
8
7
6
5
4
3
2
1
0
−8
−6
−4
−2
0
2
4
6
8

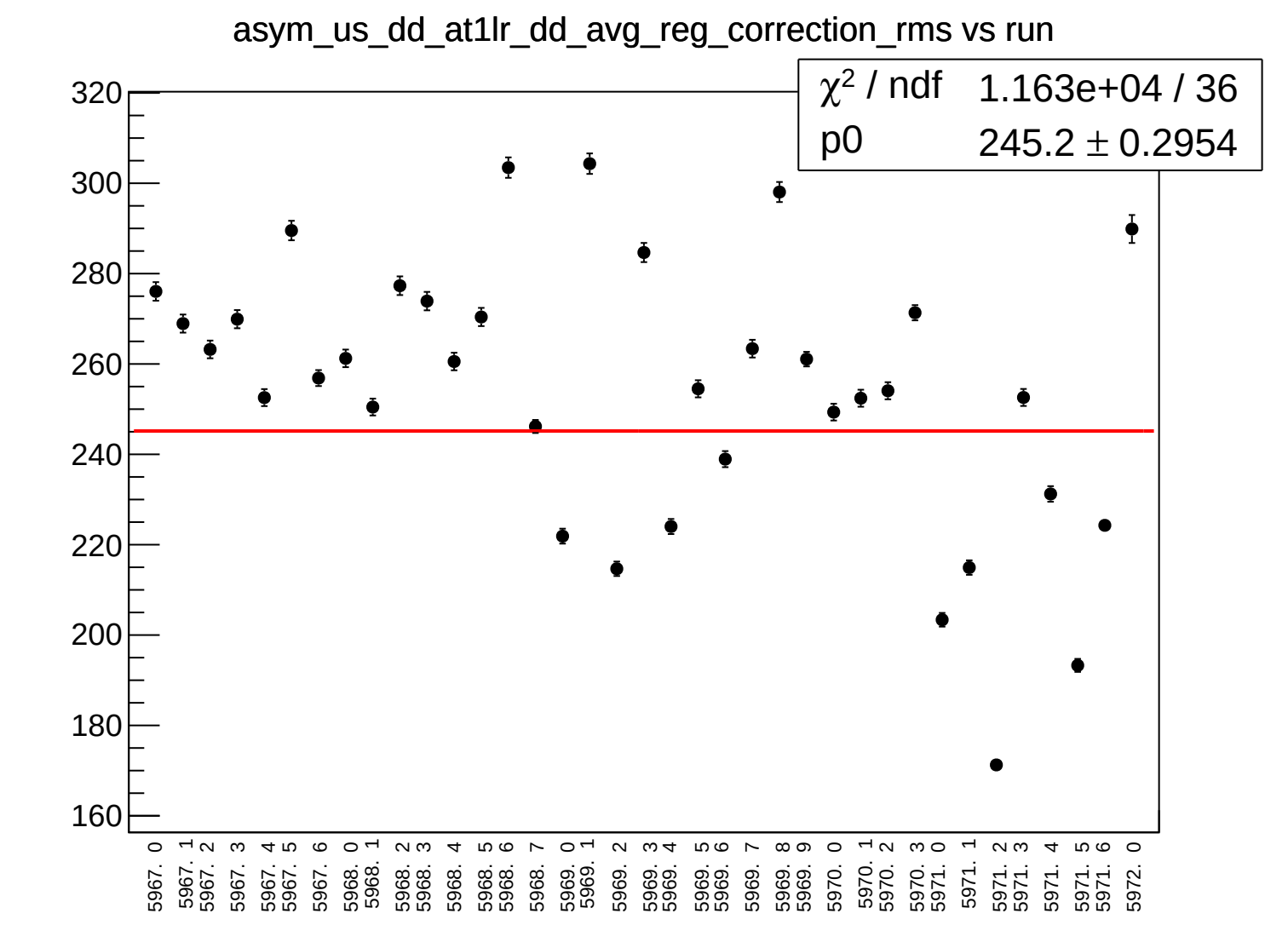
asym_us_dd_at1lr_dd_avg_reg_correction_rms vs run
χ² / ndf 1.163e+04 / 36
p0 245.2 ± 0.2954
320
300
280
260
240
220
200
180
160
5967. 0
5967. 1
5967. 2
5967. 3
5967. 4
5967. 5
5967. 6
5968. 0
5968. 1
5968. 2
5968. 3
5968. 4
5968. 5
5968. 6
5968. 7
5969. 0
5969. 1
5969. 2
5969. 3
5969. 4
5969. 5
5969. 6
5969. 7
5969. 8
5969. 9
5970. 0
5970. 1
5970. 2
5970. 3
5971. 0
5971. 1
5971. 2
5971. 3
5971. 4
5971. 5
5971. 6
5972. 0

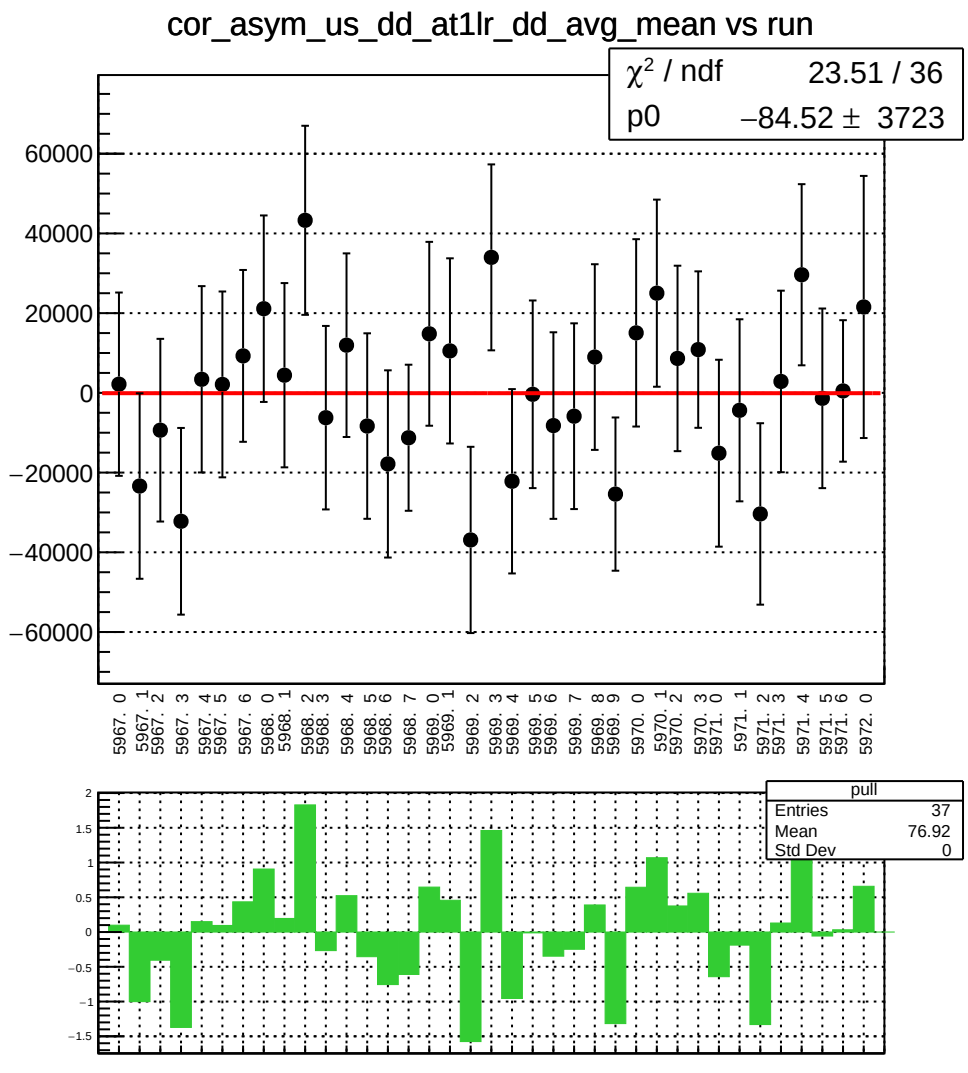
cor_asym_us_dd_at1lr_dd_avg_mean vs run
χ² / ndf 23.51 / 36
p0 −84.52 ± 3723
60000
40000
20000
0
−20000
−40000
−60000
5967. 0
5967. 1
5967. 2
5967. 3
5967. 4
5967. 5
5967. 6
5968. 0
5968. 1
5968. 2
5968. 3
5968. 4
5968. 5
5968. 6
5968. 7
5969. 0
5969. 1
5969. 2
5969. 3
5969. 4
5969. 5
5969. 6
5969. 7
5969. 8
5969. 9
5970. 0
5970. 1
5970. 2
5970. 3
5971. 0
5971. 1
5971. 2
5971. 3
5971. 4
5971. 5
5971. 6
5972. 0
pull
Entries 37
Mean 76.92
Std Dev 0
2
1.5
1
0.5
0
−0.5
−1
−1.5
pull1D
Entries 37
Mean 0.014
Std Dev 0.7971
8
7
6
5
4
3
2
1
0
−8
−6
−4
−2
0
2
4
6
8

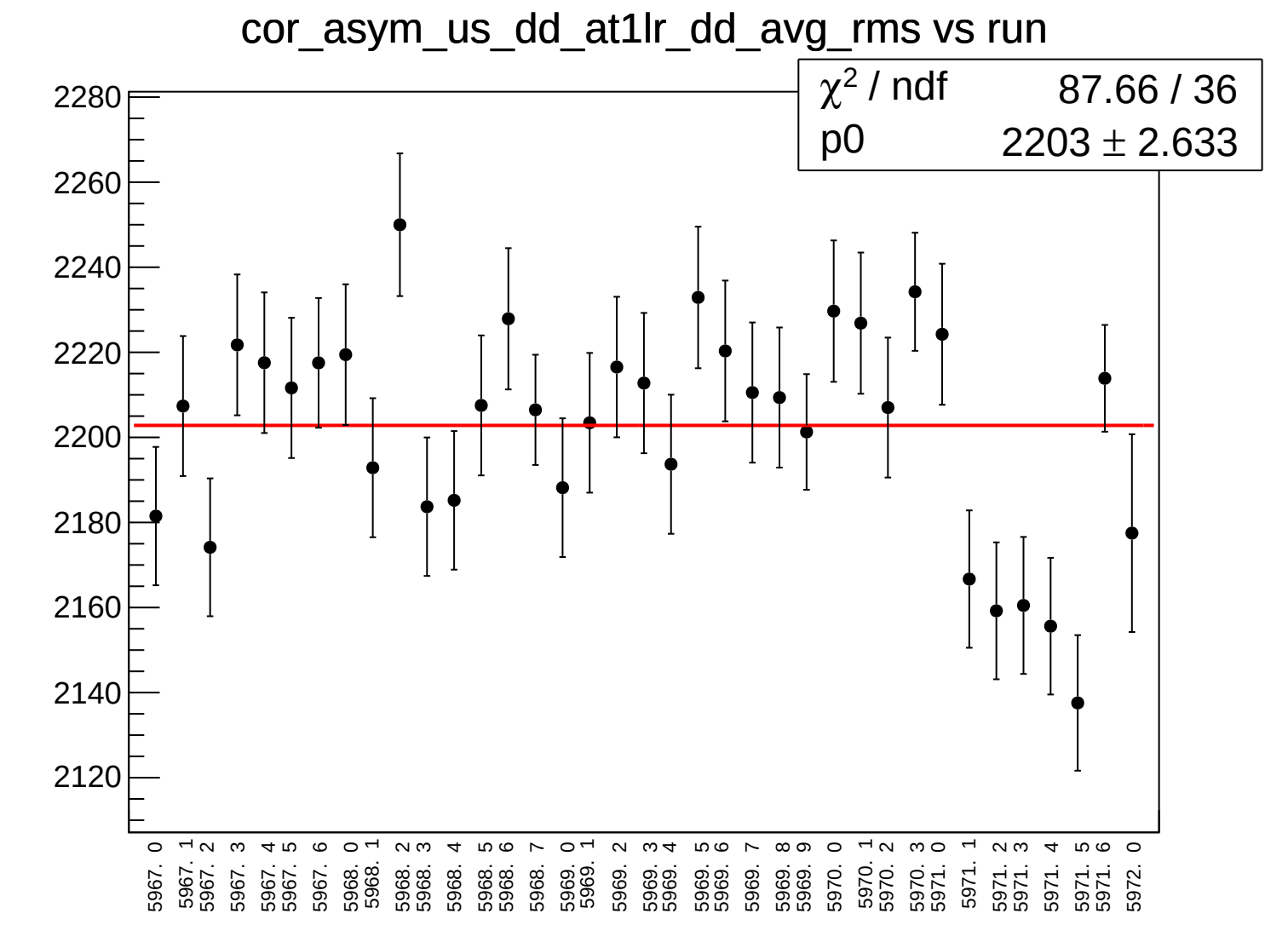
cor_asym_us_dd_at1lr_dd_avg_rms vs run
χ² / ndf 87.66 / 36
p0 2203 ± 2.633
2280
2260
2240
2220
2200
2180
2160
2140
2120
5967. 0
5967. 1
5967. 2
5967. 3
5967. 4
5967. 5
5967. 6
5968. 0
5968. 1
5968. 2
5968. 3
5968. 4
5968. 5
5968. 6
5968. 7
5969. 0
5969. 1
5969. 2
5969. 3
5969. 4
5969. 5
5969. 6
5969. 7
5969. 8
5969. 9
5970. 0
5970. 1
5970. 2
5970. 3
5971. 0
5971. 1
5971. 2
5971. 3
5971. 4
5971. 5
5971. 6
5972. 0

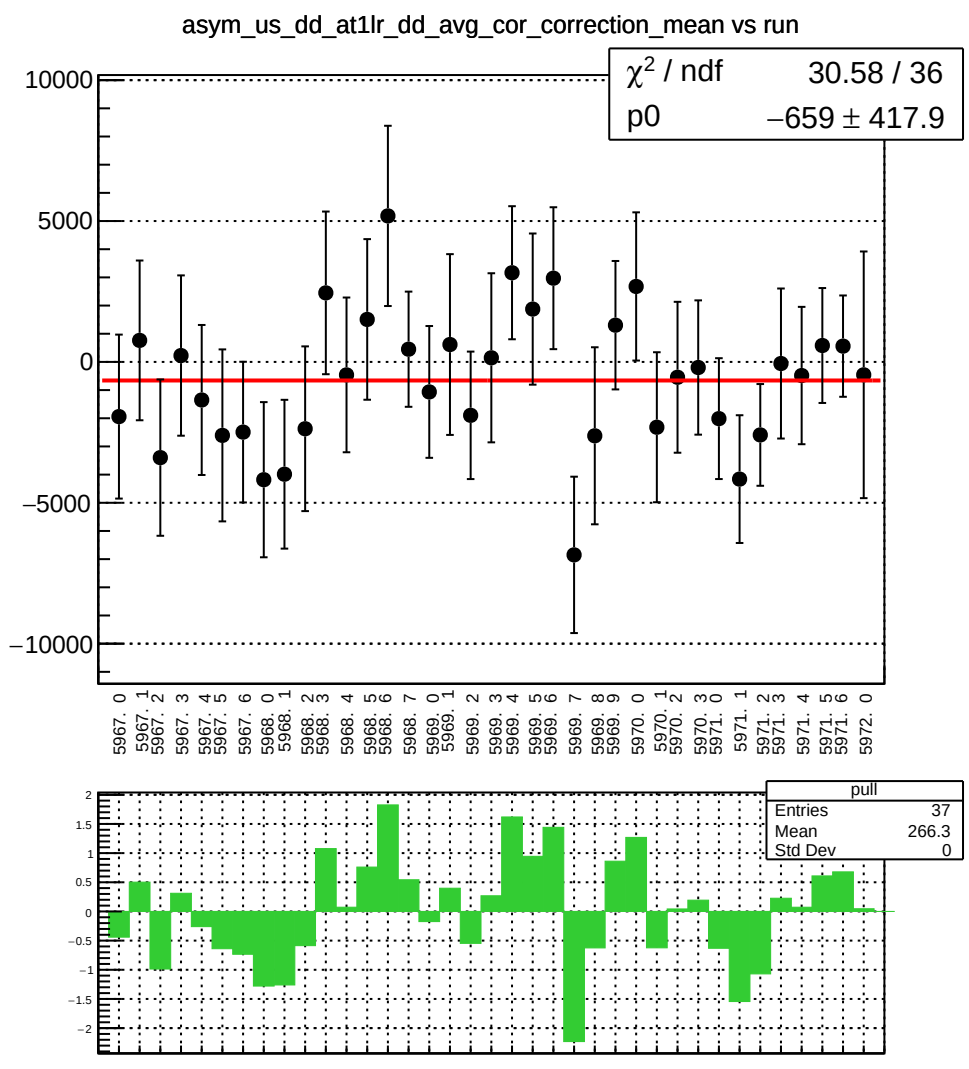
asym_us_dd_at1lr_dd_avg_cor_correction_mean vs run
χ² / ndf 30.58 / 36
p0 −659 ± 417.9
10000
5000
0
−5000
−10000
5967. 0
5967. 1
5967. 2
5967. 3
5967. 4
5967. 5
5967. 6
5968. 0
5968. 1
5968. 2
5968. 3
5968. 4
5968. 5
5968. 6
5968. 7
5969. 0
5969. 1
5969. 2
5969. 3
5969. 4
5969. 5
5969. 6
5969. 7
5969. 8
5969. 9
5970. 0
5970. 1
5970. 2
5970. 3
5971. 0
5971. 1
5971. 2
5971. 3
5971. 4
5971. 5
5971. 6
5972. 0
pull
Entries 37
Mean 266.3
Std Dev 0
2
1.5
1
0.5
0
−0.5
−1
−1.5
−2
pull1D
Entries 37
Mean 0.003557
Std Dev 0.9091
9
8
7
6
5
4
3
2
1
0
−8
−6
−4
−2
0
2
4
6
8

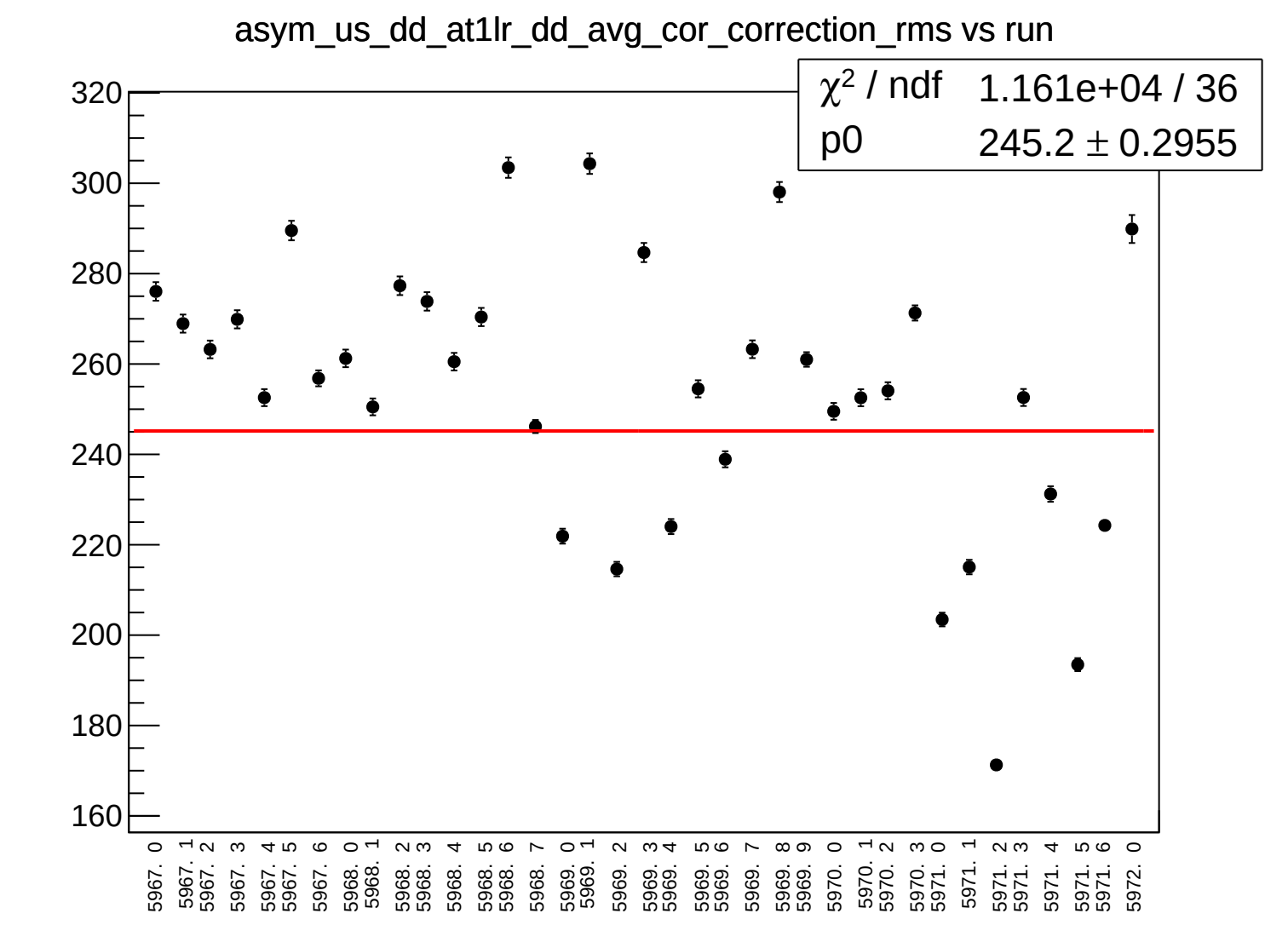
asym_us_dd_at1lr_dd_avg_cor_correction_rms vs run
χ² / ndf 1.161e+04 / 36
p0 245.2 ± 0.2955
320
300
280
260
240
220
200
180
160
5967. 0
5967. 1
5967. 2
5967. 3
5967. 4
5967. 5
5967. 6
5968. 0
5968. 1
5968. 2
5968. 3
5968. 4
5968. 5
5968. 6
5968. 7
5969. 0
5969. 1
5969. 2
5969. 3
5969. 4
5969. 5
5969. 6
5969. 7
5969. 8
5969. 9
5970. 0
5970. 1
5970. 2
5970. 3
5971. 0
5971. 1
5971. 2
5971. 3
5971. 4
5971. 5
5971. 6
5972. 0

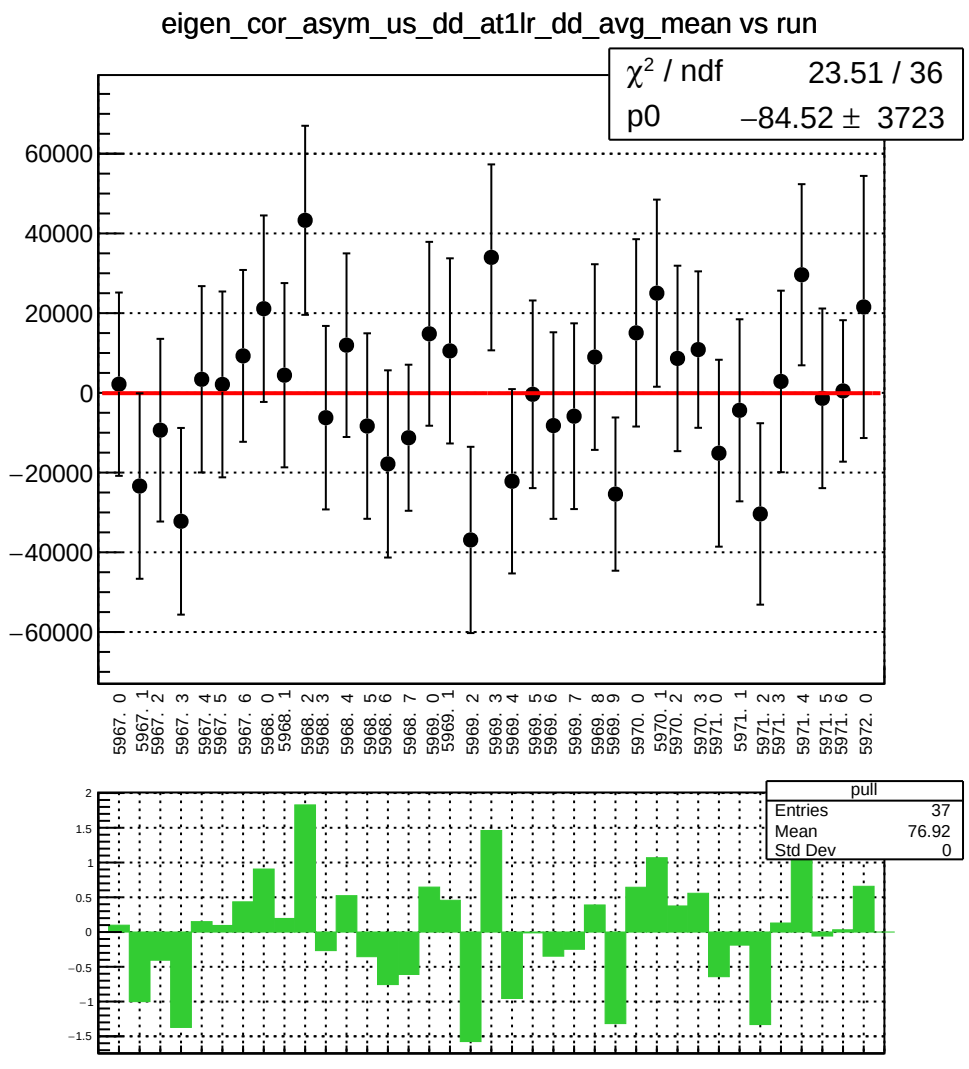
eigen_cor_asym_us_dd_at1lr_dd_avg_mean vs run
χ² / ndf 23.51 / 36
p0 −84.52 ± 3723
60000
40000
20000
0
−20000
−40000
−60000
5967. 0
5967. 1
5967. 2
5967. 3
5967. 4
5967. 5
5967. 6
5968. 0
5968. 1
5968. 2
5968. 3
5968. 4
5968. 5
5968. 6
5968. 7
5969. 0
5969. 1
5969. 2
5969. 3
5969. 4
5969. 5
5969. 6
5969. 7
5969. 8
5969. 9
5970. 0
5970. 1
5970. 2
5970. 3
5971. 0
5971. 1
5971. 2
5971. 3
5971. 4
5971. 5
5971. 6
5972. 0
pull
Entries 37
Mean 76.92
Std Dev 0
2
1.5
1
0.5
0
−0.5
−1
−1.5

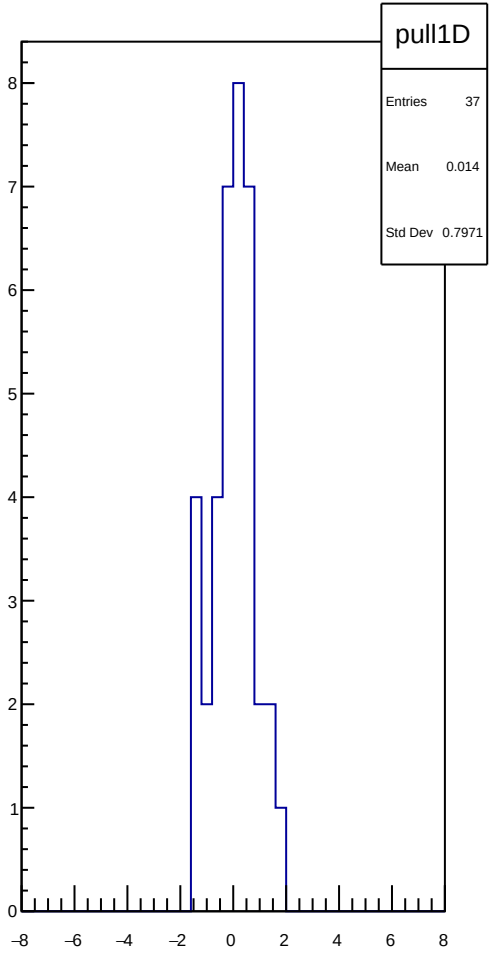
pull1D
Entries 37
Mean 0.014
Std Dev 0.7971
8
7
6
5
4
3
2
1
0
−8
−6
−4
−2
0
2
4
6
8

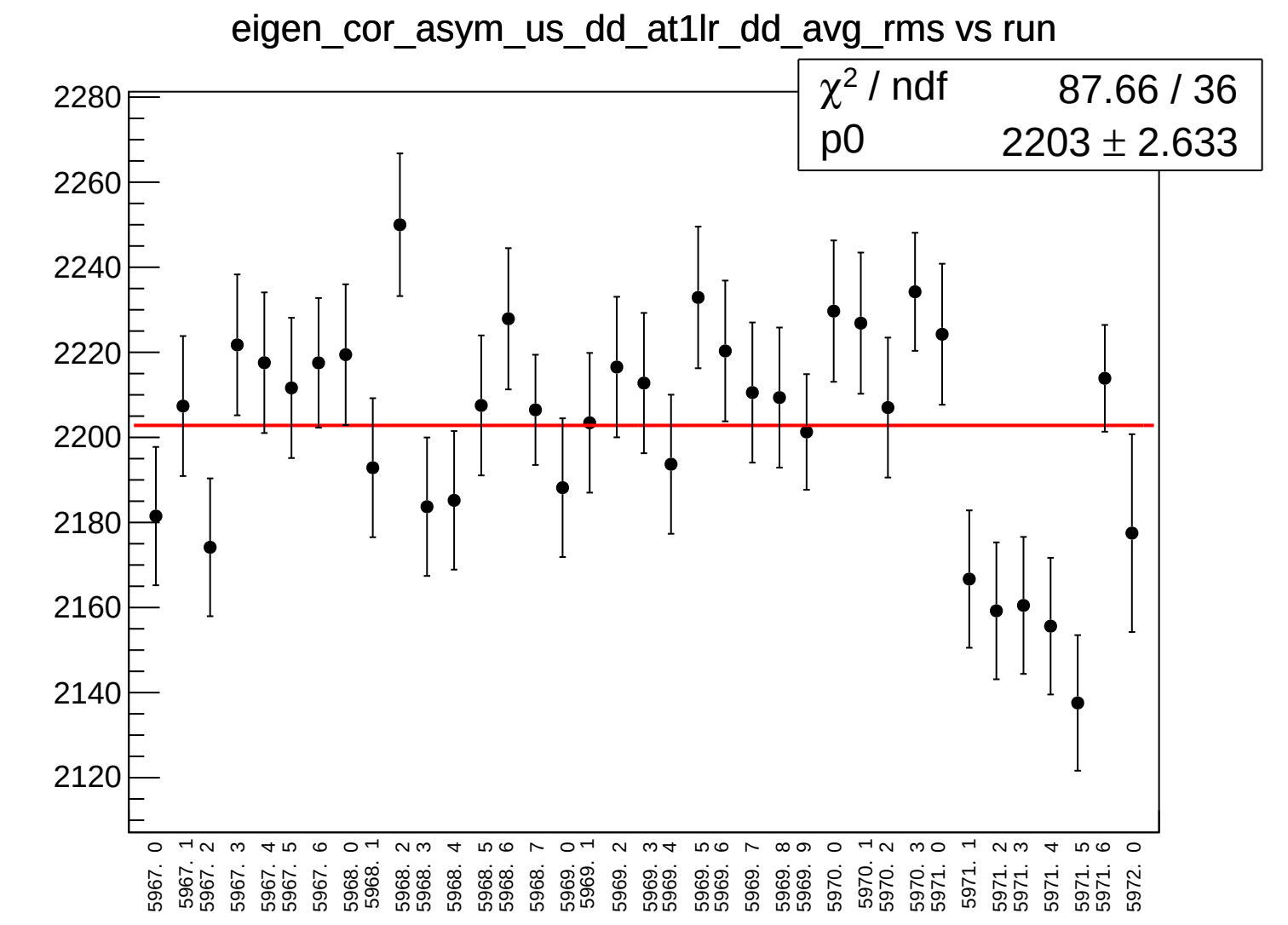
eigen_cor_asym_us_dd_at1lr_dd_avg_rms vs run
χ² / ndf 87.66 / 36
p0 2203 ± 2.633
2280
2260
2240
2220
2200
2180
2160
2140
2120
5967. 0
5967. 1
5967. 2
5967. 3
5967. 4
5967. 5
5967. 6
5968. 0
5968. 1
5968. 2
5968. 3
5968. 4
5968. 5
5968. 6
5968. 7
5969. 0
5969. 1
5969. 2
5969. 3
5969. 4
5969. 5
5969. 6
5969. 7
5969. 8
5969. 9
5970. 0
5970. 1
5970. 2
5970. 3
5971. 0
5971. 1
5971. 2
5971. 3
5971. 4
5971. 5
5971. 6
5972. 0

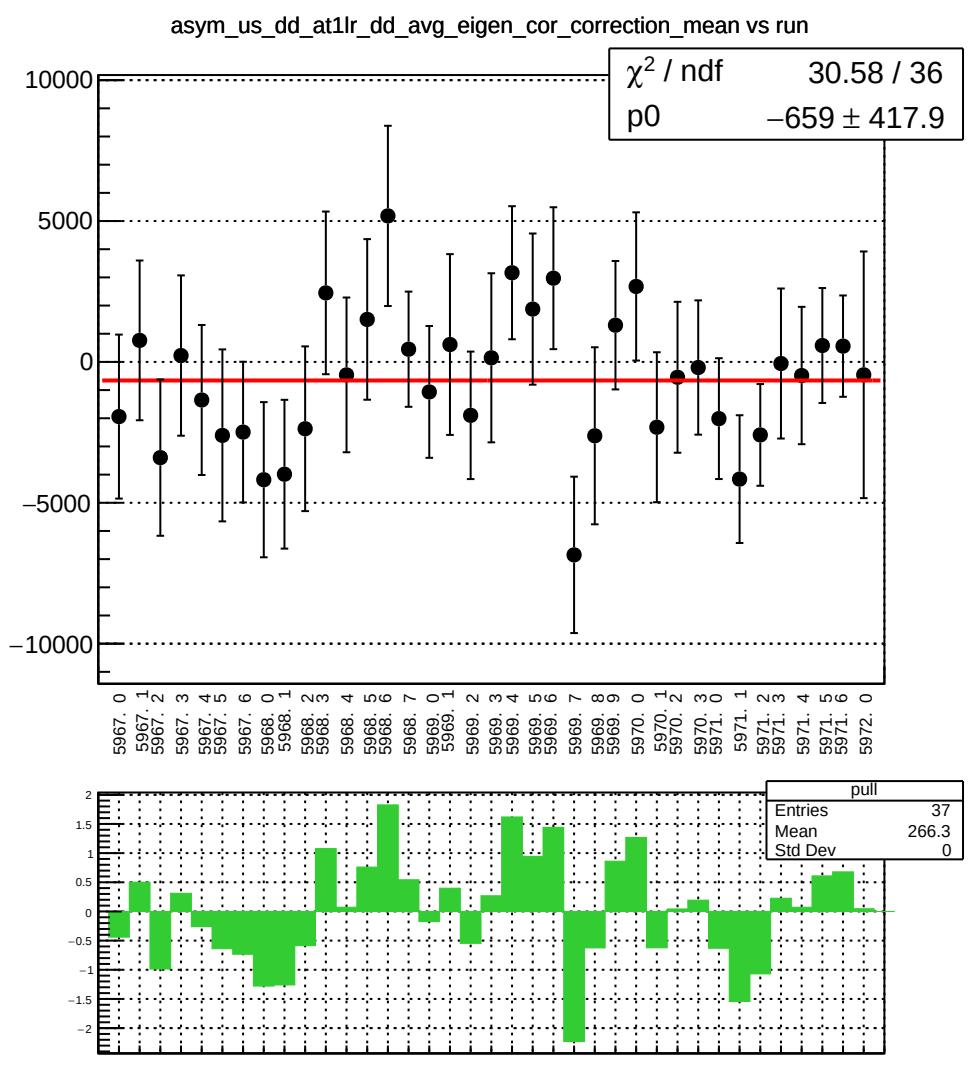
asym_us_dd_at1lr_dd_avg_eigen_cor_correction_mean vs run
χ² / ndf 30.58 / 36
p0 −659 ± 417.9
10000
5000
0
−5000
−10000
5967. 0
5967. 1
5967. 2
5967. 3
5967. 4
5967. 5
5967. 6
5968. 0
5968. 1
5968. 2
5968. 3
5968. 4
5968. 5
5968. 6
5968. 7
5969. 0
5969. 1
5969. 2
5969. 3
5969. 4
5969. 5
5969. 6
5969. 7
5969. 8
5969. 9
5970. 0
5970. 1
5970. 2
5970. 3
5971. 0
5971. 1
5971. 2
5971. 3
5971. 4
5971. 5
5971. 6
5972. 0
pull
Entries 37
Mean 266.3
Std Dev 0
2
1.5
1
0.5
0
−0.5
−1
−1.5
−2
pull1D
Entries 37
Mean 0.003557
Std Dev 0.9091
9
8
7
6
5
4
3
2
1
0
−8
−6
−4
−2
0
2
4
6
8

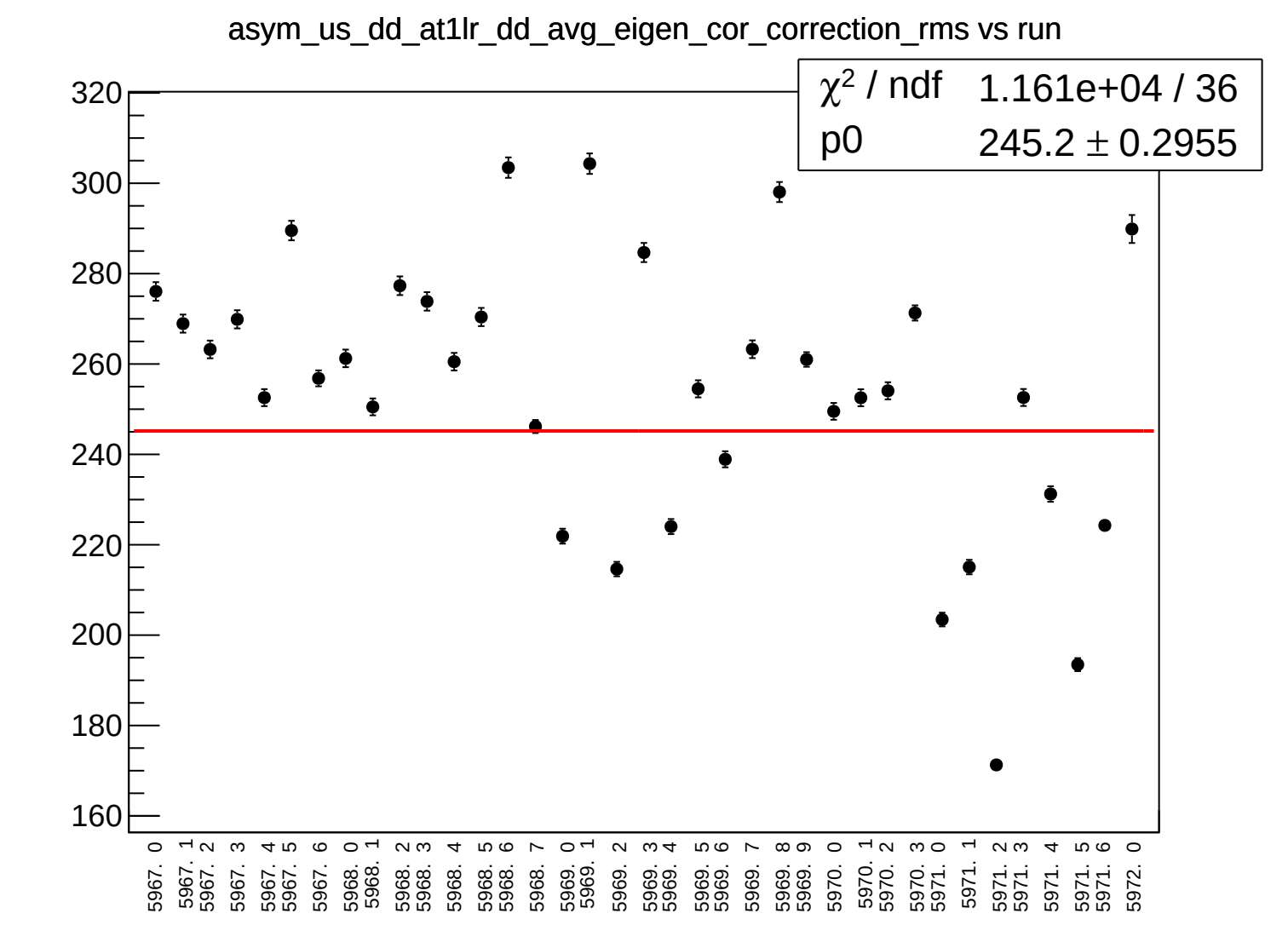
asym_us_dd_at1lr_dd_avg_eigen_cor_correction_rms vs run
χ² / ndf 1.161e+04 / 36
p0 245.2 ± 0.2955
320
300
280
260
240
220
200
180
160
5967. 0
5967. 1
5967. 2
5967. 3
5967. 4
5967. 5
5967. 6
5968. 0
5968. 1
5968. 2
5968. 3
5968. 4
5968. 5
5968. 6
5968. 7
5969. 0
5969. 1
5969. 2
5969. 3
5969. 4
5969. 5
5969. 6
5969. 7
5969. 8
5969. 9
5970. 0
5970. 1
5970. 2
5970. 3
5971. 0
5971. 1
5971. 2
5971. 3
5971. 4
5971. 5
5971. 6
5972. 0

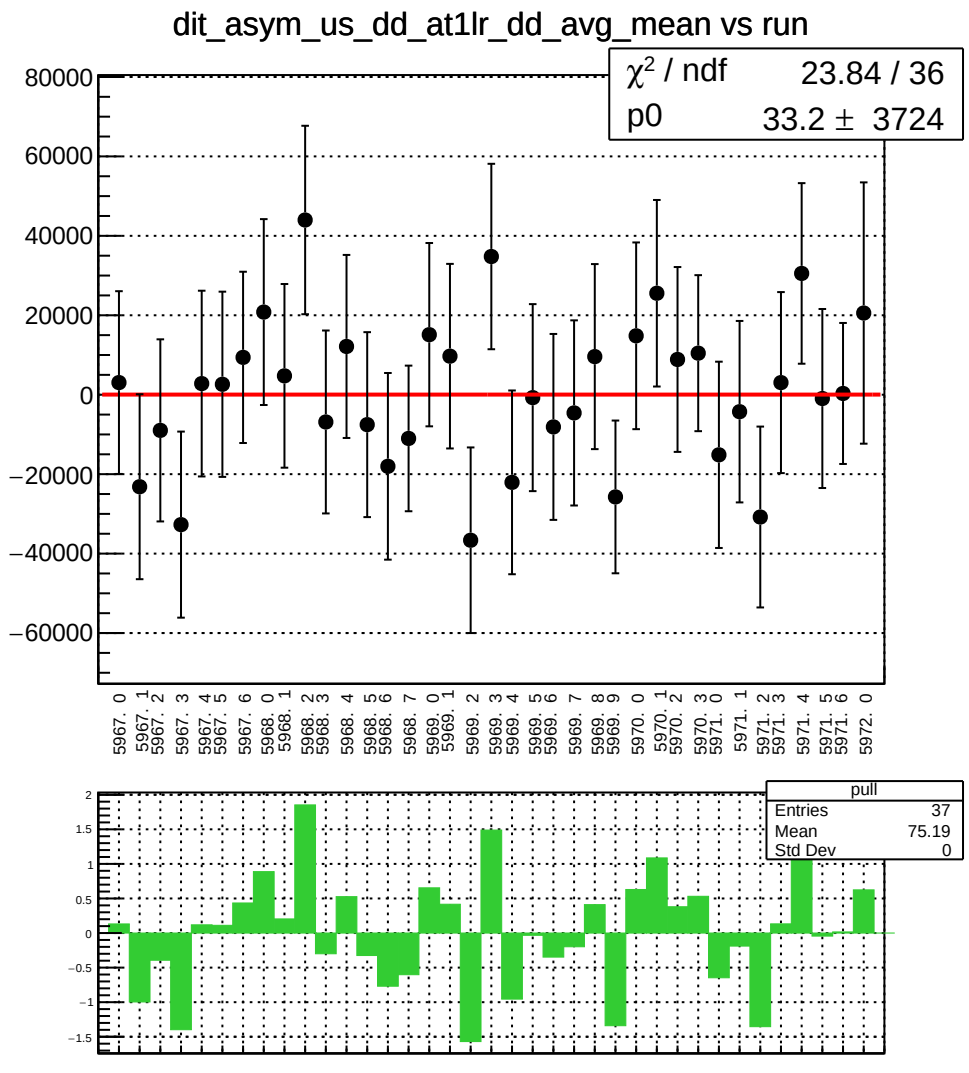
dit_asym_us_dd_at1lr_dd_avg_mean vs run
χ² / ndf 23.84 / 36
p0 33.2 ± 3724
80000
60000
40000
20000
0
−20000
−40000
−60000
5967. 0
5967. 1
5967. 2
5967. 3
5967. 4
5967. 5
5967. 6
5968. 0
5968. 1
5968. 2
5968. 3
5968. 4
5968. 5
5968. 6
5968. 7
5969. 0
5969. 1
5969. 2
5969. 3
5969. 4
5969. 5
5969. 6
5969. 7
5969. 8
5969. 9
5970. 0
5970. 1
5970. 2
5970. 3
5971. 0
5971. 1
5971. 2
5971. 3
5971. 4
5971. 5
5971. 6
5972. 0
pull
Entries 37
Mean 75.19
Std Dev 0
2
1.5
1
0.5
0
−0.5
−1
−1.5
pull1D
Entries 37
Mean 0.01407
Std Dev 0.8026
8
7
6
5
4
3
2
1
0
−8
−6
−4
−2
0
2
4
6
8

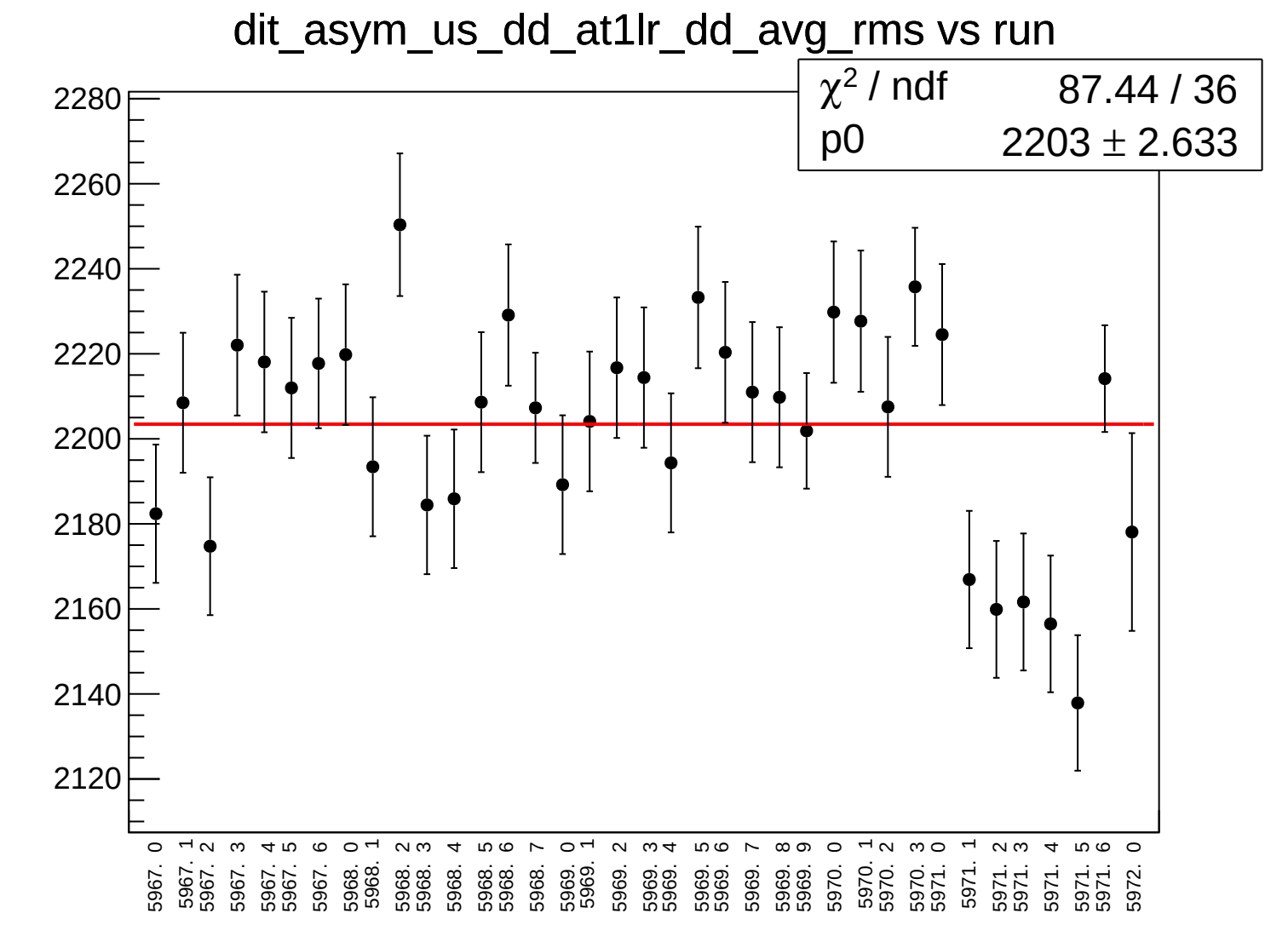
dit_asym_us_dd_at1lr_dd_avg_rms vs run
χ² / ndf 87.44 / 36
p0 2203 ± 2.633
2280
2260
2240
2220
2200
2180
2160
2140
2120
5967. 0
5967. 1
5967. 2
5967. 3
5967. 4
5967. 5
5967. 6
5968. 0
5968. 1
5968. 2
5968. 3
5968. 4
5968. 5
5968. 6
5968. 7
5969. 0
5969. 1
5969. 2
5969. 3
5969. 4
5969. 5
5969. 6
5969. 7
5969. 8
5969. 9
5970. 0
5970. 1
5970. 2
5970. 3
5971. 0
5971. 1
5971. 2
5971. 3
5971. 4
5971. 5
5971. 6
5972. 0

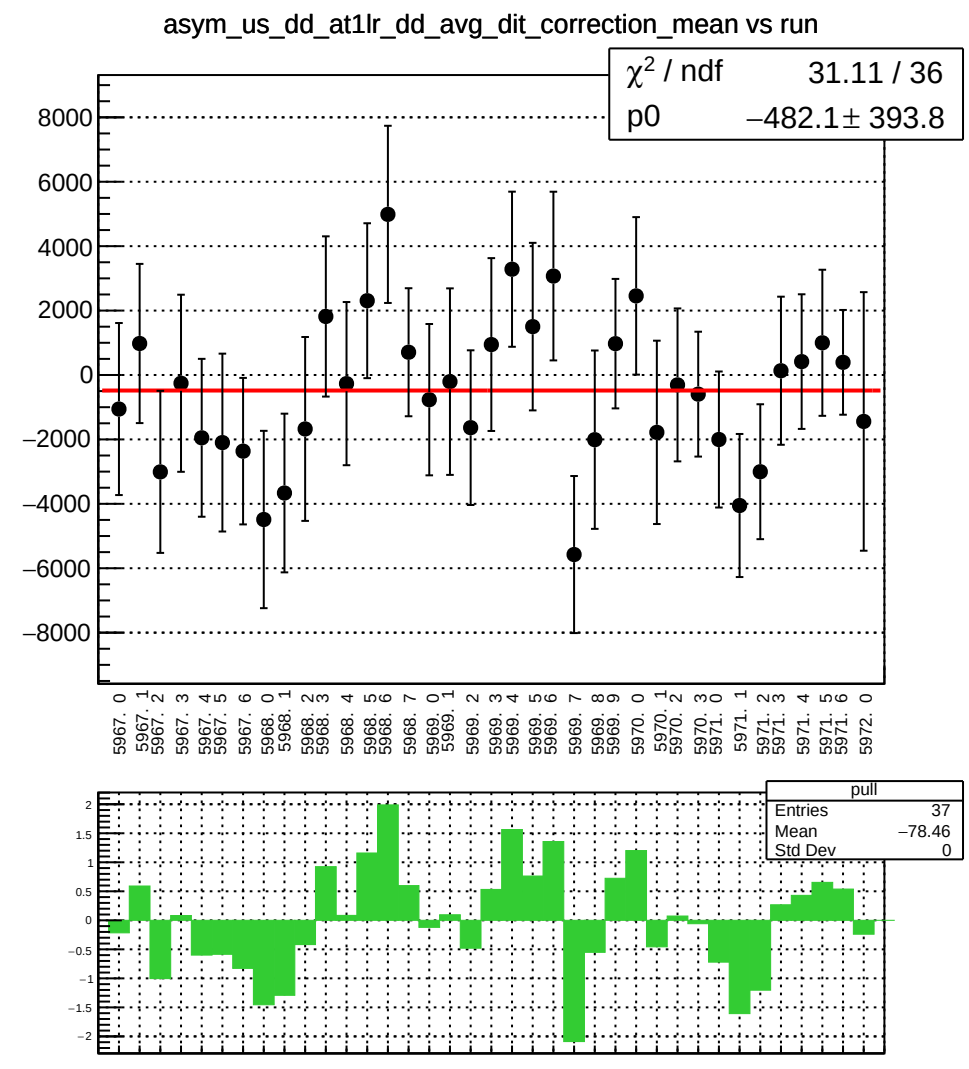
asym_us_dd_at1lr_dd_avg_dit_correction_mean vs run
χ² / ndf 31.11 / 36
p0 −482.1± 393.8
8000
6000
4000
2000
0
−2000
−4000
−6000
−8000
5967. 0
5967. 1
5967. 2
5967. 3
5967. 4
5967. 5
5967. 6
5968. 0
5968. 1
5968. 2
5968. 3
5968. 4
5968. 5
5968. 6
5968. 7
5969. 0
5969. 1
5969. 2
5969. 3
5969. 4
5969. 5
5969. 6
5969. 7
5969. 8
5969. 9
5970. 0
5970. 1
5970. 2
5970. 3
5971. 0
5971. 1
5971. 2
5971. 3
5971. 4
5971. 5
5971. 6
5972. 0
pull
Entries 37
Mean −78.46
Std Dev 0
2
1.5
1
0.5
0
−0.5
−1
−1.5
−2

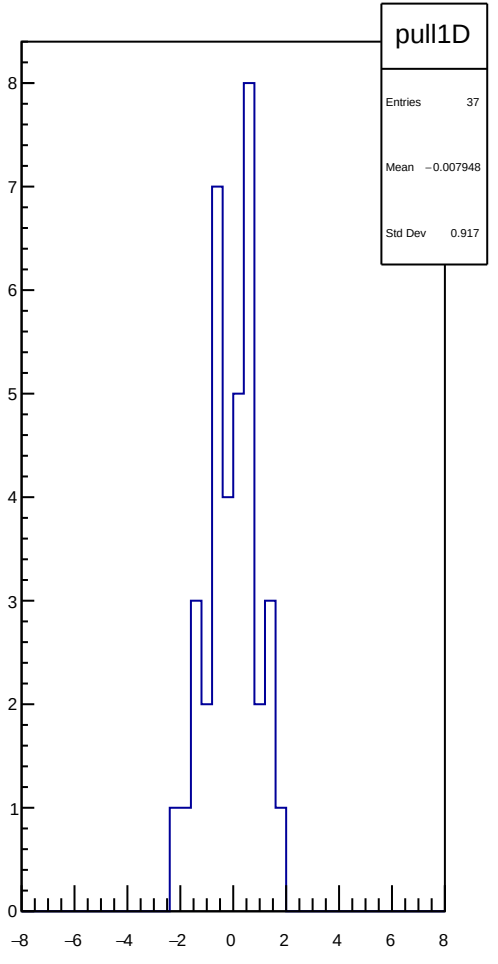
pull1D
Entries 37
Mean −0.007948
Std Dev 0.917
8
7
6
5
4
3
2
1
0
−8
−6
−4
−2
0
2
4
6
8

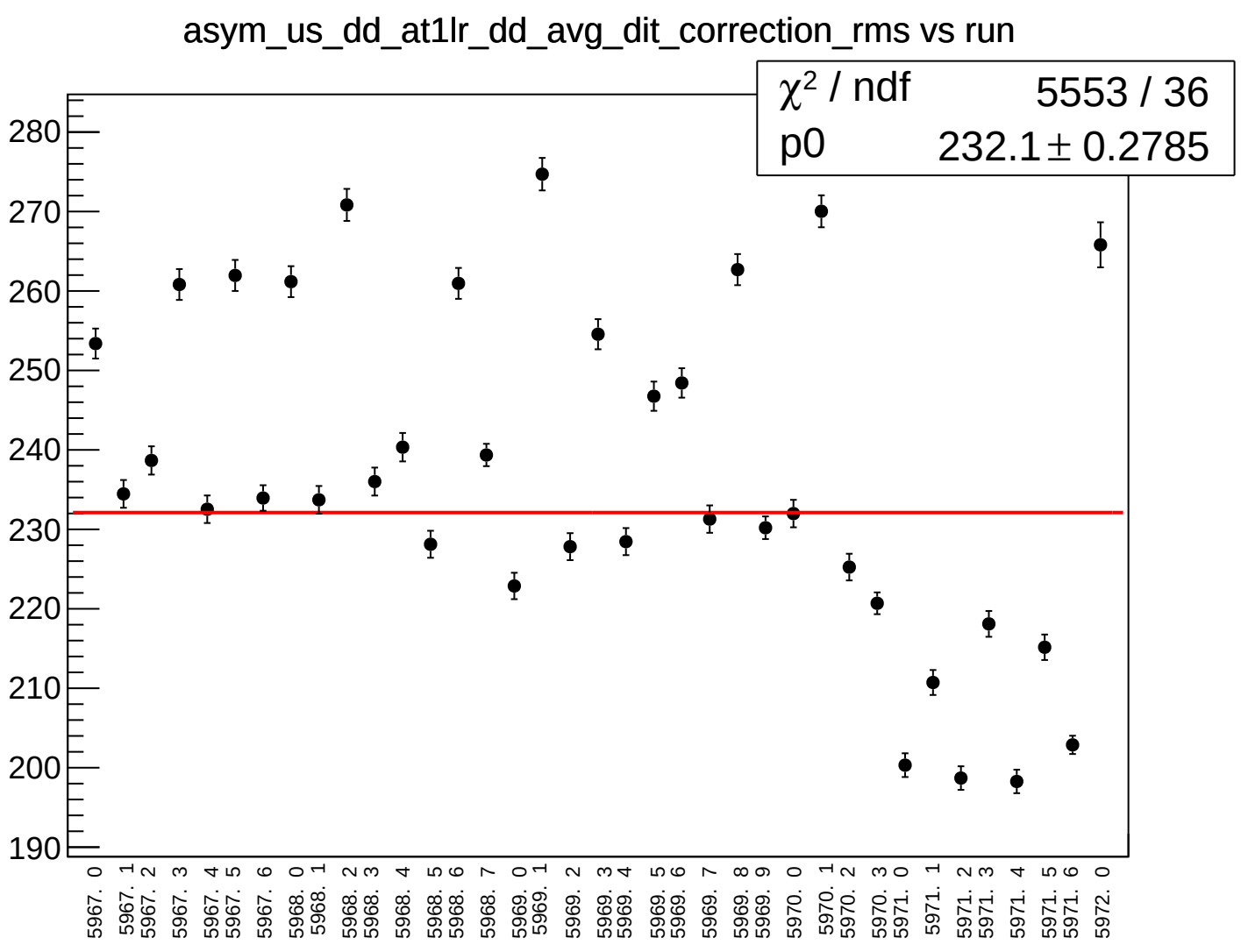
asym_us_dd_at1lr_dd_avg_dit_correction_rms vs run
χ² / ndf 5553 / 36
p0 232.1 ± 0.2785
280
270
260
250
240
230
220
210
200
190
5967. 0
5967. 1
5967. 2
5967. 3
5967. 4
5967. 5
5967. 6
5968. 0
5968. 1
5968. 2
5968. 3
5968. 4
5968. 5
5968. 6
5968. 7
5969. 0
5969. 1
5969. 2
5969. 3
5969. 4
5969. 5
5969. 6
5969. 7
5969. 8
5969. 9
5970. 0
5970. 1
5970. 2
5970. 3
5971. 0
5971. 1
5971. 2
5971. 3
5971. 4
5971. 5
5971. 6
5972. 0

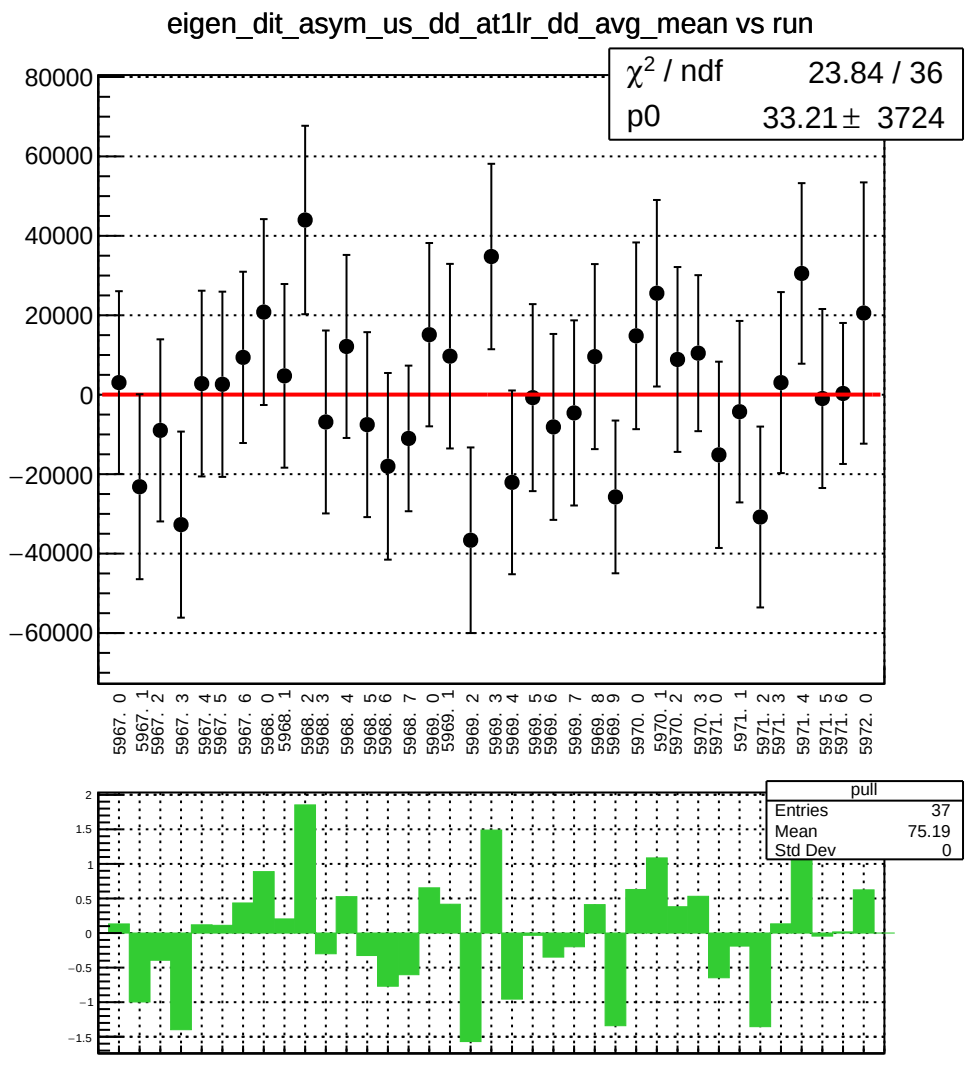
eigen_dit_asym_us_dd_at1lr_dd_avg_mean vs run
χ² / ndf 23.84 / 36
p0 33.21 ± 3724
80000
60000
40000
20000
0
−20000
−40000
−60000
5967. 0
5967. 1
5967. 2
5967. 3
5967. 4
5967. 5
5967. 6
5968. 0
5968. 1
5968. 2
5968. 3
5968. 4
5968. 5
5968. 6
5968. 7
5969. 0
5969. 1
5969. 2
5969. 3
5969. 4
5969. 5
5969. 6
5969. 7
5969. 8
5969. 9
5970. 0
5970. 1
5970. 2
5970. 3
5971. 0
5971. 1
5971. 2
5971. 3
5971. 4
5971. 5
5971. 6
5972. 0
pull
Entries 37
Mean 75.19
Std Dev 0
2
1.5
1
0.5
0
−0.5
−1
−1.5
pull1D
Entries 37
Mean 0.01407
Std Dev 0.8026
8
7
6
5
4
3
2
1
0
−8
−6
−4
−2
0
2
4
6
8

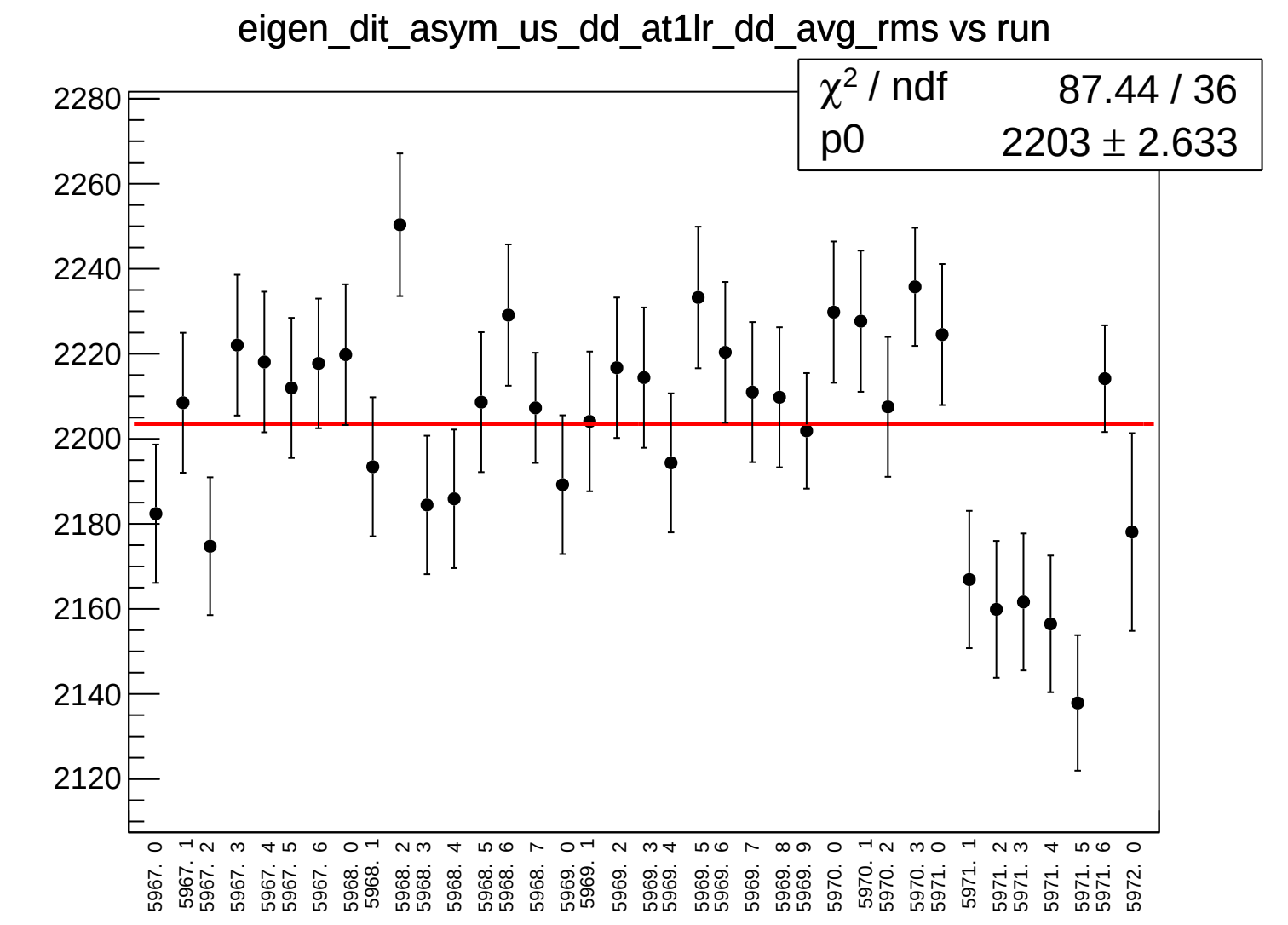
eigen_dit_asym_us_dd_at1lr_dd_avg_rms vs run
χ² / ndf 87.44 / 36
p0 2203 ± 2.633
2280
2260
2240
2220
2200
2180
2160
2140
2120
5967. 0
5967. 1
5967. 2
5967. 3
5967. 4
5967. 5
5967. 6
5968. 0
5968. 1
5968. 2
5968. 3
5968. 4
5968. 5
5968. 6
5968. 7
5969. 0
5969. 1
5969. 2
5969. 3
5969. 4
5969. 5
5969. 6
5969. 7
5969. 8
5969. 9
5970. 0
5970. 1
5970. 2
5970. 3
5971. 0
5971. 1
5971. 2
5971. 3
5971. 4
5971. 5
5971. 6
5972. 0

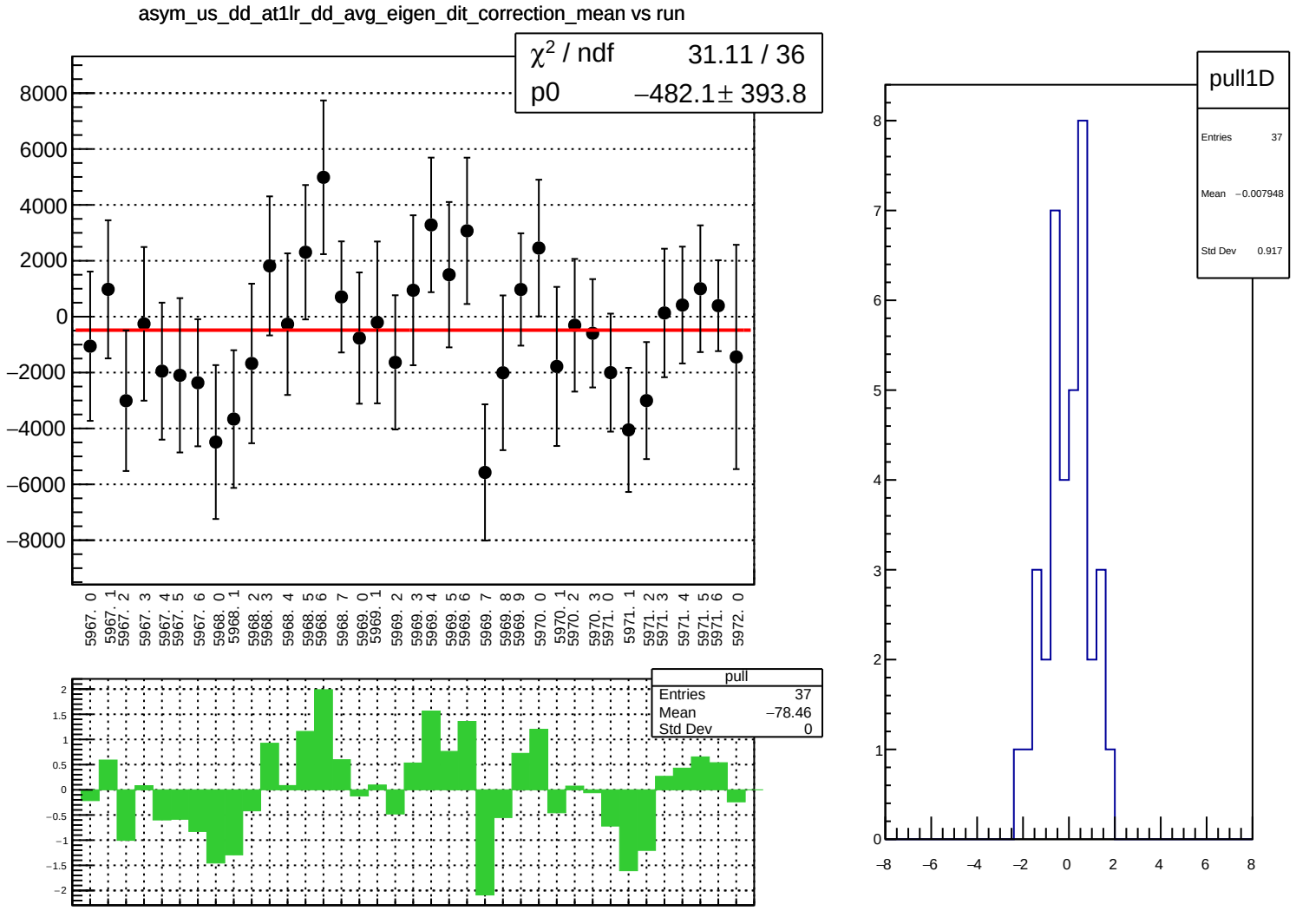
asym_us_dd_at1lr_dd_avg_eigen_dit_correction_mean vs run
χ² / ndf 31.11 / 36
p0 −482.1± 393.8
8000
6000
4000
2000
0
−2000
−4000
−6000
−8000
5967. 0
5967. 1
5967. 2
5967. 3
5967. 4
5967. 5
5967. 6
5968. 0
5968. 1
5968. 2
5968. 3
5968. 4
5968. 5
5968. 6
5968. 7
5969. 0
5969. 1
5969. 2
5969. 3
5969. 4
5969. 5
5969. 6
5969. 7
5969. 8
5969. 9
5970. 0
5970. 1
5970. 2
5970. 3
5971. 0
5971. 1
5971. 2
5971. 3
5971. 4
5971. 5
5971. 6
5972. 0
pull
Entries 37
Mean −78.46
Std Dev 0
2
1.5
1
0.5
0
−0.5
−1
−1.5
−2
pull1D
Entries 37
Mean −0.007948
Std Dev 0.917
8
7
6
5
4
3
2
1
0
−8
−6
−4
−2
0
2
4
6
8

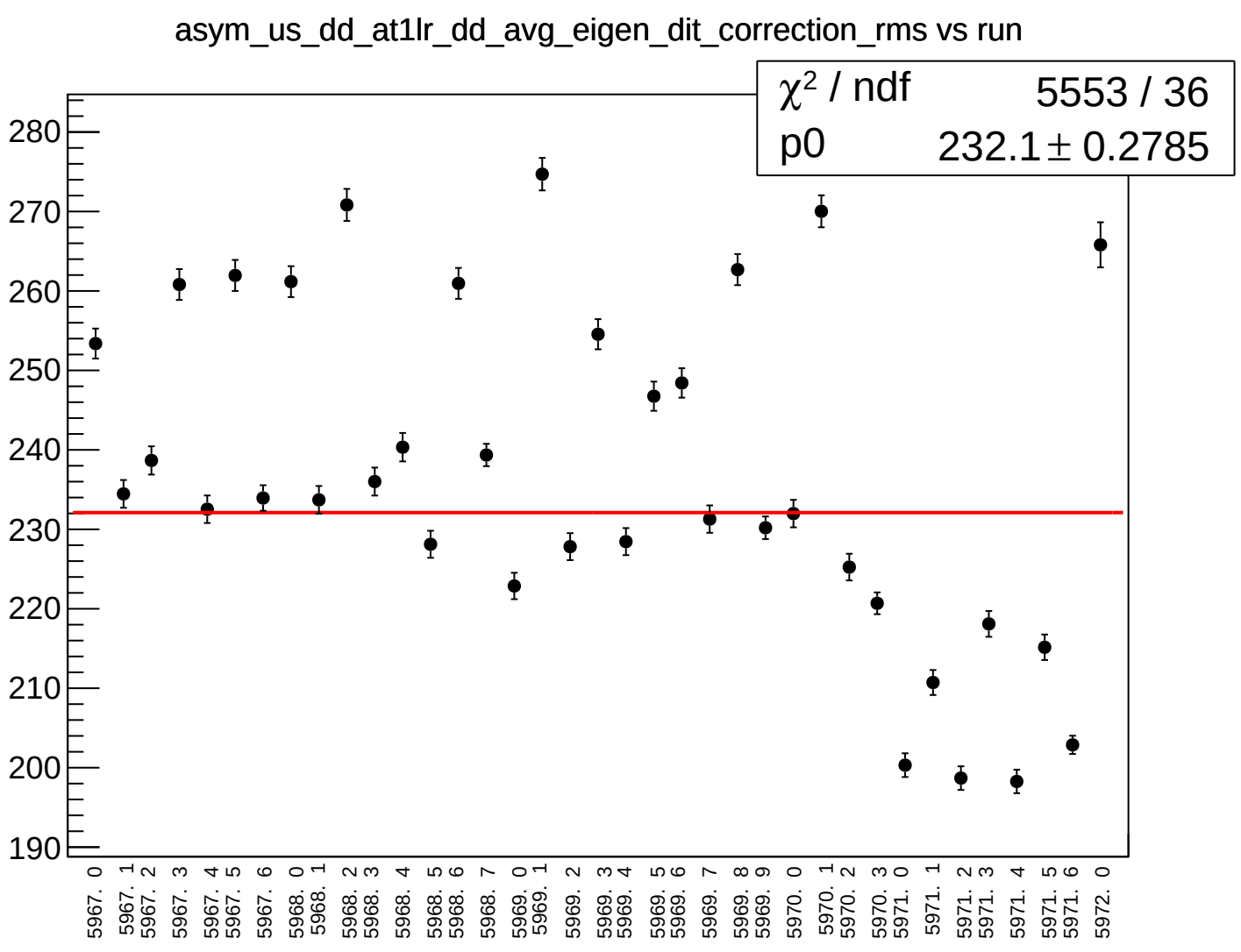
asym_us_dd_at1lr_dd_avg_eigen_dit_correction_rms vs run
χ² / ndf 5553 / 36
p0 232.1 ± 0.2785
280
270
260
250
240
230
220
210
200
190
5967. 0
5967. 1
5967. 2
5967. 3
5967. 4
5967. 5
5967. 6
5968. 0
5968. 1
5968. 2
5968. 3
5968. 4
5968. 5
5968. 6
5968. 7
5969. 0
5969. 1
5969. 2
5969. 3
5969. 4
5969. 5
5969. 6
5969. 7
5969. 8
5969. 9
5970. 0
5970. 1
5970. 2
5970. 3
5971. 0
5971. 1
5971. 2
5971. 3
5971. 4
5971. 5
5971. 6
5972. 0

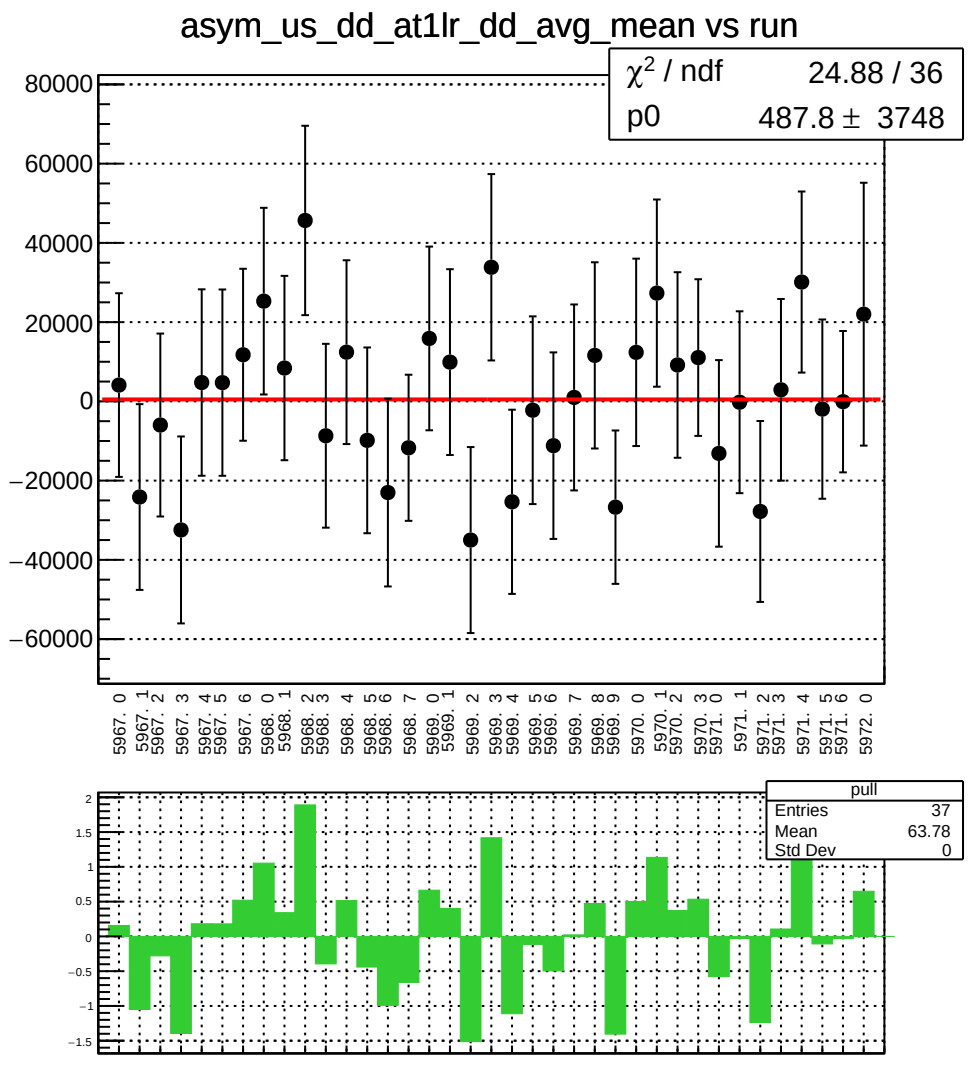
asym_us_dd_at1lr_dd_avg_mean vs run
χ² / ndf 24.88 / 36
p0 487.8 ± 3748
80000
60000
40000
20000
0
−20000
−40000
−60000
5967. 0
5967. 1
5967. 2
5967. 3
5967. 4
5967. 5
5967. 6
5968. 0
5968. 1
5968. 2
5968. 3
5968. 4
5968. 5
5968. 6
5968. 7
5969. 0
5969. 1
5969. 2
5969. 3
5969. 4
5969. 5
5969. 6
5969. 7
5969. 8
5969. 9
5970. 0
5970. 1
5970. 2
5970. 3
5971. 0
5971. 1
5971. 2
5971. 3
5971. 4
5971. 5
5971. 6
5972. 0
pull
Entries 37
Mean 63.78
Std Dev 0
2
1.5
1
0.5
0
−0.5
−1
−1.5
pull1D
Entries 37
Mean 0.01544
Std Dev 0.8199
8
7
6
5
4
3
2
1
0
−8
−6
−4
−2
0
2
4
6
8

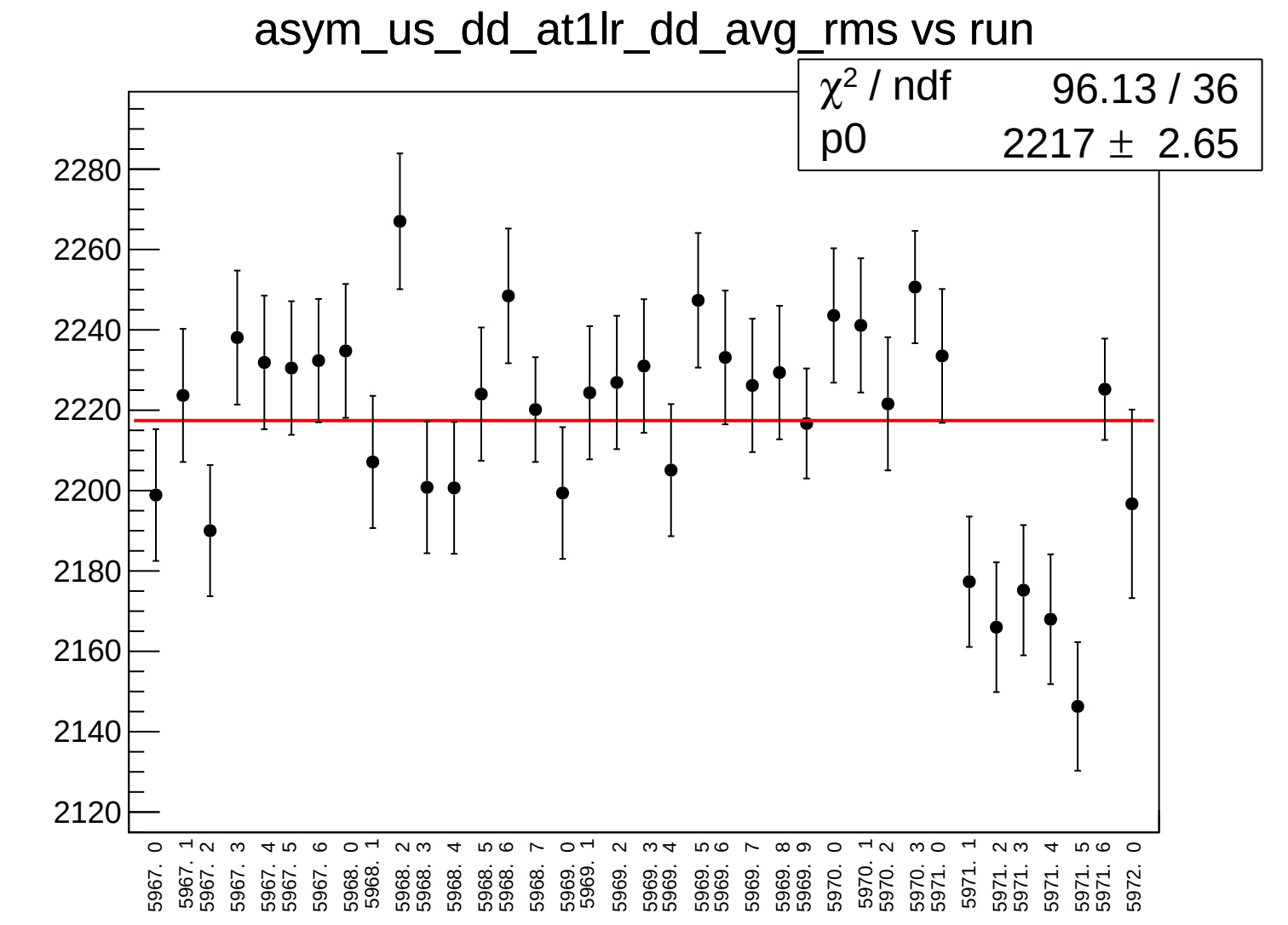
asym_us_dd_at1lr_dd_avg_rms vs run
χ² / ndf 96.13 / 36
p0 2217 ± 2.65
2280
2260
2240
2220
2200
2180
2160
2140
2120
5967. 0
5967. 1
5967. 2
5967. 3
5967. 4
5967. 5
5967. 6
5968. 0
5968. 1
5968. 2
5968. 3
5968. 4
5968. 5
5968. 6
5968. 7
5969. 0
5969. 1
5969. 2
5969. 3
5969. 4
5969. 5
5969. 6
5969. 7
5969. 8
5969. 9
5970. 0
5970. 1
5970. 2
5970. 3
5971. 0
5971. 1
5971. 2
5971. 3
5971. 4
5971. 5
5971. 6
5972. 0

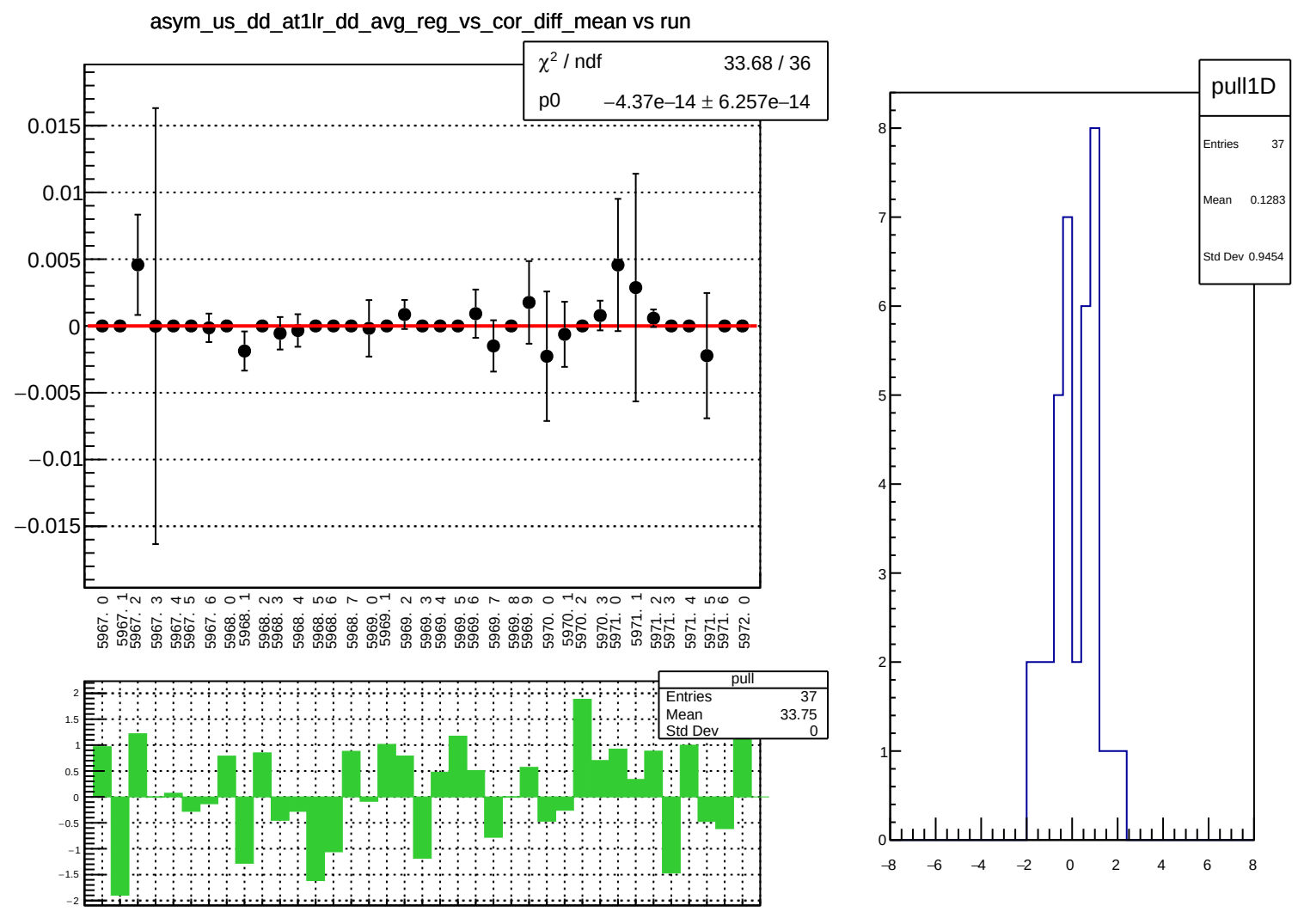
asym_us_dd_at1lr_dd_avg_reg_vs_cor_diff_mean vs run
χ² / ndf 33.68 / 36
p0 −4.37e−14 ± 6.257e−14
0.015
0.01
0.005
0
−0.005
−0.01
−0.015
5967. 0
5967. 1
5967. 2
5967. 3
5967. 4
5967. 5
5967. 6
5968. 0
5968. 1
5968. 2
5968. 3
5968. 4
5968. 5
5968. 6
5968. 7
5969. 0
5969. 1
5969. 2
5969. 3
5969. 4
5969. 5
5969. 6
5969. 7
5969. 8
5969. 9
5970. 0
5970. 1
5970. 2
5970. 3
5971. 0
5971. 1
5971. 2
5971. 3
5971. 4
5971. 5
5971. 6
5972. 0
pull
Entries 37
Mean 33.75
Std Dev 0
2
1.5
1
0.5
0
−0.5
−1
−1.5
−2
pull1D
Entries 37
Mean 0.1283
Std Dev 0.9454
8
7
6
5
4
3
2
1
0
−8
−6
−4
−2
0
2
4
6
8

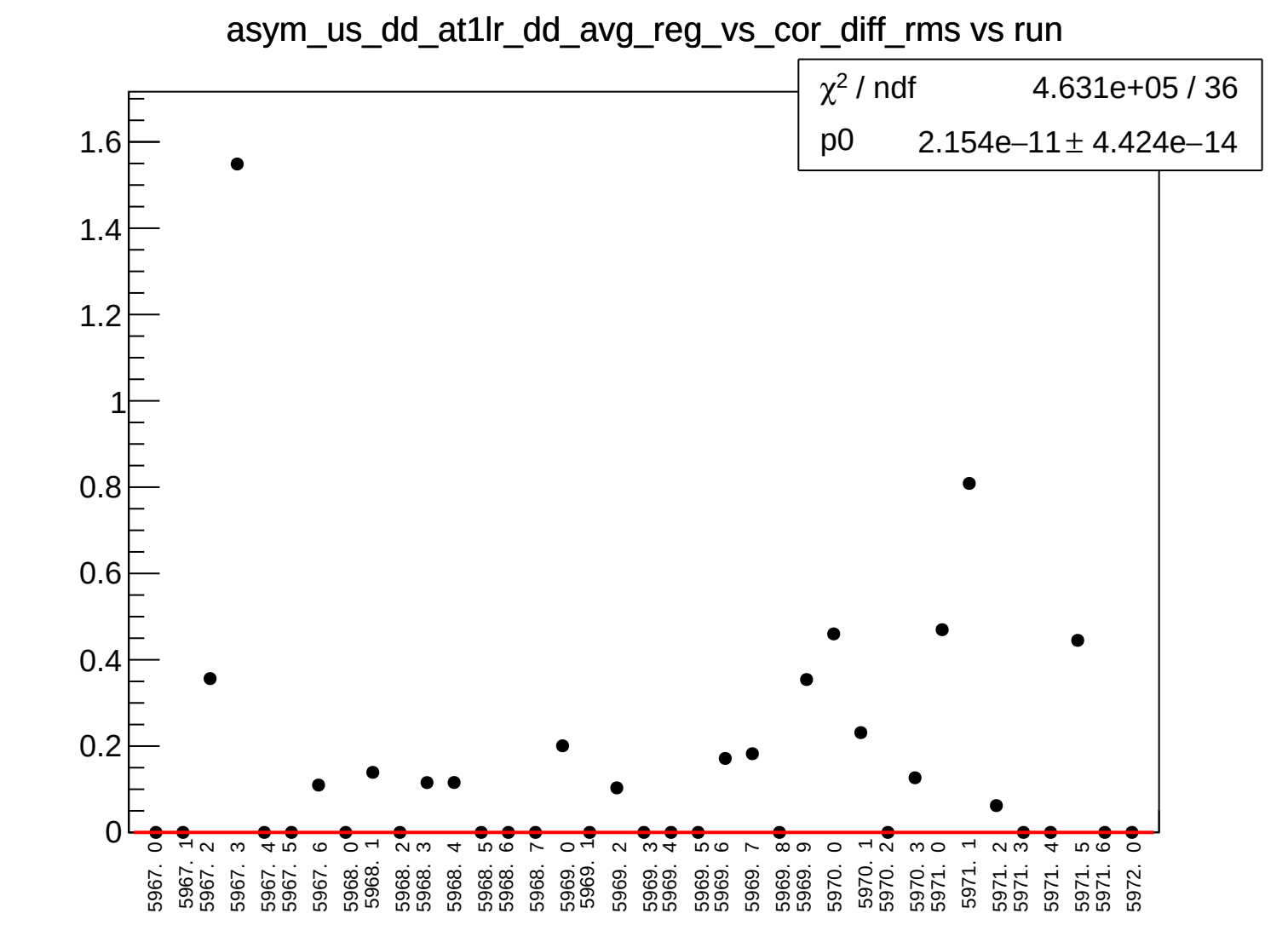
asym_us_dd_at1lr_dd_avg_reg_vs_cor_diff_rms vs run
χ² / ndf 4.631e+05 / 36
p0 2.154e−11 ± 4.424e−14
1.6
1.4
1.2
1
0.8
0.6
0.4
0.2
0
5967. 0
5967. 1
5967. 2
5967. 3
5967. 4
5967. 5
5967. 6
5968. 0
5968. 1
5968. 2
5968. 3
5968. 4
5968. 5
5968. 6
5968. 7
5969. 0
5969. 1
5969. 2
5969. 3
5969. 4
5969. 5
5969. 6
5969. 7
5969. 8
5969. 9
5970. 0
5970. 1
5970. 2
5970. 3
5971. 0
5971. 1
5971. 2
5971. 3
5971. 4
5971. 5
5971. 6
5972. 0

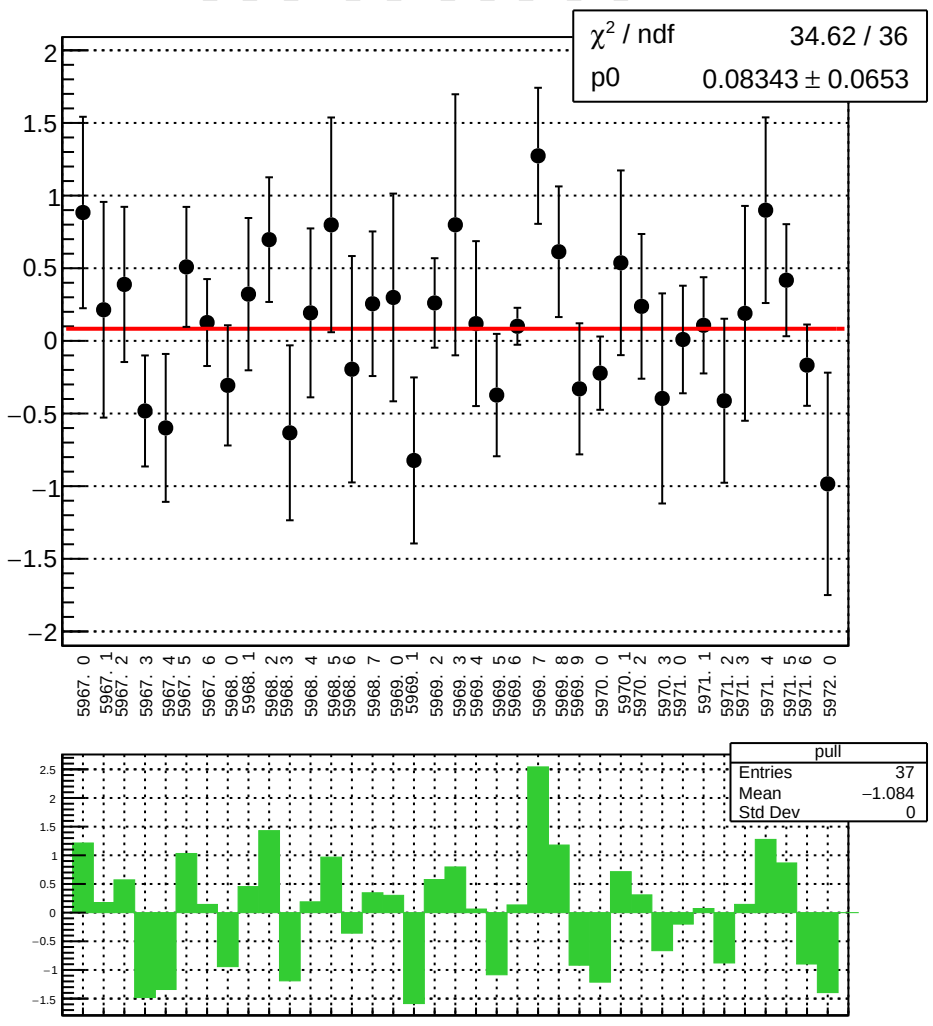
asym_us_dd_at1lr_dd_avg_dit_vs_cor_diff_mean vs run
χ² / ndf 34.62 / 36
p0 0.08343 ± 0.0653
pull
Entries 37
Mean −1.084
Std Dev 0

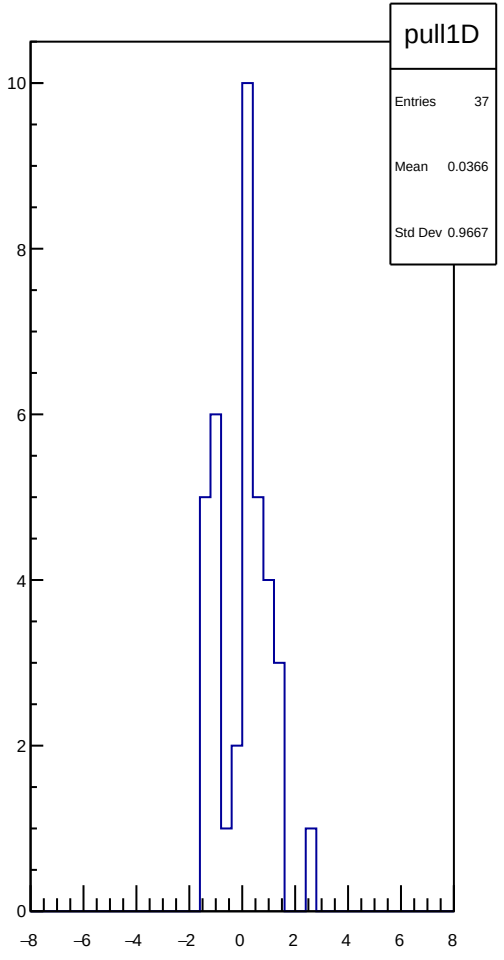
pull1D
Entries 37
Mean 0.0366
Std Dev 0.9667

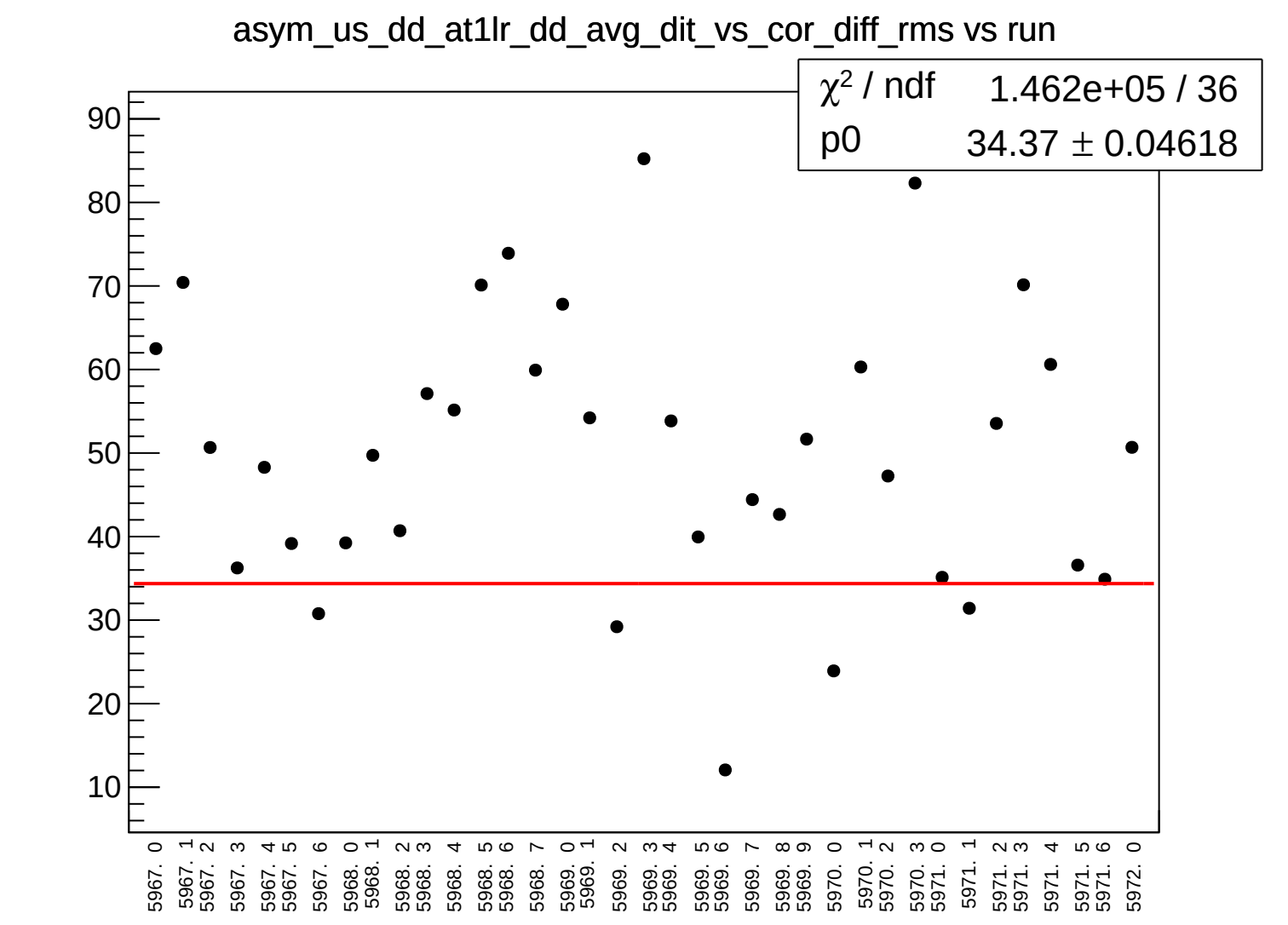
asym_us_dd_at1lr_dd_avg_dit_vs_cor_diff_rms vs run
χ² / ndf 1.462e+05 / 36
p0 34.37 ± 0.04618
90
80
70
60
50
40
30
20
10
5967. 0
5967. 1
5967. 2
5967. 3
5967. 4
5967. 5
5967. 6
5968. 0
5968. 1
5968. 2
5968. 3
5968. 4
5968. 5
5968. 6
5968. 7
5969. 0
5969. 1
5969. 2
5969. 3
5969. 4
5969. 5
5969. 6
5969. 7
5969. 8
5969. 9
5970. 0
5970. 1
5970. 2
5970. 3
5971. 0
5971. 1
5971. 2
5971. 3
5971. 4
5971. 5
5971. 6
5972. 0

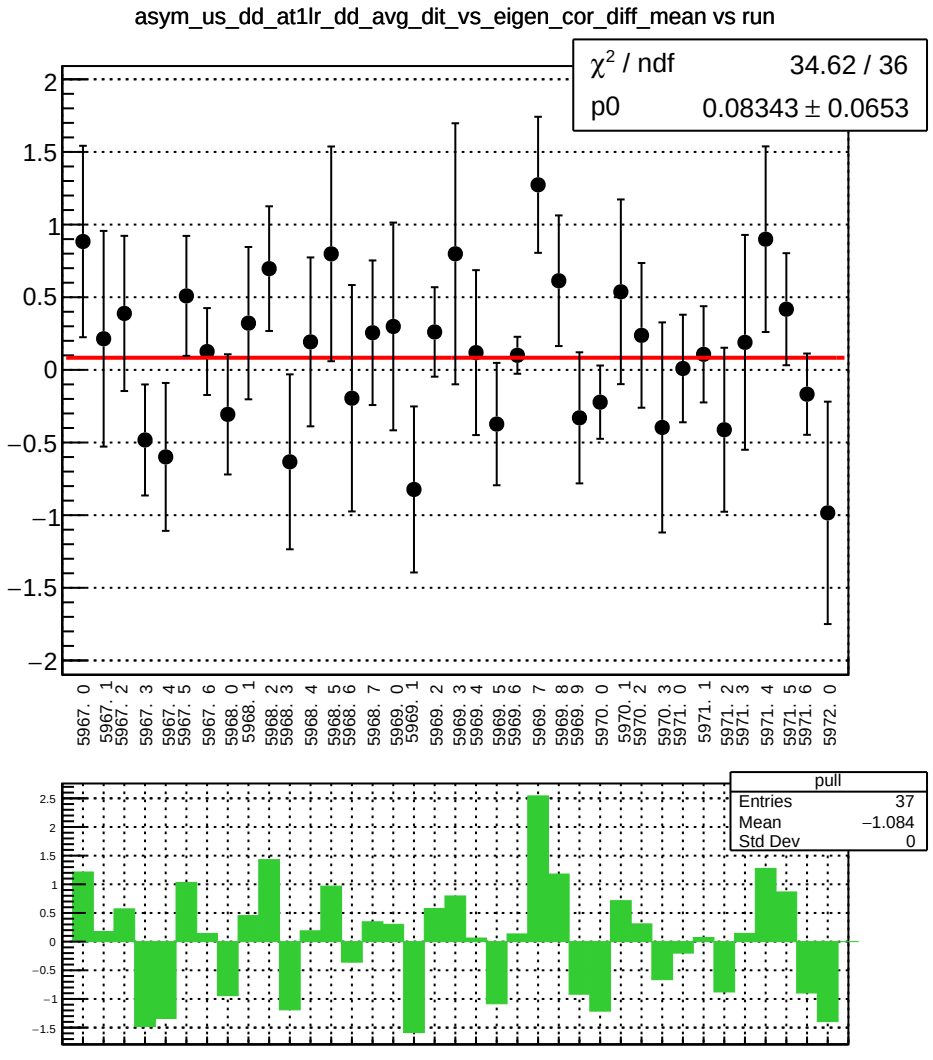
asym_us_dd_at1lr_dd_avg_dit_vs_eigen_cor_diff_mean vs run
χ² / ndf 34.62 / 36
p0 0.08343 ± 0.0653
pull
Entries 37
Mean −1.084
Std Dev 0

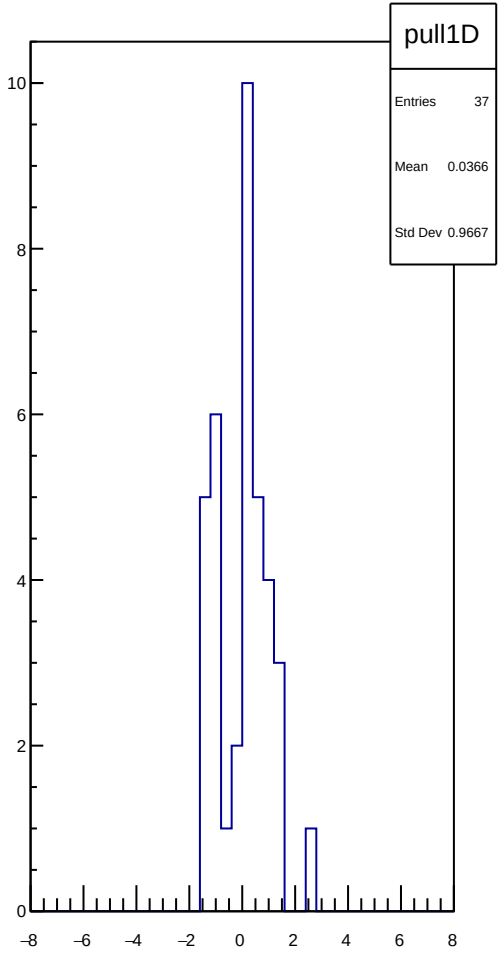
pull1D
Entries 37
Mean 0.0366
Std Dev 0.9667

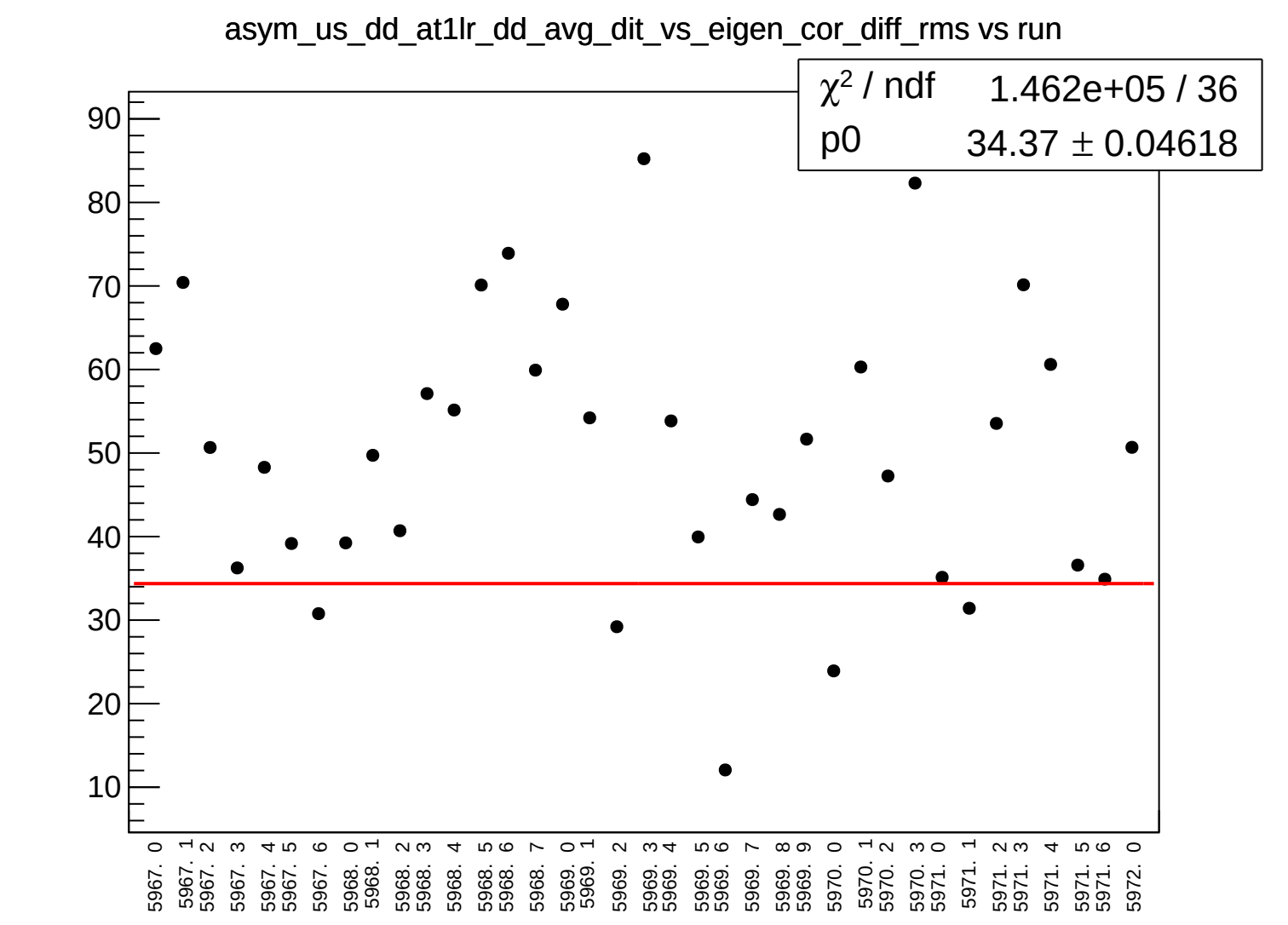
asym_us_dd_at1lr_dd_avg_dit_vs_eigen_cor_diff_rms vs run
χ² / ndf 1.462e+05 / 36
p0 34.37 ± 0.04618
90
80
70
60
50
40
30
20
10
5967. 0
5967. 1
5967. 2
5967. 3
5967. 4
5967. 5
5967. 6
5968. 0
5968. 1
5968. 2
5968. 3
5968. 4
5968. 5
5968. 6
5968. 7
5969. 0
5969. 1
5969. 2
5969. 3
5969. 4
5969. 5
5969. 6
5969. 7
5969. 8
5969. 9
5970. 0
5970. 1
5970. 2
5970. 3
5971. 0
5971. 1
5971. 2
5971. 3
5971. 4
5971. 5
5971. 6
5972. 0

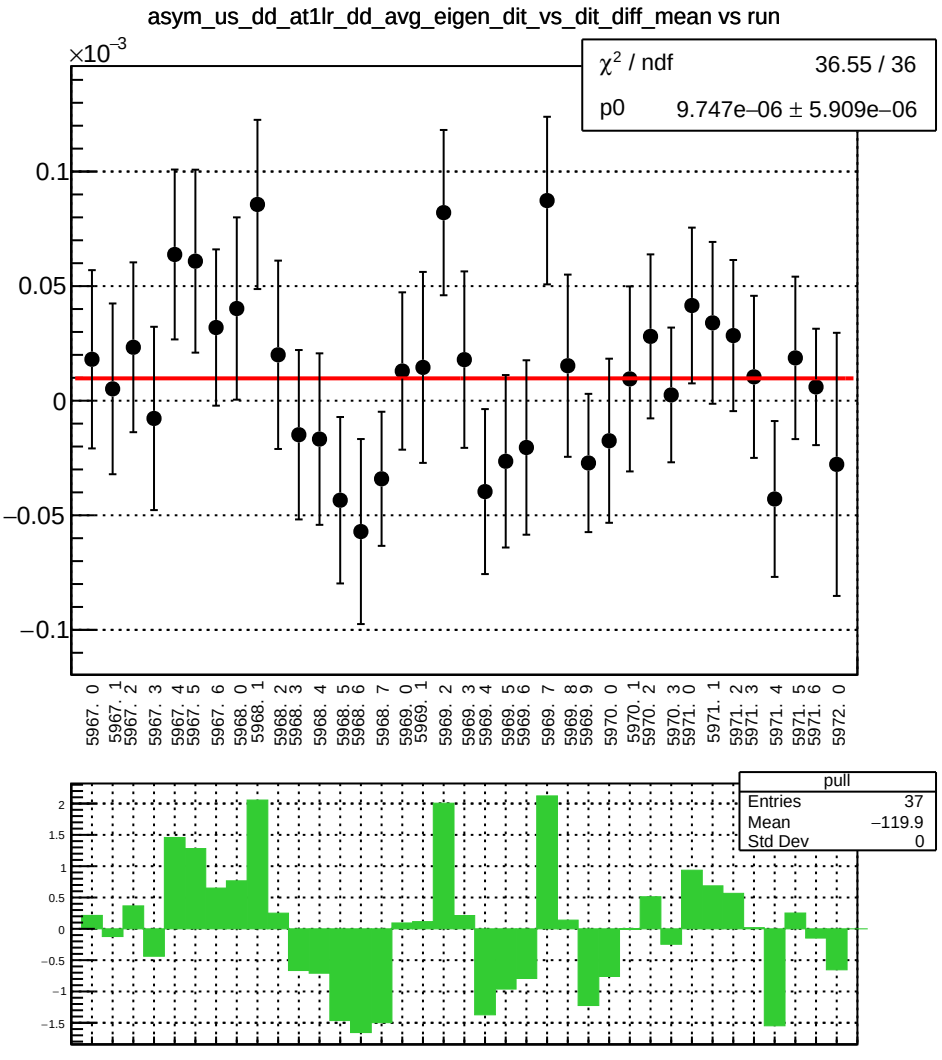
asym_us_dd_at1lr_dd_avg_eigen_dit_vs_dit_diff_mean vs run
×10⁻³
χ² / ndf 36.55 / 36
p0 9.747e−06 ± 5.909e−06
0.1
0.05
0
−0.05
−0.1
5967. 0
5967. 1
5967. 2
5967. 3
5967. 4
5967. 5
5967. 6
5968. 0
5968. 1
5968. 2
5968. 3
5968. 4
5968. 5
5968. 6
5968. 7
5969. 0
5969. 1
5969. 2
5969. 3
5969. 4
5969. 5
5969. 6
5969. 7
5969. 8
5969. 9
5970. 0
5970. 1
5970. 2
5970. 3
5971. 0
5971. 1
5971. 2
5971. 3
5971. 4
5971. 5
5971. 6
5972. 0
pull
Entries 37
Mean −119.9
Std Dev 0
2
1.5
1
0.5
0
−0.5
−1
−1.5

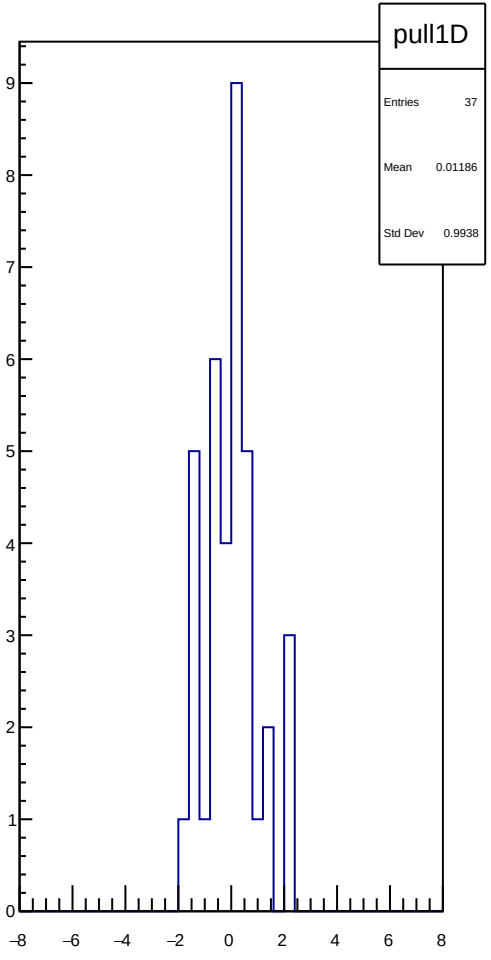
pull1D
Entries 37
Mean 0.01186
Std Dev 0.9938
9
8
7
6
5
4
3
2
1
0
−8
−6
−4
−2
0
2
4
6
8

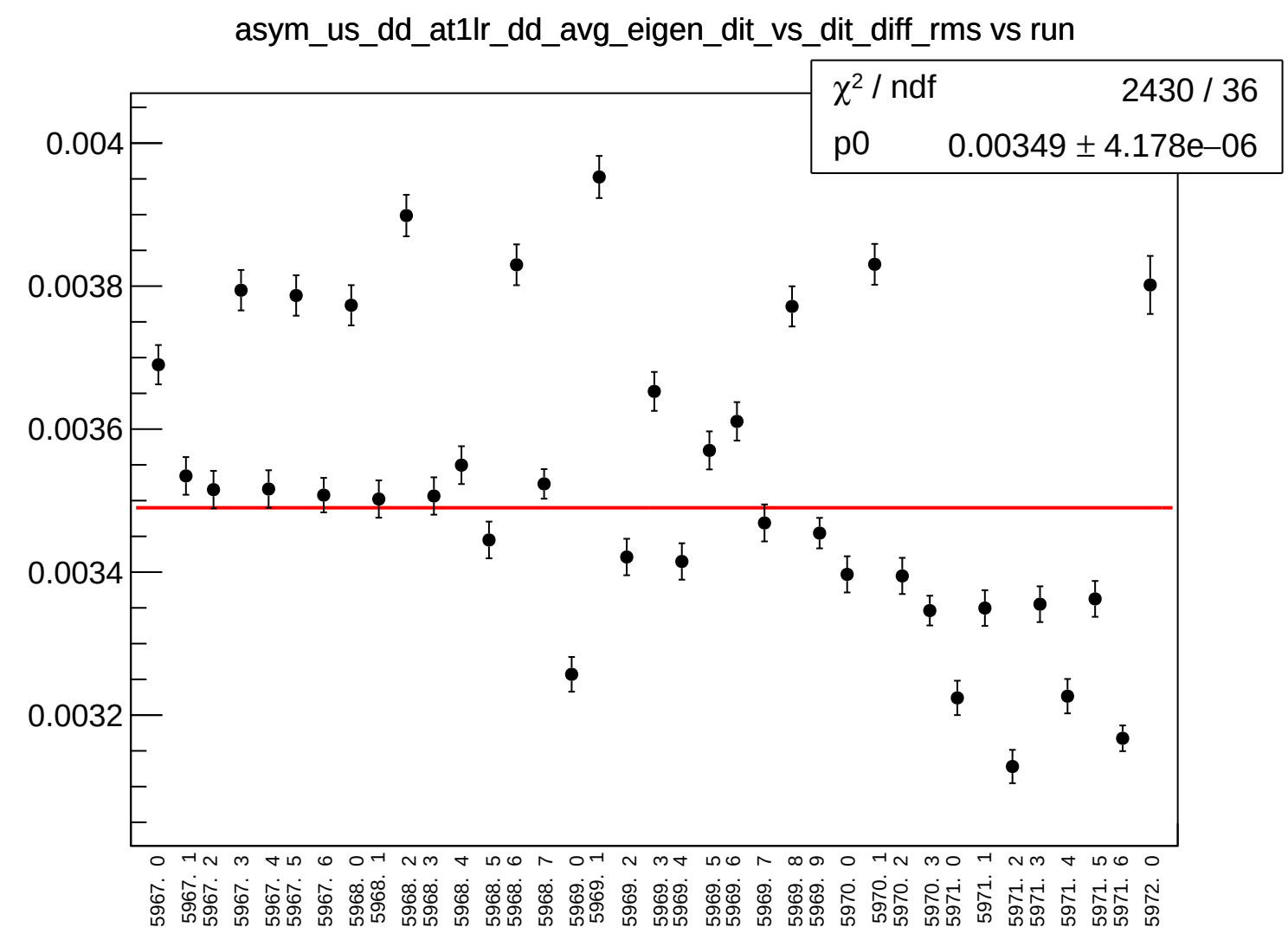
asym_us_dd_at1lr_dd_avg_eigen_dit_vs_dit_diff_rms vs run
χ² / ndf 2430 / 36
p0 0.00349 ± 4.178e–06
0.004
0.0038
0.0036
0.0034
0.0032
5967. 0
5967. 1
5967. 2
5967. 3
5967. 4
5967. 5
5967. 6
5968. 0
5968. 1
5968. 2
5968. 3
5968. 4
5968. 5
5968. 6
5968. 7
5969. 0
5969. 1
5969. 2
5969. 3
5969. 4
5969. 5
5969. 6
5969. 7
5969. 8
5969. 9
5970. 0
5970. 1
5970. 2
5970. 3
5971. 0
5971. 1
5971. 2
5971. 3
5971. 4
5971. 5
5971. 6
5972. 0

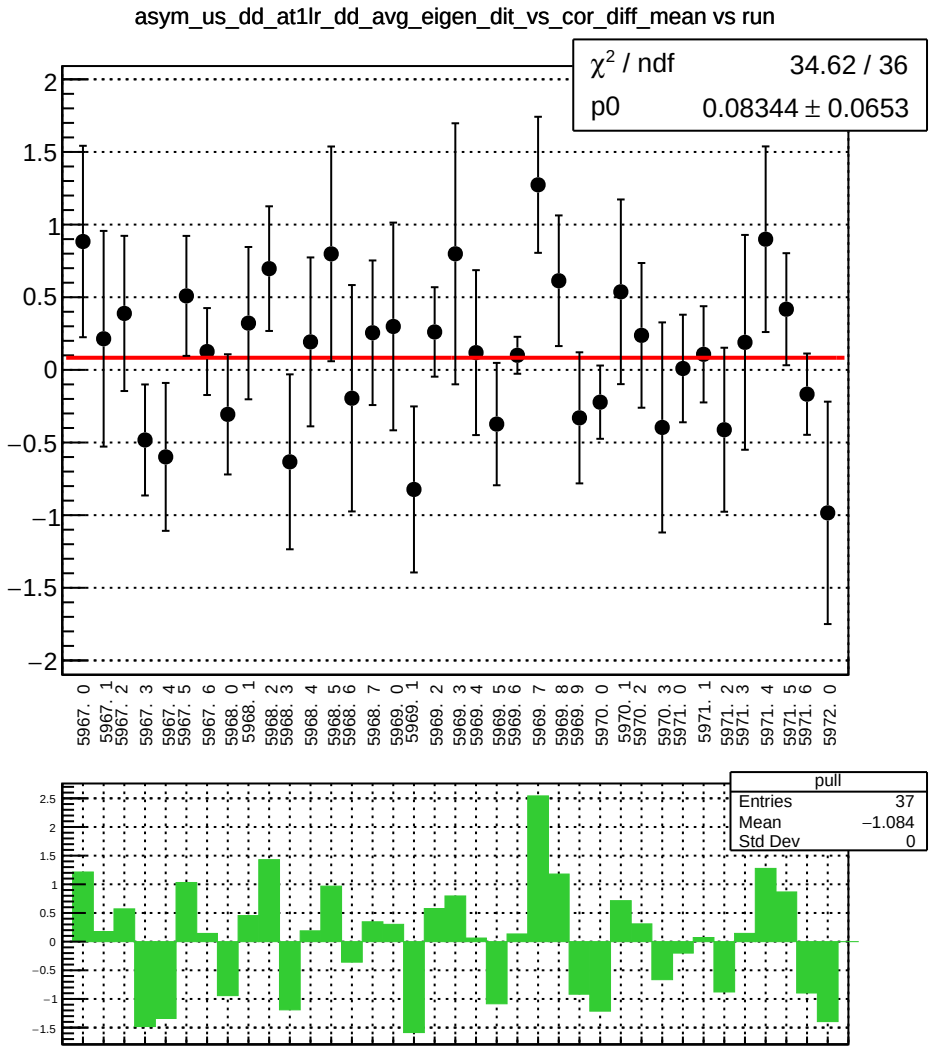
asym_us_dd_at1lr_dd_avg_eigen_dit_vs_cor_diff_mean vs run
χ² / ndf 34.62 / 36
p0 0.08344 ± 0.0653
pull
Entries 37
Mean −1.084
Std Dev 0
pull1D
Entries 37
Mean 0.0366
Std Dev 0.9667

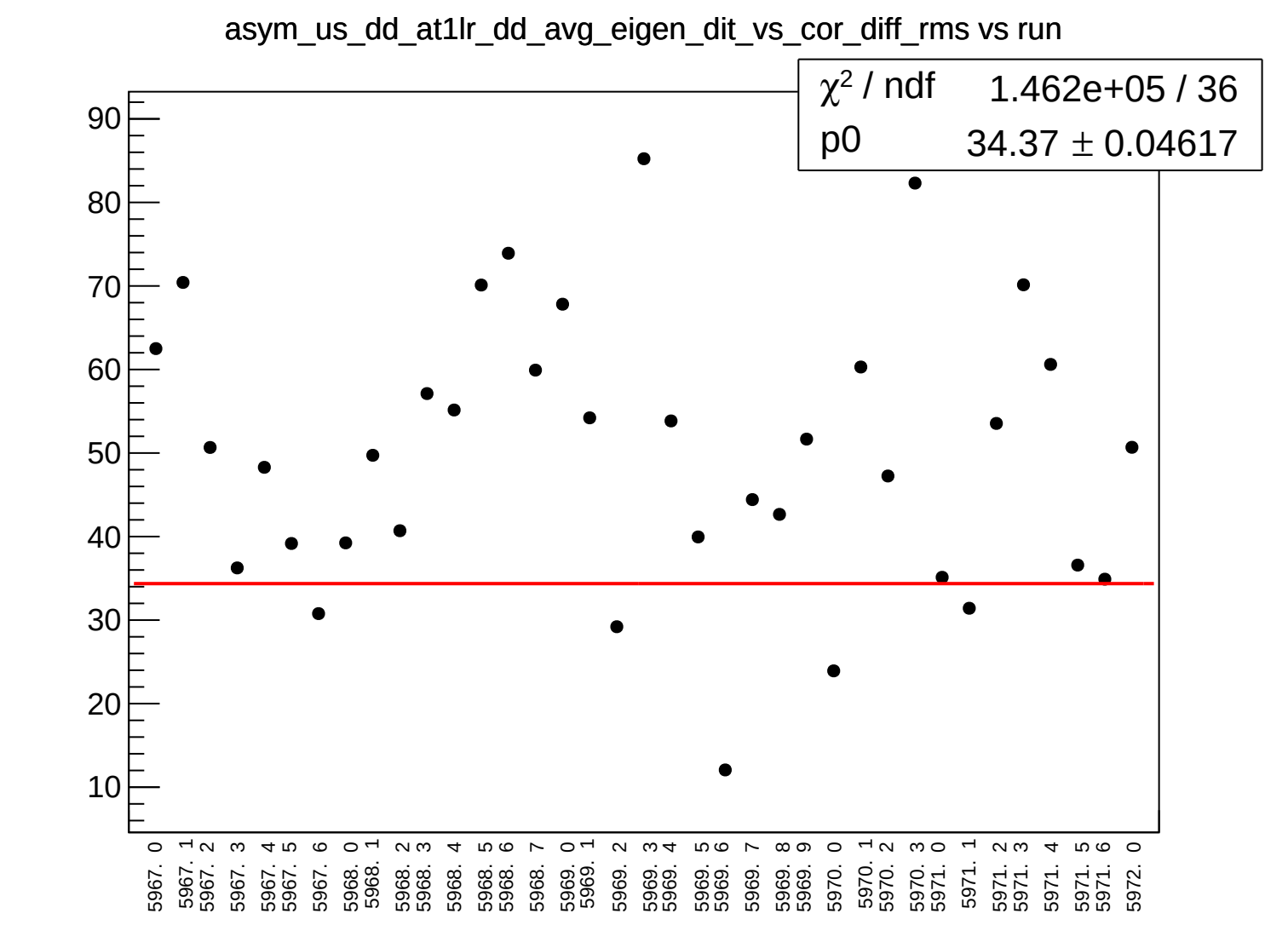
asym_us_dd_at1lr_dd_avg_eigen_dit_vs_cor_diff_rms vs run
χ² / ndf 1.462e+05 / 36
p0 34.37 ± 0.04617
90
80
70
60
50
40
30
20
10
5967. 0
5967. 1
5967. 2
5967. 3
5967. 4
5967. 5
5967. 6
5968. 0
5968. 1
5968. 2
5968. 3
5968. 4
5968. 5
5968. 6
5968. 7
5969. 0
5969. 1
5969. 2
5969. 3
5969. 4
5969. 5
5969. 6
5969. 7
5969. 8
5969. 9
5970. 0
5970. 1
5970. 2
5970. 3
5971. 0
5971. 1
5971. 2
5971. 3
5971. 4
5971. 5
5971. 6
5972. 0

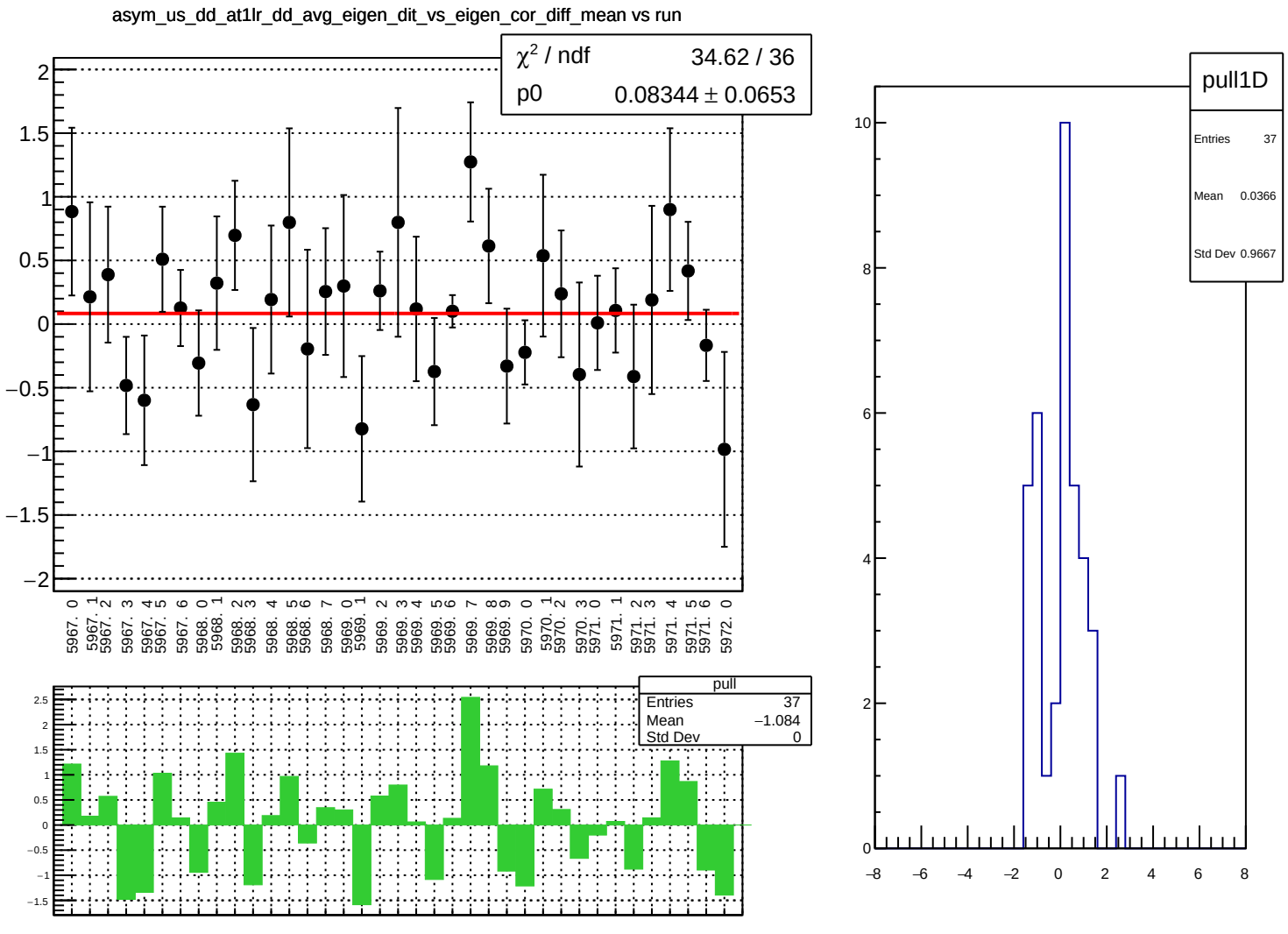
asym_us_dd_at1lr_dd_avg_eigen_dit_vs_eigen_cor_diff_mean vs run
χ² / ndf 34.62 / 36
p0 0.08344 ± 0.0653
pull
Entries 37
Mean −1.084
Std Dev 0
pull1D
Entries 37
Mean 0.0366
Std Dev 0.9667

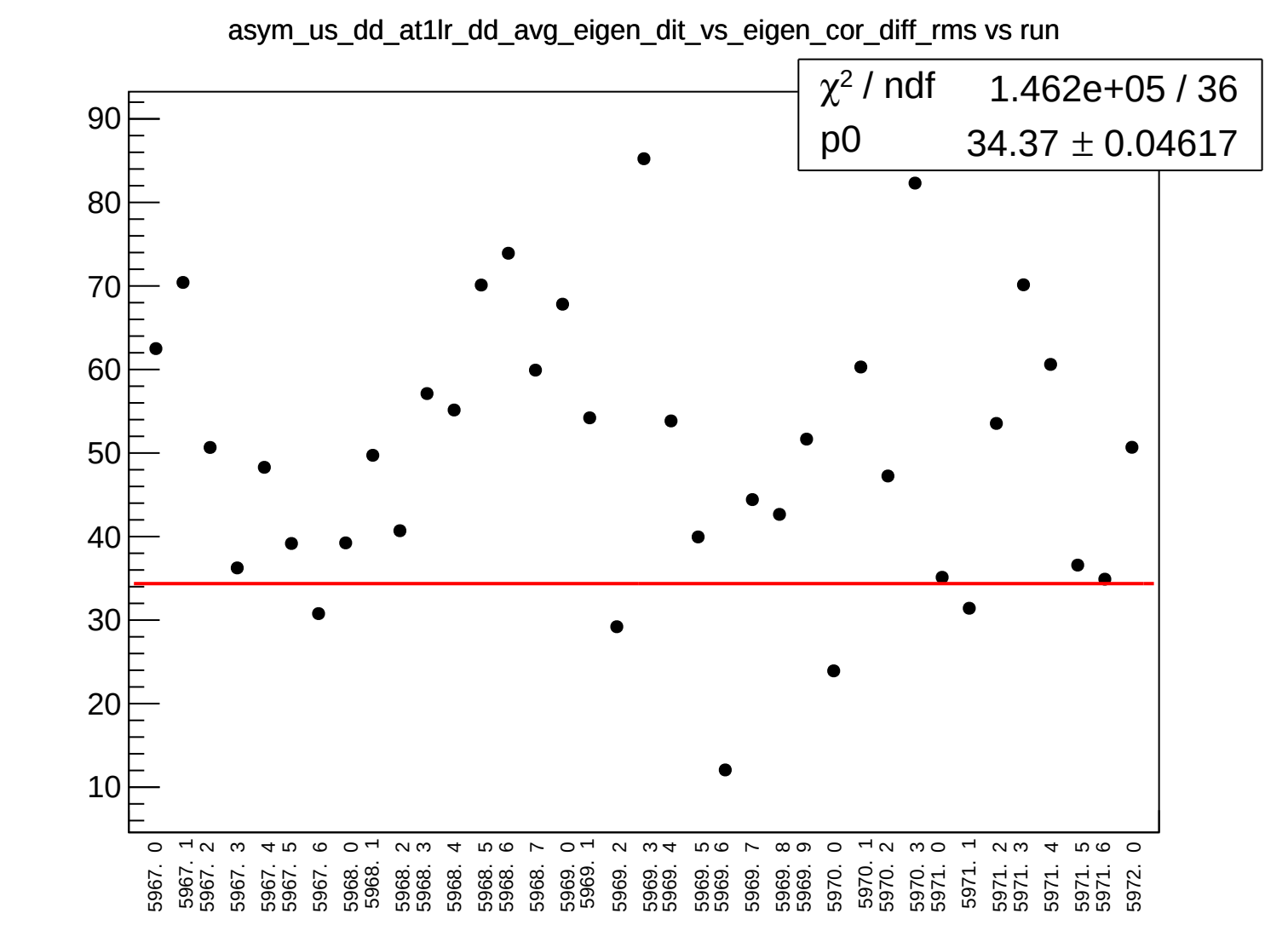
asym_us_dd_at1lr_dd_avg_eigen_dit_vs_eigen_cor_diff_rms vs run
χ² / ndf 1.462e+05 / 36
p0 34.37 ± 0.04617
90
80
70
60
50
40
30
20
10
5967. 0
5967. 1
5967. 2
5967. 3
5967. 4
5967. 5
5967. 6
5968. 0
5968. 1
5968. 2
5968. 3
5968. 4
5968. 5
5968. 6
5968. 7
5969. 0
5969. 1
5969. 2
5969. 3
5969. 4
5969. 5
5969. 6
5969. 7
5969. 8
5969. 9
5970. 0
5970. 1
5970. 2
5970. 3
5971. 0
5971. 1
5971. 2
5971. 3
5971. 4
5971. 5
5971. 6
5972. 0

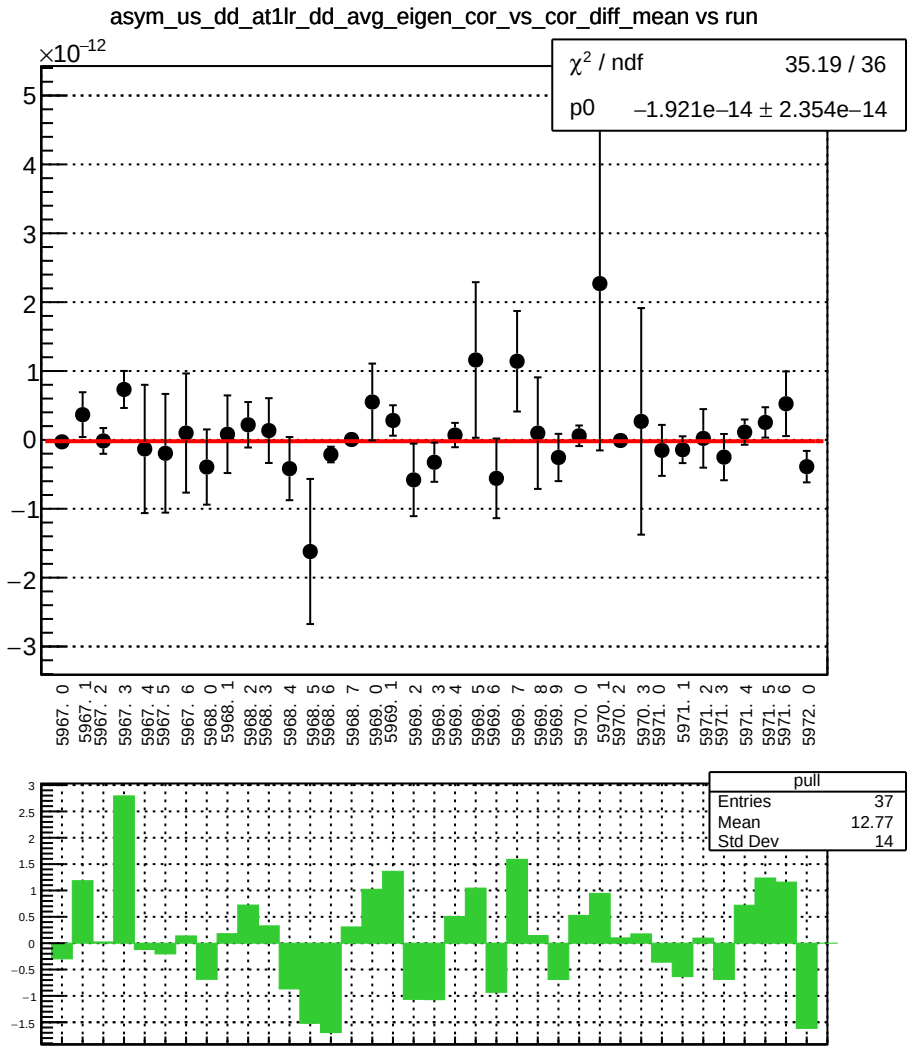
asym_us_dd_at1lr_dd_avg_eigen_cor_vs_cor_diff_mean vs run
×10⁻¹²
χ² / ndf 35.19 / 36
p0 −1.921e−14 ± 2.354e−14
pull
Entries 37
Mean 12.77
Std Dev 14

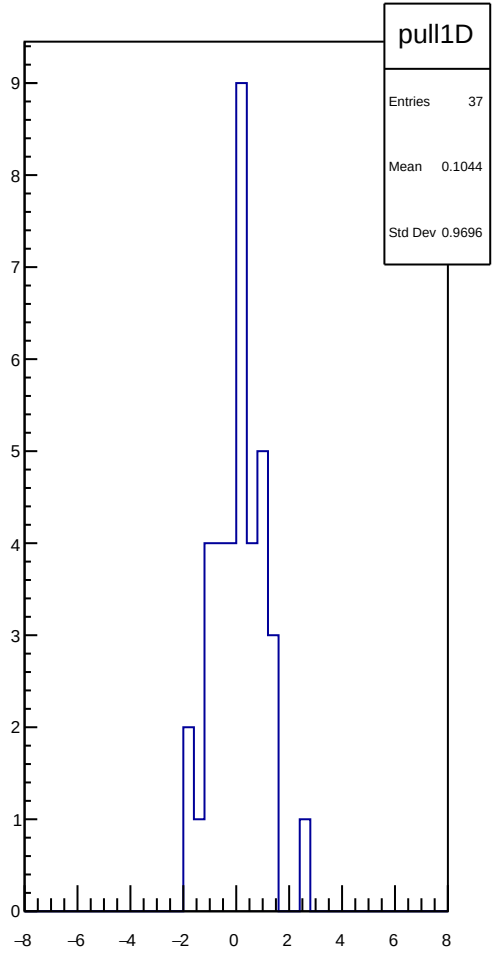
pull1D
Entries 37
Mean 0.1044
Std Dev 0.9696

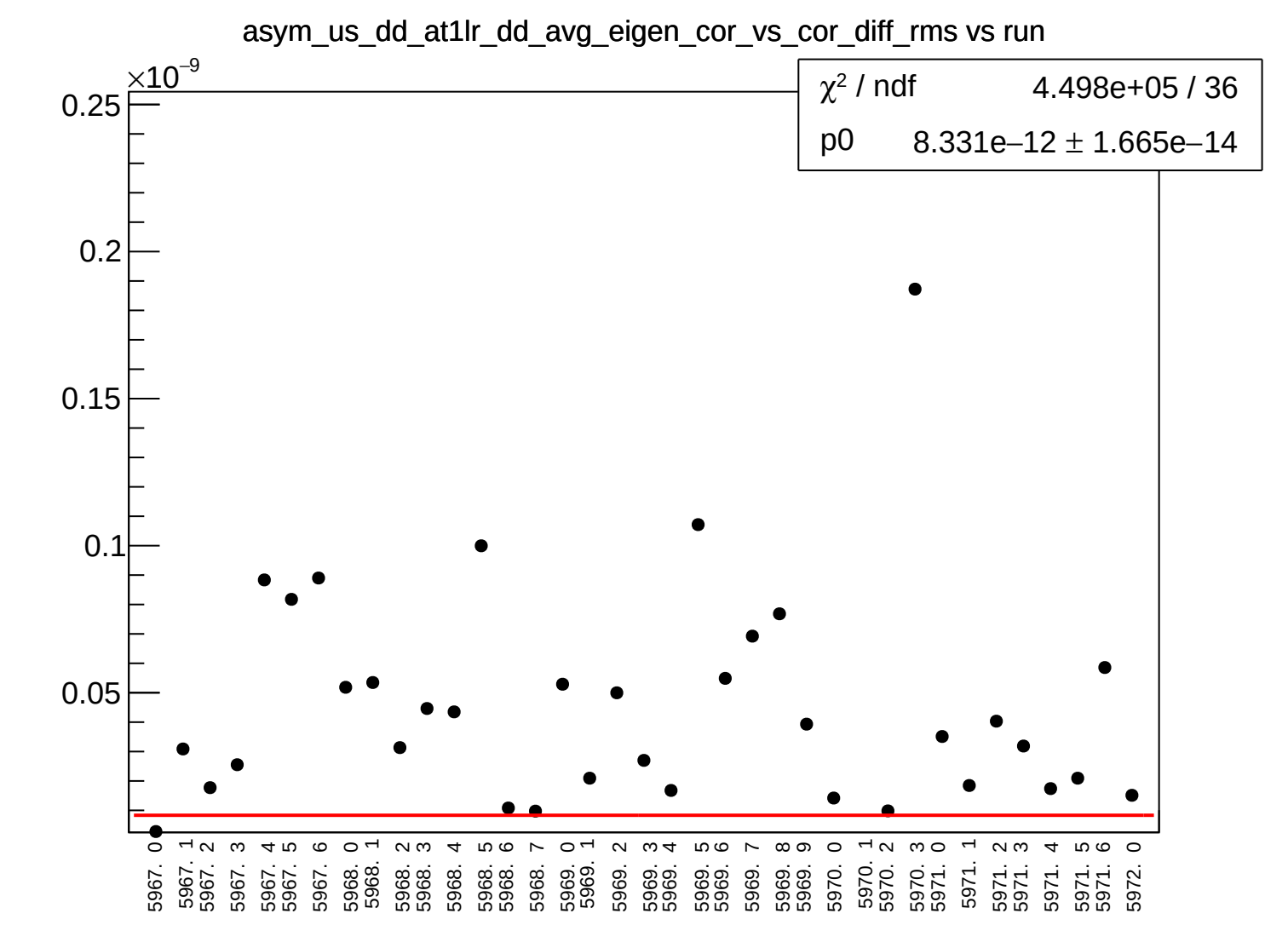
asym_us_dd_at1lr_dd_avg_eigen_cor_vs_cor_diff_rms vs run
×10⁻⁹
χ² / ndf 4.498e+05 / 36
p0 8.331e−12 ± 1.665e−14
0.25
0.2
0.15
0.1
0.05
5967. 0
5967. 1
5967. 2
5967. 3
5967. 4
5967. 5
5967. 6
5968. 0
5968. 1
5968. 2
5968. 3
5968. 4
5968. 5
5968. 6
5968. 7
5969. 0
5969. 1
5969. 2
5969. 3
5969. 4
5969. 5
5969. 6
5969. 7
5969. 8
5969. 9
5970. 0
5970. 1
5970. 2
5970. 3
5971. 0
5971. 1
5971. 2
5971. 3
5971. 4
5971. 5
5971. 6
5972. 0

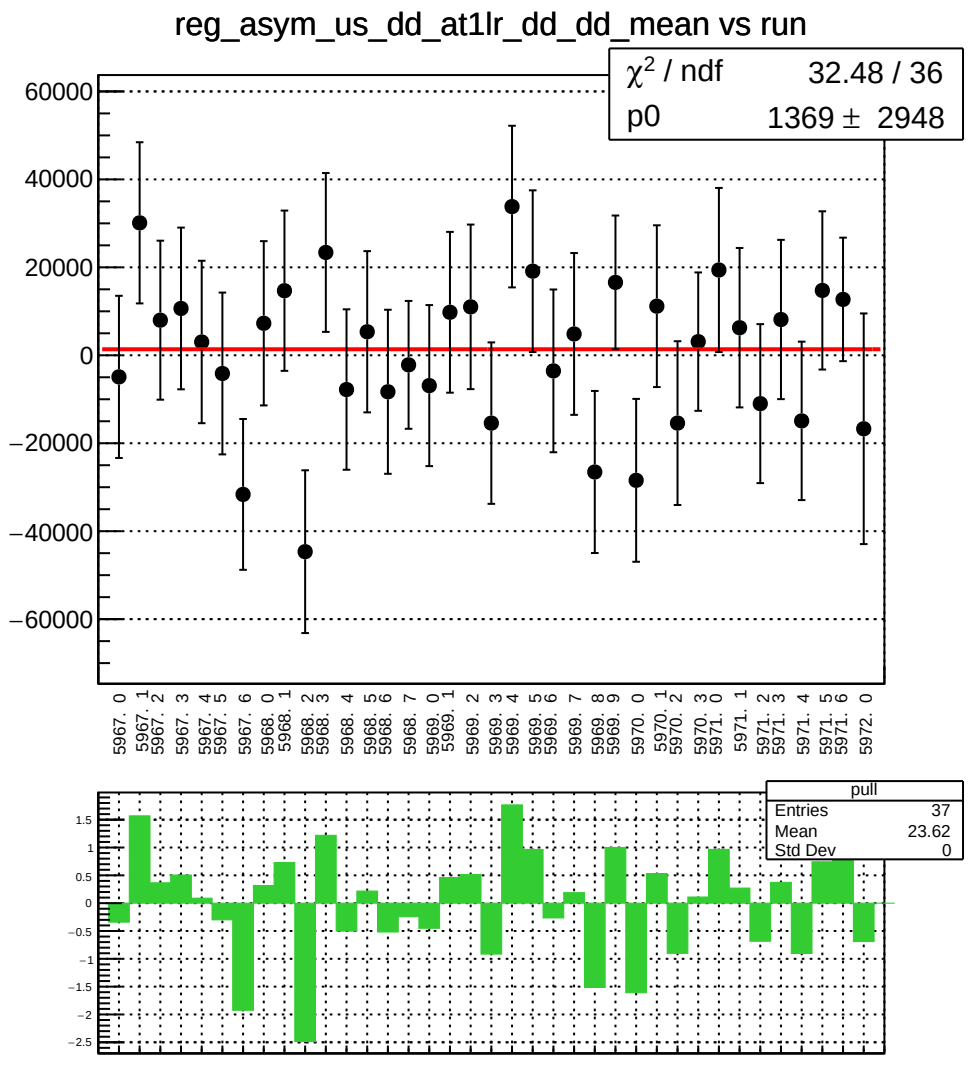
reg_asym_us_dd_at1lr_dd_dd_mean vs run
χ² / ndf 32.48 / 36
p0 1369 ± 2948
60000
40000
20000
0
−20000
−40000
−60000
5967. 0
5967. 1
5967. 2
5967. 3
5967. 4
5967. 5
5967. 6
5968. 0
5968. 1
5968. 2
5968. 3
5968. 4
5968. 5
5968. 6
5968. 7
5969. 0
5969. 1
5969. 2
5969. 3
5969. 4
5969. 5
5969. 6
5969. 7
5969. 8
5969. 9
5970. 0
5970. 1
5970. 2
5970. 3
5971. 0
5971. 1
5971. 2
5971. 3
5971. 4
5971. 5
5971. 6
5972. 0
pull
Entries 37
Mean 23.62
Std Dev 0
1.5
1
0.5
0
−0.5
−1
−1.5
−2
−2.5

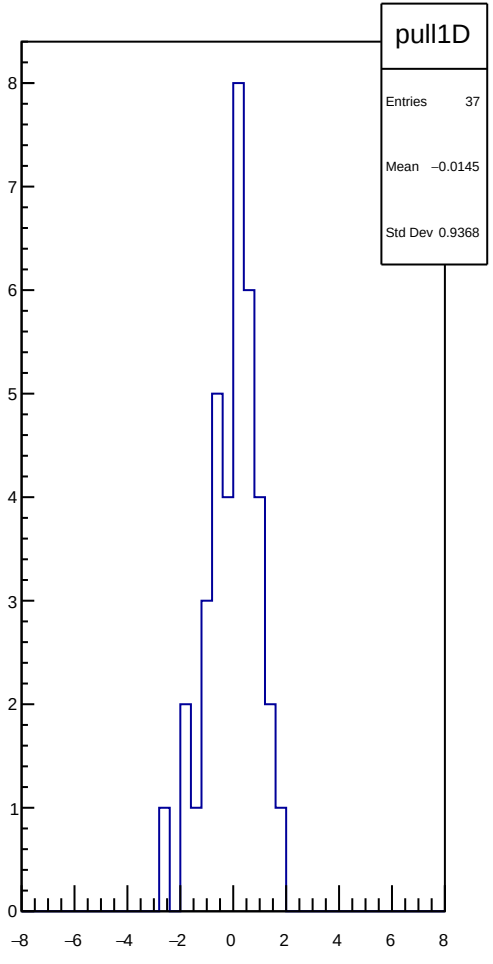
pull1D
Entries 37
Mean −0.0145
Std Dev 0.9368
8
7
6
5
4
3
2
1
0
−8
−6
−4
−2
0
2
4
6
8

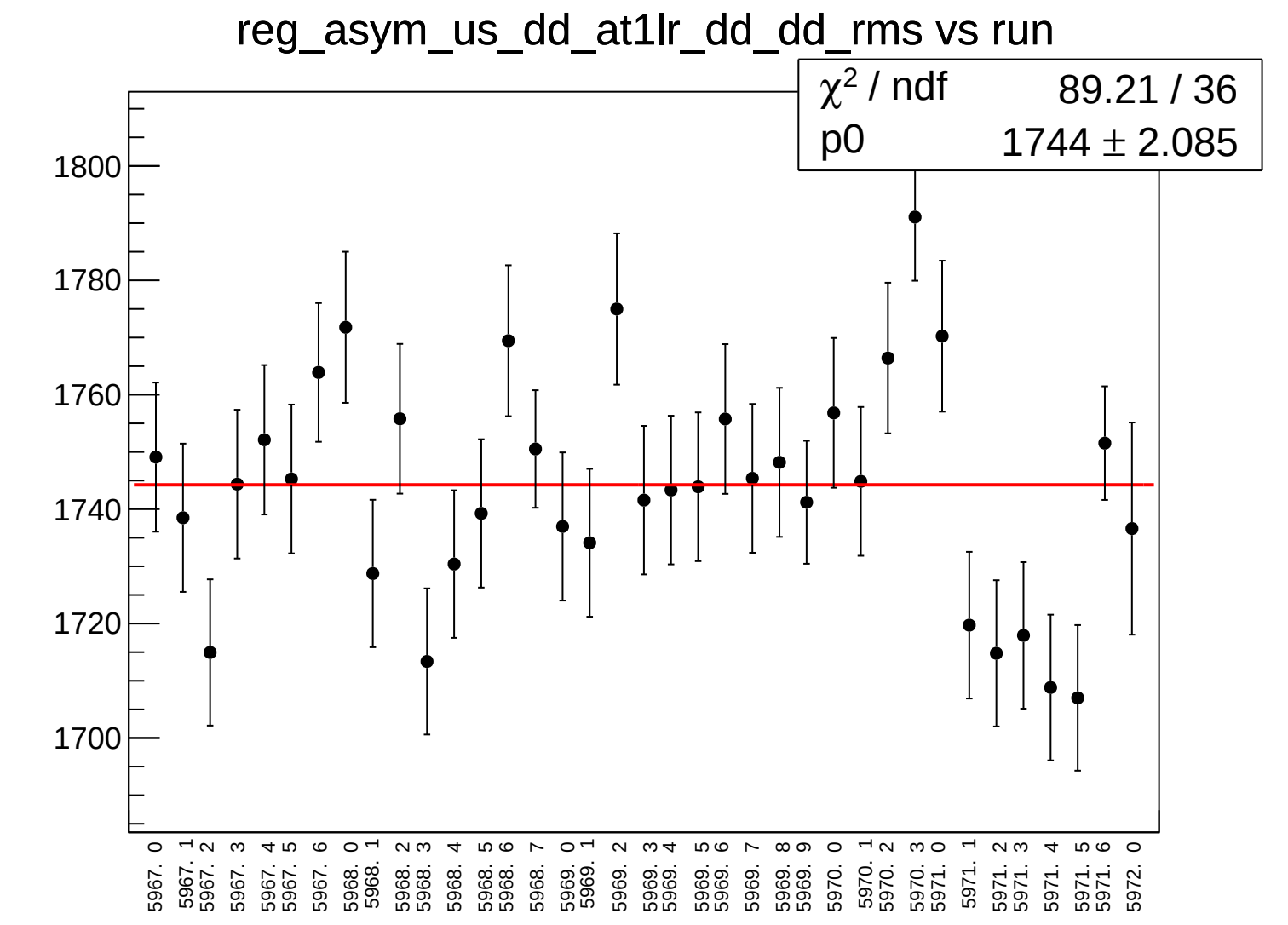
reg_asym_us_dd_at1lr_dd_dd_rms vs run
χ² / ndf 89.21 / 36
p0 1744 ± 2.085
1800
1780
1760
1740
1720
1700
5967. 0
5967. 1
5967. 2
5967. 3
5967. 4
5967. 5
5967. 6
5968. 0
5968. 1
5968. 2
5968. 3
5968. 4
5968. 5
5968. 6
5968. 7
5969. 0
5969. 1
5969. 2
5969. 3
5969. 4
5969. 5
5969. 6
5969. 7
5969. 8
5969. 9
5970. 0
5970. 1
5970. 2
5970. 3
5971. 0
5971. 1
5971. 2
5971. 3
5971. 4
5971. 5
5971. 6
5972. 0

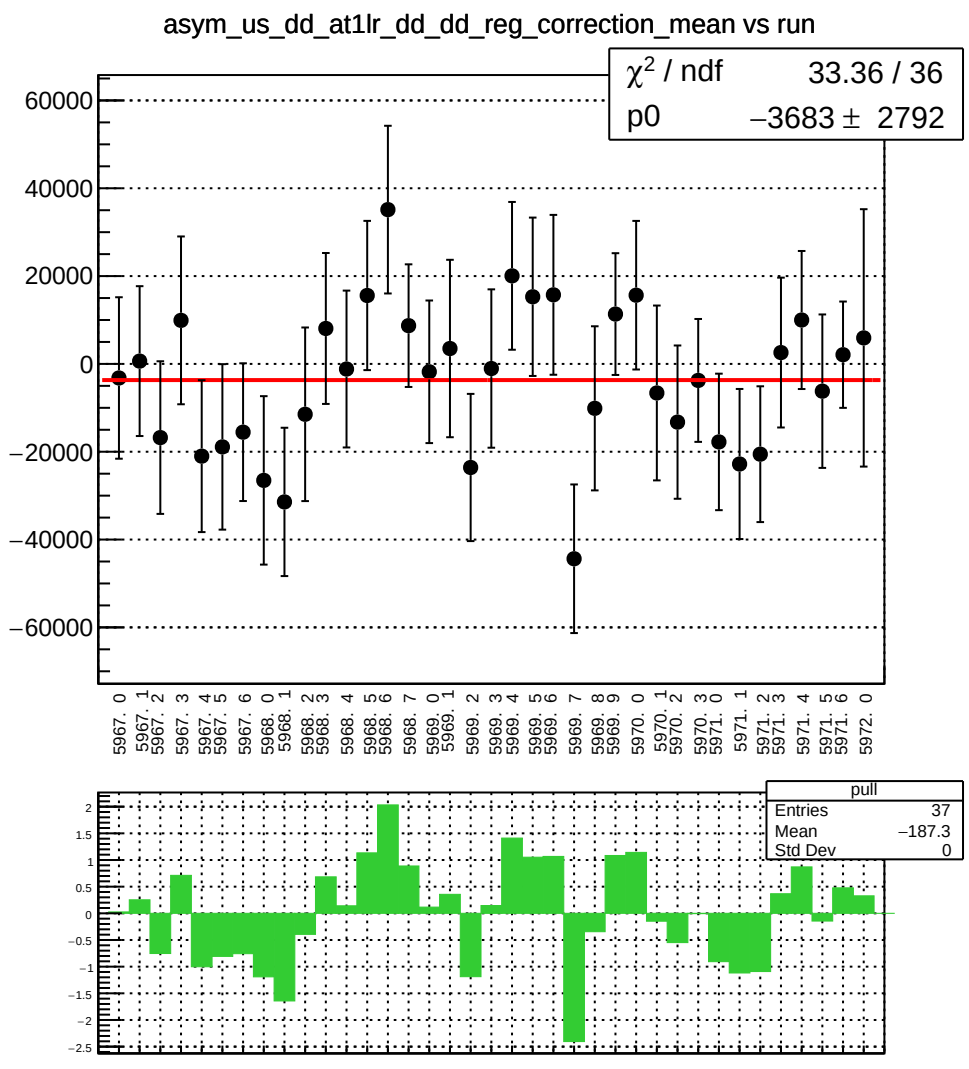
asym_us_dd_at1lr_dd_dd_reg_correction_mean vs run
χ² / ndf 33.36 / 36
p0 −3683 ± 2792
60000
40000
20000
0
−20000
−40000
−60000
5967. 0
5967. 1
5967. 2
5967. 3
5967. 4
5967. 5
5967. 6
5968. 0
5968. 1
5968. 2
5968. 3
5968. 4
5968. 5
5968. 6
5968. 7
5969. 0
5969. 1
5969. 2
5969. 3
5969. 4
5969. 5
5969. 6
5969. 7
5969. 8
5969. 9
5970. 0
5970. 1
5970. 2
5970. 3
5971. 0
5971. 1
5971. 2
5971. 3
5971. 4
5971. 5
5971. 6
5972. 0
pull
Entries 37
Mean −187.3
Std Dev 0
2
1.5
1
0.5
0
−0.5
−1
−1.5
−2
−2.5

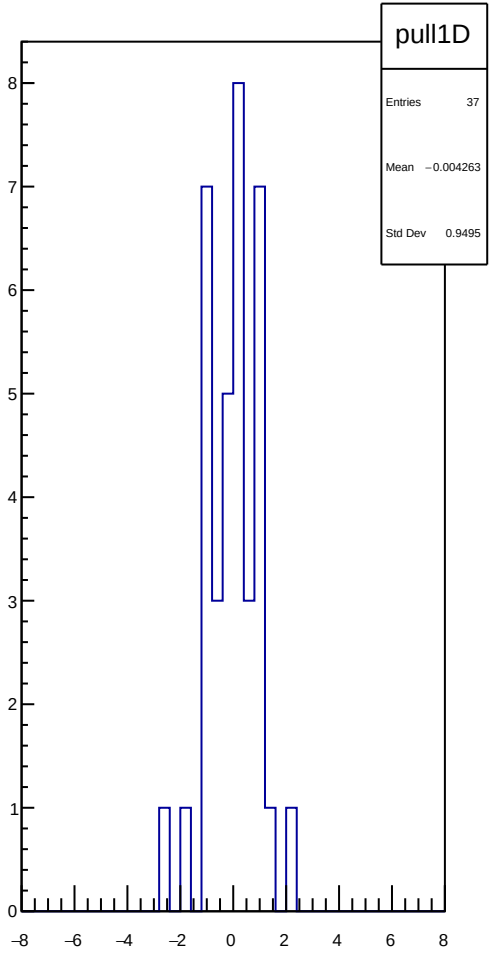
pull1D
Entries 37
Mean −0.004263
Std Dev 0.9495
8
7
6
5
4
3
2
1
0
−8
−6
−4
−2
0
2
4
6
8

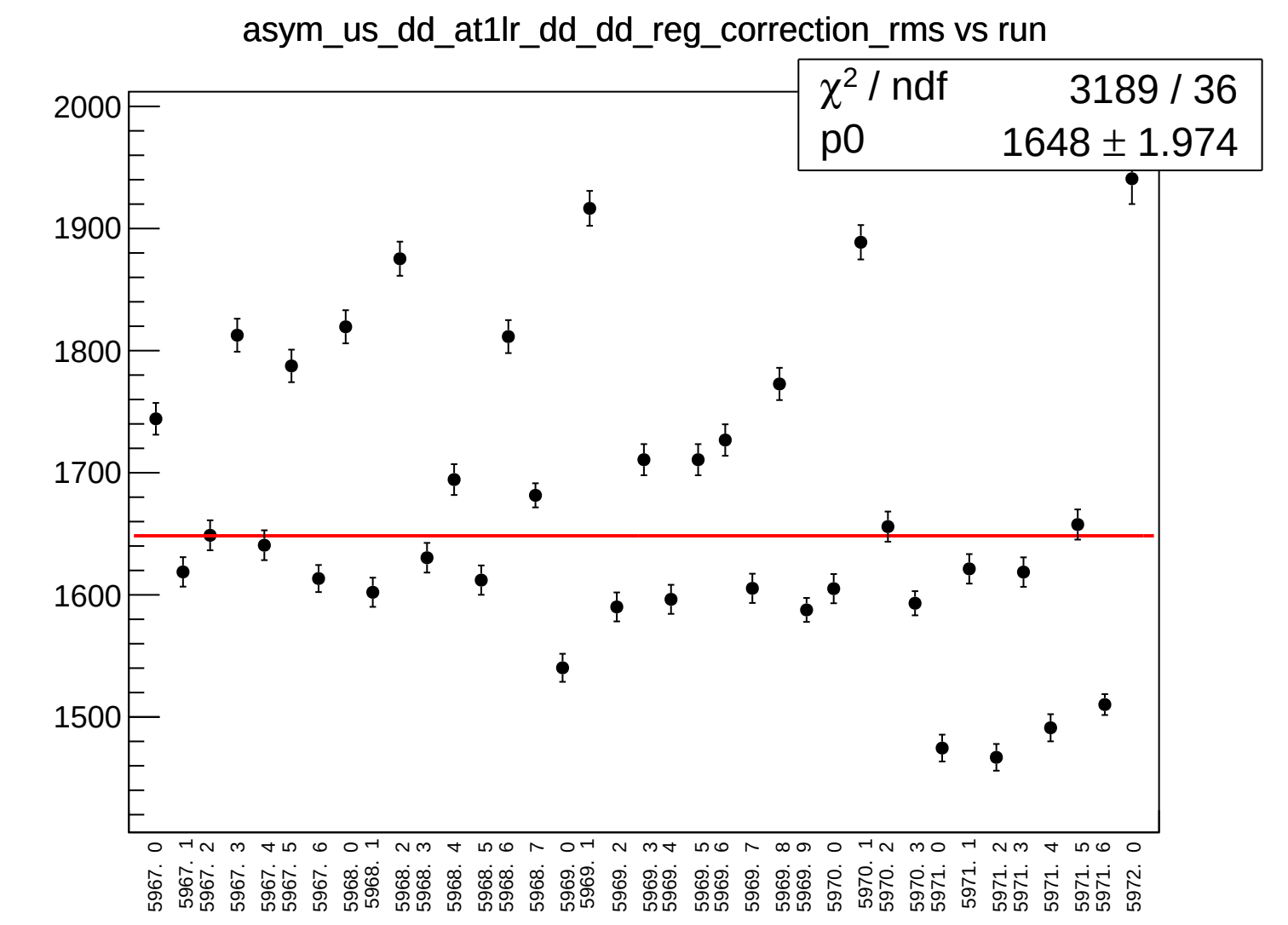
asym_us_dd_at1lr_dd_dd_reg_correction_rms vs run
χ² / ndf 3189 / 36
p0 1648 ± 1.974
2000
1900
1800
1700
1600
1500
5967. 0
5967. 1
5967. 2
5967. 3
5967. 4
5967. 5
5967. 6
5968. 0
5968. 1
5968. 2
5968. 3
5968. 4
5968. 5
5968. 6
5968. 7
5969. 0
5969. 1
5969. 2
5969. 3
5969. 4
5969. 5
5969. 6
5969. 7
5969. 8
5969. 9
5970. 0
5970. 1
5970. 2
5970. 3
5971. 0
5971. 1
5971. 2
5971. 3
5971. 4
5971. 5
5971. 6
5972. 0

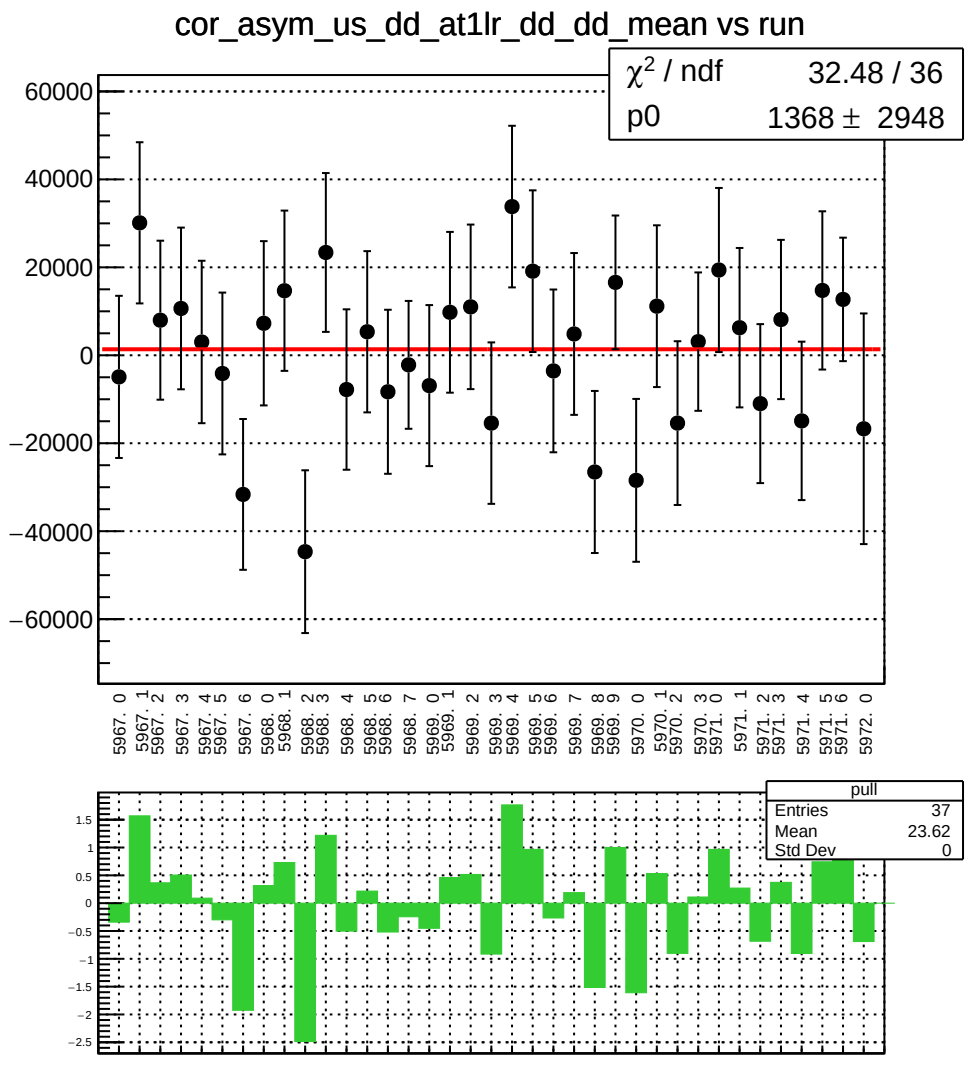
cor_asym_us_dd_at1lr_dd_dd_mean vs run
χ² / ndf 32.48 / 36
p0 1368 ± 2948
60000
40000
20000
0
−20000
−40000
−60000
5967. 0
5967. 1
5967. 2
5967. 3
5967. 4
5967. 5
5967. 6
5968. 0
5968. 1
5968. 2
5968. 3
5968. 4
5968. 5
5968. 6
5968. 7
5969. 0
5969. 1
5969. 2
5969. 3
5969. 4
5969. 5
5969. 6
5969. 7
5969. 8
5969. 9
5970. 0
5970. 1
5970. 2
5970. 3
5971. 0
5971. 1
5971. 2
5971. 3
5971. 4
5971. 5
5971. 6
5972. 0
pull
Entries 37
Mean 23.62
Std Dev 0
1.5
1
0.5
0
−0.5
−1
−1.5
−2
−2.5

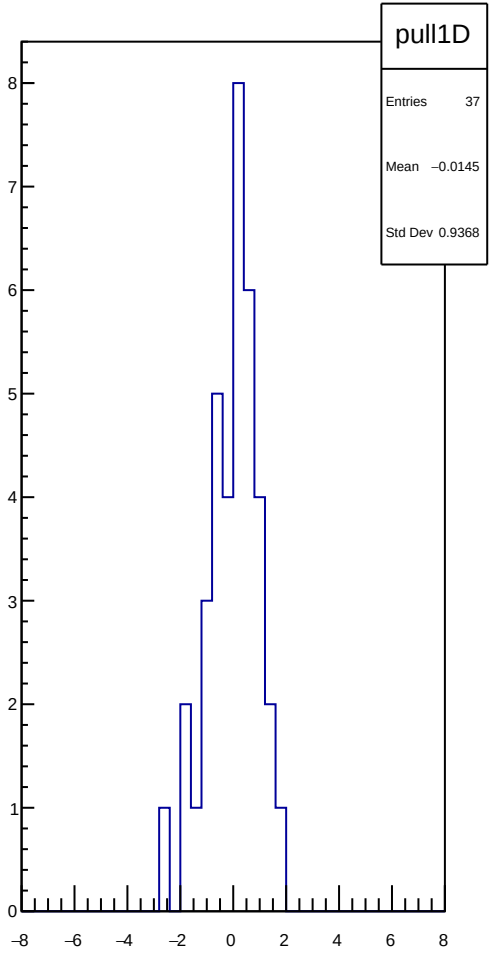
pull1D
Entries 37
Mean −0.0145
Std Dev 0.9368
8
7
6
5
4
3
2
1
0
−8
−6
−4
−2
0
2
4
6
8

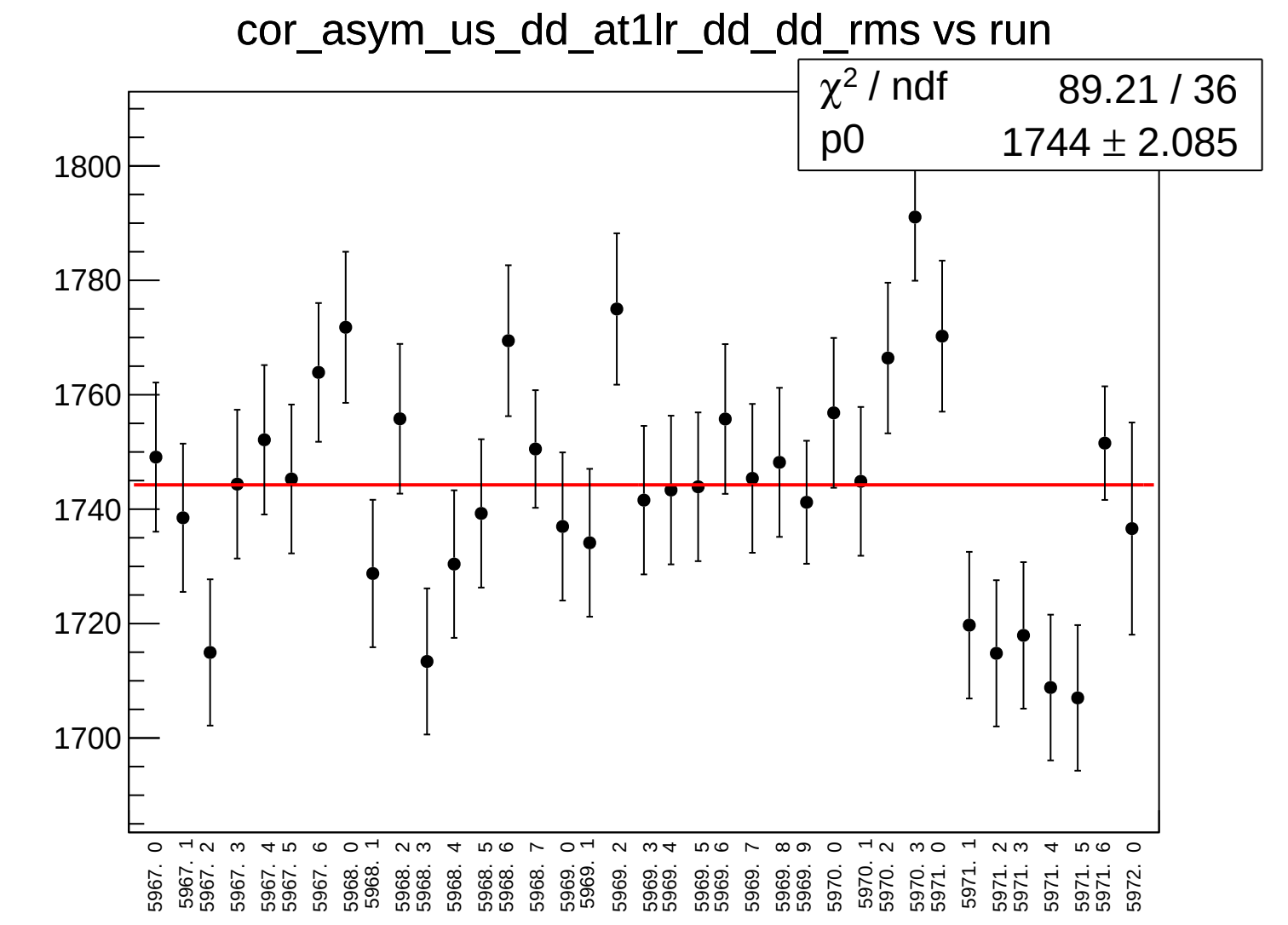
cor_asym_us_dd_at1lr_dd_dd_rms vs run
χ² / ndf 89.21 / 36
p0 1744 ± 2.085
1800
1780
1760
1740
1720
1700
5967. 0
5967. 1
5967. 2
5967. 3
5967. 4
5967. 5
5967. 6
5968. 0
5968. 1
5968. 2
5968. 3
5968. 4
5968. 5
5968. 6
5968. 7
5969. 0
5969. 1
5969. 2
5969. 3
5969. 4
5969. 5
5969. 6
5969. 7
5969. 8
5969. 9
5970. 0
5970. 1
5970. 2
5970. 3
5971. 0
5971. 1
5971. 2
5971. 3
5971. 4
5971. 5
5971. 6
5972. 0

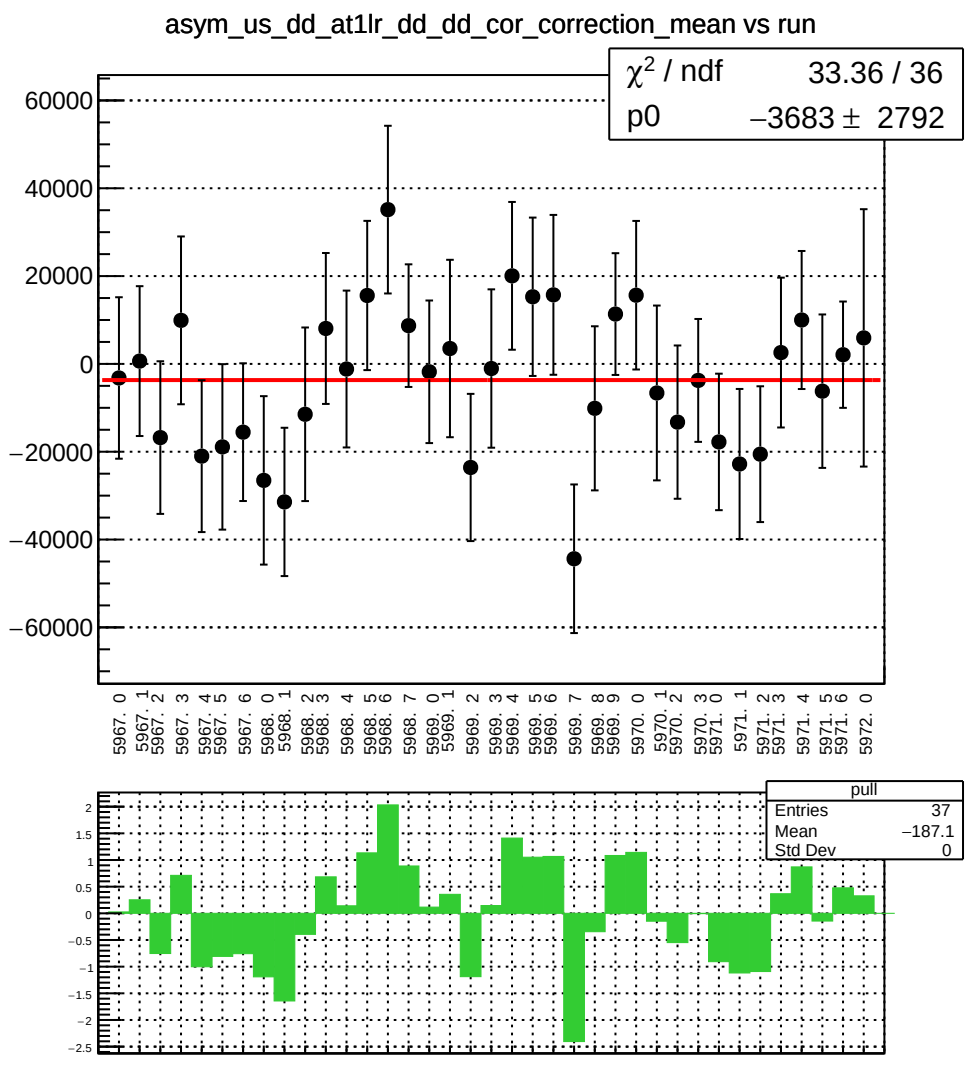
asym_us_dd_at1lr_dd_dd_cor_correction_mean vs run
χ² / ndf 33.36 / 36
p0 −3683 ± 2792
60000
40000
20000
0
−20000
−40000
−60000
5967. 0
5967. 1
5967. 2
5967. 3
5967. 4
5967. 5
5967. 6
5968. 0
5968. 1
5968. 2
5968. 3
5968. 4
5968. 5
5968. 6
5968. 7
5969. 0
5969. 1
5969. 2
5969. 3
5969. 4
5969. 5
5969. 6
5969. 7
5969. 8
5969. 9
5970. 0
5970. 1
5970. 2
5970. 3
5971. 0
5971. 1
5971. 2
5971. 3
5971. 4
5971. 5
5971. 6
5972. 0
pull
Entries 37
Mean −187.1
Std Dev 0
2
1.5
1
0.5
0
−0.5
−1
−1.5
−2
−2.5

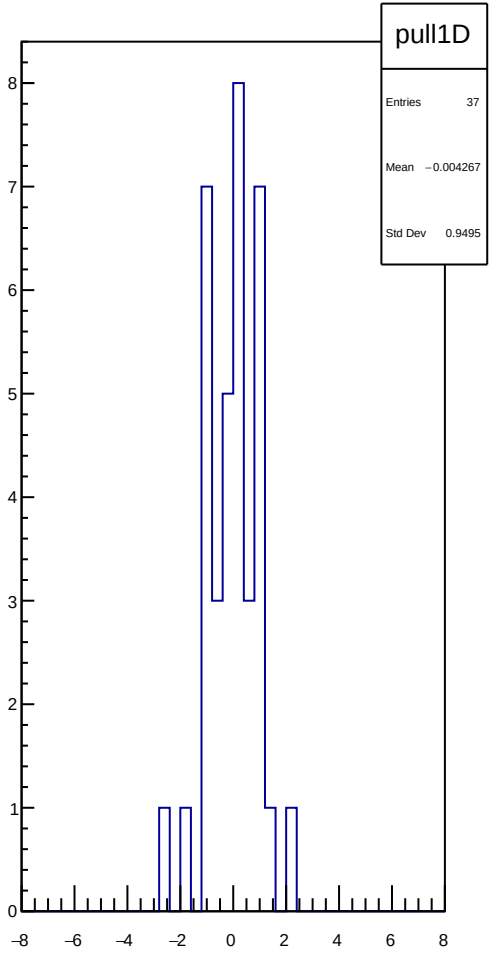
pull1D
Entries 37
Mean −0.004267
Std Dev 0.9495
8
7
6
5
4
3
2
1
0
−8
−6
−4
−2
0
2
4
6
8

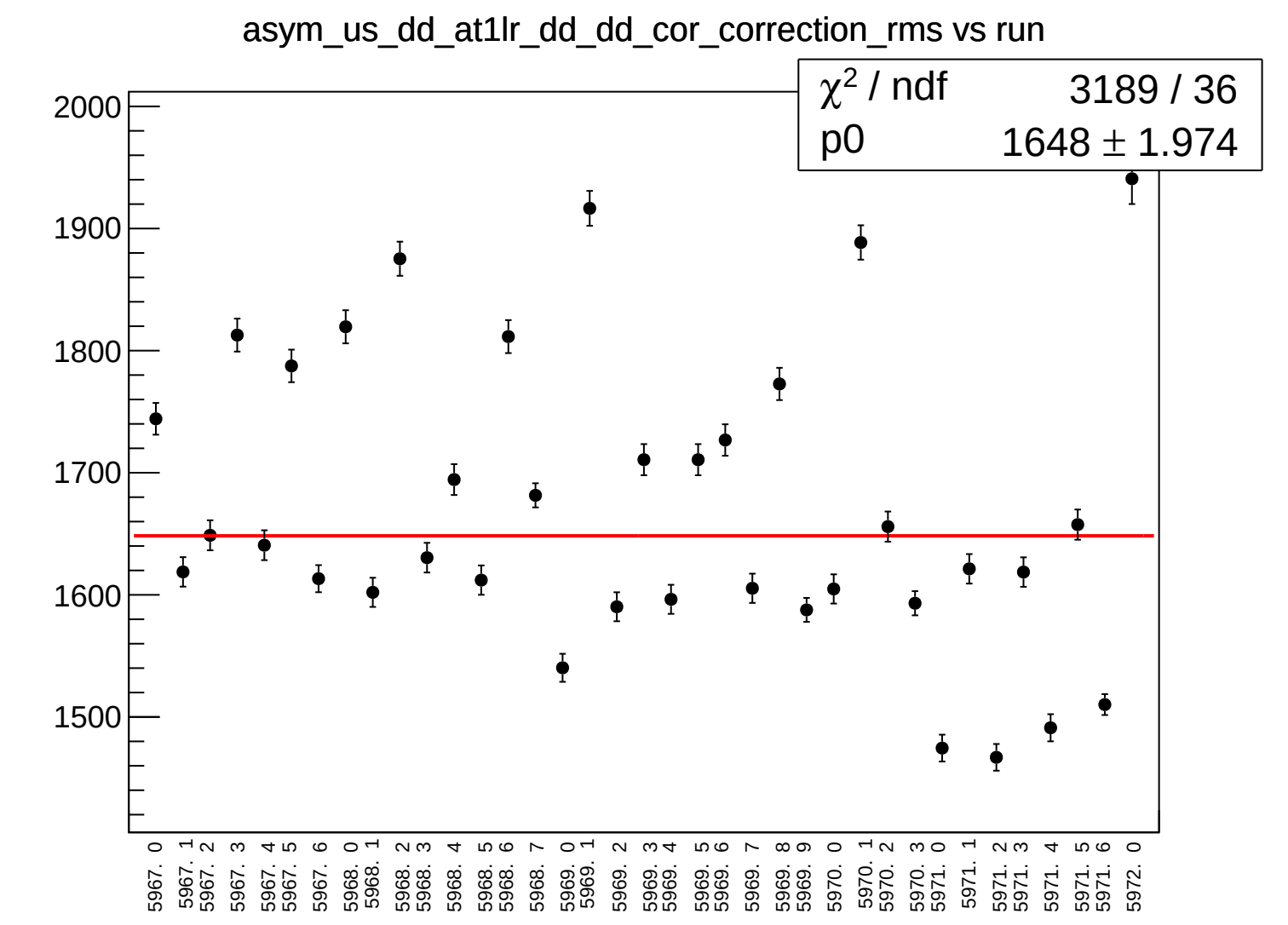
asym_us_dd_at1lr_dd_dd_cor_correction_rms vs run
χ² / ndf 3189 / 36
p0 1648 ± 1.974
2000
1900
1800
1700
1600
1500
5967. 0
5967. 1
5967. 2
5967. 3
5967. 4
5967. 5
5967. 6
5968. 0
5968. 1
5968. 2
5968. 3
5968. 4
5968. 5
5968. 6
5968. 7
5969. 0
5969. 1
5969. 2
5969. 3
5969. 4
5969. 5
5969. 6
5969. 7
5969. 8
5969. 9
5970. 0
5970. 1
5970. 2
5970. 3
5971. 0
5971. 1
5971. 2
5971. 3
5971. 4
5971. 5
5971. 6
5972. 0

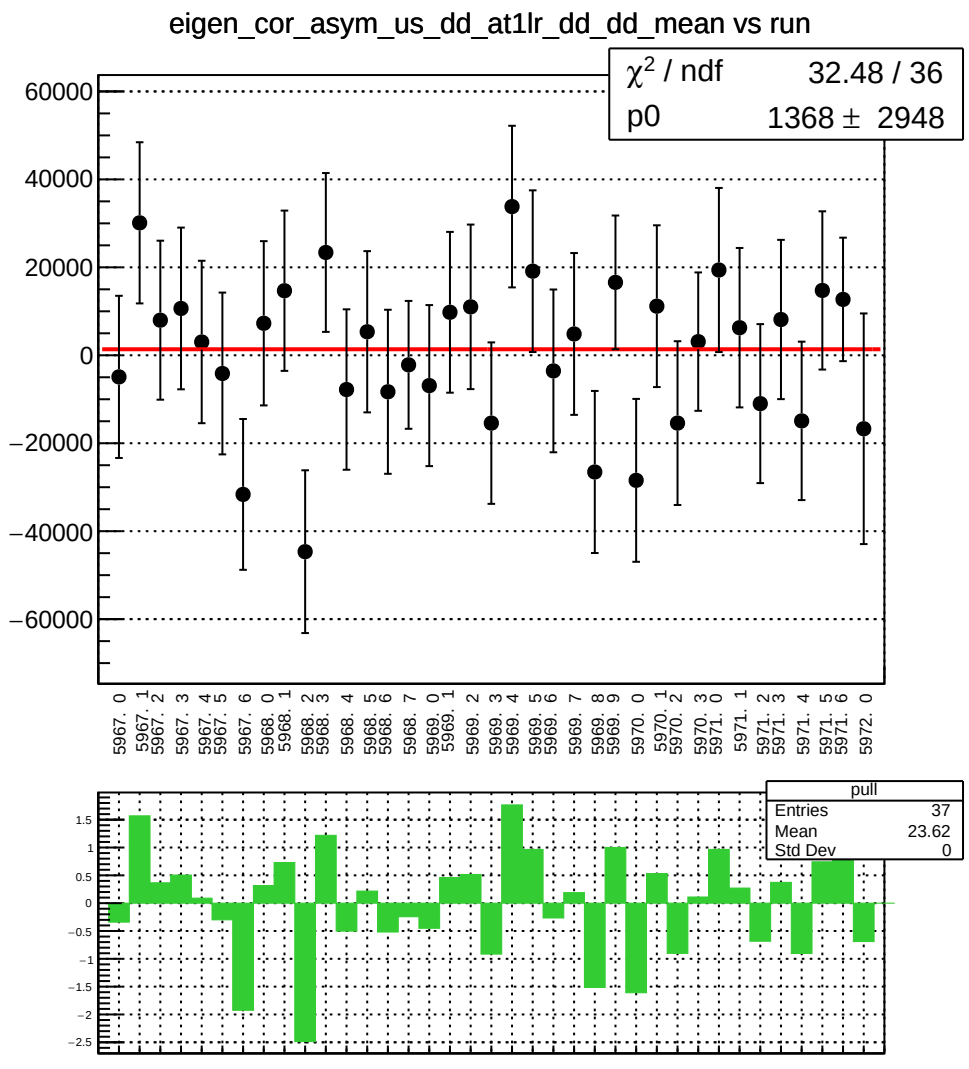
eigen_cor_asym_us_dd_at1lr_dd_dd_mean vs run
χ² / ndf 32.48 / 36
p0 1368 ± 2948
60000
40000
20000
0
−20000
−40000
−60000
5967. 0
5967. 1
5967. 2
5967. 3
5967. 4
5967. 5
5967. 6
5968. 0
5968. 1
5968. 2
5968. 3
5968. 4
5968. 5
5968. 6
5968. 7
5969. 0
5969. 1
5969. 2
5969. 3
5969. 4
5969. 5
5969. 6
5969. 7
5969. 8
5969. 9
5970. 0
5970. 1
5970. 2
5970. 3
5971. 0
5971. 1
5971. 2
5971. 3
5971. 4
5971. 5
5971. 6
5972. 0
pull
Entries 37
Mean 23.62
Std Dev 0
1.5
1
0.5
0
−0.5
−1
−1.5
−2
−2.5

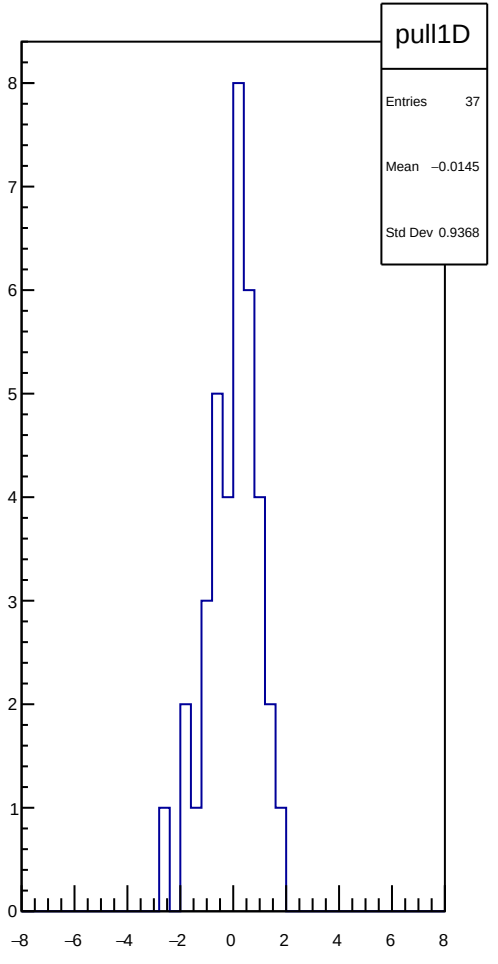
pull1D
Entries 37
Mean −0.0145
Std Dev 0.9368
8
7
6
5
4
3
2
1
0
−8
−6
−4
−2
0
2
4
6
8

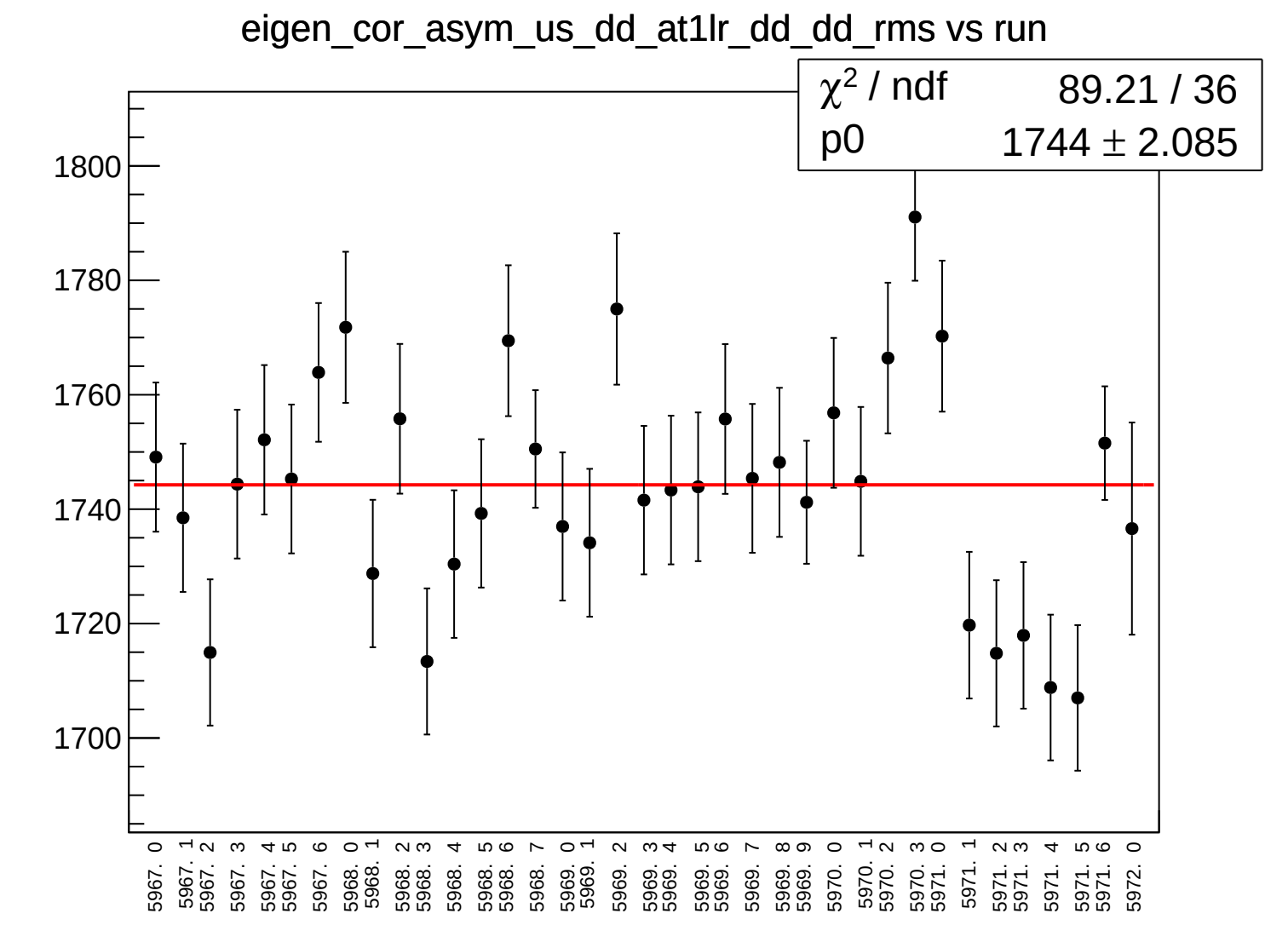
eigen_cor_asym_us_dd_at1lr_dd_dd_rms vs run
χ² / ndf 89.21 / 36
p0 1744 ± 2.085
1800
1780
1760
1740
1720
1700
5967. 0
5967. 1
5967. 2
5967. 3
5967. 4
5967. 5
5967. 6
5968. 0
5968. 1
5968. 2
5968. 3
5968. 4
5968. 5
5968. 6
5968. 7
5969. 0
5969. 1
5969. 2
5969. 3
5969. 4
5969. 5
5969. 6
5969. 7
5969. 8
5969. 9
5970. 0
5970. 1
5970. 2
5970. 3
5971. 0
5971. 1
5971. 2
5971. 3
5971. 4
5971. 5
5971. 6
5972. 0

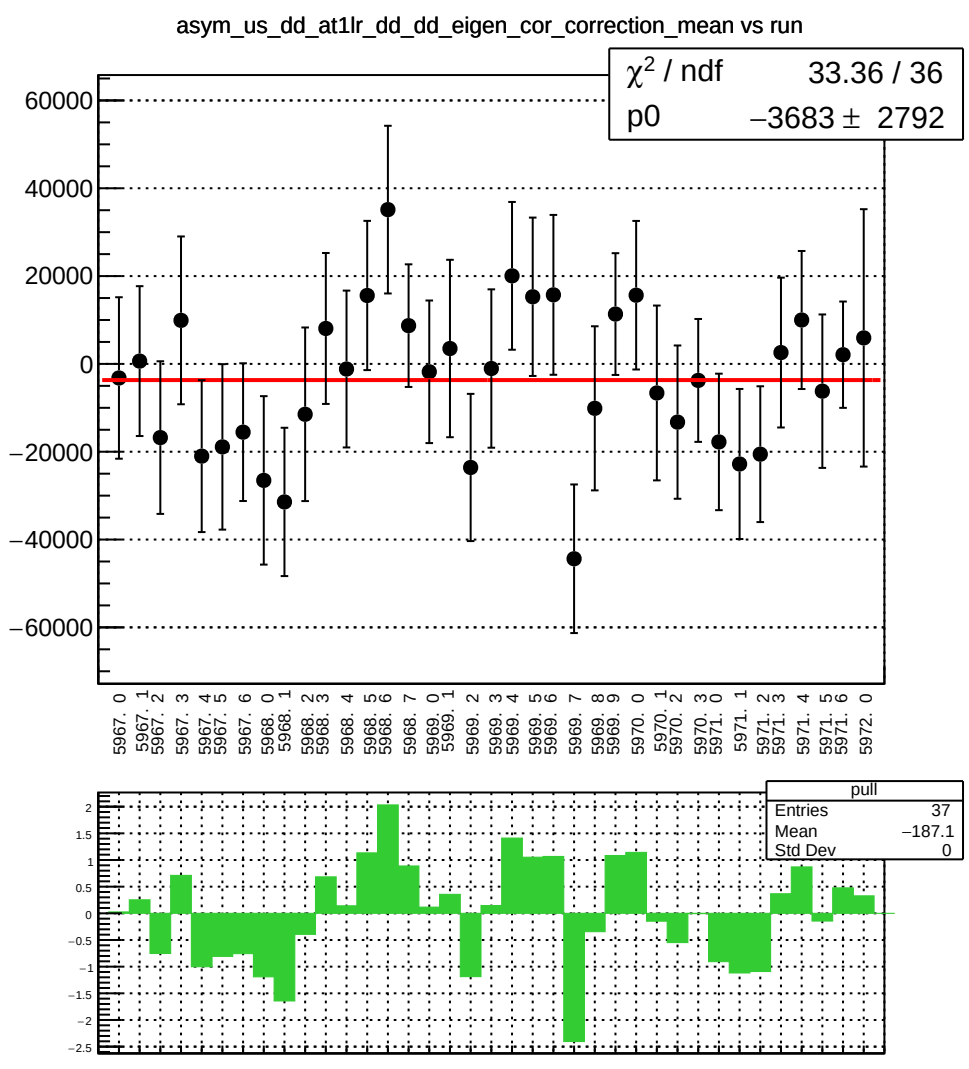
asym_us_dd_at1lr_dd_dd_eigen_cor_correction_mean vs run
χ² / ndf 33.36 / 36
p0 −3683 ± 2792
60000
40000
20000
0
−20000
−40000
−60000
5967. 0
5967. 1
5967. 2
5967. 3
5967. 4
5967. 5
5967. 6
5968. 0
5968. 1
5968. 2
5968. 3
5968. 4
5968. 5
5968. 6
5968. 7
5969. 0
5969. 1
5969. 2
5969. 3
5969. 4
5969. 5
5969. 6
5969. 7
5969. 8
5969. 9
5970. 0
5970. 1
5970. 2
5970. 3
5971. 0
5971. 1
5971. 2
5971. 3
5971. 4
5971. 5
5971. 6
5972. 0
pull
Entries 37
Mean −187.1
Std Dev 0
2
1.5
1
0.5
0
−0.5
−1
−1.5
−2
−2.5

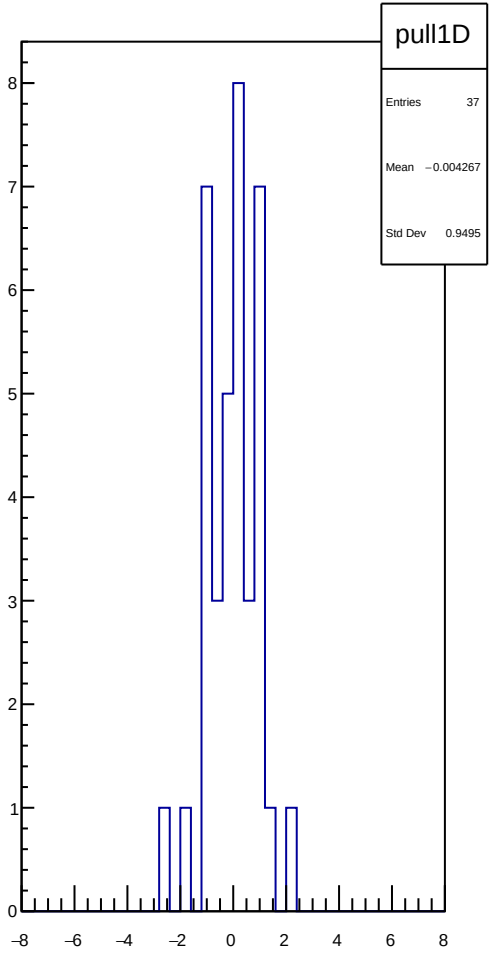
pull1D
Entries 37
Mean −0.004267
Std Dev 0.9495
8
7
6
5
4
3
2
1
0
−8
−6
−4
−2
0
2
4
6
8

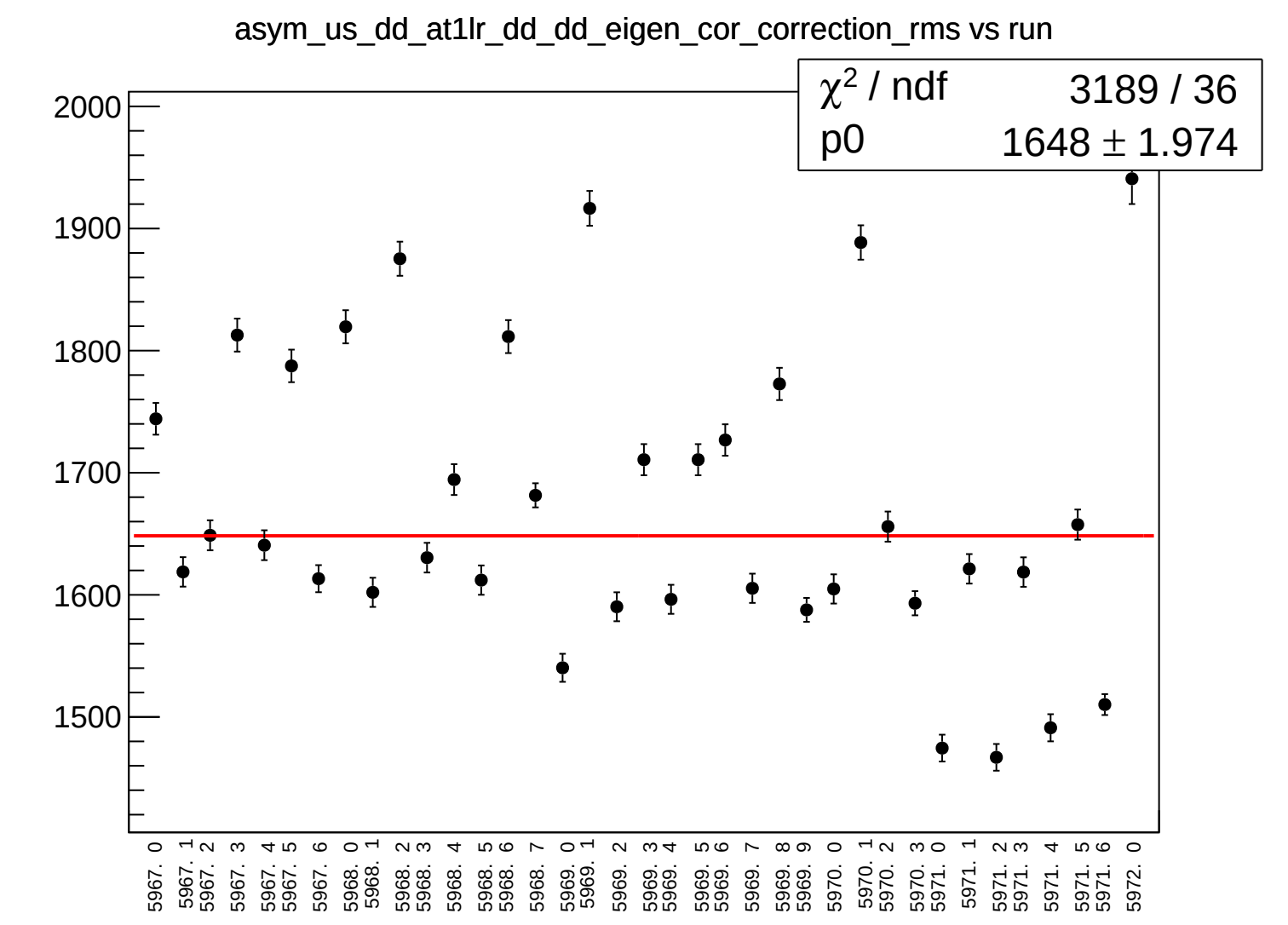
asym_us_dd_at1lr_dd_dd_eigen_cor_correction_rms vs run
χ² / ndf 3189 / 36
p0 1648 ± 1.974
2000
1900
1800
1700
1600
1500
5967. 0
5967. 1
5967. 2
5967. 3
5967. 4
5967. 5
5967. 6
5968. 0
5968. 1
5968. 2
5968. 3
5968. 4
5968. 5
5968. 6
5968. 7
5969. 0
5969. 1
5969. 2
5969. 3
5969. 4
5969. 5
5969. 6
5969. 7
5969. 8
5969. 9
5970. 0
5970. 1
5970. 2
5970. 3
5971. 0
5971. 1
5971. 2
5971. 3
5971. 4
5971. 5
5971. 6
5972. 0

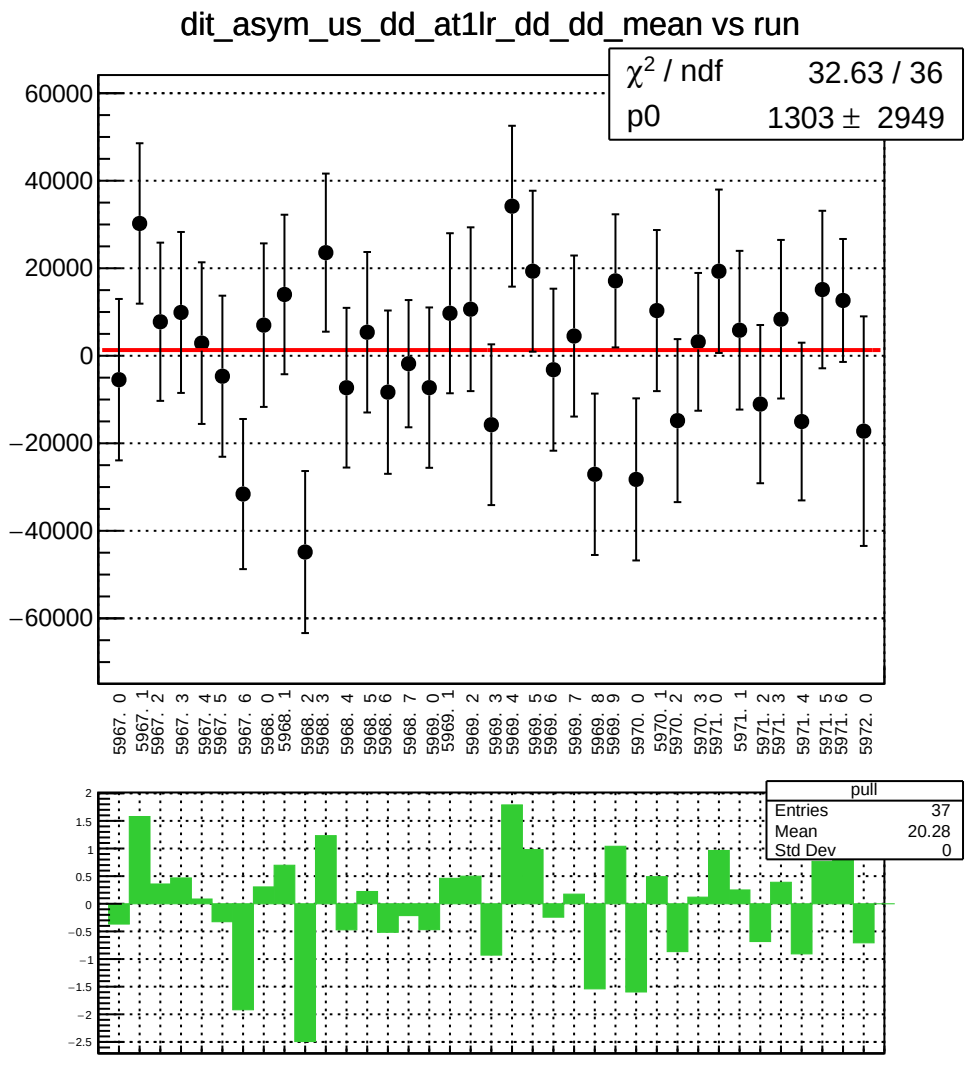
dit_asym_us_dd_at1lr_dd_dd_mean vs run
χ² / ndf 32.63 / 36
p0 1303 ± 2949
60000
40000
20000
0
−20000
−40000
−60000
5967. 0
5967. 1
5967. 2
5967. 3
5967. 4
5967. 5
5967. 6
5968. 0
5968. 1
5968. 2
5968. 3
5968. 4
5968. 5
5968. 6
5968. 7
5969. 0
5969. 1
5969. 2
5969. 3
5969. 4
5969. 5
5969. 6
5969. 7
5969. 8
5969. 9
5970. 0
5970. 1
5970. 2
5970. 3
5971. 0
5971. 1
5971. 2
5971. 3
5971. 4
5971. 5
5971. 6
5972. 0
pull
Entries 37
Mean 20.28
Std Dev 0
2
1.5
1
0.5
0
−0.5
−1
−1.5
−2
−2.5

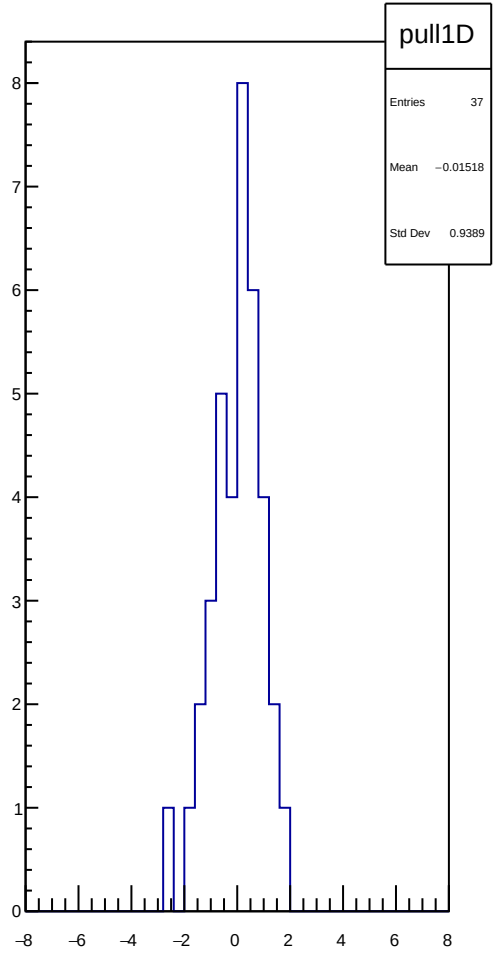
pull1D
Entries 37
Mean −0.01518
Std Dev 0.9389
8
7
6
5
4
3
2
1
0
−8
−6
−4
−2
0
2
4
6
8

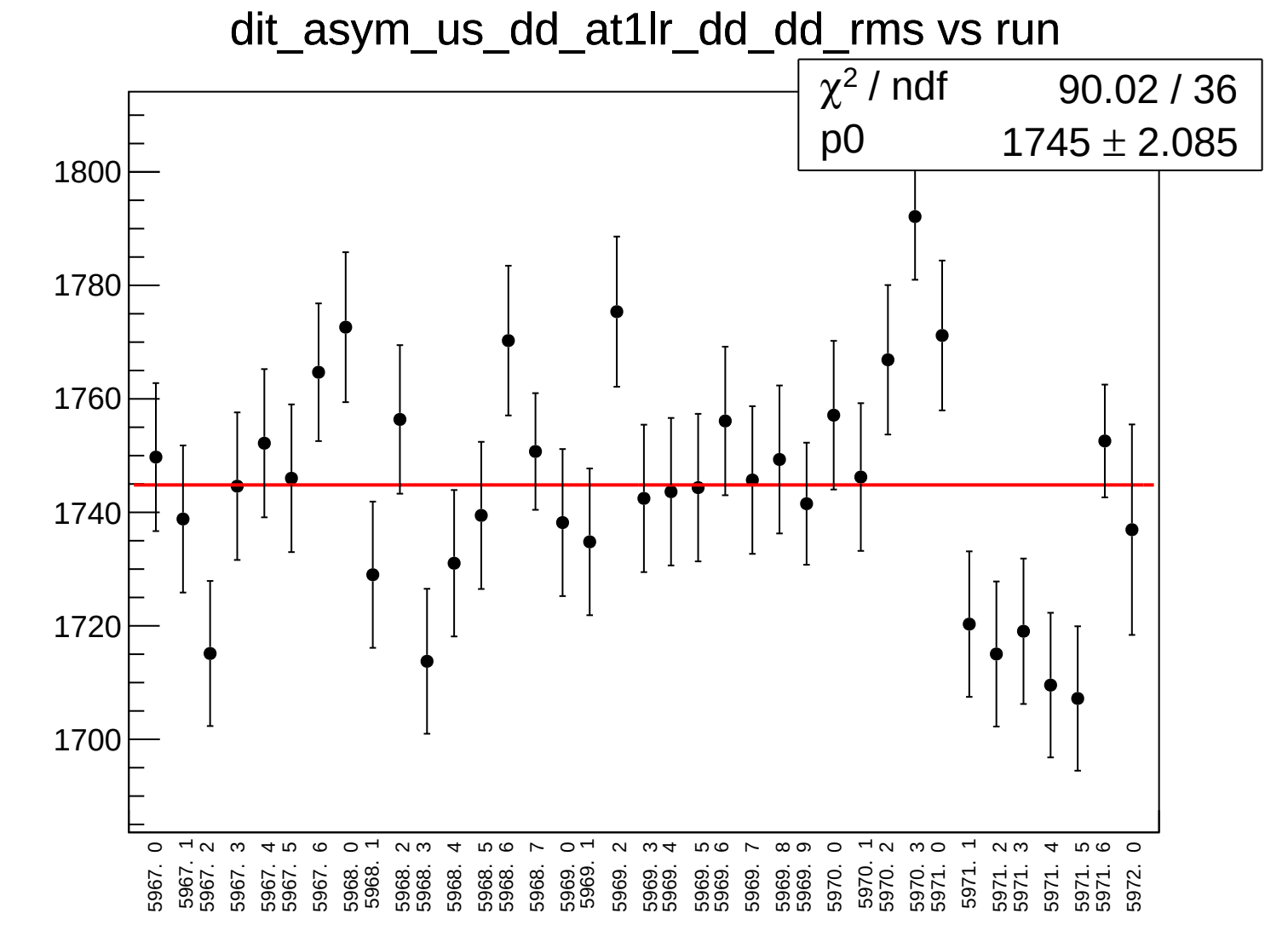
dit_asym_us_dd_at1lr_dd_dd_rms vs run
χ² / ndf 90.02 / 36
p0 1745 ± 2.085
1800
1780
1760
1740
1720
1700
5967. 0
5967. 1
5967. 2
5967. 3
5967. 4
5967. 5
5967. 6
5968. 0
5968. 1
5968. 2
5968. 3
5968. 4
5968. 5
5968. 6
5968. 7
5969. 0
5969. 1
5969. 2
5969. 3
5969. 4
5969. 5
5969. 6
5969. 7
5969. 8
5969. 9
5970. 0
5970. 1
5970. 2
5970. 3
5971. 0
5971. 1
5971. 2
5971. 3
5971. 4
5971. 5
5971. 6
5972. 0

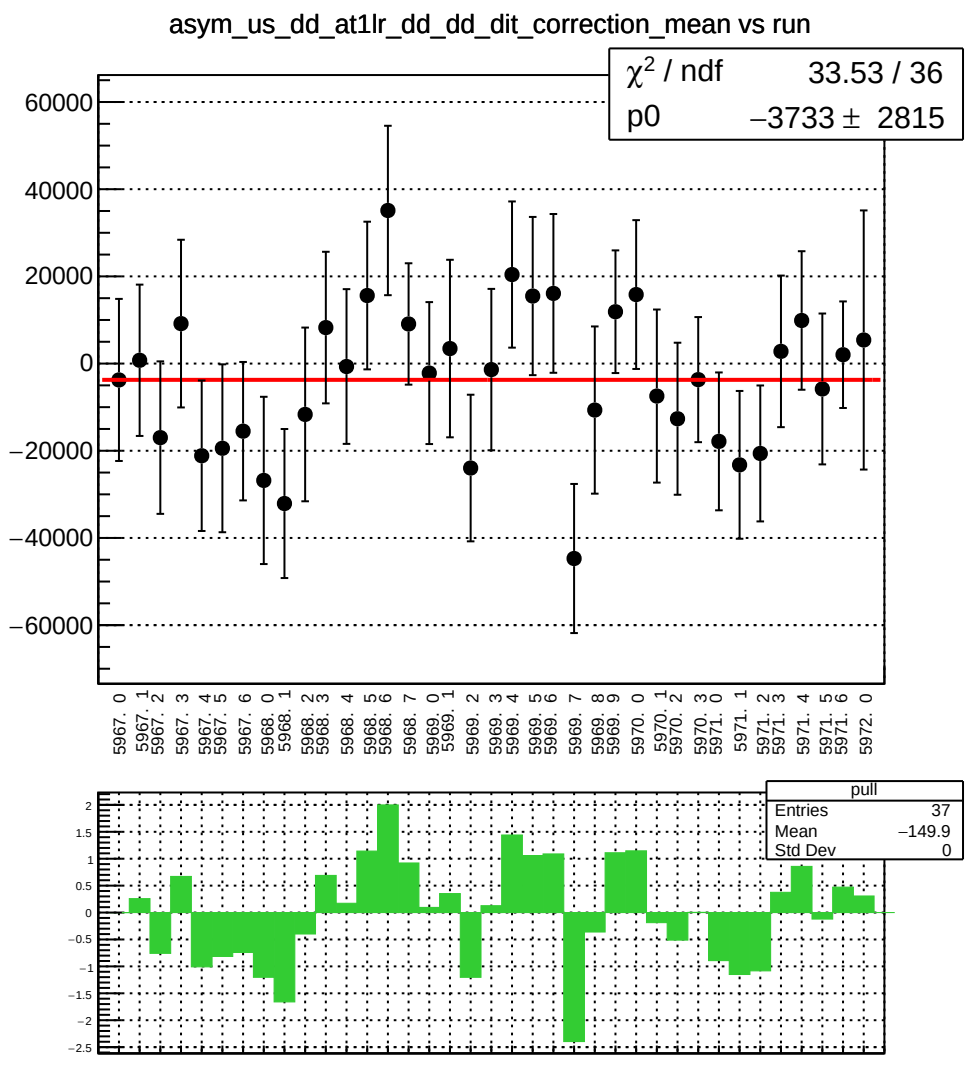
asym_us_dd_at1lr_dd_dd_dit_correction_mean vs run
χ² / ndf 33.53 / 36
p0 −3733 ± 2815
60000
40000
20000
0
−20000
−40000
−60000
5967. 0
5967. 1
5967. 2
5967. 3
5967. 4
5967. 5
5967. 6
5968. 0
5968. 1
5968. 2
5968. 3
5968. 4
5968. 5
5968. 6
5968. 7
5969. 0
5969. 1
5969. 2
5969. 3
5969. 4
5969. 5
5969. 6
5969. 7
5969. 8
5969. 9
5970. 0
5970. 1
5970. 2
5970. 3
5971. 0
5971. 1
5971. 2
5971. 3
5971. 4
5971. 5
5971. 6
5972. 0
pull
Entries 37
Mean −149.9
Std Dev 0
2
1.5
1
0.5
0
−0.5
−1
−1.5
−2
−2.5

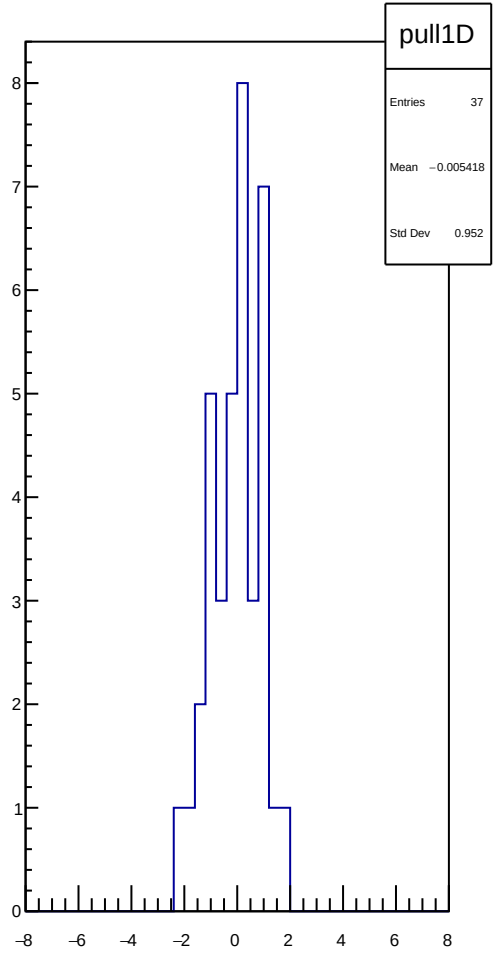
pull1D
Entries 37
Mean −0.005418
Std Dev 0.952
8
7
6
5
4
3
2
1
0
−8
−6
−4
−2
0
2
4
6
8

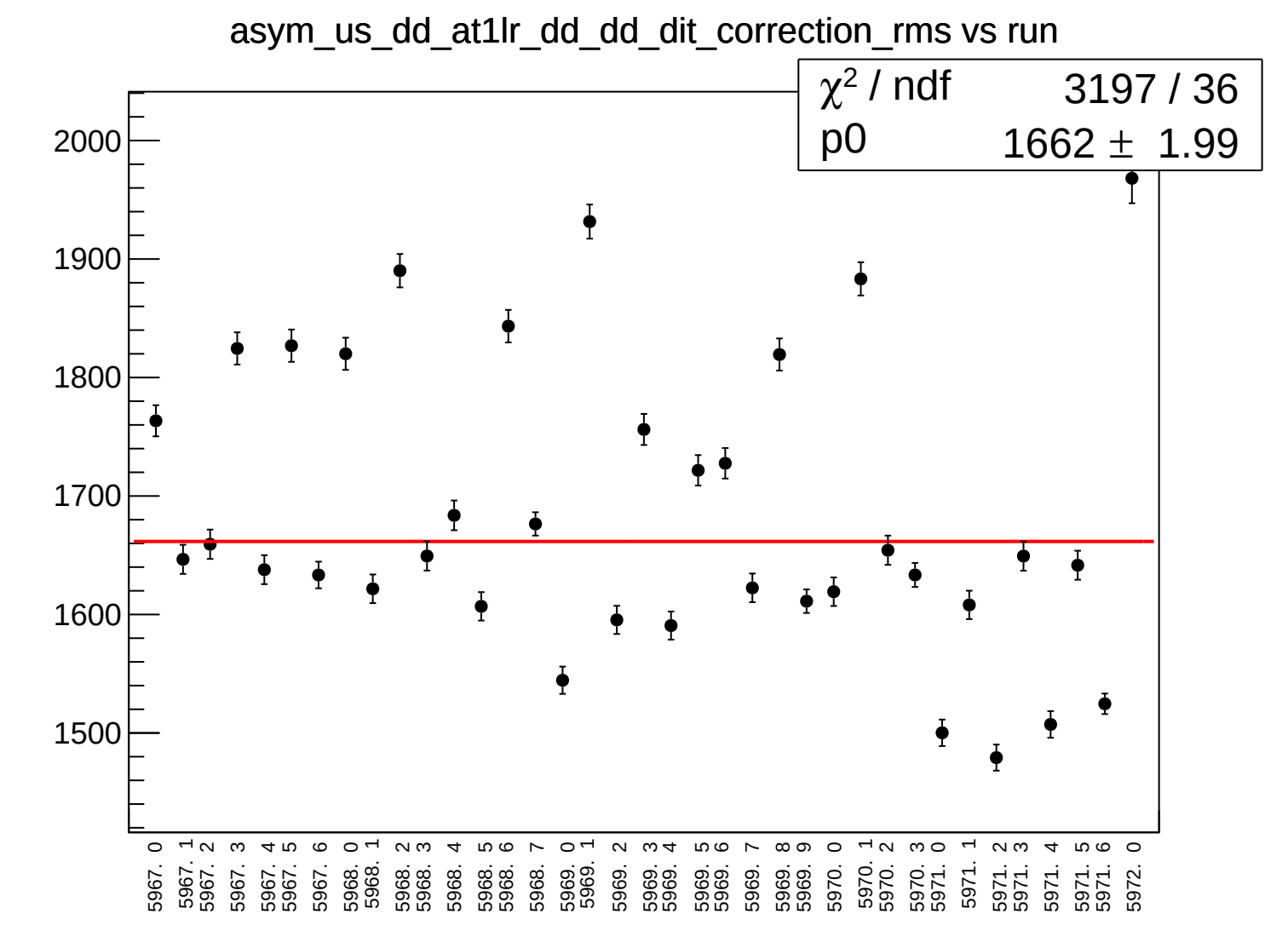
asym_us_dd_at1lr_dd_dd_dit_correction_rms vs run
χ² / ndf 3197 / 36
p0 1662 ± 1.99
2000
1900
1800
1700
1600
1500
5967. 0
5967. 1
5967. 2
5967. 3
5967. 4
5967. 5
5967. 6
5968. 0
5968. 1
5968. 2
5968. 3
5968. 4
5968. 5
5968. 6
5968. 7
5969. 0
5969. 1
5969. 2
5969. 3
5969. 4
5969. 5
5969. 6
5969. 7
5969. 8
5969. 9
5970. 0
5970. 1
5970. 2
5970. 3
5971. 0
5971. 1
5971. 2
5971. 3
5971. 4
5971. 5
5971. 6
5972. 0

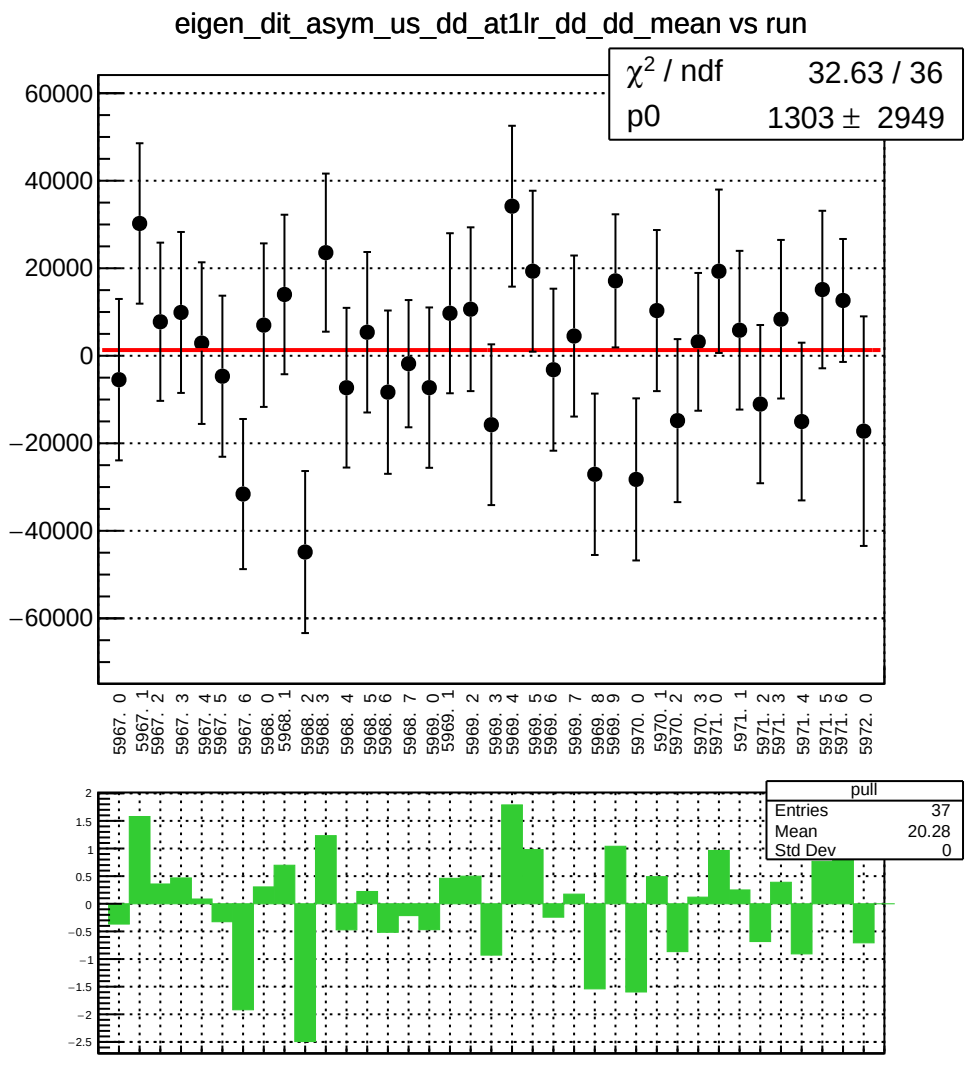
eigen_dit_asym_us_dd_at1lr_dd_dd_mean vs run
χ² / ndf 32.63 / 36
p0 1303 ± 2949
60000
40000
20000
0
−20000
−40000
−60000
5967. 0
5967. 1
5967. 2
5967. 3
5967. 4
5967. 5
5967. 6
5968. 0
5968. 1
5968. 2
5968. 3
5968. 4
5968. 5
5968. 6
5968. 7
5969. 0
5969. 1
5969. 2
5969. 3
5969. 4
5969. 5
5969. 6
5969. 7
5969. 8
5969. 9
5970. 0
5970. 1
5970. 2
5970. 3
5971. 0
5971. 1
5971. 2
5971. 3
5971. 4
5971. 5
5971. 6
5972. 0
pull
Entries 37
Mean 20.28
Std Dev 0
2
1.5
1
0.5
0
−0.5
−1
−1.5
−2
−2.5
pull1D
Entries 37
Mean −0.01518
Std Dev 0.9389
8
7
6
5
4
3
2
1
0
−8
−6
−4
−2
0
2
4
6
8

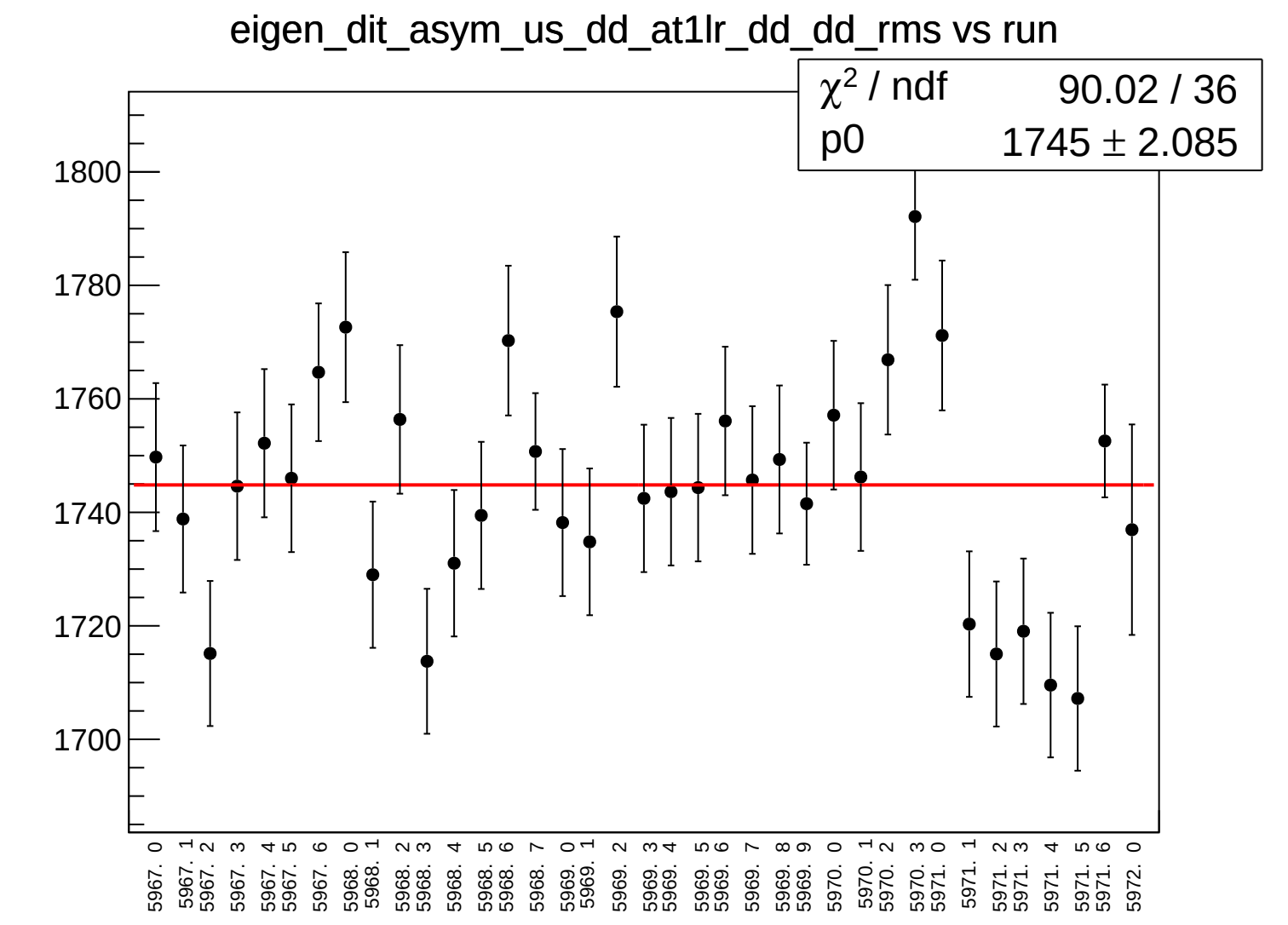
eigen_dit_asym_us_dd_at1lr_dd_dd_rms vs run
χ² / ndf 90.02 / 36
p0 1745 ± 2.085
1800
1780
1760
1740
1720
1700
5967. 0
5967. 1
5967. 2
5967. 3
5967. 4
5967. 5
5967. 6
5968. 0
5968. 1
5968. 2
5968. 3
5968. 4
5968. 5
5968. 6
5968. 7
5969. 0
5969. 1
5969. 2
5969. 3
5969. 4
5969. 5
5969. 6
5969. 7
5969. 8
5969. 9
5970. 0
5970. 1
5970. 2
5970. 3
5971. 0
5971. 1
5971. 2
5971. 3
5971. 4
5971. 5
5971. 6
5972. 0

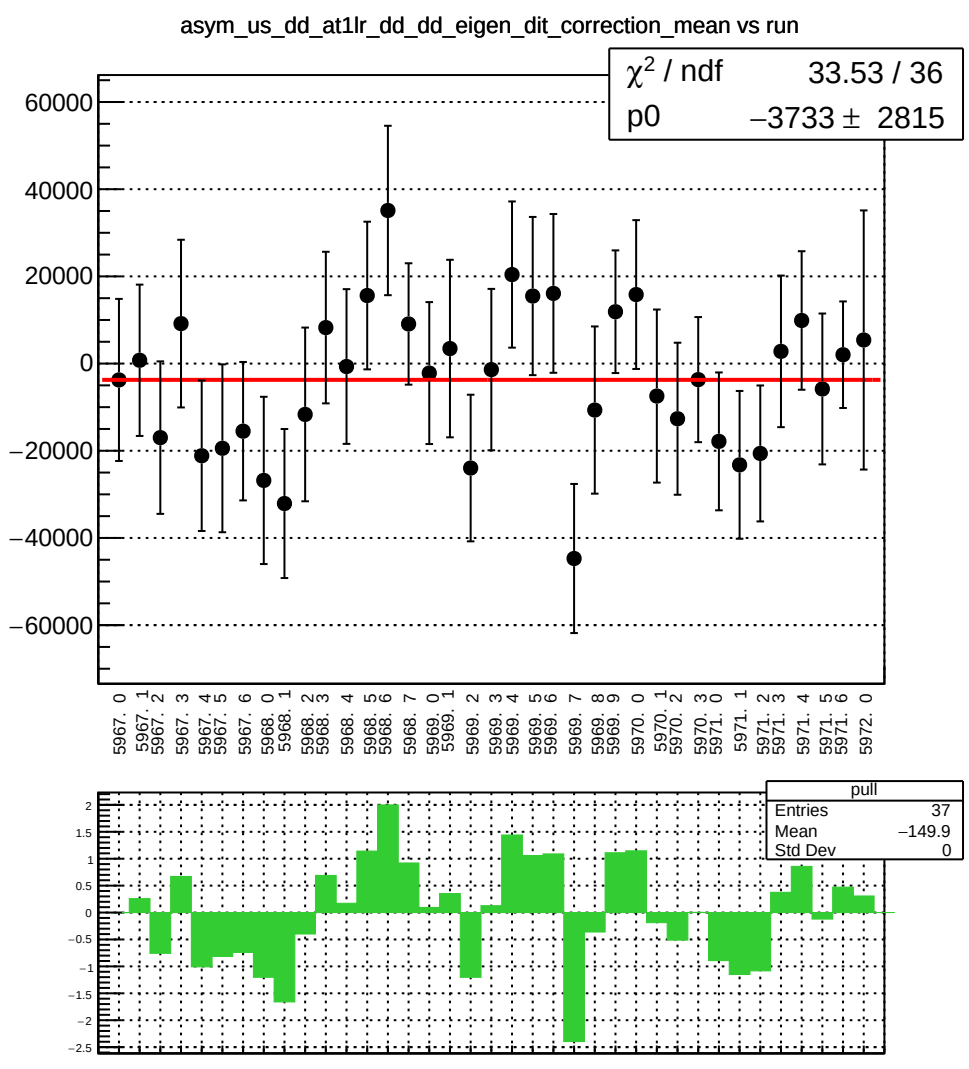
asym_us_dd_at1lr_dd_dd_eigen_dit_correction_mean vs run
χ² / ndf 33.53 / 36
p0 −3733 ± 2815
60000
40000
20000
0
−20000
−40000
−60000
5967. 0
5967. 1
5967. 2
5967. 3
5967. 4
5967. 5
5967. 6
5968. 0
5968. 1
5968. 2
5968. 3
5968. 4
5968. 5
5968. 6
5968. 7
5969. 0
5969. 1
5969. 2
5969. 3
5969. 4
5969. 5
5969. 6
5969. 7
5969. 8
5969. 9
5970. 0
5970. 1
5970. 2
5970. 3
5971. 0
5971. 1
5971. 2
5971. 3
5971. 4
5971. 5
5971. 6
5972. 0
pull
Entries 37
Mean −149.9
Std Dev 0
2
1.5
1
0.5
0
−0.5
−1
−1.5
−2
−2.5

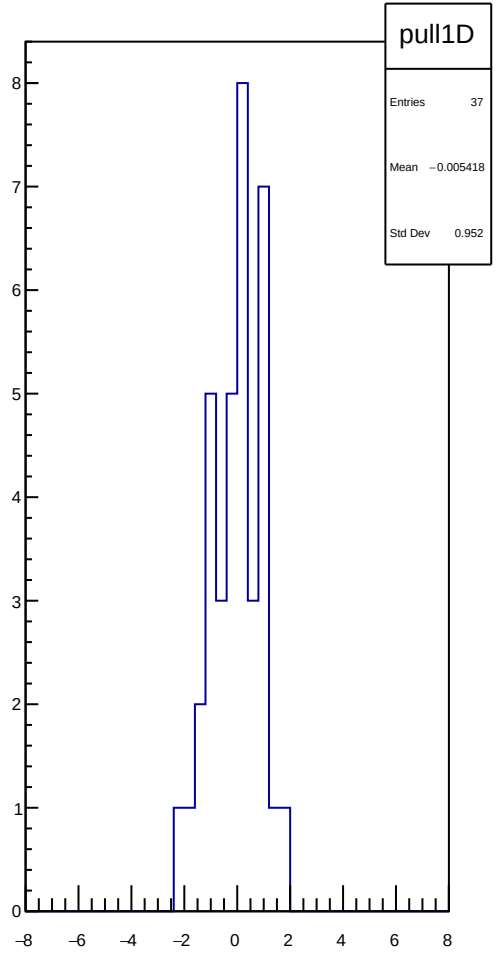
pull1D
Entries 37
Mean −0.005418
Std Dev 0.952
8
7
6
5
4
3
2
1
0
−8
−6
−4
−2
0
2
4
6
8

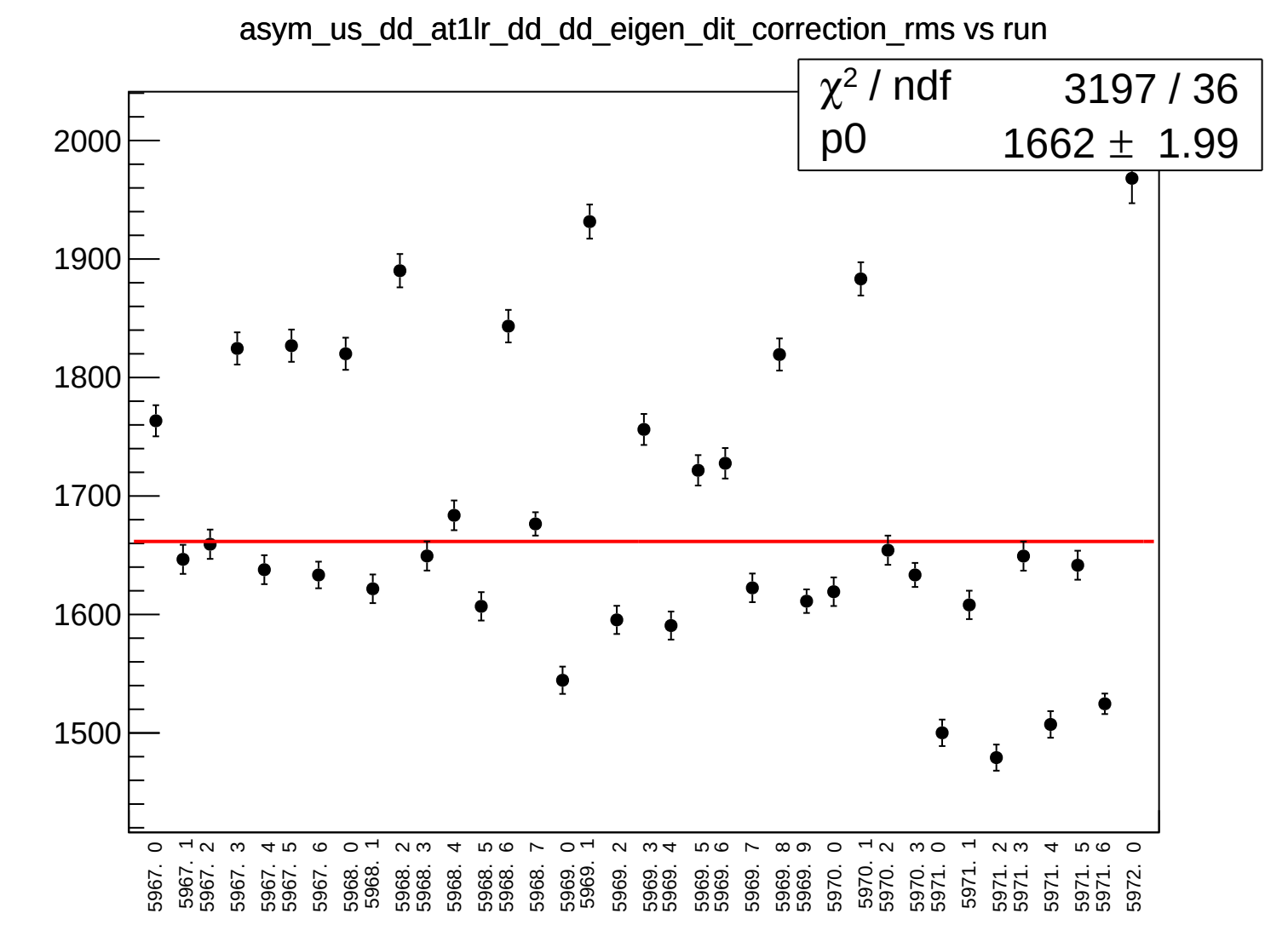
asym_us_dd_at1lr_dd_dd_eigen_dit_correction_rms vs run
χ² / ndf 3197 / 36
p0 1662 ± 1.99
2000
1900
1800
1700
1600
1500
5967. 0
5967. 1
5967. 2
5967. 3
5967. 4
5967. 5
5967. 6
5968. 0
5968. 1
5968. 2
5968. 3
5968. 4
5968. 5
5968. 6
5968. 7
5969. 0
5969. 1
5969. 2
5969. 3
5969. 4
5969. 5
5969. 6
5969. 7
5969. 8
5969. 9
5970. 0
5970. 1
5970. 2
5970. 3
5971. 0
5971. 1
5971. 2
5971. 3
5971. 4
5971. 5
5971. 6
5972. 0

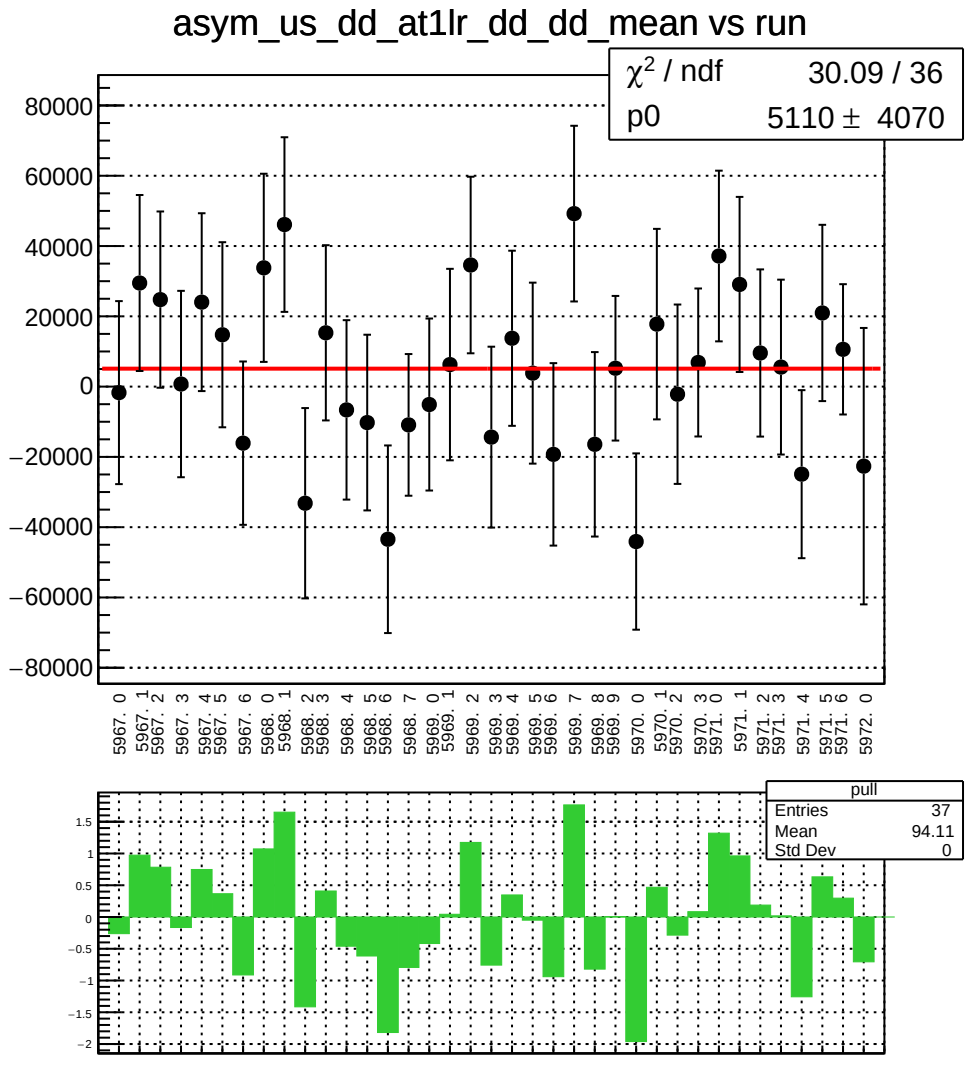
asym_us_dd_at1lr_dd_dd_mean vs run
χ² / ndf 30.09 / 36
p0 5110 ± 4070
80000
60000
40000
20000
0
−20000
−40000
−60000
−80000
5967. 0
5967. 1
5967. 2
5967. 3
5967. 4
5967. 5
5967. 6
5968. 0
5968. 1
5968. 2
5968. 3
5968. 4
5968. 5
5968. 6
5968. 7
5969. 0
5969. 1
5969. 2
5969. 3
5969. 4
5969. 5
5969. 6
5969. 7
5969. 8
5969. 9
5970. 0
5970. 1
5970. 2
5970. 3
5971. 0
5971. 1
5971. 2
5971. 3
5971. 4
5971. 5
5971. 6
5972. 0
pull
Entries 37
Mean 94.11
Std Dev 0
1.5
1
0.5
0
−0.5
−1
−1.5
−2

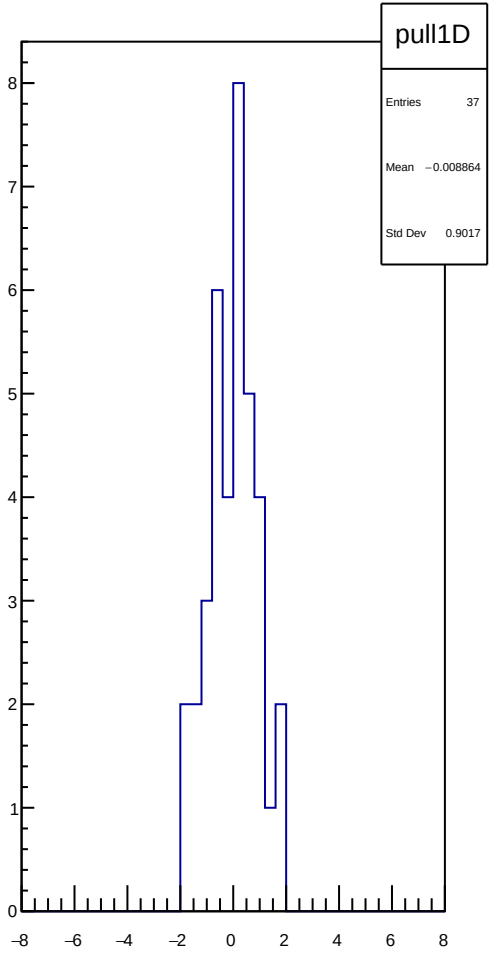
pull1D
Entries 37
Mean −0.008864
Std Dev 0.9017
8
7
6
5
4
3
2
1
0
−8
−6
−4
−2
0
2
4
6
8

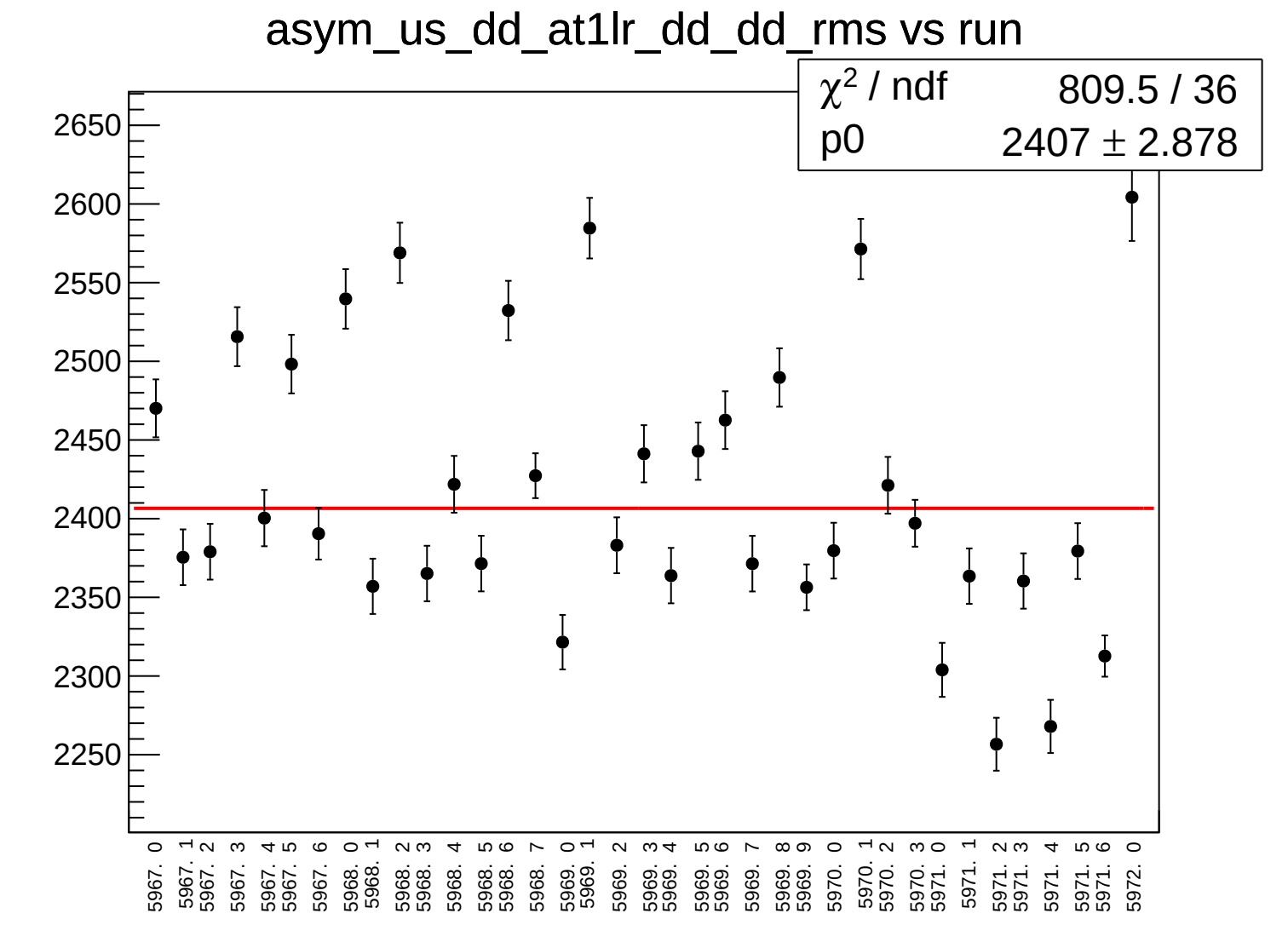
asym_us_dd_at1lr_dd_dd_rms vs run
χ² / ndf 809.5 / 36
p0 2407 ± 2.878
2650
2600
2550
2500
2450
2400
2350
2300
2250
5967. 0
5967. 1
5967. 2
5967. 3
5967. 4
5967. 5
5967. 6
5968. 0
5968. 1
5968. 2
5968. 3
5968. 4
5968. 5
5968. 6
5968. 7
5969. 0
5969. 1
5969. 2
5969. 3
5969. 4
5969. 5
5969. 6
5969. 7
5969. 8
5969. 9
5970. 0
5970. 1
5970. 2
5970. 3
5971. 0
5971. 1
5971. 2
5971. 3
5971. 4
5971. 5
5971. 6
5972. 0

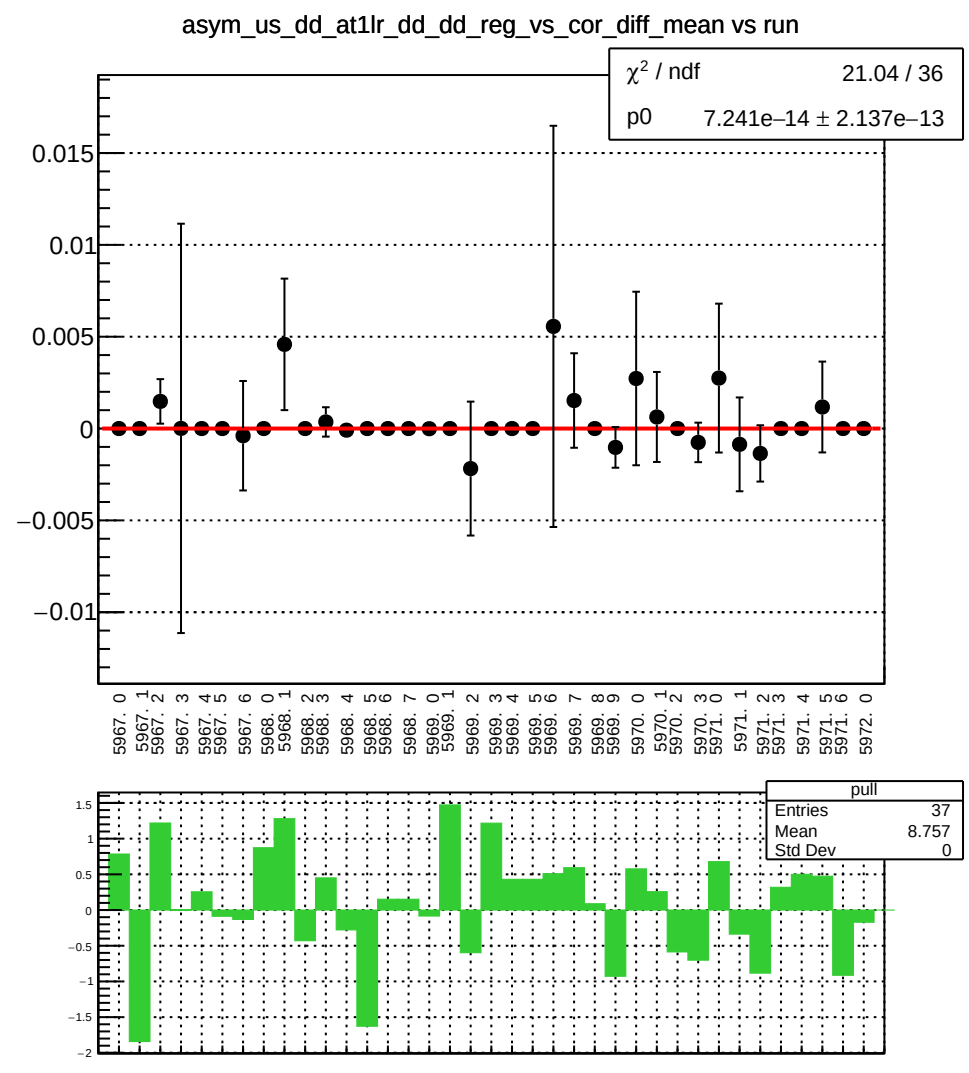
asym_us_dd_at1lr_dd_dd_reg_vs_cor_diff_mean vs run
χ² / ndf 21.04 / 36
p0 7.241e−14 ± 2.137e−13
0.015
0.01
0.005
0
−0.005
−0.01
5967. 0
5967. 1
5967. 2
5967. 3
5967. 4
5967. 5
5967. 6
5968. 0
5968. 1
5968. 2
5968. 3
5968. 4
5968. 5
5968. 6
5968. 7
5969. 0
5969. 1
5969. 2
5969. 3
5969. 4
5969. 5
5969. 6
5969. 7
5969. 8
5969. 9
5970. 0
5970. 1
5970. 2
5970. 3
5971. 0
5971. 1
5971. 2
5971. 3
5971. 4
5971. 5
5971. 6
5972. 0
pull
Entries 37
Mean 8.757
Std Dev 0
1.5
1
0.5
0
−0.5
−1
−1.5
−2

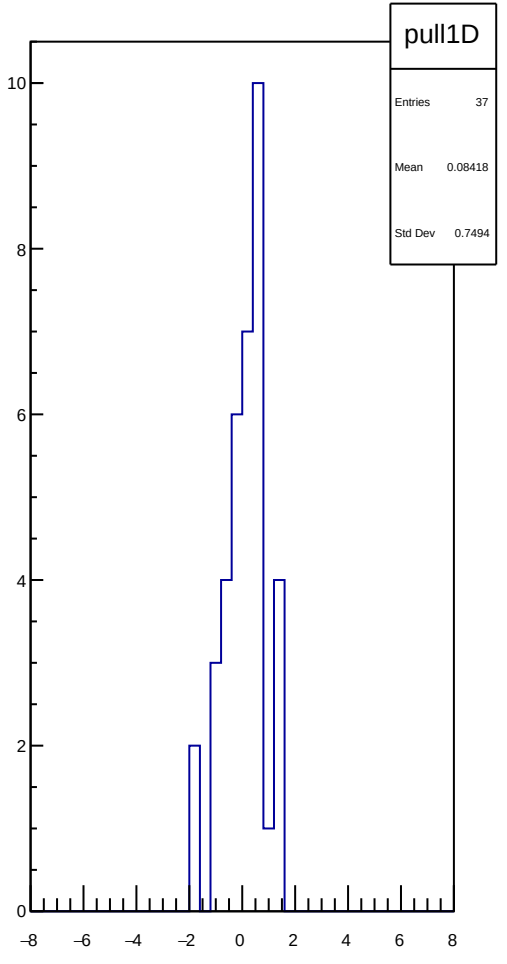
pull1D
Entries 37
Mean 0.08418
Std Dev 0.7494
10
8
6
4
2
0
−8
−6
−4
−2
0
2
4
6
8

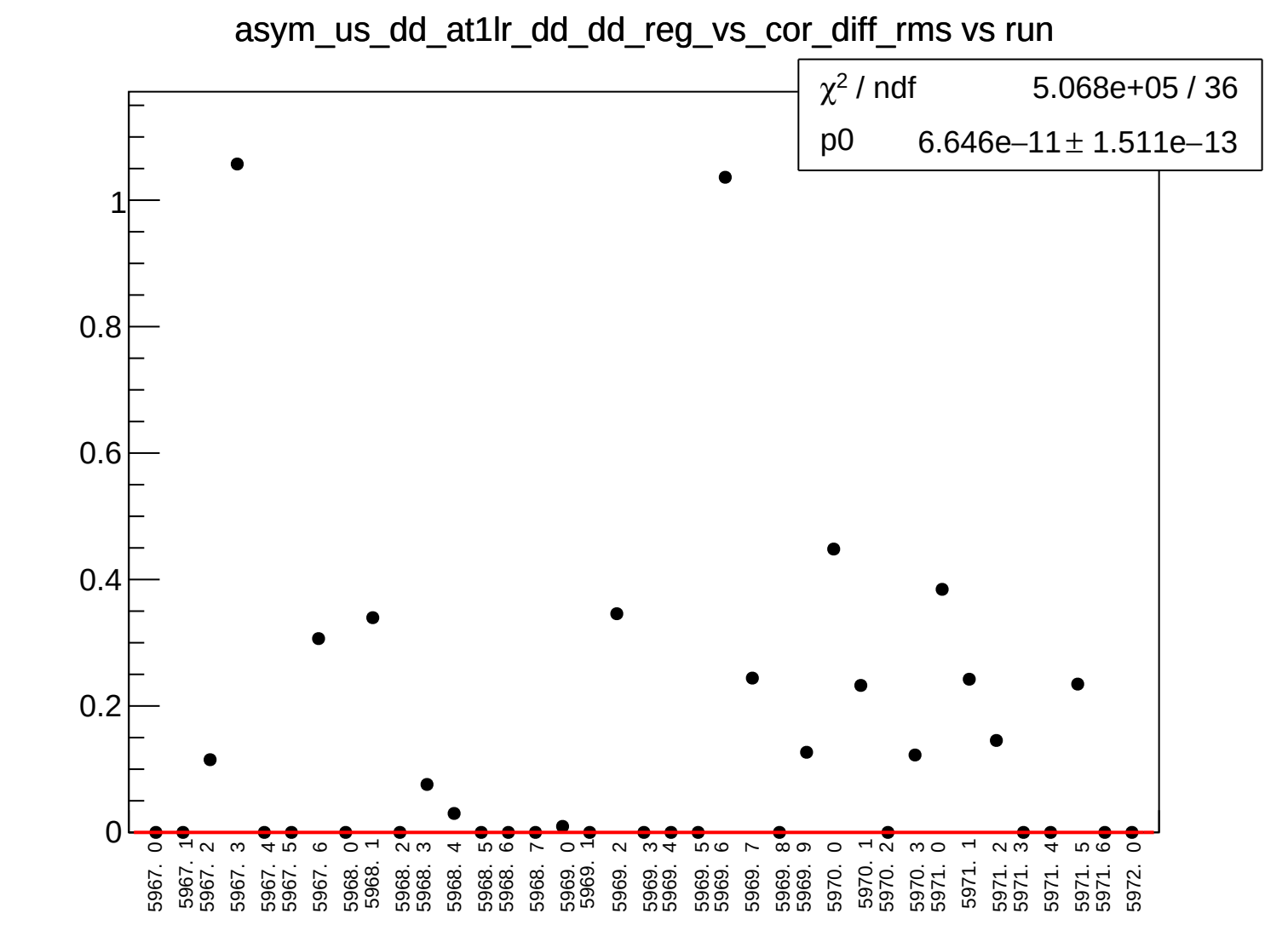
asym_us_dd_at1lr_dd_dd_reg_vs_cor_diff_rms vs run
χ² / ndf 5.068e+05 / 36
p0 6.646e−11 ± 1.511e−13
1
0.8
0.6
0.4
0.2
0
5967. 0
5967. 1
5967. 2
5967. 3
5967. 4
5967. 5
5967. 6
5968. 0
5968. 1
5968. 2
5968. 3
5968. 4
5968. 5
5968. 6
5968. 7
5969. 0
5969. 1
5969. 2
5969. 3
5969. 4
5969. 5
5969. 6
5969. 7
5969. 8
5969. 9
5970. 0
5970. 1
5970. 2
5970. 3
5971. 0
5971. 1
5971. 2
5971. 3
5971. 4
5971. 5
5971. 6
5972. 0

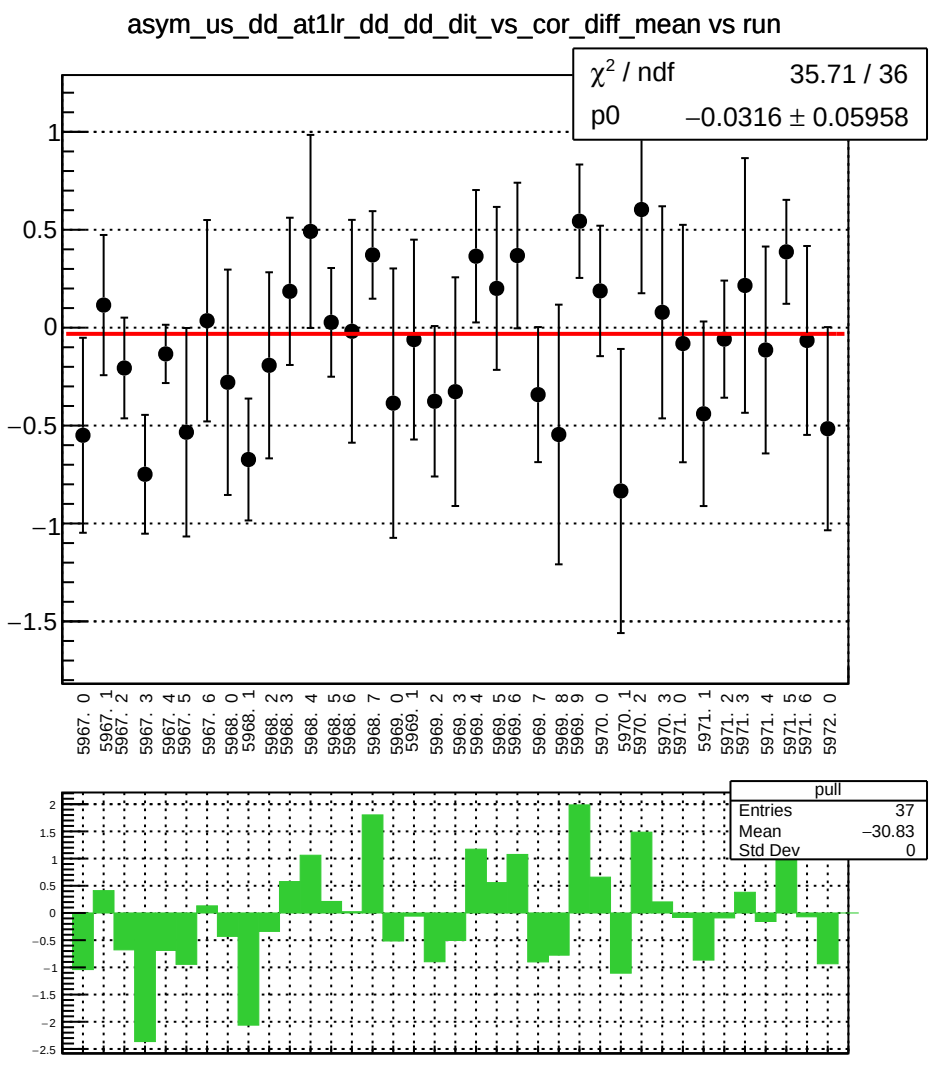
asym_us_dd_at1lr_dd_dd_dit_vs_cor_diff_mean vs run
χ² / ndf 35.71 / 36
p0 −0.0316 ± 0.05958
pull
Entries 37
Mean −30.83
Std Dev 0

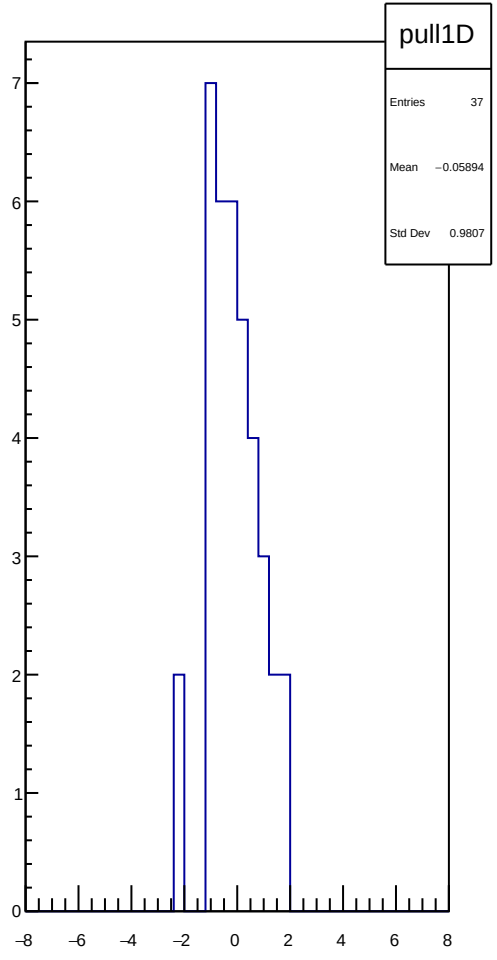
pull1D
Entries 37
Mean −0.05894
Std Dev 0.9807

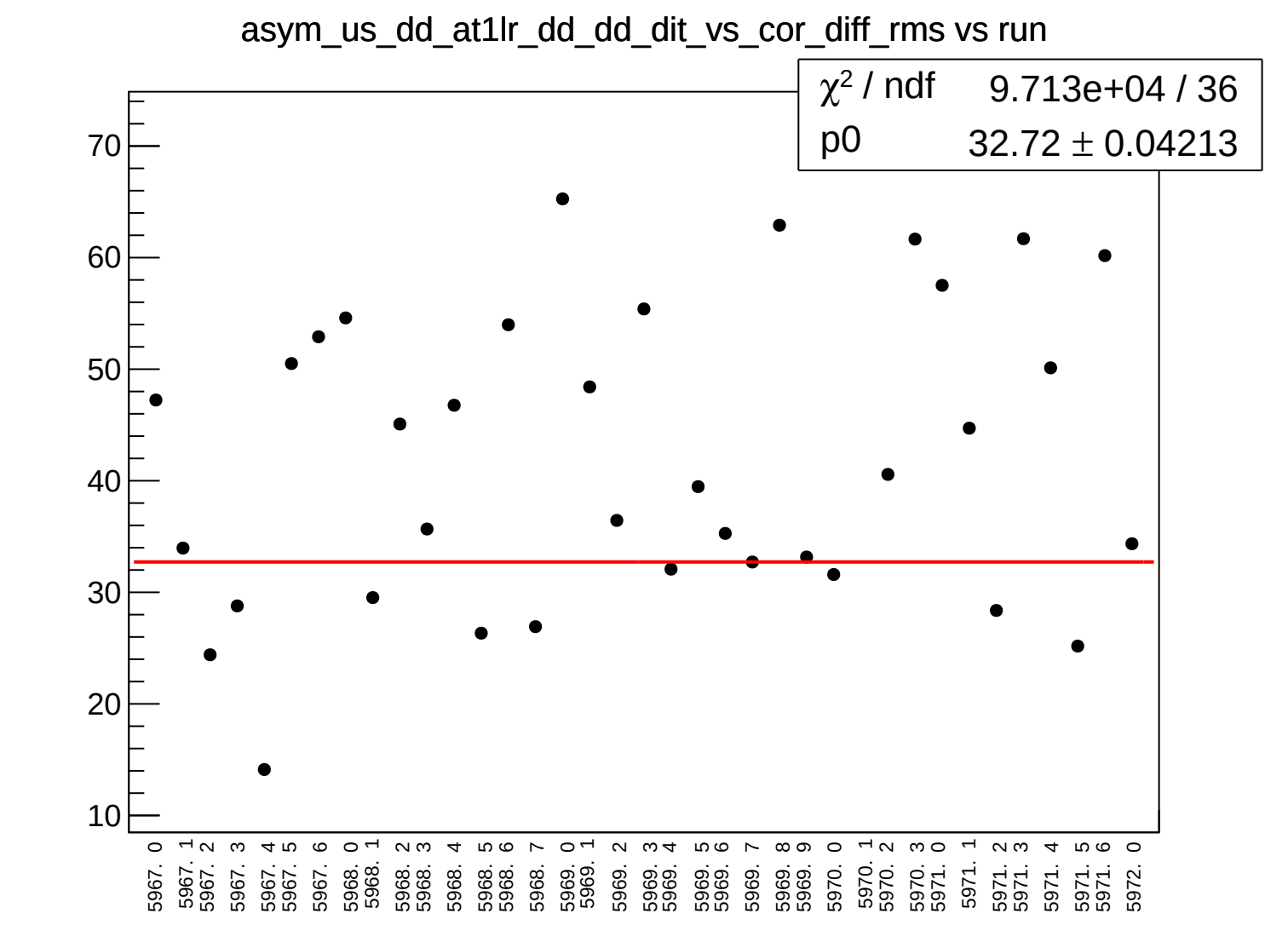
asym_us_dd_at1lr_dd_dd_dit_vs_cor_diff_rms vs run
χ² / ndf 9.713e+04 / 36
p0 32.72 ± 0.04213
70
60
50
40
30
20
10
5967. 0
5967. 1
5967. 2
5967. 3
5967. 4
5967. 5
5967. 6
5968. 0
5968. 1
5968. 2
5968. 3
5968. 4
5968. 5
5968. 6
5968. 7
5969. 0
5969. 1
5969. 2
5969. 3
5969. 4
5969. 5
5969. 6
5969. 7
5969. 8
5969. 9
5970. 0
5970. 1
5970. 2
5970. 3
5971. 0
5971. 1
5971. 2
5971. 3
5971. 4
5971. 5
5971. 6
5972. 0

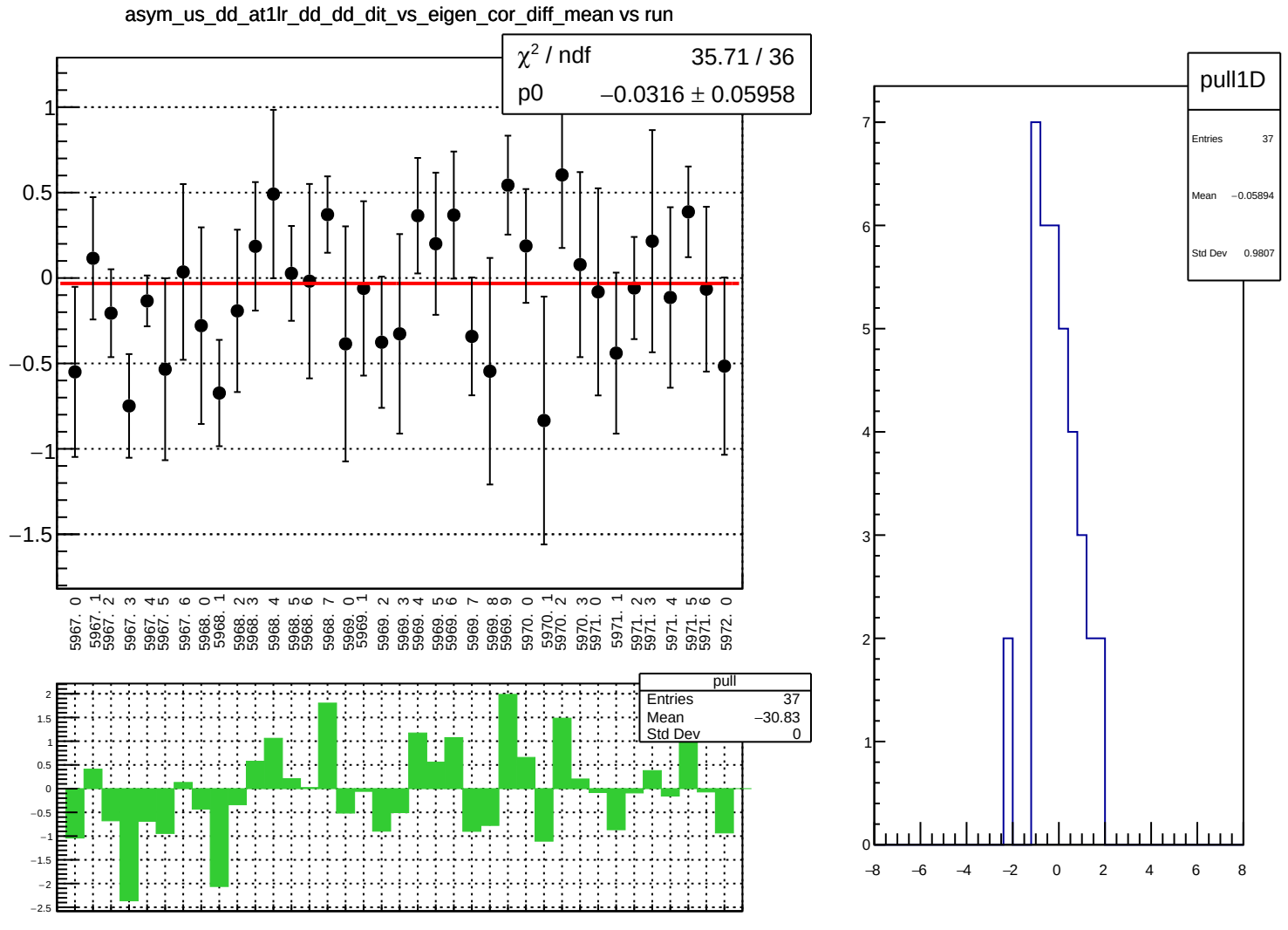
asym_us_dd_at1lr_dd_dd_dit_vs_eigen_cor_diff_mean vs run
χ² / ndf 35.71 / 36
p0 −0.0316 ± 0.05958
pull
Entries 37
Mean −30.83
Std Dev 0
pull1D
Entries 37
Mean −0.05894
Std Dev 0.9807

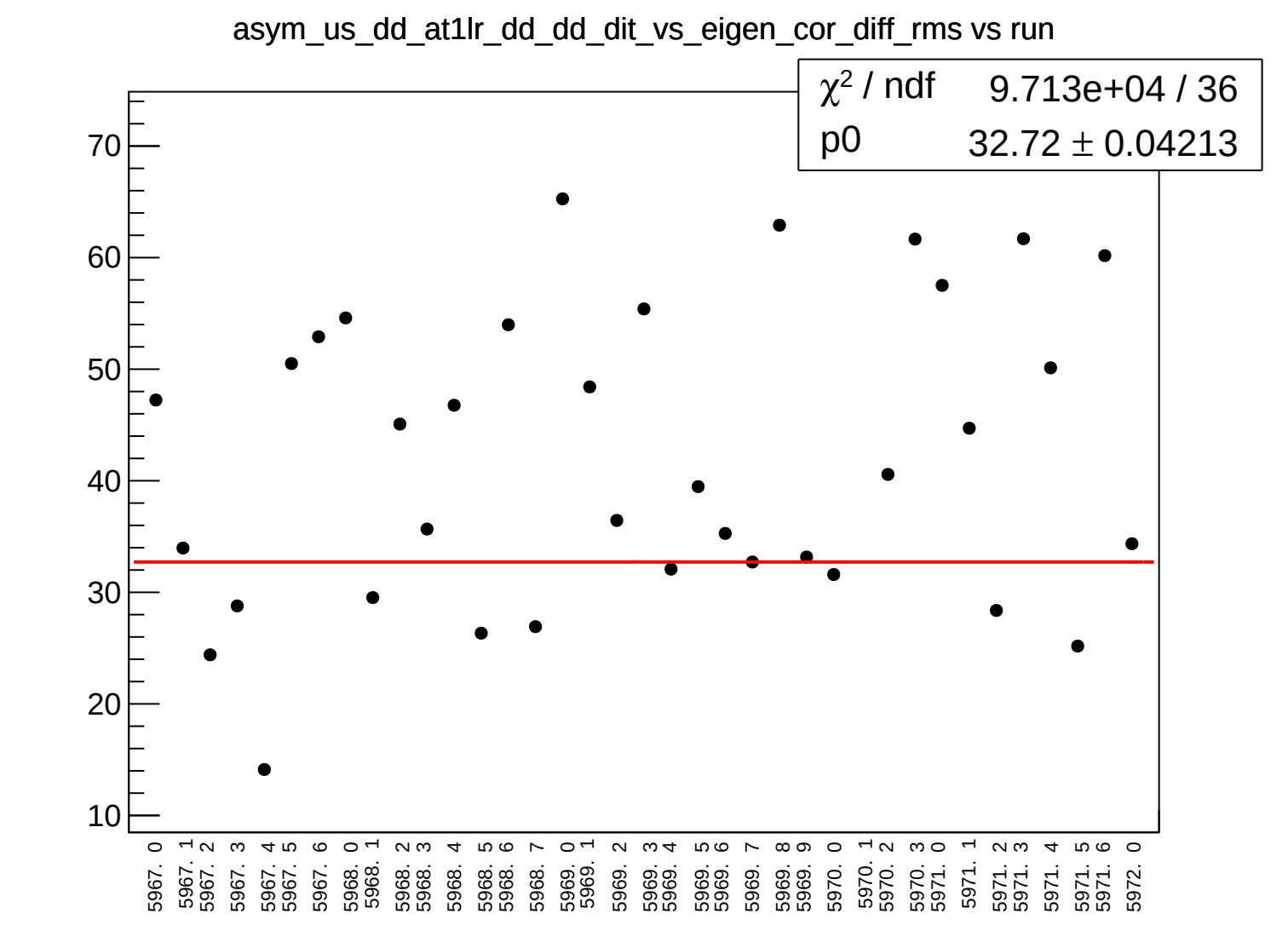
asym_us_dd_at1lr_dd_dd_dit_vs_eigen_cor_diff_rms vs run
χ² / ndf 9.713e+04 / 36
p0 32.72 ± 0.04213
70
60
50
40
30
20
10
5967. 0
5967. 1
5967. 2
5967. 3
5967. 4
5967. 5
5967. 6
5968. 0
5968. 1
5968. 2
5968. 3
5968. 4
5968. 5
5968. 6
5968. 7
5969. 0
5969. 1
5969. 2
5969. 3
5969. 4
5969. 5
5969. 6
5969. 7
5969. 8
5969. 9
5970. 0
5970. 1
5970. 2
5970. 3
5971. 0
5971. 1
5971. 2
5971. 3
5971. 4
5971. 5
5971. 6
5972. 0

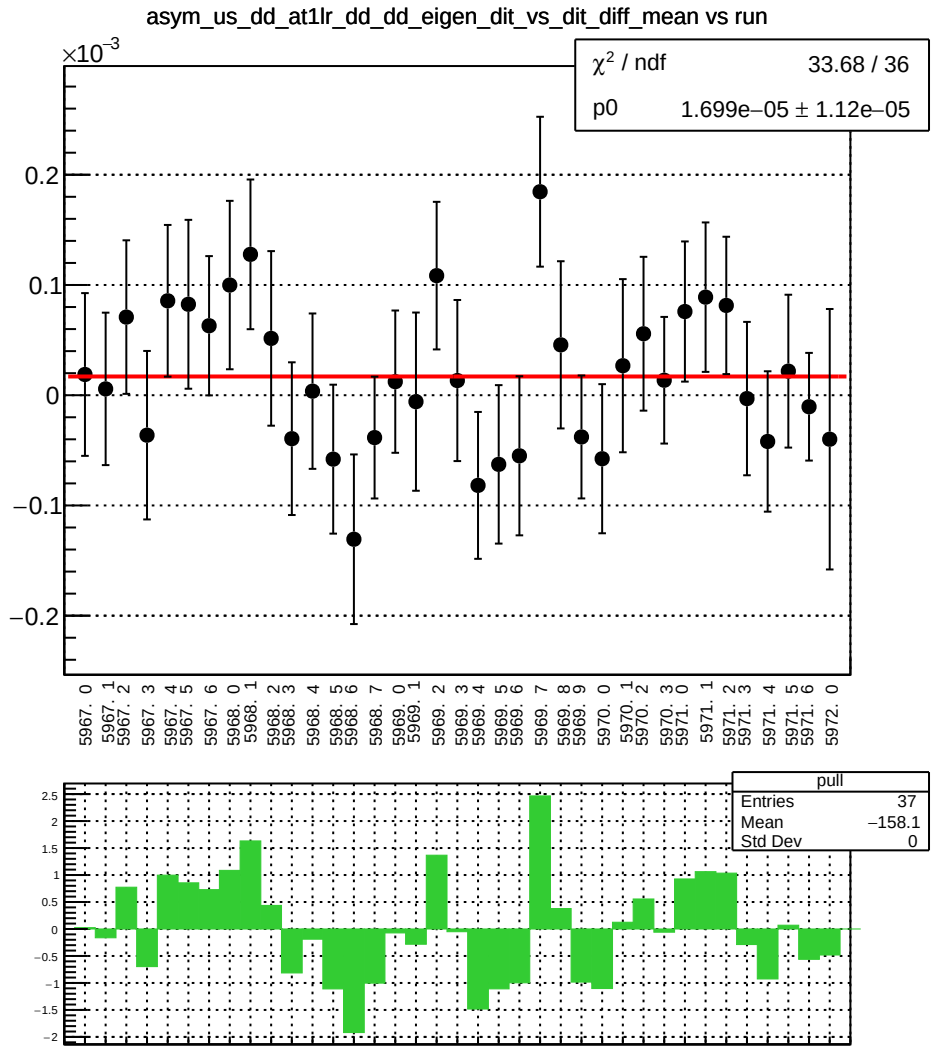
asym_us_dd_at1lr_dd_dd_eigen_dit_vs_dit_diff_mean vs run
×10⁻³
χ² / ndf 33.68 / 36
p0 1.699e−05 ± 1.12e−05
0.2
0.1
0
−0.1
−0.2
5967. 0
5967. 1
5967. 2
5967. 3
5967. 4
5967. 5
5967. 6
5968. 0
5968. 1
5968. 2
5968. 3
5968. 4
5968. 5
5968. 6
5968. 7
5969. 0
5969. 1
5969. 2
5969. 3
5969. 4
5969. 5
5969. 6
5969. 7
5969. 8
5969. 9
5970. 0
5970. 1
5970. 2
5970. 3
5971. 0
5971. 1
5971. 2
5971. 3
5971. 4
5971. 5
5971. 6
5972. 0
pull
Entries 37
Mean −158.1
Std Dev 0
2.5
2
1.5
1
0.5
0
−0.5
−1
−1.5
−2

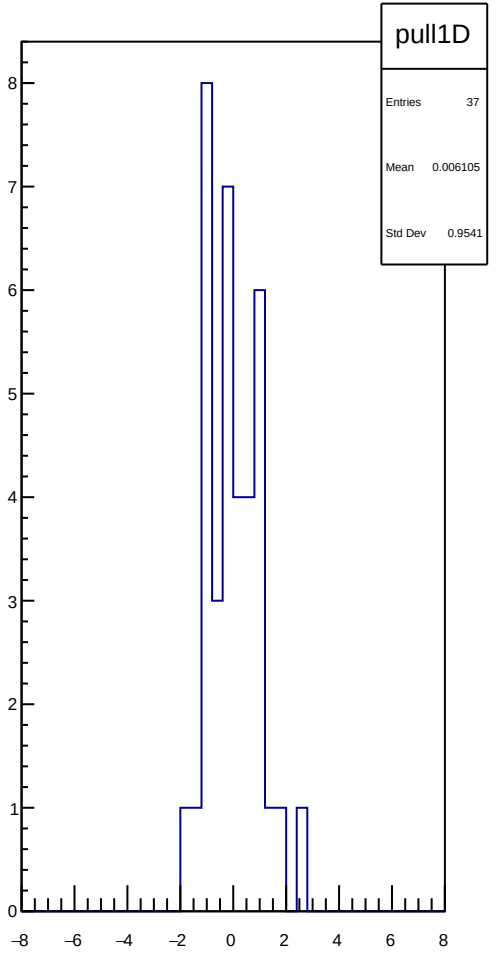
pull1D
Entries 37
Mean 0.006105
Std Dev 0.9541
8
7
6
5
4
3
2
1
0
−8
−6
−4
−2
0
2
4
6
8

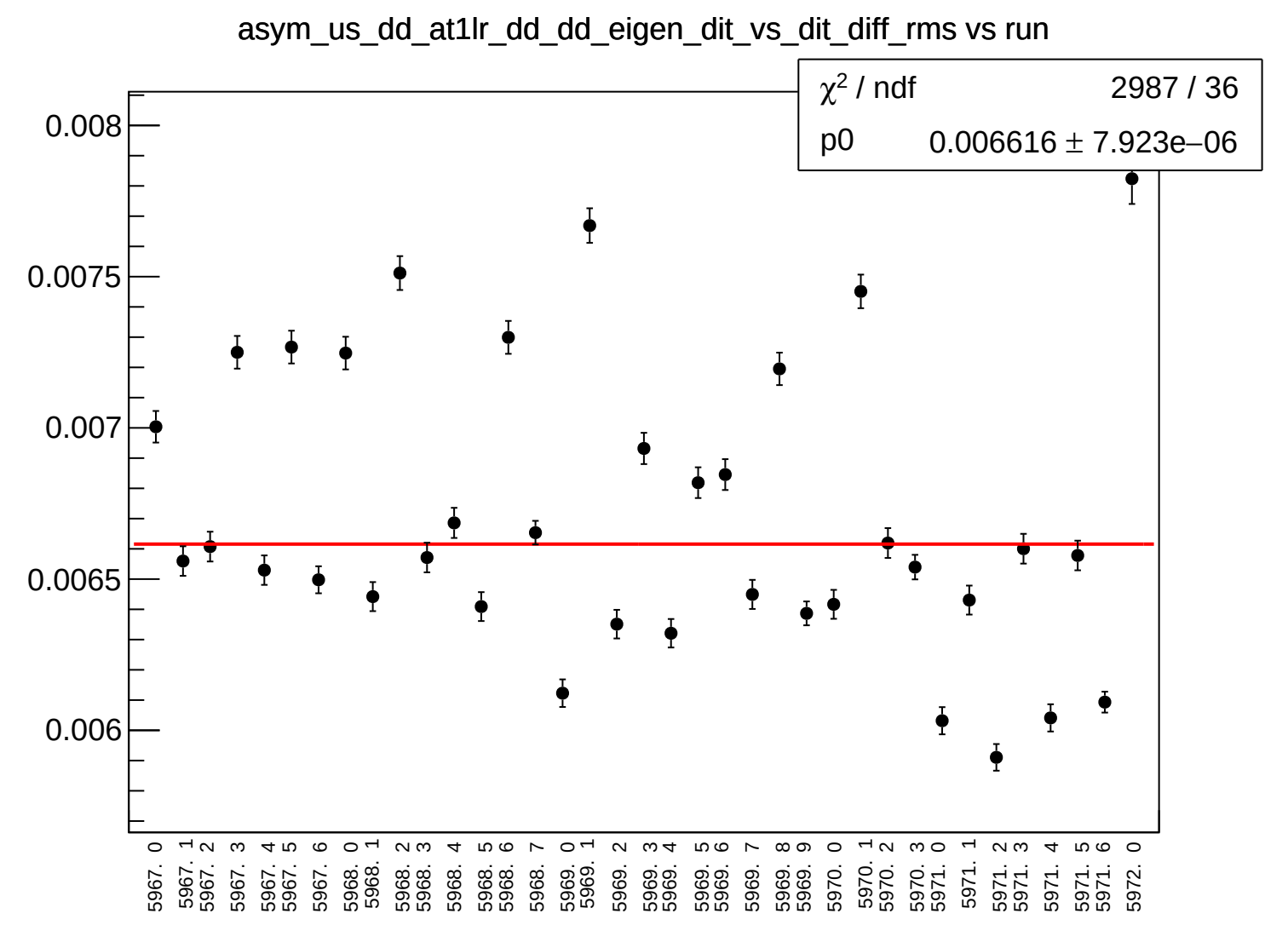
asym_us_dd_at1lr_dd_dd_eigen_dit_vs_dit_diff_rms vs run
χ² / ndf 2987 / 36
p0 0.006616 ± 7.923e−06
0.008
0.0075
0.007
0.0065
0.006
5967. 0
5967. 1
5967. 2
5967. 3
5967. 4
5967. 5
5967. 6
5968. 0
5968. 1
5968. 2
5968. 3
5968. 4
5968. 5
5968. 6
5968. 7
5969. 0
5969. 1
5969. 2
5969. 3
5969. 4
5969. 5
5969. 6
5969. 7
5969. 8
5969. 9
5970. 0
5970. 1
5970. 2
5970. 3
5971. 0
5971. 1
5971. 2
5971. 3
5971. 4
5971. 5
5971. 6
5972. 0

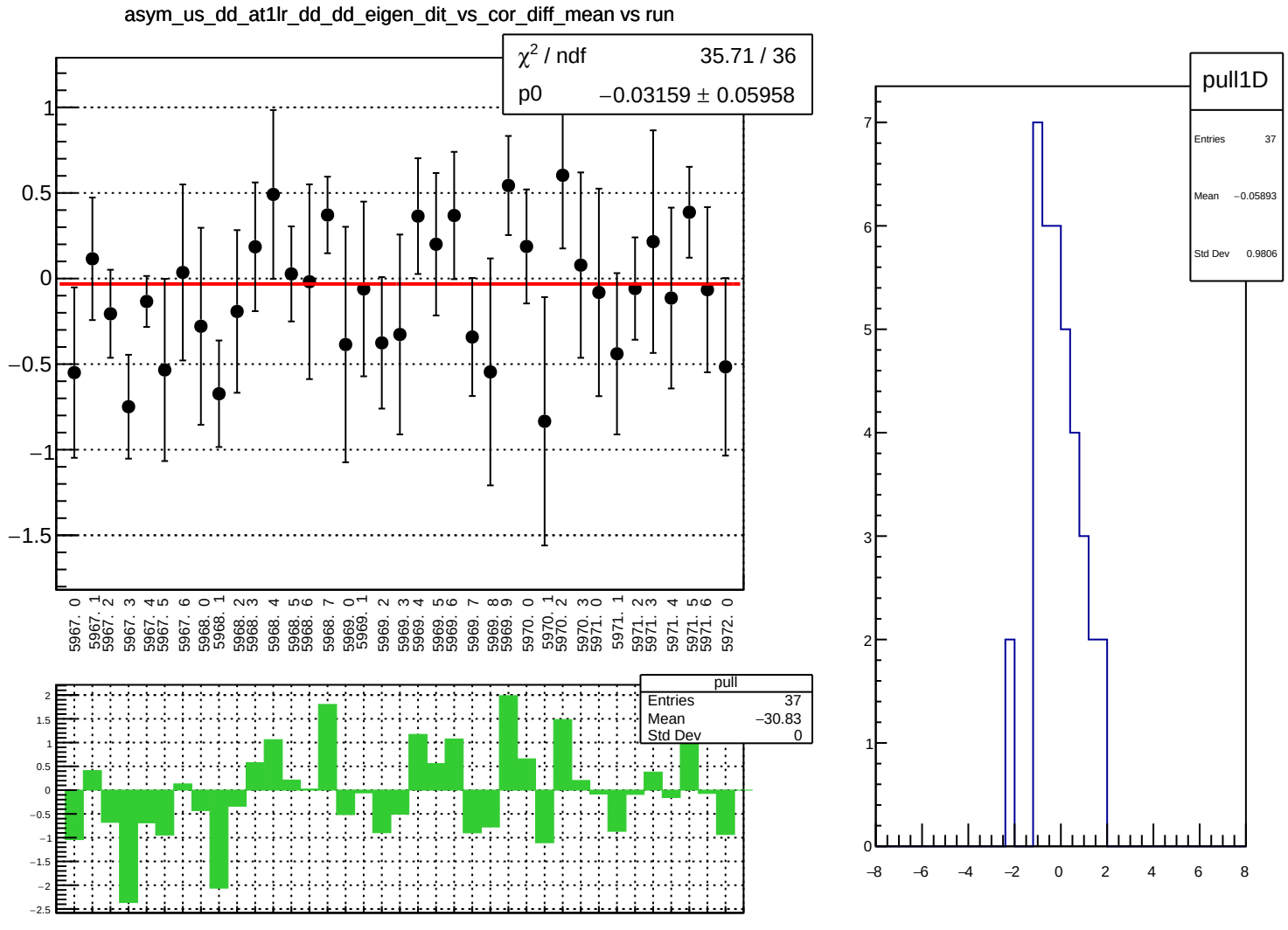
asym_us_dd_at1lr_dd_dd_eigen_dit_vs_cor_diff_mean vs run
χ² / ndf 35.71 / 36
p0 −0.03159 ± 0.05958
pull
Entries 37
Mean −30.83
Std Dev 0
pull1D
Entries 37
Mean −0.05893
Std Dev 0.9806

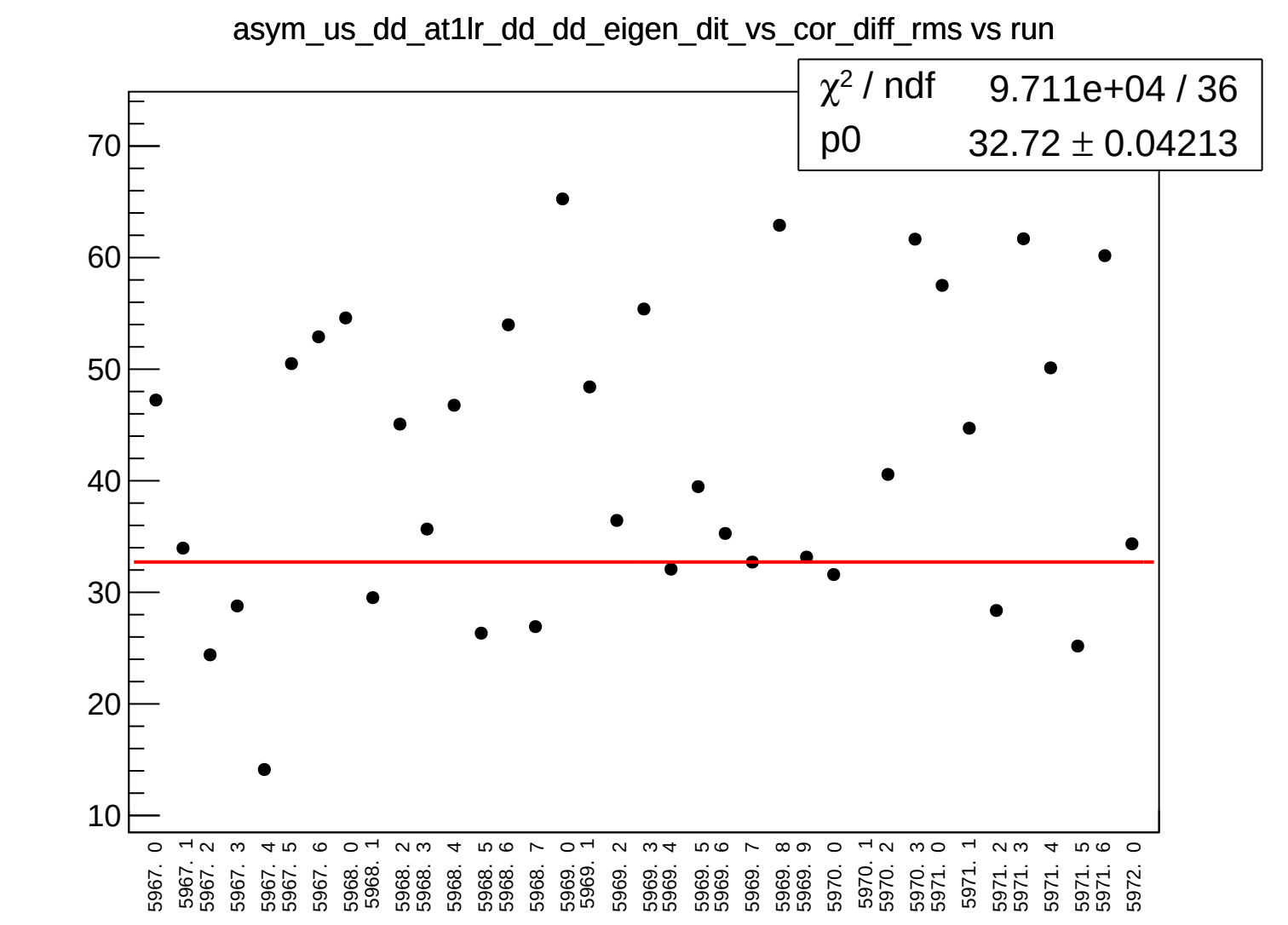
asym_us_dd_at1lr_dd_dd_eigen_dit_vs_cor_diff_rms vs run
χ² / ndf 9.711e+04 / 36
p0 32.72 ± 0.04213
70
60
50
40
30
20
10
5967. 0
5967. 1
5967. 2
5967. 3
5967. 4
5967. 5
5967. 6
5968. 0
5968. 1
5968. 2
5968. 3
5968. 4
5968. 5
5968. 6
5968. 7
5969. 0
5969. 1
5969. 2
5969. 3
5969. 4
5969. 5
5969. 6
5969. 7
5969. 8
5969. 9
5970. 0
5970. 1
5970. 2
5970. 3
5971. 0
5971. 1
5971. 2
5971. 3
5971. 4
5971. 5
5971. 6
5972. 0

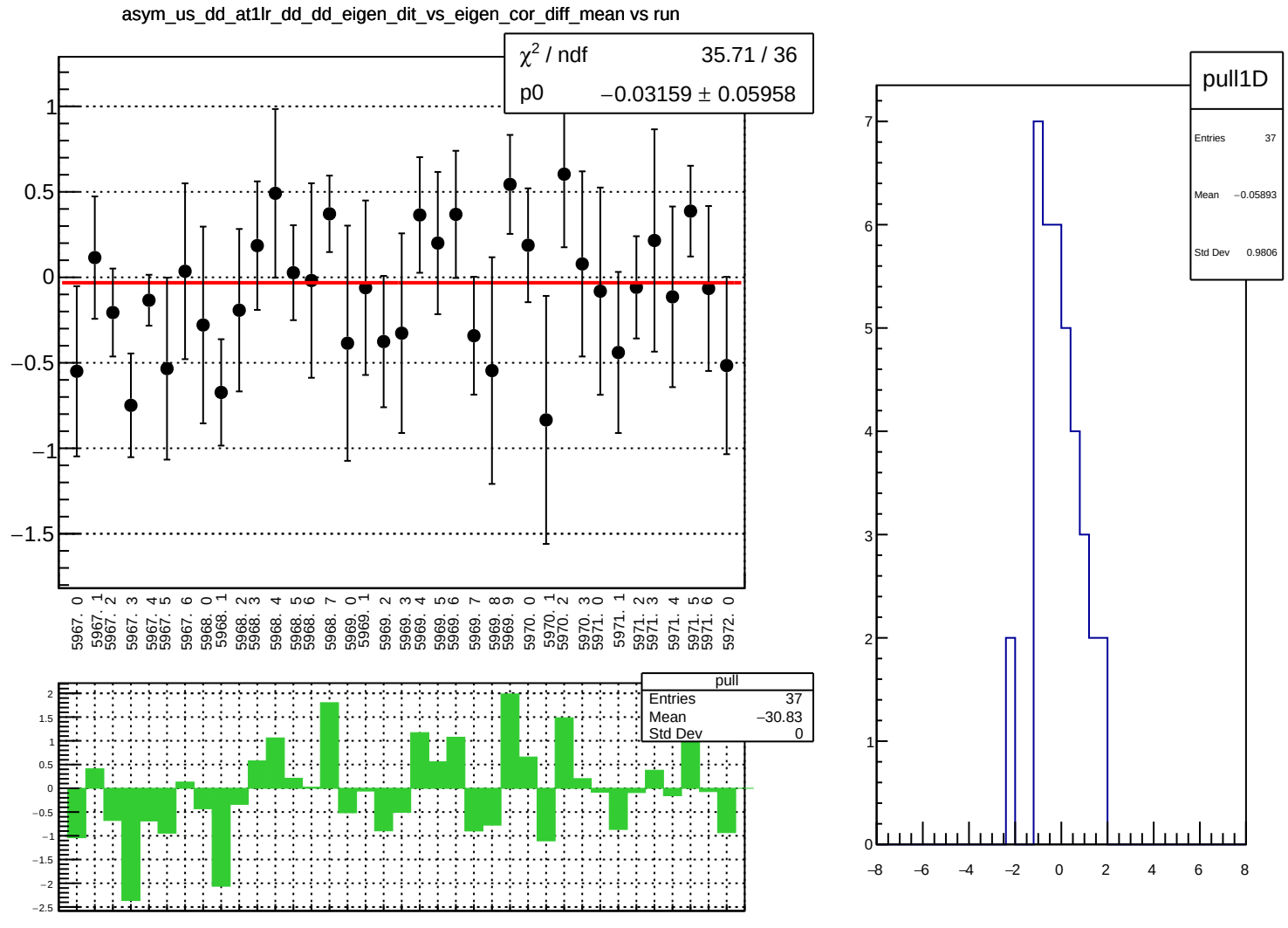
asym_us_dd_at1lr_dd_dd_eigen_dit_vs_eigen_cor_diff_mean vs run
χ² / ndf 35.71 / 36
p0 −0.03159 ± 0.05958
pull
Entries 37
Mean −30.83
Std Dev 0
pull1D
Entries 37
Mean −0.05893
Std Dev 0.9806

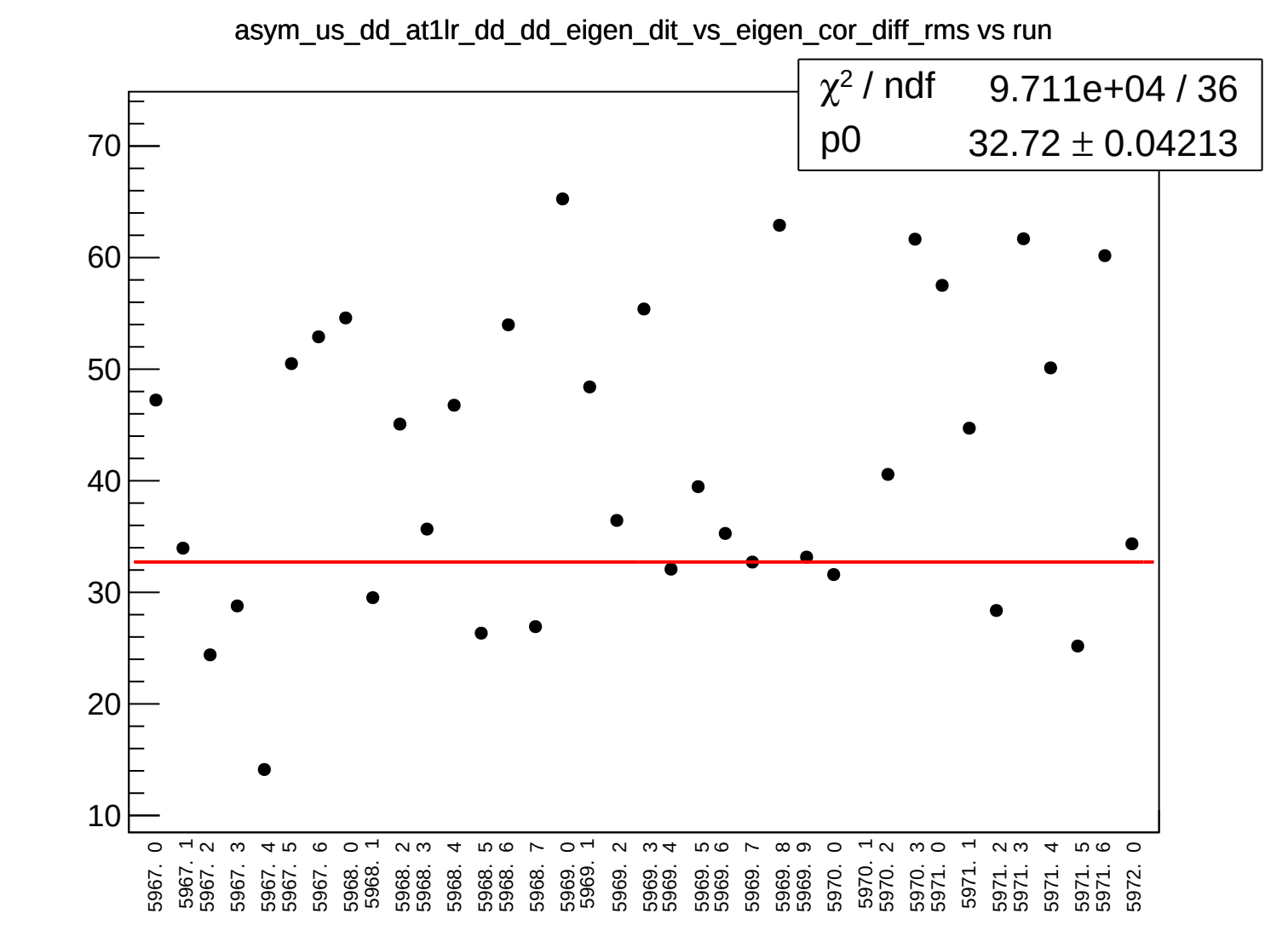
asym_us_dd_at1lr_dd_dd_eigen_dit_vs_eigen_cor_diff_rms vs run
χ² / ndf 9.711e+04 / 36
p0 32.72 ± 0.04213
70
60
50
40
30
20
10
5967. 0
5967. 1
5967. 2
5967. 3
5967. 4
5967. 5
5967. 6
5968. 0
5968. 1
5968. 2
5968. 3
5968. 4
5968. 5
5968. 6
5968. 7
5969. 0
5969. 1
5969. 2
5969. 3
5969. 4
5969. 5
5969. 6
5969. 7
5969. 8
5969. 9
5970. 0
5970. 1
5970. 2
5970. 3
5971. 0
5971. 1
5971. 2
5971. 3
5971. 4
5971. 5
5971. 6
5972. 0

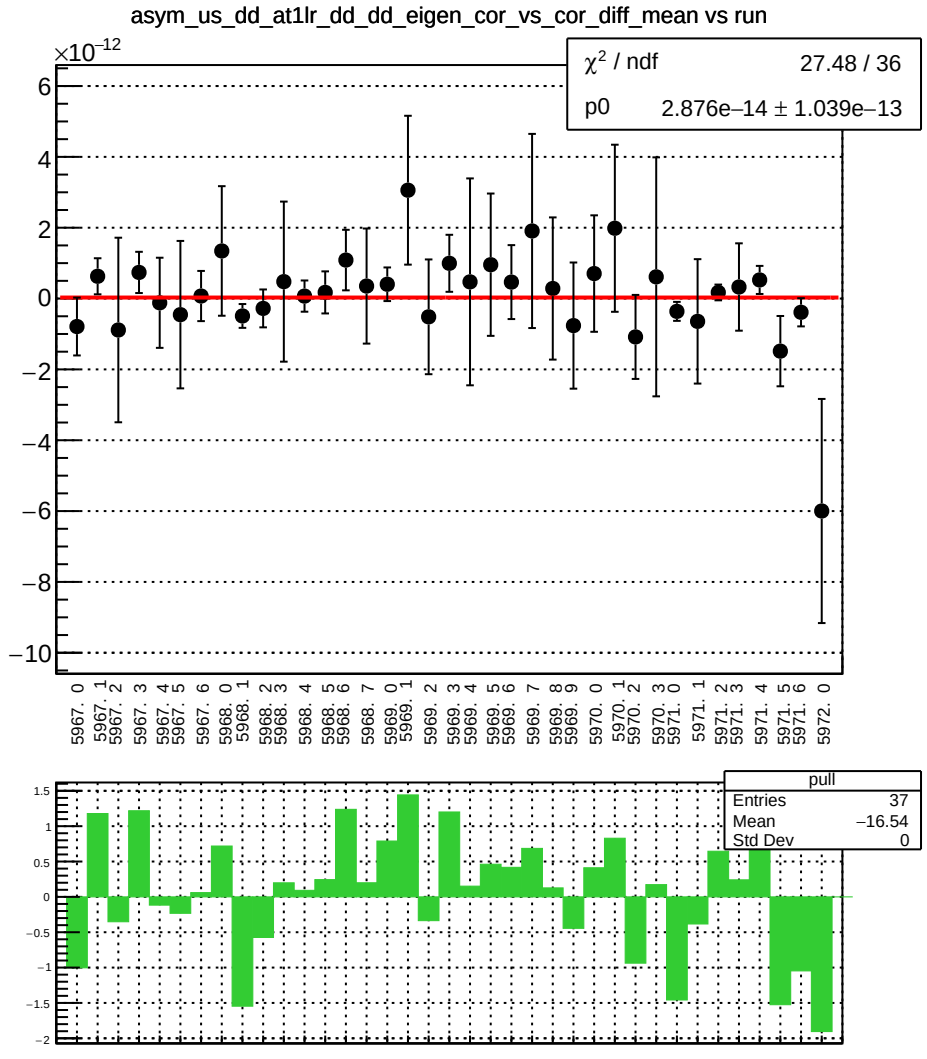
asym_us_dd_at1lr_dd_dd_eigen_cor_vs_cor_diff_mean vs run
×10⁻¹²
χ² / ndf 27.48 / 36
p0 2.876e−14 ± 1.039e−13
pull
Entries 37
Mean −16.54
Std Dev 0

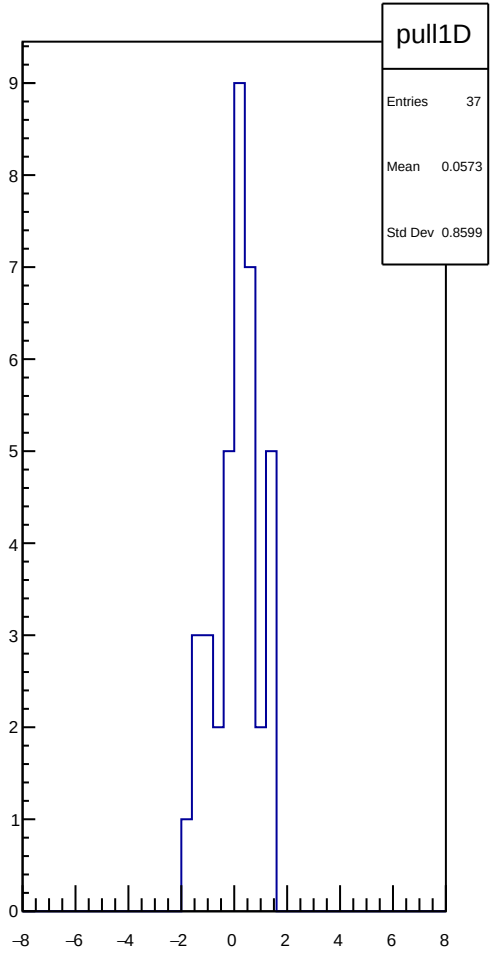
pull1D
Entries 37
Mean 0.0573
Std Dev 0.8599

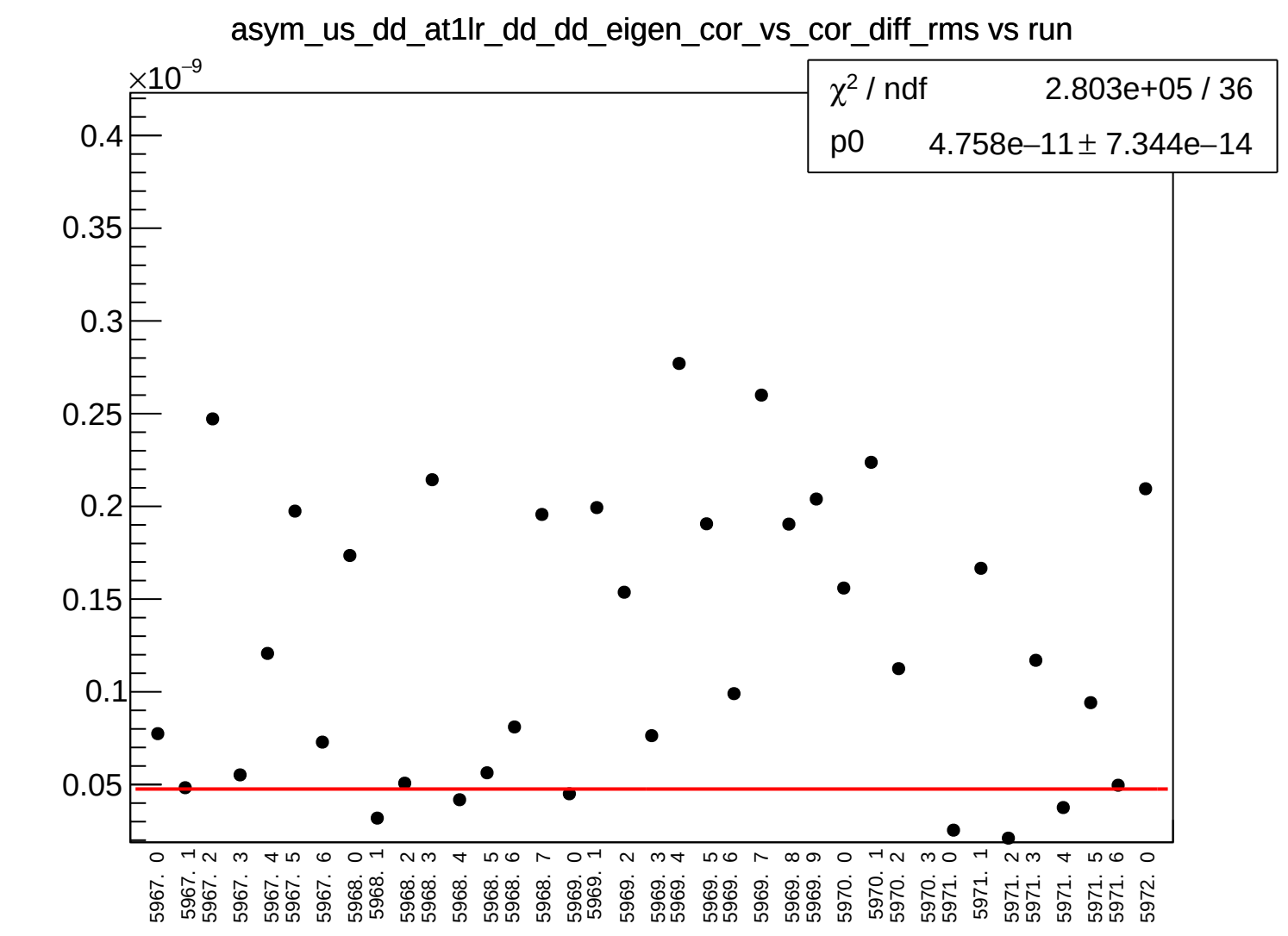
asym_us_dd_at1lr_dd_dd_eigen_cor_vs_cor_diff_rms vs run
×10⁻⁹
χ² / ndf 2.803e+05 / 36
p0 4.758e−11 ± 7.344e−14
0.4
0.35
0.3
0.25
0.2
0.15
0.1
0.05
5967. 0
5967. 1
5967. 2
5967. 3
5967. 4
5967. 5
5967. 6
5968. 0
5968. 1
5968. 2
5968. 3
5968. 4
5968. 5
5968. 6
5968. 7
5969. 0
5969. 1
5969. 2
5969. 3
5969. 4
5969. 5
5969. 6
5969. 7
5969. 8
5969. 9
5970. 0
5970. 1
5970. 2
5970. 3
5971. 0
5971. 1
5971. 2
5971. 3
5971. 4
5971. 5
5971. 6
5972. 0

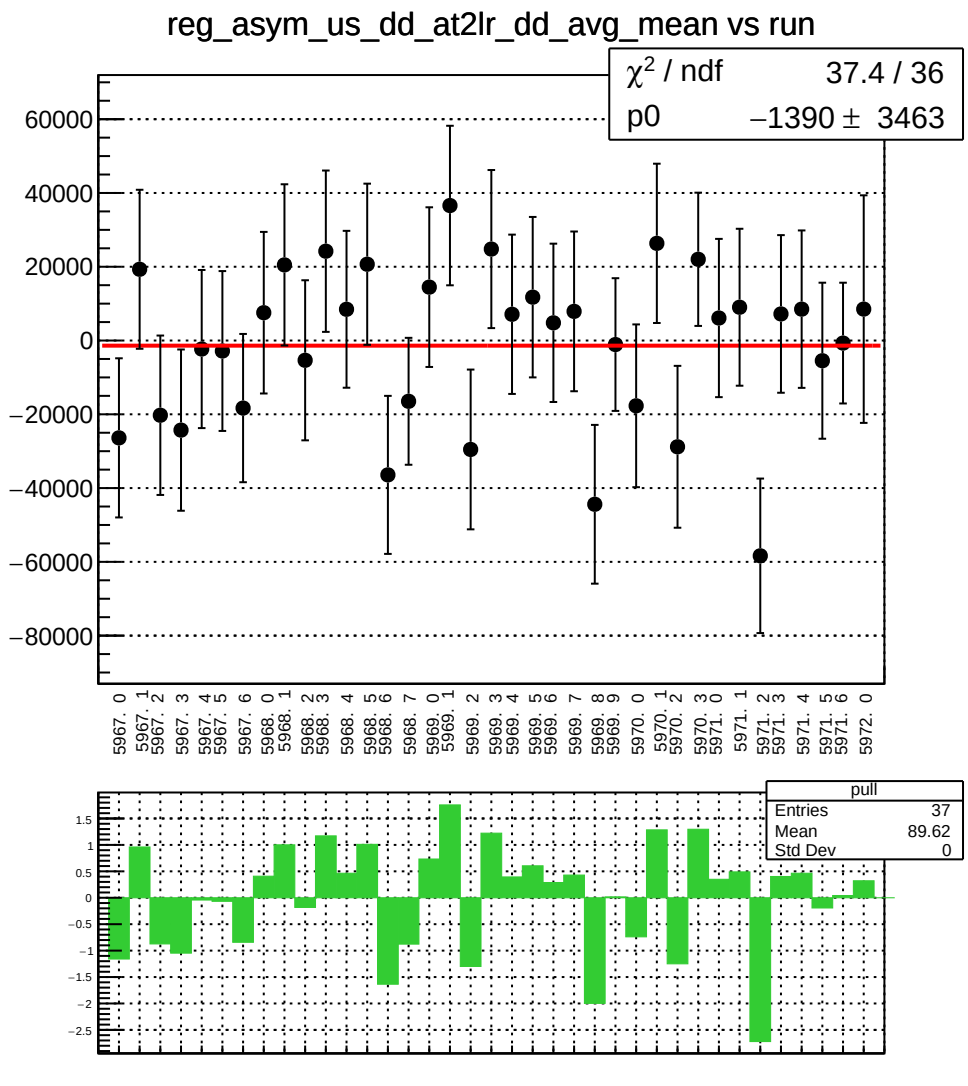
reg_asym_us_dd_at2lr_dd_avg_mean vs run
χ² / ndf 37.4 / 36
p0 −1390 ± 3463
60000
40000
20000
0
−20000
−40000
−60000
−80000
5967. 0
5967. 1
5967. 2
5967. 3
5967. 4
5967. 5
5967. 6
5968. 0
5968. 1
5968. 2
5968. 3
5968. 4
5968. 5
5968. 6
5968. 7
5969. 0
5969. 1
5969. 2
5969. 3
5969. 4
5969. 5
5969. 6
5969. 7
5969. 8
5969. 9
5970. 0
5970. 1
5970. 2
5970. 3
5971. 0
5971. 1
5971. 2
5971. 3
5971. 4
5971. 5
5971. 6
5972. 0
pull
Entries 37
Mean 89.62
Std Dev 0
1.5
1
0.5
0
−0.5
−1
−1.5
−2
−2.5

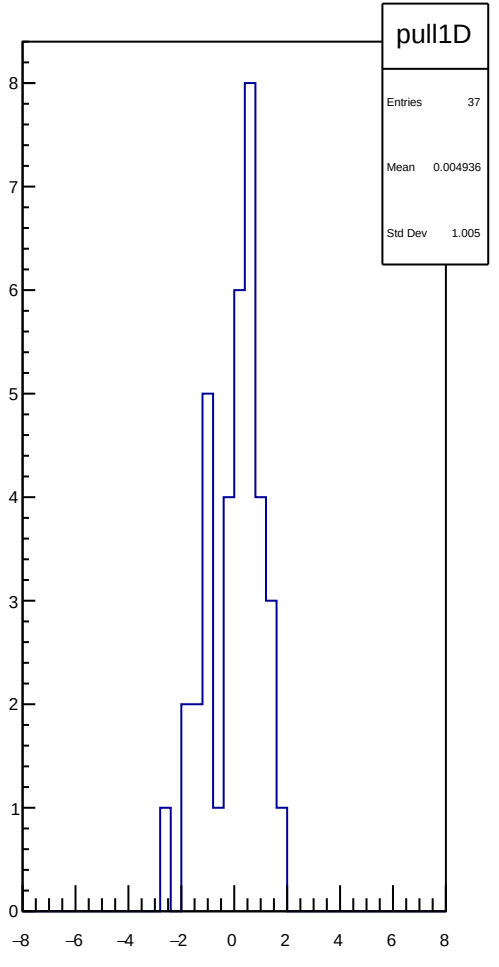
pull1D
Entries 37
Mean 0.004936
Std Dev 1.005
8
7
6
5
4
3
2
1
0
−8
−6
−4
−2
0
2
4
6
8

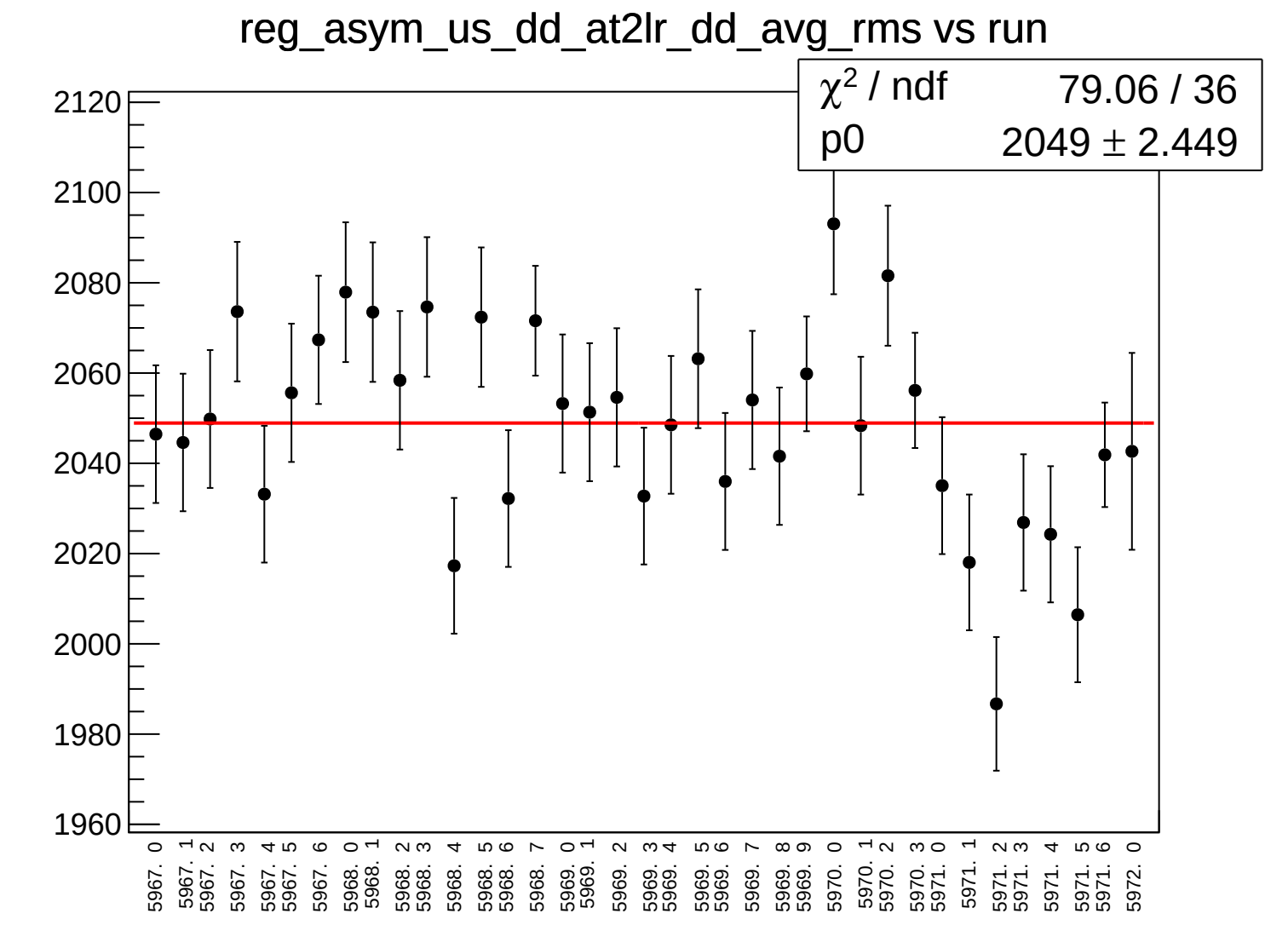
reg_asym_us_dd_at2lr_dd_avg_rms vs run
χ² / ndf 79.06 / 36
p0 2049 ± 2.449
2120
2100
2080
2060
2040
2020
2000
1980
1960
5967. 0
5967. 1
5967. 2
5967. 3
5967. 4
5967. 5
5967. 6
5968. 0
5968. 1
5968. 2
5968. 3
5968. 4
5968. 5
5968. 6
5968. 7
5969. 0
5969. 1
5969. 2
5969. 3
5969. 4
5969. 5
5969. 6
5969. 7
5969. 8
5969. 9
5970. 0
5970. 1
5970. 2
5970. 3
5971. 0
5971. 1
5971. 2
5971. 3
5971. 4
5971. 5
5971. 6
5972. 0

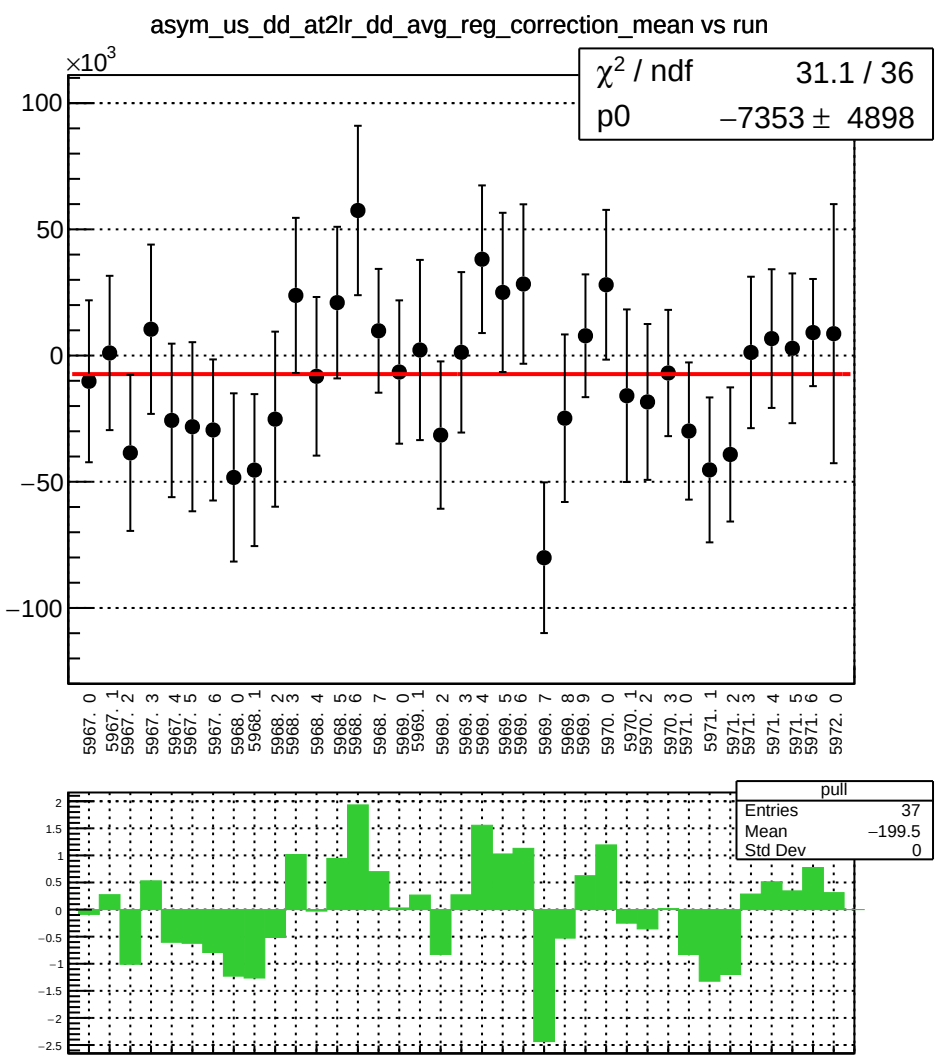
asym_us_dd_at2lr_dd_avg_reg_correction_mean vs run
×10^3
χ² / ndf 31.1 / 36
p0 −7353 ± 4898
100
50
0
−50
−100
5967. 0
5967. 1
5967. 2
5967. 3
5967. 4
5967. 5
5967. 6
5968. 0
5968. 1
5968. 2
5968. 3
5968. 4
5968. 5
5968. 6
5968. 7
5969. 0
5969. 1
5969. 2
5969. 3
5969. 4
5969. 5
5969. 6
5969. 7
5969. 8
5969. 9
5970. 0
5970. 1
5970. 2
5970. 3
5971. 0
5971. 1
5971. 2
5971. 3
5971. 4
5971. 5
5971. 6
5972. 0
pull
Entries 37
Mean −199.5
Std Dev 0
2
1.5
1
0.5
0
−0.5
−1
−1.5
−2
−2.5
pull1D
Entries 37
Mean −0.00412
Std Dev 0.9169
8
7
6
5
4
3
2
1
0
−8
−6
−4
−2
0
2
4
6
8

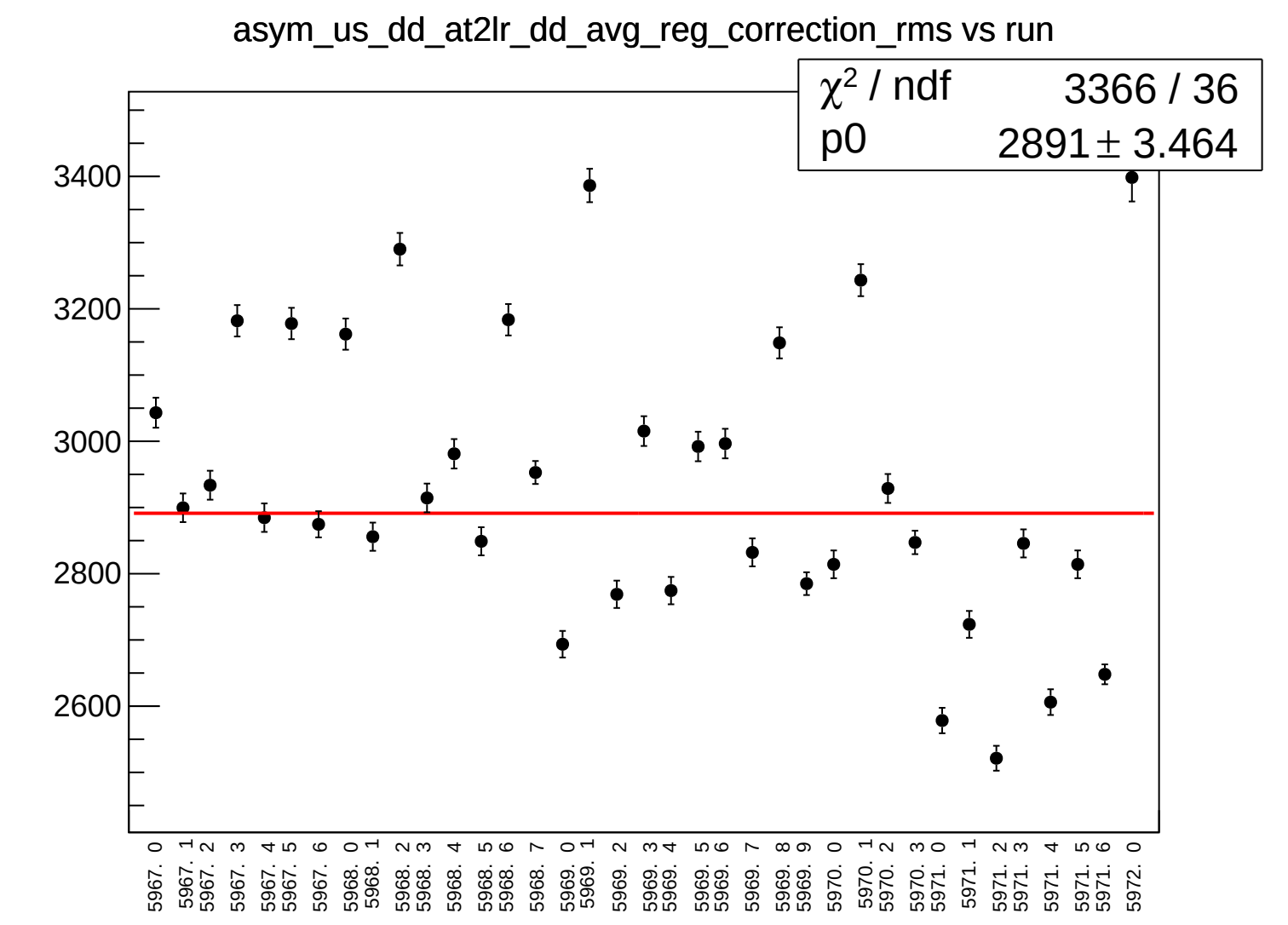
asym_us_dd_at2lr_dd_avg_reg_correction_rms vs run
χ² / ndf 3366 / 36
p0 2891 ± 3.464
3400
3200
3000
2800
2600
5967. 0
5967. 1
5967. 2
5967. 3
5967. 4
5967. 5
5967. 6
5968. 0
5968. 1
5968. 2
5968. 3
5968. 4
5968. 5
5968. 6
5968. 7
5969. 0
5969. 1
5969. 2
5969. 3
5969. 4
5969. 5
5969. 6
5969. 7
5969. 8
5969. 9
5970. 0
5970. 1
5970. 2
5970. 3
5971. 0
5971. 1
5971. 2
5971. 3
5971. 4
5971. 5
5971. 6
5972. 0

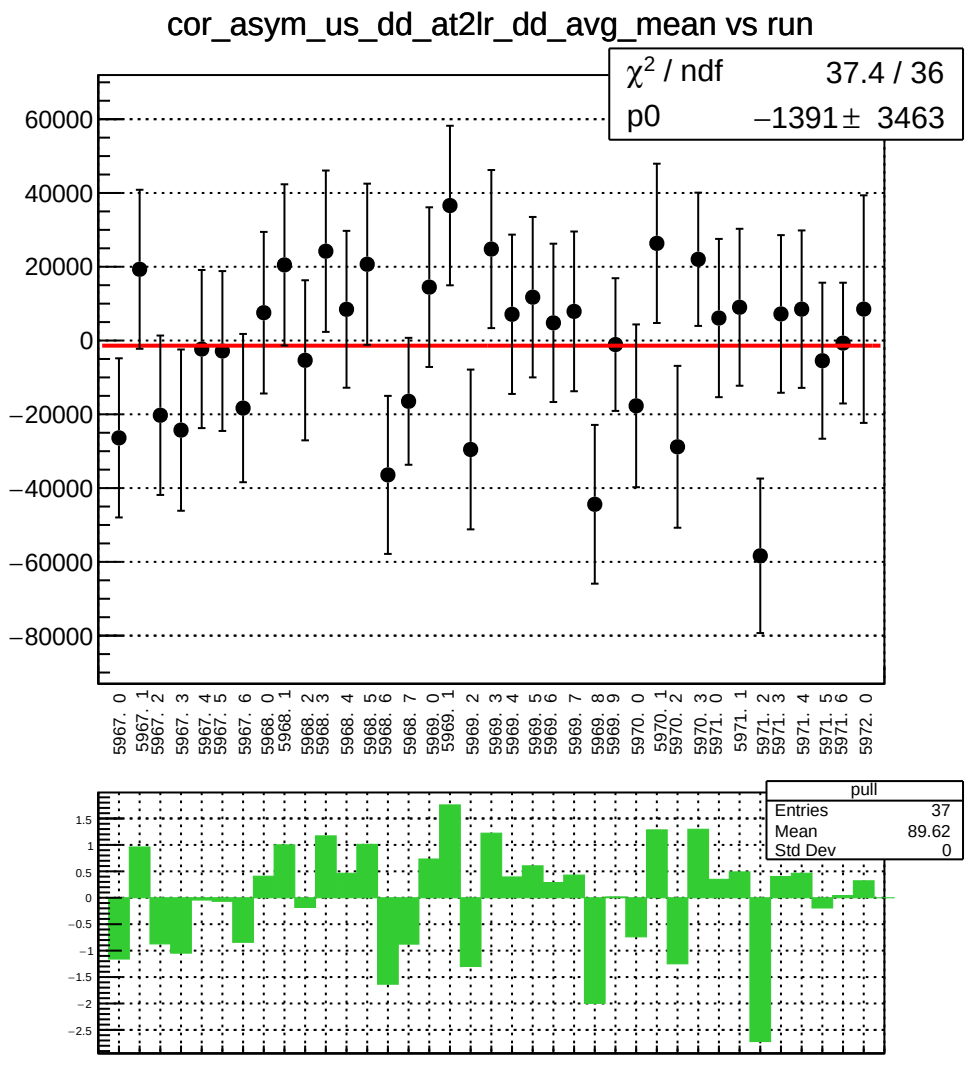
cor_asym_us_dd_at2lr_dd_avg_mean vs run
χ² / ndf 37.4 / 36
p0 −1391 ± 3463
60000
40000
20000
0
−20000
−40000
−60000
−80000
5967. 0
5967. 1
5967. 2
5967. 3
5967. 4
5967. 5
5967. 6
5968. 0
5968. 1
5968. 2
5968. 3
5968. 4
5968. 5
5968. 6
5968. 7
5969. 0
5969. 1
5969. 2
5969. 3
5969. 4
5969. 5
5969. 6
5969. 7
5969. 8
5969. 9
5970. 0
5970. 1
5970. 2
5970. 3
5971. 0
5971. 1
5971. 2
5971. 3
5971. 4
5971. 5
5971. 6
5972. 0
pull
Entries 37
Mean 89.62
Std Dev 0
1.5
1
0.5
0
−0.5
−1
−1.5
−2
−2.5

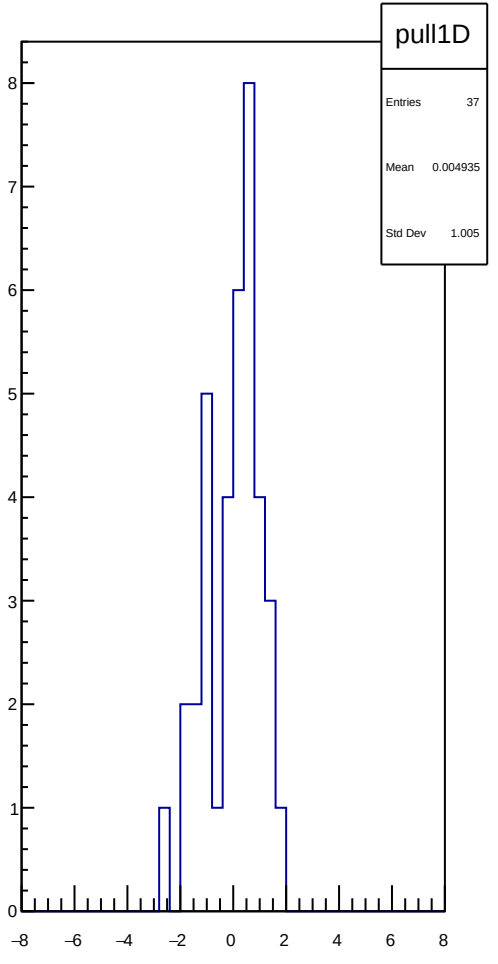
pull1D
Entries 37
Mean 0.004935
Std Dev 1.005
8
7
6
5
4
3
2
1
0
−8
−6
−4
−2
0
2
4
6
8

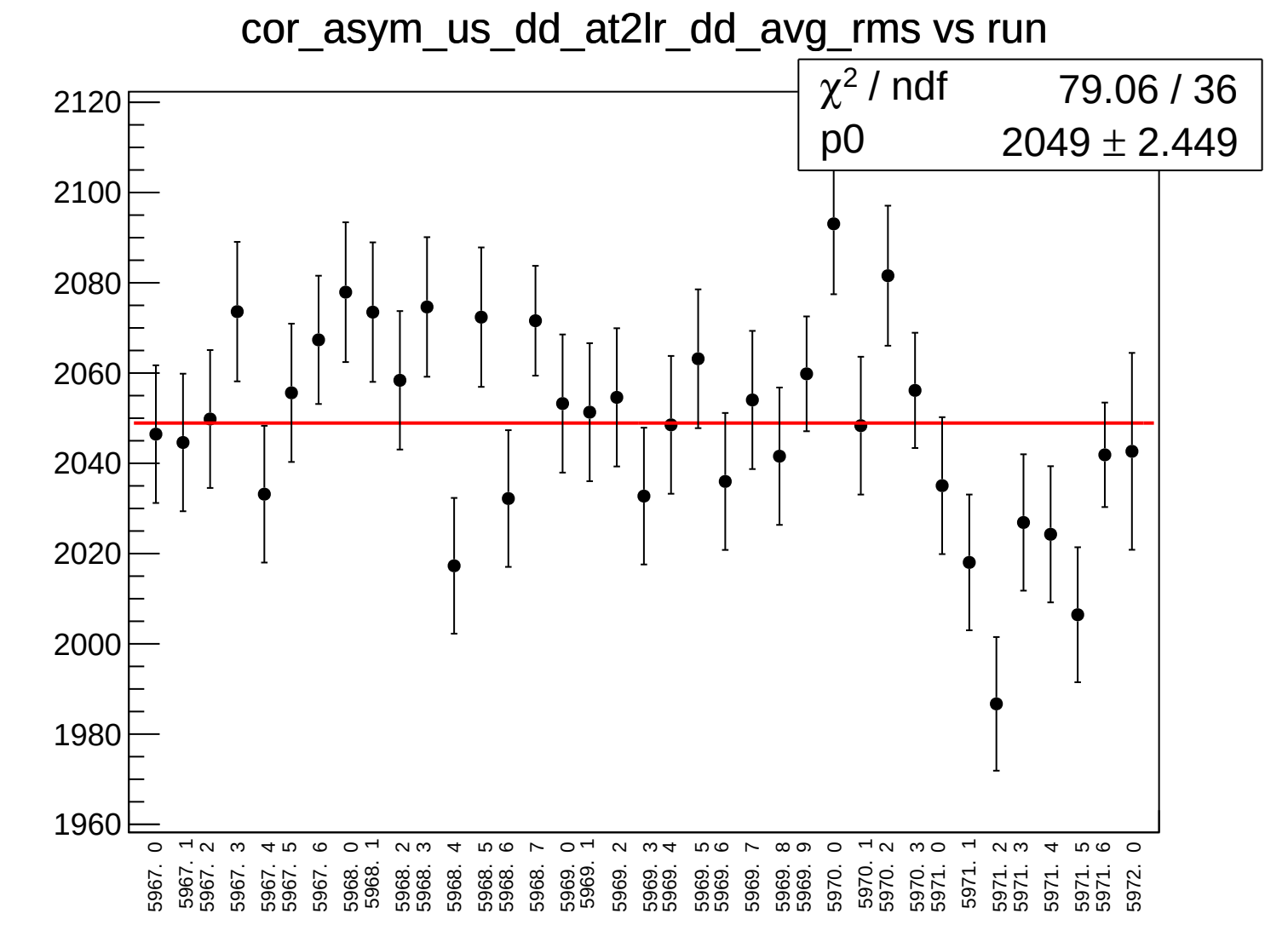
cor_asym_us_dd_at2lr_dd_avg_rms vs run
χ² / ndf 79.06 / 36
p0 2049 ± 2.449
2120
2100
2080
2060
2040
2020
2000
1980
1960
5967. 0
5967. 1
5967. 2
5967. 3
5967. 4
5967. 5
5967. 6
5968. 0
5968. 1
5968. 2
5968. 3
5968. 4
5968. 5
5968. 6
5968. 7
5969. 0
5969. 1
5969. 2
5969. 3
5969. 4
5969. 5
5969. 6
5969. 7
5969. 8
5969. 9
5970. 0
5970. 1
5970. 2
5970. 3
5971. 0
5971. 1
5971. 2
5971. 3
5971. 4
5971. 5
5971. 6
5972. 0

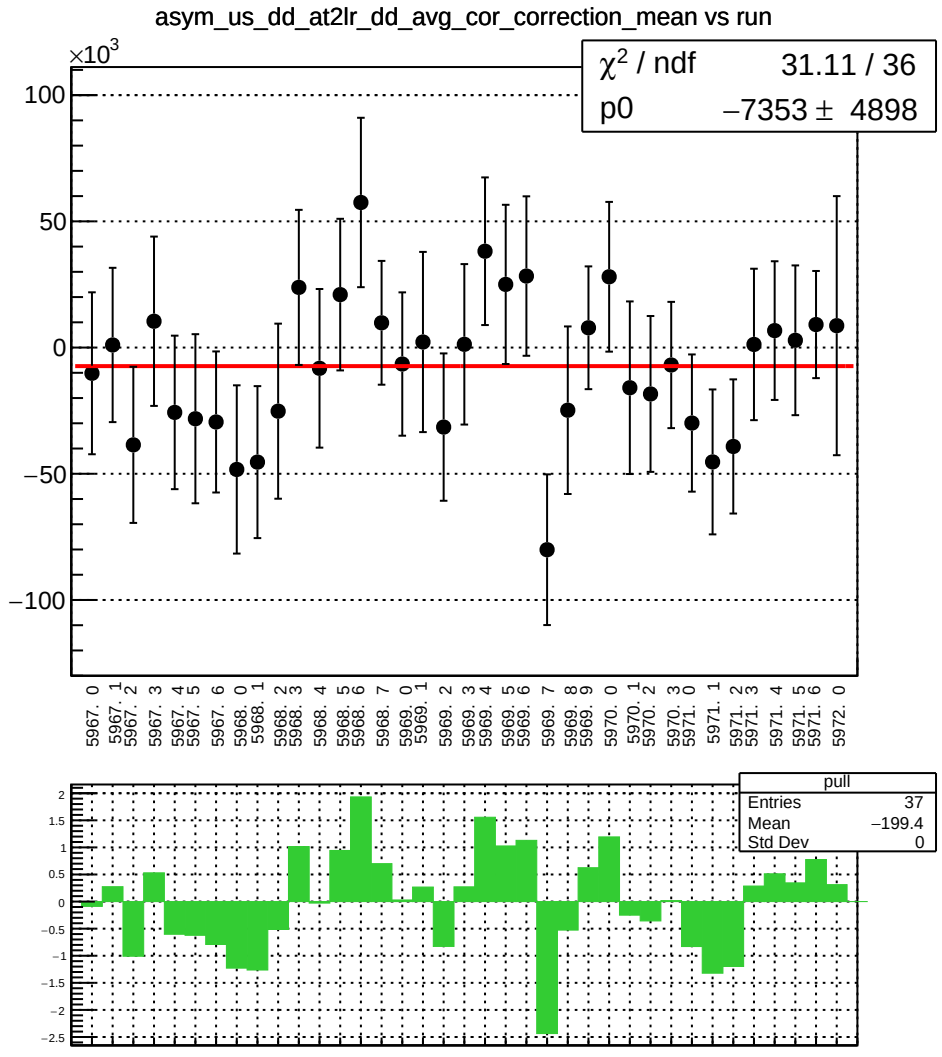
asym_us_dd_at2lr_dd_avg_cor_correction_mean vs run
×10^3
χ² / ndf 31.11 / 36
p0 −7353 ± 4898
100
50
0
−50
−100
5967. 0
5967. 1
5967. 2
5967. 3
5967. 4
5967. 5
5967. 6
5968. 0
5968. 1
5968. 2
5968. 3
5968. 4
5968. 5
5968. 6
5968. 7
5969. 0
5969. 1
5969. 2
5969. 3
5969. 4
5969. 5
5969. 6
5969. 7
5969. 8
5969. 9
5970. 0
5970. 1
5970. 2
5970. 3
5971. 0
5971. 1
5971. 2
5971. 3
5971. 4
5971. 5
5971. 6
5972. 0
pull
Entries 37
Mean −199.4
Std Dev 0
2
1.5
1
0.5
0
−0.5
−1
−1.5
−2
−2.5

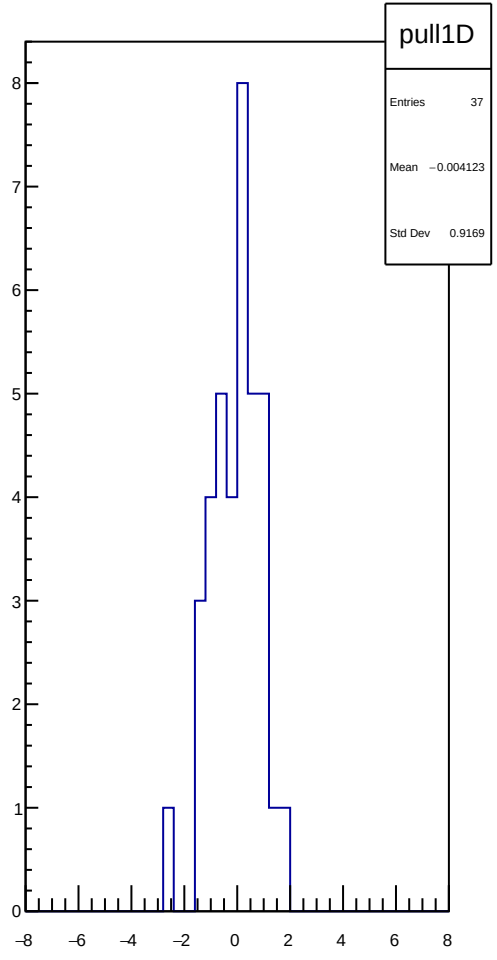
pull1D
Entries 37
Mean −0.004123
Std Dev 0.9169
8
7
6
5
4
3
2
1
0
−8
−6
−4
−2
0
2
4
6
8

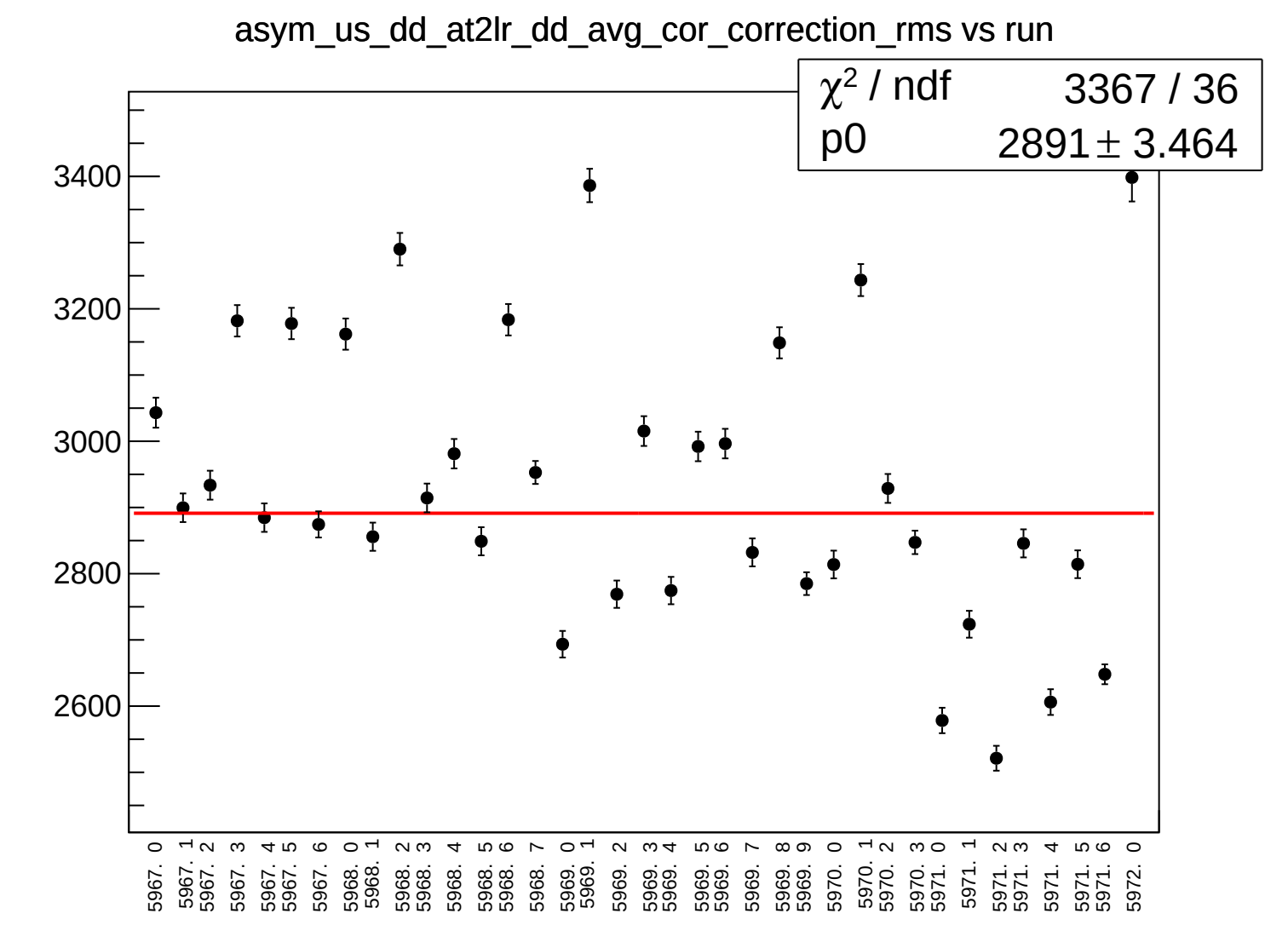
asym_us_dd_at2lr_dd_avg_cor_correction_rms vs run
χ² / ndf 3367 / 36
p0 2891 ± 3.464
3400
3200
3000
2800
2600
5967. 0
5967. 1
5967. 2
5967. 3
5967. 4
5967. 5
5967. 6
5968. 0
5968. 1
5968. 2
5968. 3
5968. 4
5968. 5
5968. 6
5968. 7
5969. 0
5969. 1
5969. 2
5969. 3
5969. 4
5969. 5
5969. 6
5969. 7
5969. 8
5969. 9
5970. 0
5970. 1
5970. 2
5970. 3
5971. 0
5971. 1
5971. 2
5971. 3
5971. 4
5971. 5
5971. 6
5972. 0

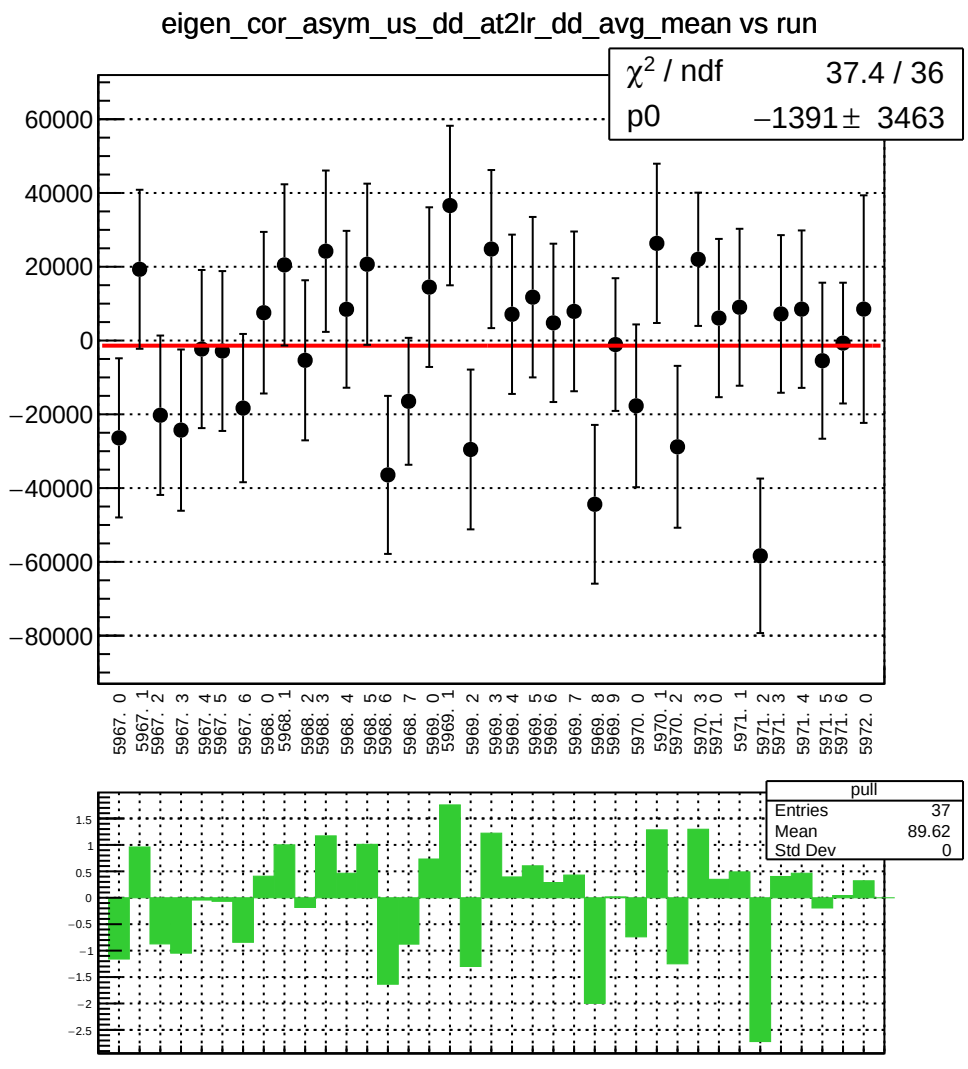
eigen_cor_asym_us_dd_at2lr_dd_avg_mean vs run
χ² / ndf 37.4 / 36
p0 −1391 ± 3463
60000
40000
20000
0
−20000
−40000
−60000
−80000
5967. 0
5967. 1
5967. 2
5967. 3
5967. 4
5967. 5
5967. 6
5968. 0
5968. 1
5968. 2
5968. 3
5968. 4
5968. 5
5968. 6
5968. 7
5969. 0
5969. 1
5969. 2
5969. 3
5969. 4
5969. 5
5969. 6
5969. 7
5969. 8
5969. 9
5970. 0
5970. 1
5970. 2
5970. 3
5971. 0
5971. 1
5971. 2
5971. 3
5971. 4
5971. 5
5971. 6
5972. 0
pull
Entries 37
Mean 89.62
Std Dev 0
1.5
1
0.5
0
−0.5
−1
−1.5
−2
−2.5
pull1D
Entries 37
Mean 0.004935
Std Dev 1.005
8
7
6
5
4
3
2
1
0
−8
−6
−4
−2
0
2
4
6
8

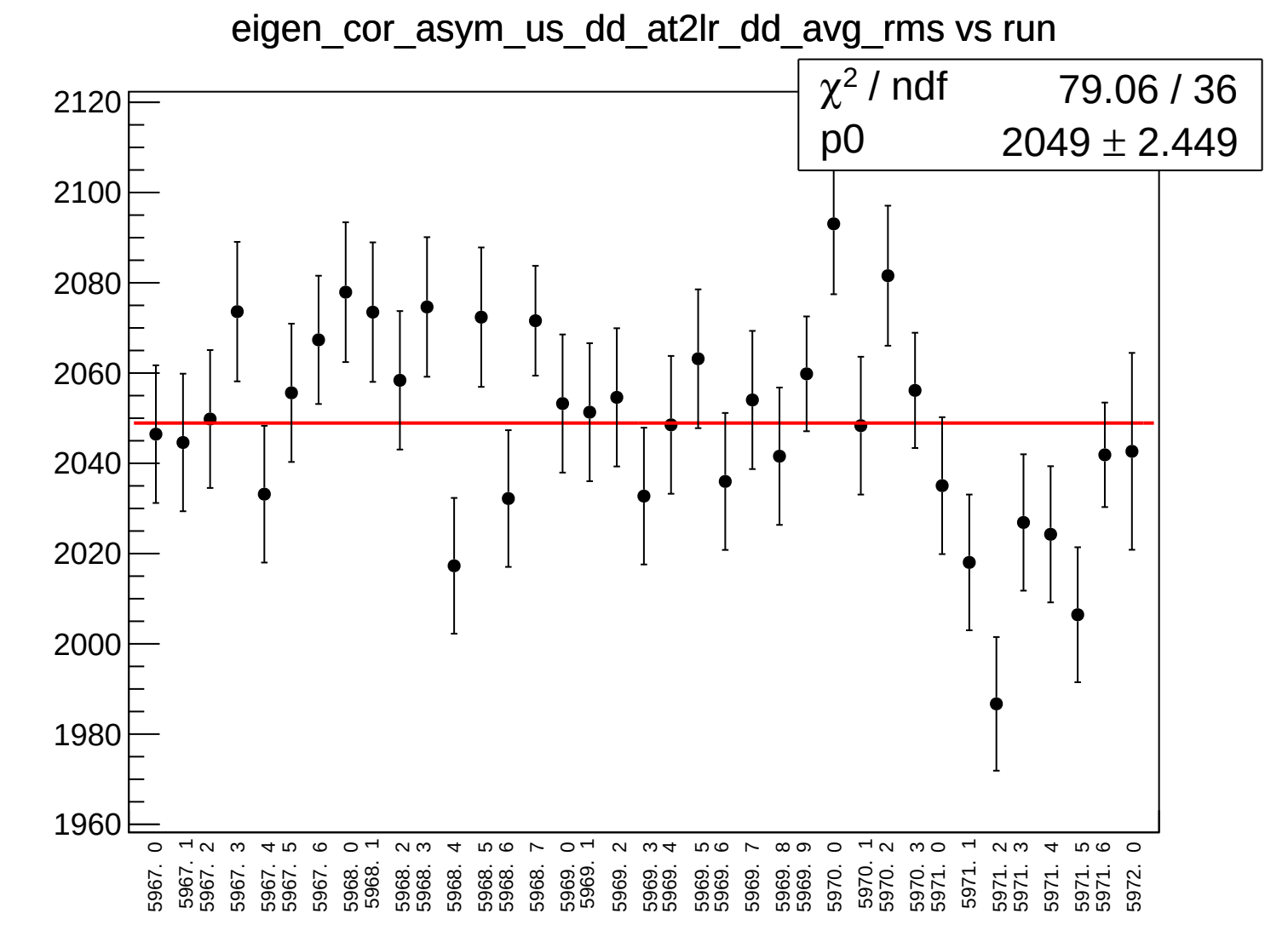
eigen_cor_asym_us_dd_at2lr_dd_avg_rms vs run
χ² / ndf 79.06 / 36
p0 2049 ± 2.449
2120
2100
2080
2060
2040
2020
2000
1980
1960
5967. 0
5967. 1
5967. 2
5967. 3
5967. 4
5967. 5
5967. 6
5968. 0
5968. 1
5968. 2
5968. 3
5968. 4
5968. 5
5968. 6
5968. 7
5969. 0
5969. 1
5969. 2
5969. 3
5969. 4
5969. 5
5969. 6
5969. 7
5969. 8
5969. 9
5970. 0
5970. 1
5970. 2
5970. 3
5971. 0
5971. 1
5971. 2
5971. 3
5971. 4
5971. 5
5971. 6
5972. 0

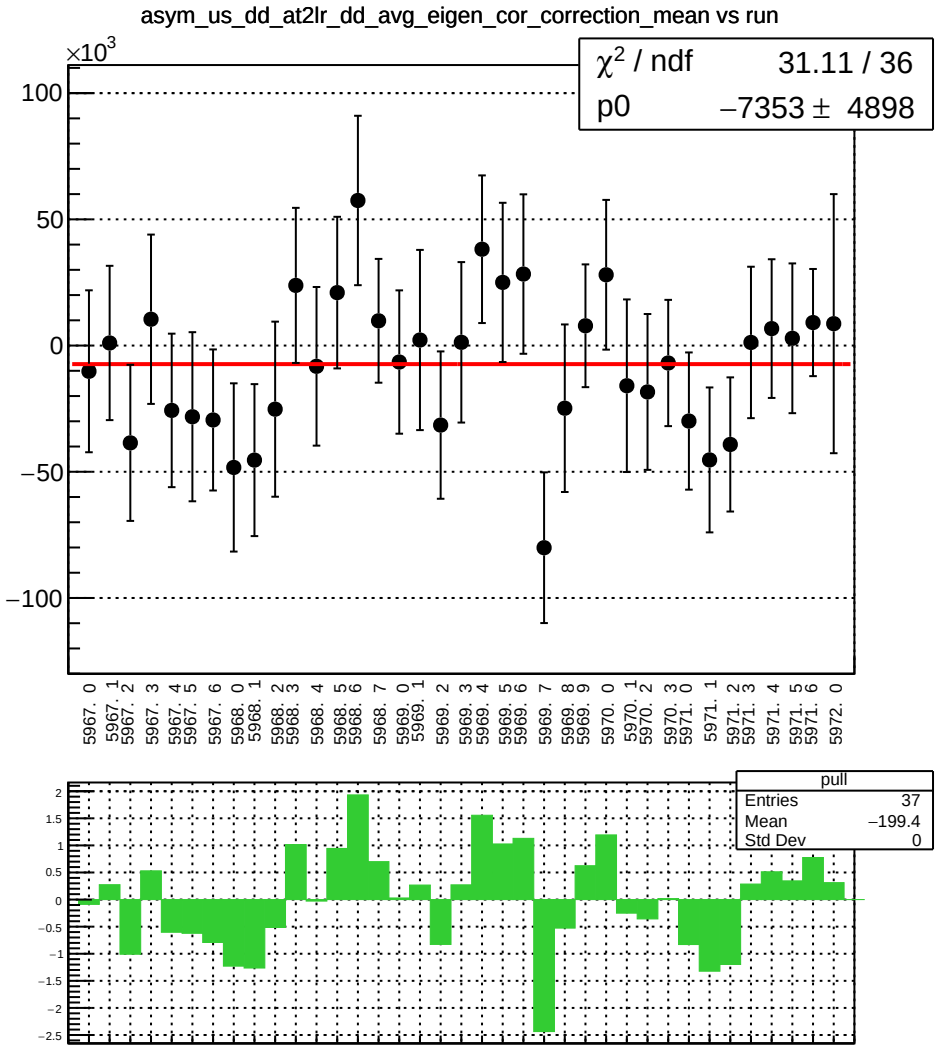
asym_us_dd_at2lr_dd_avg_eigen_cor_correction_mean vs run
×10^3
χ² / ndf 31.11 / 36
p0 −7353 ± 4898
100
50
0
−50
−100
5967. 0
5967. 1
5967. 2
5967. 3
5967. 4
5967. 5
5967. 6
5968. 0
5968. 1
5968. 2
5968. 3
5968. 4
5968. 5
5968. 6
5968. 7
5969. 0
5969. 1
5969. 2
5969. 3
5969. 4
5969. 5
5969. 6
5969. 7
5969. 8
5969. 9
5970. 0
5970. 1
5970. 2
5970. 3
5971. 0
5971. 1
5971. 2
5971. 3
5971. 4
5971. 5
5971. 6
5972. 0
pull
Entries 37
Mean −199.4
Std Dev 0
2
1.5
1
0.5
0
−0.5
−1
−1.5
−2
−2.5

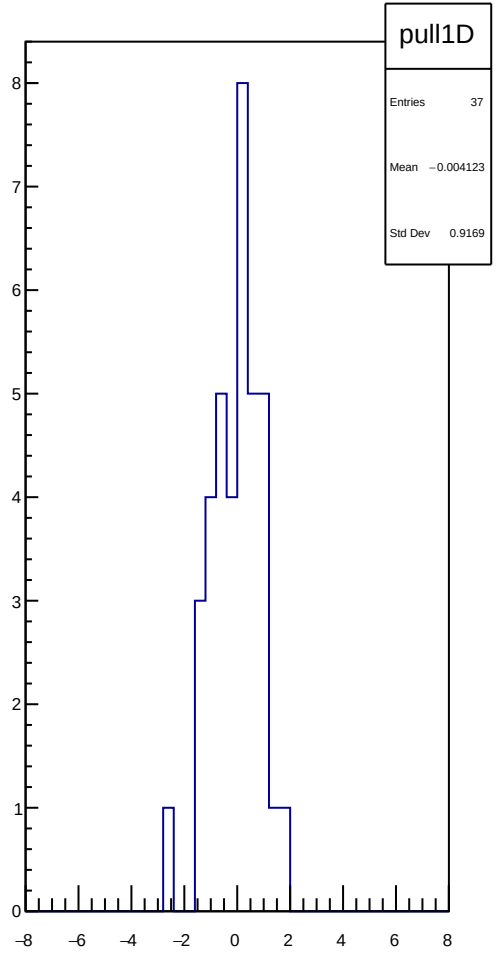
pull1D
Entries 37
Mean −0.004123
Std Dev 0.9169
8
7
6
5
4
3
2
1
0
−8
−6
−4
−2
0
2
4
6
8

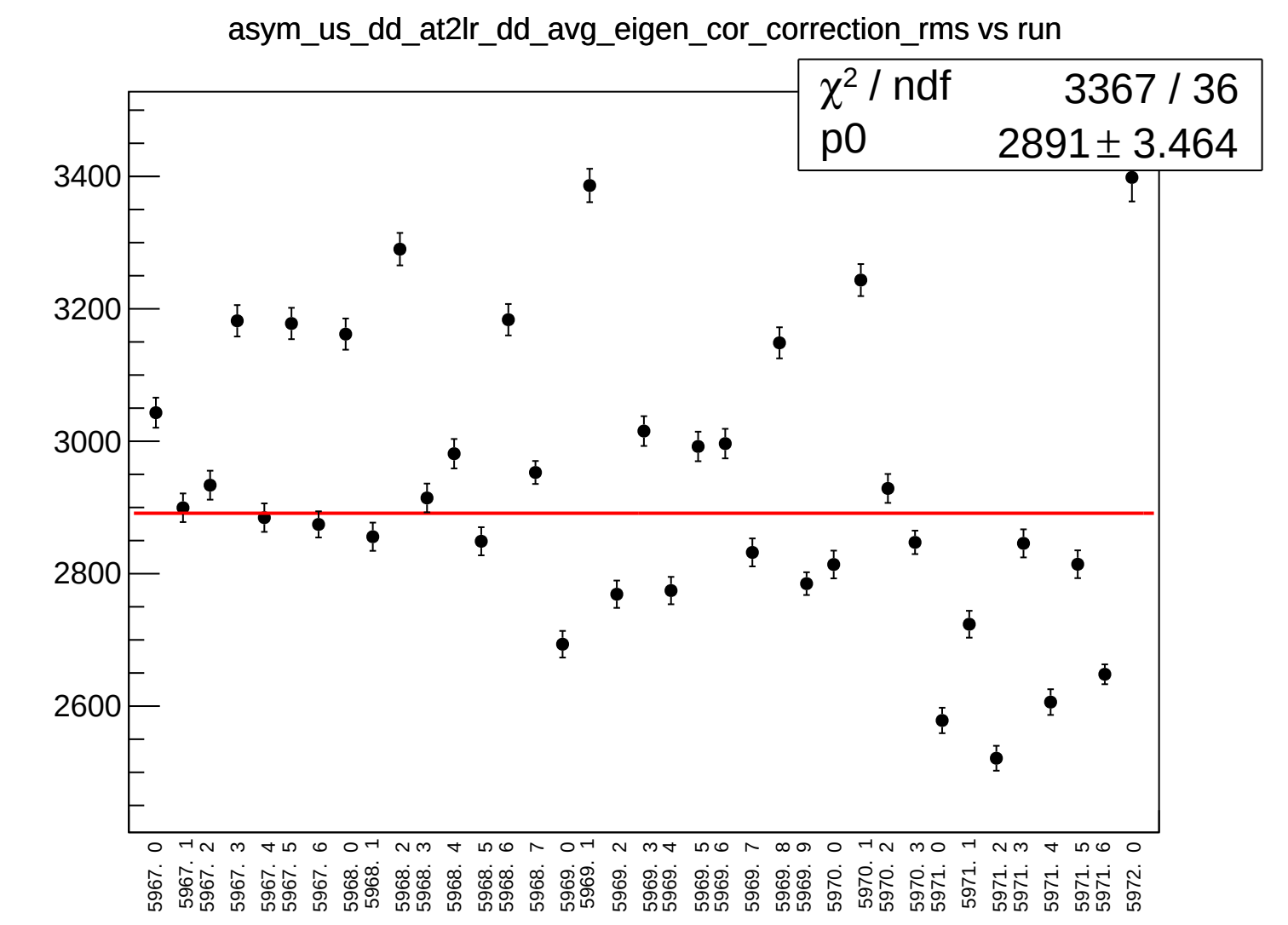
asym_us_dd_at2lr_dd_avg_eigen_cor_correction_rms vs run
χ² / ndf 3367 / 36
p0 2891 ± 3.464
3400
3200
3000
2800
2600
5967. 0
5967. 1
5967. 2
5967. 3
5967. 4
5967. 5
5967. 6
5968. 0
5968. 1
5968. 2
5968. 3
5968. 4
5968. 5
5968. 6
5968. 7
5969. 0
5969. 1
5969. 2
5969. 3
5969. 4
5969. 5
5969. 6
5969. 7
5969. 8
5969. 9
5970. 0
5970. 1
5970. 2
5970. 3
5971. 0
5971. 1
5971. 2
5971. 3
5971. 4
5971. 5
5971. 6
5972. 0

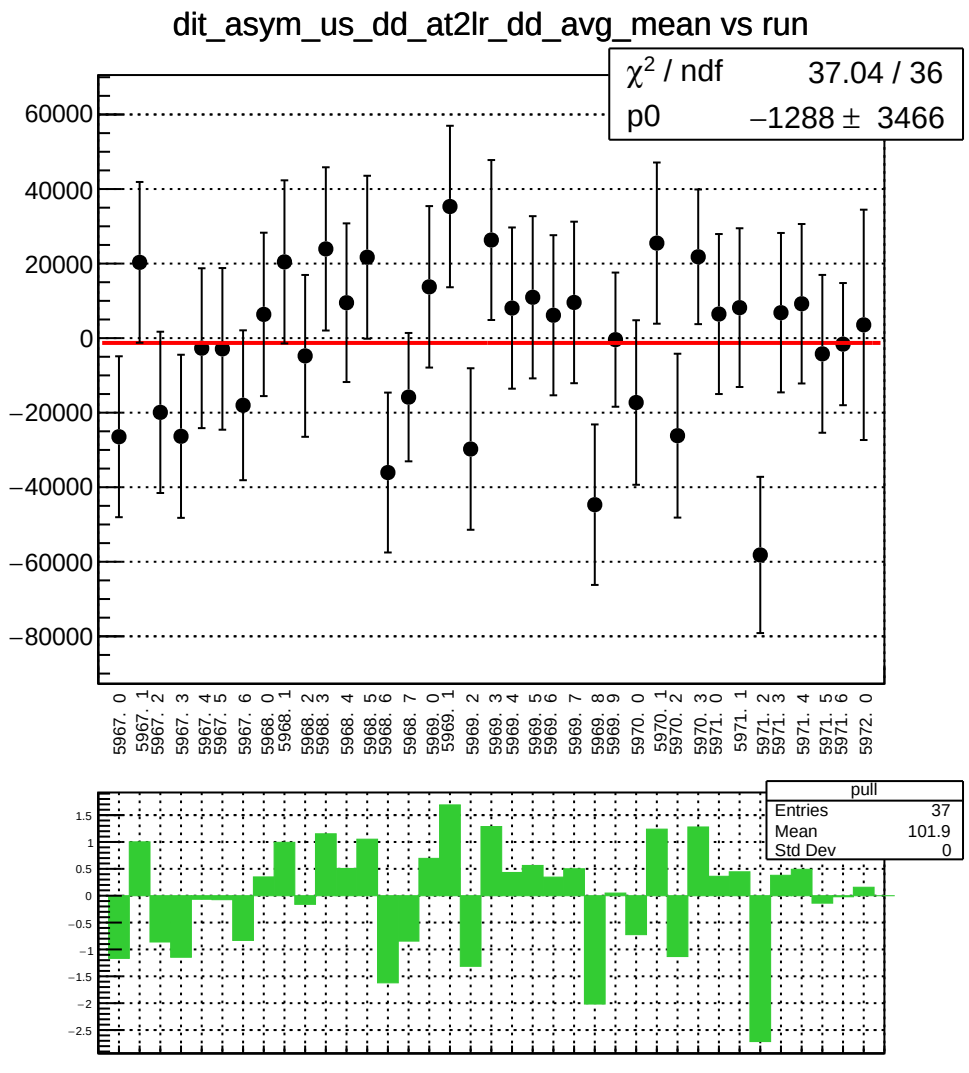
dit_asym_us_dd_at2lr_dd_avg_mean vs run
χ² / ndf 37.04 / 36
p0 −1288 ± 3466
60000
40000
20000
0
−20000
−40000
−60000
−80000
5967. 0
5967. 1
5967. 2
5967. 3
5967. 4
5967. 5
5967. 6
5968. 0
5968. 1
5968. 2
5968. 3
5968. 4
5968. 5
5968. 6
5968. 7
5969. 0
5969. 1
5969. 2
5969. 3
5969. 4
5969. 5
5969. 6
5969. 7
5969. 8
5969. 9
5970. 0
5970. 1
5970. 2
5970. 3
5971. 0
5971. 1
5971. 2
5971. 3
5971. 4
5971. 5
5971. 6
5972. 0
pull
Entries 37
Mean 101.9
Std Dev 0
1.5
1
0.5
0
−0.5
−1
−1.5
−2
−2.5

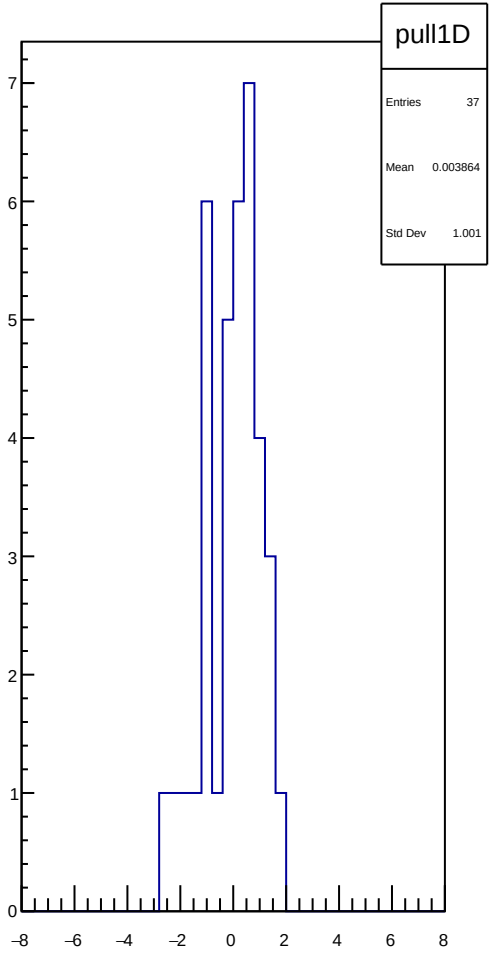
pull1D
Entries 37
Mean 0.003864
Std Dev 1.001
7
6
5
4
3
2
1
0
−8
−6
−4
−2
0
2
4
6
8

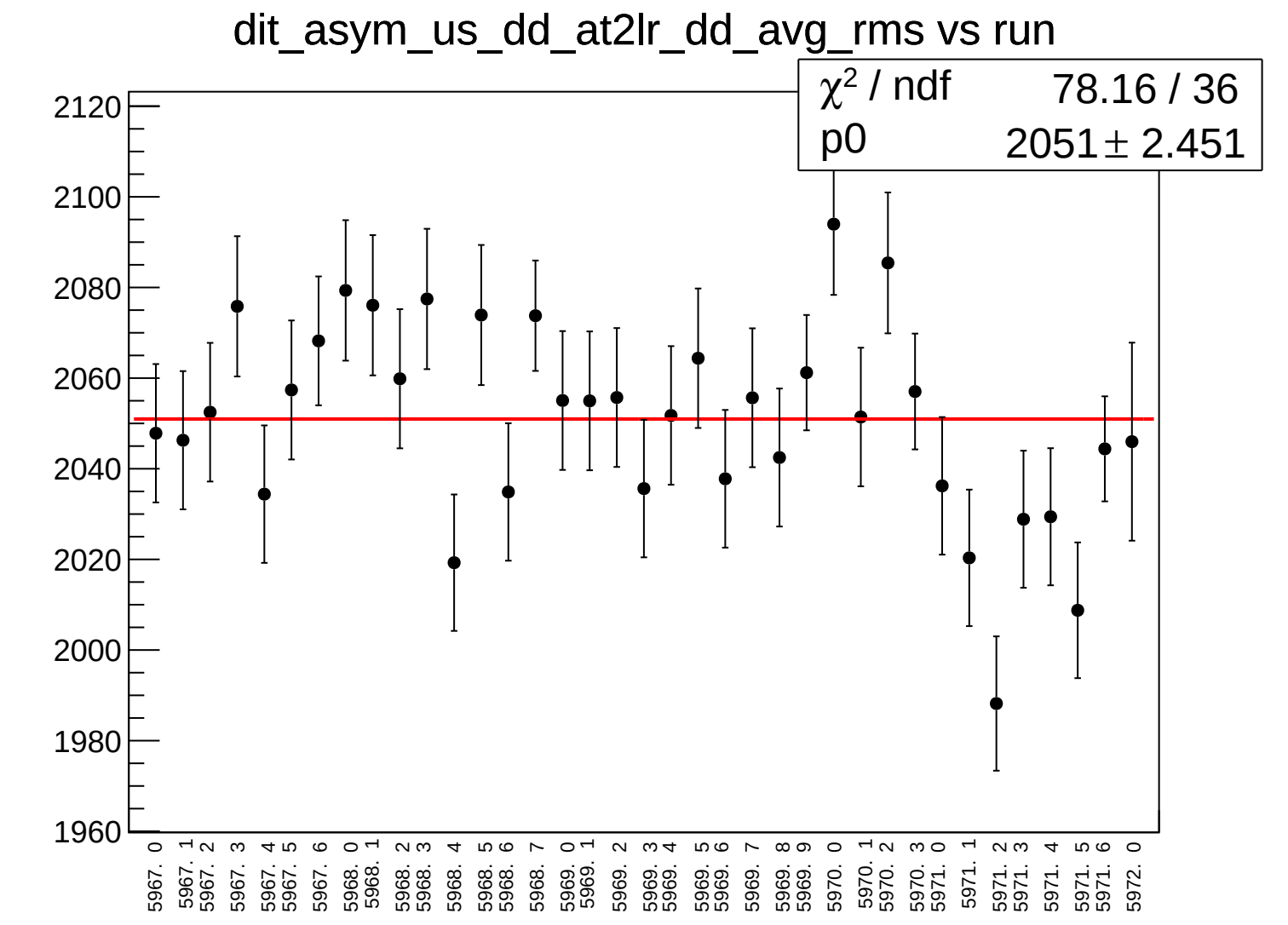
dit_asym_us_dd_at2lr_dd_avg_rms vs run
χ² / ndf 78.16 / 36
p0 2051 ± 2.451
2120
2100
2080
2060
2040
2020
2000
1980
1960
5967. 0
5967. 1
5967. 2
5967. 3
5967. 4
5967. 5
5967. 6
5968. 0
5968. 1
5968. 2
5968. 3
5968. 4
5968. 5
5968. 6
5968. 7
5969. 0
5969. 1
5969. 2
5969. 3
5969. 4
5969. 5
5969. 6
5969. 7
5969. 8
5969. 9
5970. 0
5970. 1
5970. 2
5970. 3
5971. 0
5971. 1
5971. 2
5971. 3
5971. 4
5971. 5
5971. 6
5972. 0

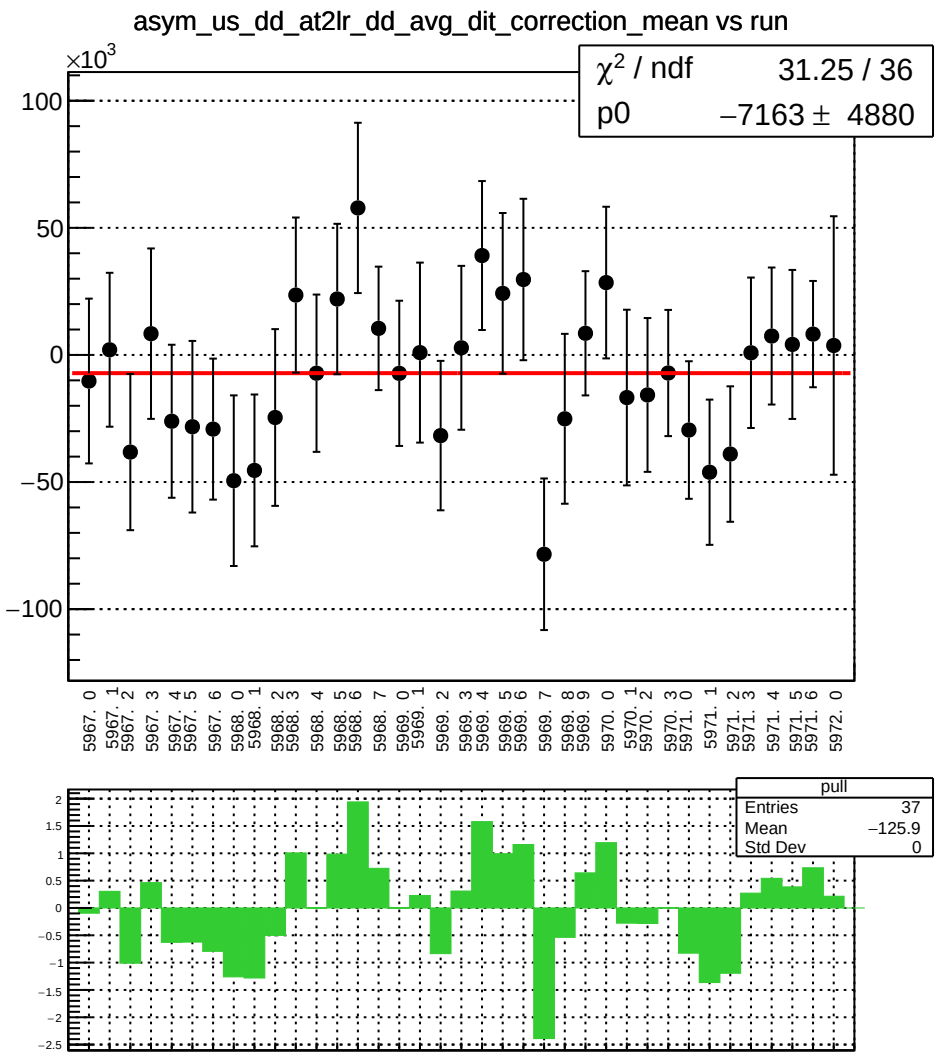
asym_us_dd_at2lr_dd_avg_dit_correction_mean vs run
×10^3
χ² / ndf 31.25 / 36
p0 −7163 ± 4880
100
50
0
−50
−100
5967. 0
5967. 1
5967. 2
5967. 3
5967. 4
5967. 5
5967. 6
5968. 0
5968. 1
5968. 2
5968. 3
5968. 4
5968. 5
5968. 6
5968. 7
5969. 0
5969. 1
5969. 2
5969. 3
5969. 4
5969. 5
5969. 6
5969. 7
5969. 8
5969. 9
5970. 0
5970. 1
5970. 2
5970. 3
5971. 0
5971. 1
5971. 2
5971. 3
5971. 4
5971. 5
5971. 6
5972. 0
pull
Entries 37
Mean −125.9
Std Dev 0
2
1.5
1
0.5
0
−0.5
−1
−1.5
−2
−2.5
pull1D
Entries 37
Mean −0.006161
Std Dev 0.919
7
6
5
4
3
2
1
0
−8
−6
−4
−2
0
2
4
6
8

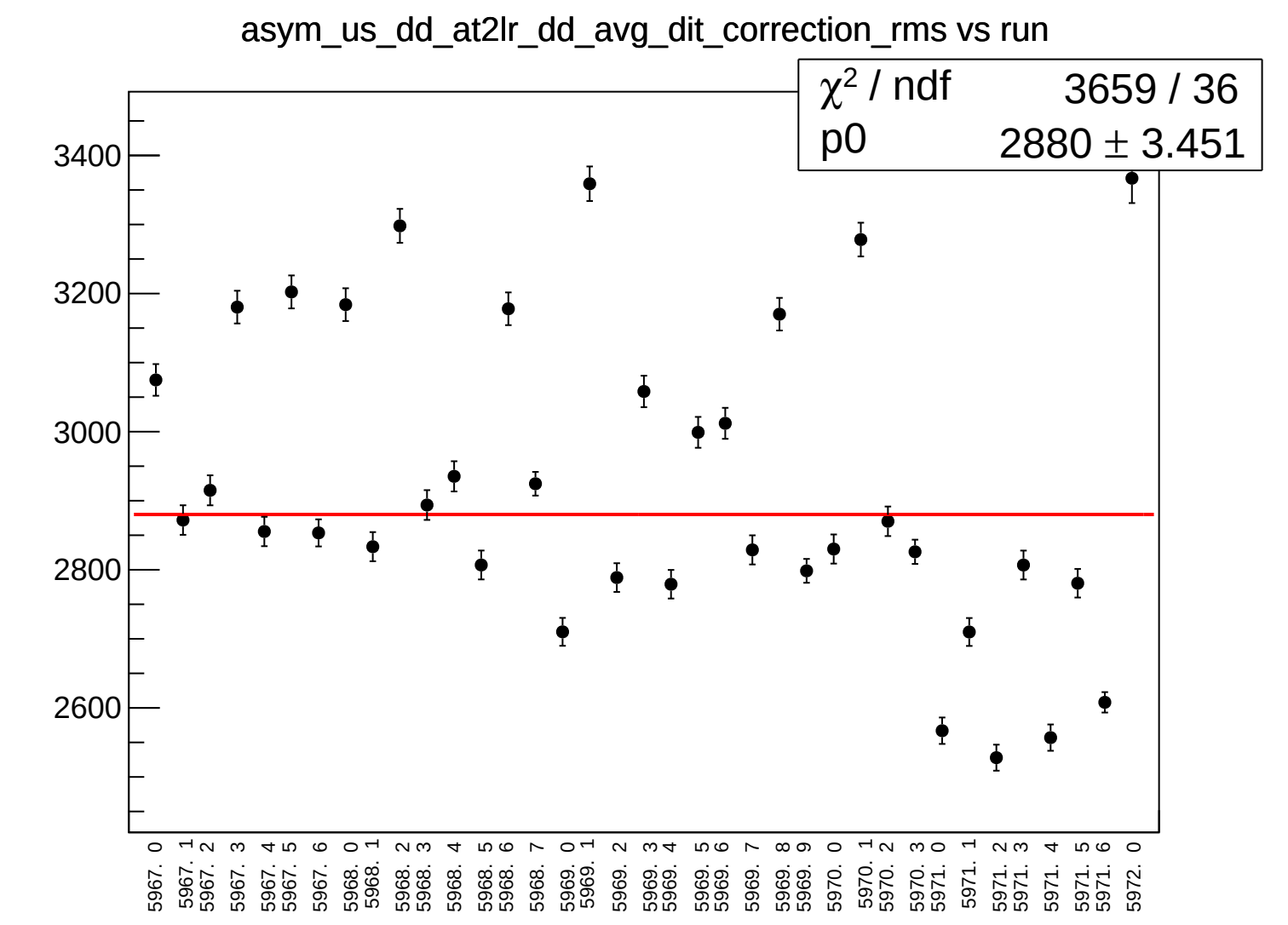
asym_us_dd_at2lr_dd_avg_dit_correction_rms vs run
χ² / ndf 3659 / 36
p0 2880 ± 3.451
3400
3200
3000
2800
2600
5967. 0
5967. 1
5967. 2
5967. 3
5967. 4
5967. 5
5967. 6
5968. 0
5968. 1
5968. 2
5968. 3
5968. 4
5968. 5
5968. 6
5968. 7
5969. 0
5969. 1
5969. 2
5969. 3
5969. 4
5969. 5
5969. 6
5969. 7
5969. 8
5969. 9
5970. 0
5970. 1
5970. 2
5970. 3
5971. 0
5971. 1
5971. 2
5971. 3
5971. 4
5971. 5
5971. 6
5972. 0

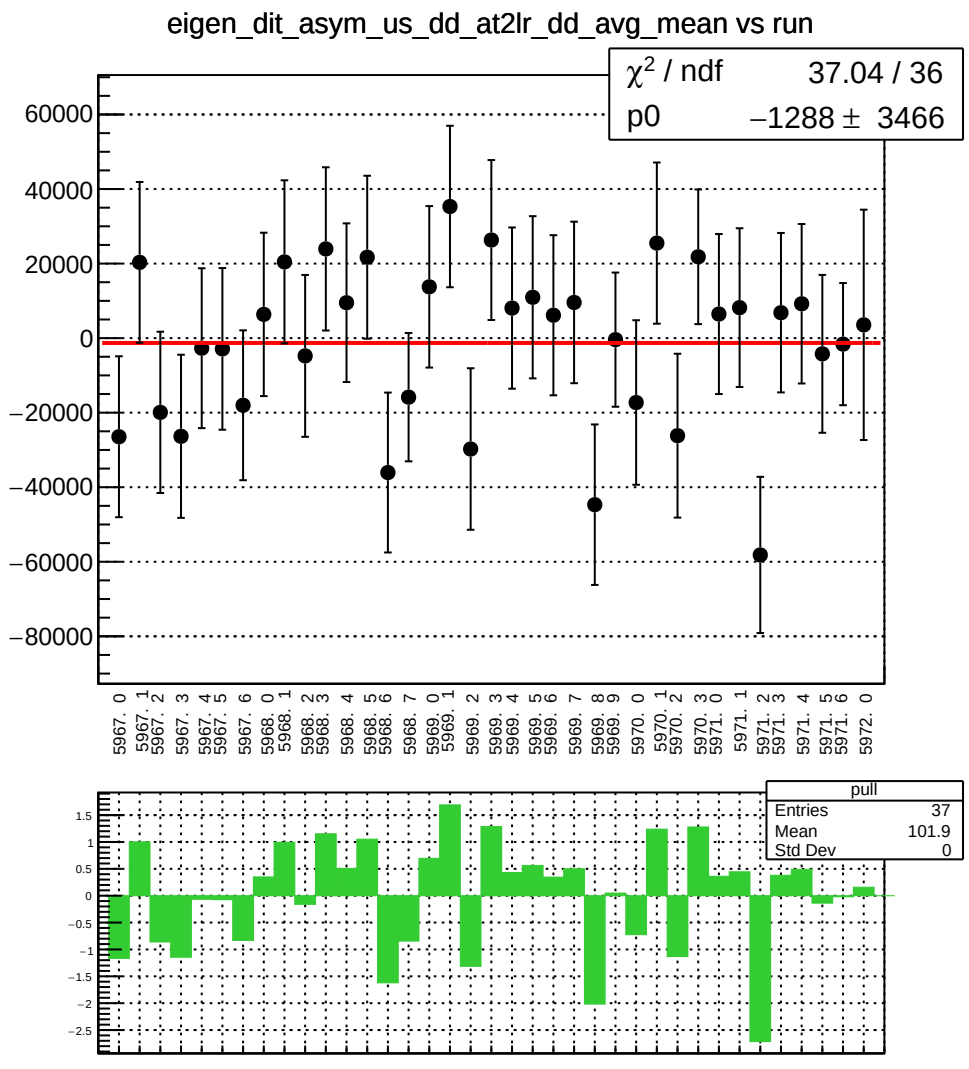
eigen_dit_asym_us_dd_at2lr_dd_avg_mean vs run
χ² / ndf 37.04 / 36
p0 −1288 ± 3466
60000
40000
20000
0
−20000
−40000
−60000
−80000
5967. 0
5967. 1
5967. 2
5967. 3
5967. 4
5967. 5
5967. 6
5968. 0
5968. 1
5968. 2
5968. 3
5968. 4
5968. 5
5968. 6
5968. 7
5969. 0
5969. 1
5969. 2
5969. 3
5969. 4
5969. 5
5969. 6
5969. 7
5969. 8
5969. 9
5970. 0
5970. 1
5970. 2
5970. 3
5971. 0
5971. 1
5971. 2
5971. 3
5971. 4
5971. 5
5971. 6
5972. 0
pull
Entries 37
Mean 101.9
Std Dev 0
1.5
1
0.5
0
−0.5
−1
−1.5
−2
−2.5
pull1D
Entries 37
Mean 0.003864
Std Dev 1.001
7
6
5
4
3
2
1
0
−8
−6
−4
−2
0
2
4
6
8

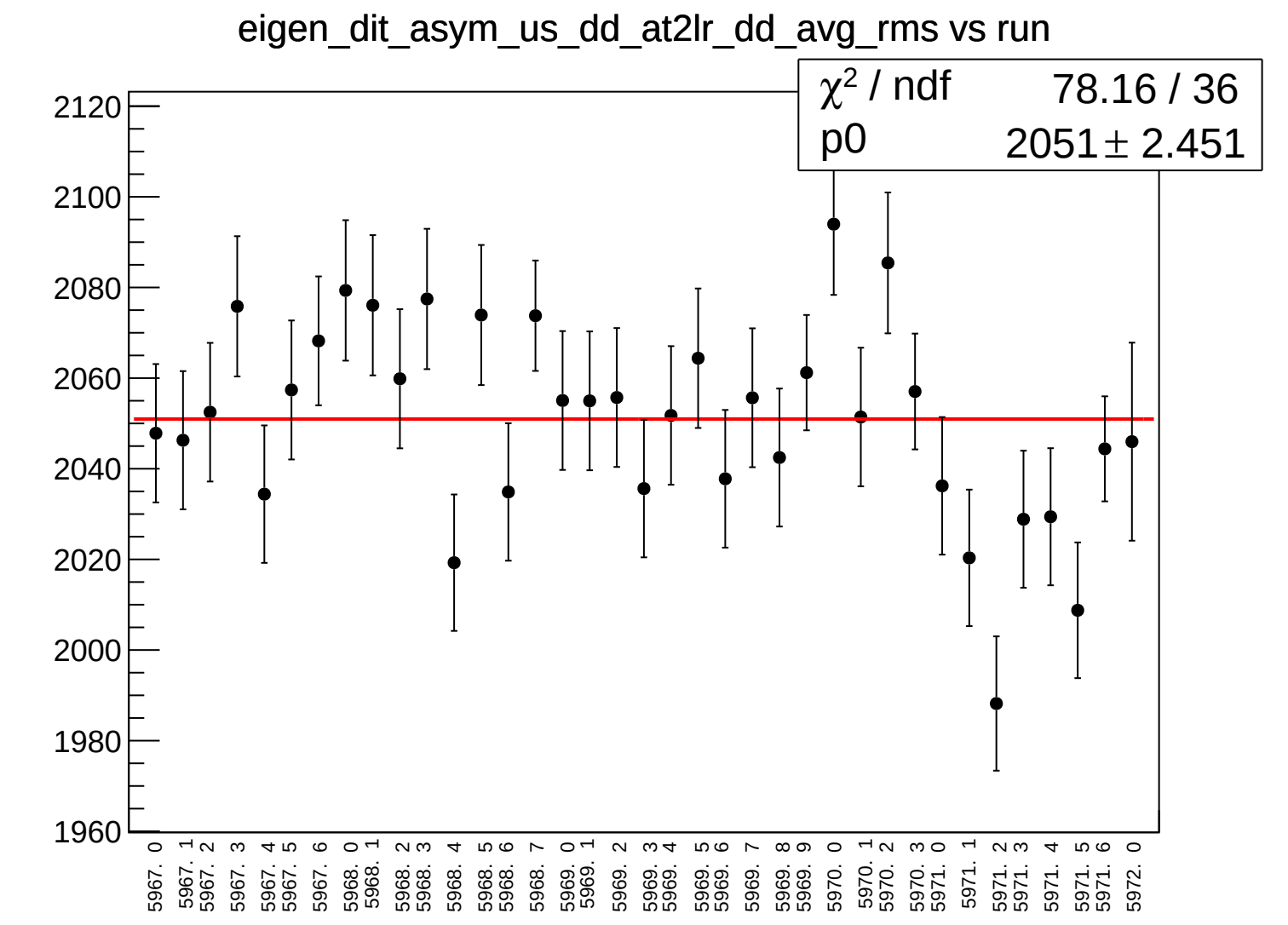
eigen_dit_asym_us_dd_at2lr_dd_avg_rms vs run
χ² / ndf 78.16 / 36
p0 2051 ± 2.451
2120
2100
2080
2060
2040
2020
2000
1980
1960
5967. 0
5967. 1
5967. 2
5967. 3
5967. 4
5967. 5
5967. 6
5968. 0
5968. 1
5968. 2
5968. 3
5968. 4
5968. 5
5968. 6
5968. 7
5969. 0
5969. 1
5969. 2
5969. 3
5969. 4
5969. 5
5969. 6
5969. 7
5969. 8
5969. 9
5970. 0
5970. 1
5970. 2
5970. 3
5971. 0
5971. 1
5971. 2
5971. 3
5971. 4
5971. 5
5971. 6
5972. 0

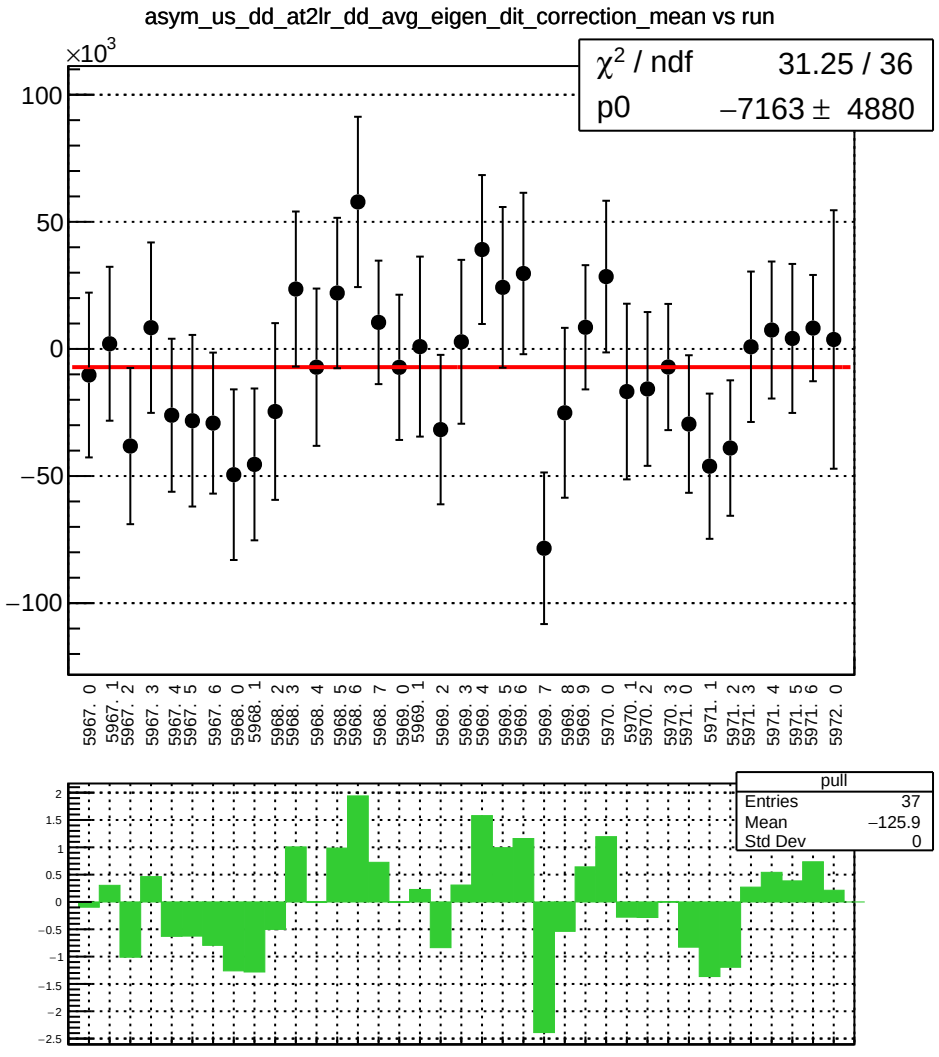
asym_us_dd_at2lr_dd_avg_eigen_dit_correction_mean vs run
×10^3
χ² / ndf 31.25 / 36
p0 −7163 ± 4880
100
50
0
−50
−100
5967. 0
5967. 1
5967. 2
5967. 3
5967. 4
5967. 5
5967. 6
5968. 0
5968. 1
5968. 2
5968. 3
5968. 4
5968. 5
5968. 6
5968. 7
5969. 0
5969. 1
5969. 2
5969. 3
5969. 4
5969. 5
5969. 6
5969. 7
5969. 8
5969. 9
5970. 0
5970. 1
5970. 2
5970. 3
5971. 0
5971. 1
5971. 2
5971. 3
5971. 4
5971. 5
5971. 6
5972. 0
pull
Entries 37
Mean −125.9
Std Dev 0
2
1.5
1
0.5
0
−0.5
−1
−1.5
−2
−2.5
pull1D
Entries 37
Mean −0.006161
Std Dev 0.919
7
6
5
4
3
2
1
0
−8
−6
−4
−2
0
2
4
6
8

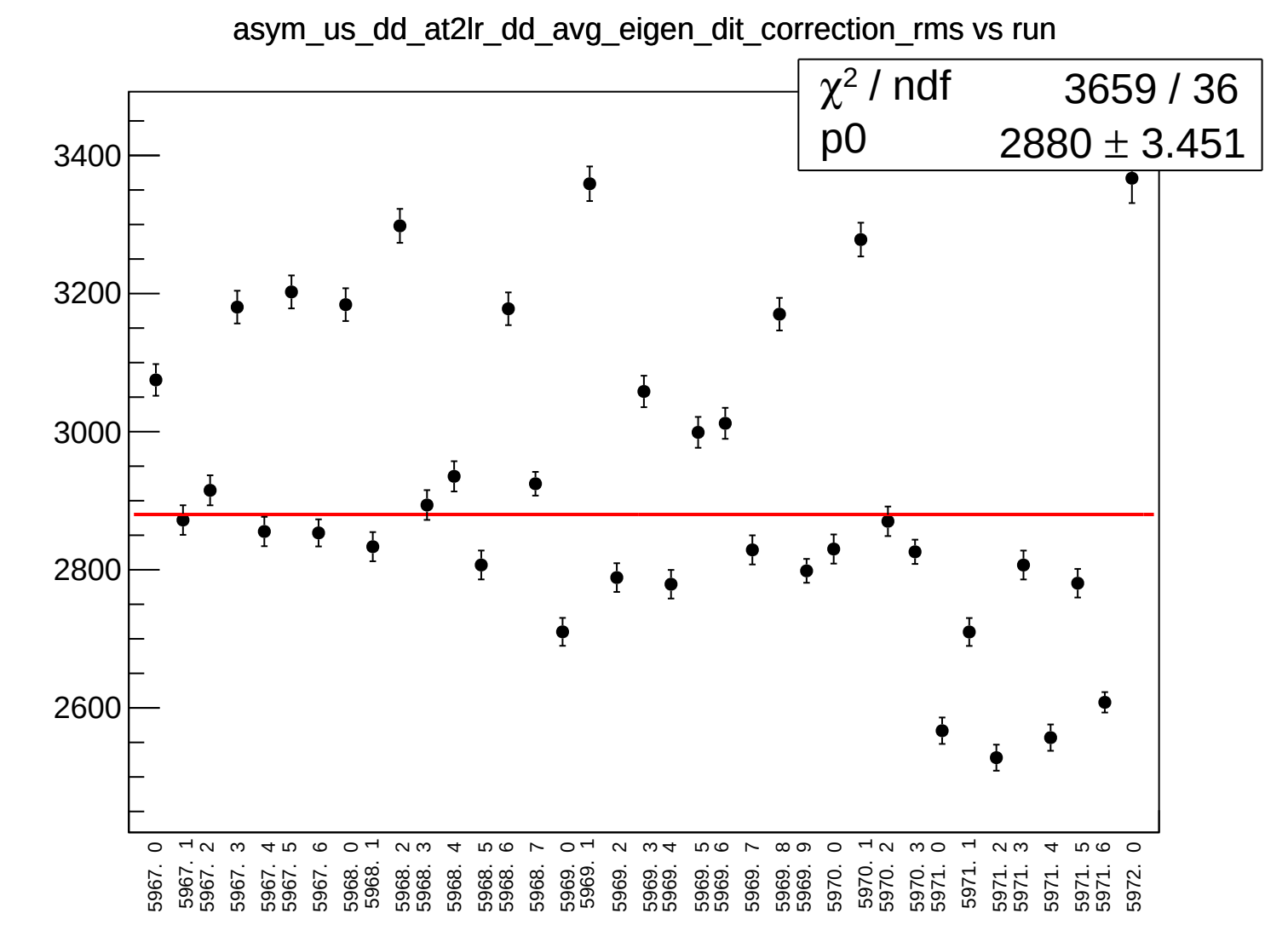
asym_us_dd_at2lr_dd_avg_eigen_dit_correction_rms vs run
χ² / ndf 3659 / 36
p0 2880 ± 3.451
3400
3200
3000
2800
2600
5967. 0
5967. 1
5967. 2
5967. 3
5967. 4
5967. 5
5967. 6
5968. 0
5968. 1
5968. 2
5968. 3
5968. 4
5968. 5
5968. 6
5968. 7
5969. 0
5969. 1
5969. 2
5969. 3
5969. 4
5969. 5
5969. 6
5969. 7
5969. 8
5969. 9
5970. 0
5970. 1
5970. 2
5970. 3
5971. 0
5971. 1
5971. 2
5971. 3
5971. 4
5971. 5
5971. 6
5972. 0

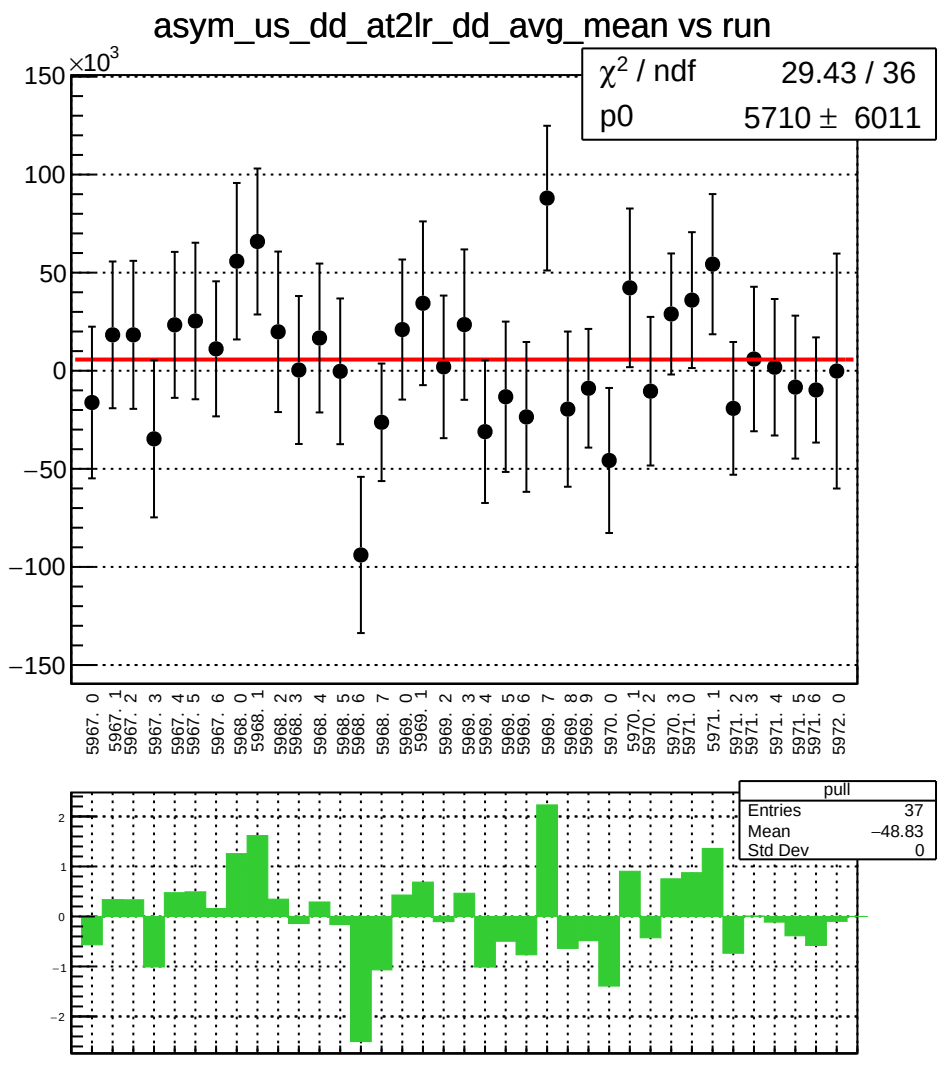
asym_us_dd_at2lr_dd_avg_mean vs run
χ² / ndf 29.43 / 36
p0 5710 ± 6011
×10³
150
100
50
0
−50
−100
−150
5967. 0
5967. 1
5967. 2
5967. 3
5967. 4
5967. 5
5967. 6
5968. 0
5968. 1
5968. 2
5968. 3
5968. 4
5968. 5
5968. 6
5968. 7
5969. 0
5969. 1
5969. 2
5969. 3
5969. 4
5969. 5
5969. 6
5969. 7
5969. 8
5969. 9
5970. 0
5970. 1
5970. 2
5970. 3
5971. 0
5971. 1
5971. 2
5971. 3
5971. 4
5971. 5
5971. 6
5972. 0
pull
Entries 37
Mean −48.83
Std Dev 0
2
1
0
−1
−2

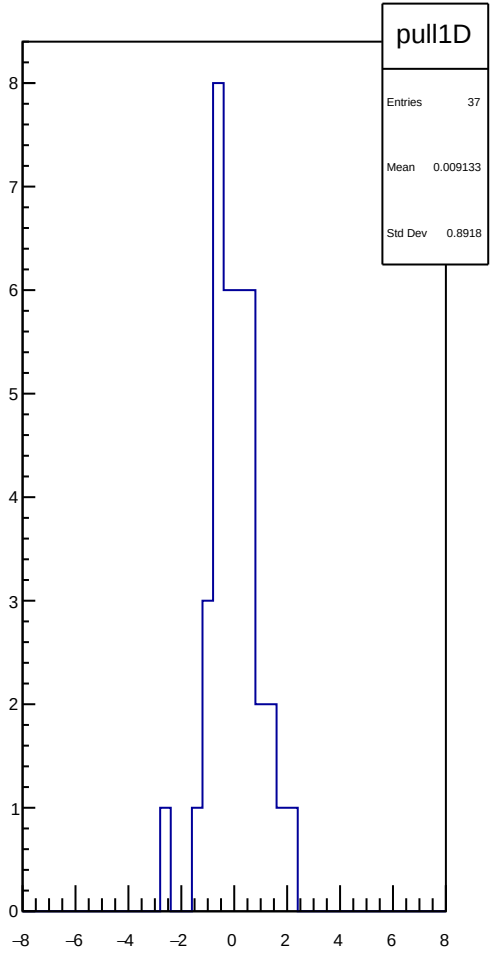
pull1D
Entries 37
Mean 0.009133
Std Dev 0.8918
8
7
6
5
4
3
2
1
0
−8
−6
−4
−2
0
2
4
6
8

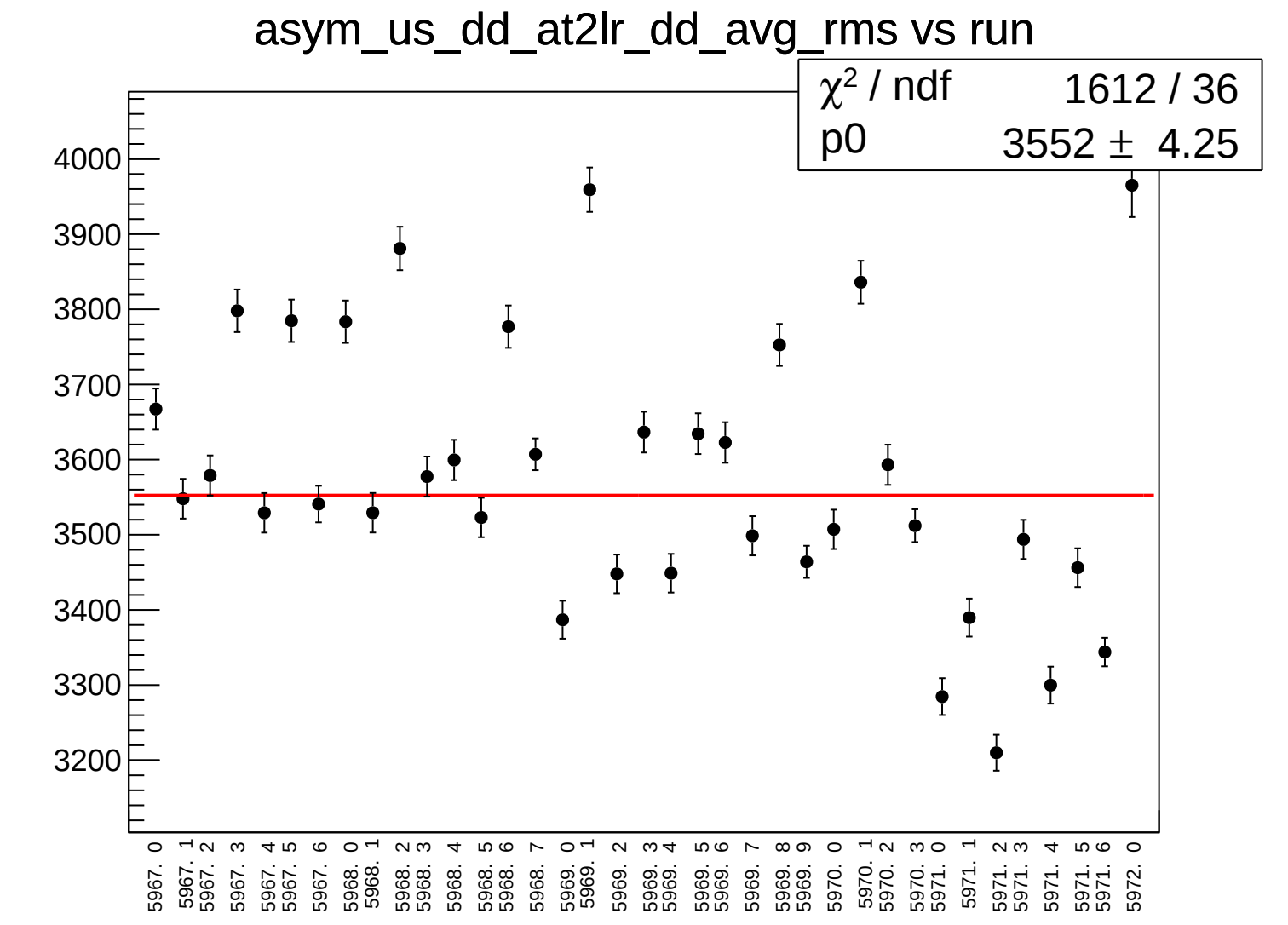
asym_us_dd_at2lr_dd_avg_rms vs run
χ² / ndf 1612 / 36
p0 3552 ± 4.25
4000
3900
3800
3700
3600
3500
3400
3300
3200
5967. 0
5967. 1
5967. 2
5967. 3
5967. 4
5967. 5
5967. 6
5968. 0
5968. 1
5968. 2
5968. 3
5968. 4
5968. 5
5968. 6
5968. 7
5969. 0
5969. 1
5969. 2
5969. 3
5969. 4
5969. 5
5969. 6
5969. 7
5969. 8
5969. 9
5970. 0
5970. 1
5970. 2
5970. 3
5971. 0
5971. 1
5971. 2
5971. 3
5971. 4
5971. 5
5971. 6
5972. 0

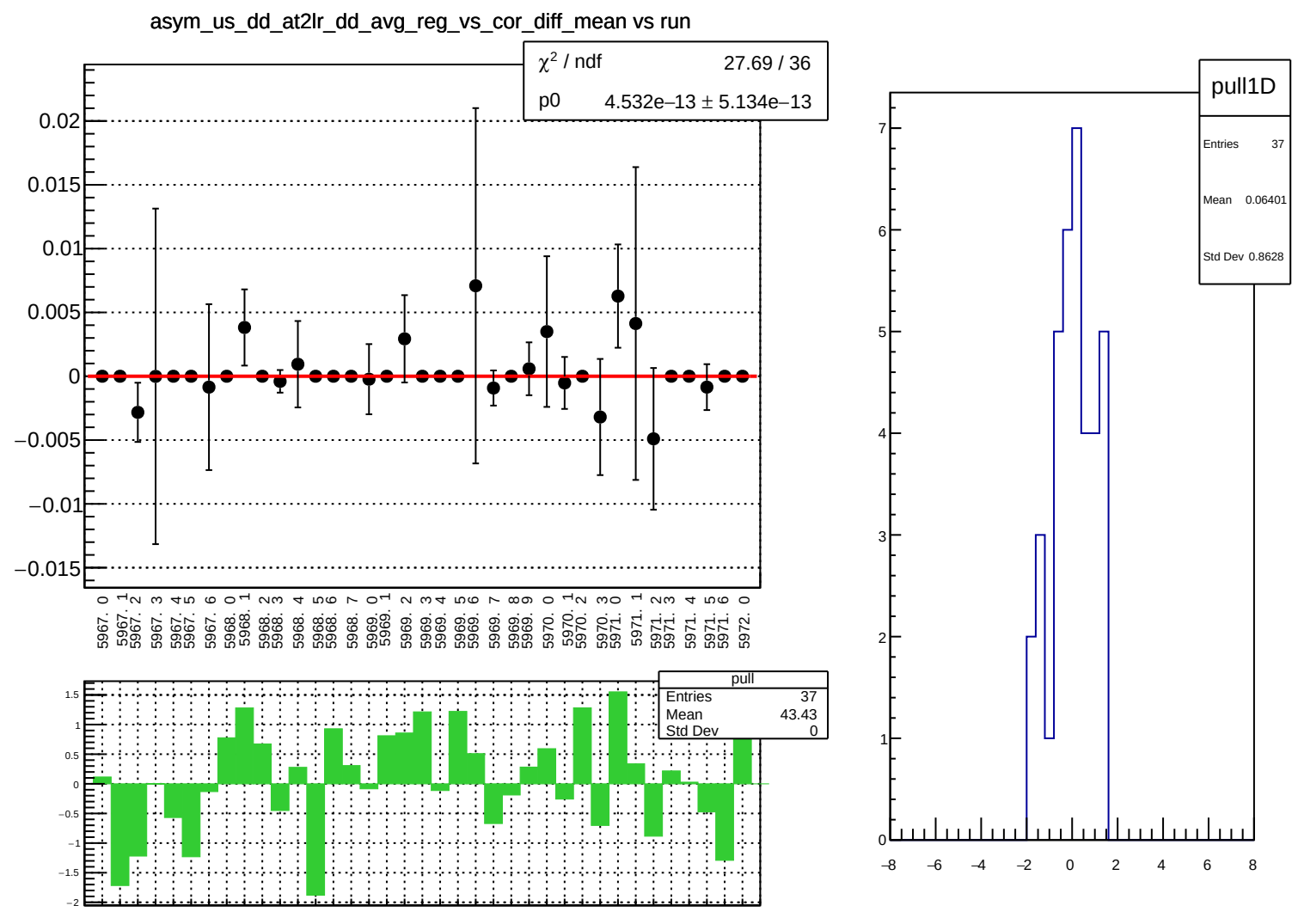
asym_us_dd_at2lr_dd_avg_reg_vs_cor_diff_mean vs run
χ² / ndf 27.69 / 36
p0 4.532e−13 ± 5.134e−13
0.02
0.015
0.01
0.005
0
−0.005
−0.01
−0.015
5967. 0
5967. 1
5967. 2
5967. 3
5967. 4
5967. 5
5967. 6
5968. 0
5968. 1
5968. 2
5968. 3
5968. 4
5968. 5
5968. 6
5968. 7
5969. 0
5969. 1
5969. 2
5969. 3
5969. 4
5969. 5
5969. 6
5969. 7
5969. 8
5969. 9
5970. 0
5970. 1
5970. 2
5970. 3
5971. 0
5971. 1
5971. 2
5971. 3
5971. 4
5971. 5
5971. 6
5972. 0
pull
Entries 37
Mean 43.43
Std Dev 0
1.5
1
0.5
0
−0.5
−1
−1.5
−2
pull1D
Entries 37
Mean 0.06401
Std Dev 0.8628
7
6
5
4
3
2
1
0
−8
−6
−4
−2
0
2
4
6
8

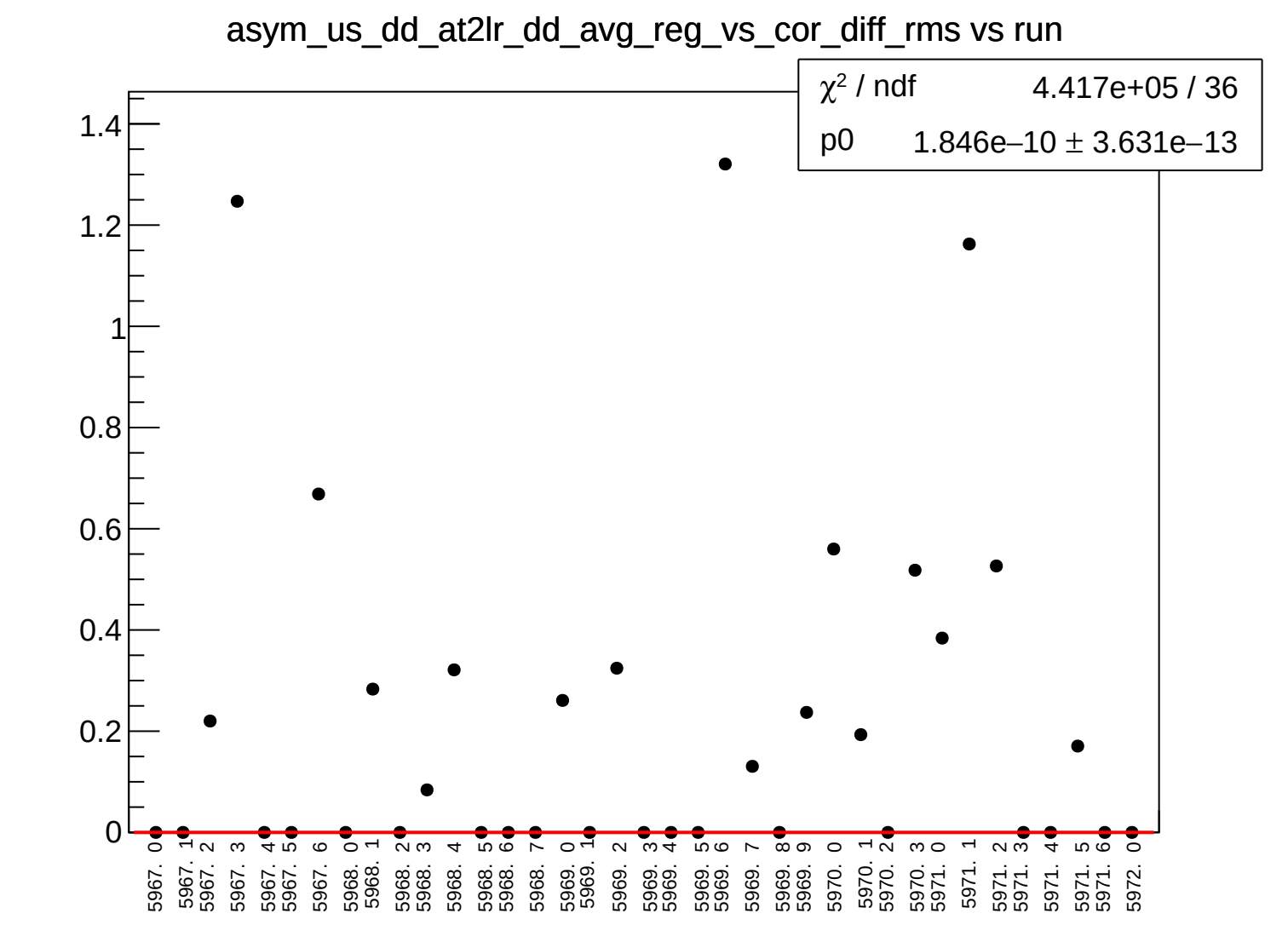
asym_us_dd_at2lr_dd_avg_reg_vs_cor_diff_rms vs run
χ² / ndf 4.417e+05 / 36
p0 1.846e−10 ± 3.631e−13
1.4
1.2
1
0.8
0.6
0.4
0.2
0
5967. 0
5967. 1
5967. 2
5967. 3
5967. 4
5967. 5
5967. 6
5968. 0
5968. 1
5968. 2
5968. 3
5968. 4
5968. 5
5968. 6
5968. 7
5969. 0
5969. 1
5969. 2
5969. 3
5969. 4
5969. 5
5969. 6
5969. 7
5969. 8
5969. 9
5970. 0
5970. 1
5970. 2
5970. 3
5971. 0
5971. 1
5971. 2
5971. 3
5971. 4
5971. 5
5971. 6
5972. 0

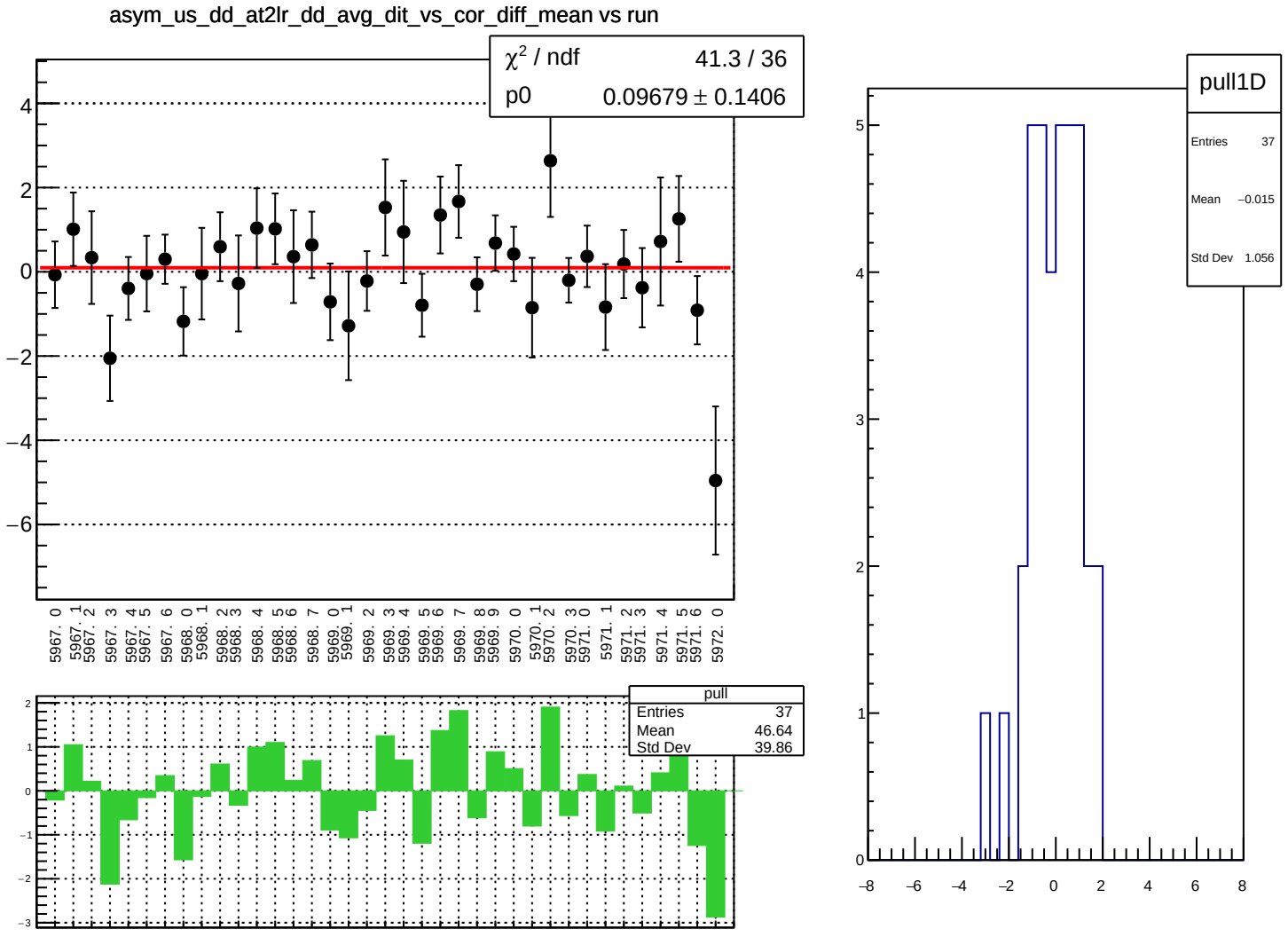
asym_us_dd_at2lr_dd_avg_dit_vs_cor_diff_mean vs run
χ² / ndf 41.3 / 36
p0 0.09679 ± 0.1406
pull
Entries 37
Mean 46.64
Std Dev 39.86
pull1D
Entries 37
Mean −0.015
Std Dev 1.056

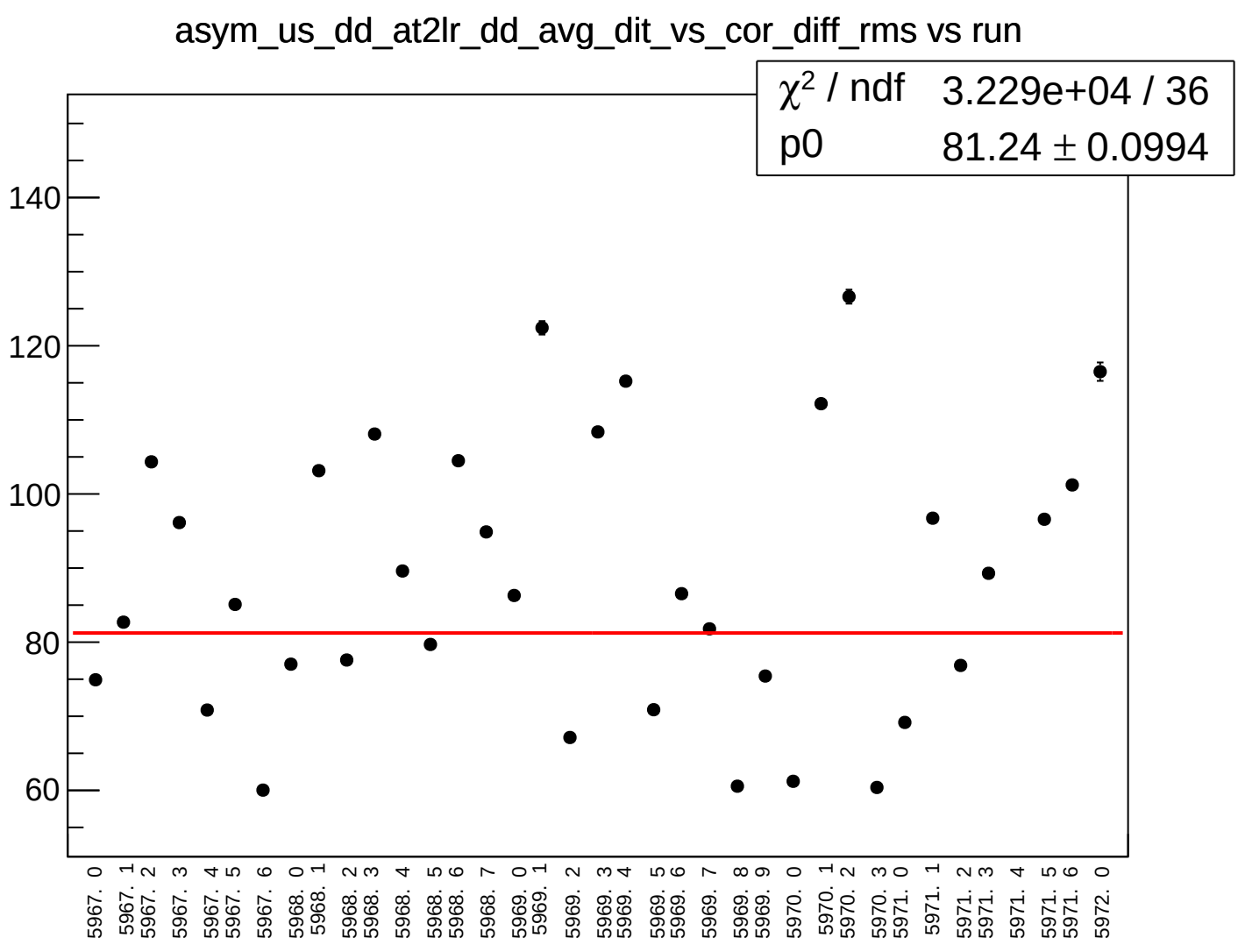
asym_us_dd_at2lr_dd_avg_dit_vs_cor_diff_rms vs run
χ² / ndf 3.229e+04 / 36
p0 81.24 ± 0.0994
140
120
100
80
60
5967. 0
5967. 1
5967. 2
5967. 3
5967. 4
5967. 5
5967. 6
5968. 0
5968. 1
5968. 2
5968. 3
5968. 4
5968. 5
5968. 6
5968. 7
5969. 0
5969. 1
5969. 2
5969. 3
5969. 4
5969. 5
5969. 6
5969. 7
5969. 8
5969. 9
5970. 0
5970. 1
5970. 2
5970. 3
5971. 0
5971. 1
5971. 2
5971. 3
5971. 4
5971. 5
5971. 6
5972. 0

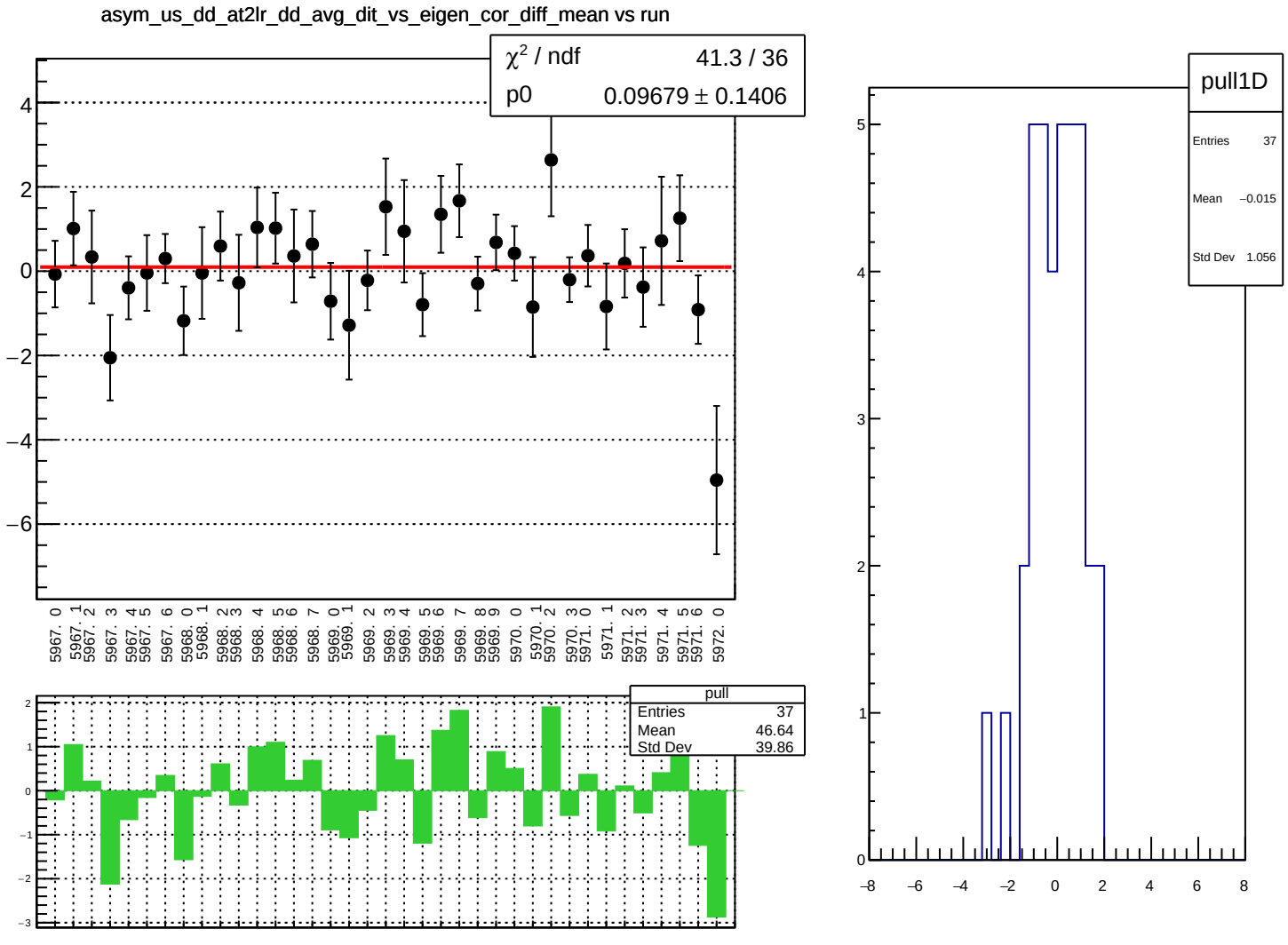
asym_us_dd_at2lr_dd_avg_dit_vs_eigen_cor_diff_mean vs run
χ² / ndf 41.3 / 36
p0 0.09679 ± 0.1406
pull
Entries 37
Mean 46.64
Std Dev 39.86
pull1D
Entries 37
Mean −0.015
Std Dev 1.056

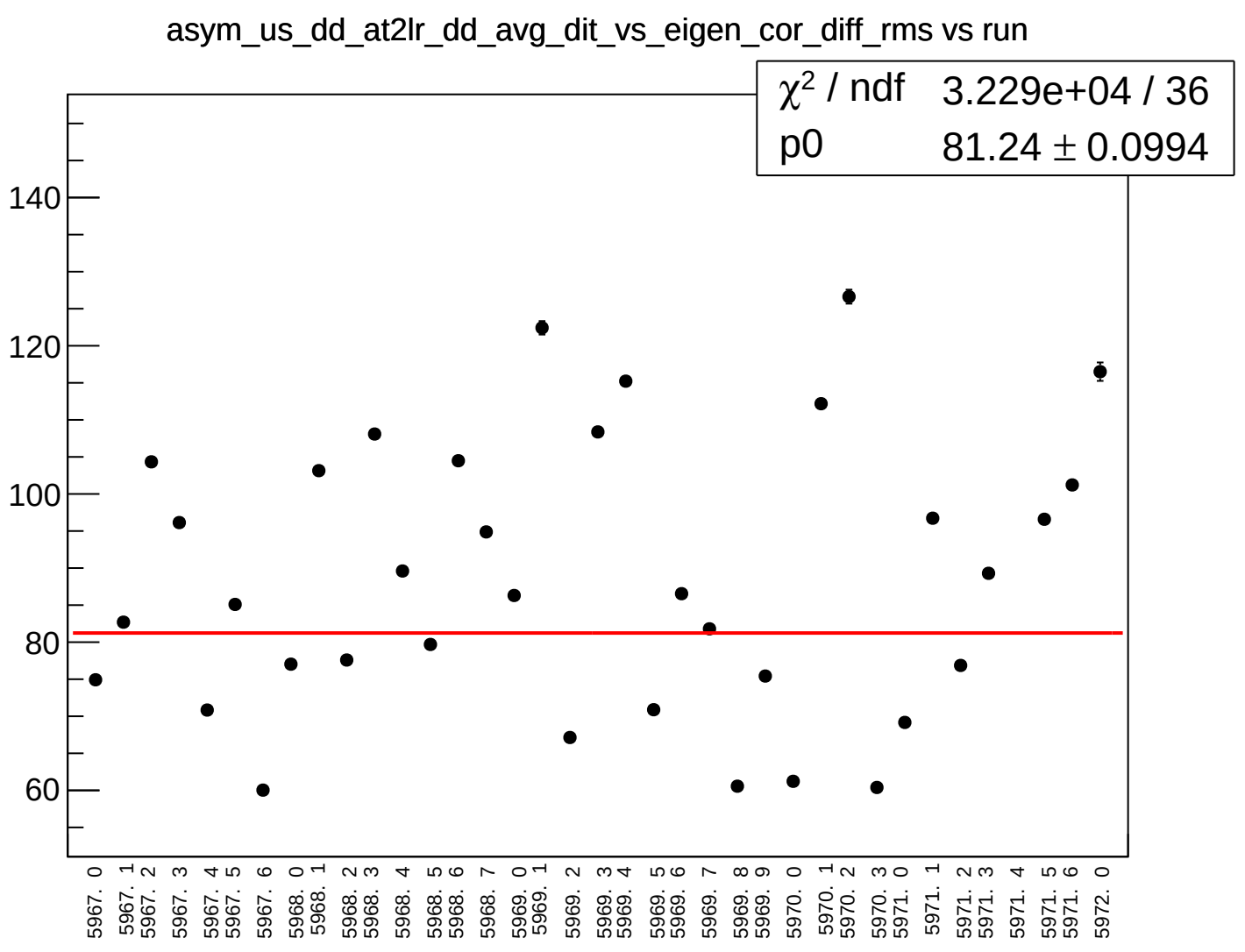
asym_us_dd_at2lr_dd_avg_dit_vs_eigen_cor_diff_rms vs run
χ² / ndf 3.229e+04 / 36
p0 81.24 ± 0.0994
140
120
100
80
60
5967. 0
5967. 1
5967. 2
5967. 3
5967. 4
5967. 5
5967. 6
5968. 0
5968. 1
5968. 2
5968. 3
5968. 4
5968. 5
5968. 6
5968. 7
5969. 0
5969. 1
5969. 2
5969. 3
5969. 4
5969. 5
5969. 6
5969. 7
5969. 8
5969. 9
5970. 0
5970. 1
5970. 2
5970. 3
5971. 0
5971. 1
5971. 2
5971. 3
5971. 4
5971. 5
5971. 6
5972. 0

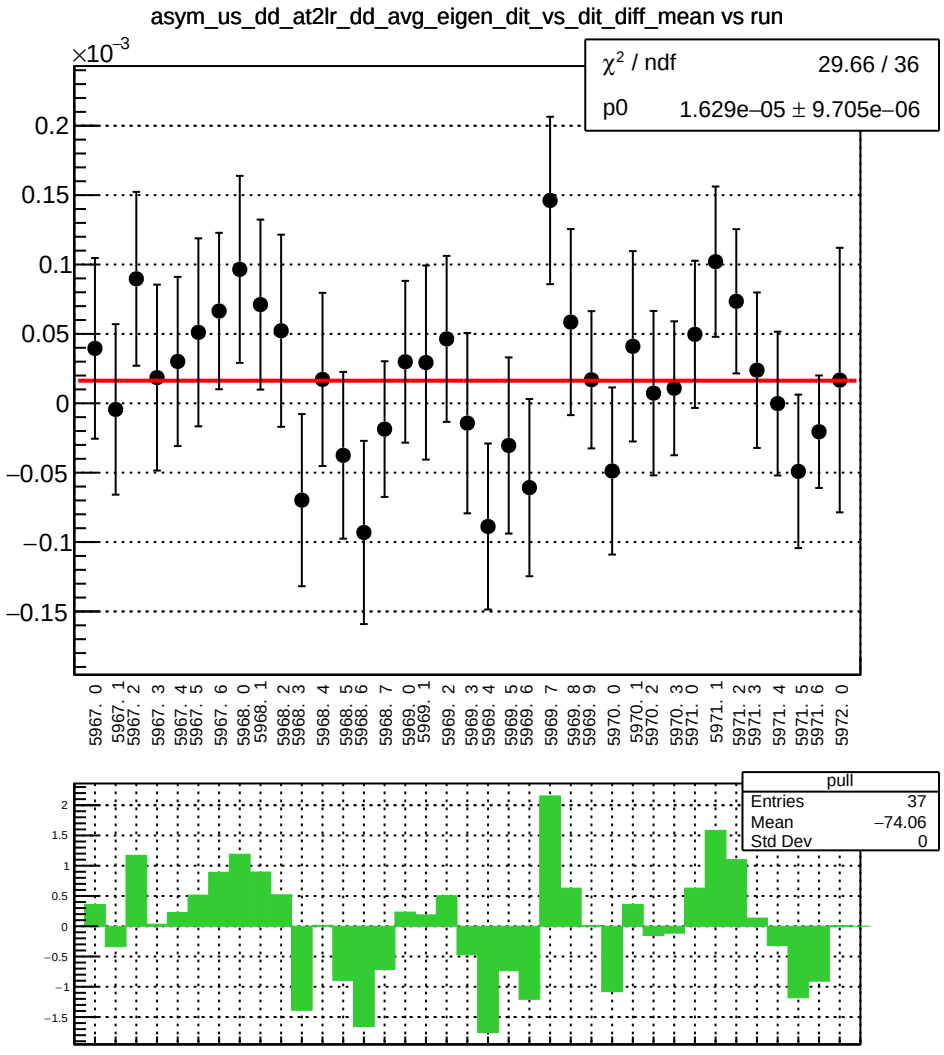
asym_us_dd_at2lr_dd_avg_eigen_dit_vs_dit_diff_mean vs run
×10⁻³
χ² / ndf 29.66 / 36
p0 1.629e−05 ± 9.705e−06
0.2
0.15
0.1
0.05
0
−0.05
−0.1
−0.15
5967. 0
5967. 1
5967. 2
5967. 3
5967. 4
5967. 5
5967. 6
5968. 0
5968. 1
5968. 2
5968. 3
5968. 4
5968. 5
5968. 6
5968. 7
5969. 0
5969. 1
5969. 2
5969. 3
5969. 4
5969. 5
5969. 6
5969. 7
5969. 8
5969. 9
5970. 0
5970. 1
5970. 2
5970. 3
5971. 0
5971. 1
5971. 2
5971. 3
5971. 4
5971. 5
5971. 6
5972. 0
pull
Entries 37
Mean −74.06
Std Dev 0
2
1.5
1
0.5
0
−0.5
−1
−1.5

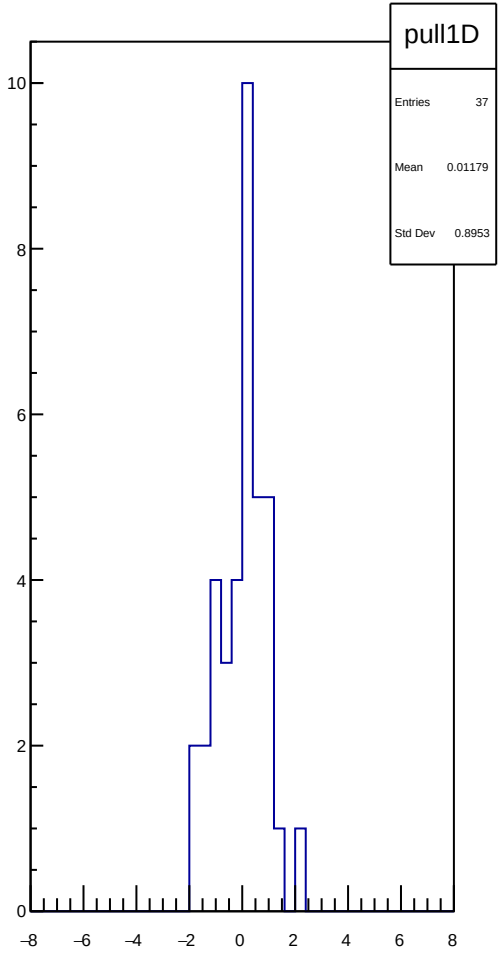
pull1D
Entries 37
Mean 0.01179
Std Dev 0.8953
10
8
6
4
2
0
−8
−6
−4
−2
0
2
4
6
8

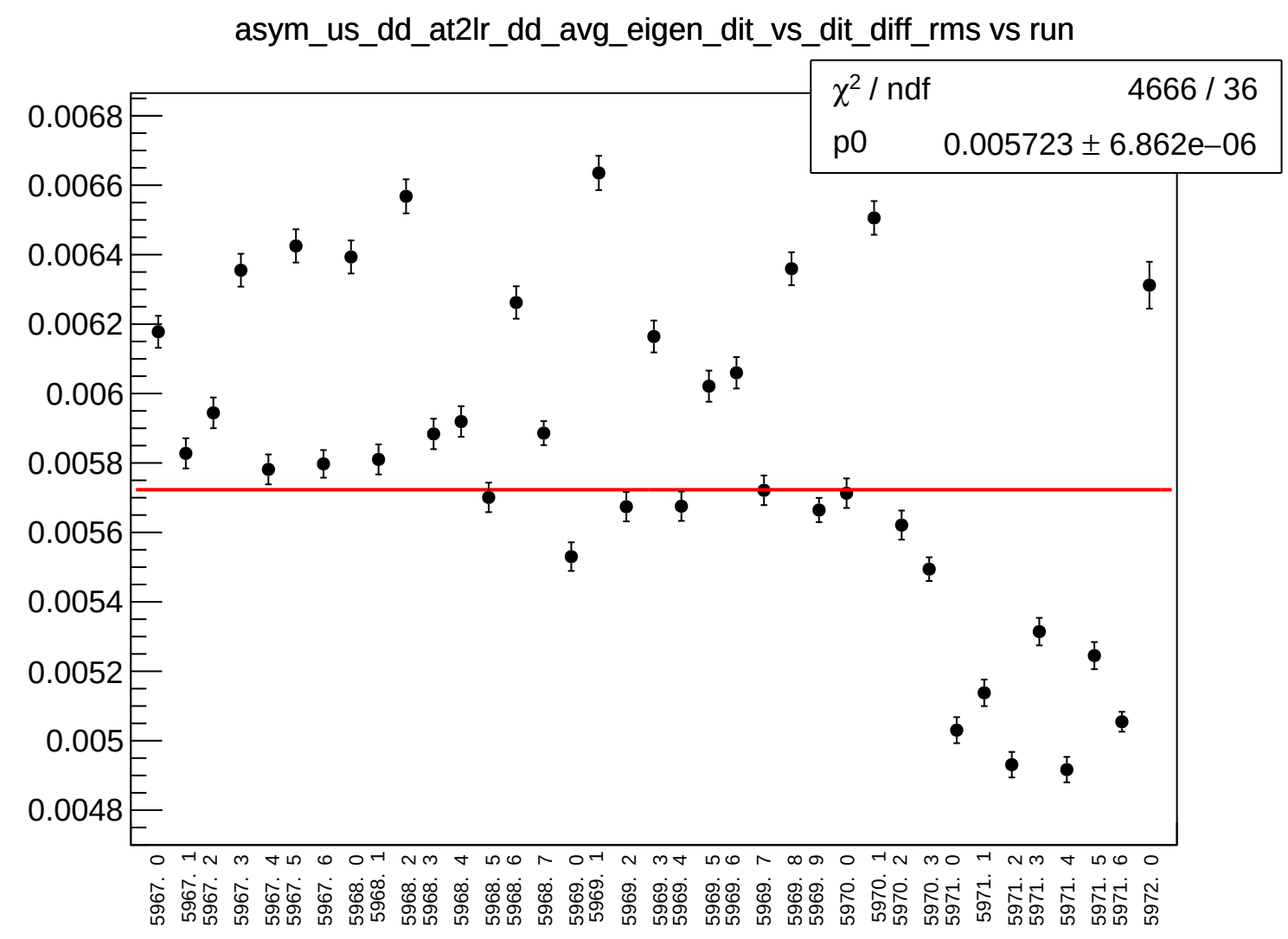
asym_us_dd_at2lr_dd_avg_eigen_dit_vs_dit_diff_rms vs run
χ² / ndf 4666 / 36
p0 0.005723 ± 6.862e−06
0.0068
0.0066
0.0064
0.0062
0.006
0.0058
0.0056
0.0054
0.0052
0.005
0.0048
5967. 0
5967. 1
5967. 2
5967. 3
5967. 4
5967. 5
5967. 6
5968. 0
5968. 1
5968. 2
5968. 3
5968. 4
5968. 5
5968. 6
5968. 7
5969. 0
5969. 1
5969. 2
5969. 3
5969. 4
5969. 5
5969. 6
5969. 7
5969. 8
5969. 9
5970. 0
5970. 1
5970. 2
5970. 3
5971. 0
5971. 1
5971. 2
5971. 3
5971. 4
5971. 5
5971. 6
5972. 0

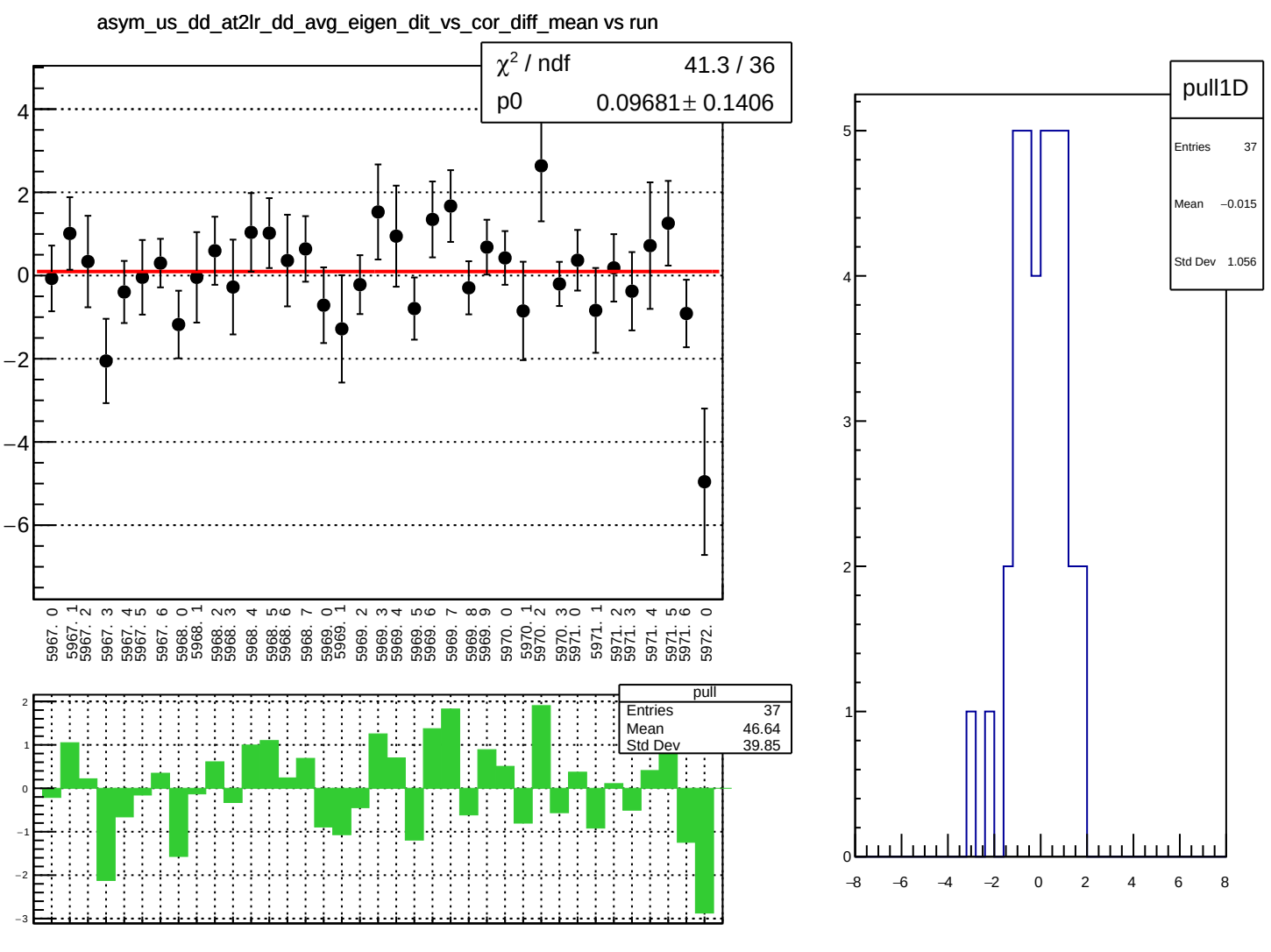
asym_us_dd_at2lr_dd_avg_eigen_dit_vs_cor_diff_mean vs run
χ² / ndf 41.3 / 36
p0 0.09681 ± 0.1406
pull
Entries 37
Mean 46.64
Std Dev 39.85
pull1D
Entries 37
Mean −0.015
Std Dev 1.056

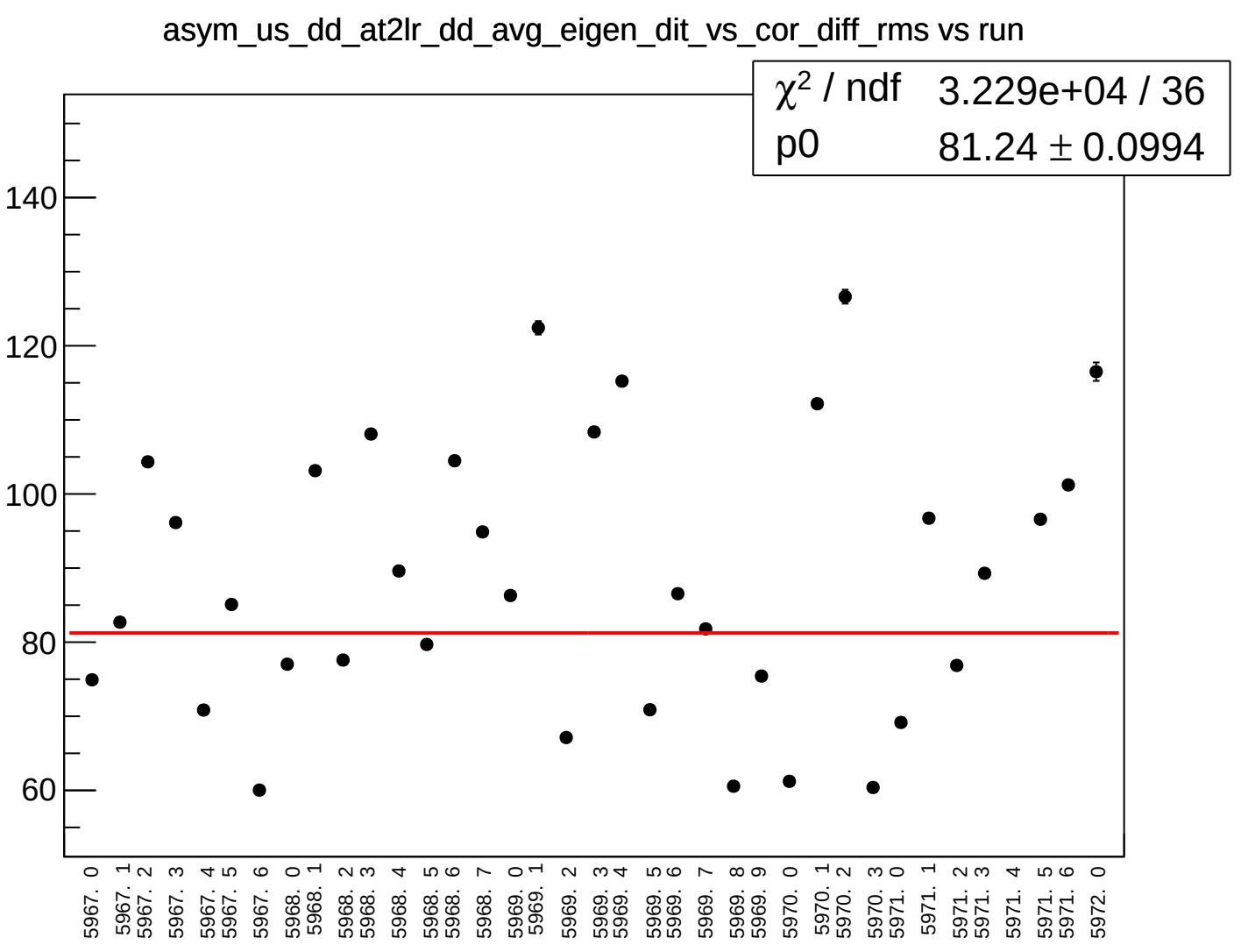
asym_us_dd_at2lr_dd_avg_eigen_dit_vs_cor_diff_rms vs run
χ² / ndf 3.229e+04 / 36
p0 81.24 ± 0.0994
140
120
100
80
60
5967. 0
5967. 1
5967. 2
5967. 3
5967. 4
5967. 5
5967. 6
5968. 0
5968. 1
5968. 2
5968. 3
5968. 4
5968. 5
5968. 6
5968. 7
5969. 0
5969. 1
5969. 2
5969. 3
5969. 4
5969. 5
5969. 6
5969. 7
5969. 8
5969. 9
5970. 0
5970. 1
5970. 2
5970. 3
5971. 0
5971. 1
5971. 2
5971. 3
5971. 4
5971. 5
5971. 6
5972. 0

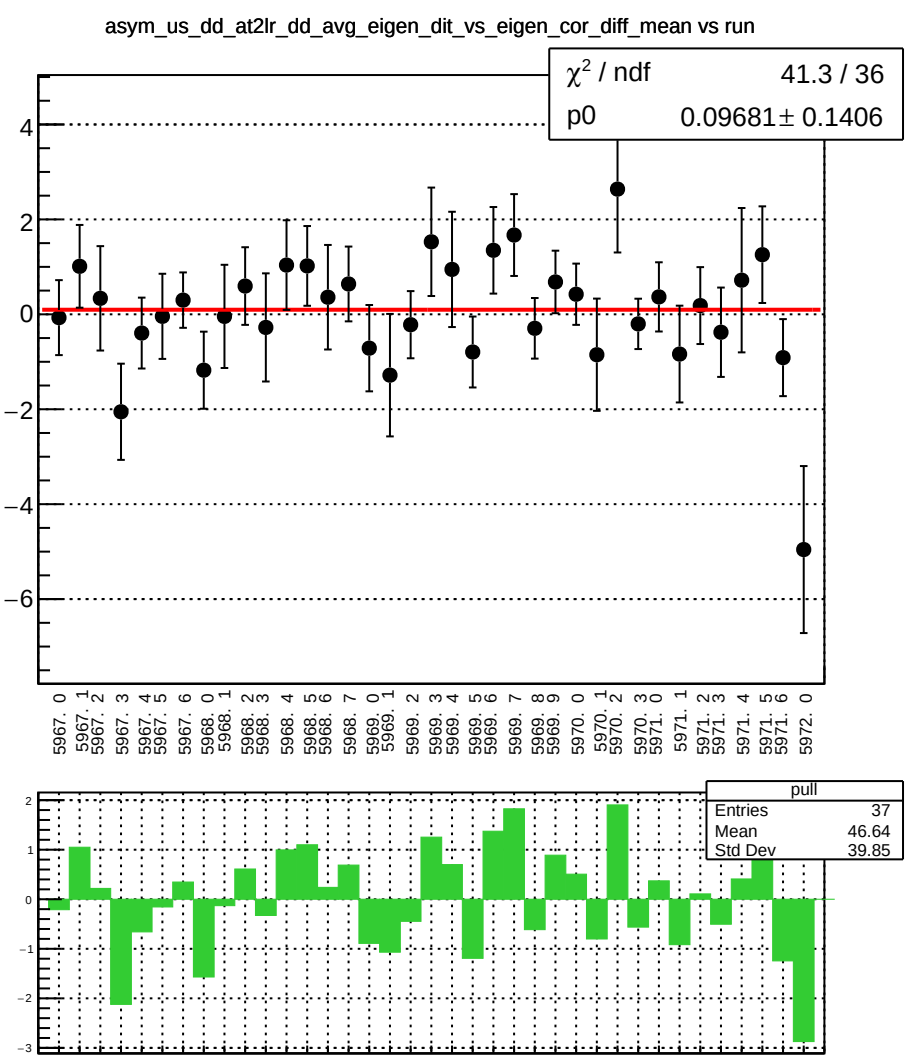
asym_us_dd_at2lr_dd_avg_eigen_dit_vs_eigen_cor_diff_mean vs run
χ² / ndf 41.3 / 36
p0 0.09681 ± 0.1406
pull
Entries 37
Mean 46.64
Std Dev 39.85

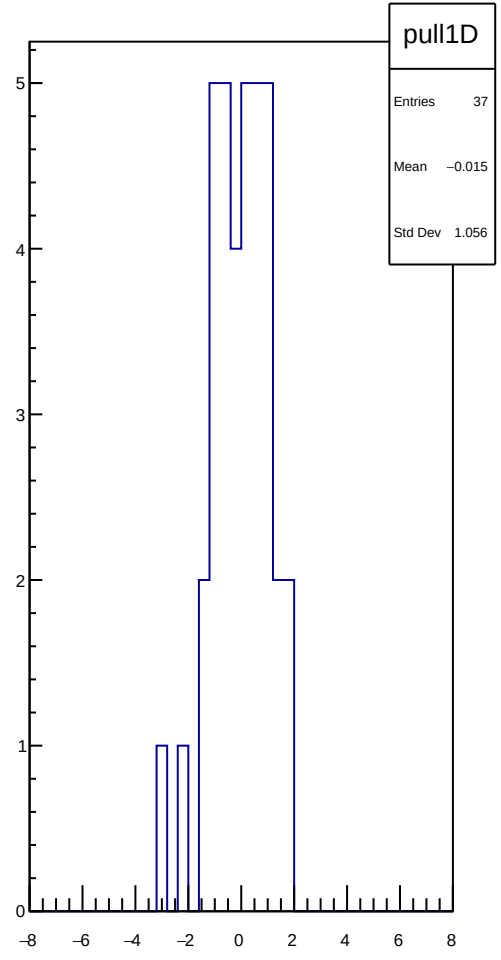
pull1D
Entries 37
Mean −0.015
Std Dev 1.056

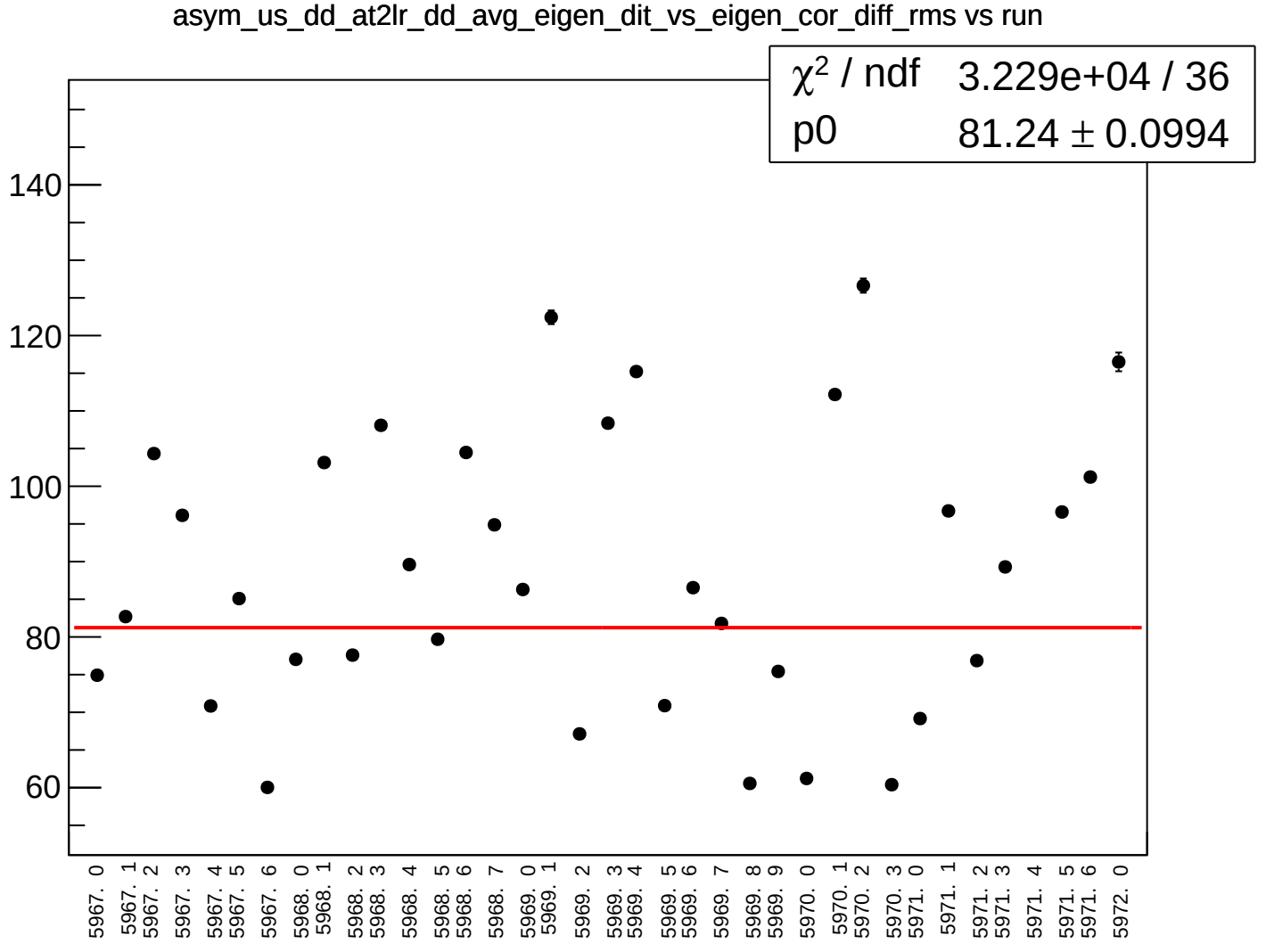
asym_us_dd_at2lr_dd_avg_eigen_dit_vs_eigen_cor_diff_rms vs run
χ² / ndf 3.229e+04 / 36
p0 81.24 ± 0.0994
140
120
100
80
60
5967. 0
5967. 1
5967. 2
5967. 3
5967. 4
5967. 5
5967. 6
5968. 0
5968. 1
5968. 2
5968. 3
5968. 4
5968. 5
5968. 6
5968. 7
5969. 0
5969. 1
5969. 2
5969. 3
5969. 4
5969. 5
5969. 6
5969. 7
5969. 8
5969. 9
5970. 0
5970. 1
5970. 2
5970. 3
5971. 0
5971. 1
5971. 2
5971. 3
5971. 4
5971. 5
5971. 6
5972. 0

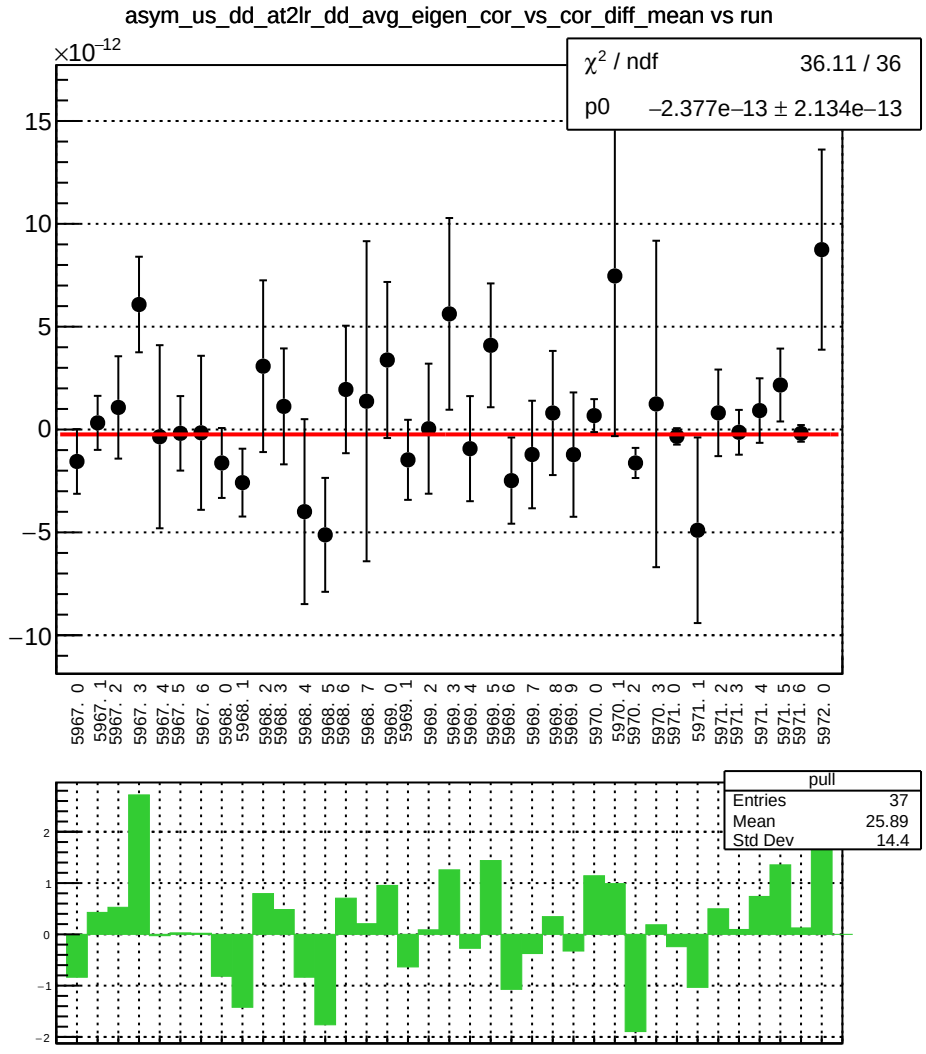
asym_us_dd_at2lr_dd_avg_eigen_cor_vs_cor_diff_mean vs run
×10⁻¹²
χ² / ndf 36.11 / 36
p0 −2.377e−13 ± 2.134e−13
15
10
5
0
−5
−10
5967. 0
5967. 1
5967. 2
5967. 3
5967. 4
5967. 5
5967. 6
5968. 0
5968. 1
5968. 2
5968. 3
5968. 4
5968. 5
5968. 6
5968. 7
5969. 0
5969. 1
5969. 2
5969. 3
5969. 4
5969. 5
5969. 6
5969. 7
5969. 8
5969. 9
5970. 0
5970. 1
5970. 2
5970. 3
5971. 0
5971. 1
5971. 2
5971. 3
5971. 4
5971. 5
5971. 6
5972. 0
pull
Entries 37
Mean 25.89
Std Dev 14.4
2
1
0
−1
−2

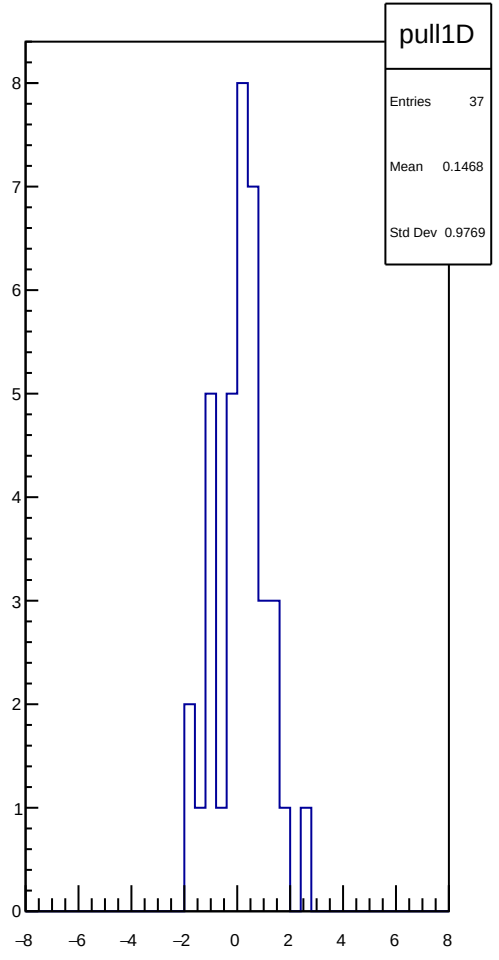
pull1D
Entries 37
Mean 0.1468
Std Dev 0.9769
8
7
6
5
4
3
2
1
0
−8
−6
−4
−2
0
2
4
6
8

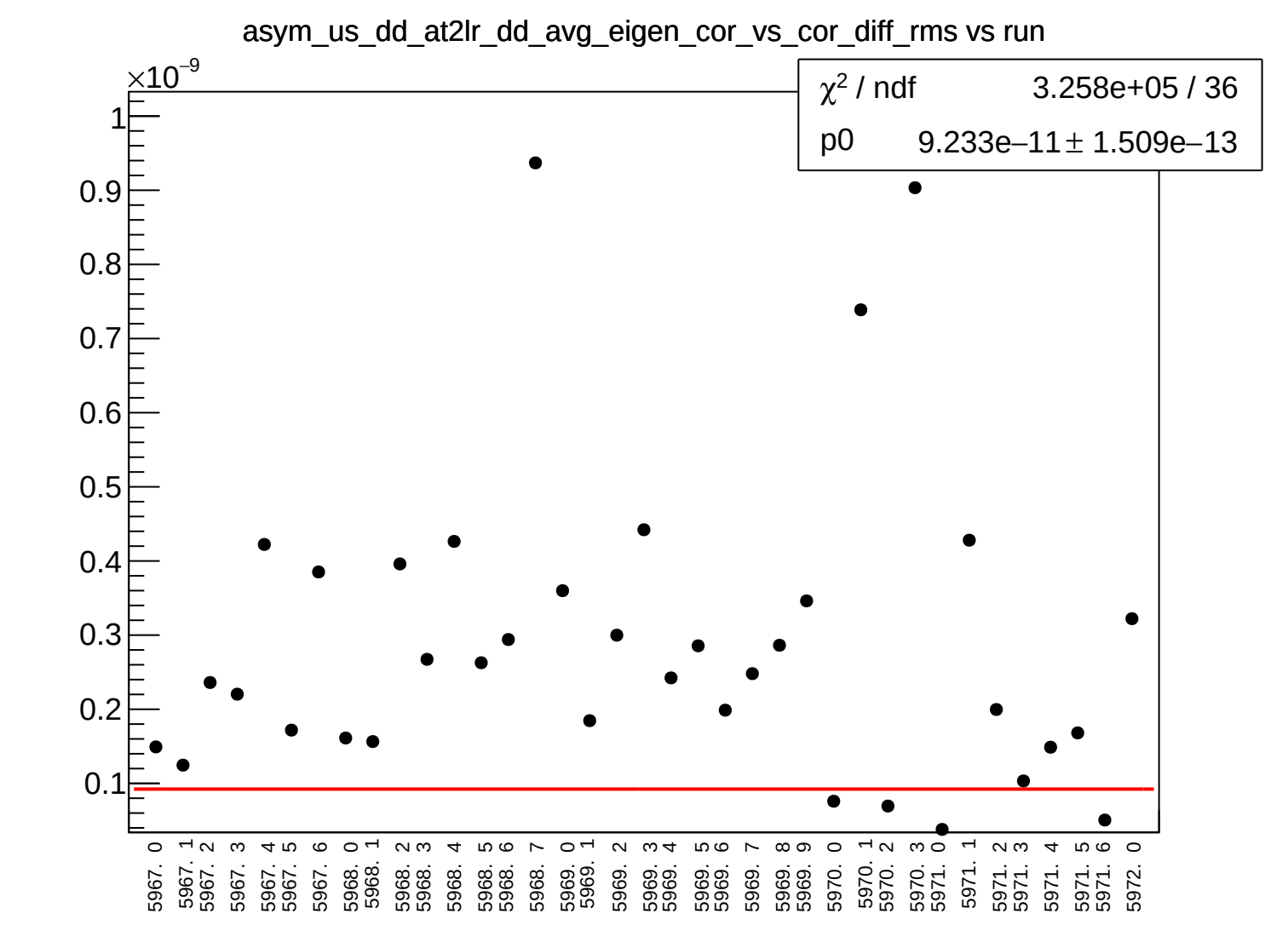
asym_us_dd_at2lr_dd_avg_eigen_cor_vs_cor_diff_rms vs run
×10⁻⁹
χ² / ndf 3.258e+05 / 36
p0 9.233e−11 ± 1.509e−13
1
0.9
0.8
0.7
0.6
0.5
0.4
0.3
0.2
0.1
5967. 0
5967. 1
5967. 2
5967. 3
5967. 4
5967. 5
5967. 6
5968. 0
5968. 1
5968. 2
5968. 3
5968. 4
5968. 5
5968. 6
5968. 7
5969. 0
5969. 1
5969. 2
5969. 3
5969. 4
5969. 5
5969. 6
5969. 7
5969. 8
5969. 9
5970. 0
5970. 1
5970. 2
5970. 3
5971. 0
5971. 1
5971. 2
5971. 3
5971. 4
5971. 5
5971. 6
5972. 0

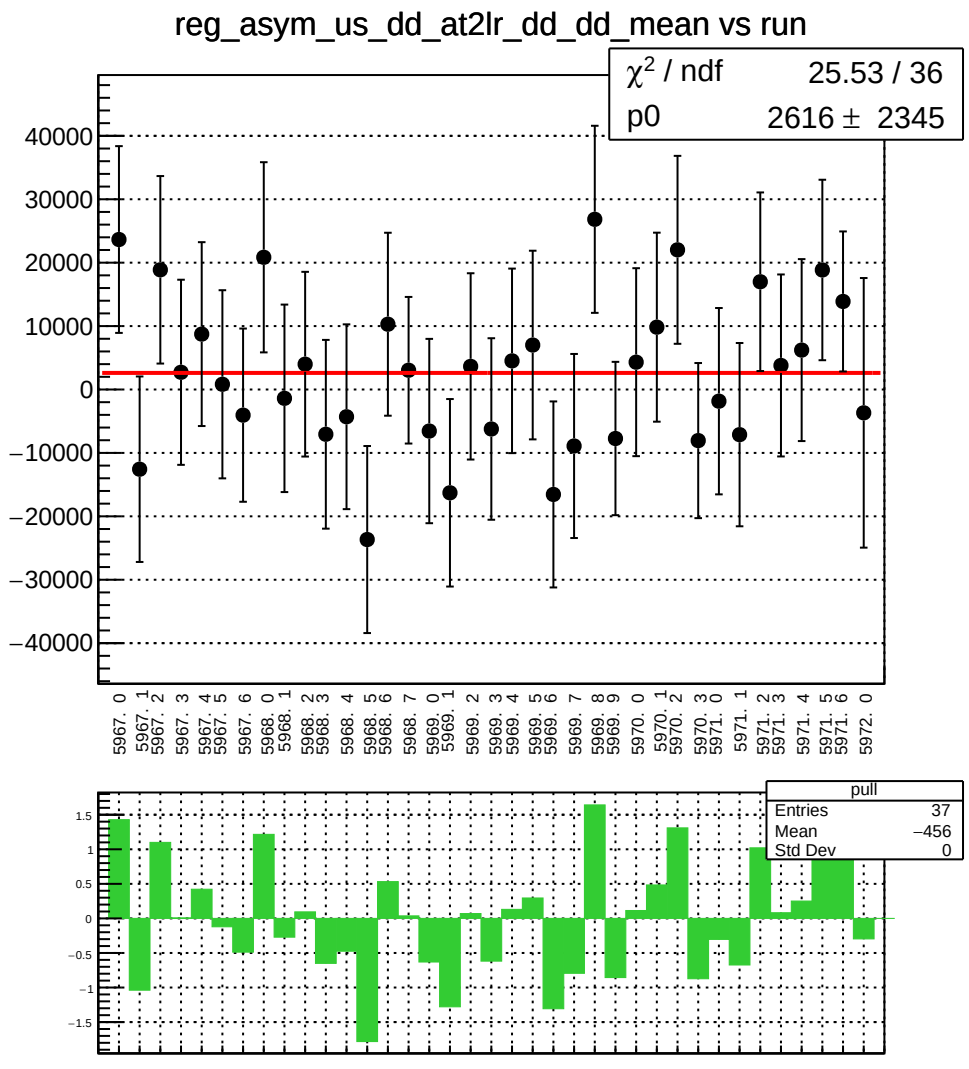
reg_asym_us_dd_at2lr_dd_dd_mean vs run
χ² / ndf 25.53 / 36
p0 2616 ± 2345
40000
30000
20000
10000
0
−10000
−20000
−30000
−40000
5967. 0
5967. 1
5967. 2
5967. 3
5967. 4
5967. 5
5967. 6
5968. 0
5968. 1
5968. 2
5968. 3
5968. 4
5968. 5
5968. 6
5968. 7
5969. 0
5969. 1
5969. 2
5969. 3
5969. 4
5969. 5
5969. 6
5969. 7
5969. 8
5969. 9
5970. 0
5970. 1
5970. 2
5970. 3
5971. 0
5971. 1
5971. 2
5971. 3
5971. 4
5971. 5
5971. 6
5972. 0
pull
Entries 37
Mean −456
Std Dev 0
1.5
1
0.5
0
−0.5
−1
−1.5

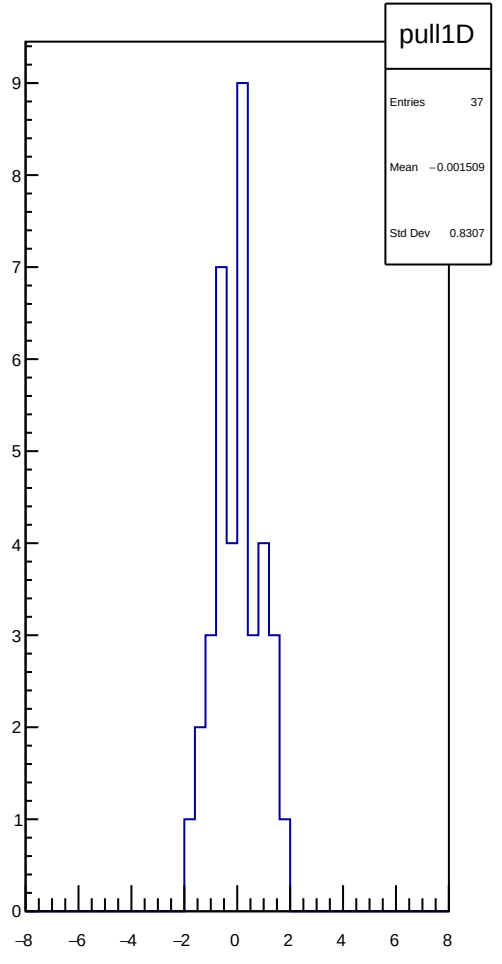
pull1D
Entries 37
Mean −0.001509
Std Dev 0.8307
9
8
7
6
5
4
3
2
1
0
−8
−6
−4
−2
0
2
4
6
8

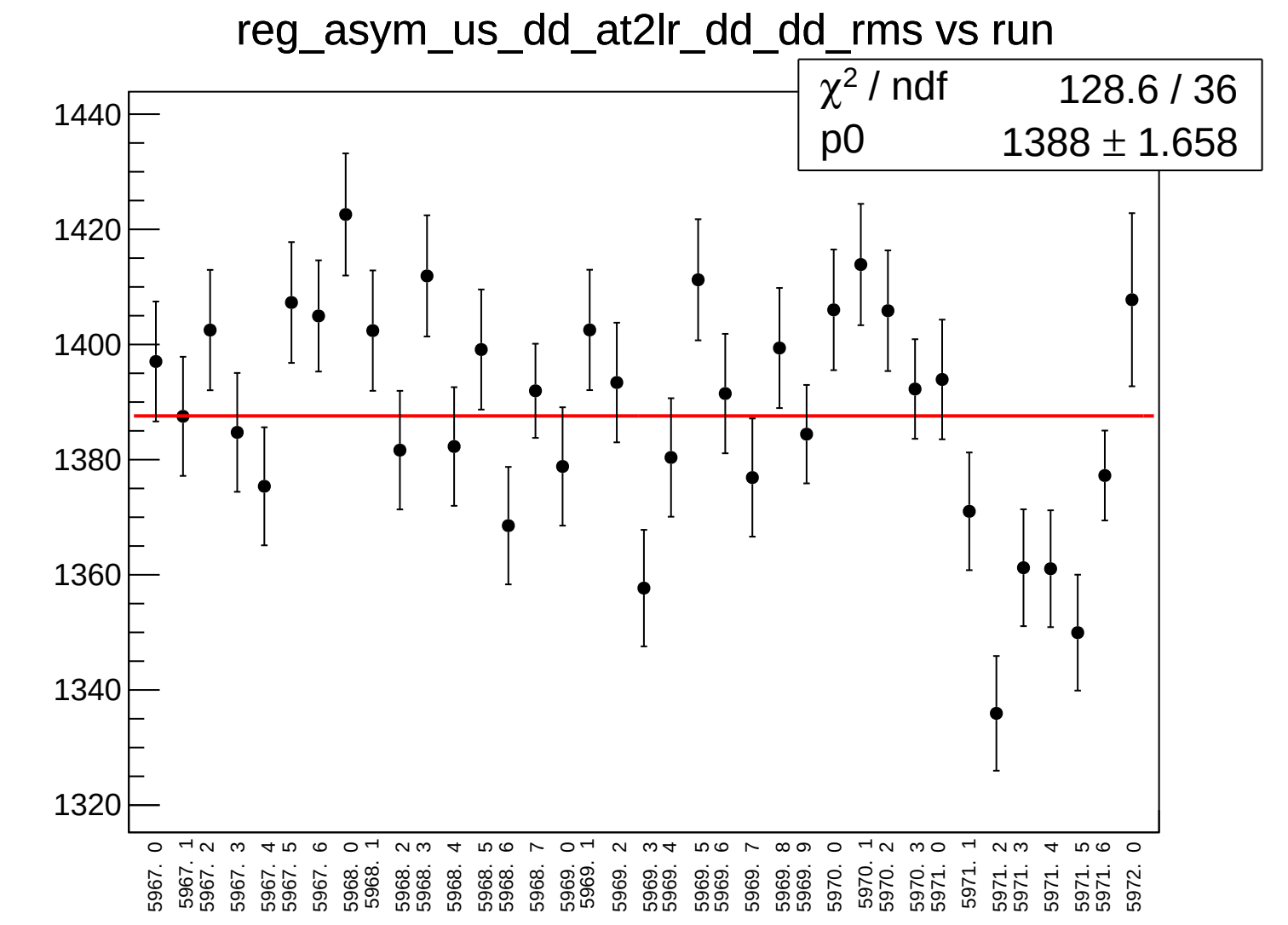
reg_asym_us_dd_at2lr_dd_dd_rms vs run
χ² / ndf 128.6 / 36
p0 1388 ± 1.658
1440
1420
1400
1380
1360
1340
1320
5967. 0
5967. 1
5967. 2
5967. 3
5967. 4
5967. 5
5967. 6
5968. 0
5968. 1
5968. 2
5968. 3
5968. 4
5968. 5
5968. 6
5968. 7
5969. 0
5969. 1
5969. 2
5969. 3
5969. 4
5969. 5
5969. 6
5969. 7
5969. 8
5969. 9
5970. 0
5970. 1
5970. 2
5970. 3
5971. 0
5971. 1
5971. 2
5971. 3
5971. 4
5971. 5
5971. 6
5972. 0

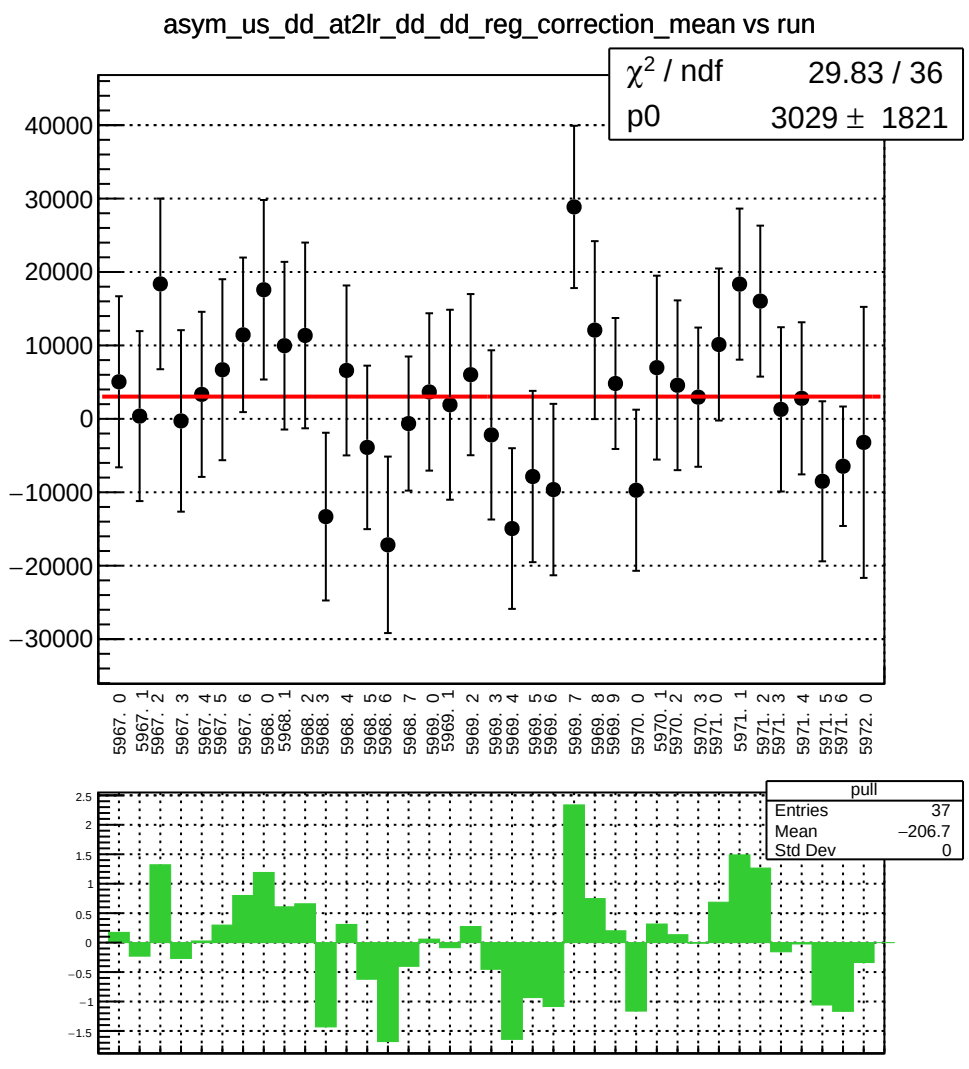
asym_us_dd_at2lr_dd_dd_reg_correction_mean vs run
χ² / ndf 29.83 / 36
p0 3029 ± 1821
40000
30000
20000
10000
0
−10000
−20000
−30000
5967. 0
5967. 1
5967. 2
5967. 3
5967. 4
5967. 5
5967. 6
5968. 0
5968. 1
5968. 2
5968. 3
5968. 4
5968. 5
5968. 6
5968. 7
5969. 0
5969. 1
5969. 2
5969. 3
5969. 4
5969. 5
5969. 6
5969. 7
5969. 8
5969. 9
5970. 0
5970. 1
5970. 2
5970. 3
5971. 0
5971. 1
5971. 2
5971. 3
5971. 4
5971. 5
5971. 6
5972. 0
pull
Entries 37
Mean −206.7
Std Dev 0
2.5
2
1.5
1
0.5
0
−0.5
−1
−1.5

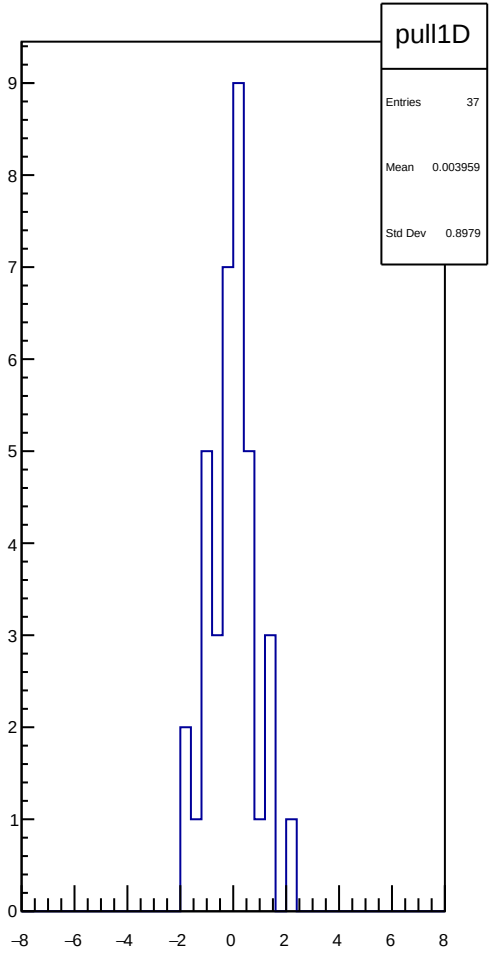
pull1D
Entries 37
Mean 0.003959
Std Dev 0.8979
9
8
7
6
5
4
3
2
1
0
−8
−6
−4
−2
0
2
4
6
8

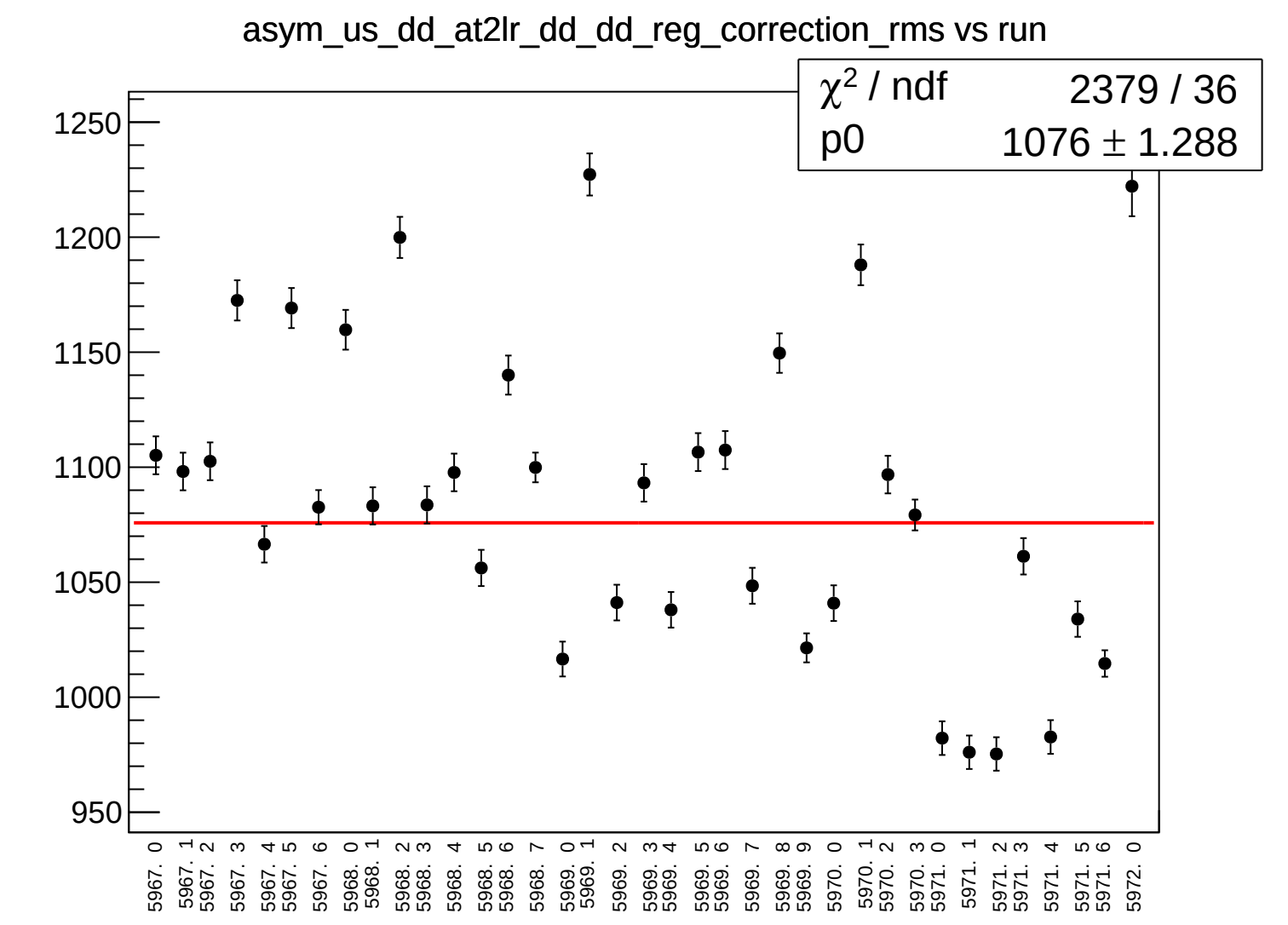
asym_us_dd_at2lr_dd_dd_reg_correction_rms vs run
χ² / ndf 2379 / 36
p0 1076 ± 1.288
1250
1200
1150
1100
1050
1000
950
5967. 0
5967. 1
5967. 2
5967. 3
5967. 4
5967. 5
5967. 6
5968. 0
5968. 1
5968. 2
5968. 3
5968. 4
5968. 5
5968. 6
5968. 7
5969. 0
5969. 1
5969. 2
5969. 3
5969. 4
5969. 5
5969. 6
5969. 7
5969. 8
5969. 9
5970. 0
5970. 1
5970. 2
5970. 3
5971. 0
5971. 1
5971. 2
5971. 3
5971. 4
5971. 5
5971. 6
5972. 0

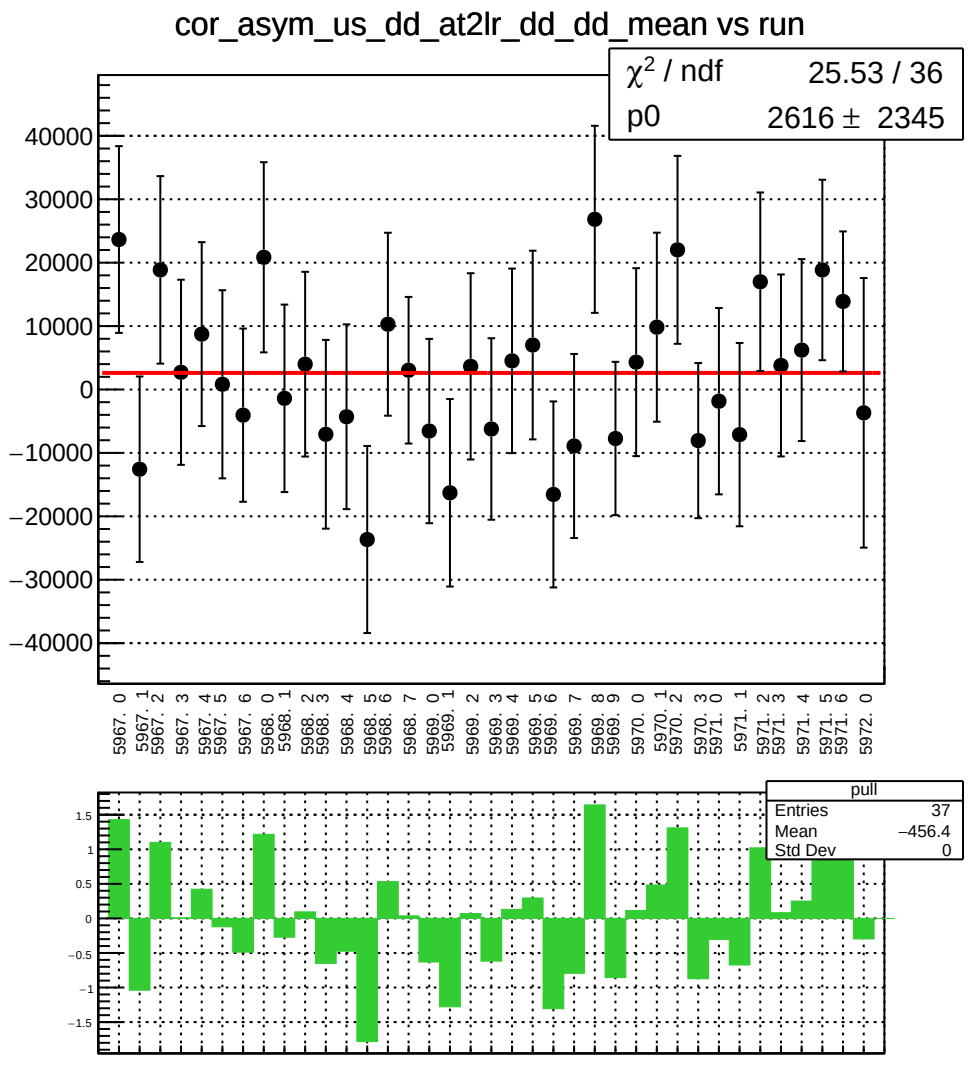
cor_asym_us_dd_at2lr_dd_dd_mean vs run
χ² / ndf 25.53 / 36
p0 2616 ± 2345
40000
30000
20000
10000
0
−10000
−20000
−30000
−40000
5967. 0
5967. 1
5967. 2
5967. 3
5967. 4
5967. 5
5967. 6
5968. 0
5968. 1
5968. 2
5968. 3
5968. 4
5968. 5
5968. 6
5968. 7
5969. 0
5969. 1
5969. 2
5969. 3
5969. 4
5969. 5
5969. 6
5969. 7
5969. 8
5969. 9
5970. 0
5970. 1
5970. 2
5970. 3
5971. 0
5971. 1
5971. 2
5971. 3
5971. 4
5971. 5
5971. 6
5972. 0
pull
Entries 37
Mean −456.4
Std Dev 0
1.5
1
0.5
0
−0.5
−1
−1.5

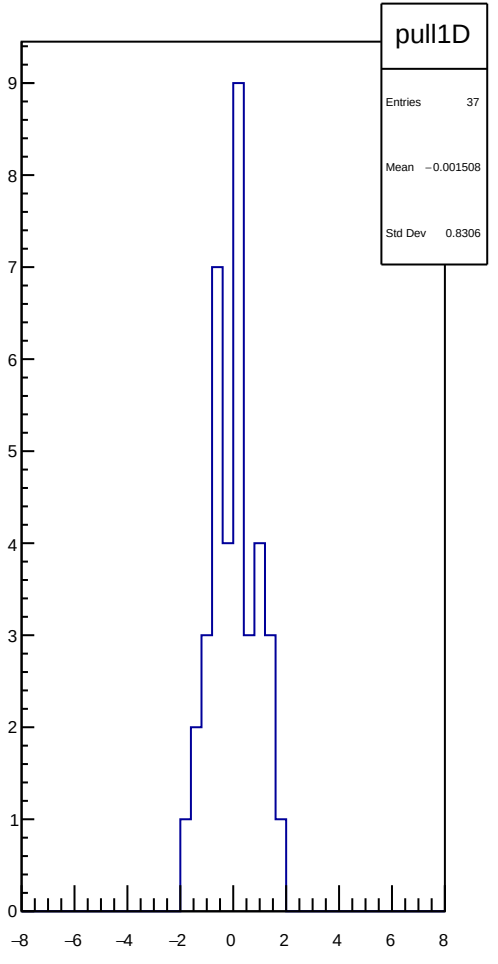
pull1D
Entries 37
Mean −0.001508
Std Dev 0.8306
9
8
7
6
5
4
3
2
1
0
−8
−6
−4
−2
0
2
4
6
8

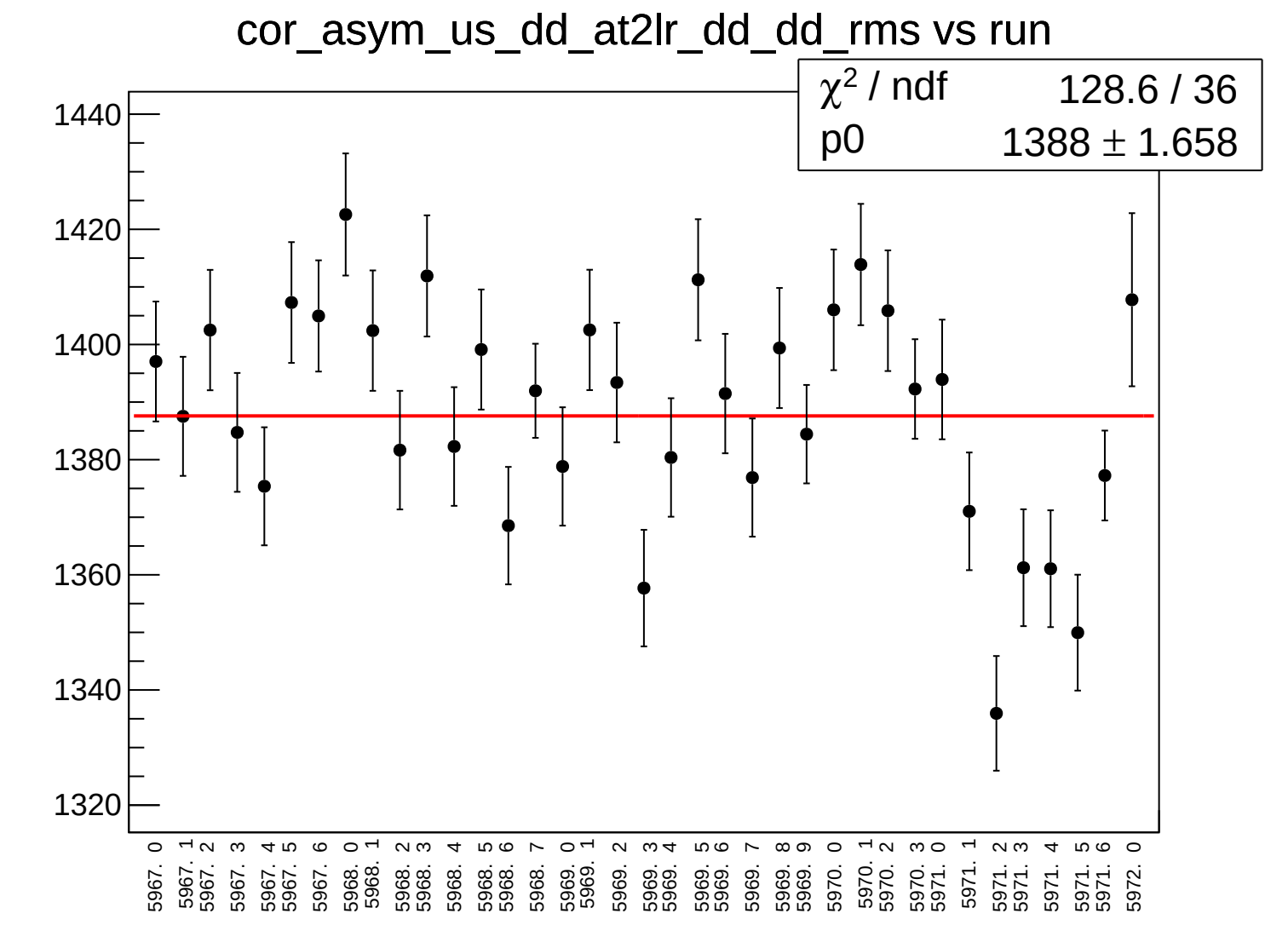
cor_asym_us_dd_at2lr_dd_dd_rms vs run
χ² / ndf 128.6 / 36
p0 1388 ± 1.658
1440
1420
1400
1380
1360
1340
1320
5967. 0
5967. 1
5967. 2
5967. 3
5967. 4
5967. 5
5967. 6
5968. 0
5968. 1
5968. 2
5968. 3
5968. 4
5968. 5
5968. 6
5968. 7
5969. 0
5969. 1
5969. 2
5969. 3
5969. 4
5969. 5
5969. 6
5969. 7
5969. 8
5969. 9
5970. 0
5970. 1
5970. 2
5970. 3
5971. 0
5971. 1
5971. 2
5971. 3
5971. 4
5971. 5
5971. 6
5972. 0

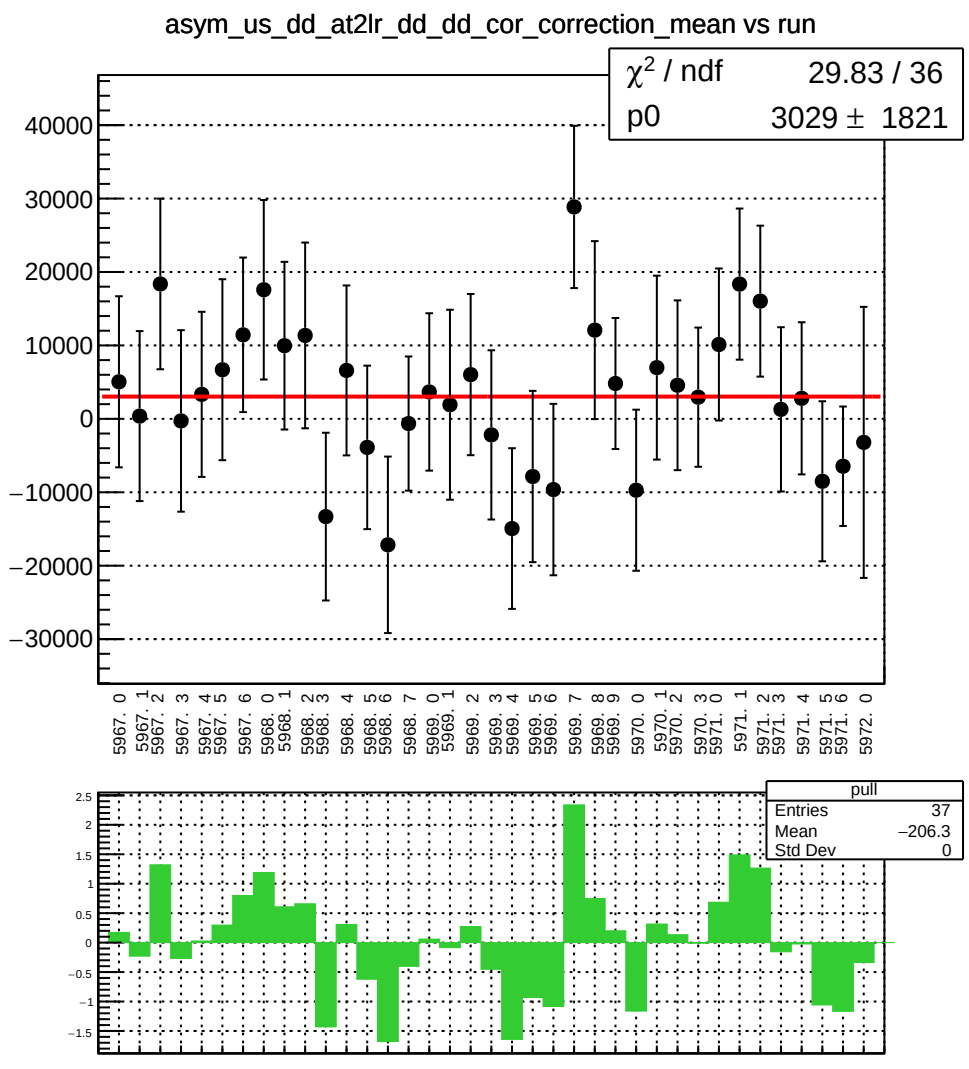
asym_us_dd_at2lr_dd_dd_cor_correction_mean vs run
χ² / ndf 29.83 / 36
p0 3029 ± 1821
40000
30000
20000
10000
0
−10000
−20000
−30000
5967. 0
5967. 1
5967. 2
5967. 3
5967. 4
5967. 5
5967. 6
5968. 0
5968. 1
5968. 2
5968. 3
5968. 4
5968. 5
5968. 6
5968. 7
5969. 0
5969. 1
5969. 2
5969. 3
5969. 4
5969. 5
5969. 6
5969. 7
5969. 8
5969. 9
5970. 0
5970. 1
5970. 2
5970. 3
5971. 0
5971. 1
5971. 2
5971. 3
5971. 4
5971. 5
5971. 6
5972. 0
pull
Entries 37
Mean −206.3
Std Dev 0
2.5
2
1.5
1
0.5
0
−0.5
−1
−1.5

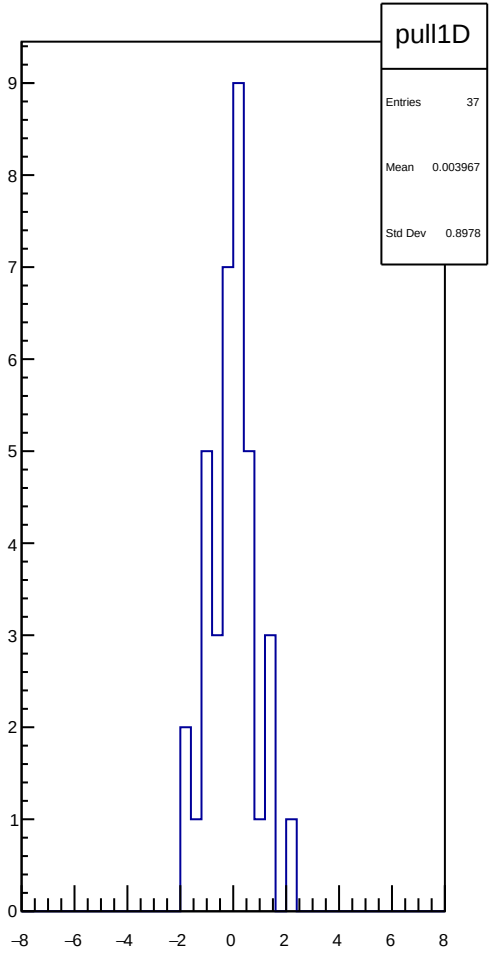
pull1D
Entries 37
Mean 0.003967
Std Dev 0.8978
9
8
7
6
5
4
3
2
1
0
−8
−6
−4
−2
0
2
4
6
8

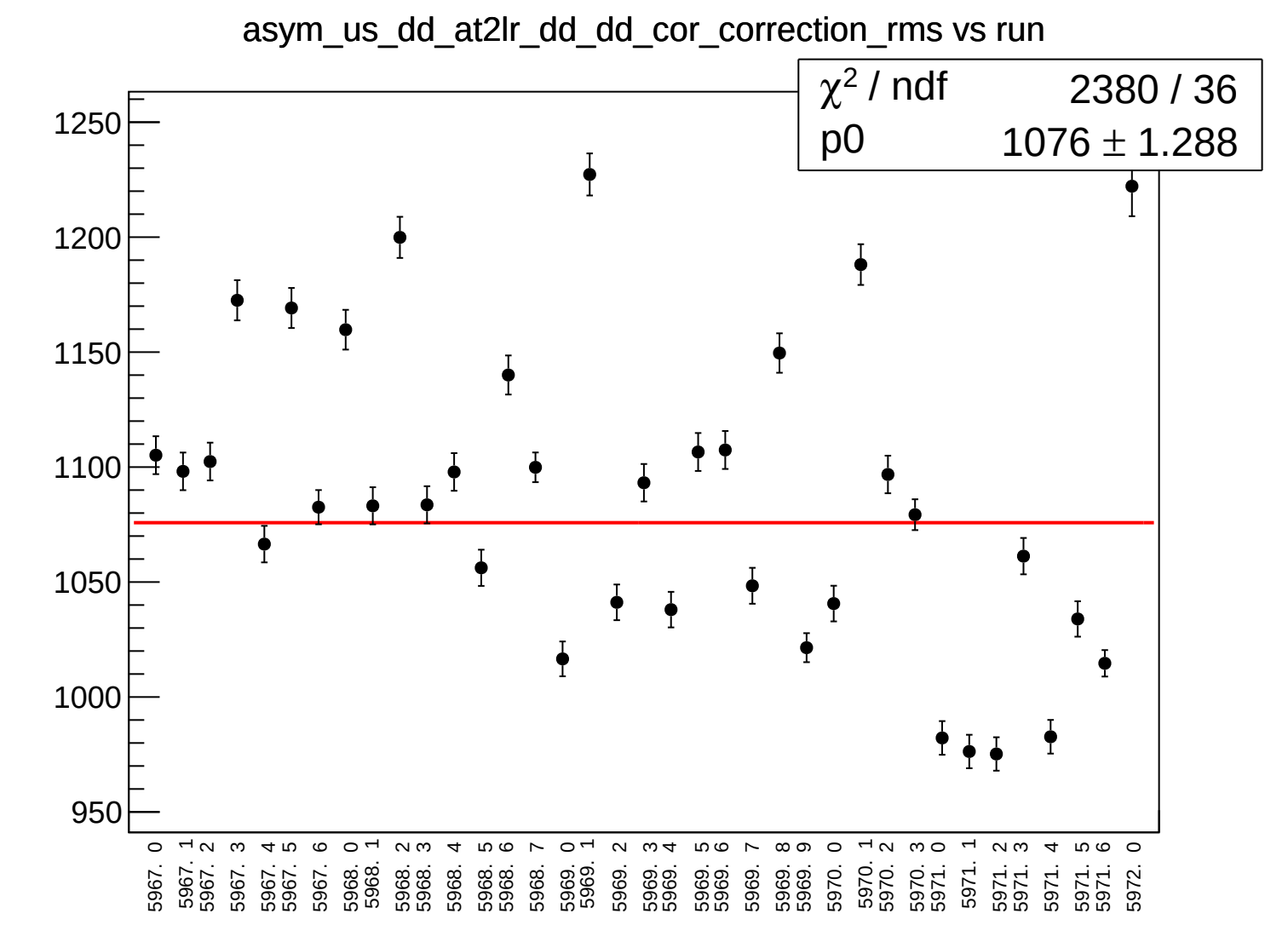
asym_us_dd_at2lr_dd_dd_cor_correction_rms vs run
χ² / ndf 2380 / 36
p0 1076 ± 1.288
1250
1200
1150
1100
1050
1000
950
5967. 0
5967. 1
5967. 2
5967. 3
5967. 4
5967. 5
5967. 6
5968. 0
5968. 1
5968. 2
5968. 3
5968. 4
5968. 5
5968. 6
5968. 7
5969. 0
5969. 1
5969. 2
5969. 3
5969. 4
5969. 5
5969. 6
5969. 7
5969. 8
5969. 9
5970. 0
5970. 1
5970. 2
5970. 3
5971. 0
5971. 1
5971. 2
5971. 3
5971. 4
5971. 5
5971. 6
5972. 0

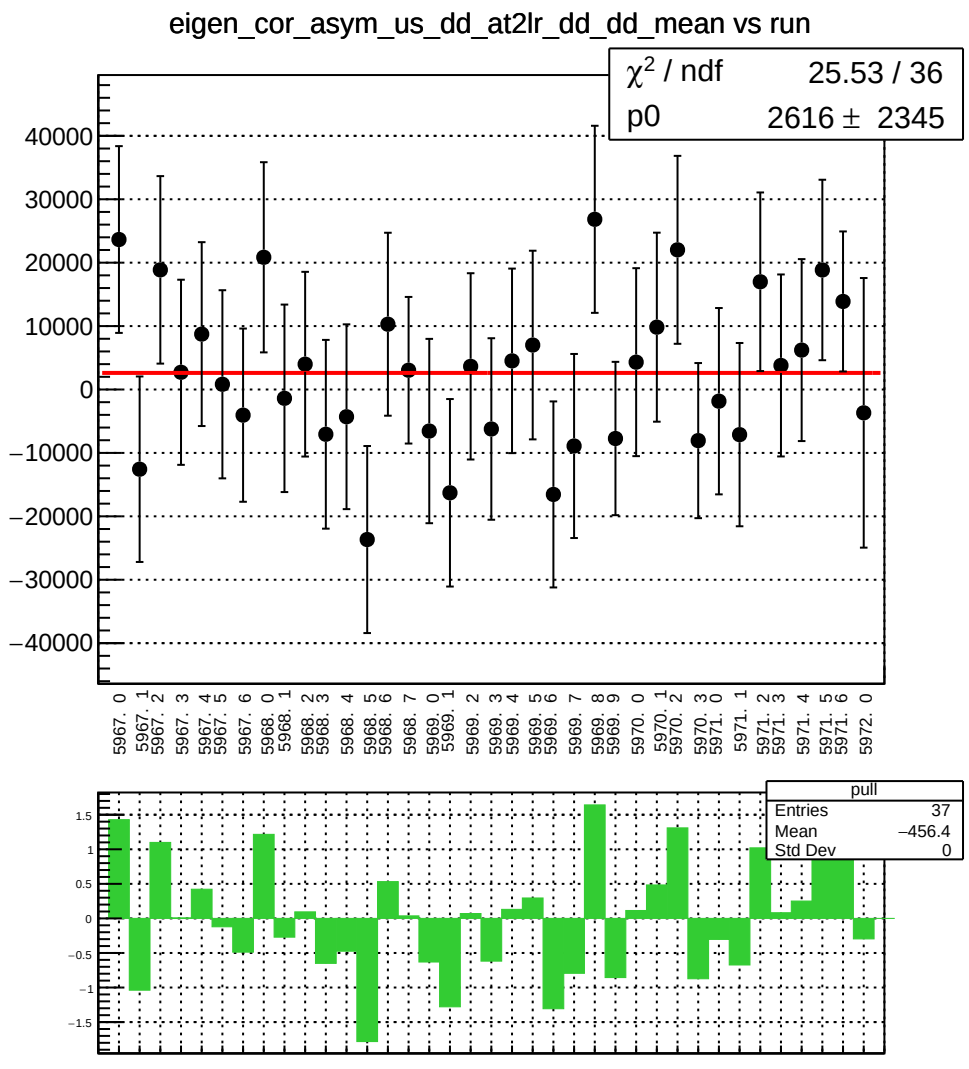
eigen_cor_asym_us_dd_at2lr_dd_dd_mean vs run
χ² / ndf 25.53 / 36
p0 2616 ± 2345
40000
30000
20000
10000
0
−10000
−20000
−30000
−40000
5967. 0
5967. 1
5967. 2
5967. 3
5967. 4
5967. 5
5967. 6
5968. 0
5968. 1
5968. 2
5968. 3
5968. 4
5968. 5
5968. 6
5968. 7
5969. 0
5969. 1
5969. 2
5969. 3
5969. 4
5969. 5
5969. 6
5969. 7
5969. 8
5969. 9
5970. 0
5970. 1
5970. 2
5970. 3
5971. 0
5971. 1
5971. 2
5971. 3
5971. 4
5971. 5
5971. 6
5972. 0
pull
Entries 37
Mean −456.4
Std Dev 0
1.5
1
0.5
0
−0.5
−1
−1.5

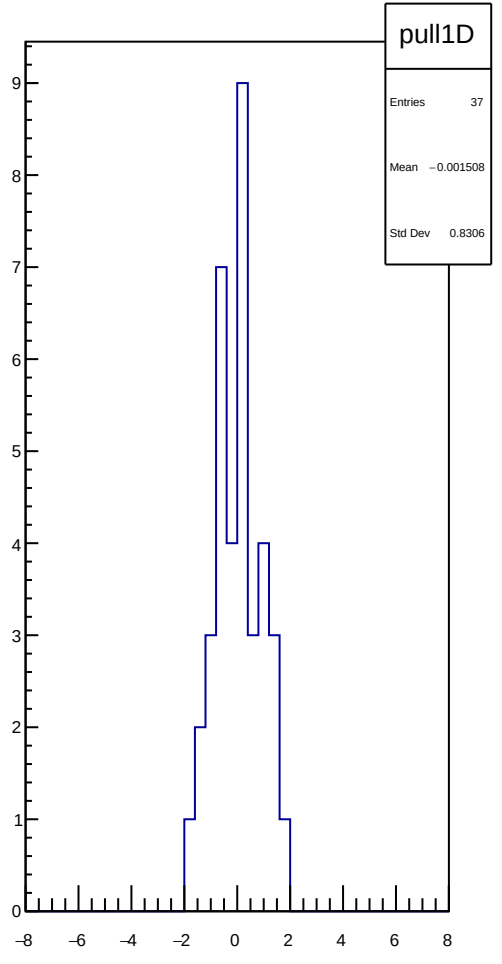
pull1D
Entries 37
Mean −0.001508
Std Dev 0.8306
9
8
7
6
5
4
3
2
1
0
−8
−6
−4
−2
0
2
4
6
8

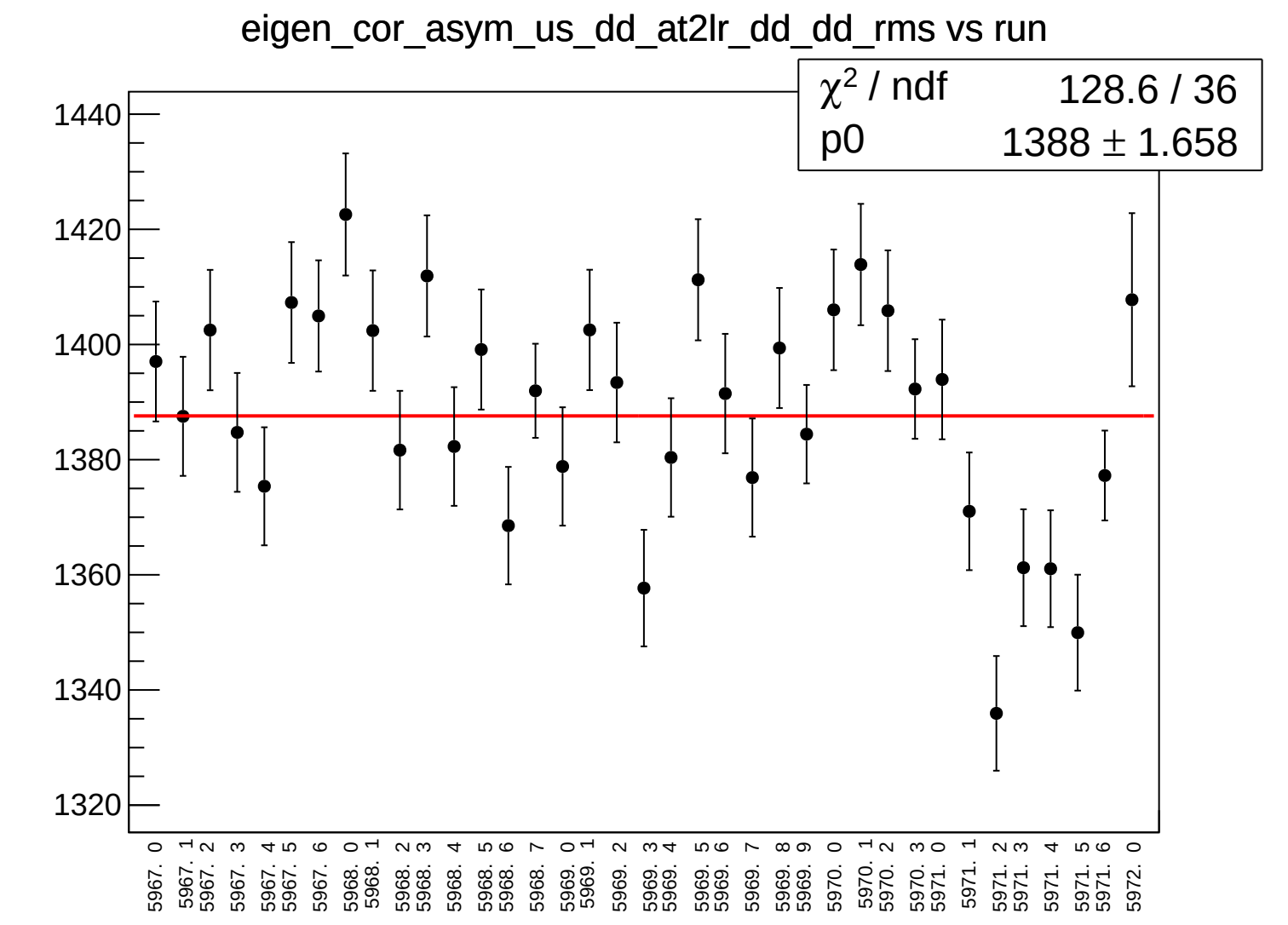
eigen_cor_asym_us_dd_at2lr_dd_dd_rms vs run
χ² / ndf 128.6 / 36
p0 1388 ± 1.658
1440
1420
1400
1380
1360
1340
1320
5967. 0
5967. 1
5967. 2
5967. 3
5967. 4
5967. 5
5967. 6
5968. 0
5968. 1
5968. 2
5968. 3
5968. 4
5968. 5
5968. 6
5968. 7
5969. 0
5969. 1
5969. 2
5969. 3
5969. 4
5969. 5
5969. 6
5969. 7
5969. 8
5969. 9
5970. 0
5970. 1
5970. 2
5970. 3
5971. 0
5971. 1
5971. 2
5971. 3
5971. 4
5971. 5
5971. 6
5972. 0

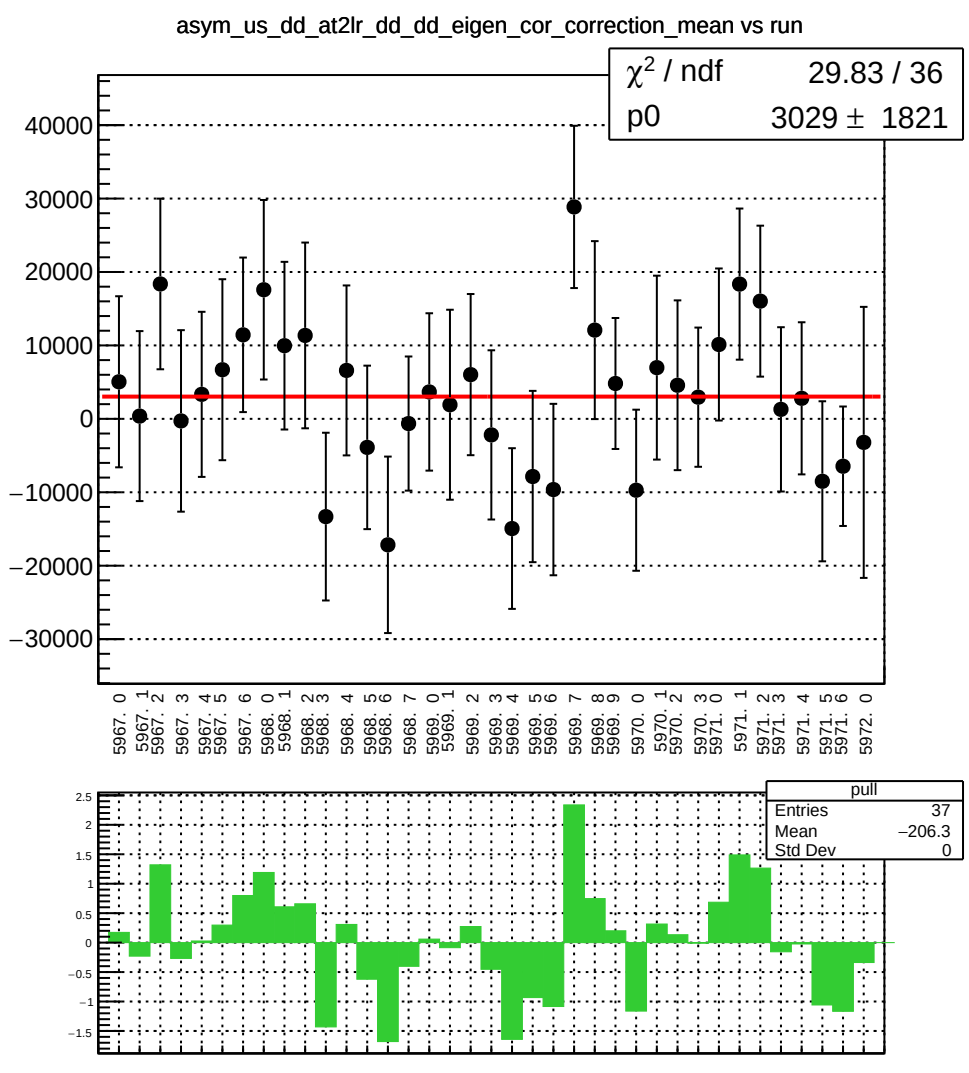
asym_us_dd_at2lr_dd_dd_eigen_cor_correction_mean vs run
χ² / ndf 29.83 / 36
p0 3029 ± 1821
40000
30000
20000
10000
0
−10000
−20000
−30000
5967. 0
5967. 1
5967. 2
5967. 3
5967. 4
5967. 5
5967. 6
5968. 0
5968. 1
5968. 2
5968. 3
5968. 4
5968. 5
5968. 6
5968. 7
5969. 0
5969. 1
5969. 2
5969. 3
5969. 4
5969. 5
5969. 6
5969. 7
5969. 8
5969. 9
5970. 0
5970. 1
5970. 2
5970. 3
5971. 0
5971. 1
5971. 2
5971. 3
5971. 4
5971. 5
5971. 6
5972. 0
pull
Entries 37
Mean −206.3
Std Dev 0
2.5
2
1.5
1
0.5
0
−0.5
−1
−1.5
pull1D
Entries 37
Mean 0.003967
Std Dev 0.8978
9
8
7
6
5
4
3
2
1
0
−8
−6
−4
−2
0
2
4
6
8

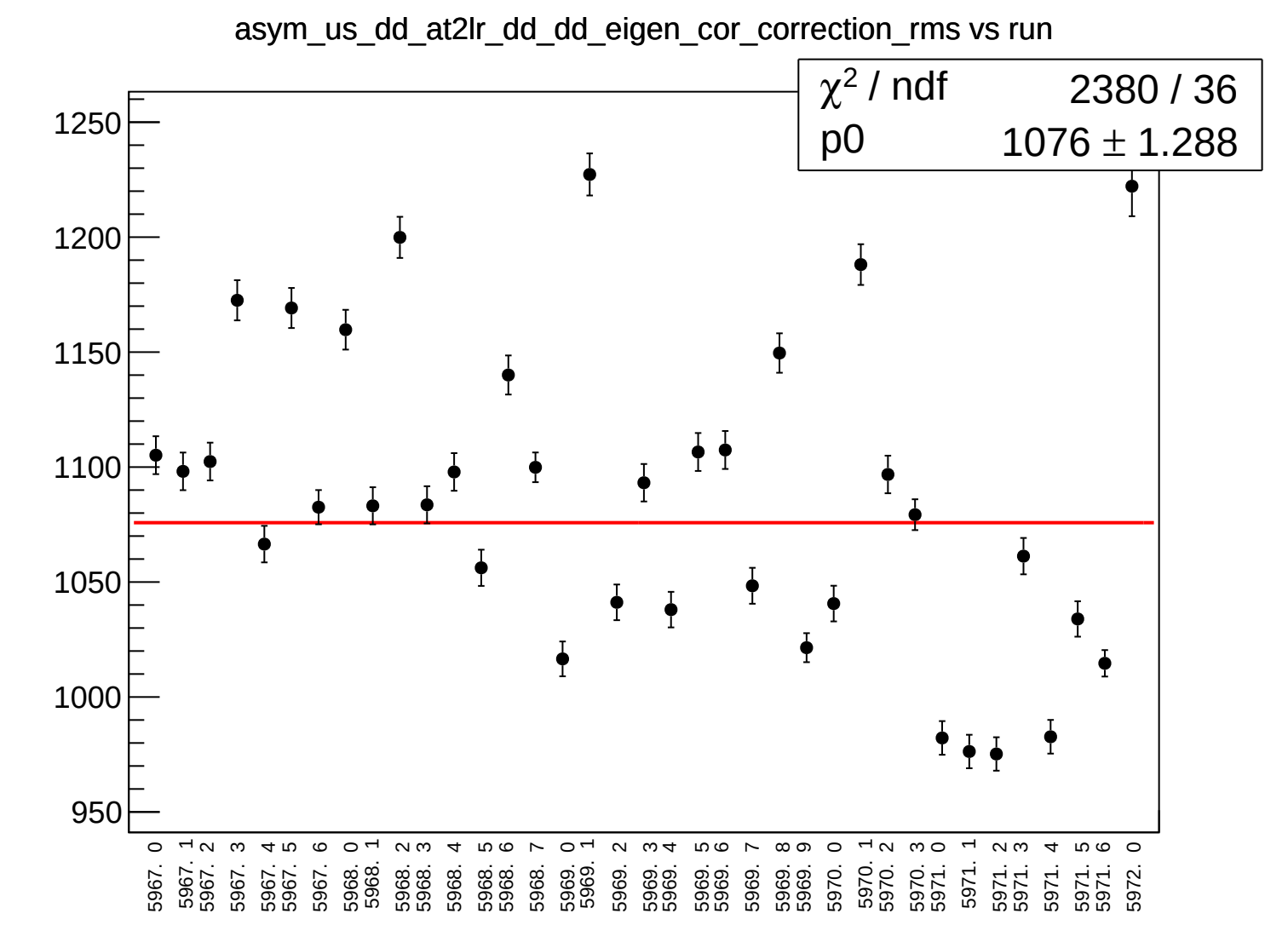
asym_us_dd_at2lr_dd_dd_eigen_cor_correction_rms vs run
χ² / ndf 2380 / 36
p0 1076 ± 1.288
1250
1200
1150
1100
1050
1000
950
5967. 0
5967. 1
5967. 2
5967. 3
5967. 4
5967. 5
5967. 6
5968. 0
5968. 1
5968. 2
5968. 3
5968. 4
5968. 5
5968. 6
5968. 7
5969. 0
5969. 1
5969. 2
5969. 3
5969. 4
5969. 5
5969. 6
5969. 7
5969. 8
5969. 9
5970. 0
5970. 1
5970. 2
5970. 3
5971. 0
5971. 1
5971. 2
5971. 3
5971. 4
5971. 5
5971. 6
5972. 0

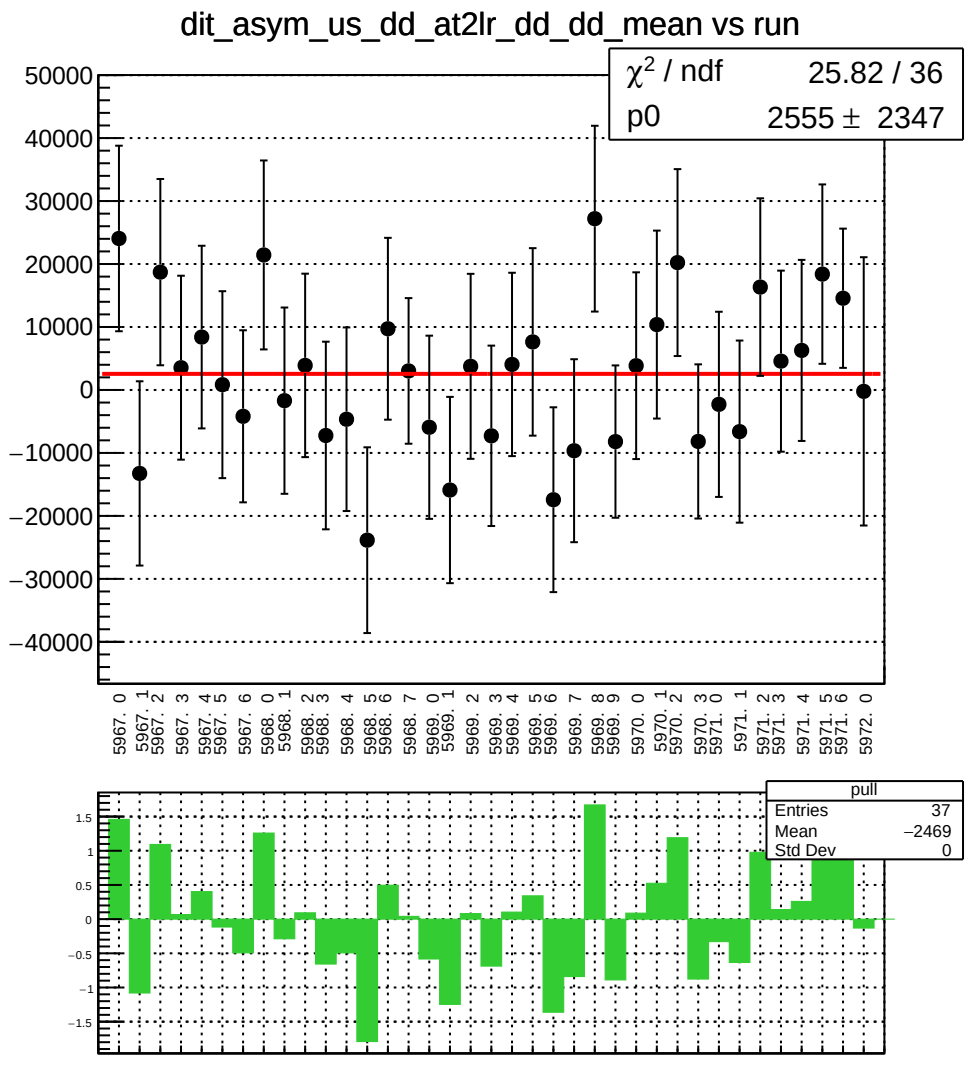
dit_asym_us_dd_at2lr_dd_dd_mean vs run
χ² / ndf 25.82 / 36
p0 2555 ± 2347
50000
40000
30000
20000
10000
0
−10000
−20000
−30000
−40000
5967. 0
5967. 1
5967. 2
5967. 3
5967. 4
5967. 5
5967. 6
5968. 0
5968. 1
5968. 2
5968. 3
5968. 4
5968. 5
5968. 6
5968. 7
5969. 0
5969. 1
5969. 2
5969. 3
5969. 4
5969. 5
5969. 6
5969. 7
5969. 8
5969. 9
5970. 0
5970. 1
5970. 2
5970. 3
5971. 0
5971. 1
5971. 2
5971. 3
5971. 4
5971. 5
5971. 6
5972. 0
pull
Entries 37
Mean −2469
Std Dev 0
1.5
1
0.5
0
−0.5
−1
−1.5

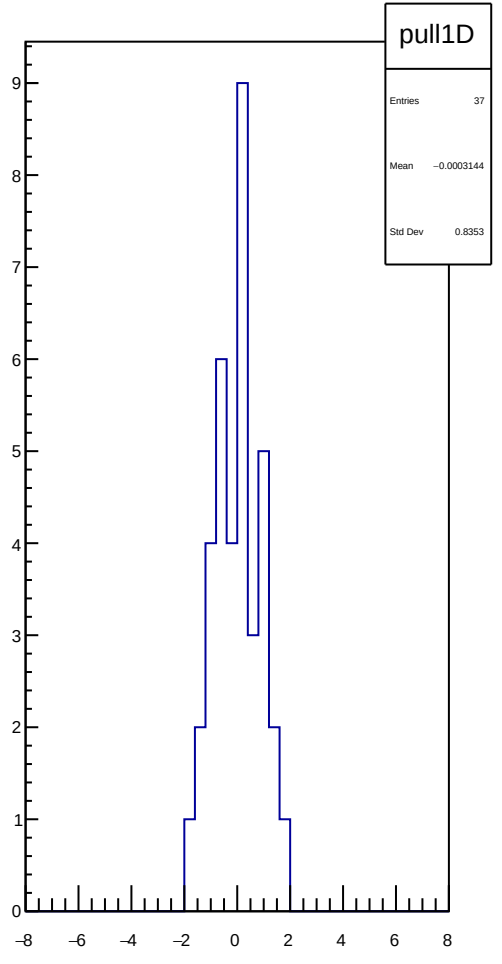
pull1D
Entries 37
Mean −0.0003144
Std Dev 0.8353
9
8
7
6
5
4
3
2
1
0
−8
−6
−4
−2
0
2
4
6
8

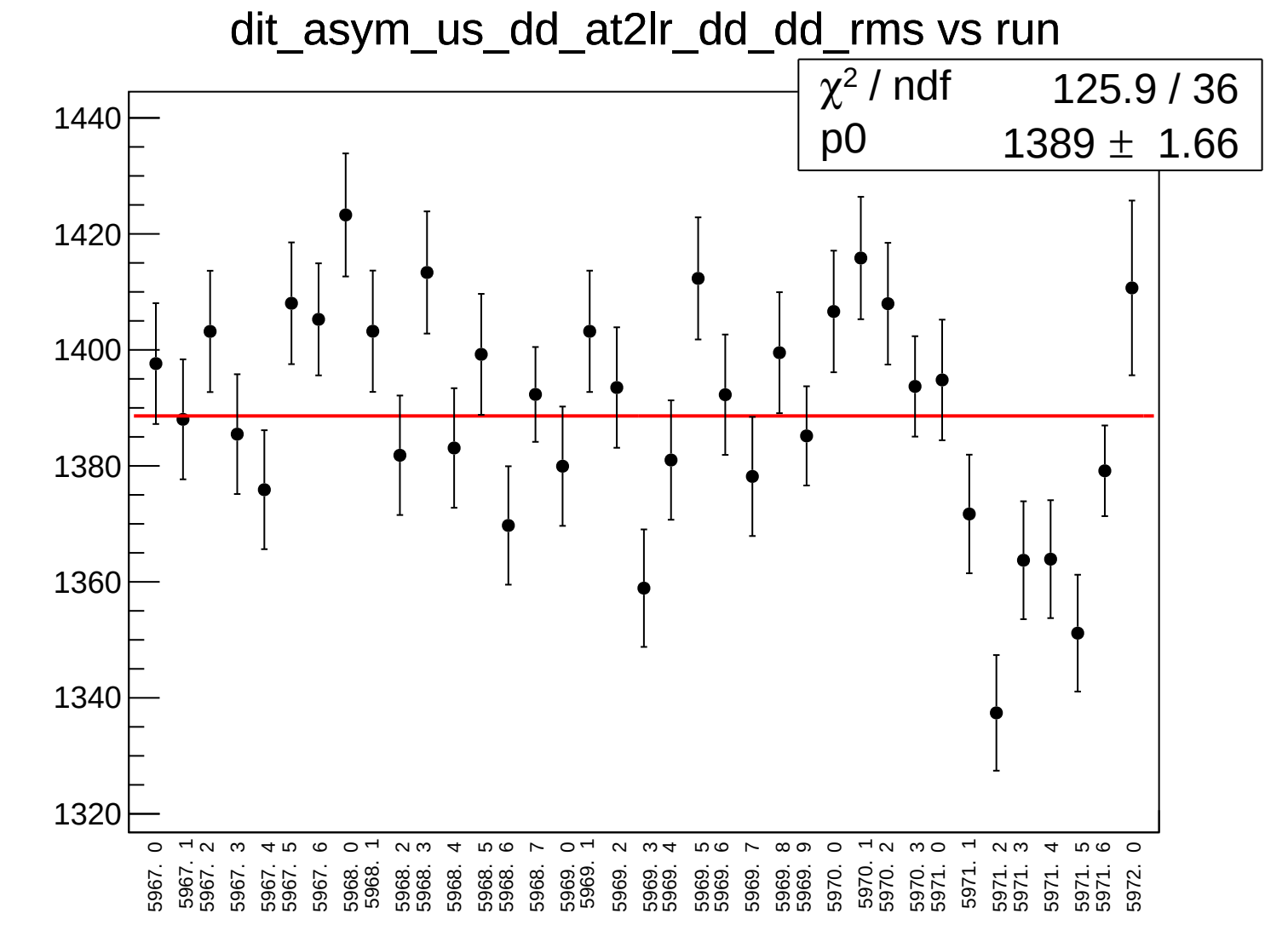
dit_asym_us_dd_at2lr_dd_dd_rms vs run
χ² / ndf 125.9 / 36
p0 1389 ± 1.66
1440
1420
1400
1380
1360
1340
1320
5967. 0
5967. 1
5967. 2
5967. 3
5967. 4
5967. 5
5967. 6
5968. 0
5968. 1
5968. 2
5968. 3
5968. 4
5968. 5
5968. 6
5968. 7
5969. 0
5969. 1
5969. 2
5969. 3
5969. 4
5969. 5
5969. 6
5969. 7
5969. 8
5969. 9
5970. 0
5970. 1
5970. 2
5970. 3
5971. 0
5971. 1
5971. 2
5971. 3
5971. 4
5971. 5
5971. 6
5972. 0

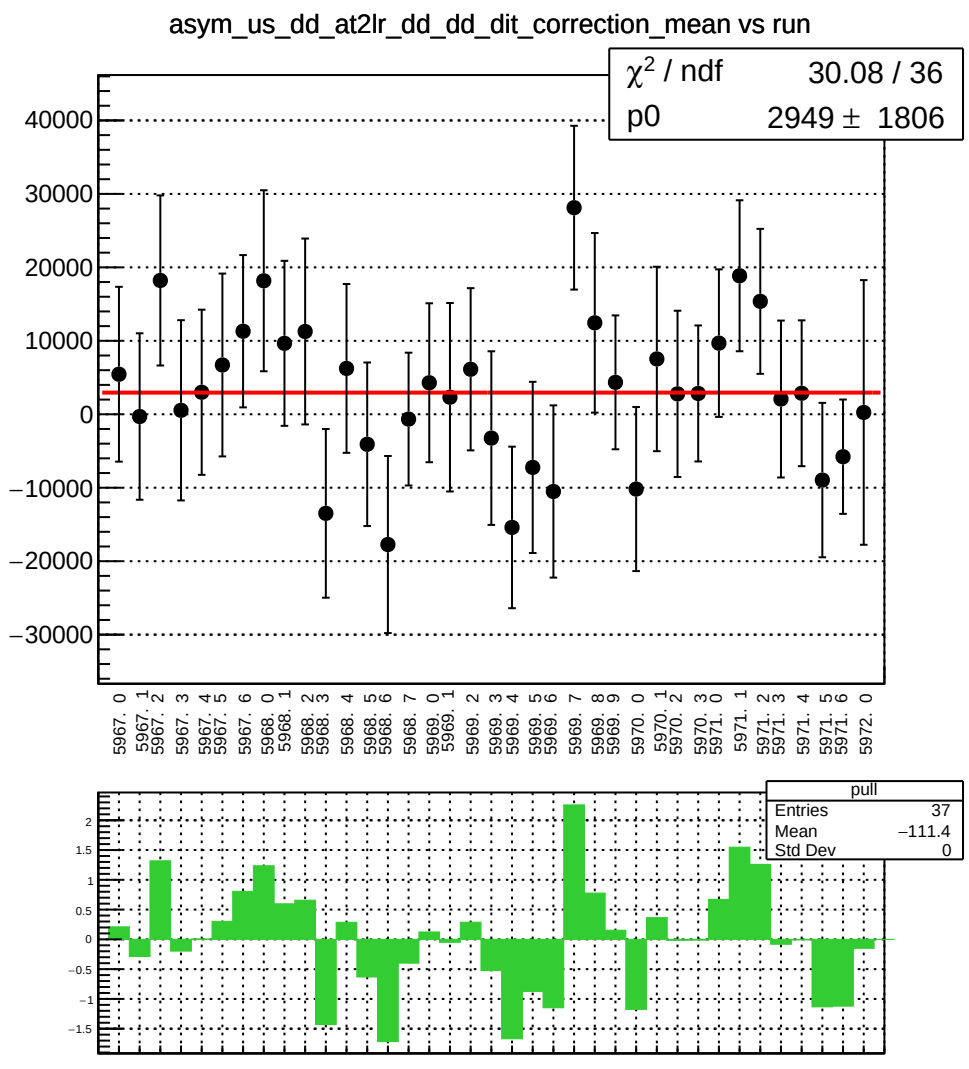
asym_us_dd_at2lr_dd_dd_dit_correction_mean vs run
χ² / ndf 30.08 / 36
p0 2949 ± 1806
40000
30000
20000
10000
0
−10000
−20000
−30000
5967. 0
5967. 1
5967. 2
5967. 3
5967. 4
5967. 5
5967. 6
5968. 0
5968. 1
5968. 2
5968. 3
5968. 4
5968. 5
5968. 6
5968. 7
5969. 0
5969. 1
5969. 2
5969. 3
5969. 4
5969. 5
5969. 6
5969. 7
5969. 8
5969. 9
5970. 0
5970. 1
5970. 2
5970. 3
5971. 0
5971. 1
5971. 2
5971. 3
5971. 4
5971. 5
5971. 6
5972. 0
pull
Entries 37
Mean −111.4
Std Dev 0
2
1.5
1
0.5
0
−0.5
−1
−1.5
pull1D
Entries 37
Mean 0.006409
Std Dev 0.9016
9
8
7
6
5
4
3
2
1
0
−8
−6
−4
−2
0
2
4
6
8

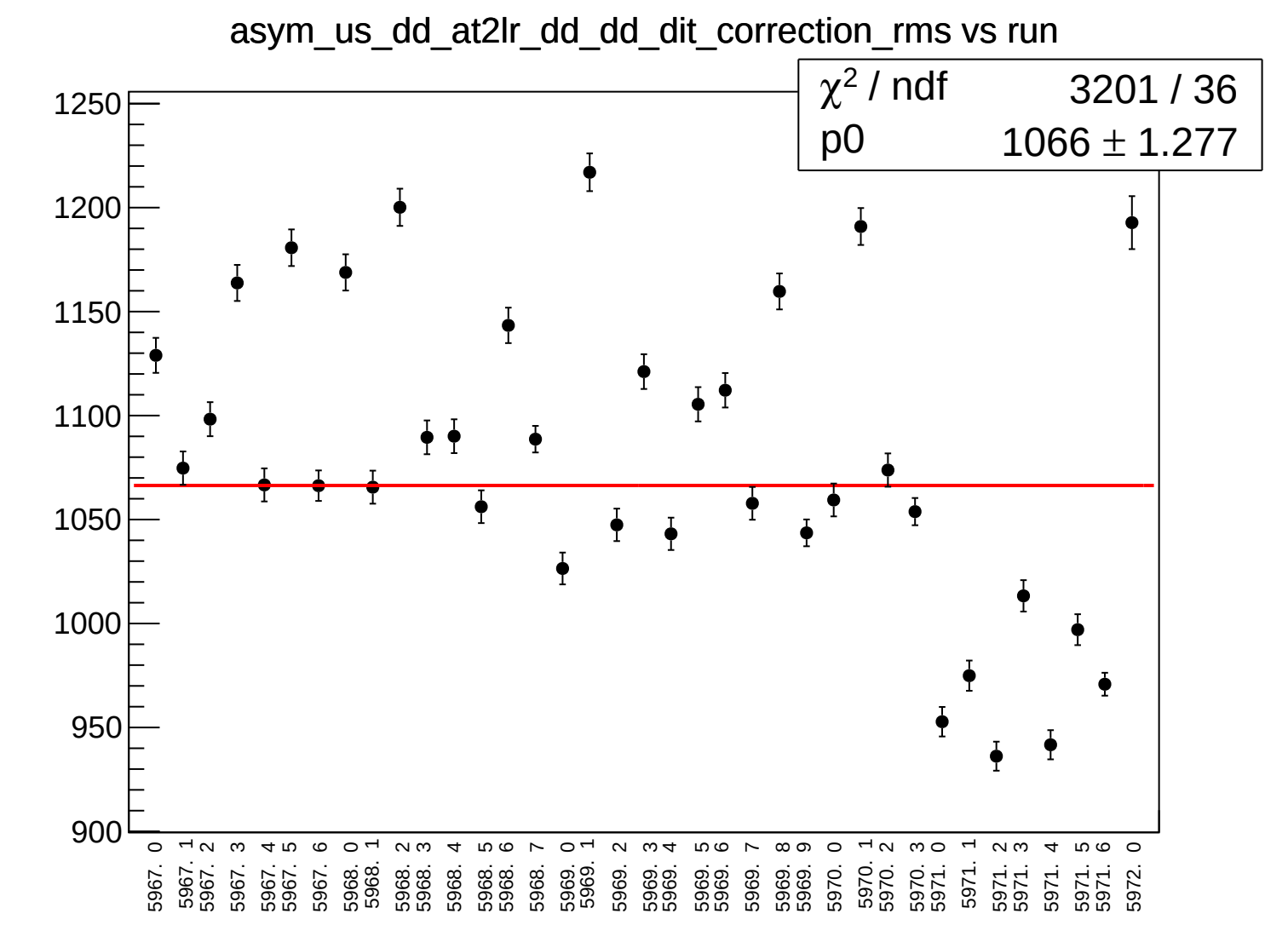
asym_us_dd_at2lr_dd_dd_dit_correction_rms vs run
χ² / ndf 3201 / 36
p0 1066 ± 1.277
1250
1200
1150
1100
1050
1000
950
900
5967. 0
5967. 1
5967. 2
5967. 3
5967. 4
5967. 5
5967. 6
5968. 0
5968. 1
5968. 2
5968. 3
5968. 4
5968. 5
5968. 6
5968. 7
5969. 0
5969. 1
5969. 2
5969. 3
5969. 4
5969. 5
5969. 6
5969. 7
5969. 8
5969. 9
5970. 0
5970. 1
5970. 2
5970. 3
5971. 0
5971. 1
5971. 2
5971. 3
5971. 4
5971. 5
5971. 6
5972. 0

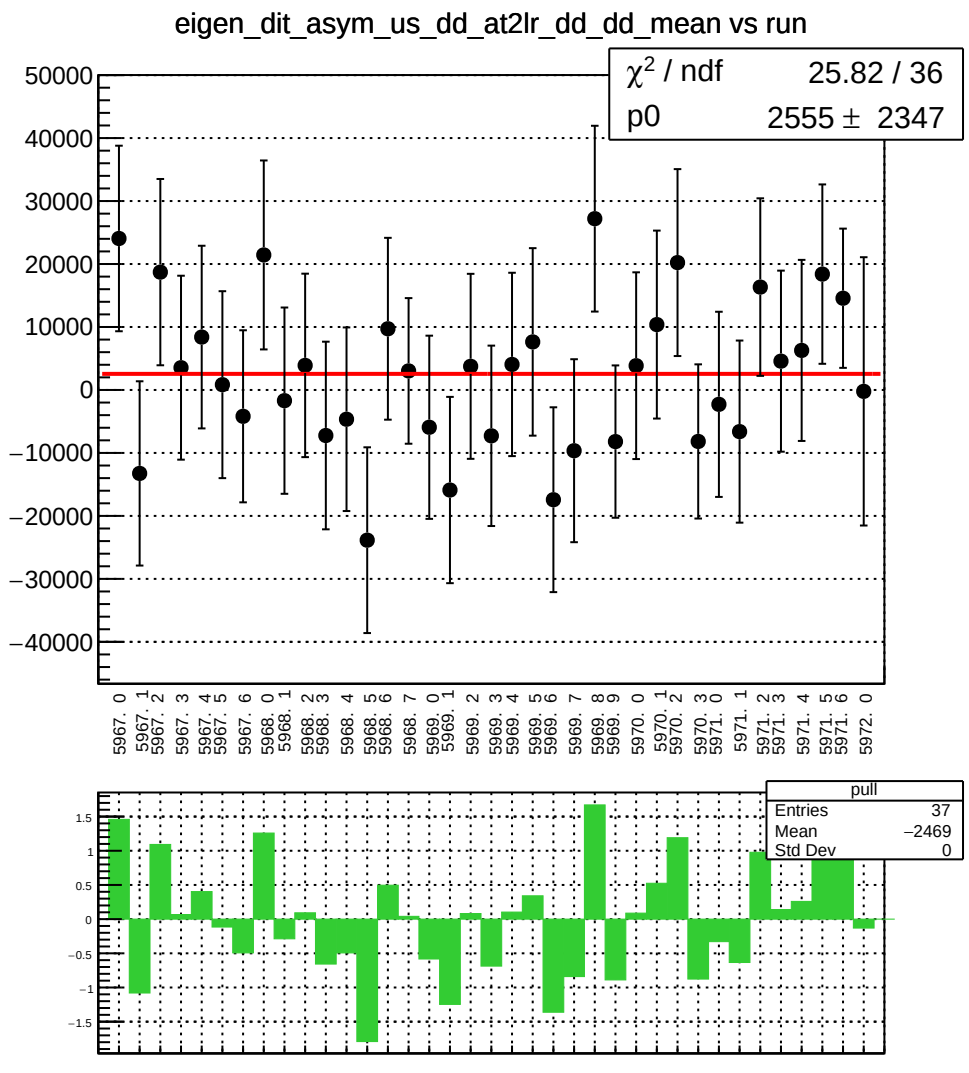
eigen_dit_asym_us_dd_at2lr_dd_dd_mean vs run
χ² / ndf 25.82 / 36
p0 2555 ± 2347
50000
40000
30000
20000
10000
0
−10000
−20000
−30000
−40000
5967. 0
5967. 1
5967. 2
5967. 3
5967. 4
5967. 5
5967. 6
5968. 0
5968. 1
5968. 2
5968. 3
5968. 4
5968. 5
5968. 6
5968. 7
5969. 0
5969. 1
5969. 2
5969. 3
5969. 4
5969. 5
5969. 6
5969. 7
5969. 8
5969. 9
5970. 0
5970. 1
5970. 2
5970. 3
5971. 0
5971. 1
5971. 2
5971. 3
5971. 4
5971. 5
5971. 6
5972. 0
pull
Entries 37
Mean −2469
Std Dev 0
1.5
1
0.5
0
−0.5
−1
−1.5

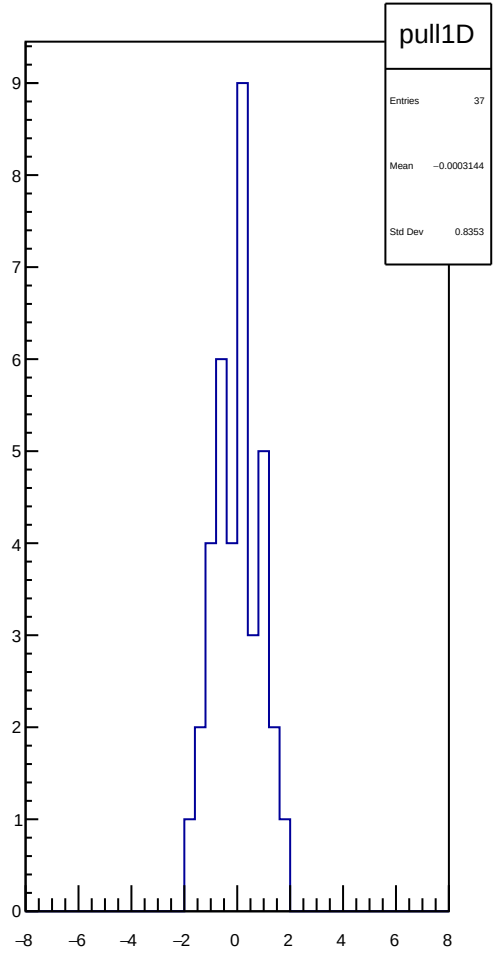
pull1D
Entries 37
Mean −0.0003144
Std Dev 0.8353
9
8
7
6
5
4
3
2
1
0
−8
−6
−4
−2
0
2
4
6
8

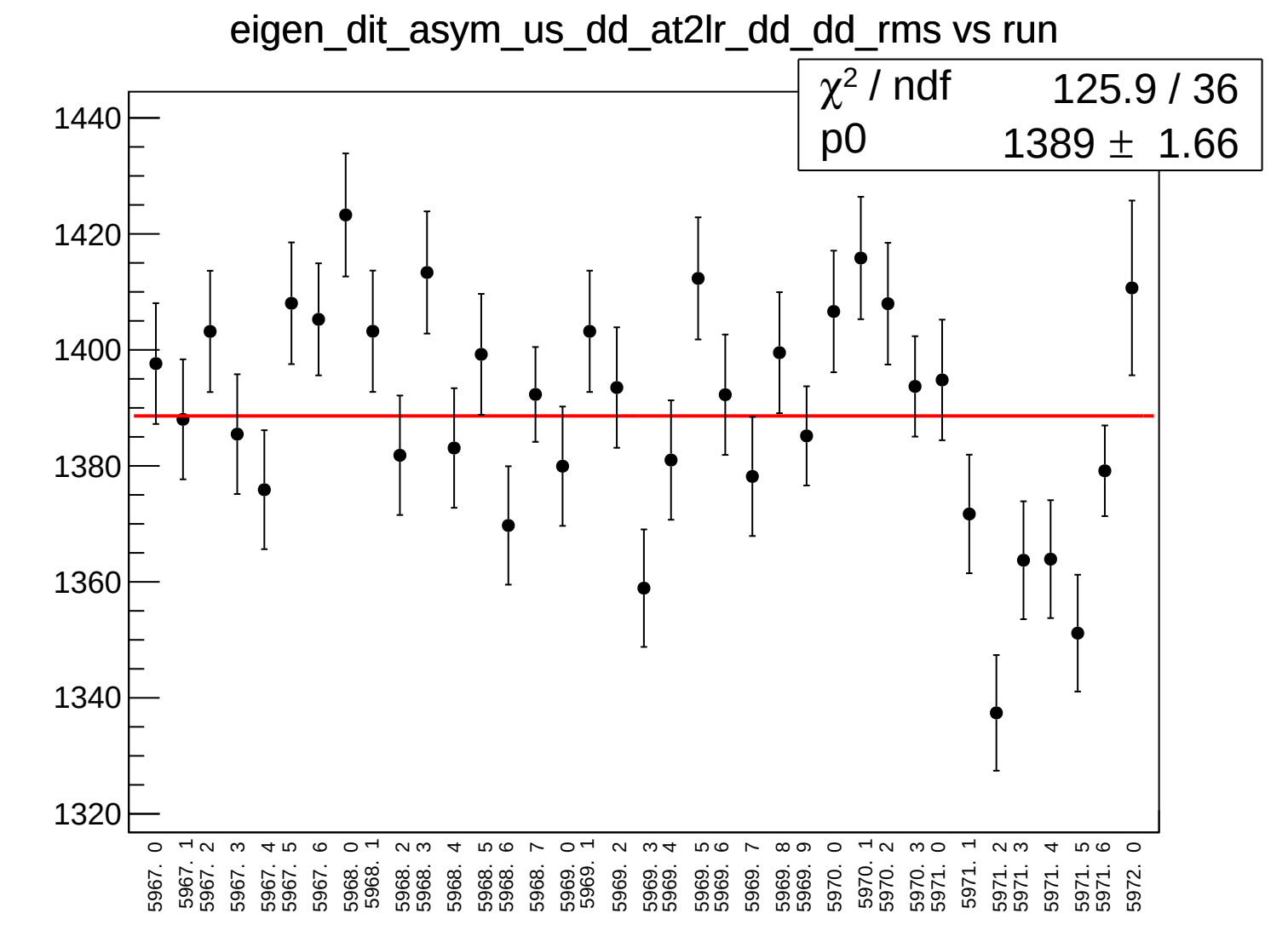
eigen_dit_asym_us_dd_at2lr_dd_dd_rms vs run
χ² / ndf 125.9 / 36
p0 1389 ± 1.66
1440
1420
1400
1380
1360
1340
1320
5967. 0
5967. 1
5967. 2
5967. 3
5967. 4
5967. 5
5967. 6
5968. 0
5968. 1
5968. 2
5968. 3
5968. 4
5968. 5
5968. 6
5968. 7
5969. 0
5969. 1
5969. 2
5969. 3
5969. 4
5969. 5
5969. 6
5969. 7
5969. 8
5969. 9
5970. 0
5970. 1
5970. 2
5970. 3
5971. 0
5971. 1
5971. 2
5971. 3
5971. 4
5971. 5
5971. 6
5972. 0

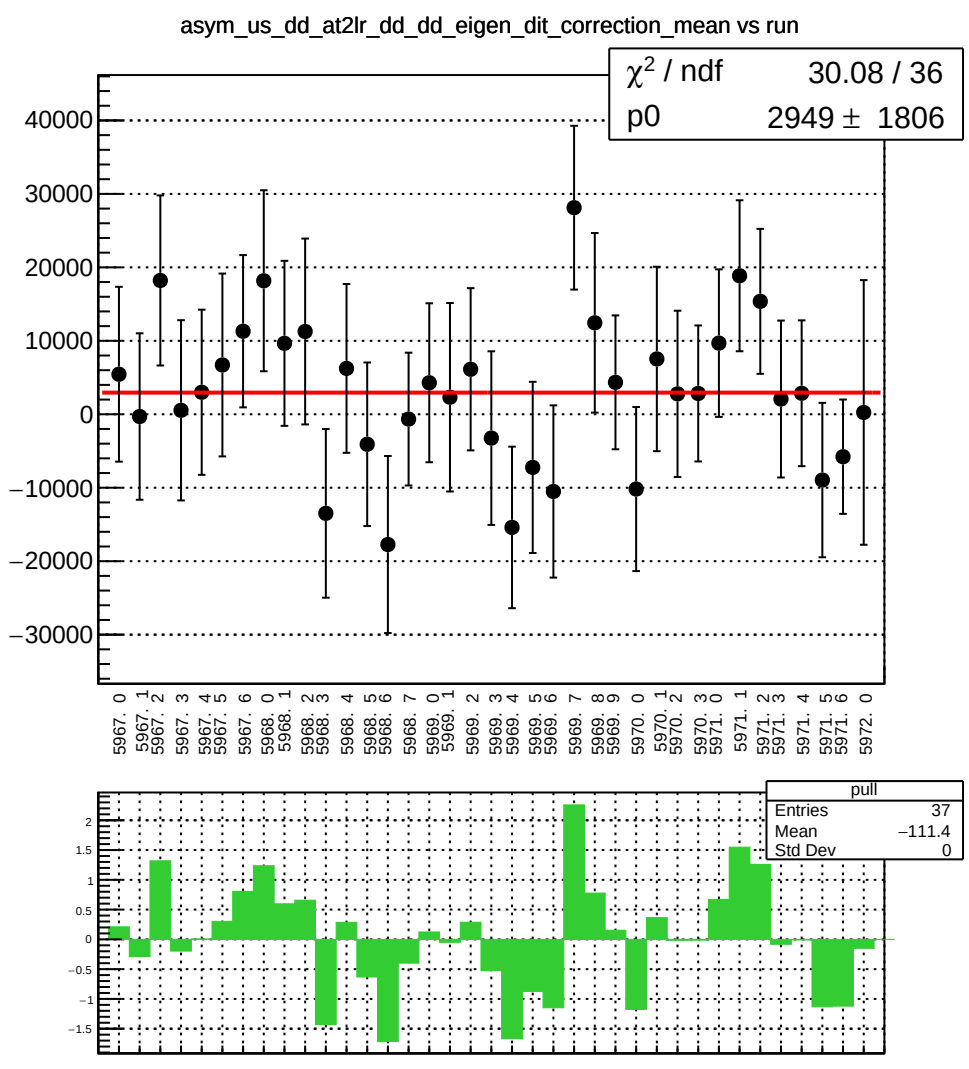
asym_us_dd_at2lr_dd_dd_eigen_dit_correction_mean vs run
χ² / ndf 30.08 / 36
p0 2949 ± 1806
40000
30000
20000
10000
0
−10000
−20000
−30000
5967. 0
5967. 1
5967. 2
5967. 3
5967. 4
5967. 5
5967. 6
5968. 0
5968. 1
5968. 2
5968. 3
5968. 4
5968. 5
5968. 6
5968. 7
5969. 0
5969. 1
5969. 2
5969. 3
5969. 4
5969. 5
5969. 6
5969. 7
5969. 8
5969. 9
5970. 0
5970. 1
5970. 2
5970. 3
5971. 0
5971. 1
5971. 2
5971. 3
5971. 4
5971. 5
5971. 6
5972. 0
pull
Entries 37
Mean −111.4
Std Dev 0
2
1.5
1
0.5
0
−0.5
−1
−1.5
pull1D
Entries 37
Mean 0.006409
Std Dev 0.9016
9
8
7
6
5
4
3
2
1
0
−8
−6
−4
−2
0
2
4
6
8

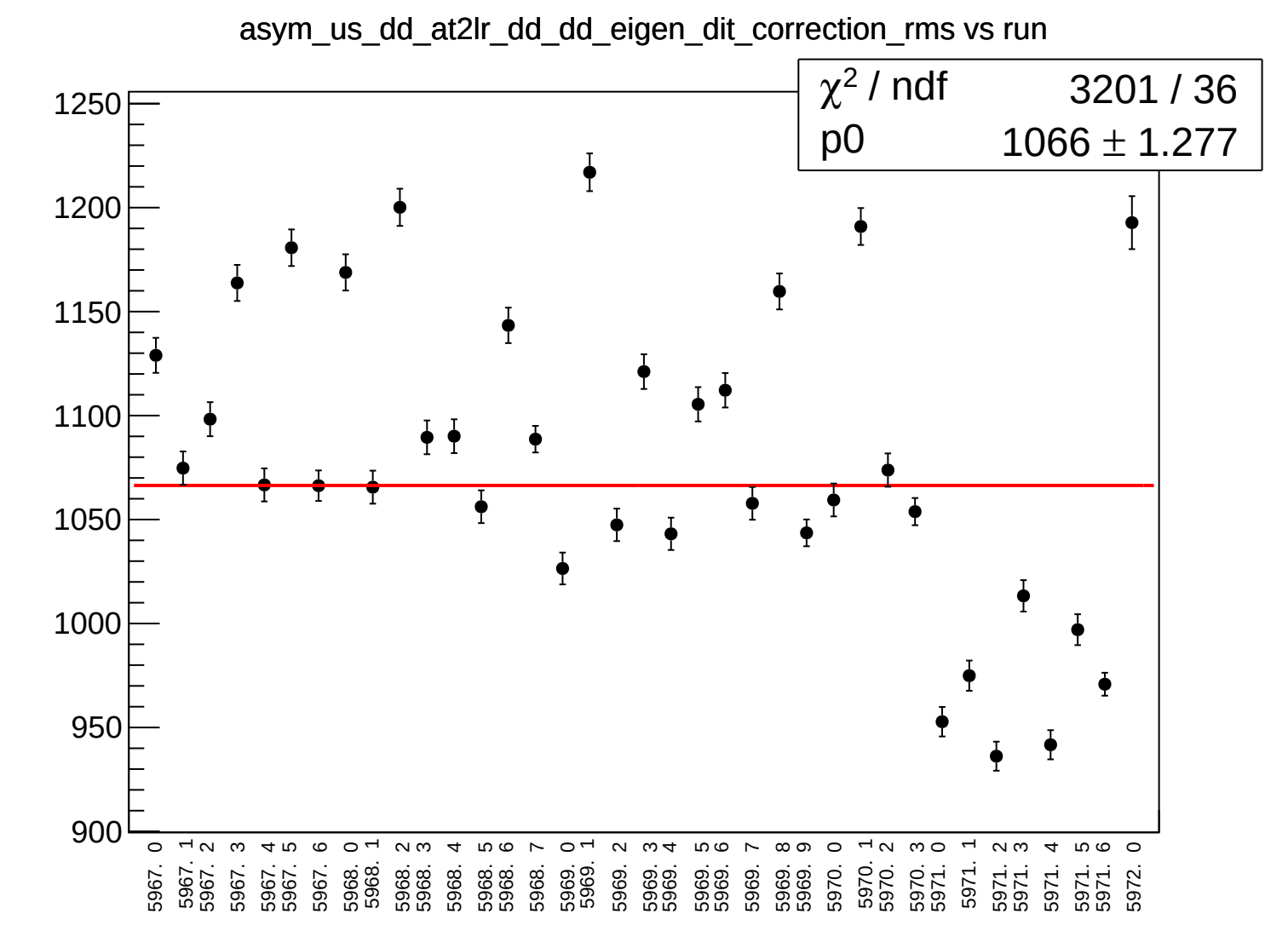
asym_us_dd_at2lr_dd_dd_eigen_dit_correction_rms vs run
χ² / ndf 3201 / 36
p0 1066 ± 1.277
1250
1200
1150
1100
1050
1000
950
900
5967. 0
5967. 1
5967. 2
5967. 3
5967. 4
5967. 5
5967. 6
5968. 0
5968. 1
5968. 2
5968. 3
5968. 4
5968. 5
5968. 6
5968. 7
5969. 0
5969. 1
5969. 2
5969. 3
5969. 4
5969. 5
5969. 6
5969. 7
5969. 8
5969. 9
5970. 0
5970. 1
5970. 2
5970. 3
5971. 0
5971. 1
5971. 2
5971. 3
5971. 4
5971. 5
5971. 6
5972. 0

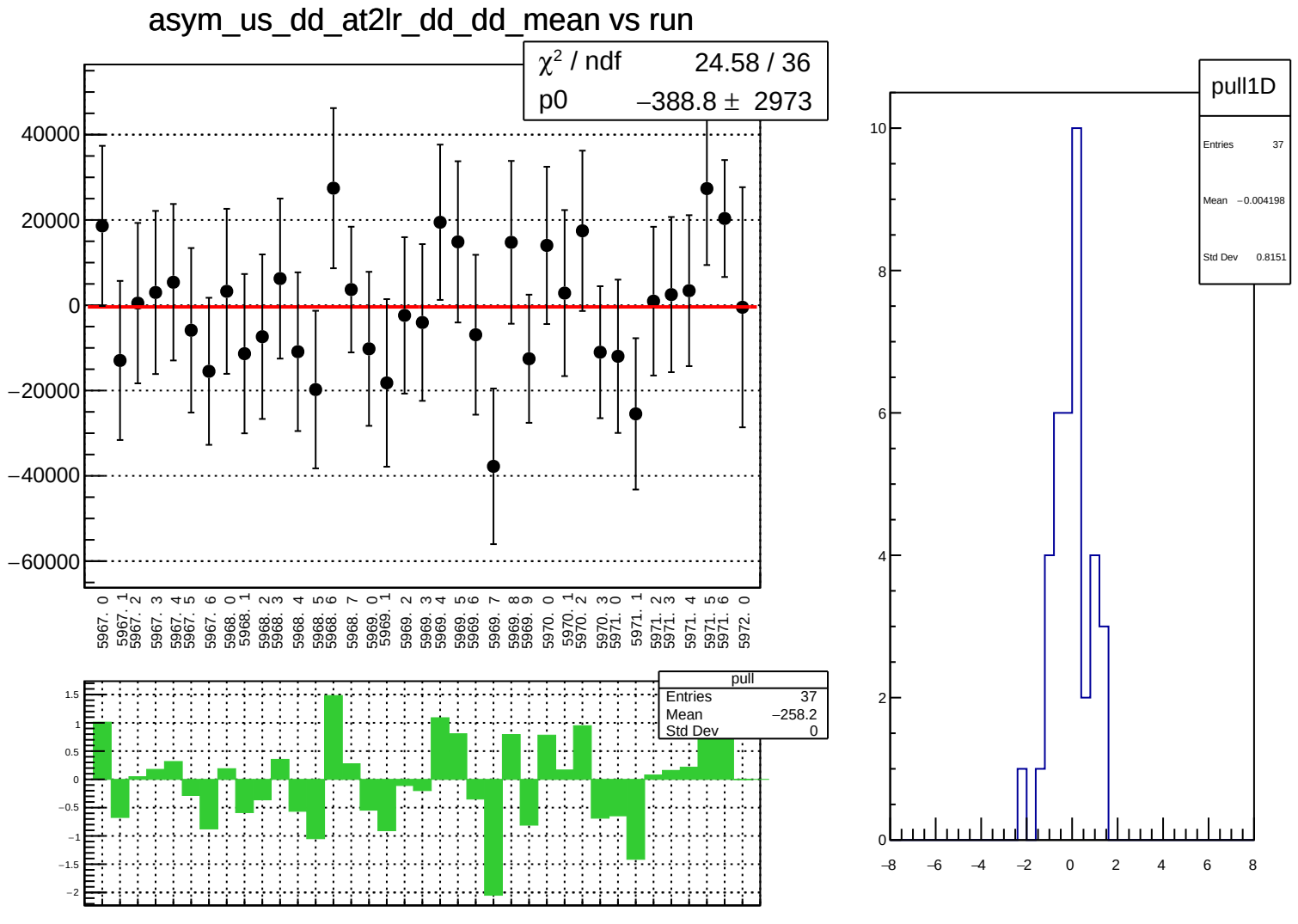
asym_us_dd_at2lr_dd_dd_mean vs run
χ² / ndf 24.58 / 36
p0 −388.8 ± 2973
40000
20000
0
−20000
−40000
−60000
5967. 0
5967. 1
5967. 2
5967. 3
5967. 4
5967. 5
5967. 6
5968. 0
5968. 1
5968. 2
5968. 3
5968. 4
5968. 5
5968. 6
5968. 7
5969. 0
5969. 1
5969. 2
5969. 3
5969. 4
5969. 5
5969. 6
5969. 7
5969. 8
5969. 9
5970. 0
5970. 1
5970. 2
5970. 3
5971. 0
5971. 1
5971. 2
5971. 3
5971. 4
5971. 5
5971. 6
5972. 0
pull
Entries 37
Mean −258.2
Std Dev 0
1.5
1
0.5
0
−0.5
−1
−1.5
−2
pull1D
Entries 37
Mean −0.004198
Std Dev 0.8151
10
8
6
4
2
0
−8
−6
−4
−2
0
2
4
6
8

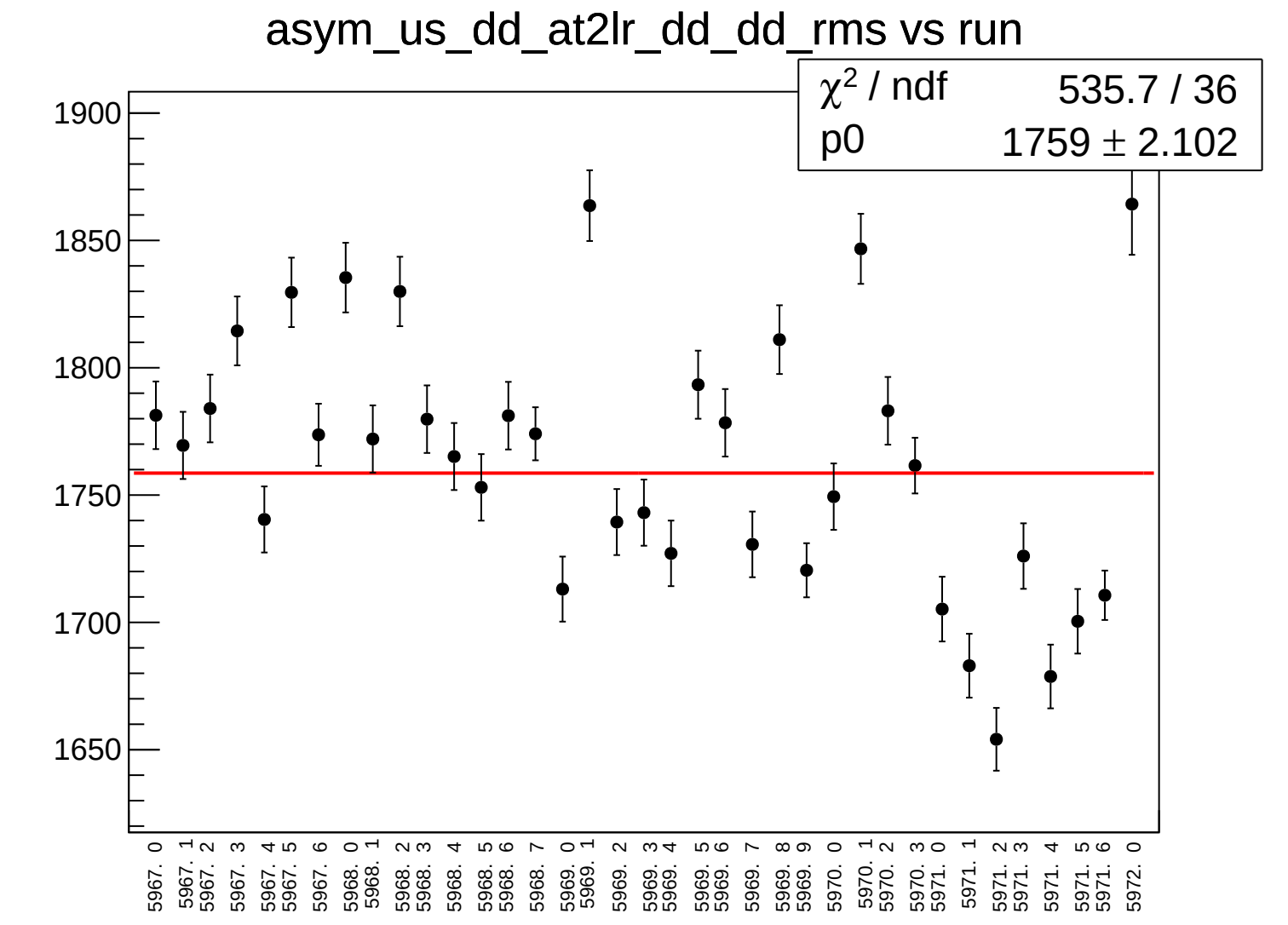
asym_us_dd_at2lr_dd_dd_rms vs run
χ² / ndf 535.7 / 36
p0 1759 ± 2.102
1900
1850
1800
1750
1700
1650
5967. 0
5967. 1
5967. 2
5967. 3
5967. 4
5967. 5
5967. 6
5968. 0
5968. 1
5968. 2
5968. 3
5968. 4
5968. 5
5968. 6
5968. 7
5969. 0
5969. 1
5969. 2
5969. 3
5969. 4
5969. 5
5969. 6
5969. 7
5969. 8
5969. 9
5970. 0
5970. 1
5970. 2
5970. 3
5971. 0
5971. 1
5971. 2
5971. 3
5971. 4
5971. 5
5971. 6
5972. 0

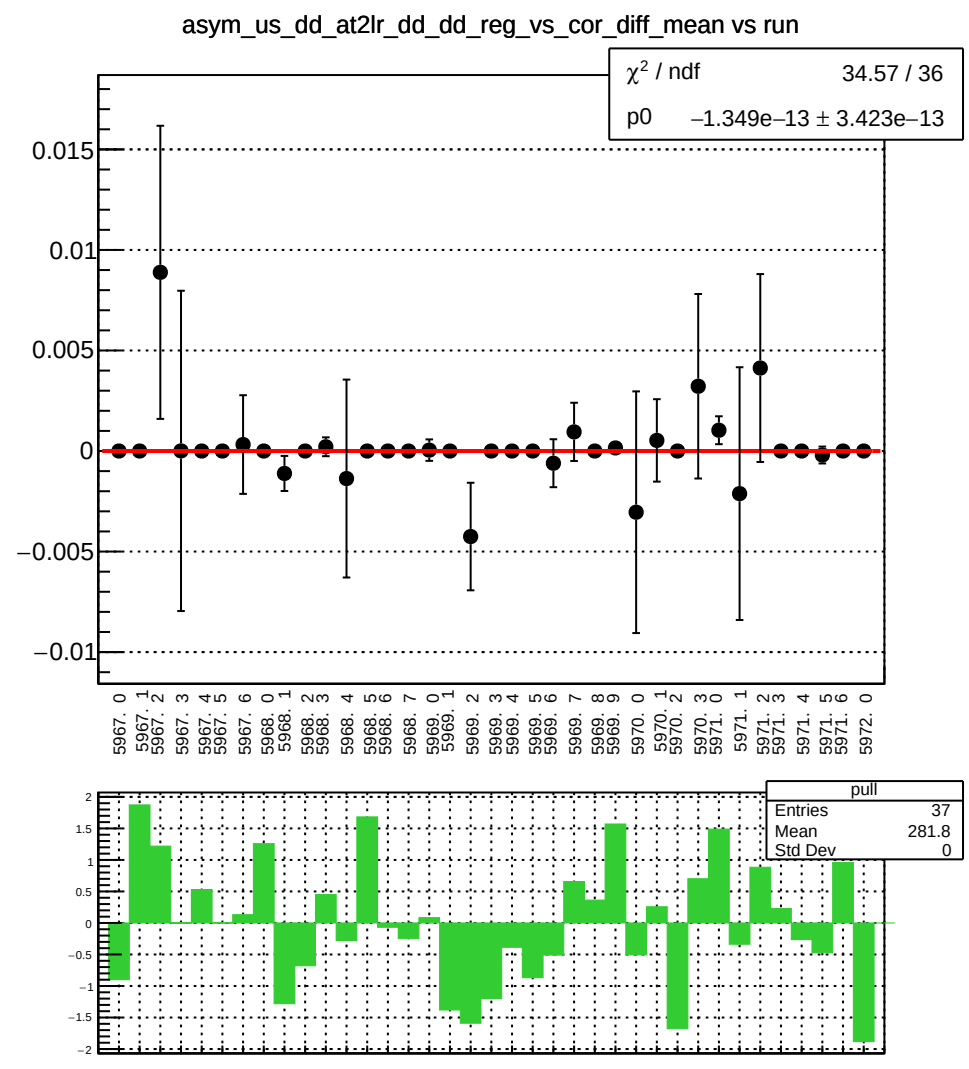
asym_us_dd_at2lr_dd_dd_reg_vs_cor_diff_mean vs run
χ² / ndf 34.57 / 36
p0 −1.349e−13 ± 3.423e−13
0.015
0.01
0.005
0
−0.005
−0.01
5967. 0
5967. 1
5967. 2
5967. 3
5967. 4
5967. 5
5967. 6
5968. 0
5968. 1
5968. 2
5968. 3
5968. 4
5968. 5
5968. 6
5968. 7
5969. 0
5969. 1
5969. 2
5969. 3
5969. 4
5969. 5
5969. 6
5969. 7
5969. 8
5969. 9
5970. 0
5970. 1
5970. 2
5970. 3
5971. 0
5971. 1
5971. 2
5971. 3
5971. 4
5971. 5
5971. 6
5972. 0
pull
Entries 37
Mean 281.8
Std Dev 0
2
1.5
1
0.5
0
−0.5
−1
−1.5
−2

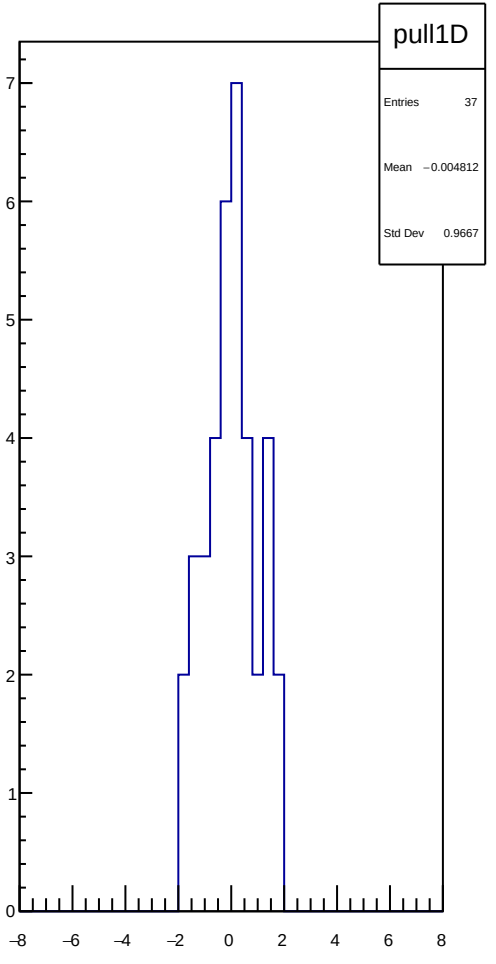
pull1D
Entries 37
Mean −0.004812
Std Dev 0.9667
7
6
5
4
3
2
1
0
−8
−6
−4
−2
0
2
4
6
8

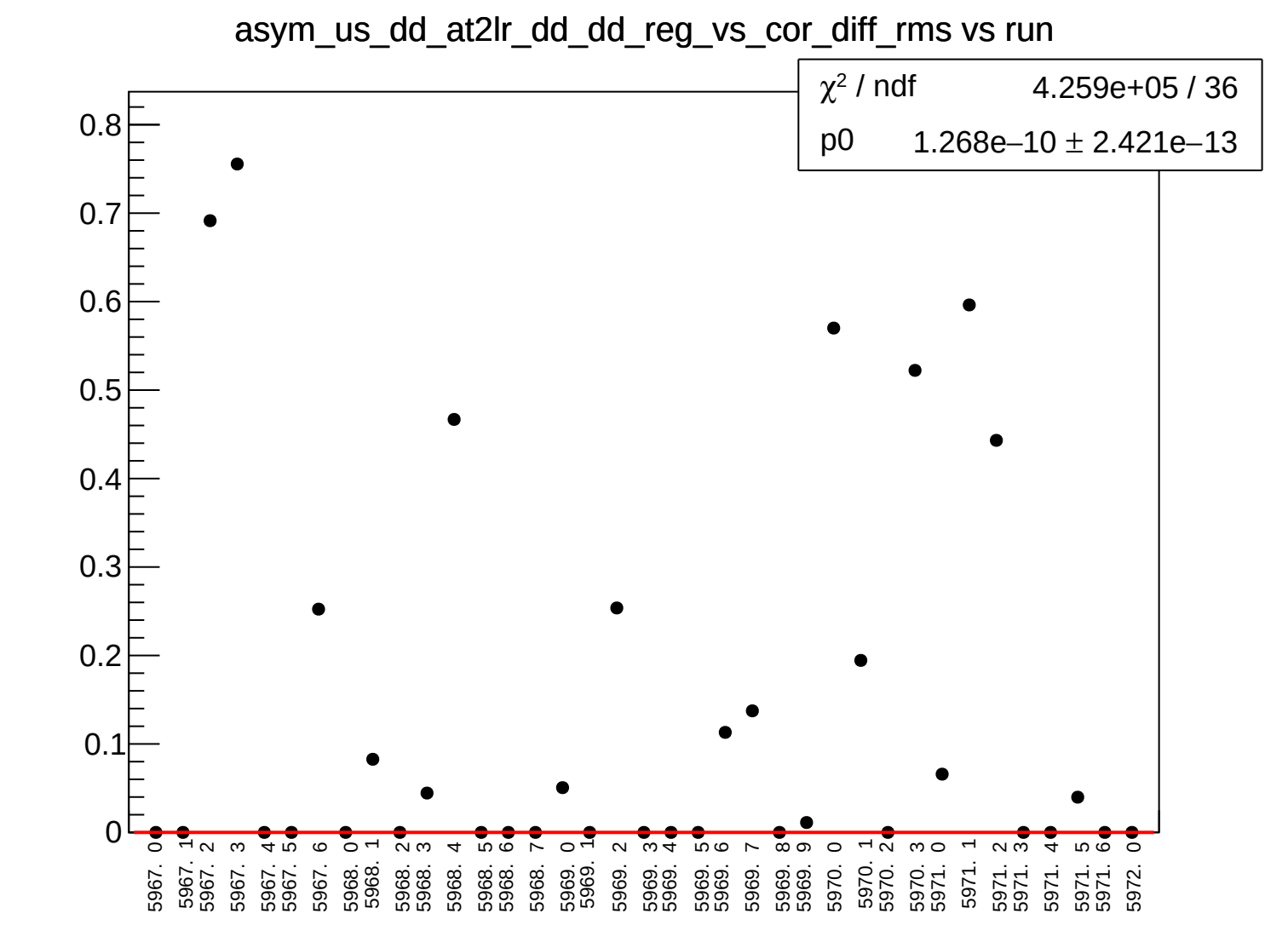
asym_us_dd_at2lr_dd_dd_reg_vs_cor_diff_rms vs run
χ² / ndf 4.259e+05 / 36
p0 1.268e−10 ± 2.421e−13
0.8
0.7
0.6
0.5
0.4
0.3
0.2
0.1
0
5967. 0
5967. 1
5967. 2
5967. 3
5967. 4
5967. 5
5967. 6
5968. 0
5968. 1
5968. 2
5968. 3
5968. 4
5968. 5
5968. 6
5968. 7
5969. 0
5969. 1
5969. 2
5969. 3
5969. 4
5969. 5
5969. 6
5969. 7
5969. 8
5969. 9
5970. 0
5970. 1
5970. 2
5970. 3
5971. 0
5971. 1
5971. 2
5971. 3
5971. 4
5971. 5
5971. 6
5972. 0

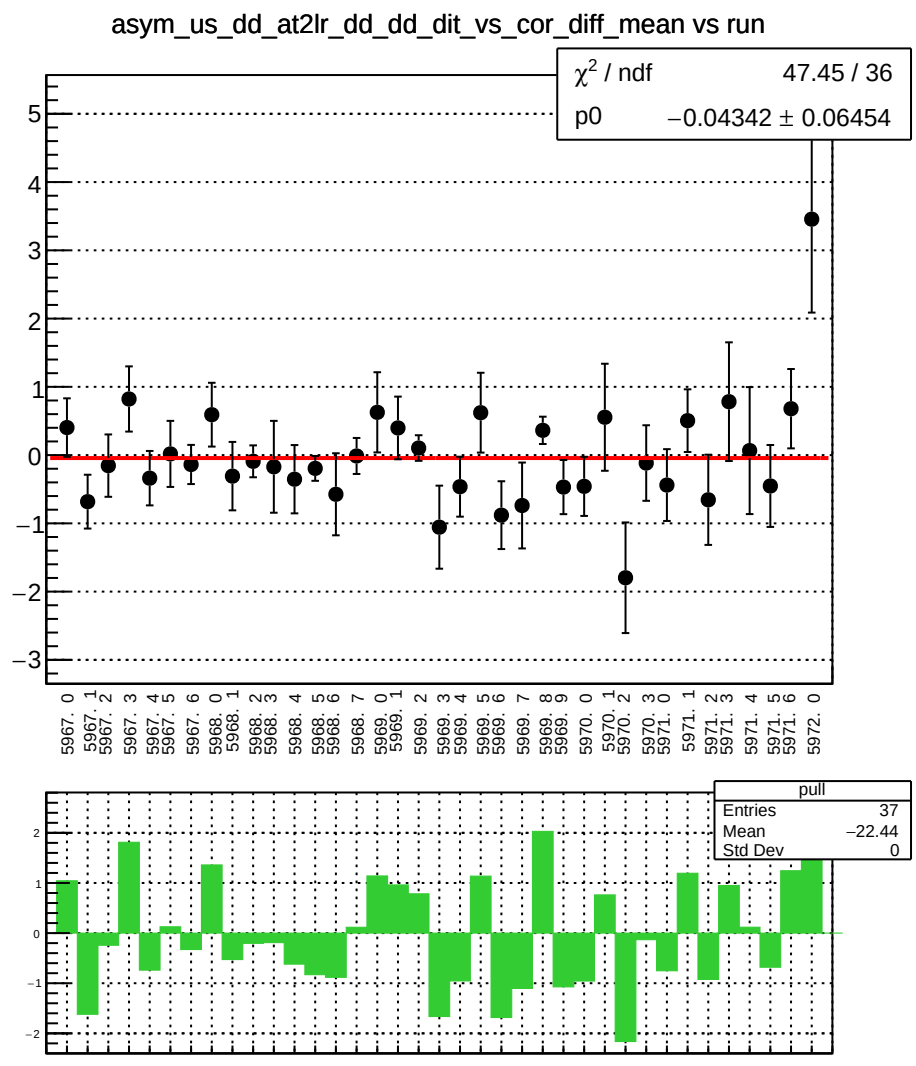
asym_us_dd_at2lr_dd_dd_dit_vs_cor_diff_mean vs run
χ² / ndf 47.45 / 36
p0 −0.04342 ± 0.06454
pull
Entries 37
Mean −22.44
Std Dev 0

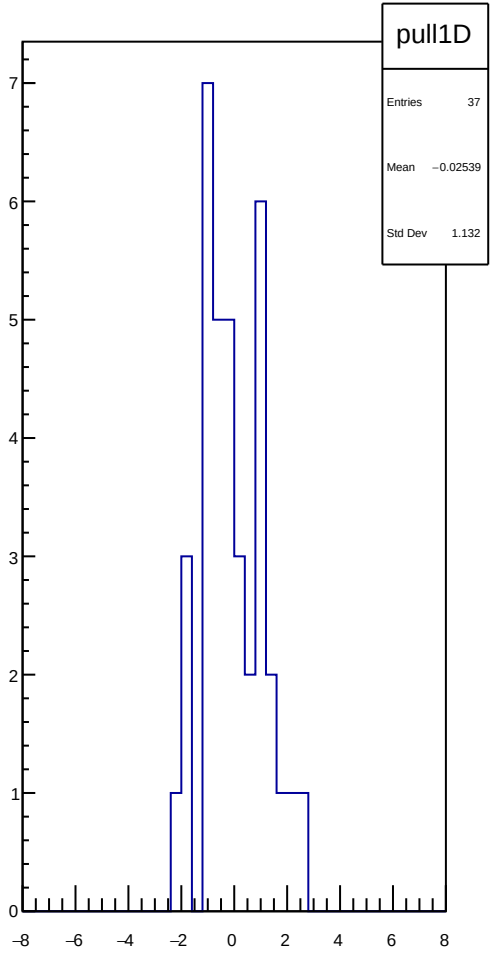
pull1D
Entries 37
Mean −0.02539
Std Dev 1.132

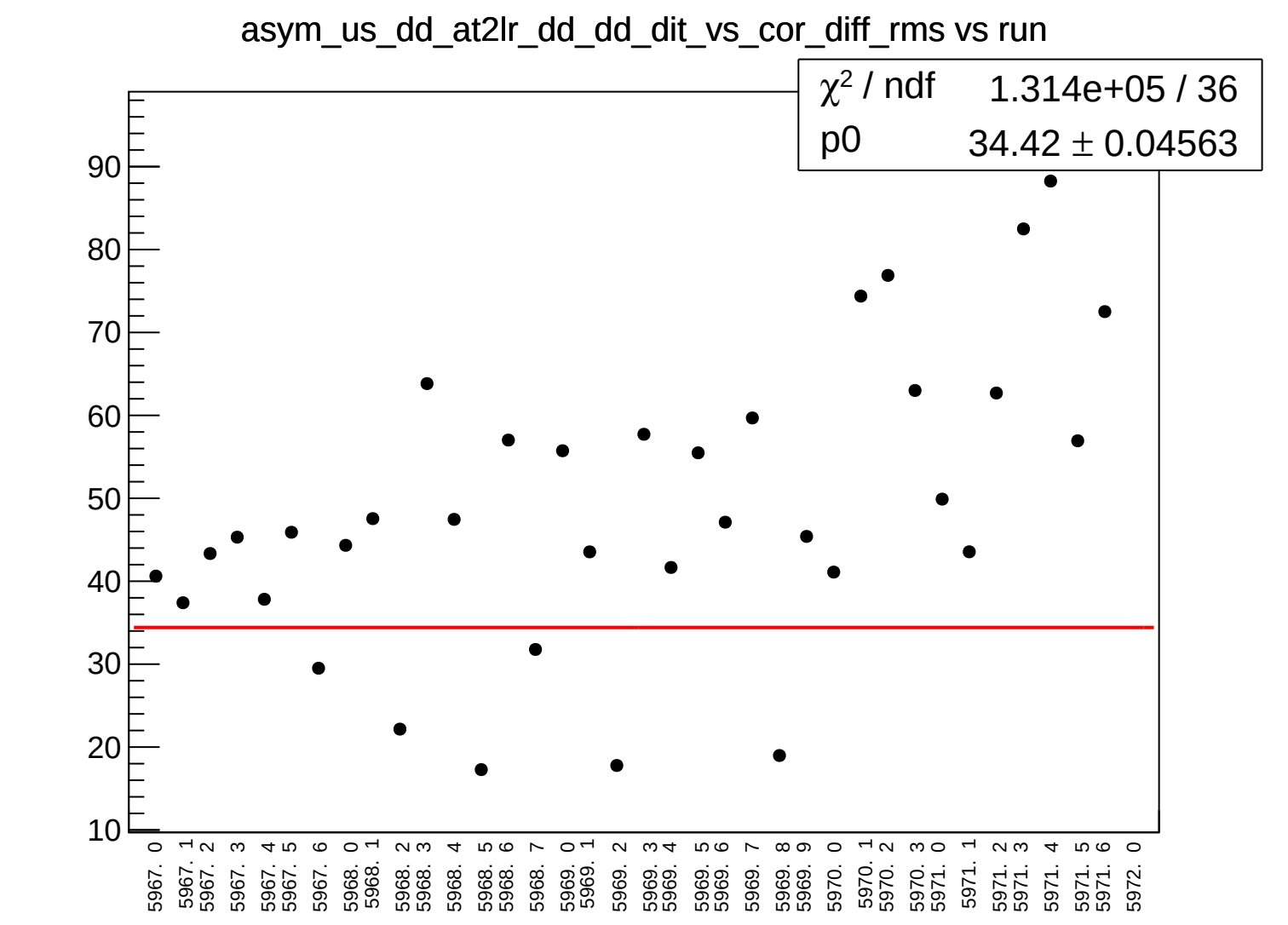
asym_us_dd_at2lr_dd_dd_dit_vs_cor_diff_rms vs run
χ² / ndf 1.314e+05 / 36
p0 34.42 ± 0.04563
90
80
70
60
50
40
30
20
10
5967. 0
5967. 1
5967. 2
5967. 3
5967. 4
5967. 5
5967. 6
5968. 0
5968. 1
5968. 2
5968. 3
5968. 4
5968. 5
5968. 6
5968. 7
5969. 0
5969. 1
5969. 2
5969. 3
5969. 4
5969. 5
5969. 6
5969. 7
5969. 8
5969. 9
5970. 0
5970. 1
5970. 2
5970. 3
5971. 0
5971. 1
5971. 2
5971. 3
5971. 4
5971. 5
5971. 6
5972. 0

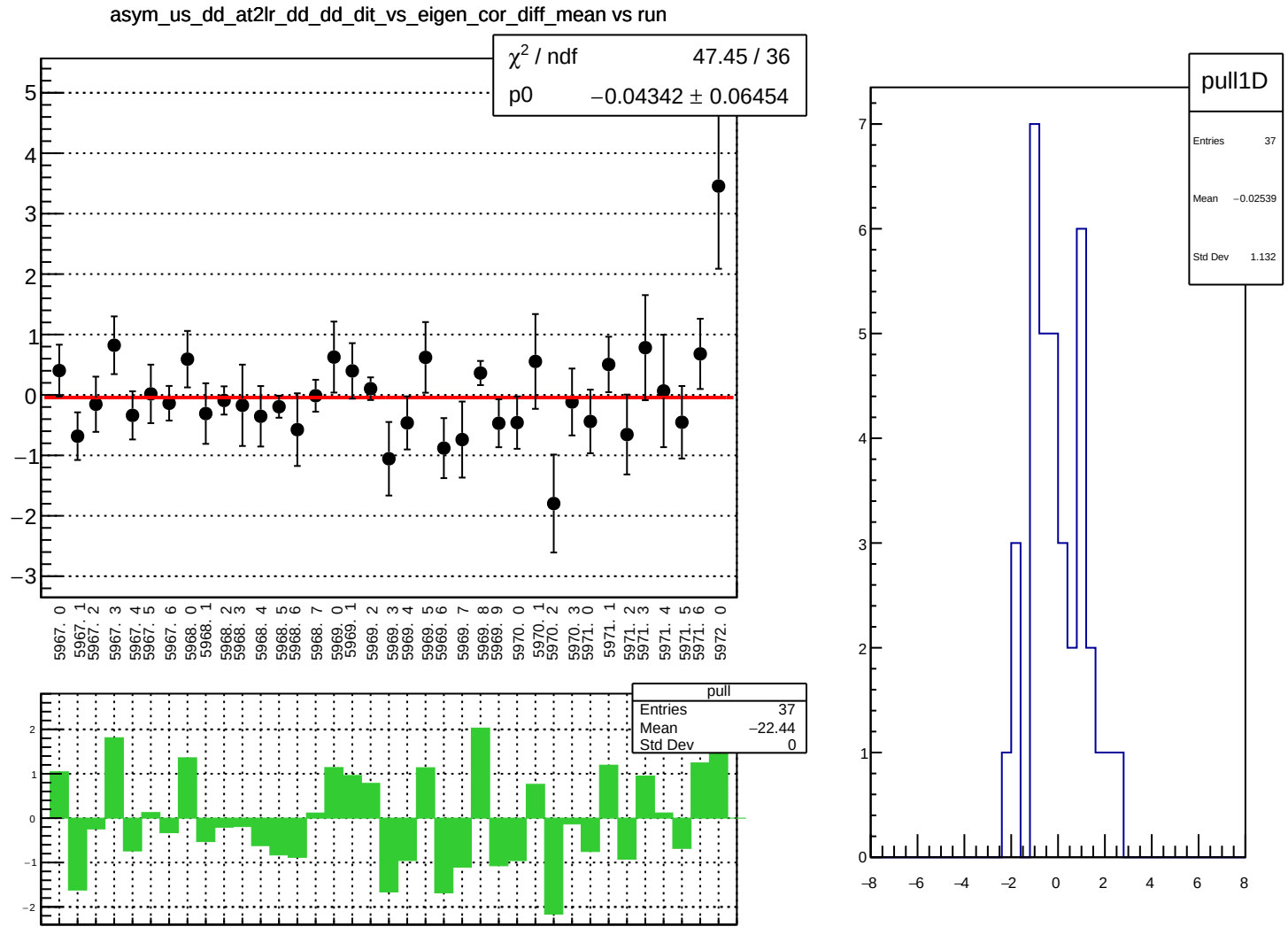
asym_us_dd_at2lr_dd_dd_dit_vs_eigen_cor_diff_mean vs run
χ² / ndf 47.45 / 36
p0 −0.04342 ± 0.06454
pull
Entries 37
Mean −22.44
Std Dev 0
pull1D
Entries 37
Mean −0.02539
Std Dev 1.132

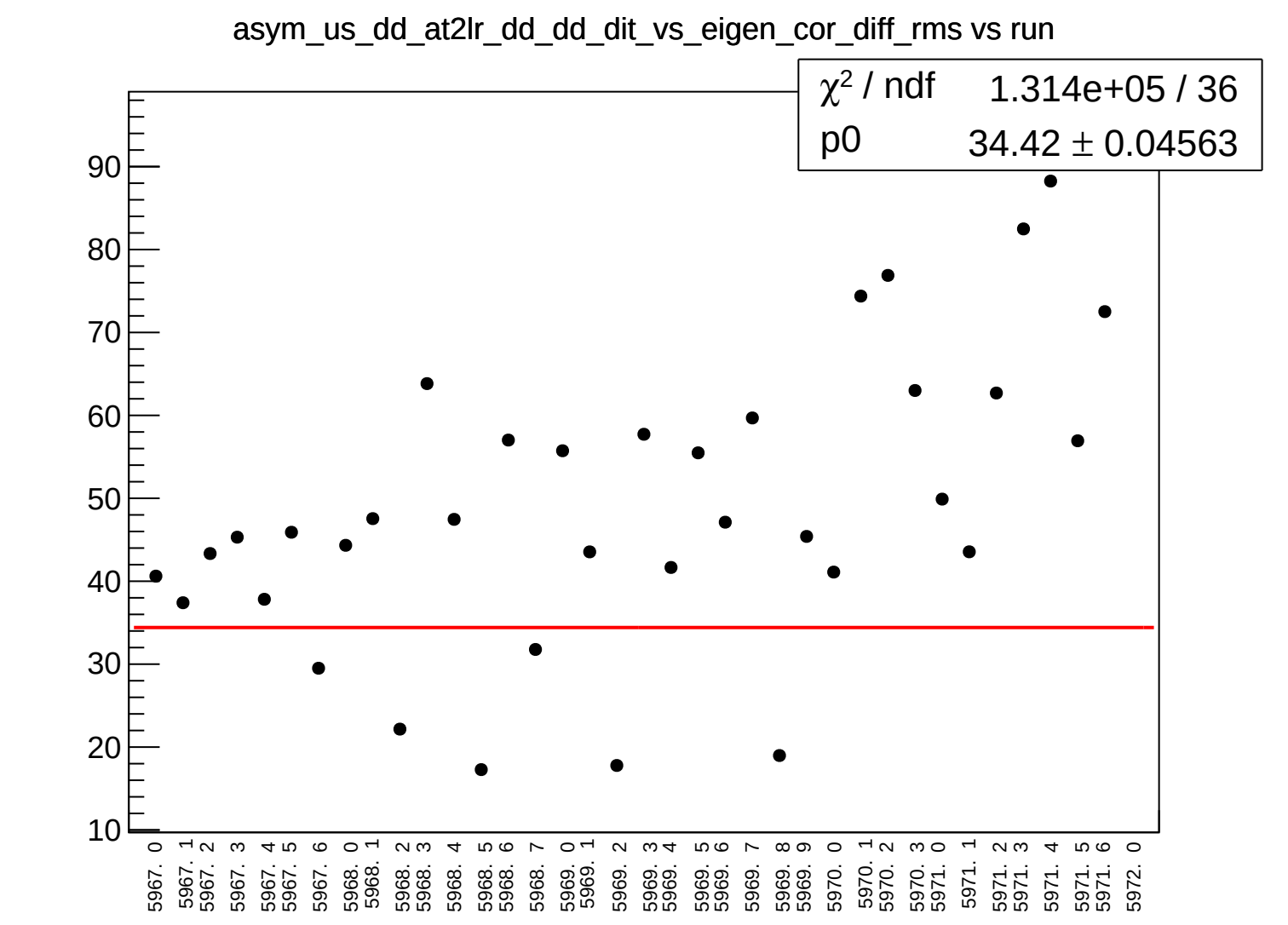
asym_us_dd_at2lr_dd_dd_dit_vs_eigen_cor_diff_rms vs run
χ² / ndf 1.314e+05 / 36
p0 34.42 ± 0.04563
90
80
70
60
50
40
30
20
10
5967. 0
5967. 1
5967. 2
5967. 3
5967. 4
5967. 5
5967. 6
5968. 0
5968. 1
5968. 2
5968. 3
5968. 4
5968. 5
5968. 6
5968. 7
5969. 0
5969. 1
5969. 2
5969. 3
5969. 4
5969. 5
5969. 6
5969. 7
5969. 8
5969. 9
5970. 0
5970. 1
5970. 2
5970. 3
5971. 0
5971. 1
5971. 2
5971. 3
5971. 4
5971. 5
5971. 6
5972. 0

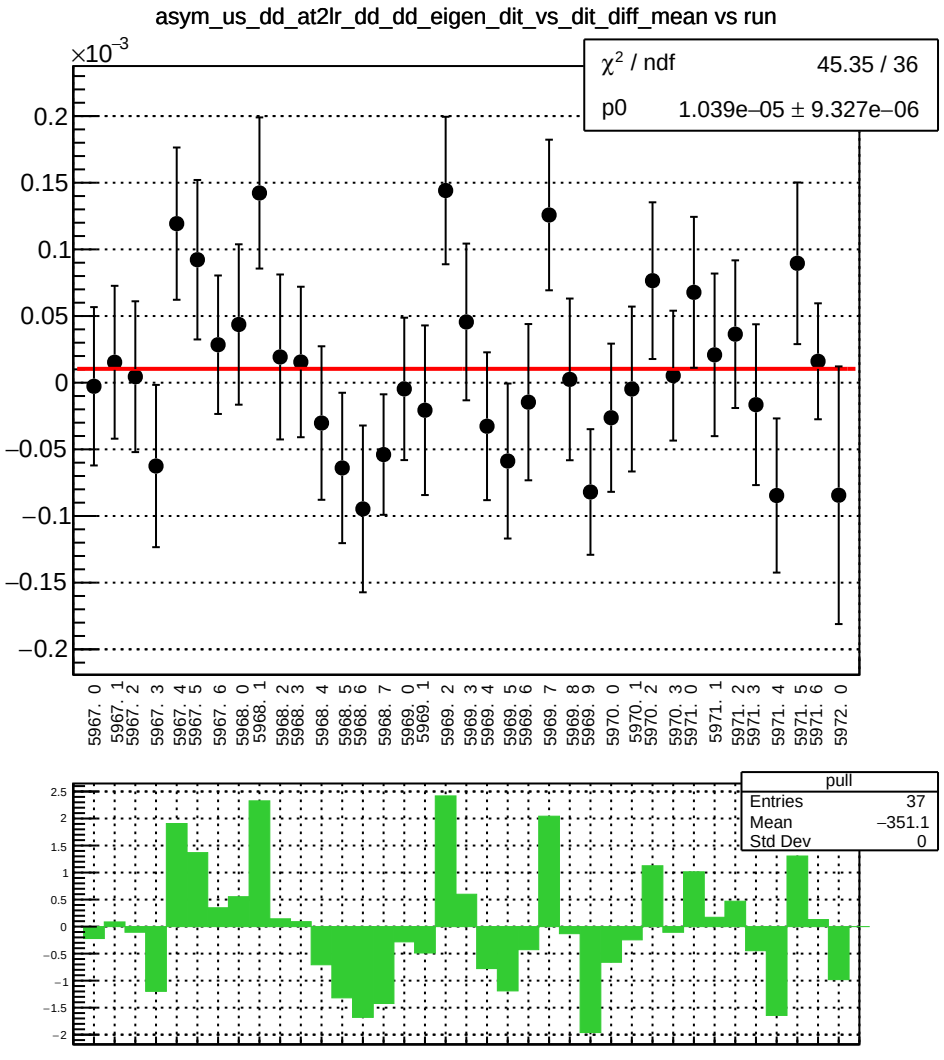
asym_us_dd_at2lr_dd_dd_eigen_dit_vs_dit_diff_mean vs run
×10⁻³
χ² / ndf 45.35 / 36
p0 1.039e−05 ± 9.327e−06
0.2
0.15
0.1
0.05
0
−0.05
−0.1
−0.15
−0.2
5967. 0
5967. 1
5967. 2
5967. 3
5967. 4
5967. 5
5967. 6
5968. 0
5968. 1
5968. 2
5968. 3
5968. 4
5968. 5
5968. 6
5968. 7
5969. 0
5969. 1
5969. 2
5969. 3
5969. 4
5969. 5
5969. 6
5969. 7
5969. 8
5969. 9
5970. 0
5970. 1
5970. 2
5970. 3
5971. 0
5971. 1
5971. 2
5971. 3
5971. 4
5971. 5
5971. 6
5972. 0
pull
Entries 37
Mean −351.1
Std Dev 0
2.5
2
1.5
1
0.5
0
−0.5
−1
−1.5
−2

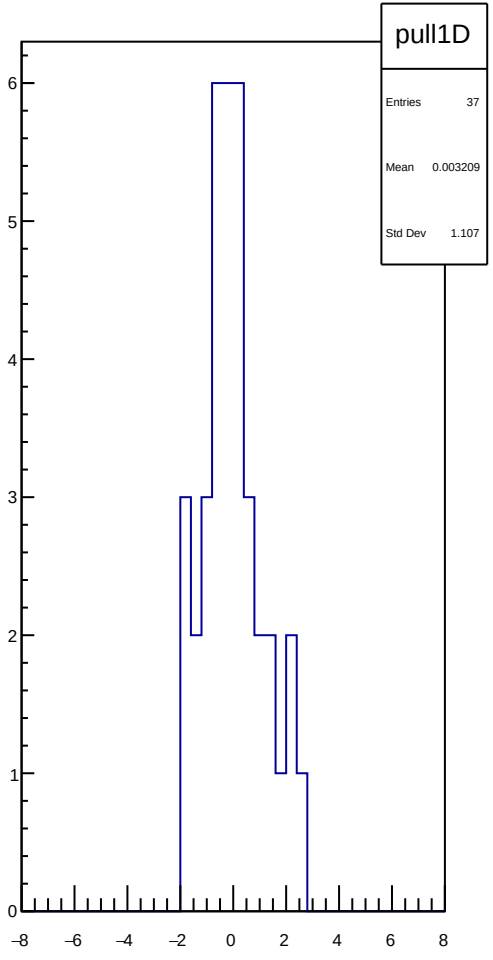
pull1D
Entries 37
Mean 0.003209
Std Dev 1.107
6
5
4
3
2
1
0
−8
−6
−4
−2
0
2
4
6
8

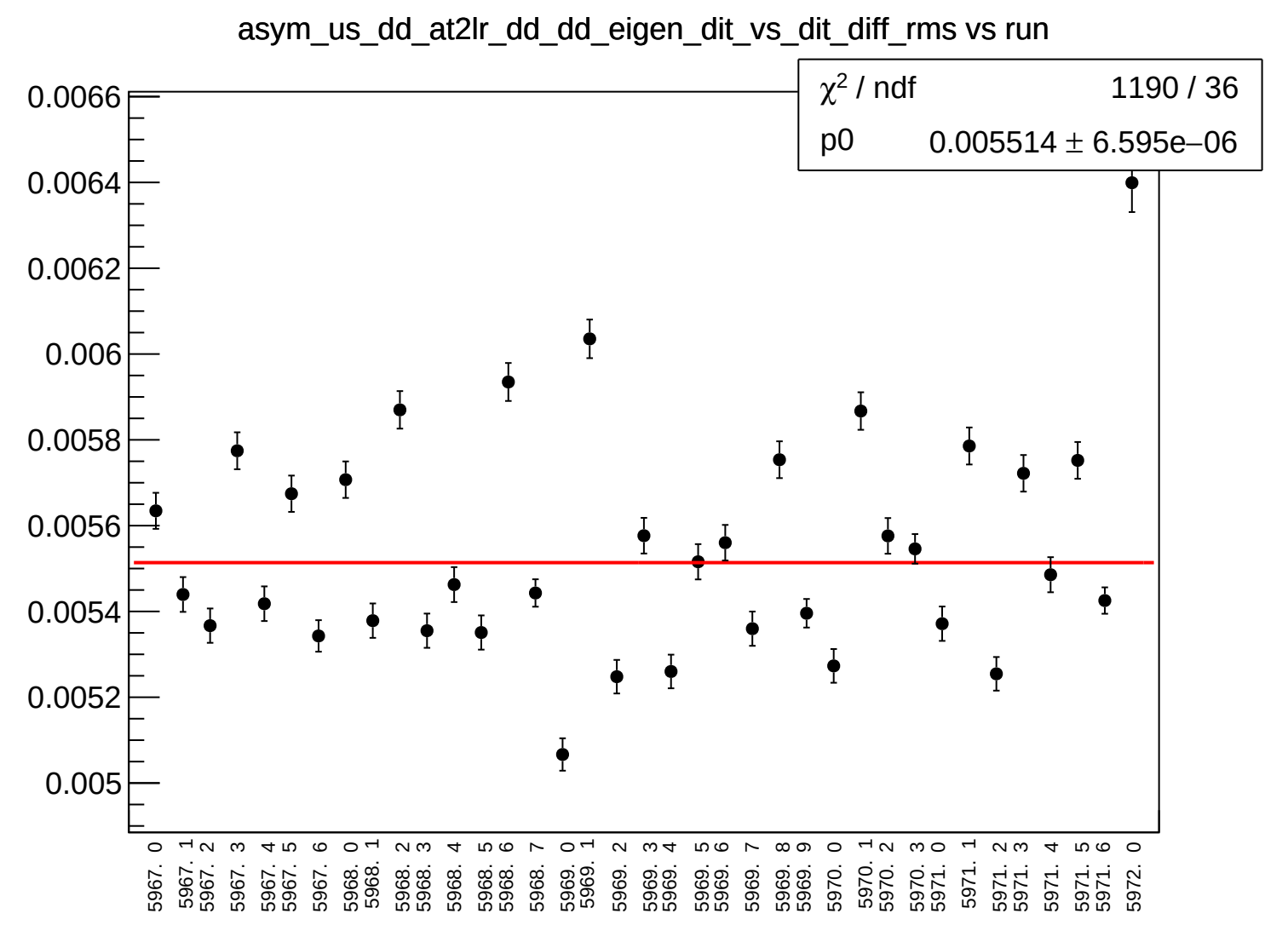
asym_us_dd_at2lr_dd_dd_eigen_dit_vs_dit_diff_rms vs run
χ² / ndf 1190 / 36
p0 0.005514 ± 6.595e−06
0.0066
0.0064
0.0062
0.006
0.0058
0.0056
0.0054
0.0052
0.005
5967. 0
5967. 1
5967. 2
5967. 3
5967. 4
5967. 5
5967. 6
5968. 0
5968. 1
5968. 2
5968. 3
5968. 4
5968. 5
5968. 6
5968. 7
5969. 0
5969. 1
5969. 2
5969. 3
5969. 4
5969. 5
5969. 6
5969. 7
5969. 8
5969. 9
5970. 0
5970. 1
5970. 2
5970. 3
5971. 0
5971. 1
5971. 2
5971. 3
5971. 4
5971. 5
5971. 6
5972. 0

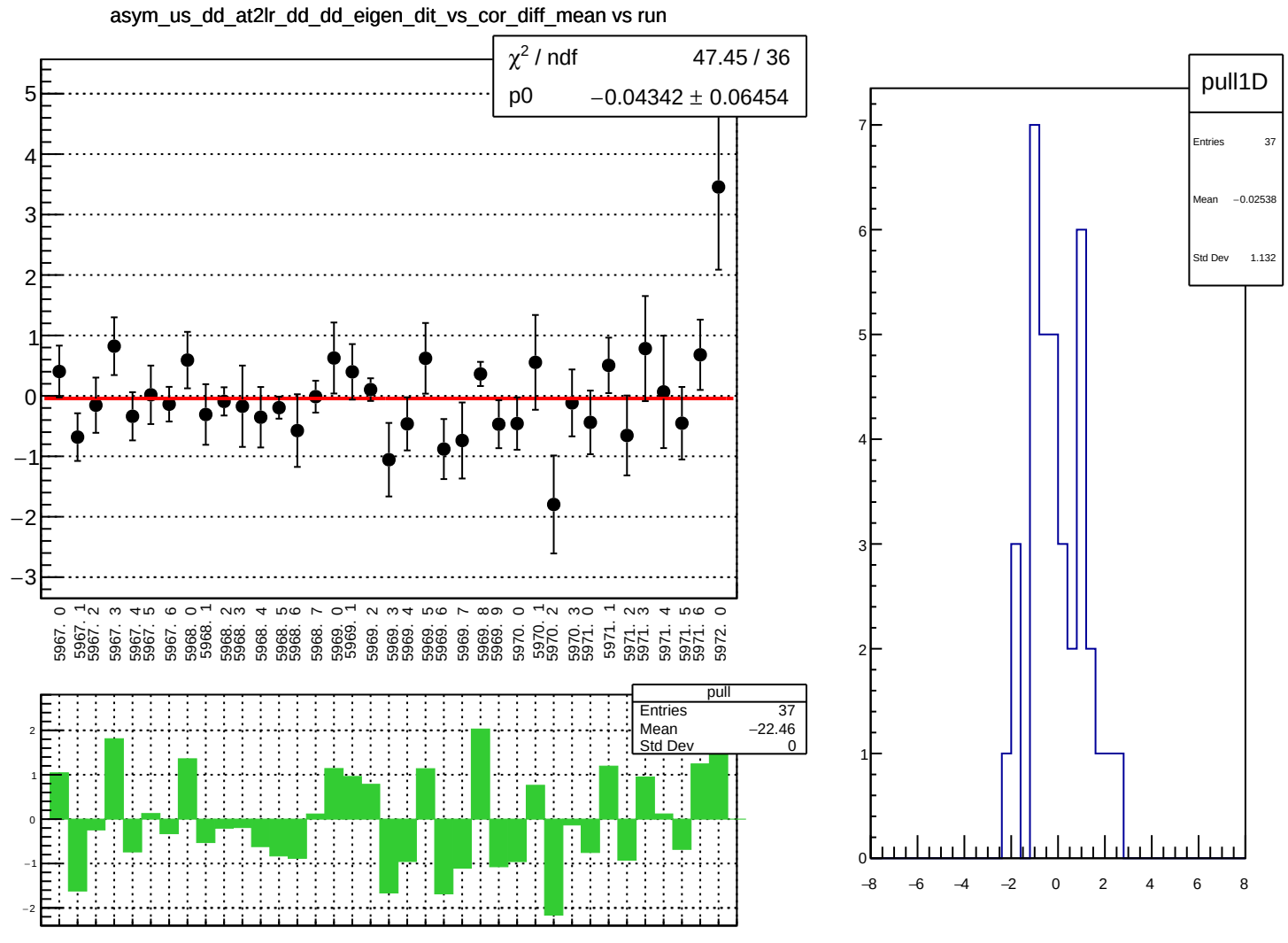
asym_us_dd_at2lr_dd_dd_eigen_dit_vs_cor_diff_mean vs run
χ² / ndf 47.45 / 36
p0 −0.04342 ± 0.06454
pull
Entries 37
Mean −22.46
Std Dev 0
pull1D
Entries 37
Mean −0.02538
Std Dev 1.132

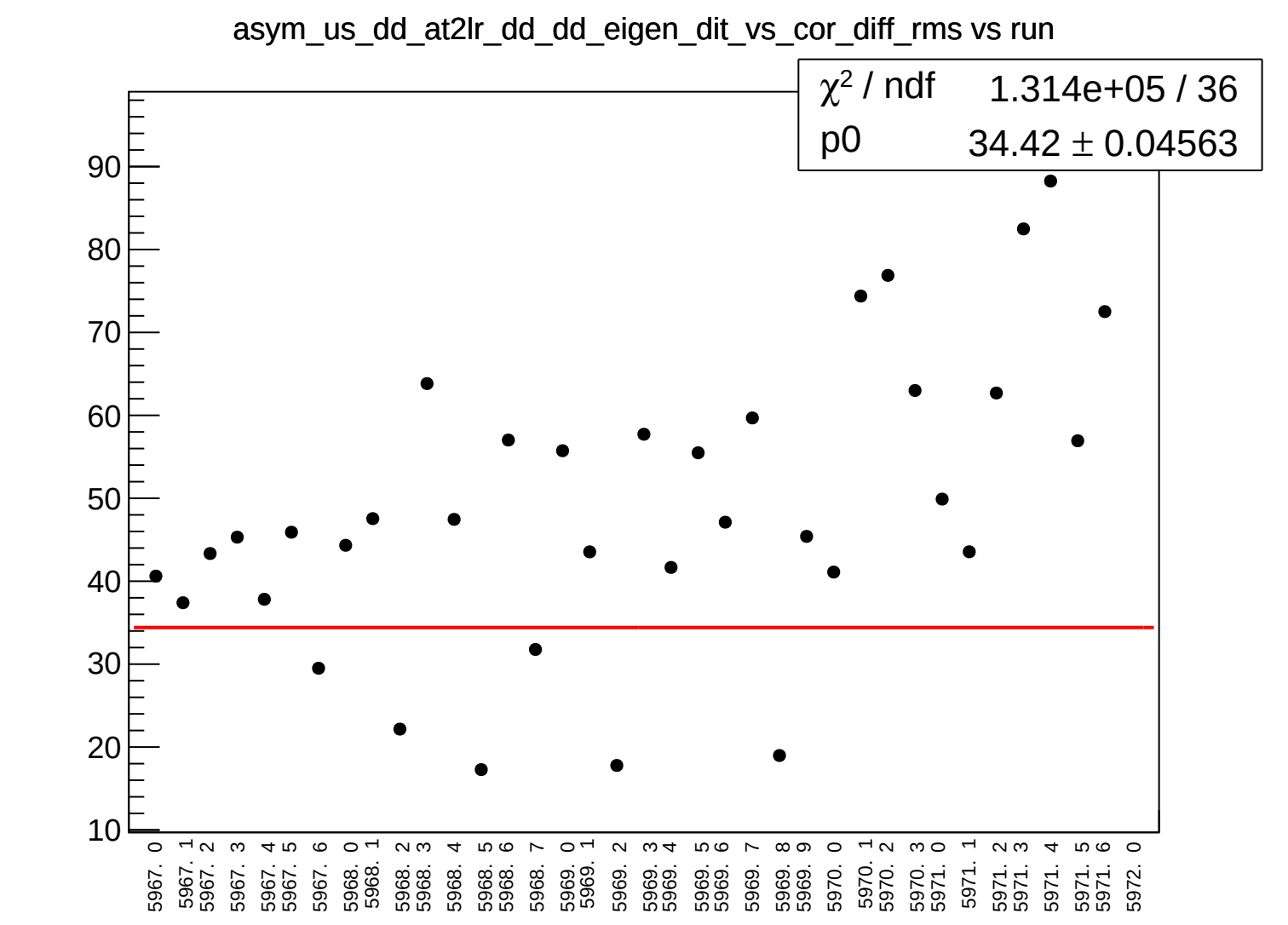
asym_us_dd_at2lr_dd_dd_eigen_dit_vs_cor_diff_rms vs run
χ² / ndf 1.314e+05 / 36
p0 34.42 ± 0.04563
90
80
70
60
50
40
30
20
10
5967. 0
5967. 1
5967. 2
5967. 3
5967. 4
5967. 5
5967. 6
5968. 0
5968. 1
5968. 2
5968. 3
5968. 4
5968. 5
5968. 6
5968. 7
5969. 0
5969. 1
5969. 2
5969. 3
5969. 4
5969. 5
5969. 6
5969. 7
5969. 8
5969. 9
5970. 0
5970. 1
5970. 2
5970. 3
5971. 0
5971. 1
5971. 2
5971. 3
5971. 4
5971. 5
5971. 6
5972. 0

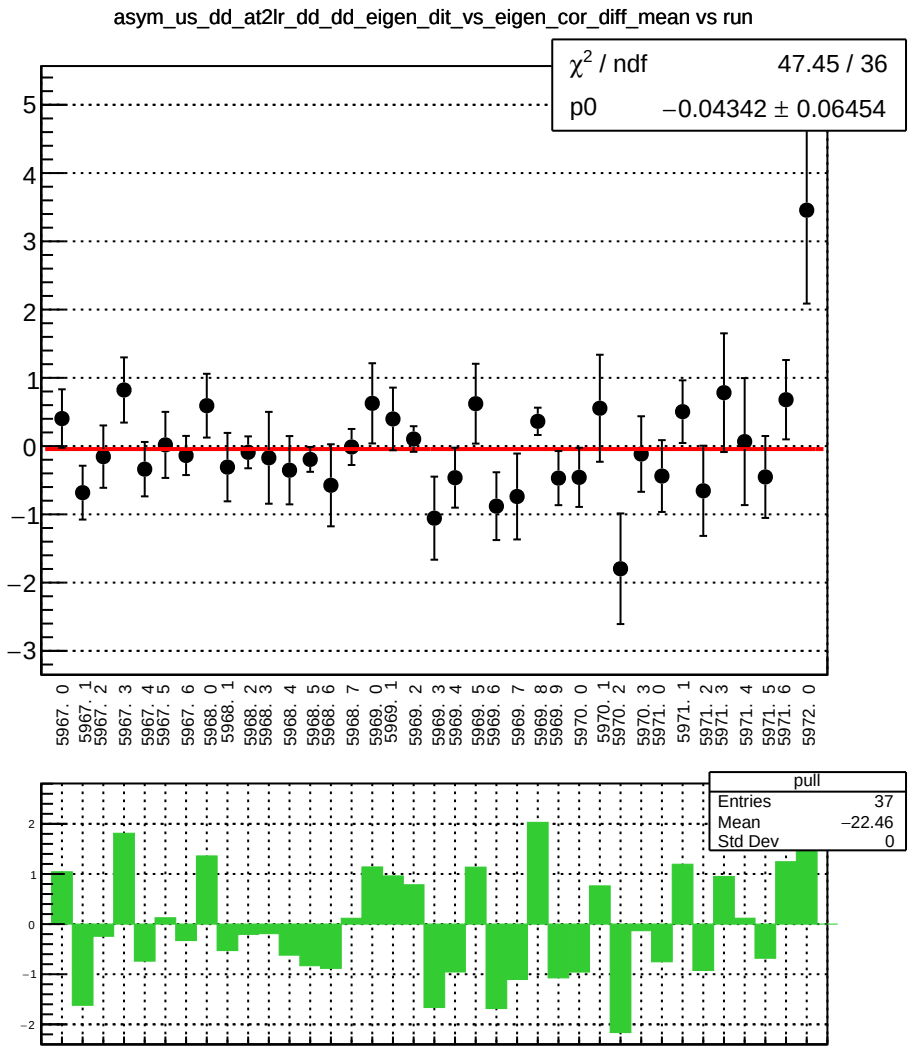
asym_us_dd_at2lr_dd_dd_eigen_dit_vs_eigen_cor_diff_mean vs run
χ² / ndf 47.45 / 36
p0 −0.04342 ± 0.06454
pull
Entries 37
Mean −22.46
Std Dev 0

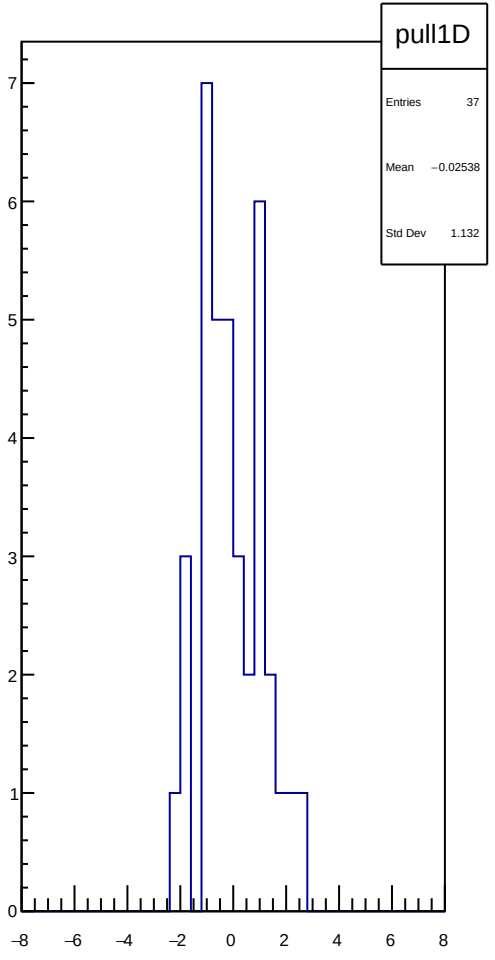
pull1D
Entries 37
Mean −0.02538
Std Dev 1.132

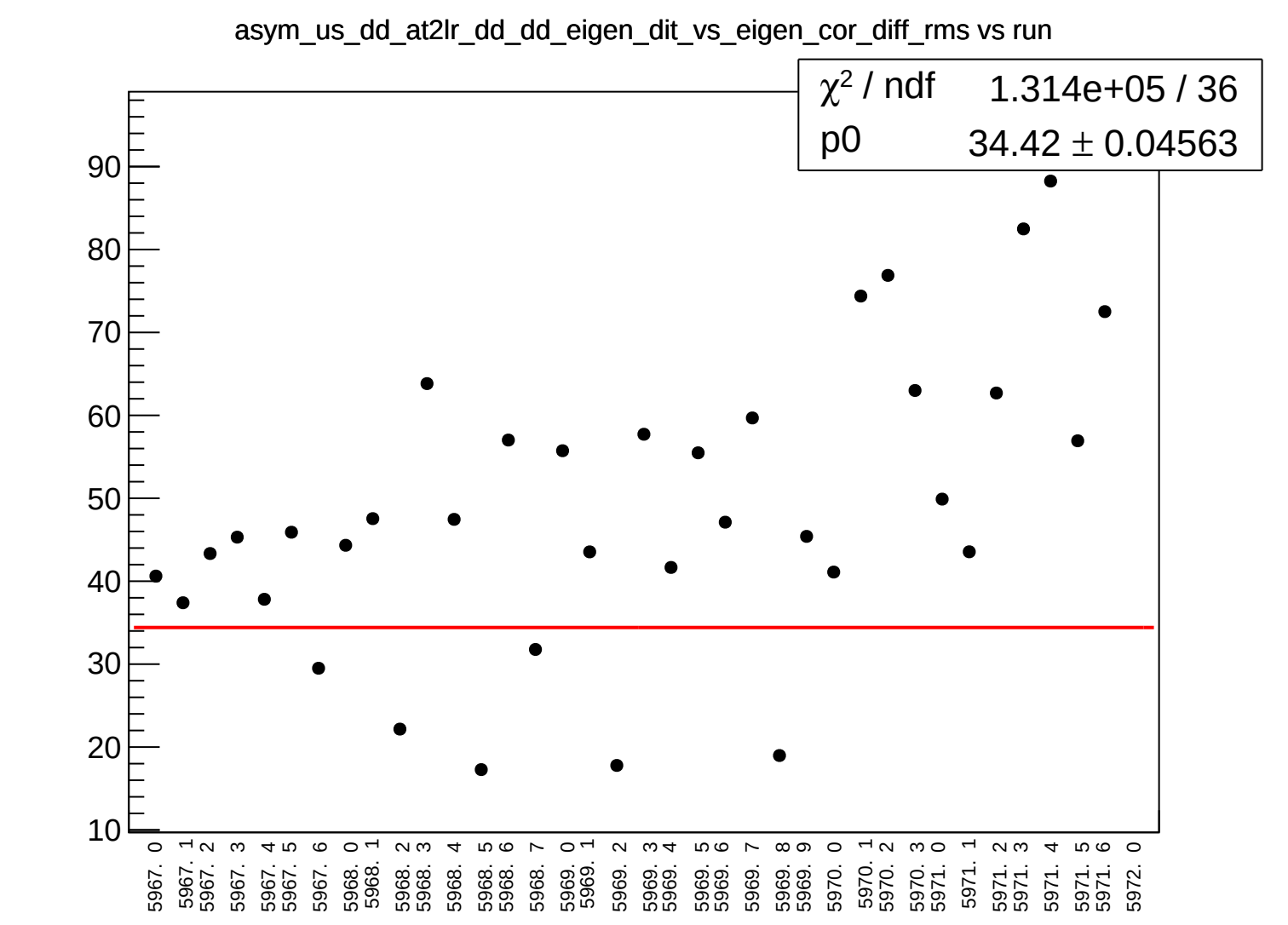
asym_us_dd_at2lr_dd_dd_eigen_dit_vs_eigen_cor_diff_rms vs run
χ² / ndf 1.314e+05 / 36
p0 34.42 ± 0.04563
90
80
70
60
50
40
30
20
10
5967. 0
5967. 1
5967. 2
5967. 3
5967. 4
5967. 5
5967. 6
5968. 0
5968. 1
5968. 2
5968. 3
5968. 4
5968. 5
5968. 6
5968. 7
5969. 0
5969. 1
5969. 2
5969. 3
5969. 4
5969. 5
5969. 6
5969. 7
5969. 8
5969. 9
5970. 0
5970. 1
5970. 2
5970. 3
5971. 0
5971. 1
5971. 2
5971. 3
5971. 4
5971. 5
5971. 6
5972. 0

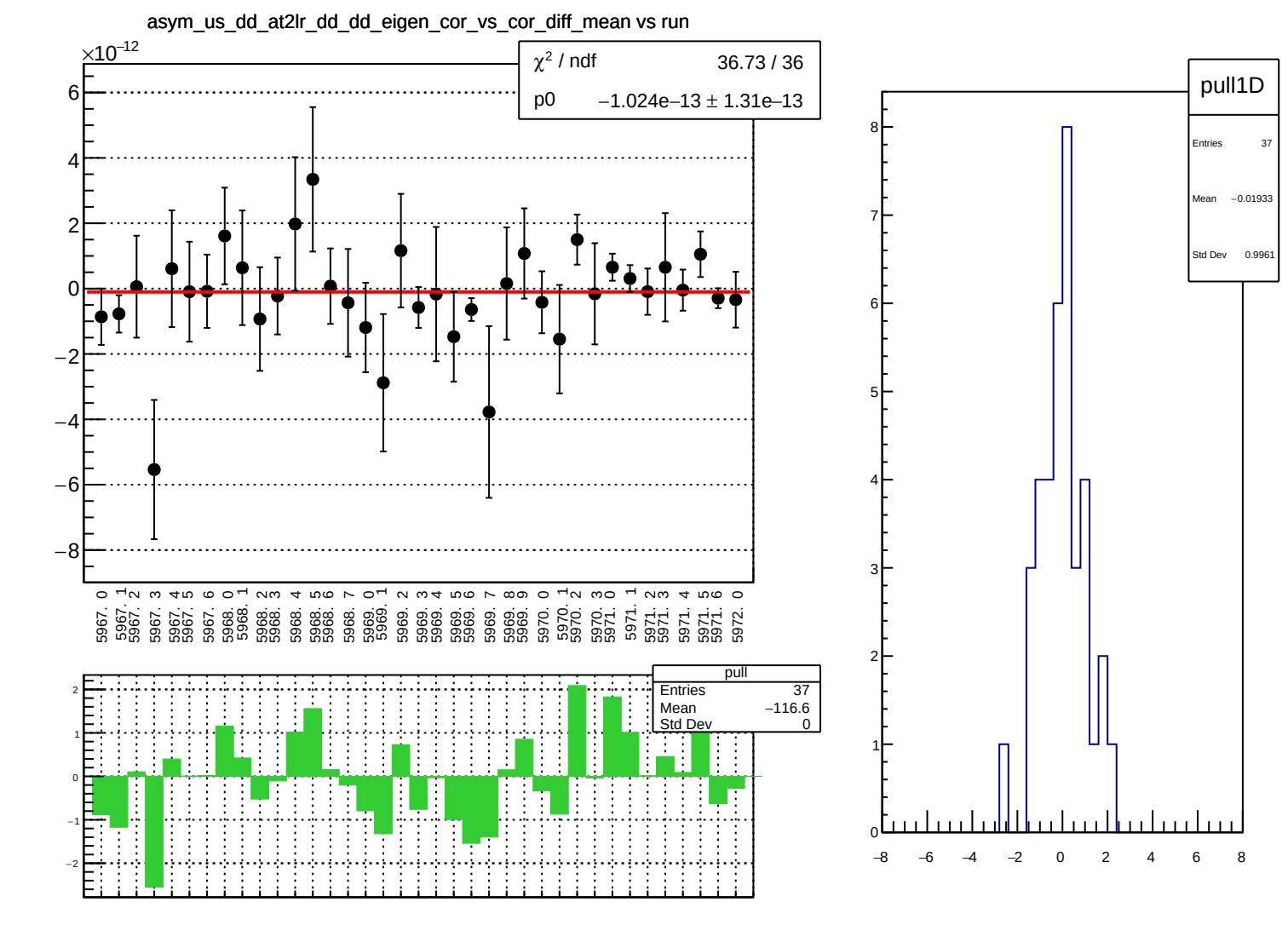
asym_us_dd_at2lr_dd_dd_eigen_cor_vs_cor_diff_mean vs run
×10⁻¹²
χ² / ndf 36.73 / 36
p0 −1.024e−13 ± 1.31e−13
pull
Entries 37
Mean −116.6
Std Dev 0
pull1D
Entries 37
Mean −0.01933
Std Dev 0.9961

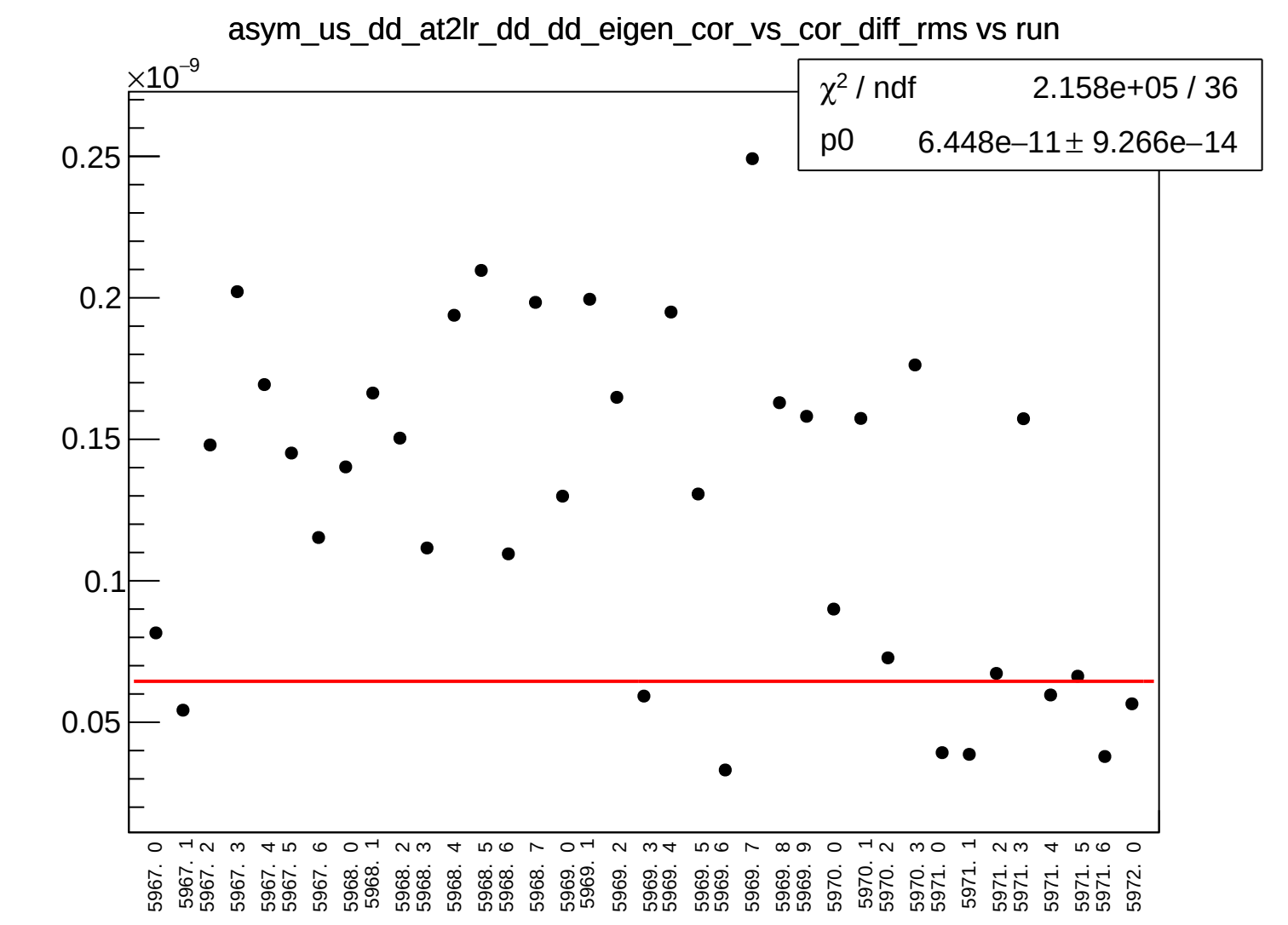
asym_us_dd_at2lr_dd_dd_eigen_cor_vs_cor_diff_rms vs run
×10⁻⁹
χ² / ndf 2.158e+05 / 36
p0 6.448e−11 ± 9.266e−14
0.25
0.2
0.15
0.1
0.05
5967. 0
5967. 1
5967. 2
5967. 3
5967. 4
5967. 5
5967. 6
5968. 0
5968. 1
5968. 2
5968. 3
5968. 4
5968. 5
5968. 6
5968. 7
5969. 0
5969. 1
5969. 2
5969. 3
5969. 4
5969. 5
5969. 6
5969. 7
5969. 8
5969. 9
5970. 0
5970. 1
5970. 2
5970. 3
5971. 0
5971. 1
5971. 2
5971. 3
5971. 4
5971. 5
5971. 6
5972. 0

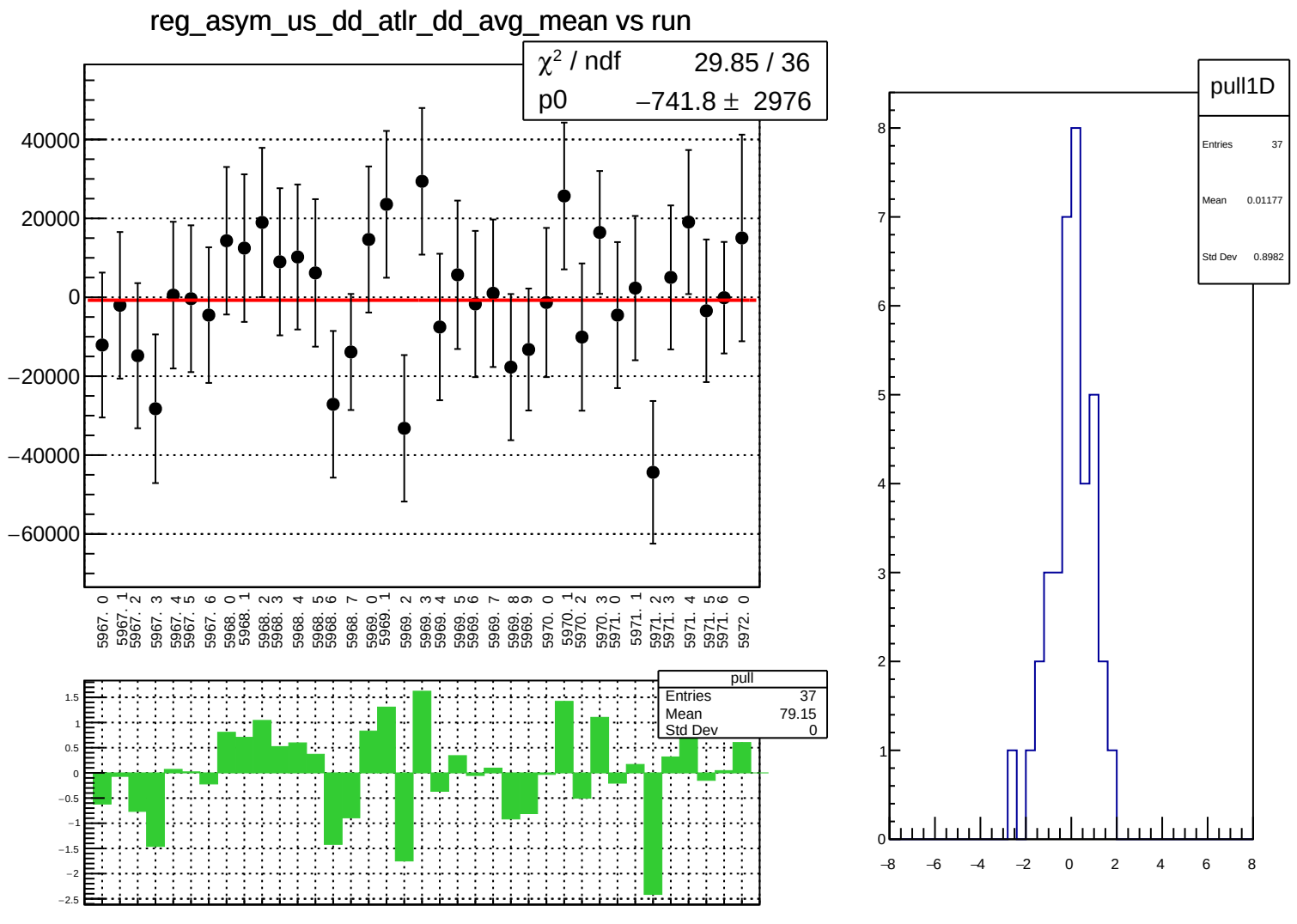
reg_asym_us_dd_atlr_dd_avg_mean vs run
χ² / ndf 29.85 / 36
p0 −741.8 ± 2976
40000
20000
0
−20000
−40000
−60000
5967. 0
5967. 1
5967. 2
5967. 3
5967. 4
5967. 5
5967. 6
5968. 0
5968. 1
5968. 2
5968. 3
5968. 4
5968. 5
5968. 6
5968. 7
5969. 0
5969. 1
5969. 2
5969. 3
5969. 4
5969. 5
5969. 6
5969. 7
5969. 8
5969. 9
5970. 0
5970. 1
5970. 2
5970. 3
5971. 0
5971. 1
5971. 2
5971. 3
5971. 4
5971. 5
5971. 6
5972. 0
pull
Entries 37
Mean 79.15
Std Dev 0
1.5
1
0.5
0
−0.5
−1
−1.5
−2
−2.5
pull1D
Entries 37
Mean 0.01177
Std Dev 0.8982
8
7
6
5
4
3
2
1
0
−8
−6
−4
−2
0
2
4
6
8

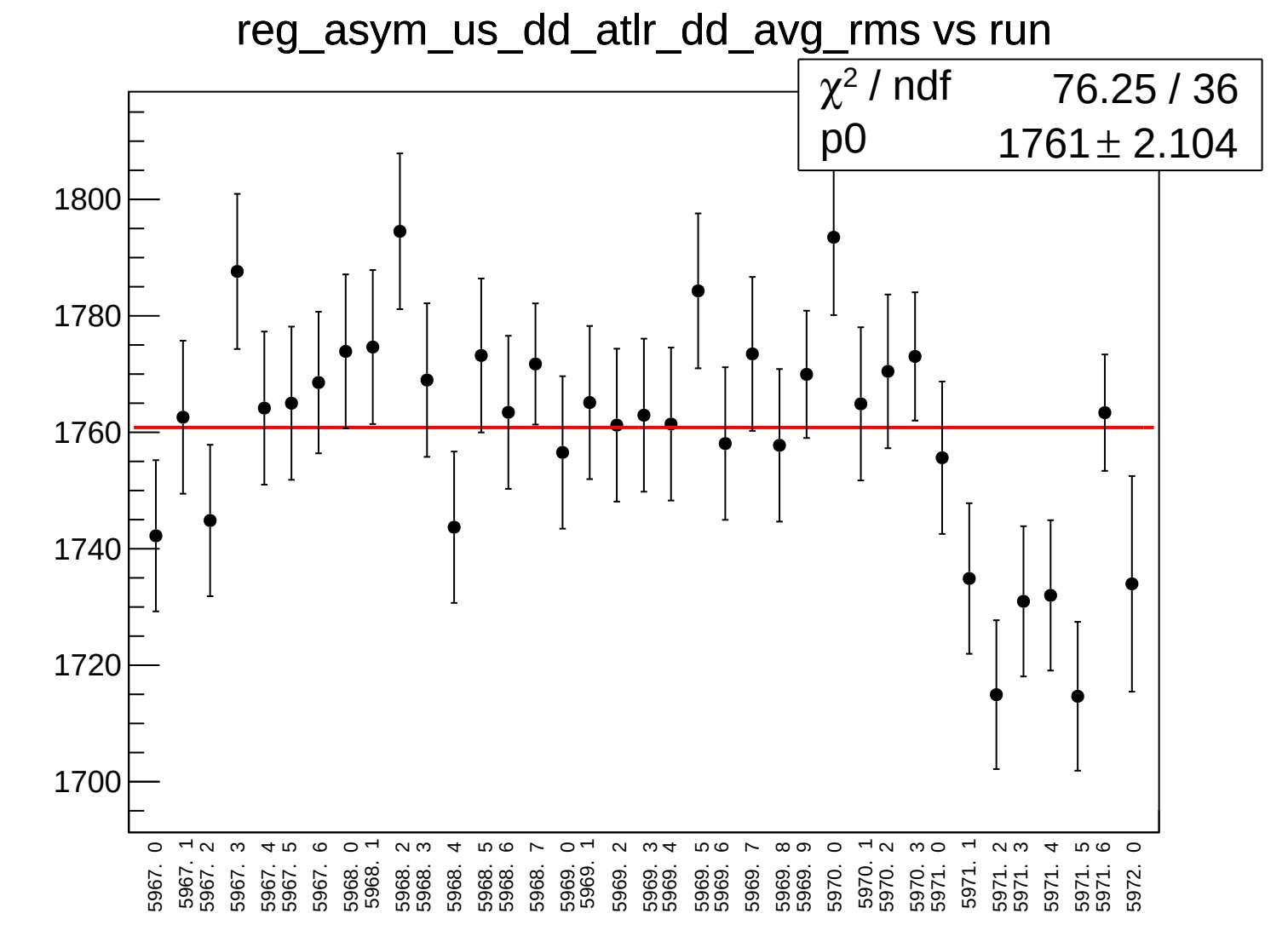
reg_asym_us_dd_atlr_dd_avg_rms vs run
χ² / ndf 76.25 / 36
p0 1761 ± 2.104
1800
1780
1760
1740
1720
1700
5967. 0
5967. 1
5967. 2
5967. 3
5967. 4
5967. 5
5967. 6
5968. 0
5968. 1
5968. 2
5968. 3
5968. 4
5968. 5
5968. 6
5968. 7
5969. 0
5969. 1
5969. 2
5969. 3
5969. 4
5969. 5
5969. 6
5969. 7
5969. 8
5969. 9
5970. 0
5970. 1
5970. 2
5970. 3
5971. 0
5971. 1
5971. 2
5971. 3
5971. 4
5971. 5
5971. 6
5972. 0

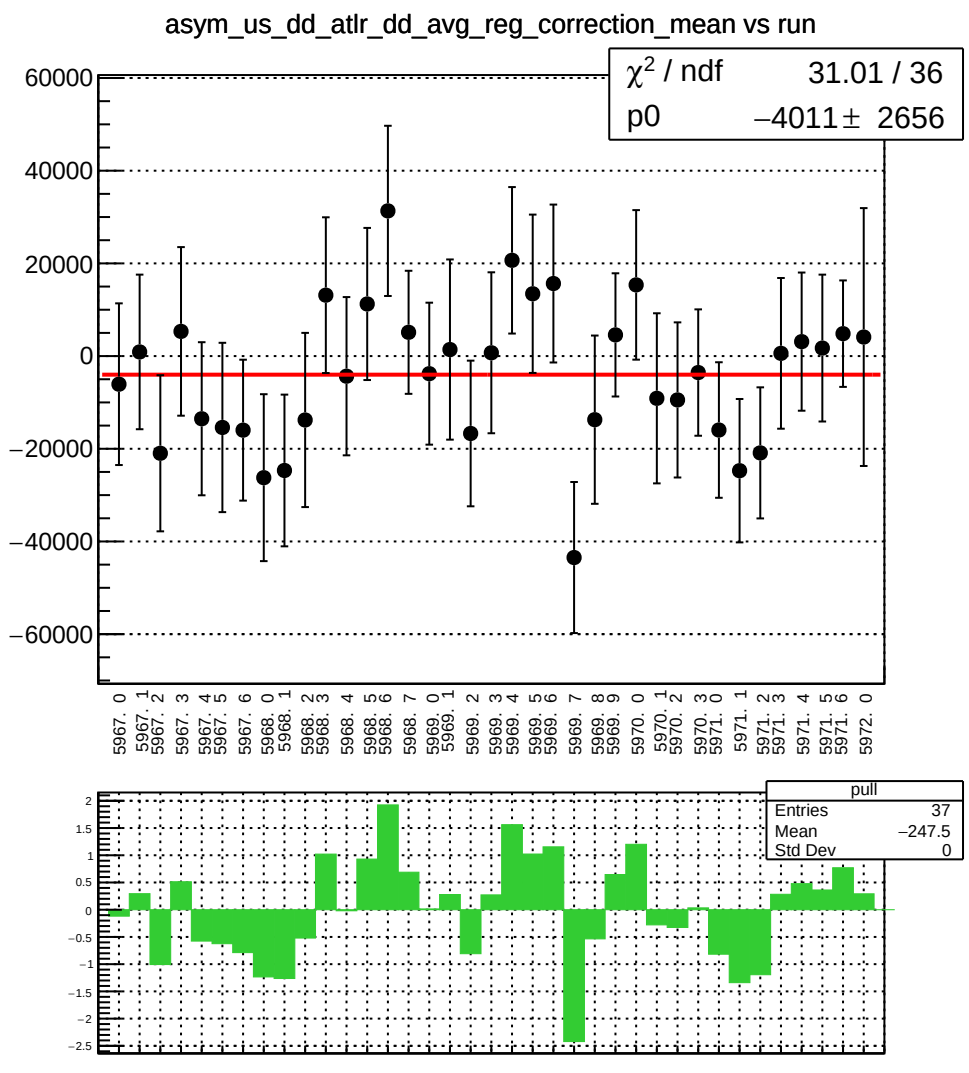
asym_us_dd_atlr_dd_avg_reg_correction_mean vs run
χ² / ndf 31.01 / 36
p0 −4011 ± 2656
60000
40000
20000
0
−20000
−40000
−60000
5967. 0
5967. 1
5967. 2
5967. 3
5967. 4
5967. 5
5967. 6
5968. 0
5968. 1
5968. 2
5968. 3
5968. 4
5968. 5
5968. 6
5968. 7
5969. 0
5969. 1
5969. 2
5969. 3
5969. 4
5969. 5
5969. 6
5969. 7
5969. 8
5969. 9
5970. 0
5970. 1
5970. 2
5970. 3
5971. 0
5971. 1
5971. 2
5971. 3
5971. 4
5971. 5
5971. 6
5972. 0
pull
Entries 37
Mean −247.5
Std Dev 0
2
1.5
1
0.5
0
−0.5
−1
−1.5
−2
−2.5

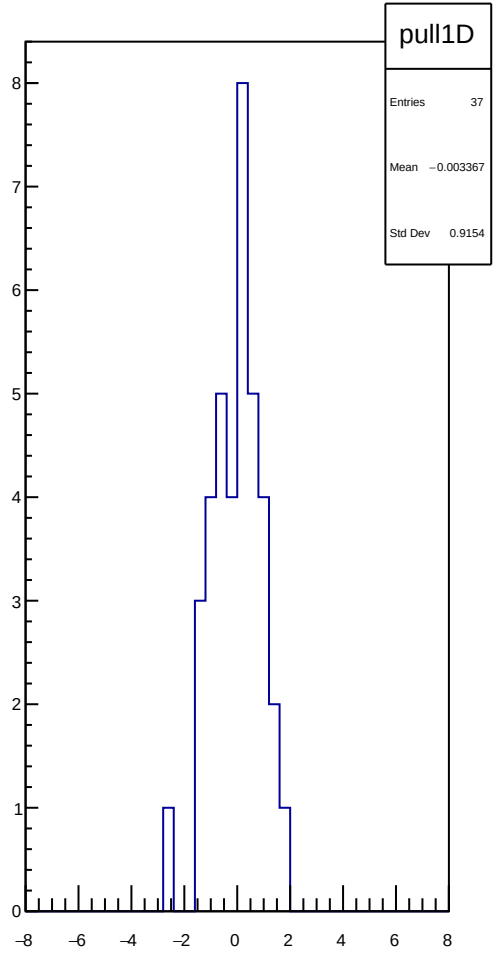
pull1D
Entries 37
Mean −0.003367
Std Dev 0.9154
8
7
6
5
4
3
2
1
0
−8
−6
−4
−2
0
2
4
6
8

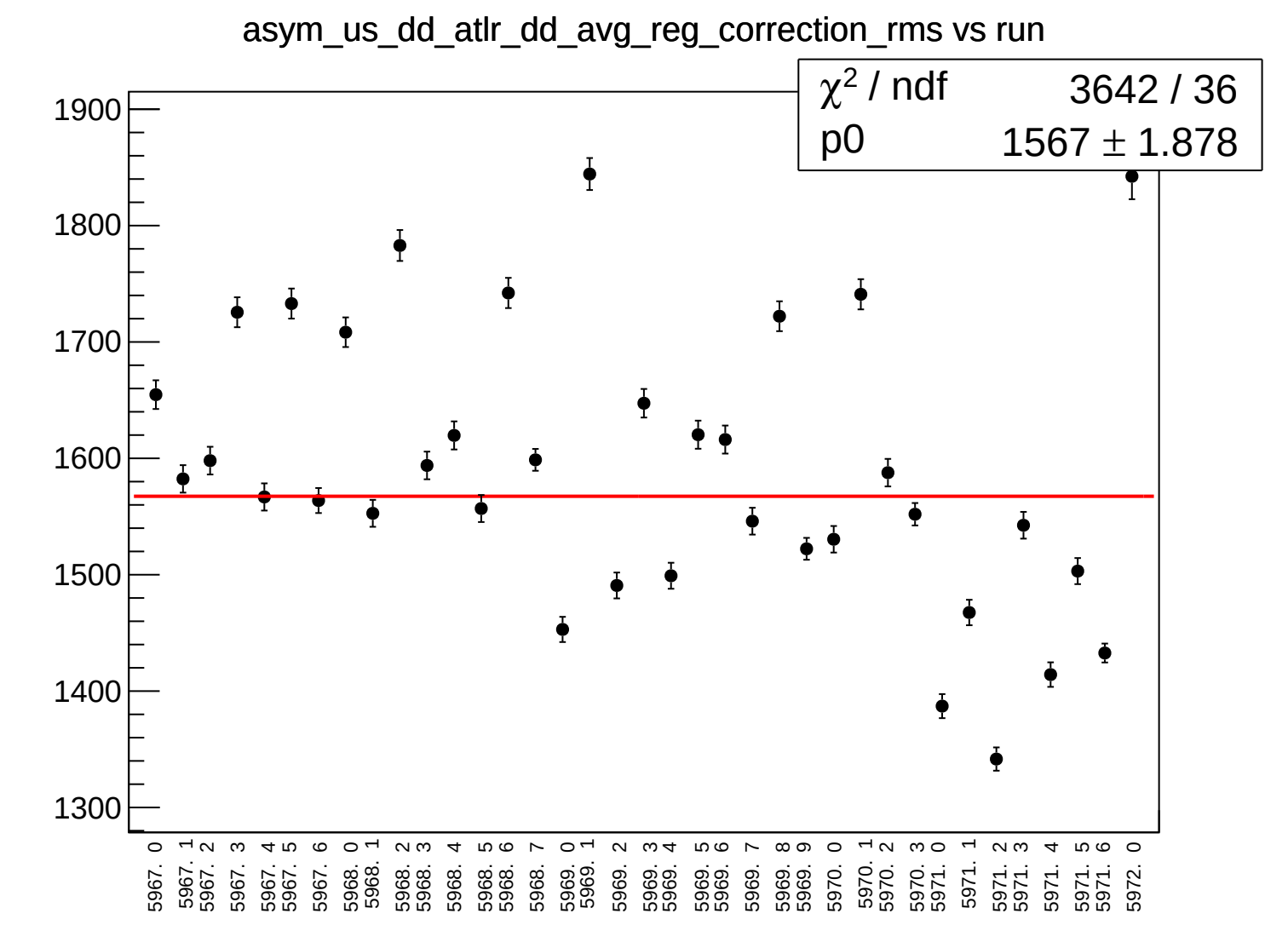
asym_us_dd_atlr_dd_avg_reg_correction_rms vs run
χ² / ndf 3642 / 36
p0 1567 ± 1.878
1900
1800
1700
1600
1500
1400
1300
5967. 0
5967. 1
5967. 2
5967. 3
5967. 4
5967. 5
5967. 6
5968. 0
5968. 1
5968. 2
5968. 3
5968. 4
5968. 5
5968. 6
5968. 7
5969. 0
5969. 1
5969. 2
5969. 3
5969. 4
5969. 5
5969. 6
5969. 7
5969. 8
5969. 9
5970. 0
5970. 1
5970. 2
5970. 3
5971. 0
5971. 1
5971. 2
5971. 3
5971. 4
5971. 5
5971. 6
5972. 0

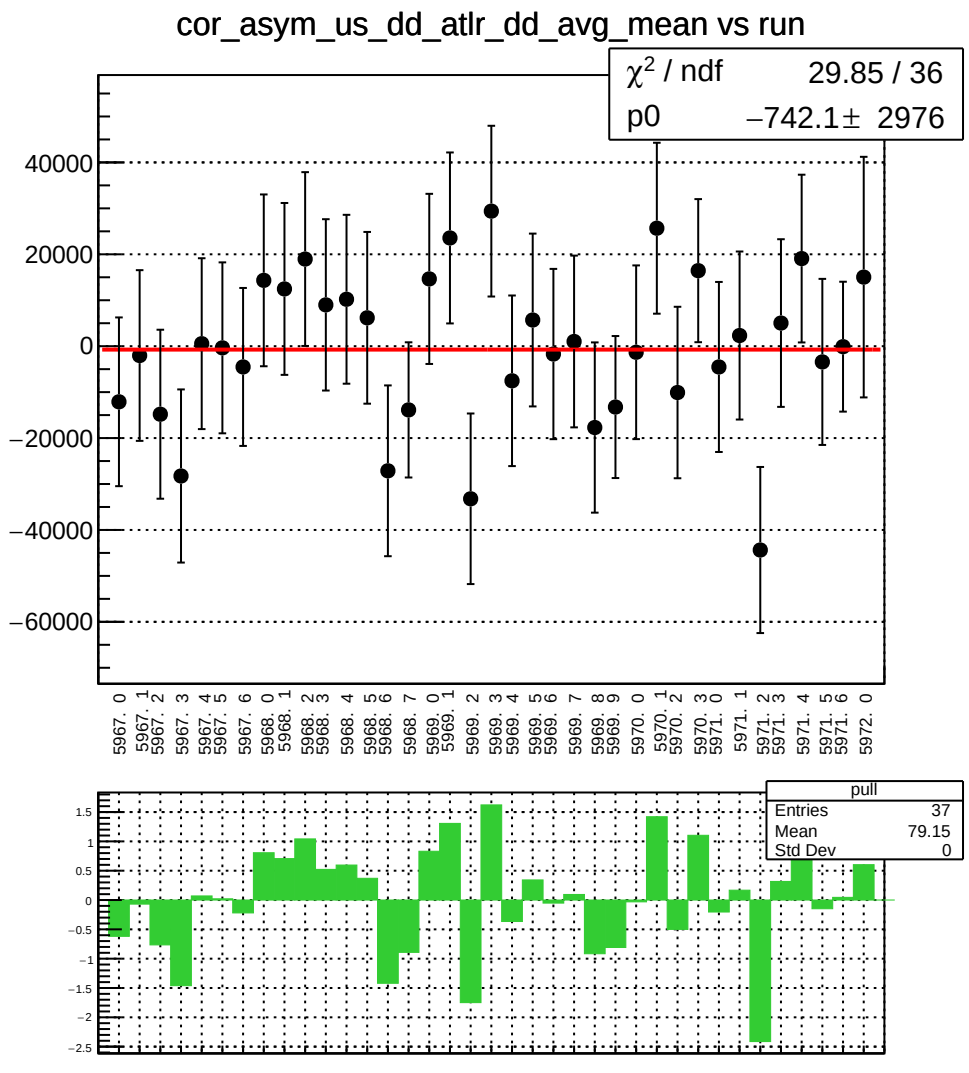
cor_asym_us_dd_atlr_dd_avg_mean vs run
χ² / ndf 29.85 / 36
p0 −742.1± 2976
40000
20000
0
−20000
−40000
−60000
5967. 0
5967. 1
5967. 2
5967. 3
5967. 4
5967. 5
5967. 6
5968. 0
5968. 1
5968. 2
5968. 3
5968. 4
5968. 5
5968. 6
5968. 7
5969. 0
5969. 1
5969. 2
5969. 3
5969. 4
5969. 5
5969. 6
5969. 7
5969. 8
5969. 9
5970. 0
5970. 1
5970. 2
5970. 3
5971. 0
5971. 1
5971. 2
5971. 3
5971. 4
5971. 5
5971. 6
5972. 0
pull
Entries 37
Mean 79.15
Std Dev 0
1.5
1
0.5
0
−0.5
−1
−1.5
−2
−2.5
pull1D
Entries 37
Mean 0.01177
Std Dev 0.8982
8
7
6
5
4
3
2
1
0
−8
−6
−4
−2
0
2
4
6
8

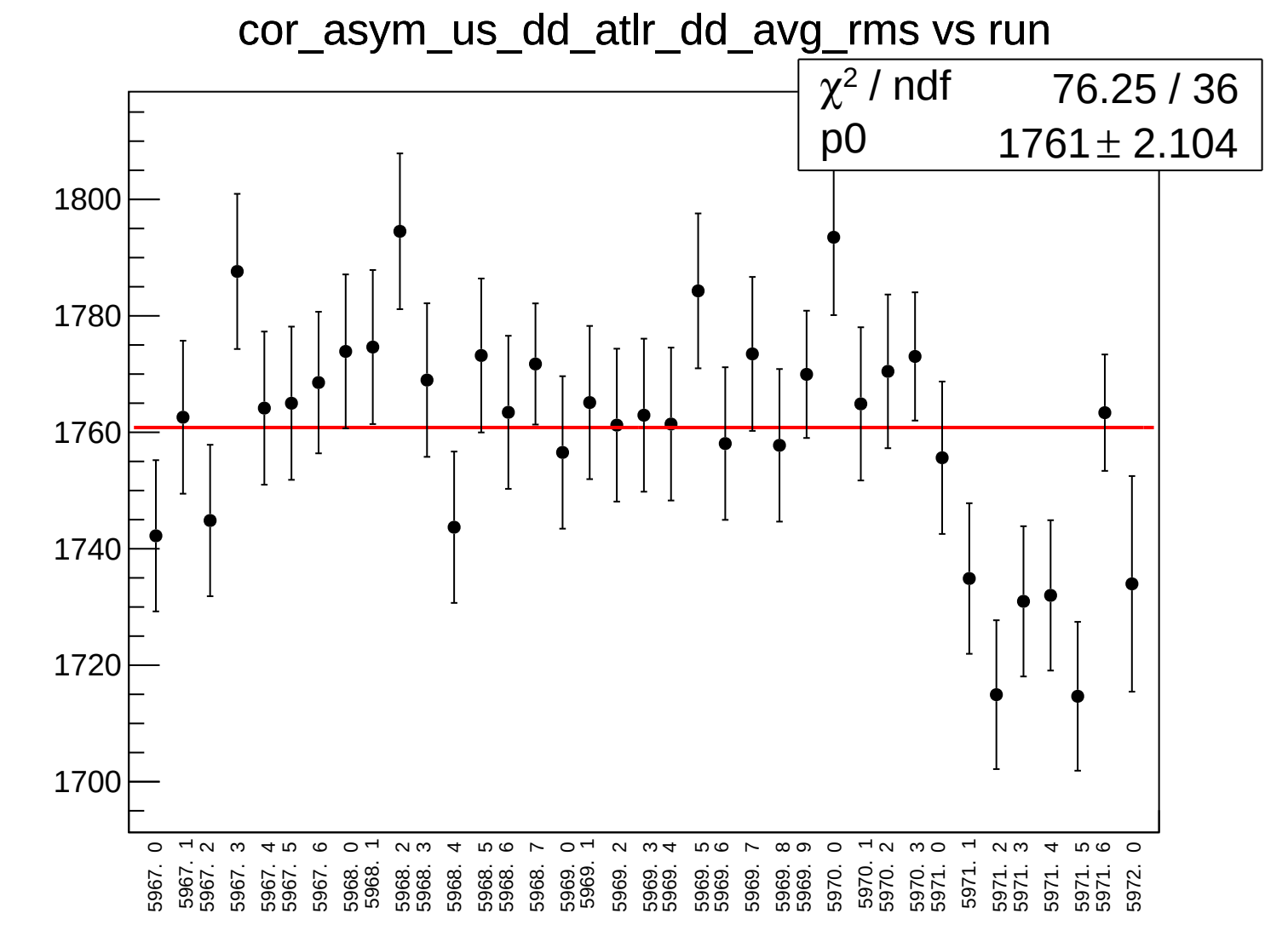
cor_asym_us_dd_atlr_dd_avg_rms vs run
χ² / ndf 76.25 / 36
p0 1761 ± 2.104
1800
1780
1760
1740
1720
1700
5967. 0
5967. 1
5967. 2
5967. 3
5967. 4
5967. 5
5967. 6
5968. 0
5968. 1
5968. 2
5968. 3
5968. 4
5968. 5
5968. 6
5968. 7
5969. 0
5969. 1
5969. 2
5969. 3
5969. 4
5969. 5
5969. 6
5969. 7
5969. 8
5969. 9
5970. 0
5970. 1
5970. 2
5970. 3
5971. 0
5971. 1
5971. 2
5971. 3
5971. 4
5971. 5
5971. 6
5972. 0

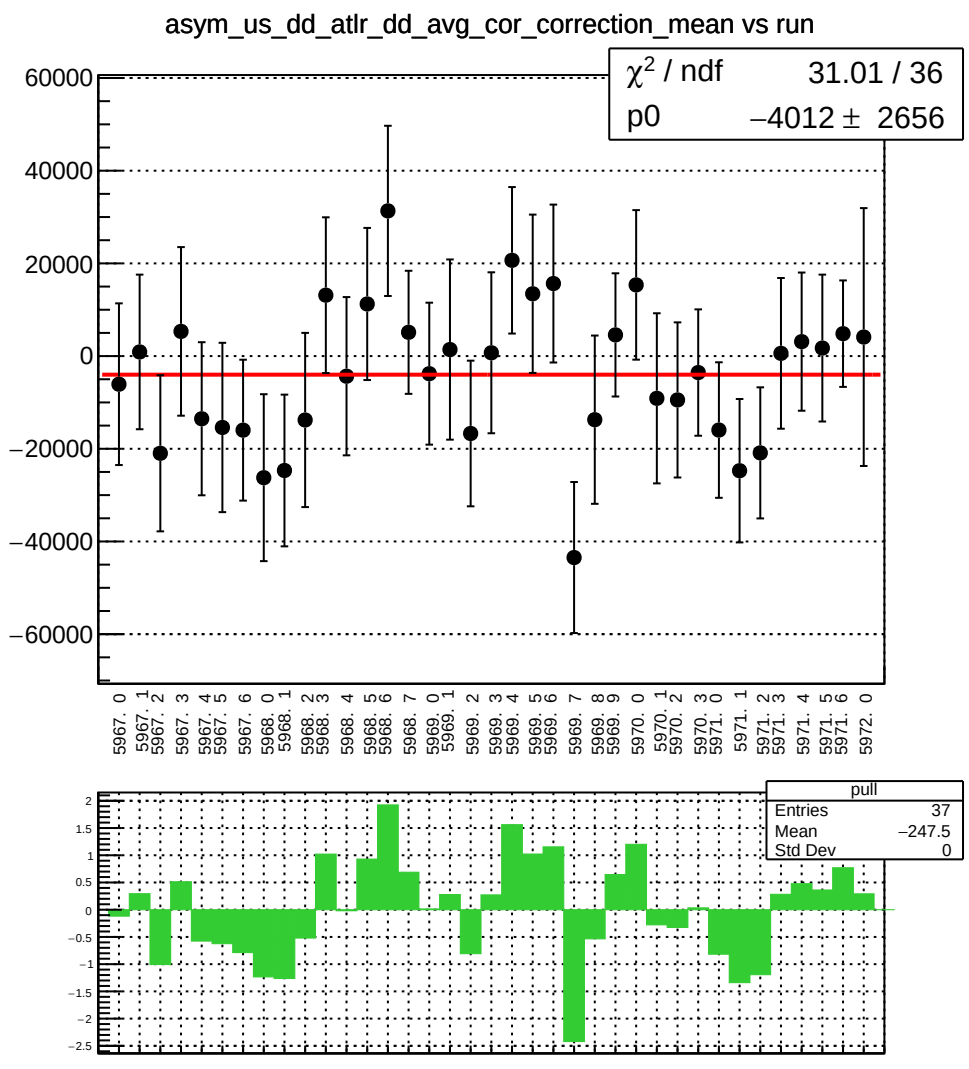
asym_us_dd_atlr_dd_avg_cor_correction_mean vs run
χ² / ndf 31.01 / 36
p0 −4012 ± 2656
60000
40000
20000
0
−20000
−40000
−60000
5967. 0
5967. 1
5967. 2
5967. 3
5967. 4
5967. 5
5967. 6
5968. 0
5968. 1
5968. 2
5968. 3
5968. 4
5968. 5
5968. 6
5968. 7
5969. 0
5969. 1
5969. 2
5969. 3
5969. 4
5969. 5
5969. 6
5969. 7
5969. 8
5969. 9
5970. 0
5970. 1
5970. 2
5970. 3
5971. 0
5971. 1
5971. 2
5971. 3
5971. 4
5971. 5
5971. 6
5972. 0
pull
Entries 37
Mean −247.5
Std Dev 0
2
1.5
1
0.5
0
−0.5
−1
−1.5
−2
−2.5
pull1D
Entries 37
Mean −0.003367
Std Dev 0.9154
8
7
6
5
4
3
2
1
0
−8
−6
−4
−2
0
2
4
6
8

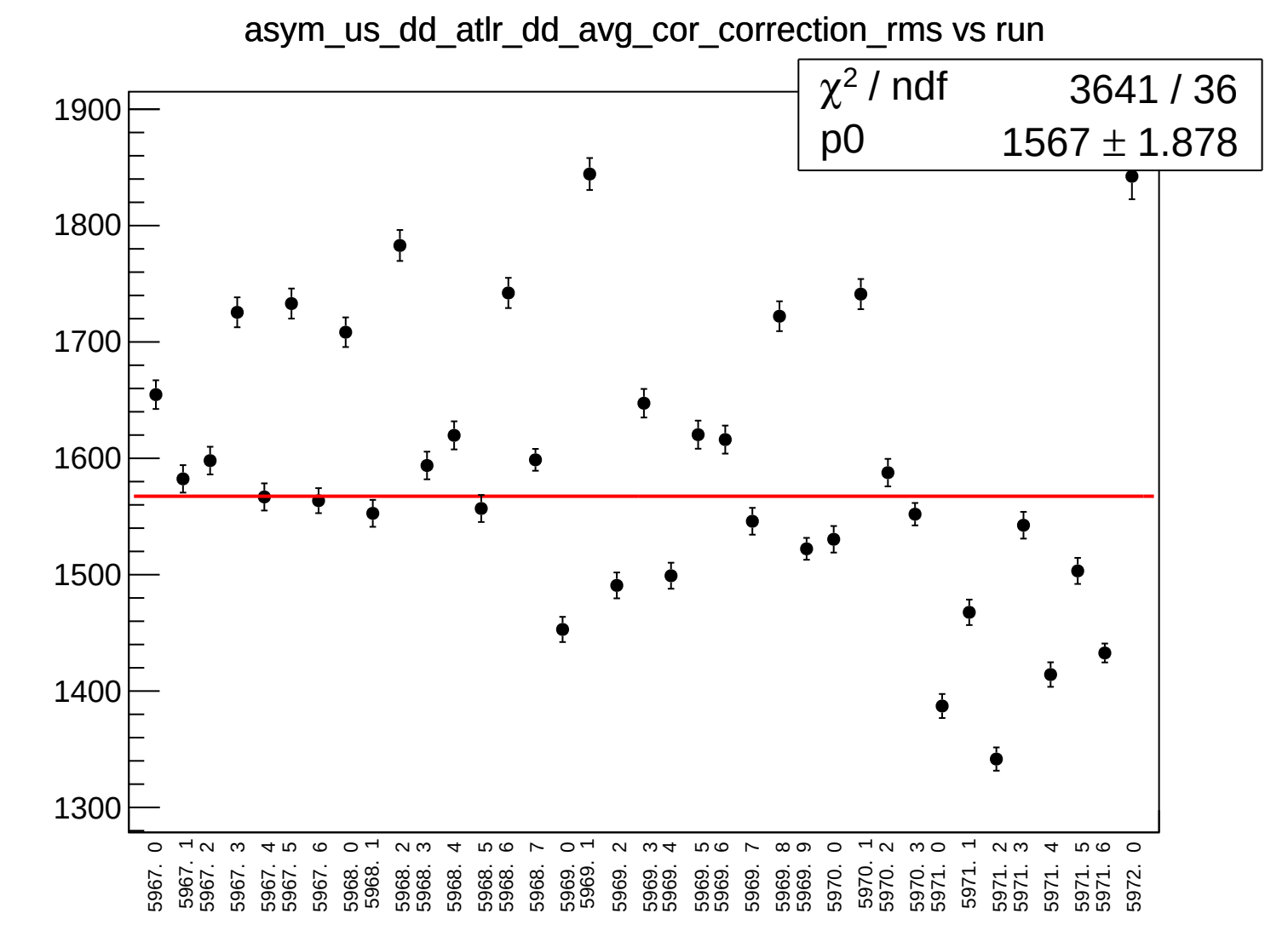
asym_us_dd_atlr_dd_avg_cor_correction_rms vs run
χ² / ndf 3641 / 36
p0 1567 ± 1.878
1900
1800
1700
1600
1500
1400
1300
5967. 0
5967. 1
5967. 2
5967. 3
5967. 4
5967. 5
5967. 6
5968. 0
5968. 1
5968. 2
5968. 3
5968. 4
5968. 5
5968. 6
5968. 7
5969. 0
5969. 1
5969. 2
5969. 3
5969. 4
5969. 5
5969. 6
5969. 7
5969. 8
5969. 9
5970. 0
5970. 1
5970. 2
5970. 3
5971. 0
5971. 1
5971. 2
5971. 3
5971. 4
5971. 5
5971. 6
5972. 0

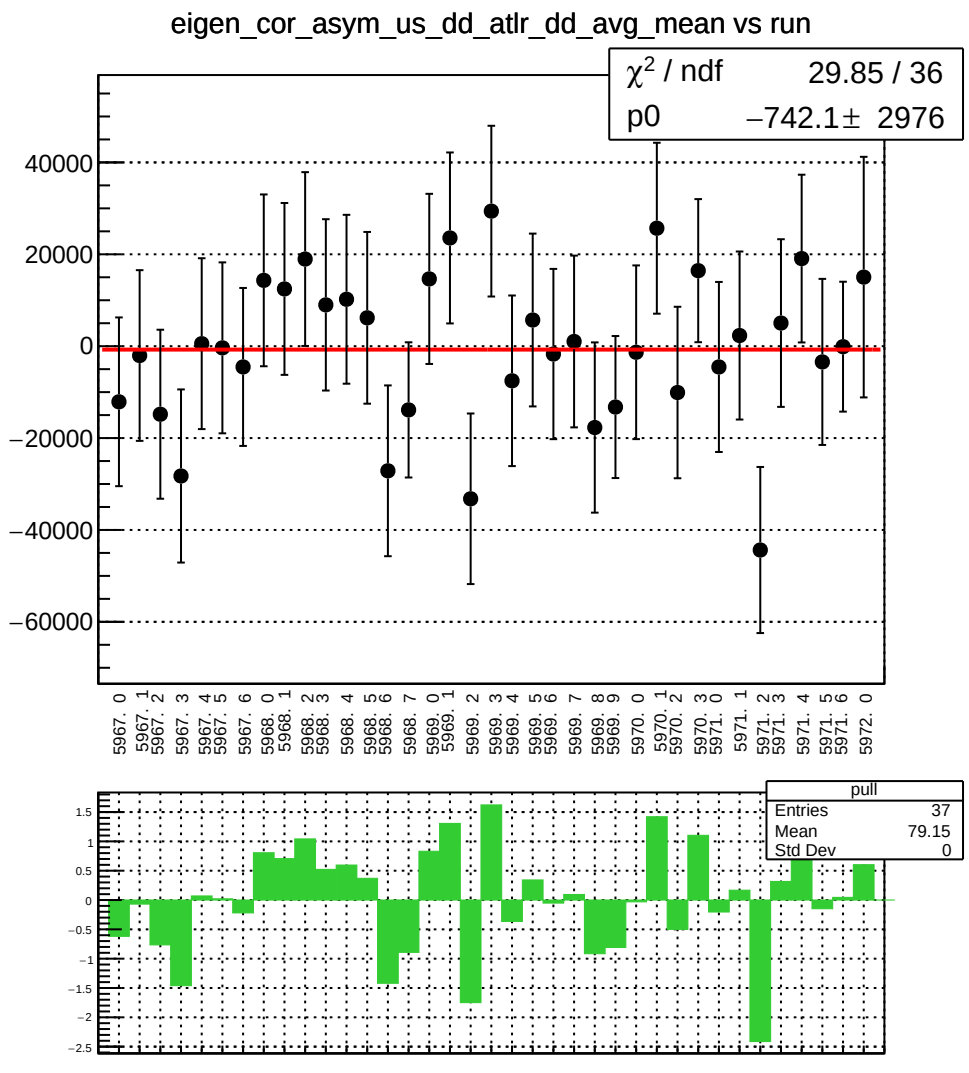
eigen_cor_asym_us_dd_atlr_dd_avg_mean vs run
χ² / ndf 29.85 / 36
p0 −742.1± 2976
40000
20000
0
−20000
−40000
−60000
5967. 0
5967. 1
5967. 2
5967. 3
5967. 4
5967. 5
5967. 6
5968. 0
5968. 1
5968. 2
5968. 3
5968. 4
5968. 5
5968. 6
5968. 7
5969. 0
5969. 1
5969. 2
5969. 3
5969. 4
5969. 5
5969. 6
5969. 7
5969. 8
5969. 9
5970. 0
5970. 1
5970. 2
5970. 3
5971. 0
5971. 1
5971. 2
5971. 3
5971. 4
5971. 5
5971. 6
5972. 0
pull
Entries 37
Mean 79.15
Std Dev 0
1.5
1
0.5
0
−0.5
−1
−1.5
−2
−2.5
pull1D
Entries 37
Mean 0.01177
Std Dev 0.8982
8
7
6
5
4
3
2
1
0
−8
−6
−4
−2
0
2
4
6
8

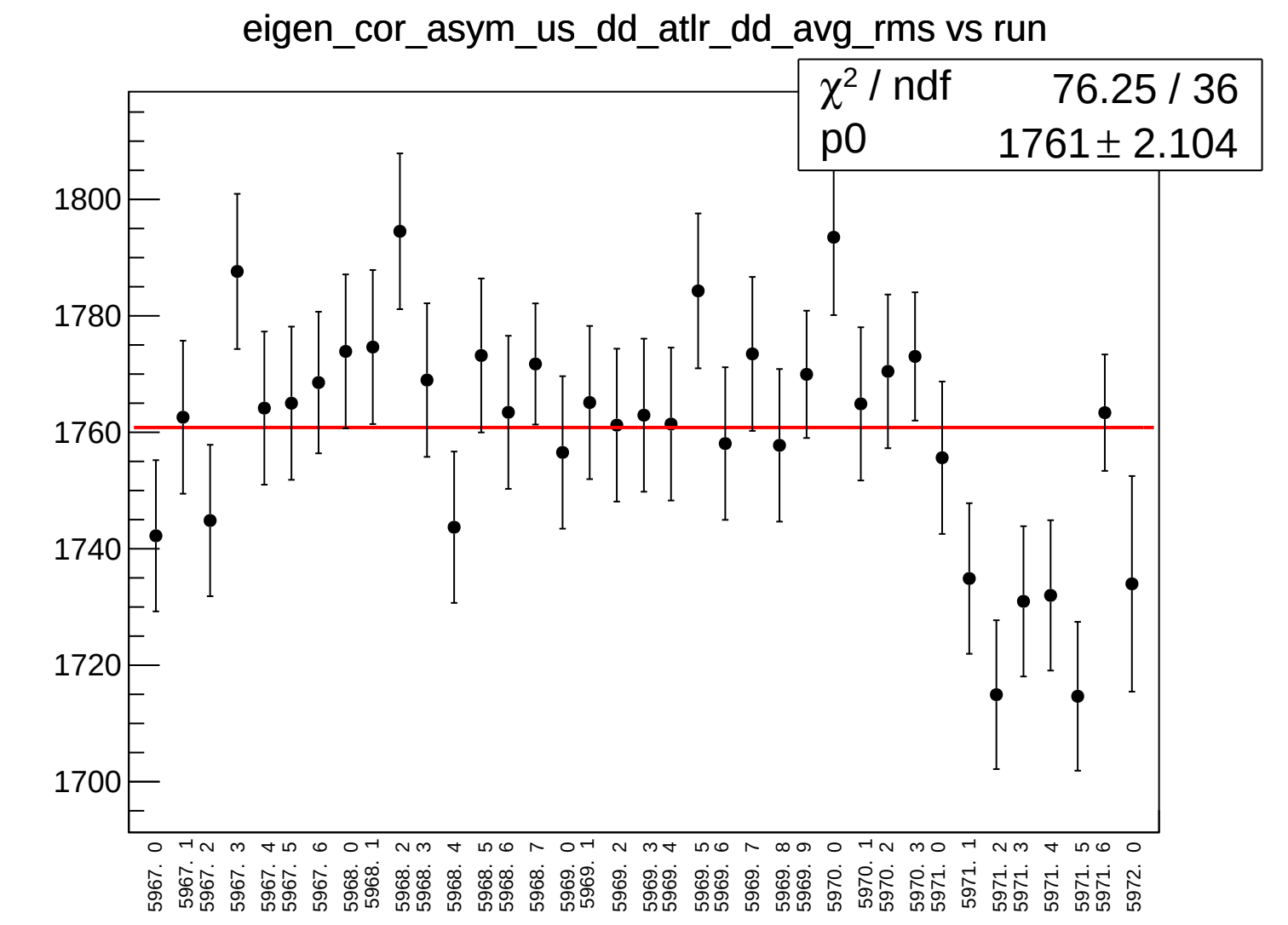
eigen_cor_asym_us_dd_atlr_dd_avg_rms vs run
χ² / ndf 76.25 / 36
p0 1761 ± 2.104
1800
1780
1760
1740
1720
1700
5967. 0
5967. 1
5967. 2
5967. 3
5967. 4
5967. 5
5967. 6
5968. 0
5968. 1
5968. 2
5968. 3
5968. 4
5968. 5
5968. 6
5968. 7
5969. 0
5969. 1
5969. 2
5969. 3
5969. 4
5969. 5
5969. 6
5969. 7
5969. 8
5969. 9
5970. 0
5970. 1
5970. 2
5970. 3
5971. 0
5971. 1
5971. 2
5971. 3
5971. 4
5971. 5
5971. 6
5972. 0

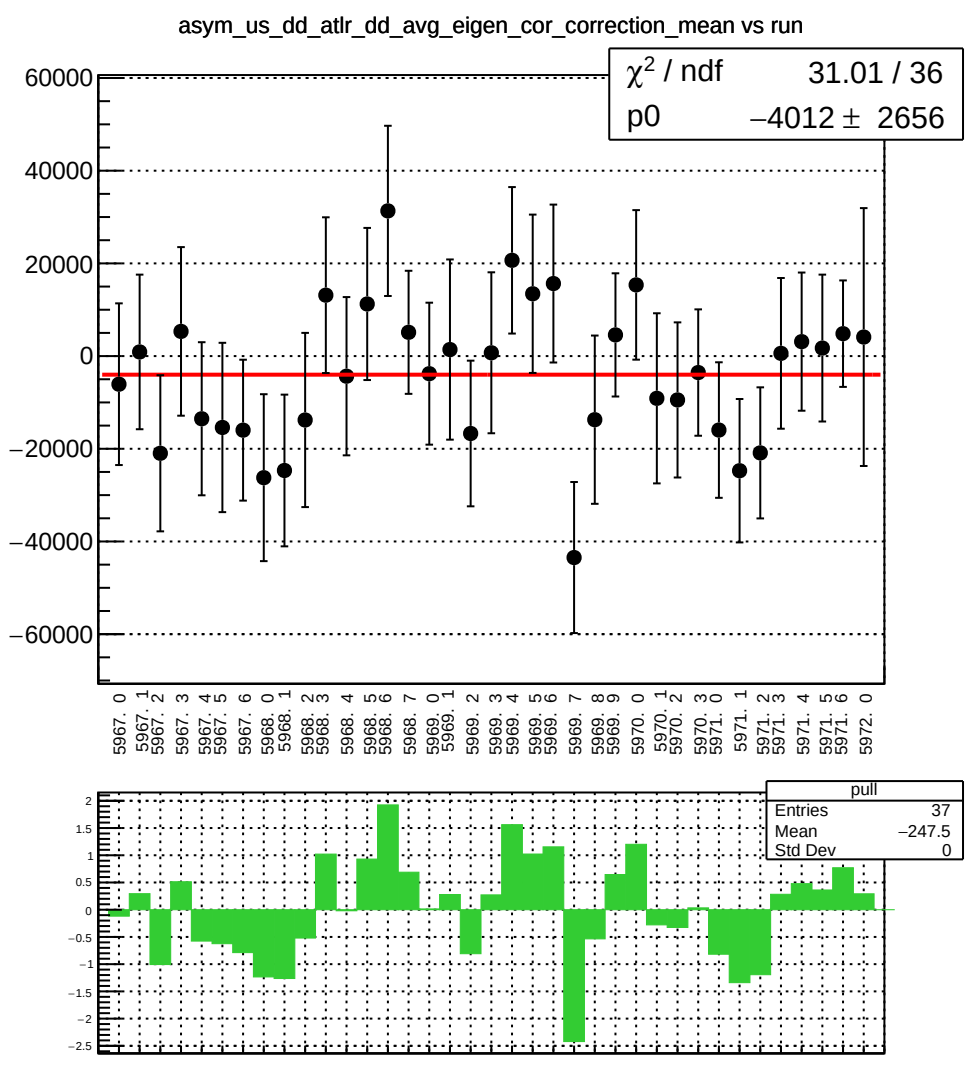
asym_us_dd_atlr_dd_avg_eigen_cor_correction_mean vs run
χ² / ndf 31.01 / 36
p0 −4012 ± 2656
60000
40000
20000
0
−20000
−40000
−60000
5967. 0
5967. 1
5967. 2
5967. 3
5967. 4
5967. 5
5967. 6
5968. 0
5968. 1
5968. 2
5968. 3
5968. 4
5968. 5
5968. 6
5968. 7
5969. 0
5969. 1
5969. 2
5969. 3
5969. 4
5969. 5
5969. 6
5969. 7
5969. 8
5969. 9
5970. 0
5970. 1
5970. 2
5970. 3
5971. 0
5971. 1
5971. 2
5971. 3
5971. 4
5971. 5
5971. 6
5972. 0
pull
Entries 37
Mean −247.5
Std Dev 0
2
1.5
1
0.5
0
−0.5
−1
−1.5
−2
−2.5

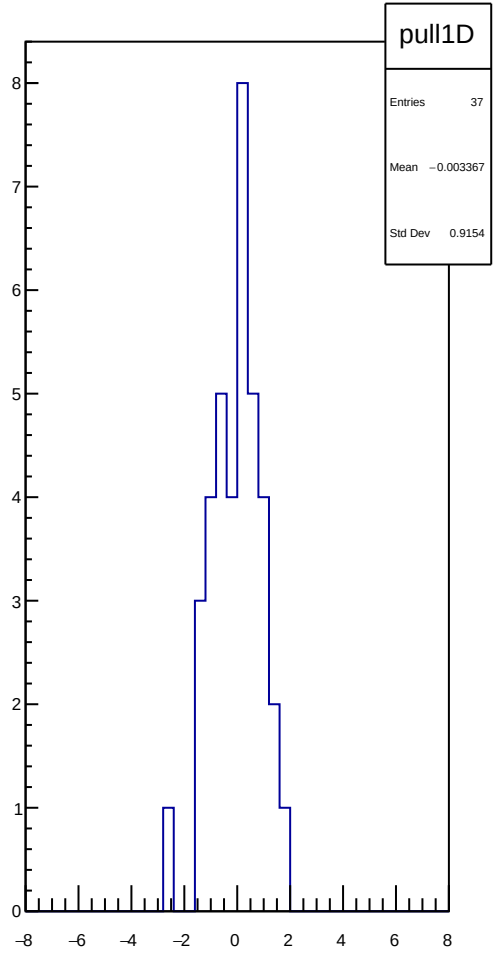
pull1D
Entries 37
Mean −0.003367
Std Dev 0.9154
8
7
6
5
4
3
2
1
0
−8
−6
−4
−2
0
2
4
6
8

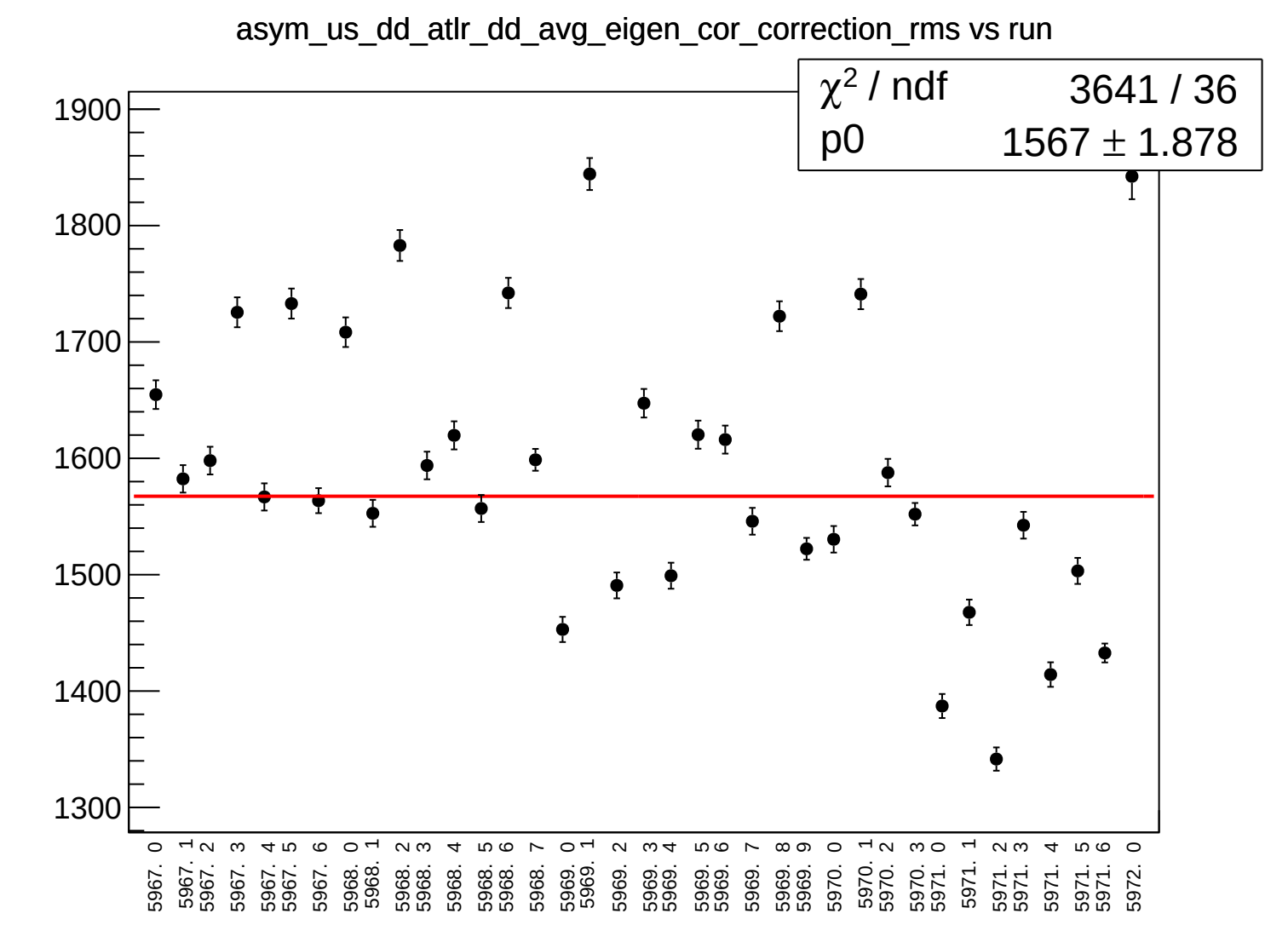
asym_us_dd_atlr_dd_avg_eigen_cor_correction_rms vs run
χ² / ndf 3641 / 36
p0 1567 ± 1.878
1900
1800
1700
1600
1500
1400
1300
5967. 0
5967. 1
5967. 2
5967. 3
5967. 4
5967. 5
5967. 6
5968. 0
5968. 1
5968. 2
5968. 3
5968. 4
5968. 5
5968. 6
5968. 7
5969. 0
5969. 1
5969. 2
5969. 3
5969. 4
5969. 5
5969. 6
5969. 7
5969. 8
5969. 9
5970. 0
5970. 1
5970. 2
5970. 3
5971. 0
5971. 1
5971. 2
5971. 3
5971. 4
5971. 5
5971. 6
5972. 0

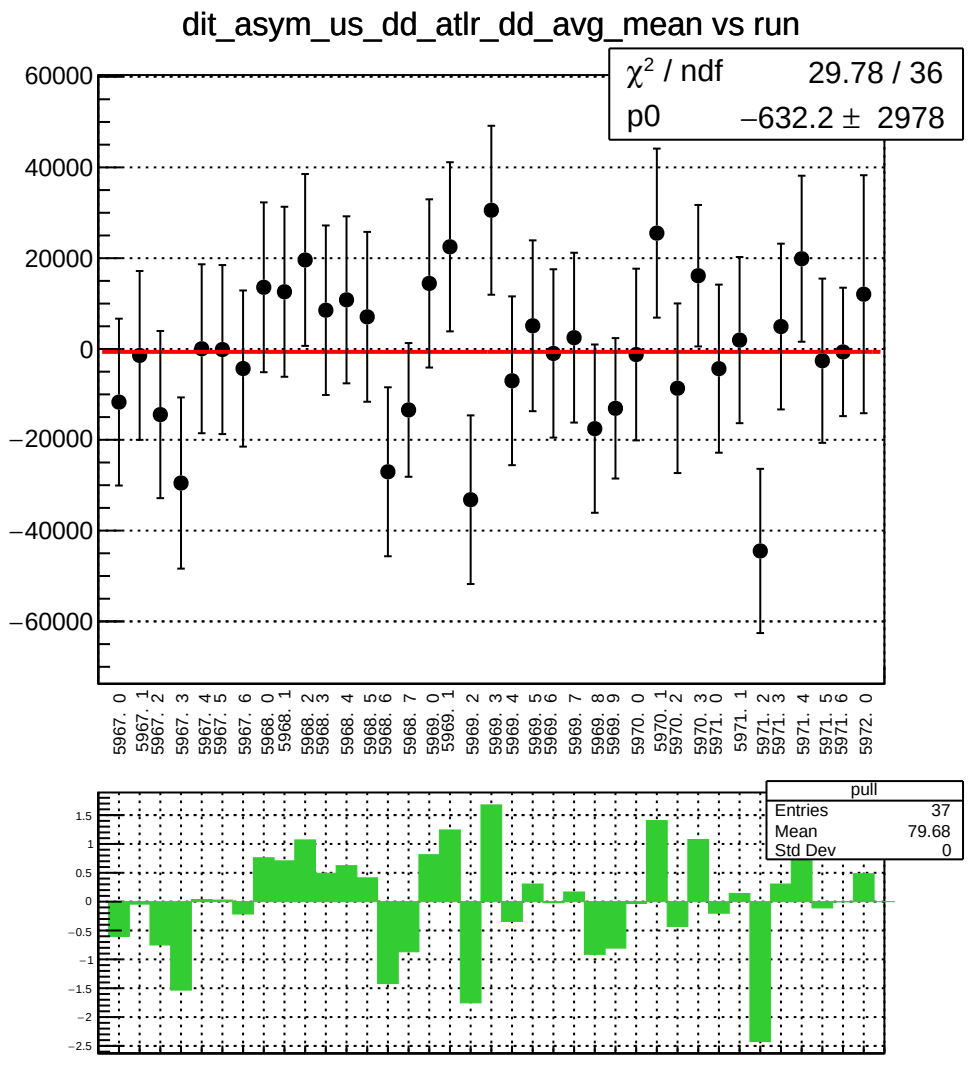
dit_asym_us_dd_atlr_dd_avg_mean vs run
χ² / ndf 29.78 / 36
p0 −632.2 ± 2978
60000
40000
20000
0
−20000
−40000
−60000
5967. 0
5967. 1
5967. 2
5967. 3
5967. 4
5967. 5
5967. 6
5968. 0
5968. 1
5968. 2
5968. 3
5968. 4
5968. 5
5968. 6
5968. 7
5969. 0
5969. 1
5969. 2
5969. 3
5969. 4
5969. 5
5969. 6
5969. 7
5969. 8
5969. 9
5970. 0
5970. 1
5970. 2
5970. 3
5971. 0
5971. 1
5971. 2
5971. 3
5971. 4
5971. 5
5971. 6
5972. 0
pull
Entries 37
Mean 79.68
Std Dev 0
1.5
1
0.5
0
−0.5
−1
−1.5
−2
−2.5

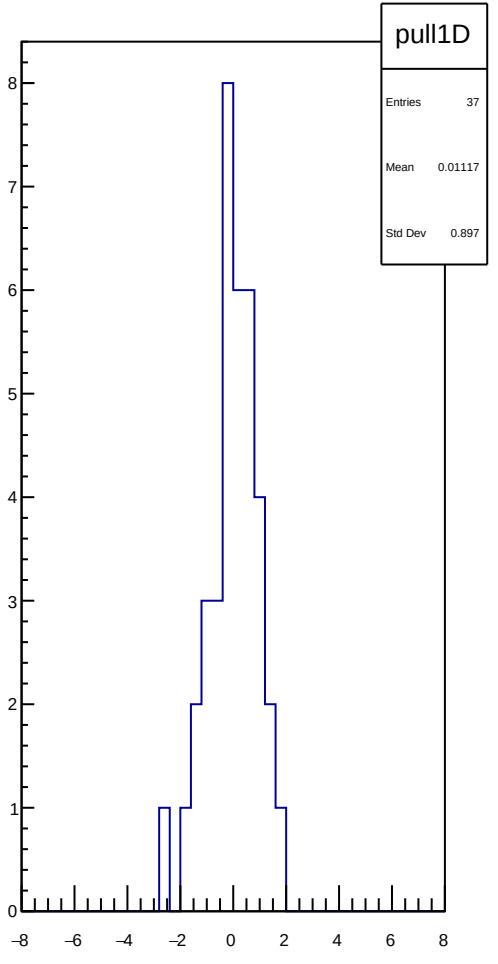
pull1D
Entries 37
Mean 0.01117
Std Dev 0.897
8
7
6
5
4
3
2
1
0
−8
−6
−4
−2
0
2
4
6
8

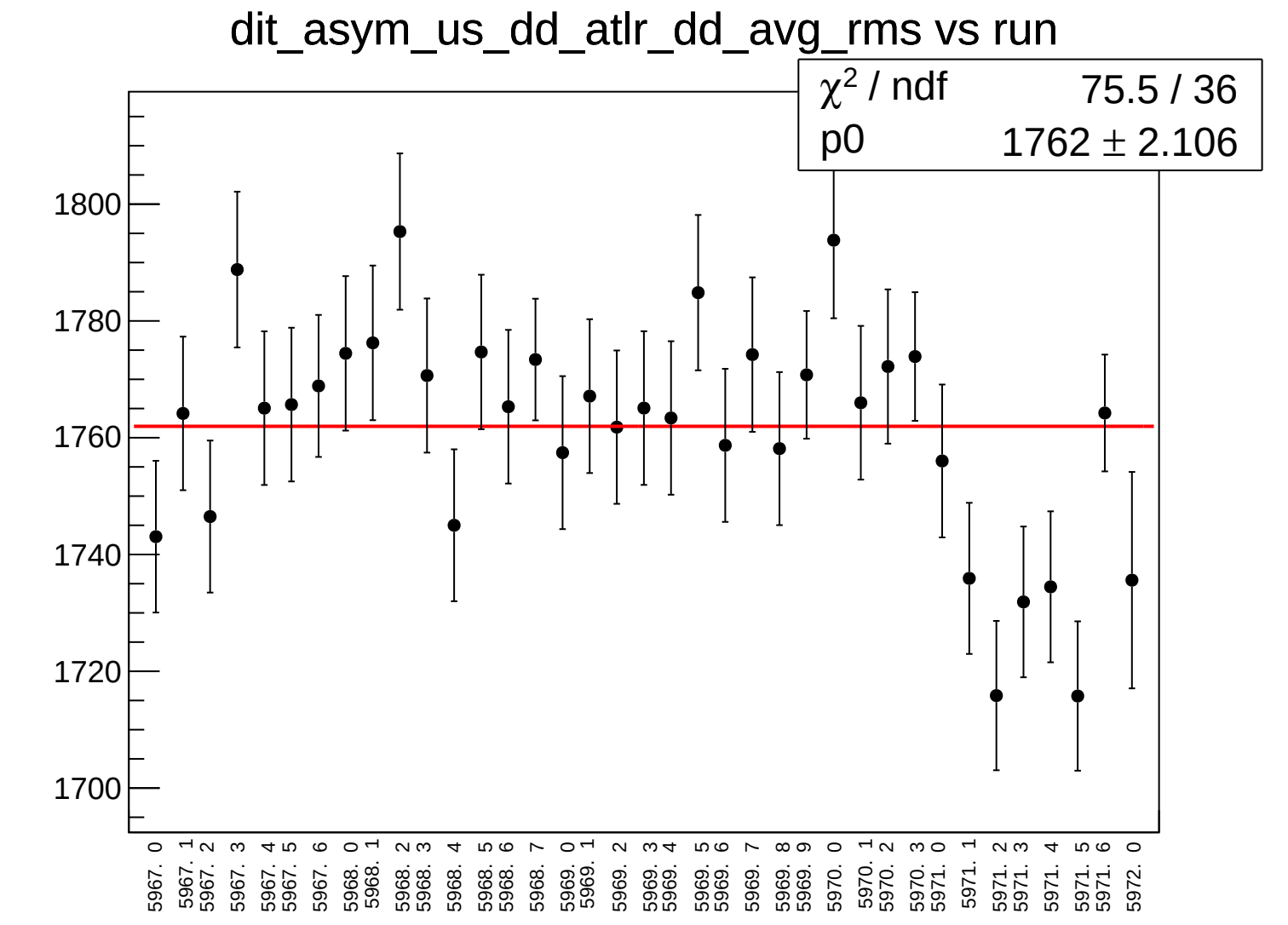
dit_asym_us_dd_atlr_dd_avg_rms vs run
χ² / ndf 75.5 / 36
p0 1762 ± 2.106
1800
1780
1760
1740
1720
1700
5967. 0
5967. 1
5967. 2
5967. 3
5967. 4
5967. 5
5967. 6
5968. 0
5968. 1
5968. 2
5968. 3
5968. 4
5968. 5
5968. 6
5968. 7
5969. 0
5969. 1
5969. 2
5969. 3
5969. 4
5969. 5
5969. 6
5969. 7
5969. 8
5969. 9
5970. 0
5970. 1
5970. 2
5970. 3
5971. 0
5971. 1
5971. 2
5971. 3
5971. 4
5971. 5
5971. 6
5972. 0

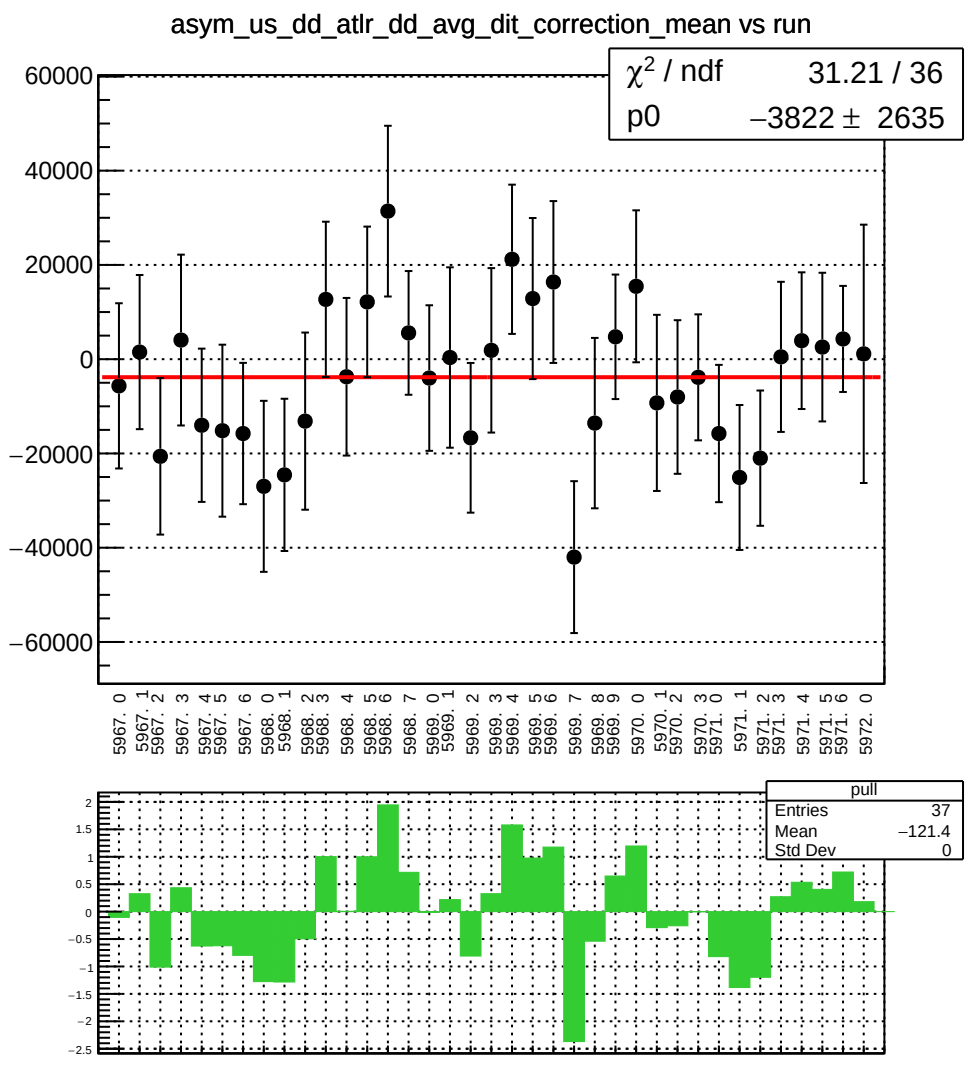
asym_us_dd_atlr_dd_avg_dit_correction_mean vs run
χ² / ndf 31.21 / 36
p0 −3822 ± 2635
60000
40000
20000
0
−20000
−40000
−60000
5967. 0
5967. 1
5967. 2
5967. 3
5967. 4
5967. 5
5967. 6
5968. 0
5968. 1
5968. 2
5968. 3
5968. 4
5968. 5
5968. 6
5968. 7
5969. 0
5969. 1
5969. 2
5969. 3
5969. 4
5969. 5
5969. 6
5969. 7
5969. 8
5969. 9
5970. 0
5970. 1
5970. 2
5970. 3
5971. 0
5971. 1
5971. 2
5971. 3
5971. 4
5971. 5
5971. 6
5972. 0
pull
Entries 37
Mean −121.4
Std Dev 0
2
1.5
1
0.5
0
−0.5
−1
−1.5
−2
−2.5
pull1D
Entries 37
Mean −0.006306
Std Dev 0.9184
6
5
4
3
2
1
0
−8
−6
−4
−2
0
2
4
6
8

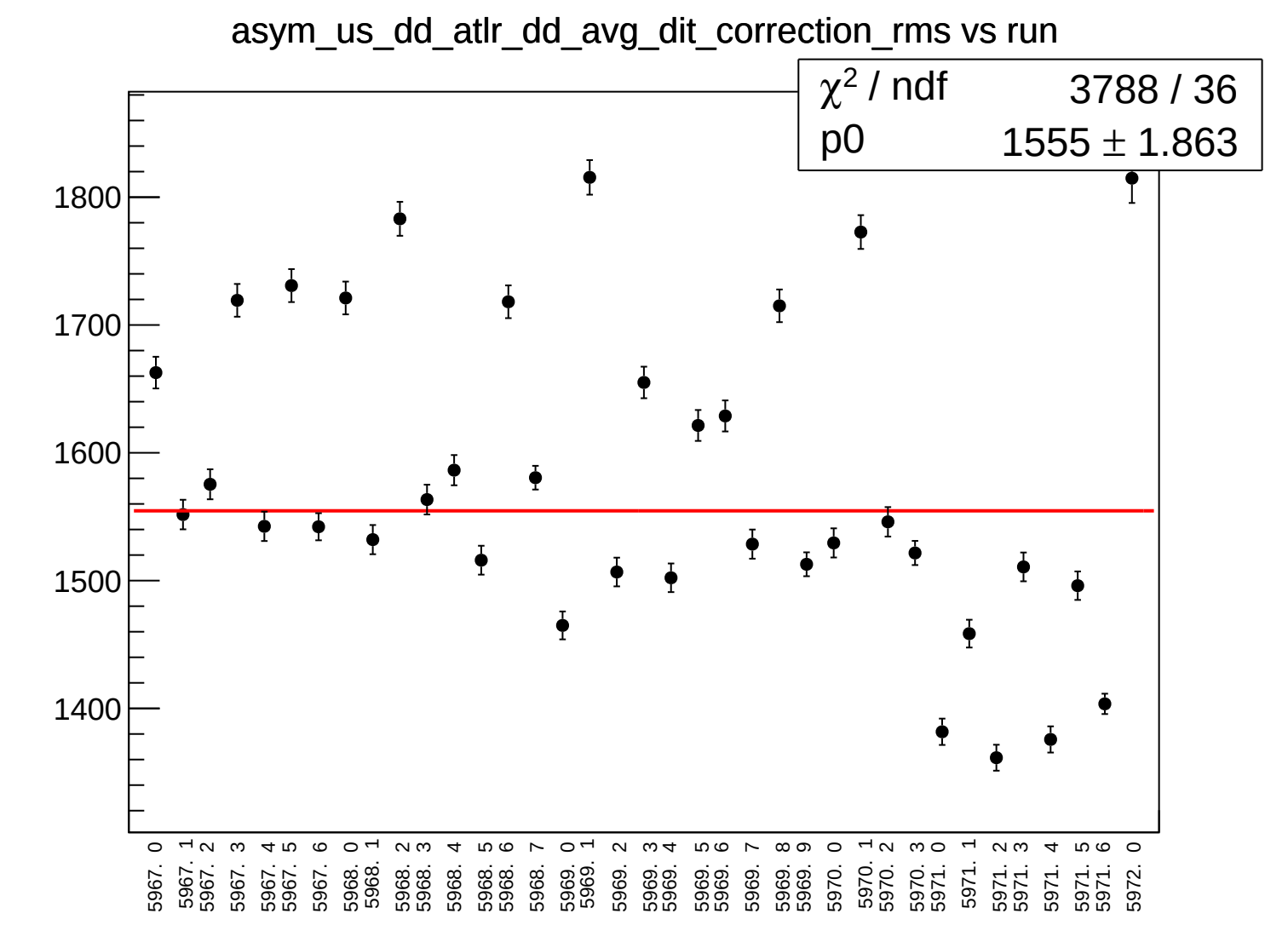
asym_us_dd_atlr_dd_avg_dit_correction_rms vs run
χ² / ndf 3788 / 36
p0 1555 ± 1.863
1800
1700
1600
1500
1400
5967. 0
5967. 1
5967. 2
5967. 3
5967. 4
5967. 5
5967. 6
5968. 0
5968. 1
5968. 2
5968. 3
5968. 4
5968. 5
5968. 6
5968. 7
5969. 0
5969. 1
5969. 2
5969. 3
5969. 4
5969. 5
5969. 6
5969. 7
5969. 8
5969. 9
5970. 0
5970. 1
5970. 2
5970. 3
5971. 0
5971. 1
5971. 2
5971. 3
5971. 4
5971. 5
5971. 6
5972. 0

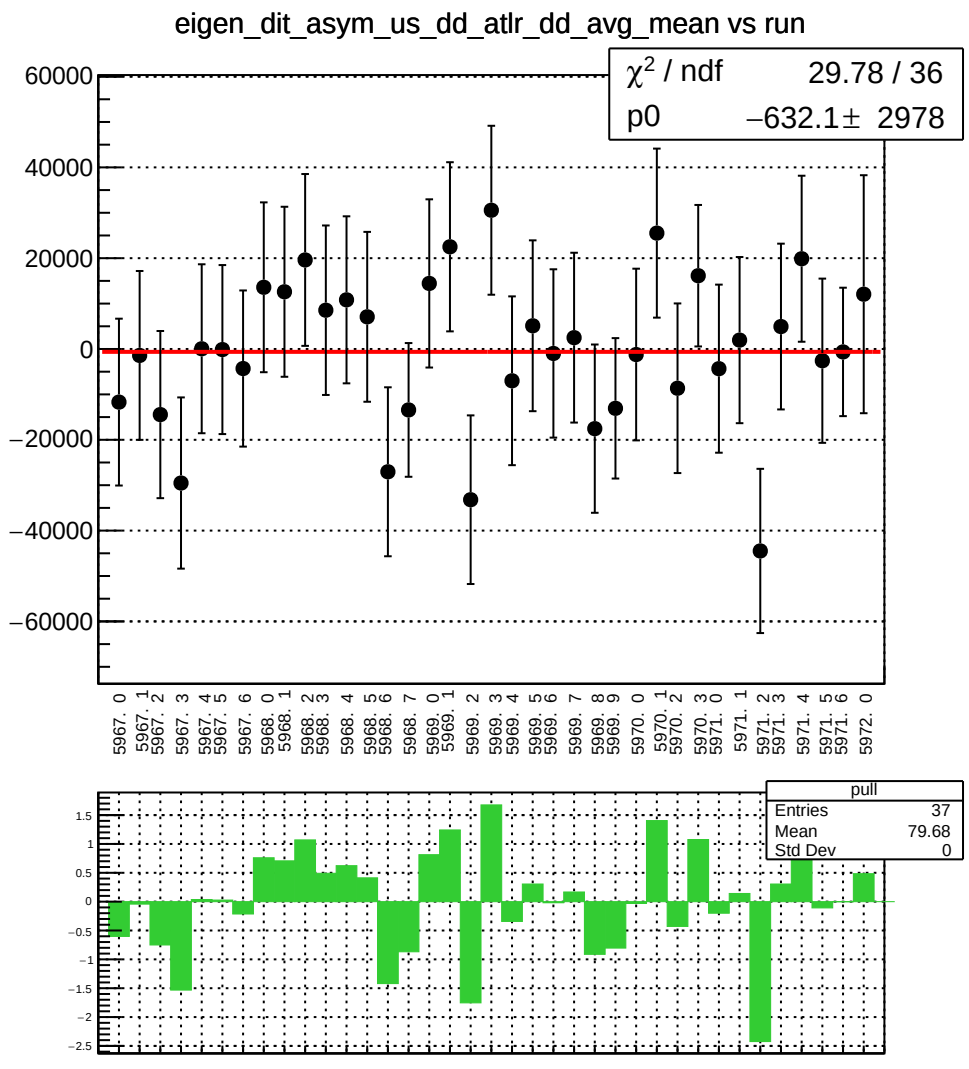
eigen_dit_asym_us_dd_atlr_dd_avg_mean vs run
χ² / ndf 29.78 / 36
p0 −632.1± 2978
pull
Entries 37
Mean 79.68
Std Dev 0

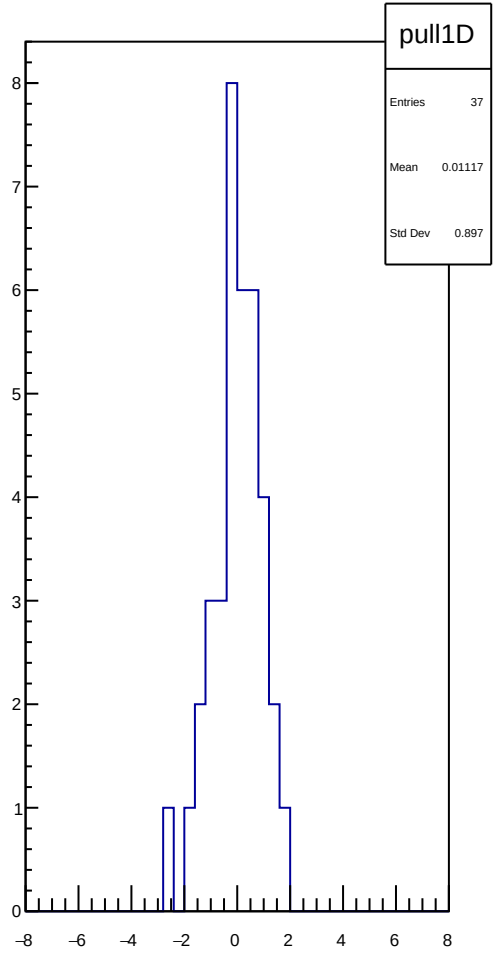
pull1D
Entries 37
Mean 0.01117
Std Dev 0.897

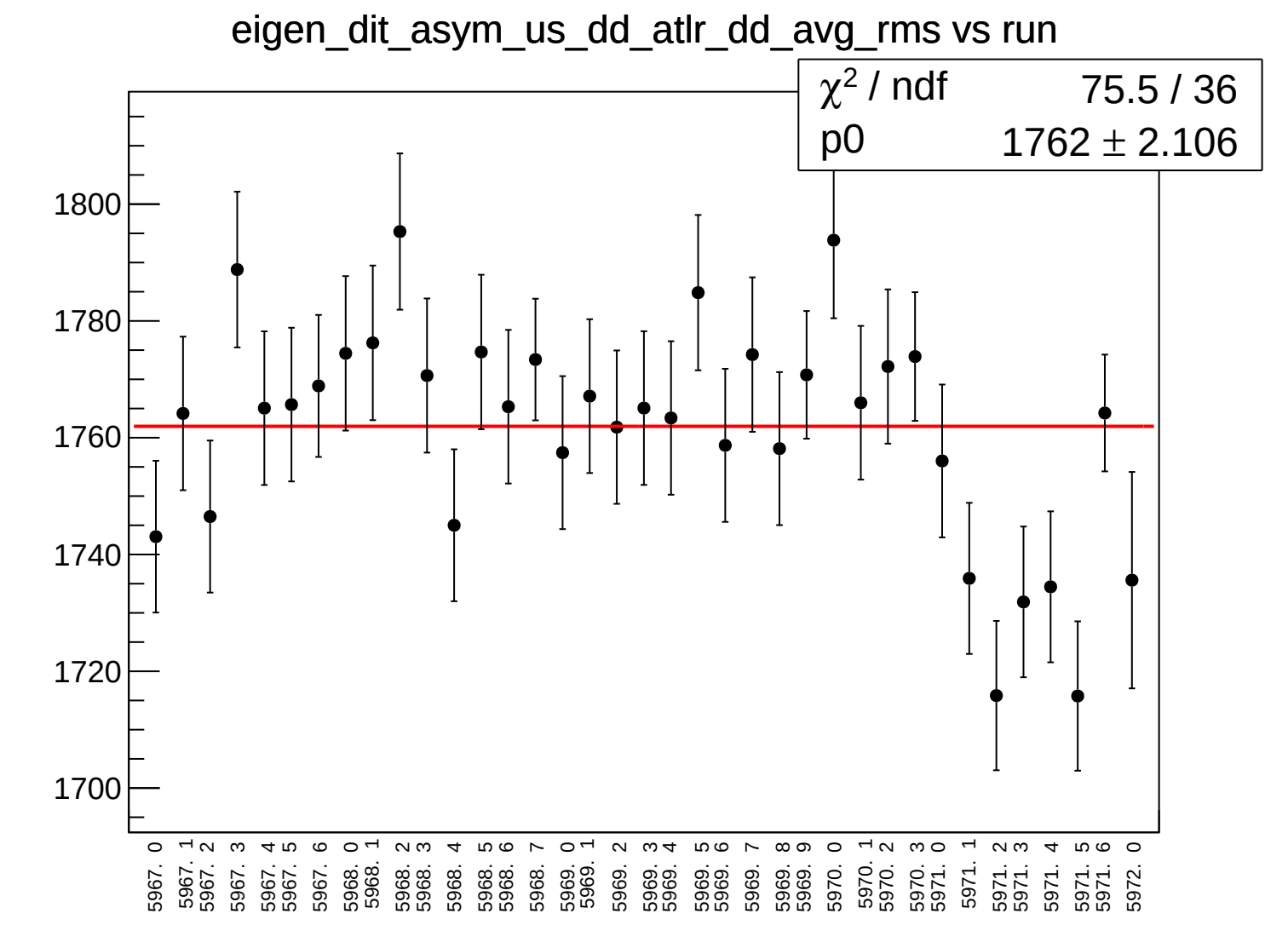
eigen_dit_asym_us_dd_atlr_dd_avg_rms vs run
χ² / ndf 75.5 / 36
p0 1762 ± 2.106
1800
1780
1760
1740
1720
1700
5967. 0
5967. 1
5967. 2
5967. 3
5967. 4
5967. 5
5967. 6
5968. 0
5968. 1
5968. 2
5968. 3
5968. 4
5968. 5
5968. 6
5968. 7
5969. 0
5969. 1
5969. 2
5969. 3
5969. 4
5969. 5
5969. 6
5969. 7
5969. 8
5969. 9
5970. 0
5970. 1
5970. 2
5970. 3
5971. 0
5971. 1
5971. 2
5971. 3
5971. 4
5971. 5
5971. 6
5972. 0

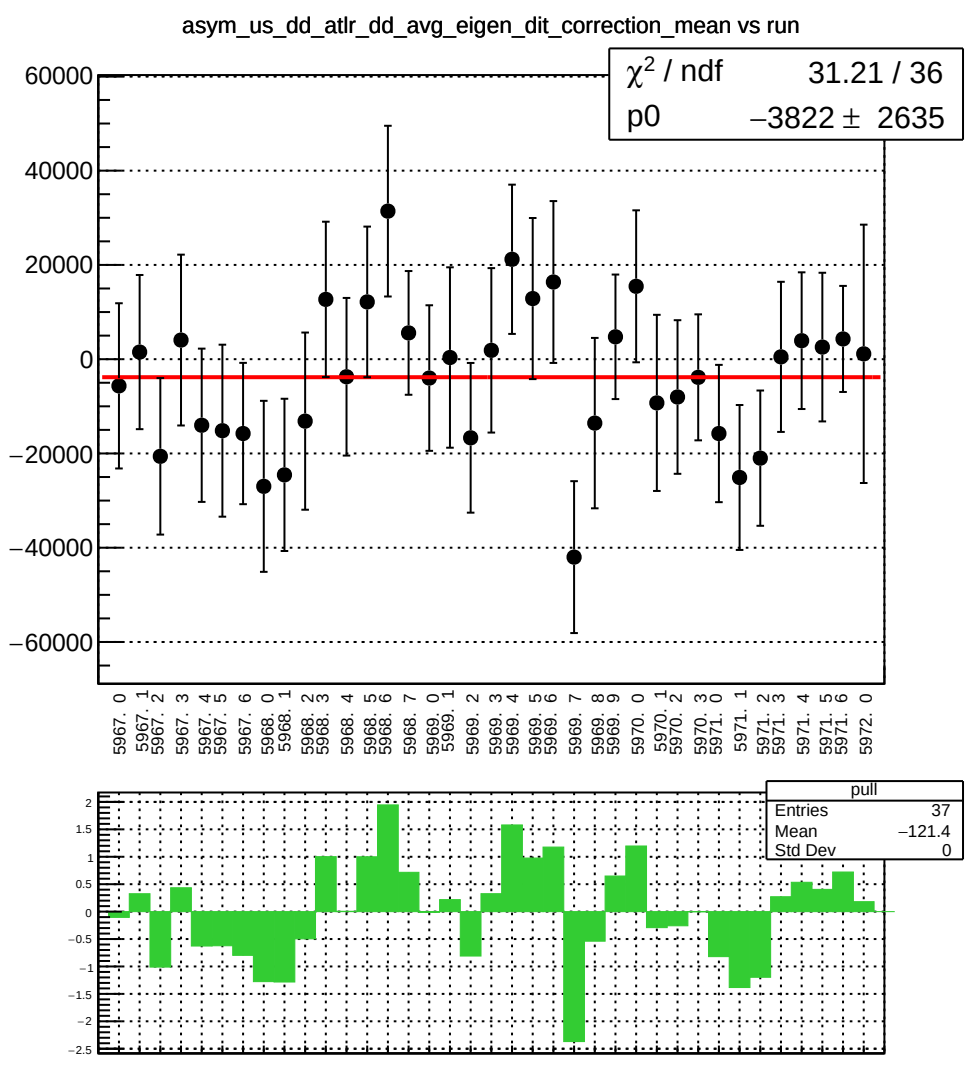
asym_us_dd_atlr_dd_avg_eigen_dit_correction_mean vs run
χ² / ndf 31.21 / 36
p0 −3822 ± 2635
60000
40000
20000
0
−20000
−40000
−60000
5967. 0
5967. 1
5967. 2
5967. 3
5967. 4
5967. 5
5967. 6
5968. 0
5968. 1
5968. 2
5968. 3
5968. 4
5968. 5
5968. 6
5968. 7
5969. 0
5969. 1
5969. 2
5969. 3
5969. 4
5969. 5
5969. 6
5969. 7
5969. 8
5969. 9
5970. 0
5970. 1
5970. 2
5970. 3
5971. 0
5971. 1
5971. 2
5971. 3
5971. 4
5971. 5
5971. 6
5972. 0
pull
Entries 37
Mean −121.4
Std Dev 0
2
1.5
1
0.5
0
−0.5
−1
−1.5
−2
−2.5

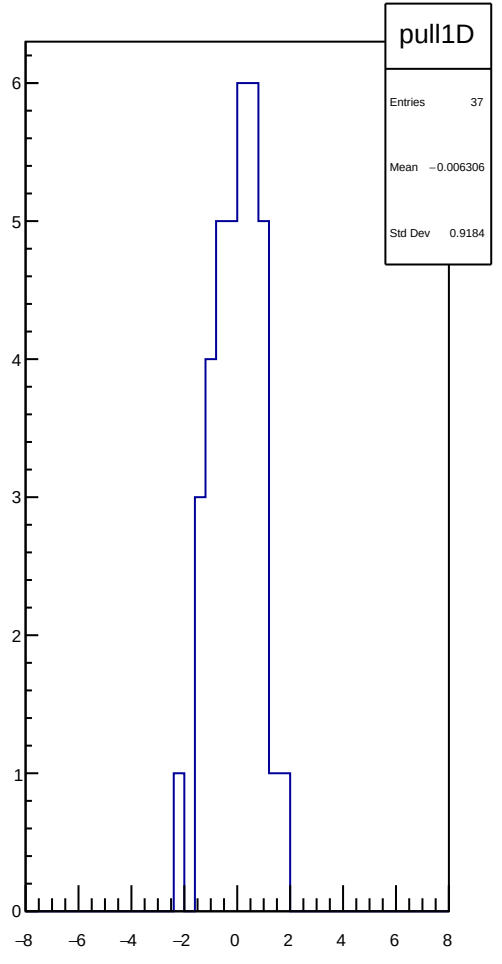
pull1D
Entries 37
Mean −0.006306
Std Dev 0.9184
6
5
4
3
2
1
0
−8
−6
−4
−2
0
2
4
6
8

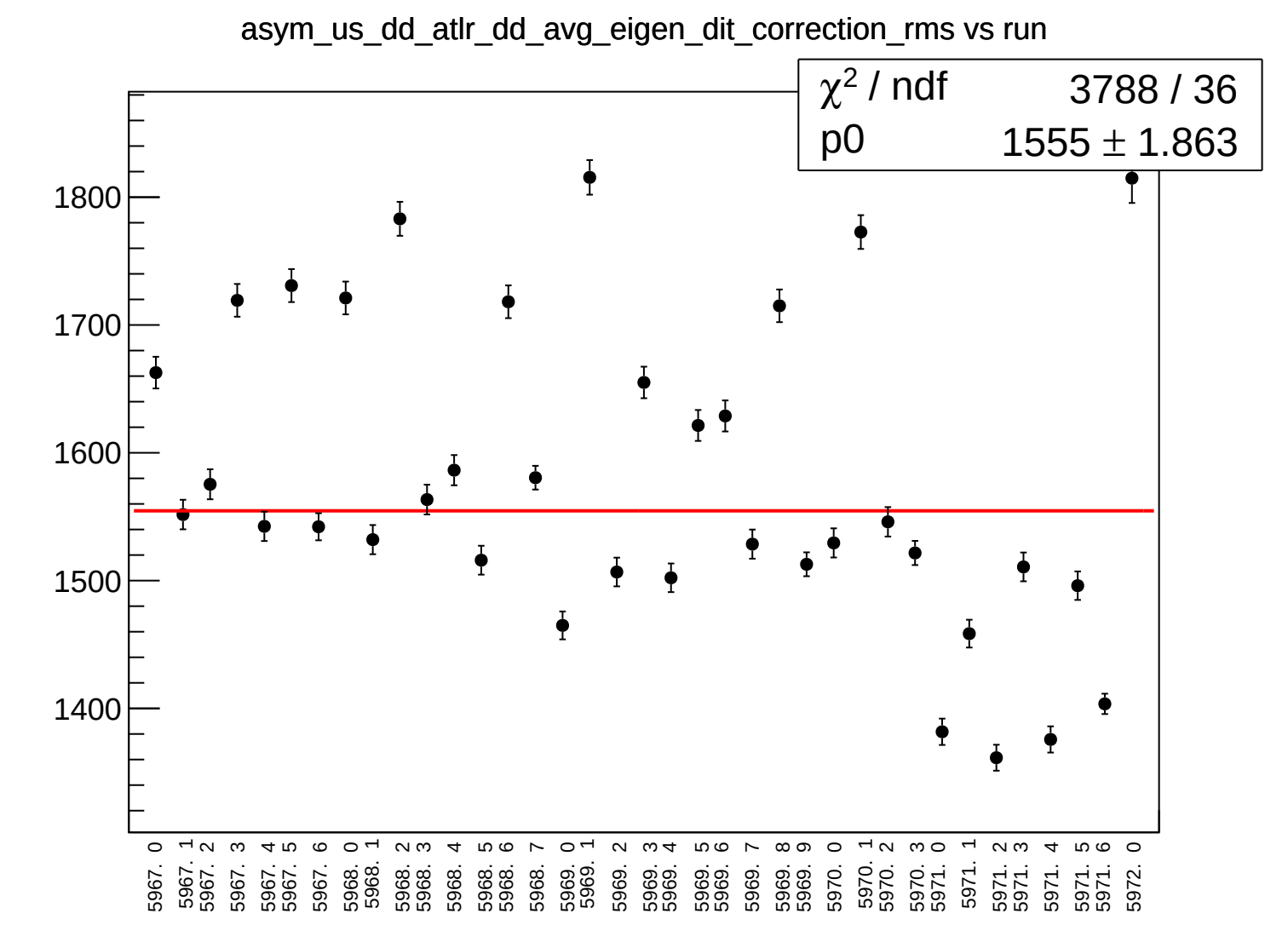
asym_us_dd_atlr_dd_avg_eigen_dit_correction_rms vs run
χ² / ndf 3788 / 36
p0 1555 ± 1.863
1800
1700
1600
1500
1400
5967. 0
5967. 1
5967. 2
5967. 3
5967. 4
5967. 5
5967. 6
5968. 0
5968. 1
5968. 2
5968. 3
5968. 4
5968. 5
5968. 6
5968. 7
5969. 0
5969. 1
5969. 2
5969. 3
5969. 4
5969. 5
5969. 6
5969. 7
5969. 8
5969. 9
5970. 0
5970. 1
5970. 2
5970. 3
5971. 0
5971. 1
5971. 2
5971. 3
5971. 4
5971. 5
5971. 6
5972. 0

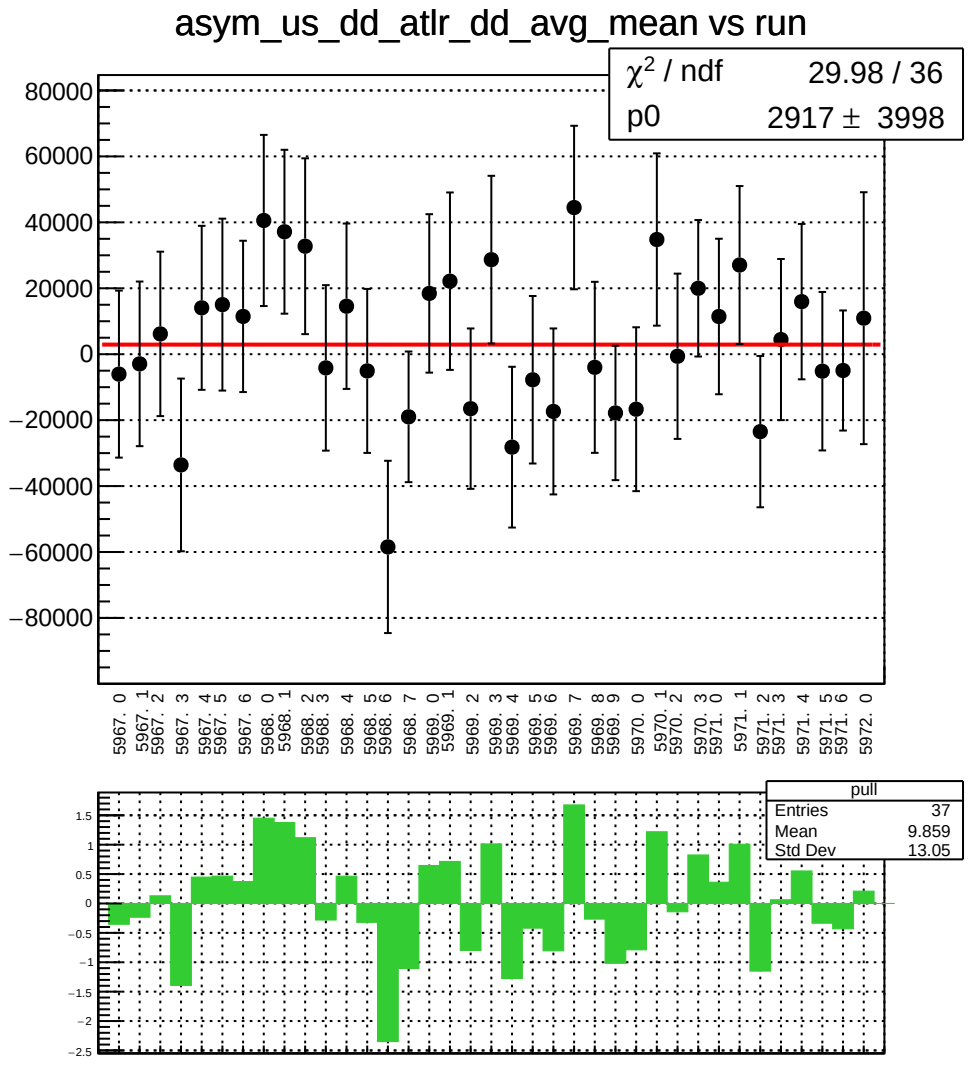
asym_us_dd_atlr_dd_avg_mean vs run
χ² / ndf 29.98 / 36
p0 2917 ± 3998
80000
60000
40000
20000
0
−20000
−40000
−60000
−80000
5967. 0
5967. 1
5967. 2
5967. 3
5967. 4
5967. 5
5967. 6
5968. 0
5968. 1
5968. 2
5968. 3
5968. 4
5968. 5
5968. 6
5968. 7
5969. 0
5969. 1
5969. 2
5969. 3
5969. 4
5969. 5
5969. 6
5969. 7
5969. 8
5969. 9
5970. 0
5970. 1
5970. 2
5970. 3
5971. 0
5971. 1
5971. 2
5971. 3
5971. 4
5971. 5
5971. 6
5972. 0
pull
Entries 37
Mean 9.859
Std Dev 13.05
1.5
1
0.5
0
−0.5
−1
−1.5
−2
−2.5
pull1D
Entries 37
Mean 0.01747
Std Dev 0.8999
7
6
5
4
3
2
1
0
−8
−6
−4
−2
0
2
4
6
8

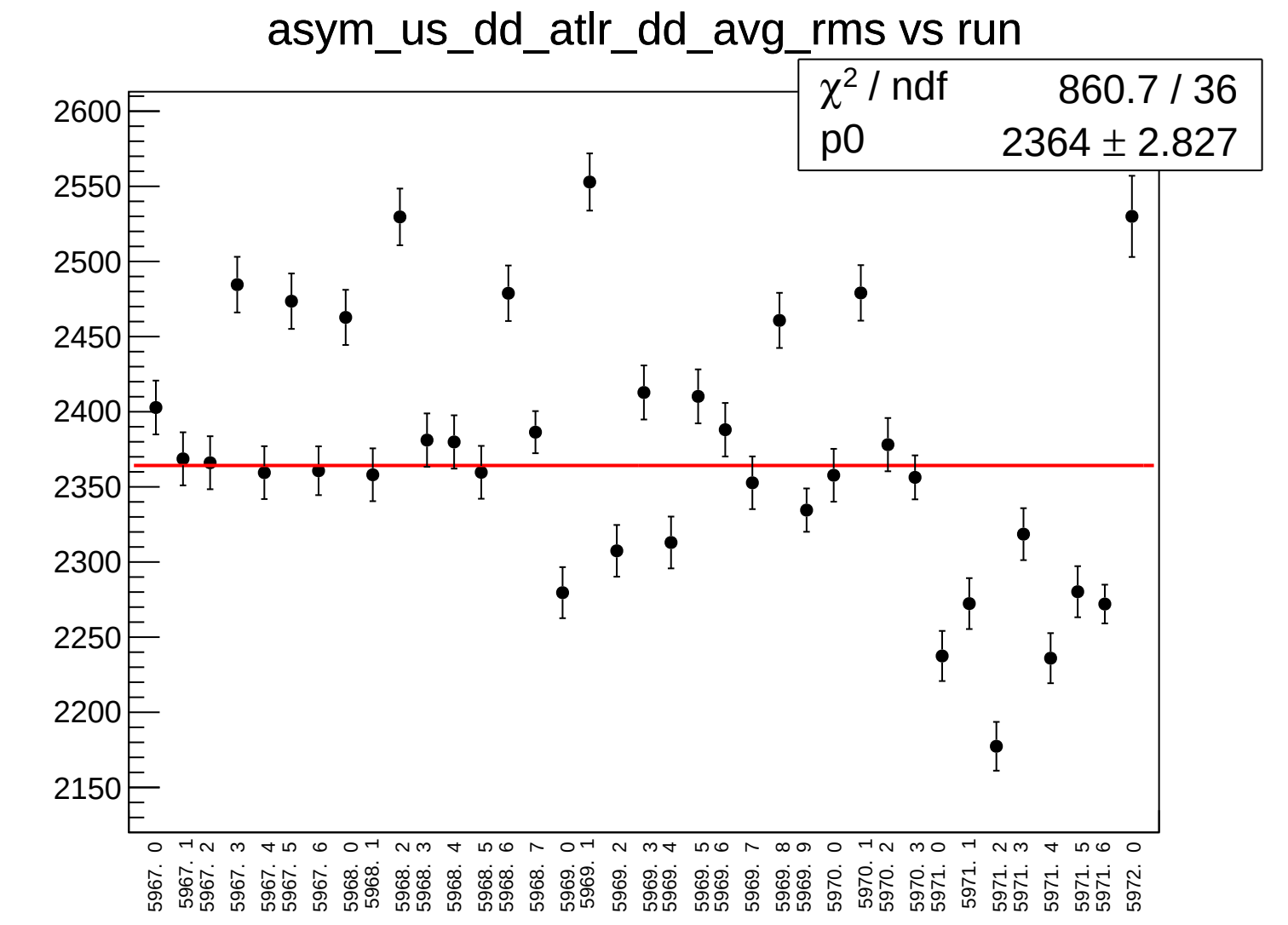
asym_us_dd_atlr_dd_avg_rms vs run
χ² / ndf 860.7 / 36
p0 2364 ± 2.827
2600
2550
2500
2450
2400
2350
2300
2250
2200
2150
5967. 0
5967. 1
5967. 2
5967. 3
5967. 4
5967. 5
5967. 6
5968. 0
5968. 1
5968. 2
5968. 3
5968. 4
5968. 5
5968. 6
5968. 7
5969. 0
5969. 1
5969. 2
5969. 3
5969. 4
5969. 5
5969. 6
5969. 7
5969. 8
5969. 9
5970. 0
5970. 1
5970. 2
5970. 3
5971. 0
5971. 1
5971. 2
5971. 3
5971. 4
5971. 5
5971. 6
5972. 0

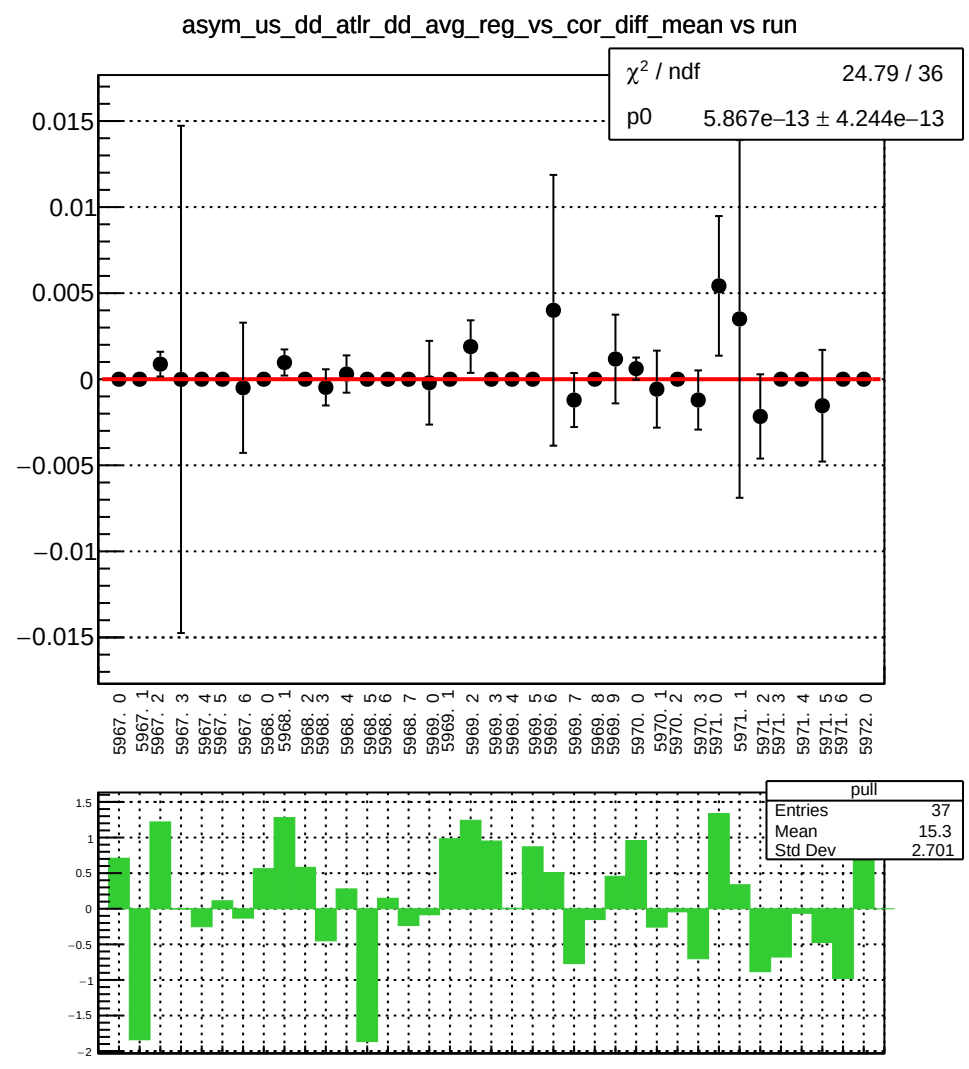
asym_us_dd_atlr_dd_avg_reg_vs_cor_diff_mean vs run
χ² / ndf 24.79 / 36
p0 5.867e−13 ± 4.244e−13
0.015
0.01
0.005
0
−0.005
−0.01
−0.015
5967. 0
5967. 1
5967. 2
5967. 3
5967. 4
5967. 5
5967. 6
5968. 0
5968. 1
5968. 2
5968. 3
5968. 4
5968. 5
5968. 6
5968. 7
5969. 0
5969. 1
5969. 2
5969. 3
5969. 4
5969. 5
5969. 6
5969. 7
5969. 8
5969. 9
5970. 0
5970. 1
5970. 2
5970. 3
5971. 0
5971. 1
5971. 2
5971. 3
5971. 4
5971. 5
5971. 6
5972. 0
pull
Entries 37
Mean 15.3
Std Dev 2.701
1.5
1
0.5
0
−0.5
−1
−1.5
−2
pull1D
Entries 37
Mean 0.1117
Std Dev 0.8109
9
8
7
6
5
4
3
2
1
0
−8
−6
−4
−2
0
2
4
6
8

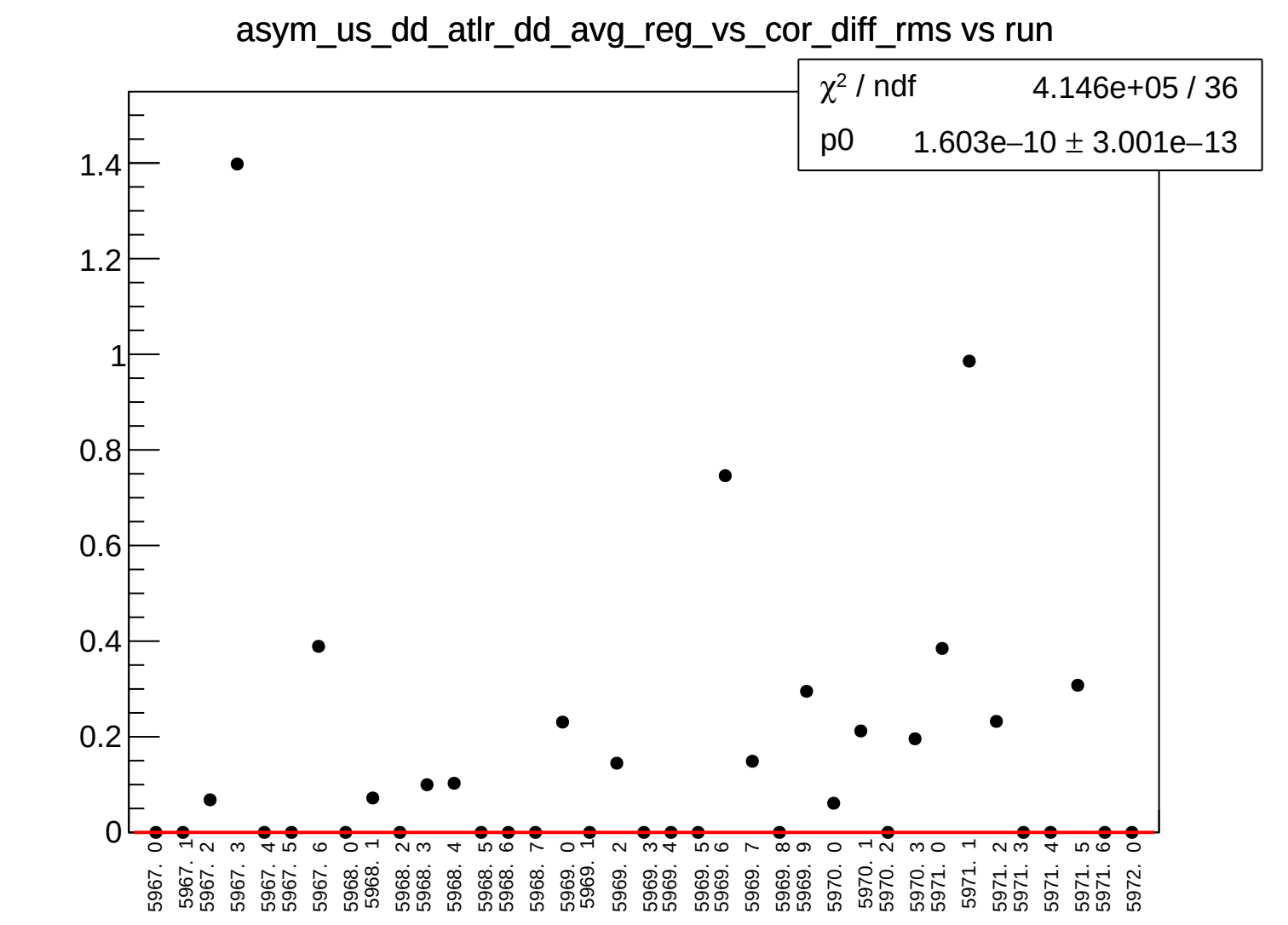
asym_us_dd_atlr_dd_avg_reg_vs_cor_diff_rms vs run
χ² / ndf 4.146e+05 / 36
p0 1.603e−10 ± 3.001e−13
1.4
1.2
1
0.8
0.6
0.4
0.2
0
5967. 0
5967. 1
5967. 2
5967. 3
5967. 4
5967. 5
5967. 6
5968. 0
5968. 1
5968. 2
5968. 3
5968. 4
5968. 5
5968. 6
5968. 7
5969. 0
5969. 1
5969. 2
5969. 3
5969. 4
5969. 5
5969. 6
5969. 7
5969. 8
5969. 9
5970. 0
5970. 1
5970. 2
5970. 3
5971. 0
5971. 1
5971. 2
5971. 3
5971. 4
5971. 5
5971. 6
5972. 0

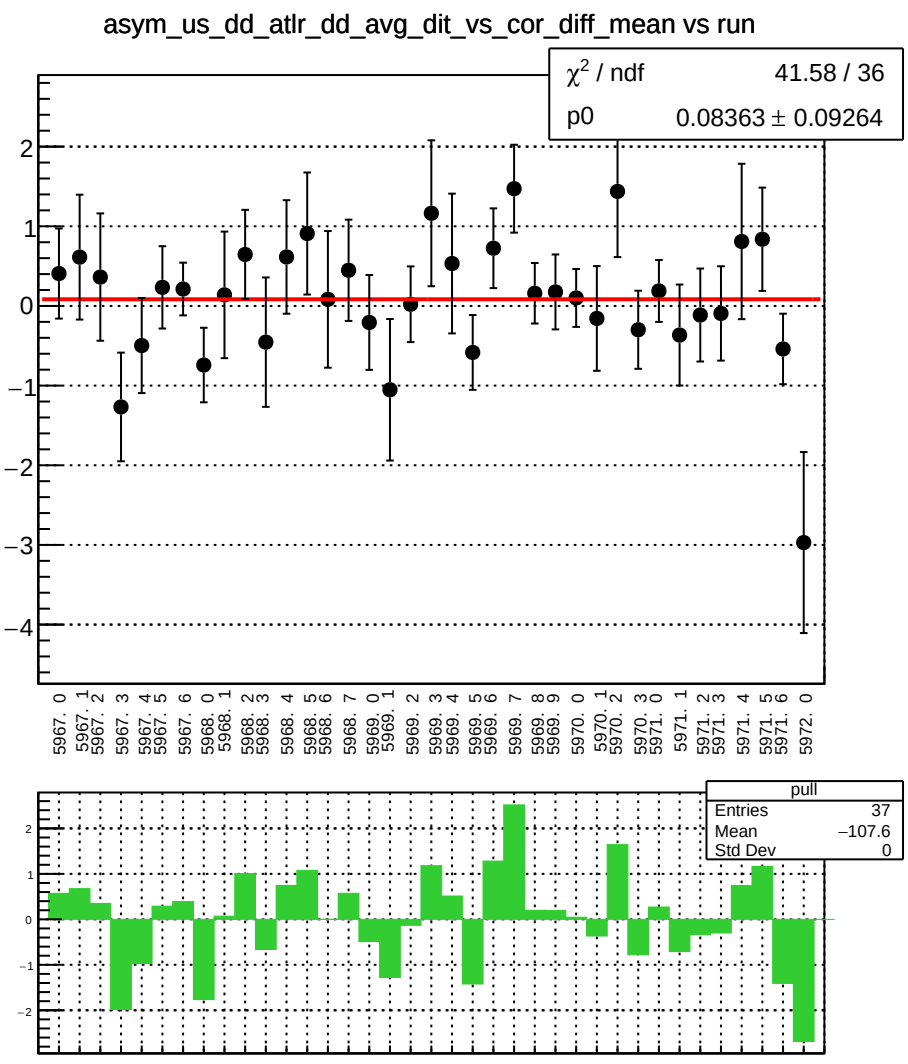
asym_us_dd_atlr_dd_avg_dit_vs_cor_diff_mean vs run
χ² / ndf 41.58 / 36
p0 0.08363 ± 0.09264
pull
Entries 37
Mean −107.6
Std Dev 0

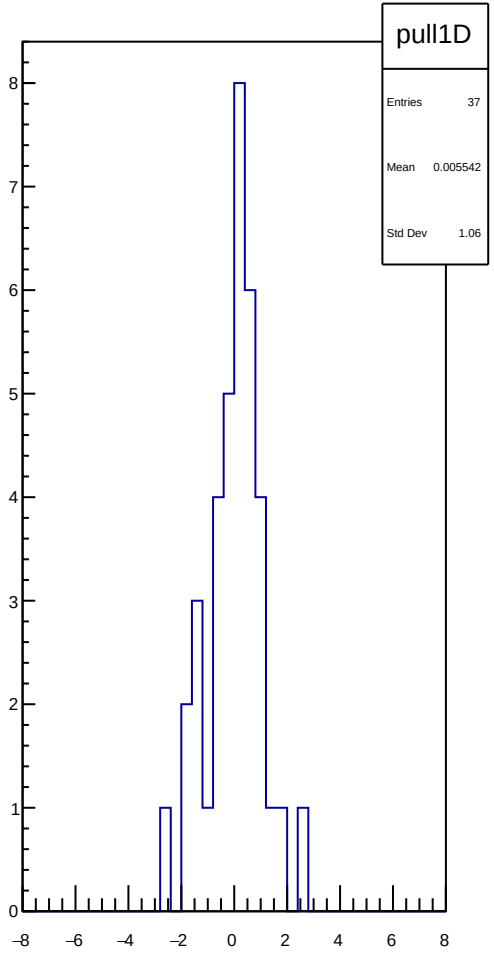
pull1D
Entries 37
Mean 0.005542
Std Dev 1.06

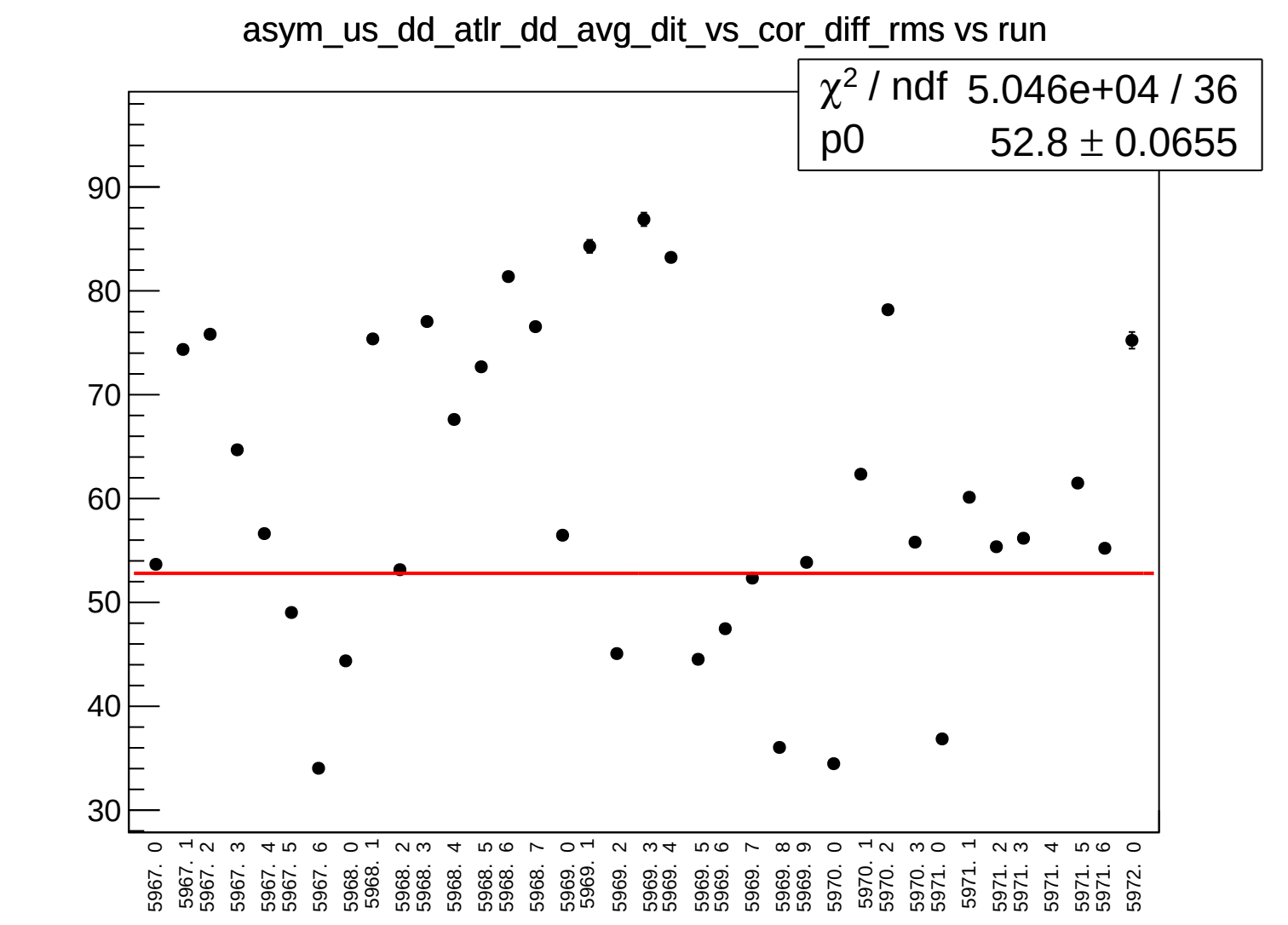
asym_us_dd_atlr_dd_avg_dit_vs_cor_diff_rms vs run
χ² / ndf 5.046e+04 / 36
p0 52.8 ± 0.0655
90
80
70
60
50
40
30
5967. 0
5967. 1
5967. 2
5967. 3
5967. 4
5967. 5
5967. 6
5968. 0
5968. 1
5968. 2
5968. 3
5968. 4
5968. 5
5968. 6
5968. 7
5969. 0
5969. 1
5969. 2
5969. 3
5969. 4
5969. 5
5969. 6
5969. 7
5969. 8
5969. 9
5970. 0
5970. 1
5970. 2
5970. 3
5971. 0
5971. 1
5971. 2
5971. 3
5971. 4
5971. 5
5971. 6
5972. 0

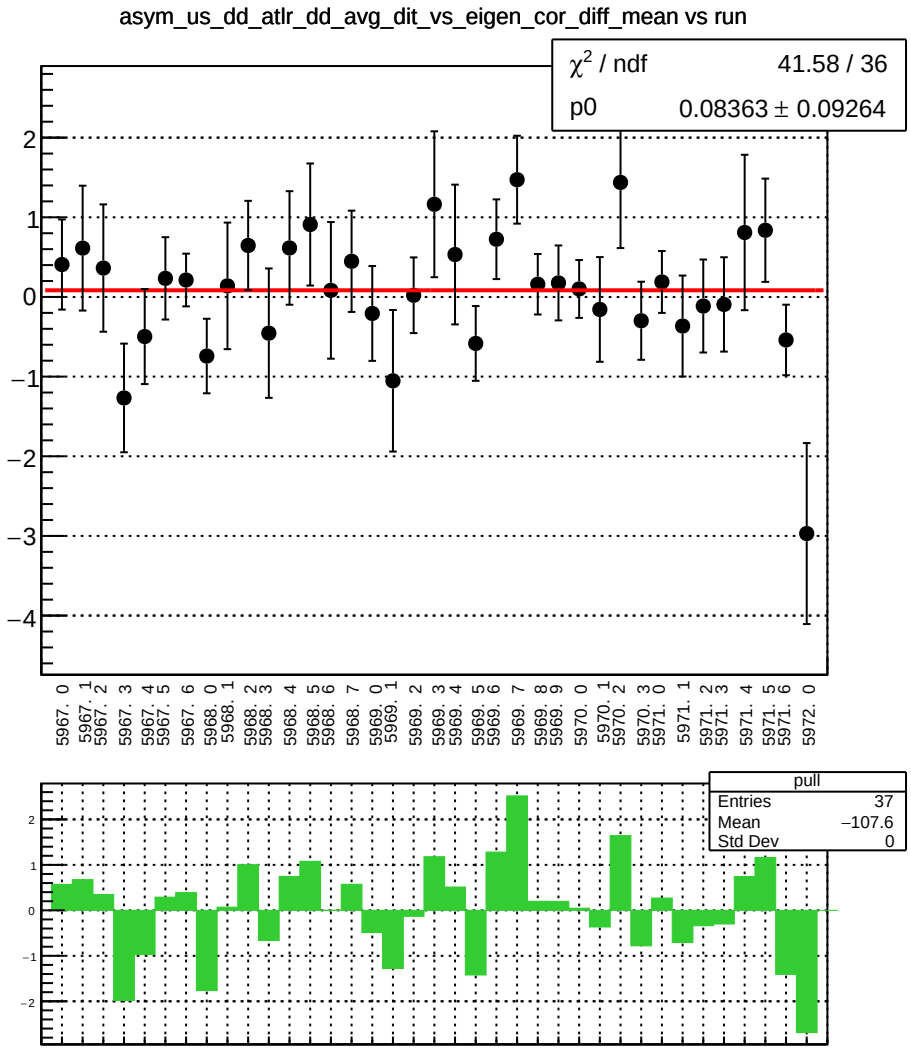
asym_us_dd_atlr_dd_avg_dit_vs_eigen_cor_diff_mean vs run
χ² / ndf 41.58 / 36
p0 0.08363 ± 0.09264
pull
Entries 37
Mean −107.6
Std Dev 0
pull1D
Entries 37
Mean 0.005542
Std Dev 1.06

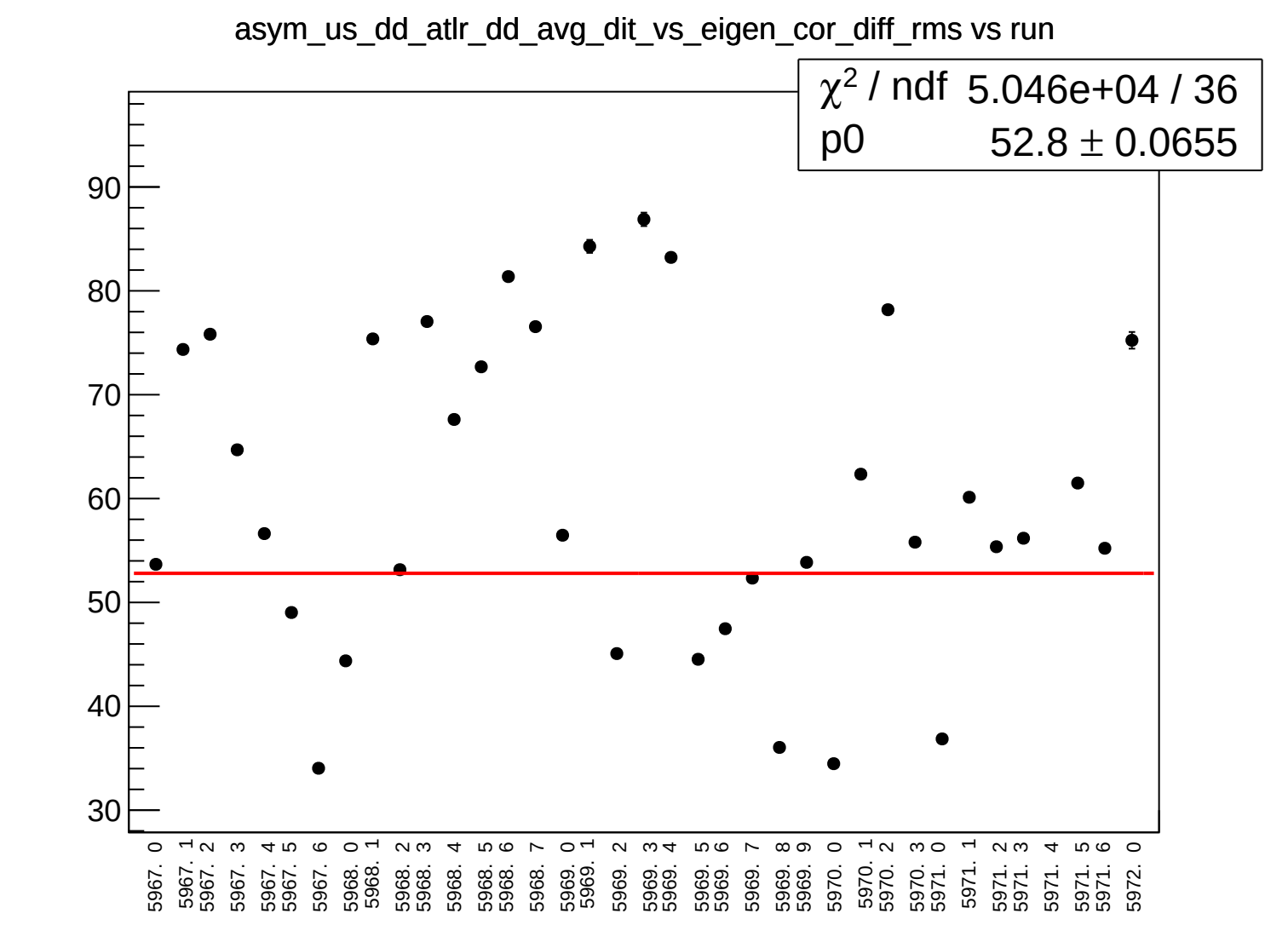
asym_us_dd_atlr_dd_avg_dit_vs_eigen_cor_diff_rms vs run
χ² / ndf 5.046e+04 / 36
p0 52.8 ± 0.0655
90
80
70
60
50
40
30
5967. 0
5967. 1
5967. 2
5967. 3
5967. 4
5967. 5
5967. 6
5968. 0
5968. 1
5968. 2
5968. 3
5968. 4
5968. 5
5968. 6
5968. 7
5969. 0
5969. 1
5969. 2
5969. 3
5969. 4
5969. 5
5969. 6
5969. 7
5969. 8
5969. 9
5970. 0
5970. 1
5970. 2
5970. 3
5971. 0
5971. 1
5971. 2
5971. 3
5971. 4
5971. 5
5971. 6
5972. 0

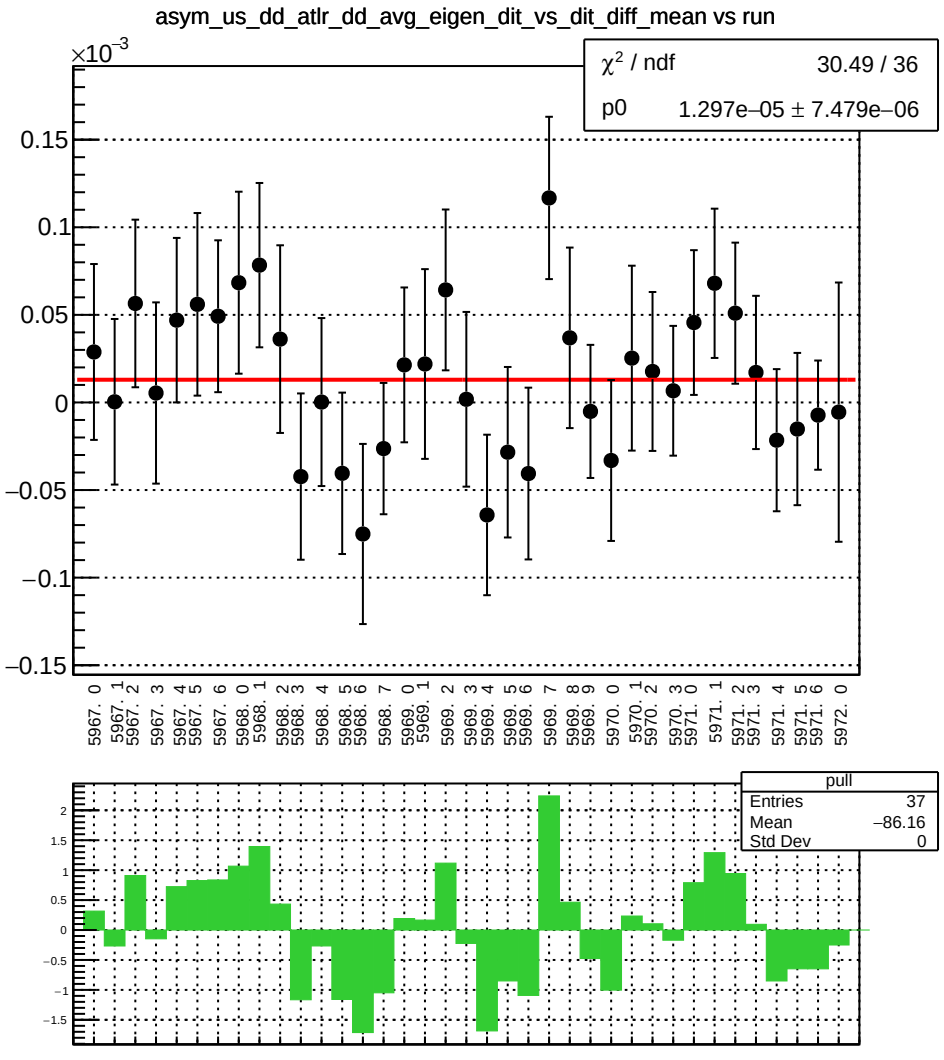
asym_us_dd_atlr_dd_avg_eigen_dit_vs_dit_diff_mean vs run
×10⁻³
χ² / ndf 30.49 / 36
p0 1.297e−05 ± 7.479e−06
0.15
0.1
0.05
0
−0.05
−0.1
−0.15
5967. 0
5967. 1
5967. 2
5967. 3
5967. 4
5967. 5
5967. 6
5968. 0
5968. 1
5968. 2
5968. 3
5968. 4
5968. 5
5968. 6
5968. 7
5969. 0
5969. 1
5969. 2
5969. 3
5969. 4
5969. 5
5969. 6
5969. 7
5969. 8
5969. 9
5970. 0
5970. 1
5970. 2
5970. 3
5971. 0
5971. 1
5971. 2
5971. 3
5971. 4
5971. 5
5971. 6
5972. 0
pull
Entries 37
Mean −86.16
Std Dev 0
2
1.5
1
0.5
0
−0.5
−1
−1.5

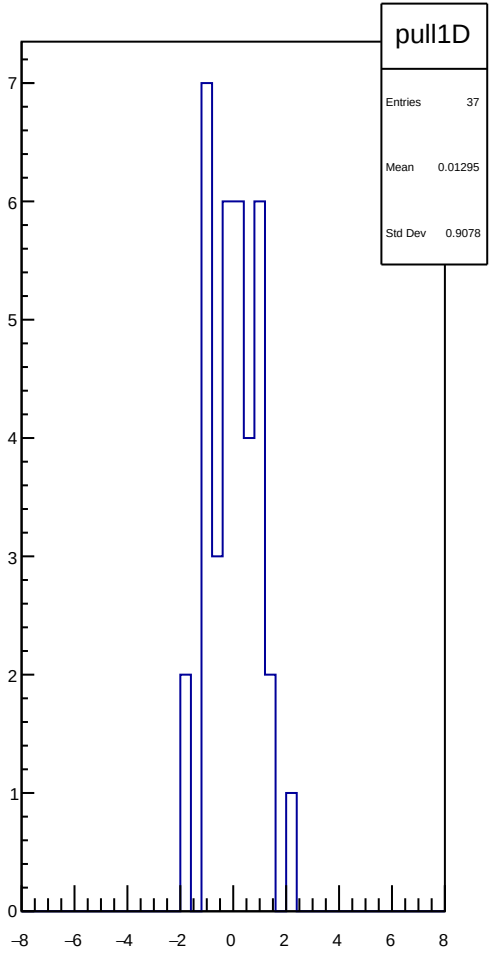
pull1D
Entries 37
Mean 0.01295
Std Dev 0.9078
7
6
5
4
3
2
1
0
−8
−6
−4
−2
0
2
4
6
8

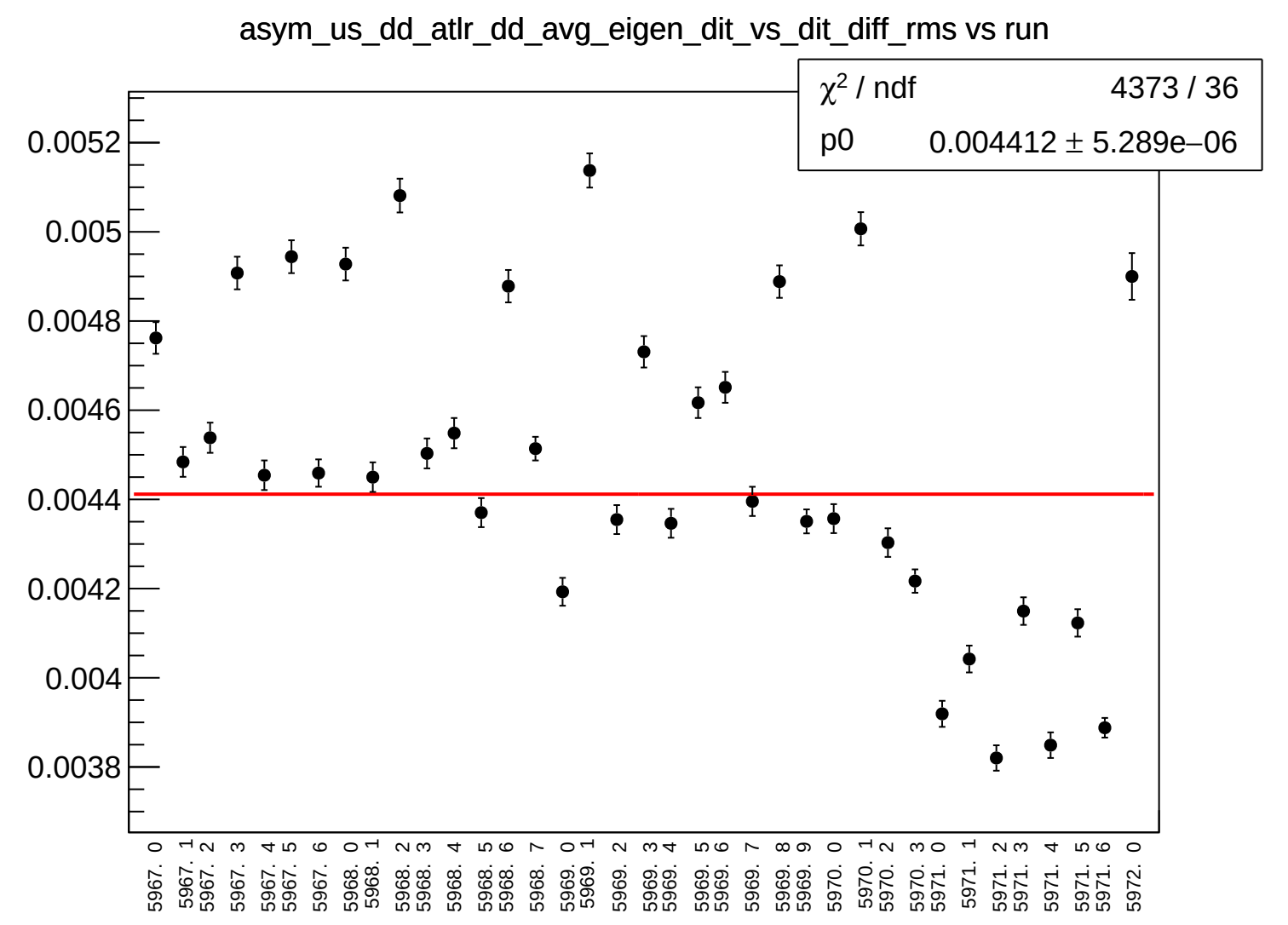
asym_us_dd_atlr_dd_avg_eigen_dit_vs_dit_diff_rms vs run
χ² / ndf 4373 / 36
p0 0.004412 ± 5.289e−06
0.0052
0.005
0.0048
0.0046
0.0044
0.0042
0.004
0.0038
5967. 0
5967. 1
5967. 2
5967. 3
5967. 4
5967. 5
5967. 6
5968. 0
5968. 1
5968. 2
5968. 3
5968. 4
5968. 5
5968. 6
5968. 7
5969. 0
5969. 1
5969. 2
5969. 3
5969. 4
5969. 5
5969. 6
5969. 7
5969. 8
5969. 9
5970. 0
5970. 1
5970. 2
5970. 3
5971. 0
5971. 1
5971. 2
5971. 3
5971. 4
5971. 5
5971. 6
5972. 0

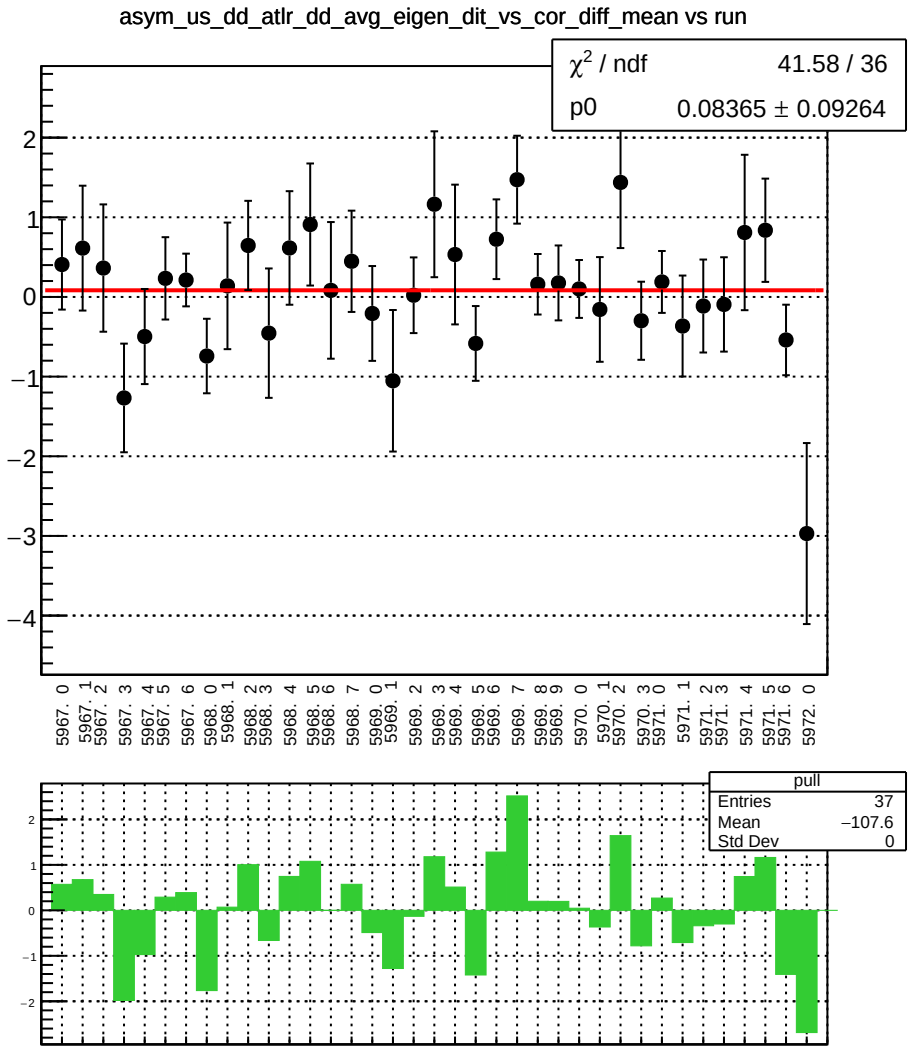
asym_us_dd_atlr_dd_avg_eigen_dit_vs_cor_diff_mean vs run
χ² / ndf 41.58 / 36
p0 0.08365 ± 0.09264
pull
Entries 37
Mean −107.6
Std Dev 0
pull1D
Entries 37
Mean 0.005541
Std Dev 1.06

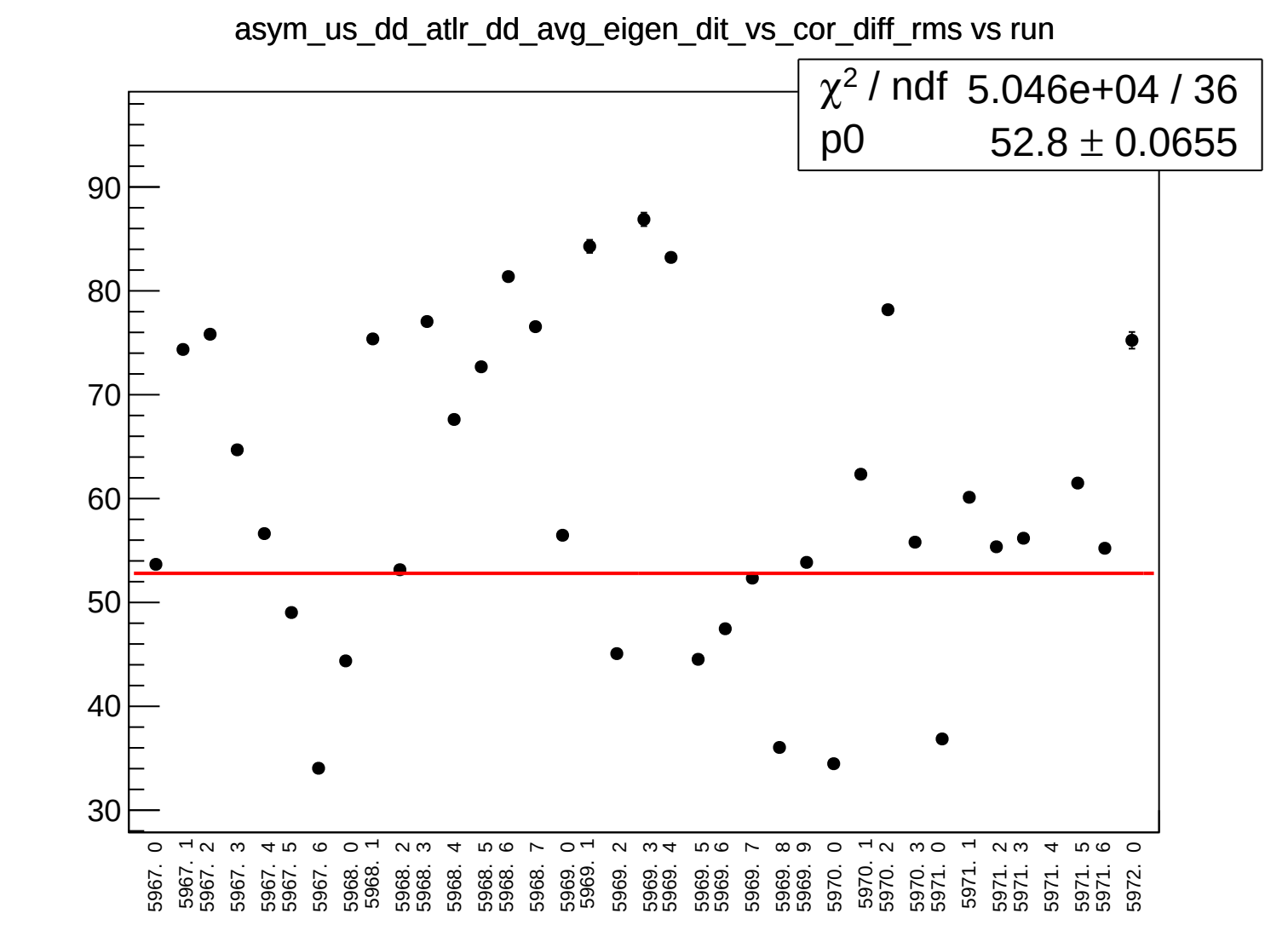
asym_us_dd_atlr_dd_avg_eigen_dit_vs_cor_diff_rms vs run
χ² / ndf 5.046e+04 / 36
p0 52.8 ± 0.0655
90
80
70
60
50
40
30
5967. 0
5967. 1
5967. 2
5967. 3
5967. 4
5967. 5
5967. 6
5968. 0
5968. 1
5968. 2
5968. 3
5968. 4
5968. 5
5968. 6
5968. 7
5969. 0
5969. 1
5969. 2
5969. 3
5969. 4
5969. 5
5969. 6
5969. 7
5969. 8
5969. 9
5970. 0
5970. 1
5970. 2
5970. 3
5971. 0
5971. 1
5971. 2
5971. 3
5971. 4
5971. 5
5971. 6
5972. 0

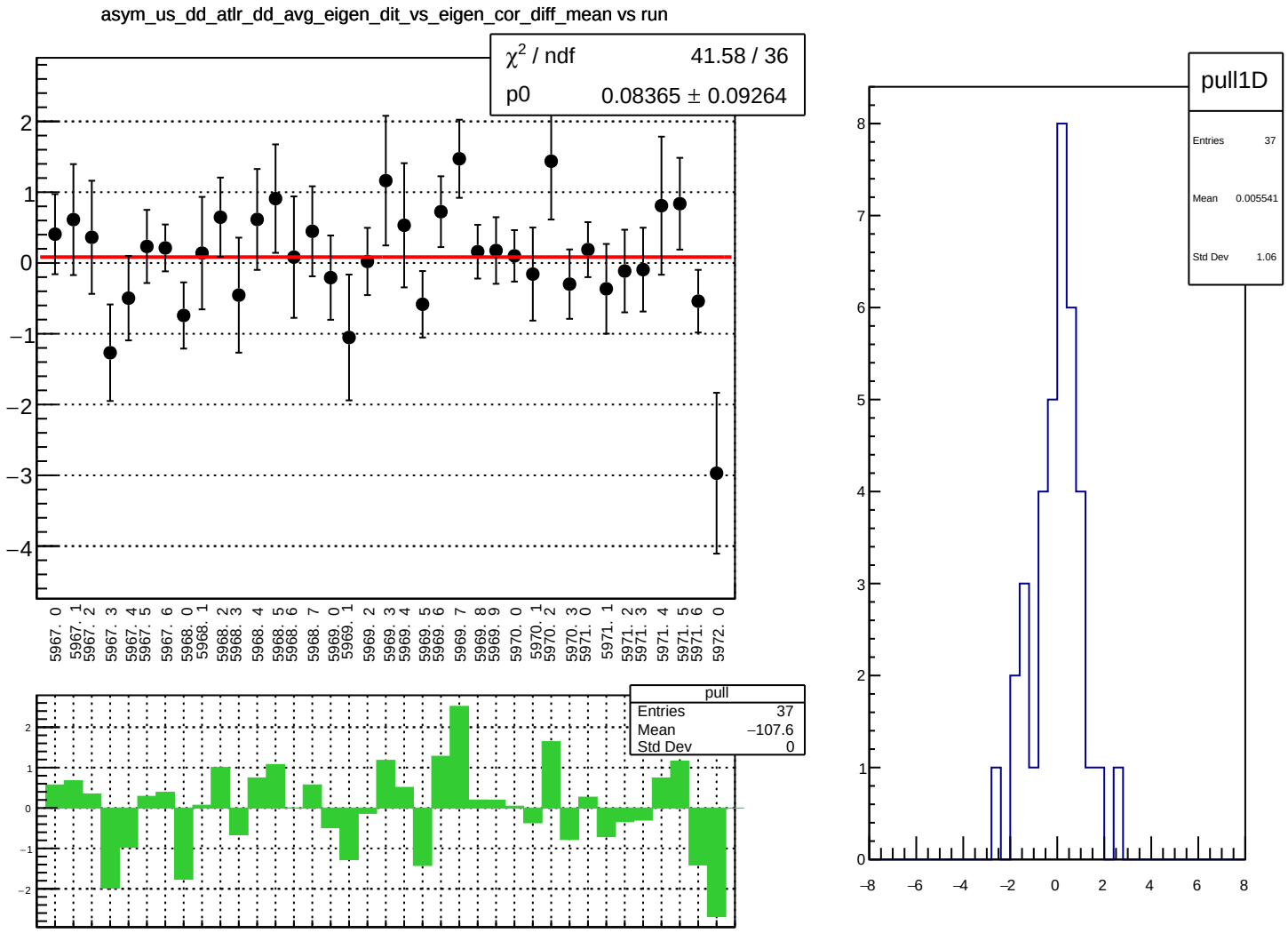
asym_us_dd_atlr_dd_avg_eigen_dit_vs_eigen_cor_diff_mean vs run
χ² / ndf 41.58 / 36
p0 0.08365 ± 0.09264
pull
Entries 37
Mean −107.6
Std Dev 0
pull1D
Entries 37
Mean 0.005541
Std Dev 1.06

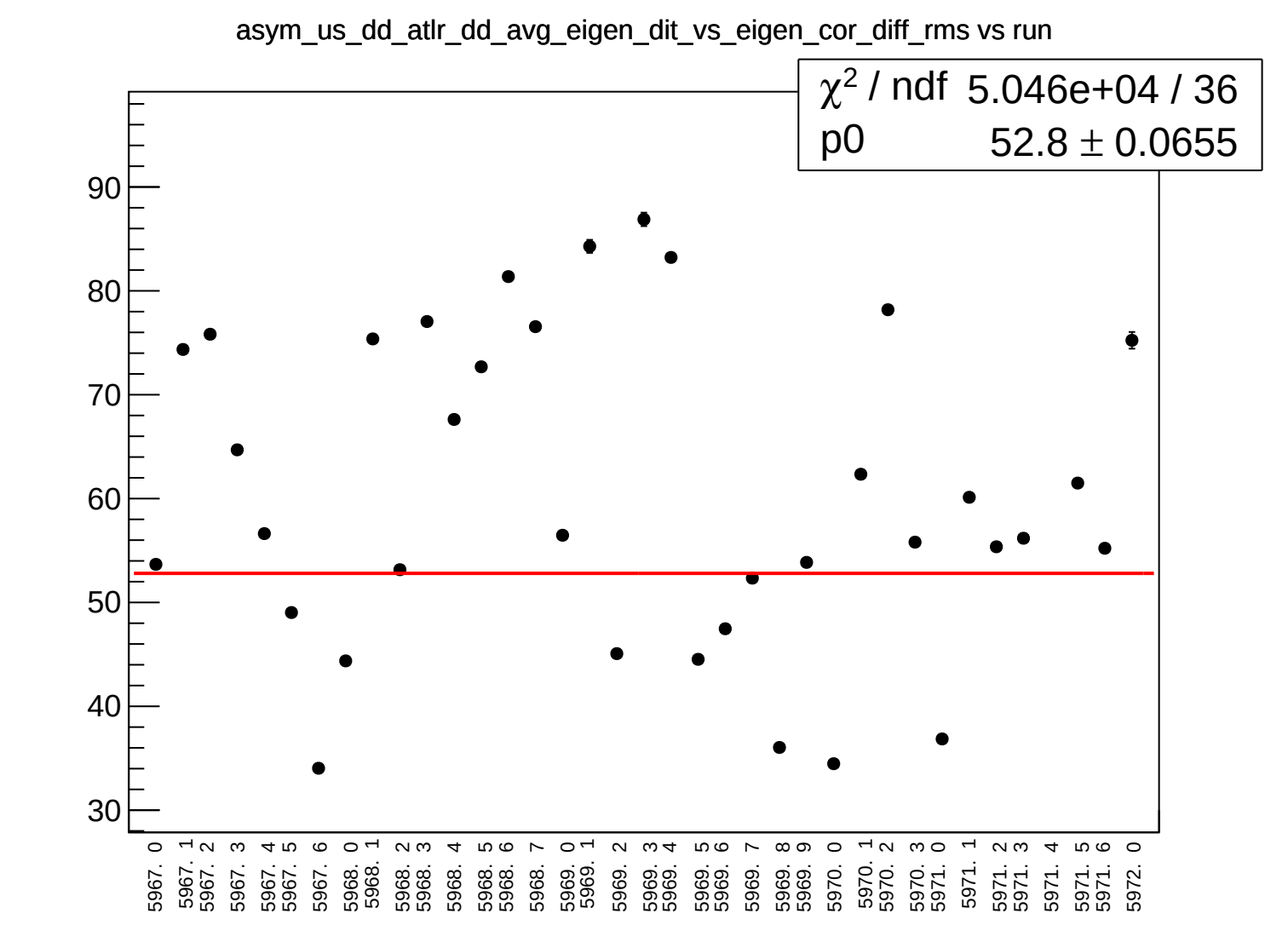
asym_us_dd_atlr_dd_avg_eigen_dit_vs_eigen_cor_diff_rms vs run
χ² / ndf 5.046e+04 / 36
p0 52.8 ± 0.0655
90
80
70
60
50
40
30
5967. 0
5967. 1
5967. 2
5967. 3
5967. 4
5967. 5
5967. 6
5968. 0
5968. 1
5968. 2
5968. 3
5968. 4
5968. 5
5968. 6
5968. 7
5969. 0
5969. 1
5969. 2
5969. 3
5969. 4
5969. 5
5969. 6
5969. 7
5969. 8
5969. 9
5970. 0
5970. 1
5970. 2
5970. 3
5971. 0
5971. 1
5971. 2
5971. 3
5971. 4
5971. 5
5971. 6
5972. 0

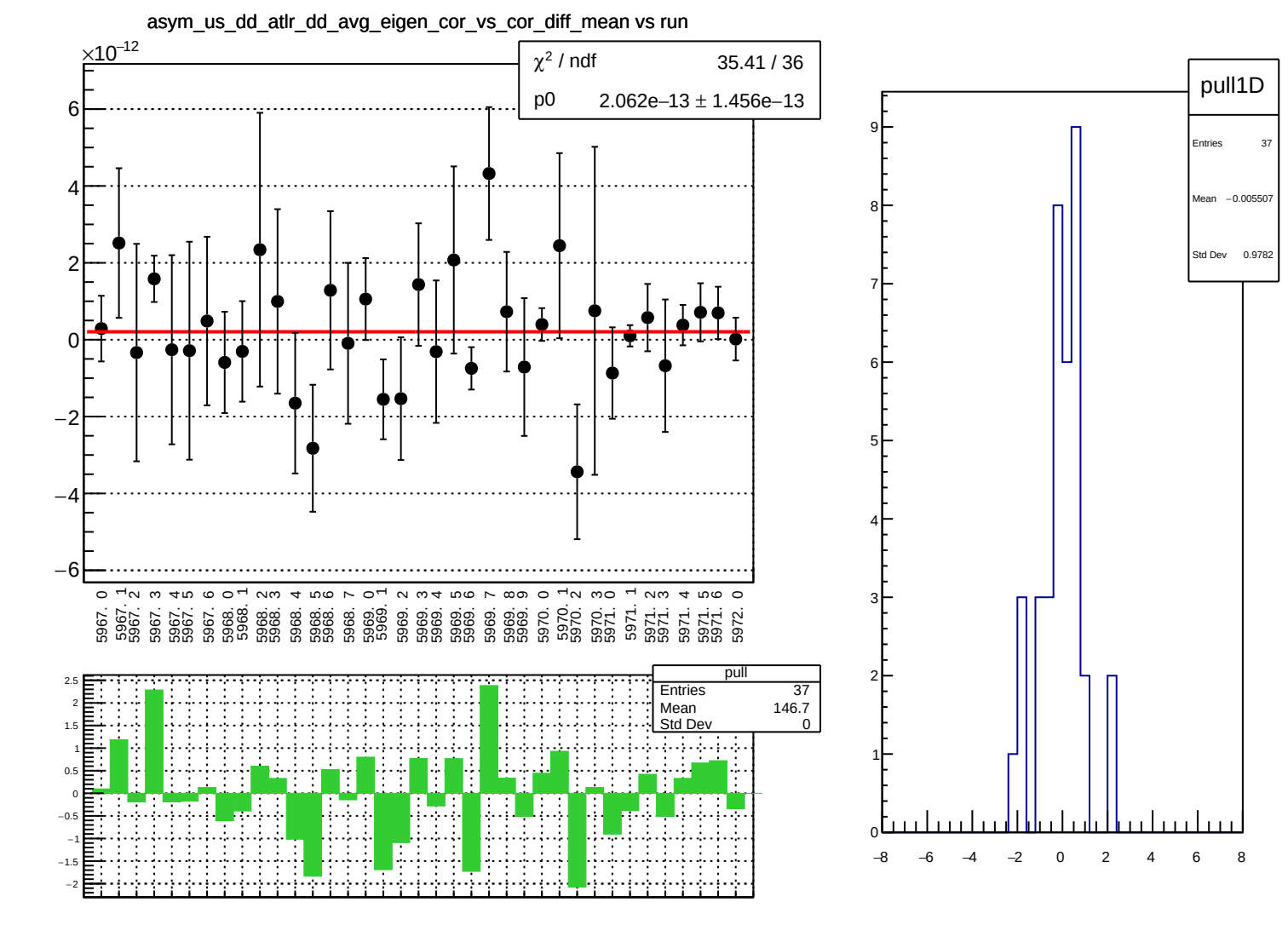
asym_us_dd_atlr_dd_avg_eigen_cor_vs_cor_diff_mean vs run
×10⁻¹²
χ² / ndf 35.41 / 36
p0 2.062e−13 ± 1.456e−13
pull
Entries 37
Mean 146.7
Std Dev 0
pull1D
Entries 37
Mean −0.005507
Std Dev 0.9782

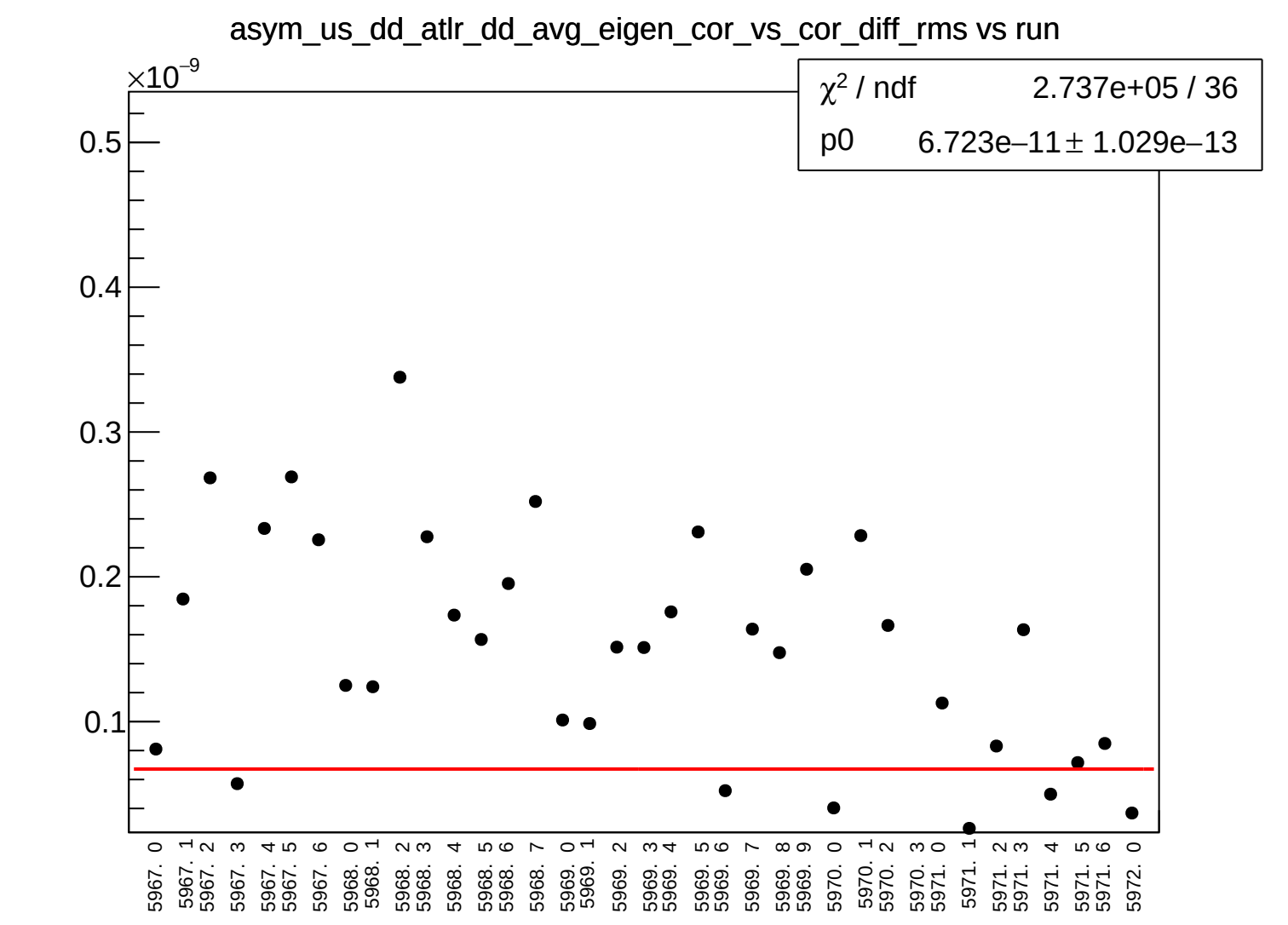
asym_us_dd_atlr_dd_avg_eigen_cor_vs_cor_diff_rms vs run
×10⁻⁹
χ² / ndf 2.737e+05 / 36
p0 6.723e−11 ± 1.029e−13
0.5
0.4
0.3
0.2
0.1
5967. 0
5967. 1
5967. 2
5967. 3
5967. 4
5967. 5
5967. 6
5968. 0
5968. 1
5968. 2
5968. 3
5968. 4
5968. 5
5968. 6
5968. 7
5969. 0
5969. 1
5969. 2
5969. 3
5969. 4
5969. 5
5969. 6
5969. 7
5969. 8
5969. 9
5970. 0
5970. 1
5970. 2
5970. 3
5971. 0
5971. 1
5971. 2
5971. 3
5971. 4
5971. 5
5971. 6
5972. 0

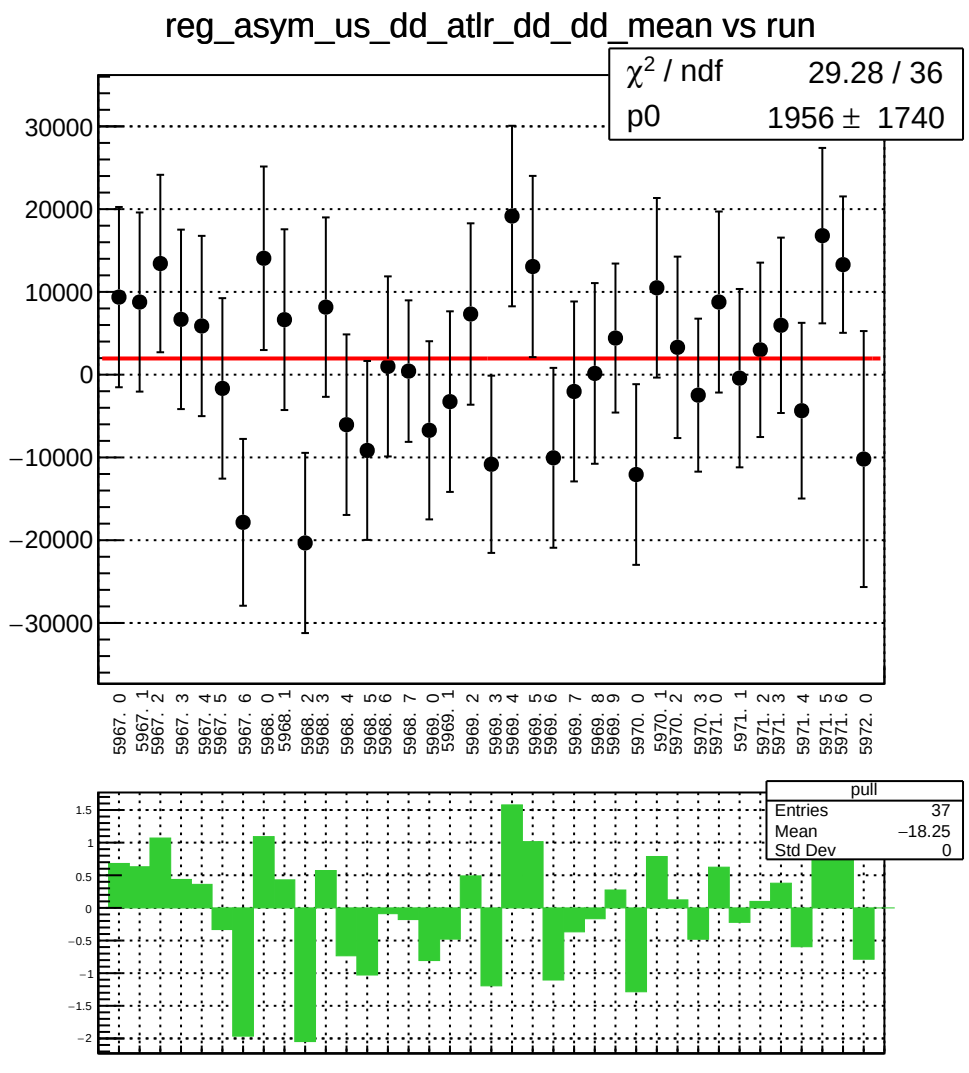
reg_asym_us_dd_atlr_dd_dd_mean vs run
χ² / ndf 29.28 / 36
p0 1956 ± 1740
30000
20000
10000
0
−10000
−20000
−30000
5967. 0
5967. 1
5967. 2
5967. 3
5967. 4
5967. 5
5967. 6
5968. 0
5968. 1
5968. 2
5968. 3
5968. 4
5968. 5
5968. 6
5968. 7
5969. 0
5969. 1
5969. 2
5969. 3
5969. 4
5969. 5
5969. 6
5969. 7
5969. 8
5969. 9
5970. 0
5970. 1
5970. 2
5970. 3
5971. 0
5971. 1
5971. 2
5971. 3
5971. 4
5971. 5
5971. 6
5972. 0
pull
Entries 37
Mean −18.25
Std Dev 0
1.5
1
0.5
0
−0.5
−1
−1.5
−2

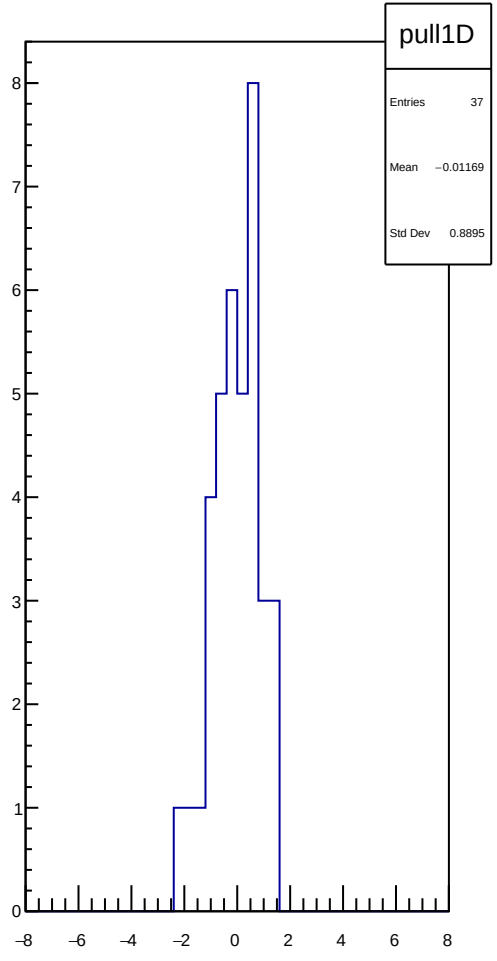
pull1D
Entries 37
Mean −0.01169
Std Dev 0.8895
8
7
6
5
4
3
2
1
0
−8
−6
−4
−2
0
2
4
6
8

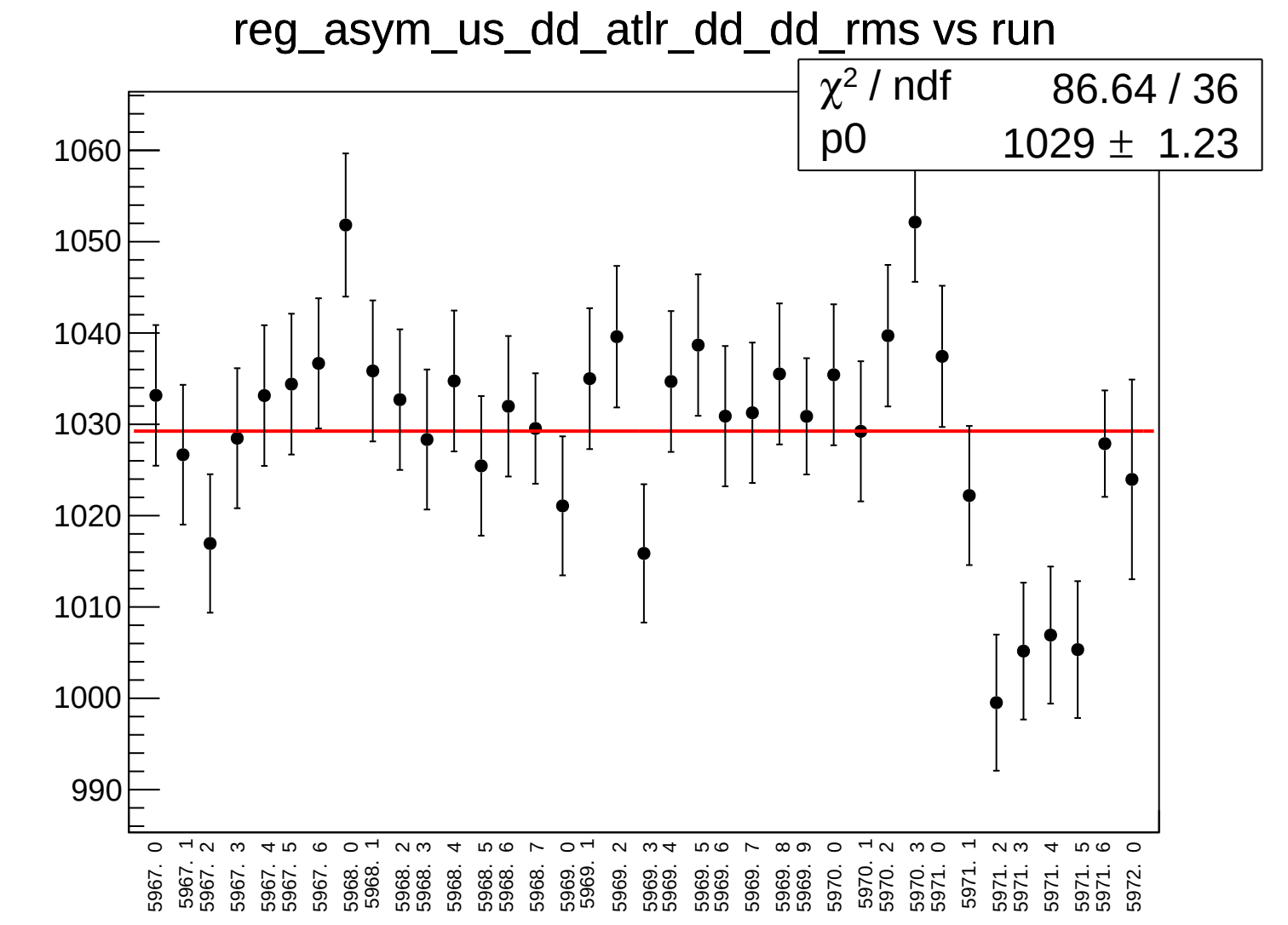
reg_asym_us_dd_atlr_dd_dd_rms vs run
χ² / ndf 86.64 / 36
p0 1029 ± 1.23
1060
1050
1040
1030
1020
1010
1000
990
5967. 0
5967. 1
5967. 2
5967. 3
5967. 4
5967. 5
5967. 6
5968. 0
5968. 1
5968. 2
5968. 3
5968. 4
5968. 5
5968. 6
5968. 7
5969. 0
5969. 1
5969. 2
5969. 3
5969. 4
5969. 5
5969. 6
5969. 7
5969. 8
5969. 9
5970. 0
5970. 1
5970. 2
5970. 3
5971. 0
5971. 1
5971. 2
5971. 3
5971. 4
5971. 5
5971. 6
5972. 0

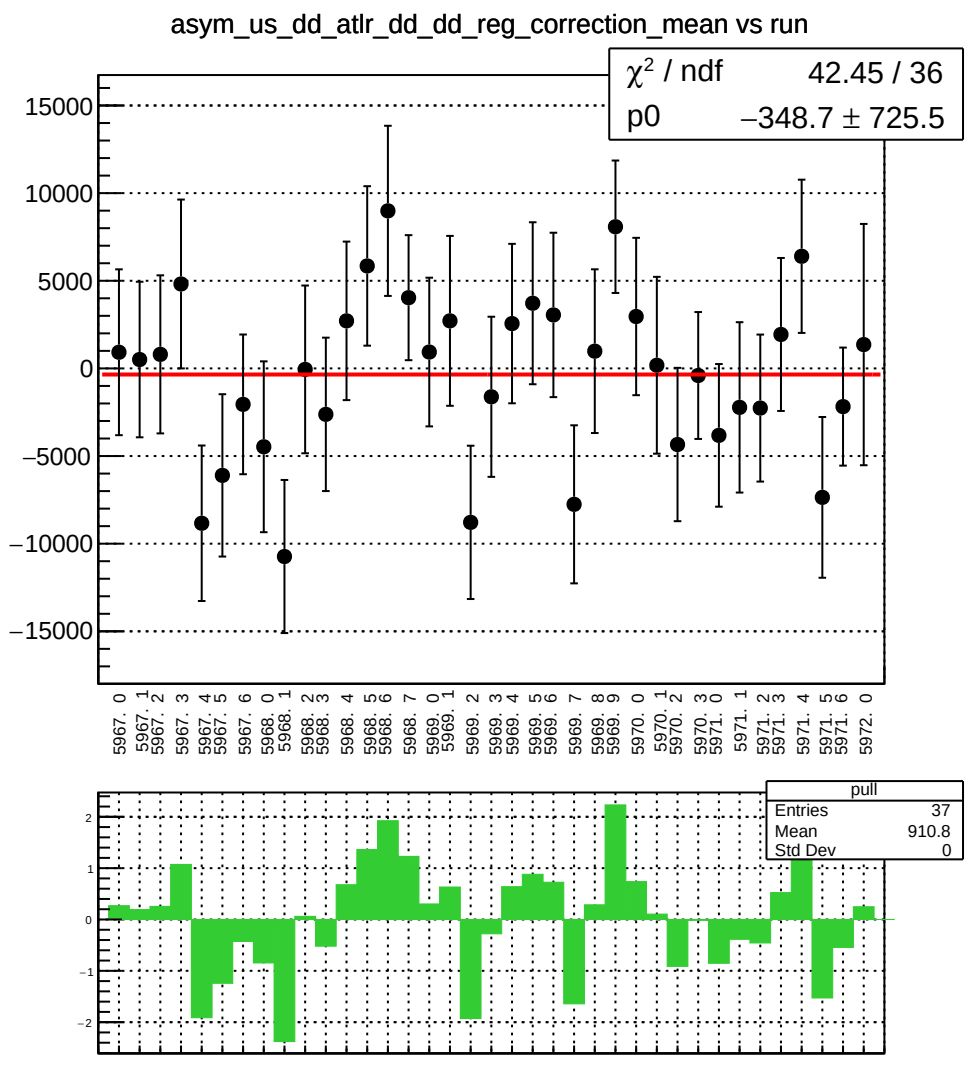
asym_us_dd_atlr_dd_dd_reg_correction_mean vs run
χ² / ndf 42.45 / 36
p0 −348.7 ± 725.5
15000
10000
5000
0
−5000
−10000
−15000
5967. 0
5967. 1
5967. 2
5967. 3
5967. 4
5967. 5
5967. 6
5968. 0
5968. 1
5968. 2
5968. 3
5968. 4
5968. 5
5968. 6
5968. 7
5969. 0
5969. 1
5969. 2
5969. 3
5969. 4
5969. 5
5969. 6
5969. 7
5969. 8
5969. 9
5970. 0
5970. 1
5970. 2
5970. 3
5971. 0
5971. 1
5971. 2
5971. 3
5971. 4
5971. 5
5971. 6
5972. 0
pull
Entries 37
Mean 910.8
Std Dev 0
2
1
0
−1
−2

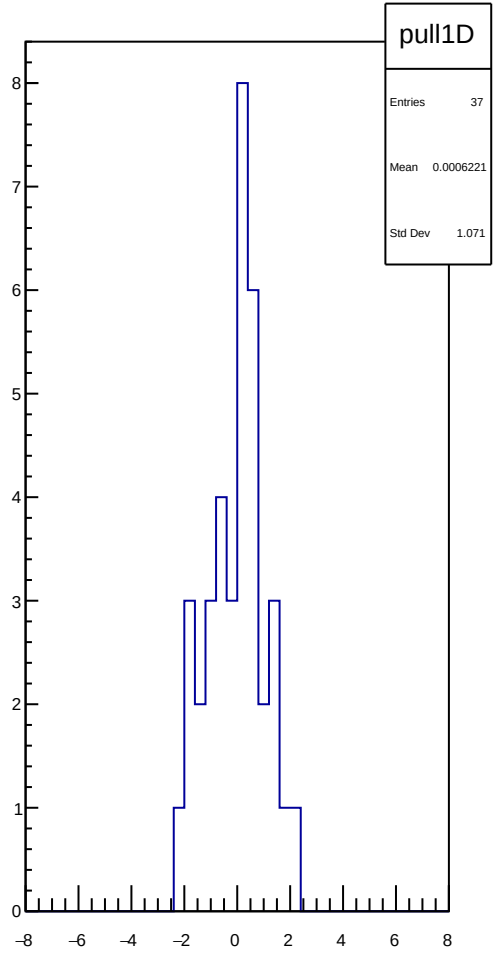
pull1D
Entries 37
Mean 0.0006221
Std Dev 1.071
8
7
6
5
4
3
2
1
0
−8
−6
−4
−2
0
2
4
6
8

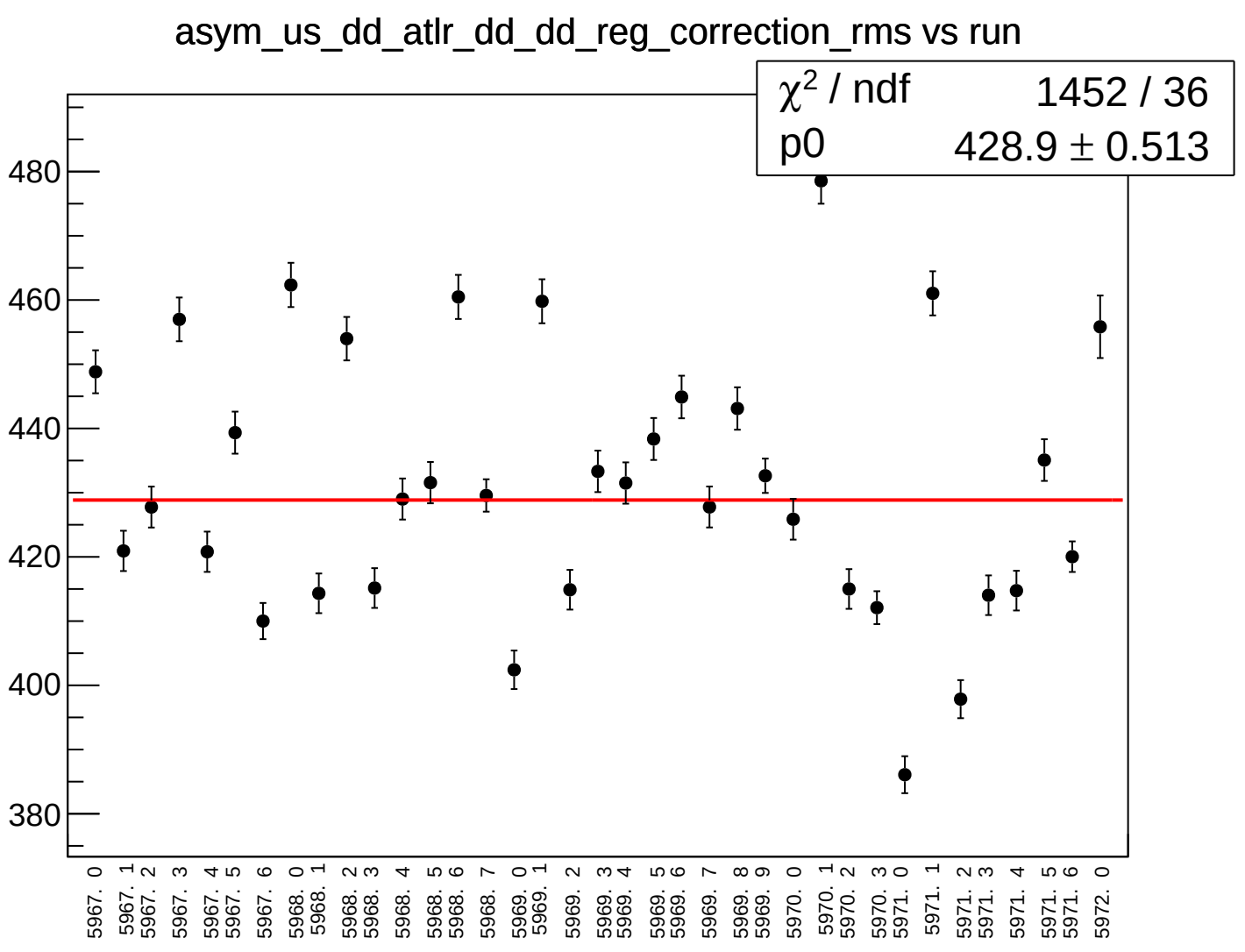
asym_us_dd_atlr_dd_dd_reg_correction_rms vs run
χ² / ndf 1452 / 36
p0 428.9 ± 0.513
480
460
440
420
400
380
5967. 0
5967. 1
5967. 2
5967. 3
5967. 4
5967. 5
5967. 6
5968. 0
5968. 1
5968. 2
5968. 3
5968. 4
5968. 5
5968. 6
5968. 7
5969. 0
5969. 1
5969. 2
5969. 3
5969. 4
5969. 5
5969. 6
5969. 7
5969. 8
5969. 9
5970. 0
5970. 1
5970. 2
5970. 3
5971. 0
5971. 1
5971. 2
5971. 3
5971. 4
5971. 5
5971. 6
5972. 0

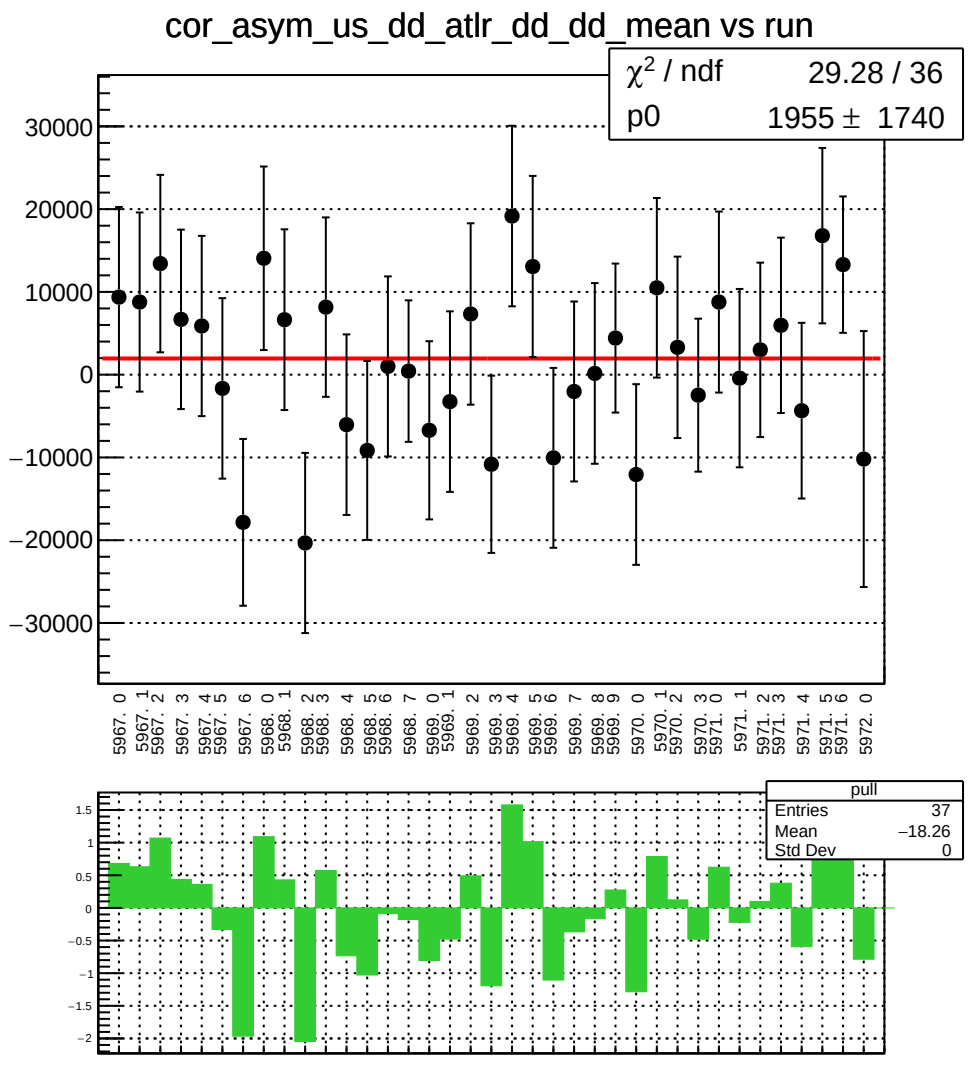
cor_asym_us_dd_atlr_dd_dd_mean vs run
χ² / ndf 29.28 / 36
p0 1955 ± 1740
30000
20000
10000
0
−10000
−20000
−30000
5967. 0
5967. 1
5967. 2
5967. 3
5967. 4
5967. 5
5967. 6
5968. 0
5968. 1
5968. 2
5968. 3
5968. 4
5968. 5
5968. 6
5968. 7
5969. 0
5969. 1
5969. 2
5969. 3
5969. 4
5969. 5
5969. 6
5969. 7
5969. 8
5969. 9
5970. 0
5970. 1
5970. 2
5970. 3
5971. 0
5971. 1
5971. 2
5971. 3
5971. 4
5971. 5
5971. 6
5972. 0
pull
Entries 37
Mean −18.26
Std Dev 0
1.5
1
0.5
0
−0.5
−1
−1.5
−2

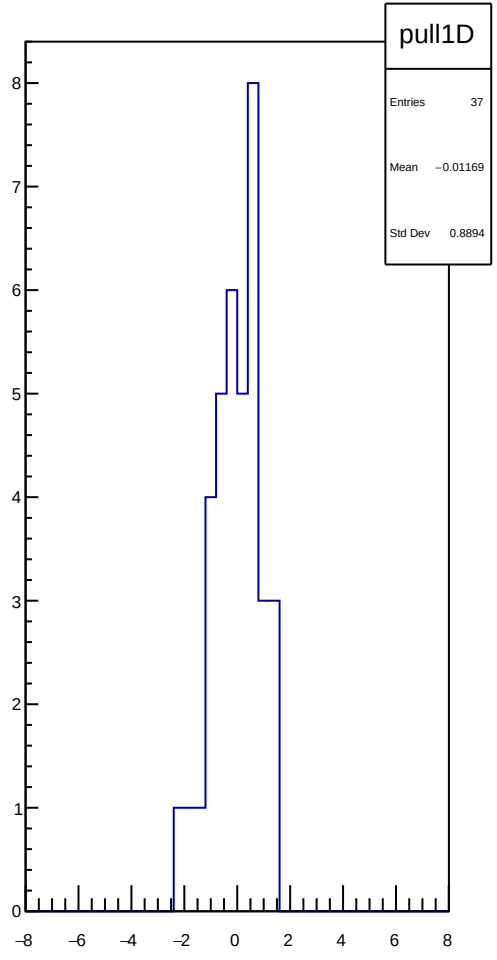
pull1D
Entries 37
Mean −0.01169
Std Dev 0.8894
8
7
6
5
4
3
2
1
0
−8
−6
−4
−2
0
2
4
6
8

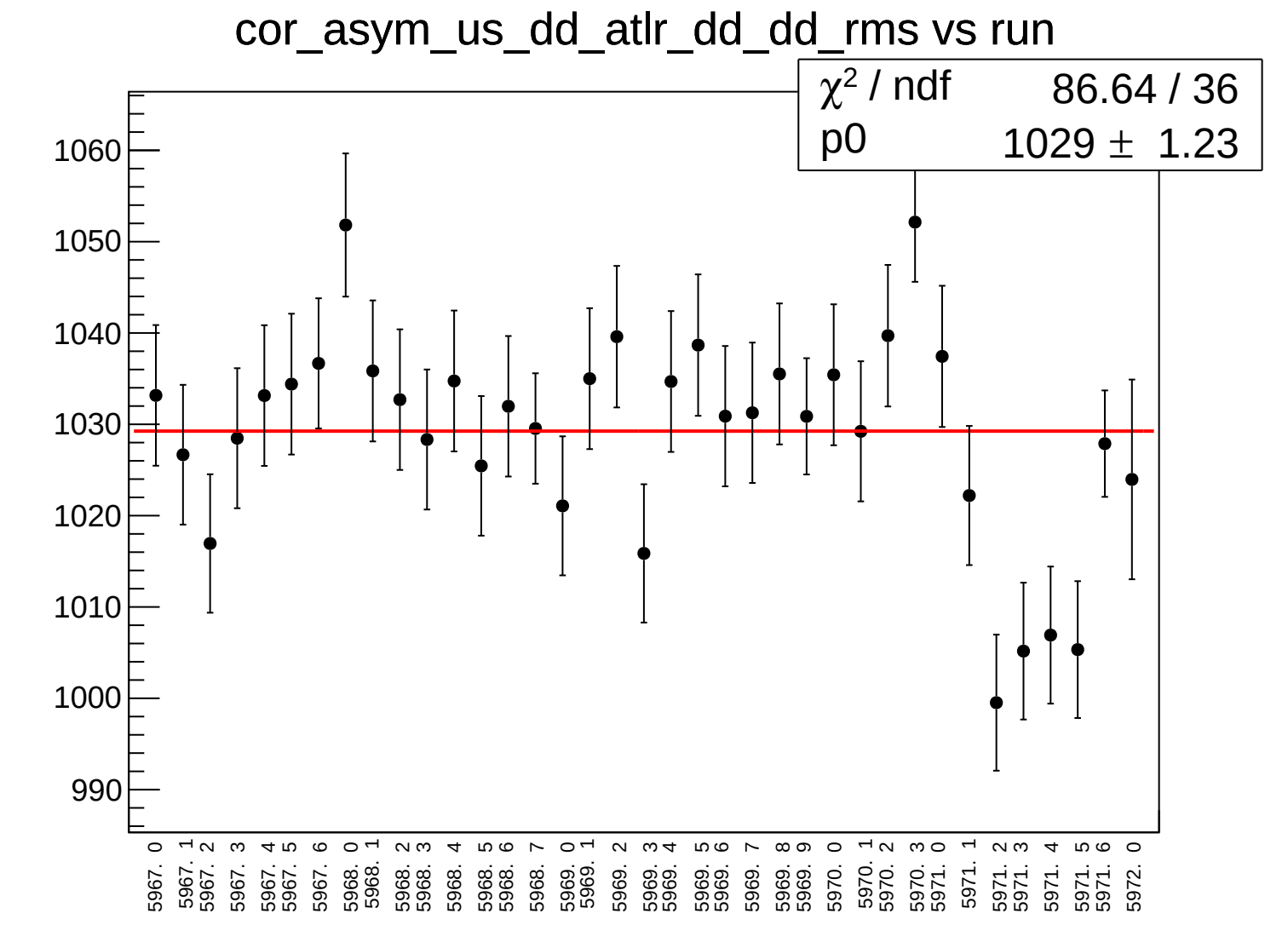
cor_asym_us_dd_atlr_dd_dd_rms vs run
χ² / ndf 86.64 / 36
p0 1029 ± 1.23
1060
1050
1040
1030
1020
1010
1000
990
5967. 0
5967. 1
5967. 2
5967. 3
5967. 4
5967. 5
5967. 6
5968. 0
5968. 1
5968. 2
5968. 3
5968. 4
5968. 5
5968. 6
5968. 7
5969. 0
5969. 1
5969. 2
5969. 3
5969. 4
5969. 5
5969. 6
5969. 7
5969. 8
5969. 9
5970. 0
5970. 1
5970. 2
5970. 3
5971. 0
5971. 1
5971. 2
5971. 3
5971. 4
5971. 5
5971. 6
5972. 0

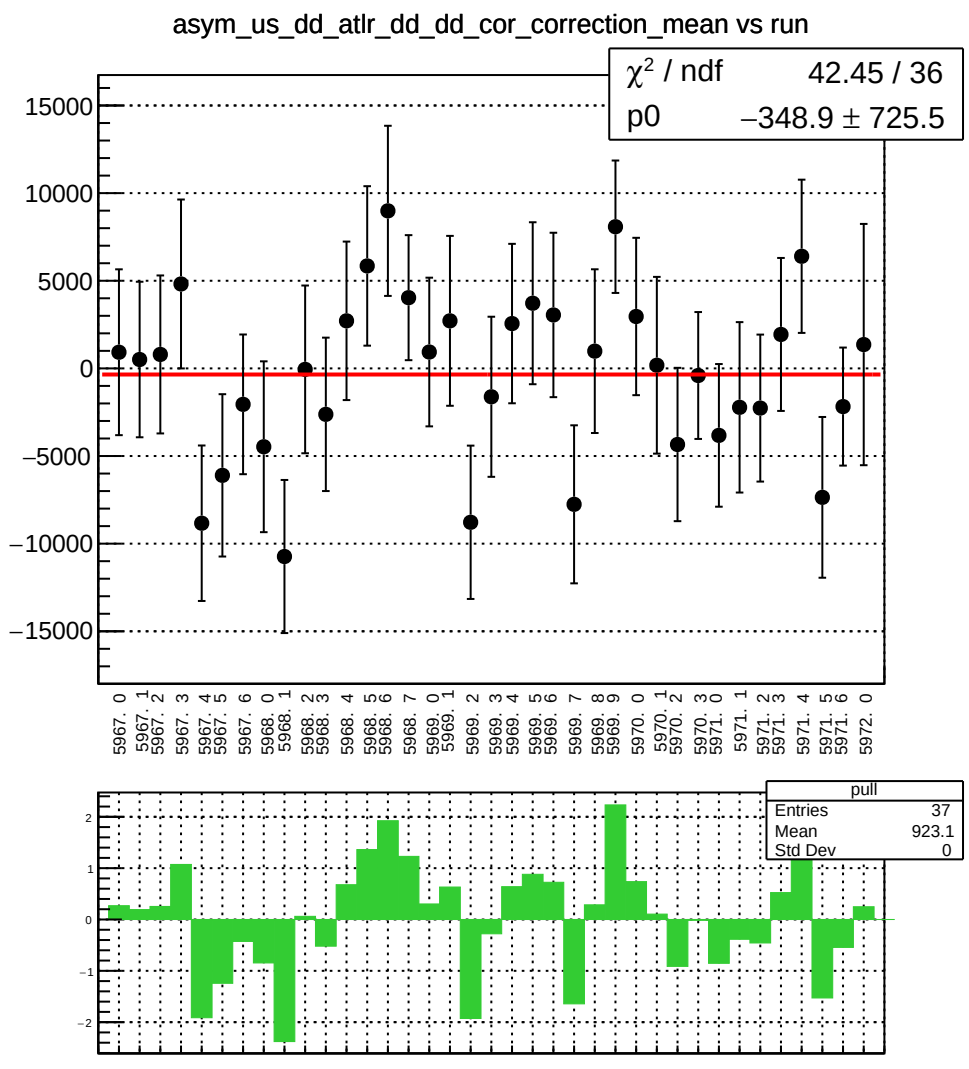
asym_us_dd_atlr_dd_dd_cor_correction_mean vs run
χ² / ndf 42.45 / 36
p0 −348.9 ± 725.5
15000
10000
5000
0
−5000
−10000
−15000
5967. 0
5967. 1
5967. 2
5967. 3
5967. 4
5967. 5
5967. 6
5968. 0
5968. 1
5968. 2
5968. 3
5968. 4
5968. 5
5968. 6
5968. 7
5969. 0
5969. 1
5969. 2
5969. 3
5969. 4
5969. 5
5969. 6
5969. 7
5969. 8
5969. 9
5970. 0
5970. 1
5970. 2
5970. 3
5971. 0
5971. 1
5971. 2
5971. 3
5971. 4
5971. 5
5971. 6
5972. 0
pull
Entries 37
Mean 923.1
Std Dev 0
2
1
0
−1
−2

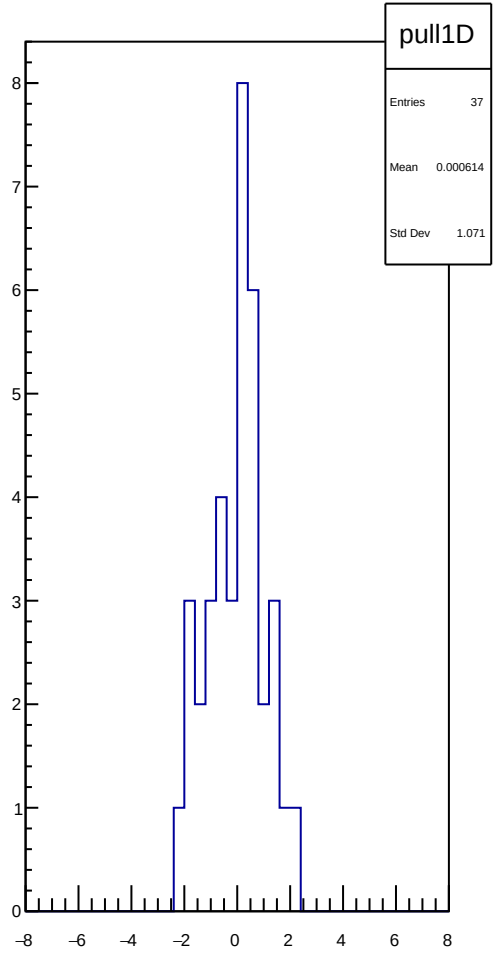
pull1D
Entries 37
Mean 0.000614
Std Dev 1.071
8
7
6
5
4
3
2
1
0
−8
−6
−4
−2
0
2
4
6
8

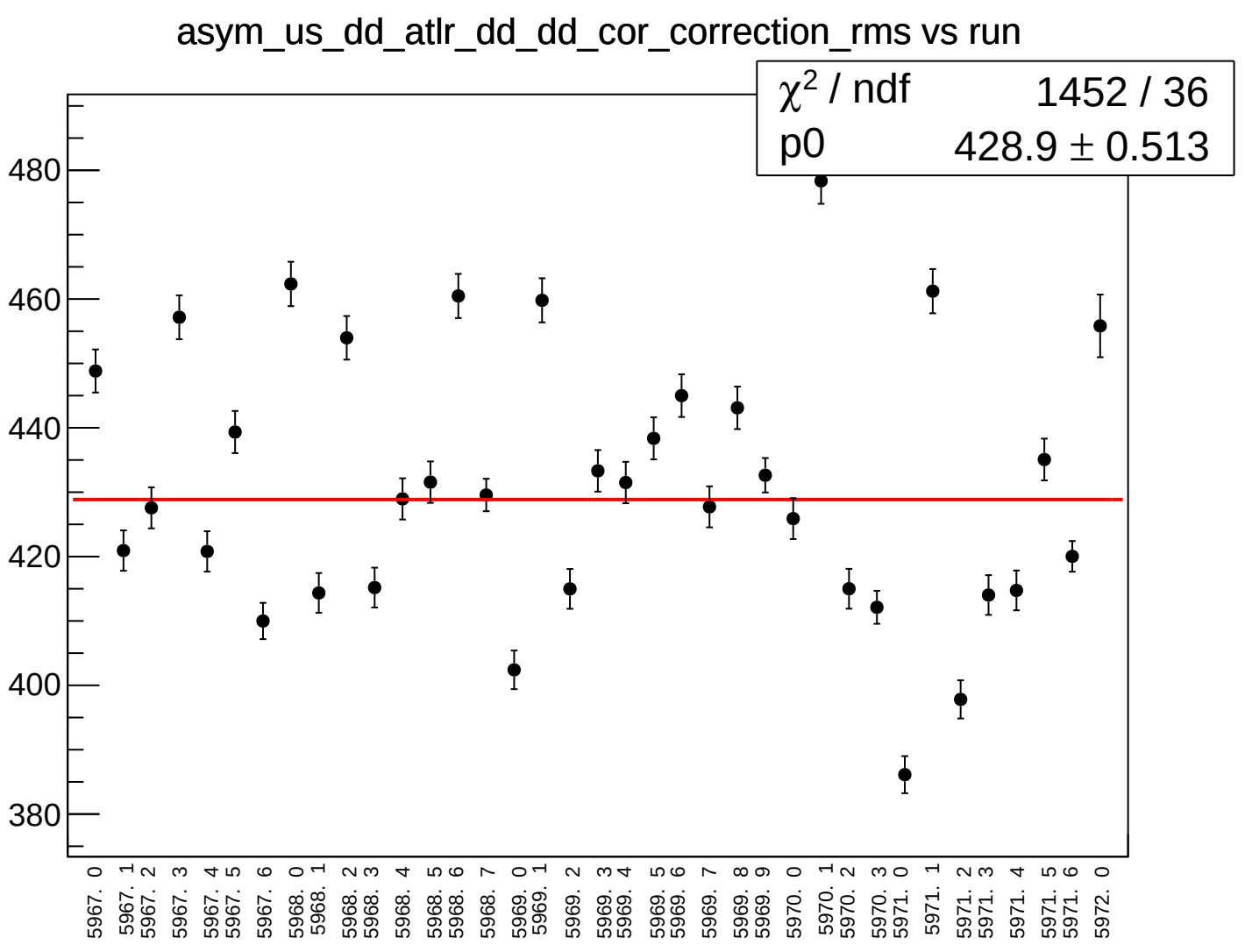
asym_us_dd_atlr_dd_dd_cor_correction_rms vs run
χ² / ndf 1452 / 36
p0 428.9 ± 0.513
480
460
440
420
400
380
5967. 0
5967. 1
5967. 2
5967. 3
5967. 4
5967. 5
5967. 6
5968. 0
5968. 1
5968. 2
5968. 3
5968. 4
5968. 5
5968. 6
5968. 7
5969. 0
5969. 1
5969. 2
5969. 3
5969. 4
5969. 5
5969. 6
5969. 7
5969. 8
5969. 9
5970. 0
5970. 1
5970. 2
5970. 3
5971. 0
5971. 1
5971. 2
5971. 3
5971. 4
5971. 5
5971. 6
5972. 0

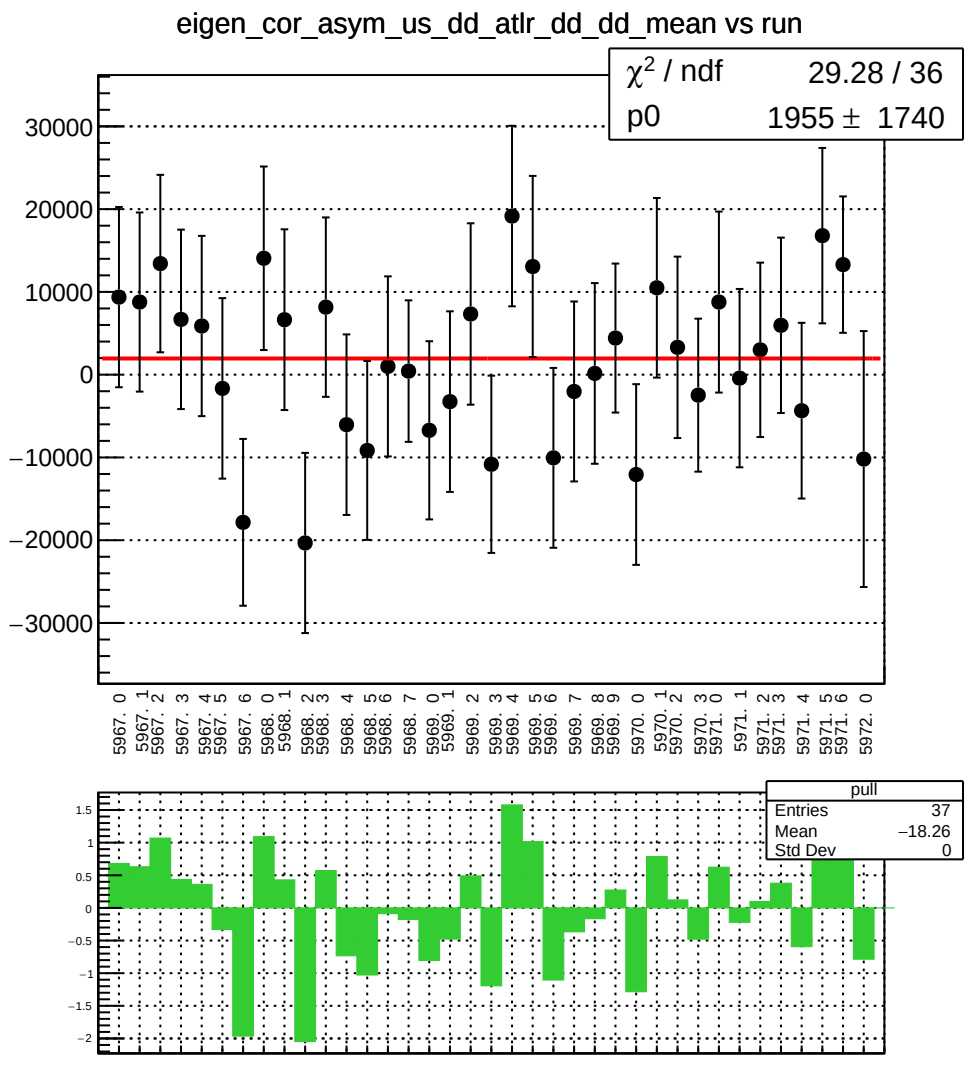
eigen_cor_asym_us_dd_atlr_dd_dd_mean vs run
χ² / ndf 29.28 / 36
p0 1955 ± 1740
30000
20000
10000
0
−10000
−20000
−30000
5967. 0
5967. 1
5967. 2
5967. 3
5967. 4
5967. 5
5967. 6
5968. 0
5968. 1
5968. 2
5968. 3
5968. 4
5968. 5
5968. 6
5968. 7
5969. 0
5969. 1
5969. 2
5969. 3
5969. 4
5969. 5
5969. 6
5969. 7
5969. 8
5969. 9
5970. 0
5970. 1
5970. 2
5970. 3
5971. 0
5971. 1
5971. 2
5971. 3
5971. 4
5971. 5
5971. 6
5972. 0
pull
Entries 37
Mean −18.26
Std Dev 0
1.5
1
0.5
0
−0.5
−1
−1.5
−2

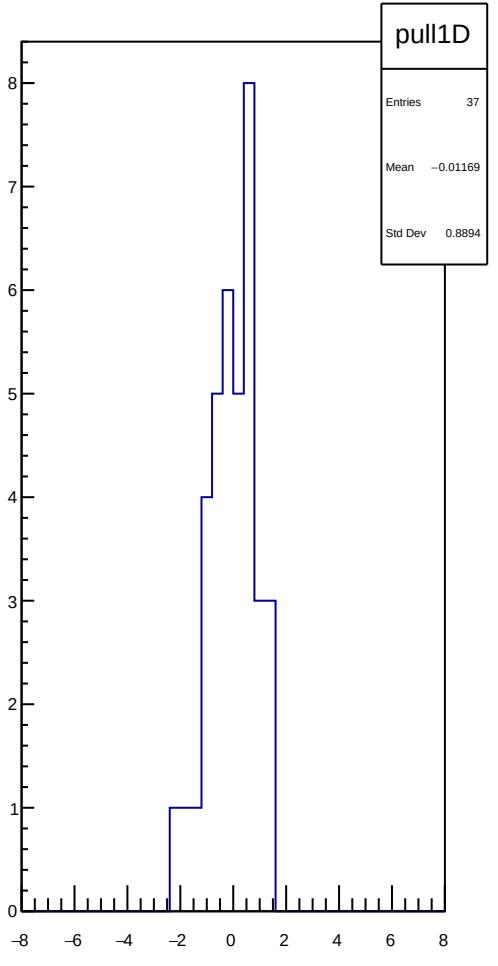
pull1D
Entries 37
Mean −0.01169
Std Dev 0.8894
8
7
6
5
4
3
2
1
0
−8
−6
−4
−2
0
2
4
6
8

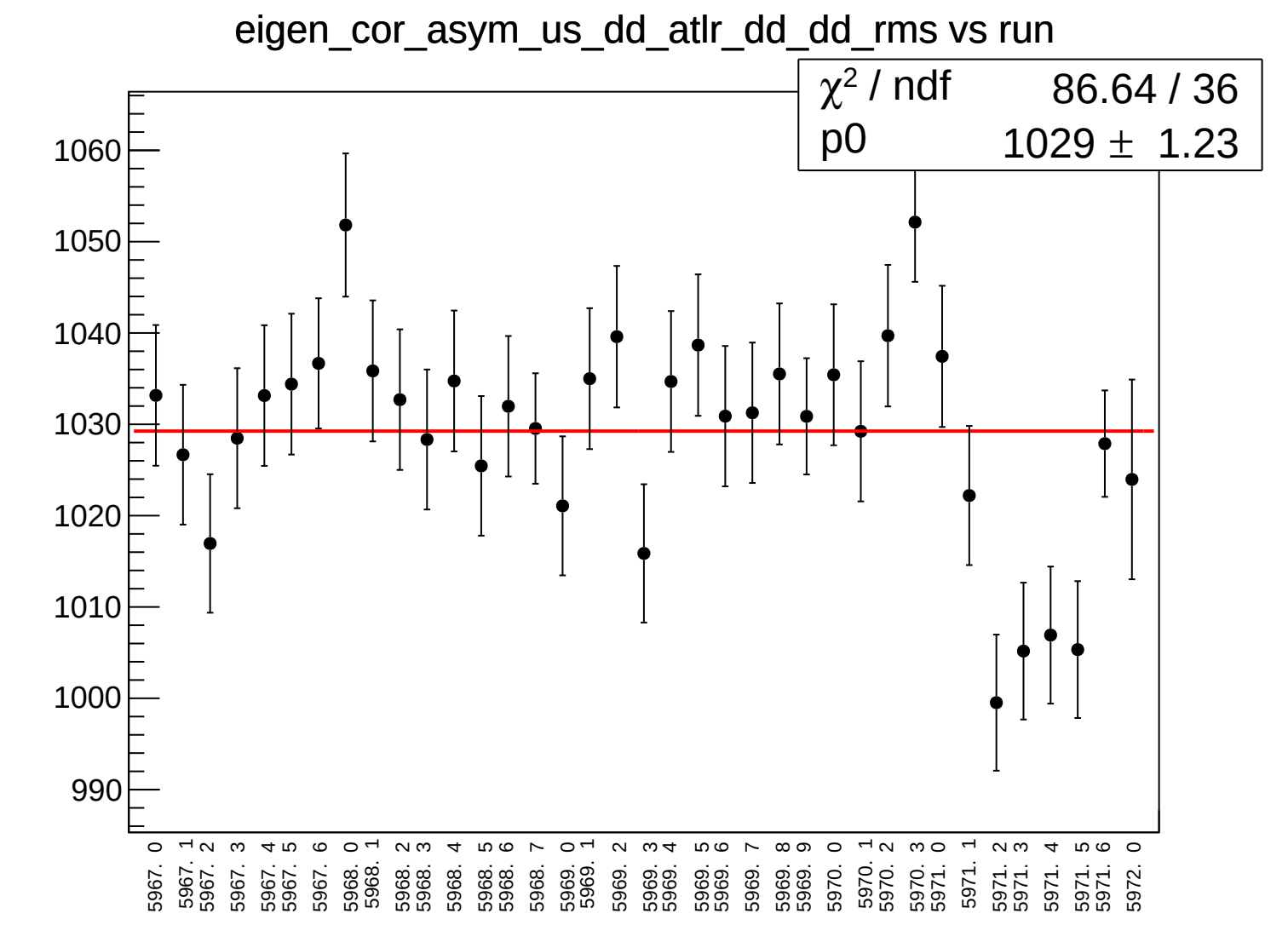
eigen_cor_asym_us_dd_atlr_dd_dd_rms vs run
χ² / ndf 86.64 / 36
p0 1029 ± 1.23
1060
1050
1040
1030
1020
1010
1000
990
5967. 0
5967. 1
5967. 2
5967. 3
5967. 4
5967. 5
5967. 6
5968. 0
5968. 1
5968. 2
5968. 3
5968. 4
5968. 5
5968. 6
5968. 7
5969. 0
5969. 1
5969. 2
5969. 3
5969. 4
5969. 5
5969. 6
5969. 7
5969. 8
5969. 9
5970. 0
5970. 1
5970. 2
5970. 3
5971. 0
5971. 1
5971. 2
5971. 3
5971. 4
5971. 5
5971. 6
5972. 0

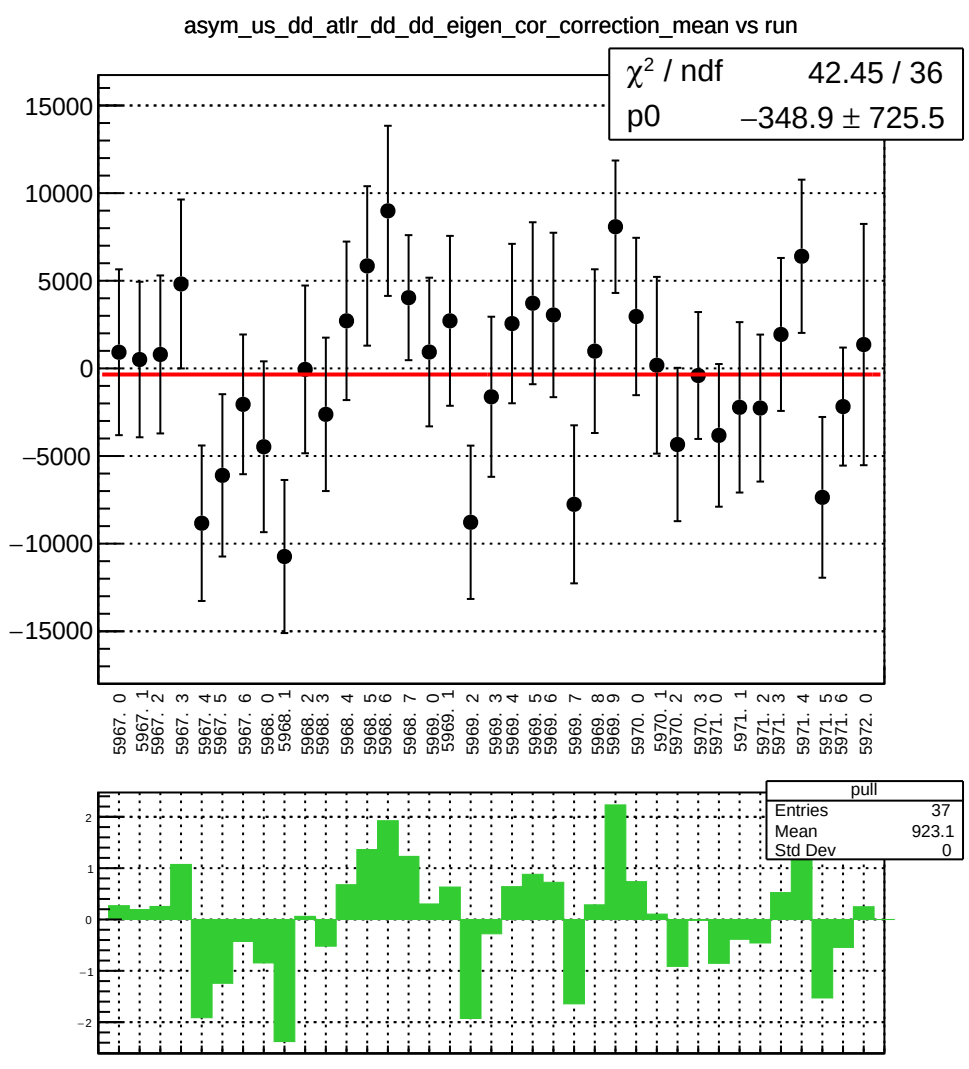
asym_us_dd_atlr_dd_dd_eigen_cor_correction_mean vs run
χ² / ndf 42.45 / 36
p0 −348.9 ± 725.5
15000
10000
5000
0
−5000
−10000
−15000
5967. 0
5967. 1
5967. 2
5967. 3
5967. 4
5967. 5
5967. 6
5968. 0
5968. 1
5968. 2
5968. 3
5968. 4
5968. 5
5968. 6
5968. 7
5969. 0
5969. 1
5969. 2
5969. 3
5969. 4
5969. 5
5969. 6
5969. 7
5969. 8
5969. 9
5970. 0
5970. 1
5970. 2
5970. 3
5971. 0
5971. 1
5971. 2
5971. 3
5971. 4
5971. 5
5971. 6
5972. 0
pull
Entries 37
Mean 923.1
Std Dev 0
2
1
0
−1
−2

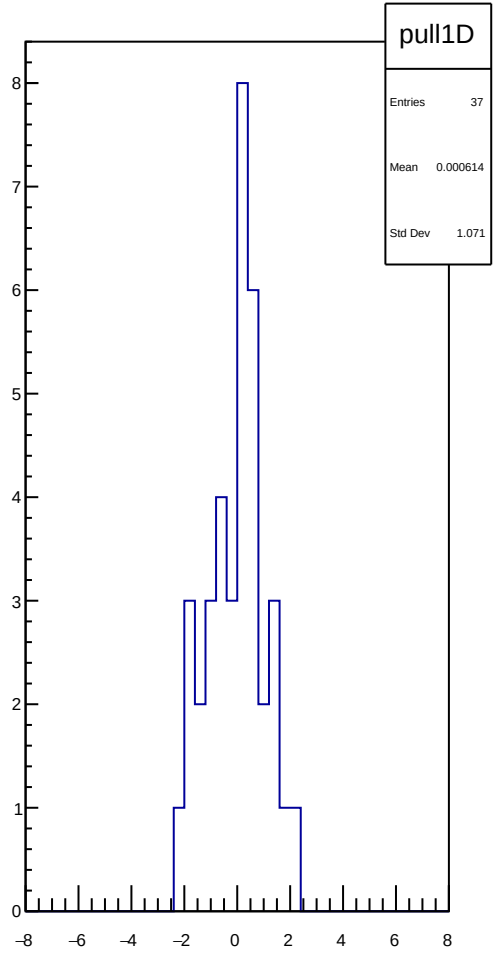
pull1D
Entries 37
Mean 0.000614
Std Dev 1.071
8
7
6
5
4
3
2
1
0
−8
−6
−4
−2
0
2
4
6
8

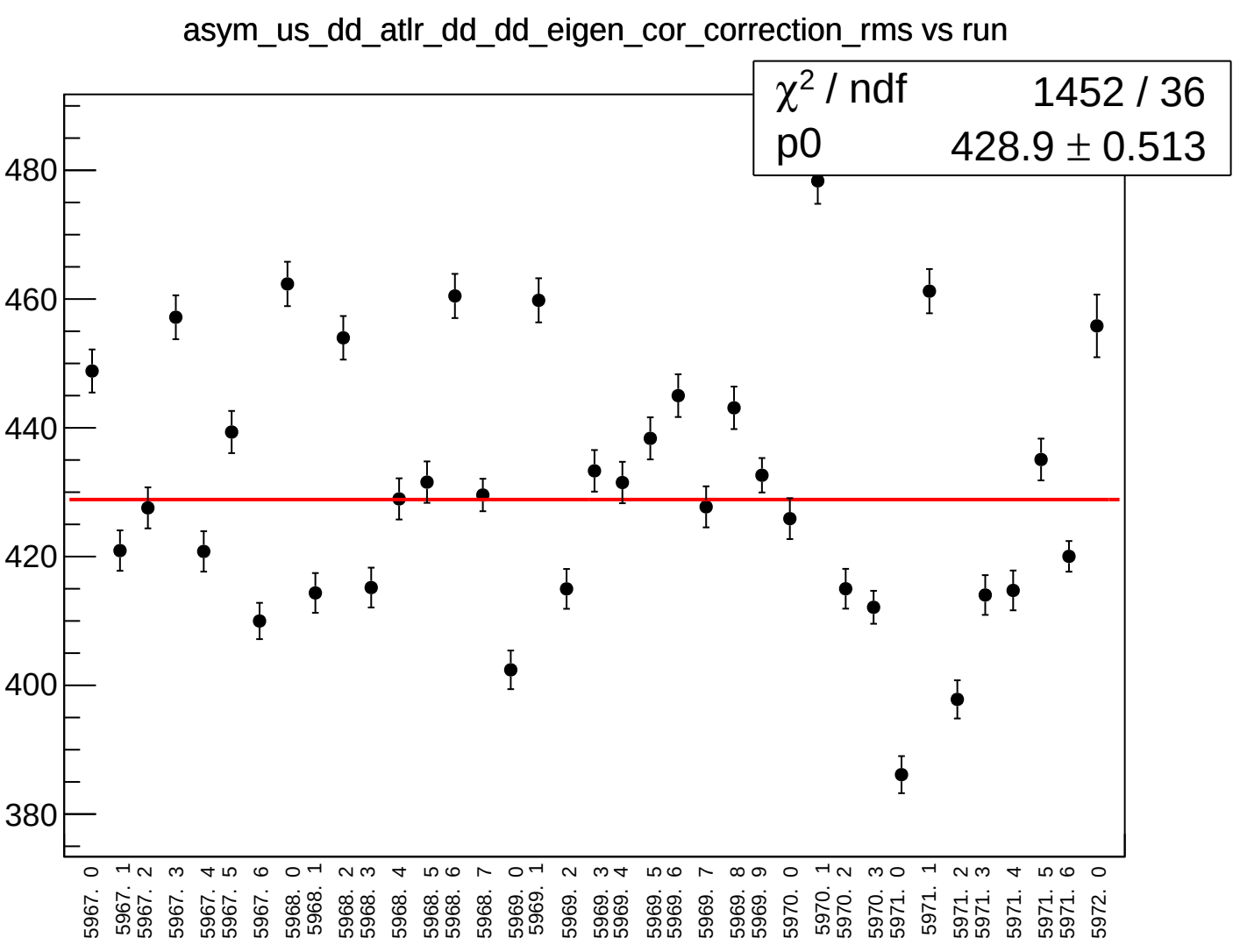
asym_us_dd_atlr_dd_dd_eigen_cor_correction_rms vs run
χ² / ndf 1452 / 36
p0 428.9 ± 0.513
480
460
440
420
400
380
5967. 0
5967. 1
5967. 2
5967. 3
5967. 4
5967. 5
5967. 6
5968. 0
5968. 1
5968. 2
5968. 3
5968. 4
5968. 5
5968. 6
5968. 7
5969. 0
5969. 1
5969. 2
5969. 3
5969. 4
5969. 5
5969. 6
5969. 7
5969. 8
5969. 9
5970. 0
5970. 1
5970. 2
5970. 3
5971. 0
5971. 1
5971. 2
5971. 3
5971. 4
5971. 5
5971. 6
5972. 0

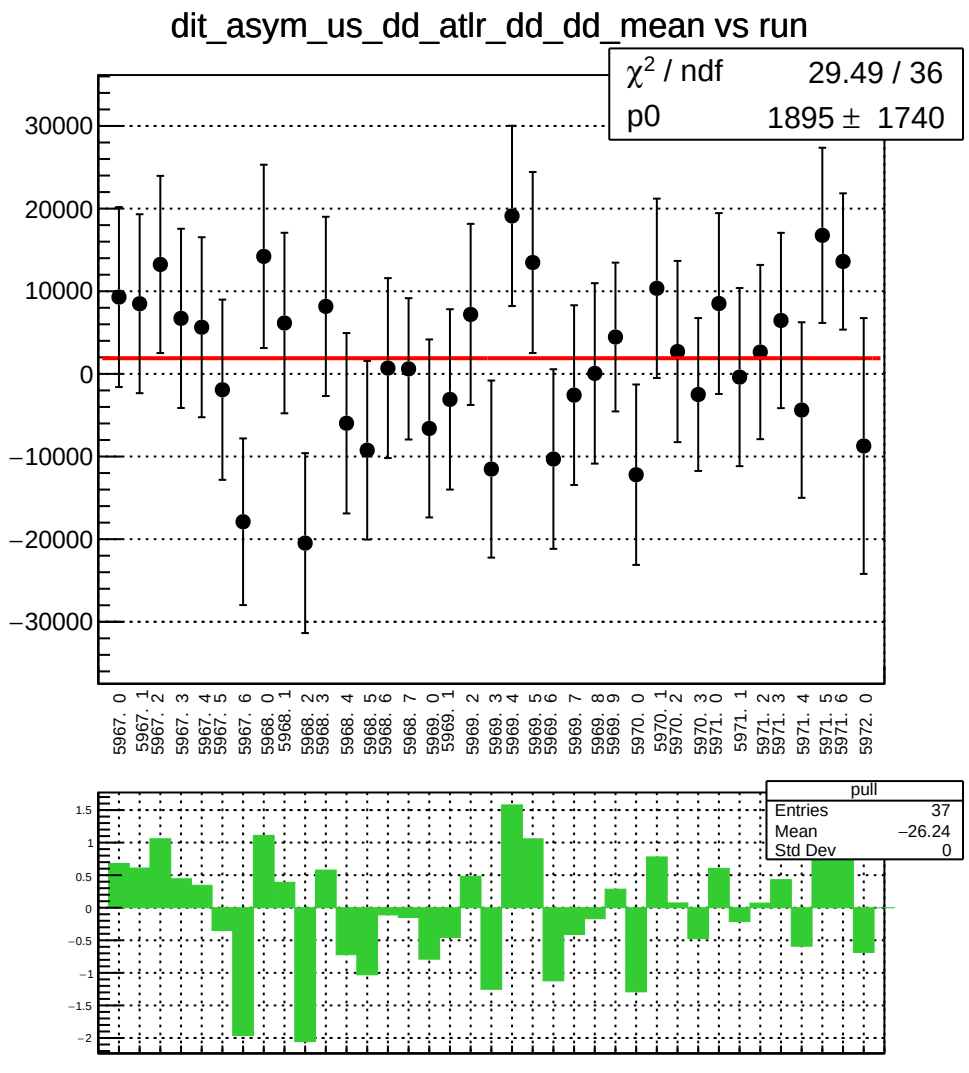
dit_asym_us_dd_atlr_dd_dd_mean vs run
χ² / ndf 29.49 / 36
p0 1895 ± 1740
30000
20000
10000
0
−10000
−20000
−30000
5967. 0
5967. 1
5967. 2
5967. 3
5967. 4
5967. 5
5967. 6
5968. 0
5968. 1
5968. 2
5968. 3
5968. 4
5968. 5
5968. 6
5968. 7
5969. 0
5969. 1
5969. 2
5969. 3
5969. 4
5969. 5
5969. 6
5969. 7
5969. 8
5969. 9
5970. 0
5970. 1
5970. 2
5970. 3
5971. 0
5971. 1
5971. 2
5971. 3
5971. 4
5971. 5
5971. 6
5972. 0
pull
Entries 37
Mean −26.24
Std Dev 0
1.5
1
0.5
0
−0.5
−1
−1.5
−2

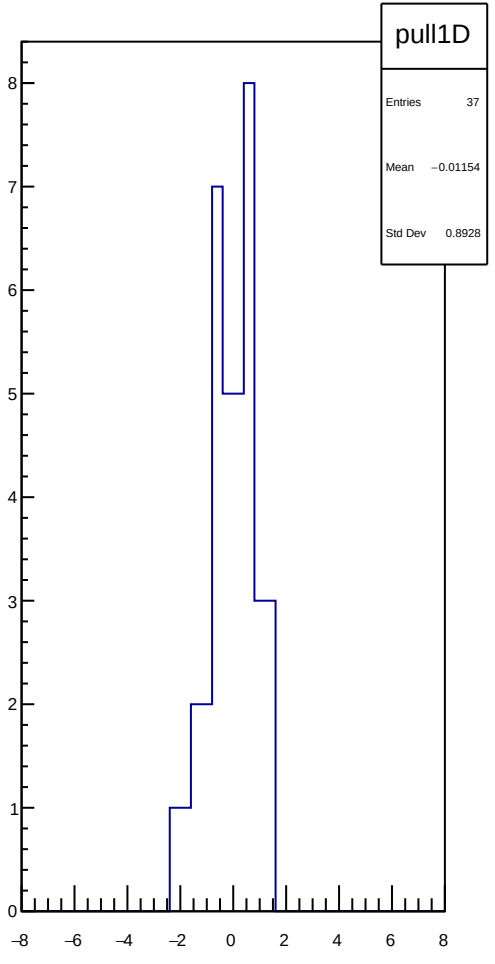
pull1D
Entries 37
Mean −0.01154
Std Dev 0.8928
8
7
6
5
4
3
2
1
0
−8
−6
−4
−2
0
2
4
6
8

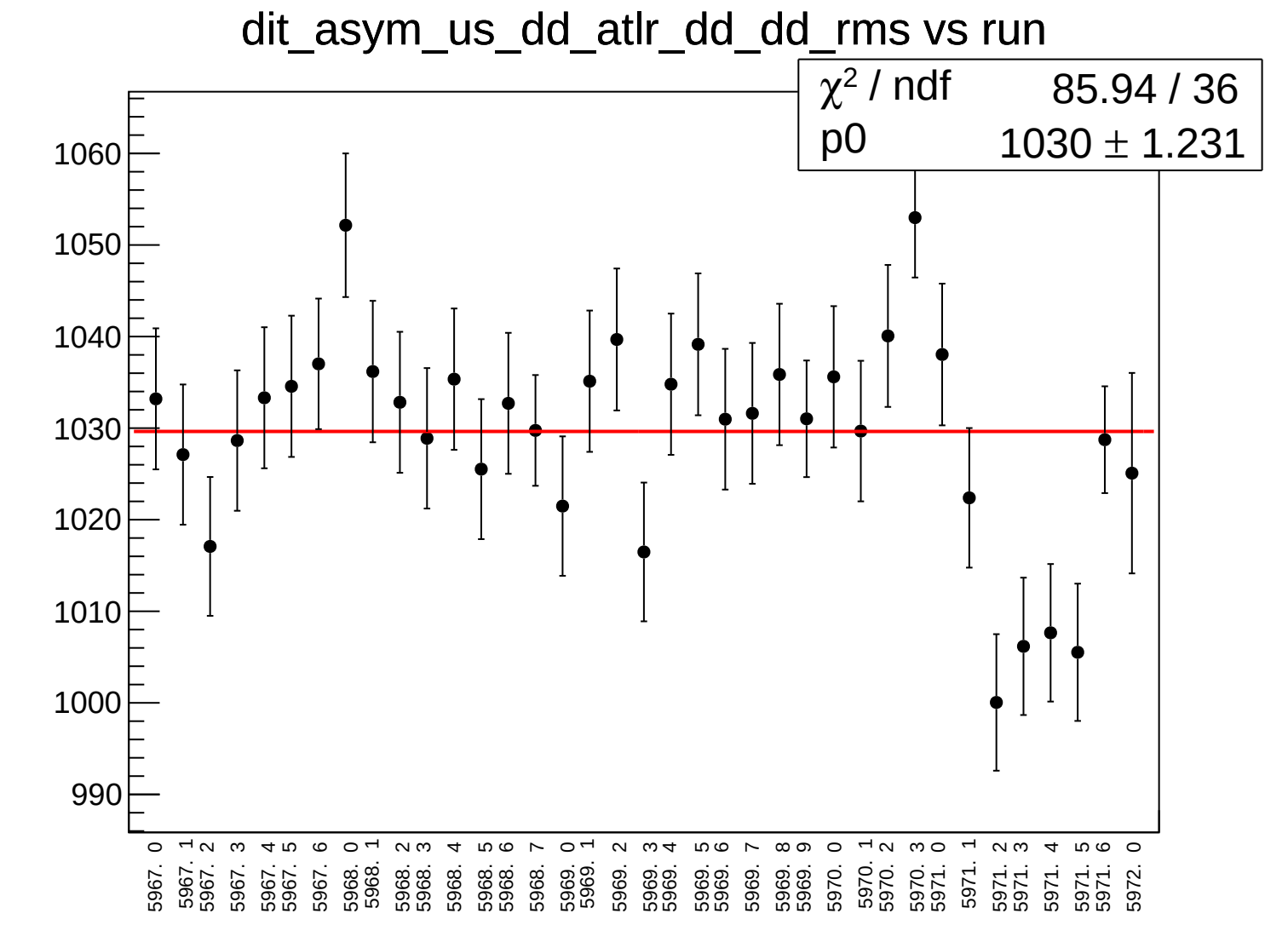
dit_asym_us_dd_atlr_dd_dd_rms vs run
χ² / ndf 85.94 / 36
p0 1030 ± 1.231
1060
1050
1040
1030
1020
1010
1000
990
5967. 0
5967. 1
5967. 2
5967. 3
5967. 4
5967. 5
5967. 6
5968. 0
5968. 1
5968. 2
5968. 3
5968. 4
5968. 5
5968. 6
5968. 7
5969. 0
5969. 1
5969. 2
5969. 3
5969. 4
5969. 5
5969. 6
5969. 7
5969. 8
5969. 9
5970. 0
5970. 1
5970. 2
5970. 3
5971. 0
5971. 1
5971. 2
5971. 3
5971. 4
5971. 5
5971. 6
5972. 0

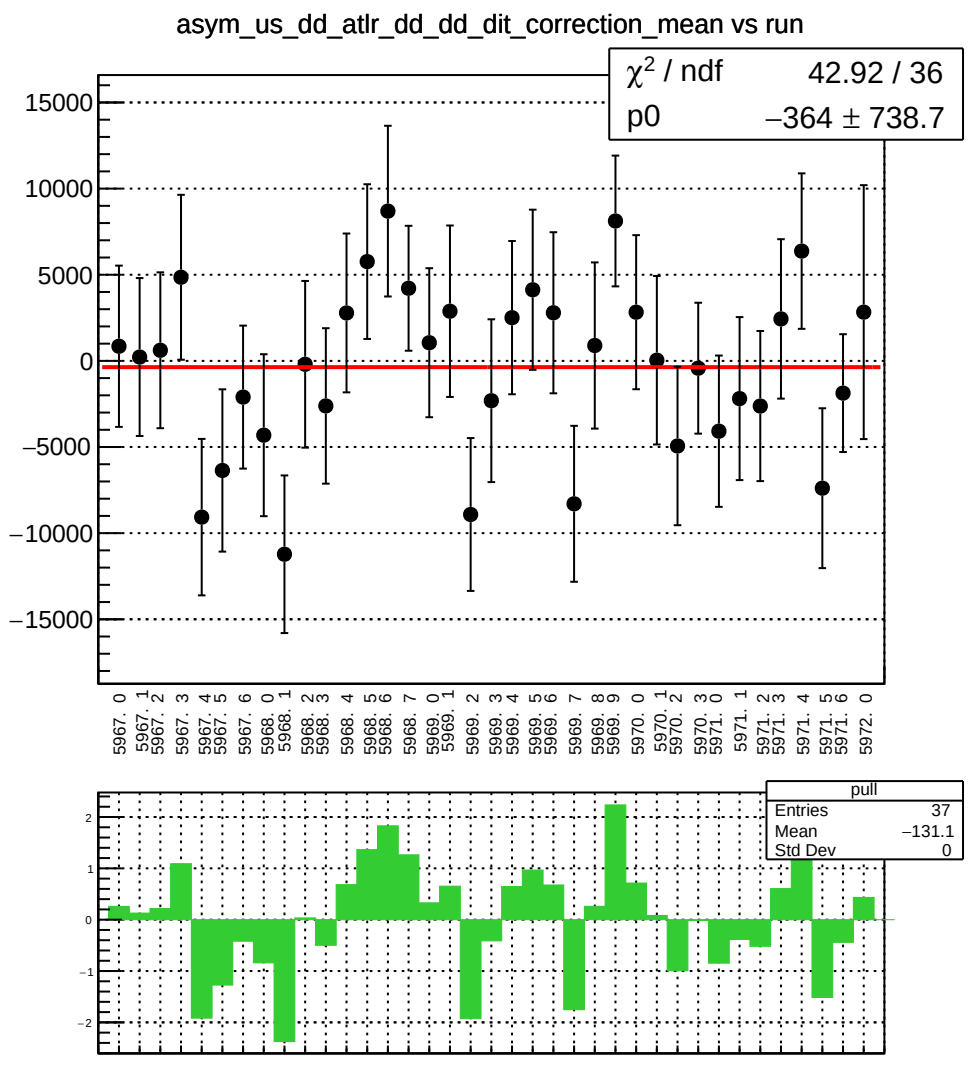
asym_us_dd_atlr_dd_dd_dit_correction_mean vs run
χ² / ndf 42.92 / 36
p0 −364 ± 738.7
15000
10000
5000
0
−5000
−10000
−15000
5967. 0
5967. 1
5967. 2
5967. 3
5967. 4
5967. 5
5967. 6
5968. 0
5968. 1
5968. 2
5968. 3
5968. 4
5968. 5
5968. 6
5968. 7
5969. 0
5969. 1
5969. 2
5969. 3
5969. 4
5969. 5
5969. 6
5969. 7
5969. 8
5969. 9
5970. 0
5970. 1
5970. 2
5970. 3
5971. 0
5971. 1
5971. 2
5971. 3
5971. 4
5971. 5
5971. 6
5972. 0
pull
Entries 37
Mean −131.1
Std Dev 0
2
1
0
−1
−2

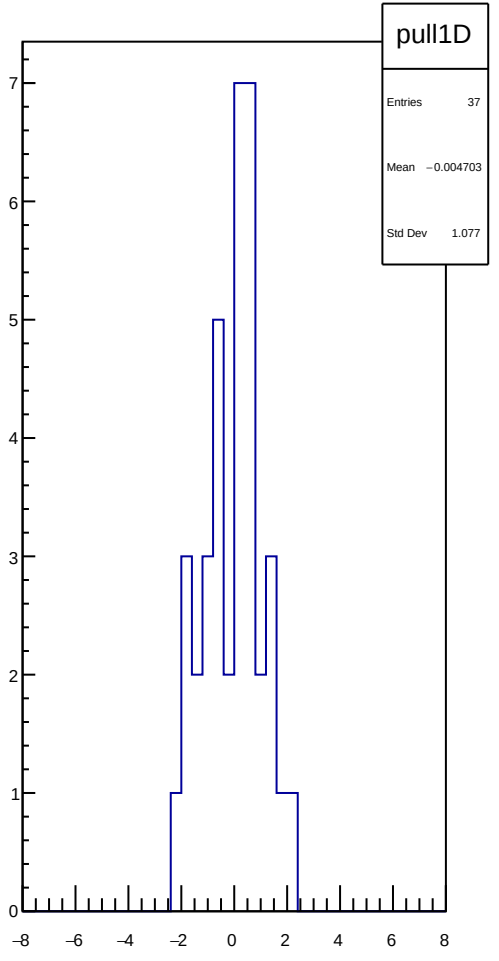
pull1D
Entries 37
Mean −0.004703
Std Dev 1.077
7
6
5
4
3
2
1
0
−8
−6
−4
−2
0
2
4
6
8

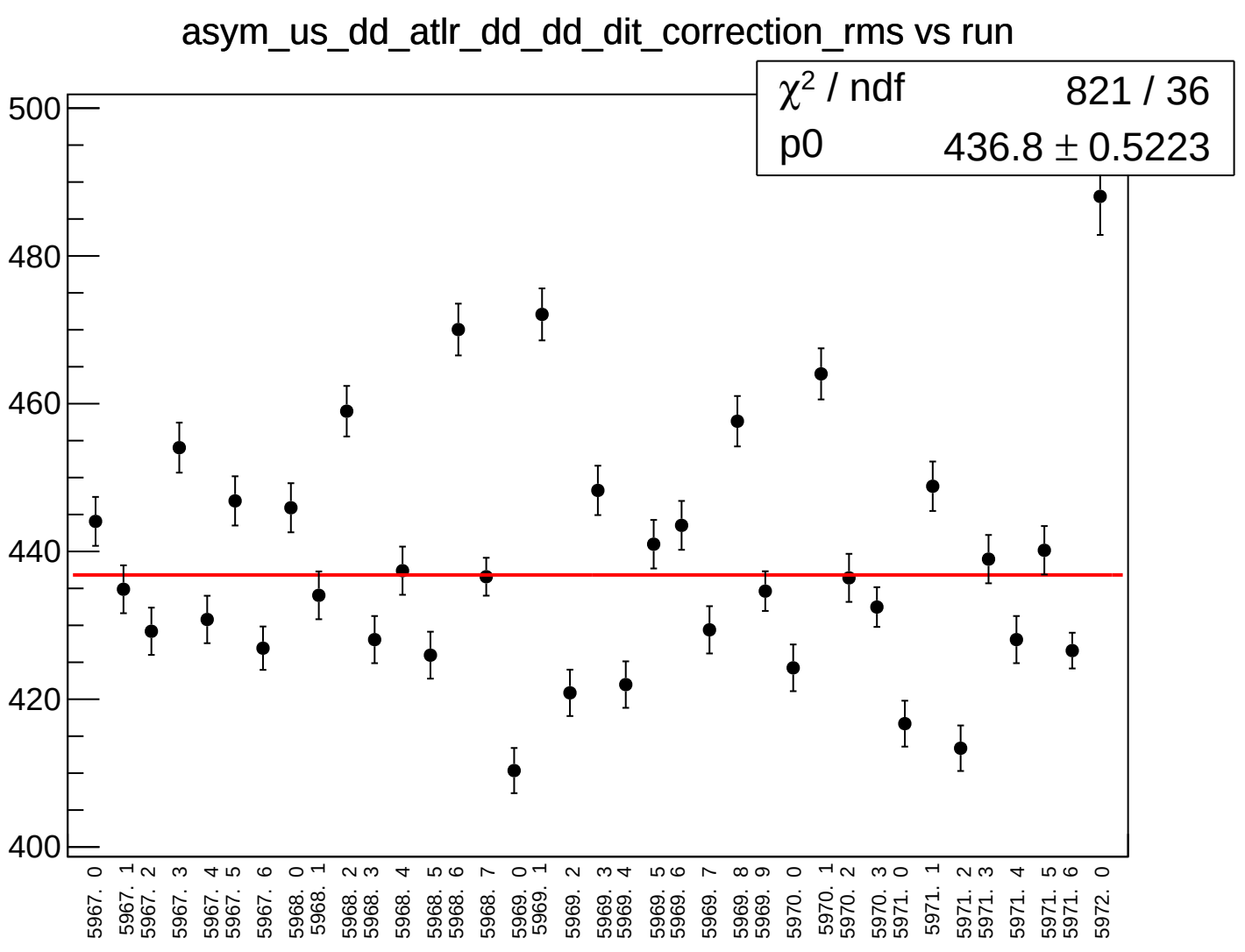
asym_us_dd_atlr_dd_dd_dit_correction_rms vs run
χ² / ndf 821 / 36
p0 436.8 ± 0.5223
500
480
460
440
420
400
5967. 0
5967. 1
5967. 2
5967. 3
5967. 4
5967. 5
5967. 6
5968. 0
5968. 1
5968. 2
5968. 3
5968. 4
5968. 5
5968. 6
5968. 7
5969. 0
5969. 1
5969. 2
5969. 3
5969. 4
5969. 5
5969. 6
5969. 7
5969. 8
5969. 9
5970. 0
5970. 1
5970. 2
5970. 3
5971. 0
5971. 1
5971. 2
5971. 3
5971. 4
5971. 5
5971. 6
5972. 0

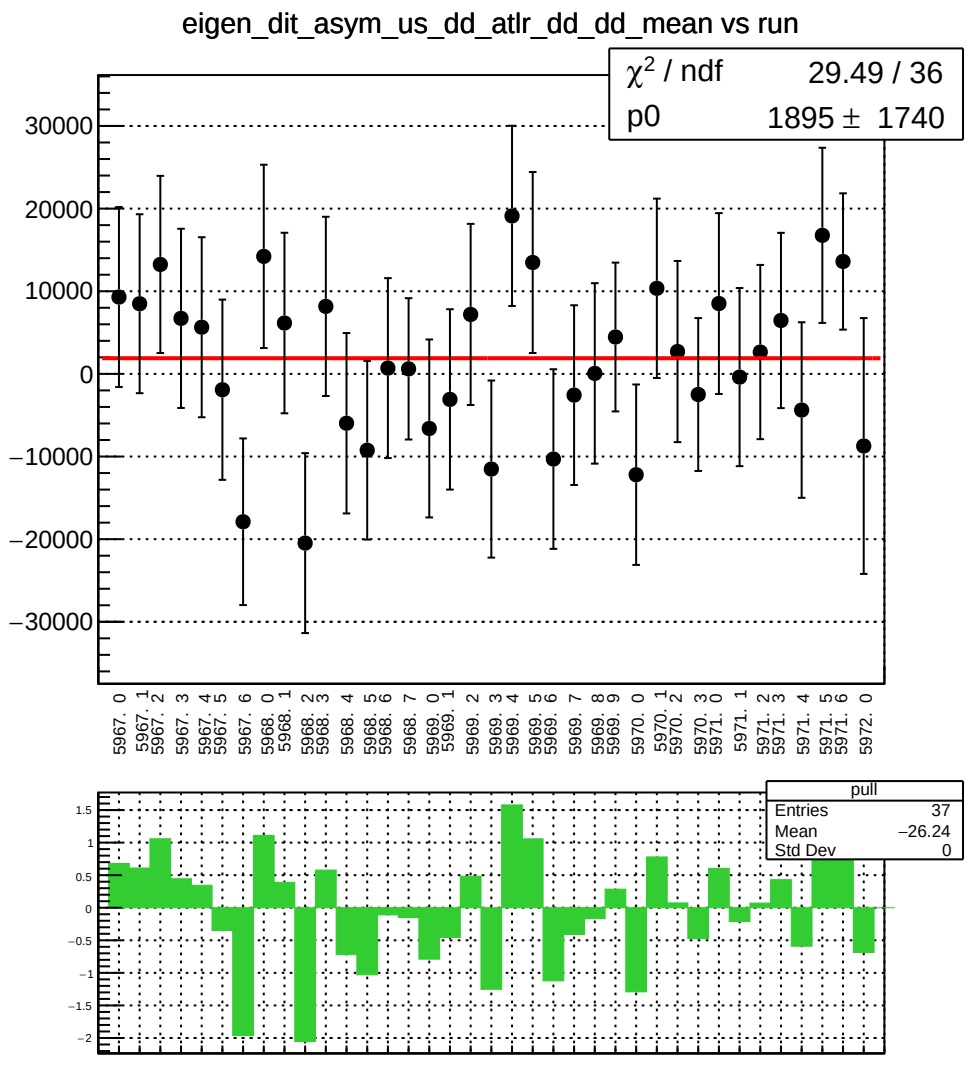
eigen_dit_asym_us_dd_atlr_dd_dd_mean vs run
χ² / ndf 29.49 / 36
p0 1895 ± 1740
30000
20000
10000
0
−10000
−20000
−30000
5967. 0
5967. 1
5967. 2
5967. 3
5967. 4
5967. 5
5967. 6
5968. 0
5968. 1
5968. 2
5968. 3
5968. 4
5968. 5
5968. 6
5968. 7
5969. 0
5969. 1
5969. 2
5969. 3
5969. 4
5969. 5
5969. 6
5969. 7
5969. 8
5969. 9
5970. 0
5970. 1
5970. 2
5970. 3
5971. 0
5971. 1
5971. 2
5971. 3
5971. 4
5971. 5
5971. 6
5972. 0
pull
Entries 37
Mean −26.24
Std Dev 0
1.5
1
0.5
0
−0.5
−1
−1.5
−2

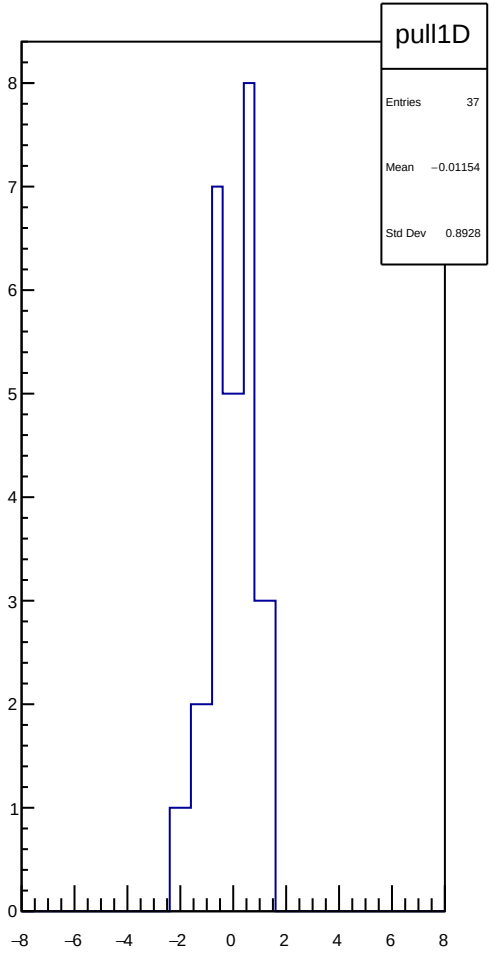
pull1D
Entries 37
Mean −0.01154
Std Dev 0.8928
8
7
6
5
4
3
2
1
0
−8
−6
−4
−2
0
2
4
6
8

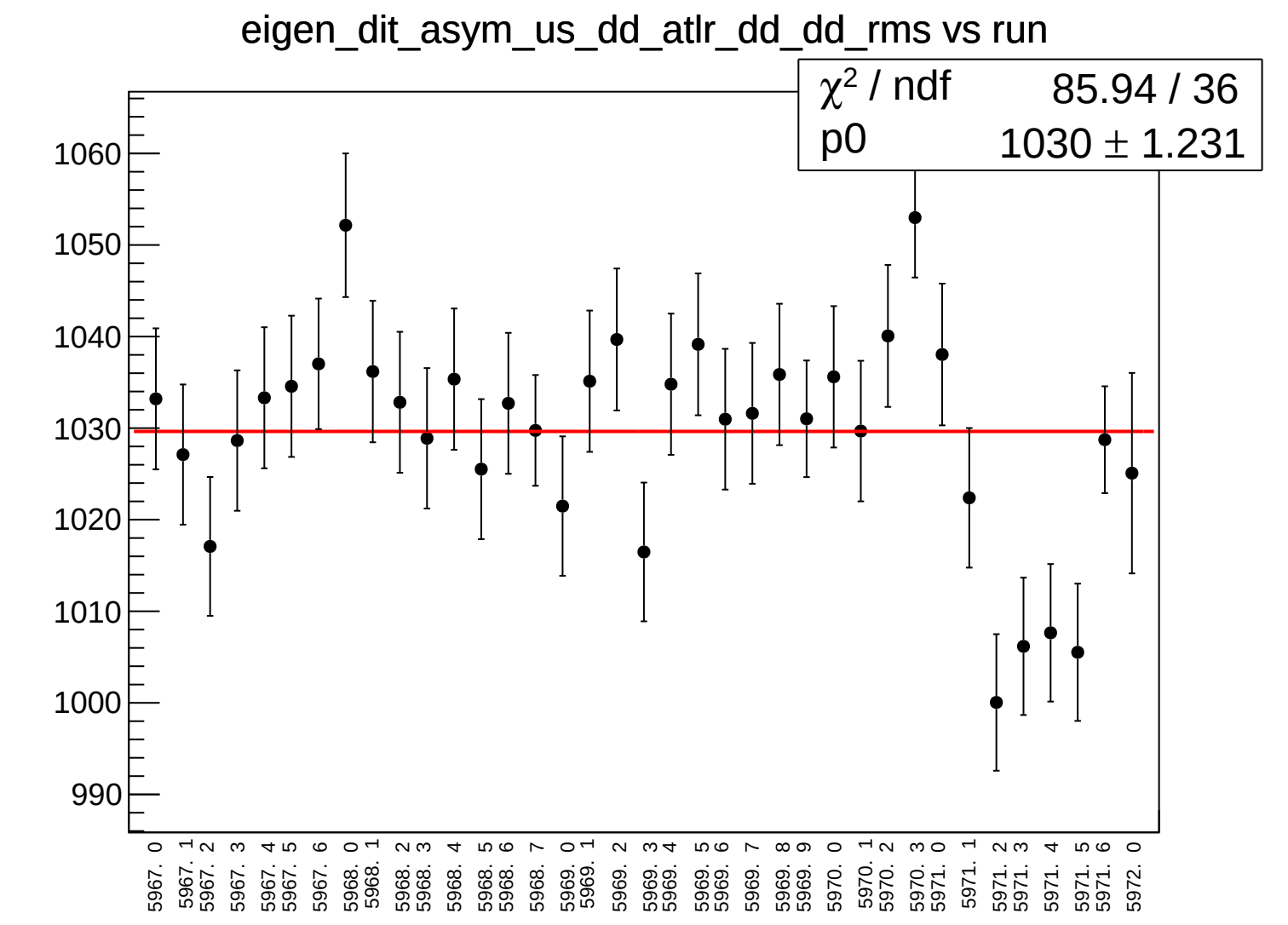
eigen_dit_asym_us_dd_atlr_dd_dd_rms vs run
χ² / ndf 85.94 / 36
p0 1030 ± 1.231
1060
1050
1040
1030
1020
1010
1000
990
5967. 0
5967. 1
5967. 2
5967. 3
5967. 4
5967. 5
5967. 6
5968. 0
5968. 1
5968. 2
5968. 3
5968. 4
5968. 5
5968. 6
5968. 7
5969. 0
5969. 1
5969. 2
5969. 3
5969. 4
5969. 5
5969. 6
5969. 7
5969. 8
5969. 9
5970. 0
5970. 1
5970. 2
5970. 3
5971. 0
5971. 1
5971. 2
5971. 3
5971. 4
5971. 5
5971. 6
5972. 0

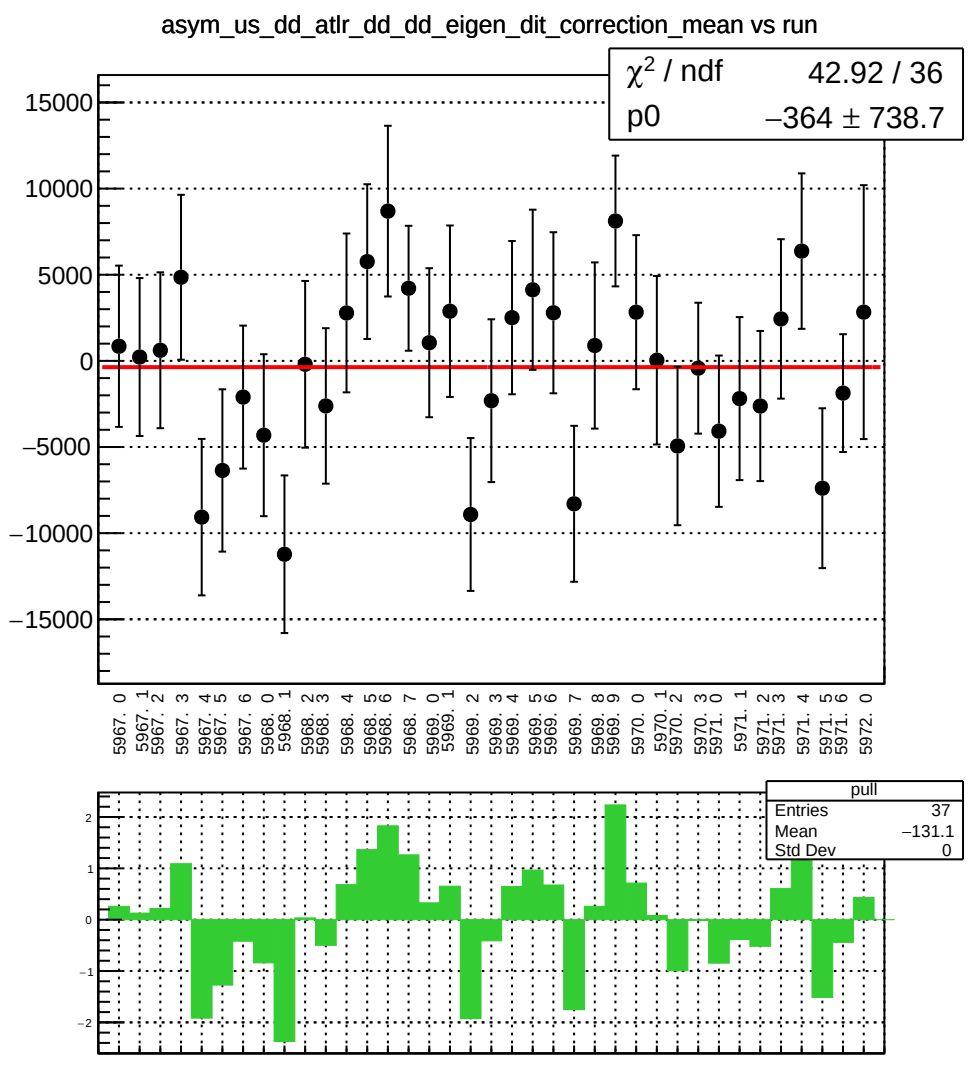
asym_us_dd_atlr_dd_dd_eigen_dit_correction_mean vs run
χ² / ndf 42.92 / 36
p0 −364 ± 738.7
15000
10000
5000
0
−5000
−10000
−15000
5967. 0
5967. 1
5967. 2
5967. 3
5967. 4
5967. 5
5967. 6
5968. 0
5968. 1
5968. 2
5968. 3
5968. 4
5968. 5
5968. 6
5968. 7
5969. 0
5969. 1
5969. 2
5969. 3
5969. 4
5969. 5
5969. 6
5969. 7
5969. 8
5969. 9
5970. 0
5970. 1
5970. 2
5970. 3
5971. 0
5971. 1
5971. 2
5971. 3
5971. 4
5971. 5
5971. 6
5972. 0
pull
Entries 37
Mean −131.1
Std Dev 0
2
1
0
−1
−2

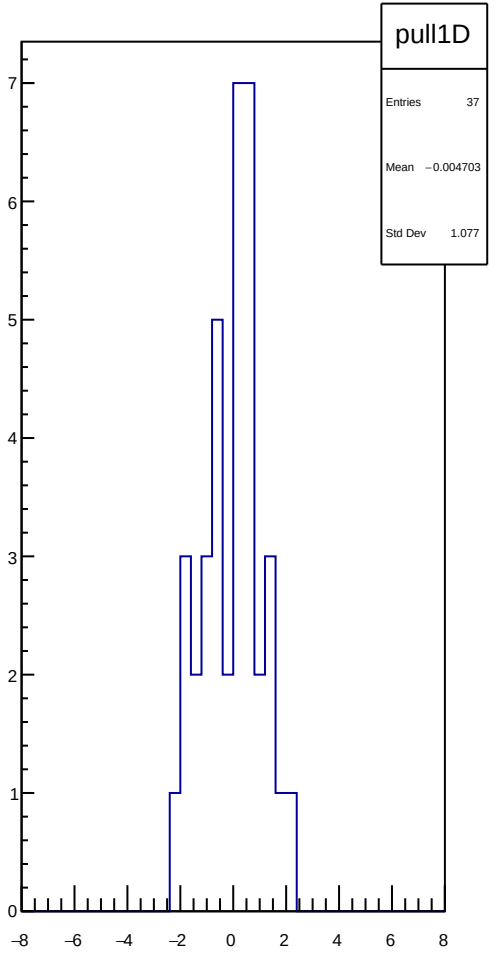
pull1D
Entries 37
Mean −0.004703
Std Dev 1.077
7
6
5
4
3
2
1
0
−8
−6
−4
−2
0
2
4
6
8

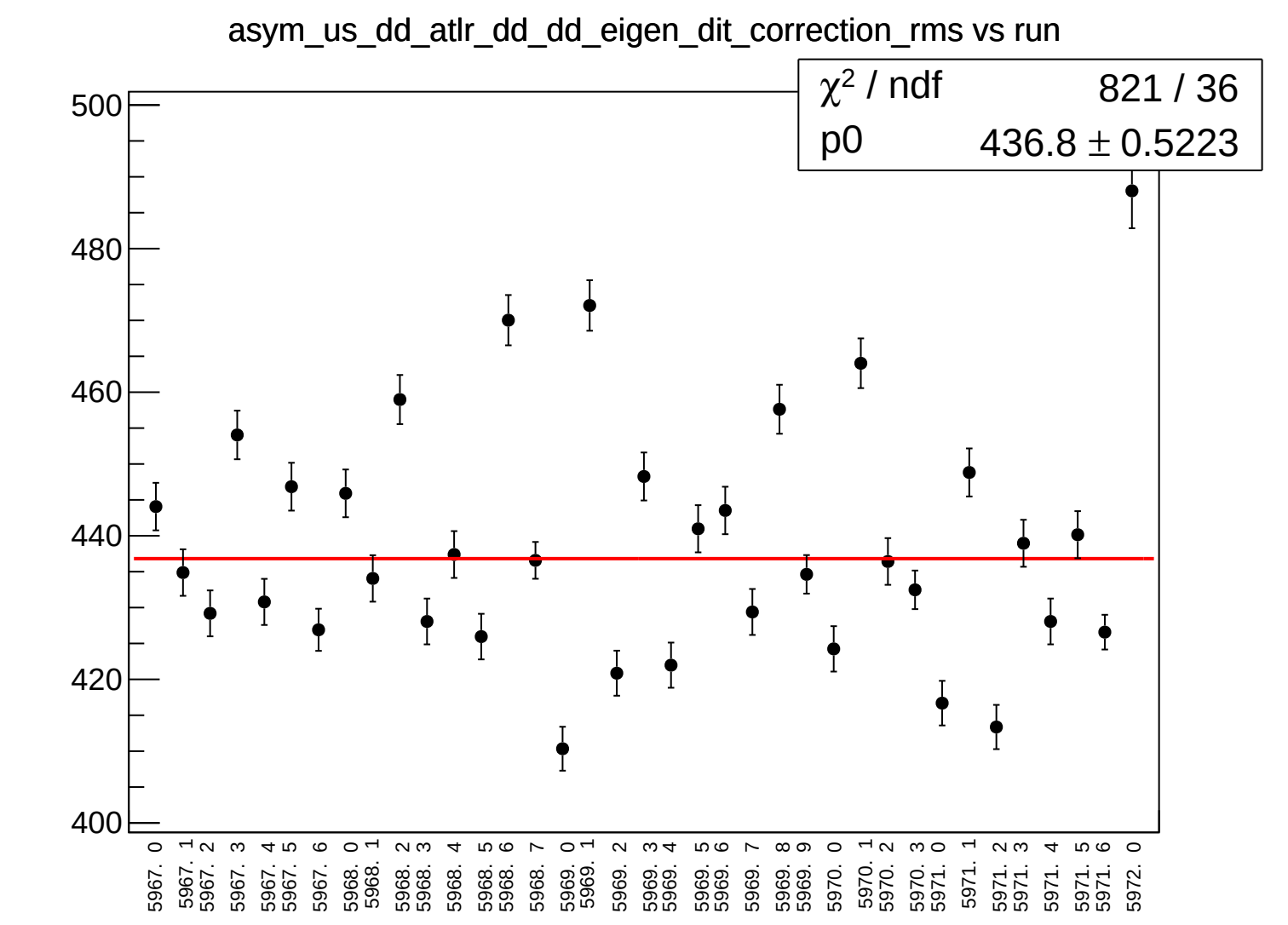
asym_us_dd_atlr_dd_dd_eigen_dit_correction_rms vs run
χ² / ndf 821 / 36
p0 436.8 ± 0.5223
500
480
460
440
420
400
5967. 0
5967. 1
5967. 2
5967. 3
5967. 4
5967. 5
5967. 6
5968. 0
5968. 1
5968. 2
5968. 3
5968. 4
5968. 5
5968. 6
5968. 7
5969. 0
5969. 1
5969. 2
5969. 3
5969. 4
5969. 5
5969. 6
5969. 7
5969. 8
5969. 9
5970. 0
5970. 1
5970. 2
5970. 3
5971. 0
5971. 1
5971. 2
5971. 3
5971. 4
5971. 5
5971. 6
5972. 0

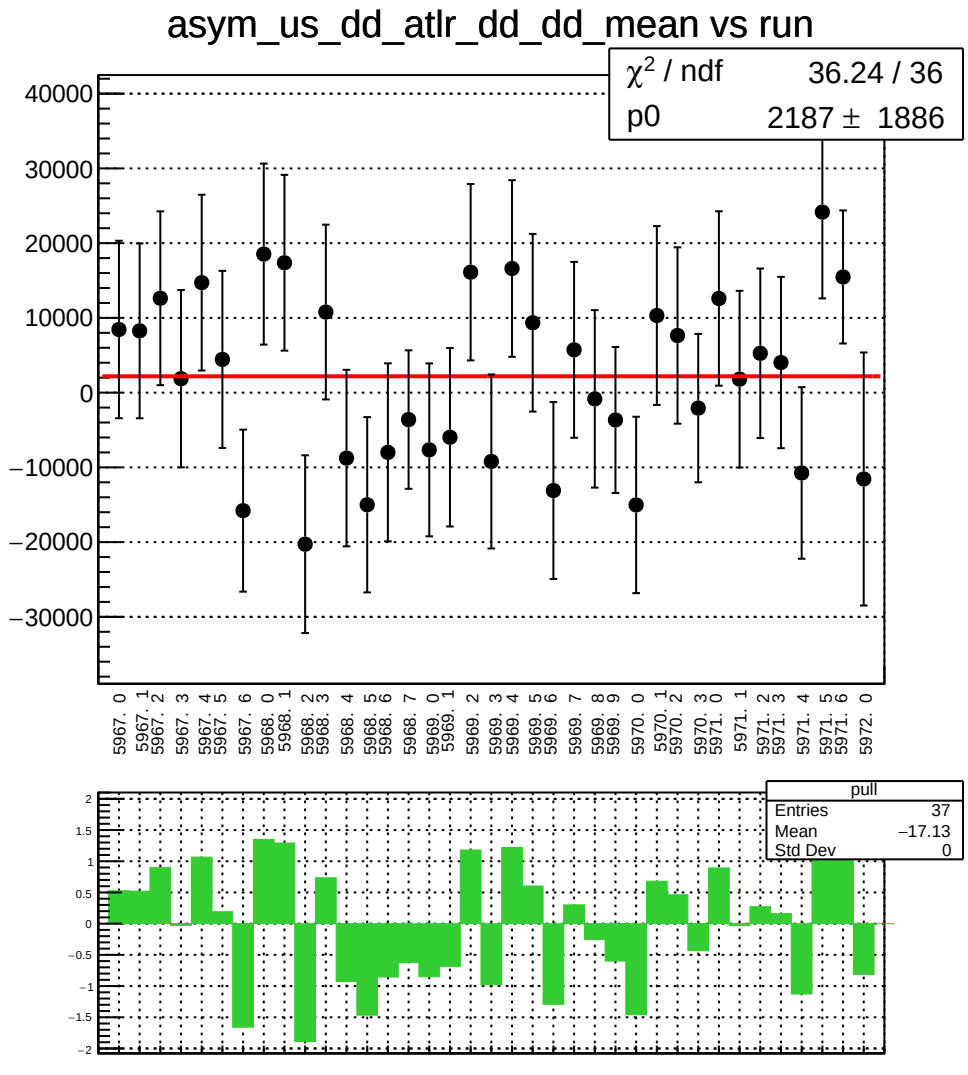
asym_us_dd_atlr_dd_dd_mean vs run
χ² / ndf 36.24 / 36
p0 2187 ± 1886
40000
30000
20000
10000
0
−10000
−20000
−30000
5967. 0
5967. 1
5967. 2
5967. 3
5967. 4
5967. 5
5967. 6
5968. 0
5968. 1
5968. 2
5968. 3
5968. 4
5968. 5
5968. 6
5968. 7
5969. 0
5969. 1
5969. 2
5969. 3
5969. 4
5969. 5
5969. 6
5969. 7
5969. 8
5969. 9
5970. 0
5970. 1
5970. 2
5970. 3
5971. 0
5971. 1
5971. 2
5971. 3
5971. 4
5971. 5
5971. 6
5972. 0
pull
Entries 37
Mean −17.13
Std Dev 0
2
1.5
1
0.5
0
−0.5
−1
−1.5
−2
pull1D
Entries 37
Mean −0.005963
Std Dev 0.9897
6
5
4
3
2
1
0
−8
−6
−4
−2
0
2
4
6
8

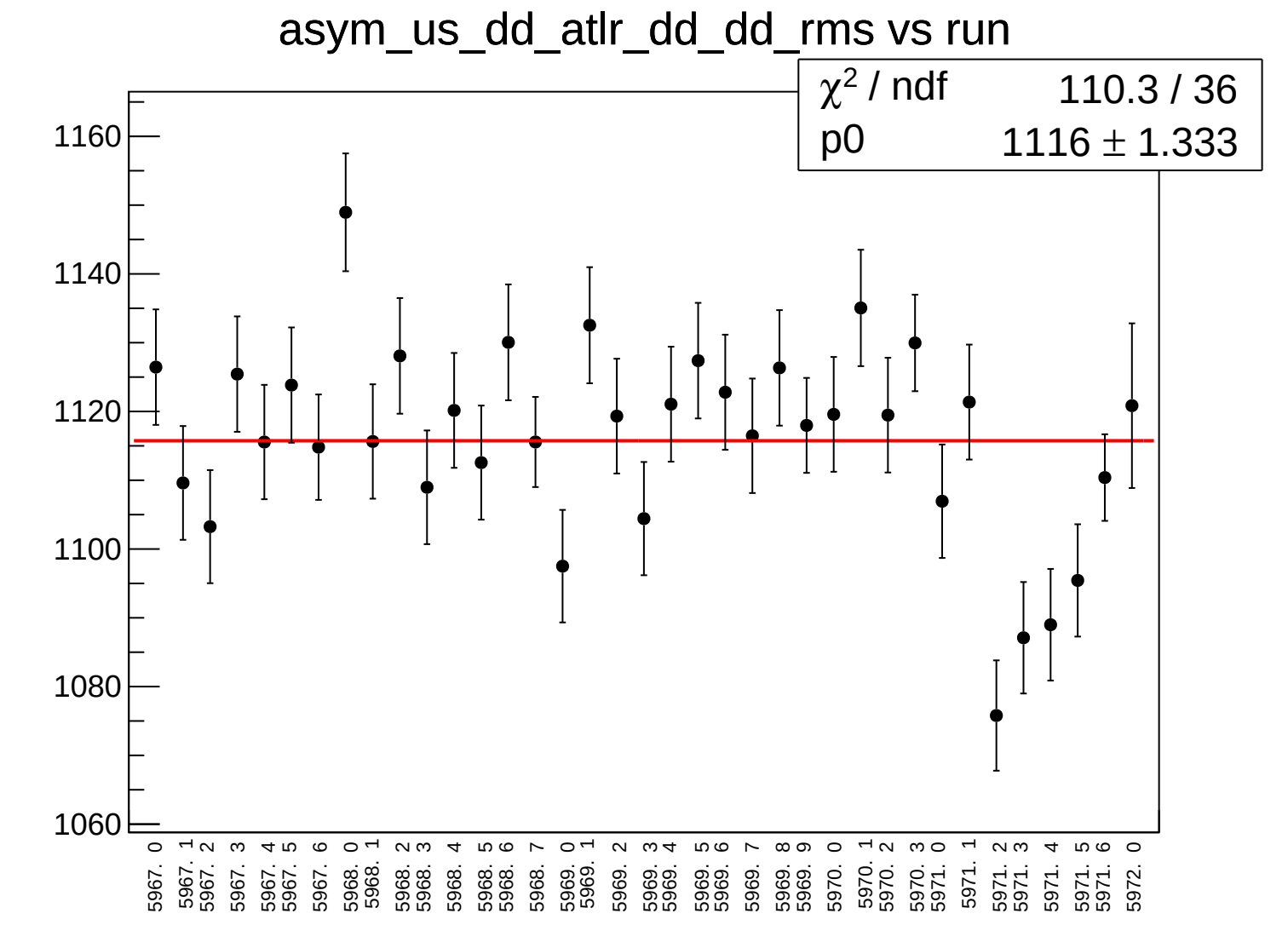
asym_us_dd_atlr_dd_dd_rms vs run
χ² / ndf 110.3 / 36
p0 1116 ± 1.333
1160
1140
1120
1100
1080
1060
5967. 0
5967. 1
5967. 2
5967. 3
5967. 4
5967. 5
5967. 6
5968. 0
5968. 1
5968. 2
5968. 3
5968. 4
5968. 5
5968. 6
5968. 7
5969. 0
5969. 1
5969. 2
5969. 3
5969. 4
5969. 5
5969. 6
5969. 7
5969. 8
5969. 9
5970. 0
5970. 1
5970. 2
5970. 3
5971. 0
5971. 1
5971. 2
5971. 3
5971. 4
5971. 5
5971. 6
5972. 0

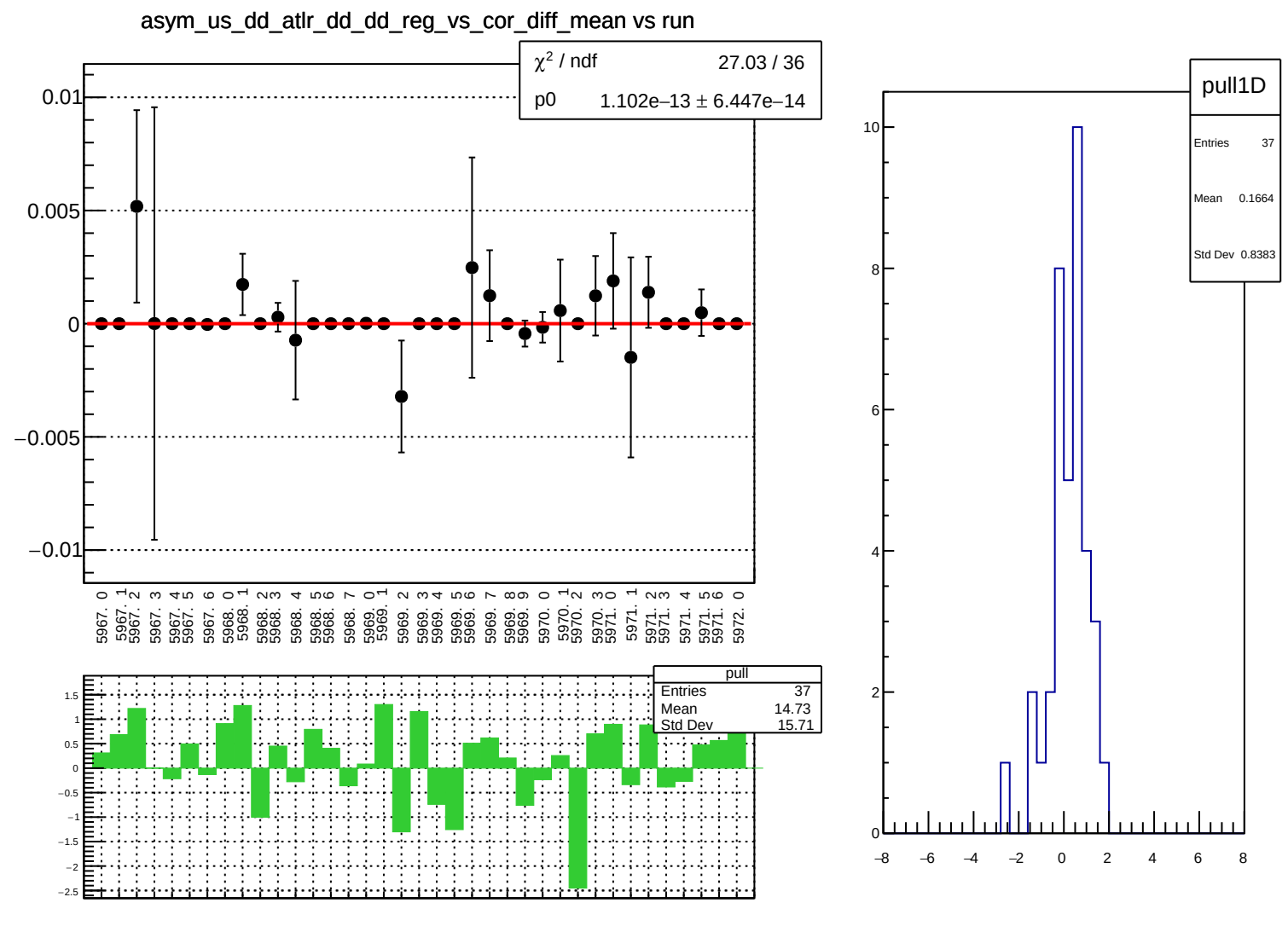
asym_us_dd_atlr_dd_dd_reg_vs_cor_diff_mean vs run
χ² / ndf 27.03 / 36
p0 1.102e−13 ± 6.447e−14
0.01
0.005
0
−0.005
−0.01
5967. 0
5967. 1
5967. 2
5967. 3
5967. 4
5967. 5
5967. 6
5968. 0
5968. 1
5968. 2
5968. 3
5968. 4
5968. 5
5968. 6
5968. 7
5969. 0
5969. 1
5969. 2
5969. 3
5969. 4
5969. 5
5969. 6
5969. 7
5969. 8
5969. 9
5970. 0
5970. 1
5970. 2
5970. 3
5971. 0
5971. 1
5971. 2
5971. 3
5971. 4
5971. 5
5971. 6
5972. 0
pull
Entries 37
Mean 14.73
Std Dev 15.71
1.5
1
0.5
0
−0.5
−1
−1.5
−2
−2.5
pull1D
Entries 37
Mean 0.1664
Std Dev 0.8383
10
8
6
4
2
0
−8
−6
−4
−2
0
2
4
6
8

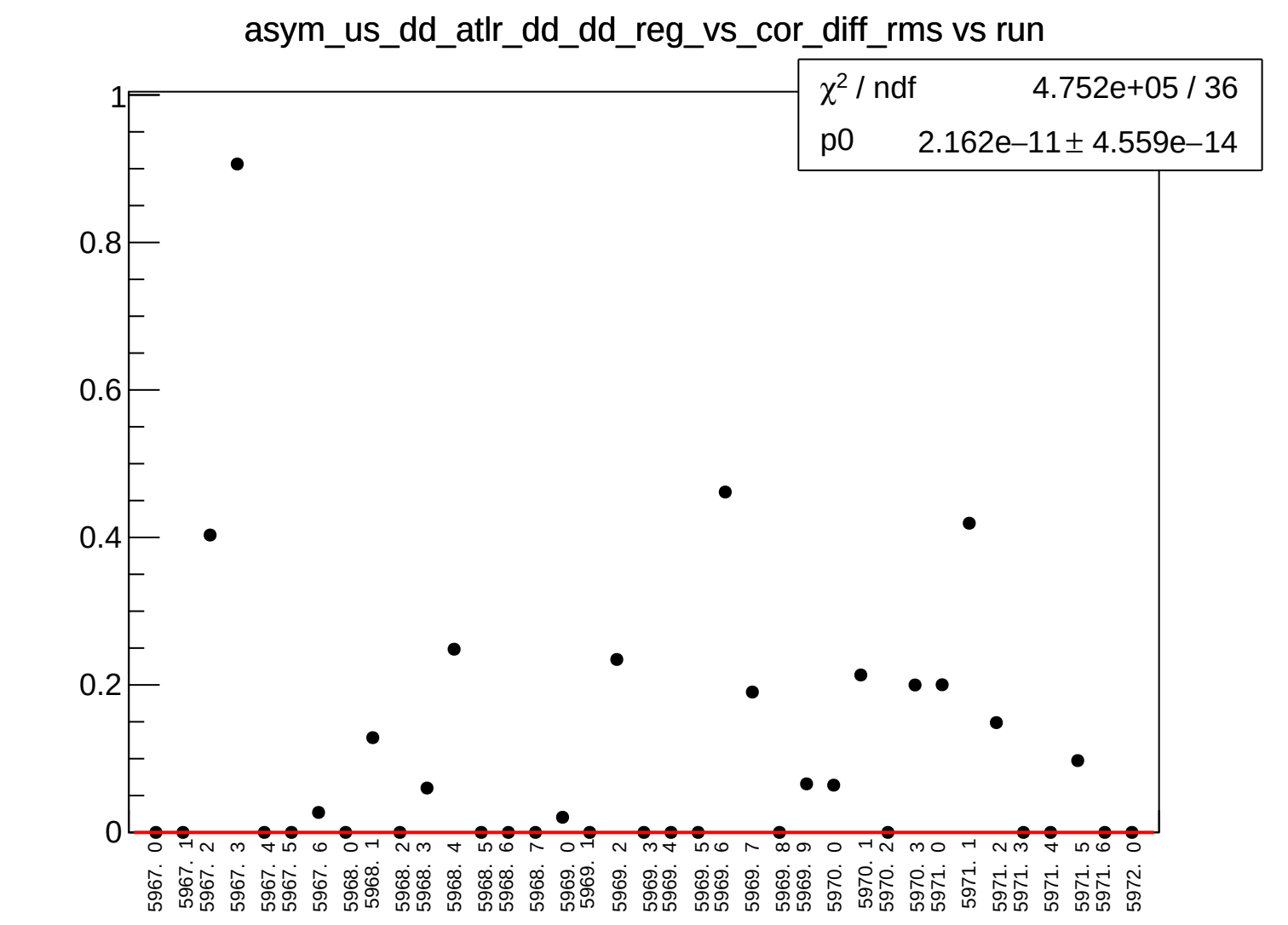
asym_us_dd_atlr_dd_dd_reg_vs_cor_diff_rms vs run
χ² / ndf 4.752e+05 / 36
p0 2.162e−11 ± 4.559e−14
1
0.8
0.6
0.4
0.2
0
5967. 0
5967. 1
5967. 2
5967. 3
5967. 4
5967. 5
5967. 6
5968. 0
5968. 1
5968. 2
5968. 3
5968. 4
5968. 5
5968. 6
5968. 7
5969. 0
5969. 1
5969. 2
5969. 3
5969. 4
5969. 5
5969. 6
5969. 7
5969. 8
5969. 9
5970. 0
5970. 1
5970. 2
5970. 3
5971. 0
5971. 1
5971. 2
5971. 3
5971. 4
5971. 5
5971. 6
5972. 0

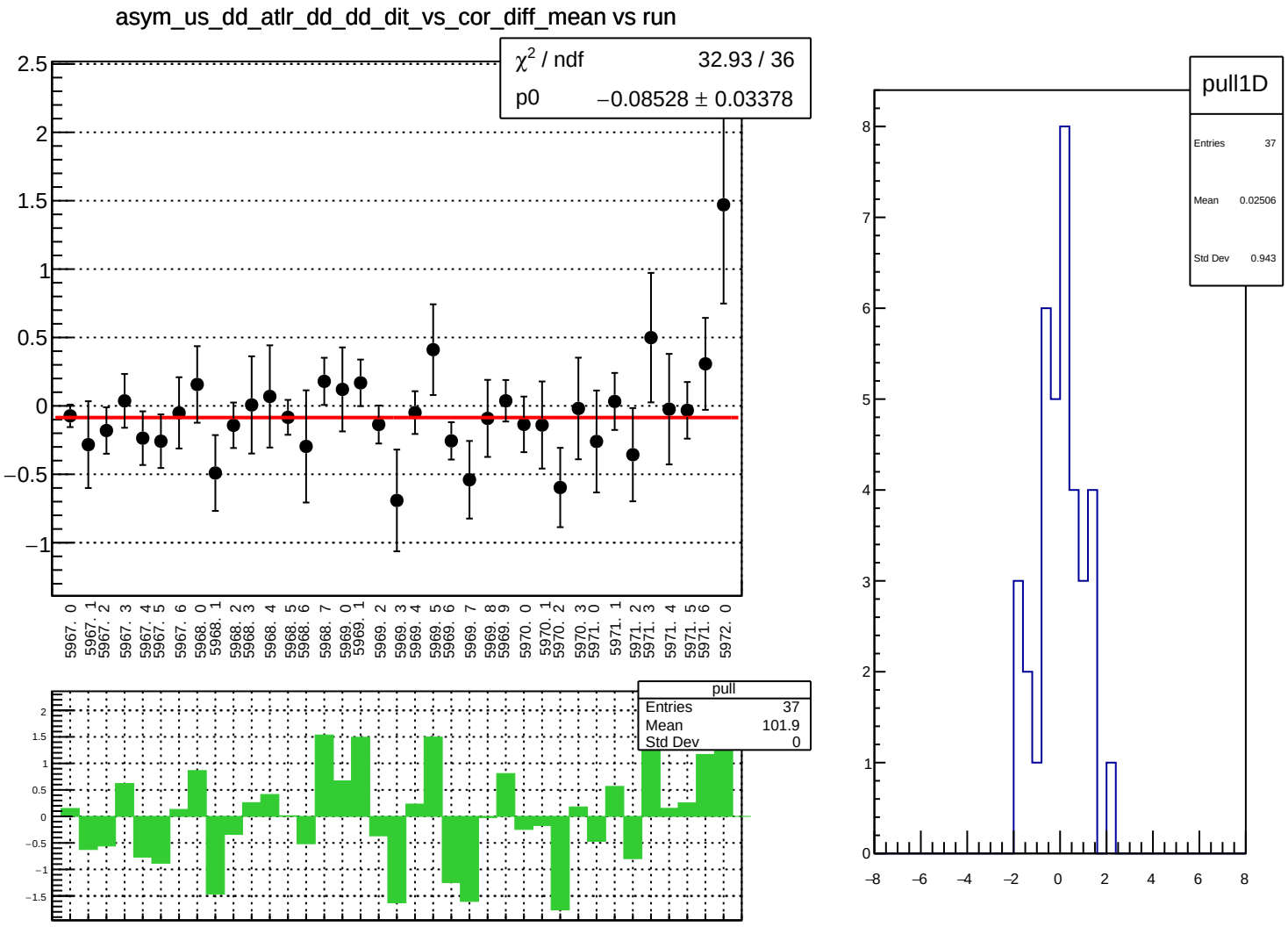
asym_us_dd_atlr_dd_dd_dit_vs_cor_diff_mean vs run
χ² / ndf 32.93 / 36
p0 −0.08528 ± 0.03378
2.5
2
1.5
1
0.5
0
−0.5
−1
5967. 0
5967. 1
5967. 2
5967. 3
5967. 4
5967. 5
5967. 6
5968. 0
5968. 1
5968. 2
5968. 3
5968. 4
5968. 5
5968. 6
5968. 7
5969. 0
5969. 1
5969. 2
5969. 3
5969. 4
5969. 5
5969. 6
5969. 7
5969. 8
5969. 9
5970. 0
5970. 1
5970. 2
5970. 3
5971. 0
5971. 1
5971. 2
5971. 3
5971. 4
5971. 5
5971. 6
5972. 0
pull
Entries 37
Mean 101.9
Std Dev 0
2
1.5
1
0.5
0
−0.5
−1
−1.5
pull1D
Entries 37
Mean 0.02506
Std Dev 0.943
8
7
6
5
4
3
2
1
0
−8
−6
−4
−2
0
2
4
6
8

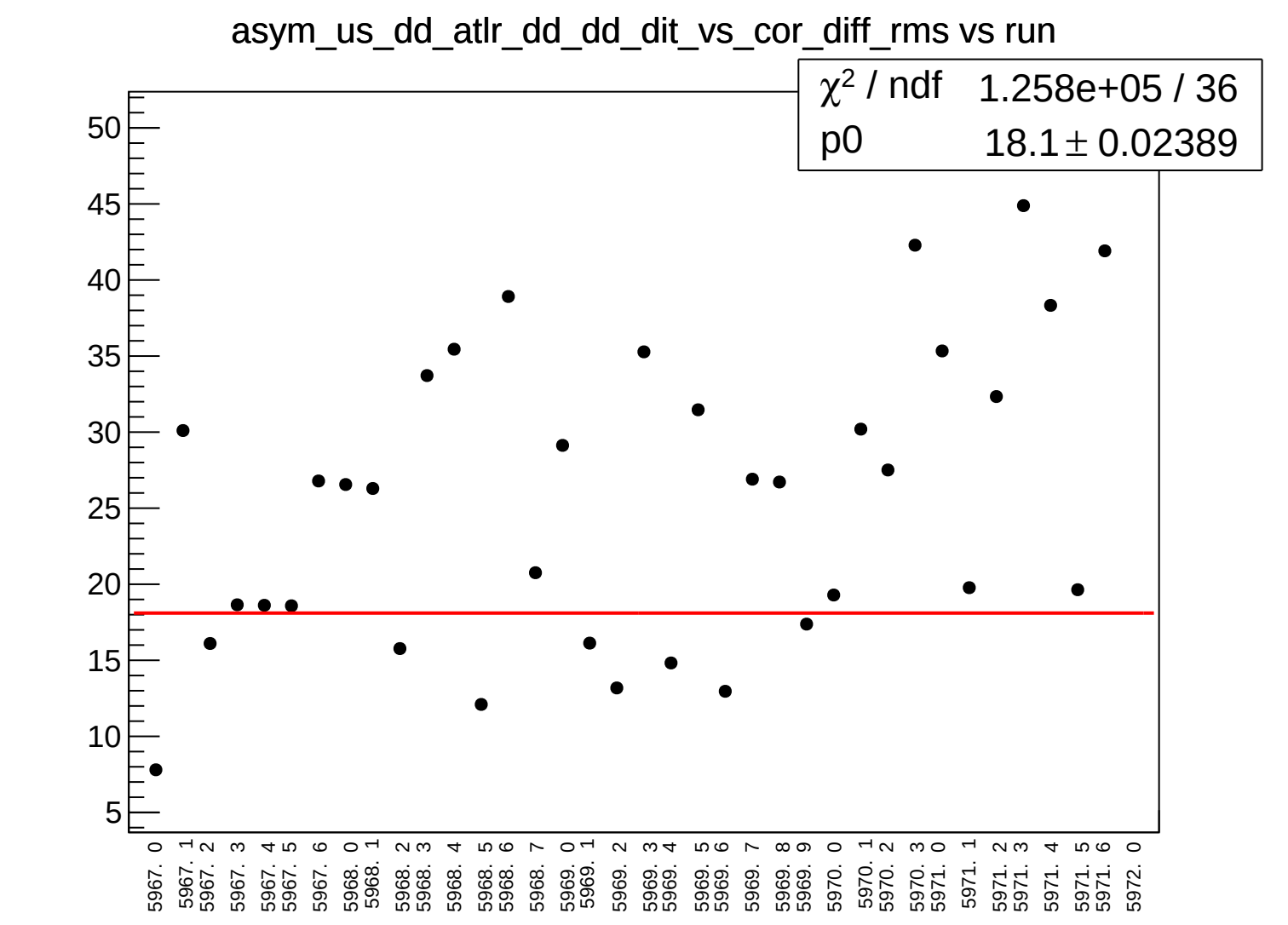
asym_us_dd_atlr_dd_dd_dit_vs_cor_diff_rms vs run
χ² / ndf 1.258e+05 / 36
p0 18.1 ± 0.02389
50
45
40
35
30
25
20
15
10
5
5967. 0
5967. 1
5967. 2
5967. 3
5967. 4
5967. 5
5967. 6
5968. 0
5968. 1
5968. 2
5968. 3
5968. 4
5968. 5
5968. 6
5968. 7
5969. 0
5969. 1
5969. 2
5969. 3
5969. 4
5969. 5
5969. 6
5969. 7
5969. 8
5969. 9
5970. 0
5970. 1
5970. 2
5970. 3
5971. 0
5971. 1
5971. 2
5971. 3
5971. 4
5971. 5
5971. 6
5972. 0

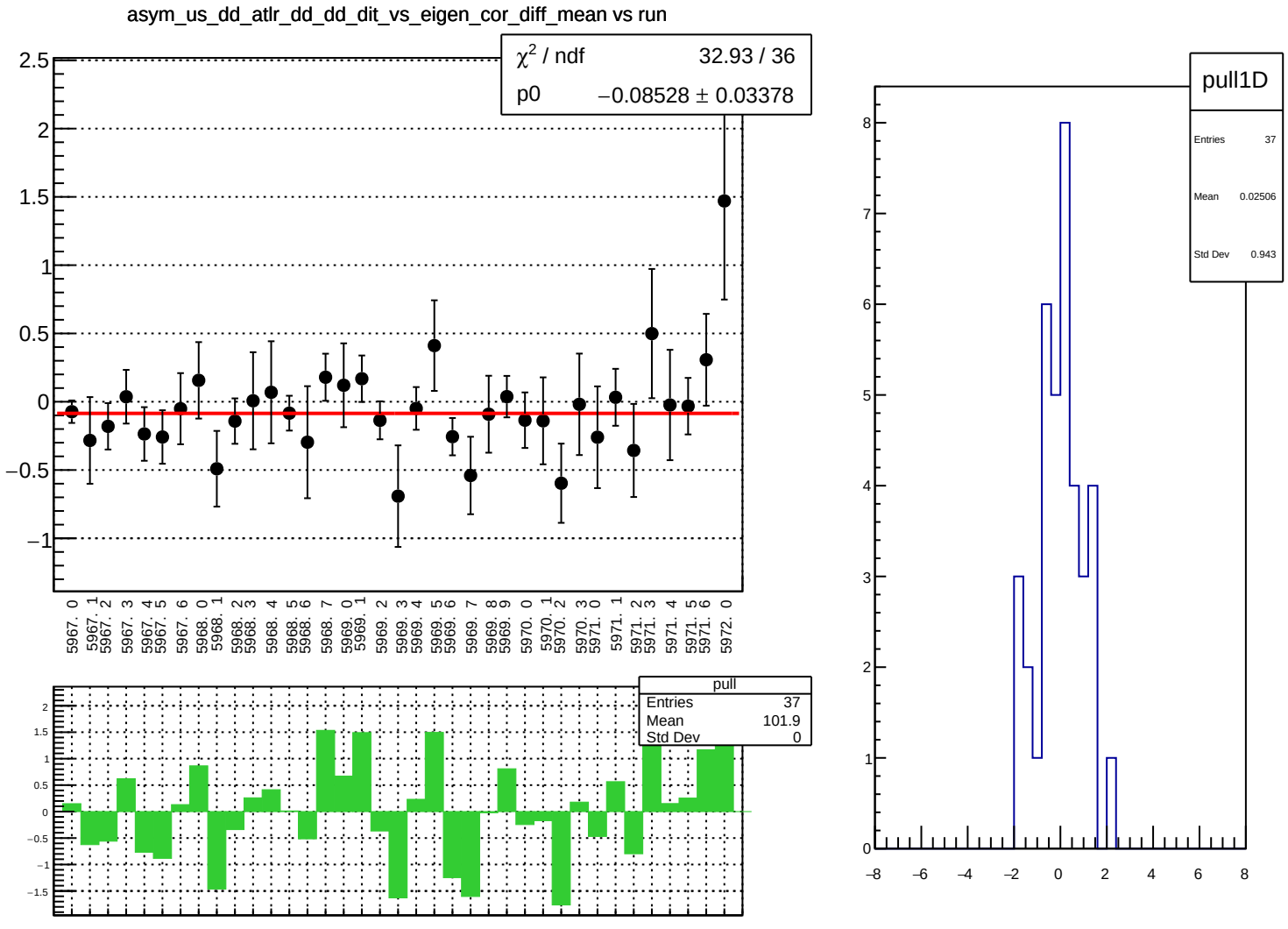
asym_us_dd_atlr_dd_dd_dit_vs_eigen_cor_diff_mean vs run
χ² / ndf 32.93 / 36
p0 −0.08528 ± 0.03378
2.5
2
1.5
1
0.5
0
−0.5
−1
5967. 0
5967. 1
5967. 2
5967. 3
5967. 4
5967. 5
5967. 6
5968. 0
5968. 1
5968. 2
5968. 3
5968. 4
5968. 5
5968. 6
5968. 7
5969. 0
5969. 1
5969. 2
5969. 3
5969. 4
5969. 5
5969. 6
5969. 7
5969. 8
5969. 9
5970. 0
5970. 1
5970. 2
5970. 3
5971. 0
5971. 1
5971. 2
5971. 3
5971. 4
5971. 5
5971. 6
5972. 0
pull
Entries 37
Mean 101.9
Std Dev 0
pull1D
Entries 37
Mean 0.02506
Std Dev 0.943
8
7
6
5
4
3
2
1
0
−8
−6
−4
−2
0
2
4
6
8

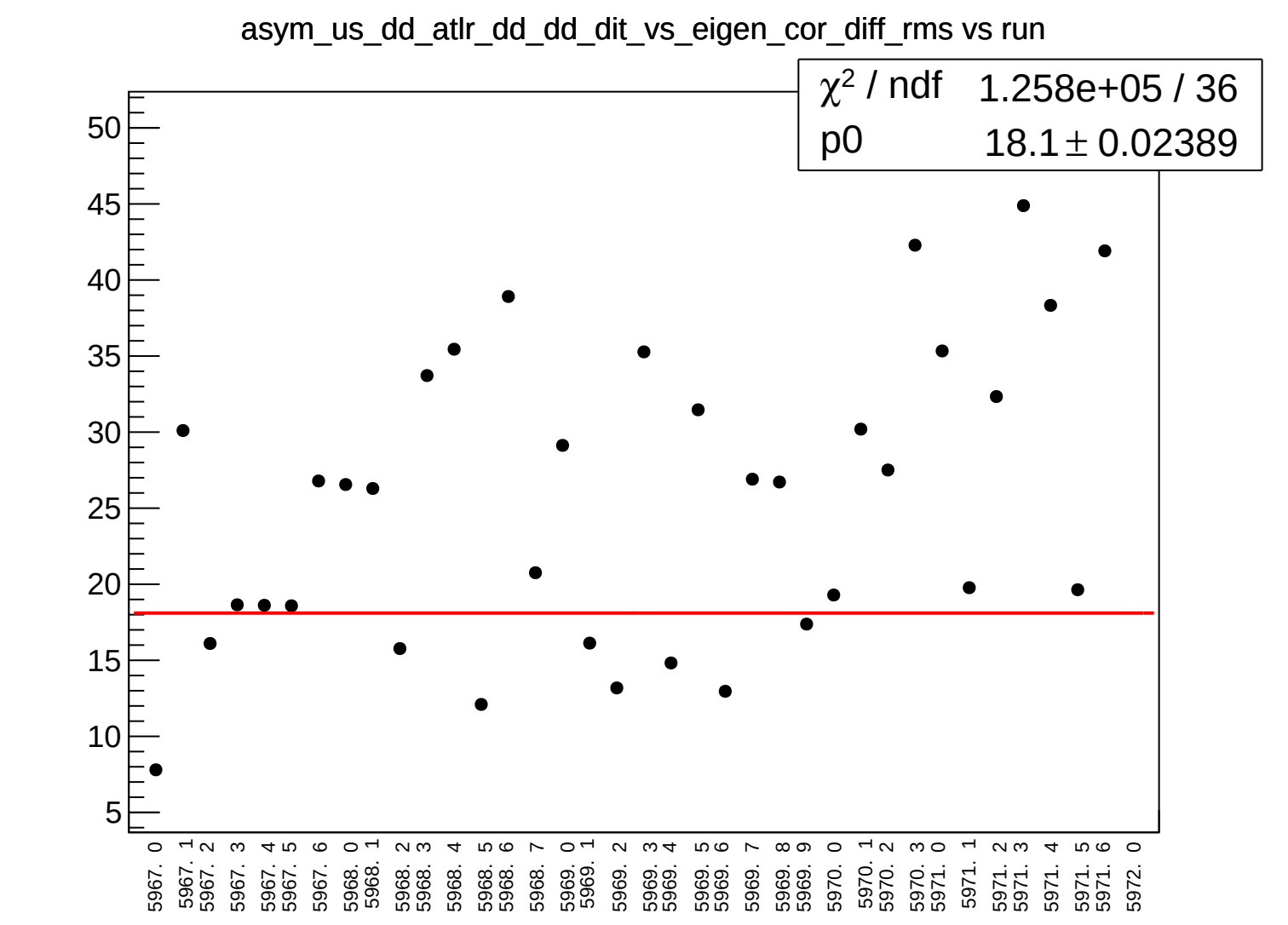
asym_us_dd_atlr_dd_dd_dit_vs_eigen_cor_diff_rms vs run
χ² / ndf 1.258e+05 / 36
p0 18.1 ± 0.02389
50
45
40
35
30
25
20
15
10
5
5967. 0
5967. 1
5967. 2
5967. 3
5967. 4
5967. 5
5967. 6
5968. 0
5968. 1
5968. 2
5968. 3
5968. 4
5968. 5
5968. 6
5968. 7
5969. 0
5969. 1
5969. 2
5969. 3
5969. 4
5969. 5
5969. 6
5969. 7
5969. 8
5969. 9
5970. 0
5970. 1
5970. 2
5970. 3
5971. 0
5971. 1
5971. 2
5971. 3
5971. 4
5971. 5
5971. 6
5972. 0

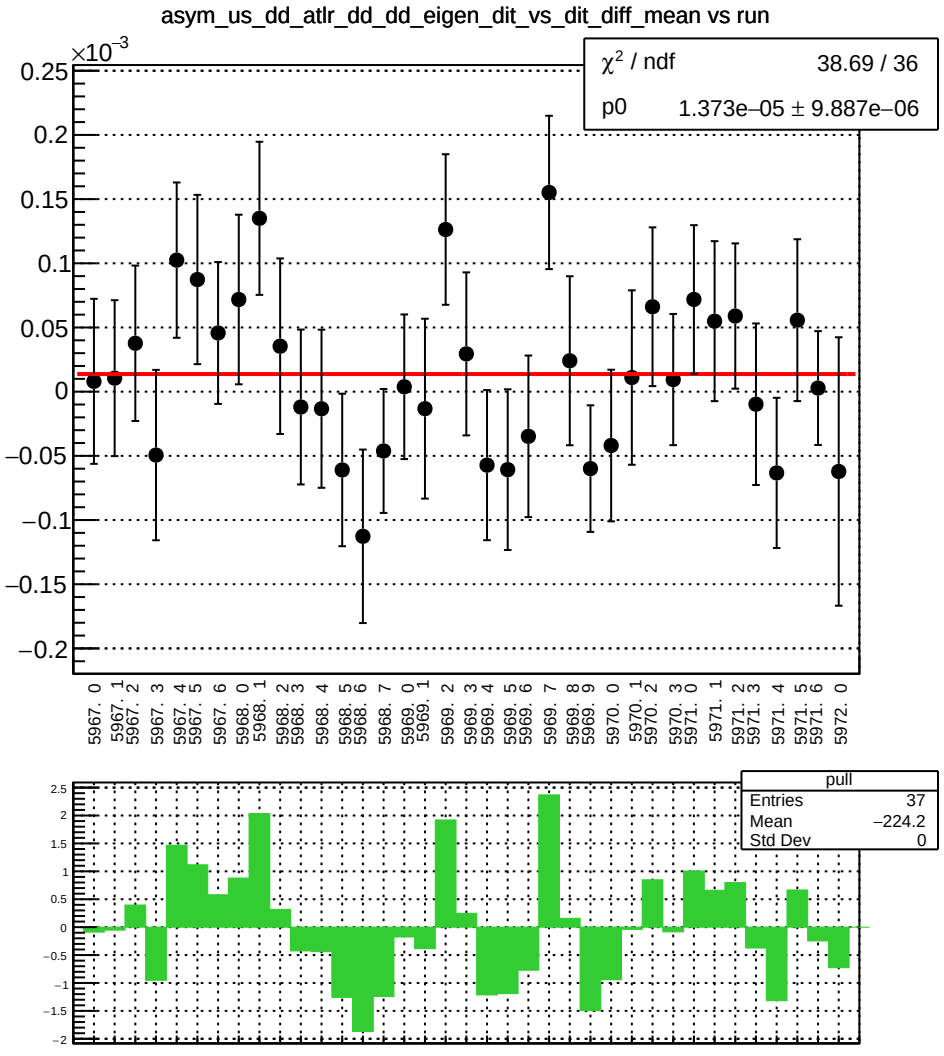
asym_us_dd_atlr_dd_dd_eigen_dit_vs_dit_diff_mean vs run
×10⁻³
χ² / ndf 38.69 / 36
p0 1.373e−05 ± 9.887e−06
pull
Entries 37
Mean −224.2
Std Dev 0

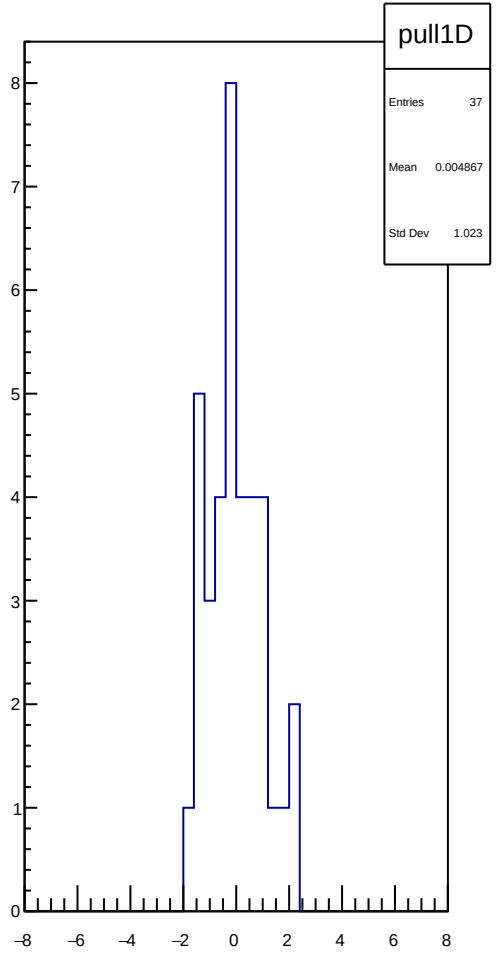
pull1D
Entries 37
Mean 0.004867
Std Dev 1.023

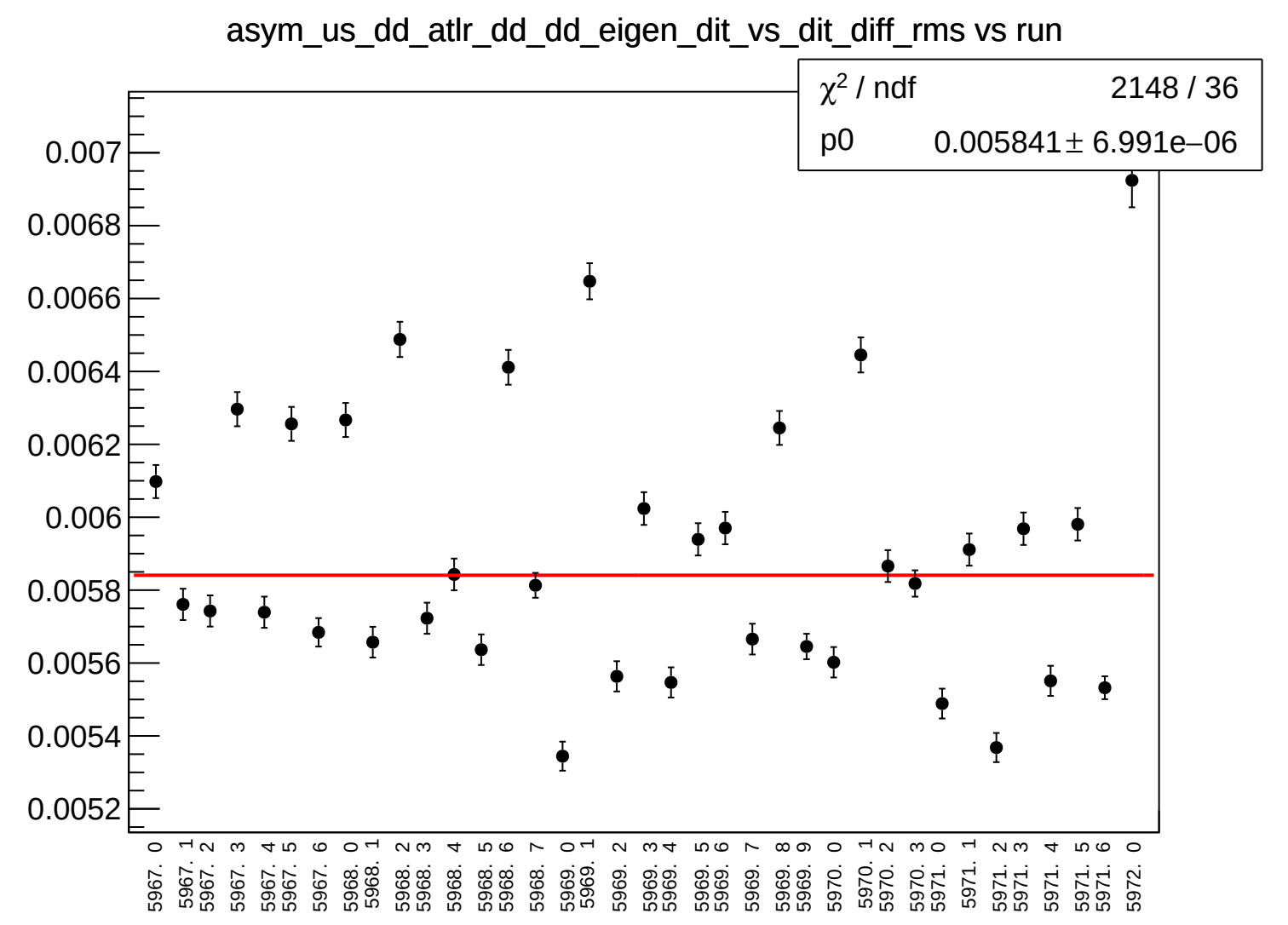
asym_us_dd_atlr_dd_dd_eigen_dit_vs_dit_diff_rms vs run
χ² / ndf 2148 / 36
p0 0.005841 ± 6.991e−06
0.007
0.0068
0.0066
0.0064
0.0062
0.006
0.0058
0.0056
0.0054
0.0052
5967. 0
5967. 1
5967. 2
5967. 3
5967. 4
5967. 5
5967. 6
5968. 0
5968. 1
5968. 2
5968. 3
5968. 4
5968. 5
5968. 6
5968. 7
5969. 0
5969. 1
5969. 2
5969. 3
5969. 4
5969. 5
5969. 6
5969. 7
5969. 8
5969. 9
5970. 0
5970. 1
5970. 2
5970. 3
5971. 0
5971. 1
5971. 2
5971. 3
5971. 4
5971. 5
5971. 6
5972. 0

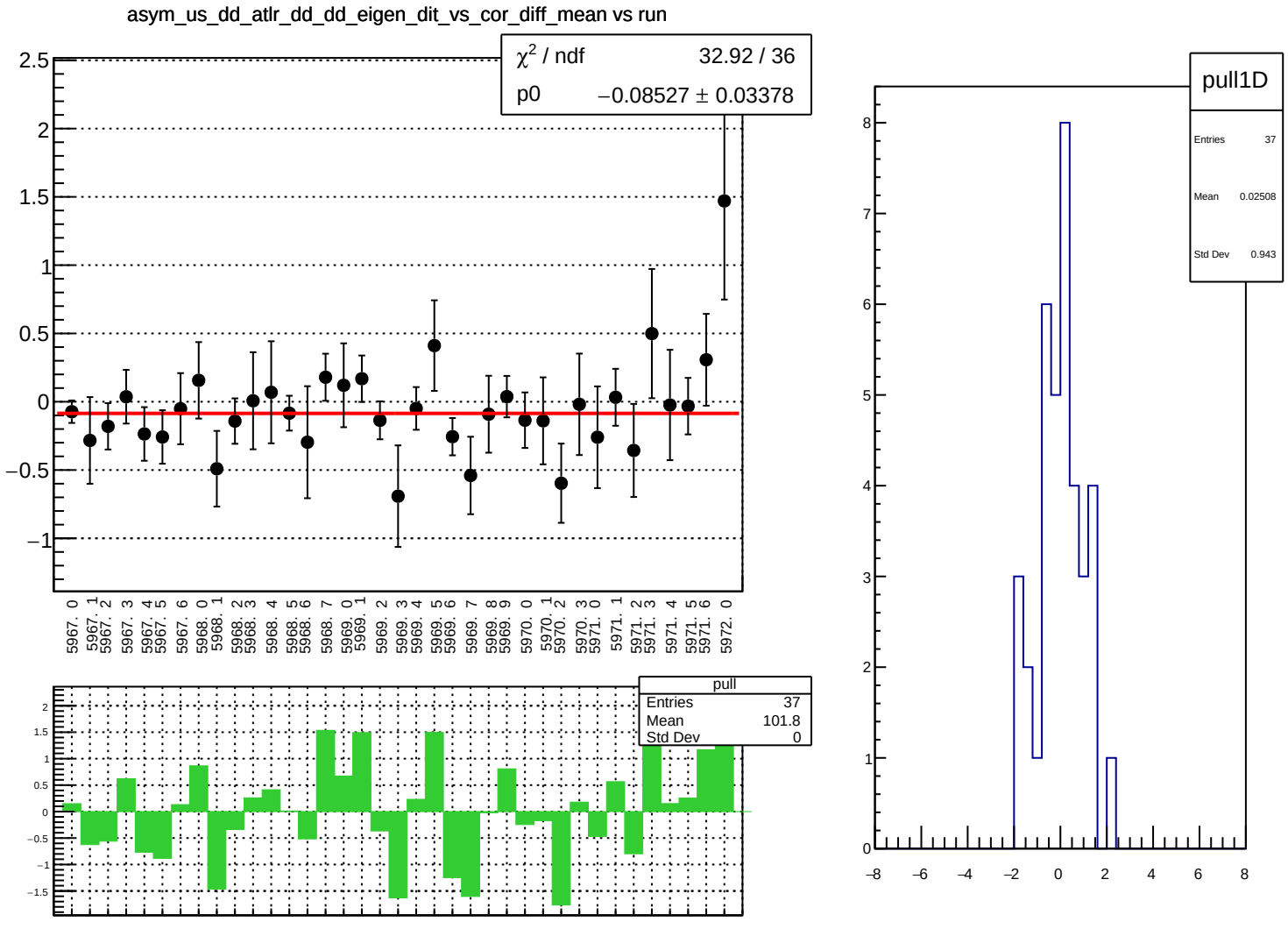
asym_us_dd_atlr_dd_dd_eigen_dit_vs_cor_diff_mean vs run
χ² / ndf 32.92 / 36
p0 −0.08527 ± 0.03378
pull
Entries 37
Mean 101.8
Std Dev 0
pull1D
Entries 37
Mean 0.02508
Std Dev 0.943

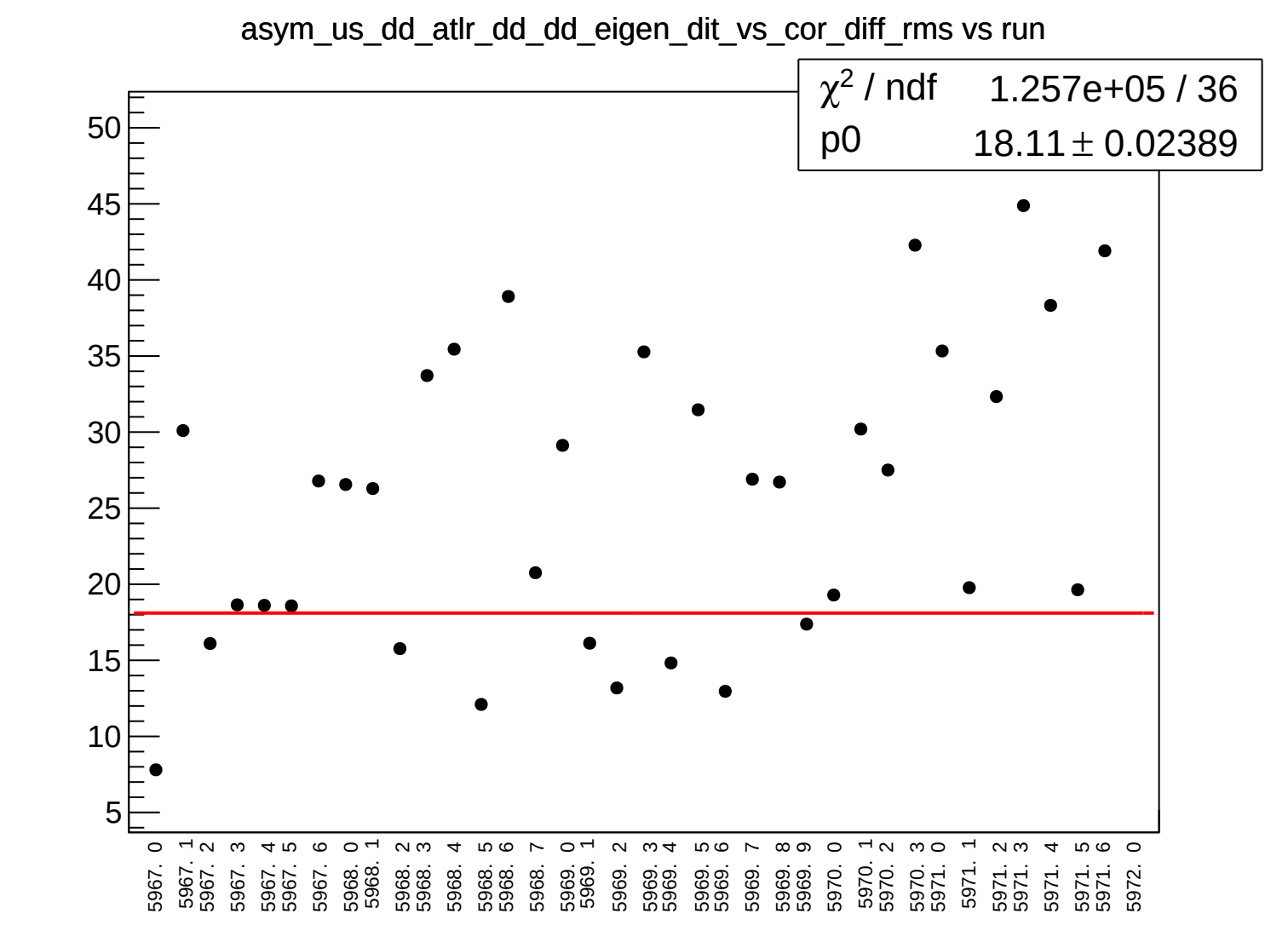
asym_us_dd_atlr_dd_dd_eigen_dit_vs_cor_diff_rms vs run
χ² / ndf 1.257e+05 / 36
p0 18.11 ± 0.02389
50
45
40
35
30
25
20
15
10
5
5967. 0
5967. 1
5967. 2
5967. 3
5967. 4
5967. 5
5967. 6
5968. 0
5968. 1
5968. 2
5968. 3
5968. 4
5968. 5
5968. 6
5968. 7
5969. 0
5969. 1
5969. 2
5969. 3
5969. 4
5969. 5
5969. 6
5969. 7
5969. 8
5969. 9
5970. 0
5970. 1
5970. 2
5970. 3
5971. 0
5971. 1
5971. 2
5971. 3
5971. 4
5971. 5
5971. 6
5972. 0

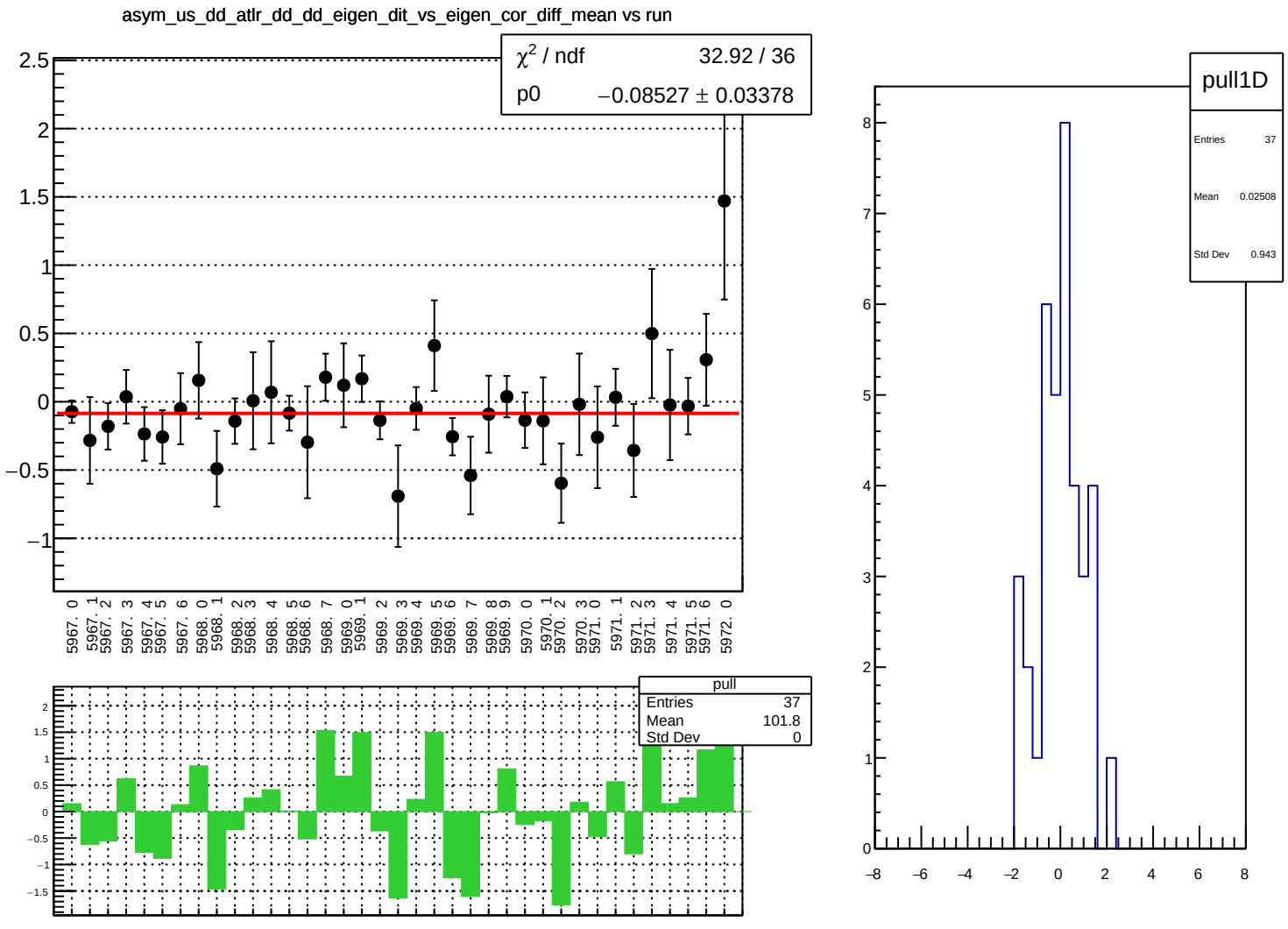
asym_us_dd_atlr_dd_dd_eigen_dit_vs_eigen_cor_diff_mean vs run
χ² / ndf 32.92 / 36
p0 −0.08527 ± 0.03378
pull
Entries 37
Mean 101.8
Std Dev 0
pull1D
Entries 37
Mean 0.02508
Std Dev 0.943

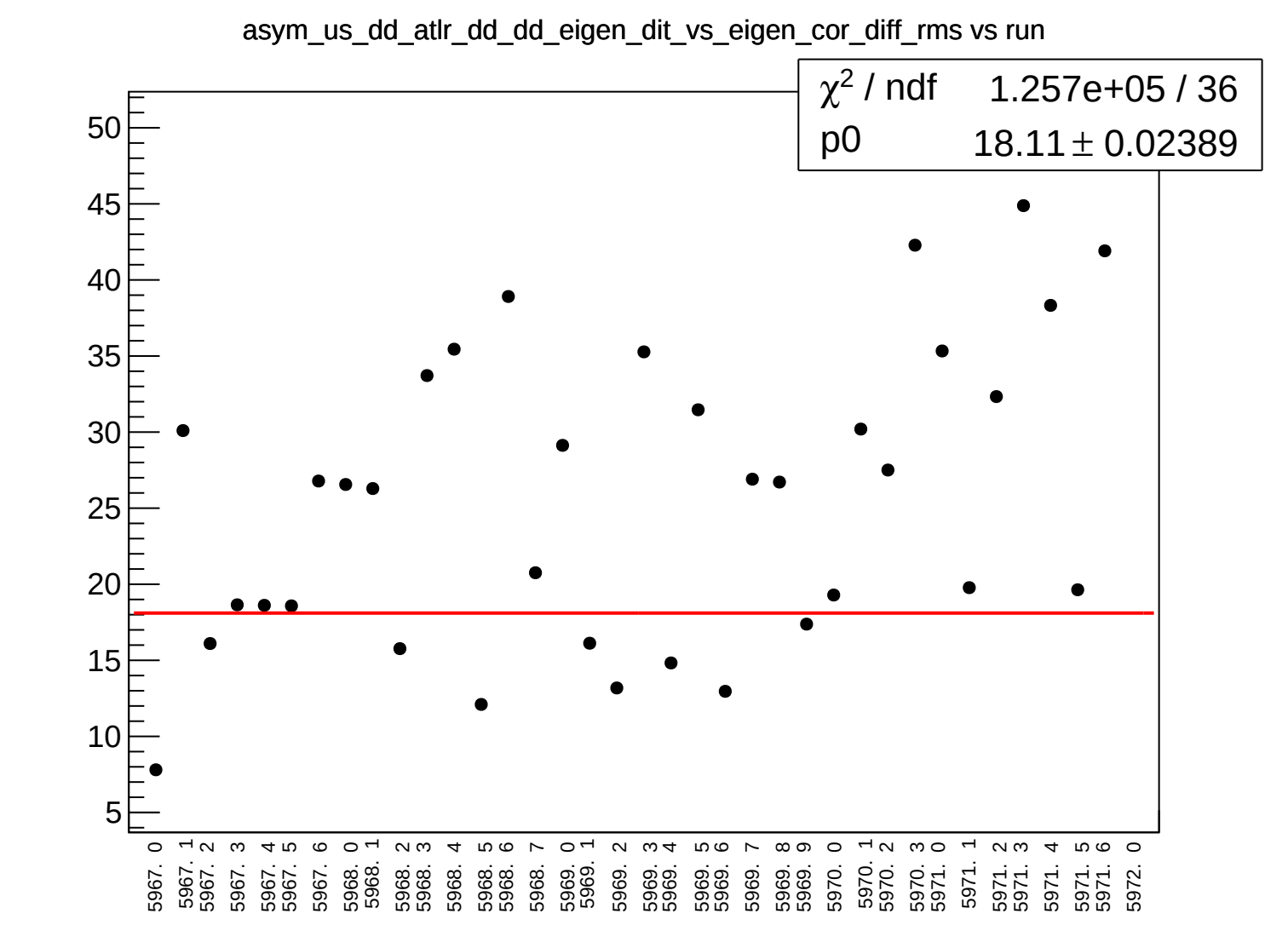
asym_us_dd_atlr_dd_dd_eigen_dit_vs_eigen_cor_diff_rms vs run
χ² / ndf 1.257e+05 / 36
p0 18.11 ± 0.02389
50
45
40
35
30
25
20
15
10
5
5967. 0
5967. 1
5967. 2
5967. 3
5967. 4
5967. 5
5967. 6
5968. 0
5968. 1
5968. 2
5968. 3
5968. 4
5968. 5
5968. 6
5968. 7
5969. 0
5969. 1
5969. 2
5969. 3
5969. 4
5969. 5
5969. 6
5969. 7
5969. 8
5969. 9
5970. 0
5970. 1
5970. 2
5970. 3
5971. 0
5971. 1
5971. 2
5971. 3
5971. 4
5971. 5
5971. 6
5972. 0

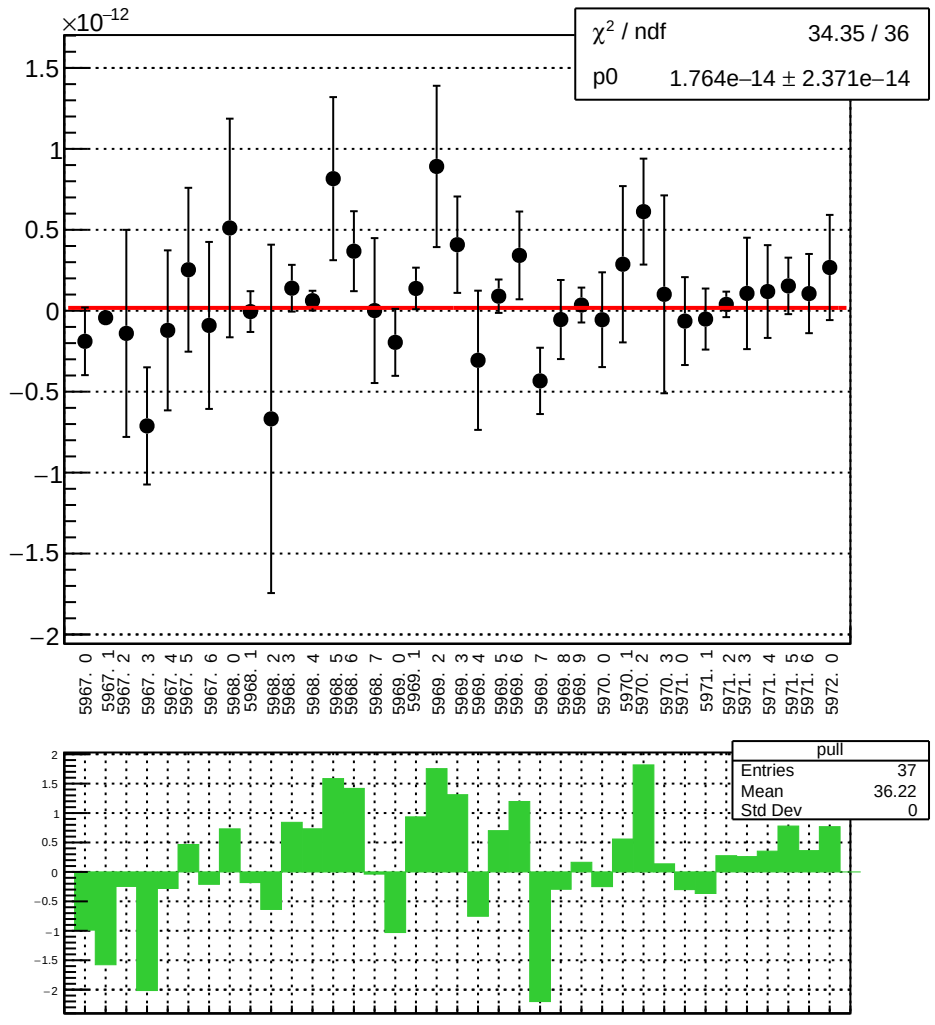
asym_us_dd_atlr_dd_dd_eigen_cor_vs_cor_diff_mean vs run
×10⁻¹²
χ² / ndf 34.35 / 36
p0 1.764e−14 ± 2.371e−14
pull
Entries 37
Mean 36.22
Std Dev 0

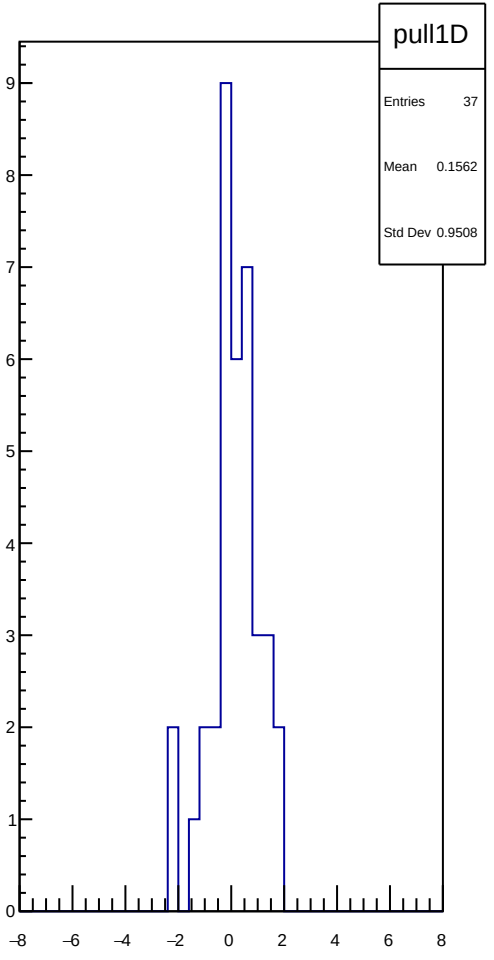
pull1D
Entries 37
Mean 0.1562
Std Dev 0.9508

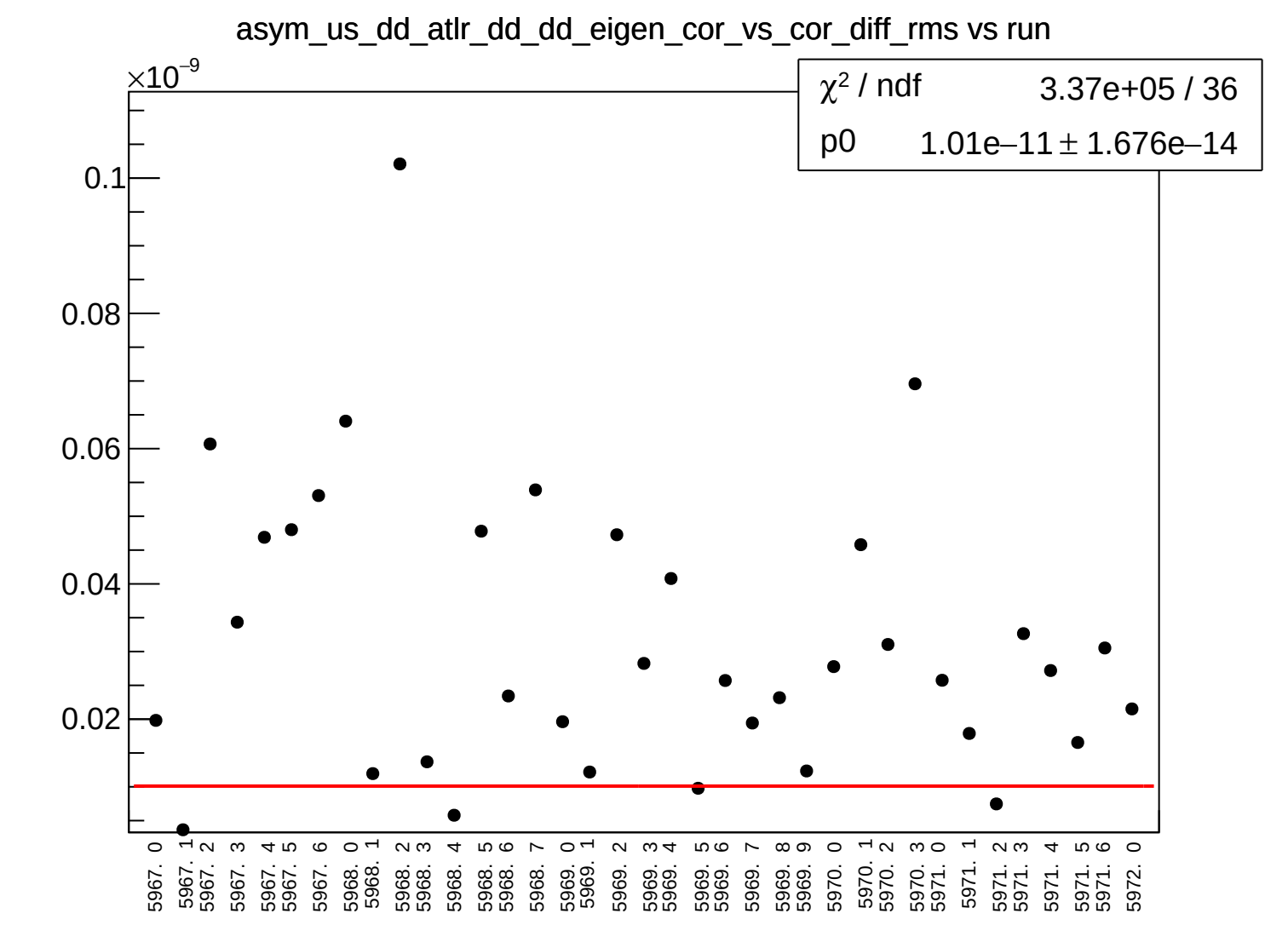
asym_us_dd_atlr_dd_dd_eigen_cor_vs_cor_diff_rms vs run
×10⁻⁹
χ² / ndf 3.37e+05 / 36
p0 1.01e−11 ± 1.676e−14
0.1
0.08
0.06
0.04
0.02
5967. 0
5967. 1
5967. 2
5967. 3
5967. 4
5967. 5
5967. 6
5968. 0
5968. 1
5968. 2
5968. 3
5968. 4
5968. 5
5968. 6
5968. 7
5969. 0
5969. 1
5969. 2
5969. 3
5969. 4
5969. 5
5969. 6
5969. 7
5969. 8
5969. 9
5970. 0
5970. 1
5970. 2
5970. 3
5971. 0
5971. 1
5971. 2
5971. 3
5971. 4
5971. 5
5971. 6
5972. 0

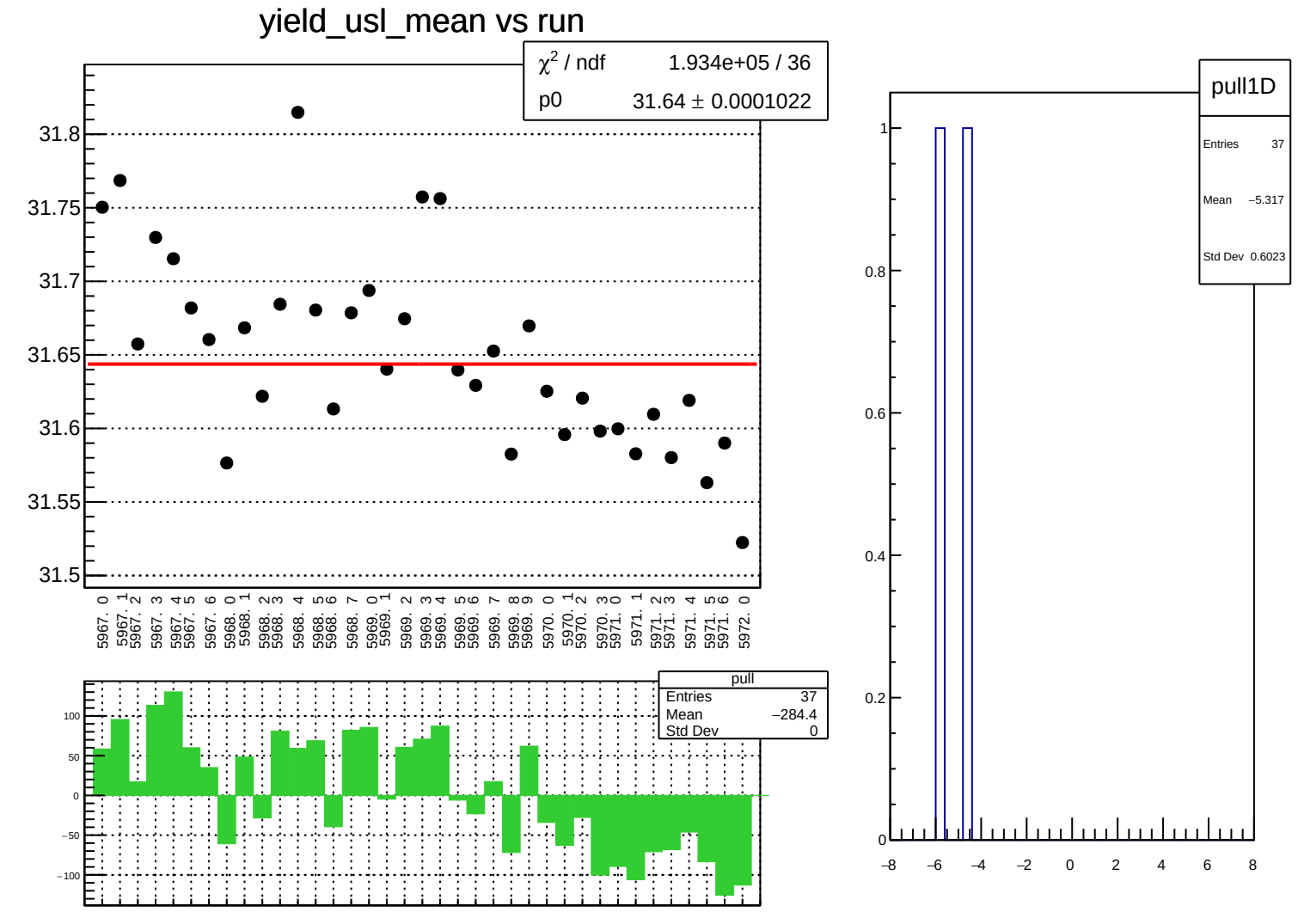
yield_usl_mean vs run
χ² / ndf 1.934e+05 / 36
p0 31.64 ± 0.0001022
31.8
31.75
31.7
31.65
31.6
31.55
31.5
5967. 0
5967. 1
5967. 2
5967. 3
5967. 4
5967. 5
5967. 6
5968. 0
5968. 1
5968. 2
5968. 3
5968. 4
5968. 5
5968. 6
5968. 7
5969. 0
5969. 1
5969. 2
5969. 3
5969. 4
5969. 5
5969. 6
5969. 7
5969. 8
5969. 9
5970. 0
5970. 1
5970. 2
5970. 3
5971. 0
5971. 1
5971. 2
5971. 3
5971. 4
5971. 5
5971. 6
5972. 0
pull
Entries 37
Mean −284.4
Std Dev 0
100
50
0
−50
−100
pull1D
Entries 37
Mean −5.317
Std Dev 0.6023
1
0.8
0.6
0.4
0.2
0
−8
−6
−4
−2
0
2
4
6
8

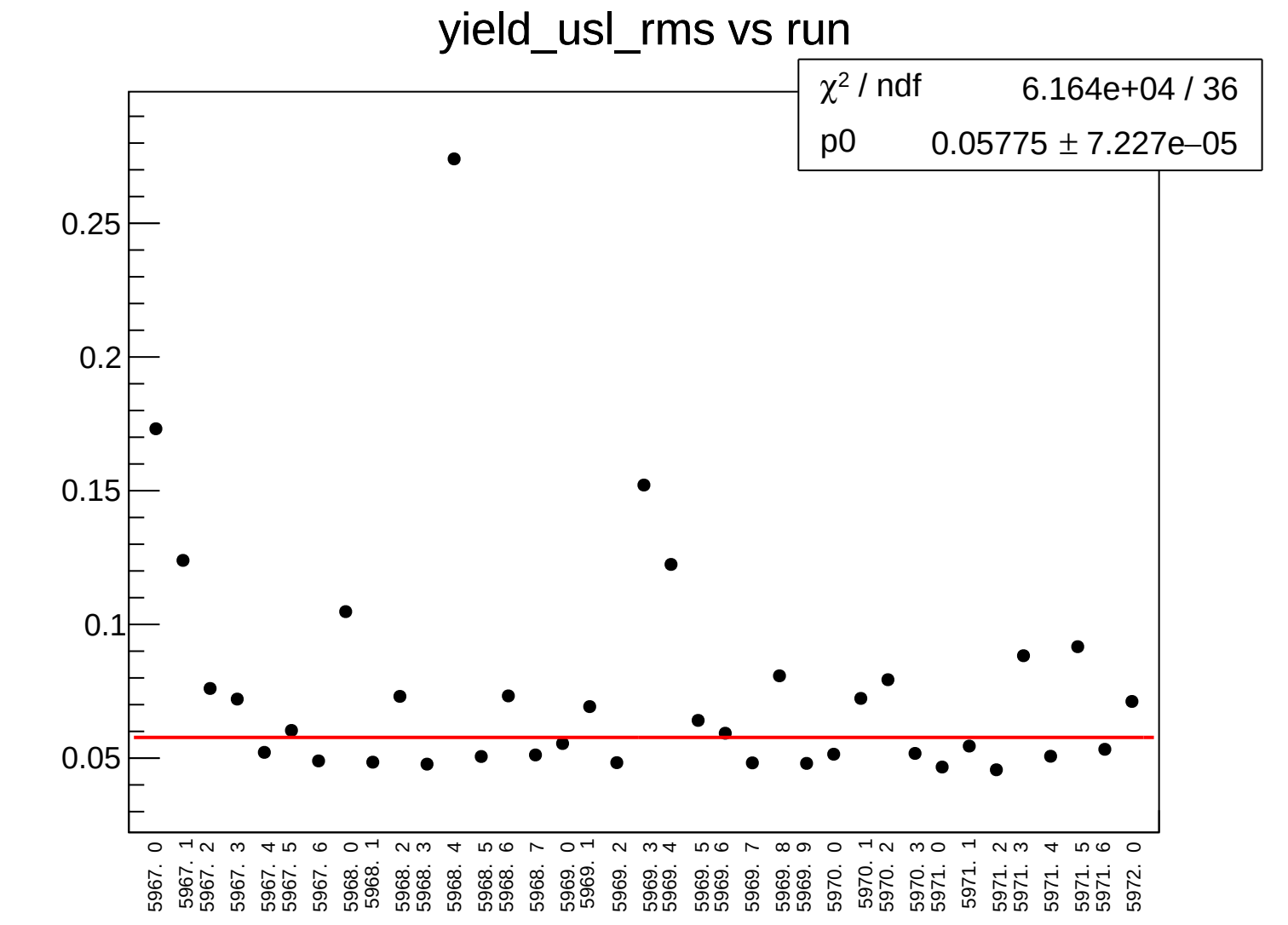
yield_usl_rms vs run
χ² / ndf 6.164e+04 / 36
p0 0.05775 ± 7.227e–05
0.25
0.2
0.15
0.1
0.05
5967. 0
5967. 1
5967. 2
5967. 3
5967. 4
5967. 5
5967. 6
5968. 0
5968. 1
5968. 2
5968. 3
5968. 4
5968. 5
5968. 6
5968. 7
5969. 0
5969. 1
5969. 2
5969. 3
5969. 4
5969. 5
5969. 6
5969. 7
5969. 8
5969. 9
5970. 0
5970. 1
5970. 2
5970. 3
5971. 0
5971. 1
5971. 2
5971. 3
5971. 4
5971. 5
5971. 6
5972. 0

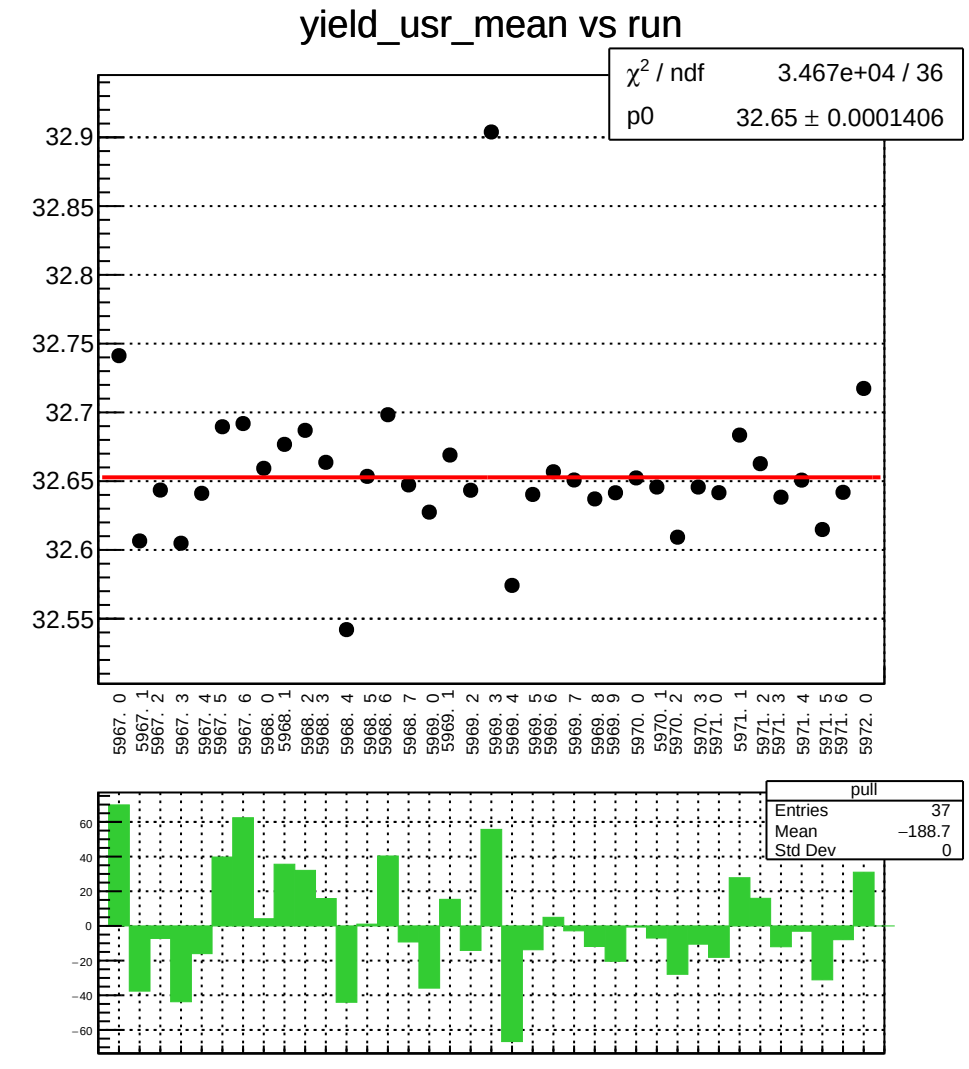
yield_usr_mean vs run
χ² / ndf 3.467e+04 / 36
p0 32.65 ± 0.0001406
32.9
32.85
32.8
32.75
32.7
32.65
32.6
32.55
5967. 0
5967. 1
5967. 2
5967. 3
5967. 4
5967. 5
5967. 6
5968. 0
5968. 1
5968. 2
5968. 3
5968. 4
5968. 5
5968. 6
5968. 7
5969. 0
5969. 1
5969. 2
5969. 3
5969. 4
5969. 5
5969. 6
5969. 7
5969. 8
5969. 9
5970. 0
5970. 1
5970. 2
5970. 3
5971. 0
5971. 1
5971. 2
5971. 3
5971. 4
5971. 5
5971. 6
5972. 0
pull
Entries 37
Mean −188.7
Std Dev 0
60
40
20
0
−20
−40
−60
pull1D
Entries 37
Mean −2.05
Std Dev 4.544
2
1.8
1.6
1.4
1.2
1
0.8
0.6
0.4
0.2
0
−8
−6
−4
−2
0
2
4
6
8

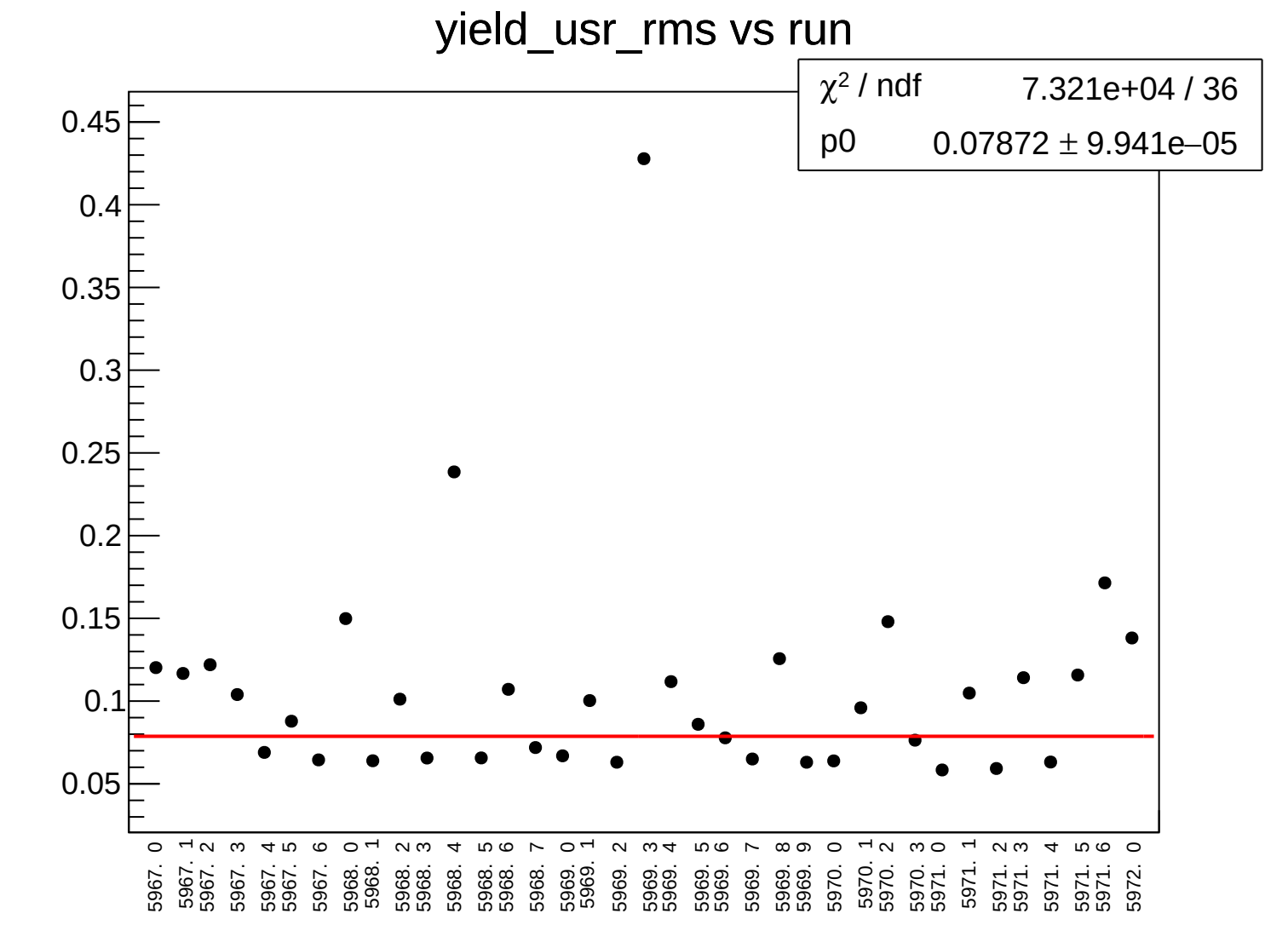
yield_usr_rms vs run
χ² / ndf 7.321e+04 / 36
p0 0.07872 ± 9.941e−05
0.45
0.4
0.35
0.3
0.25
0.2
0.15
0.1
0.05
5967. 0
5967. 1
5967. 2
5967. 3
5967. 4
5967. 5
5967. 6
5968. 0
5968. 1
5968. 2
5968. 3
5968. 4
5968. 5
5968. 6
5968. 7
5969. 0
5969. 1
5969. 2
5969. 3
5969. 4
5969. 5
5969. 6
5969. 7
5969. 8
5969. 9
5970. 0
5970. 1
5970. 2
5970. 3
5971. 0
5971. 1
5971. 2
5971. 3
5971. 4
5971. 5
5971. 6
5972. 0

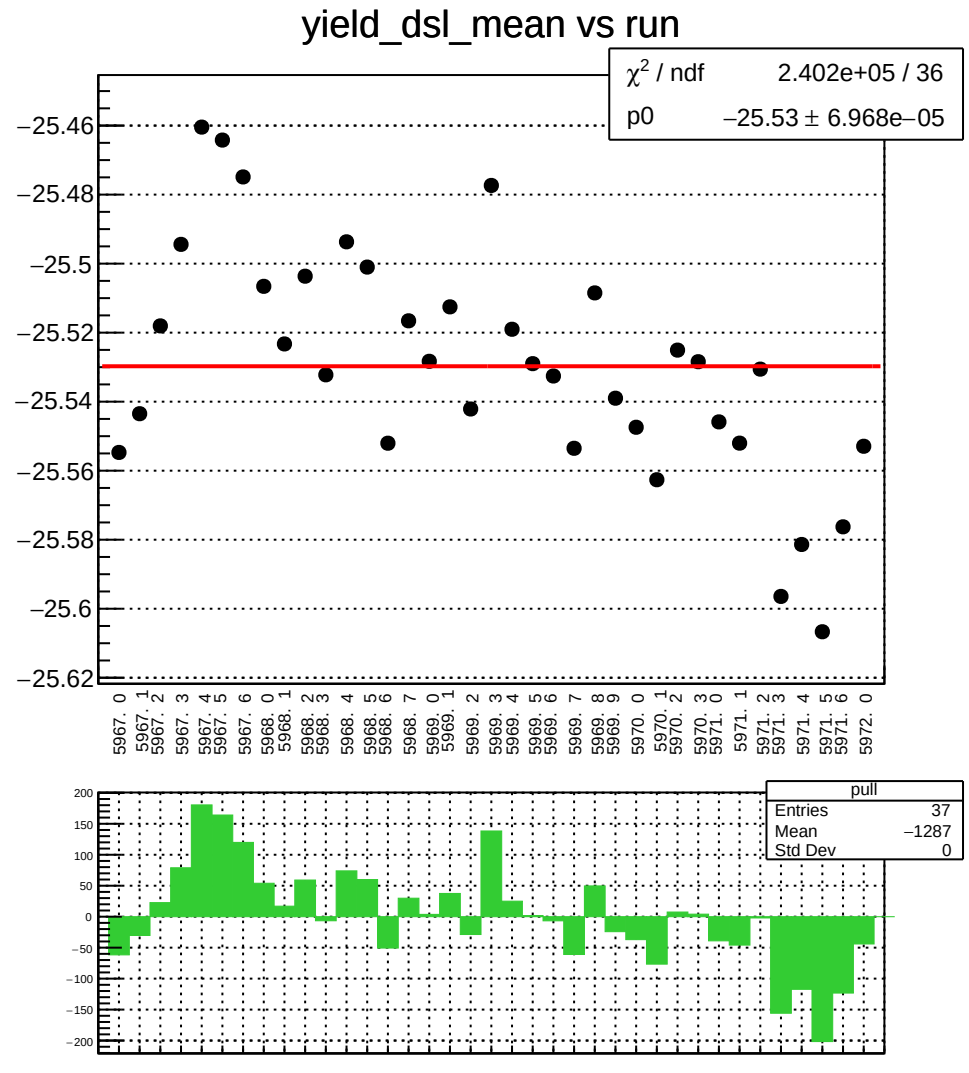
yield_dsl_mean vs run
χ² / ndf 2.402e+05 / 36
p0 −25.53 ± 6.968e−05
−25.46
−25.48
−25.5
−25.52
−25.54
−25.56
−25.58
−25.6
−25.62
5967. 0
5967. 1
5967. 2
5967. 3
5967. 4
5967. 5
5967. 6
5968. 0
5968. 1
5968. 2
5968. 3
5968. 4
5968. 5
5968. 6
5968. 7
5969. 0
5969. 1
5969. 2
5969. 3
5969. 4
5969. 5
5969. 6
5969. 7
5969. 8
5969. 9
5970. 0
5970. 1
5970. 2
5970. 3
5971. 0
5971. 1
5971. 2
5971. 3
5971. 4
5971. 5
5971. 6
5972. 0
pull
Entries 37
Mean −1287
Std Dev 0
200
150
100
50
0
−50
−100
−150
−200

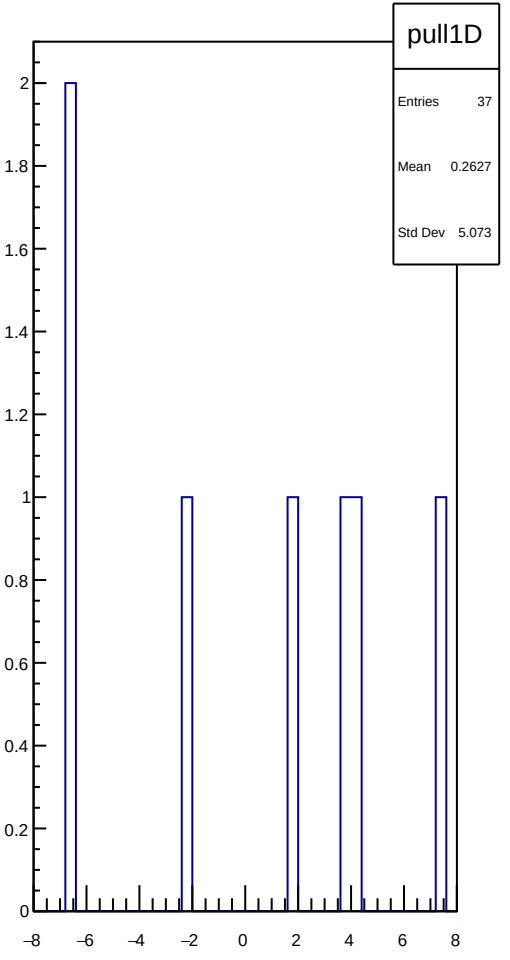
pull1D
Entries 37
Mean 0.2627
Std Dev 5.073
2
1.8
1.6
1.4
1.2
1
0.8
0.6
0.4
0.2
0
−8
−6
−4
−2
0
2
4
6
8

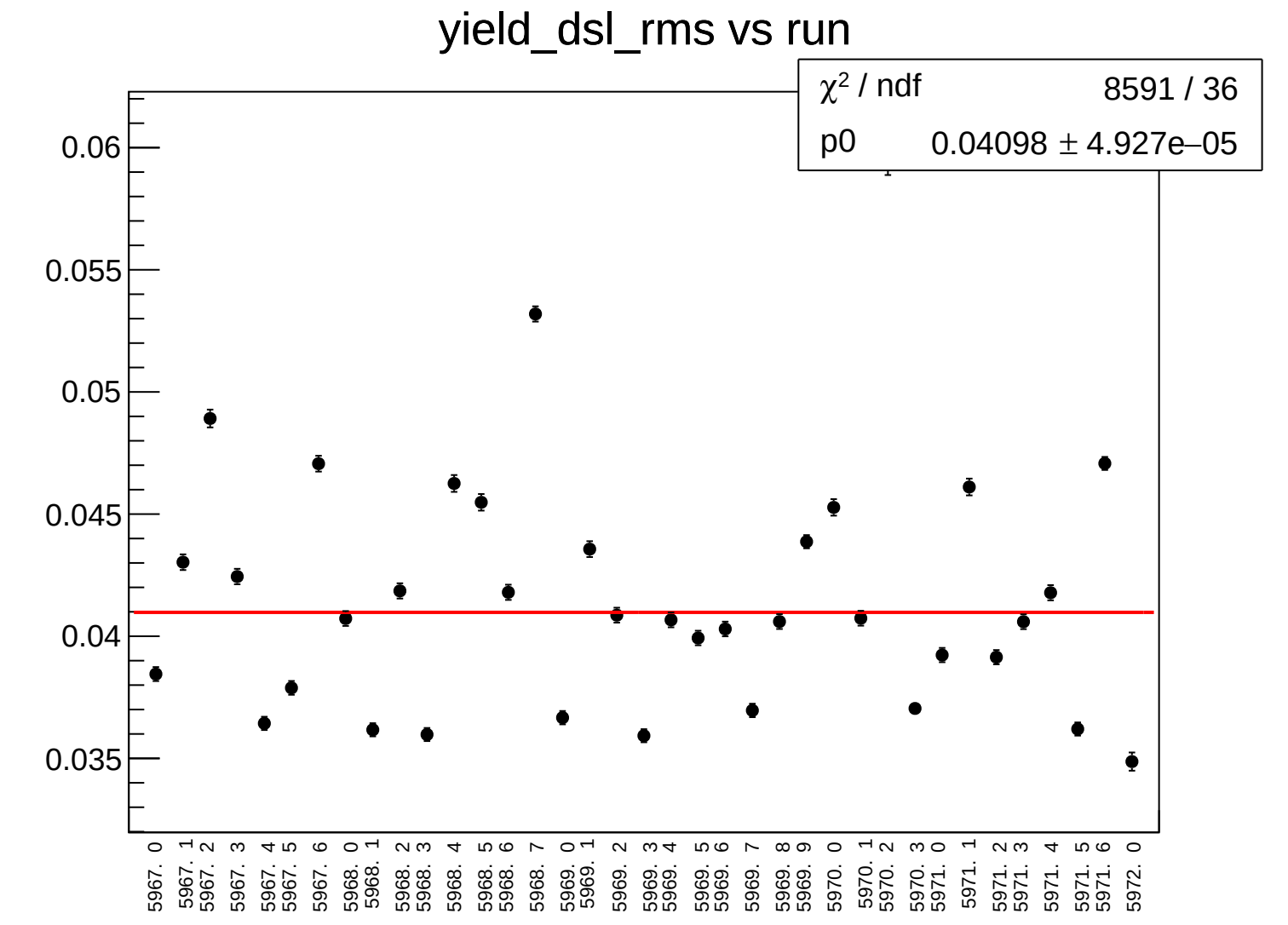
yield_dsl_rms vs run
χ² / ndf 8591 / 36
p0 0.04098 ± 4.927e–05
0.06
0.055
0.05
0.045
0.04
0.035
5967. 0
5967. 1
5967. 2
5967. 3
5967. 4
5967. 5
5967. 6
5968. 0
5968. 1
5968. 2
5968. 3
5968. 4
5968. 5
5968. 6
5968. 7
5969. 0
5969. 1
5969. 2
5969. 3
5969. 4
5969. 5
5969. 6
5969. 7
5969. 8
5969. 9
5970. 0
5970. 1
5970. 2
5970. 3
5971. 0
5971. 1
5971. 2
5971. 3
5971. 4
5971. 5
5971. 6
5972. 0

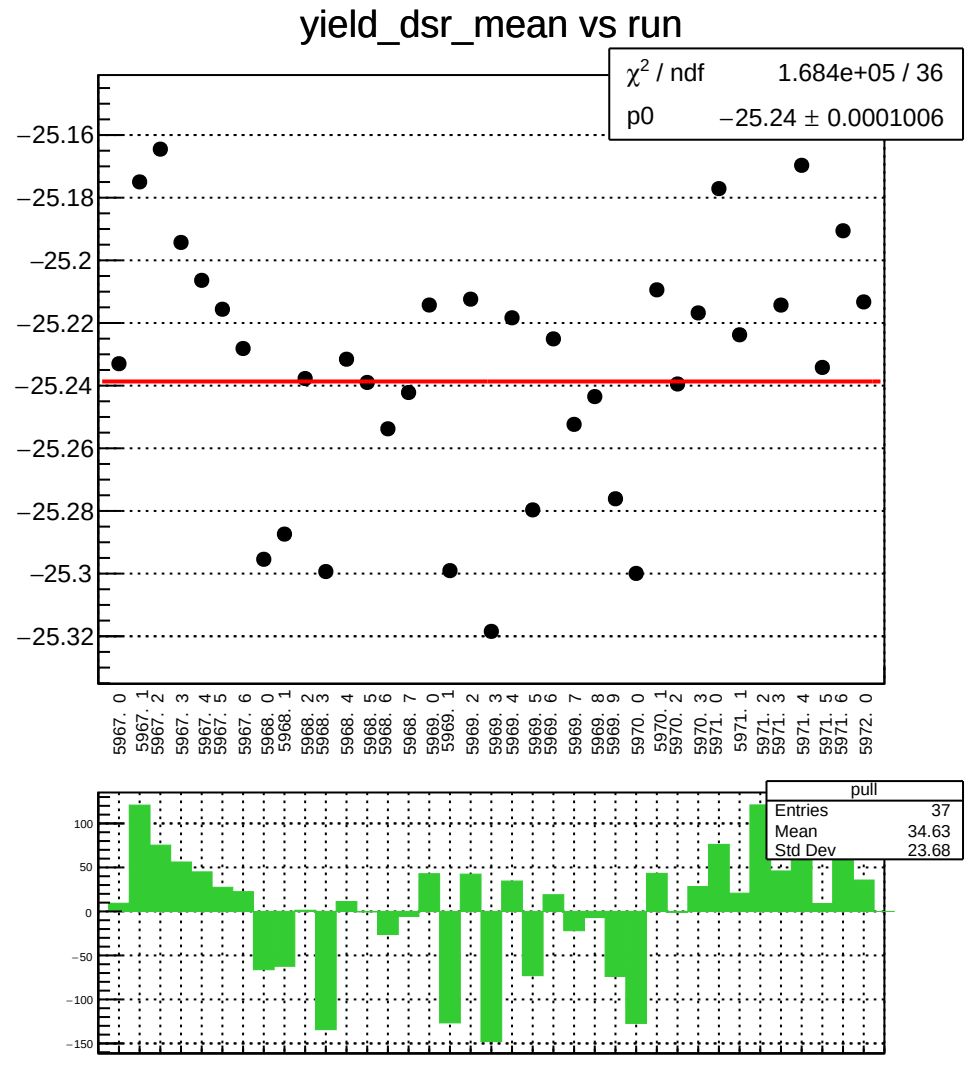
yield_dsr_mean vs run
χ² / ndf 1.684e+05 / 36
p0 −25.24 ± 0.0001006
−25.16
−25.18
−25.2
−25.22
−25.24
−25.26
−25.28
−25.3
−25.32
5967. 0
5967. 1
5967. 2
5967. 3
5967. 4
5967. 5
5967. 6
5968. 0
5968. 1
5968. 2
5968. 3
5968. 4
5968. 5
5968. 6
5968. 7
5969. 0
5969. 1
5969. 2
5969. 3
5969. 4
5969. 5
5969. 6
5969. 7
5969. 8
5969. 9
5970. 0
5970. 1
5970. 2
5970. 3
5971. 0
5971. 1
5971. 2
5971. 3
5971. 4
5971. 5
5971. 6
5972. 0
pull
Entries 37
Mean 34.63
Std Dev 23.68
100
50
0
−50
−100
−150

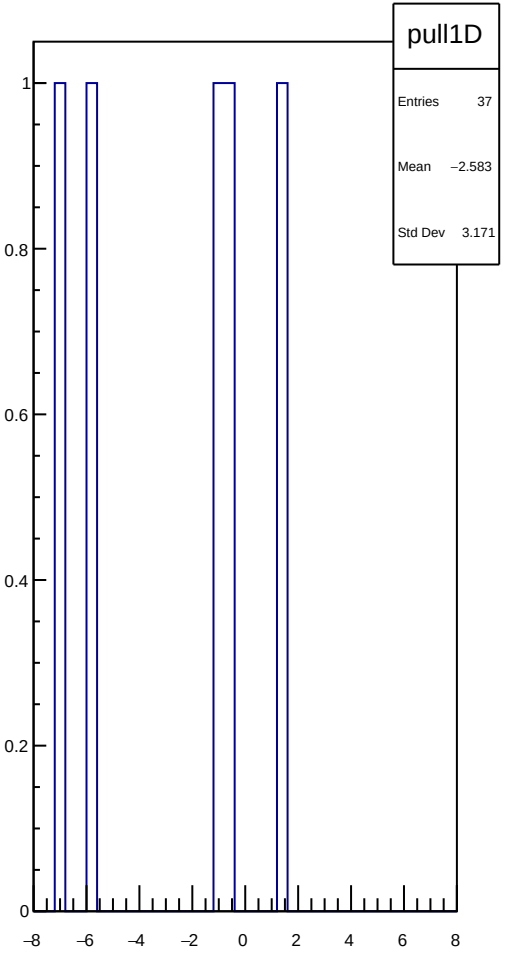
pull1D
Entries 37
Mean −2.583
Std Dev 3.171
1
0.8
0.6
0.4
0.2
0
−8
−6
−4
−2
0
2
4
6
8

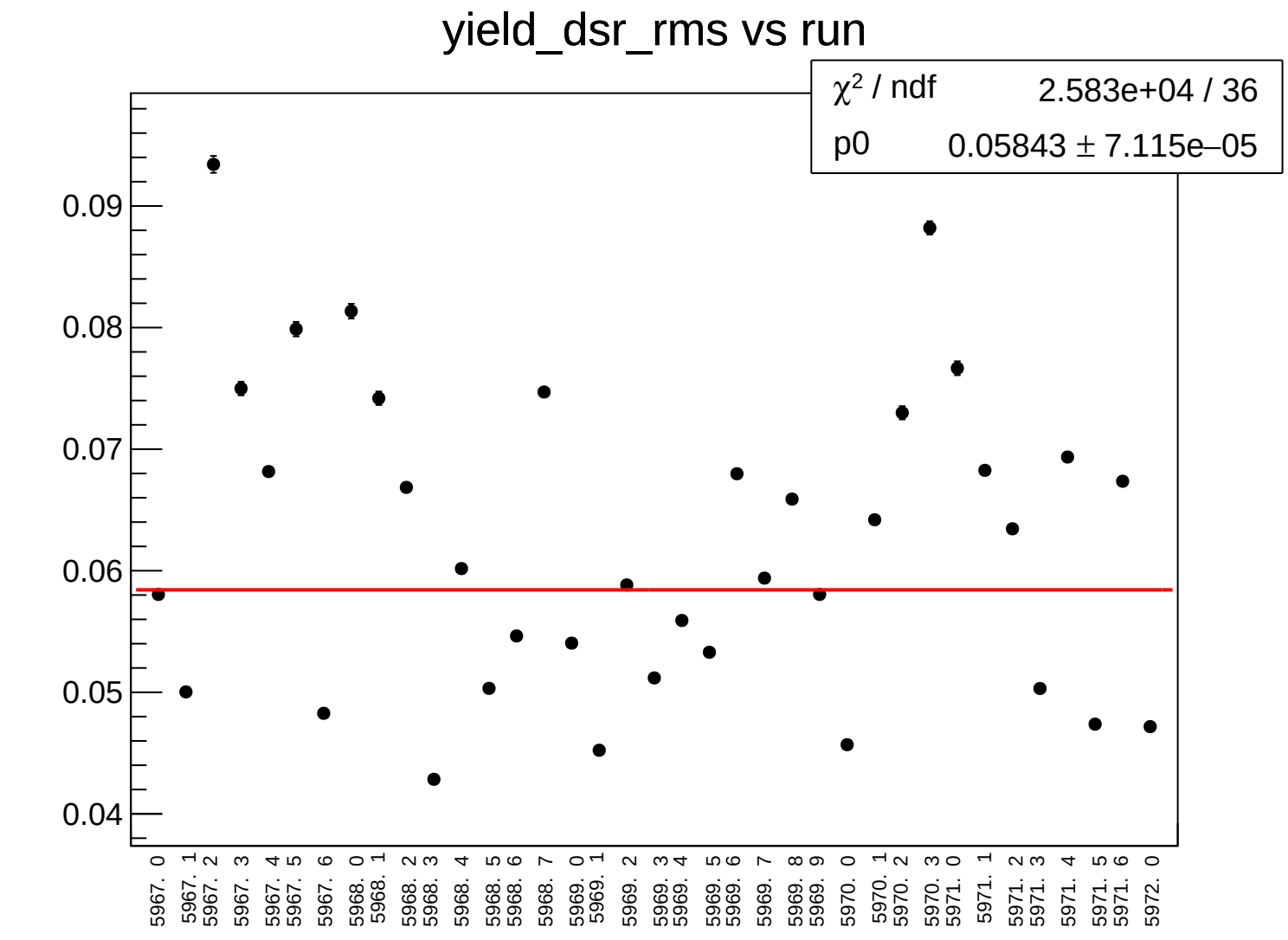
yield_dsr_rms vs run
χ² / ndf 2.583e+04 / 36
p0 0.05843 ± 7.115e−05
0.09
0.08
0.07
0.06
0.05
0.04
5967. 0
5967. 1
5967. 2
5967. 3
5967. 4
5967. 5
5967. 6
5968. 0
5968. 1
5968. 2
5968. 3
5968. 4
5968. 5
5968. 6
5968. 7
5969. 0
5969. 1
5969. 2
5969. 3
5969. 4
5969. 5
5969. 6
5969. 7
5969. 8
5969. 9
5970. 0
5970. 1
5970. 2
5970. 3
5971. 0
5971. 1
5971. 2
5971. 3
5971. 4
5971. 5
5971. 6
5972. 0

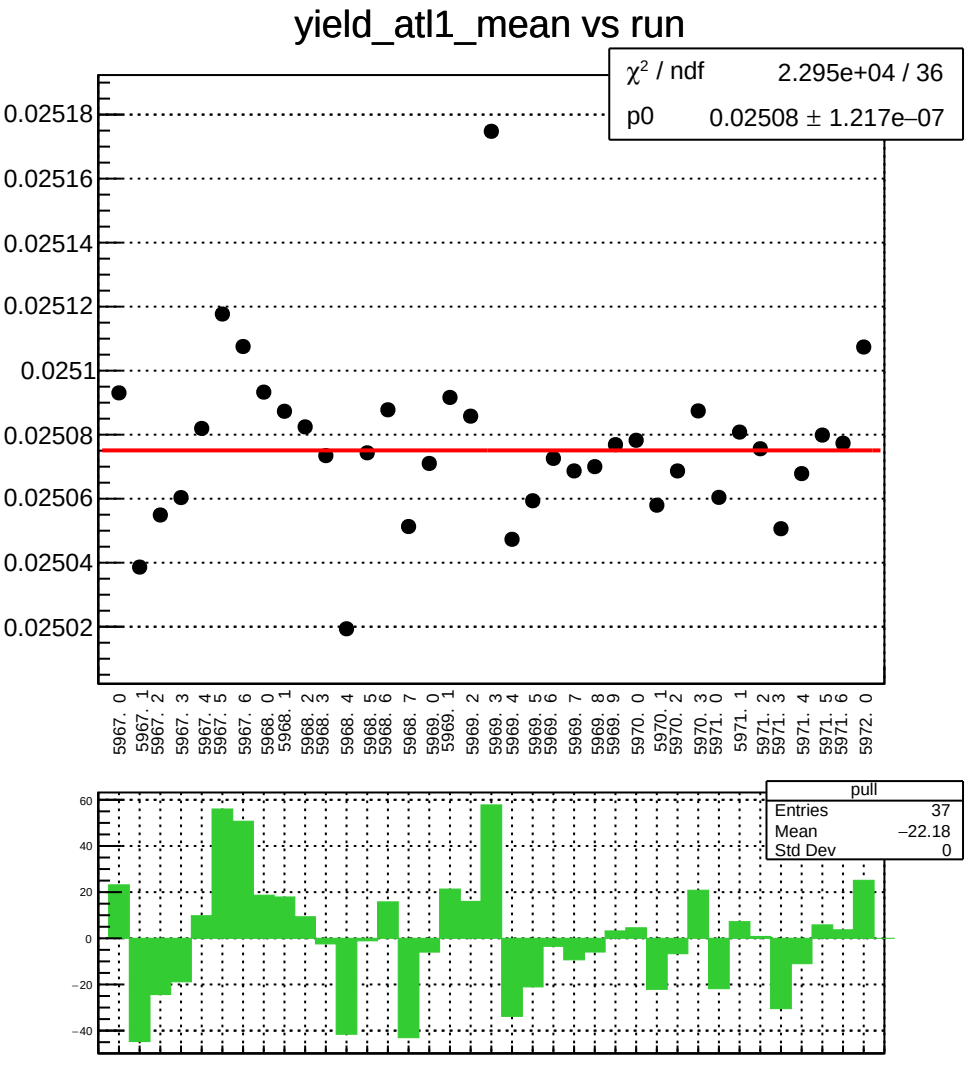
yield_atl1_mean vs run
χ² / ndf 2.295e+04 / 36
p0 0.02508 ± 1.217e−07
0.02518
0.02516
0.02514
0.02512
0.0251
0.02508
0.02506
0.02504
0.02502
5967. 0
5967. 1
5967. 2
5967. 3
5967. 4
5967. 5
5967. 6
5968. 0
5968. 1
5968. 2
5968. 3
5968. 4
5968. 5
5968. 6
5968. 7
5969. 0
5969. 1
5969. 2
5969. 3
5969. 4
5969. 5
5969. 6
5969. 7
5969. 8
5969. 9
5970. 0
5970. 1
5970. 2
5970. 3
5971. 0
5971. 1
5971. 2
5971. 3
5971. 4
5971. 5
5971. 6
5972. 0
pull
Entries 37
Mean −22.18
Std Dev 0
60
40
20
0
−20
−40
pull1D
Entries 37
Mean −0.02503
Std Dev 4.703
2
1.8
1.6
1.4
1.2
1
0.8
0.6
0.4
0.2
0
−8
−6
−4
−2
0
2
4
6
8

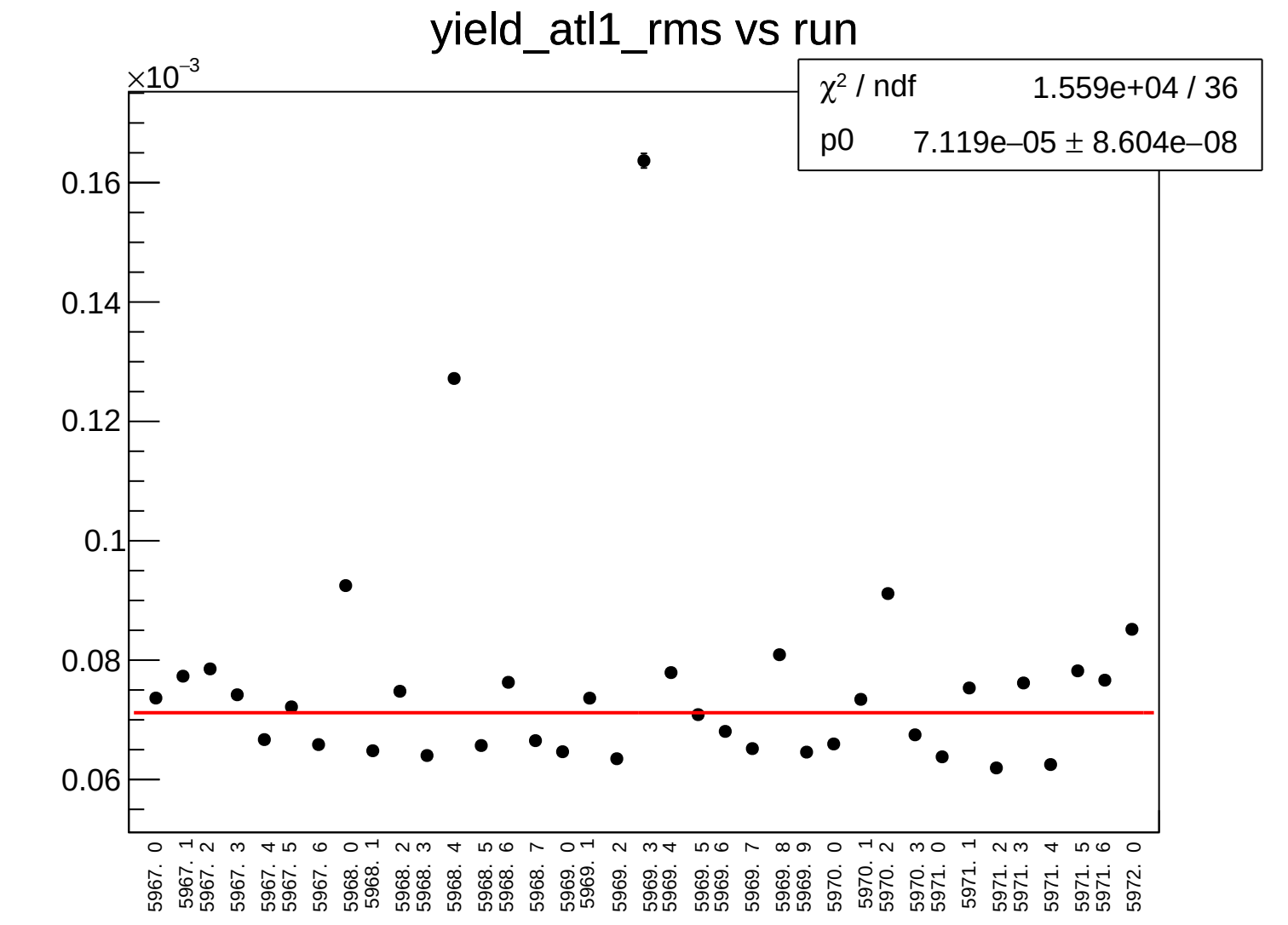
yield_atl1_rms vs run
×10⁻³
χ² / ndf 1.559e+04 / 36
p0 7.119e−05 ± 8.604e−08
0.16
0.14
0.12
0.1
0.08
0.06
5967. 0
5967. 1
5967. 2
5967. 3
5967. 4
5967. 5
5967. 6
5968. 0
5968. 1
5968. 2
5968. 3
5968. 4
5968. 5
5968. 6
5968. 7
5969. 0
5969. 1
5969. 2
5969. 3
5969. 4
5969. 5
5969. 6
5969. 7
5969. 8
5969. 9
5970. 0
5970. 1
5970. 2
5970. 3
5971. 0
5971. 1
5971. 2
5971. 3
5971. 4
5971. 5
5971. 6
5972. 0

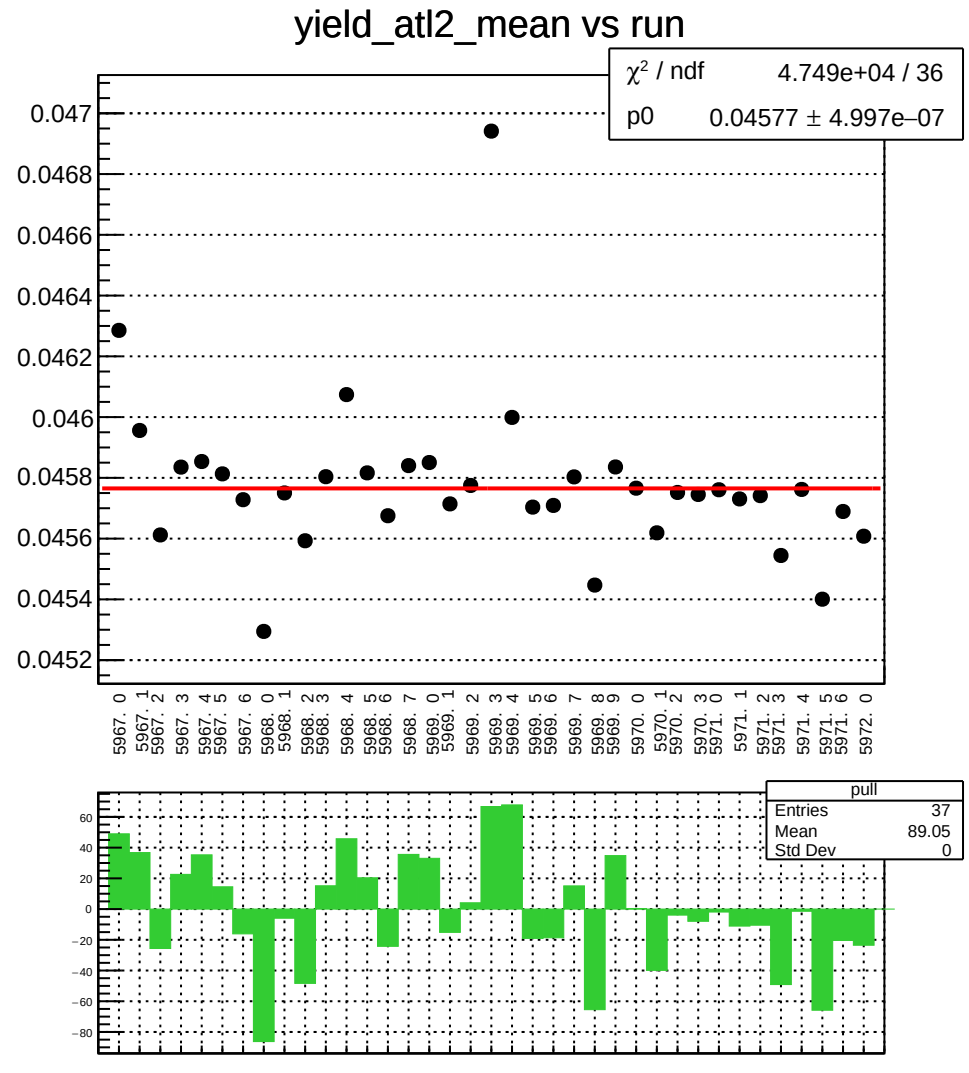
yield_atl2_mean vs run
χ² / ndf 4.749e+04 / 36
p0 0.04577 ± 4.997e−07
0.047
0.0468
0.0466
0.0464
0.0462
0.046
0.0458
0.0456
0.0454
0.0452
5967. 0
5967. 1
5967. 2
5967. 3
5967. 4
5967. 5
5967. 6
5968. 0
5968. 1
5968. 2
5968. 3
5968. 4
5968. 5
5968. 6
5968. 7
5969. 0
5969. 1
5969. 2
5969. 3
5969. 4
5969. 5
5969. 6
5969. 7
5969. 8
5969. 9
5970. 0
5970. 1
5970. 2
5970. 3
5971. 0
5971. 1
5971. 2
5971. 3
5971. 4
5971. 5
5971. 6
5972. 0
pull
Entries 37
Mean 89.05
Std Dev 0
60
40
20
0
−20
−40
−60
−80
pull1D
Entries 37
Mean −2.387
Std Dev 3.707
1
0.8
0.6
0.4
0.2
0
−8
−6
−4
−2
0
2
4
6
8

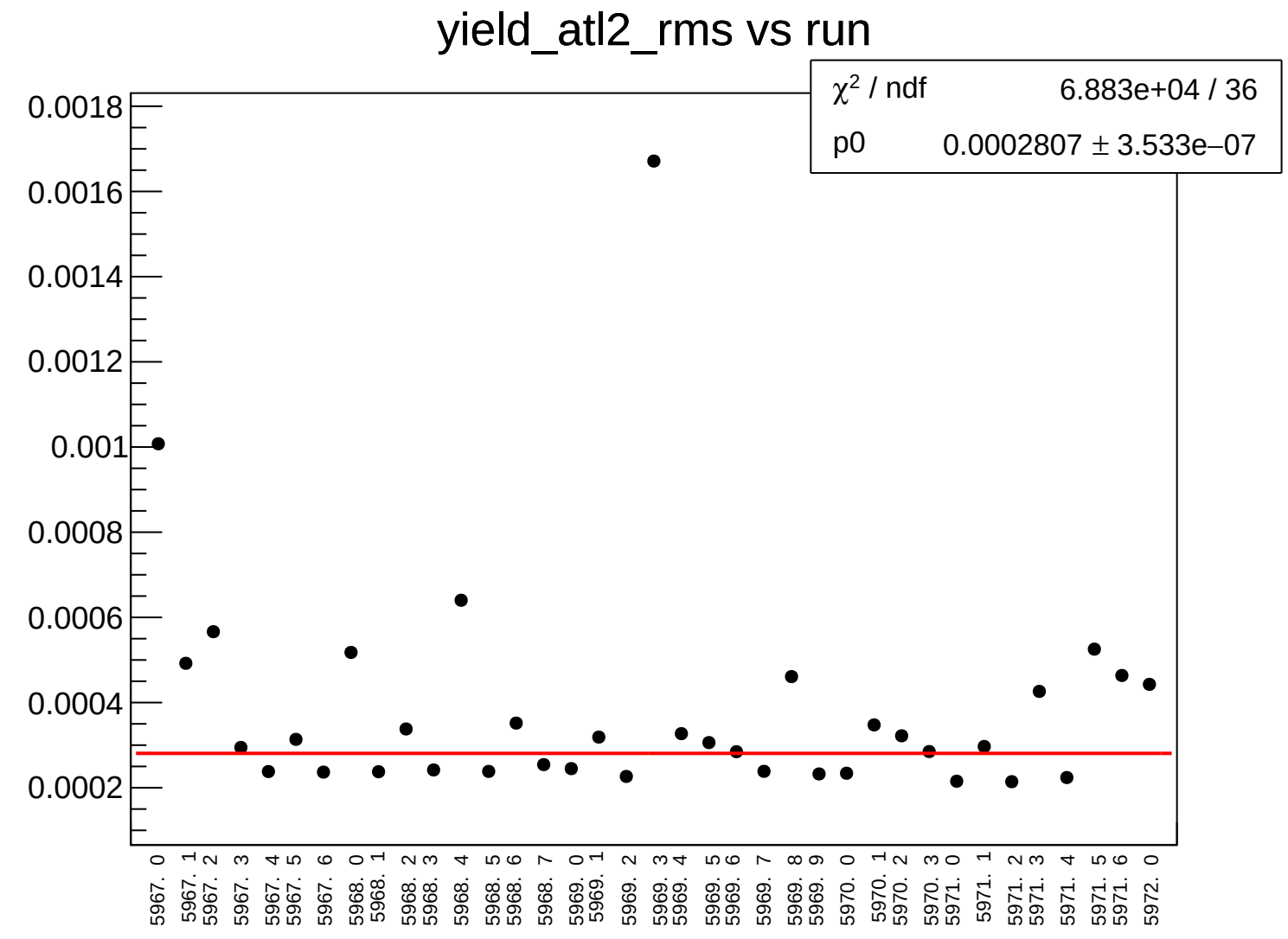
yield_atl2_rms vs run
χ² / ndf 6.883e+04 / 36
p0 0.0002807 ± 3.533e−07
0.0018
0.0016
0.0014
0.0012
0.001
0.0008
0.0006
0.0004
0.0002
5967. 0
5967. 1
5967. 2
5967. 3
5967. 4
5967. 5
5967. 6
5968. 0
5968. 1
5968. 2
5968. 3
5968. 4
5968. 5
5968. 6
5968. 7
5969. 0
5969. 1
5969. 2
5969. 3
5969. 4
5969. 5
5969. 6
5969. 7
5969. 8
5969. 9
5970. 0
5970. 1
5970. 2
5970. 3
5971. 0
5971. 1
5971. 2
5971. 3
5971. 4
5971. 5
5971. 6
5972. 0

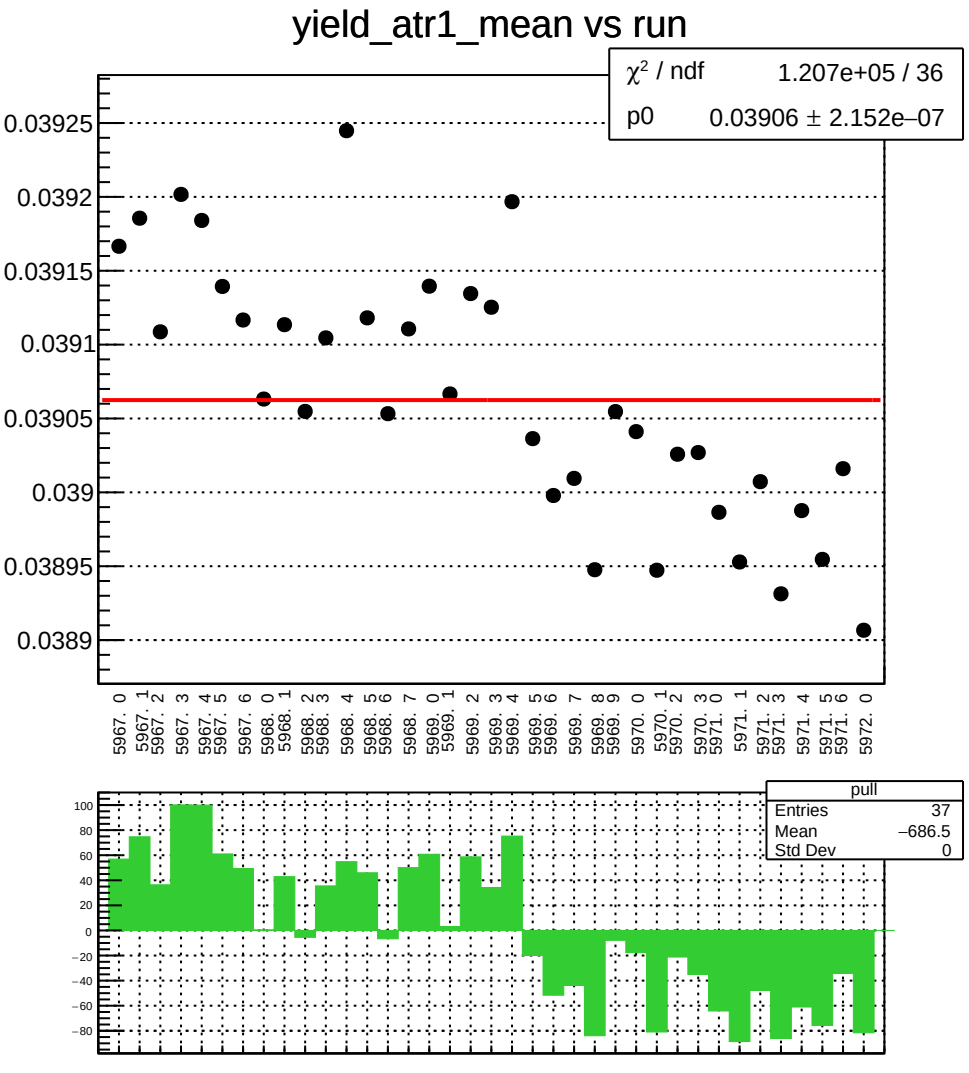
yield_atr1_mean vs run
χ² / ndf 1.207e+05 / 36
p0 0.03906 ± 2.152e−07
0.03925
0.0392
0.03915
0.0391
0.03905
0.039
0.03895
0.0389
5967. 0
5967. 1
5967. 2
5967. 3
5967. 4
5967. 5
5967. 6
5968. 0
5968. 1
5968. 2
5968. 3
5968. 4
5968. 5
5968. 6
5968. 7
5969. 0
5969. 1
5969. 2
5969. 3
5969. 4
5969. 5
5969. 6
5969. 7
5969. 8
5969. 9
5970. 0
5970. 1
5970. 2
5970. 3
5971. 0
5971. 1
5971. 2
5971. 3
5971. 4
5971. 5
5971. 6
5972. 0
pull
Entries 37
Mean −686.5
Std Dev 0
100
80
60
40
20
0
−20
−40
−60
−80
pull1D
Entries 37
Mean −3.272
Std Dev 4.286
1
0.8
0.6
0.4
0.2
0
−8
−6
−4
−2
0
2
4
6
8

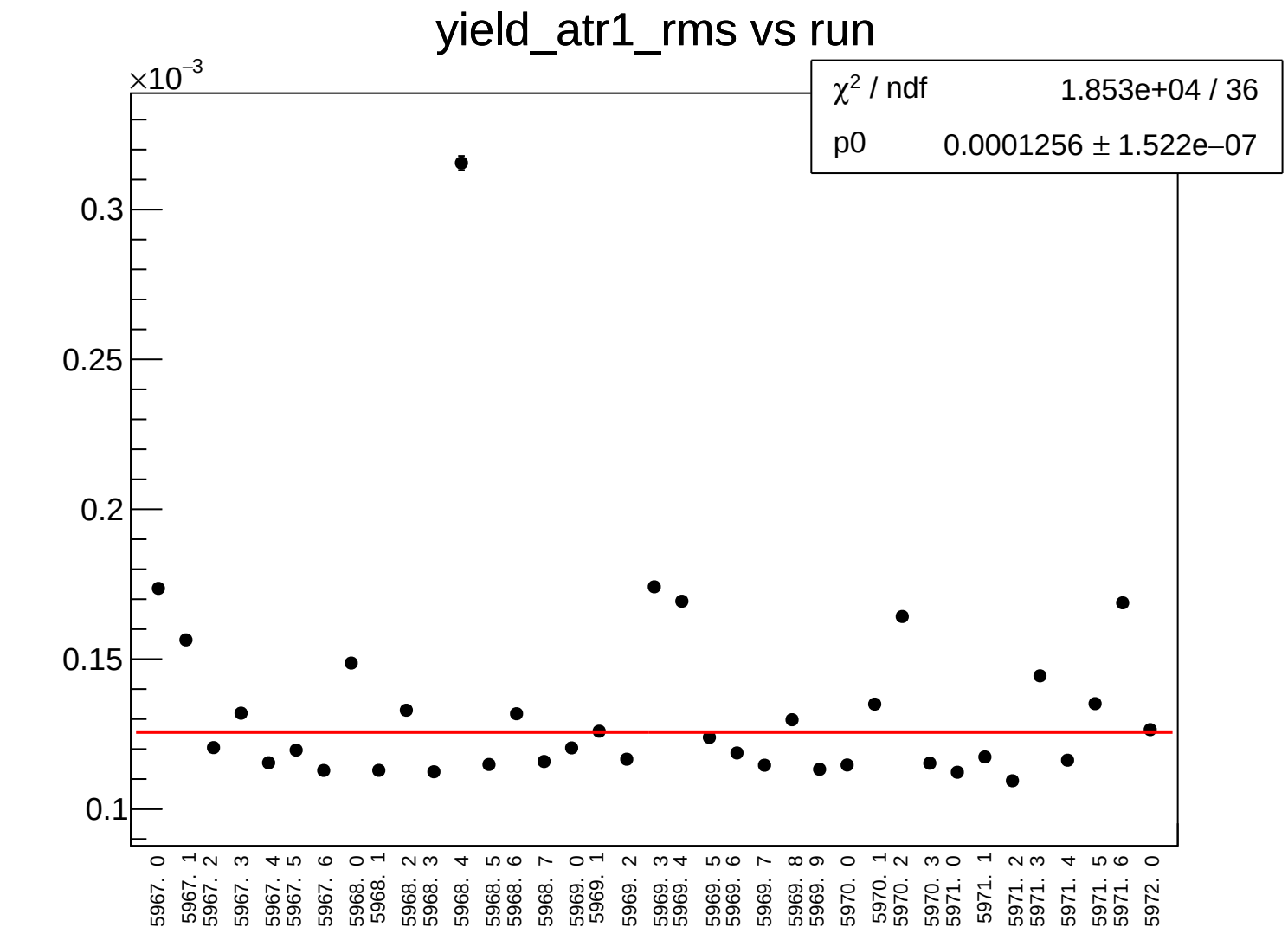
yield_atr1_rms vs run
×10⁻³
χ² / ndf 1.853e+04 / 36
p0 0.0001256 ± 1.522e−07
0.3
0.25
0.2
0.15
0.1
5967. 0
5967. 1
5967. 2
5967. 3
5967. 4
5967. 5
5967. 6
5968. 0
5968. 1
5968. 2
5968. 3
5968. 4
5968. 5
5968. 6
5968. 7
5969. 0
5969. 1
5969. 2
5969. 3
5969. 4
5969. 5
5969. 6
5969. 7
5969. 8
5969. 9
5970. 0
5970. 1
5970. 2
5970. 3
5971. 0
5971. 1
5971. 2
5971. 3
5971. 4
5971. 5
5971. 6
5972. 0

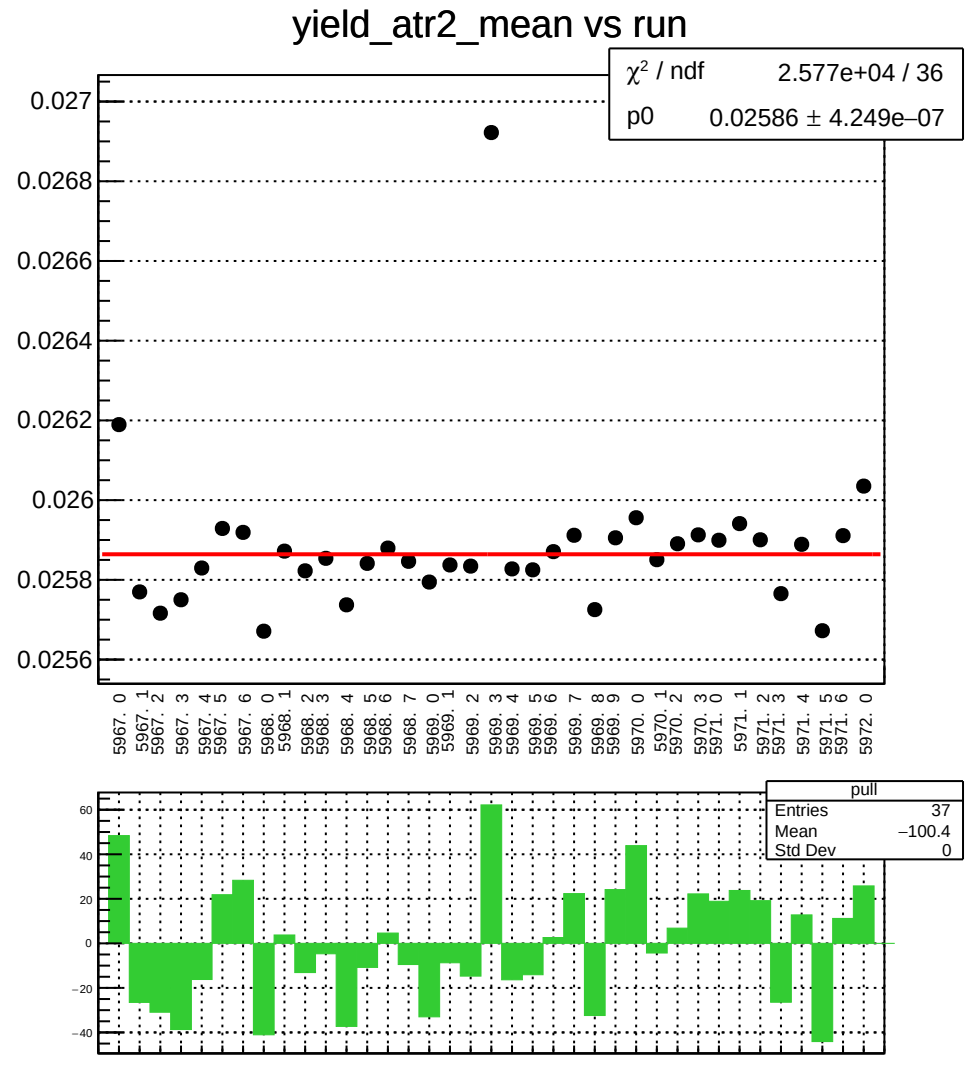
yield_atr2_mean vs run
χ² / ndf 2.577e+04 / 36
p0 0.02586 ± 4.249e−07
0.027
0.0268
0.0266
0.0264
0.0262
0.026
0.0258
0.0256
5967. 0
5967. 1
5967. 2
5967. 3
5967. 4
5967. 5
5967. 6
5968. 0
5968. 1
5968. 2
5968. 3
5968. 4
5968. 5
5968. 6
5968. 7
5969. 0
5969. 1
5969. 2
5969. 3
5969. 4
5969. 5
5969. 6
5969. 7
5969. 8
5969. 9
5970. 0
5970. 1
5970. 2
5970. 3
5971. 0
5971. 1
5971. 2
5971. 3
5971. 4
5971. 5
5971. 6
5972. 0
pull
Entries 37
Mean −100.4
Std Dev 0
60
40
20
0
−20
−40
pull1D
Entries 37
Mean 1.467
Std Dev 4.406
1
0.8
0.6
0.4
0.2
0
−8
−6
−4
−2
0
2
4
6
8

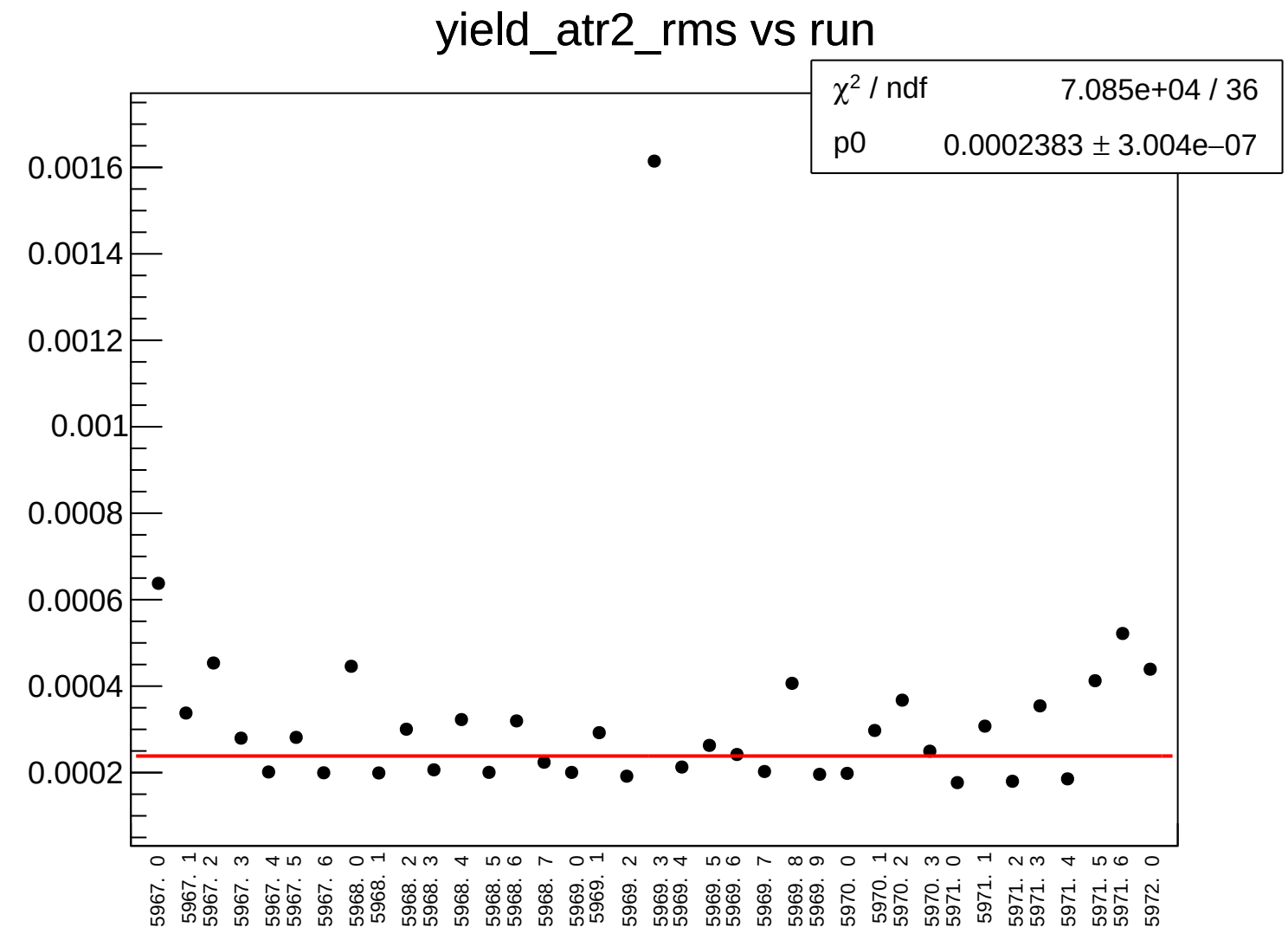
yield_atr2_rms vs run
χ² / ndf 7.085e+04 / 36
p0 0.0002383 ± 3.004e−07
0.0016
0.0014
0.0012
0.001
0.0008
0.0006
0.0004
0.0002
5967. 0
5967. 1
5967. 2
5967. 3
5967. 4
5967. 5
5967. 6
5968. 0
5968. 1
5968. 2
5968. 3
5968. 4
5968. 5
5968. 6
5968. 7
5969. 0
5969. 1
5969. 2
5969. 3
5969. 4
5969. 5
5969. 6
5969. 7
5969. 8
5969. 9
5970. 0
5970. 1
5970. 2
5970. 3
5971. 0
5971. 1
5971. 2
5971. 3
5971. 4
5971. 5
5971. 6
5972. 0

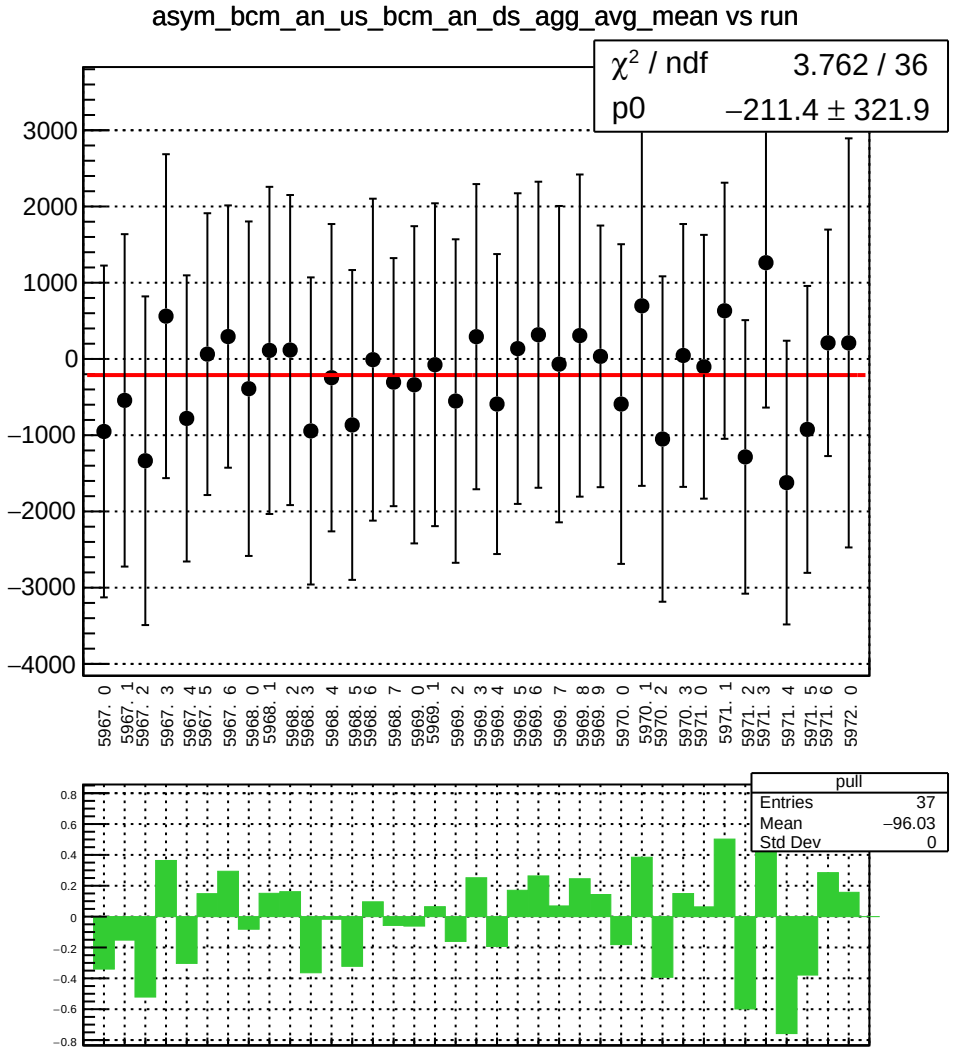
asym_bcm_an_us_bcm_an_ds_agg_avg_mean vs run
χ² / ndf 3.762 / 36
p0 −211.4 ± 321.9
3000
2000
1000
0
−1000
−2000
−3000
−4000
5967. 0
5967. 1
5967. 2
5967. 3
5967. 4
5967. 5
5967. 6
5968. 0
5968. 1
5968. 2
5968. 3
5968. 4
5968. 5
5968. 6
5968. 7
5969. 0
5969. 1
5969. 2
5969. 3
5969. 4
5969. 5
5969. 6
5969. 7
5969. 8
5969. 9
5970. 0
5970. 1
5970. 2
5970. 3
5971. 0
5971. 1
5971. 2
5971. 3
5971. 4
5971. 5
5971. 6
5972. 0
pull
Entries 37
Mean −96.03
Std Dev 0
0.8
0.6
0.4
0.2
0
−0.2
−0.4
−0.6
−0.8
pull1D
Entries 37
Mean −0.003858
Std Dev 0.3189
18
16
14
12
10
8
6
4
2
0
−8
−6
−4
−2
0
2
4
6
8

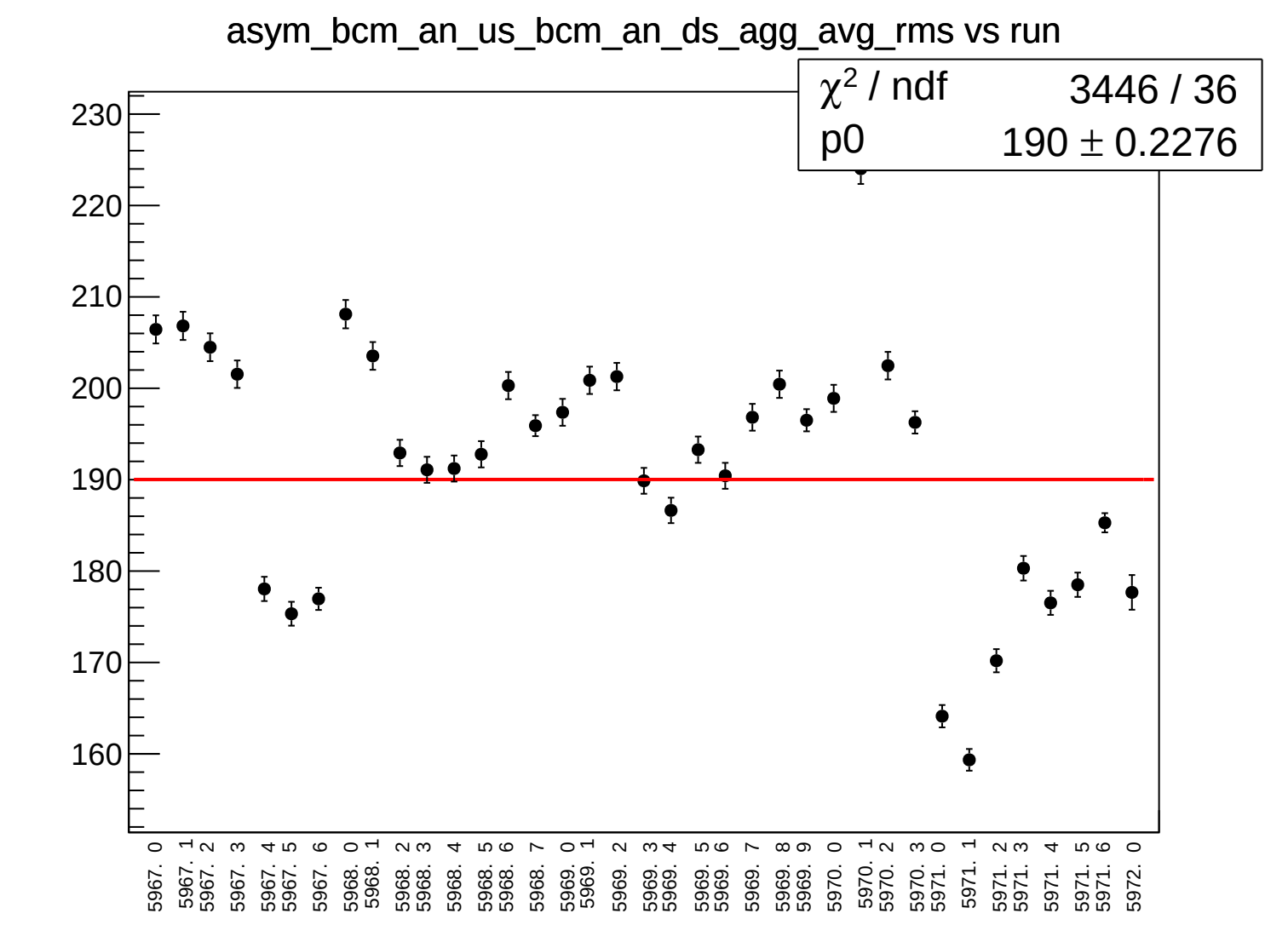
asym_bcm_an_us_bcm_an_ds_agg_avg_rms vs run
χ² / ndf 3446 / 36
p0 190 ± 0.2276
230
220
210
200
190
180
170
160
5967. 0
5967. 1
5967. 2
5967. 3
5967. 4
5967. 5
5967. 6
5968. 0
5968. 1
5968. 2
5968. 3
5968. 4
5968. 5
5968. 6
5968. 7
5969. 0
5969. 1
5969. 2
5969. 3
5969. 4
5969. 5
5969. 6
5969. 7
5969. 8
5969. 9
5970. 0
5970. 1
5970. 2
5970. 3
5971. 0
5971. 1
5971. 2
5971. 3
5971. 4
5971. 5
5971. 6
5972. 0

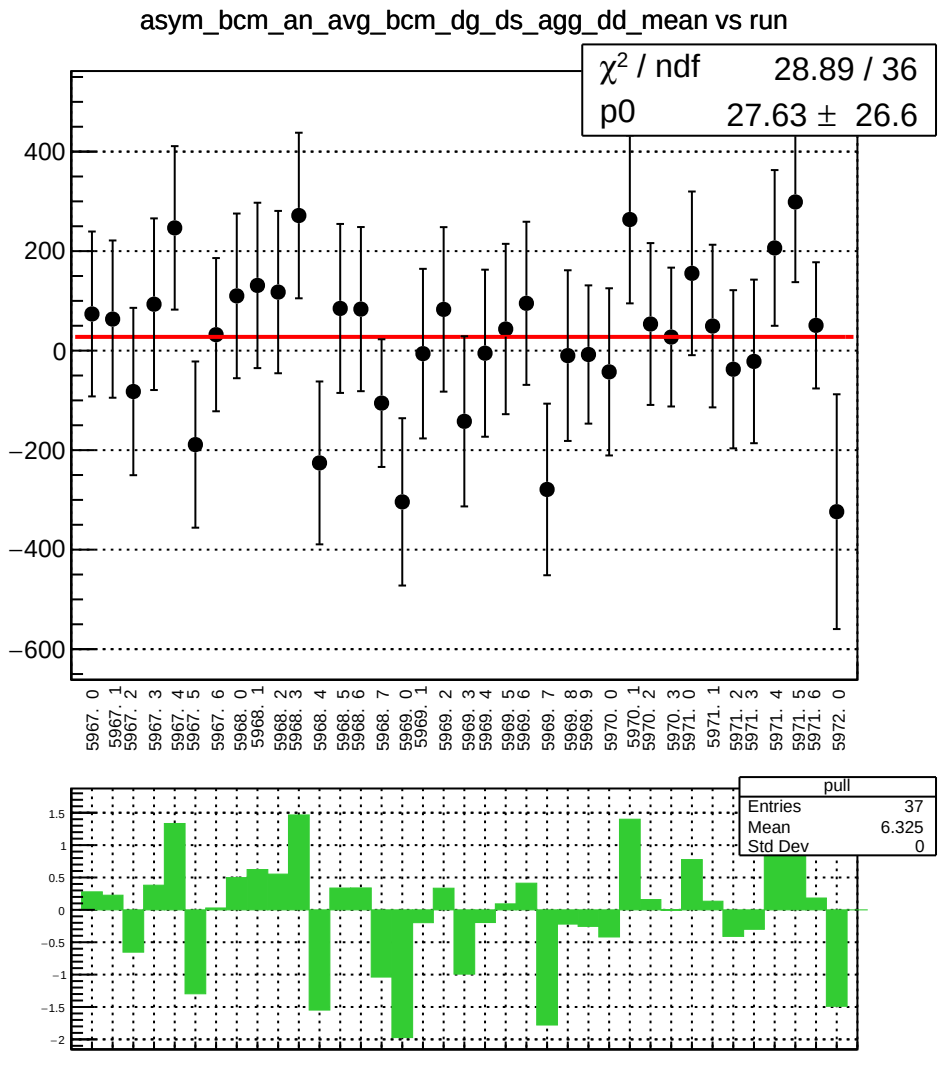
asym_bcm_an_avg_bcm_dg_ds_agg_dd_mean vs run
χ² / ndf 28.89 / 36
p0 27.63 ± 26.6
400
200
0
−200
−400
−600
5967. 0
5967. 1
5967. 2
5967. 3
5967. 4
5967. 5
5967. 6
5968. 0
5968. 1
5968. 2
5968. 3
5968. 4
5968. 5
5968. 6
5968. 7
5969. 0
5969. 1
5969. 2
5969. 3
5969. 4
5969. 5
5969. 6
5969. 7
5969. 8
5969. 9
5970. 0
5970. 1
5970. 2
5970. 3
5971. 0
5971. 1
5971. 2
5971. 3
5971. 4
5971. 5
5971. 6
5972. 0
pull
Entries 37
Mean 6.325
Std Dev 0
1.5
1
0.5
0
−0.5
−1
−1.5
−2

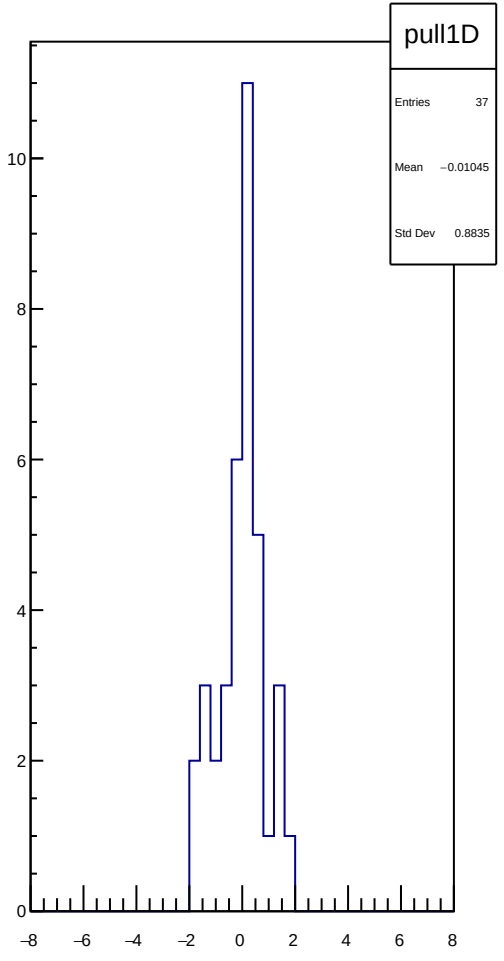
pull1D
Entries 37
Mean −0.01045
Std Dev 0.8835
10
8
6
4
2
0
−8
−6
−4
−2
0
2
4
6
8

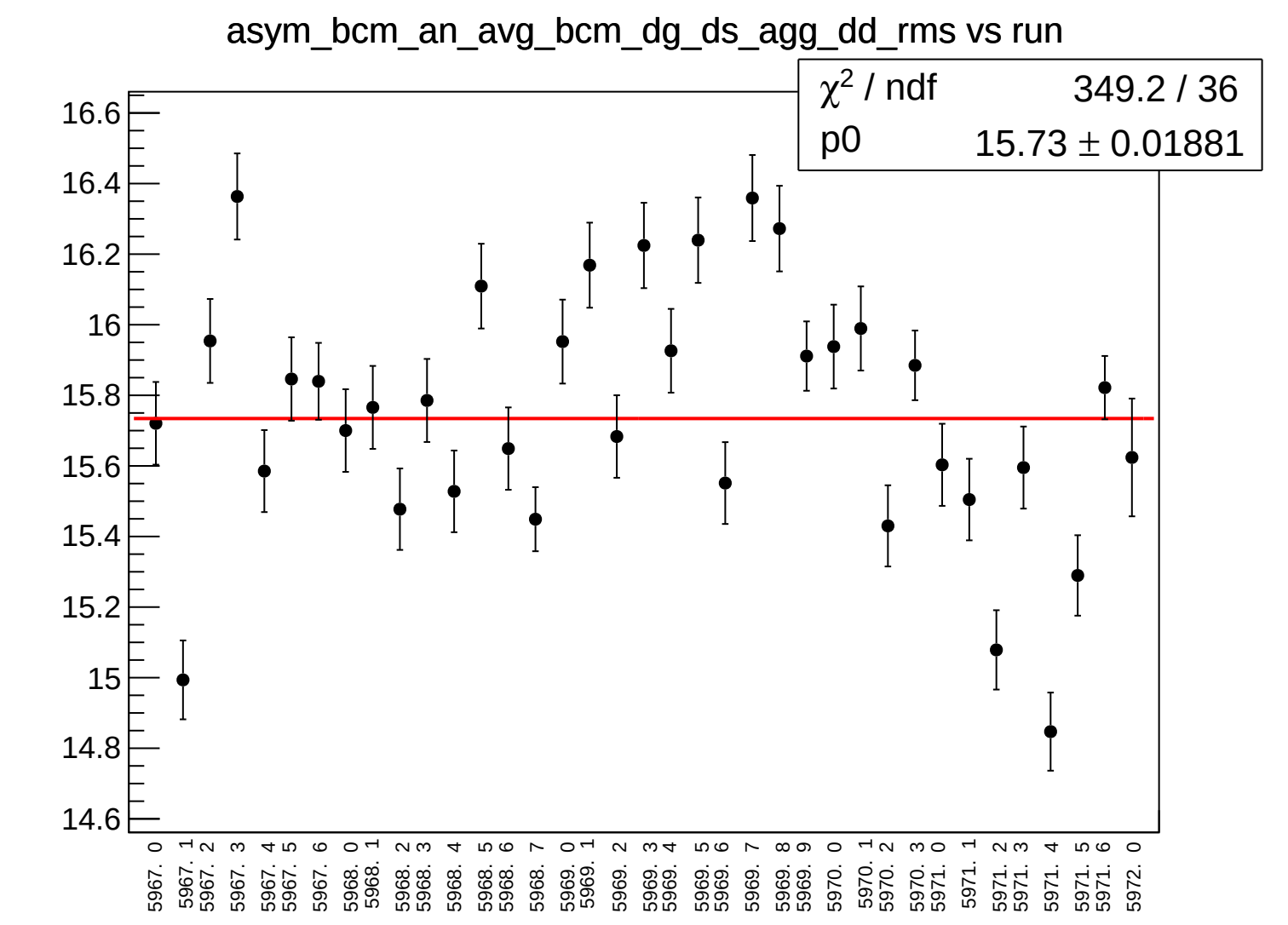
asym_bcm_an_avg_bcm_dg_ds_agg_dd_rms vs run
χ² / ndf 349.2 / 36
p0 15.73 ± 0.01881
16.6
16.4
16.2
16
15.8
15.6
15.4
15.2
15
14.8
14.6
5967. 0
5967. 1
5967. 2
5967. 3
5967. 4
5967. 5
5967. 6
5968. 0
5968. 1
5968. 2
5968. 3
5968. 4
5968. 5
5968. 6
5968. 7
5969. 0
5969. 1
5969. 2
5969. 3
5969. 4
5969. 5
5969. 6
5969. 7
5969. 8
5969. 9
5970. 0
5970. 1
5970. 2
5970. 3
5971. 0
5971. 1
5971. 2
5971. 3
5971. 4
5971. 5
5971. 6
5972. 0

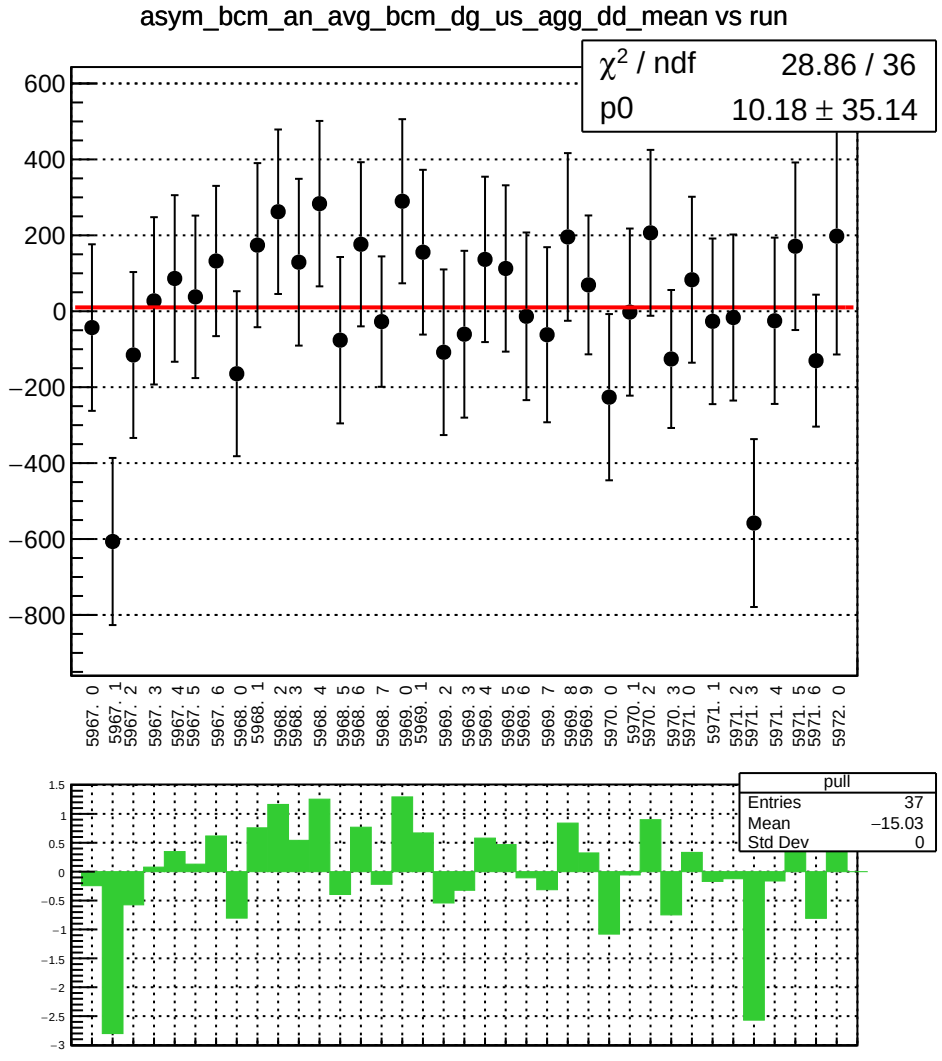
asym_bcm_an_avg_bcm_dg_us_agg_dd_mean vs run
χ² / ndf 28.86 / 36
p0 10.18 ± 35.14
pull
Entries 37
Mean −15.03
Std Dev 0
pull1D
Entries 37
Mean 0.01001
Std Dev 0.8831

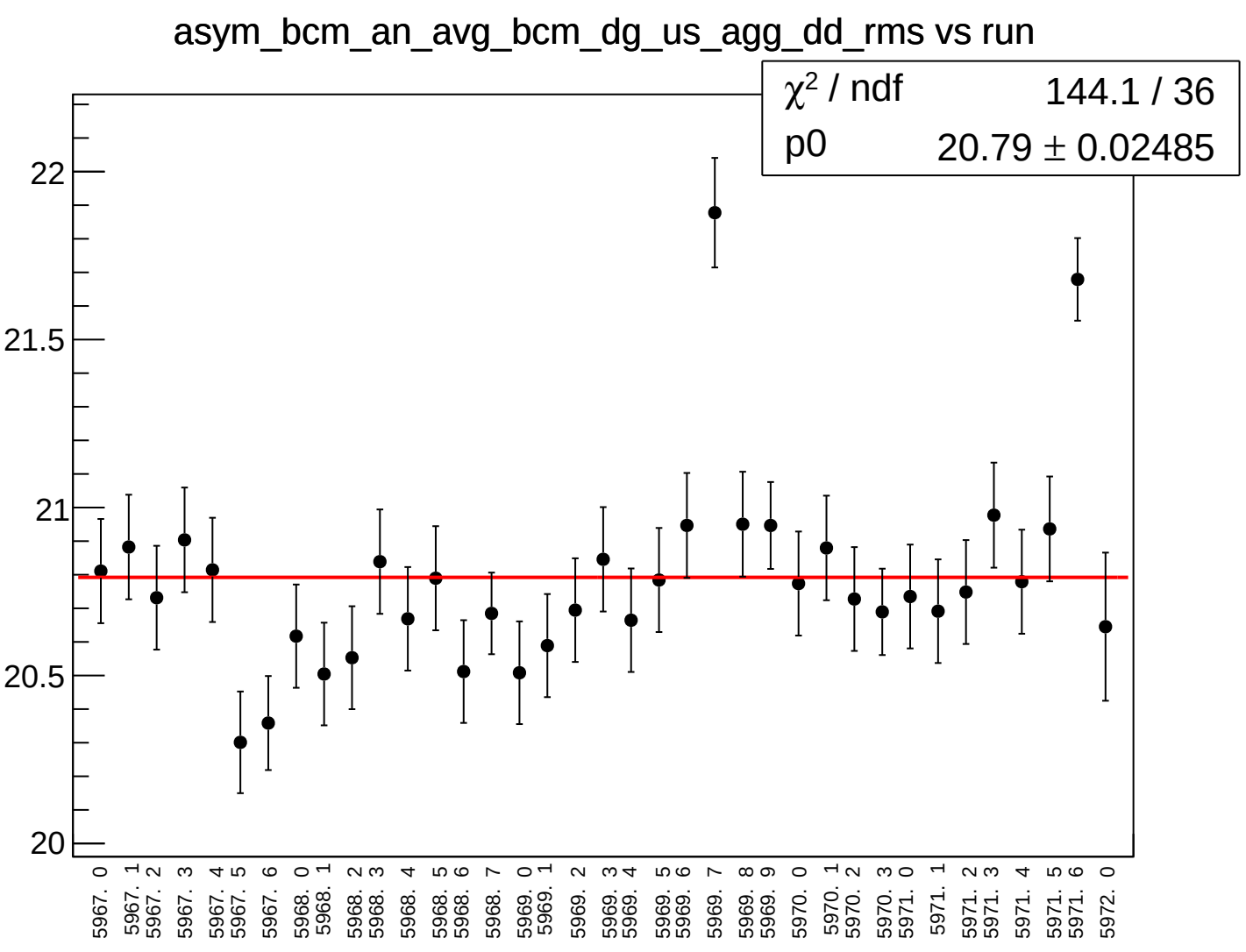
asym_bcm_an_avg_bcm_dg_us_agg_dd_rms vs run
χ² / ndf 144.1 / 36
p0 20.79 ± 0.02485
22
21.5
21
20.5
20
5967. 0
5967. 1
5967. 2
5967. 3
5967. 4
5967. 5
5967. 6
5968. 0
5968. 1
5968. 2
5968. 3
5968. 4
5968. 5
5968. 6
5968. 7
5969. 0
5969. 1
5969. 2
5969. 3
5969. 4
5969. 5
5969. 6
5969. 7
5969. 8
5969. 9
5970. 0
5970. 1
5970. 2
5970. 3
5971. 0
5971. 1
5971. 2
5971. 3
5971. 4
5971. 5
5971. 6
5972. 0

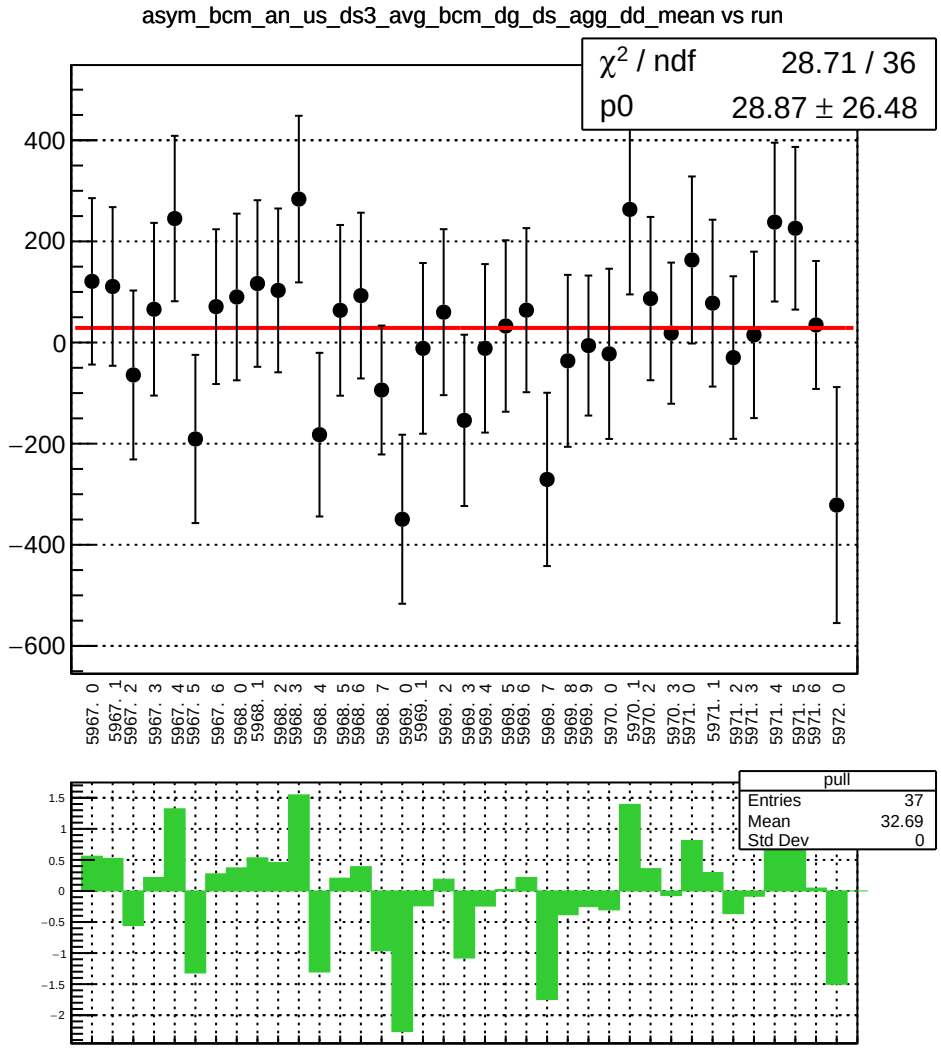
asym_bcm_an_us_ds3_avg_bcm_dg_ds_agg_dd_mean vs run
χ² / ndf 28.71 / 36
p0 28.87 ± 26.48
pull
Entries 37
Mean 32.69
Std Dev 0

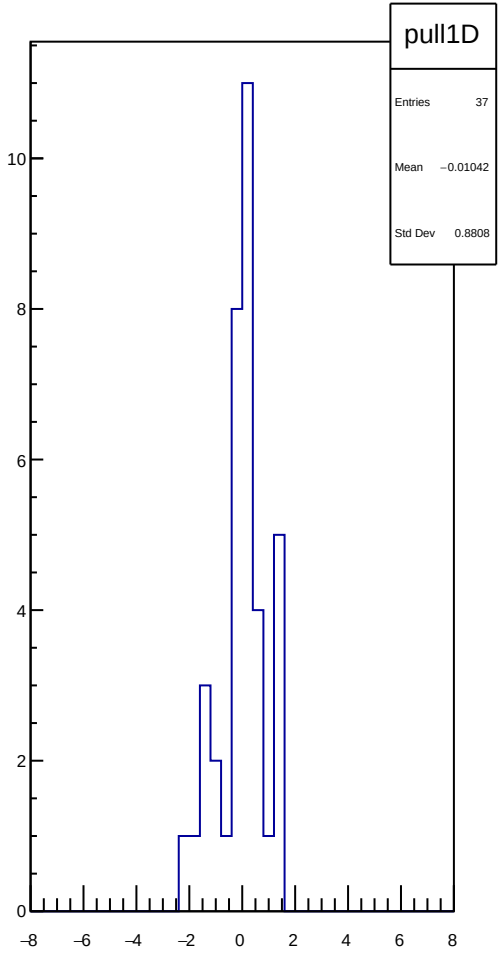
pull1D
Entries 37
Mean −0.01042
Std Dev 0.8808

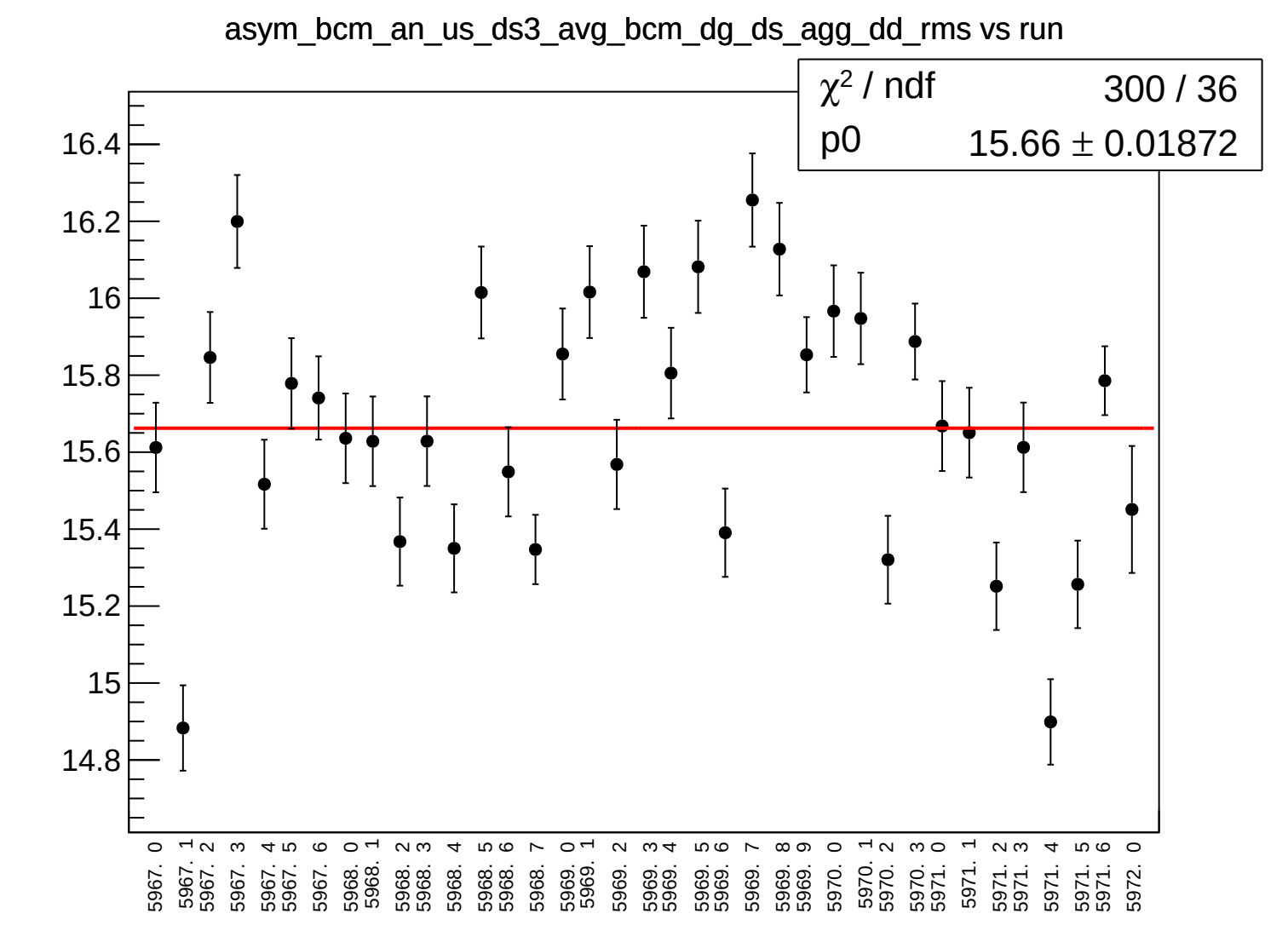
asym_bcm_an_us_ds3_avg_bcm_dg_ds_agg_dd_rms vs run
χ² / ndf 300 / 36
p0 15.66 ± 0.01872
16.4
16.2
16
15.8
15.6
15.4
15.2
15
14.8
5967. 0
5967. 1
5967. 2
5967. 3
5967. 4
5967. 5
5967. 6
5968. 0
5968. 1
5968. 2
5968. 3
5968. 4
5968. 5
5968. 6
5968. 7
5969. 0
5969. 1
5969. 2
5969. 3
5969. 4
5969. 5
5969. 6
5969. 7
5969. 8
5969. 9
5970. 0
5970. 1
5970. 2
5970. 3
5971. 0
5971. 1
5971. 2
5971. 3
5971. 4
5971. 5
5971. 6
5972. 0

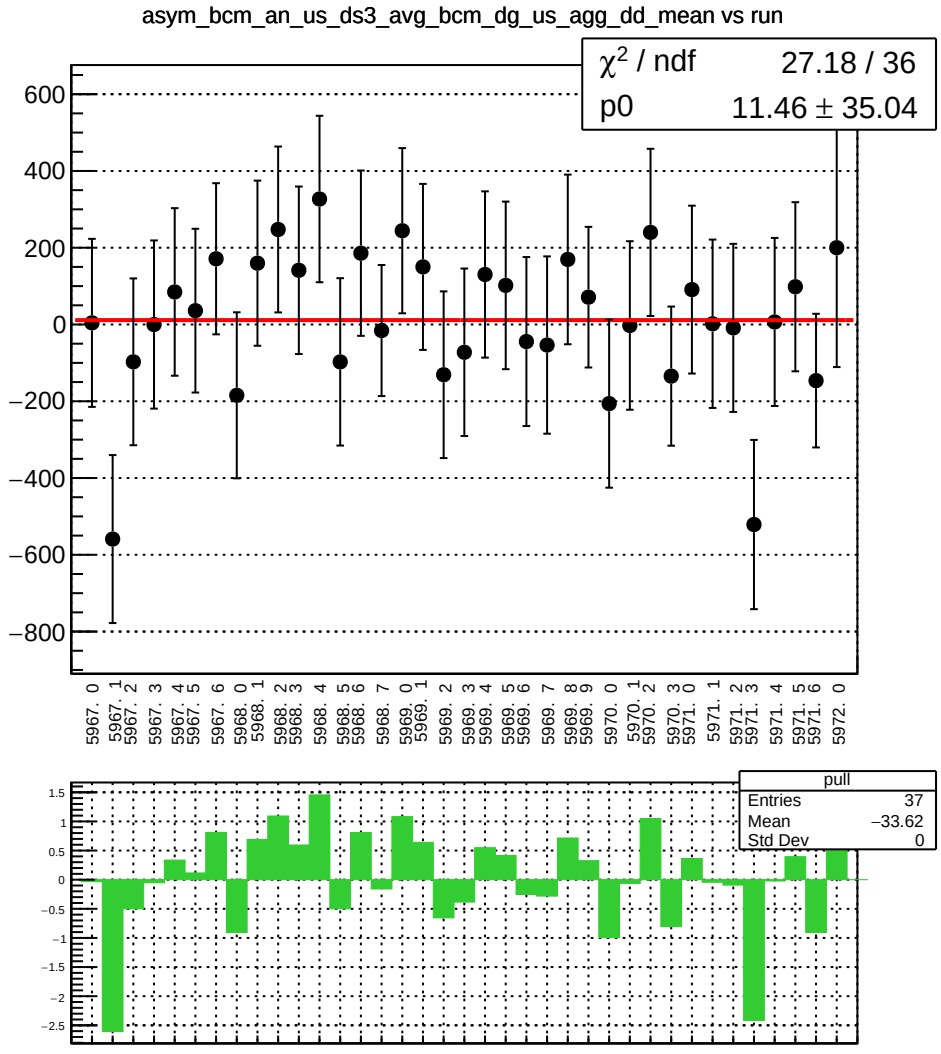
asym_bcm_an_us_ds3_avg_bcm_dg_us_agg_dd_mean vs run
χ² / ndf 27.18 / 36
p0 11.46 ± 35.04
pull
Entries 37
Mean −33.62
Std Dev 0

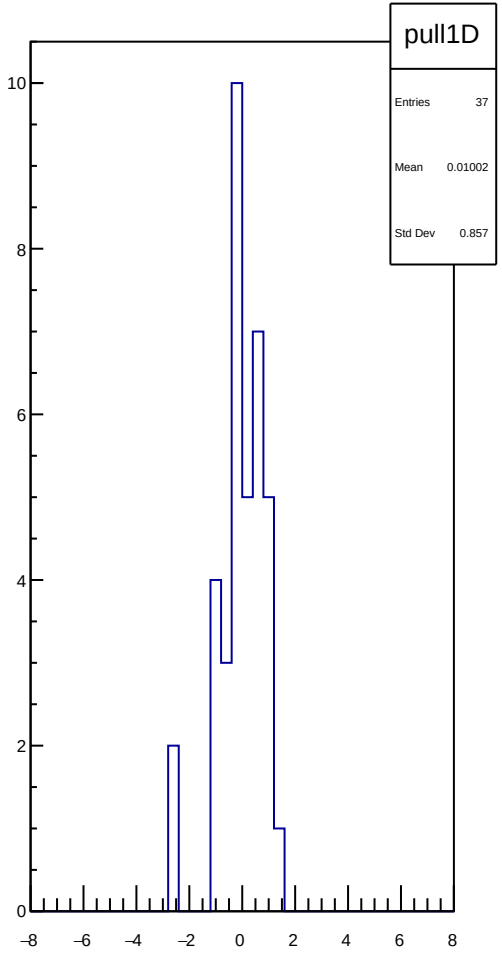
pull1D
Entries 37
Mean 0.01002
Std Dev 0.857

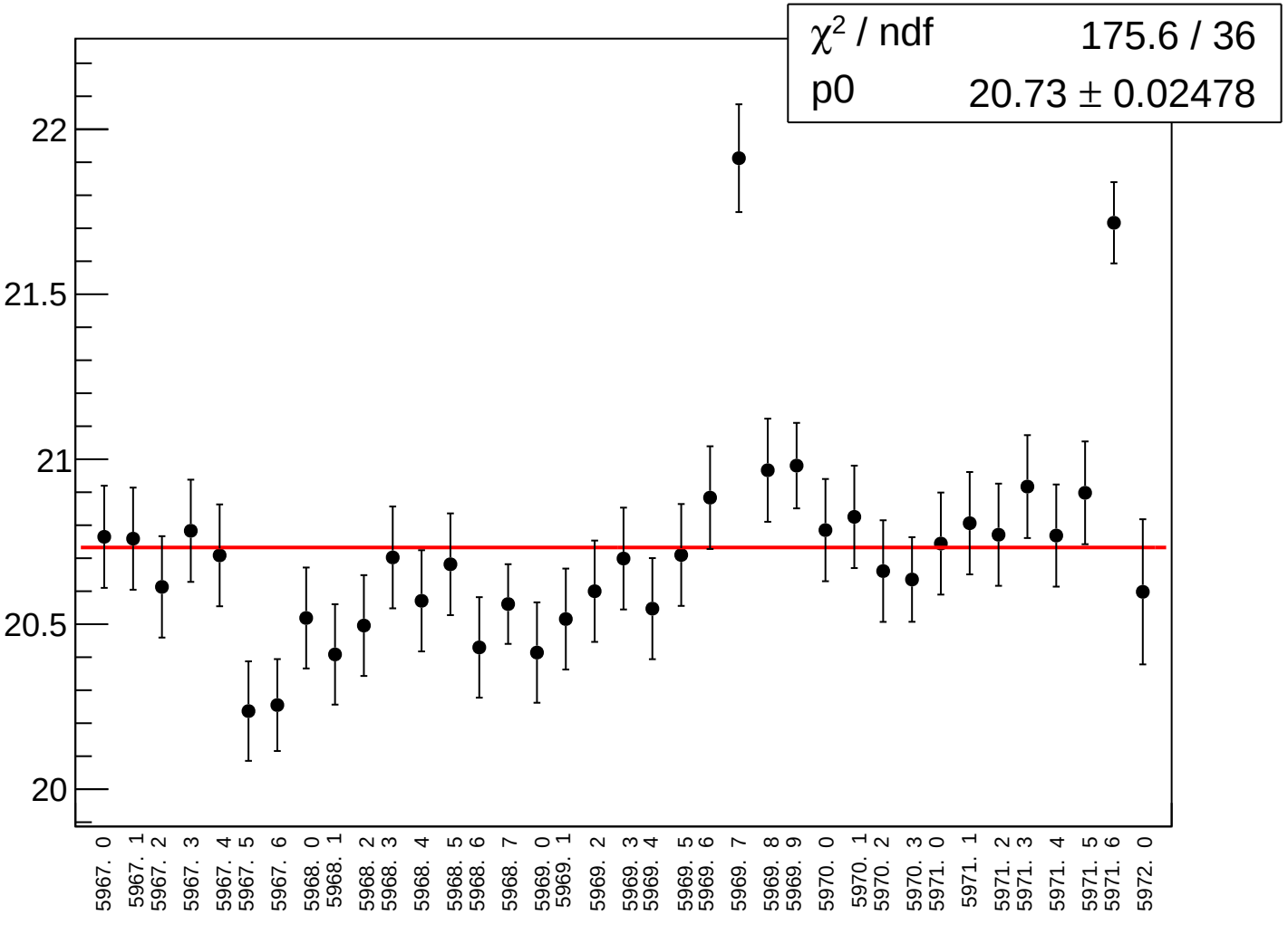
asym_bcm_an_us_ds3_avg_bcm_dg_us_agg_dd_rms vs run
χ² / ndf 175.6 / 36
p0 20.73 ± 0.02478
22
21.5
21
20.5
20
5967. 0
5967. 1
5967. 2
5967. 3
5967. 4
5967. 5
5967. 6
5968. 0
5968. 1
5968. 2
5968. 3
5968. 4
5968. 5
5968. 6
5968. 7
5969. 0
5969. 1
5969. 2
5969. 3
5969. 4
5969. 5
5969. 6
5969. 7
5969. 8
5969. 9
5970. 0
5970. 1
5970. 2
5970. 3
5971. 0
5971. 1
5971. 2
5971. 3
5971. 4
5971. 5
5971. 6
5972. 0

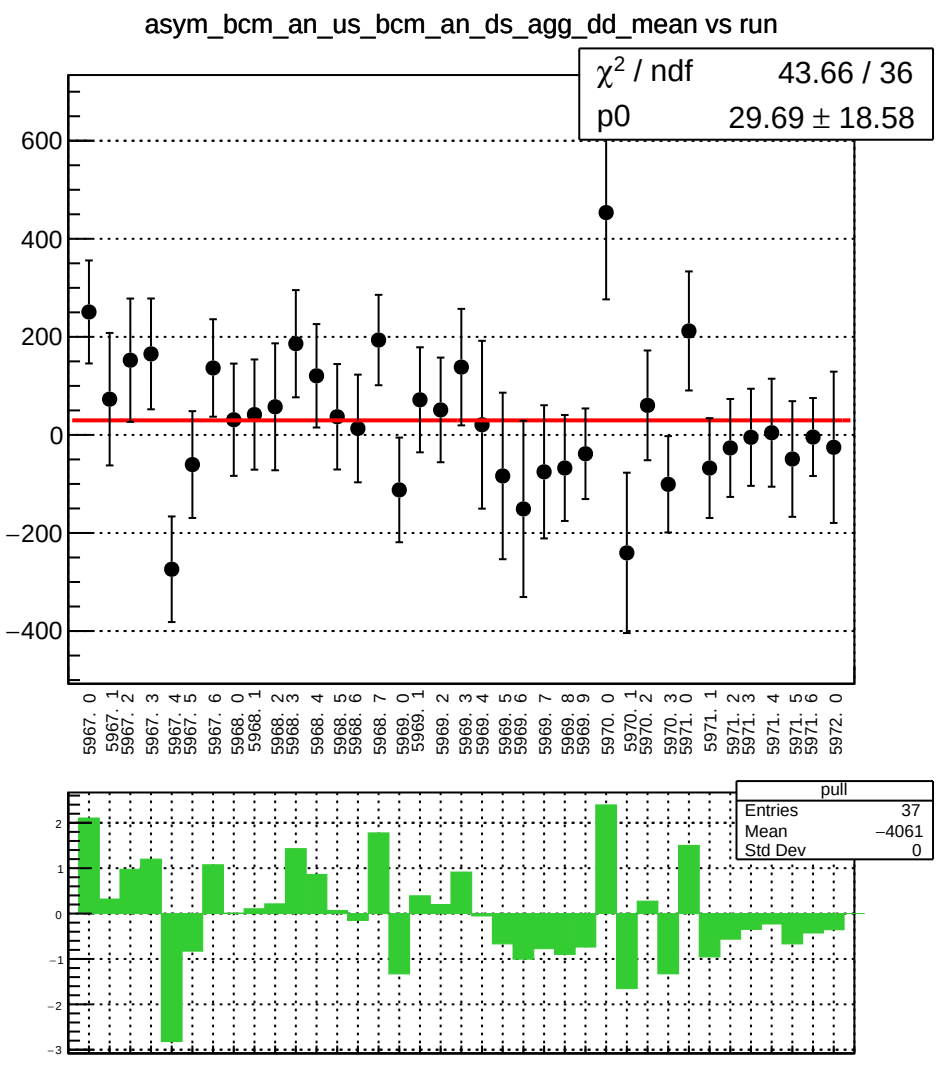
asym_bcm_an_us_bcm_an_ds_agg_dd_mean vs run
χ² / ndf 43.66 / 36
p0 29.69 ± 18.58
600
400
200
0
−200
−400
5967. 0
5967. 1
5967. 2
5967. 3
5967. 4
5967. 5
5967. 6
5968. 0
5968. 1
5968. 2
5968. 3
5968. 4
5968. 5
5968. 6
5968. 7
5969. 0
5969. 1
5969. 2
5969. 3
5969. 4
5969. 5
5969. 6
5969. 7
5969. 8
5969. 9
5970. 0
5970. 1
5970. 2
5970. 3
5971. 0
5971. 1
5971. 2
5971. 3
5971. 4
5971. 5
5971. 6
5972. 0
pull
Entries 37
Mean −4061
Std Dev 0
2
1
0
−1
−2
−3

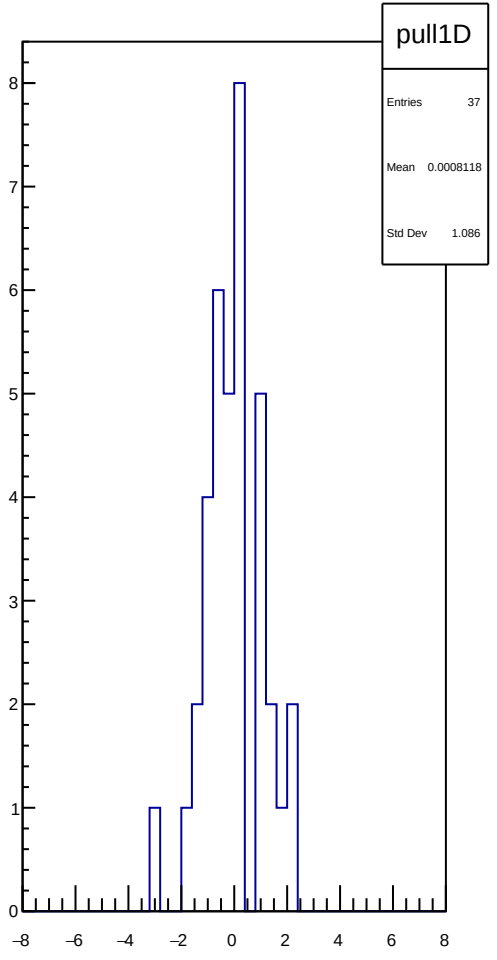
pull1D
Entries 37
Mean 0.0008118
Std Dev 1.086
8
7
6
5
4
3
2
1
0
−8
−6
−4
−2
0
2
4
6
8

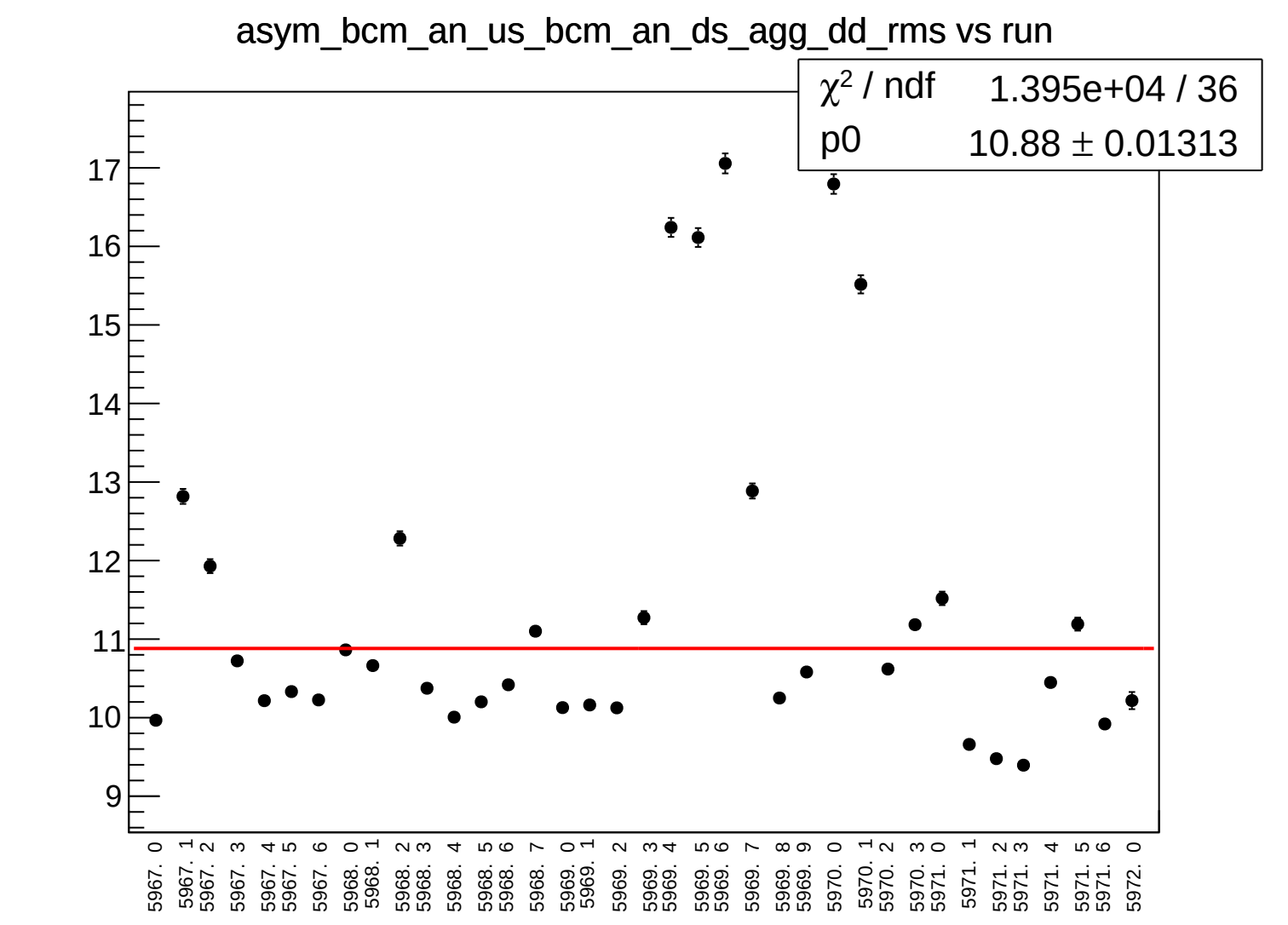
asym_bcm_an_us_bcm_an_ds_agg_dd_rms vs run
χ² / ndf 1.395e+04 / 36
p0 10.88 ± 0.01313
17
16
15
14
13
12
11
10
9
5967. 0
5967. 1
5967. 2
5967. 3
5967. 4
5967. 5
5967. 6
5968. 0
5968. 1
5968. 2
5968. 3
5968. 4
5968. 5
5968. 6
5968. 7
5969. 0
5969. 1
5969. 2
5969. 3
5969. 4
5969. 5
5969. 6
5969. 7
5969. 8
5969. 9
5970. 0
5970. 1
5970. 2
5970. 3
5971. 0
5971. 1
5971. 2
5971. 3
5971. 4
5971. 5
5971. 6
5972. 0

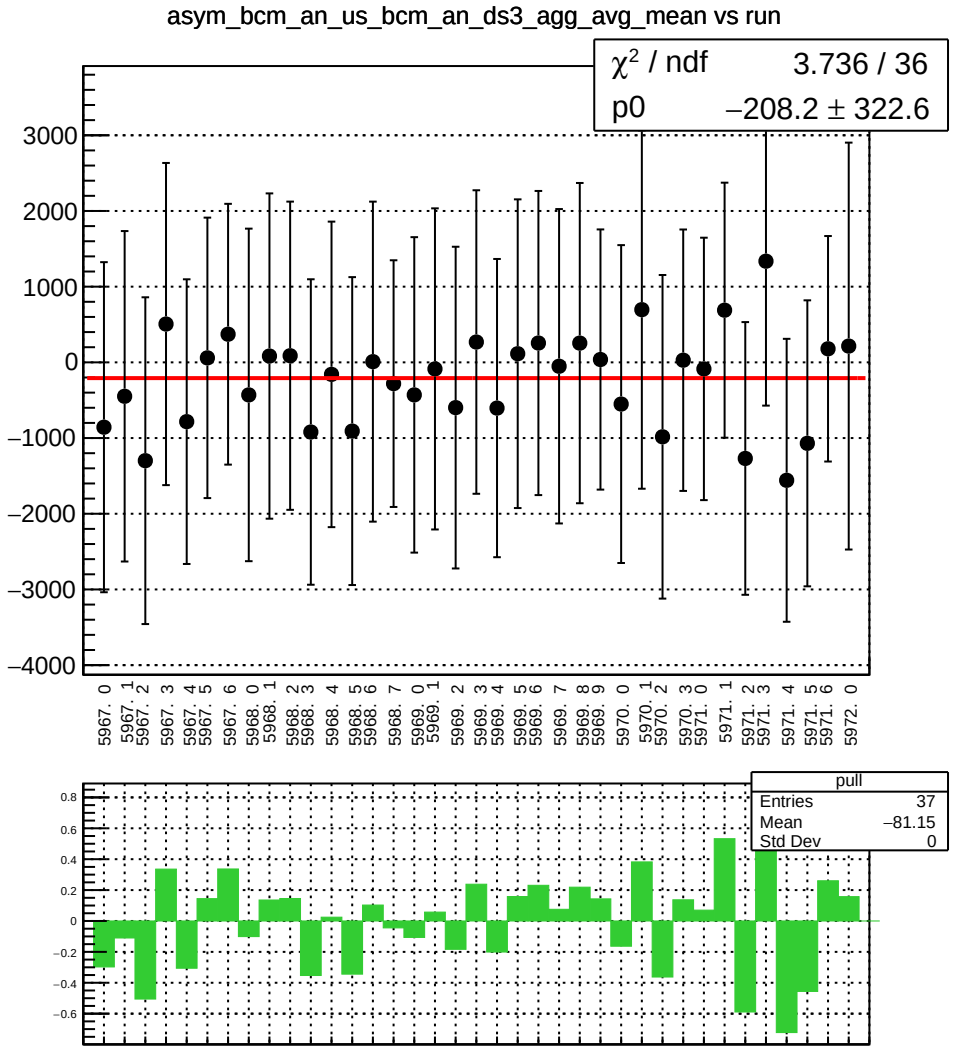
asym_bcm_an_us_bcm_an_ds3_agg_avg_mean vs run
χ² / ndf 3.736 / 36
p0 −208.2 ± 322.6
pull
Entries 37
Mean −81.15
Std Dev 0

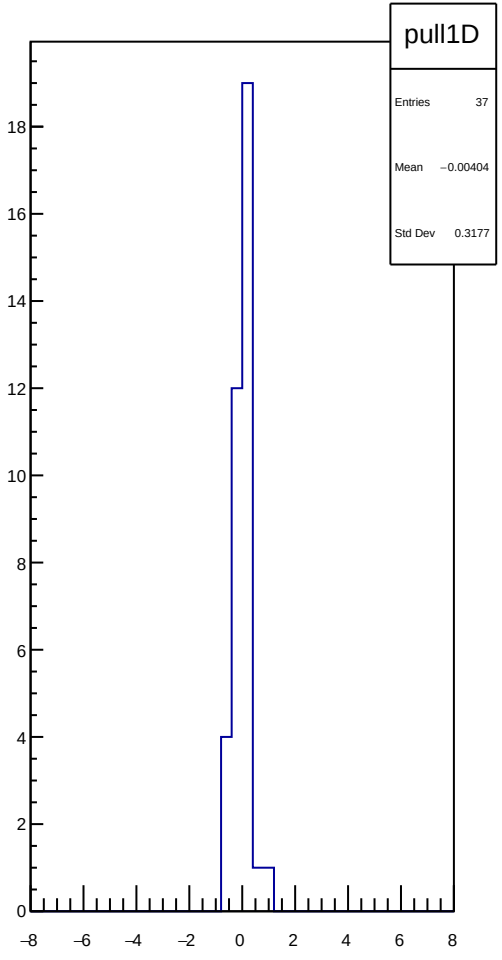
pull1D
Entries 37
Mean −0.00404
Std Dev 0.3177

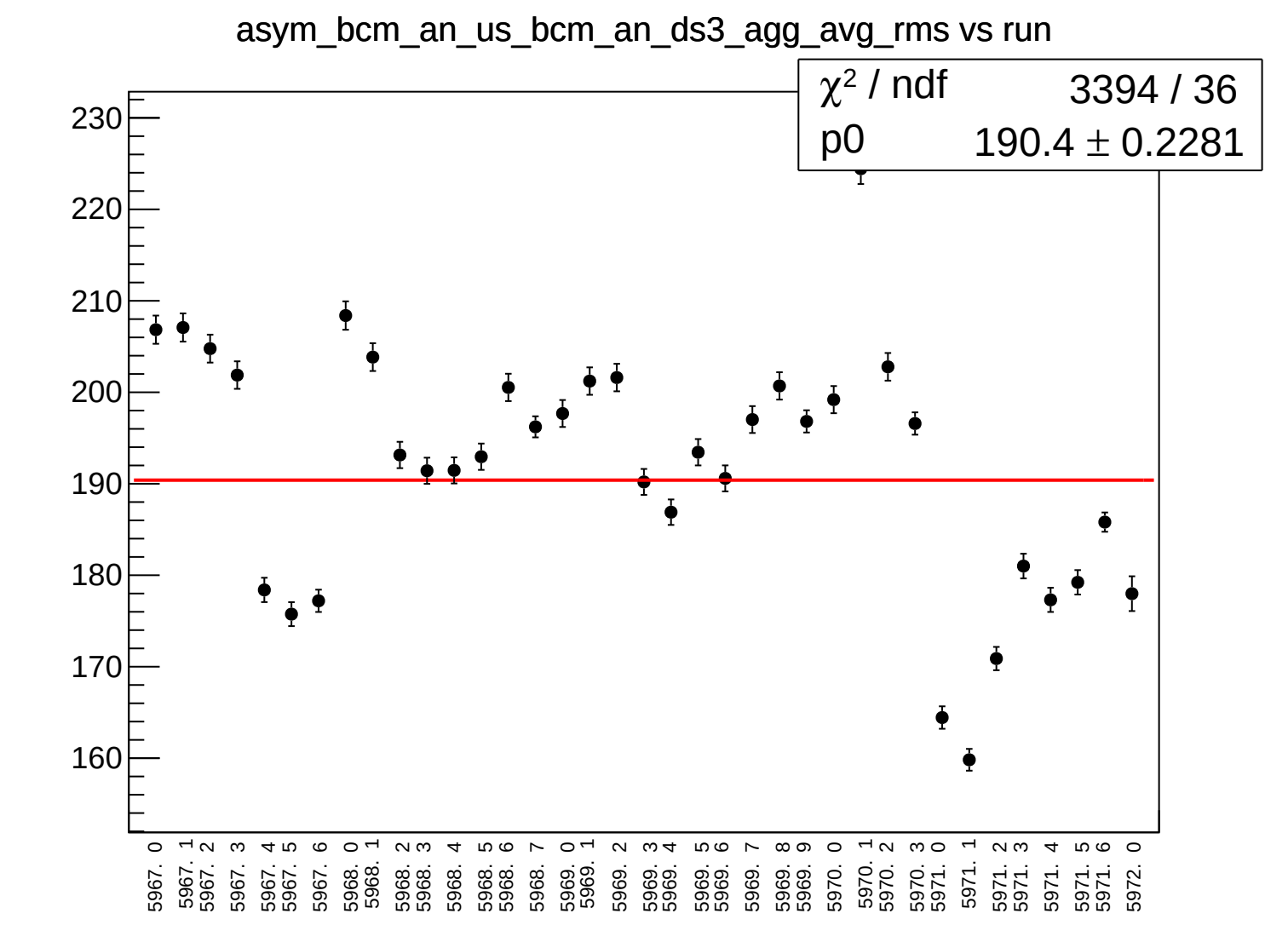
asym_bcm_an_us_bcm_an_ds3_agg_avg_rms vs run
χ² / ndf 3394 / 36
p0 190.4 ± 0.2281
230
220
210
200
190
180
170
160
5967. 0
5967. 1
5967. 2
5967. 3
5967. 4
5967. 5
5967. 6
5968. 0
5968. 1
5968. 2
5968. 3
5968. 4
5968. 5
5968. 6
5968. 7
5969. 0
5969. 1
5969. 2
5969. 3
5969. 4
5969. 5
5969. 6
5969. 7
5969. 8
5969. 9
5970. 0
5970. 1
5970. 2
5970. 3
5971. 0
5971. 1
5971. 2
5971. 3
5971. 4
5971. 5
5971. 6
5972. 0

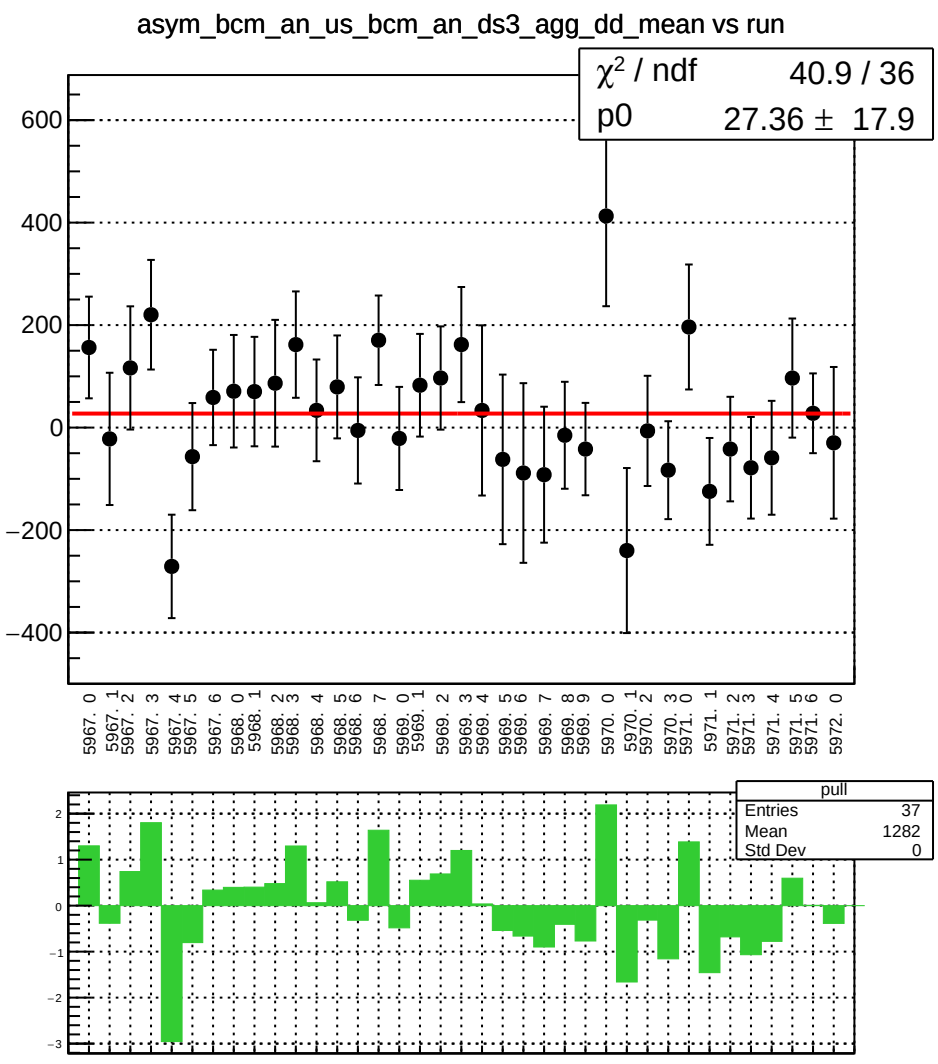
asym_bcm_an_us_bcm_an_ds3_agg_dd_mean vs run
χ² / ndf 40.9 / 36
p0 27.36 ± 17.9
600
400
200
0
−200
−400
5967. 0
5967. 1
5967. 2
5967. 3
5967. 4
5967. 5
5967. 6
5968. 0
5968. 1
5968. 2
5968. 3
5968. 4
5968. 5
5968. 6
5968. 7
5969. 0
5969. 1
5969. 2
5969. 3
5969. 4
5969. 5
5969. 6
5969. 7
5969. 8
5969. 9
5970. 0
5970. 1
5970. 2
5970. 3
5971. 0
5971. 1
5971. 2
5971. 3
5971. 4
5971. 5
5971. 6
5972. 0
pull
Entries 37
Mean 1282
Std Dev 0
2
1
0
−1
−2
−3
pull1D
Entries 37
Mean −0.00215
Std Dev 1.051
7
6
5
4
3
2
1
0
−8
−6
−4
−2
0
2
4
6
8

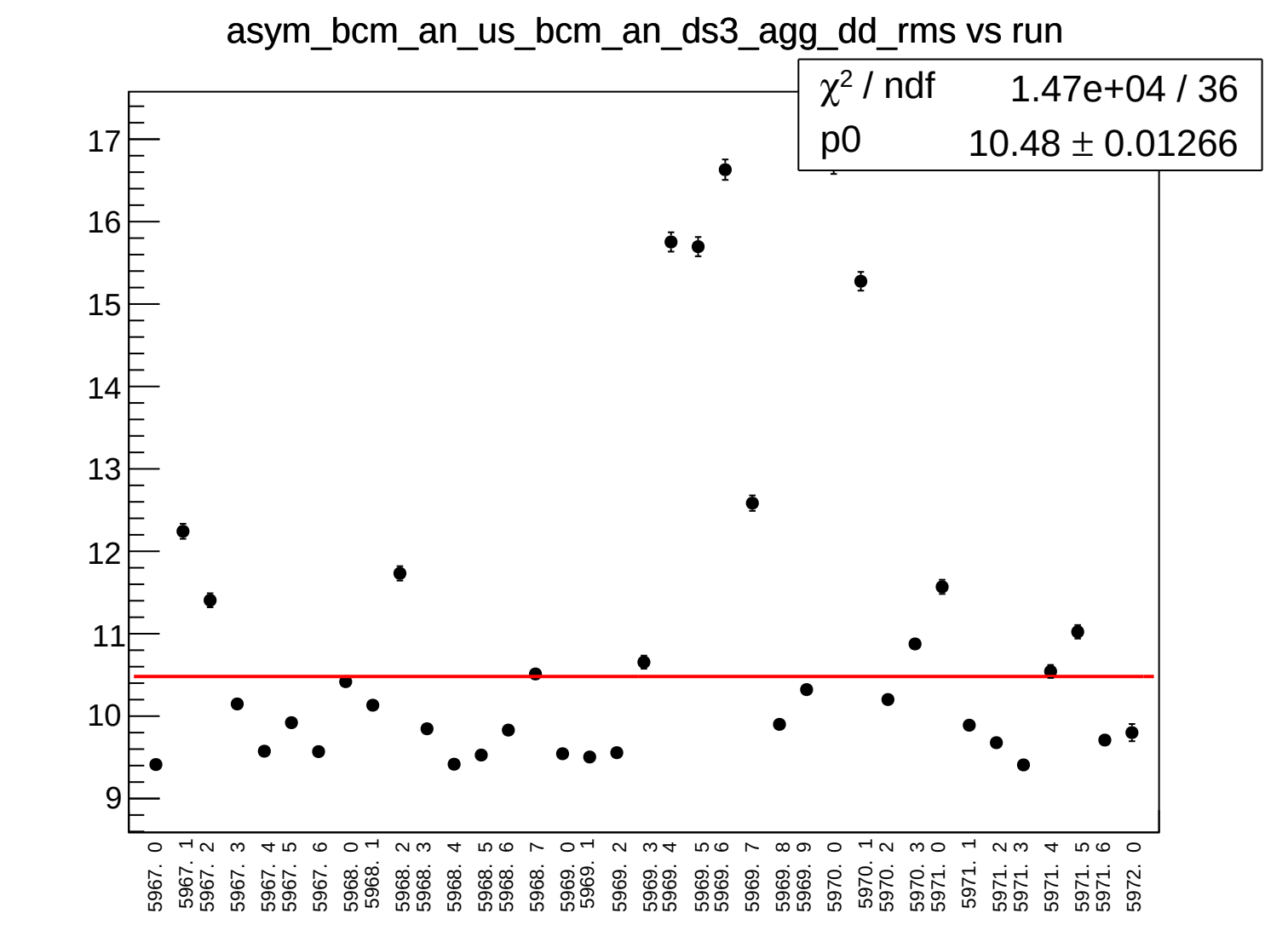
asym_bcm_an_us_bcm_an_ds3_agg_dd_rms vs run
χ² / ndf 1.47e+04 / 36
p0 10.48 ± 0.01266
17
16
15
14
13
12
11
10
9
5967. 0
5967. 1
5967. 2
5967. 3
5967. 4
5967. 5
5967. 6
5968. 0
5968. 1
5968. 2
5968. 3
5968. 4
5968. 5
5968. 6
5968. 7
5969. 0
5969. 1
5969. 2
5969. 3
5969. 4
5969. 5
5969. 6
5969. 7
5969. 8
5969. 9
5970. 0
5970. 1
5970. 2
5970. 3
5971. 0
5971. 1
5971. 2
5971. 3
5971. 4
5971. 5
5971. 6
5972. 0

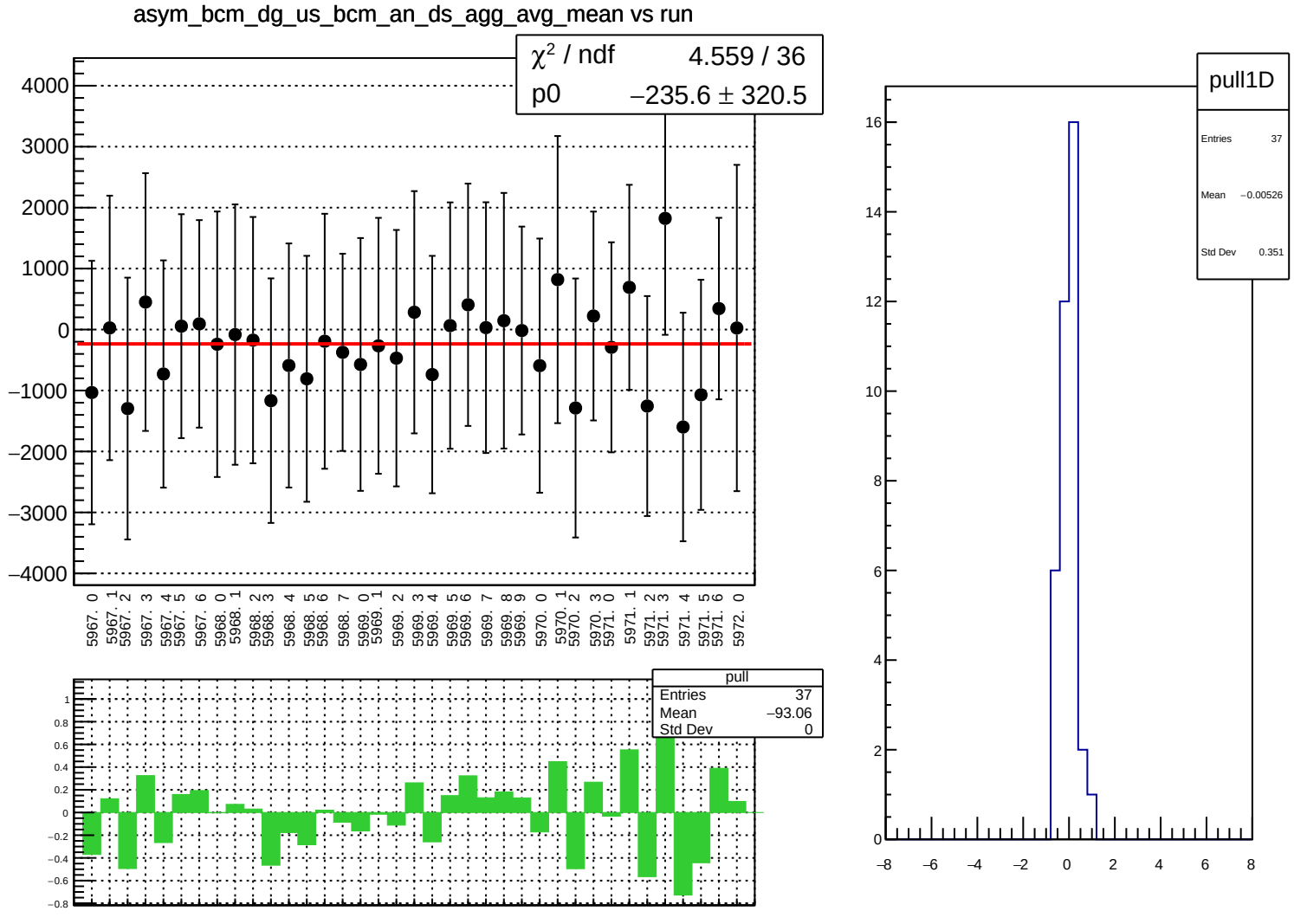
asym_bcm_dg_us_bcm_an_ds_agg_avg_mean vs run
χ² / ndf 4.559 / 36
p0 −235.6 ± 320.5
pull
Entries 37
Mean −93.06
Std Dev 0
pull1D
Entries 37
Mean −0.00526
Std Dev 0.351

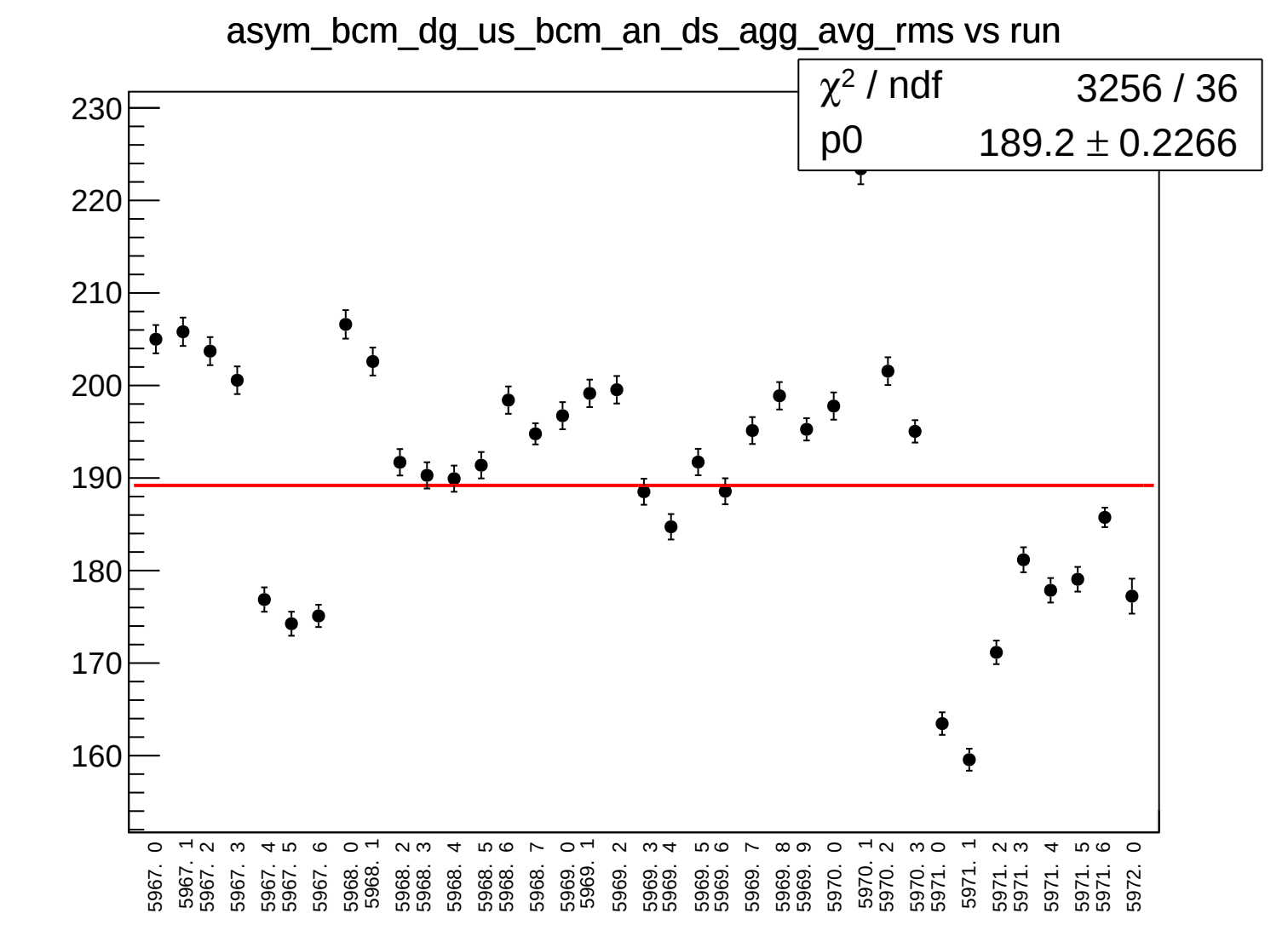
asym_bcm_dg_us_bcm_an_ds_agg_avg_rms vs run
χ² / ndf 3256 / 36
p0 189.2 ± 0.2266
230
220
210
200
190
180
170
160
5967. 0
5967. 1
5967. 2
5967. 3
5967. 4
5967. 5
5967. 6
5968. 0
5968. 1
5968. 2
5968. 3
5968. 4
5968. 5
5968. 6
5968. 7
5969. 0
5969. 1
5969. 2
5969. 3
5969. 4
5969. 5
5969. 6
5969. 7
5969. 8
5969. 9
5970. 0
5970. 1
5970. 2
5970. 3
5971. 0
5971. 1
5971. 2
5971. 3
5971. 4
5971. 5
5971. 6
5972. 0

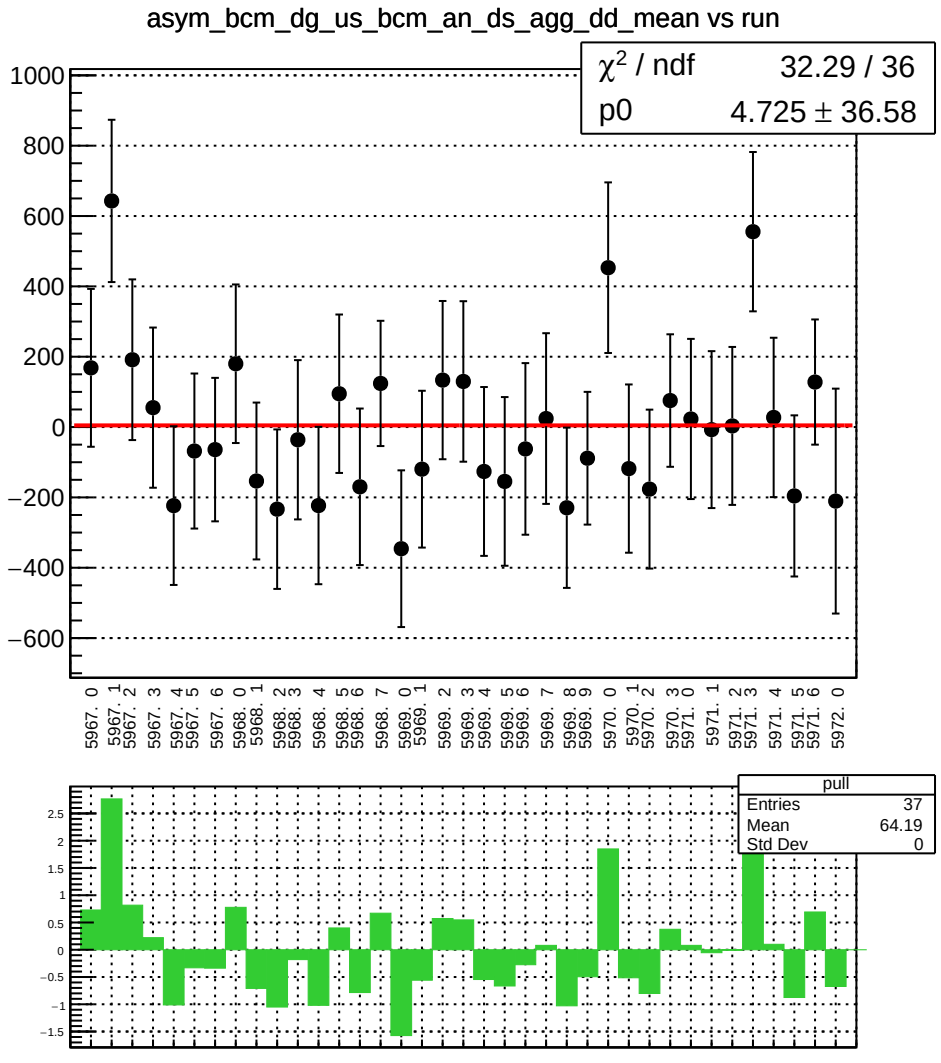
asym_bcm_dg_us_bcm_an_ds_agg_dd_mean vs run
χ² / ndf 32.29 / 36
p0 4.725 ± 36.58
pull
Entries 37
Mean 64.19
Std Dev 0

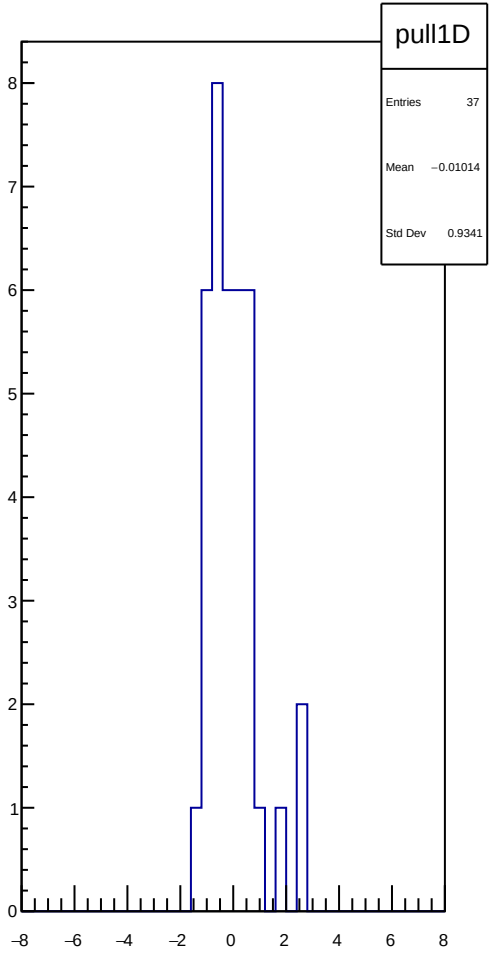
pull1D
Entries 37
Mean −0.01014
Std Dev 0.9341

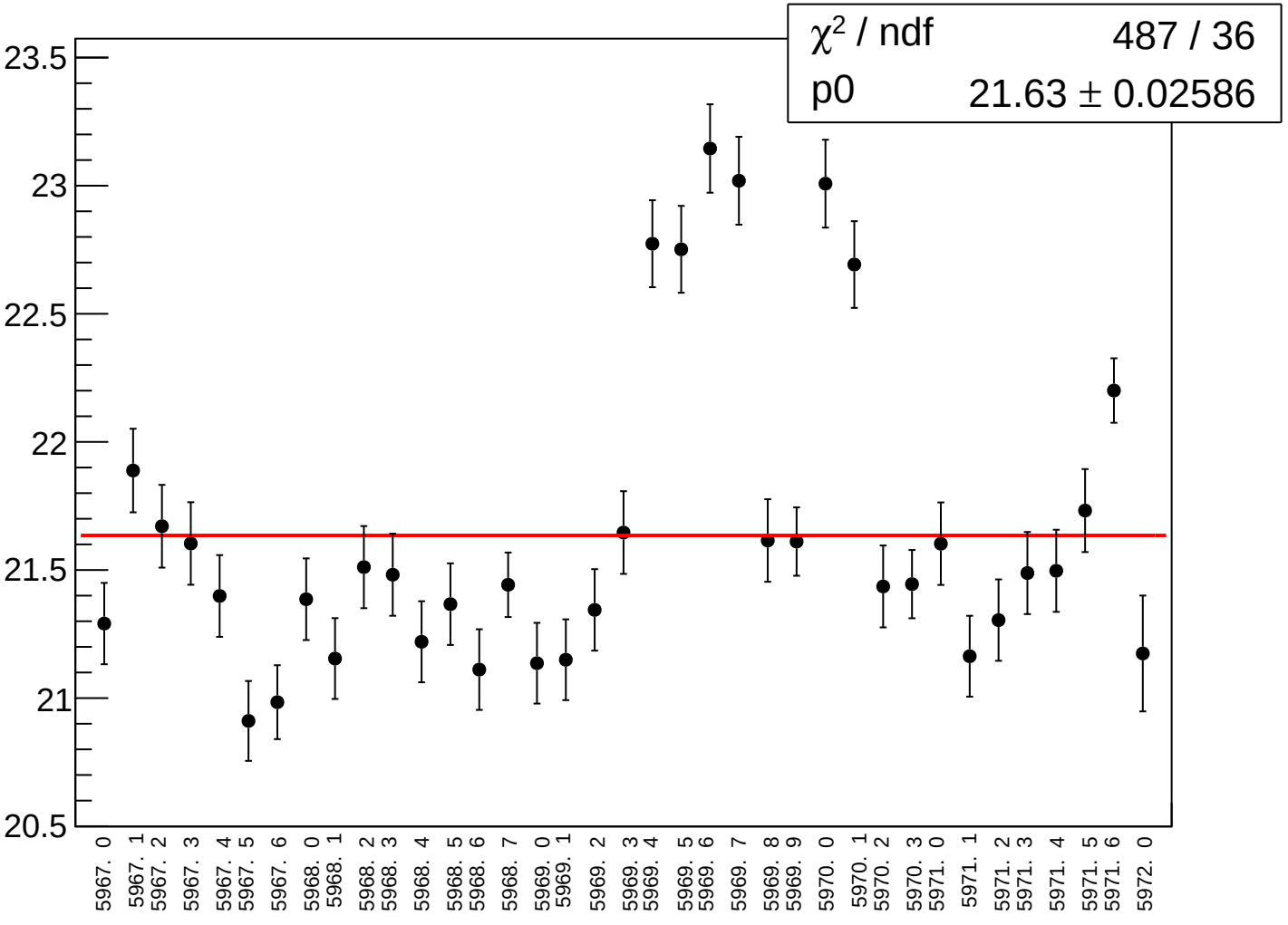
asym_bcm_dg_us_bcm_an_ds_agg_dd_rms vs run
χ² / ndf 487 / 36
p0 21.63 ± 0.02586
23.5
23
22.5
22
21.5
21
20.5
5967. 0
5967. 1
5967. 2
5967. 3
5967. 4
5967. 5
5967. 6
5968. 0
5968. 1
5968. 2
5968. 3
5968. 4
5968. 5
5968. 6
5968. 7
5969. 0
5969. 1
5969. 2
5969. 3
5969. 4
5969. 5
5969. 6
5969. 7
5969. 8
5969. 9
5970. 0
5970. 1
5970. 2
5970. 3
5971. 0
5971. 1
5971. 2
5971. 3
5971. 4
5971. 5
5971. 6
5972. 0

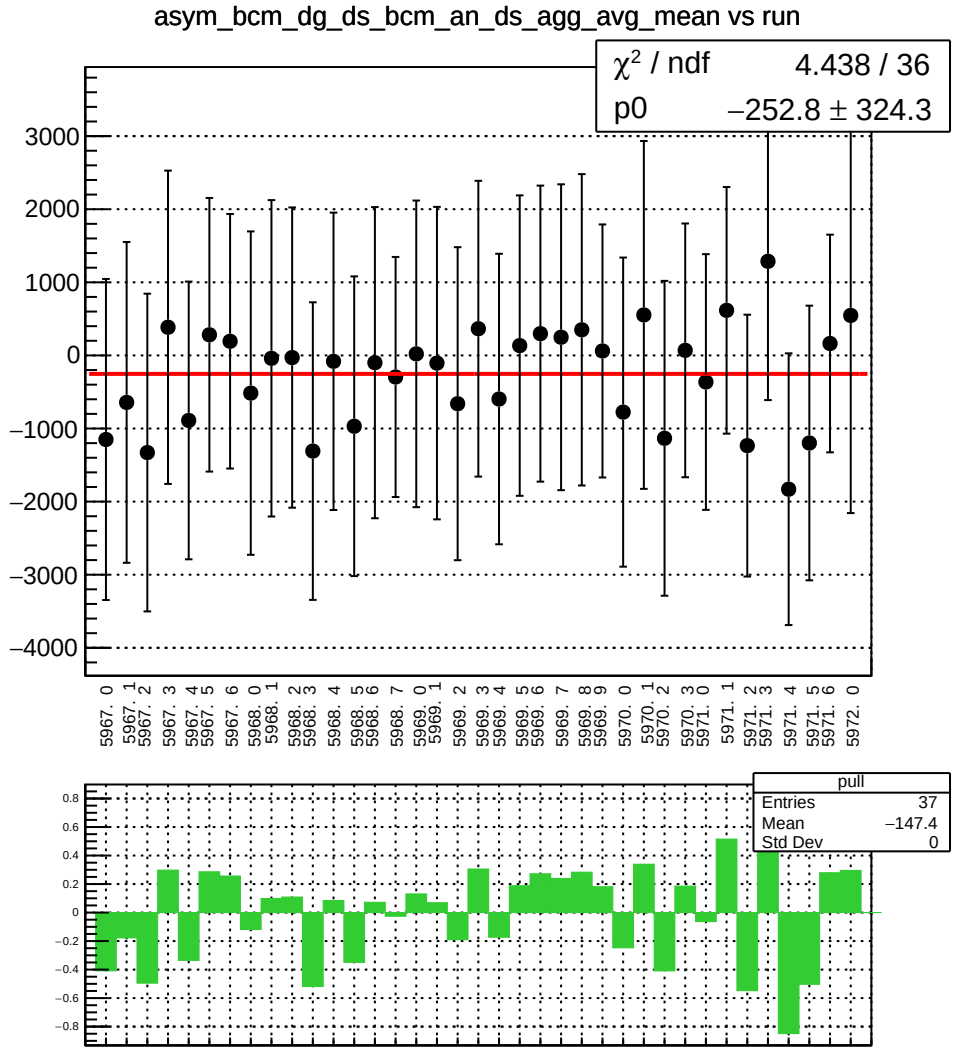
asym_bcm_dg_ds_bcm_an_ds_agg_avg_mean vs run
χ² / ndf 4.438 / 36
p0 −252.8 ± 324.3
3000
2000
1000
0
−1000
−2000
−3000
−4000
5967. 0
5967. 1
5967. 2
5967. 3
5967. 4
5967. 5
5967. 6
5968. 0
5968. 1
5968. 2
5968. 3
5968. 4
5968. 5
5968. 6
5968. 7
5969. 0
5969. 1
5969. 2
5969. 3
5969. 4
5969. 5
5969. 6
5969. 7
5969. 8
5969. 9
5970. 0
5970. 1
5970. 2
5970. 3
5971. 0
5971. 1
5971. 2
5971. 3
5971. 4
5971. 5
5971. 6
5972. 0
pull
Entries 37
Mean −147.4
Std Dev 0
0.8
0.6
0.4
0.2
0
−0.2
−0.4
−0.6
−0.8

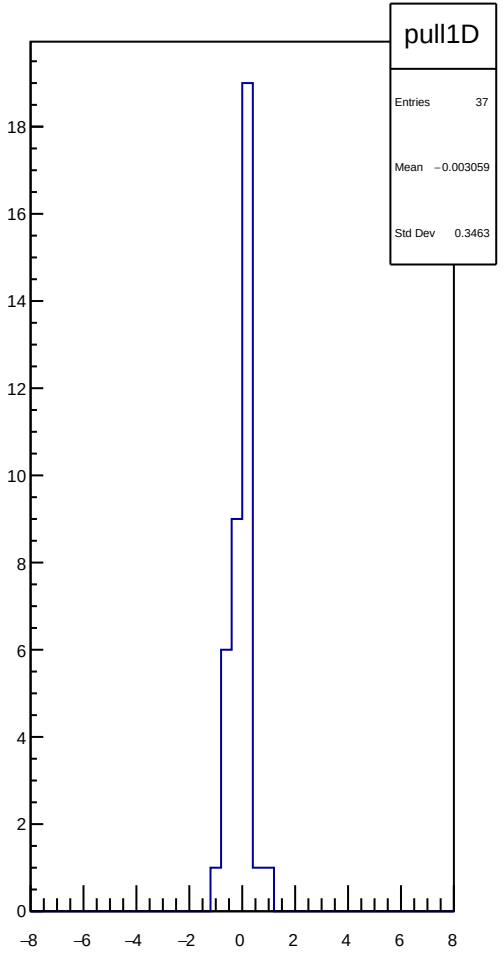
pull1D
Entries 37
Mean −0.003059
Std Dev 0.3463
18
16
14
12
10
8
6
4
2
0
−8
−6
−4
−2
0
2
4
6
8

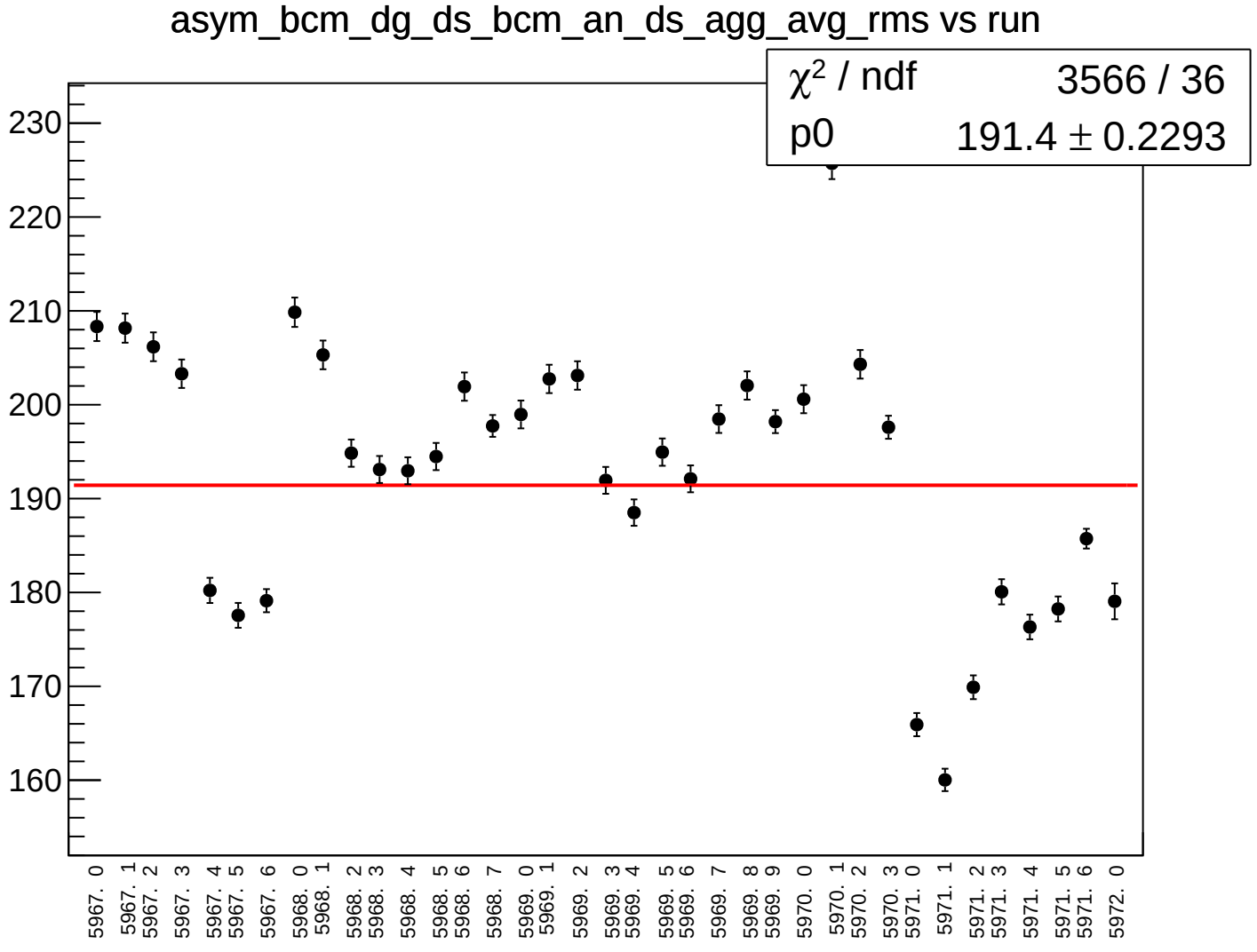
asym_bcm_dg_ds_bcm_an_ds_agg_avg_rms vs run
χ² / ndf 3566 / 36
p0 191.4 ± 0.2293
230
220
210
200
190
180
170
160
5967. 0
5967. 1
5967. 2
5967. 3
5967. 4
5967. 5
5967. 6
5968. 0
5968. 1
5968. 2
5968. 3
5968. 4
5968. 5
5968. 6
5968. 7
5969. 0
5969. 1
5969. 2
5969. 3
5969. 4
5969. 5
5969. 6
5969. 7
5969. 8
5969. 9
5970. 0
5970. 1
5970. 2
5970. 3
5971. 0
5971. 1
5971. 2
5971. 3
5971. 4
5971. 5
5971. 6
5972. 0

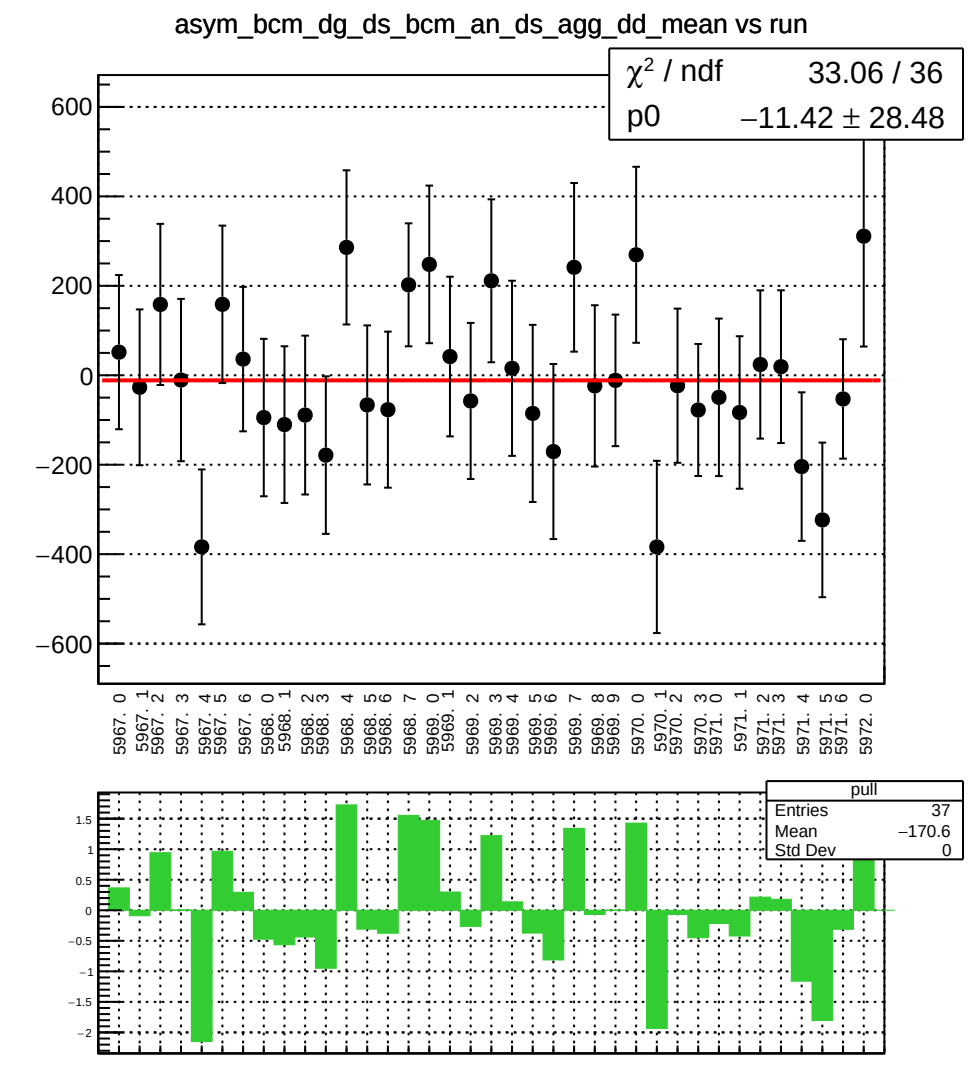
asym_bcm_dg_ds_bcm_an_ds_agg_dd_mean vs run
χ² / ndf 33.06 / 36
p0 −11.42 ± 28.48
pull
Entries 37
Mean −170.6
Std Dev 0

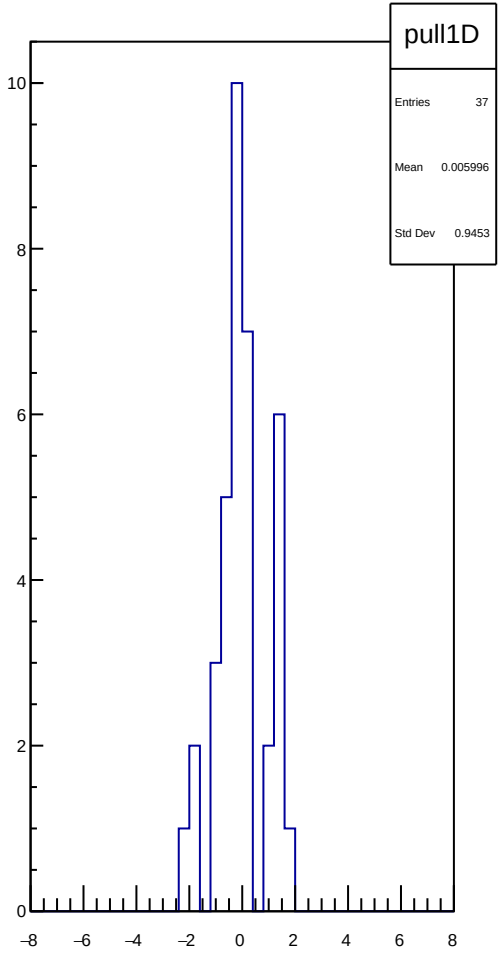
pull1D
Entries 37
Mean 0.005996
Std Dev 0.9453

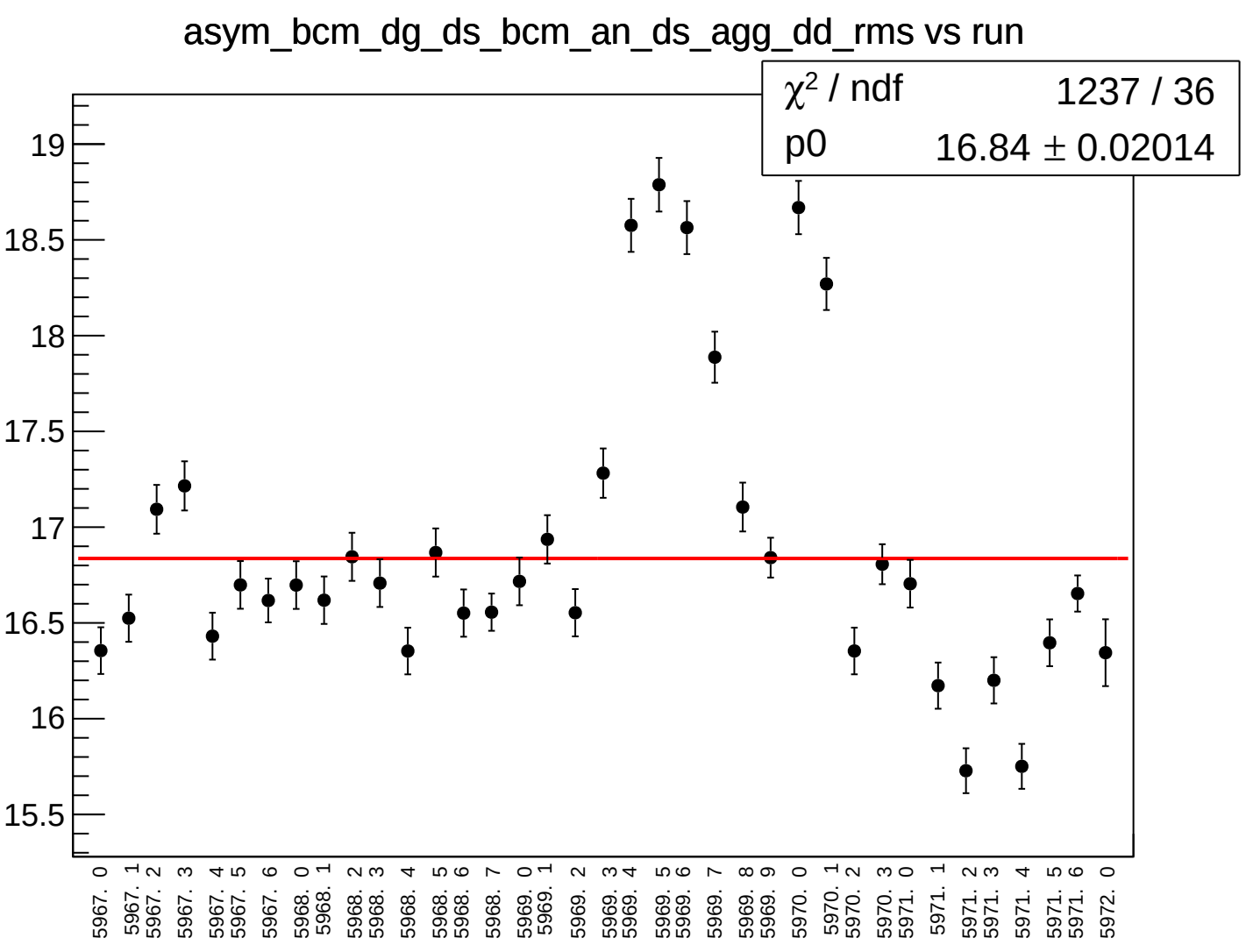
asym_bcm_dg_ds_bcm_an_ds_agg_dd_rms vs run
χ² / ndf 1237 / 36
p0 16.84 ± 0.02014
19
18.5
18
17.5
17
16.5
16
15.5
5967. 0
5967. 1
5967. 2
5967. 3
5967. 4
5967. 5
5967. 6
5968. 0
5968. 1
5968. 2
5968. 3
5968. 4
5968. 5
5968. 6
5968. 7
5969. 0
5969. 1
5969. 2
5969. 3
5969. 4
5969. 5
5969. 6
5969. 7
5969. 8
5969. 9
5970. 0
5970. 1
5970. 2
5970. 3
5971. 0
5971. 1
5971. 2
5971. 3
5971. 4
5971. 5
5971. 6
5972. 0

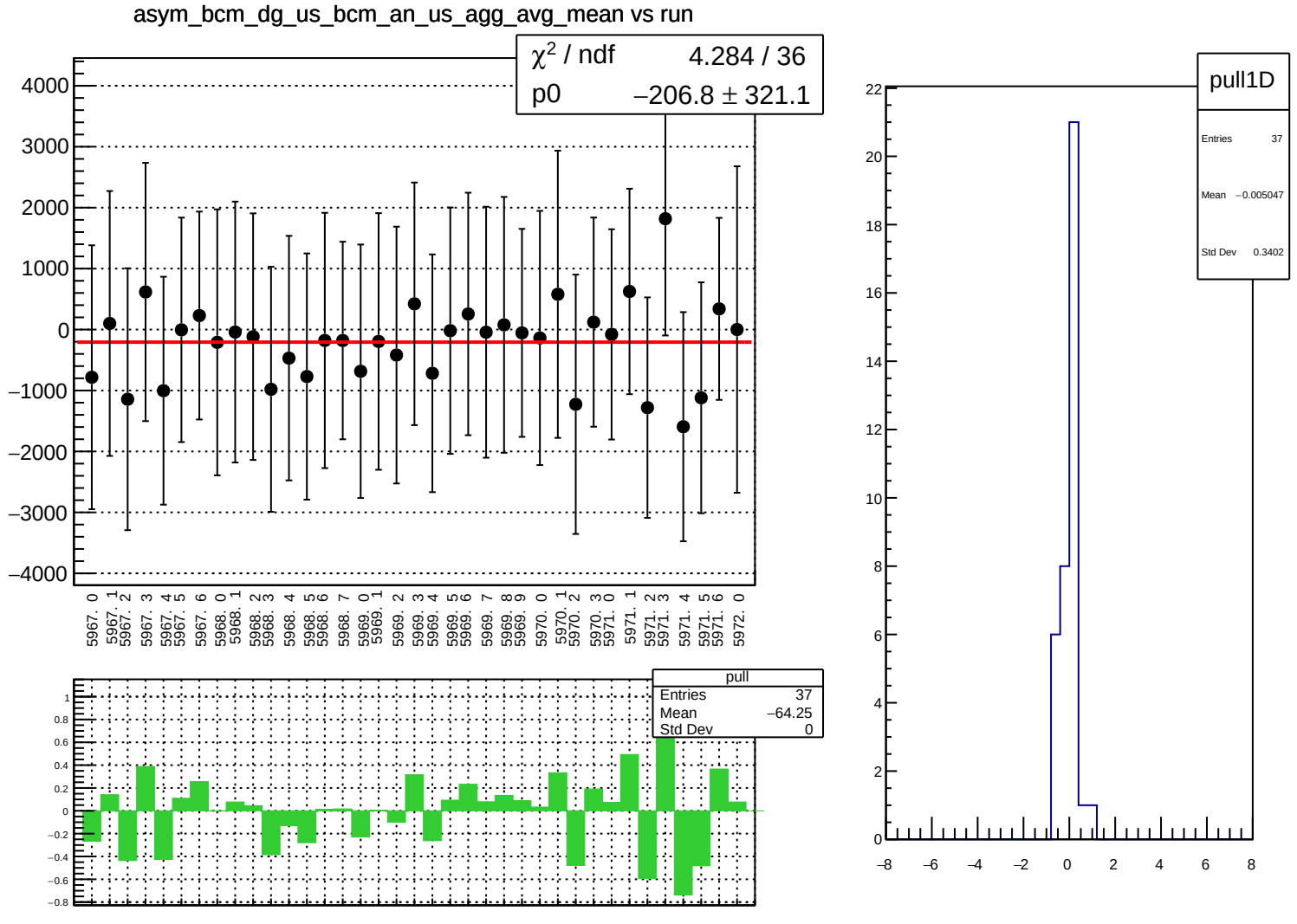
asym_bcm_dg_us_bcm_an_us_agg_avg_mean vs run
χ² / ndf 4.284 / 36
p0 −206.8 ± 321.1
pull
Entries 37
Mean −64.25
Std Dev 0
pull1D
Entries 37
Mean −0.005047
Std Dev 0.3402

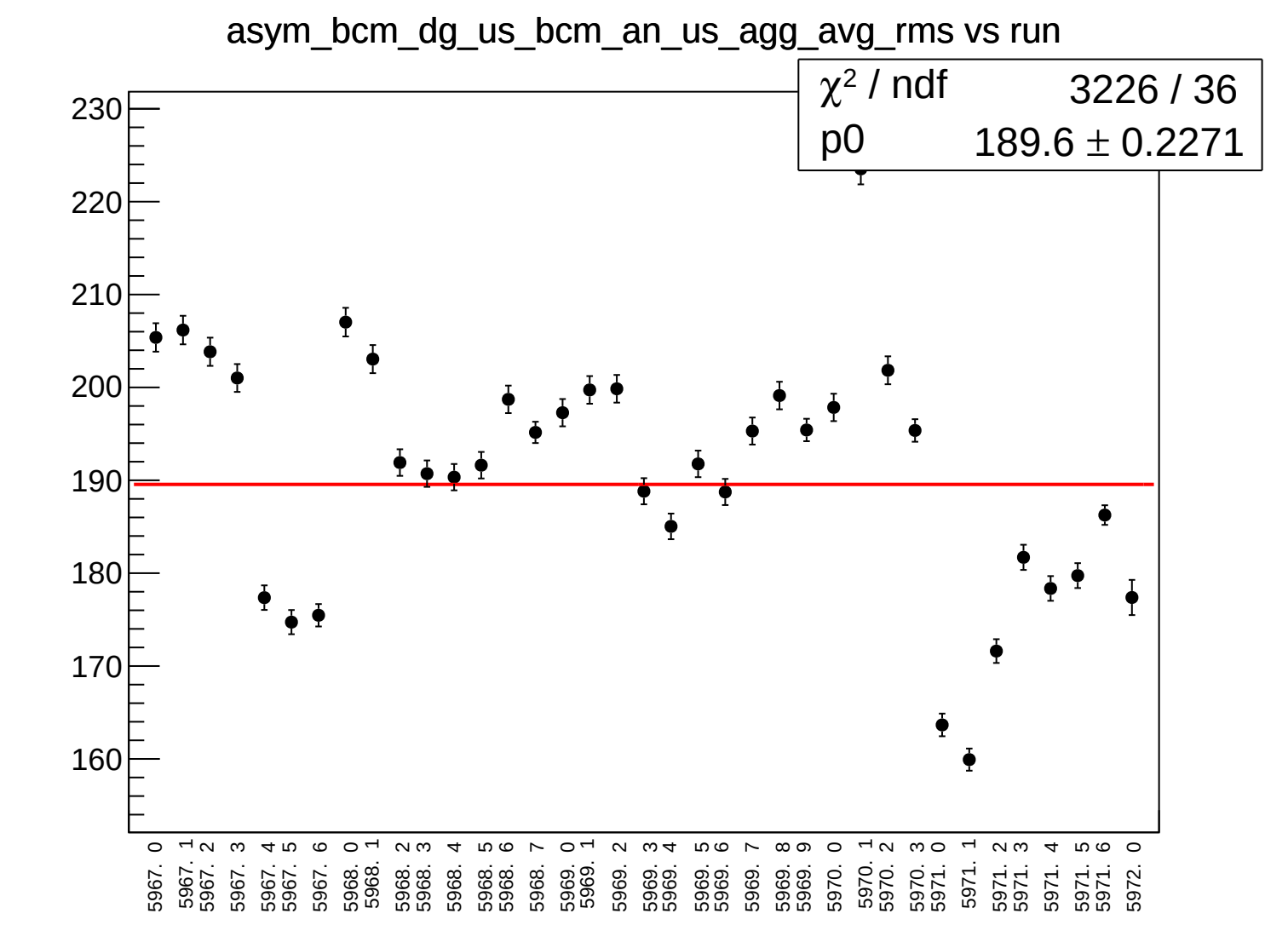
asym_bcm_dg_us_bcm_an_us_agg_avg_rms vs run
χ² / ndf 3226 / 36
p0 189.6 ± 0.2271
230
220
210
200
190
180
170
160
5967. 0
5967. 1
5967. 2
5967. 3
5967. 4
5967. 5
5967. 6
5968. 0
5968. 1
5968. 2
5968. 3
5968. 4
5968. 5
5968. 6
5968. 7
5969. 0
5969. 1
5969. 2
5969. 3
5969. 4
5969. 5
5969. 6
5969. 7
5969. 8
5969. 9
5970. 0
5970. 1
5970. 2
5970. 3
5971. 0
5971. 1
5971. 2
5971. 3
5971. 4
5971. 5
5971. 6
5972. 0

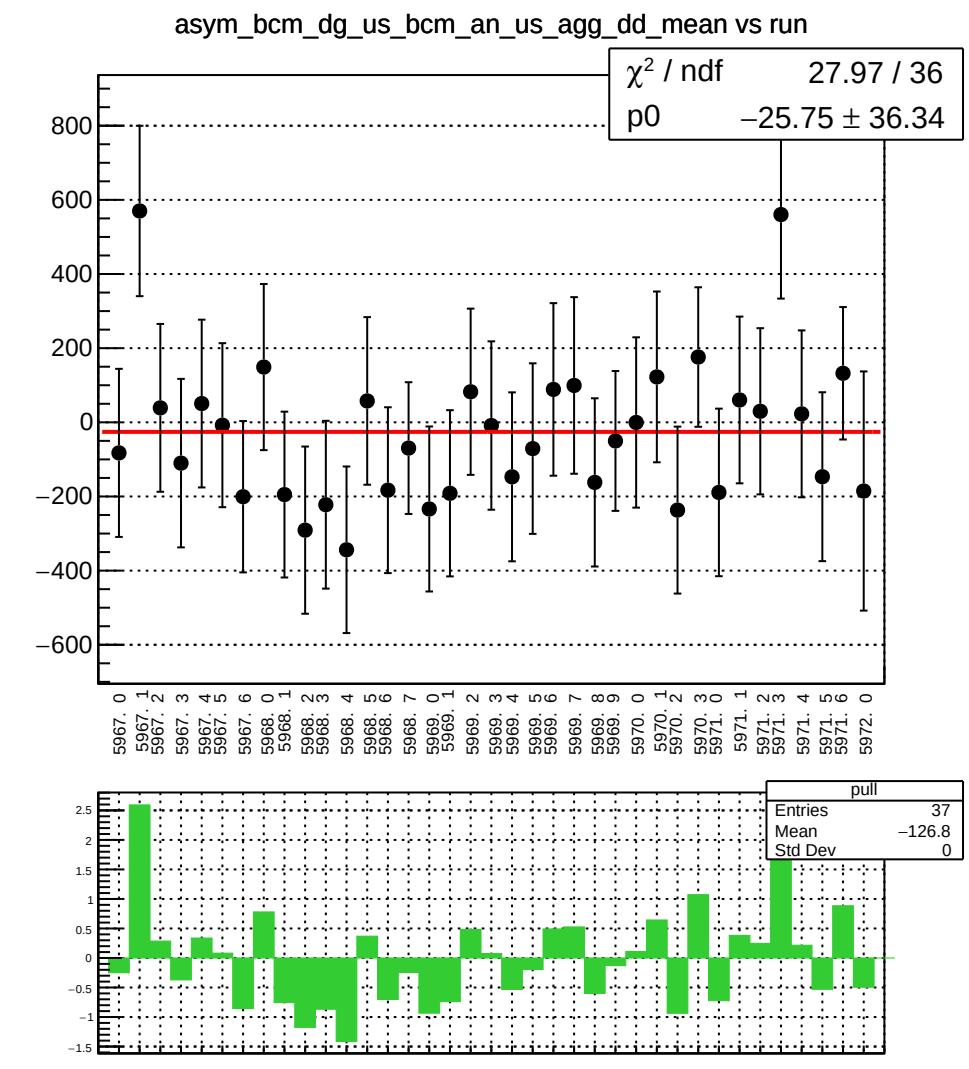
asym_bcm_dg_us_bcm_an_us_agg_dd_mean vs run
χ² / ndf 27.97 / 36
p0 −25.75 ± 36.34
800
600
400
200
0
−200
−400
−600
5967. 0
5967. 1
5967. 2
5967. 3
5967. 4
5967. 5
5967. 6
5968. 0
5968. 1
5968. 2
5968. 3
5968. 4
5968. 5
5968. 6
5968. 7
5969. 0
5969. 1
5969. 2
5969. 3
5969. 4
5969. 5
5969. 6
5969. 7
5969. 8
5969. 9
5970. 0
5970. 1
5970. 2
5970. 3
5971. 0
5971. 1
5971. 2
5971. 3
5971. 4
5971. 5
5971. 6
5972. 0
pull
Entries 37
Mean −126.8
Std Dev 0
2.5
2
1.5
1
0.5
0
−0.5
−1
−1.5

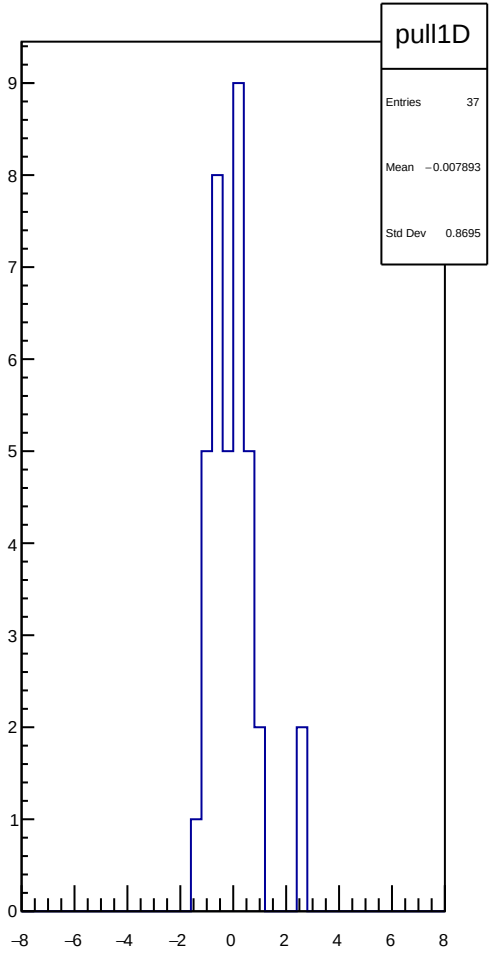
pull1D
Entries 37
Mean −0.007893
Std Dev 0.8695
9
8
7
6
5
4
3
2
1
0
−8
−6
−4
−2
0
2
4
6
8

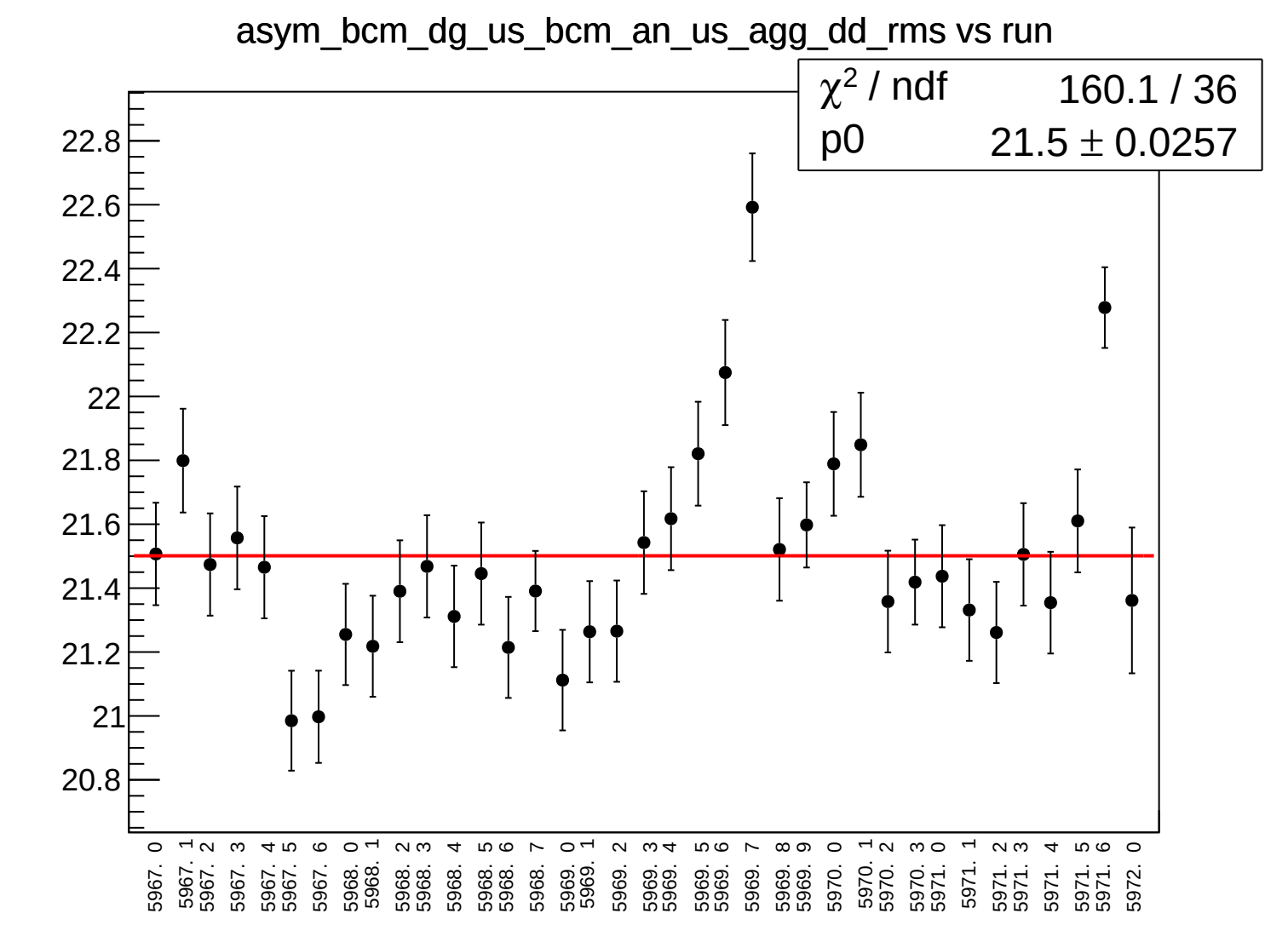
asym_bcm_dg_us_bcm_an_us_agg_dd_rms vs run
χ² / ndf 160.1 / 36
p0 21.5 ± 0.0257
22.8
22.6
22.4
22.2
22
21.8
21.6
21.4
21.2
21
20.8
5967. 0
5967. 1
5967. 2
5967. 3
5967. 4
5967. 5
5967. 6
5968. 0
5968. 1
5968. 2
5968. 3
5968. 4
5968. 5
5968. 6
5968. 7
5969. 0
5969. 1
5969. 2
5969. 3
5969. 4
5969. 5
5969. 6
5969. 7
5969. 8
5969. 9
5970. 0
5970. 1
5970. 2
5970. 3
5971. 0
5971. 1
5971. 2
5971. 3
5971. 4
5971. 5
5971. 6
5972. 0

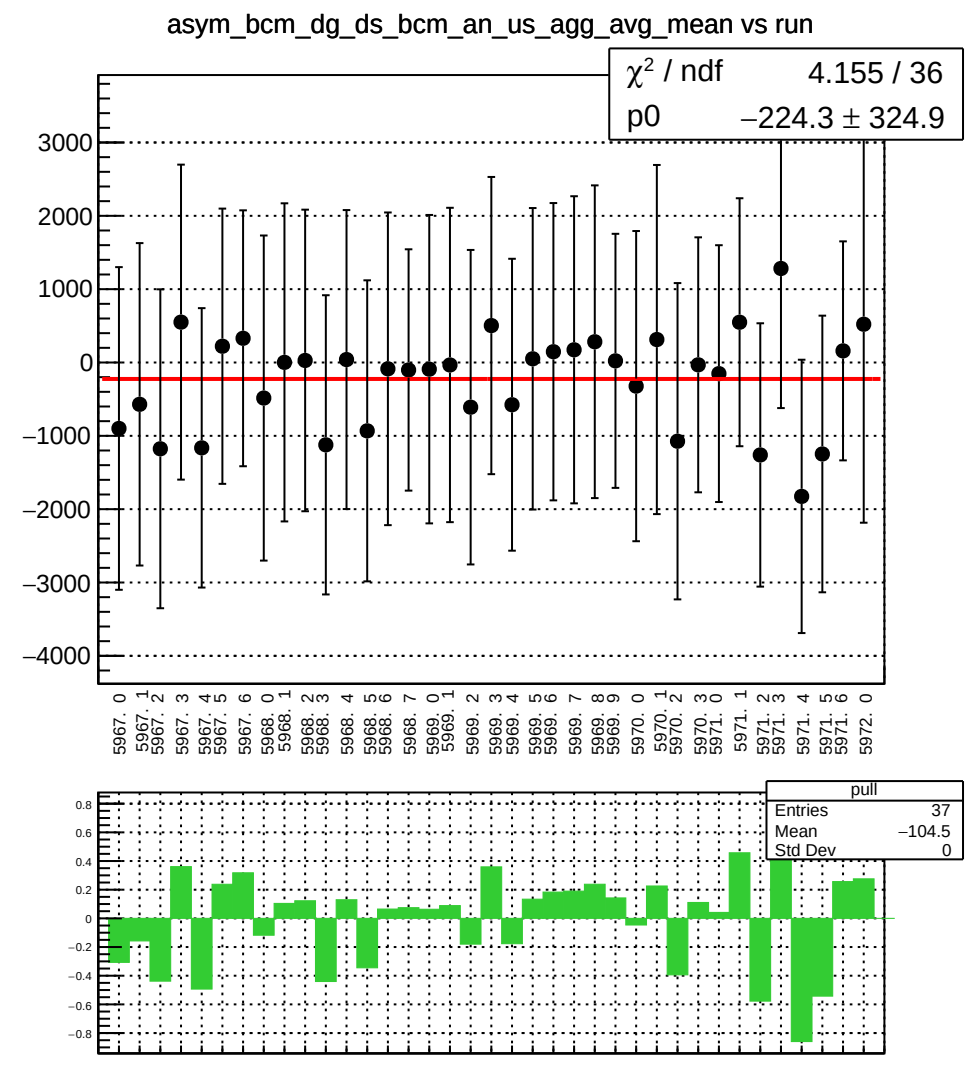
asym_bcm_dg_ds_bcm_an_us_agg_avg_mean vs run
χ² / ndf 4.155 / 36
p0 −224.3 ± 324.9
3000
2000
1000
0
−1000
−2000
−3000
−4000
5967. 0
5967. 1
5967. 2
5967. 3
5967. 4
5967. 5
5967. 6
5968. 0
5968. 1
5968. 2
5968. 3
5968. 4
5968. 5
5968. 6
5968. 7
5969. 0
5969. 1
5969. 2
5969. 3
5969. 4
5969. 5
5969. 6
5969. 7
5969. 8
5969. 9
5970. 0
5970. 1
5970. 2
5970. 3
5971. 0
5971. 1
5971. 2
5971. 3
5971. 4
5971. 5
5971. 6
5972. 0
pull
Entries 37
Mean −104.5
Std Dev 0
0.8
0.6
0.4
0.2
0
−0.2
−0.4
−0.6
−0.8

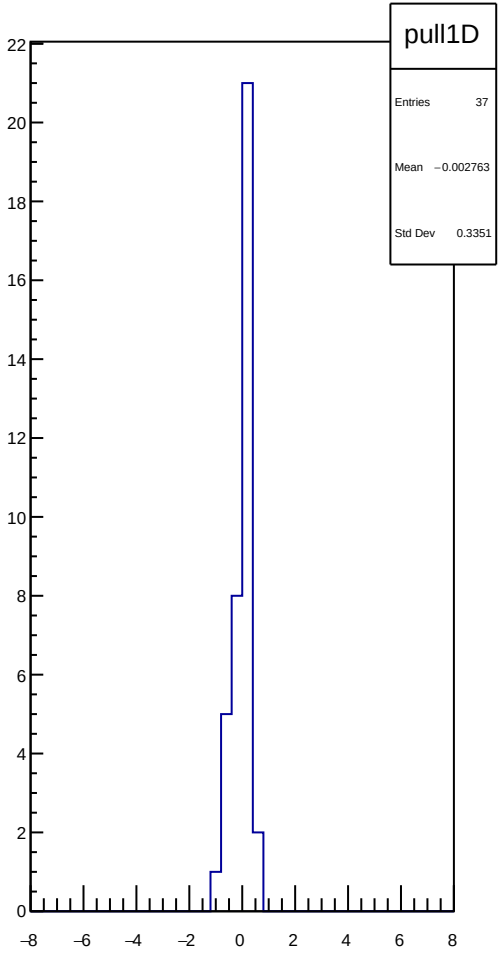
pull1D
Entries 37
Mean −0.002763
Std Dev 0.3351
22
20
18
16
14
12
10
8
6
4
2
0
−8
−6
−4
−2
0
2
4
6
8

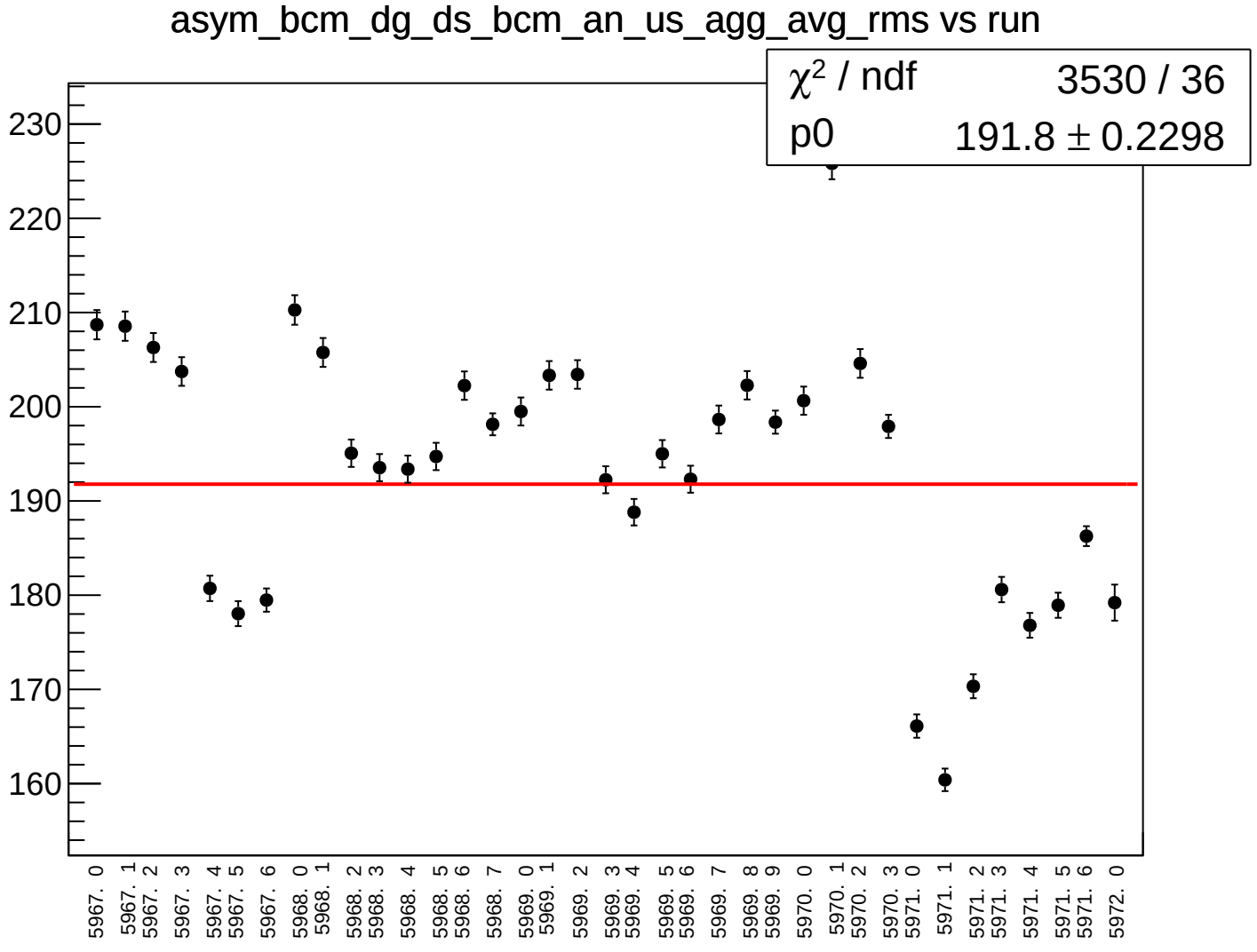
asym_bcm_dg_ds_bcm_an_us_agg_avg_rms vs run
χ² / ndf 3530 / 36
p0 191.8 ± 0.2298
230
220
210
200
190
180
170
160
5967. 0
5967. 1
5967. 2
5967. 3
5967. 4
5967. 5
5967. 6
5968. 0
5968. 1
5968. 2
5968. 3
5968. 4
5968. 5
5968. 6
5968. 7
5969. 0
5969. 1
5969. 2
5969. 3
5969. 4
5969. 5
5969. 6
5969. 7
5969. 8
5969. 9
5970. 0
5970. 1
5970. 2
5970. 3
5971. 0
5971. 1
5971. 2
5971. 3
5971. 4
5971. 5
5971. 6
5972. 0

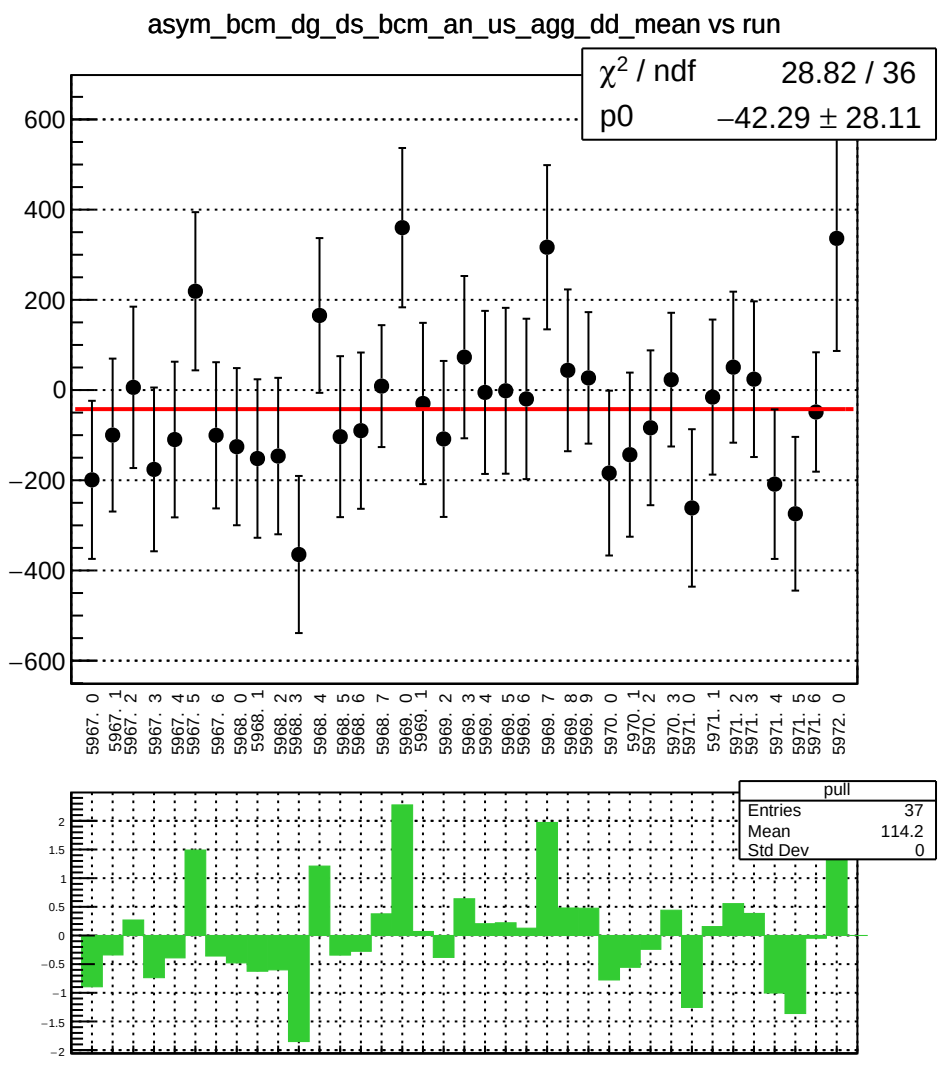
asym_bcm_dg_ds_bcm_an_us_agg_dd_mean vs run
χ² / ndf 28.82 / 36
p0 −42.29 ± 28.11
600
400
200
0
−200
−400
−600
5967. 0
5967. 1
5967. 2
5967. 3
5967. 4
5967. 5
5967. 6
5968. 0
5968. 1
5968. 2
5968. 3
5968. 4
5968. 5
5968. 6
5968. 7
5969. 0
5969. 1
5969. 2
5969. 3
5969. 4
5969. 5
5969. 6
5969. 7
5969. 8
5969. 9
5970. 0
5970. 1
5970. 2
5970. 3
5971. 0
5971. 1
5971. 2
5971. 3
5971. 4
5971. 5
5971. 6
5972. 0
pull
Entries 37
Mean 114.2
Std Dev 0
2
1.5
1
0.5
0
−0.5
−1
−1.5
−2

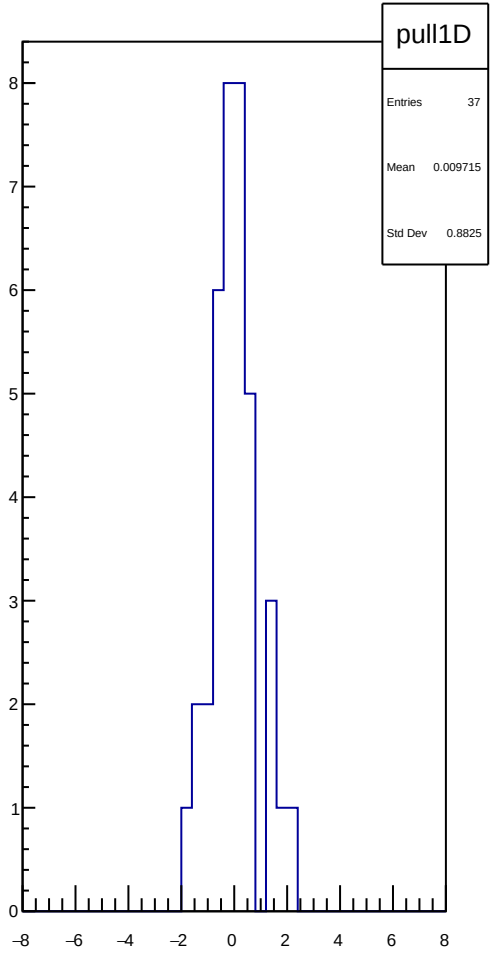
pull1D
Entries 37
Mean 0.009715
Std Dev 0.8825
8
7
6
5
4
3
2
1
0
−8
−6
−4
−2
0
2
4
6
8

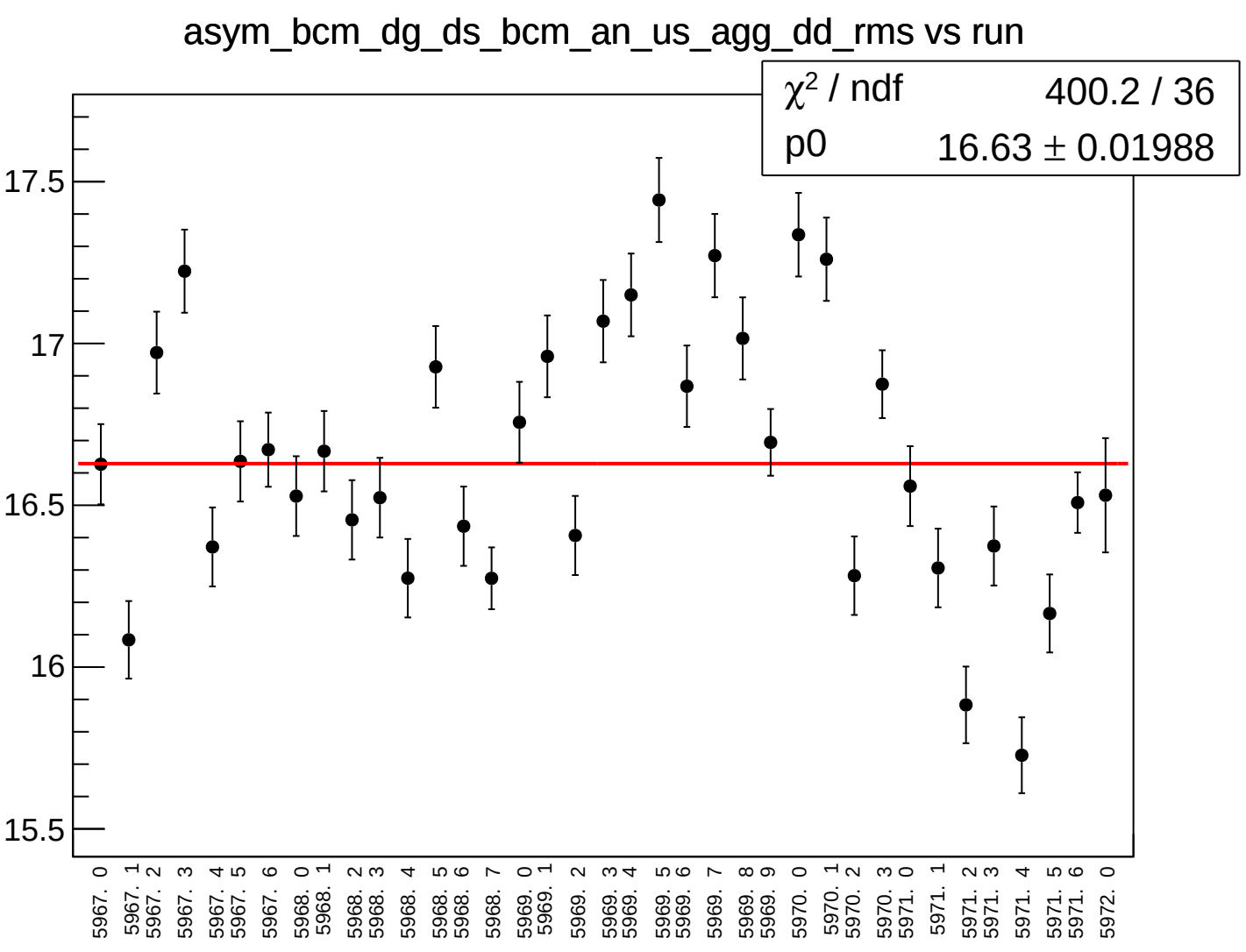
asym_bcm_dg_ds_bcm_an_us_agg_dd_rms vs run
χ² / ndf 400.2 / 36
p0 16.63 ± 0.01988
17.5
17
16.5
16
15.5
5967. 0
5967. 1
5967. 2
5967. 3
5967. 4
5967. 5
5967. 6
5968. 0
5968. 1
5968. 2
5968. 3
5968. 4
5968. 5
5968. 6
5968. 7
5969. 0
5969. 1
5969. 2
5969. 3
5969. 4
5969. 5
5969. 6
5969. 7
5969. 8
5969. 9
5970. 0
5970. 1
5970. 2
5970. 3
5971. 0
5971. 1
5971. 2
5971. 3
5971. 4
5971. 5
5971. 6
5972. 0

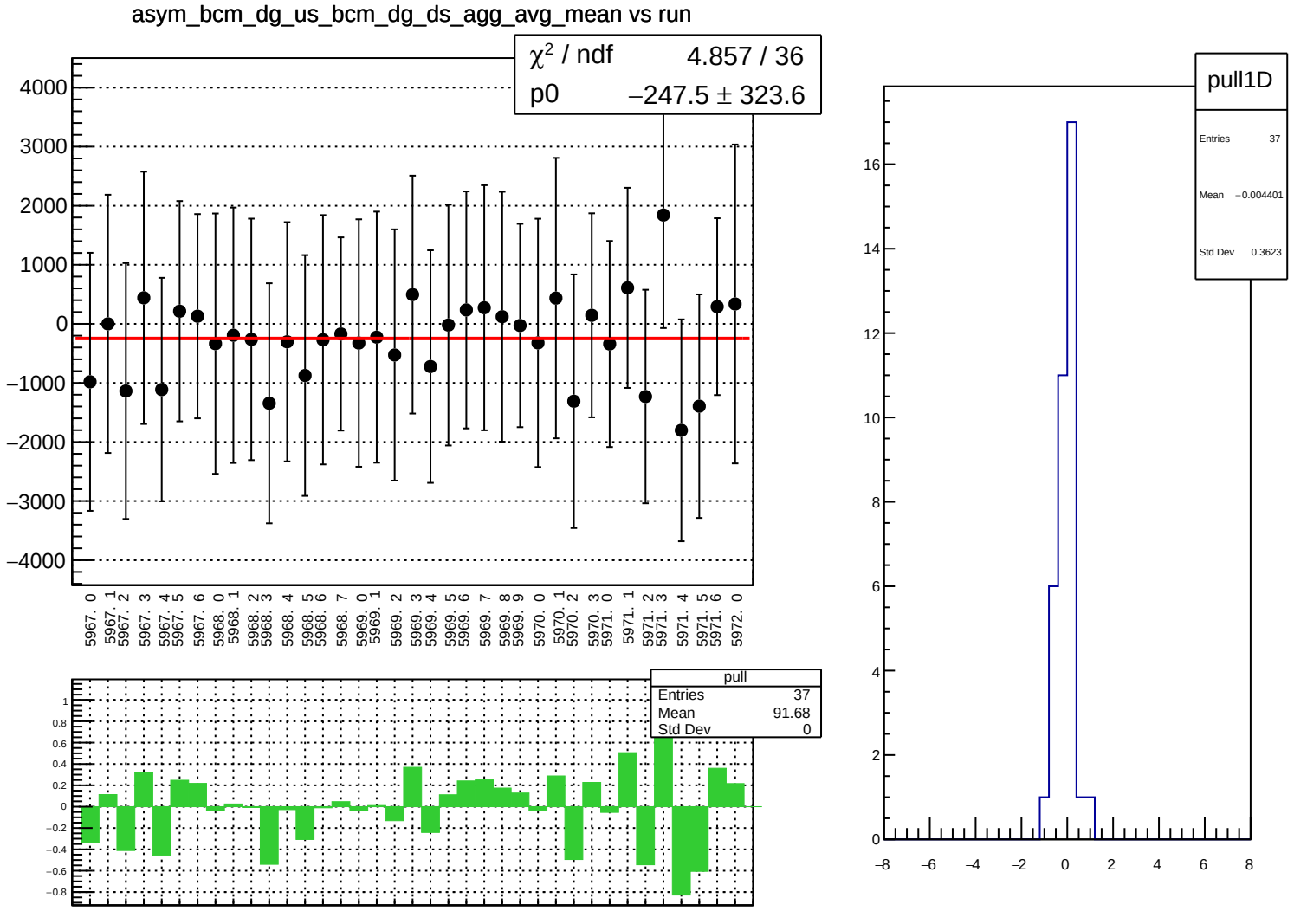
asym_bcm_dg_us_bcm_dg_ds_agg_avg_mean vs run
χ² / ndf 4.857 / 36
p0 −247.5 ± 323.6
4000
3000
2000
1000
0
−1000
−2000
−3000
−4000
5967. 0
5967. 1
5967. 2
5967. 3
5967. 4
5967. 5
5967. 6
5968. 0
5968. 1
5968. 2
5968. 3
5968. 4
5968. 5
5968. 6
5968. 7
5969. 0
5969. 1
5969. 2
5969. 3
5969. 4
5969. 5
5969. 6
5969. 7
5969. 8
5969. 9
5970. 0
5970. 1
5970. 2
5970. 3
5971. 0
5971. 1
5971. 2
5971. 3
5971. 4
5971. 5
5971. 6
5972. 0
pull
Entries 37
Mean −91.68
Std Dev 0
1
0.8
0.6
0.4
0.2
0
−0.2
−0.4
−0.6
−0.8
pull1D
Entries 37
Mean −0.004401
Std Dev 0.3623
16
14
12
10
8
6
4
2
0
−8
−6
−4
−2
0
2
4
6
8

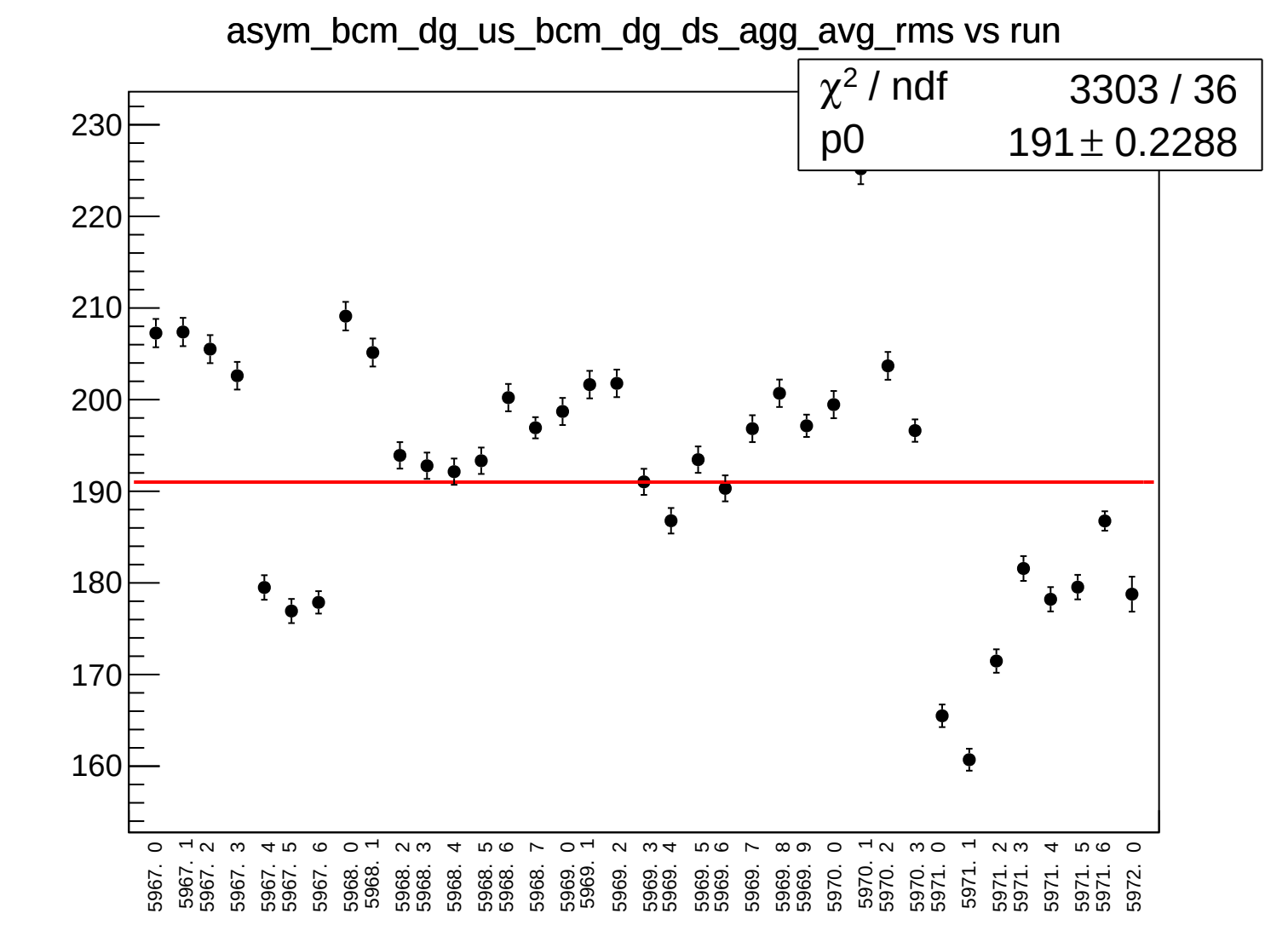
asym_bcm_dg_us_bcm_dg_ds_agg_avg_rms vs run
χ² / ndf 3303 / 36
p0 191 ± 0.2288
230
220
210
200
190
180
170
160
5967. 0
5967. 1
5967. 2
5967. 3
5967. 4
5967. 5
5967. 6
5968. 0
5968. 1
5968. 2
5968. 3
5968. 4
5968. 5
5968. 6
5968. 7
5969. 0
5969. 1
5969. 2
5969. 3
5969. 4
5969. 5
5969. 6
5969. 7
5969. 8
5969. 9
5970. 0
5970. 1
5970. 2
5970. 3
5971. 0
5971. 1
5971. 2
5971. 3
5971. 4
5971. 5
5971. 6
5972. 0

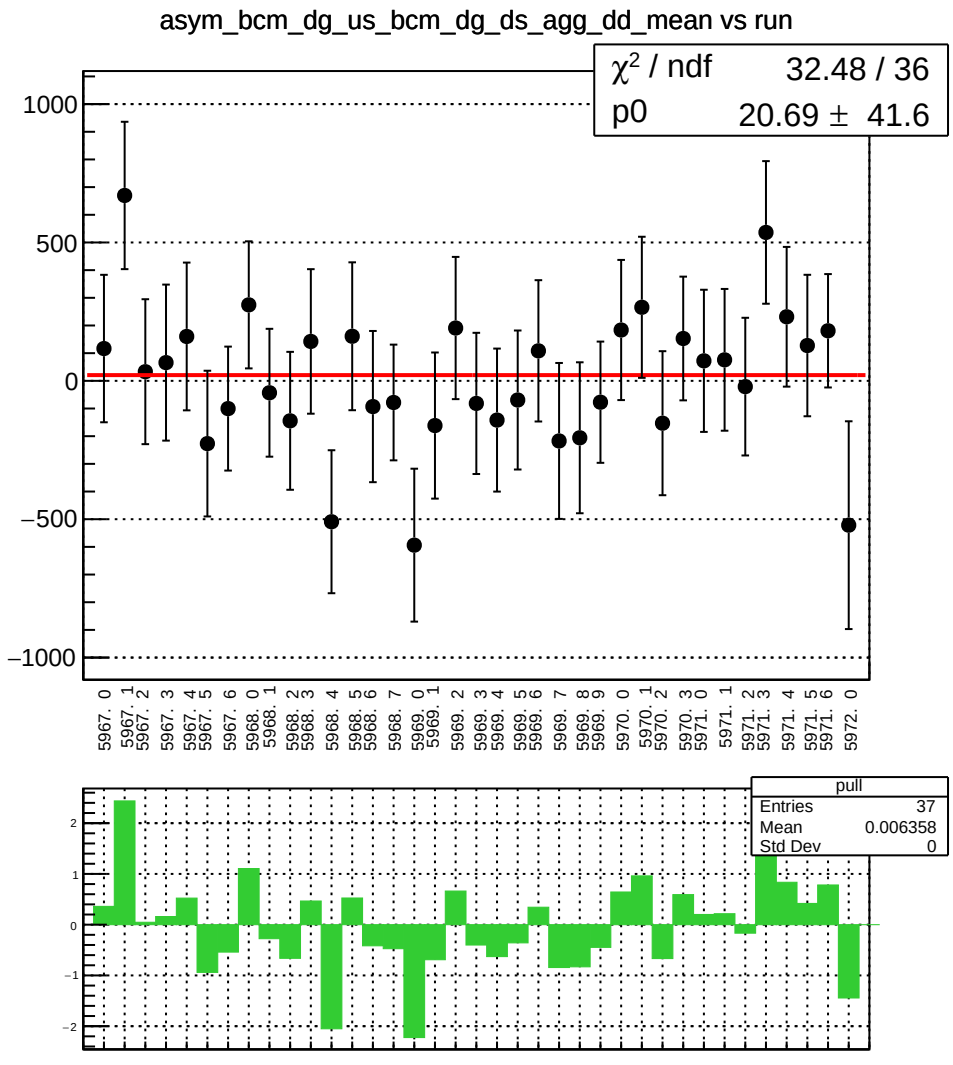
asym_bcm_dg_us_bcm_dg_ds_agg_dd_mean vs run
χ² / ndf 32.48 / 36
p0 20.69 ± 41.6
1000
500
0
−500
−1000
5967. 0
5967. 1
5967. 2
5967. 3
5967. 4
5967. 5
5967. 6
5968. 0
5968. 1
5968. 2
5968. 3
5968. 4
5968. 5
5968. 6
5968. 7
5969. 0
5969. 1
5969. 2
5969. 3
5969. 4
5969. 5
5969. 6
5969. 7
5969. 8
5969. 9
5970. 0
5970. 1
5970. 2
5970. 3
5971. 0
5971. 1
5971. 2
5971. 3
5971. 4
5971. 5
5971. 6
5972. 0
pull
Entries 37
Mean 0.006358
Std Dev 0
2
1
0
−1
−2
pull1D
Entries 37
Mean −0.02107
Std Dev 0.9366
9
8
7
6
5
4
3
2
1
0
−8
−6
−4
−2
0
2
4
6
8

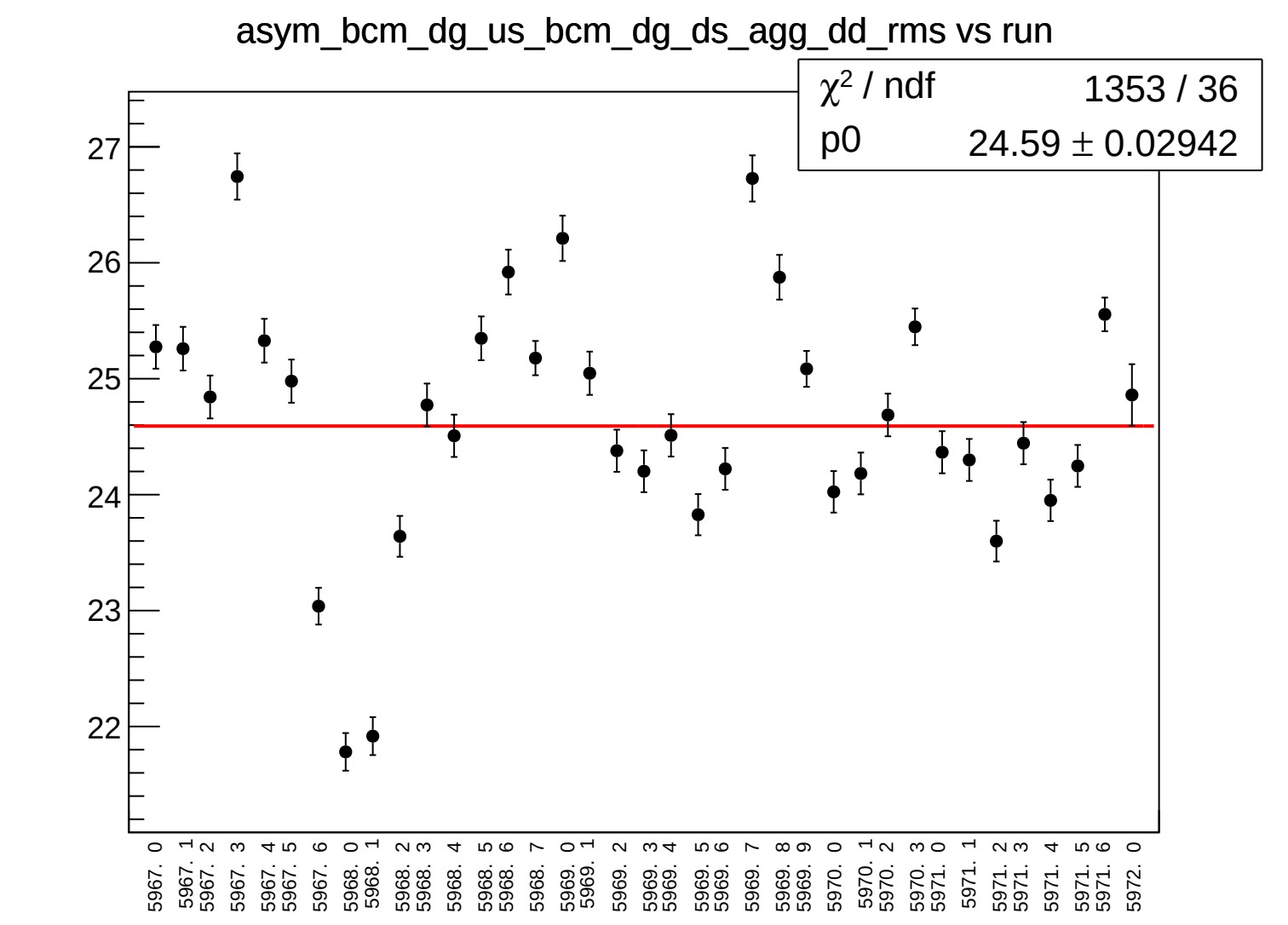
asym_bcm_dg_us_bcm_dg_ds_agg_dd_rms vs run
χ² / ndf 1353 / 36
p0 24.59 ± 0.02942
27
26
25
24
23
22
5967. 0
5967. 1
5967. 2
5967. 3
5967. 4
5967. 5
5967. 6
5968. 0
5968. 1
5968. 2
5968. 3
5968. 4
5968. 5
5968. 6
5968. 7
5969. 0
5969. 1
5969. 2
5969. 3
5969. 4
5969. 5
5969. 6
5969. 7
5969. 8
5969. 9
5970. 0
5970. 1
5970. 2
5970. 3
5971. 0
5971. 1
5971. 2
5971. 3
5971. 4
5971. 5
5971. 6
5972. 0

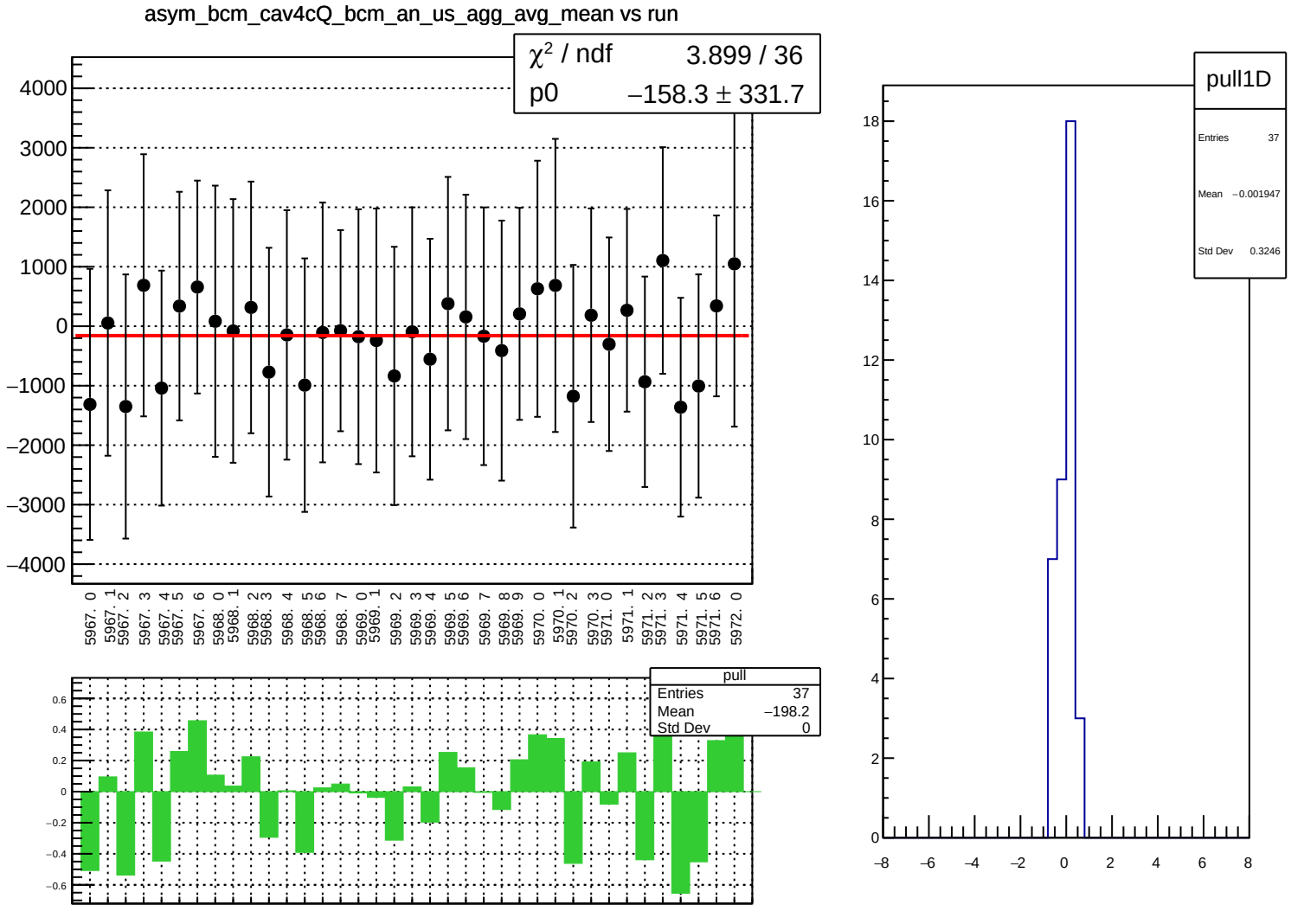
asym_bcm_cav4cQ_bcm_an_us_agg_avg_mean vs run
χ² / ndf 3.899 / 36
p0 −158.3 ± 331.7
4000
3000
2000
1000
0
−1000
−2000
−3000
−4000
5967. 0
5967. 1
5967. 2
5967. 3
5967. 4
5967. 5
5967. 6
5968. 0
5968. 1
5968. 2
5968. 3
5968. 4
5968. 5
5968. 6
5968. 7
5969. 0
5969. 1
5969. 2
5969. 3
5969. 4
5969. 5
5969. 6
5969. 7
5969. 8
5969. 9
5970. 0
5970. 1
5970. 2
5970. 3
5971. 0
5971. 1
5971. 2
5971. 3
5971. 4
5971. 5
5971. 6
5972. 0
pull
Entries 37
Mean −198.2
Std Dev 0
0.6
0.4
0.2
0
−0.2
−0.4
−0.6
pull1D
Entries 37
Mean −0.001947
Std Dev 0.3246
18
16
14
12
10
8
6
4
2
0
−8
−6
−4
−2
0
2
4
6
8

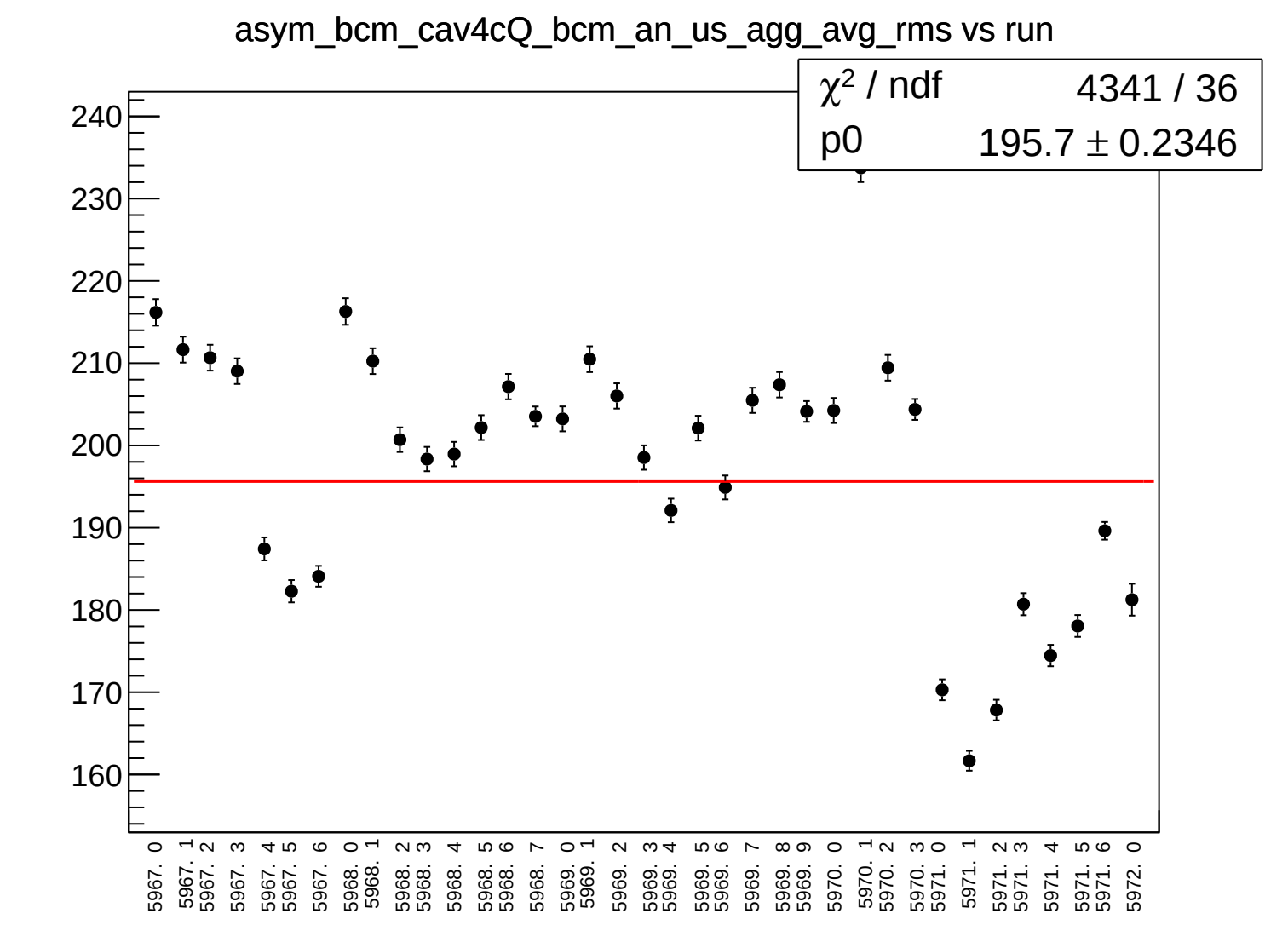
asym_bcm_cav4cQ_bcm_an_us_agg_avg_rms vs run
χ² / ndf 4341 / 36
p0 195.7 ± 0.2346
240
230
220
210
200
190
180
170
160
5967. 0
5967. 1
5967. 2
5967. 3
5967. 4
5967. 5
5967. 6
5968. 0
5968. 1
5968. 2
5968. 3
5968. 4
5968. 5
5968. 6
5968. 7
5969. 0
5969. 1
5969. 2
5969. 3
5969. 4
5969. 5
5969. 6
5969. 7
5969. 8
5969. 9
5970. 0
5970. 1
5970. 2
5970. 3
5971. 0
5971. 1
5971. 2
5971. 3
5971. 4
5971. 5
5971. 6
5972. 0

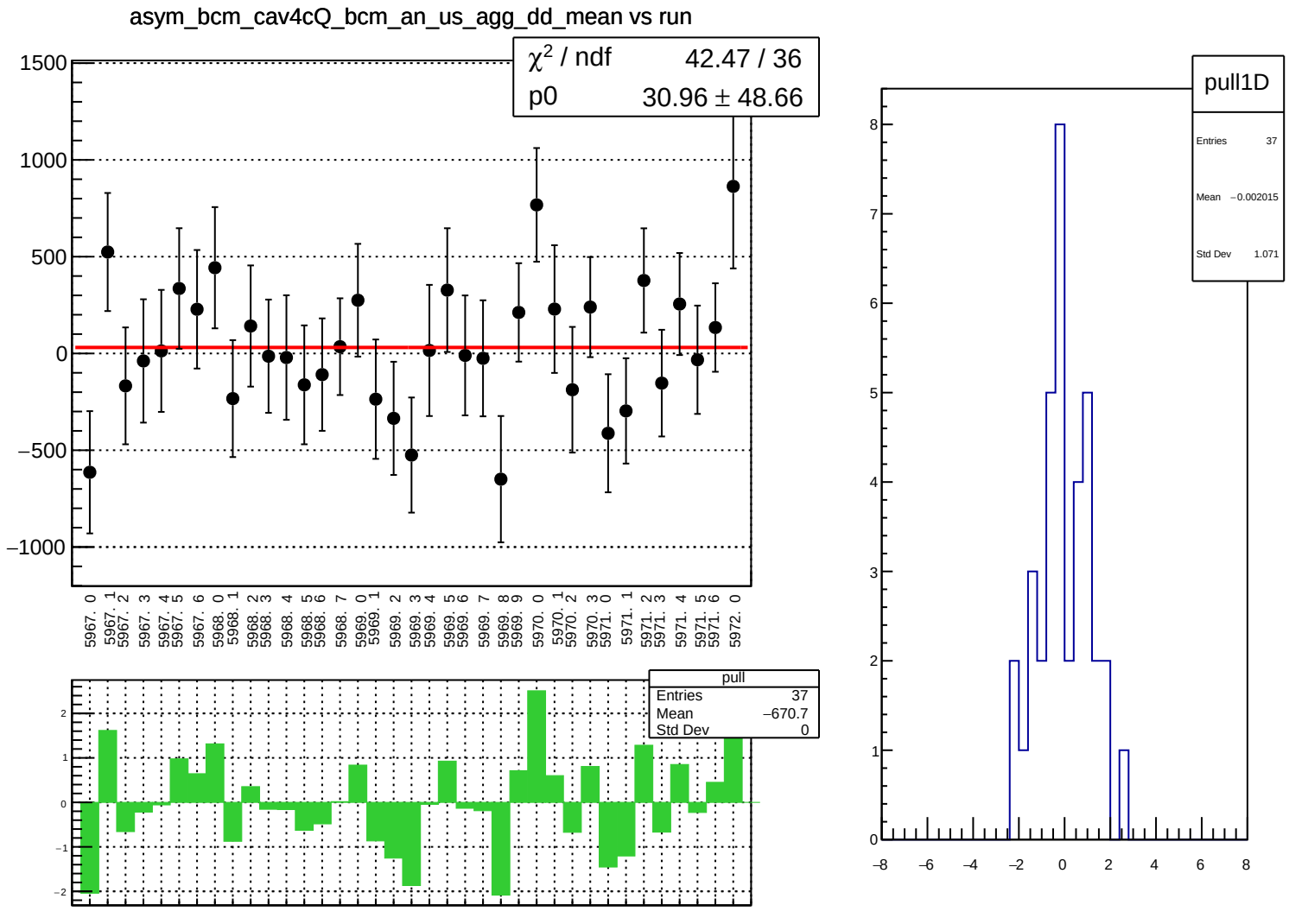
asym_bcm_cav4cQ_bcm_an_us_agg_dd_mean vs run
χ² / ndf 42.47 / 36
p0 30.96 ± 48.66
1500
1000
500
0
−500
−1000
5967. 0
5967. 1
5967. 2
5967. 3
5967. 4
5967. 5
5967. 6
5968. 0
5968. 1
5968. 2
5968. 3
5968. 4
5968. 5
5968. 6
5968. 7
5969. 0
5969. 1
5969. 2
5969. 3
5969. 4
5969. 5
5969. 6
5969. 7
5969. 8
5969. 9
5970. 0
5970. 1
5970. 2
5970. 3
5971. 0
5971. 1
5971. 2
5971. 3
5971. 4
5971. 5
5971. 6
5972. 0
pull
Entries 37
Mean −670.7
Std Dev 0
2
1
0
−1
−2
pull1D
Entries 37
Mean −0.002015
Std Dev 1.071
8
7
6
5
4
3
2
1
0
−8
−6
−4
−2
0
2
4
6
8

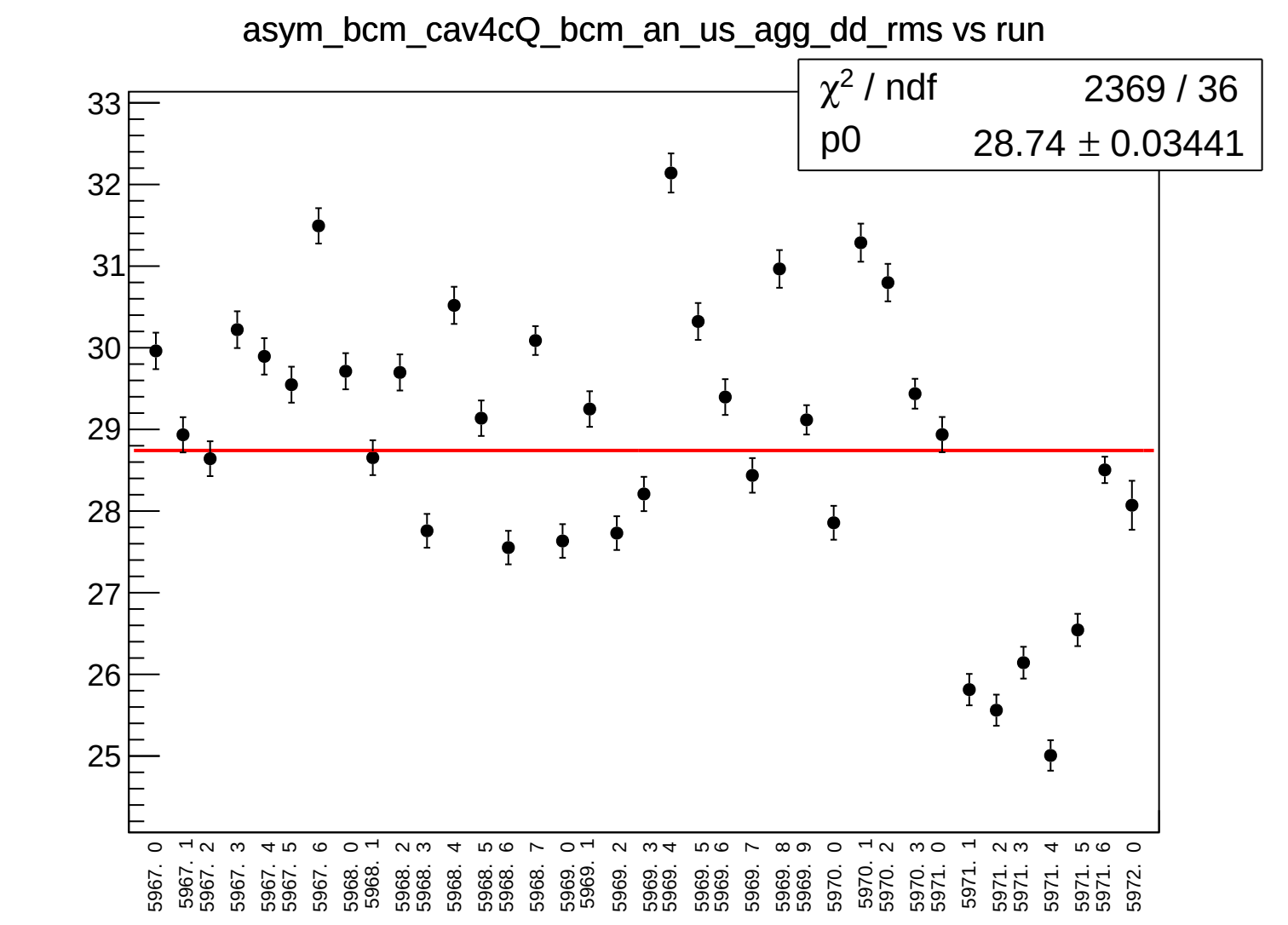
asym_bcm_cav4cQ_bcm_an_us_agg_dd_rms vs run
χ² / ndf 2369 / 36
p0 28.74 ± 0.03441
33
32
31
30
29
28
27
26
25
5967. 0
5967. 1
5967. 2
5967. 3
5967. 4
5967. 5
5967. 6
5968. 0
5968. 1
5968. 2
5968. 3
5968. 4
5968. 5
5968. 6
5968. 7
5969. 0
5969. 1
5969. 2
5969. 3
5969. 4
5969. 5
5969. 6
5969. 7
5969. 8
5969. 9
5970. 0
5970. 1
5970. 2
5970. 3
5971. 0
5971. 1
5971. 2
5971. 3
5971. 4
5971. 5
5971. 6
5972. 0

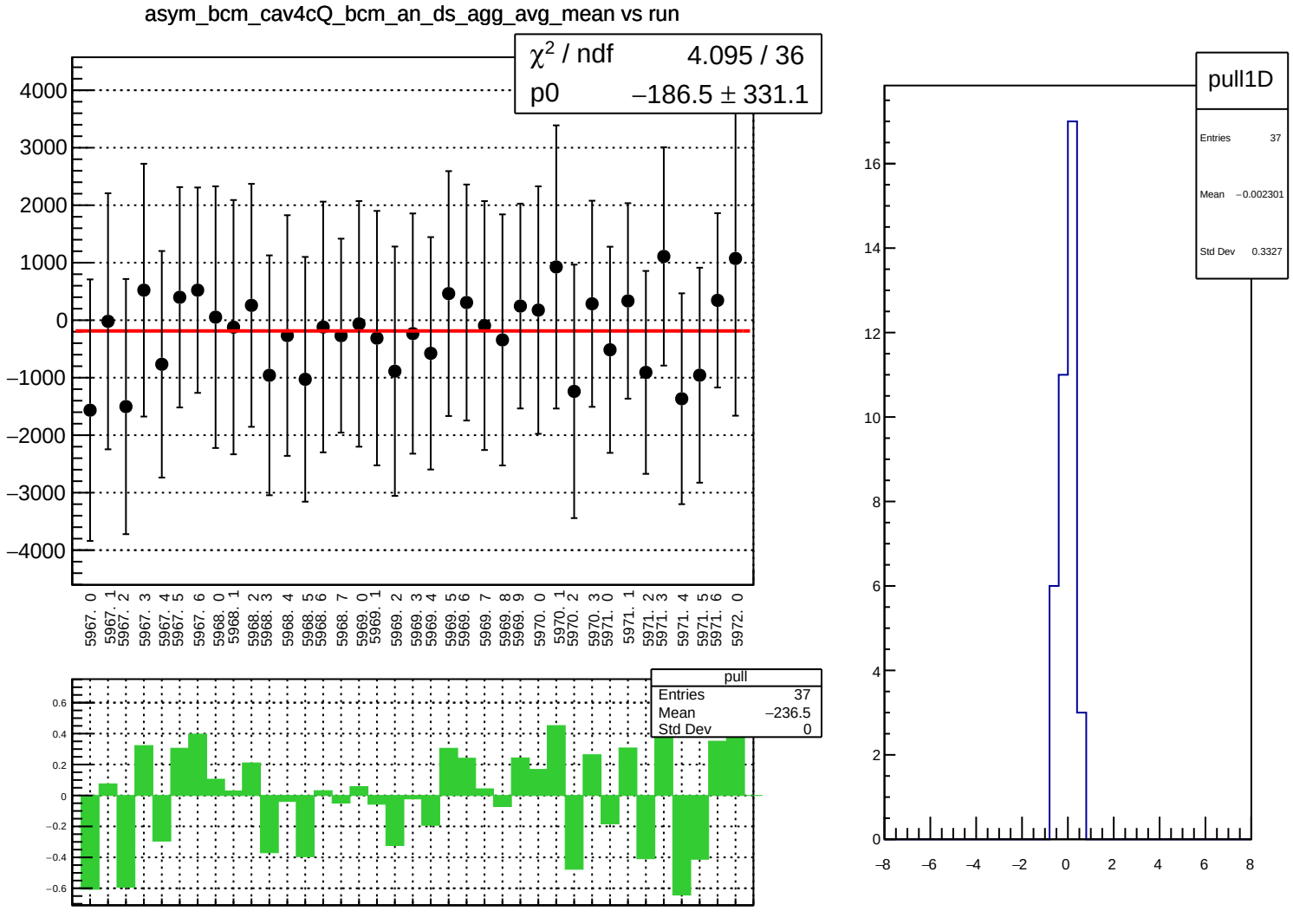
asym_bcm_cav4cQ_bcm_an_ds_agg_avg_mean vs run
χ² / ndf 4.095 / 36
p0 −186.5 ± 331.1
4000
3000
2000
1000
0
−1000
−2000
−3000
−4000
5967. 0
5967. 1
5967. 2
5967. 3
5967. 4
5967. 5
5967. 6
5968. 0
5968. 1
5968. 2
5968. 3
5968. 4
5968. 5
5968. 6
5968. 7
5969. 0
5969. 1
5969. 2
5969. 3
5969. 4
5969. 5
5969. 6
5969. 7
5969. 8
5969. 9
5970. 0
5970. 1
5970. 2
5970. 3
5971. 0
5971. 1
5971. 2
5971. 3
5971. 4
5971. 5
5971. 6
5972. 0
pull
Entries 37
Mean −236.5
Std Dev 0
0.6
0.4
0.2
0
−0.2
−0.4
−0.6
pull1D
Entries 37
Mean −0.002301
Std Dev 0.3327
16
14
12
10
8
6
4
2
0
−8
−6
−4
−2
0
2
4
6
8

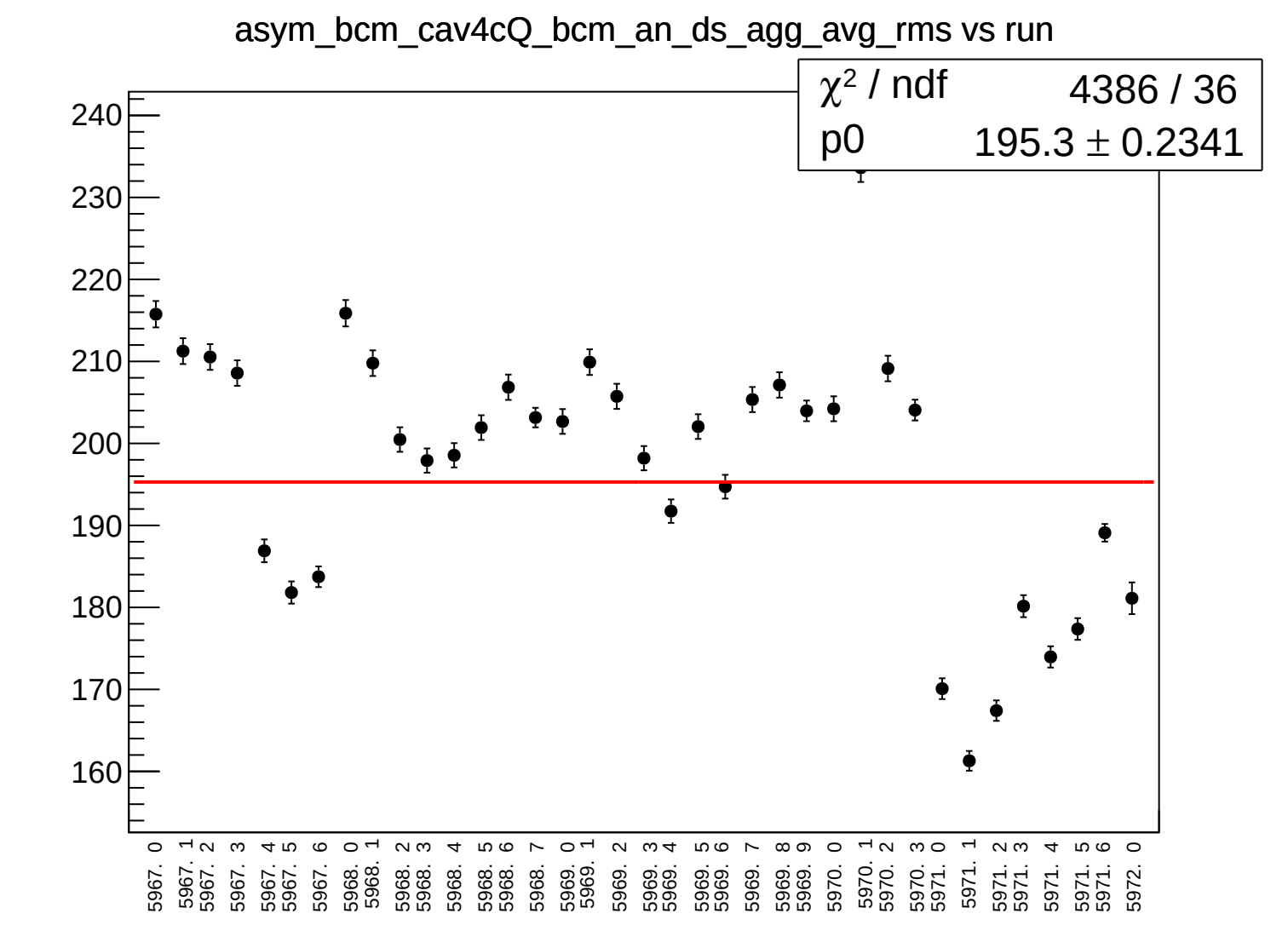
asym_bcm_cav4cQ_bcm_an_ds_agg_avg_rms vs run
χ² / ndf 4386 / 36
p0 195.3 ± 0.2341
240
230
220
210
200
190
180
170
160
5967. 0
5967. 1
5967. 2
5967. 3
5967. 4
5967. 5
5967. 6
5968. 0
5968. 1
5968. 2
5968. 3
5968. 4
5968. 5
5968. 6
5968. 7
5969. 0
5969. 1
5969. 2
5969. 3
5969. 4
5969. 5
5969. 6
5969. 7
5969. 8
5969. 9
5970. 0
5970. 1
5970. 2
5970. 3
5971. 0
5971. 1
5971. 2
5971. 3
5971. 4
5971. 5
5971. 6
5972. 0

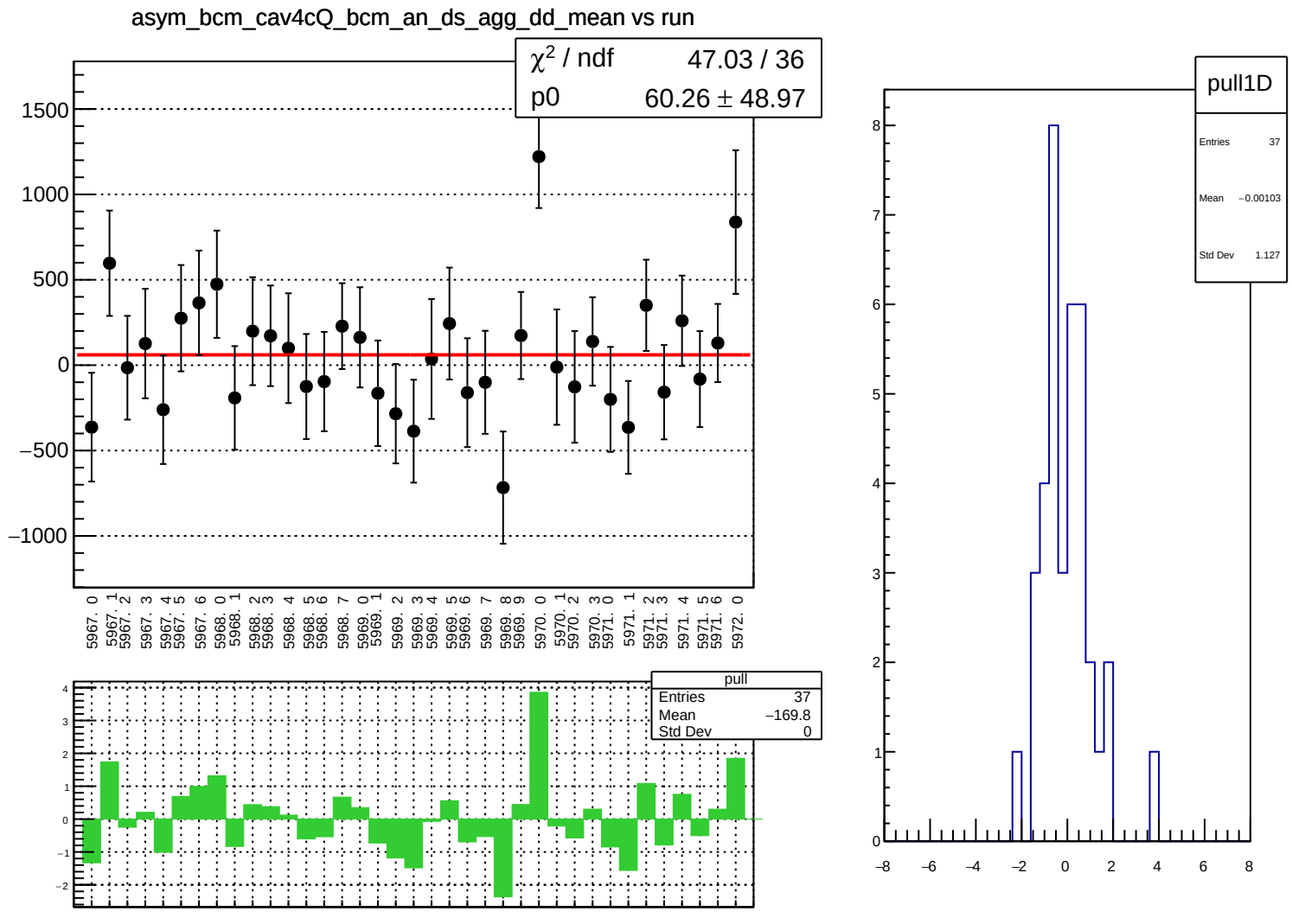
asym_bcm_cav4cQ_bcm_an_ds_agg_dd_mean vs run
χ² / ndf 47.03 / 36
p0 60.26 ± 48.97
1500
1000
500
0
−500
−1000
5967. 0
5967. 1
5967. 2
5967. 3
5967. 4
5967. 5
5967. 6
5968. 0
5968. 1
5968. 2
5968. 3
5968. 4
5968. 5
5968. 6
5968. 7
5969. 0
5969. 1
5969. 2
5969. 3
5969. 4
5969. 5
5969. 6
5969. 7
5969. 8
5969. 9
5970. 0
5970. 1
5970. 2
5970. 3
5971. 0
5971. 1
5971. 2
5971. 3
5971. 4
5971. 5
5971. 6
5972. 0
pull
Entries 37
Mean −169.8
Std Dev 0
pull1D
Entries 37
Mean −0.00103
Std Dev 1.127

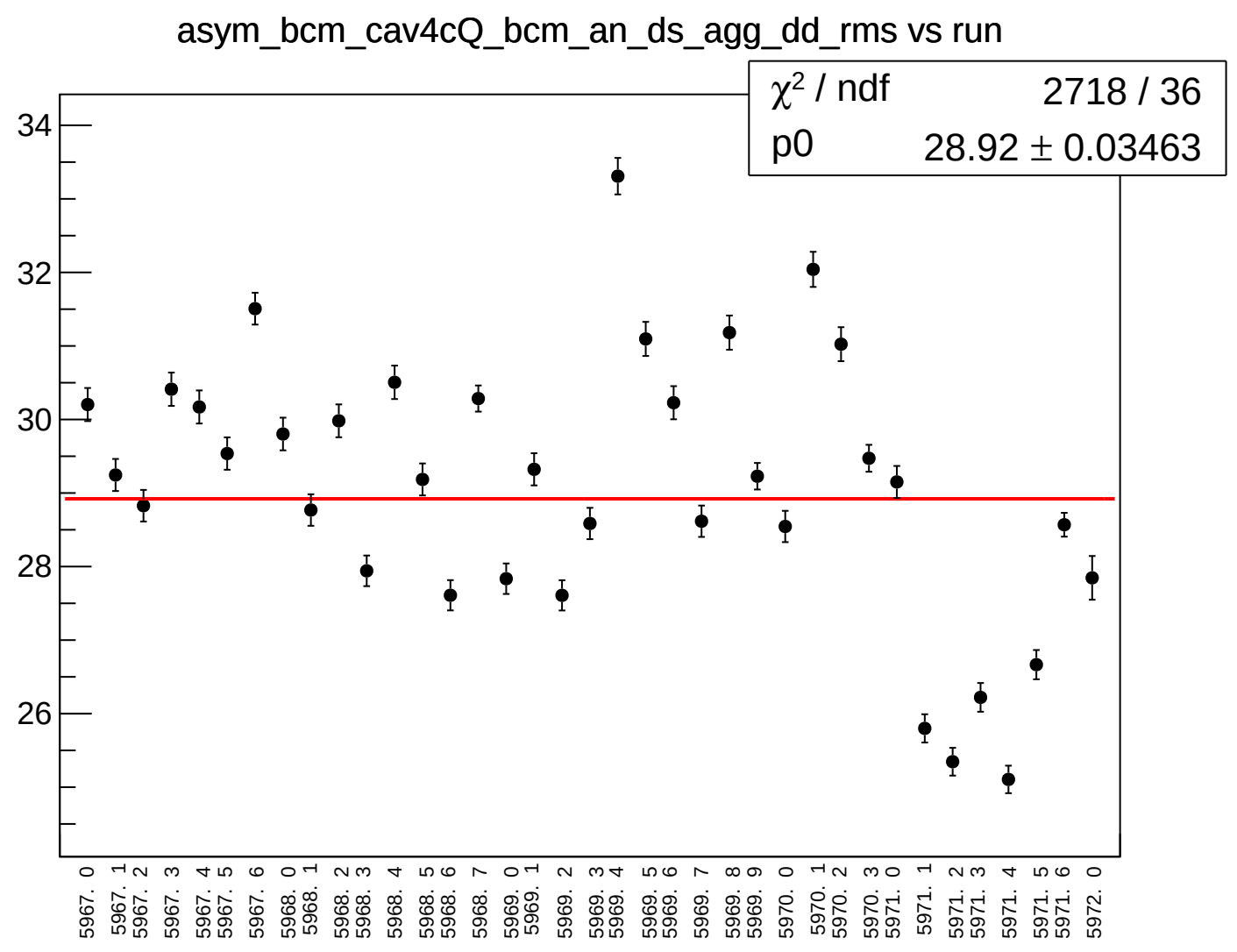
asym_bcm_cav4cQ_bcm_an_ds_agg_dd_rms vs run
χ² / ndf 2718 / 36
p0 28.92 ± 0.03463
34
32
30
28
26
5967. 0
5967. 1
5967. 2
5967. 3
5967. 4
5967. 5
5967. 6
5968. 0
5968. 1
5968. 2
5968. 3
5968. 4
5968. 5
5968. 6
5968. 7
5969. 0
5969. 1
5969. 2
5969. 3
5969. 4
5969. 5
5969. 6
5969. 7
5969. 8
5969. 9
5970. 0
5970. 1
5970. 2
5970. 3
5971. 0
5971. 1
5971. 2
5971. 3
5971. 4
5971. 5
5971. 6
5972. 0

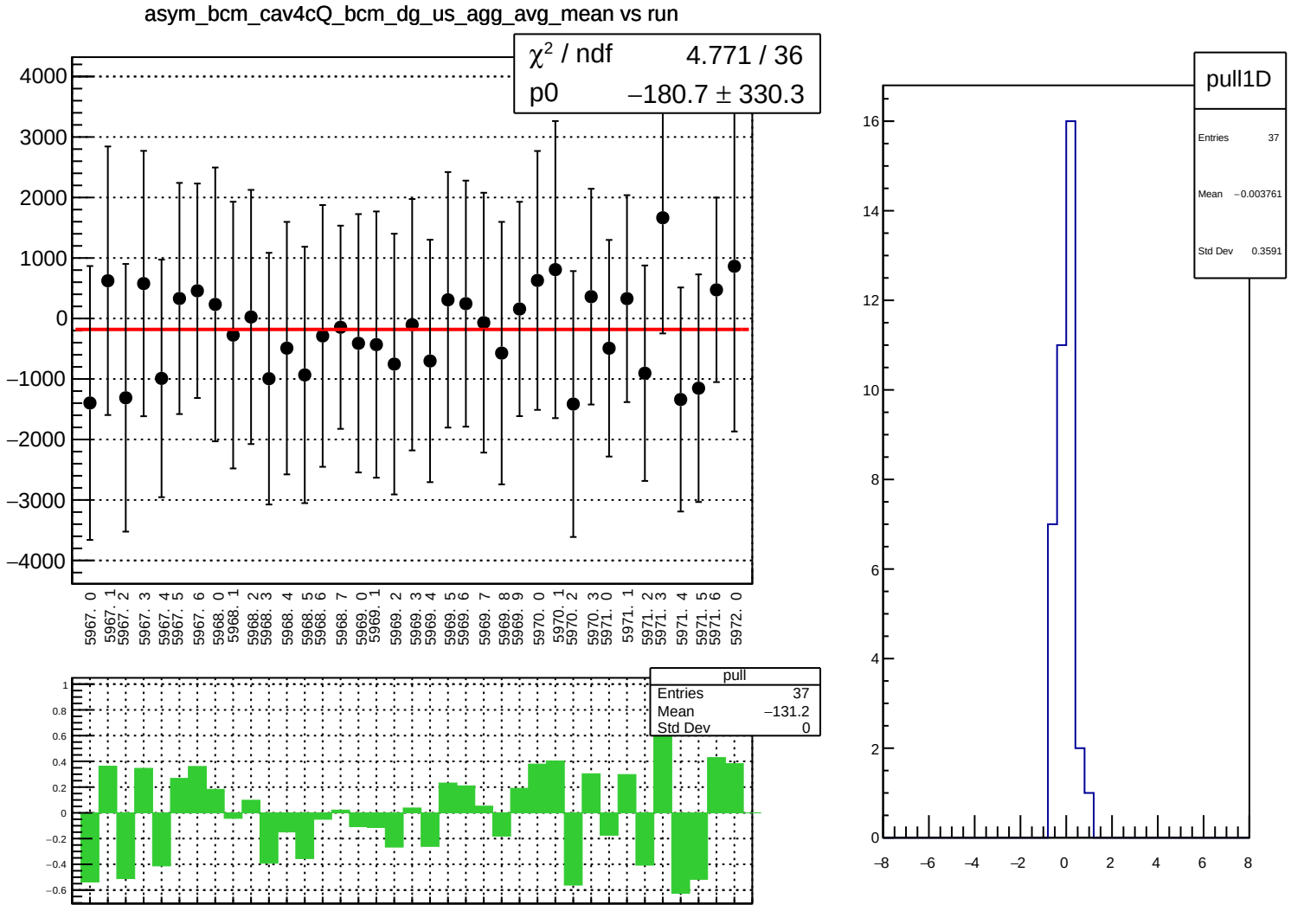
asym_bcm_cav4cQ_bcm_dg_us_agg_avg_mean vs run
χ² / ndf 4.771 / 36
p0 −180.7 ± 330.3
4000
3000
2000
1000
0
−1000
−2000
−3000
−4000
5967. 0
5967. 1
5967. 2
5967. 3
5967. 4
5967. 5
5967. 6
5968. 0
5968. 1
5968. 2
5968. 3
5968. 4
5968. 5
5968. 6
5968. 7
5969. 0
5969. 1
5969. 2
5969. 3
5969. 4
5969. 5
5969. 6
5969. 7
5969. 8
5969. 9
5970. 0
5970. 1
5970. 2
5970. 3
5971. 0
5971. 1
5971. 2
5971. 3
5971. 4
5971. 5
5971. 6
5972. 0
pull
Entries 37
Mean −131.2
Std Dev 0
1
0.8
0.6
0.4
0.2
0
−0.2
−0.4
−0.6
pull1D
Entries 37
Mean −0.003761
Std Dev 0.3591
16
14
12
10
8
6
4
2
0
−8
−6
−4
−2
0
2
4
6
8

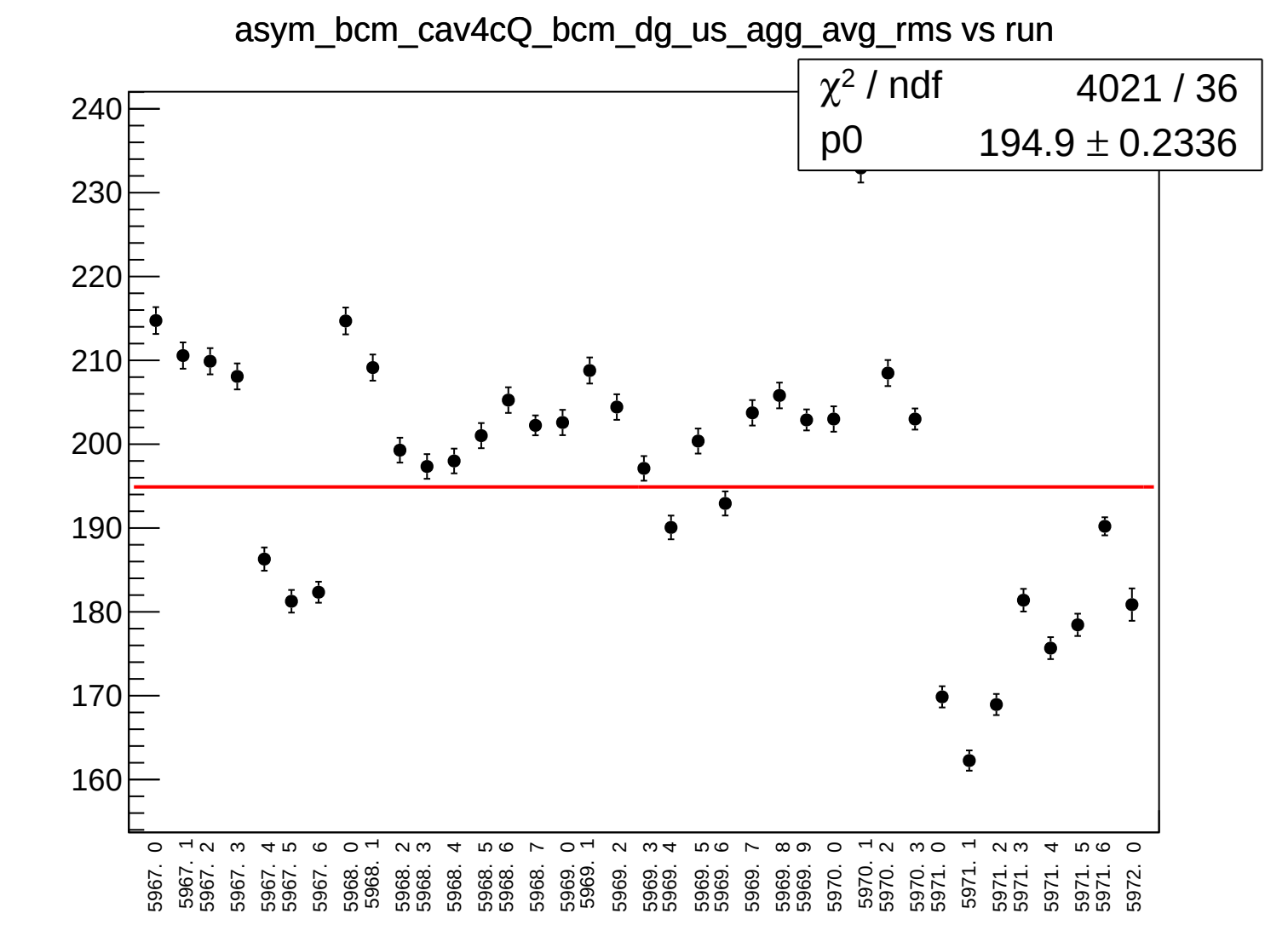
asym_bcm_cav4cQ_bcm_dg_us_agg_avg_rms vs run
χ² / ndf 4021 / 36
p0 194.9 ± 0.2336
240
230
220
210
200
190
180
170
160
5967. 0
5967. 1
5967. 2
5967. 3
5967. 4
5967. 5
5967. 6
5968. 0
5968. 1
5968. 2
5968. 3
5968. 4
5968. 5
5968. 6
5968. 7
5969. 0
5969. 1
5969. 2
5969. 3
5969. 4
5969. 5
5969. 6
5969. 7
5969. 8
5969. 9
5970. 0
5970. 1
5970. 2
5970. 3
5971. 0
5971. 1
5971. 2
5971. 3
5971. 4
5971. 5
5971. 6
5972. 0

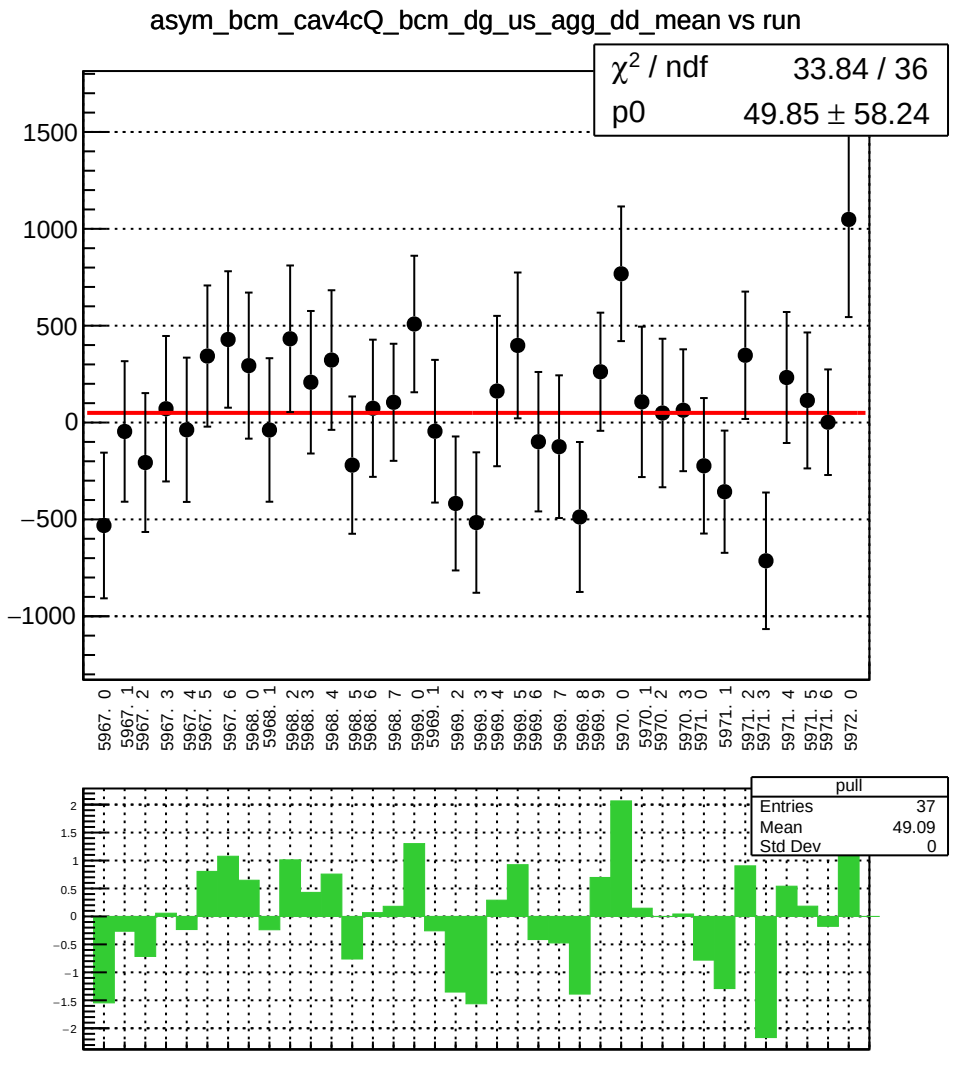
asym_bcm_cav4cQ_bcm_dg_us_agg_dd_mean vs run
χ² / ndf 33.84 / 36
p0 49.85 ± 58.24
1500
1000
500
0
−500
−1000
5967. 0
5967. 1
5967. 2
5967. 3
5967. 4
5967. 5
5967. 6
5968. 0
5968. 1
5968. 2
5968. 3
5968. 4
5968. 5
5968. 6
5968. 7
5969. 0
5969. 1
5969. 2
5969. 3
5969. 4
5969. 5
5969. 6
5969. 7
5969. 8
5969. 9
5970. 0
5970. 1
5970. 2
5970. 3
5971. 0
5971. 1
5971. 2
5971. 3
5971. 4
5971. 5
5971. 6
5972. 0
pull
Entries 37
Mean 49.09
Std Dev 0
2
1.5
1
0.5
0
−0.5
−1
−1.5
−2
pull1D
Entries 37
Mean 0.01328
Std Dev 0.9563
7
6
5
4
3
2
1
0
−8
−6
−4
−2
0
2
4
6
8

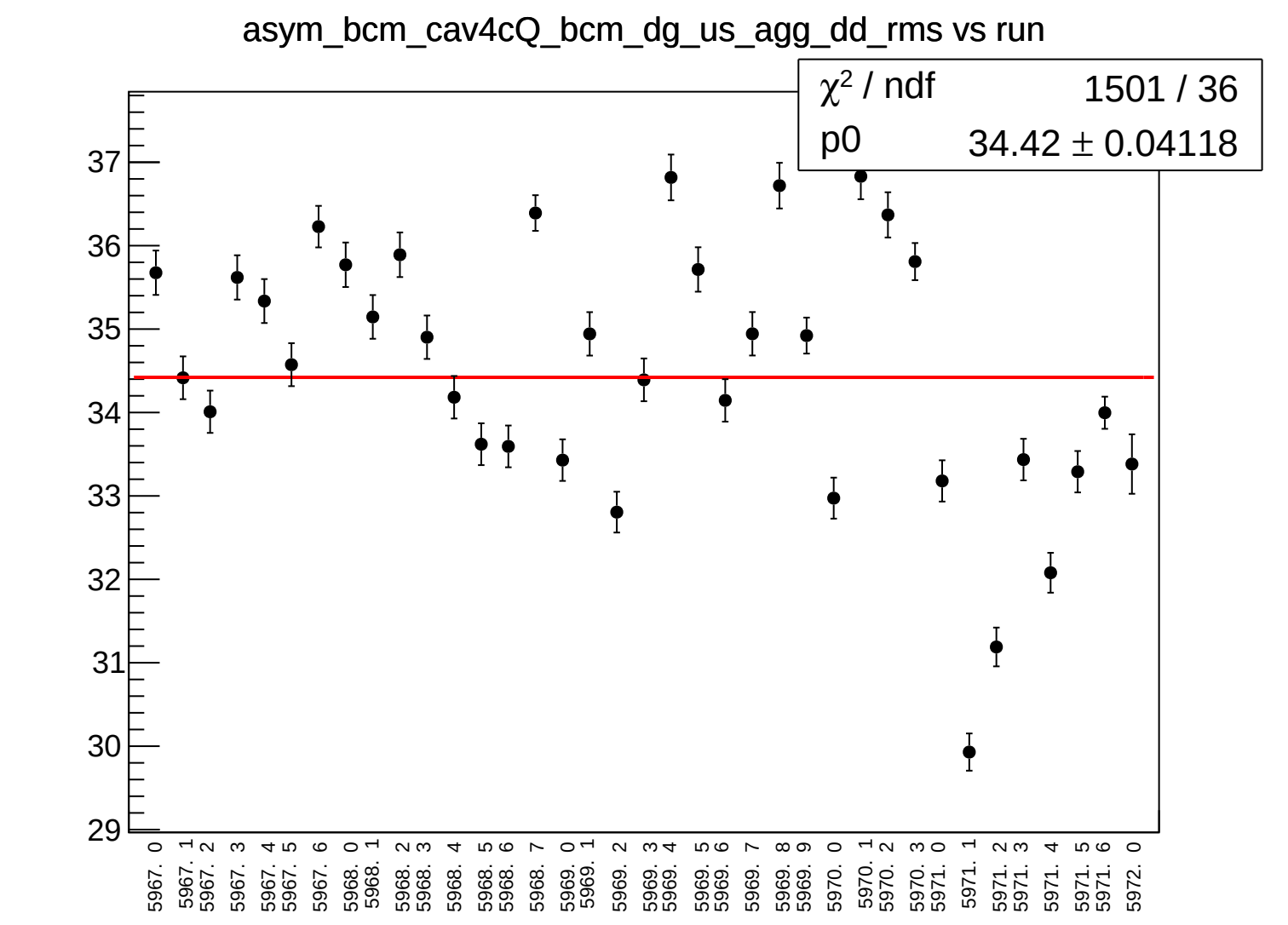
asym_bcm_cav4cQ_bcm_dg_us_agg_dd_rms vs run
χ² / ndf 1501 / 36
p0 34.42 ± 0.04118
37
36
35
34
33
32
31
30
29
5967. 0
5967. 1
5967. 2
5967. 3
5967. 4
5967. 5
5967. 6
5968. 0
5968. 1
5968. 2
5968. 3
5968. 4
5968. 5
5968. 6
5968. 7
5969. 0
5969. 1
5969. 2
5969. 3
5969. 4
5969. 5
5969. 6
5969. 7
5969. 8
5969. 9
5970. 0
5970. 1
5970. 2
5970. 3
5971. 0
5971. 1
5971. 2
5971. 3
5971. 4
5971. 5
5971. 6
5972. 0

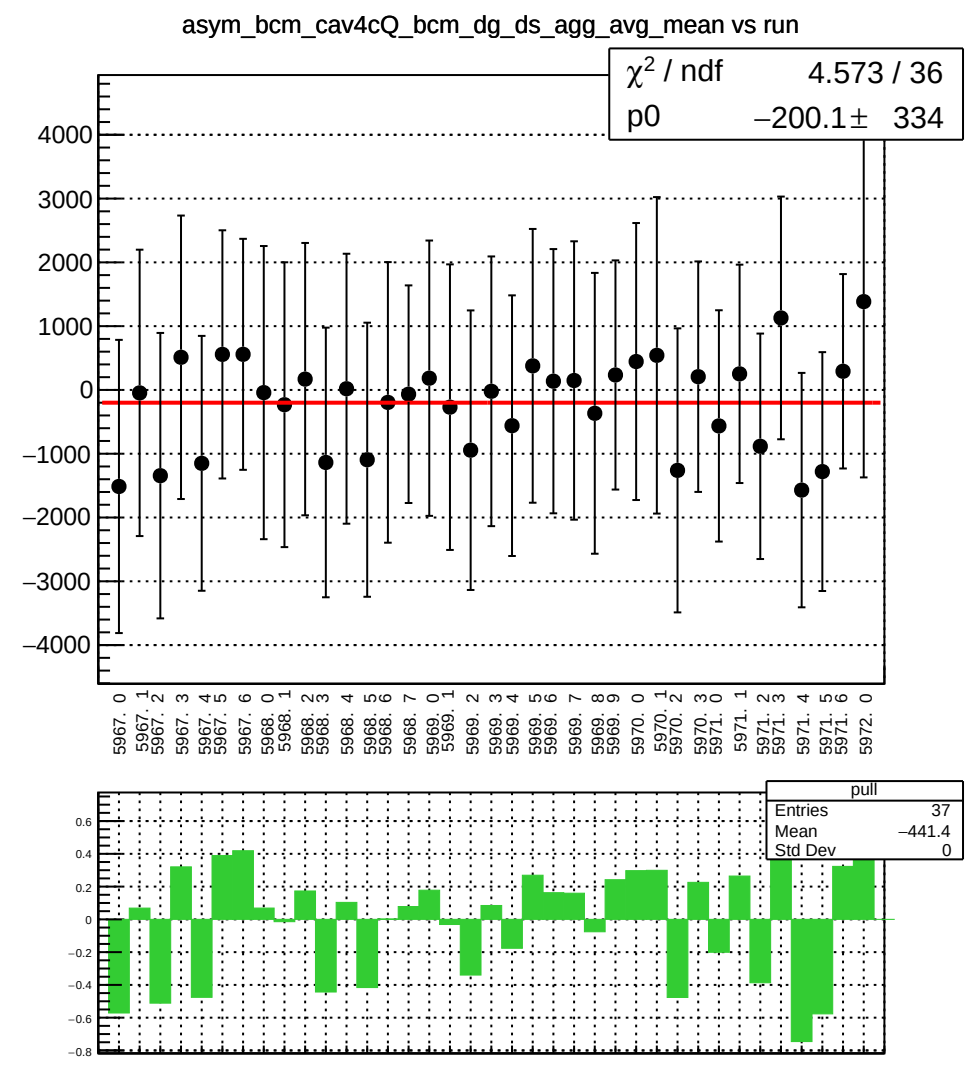
asym_bcm_cav4cQ_bcm_dg_ds_agg_avg_mean vs run
χ² / ndf 4.573 / 36
p0 −200.1± 334
4000
3000
2000
1000
0
−1000
−2000
−3000
−4000
5967. 0
5967. 1
5967. 2
5967. 3
5967. 4
5967. 5
5967. 6
5968. 0
5968. 1
5968. 2
5968. 3
5968. 4
5968. 5
5968. 6
5968. 7
5969. 0
5969. 1
5969. 2
5969. 3
5969. 4
5969. 5
5969. 6
5969. 7
5969. 8
5969. 9
5970. 0
5970. 1
5970. 2
5970. 3
5971. 0
5971. 1
5971. 2
5971. 3
5971. 4
5971. 5
5971. 6
5972. 0
pull
Entries 37
Mean −441.4
Std Dev 0
0.6
0.4
0.2
0
−0.2
−0.4
−0.6
−0.8
pull1D
Entries 37
Mean −0.001052
Std Dev 0.3515
18
16
14
12
10
8
6
4
2
0
−8
−6
−4
−2
0
2
4
6
8

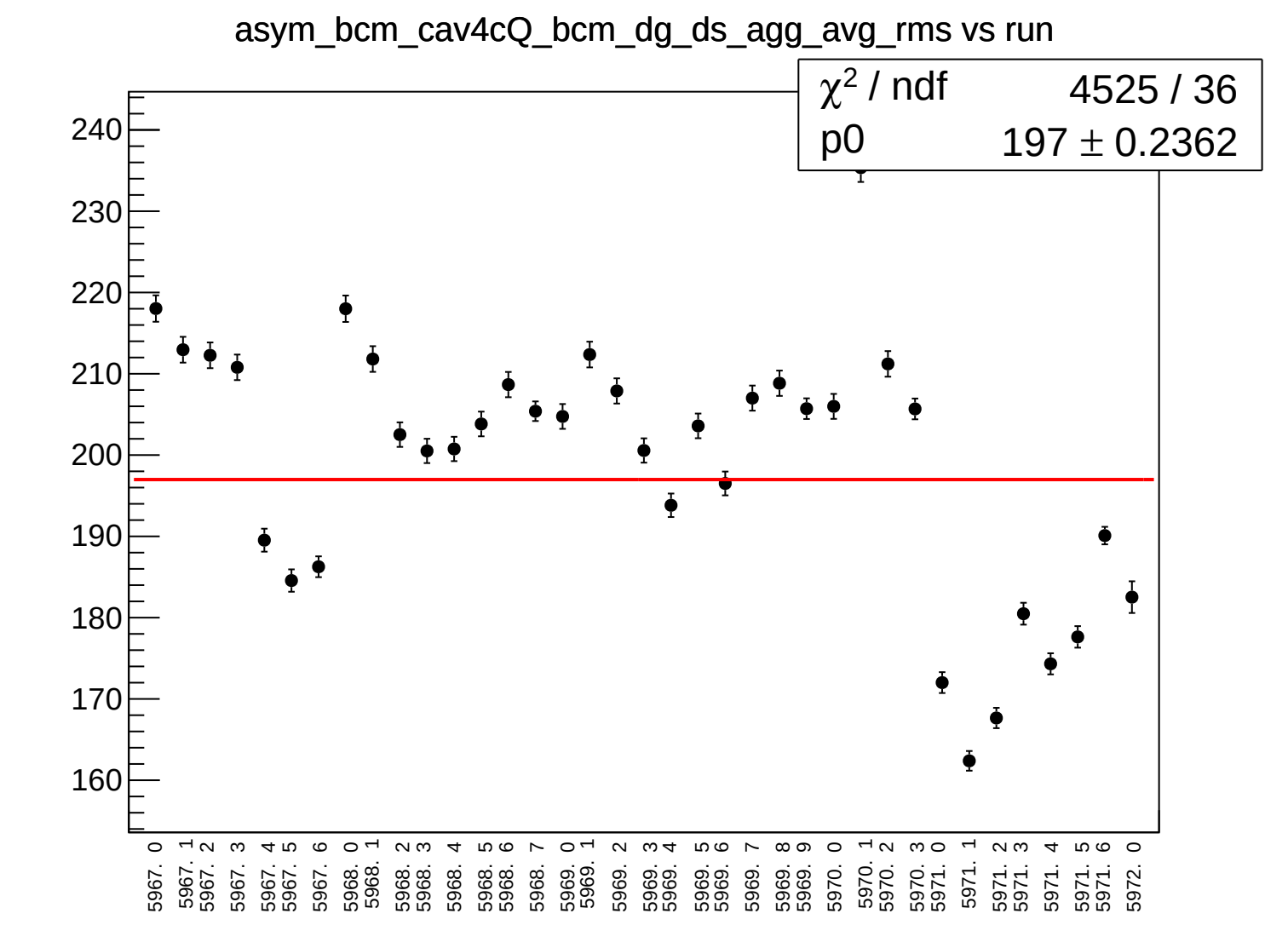
asym_bcm_cav4cQ_bcm_dg_ds_agg_avg_rms vs run
χ² / ndf 4525 / 36
p0 197 ± 0.2362
240
230
220
210
200
190
180
170
160
5967. 0
5967. 1
5967. 2
5967. 3
5967. 4
5967. 5
5967. 6
5968. 0
5968. 1
5968. 2
5968. 3
5968. 4
5968. 5
5968. 6
5968. 7
5969. 0
5969. 1
5969. 2
5969. 3
5969. 4
5969. 5
5969. 6
5969. 7
5969. 8
5969. 9
5970. 0
5970. 1
5970. 2
5970. 3
5971. 0
5971. 1
5971. 2
5971. 3
5971. 4
5971. 5
5971. 6
5972. 0

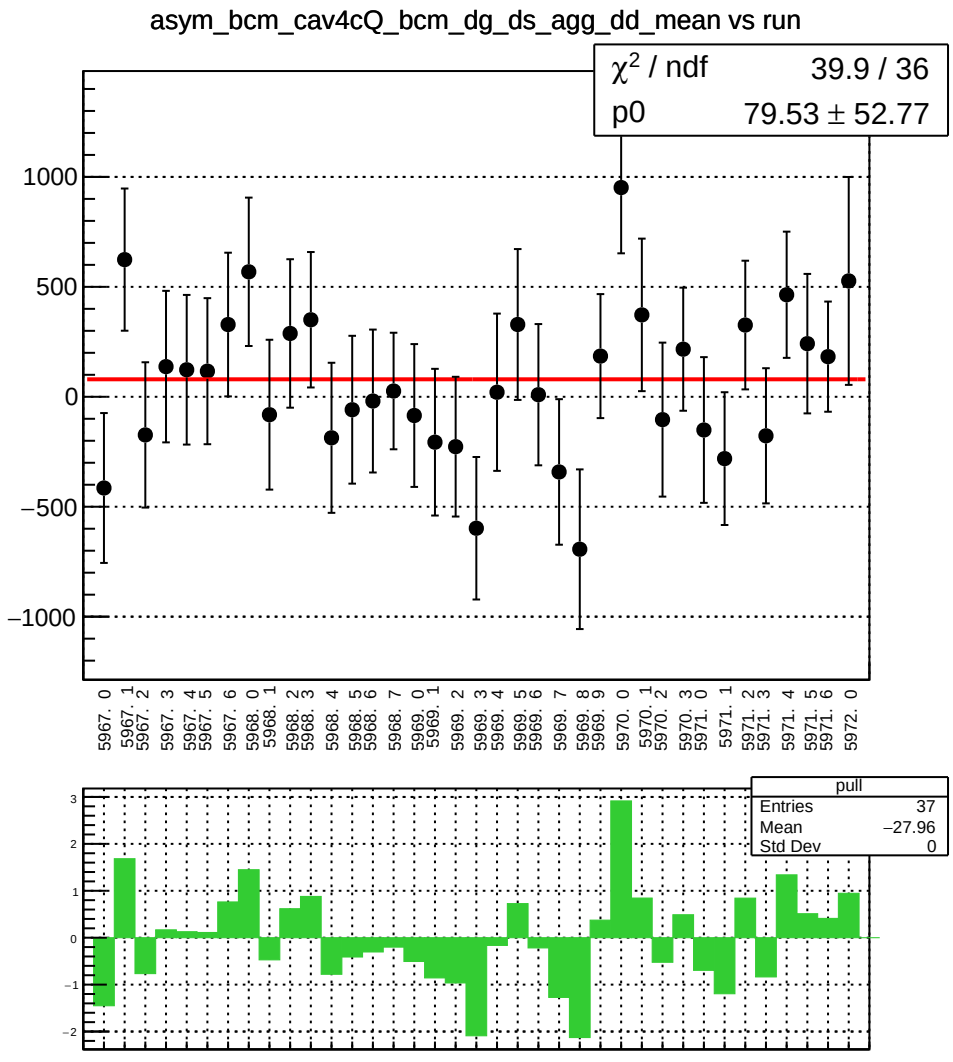
asym_bcm_cav4cQ_bcm_dg_ds_agg_dd_mean vs run
χ² / ndf 39.9 / 36
p0 79.53 ± 52.77
1000
500
0
−500
−1000
5967. 0
5967. 1
5967. 2
5967. 3
5967. 4
5967. 5
5967. 6
5968. 0
5968. 1
5968. 2
5968. 3
5968. 4
5968. 5
5968. 6
5968. 7
5969. 0
5969. 1
5969. 2
5969. 3
5969. 4
5969. 5
5969. 6
5969. 7
5969. 8
5969. 9
5970. 0
5970. 1
5970. 2
5970. 3
5971. 0
5971. 1
5971. 2
5971. 3
5971. 4
5971. 5
5971. 6
5972. 0
pull
Entries 37
Mean −27.96
Std Dev 0
3
2
1
0
−1
−2
pull1D
Entries 37
Mean −0.01719
Std Dev 1.038
7
6
5
4
3
2
1
0
−8
−6
−4
−2
0
2
4
6
8

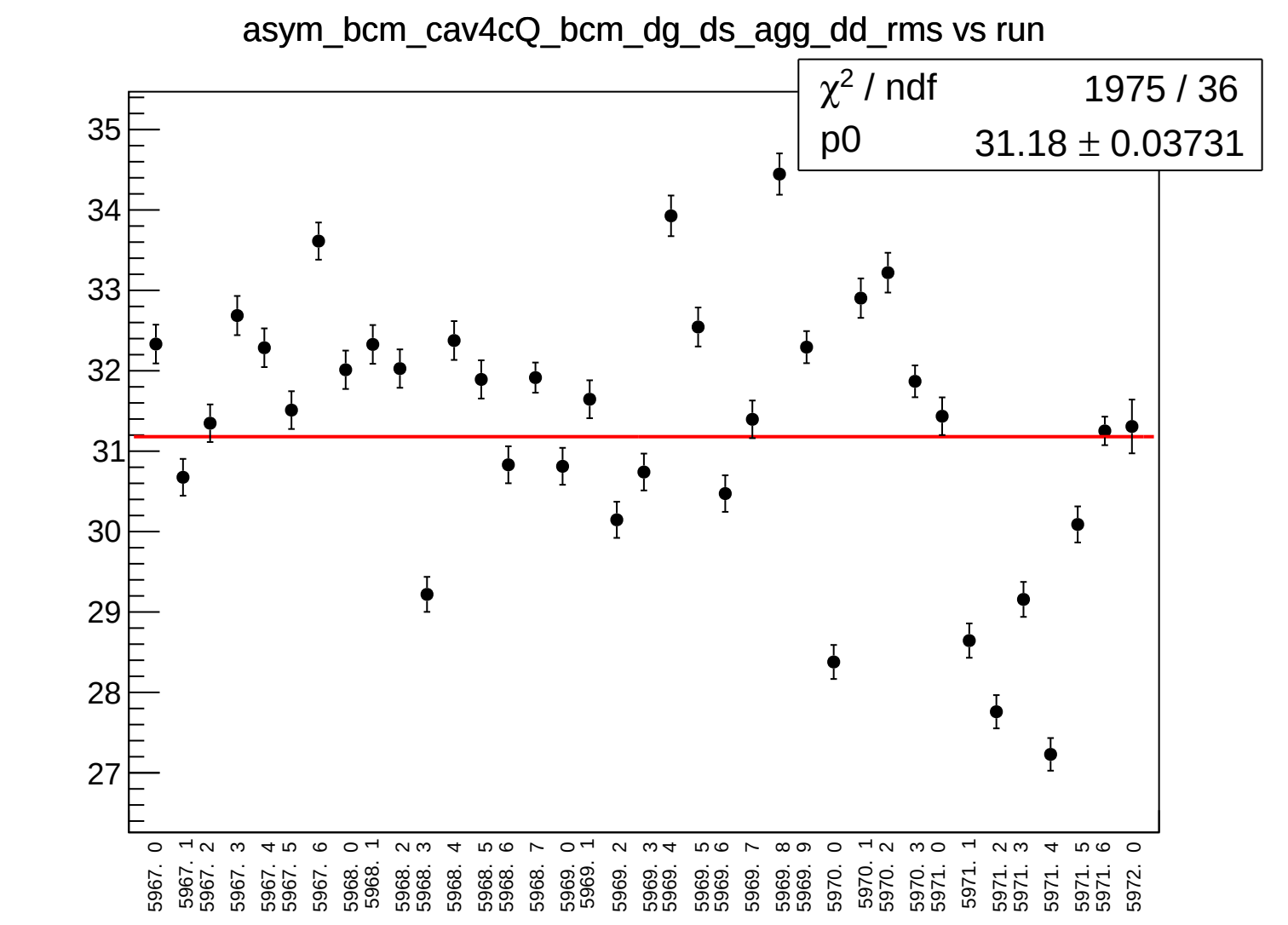
asym_bcm_cav4cQ_bcm_dg_ds_agg_dd_rms vs run
χ² / ndf 1975 / 36
p0 31.18 ± 0.03731
35
34
33
32
31
30
29
28
27
5967. 0
5967. 1
5967. 2
5967. 3
5967. 4
5967. 5
5967. 6
5968. 0
5968. 1
5968. 2
5968. 3
5968. 4
5968. 5
5968. 6
5968. 7
5969. 0
5969. 1
5969. 2
5969. 3
5969. 4
5969. 5
5969. 6
5969. 7
5969. 8
5969. 9
5970. 0
5970. 1
5970. 2
5970. 3
5971. 0
5971. 1
5971. 2
5971. 3
5971. 4
5971. 5
5971. 6
5972. 0

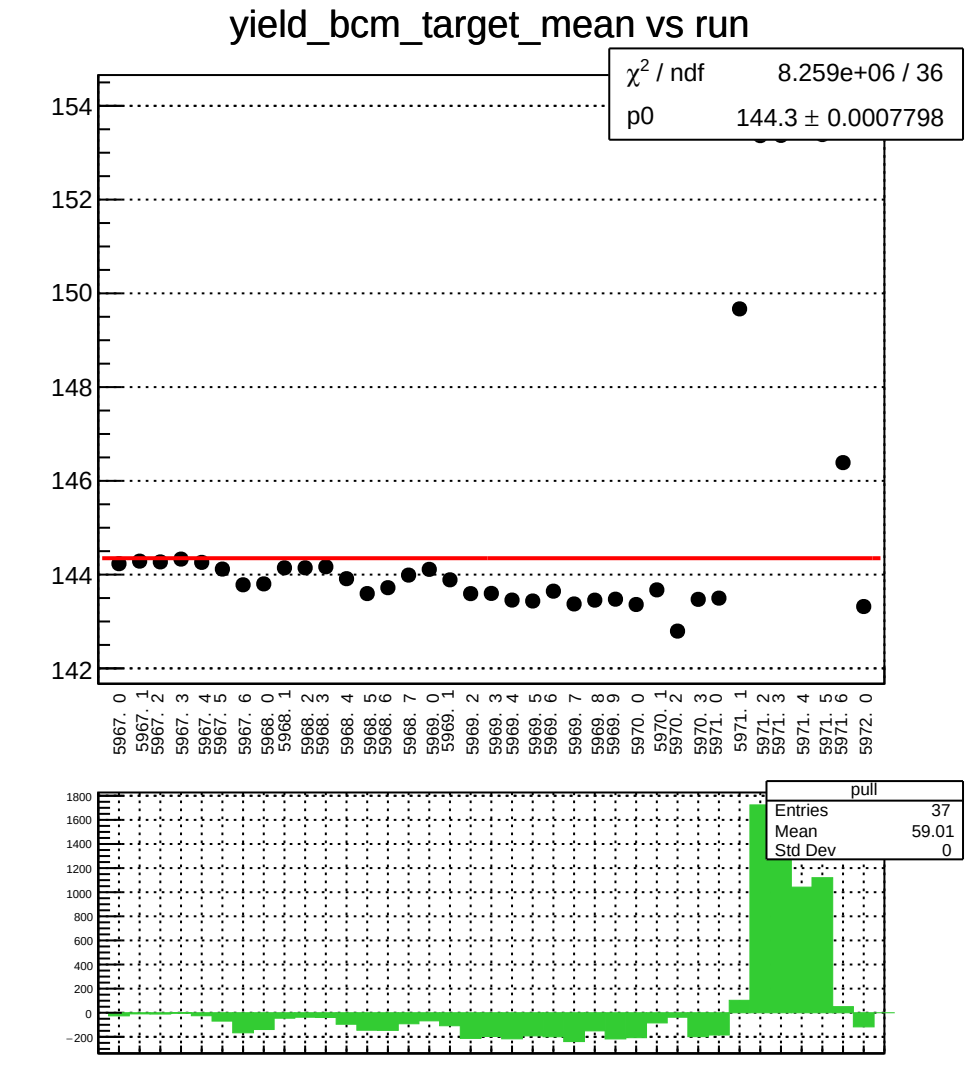
yield_bcm_target_mean vs run
χ² / ndf 8.259e+06 / 36
p0 144.3 ± 0.0007798
154
152
150
148
146
144
142
5967. 0
5967. 1
5967. 2
5967. 3
5967. 4
5967. 5
5967. 6
5968. 0
5968. 1
5968. 2
5968. 3
5968. 4
5968. 5
5968. 6
5968. 7
5969. 0
5969. 1
5969. 2
5969. 3
5969. 4
5969. 5
5969. 6
5969. 7
5969. 8
5969. 9
5970. 0
5970. 1
5970. 2
5970. 3
5971. 0
5971. 1
5971. 2
5971. 3
5971. 4
5971. 5
5971. 6
5972. 0
pull
Entries 37
Mean 59.01
Std Dev 0
1800
1600
1400
1200
1000
800
600
400
200
0
−200
pull1D
Entries 37
Mean −2.869
Std Dev 0
1
0.8
0.6
0.4
0.2
0
−8
−6
−4
−2
0
2
4
6
8

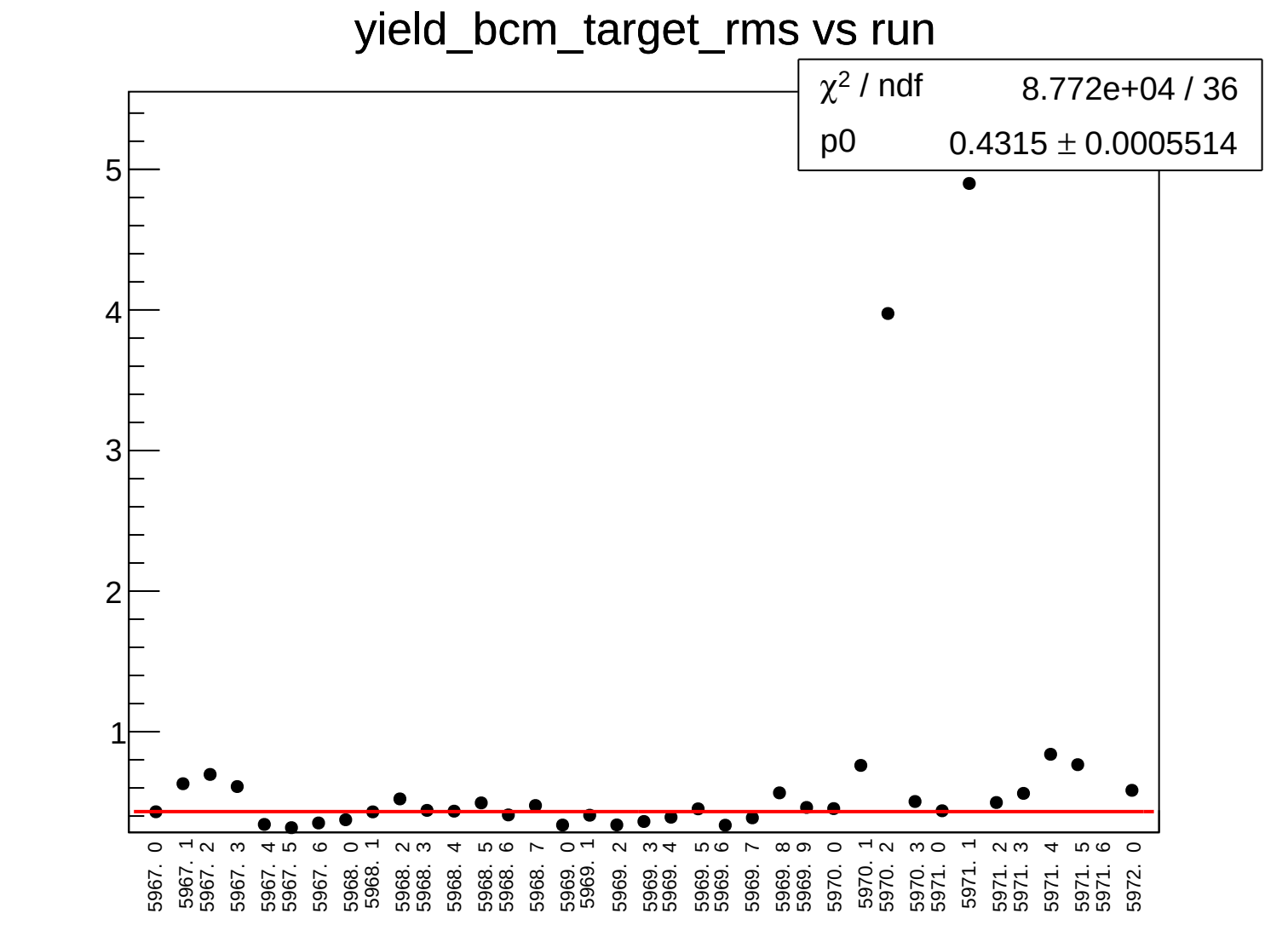
yield_bcm_target_rms vs run
χ2 / ndf 8.772e+04 / 36
p0 0.4315 ± 0.0005514
5
4
3
2
1
5967. 0
5967. 1
5967. 2
5967. 3
5967. 4
5967. 5
5967. 6
5968. 0
5968. 1
5968. 2
5968. 3
5968. 4
5968. 5
5968. 6
5968. 7
5969. 0
5969. 1
5969. 2
5969. 3
5969. 4
5969. 5
5969. 6
5969. 7
5969. 8
5969. 9
5970. 0
5970. 1
5970. 2
5970. 3
5971. 0
5971. 1
5971. 2
5971. 3
5971. 4
5971. 5
5971. 6
5972. 0

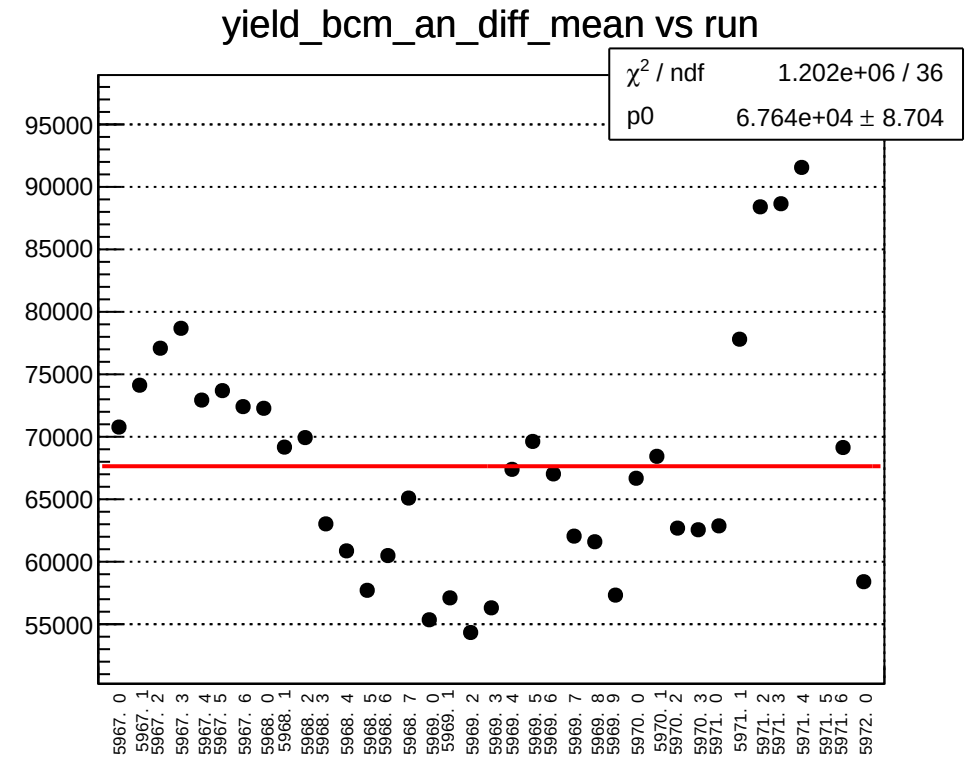
yield_bcm_an_diff_mean vs run
χ² / ndf 1.202e+06 / 36
p0 6.764e+04 ± 8.704
95000
90000
85000
80000
75000
70000
65000
60000
55000
5967. 0
5967. 1
5967. 2
5967. 3
5967. 4
5967. 5
5967. 6
5968. 0
5968. 1
5968. 2
5968. 3
5968. 4
5968. 5
5968. 6
5968. 7
5969. 0
5969. 1
5969. 2
5969. 3
5969. 4
5969. 5
5969. 6
5969. 7
5969. 8
5969. 9
5970. 0
5970. 1
5970. 2
5970. 3
5971. 0
5971. 1
5971. 2
5971. 3
5971. 4
5971. 5
5971. 6
5972. 0
pull
Entries 37
Mean 45.06
Std Dev 28.06
400
300
200
100
0
−100
−200
−300

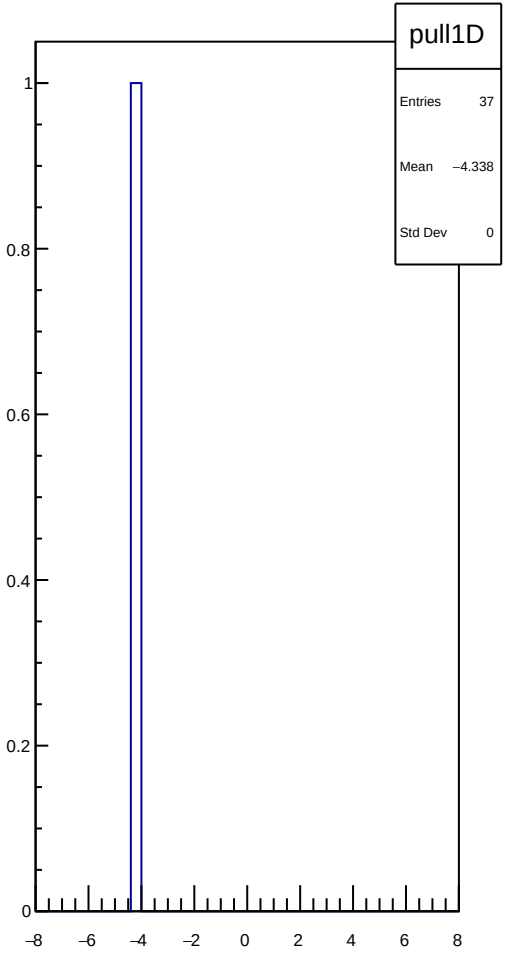
pull1D
Entries 37
Mean −4.338
Std Dev 0
1
0.8
0.6
0.4
0.2
0
−8
−6
−4
−2
0
2
4
6
8

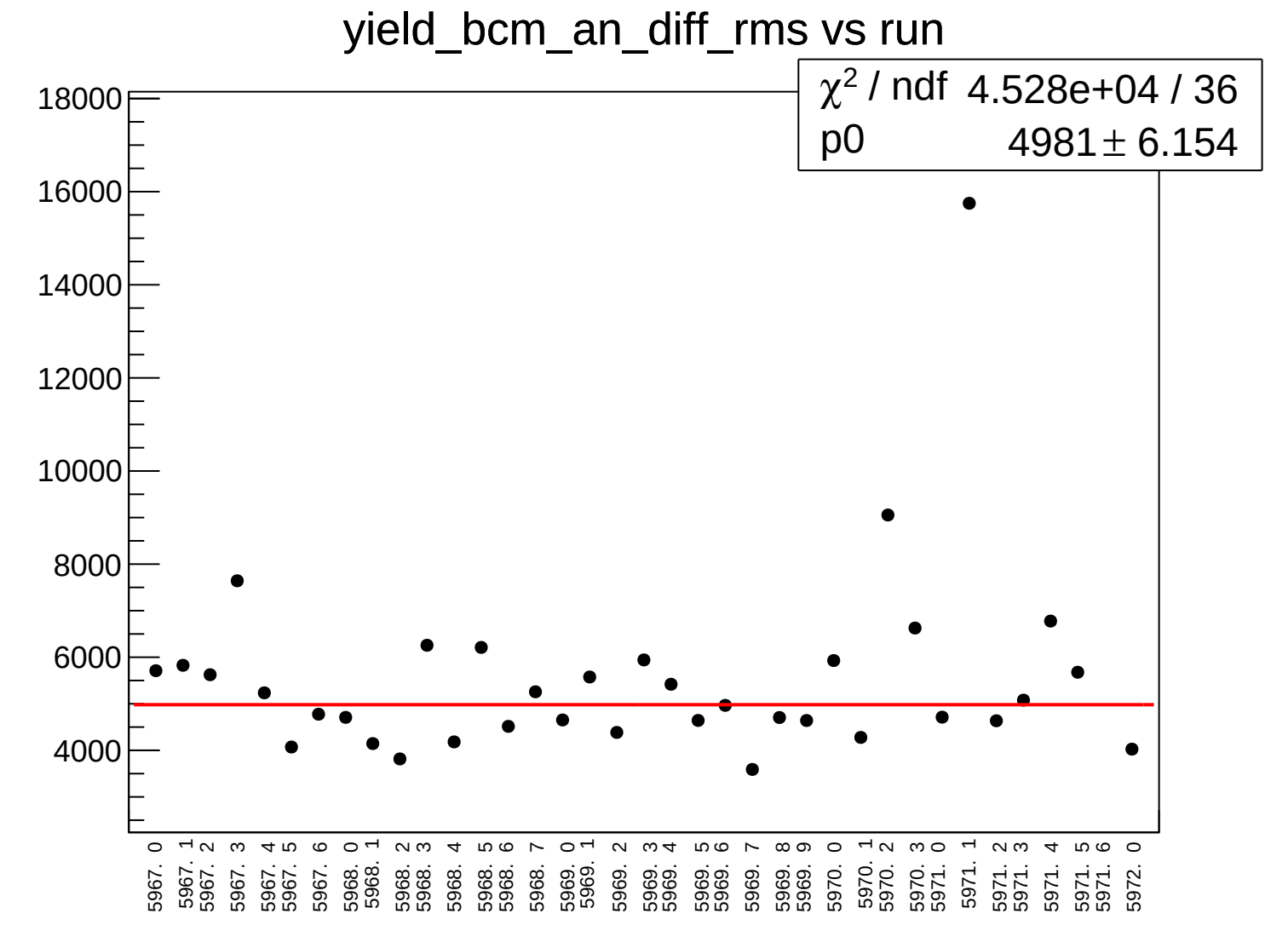
yield_bcm_an_diff_rms vs run
χ² / ndf 4.528e+04 / 36
p0 4981 ± 6.154
18000
16000
14000
12000
10000
8000
6000
4000
5967. 0
5967. 1
5967. 2
5967. 3
5967. 4
5967. 5
5967. 6
5968. 0
5968. 1
5968. 2
5968. 3
5968. 4
5968. 5
5968. 6
5968. 7
5969. 0
5969. 1
5969. 2
5969. 3
5969. 4
5969. 5
5969. 6
5969. 7
5969. 8
5969. 9
5970. 0
5970. 1
5970. 2
5970. 3
5971. 0
5971. 1
5971. 2
5971. 3
5971. 4
5971. 5
5971. 6
5972. 0

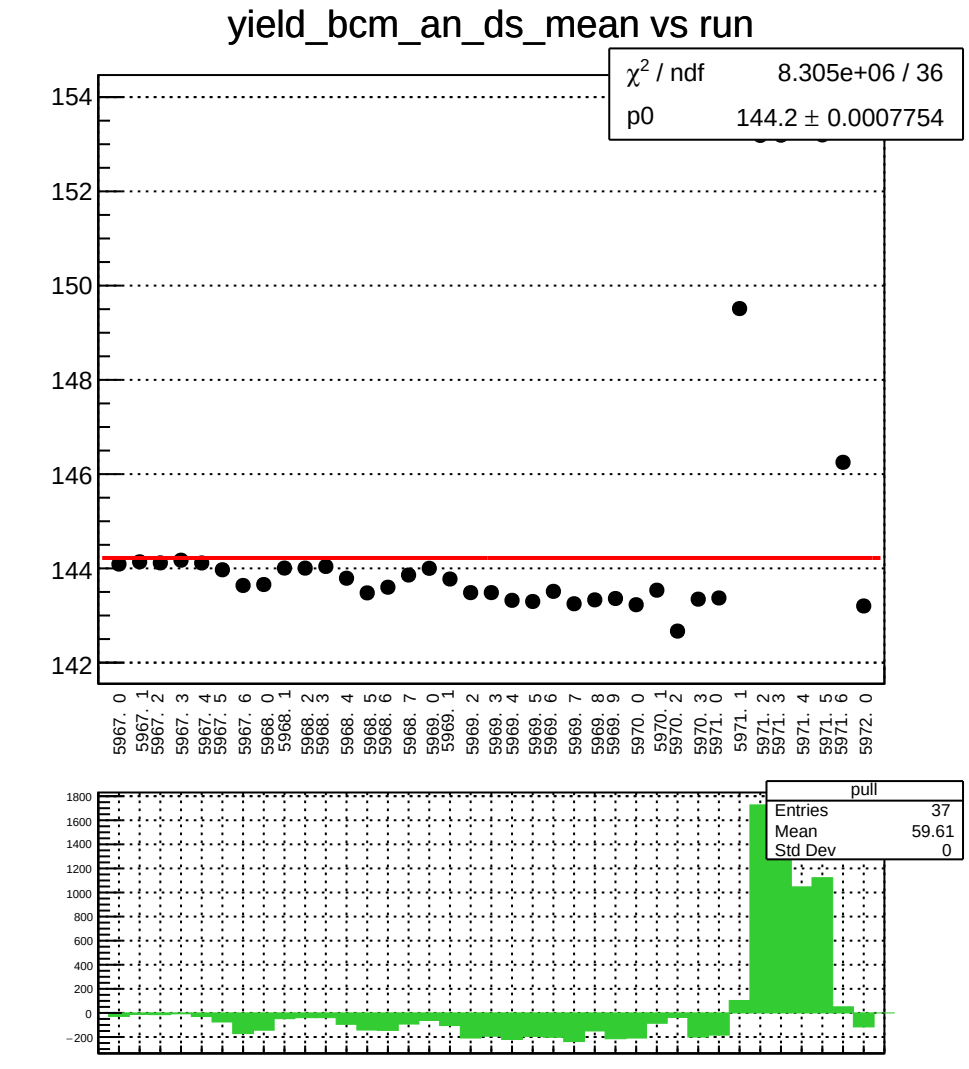
yield_bcm_an_ds_mean vs run
χ² / ndf 8.305e+06 / 36
p0 144.2 ± 0.0007754
154
152
150
148
146
144
142
5967. 0
5967. 1
5967. 2
5967. 3
5967. 4
5967. 5
5967. 6
5968. 0
5968. 1
5968. 2
5968. 3
5968. 4
5968. 5
5968. 6
5968. 7
5969. 0
5969. 1
5969. 2
5969. 3
5969. 4
5969. 5
5969. 6
5969. 7
5969. 8
5969. 9
5970. 0
5970. 1
5970. 2
5970. 3
5971. 0
5971. 1
5971. 2
5971. 3
5971. 4
5971. 5
5971. 6
5972. 0
pull
Entries 37
Mean 59.61
Std Dev 0
1800
1600
1400
1200
1000
800
600
400
200
0
−200
pull1D
Entries 37
Mean −7.336
Std Dev 0
1
0.8
0.6
0.4
0.2
0
−8
−6
−4
−2
0
2
4
6
8

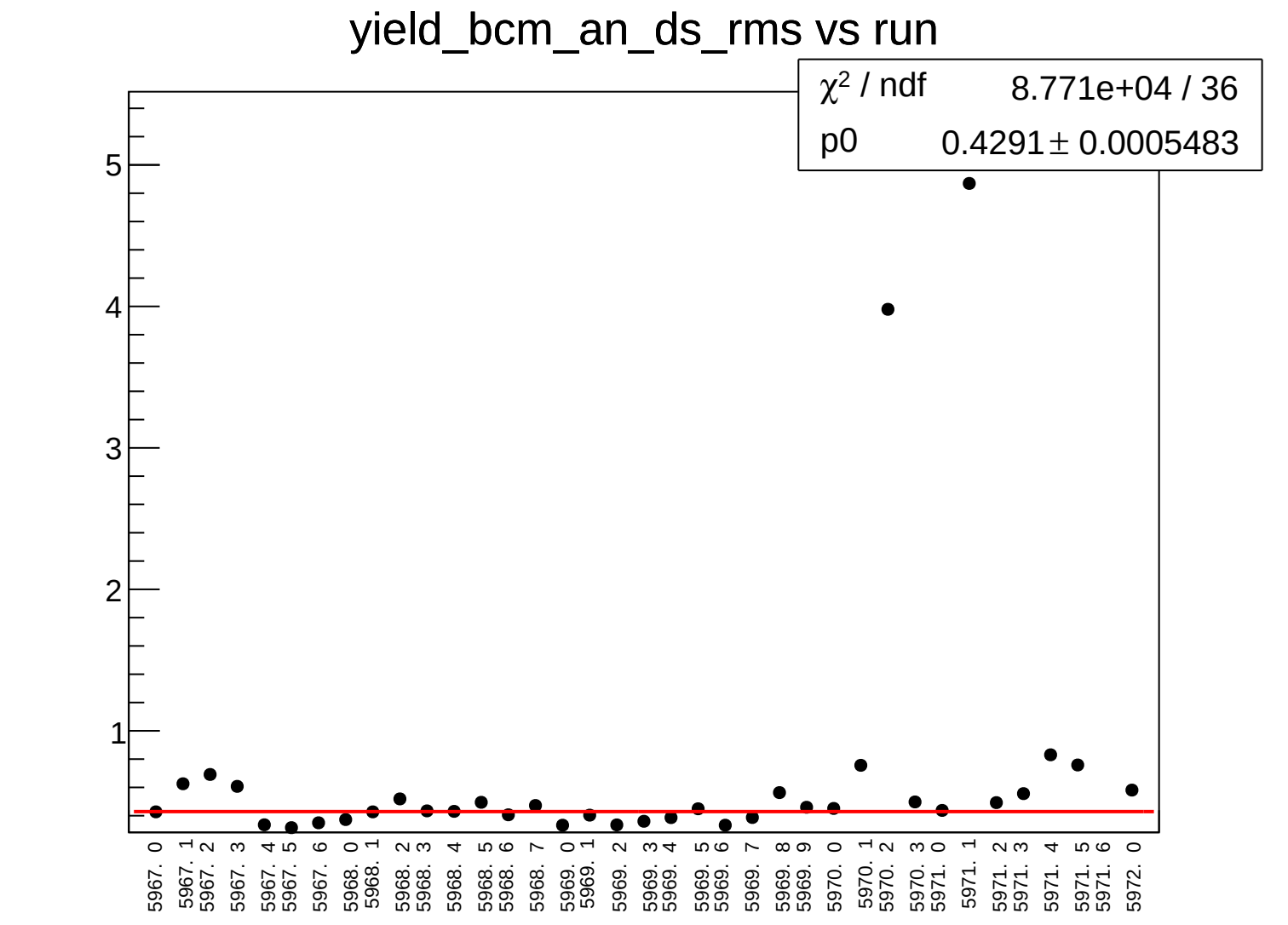
yield_bcm_an_ds_rms vs run
χ² / ndf 8.771e+04 / 36
p0 0.4291 ± 0.0005483
5
4
3
2
1
5967. 0
5967. 1
5967. 2
5967. 3
5967. 4
5967. 5
5967. 6
5968. 0
5968. 1
5968. 2
5968. 3
5968. 4
5968. 5
5968. 6
5968. 7
5969. 0
5969. 1
5969. 2
5969. 3
5969. 4
5969. 5
5969. 6
5969. 7
5969. 8
5969. 9
5970. 0
5970. 1
5970. 2
5970. 3
5971. 0
5971. 1
5971. 2
5971. 3
5971. 4
5971. 5
5971. 6
5972. 0

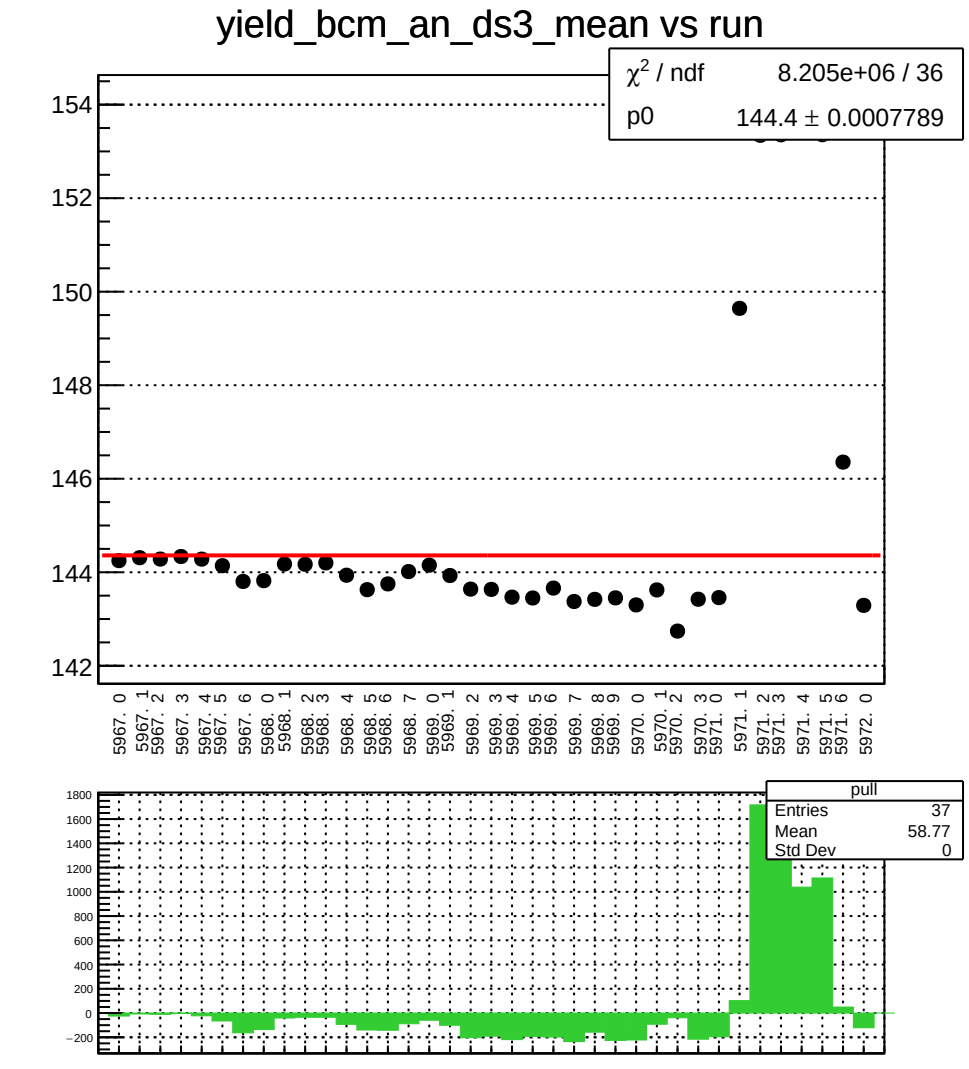
yield_bcm_an_ds3_mean vs run
χ² / ndf 8.205e+06 / 36
p0 144.4 ± 0.0007789
154
152
150
148
146
144
142
5967. 0
5967. 1
5967. 2
5967. 3
5967. 4
5967. 5
5967. 6
5968. 0
5968. 1
5968. 2
5968. 3
5968. 4
5968. 5
5968. 6
5968. 7
5969. 0
5969. 1
5969. 2
5969. 3
5969. 4
5969. 5
5969. 6
5969. 7
5969. 8
5969. 9
5970. 0
5970. 1
5970. 2
5970. 3
5971. 0
5971. 1
5971. 2
5971. 3
5971. 4
5971. 5
5971. 6
5972. 0
pull
Entries 37
Mean 58.77
Std Dev 0
1800
1600
1400
1200
1000
800
600
400
200
0
−200
pull1D
Entries 37
Mean −5.517
Std Dev 1.858
1
0.8
0.6
0.4
0.2
0
−8
−6
−4
−2
0
2
4
6
8

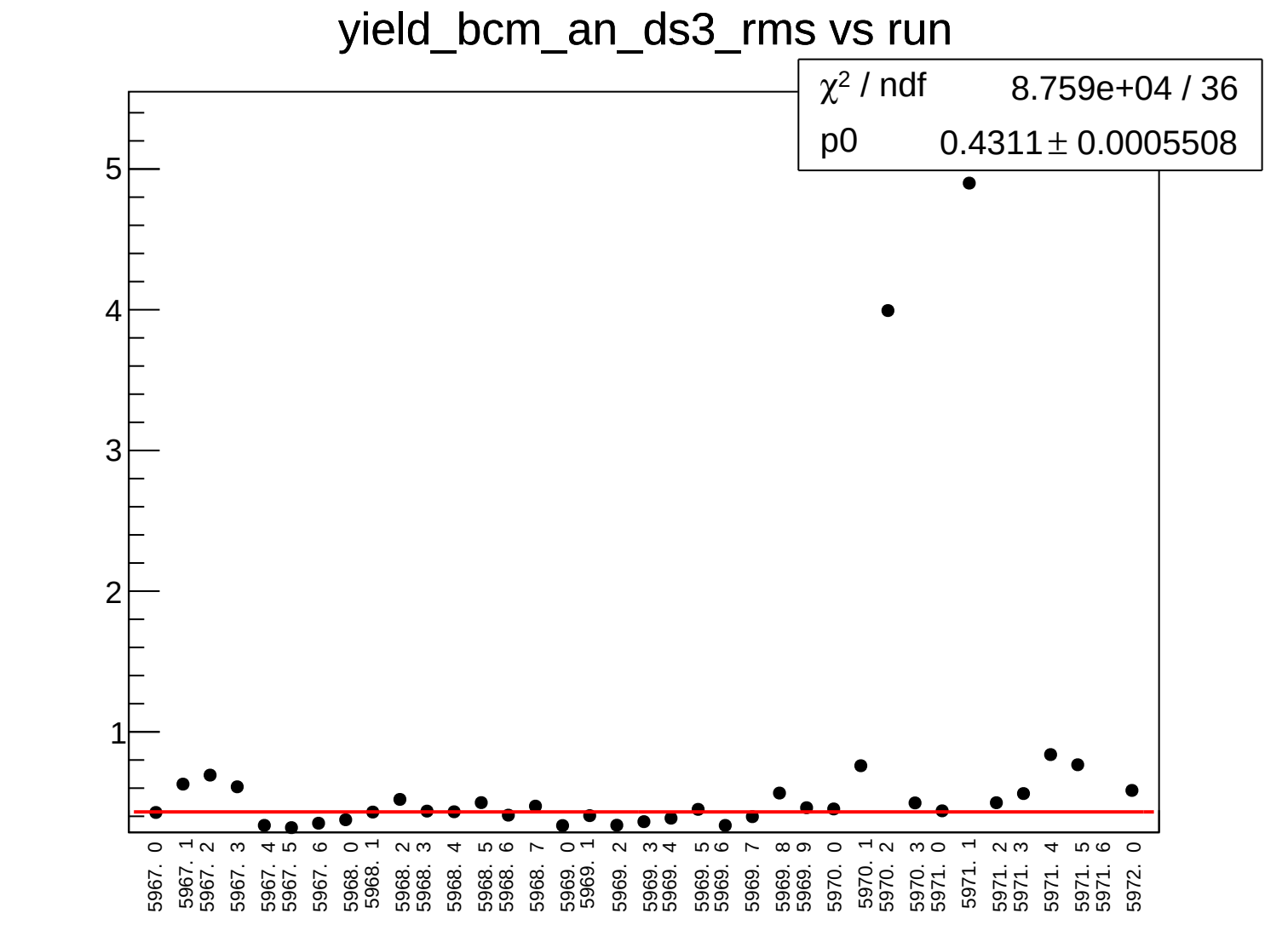
yield_bcm_an_ds3_rms vs run
χ² / ndf 8.759e+04 / 36
p0 0.4311 ± 0.0005508
5
4
3
2
1
5967. 0
5967. 1
5967. 2
5967. 3
5967. 4
5967. 5
5967. 6
5968. 0
5968. 1
5968. 2
5968. 3
5968. 4
5968. 5
5968. 6
5968. 7
5969. 0
5969. 1
5969. 2
5969. 3
5969. 4
5969. 5
5969. 6
5969. 7
5969. 8
5969. 9
5970. 0
5970. 1
5970. 2
5970. 3
5971. 0
5971. 1
5971. 2
5971. 3
5971. 4
5971. 5
5971. 6
5972. 0

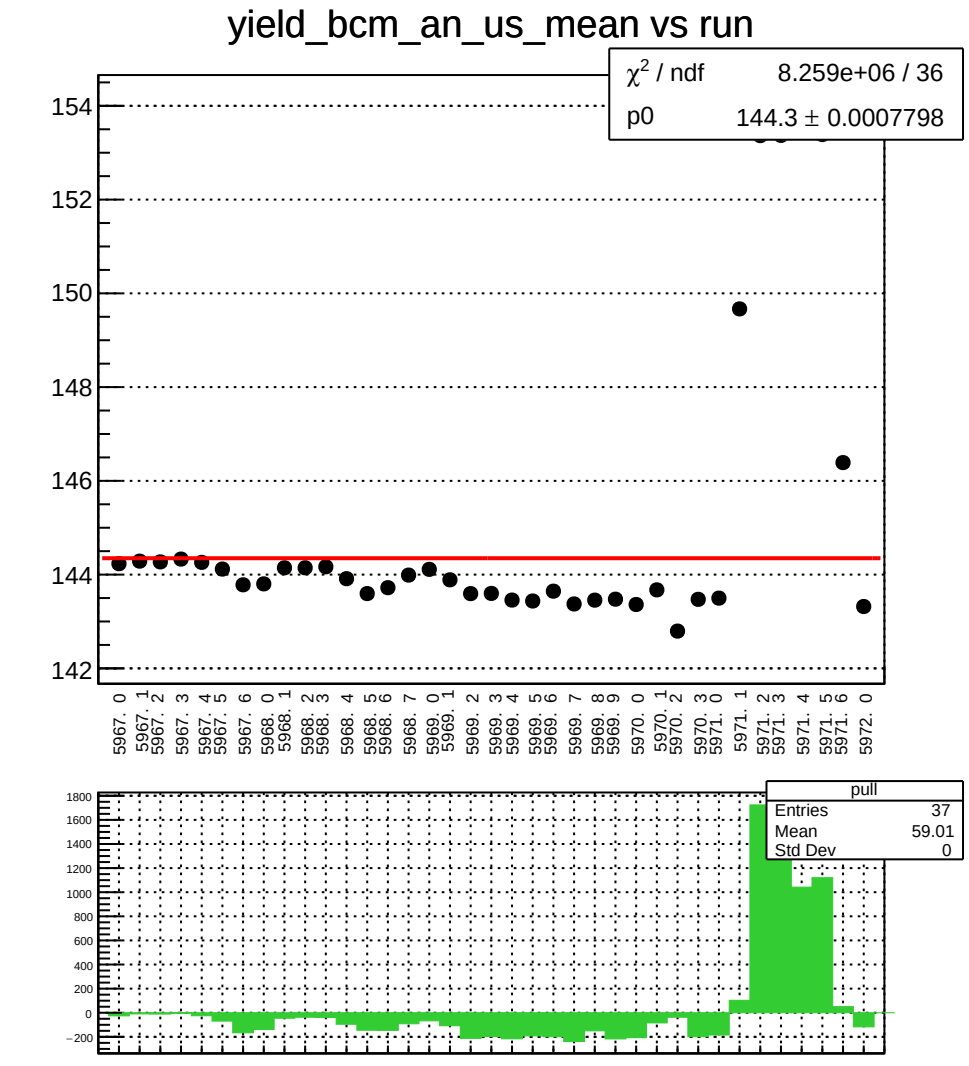
yield_bcm_an_us_mean vs run
χ² / ndf 8.259e+06 / 36
p0 144.3 ± 0.0007798
154
152
150
148
146
144
142
5967. 0
5967. 1
5967. 2
5967. 3
5967. 4
5967. 5
5967. 6
5968. 0
5968. 1
5968. 2
5968. 3
5968. 4
5968. 5
5968. 6
5968. 7
5969. 0
5969. 1
5969. 2
5969. 3
5969. 4
5969. 5
5969. 6
5969. 7
5969. 8
5969. 9
5970. 0
5970. 1
5970. 2
5970. 3
5971. 0
5971. 1
5971. 2
5971. 3
5971. 4
5971. 5
5971. 6
5972. 0
pull
Entries 37
Mean 59.01
Std Dev 0
1800
1600
1400
1200
1000
800
600
400
200
0
−200
pull1D
Entries 37
Mean −2.869
Std Dev 0
1
0.8
0.6
0.4
0.2
0
−8
−6
−4
−2
0
2
4
6
8

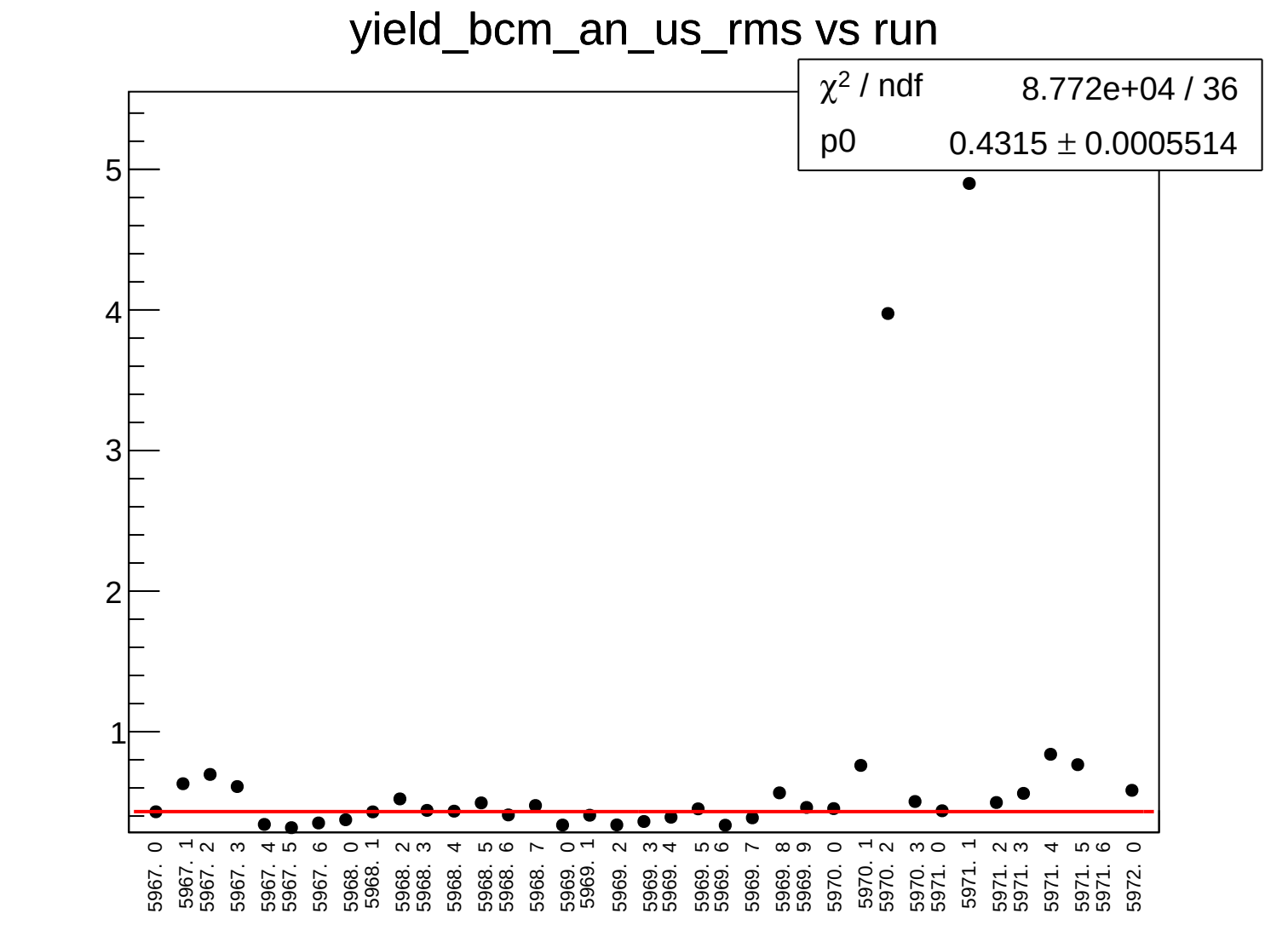
yield_bcm_an_us_rms vs run
χ2 / ndf 8.772e+04 / 36
p0 0.4315 ± 0.0005514
5
4
3
2
1
5967. 0
5967. 1
5967. 2
5967. 3
5967. 4
5967. 5
5967. 6
5968. 0
5968. 1
5968. 2
5968. 3
5968. 4
5968. 5
5968. 6
5968. 7
5969. 0
5969. 1
5969. 2
5969. 3
5969. 4
5969. 5
5969. 6
5969. 7
5969. 8
5969. 9
5970. 0
5970. 1
5970. 2
5970. 3
5971. 0
5971. 1
5971. 2
5971. 3
5971. 4
5971. 5
5971. 6
5972. 0

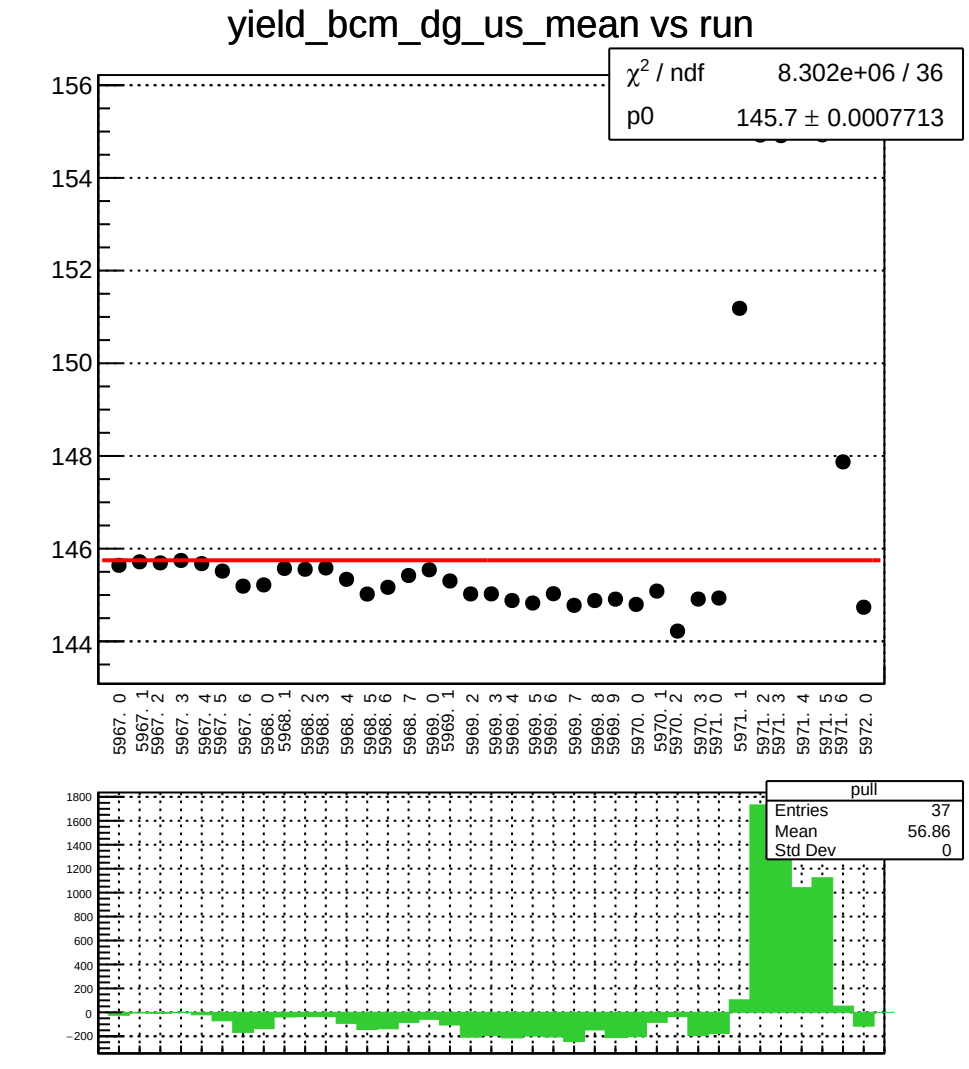
yield_bcm_dg_us_mean vs run
χ² / ndf 8.302e+06 / 36
p0 145.7 ± 0.0007713
156
154
152
150
148
146
144
5967. 0
5967. 1
5967. 2
5967. 3
5967. 4
5967. 5
5967. 6
5968. 0
5968. 1
5968. 2
5968. 3
5968. 4
5968. 5
5968. 6
5968. 7
5969. 0
5969. 1
5969. 2
5969. 3
5969. 4
5969. 5
5969. 6
5969. 7
5969. 8
5969. 9
5970. 0
5970. 1
5970. 2
5970. 3
5971. 0
5971. 1
5971. 2
5971. 3
5971. 4
5971. 5
5971. 6
5972. 0
pull
Entries 37
Mean 56.86
Std Dev 0
1800
1600
1400
1200
1000
800
600
400
200
0
−200
pull1D
Entries 37
Mean −4.438
Std Dev 2.942
1
0.8
0.6
0.4
0.2
0
−8
−6
−4
−2
0
2
4
6
8

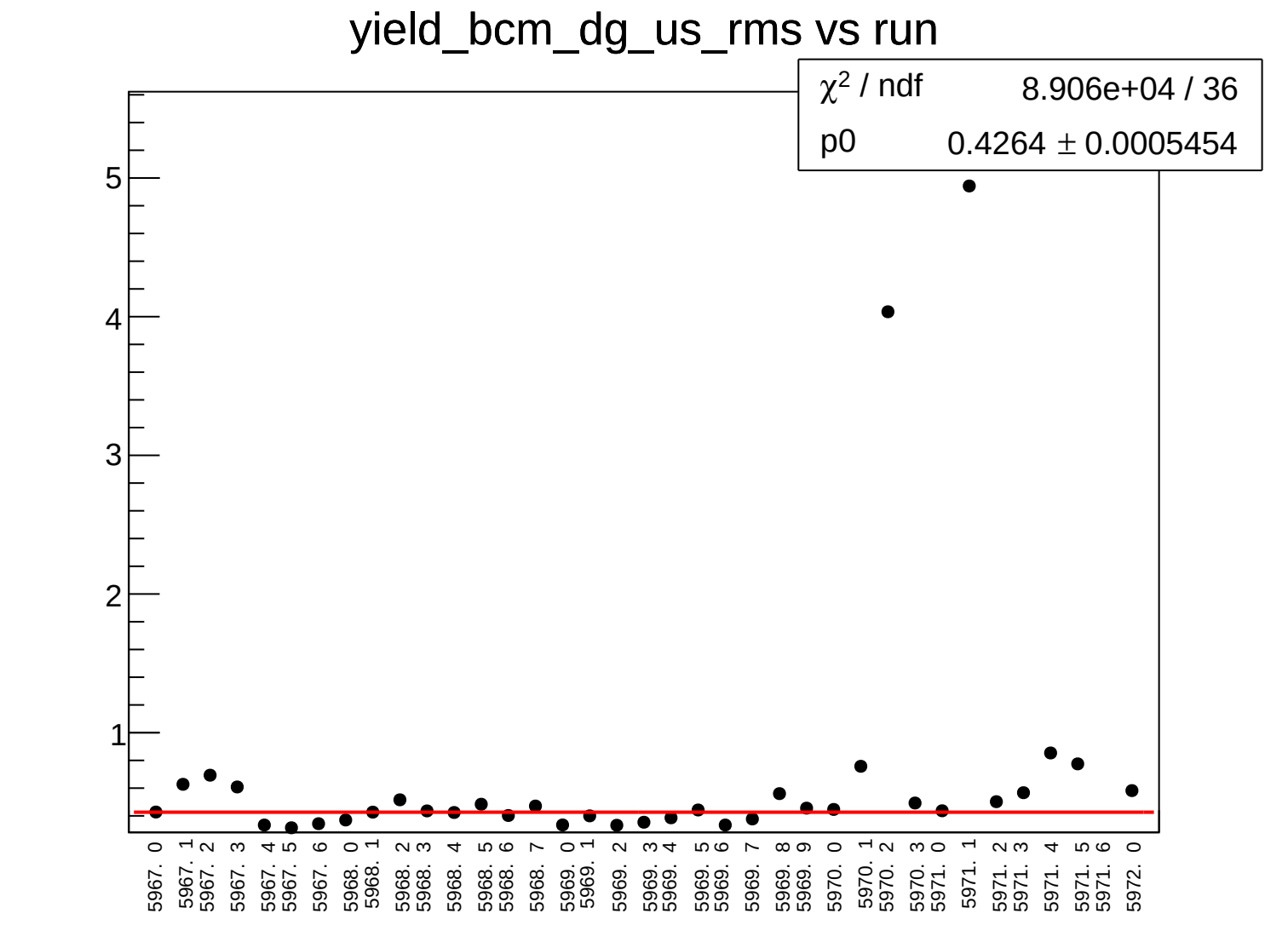
yield_bcm_dg_us_rms vs run
χ² / ndf 8.906e+04 / 36
p0 0.4264 ± 0.0005454
5
4
3
2
1
5967. 0
5967. 1
5967. 2
5967. 3
5967. 4
5967. 5
5967. 6
5968. 0
5968. 1
5968. 2
5968. 3
5968. 4
5968. 5
5968. 6
5968. 7
5969. 0
5969. 1
5969. 2
5969. 3
5969. 4
5969. 5
5969. 6
5969. 7
5969. 8
5969. 9
5970. 0
5970. 1
5970. 2
5970. 3
5971. 0
5971. 1
5971. 2
5971. 3
5971. 4
5971. 5
5971. 6
5972. 0

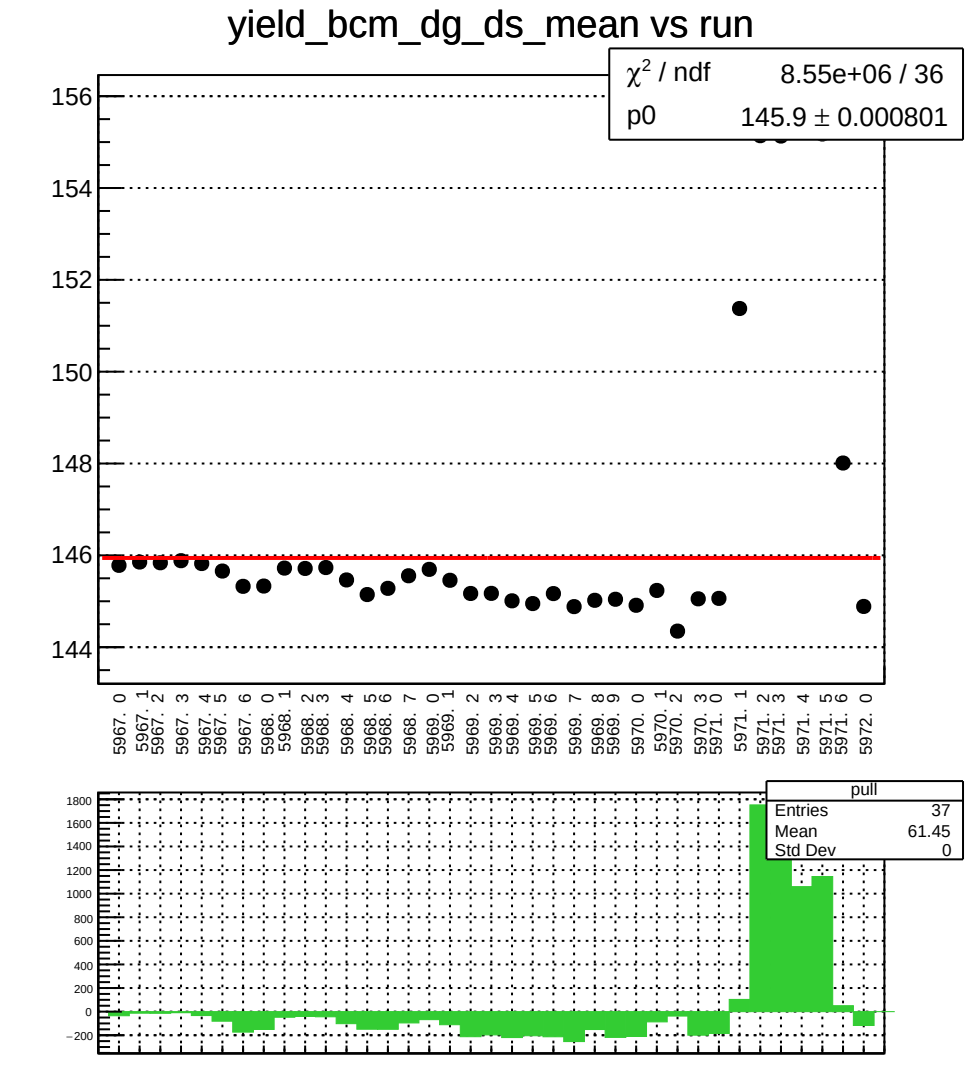
yield_bcm_dg_ds_mean vs run
χ² / ndf 8.55e+06 / 36
p0 145.9 ± 0.000801
156
154
152
150
148
146
144
5967. 0
5967. 1
5967. 2
5967. 3
5967. 4
5967. 5
5967. 6
5968. 0
5968. 1
5968. 2
5968. 3
5968. 4
5968. 5
5968. 6
5968. 7
5969. 0
5969. 1
5969. 2
5969. 3
5969. 4
5969. 5
5969. 6
5969. 7
5969. 8
5969. 9
5970. 0
5970. 1
5970. 2
5970. 3
5971. 0
5971. 1
5971. 2
5971. 3
5971. 4
5971. 5
5971. 6
5972. 0
pull
Entries 37
Mean 61.45
Std Dev 0
1800
1600
1400
1200
1000
800
600
400
200
0
−200
pull1D
Entries 37
Mean 0
Std Dev 0
1
0.8
0.6
0.4
0.2
0
−8
−6
−4
−2
0
2
4
6
8

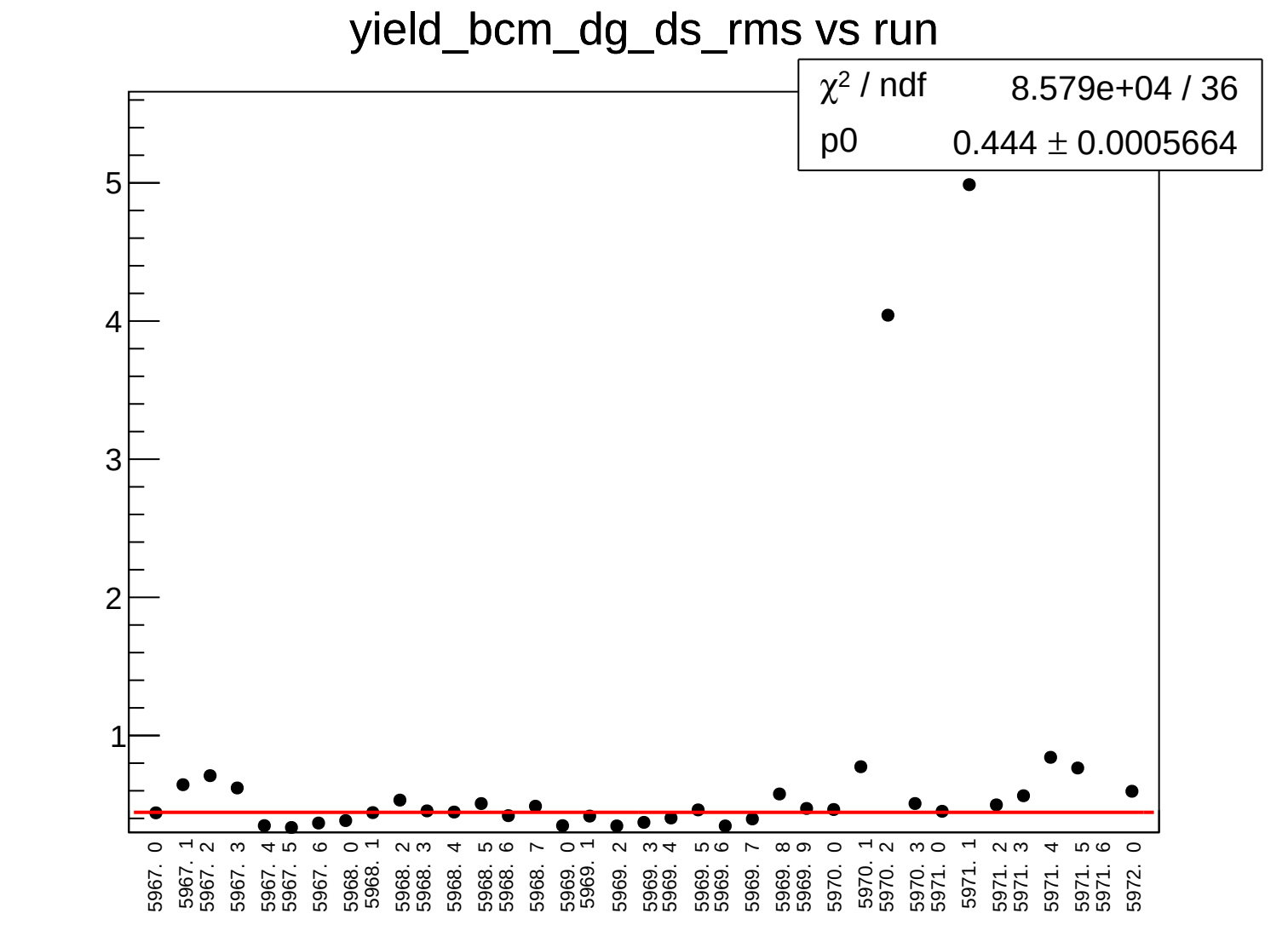
yield_bcm_dg_ds_rms vs run
χ² / ndf 8.579e+04 / 36
p0 0.444 ± 0.0005664
5
4
3
2
1
5967. 0
5967. 1
5967. 2
5967. 3
5967. 4
5967. 5
5967. 6
5968. 0
5968. 1
5968. 2
5968. 3
5968. 4
5968. 5
5968. 6
5968. 7
5969. 0
5969. 1
5969. 2
5969. 3
5969. 4
5969. 5
5969. 6
5969. 7
5969. 8
5969. 9
5970. 0
5970. 1
5970. 2
5970. 3
5971. 0
5971. 1
5971. 2
5971. 3
5971. 4
5971. 5
5971. 6
5972. 0

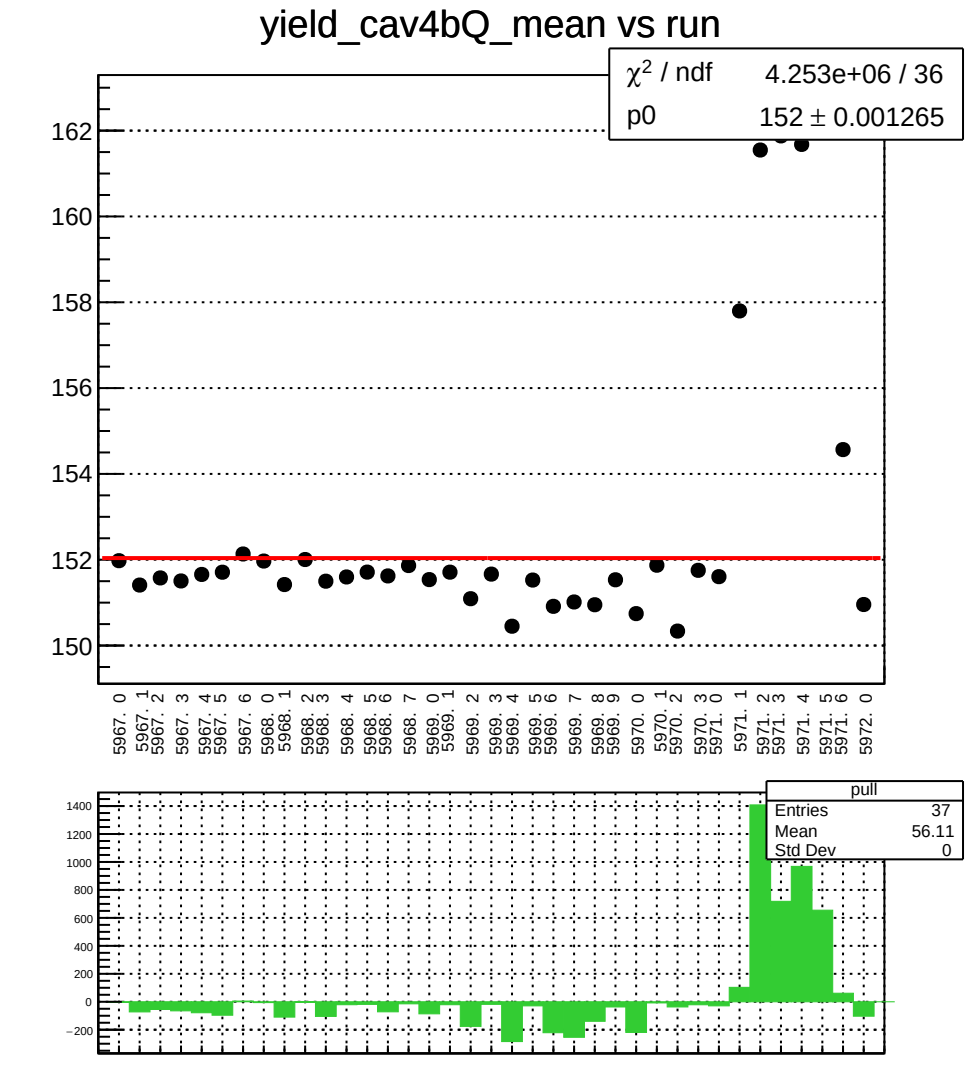
yield_cav4bQ_mean vs run
χ² / ndf 4.253e+06 / 36
p0 152 ± 0.001265
pull
Entries 37
Mean 56.11
Std Dev 0

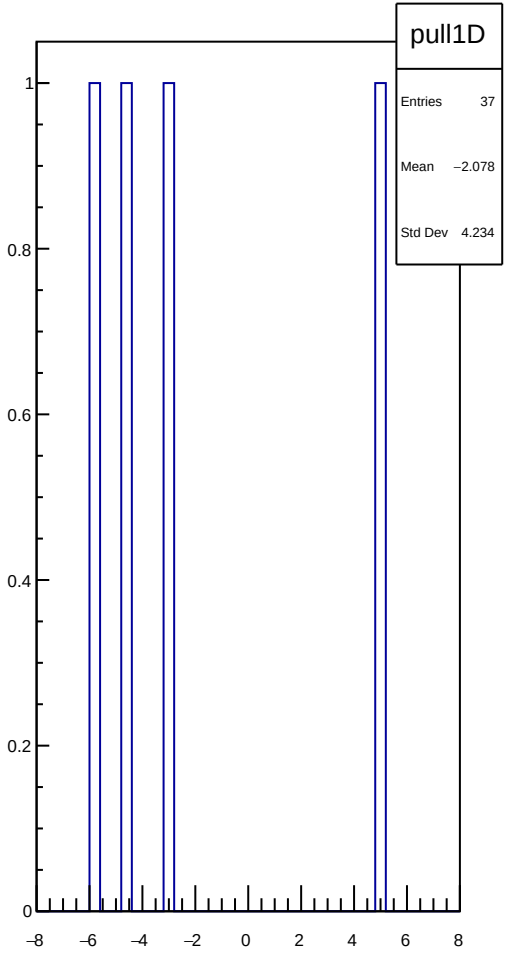
pull1D
Entries 37
Mean −2.078
Std Dev 4.234

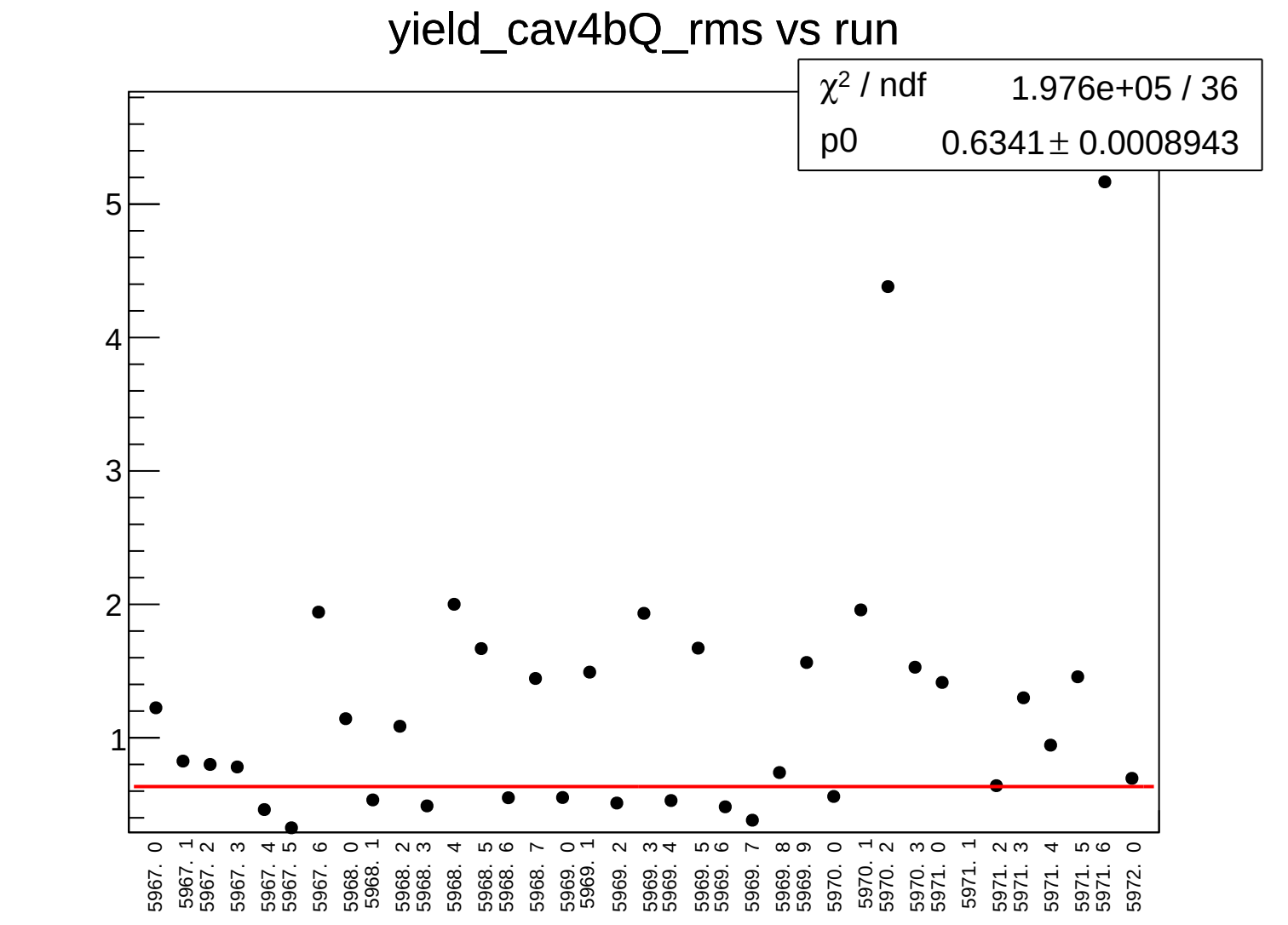
yield_cav4bQ_rms vs run
χ² / ndf 1.976e+05 / 36
p0 0.6341 ± 0.0008943
5
4
3
2
1
5967. 0
5967. 1
5967. 2
5967. 3
5967. 4
5967. 5
5967. 6
5968. 0
5968. 1
5968. 2
5968. 3
5968. 4
5968. 5
5968. 6
5968. 7
5969. 0
5969. 1
5969. 2
5969. 3
5969. 4
5969. 5
5969. 6
5969. 7
5969. 8
5969. 9
5970. 0
5970. 1
5970. 2
5970. 3
5971. 0
5971. 1
5971. 2
5971. 3
5971. 4
5971. 5
5971. 6
5972. 0

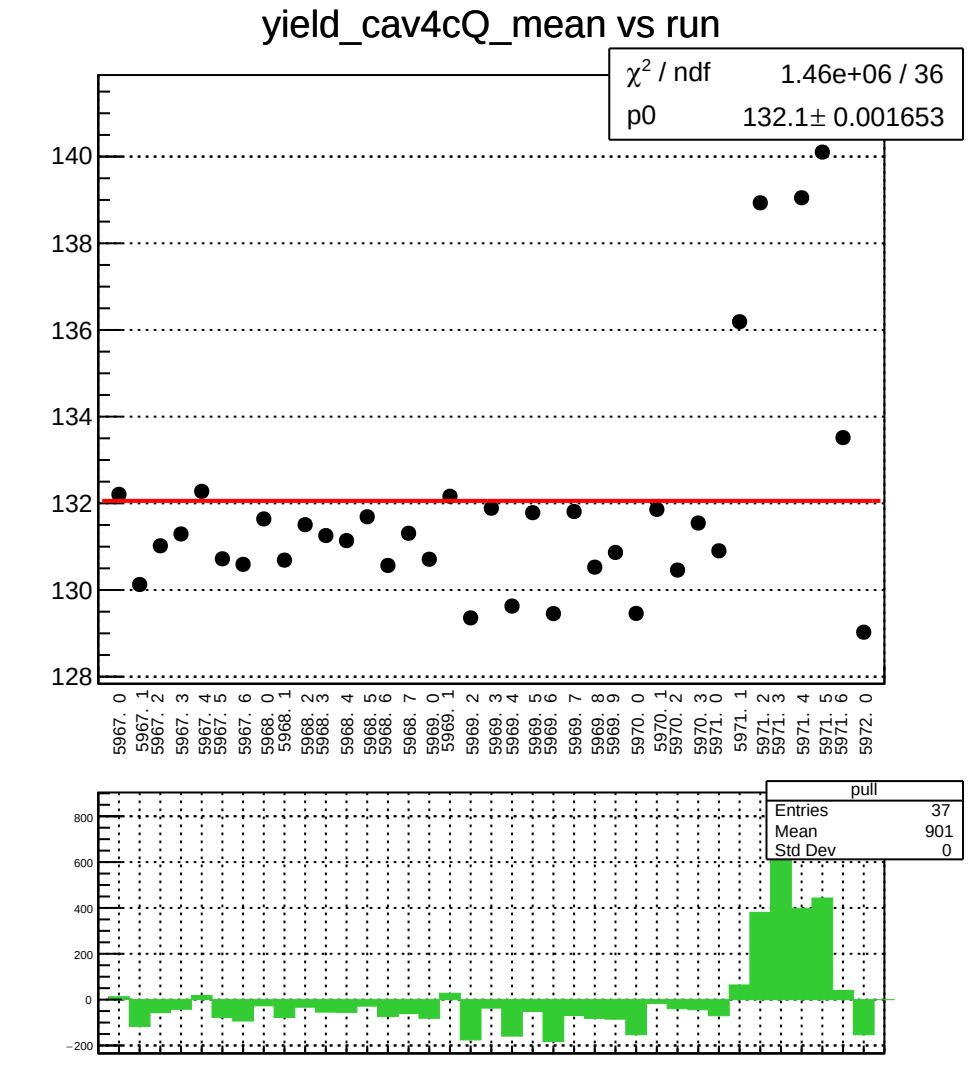
yield_cav4cQ_mean vs run
χ² / ndf 1.46e+06 / 36
p0 132.1± 0.001653
140
138
136
134
132
130
128
5967. 0
5967. 1
5967. 2
5967. 3
5967. 4
5967. 5
5967. 6
5968. 0
5968. 1
5968. 2
5968. 3
5968. 4
5968. 5
5968. 6
5968. 7
5969. 0
5969. 1
5969. 2
5969. 3
5969. 4
5969. 5
5969. 6
5969. 7
5969. 8
5969. 9
5970. 0
5970. 1
5970. 2
5970. 3
5971. 0
5971. 1
5971. 2
5971. 3
5971. 4
5971. 5
5971. 6
5972. 0
pull
Entries 37
Mean 901
Std Dev 0
800
600
400
200
0
−200

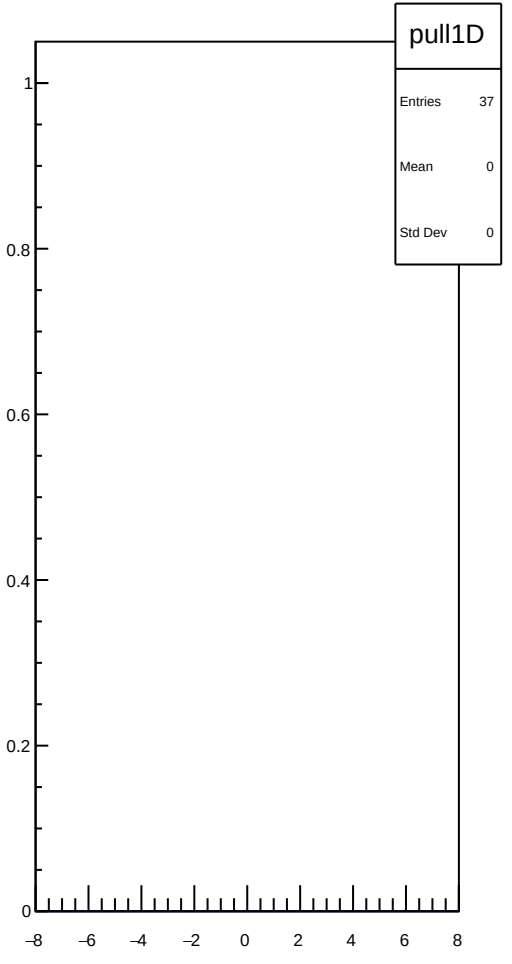
pull1D
Entries 37
Mean 0
Std Dev 0
1
0.8
0.6
0.4
0.2
0
−8
−6
−4
−2
0
2
4
6
8

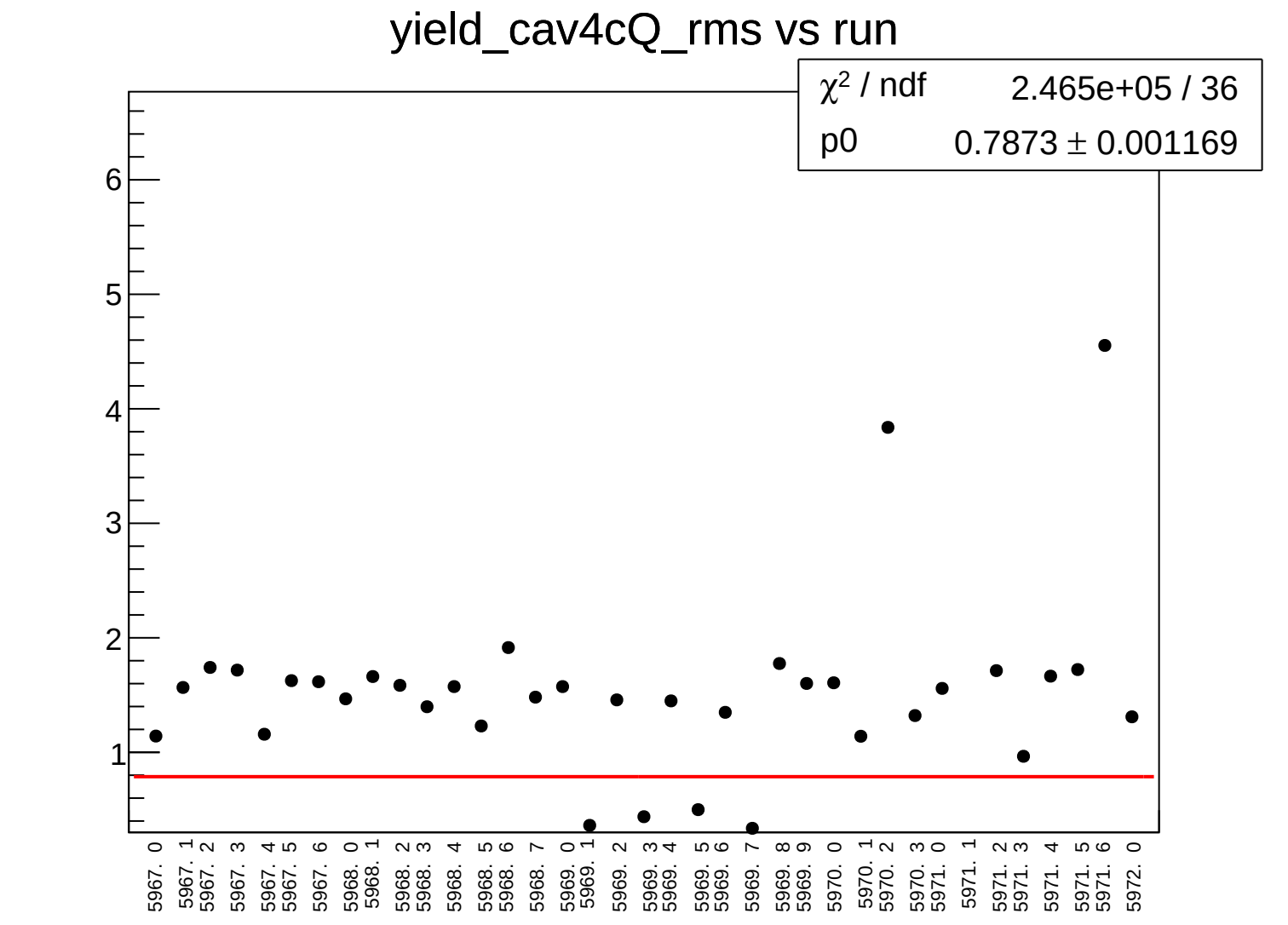
yield_cav4cQ_rms vs run
χ² / ndf 2.465e+05 / 36
p0 0.7873 ± 0.001169
6
5
4
3
2
1
5967. 0
5967. 1
5967. 2
5967. 3
5967. 4
5967. 5
5967. 6
5968. 0
5968. 1
5968. 2
5968. 3
5968. 4
5968. 5
5968. 6
5968. 7
5969. 0
5969. 1
5969. 2
5969. 3
5969. 4
5969. 5
5969. 6
5969. 7
5969. 8
5969. 9
5970. 0
5970. 1
5970. 2
5970. 3
5971. 0
5971. 1
5971. 2
5971. 3
5971. 4
5971. 5
5971. 6
5972. 0

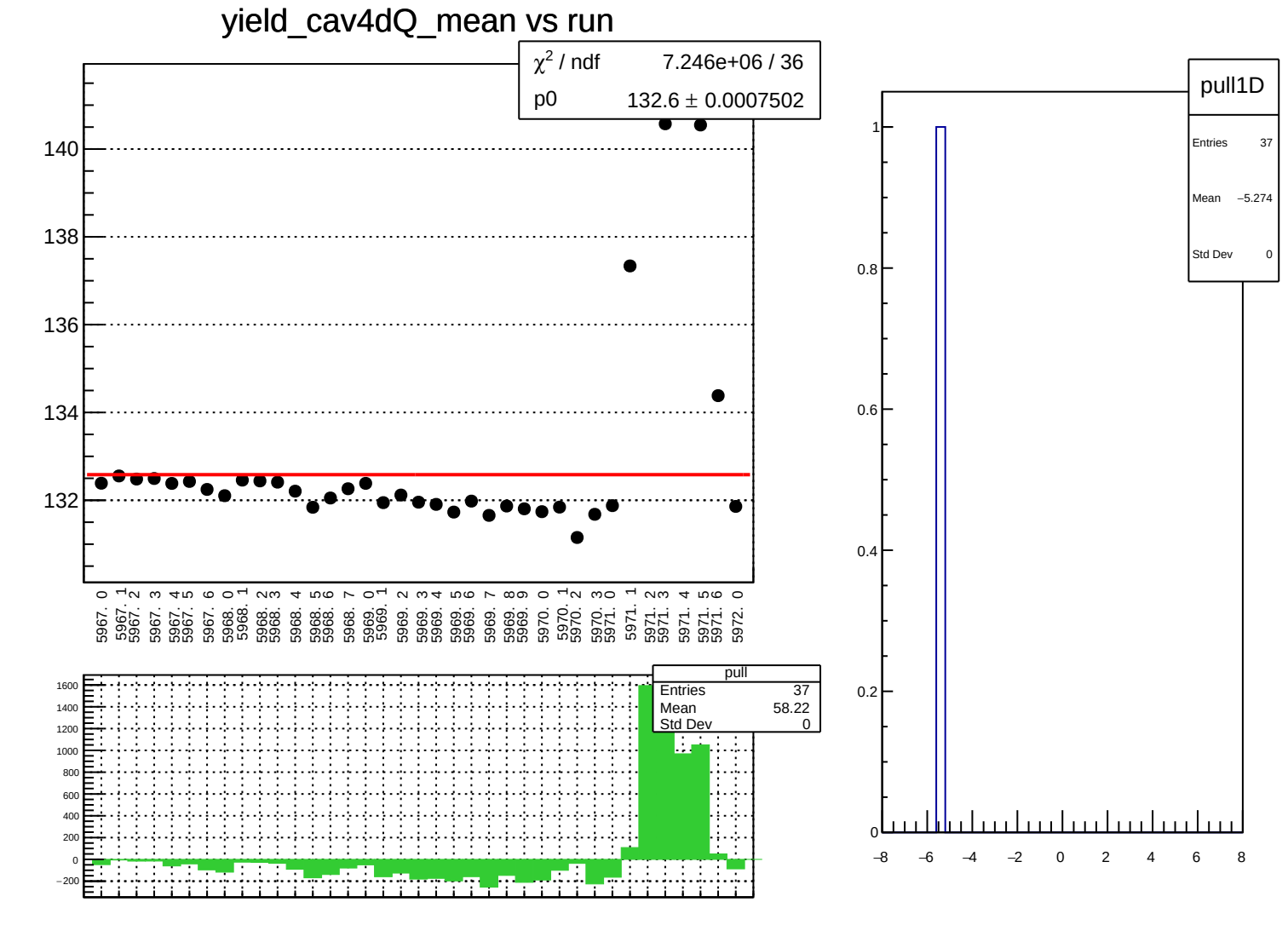
yield_cav4dQ_mean vs run
χ² / ndf 7.246e+06 / 36
p0 132.6 ± 0.0007502
140
138
136
134
132
5967. 0
5967. 1
5967. 2
5967. 3
5967. 4
5967. 5
5967. 6
5968. 0
5968. 1
5968. 2
5968. 3
5968. 4
5968. 5
5968. 6
5968. 7
5969. 0
5969. 1
5969. 2
5969. 3
5969. 4
5969. 5
5969. 6
5969. 7
5969. 8
5969. 9
5970. 0
5970. 1
5970. 2
5970. 3
5971. 0
5971. 1
5971. 2
5971. 3
5971. 4
5971. 5
5971. 6
5972. 0
pull
Entries 37
Mean 58.22
Std Dev 0
1600
1400
1200
1000
800
600
400
200
0
−200
pull1D
Entries 37
Mean −5.274
Std Dev 0
1
0.8
0.6
0.4
0.2
0
−8
−6
−4
−2
0
2
4
6
8

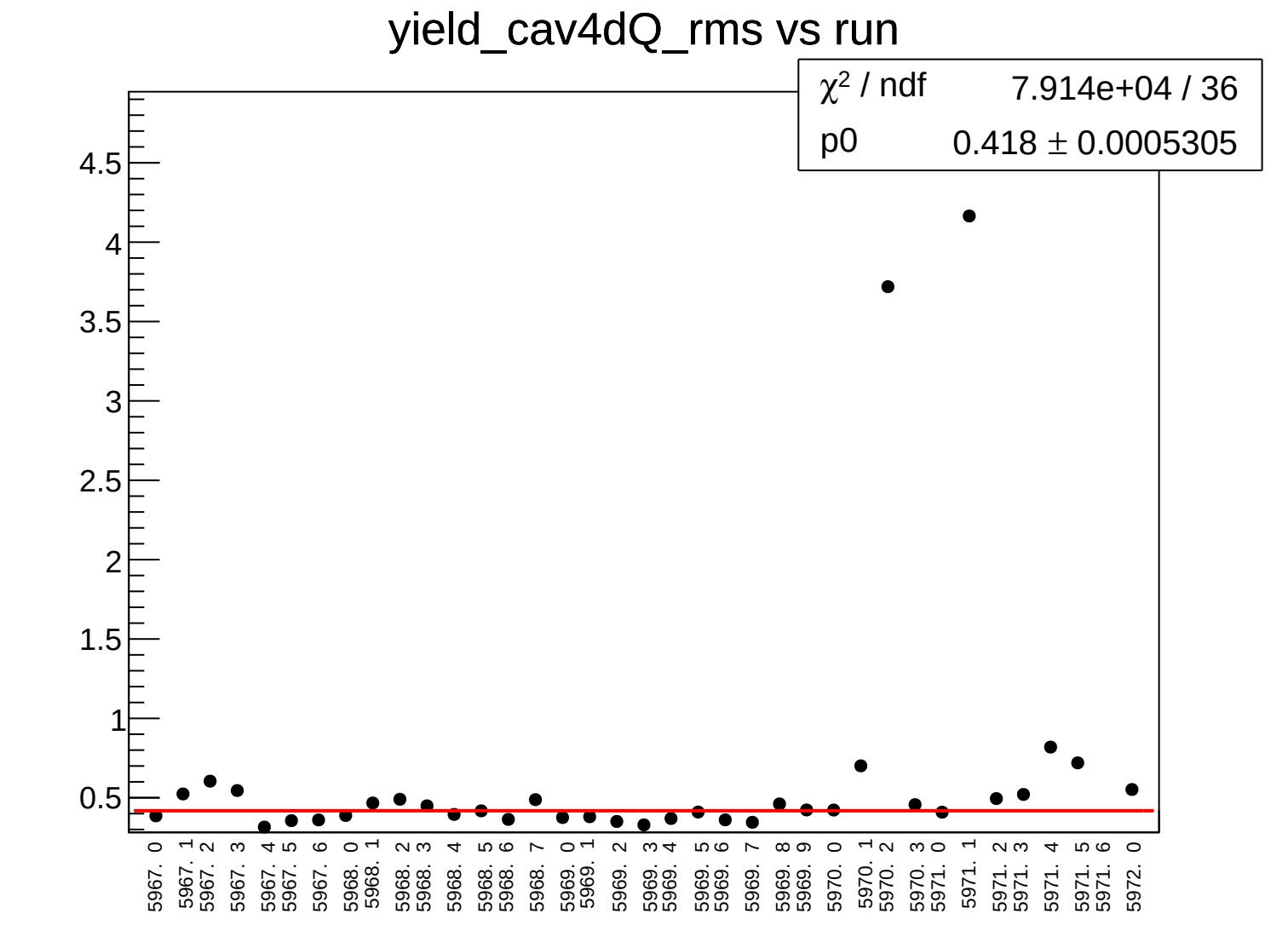
yield_cav4dQ_rms vs run
χ² / ndf 7.914e+04 / 36
p0 0.418 ± 0.0005305
4.5
4
3.5
3
2.5
2
1.5
1
0.5
5967. 0
5967. 1
5967. 2
5967. 3
5967. 4
5967. 5
5967. 6
5968. 0
5968. 1
5968. 2
5968. 3
5968. 4
5968. 5
5968. 6
5968. 7
5969. 0
5969. 1
5969. 2
5969. 3
5969. 4
5969. 5
5969. 6
5969. 7
5969. 8
5969. 9
5970. 0
5970. 1
5970. 2
5970. 3
5971. 0
5971. 1
5971. 2
5971. 3
5971. 4
5971. 5
5971. 6
5972. 0

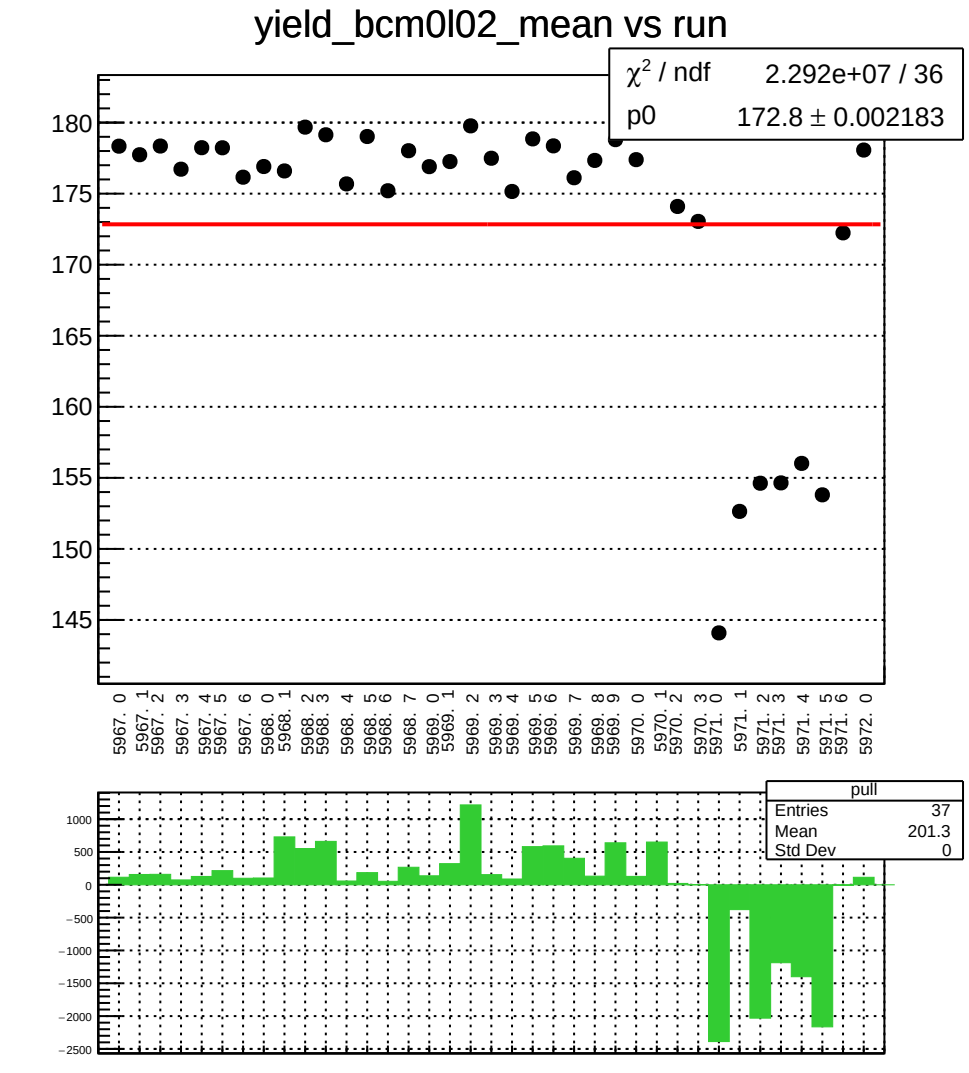
yield_bcm0l02_mean vs run
χ² / ndf 2.292e+07 / 36
p0 172.8 ± 0.002183
pull
Entries 37
Mean 201.3
Std Dev 0

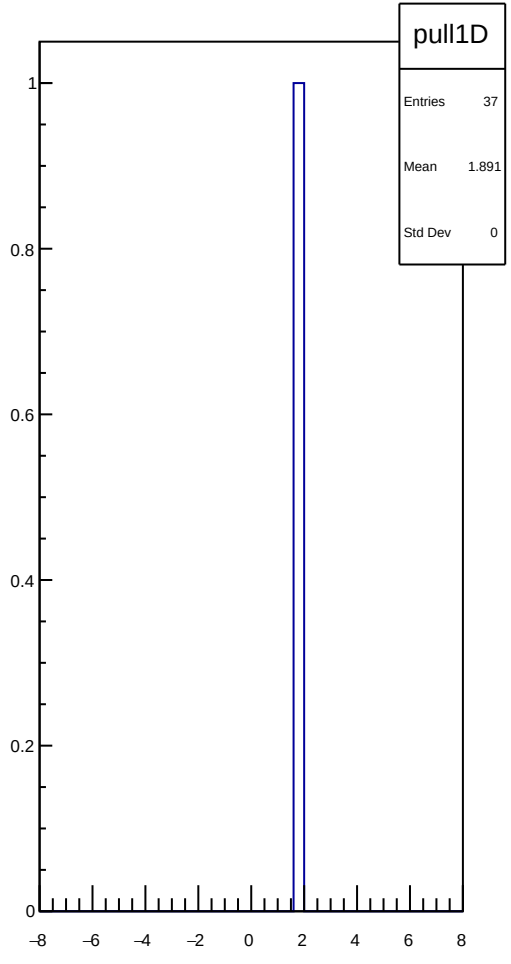
pull1D
Entries 37
Mean 1.891
Std Dev 0

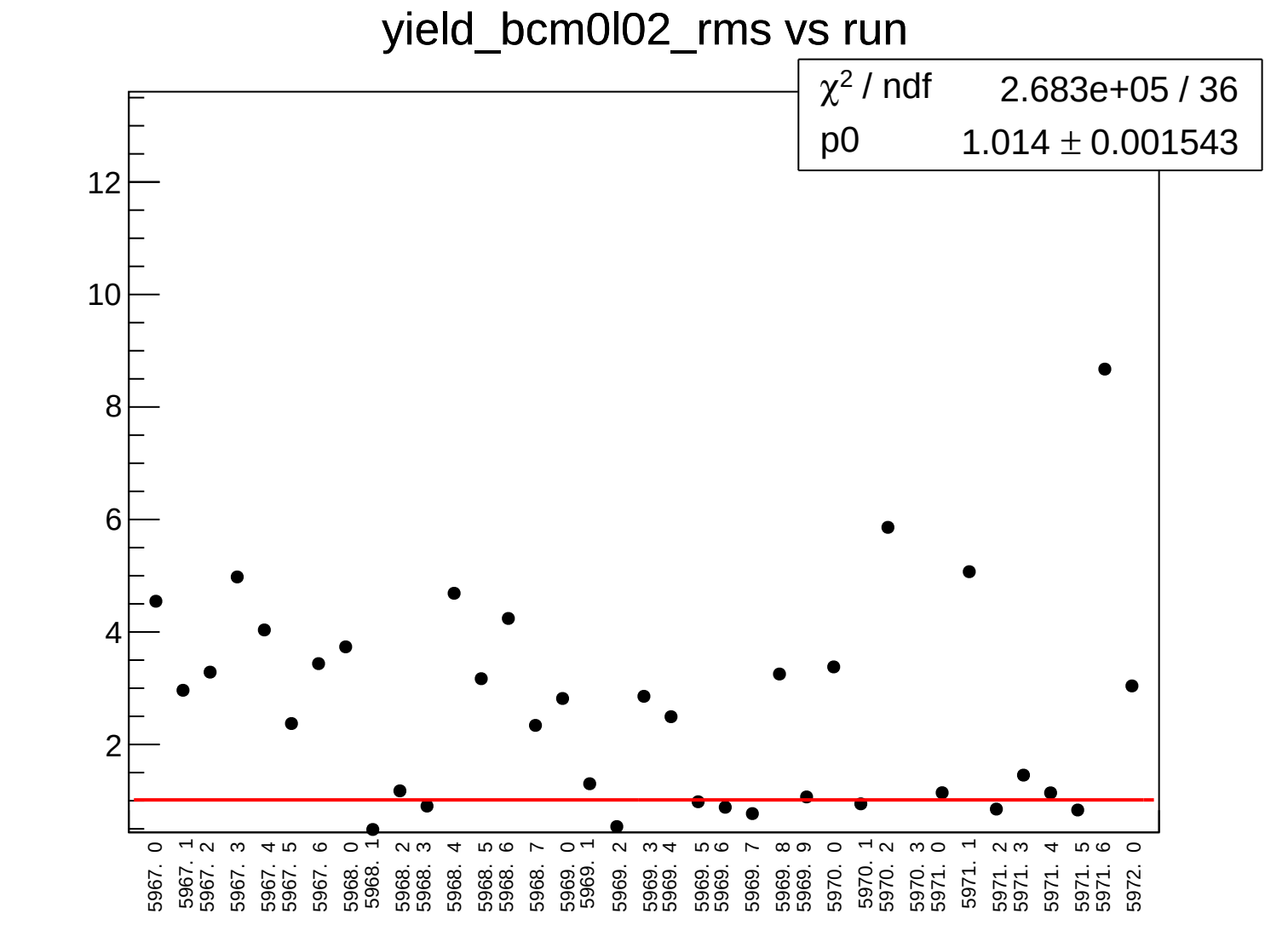
yield_bcm0l02_rms vs run
χ² / ndf 2.683e+05 / 36
p0 1.014 ± 0.001543
12
10
8
6
4
2
5967. 0
5967. 1
5967. 2
5967. 3
5967. 4
5967. 5
5967. 6
5968. 0
5968. 1
5968. 2
5968. 3
5968. 4
5968. 5
5968. 6
5968. 7
5969. 0
5969. 1
5969. 2
5969. 3
5969. 4
5969. 5
5969. 6
5969. 7
5969. 8
5969. 9
5970. 0
5970. 1
5970. 2
5970. 3
5971. 0
5971. 1
5971. 2
5971. 3
5971. 4
5971. 5
5971. 6
5972. 0

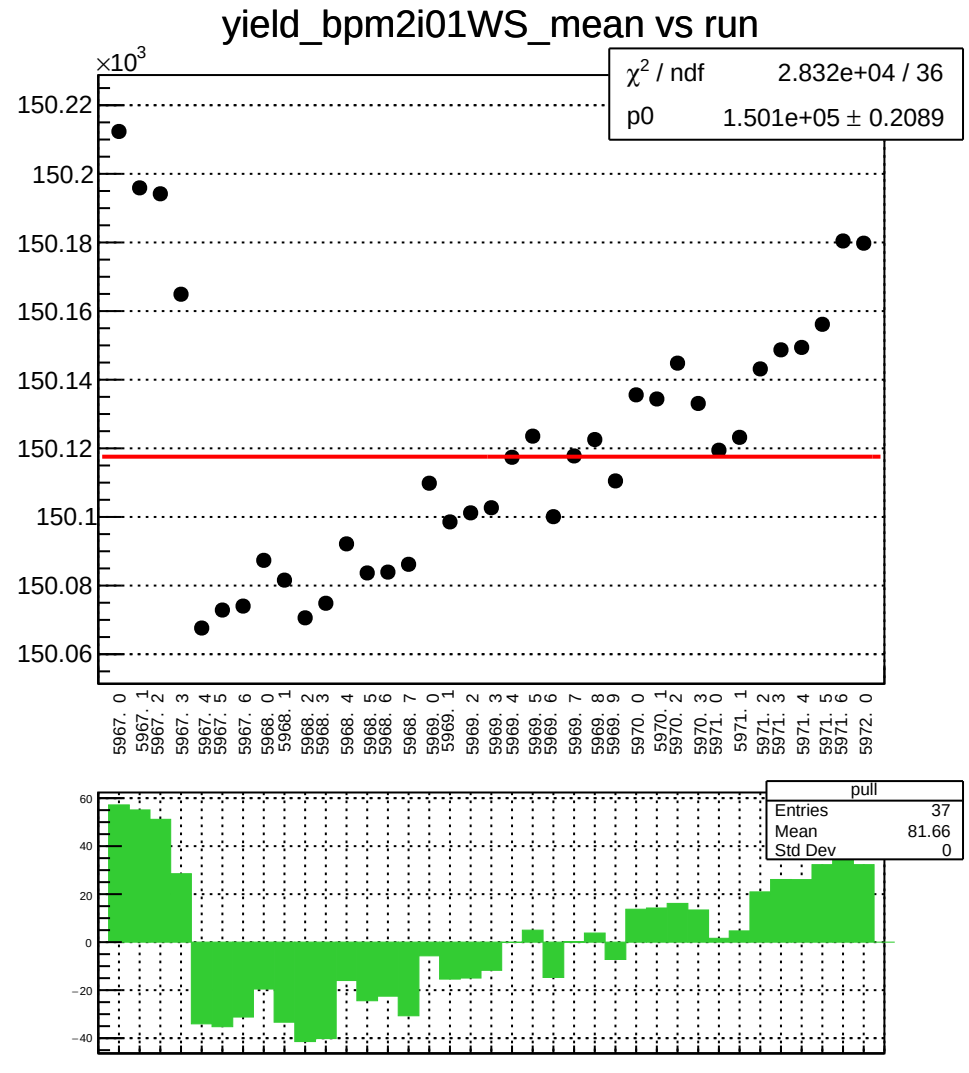
yield_bpm2i01WS_mean vs run
×10^3
χ² / ndf 2.832e+04 / 36
p0 1.501e+05 ± 0.2089
150.22
150.2
150.18
150.16
150.14
150.12
150.1
150.08
150.06
5967. 0
5967. 1
5967. 2
5967. 3
5967. 4
5967. 5
5967. 6
5968. 0
5968. 1
5968. 2
5968. 3
5968. 4
5968. 5
5968. 6
5968. 7
5969. 0
5969. 1
5969. 2
5969. 3
5969. 4
5969. 5
5969. 6
5969. 7
5969. 8
5969. 9
5970. 0
5970. 1
5970. 2
5970. 3
5971. 0
5971. 1
5971. 2
5971. 3
5971. 4
5971. 5
5971. 6
5972. 0
pull
Entries 37
Mean 81.66
Std Dev 0
60
40
20
0
−20
−40
pull1D
Entries 37
Mean 0.275
Std Dev 4.295
1
0.8
0.6
0.4
0.2
0
−8
−6
−4
−2
0
2
4
6
8

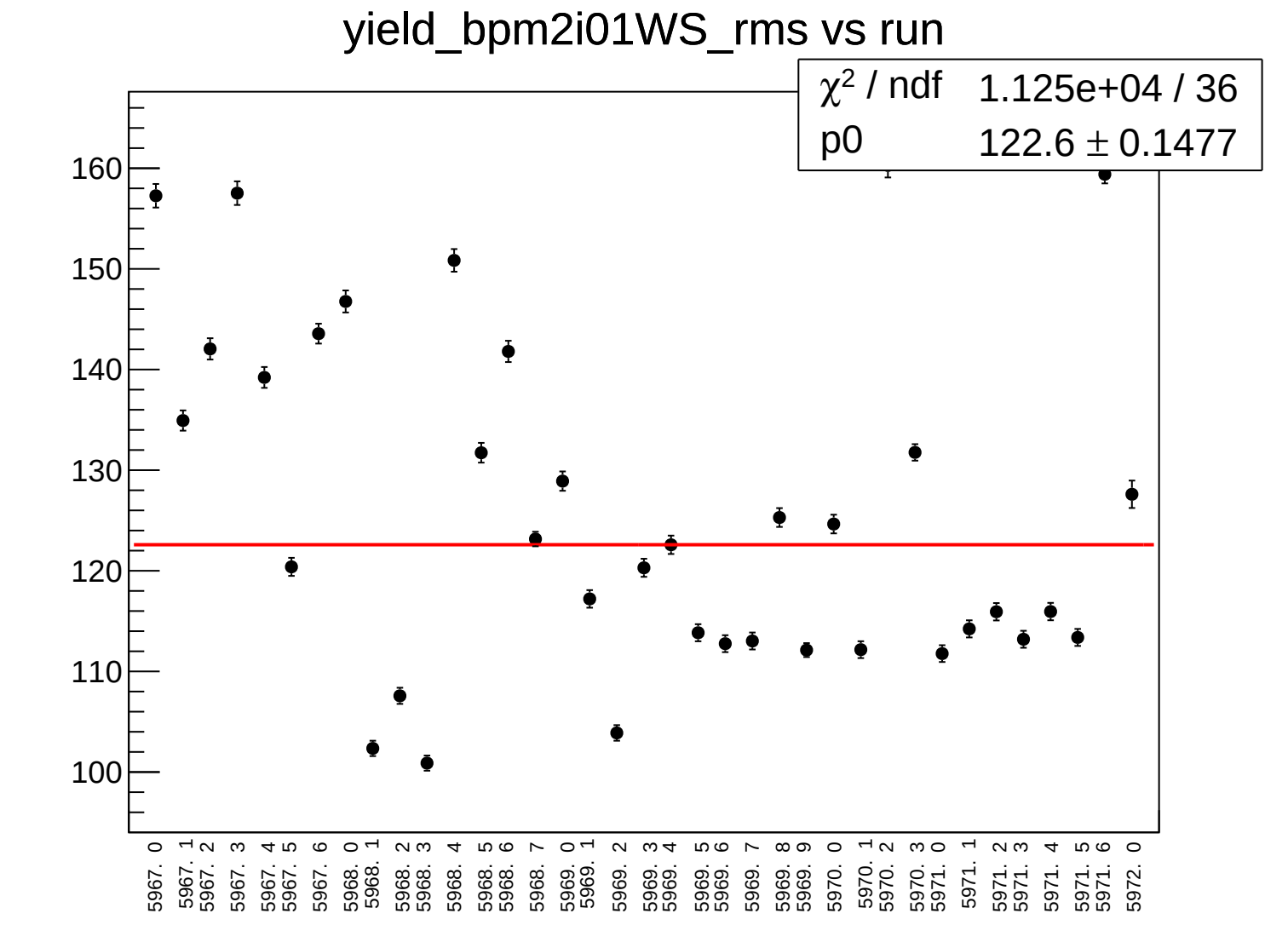
yield_bpm2i01WS_rms vs run
χ² / ndf 1.125e+04 / 36
p0 122.6 ± 0.1477
160
150
140
130
120
110
100
5967. 0
5967. 1
5967. 2
5967. 3
5967. 4
5967. 5
5967. 6
5968. 0
5968. 1
5968. 2
5968. 3
5968. 4
5968. 5
5968. 6
5968. 7
5969. 0
5969. 1
5969. 2
5969. 3
5969. 4
5969. 5
5969. 6
5969. 7
5969. 8
5969. 9
5970. 0
5970. 1
5970. 2
5970. 3
5971. 0
5971. 1
5971. 2
5971. 3
5971. 4
5971. 5
5971. 6
5972. 0

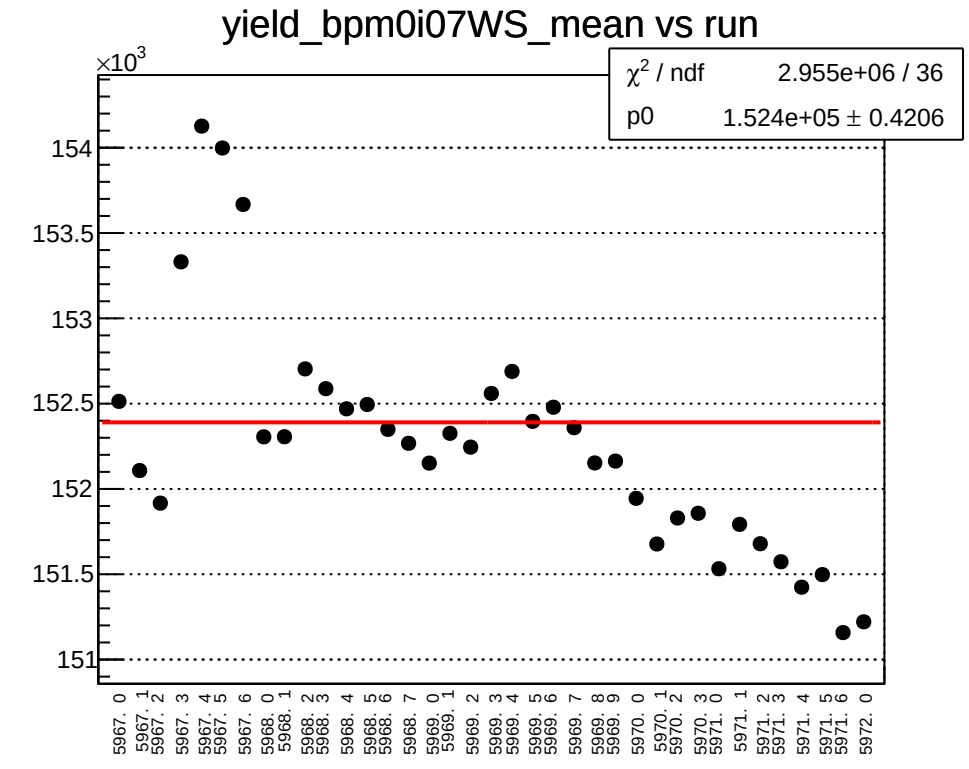
yield_bpm0i07WS_mean vs run
×10^3
χ^2 / ndf 2.955e+06 / 36
p0 1.524e+05 ± 0.4206
154
153.5
153
152.5
152
151.5
151
5967. 0
5967. 1
5967. 2
5967. 3
5967. 4
5967. 5
5967. 6
5968. 0
5968. 1
5968. 2
5968. 3
5968. 4
5968. 5
5968. 6
5968. 7
5969. 0
5969. 1
5969. 2
5969. 3
5969. 4
5969. 5
5969. 6
5969. 7
5969. 8
5969. 9
5970. 0
5970. 1
5970. 2
5970. 3
5971. 0
5971. 1
5971. 2
5971. 3
5971. 4
5971. 5
5971. 6
5972. 0
pull
Entries 37
Mean 89.5
Std Dev 0
800
600
400
200
0
−200
−400

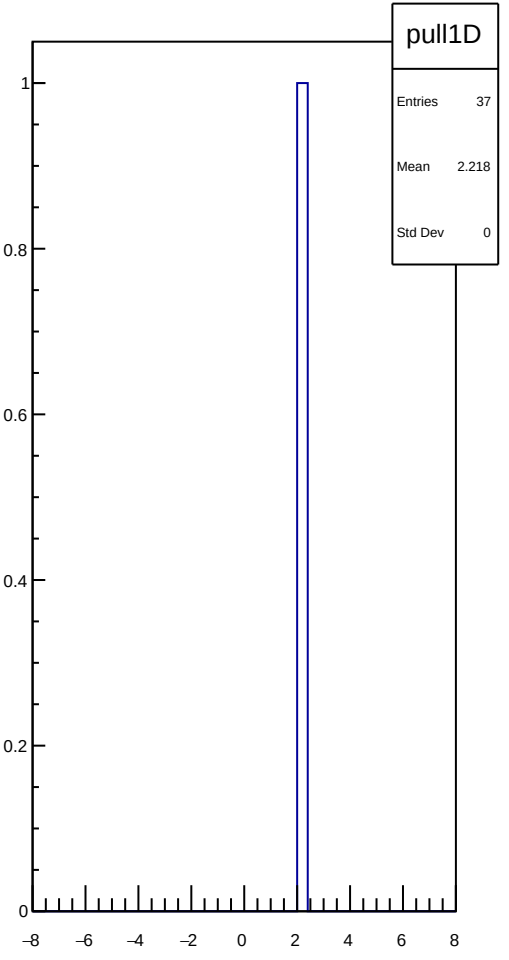
pull1D
Entries 37
Mean 2.218
Std Dev 0
1
0.8
0.6
0.4
0.2
0
−8
−6
−4
−2
0
2
4
6
8

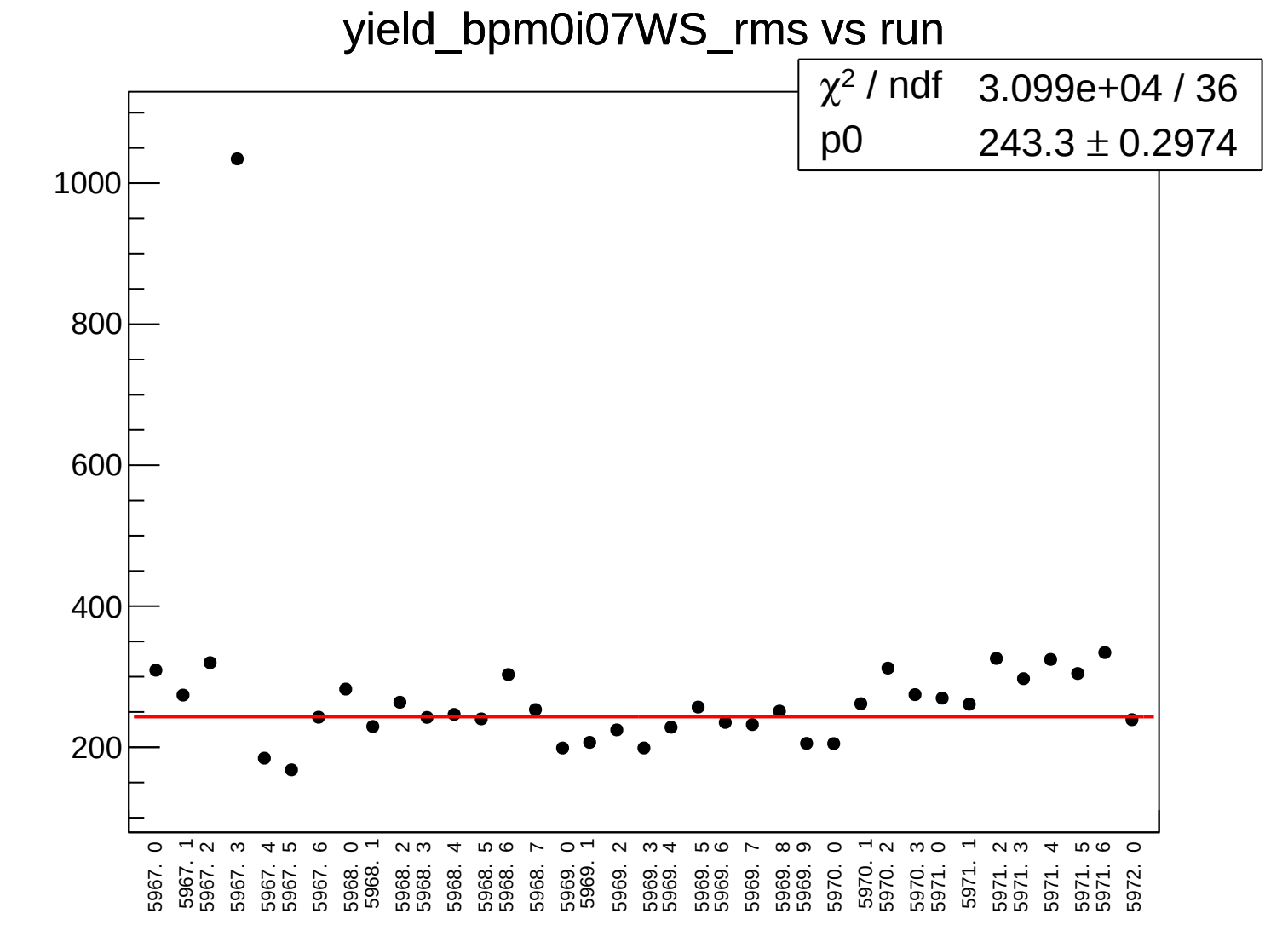
yield_bpm0i07WS_rms vs run
χ² / ndf 3.099e+04 / 36
p0 243.3 ± 0.2974
1000
800
600
400
200
5967. 0
5967. 1
5967. 2
5967. 3
5967. 4
5967. 5
5967. 6
5968. 0
5968. 1
5968. 2
5968. 3
5968. 4
5968. 5
5968. 6
5968. 7
5969. 0
5969. 1
5969. 2
5969. 3
5969. 4
5969. 5
5969. 6
5969. 7
5969. 8
5969. 9
5970. 0
5970. 1
5970. 2
5970. 3
5971. 0
5971. 1
5971. 2
5971. 3
5971. 4
5971. 5
5971. 6
5972. 0

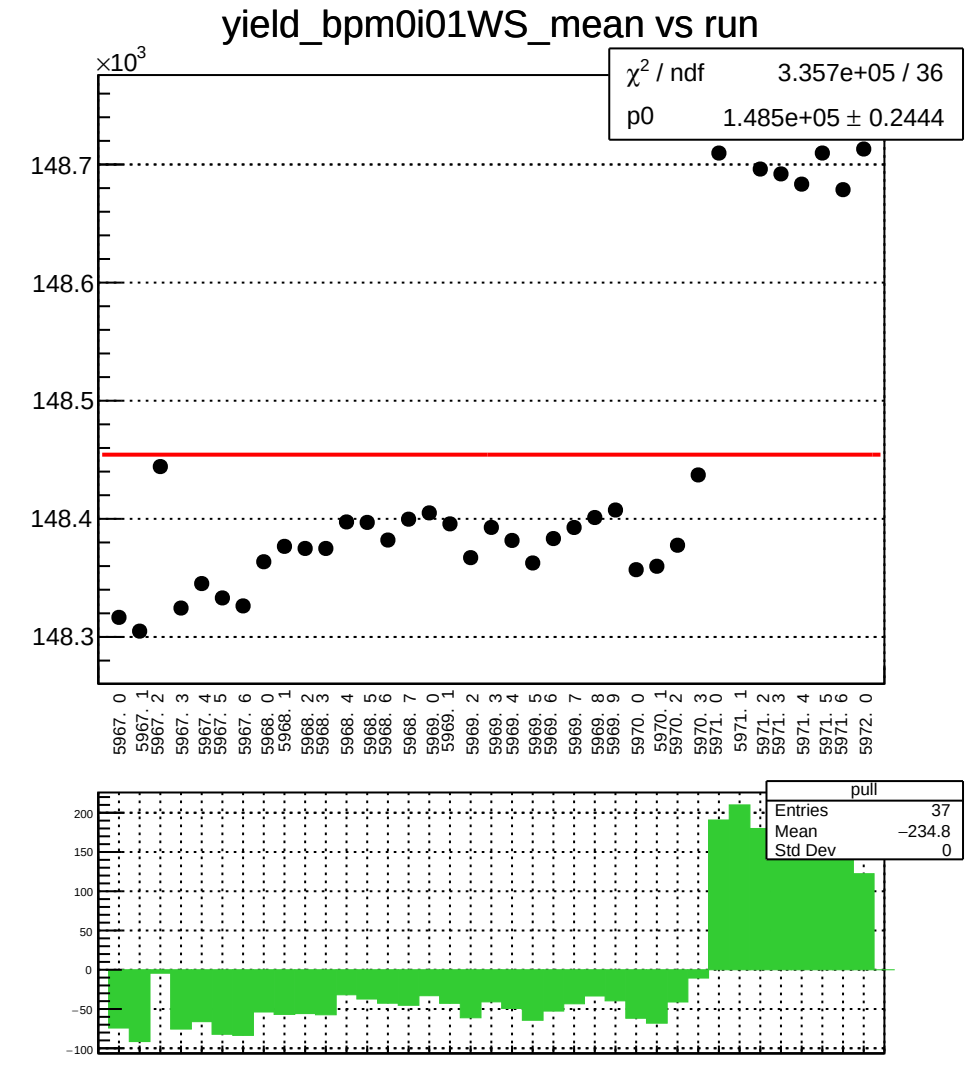
yield_bpm0i01WS_mean vs run
×10^3
χ² / ndf 3.357e+05 / 36
p0 1.485e+05 ± 0.2444
148.7
148.6
148.5
148.4
148.3
5967. 0
5967. 1
5967. 2
5967. 3
5967. 4
5967. 5
5967. 6
5968. 0
5968. 1
5968. 2
5968. 3
5968. 4
5968. 5
5968. 6
5968. 7
5969. 0
5969. 1
5969. 2
5969. 3
5969. 4
5969. 5
5969. 6
5969. 7
5969. 8
5969. 9
5970. 0
5970. 1
5970. 2
5970. 3
5971. 0
5971. 1
5971. 2
5971. 3
5971. 4
5971. 5
5971. 6
5972. 0
pull
Entries 37
Mean −234.8
Std Dev 0
200
150
100
50
0
−50
−100

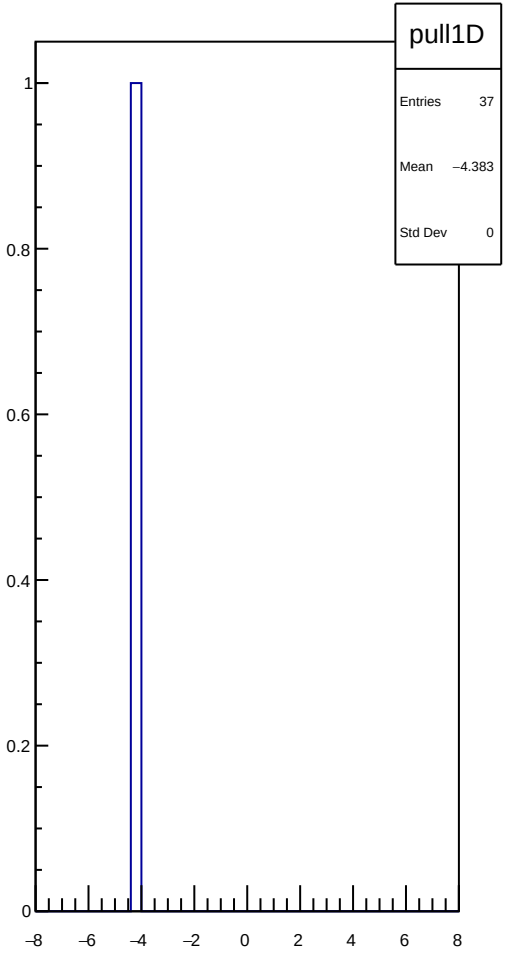
pull1D
Entries 37
Mean −4.383
Std Dev 0
1
0.8
0.6
0.4
0.2
0
−8
−6
−4
−2
0
2
4
6
8

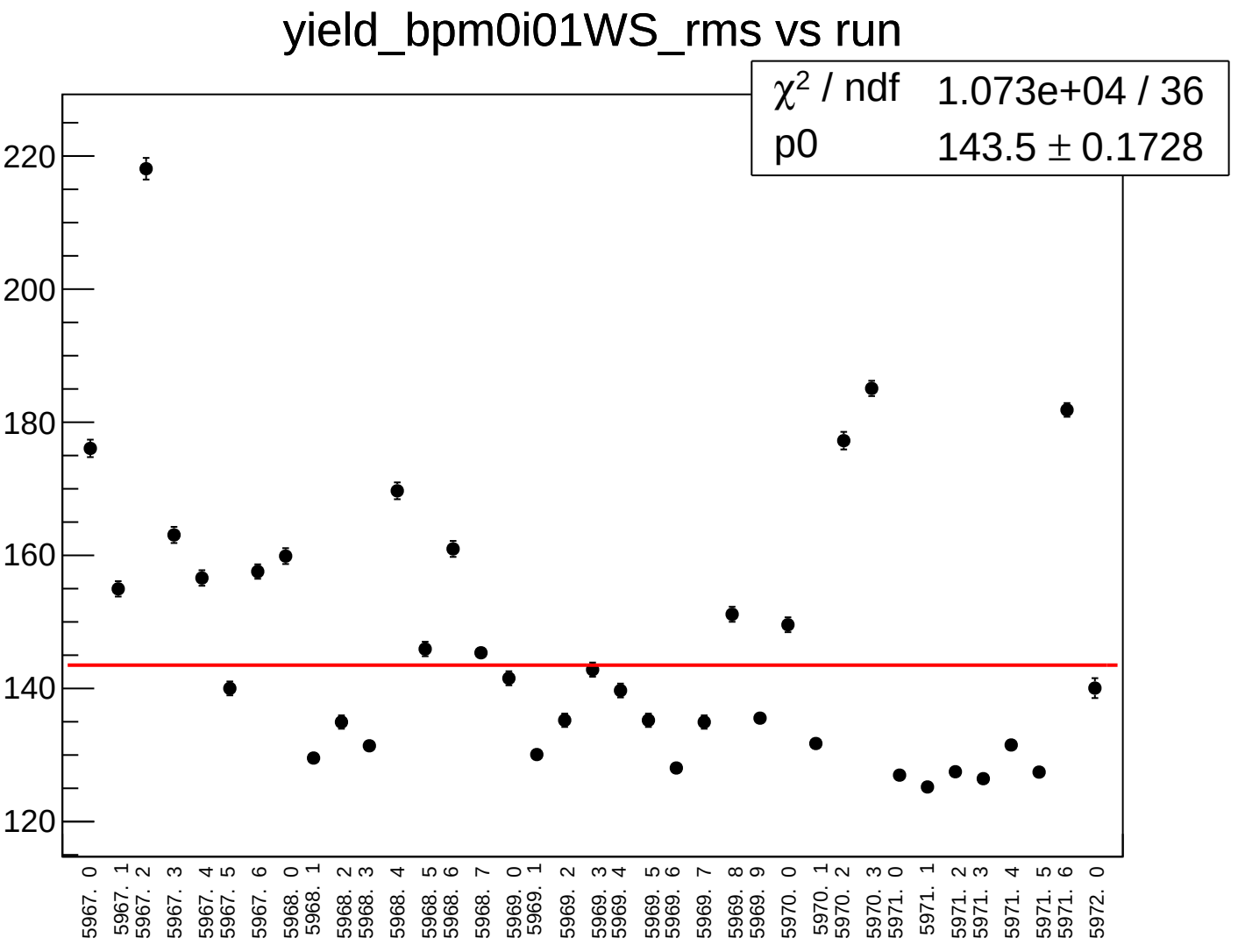
yield_bpm0i01WS_rms vs run
χ² / ndf 1.073e+04 / 36
p0 143.5 ± 0.1728
220
200
180
160
140
120
5967. 0
5967. 1
5967. 2
5967. 3
5967. 4
5967. 5
5967. 6
5968. 0
5968. 1
5968. 2
5968. 3
5968. 4
5968. 5
5968. 6
5968. 7
5969. 0
5969. 1
5969. 2
5969. 3
5969. 4
5969. 5
5969. 6
5969. 7
5969. 8
5969. 9
5970. 0
5970. 1
5970. 2
5970. 3
5971. 0
5971. 1
5971. 2
5971. 3
5971. 4
5971. 5
5971. 6
5972. 0

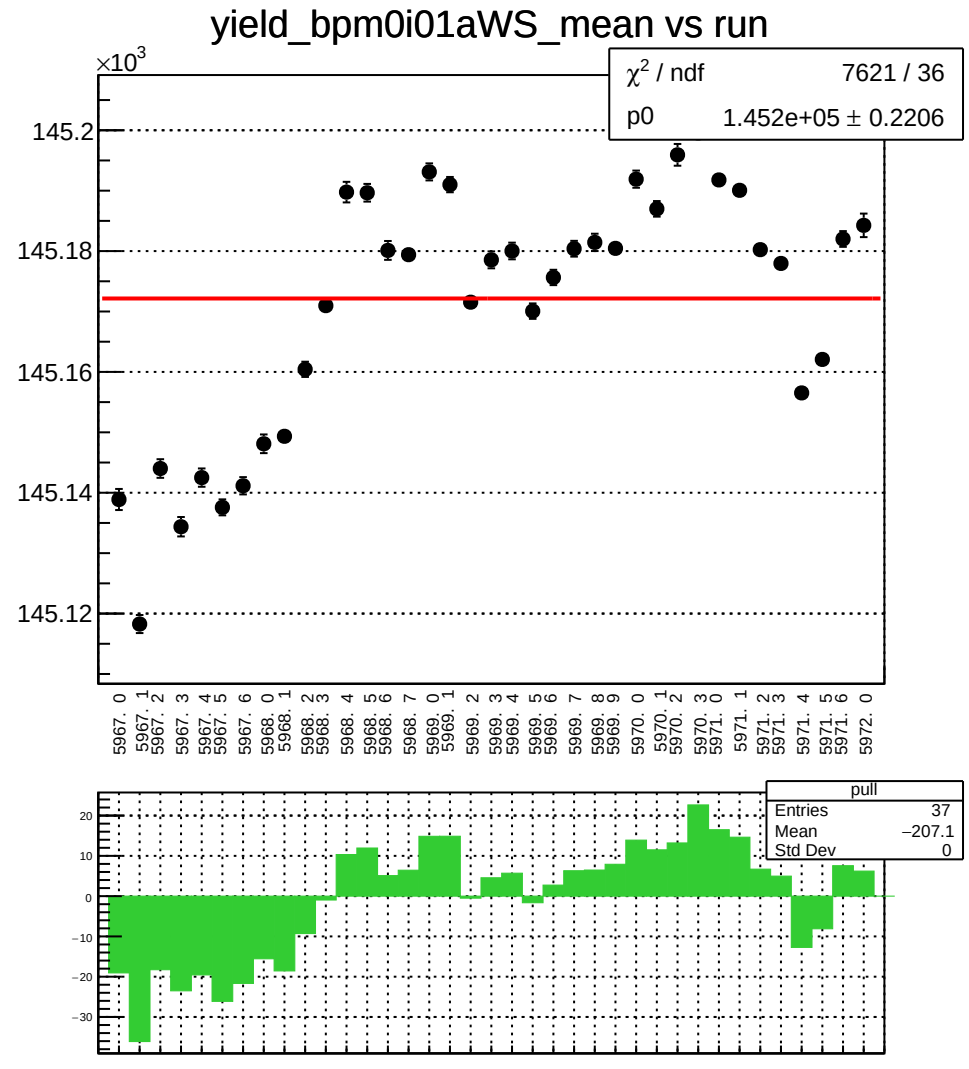
yield_bpm0i01aWS_mean vs run
×10^3
χ² / ndf 7621 / 36
p0 1.452e+05 ± 0.2206
145.2
145.18
145.16
145.14
145.12
5967. 0
5967. 1
5967. 2
5967. 3
5967. 4
5967. 5
5967. 6
5968. 0
5968. 1
5968. 2
5968. 3
5968. 4
5968. 5
5968. 6
5968. 7
5969. 0
5969. 1
5969. 2
5969. 3
5969. 4
5969. 5
5969. 6
5969. 7
5969. 8
5969. 9
5970. 0
5970. 1
5970. 2
5970. 3
5971. 0
5971. 1
5971. 2
5971. 3
5971. 4
5971. 5
5971. 6
5972. 0
pull
Entries 37
Mean −207.1
Std Dev 0
20
10
0
−10
−20
−30

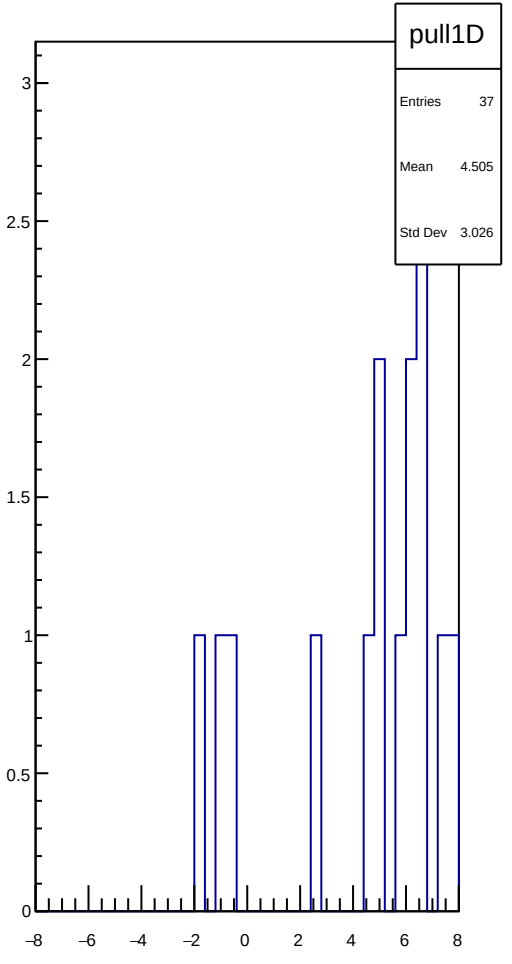
pull1D
Entries 37
Mean 4.505
Std Dev 3.026
3
2.5
2
1.5
1
0.5
0
−8
−6
−4
−2
0
2
4
6
8

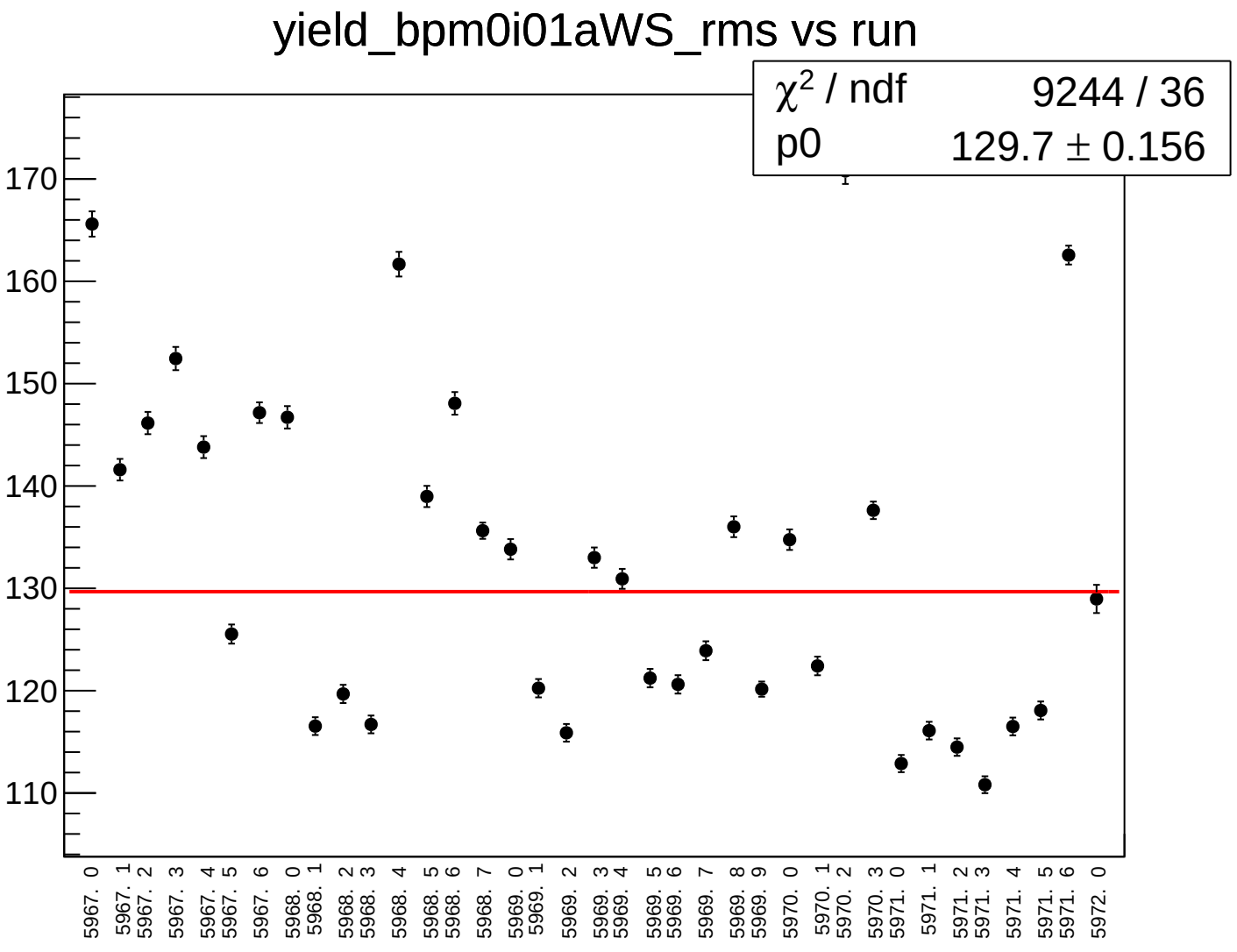
yield_bpm0i01aWS_rms vs run
χ² / ndf 9244 / 36
p0 129.7 ± 0.156
170
160
150
140
130
120
110
5967. 0
5967. 1
5967. 2
5967. 3
5967. 4
5967. 5
5967. 6
5968. 0
5968. 1
5968. 2
5968. 3
5968. 4
5968. 5
5968. 6
5968. 7
5969. 0
5969. 1
5969. 2
5969. 3
5969. 4
5969. 5
5969. 6
5969. 7
5969. 8
5969. 9
5970. 0
5970. 1
5970. 2
5970. 3
5971. 0
5971. 1
5971. 2
5971. 3
5971. 4
5971. 5
5971. 6
5972. 0

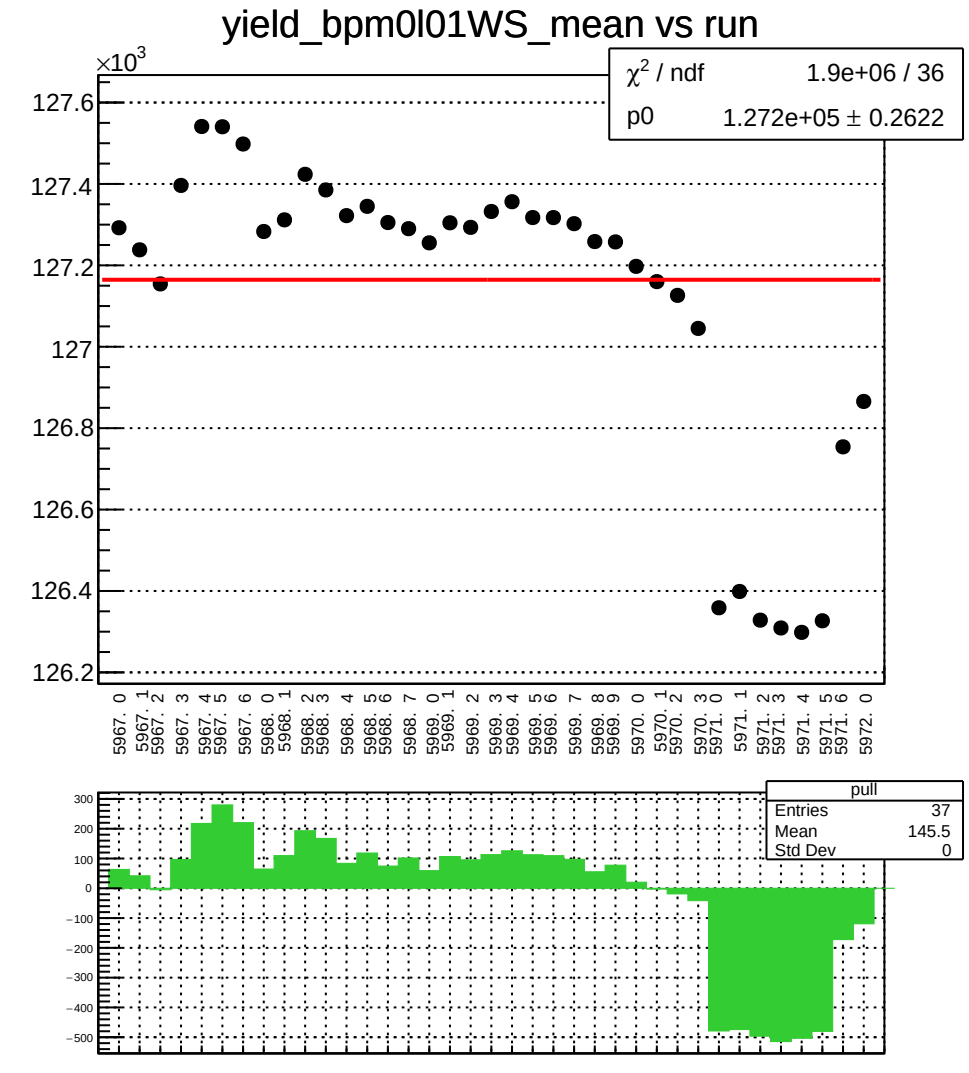
yield_bpm0l01WS_mean vs run
×10^3
χ² / ndf 1.9e+06 / 36
p0 1.272e+05 ± 0.2622
127.6
127.4
127.2
127
126.8
126.6
126.4
126.2
5967. 0
5967. 1
5967. 2
5967. 3
5967. 4
5967. 5
5967. 6
5968. 0
5968. 1
5968. 2
5968. 3
5968. 4
5968. 5
5968. 6
5968. 7
5969. 0
5969. 1
5969. 2
5969. 3
5969. 4
5969. 5
5969. 6
5969. 7
5969. 8
5969. 9
5970. 0
5970. 1
5970. 2
5970. 3
5971. 0
5971. 1
5971. 2
5971. 3
5971. 4
5971. 5
5971. 6
5972. 0
pull
Entries 37
Mean 145.5
Std Dev 0
300
200
100
0
−100
−200
−300
−400
−500

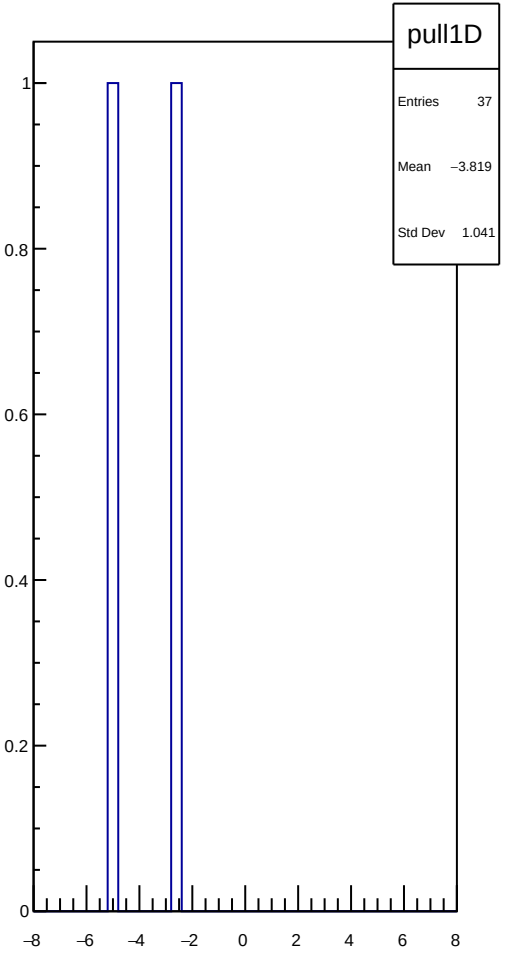
pull1D
Entries 37
Mean −3.819
Std Dev 1.041
1
0.8
0.6
0.4
0.2
0
−8
−6
−4
−2
0
2
4
6
8

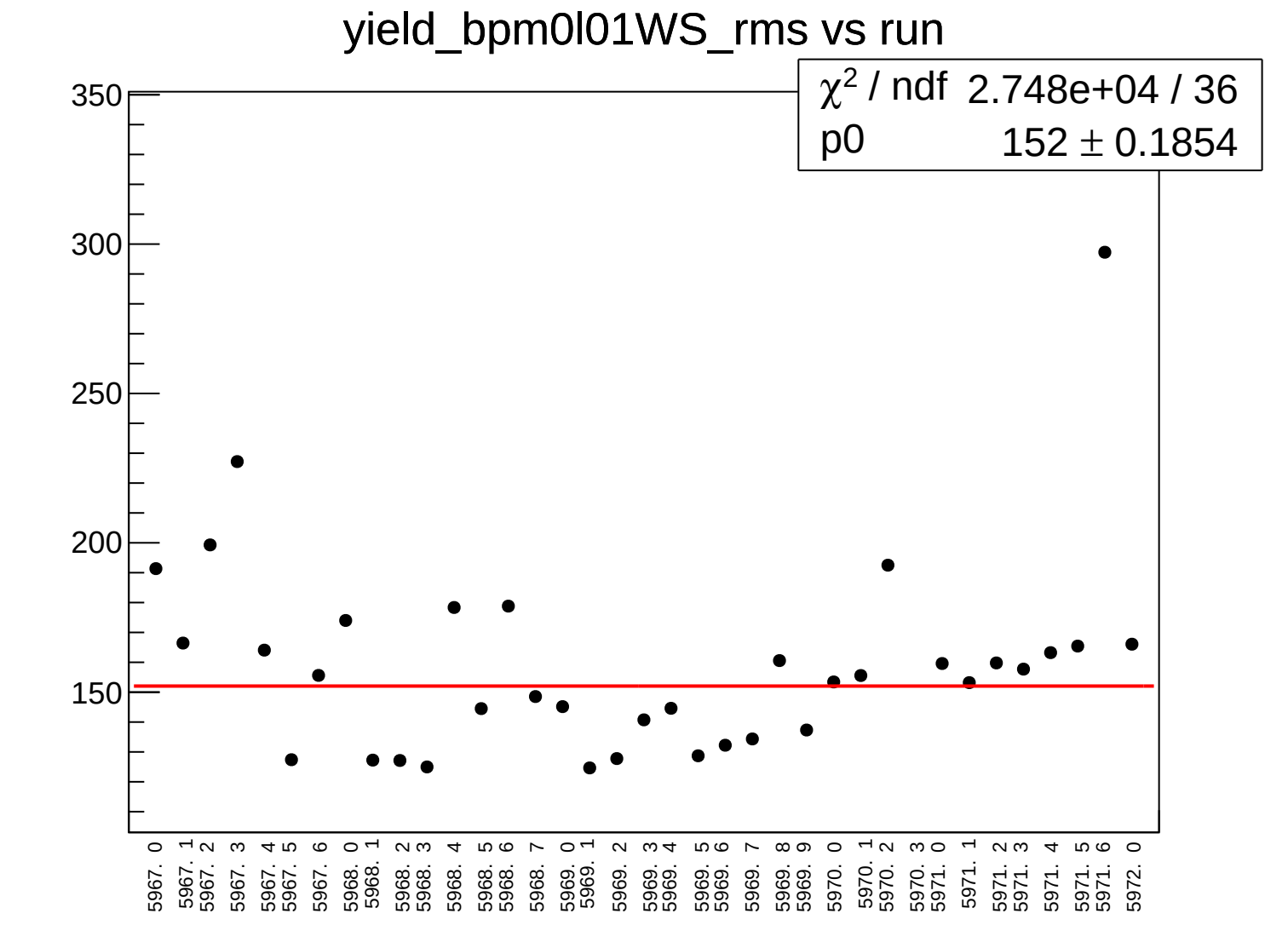
yield_bpm0l01WS_rms vs run
χ² / ndf 2.748e+04 / 36
p0 152 ± 0.1854
350
300
250
200
150
5967. 0
5967. 1
5967. 2
5967. 3
5967. 4
5967. 5
5967. 6
5968. 0
5968. 1
5968. 2
5968. 3
5968. 4
5968. 5
5968. 6
5968. 7
5969. 0
5969. 1
5969. 2
5969. 3
5969. 4
5969. 5
5969. 6
5969. 7
5969. 8
5969. 9
5970. 0
5970. 1
5970. 2
5970. 3
5971. 0
5971. 1
5971. 2
5971. 3
5971. 4
5971. 5
5971. 6
5972. 0

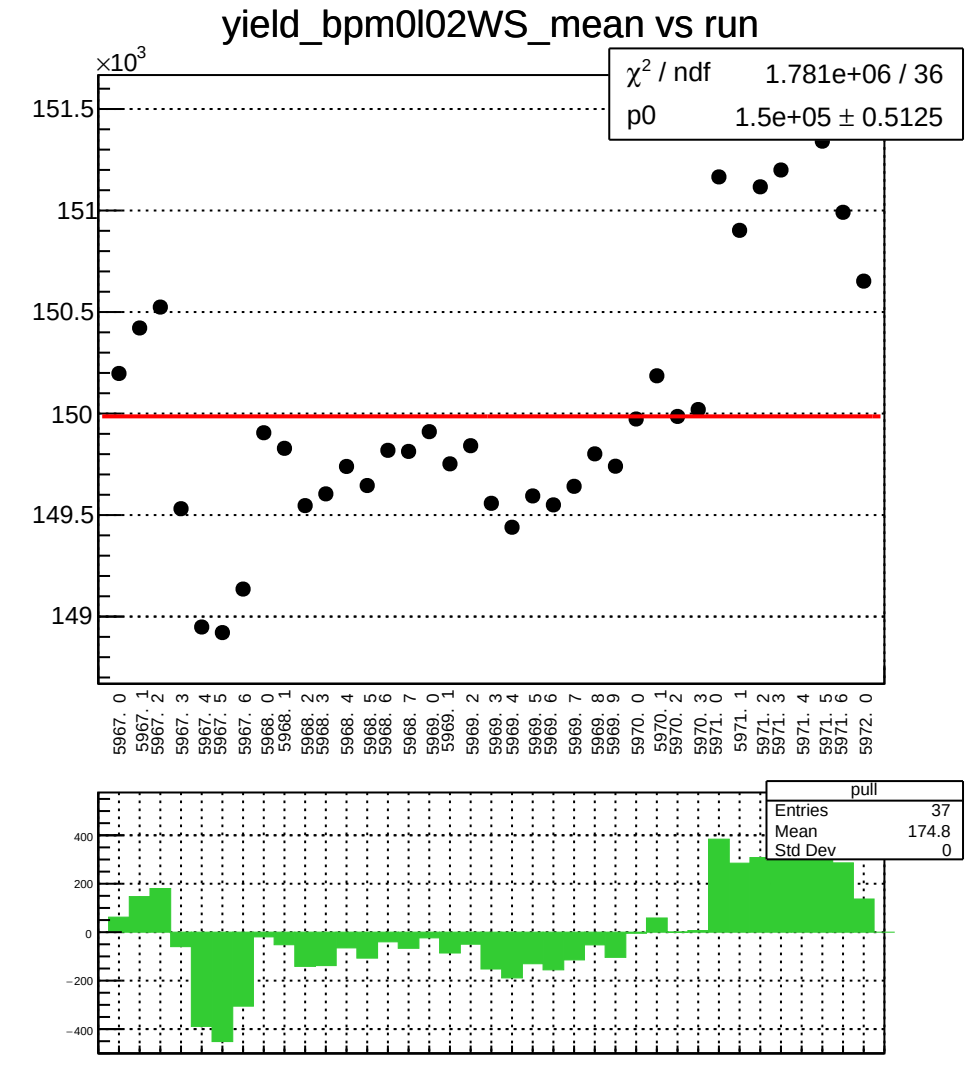
yield_bpm0l02WS_mean vs run
×10^3
χ² / ndf 1.781e+06 / 36
p0 1.5e+05 ± 0.5125
151.5
151
150.5
150
149.5
149
5967. 0
5967. 1
5967. 2
5967. 3
5967. 4
5967. 5
5967. 6
5968. 0
5968. 1
5968. 2
5968. 3
5968. 4
5968. 5
5968. 6
5968. 7
5969. 0
5969. 1
5969. 2
5969. 3
5969. 4
5969. 5
5969. 6
5969. 7
5969. 8
5969. 9
5970. 0
5970. 1
5970. 2
5970. 3
5971. 0
5971. 1
5971. 2
5971. 3
5971. 4
5971. 5
5971. 6
5972. 0
pull
Entries 37
Mean 174.8
Std Dev 0
400
200
0
−200
−400
pull1D
Entries 37
Mean 0.7029
Std Dev 4.505
1
0.8
0.6
0.4
0.2
0
−8
−6
−4
−2
0
2
4
6
8

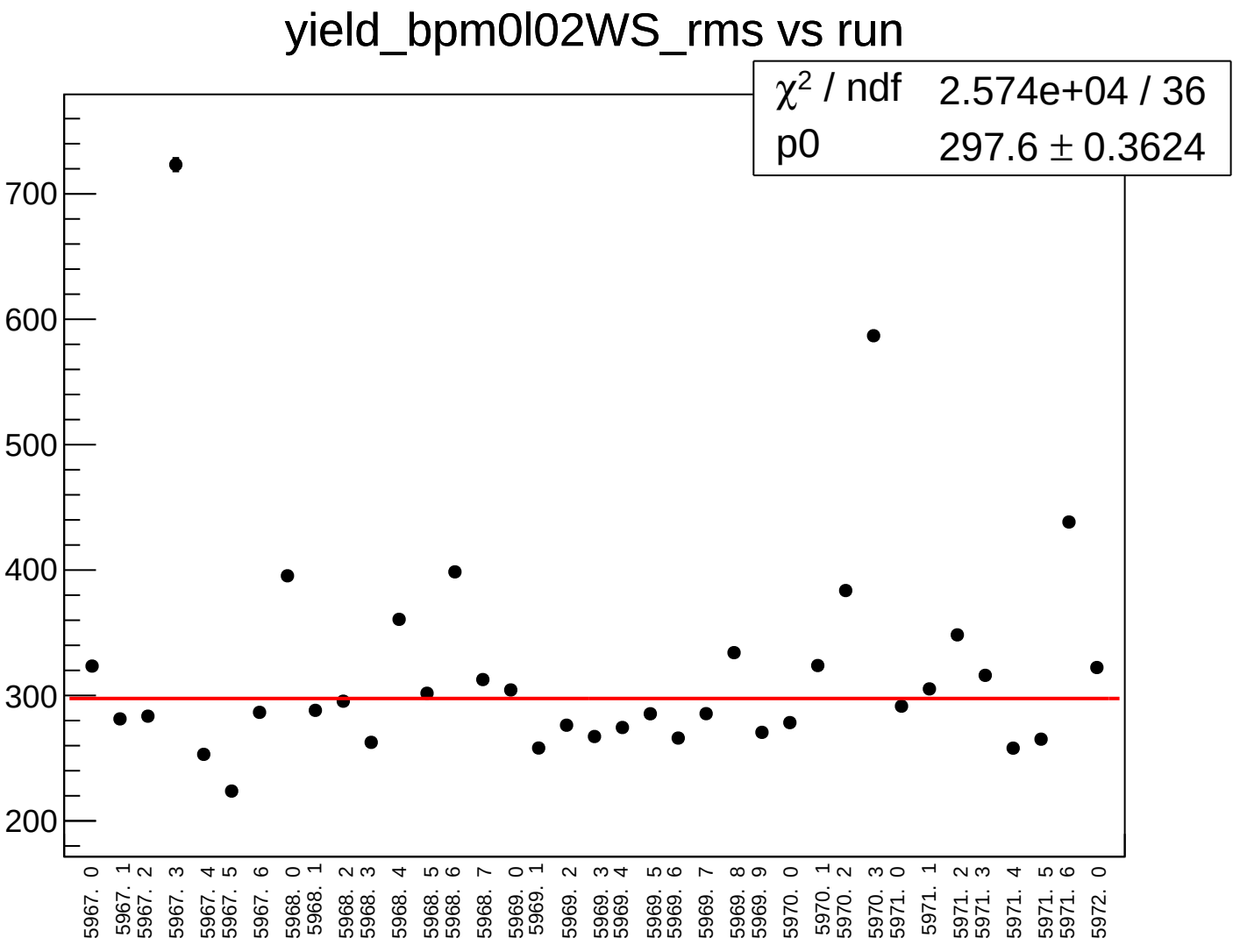
yield_bpm0l02WS_rms vs run
χ² / ndf 2.574e+04 / 36
p0 297.6 ± 0.3624
700
600
500
400
300
200
5967. 0
5967. 1
5967. 2
5967. 3
5967. 4
5967. 5
5967. 6
5968. 0
5968. 1
5968. 2
5968. 3
5968. 4
5968. 5
5968. 6
5968. 7
5969. 0
5969. 1
5969. 2
5969. 3
5969. 4
5969. 5
5969. 6
5969. 7
5969. 8
5969. 9
5970. 0
5970. 1
5970. 2
5970. 3
5971. 0
5971. 1
5971. 2
5971. 3
5971. 4
5971. 5
5971. 6
5972. 0

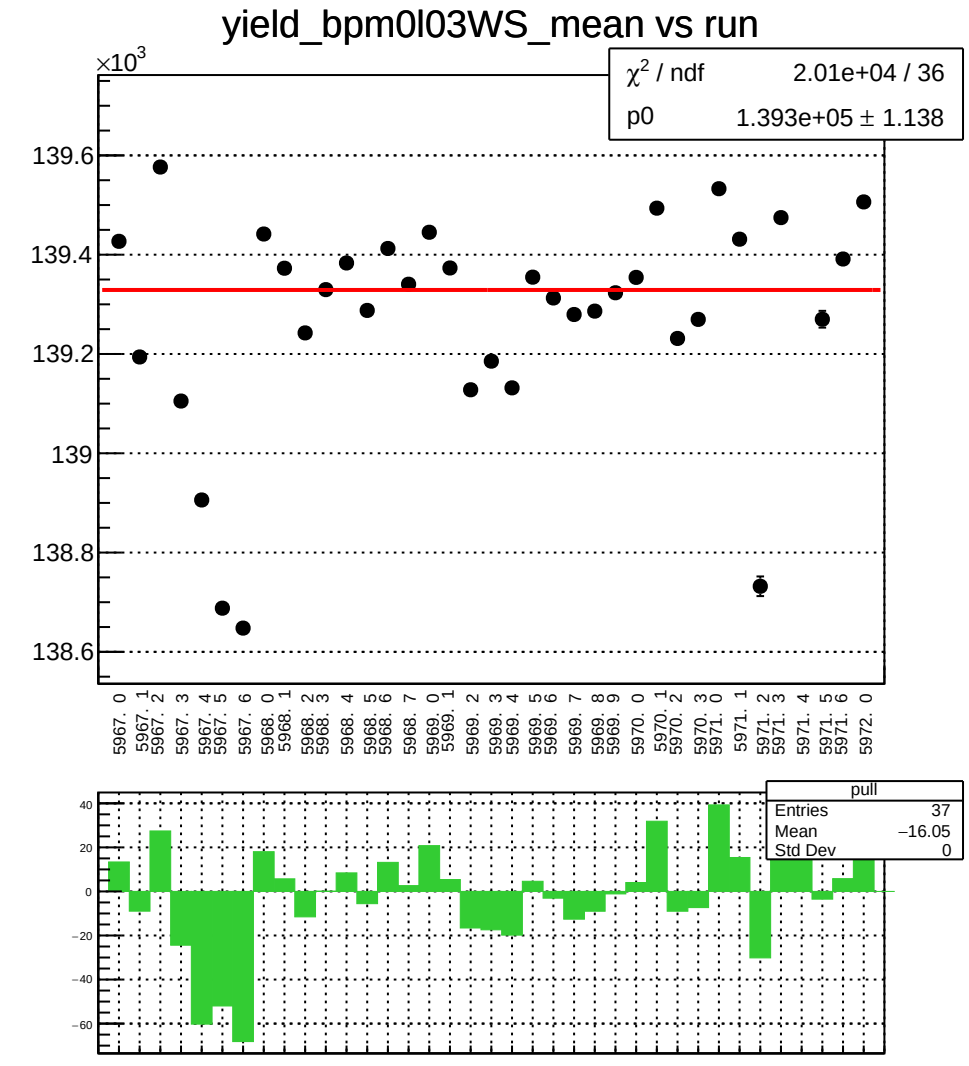
yield_bpm0l03WS_mean vs run
×10^3
χ² / ndf 2.01e+04 / 36
p0 1.393e+05 ± 1.138
139.6
139.4
139.2
139
138.8
138.6
5967. 0
5967. 1
5967. 2
5967. 3
5967. 4
5967. 5
5967. 6
5968. 0
5968. 1
5968. 2
5968. 3
5968. 4
5968. 5
5968. 6
5968. 7
5969. 0
5969. 1
5969. 2
5969. 3
5969. 4
5969. 5
5969. 6
5969. 7
5969. 8
5969. 9
5970. 0
5970. 1
5970. 2
5970. 3
5971. 0
5971. 1
5971. 2
5971. 3
5971. 4
5971. 5
5971. 6
5972. 0
pull
Entries 37
Mean −16.05
Std Dev 0
40
20
0
−20
−40
−60

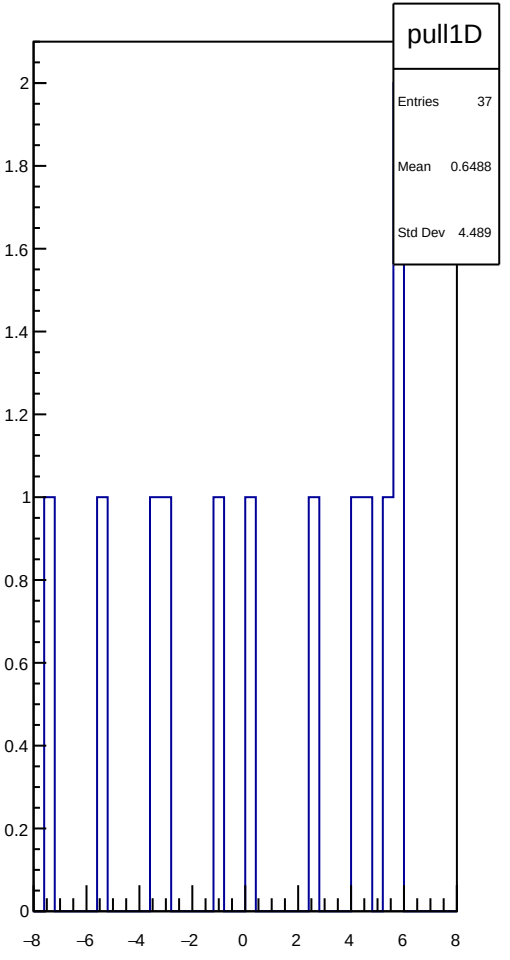
pull1D
Entries 37
Mean 0.6488
Std Dev 4.489
2
1.8
1.6
1.4
1.2
1
0.8
0.6
0.4
0.2
0
−8
−6
−4
−2
0
2
4
6
8

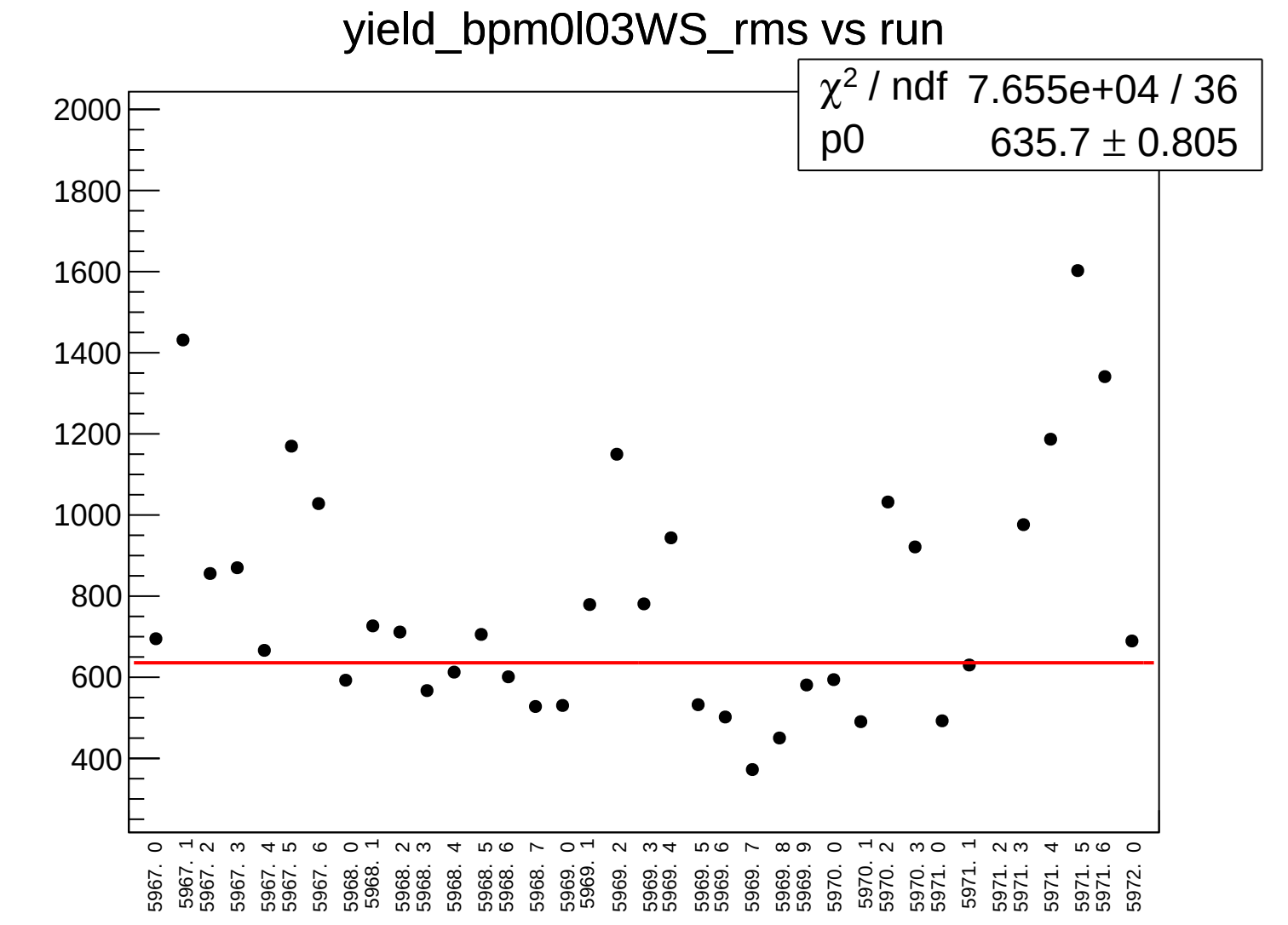
yield_bpm0l03WS_rms vs run
χ² / ndf 7.655e+04 / 36
p0 635.7 ± 0.805
2000
1800
1600
1400
1200
1000
800
600
400
5967. 0
5967. 1
5967. 2
5967. 3
5967. 4
5967. 5
5967. 6
5968. 0
5968. 1
5968. 2
5968. 3
5968. 4
5968. 5
5968. 6
5968. 7
5969. 0
5969. 1
5969. 2
5969. 3
5969. 4
5969. 5
5969. 6
5969. 7
5969. 8
5969. 9
5970. 0
5970. 1
5970. 2
5970. 3
5971. 0
5971. 1
5971. 2
5971. 3
5971. 4
5971. 5
5971. 6
5972. 0

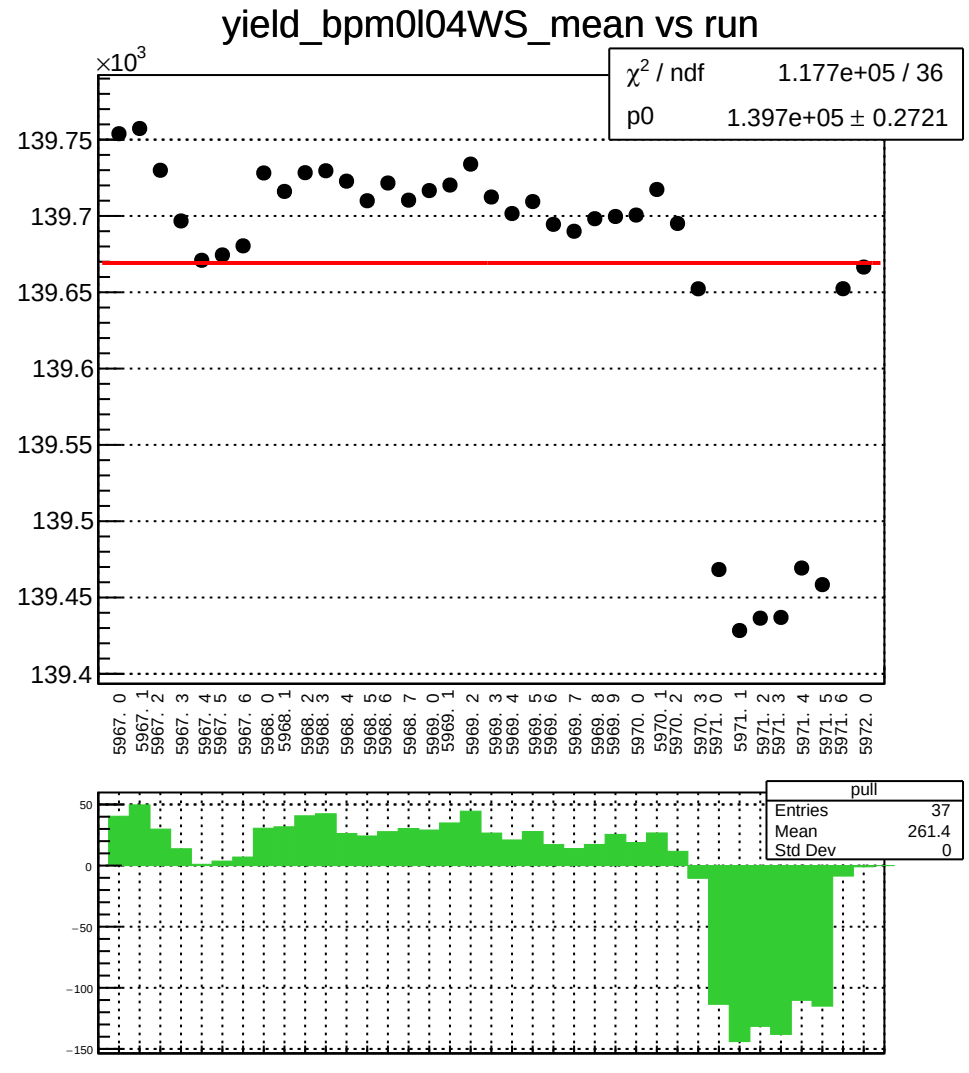
yield_bpm0l04WS_mean vs run
×10^3
χ² / ndf 1.177e+05 / 36
p0 1.397e+05 ± 0.2721
139.75
139.7
139.65
139.6
139.55
139.5
139.45
139.4
5967. 0
5967. 1
5967. 2
5967. 3
5967. 4
5967. 5
5967. 6
5968. 0
5968. 1
5968. 2
5968. 3
5968. 4
5968. 5
5968. 6
5968. 7
5969. 0
5969. 1
5969. 2
5969. 3
5969. 4
5969. 5
5969. 6
5969. 7
5969. 8
5969. 9
5970. 0
5970. 1
5970. 2
5970. 3
5971. 0
5971. 1
5971. 2
5971. 3
5971. 4
5971. 5
5971. 6
5972. 0
pull
Entries 37
Mean 261.4
Std Dev 0
50
0
−50
−100
−150

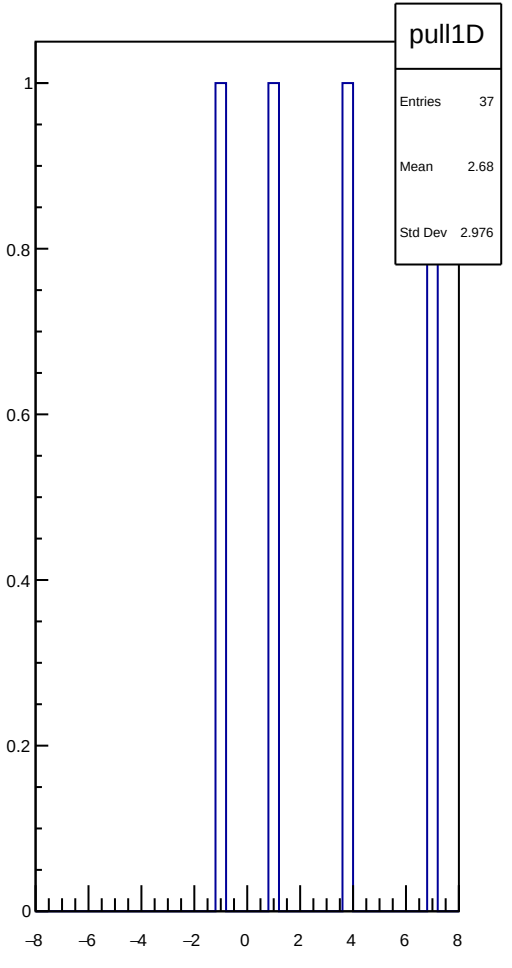
pull1D
Entries 37
Mean 2.68
Std Dev 2.976
1
0.8
0.6
0.4
0.2
0
−8
−6
−4
−2
0
2
4
6
8

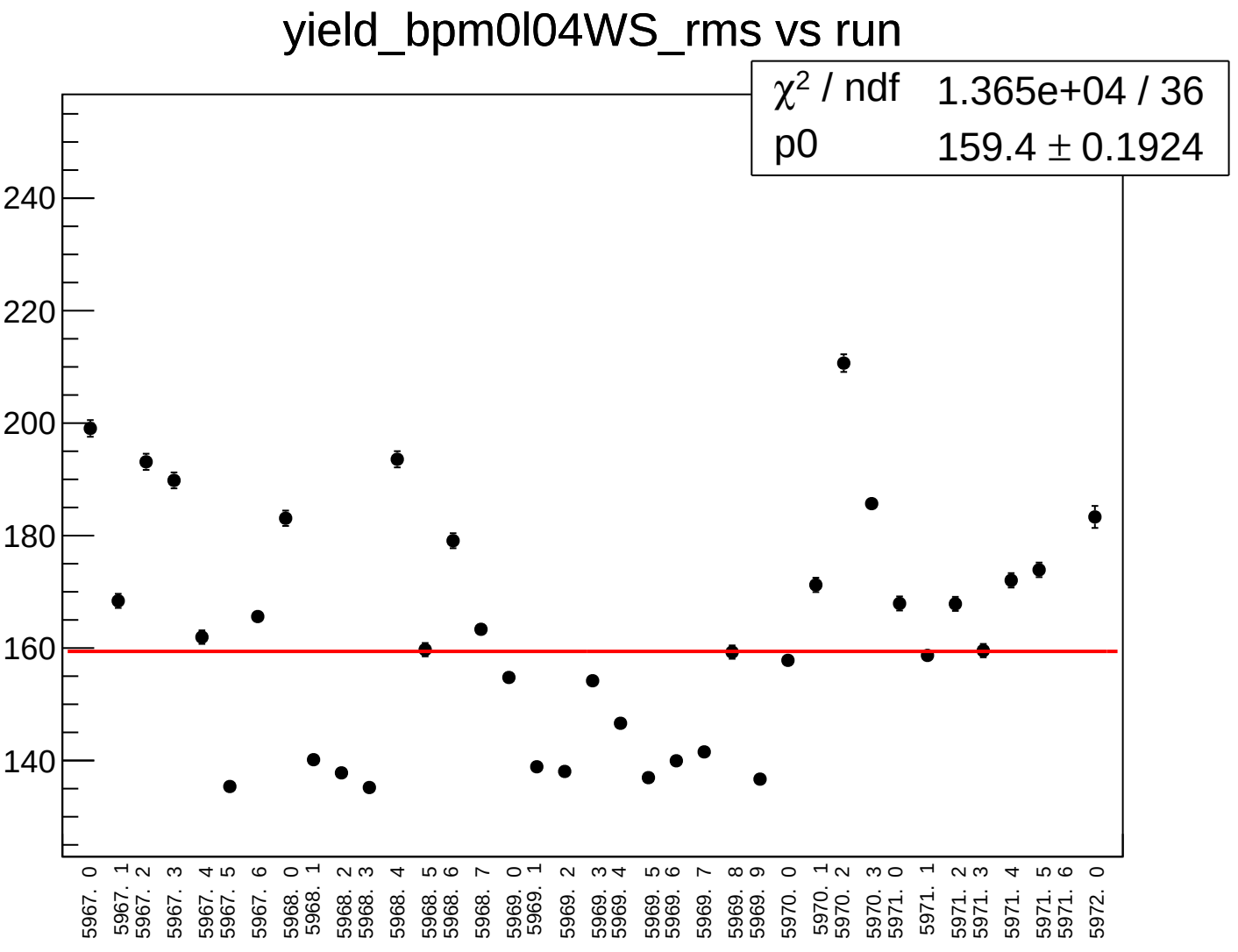
yield_bpm0l04WS_rms vs run
χ² / ndf 1.365e+04 / 36
p0 159.4 ± 0.1924
240
220
200
180
160
140
5967. 0
5967. 1
5967. 2
5967. 3
5967. 4
5967. 5
5967. 6
5968. 0
5968. 1
5968. 2
5968. 3
5968. 4
5968. 5
5968. 6
5968. 7
5969. 0
5969. 1
5969. 2
5969. 3
5969. 4
5969. 5
5969. 6
5969. 7
5969. 8
5969. 9
5970. 0
5970. 1
5970. 2
5970. 3
5971. 0
5971. 1
5971. 2
5971. 3
5971. 4
5971. 5
5971. 6
5972. 0

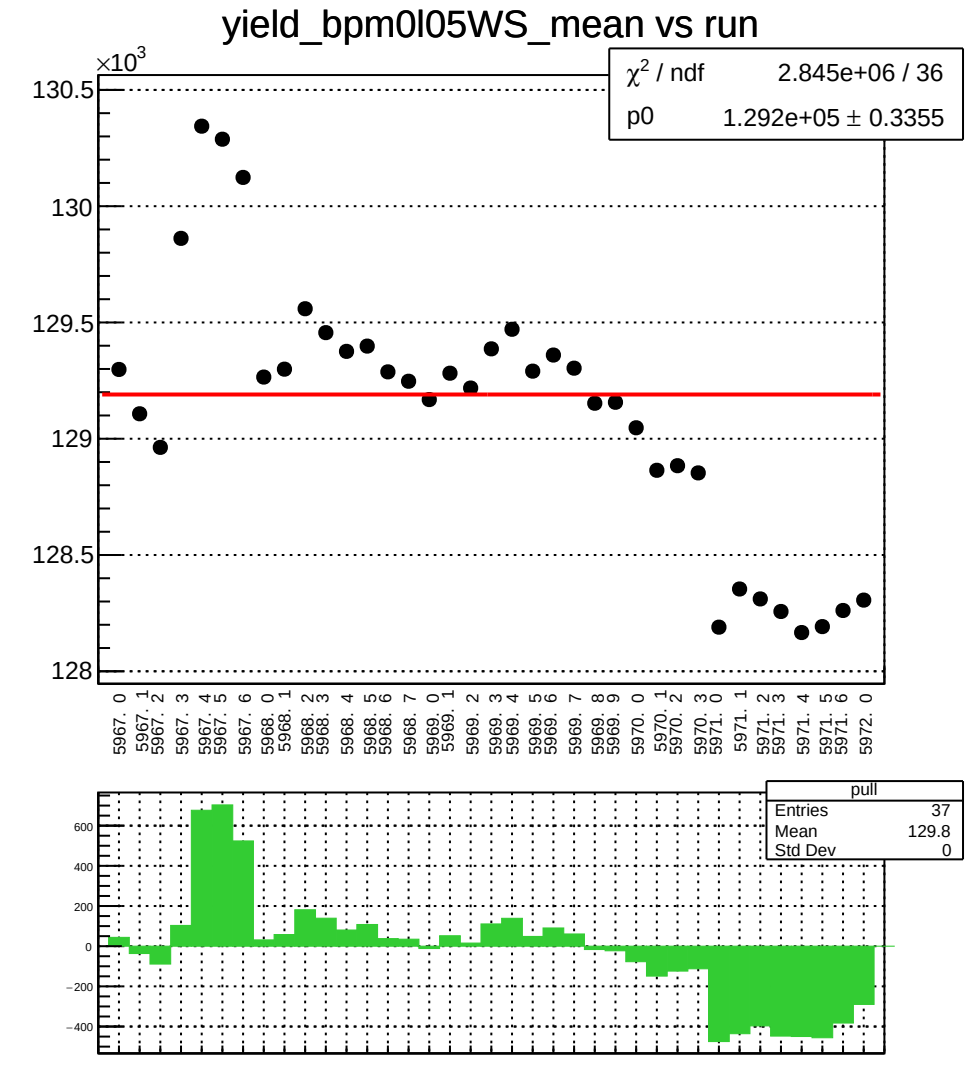
yield_bpm0l05WS_mean vs run
×10^3
χ² / ndf 2.845e+06 / 36
p0 1.292e+05 ± 0.3355
130.5
130
129.5
129
128.5
128
5967. 0
5967. 1
5967. 2
5967. 3
5967. 4
5967. 5
5967. 6
5968. 0
5968. 1
5968. 2
5968. 3
5968. 4
5968. 5
5968. 6
5968. 7
5969. 0
5969. 1
5969. 2
5969. 3
5969. 4
5969. 5
5969. 6
5969. 7
5969. 8
5969. 9
5970. 0
5970. 1
5970. 2
5970. 3
5971. 0
5971. 1
5971. 2
5971. 3
5971. 4
5971. 5
5971. 6
5972. 0
pull
Entries 37
Mean 129.8
Std Dev 0
600
400
200
0
−200
−400
pull1D
Entries 37
Mean 0
Std Dev 0
1
0.8
0.6
0.4
0.2
0
−8
−6
−4
−2
0
2
4
6
8

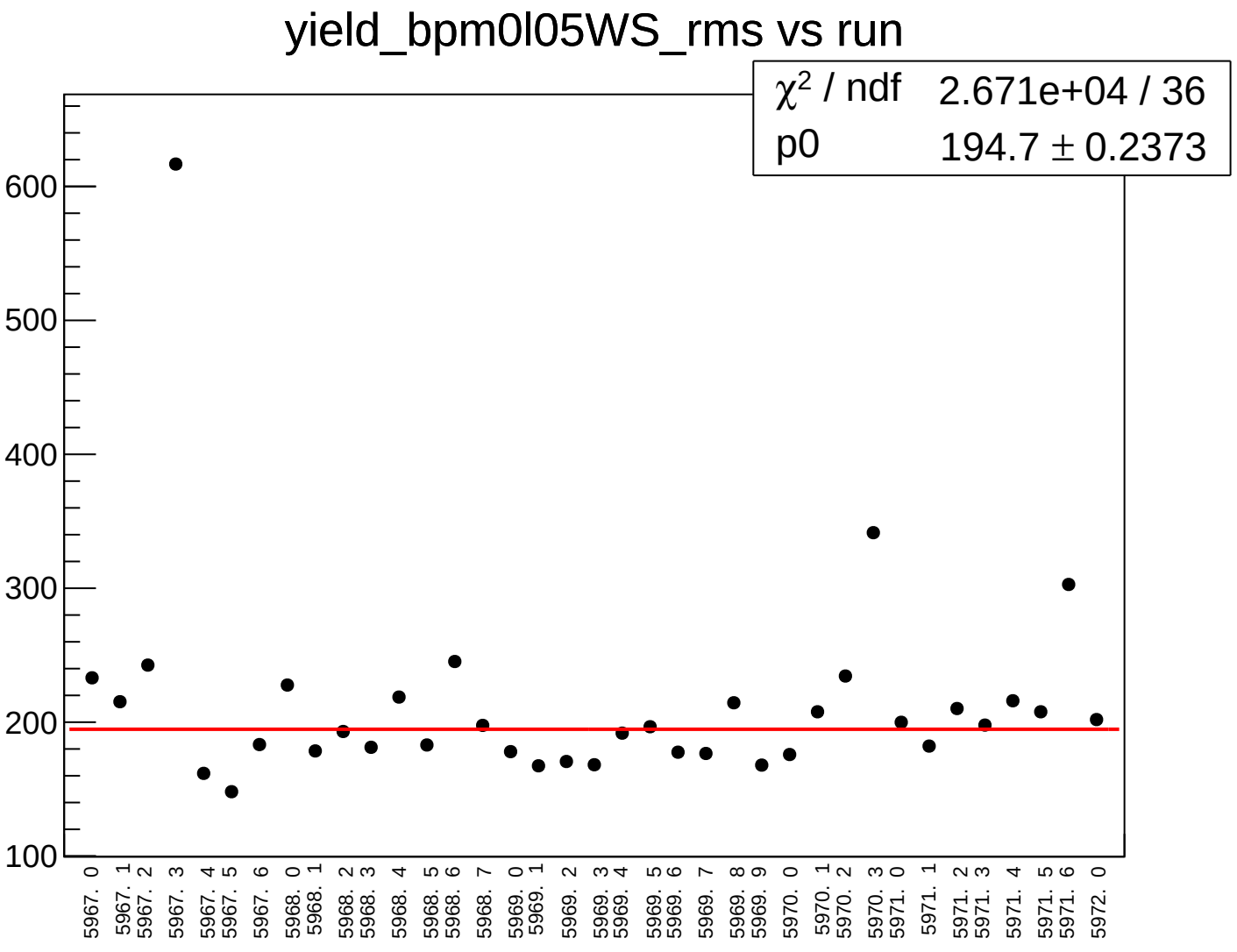
yield_bpm0l05WS_rms vs run
χ² / ndf 2.671e+04 / 36
p0 194.7 ± 0.2373
600
500
400
300
200
100
5967. 0
5967. 1
5967. 2
5967. 3
5967. 4
5967. 5
5967. 6
5968. 0
5968. 1
5968. 2
5968. 3
5968. 4
5968. 5
5968. 6
5968. 7
5969. 0
5969. 1
5969. 2
5969. 3
5969. 4
5969. 5
5969. 6
5969. 7
5969. 8
5969. 9
5970. 0
5970. 1
5970. 2
5970. 3
5971. 0
5971. 1
5971. 2
5971. 3
5971. 4
5971. 5
5971. 6
5972. 0

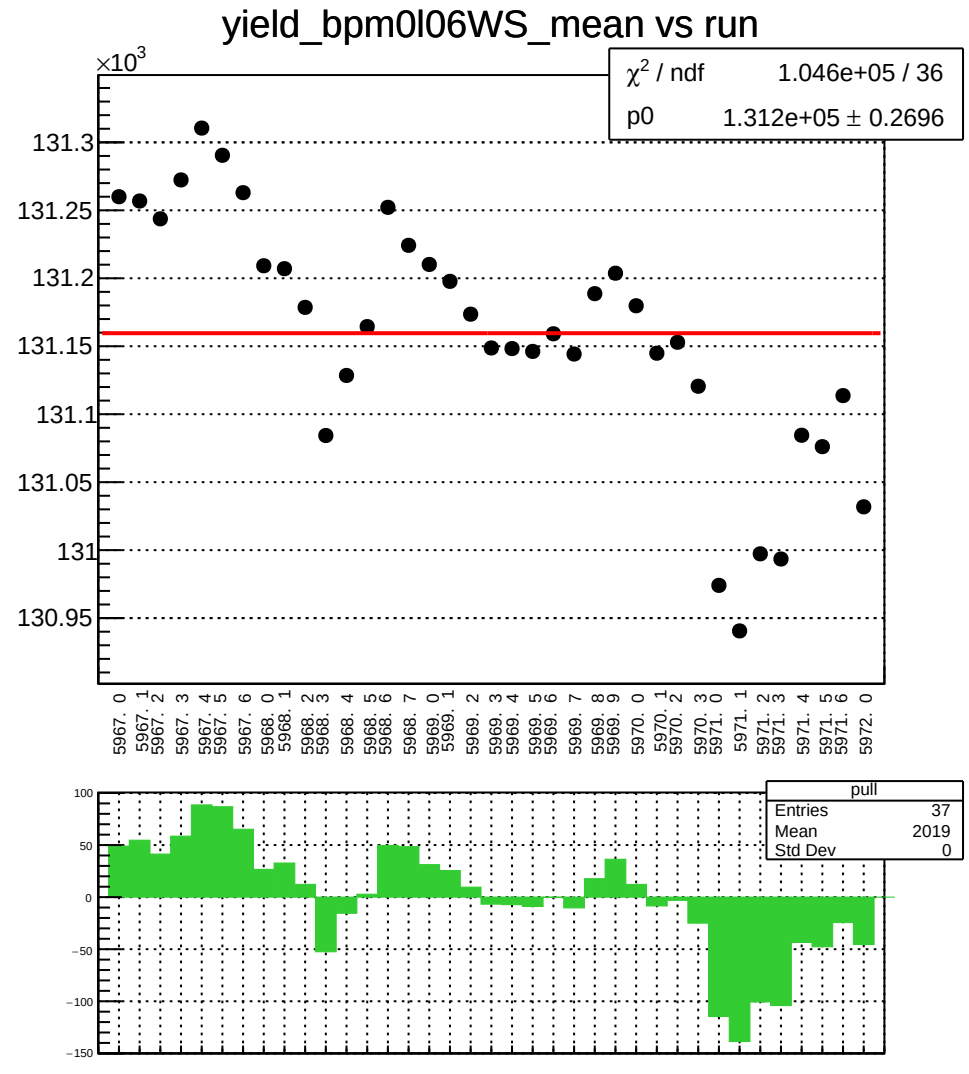
yield_bpm0l06WS_mean vs run
×10^3
χ² / ndf 1.046e+05 / 36
p0 1.312e+05 ± 0.2696
131.3
131.25
131.2
131.15
131.1
131.05
131
130.95
5967. 0
5967. 1
5967. 2
5967. 3
5967. 4
5967. 5
5967. 6
5968. 0
5968. 1
5968. 2
5968. 3
5968. 4
5968. 5
5968. 6
5968. 7
5969. 0
5969. 1
5969. 2
5969. 3
5969. 4
5969. 5
5969. 6
5969. 7
5969. 8
5969. 9
5970. 0
5970. 1
5970. 2
5970. 3
5971. 0
5971. 1
5971. 2
5971. 3
5971. 4
5971. 5
5971. 6
5972. 0
pull
Entries 37
Mean 2019
Std Dev 0
100
50
0
−50
−100
−150
pull1D
Entries 37
Mean −2.907
Std Dev 3.82
1
0.8
0.6
0.4
0.2
0
−8
−6
−4
−2
0
2
4
6
8

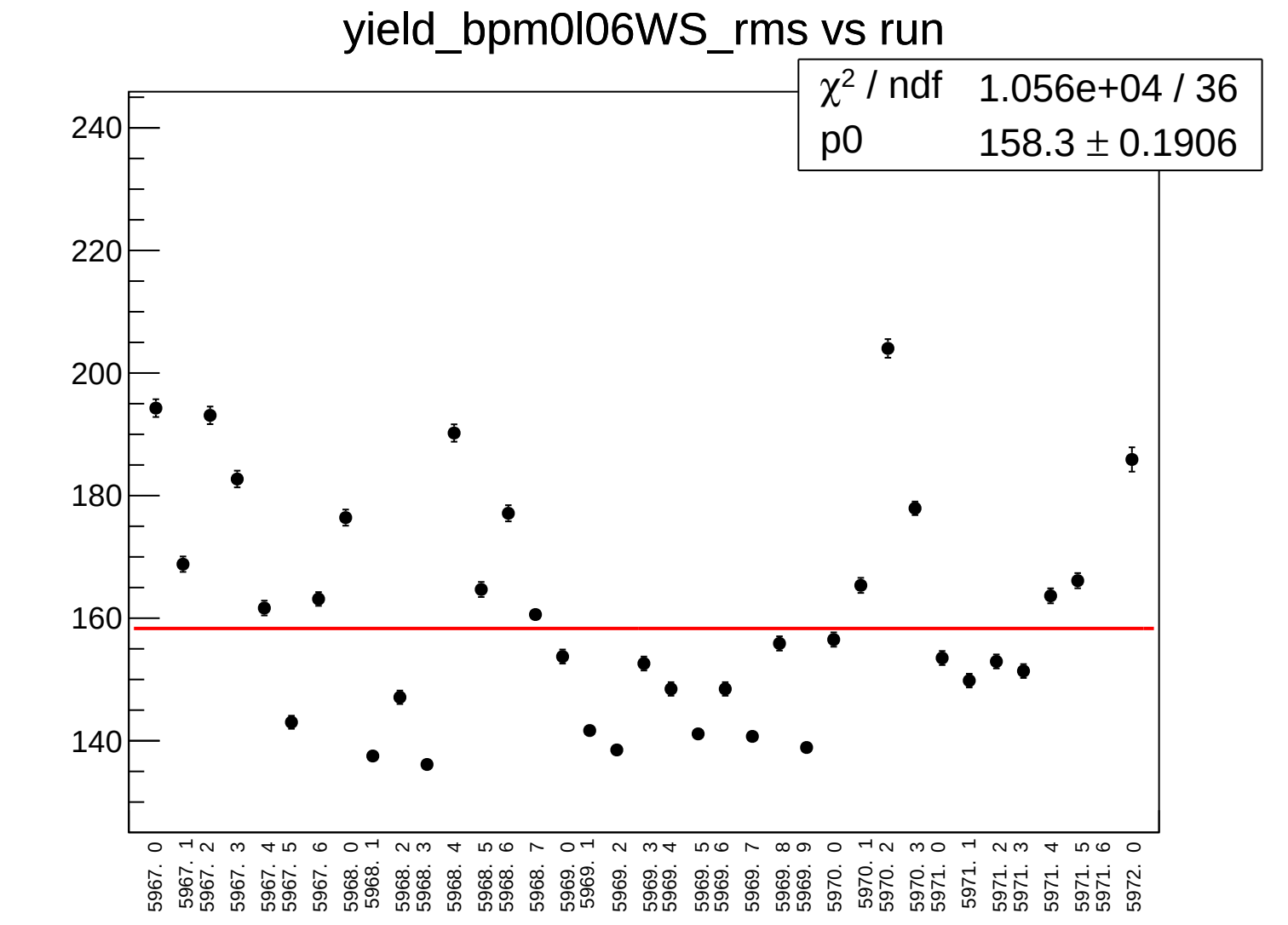
yield_bpm0l06WS_rms vs run
χ² / ndf 1.056e+04 / 36
p0 158.3 ± 0.1906
240
220
200
180
160
140
5967. 0
5967. 1
5967. 2
5967. 3
5967. 4
5967. 5
5967. 6
5968. 0
5968. 1
5968. 2
5968. 3
5968. 4
5968. 5
5968. 6
5968. 7
5969. 0
5969. 1
5969. 2
5969. 3
5969. 4
5969. 5
5969. 6
5969. 7
5969. 8
5969. 9
5970. 0
5970. 1
5970. 2
5970. 3
5971. 0
5971. 1
5971. 2
5971. 3
5971. 4
5971. 5
5971. 6
5972. 0

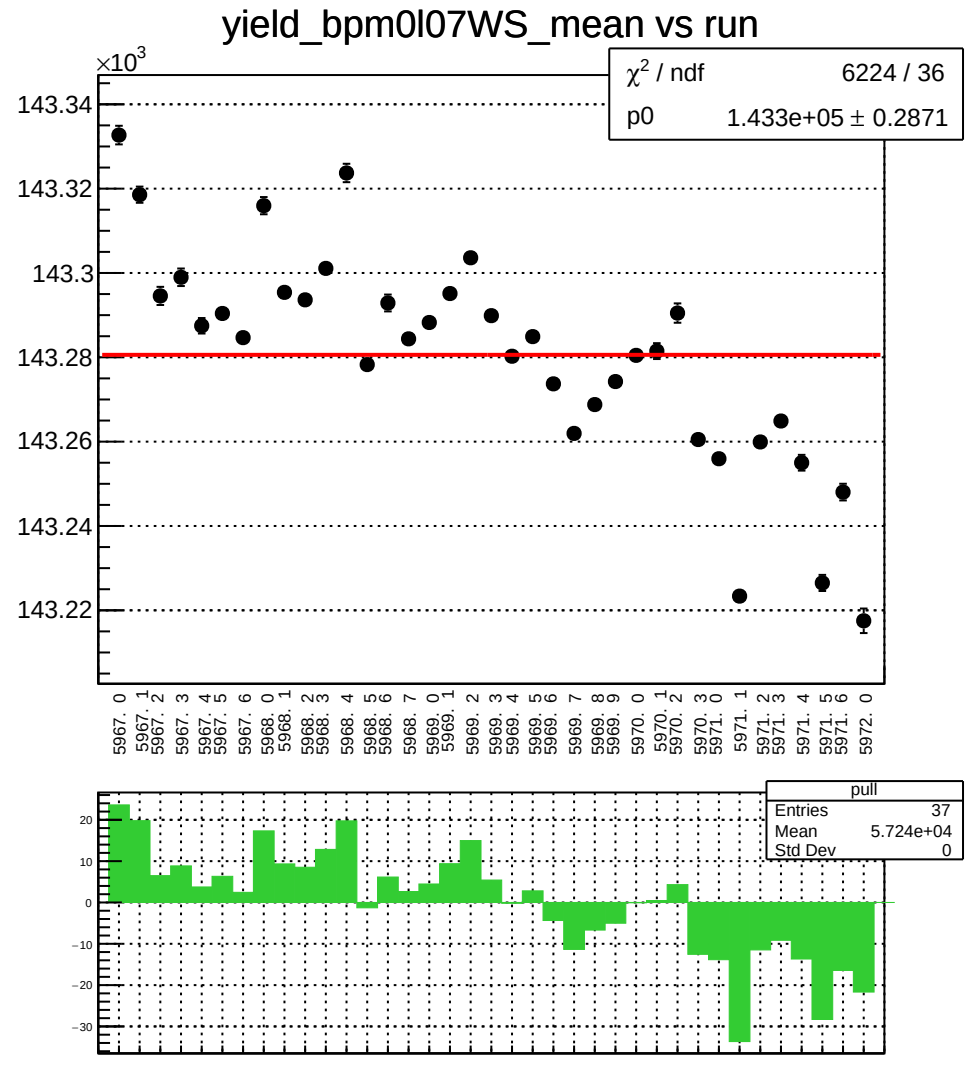
yield_bpm0l07WS_mean vs run
×10^3
χ² / ndf 6224 / 36
p0 1.433e+05 ± 0.2871
143.34
143.32
143.3
143.28
143.26
143.24
143.22
5967. 0
5967. 1
5967. 2
5967. 3
5967. 4
5967. 5
5967. 6
5968. 0
5968. 1
5968. 2
5968. 3
5968. 4
5968. 5
5968. 6
5968. 7
5969. 0
5969. 1
5969. 2
5969. 3
5969. 4
5969. 5
5969. 6
5969. 7
5969. 8
5969. 9
5970. 0
5970. 1
5970. 2
5970. 3
5971. 0
5971. 1
5971. 2
5971. 3
5971. 4
5971. 5
5971. 6
5972. 0
pull
Entries 37
Mean 5.724e+04
Std Dev 0
20
10
0
−10
−20
−30

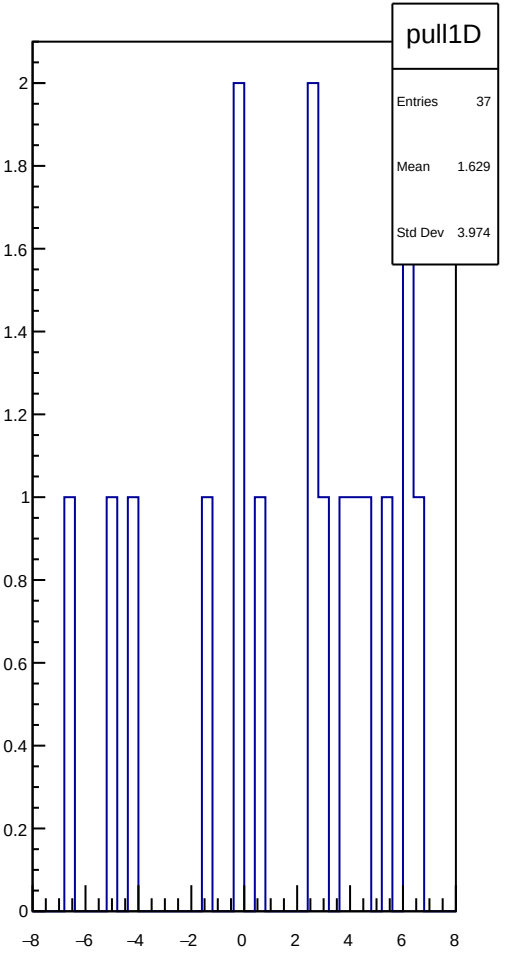
pull1D
Entries 37
Mean 1.629
Std Dev 3.974
2
1.8
1.6
1.4
1.2
1
0.8
0.6
0.4
0.2
0
−8
−6
−4
−2
0
2
4
6
8

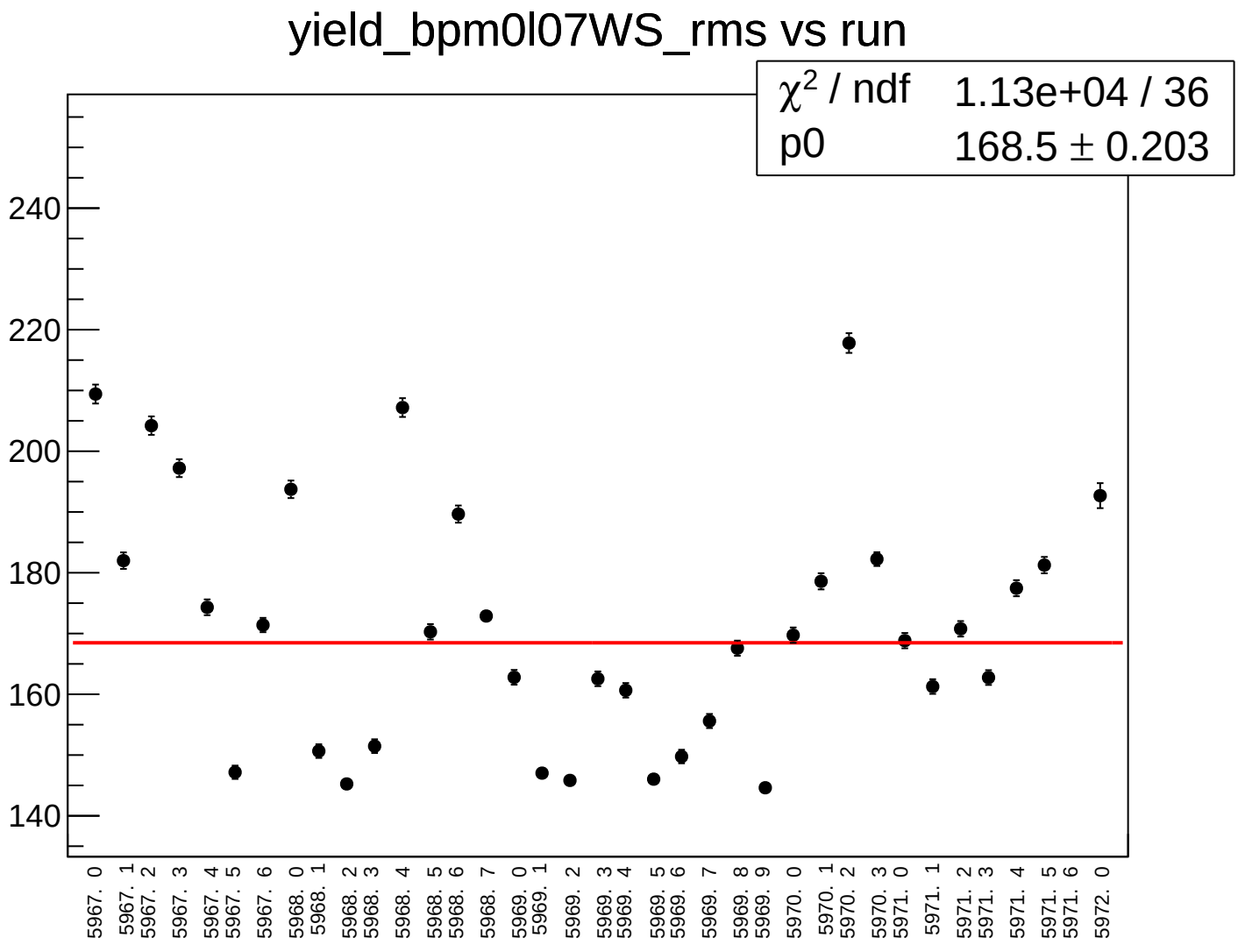
yield_bpm0l07WS_rms vs run
χ² / ndf 1.13e+04 / 36
p0 168.5 ± 0.203
240
220
200
180
160
140
5967. 0
5967. 1
5967. 2
5967. 3
5967. 4
5967. 5
5967. 6
5968. 0
5968. 1
5968. 2
5968. 3
5968. 4
5968. 5
5968. 6
5968. 7
5969. 0
5969. 1
5969. 2
5969. 3
5969. 4
5969. 5
5969. 6
5969. 7
5969. 8
5969. 9
5970. 0
5970. 1
5970. 2
5970. 3
5971. 0
5971. 1
5971. 2
5971. 3
5971. 4
5971. 5
5971. 6
5972. 0

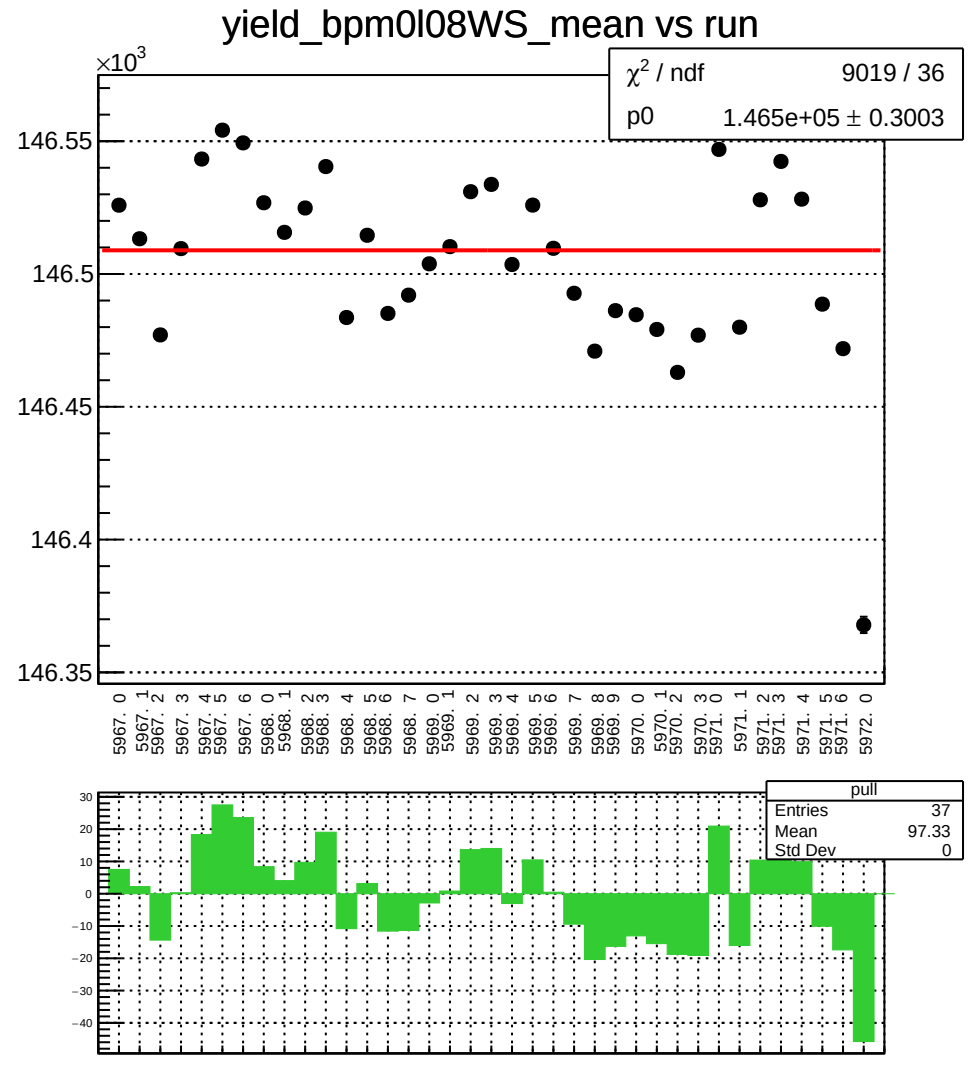
yield_bpm0l08WS_mean vs run
×10^3
χ² / ndf 9019 / 36
p0 1.465e+05 ± 0.3003
146.55
146.5
146.45
146.4
146.35
5967. 0
5967. 1
5967. 2
5967. 3
5967. 4
5967. 5
5967. 6
5968. 0
5968. 1
5968. 2
5968. 3
5968. 4
5968. 5
5968. 6
5968. 7
5969. 0
5969. 1
5969. 2
5969. 3
5969. 4
5969. 5
5969. 6
5969. 7
5969. 8
5969. 9
5970. 0
5970. 1
5970. 2
5970. 3
5971. 0
5971. 1
5971. 2
5971. 3
5971. 4
5971. 5
5971. 6
5972. 0
pull
Entries 37
Mean 97.33
Std Dev 0
30
20
10
0
−10
−20
−30
−40

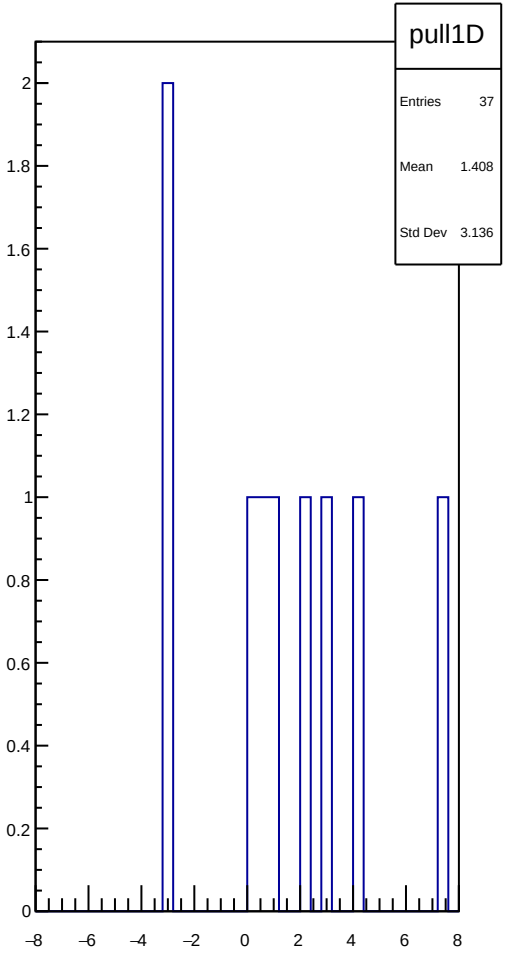
pull1D
Entries 37
Mean 1.408
Std Dev 3.136
2
1.8
1.6
1.4
1.2
1
0.8
0.6
0.4
0.2
0
−8
−6
−4
−2
0
2
4
6
8

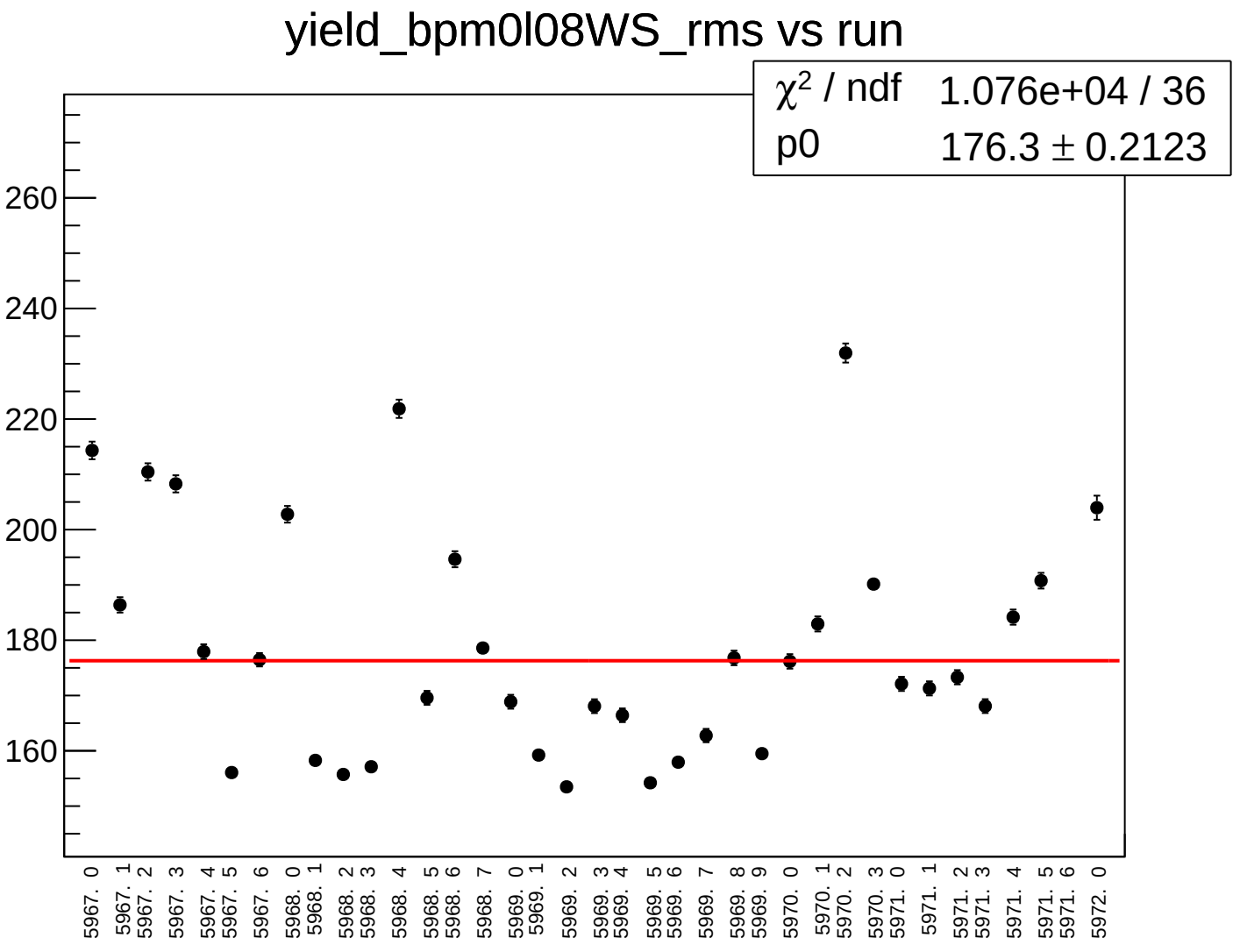
yield_bpm0l08WS_rms vs run
χ² / ndf 1.076e+04 / 36
p0 176.3 ± 0.2123
260
240
220
200
180
160
5967. 0
5967. 1
5967. 2
5967. 3
5967. 4
5967. 5
5967. 6
5968. 0
5968. 1
5968. 2
5968. 3
5968. 4
5968. 5
5968. 6
5968. 7
5969. 0
5969. 1
5969. 2
5969. 3
5969. 4
5969. 5
5969. 6
5969. 7
5969. 8
5969. 9
5970. 0
5970. 1
5970. 2
5970. 3
5971. 0
5971. 1
5971. 2
5971. 3
5971. 4
5971. 5
5971. 6
5972. 0

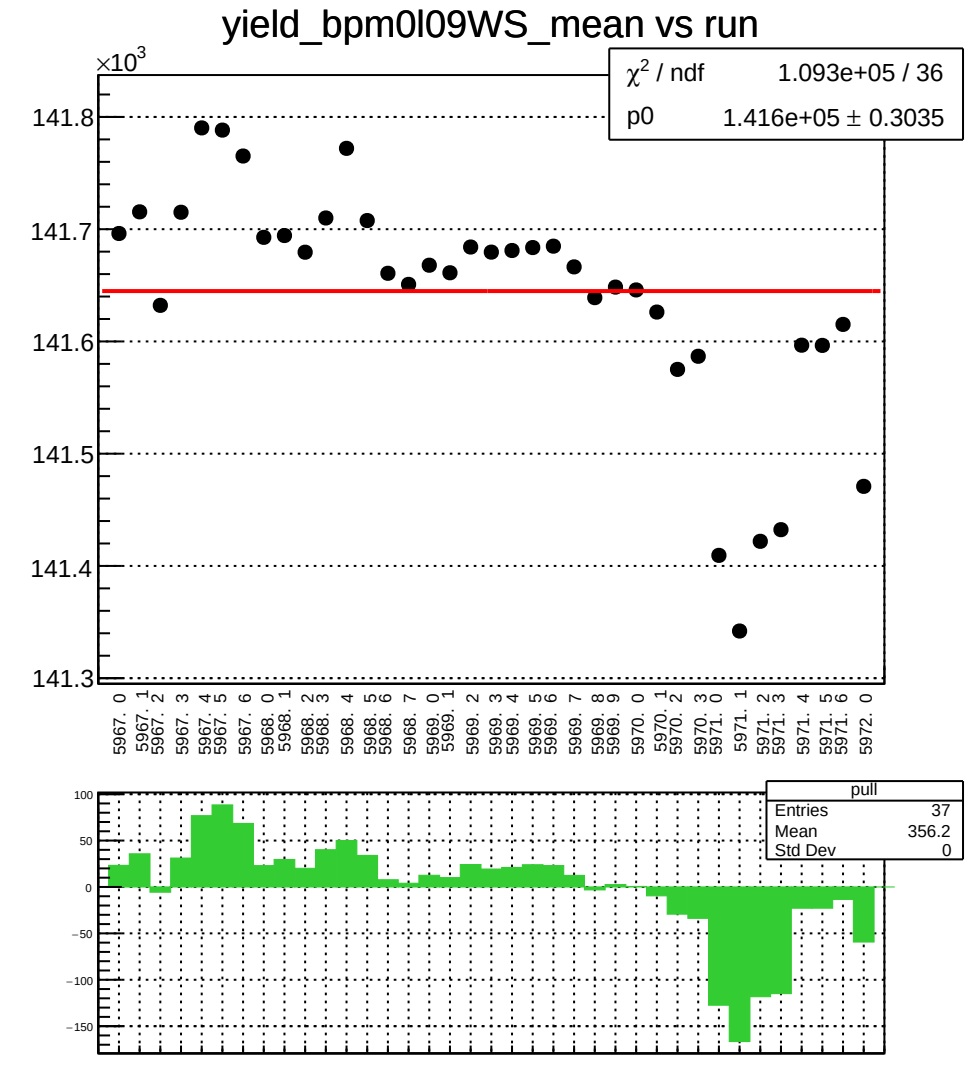
yield_bpm0l09WS_mean vs run
×10^3
χ² / ndf 1.093e+05 / 36
p0 1.416e+05 ± 0.3035
141.8
141.7
141.6
141.5
141.4
141.3
5967. 0
5967. 1
5967. 2
5967. 3
5967. 4
5967. 5
5967. 6
5968. 0
5968. 1
5968. 2
5968. 3
5968. 4
5968. 5
5968. 6
5968. 7
5969. 0
5969. 1
5969. 2
5969. 3
5969. 4
5969. 5
5969. 6
5969. 7
5969. 8
5969. 9
5970. 0
5970. 1
5970. 2
5970. 3
5971. 0
5971. 1
5971. 2
5971. 3
5971. 4
5971. 5
5971. 6
5972. 0
pull
Entries 37
Mean 356.2
Std Dev 0
100
50
0
−50
−100
−150

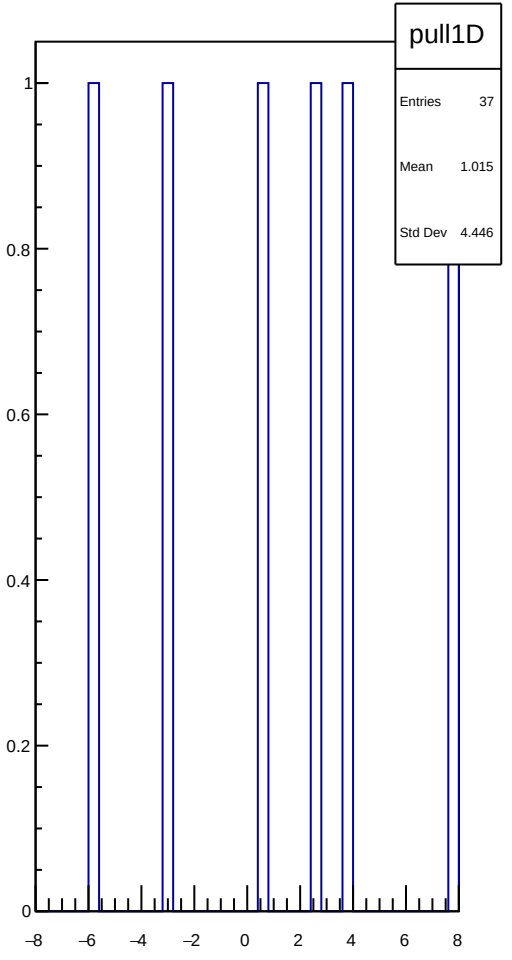
pull1D
Entries 37
Mean 1.015
Std Dev 4.446
1
0.8
0.6
0.4
0.2
0
−8
−6
−4
−2
0
2
4
6
8

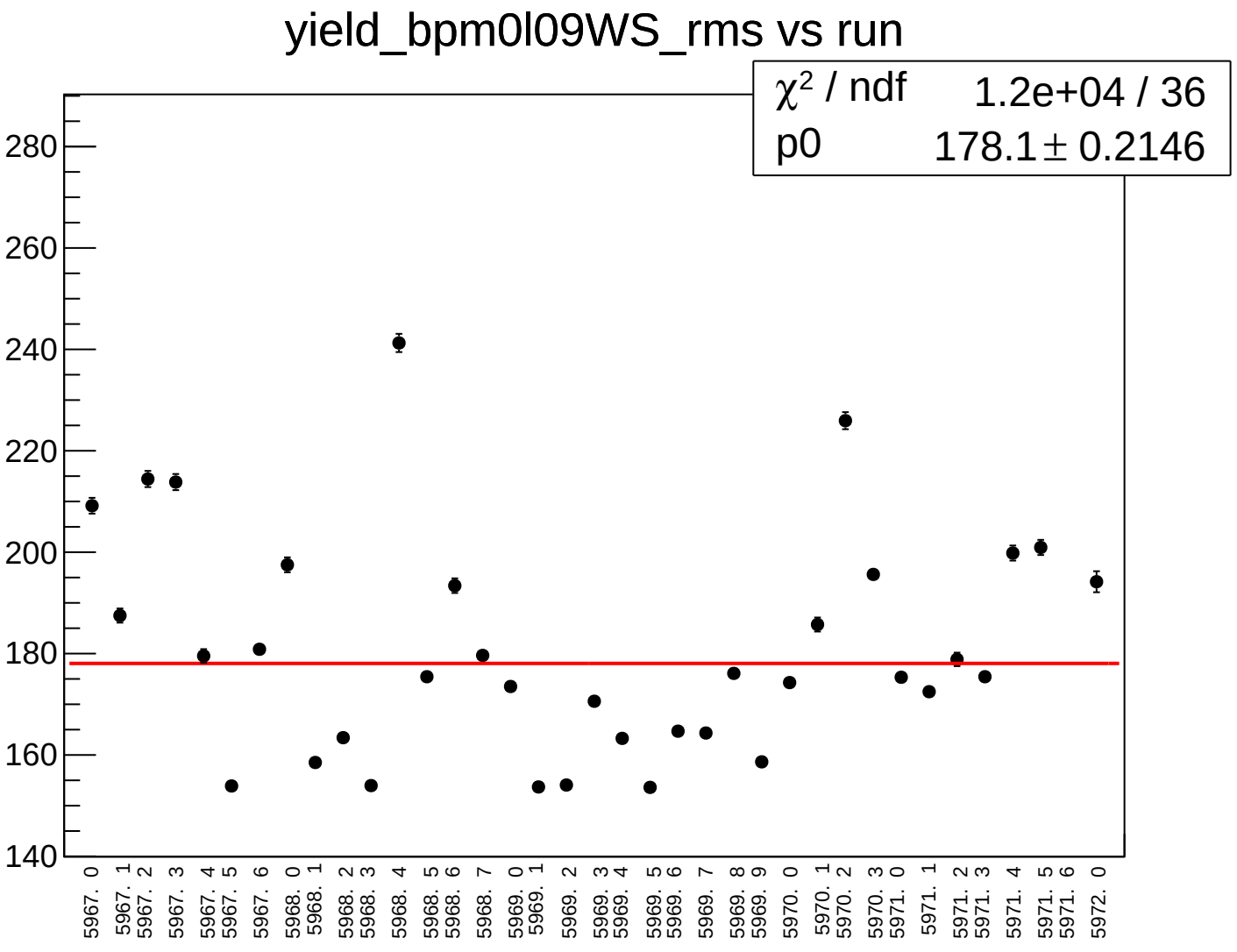
yield_bpm0l09WS_rms vs run
χ² / ndf 1.2e+04 / 36
p0 178.1 ± 0.2146
280
260
240
220
200
180
160
140
5967. 0
5967. 1
5967. 2
5967. 3
5967. 4
5967. 5
5967. 6
5968. 0
5968. 1
5968. 2
5968. 3
5968. 4
5968. 5
5968. 6
5968. 7
5969. 0
5969. 1
5969. 2
5969. 3
5969. 4
5969. 5
5969. 6
5969. 7
5969. 8
5969. 9
5970. 0
5970. 1
5970. 2
5970. 3
5971. 0
5971. 1
5971. 2
5971. 3
5971. 4
5971. 5
5971. 6
5972. 0

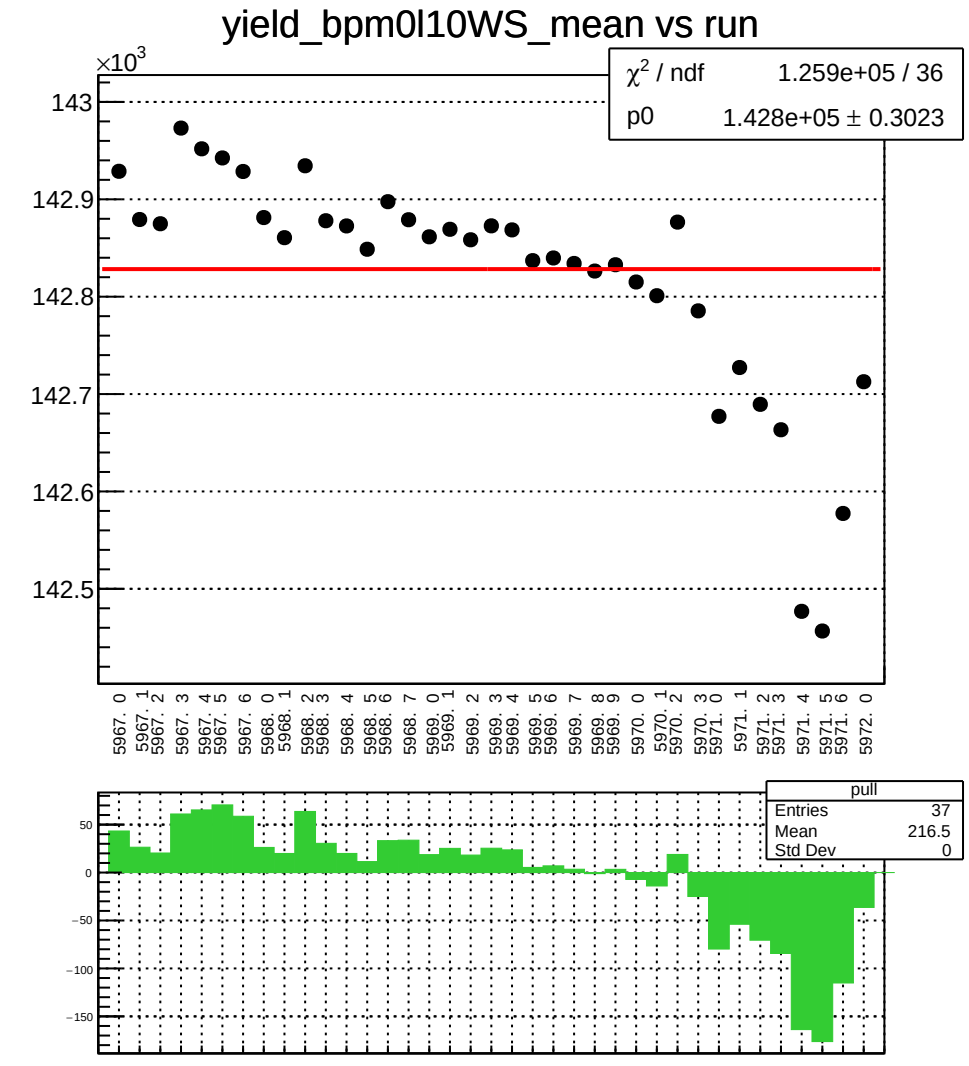
yield_bpm0l10WS_mean vs run
×10^3
χ² / ndf 1.259e+05 / 36
p0 1.428e+05 ± 0.3023
143
142.9
142.8
142.7
142.6
142.5
5967. 0
5967. 1
5967. 2
5967. 3
5967. 4
5967. 5
5967. 6
5968. 0
5968. 1
5968. 2
5968. 3
5968. 4
5968. 5
5968. 6
5968. 7
5969. 0
5969. 1
5969. 2
5969. 3
5969. 4
5969. 5
5969. 6
5969. 7
5969. 8
5969. 9
5970. 0
5970. 1
5970. 2
5970. 3
5971. 0
5971. 1
5971. 2
5971. 3
5971. 4
5971. 5
5971. 6
5972. 0
pull
Entries 37
Mean 216.5
Std Dev 0
50
0
−50
−100
−150

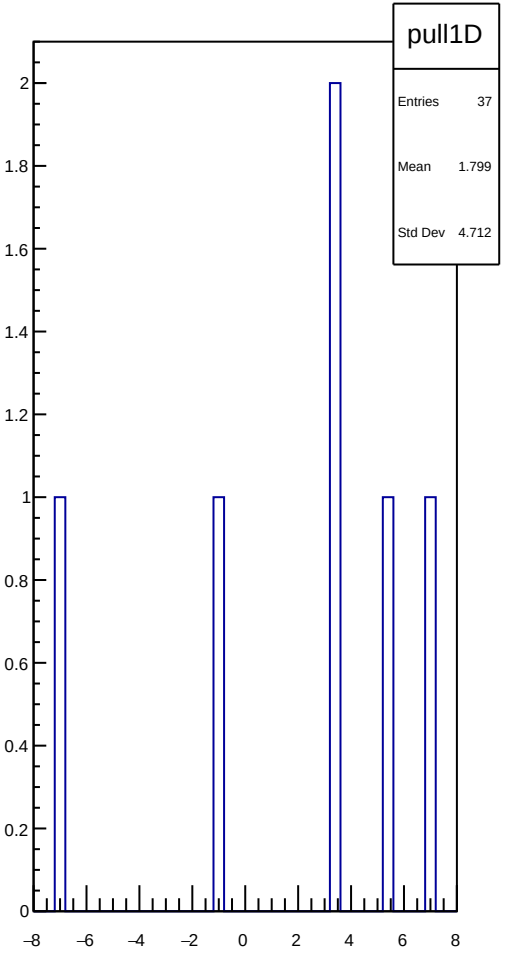
pull1D
Entries 37
Mean 1.799
Std Dev 4.712
2
1.8
1.6
1.4
1.2
1
0.8
0.6
0.4
0.2
0
−8
−6
−4
−2
0
2
4
6
8

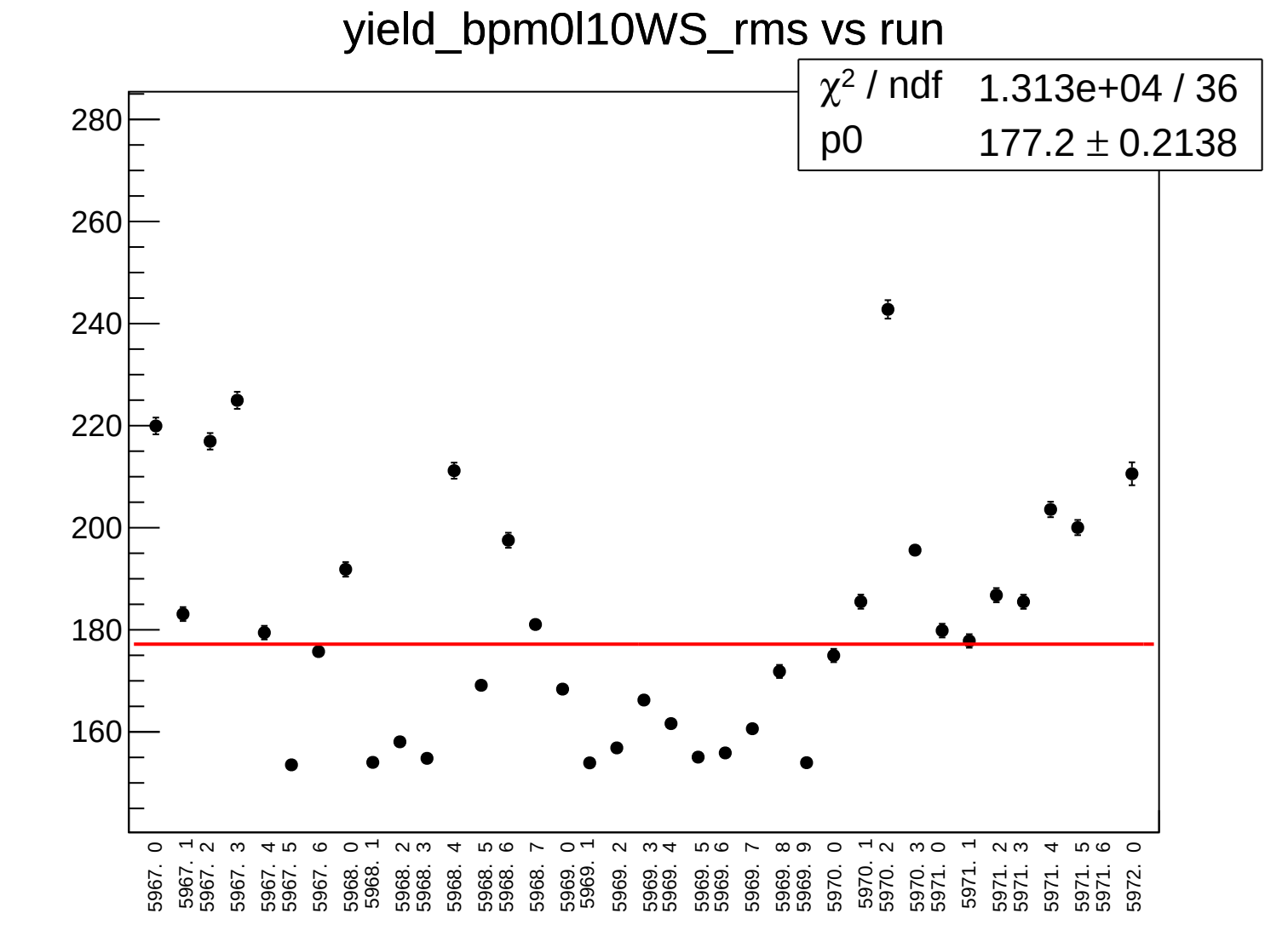
yield_bpm0l10WS_rms vs run
χ² / ndf 1.313e+04 / 36
p0 177.2 ± 0.2138
280
260
240
220
200
180
160
5967. 0
5967. 1
5967. 2
5967. 3
5967. 4
5967. 5
5967. 6
5968. 0
5968. 1
5968. 2
5968. 3
5968. 4
5968. 5
5968. 6
5968. 7
5969. 0
5969. 1
5969. 2
5969. 3
5969. 4
5969. 5
5969. 6
5969. 7
5969. 8
5969. 9
5970. 0
5970. 1
5970. 2
5970. 3
5971. 0
5971. 1
5971. 2
5971. 3
5971. 4
5971. 5
5971. 6
5972. 0

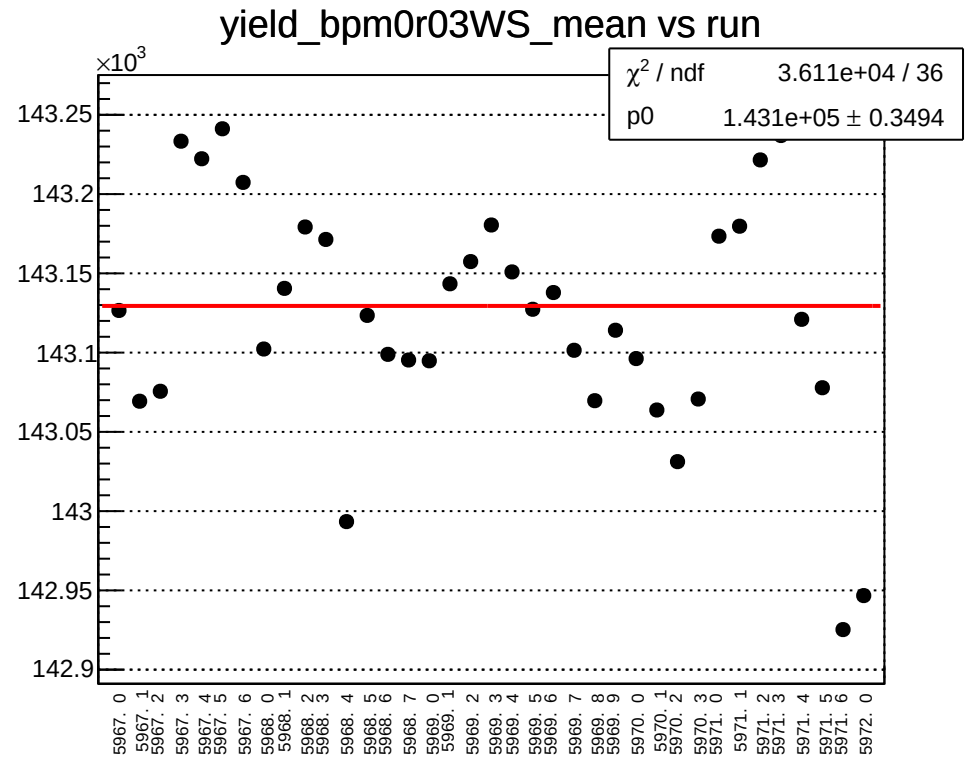
yield_bpm0r03WS_mean vs run
×10^3
χ² / ndf 3.611e+04 / 36
p0 1.431e+05 ± 0.3494
143.25
143.2
143.15
143.1
143.05
143
142.95
142.9
5967. 0
5967. 1
5967. 2
5967. 3
5967. 4
5967. 5
5967. 6
5968. 0
5968. 1
5968. 2
5968. 3
5968. 4
5968. 5
5968. 6
5968. 7
5969. 0
5969. 1
5969. 2
5969. 3
5969. 4
5969. 5
5969. 6
5969. 7
5969. 8
5969. 9
5970. 0
5970. 1
5970. 2
5970. 3
5971. 0
5971. 1
5971. 2
5971. 3
5971. 4
5971. 5
5971. 6
5972. 0
pull
Entries 37
Mean 90
Std Dev 0
60
40
20
0
−20
−40
−60
−80
−100

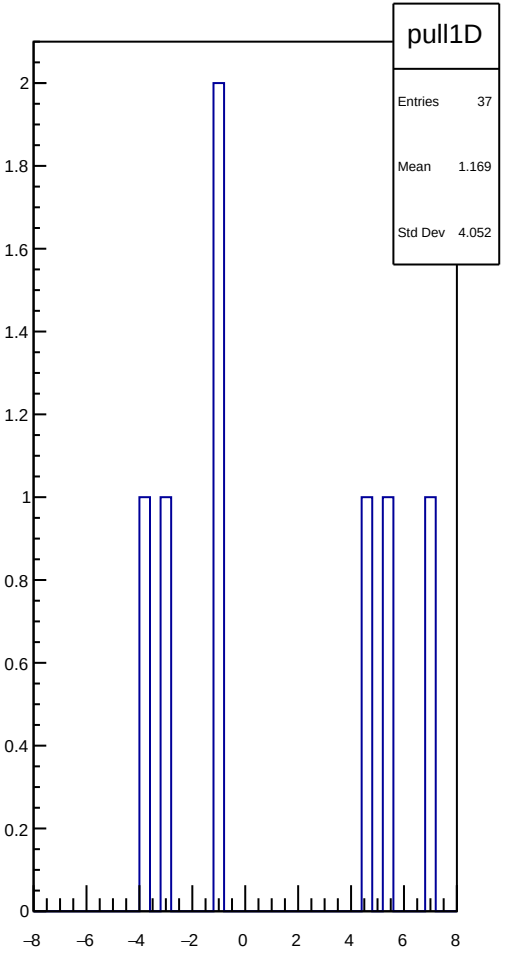
pull1D
Entries 37
Mean 1.169
Std Dev 4.052
2
1.8
1.6
1.4
1.2
1
0.8
0.6
0.4
0.2
0
−8
−6
−4
−2
0
2
4
6
8

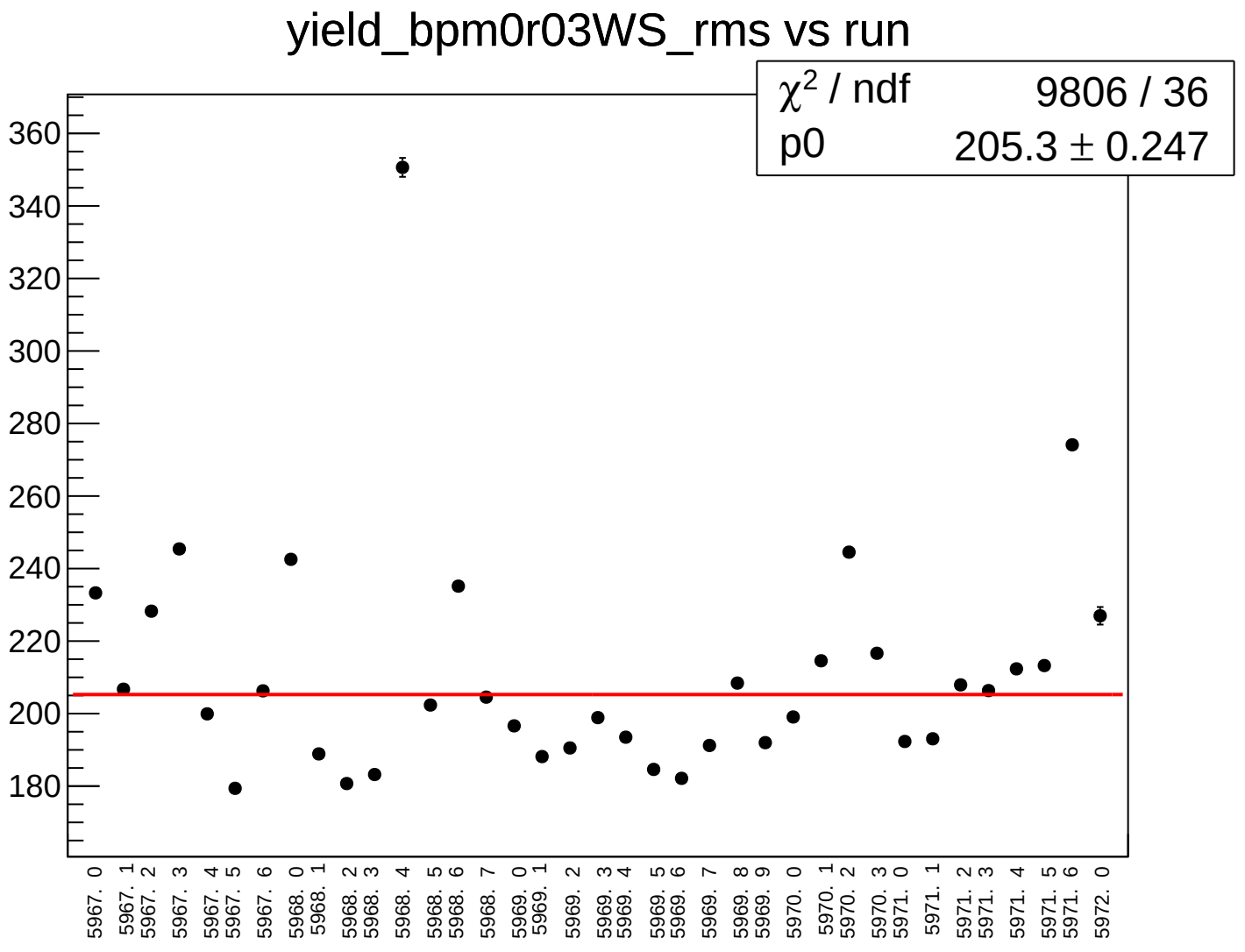
yield_bpm0r03WS_rms vs run
χ² / ndf 9806 / 36
p0 205.3 ± 0.247
360
340
320
300
280
260
240
220
200
180
5967. 0
5967. 1
5967. 2
5967. 3
5967. 4
5967. 5
5967. 6
5968. 0
5968. 1
5968. 2
5968. 3
5968. 4
5968. 5
5968. 6
5968. 7
5969. 0
5969. 1
5969. 2
5969. 3
5969. 4
5969. 5
5969. 6
5969. 7
5969. 8
5969. 9
5970. 0
5970. 1
5970. 2
5970. 3
5971. 0
5971. 1
5971. 2
5971. 3
5971. 4
5971. 5
5971. 6
5972. 0

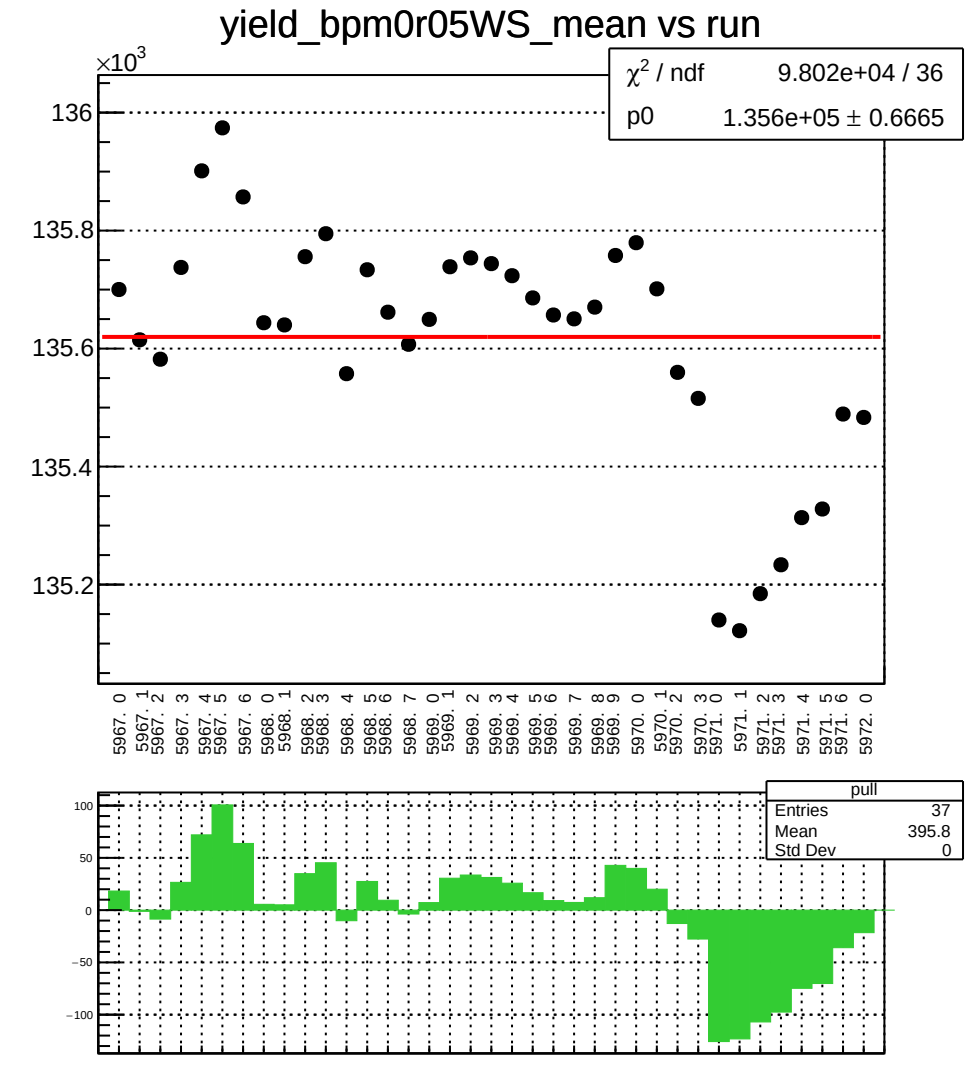
yield_bpm0r05WS_mean vs run
×10^3
χ² / ndf 9.802e+04 / 36
p0 1.356e+05 ± 0.6665
136
135.8
135.6
135.4
135.2
5967. 0
5967. 1
5967. 2
5967. 3
5967. 4
5967. 5
5967. 6
5968. 0
5968. 1
5968. 2
5968. 3
5968. 4
5968. 5
5968. 6
5968. 7
5969. 0
5969. 1
5969. 2
5969. 3
5969. 4
5969. 5
5969. 6
5969. 7
5969. 8
5969. 9
5970. 0
5970. 1
5970. 2
5970. 3
5971. 0
5971. 1
5971. 2
5971. 3
5971. 4
5971. 5
5971. 6
5972. 0
pull
Entries 37
Mean 395.8
Std Dev 0
100
50
0
−50
−100

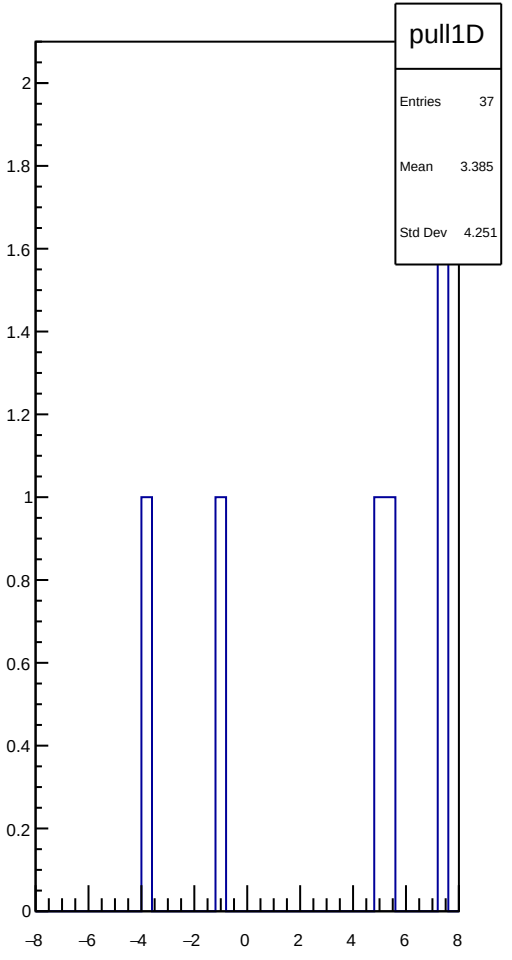
pull1D
Entries 37
Mean 3.385
Std Dev 4.251
2
1.8
1.6
1.4
1.2
1
0.8
0.6
0.4
0.2
0
−8
−6
−4
−2
0
2
4
6
8

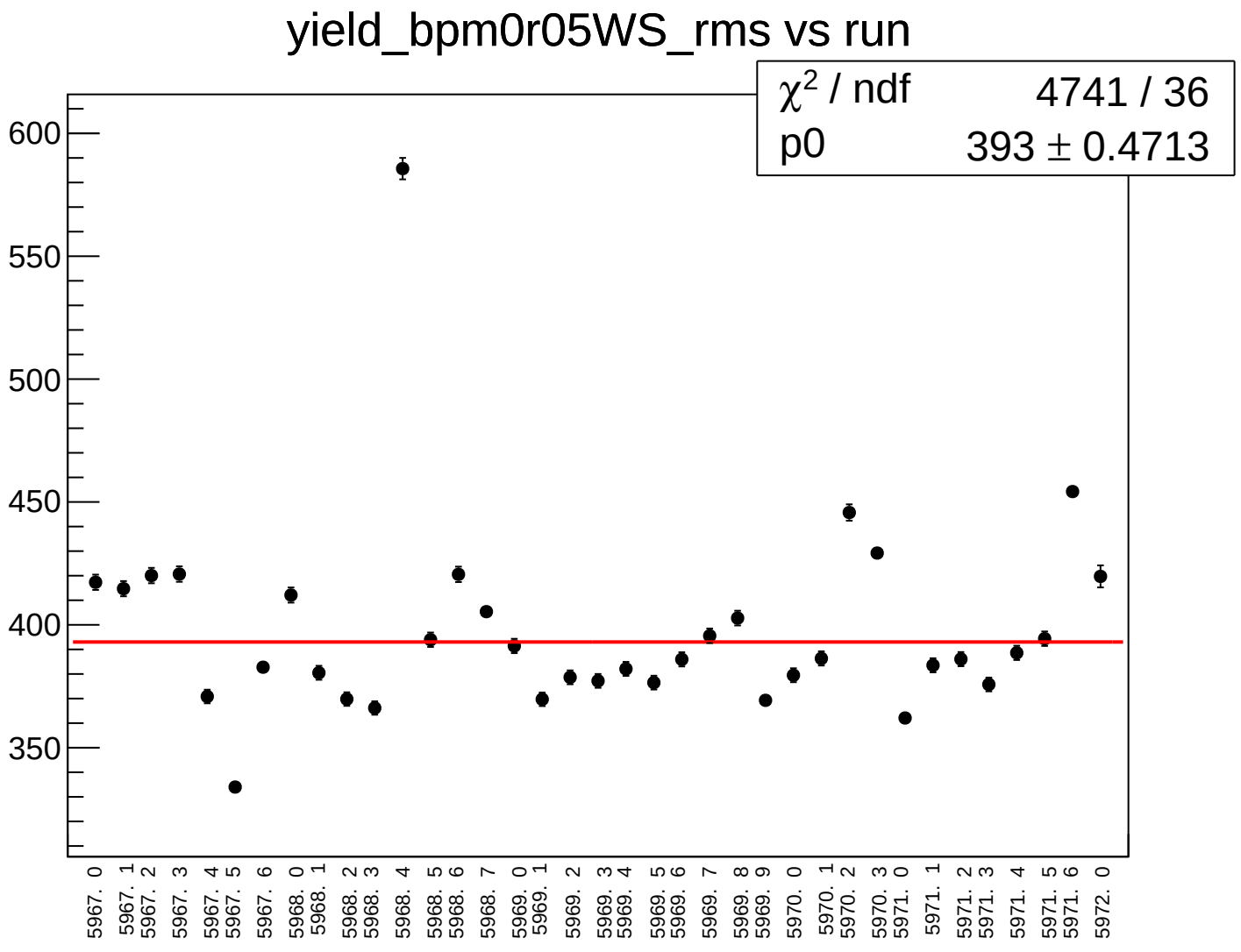
yield_bpm0r05WS_rms vs run
χ² / ndf 4741 / 36
p0 393 ± 0.4713
600
550
500
450
400
350
5967. 0
5967. 1
5967. 2
5967. 3
5967. 4
5967. 5
5967. 6
5968. 0
5968. 1
5968. 2
5968. 3
5968. 4
5968. 5
5968. 6
5968. 7
5969. 0
5969. 1
5969. 2
5969. 3
5969. 4
5969. 5
5969. 6
5969. 7
5969. 8
5969. 9
5970. 0
5970. 1
5970. 2
5970. 3
5971. 0
5971. 1
5971. 2
5971. 3
5971. 4
5971. 5
5971. 6
5972. 0

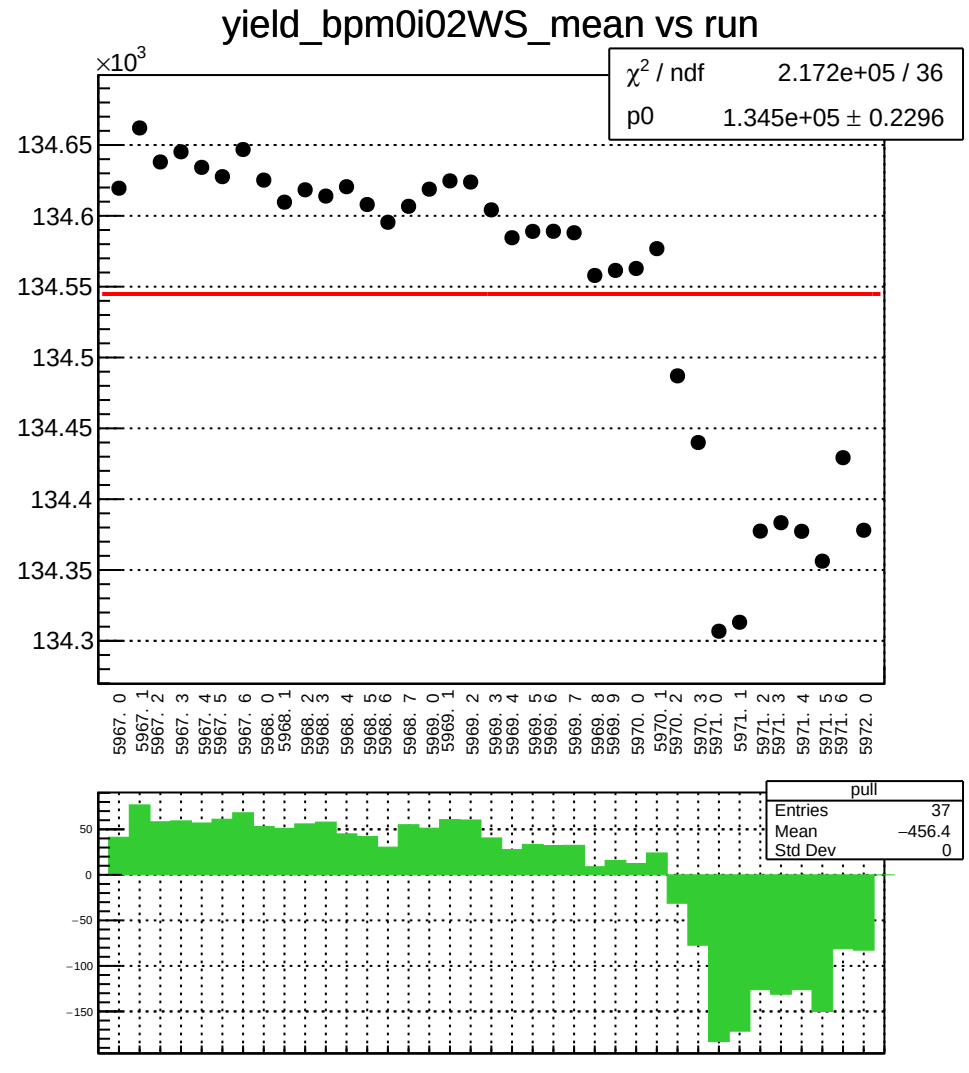
yield_bpm0i02WS_mean vs run
×10^3
χ² / ndf 2.172e+05 / 36
p0 1.345e+05 ± 0.2296
134.65
134.6
134.55
134.5
134.45
134.4
134.35
134.3
5967. 0
5967. 1
5967. 2
5967. 3
5967. 4
5967. 5
5967. 6
5968. 0
5968. 1
5968. 2
5968. 3
5968. 4
5968. 5
5968. 6
5968. 7
5969. 0
5969. 1
5969. 2
5969. 3
5969. 4
5969. 5
5969. 6
5969. 7
5969. 8
5969. 9
5970. 0
5970. 1
5970. 2
5970. 3
5971. 0
5971. 1
5971. 2
5971. 3
5971. 4
5971. 5
5971. 6
5972. 0
pull
Entries 37
Mean −456.4
Std Dev 0
50
0
−50
−100
−150

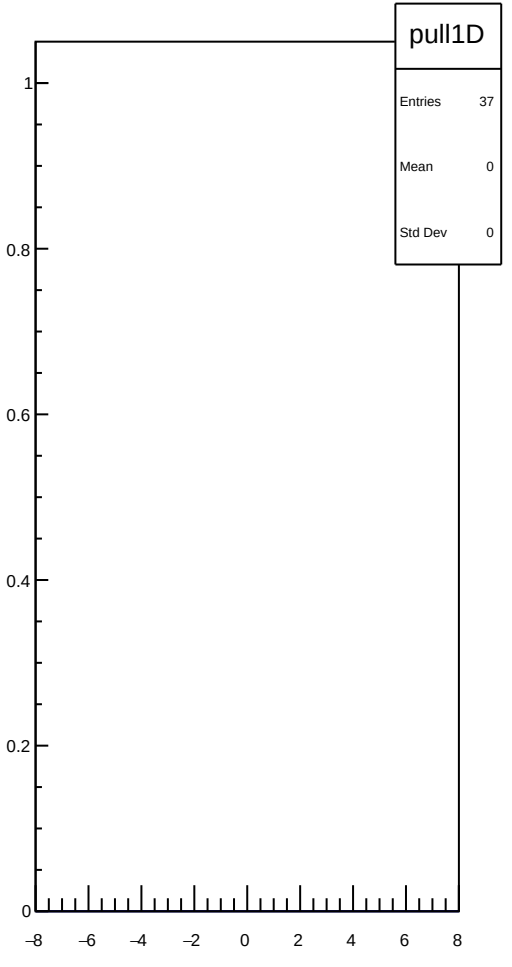
pull1D
Entries 37
Mean 0
Std Dev 0
1
0.8
0.6
0.4
0.2
0
−8
−6
−4
−2
0
2
4
6
8

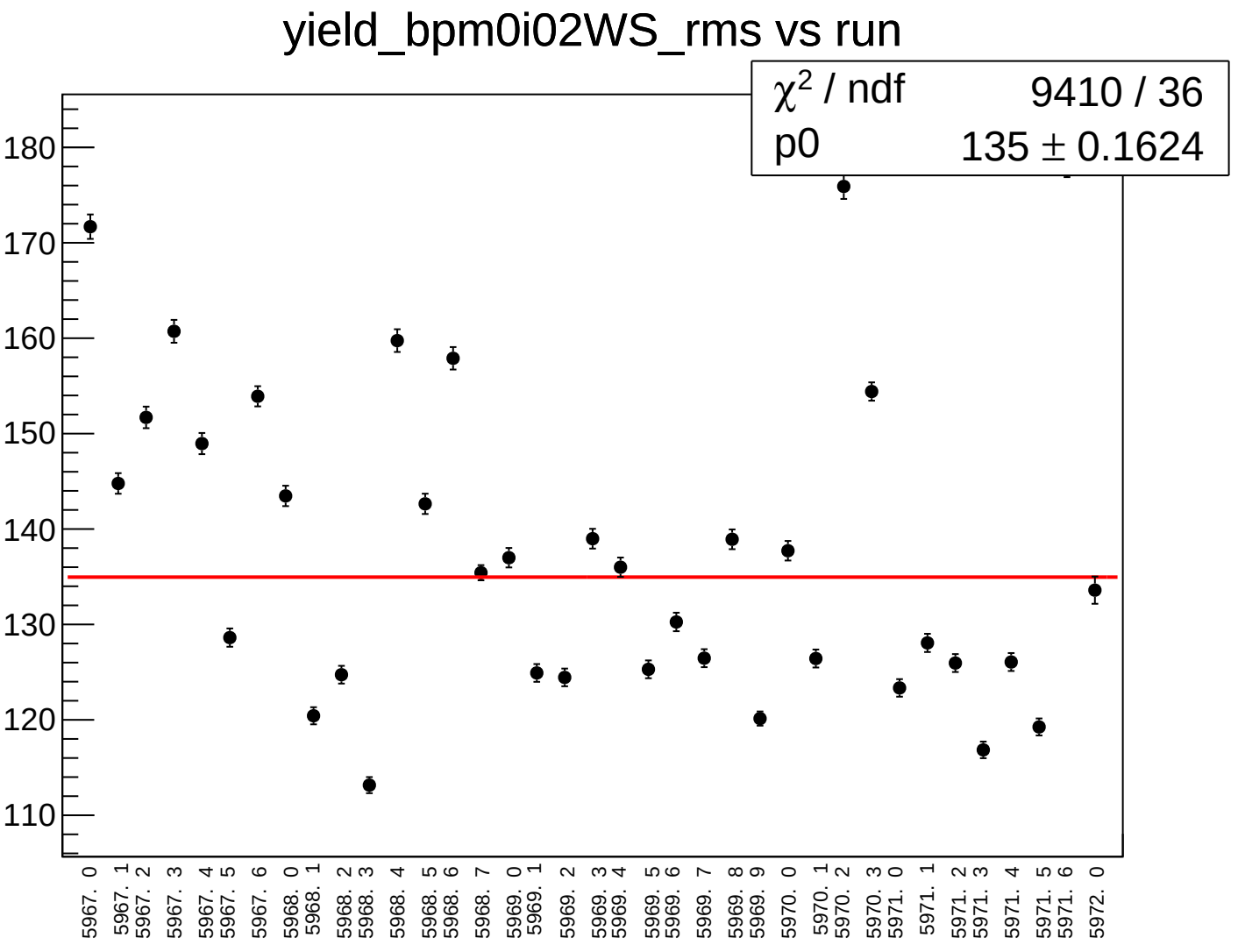
yield_bpm0i02WS_rms vs run
χ² / ndf 9410 / 36
p0 135 ± 0.1624
180
170
160
150
140
130
120
110
5967. 0
5967. 1
5967. 2
5967. 3
5967. 4
5967. 5
5967. 6
5968. 0
5968. 1
5968. 2
5968. 3
5968. 4
5968. 5
5968. 6
5968. 7
5969. 0
5969. 1
5969. 2
5969. 3
5969. 4
5969. 5
5969. 6
5969. 7
5969. 8
5969. 9
5970. 0
5970. 1
5970. 2
5970. 3
5971. 0
5971. 1
5971. 2
5971. 3
5971. 4
5971. 5
5971. 6
5972. 0

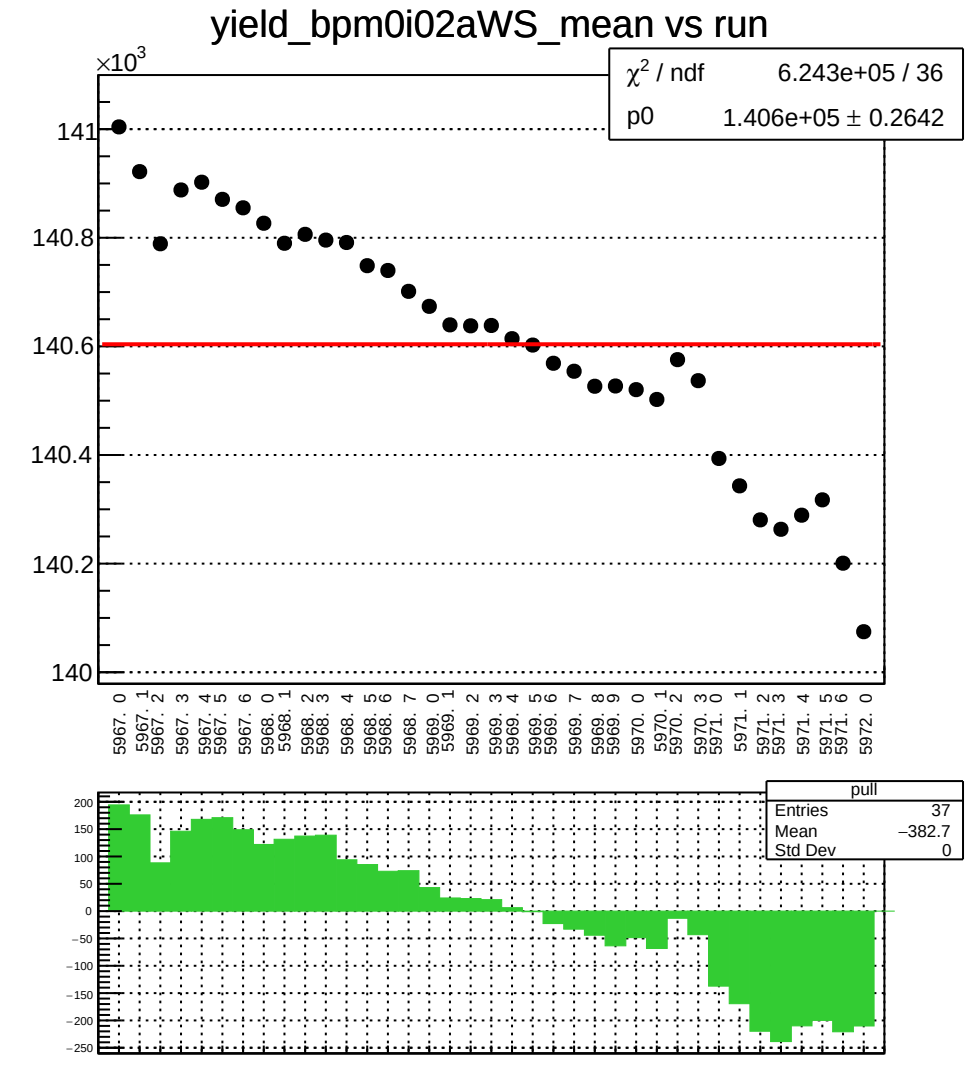
yield_bpm0i02aWS_mean vs run
×10^3
χ² / ndf 6.243e+05 / 36
p0 1.406e+05 ± 0.2642
141
140.8
140.6
140.4
140.2
140
5967. 0
5967. 1
5967. 2
5967. 3
5967. 4
5967. 5
5967. 6
5968. 0
5968. 1
5968. 2
5968. 3
5968. 4
5968. 5
5968. 6
5968. 7
5969. 0
5969. 1
5969. 2
5969. 3
5969. 4
5969. 5
5969. 6
5969. 7
5969. 8
5969. 9
5970. 0
5970. 1
5970. 2
5970. 3
5971. 0
5971. 1
5971. 2
5971. 3
5971. 4
5971. 5
5971. 6
5972. 0
pull
Entries 37
Mean −382.7
Std Dev 0
200
150
100
50
0
−50
−100
−150
−200
−250

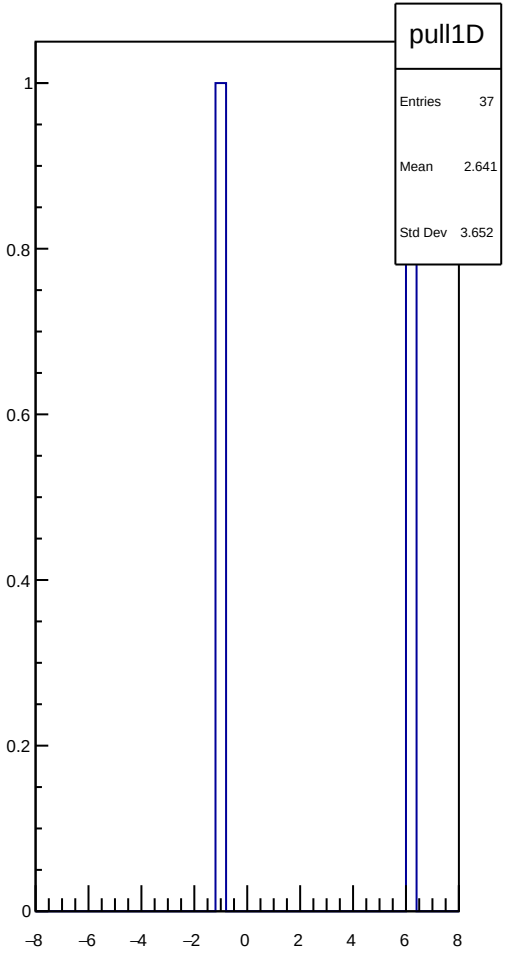
pull1D
Entries 37
Mean 2.641
Std Dev 3.652
1
0.8
0.6
0.4
0.2
0
−8
−6
−4
−2
0
2
4
6
8

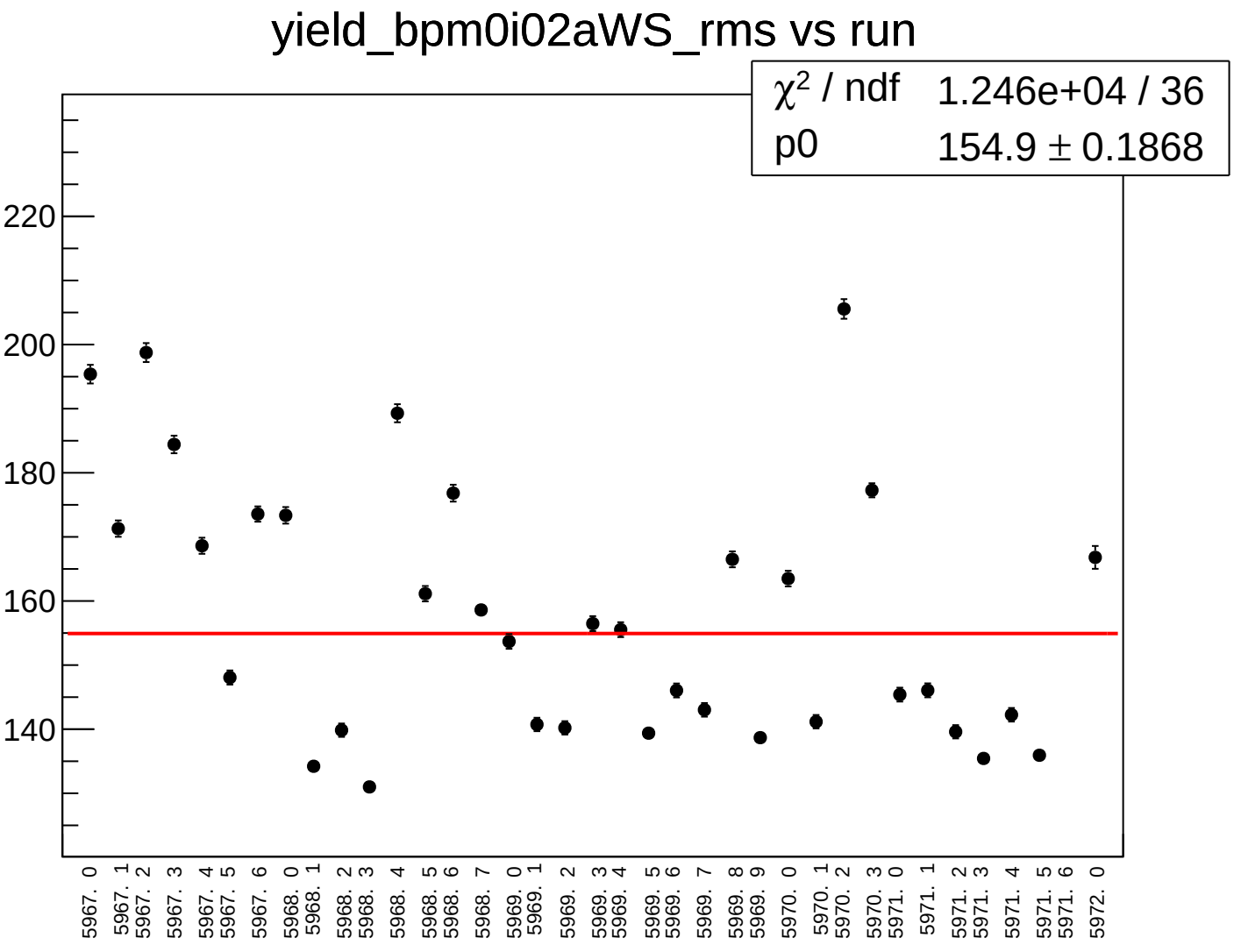
yield_bpm0i02aWS_rms vs run
χ² / ndf 1.246e+04 / 36
p0 154.9 ± 0.1868
220
200
180
160
140
5967. 0
5967. 1
5967. 2
5967. 3
5967. 4
5967. 5
5967. 6
5968. 0
5968. 1
5968. 2
5968. 3
5968. 4
5968. 5
5968. 6
5968. 7
5969. 0
5969. 1
5969. 2
5969. 3
5969. 4
5969. 5
5969. 6
5969. 7
5969. 8
5969. 9
5970. 0
5970. 1
5970. 2
5970. 3
5971. 0
5971. 1
5971. 2
5971. 3
5971. 4
5971. 5
5971. 6
5972. 0

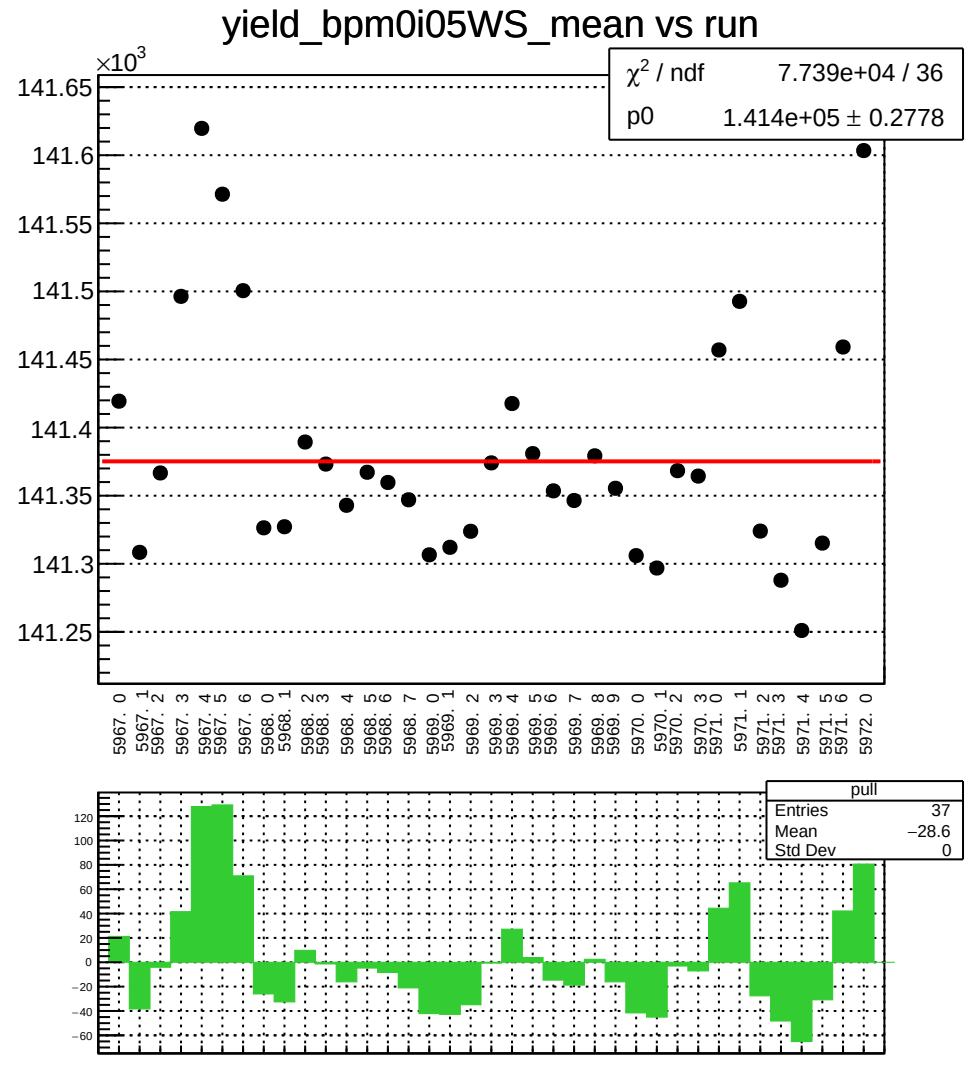
yield_bpm0i05WS_mean vs run
×10^3
χ² / ndf 7.739e+04 / 36
p0 1.414e+05 ± 0.2778
141.65
141.6
141.55
141.5
141.45
141.4
141.35
141.3
141.25
5967. 0
5967. 1
5967. 2
5967. 3
5967. 4
5967. 5
5967. 6
5968. 0
5968. 1
5968. 2
5968. 3
5968. 4
5968. 5
5968. 6
5968. 7
5969. 0
5969. 1
5969. 2
5969. 3
5969. 4
5969. 5
5969. 6
5969. 7
5969. 8
5969. 9
5970. 0
5970. 1
5970. 2
5970. 3
5971. 0
5971. 1
5971. 2
5971. 3
5971. 4
5971. 5
5971. 6
5972. 0
pull
Entries 37
Mean −28.6
Std Dev 0
120
100
80
60
40
20
0
−20
−40
−60
pull1D
Entries 37
Mean −1.841
Std Dev 3.449
1
0.8
0.6
0.4
0.2
0
−8
−6
−4
−2
0
2
4
6
8

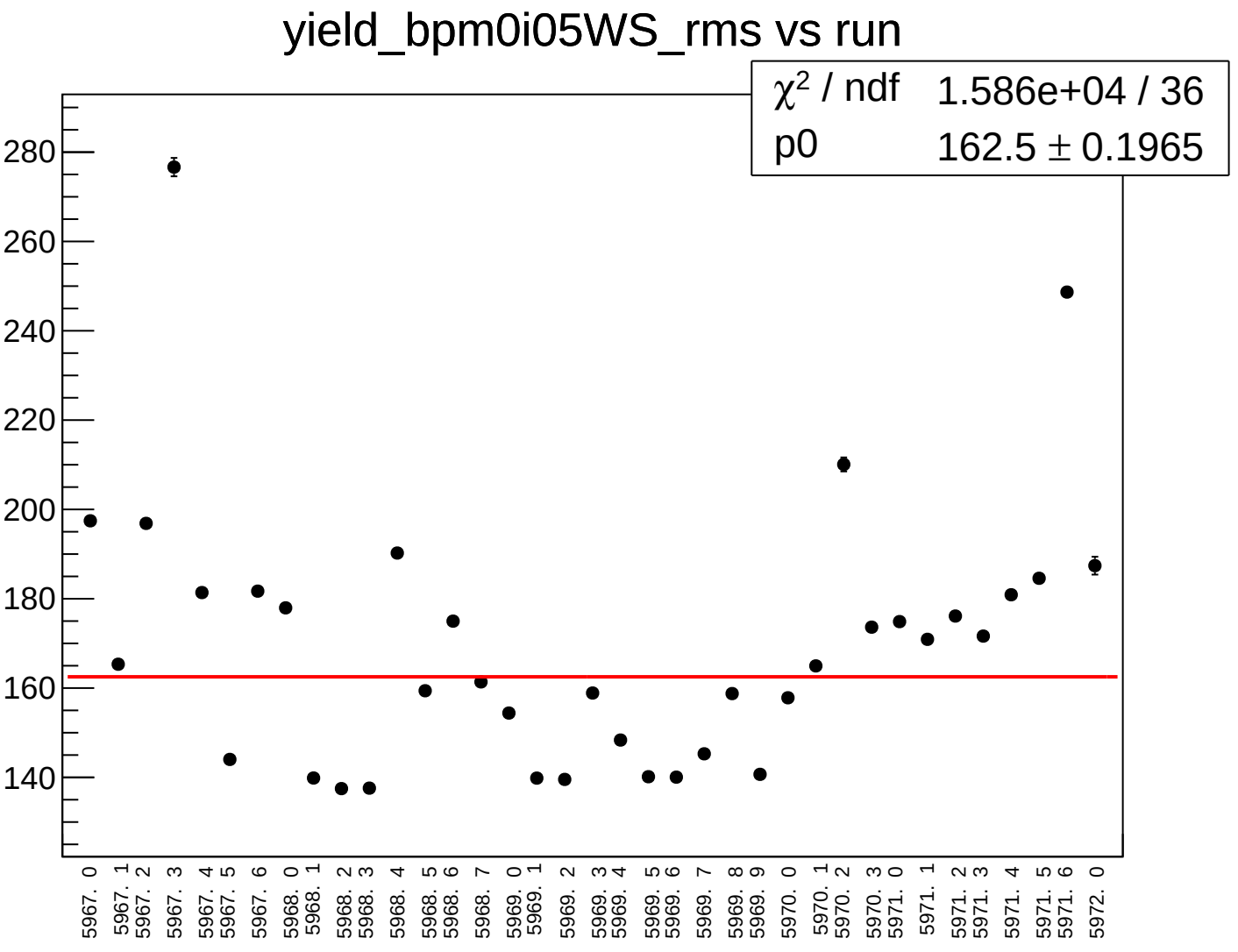
yield_bpm0i05WS_rms vs run
χ² / ndf 1.586e+04 / 36
p0 162.5 ± 0.1965
280
260
240
220
200
180
160
140
5967. 0
5967. 1
5967. 2
5967. 3
5967. 4
5967. 5
5967. 6
5968. 0
5968. 1
5968. 2
5968. 3
5968. 4
5968. 5
5968. 6
5968. 7
5969. 0
5969. 1
5969. 2
5969. 3
5969. 4
5969. 5
5969. 6
5969. 7
5969. 8
5969. 9
5970. 0
5970. 1
5970. 2
5970. 3
5971. 0
5971. 1
5971. 2
5971. 3
5971. 4
5971. 5
5971. 6
5972. 0

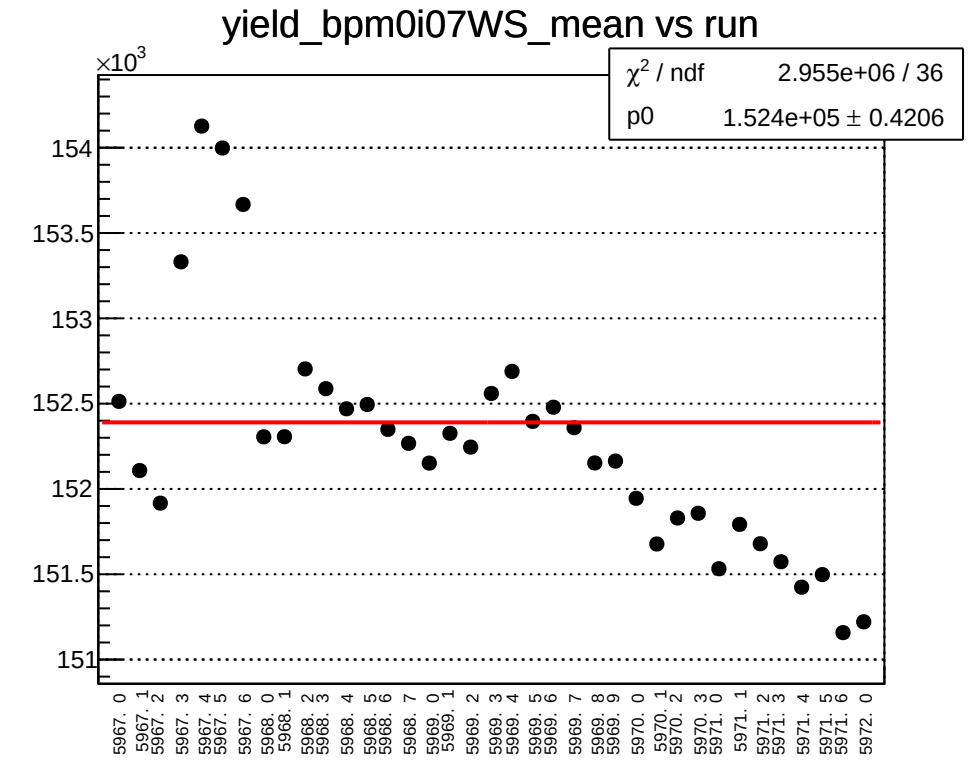
yield_bpm0i07WS_mean vs run
×10^3
χ^2 / ndf 2.955e+06 / 36
p0 1.524e+05 ± 0.4206
154
153.5
153
152.5
152
151.5
151
5967. 0
5967. 1
5967. 2
5967. 3
5967. 4
5967. 5
5967. 6
5968. 0
5968. 1
5968. 2
5968. 3
5968. 4
5968. 5
5968. 6
5968. 7
5969. 0
5969. 1
5969. 2
5969. 3
5969. 4
5969. 5
5969. 6
5969. 7
5969. 8
5969. 9
5970. 0
5970. 1
5970. 2
5970. 3
5971. 0
5971. 1
5971. 2
5971. 3
5971. 4
5971. 5
5971. 6
5972. 0
pull
Entries 37
Mean 89.5
Std Dev 0
800
600
400
200
0
−200
−400

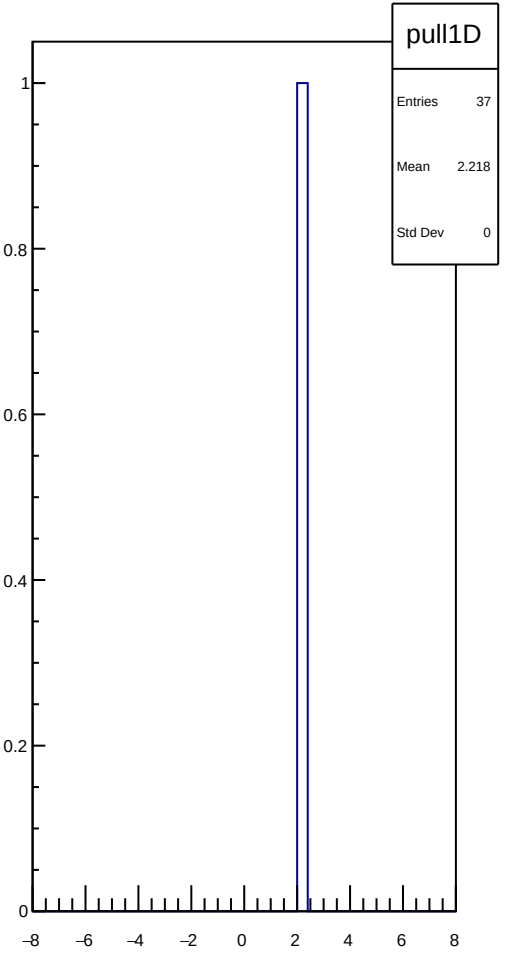
pull1D
Entries 37
Mean 2.218
Std Dev 0
1
0.8
0.6
0.4
0.2
0
−8
−6
−4
−2
0
2
4
6
8

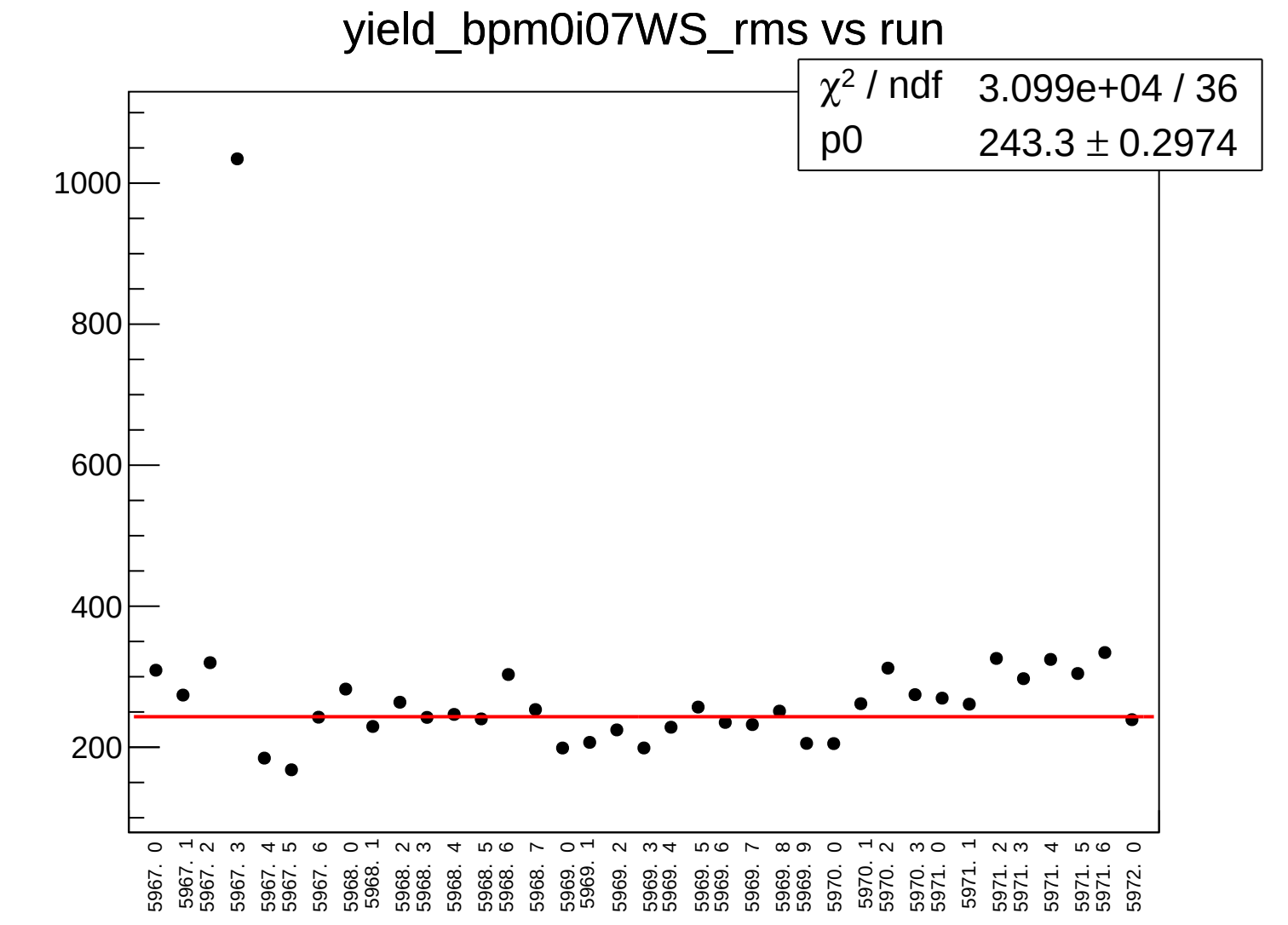
yield_bpm0i07WS_rms vs run
χ² / ndf 3.099e+04 / 36
p0 243.3 ± 0.2974
1000
800
600
400
200
5967. 0
5967. 1
5967. 2
5967. 3
5967. 4
5967. 5
5967. 6
5968. 0
5968. 1
5968. 2
5968. 3
5968. 4
5968. 5
5968. 6
5968. 7
5969. 0
5969. 1
5969. 2
5969. 3
5969. 4
5969. 5
5969. 6
5969. 7
5969. 8
5969. 9
5970. 0
5970. 1
5970. 2
5970. 3
5971. 0
5971. 1
5971. 2
5971. 3
5971. 4
5971. 5
5971. 6
5972. 0

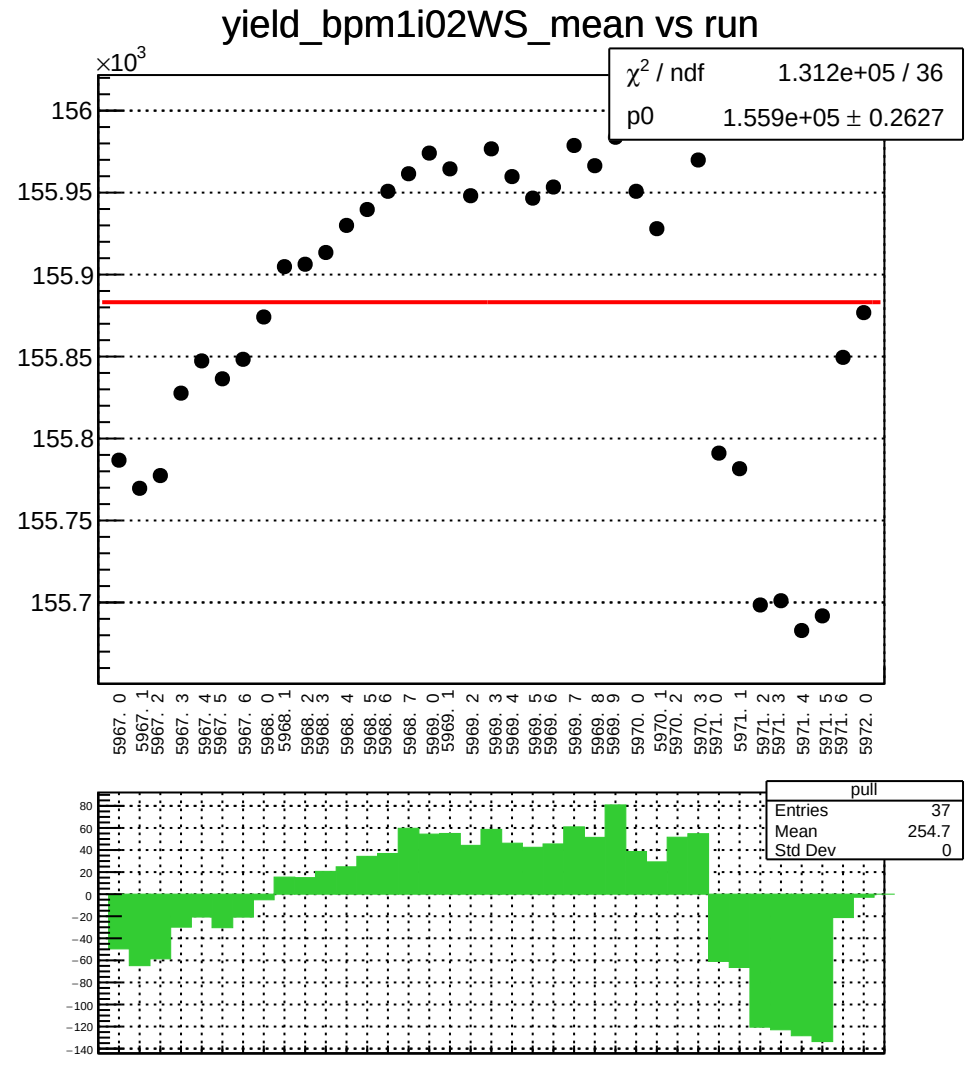
yield_bpm1i02WS_mean vs run
×10^3
χ² / ndf 1.312e+05 / 36
p0 1.559e+05 ± 0.2627
156
155.95
155.9
155.85
155.8
155.75
155.7
5967. 0
5967. 1
5967. 2
5967. 3
5967. 4
5967. 5
5967. 6
5968. 0
5968. 1
5968. 2
5968. 3
5968. 4
5968. 5
5968. 6
5968. 7
5969. 0
5969. 1
5969. 2
5969. 3
5969. 4
5969. 5
5969. 6
5969. 7
5969. 8
5969. 9
5970. 0
5970. 1
5970. 2
5970. 3
5971. 0
5971. 1
5971. 2
5971. 3
5971. 4
5971. 5
5971. 6
5972. 0
pull
Entries 37
Mean 254.7
Std Dev 0
80
60
40
20
0
−20
−40
−60
−80
−100
−120
−140

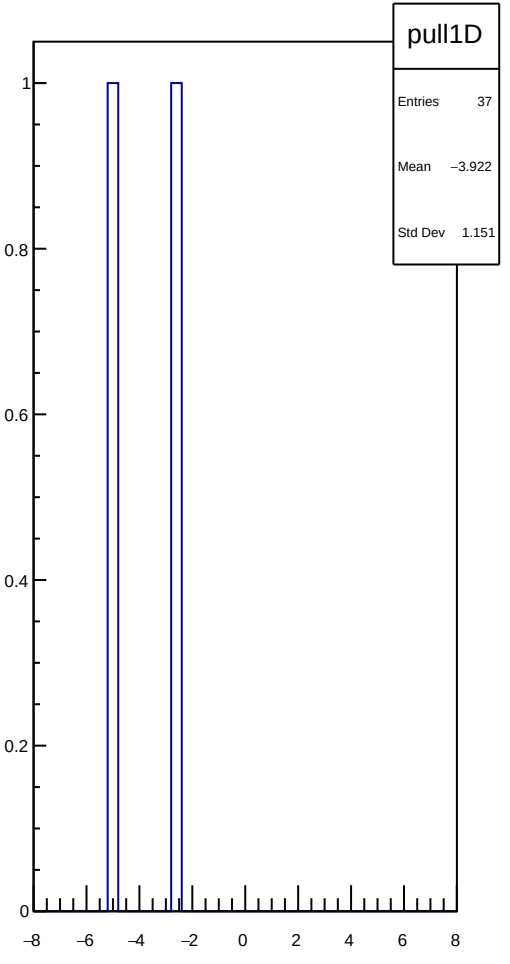
pull1D
Entries 37
Mean −3.922
Std Dev 1.151
1
0.8
0.6
0.4
0.2
0
−8
−6
−4
−2
0
2
4
6
8

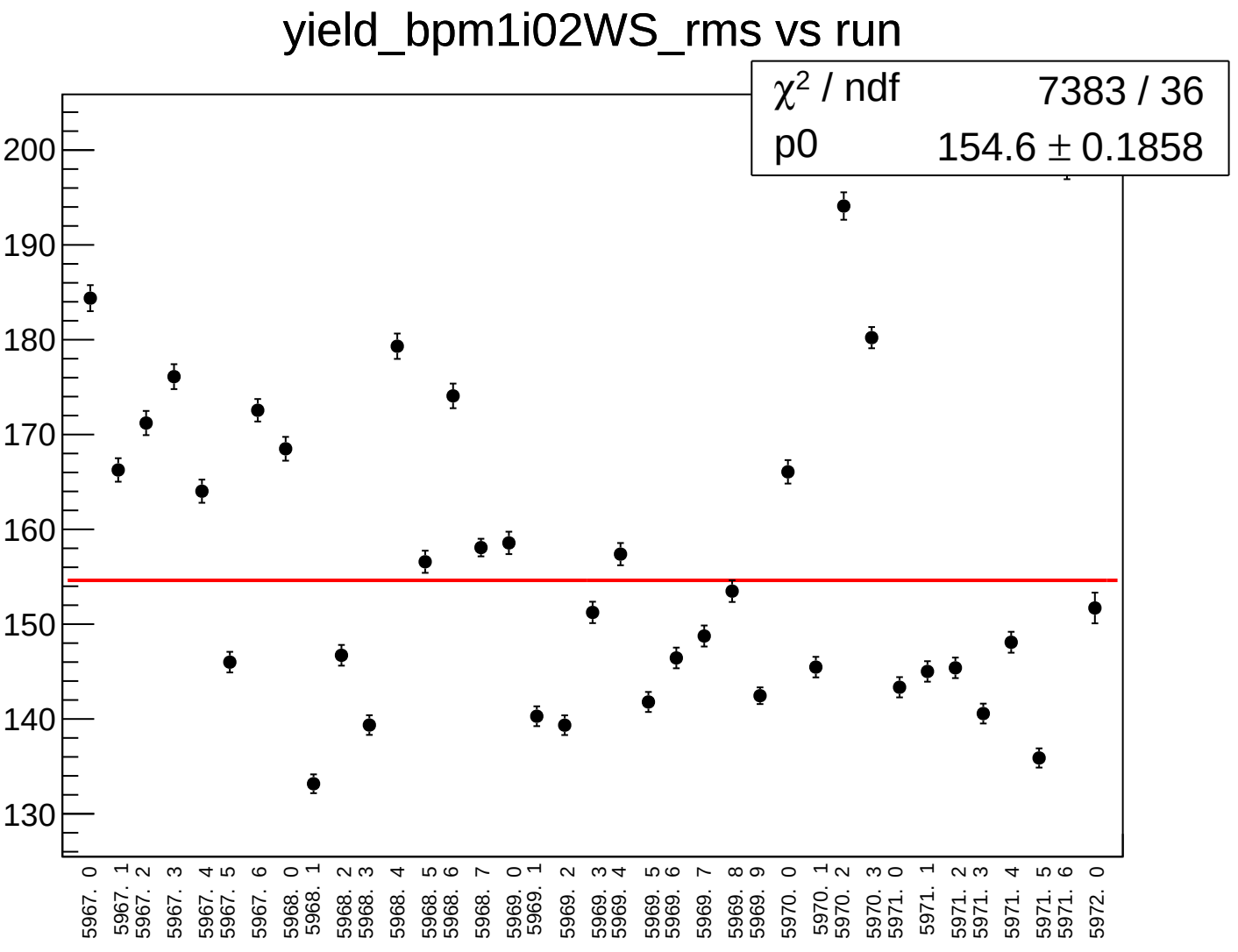
yield_bpm1i02WS_rms vs run
χ² / ndf 7383 / 36
p0 154.6 ± 0.1858
200
190
180
170
160
150
140
130
5967. 0
5967. 1
5967. 2
5967. 3
5967. 4
5967. 5
5967. 6
5968. 0
5968. 1
5968. 2
5968. 3
5968. 4
5968. 5
5968. 6
5968. 7
5969. 0
5969. 1
5969. 2
5969. 3
5969. 4
5969. 5
5969. 6
5969. 7
5969. 8
5969. 9
5970. 0
5970. 1
5970. 2
5970. 3
5971. 0
5971. 1
5971. 2
5971. 3
5971. 4
5971. 5
5971. 6
5972. 0

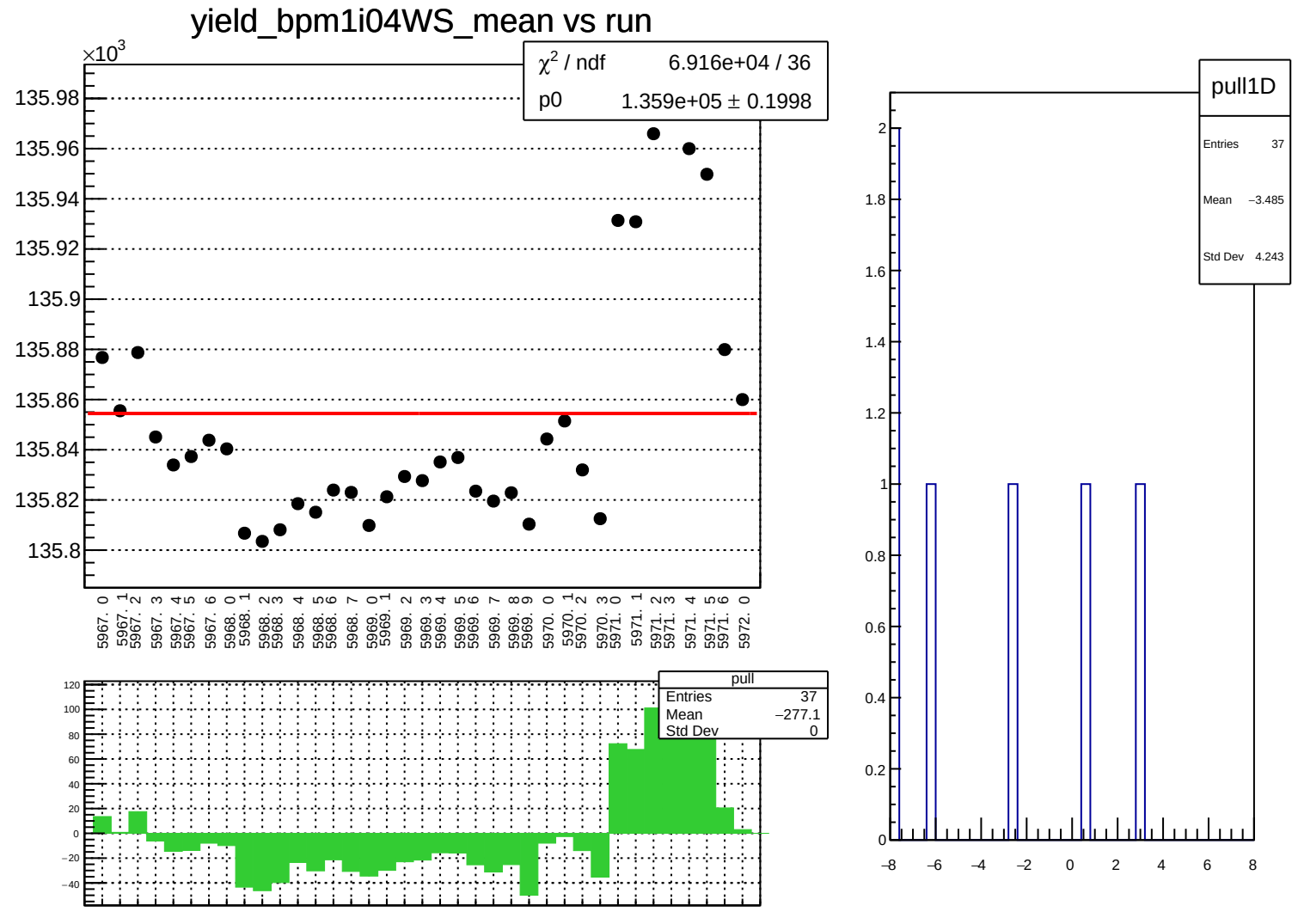
yield_bpm1i04WS_mean vs run
×10^3
χ² / ndf 6.916e+04 / 36
p0 1.359e+05 ± 0.1998
135.98
135.96
135.94
135.92
135.9
135.88
135.86
135.84
135.82
135.8
5967. 0
5967. 1
5967. 2
5967. 3
5967. 4
5967. 5
5967. 6
5968. 0
5968. 1
5968. 2
5968. 3
5968. 4
5968. 5
5968. 6
5968. 7
5969. 0
5969. 1
5969. 2
5969. 3
5969. 4
5969. 5
5969. 6
5969. 7
5969. 8
5969. 9
5970. 0
5970. 1
5970. 2
5970. 3
5971. 0
5971. 1
5971. 2
5971. 3
5971. 4
5971. 5
5971. 6
5972. 0
pull
Entries 37
Mean −277.1
Std Dev 0
120
100
80
60
40
20
0
−20
−40
pull1D
Entries 37
Mean −3.485
Std Dev 4.243
2
1.8
1.6
1.4
1.2
1
0.8
0.6
0.4
0.2
0
−8
−6
−4
−2
0
2
4
6
8

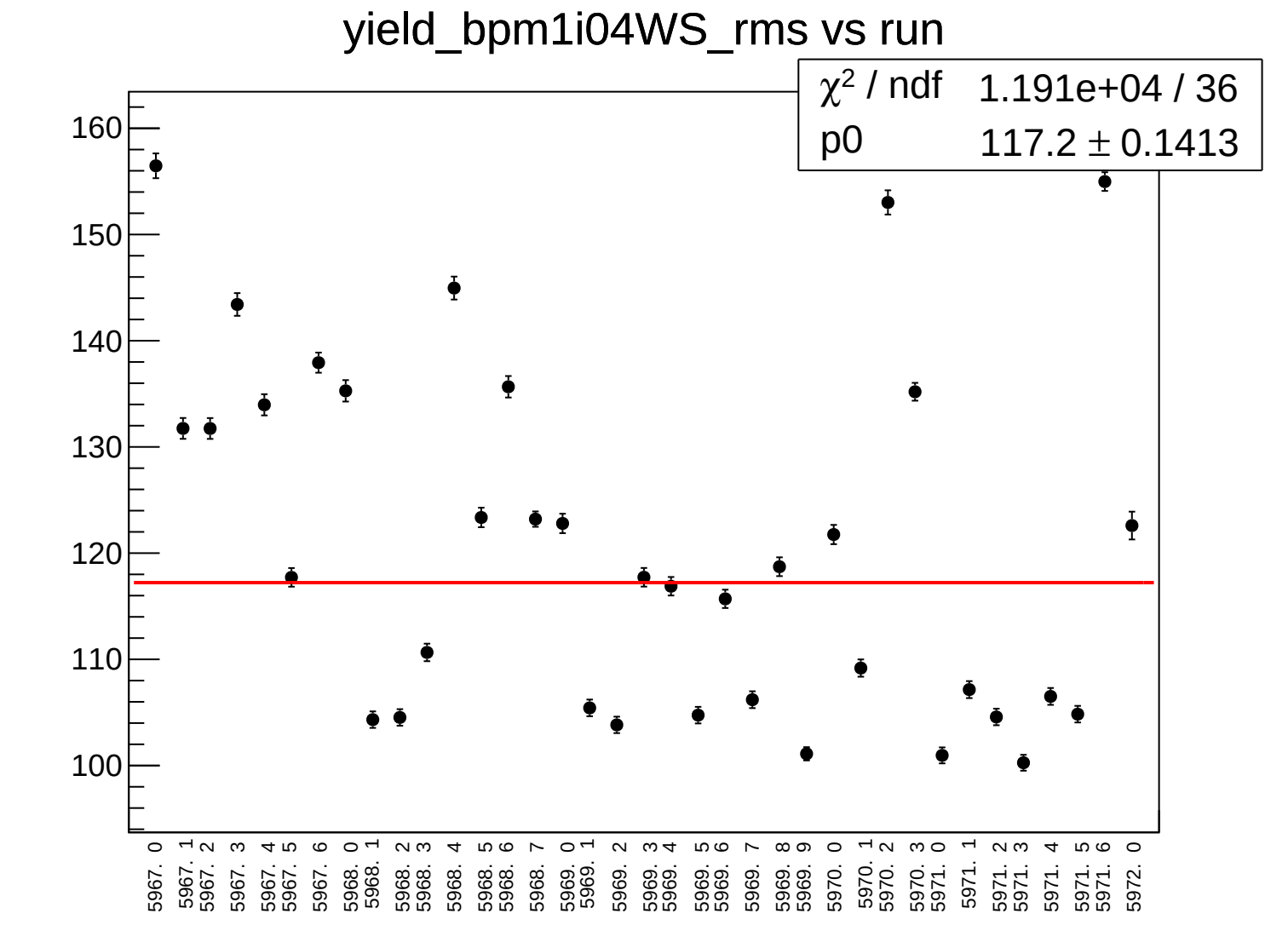
yield_bpm1i04WS_rms vs run
χ² / ndf 1.191e+04 / 36
p0 117.2 ± 0.1413
160
150
140
130
120
110
100
5967. 0
5967. 1
5967. 2
5967. 3
5967. 4
5967. 5
5967. 6
5968. 0
5968. 1
5968. 2
5968. 3
5968. 4
5968. 5
5968. 6
5968. 7
5969. 0
5969. 1
5969. 2
5969. 3
5969. 4
5969. 5
5969. 6
5969. 7
5969. 8
5969. 9
5970. 0
5970. 1
5970. 2
5970. 3
5971. 0
5971. 1
5971. 2
5971. 3
5971. 4
5971. 5
5971. 6
5972. 0

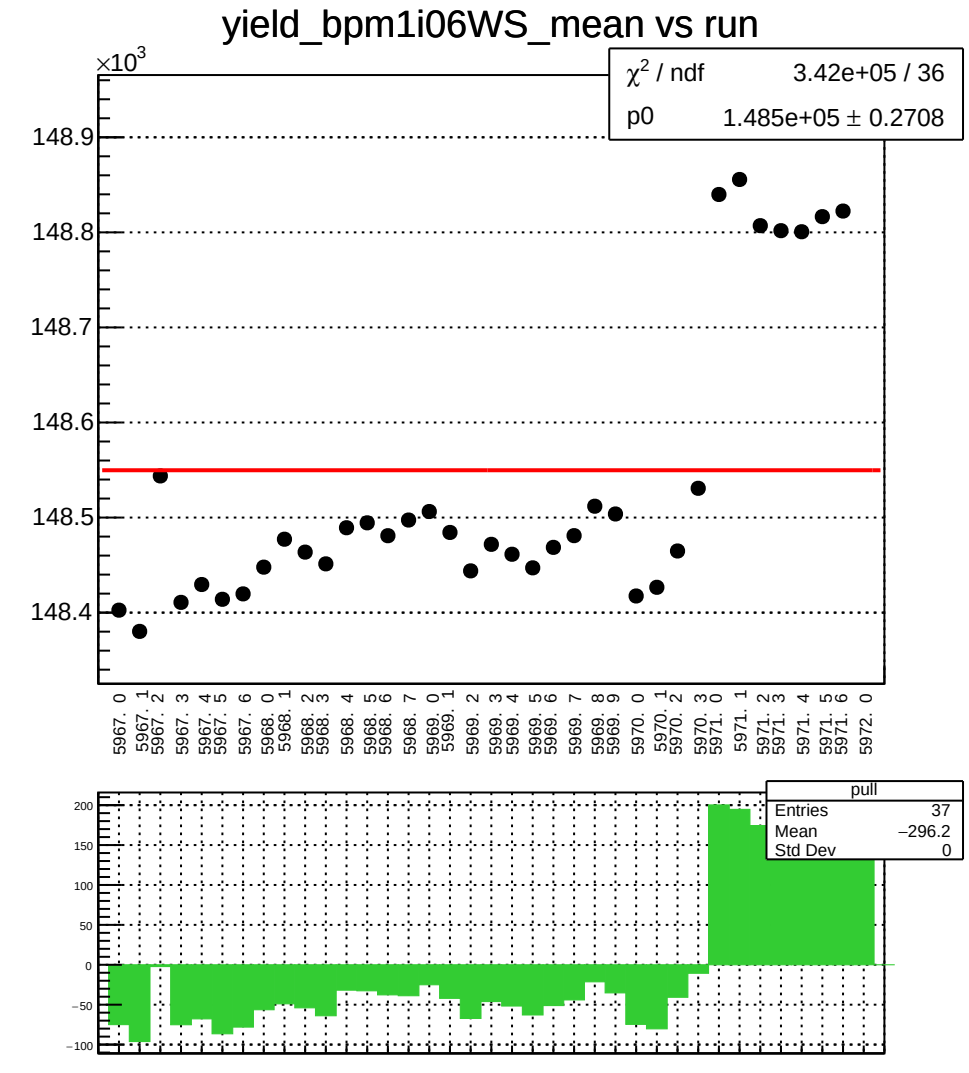
yield_bpm1i06WS_mean vs run
×10^3
χ² / ndf 3.42e+05 / 36
p0 1.485e+05 ± 0.2708
148.9
148.8
148.7
148.6
148.5
148.4
5967. 0
5967. 1
5967. 2
5967. 3
5967. 4
5967. 5
5967. 6
5968. 0
5968. 1
5968. 2
5968. 3
5968. 4
5968. 5
5968. 6
5968. 7
5969. 0
5969. 1
5969. 2
5969. 3
5969. 4
5969. 5
5969. 6
5969. 7
5969. 8
5969. 9
5970. 0
5970. 1
5970. 2
5970. 3
5971. 0
5971. 1
5971. 2
5971. 3
5971. 4
5971. 5
5971. 6
5972. 0
pull
Entries 37
Mean −296.2
Std Dev 0
200
150
100
50
0
−50
−100

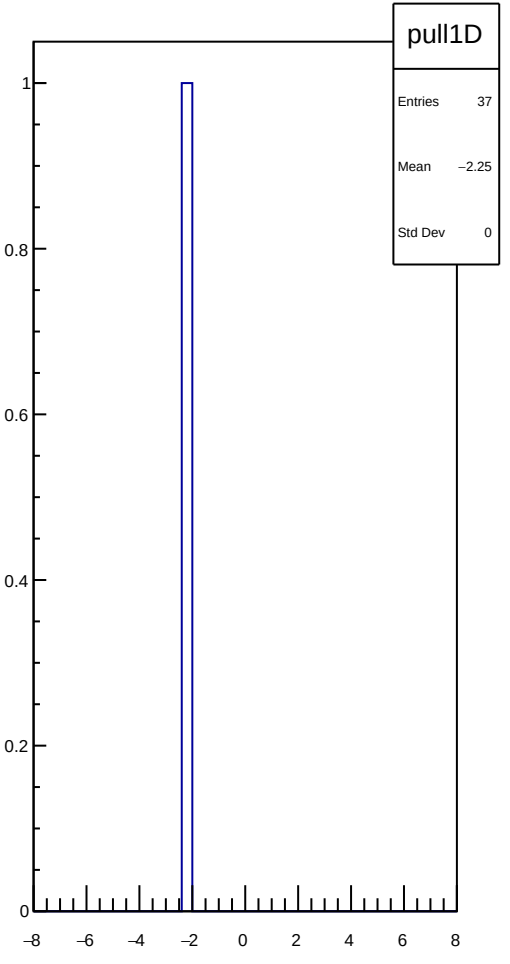
pull1D
Entries 37
Mean −2.25
Std Dev 0
1
0.8
0.6
0.4
0.2
0
−8
−6
−4
−2
0
2
4
6
8

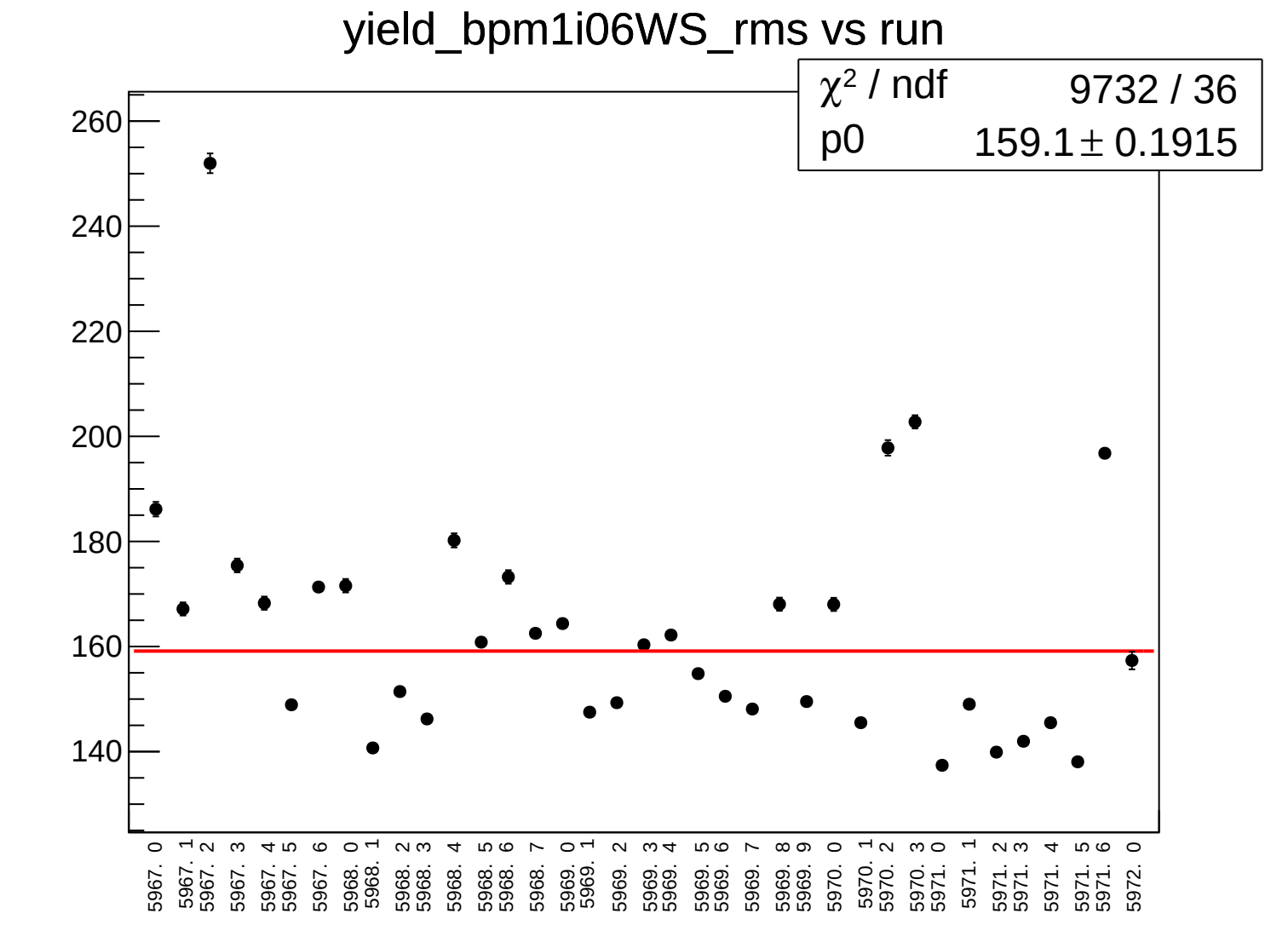
yield_bpm1i06WS_rms vs run
χ² / ndf 9732 / 36
p0 159.1 ± 0.1915
260
240
220
200
180
160
140
5967. 0
5967. 1
5967. 2
5967. 3
5967. 4
5967. 5
5967. 6
5968. 0
5968. 1
5968. 2
5968. 3
5968. 4
5968. 5
5968. 6
5968. 7
5969. 0
5969. 1
5969. 2
5969. 3
5969. 4
5969. 5
5969. 6
5969. 7
5969. 8
5969. 9
5970. 0
5970. 1
5970. 2
5970. 3
5971. 0
5971. 1
5971. 2
5971. 3
5971. 4
5971. 5
5971. 6
5972. 0

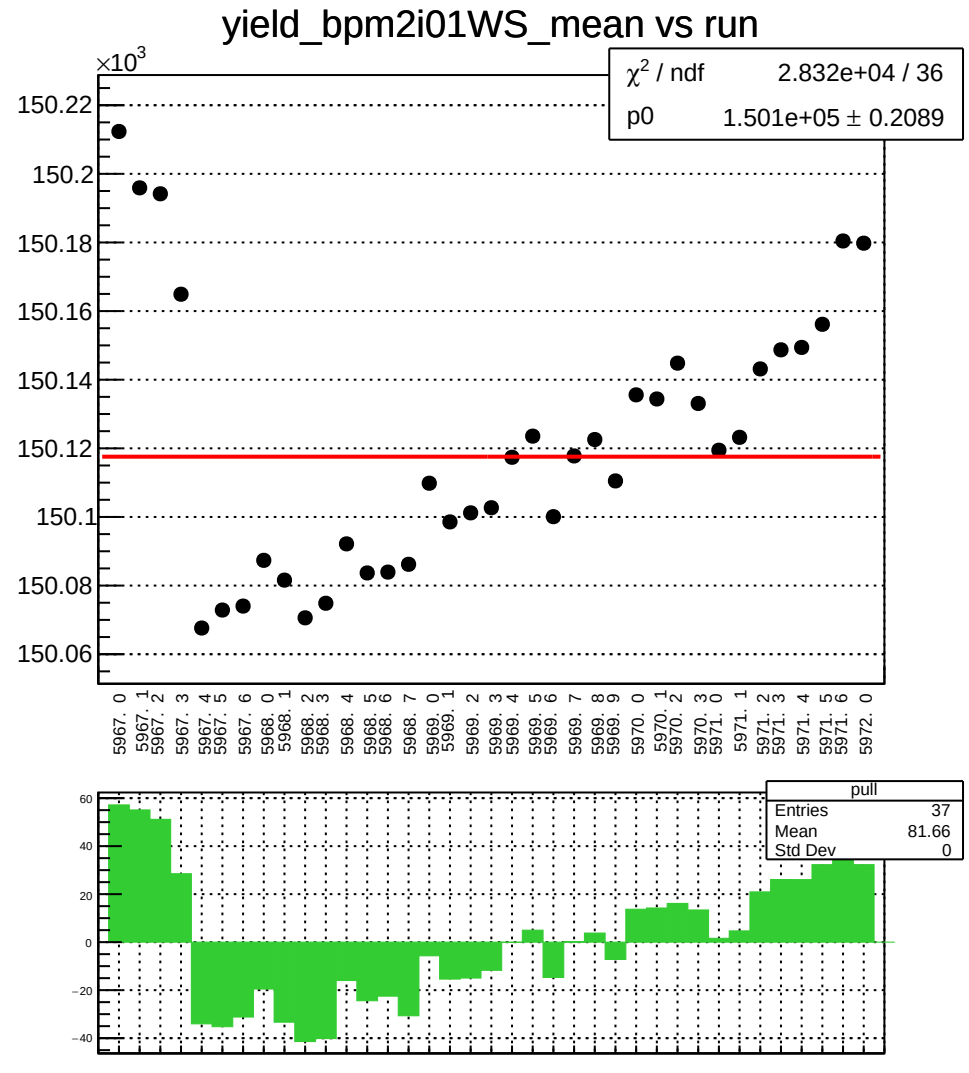
yield_bpm2i01WS_mean vs run
×10^3
χ² / ndf 2.832e+04 / 36
p0 1.501e+05 ± 0.2089
150.22
150.2
150.18
150.16
150.14
150.12
150.1
150.08
150.06
5967. 0
5967. 1
5967. 2
5967. 3
5967. 4
5967. 5
5967. 6
5968. 0
5968. 1
5968. 2
5968. 3
5968. 4
5968. 5
5968. 6
5968. 7
5969. 0
5969. 1
5969. 2
5969. 3
5969. 4
5969. 5
5969. 6
5969. 7
5969. 8
5969. 9
5970. 0
5970. 1
5970. 2
5970. 3
5971. 0
5971. 1
5971. 2
5971. 3
5971. 4
5971. 5
5971. 6
5972. 0
pull
Entries 37
Mean 81.66
Std Dev 0
60
40
20
0
−20
−40
pull1D
Entries 37
Mean 0.275
Std Dev 4.295
1
0.8
0.6
0.4
0.2
0
−8
−6
−4
−2
0
2
4
6
8

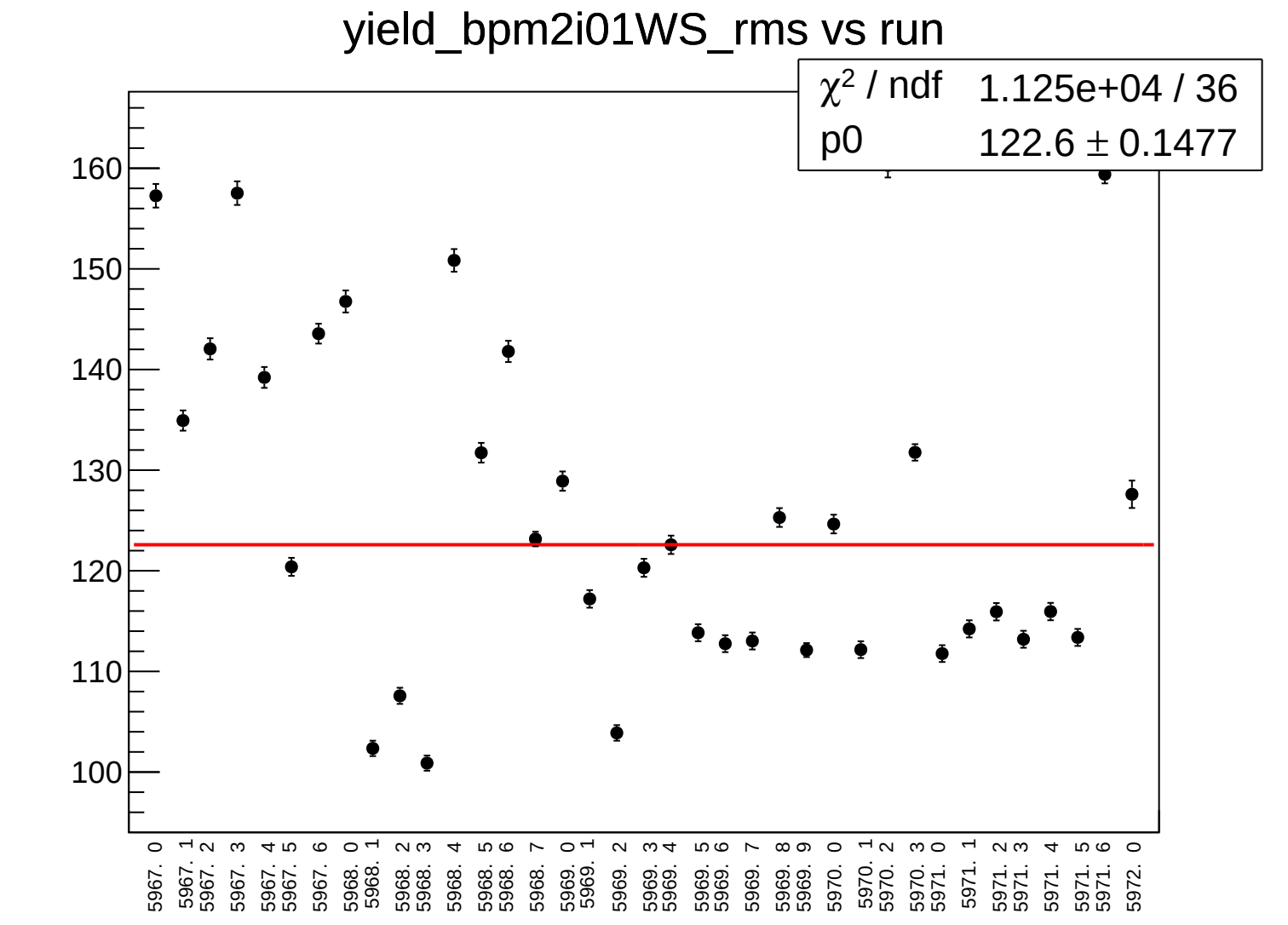
yield_bpm2i01WS_rms vs run
χ² / ndf 1.125e+04 / 36
p0 122.6 ± 0.1477
160
150
140
130
120
110
100
5967. 0
5967. 1
5967. 2
5967. 3
5967. 4
5967. 5
5967. 6
5968. 0
5968. 1
5968. 2
5968. 3
5968. 4
5968. 5
5968. 6
5968. 7
5969. 0
5969. 1
5969. 2
5969. 3
5969. 4
5969. 5
5969. 6
5969. 7
5969. 8
5969. 9
5970. 0
5970. 1
5970. 2
5970. 3
5971. 0
5971. 1
5971. 2
5971. 3
5971. 4
5971. 5
5971. 6
5972. 0

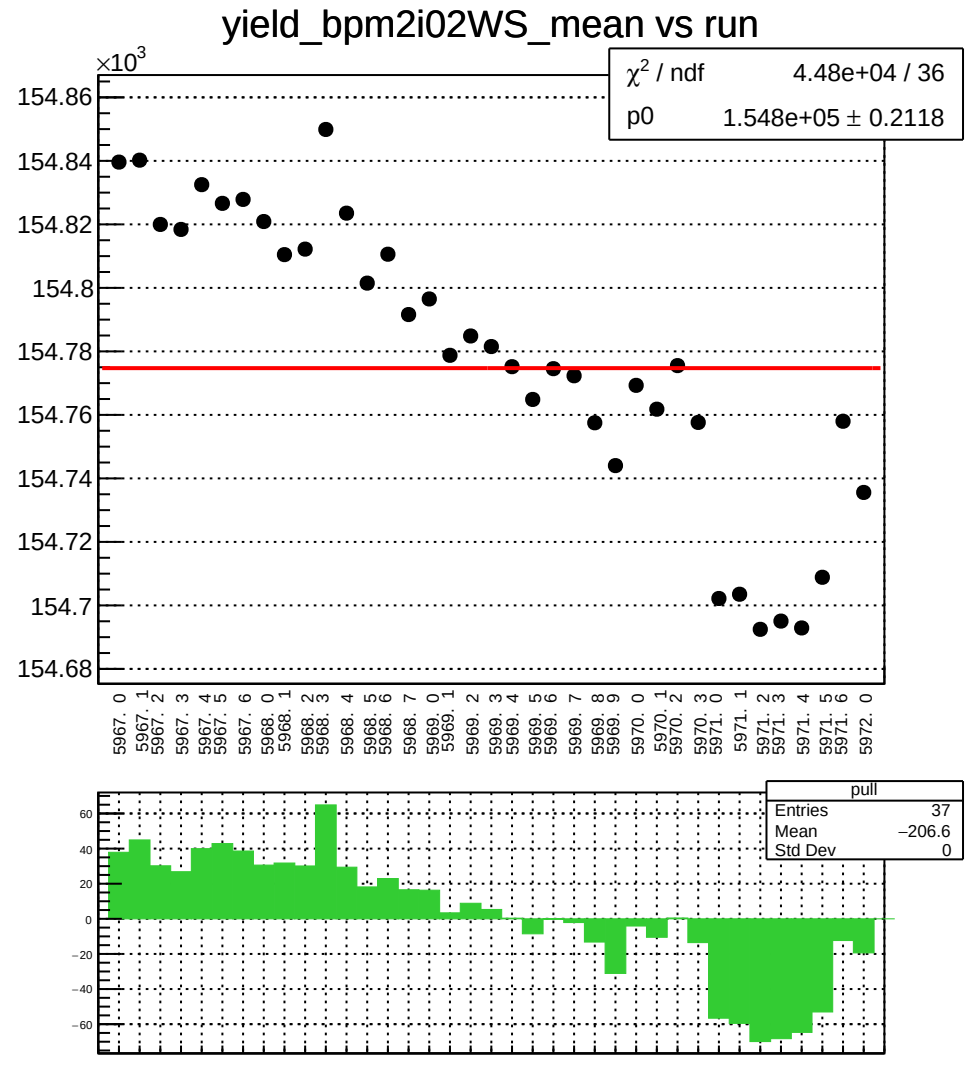
yield_bpm2i02WS_mean vs run
×10^3
χ² / ndf 4.48e+04 / 36
p0 1.548e+05 ± 0.2118
154.86
154.84
154.82
154.8
154.78
154.76
154.74
154.72
154.7
154.68
5967. 0
5967. 1
5967. 2
5967. 3
5967. 4
5967. 5
5967. 6
5968. 0
5968. 1
5968. 2
5968. 3
5968. 4
5968. 5
5968. 6
5968. 7
5969. 0
5969. 1
5969. 2
5969. 3
5969. 4
5969. 5
5969. 6
5969. 7
5969. 8
5969. 9
5970. 0
5970. 1
5970. 2
5970. 3
5971. 0
5971. 1
5971. 2
5971. 3
5971. 4
5971. 5
5971. 6
5972. 0
pull
Entries 37
Mean −206.6
Std Dev 0
60
40
20
0
−20
−40
−60

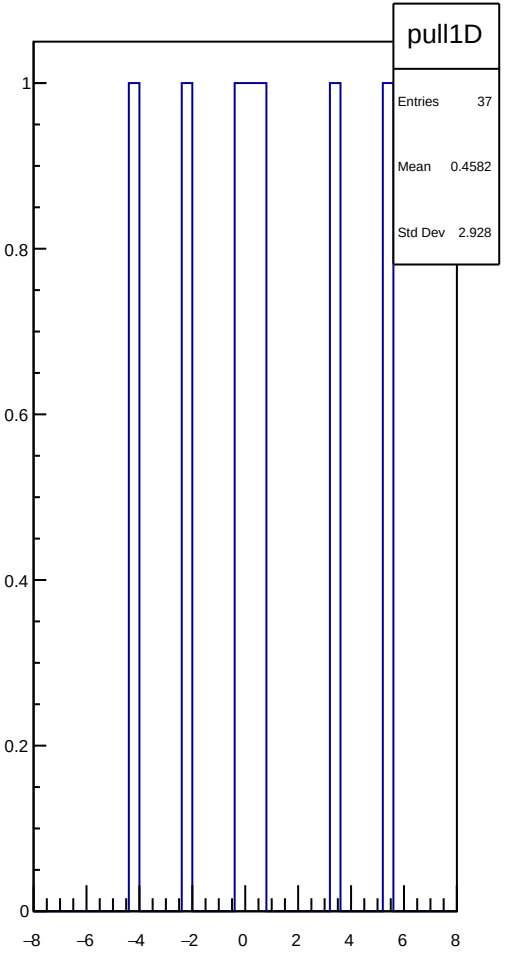
pull1D
Entries 37
Mean 0.4582
Std Dev 2.928
1
0.8
0.6
0.4
0.2
0
−8
−6
−4
−2
0
2
4
6
8

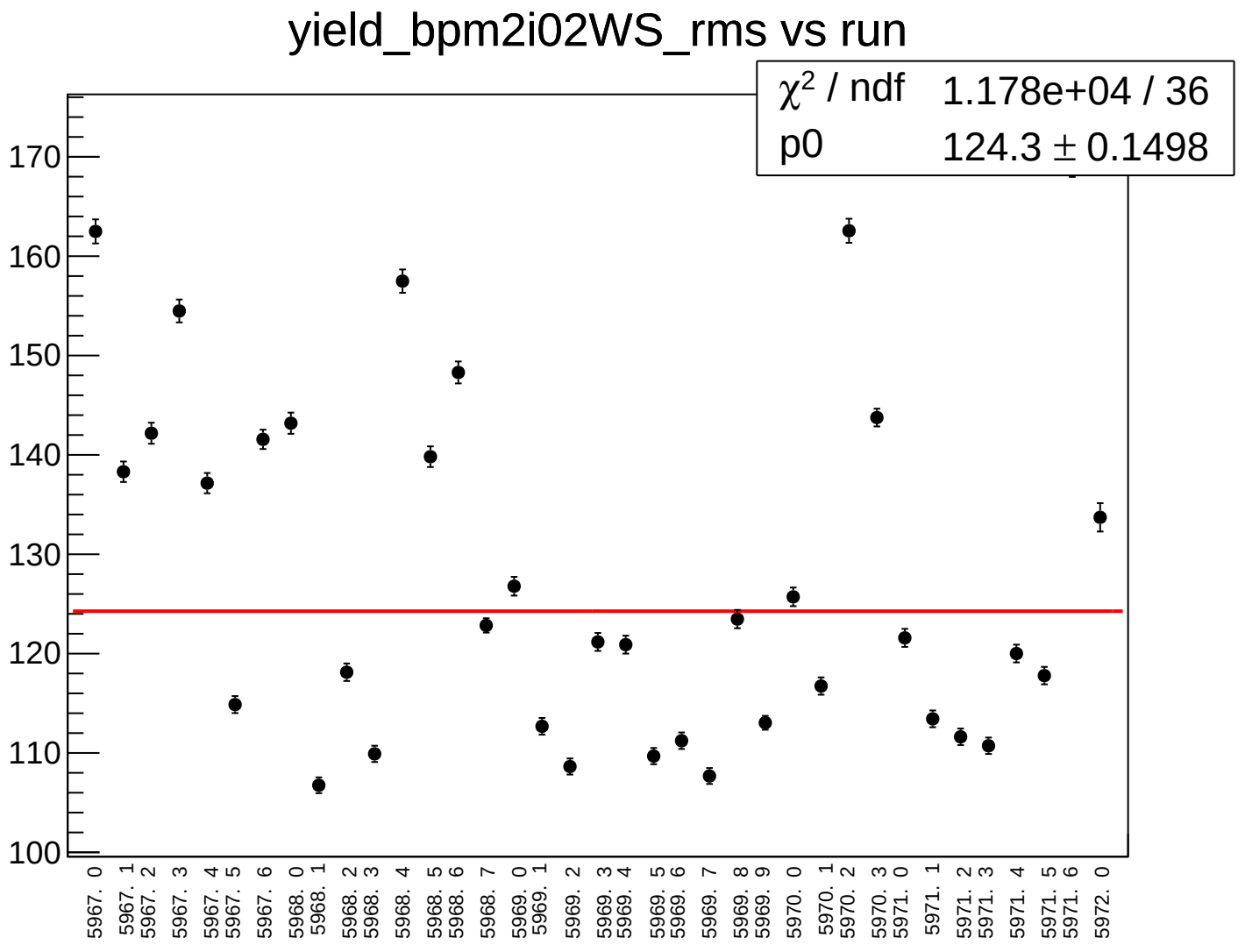
yield_bpm2i02WS_rms vs run
χ² / ndf 1.178e+04 / 36
p0 124.3 ± 0.1498
170
160
150
140
130
120
110
100
5967. 0
5967. 1
5967. 2
5967. 3
5967. 4
5967. 5
5967. 6
5968. 0
5968. 1
5968. 2
5968. 3
5968. 4
5968. 5
5968. 6
5968. 7
5969. 0
5969. 1
5969. 2
5969. 3
5969. 4
5969. 5
5969. 6
5969. 7
5969. 8
5969. 9
5970. 0
5970. 1
5970. 2
5970. 3
5971. 0
5971. 1
5971. 2
5971. 3
5971. 4
5971. 5
5971. 6
5972. 0

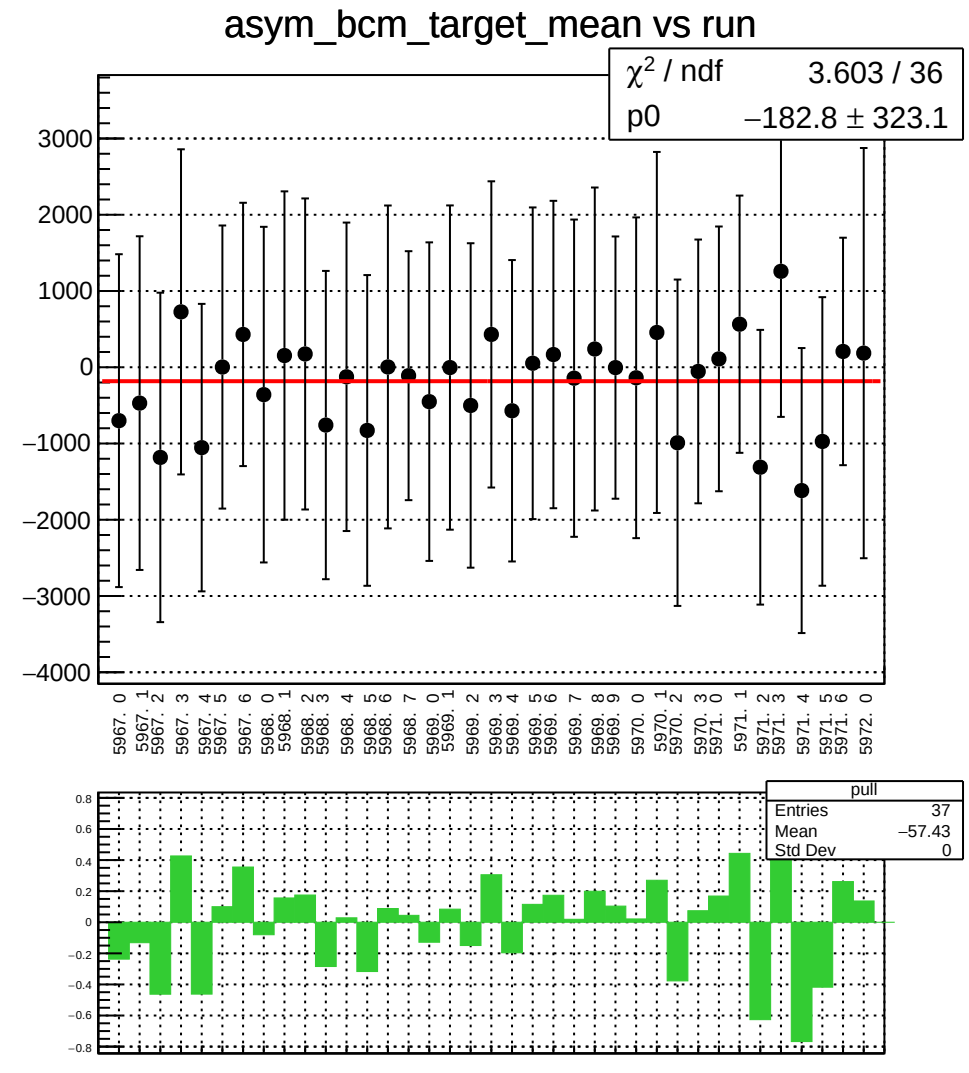
asym_bcm_target_mean vs run
χ² / ndf 3.603 / 36
p0 −182.8 ± 323.1
3000
2000
1000
0
−1000
−2000
−3000
−4000
5967. 0
5967. 1
5967. 2
5967. 3
5967. 4
5967. 5
5967. 6
5968. 0
5968. 1
5968. 2
5968. 3
5968. 4
5968. 5
5968. 6
5968. 7
5969. 0
5969. 1
5969. 2
5969. 3
5969. 4
5969. 5
5969. 6
5969. 7
5969. 8
5969. 9
5970. 0
5970. 1
5970. 2
5970. 3
5971. 0
5971. 1
5971. 2
5971. 3
5971. 4
5971. 5
5971. 6
5972. 0
pull
Entries 37
Mean −57.43
Std Dev 0
0.8
0.6
0.4
0.2
0
−0.2
−0.4
−0.6
−0.8
pull1D
Entries 37
Mean −0.003596
Std Dev 0.312
20
18
16
14
12
10
8
6
4
2
0
−8
−6
−4
−2
0
2
4
6
8

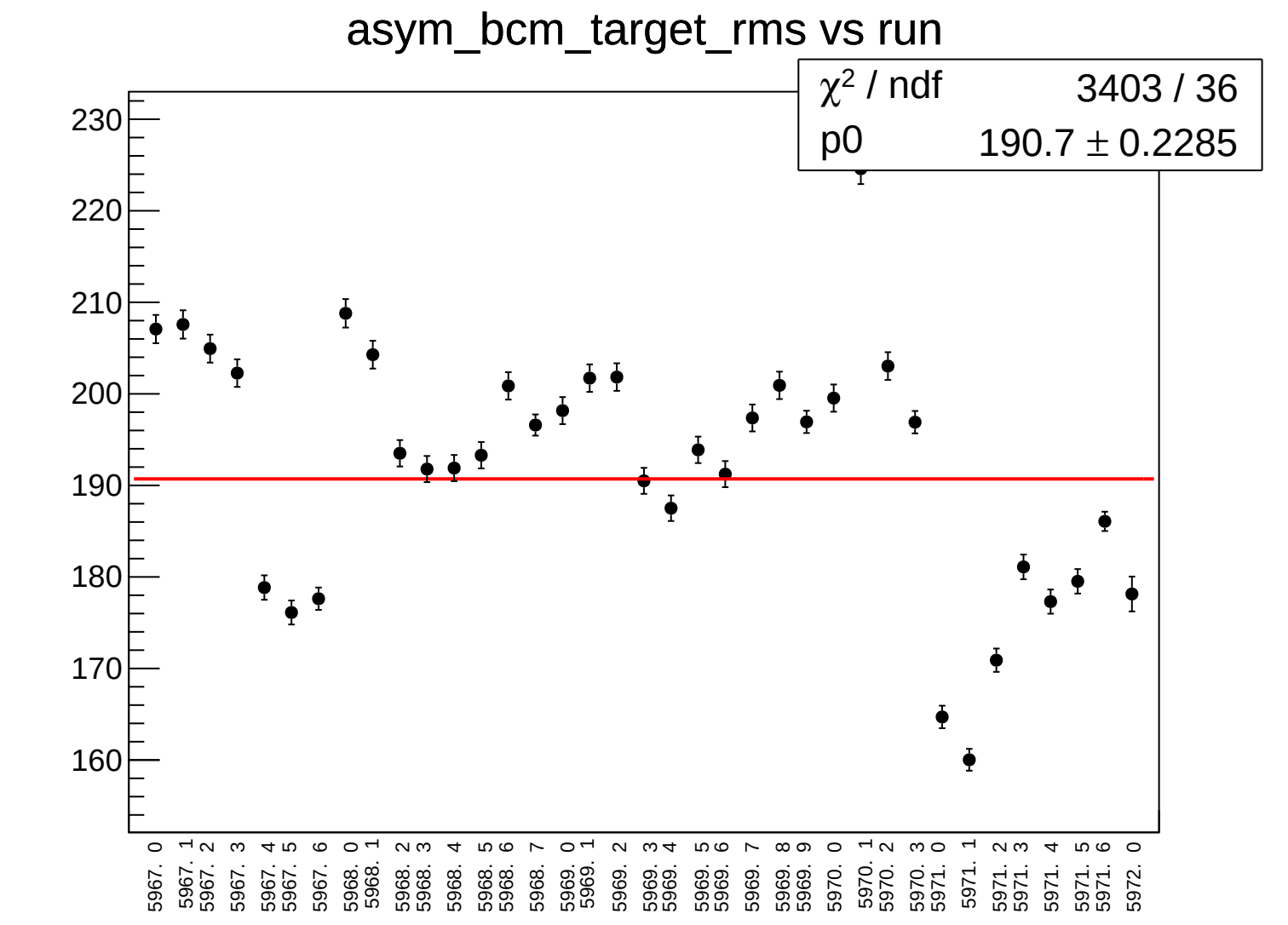
asym_bcm_target_rms vs run
χ² / ndf 3403 / 36
p0 190.7 ± 0.2285
230
220
210
200
190
180
170
160
5967. 0
5967. 1
5967. 2
5967. 3
5967. 4
5967. 5
5967. 6
5968. 0
5968. 1
5968. 2
5968. 3
5968. 4
5968. 5
5968. 6
5968. 7
5969. 0
5969. 1
5969. 2
5969. 3
5969. 4
5969. 5
5969. 6
5969. 7
5969. 8
5969. 9
5970. 0
5970. 1
5970. 2
5970. 3
5971. 0
5971. 1
5971. 2
5971. 3
5971. 4
5971. 5
5971. 6
5972. 0

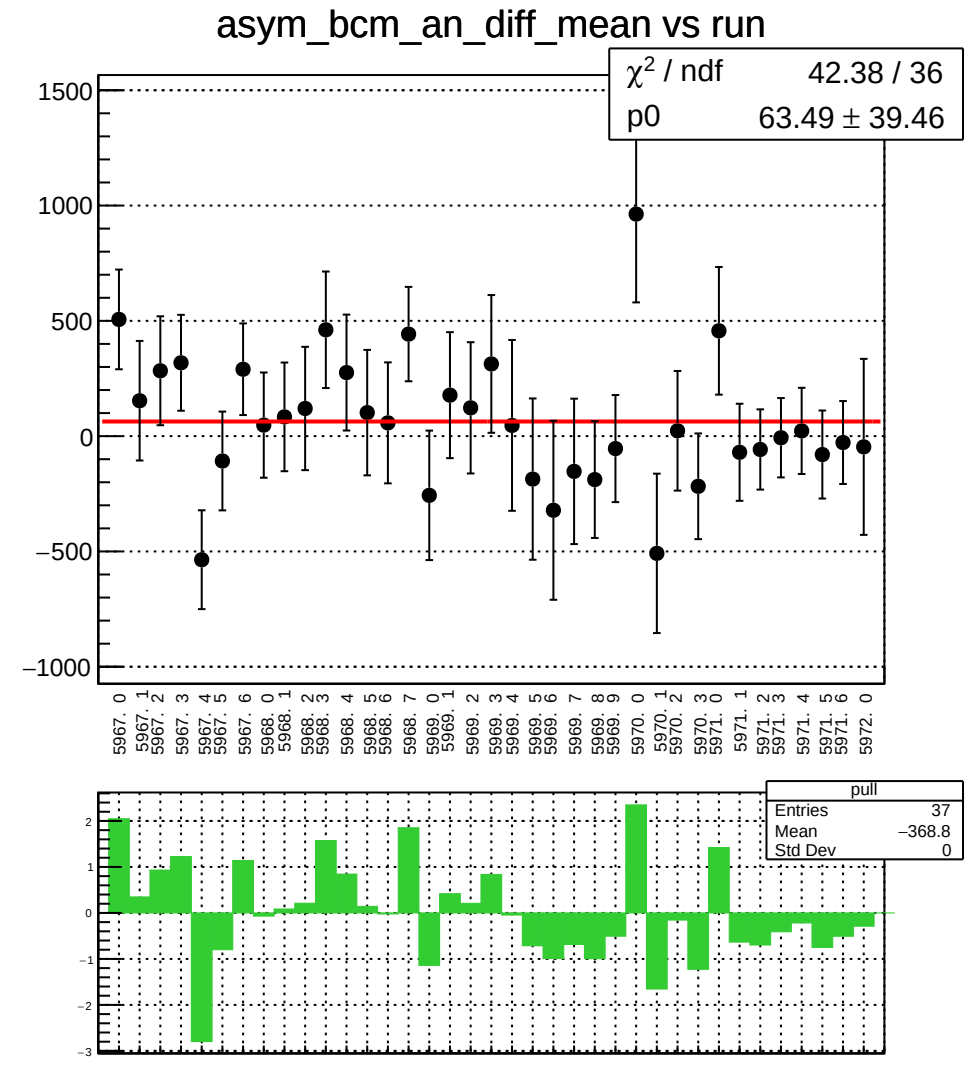
asym_bcm_an_diff_mean vs run
χ^2 / ndf 42.38 / 36
p0 63.49 ± 39.46
1500
1000
500
0
−500
−1000
5967. 0
5967. 1
5967. 2
5967. 3
5967. 4
5967. 5
5967. 6
5968. 0
5968. 1
5968. 2
5968. 3
5968. 4
5968. 5
5968. 6
5968. 7
5969. 0
5969. 1
5969. 2
5969. 3
5969. 4
5969. 5
5969. 6
5969. 7
5969. 8
5969. 9
5970. 0
5970. 1
5970. 2
5970. 3
5971. 0
5971. 1
5971. 2
5971. 3
5971. 4
5971. 5
5971. 6
5972. 0
pull
Entries 37
Mean −368.8
Std Dev 0
2
1
0
−1
−2
−3

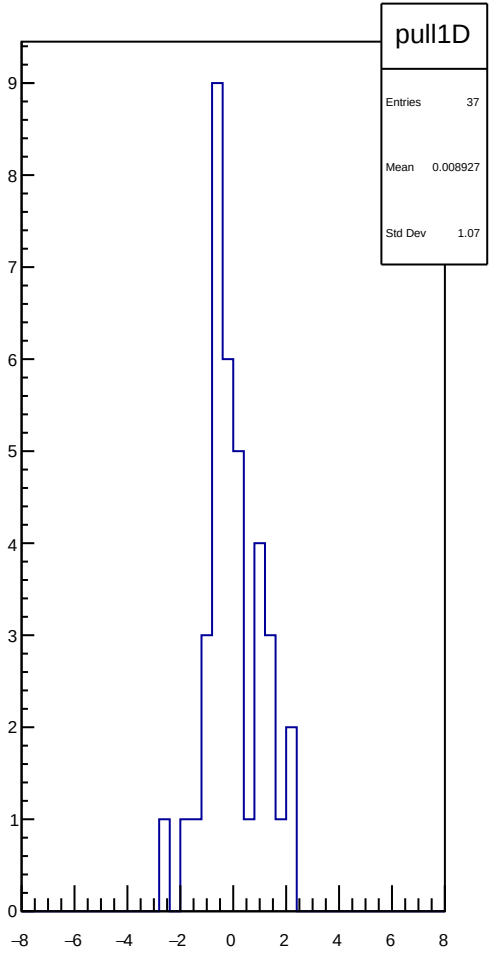
pull1D
Entries 37
Mean 0.008927
Std Dev 1.07
9
8
7
6
5
4
3
2
1
0
−8
−6
−4
−2
0
2
4
6
8

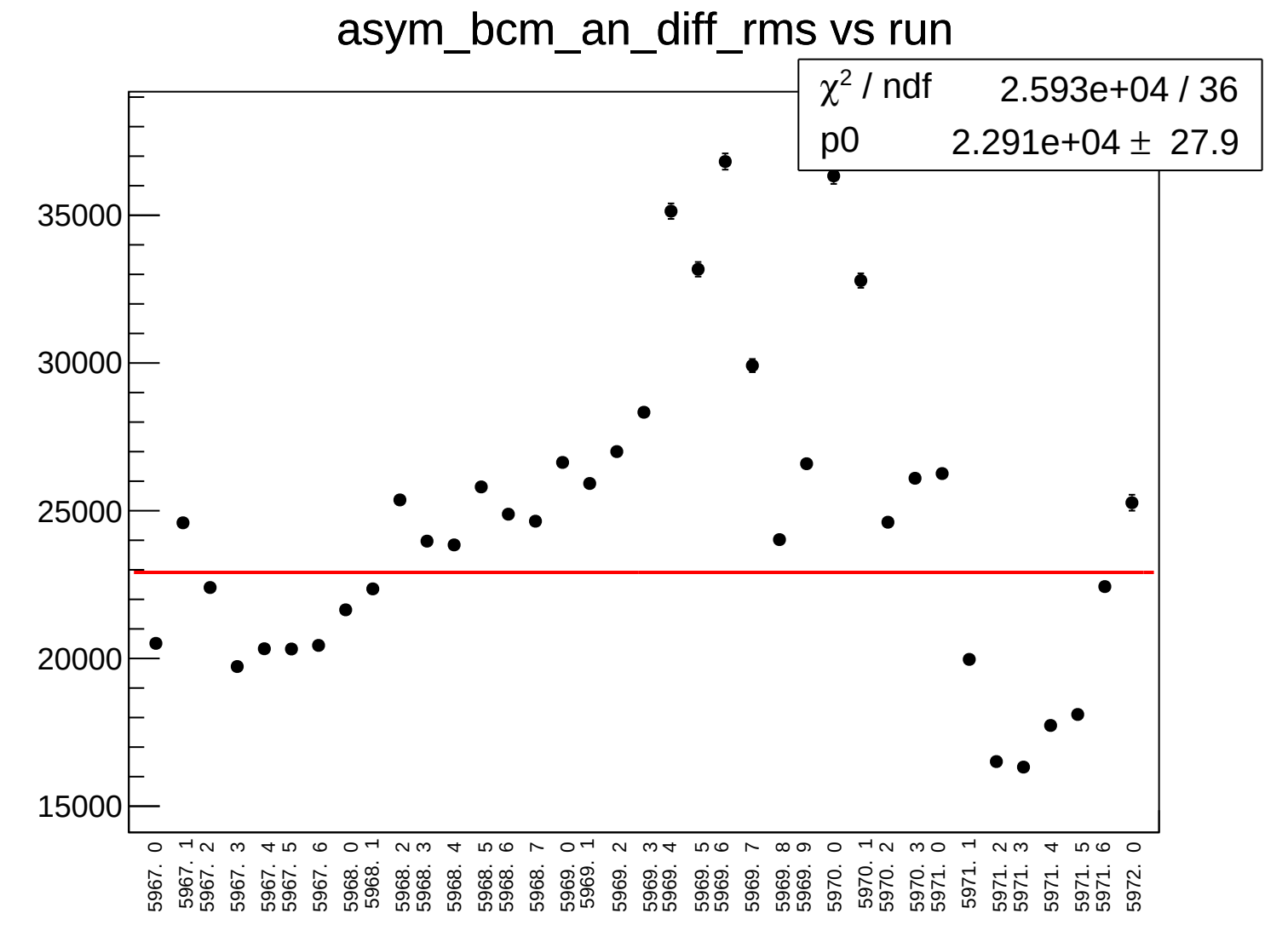
asym_bcm_an_diff_rms vs run
χ² / ndf 2.593e+04 / 36
p0 2.291e+04 ± 27.9
35000
30000
25000
20000
15000
5967. 0
5967. 1
5967. 2
5967. 3
5967. 4
5967. 5
5967. 6
5968. 0
5968. 1
5968. 2
5968. 3
5968. 4
5968. 5
5968. 6
5968. 7
5969. 0
5969. 1
5969. 2
5969. 3
5969. 4
5969. 5
5969. 6
5969. 7
5969. 8
5969. 9
5970. 0
5970. 1
5970. 2
5970. 3
5971. 0
5971. 1
5971. 2
5971. 3
5971. 4
5971. 5
5971. 6
5972. 0

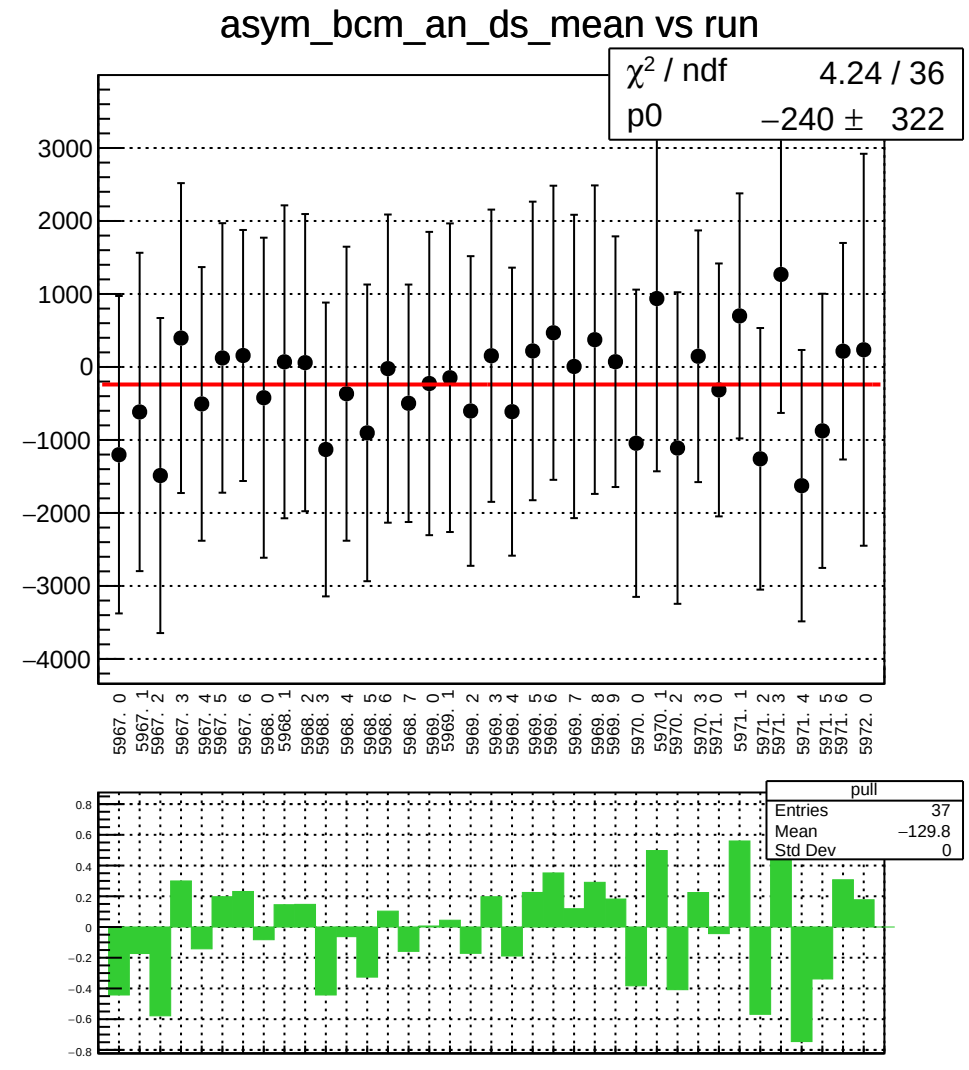
asym_bcm_an_ds_mean vs run
χ² / ndf 4.24 / 36
p0 −240 ± 322
3000
2000
1000
0
−1000
−2000
−3000
−4000
5967. 0
5967. 1
5967. 2
5967. 3
5967. 4
5967. 5
5967. 6
5968. 0
5968. 1
5968. 2
5968. 3
5968. 4
5968. 5
5968. 6
5968. 7
5969. 0
5969. 1
5969. 2
5969. 3
5969. 4
5969. 5
5969. 6
5969. 7
5969. 8
5969. 9
5970. 0
5970. 1
5970. 2
5970. 3
5971. 0
5971. 1
5971. 2
5971. 3
5971. 4
5971. 5
5971. 6
5972. 0
pull
Entries 37
Mean −129.8
Std Dev 0
0.8
0.6
0.4
0.2
0
−0.2
−0.4
−0.6
−0.8

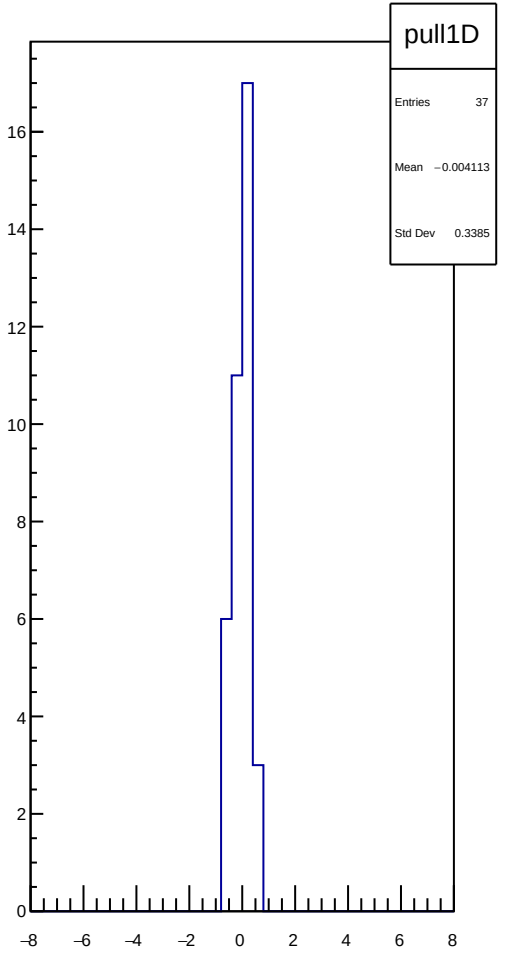
pull1D
Entries 37
Mean −0.004113
Std Dev 0.3385
16
14
12
10
8
6
4
2
0
−8
−6
−4
−2
0
2
4
6
8

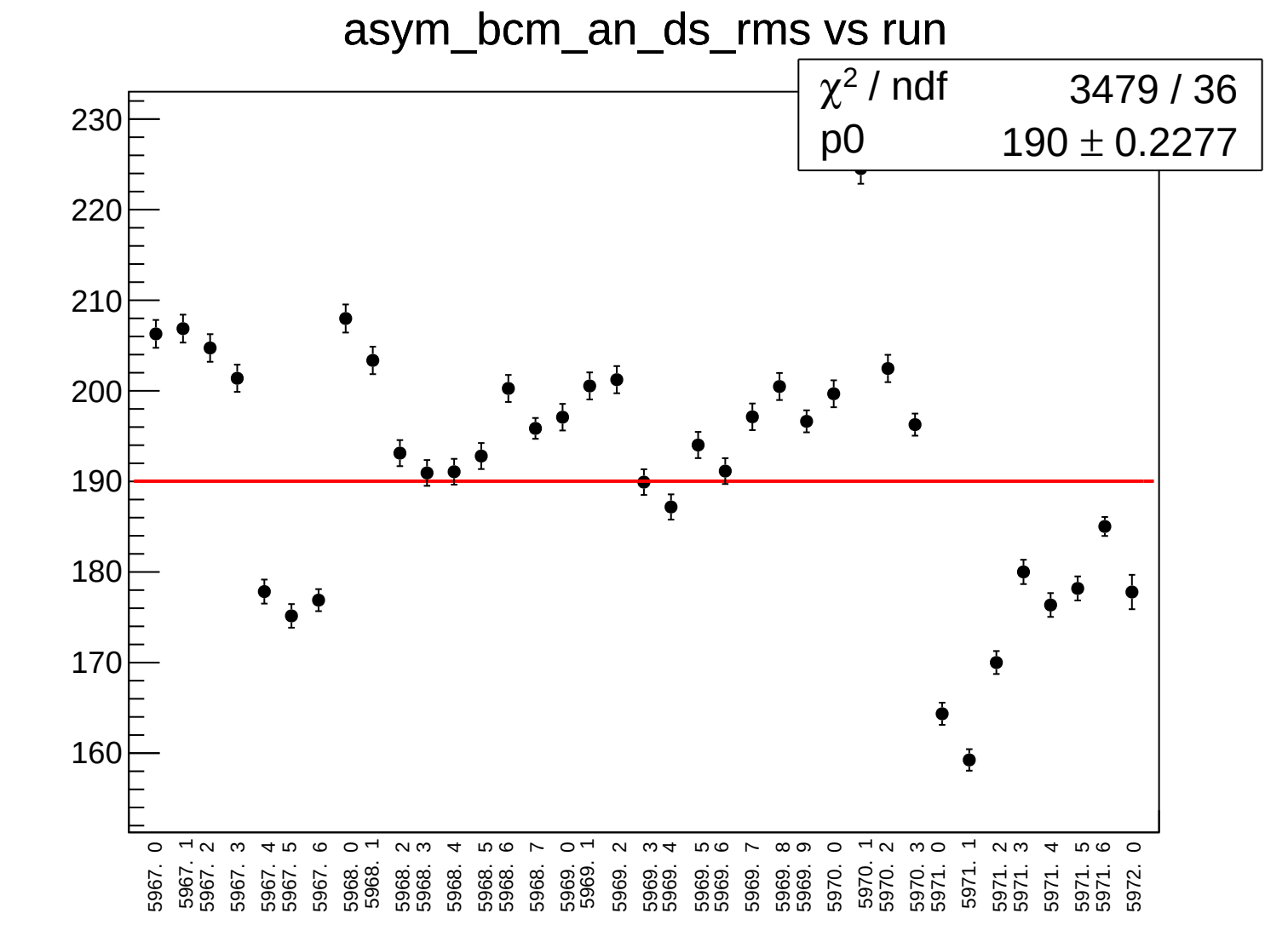
asym_bcm_an_ds_rms vs run
χ² / ndf 3479 / 36
p0 190 ± 0.2277
230
220
210
200
190
180
170
160
5967. 0
5967. 1
5967. 2
5967. 3
5967. 4
5967. 5
5967. 6
5968. 0
5968. 1
5968. 2
5968. 3
5968. 4
5968. 5
5968. 6
5968. 7
5969. 0
5969. 1
5969. 2
5969. 3
5969. 4
5969. 5
5969. 6
5969. 7
5969. 8
5969. 9
5970. 0
5970. 1
5970. 2
5970. 3
5971. 0
5971. 1
5971. 2
5971. 3
5971. 4
5971. 5
5971. 6
5972. 0

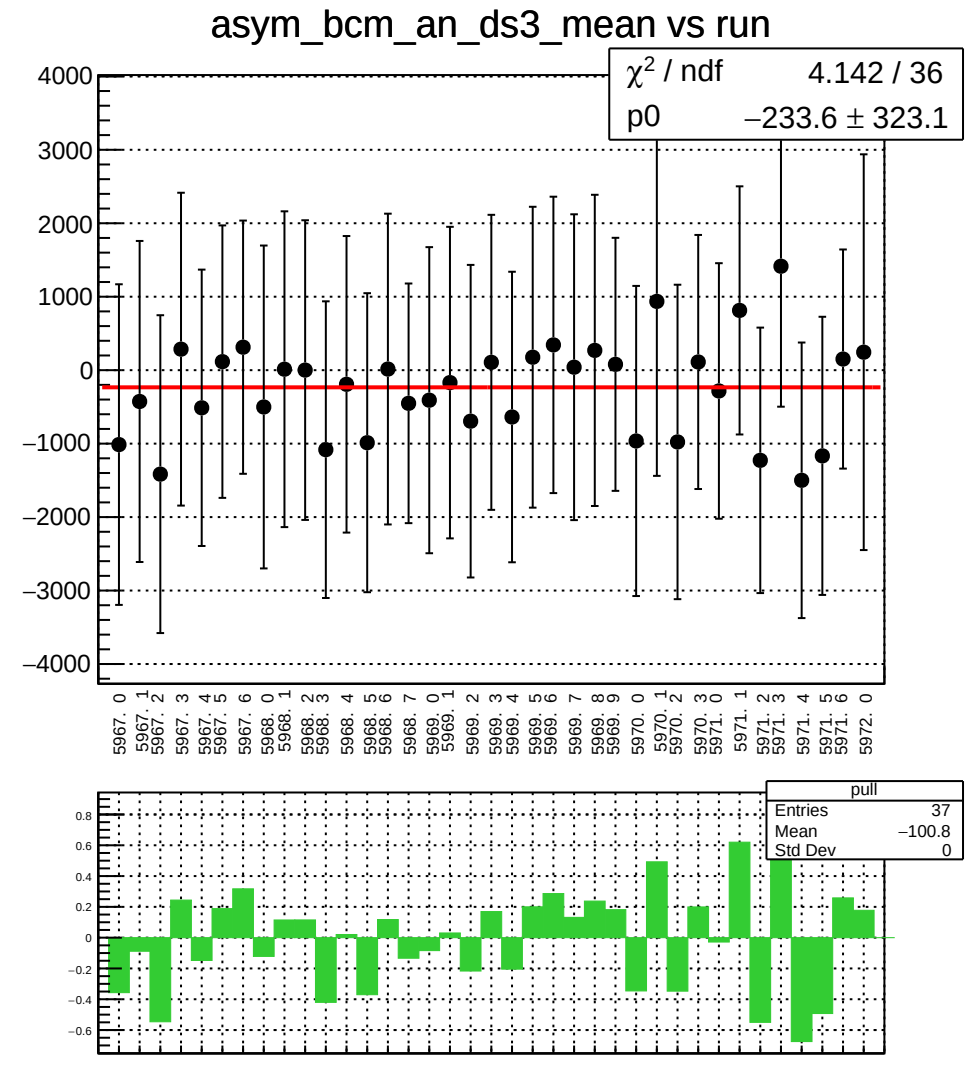
asym_bcm_an_ds3_mean vs run
χ² / ndf 4.142 / 36
p0 −233.6 ± 323.1
4000
3000
2000
1000
0
−1000
−2000
−3000
−4000
5967. 0
5967. 1
5967. 2
5967. 3
5967. 4
5967. 5
5967. 6
5968. 0
5968. 1
5968. 2
5968. 3
5968. 4
5968. 5
5968. 6
5968. 7
5969. 0
5969. 1
5969. 2
5969. 3
5969. 4
5969. 5
5969. 6
5969. 7
5969. 8
5969. 9
5970. 0
5970. 1
5970. 2
5970. 3
5971. 0
5971. 1
5971. 2
5971. 3
5971. 4
5971. 5
5971. 6
5972. 0
pull
Entries 37
Mean −100.8
Std Dev 0
0.8
0.6
0.4
0.2
0
−0.2
−0.4
−0.6

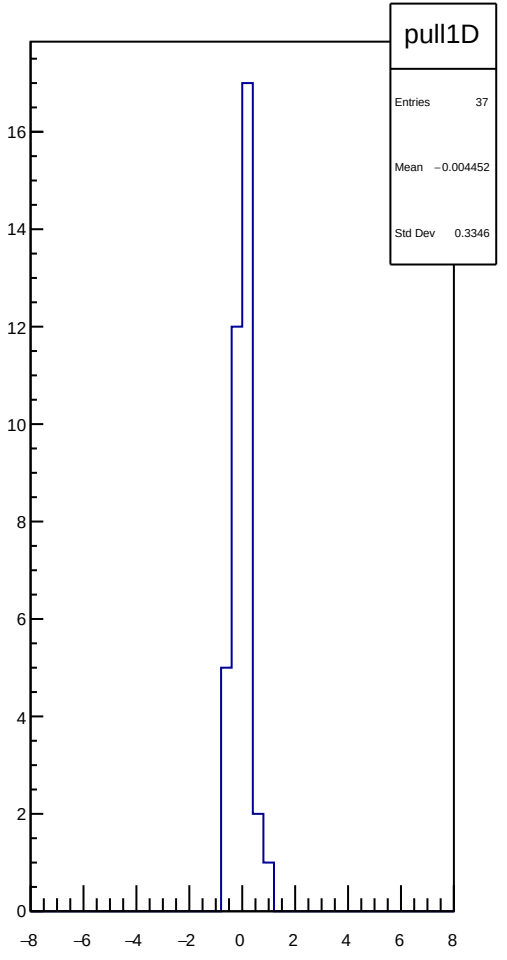
pull1D
Entries 37
Mean −0.004452
Std Dev 0.3346
16
14
12
10
8
6
4
2
0
−8
−6
−4
−2
0
2
4
6
8

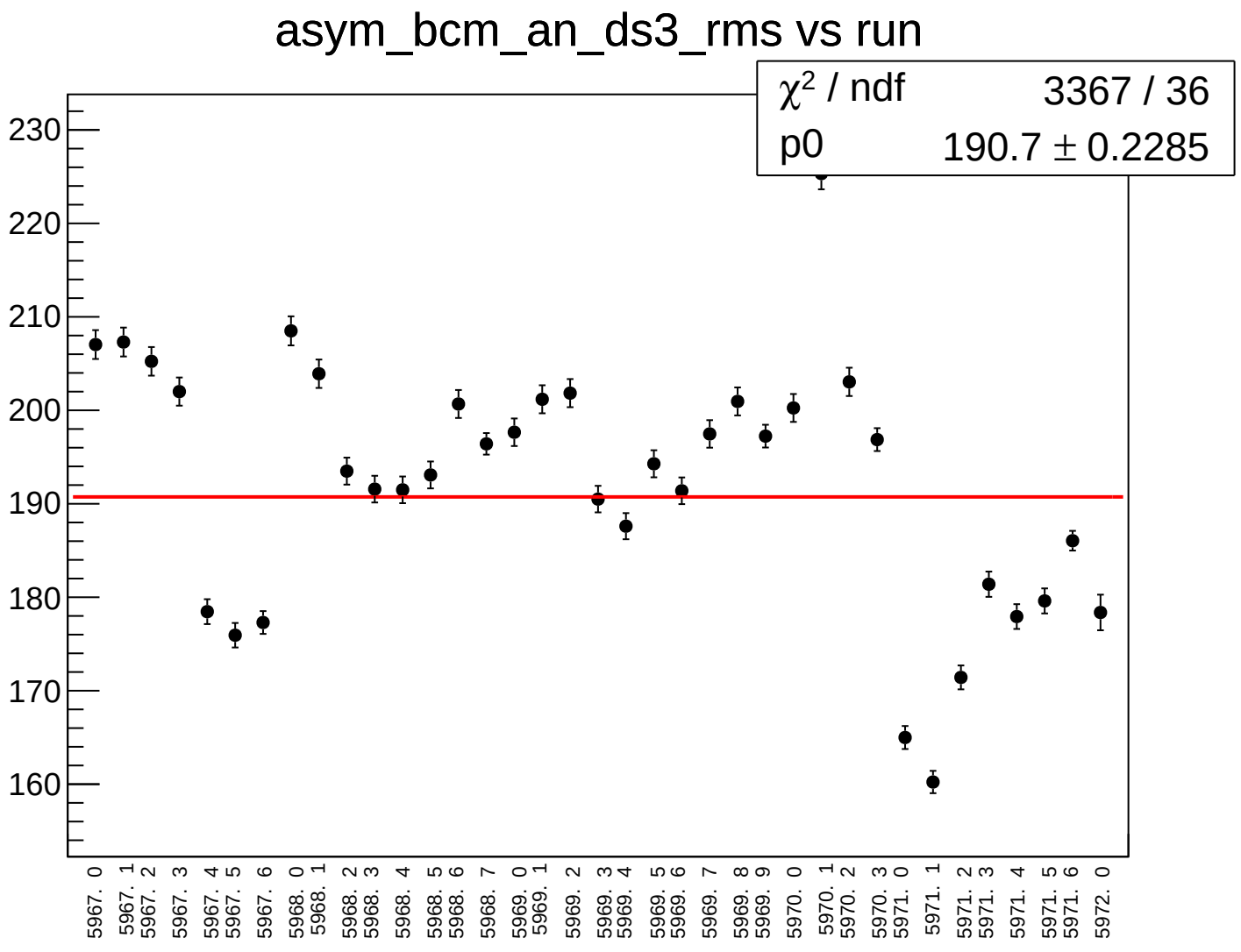
asym_bcm_an_ds3_rms vs run
χ² / ndf 3367 / 36
p0 190.7 ± 0.2285
230
220
210
200
190
180
170
160
5967. 0
5967. 1
5967. 2
5967. 3
5967. 4
5967. 5
5967. 6
5968. 0
5968. 1
5968. 2
5968. 3
5968. 4
5968. 5
5968. 6
5968. 7
5969. 0
5969. 1
5969. 2
5969. 3
5969. 4
5969. 5
5969. 6
5969. 7
5969. 8
5969. 9
5970. 0
5970. 1
5970. 2
5970. 3
5971. 0
5971. 1
5971. 2
5971. 3
5971. 4
5971. 5
5971. 6
5972. 0

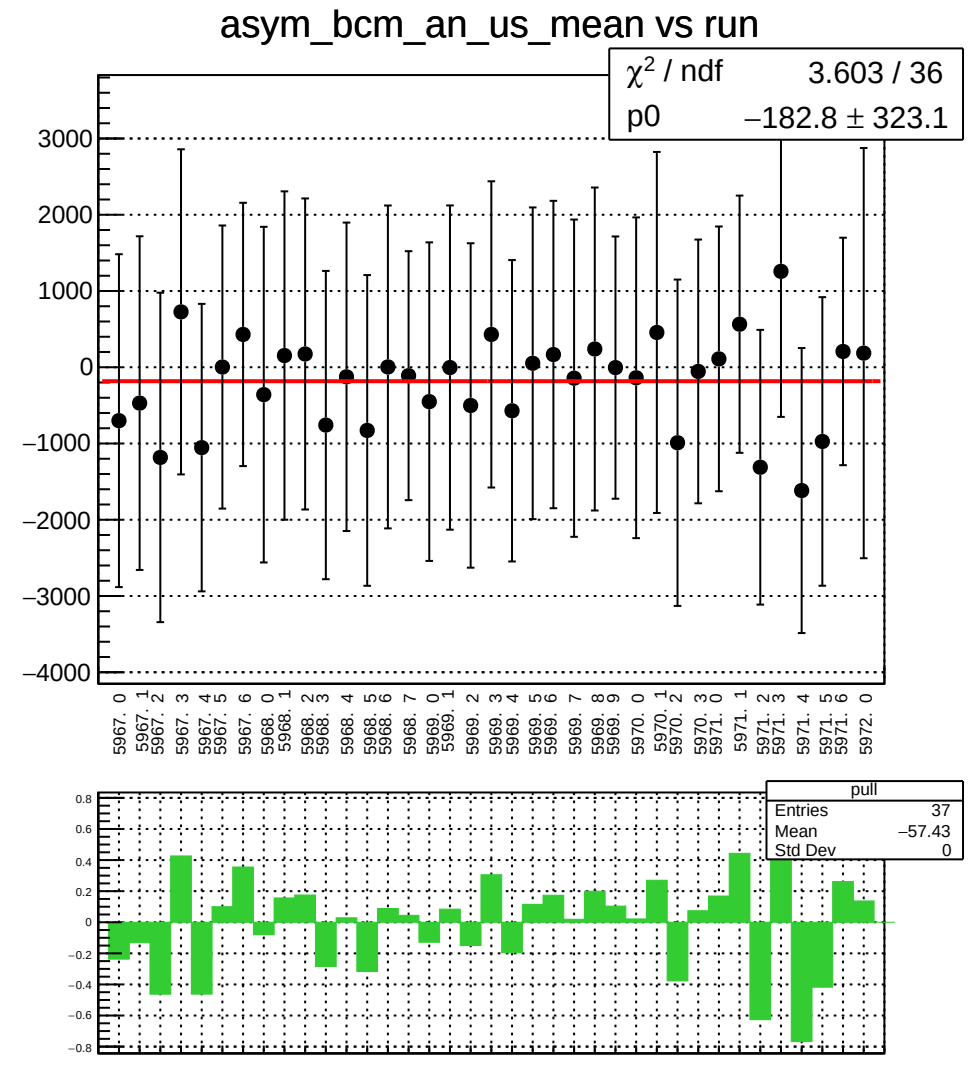
asym_bcm_an_us_mean vs run
χ² / ndf 3.603 / 36
p0 −182.8 ± 323.1
3000
2000
1000
0
−1000
−2000
−3000
−4000
5967. 0
5967. 1
5967. 2
5967. 3
5967. 4
5967. 5
5967. 6
5968. 0
5968. 1
5968. 2
5968. 3
5968. 4
5968. 5
5968. 6
5968. 7
5969. 0
5969. 1
5969. 2
5969. 3
5969. 4
5969. 5
5969. 6
5969. 7
5969. 8
5969. 9
5970. 0
5970. 1
5970. 2
5970. 3
5971. 0
5971. 1
5971. 2
5971. 3
5971. 4
5971. 5
5971. 6
5972. 0
pull
Entries 37
Mean −57.43
Std Dev 0
0.8
0.6
0.4
0.2
0
−0.2
−0.4
−0.6
−0.8

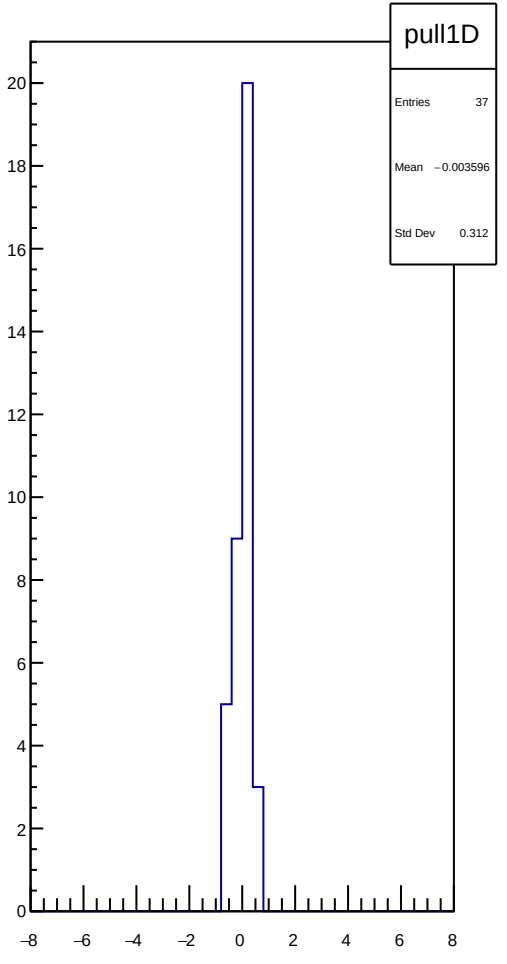
pull1D
Entries 37
Mean −0.003596
Std Dev 0.312
20
18
16
14
12
10
8
6
4
2
0
−8
−6
−4
−2
0
2
4
6
8

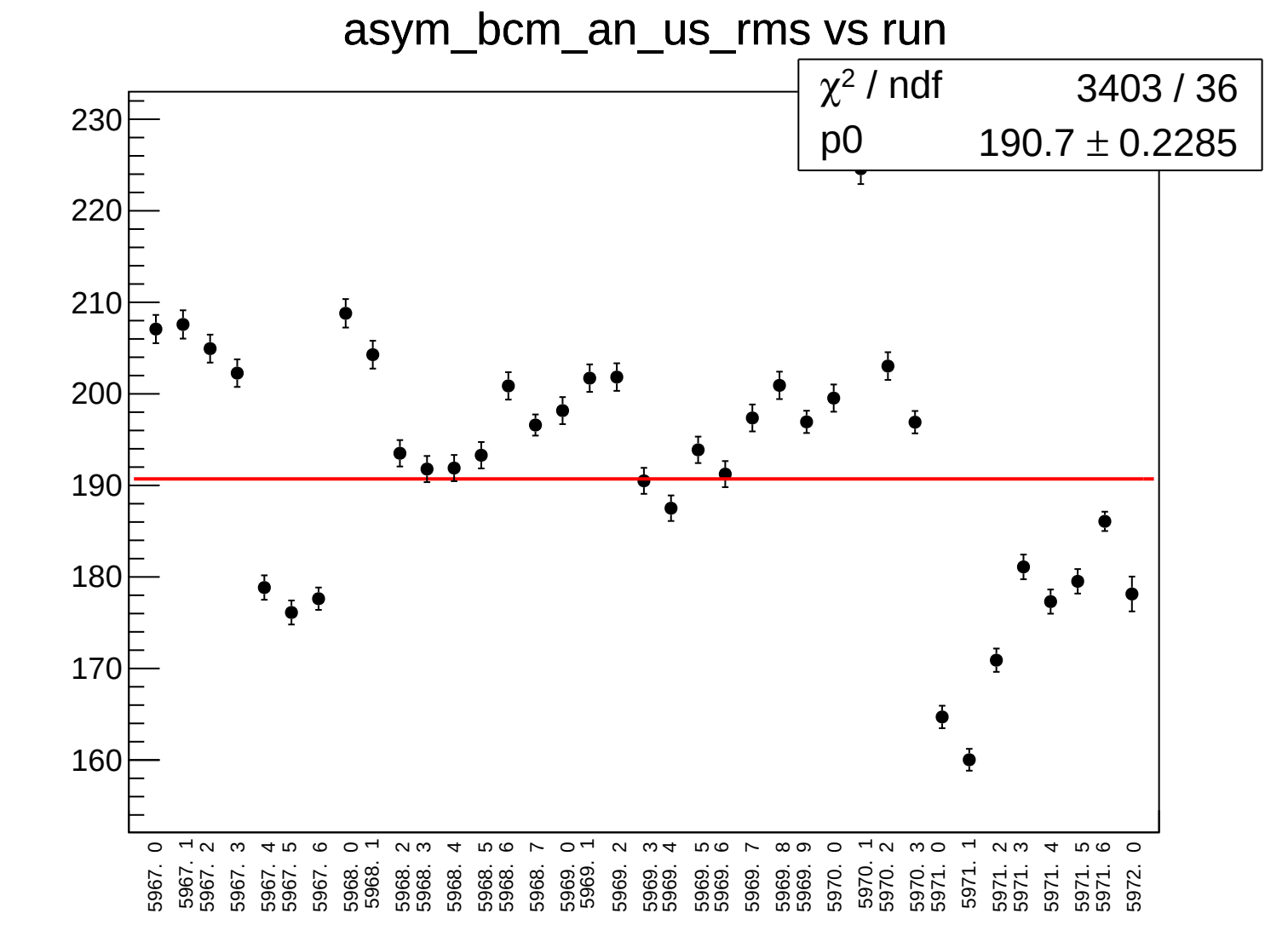
asym_bcm_an_us_rms vs run
χ² / ndf 3403 / 36
p0 190.7 ± 0.2285
230
220
210
200
190
180
170
160
5967. 0
5967. 1
5967. 2
5967. 3
5967. 4
5967. 5
5967. 6
5968. 0
5968. 1
5968. 2
5968. 3
5968. 4
5968. 5
5968. 6
5968. 7
5969. 0
5969. 1
5969. 2
5969. 3
5969. 4
5969. 5
5969. 6
5969. 7
5969. 8
5969. 9
5970. 0
5970. 1
5970. 2
5970. 3
5971. 0
5971. 1
5971. 2
5971. 3
5971. 4
5971. 5
5971. 6
5972. 0

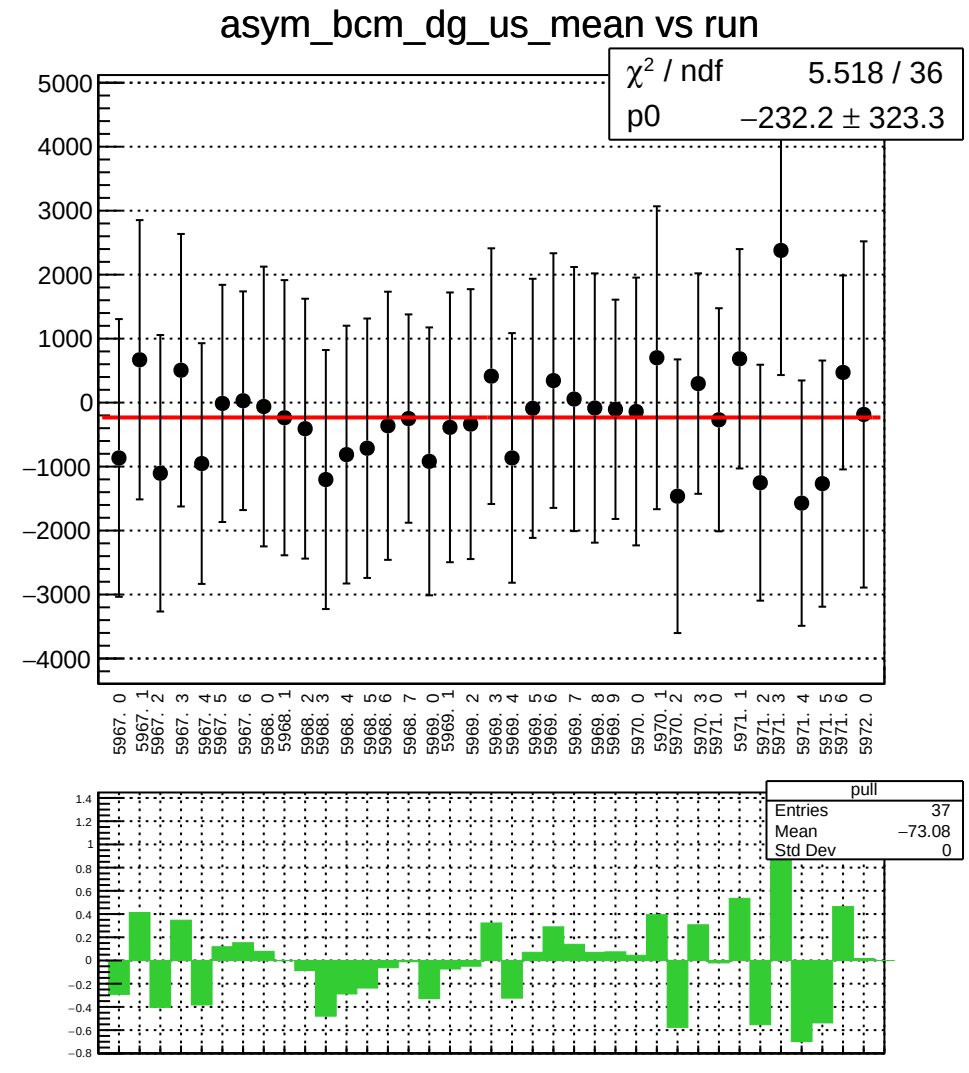
asym_bcm_dg_us_mean vs run
χ² / ndf 5.518 / 36
p0 −232.2 ± 323.3
pull
Entries 37
Mean −73.08
Std Dev 0

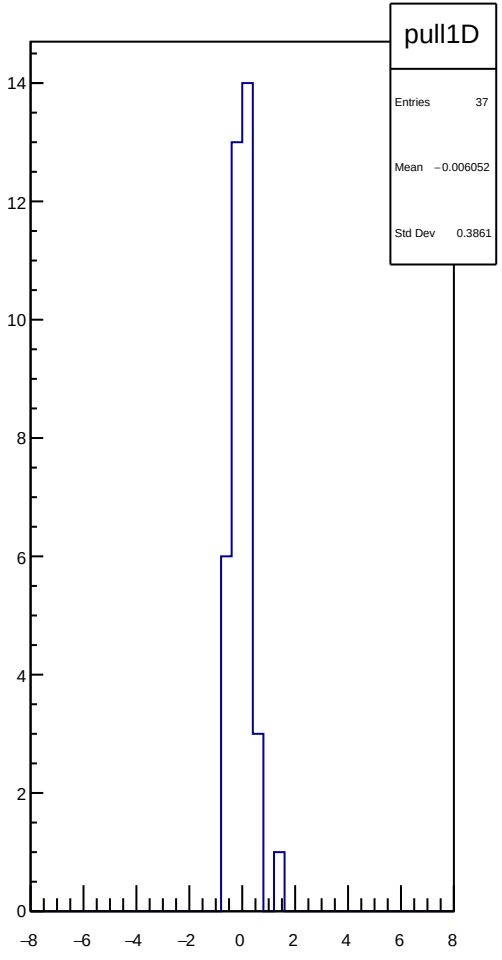
pull1D
Entries 37
Mean −0.006052
Std Dev 0.3861

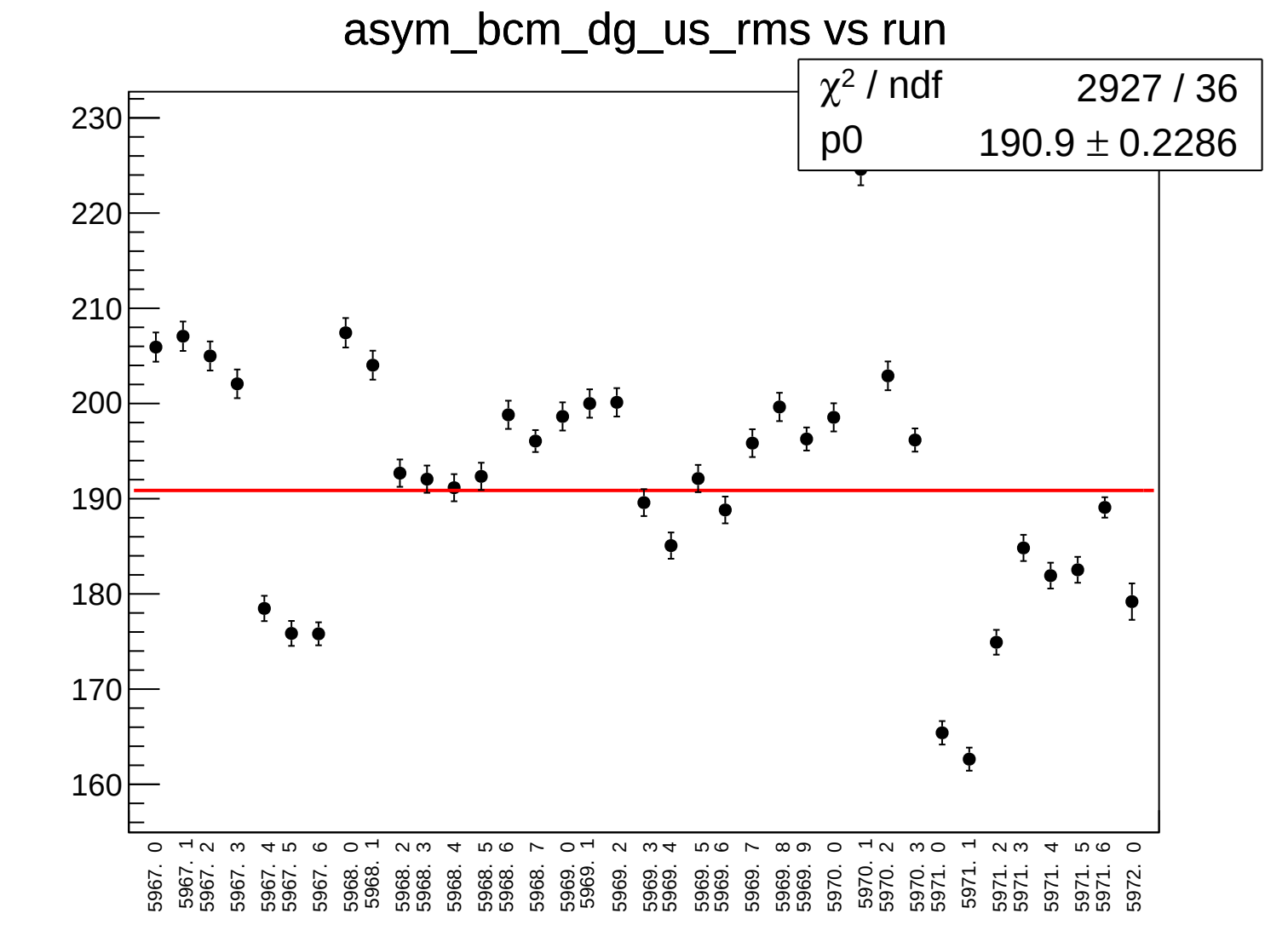
asym_bcm_dg_us_rms vs run
χ² / ndf 2927 / 36
p0 190.9 ± 0.2286
230
220
210
200
190
180
170
160
5967. 0
5967. 1
5967. 2
5967. 3
5967. 4
5967. 5
5967. 6
5968. 0
5968. 1
5968. 2
5968. 3
5968. 4
5968. 5
5968. 6
5968. 7
5969. 0
5969. 1
5969. 2
5969. 3
5969. 4
5969. 5
5969. 6
5969. 7
5969. 8
5969. 9
5970. 0
5970. 1
5970. 2
5970. 3
5971. 0
5971. 1
5971. 2
5971. 3
5971. 4
5971. 5
5971. 6
5972. 0

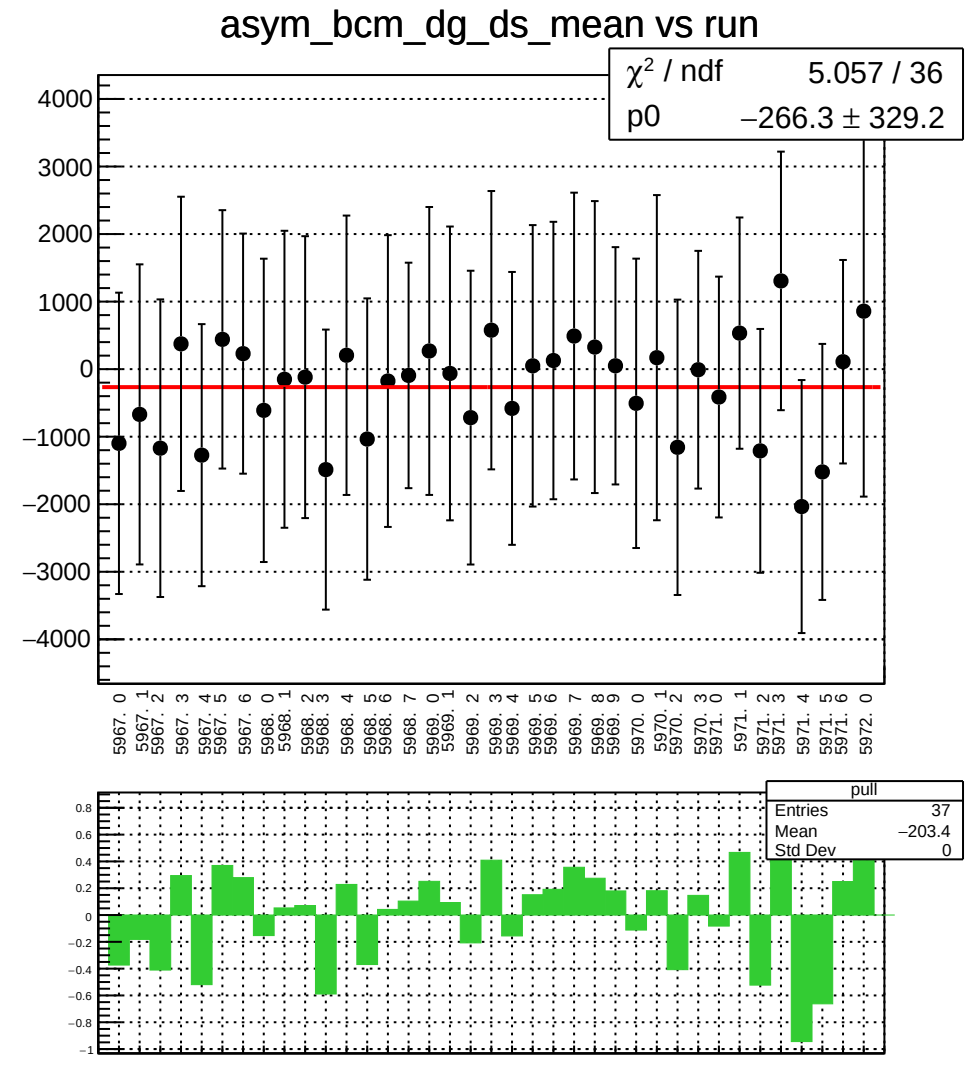
asym_bcm_dg_ds_mean vs run
χ² / ndf 5.057 / 36
p0 −266.3 ± 329.2
4000
3000
2000
1000
0
−1000
−2000
−3000
−4000
5967. 0
5967. 1
5967. 2
5967. 3
5967. 4
5967. 5
5967. 6
5968. 0
5968. 1
5968. 2
5968. 3
5968. 4
5968. 5
5968. 6
5968. 7
5969. 0
5969. 1
5969. 2
5969. 3
5969. 4
5969. 5
5969. 6
5969. 7
5969. 8
5969. 9
5970. 0
5970. 1
5970. 2
5970. 3
5971. 0
5971. 1
5971. 2
5971. 3
5971. 4
5971. 5
5971. 6
5972. 0
pull
Entries 37
Mean −203.4
Std Dev 0
0.8
0.6
0.4
0.2
0
−0.2
−0.4
−0.6
−0.8
−1

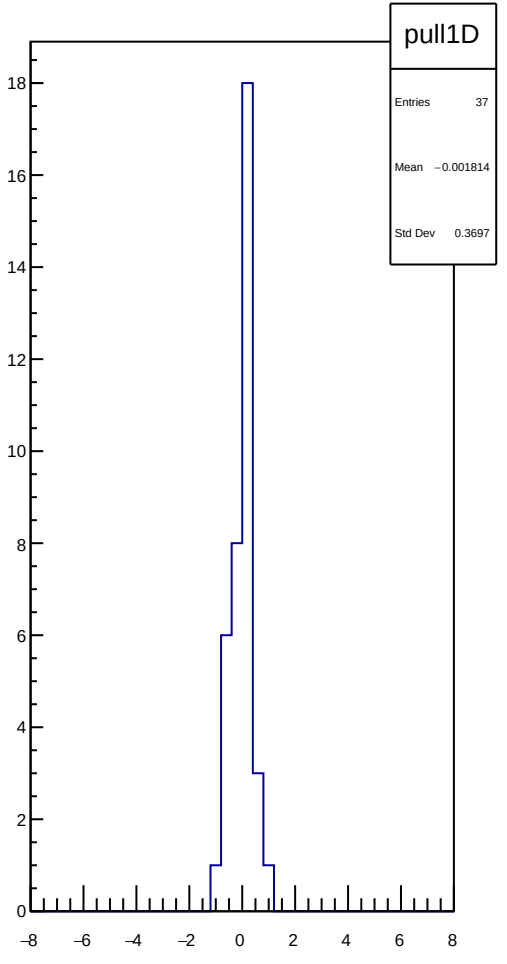
pull1D
Entries 37
Mean −0.001814
Std Dev 0.3697
18
16
14
12
10
8
6
4
2
0
−8
−6
−4
−2
0
2
4
6
8

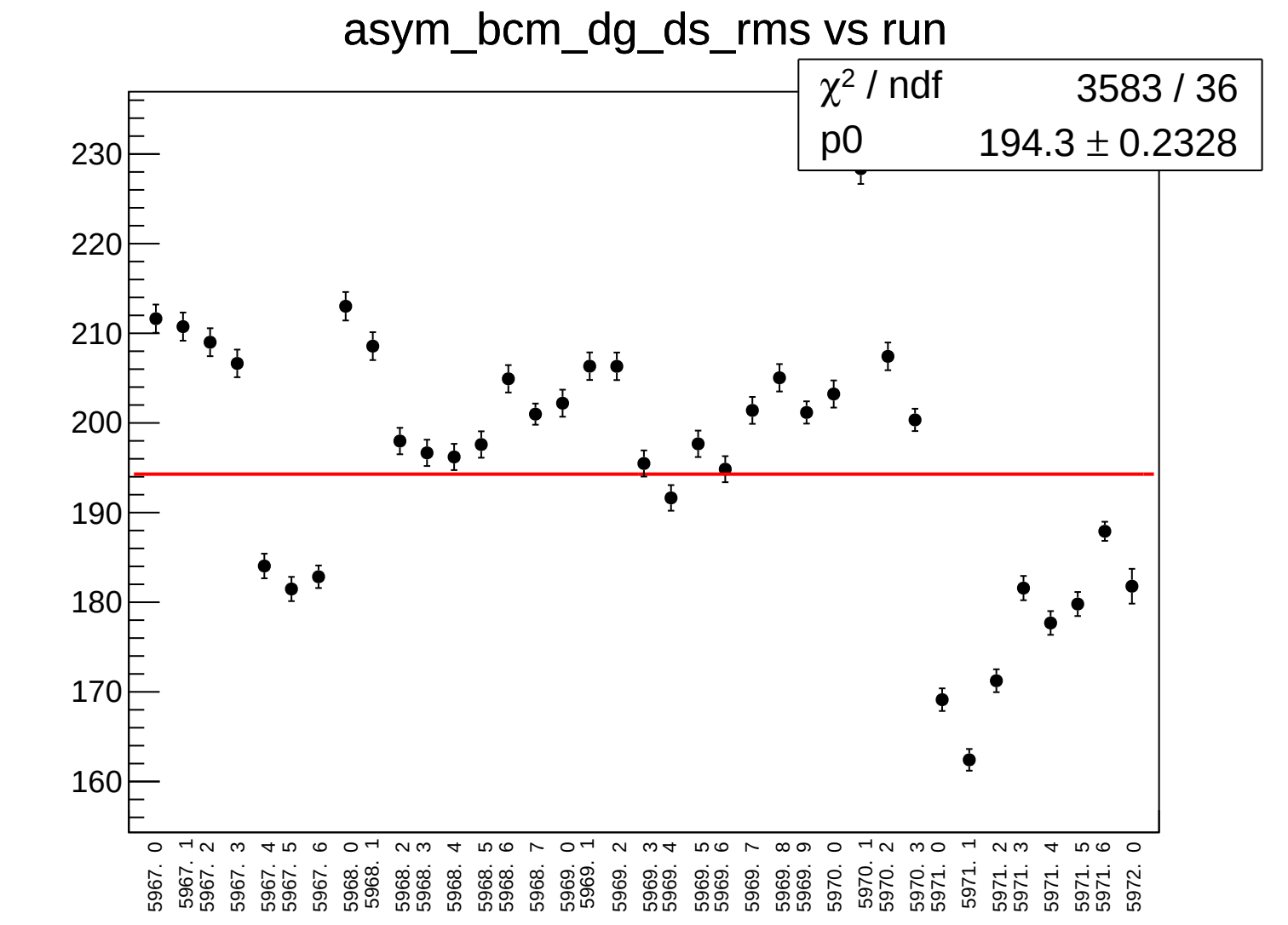
asym_bcm_dg_ds_rms vs run
χ² / ndf 3583 / 36
p0 194.3 ± 0.2328
230
220
210
200
190
180
170
160
5967. 0
5967. 1
5967. 2
5967. 3
5967. 4
5967. 5
5967. 6
5968. 0
5968. 1
5968. 2
5968. 3
5968. 4
5968. 5
5968. 6
5968. 7
5969. 0
5969. 1
5969. 2
5969. 3
5969. 4
5969. 5
5969. 6
5969. 7
5969. 8
5969. 9
5970. 0
5970. 1
5970. 2
5970. 3
5971. 0
5971. 1
5971. 2
5971. 3
5971. 4
5971. 5
5971. 6
5972. 0

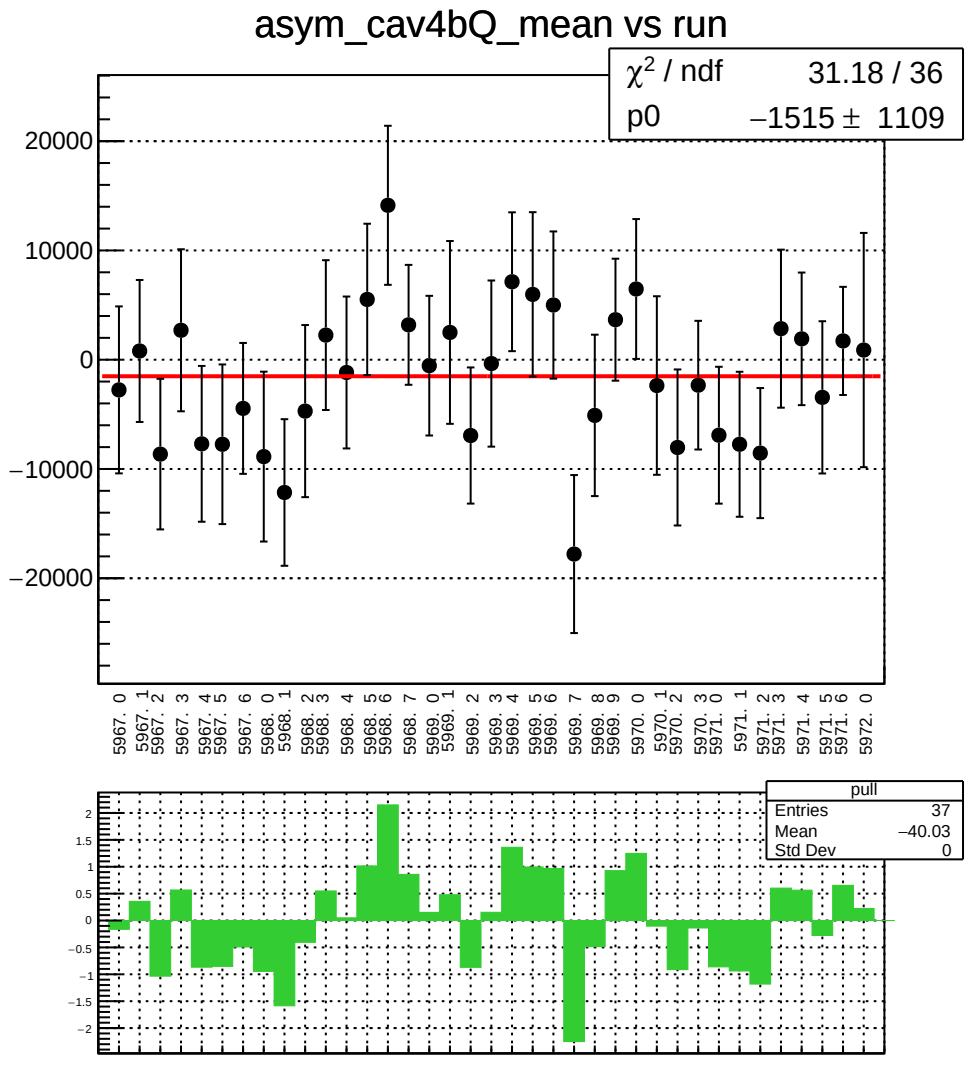
asym_cav4bQ_mean vs run
χ² / ndf 31.18 / 36
p0 −1515 ± 1109
20000
10000
0
−10000
−20000
5967. 0
5967. 1
5967. 2
5967. 3
5967. 4
5967. 5
5967. 6
5968. 0
5968. 1
5968. 2
5968. 3
5968. 4
5968. 5
5968. 6
5968. 7
5969. 0
5969. 1
5969. 2
5969. 3
5969. 4
5969. 5
5969. 6
5969. 7
5969. 8
5969. 9
5970. 0
5970. 1
5970. 2
5970. 3
5971. 0
5971. 1
5971. 2
5971. 3
5971. 4
5971. 5
5971. 6
5972. 0
pull
Entries 37
Mean −40.03
Std Dev 0
2
1.5
1
0.5
0
−0.5
−1
−1.5
−2

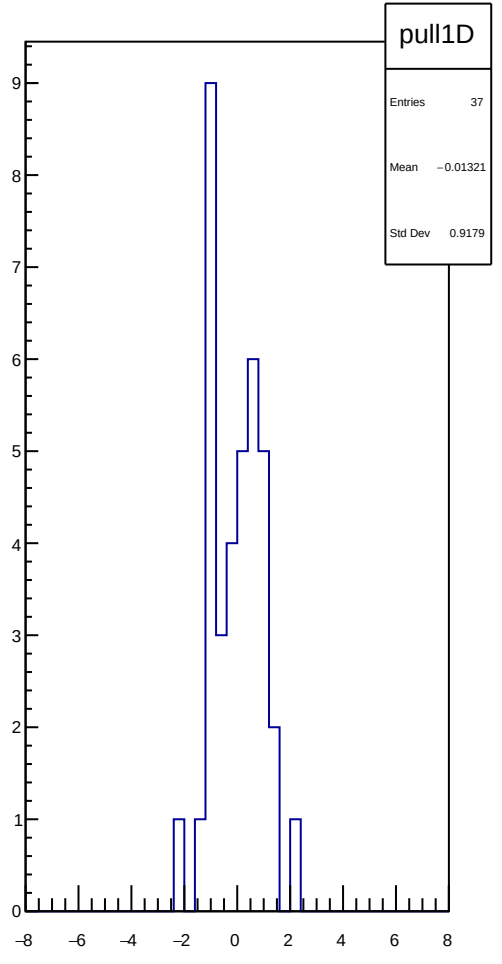
pull1D
Entries 37
Mean −0.01321
Std Dev 0.9179
9
8
7
6
5
4
3
2
1
0
−8
−6
−4
−2
0
2
4
6
8

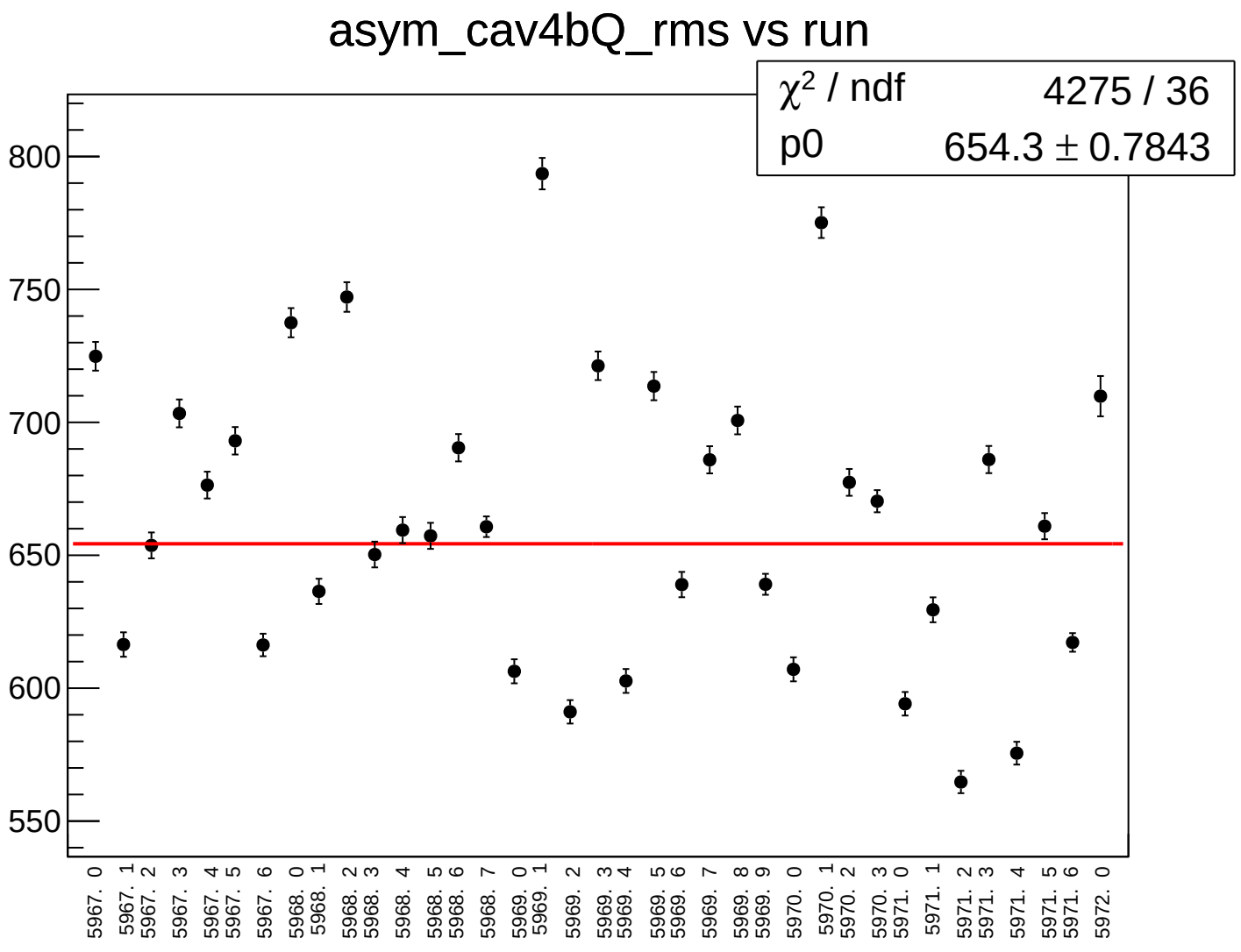
asym_cav4bQ_rms vs run
χ² / ndf 4275 / 36
p0 654.3 ± 0.7843
800
750
700
650
600
550
5967. 0
5967. 1
5967. 2
5967. 3
5967. 4
5967. 5
5967. 6
5968. 0
5968. 1
5968. 2
5968. 3
5968. 4
5968. 5
5968. 6
5968. 7
5969. 0
5969. 1
5969. 2
5969. 3
5969. 4
5969. 5
5969. 6
5969. 7
5969. 8
5969. 9
5970. 0
5970. 1
5970. 2
5970. 3
5971. 0
5971. 1
5971. 2
5971. 3
5971. 4
5971. 5
5971. 6
5972. 0

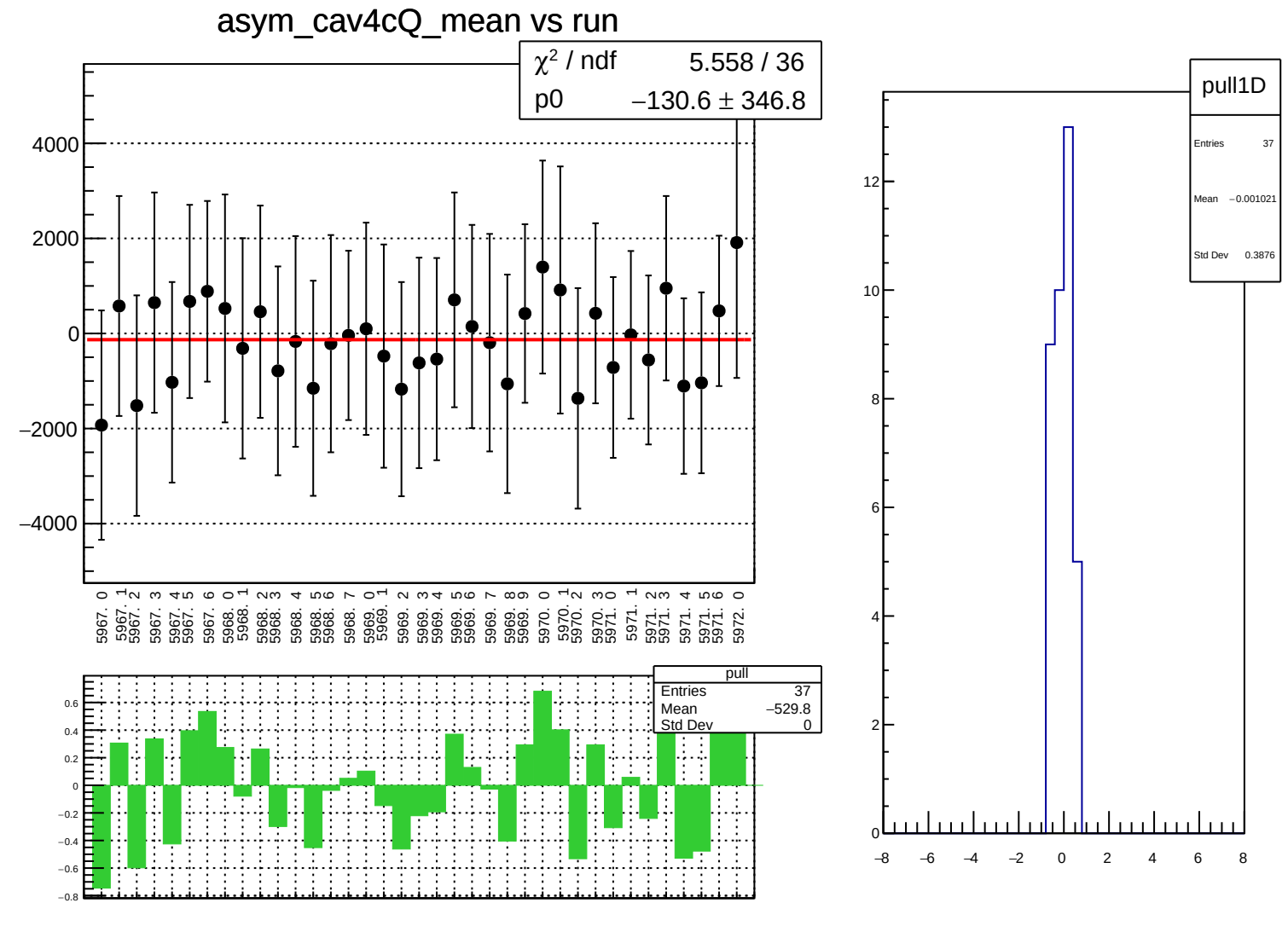
asym_cav4cQ_mean vs run
χ² / ndf 5.558 / 36
p0 −130.6 ± 346.8
4000
2000
0
−2000
−4000
5967. 0
5967. 1
5967. 2
5967. 3
5967. 4
5967. 5
5967. 6
5968. 0
5968. 1
5968. 2
5968. 3
5968. 4
5968. 5
5968. 6
5968. 7
5969. 0
5969. 1
5969. 2
5969. 3
5969. 4
5969. 5
5969. 6
5969. 7
5969. 8
5969. 9
5970. 0
5970. 1
5970. 2
5970. 3
5971. 0
5971. 1
5971. 2
5971. 3
5971. 4
5971. 5
5971. 6
5972. 0
pull
Entries 37
Mean −529.8
Std Dev 0
0.6
0.4
0.2
0
−0.2
−0.4
−0.6
−0.8
pull1D
Entries 37
Mean −0.001021
Std Dev 0.3876
12
10
8
6
4
2
0
−8
−6
−4
−2
0
2
4
6
8

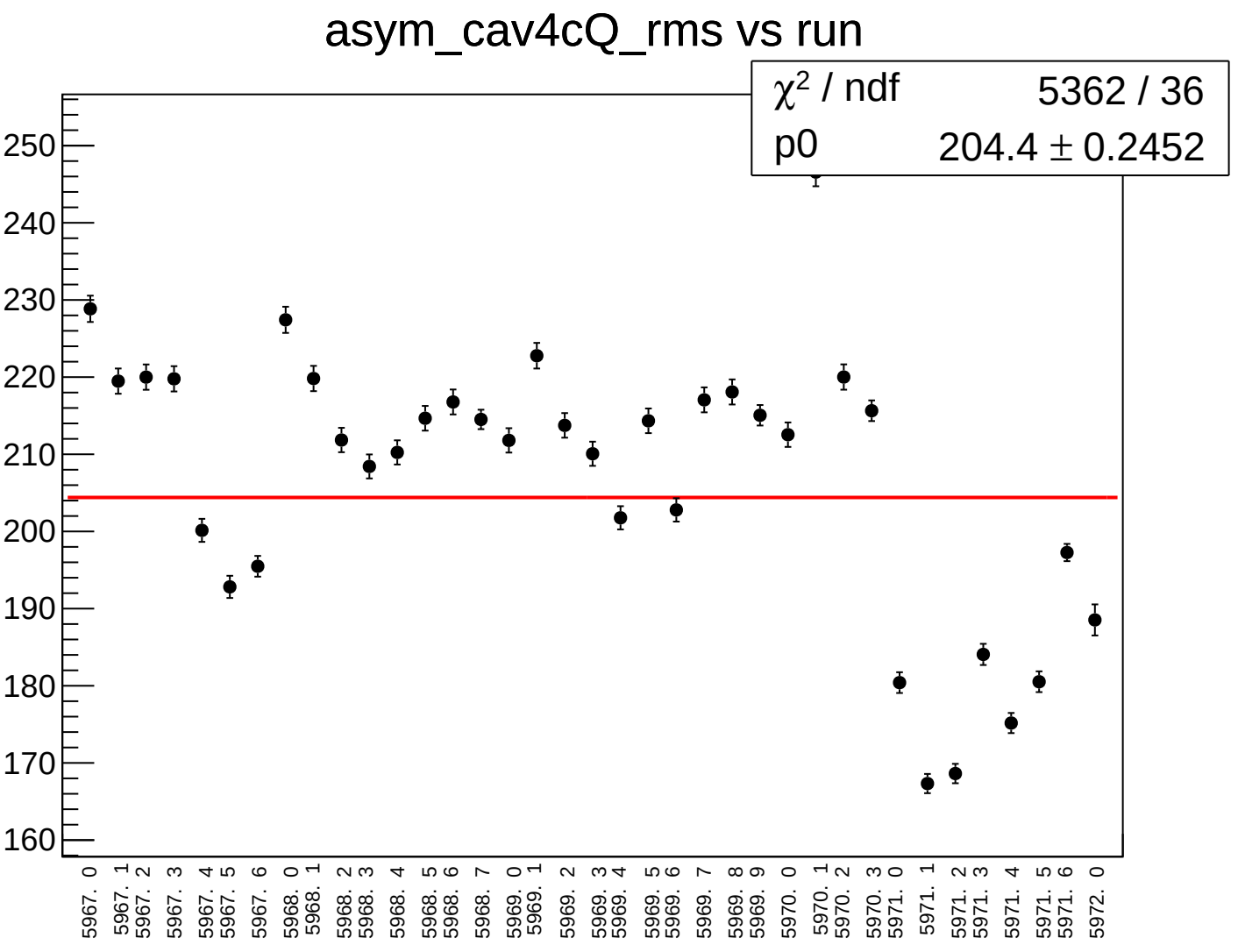
asym_cav4cQ_rms vs run
χ² / ndf 5362 / 36
p0 204.4 ± 0.2452
250
240
230
220
210
200
190
180
170
160
5967. 0
5967. 1
5967. 2
5967. 3
5967. 4
5967. 5
5967. 6
5968. 0
5968. 1
5968. 2
5968. 3
5968. 4
5968. 5
5968. 6
5968. 7
5969. 0
5969. 1
5969. 2
5969. 3
5969. 4
5969. 5
5969. 6
5969. 7
5969. 8
5969. 9
5970. 0
5970. 1
5970. 2
5970. 3
5971. 0
5971. 1
5971. 2
5971. 3
5971. 4
5971. 5
5971. 6
5972. 0

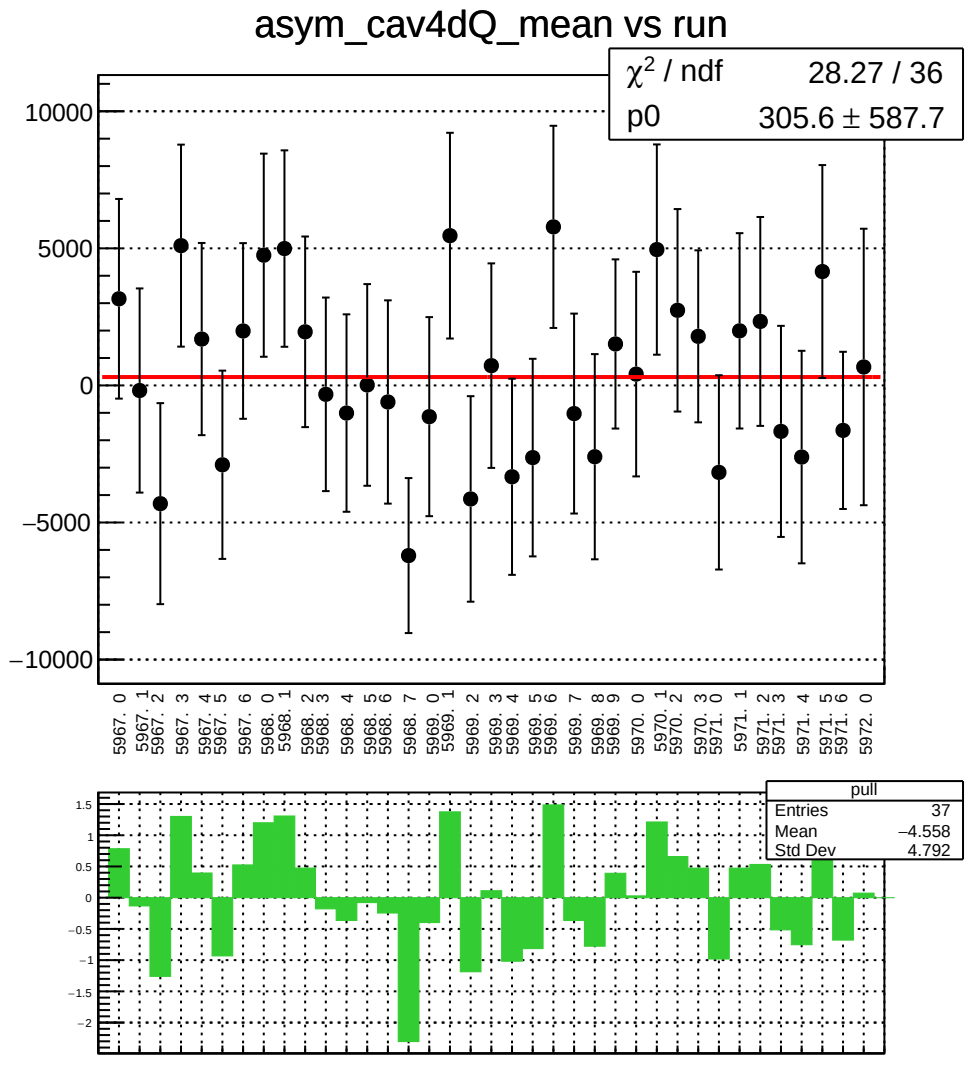
asym_cav4dQ_mean vs run
χ² / ndf 28.27 / 36
p0 305.6 ± 587.7
10000
5000
0
−5000
−10000
5967. 0
5967. 1
5967. 2
5967. 3
5967. 4
5967. 5
5967. 6
5968. 0
5968. 1
5968. 2
5968. 3
5968. 4
5968. 5
5968. 6
5968. 7
5969. 0
5969. 1
5969. 2
5969. 3
5969. 4
5969. 5
5969. 6
5969. 7
5969. 8
5969. 9
5970. 0
5970. 1
5970. 2
5970. 3
5971. 0
5971. 1
5971. 2
5971. 3
5971. 4
5971. 5
5971. 6
5972. 0
pull
Entries 37
Mean −4.558
Std Dev 4.792
1.5
1
0.5
0
−0.5
−1
−1.5
−2

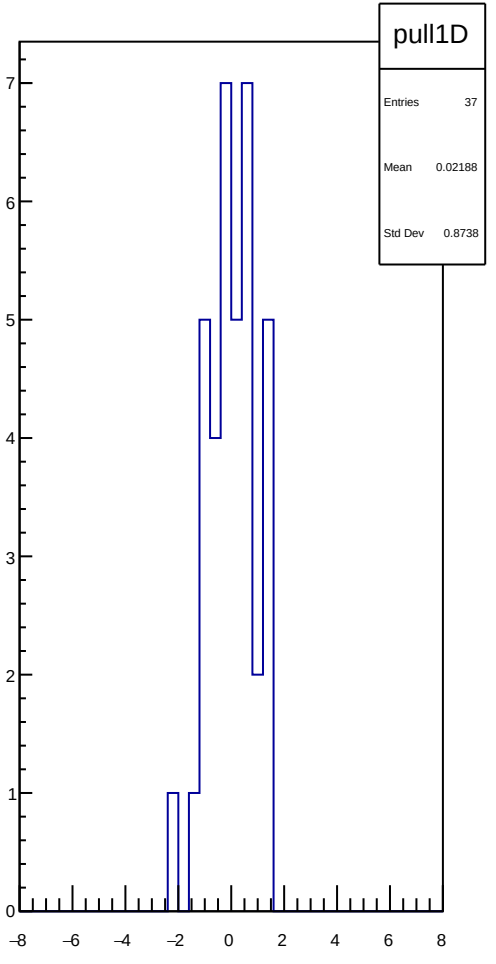
pull1D
Entries 37
Mean 0.02188
Std Dev 0.8738
7
6
5
4
3
2
1
0
−8
−6
−4
−2
0
2
4
6
8

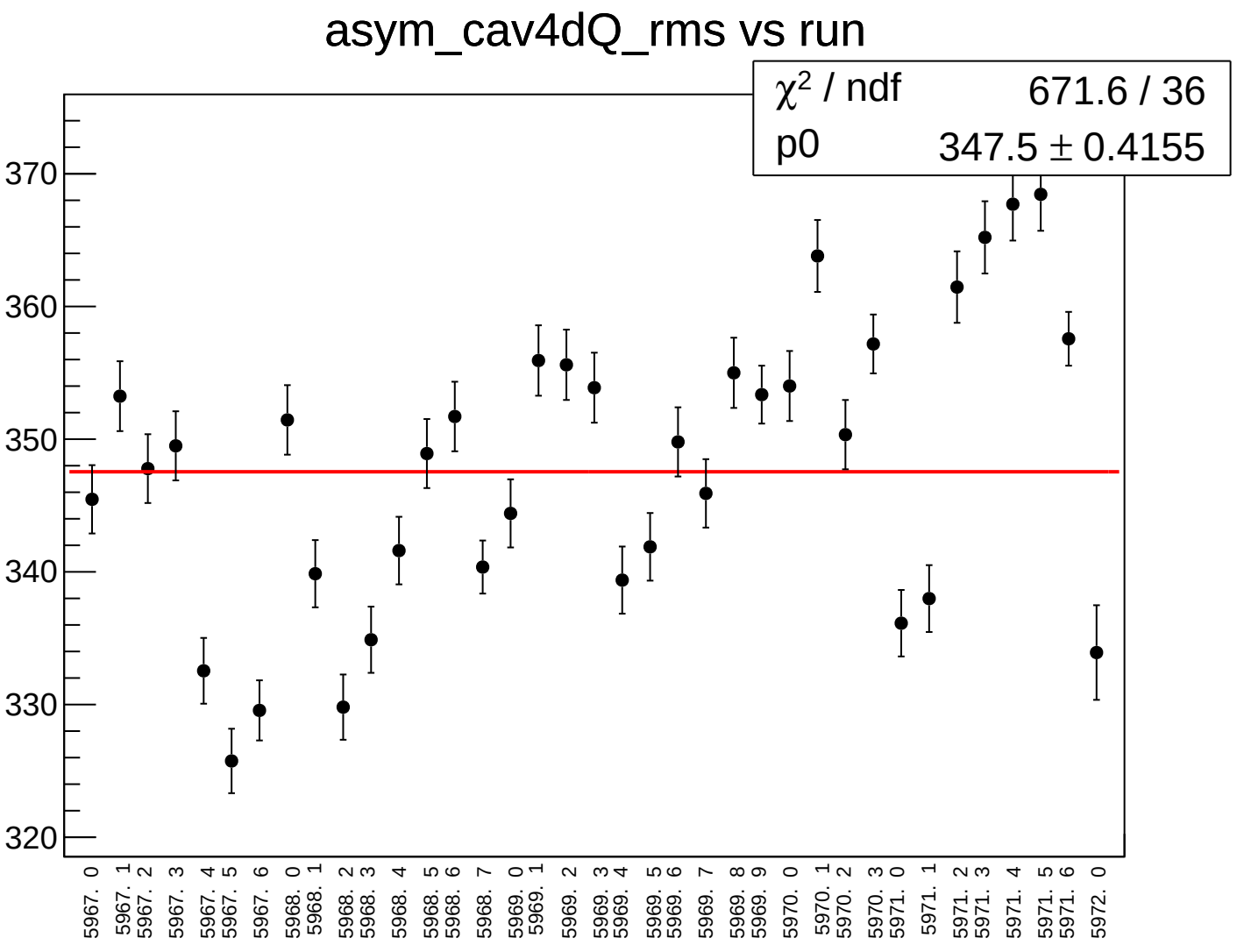
asym_cav4dQ_rms vs run
χ² / ndf 671.6 / 36
p0 347.5 ± 0.4155
370
360
350
340
330
320
5967. 0
5967. 1
5967. 2
5967. 3
5967. 4
5967. 5
5967. 6
5968. 0
5968. 1
5968. 2
5968. 3
5968. 4
5968. 5
5968. 6
5968. 7
5969. 0
5969. 1
5969. 2
5969. 3
5969. 4
5969. 5
5969. 6
5969. 7
5969. 8
5969. 9
5970. 0
5970. 1
5970. 2
5970. 3
5971. 0
5971. 1
5971. 2
5971. 3
5971. 4
5971. 5
5971. 6
5972. 0

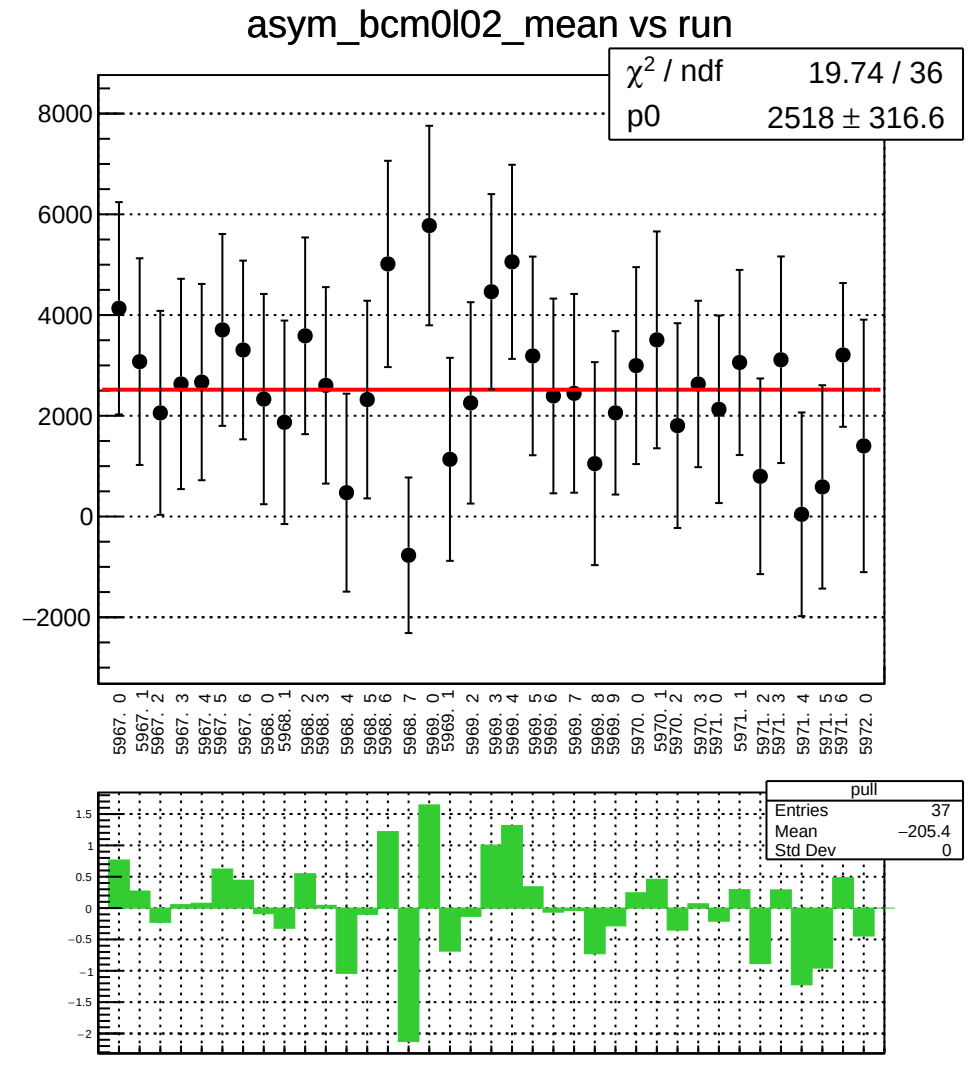
asym_bcm0l02_mean vs run
χ² / ndf 19.74 / 36
p0 2518 ± 316.6
8000
6000
4000
2000
0
−2000
5967. 0
5967. 1
5967. 2
5967. 3
5967. 4
5967. 5
5967. 6
5968. 0
5968. 1
5968. 2
5968. 3
5968. 4
5968. 5
5968. 6
5968. 7
5969. 0
5969. 1
5969. 2
5969. 3
5969. 4
5969. 5
5969. 6
5969. 7
5969. 8
5969. 9
5970. 0
5970. 1
5970. 2
5970. 3
5971. 0
5971. 1
5971. 2
5971. 3
5971. 4
5971. 5
5971. 6
5972. 0
pull
Entries 37
Mean −205.4
Std Dev 0
1.5
1
0.5
0
−0.5
−1
−1.5
−2

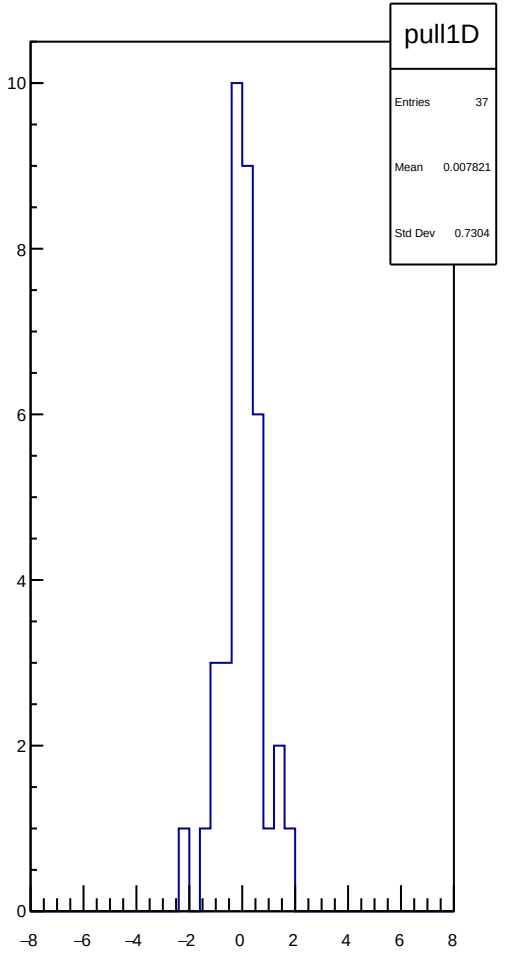
pull1D
Entries 37
Mean 0.007821
Std Dev 0.7304
10
8
6
4
2
0
−8
−6
−4
−2
0
2
4
6
8

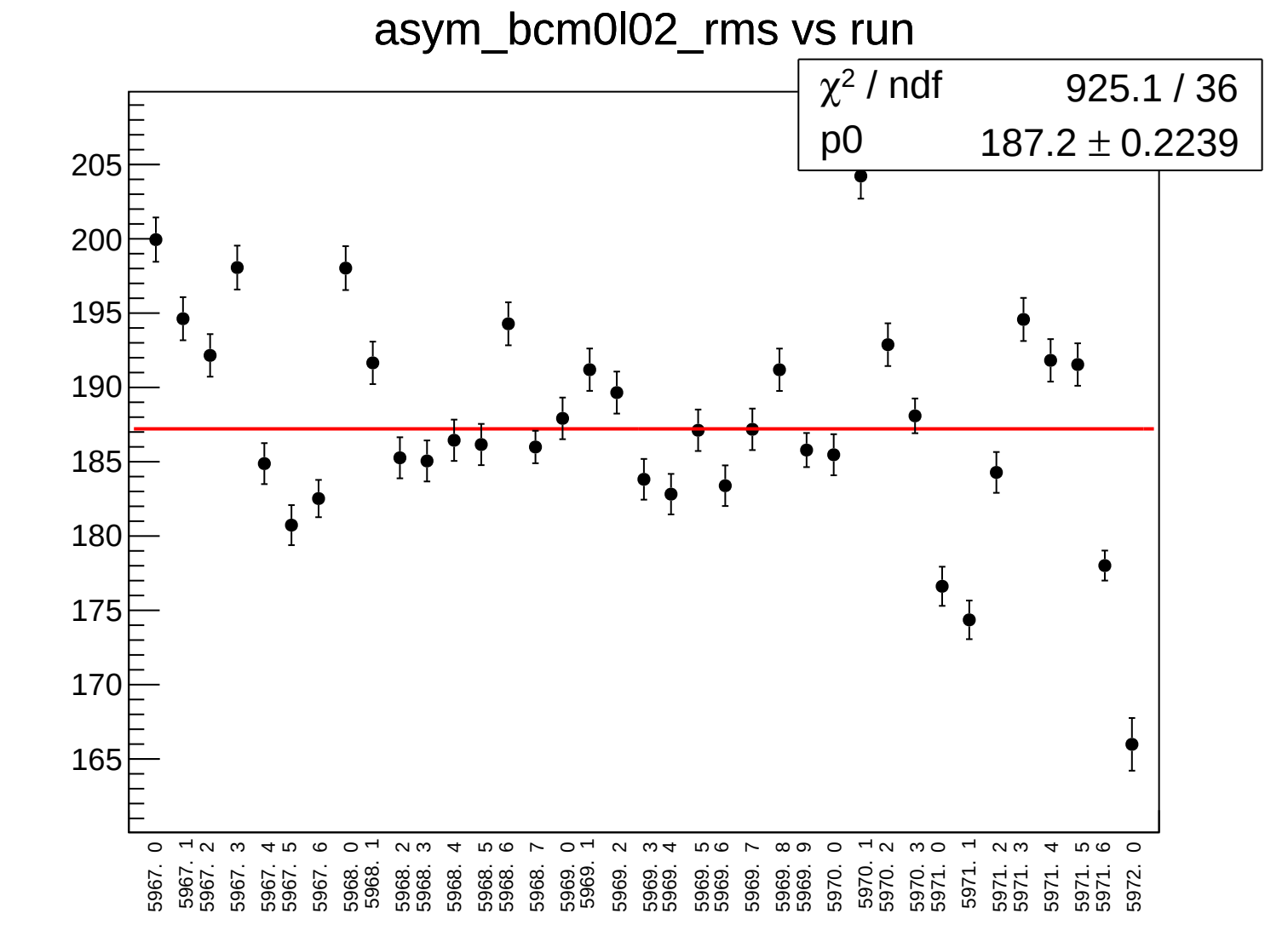
asym_bcm0l02_rms vs run
χ² / ndf 925.1 / 36
p0 187.2 ± 0.2239
205
200
195
190
185
180
175
170
165
5967. 0
5967. 1
5967. 2
5967. 3
5967. 4
5967. 5
5967. 6
5968. 0
5968. 1
5968. 2
5968. 3
5968. 4
5968. 5
5968. 6
5968. 7
5969. 0
5969. 1
5969. 2
5969. 3
5969. 4
5969. 5
5969. 6
5969. 7
5969. 8
5969. 9
5970. 0
5970. 1
5970. 2
5970. 3
5971. 0
5971. 1
5971. 2
5971. 3
5971. 4
5971. 5
5971. 6
5972. 0

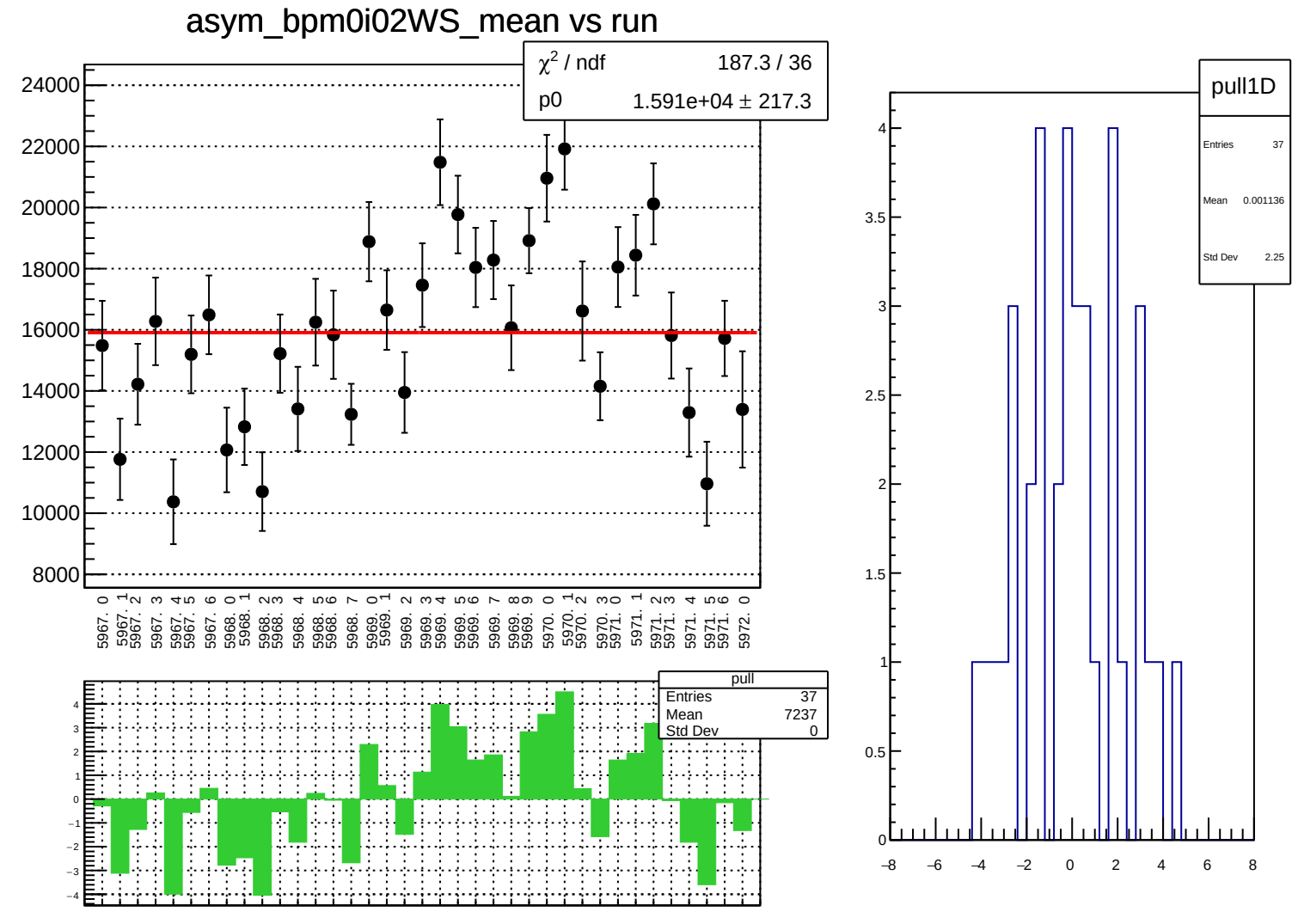
asym_bpm0i02WS_mean vs run
χ² / ndf 187.3 / 36
p0 1.591e+04 ± 217.3
24000
22000
20000
18000
16000
14000
12000
10000
8000
5967. 0
5967. 1
5967. 2
5967. 3
5967. 4
5967. 5
5967. 6
5968. 0
5968. 1
5968. 2
5968. 3
5968. 4
5968. 5
5968. 6
5968. 7
5969. 0
5969. 1
5969. 2
5969. 3
5969. 4
5969. 5
5969. 6
5969. 7
5969. 8
5969. 9
5970. 0
5970. 1
5970. 2
5970. 3
5971. 0
5971. 1
5971. 2
5971. 3
5971. 4
5971. 5
5971. 6
5972. 0
pull
Entries 37
Mean 7237
Std Dev 0
pull1D
Entries 37
Mean 0.001136
Std Dev 2.25

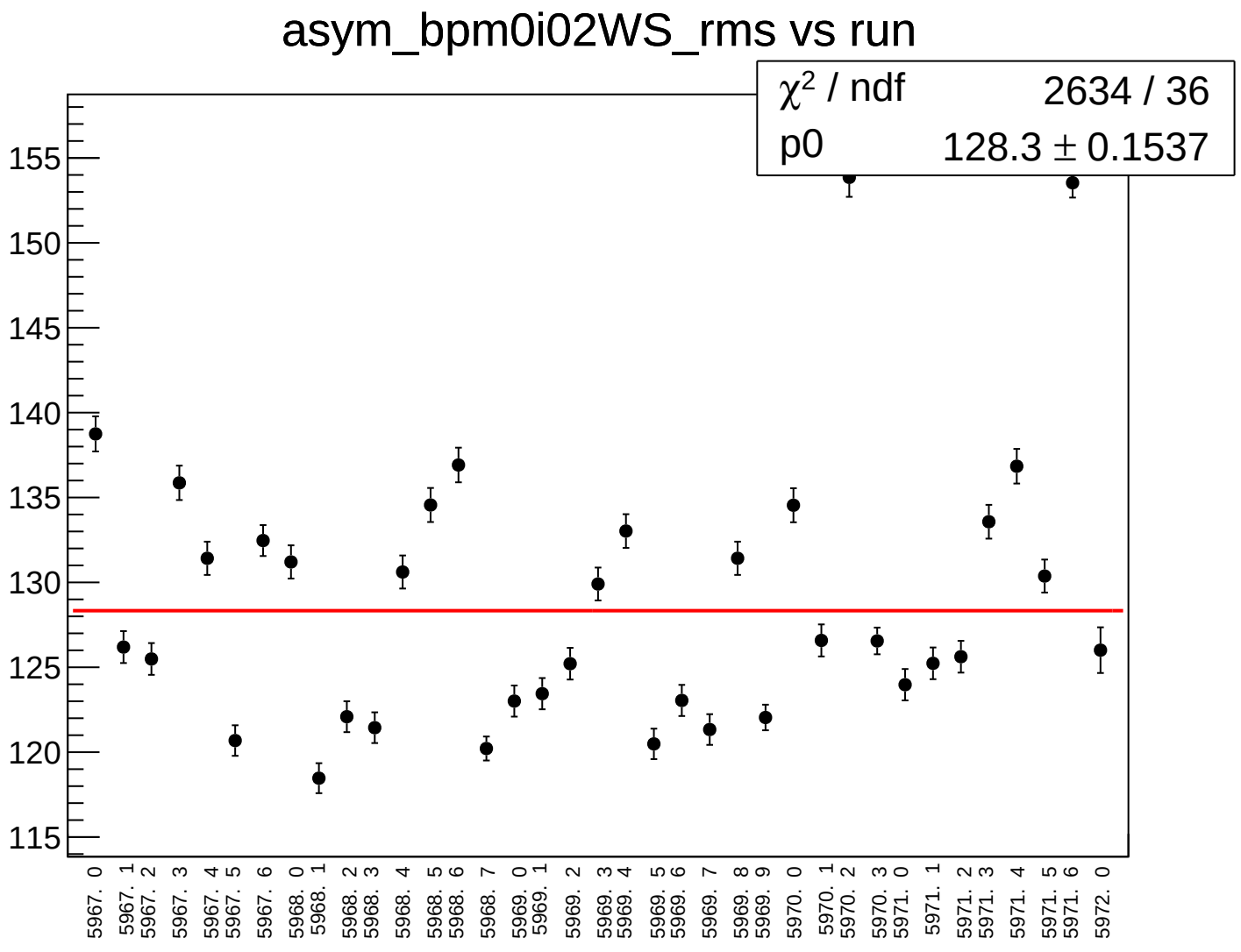
asym_bpm0i02WS_rms vs run
χ² / ndf 2634 / 36
p0 128.3 ± 0.1537
155
150
145
140
135
130
125
120
115
5967. 0
5967. 1
5967. 2
5967. 3
5967. 4
5967. 5
5967. 6
5968. 0
5968. 1
5968. 2
5968. 3
5968. 4
5968. 5
5968. 6
5968. 7
5969. 0
5969. 1
5969. 2
5969. 3
5969. 4
5969. 5
5969. 6
5969. 7
5969. 8
5969. 9
5970. 0
5970. 1
5970. 2
5970. 3
5971. 0
5971. 1
5971. 2
5971. 3
5971. 4
5971. 5
5971. 6
5972. 0

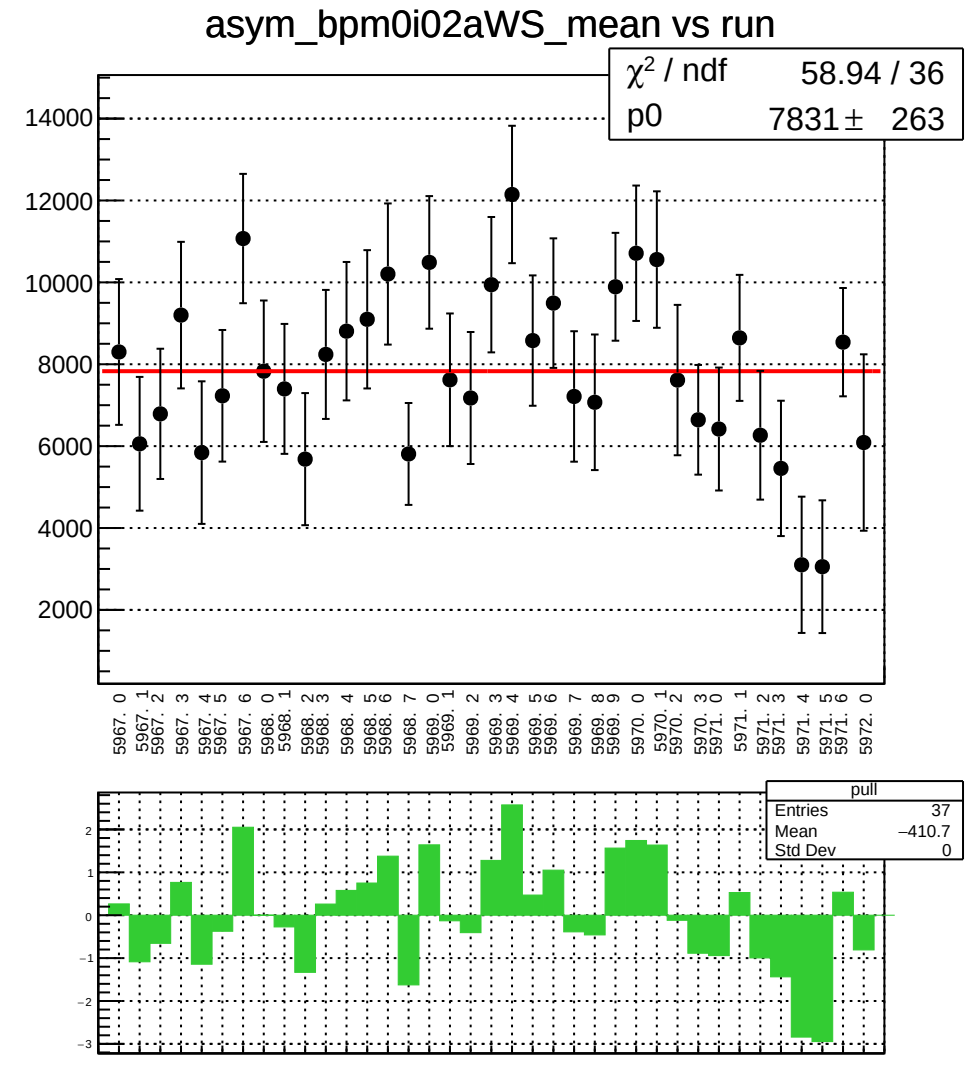
asym_bpm0i02aWS_mean vs run
χ² / ndf 58.94 / 36
p0 7831 ± 263
14000
12000
10000
8000
6000
4000
2000
5967. 0
5967. 1
5967. 2
5967. 3
5967. 4
5967. 5
5967. 6
5968. 0
5968. 1
5968. 2
5968. 3
5968. 4
5968. 5
5968. 6
5968. 7
5969. 0
5969. 1
5969. 2
5969. 3
5969. 4
5969. 5
5969. 6
5969. 7
5969. 8
5969. 9
5970. 0
5970. 1
5970. 2
5970. 3
5971. 0
5971. 1
5971. 2
5971. 3
5971. 4
5971. 5
5971. 6
5972. 0
pull
Entries 37
Mean −410.7
Std Dev 0
2
1
0
−1
−2
−3

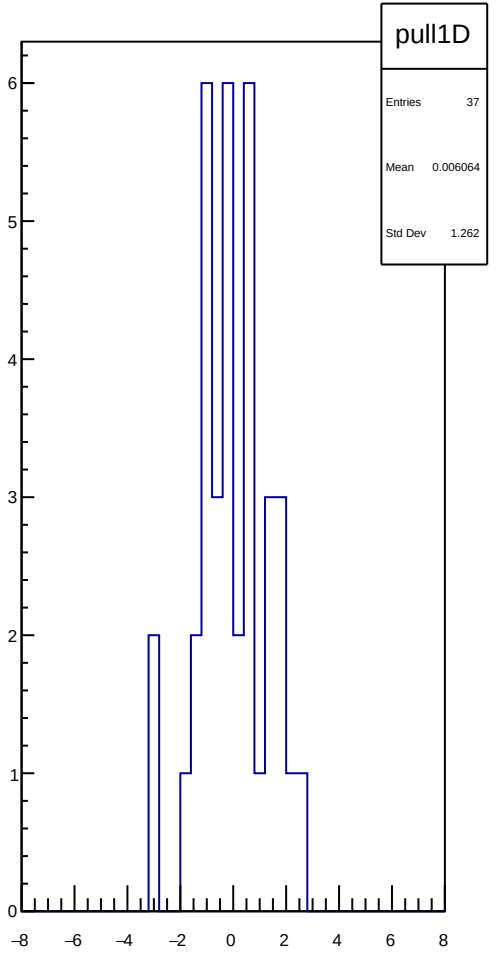
pull1D
Entries 37
Mean 0.006064
Std Dev 1.262
6
5
4
3
2
1
0
−8
−6
−4
−2
0
2
4
6
8

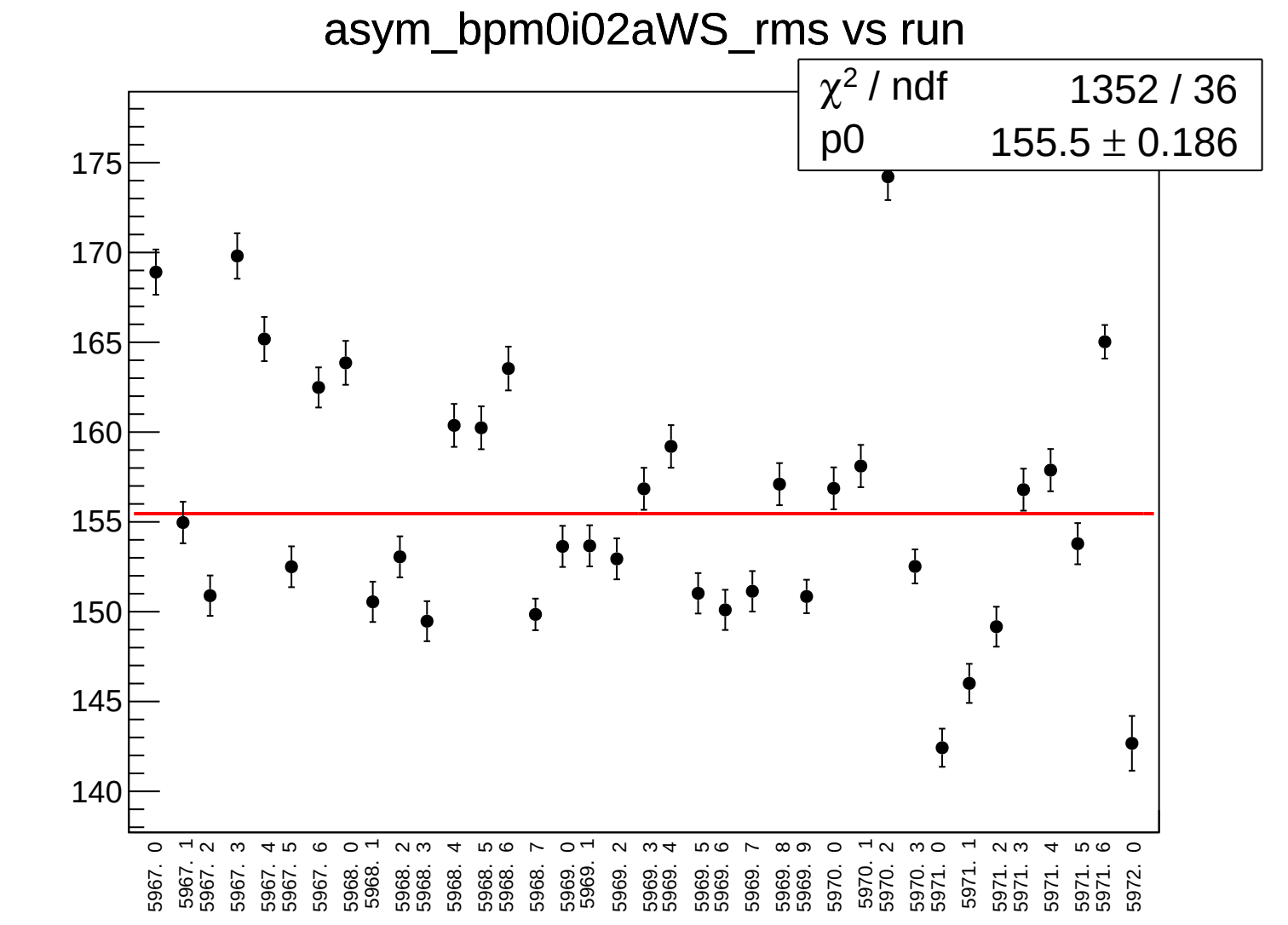
asym_bpm0i02aWS_rms vs run
χ² / ndf 1352 / 36
p0 155.5 ± 0.186
175
170
165
160
155
150
145
140
5967. 0
5967. 1
5967. 2
5967. 3
5967. 4
5967. 5
5967. 6
5968. 0
5968. 1
5968. 2
5968. 3
5968. 4
5968. 5
5968. 6
5968. 7
5969. 0
5969. 1
5969. 2
5969. 3
5969. 4
5969. 5
5969. 6
5969. 7
5969. 8
5969. 9
5970. 0
5970. 1
5970. 2
5970. 3
5971. 0
5971. 1
5971. 2
5971. 3
5971. 4
5971. 5
5971. 6
5972. 0

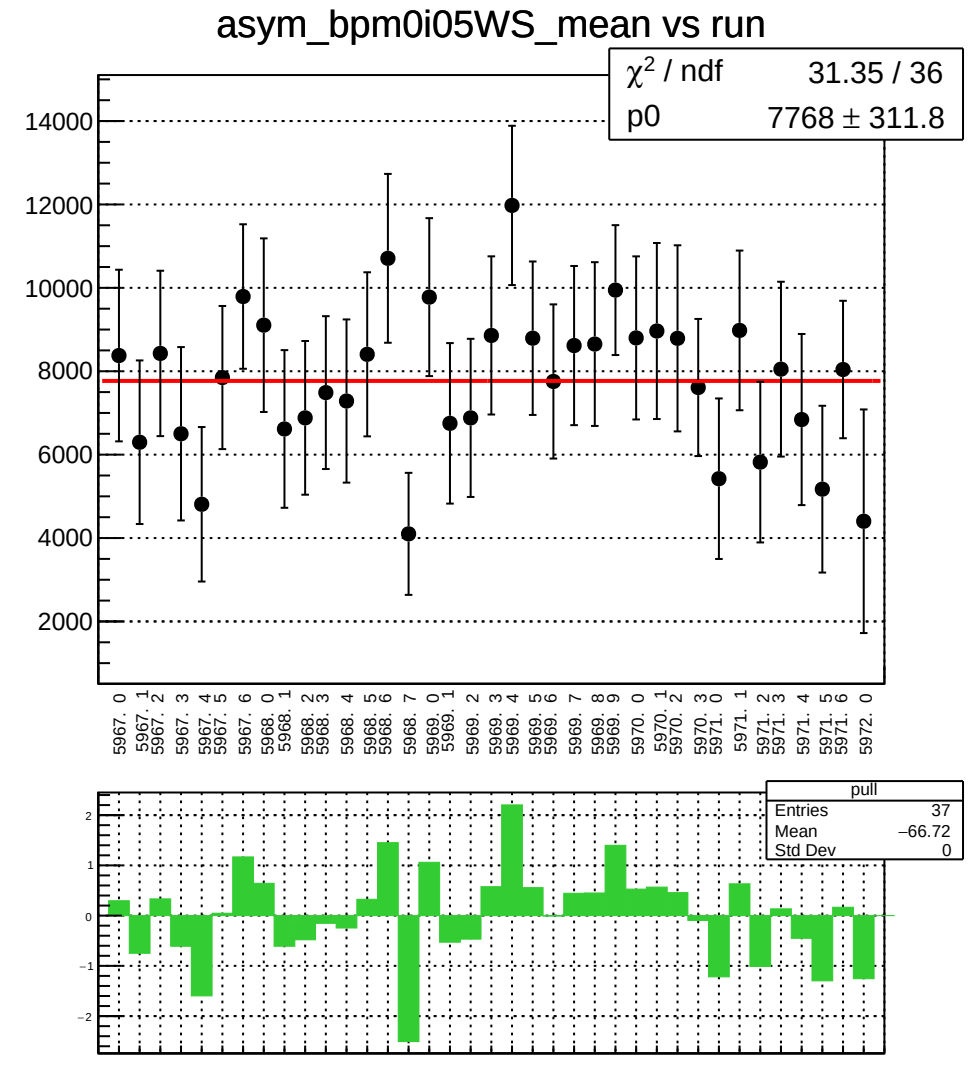
asym_bpm0i05WS_mean vs run
χ² / ndf 31.35 / 36
p0 7768 ± 311.8
14000
12000
10000
8000
6000
4000
2000
5967. 0
5967. 1
5967. 2
5967. 3
5967. 4
5967. 5
5967. 6
5968. 0
5968. 1
5968. 2
5968. 3
5968. 4
5968. 5
5968. 6
5968. 7
5969. 0
5969. 1
5969. 2
5969. 3
5969. 4
5969. 5
5969. 6
5969. 7
5969. 8
5969. 9
5970. 0
5970. 1
5970. 2
5970. 3
5971. 0
5971. 1
5971. 2
5971. 3
5971. 4
5971. 5
5971. 6
5972. 0
pull
Entries 37
Mean −66.72
Std Dev 0
2
1
0
−1
−2

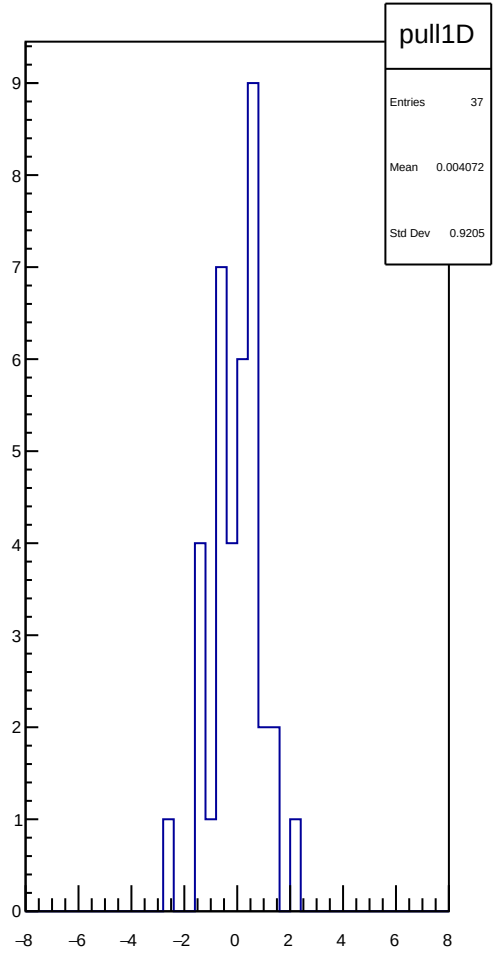
pull1D
Entries 37
Mean 0.004072
Std Dev 0.9205
9
8
7
6
5
4
3
2
1
0
−8
−6
−4
−2
0
2
4
6
8

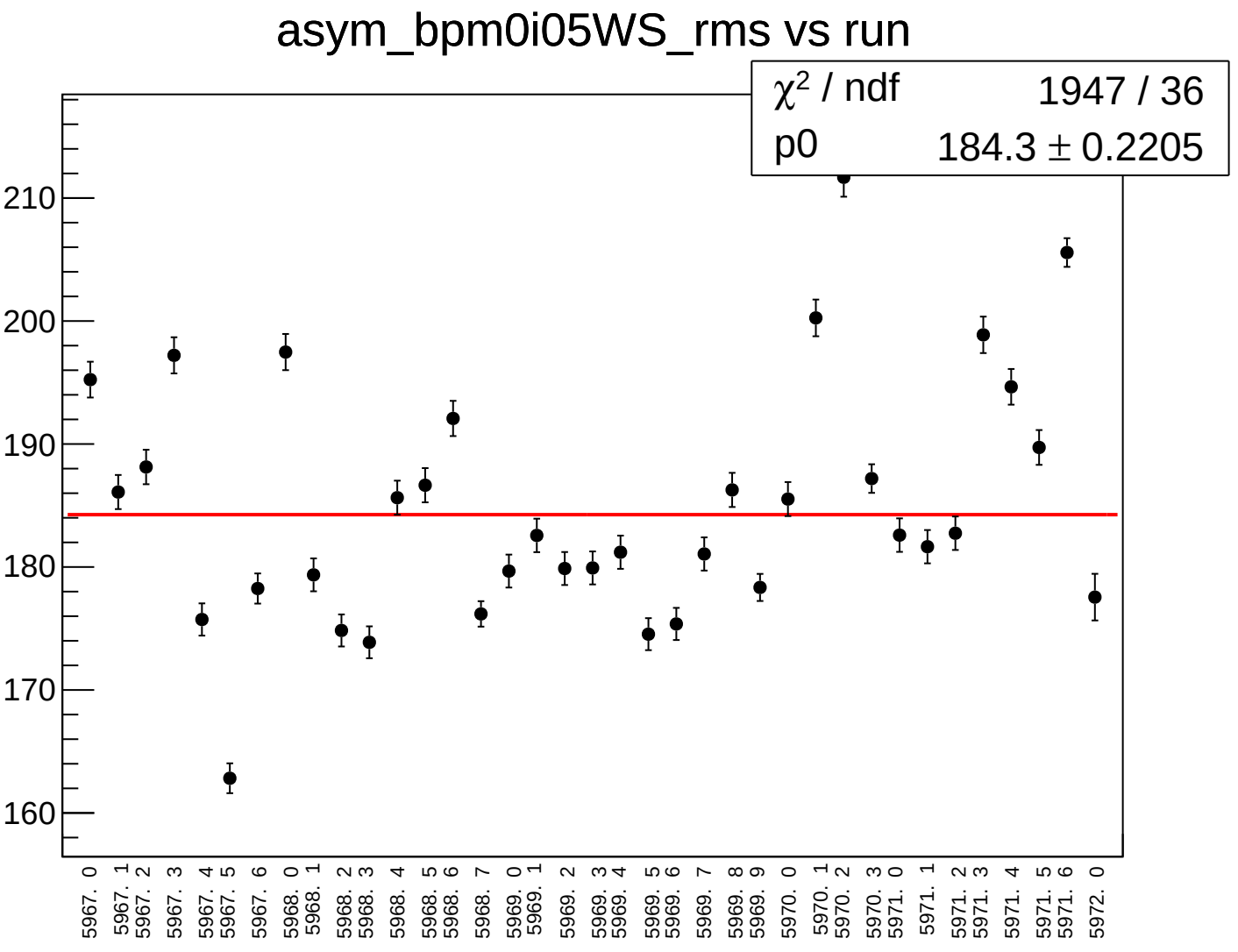
asym_bpm0i05WS_rms vs run
χ² / ndf 1947 / 36
p0 184.3 ± 0.2205
210
200
190
180
170
160
5967. 0
5967. 1
5967. 2
5967. 3
5967. 4
5967. 5
5967. 6
5968. 0
5968. 1
5968. 2
5968. 3
5968. 4
5968. 5
5968. 6
5968. 7
5969. 0
5969. 1
5969. 2
5969. 3
5969. 4
5969. 5
5969. 6
5969. 7
5969. 8
5969. 9
5970. 0
5970. 1
5970. 2
5970. 3
5971. 0
5971. 1
5971. 2
5971. 3
5971. 4
5971. 5
5971. 6
5972. 0

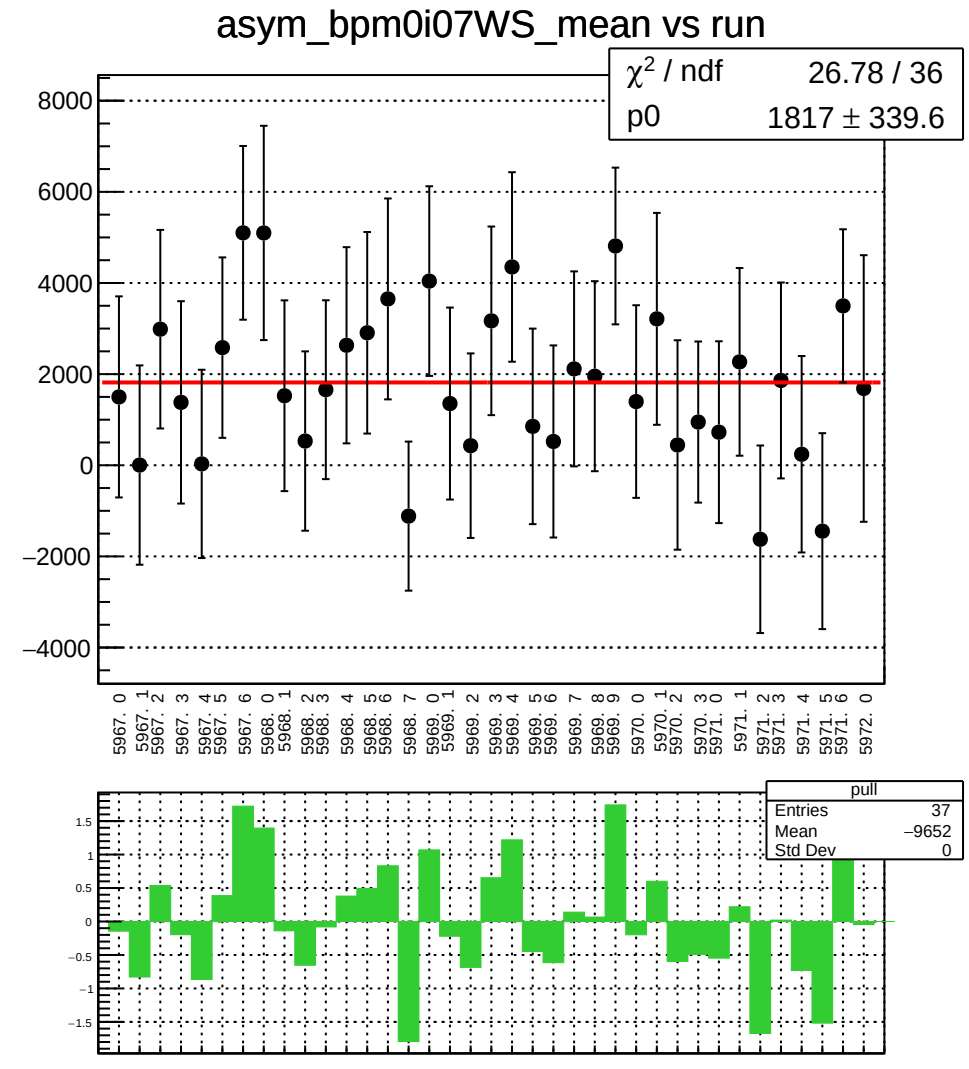
asym_bpm0i07WS_mean vs run
χ² / ndf 26.78 / 36
p0 1817 ± 339.6
8000
6000
4000
2000
0
−2000
−4000
5967. 0
5967. 1
5967. 2
5967. 3
5967. 4
5967. 5
5967. 6
5968. 0
5968. 1
5968. 2
5968. 3
5968. 4
5968. 5
5968. 6
5968. 7
5969. 0
5969. 1
5969. 2
5969. 3
5969. 4
5969. 5
5969. 6
5969. 7
5969. 8
5969. 9
5970. 0
5970. 1
5970. 2
5970. 3
5971. 0
5971. 1
5971. 2
5971. 3
5971. 4
5971. 5
5971. 6
5972. 0
pull
Entries 37
Mean −9652
Std Dev 0
1.5
1
0.5
0
−0.5
−1
−1.5

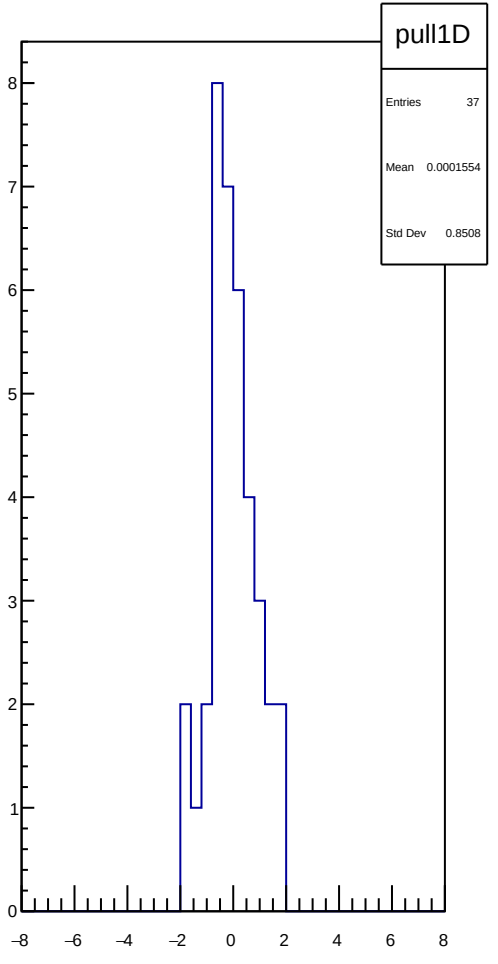
pull1D
Entries 37
Mean 0.0001554
Std Dev 0.8508
8
7
6
5
4
3
2
1
0
−8
−6
−4
−2
0
2
4
6
8

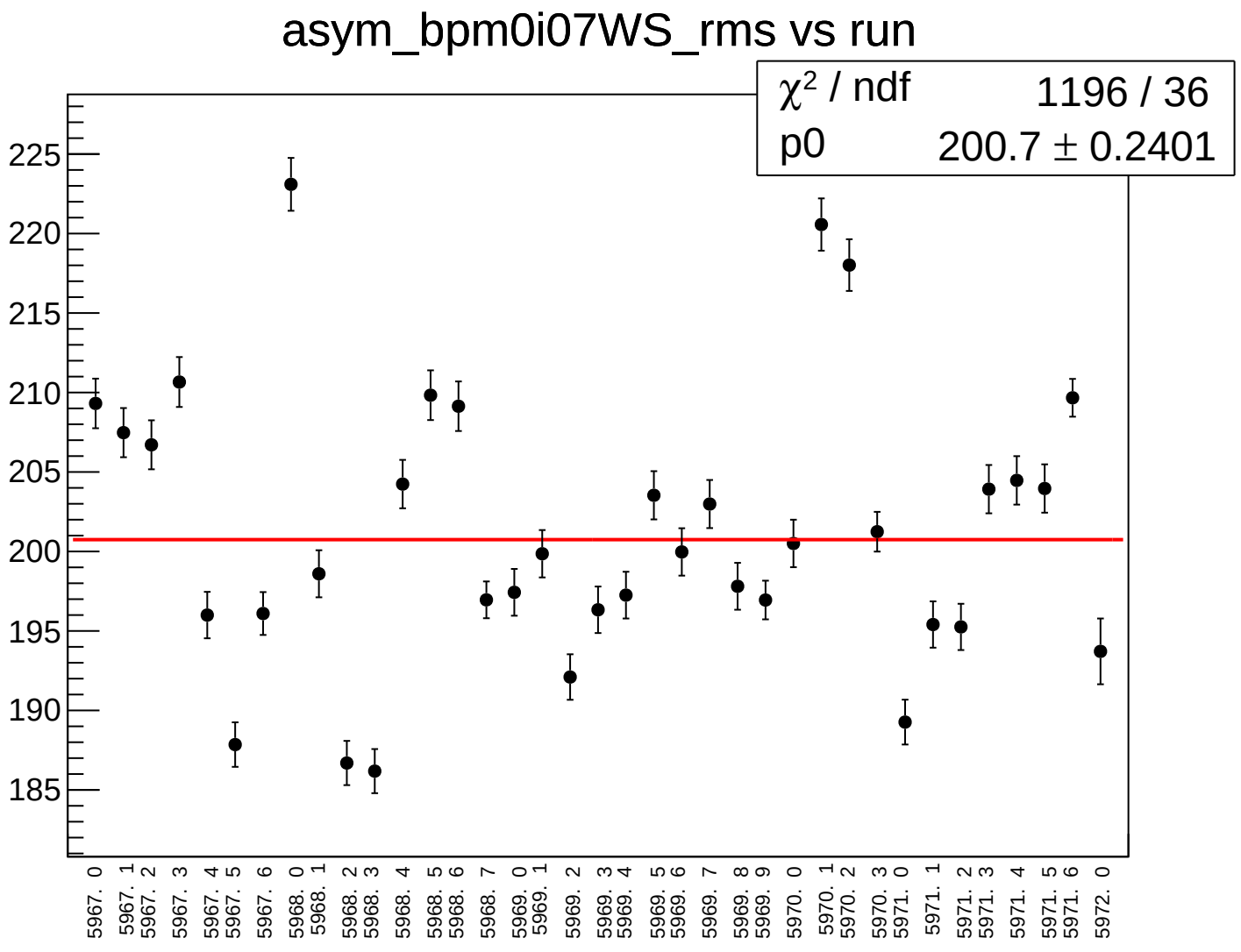
asym_bpm0i07WS_rms vs run
χ² / ndf 1196 / 36
p0 200.7 ± 0.2401
225
220
215
210
205
200
195
190
185
5967. 0
5967. 1
5967. 2
5967. 3
5967. 4
5967. 5
5967. 6
5968. 0
5968. 1
5968. 2
5968. 3
5968. 4
5968. 5
5968. 6
5968. 7
5969. 0
5969. 1
5969. 2
5969. 3
5969. 4
5969. 5
5969. 6
5969. 7
5969. 8
5969. 9
5970. 0
5970. 1
5970. 2
5970. 3
5971. 0
5971. 1
5971. 2
5971. 3
5971. 4
5971. 5
5971. 6
5972. 0

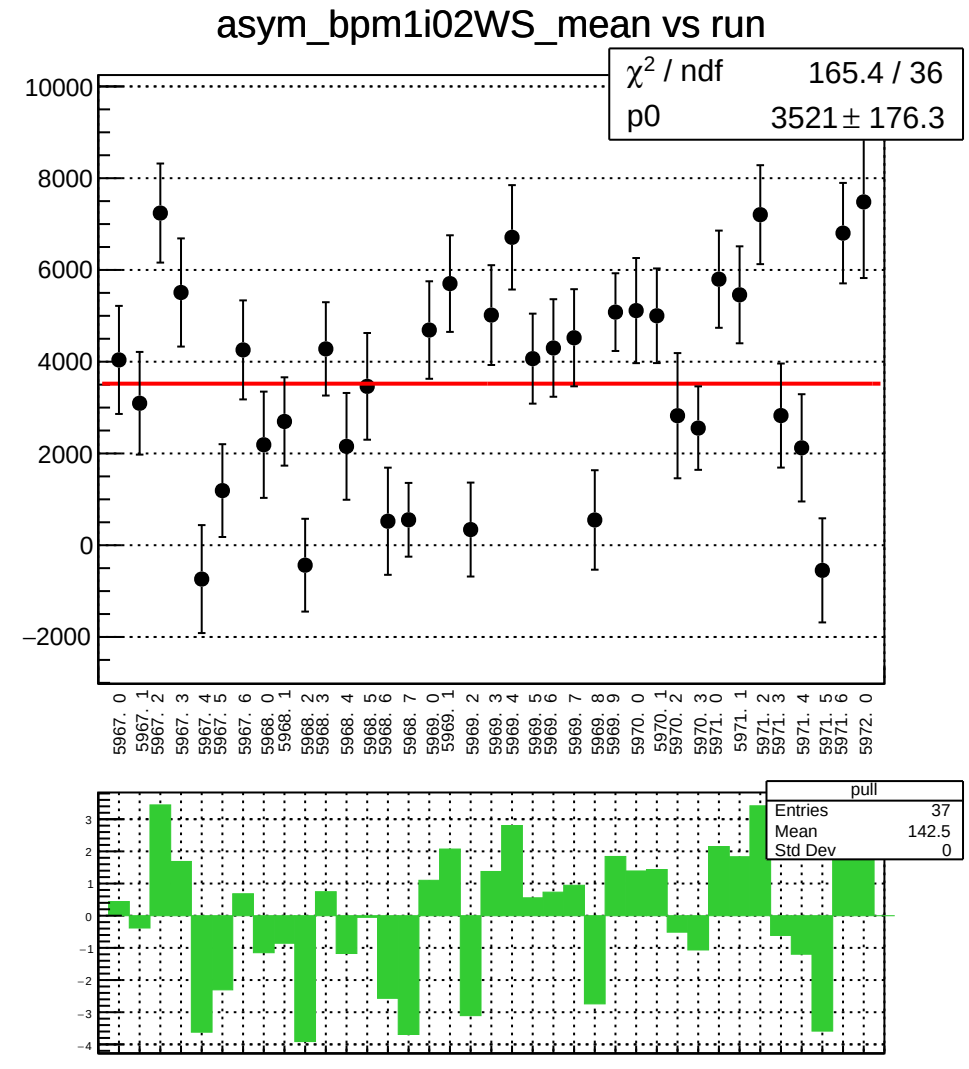
asym_bpm1i02WS_mean vs run
χ² / ndf 165.4 / 36
p0 3521 ± 176.3
10000
8000
6000
4000
2000
0
−2000
5967. 0
5967. 1
5967. 2
5967. 3
5967. 4
5967. 5
5967. 6
5968. 0
5968. 1
5968. 2
5968. 3
5968. 4
5968. 5
5968. 6
5968. 7
5969. 0
5969. 1
5969. 2
5969. 3
5969. 4
5969. 5
5969. 6
5969. 7
5969. 8
5969. 9
5970. 0
5970. 1
5970. 2
5970. 3
5971. 0
5971. 1
5971. 2
5971. 3
5971. 4
5971. 5
5971. 6
5972. 0
pull
Entries 37
Mean 142.5
Std Dev 0
3
2
1
0
−1
−2
−3
−4
pull1D
Entries 37
Mean 0.04059
Std Dev 2.114
5
4
3
2
1
0
−8
−6
−4
−2
0
2
4
6
8

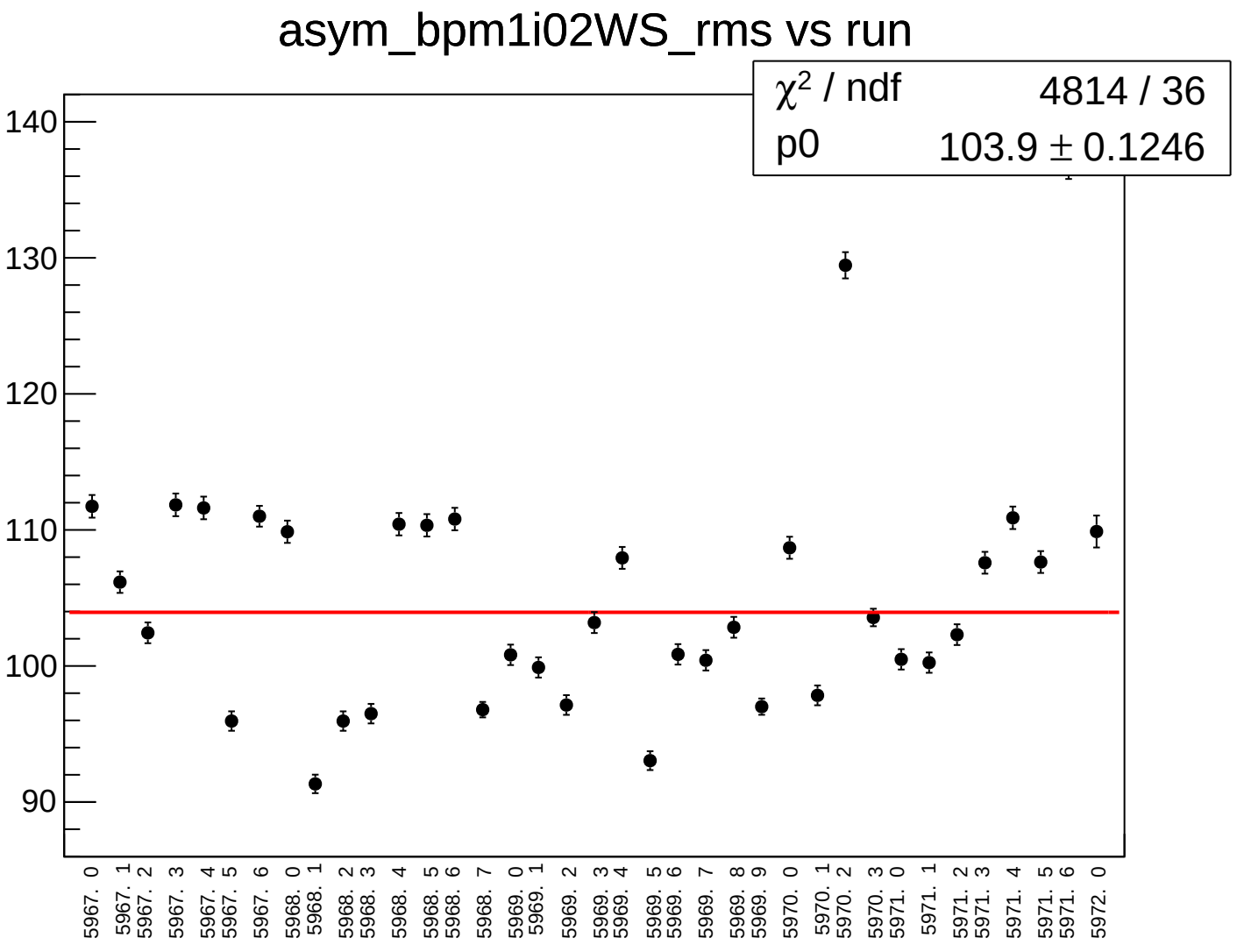
asym_bpm1i02WS_rms vs run
χ² / ndf 4814 / 36
p0 103.9 ± 0.1246
140
130
120
110
100
90
5967. 0
5967. 1
5967. 2
5967. 3
5967. 4
5967. 5
5967. 6
5968. 0
5968. 1
5968. 2
5968. 3
5968. 4
5968. 5
5968. 6
5968. 7
5969. 0
5969. 1
5969. 2
5969. 3
5969. 4
5969. 5
5969. 6
5969. 7
5969. 8
5969. 9
5970. 0
5970. 1
5970. 2
5970. 3
5971. 0
5971. 1
5971. 2
5971. 3
5971. 4
5971. 5
5971. 6
5972. 0

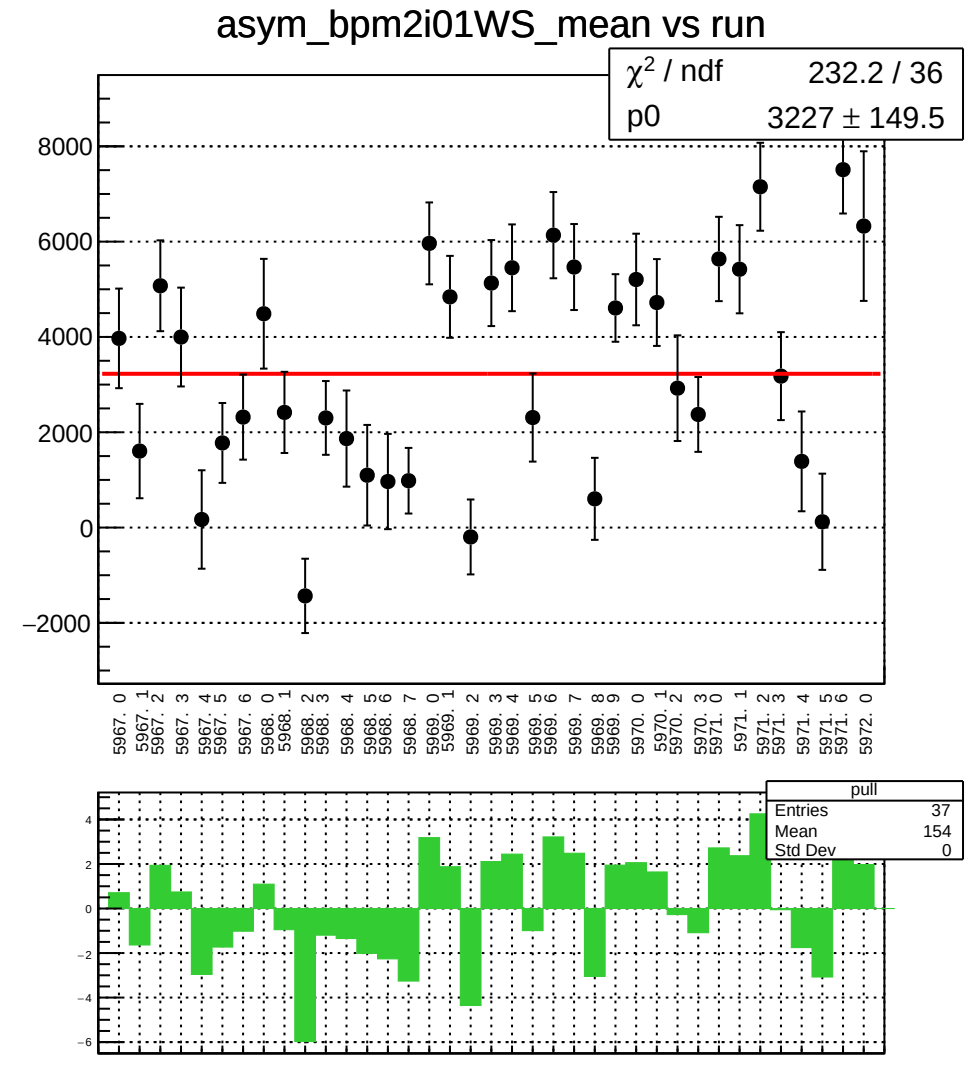
asym_bpm2i01WS_mean vs run
χ² / ndf 232.2 / 36
p0 3227 ± 149.5
8000
6000
4000
2000
0
−2000
5967. 0
5967. 1
5967. 2
5967. 3
5967. 4
5967. 5
5967. 6
5968. 0
5968. 1
5968. 2
5968. 3
5968. 4
5968. 5
5968. 6
5968. 7
5969. 0
5969. 1
5969. 2
5969. 3
5969. 4
5969. 5
5969. 6
5969. 7
5969. 8
5969. 9
5970. 0
5970. 1
5970. 2
5970. 3
5971. 0
5971. 1
5971. 2
5971. 3
5971. 4
5971. 5
5971. 6
5972. 0
pull
Entries 37
Mean 154
Std Dev 0
4
2
0
−2
−4
−6

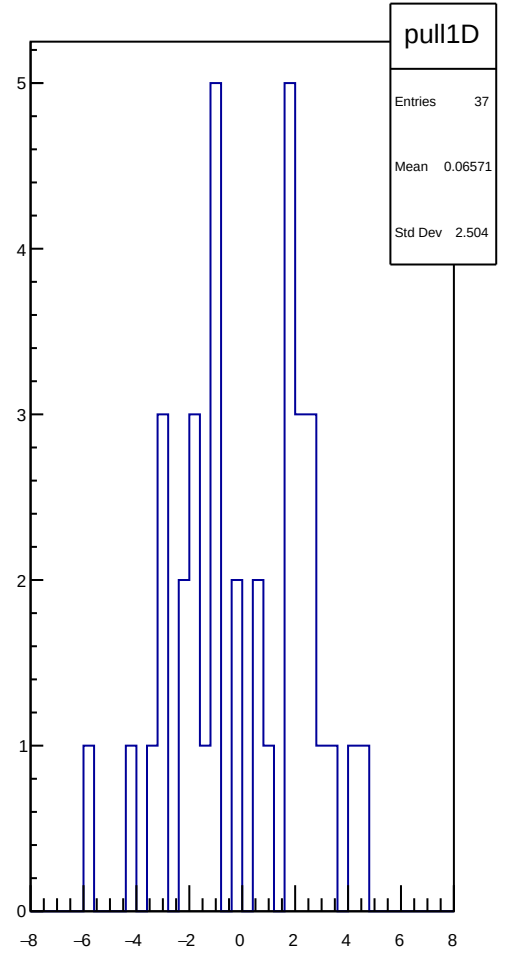
pull1D
Entries 37
Mean 0.06571
Std Dev 2.504
5
4
3
2
1
0
−8
−6
−4
−2
0
2
4
6
8

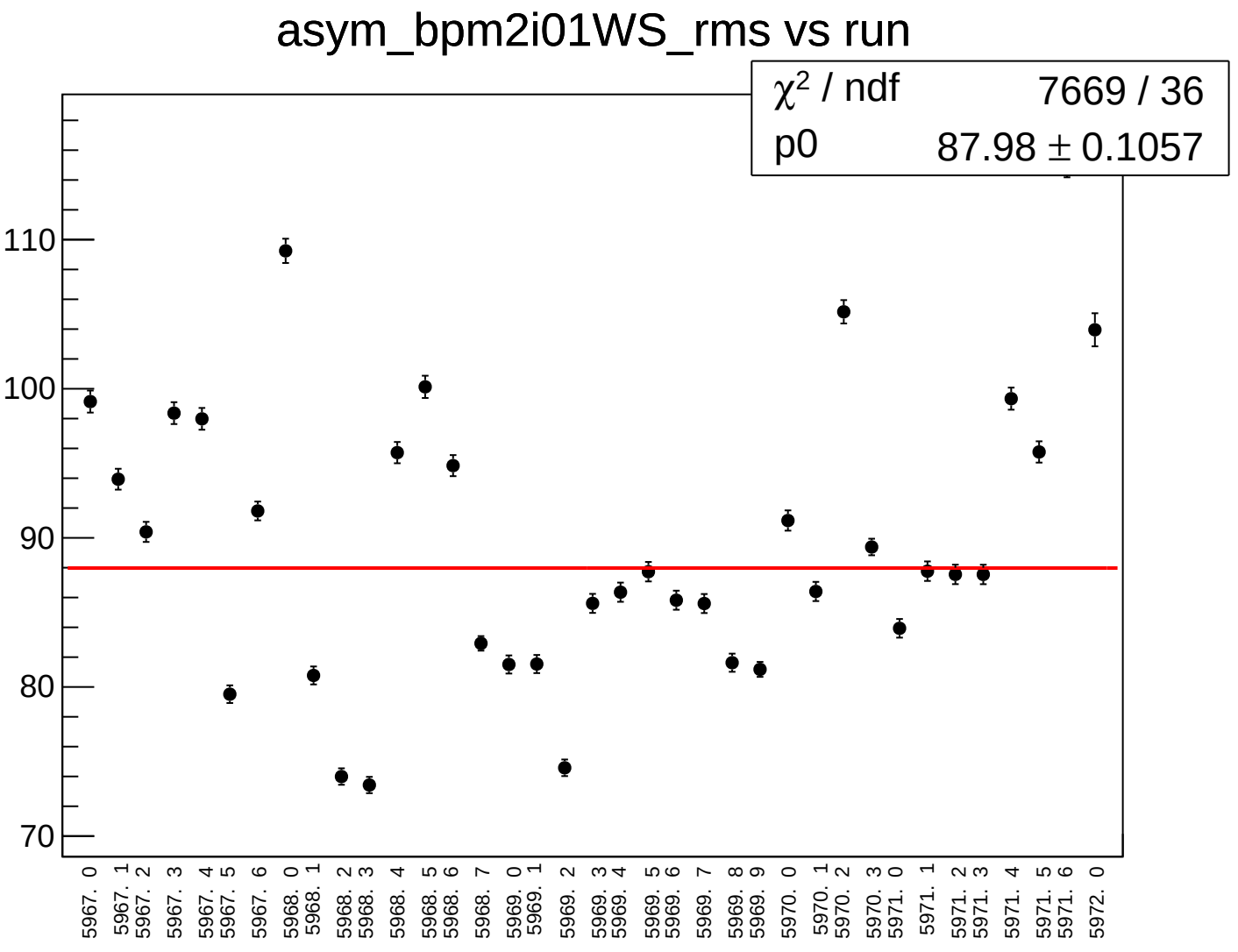
asym_bpm2i01WS_rms vs run
χ² / ndf 7669 / 36
p0 87.98 ± 0.1057
110
100
90
80
70
5967. 0
5967. 1
5967. 2
5967. 3
5967. 4
5967. 5
5967. 6
5968. 0
5968. 1
5968. 2
5968. 3
5968. 4
5968. 5
5968. 6
5968. 7
5969. 0
5969. 1
5969. 2
5969. 3
5969. 4
5969. 5
5969. 6
5969. 7
5969. 8
5969. 9
5970. 0
5970. 1
5970. 2
5970. 3
5971. 0
5971. 1
5971. 2
5971. 3
5971. 4
5971. 5
5971. 6
5972. 0

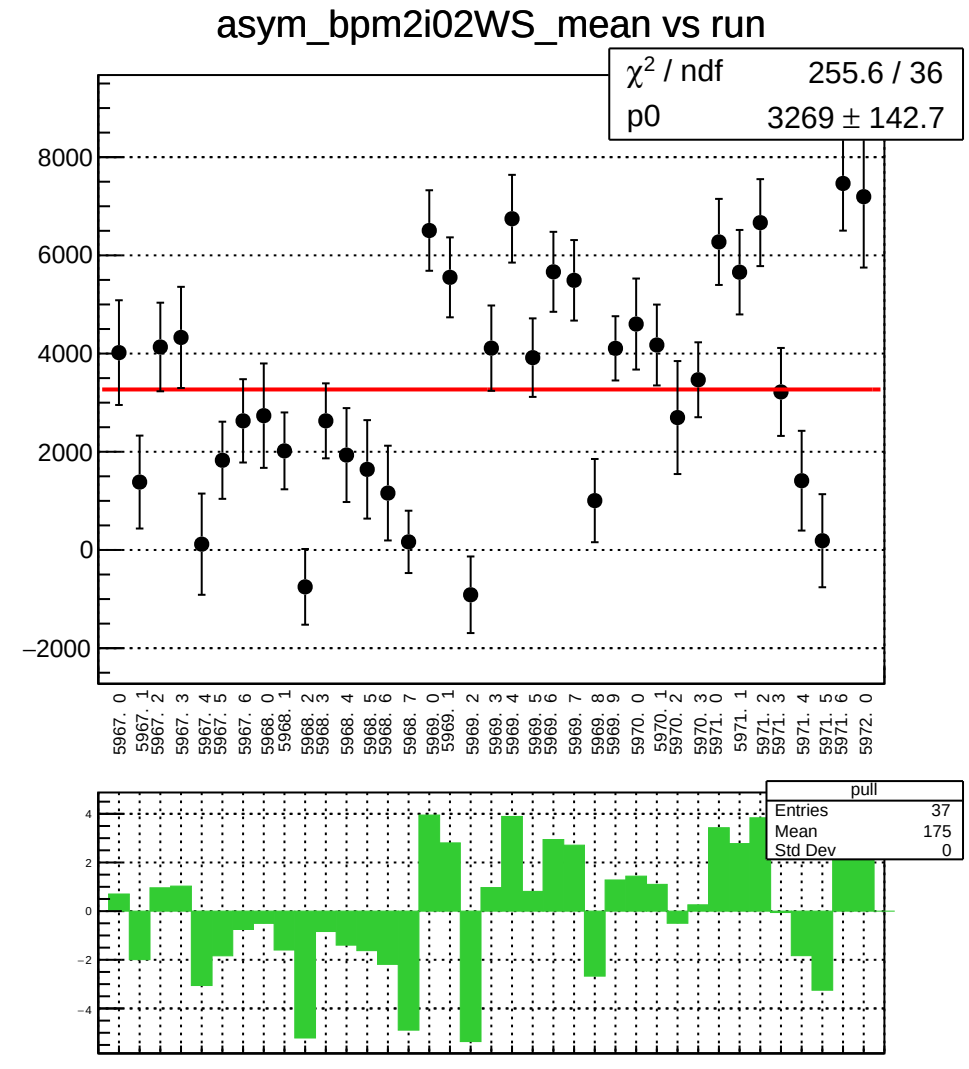
asym_bpm2i02WS_mean vs run
χ² / ndf 255.6 / 36
p0 3269 ± 142.7
8000
6000
4000
2000
0
−2000
5967. 0
5967. 1
5967. 2
5967. 3
5967. 4
5967. 5
5967. 6
5968. 0
5968. 1
5968. 2
5968. 3
5968. 4
5968. 5
5968. 6
5968. 7
5969. 0
5969. 1
5969. 2
5969. 3
5969. 4
5969. 5
5969. 6
5969. 7
5969. 8
5969. 9
5970. 0
5970. 1
5970. 2
5970. 3
5971. 0
5971. 1
5971. 2
5971. 3
5971. 4
5971. 5
5971. 6
5972. 0
pull
Entries 37
Mean 175
Std Dev 0
4
2
0
−2
−4

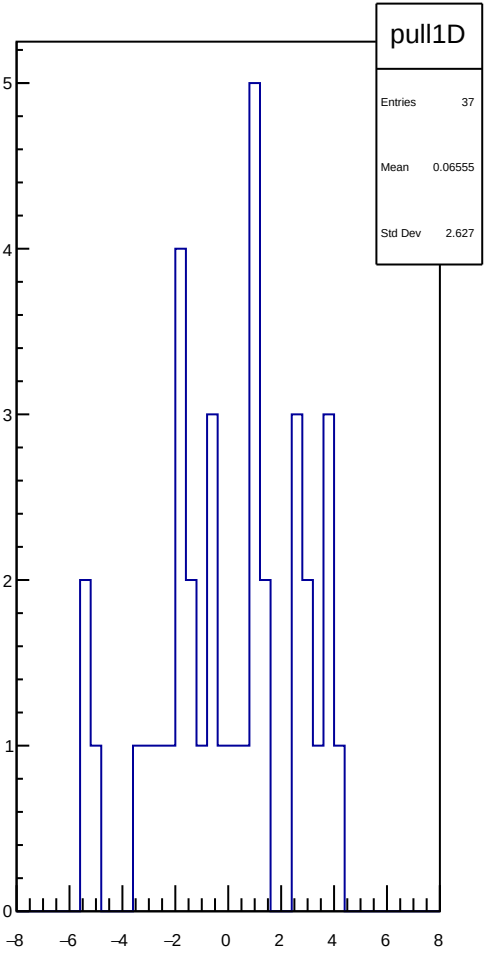
pull1D
Entries 37
Mean 0.06555
Std Dev 2.627
5
4
3
2
1
0
−8
−6
−4
−2
0
2
4
6
8

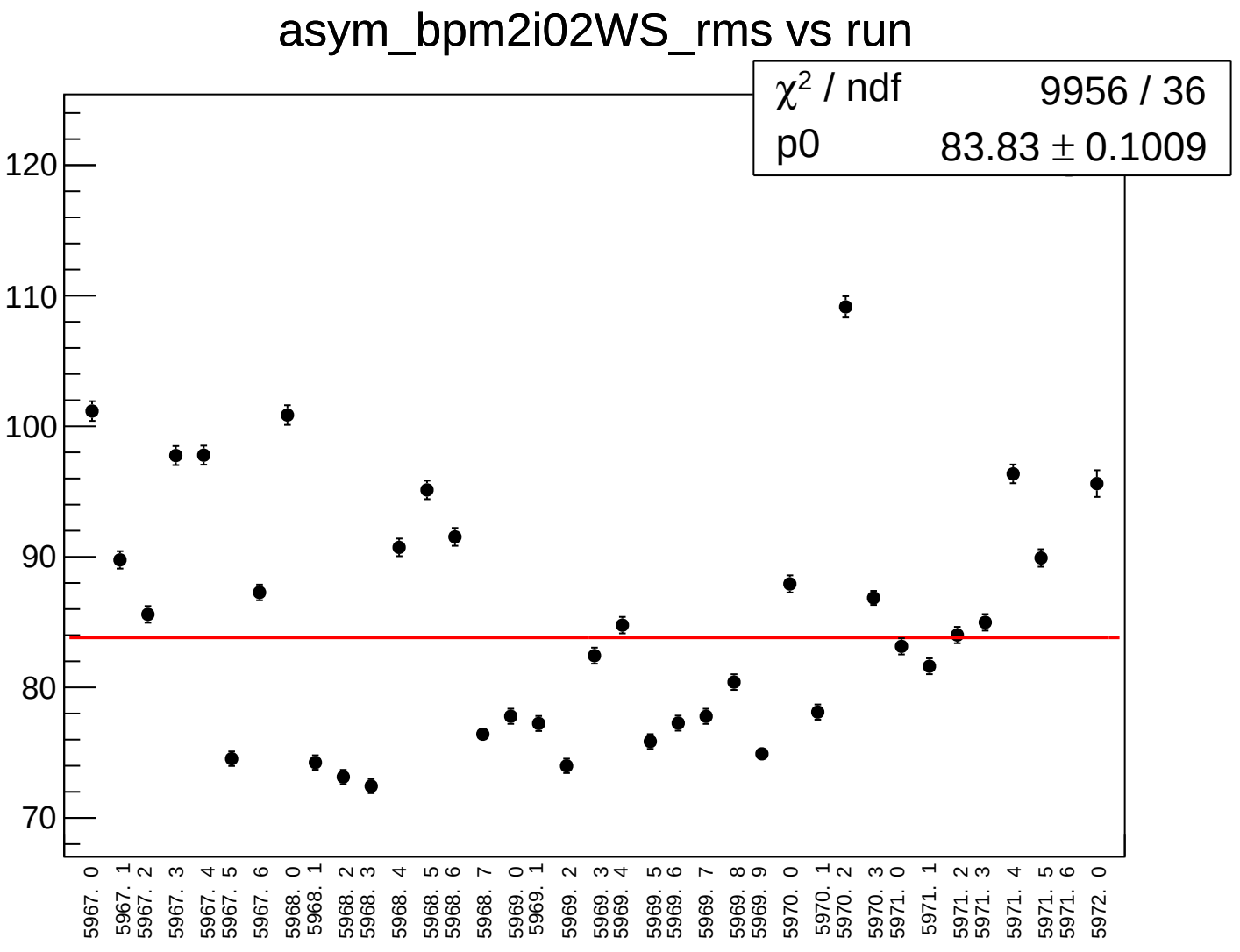
asym_bpm2i02WS_rms vs run
χ² / ndf 9956 / 36
p0 83.83 ± 0.1009
120
110
100
90
80
70
5967. 0
5967. 1
5967. 2
5967. 3
5967. 4
5967. 5
5967. 6
5968. 0
5968. 1
5968. 2
5968. 3
5968. 4
5968. 5
5968. 6
5968. 7
5969. 0
5969. 1
5969. 2
5969. 3
5969. 4
5969. 5
5969. 6
5969. 7
5969. 8
5969. 9
5970. 0
5970. 1
5970. 2
5970. 3
5971. 0
5971. 1
5971. 2
5971. 3
5971. 4
5971. 5
5971. 6
5972. 0

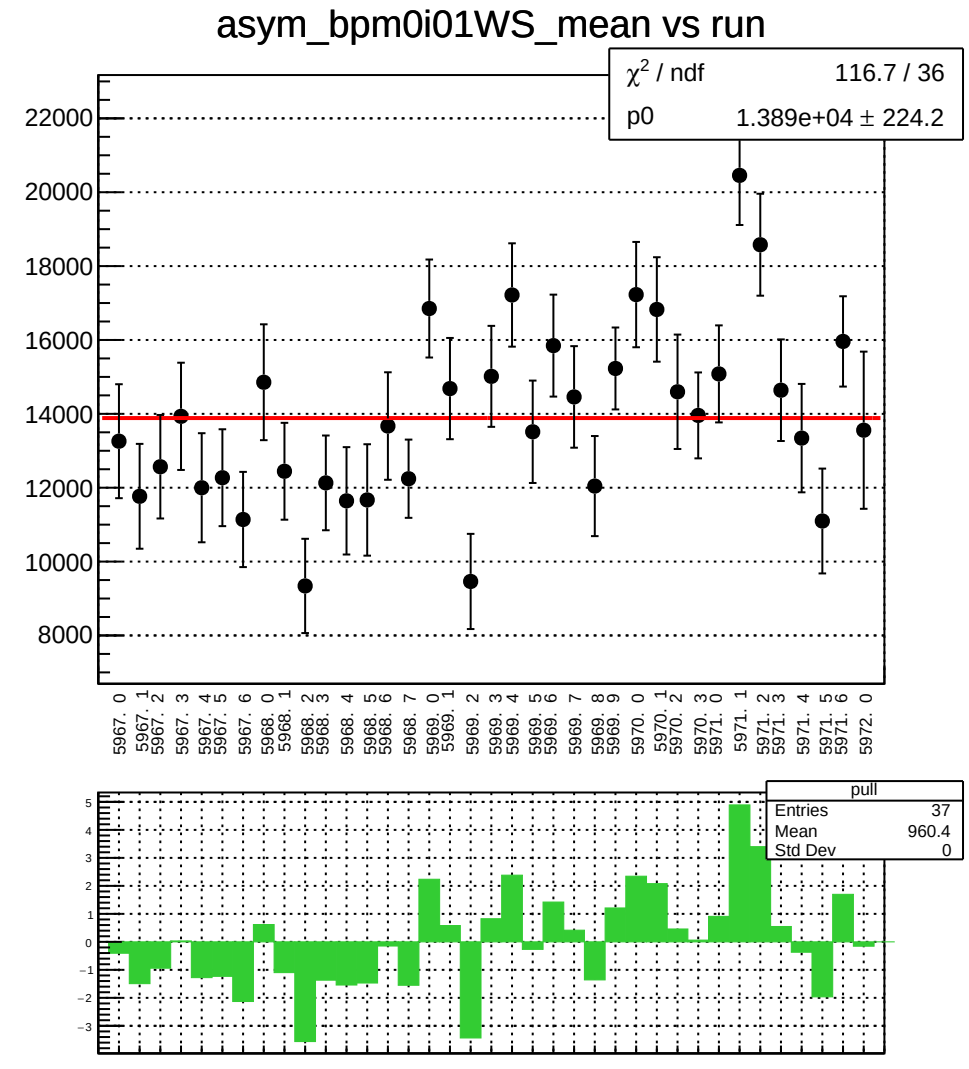
asym_bpm0i01WS_mean vs run
χ² / ndf 116.7 / 36
p0 1.389e+04 ± 224.2
22000
20000
18000
16000
14000
12000
10000
8000
5967. 0
5967. 1
5967. 2
5967. 3
5967. 4
5967. 5
5967. 6
5968. 0
5968. 1
5968. 2
5968. 3
5968. 4
5968. 5
5968. 6
5968. 7
5969. 0
5969. 1
5969. 2
5969. 3
5969. 4
5969. 5
5969. 6
5969. 7
5969. 8
5969. 9
5970. 0
5970. 1
5970. 2
5970. 3
5971. 0
5971. 1
5971. 2
5971. 3
5971. 4
5971. 5
5971. 6
5972. 0
pull
Entries 37
Mean 960.4
Std Dev 0
5
4
3
2
1
0
−1
−2
−3

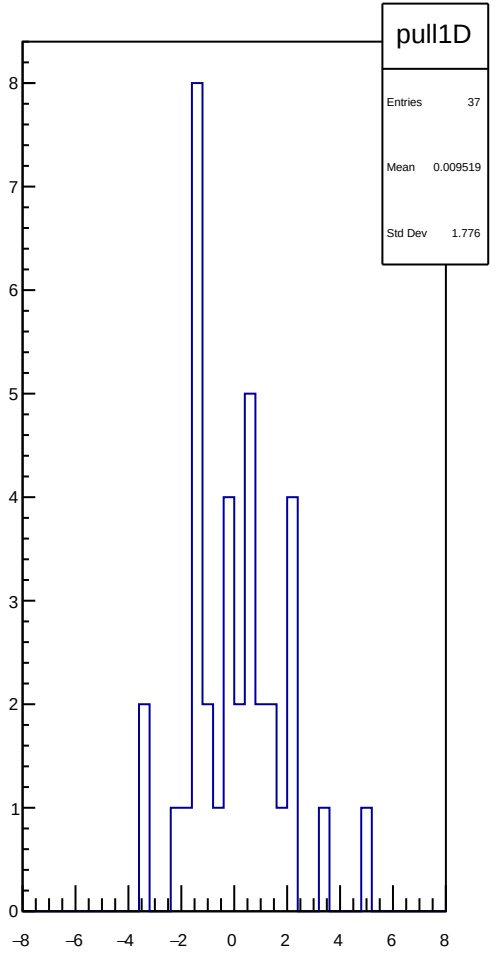
pull1D
Entries 37
Mean 0.009519
Std Dev 1.776
8
7
6
5
4
3
2
1
0
−8
−6
−4
−2
0
2
4
6
8

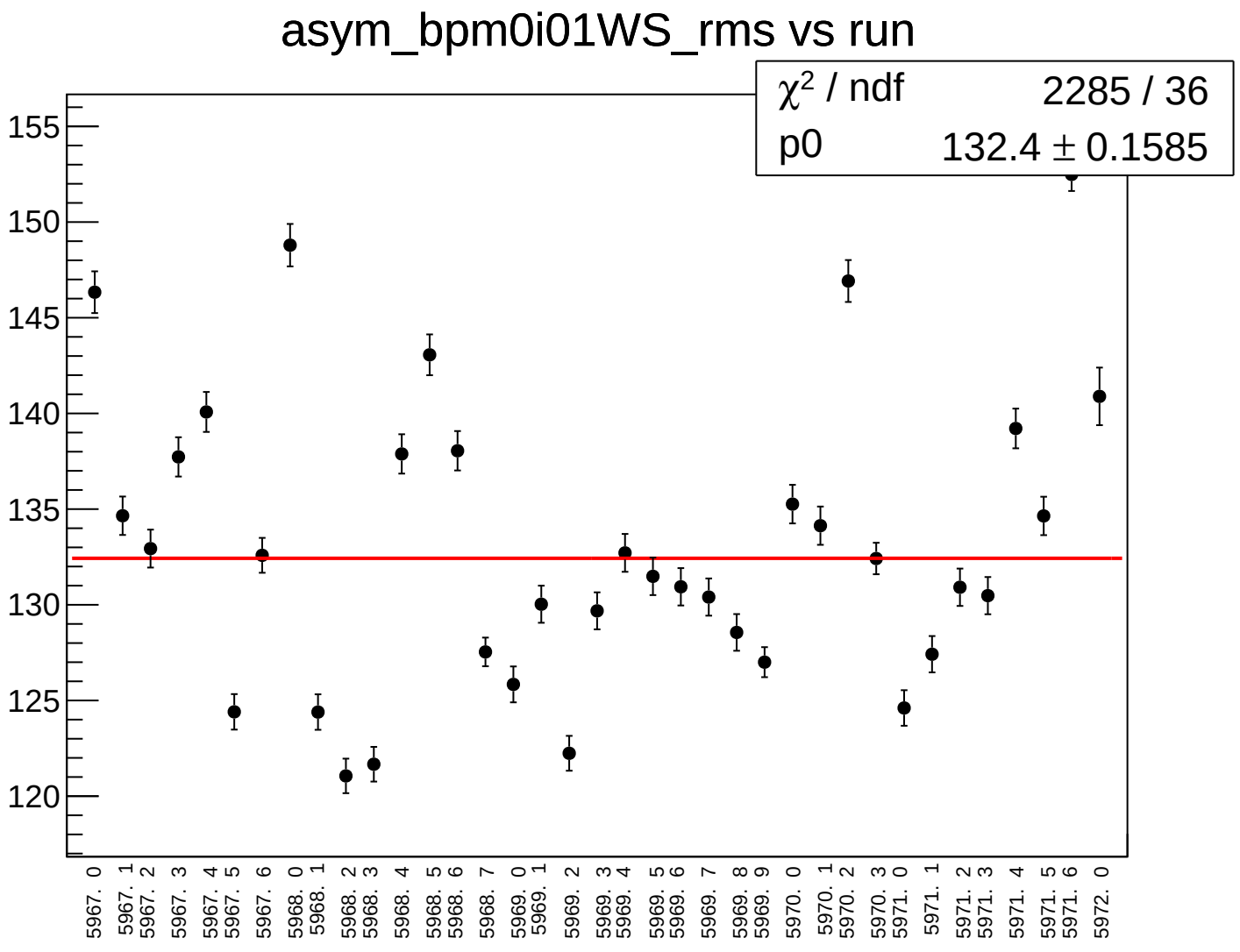
asym_bpm0i01WS_rms vs run
χ² / ndf 2285 / 36
p0 132.4 ± 0.1585
155
150
145
140
135
130
125
120
5967. 0
5967. 1
5967. 2
5967. 3
5967. 4
5967. 5
5967. 6
5968. 0
5968. 1
5968. 2
5968. 3
5968. 4
5968. 5
5968. 6
5968. 7
5969. 0
5969. 1
5969. 2
5969. 3
5969. 4
5969. 5
5969. 6
5969. 7
5969. 8
5969. 9
5970. 0
5970. 1
5970. 2
5970. 3
5971. 0
5971. 1
5971. 2
5971. 3
5971. 4
5971. 5
5971. 6
5972. 0

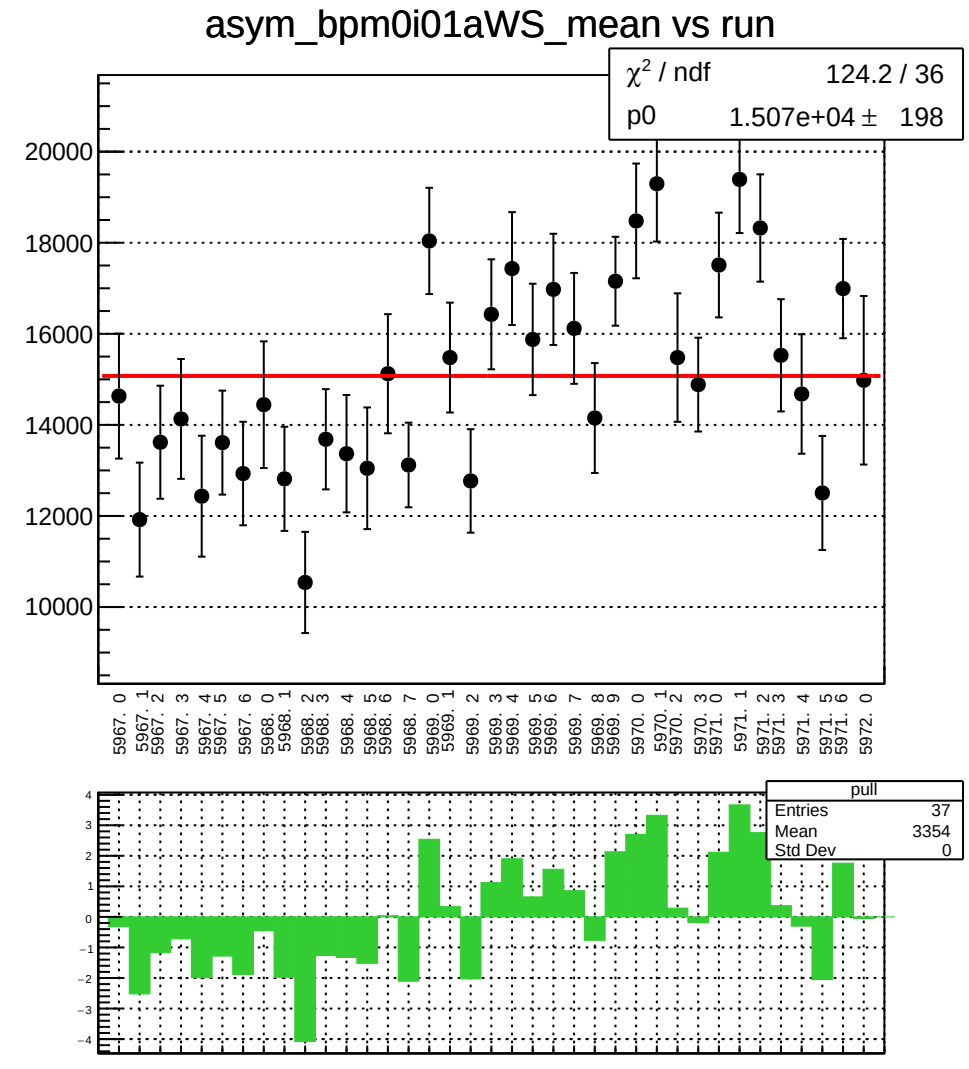
asym_bpm0i01aWS_mean vs run
χ² / ndf 124.2 / 36
p0 1.507e+04 ± 198
20000
18000
16000
14000
12000
10000
5967. 0
5967. 1
5967. 2
5967. 3
5967. 4
5967. 5
5967. 6
5968. 0
5968. 1
5968. 2
5968. 3
5968. 4
5968. 5
5968. 6
5968. 7
5969. 0
5969. 1
5969. 2
5969. 3
5969. 4
5969. 5
5969. 6
5969. 7
5969. 8
5969. 9
5970. 0
5970. 1
5970. 2
5970. 3
5971. 0
5971. 1
5971. 2
5971. 3
5971. 4
5971. 5
5971. 6
5972. 0
pull
Entries 37
Mean 3354
Std Dev 0
4
3
2
1
0
−1
−2
−3
−4

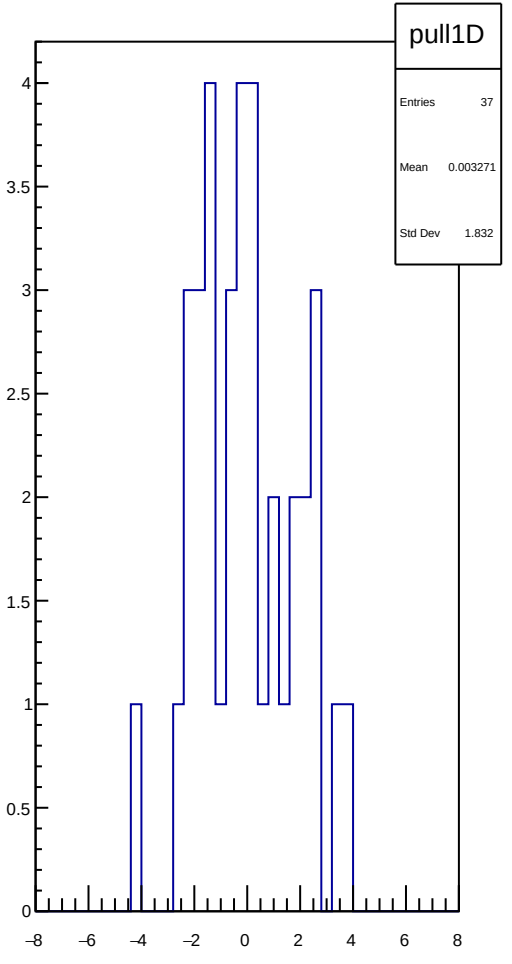
pull1D
Entries 37
Mean 0.003271
Std Dev 1.832
4
3.5
3
2.5
2
1.5
1
0.5
0
−8
−6
−4
−2
0
2
4
6
8

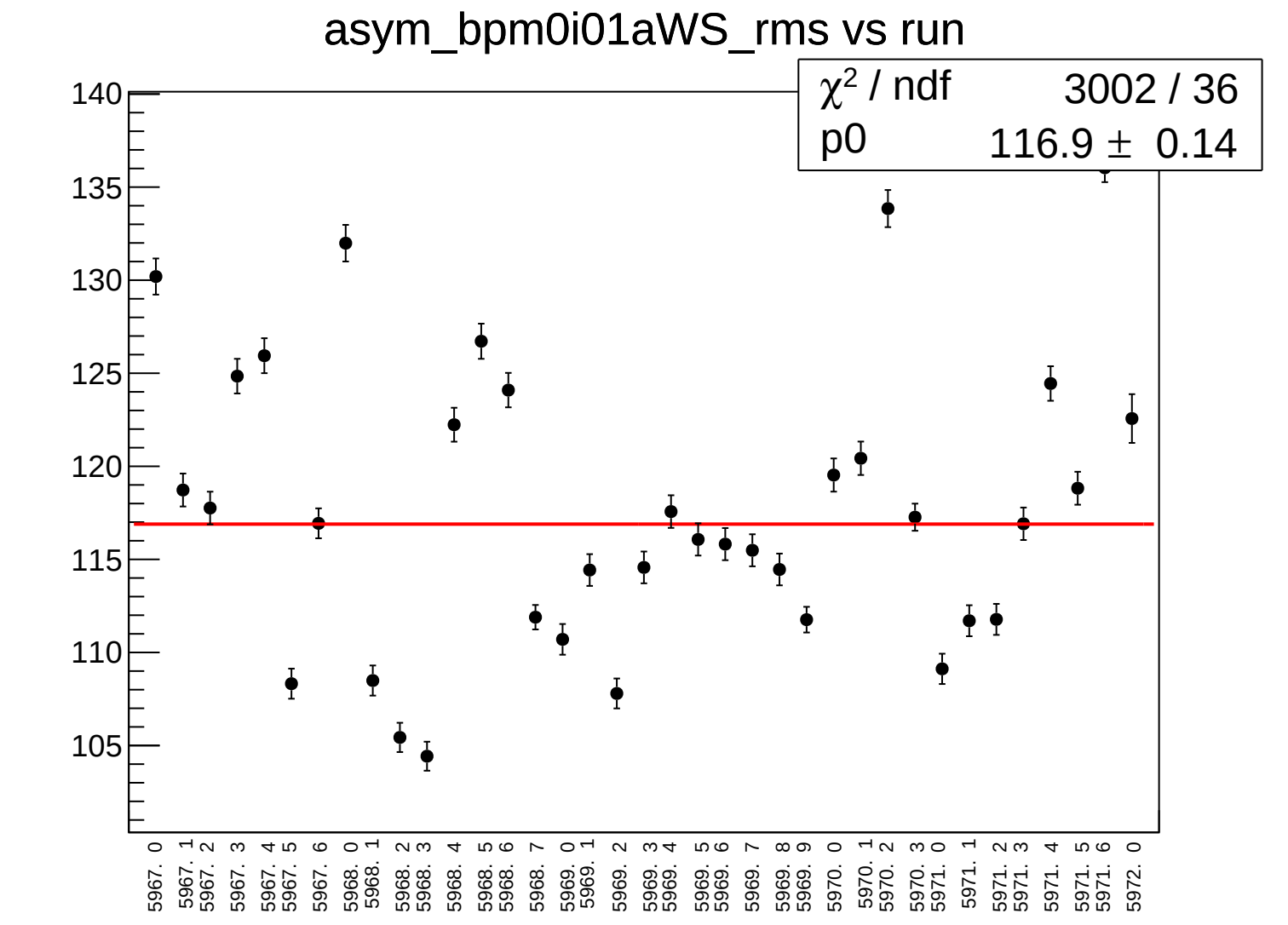
asym_bpm0i01aWS_rms vs run
χ² / ndf 3002 / 36
p0 116.9 ± 0.14
140
135
130
125
120
115
110
105
5967. 0
5967. 1
5967. 2
5967. 3
5967. 4
5967. 5
5967. 6
5968. 0
5968. 1
5968. 2
5968. 3
5968. 4
5968. 5
5968. 6
5968. 7
5969. 0
5969. 1
5969. 2
5969. 3
5969. 4
5969. 5
5969. 6
5969. 7
5969. 8
5969. 9
5970. 0
5970. 1
5970. 2
5970. 3
5971. 0
5971. 1
5971. 2
5971. 3
5971. 4
5971. 5
5971. 6
5972. 0

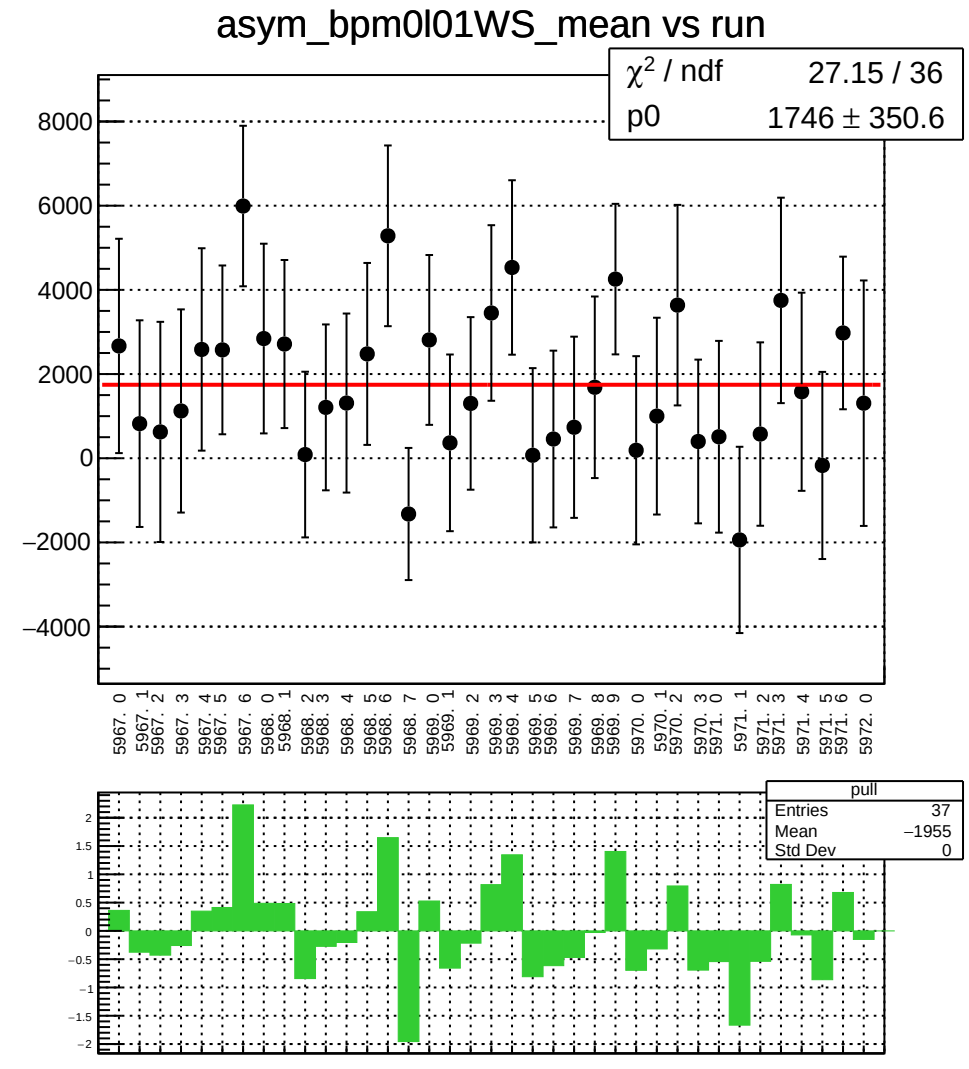
asym_bpm0l01WS_mean vs run
χ² / ndf 27.15 / 36
p0 1746 ± 350.6
8000
6000
4000
2000
0
−2000
−4000
5967. 0
5967. 1
5967. 2
5967. 3
5967. 4
5967. 5
5967. 6
5968. 0
5968. 1
5968. 2
5968. 3
5968. 4
5968. 5
5968. 6
5968. 7
5969. 0
5969. 1
5969. 2
5969. 3
5969. 4
5969. 5
5969. 6
5969. 7
5969. 8
5969. 9
5970. 0
5970. 1
5970. 2
5970. 3
5971. 0
5971. 1
5971. 2
5971. 3
5971. 4
5971. 5
5971. 6
5972. 0
pull
Entries 37
Mean −1955
Std Dev 0
2
1.5
1
0.5
0
−0.5
−1
−1.5
−2

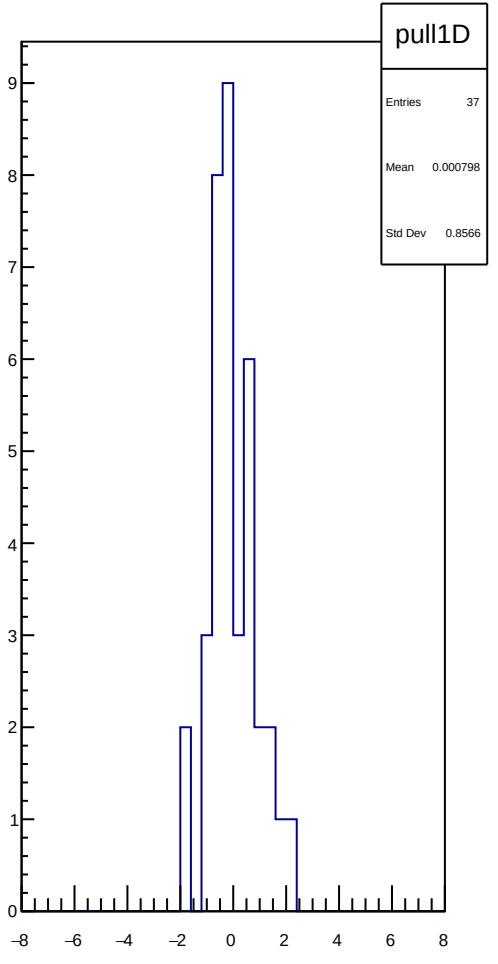
pull1D
Entries 37
Mean 0.000798
Std Dev 0.8566
9
8
7
6
5
4
3
2
1
0
−8
−6
−4
−2
0
2
4
6
8

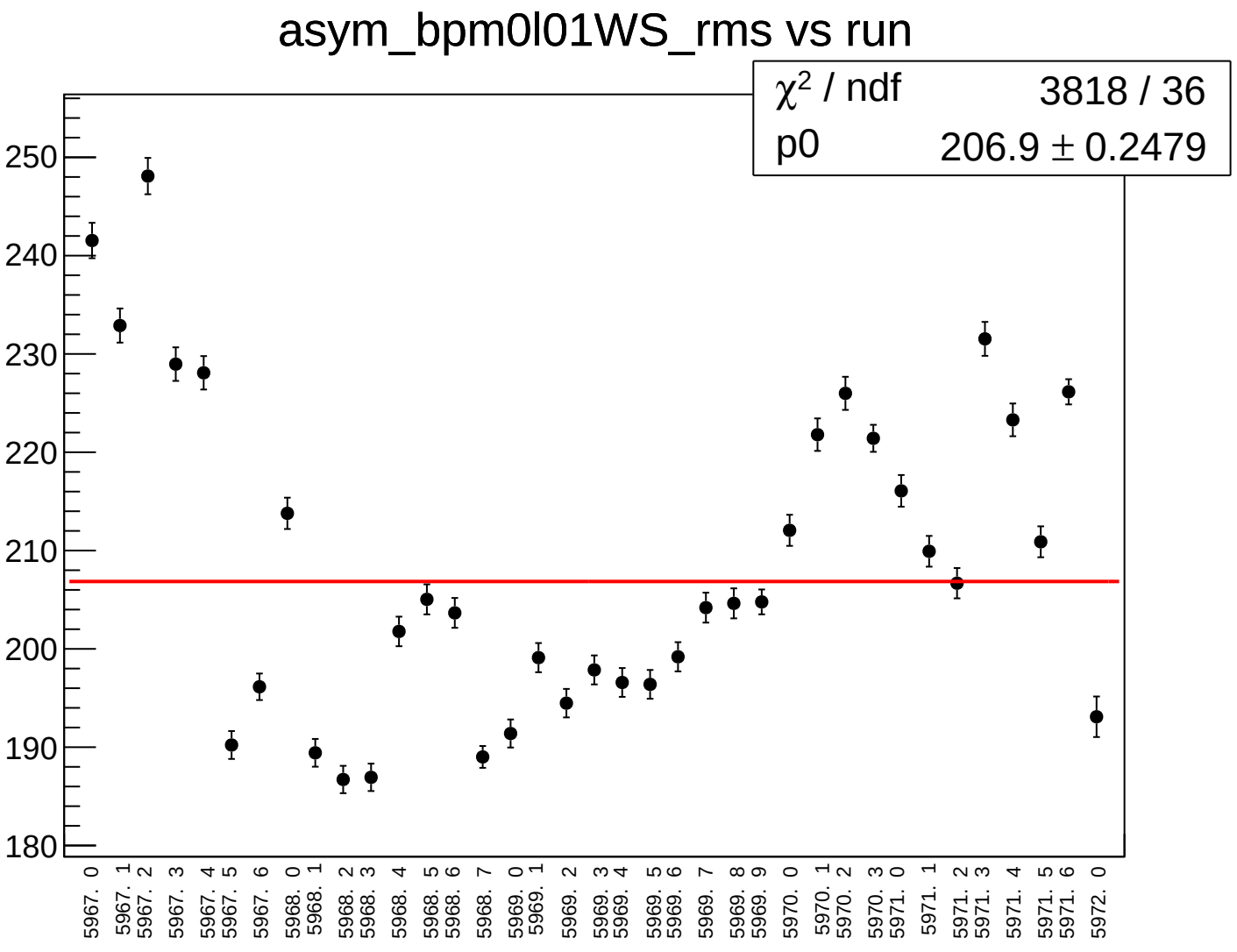
asym_bpm0l01WS_rms vs run
χ² / ndf 3818 / 36
p0 206.9 ± 0.2479
250
240
230
220
210
200
190
180
5967. 0
5967. 1
5967. 2
5967. 3
5967. 4
5967. 5
5967. 6
5968. 0
5968. 1
5968. 2
5968. 3
5968. 4
5968. 5
5968. 6
5968. 7
5969. 0
5969. 1
5969. 2
5969. 3
5969. 4
5969. 5
5969. 6
5969. 7
5969. 8
5969. 9
5970. 0
5970. 1
5970. 2
5970. 3
5971. 0
5971. 1
5971. 2
5971. 3
5971. 4
5971. 5
5971. 6
5972. 0

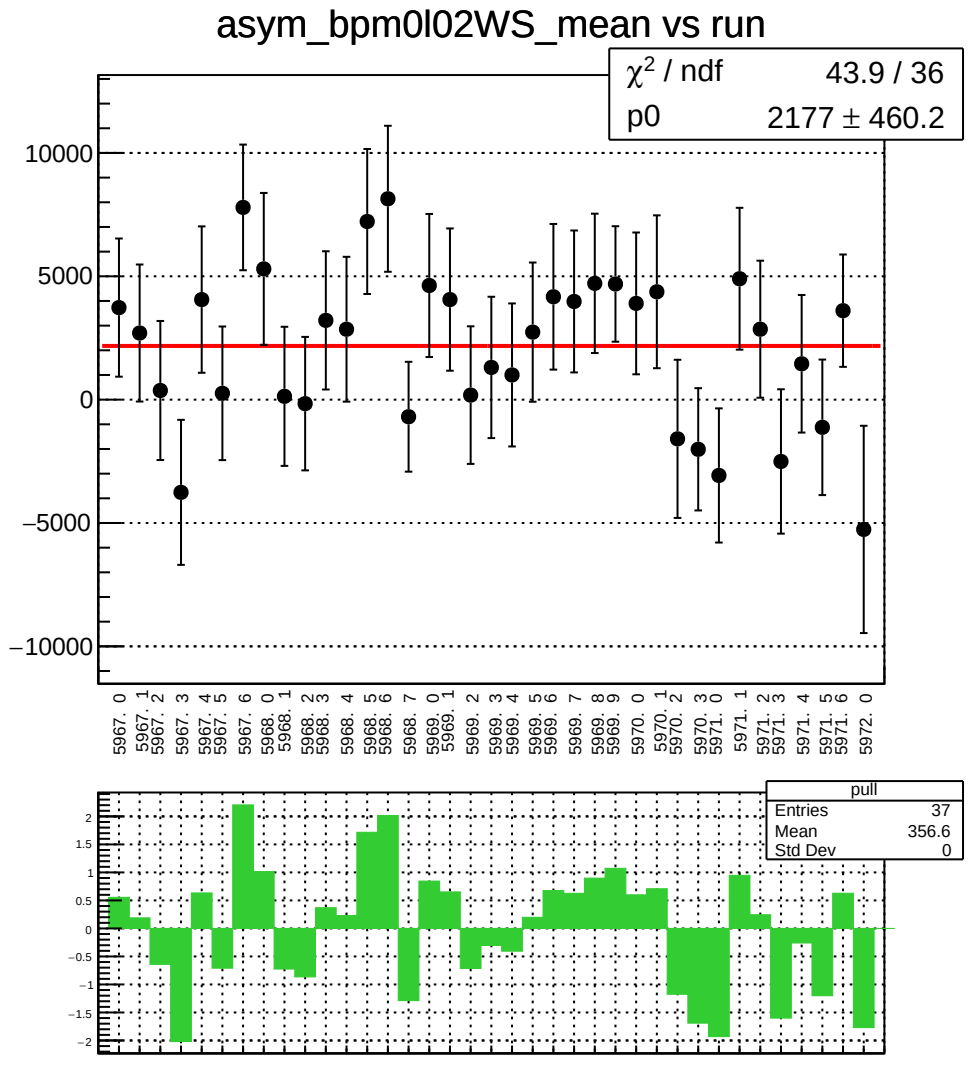
asym_bpm0l02WS_mean vs run
χ² / ndf 43.9 / 36
p0 2177 ± 460.2
10000
5000
0
−5000
−10000
5967. 0
5967. 1
5967. 2
5967. 3
5967. 4
5967. 5
5967. 6
5968. 0
5968. 1
5968. 2
5968. 3
5968. 4
5968. 5
5968. 6
5968. 7
5969. 0
5969. 1
5969. 2
5969. 3
5969. 4
5969. 5
5969. 6
5969. 7
5969. 8
5969. 9
5970. 0
5970. 1
5970. 2
5970. 3
5971. 0
5971. 1
5971. 2
5971. 3
5971. 4
5971. 5
5971. 6
5972. 0
pull
Entries 37
Mean 356.6
Std Dev 0
2
1.5
1
0.5
0
−0.5
−1
−1.5
−2

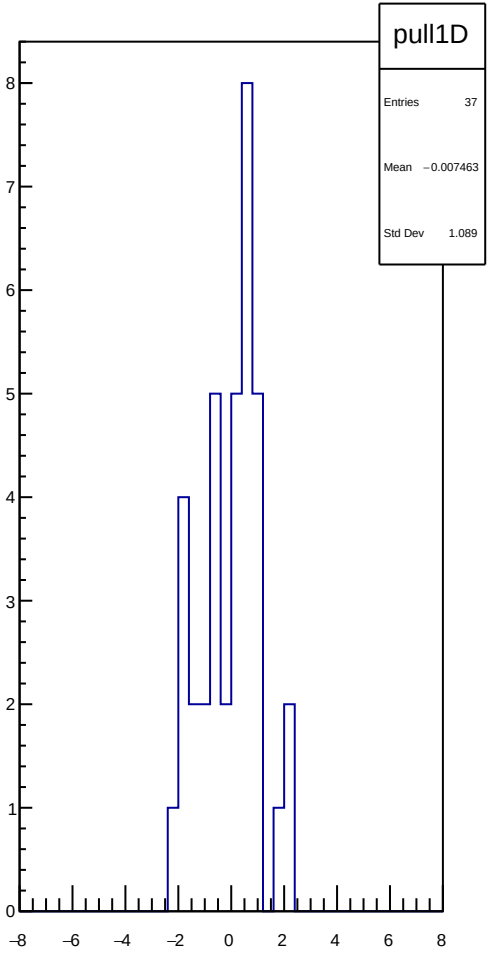
pull1D
Entries 37
Mean −0.007463
Std Dev 1.089
8
7
6
5
4
3
2
1
0
−8
−6
−4
−2
0
2
4
6
8

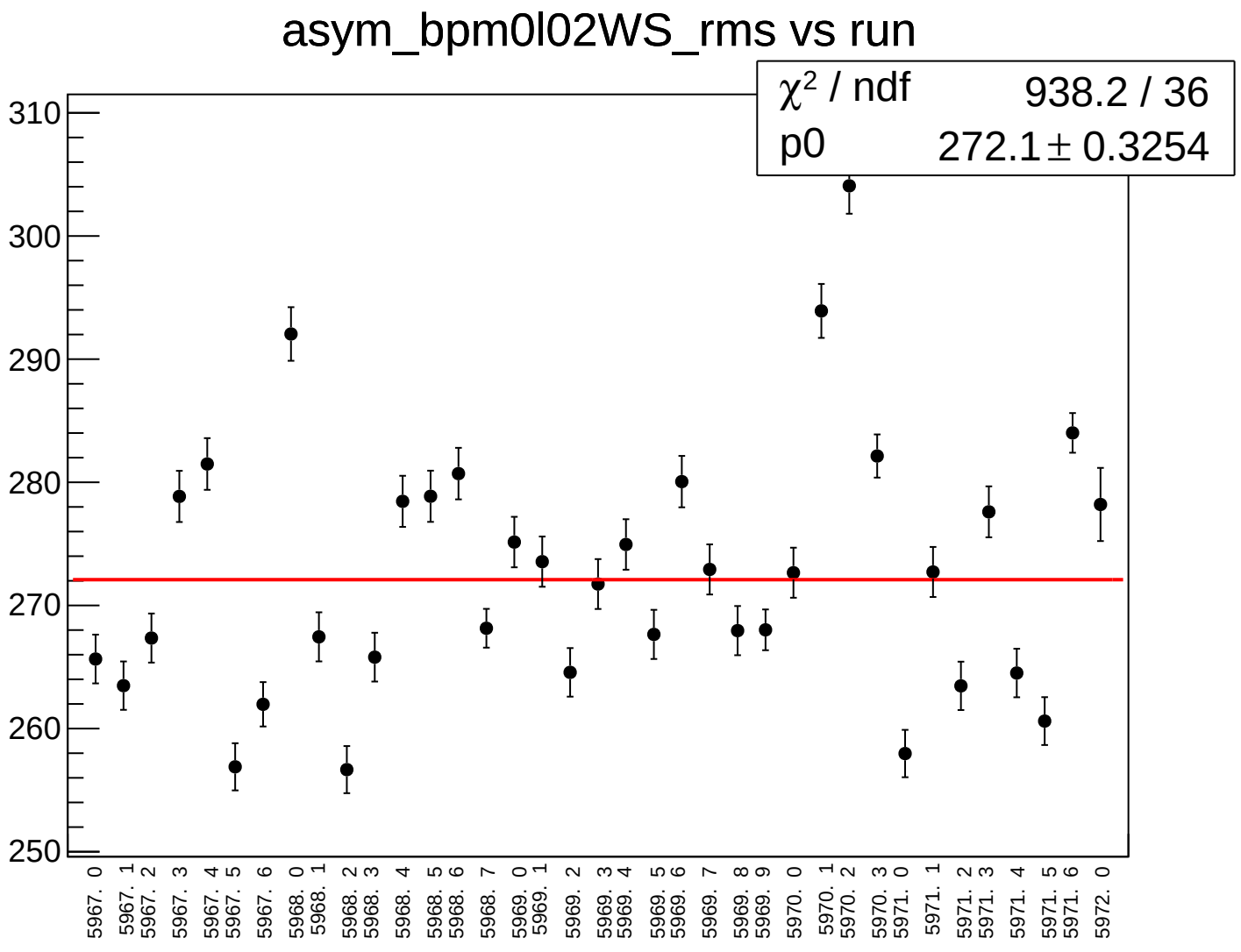
asym_bpm0l02WS_rms vs run
χ² / ndf 938.2 / 36
p0 272.1 ± 0.3254
310
300
290
280
270
260
250
5967. 0
5967. 1
5967. 2
5967. 3
5967. 4
5967. 5
5967. 6
5968. 0
5968. 1
5968. 2
5968. 3
5968. 4
5968. 5
5968. 6
5968. 7
5969. 0
5969. 1
5969. 2
5969. 3
5969. 4
5969. 5
5969. 6
5969. 7
5969. 8
5969. 9
5970. 0
5970. 1
5970. 2
5970. 3
5971. 0
5971. 1
5971. 2
5971. 3
5971. 4
5971. 5
5971. 6
5972. 0

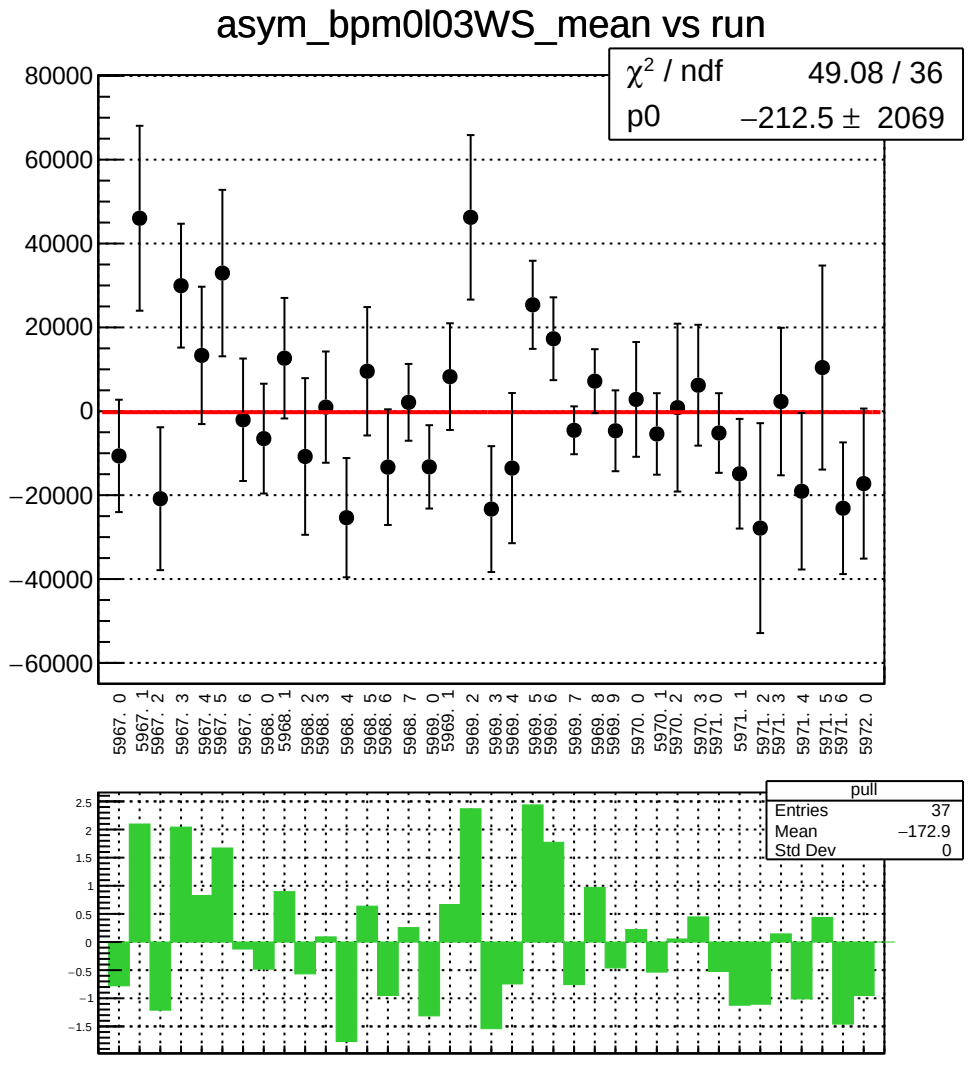
asym_bpm0l03WS_mean vs run
χ² / ndf 49.08 / 36
p0 −212.5 ± 2069
80000
60000
40000
20000
0
−20000
−40000
−60000
5967. 0
5967. 1
5967. 2
5967. 3
5967. 4
5967. 5
5967. 6
5968. 0
5968. 1
5968. 2
5968. 3
5968. 4
5968. 5
5968. 6
5968. 7
5969. 0
5969. 1
5969. 2
5969. 3
5969. 4
5969. 5
5969. 6
5969. 7
5969. 8
5969. 9
5970. 0
5970. 1
5970. 2
5970. 3
5971. 0
5971. 1
5971. 2
5971. 3
5971. 4
5971. 5
5971. 6
5972. 0
pull
Entries 37
Mean −172.9
Std Dev 0
2.5
2
1.5
1
0.5
0
−0.5
−1
−1.5
pull1D
Entries 37
Mean 0.01728
Std Dev 1.152
8
7
6
5
4
3
2
1
0
−8
−6
−4
−2
0
2
4
6
8

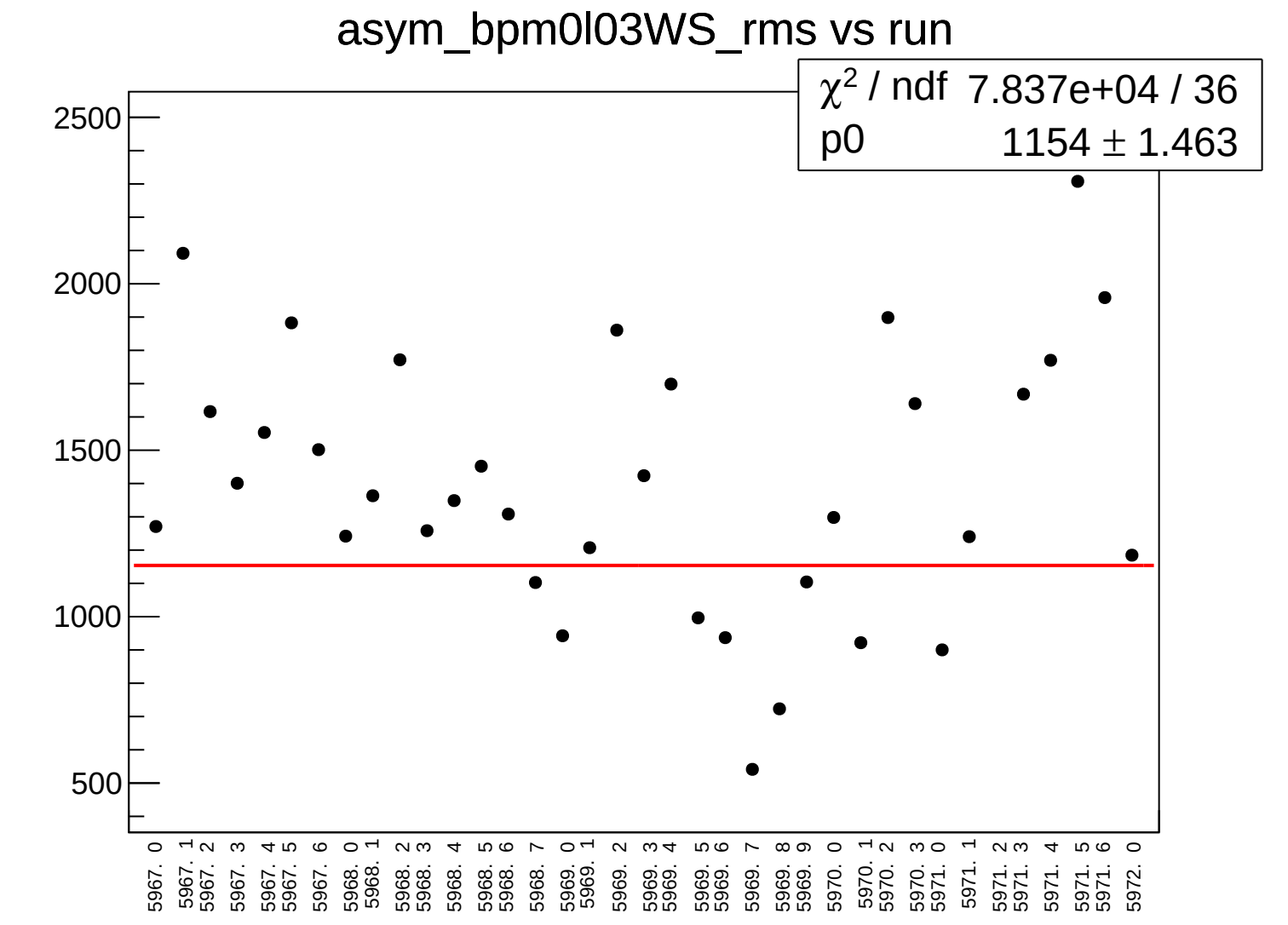
asym_bpm0l03WS_rms vs run
χ² / ndf 7.837e+04 / 36
p0 1154 ± 1.463
2500
2000
1500
1000
500
5967. 0
5967. 1
5967. 2
5967. 3
5967. 4
5967. 5
5967. 6
5968. 0
5968. 1
5968. 2
5968. 3
5968. 4
5968. 5
5968. 6
5968. 7
5969. 0
5969. 1
5969. 2
5969. 3
5969. 4
5969. 5
5969. 6
5969. 7
5969. 8
5969. 9
5970. 0
5970. 1
5970. 2
5970. 3
5971. 0
5971. 1
5971. 2
5971. 3
5971. 4
5971. 5
5971. 6
5972. 0

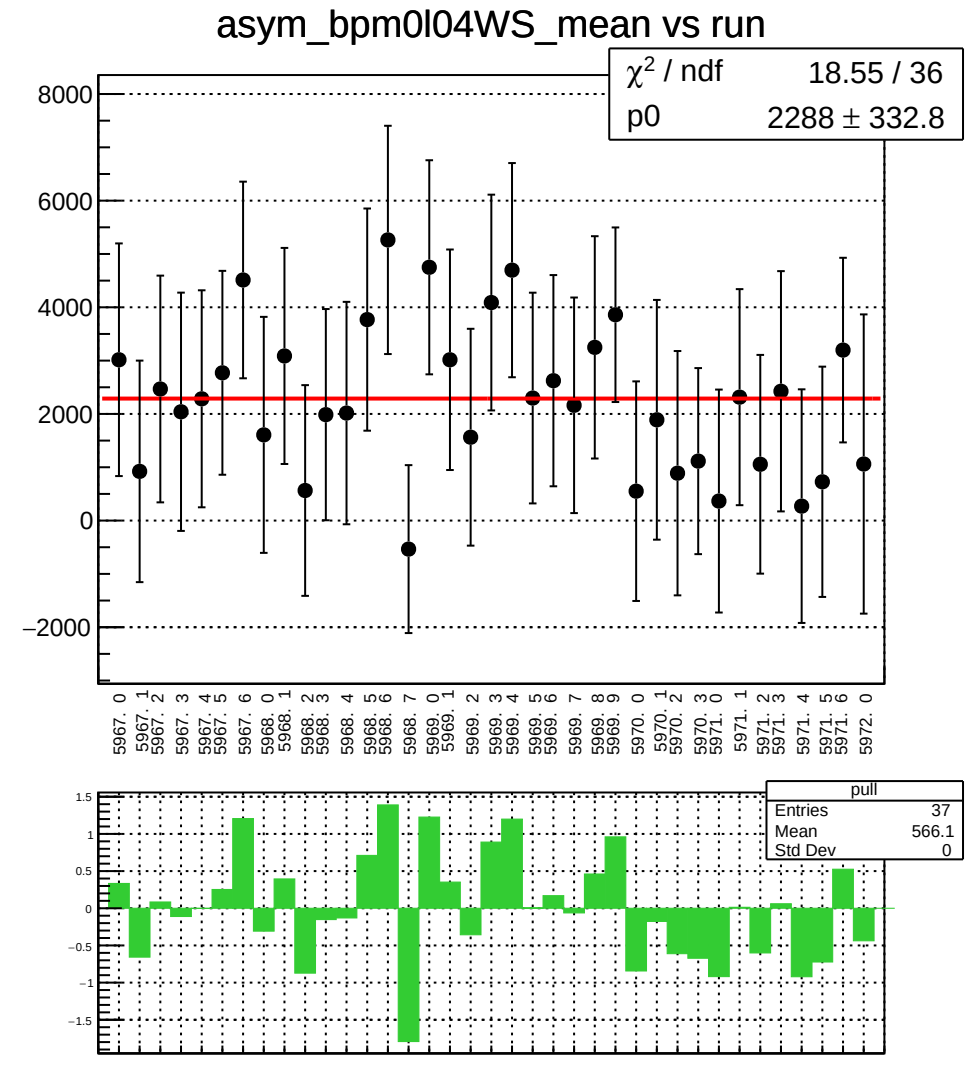
asym_bpm0l04WS_mean vs run
χ² / ndf 18.55 / 36
p0 2288 ± 332.8
8000
6000
4000
2000
0
−2000
5967. 0
5967. 1
5967. 2
5967. 3
5967. 4
5967. 5
5967. 6
5968. 0
5968. 1
5968. 2
5968. 3
5968. 4
5968. 5
5968. 6
5968. 7
5969. 0
5969. 1
5969. 2
5969. 3
5969. 4
5969. 5
5969. 6
5969. 7
5969. 8
5969. 9
5970. 0
5970. 1
5970. 2
5970. 3
5971. 0
5971. 1
5971. 2
5971. 3
5971. 4
5971. 5
5971. 6
5972. 0
pull
Entries 37
Mean 566.1
Std Dev 0
1.5
1
0.5
0
−0.5
−1
−1.5

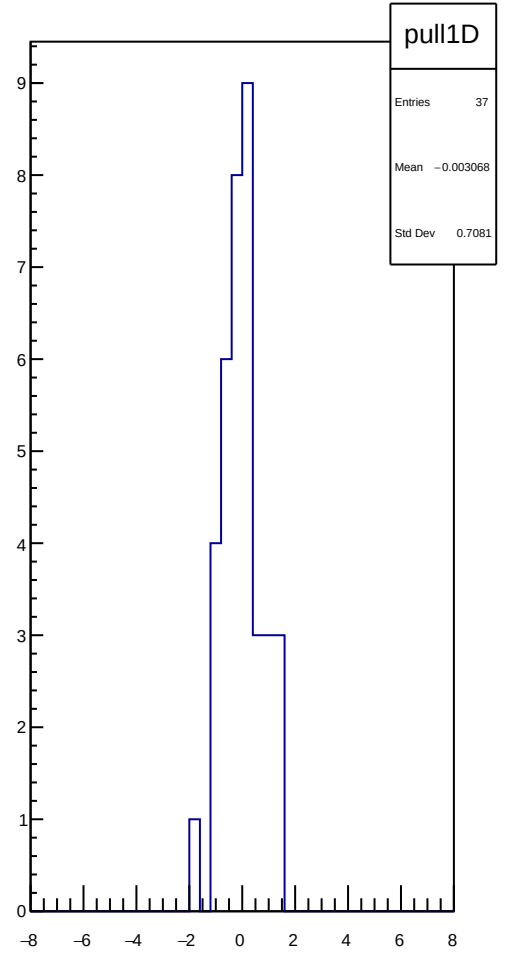
pull1D
Entries 37
Mean −0.003068
Std Dev 0.7081
9
8
7
6
5
4
3
2
1
0
−8
−6
−4
−2
0
2
4
6
8

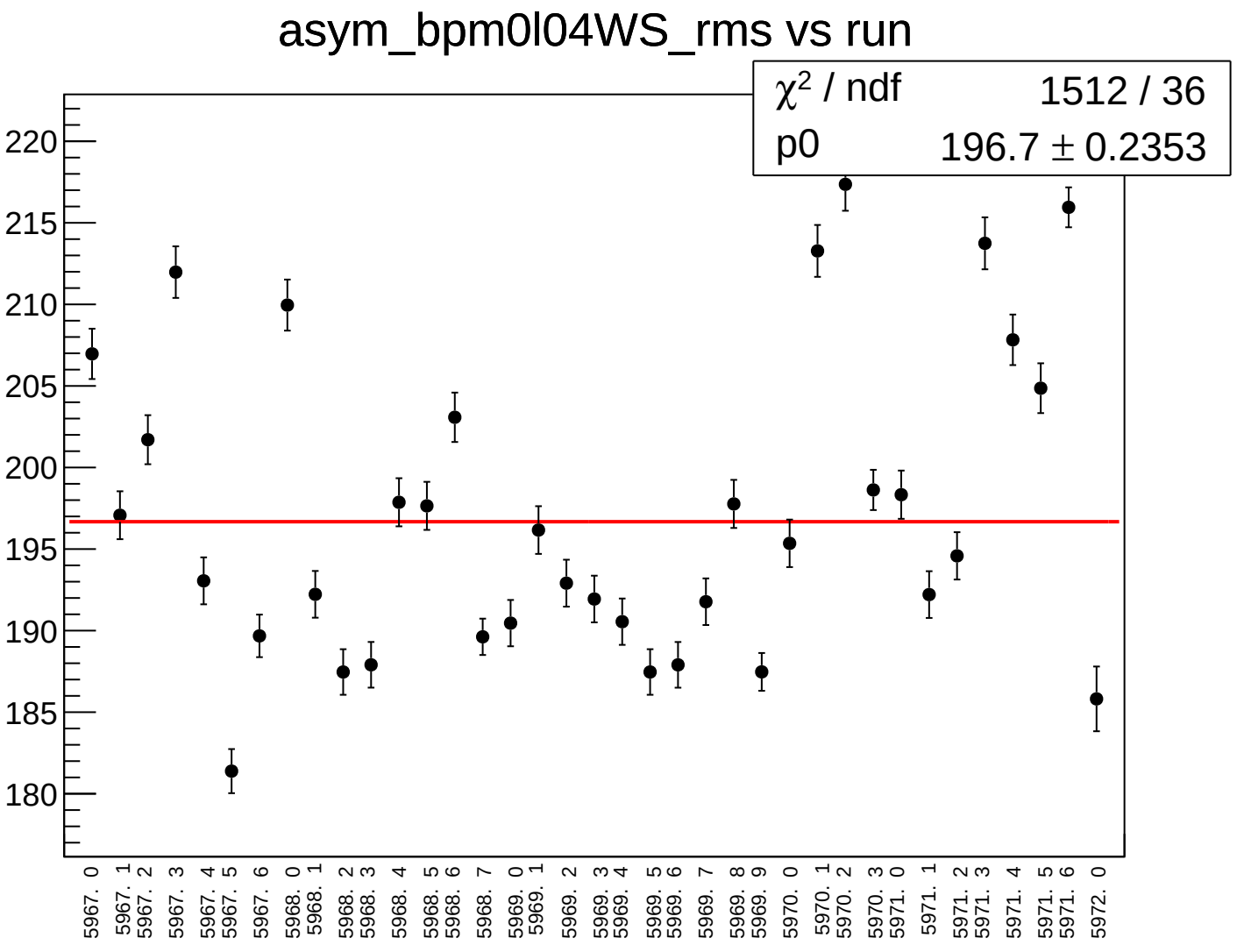
asym_bpm0l04WS_rms vs run
χ² / ndf 1512 / 36
p0 196.7 ± 0.2353
220
215
210
205
200
195
190
185
180
5967. 0
5967. 1
5967. 2
5967. 3
5967. 4
5967. 5
5967. 6
5968. 0
5968. 1
5968. 2
5968. 3
5968. 4
5968. 5
5968. 6
5968. 7
5969. 0
5969. 1
5969. 2
5969. 3
5969. 4
5969. 5
5969. 6
5969. 7
5969. 8
5969. 9
5970. 0
5970. 1
5970. 2
5970. 3
5971. 0
5971. 1
5971. 2
5971. 3
5971. 4
5971. 5
5971. 6
5972. 0

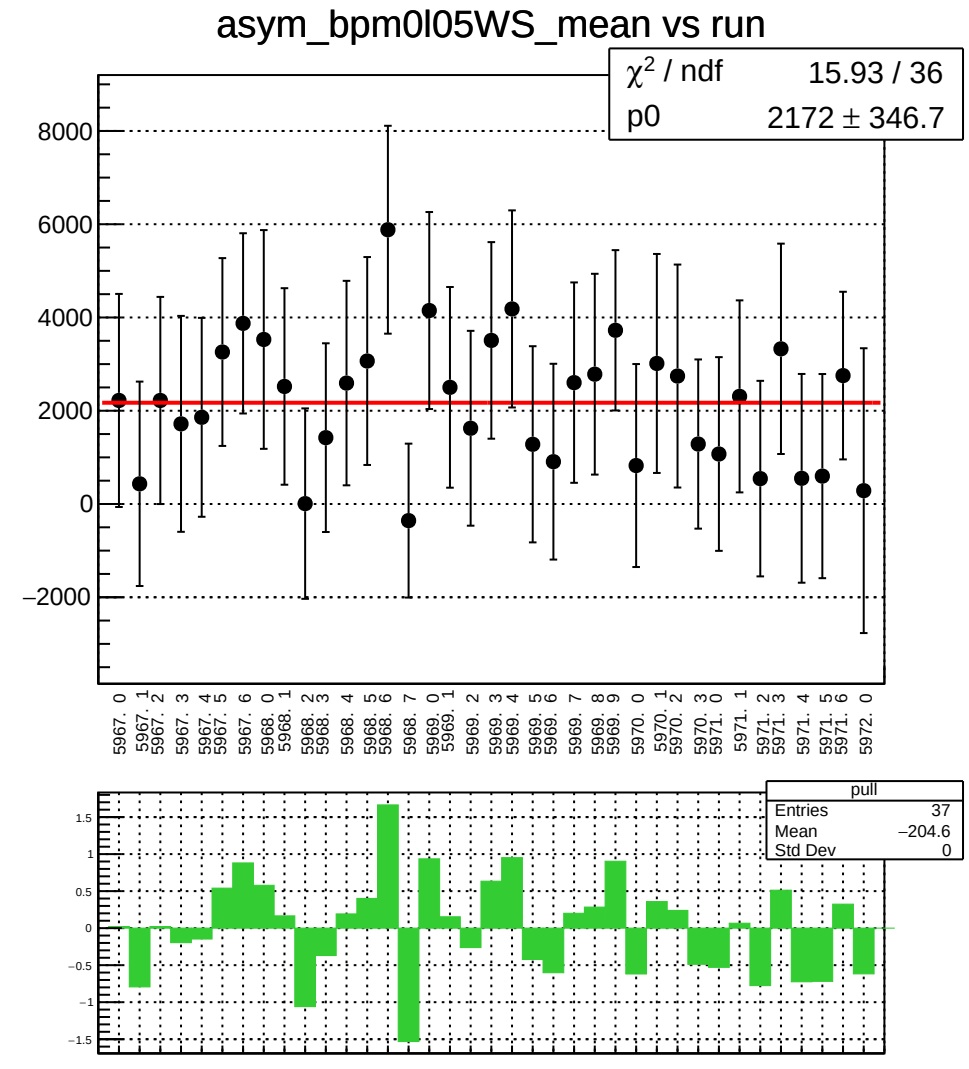
asym_bpm0l05WS_mean vs run
χ² / ndf 15.93 / 36
p0 2172 ± 346.7
8000
6000
4000
2000
0
−2000
5967. 0
5967. 1
5967. 2
5967. 3
5967. 4
5967. 5
5967. 6
5968. 0
5968. 1
5968. 2
5968. 3
5968. 4
5968. 5
5968. 6
5968. 7
5969. 0
5969. 1
5969. 2
5969. 3
5969. 4
5969. 5
5969. 6
5969. 7
5969. 8
5969. 9
5970. 0
5970. 1
5970. 2
5970. 3
5971. 0
5971. 1
5971. 2
5971. 3
5971. 4
5971. 5
5971. 6
5972. 0
pull
Entries 37
Mean −204.6
Std Dev 0
1.5
1
0.5
0
−0.5
−1
−1.5

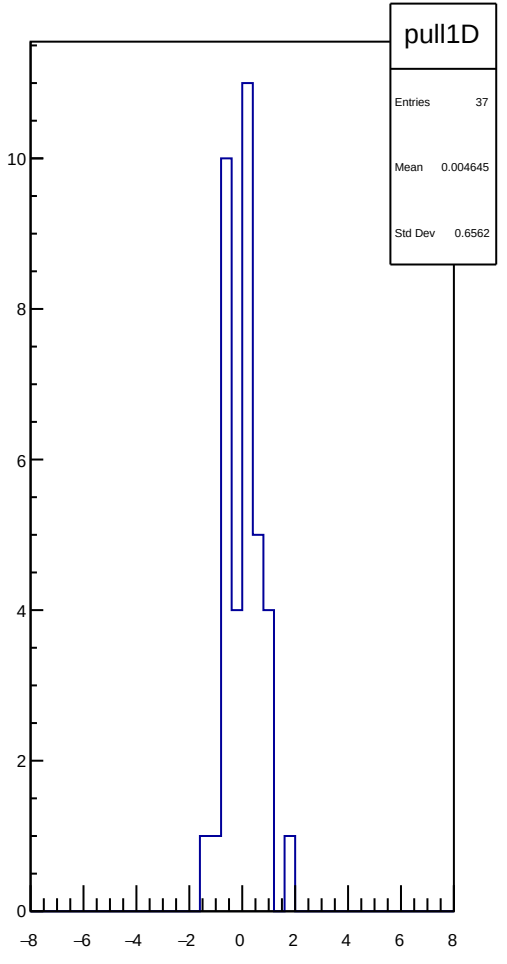
pull1D
Entries 37
Mean 0.004645
Std Dev 0.6562
10
8
6
4
2
0
−8
−6
−4
−2
0
2
4
6
8

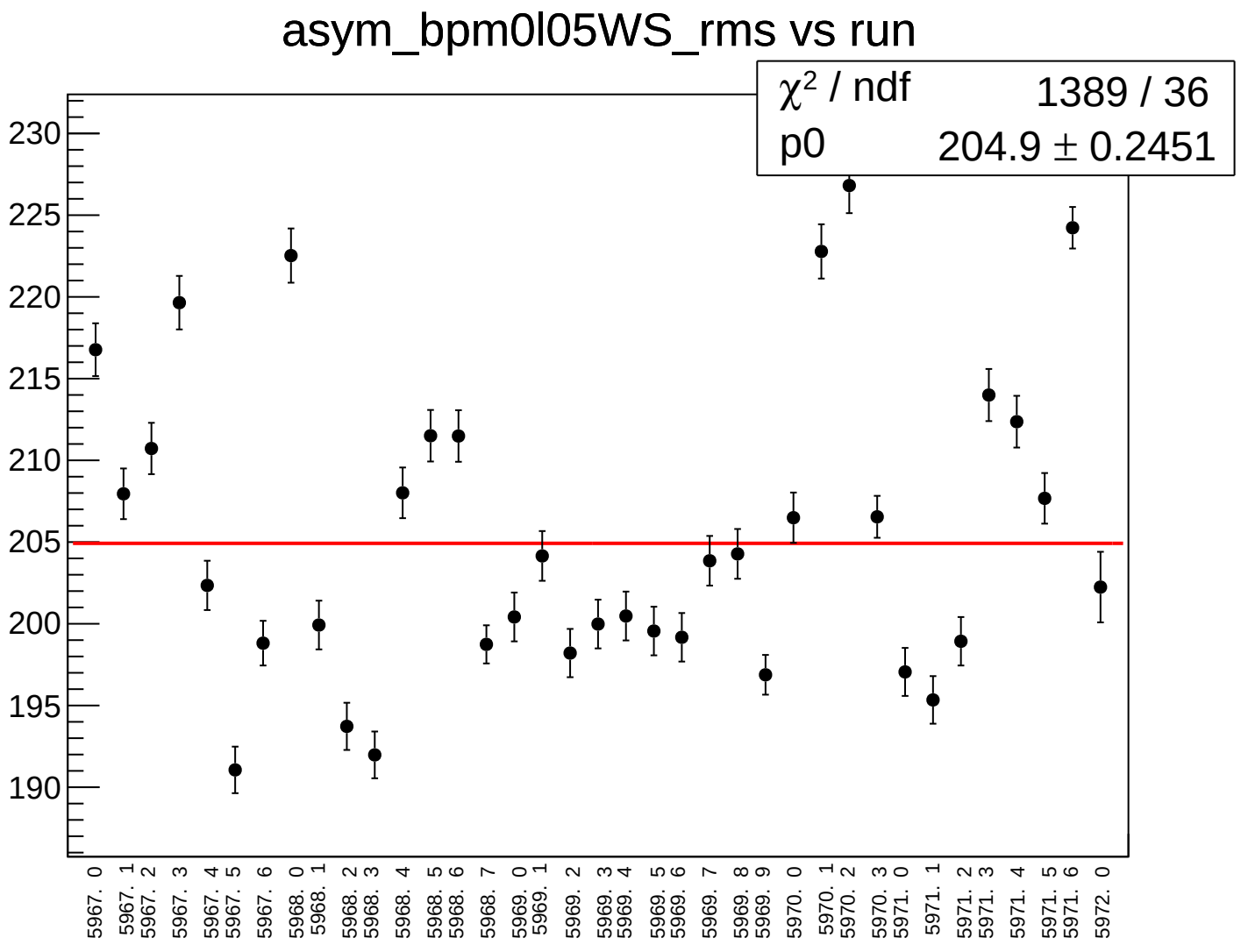
asym_bpm0l05WS_rms vs run
χ² / ndf 1389 / 36
p0 204.9 ± 0.2451
230
225
220
215
210
205
200
195
190
5967. 0
5967. 1
5967. 2
5967. 3
5967. 4
5967. 5
5967. 6
5968. 0
5968. 1
5968. 2
5968. 3
5968. 4
5968. 5
5968. 6
5968. 7
5969. 0
5969. 1
5969. 2
5969. 3
5969. 4
5969. 5
5969. 6
5969. 7
5969. 8
5969. 9
5970. 0
5970. 1
5970. 2
5970. 3
5971. 0
5971. 1
5971. 2
5971. 3
5971. 4
5971. 5
5971. 6
5972. 0

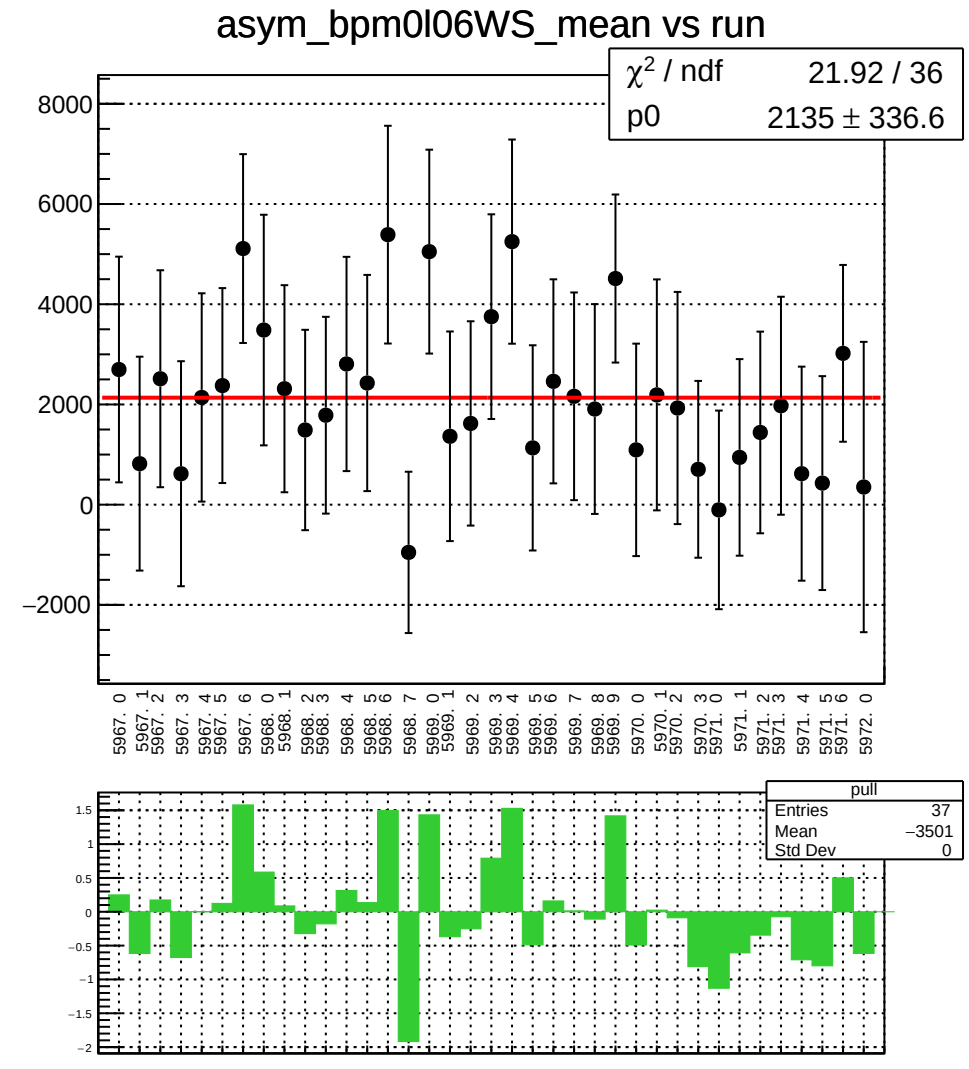
asym_bpm0l06WS_mean vs run
χ² / ndf 21.92 / 36
p0 2135 ± 336.6
8000
6000
4000
2000
0
−2000
5967. 0
5967. 1
5967. 2
5967. 3
5967. 4
5967. 5
5967. 6
5968. 0
5968. 1
5968. 2
5968. 3
5968. 4
5968. 5
5968. 6
5968. 7
5969. 0
5969. 1
5969. 2
5969. 3
5969. 4
5969. 5
5969. 6
5969. 7
5969. 8
5969. 9
5970. 0
5970. 1
5970. 2
5970. 3
5971. 0
5971. 1
5971. 2
5971. 3
5971. 4
5971. 5
5971. 6
5972. 0
pull
Entries 37
Mean −3501
Std Dev 0
1.5
1
0.5
0
−0.5
−1
−1.5
−2

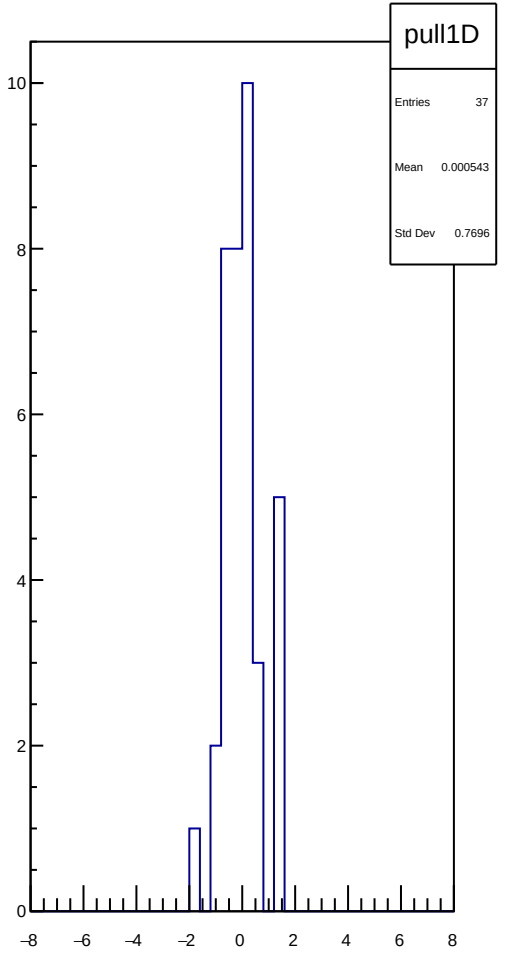
pull1D
Entries 37
Mean 0.000543
Std Dev 0.7696
10
8
6
4
2
0
−8
−6
−4
−2
0
2
4
6
8

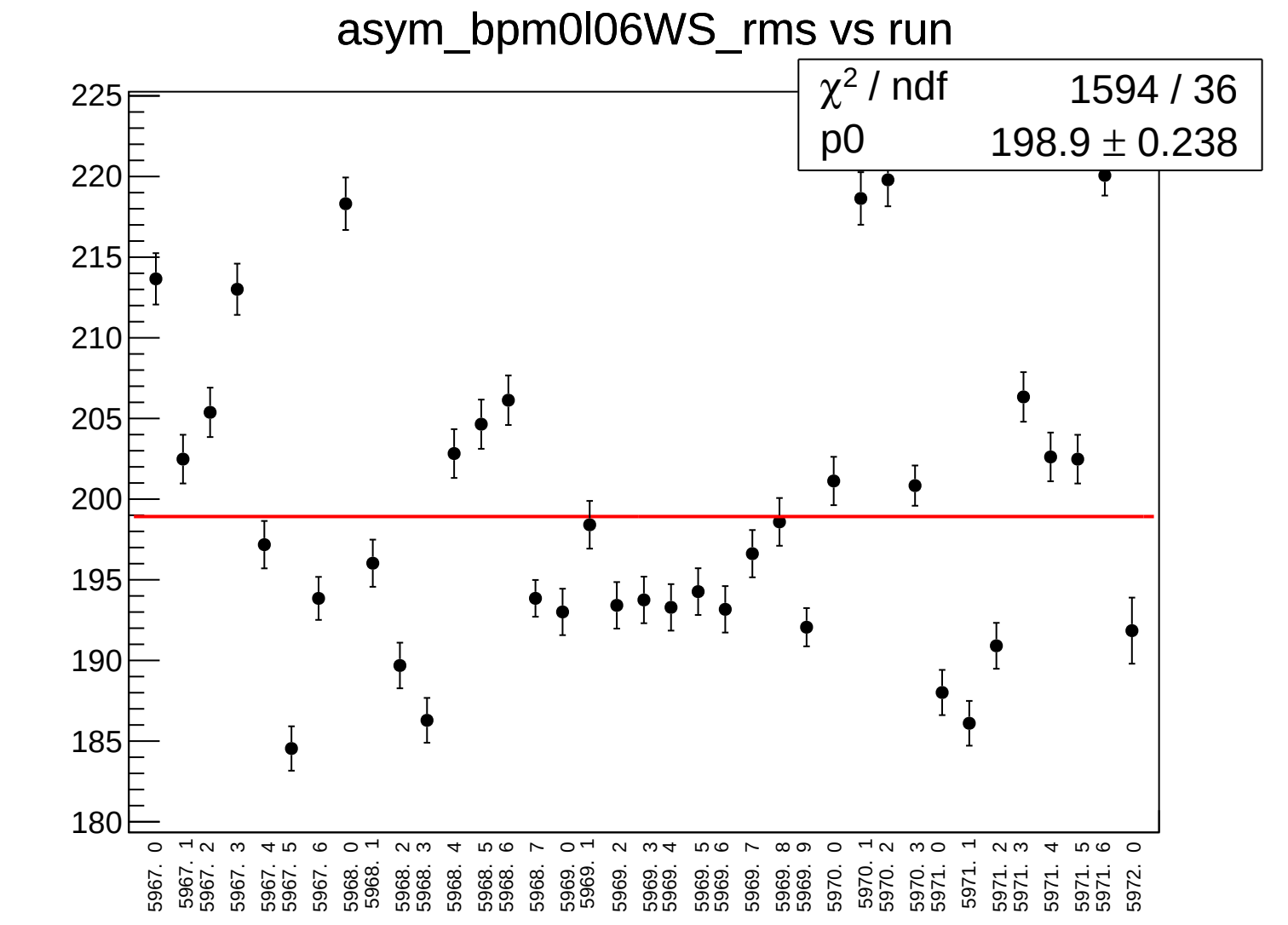
asym_bpm0l06WS_rms vs run
χ² / ndf 1594 / 36
p0 198.9 ± 0.238
225
220
215
210
205
200
195
190
185
180
5967. 0
5967. 1
5967. 2
5967. 3
5967. 4
5967. 5
5967. 6
5968. 0
5968. 1
5968. 2
5968. 3
5968. 4
5968. 5
5968. 6
5968. 7
5969. 0
5969. 1
5969. 2
5969. 3
5969. 4
5969. 5
5969. 6
5969. 7
5969. 8
5969. 9
5970. 0
5970. 1
5970. 2
5970. 3
5971. 0
5971. 1
5971. 2
5971. 3
5971. 4
5971. 5
5971. 6
5972. 0

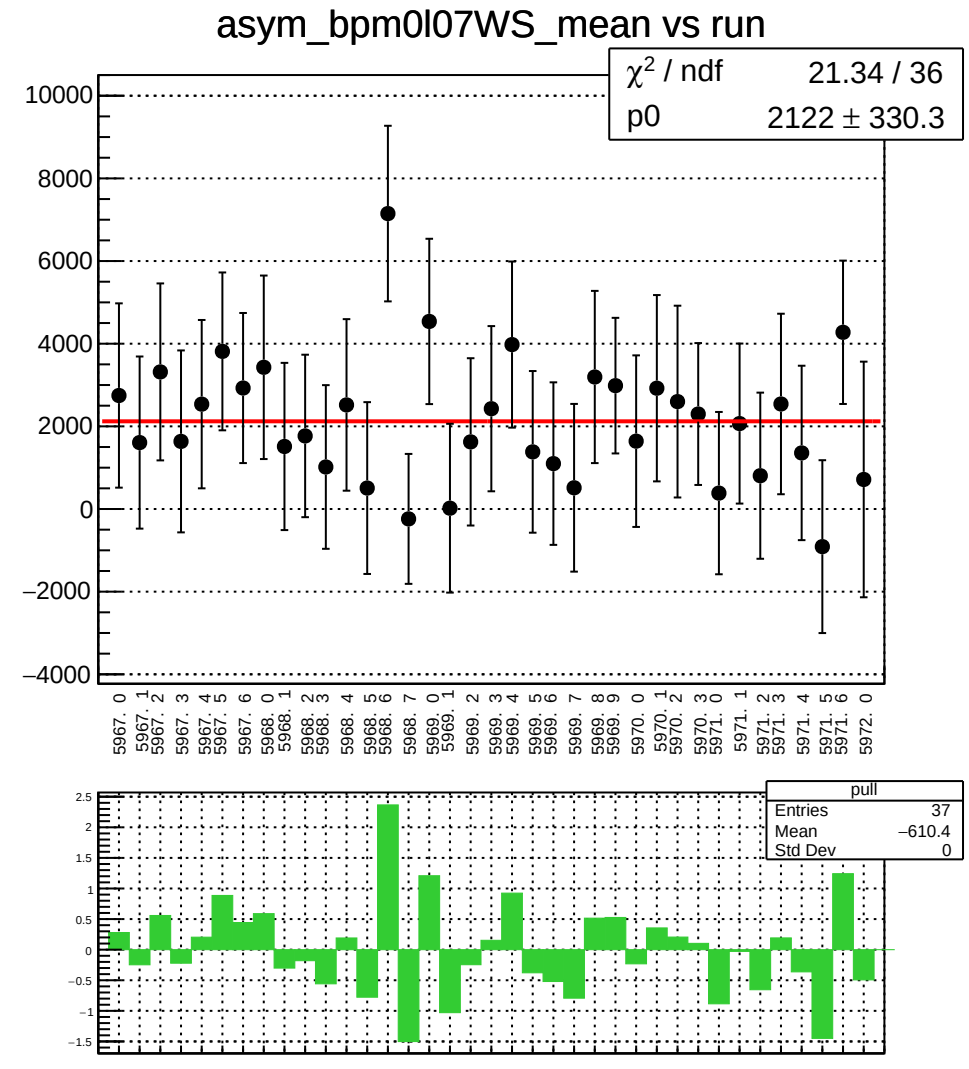
asym_bpm0l07WS_mean vs run
χ² / ndf 21.34 / 36
p0 2122 ± 330.3
10000
8000
6000
4000
2000
0
−2000
−4000
5967. 0
5967. 1
5967. 2
5967. 3
5967. 4
5967. 5
5967. 6
5968. 0
5968. 1
5968. 2
5968. 3
5968. 4
5968. 5
5968. 6
5968. 7
5969. 0
5969. 1
5969. 2
5969. 3
5969. 4
5969. 5
5969. 6
5969. 7
5969. 8
5969. 9
5970. 0
5970. 1
5970. 2
5970. 3
5971. 0
5971. 1
5971. 2
5971. 3
5971. 4
5971. 5
5971. 6
5972. 0
pull
Entries 37
Mean −610.4
Std Dev 0
2.5
2
1.5
1
0.5
0
−0.5
−1
−1.5

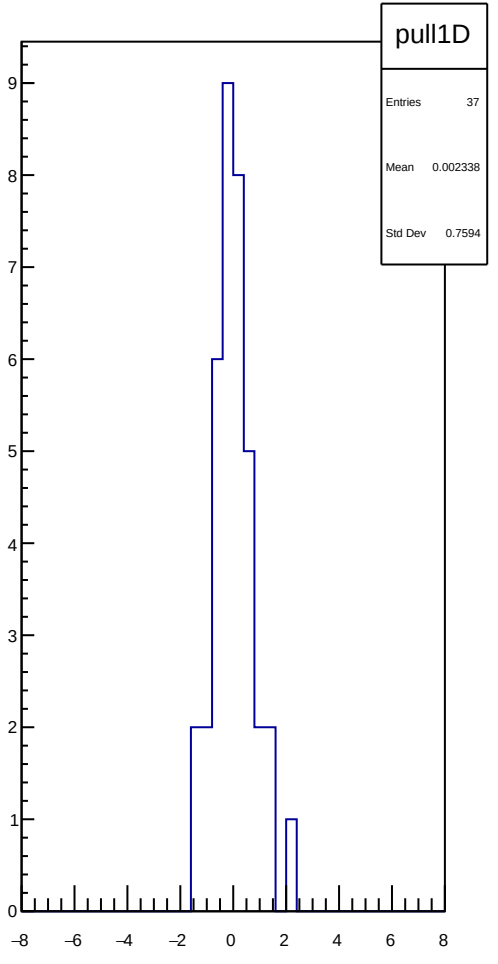
pull1D
Entries 37
Mean 0.002338
Std Dev 0.7594
9
8
7
6
5
4
3
2
1
0
−8
−6
−4
−2
0
2
4
6
8

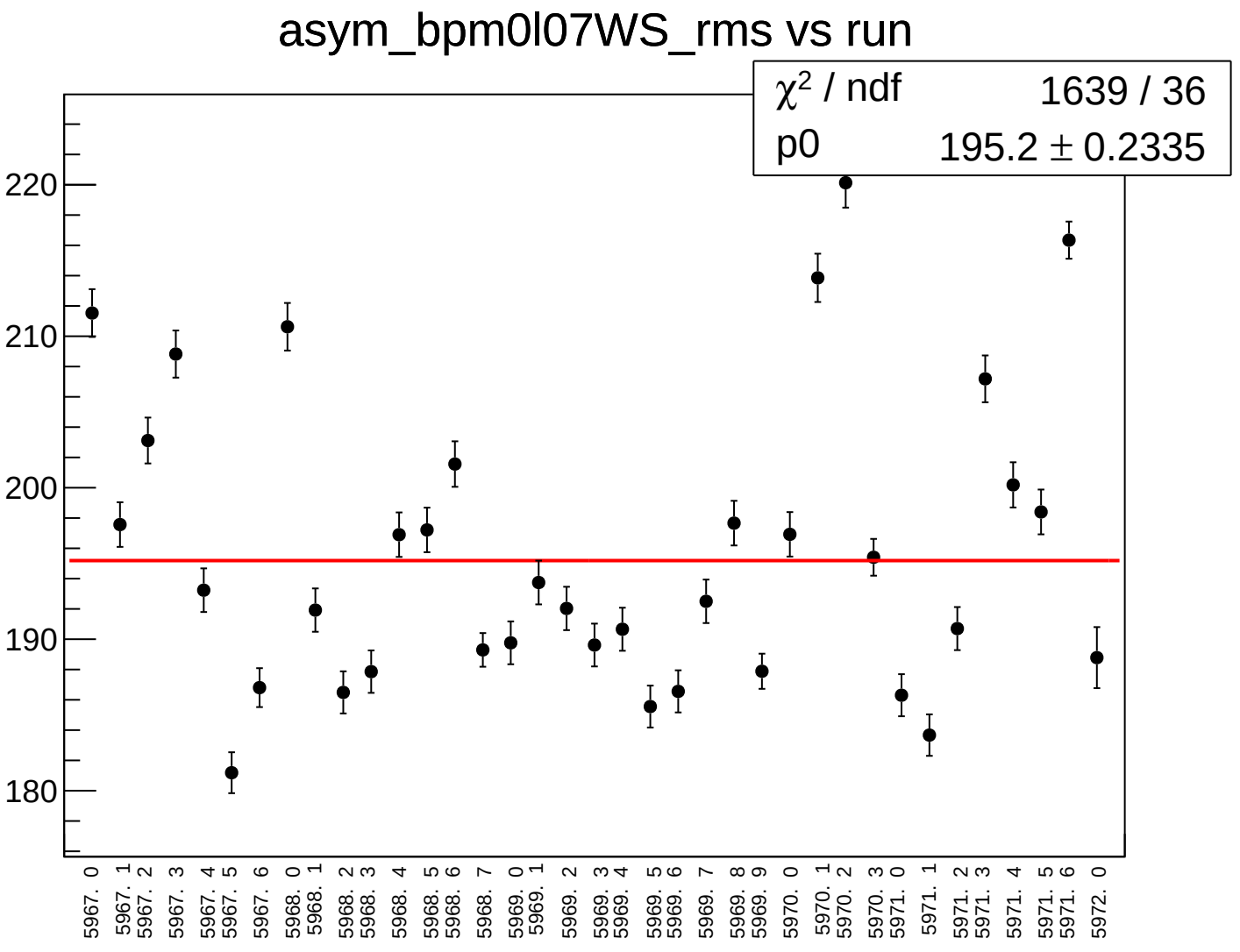
asym_bpm0l07WS_rms vs run
χ² / ndf 1639 / 36
p0 195.2 ± 0.2335
220
210
200
190
180
5967. 0
5967. 1
5967. 2
5967. 3
5967. 4
5967. 5
5967. 6
5968. 0
5968. 1
5968. 2
5968. 3
5968. 4
5968. 5
5968. 6
5968. 7
5969. 0
5969. 1
5969. 2
5969. 3
5969. 4
5969. 5
5969. 6
5969. 7
5969. 8
5969. 9
5970. 0
5970. 1
5970. 2
5970. 3
5971. 0
5971. 1
5971. 2
5971. 3
5971. 4
5971. 5
5971. 6
5972. 0

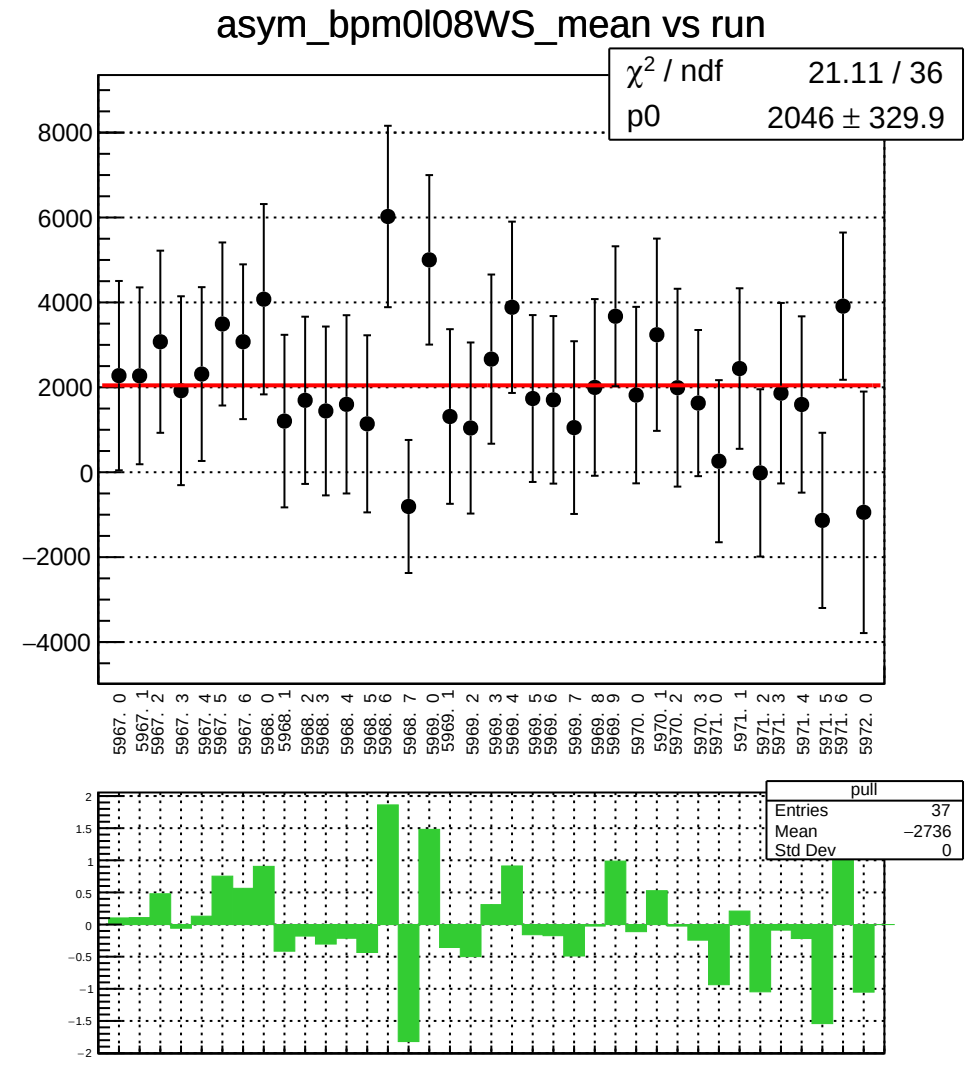
asym_bpm0l08WS_mean vs run
χ² / ndf 21.11 / 36
p0 2046 ± 329.9
8000
6000
4000
2000
0
−2000
−4000
5967. 0
5967. 1
5967. 2
5967. 3
5967. 4
5967. 5
5967. 6
5968. 0
5968. 1
5968. 2
5968. 3
5968. 4
5968. 5
5968. 6
5968. 7
5969. 0
5969. 1
5969. 2
5969. 3
5969. 4
5969. 5
5969. 6
5969. 7
5969. 8
5969. 9
5970. 0
5970. 1
5970. 2
5970. 3
5971. 0
5971. 1
5971. 2
5971. 3
5971. 4
5971. 5
5971. 6
5972. 0
pull
Entries 37
Mean −2736
Std Dev 0
2
1.5
1
0.5
0
−0.5
−1
−1.5
−2

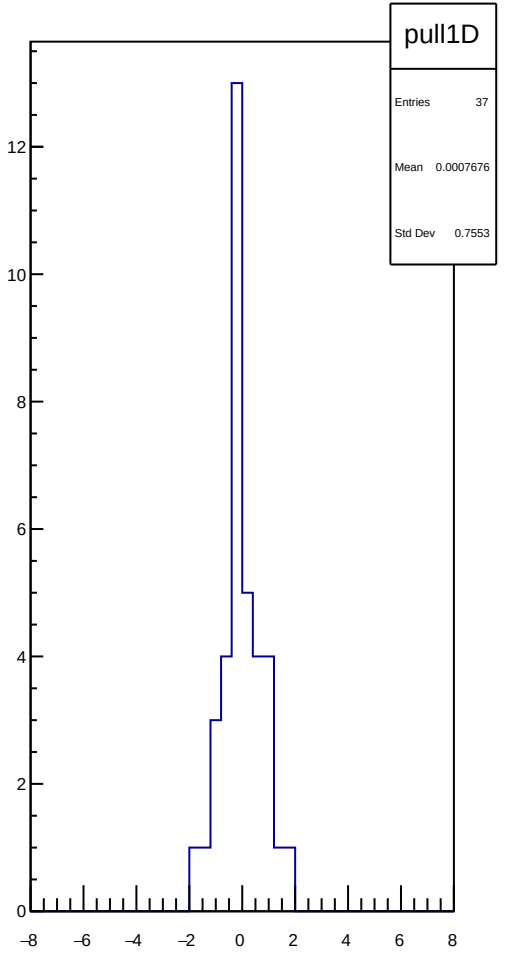
pull1D
Entries 37
Mean 0.0007676
Std Dev 0.7553
12
10
8
6
4
2
0
−8
−6
−4
−2
0
2
4
6
8

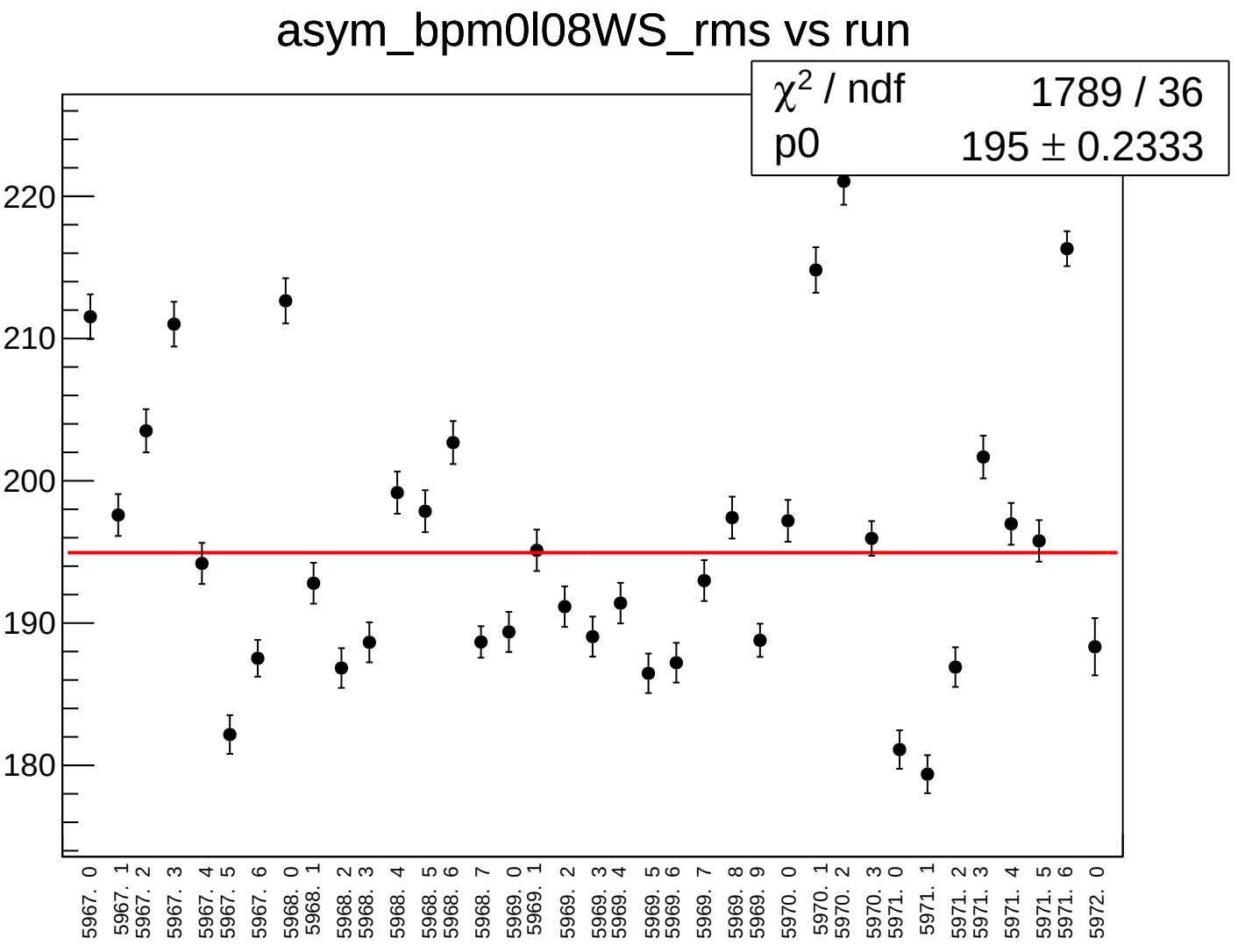
asym_bpm0l08WS_rms vs run
χ² / ndf 1789 / 36
p0 195 ± 0.2333
220
210
200
190
180
5967. 0
5967. 1
5967. 2
5967. 3
5967. 4
5967. 5
5967. 6
5968. 0
5968. 1
5968. 2
5968. 3
5968. 4
5968. 5
5968. 6
5968. 7
5969. 0
5969. 1
5969. 2
5969. 3
5969. 4
5969. 5
5969. 6
5969. 7
5969. 8
5969. 9
5970. 0
5970. 1
5970. 2
5970. 3
5971. 0
5971. 1
5971. 2
5971. 3
5971. 4
5971. 5
5971. 6
5972. 0

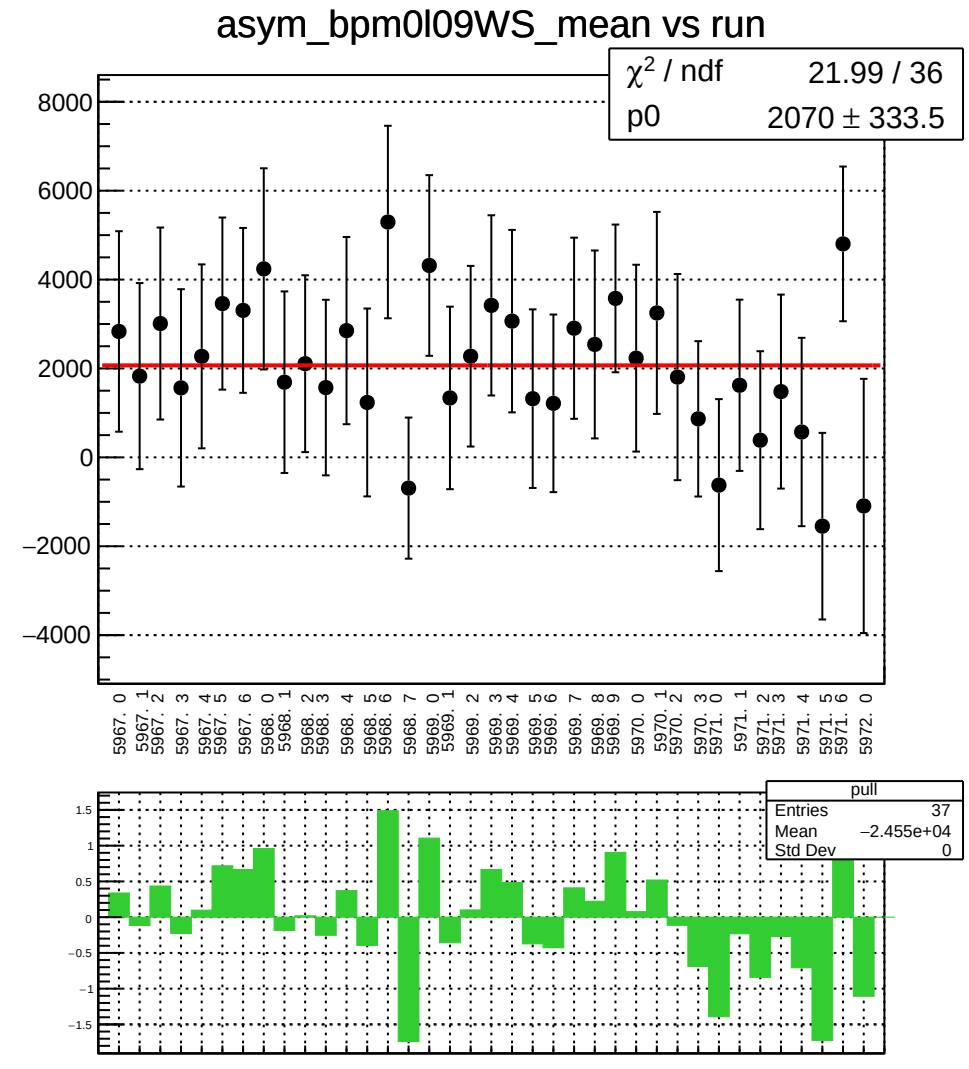
asym_bpm0l09WS_mean vs run
χ² / ndf 21.99 / 36
p0 2070 ± 333.5
8000
6000
4000
2000
0
−2000
−4000
5967. 0
5967. 1
5967. 2
5967. 3
5967. 4
5967. 5
5967. 6
5968. 0
5968. 1
5968. 2
5968. 3
5968. 4
5968. 5
5968. 6
5968. 7
5969. 0
5969. 1
5969. 2
5969. 3
5969. 4
5969. 5
5969. 6
5969. 7
5969. 8
5969. 9
5970. 0
5970. 1
5970. 2
5970. 3
5971. 0
5971. 1
5971. 2
5971. 3
5971. 4
5971. 5
5971. 6
5972. 0
pull
Entries 37
Mean −2.455e+04
Std Dev 0
1.5
1
0.5
0
−0.5
−1
−1.5

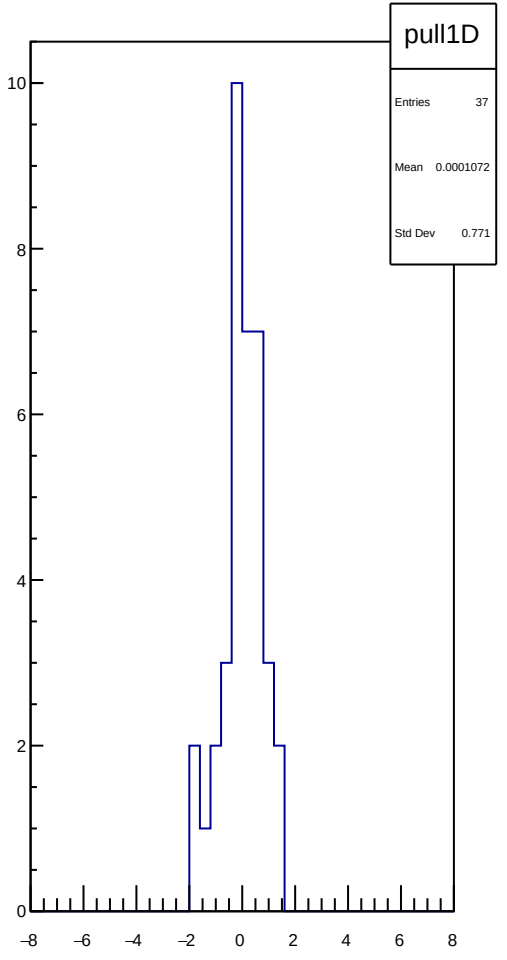
pull1D
Entries 37
Mean 0.0001072
Std Dev 0.771
10
8
6
4
2
0
−8
−6
−4
−2
0
2
4
6
8

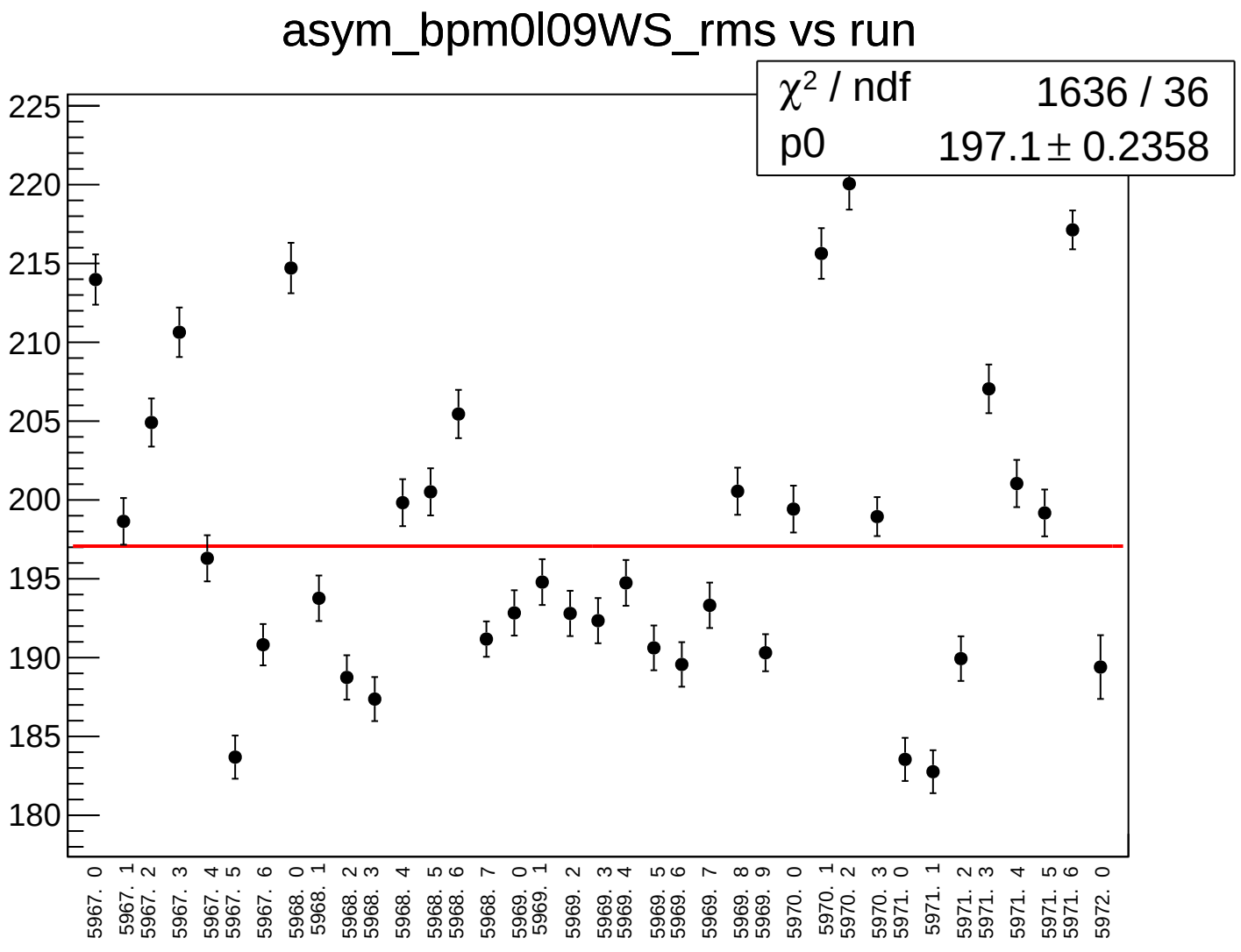
asym_bpm0l09WS_rms vs run
χ² / ndf 1636 / 36
p0 197.1 ± 0.2358
225
220
215
210
205
200
195
190
185
180
5967. 0
5967. 1
5967. 2
5967. 3
5967. 4
5967. 5
5967. 6
5968. 0
5968. 1
5968. 2
5968. 3
5968. 4
5968. 5
5968. 6
5968. 7
5969. 0
5969. 1
5969. 2
5969. 3
5969. 4
5969. 5
5969. 6
5969. 7
5969. 8
5969. 9
5970. 0
5970. 1
5970. 2
5970. 3
5971. 0
5971. 1
5971. 2
5971. 3
5971. 4
5971. 5
5971. 6
5972. 0

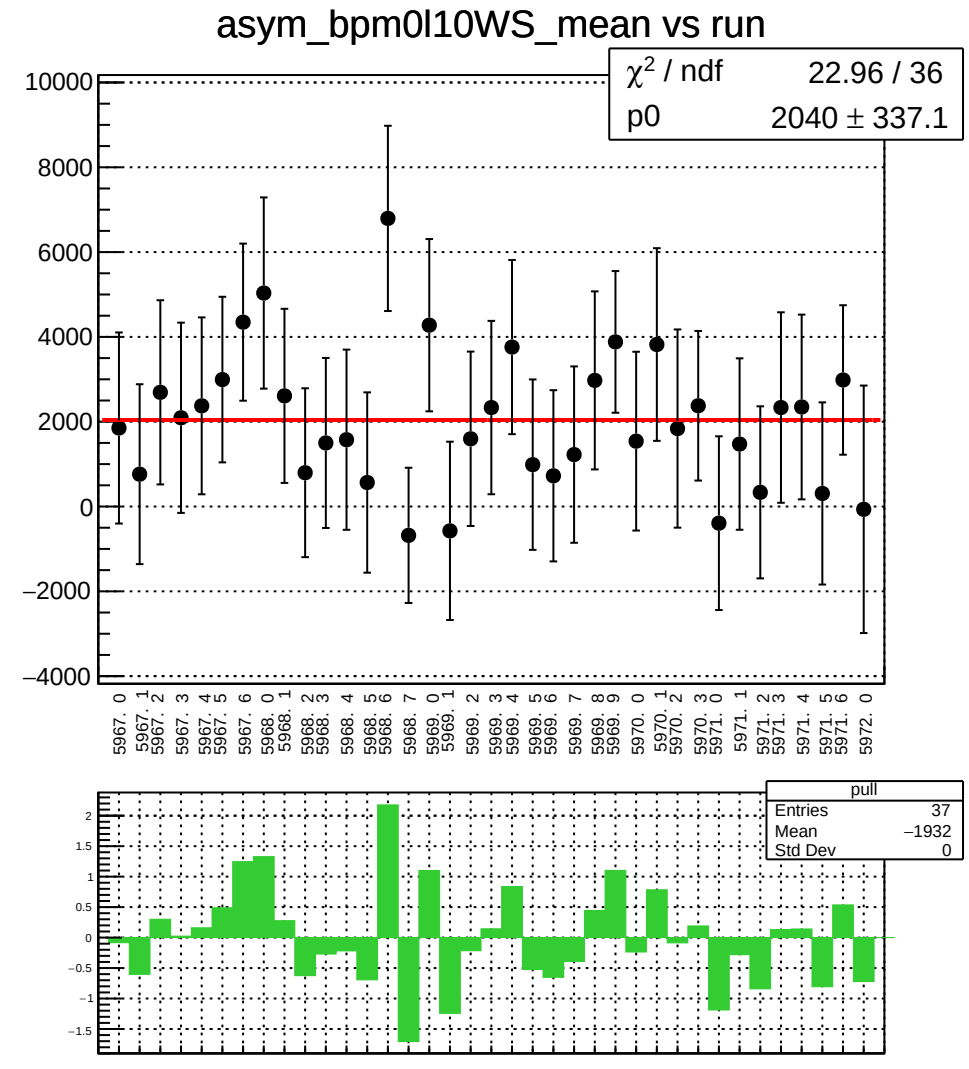
asym_bpm0l10WS_mean vs run
χ² / ndf 22.96 / 36
p0 2040 ± 337.1
10000
8000
6000
4000
2000
0
−2000
−4000
5967. 0
5967. 1
5967. 2
5967. 3
5967. 4
5967. 5
5967. 6
5968. 0
5968. 1
5968. 2
5968. 3
5968. 4
5968. 5
5968. 6
5968. 7
5969. 0
5969. 1
5969. 2
5969. 3
5969. 4
5969. 5
5969. 6
5969. 7
5969. 8
5969. 9
5970. 0
5970. 1
5970. 2
5970. 3
5971. 0
5971. 1
5971. 2
5971. 3
5971. 4
5971. 5
5971. 6
5972. 0
pull
Entries 37
Mean −1932
Std Dev 0
2
1.5
1
0.5
0
−0.5
−1
−1.5

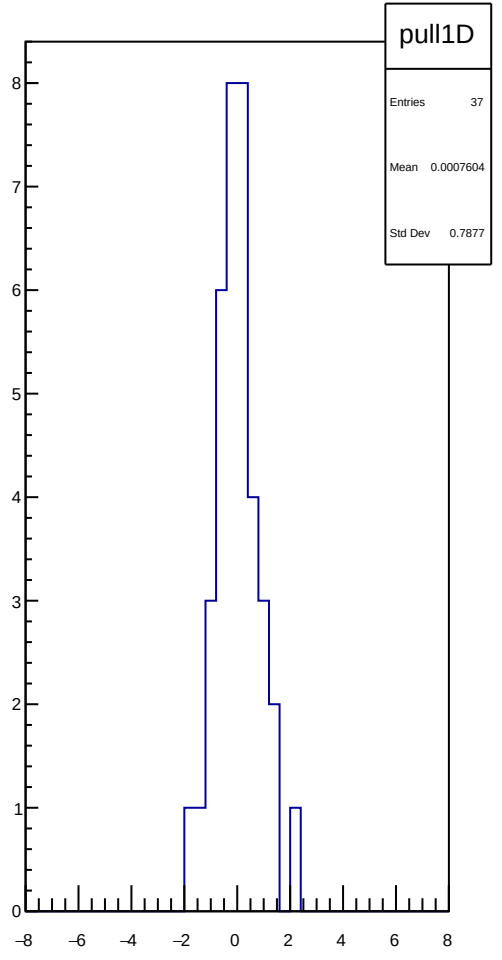
pull1D
Entries 37
Mean 0.0007604
Std Dev 0.7877
8
7
6
5
4
3
2
1
0
−8
−6
−4
−2
0
2
4
6
8

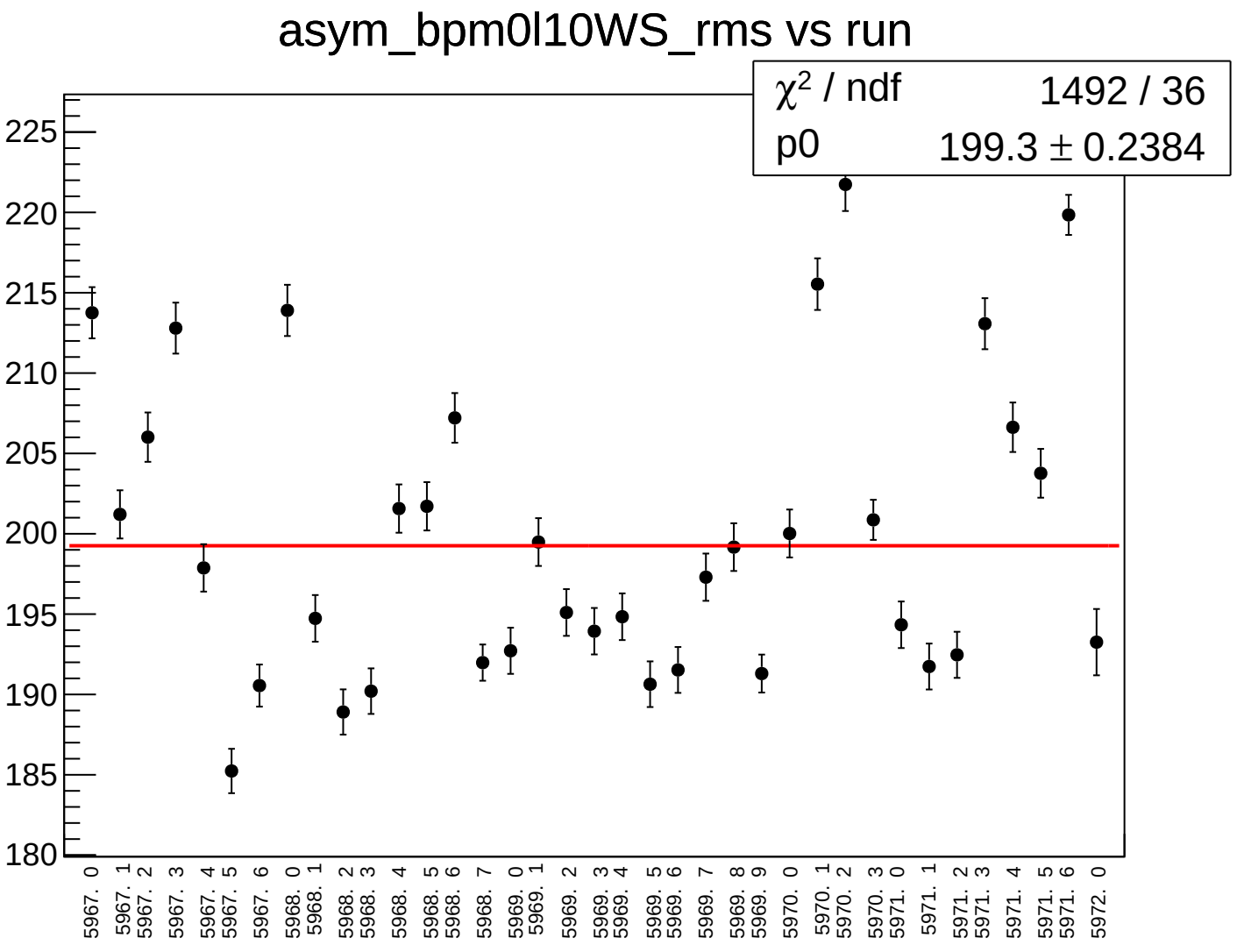
asym_bpm0l10WS_rms vs run
χ² / ndf 1492 / 36
p0 199.3 ± 0.2384
225
220
215
210
205
200
195
190
185
180
5967. 0
5967. 1
5967. 2
5967. 3
5967. 4
5967. 5
5967. 6
5968. 0
5968. 1
5968. 2
5968. 3
5968. 4
5968. 5
5968. 6
5968. 7
5969. 0
5969. 1
5969. 2
5969. 3
5969. 4
5969. 5
5969. 6
5969. 7
5969. 8
5969. 9
5970. 0
5970. 1
5970. 2
5970. 3
5971. 0
5971. 1
5971. 2
5971. 3
5971. 4
5971. 5
5971. 6
5972. 0

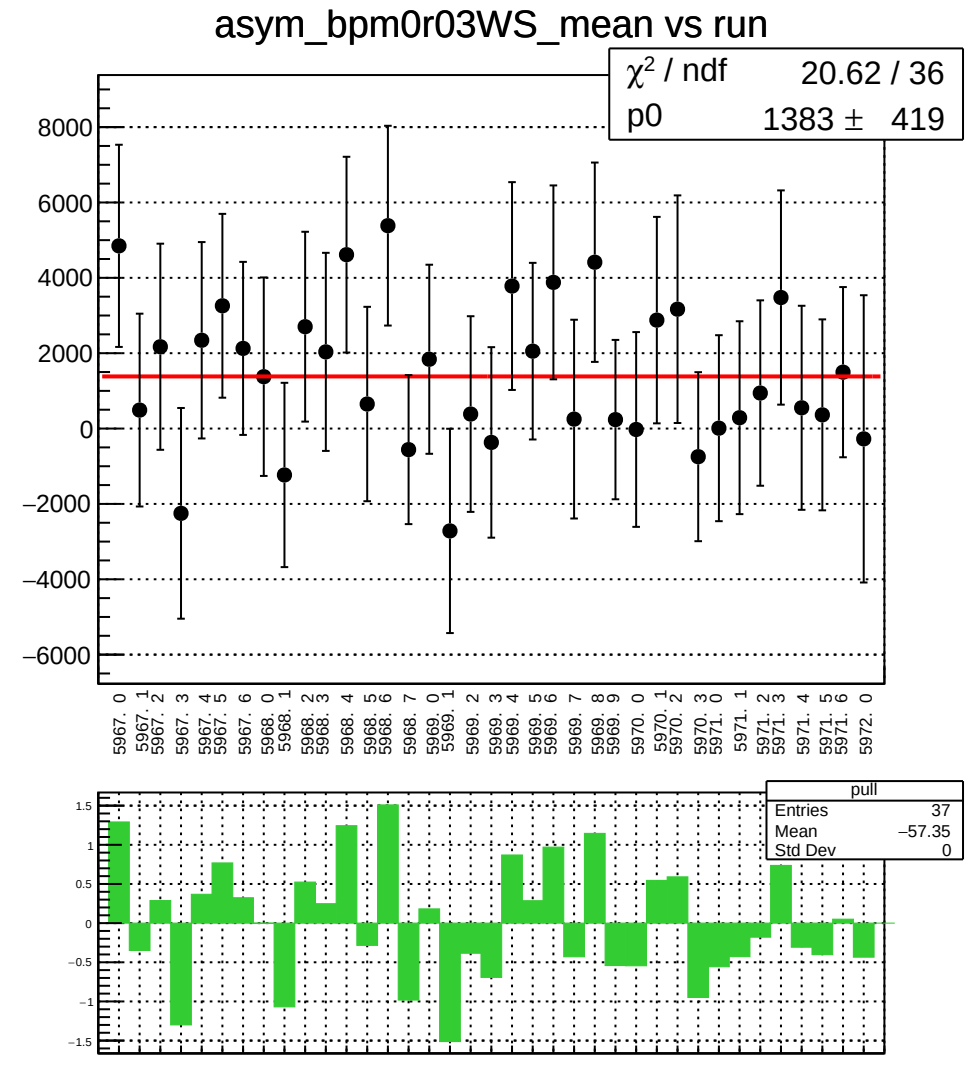
asym_bpm0r03WS_mean vs run
χ² / ndf 20.62 / 36
p0 1383 ± 419
8000
6000
4000
2000
0
−2000
−4000
−6000
5967. 0
5967. 1
5967. 2
5967. 3
5967. 4
5967. 5
5967. 6
5968. 0
5968. 1
5968. 2
5968. 3
5968. 4
5968. 5
5968. 6
5968. 7
5969. 0
5969. 1
5969. 2
5969. 3
5969. 4
5969. 5
5969. 6
5969. 7
5969. 8
5969. 9
5970. 0
5970. 1
5970. 2
5970. 3
5971. 0
5971. 1
5971. 2
5971. 3
5971. 4
5971. 5
5971. 6
5972. 0
pull
Entries 37
Mean −57.35
Std Dev 0
1.5
1
0.5
0
−0.5
−1
−1.5

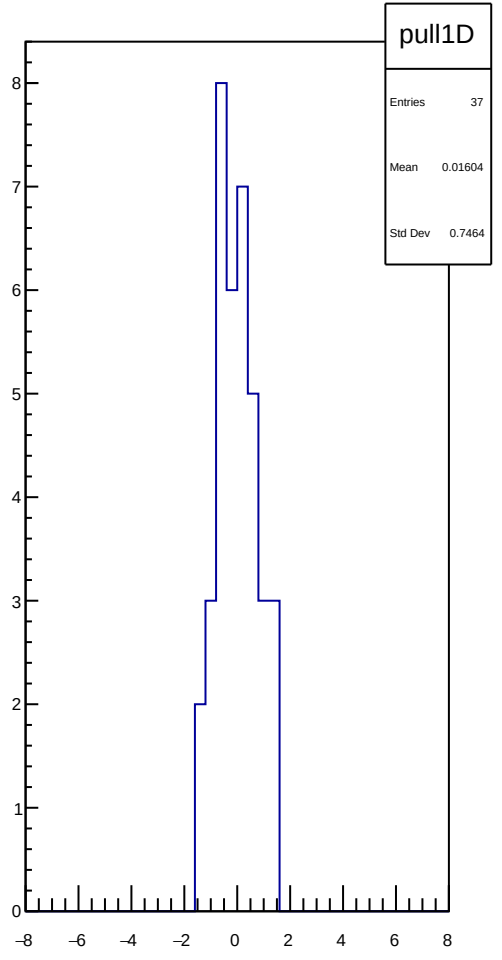
pull1D
Entries 37
Mean 0.01604
Std Dev 0.7464
8
7
6
5
4
3
2
1
0
−8
−6
−4
−2
0
2
4
6
8

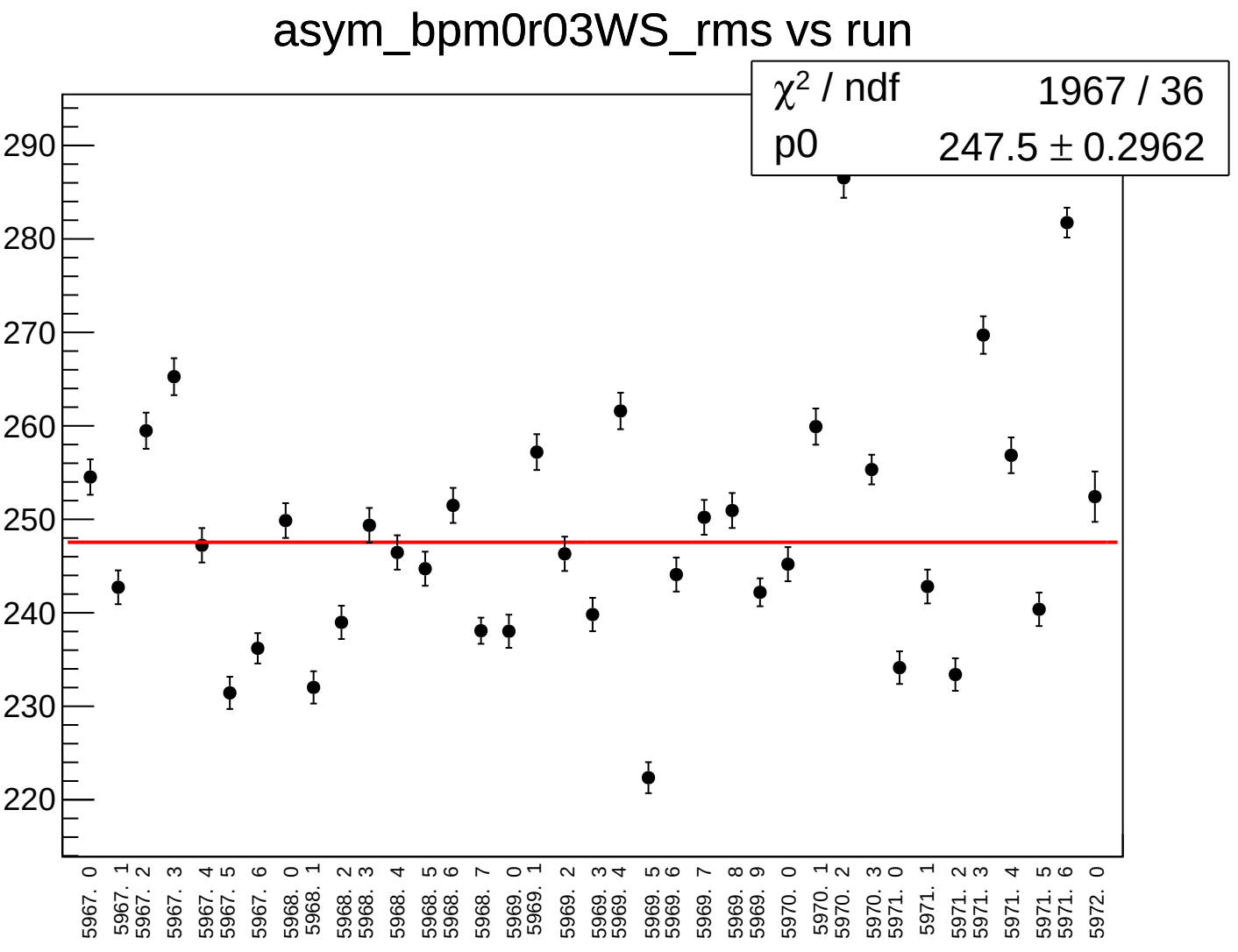
asym_bpm0r03WS_rms vs run
χ² / ndf 1967 / 36
p0 247.5 ± 0.2962
290
280
270
260
250
240
230
220
5967. 0
5967. 1
5967. 2
5967. 3
5967. 4
5967. 5
5967. 6
5968. 0
5968. 1
5968. 2
5968. 3
5968. 4
5968. 5
5968. 6
5968. 7
5969. 0
5969. 1
5969. 2
5969. 3
5969. 4
5969. 5
5969. 6
5969. 7
5969. 8
5969. 9
5970. 0
5970. 1
5970. 2
5970. 3
5971. 0
5971. 1
5971. 2
5971. 3
5971. 4
5971. 5
5971. 6
5972. 0

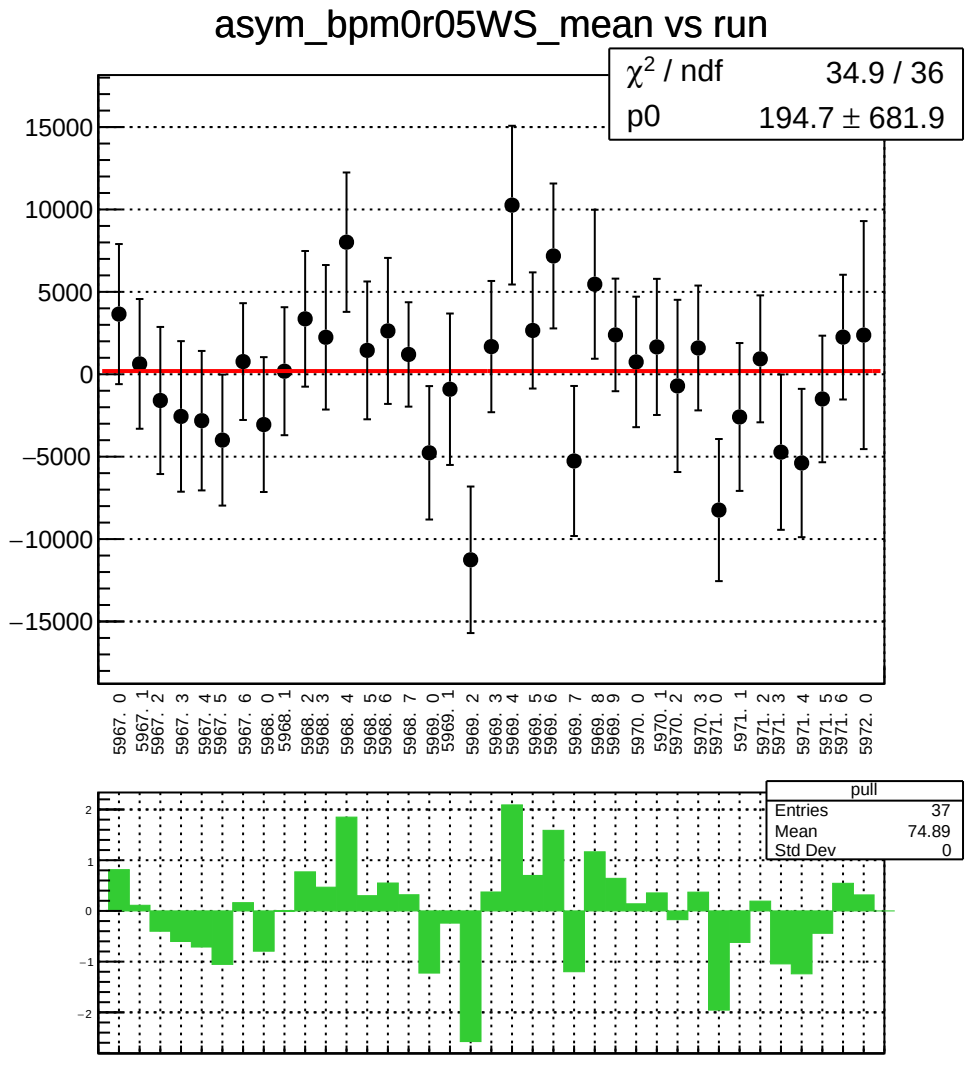
asym_bpm0r05WS_mean vs run
χ² / ndf 34.9 / 36
p0 194.7 ± 681.9
15000
10000
5000
0
−5000
−10000
−15000
5967. 0
5967. 1
5967. 2
5967. 3
5967. 4
5967. 5
5967. 6
5968. 0
5968. 1
5968. 2
5968. 3
5968. 4
5968. 5
5968. 6
5968. 7
5969. 0
5969. 1
5969. 2
5969. 3
5969. 4
5969. 5
5969. 6
5969. 7
5969. 8
5969. 9
5970. 0
5970. 1
5970. 2
5970. 3
5971. 0
5971. 1
5971. 2
5971. 3
5971. 4
5971. 5
5971. 6
5972. 0
pull
Entries 37
Mean 74.89
Std Dev 0
2
1
0
−1
−2

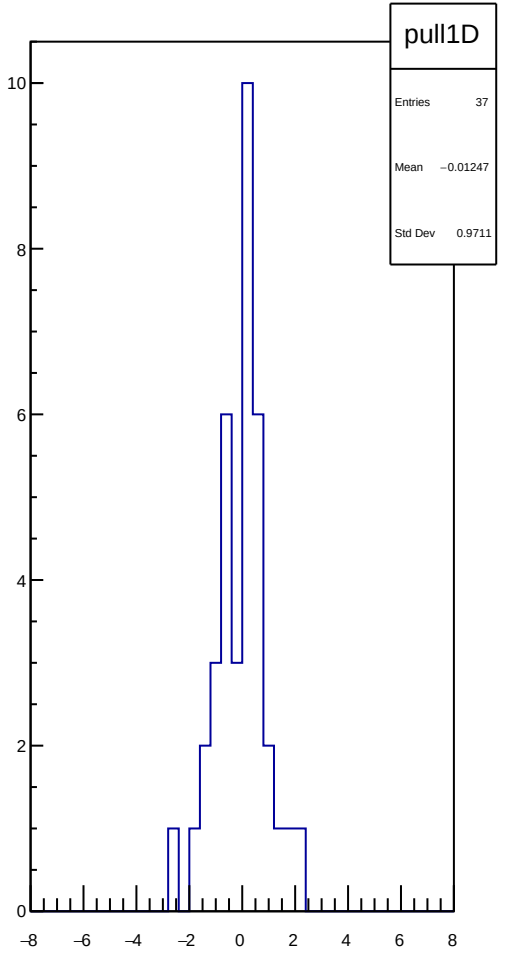
pull1D
Entries 37
Mean −0.01247
Std Dev 0.9711
10
8
6
4
2
0
−8
−6
−4
−2
0
2
4
6
8

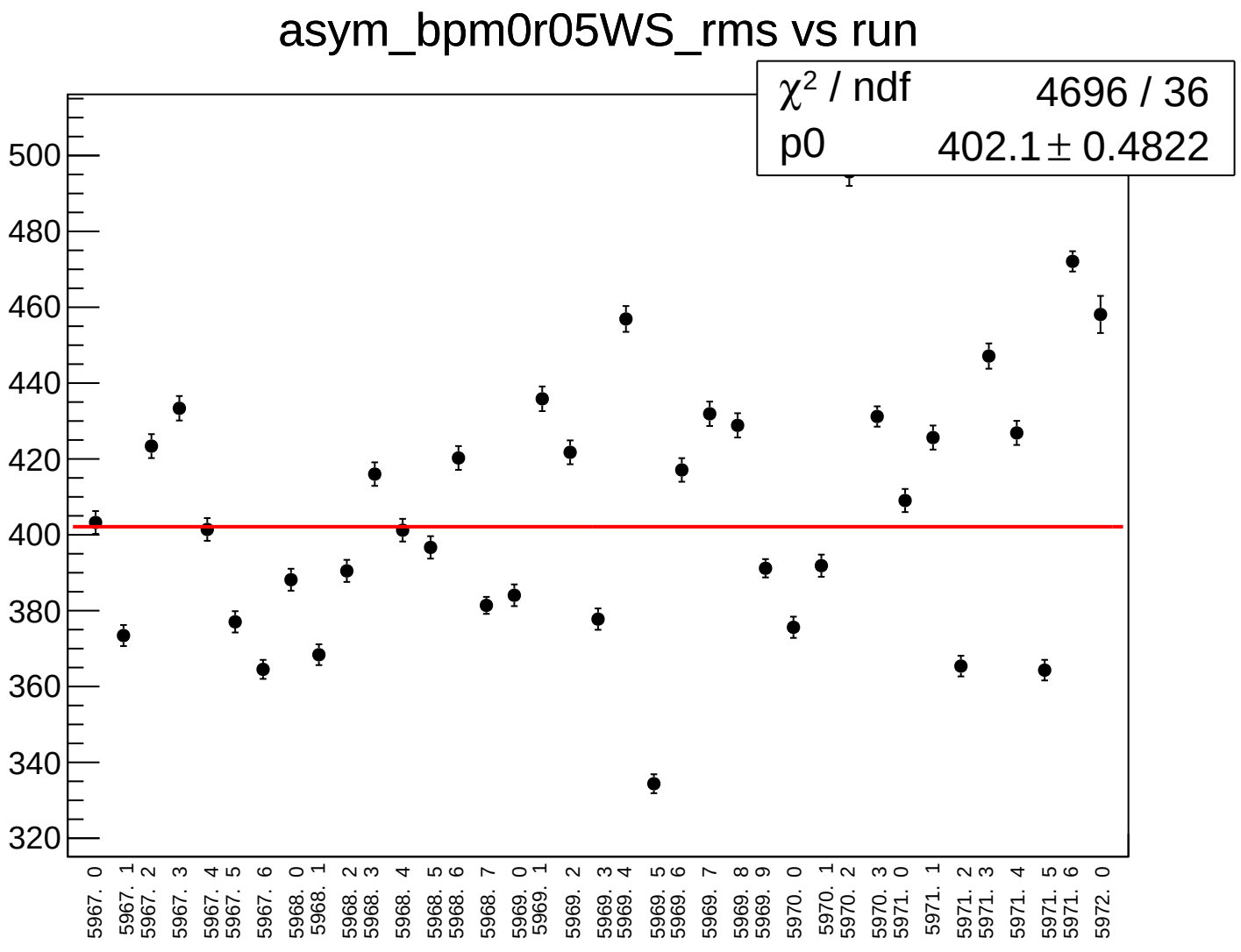
asym_bpm0r05WS_rms vs run
χ² / ndf 4696 / 36
p0 402.1 ± 0.4822
500
480
460
440
420
400
380
360
340
320
5967. 0
5967. 1
5967. 2
5967. 3
5967. 4
5967. 5
5967. 6
5968. 0
5968. 1
5968. 2
5968. 3
5968. 4
5968. 5
5968. 6
5968. 7
5969. 0
5969. 1
5969. 2
5969. 3
5969. 4
5969. 5
5969. 6
5969. 7
5969. 8
5969. 9
5970. 0
5970. 1
5970. 2
5970. 3
5971. 0
5971. 1
5971. 2
5971. 3
5971. 4
5971. 5
5971. 6
5972. 0

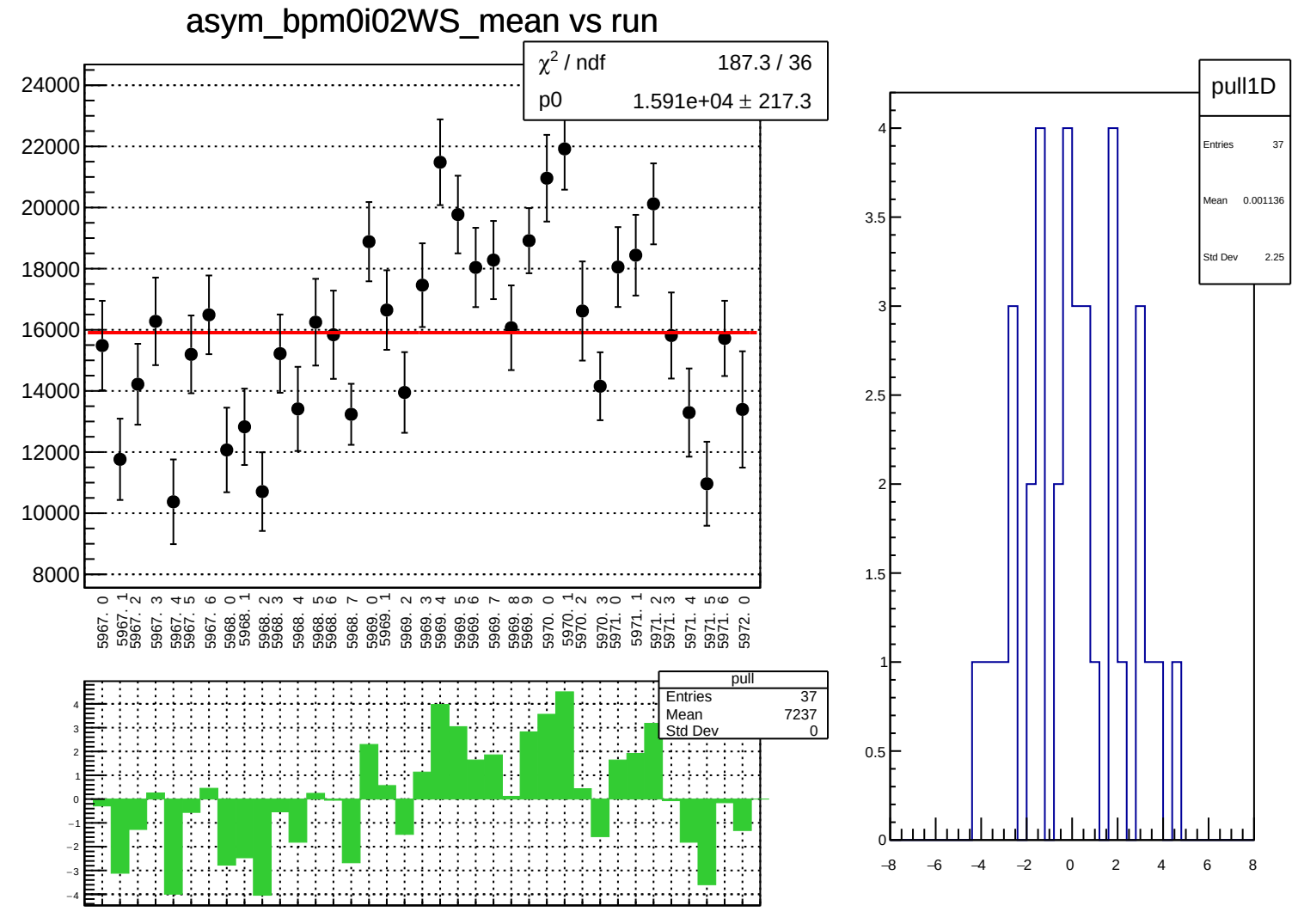
asym_bpm0i02WS_mean vs run
χ² / ndf 187.3 / 36
p0 1.591e+04 ± 217.3
24000
22000
20000
18000
16000
14000
12000
10000
8000
5967. 0
5967. 1
5967. 2
5967. 3
5967. 4
5967. 5
5967. 6
5968. 0
5968. 1
5968. 2
5968. 3
5968. 4
5968. 5
5968. 6
5968. 7
5969. 0
5969. 1
5969. 2
5969. 3
5969. 4
5969. 5
5969. 6
5969. 7
5969. 8
5969. 9
5970. 0
5970. 1
5970. 2
5970. 3
5971. 0
5971. 1
5971. 2
5971. 3
5971. 4
5971. 5
5971. 6
5972. 0
pull
Entries 37
Mean 7237
Std Dev 0
pull1D
Entries 37
Mean 0.001136
Std Dev 2.25

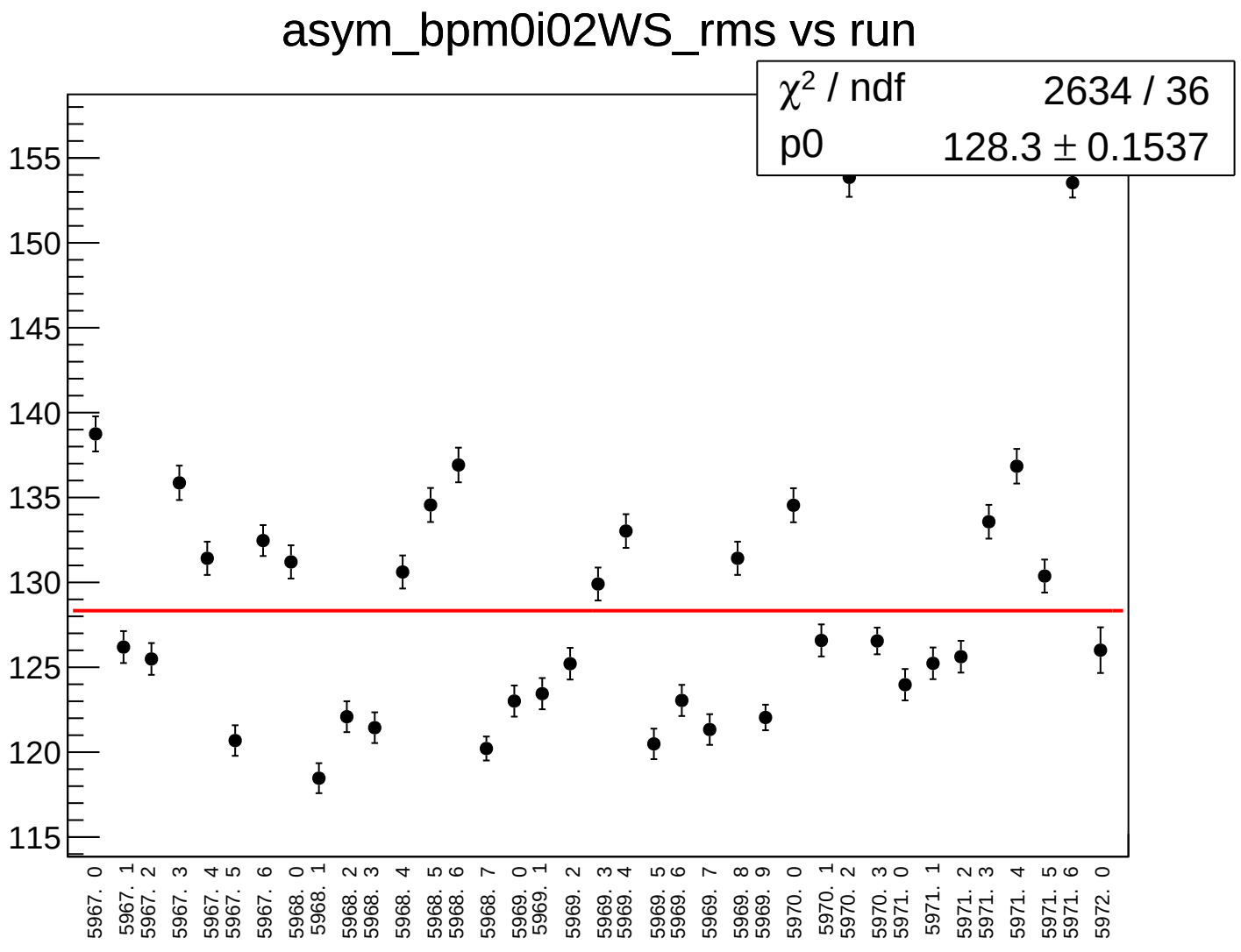
asym_bpm0i02WS_rms vs run
χ² / ndf 2634 / 36
p0 128.3 ± 0.1537
155
150
145
140
135
130
125
120
115
5967. 0
5967. 1
5967. 2
5967. 3
5967. 4
5967. 5
5967. 6
5968. 0
5968. 1
5968. 2
5968. 3
5968. 4
5968. 5
5968. 6
5968. 7
5969. 0
5969. 1
5969. 2
5969. 3
5969. 4
5969. 5
5969. 6
5969. 7
5969. 8
5969. 9
5970. 0
5970. 1
5970. 2
5970. 3
5971. 0
5971. 1
5971. 2
5971. 3
5971. 4
5971. 5
5971. 6
5972. 0

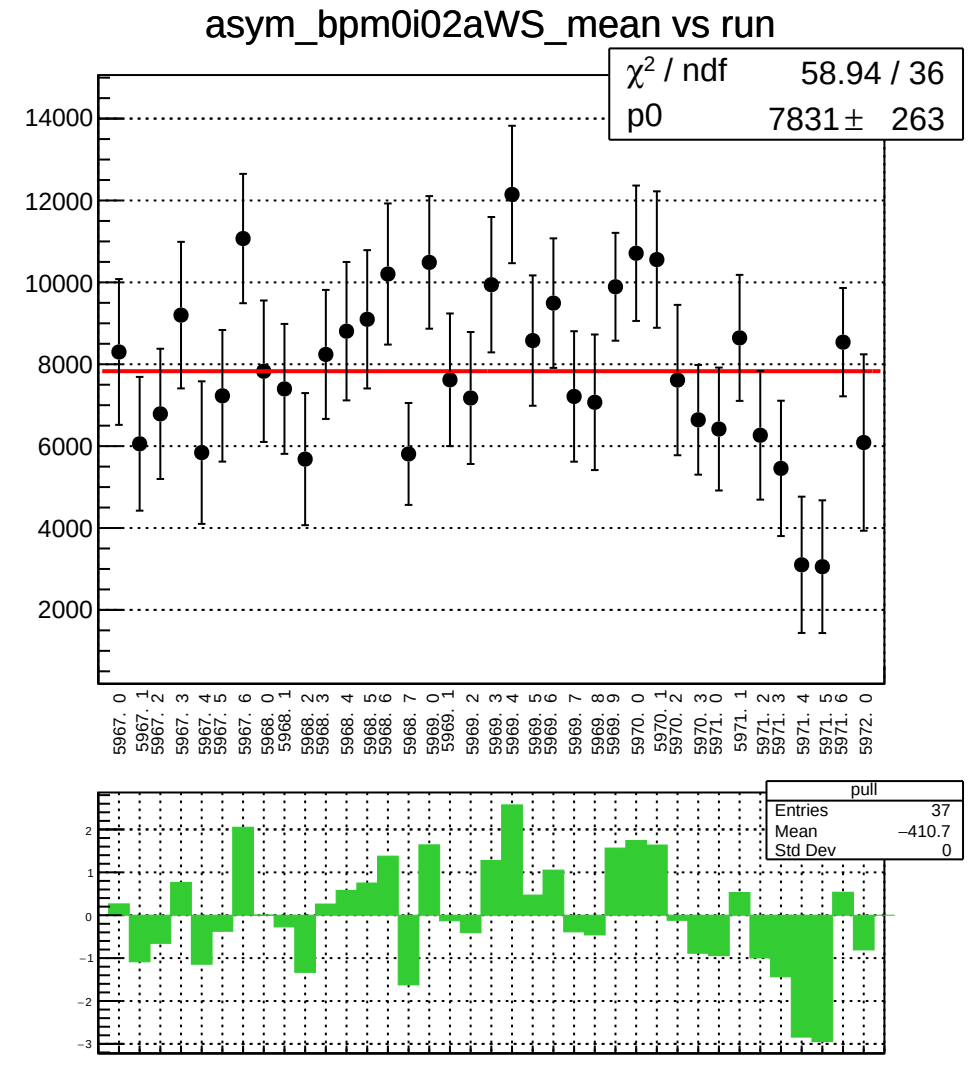
asym_bpm0i02aWS_mean vs run
χ² / ndf 58.94 / 36
p0 7831 ± 263
14000
12000
10000
8000
6000
4000
2000
5967. 0
5967. 1
5967. 2
5967. 3
5967. 4
5967. 5
5967. 6
5968. 0
5968. 1
5968. 2
5968. 3
5968. 4
5968. 5
5968. 6
5968. 7
5969. 0
5969. 1
5969. 2
5969. 3
5969. 4
5969. 5
5969. 6
5969. 7
5969. 8
5969. 9
5970. 0
5970. 1
5970. 2
5970. 3
5971. 0
5971. 1
5971. 2
5971. 3
5971. 4
5971. 5
5971. 6
5972. 0
pull
Entries 37
Mean −410.7
Std Dev 0
2
1
0
−1
−2
−3

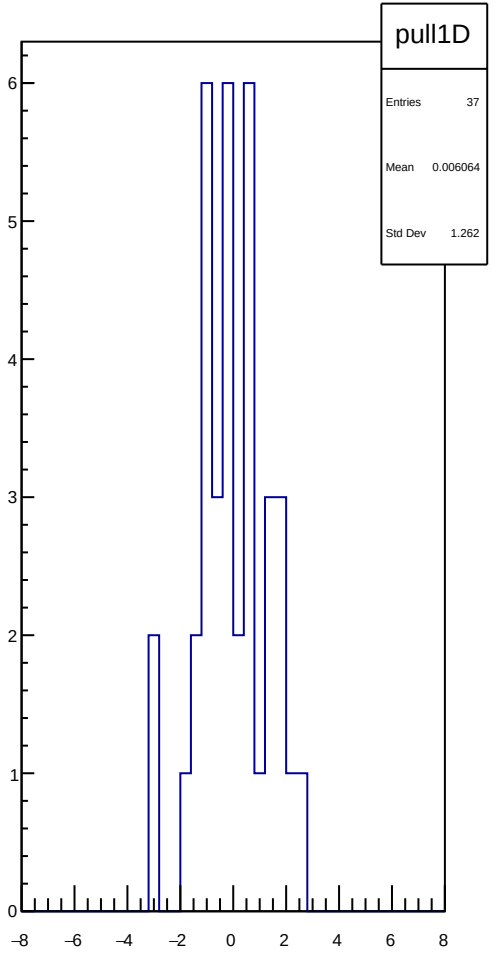
pull1D
Entries 37
Mean 0.006064
Std Dev 1.262
6
5
4
3
2
1
0
−8
−6
−4
−2
0
2
4
6
8

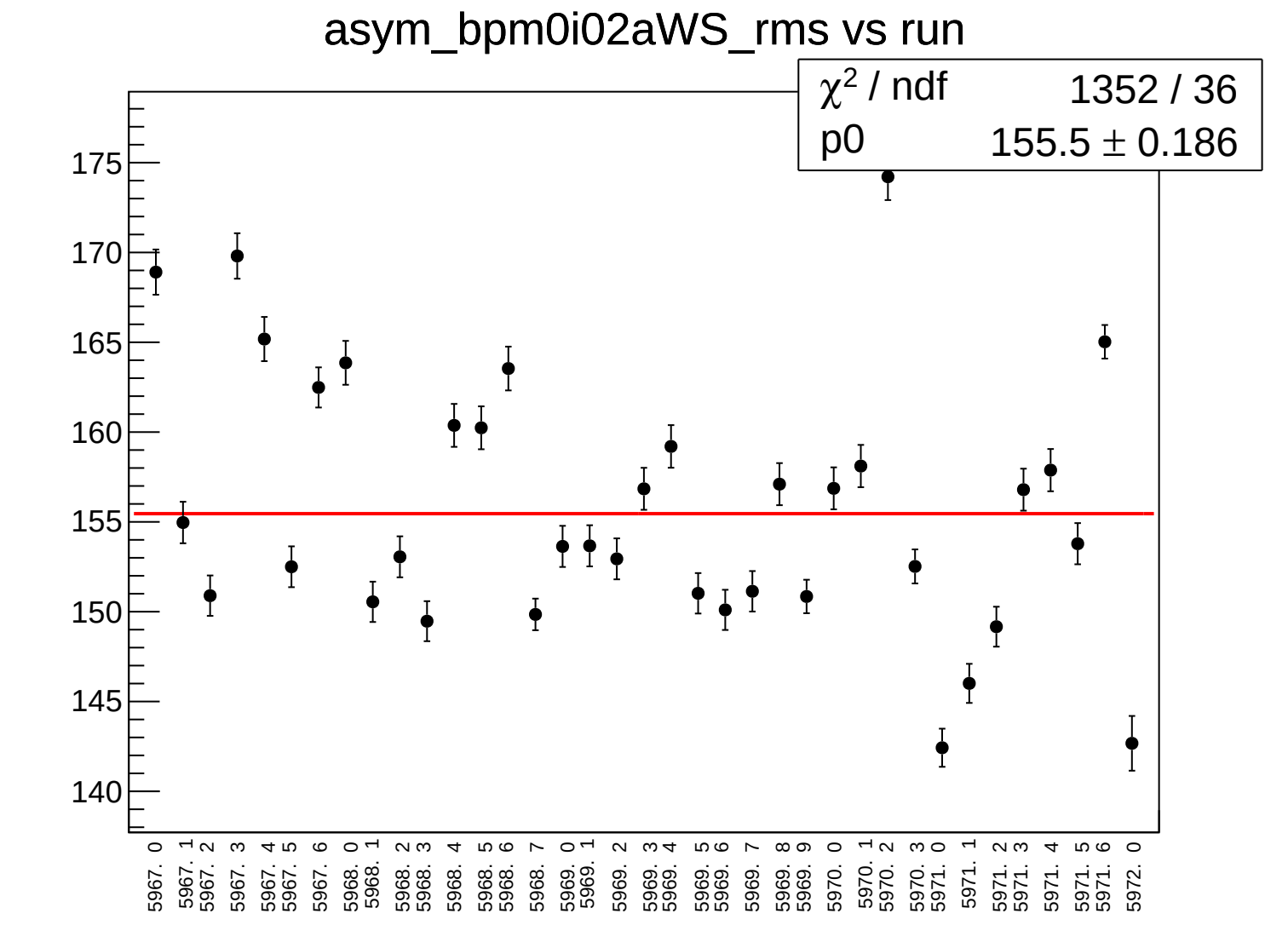
asym_bpm0i02aWS_rms vs run
χ² / ndf 1352 / 36
p0 155.5 ± 0.186
175
170
165
160
155
150
145
140
5967. 0
5967. 1
5967. 2
5967. 3
5967. 4
5967. 5
5967. 6
5968. 0
5968. 1
5968. 2
5968. 3
5968. 4
5968. 5
5968. 6
5968. 7
5969. 0
5969. 1
5969. 2
5969. 3
5969. 4
5969. 5
5969. 6
5969. 7
5969. 8
5969. 9
5970. 0
5970. 1
5970. 2
5970. 3
5971. 0
5971. 1
5971. 2
5971. 3
5971. 4
5971. 5
5971. 6
5972. 0

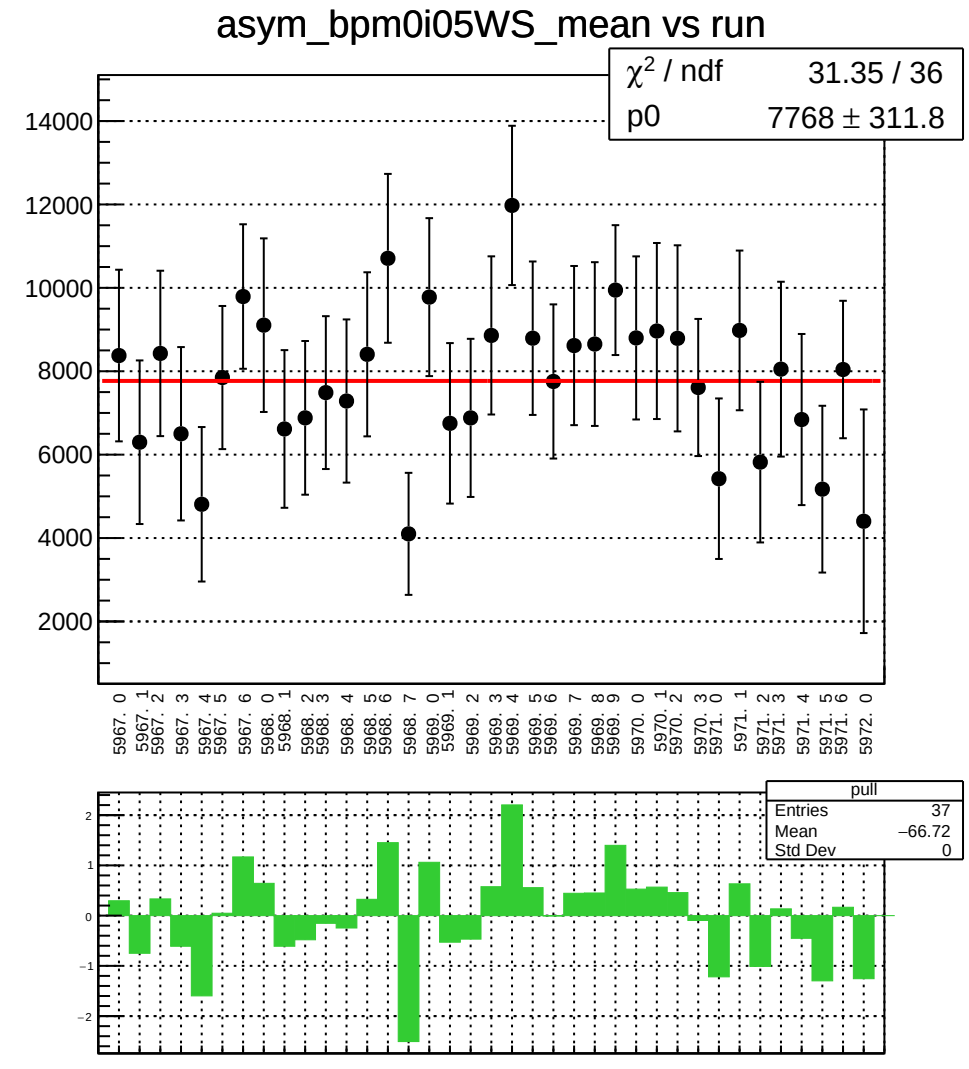
asym_bpm0i05WS_mean vs run
χ² / ndf 31.35 / 36
p0 7768 ± 311.8
14000
12000
10000
8000
6000
4000
2000
5967. 0
5967. 1
5967. 2
5967. 3
5967. 4
5967. 5
5967. 6
5968. 0
5968. 1
5968. 2
5968. 3
5968. 4
5968. 5
5968. 6
5968. 7
5969. 0
5969. 1
5969. 2
5969. 3
5969. 4
5969. 5
5969. 6
5969. 7
5969. 8
5969. 9
5970. 0
5970. 1
5970. 2
5970. 3
5971. 0
5971. 1
5971. 2
5971. 3
5971. 4
5971. 5
5971. 6
5972. 0
pull
Entries 37
Mean −66.72
Std Dev 0
2
1
0
−1
−2

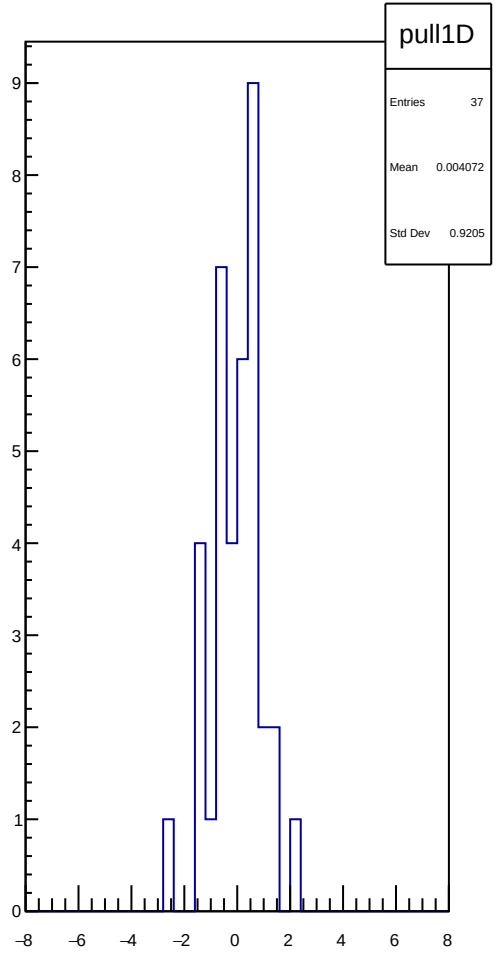
pull1D
Entries 37
Mean 0.004072
Std Dev 0.9205
9
8
7
6
5
4
3
2
1
0
−8
−6
−4
−2
0
2
4
6
8

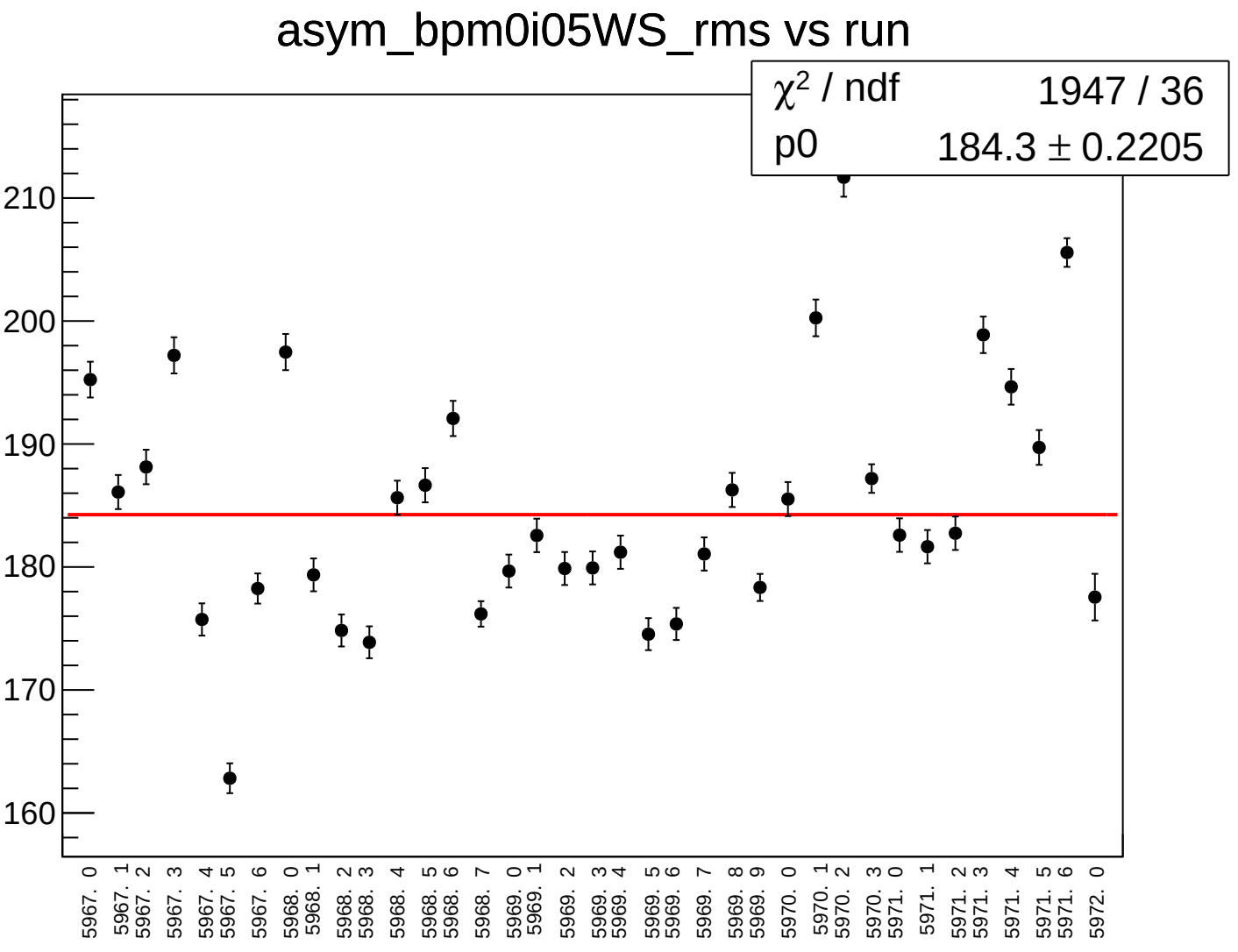
asym_bpm0i05WS_rms vs run
χ² / ndf 1947 / 36
p0 184.3 ± 0.2205
210
200
190
180
170
160
5967. 0
5967. 1
5967. 2
5967. 3
5967. 4
5967. 5
5967. 6
5968. 0
5968. 1
5968. 2
5968. 3
5968. 4
5968. 5
5968. 6
5968. 7
5969. 0
5969. 1
5969. 2
5969. 3
5969. 4
5969. 5
5969. 6
5969. 7
5969. 8
5969. 9
5970. 0
5970. 1
5970. 2
5970. 3
5971. 0
5971. 1
5971. 2
5971. 3
5971. 4
5971. 5
5971. 6
5972. 0

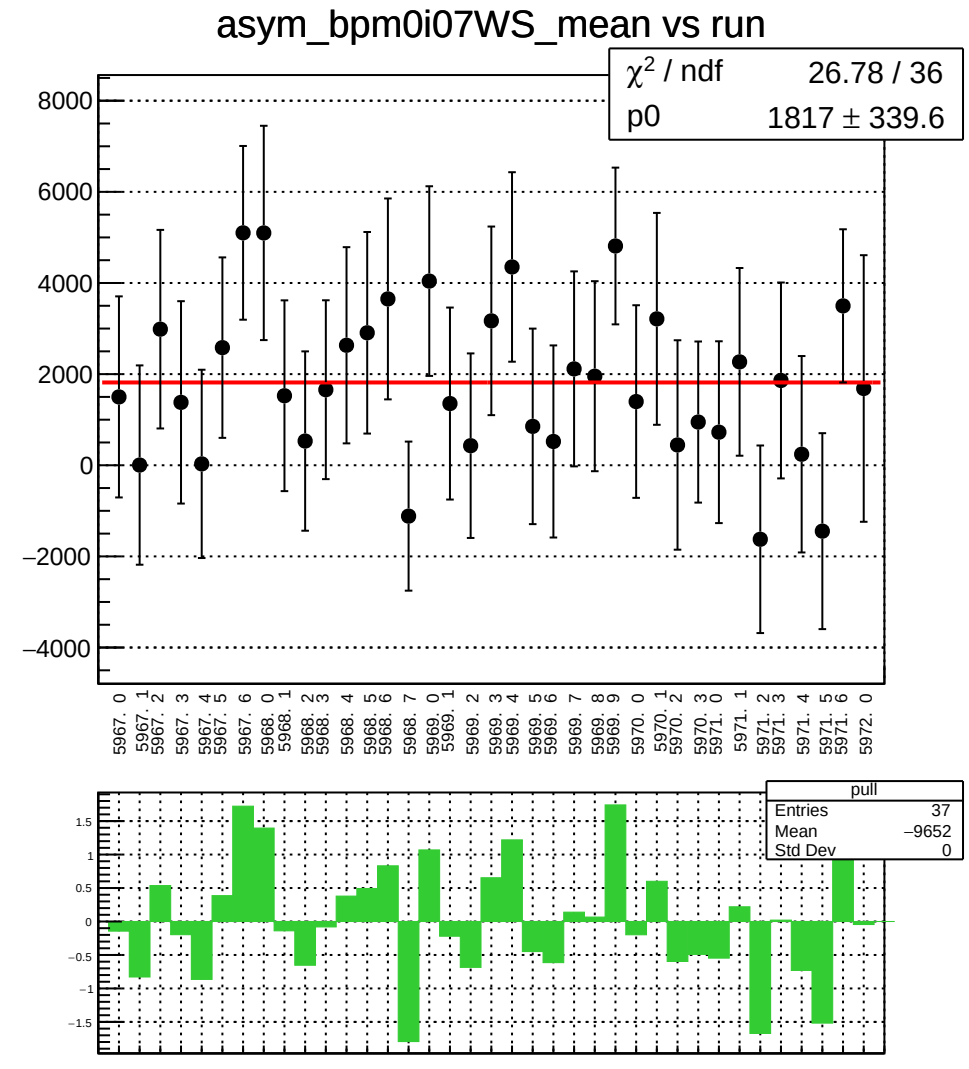
asym_bpm0i07WS_mean vs run
χ² / ndf 26.78 / 36
p0 1817 ± 339.6
8000
6000
4000
2000
0
−2000
−4000
5967. 0
5967. 1
5967. 2
5967. 3
5967. 4
5967. 5
5967. 6
5968. 0
5968. 1
5968. 2
5968. 3
5968. 4
5968. 5
5968. 6
5968. 7
5969. 0
5969. 1
5969. 2
5969. 3
5969. 4
5969. 5
5969. 6
5969. 7
5969. 8
5969. 9
5970. 0
5970. 1
5970. 2
5970. 3
5971. 0
5971. 1
5971. 2
5971. 3
5971. 4
5971. 5
5971. 6
5972. 0
pull
Entries 37
Mean −9652
Std Dev 0
1.5
1
0.5
0
−0.5
−1
−1.5

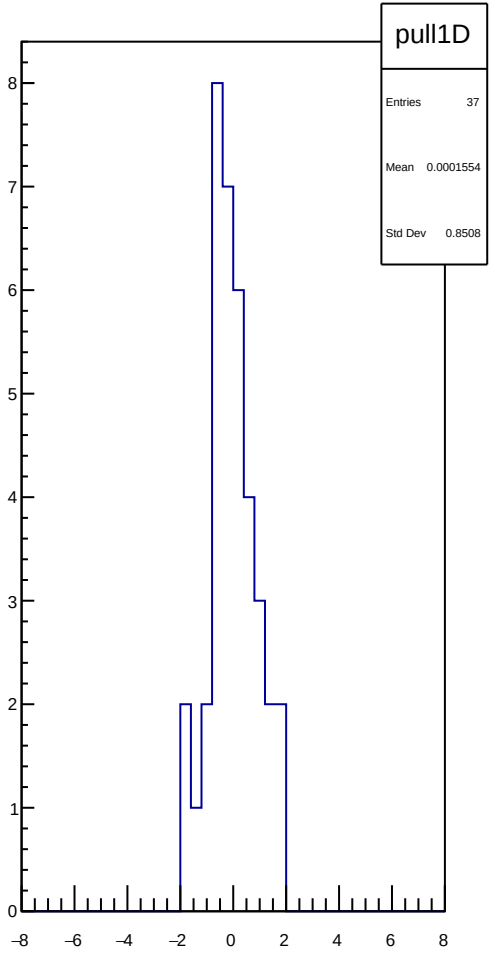
pull1D
Entries 37
Mean 0.0001554
Std Dev 0.8508
8
7
6
5
4
3
2
1
0
−8
−6
−4
−2
0
2
4
6
8

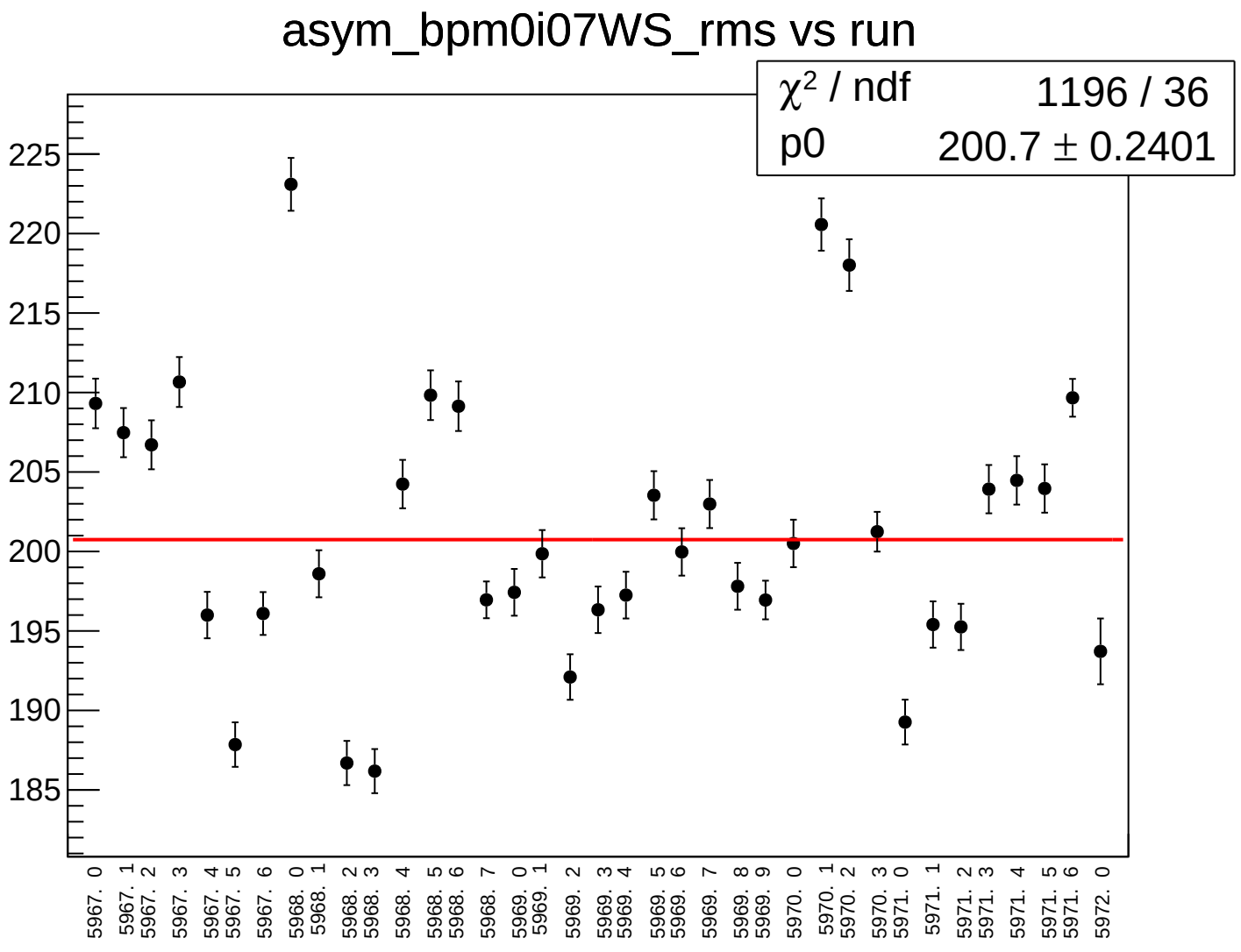
asym_bpm0i07WS_rms vs run
χ² / ndf 1196 / 36
p0 200.7 ± 0.2401
225
220
215
210
205
200
195
190
185
5967. 0
5967. 1
5967. 2
5967. 3
5967. 4
5967. 5
5967. 6
5968. 0
5968. 1
5968. 2
5968. 3
5968. 4
5968. 5
5968. 6
5968. 7
5969. 0
5969. 1
5969. 2
5969. 3
5969. 4
5969. 5
5969. 6
5969. 7
5969. 8
5969. 9
5970. 0
5970. 1
5970. 2
5970. 3
5971. 0
5971. 1
5971. 2
5971. 3
5971. 4
5971. 5
5971. 6
5972. 0

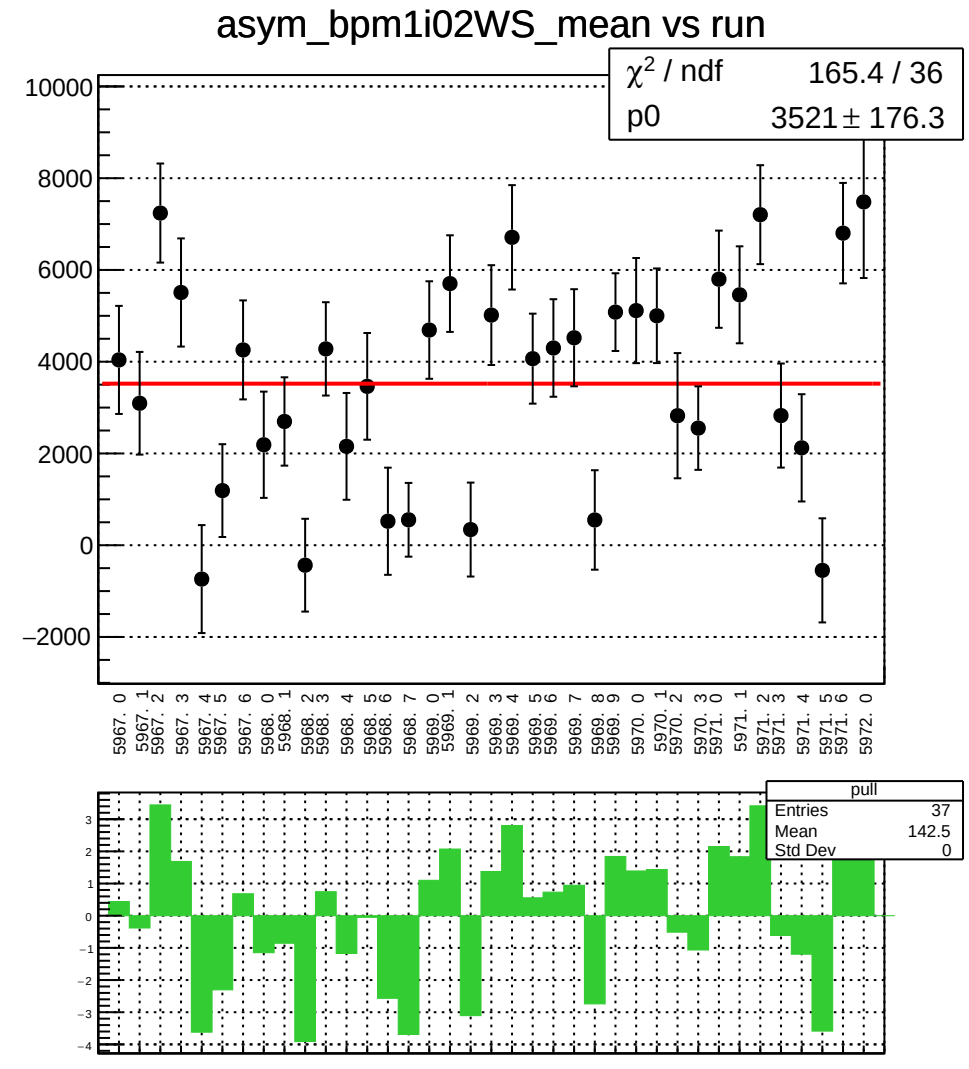
asym_bpm1i02WS_mean vs run
χ² / ndf 165.4 / 36
p0 3521 ± 176.3
10000
8000
6000
4000
2000
0
−2000
5967. 0
5967. 1
5967. 2
5967. 3
5967. 4
5967. 5
5967. 6
5968. 0
5968. 1
5968. 2
5968. 3
5968. 4
5968. 5
5968. 6
5968. 7
5969. 0
5969. 1
5969. 2
5969. 3
5969. 4
5969. 5
5969. 6
5969. 7
5969. 8
5969. 9
5970. 0
5970. 1
5970. 2
5970. 3
5971. 0
5971. 1
5971. 2
5971. 3
5971. 4
5971. 5
5971. 6
5972. 0
pull
Entries 37
Mean 142.5
Std Dev 0
3
2
1
0
−1
−2
−3
−4
pull1D
Entries 37
Mean 0.04059
Std Dev 2.114
5
4
3
2
1
0
−8
−6
−4
−2
0
2
4
6
8

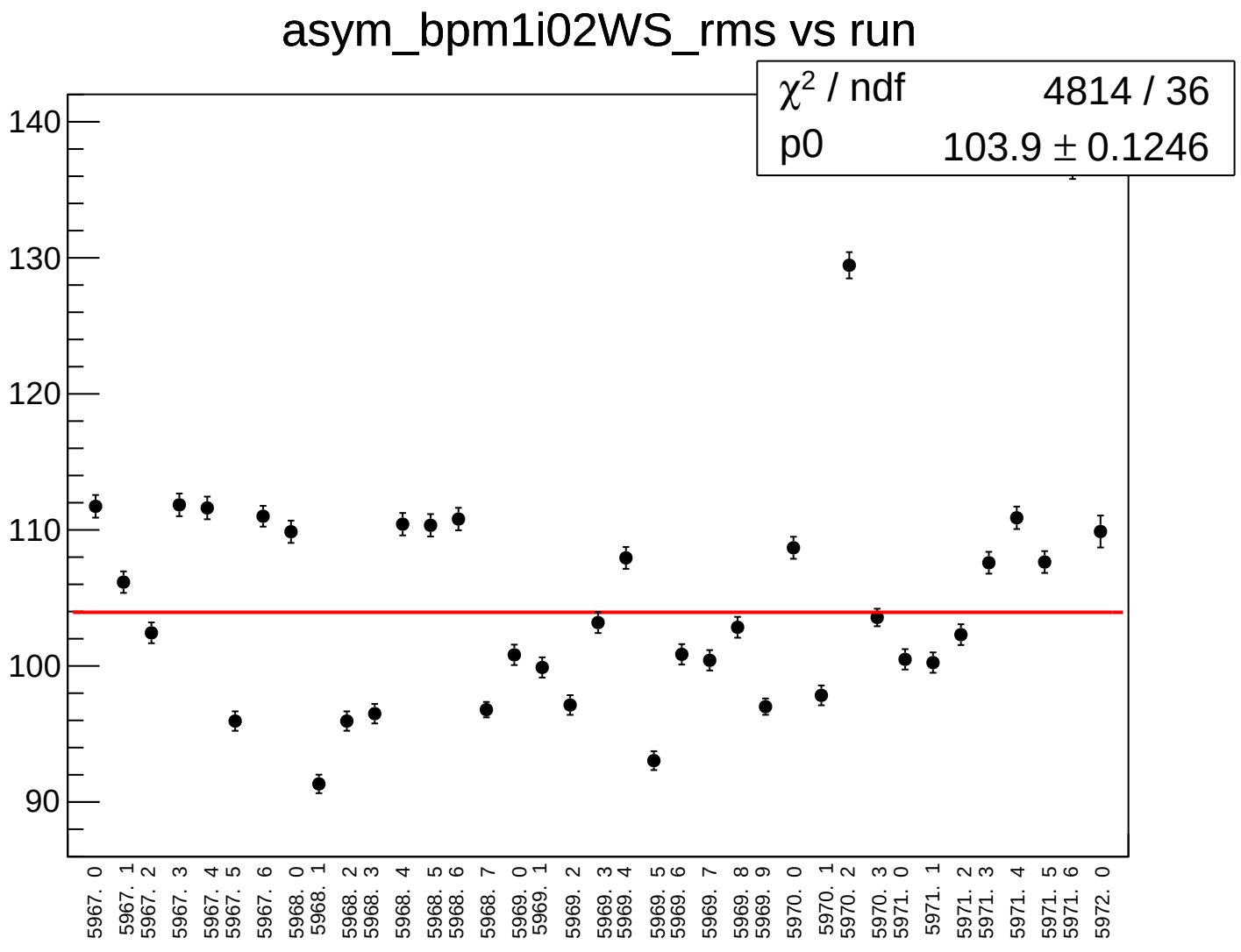
asym_bpm1i02WS_rms vs run
χ² / ndf 4814 / 36
p0 103.9 ± 0.1246
140
130
120
110
100
90
5967. 0
5967. 1
5967. 2
5967. 3
5967. 4
5967. 5
5967. 6
5968. 0
5968. 1
5968. 2
5968. 3
5968. 4
5968. 5
5968. 6
5968. 7
5969. 0
5969. 1
5969. 2
5969. 3
5969. 4
5969. 5
5969. 6
5969. 7
5969. 8
5969. 9
5970. 0
5970. 1
5970. 2
5970. 3
5971. 0
5971. 1
5971. 2
5971. 3
5971. 4
5971. 5
5971. 6
5972. 0

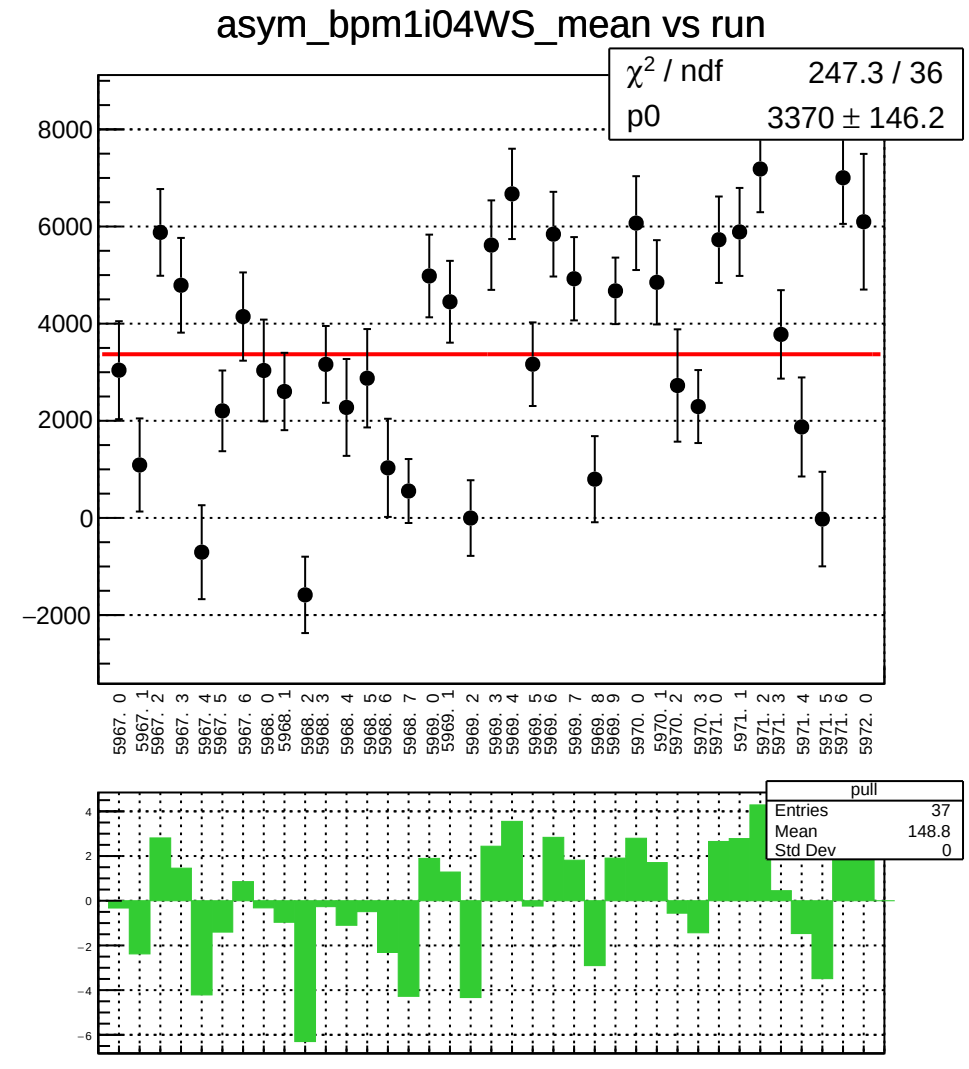
asym_bpm1i04WS_mean vs run
χ² / ndf 247.3 / 36
p0 3370 ± 146.2
8000
6000
4000
2000
0
−2000
5967. 0
5967. 1
5967. 2
5967. 3
5967. 4
5967. 5
5967. 6
5968. 0
5968. 1
5968. 2
5968. 3
5968. 4
5968. 5
5968. 6
5968. 7
5969. 0
5969. 1
5969. 2
5969. 3
5969. 4
5969. 5
5969. 6
5969. 7
5969. 8
5969. 9
5970. 0
5970. 1
5970. 2
5970. 3
5971. 0
5971. 1
5971. 2
5971. 3
5971. 4
5971. 5
5971. 6
5972. 0
pull
Entries 37
Mean 148.8
Std Dev 0
4
2
0
−2
−4
−6

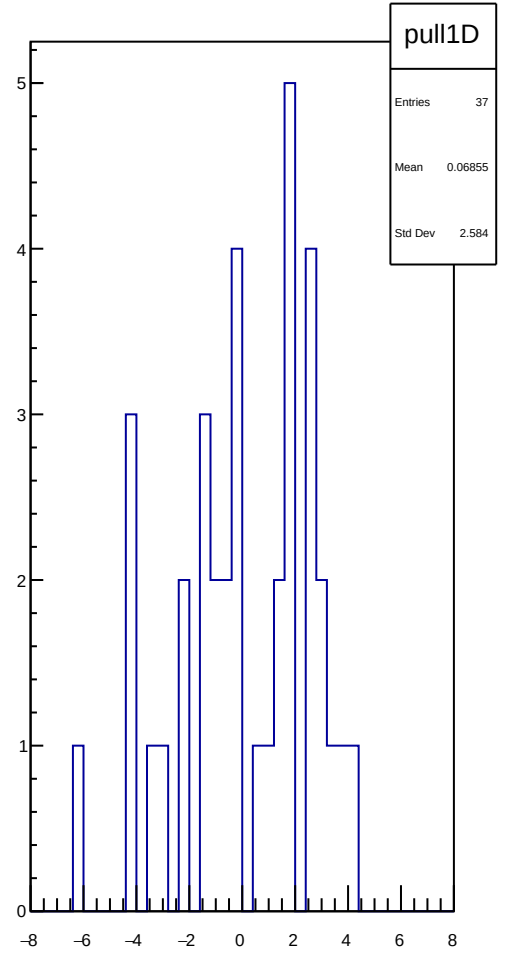
pull1D
Entries 37
Mean 0.06855
Std Dev 2.584
5
4
3
2
1
0
−8
−6
−4
−2
0
2
4
6
8

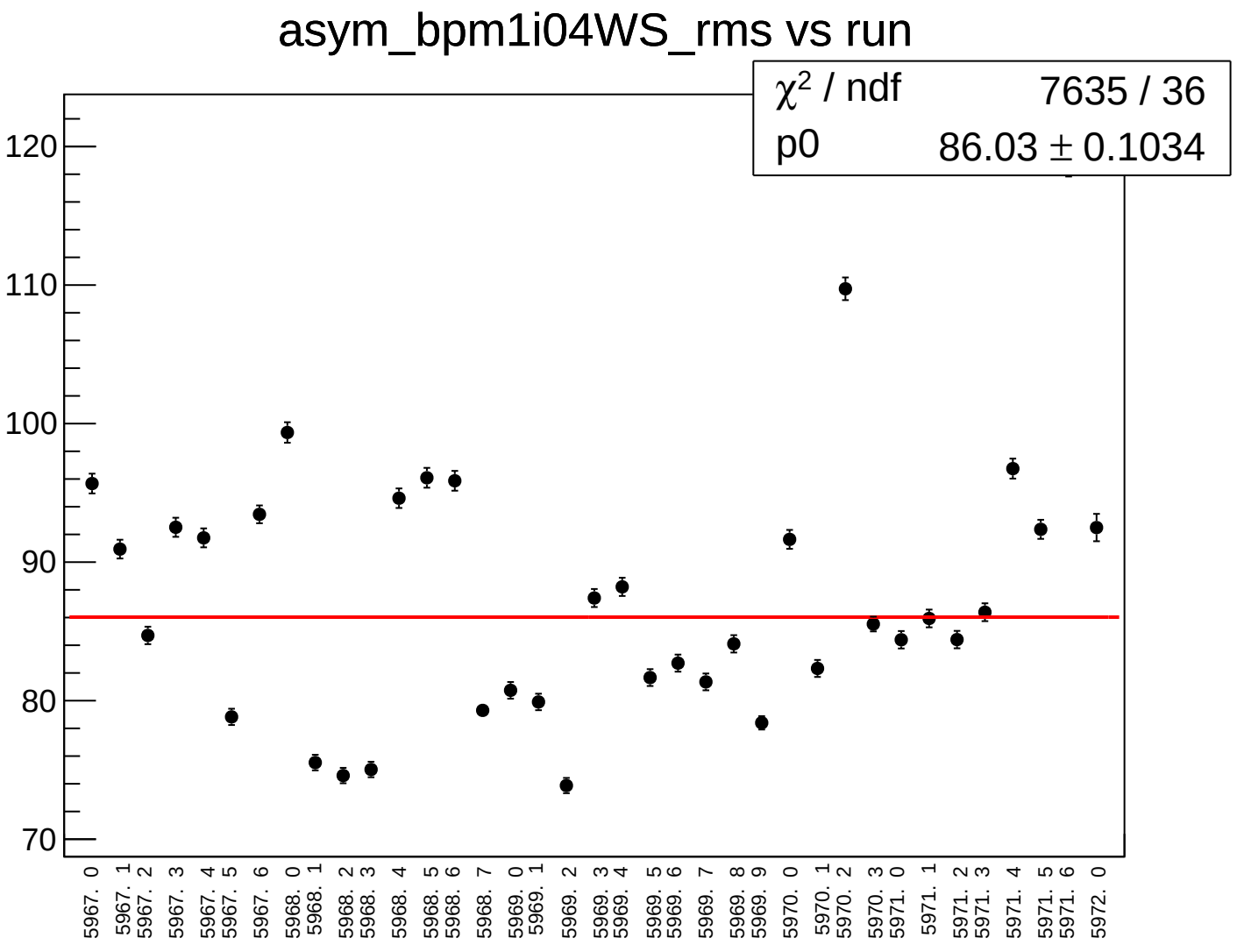
asym_bpm1i04WS_rms vs run
χ² / ndf 7635 / 36
p0 86.03 ± 0.1034
120
110
100
90
80
70
5967. 0
5967. 1
5967. 2
5967. 3
5967. 4
5967. 5
5967. 6
5968. 0
5968. 1
5968. 2
5968. 3
5968. 4
5968. 5
5968. 6
5968. 7
5969. 0
5969. 1
5969. 2
5969. 3
5969. 4
5969. 5
5969. 6
5969. 7
5969. 8
5969. 9
5970. 0
5970. 1
5970. 2
5970. 3
5971. 0
5971. 1
5971. 2
5971. 3
5971. 4
5971. 5
5971. 6
5972. 0

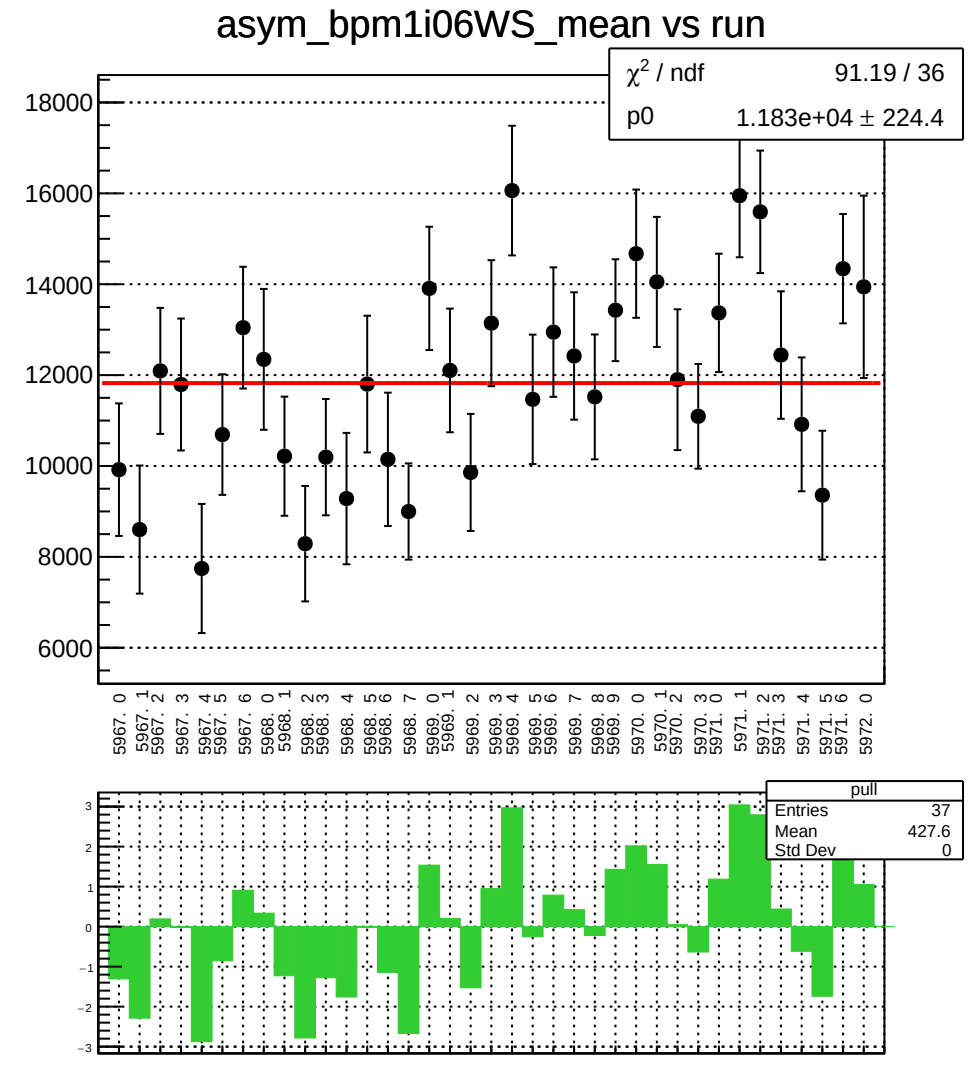
asym_bpm1i06WS_mean vs run
χ² / ndf 91.19 / 36
p0 1.183e+04 ± 224.4
18000
16000
14000
12000
10000
8000
6000
5967. 0
5967. 1
5967. 2
5967. 3
5967. 4
5967. 5
5967. 6
5968. 0
5968. 1
5968. 2
5968. 3
5968. 4
5968. 5
5968. 6
5968. 7
5969. 0
5969. 1
5969. 2
5969. 3
5969. 4
5969. 5
5969. 6
5969. 7
5969. 8
5969. 9
5970. 0
5970. 1
5970. 2
5970. 3
5971. 0
5971. 1
5971. 2
5971. 3
5971. 4
5971. 5
5971. 6
5972. 0
pull
Entries 37
Mean 427.6
Std Dev 0
3
2
1
0
−1
−2
−3

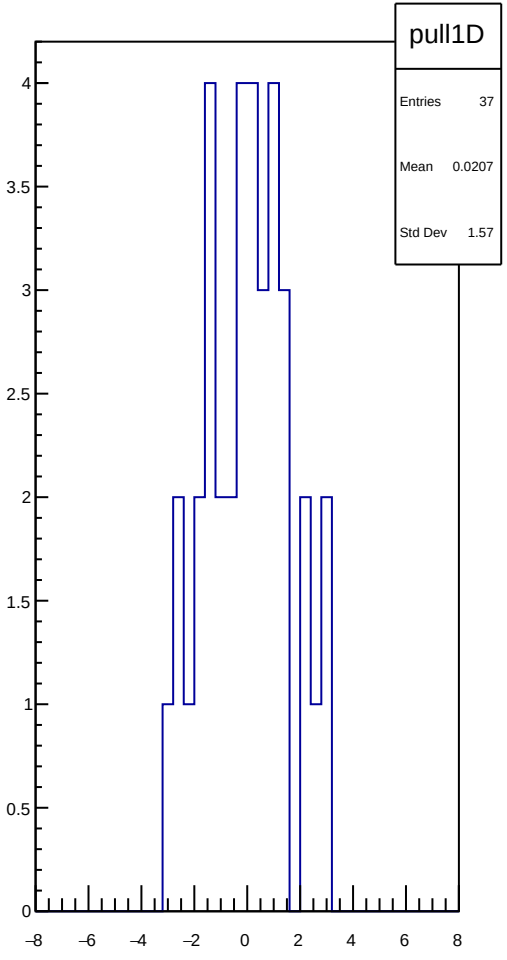
pull1D
Entries 37
Mean 0.0207
Std Dev 1.57
4
3.5
3
2.5
2
1.5
1
0.5
0
−8
−6
−4
−2
0
2
4
6
8

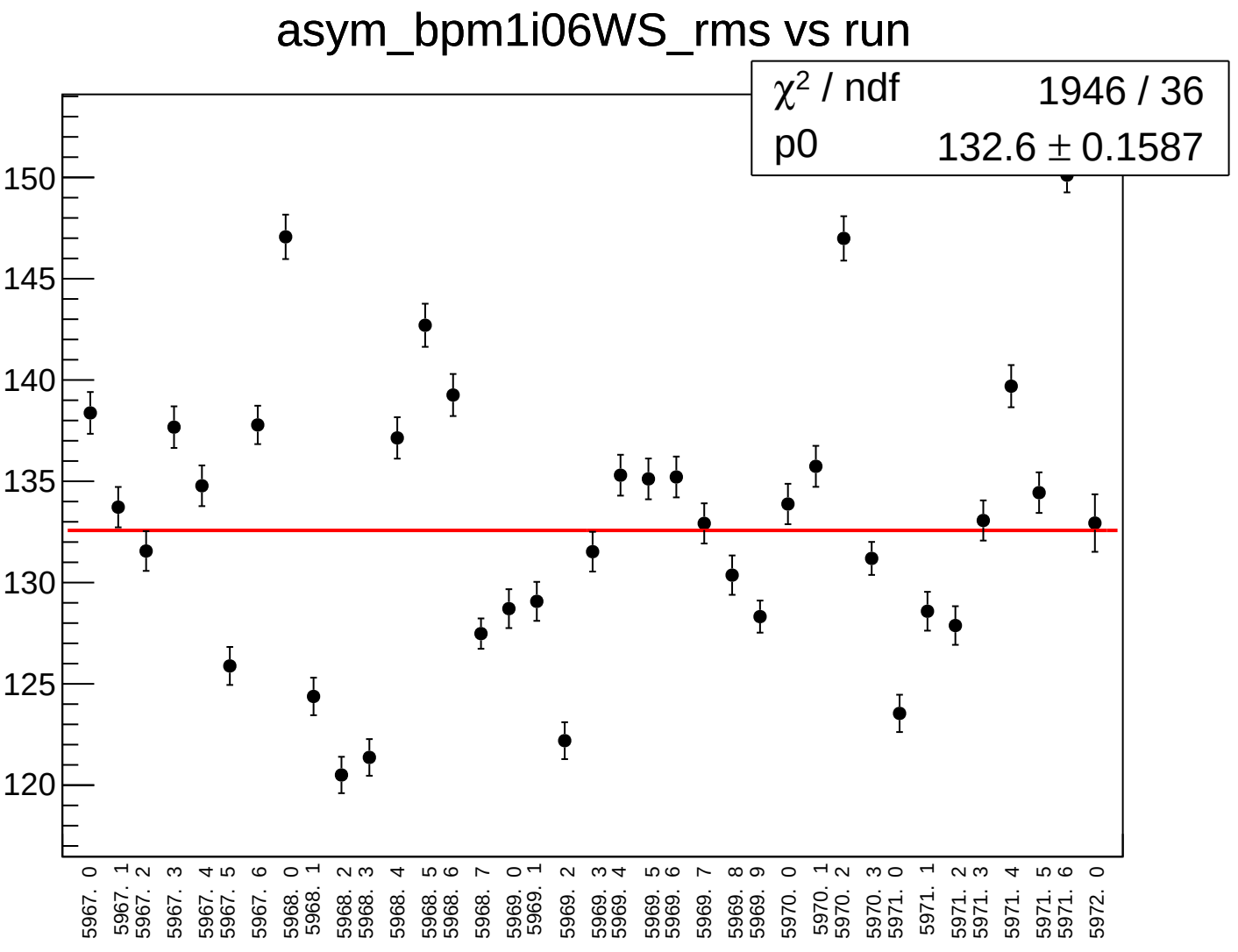
asym_bpm1i06WS_rms vs run
χ² / ndf 1946 / 36
p0 132.6 ± 0.1587
150
145
140
135
130
125
120
5967. 0
5967. 1
5967. 2
5967. 3
5967. 4
5967. 5
5967. 6
5968. 0
5968. 1
5968. 2
5968. 3
5968. 4
5968. 5
5968. 6
5968. 7
5969. 0
5969. 1
5969. 2
5969. 3
5969. 4
5969. 5
5969. 6
5969. 7
5969. 8
5969. 9
5970. 0
5970. 1
5970. 2
5970. 3
5971. 0
5971. 1
5971. 2
5971. 3
5971. 4
5971. 5
5971. 6
5972. 0

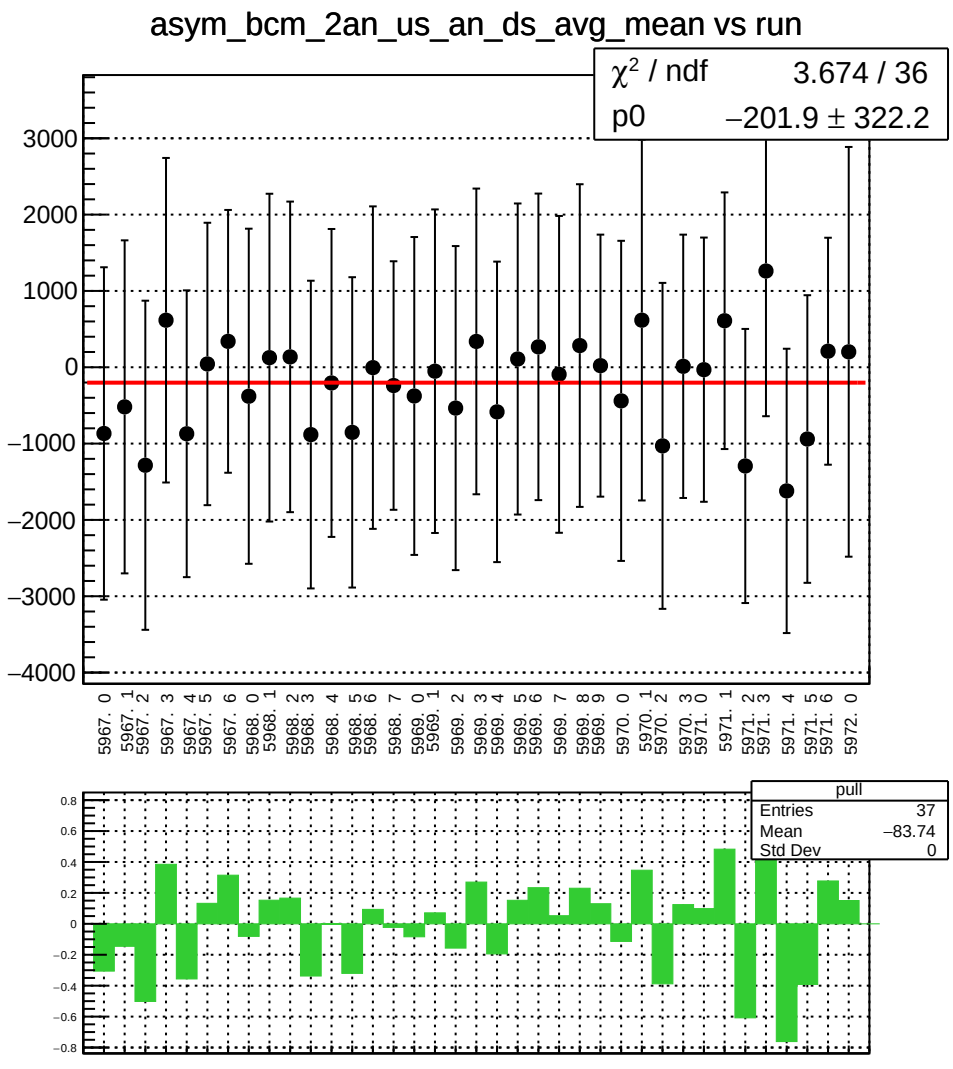
asym_bcm_2an_us_an_ds_avg_mean vs run
χ² / ndf 3.674 / 36
p0 −201.9 ± 322.2
3000
2000
1000
0
−1000
−2000
−3000
−4000
5967. 0
5967. 1
5967. 2
5967. 3
5967. 4
5967. 5
5967. 6
5968. 0
5968. 1
5968. 2
5968. 3
5968. 4
5968. 5
5968. 6
5968. 7
5969. 0
5969. 1
5969. 2
5969. 3
5969. 4
5969. 5
5969. 6
5969. 7
5969. 8
5969. 9
5970. 0
5970. 1
5970. 2
5970. 3
5971. 0
5971. 1
5971. 2
5971. 3
5971. 4
5971. 5
5971. 6
5972. 0
pull
Entries 37
Mean −83.74
Std Dev 0
0.8
0.6
0.4
0.2
0
−0.2
−0.4
−0.6
−0.8

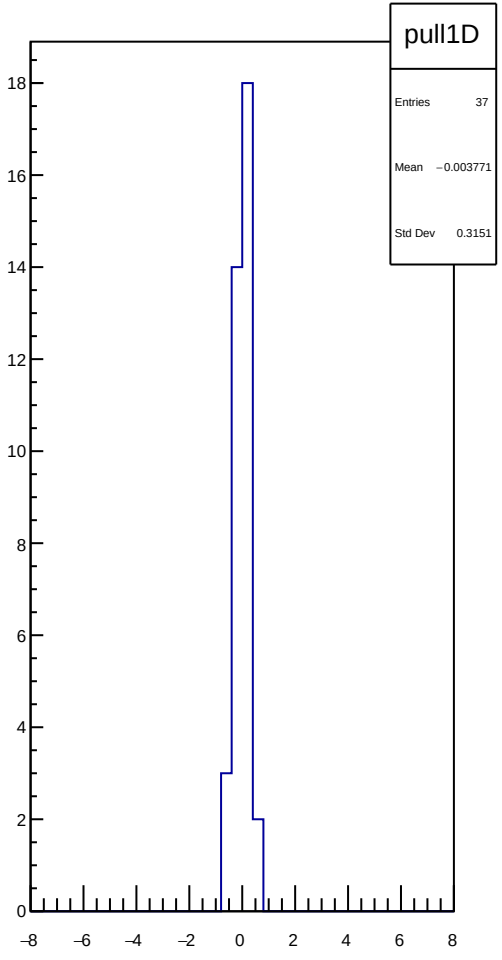
pull1D
Entries 37
Mean −0.003771
Std Dev 0.3151
18
16
14
12
10
8
6
4
2
0
−8
−6
−4
−2
0
2
4
6
8

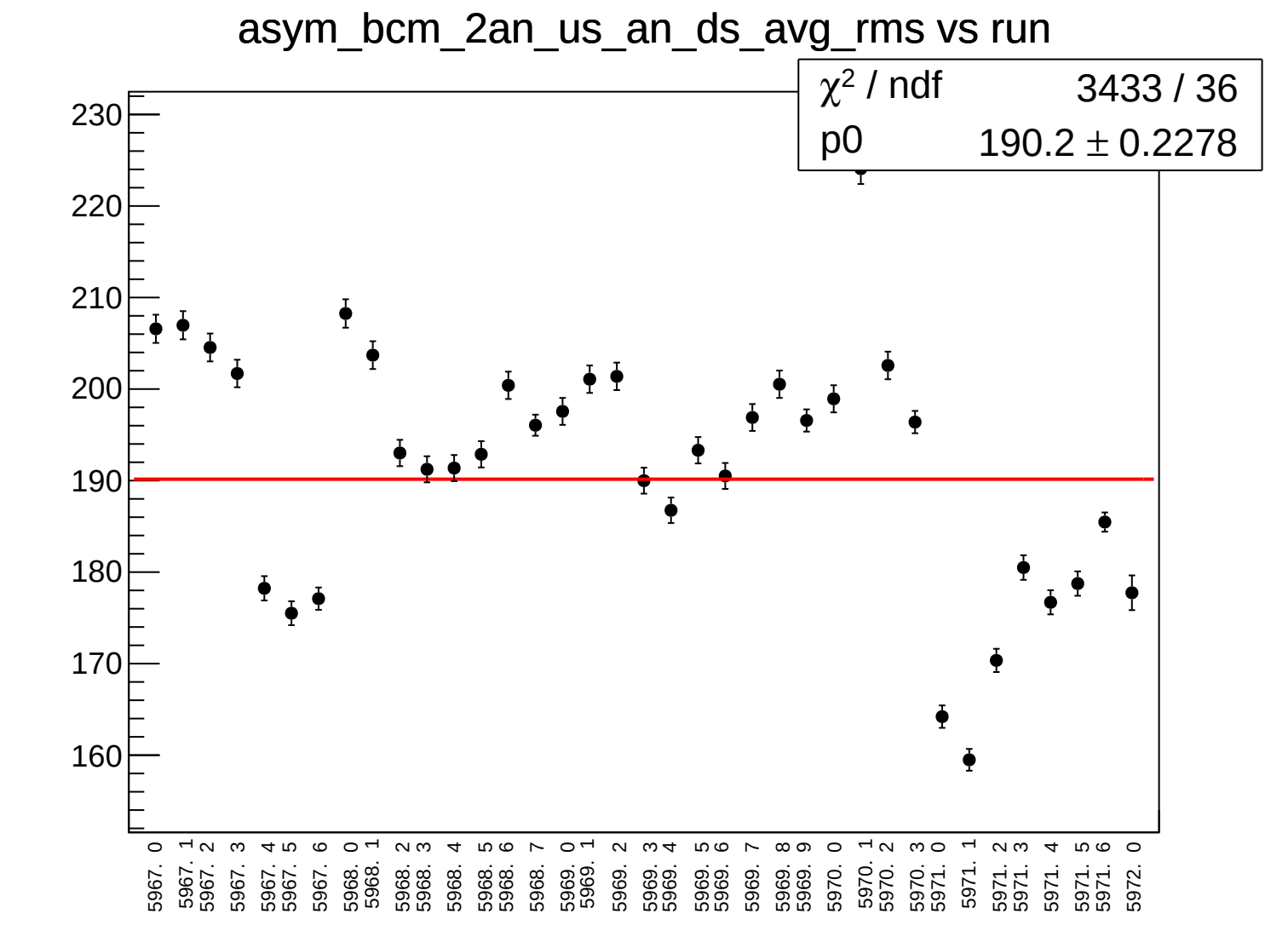
asym_bcm_2an_us_an_ds_avg_rms vs run
χ² / ndf 3433 / 36
p0 190.2 ± 0.2278
230
220
210
200
190
180
170
160
5967. 0
5967. 1
5967. 2
5967. 3
5967. 4
5967. 5
5967. 6
5968. 0
5968. 1
5968. 2
5968. 3
5968. 4
5968. 5
5968. 6
5968. 7
5969. 0
5969. 1
5969. 2
5969. 3
5969. 4
5969. 5
5969. 6
5969. 7
5969. 8
5969. 9
5970. 0
5970. 1
5970. 2
5970. 3
5971. 0
5971. 1
5971. 2
5971. 3
5971. 4
5971. 5
5971. 6
5972. 0

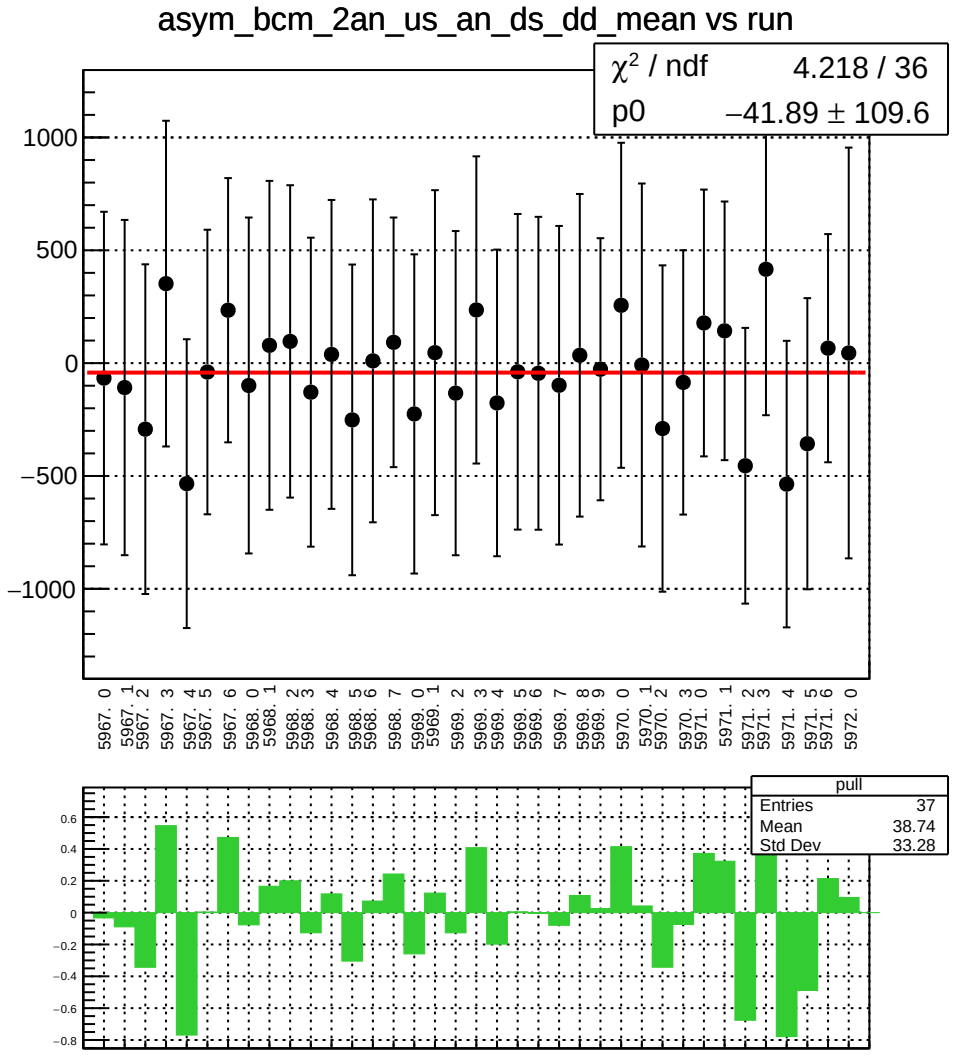
asym_bcm_2an_us_an_ds_dd_mean vs run
χ² / ndf 4.218 / 36
p0 −41.89 ± 109.6
1000
500
0
−500
−1000
5967. 0
5967. 1
5967. 2
5967. 3
5967. 4
5967. 5
5967. 6
5968. 0
5968. 1
5968. 2
5968. 3
5968. 4
5968. 5
5968. 6
5968. 7
5969. 0
5969. 1
5969. 2
5969. 3
5969. 4
5969. 5
5969. 6
5969. 7
5969. 8
5969. 9
5970. 0
5970. 1
5970. 2
5970. 3
5971. 0
5971. 1
5971. 2
5971. 3
5971. 4
5971. 5
5971. 6
5972. 0
pull
Entries 37
Mean 38.74
Std Dev 33.28
0.6
0.4
0.2
0
−0.2
−0.4
−0.6
−0.8

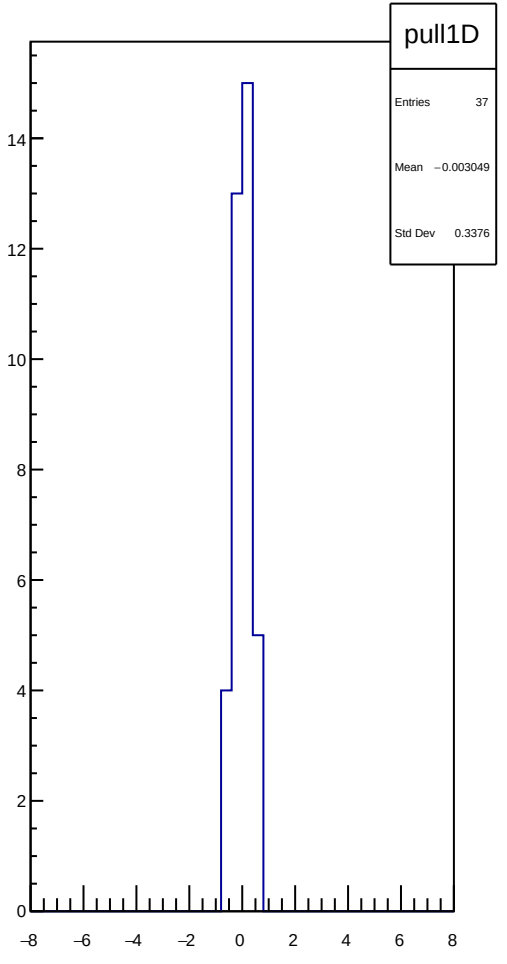
pull1D
Entries 37
Mean −0.003049
Std Dev 0.3376
14
12
10
8
6
4
2
0
−8
−6
−4
−2
0
2
4
6
8

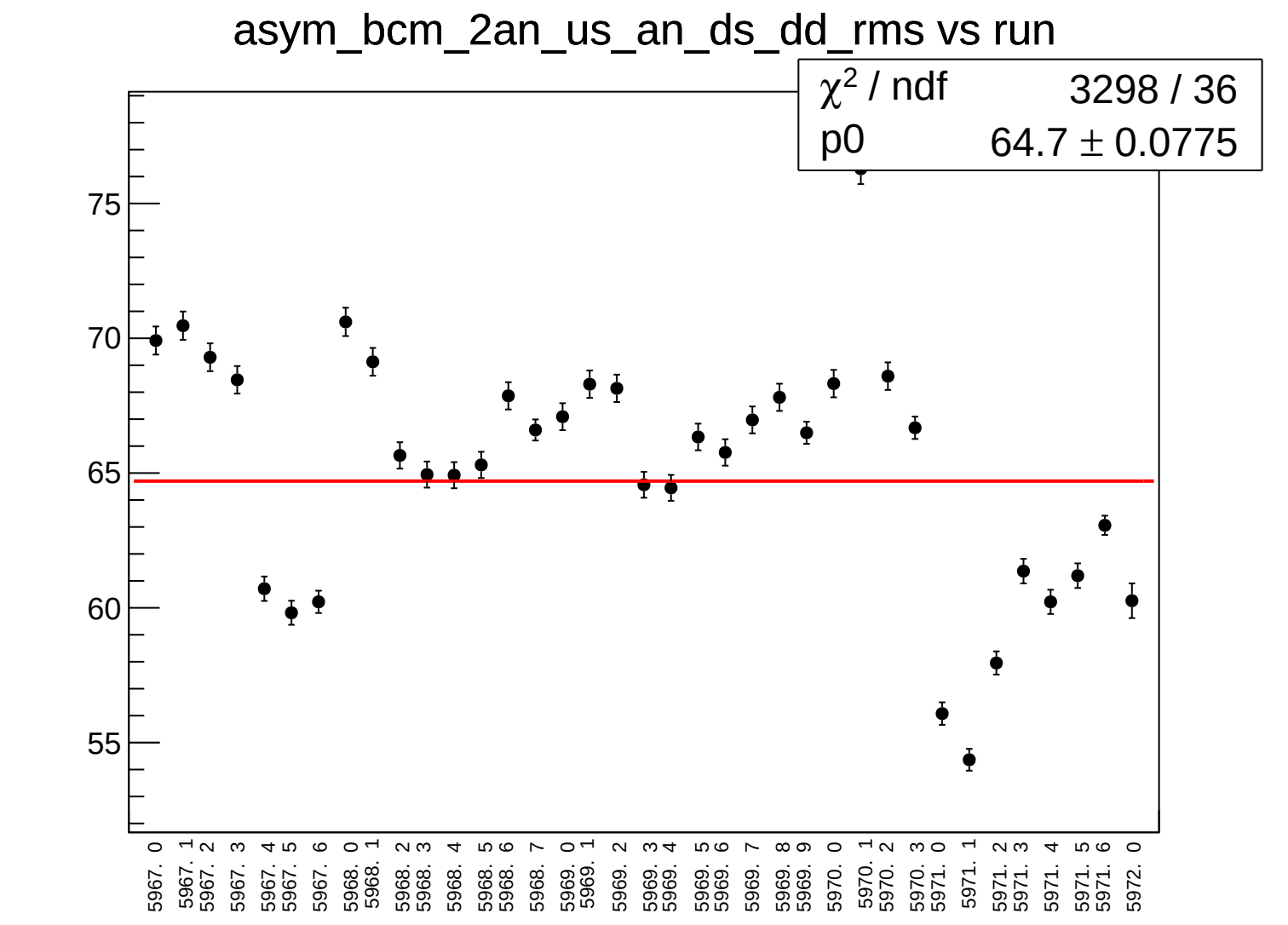
asym_bcm_2an_us_an_ds_dd_rms vs run
χ² / ndf 3298 / 36
p0 64.7 ± 0.0775
75
70
65
60
55
5967. 0
5967. 1
5967. 2
5967. 3
5967. 4
5967. 5
5967. 6
5968. 0
5968. 1
5968. 2
5968. 3
5968. 4
5968. 5
5968. 6
5968. 7
5969. 0
5969. 1
5969. 2
5969. 3
5969. 4
5969. 5
5969. 6
5969. 7
5969. 8
5969. 9
5970. 0
5970. 1
5970. 2
5970. 3
5971. 0
5971. 1
5971. 2
5971. 3
5971. 4
5971. 5
5971. 6
5972. 0

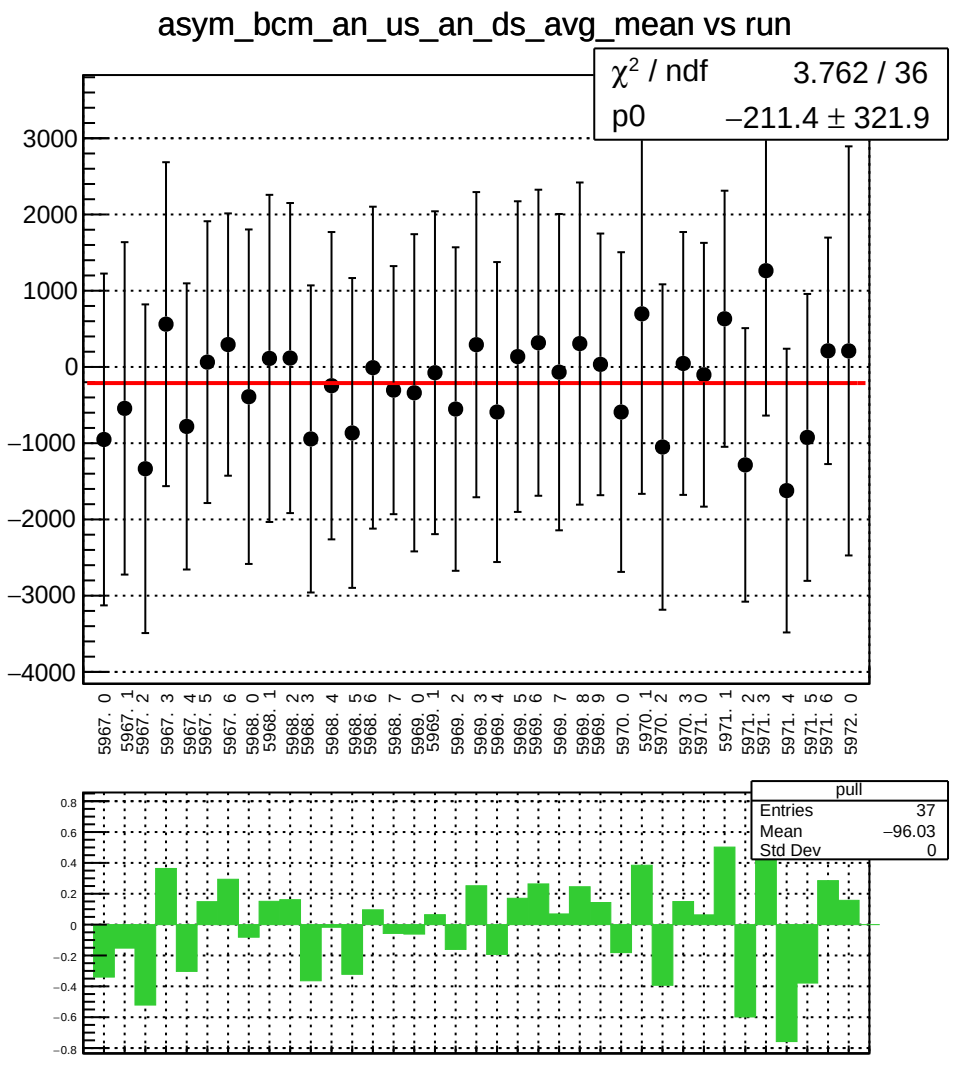
asym_bcm_an_us_an_ds_avg_mean vs run
χ² / ndf 3.762 / 36
p0 −211.4 ± 321.9
3000
2000
1000
0
−1000
−2000
−3000
−4000
5967. 0
5967. 1
5967. 2
5967. 3
5967. 4
5967. 5
5967. 6
5968. 0
5968. 1
5968. 2
5968. 3
5968. 4
5968. 5
5968. 6
5968. 7
5969. 0
5969. 1
5969. 2
5969. 3
5969. 4
5969. 5
5969. 6
5969. 7
5969. 8
5969. 9
5970. 0
5970. 1
5970. 2
5970. 3
5971. 0
5971. 1
5971. 2
5971. 3
5971. 4
5971. 5
5971. 6
5972. 0
pull
Entries 37
Mean −96.03
Std Dev 0
0.8
0.6
0.4
0.2
0
−0.2
−0.4
−0.6
−0.8
pull1D
Entries 37
Mean −0.003858
Std Dev 0.3189
18
16
14
12
10
8
6
4
2
0
−8
−6
−4
−2
0
2
4
6
8

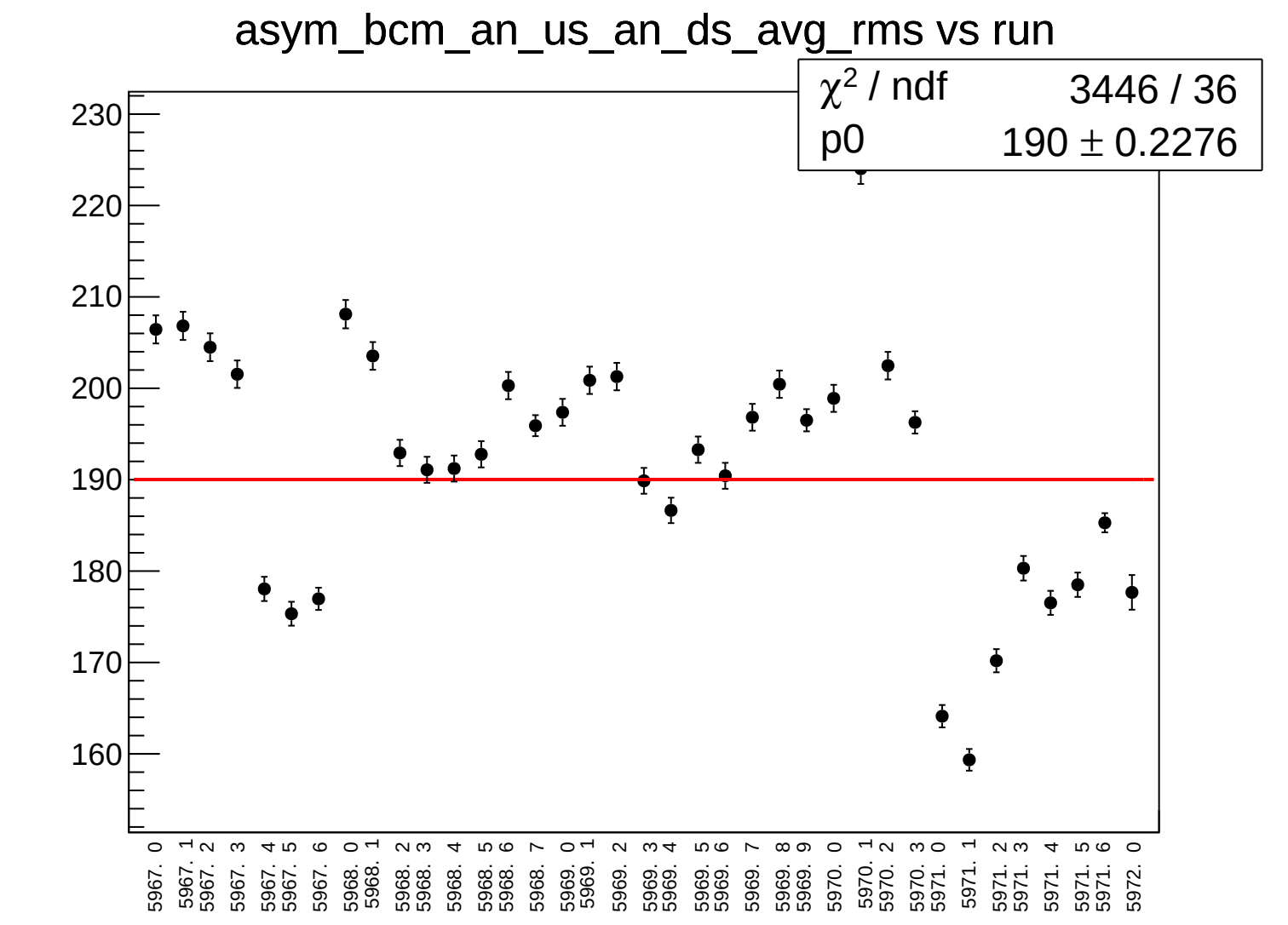
asym_bcm_an_us_an_ds_avg_rms vs run
χ² / ndf 3446 / 36
p0 190 ± 0.2276
230
220
210
200
190
180
170
160
5967. 0
5967. 1
5967. 2
5967. 3
5967. 4
5967. 5
5967. 6
5968. 0
5968. 1
5968. 2
5968. 3
5968. 4
5968. 5
5968. 6
5968. 7
5969. 0
5969. 1
5969. 2
5969. 3
5969. 4
5969. 5
5969. 6
5969. 7
5969. 8
5969. 9
5970. 0
5970. 1
5970. 2
5970. 3
5971. 0
5971. 1
5971. 2
5971. 3
5971. 4
5971. 5
5971. 6
5972. 0

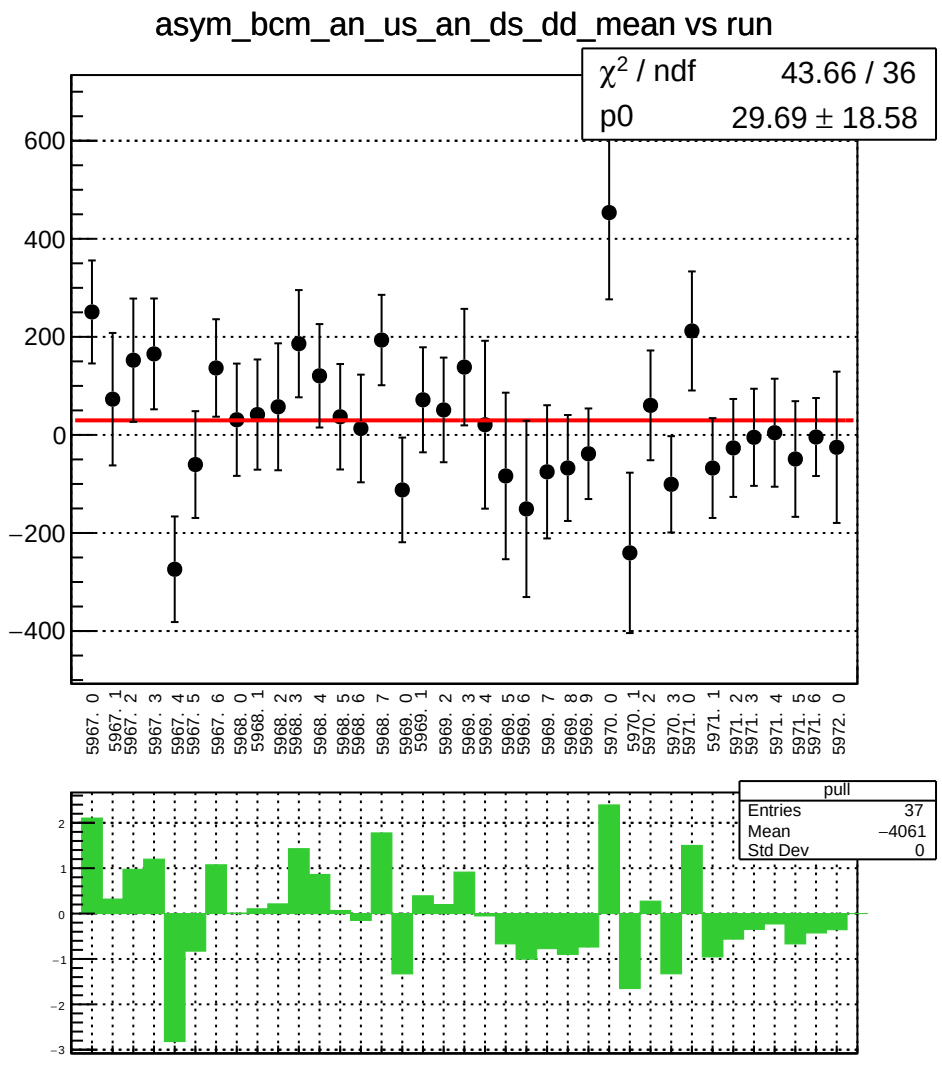
asym_bcm_an_us_an_ds_dd_mean vs run
χ² / ndf 43.66 / 36
p0 29.69 ± 18.58
600
400
200
0
−200
−400
5967. 0
5967. 1
5967. 2
5967. 3
5967. 4
5967. 5
5967. 6
5968. 0
5968. 1
5968. 2
5968. 3
5968. 4
5968. 5
5968. 6
5968. 7
5969. 0
5969. 1
5969. 2
5969. 3
5969. 4
5969. 5
5969. 6
5969. 7
5969. 8
5969. 9
5970. 0
5970. 1
5970. 2
5970. 3
5971. 0
5971. 1
5971. 2
5971. 3
5971. 4
5971. 5
5971. 6
5972. 0
pull
Entries 37
Mean −4061
Std Dev 0
2
1
0
−1
−2
−3

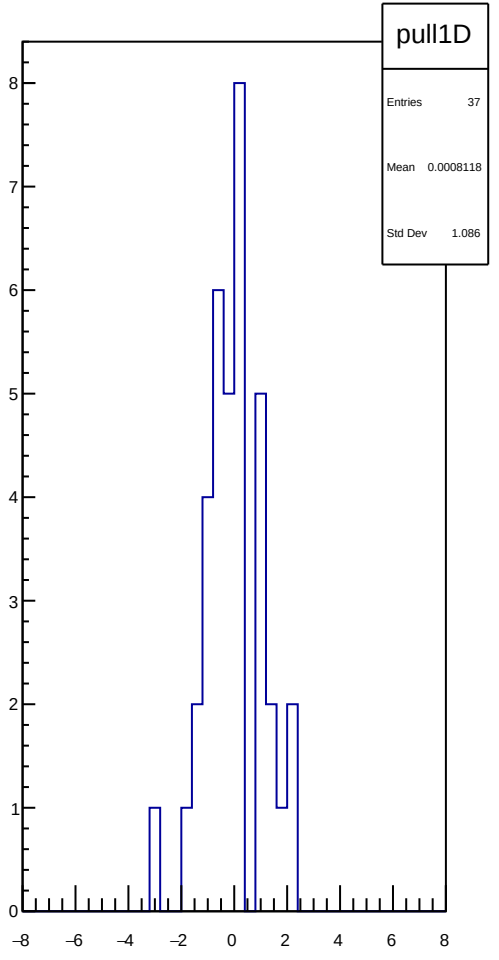
pull1D
Entries 37
Mean 0.0008118
Std Dev 1.086
8
7
6
5
4
3
2
1
0
−8
−6
−4
−2
0
2
4
6
8

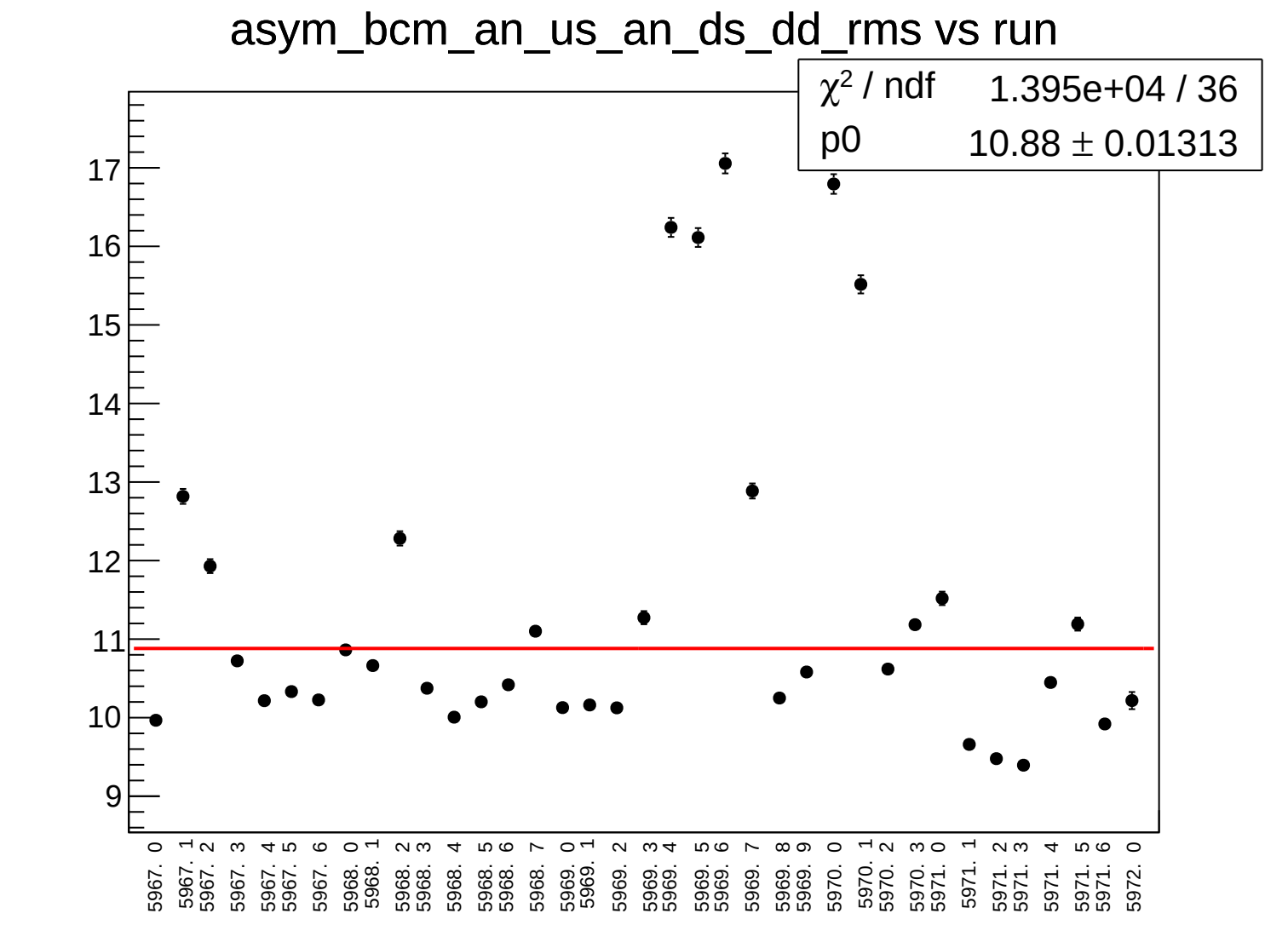
asym_bcm_an_us_an_ds_dd_rms vs run
χ² / ndf 1.395e+04 / 36
p0 10.88 ± 0.01313
17
16
15
14
13
12
11
10
9
5967. 0
5967. 1
5967. 2
5967. 3
5967. 4
5967. 5
5967. 6
5968. 0
5968. 1
5968. 2
5968. 3
5968. 4
5968. 5
5968. 6
5968. 7
5969. 0
5969. 1
5969. 2
5969. 3
5969. 4
5969. 5
5969. 6
5969. 7
5969. 8
5969. 9
5970. 0
5970. 1
5970. 2
5970. 3
5971. 0
5971. 1
5971. 2
5971. 3
5971. 4
5971. 5
5971. 6
5972. 0

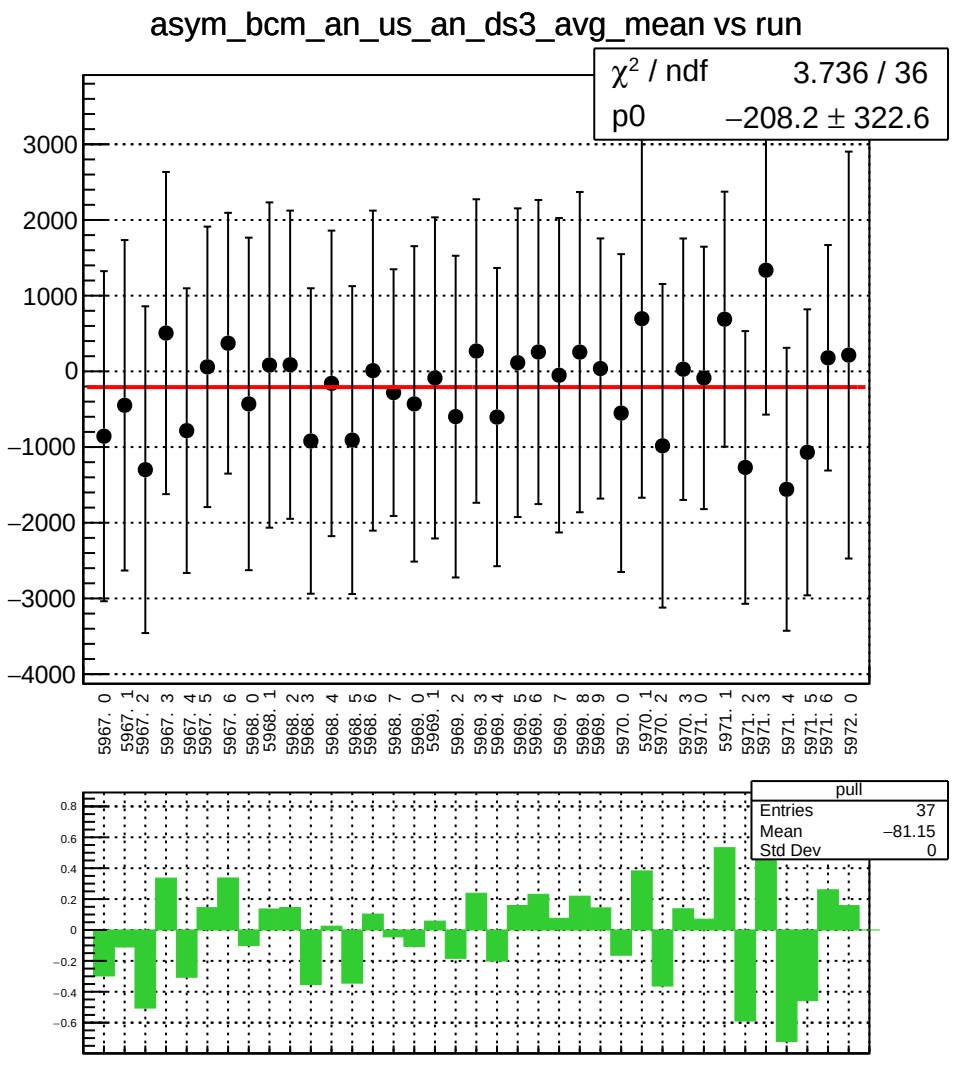
asym_bcm_an_us_an_ds3_avg_mean vs run
χ² / ndf 3.736 / 36
p0 −208.2 ± 322.6
3000
2000
1000
0
−1000
−2000
−3000
−4000
5967. 0
5967. 1
5967. 2
5967. 3
5967. 4
5967. 5
5967. 6
5968. 0
5968. 1
5968. 2
5968. 3
5968. 4
5968. 5
5968. 6
5968. 7
5969. 0
5969. 1
5969. 2
5969. 3
5969. 4
5969. 5
5969. 6
5969. 7
5969. 8
5969. 9
5970. 0
5970. 1
5970. 2
5970. 3
5971. 0
5971. 1
5971. 2
5971. 3
5971. 4
5971. 5
5971. 6
5972. 0
pull
Entries 37
Mean −81.15
Std Dev 0
0.8
0.6
0.4
0.2
0
−0.2
−0.4
−0.6

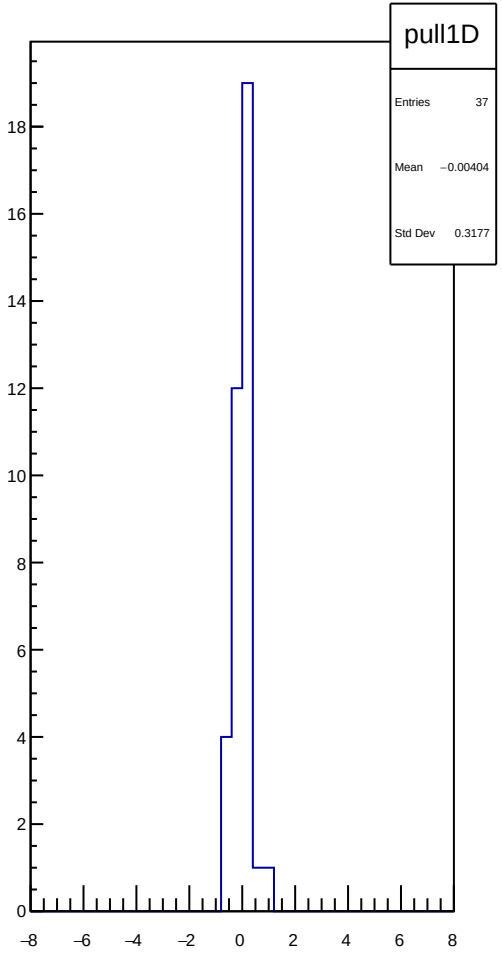
pull1D
Entries 37
Mean −0.00404
Std Dev 0.3177
18
16
14
12
10
8
6
4
2
0
−8
−6
−4
−2
0
2
4
6
8

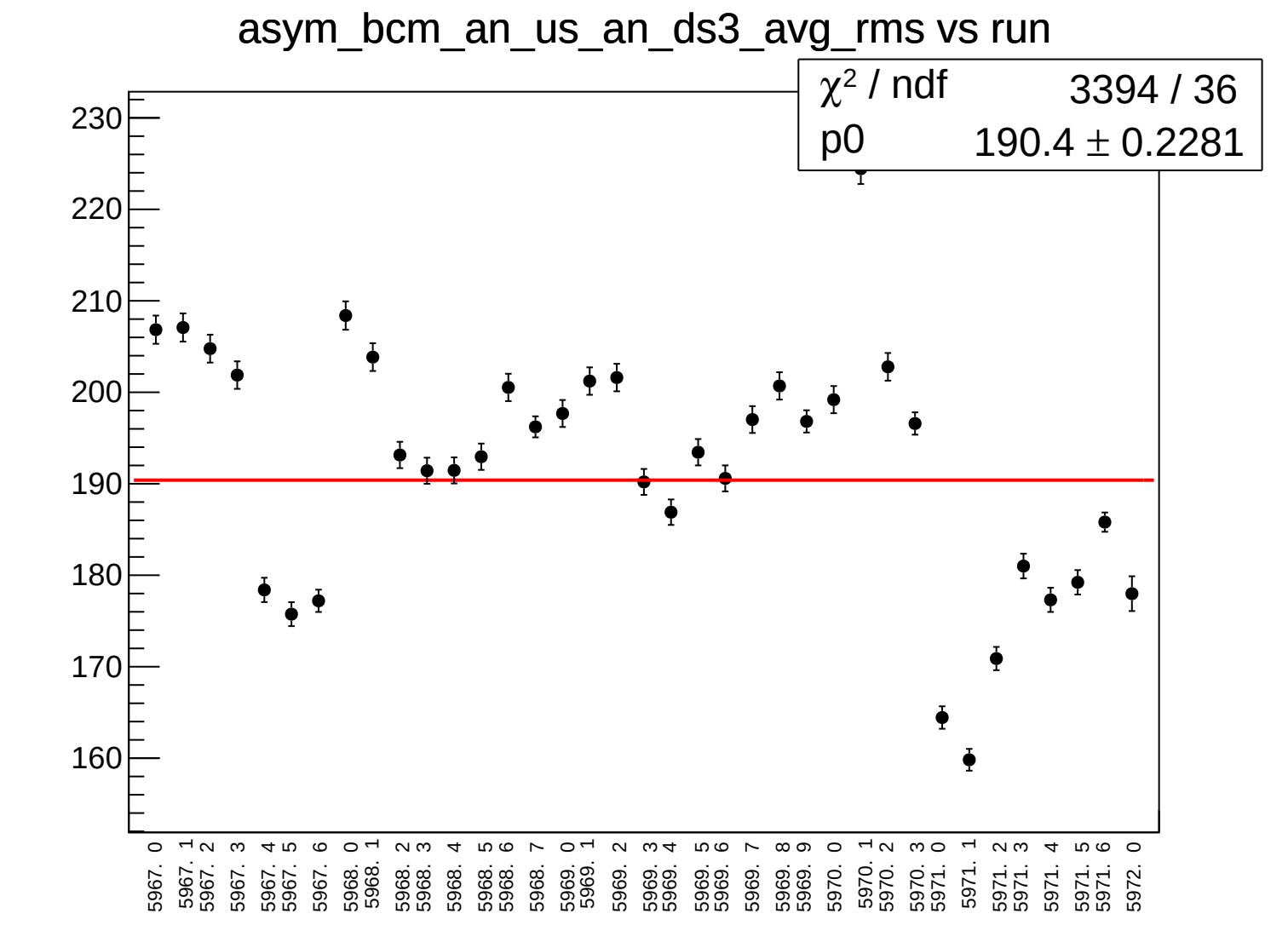
asym_bcm_an_us_an_ds3_avg_rms vs run
χ² / ndf 3394 / 36
p0 190.4 ± 0.2281
230
220
210
200
190
180
170
160
5967. 0
5967. 1
5967. 2
5967. 3
5967. 4
5967. 5
5967. 6
5968. 0
5968. 1
5968. 2
5968. 3
5968. 4
5968. 5
5968. 6
5968. 7
5969. 0
5969. 1
5969. 2
5969. 3
5969. 4
5969. 5
5969. 6
5969. 7
5969. 8
5969. 9
5970. 0
5970. 1
5970. 2
5970. 3
5971. 0
5971. 1
5971. 2
5971. 3
5971. 4
5971. 5
5971. 6
5972. 0

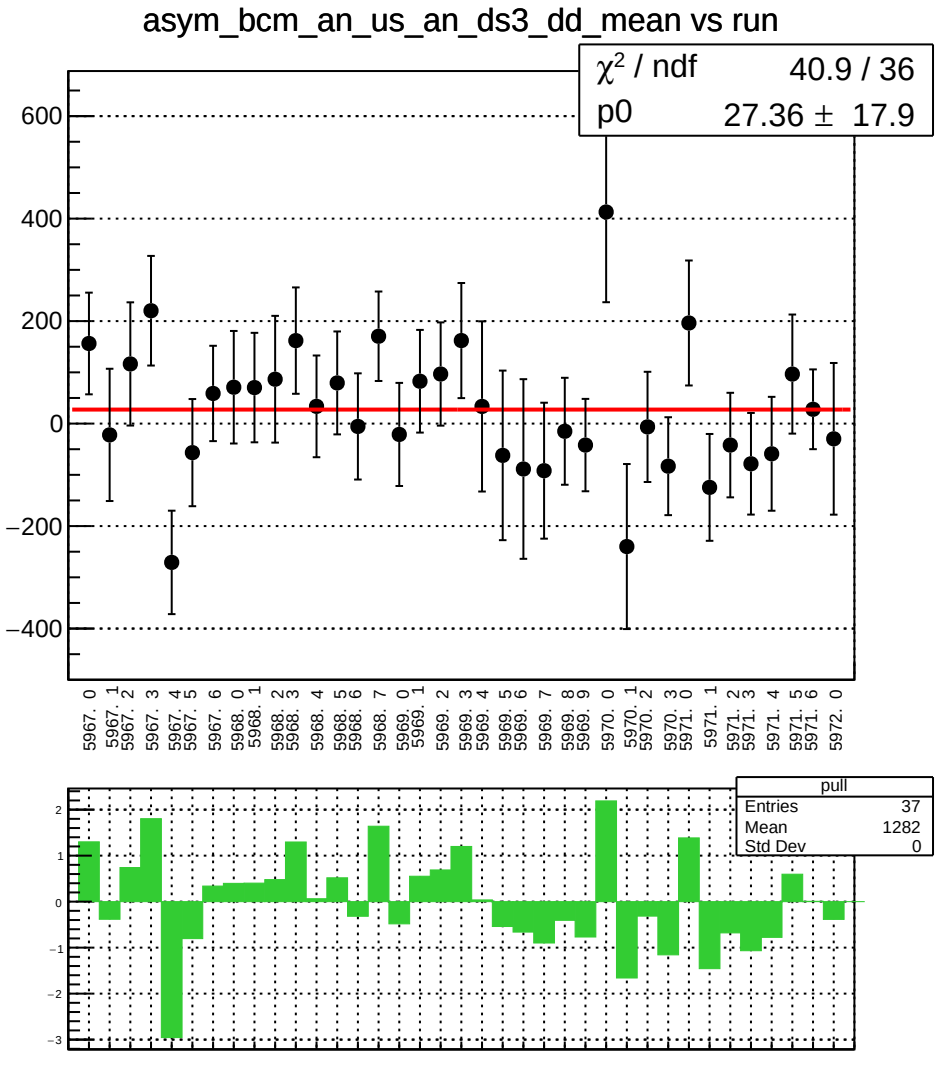
asym_bcm_an_us_an_ds3_dd_mean vs run
χ² / ndf 40.9 / 36
p0 27.36 ± 17.9
600
400
200
0
−200
−400
5967. 0
5967. 1
5967. 2
5967. 3
5967. 4
5967. 5
5967. 6
5968. 0
5968. 1
5968. 2
5968. 3
5968. 4
5968. 5
5968. 6
5968. 7
5969. 0
5969. 1
5969. 2
5969. 3
5969. 4
5969. 5
5969. 6
5969. 7
5969. 8
5969. 9
5970. 0
5970. 1
5970. 2
5970. 3
5971. 0
5971. 1
5971. 2
5971. 3
5971. 4
5971. 5
5971. 6
5972. 0
pull
Entries 37
Mean 1282
Std Dev 0
2
1
0
−1
−2
−3

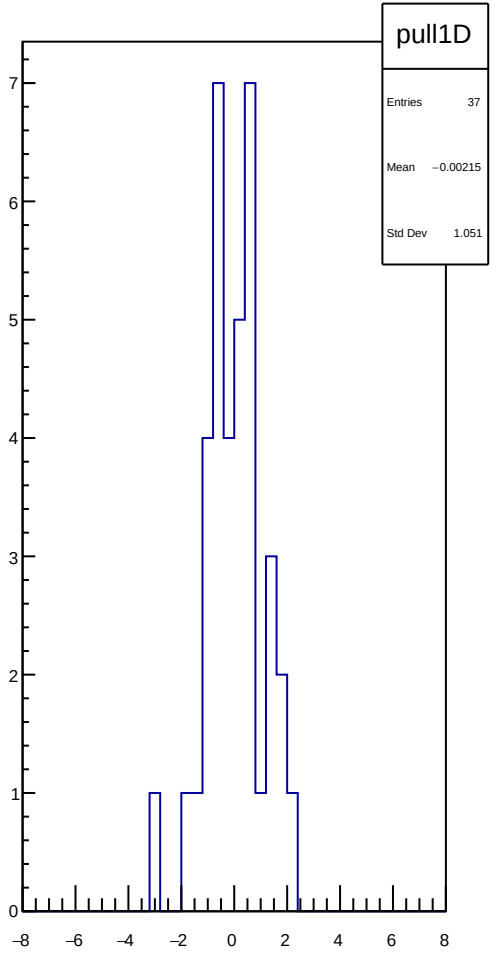
pull1D
Entries 37
Mean −0.00215
Std Dev 1.051
7
6
5
4
3
2
1
0
−8
−6
−4
−2
0
2
4
6
8

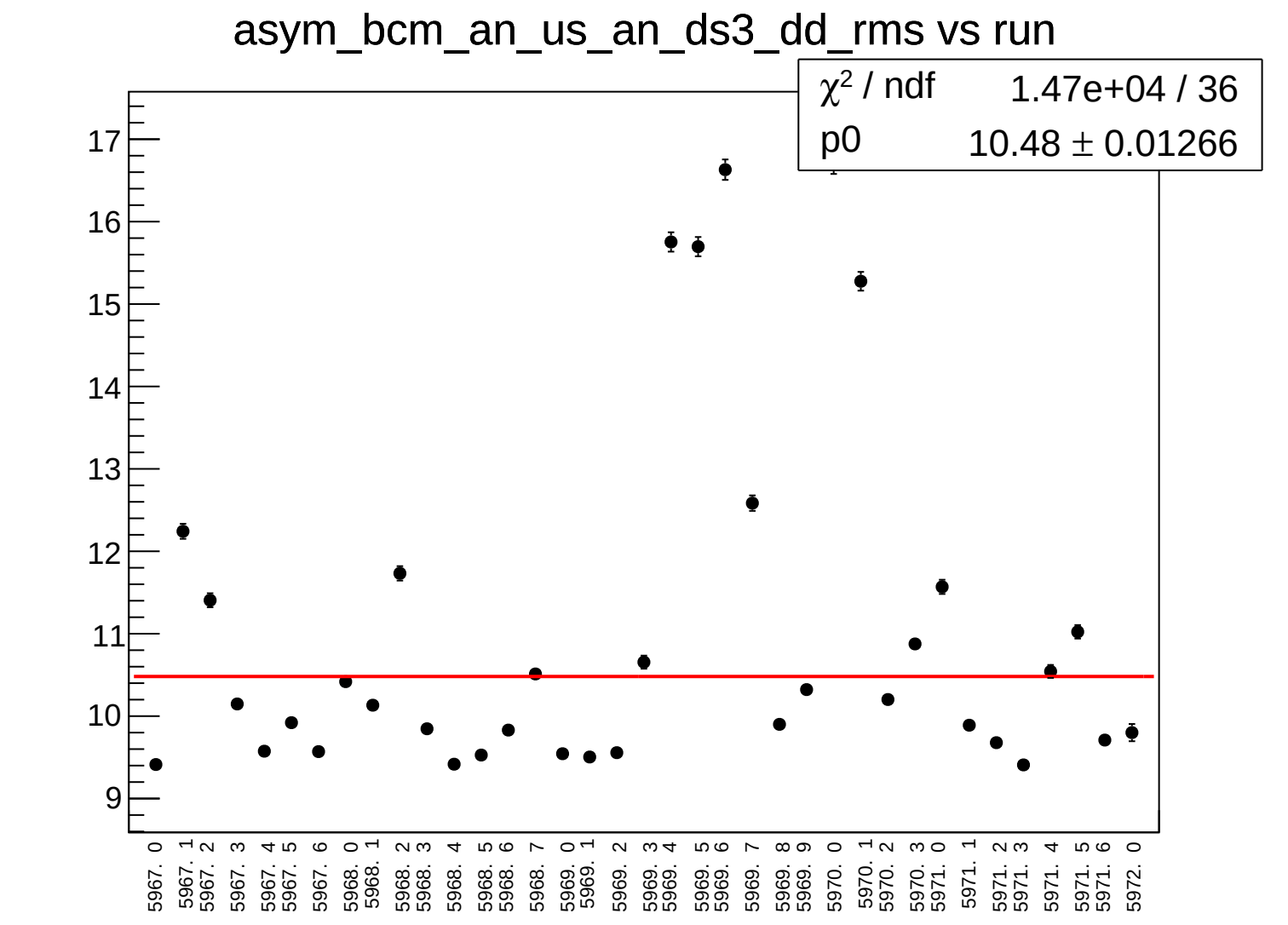
asym_bcm_an_us_an_ds3_dd_rms vs run
χ² / ndf 1.47e+04 / 36
p0 10.48 ± 0.01266
17
16
15
14
13
12
11
10
9
5967. 0
5967. 1
5967. 2
5967. 3
5967. 4
5967. 5
5967. 6
5968. 0
5968. 1
5968. 2
5968. 3
5968. 4
5968. 5
5968. 6
5968. 7
5969. 0
5969. 1
5969. 2
5969. 3
5969. 4
5969. 5
5969. 6
5969. 7
5969. 8
5969. 9
5970. 0
5970. 1
5970. 2
5970. 3
5971. 0
5971. 1
5971. 2
5971. 3
5971. 4
5971. 5
5971. 6
5972. 0

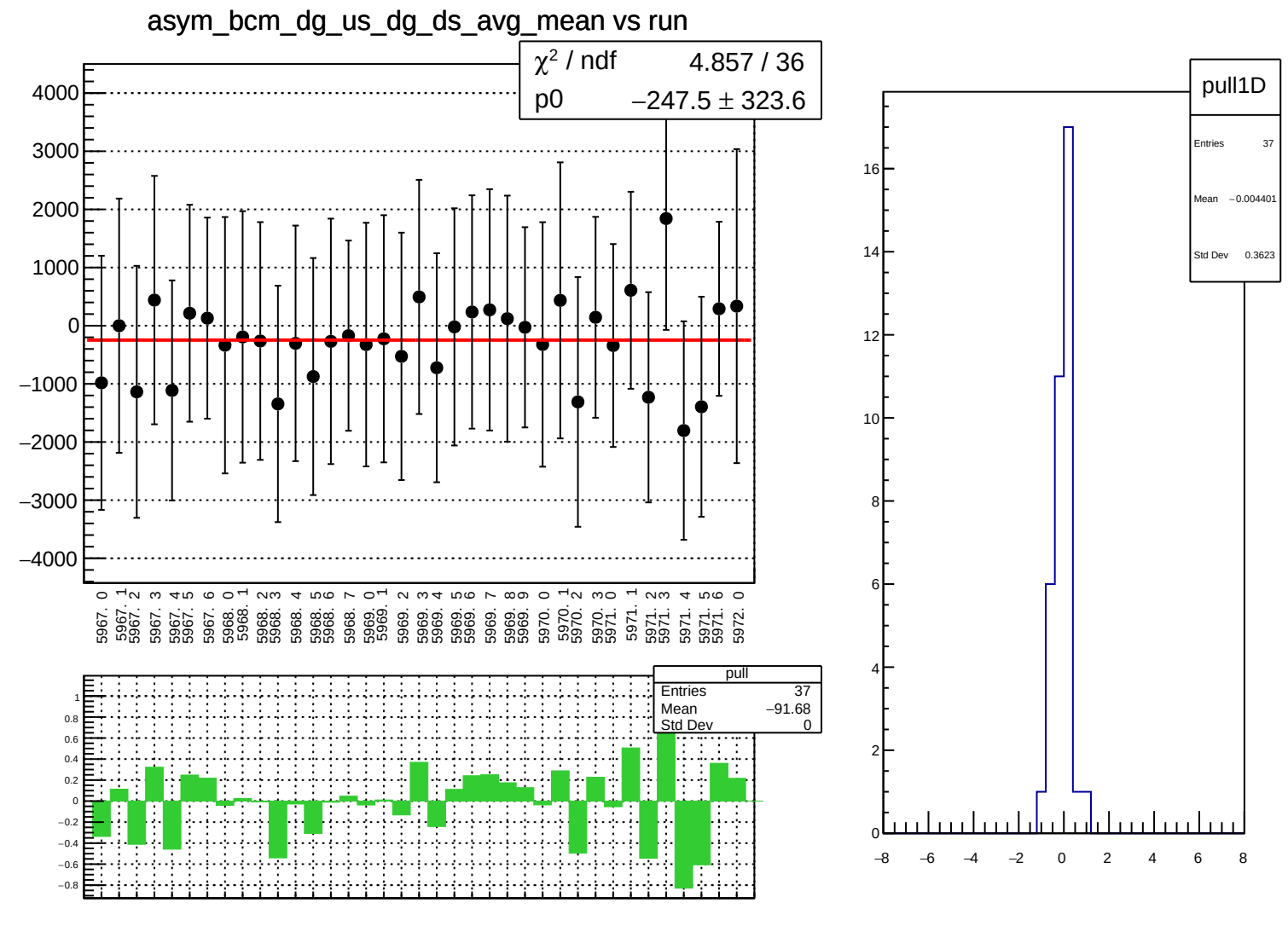
asym_bcm_dg_us_dg_ds_avg_mean vs run
χ² / ndf 4.857 / 36
p0 −247.5 ± 323.6
4000
3000
2000
1000
0
−1000
−2000
−3000
−4000
5967. 0
5967. 1
5967. 2
5967. 3
5967. 4
5967. 5
5967. 6
5968. 0
5968. 1
5968. 2
5968. 3
5968. 4
5968. 5
5968. 6
5968. 7
5969. 0
5969. 1
5969. 2
5969. 3
5969. 4
5969. 5
5969. 6
5969. 7
5969. 8
5969. 9
5970. 0
5970. 1
5970. 2
5970. 3
5971. 0
5971. 1
5971. 2
5971. 3
5971. 4
5971. 5
5971. 6
5972. 0
pull
Entries 37
Mean −91.68
Std Dev 0
1
0.8
0.6
0.4
0.2
0
−0.2
−0.4
−0.6
−0.8
pull1D
Entries 37
Mean −0.004401
Std Dev 0.3623
16
14
12
10
8
6
4
2
0
−8
−6
−4
−2
0
2
4
6
8

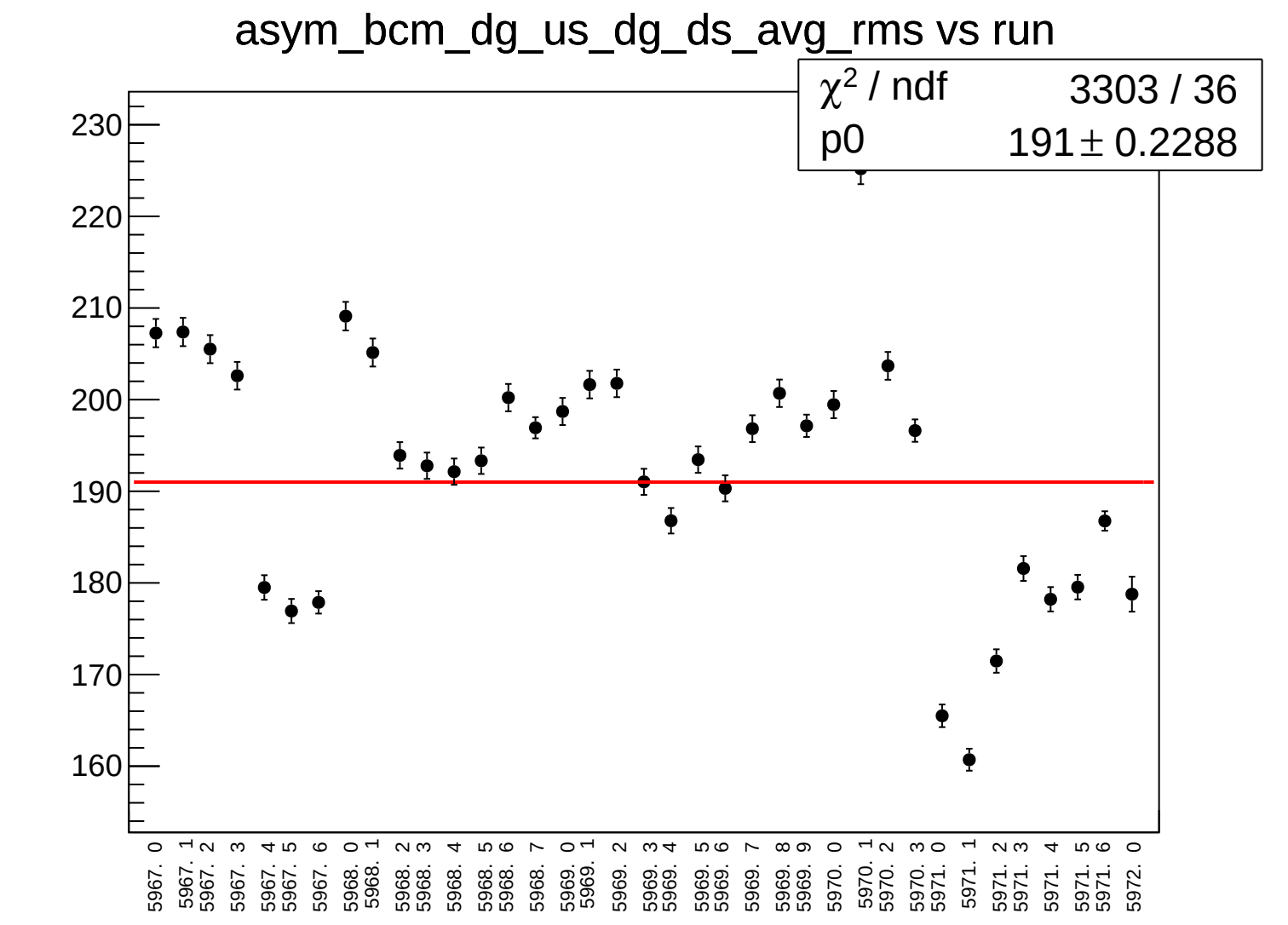
asym_bcm_dg_us_dg_ds_avg_rms vs run
χ² / ndf 3303 / 36
p0 191 ± 0.2288
230
220
210
200
190
180
170
160
5967. 0
5967. 1
5967. 2
5967. 3
5967. 4
5967. 5
5967. 6
5968. 0
5968. 1
5968. 2
5968. 3
5968. 4
5968. 5
5968. 6
5968. 7
5969. 0
5969. 1
5969. 2
5969. 3
5969. 4
5969. 5
5969. 6
5969. 7
5969. 8
5969. 9
5970. 0
5970. 1
5970. 2
5970. 3
5971. 0
5971. 1
5971. 2
5971. 3
5971. 4
5971. 5
5971. 6
5972. 0

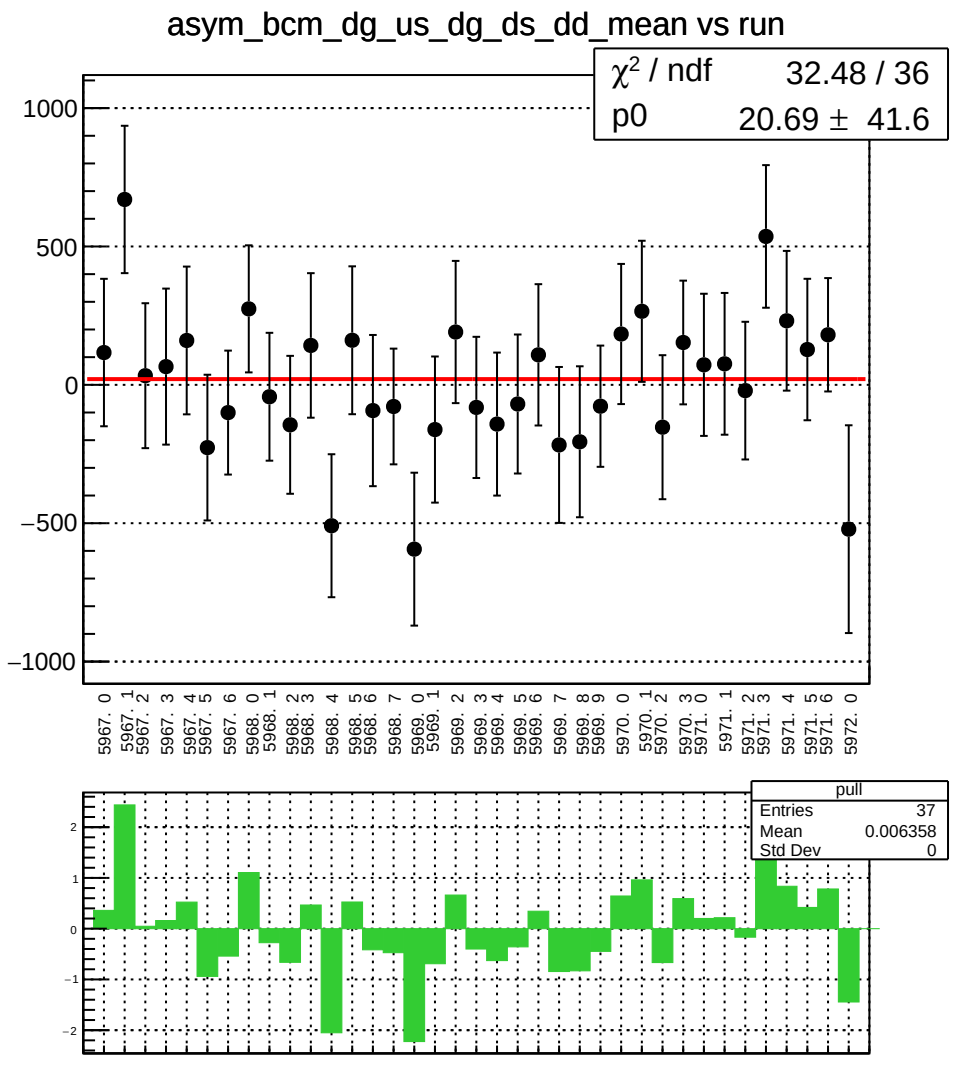
asym_bcm_dg_us_dg_ds_dd_mean vs run
χ² / ndf 32.48 / 36
p0 20.69 ± 41.6
1000
500
0
−500
−1000
5967. 0
5967. 1
5967. 2
5967. 3
5967. 4
5967. 5
5967. 6
5968. 0
5968. 1
5968. 2
5968. 3
5968. 4
5968. 5
5968. 6
5968. 7
5969. 0
5969. 1
5969. 2
5969. 3
5969. 4
5969. 5
5969. 6
5969. 7
5969. 8
5969. 9
5970. 0
5970. 1
5970. 2
5970. 3
5971. 0
5971. 1
5971. 2
5971. 3
5971. 4
5971. 5
5971. 6
5972. 0
pull
Entries 37
Mean 0.006358
Std Dev 0
2
1
0
−1
−2

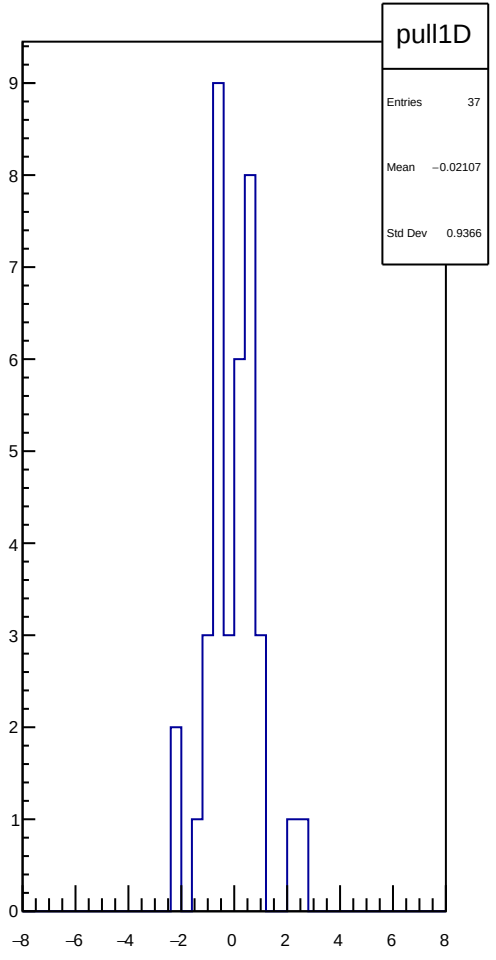
pull1D
Entries 37
Mean −0.02107
Std Dev 0.9366
9
8
7
6
5
4
3
2
1
0
−8
−6
−4
−2
0
2
4
6
8

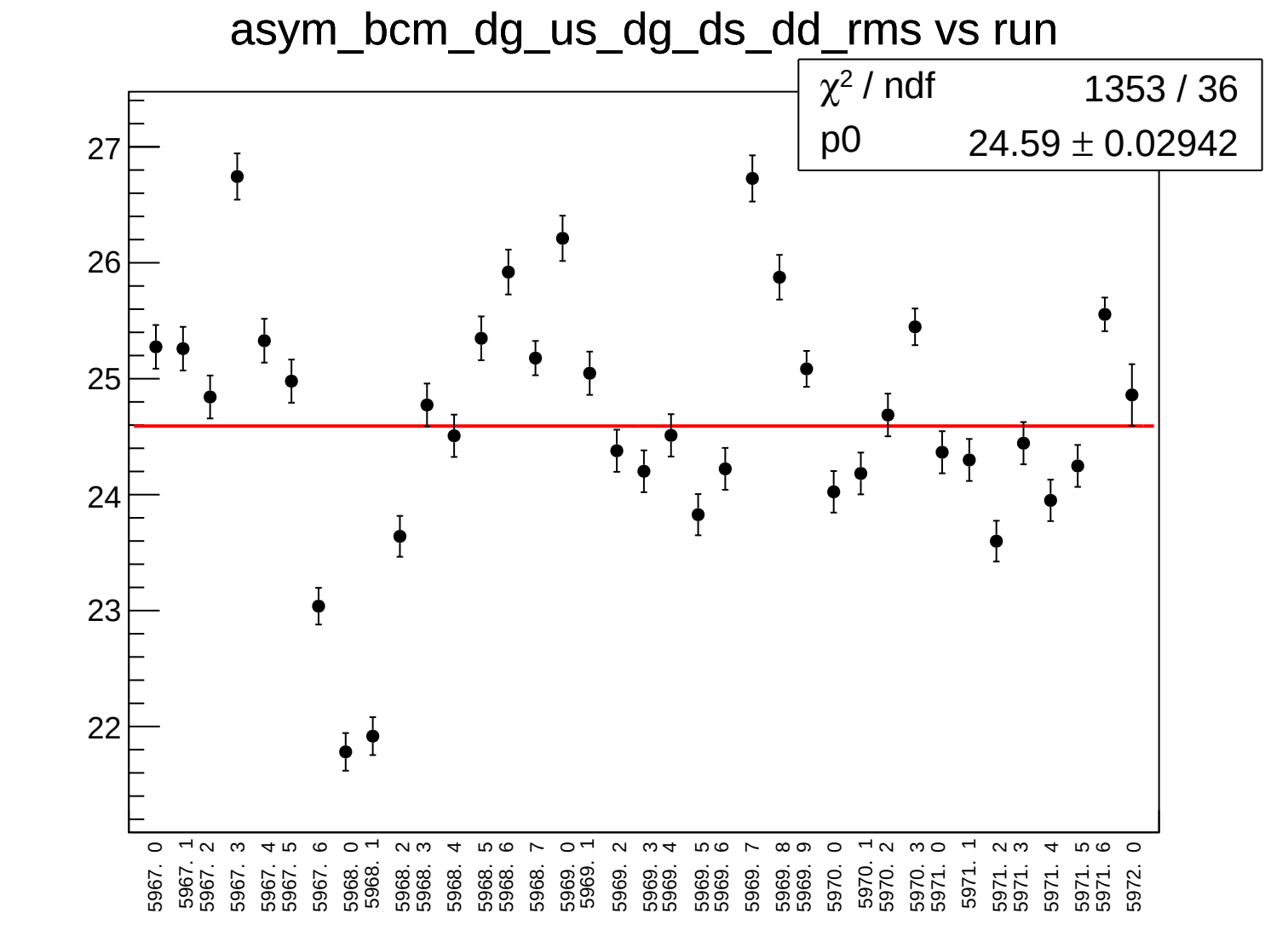
asym_bcm_dg_us_dg_ds_dd_rms vs run
χ² / ndf 1353 / 36
p0 24.59 ± 0.02942
27
26
25
24
23
22
5967. 0
5967. 1
5967. 2
5967. 3
5967. 4
5967. 5
5967. 6
5968. 0
5968. 1
5968. 2
5968. 3
5968. 4
5968. 5
5968. 6
5968. 7
5969. 0
5969. 1
5969. 2
5969. 3
5969. 4
5969. 5
5969. 6
5969. 7
5969. 8
5969. 9
5970. 0
5970. 1
5970. 2
5970. 3
5971. 0
5971. 1
5971. 2
5971. 3
5971. 4
5971. 5
5971. 6
5972. 0

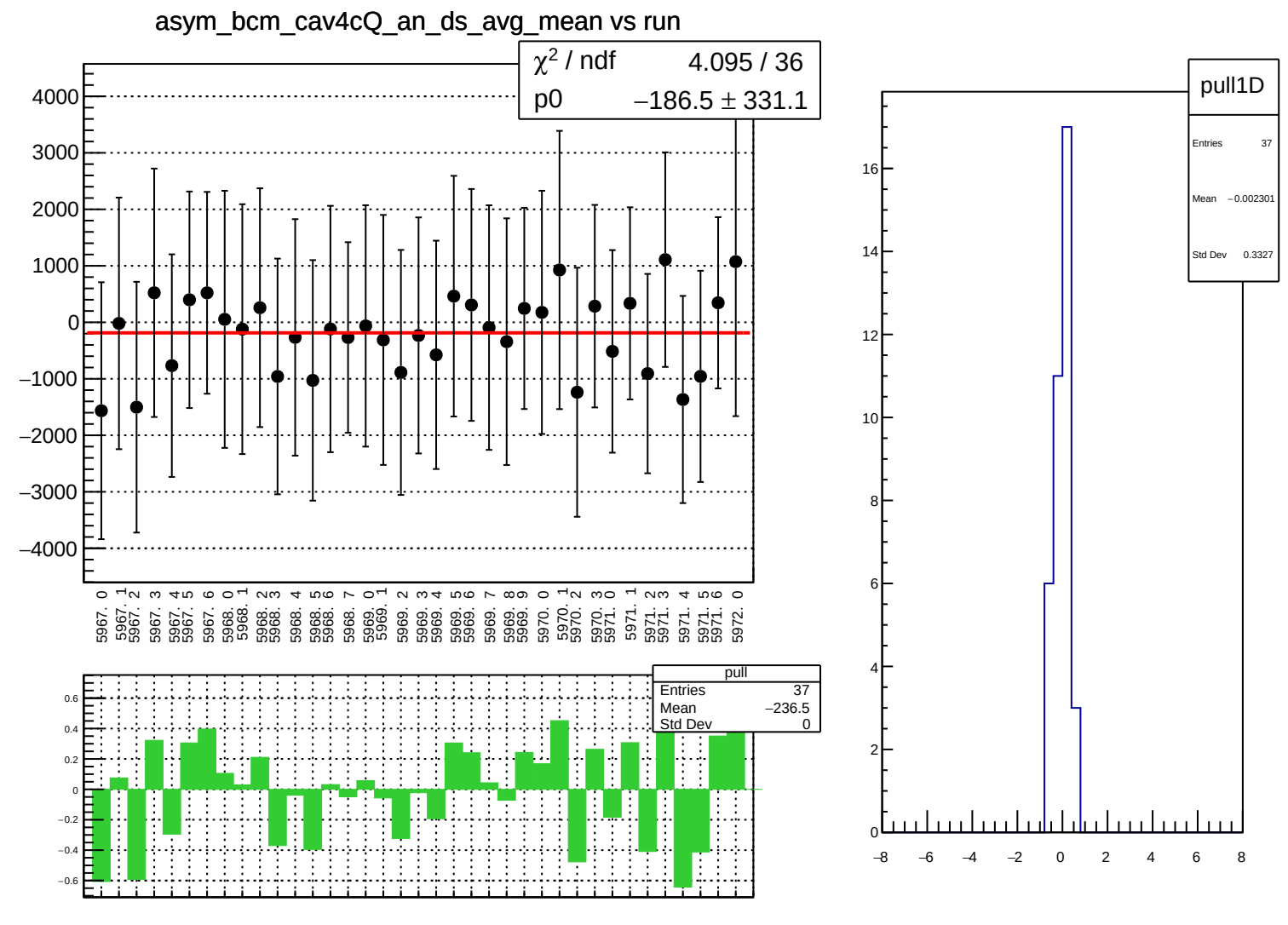
asym_bcm_cav4cQ_an_ds_avg_mean vs run
χ² / ndf 4.095 / 36
p0 −186.5 ± 331.1
4000
3000
2000
1000
0
−1000
−2000
−3000
−4000
5967. 0
5967. 1
5967. 2
5967. 3
5967. 4
5967. 5
5967. 6
5968. 0
5968. 1
5968. 2
5968. 3
5968. 4
5968. 5
5968. 6
5968. 7
5969. 0
5969. 1
5969. 2
5969. 3
5969. 4
5969. 5
5969. 6
5969. 7
5969. 8
5969. 9
5970. 0
5970. 1
5970. 2
5970. 3
5971. 0
5971. 1
5971. 2
5971. 3
5971. 4
5971. 5
5971. 6
5972. 0
pull
Entries 37
Mean −236.5
Std Dev 0
0.6
0.4
0.2
0
−0.2
−0.4
−0.6
pull1D
Entries 37
Mean −0.002301
Std Dev 0.3327
16
14
12
10
8
6
4
2
0
−8
−6
−4
−2
0
2
4
6
8

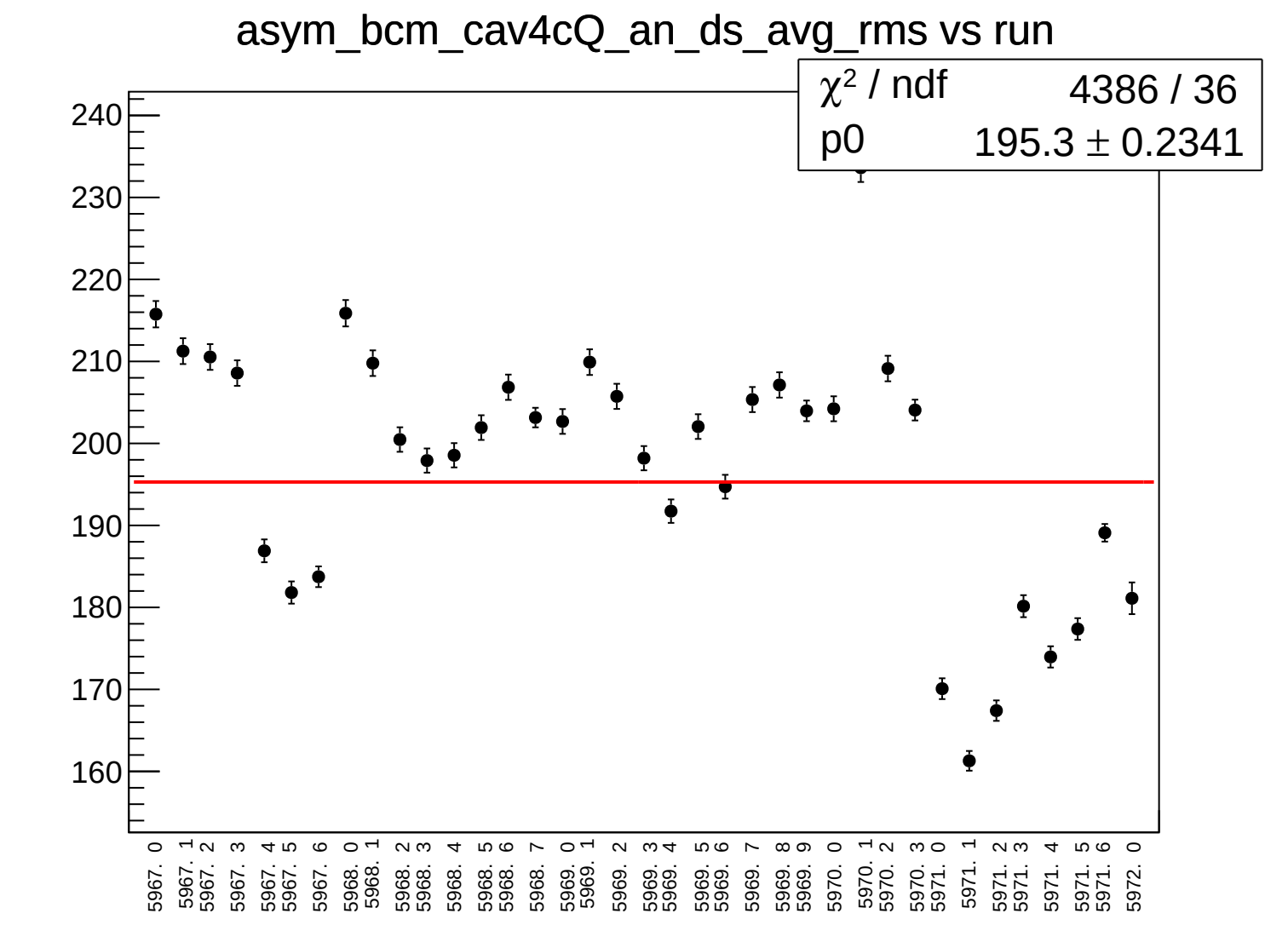
asym_bcm_cav4cQ_an_ds_avg_rms vs run
χ² / ndf 4386 / 36
p0 195.3 ± 0.2341
240
230
220
210
200
190
180
170
160
5967. 0
5967. 1
5967. 2
5967. 3
5967. 4
5967. 5
5967. 6
5968. 0
5968. 1
5968. 2
5968. 3
5968. 4
5968. 5
5968. 6
5968. 7
5969. 0
5969. 1
5969. 2
5969. 3
5969. 4
5969. 5
5969. 6
5969. 7
5969. 8
5969. 9
5970. 0
5970. 1
5970. 2
5970. 3
5971. 0
5971. 1
5971. 2
5971. 3
5971. 4
5971. 5
5971. 6
5972. 0

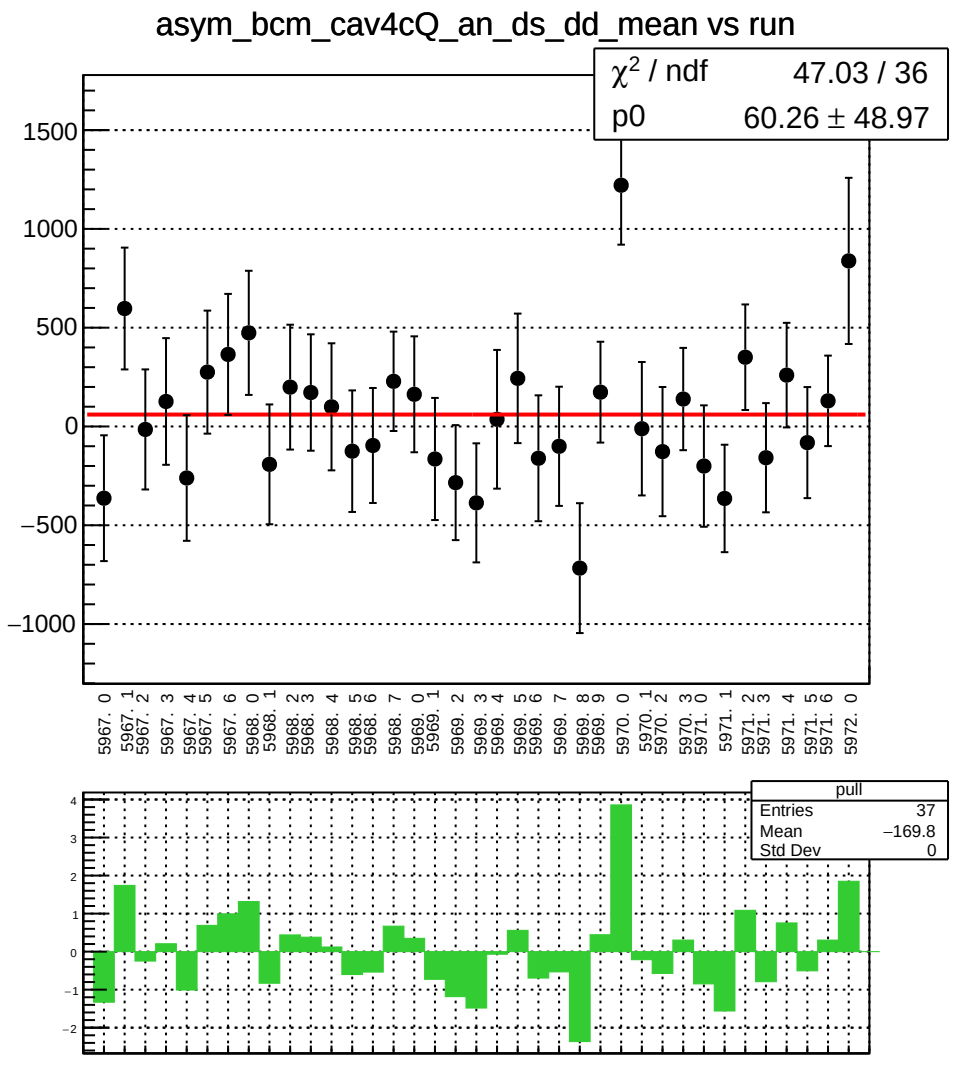
asym_bcm_cav4cQ_an_ds_dd_mean vs run
χ² / ndf 47.03 / 36
p0 60.26 ± 48.97
1500
1000
500
0
−500
−1000
5967. 0
5967. 1
5967. 2
5967. 3
5967. 4
5967. 5
5967. 6
5968. 0
5968. 1
5968. 2
5968. 3
5968. 4
5968. 5
5968. 6
5968. 7
5969. 0
5969. 1
5969. 2
5969. 3
5969. 4
5969. 5
5969. 6
5969. 7
5969. 8
5969. 9
5970. 0
5970. 1
5970. 2
5970. 3
5971. 0
5971. 1
5971. 2
5971. 3
5971. 4
5971. 5
5971. 6
5972. 0
pull
Entries 37
Mean −169.8
Std Dev 0
4
3
2
1
0
−1
−2
pull1D
Entries 37
Mean −0.00103
Std Dev 1.127
8
7
6
5
4
3
2
1
0
−8
−6
−4
−2
0
2
4
6
8

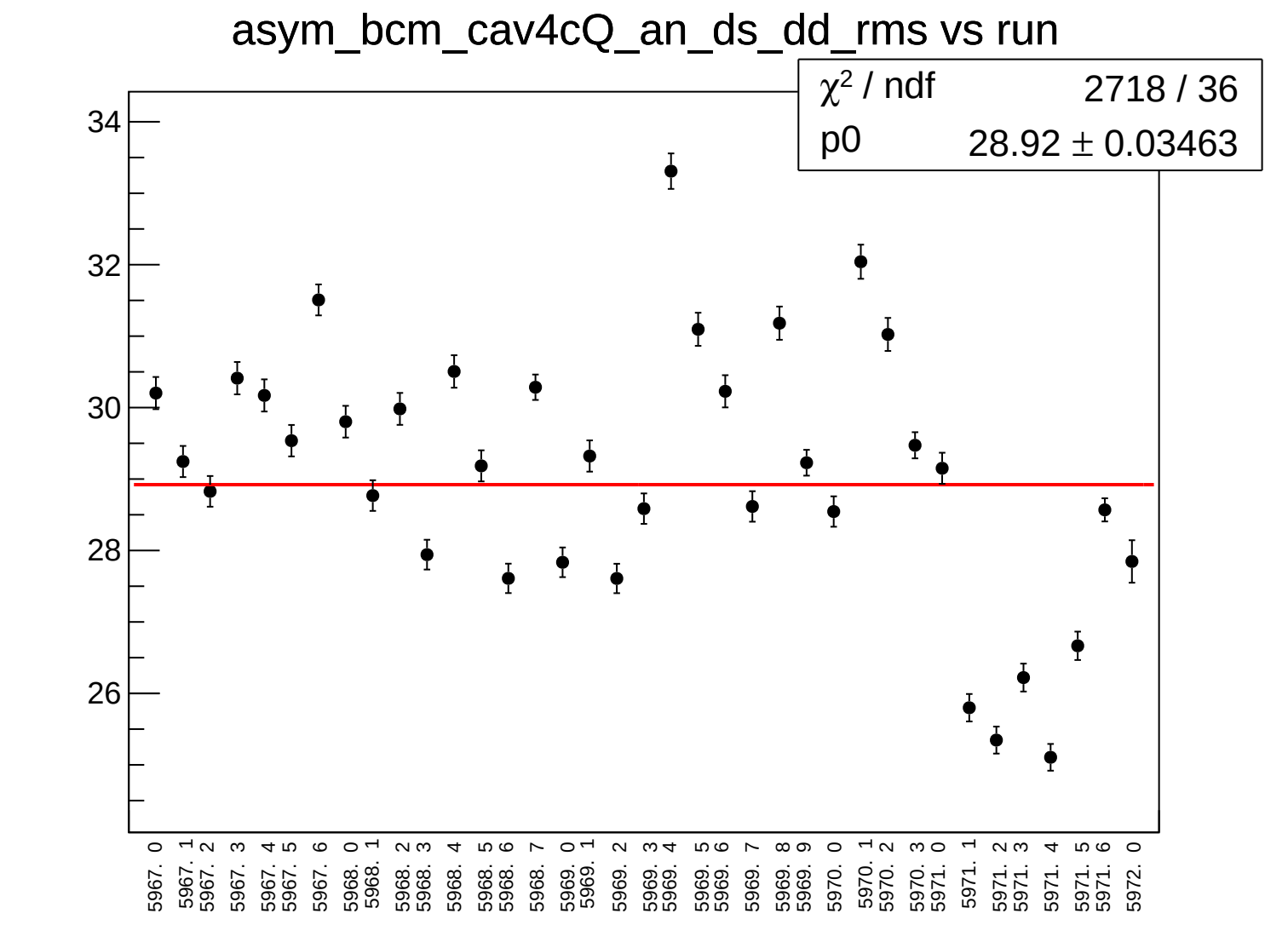
asym_bcm_cav4cQ_an_ds_dd_rms vs run
χ² / ndf 2718 / 36
p0 28.92 ± 0.03463
34
32
30
28
26
5967. 0
5967. 1
5967. 2
5967. 3
5967. 4
5967. 5
5967. 6
5968. 0
5968. 1
5968. 2
5968. 3
5968. 4
5968. 5
5968. 6
5968. 7
5969. 0
5969. 1
5969. 2
5969. 3
5969. 4
5969. 5
5969. 6
5969. 7
5969. 8
5969. 9
5970. 0
5970. 1
5970. 2
5970. 3
5971. 0
5971. 1
5971. 2
5971. 3
5971. 4
5971. 5
5971. 6
5972. 0

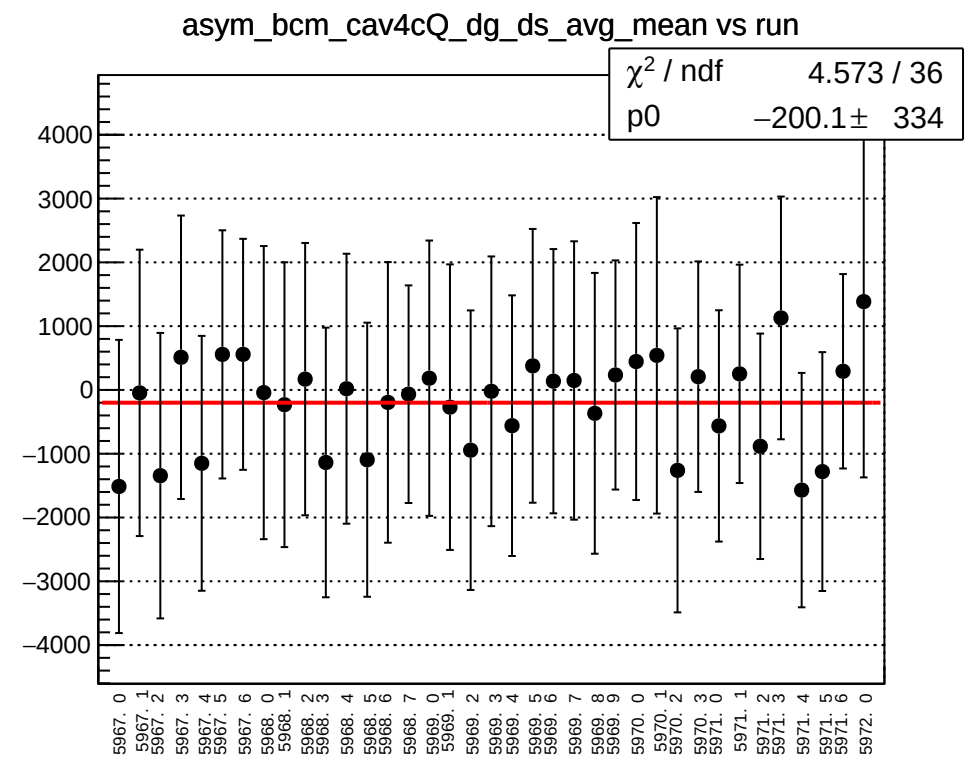
asym_bcm_cav4cQ_dg_ds_avg_mean vs run
χ² / ndf 4.573 / 36
p0 −200.1± 334
4000
3000
2000
1000
0
−1000
−2000
−3000
−4000
5967. 0
5967. 1
5967. 2
5967. 3
5967. 4
5967. 5
5967. 6
5968. 0
5968. 1
5968. 2
5968. 3
5968. 4
5968. 5
5968. 6
5968. 7
5969. 0
5969. 1
5969. 2
5969. 3
5969. 4
5969. 5
5969. 6
5969. 7
5969. 8
5969. 9
5970. 0
5970. 1
5970. 2
5970. 3
5971. 0
5971. 1
5971. 2
5971. 3
5971. 4
5971. 5
5971. 6
5972. 0
pull
Entries 37
Mean −441.4
Std Dev 0
0.6
0.4
0.2
0
−0.2
−0.4
−0.6
−0.8

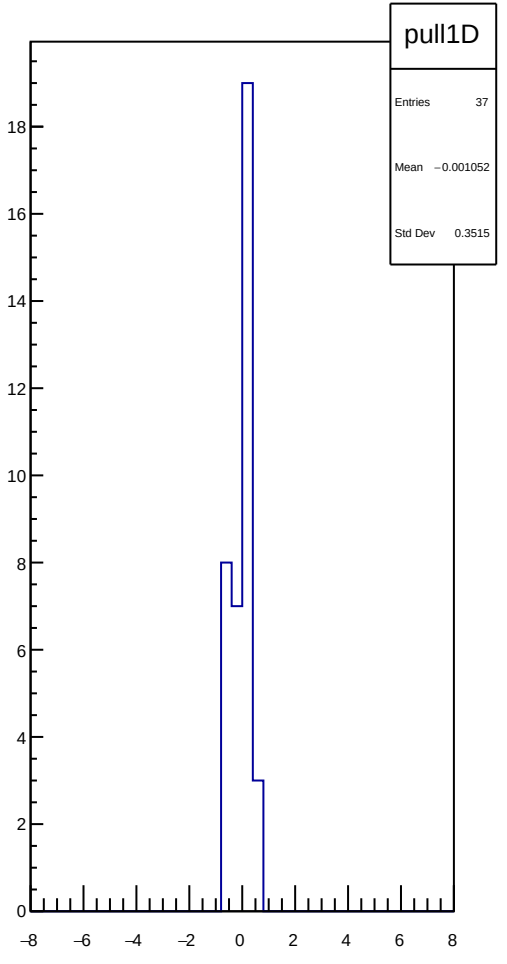
pull1D
Entries 37
Mean −0.001052
Std Dev 0.3515
18
16
14
12
10
8
6
4
2
0
−8
−6
−4
−2
0
2
4
6
8

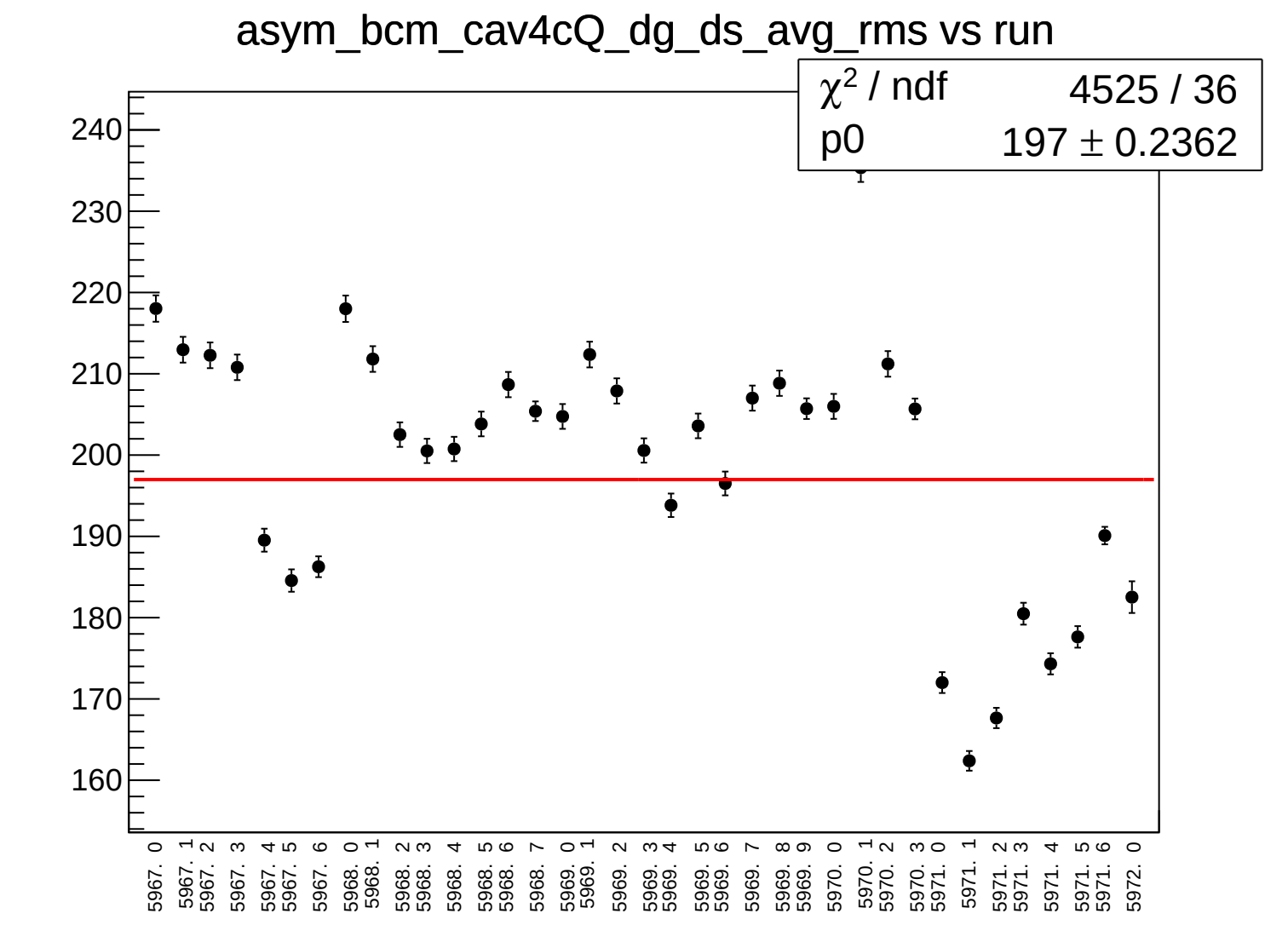
asym_bcm_cav4cQ_dg_ds_avg_rms vs run
χ² / ndf 4525 / 36
p0 197 ± 0.2362
240
230
220
210
200
190
180
170
160
5967. 0
5967. 1
5967. 2
5967. 3
5967. 4
5967. 5
5967. 6
5968. 0
5968. 1
5968. 2
5968. 3
5968. 4
5968. 5
5968. 6
5968. 7
5969. 0
5969. 1
5969. 2
5969. 3
5969. 4
5969. 5
5969. 6
5969. 7
5969. 8
5969. 9
5970. 0
5970. 1
5970. 2
5970. 3
5971. 0
5971. 1
5971. 2
5971. 3
5971. 4
5971. 5
5971. 6
5972. 0

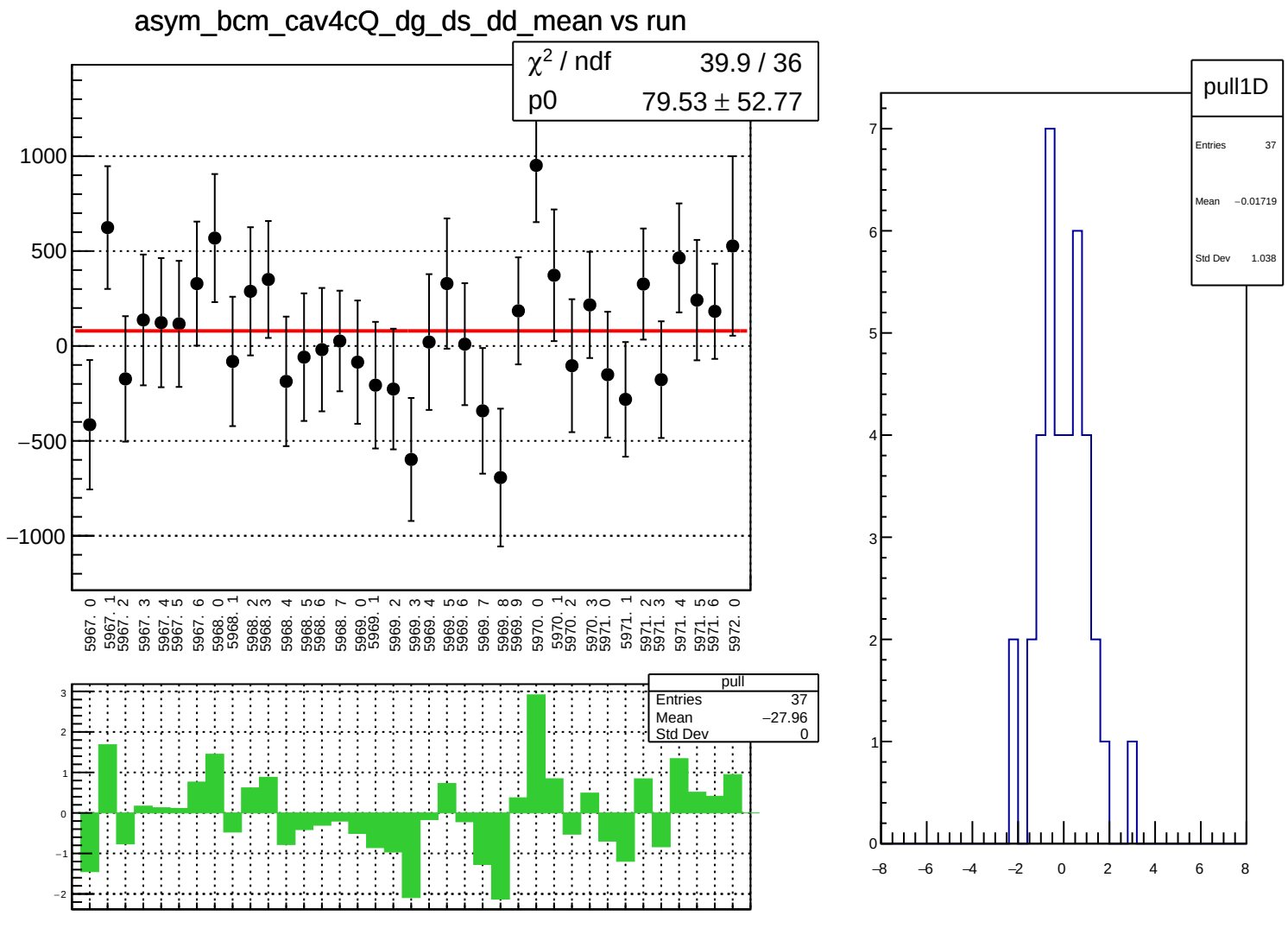
asym_bcm_cav4cQ_dg_ds_dd_mean vs run
χ² / ndf 39.9 / 36
p0 79.53 ± 52.77
1000
500
0
−500
−1000
5967. 0
5967. 1
5967. 2
5967. 3
5967. 4
5967. 5
5967. 6
5968. 0
5968. 1
5968. 2
5968. 3
5968. 4
5968. 5
5968. 6
5968. 7
5969. 0
5969. 1
5969. 2
5969. 3
5969. 4
5969. 5
5969. 6
5969. 7
5969. 8
5969. 9
5970. 0
5970. 1
5970. 2
5970. 3
5971. 0
5971. 1
5971. 2
5971. 3
5971. 4
5971. 5
5971. 6
5972. 0
pull
Entries 37
Mean −27.96
Std Dev 0
3
2
1
0
−1
−2
pull1D
Entries 37
Mean −0.01719
Std Dev 1.038
7
6
5
4
3
2
1
0
−8
−6
−4
−2
0
2
4
6
8

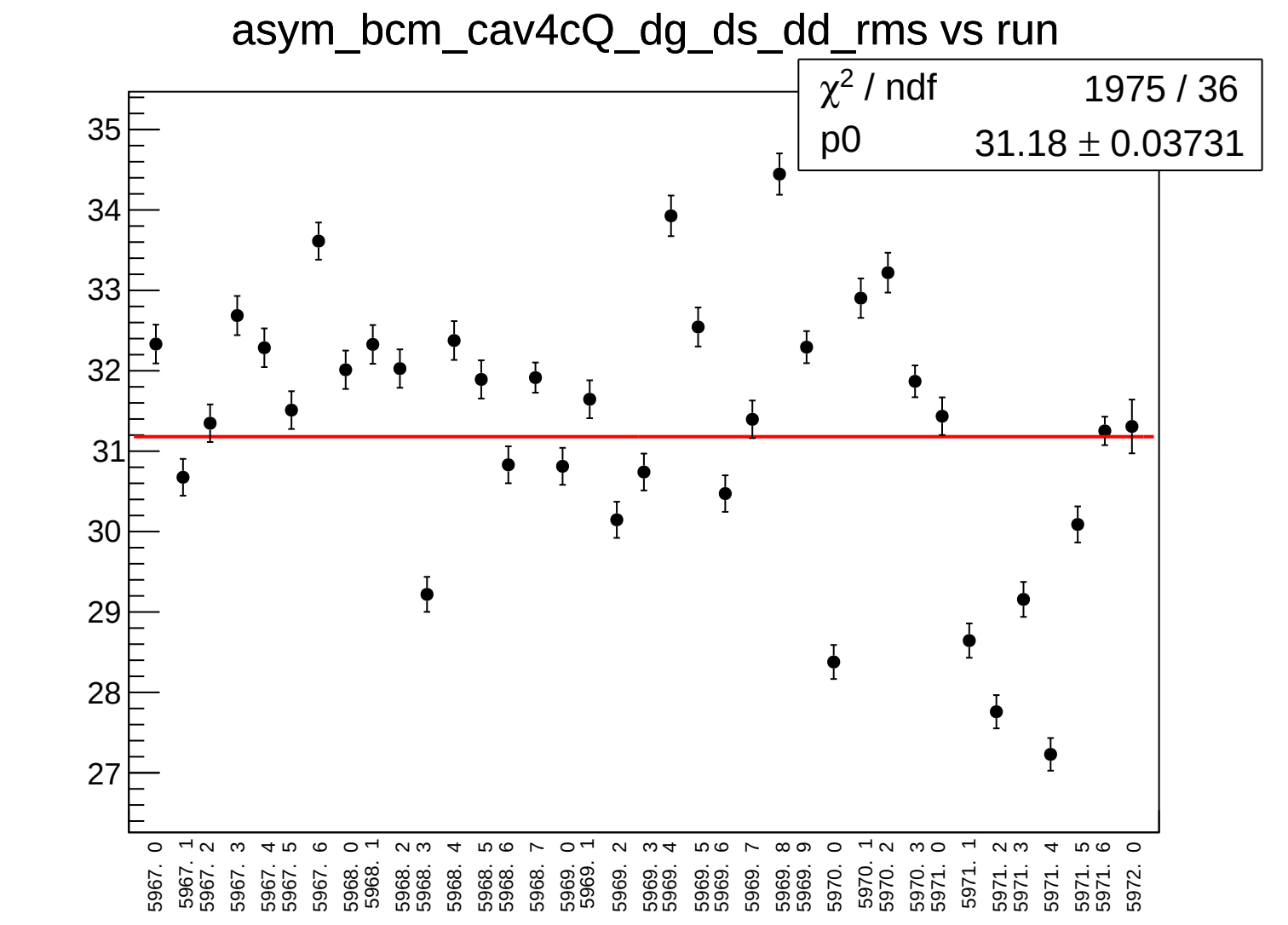
asym_bcm_cav4cQ_dg_ds_dd_rms vs run
χ² / ndf 1975 / 36
p0 31.18 ± 0.03731
35
34
33
32
31
30
29
28
27
5967. 0
5967. 1
5967. 2
5967. 3
5967. 4
5967. 5
5967. 6
5968. 0
5968. 1
5968. 2
5968. 3
5968. 4
5968. 5
5968. 6
5968. 7
5969. 0
5969. 1
5969. 2
5969. 3
5969. 4
5969. 5
5969. 6
5969. 7
5969. 8
5969. 9
5970. 0
5970. 1
5970. 2
5970. 3
5971. 0
5971. 1
5971. 2
5971. 3
5971. 4
5971. 5
5971. 6
5972. 0

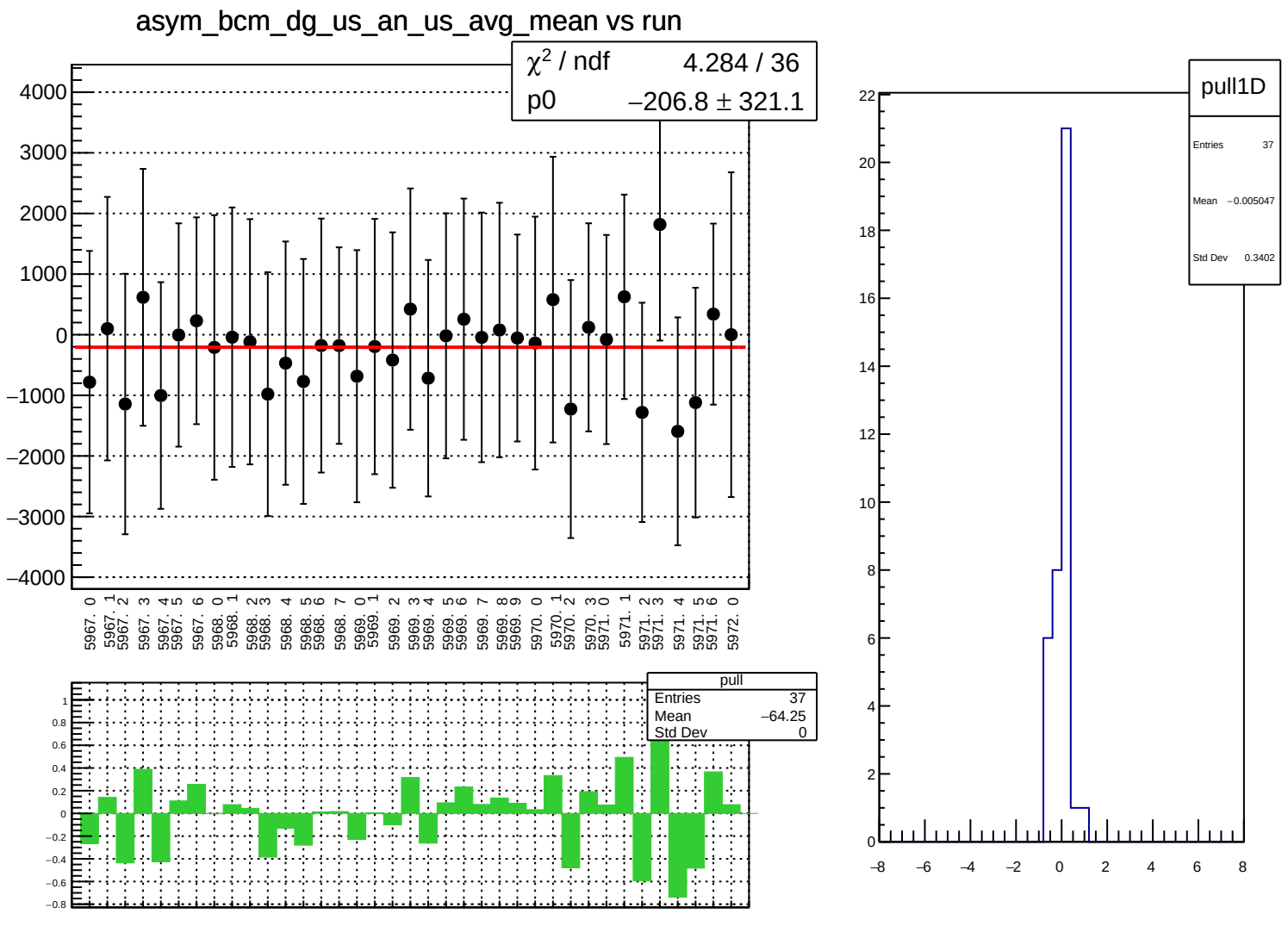
asym_bcm_dg_us_an_us_avg_mean vs run
χ² / ndf 4.284 / 36
p0 −206.8 ± 321.1
pull
Entries 37
Mean −64.25
Std Dev 0
pull1D
Entries 37
Mean −0.005047
Std Dev 0.3402

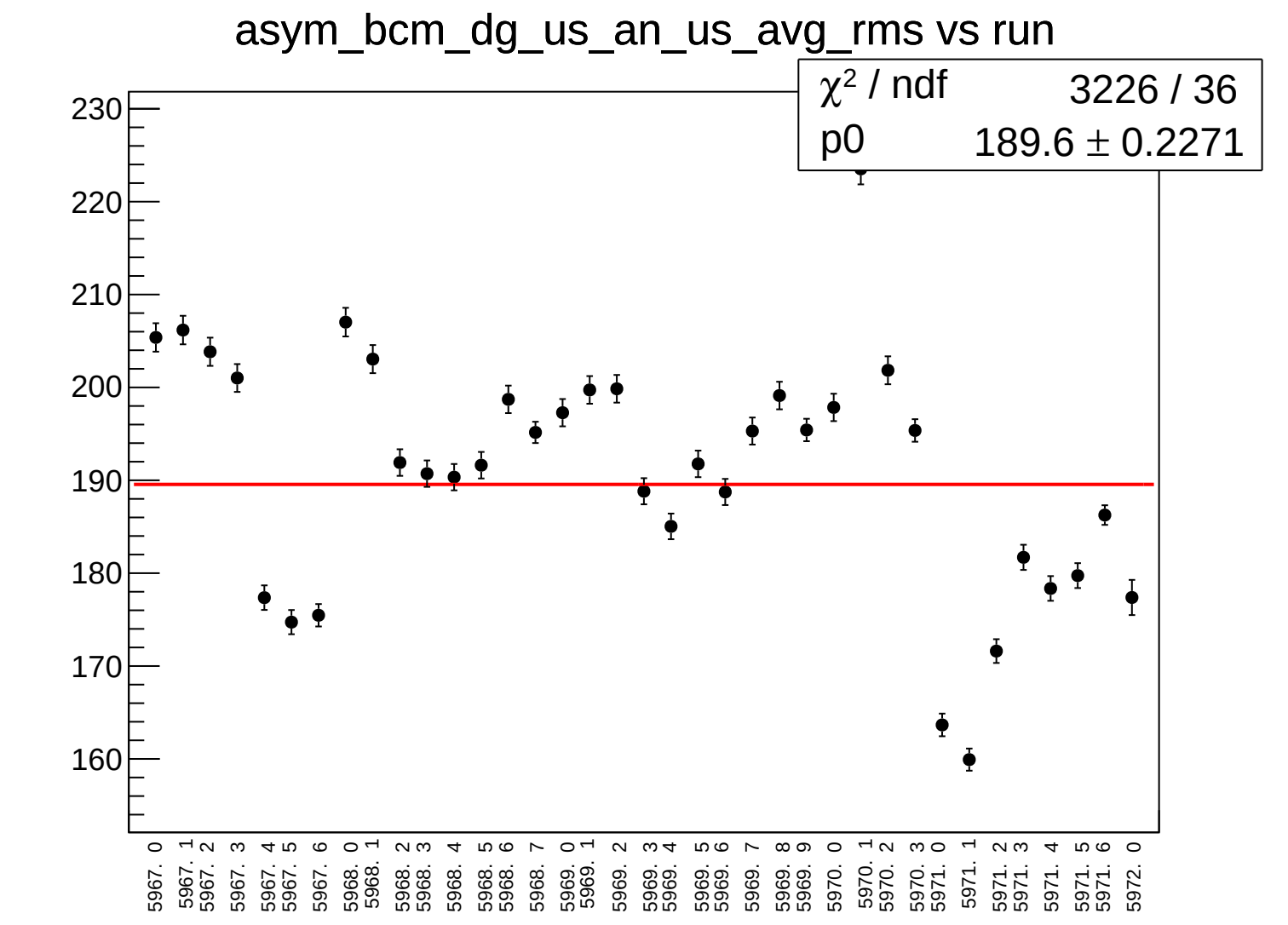
asym_bcm_dg_us_an_us_avg_rms vs run
χ² / ndf 3226 / 36
p0 189.6 ± 0.2271
230
220
210
200
190
180
170
160
5967. 0
5967. 1
5967. 2
5967. 3
5967. 4
5967. 5
5967. 6
5968. 0
5968. 1
5968. 2
5968. 3
5968. 4
5968. 5
5968. 6
5968. 7
5969. 0
5969. 1
5969. 2
5969. 3
5969. 4
5969. 5
5969. 6
5969. 7
5969. 8
5969. 9
5970. 0
5970. 1
5970. 2
5970. 3
5971. 0
5971. 1
5971. 2
5971. 3
5971. 4
5971. 5
5971. 6
5972. 0

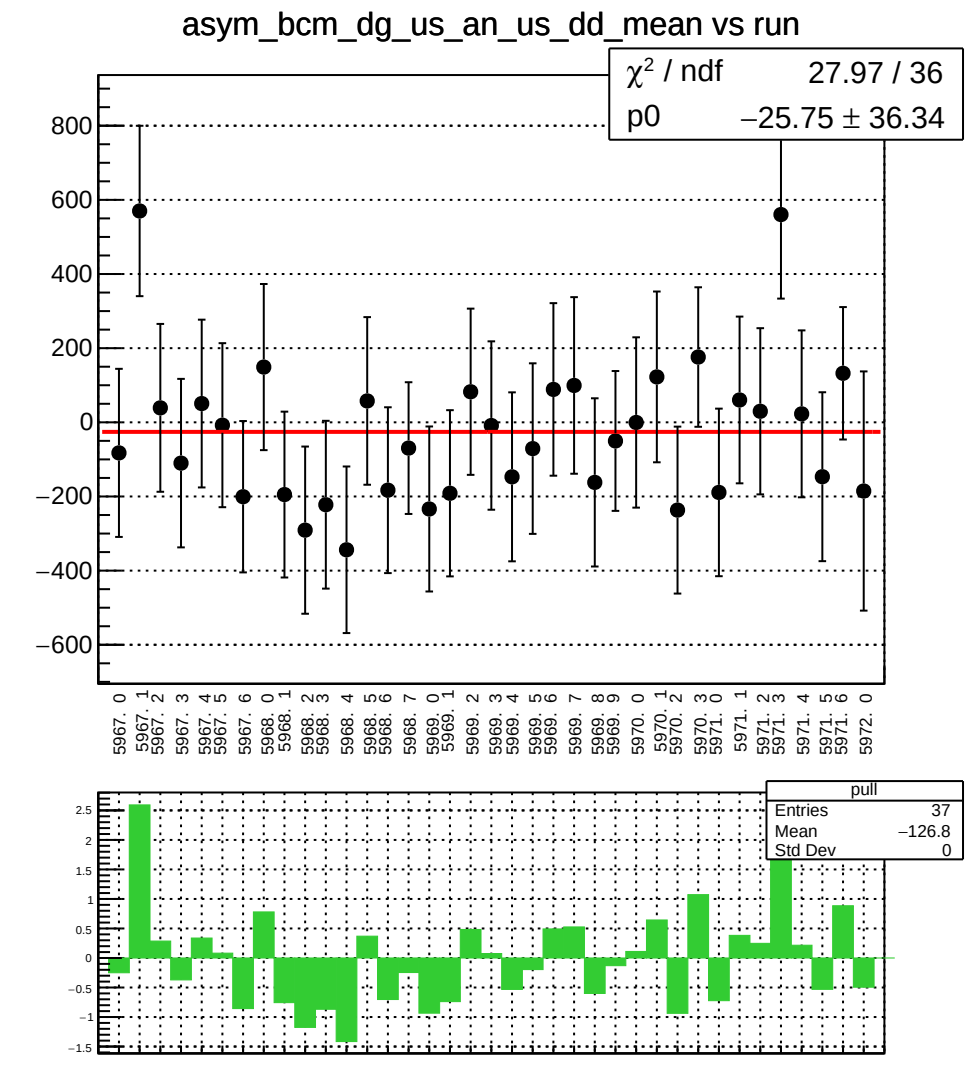
asym_bcm_dg_us_an_us_dd_mean vs run
χ² / ndf 27.97 / 36
p0 −25.75 ± 36.34
800
600
400
200
0
−200
−400
−600
5967. 0
5967. 1
5967. 2
5967. 3
5967. 4
5967. 5
5967. 6
5968. 0
5968. 1
5968. 2
5968. 3
5968. 4
5968. 5
5968. 6
5968. 7
5969. 0
5969. 1
5969. 2
5969. 3
5969. 4
5969. 5
5969. 6
5969. 7
5969. 8
5969. 9
5970. 0
5970. 1
5970. 2
5970. 3
5971. 0
5971. 1
5971. 2
5971. 3
5971. 4
5971. 5
5971. 6
5972. 0
pull
Entries 37
Mean −126.8
Std Dev 0
2.5
2
1.5
1
0.5
0
−0.5
−1
−1.5
pull1D
Entries 37
Mean −0.007893
Std Dev 0.8695
9
8
7
6
5
4
3
2
1
0
−8
−6
−4
−2
0
2
4
6
8

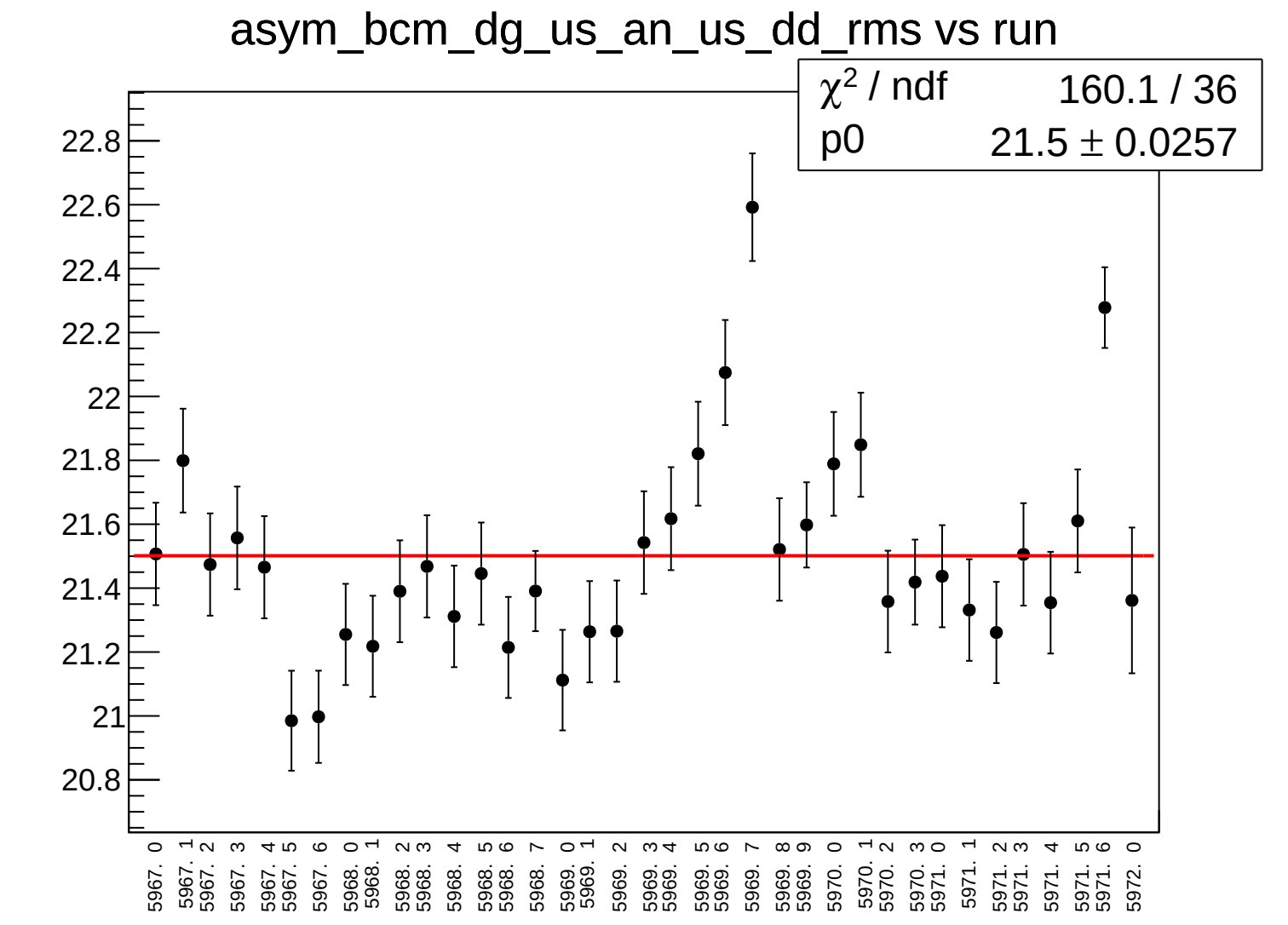
asym_bcm_dg_us_an_us_dd_rms vs run
χ² / ndf 160.1 / 36
p0 21.5 ± 0.0257
22.8
22.6
22.4
22.2
22
21.8
21.6
21.4
21.2
21
20.8
5967. 0
5967. 1
5967. 2
5967. 3
5967. 4
5967. 5
5967. 6
5968. 0
5968. 1
5968. 2
5968. 3
5968. 4
5968. 5
5968. 6
5968. 7
5969. 0
5969. 1
5969. 2
5969. 3
5969. 4
5969. 5
5969. 6
5969. 7
5969. 8
5969. 9
5970. 0
5970. 1
5970. 2
5970. 3
5971. 0
5971. 1
5971. 2
5971. 3
5971. 4
5971. 5
5971. 6
5972. 0

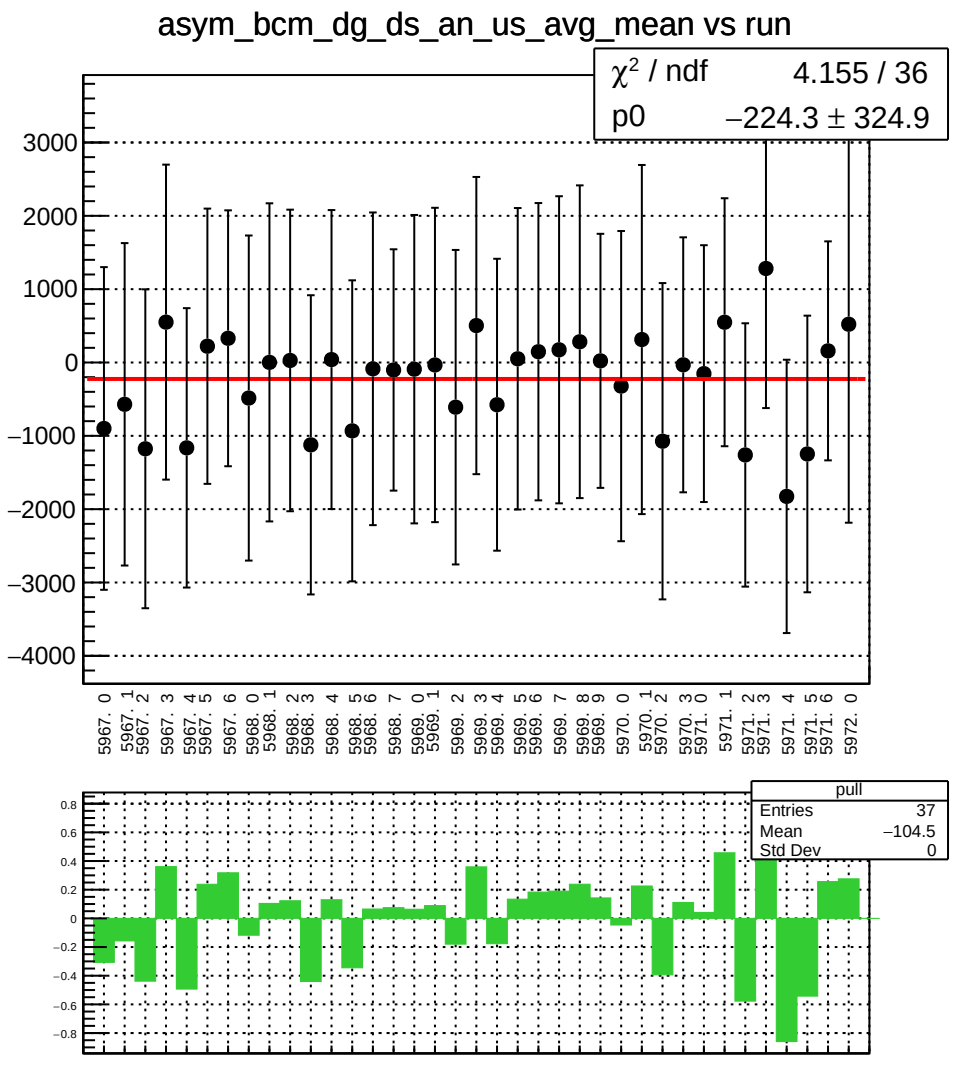
asym_bcm_dg_ds_an_us_avg_mean vs run
χ² / ndf 4.155 / 36
p0 −224.3 ± 324.9
3000
2000
1000
0
−1000
−2000
−3000
−4000
5967. 0
5967. 1
5967. 2
5967. 3
5967. 4
5967. 5
5967. 6
5968. 0
5968. 1
5968. 2
5968. 3
5968. 4
5968. 5
5968. 6
5968. 7
5969. 0
5969. 1
5969. 2
5969. 3
5969. 4
5969. 5
5969. 6
5969. 7
5969. 8
5969. 9
5970. 0
5970. 1
5970. 2
5970. 3
5971. 0
5971. 1
5971. 2
5971. 3
5971. 4
5971. 5
5971. 6
5972. 0
pull
Entries 37
Mean −104.5
Std Dev 0
0.8
0.6
0.4
0.2
0
−0.2
−0.4
−0.6
−0.8
pull1D
Entries 37
Mean −0.002763
Std Dev 0.3351
22
20
18
16
14
12
10
8
6
4
2
0
−8
−6
−4
−2
0
2
4
6
8

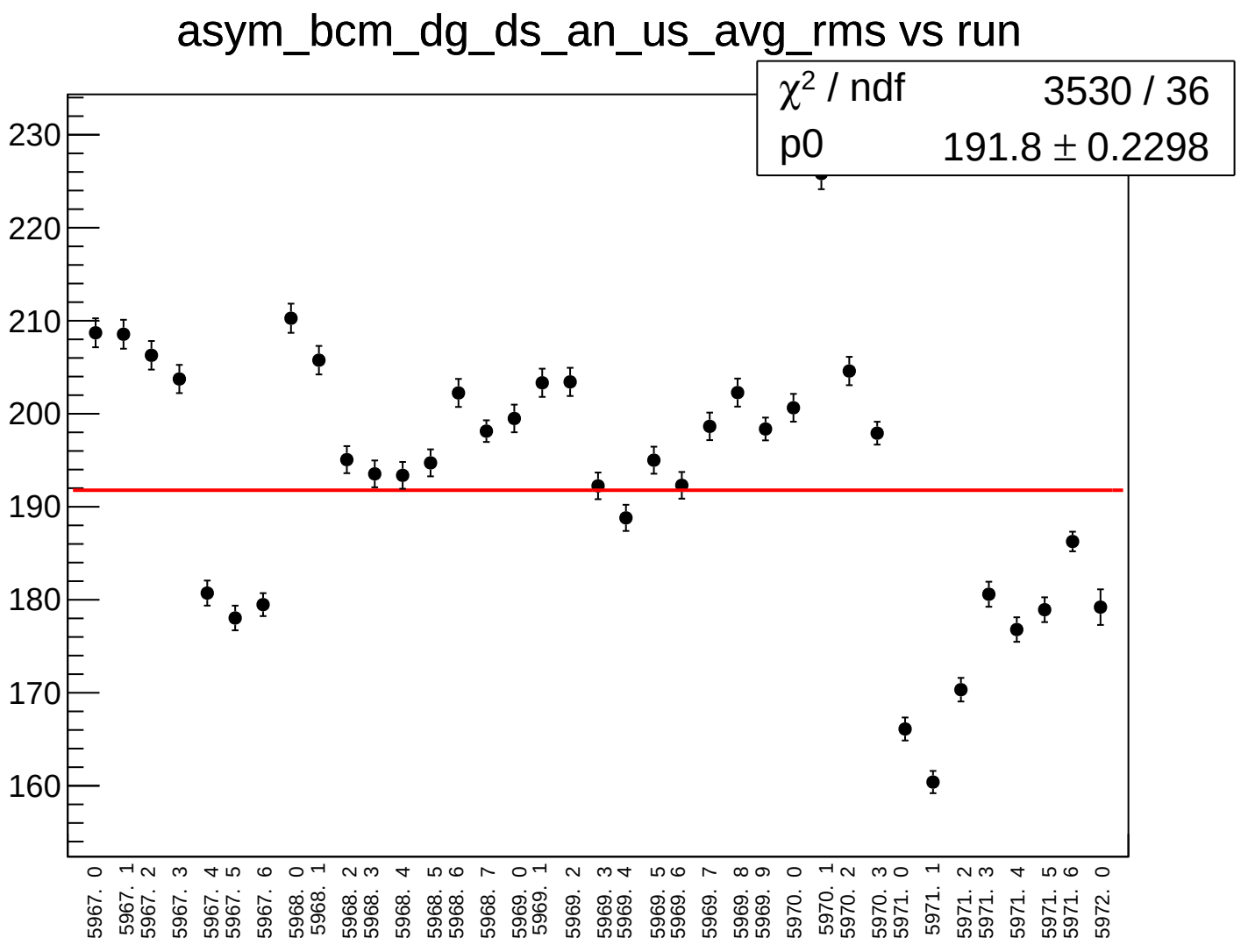
asym_bcm_dg_ds_an_us_avg_rms vs run
χ² / ndf 3530 / 36
p0 191.8 ± 0.2298
230
220
210
200
190
180
170
160
5967. 0
5967. 1
5967. 2
5967. 3
5967. 4
5967. 5
5967. 6
5968. 0
5968. 1
5968. 2
5968. 3
5968. 4
5968. 5
5968. 6
5968. 7
5969. 0
5969. 1
5969. 2
5969. 3
5969. 4
5969. 5
5969. 6
5969. 7
5969. 8
5969. 9
5970. 0
5970. 1
5970. 2
5970. 3
5971. 0
5971. 1
5971. 2
5971. 3
5971. 4
5971. 5
5971. 6
5972. 0

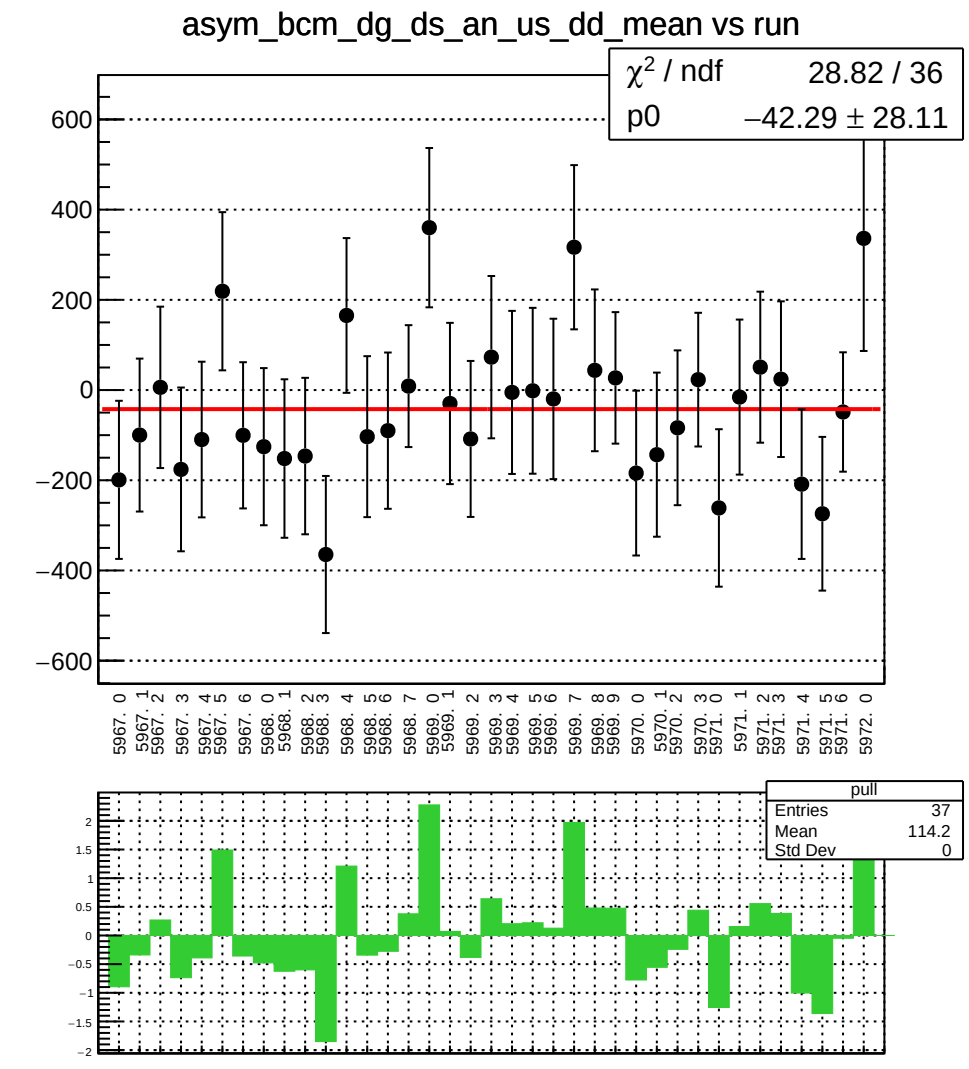
asym_bcm_dg_ds_an_us_dd_mean vs run
χ² / ndf 28.82 / 36
p0 −42.29 ± 28.11
600
400
200
0
−200
−400
−600
5967. 0
5967. 1
5967. 2
5967. 3
5967. 4
5967. 5
5967. 6
5968. 0
5968. 1
5968. 2
5968. 3
5968. 4
5968. 5
5968. 6
5968. 7
5969. 0
5969. 1
5969. 2
5969. 3
5969. 4
5969. 5
5969. 6
5969. 7
5969. 8
5969. 9
5970. 0
5970. 1
5970. 2
5970. 3
5971. 0
5971. 1
5971. 2
5971. 3
5971. 4
5971. 5
5971. 6
5972. 0
pull
Entries 37
Mean 114.2
Std Dev 0
2
1.5
1
0.5
0
−0.5
−1
−1.5
−2

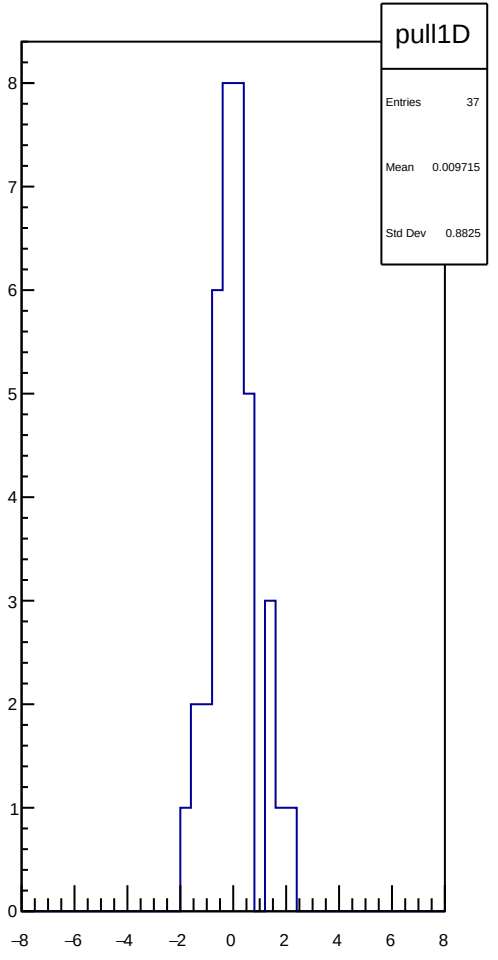
pull1D
Entries 37
Mean 0.009715
Std Dev 0.8825
8
7
6
5
4
3
2
1
0
−8
−6
−4
−2
0
2
4
6
8

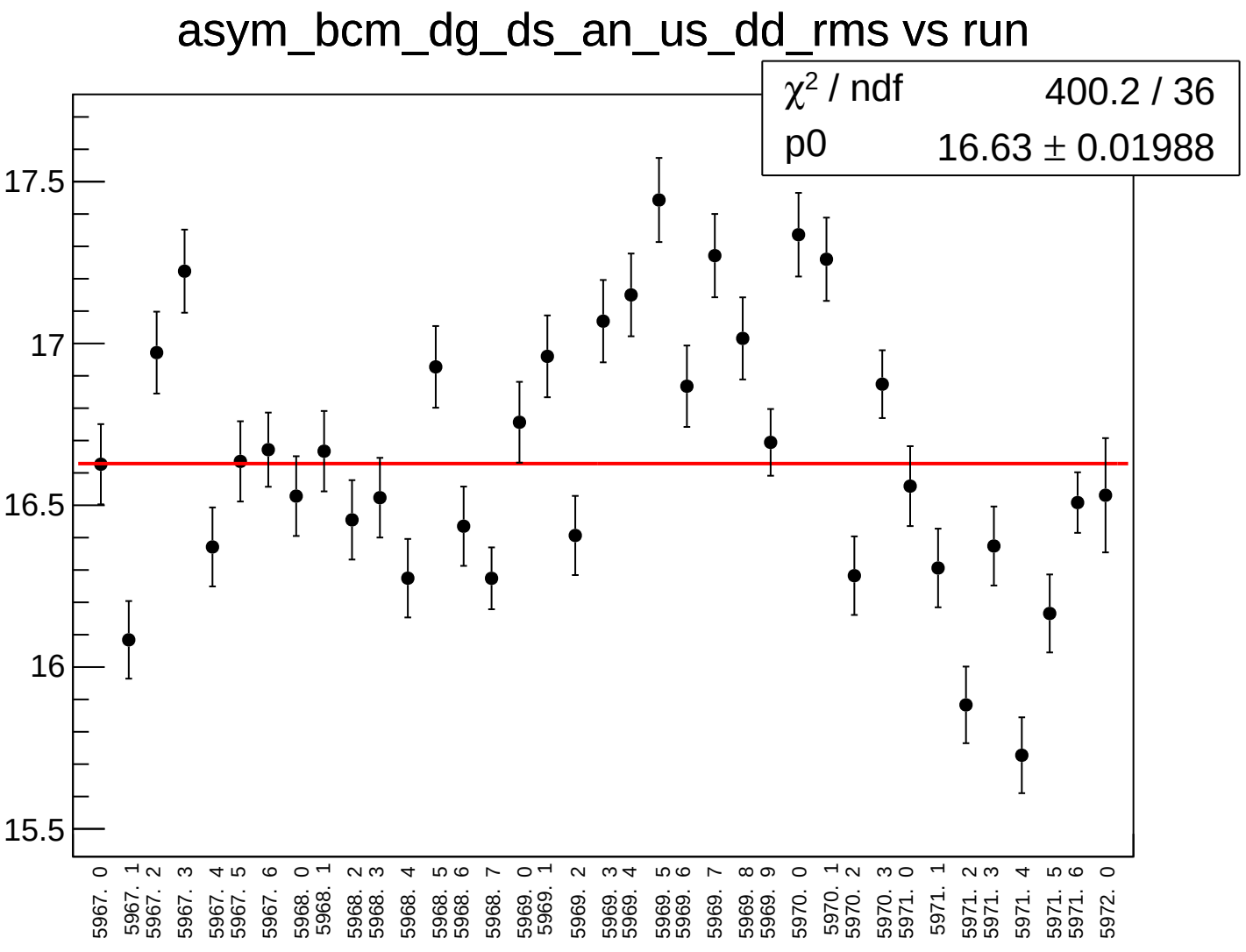
asym_bcm_dg_ds_an_us_dd_rms vs run
χ² / ndf 400.2 / 36
p0 16.63 ± 0.01988
17.5
17
16.5
16
15.5
5967. 0
5967. 1
5967. 2
5967. 3
5967. 4
5967. 5
5967. 6
5968. 0
5968. 1
5968. 2
5968. 3
5968. 4
5968. 5
5968. 6
5968. 7
5969. 0
5969. 1
5969. 2
5969. 3
5969. 4
5969. 5
5969. 6
5969. 7
5969. 8
5969. 9
5970. 0
5970. 1
5970. 2
5970. 3
5971. 0
5971. 1
5971. 2
5971. 3
5971. 4
5971. 5
5971. 6
5972. 0

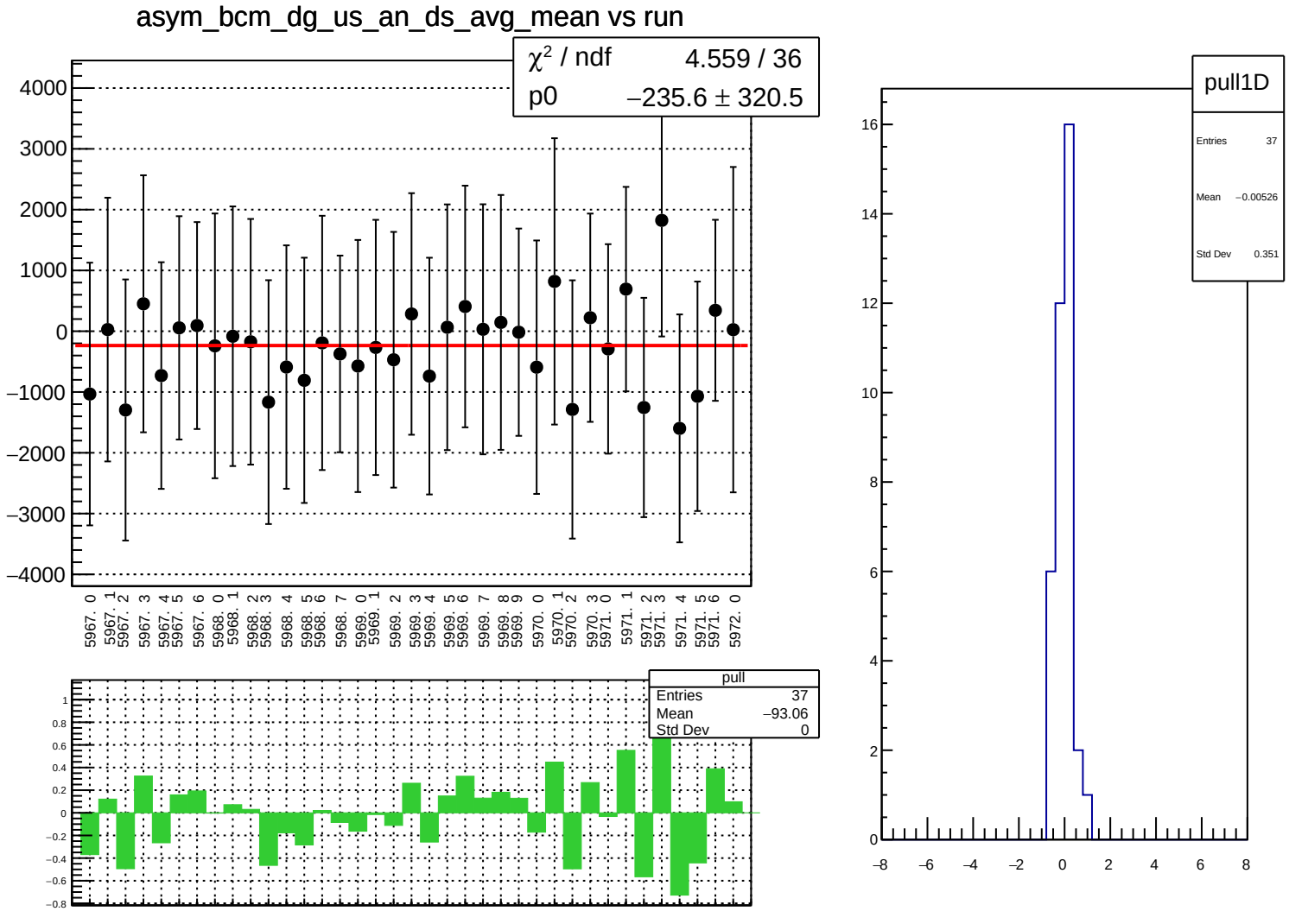
asym_bcm_dg_us_an_ds_avg_mean vs run
χ² / ndf 4.559 / 36
p0 −235.6 ± 320.5
4000
3000
2000
1000
0
−1000
−2000
−3000
−4000
5967. 0
5967. 1
5967. 2
5967. 3
5967. 4
5967. 5
5967. 6
5968. 0
5968. 1
5968. 2
5968. 3
5968. 4
5968. 5
5968. 6
5968. 7
5969. 0
5969. 1
5969. 2
5969. 3
5969. 4
5969. 5
5969. 6
5969. 7
5969. 8
5969. 9
5970. 0
5970. 1
5970. 2
5970. 3
5971. 0
5971. 1
5971. 2
5971. 3
5971. 4
5971. 5
5971. 6
5972. 0
pull
Entries 37
Mean −93.06
Std Dev 0
1
0.8
0.6
0.4
0.2
0
−0.2
−0.4
−0.6
−0.8
pull1D
Entries 37
Mean −0.00526
Std Dev 0.351
16
14
12
10
8
6
4
2
0
−8
−6
−4
−2
0
2
4
6
8

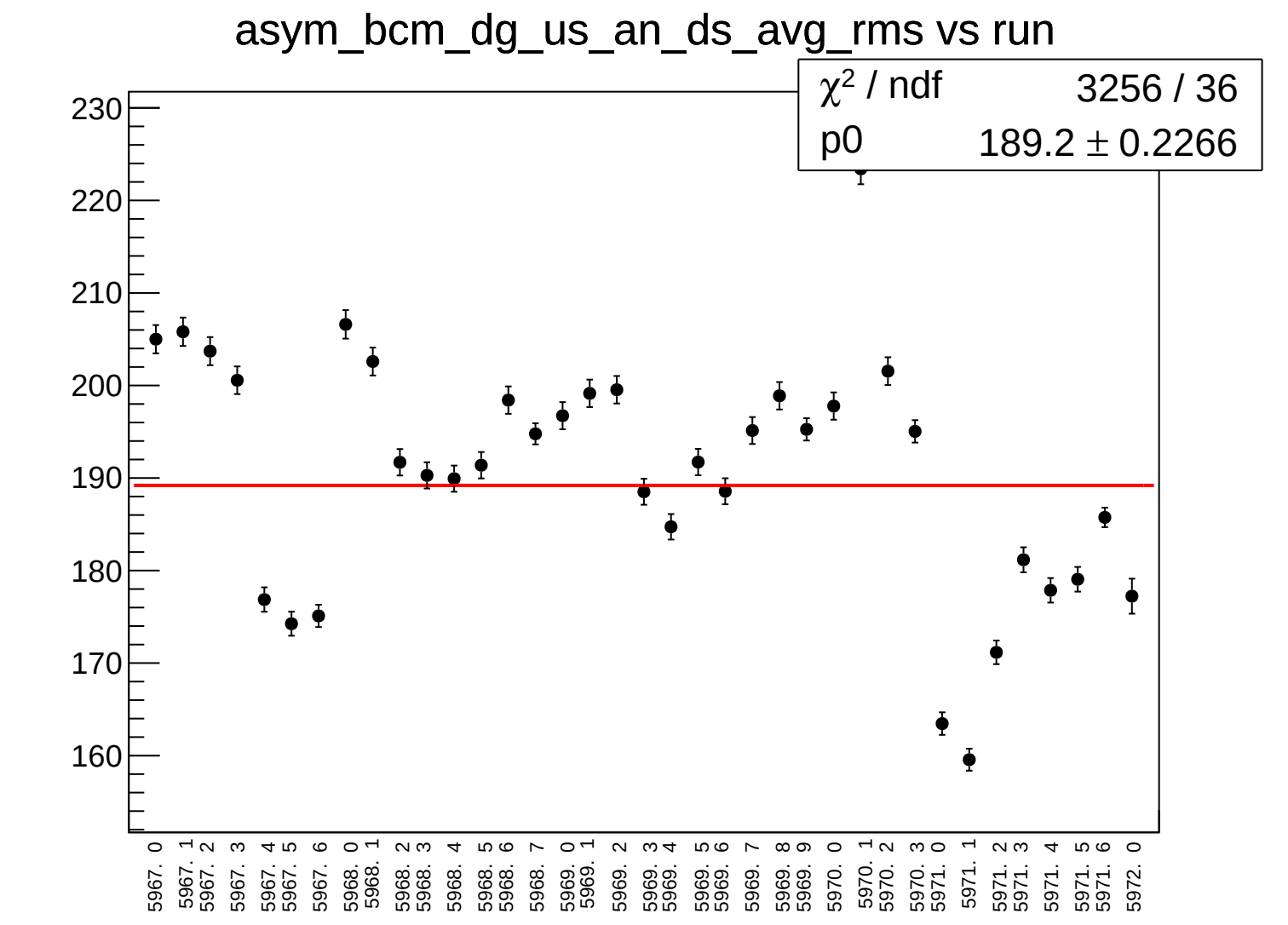
asym_bcm_dg_us_an_ds_avg_rms vs run
χ² / ndf 3256 / 36
p0 189.2 ± 0.2266
230
220
210
200
190
180
170
160
5967. 0
5967. 1
5967. 2
5967. 3
5967. 4
5967. 5
5967. 6
5968. 0
5968. 1
5968. 2
5968. 3
5968. 4
5968. 5
5968. 6
5968. 7
5969. 0
5969. 1
5969. 2
5969. 3
5969. 4
5969. 5
5969. 6
5969. 7
5969. 8
5969. 9
5970. 0
5970. 1
5970. 2
5970. 3
5971. 0
5971. 1
5971. 2
5971. 3
5971. 4
5971. 5
5971. 6
5972. 0

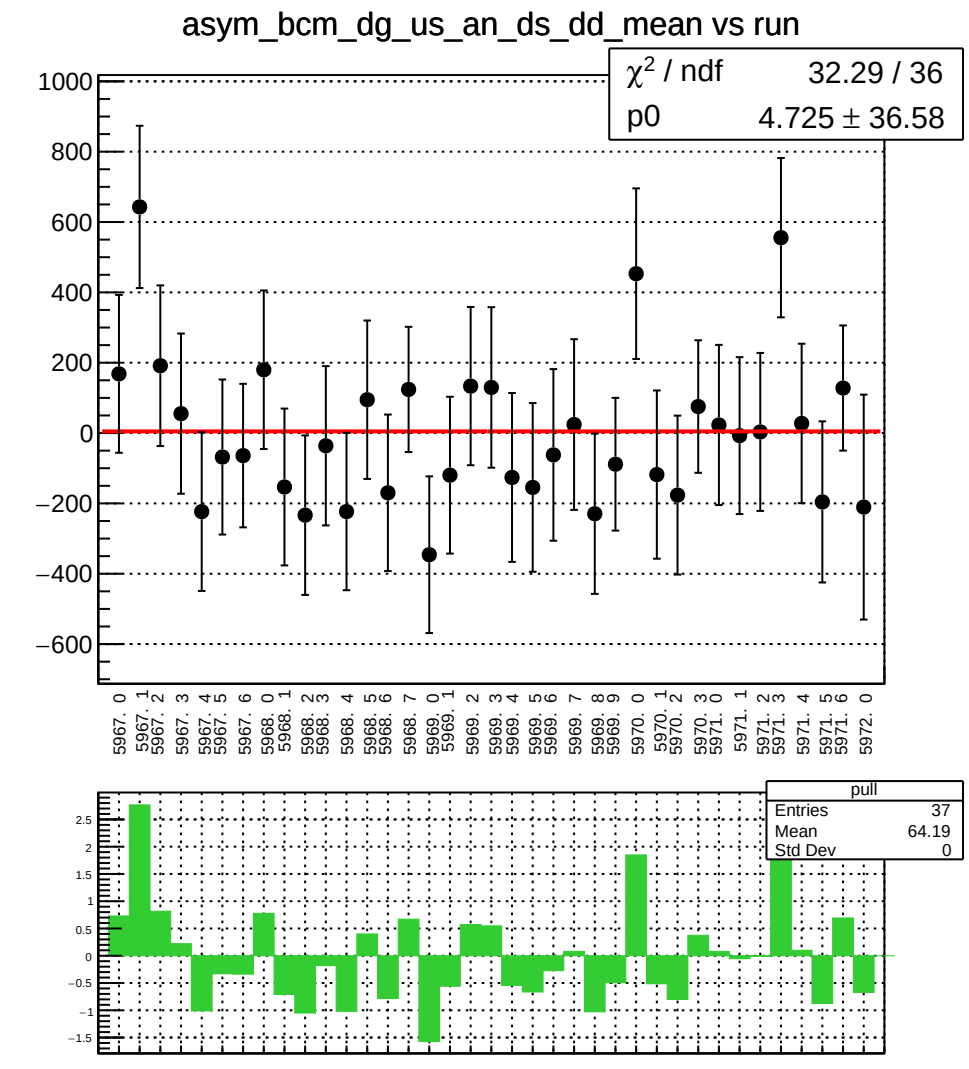
asym_bcm_dg_us_an_ds_dd_mean vs run
χ² / ndf 32.29 / 36
p0 4.725 ± 36.58
1000
800
600
400
200
0
−200
−400
−600
5967. 0
5967. 1
5967. 2
5967. 3
5967. 4
5967. 5
5967. 6
5968. 0
5968. 1
5968. 2
5968. 3
5968. 4
5968. 5
5968. 6
5968. 7
5969. 0
5969. 1
5969. 2
5969. 3
5969. 4
5969. 5
5969. 6
5969. 7
5969. 8
5969. 9
5970. 0
5970. 1
5970. 2
5970. 3
5971. 0
5971. 1
5971. 2
5971. 3
5971. 4
5971. 5
5971. 6
5972. 0
pull
Entries 37
Mean 64.19
Std Dev 0
2.5
2
1.5
1
0.5
0
−0.5
−1
−1.5

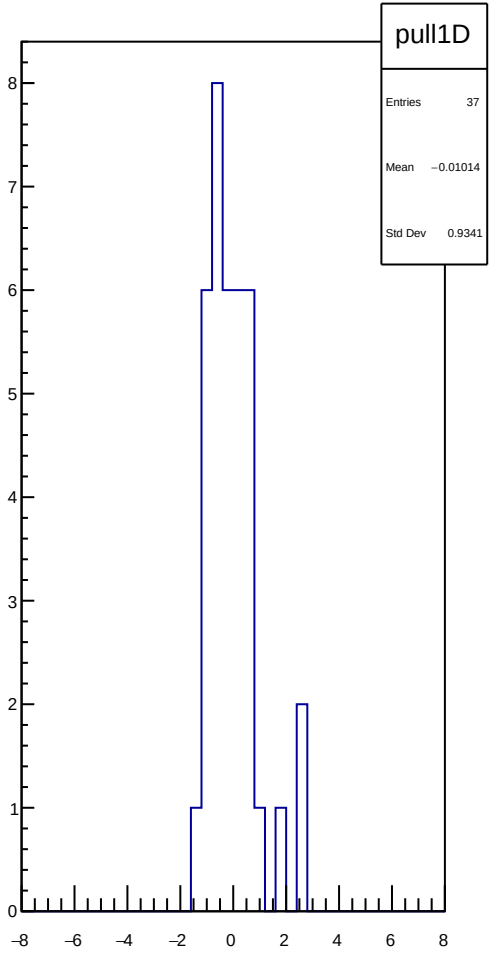
pull1D
Entries 37
Mean −0.01014
Std Dev 0.9341
8
7
6
5
4
3
2
1
0
−8
−6
−4
−2
0
2
4
6
8

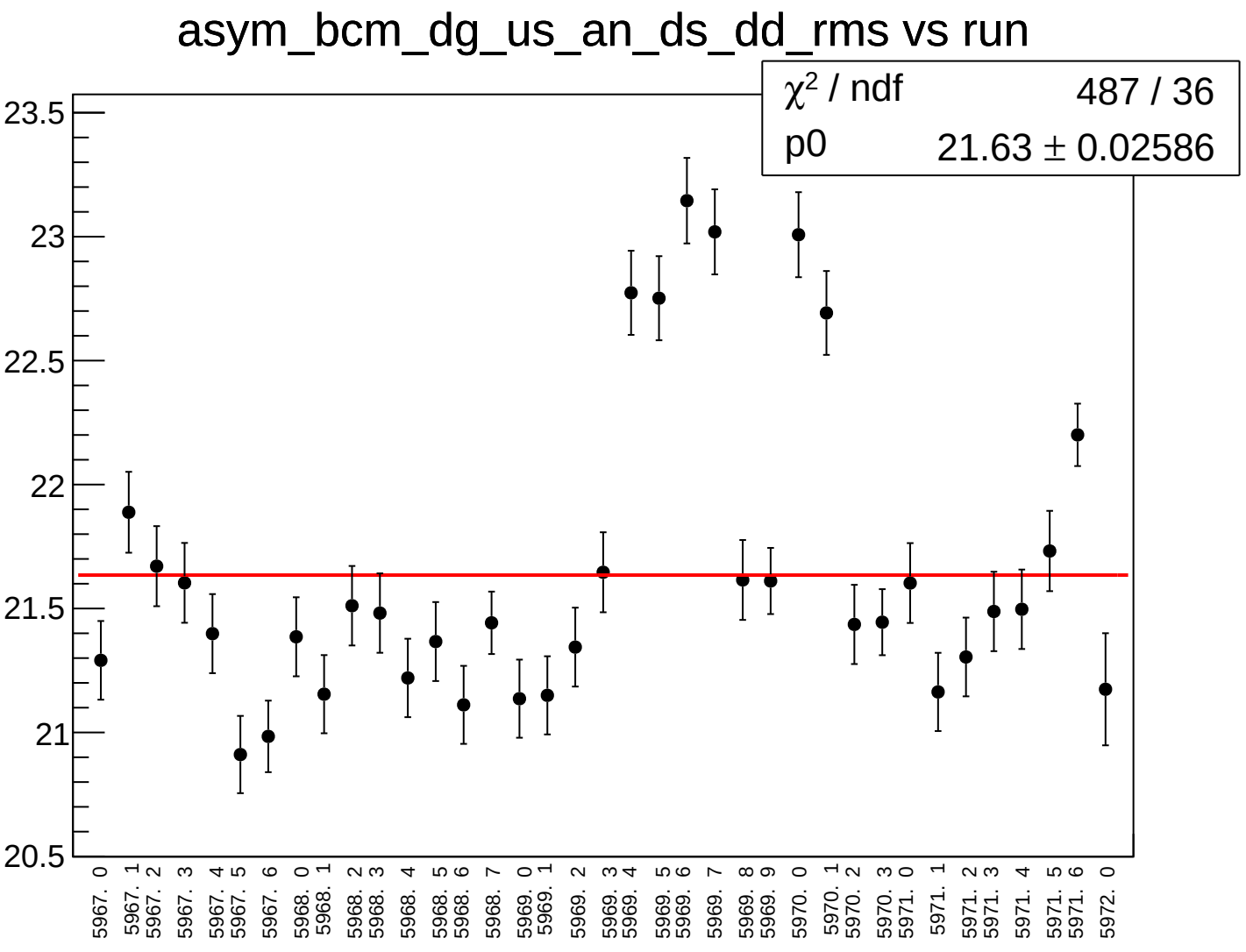
asym_bcm_dg_us_an_ds_dd_rms vs run
χ² / ndf 487 / 36
p0 21.63 ± 0.02586
23.5
23
22.5
22
21.5
21
20.5
5967. 0
5967. 1
5967. 2
5967. 3
5967. 4
5967. 5
5967. 6
5968. 0
5968. 1
5968. 2
5968. 3
5968. 4
5968. 5
5968. 6
5968. 7
5969. 0
5969. 1
5969. 2
5969. 3
5969. 4
5969. 5
5969. 6
5969. 7
5969. 8
5969. 9
5970. 0
5970. 1
5970. 2
5970. 3
5971. 0
5971. 1
5971. 2
5971. 3
5971. 4
5971. 5
5971. 6
5972. 0

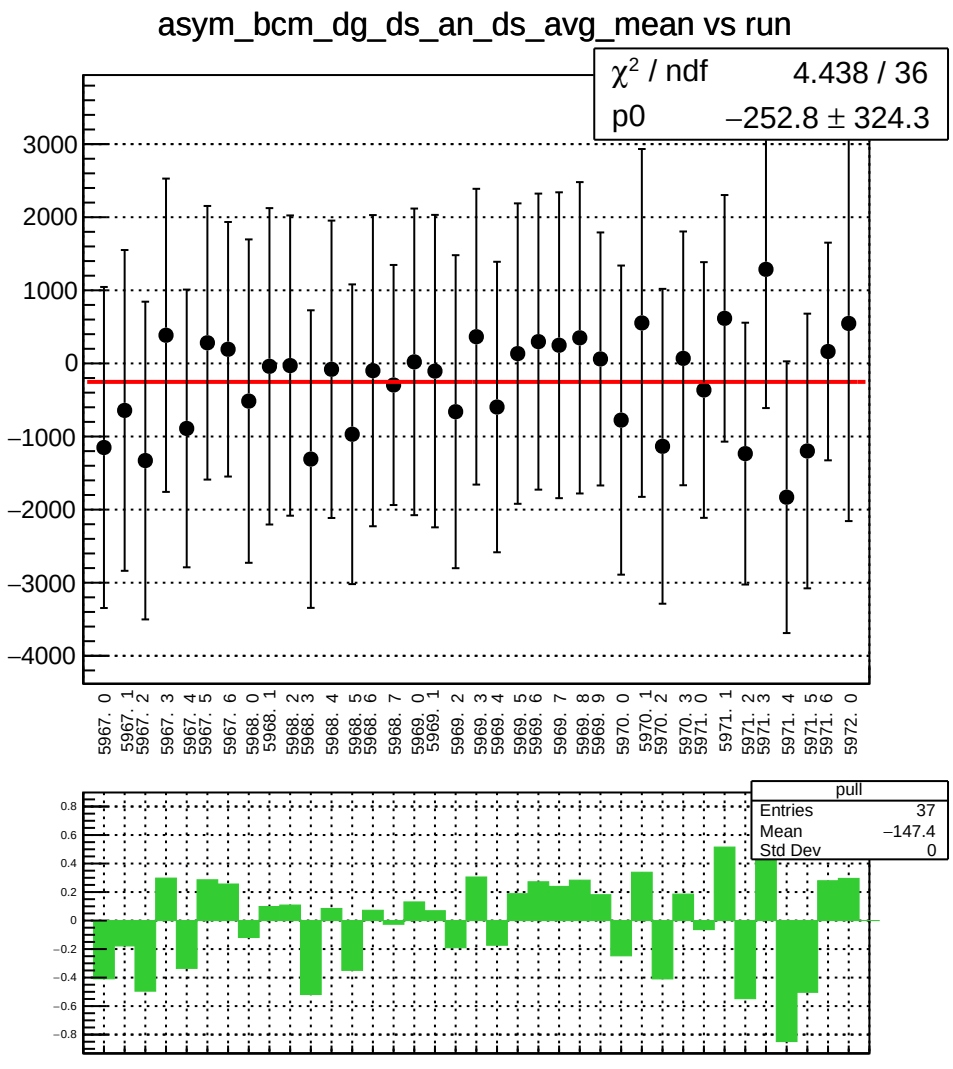
asym_bcm_dg_ds_an_ds_avg_mean vs run
χ² / ndf 4.438 / 36
p0 −252.8 ± 324.3
3000
2000
1000
0
−1000
−2000
−3000
−4000
5967. 0
5967. 1
5967. 2
5967. 3
5967. 4
5967. 5
5967. 6
5968. 0
5968. 1
5968. 2
5968. 3
5968. 4
5968. 5
5968. 6
5968. 7
5969. 0
5969. 1
5969. 2
5969. 3
5969. 4
5969. 5
5969. 6
5969. 7
5969. 8
5969. 9
5970. 0
5970. 1
5970. 2
5970. 3
5971. 0
5971. 1
5971. 2
5971. 3
5971. 4
5971. 5
5971. 6
5972. 0
pull
Entries 37
Mean −147.4
Std Dev 0
0.8
0.6
0.4
0.2
0
−0.2
−0.4
−0.6
−0.8

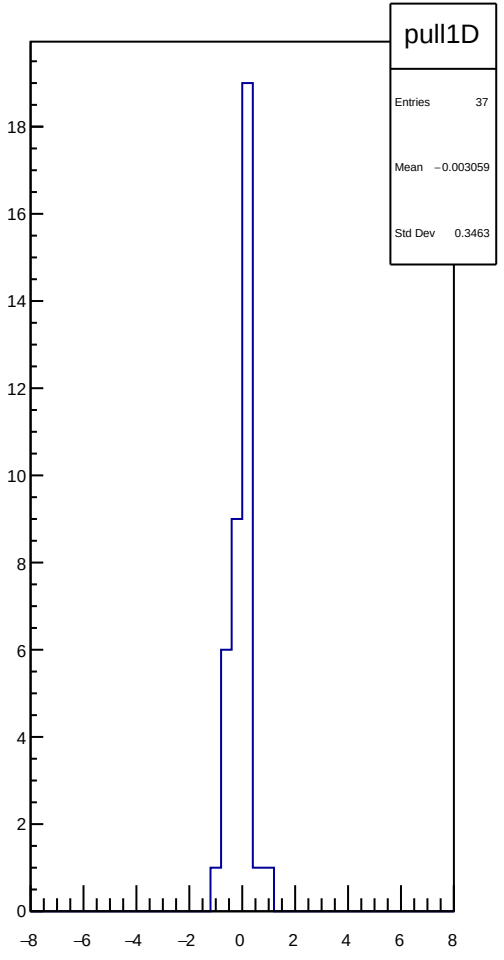
pull1D
Entries 37
Mean −0.003059
Std Dev 0.3463
18
16
14
12
10
8
6
4
2
0
−8
−6
−4
−2
0
2
4
6
8

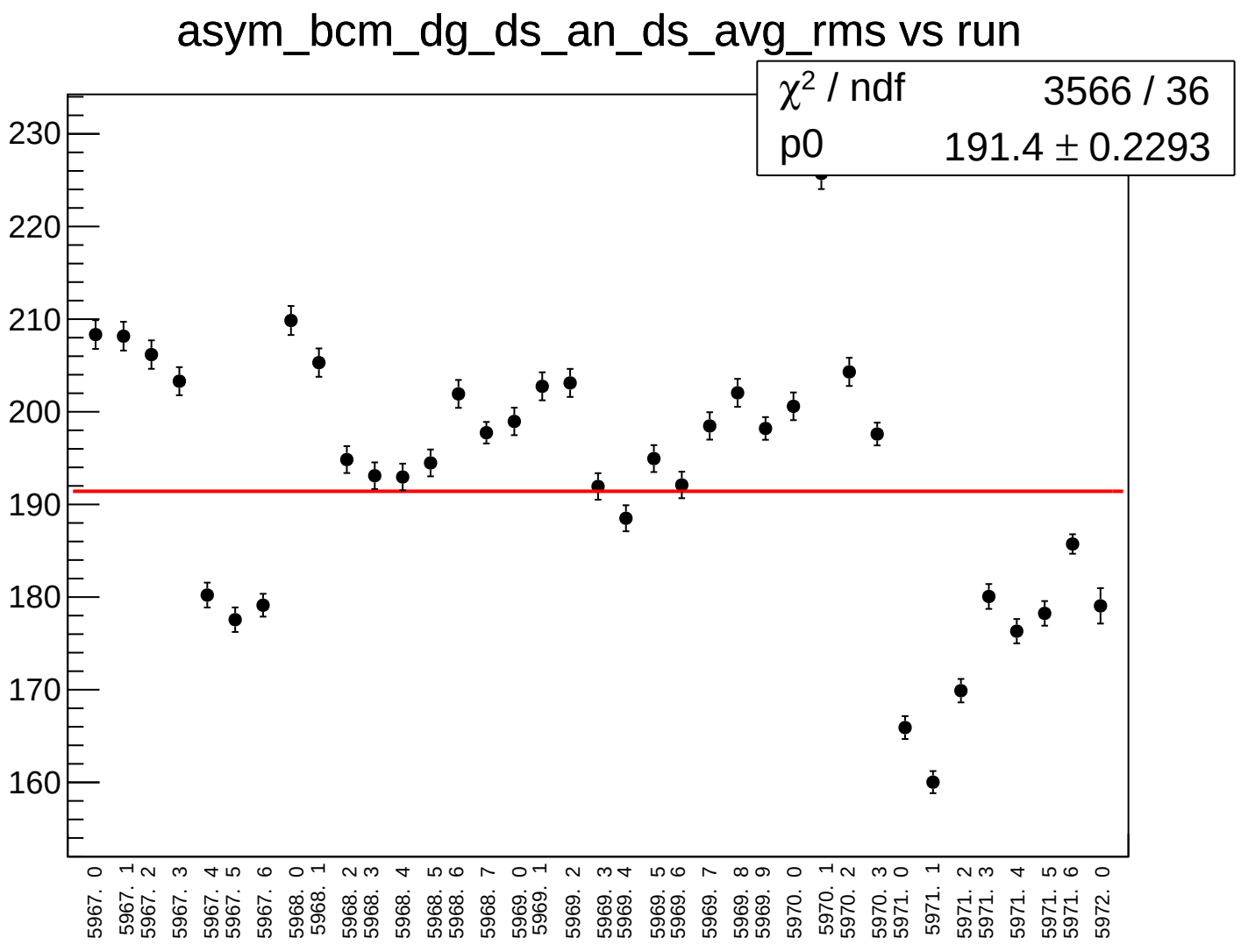
asym_bcm_dg_ds_an_ds_avg_rms vs run
χ² / ndf 3566 / 36
p0 191.4 ± 0.2293
230
220
210
200
190
180
170
160
5967. 0
5967. 1
5967. 2
5967. 3
5967. 4
5967. 5
5967. 6
5968. 0
5968. 1
5968. 2
5968. 3
5968. 4
5968. 5
5968. 6
5968. 7
5969. 0
5969. 1
5969. 2
5969. 3
5969. 4
5969. 5
5969. 6
5969. 7
5969. 8
5969. 9
5970. 0
5970. 1
5970. 2
5970. 3
5971. 0
5971. 1
5971. 2
5971. 3
5971. 4
5971. 5
5971. 6
5972. 0

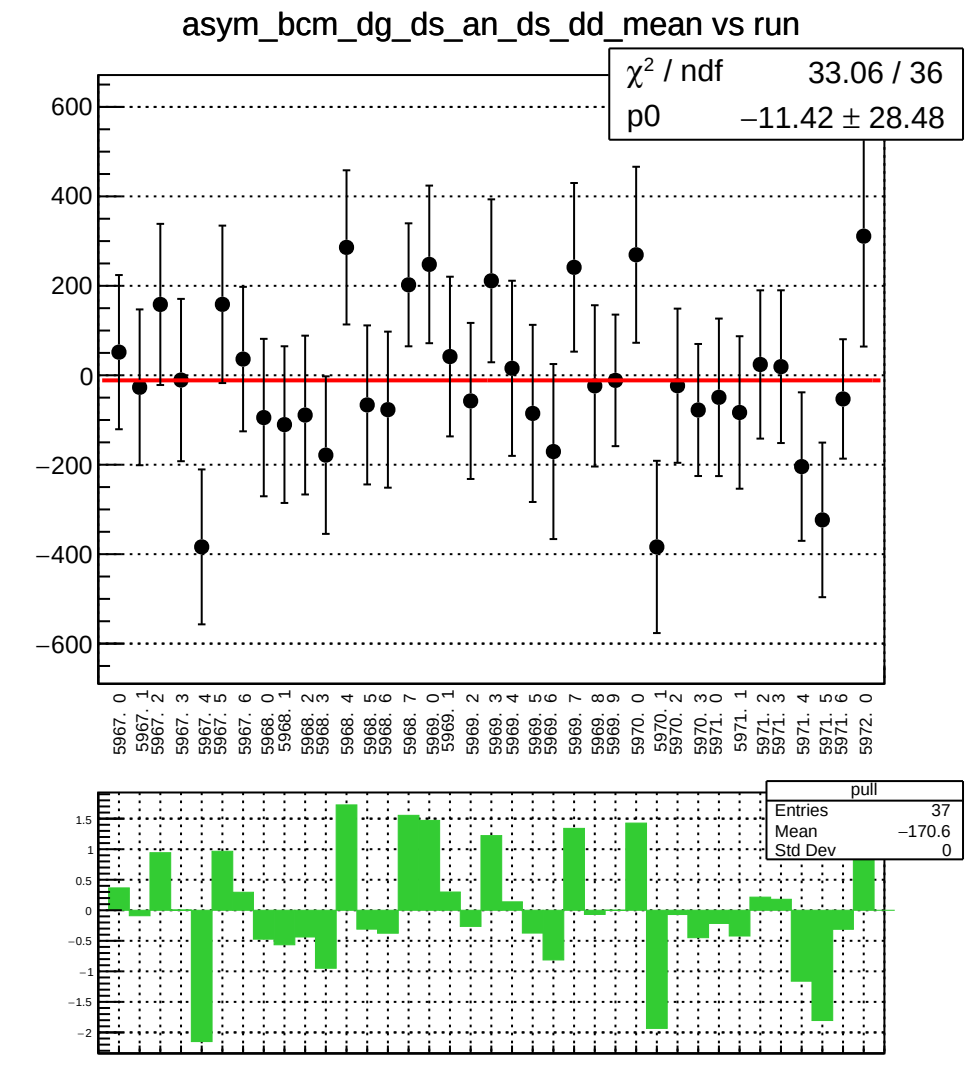
asym_bcm_dg_ds_an_ds_dd_mean vs run
χ² / ndf 33.06 / 36
p0 −11.42 ± 28.48
600
400
200
0
−200
−400
−600
5967. 0
5967. 1
5967. 2
5967. 3
5967. 4
5967. 5
5967. 6
5968. 0
5968. 1
5968. 2
5968. 3
5968. 4
5968. 5
5968. 6
5968. 7
5969. 0
5969. 1
5969. 2
5969. 3
5969. 4
5969. 5
5969. 6
5969. 7
5969. 8
5969. 9
5970. 0
5970. 1
5970. 2
5970. 3
5971. 0
5971. 1
5971. 2
5971. 3
5971. 4
5971. 5
5971. 6
5972. 0
pull
Entries 37
Mean −170.6
Std Dev 0
1.5
1
0.5
0
−0.5
−1
−1.5
−2

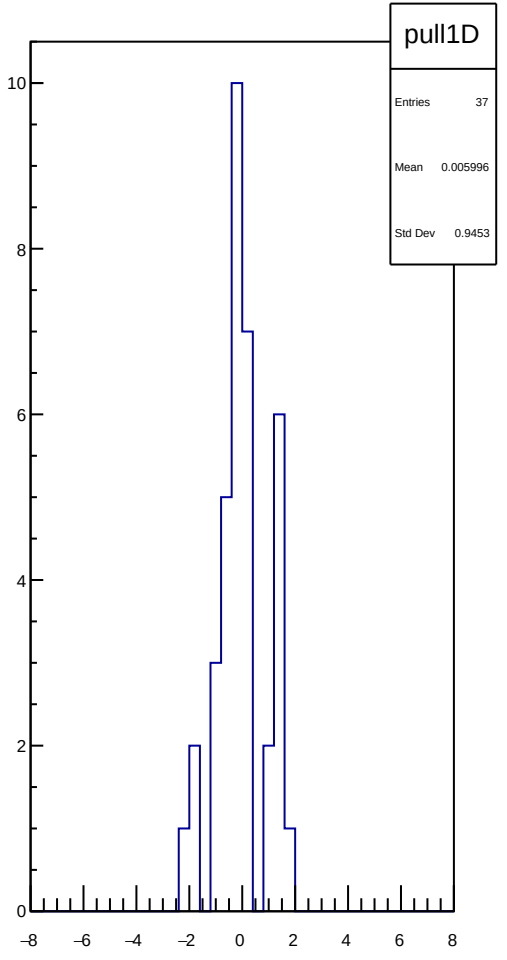
pull1D
Entries 37
Mean 0.005996
Std Dev 0.9453
10
8
6
4
2
0
−8
−6
−4
−2
0
2
4
6
8

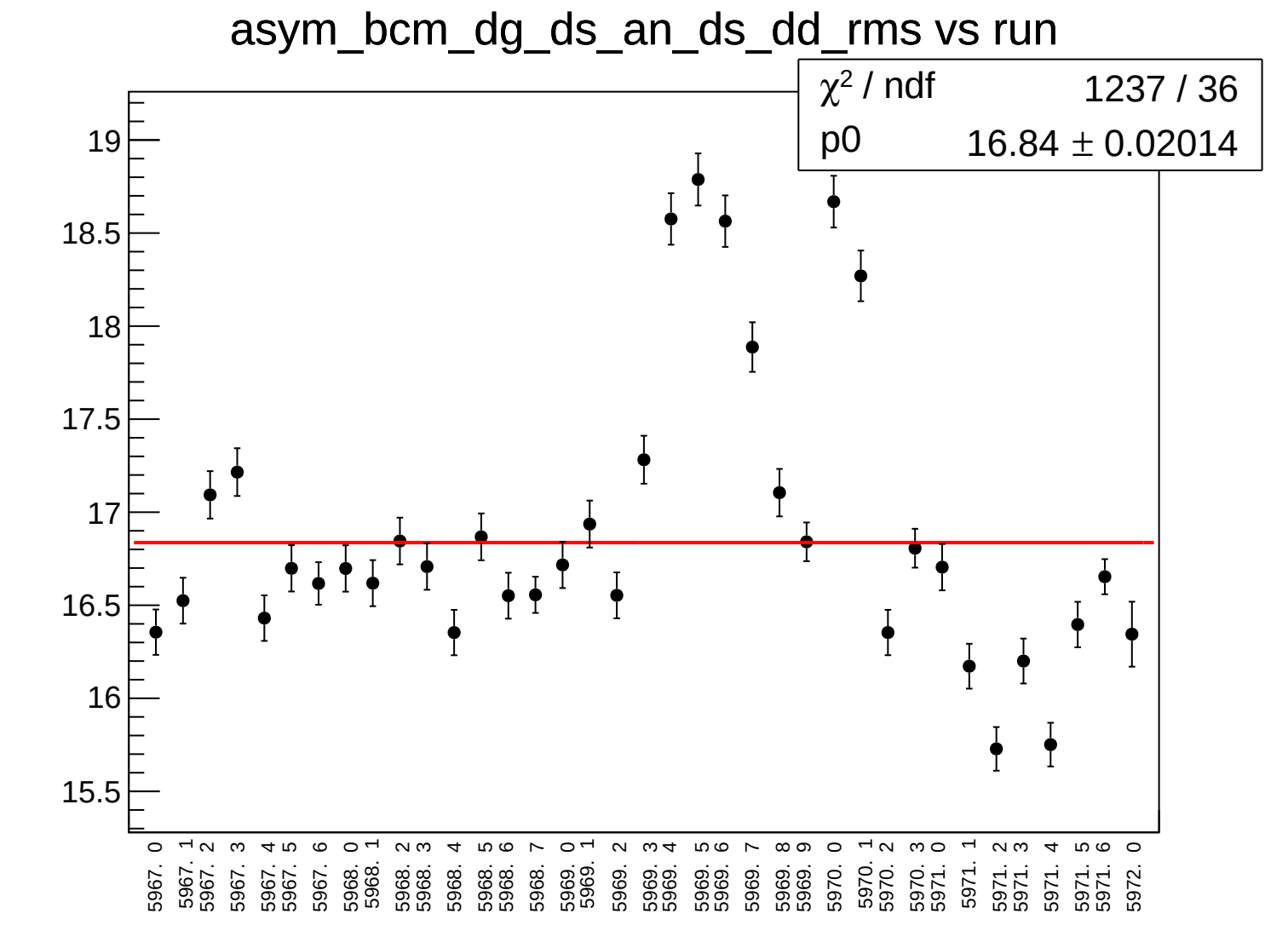
asym_bcm_dg_ds_an_ds_dd_rms vs run
χ² / ndf 1237 / 36
p0 16.84 ± 0.02014
19
18.5
18
17.5
17
16.5
16
15.5
5967. 0
5967. 1
5967. 2
5967. 3
5967. 4
5967. 5
5967. 6
5968. 0
5968. 1
5968. 2
5968. 3
5968. 4
5968. 5
5968. 6
5968. 7
5969. 0
5969. 1
5969. 2
5969. 3
5969. 4
5969. 5
5969. 6
5969. 7
5969. 8
5969. 9
5970. 0
5970. 1
5970. 2
5970. 3
5971. 0
5971. 1
5971. 2
5971. 3
5971. 4
5971. 5
5971. 6
5972. 0

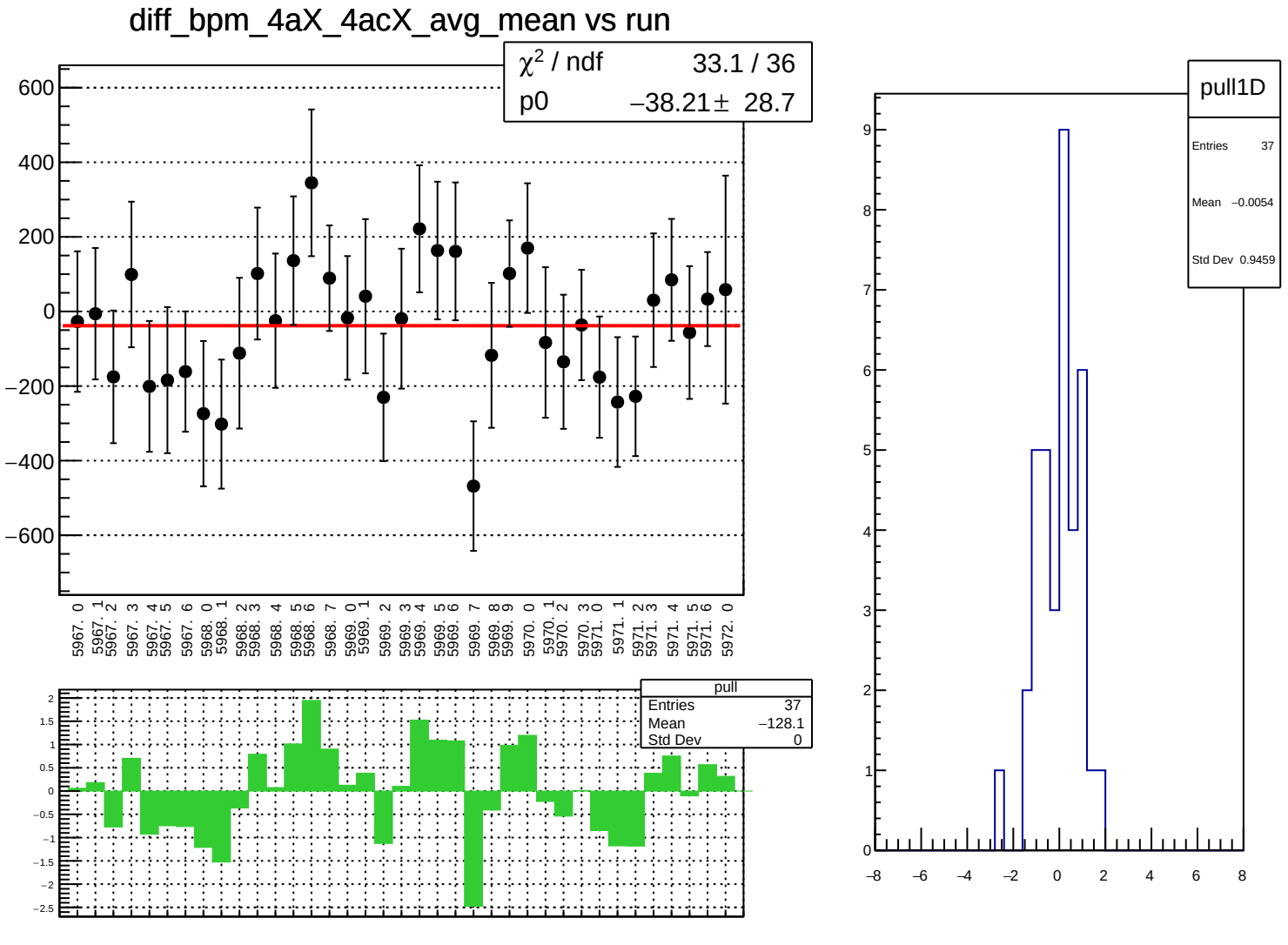
diff_bpm_4aX_4acX_avg_mean vs run
χ² / ndf 33.1 / 36
p0 −38.21 ± 28.7
600
400
200
0
−200
−400
−600
5967. 0
5967. 1
5967. 2
5967. 3
5967. 4
5967. 5
5967. 6
5968. 0
5968. 1
5968. 2
5968. 3
5968. 4
5968. 5
5968. 6
5968. 7
5969. 0
5969. 1
5969. 2
5969. 3
5969. 4
5969. 5
5969. 6
5969. 7
5969. 8
5969. 9
5970. 0
5970. 1
5970. 2
5970. 3
5971. 0
5971. 1
5971. 2
5971. 3
5971. 4
5971. 5
5971. 6
5972. 0
pull
Entries 37
Mean −128.1
Std Dev 0
2
1.5
1
0.5
0
−0.5
−1
−1.5
−2
−2.5
pull1D
Entries 37
Mean −0.0054
Std Dev 0.9459
9
8
7
6
5
4
3
2
1
0
−8
−6
−4
−2
0
2
4
6
8

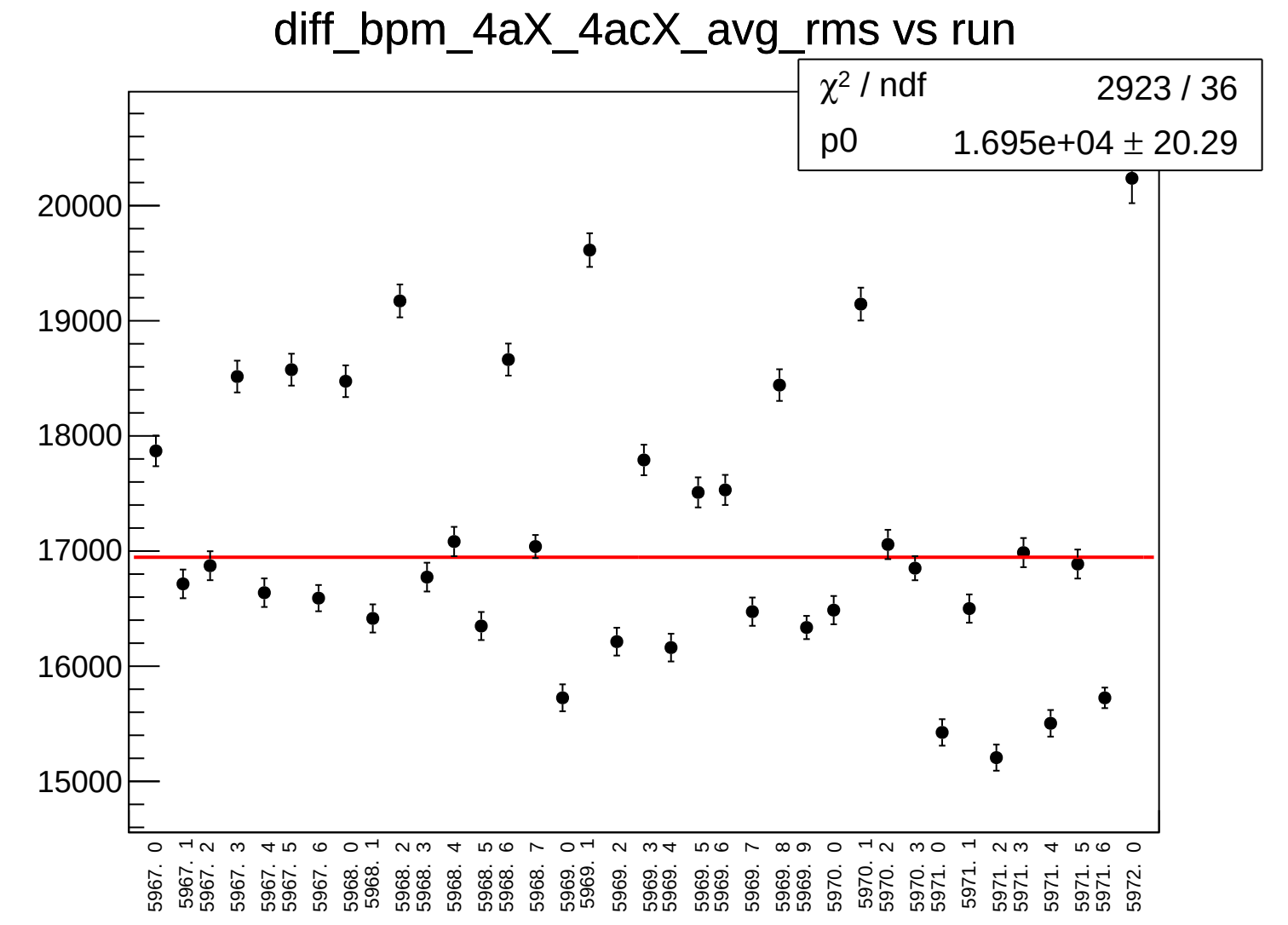
diff_bpm_4aX_4acX_avg_rms vs run
χ² / ndf 2923 / 36
p0 1.695e+04 ± 20.29
20000
19000
18000
17000
16000
15000
5967. 0
5967. 1
5967. 2
5967. 3
5967. 4
5967. 5
5967. 6
5968. 0
5968. 1
5968. 2
5968. 3
5968. 4
5968. 5
5968. 6
5968. 7
5969. 0
5969. 1
5969. 2
5969. 3
5969. 4
5969. 5
5969. 6
5969. 7
5969. 8
5969. 9
5970. 0
5970. 1
5970. 2
5970. 3
5971. 0
5971. 1
5971. 2
5971. 3
5971. 4
5971. 5
5971. 6
5972. 0

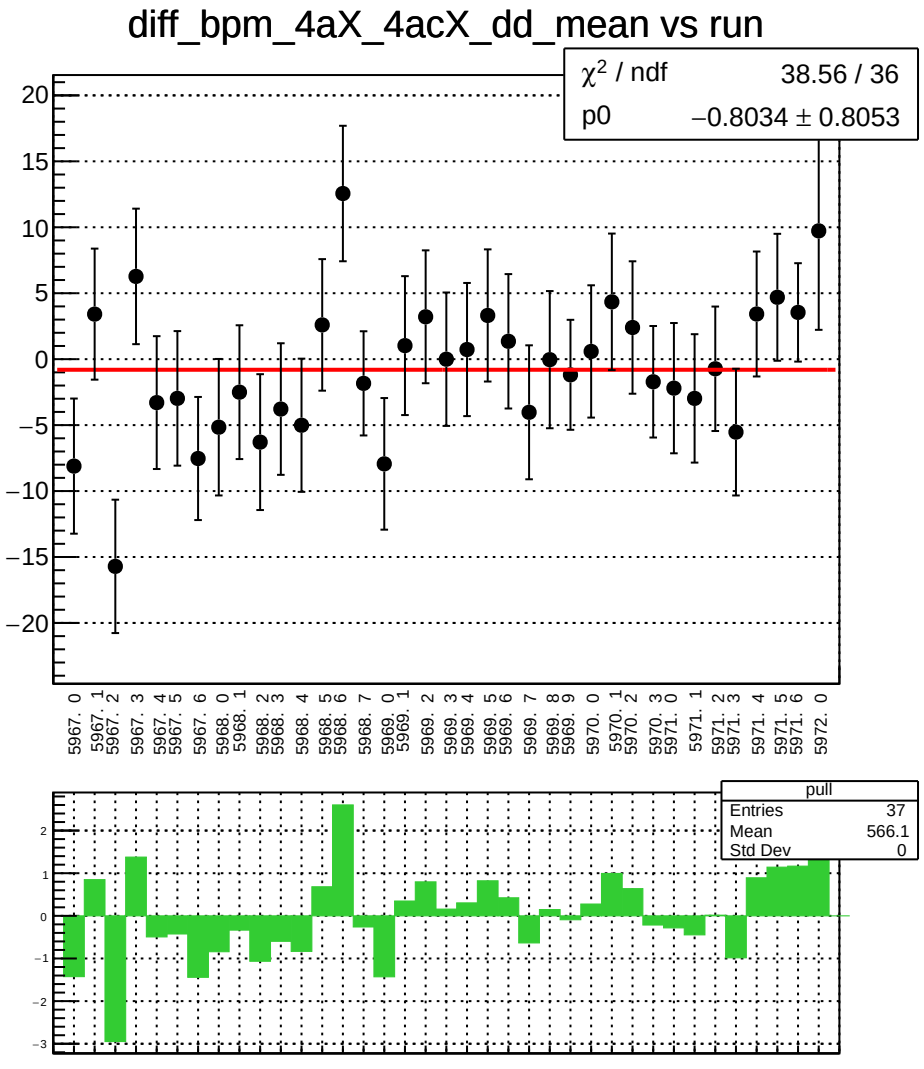
diff_bpm_4aX_4acX_dd_mean vs run
χ² / ndf 38.56 / 36
p0 −0.8034 ± 0.8053
pull
Entries 37
Mean 566.1
Std Dev 0

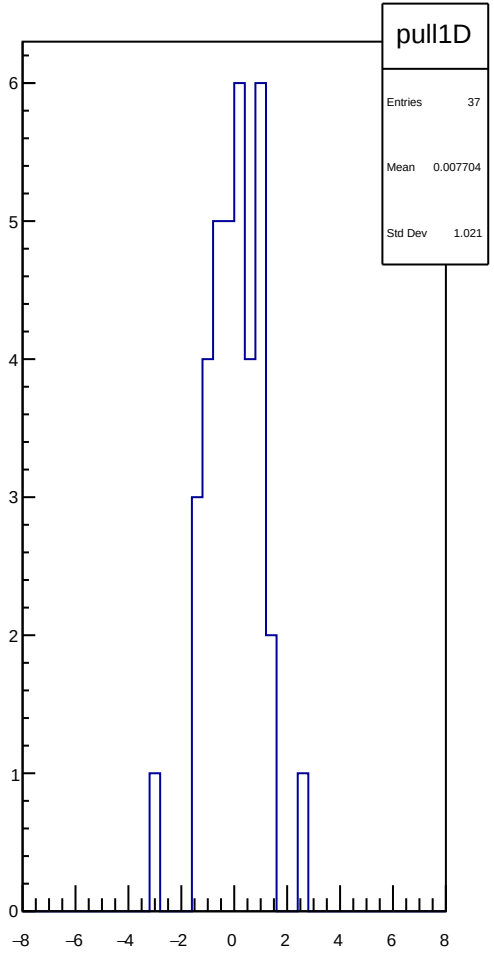
pull1D
Entries 37
Mean 0.007704
Std Dev 1.021

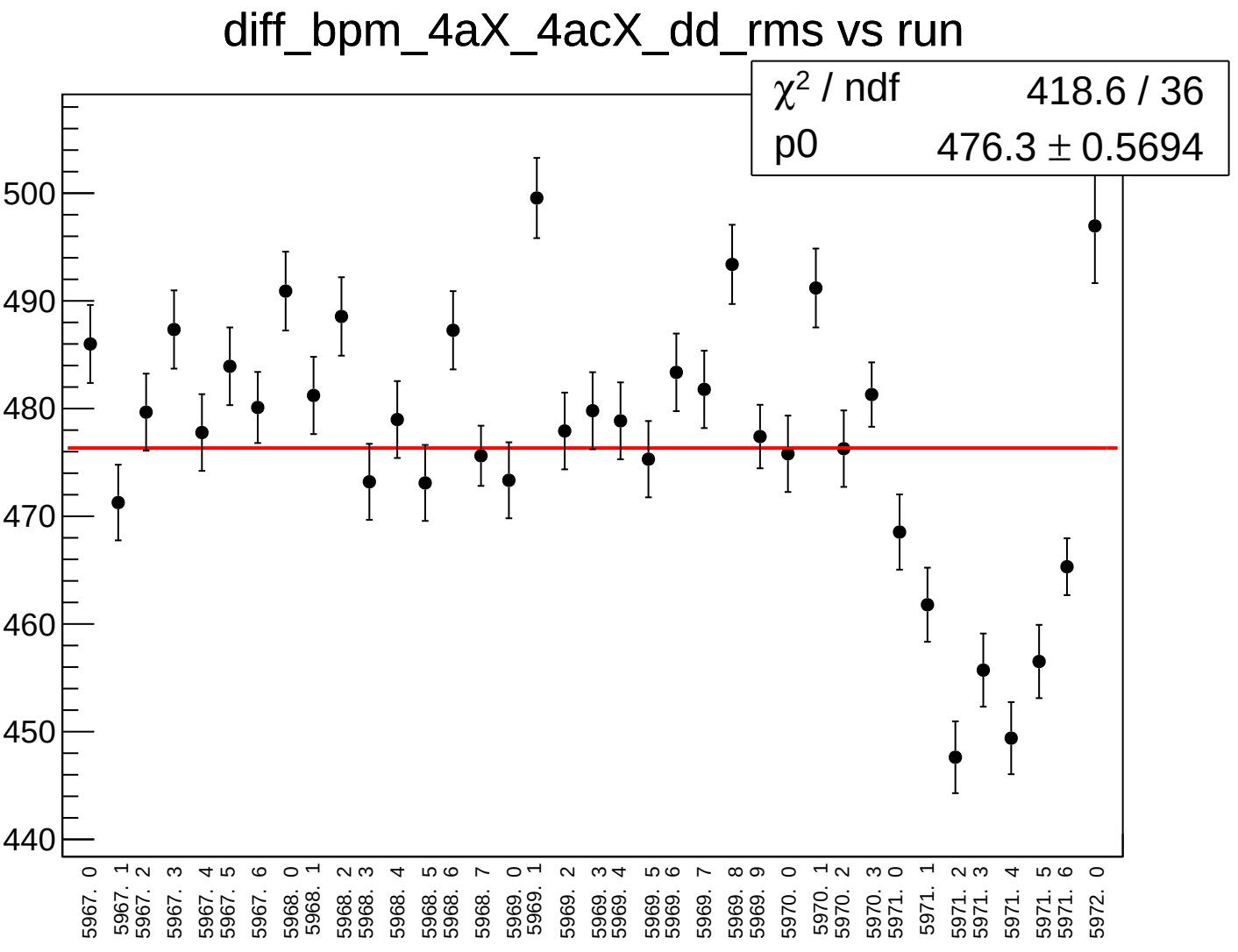
diff_bpm_4aX_4acX_dd_rms vs run
χ² / ndf 418.6 / 36
p0 476.3 ± 0.5694
500
490
480
470
460
450
440
5967. 0
5967. 1
5967. 2
5967. 3
5967. 4
5967. 5
5967. 6
5968. 0
5968. 1
5968. 2
5968. 3
5968. 4
5968. 5
5968. 6
5968. 7
5969. 0
5969. 1
5969. 2
5969. 3
5969. 4
5969. 5
5969. 6
5969. 7
5969. 8
5969. 9
5970. 0
5970. 1
5970. 2
5970. 3
5971. 0
5971. 1
5971. 2
5971. 3
5971. 4
5971. 5
5971. 6
5972. 0

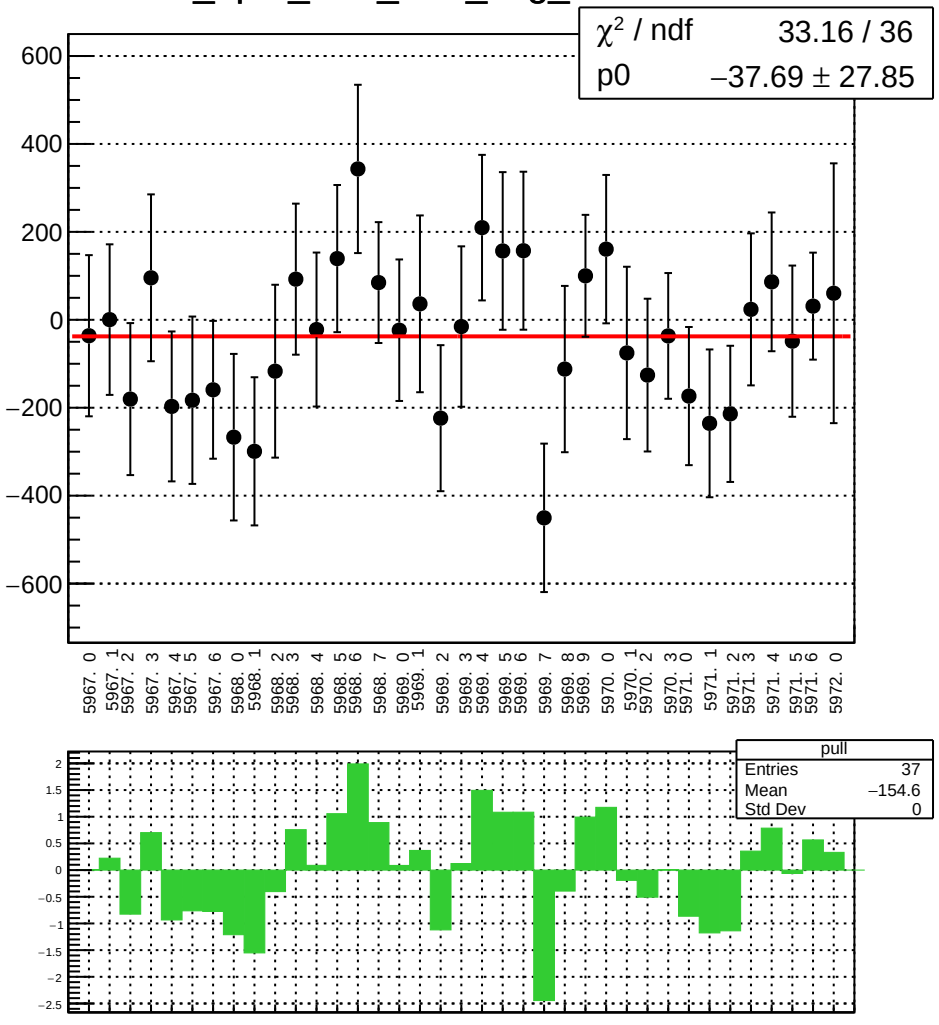
diff_bpm_4aX_4eX_avg_mean vs run
χ² / ndf 33.16 / 36
p0 −37.69 ± 27.85
pull
Entries 37
Mean −154.6
Std Dev 0

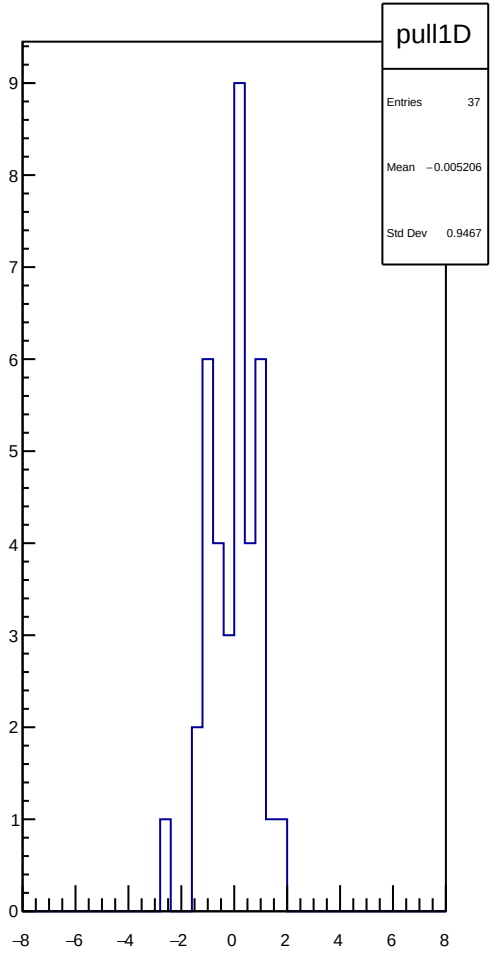
pull1D
Entries 37
Mean −0.005206
Std Dev 0.9467

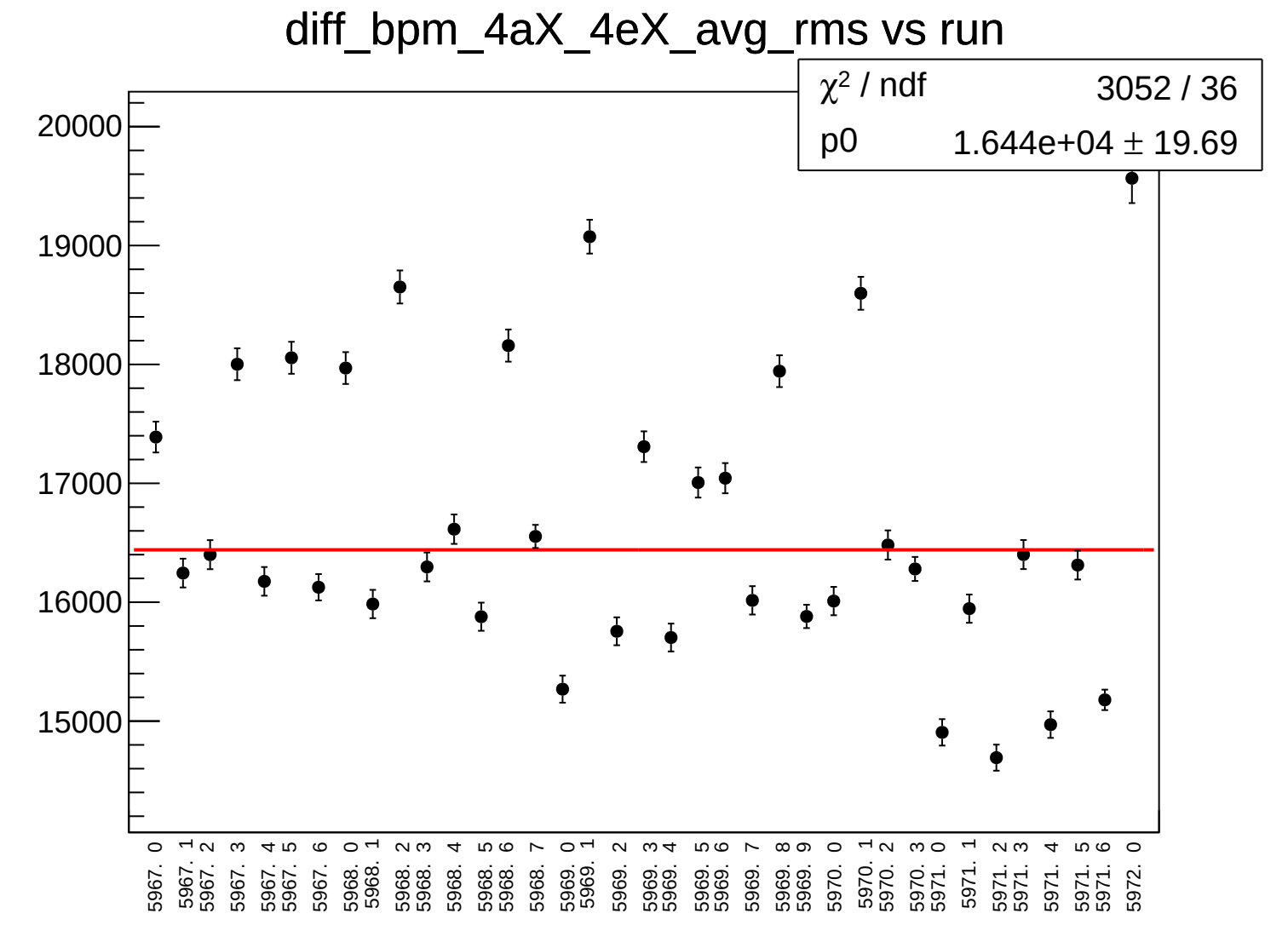
diff_bpm_4aX_4eX_avg_rms vs run
χ² / ndf 3052 / 36
p0 1.644e+04 ± 19.69
20000
19000
18000
17000
16000
15000
5967. 0
5967. 1
5967. 2
5967. 3
5967. 4
5967. 5
5967. 6
5968. 0
5968. 1
5968. 2
5968. 3
5968. 4
5968. 5
5968. 6
5968. 7
5969. 0
5969. 1
5969. 2
5969. 3
5969. 4
5969. 5
5969. 6
5969. 7
5969. 8
5969. 9
5970. 0
5970. 1
5970. 2
5970. 3
5971. 0
5971. 1
5971. 2
5971. 3
5971. 4
5971. 5
5971. 6
5972. 0

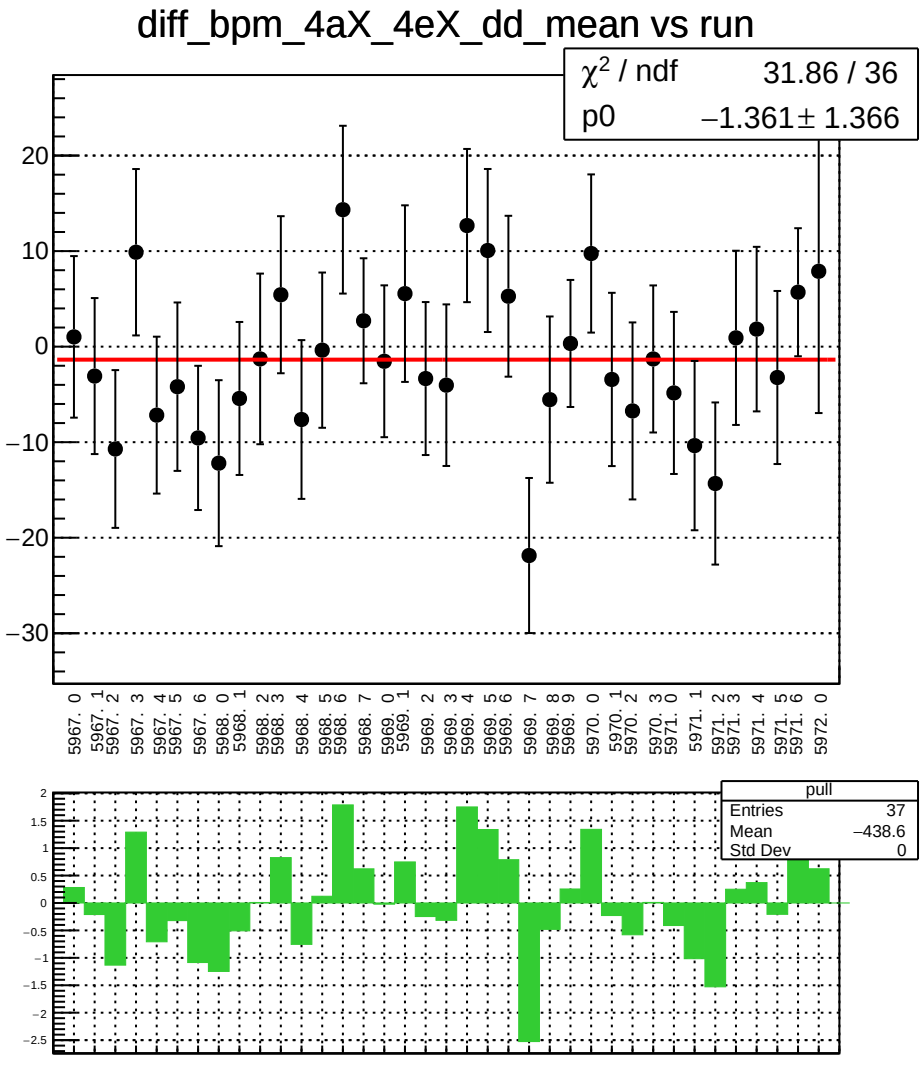
diff_bpm_4aX_4eX_dd_mean vs run
χ² / ndf 31.86 / 36
p0 −1.361± 1.366
pull
Entries 37
Mean −438.6
Std Dev 0

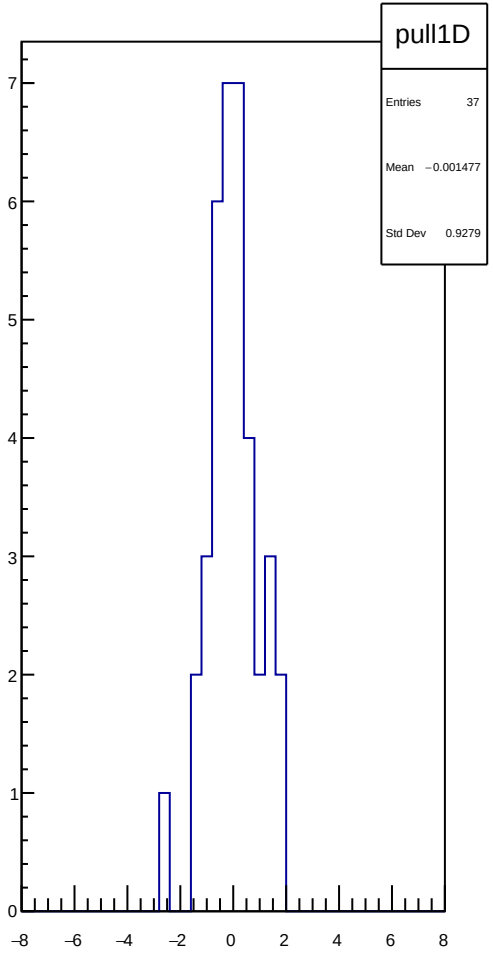
pull1D
Entries 37
Mean −0.001477
Std Dev 0.9279

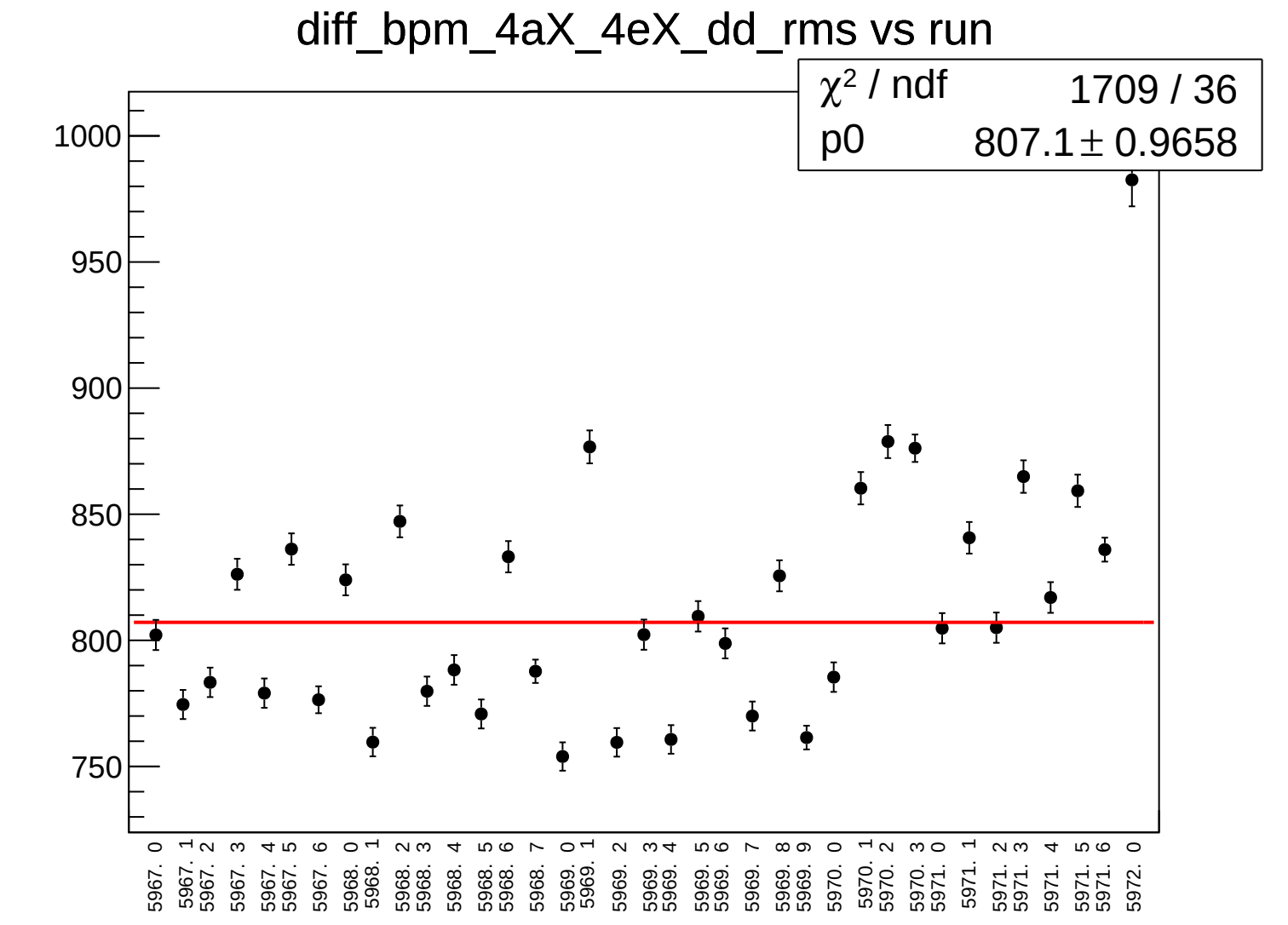
diff_bpm_4aX_4eX_dd_rms vs run
χ² / ndf 1709 / 36
p0 807.1 ± 0.9658
1000
950
900
850
800
750
5967. 0
5967. 1
5967. 2
5967. 3
5967. 4
5967. 5
5967. 6
5968. 0
5968. 1
5968. 2
5968. 3
5968. 4
5968. 5
5968. 6
5968. 7
5969. 0
5969. 1
5969. 2
5969. 3
5969. 4
5969. 5
5969. 6
5969. 7
5969. 8
5969. 9
5970. 0
5970. 1
5970. 2
5970. 3
5971. 0
5971. 1
5971. 2
5971. 3
5971. 4
5971. 5
5971. 6
5972. 0

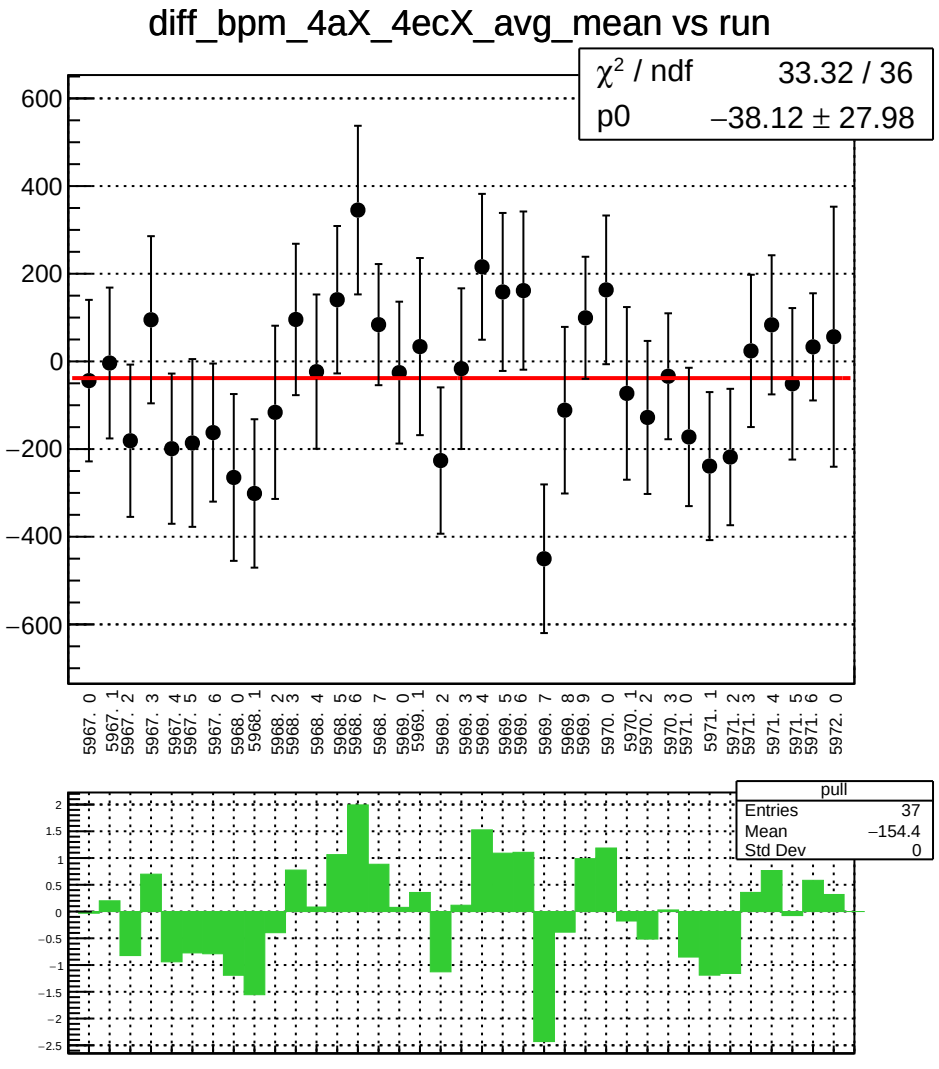
diff_bpm_4aX_4ecX_avg_mean vs run
χ² / ndf 33.32 / 36
p0 −38.12 ± 27.98
600
400
200
0
−200
−400
−600
5967. 0
5967. 1
5967. 2
5967. 3
5967. 4
5967. 5
5967. 6
5968. 0
5968. 1
5968. 2
5968. 3
5968. 4
5968. 5
5968. 6
5968. 7
5969. 0
5969. 1
5969. 2
5969. 3
5969. 4
5969. 5
5969. 6
5969. 7
5969. 8
5969. 9
5970. 0
5970. 1
5970. 2
5970. 3
5971. 0
5971. 1
5971. 2
5971. 3
5971. 4
5971. 5
5971. 6
5972. 0
pull
Entries 37
Mean −154.4
Std Dev 0
2
1.5
1
0.5
0
−0.5
−1
−1.5
−2
−2.5

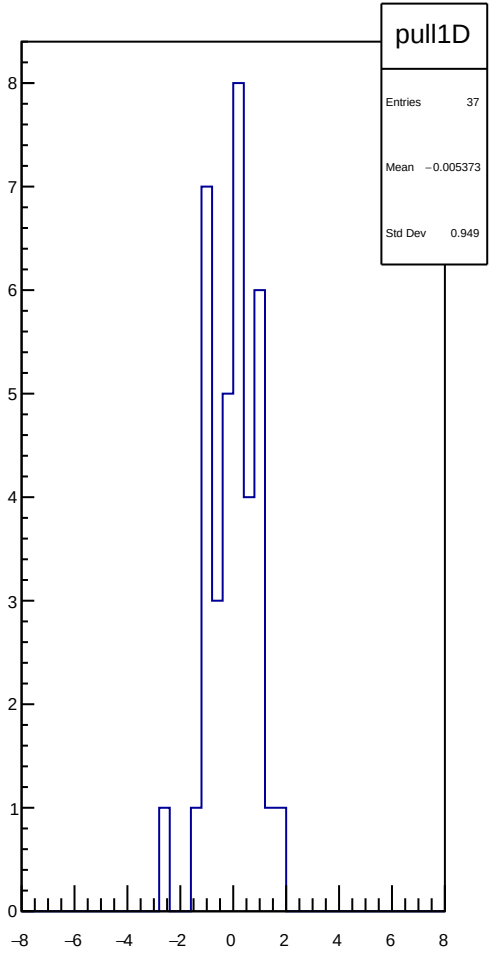
pull1D
Entries 37
Mean −0.005373
Std Dev 0.949
8
7
6
5
4
3
2
1
0
−8
−6
−4
−2
0
2
4
6
8

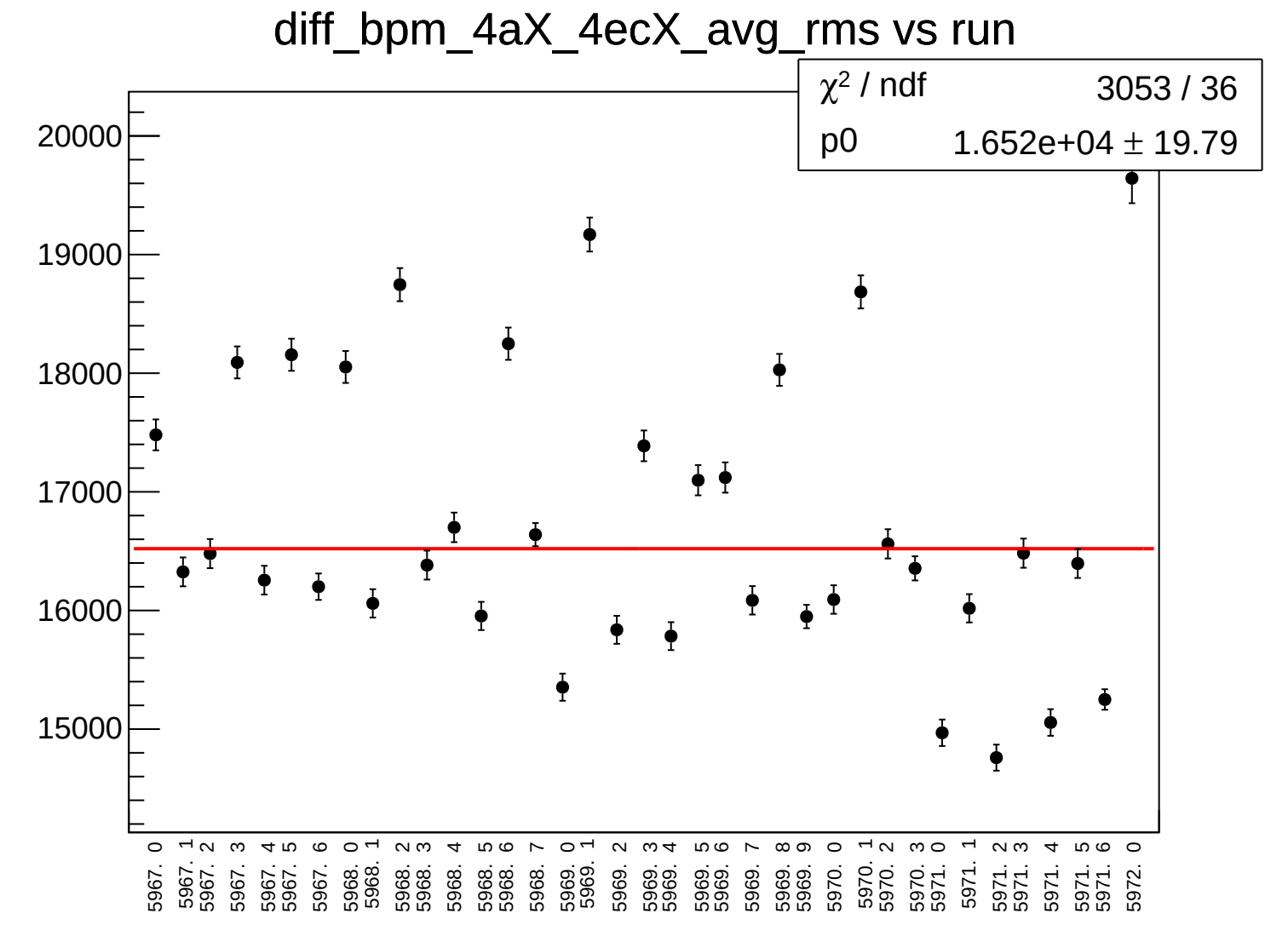
diff_bpm_4aX_4ecX_avg_rms vs run
χ² / ndf 3053 / 36
p0 1.652e+04 ± 19.79
20000
19000
18000
17000
16000
15000
5967. 0
5967. 1
5967. 2
5967. 3
5967. 4
5967. 5
5967. 6
5968. 0
5968. 1
5968. 2
5968. 3
5968. 4
5968. 5
5968. 6
5968. 7
5969. 0
5969. 1
5969. 2
5969. 3
5969. 4
5969. 5
5969. 6
5969. 7
5969. 8
5969. 9
5970. 0
5970. 1
5970. 2
5970. 3
5971. 0
5971. 1
5971. 2
5971. 3
5971. 4
5971. 5
5971. 6
5972. 0

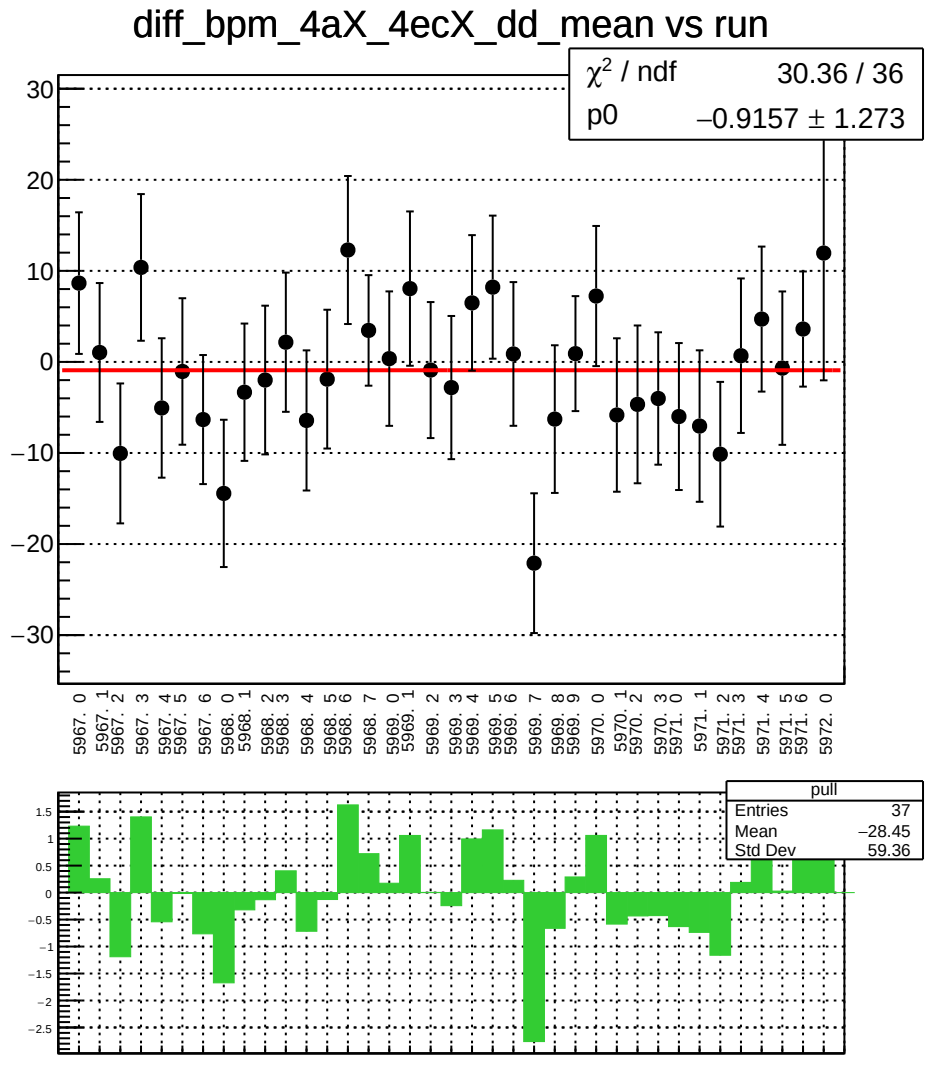
diff_bpm_4aX_4ecX_dd_mean vs run
χ² / ndf 30.36 / 36
p0 −0.9157 ± 1.273
30
20
10
0
−10
−20
−30
5967. 0
5967. 1
5967. 2
5967. 3
5967. 4
5967. 5
5967. 6
5968. 0
5968. 1
5968. 2
5968. 3
5968. 4
5968. 5
5968. 6
5968. 7
5969. 0
5969. 1
5969. 2
5969. 3
5969. 4
5969. 5
5969. 6
5969. 7
5969. 8
5969. 9
5970. 0
5970. 1
5970. 2
5970. 3
5971. 0
5971. 1
5971. 2
5971. 3
5971. 4
5971. 5
5971. 6
5972. 0
pull
Entries 37
Mean −28.45
Std Dev 59.36
1.5
1
0.5
0
−0.5
−1
−1.5
−2
−2.5

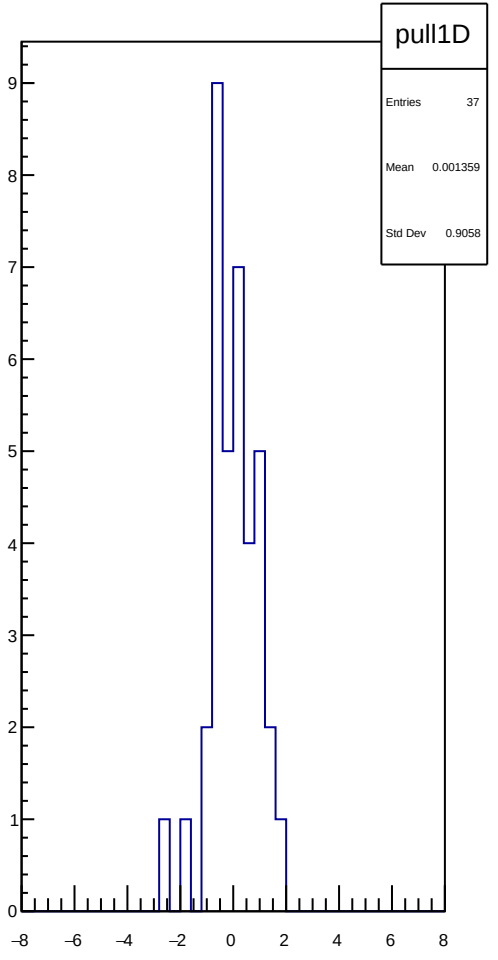
pull1D
Entries 37
Mean 0.001359
Std Dev 0.9058
9
8
7
6
5
4
3
2
1
0
−8
−6
−4
−2
0
2
4
6
8

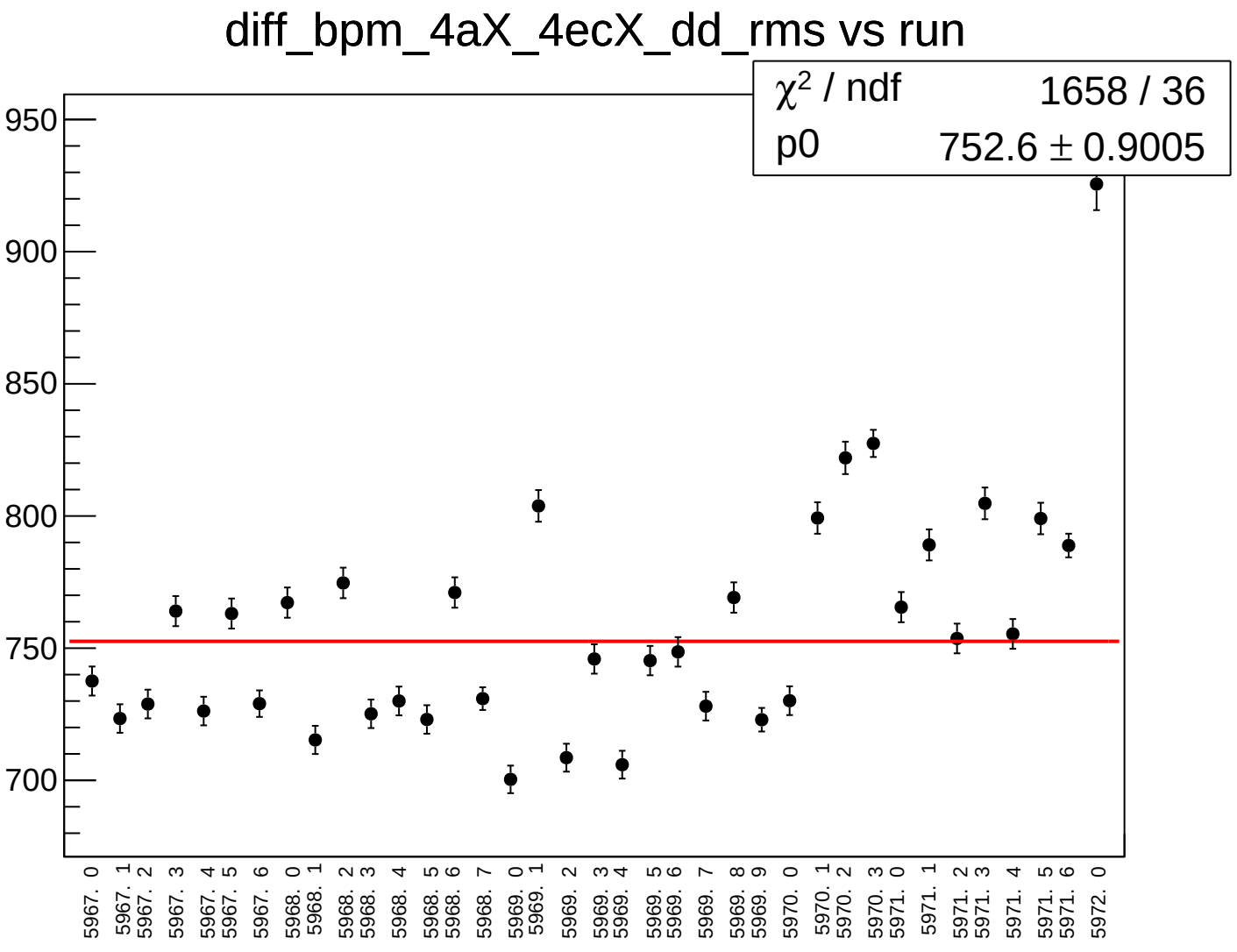
diff_bpm_4aX_4ecX_dd_rms vs run
χ² / ndf 1658 / 36
p0 752.6 ± 0.9005
950
900
850
800
750
700
5967. 0
5967. 1
5967. 2
5967. 3
5967. 4
5967. 5
5967. 6
5968. 0
5968. 1
5968. 2
5968. 3
5968. 4
5968. 5
5968. 6
5968. 7
5969. 0
5969. 1
5969. 2
5969. 3
5969. 4
5969. 5
5969. 6
5969. 7
5969. 8
5969. 9
5970. 0
5970. 1
5970. 2
5970. 3
5971. 0
5971. 1
5971. 2
5971. 3
5971. 4
5971. 5
5971. 6
5972. 0

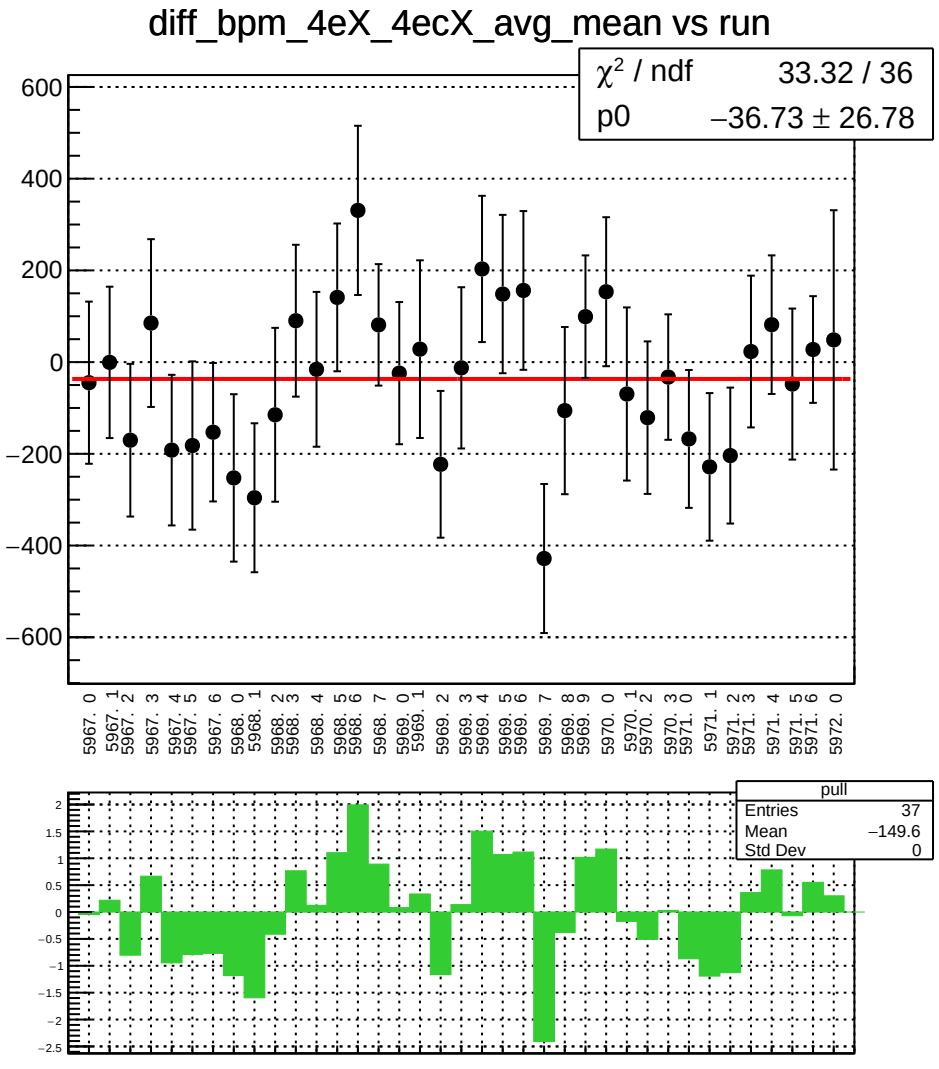
diff_bpm_4eX_4ecX_avg_mean vs run
χ² / ndf 33.32 / 36
p0 −36.73 ± 26.78
pull
Entries 37
Mean −149.6
Std Dev 0

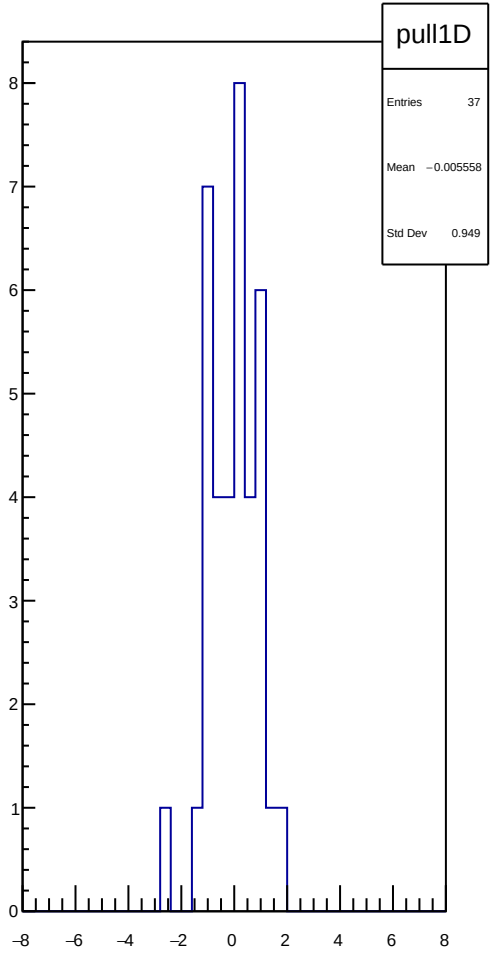
pull1D
Entries 37
Mean −0.005558
Std Dev 0.949

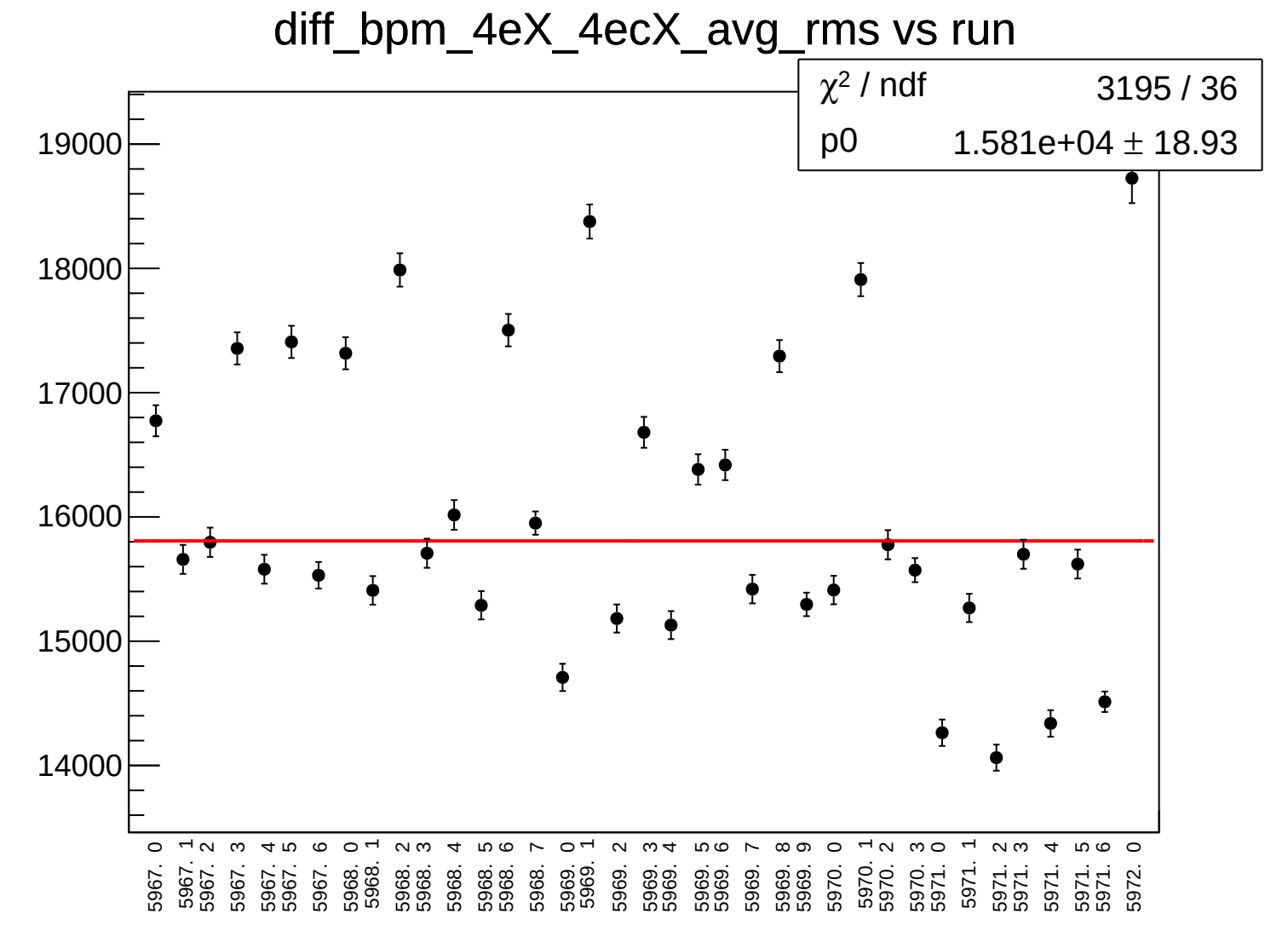
diff_bpm_4eX_4ecX_avg_rms vs run
χ² / ndf 3195 / 36
p0 1.581e+04 ± 18.93
19000
18000
17000
16000
15000
14000
5967. 0
5967. 1
5967. 2
5967. 3
5967. 4
5967. 5
5967. 6
5968. 0
5968. 1
5968. 2
5968. 3
5968. 4
5968. 5
5968. 6
5968. 7
5969. 0
5969. 1
5969. 2
5969. 3
5969. 4
5969. 5
5969. 6
5969. 7
5969. 8
5969. 9
5970. 0
5970. 1
5970. 2
5970. 3
5971. 0
5971. 1
5971. 2
5971. 3
5971. 4
5971. 5
5971. 6
5972. 0

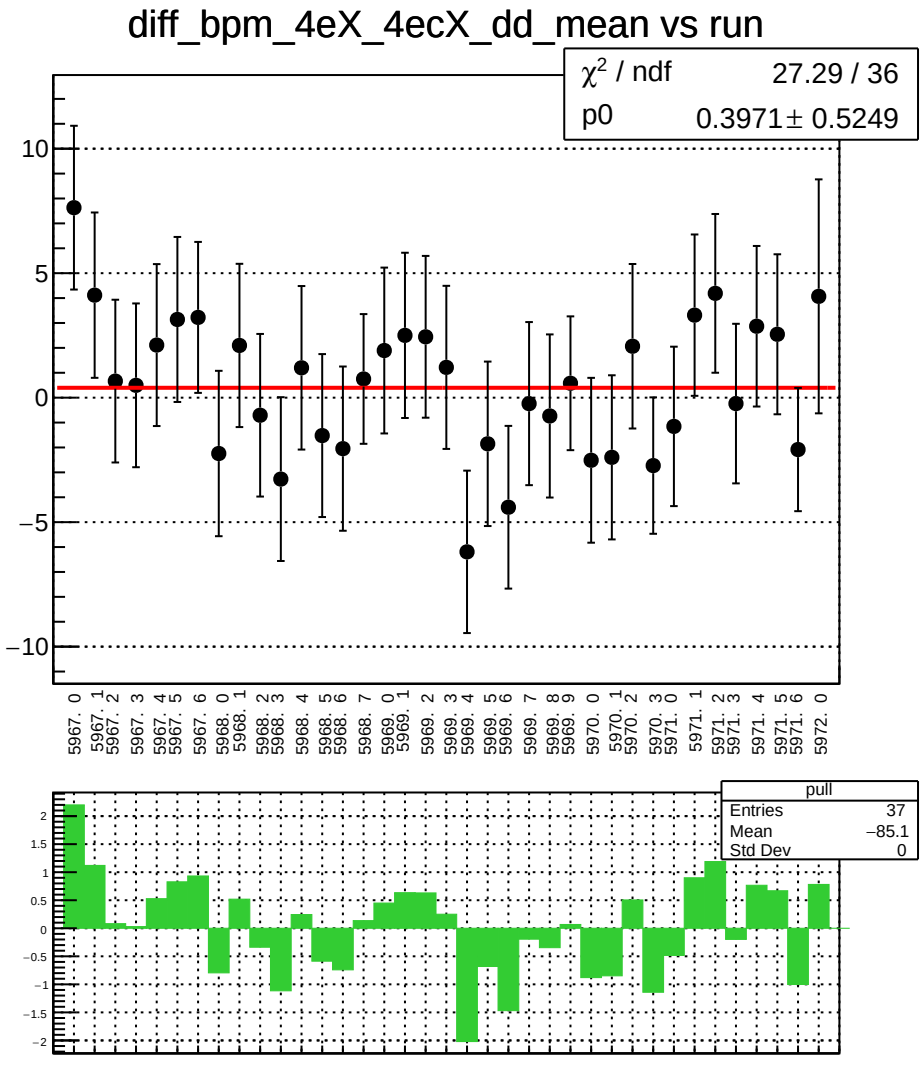
diff_bpm_4eX_4ecX_dd_mean vs run
χ² / ndf 27.29 / 36
p0 0.3971 ± 0.5249
10
5
0
−5
−10
5967. 0
5967. 1
5967. 2
5967. 3
5967. 4
5967. 5
5967. 6
5968. 0
5968. 1
5968. 2
5968. 3
5968. 4
5968. 5
5968. 6
5968. 7
5969. 0
5969. 1
5969. 2
5969. 3
5969. 4
5969. 5
5969. 6
5969. 7
5969. 8
5969. 9
5970. 0
5970. 1
5970. 2
5970. 3
5971. 0
5971. 1
5971. 2
5971. 3
5971. 4
5971. 5
5971. 6
5972. 0
pull
Entries 37
Mean −85.1
Std Dev 0
2
1.5
1
0.5
0
−0.5
−1
−1.5
−2

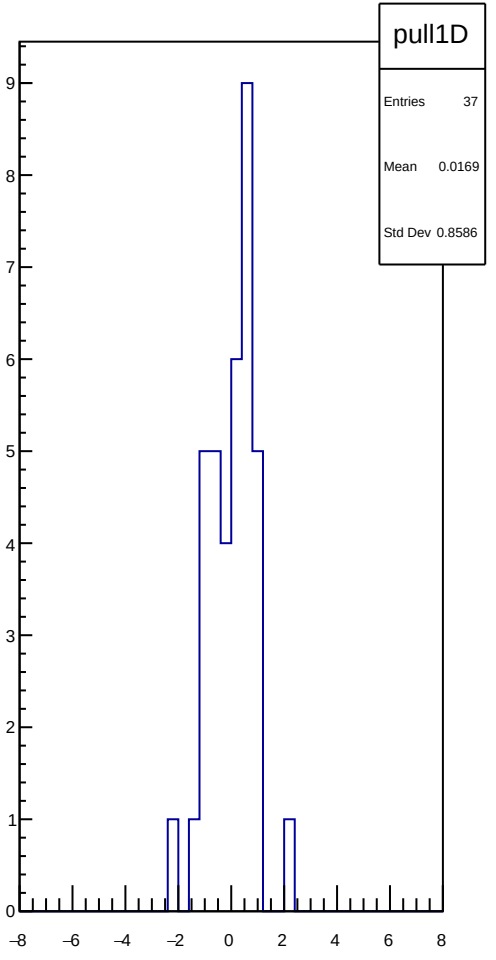
pull1D
Entries 37
Mean 0.0169
Std Dev 0.8586
9
8
7
6
5
4
3
2
1
0
−8
−6
−4
−2
0
2
4
6
8

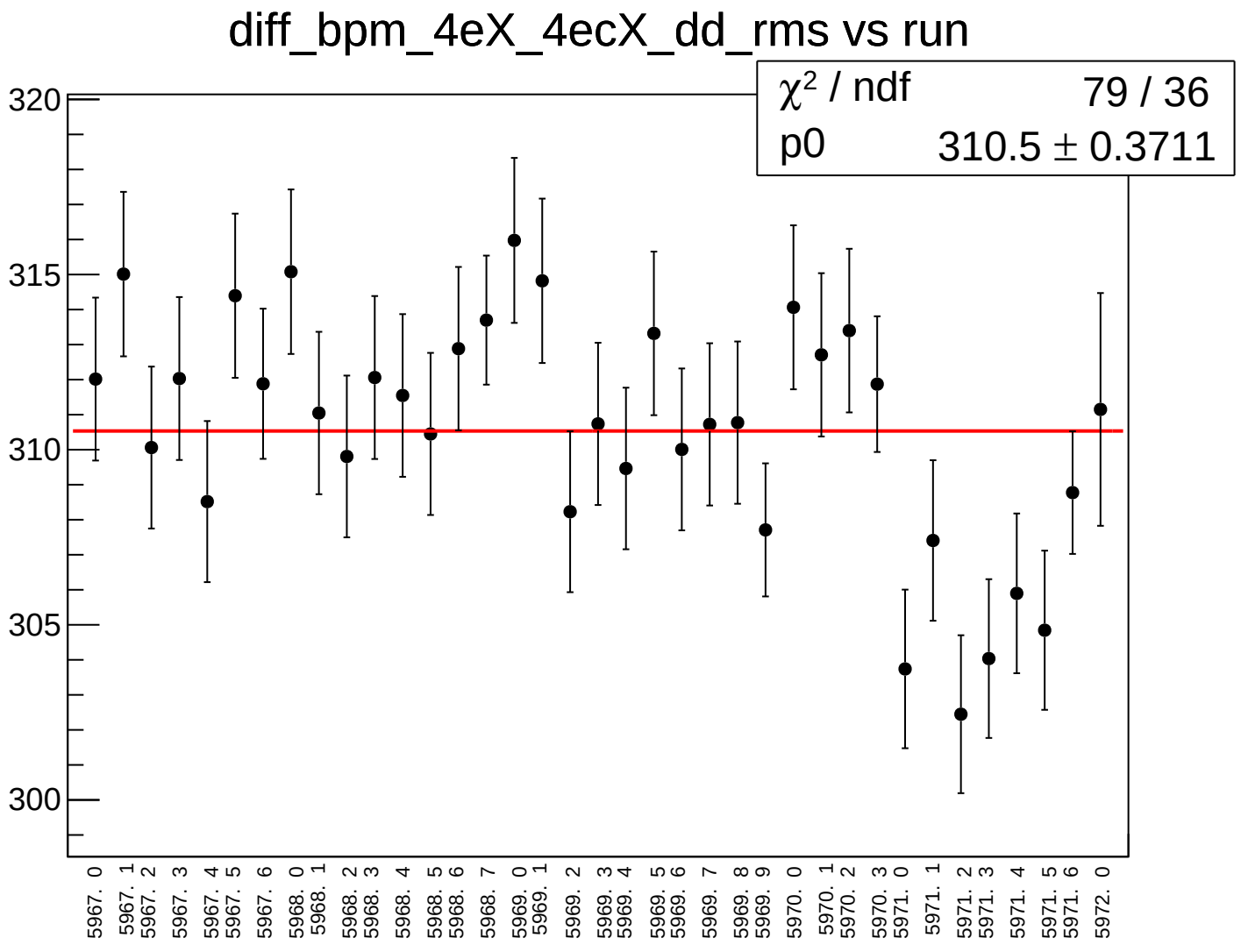
diff_bpm_4eX_4ecX_dd_rms vs run
χ² / ndf 79 / 36
p0 310.5 ± 0.3711
320
315
310
305
300
5967. 0
5967. 1
5967. 2
5967. 3
5967. 4
5967. 5
5967. 6
5968. 0
5968. 1
5968. 2
5968. 3
5968. 4
5968. 5
5968. 6
5968. 7
5969. 0
5969. 1
5969. 2
5969. 3
5969. 4
5969. 5
5969. 6
5969. 7
5969. 8
5969. 9
5970. 0
5970. 1
5970. 2
5970. 3
5971. 0
5971. 1
5971. 2
5971. 3
5971. 4
5971. 5
5971. 6
5972. 0

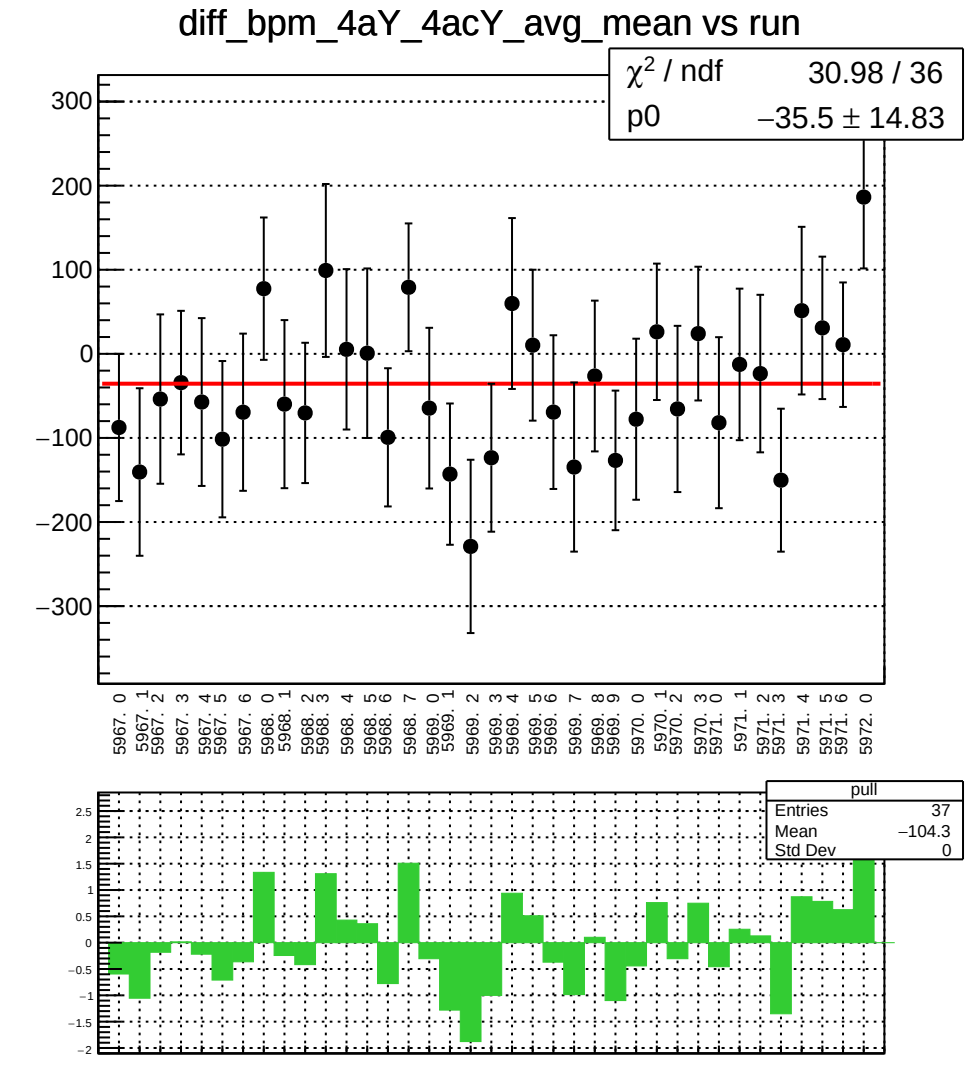
diff_bpm_4aY_4acY_avg_mean vs run
χ² / ndf 30.98 / 36
p0 −35.5 ± 14.83
pull
Entries 37
Mean −104.3
Std Dev 0
pull1D
Entries 37
Mean −0.01976
Std Dev 0.9148

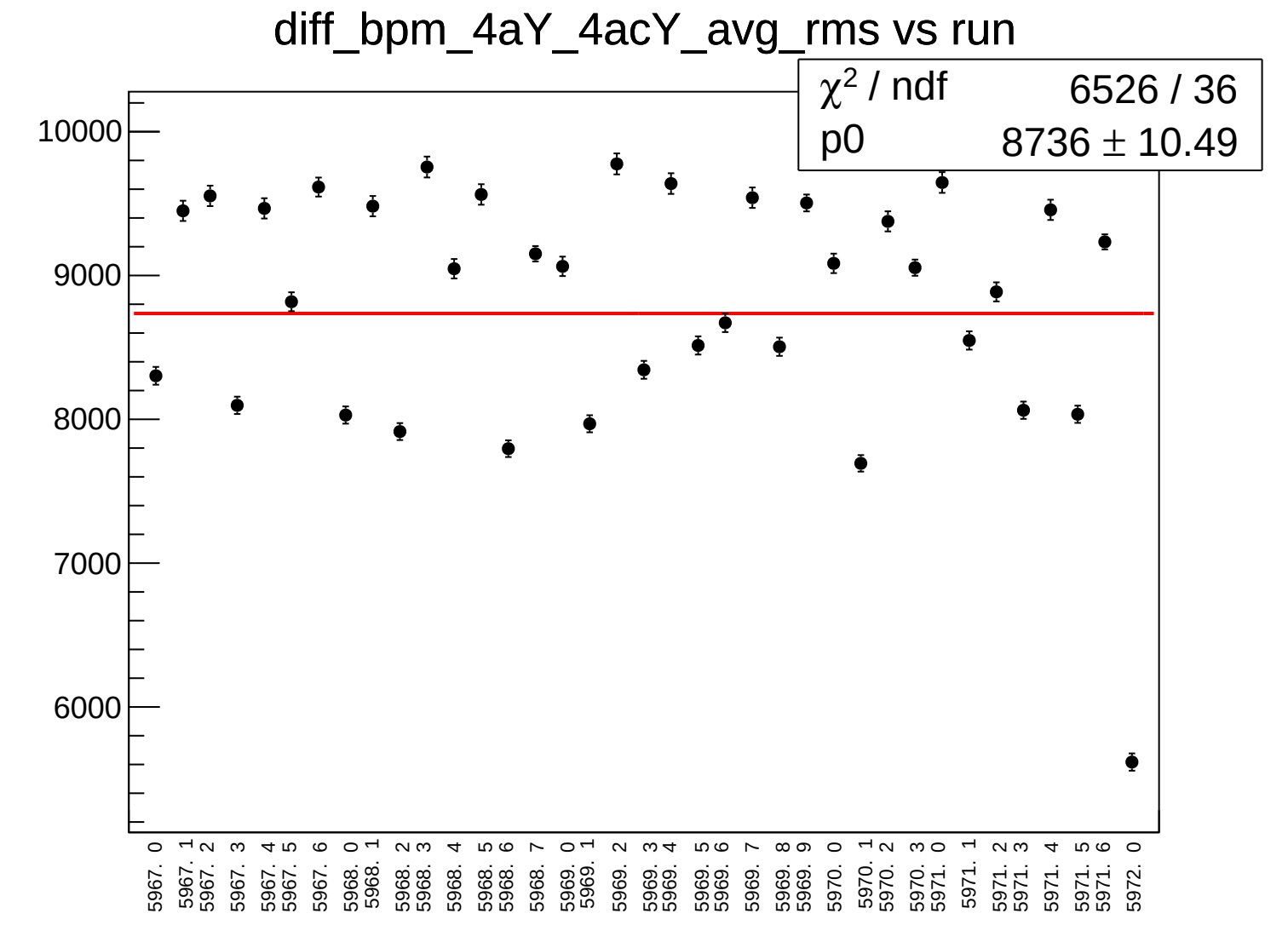
diff_bpm_4aY_4acY_avg_rms vs run
χ^2 / ndf 6526 / 36
p0 8736 ± 10.49
10000
9000
8000
7000
6000
5967. 0
5967. 1
5967. 2
5967. 3
5967. 4
5967. 5
5967. 6
5968. 0
5968. 1
5968. 2
5968. 3
5968. 4
5968. 5
5968. 6
5968. 7
5969. 0
5969. 1
5969. 2
5969. 3
5969. 4
5969. 5
5969. 6
5969. 7
5969. 8
5969. 9
5970. 0
5970. 1
5970. 2
5970. 3
5971. 0
5971. 1
5971. 2
5971. 3
5971. 4
5971. 5
5971. 6
5972. 0

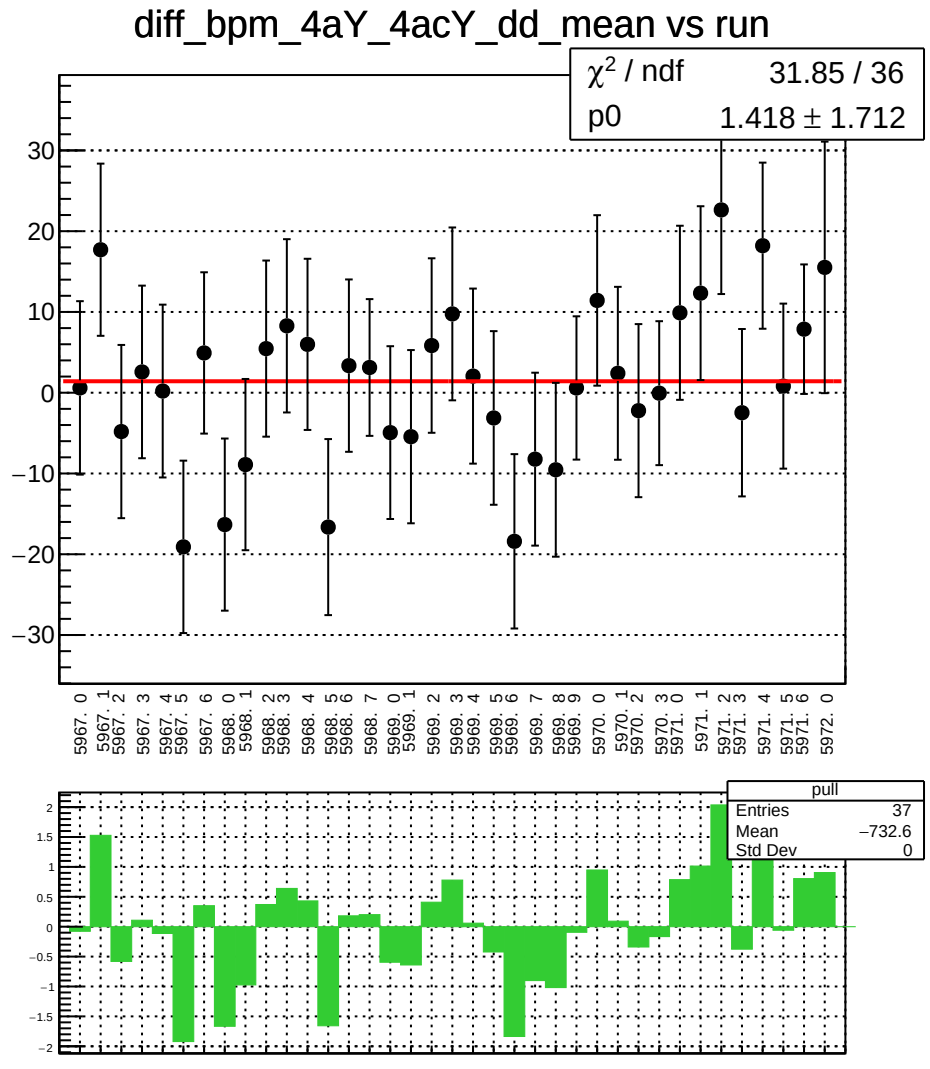
diff_bpm_4aY_4acY_dd_mean vs run
χ² / ndf 31.85 / 36
p0 1.418 ± 1.712
pull
Entries 37
Mean −732.6
Std Dev 0

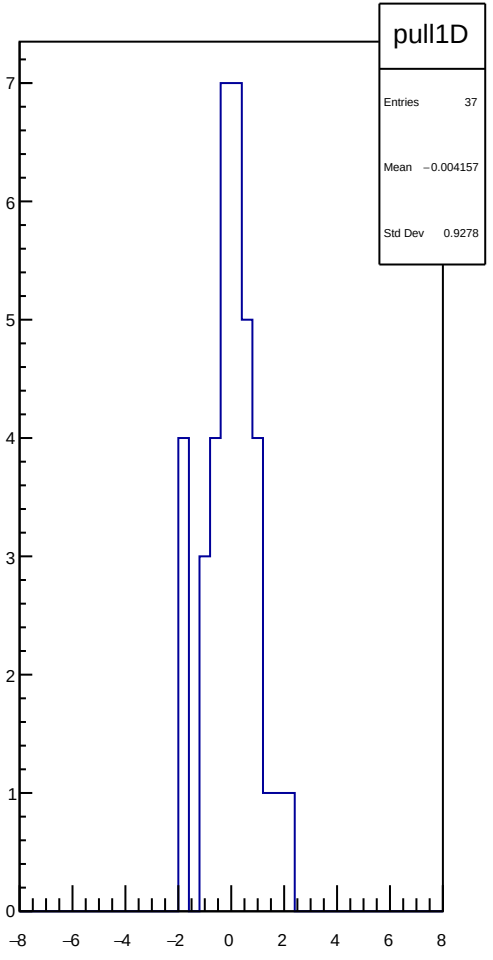
pull1D
Entries 37
Mean −0.004157
Std Dev 0.9278

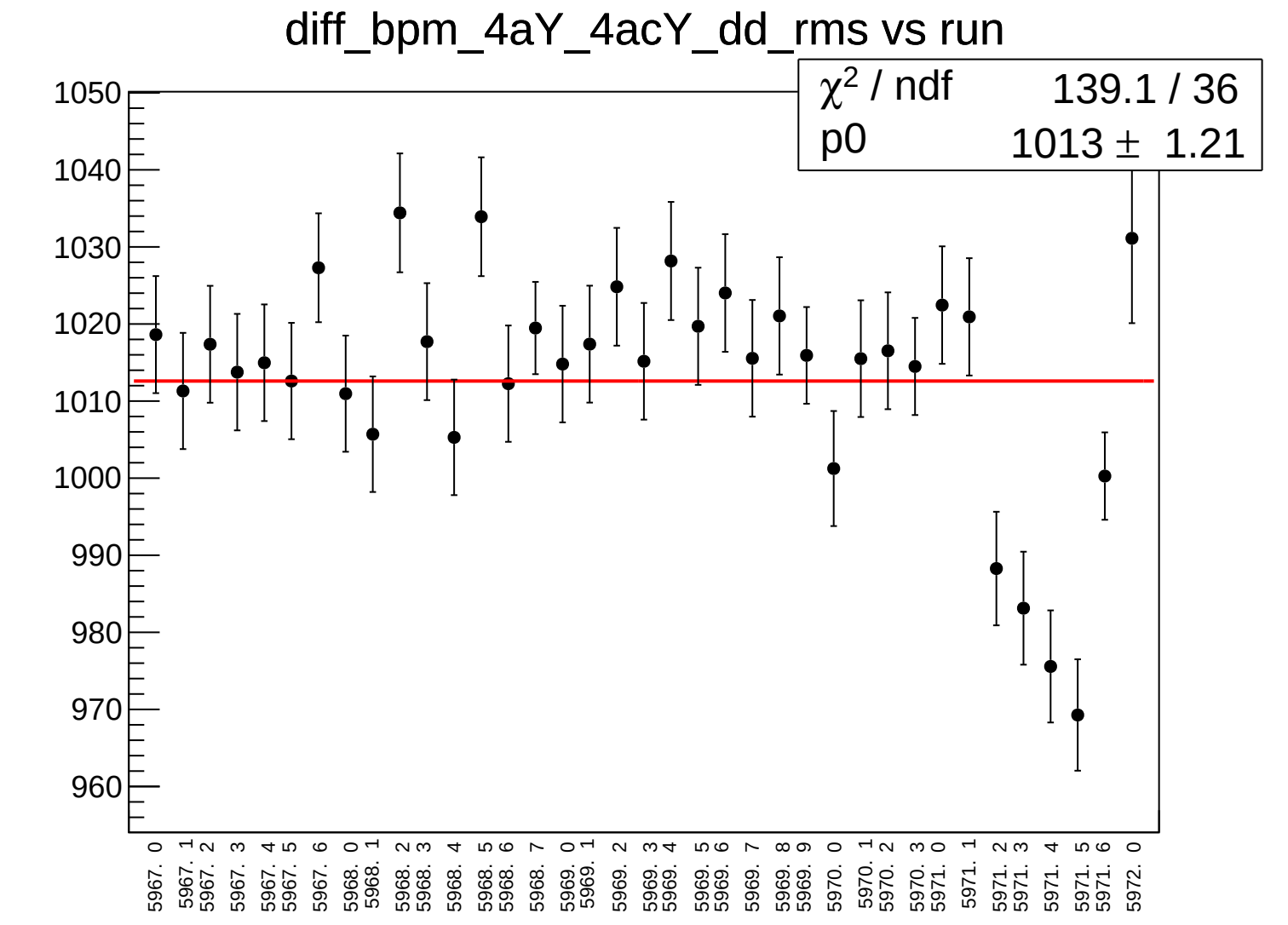
diff_bpm_4aY_4acY_dd_rms vs run
χ² / ndf 139.1 / 36
p0 1013 ± 1.21
1050
1040
1030
1020
1010
1000
990
980
970
960
5967. 0
5967. 1
5967. 2
5967. 3
5967. 4
5967. 5
5967. 6
5968. 0
5968. 1
5968. 2
5968. 3
5968. 4
5968. 5
5968. 6
5968. 7
5969. 0
5969. 1
5969. 2
5969. 3
5969. 4
5969. 5
5969. 6
5969. 7
5969. 8
5969. 9
5970. 0
5970. 1
5970. 2
5970. 3
5971. 0
5971. 1
5971. 2
5971. 3
5971. 4
5971. 5
5971. 6
5972. 0

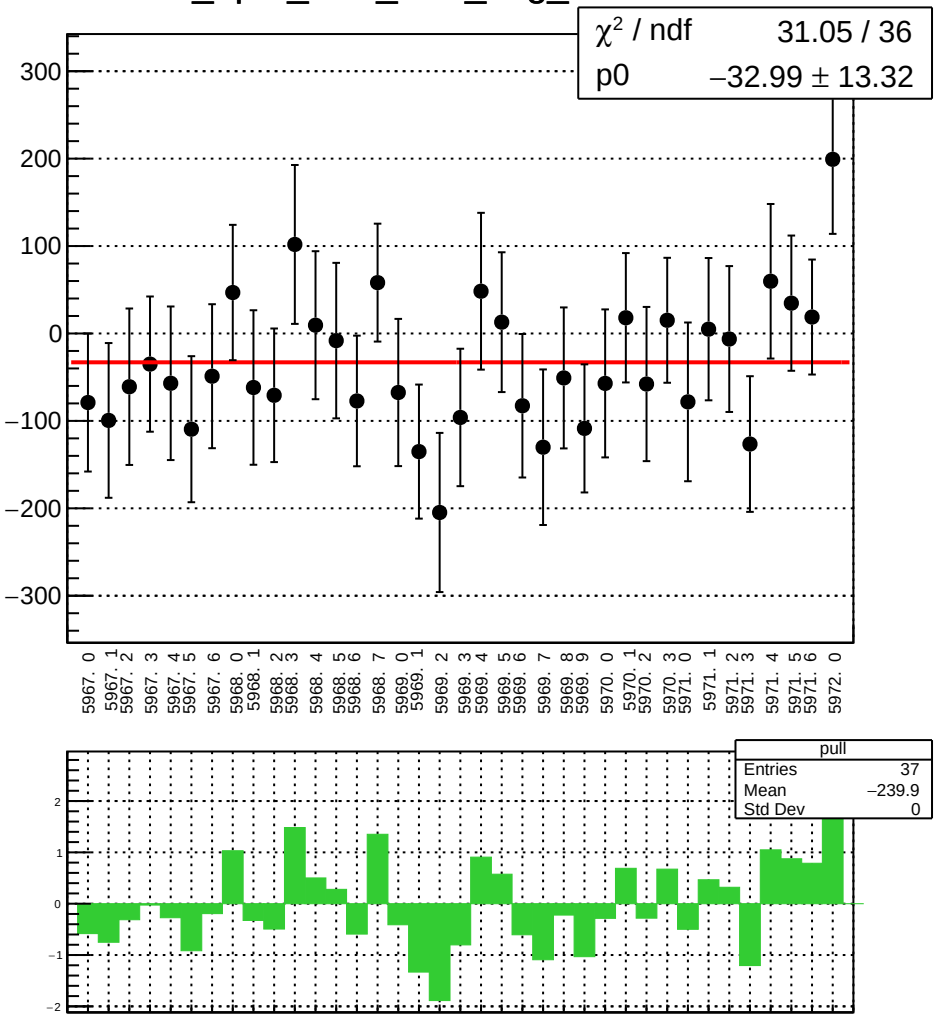
diff_bpm_4aY_4eY_avg_mean vs run
χ² / ndf 31.05 / 36
p0 −32.99 ± 13.32
pull
Entries 37
Mean −239.9
Std Dev 0
pull1D
Entries 37
Mean −0.01099
Std Dev 0.916

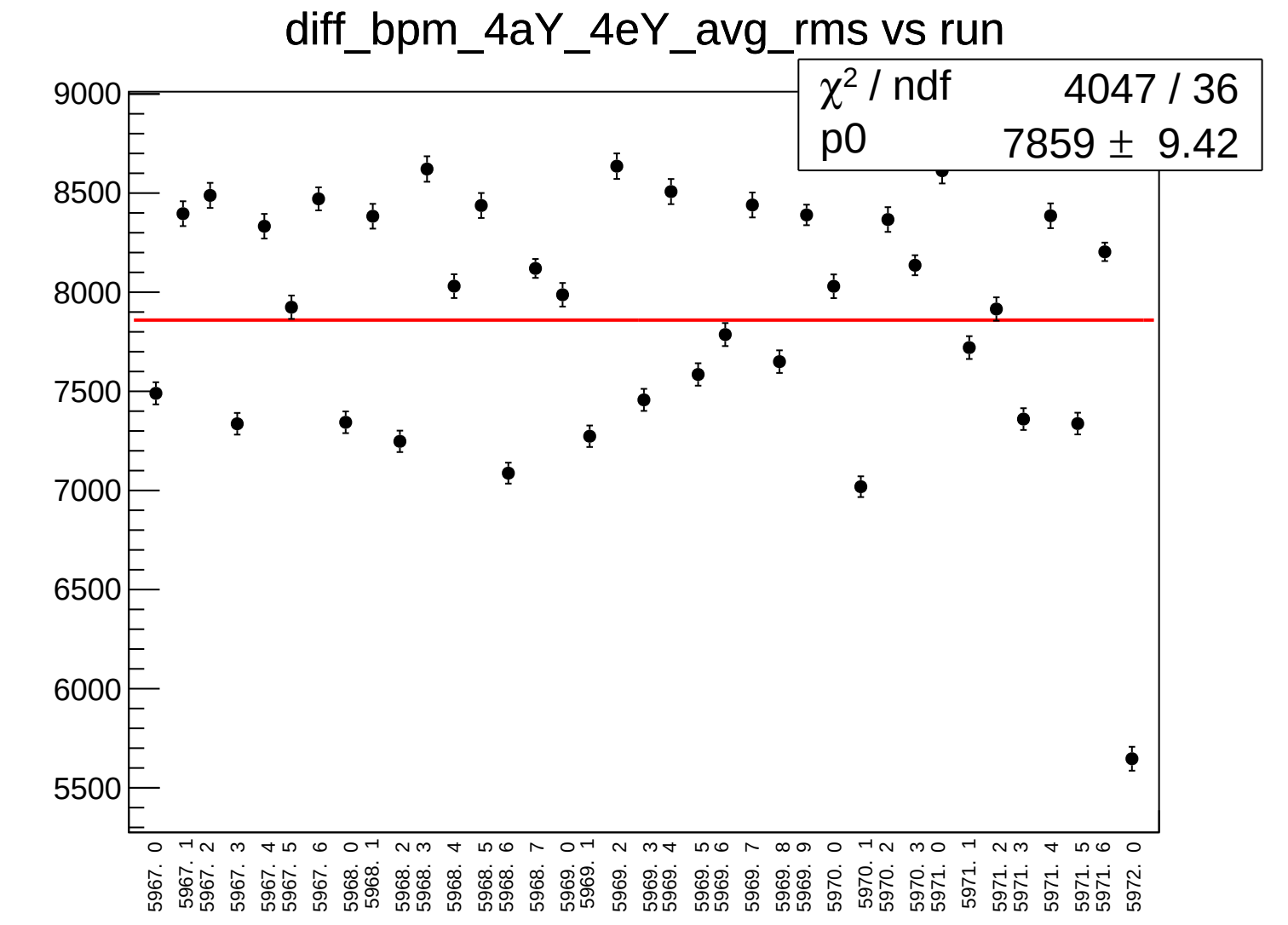
diff_bpm_4aY_4eY_avg_rms vs run
χ² / ndf 4047 / 36
p0 7859 ± 9.42
9000
8500
8000
7500
7000
6500
6000
5500
5967. 0
5967. 1
5967. 2
5967. 3
5967. 4
5967. 5
5967. 6
5968. 0
5968. 1
5968. 2
5968. 3
5968. 4
5968. 5
5968. 6
5968. 7
5969. 0
5969. 1
5969. 2
5969. 3
5969. 4
5969. 5
5969. 6
5969. 7
5969. 8
5969. 9
5970. 0
5970. 1
5970. 2
5970. 3
5971. 0
5971. 1
5971. 2
5971. 3
5971. 4
5971. 5
5971. 6
5972. 0

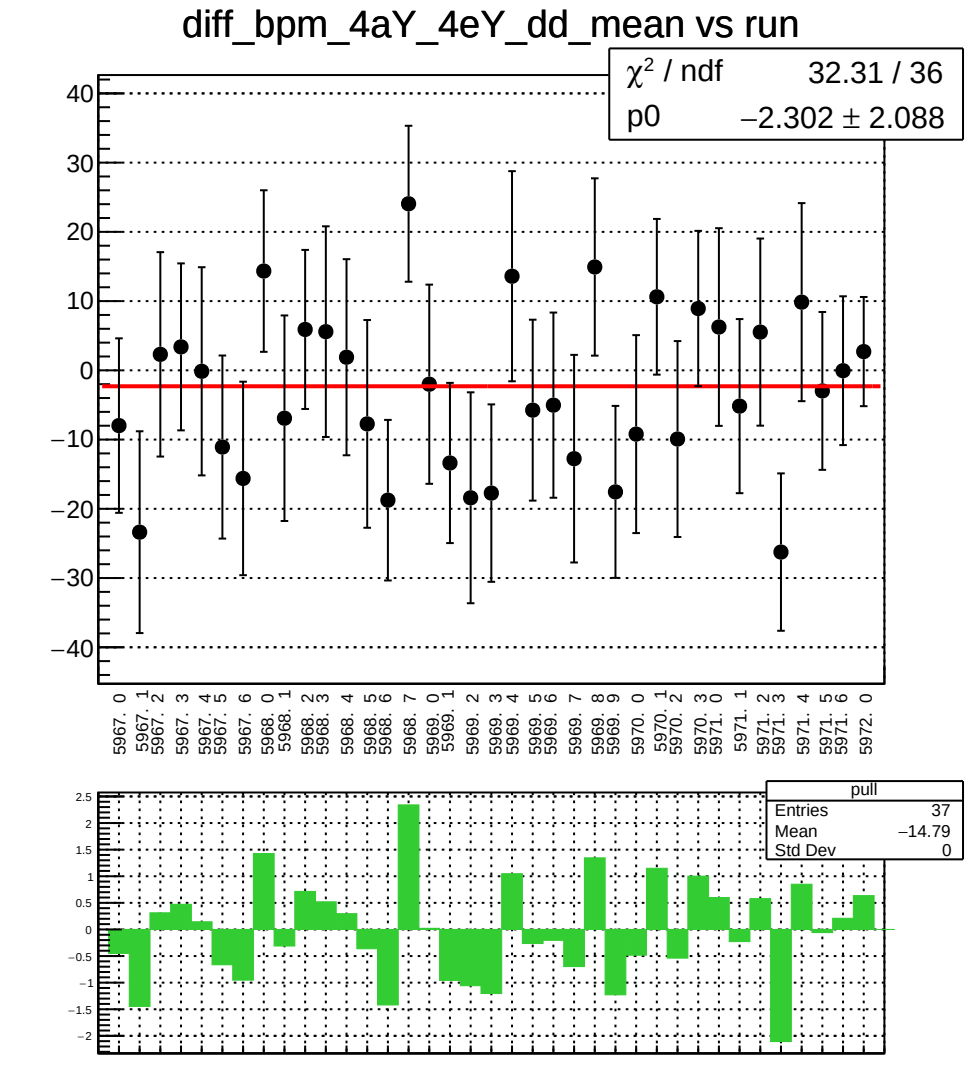
diff_bpm_4aY_4eY_dd_mean vs run
χ² / ndf 32.31 / 36
p0 −2.302 ± 2.088
pull
Entries 37
Mean −14.79
Std Dev 0

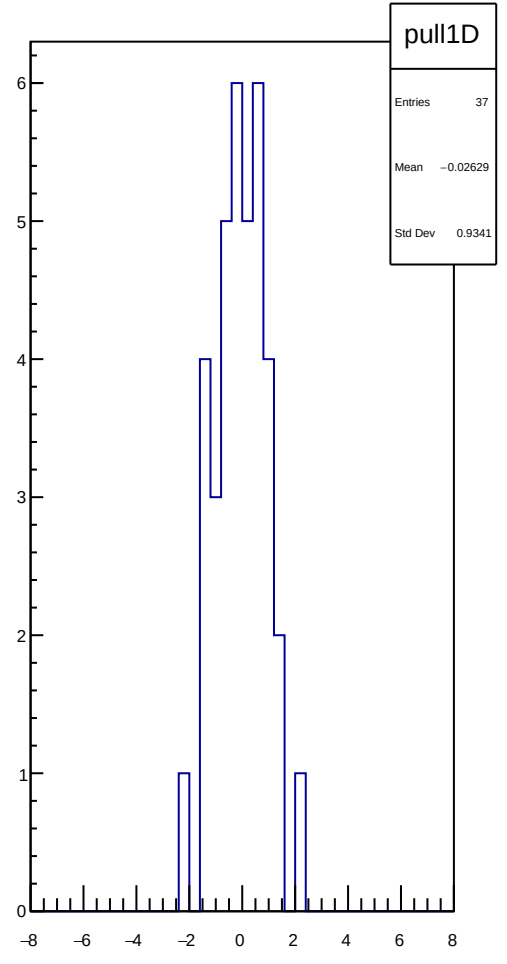
pull1D
Entries 37
Mean −0.02629
Std Dev 0.9341

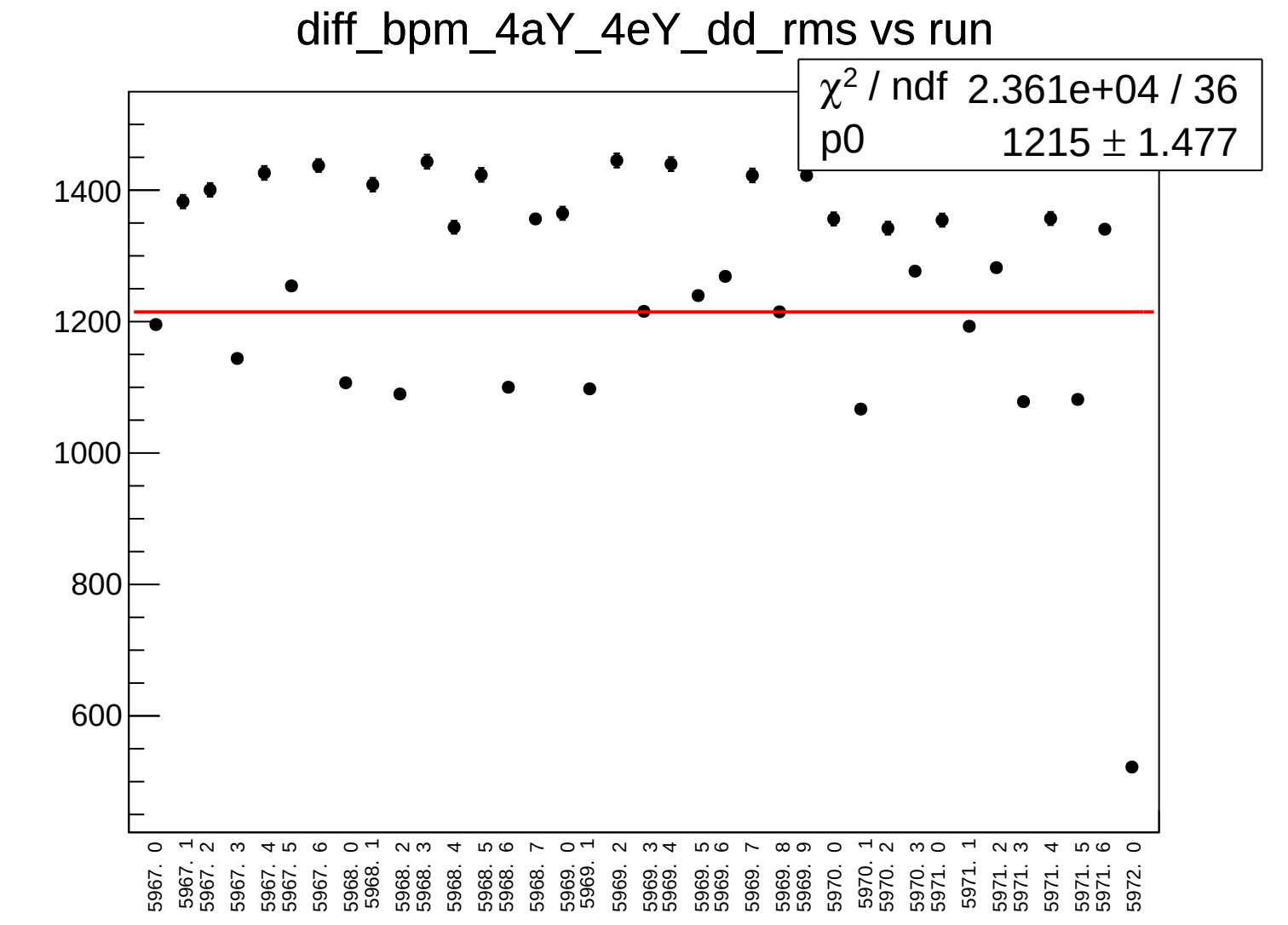
diff_bpm_4aY_4eY_dd_rms vs run
χ² / ndf 2.361e+04 / 36
p0 1215 ± 1.477
1400
1200
1000
800
600
5967. 0
5967. 1
5967. 2
5967. 3
5967. 4
5967. 5
5967. 6
5968. 0
5968. 1
5968. 2
5968. 3
5968. 4
5968. 5
5968. 6
5968. 7
5969. 0
5969. 1
5969. 2
5969. 3
5969. 4
5969. 5
5969. 6
5969. 7
5969. 8
5969. 9
5970. 0
5970. 1
5970. 2
5970. 3
5971. 0
5971. 1
5971. 2
5971. 3
5971. 4
5971. 5
5971. 6
5972. 0

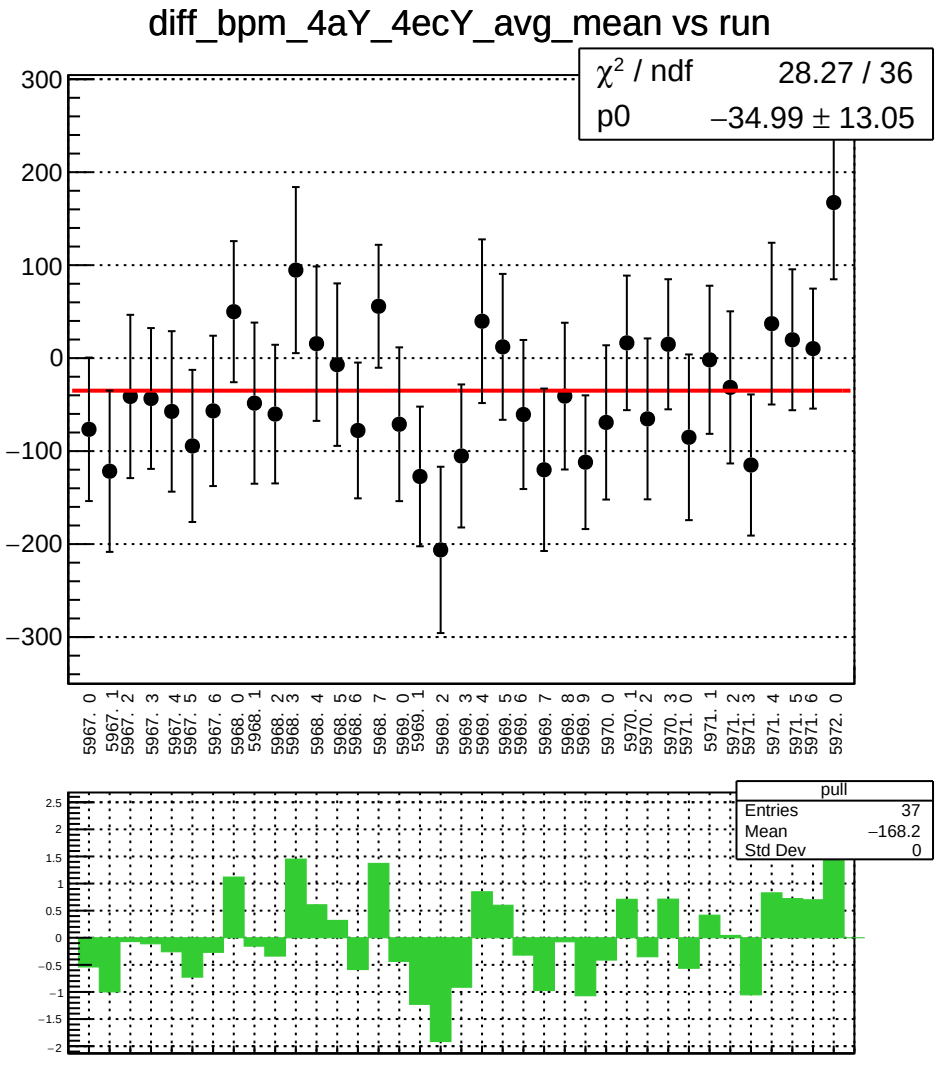
diff_bpm_4aY_4ecY_avg_mean vs run
χ² / ndf 28.27 / 36
p0 −34.99 ± 13.05
300
200
100
0
−100
−200
−300
5967. 0
5967. 1
5967. 2
5967. 3
5967. 4
5967. 5
5967. 6
5968. 0
5968. 1
5968. 2
5968. 3
5968. 4
5968. 5
5968. 6
5968. 7
5969. 0
5969. 1
5969. 2
5969. 3
5969. 4
5969. 5
5969. 6
5969. 7
5969. 8
5969. 9
5970. 0
5970. 1
5970. 2
5970. 3
5971. 0
5971. 1
5971. 2
5971. 3
5971. 4
5971. 5
5971. 6
5972. 0
pull
Entries 37
Mean −168.2
Std Dev 0
2.5
2
1.5
1
0.5
0
−0.5
−1
−1.5
−2

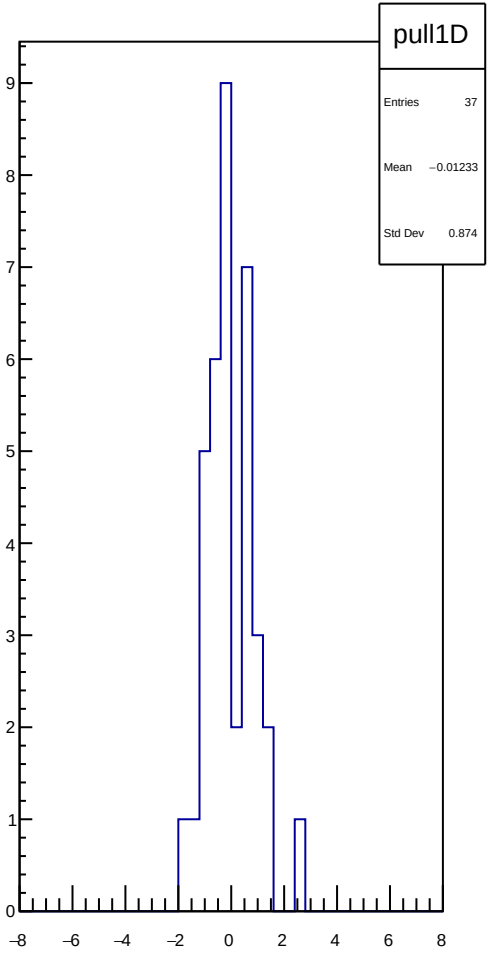
pull1D
Entries 37
Mean −0.01233
Std Dev 0.874
9
8
7
6
5
4
3
2
1
0
−8
−6
−4
−2
0
2
4
6
8

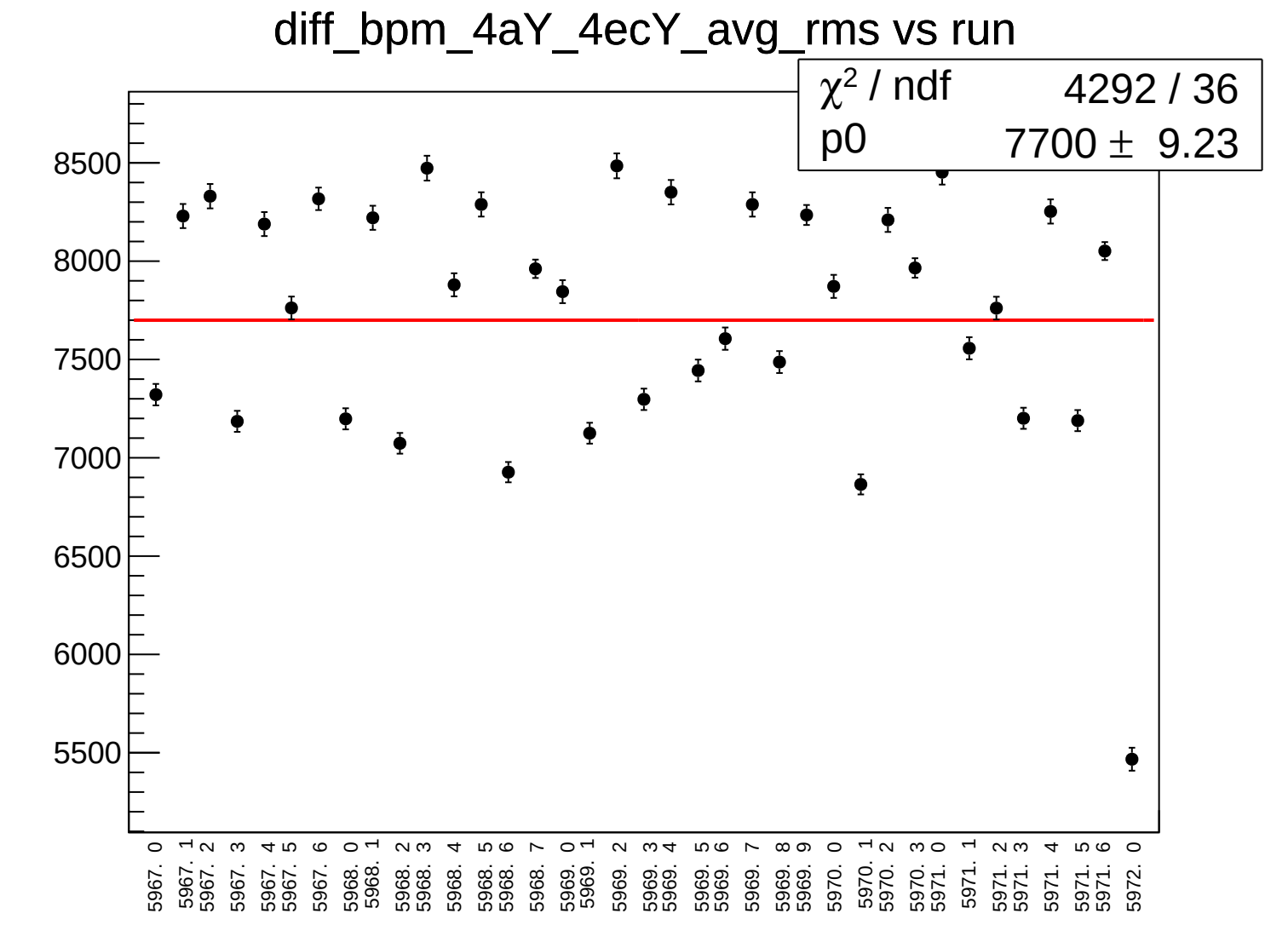
diff_bpm_4aY_4ecY_avg_rms vs run
χ² / ndf 4292 / 36
p0 7700 ± 9.23
8500
8000
7500
7000
6500
6000
5500
5967. 0
5967. 1
5967. 2
5967. 3
5967. 4
5967. 5
5967. 6
5968. 0
5968. 1
5968. 2
5968. 3
5968. 4
5968. 5
5968. 6
5968. 7
5969. 0
5969. 1
5969. 2
5969. 3
5969. 4
5969. 5
5969. 6
5969. 7
5969. 8
5969. 9
5970. 0
5970. 1
5970. 2
5970. 3
5971. 0
5971. 1
5971. 2
5971. 3
5971. 4
5971. 5
5971. 6
5972. 0

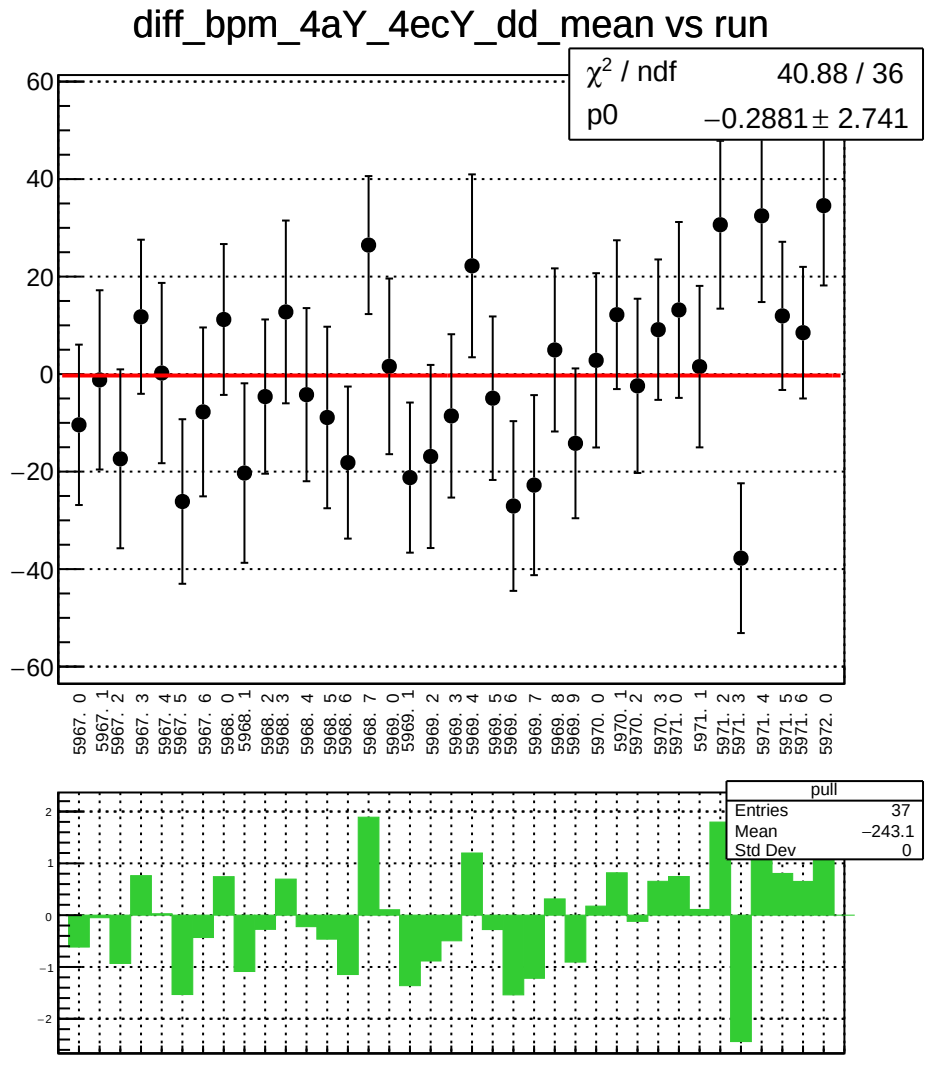
diff_bpm_4aY_4ecY_dd_mean vs run
χ² / ndf 40.88 / 36
p0 −0.2881 ± 2.741
pull
Entries 37
Mean −243.1
Std Dev 0

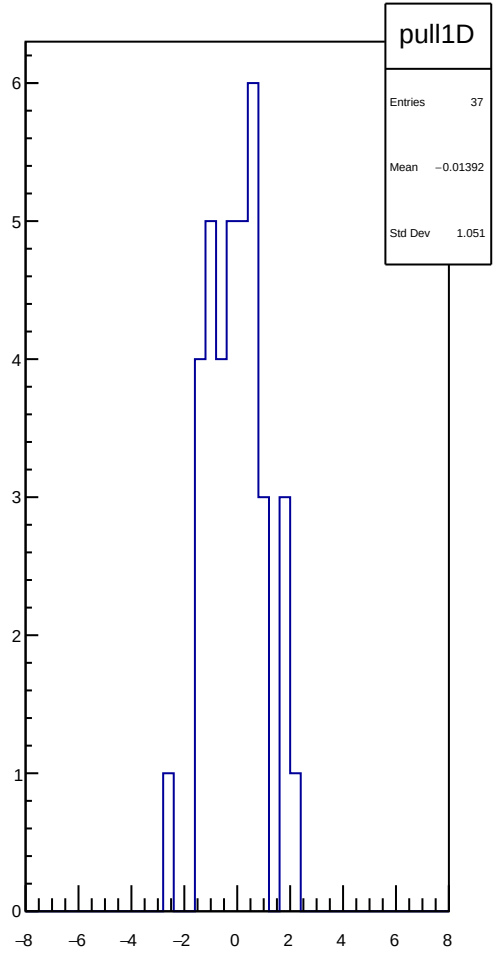
pull1D
Entries 37
Mean −0.01392
Std Dev 1.051

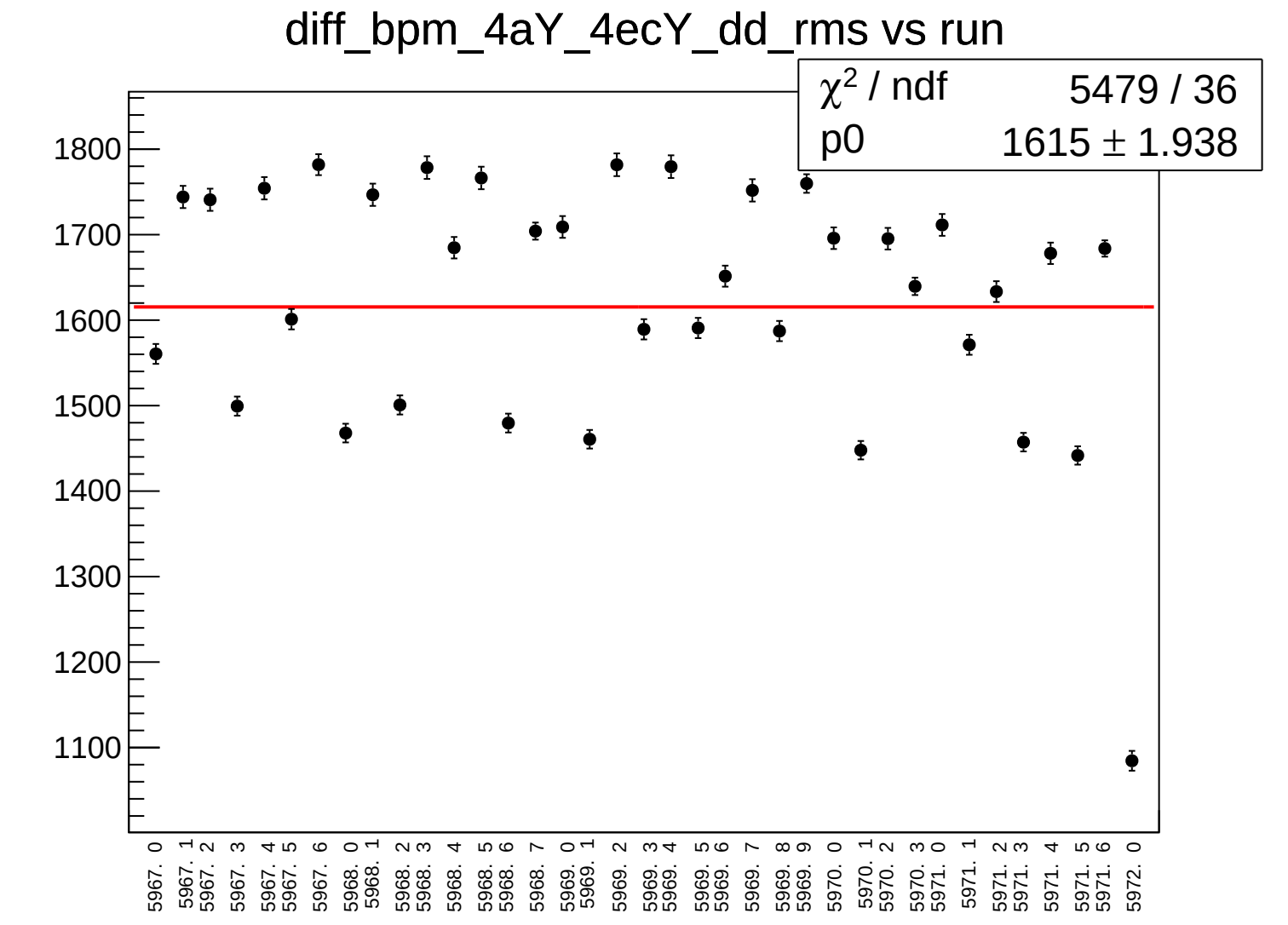
diff_bpm_4aY_4ecY_dd_rms vs run
χ² / ndf 5479 / 36
p0 1615 ± 1.938
1800
1700
1600
1500
1400
1300
1200
1100
5967. 0
5967. 1
5967. 2
5967. 3
5967. 4
5967. 5
5967. 6
5968. 0
5968. 1
5968. 2
5968. 3
5968. 4
5968. 5
5968. 6
5968. 7
5969. 0
5969. 1
5969. 2
5969. 3
5969. 4
5969. 5
5969. 6
5969. 7
5969. 8
5969. 9
5970. 0
5970. 1
5970. 2
5970. 3
5971. 0
5971. 1
5971. 2
5971. 3
5971. 4
5971. 5
5971. 6
5972. 0

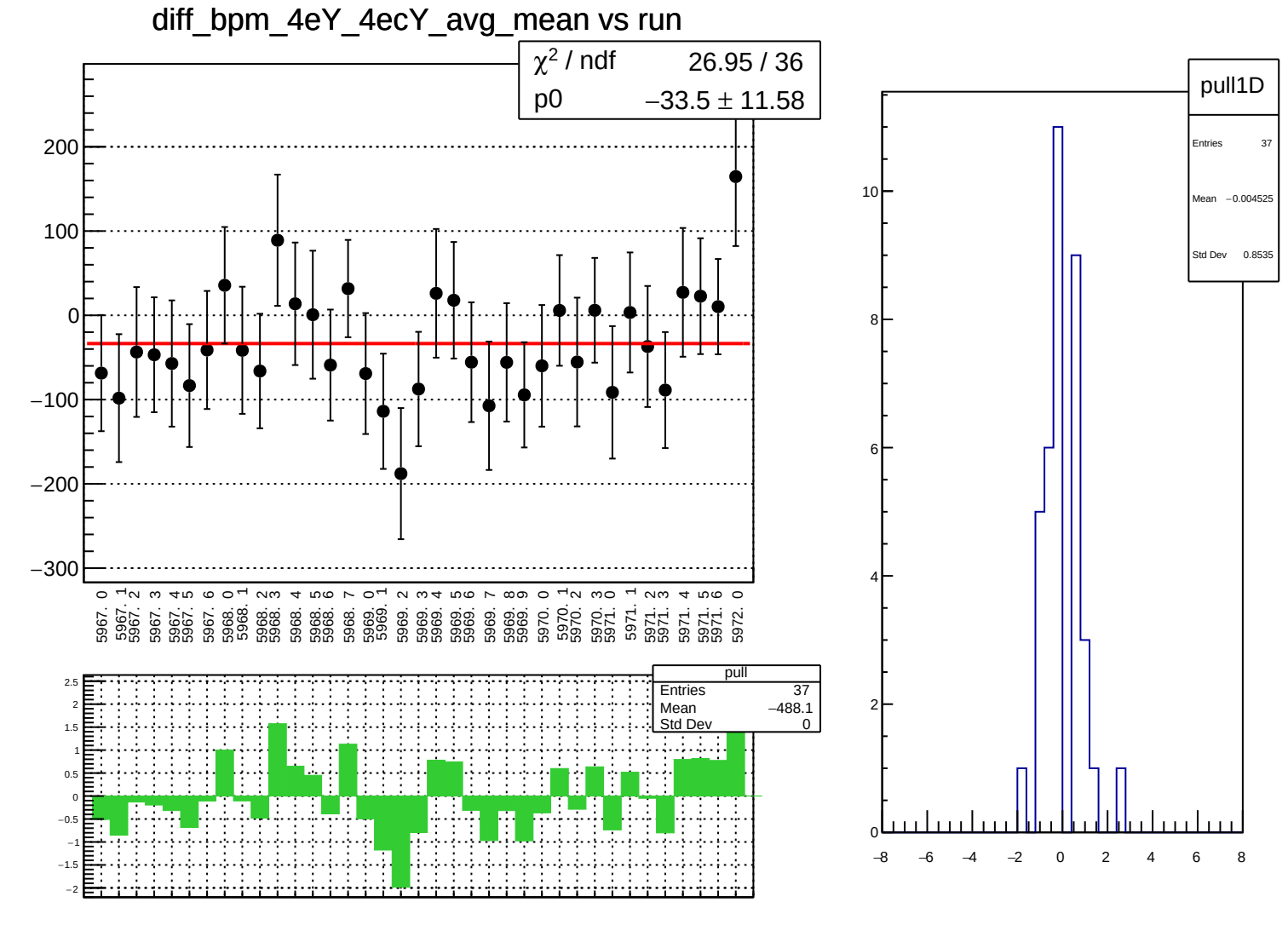
diff_bpm_4eY_4ecY_avg_mean vs run
χ² / ndf 26.95 / 36
p0 −33.5 ± 11.58
200
100
0
−100
−200
−300
5967. 0
5967. 1
5967. 2
5967. 3
5967. 4
5967. 5
5967. 6
5968. 0
5968. 1
5968. 2
5968. 3
5968. 4
5968. 5
5968. 6
5968. 7
5969. 0
5969. 1
5969. 2
5969. 3
5969. 4
5969. 5
5969. 6
5969. 7
5969. 8
5969. 9
5970. 0
5970. 1
5970. 2
5970. 3
5971. 0
5971. 1
5971. 2
5971. 3
5971. 4
5971. 5
5971. 6
5972. 0
pull
Entries 37
Mean −488.1
Std Dev 0
2.5
2
1.5
1
0.5
0
−0.5
−1
−1.5
−2
pull1D
Entries 37
Mean −0.004525
Std Dev 0.8535
10
8
6
4
2
0
−8
−6
−4
−2
0
2
4
6
8

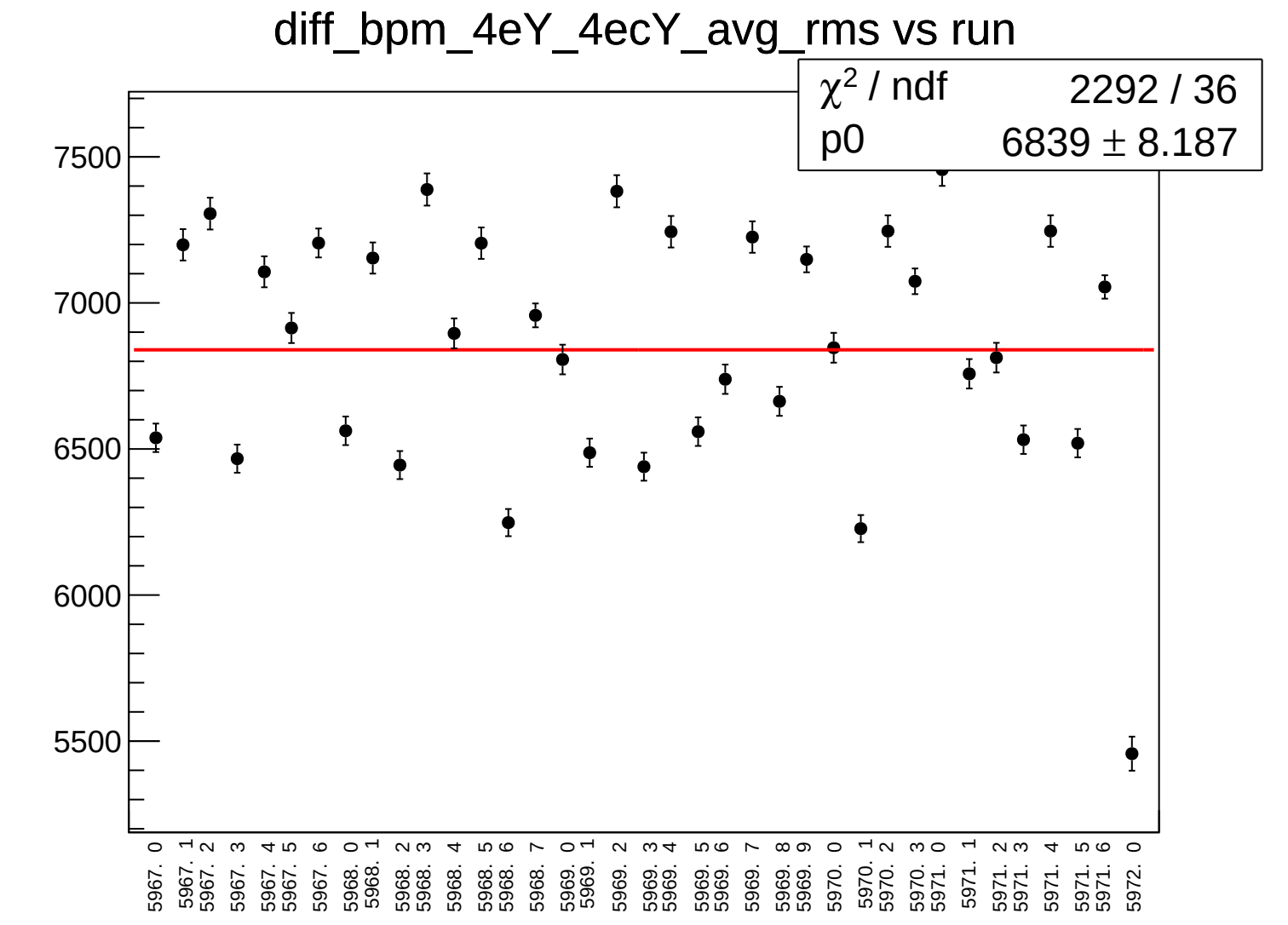
diff_bpm_4eY_4ecY_avg_rms vs run
χ^2 / ndf 2292 / 36
p0 6839 ± 8.187
7500
7000
6500
6000
5500
5967. 0
5967. 1
5967. 2
5967. 3
5967. 4
5967. 5
5967. 6
5968. 0
5968. 1
5968. 2
5968. 3
5968. 4
5968. 5
5968. 6
5968. 7
5969. 0
5969. 1
5969. 2
5969. 3
5969. 4
5969. 5
5969. 6
5969. 7
5969. 8
5969. 9
5970. 0
5970. 1
5970. 2
5970. 3
5971. 0
5971. 1
5971. 2
5971. 3
5971. 4
5971. 5
5971. 6
5972. 0

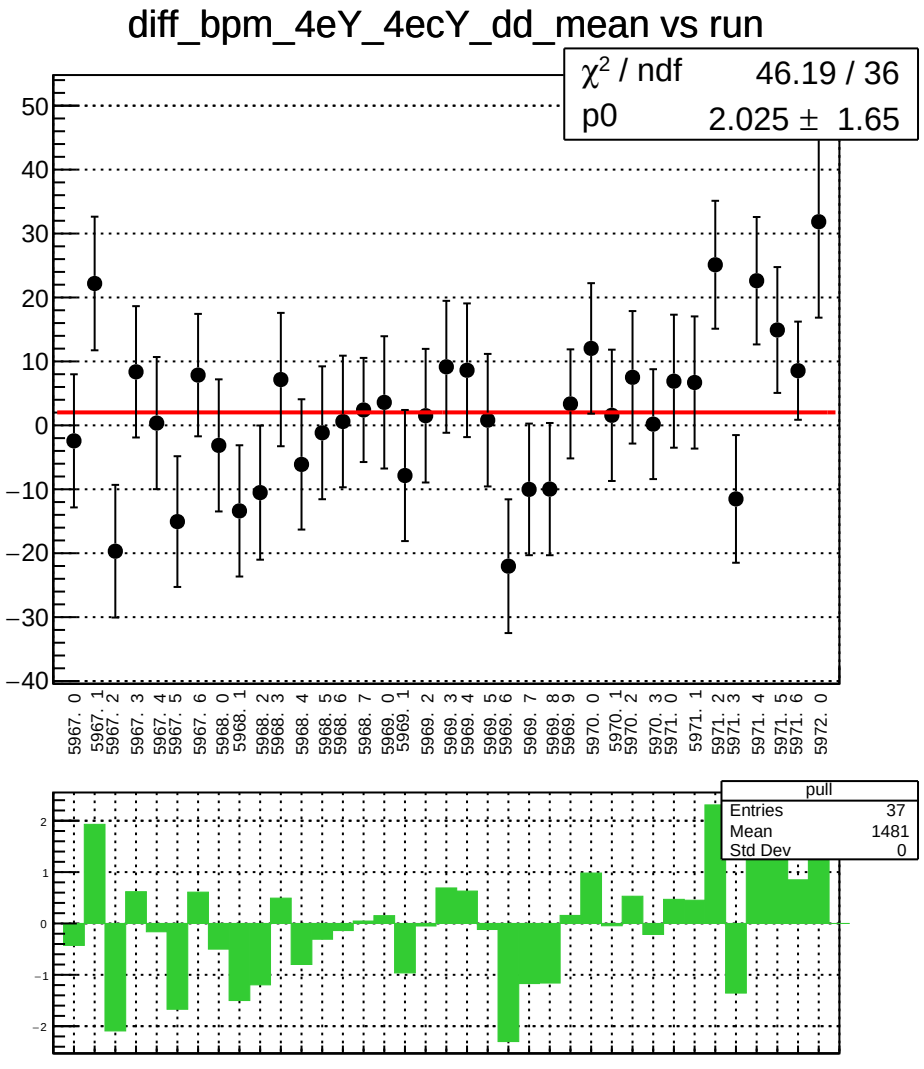
diff_bpm_4eY_4ecY_dd_mean vs run
χ² / ndf 46.19 / 36
p0 2.025 ± 1.65
pull
Entries 37
Mean 1481
Std Dev 0

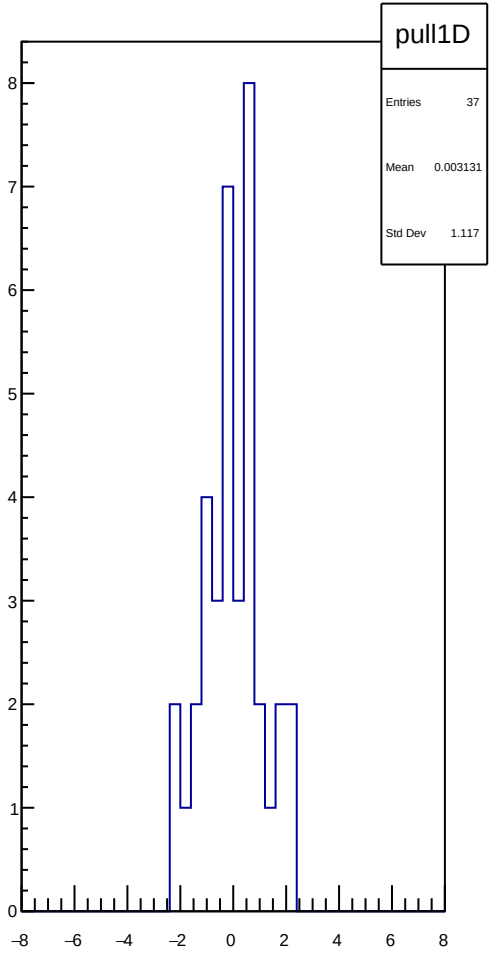
pull1D
Entries 37
Mean 0.003131
Std Dev 1.117

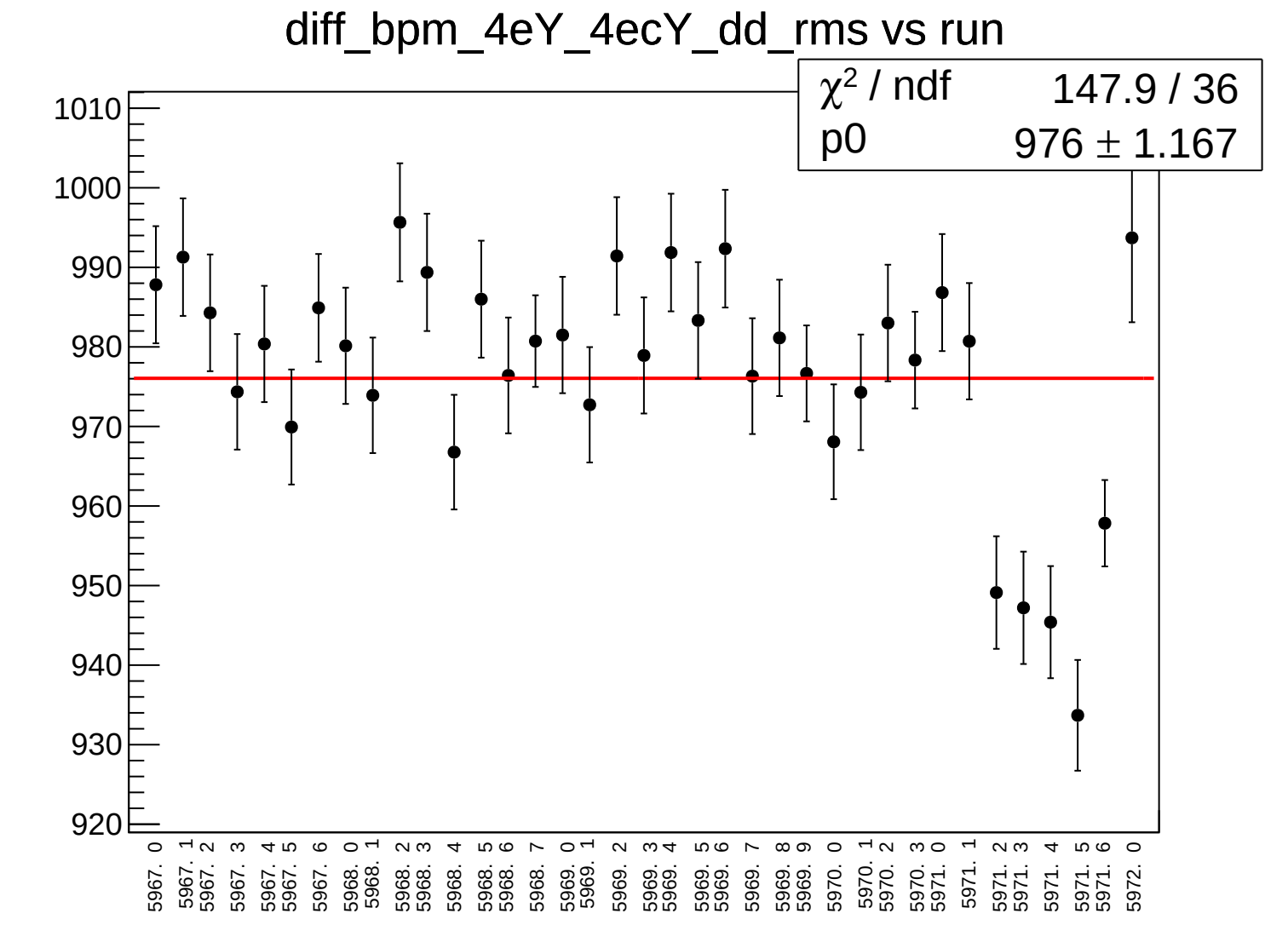
diff_bpm_4eY_4ecY_dd_rms vs run
χ² / ndf 147.9 / 36
p0 976 ± 1.167
1010
1000
990
980
970
960
950
940
930
920
5967. 0
5967. 1
5967. 2
5967. 3
5967. 4
5967. 5
5967. 6
5968. 0
5968. 1
5968. 2
5968. 3
5968. 4
5968. 5
5968. 6
5968. 7
5969. 0
5969. 1
5969. 2
5969. 3
5969. 4
5969. 5
5969. 6
5969. 7
5969. 8
5969. 9
5970. 0
5970. 1
5970. 2
5970. 3
5971. 0
5971. 1
5971. 2
5971. 3
5971. 4
5971. 5
5971. 6
5972. 0

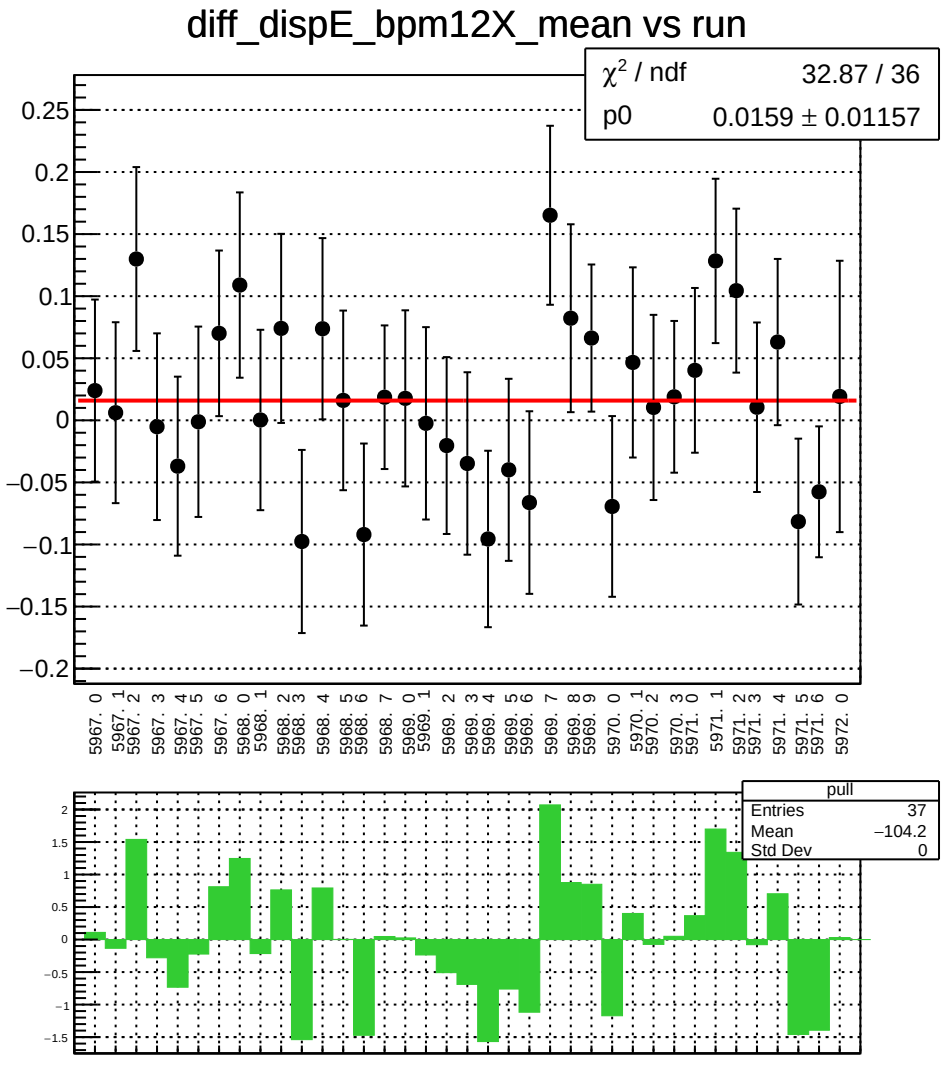
diff_dispE_bpm12X_mean vs run
χ² / ndf 32.87 / 36
p0 0.0159 ± 0.01157
pull
Entries 37
Mean −104.2
Std Dev 0

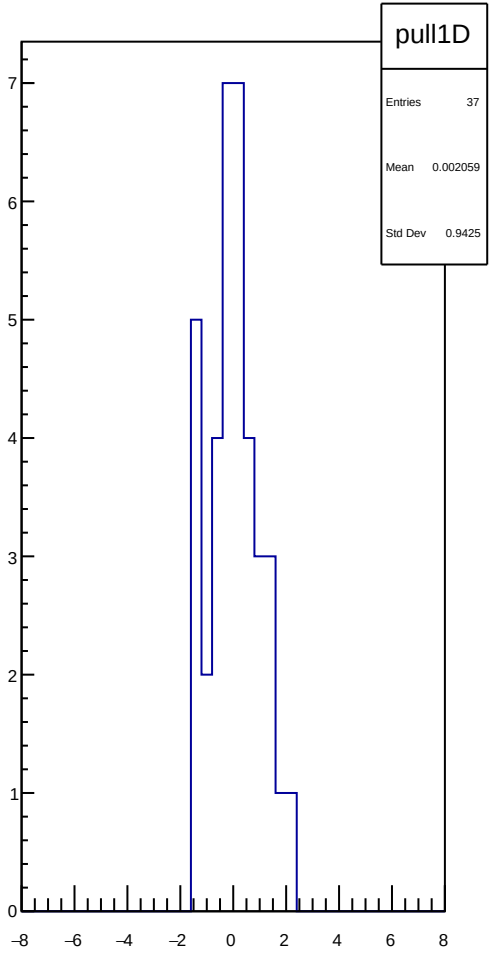
pull1D
Entries 37
Mean 0.002059
Std Dev 0.9425

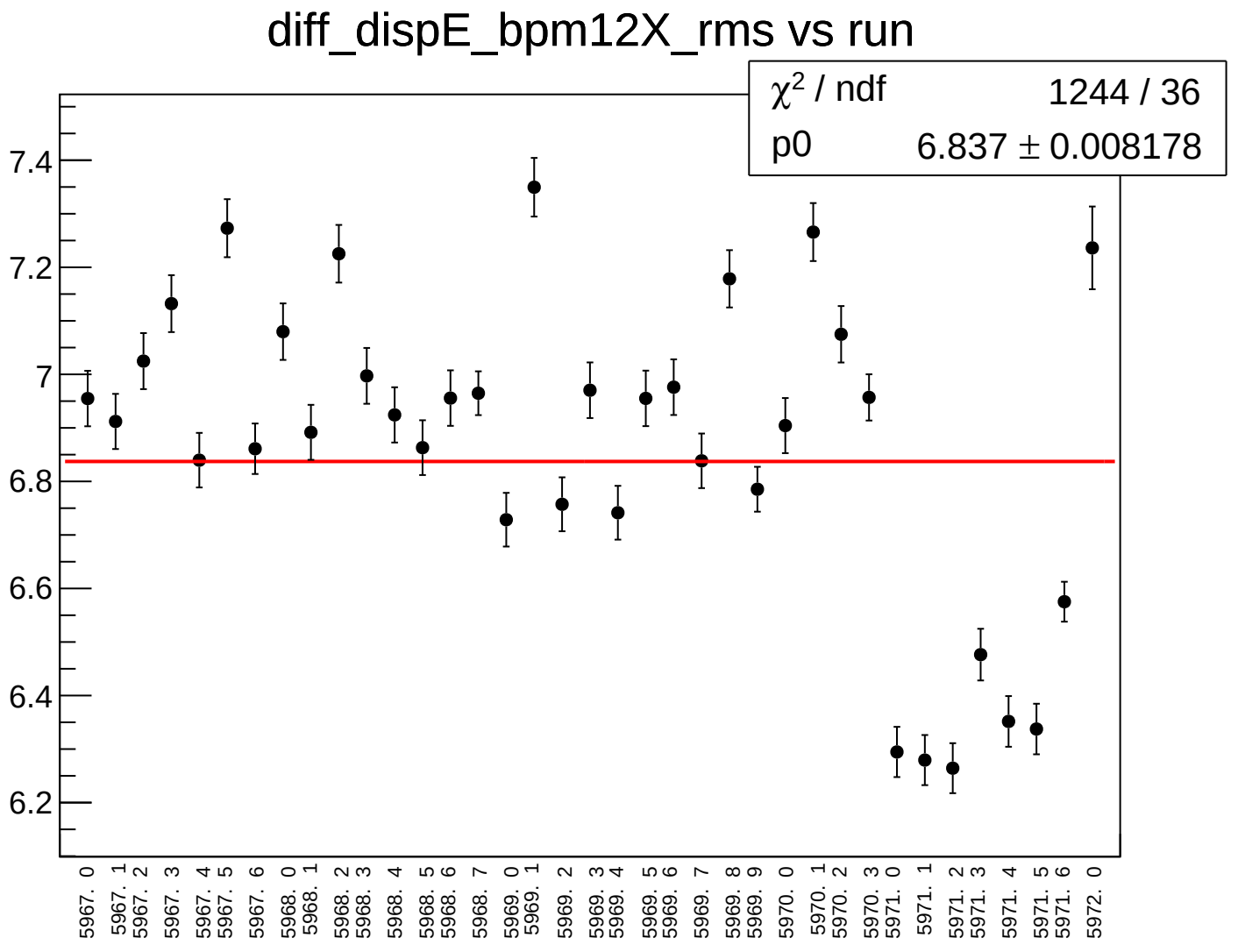
diff_dispE_bpm12X_rms vs run
χ² / ndf 1244 / 36
p0 6.837 ± 0.008178
7.4
7.2
7
6.8
6.6
6.4
6.2
5967. 0
5967. 1
5967. 2
5967. 3
5967. 4
5967. 5
5967. 6
5968. 0
5968. 1
5968. 2
5968. 3
5968. 4
5968. 5
5968. 6
5968. 7
5969. 0
5969. 1
5969. 2
5969. 3
5969. 4
5969. 5
5969. 6
5969. 7
5969. 8
5969. 9
5970. 0
5970. 1
5970. 2
5970. 3
5971. 0
5971. 1
5971. 2
5971. 3
5971. 4
5971. 5
5971. 6
5972. 0

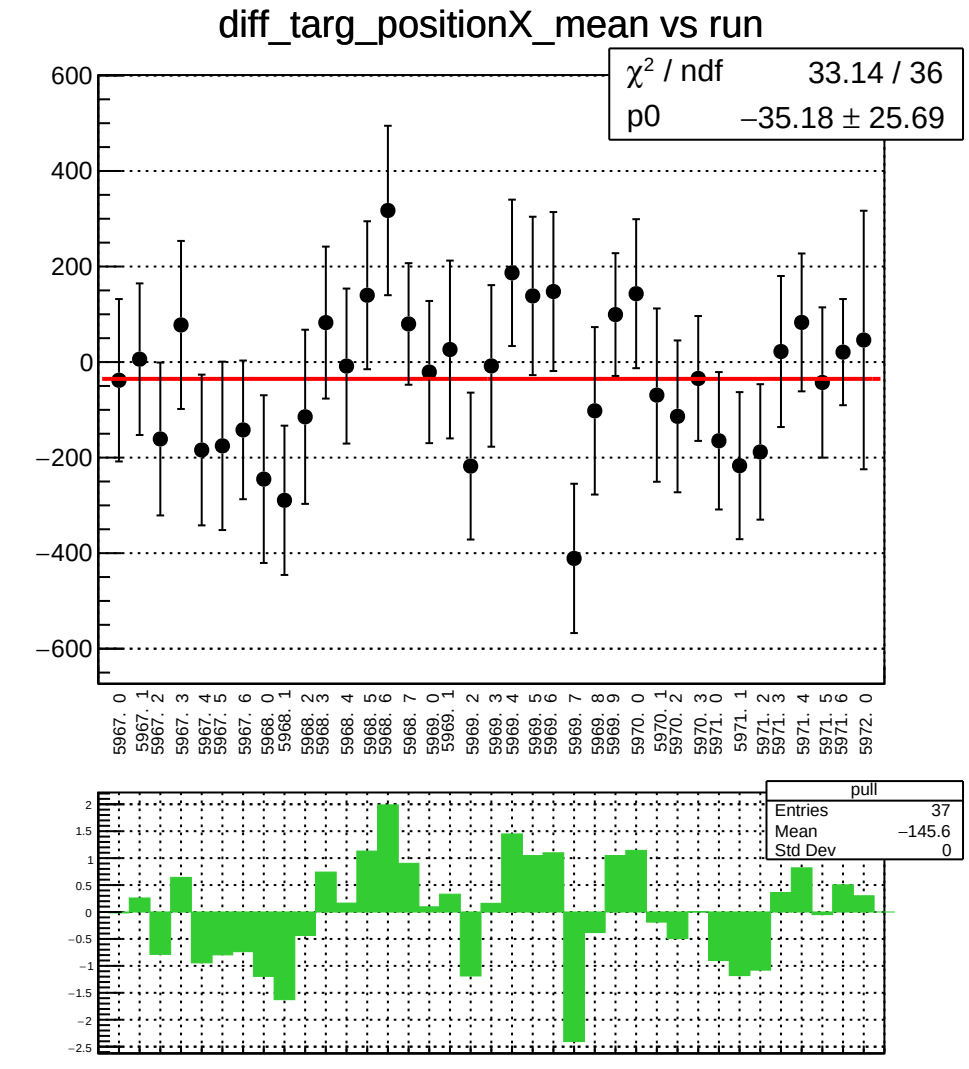
diff_targ_positionX_mean vs run
χ² / ndf 33.14 / 36
p0 −35.18 ± 25.69
600
400
200
0
−200
−400
−600
5967. 0
5967. 1
5967. 2
5967. 3
5967. 4
5967. 5
5967. 6
5968. 0
5968. 1
5968. 2
5968. 3
5968. 4
5968. 5
5968. 6
5968. 7
5969. 0
5969. 1
5969. 2
5969. 3
5969. 4
5969. 5
5969. 6
5969. 7
5969. 8
5969. 9
5970. 0
5970. 1
5970. 2
5970. 3
5971. 0
5971. 1
5971. 2
5971. 3
5971. 4
5971. 5
5971. 6
5972. 0
pull
Entries 37
Mean −145.6
Std Dev 0
2
1.5
1
0.5
0
−0.5
−1
−1.5
−2
−2.5
pull1D
Entries 37
Mean −0.005532
Std Dev 0.9463
8
7
6
5
4
3
2
1
0
−8
−6
−4
−2
0
2
4
6
8

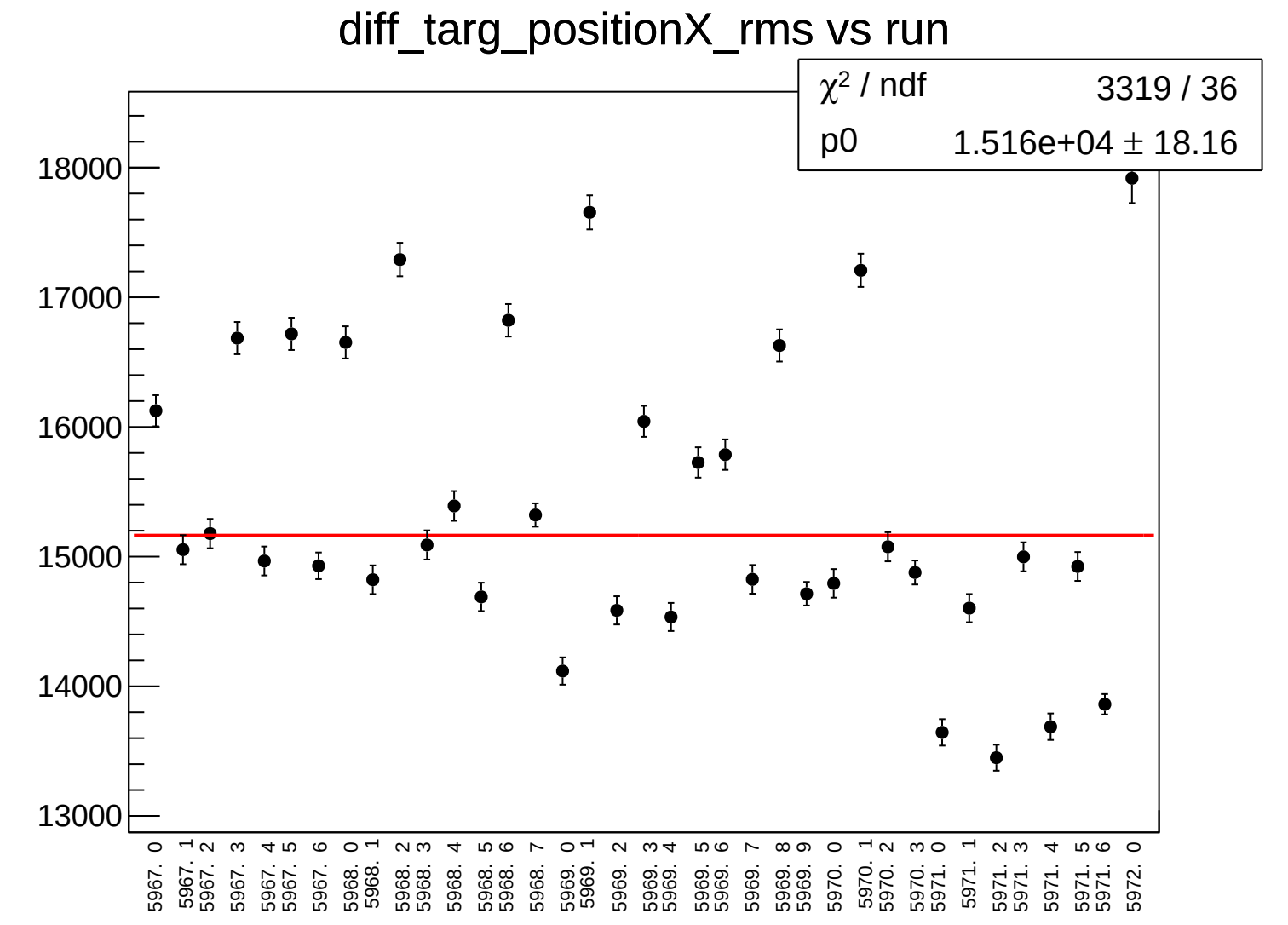
diff_targ_positionX_rms vs run
χ² / ndf 3319 / 36
p0 1.516e+04 ± 18.16
18000
17000
16000
15000
14000
13000
5967. 0
5967. 1
5967. 2
5967. 3
5967. 4
5967. 5
5967. 6
5968. 0
5968. 1
5968. 2
5968. 3
5968. 4
5968. 5
5968. 6
5968. 7
5969. 0
5969. 1
5969. 2
5969. 3
5969. 4
5969. 5
5969. 6
5969. 7
5969. 8
5969. 9
5970. 0
5970. 1
5970. 2
5970. 3
5971. 0
5971. 1
5971. 2
5971. 3
5971. 4
5971. 5
5971. 6
5972. 0

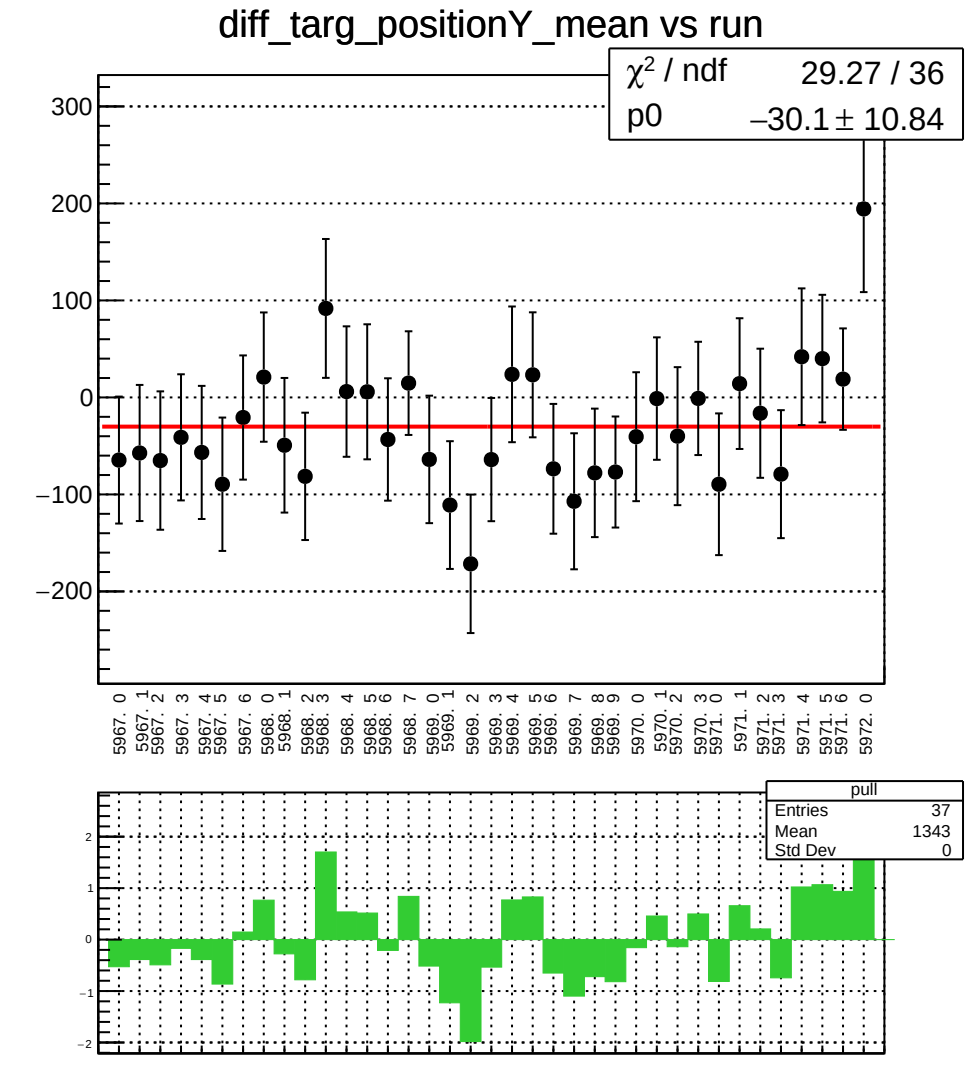
diff_targ_positionY_mean vs run
χ² / ndf 29.27 / 36
p0 −30.1 ± 10.84
300
200
100
0
−100
−200
5967. 0
5967. 1
5967. 2
5967. 3
5967. 4
5967. 5
5967. 6
5968. 0
5968. 1
5968. 2
5968. 3
5968. 4
5968. 5
5968. 6
5968. 7
5969. 0
5969. 1
5969. 2
5969. 3
5969. 4
5969. 5
5969. 6
5969. 7
5969. 8
5969. 9
5970. 0
5970. 1
5970. 2
5970. 3
5971. 0
5971. 1
5971. 2
5971. 3
5971. 4
5971. 5
5971. 6
5972. 0
pull
Entries 37
Mean 1343
Std Dev 0
2
1
0
−1
−2

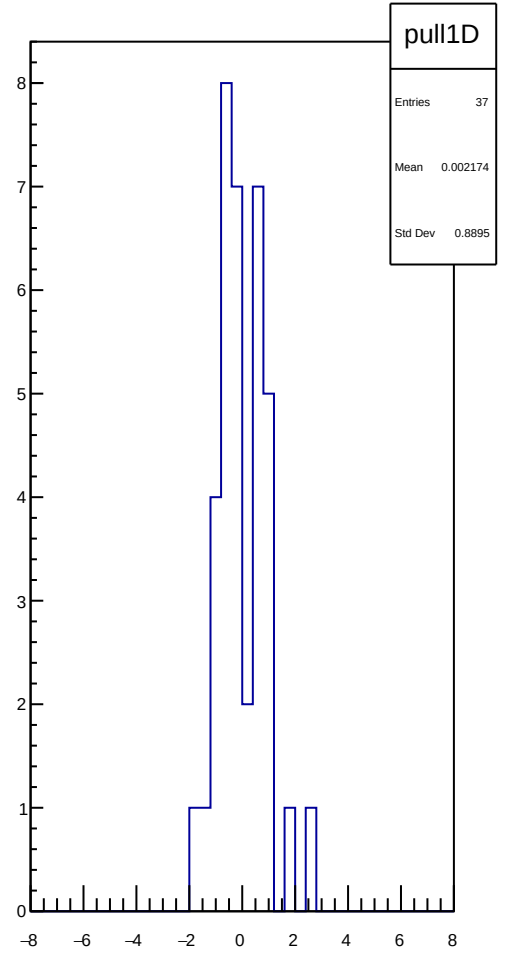
pull1D
Entries 37
Mean 0.002174
Std Dev 0.8895
8
7
6
5
4
3
2
1
0
−8
−6
−4
−2
0
2
4
6
8

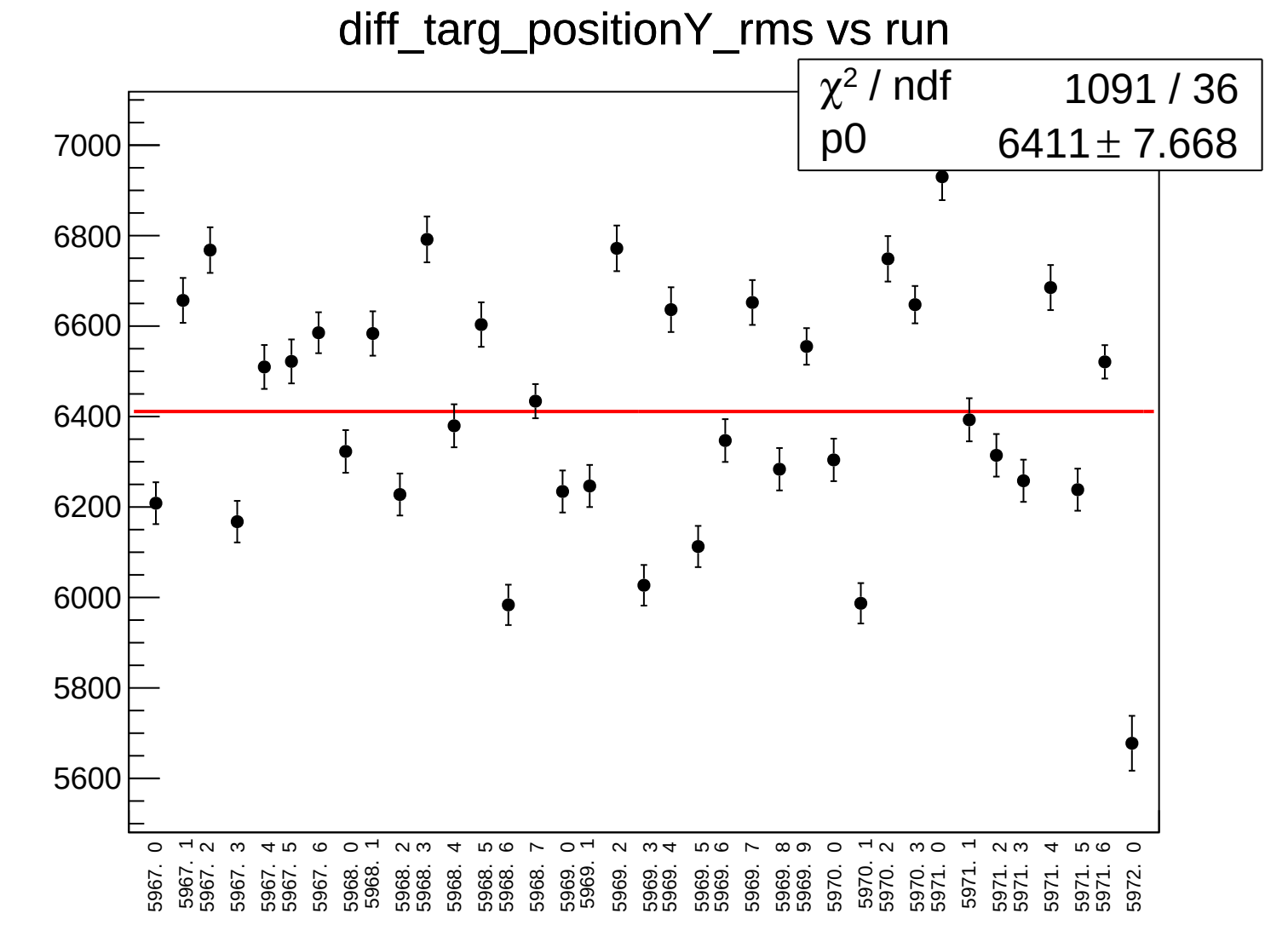
diff_targ_positionY_rms vs run
χ² / ndf 1091 / 36
p0 6411 ± 7.668
7000
6800
6600
6400
6200
6000
5800
5600
5967. 0
5967. 1
5967. 2
5967. 3
5967. 4
5967. 5
5967. 6
5968. 0
5968. 1
5968. 2
5968. 3
5968. 4
5968. 5
5968. 6
5968. 7
5969. 0
5969. 1
5969. 2
5969. 3
5969. 4
5969. 5
5969. 6
5969. 7
5969. 8
5969. 9
5970. 0
5970. 1
5970. 2
5970. 3
5971. 0
5971. 1
5971. 2
5971. 3
5971. 4
5971. 5
5971. 6
5972. 0

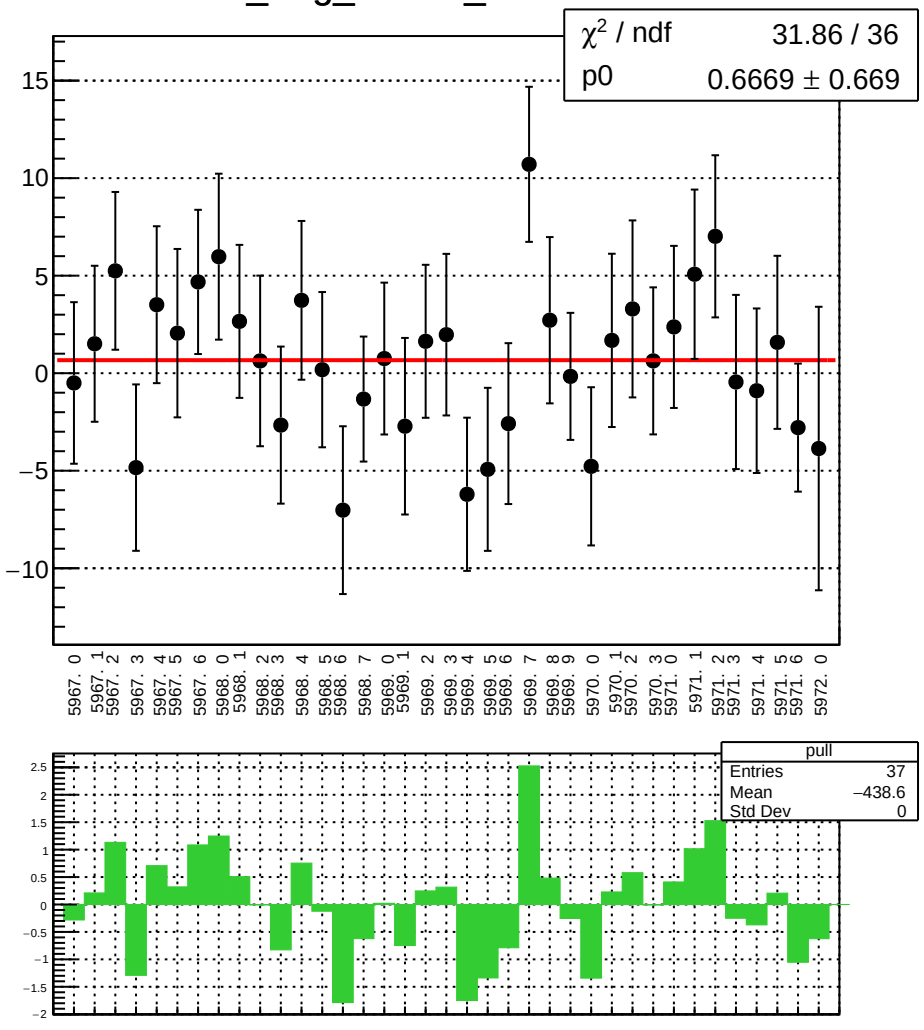
diff_targ_thetaX_mean vs run
χ^2 / ndf 31.86 / 36
p0 0.6669 ± 0.669
pull
Entries 37
Mean −438.6
Std Dev 0

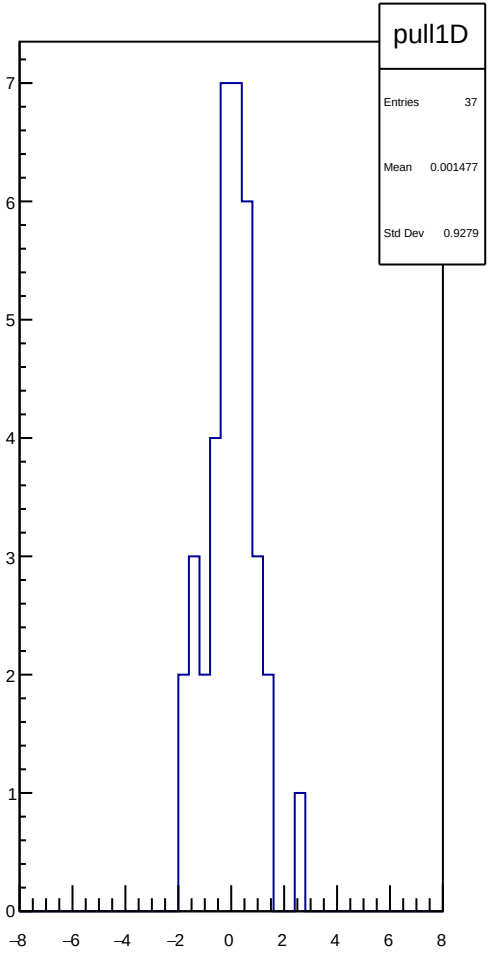
pull1D
Entries 37
Mean 0.001477
Std Dev 0.9279

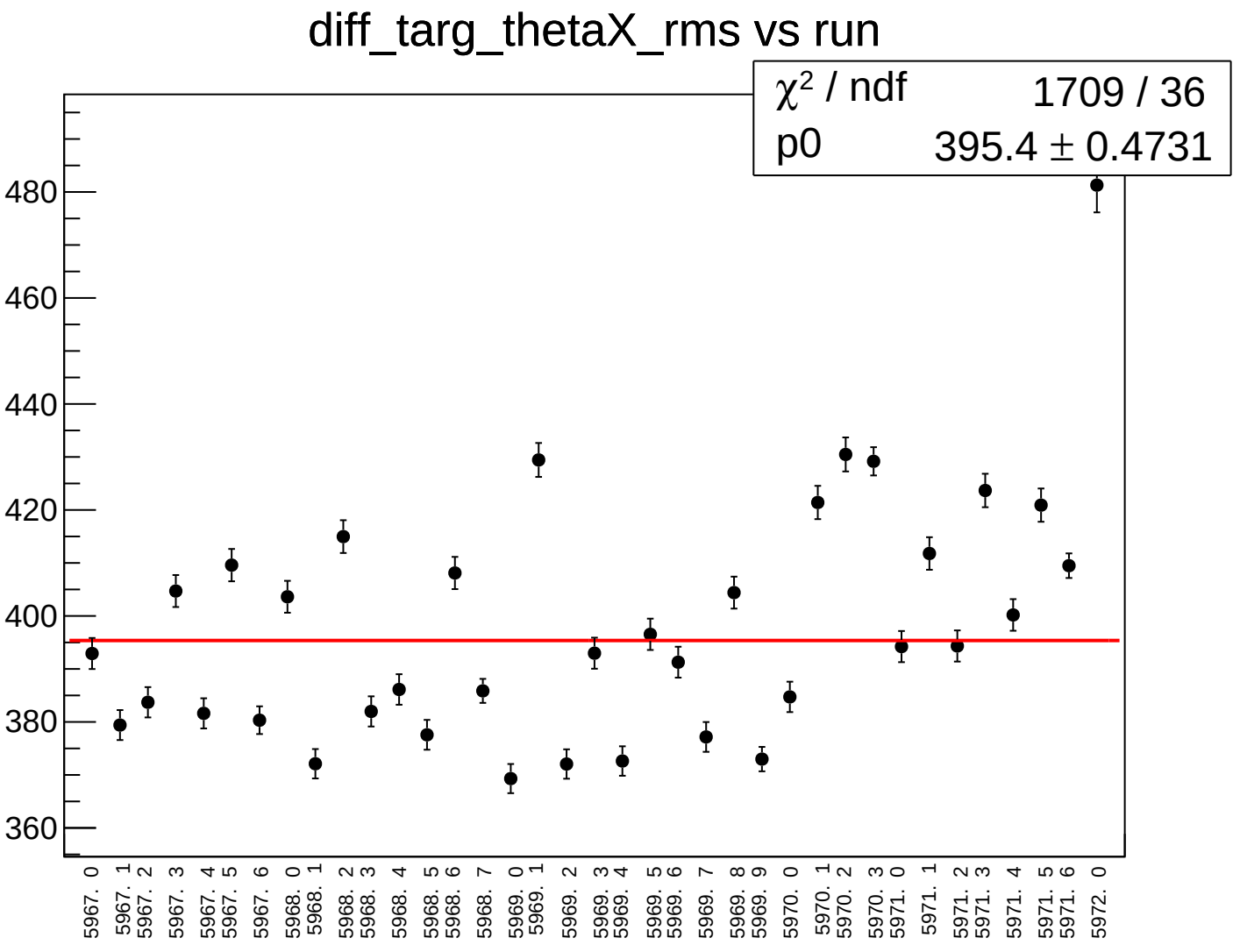
diff_targ_thetaX_rms vs run
χ² / ndf 1709 / 36
p0 395.4 ± 0.4731
480
460
440
420
400
380
360
5967. 0
5967. 1
5967. 2
5967. 3
5967. 4
5967. 5
5967. 6
5968. 0
5968. 1
5968. 2
5968. 3
5968. 4
5968. 5
5968. 6
5968. 7
5969. 0
5969. 1
5969. 2
5969. 3
5969. 4
5969. 5
5969. 6
5969. 7
5969. 8
5969. 9
5970. 0
5970. 1
5970. 2
5970. 3
5971. 0
5971. 1
5971. 2
5971. 3
5971. 4
5971. 5
5971. 6
5972. 0

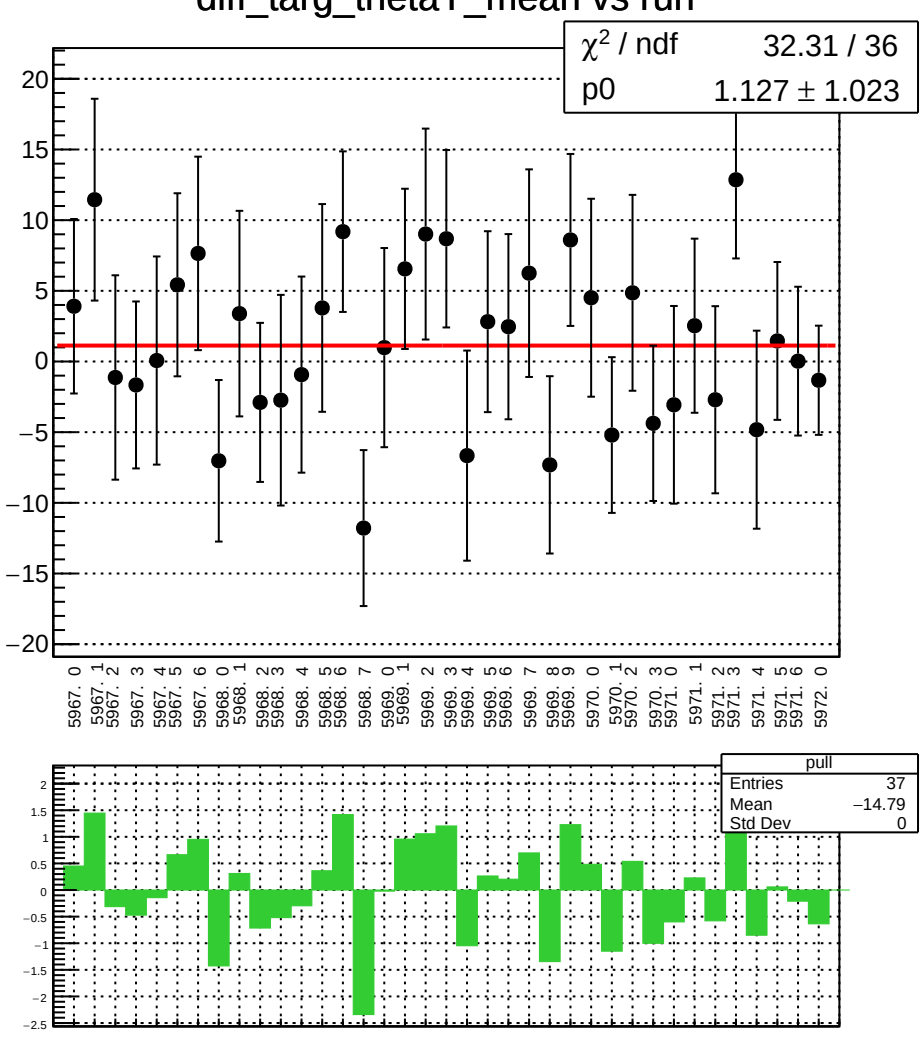
diff_targ_thetaY_mean vs run
χ² / ndf 32.31 / 36
p0 1.127 ± 1.023
pull
Entries 37
Mean −14.79
Std Dev 0

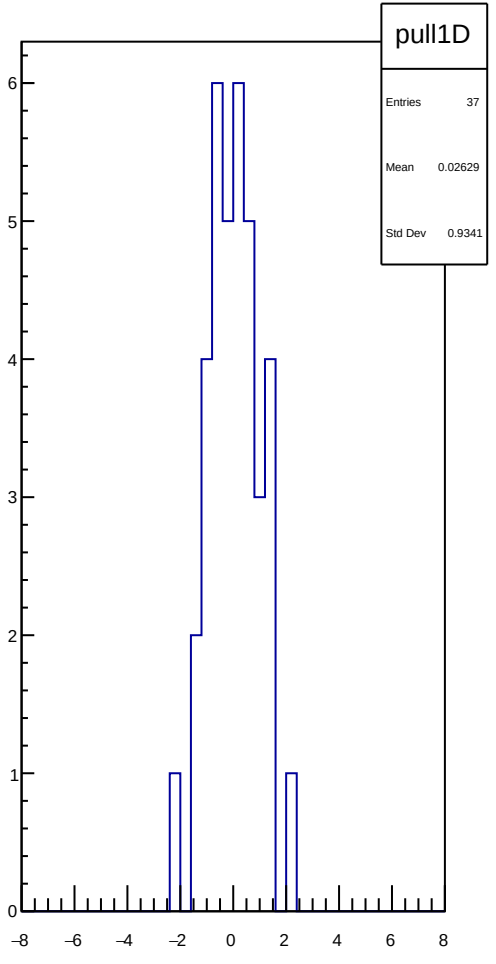
pull1D
Entries 37
Mean 0.02629
Std Dev 0.9341

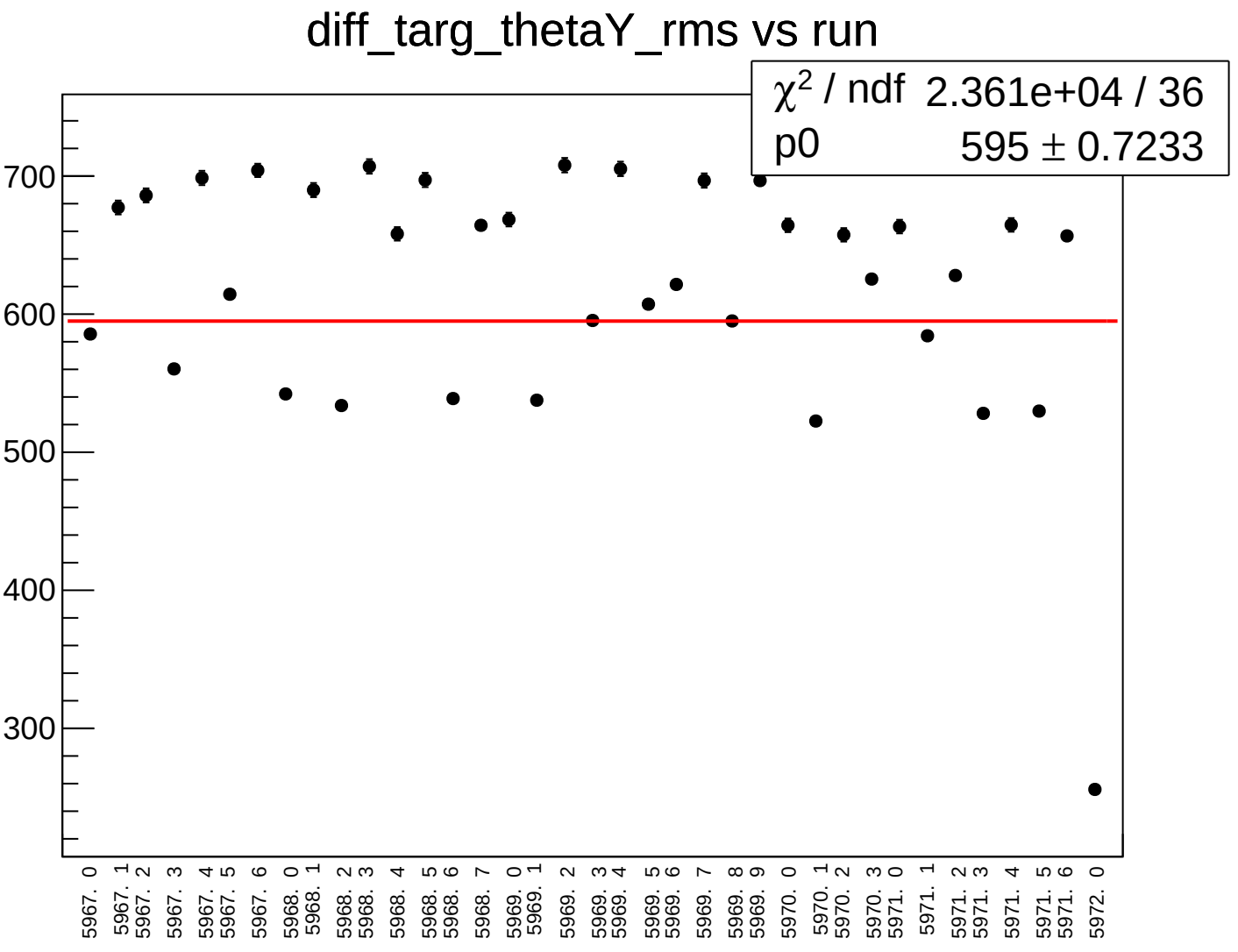
diff_targ_thetaY_rms vs run
χ² / ndf 2.361e+04 / 36
p0 595 ± 0.7233
700
600
500
400
300
5967. 0
5967. 1
5967. 2
5967. 3
5967. 4
5967. 5
5967. 6
5968. 0
5968. 1
5968. 2
5968. 3
5968. 4
5968. 5
5968. 6
5968. 7
5969. 0
5969. 1
5969. 2
5969. 3
5969. 4
5969. 5
5969. 6
5969. 7
5969. 8
5969. 9
5970. 0
5970. 1
5970. 2
5970. 3
5971. 0
5971. 1
5971. 2
5971. 3
5971. 4
5971. 5
5971. 6
5972. 0

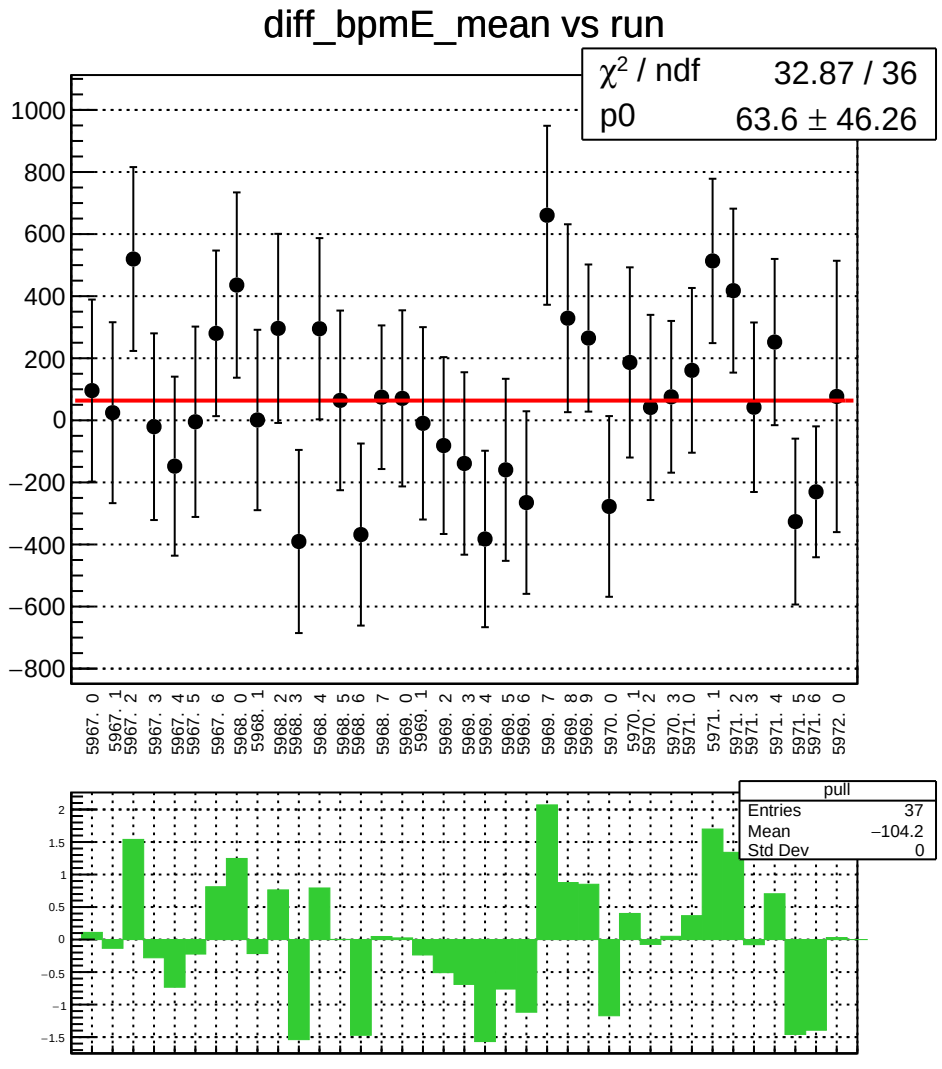
diff_bpmE_mean vs run
χ^2 / ndf 32.87 / 36
p0 63.6 ± 46.26
1000
800
600
400
200
0
−200
−400
−600
−800
5967. 0
5967. 1
5967. 2
5967. 3
5967. 4
5967. 5
5967. 6
5968. 0
5968. 1
5968. 2
5968. 3
5968. 4
5968. 5
5968. 6
5968. 7
5969. 0
5969. 1
5969. 2
5969. 3
5969. 4
5969. 5
5969. 6
5969. 7
5969. 8
5969. 9
5970. 0
5970. 1
5970. 2
5970. 3
5971. 0
5971. 1
5971. 2
5971. 3
5971. 4
5971. 5
5971. 6
5972. 0
pull
Entries 37
Mean −104.2
Std Dev 0
2
1.5
1
0.5
0
−0.5
−1
−1.5

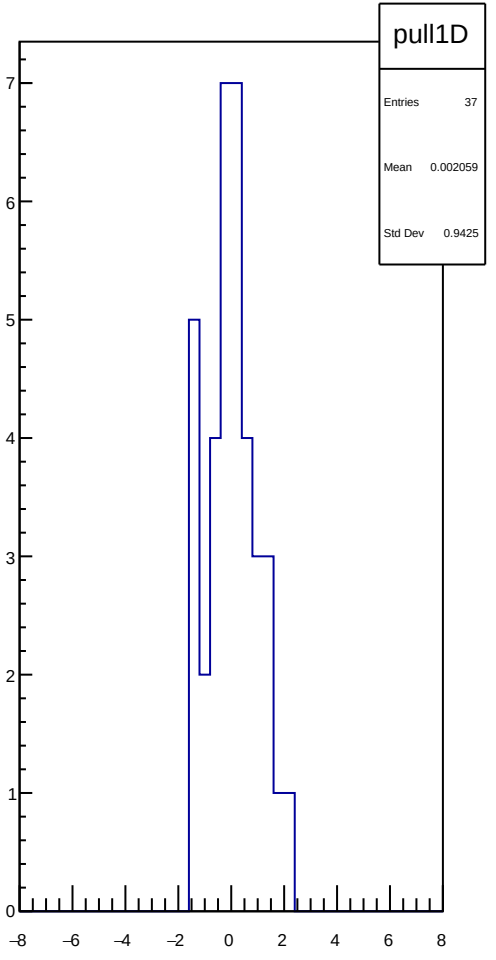
pull1D
Entries 37
Mean 0.002059
Std Dev 0.9425
7
6
5
4
3
2
1
0
−8
−6
−4
−2
0
2
4
6
8

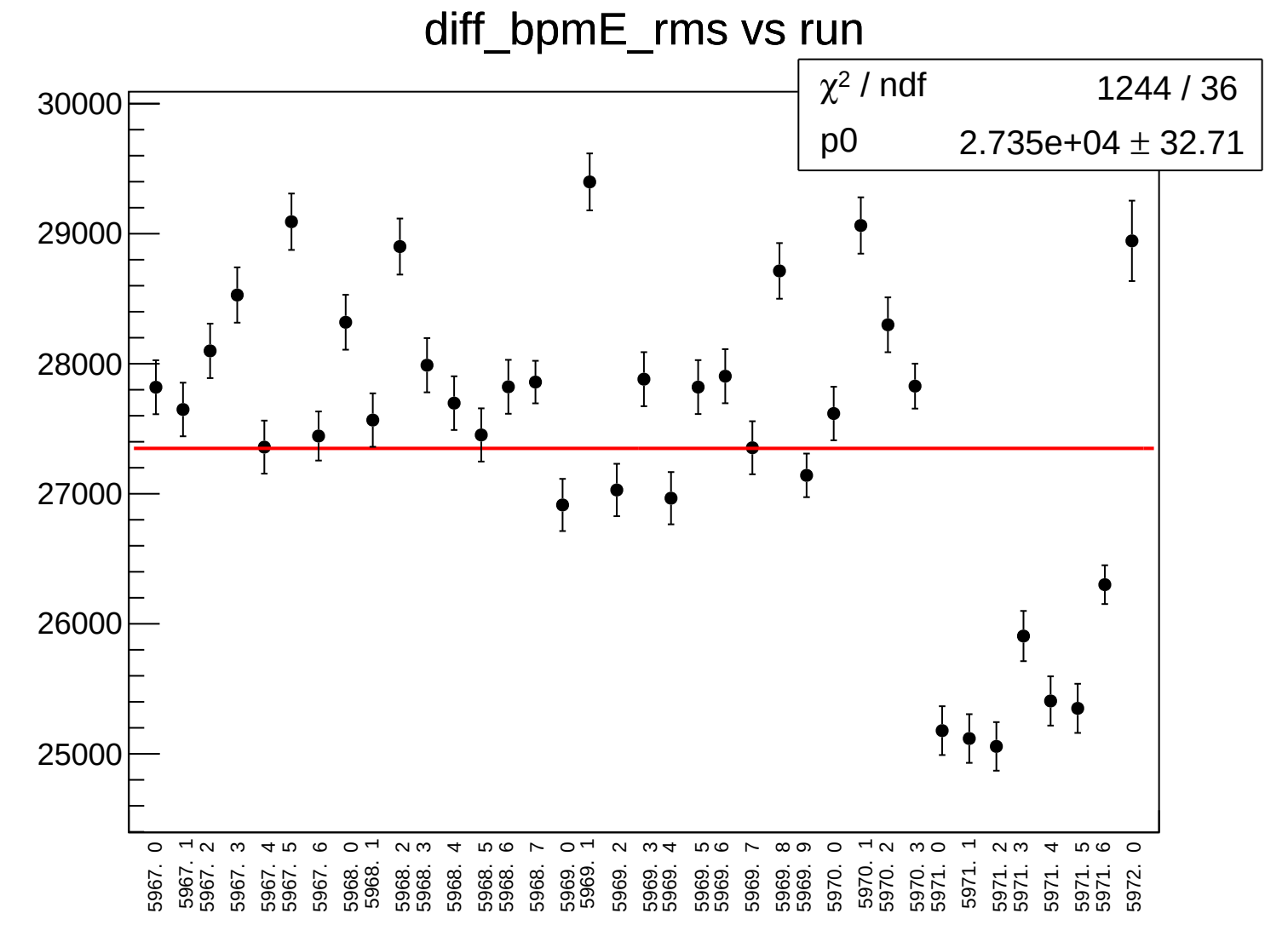
diff_bpmE_rms vs run
χ² / ndf 1244 / 36
p0 2.735e+04 ± 32.71
30000
29000
28000
27000
26000
25000
5967. 0
5967. 1
5967. 2
5967. 3
5967. 4
5967. 5
5967. 6
5968. 0
5968. 1
5968. 2
5968. 3
5968. 4
5968. 5
5968. 6
5968. 7
5969. 0
5969. 1
5969. 2
5969. 3
5969. 4
5969. 5
5969. 6
5969. 7
5969. 8
5969. 9
5970. 0
5970. 1
5970. 2
5970. 3
5971. 0
5971. 1
5971. 2
5971. 3
5971. 4
5971. 5
5971. 6
5972. 0

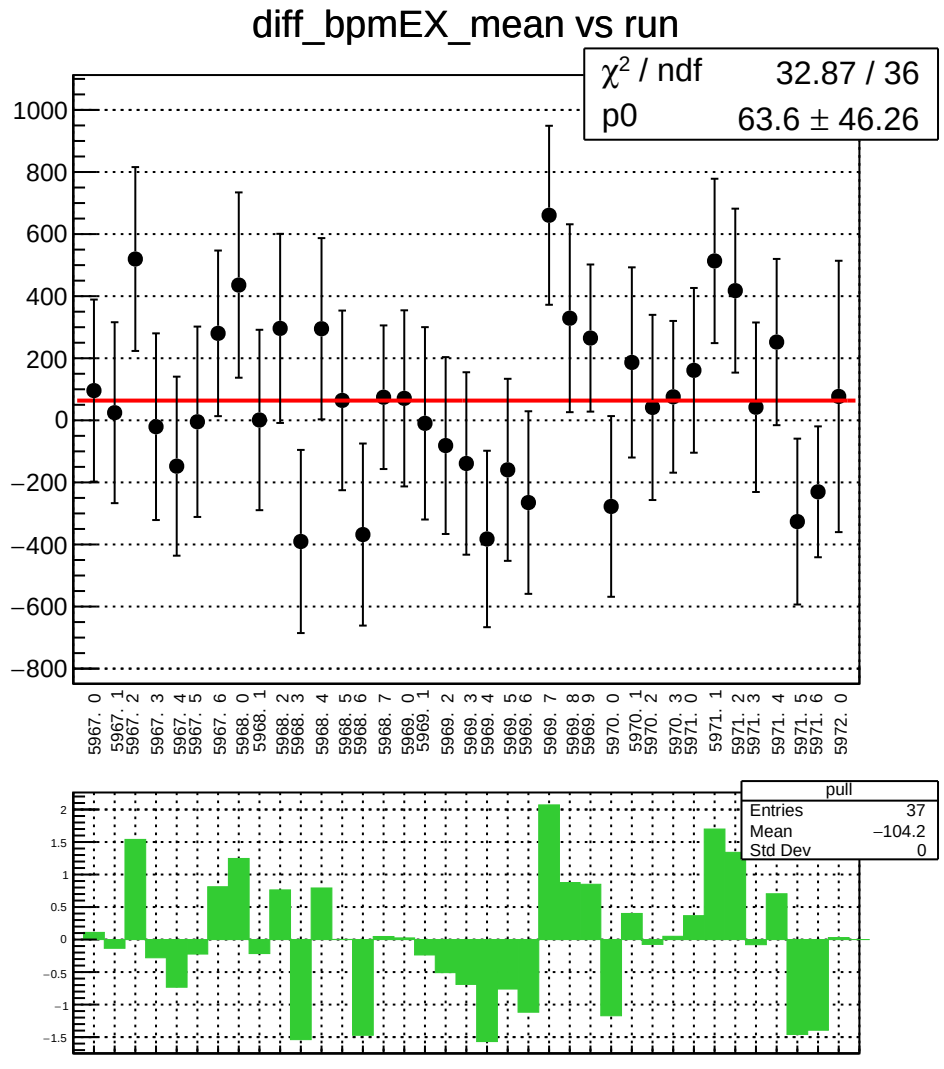
diff_bpmEX_mean vs run
χ² / ndf 32.87 / 36
p0 63.6 ± 46.26
pull
Entries 37
Mean −104.2
Std Dev 0

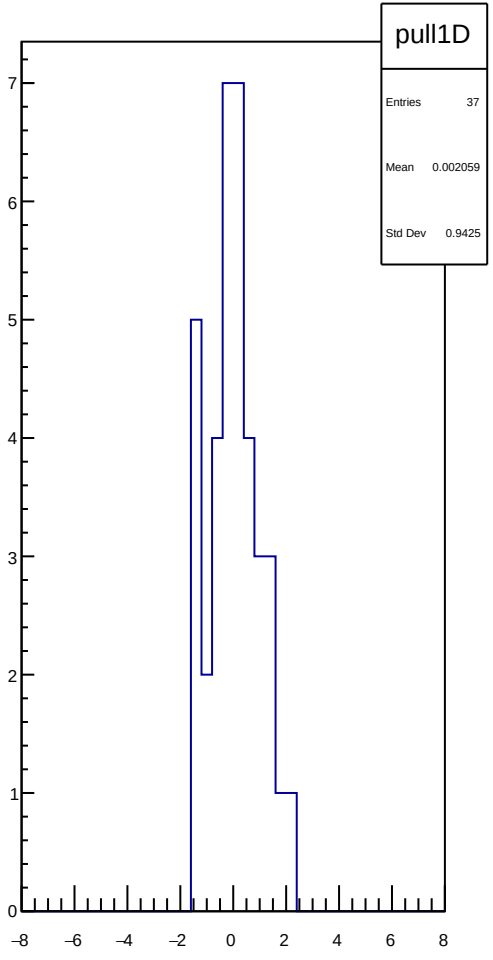
pull1D
Entries 37
Mean 0.002059
Std Dev 0.9425

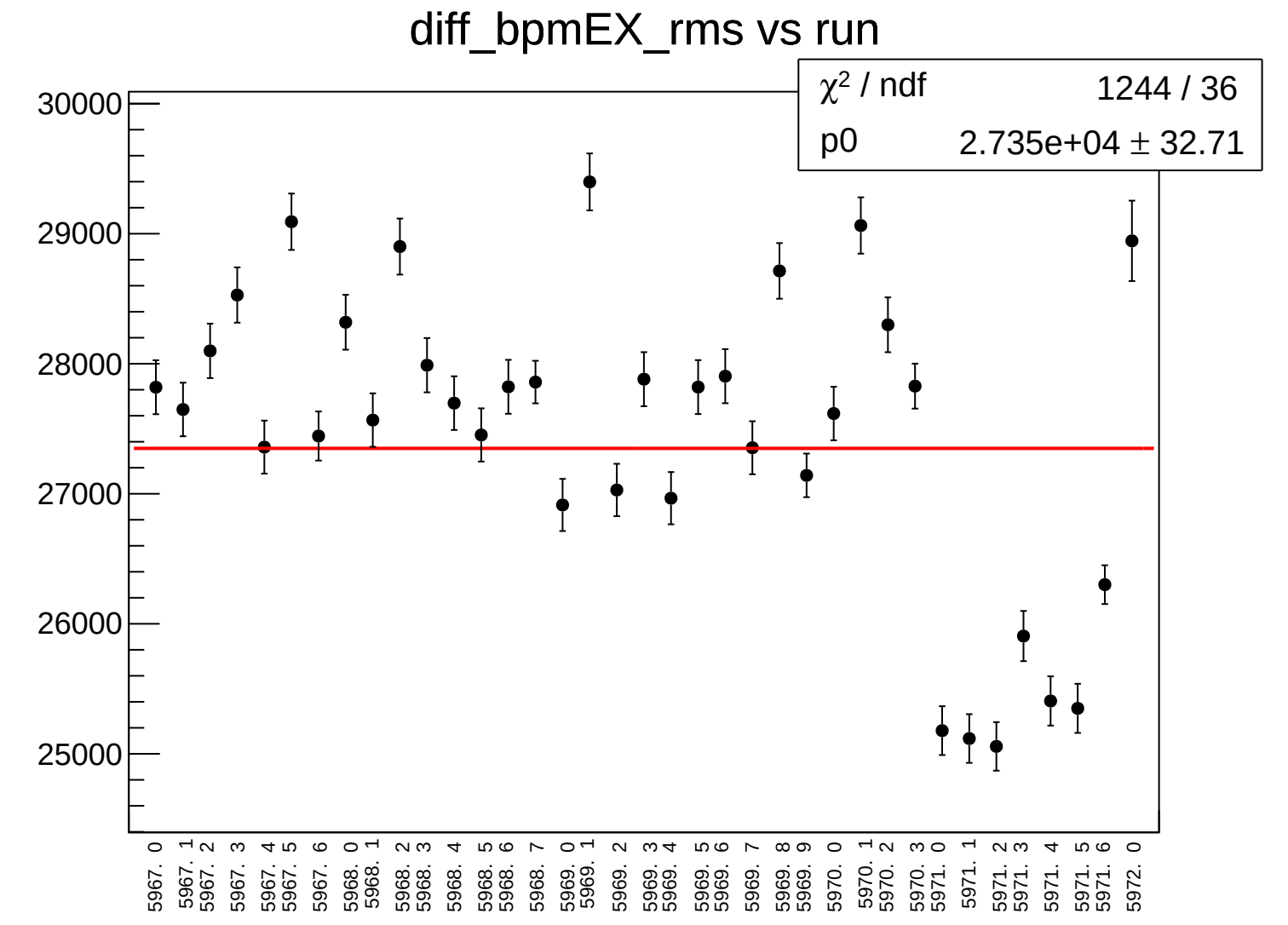
diff_bpmEX_rms vs run
χ² / ndf 1244 / 36
p0 2.735e+04 ± 32.71
30000
29000
28000
27000
26000
25000
5967. 0
5967. 1
5967. 2
5967. 3
5967. 4
5967. 5
5967. 6
5968. 0
5968. 1
5968. 2
5968. 3
5968. 4
5968. 5
5968. 6
5968. 7
5969. 0
5969. 1
5969. 2
5969. 3
5969. 4
5969. 5
5969. 6
5969. 7
5969. 8
5969. 9
5970. 0
5970. 1
5970. 2
5970. 3
5971. 0
5971. 1
5971. 2
5971. 3
5971. 4
5971. 5
5971. 6
5972. 0

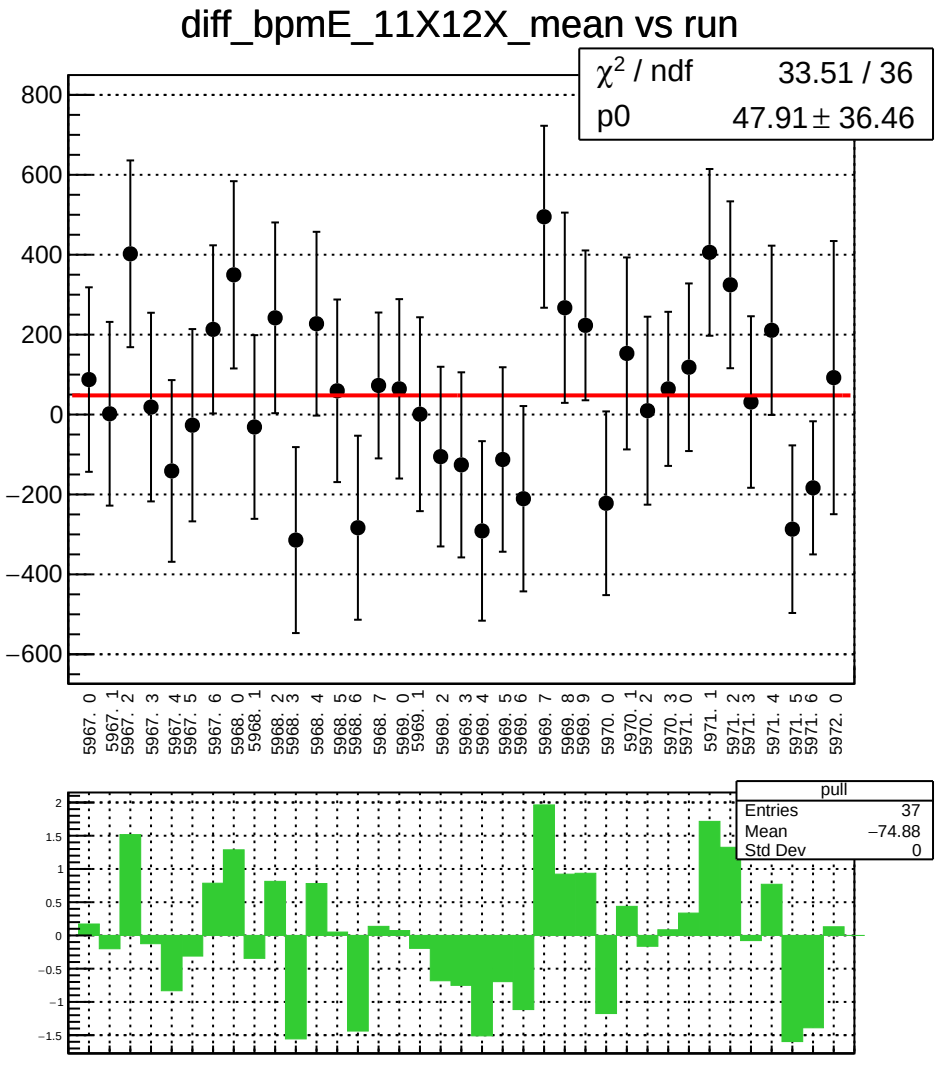
diff_bpmE_11X12X_mean vs run
χ² / ndf 33.51 / 36
p0 47.91 ± 36.46
pull
Entries 37
Mean −74.88
Std Dev 0

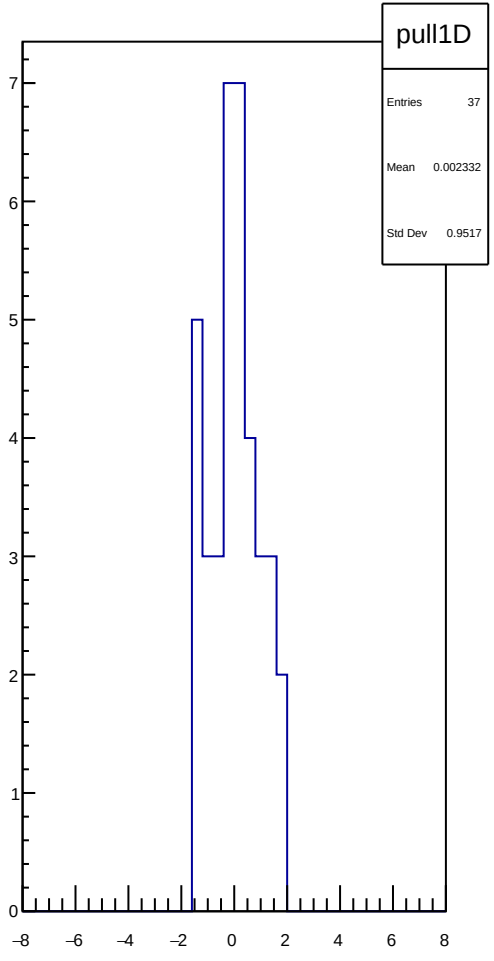
pull1D
Entries 37
Mean 0.002332
Std Dev 0.9517

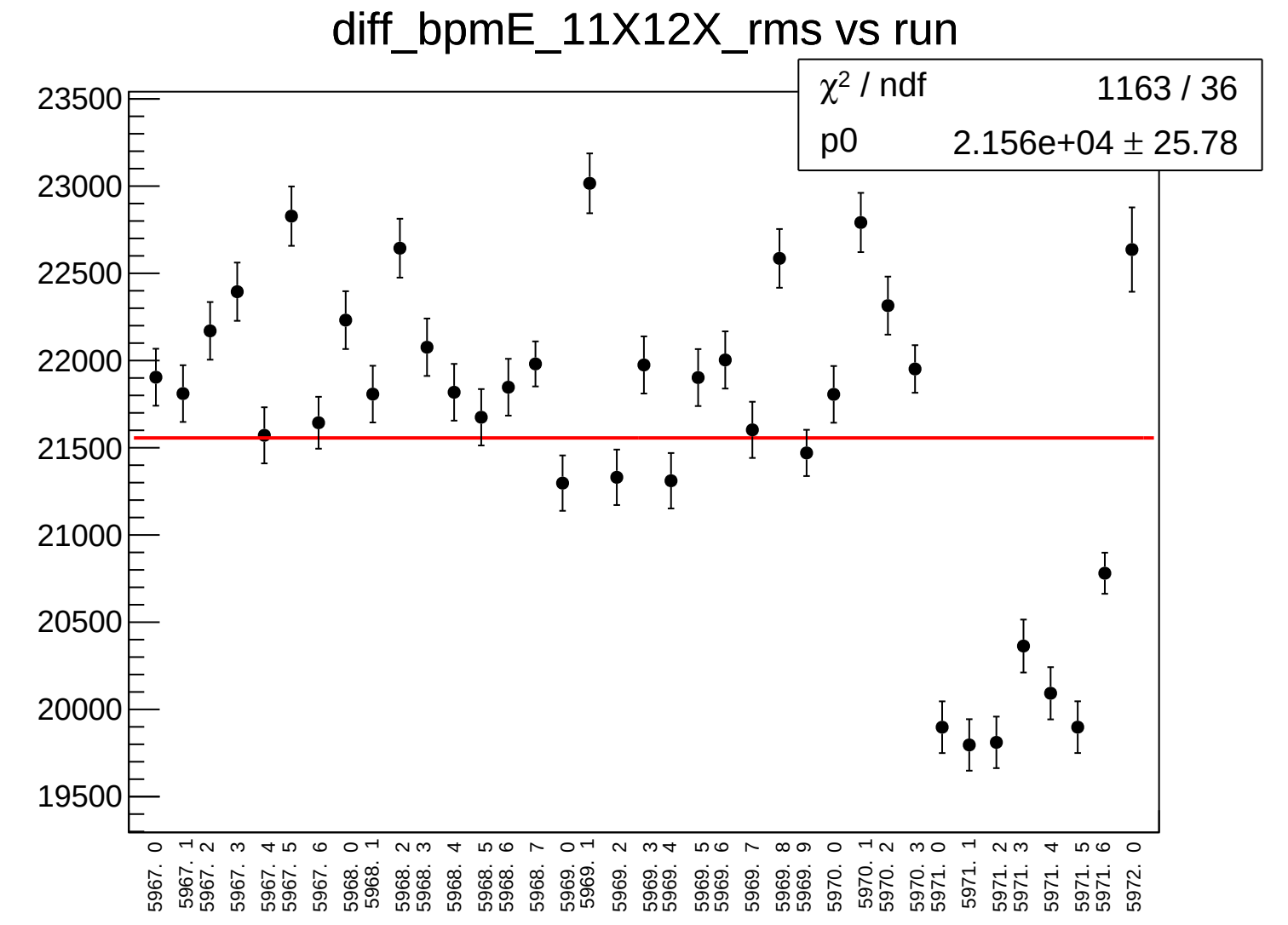
diff_bpmE_11X12X_rms vs run
χ² / ndf 1163 / 36
p0 2.156e+04 ± 25.78
23500
23000
22500
22000
21500
21000
20500
20000
19500
5967. 0
5967. 1
5967. 2
5967. 3
5967. 4
5967. 5
5967. 6
5968. 0
5968. 1
5968. 2
5968. 3
5968. 4
5968. 5
5968. 6
5968. 7
5969. 0
5969. 1
5969. 2
5969. 3
5969. 4
5969. 5
5969. 6
5969. 7
5969. 8
5969. 9
5970. 0
5970. 1
5970. 2
5970. 3
5971. 0
5971. 1
5971. 2
5971. 3
5971. 4
5971. 5
5971. 6
5972. 0

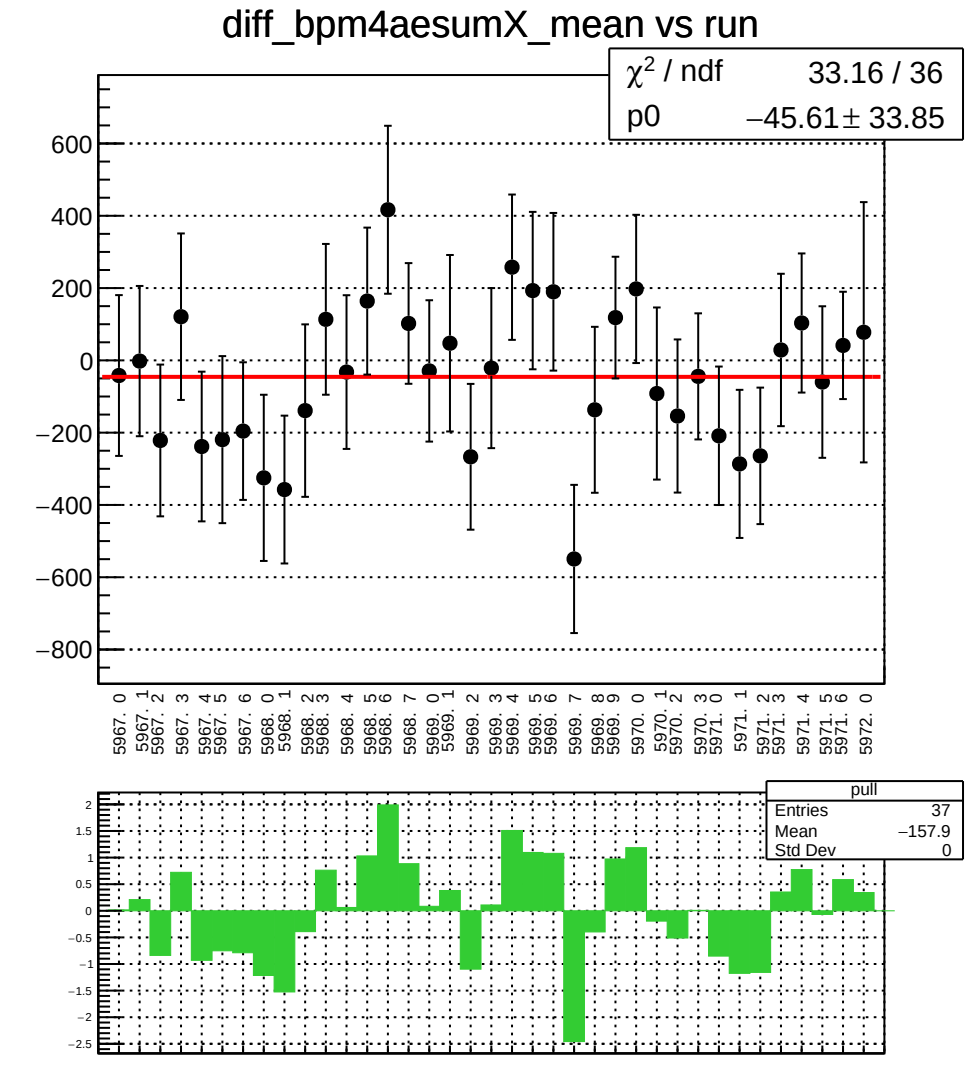
diff_bpm4aesumX_mean vs run
χ² / ndf 33.16 / 36
p0 −45.61 ± 33.85
pull
Entries 37
Mean −157.9
Std Dev 0

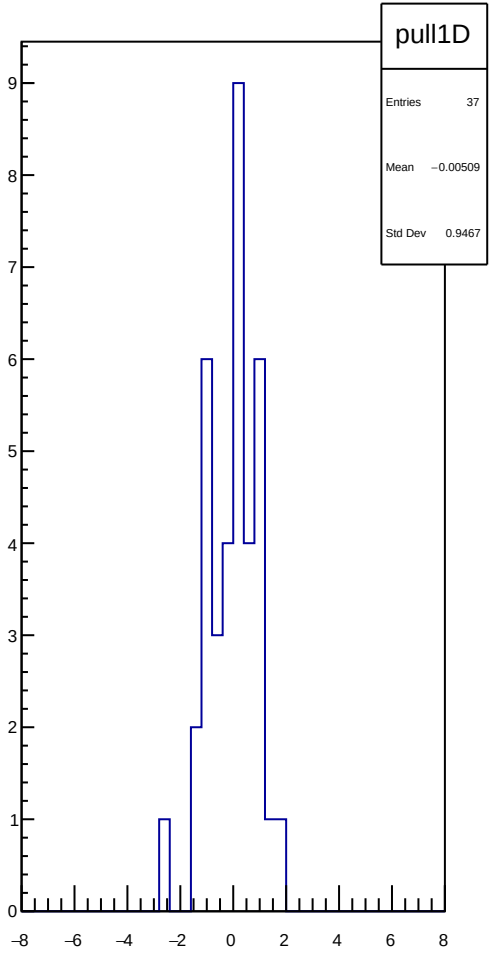
pull1D
Entries 37
Mean −0.00509
Std Dev 0.9467

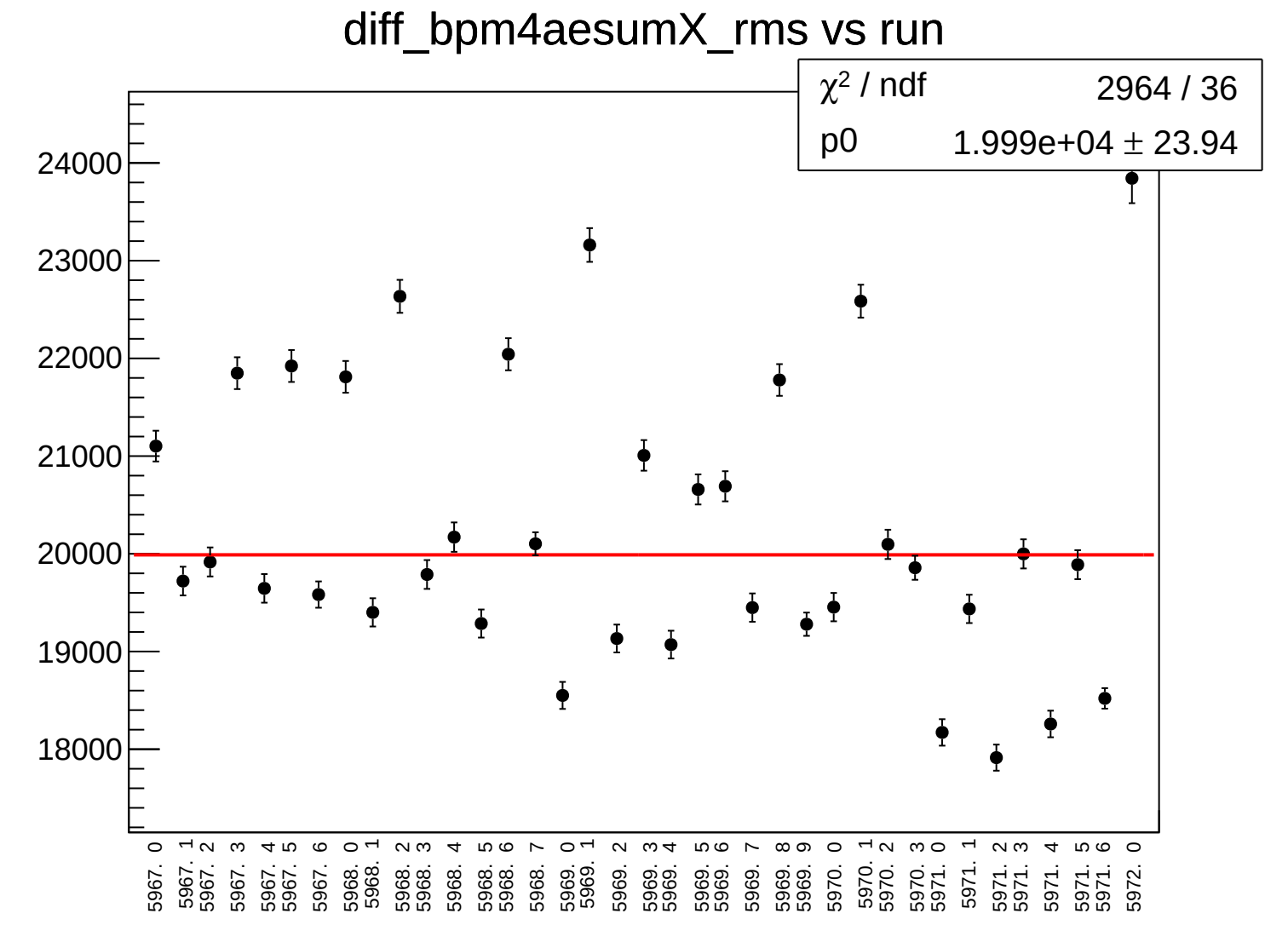
diff_bpm4aesumX_rms vs run
χ² / ndf 2964 / 36
p0 1.999e+04 ± 23.94
24000
23000
22000
21000
20000
19000
18000
5967. 0
5967. 1
5967. 2
5967. 3
5967. 4
5967. 5
5967. 6
5968. 0
5968. 1
5968. 2
5968. 3
5968. 4
5968. 5
5968. 6
5968. 7
5969. 0
5969. 1
5969. 2
5969. 3
5969. 4
5969. 5
5969. 6
5969. 7
5969. 8
5969. 9
5970. 0
5970. 1
5970. 2
5970. 3
5971. 0
5971. 1
5971. 2
5971. 3
5971. 4
5971. 5
5971. 6
5972. 0

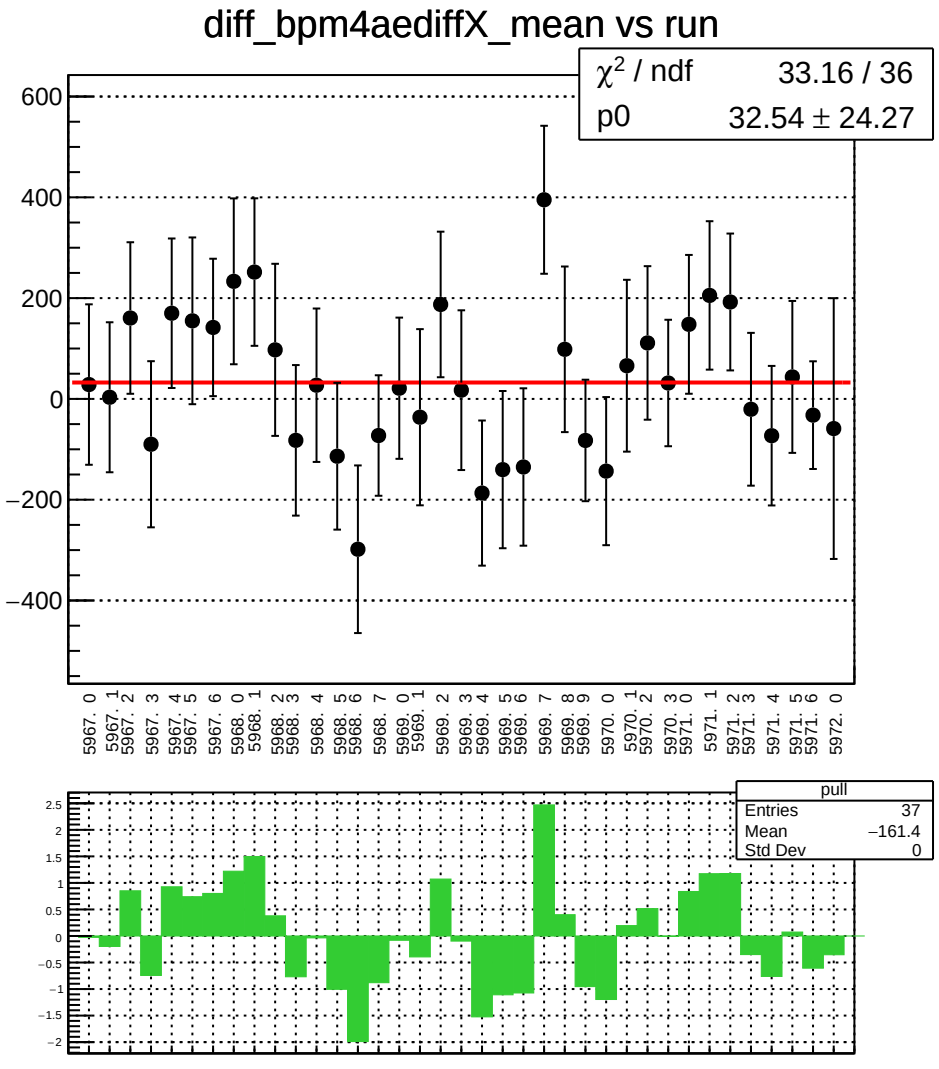
diff_bpm4aediffX_mean vs run
χ² / ndf 33.16 / 36
p0 32.54 ± 24.27
600
400
200
0
−200
−400
5967. 0
5967. 1
5967. 2
5967. 3
5967. 4
5967. 5
5967. 6
5968. 0
5968. 1
5968. 2
5968. 3
5968. 4
5968. 5
5968. 6
5968. 7
5969. 0
5969. 1
5969. 2
5969. 3
5969. 4
5969. 5
5969. 6
5969. 7
5969. 8
5969. 9
5970. 0
5970. 1
5970. 2
5970. 3
5971. 0
5971. 1
5971. 2
5971. 3
5971. 4
5971. 5
5971. 6
5972. 0
pull
Entries 37
Mean −161.4
Std Dev 0
2.5
2
1.5
1
0.5
0
−0.5
−1
−1.5
−2

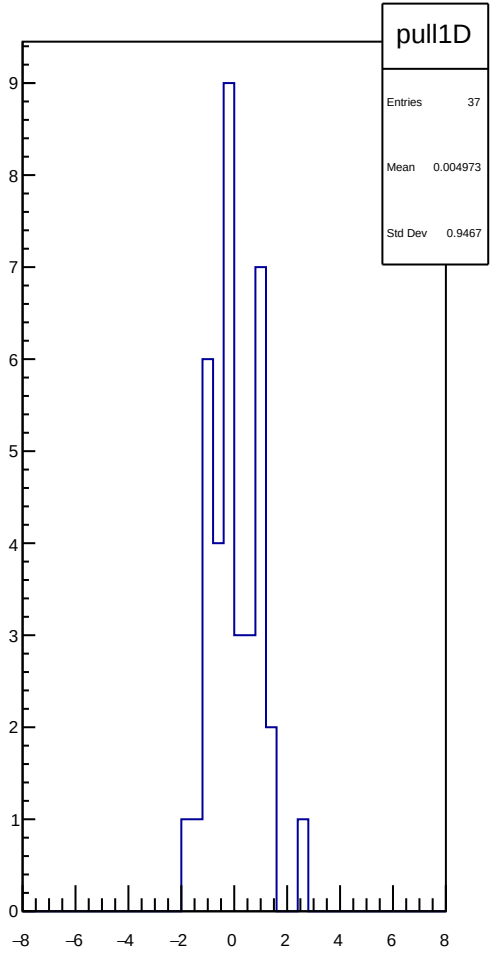
pull1D
Entries 37
Mean 0.004973
Std Dev 0.9467
9
8
7
6
5
4
3
2
1
0
−8
−6
−4
−2
0
2
4
6
8

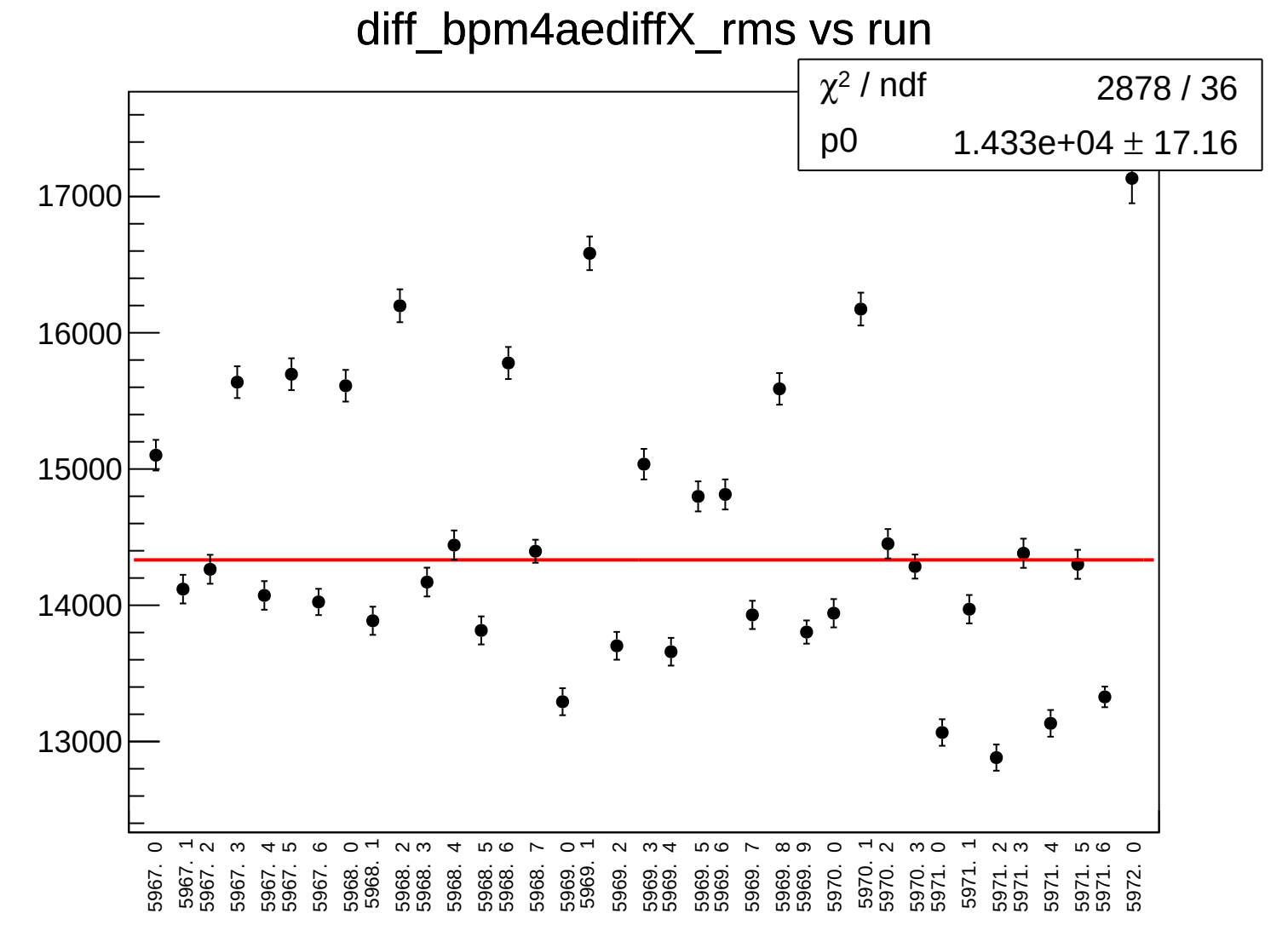
diff_bpm4aediffX_rms vs run
χ² / ndf 2878 / 36
p0 1.433e+04 ± 17.16
17000
16000
15000
14000
13000
5967. 0
5967. 1
5967. 2
5967. 3
5967. 4
5967. 5
5967. 6
5968. 0
5968. 1
5968. 2
5968. 3
5968. 4
5968. 5
5968. 6
5968. 7
5969. 0
5969. 1
5969. 2
5969. 3
5969. 4
5969. 5
5969. 6
5969. 7
5969. 8
5969. 9
5970. 0
5970. 1
5970. 2
5970. 3
5971. 0
5971. 1
5971. 2
5971. 3
5971. 4
5971. 5
5971. 6
5972. 0

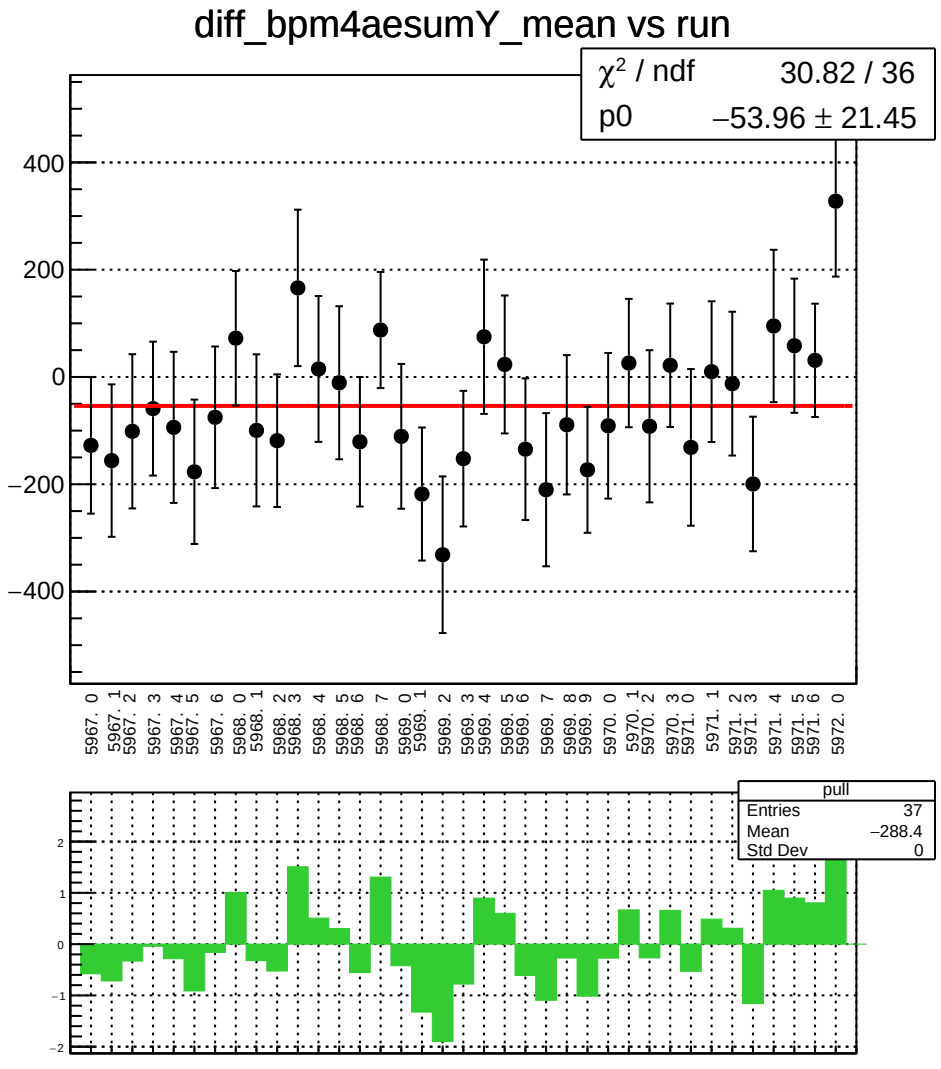
diff_bpm4aesumY_mean vs run
χ² / ndf 30.82 / 36
p0 −53.96 ± 21.45
400
200
0
−200
−400
5967. 0
5967. 1
5967. 2
5967. 3
5967. 4
5967. 5
5967. 6
5968. 0
5968. 1
5968. 2
5968. 3
5968. 4
5968. 5
5968. 6
5968. 7
5969. 0
5969. 1
5969. 2
5969. 3
5969. 4
5969. 5
5969. 6
5969. 7
5969. 8
5969. 9
5970. 0
5970. 1
5970. 2
5970. 3
5971. 0
5971. 1
5971. 2
5971. 3
5971. 4
5971. 5
5971. 6
5972. 0
pull
Entries 37
Mean −288.4
Std Dev 0
2
1
0
−1
−2

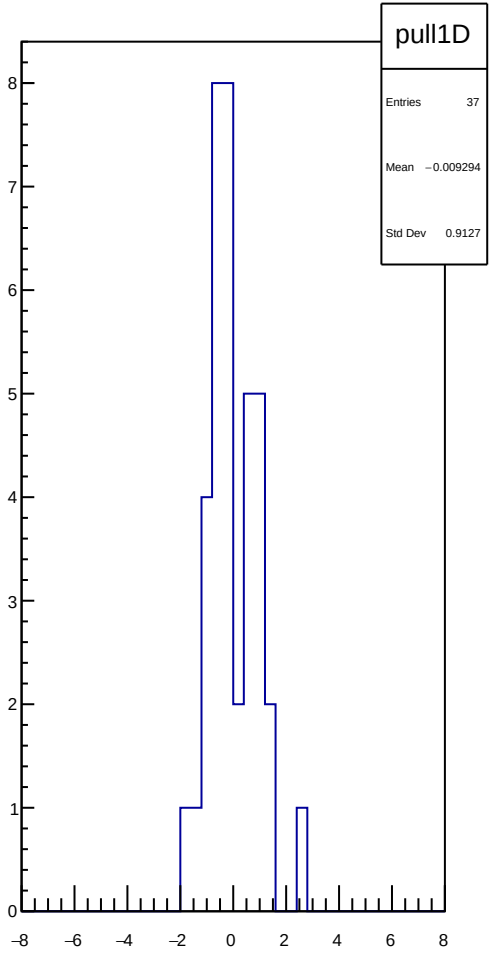
pull1D
Entries 37
Mean −0.009294
Std Dev 0.9127
8
7
6
5
4
3
2
1
0
−8
−6
−4
−2
0
2
4
6
8

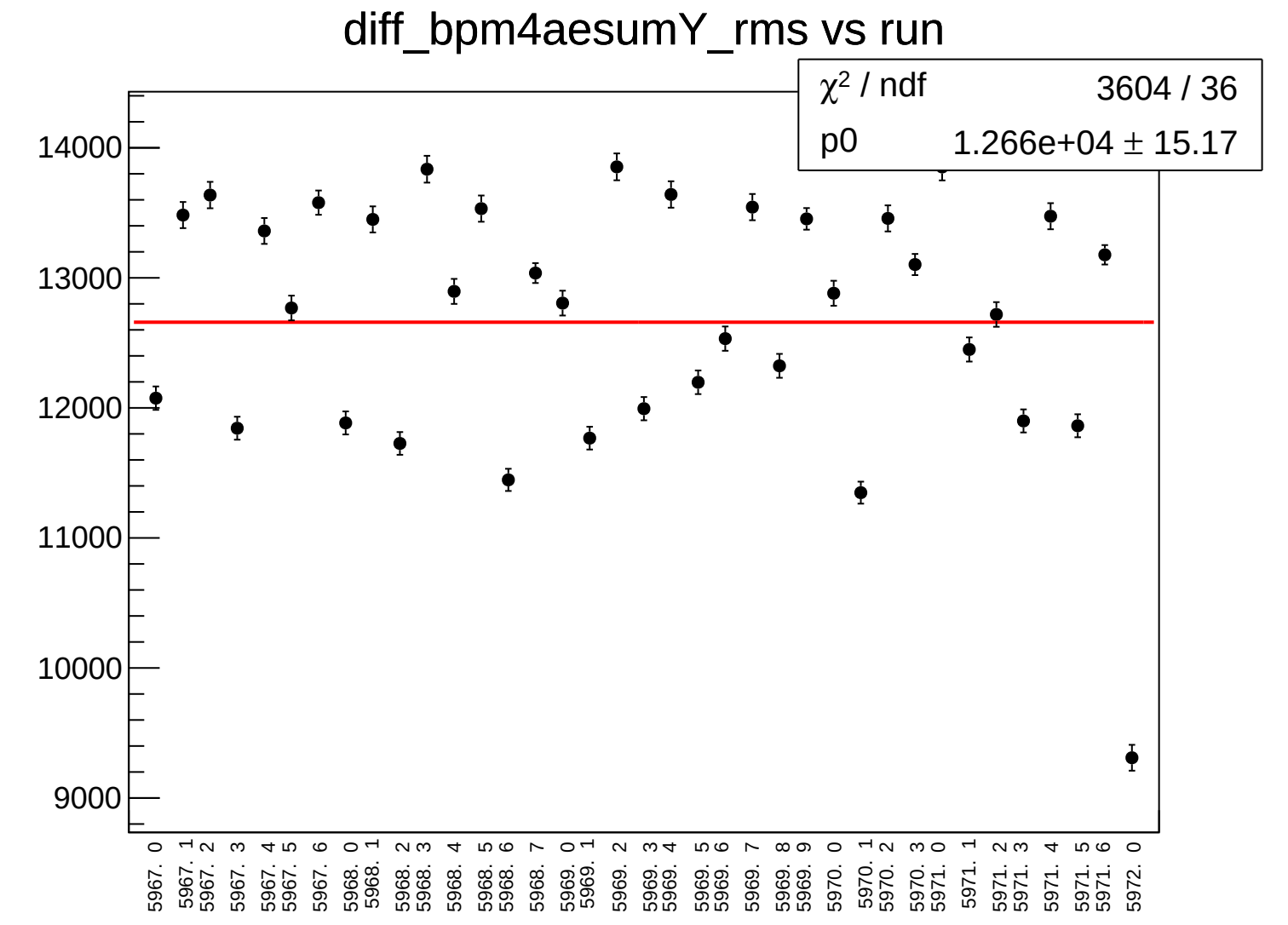
diff_bpm4aesumY_rms vs run
χ² / ndf 3604 / 36
p0 1.266e+04 ± 15.17
14000
13000
12000
11000
10000
9000
5967. 0
5967. 1
5967. 2
5967. 3
5967. 4
5967. 5
5967. 6
5968. 0
5968. 1
5968. 2
5968. 3
5968. 4
5968. 5
5968. 6
5968. 7
5969. 0
5969. 1
5969. 2
5969. 3
5969. 4
5969. 5
5969. 6
5969. 7
5969. 8
5969. 9
5970. 0
5970. 1
5970. 2
5970. 3
5971. 0
5971. 1
5971. 2
5971. 3
5971. 4
5971. 5
5971. 6
5972. 0

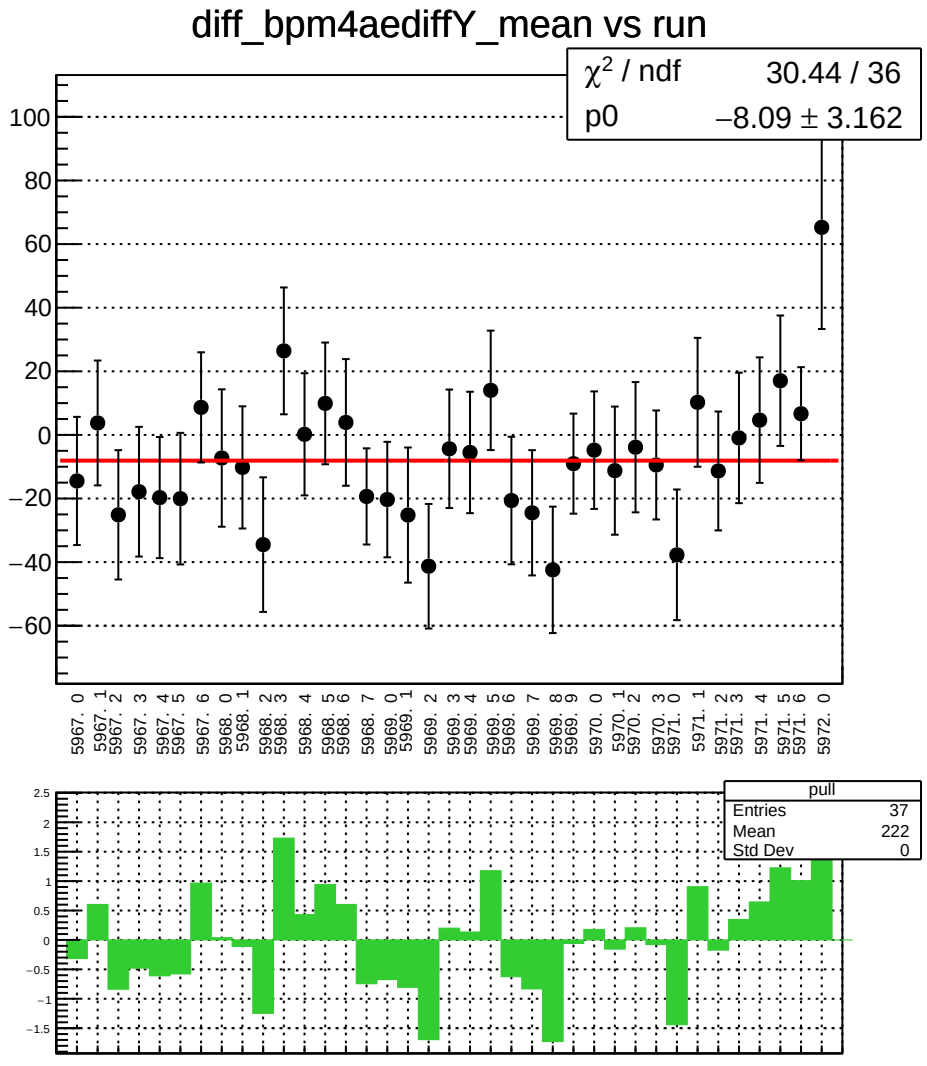
diff_bpm4aediffY_mean vs run
χ² / ndf 30.44 / 36
p0 −8.09 ± 3.162
pull
Entries 37
Mean 222
Std Dev 0

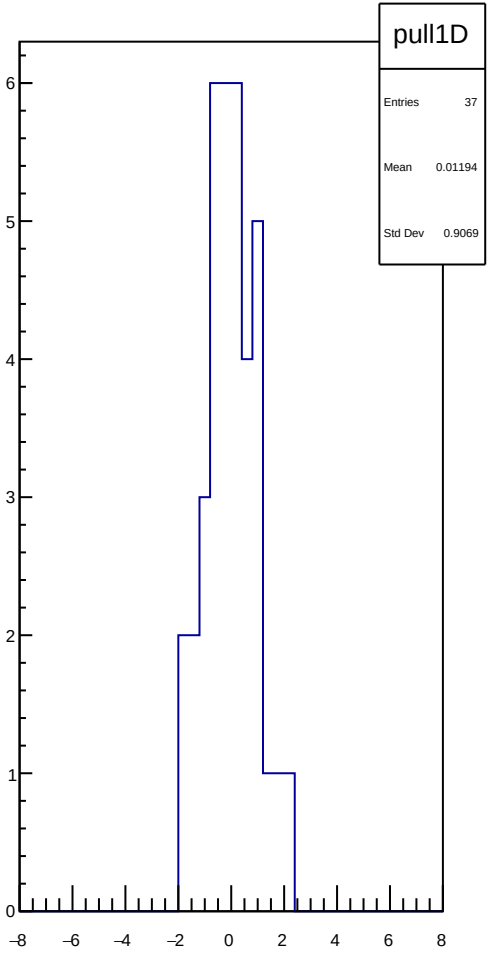
pull1D
Entries 37
Mean 0.01194
Std Dev 0.9069

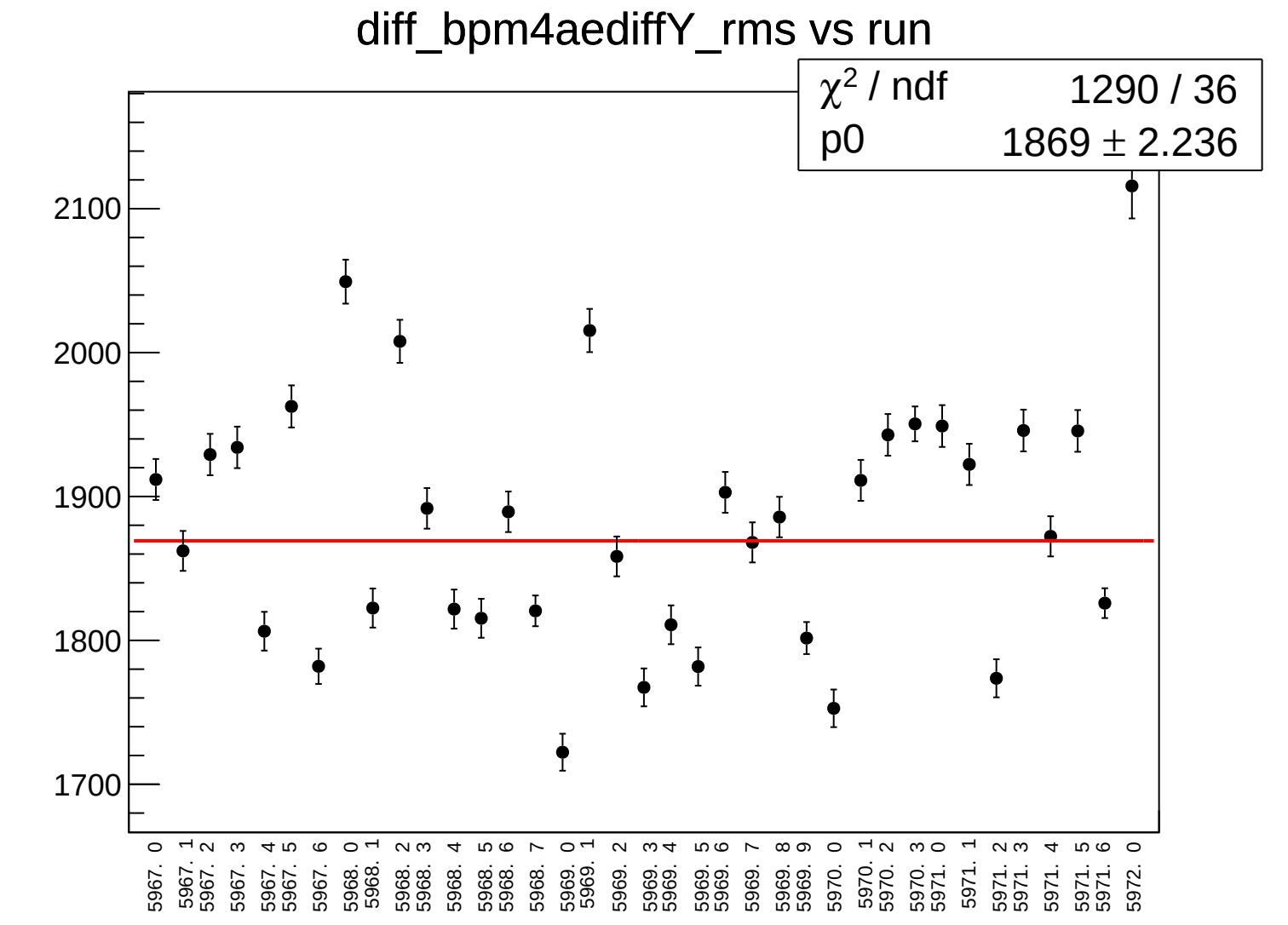
diff_bpm4aediffY_rms vs run
χ² / ndf 1290 / 36
p0 1869 ± 2.236
2100
2000
1900
1800
1700
5967. 0
5967. 1
5967. 2
5967. 3
5967. 4
5967. 5
5967. 6
5968. 0
5968. 1
5968. 2
5968. 3
5968. 4
5968. 5
5968. 6
5968. 7
5969. 0
5969. 1
5969. 2
5969. 3
5969. 4
5969. 5
5969. 6
5969. 7
5969. 8
5969. 9
5970. 0
5970. 1
5970. 2
5970. 3
5971. 0
5971. 1
5971. 2
5971. 3
5971. 4
5971. 5
5971. 6
5972. 0

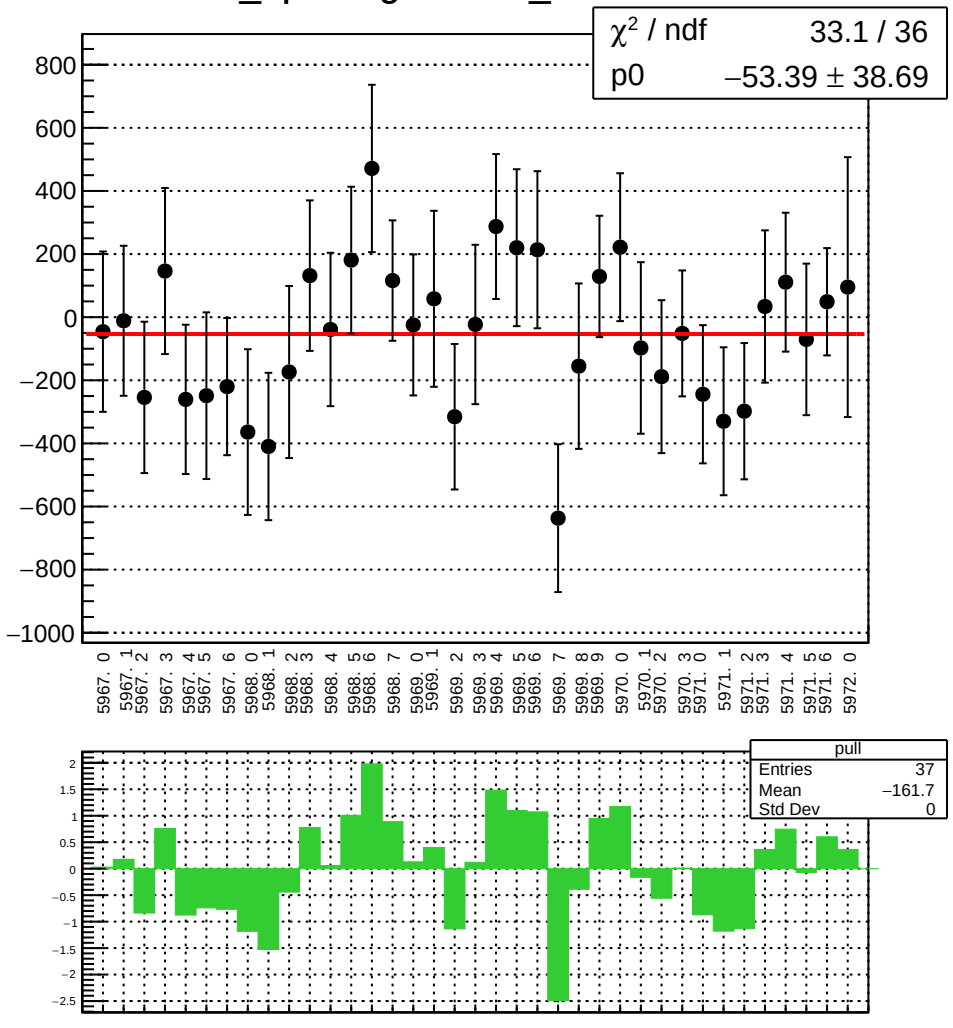
diff_bpmtargetsumX_mean vs run
χ² / ndf 33.1 / 36
p0 −53.39 ± 38.69
pull
Entries 37
Mean −161.7
Std Dev 0
pull1D
Entries 37
Mean −0.004757
Std Dev 0.9458

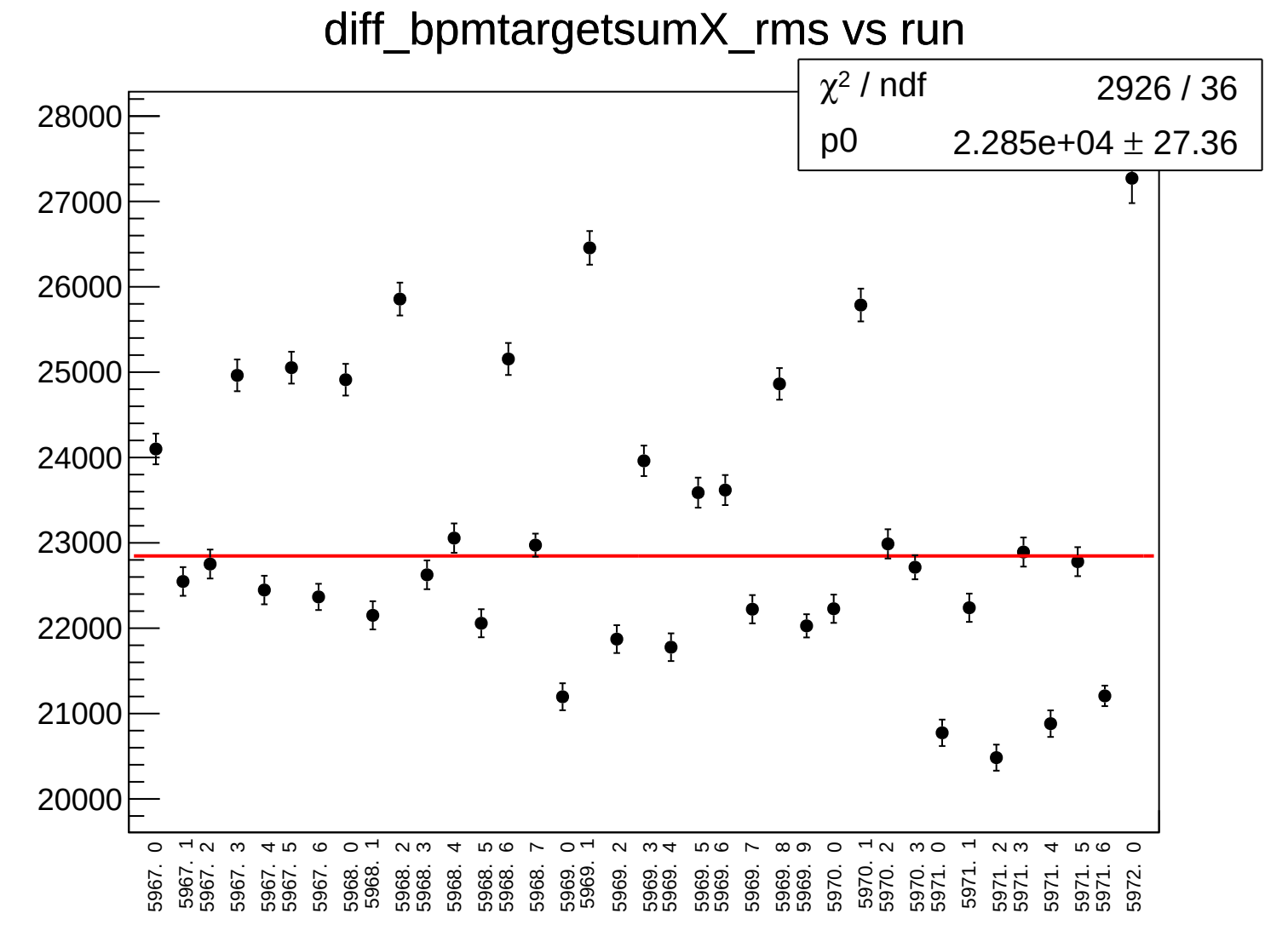
diff_bpmtargetsumX_rms vs run
χ² / ndf 2926 / 36
p0 2.285e+04 ± 27.36
28000
27000
26000
25000
24000
23000
22000
21000
20000
5967. 0
5967. 1
5967. 2
5967. 3
5967. 4
5967. 5
5967. 6
5968. 0
5968. 1
5968. 2
5968. 3
5968. 4
5968. 5
5968. 6
5968. 7
5969. 0
5969. 1
5969. 2
5969. 3
5969. 4
5969. 5
5969. 6
5969. 7
5969. 8
5969. 9
5970. 0
5970. 1
5970. 2
5970. 3
5971. 0
5971. 1
5971. 2
5971. 3
5971. 4
5971. 5
5971. 6
5972. 0

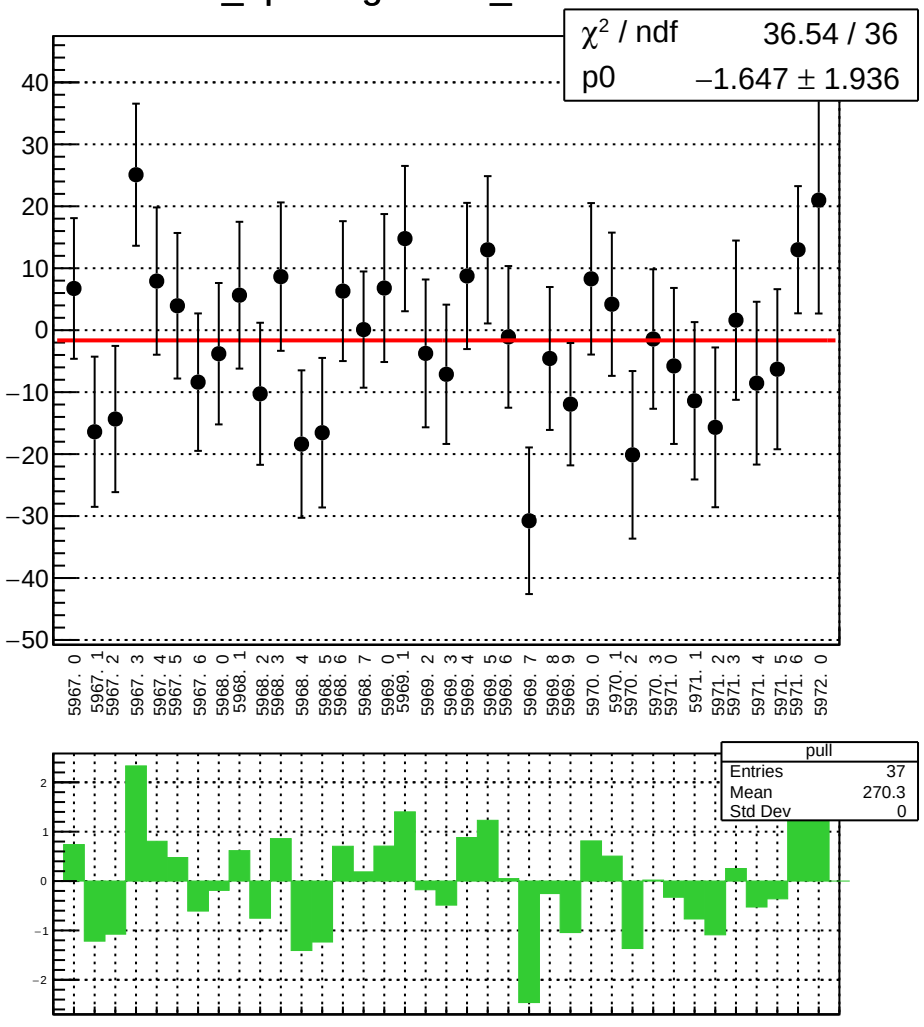
diff_bpmtargetdiffX_mean vs run
χ² / ndf 36.54 / 36
p0 −1.647 ± 1.936
pull
Entries 37
Mean 270.3
Std Dev 0

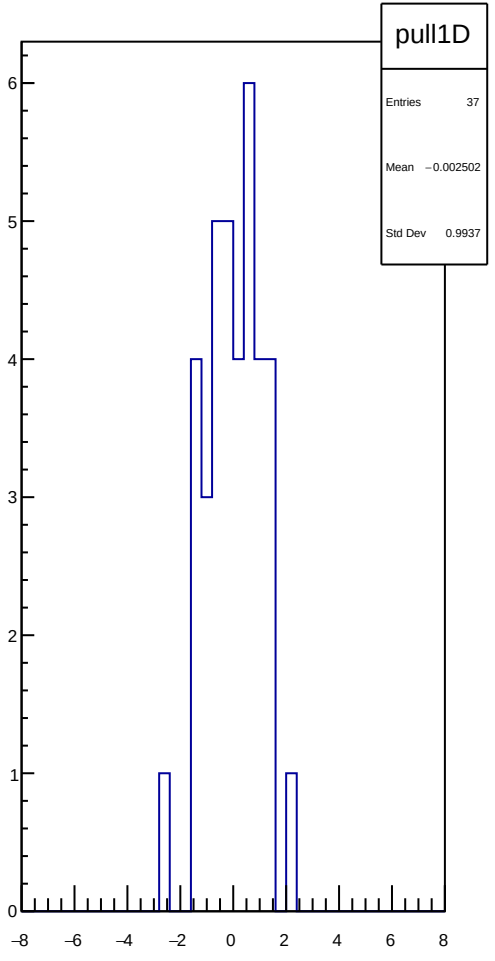
pull1D
Entries 37
Mean −0.002502
Std Dev 0.9937

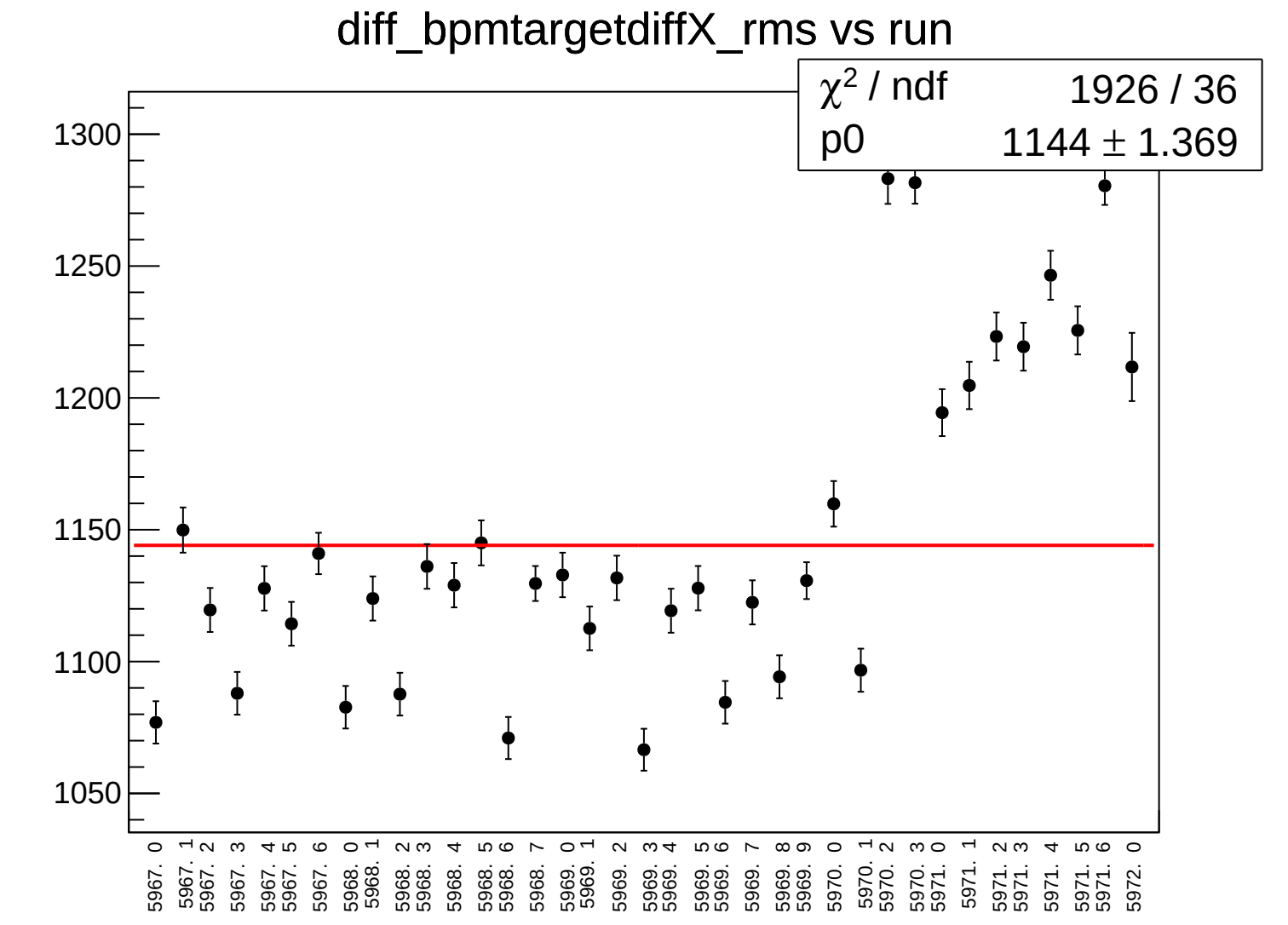
diff_bpmtargetdiffX_rms vs run
χ² / ndf 1926 / 36
p0 1144 ± 1.369
1300
1250
1200
1150
1100
1050
5967. 0
5967. 1
5967. 2
5967. 3
5967. 4
5967. 5
5967. 6
5968. 0
5968. 1
5968. 2
5968. 3
5968. 4
5968. 5
5968. 6
5968. 7
5969. 0
5969. 1
5969. 2
5969. 3
5969. 4
5969. 5
5969. 6
5969. 7
5969. 8
5969. 9
5970. 0
5970. 1
5970. 2
5970. 3
5971. 0
5971. 1
5971. 2
5971. 3
5971. 4
5971. 5
5971. 6
5972. 0

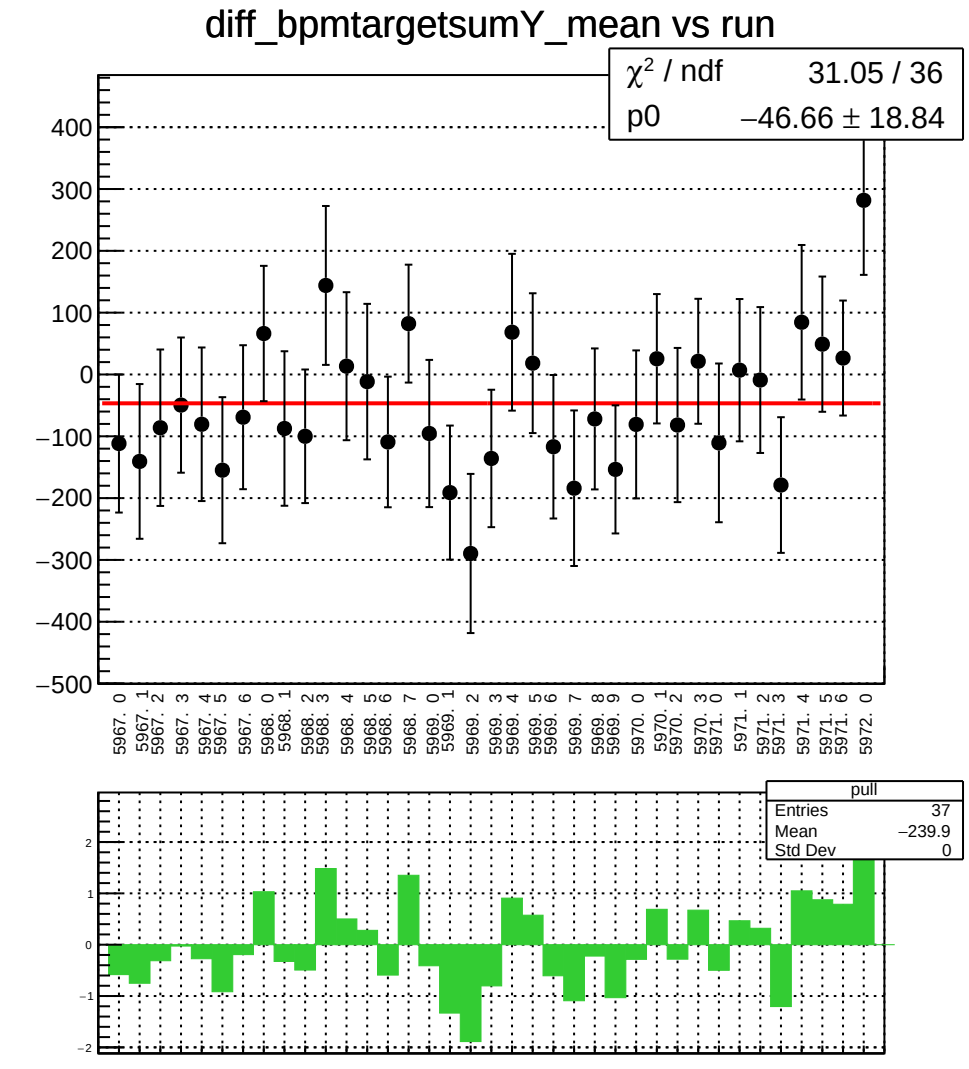
diff_bpmtargetsumY_mean vs run
χ² / ndf 31.05 / 36
p0 −46.66 ± 18.84
pull
Entries 37
Mean −239.9
Std Dev 0

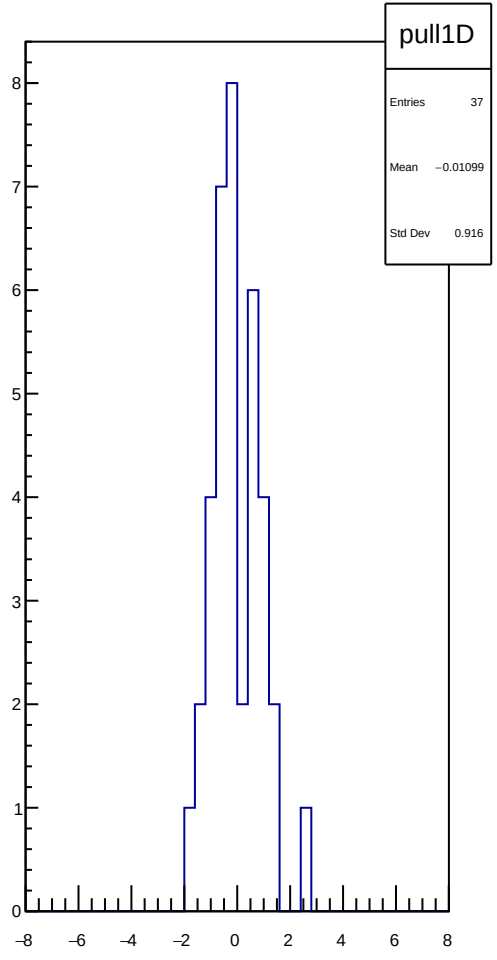
pull1D
Entries 37
Mean −0.01099
Std Dev 0.916

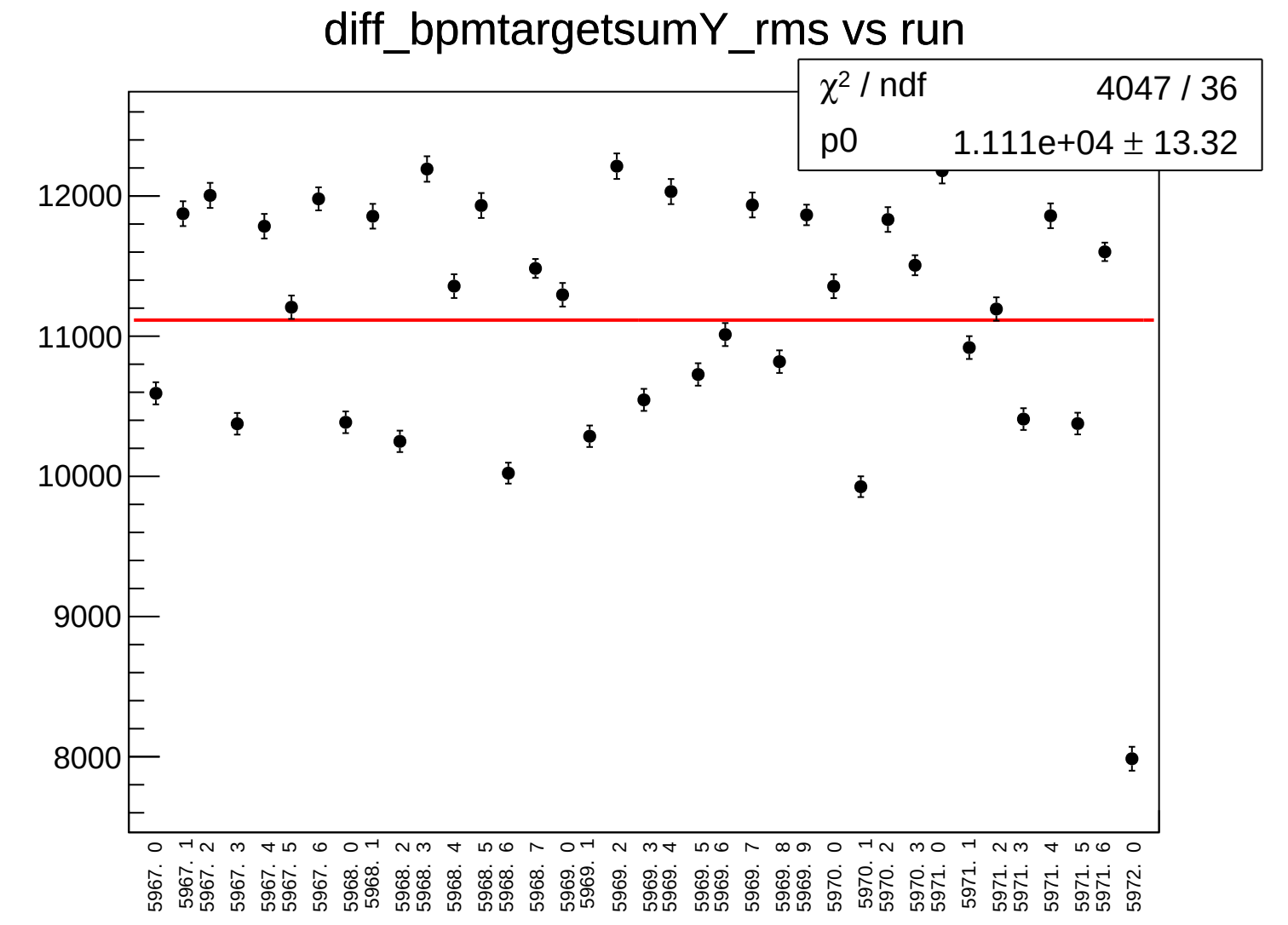
diff_bpmtargetsumY_rms vs run
χ² / ndf 4047 / 36
p0 1.111e+04 ± 13.32
12000
11000
10000
9000
8000
5967. 0
5967. 1
5967. 2
5967. 3
5967. 4
5967. 5
5967. 6
5968. 0
5968. 1
5968. 2
5968. 3
5968. 4
5968. 5
5968. 6
5968. 7
5969. 0
5969. 1
5969. 2
5969. 3
5969. 4
5969. 5
5969. 6
5969. 7
5969. 8
5969. 9
5970. 0
5970. 1
5970. 2
5970. 3
5971. 0
5971. 1
5971. 2
5971. 3
5971. 4
5971. 5
5971. 6
5972. 0

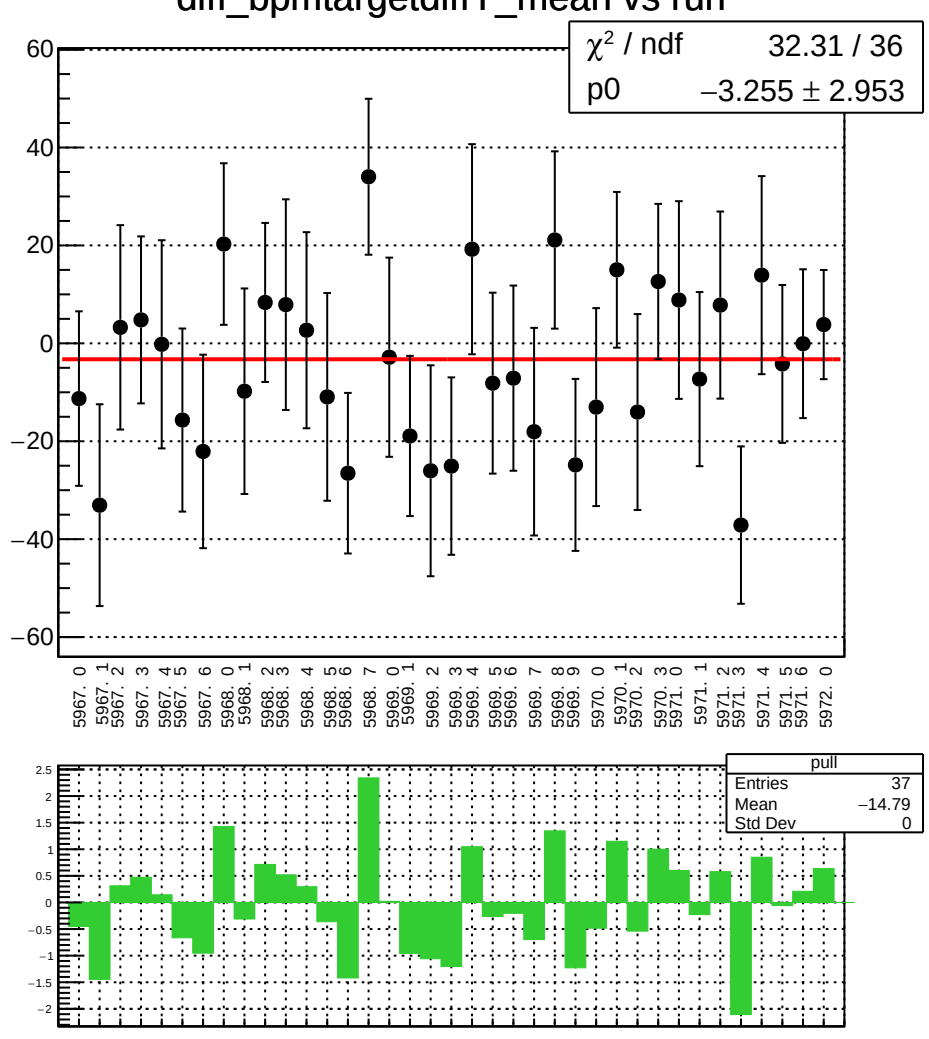
diff_bpmtargetdiffY_mean vs run
χ² / ndf 32.31 / 36
p0 −3.255 ± 2.953
pull
Entries 37
Mean −14.79
Std Dev 0

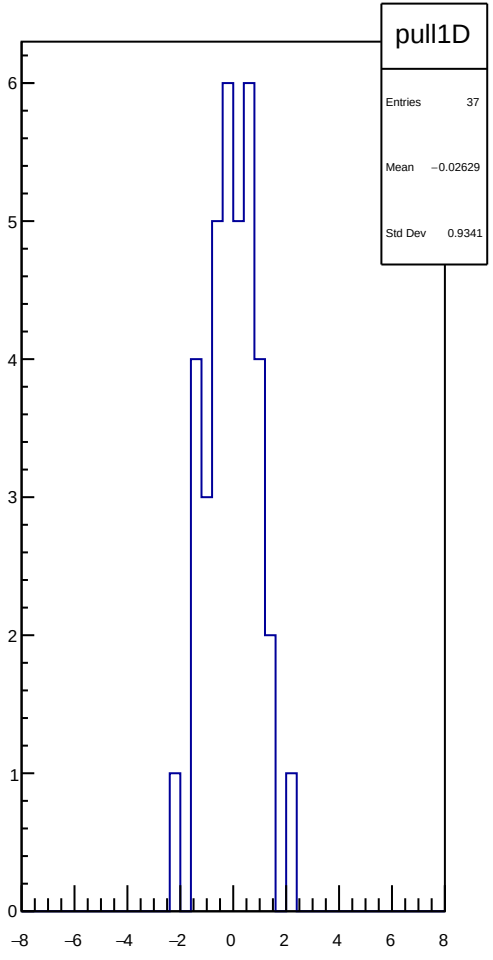
pull1D
Entries 37
Mean −0.02629
Std Dev 0.9341

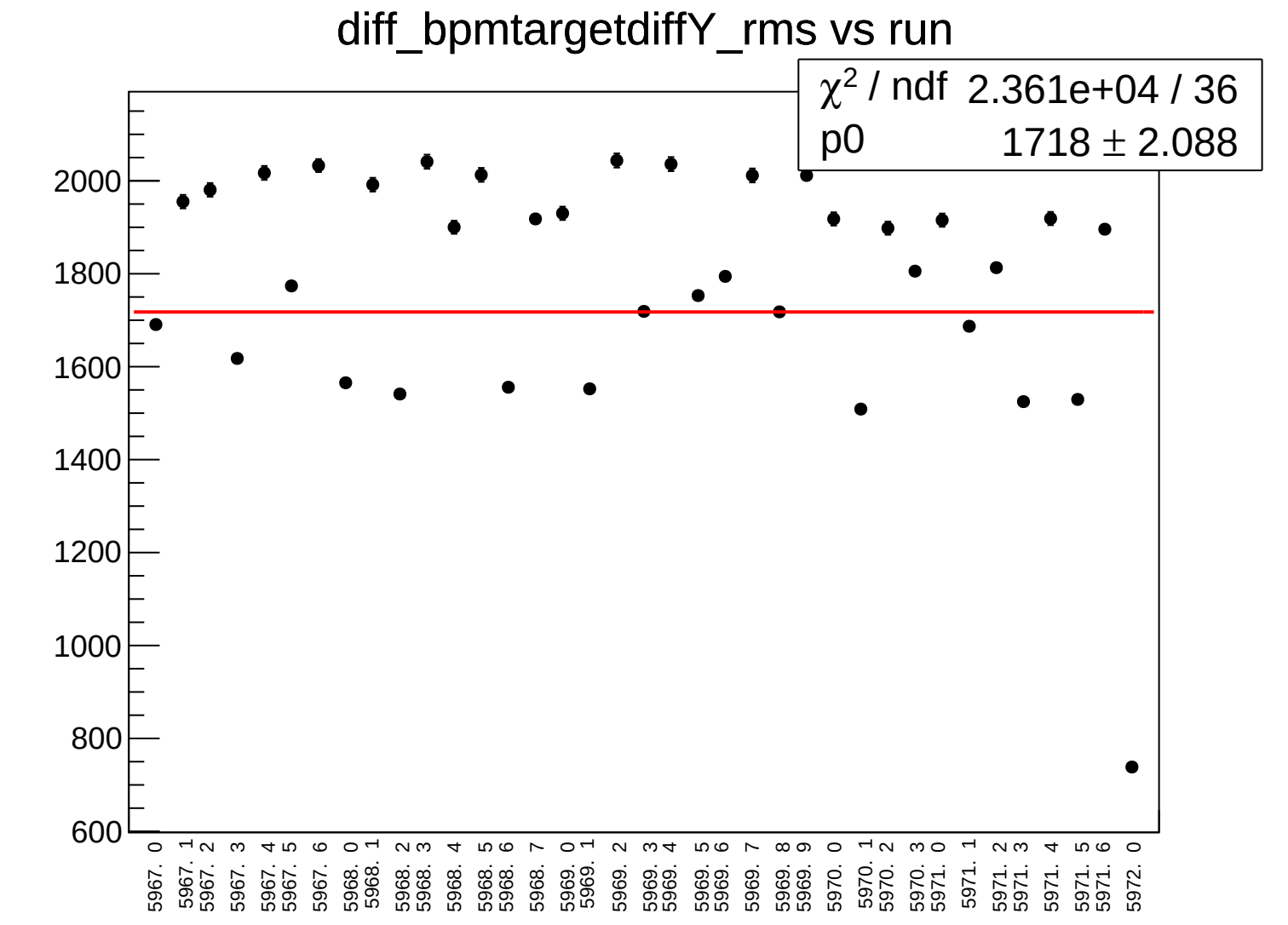
diff_bpmtargetdiffY_rms vs run
χ² / ndf 2.361e+04 / 36
p0 1718 ± 2.088
2000
1800
1600
1400
1200
1000
800
600
5967. 0
5967. 1
5967. 2
5967. 3
5967. 4
5967. 5
5967. 6
5968. 0
5968. 1
5968. 2
5968. 3
5968. 4
5968. 5
5968. 6
5968. 7
5969. 0
5969. 1
5969. 2
5969. 3
5969. 4
5969. 5
5969. 6
5969. 7
5969. 8
5969. 9
5970. 0
5970. 1
5970. 2
5970. 3
5971. 0
5971. 1
5971. 2
5971. 3
5971. 4
5971. 5
5971. 6
5972. 0

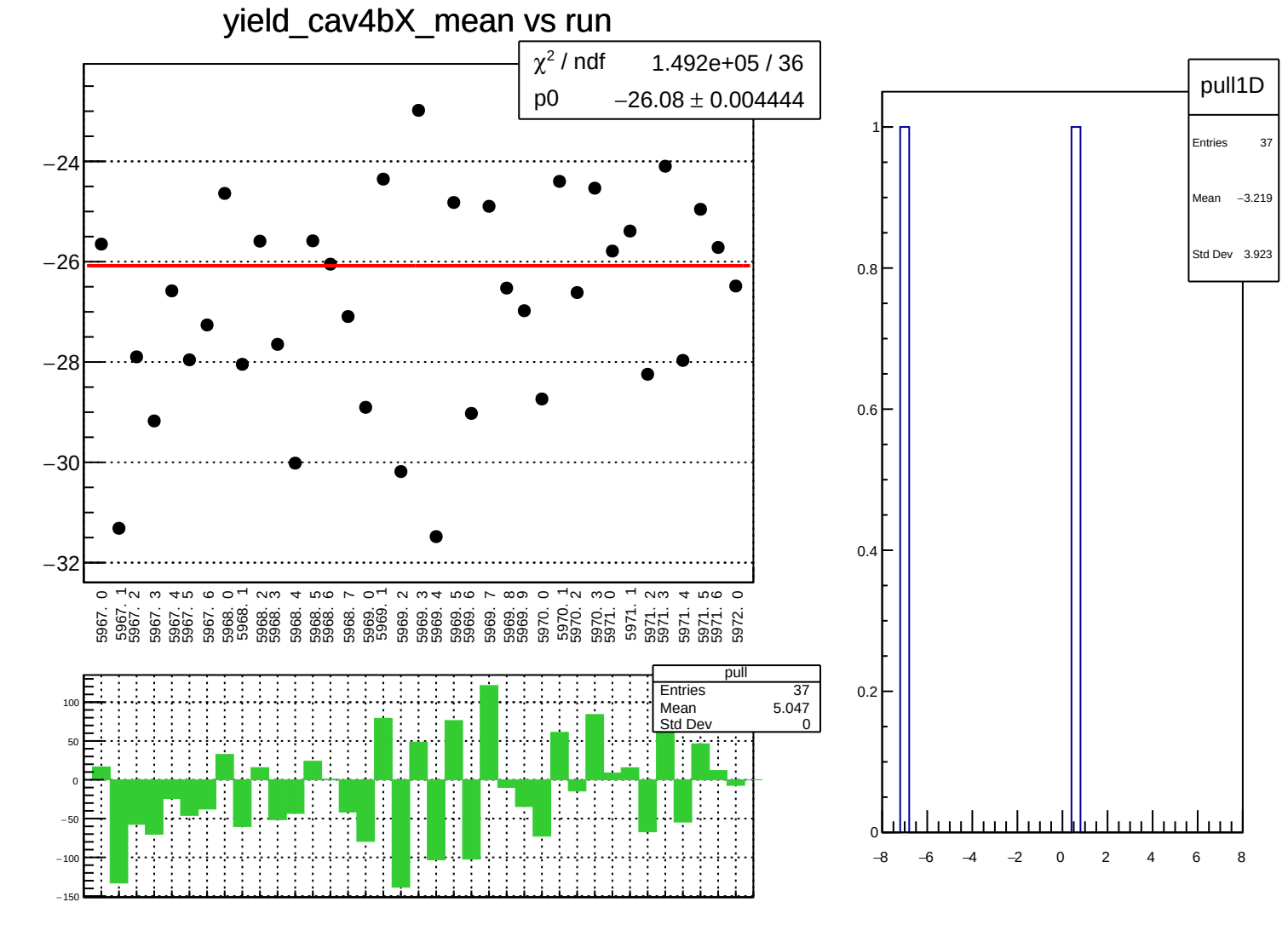
yield_cav4bX_mean vs run
χ² / ndf 1.492e+05 / 36
p0 −26.08 ± 0.004444
−24
−26
−28
−30
−32
5967. 0
5967. 1
5967. 2
5967. 3
5967. 4
5967. 5
5967. 6
5968. 0
5968. 1
5968. 2
5968. 3
5968. 4
5968. 5
5968. 6
5968. 7
5969. 0
5969. 1
5969. 2
5969. 3
5969. 4
5969. 5
5969. 6
5969. 7
5969. 8
5969. 9
5970. 0
5970. 1
5970. 2
5970. 3
5971. 0
5971. 1
5971. 2
5971. 3
5971. 4
5971. 5
5971. 6
5972. 0
pull
Entries 37
Mean 5.047
Std Dev 0
100
50
0
−50
−100
−150
pull1D
Entries 37
Mean −3.219
Std Dev 3.923
1
0.8
0.6
0.4
0.2
0
−8
−6
−4
−2
0
2
4
6
8

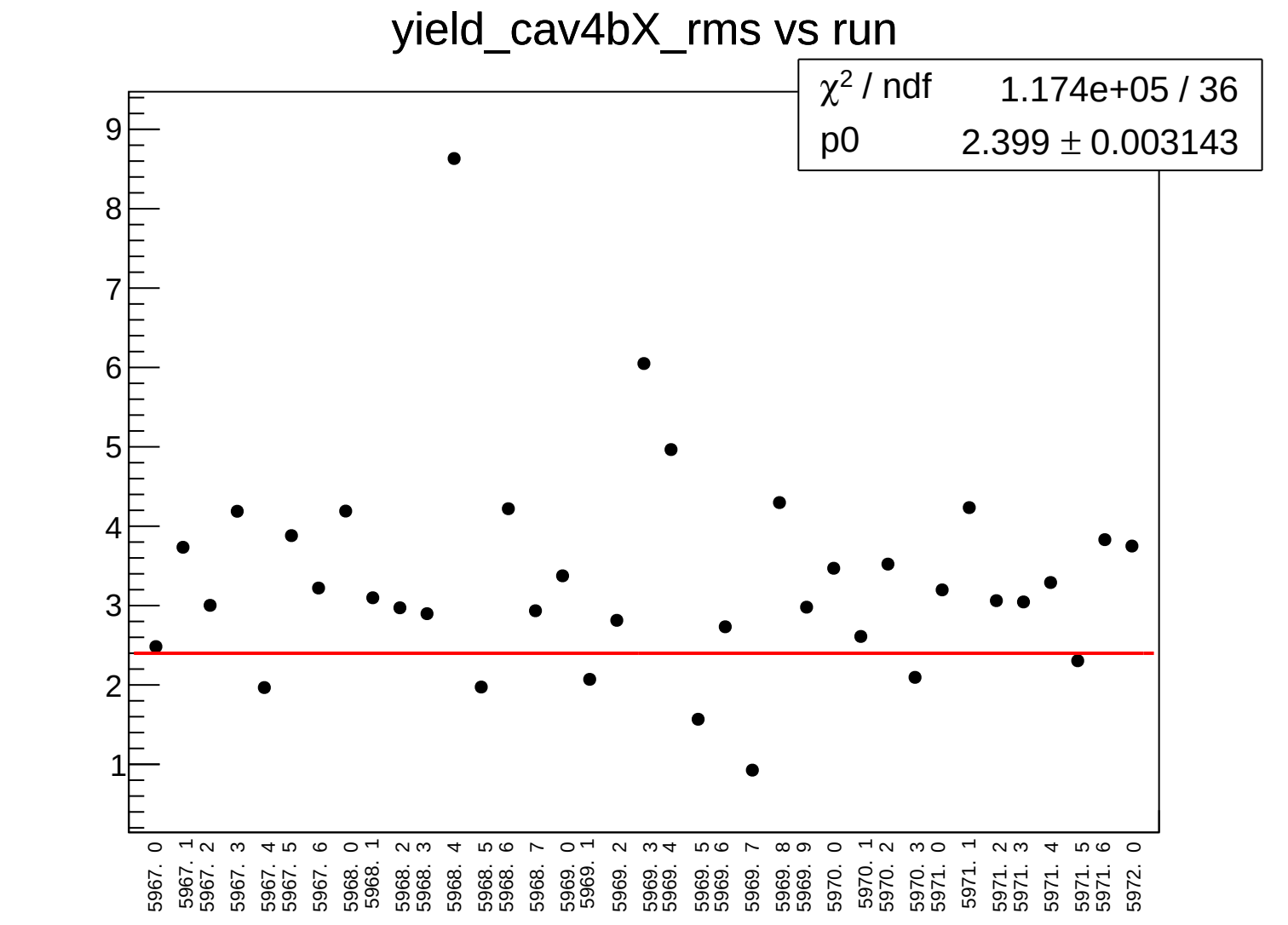
yield_cav4bX_rms vs run
χ^2 / ndf 1.174e+05 / 36
p0 2.399 ± 0.003143
9
8
7
6
5
4
3
2
1
5967. 0
5967. 1
5967. 2
5967. 3
5967. 4
5967. 5
5967. 6
5968. 0
5968. 1
5968. 2
5968. 3
5968. 4
5968. 5
5968. 6
5968. 7
5969. 0
5969. 1
5969. 2
5969. 3
5969. 4
5969. 5
5969. 6
5969. 7
5969. 8
5969. 9
5970. 0
5970. 1
5970. 2
5970. 3
5971. 0
5971. 1
5971. 2
5971. 3
5971. 4
5971. 5
5971. 6
5972. 0

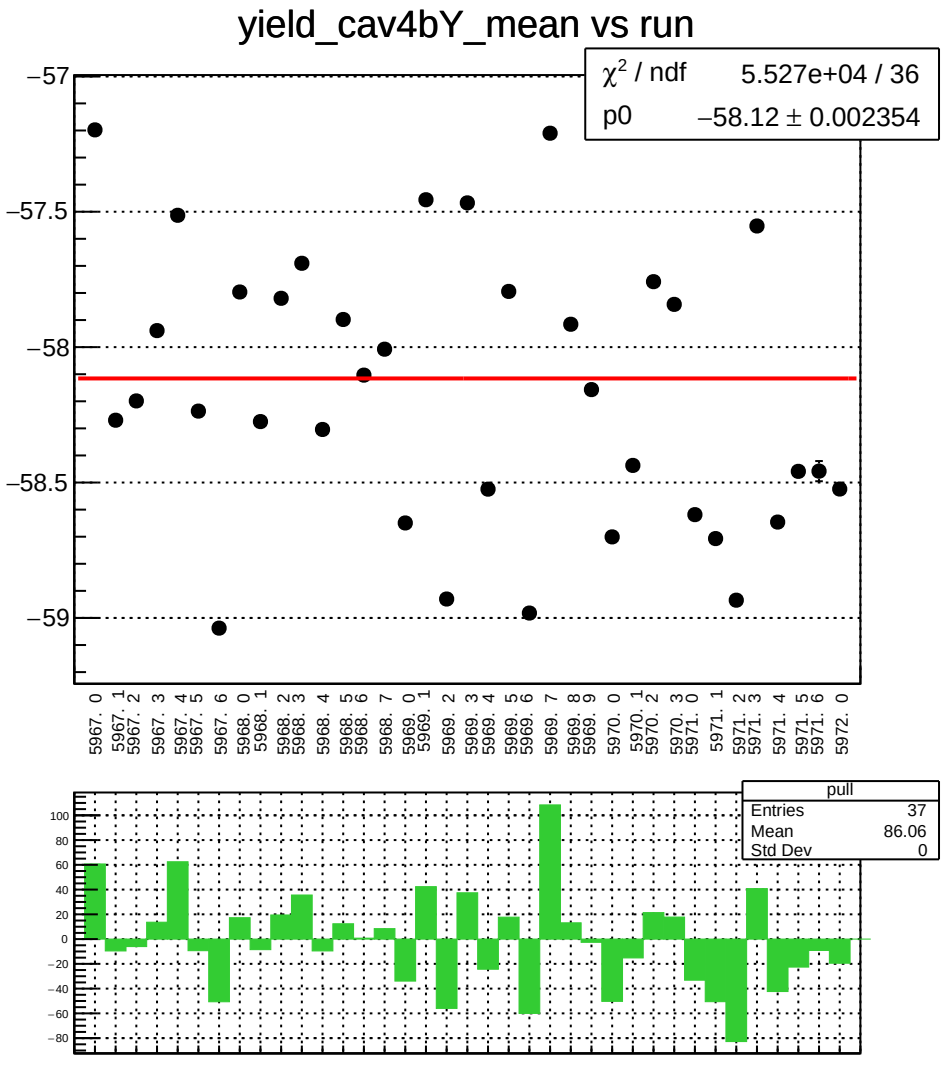
yield_cav4bY_mean vs run
χ² / ndf 5.527e+04 / 36
p0 −58.12 ± 0.002354
−57
−57.5
−58
−58.5
−59
pull
Entries 37
Mean 86.06
Std Dev 0
100
80
60
40
20
0
−20
−40
−60
−80

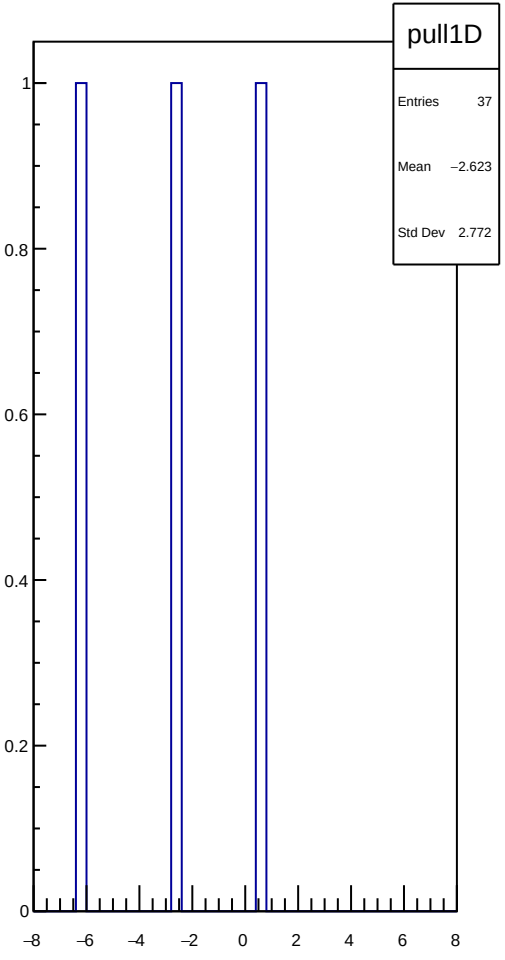
pull1D
Entries 37
Mean −2.623
Std Dev 2.772
1
0.8
0.6
0.4
0.2
0
−8
−6
−4
−2
0
2
4
6
8

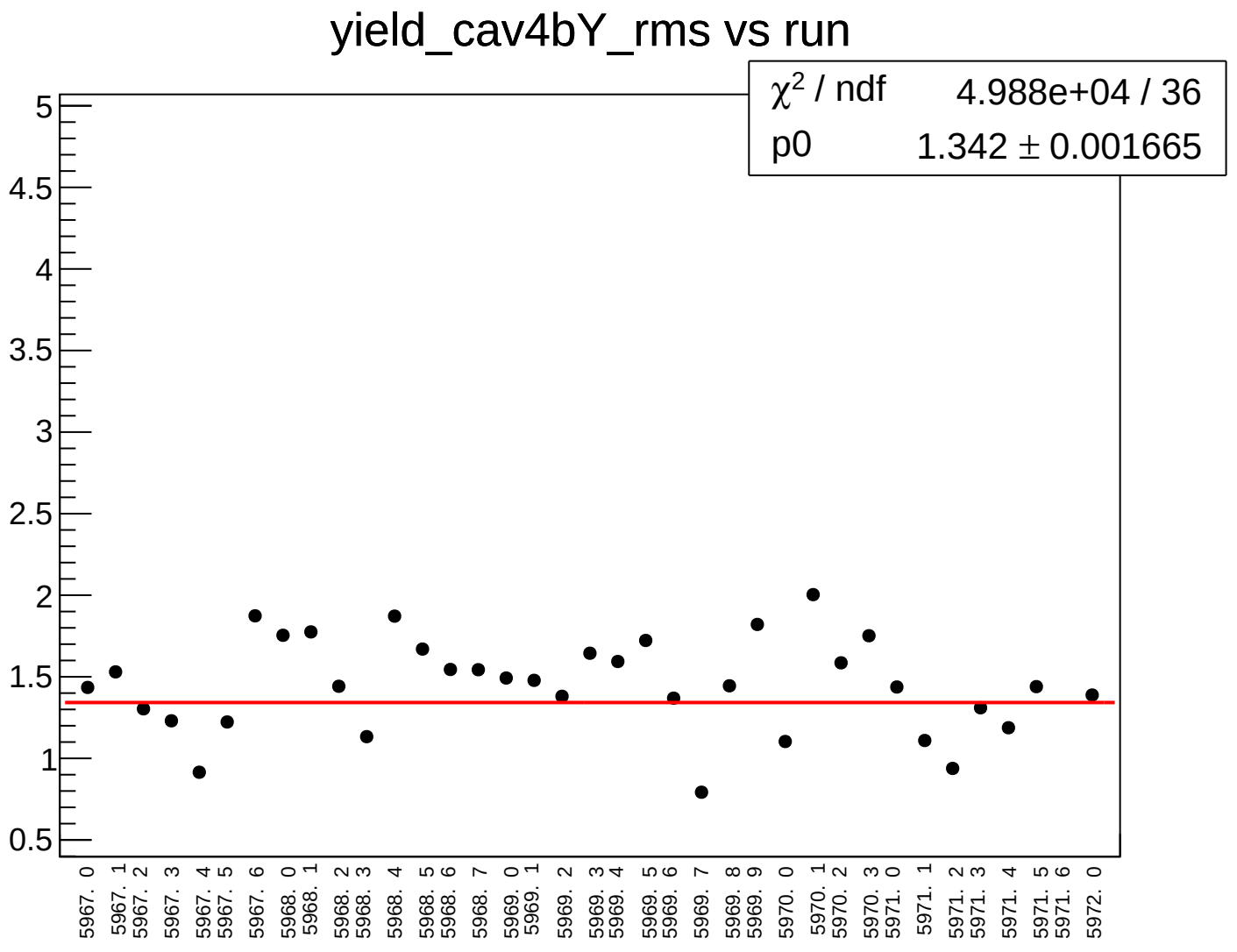
yield_cav4bY_rms vs run
χ^2 / ndf 4.988e+04 / 36
p0 1.342 ± 0.001665
5
4.5
4
3.5
3
2.5
2
1.5
1
0.5
5967. 0
5967. 1
5967. 2
5967. 3
5967. 4
5967. 5
5967. 6
5968. 0
5968. 1
5968. 2
5968. 3
5968. 4
5968. 5
5968. 6
5968. 7
5969. 0
5969. 1
5969. 2
5969. 3
5969. 4
5969. 5
5969. 6
5969. 7
5969. 8
5969. 9
5970. 0
5970. 1
5970. 2
5970. 3
5971. 0
5971. 1
5971. 2
5971. 3
5971. 4
5971. 5
5971. 6
5972. 0

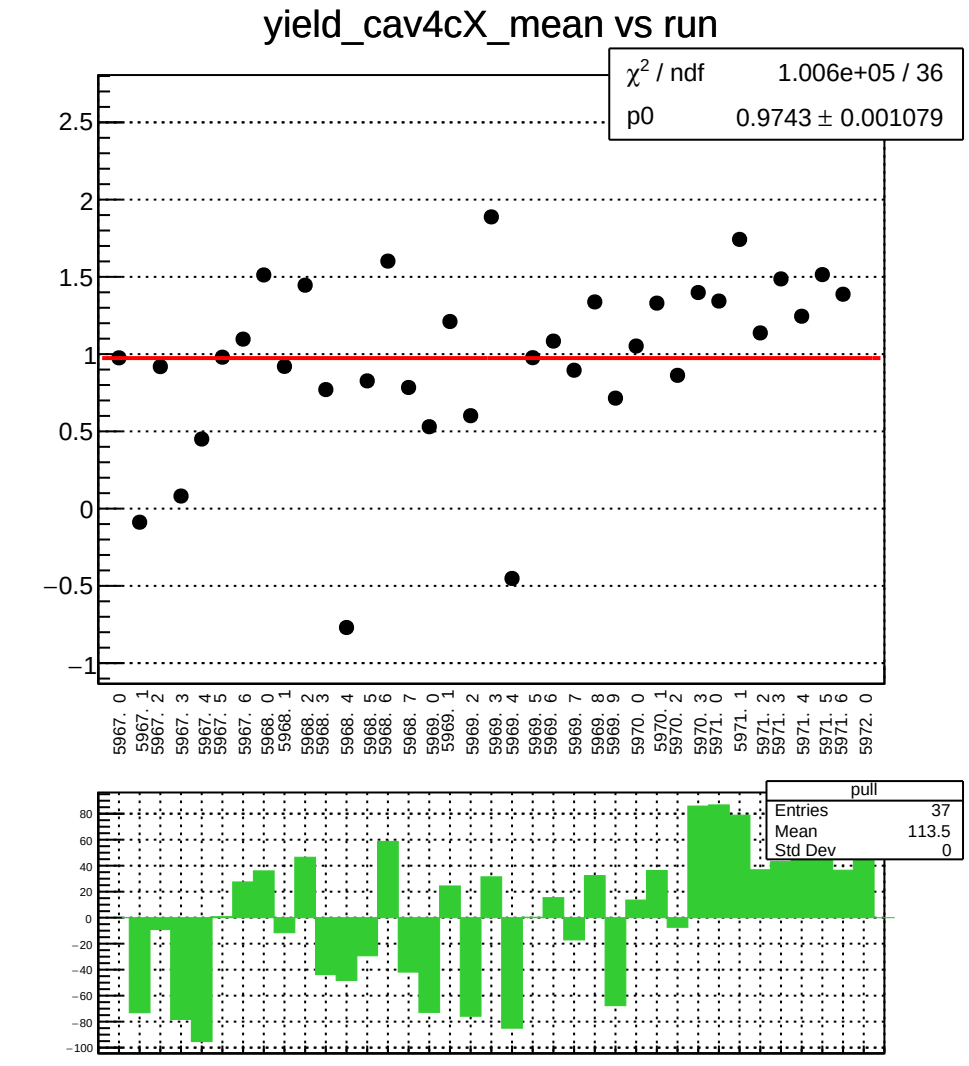
yield_cav4cX_mean vs run
χ² / ndf 1.006e+05 / 36
p0 0.9743 ± 0.001079
pull
Entries 37
Mean 113.5
Std Dev 0

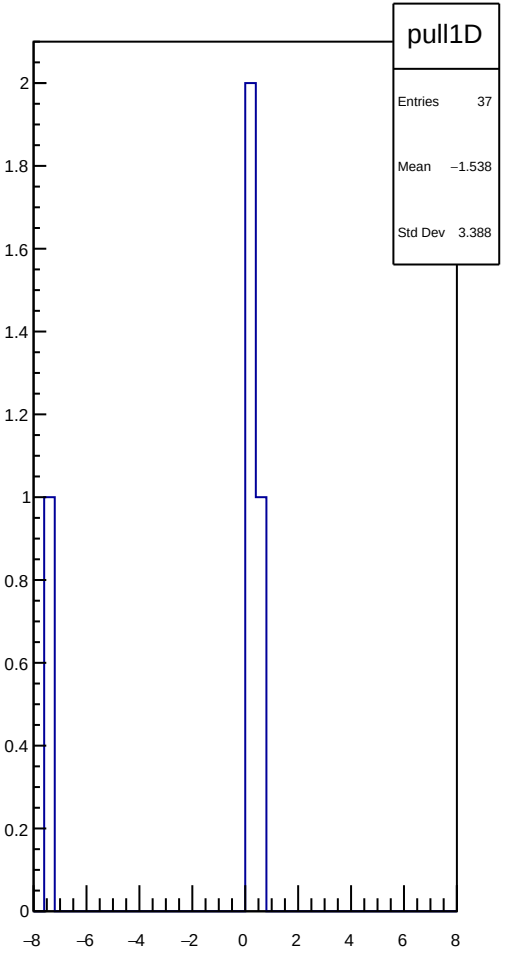
pull1D
Entries 37
Mean −1.538
Std Dev 3.388

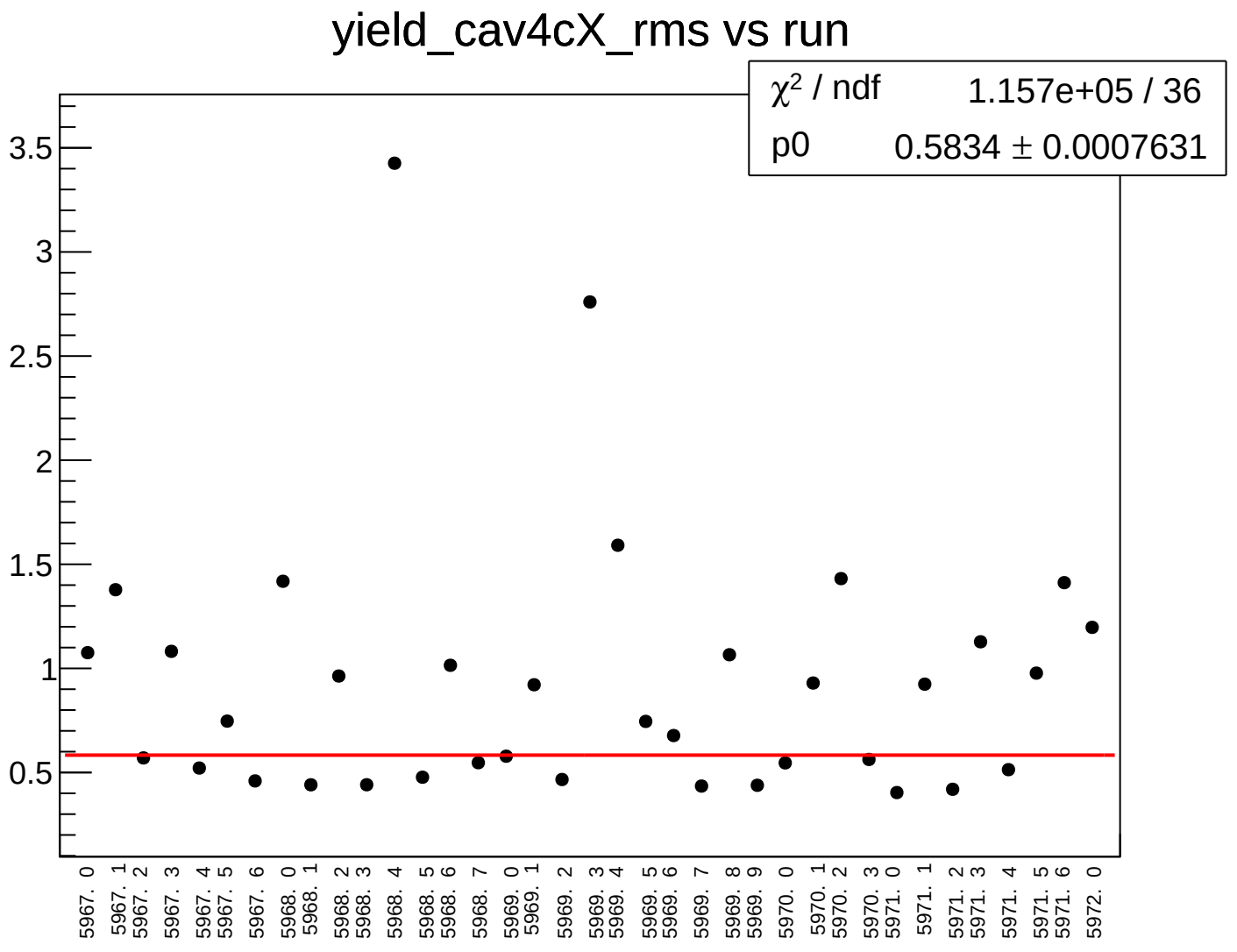
yield_cav4cX_rms vs run
χ² / ndf 1.157e+05 / 36
p0 0.5834 ± 0.0007631
3.5
3
2.5
2
1.5
1
0.5
5967. 0
5967. 1
5967. 2
5967. 3
5967. 4
5967. 5
5967. 6
5968. 0
5968. 1
5968. 2
5968. 3
5968. 4
5968. 5
5968. 6
5968. 7
5969. 0
5969. 1
5969. 2
5969. 3
5969. 4
5969. 5
5969. 6
5969. 7
5969. 8
5969. 9
5970. 0
5970. 1
5970. 2
5970. 3
5971. 0
5971. 1
5971. 2
5971. 3
5971. 4
5971. 5
5971. 6
5972. 0

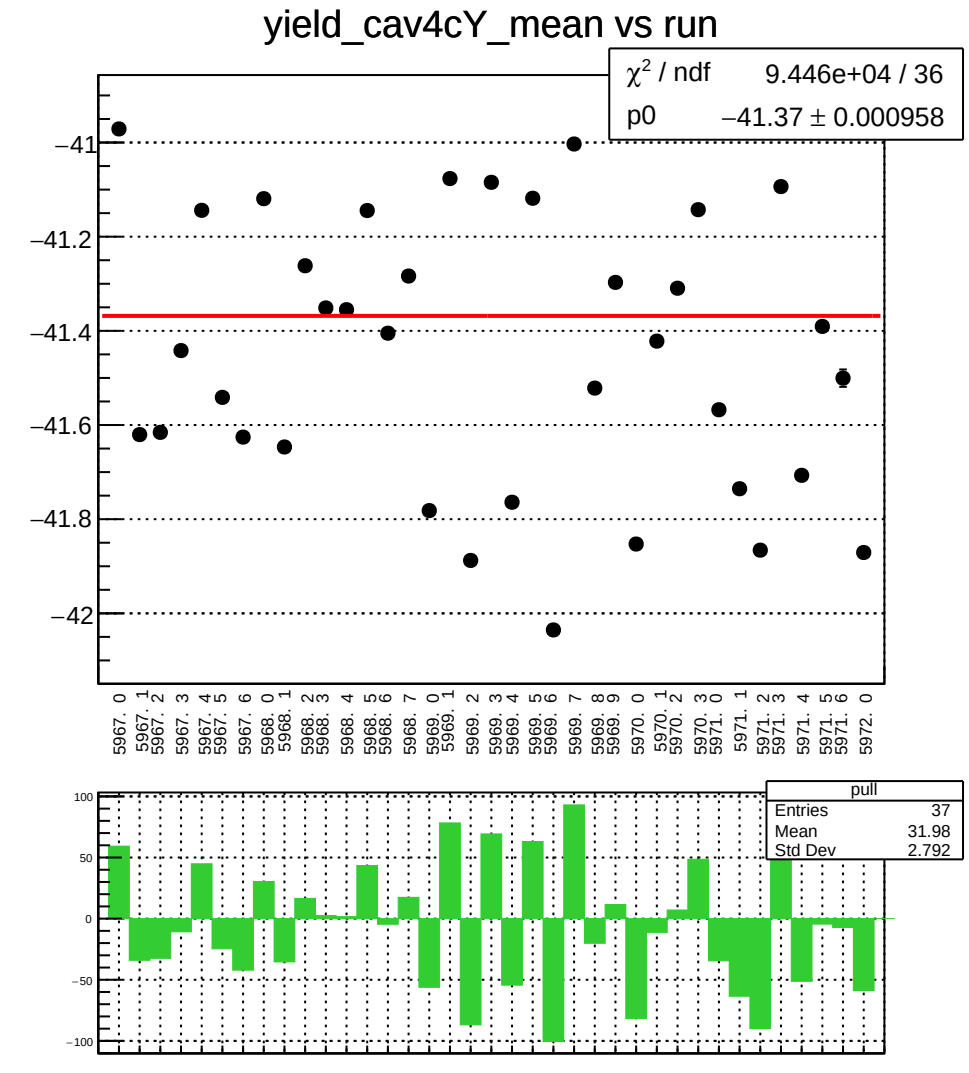
yield_cav4cY_mean vs run
χ² / ndf 9.446e+04 / 36
p0 −41.37 ± 0.000958
−41
−41.2
−41.4
−41.6
−41.8
−42
5967. 0
5967. 1
5967. 2
5967. 3
5967. 4
5967. 5
5967. 6
5968. 0
5968. 1
5968. 2
5968. 3
5968. 4
5968. 5
5968. 6
5968. 7
5969. 0
5969. 1
5969. 2
5969. 3
5969. 4
5969. 5
5969. 6
5969. 7
5969. 8
5969. 9
5970. 0
5970. 1
5970. 2
5970. 3
5971. 0
5971. 1
5971. 2
5971. 3
5971. 4
5971. 5
5971. 6
5972. 0
pull
Entries 37
Mean 31.98
Std Dev 2.792
100
50
0
−50
−100

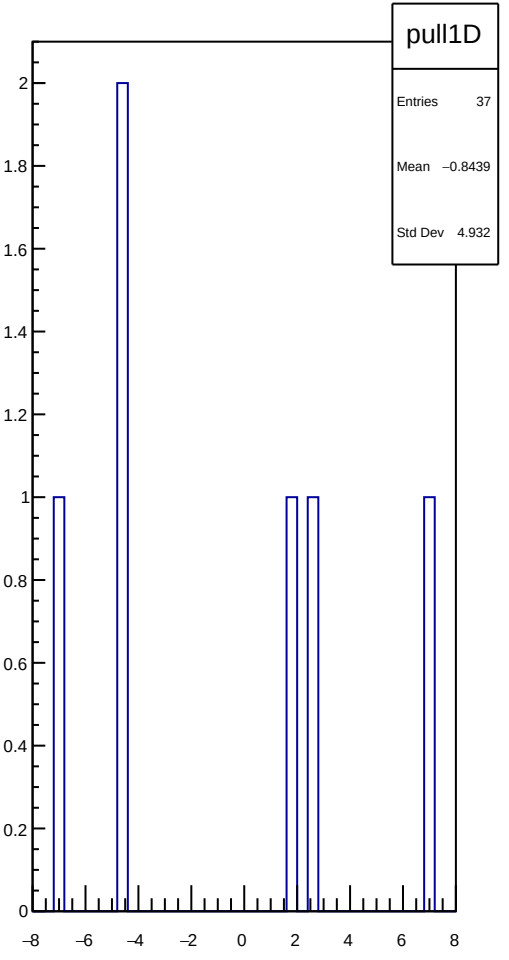
pull1D
Entries 37
Mean −0.8439
Std Dev 4.932
2
1.8
1.6
1.4
1.2
1
0.8
0.6
0.4
0.2
0
−8
−6
−4
−2
0
2
4
6
8

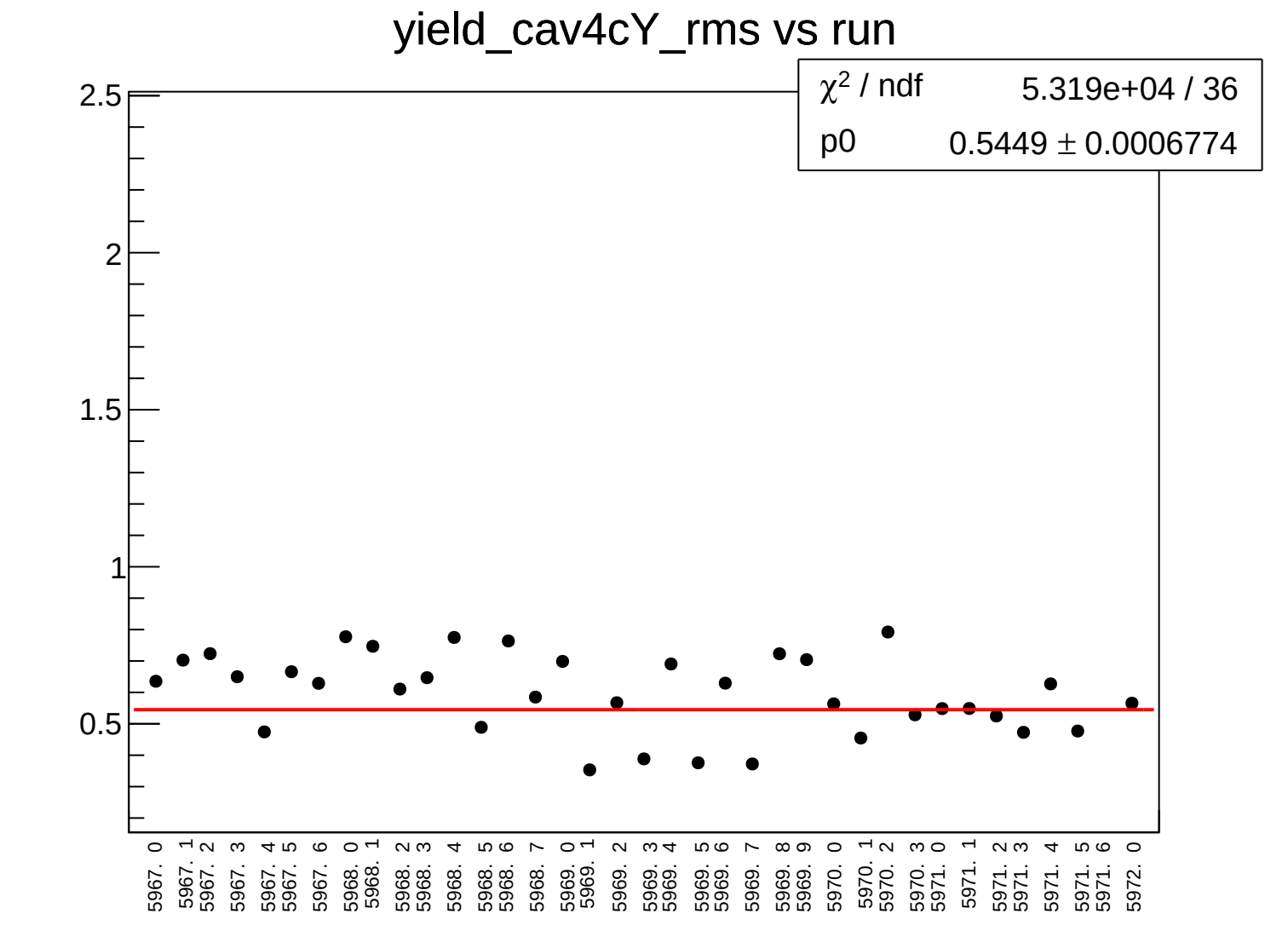
yield_cav4cY_rms vs run
χ² / ndf 5.319e+04 / 36
p0 0.5449 ± 0.0006774
2.5
2
1.5
1
0.5
5967. 0
5967. 1
5967. 2
5967. 3
5967. 4
5967. 5
5967. 6
5968. 0
5968. 1
5968. 2
5968. 3
5968. 4
5968. 5
5968. 6
5968. 7
5969. 0
5969. 1
5969. 2
5969. 3
5969. 4
5969. 5
5969. 6
5969. 7
5969. 8
5969. 9
5970. 0
5970. 1
5970. 2
5970. 3
5971. 0
5971. 1
5971. 2
5971. 3
5971. 4
5971. 5
5971. 6
5972. 0

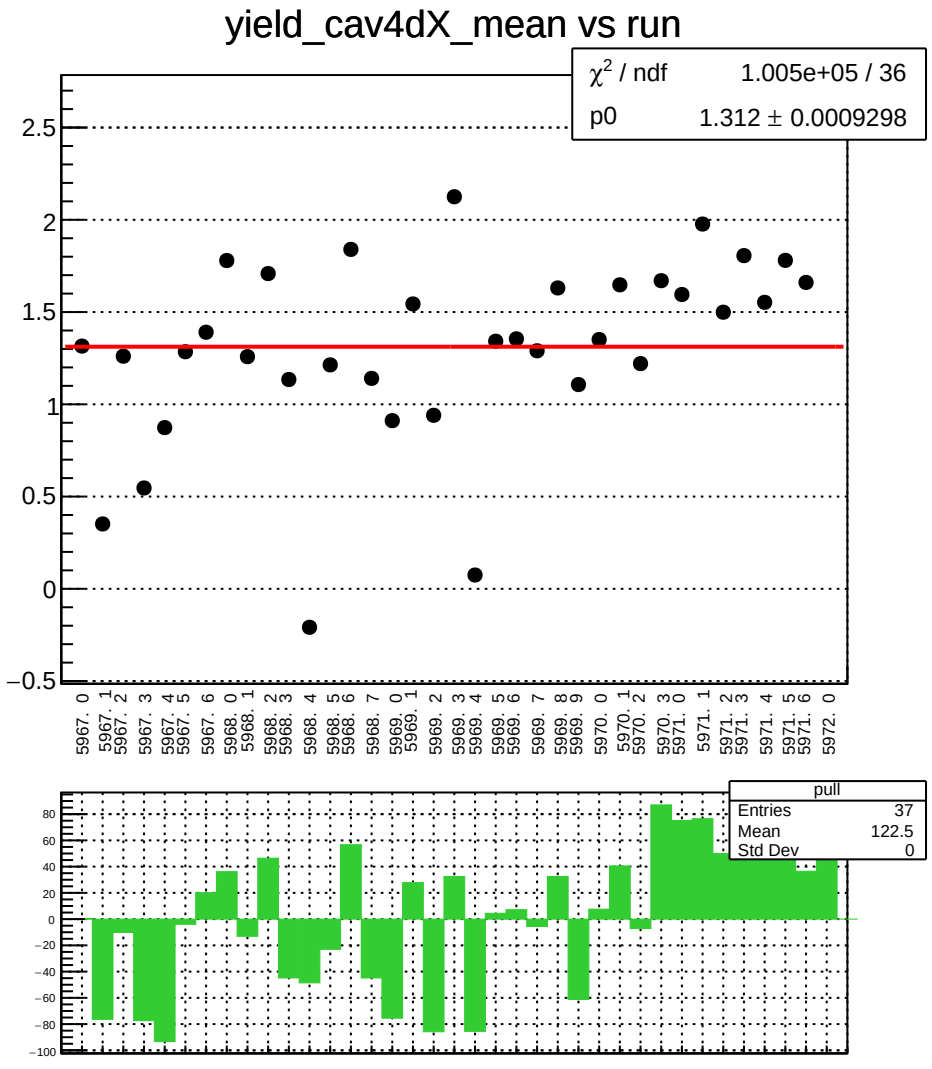
yield_cav4dX_mean vs run
χ² / ndf 1.005e+05 / 36
p0 1.312 ± 0.0009298
pull
Entries 37
Mean 122.5
Std Dev 0

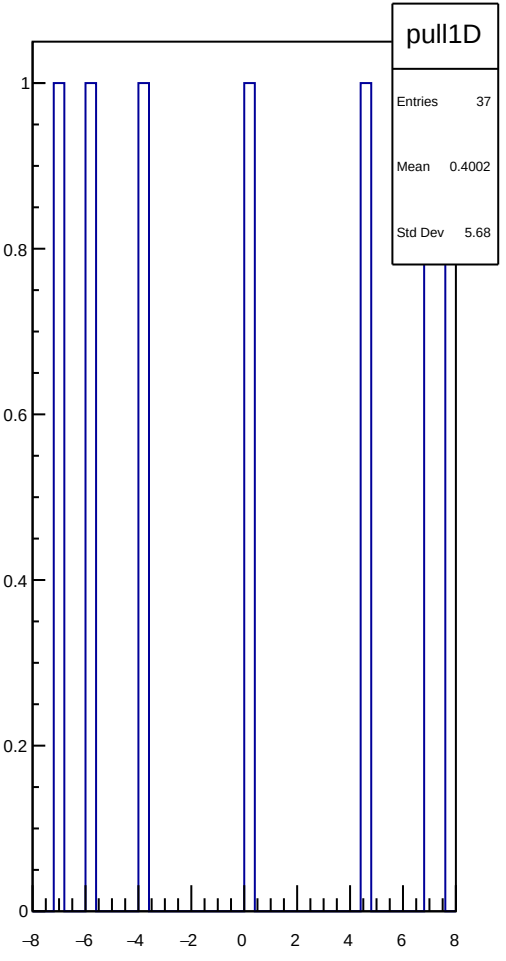
pull1D
Entries 37
Mean 0.4002
Std Dev 5.68

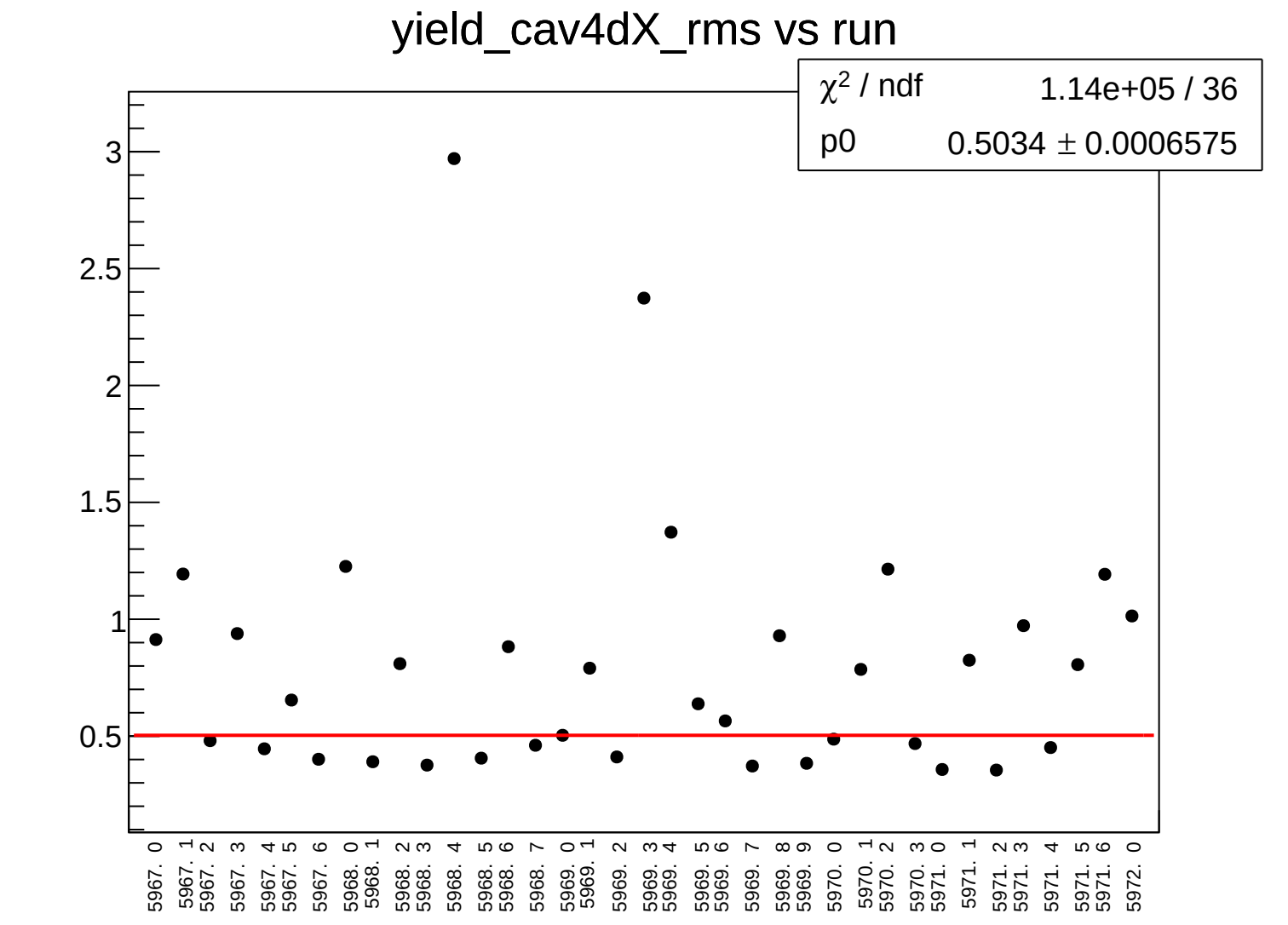
yield_cav4dX_rms vs run
χ² / ndf 1.14e+05 / 36
p0 0.5034 ± 0.0006575
3
2.5
2
1.5
1
0.5
5967. 0
5967. 1
5967. 2
5967. 3
5967. 4
5967. 5
5967. 6
5968. 0
5968. 1
5968. 2
5968. 3
5968. 4
5968. 5
5968. 6
5968. 7
5969. 0
5969. 1
5969. 2
5969. 3
5969. 4
5969. 5
5969. 6
5969. 7
5969. 8
5969. 9
5970. 0
5970. 1
5970. 2
5970. 3
5971. 0
5971. 1
5971. 2
5971. 3
5971. 4
5971. 5
5971. 6
5972. 0

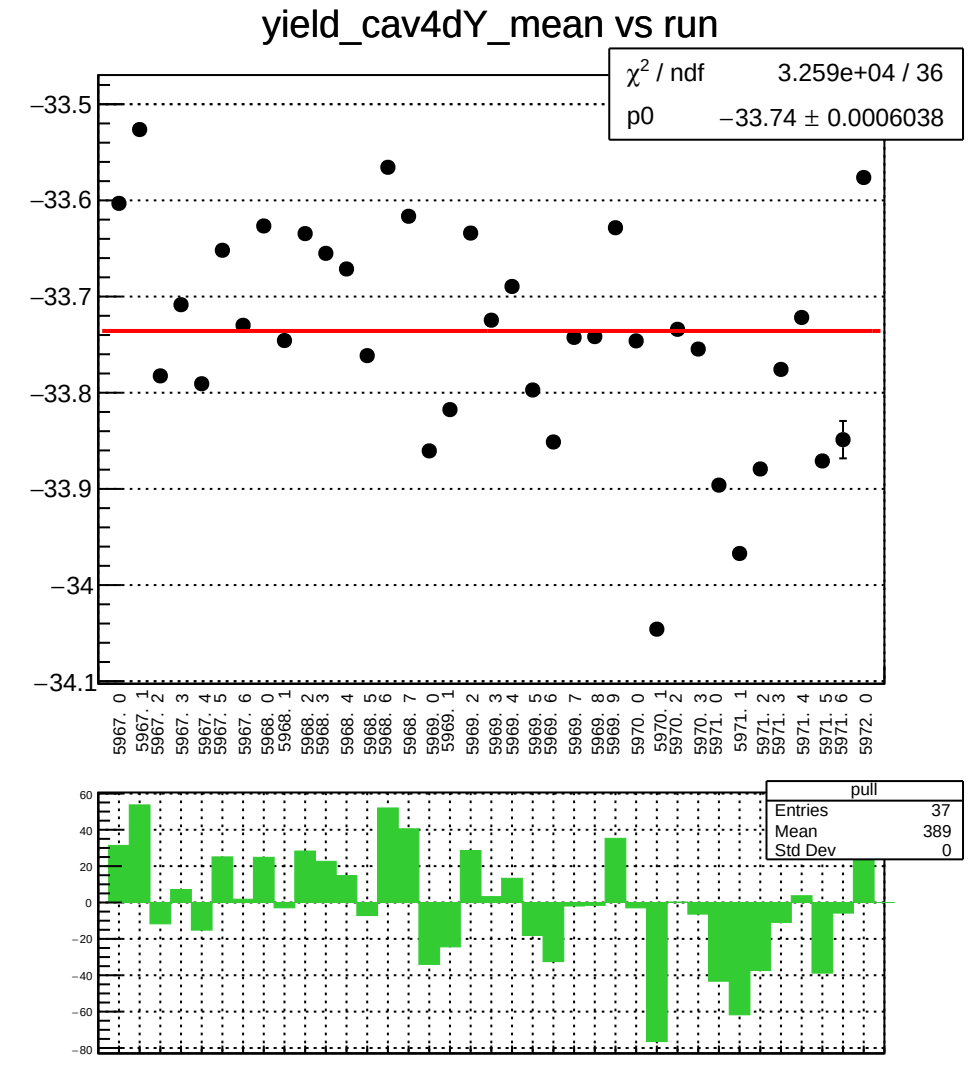
yield_cav4dY_mean vs run
χ² / ndf 3.259e+04 / 36
p0 −33.74 ± 0.0006038
−33.5
−33.6
−33.7
−33.8
−33.9
−34
−34.1
5967. 0
5967. 1
5967. 2
5967. 3
5967. 4
5967. 5
5967. 6
5968. 0
5968. 1
5968. 2
5968. 3
5968. 4
5968. 5
5968. 6
5968. 7
5969. 0
5969. 1
5969. 2
5969. 3
5969. 4
5969. 5
5969. 6
5969. 7
5969. 8
5969. 9
5970. 0
5970. 1
5970. 2
5970. 3
5971. 0
5971. 1
5971. 2
5971. 3
5971. 4
5971. 5
5971. 6
5972. 0
pull
Entries 37
Mean 389
Std Dev 0
60
40
20
0
−20
−40
−60
−80

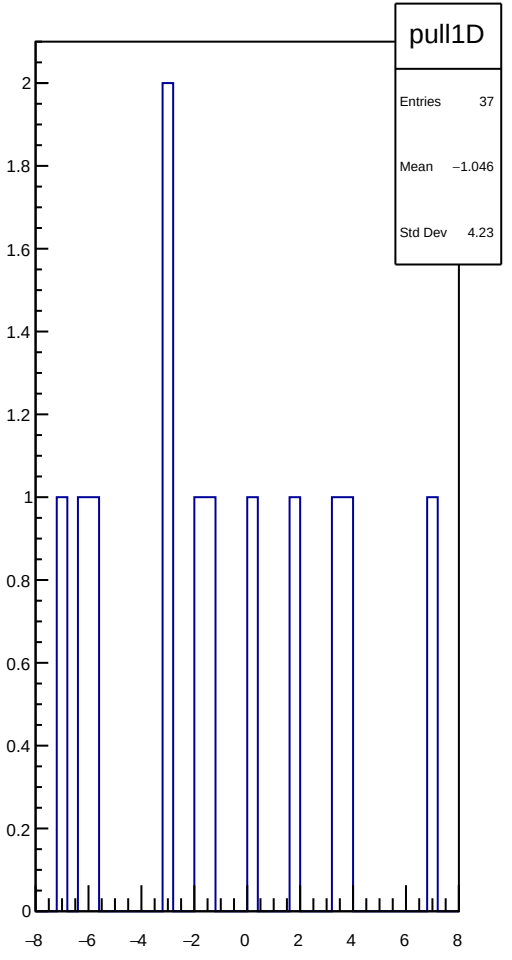
pull1D
Entries 37
Mean −1.046
Std Dev 4.23
2
1.8
1.6
1.4
1.2
1
0.8
0.6
0.4
0.2
0
−8
−6
−4
−2
0
2
4
6
8

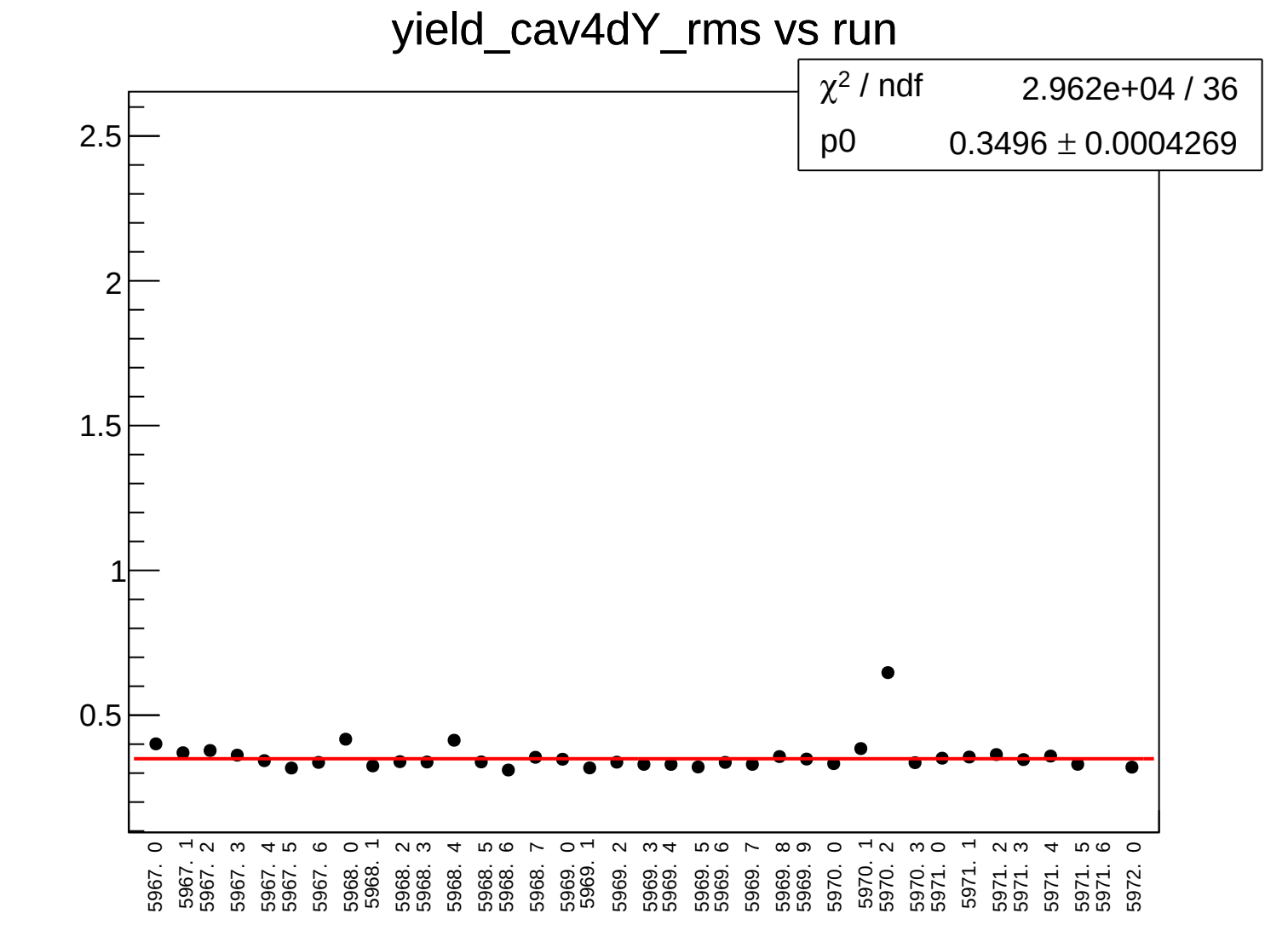
yield_cav4dY_rms vs run
χ² / ndf 2.962e+04 / 36
p0 0.3496 ± 0.0004269
2.5
2
1.5
1
0.5
5967. 0
5967. 1
5967. 2
5967. 3
5967. 4
5967. 5
5967. 6
5968. 0
5968. 1
5968. 2
5968. 3
5968. 4
5968. 5
5968. 6
5968. 7
5969. 0
5969. 1
5969. 2
5969. 3
5969. 4
5969. 5
5969. 6
5969. 7
5969. 8
5969. 9
5970. 0
5970. 1
5970. 2
5970. 3
5971. 0
5971. 1
5971. 2
5971. 3
5971. 4
5971. 5
5971. 6
5972. 0

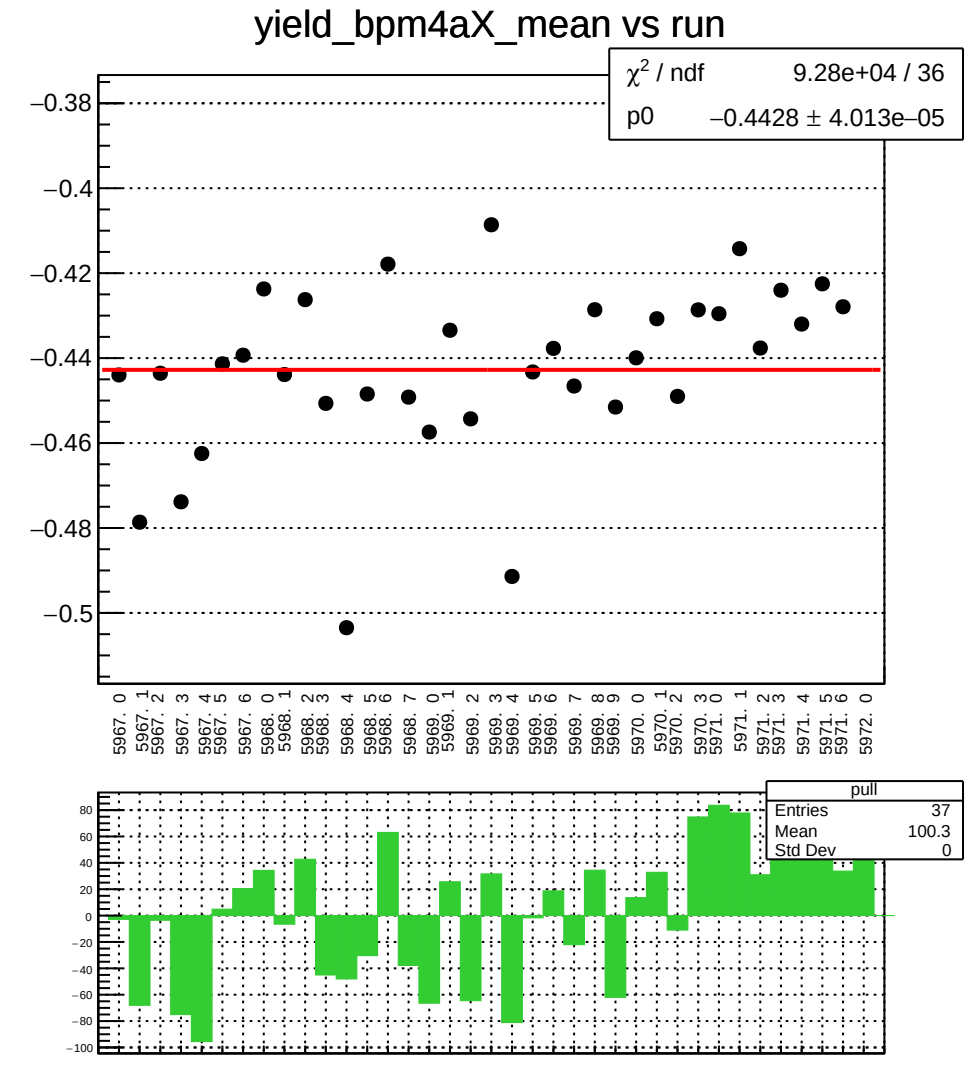
yield_bpm4aX_mean vs run
χ² / ndf 9.28e+04 / 36
p0 −0.4428 ± 4.013e−05
−0.38
−0.4
−0.42
−0.44
−0.46
−0.48
−0.5
5967. 0
5967. 1
5967. 2
5967. 3
5967. 4
5967. 5
5967. 6
5968. 0
5968. 1
5968. 2
5968. 3
5968. 4
5968. 5
5968. 6
5968. 7
5969. 0
5969. 1
5969. 2
5969. 3
5969. 4
5969. 5
5969. 6
5969. 7
5969. 8
5969. 9
5970. 0
5970. 1
5970. 2
5970. 3
5971. 0
5971. 1
5971. 2
5971. 3
5971. 4
5971. 5
5971. 6
5972. 0
pull
Entries 37
Mean 100.3
Std Dev 0
80
60
40
20
0
−20
−40
−60
−80
−100

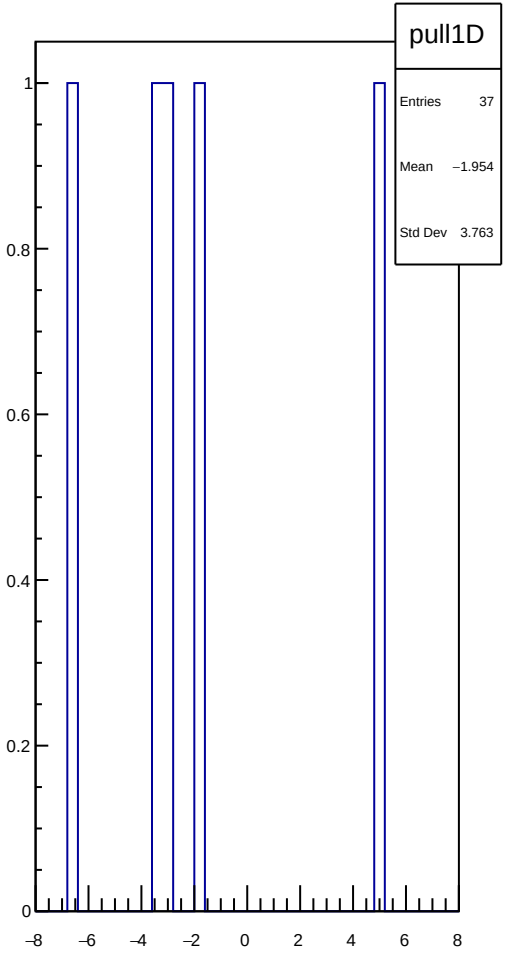
pull1D
Entries 37
Mean −1.954
Std Dev 3.763
1
0.8
0.6
0.4
0.2
0
−8
−6
−4
−2
0
2
4
6
8

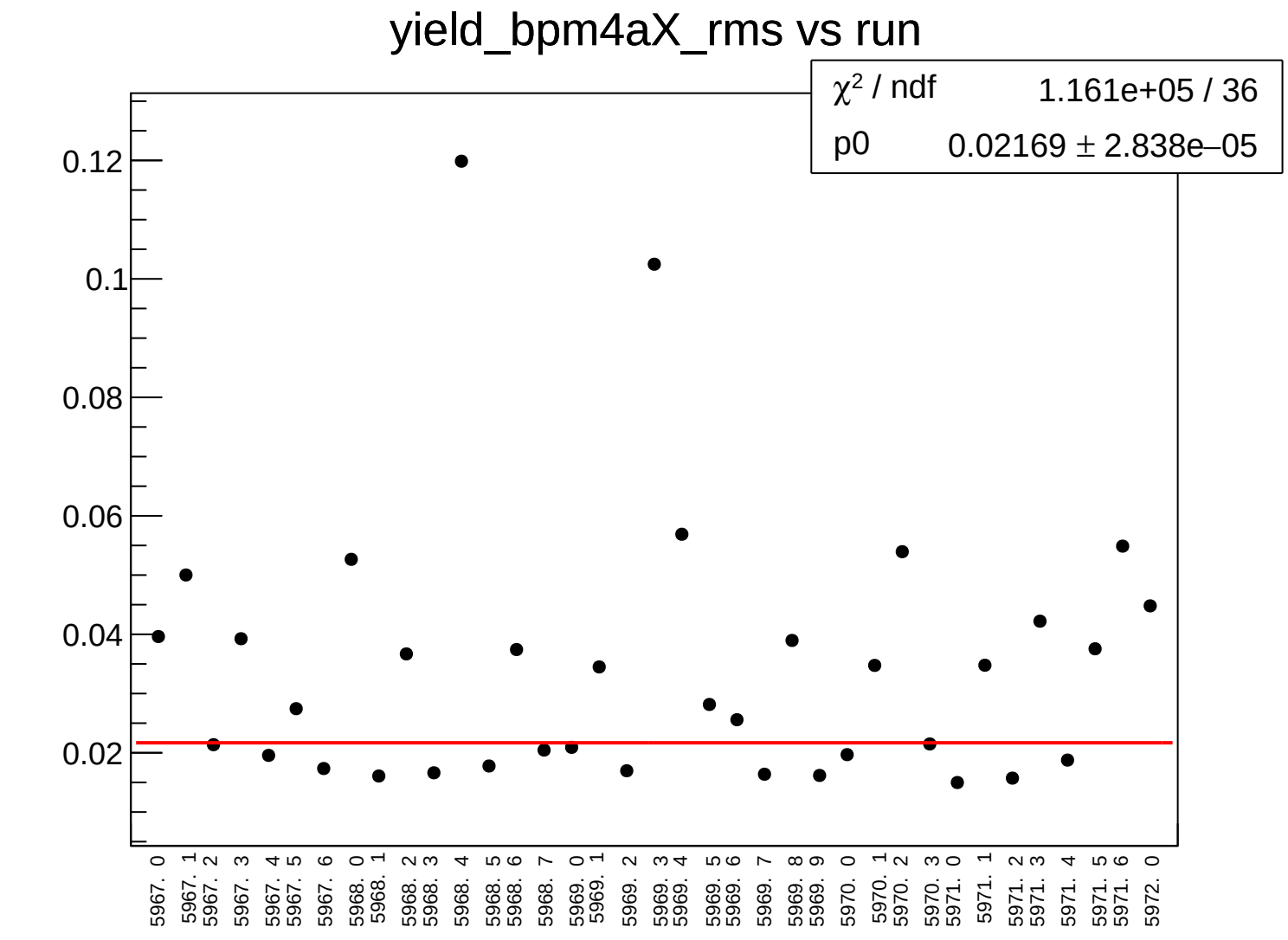
yield_bpm4aX_rms vs run
χ² / ndf 1.161e+05 / 36
p0 0.02169 ± 2.838e–05
0.12
0.1
0.08
0.06
0.04
0.02
5967. 0
5967. 1
5967. 2
5967. 3
5967. 4
5967. 5
5967. 6
5968. 0
5968. 1
5968. 2
5968. 3
5968. 4
5968. 5
5968. 6
5968. 7
5969. 0
5969. 1
5969. 2
5969. 3
5969. 4
5969. 5
5969. 6
5969. 7
5969. 8
5969. 9
5970. 0
5970. 1
5970. 2
5970. 3
5971. 0
5971. 1
5971. 2
5971. 3
5971. 4
5971. 5
5971. 6
5972. 0

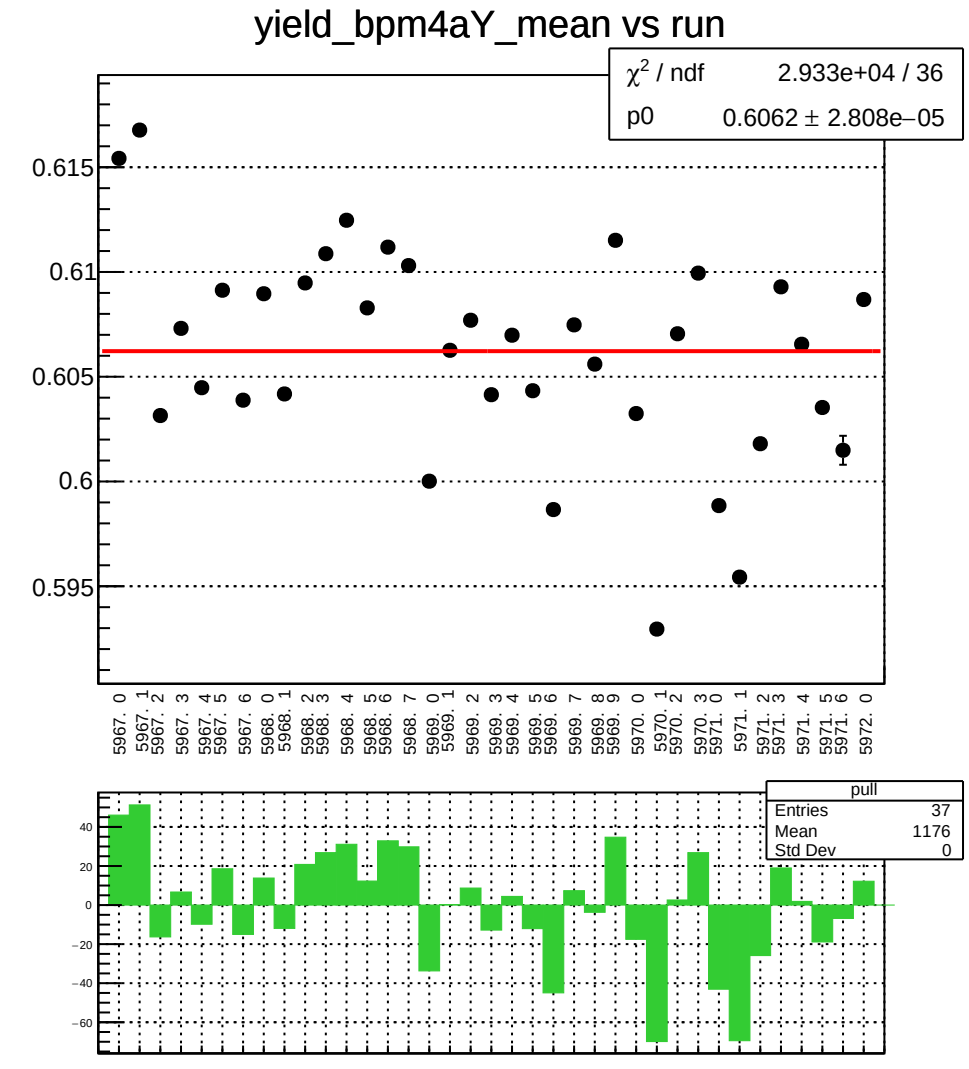
yield_bpm4aY_mean vs run
χ² / ndf 2.933e+04 / 36
p0 0.6062 ± 2.808e−05
0.615
0.61
0.605
0.6
0.595
5967. 0
5967. 1
5967. 2
5967. 3
5967. 4
5967. 5
5967. 6
5968. 0
5968. 1
5968. 2
5968. 3
5968. 4
5968. 5
5968. 6
5968. 7
5969. 0
5969. 1
5969. 2
5969. 3
5969. 4
5969. 5
5969. 6
5969. 7
5969. 8
5969. 9
5970. 0
5970. 1
5970. 2
5970. 3
5971. 0
5971. 1
5971. 2
5971. 3
5971. 4
5971. 5
5971. 6
5972. 0
pull
Entries 37
Mean 1176
Std Dev 0
40
20
0
−20
−40
−60
pull1D
Entries 37
Mean 1.582
Std Dev 4.598
1
0.8
0.6
0.4
0.2
0
−8
−6
−4
−2
0
2
4
6
8

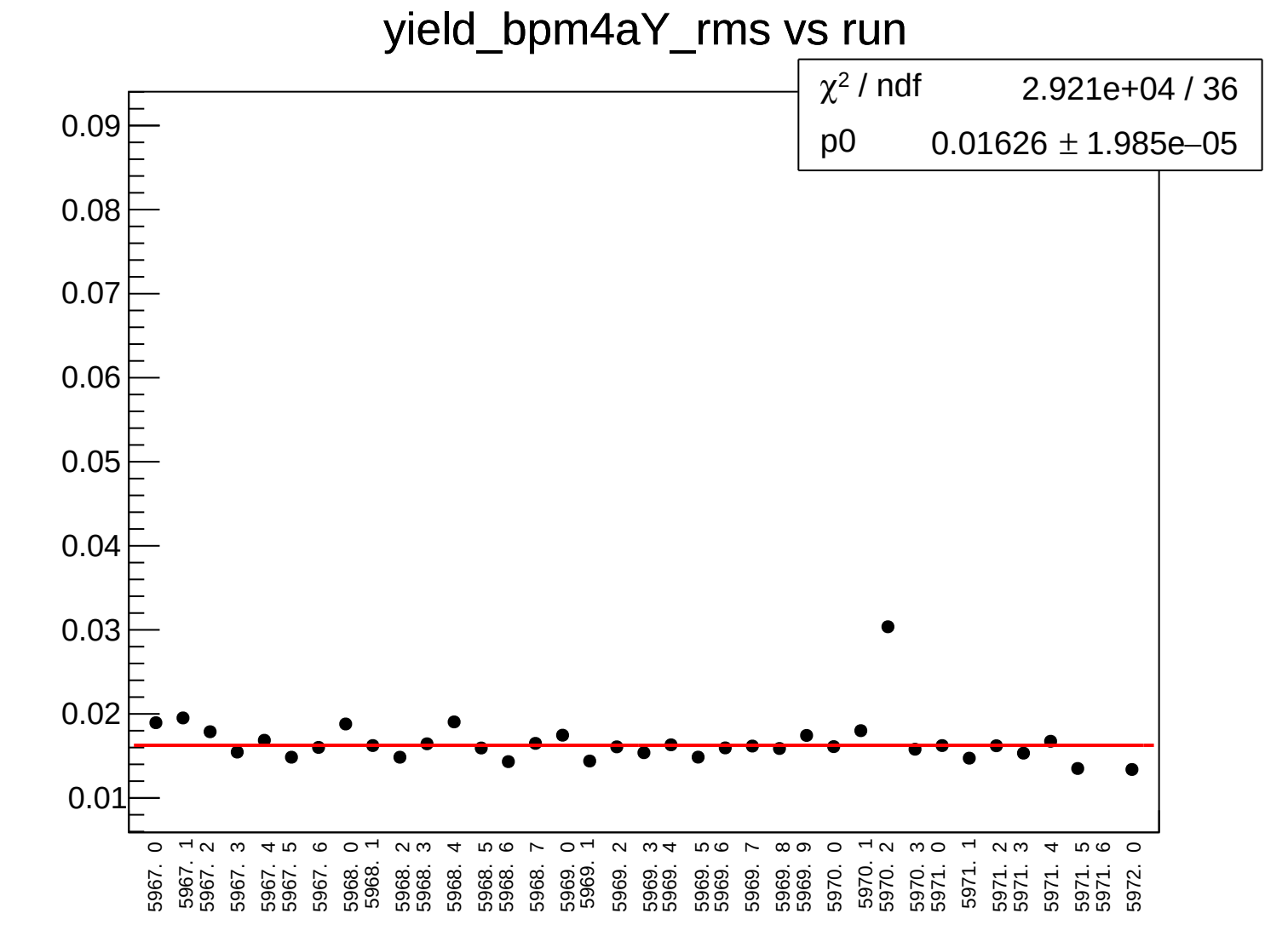
yield_bpm4aY_rms vs run
χ² / ndf 2.921e+04 / 36
p0 0.01626 ± 1.985e−05
0.09
0.08
0.07
0.06
0.05
0.04
0.03
0.02
0.01
5967. 0
5967. 1
5967. 2
5967. 3
5967. 4
5967. 5
5967. 6
5968. 0
5968. 1
5968. 2
5968. 3
5968. 4
5968. 5
5968. 6
5968. 7
5969. 0
5969. 1
5969. 2
5969. 3
5969. 4
5969. 5
5969. 6
5969. 7
5969. 8
5969. 9
5970. 0
5970. 1
5970. 2
5970. 3
5971. 0
5971. 1
5971. 2
5971. 3
5971. 4
5971. 5
5971. 6
5972. 0

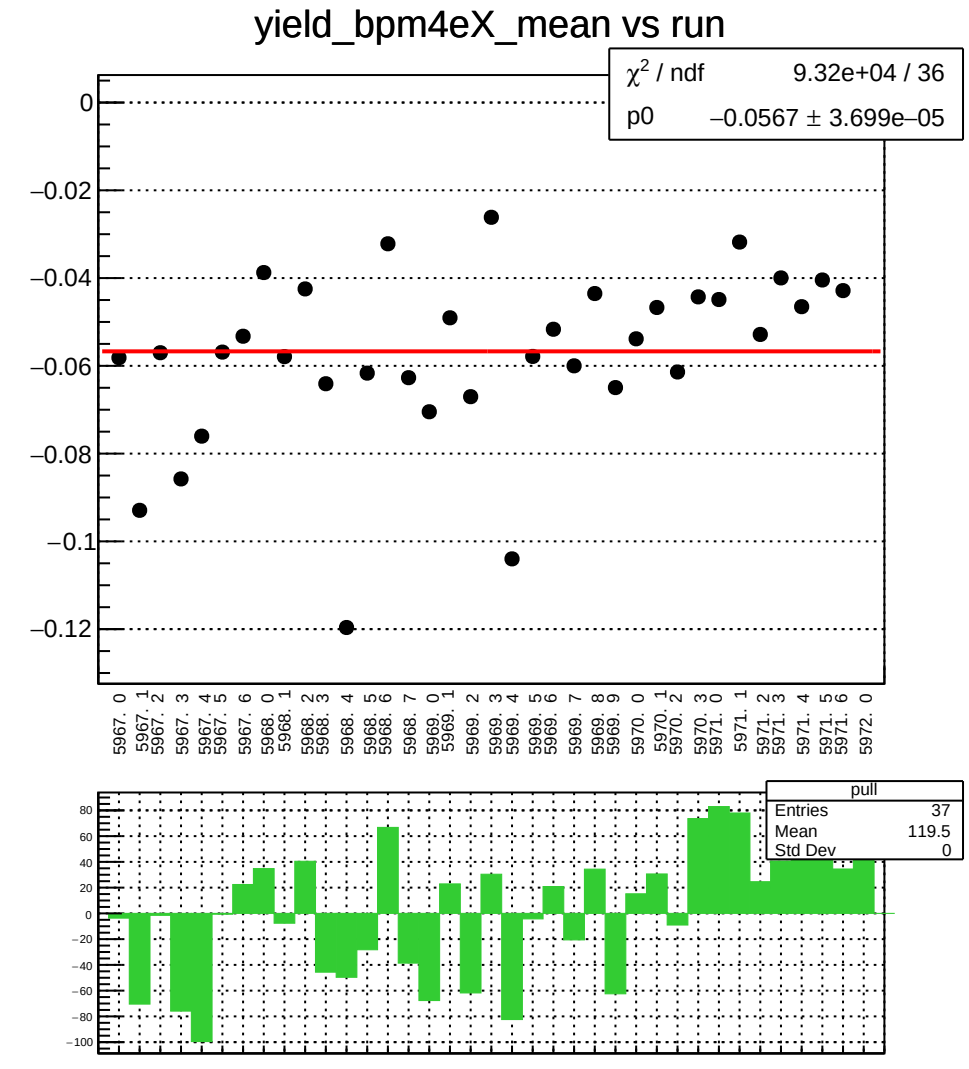
yield_bpm4eX_mean vs run
χ² / ndf 9.32e+04 / 36
p0 −0.0567 ± 3.699e−05
0
−0.02
−0.04
−0.06
−0.08
−0.1
−0.12
5967. 0
5967. 1
5967. 2
5967. 3
5967. 4
5967. 5
5967. 6
5968. 0
5968. 1
5968. 2
5968. 3
5968. 4
5968. 5
5968. 6
5968. 7
5969. 0
5969. 1
5969. 2
5969. 3
5969. 4
5969. 5
5969. 6
5969. 7
5969. 8
5969. 9
5970. 0
5970. 1
5970. 2
5970. 3
5971. 0
5971. 1
5971. 2
5971. 3
5971. 4
5971. 5
5971. 6
5972. 0
pull
Entries 37
Mean 119.5
Std Dev 0
80
60
40
20
0
−20
−40
−60
−80
−100

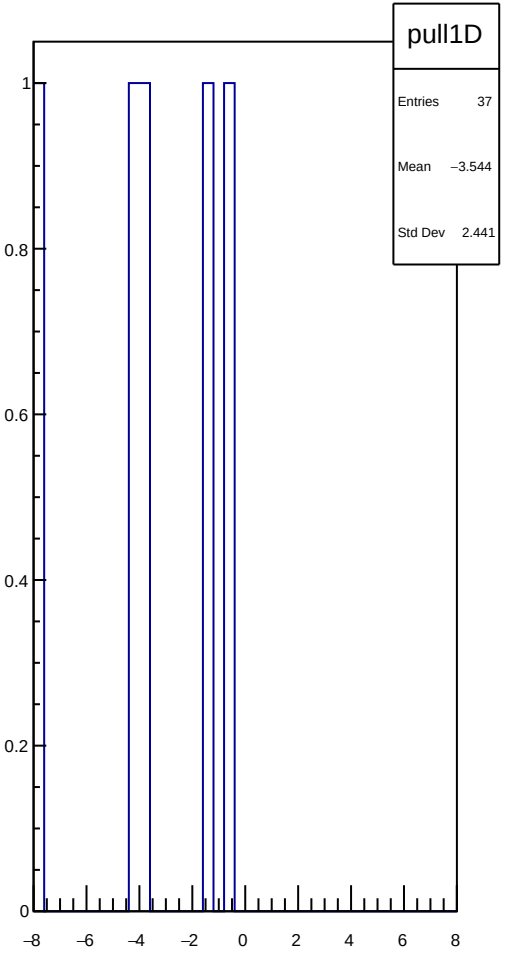
pull1D
Entries 37
Mean −3.544
Std Dev 2.441
1
0.8
0.6
0.4
0.2
0
−8
−6
−4
−2
0
2
4
6
8

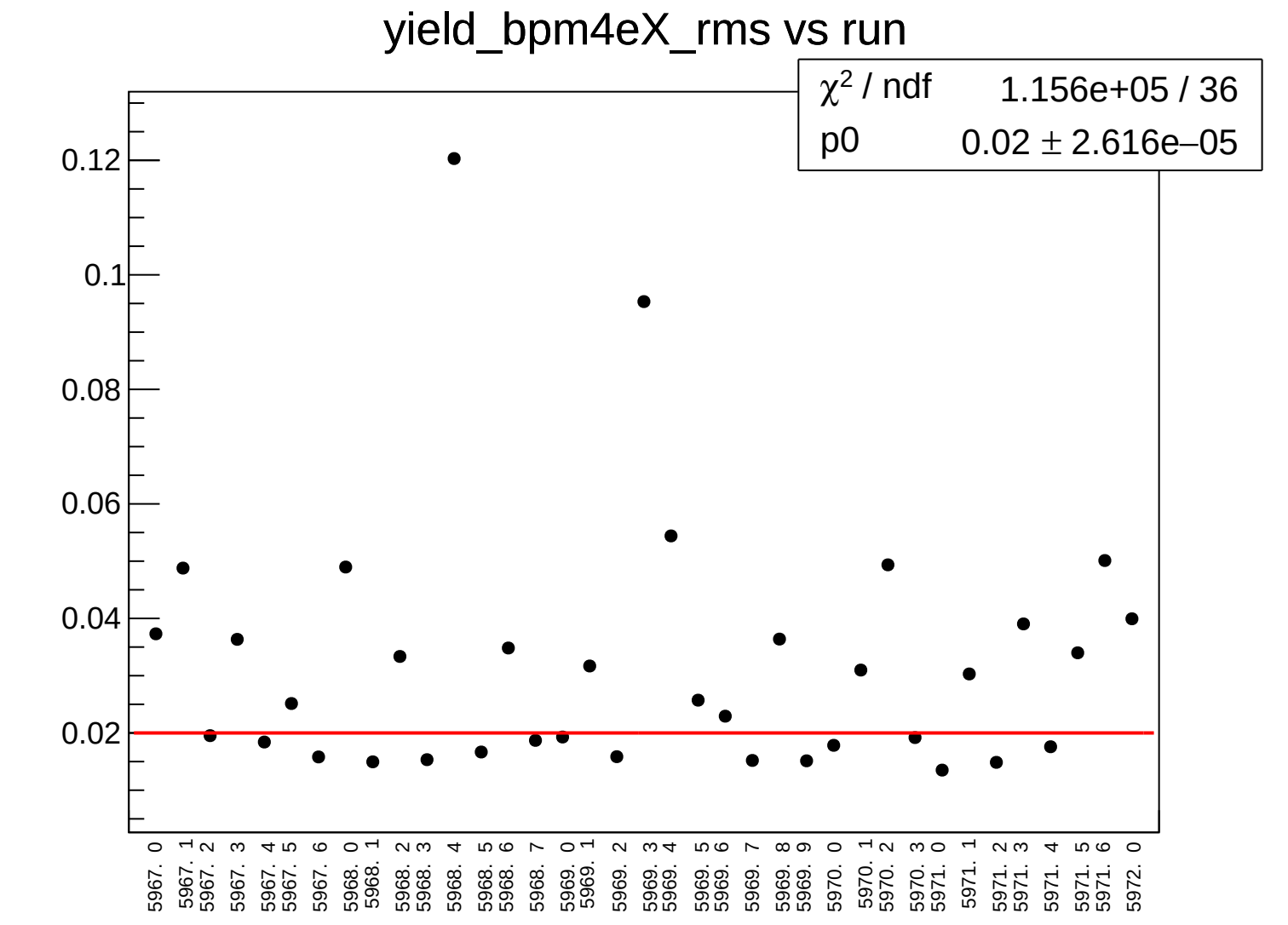
yield_bpm4eX_rms vs run
χ² / ndf 1.156e+05 / 36
p0 0.02 ± 2.616e−05
0.12
0.1
0.08
0.06
0.04
0.02
5967. 0
5967. 1
5967. 2
5967. 3
5967. 4
5967. 5
5967. 6
5968. 0
5968. 1
5968. 2
5968. 3
5968. 4
5968. 5
5968. 6
5968. 7
5969. 0
5969. 1
5969. 2
5969. 3
5969. 4
5969. 5
5969. 6
5969. 7
5969. 8
5969. 9
5970. 0
5970. 1
5970. 2
5970. 3
5971. 0
5971. 1
5971. 2
5971. 3
5971. 4
5971. 5
5971. 6
5972. 0

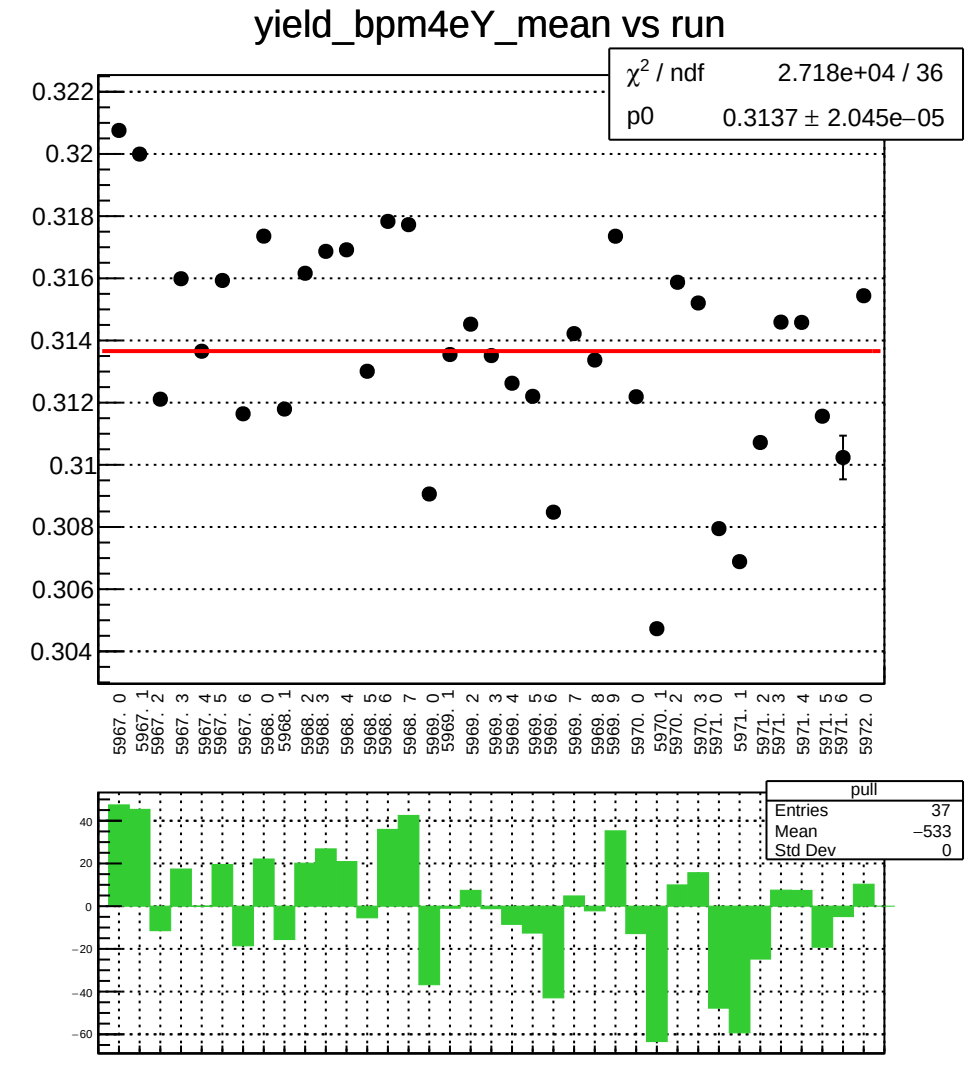
yield_bpm4eY_mean vs run
χ² / ndf 2.718e+04 / 36
p0 0.3137 ± 2.045e−05
0.322
0.32
0.318
0.316
0.314
0.312
0.31
0.308
0.306
0.304
5967. 0
5967. 1
5967. 2
5967. 3
5967. 4
5967. 5
5967. 6
5968. 0
5968. 1
5968. 2
5968. 3
5968. 4
5968. 5
5968. 6
5968. 7
5969. 0
5969. 1
5969. 2
5969. 3
5969. 4
5969. 5
5969. 6
5969. 7
5969. 8
5969. 9
5970. 0
5970. 1
5970. 2
5970. 3
5971. 0
5971. 1
5971. 2
5971. 3
5971. 4
5971. 5
5971. 6
5972. 0
pull
Entries 37
Mean −533
Std Dev 0
40
20
0
−20
−40
−60

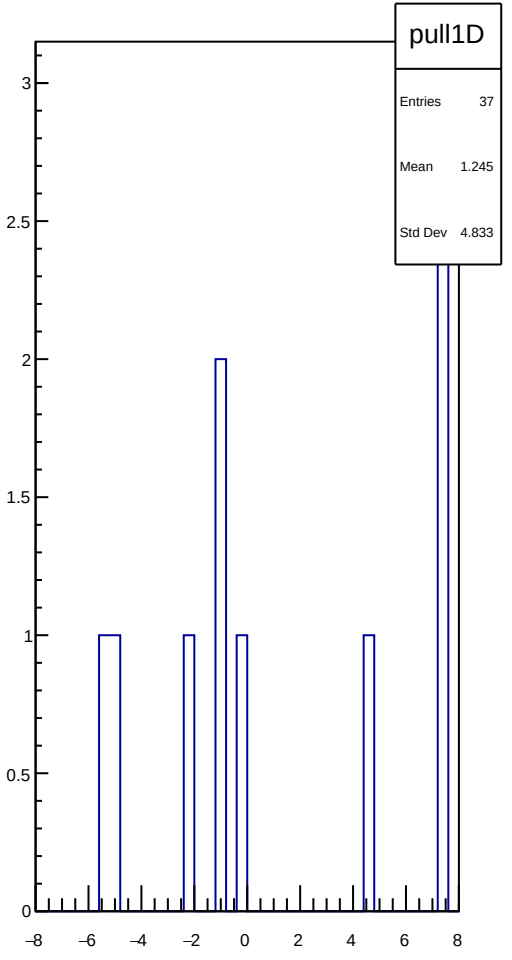
pull1D
Entries 37
Mean 1.245
Std Dev 4.833
3
2.5
2
1.5
1
0.5
0
−8
−6
−4
−2
0
2
4
6
8

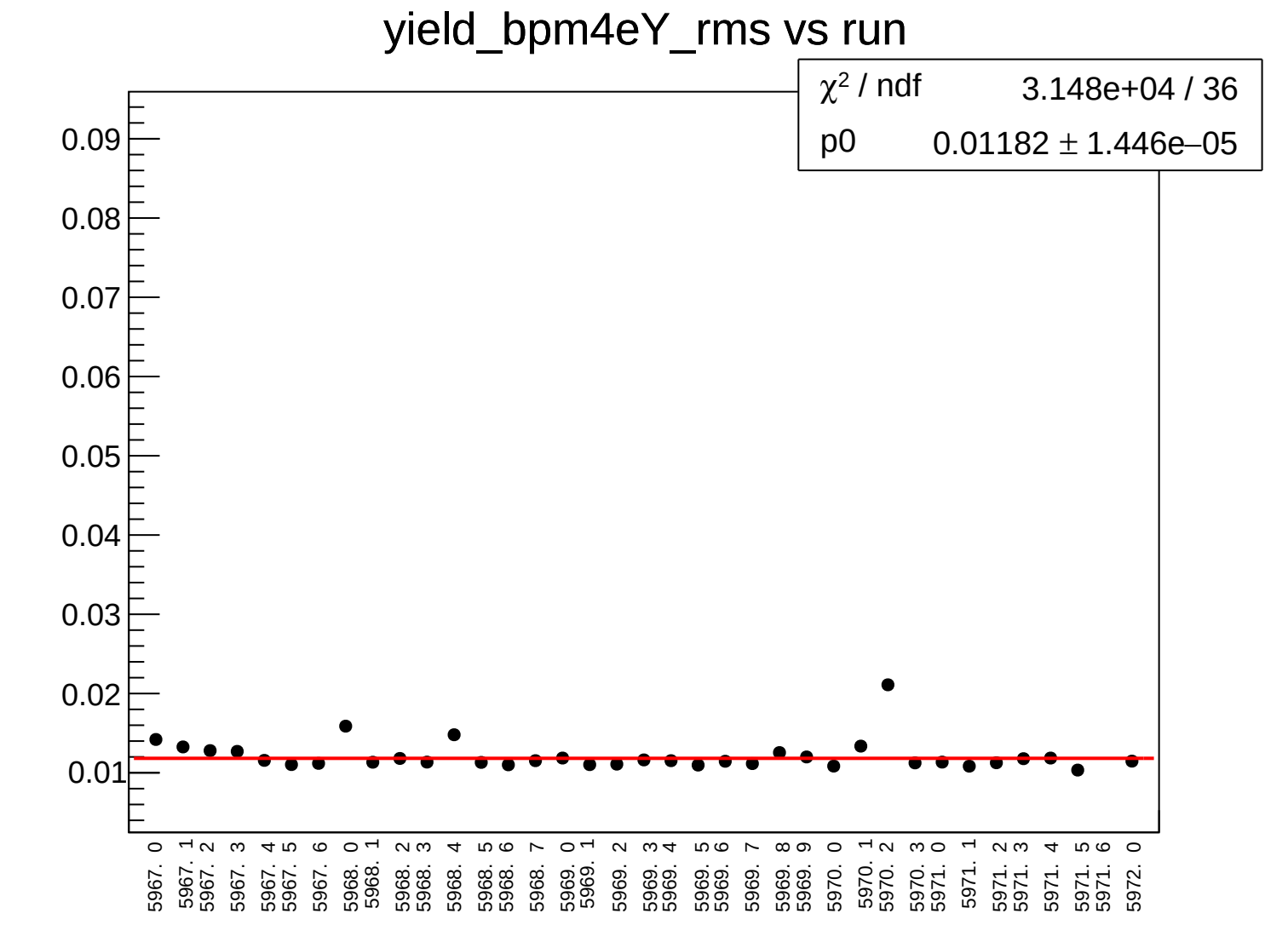
yield_bpm4eY_rms vs run
χ² / ndf 3.148e+04 / 36
p0 0.01182 ± 1.446e−05
0.09
0.08
0.07
0.06
0.05
0.04
0.03
0.02
0.01
5967. 0
5967. 1
5967. 2
5967. 3
5967. 4
5967. 5
5967. 6
5968. 0
5968. 1
5968. 2
5968. 3
5968. 4
5968. 5
5968. 6
5968. 7
5969. 0
5969. 1
5969. 2
5969. 3
5969. 4
5969. 5
5969. 6
5969. 7
5969. 8
5969. 9
5970. 0
5970. 1
5970. 2
5970. 3
5971. 0
5971. 1
5971. 2
5971. 3
5971. 4
5971. 5
5971. 6
5972. 0

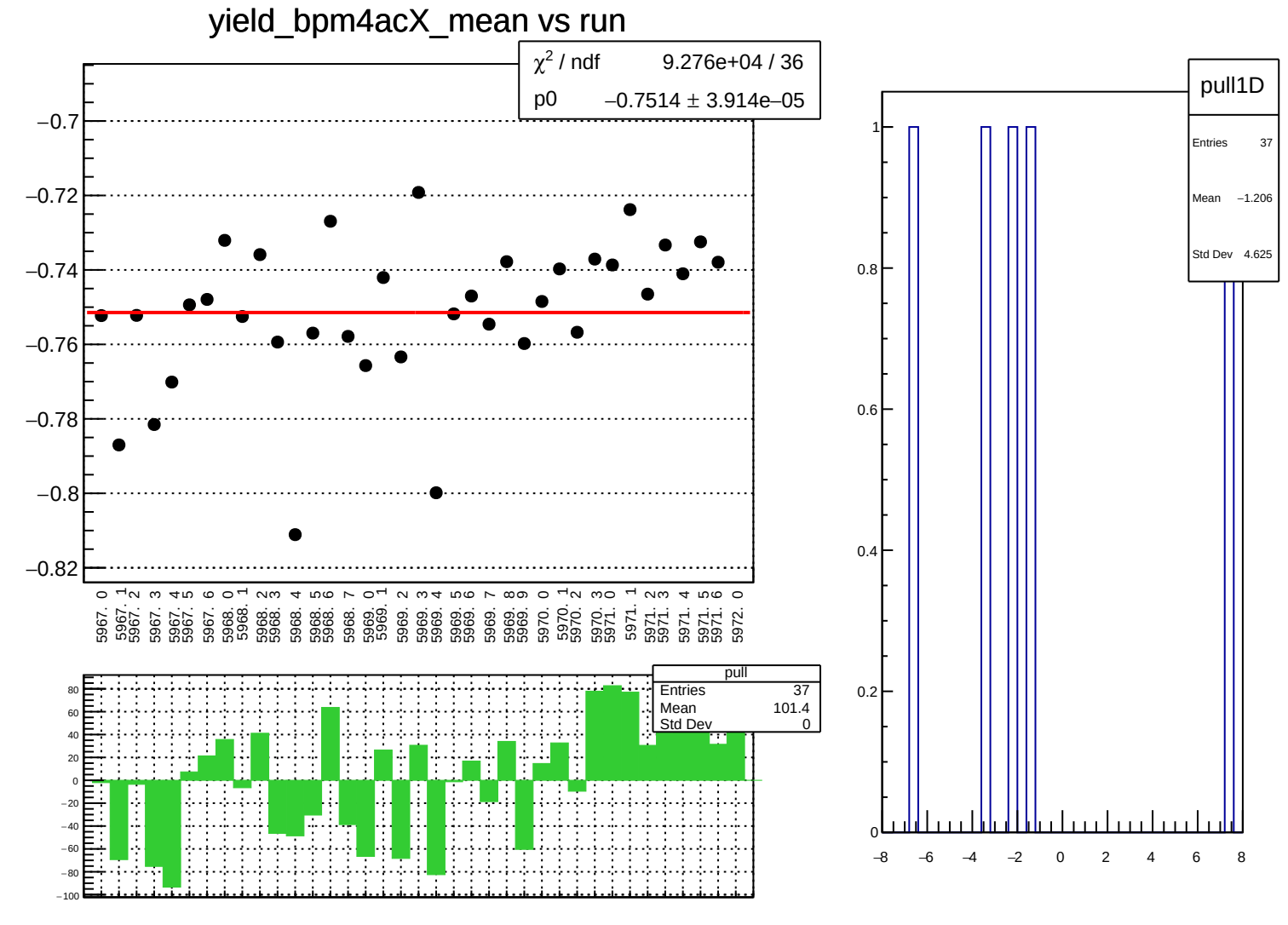
yield_bpm4acX_mean vs run
χ² / ndf 9.276e+04 / 36
p0 −0.7514 ± 3.914e−05
pull
Entries 37
Mean 101.4
Std Dev 0
pull1D
Entries 37
Mean −1.206
Std Dev 4.625

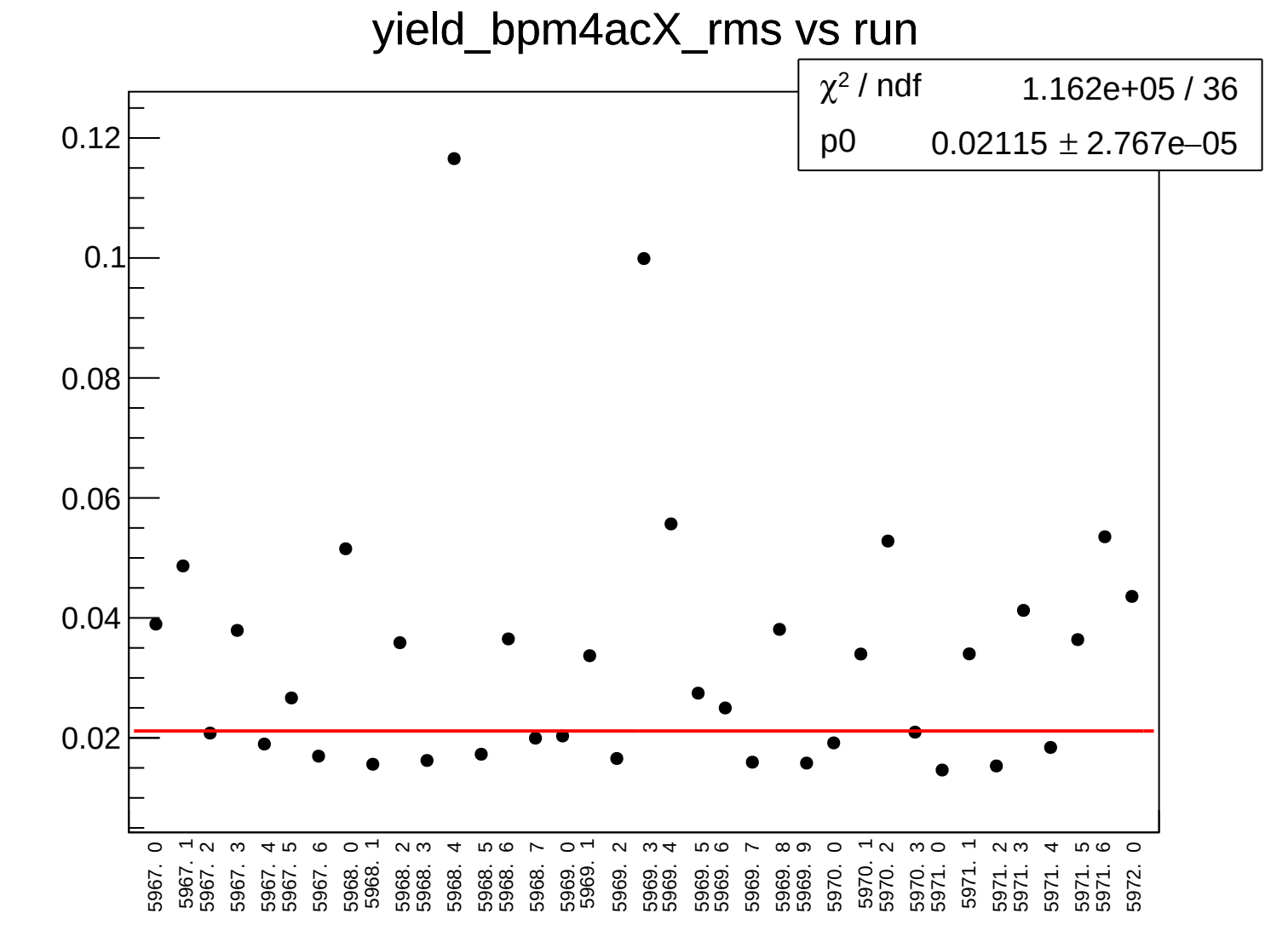
yield_bpm4acX_rms vs run
χ² / ndf 1.162e+05 / 36
p0 0.02115 ± 2.767e–05
0.12
0.1
0.08
0.06
0.04
0.02
5967. 0
5967. 1
5967. 2
5967. 3
5967. 4
5967. 5
5967. 6
5968. 0
5968. 1
5968. 2
5968. 3
5968. 4
5968. 5
5968. 6
5968. 7
5969. 0
5969. 1
5969. 2
5969. 3
5969. 4
5969. 5
5969. 6
5969. 7
5969. 8
5969. 9
5970. 0
5970. 1
5970. 2
5970. 3
5971. 0
5971. 1
5971. 2
5971. 3
5971. 4
5971. 5
5971. 6
5972. 0

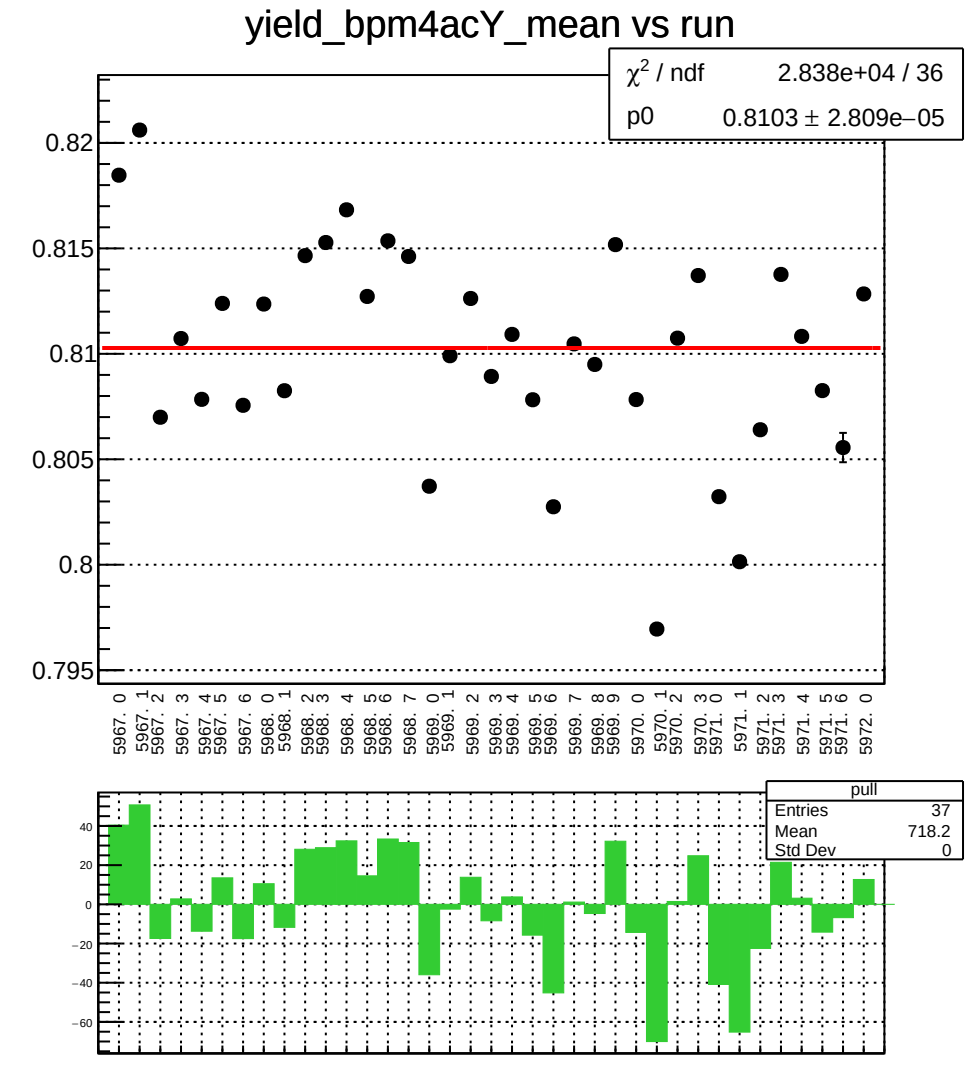
yield_bpm4acY_mean vs run
χ² / ndf 2.838e+04 / 36
p0 0.8103 ± 2.809e−05
0.82
0.815
0.81
0.805
0.8
0.795
5967. 0
5967. 1
5967. 2
5967. 3
5967. 4
5967. 5
5967. 6
5968. 0
5968. 1
5968. 2
5968. 3
5968. 4
5968. 5
5968. 6
5968. 7
5969. 0
5969. 1
5969. 2
5969. 3
5969. 4
5969. 5
5969. 6
5969. 7
5969. 8
5969. 9
5970. 0
5970. 1
5970. 2
5970. 3
5971. 0
5971. 1
5971. 2
5971. 3
5971. 4
5971. 5
5971. 6
5972. 0
pull
Entries 37
Mean 718.2
Std Dev 0
40
20
0
−20
−40
−60

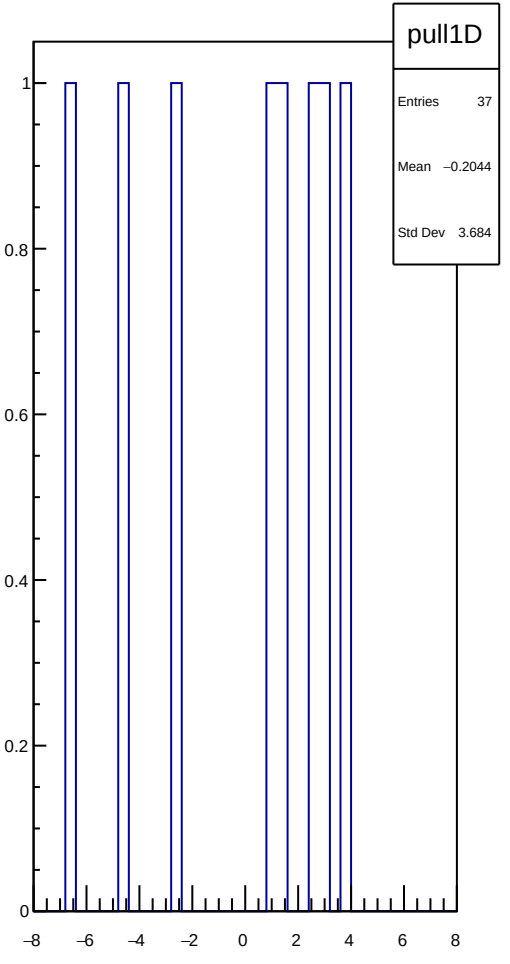
pull1D
Entries 37
Mean −0.2044
Std Dev 3.684
1
0.8
0.6
0.4
0.2
0
−8
−6
−4
−2
0
2
4
6
8

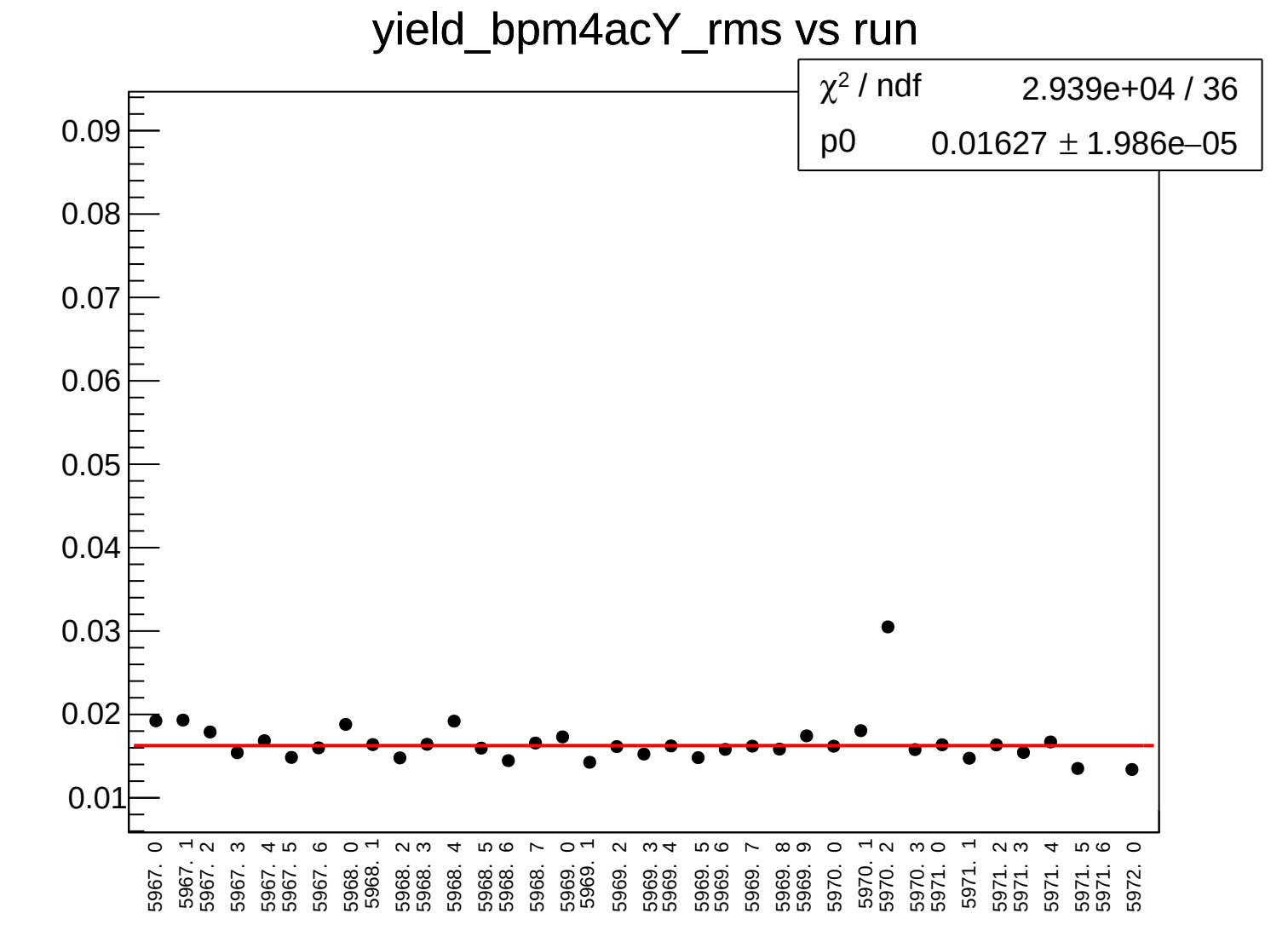
yield_bpm4acY_rms vs run
χ² / ndf 2.939e+04 / 36
p0 0.01627 ± 1.986e−05
0.09
0.08
0.07
0.06
0.05
0.04
0.03
0.02
0.01
5967. 0
5967. 1
5967. 2
5967. 3
5967. 4
5967. 5
5967. 6
5968. 0
5968. 1
5968. 2
5968. 3
5968. 4
5968. 5
5968. 6
5968. 7
5969. 0
5969. 1
5969. 2
5969. 3
5969. 4
5969. 5
5969. 6
5969. 7
5969. 8
5969. 9
5970. 0
5970. 1
5970. 2
5970. 3
5971. 0
5971. 1
5971. 2
5971. 3
5971. 4
5971. 5
5971. 6
5972. 0

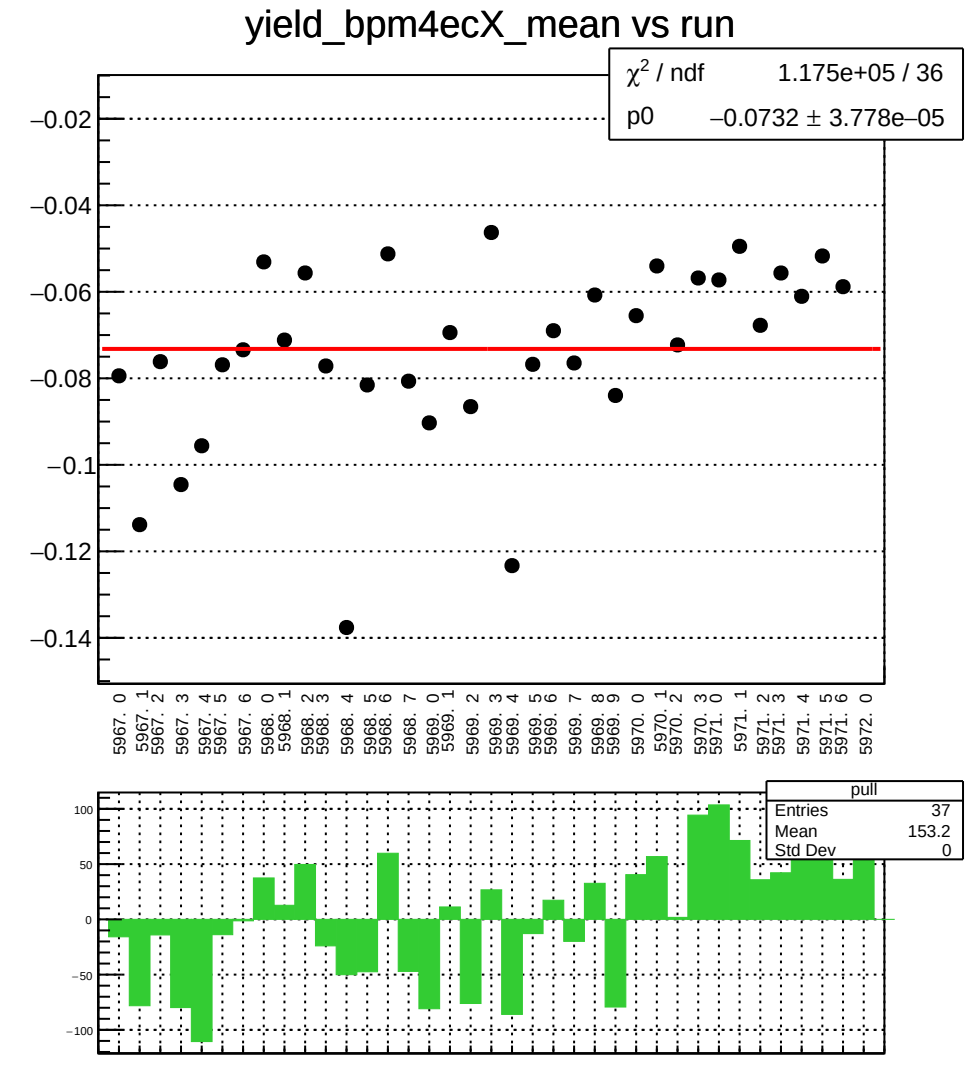
yield_bpm4ecX_mean vs run
χ² / ndf 1.175e+05 / 36
p0 −0.0732 ± 3.778e−05
−0.02
−0.04
−0.06
−0.08
−0.1
−0.12
−0.14
5967. 0
5967. 1
5967. 2
5967. 3
5967. 4
5967. 5
5967. 6
5968. 0
5968. 1
5968. 2
5968. 3
5968. 4
5968. 5
5968. 6
5968. 7
5969. 0
5969. 1
5969. 2
5969. 3
5969. 4
5969. 5
5969. 6
5969. 7
5969. 8
5969. 9
5970. 0
5970. 1
5970. 2
5970. 3
5971. 0
5971. 1
5971. 2
5971. 3
5971. 4
5971. 5
5971. 6
5972. 0
pull
Entries 37
Mean 153.2
Std Dev 0
100
50
0
−50
−100

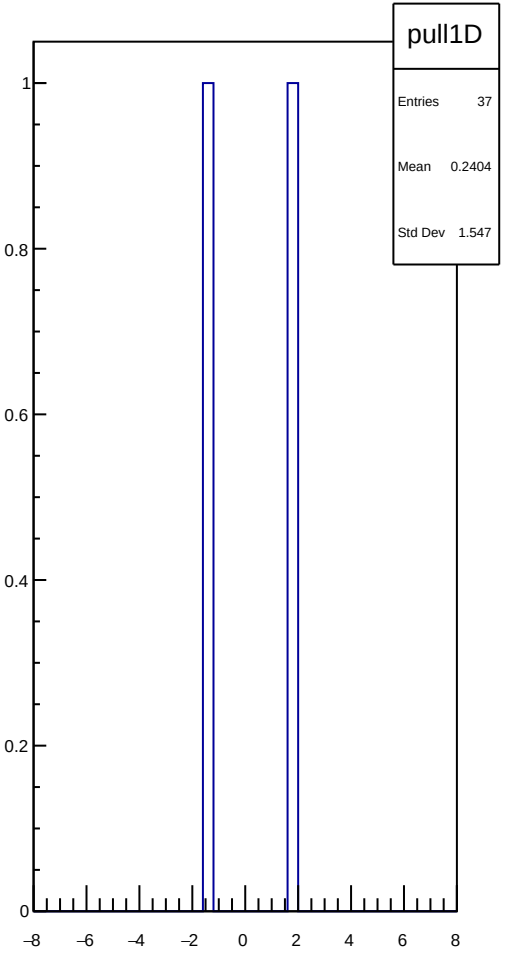
pull1D
Entries 37
Mean 0.2404
Std Dev 1.547
1
0.8
0.6
0.4
0.2
0
−8
−6
−4
−2
0
2
4
6
8

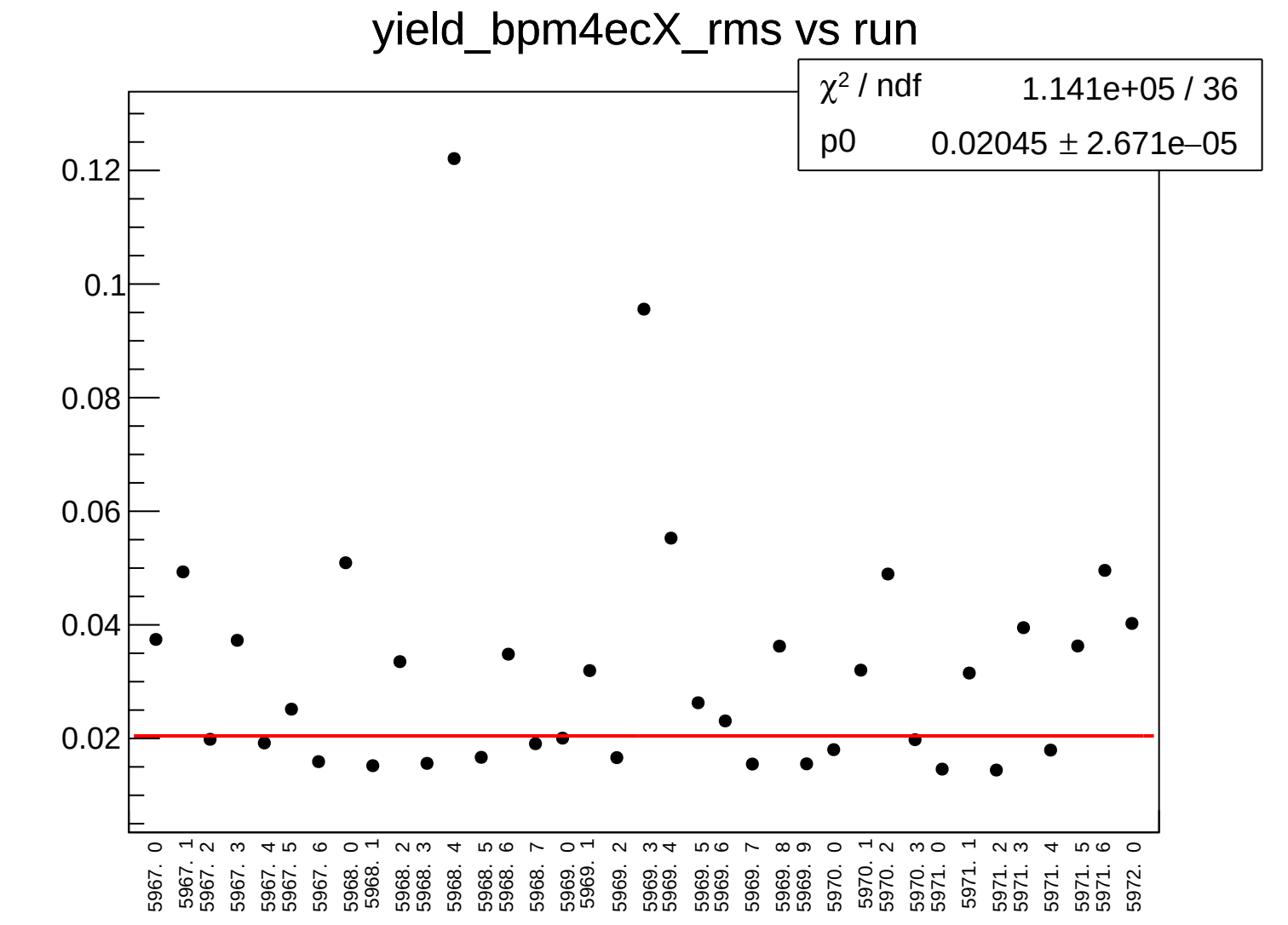
yield_bpm4ecX_rms vs run
χ² / ndf 1.141e+05 / 36
p0 0.02045 ± 2.671e–05
0.12
0.1
0.08
0.06
0.04
0.02
5967. 0
5967. 1
5967. 2
5967. 3
5967. 4
5967. 5
5967. 6
5968. 0
5968. 1
5968. 2
5968. 3
5968. 4
5968. 5
5968. 6
5968. 7
5969. 0
5969. 1
5969. 2
5969. 3
5969. 4
5969. 5
5969. 6
5969. 7
5969. 8
5969. 9
5970. 0
5970. 1
5970. 2
5970. 3
5971. 0
5971. 1
5971. 2
5971. 3
5971. 4
5971. 5
5971. 6
5972. 0

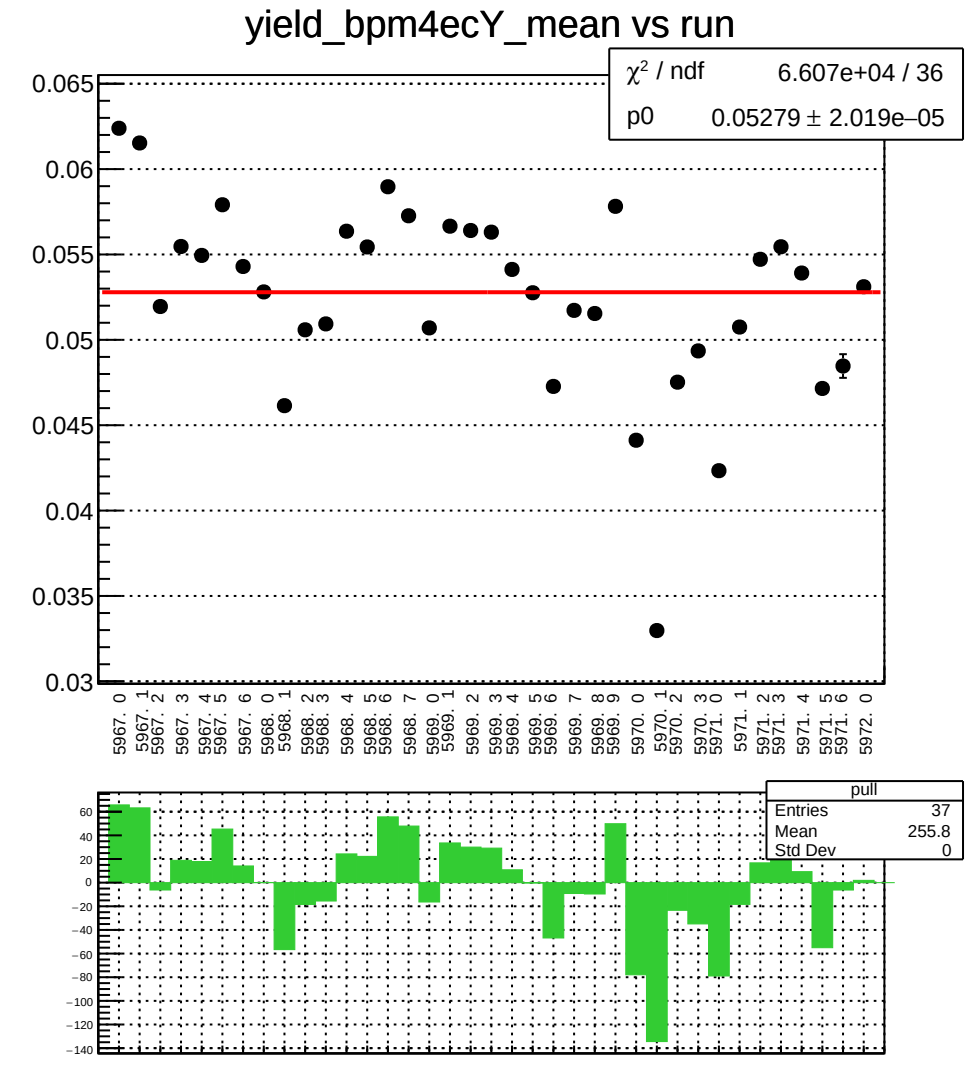
yield_bpm4ecY_mean vs run
χ² / ndf 6.607e+04 / 36
p0 0.05279 ± 2.019e−05
0.065
0.06
0.055
0.05
0.045
0.04
0.035
0.03
5967. 0
5967. 1
5967. 2
5967. 3
5967. 4
5967. 5
5967. 6
5968. 0
5968. 1
5968. 2
5968. 3
5968. 4
5968. 5
5968. 6
5968. 7
5969. 0
5969. 1
5969. 2
5969. 3
5969. 4
5969. 5
5969. 6
5969. 7
5969. 8
5969. 9
5970. 0
5970. 1
5970. 2
5970. 3
5971. 0
5971. 1
5971. 2
5971. 3
5971. 4
5971. 5
5971. 6
5972. 0
pull
Entries 37
Mean 255.8
Std Dev 0
60
40
20
0
−20
−40
−60
−80
−100
−120
−140
pull1D
Entries 37
Mean −2.134
Std Dev 3.418
2
1.8
1.6
1.4
1.2
1
0.8
0.6
0.4
0.2
0
−8
−6
−4
−2
0
2
4
6
8

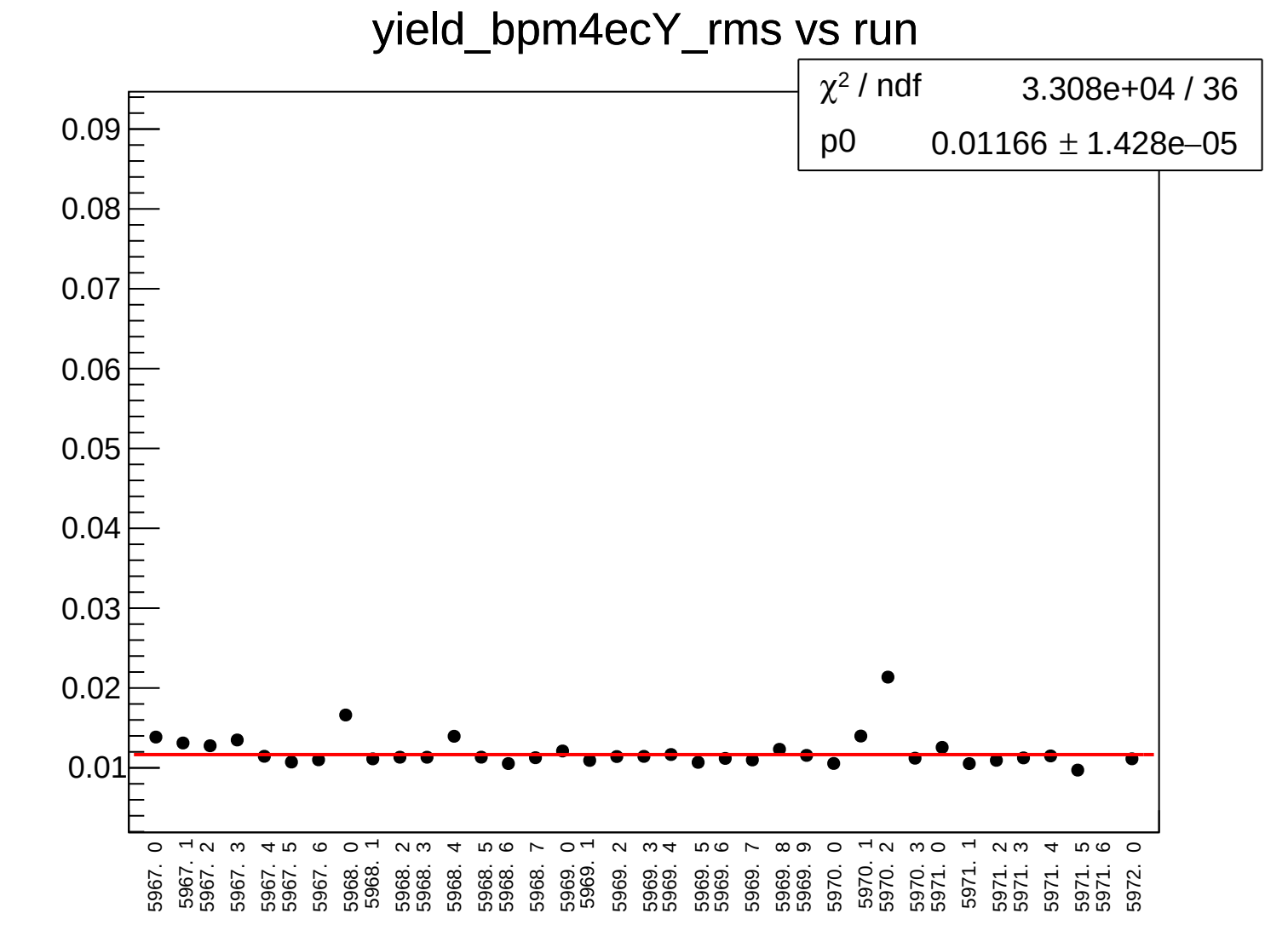
yield_bpm4ecY_rms vs run
χ² / ndf 3.308e+04 / 36
p0 0.01166 ± 1.428e–05
0.09
0.08
0.07
0.06
0.05
0.04
0.03
0.02
0.01
5967. 0
5967. 1
5967. 2
5967. 3
5967. 4
5967. 5
5967. 6
5968. 0
5968. 1
5968. 2
5968. 3
5968. 4
5968. 5
5968. 6
5968. 7
5969. 0
5969. 1
5969. 2
5969. 3
5969. 4
5969. 5
5969. 6
5969. 7
5969. 8
5969. 9
5970. 0
5970. 1
5970. 2
5970. 3
5971. 0
5971. 1
5971. 2
5971. 3
5971. 4
5971. 5
5971. 6
5972. 0

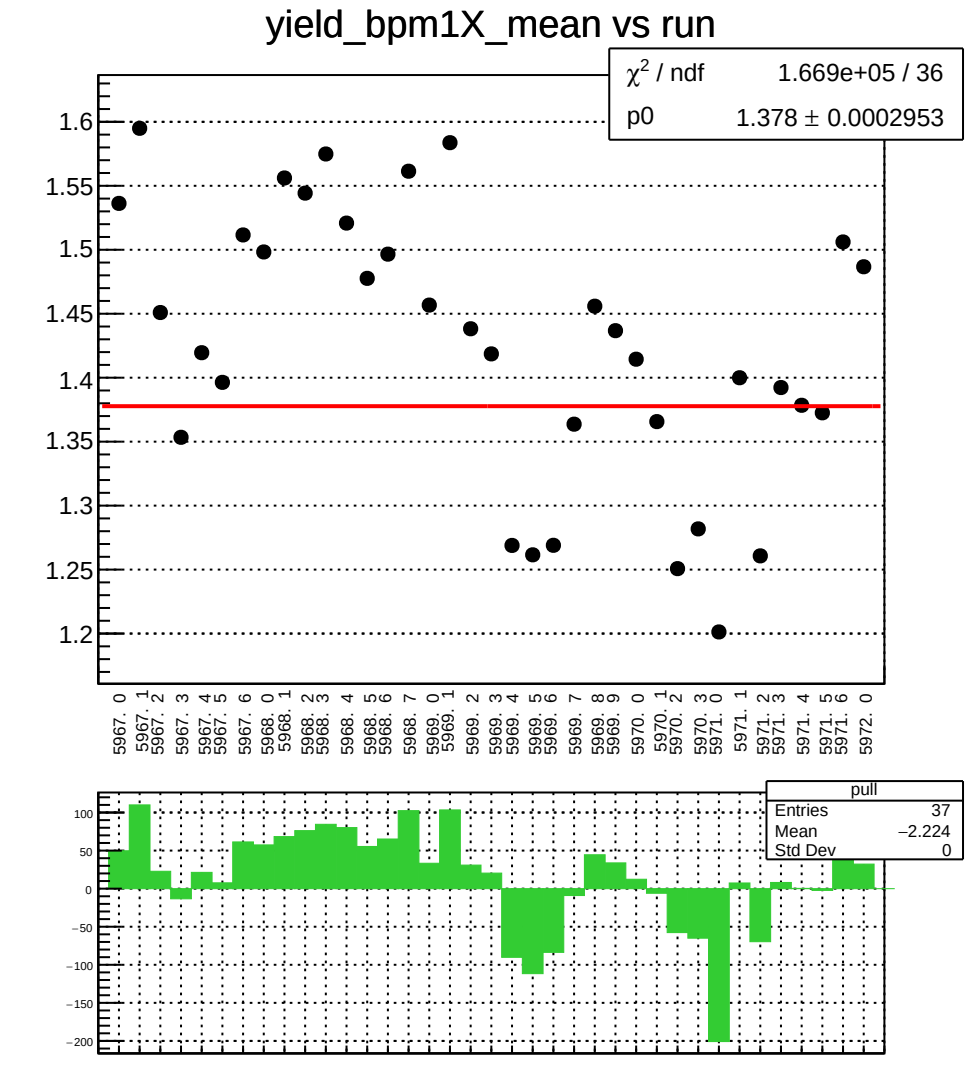
yield_bpm1X_mean vs run
χ² / ndf 1.669e+05 / 36
p0 1.378 ± 0.0002953
1.6
1.55
1.5
1.45
1.4
1.35
1.3
1.25
1.2
5967. 0
5967. 1
5967. 2
5967. 3
5967. 4
5967. 5
5967. 6
5968. 0
5968. 1
5968. 2
5968. 3
5968. 4
5968. 5
5968. 6
5968. 7
5969. 0
5969. 1
5969. 2
5969. 3
5969. 4
5969. 5
5969. 6
5969. 7
5969. 8
5969. 9
5970. 0
5970. 1
5970. 2
5970. 3
5971. 0
5971. 1
5971. 2
5971. 3
5971. 4
5971. 5
5971. 6
5972. 0
pull
Entries 37
Mean −2.224
Std Dev 0
100
50
0
−50
−100
−150
−200

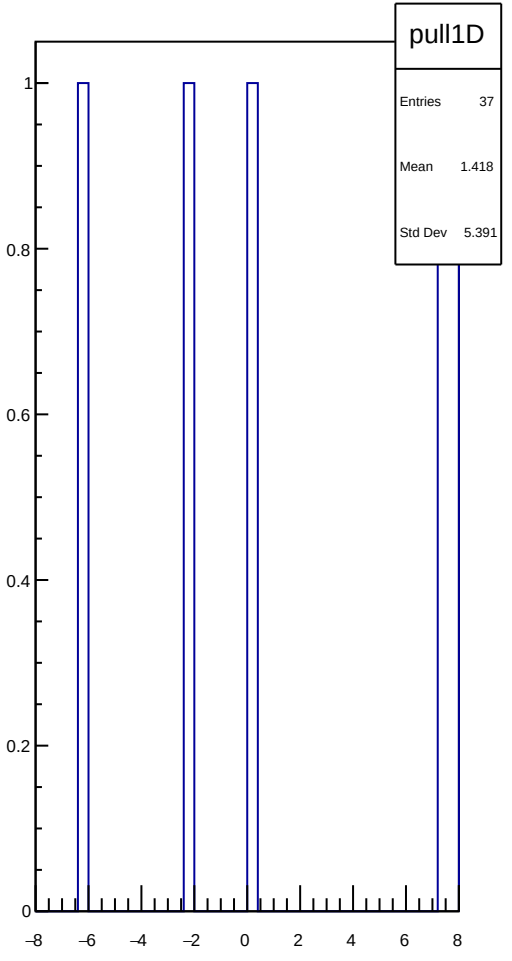
pull1D
Entries 37
Mean 1.418
Std Dev 5.391
1
0.8
0.6
0.4
0.2
0
−8
−6
−4
−2
0
2
4
6
8

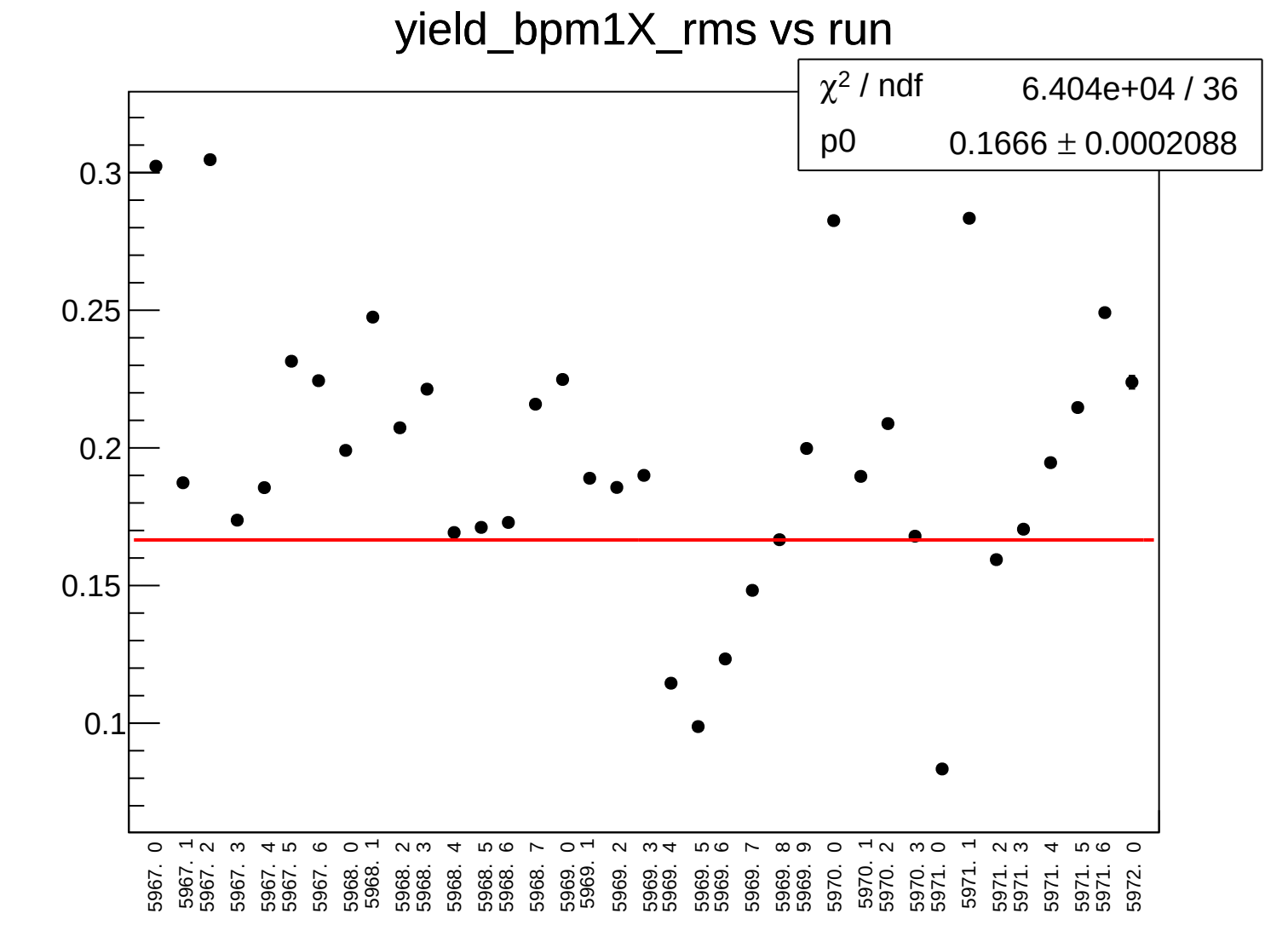
yield_bpm1X_rms vs run
χ² / ndf 6.404e+04 / 36
p0 0.1666 ± 0.0002088
0.3
0.25
0.2
0.15
0.1
5967. 0
5967. 1
5967. 2
5967. 3
5967. 4
5967. 5
5967. 6
5968. 0
5968. 1
5968. 2
5968. 3
5968. 4
5968. 5
5968. 6
5968. 7
5969. 0
5969. 1
5969. 2
5969. 3
5969. 4
5969. 5
5969. 6
5969. 7
5969. 8
5969. 9
5970. 0
5970. 1
5970. 2
5970. 3
5971. 0
5971. 1
5971. 2
5971. 3
5971. 4
5971. 5
5971. 6
5972. 0

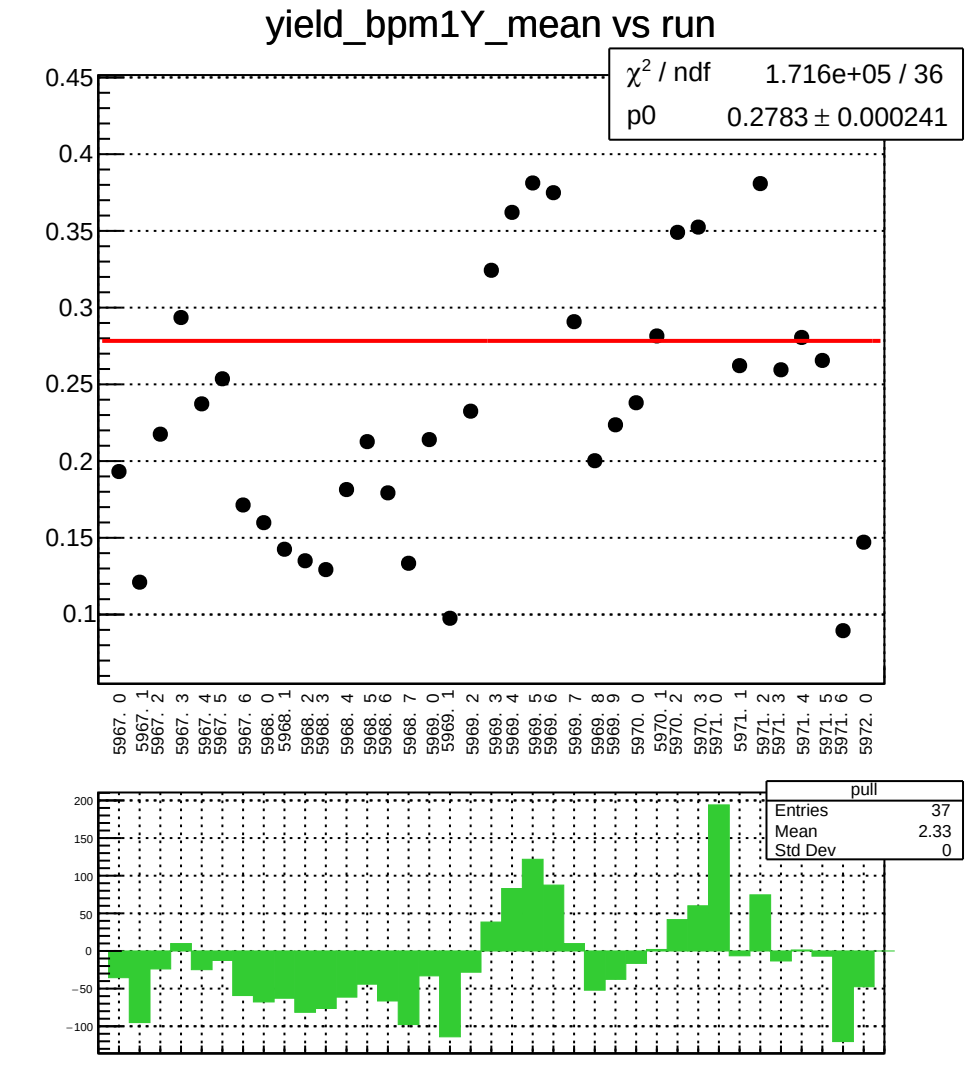
yield_bpm1Y_mean vs run
χ² / ndf 1.716e+05 / 36
p0 0.2783 ± 0.000241
pull
Entries 37
Mean 2.33
Std Dev 0
pull1D
Entries 37
Mean −2.489
Std Dev 4.138

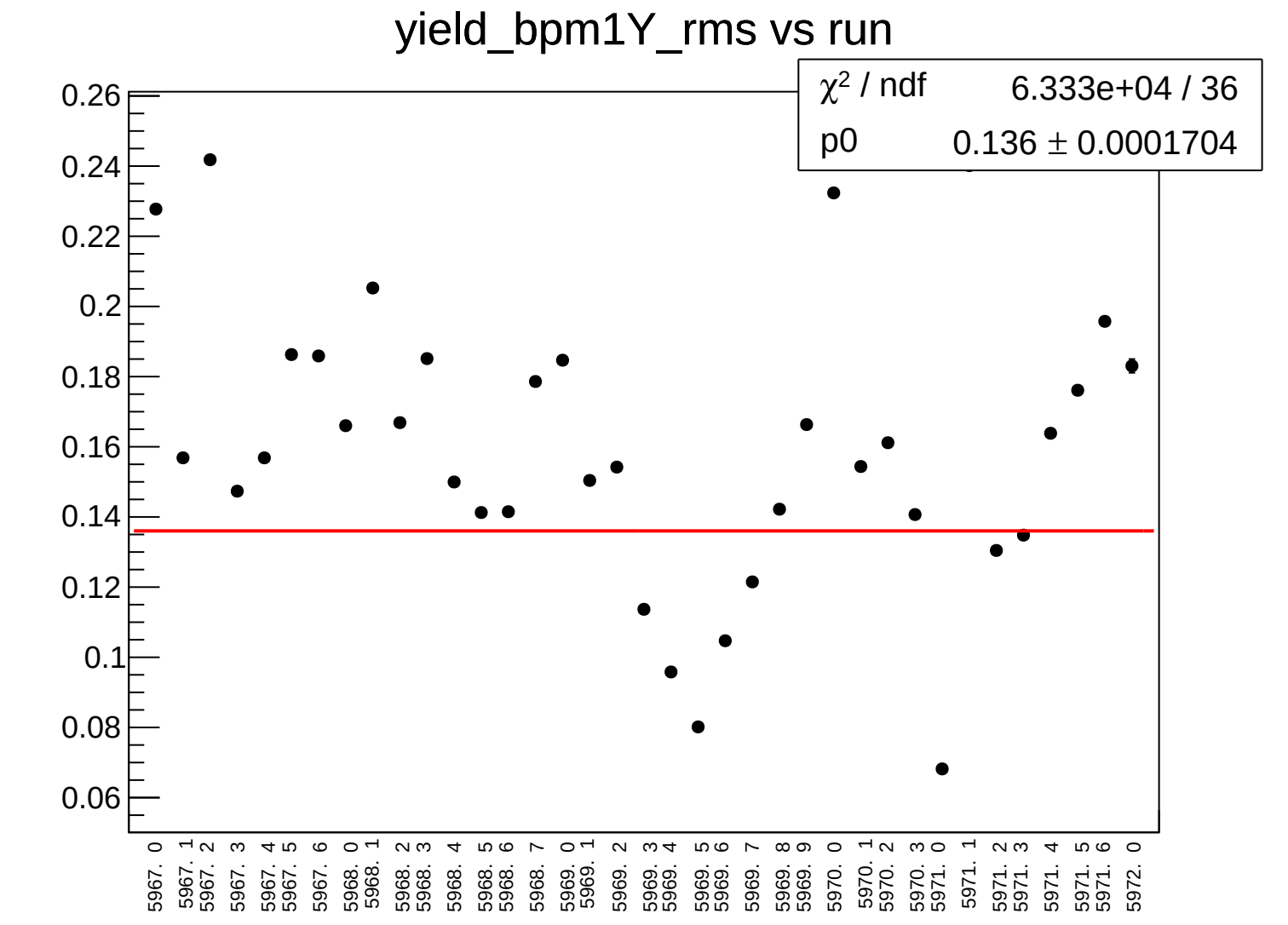
yield_bpm1Y_rms vs run
χ² / ndf 6.333e+04 / 36
p0 0.136 ± 0.0001704
0.26
0.24
0.22
0.2
0.18
0.16
0.14
0.12
0.1
0.08
0.06
5967. 0
5967. 1
5967. 2
5967. 3
5967. 4
5967. 5
5967. 6
5968. 0
5968. 1
5968. 2
5968. 3
5968. 4
5968. 5
5968. 6
5968. 7
5969. 0
5969. 1
5969. 2
5969. 3
5969. 4
5969. 5
5969. 6
5969. 7
5969. 8
5969. 9
5970. 0
5970. 1
5970. 2
5970. 3
5971. 0
5971. 1
5971. 2
5971. 3
5971. 4
5971. 5
5971. 6
5972. 0

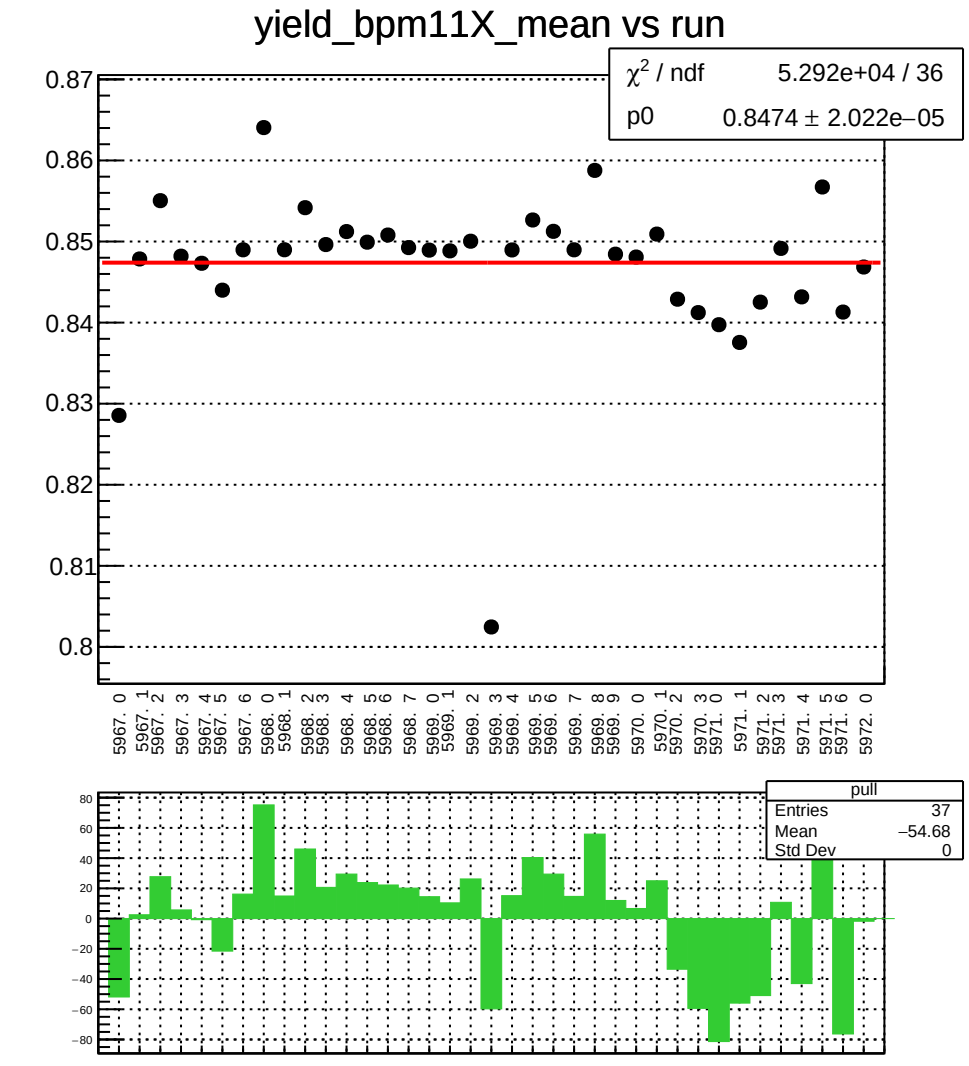
yield_bpm11X_mean vs run
χ² / ndf 5.292e+04 / 36
p0 0.8474 ± 2.022e−05
0.87
0.86
0.85
0.84
0.83
0.82
0.81
0.8
5967. 0
5967. 1
5967. 2
5967. 3
5967. 4
5967. 5
5967. 6
5968. 0
5968. 1
5968. 2
5968. 3
5968. 4
5968. 5
5968. 6
5968. 7
5969. 0
5969. 1
5969. 2
5969. 3
5969. 4
5969. 5
5969. 6
5969. 7
5969. 8
5969. 9
5970. 0
5970. 1
5970. 2
5970. 3
5971. 0
5971. 1
5971. 2
5971. 3
5971. 4
5971. 5
5971. 6
5972. 0
pull
Entries 37
Mean −54.68
Std Dev 0
80
60
40
20
0
−20
−40
−60
−80

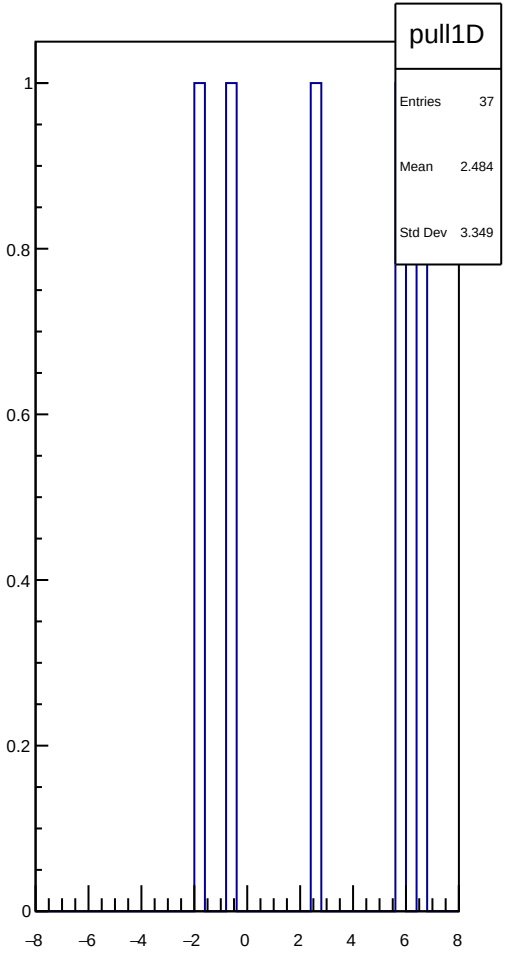
pull1D
Entries 37
Mean 2.484
Std Dev 3.349
1
0.8
0.6
0.4
0.2
0
−8
−6
−4
−2
0
2
4
6
8

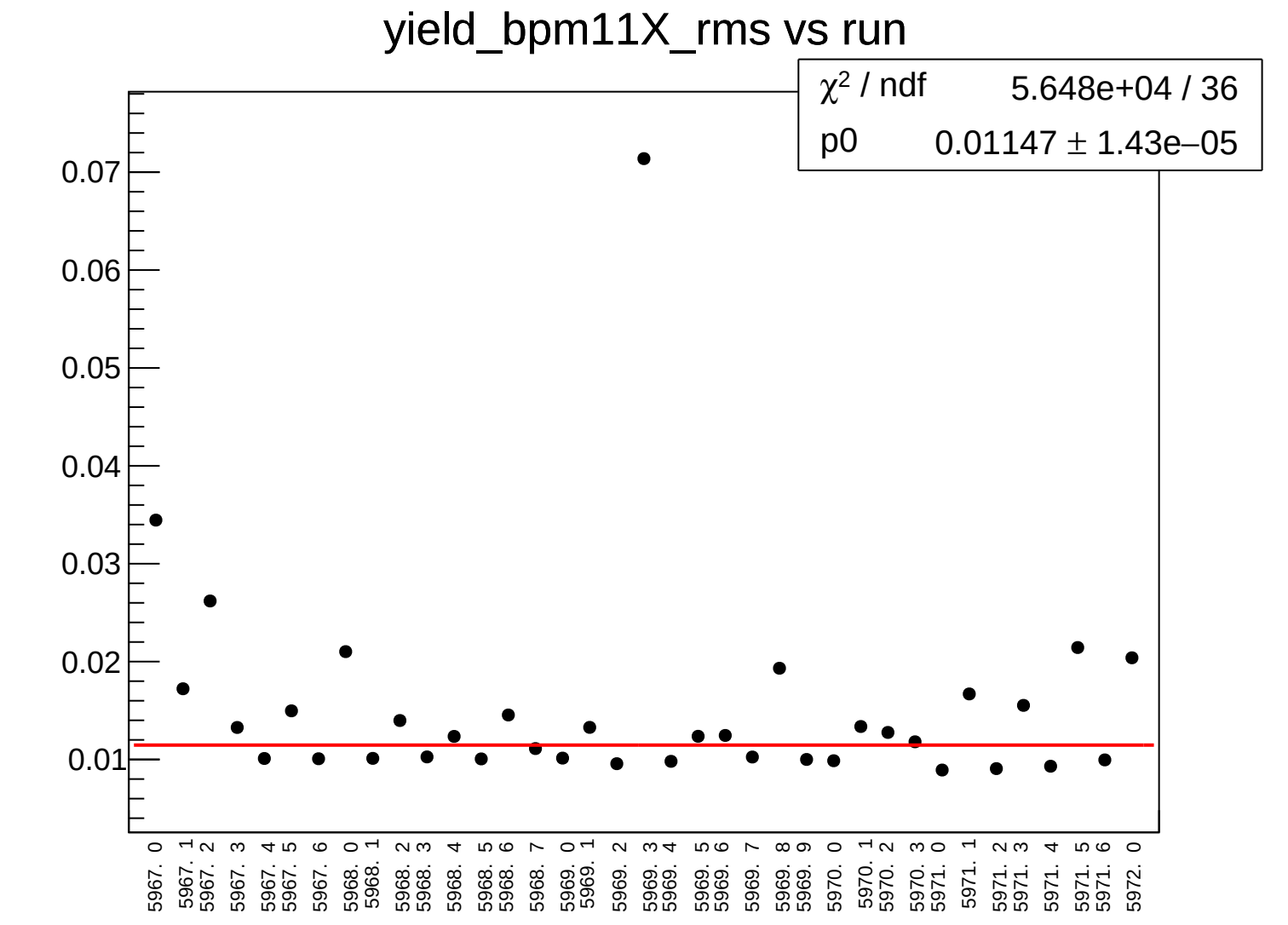
yield_bpm11X_rms vs run
χ² / ndf 5.648e+04 / 36
p0 0.01147 ± 1.43e−05
0.07
0.06
0.05
0.04
0.03
0.02
0.01
5967. 0
5967. 1
5967. 2
5967. 3
5967. 4
5967. 5
5967. 6
5968. 0
5968. 1
5968. 2
5968. 3
5968. 4
5968. 5
5968. 6
5968. 7
5969. 0
5969. 1
5969. 2
5969. 3
5969. 4
5969. 5
5969. 6
5969. 7
5969. 8
5969. 9
5970. 0
5970. 1
5970. 2
5970. 3
5971. 0
5971. 1
5971. 2
5971. 3
5971. 4
5971. 5
5971. 6
5972. 0

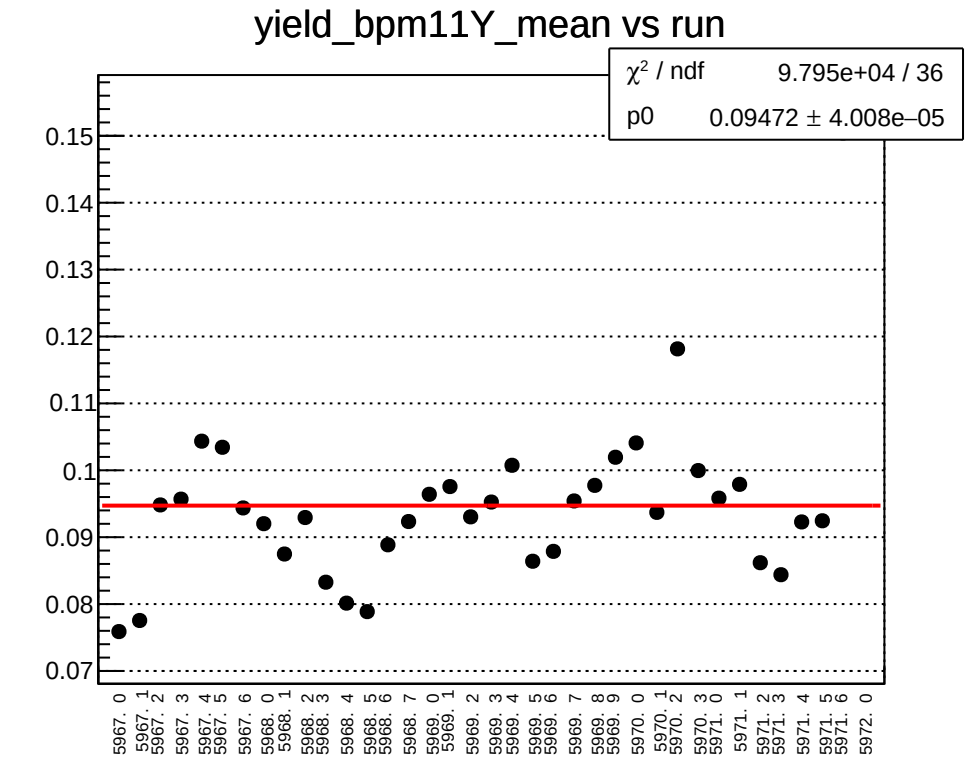
yield_bpm11Y_mean vs run
χ² / ndf 9.795e+04 / 36
p0 0.09472 ± 4.008e−05
0.15
0.14
0.13
0.12
0.11
0.1
0.09
0.08
0.07
5967. 0
5967. 1
5967. 2
5967. 3
5967. 4
5967. 5
5967. 6
5968. 0
5968. 1
5968. 2
5968. 3
5968. 4
5968. 5
5968. 6
5968. 7
5969. 0
5969. 1
5969. 2
5969. 3
5969. 4
5969. 5
5969. 6
5969. 7
5969. 8
5969. 9
5970. 0
5970. 1
5970. 2
5970. 3
5971. 0
5971. 1
5971. 2
5971. 3
5971. 4
5971. 5
5971. 6
5972. 0
pull
Entries 37
Mean 178
Std Dev 0
250
200
150
100
50
0
−50
−100

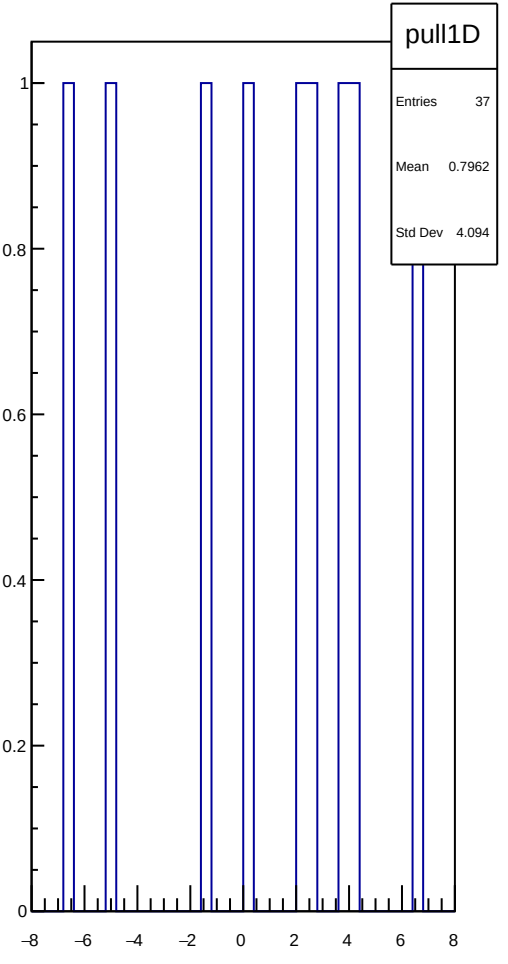
pull1D
Entries 37
Mean 0.7962
Std Dev 4.094
1
0.8
0.6
0.4
0.2
0
−8
−6
−4
−2
0
2
4
6
8

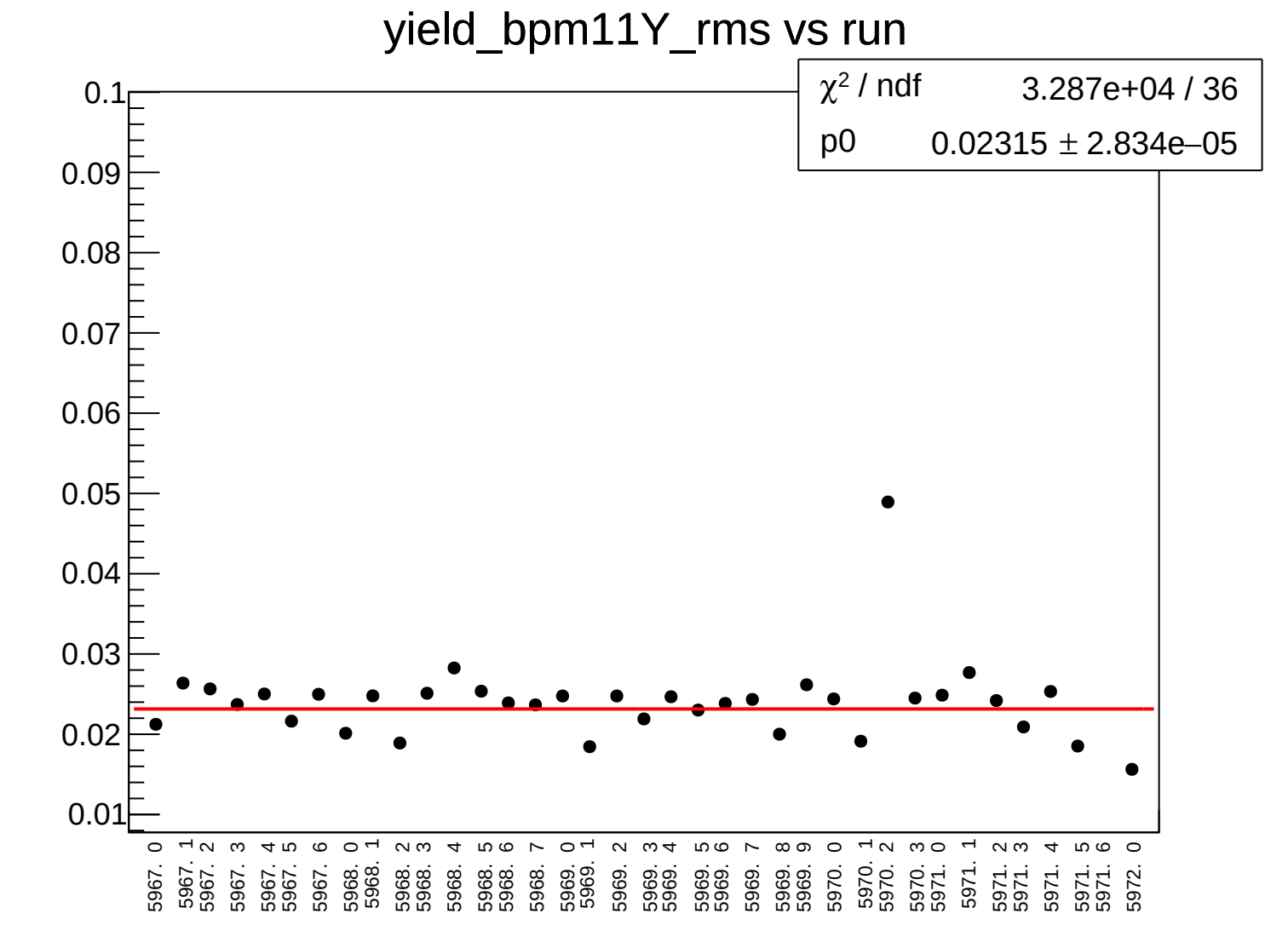
yield_bpm11Y_rms vs run
χ² / ndf 3.287e+04 / 36
p0 0.02315 ± 2.834e–05
0.1
0.09
0.08
0.07
0.06
0.05
0.04
0.03
0.02
0.01
5967. 0
5967. 1
5967. 2
5967. 3
5967. 4
5967. 5
5967. 6
5968. 0
5968. 1
5968. 2
5968. 3
5968. 4
5968. 5
5968. 6
5968. 7
5969. 0
5969. 1
5969. 2
5969. 3
5969. 4
5969. 5
5969. 6
5969. 7
5969. 8
5969. 9
5970. 0
5970. 1
5970. 2
5970. 3
5971. 0
5971. 1
5971. 2
5971. 3
5971. 4
5971. 5
5971. 6
5972. 0

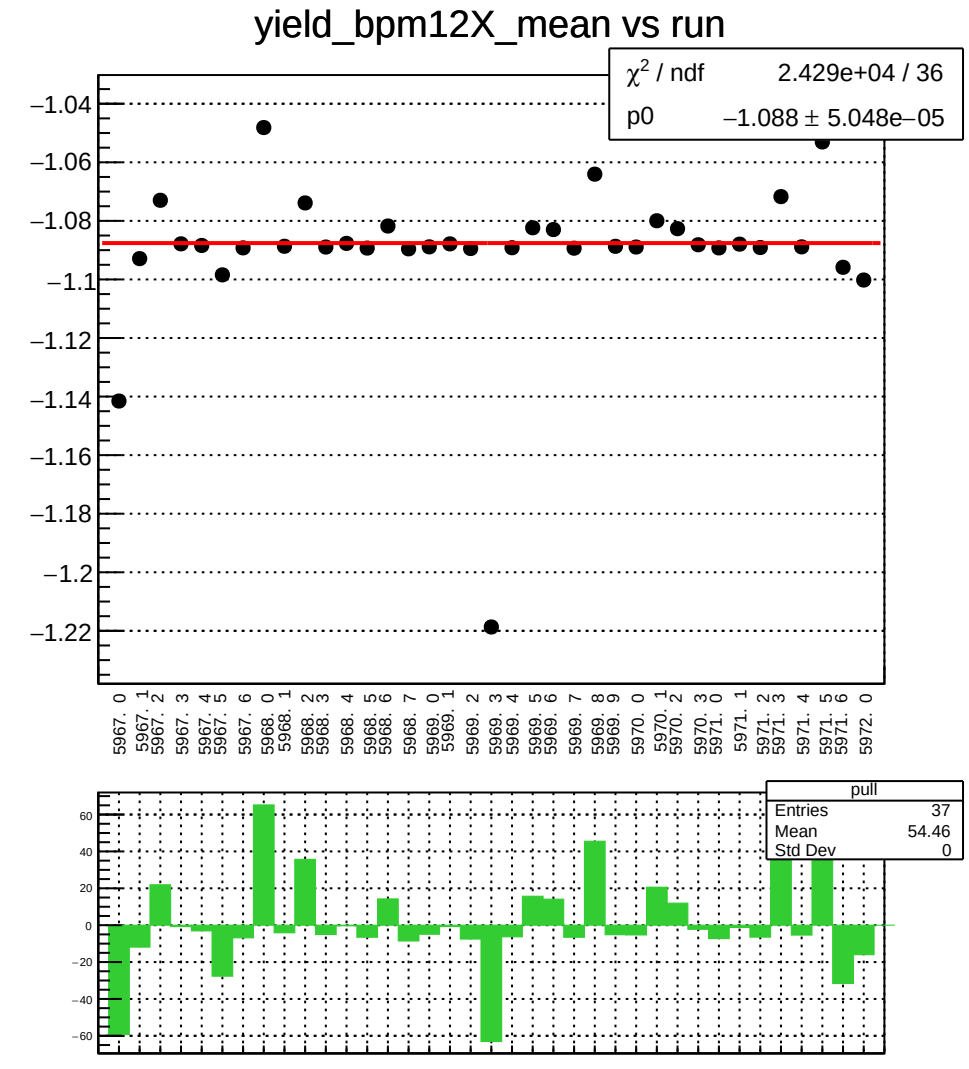
yield_bpm12X_mean vs run
χ² / ndf 2.429e+04 / 36
p0 −1.088 ± 5.048e−05
−1.04
−1.06
−1.08
−1.1
−1.12
−1.14
−1.16
−1.18
−1.2
−1.22
5967. 0
5967. 1
5967. 2
5967. 3
5967. 4
5967. 5
5967. 6
5968. 0
5968. 1
5968. 2
5968. 3
5968. 4
5968. 5
5968. 6
5968. 7
5969. 0
5969. 1
5969. 2
5969. 3
5969. 4
5969. 5
5969. 6
5969. 7
5969. 8
5969. 9
5970. 0
5970. 1
5970. 2
5970. 3
5971. 0
5971. 1
5971. 2
5971. 3
5971. 4
5971. 5
5971. 6
5972. 0
pull
Entries 37
Mean 54.46
Std Dev 0
60
40
20
0
−20
−40
−60

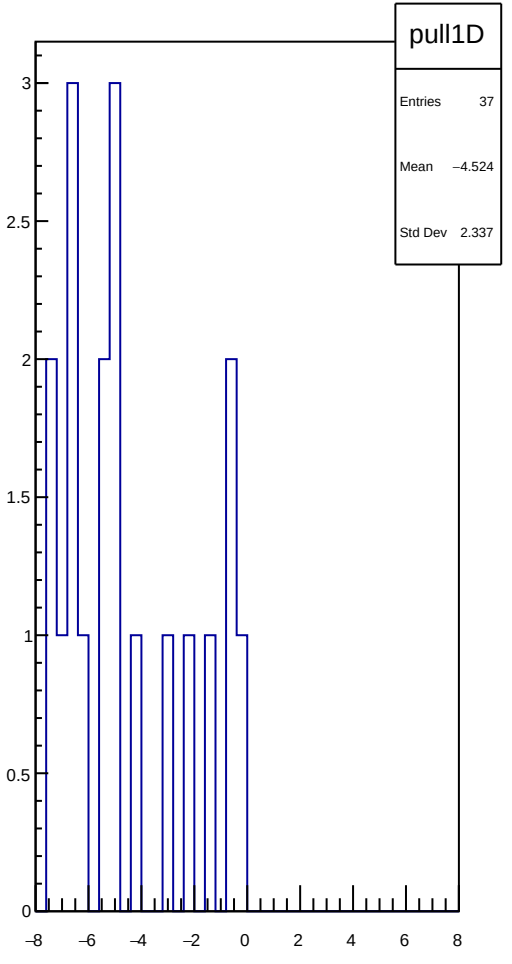
pull1D
Entries 37
Mean −4.524
Std Dev 2.337
3
2.5
2
1.5
1
0.5
0
−8
−6
−4
−2
0
2
4
6
8

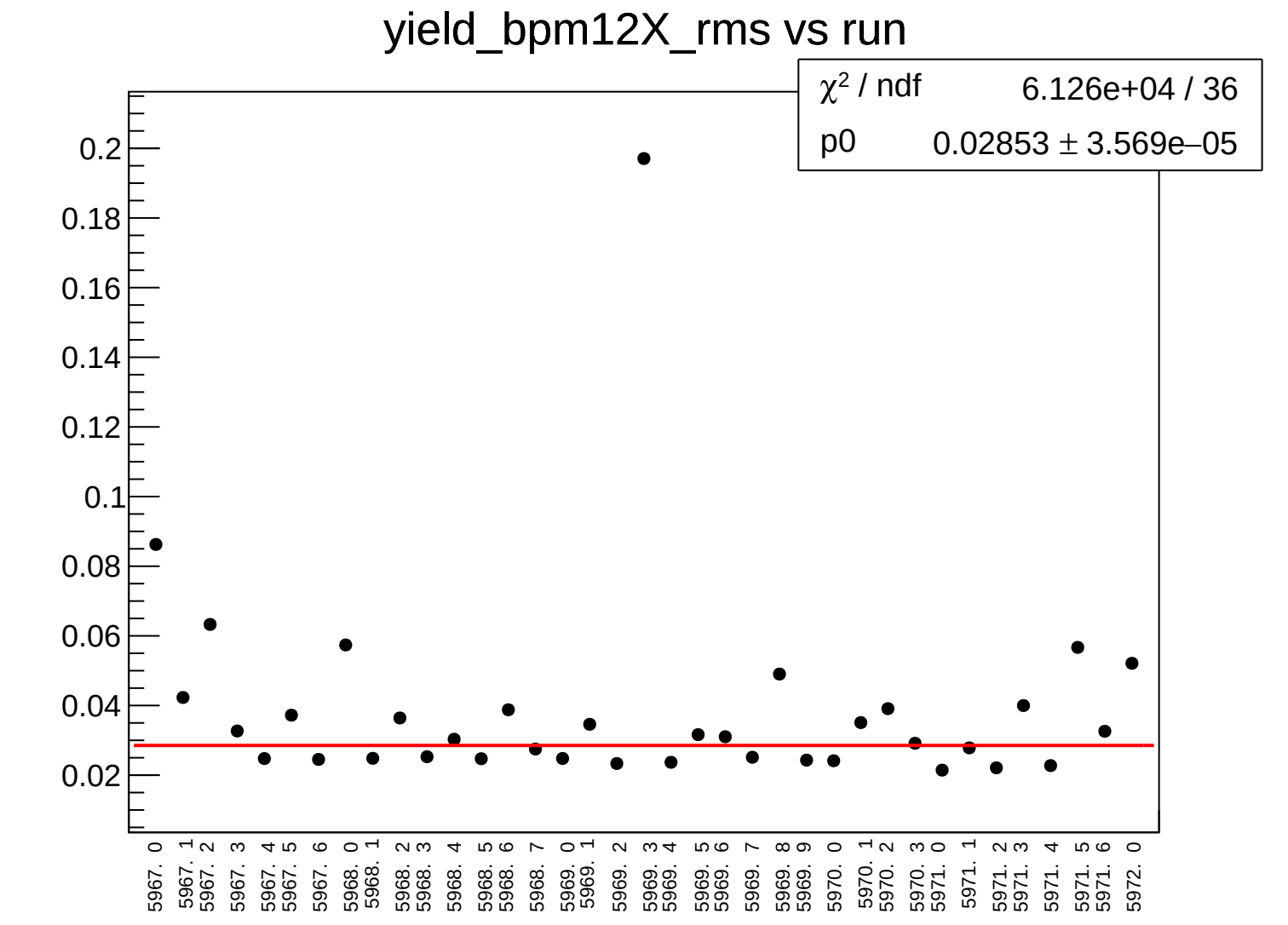
yield_bpm12X_rms vs run
χ² / ndf 6.126e+04 / 36
p0 0.02853 ± 3.569e–05
0.2
0.18
0.16
0.14
0.12
0.1
0.08
0.06
0.04
0.02
5967. 0
5967. 1
5967. 2
5967. 3
5967. 4
5967. 5
5967. 6
5968. 0
5968. 1
5968. 2
5968. 3
5968. 4
5968. 5
5968. 6
5968. 7
5969. 0
5969. 1
5969. 2
5969. 3
5969. 4
5969. 5
5969. 6
5969. 7
5969. 8
5969. 9
5970. 0
5970. 1
5970. 2
5970. 3
5971. 0
5971. 1
5971. 2
5971. 3
5971. 4
5971. 5
5971. 6
5972. 0

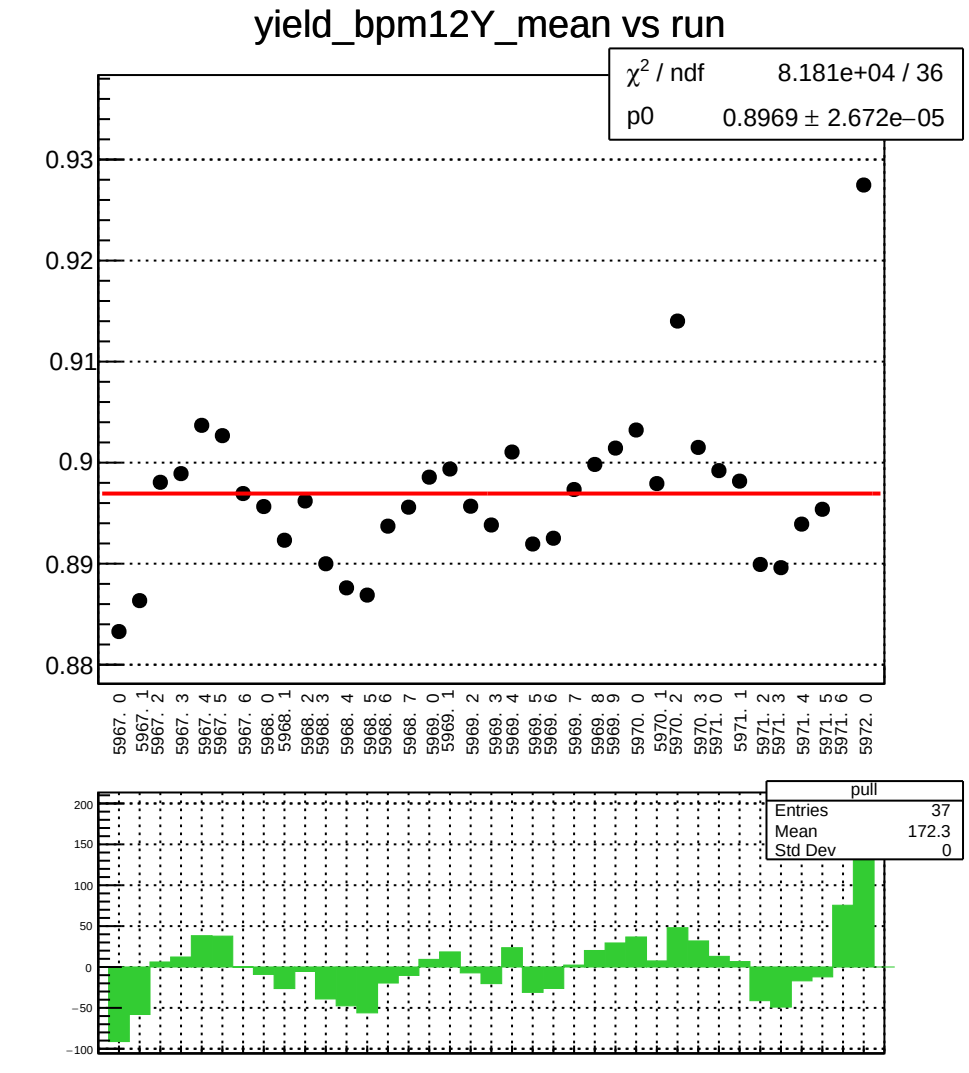
yield_bpm12Y_mean vs run
χ² / ndf 8.181e+04 / 36
p0 0.8969 ± 2.672e−05
0.93
0.92
0.91
0.9
0.89
0.88
5967. 0
5967. 1
5967. 2
5967. 3
5967. 4
5967. 5
5967. 6
5968. 0
5968. 1
5968. 2
5968. 3
5968. 4
5968. 5
5968. 6
5968. 7
5969. 0
5969. 1
5969. 2
5969. 3
5969. 4
5969. 5
5969. 6
5969. 7
5969. 8
5969. 9
5970. 0
5970. 1
5970. 2
5970. 3
5971. 0
5971. 1
5971. 2
5971. 3
5971. 4
5971. 5
5971. 6
5972. 0
pull
Entries 37
Mean 172.3
Std Dev 0
200
150
100
50
0
−50
−100

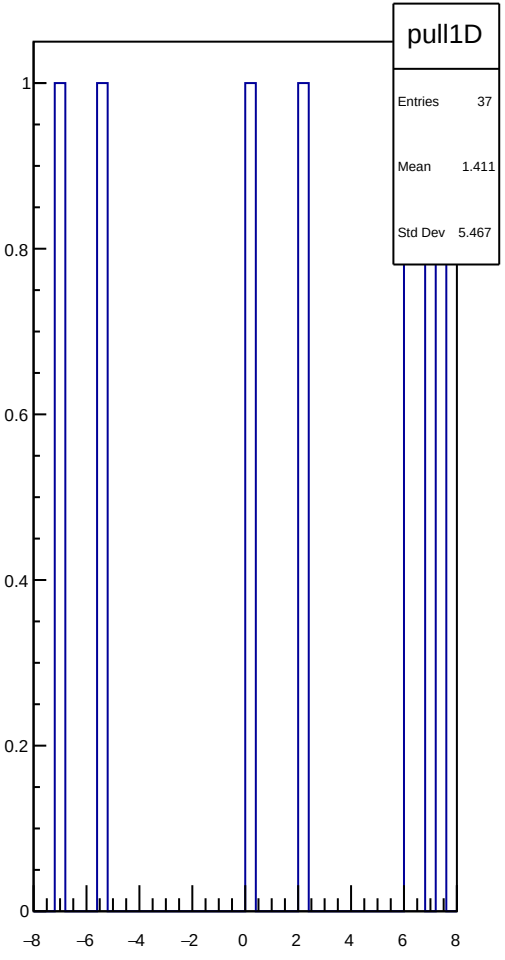
pull1D
Entries 37
Mean 1.411
Std Dev 5.467
1
0.8
0.6
0.4
0.2
0
−8
−6
−4
−2
0
2
4
6
8

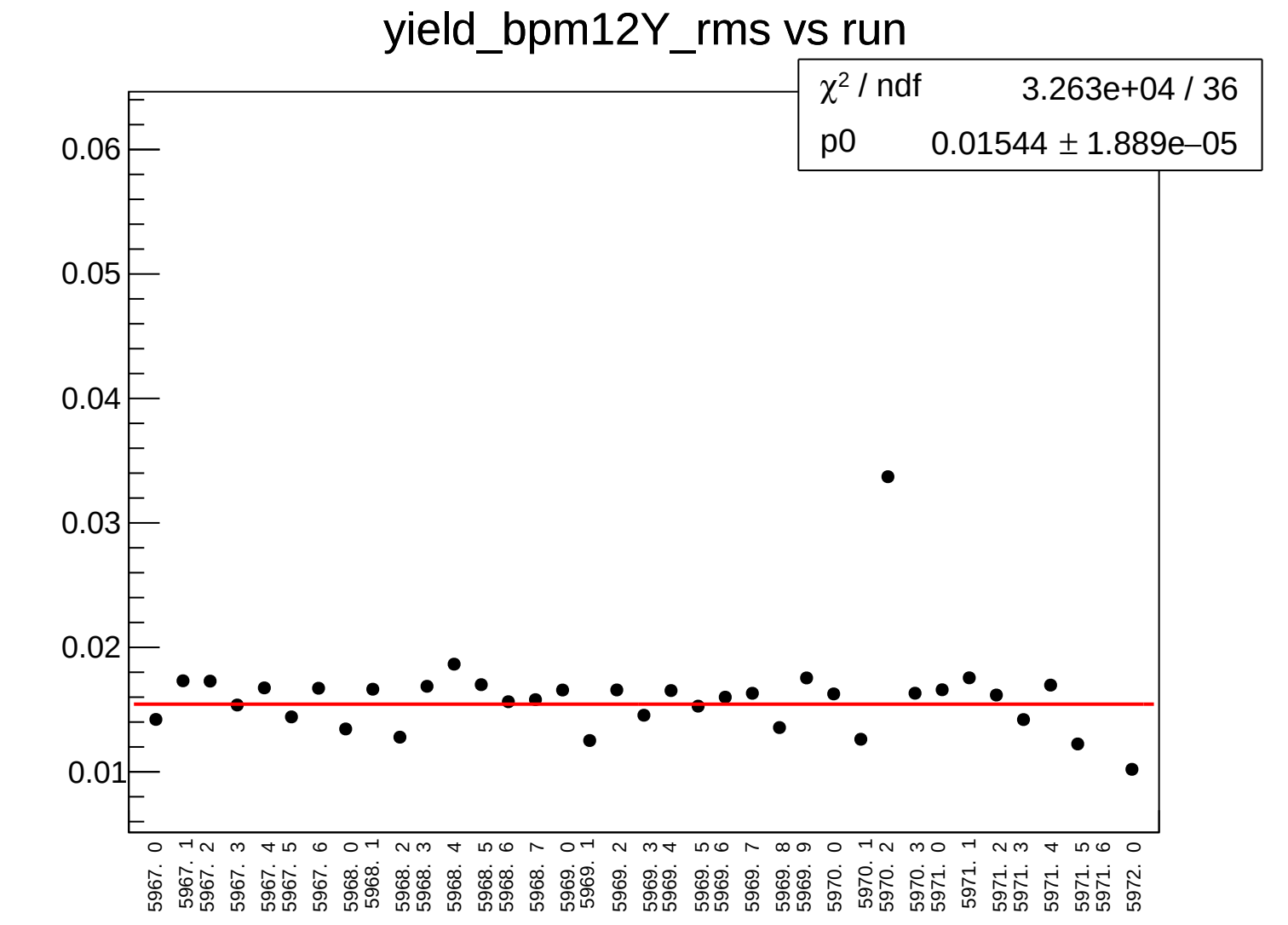
yield_bpm12Y_rms vs run
χ² / ndf 3.263e+04 / 36
p0 0.01544 ± 1.889e–05
0.06
0.05
0.04
0.03
0.02
0.01
5967. 0
5967. 1
5967. 2
5967. 3
5967. 4
5967. 5
5967. 6
5968. 0
5968. 1
5968. 2
5968. 3
5968. 4
5968. 5
5968. 6
5968. 7
5969. 0
5969. 1
5969. 2
5969. 3
5969. 4
5969. 5
5969. 6
5969. 7
5969. 8
5969. 9
5970. 0
5970. 1
5970. 2
5970. 3
5971. 0
5971. 1
5971. 2
5971. 3
5971. 4
5971. 5
5971. 6
5972. 0

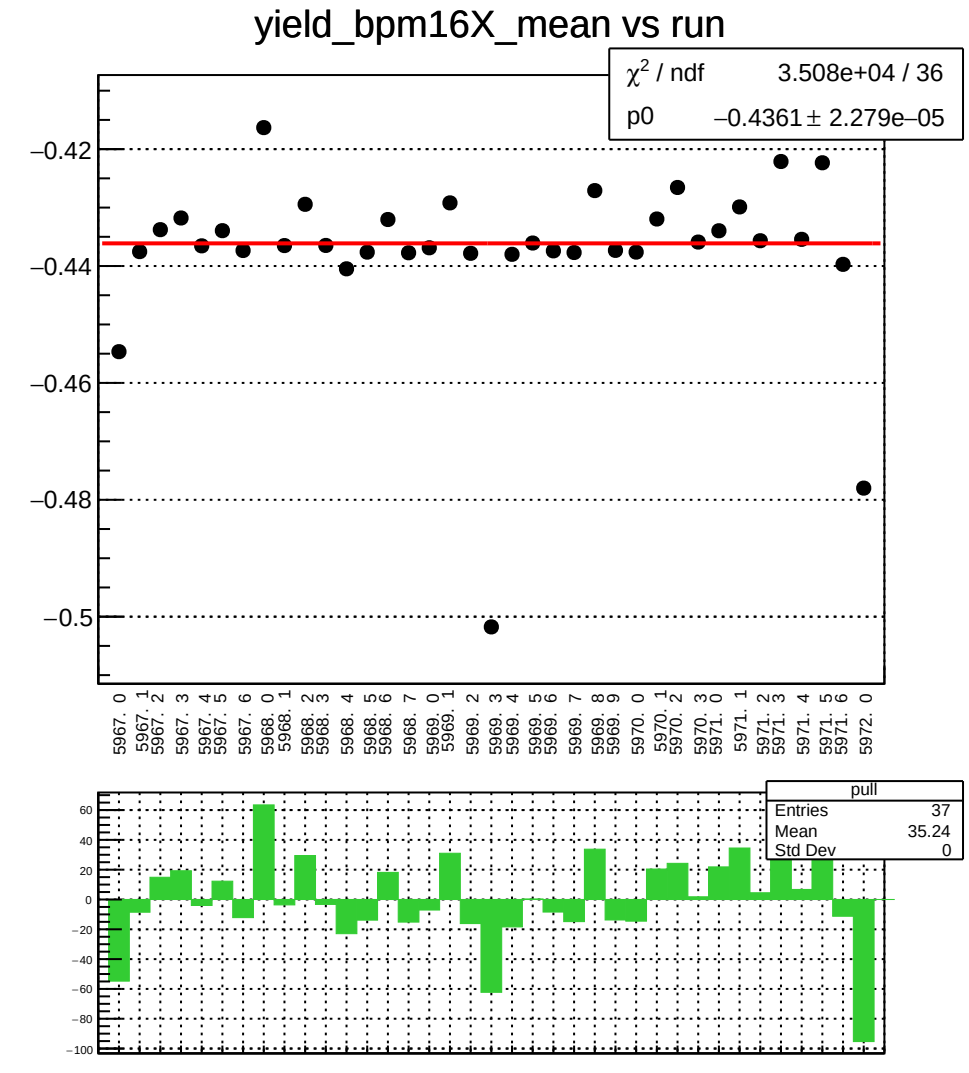
yield_bpm16X_mean vs run
χ² / ndf 3.508e+04 / 36
p0 −0.4361 ± 2.279e−05
−0.42
−0.44
−0.46
−0.48
−0.5
5967. 0
5967. 1
5967. 2
5967. 3
5967. 4
5967. 5
5967. 6
5968. 0
5968. 1
5968. 2
5968. 3
5968. 4
5968. 5
5968. 6
5968. 7
5969. 0
5969. 1
5969. 2
5969. 3
5969. 4
5969. 5
5969. 6
5969. 7
5969. 8
5969. 9
5970. 0
5970. 1
5970. 2
5970. 3
5971. 0
5971. 1
5971. 2
5971. 3
5971. 4
5971. 5
5971. 6
5972. 0
pull
Entries 37
Mean 35.24
Std Dev 0
60
40
20
0
−20
−40
−60
−80
−100
pull1D
Entries 37
Mean −0.5759
Std Dev 4.416
1
0.8
0.6
0.4
0.2
0
−8
−6
−4
−2
0
2
4
6
8

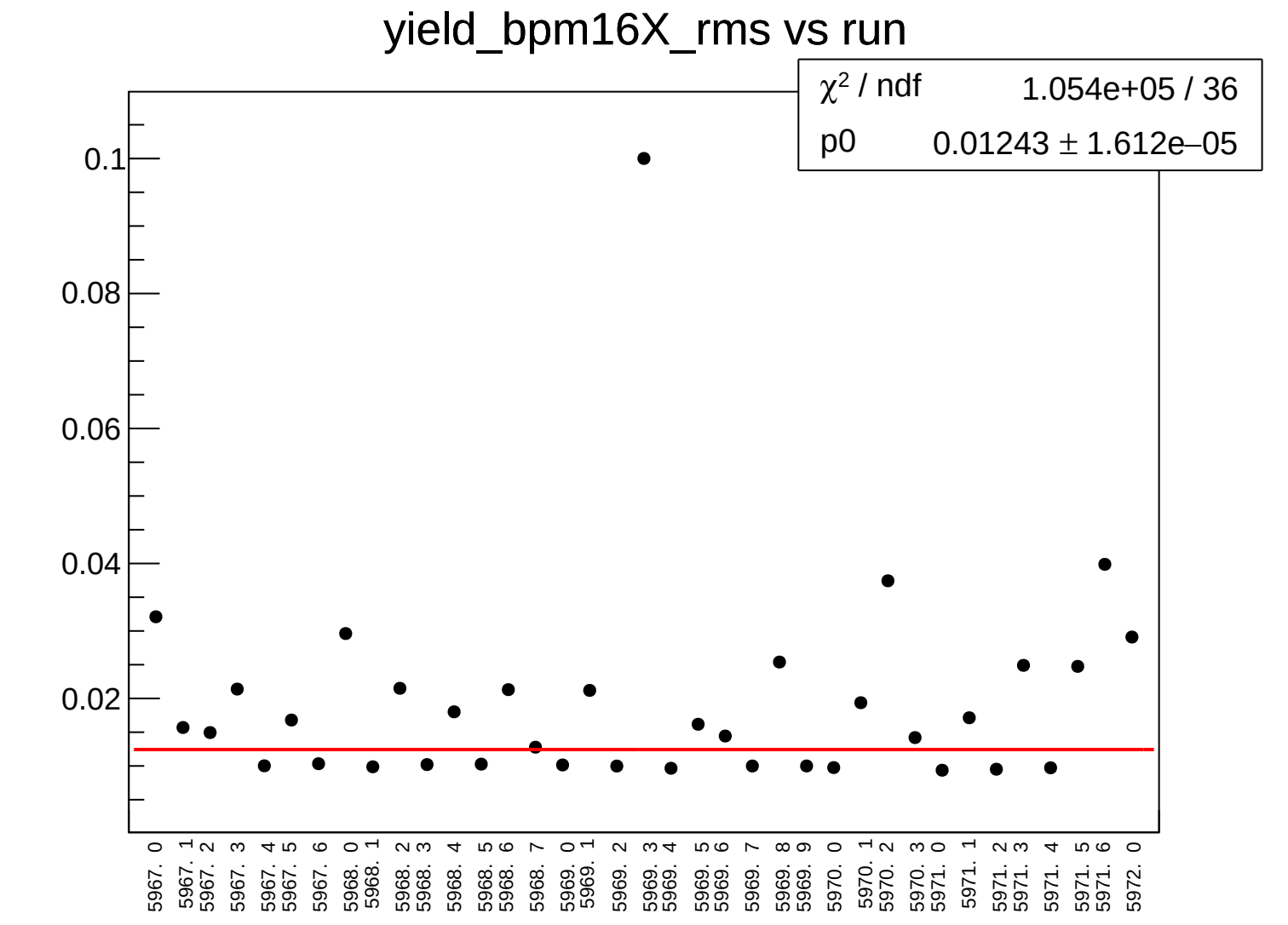
yield_bpm16X_rms vs run
χ² / ndf 1.054e+05 / 36
p0 0.01243 ± 1.612e–05
0.1
0.08
0.06
0.04
0.02
5967. 0
5967. 1
5967. 2
5967. 3
5967. 4
5967. 5
5967. 6
5968. 0
5968. 1
5968. 2
5968. 3
5968. 4
5968. 5
5968. 6
5968. 7
5969. 0
5969. 1
5969. 2
5969. 3
5969. 4
5969. 5
5969. 6
5969. 7
5969. 8
5969. 9
5970. 0
5970. 1
5970. 2
5970. 3
5971. 0
5971. 1
5971. 2
5971. 3
5971. 4
5971. 5
5971. 6
5972. 0

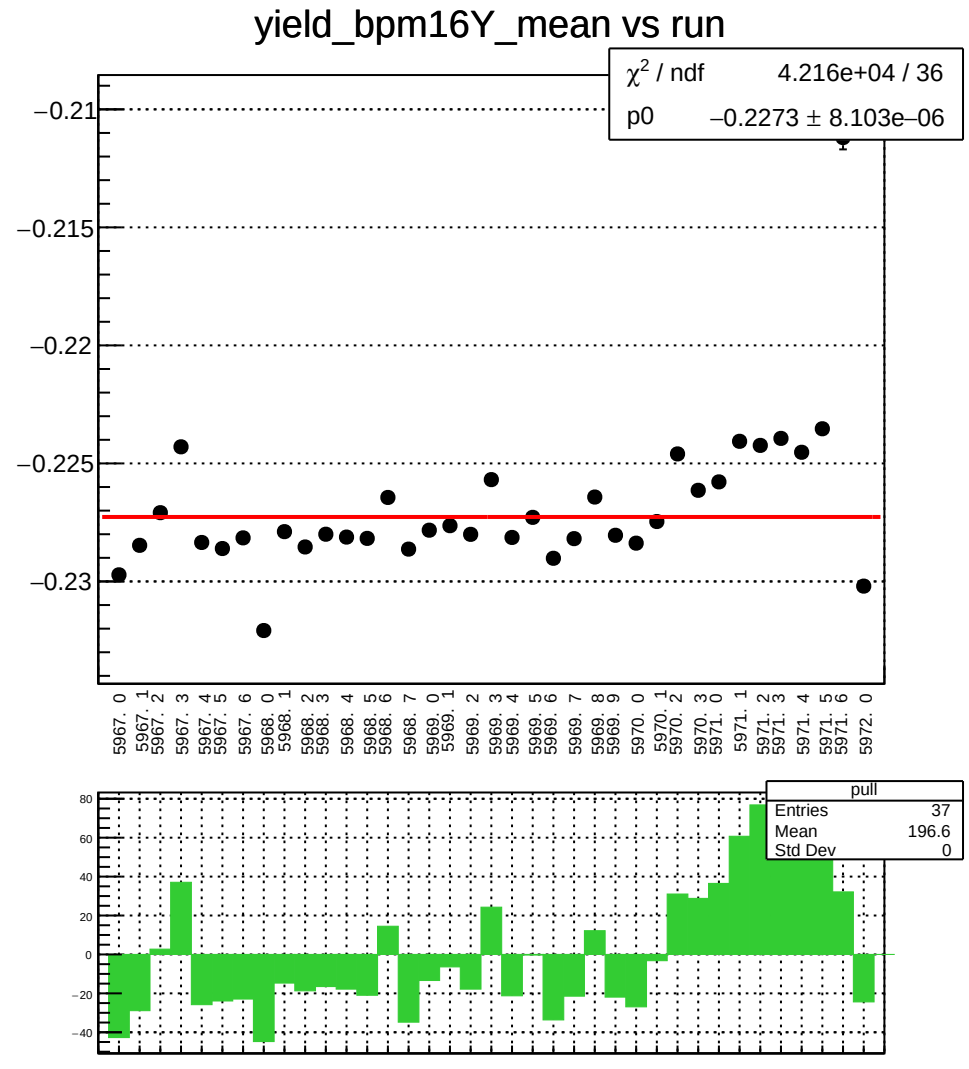
yield_bpm16Y_mean vs run
χ² / ndf 4.216e+04 / 36
p0 −0.2273 ± 8.103e−06
−0.21
−0.215
−0.22
−0.225
−0.23
5967. 0
5967. 1
5967. 2
5967. 3
5967. 4
5967. 5
5967. 6
5968. 0
5968. 1
5968. 2
5968. 3
5968. 4
5968. 5
5968. 6
5968. 7
5969. 0
5969. 1
5969. 2
5969. 3
5969. 4
5969. 5
5969. 6
5969. 7
5969. 8
5969. 9
5970. 0
5970. 1
5970. 2
5970. 3
5971. 0
5971. 1
5971. 2
5971. 3
5971. 4
5971. 5
5971. 6
5972. 0
pull
Entries 37
Mean 196.6
Std Dev 0
80
60
40
20
0
−20
−40
pull1D
Entries 37
Mean −1.801
Std Dev 3.379
1
0.8
0.6
0.4
0.2
0
−8
−6
−4
−2
0
2
4
6
8

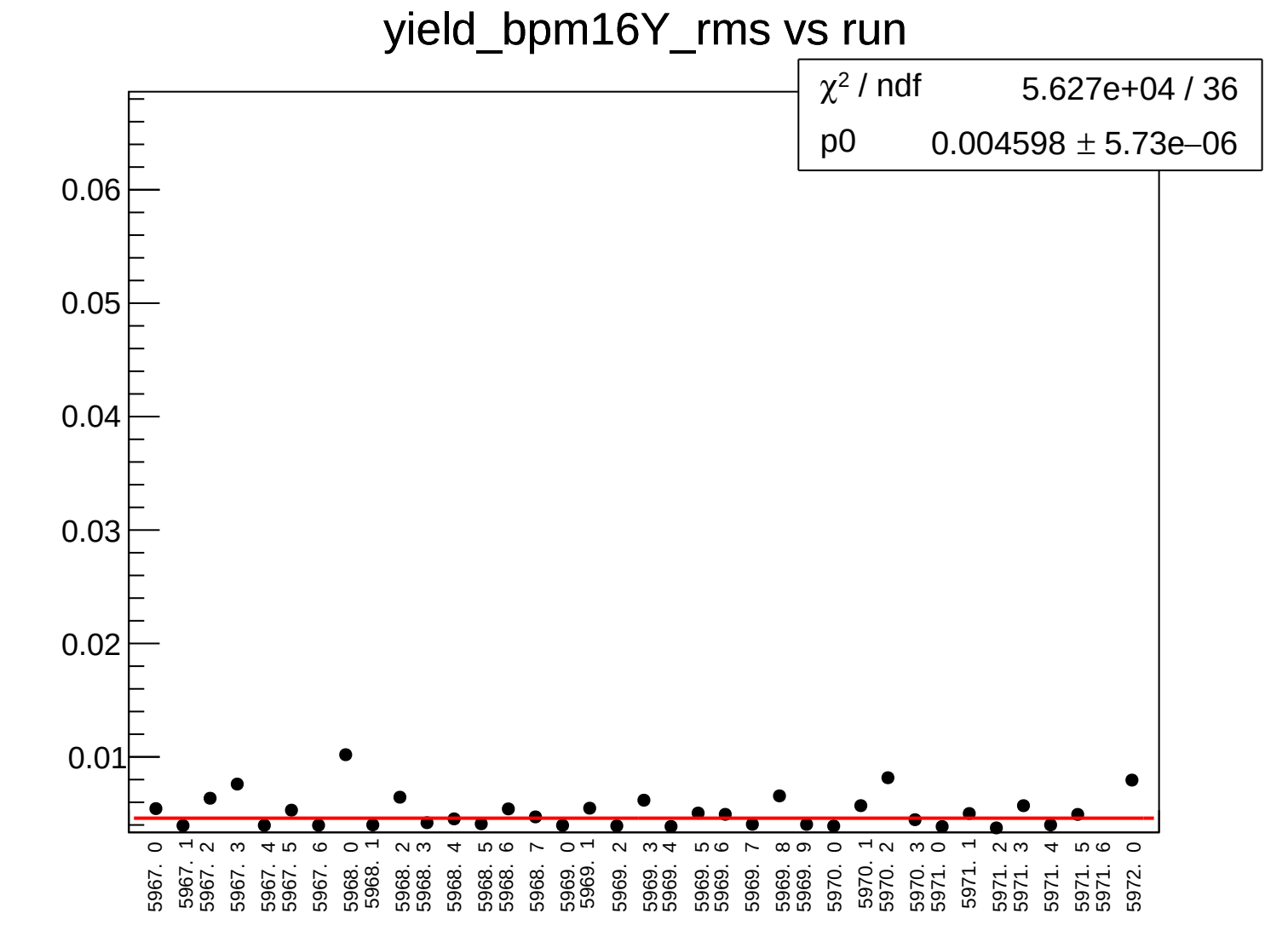
yield_bpm16Y_rms vs run
χ² / ndf 5.627e+04 / 36
p0 0.004598 ± 5.73e−06
0.06
0.05
0.04
0.03
0.02
0.01
5967. 0
5967. 1
5967. 2
5967. 3
5967. 4
5967. 5
5967. 6
5968. 0
5968. 1
5968. 2
5968. 3
5968. 4
5968. 5
5968. 6
5968. 7
5969. 0
5969. 1
5969. 2
5969. 3
5969. 4
5969. 5
5969. 6
5969. 7
5969. 8
5969. 9
5970. 0
5970. 1
5970. 2
5970. 3
5971. 0
5971. 1
5971. 2
5971. 3
5971. 4
5971. 5
5971. 6
5972. 0

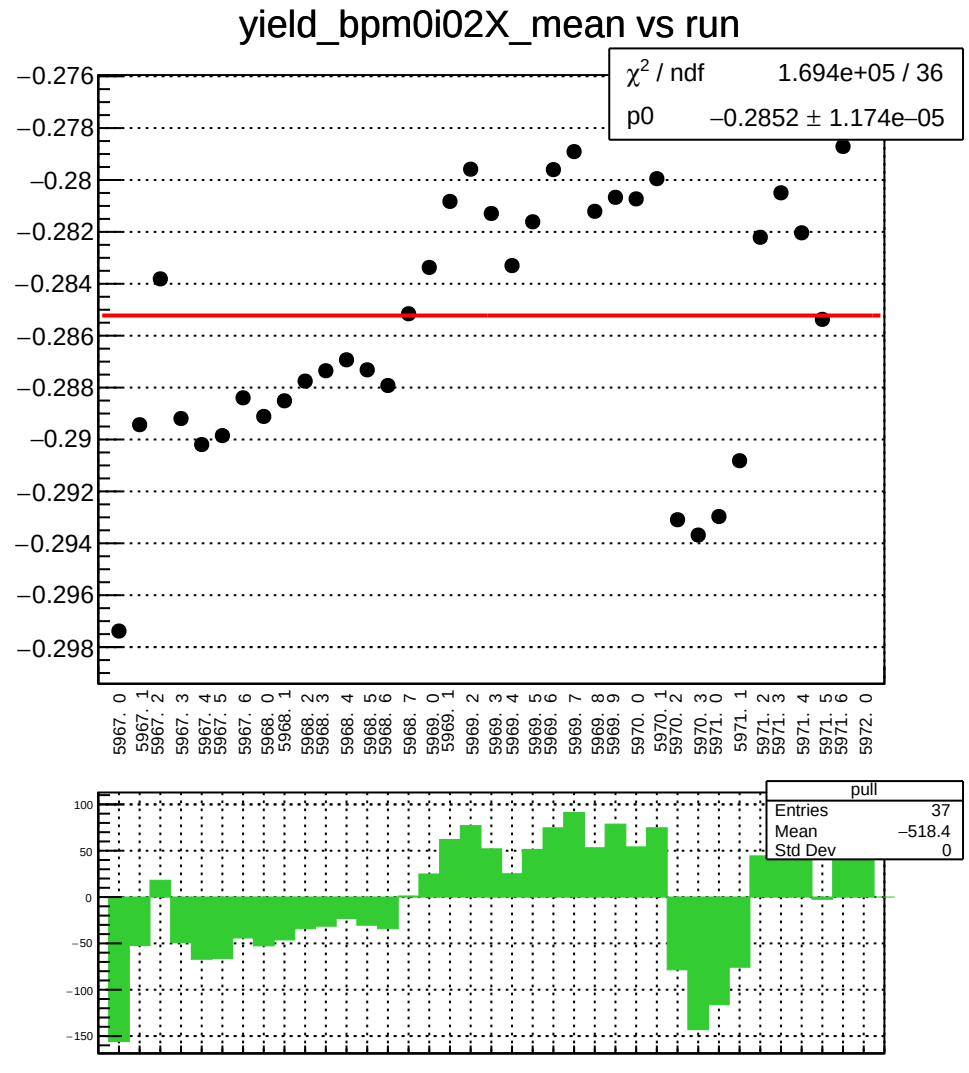
yield_bpm0i02X_mean vs run
χ² / ndf 1.694e+05 / 36
p0 −0.2852 ± 1.174e−05
−0.276
−0.278
−0.28
−0.282
−0.284
−0.286
−0.288
−0.29
−0.292
−0.294
−0.296
−0.298
5967. 0
5967. 1
5967. 2
5967. 3
5967. 4
5967. 5
5967. 6
5968. 0
5968. 1
5968. 2
5968. 3
5968. 4
5968. 5
5968. 6
5968. 7
5969. 0
5969. 1
5969. 2
5969. 3
5969. 4
5969. 5
5969. 6
5969. 7
5969. 8
5969. 9
5970. 0
5970. 1
5970. 2
5970. 3
5971. 0
5971. 1
5971. 2
5971. 3
5971. 4
5971. 5
5971. 6
5972. 0
pull
Entries 37
Mean −518.4
Std Dev 0
100
50
0
−50
−100
−150

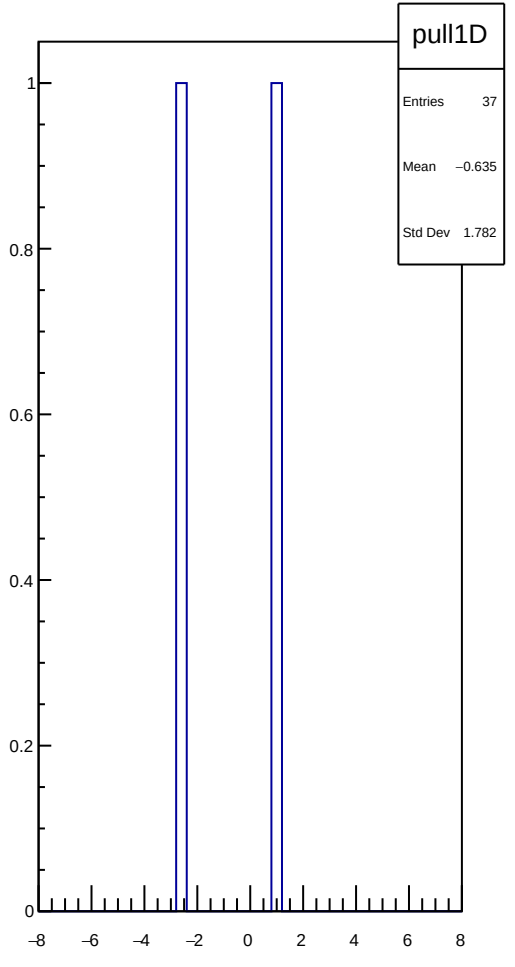
pull1D
Entries 37
Mean −0.635
Std Dev 1.782
1
0.8
0.6
0.4
0.2
0
−8
−6
−4
−2
0
2
4
6
8

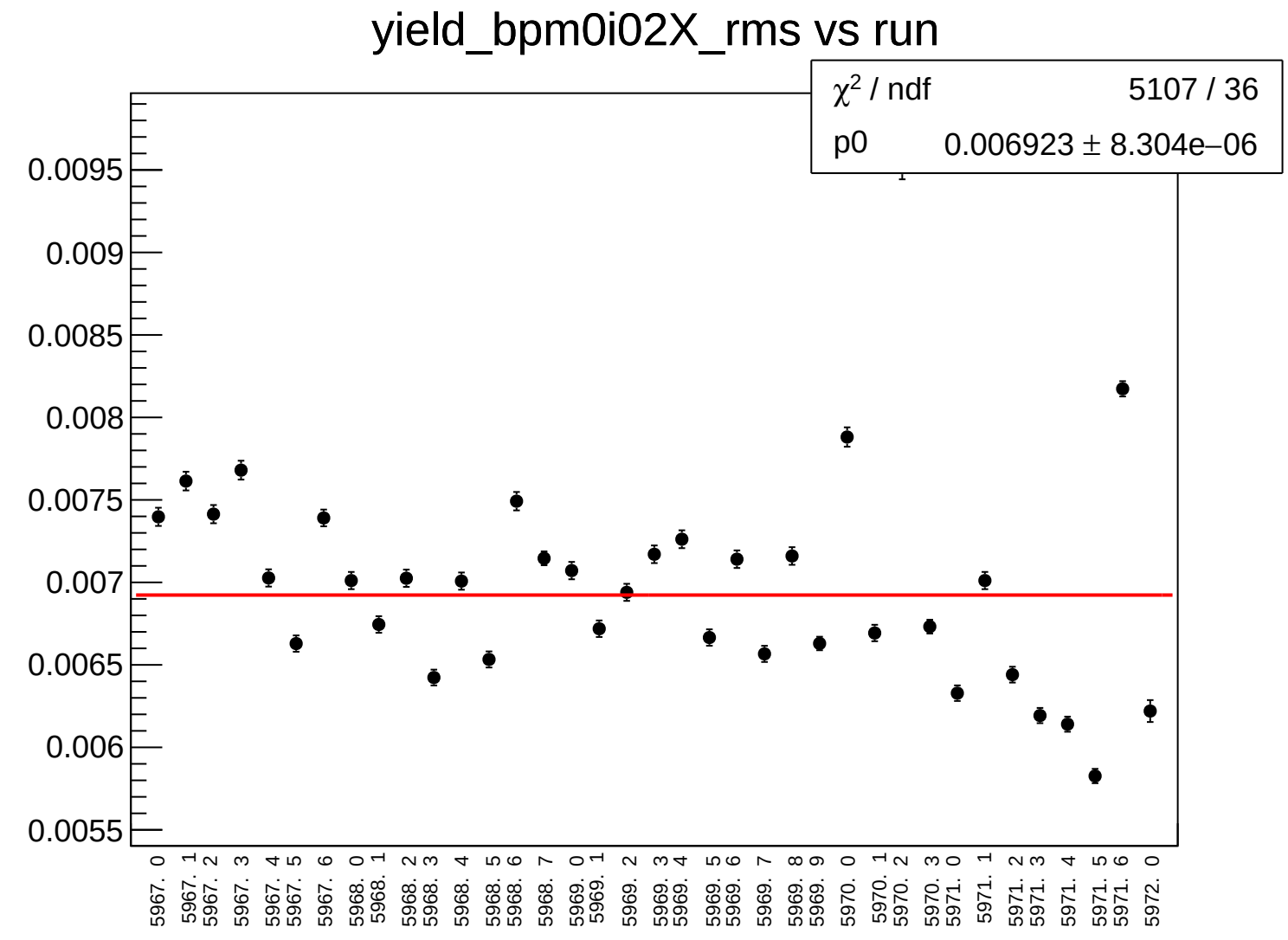
yield_bpm0i02X_rms vs run
χ² / ndf 5107 / 36
p0 0.006923 ± 8.304e−06
0.0095
0.009
0.0085
0.008
0.0075
0.007
0.0065
0.006
0.0055
5967. 0
5967. 1
5967. 2
5967. 3
5967. 4
5967. 5
5967. 6
5968. 0
5968. 1
5968. 2
5968. 3
5968. 4
5968. 5
5968. 6
5968. 7
5969. 0
5969. 1
5969. 2
5969. 3
5969. 4
5969. 5
5969. 6
5969. 7
5969. 8
5969. 9
5970. 0
5970. 1
5970. 2
5970. 3
5971. 0
5971. 1
5971. 2
5971. 3
5971. 4
5971. 5
5971. 6
5972. 0

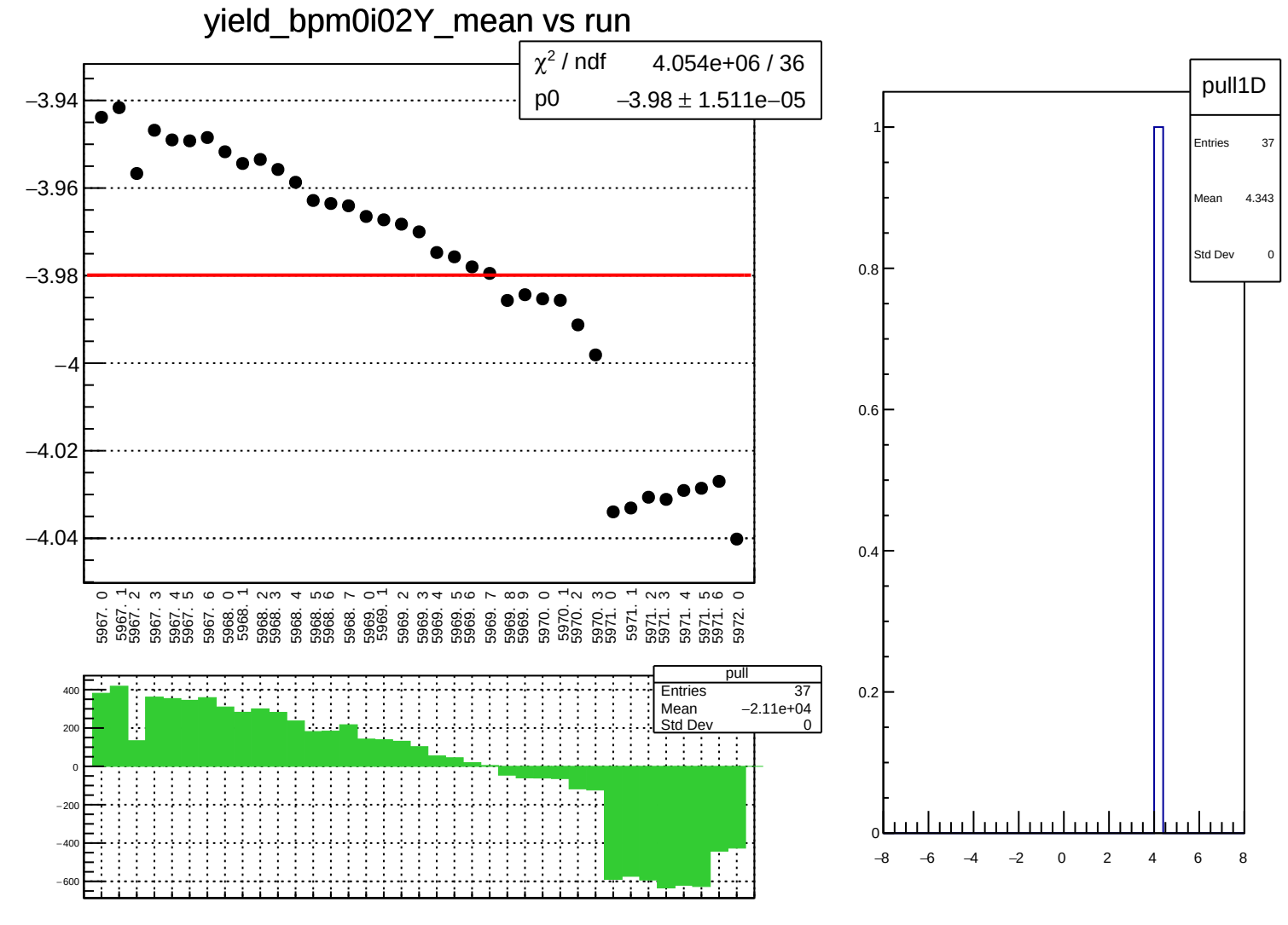
yield_bpm0i02Y_mean vs run
χ² / ndf 4.054e+06 / 36
p0 −3.98 ± 1.511e−05
−3.94
−3.96
−3.98
−4
−4.02
−4.04
5967. 0
5967. 1
5967. 2
5967. 3
5967. 4
5967. 5
5967. 6
5968. 0
5968. 1
5968. 2
5968. 3
5968. 4
5968. 5
5968. 6
5968. 7
5969. 0
5969. 1
5969. 2
5969. 3
5969. 4
5969. 5
5969. 6
5969. 7
5969. 8
5969. 9
5970. 0
5970. 1
5970. 2
5970. 3
5971. 0
5971. 1
5971. 2
5971. 3
5971. 4
5971. 5
5971. 6
5972. 0
pull
Entries 37
Mean −2.11e+04
Std Dev 0
400
200
0
−200
−400
−600
pull1D
Entries 37
Mean 4.343
Std Dev 0
1
0.8
0.6
0.4
0.2
0
−8
−6
−4
−2
0
2
4
6
8

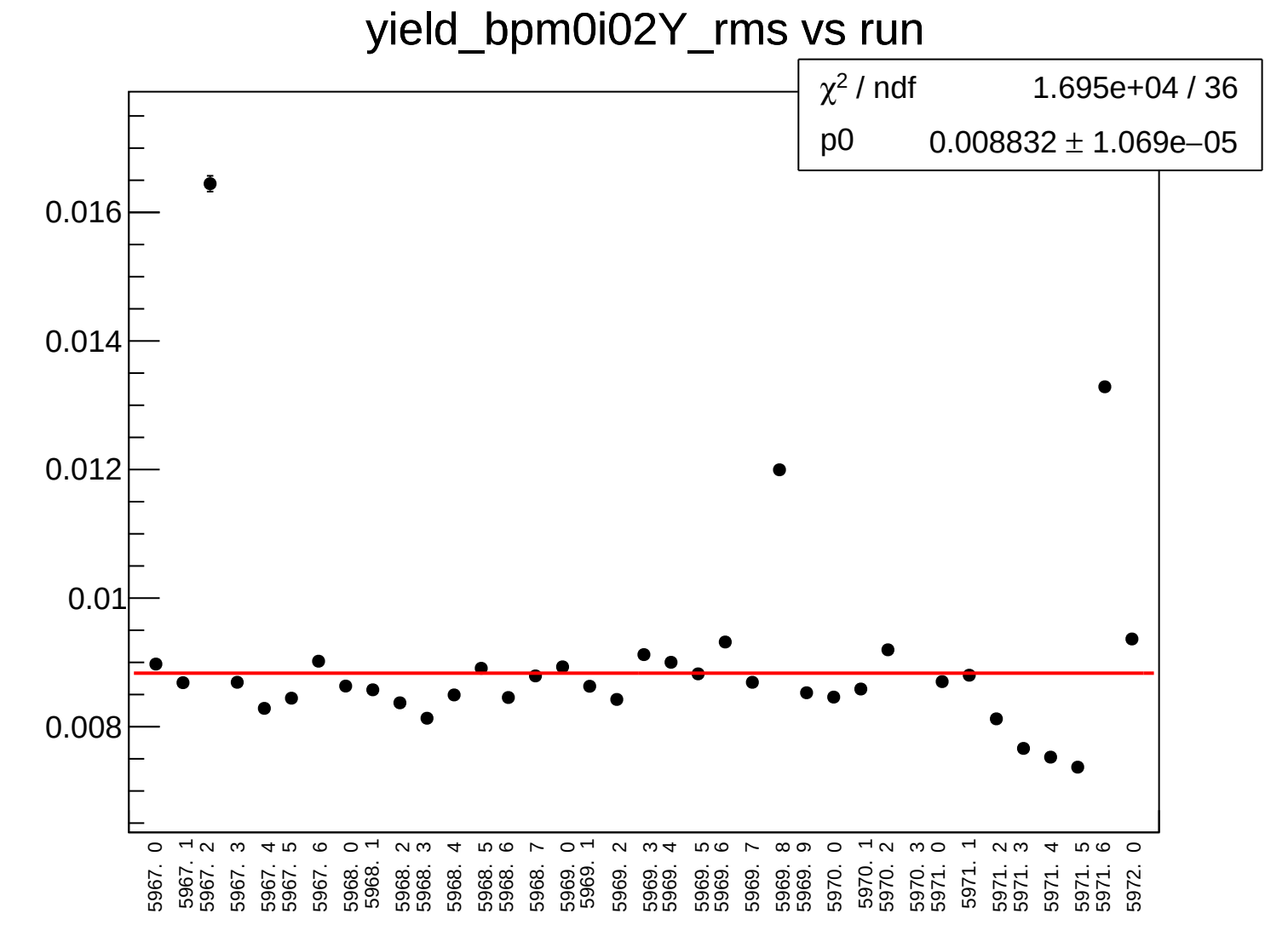
yield_bpm0i02Y_rms vs run
χ² / ndf 1.695e+04 / 36
p0 0.008832 ± 1.069e−05
0.016
0.014
0.012
0.01
0.008
5967. 0
5967. 1
5967. 2
5967. 3
5967. 4
5967. 5
5967. 6
5968. 0
5968. 1
5968. 2
5968. 3
5968. 4
5968. 5
5968. 6
5968. 7
5969. 0
5969. 1
5969. 2
5969. 3
5969. 4
5969. 5
5969. 6
5969. 7
5969. 8
5969. 9
5970. 0
5970. 1
5970. 2
5970. 3
5971. 0
5971. 1
5971. 2
5971. 3
5971. 4
5971. 5
5971. 6
5972. 0

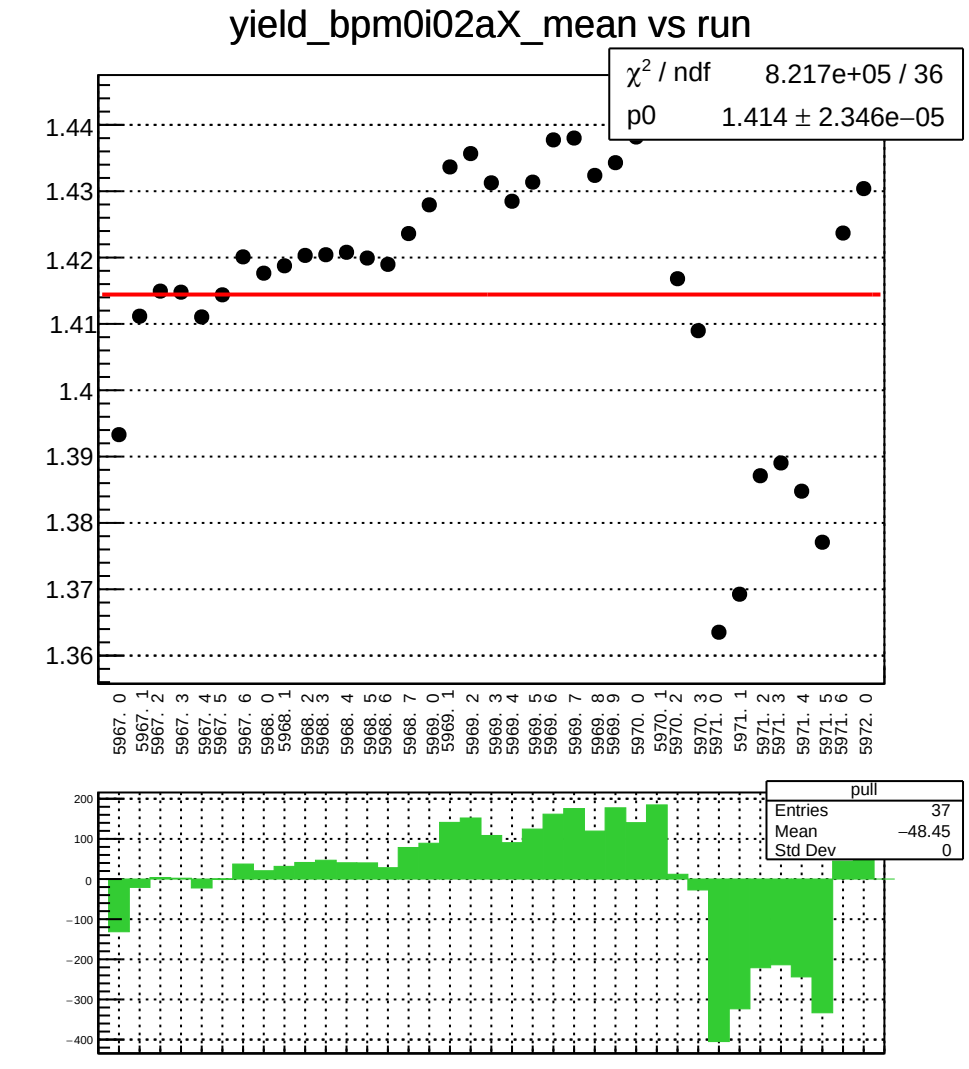
yield_bpm0i02aX_mean vs run
χ² / ndf 8.217e+05 / 36
p0 1.414 ± 2.346e−05
1.44
1.43
1.42
1.41
1.4
1.39
1.38
1.37
1.36
5967. 0
5967. 1
5967. 2
5967. 3
5967. 4
5967. 5
5967. 6
5968. 0
5968. 1
5968. 2
5968. 3
5968. 4
5968. 5
5968. 6
5968. 7
5969. 0
5969. 1
5969. 2
5969. 3
5969. 4
5969. 5
5969. 6
5969. 7
5969. 8
5969. 9
5970. 0
5970. 1
5970. 2
5970. 3
5971. 0
5971. 1
5971. 2
5971. 3
5971. 4
5971. 5
5971. 6
5972. 0
pull
Entries 37
Mean −48.45
Std Dev 0
200
100
0
−100
−200
−300
−400

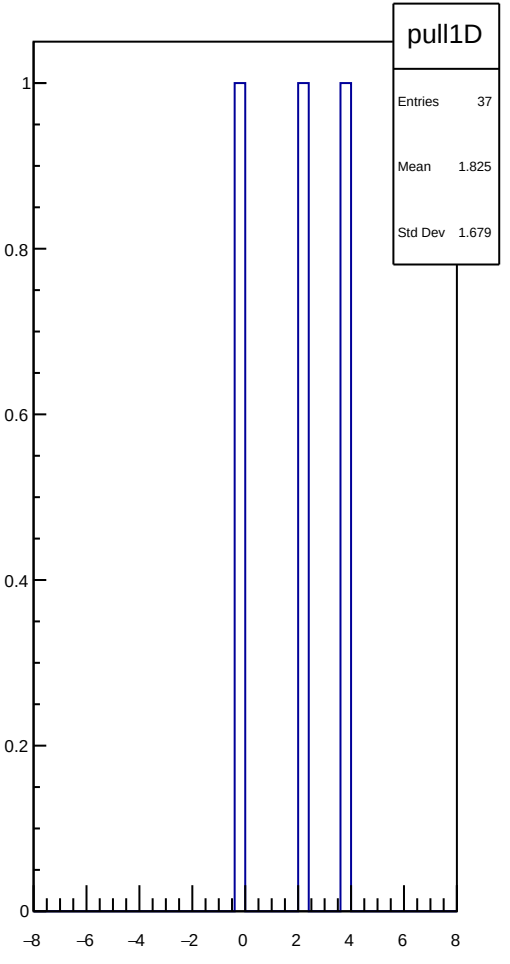
pull1D
Entries 37
Mean 1.825
Std Dev 1.679
1
0.8
0.6
0.4
0.2
0
−8
−6
−4
−2
0
2
4
6
8

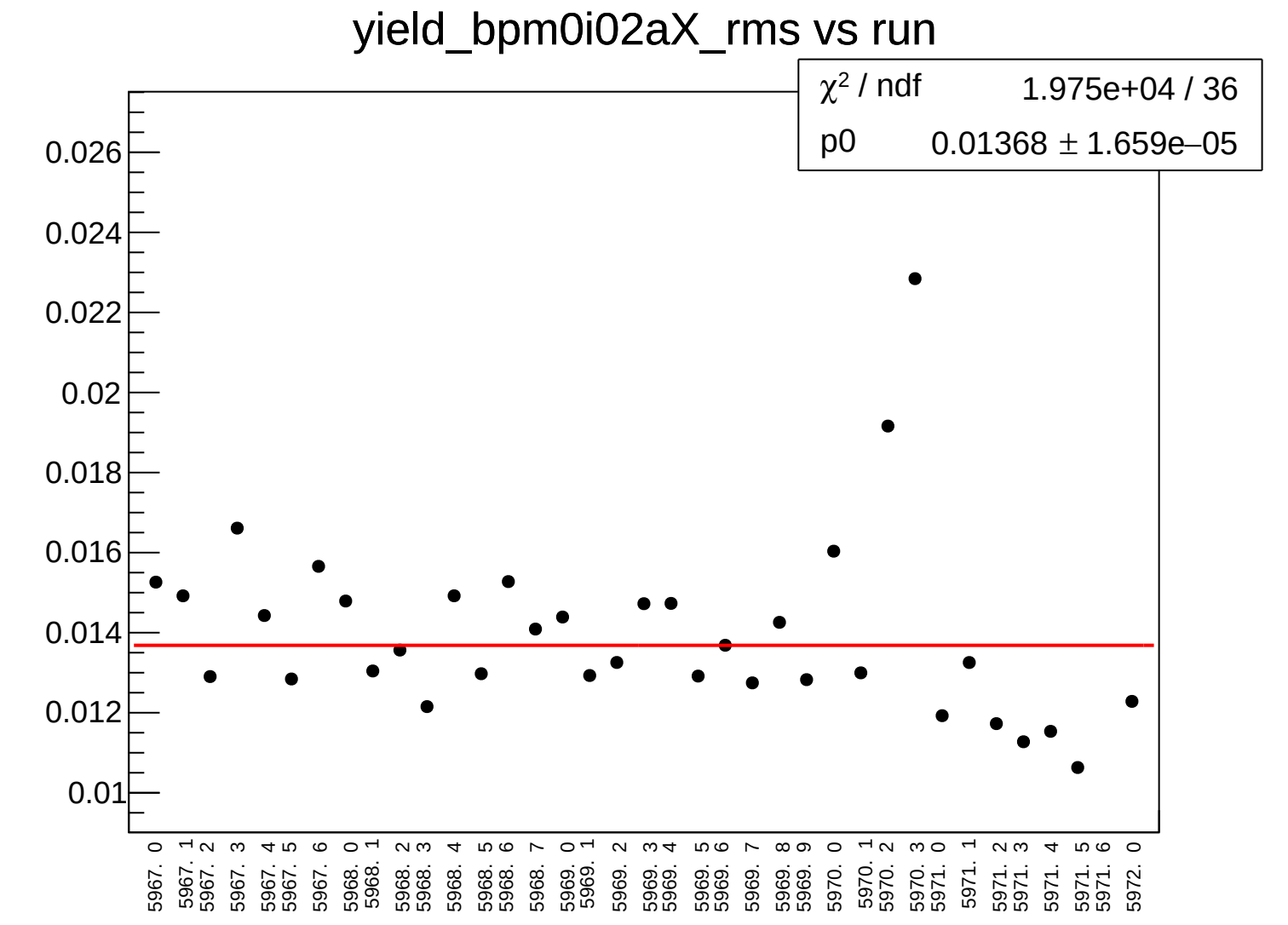
yield_bpm0i02aX_rms vs run
χ² / ndf 1.975e+04 / 36
p0 0.01368 ± 1.659e–05
0.026
0.024
0.022
0.02
0.018
0.016
0.014
0.012
0.01
5967. 0
5967. 1
5967. 2
5967. 3
5967. 4
5967. 5
5967. 6
5968. 0
5968. 1
5968. 2
5968. 3
5968. 4
5968. 5
5968. 6
5968. 7
5969. 0
5969. 1
5969. 2
5969. 3
5969. 4
5969. 5
5969. 6
5969. 7
5969. 8
5969. 9
5970. 0
5970. 1
5970. 2
5970. 3
5971. 0
5971. 1
5971. 2
5971. 3
5971. 4
5971. 5
5971. 6
5972. 0

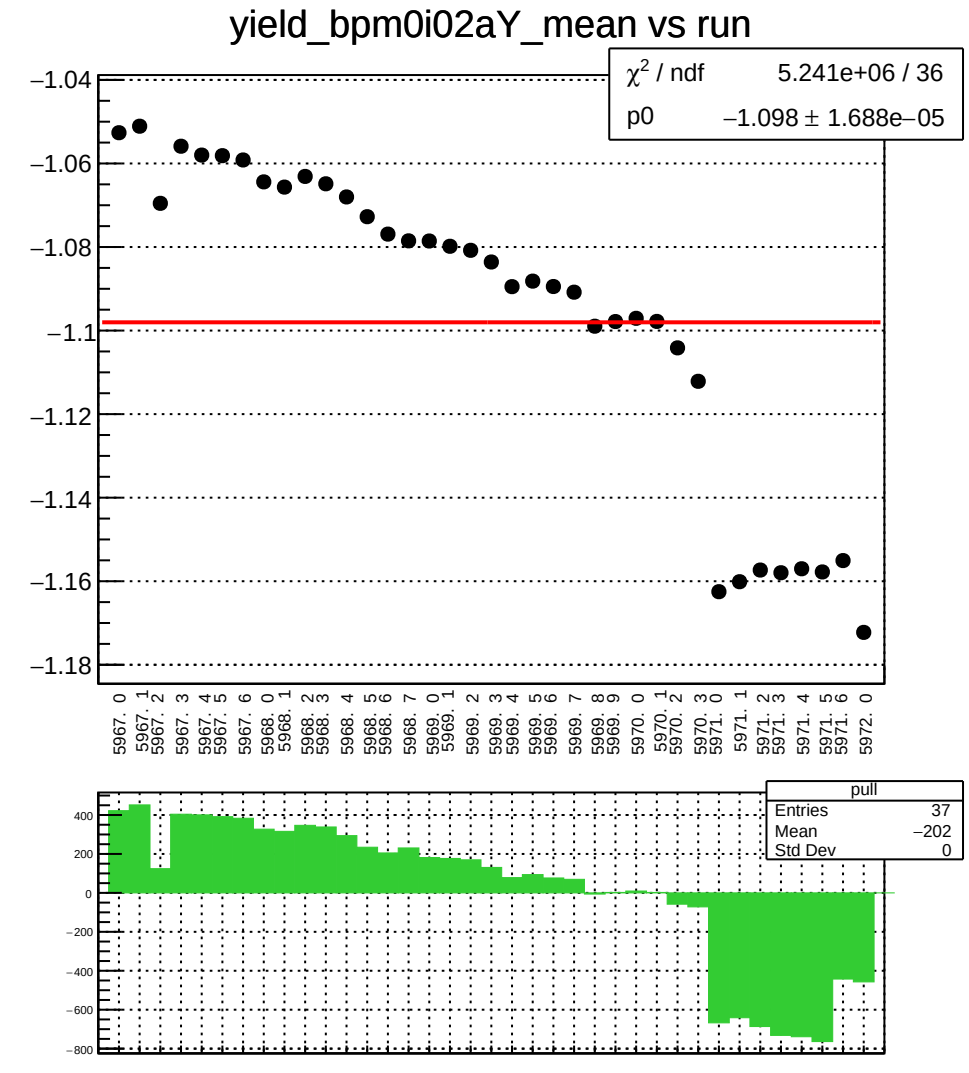
yield_bpm0i02aY_mean vs run
χ² / ndf 5.241e+06 / 36
p0 −1.098 ± 1.688e−05
−1.04
−1.06
−1.08
−1.1
−1.12
−1.14
−1.16
−1.18
5967. 0
5967. 1
5967. 2
5967. 3
5967. 4
5967. 5
5967. 6
5968. 0
5968. 1
5968. 2
5968. 3
5968. 4
5968. 5
5968. 6
5968. 7
5969. 0
5969. 1
5969. 2
5969. 3
5969. 4
5969. 5
5969. 6
5969. 7
5969. 8
5969. 9
5970. 0
5970. 1
5970. 2
5970. 3
5971. 0
5971. 1
5971. 2
5971. 3
5971. 4
5971. 5
5971. 6
5972. 0
pull
Entries 37
Mean −202
Std Dev 0
400
200
0
−200
−400
−600
−800

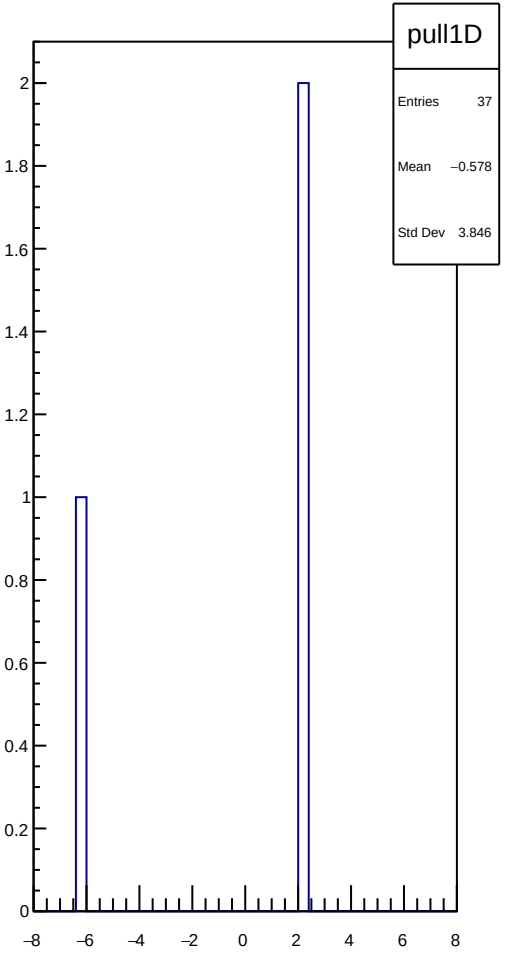
pull1D
Entries 37
Mean −0.578
Std Dev 3.846
2
1.8
1.6
1.4
1.2
1
0.8
0.6
0.4
0.2
0
−8
−6
−4
−2
0
2
4
6
8

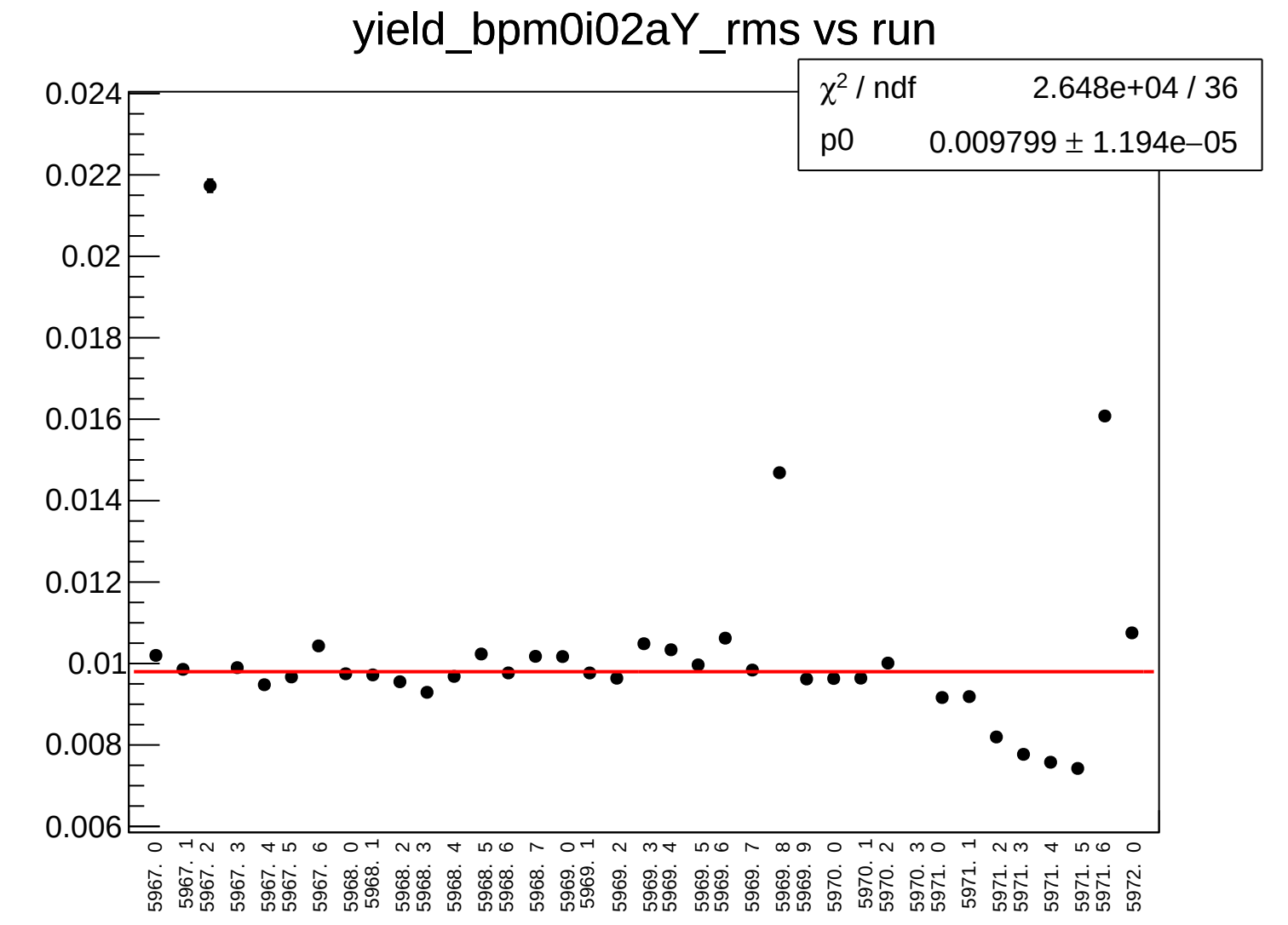
yield_bpm0i02aY_rms vs run
χ² / ndf 2.648e+04 / 36
p0 0.009799 ± 1.194e−05
0.024
0.022
0.02
0.018
0.016
0.014
0.012
0.01
0.008
0.006
5967. 0
5967. 1
5967. 2
5967. 3
5967. 4
5967. 5
5967. 6
5968. 0
5968. 1
5968. 2
5968. 3
5968. 4
5968. 5
5968. 6
5968. 7
5969. 0
5969. 1
5969. 2
5969. 3
5969. 4
5969. 5
5969. 6
5969. 7
5969. 8
5969. 9
5970. 0
5970. 1
5970. 2
5970. 3
5971. 0
5971. 1
5971. 2
5971. 3
5971. 4
5971. 5
5971. 6
5972. 0

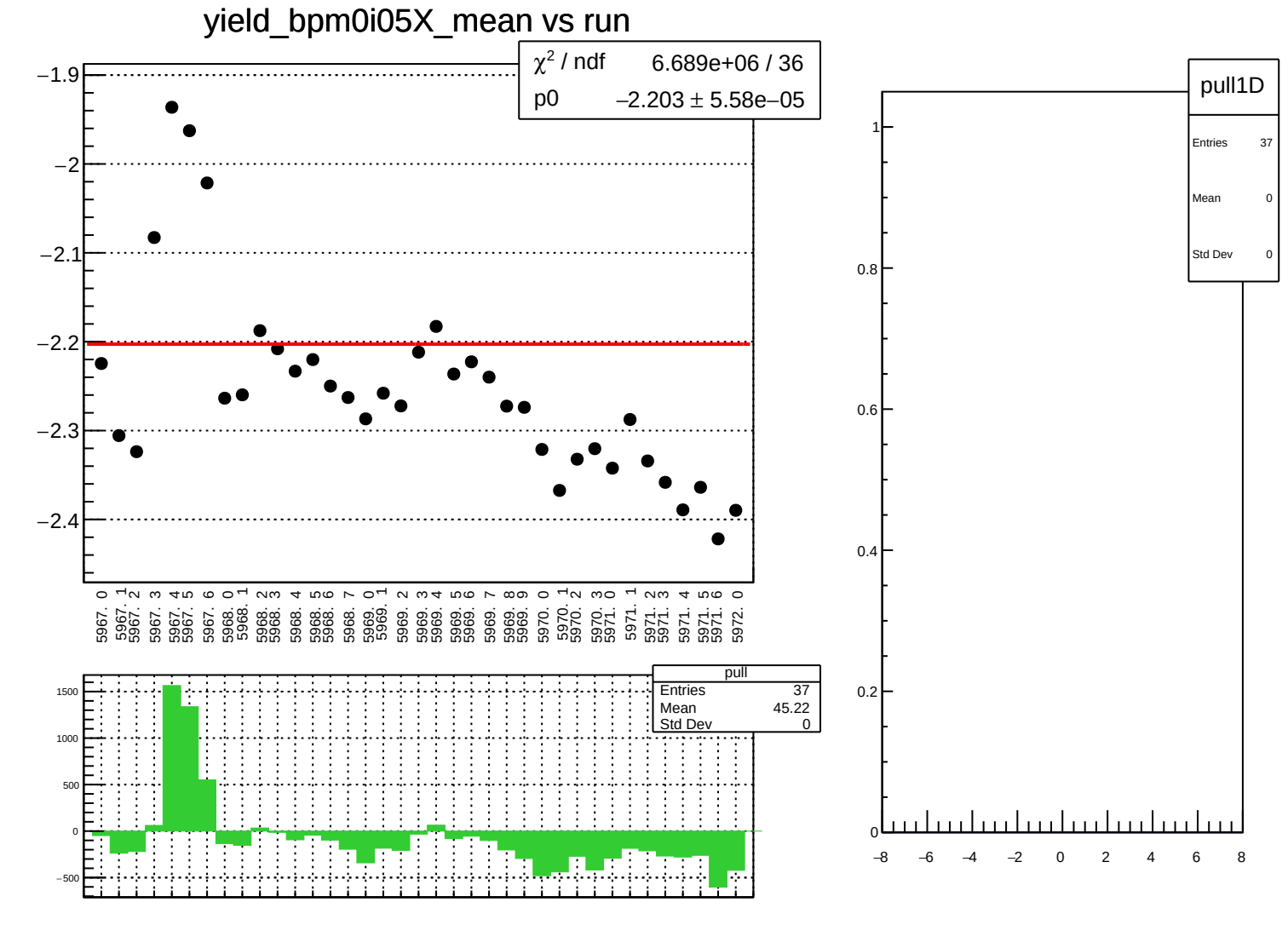
yield_bpm0i05X_mean vs run
χ² / ndf 6.689e+06 / 36
p0 −2.203 ± 5.58e−05
−1.9
−2
−2.1
−2.2
−2.3
−2.4
5967. 0
5967. 1
5967. 2
5967. 3
5967. 4
5967. 5
5967. 6
5968. 0
5968. 1
5968. 2
5968. 3
5968. 4
5968. 5
5968. 6
5968. 7
5969. 0
5969. 1
5969. 2
5969. 3
5969. 4
5969. 5
5969. 6
5969. 7
5969. 8
5969. 9
5970. 0
5970. 1
5970. 2
5970. 3
5971. 0
5971. 1
5971. 2
5971. 3
5971. 4
5971. 5
5971. 6
5972. 0
pull
Entries 37
Mean 45.22
Std Dev 0
1500
1000
500
0
−500
pull1D
Entries 37
Mean 0
Std Dev 0
1
0.8
0.6
0.4
0.2
0
−8
−6
−4
−2
0
2
4
6
8

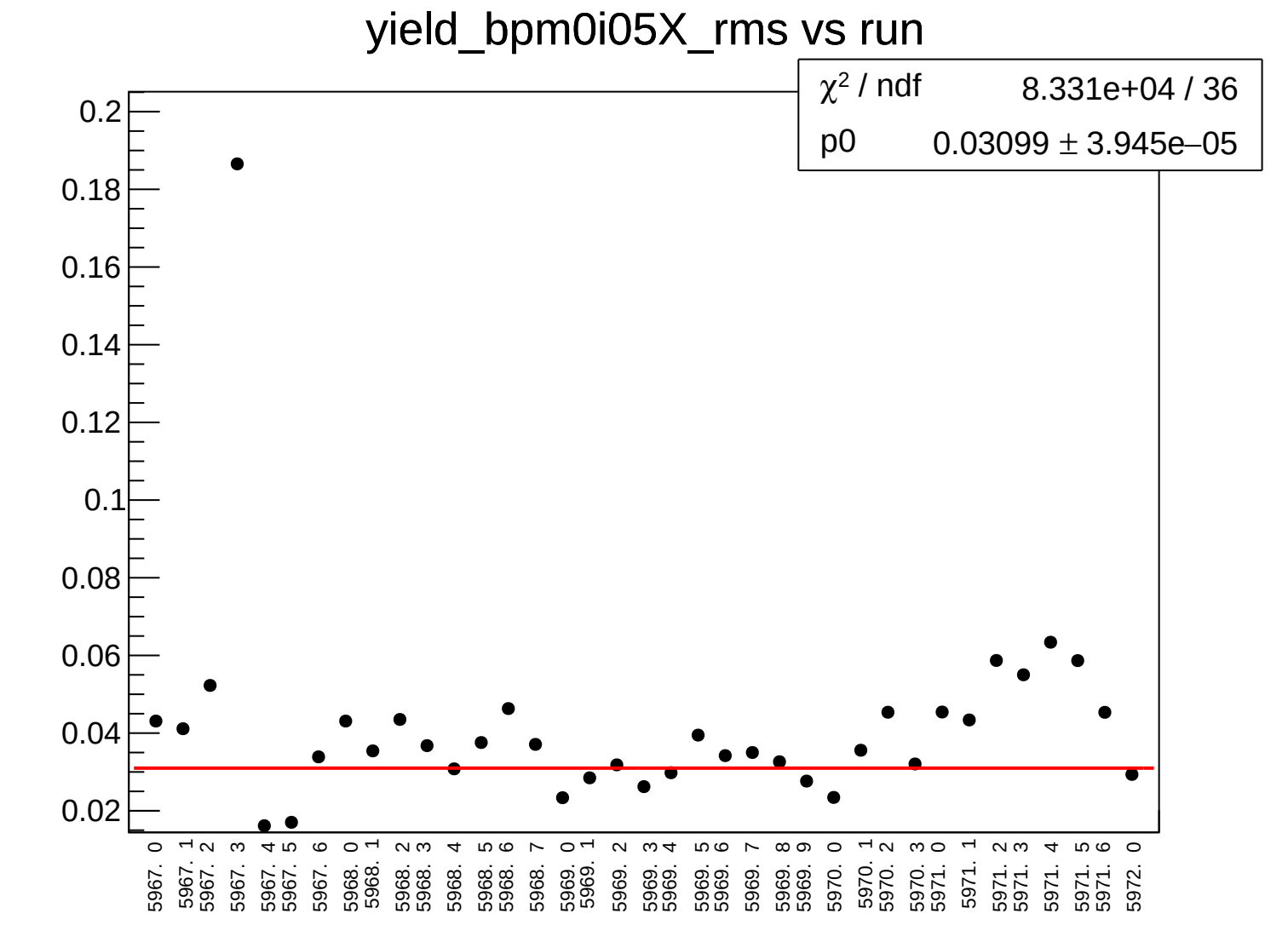
yield_bpm0i05X_rms vs run
χ² / ndf 8.331e+04 / 36
p0 0.03099 ± 3.945e−05
0.2
0.18
0.16
0.14
0.12
0.1
0.08
0.06
0.04
0.02
5967. 0
5967. 1
5967. 2
5967. 3
5967. 4
5967. 5
5967. 6
5968. 0
5968. 1
5968. 2
5968. 3
5968. 4
5968. 5
5968. 6
5968. 7
5969. 0
5969. 1
5969. 2
5969. 3
5969. 4
5969. 5
5969. 6
5969. 7
5969. 8
5969. 9
5970. 0
5970. 1
5970. 2
5970. 3
5971. 0
5971. 1
5971. 2
5971. 3
5971. 4
5971. 5
5971. 6
5972. 0

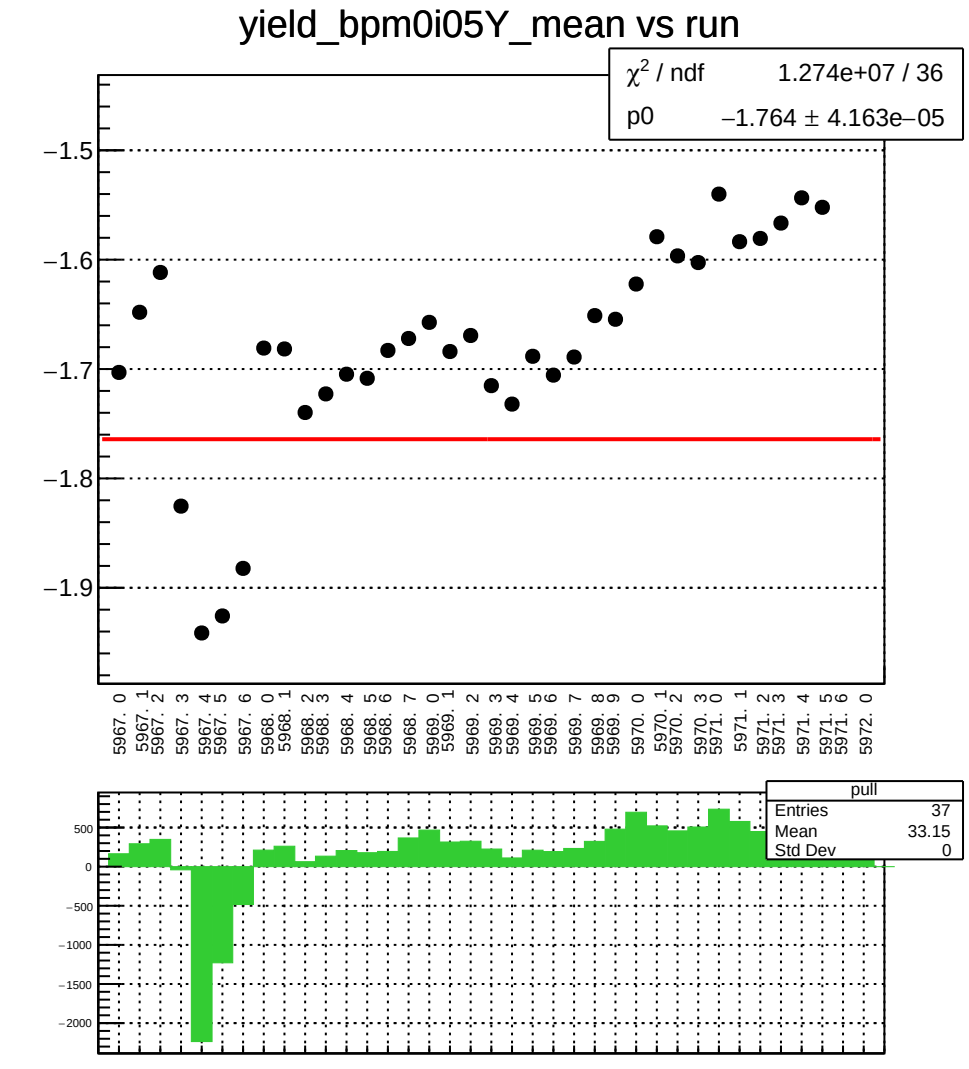
yield_bpm0i05Y_mean vs run
χ² / ndf 1.274e+07 / 36
p0 −1.764 ± 4.163e−05
−1.5
−1.6
−1.7
−1.8
−1.9
5967. 0
5967. 1
5967. 2
5967. 3
5967. 4
5967. 5
5967. 6
5968. 0
5968. 1
5968. 2
5968. 3
5968. 4
5968. 5
5968. 6
5968. 7
5969. 0
5969. 1
5969. 2
5969. 3
5969. 4
5969. 5
5969. 6
5969. 7
5969. 8
5969. 9
5970. 0
5970. 1
5970. 2
5970. 3
5971. 0
5971. 1
5971. 2
5971. 3
5971. 4
5971. 5
5971. 6
5972. 0
pull
Entries 37
Mean 33.15
Std Dev 0
500
0
−500
−1000
−1500
−2000

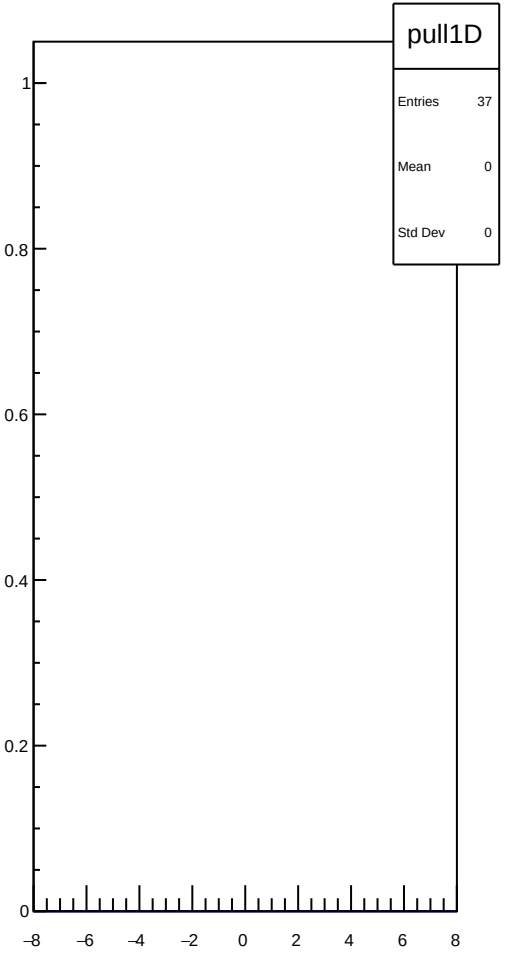
pull1D
Entries 37
Mean 0
Std Dev 0
1
0.8
0.6
0.4
0.2
0
−8
−6
−4
−2
0
2
4
6
8

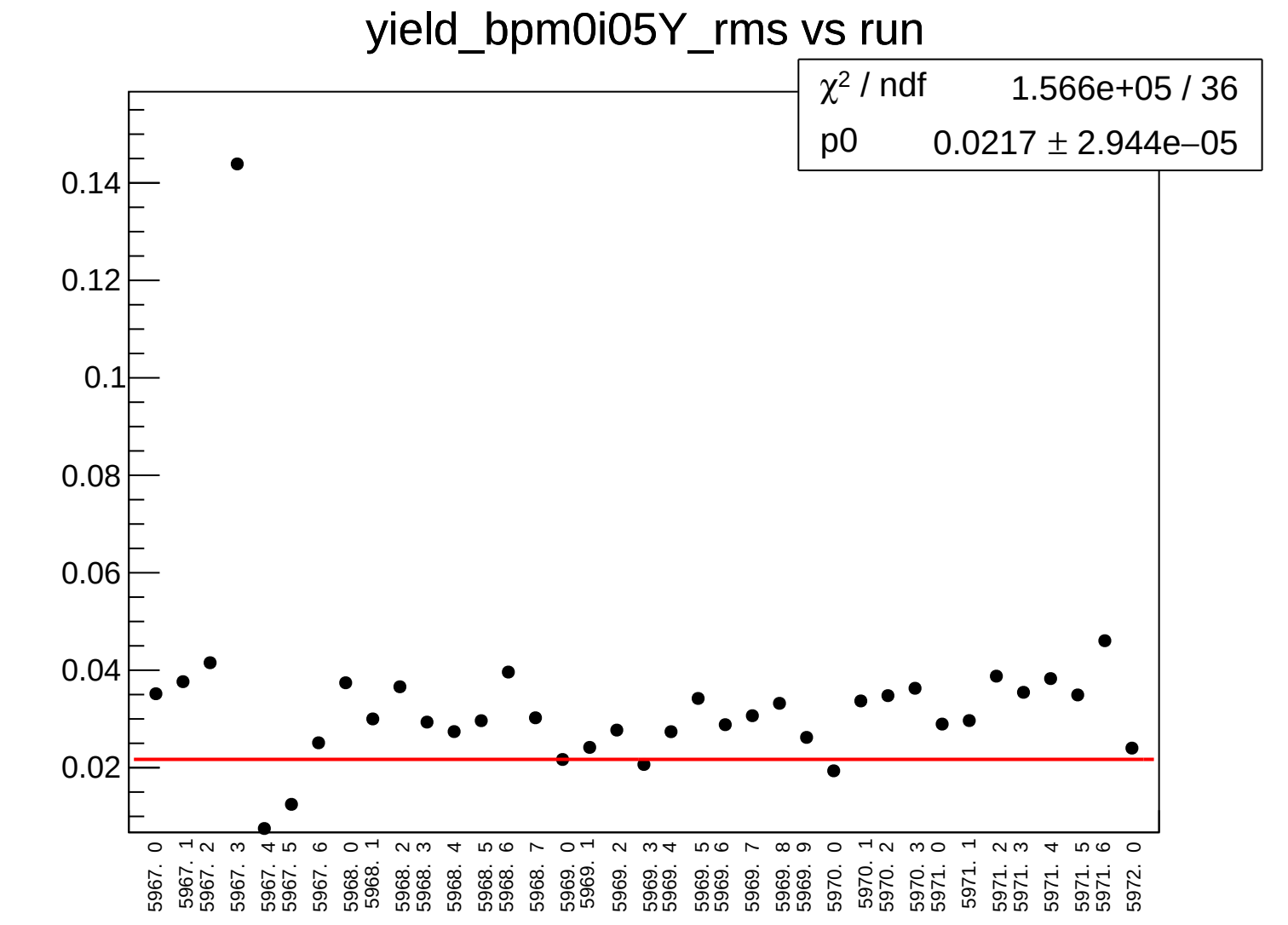
yield_bpm0i05Y_rms vs run
χ² / ndf 1.566e+05 / 36
p0 0.0217 ± 2.944e−05
0.14
0.12
0.1
0.08
0.06
0.04
0.02
5967. 0
5967. 1
5967. 2
5967. 3
5967. 4
5967. 5
5967. 6
5968. 0
5968. 1
5968. 2
5968. 3
5968. 4
5968. 5
5968. 6
5968. 7
5969. 0
5969. 1
5969. 2
5969. 3
5969. 4
5969. 5
5969. 6
5969. 7
5969. 8
5969. 9
5970. 0
5970. 1
5970. 2
5970. 3
5971. 0
5971. 1
5971. 2
5971. 3
5971. 4
5971. 5
5971. 6
5972. 0

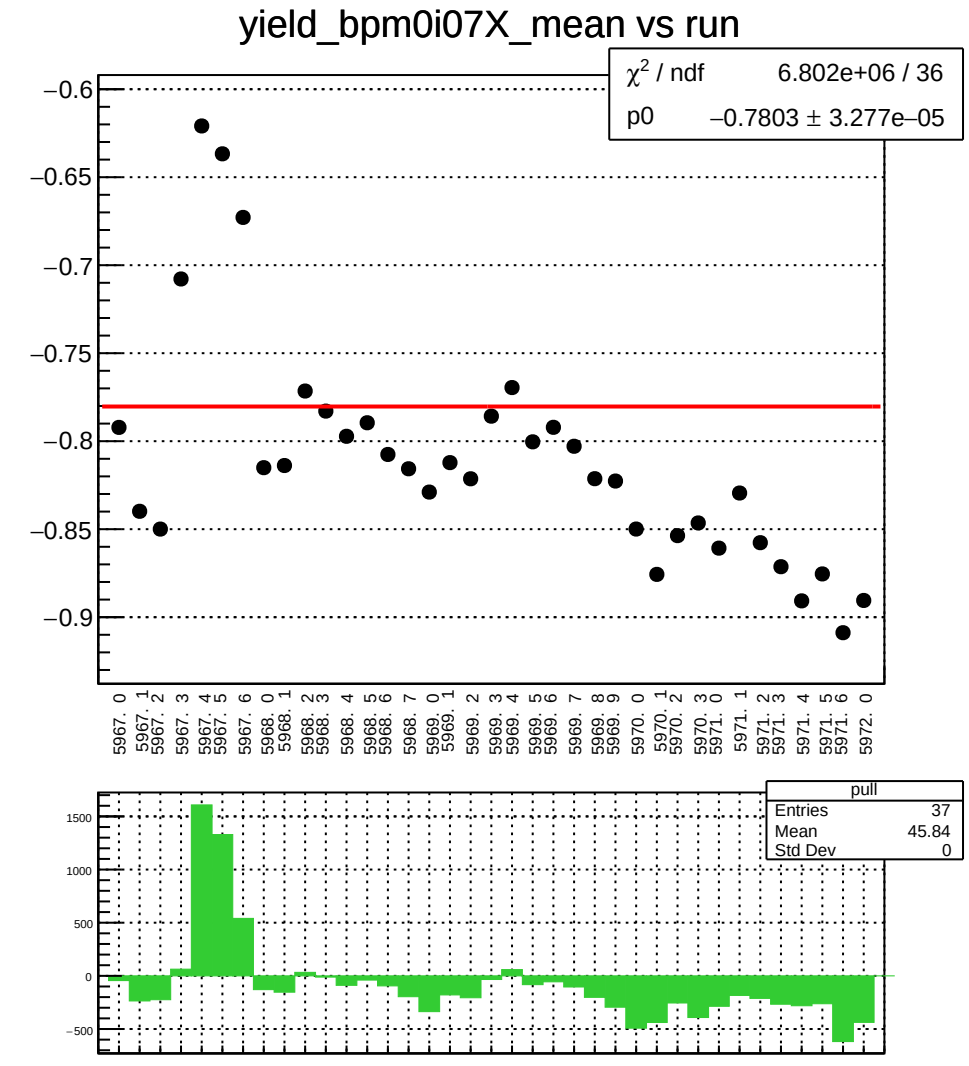
yield_bpm0i07X_mean vs run
χ² / ndf 6.802e+06 / 36
p0 −0.7803 ± 3.277e−05
−0.6
−0.65
−0.7
−0.75
−0.8
−0.85
−0.9
5967. 0
5967. 1
5967. 2
5967. 3
5967. 4
5967. 5
5967. 6
5968. 0
5968. 1
5968. 2
5968. 3
5968. 4
5968. 5
5968. 6
5968. 7
5969. 0
5969. 1
5969. 2
5969. 3
5969. 4
5969. 5
5969. 6
5969. 7
5969. 8
5969. 9
5970. 0
5970. 1
5970. 2
5970. 3
5971. 0
5971. 1
5971. 2
5971. 3
5971. 4
5971. 5
5971. 6
5972. 0
pull
Entries 37
Mean 45.84
Std Dev 0
1500
1000
500
0
−500
pull1D
Entries 37
Mean 0
Std Dev 0
1
0.8
0.6
0.4
0.2
0
−8
−6
−4
−2
0
2
4
6
8

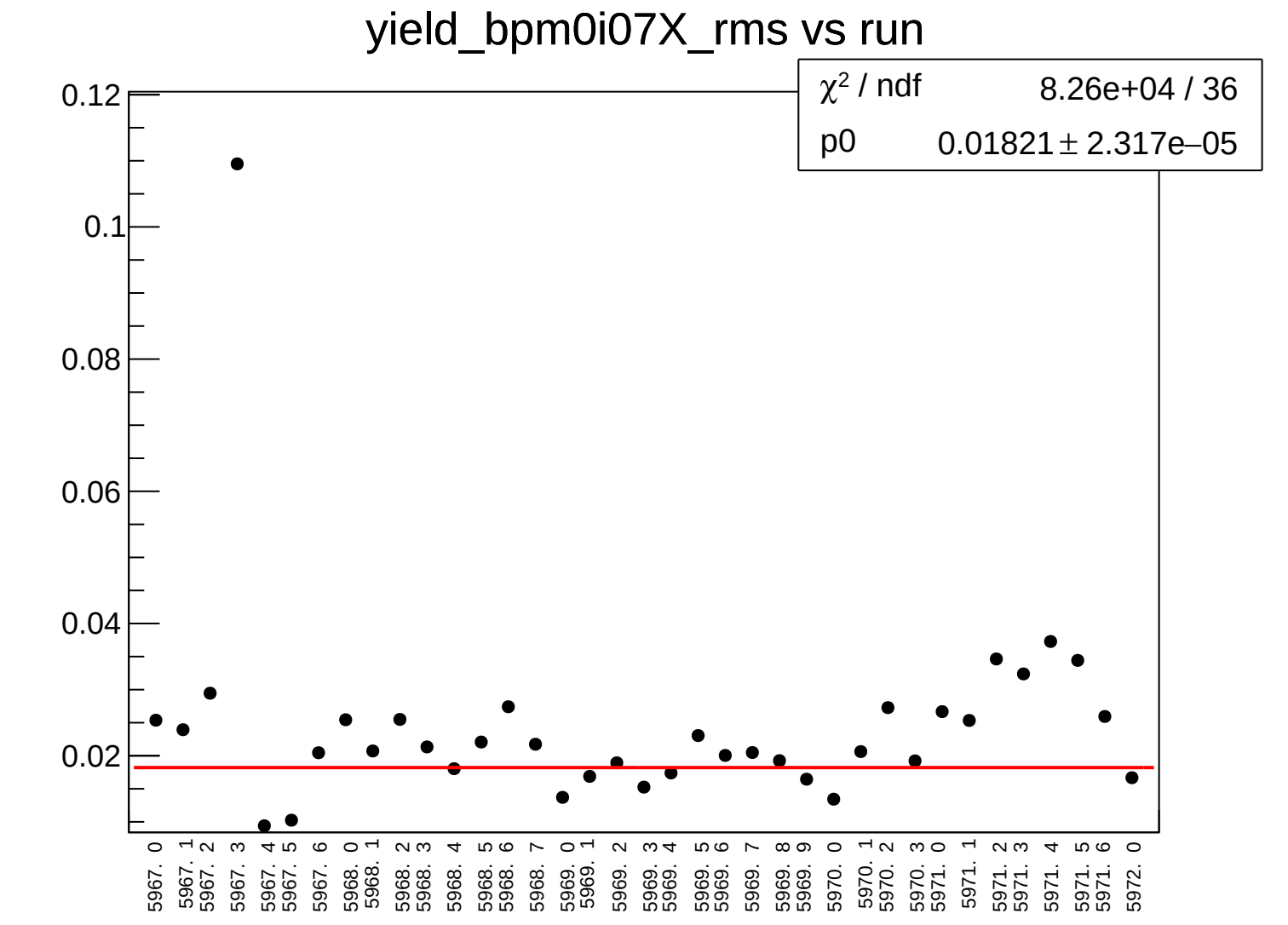
yield_bpm0i07X_rms vs run
χ² / ndf 8.26e+04 / 36
p0 0.01821 ± 2.317e–05
0.12
0.1
0.08
0.06
0.04
0.02
5967. 0
5967. 1
5967. 2
5967. 3
5967. 4
5967. 5
5967. 6
5968. 0
5968. 1
5968. 2
5968. 3
5968. 4
5968. 5
5968. 6
5968. 7
5969. 0
5969. 1
5969. 2
5969. 3
5969. 4
5969. 5
5969. 6
5969. 7
5969. 8
5969. 9
5970. 0
5970. 1
5970. 2
5970. 3
5971. 0
5971. 1
5971. 2
5971. 3
5971. 4
5971. 5
5971. 6
5972. 0

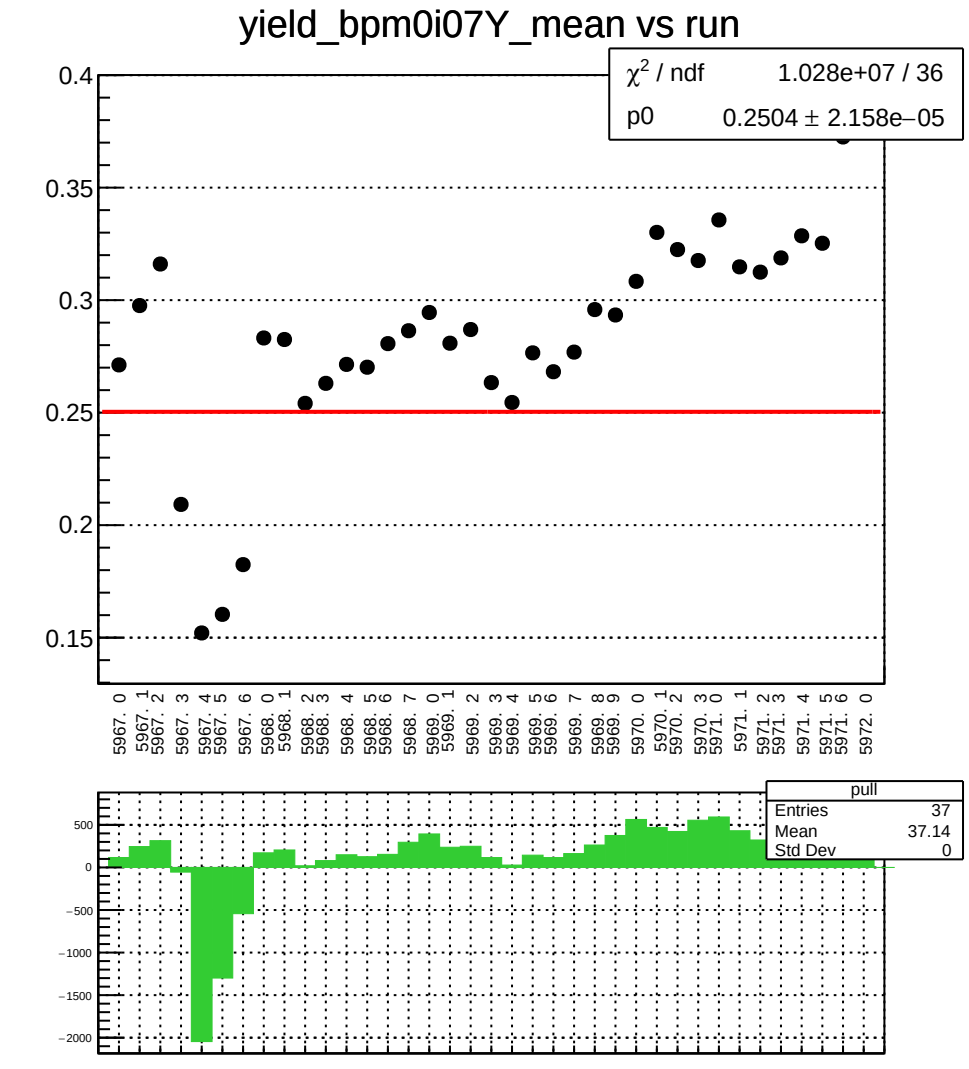
yield_bpm0i07Y_mean vs run
χ² / ndf 1.028e+07 / 36
p0 0.2504 ± 2.158e−05
0.4
0.35
0.3
0.25
0.2
0.15
5967. 0
5967. 1
5967. 2
5967. 3
5967. 4
5967. 5
5967. 6
5968. 0
5968. 1
5968. 2
5968. 3
5968. 4
5968. 5
5968. 6
5968. 7
5969. 0
5969. 1
5969. 2
5969. 3
5969. 4
5969. 5
5969. 6
5969. 7
5969. 8
5969. 9
5970. 0
5970. 1
5970. 2
5970. 3
5971. 0
5971. 1
5971. 2
5971. 3
5971. 4
5971. 5
5971. 6
5972. 0
pull
Entries 37
Mean 37.14
Std Dev 0
500
0
−500
−1000
−1500
−2000

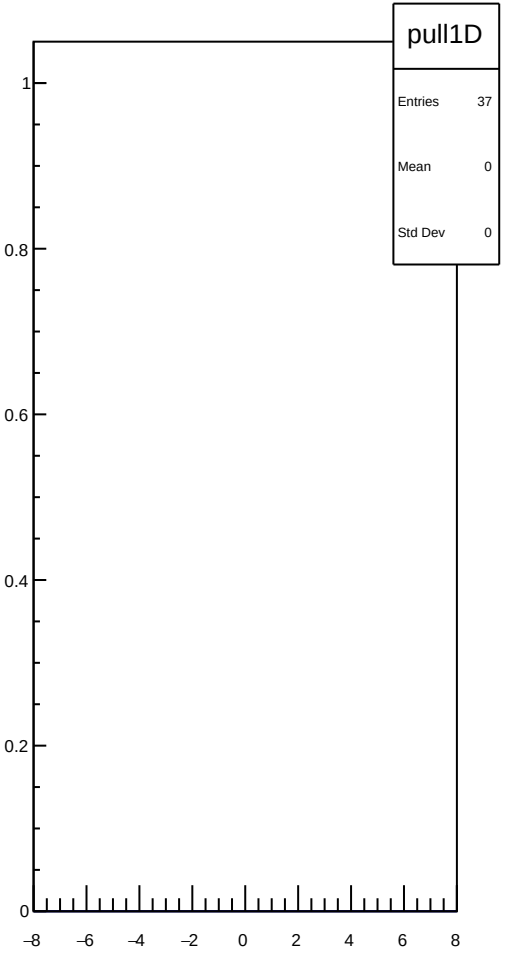
pull1D
Entries 37
Mean 0
Std Dev 0
1
0.8
0.6
0.4
0.2
0
−8
−6
−4
−2
0
2
4
6
8

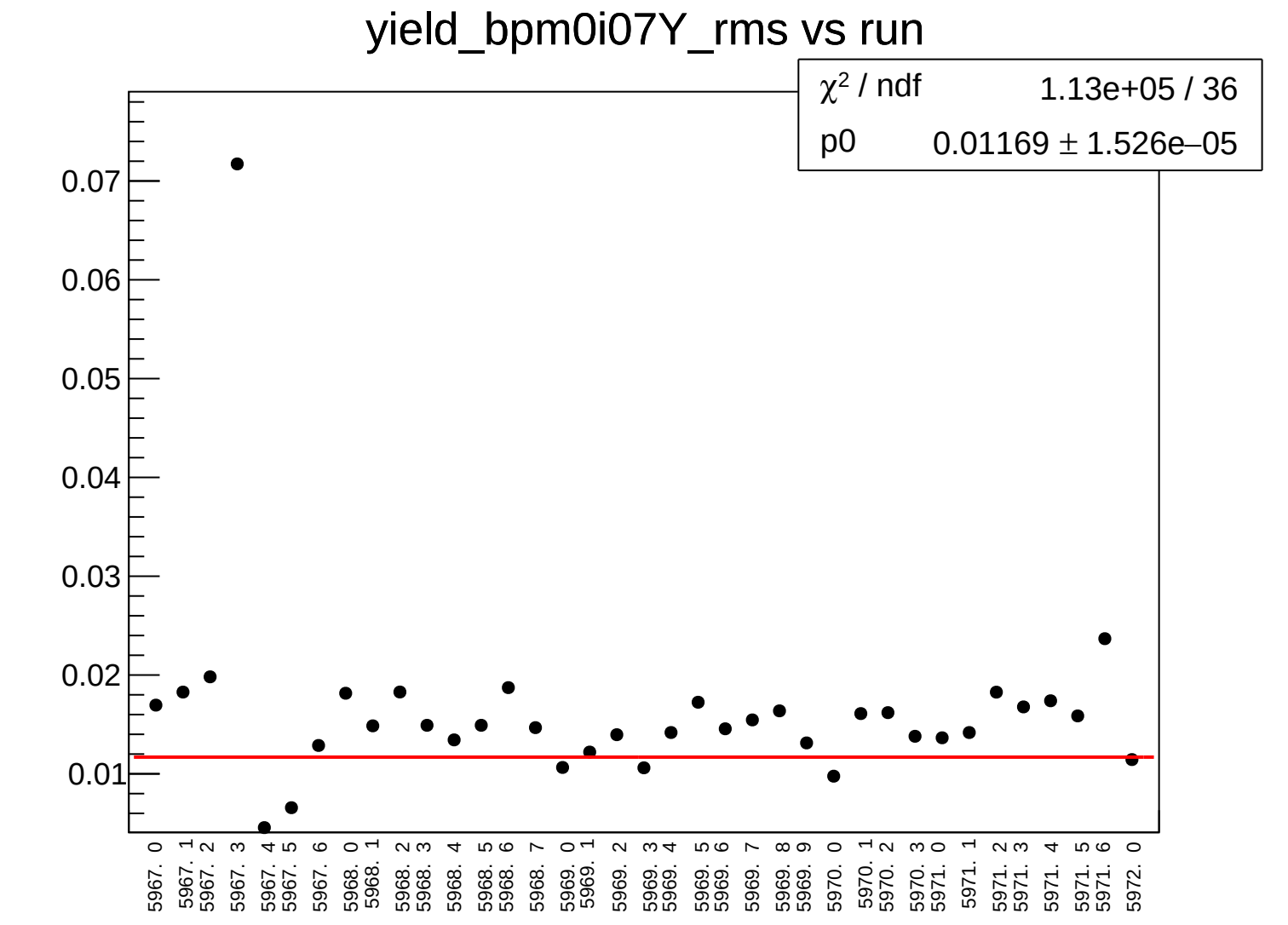
yield_bpm0i07Y_rms vs run
χ² / ndf 1.13e+05 / 36
p0 0.01169 ± 1.526e–05
0.07
0.06
0.05
0.04
0.03
0.02
0.01
5967. 0
5967. 1
5967. 2
5967. 3
5967. 4
5967. 5
5967. 6
5968. 0
5968. 1
5968. 2
5968. 3
5968. 4
5968. 5
5968. 6
5968. 7
5969. 0
5969. 1
5969. 2
5969. 3
5969. 4
5969. 5
5969. 6
5969. 7
5969. 8
5969. 9
5970. 0
5970. 1
5970. 2
5970. 3
5971. 0
5971. 1
5971. 2
5971. 3
5971. 4
5971. 5
5971. 6
5972. 0

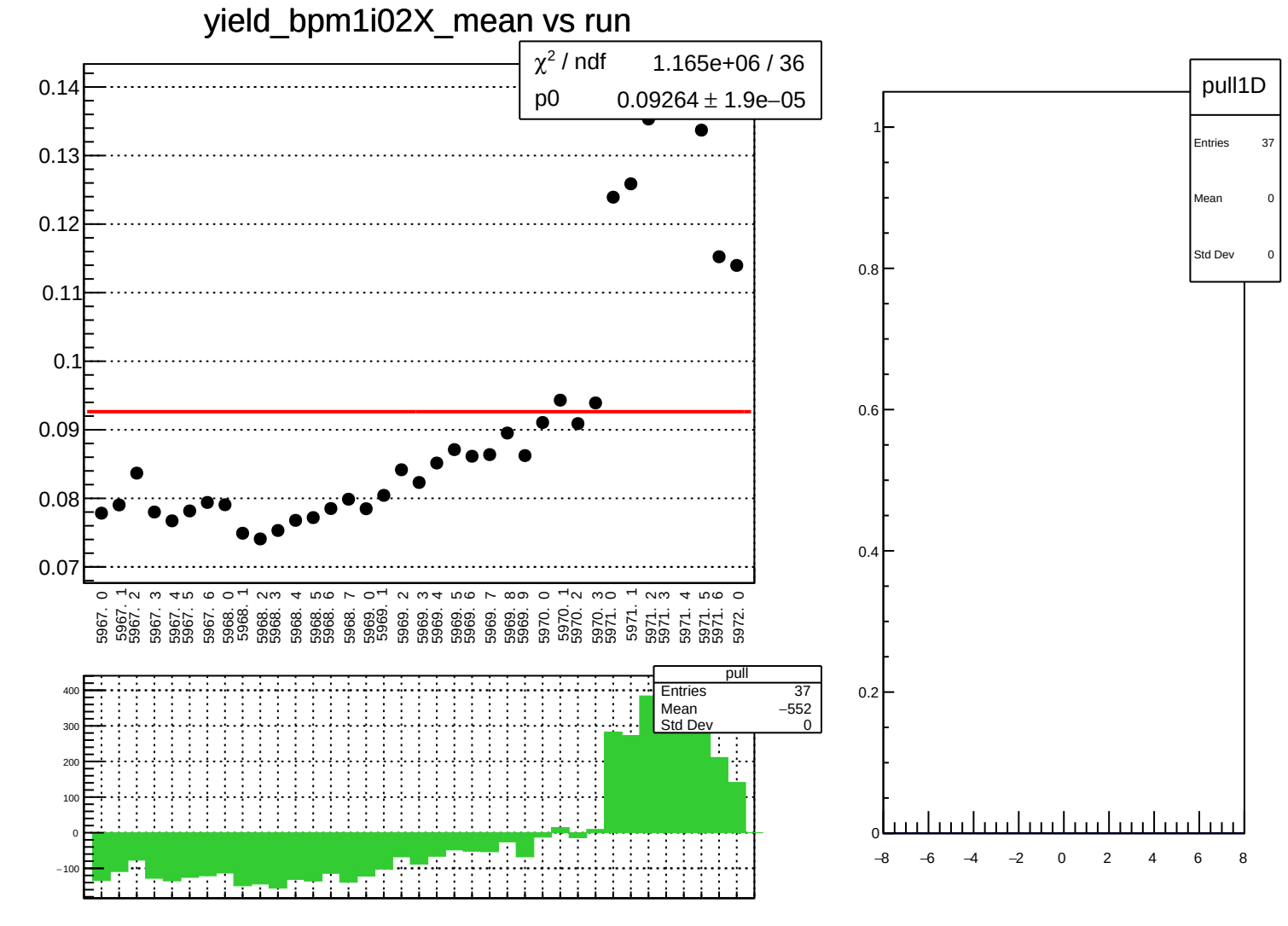
yield_bpm1i02X_mean vs run
χ² / ndf 1.165e+06 / 36
p0 0.09264 ± 1.9e−05
0.14
0.13
0.12
0.11
0.1
0.09
0.08
0.07
5967. 0
5967. 1
5967. 2
5967. 3
5967. 4
5967. 5
5967. 6
5968. 0
5968. 1
5968. 2
5968. 3
5968. 4
5968. 5
5968. 6
5968. 7
5969. 0
5969. 1
5969. 2
5969. 3
5969. 4
5969. 5
5969. 6
5969. 7
5969. 8
5969. 9
5970. 0
5970. 1
5970. 2
5970. 3
5971. 0
5971. 1
5971. 2
5971. 3
5971. 4
5971. 5
5971. 6
5972. 0
pull
Entries 37
Mean −552
Std Dev 0
400
300
200
100
0
−100
pull1D
Entries 37
Mean 0
Std Dev 0
1
0.8
0.6
0.4
0.2
0
−8
−6
−4
−2
0
2
4
6
8

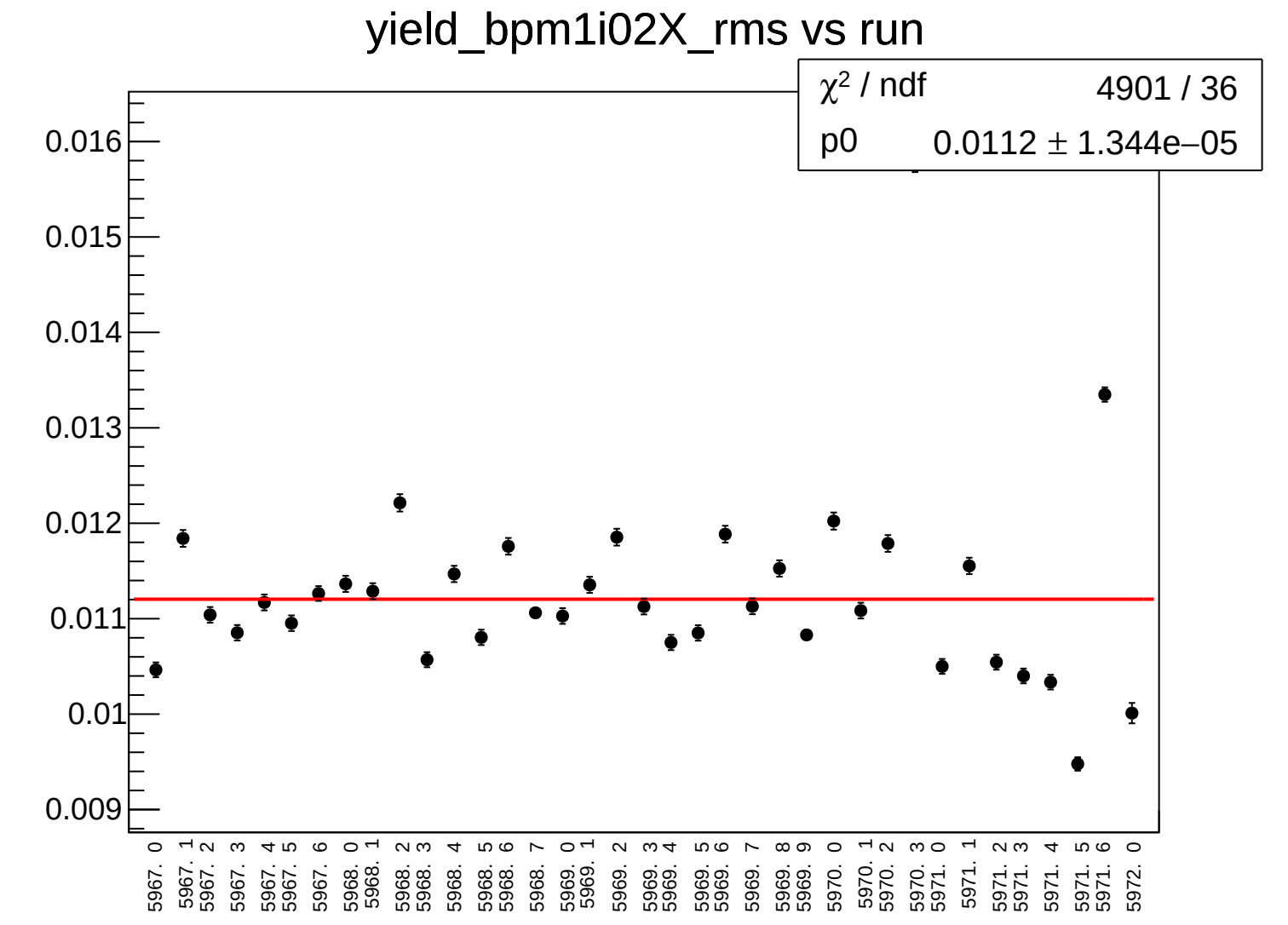
yield_bpm1i02X_rms vs run
χ² / ndf 4901 / 36
p0 0.0112 ± 1.344e−05
0.016
0.015
0.014
0.013
0.012
0.011
0.01
0.009
5967. 0
5967. 1
5967. 2
5967. 3
5967. 4
5967. 5
5967. 6
5968. 0
5968. 1
5968. 2
5968. 3
5968. 4
5968. 5
5968. 6
5968. 7
5969. 0
5969. 1
5969. 2
5969. 3
5969. 4
5969. 5
5969. 6
5969. 7
5969. 8
5969. 9
5970. 0
5970. 1
5970. 2
5970. 3
5971. 0
5971. 1
5971. 2
5971. 3
5971. 4
5971. 5
5971. 6
5972. 0

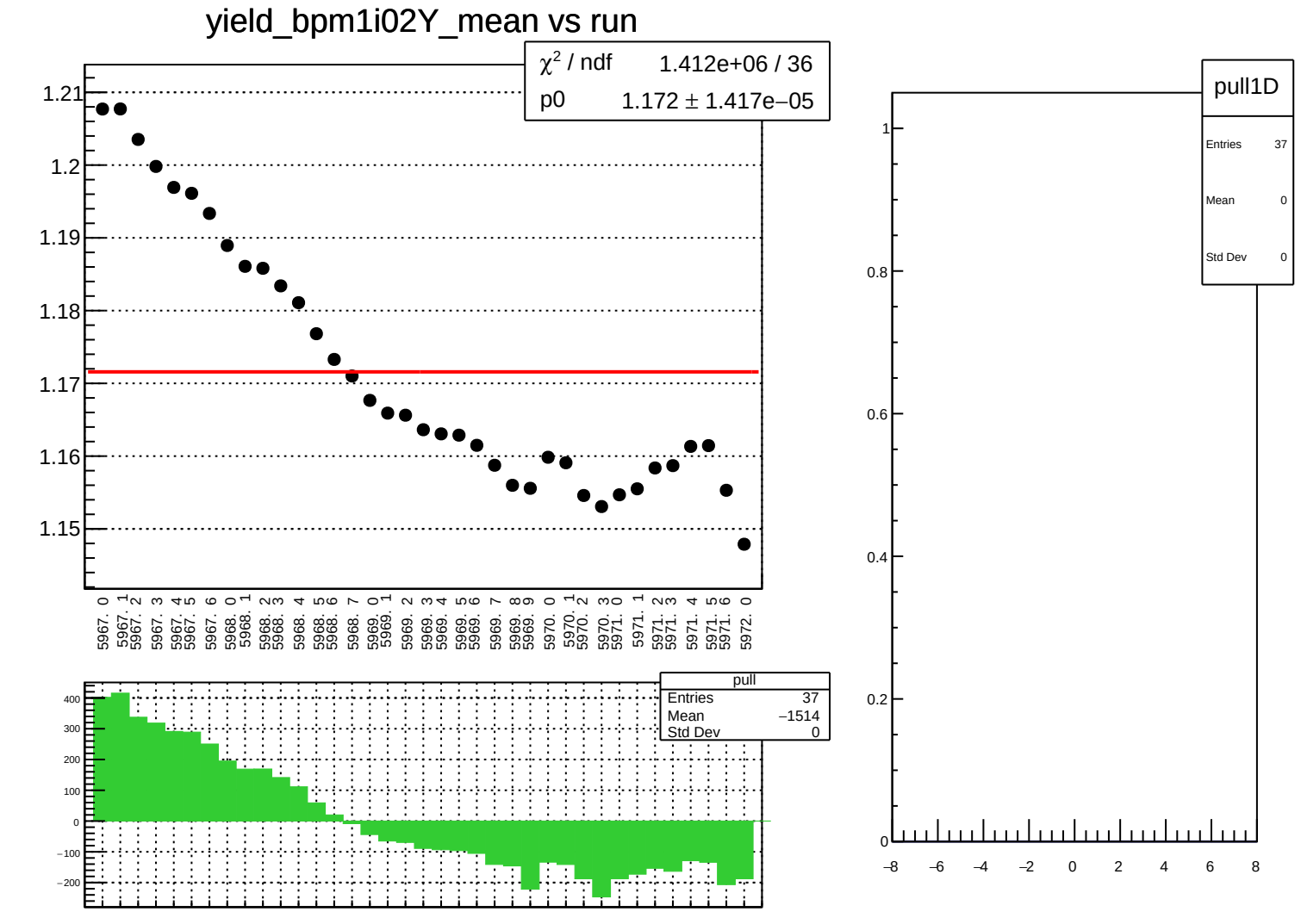
yield_bpm1i02Y_mean vs run
χ² / ndf 1.412e+06 / 36
p0 1.172 ± 1.417e−05
1.21
1.2
1.19
1.18
1.17
1.16
1.15
5967. 0
5967. 1
5967. 2
5967. 3
5967. 4
5967. 5
5967. 6
5968. 0
5968. 1
5968. 2
5968. 3
5968. 4
5968. 5
5968. 6
5968. 7
5969. 0
5969. 1
5969. 2
5969. 3
5969. 4
5969. 5
5969. 6
5969. 7
5969. 8
5969. 9
5970. 0
5970. 1
5970. 2
5970. 3
5971. 0
5971. 1
5971. 2
5971. 3
5971. 4
5971. 5
5971. 6
5972. 0
pull
Entries 37
Mean −1514
Std Dev 0
400
300
200
100
0
−100
−200
pull1D
Entries 37
Mean 0
Std Dev 0
1
0.8
0.6
0.4
0.2
0
−8
−6
−4
−2
0
2
4
6
8

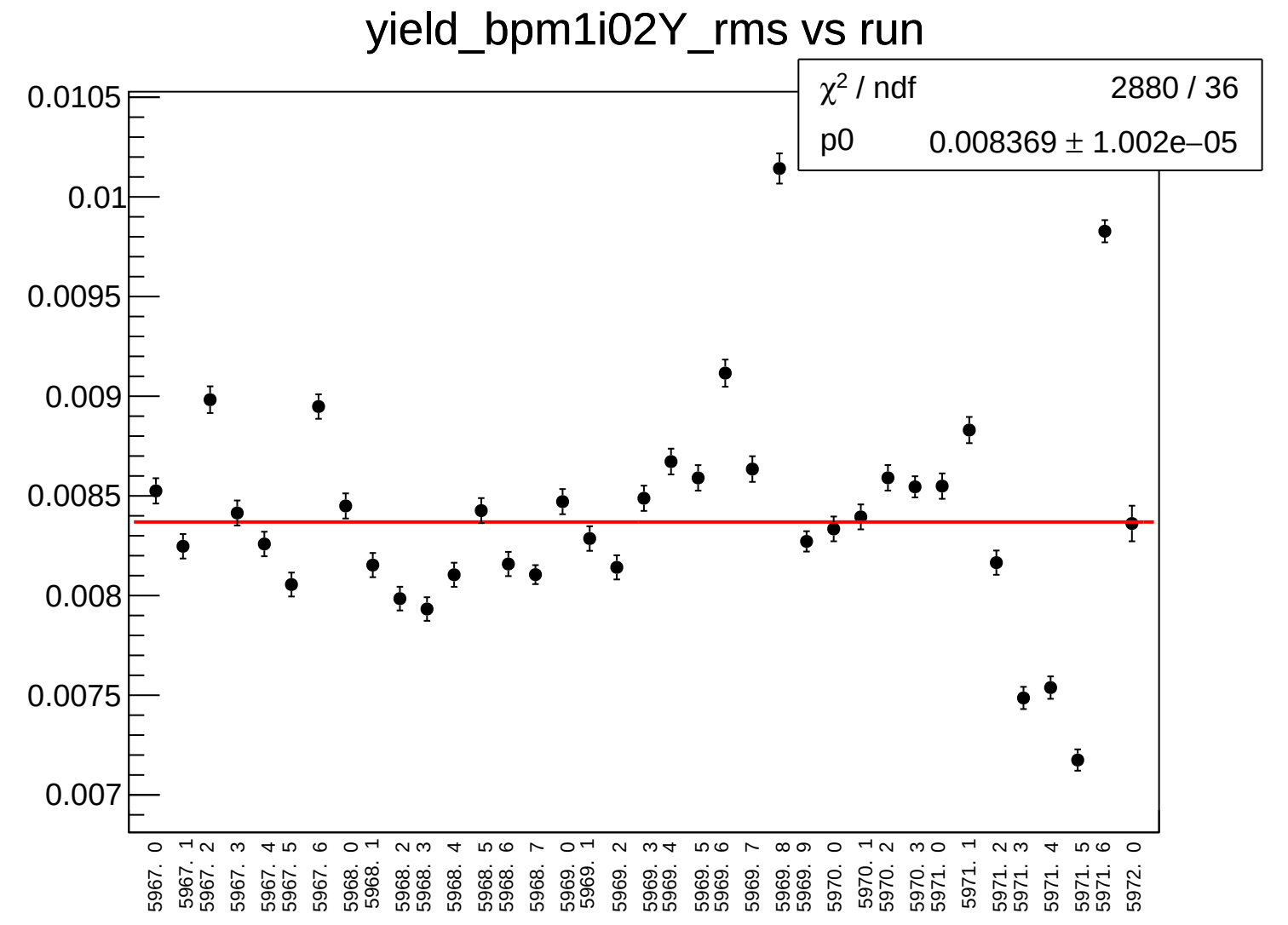
yield_bpm1i02Y_rms vs run
χ² / ndf 2880 / 36
p0 0.008369 ± 1.002e−05
0.0105
0.01
0.0095
0.009
0.0085
0.008
0.0075
0.007
5967. 0
5967. 1
5967. 2
5967. 3
5967. 4
5967. 5
5967. 6
5968. 0
5968. 1
5968. 2
5968. 3
5968. 4
5968. 5
5968. 6
5968. 7
5969. 0
5969. 1
5969. 2
5969. 3
5969. 4
5969. 5
5969. 6
5969. 7
5969. 8
5969. 9
5970. 0
5970. 1
5970. 2
5970. 3
5971. 0
5971. 1
5971. 2
5971. 3
5971. 4
5971. 5
5971. 6
5972. 0

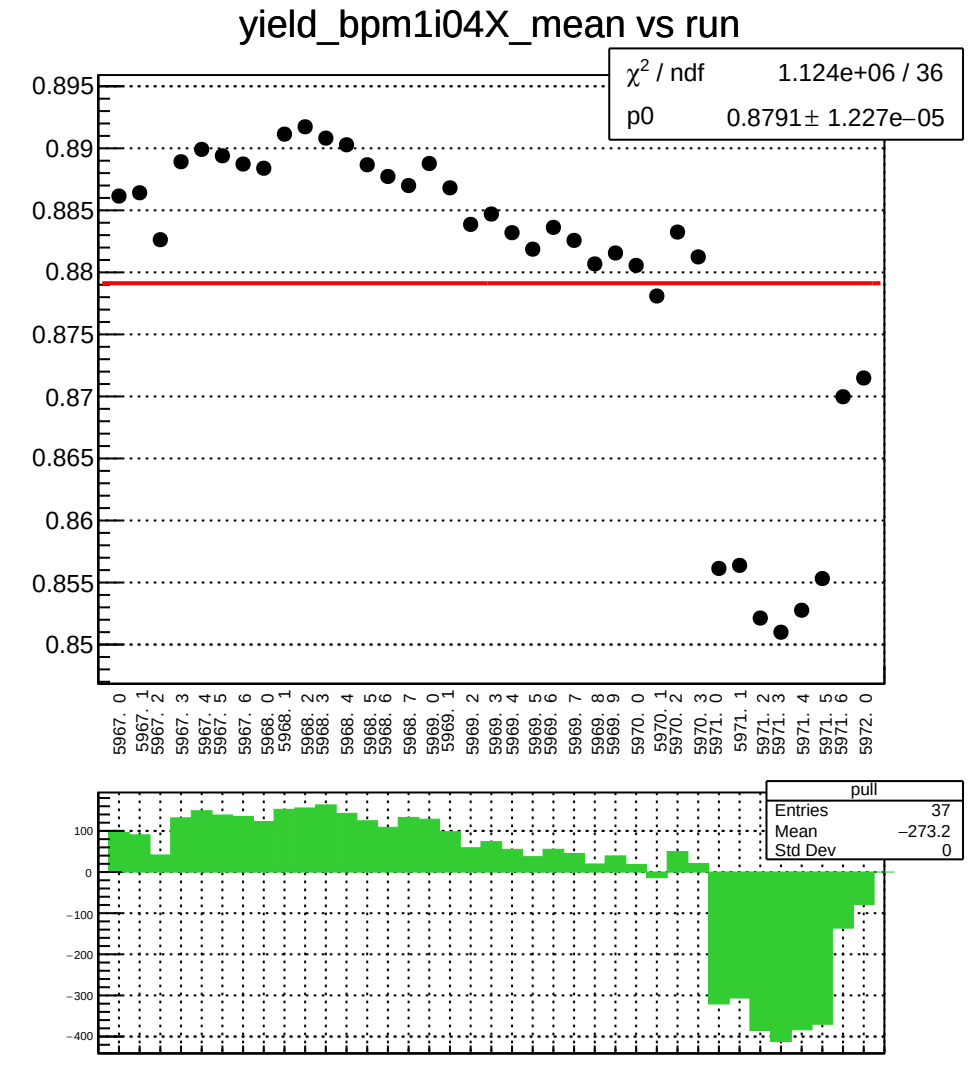
yield_bpm1i04X_mean vs run
χ² / ndf 1.124e+06 / 36
p0 0.8791 ± 1.227e−05
0.895
0.89
0.885
0.88
0.875
0.87
0.865
0.86
0.855
0.85
5967. 0
5967. 1
5967. 2
5967. 3
5967. 4
5967. 5
5967. 6
5968. 0
5968. 1
5968. 2
5968. 3
5968. 4
5968. 5
5968. 6
5968. 7
5969. 0
5969. 1
5969. 2
5969. 3
5969. 4
5969. 5
5969. 6
5969. 7
5969. 8
5969. 9
5970. 0
5970. 1
5970. 2
5970. 3
5971. 0
5971. 1
5971. 2
5971. 3
5971. 4
5971. 5
5971. 6
5972. 0
pull
Entries 37
Mean −273.2
Std Dev 0
100
0
−100
−200
−300
−400

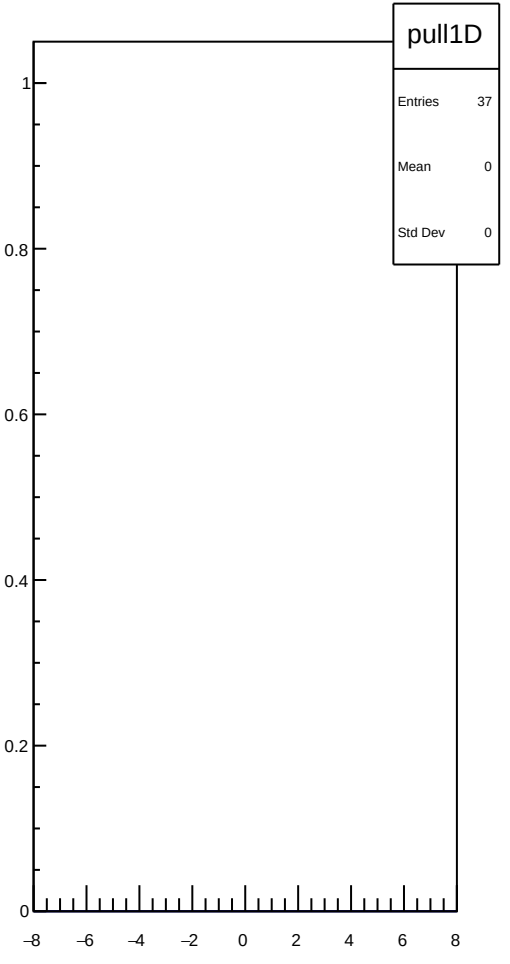
pull1D
Entries 37
Mean 0
Std Dev 0
1
0.8
0.6
0.4
0.2
0
−8
−6
−4
−2
0
2
4
6
8

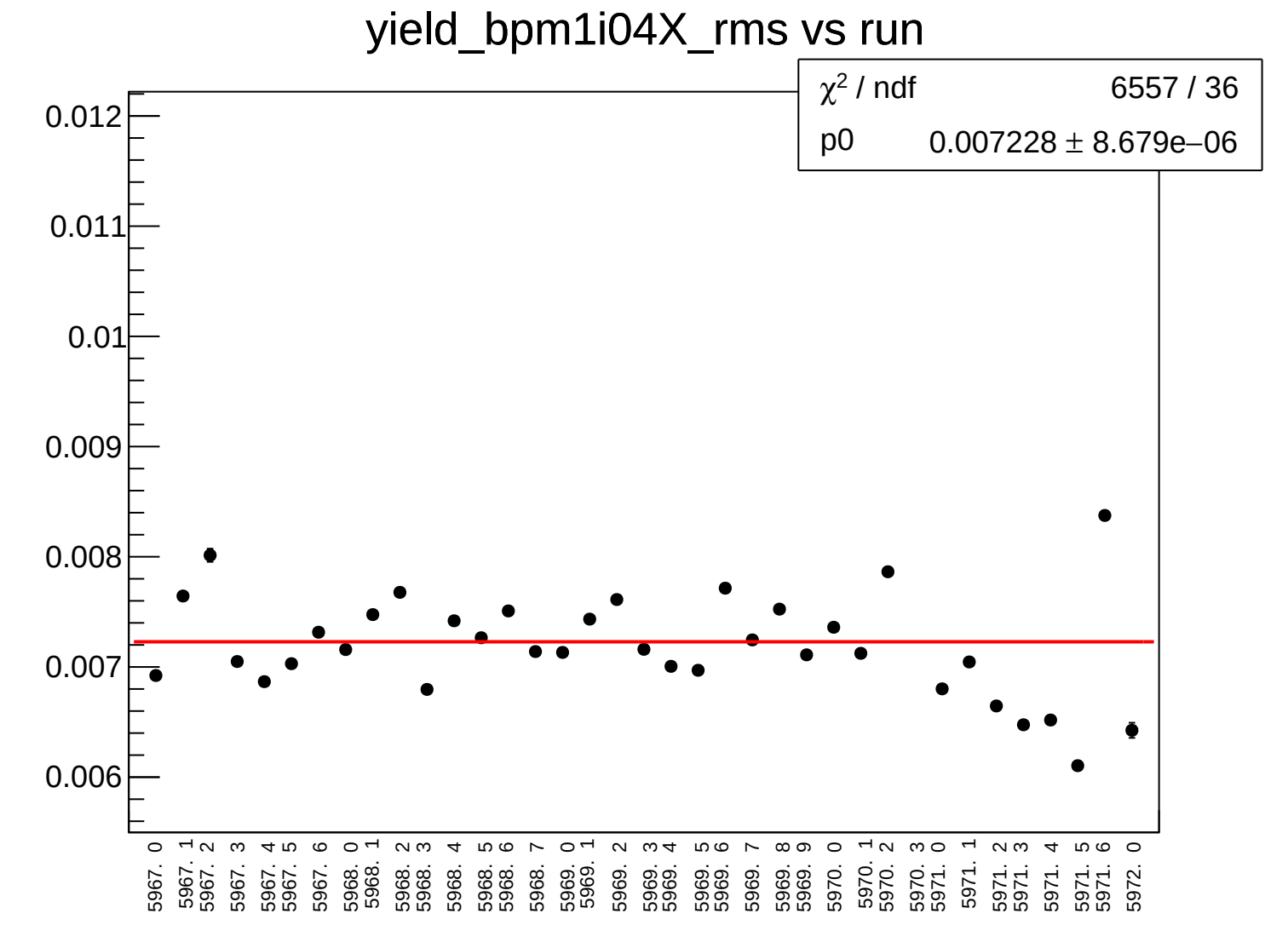
yield_bpm1i04X_rms vs run
χ² / ndf 6557 / 36
p0 0.007228 ± 8.679e−06
0.012
0.011
0.01
0.009
0.008
0.007
0.006
5967. 0
5967. 1
5967. 2
5967. 3
5967. 4
5967. 5
5967. 6
5968. 0
5968. 1
5968. 2
5968. 3
5968. 4
5968. 5
5968. 6
5968. 7
5969. 0
5969. 1
5969. 2
5969. 3
5969. 4
5969. 5
5969. 6
5969. 7
5969. 8
5969. 9
5970. 0
5970. 1
5970. 2
5970. 3
5971. 0
5971. 1
5971. 2
5971. 3
5971. 4
5971. 5
5971. 6
5972. 0

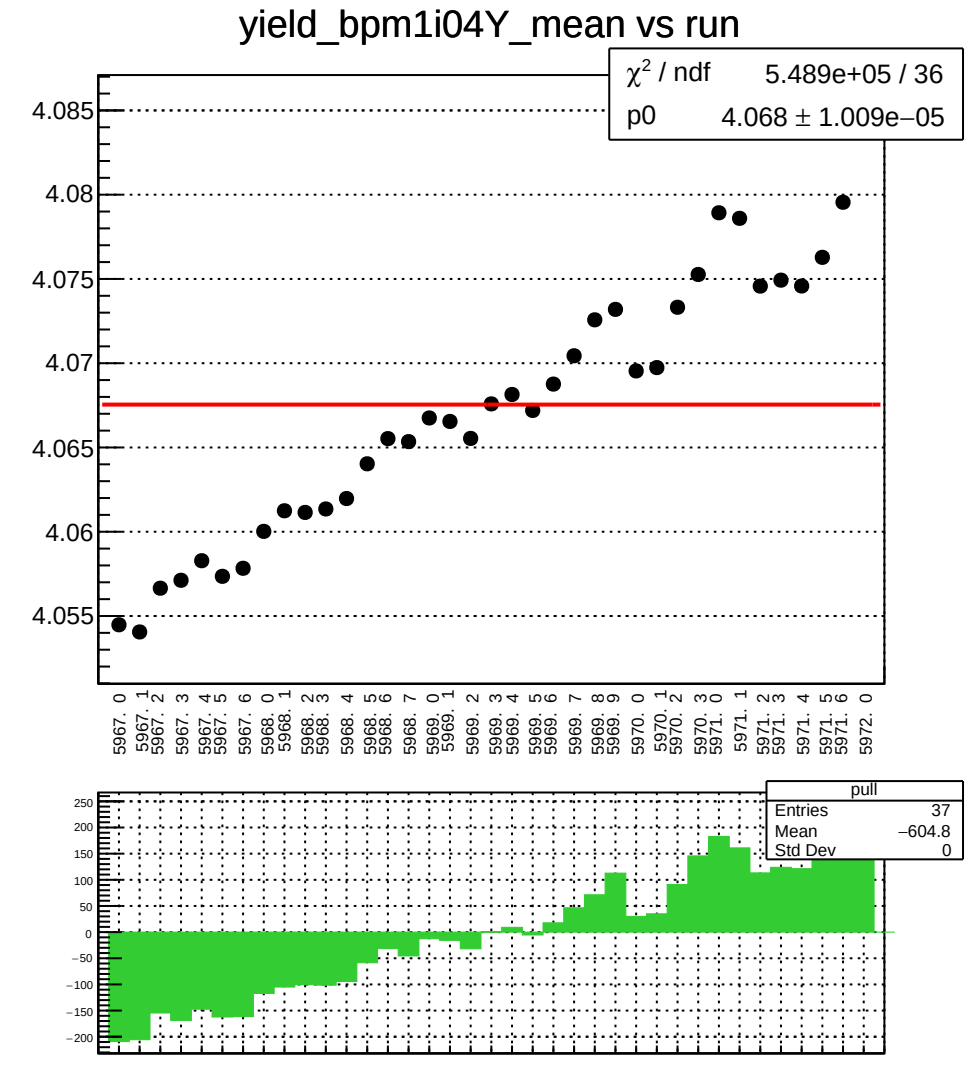
yield_bpm1i04Y_mean vs run
χ² / ndf 5.489e+05 / 36
p0 4.068 ± 1.009e−05
4.085
4.08
4.075
4.07
4.065
4.06
4.055
5967. 0
5967. 1
5967. 2
5967. 3
5967. 4
5967. 5
5967. 6
5968. 0
5968. 1
5968. 2
5968. 3
5968. 4
5968. 5
5968. 6
5968. 7
5969. 0
5969. 1
5969. 2
5969. 3
5969. 4
5969. 5
5969. 6
5969. 7
5969. 8
5969. 9
5970. 0
5970. 1
5970. 2
5970. 3
5971. 0
5971. 1
5971. 2
5971. 3
5971. 4
5971. 5
5971. 6
5972. 0
pull
Entries 37
Mean −604.8
Std Dev 0
250
200
150
100
50
0
−50
−100
−150
−200

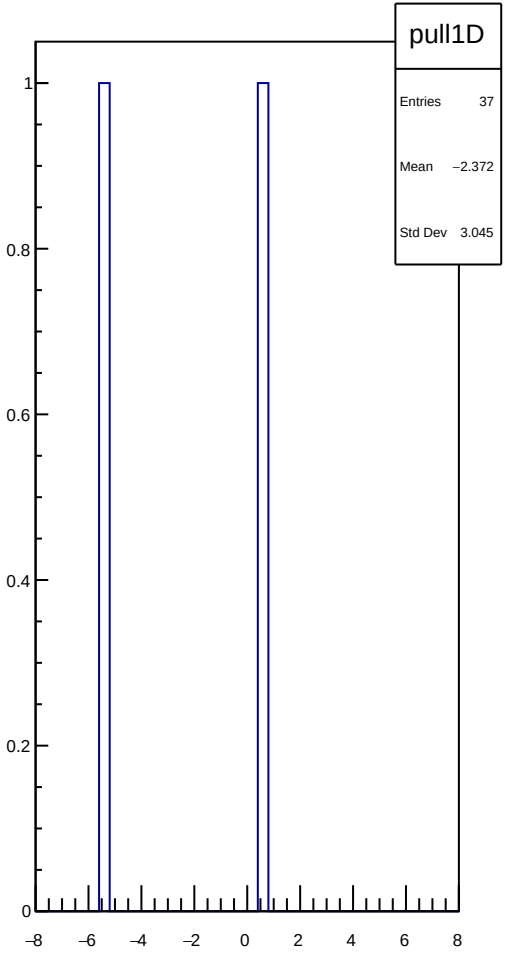
pull1D
Entries 37
Mean −2.372
Std Dev 3.045
1
0.8
0.6
0.4
0.2
0
−8
−6
−4
−2
0
2
4
6
8

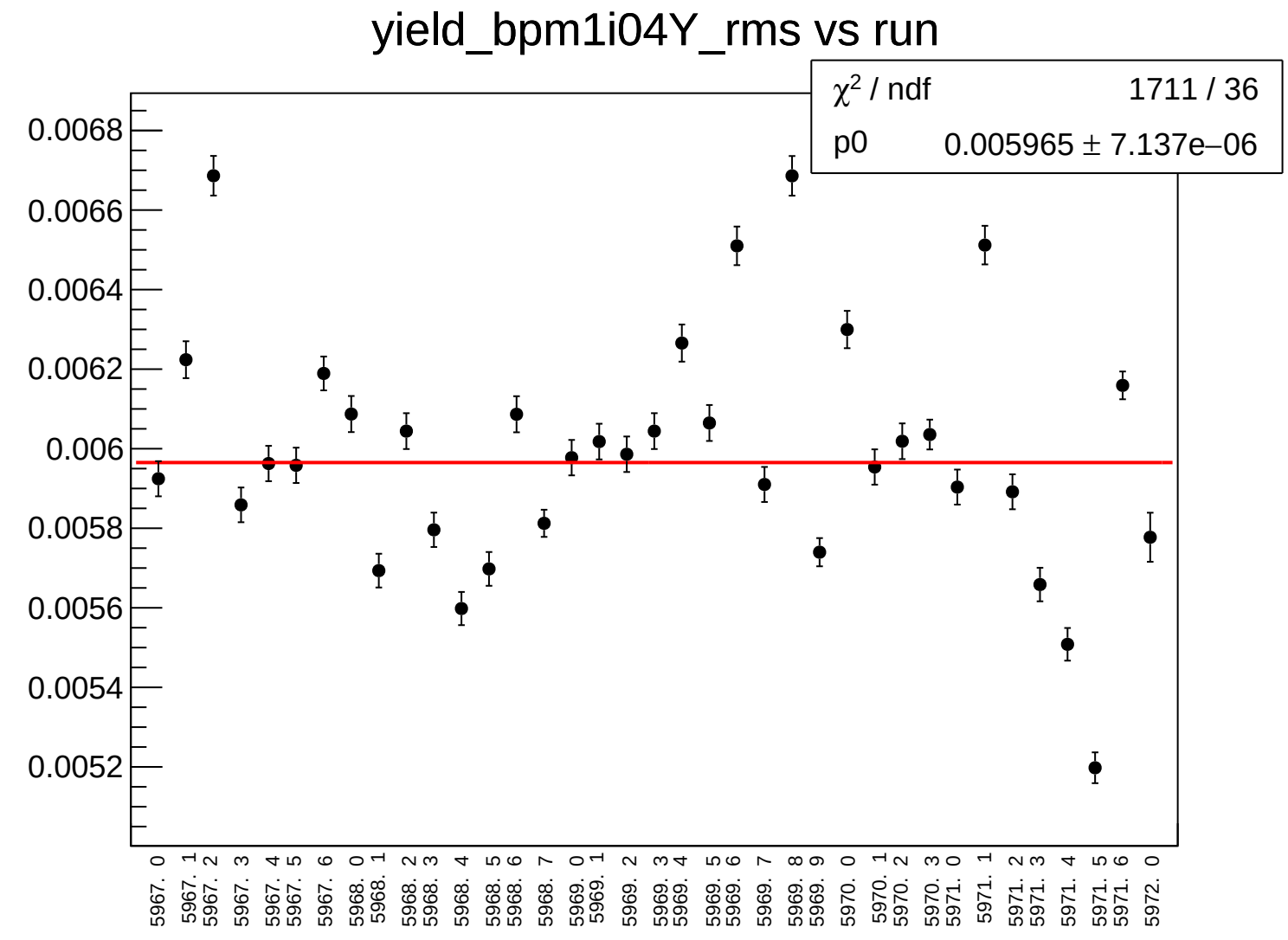
yield_bpm1i04Y_rms vs run
χ² / ndf 1711 / 36
p0 0.005965 ± 7.137e−06
0.0068
0.0066
0.0064
0.0062
0.006
0.0058
0.0056
0.0054
0.0052
5967. 0
5967. 1
5967. 2
5967. 3
5967. 4
5967. 5
5967. 6
5968. 0
5968. 1
5968. 2
5968. 3
5968. 4
5968. 5
5968. 6
5968. 7
5969. 0
5969. 1
5969. 2
5969. 3
5969. 4
5969. 5
5969. 6
5969. 7
5969. 8
5969. 9
5970. 0
5970. 1
5970. 2
5970. 3
5971. 0
5971. 1
5971. 2
5971. 3
5971. 4
5971. 5
5971. 6
5972. 0

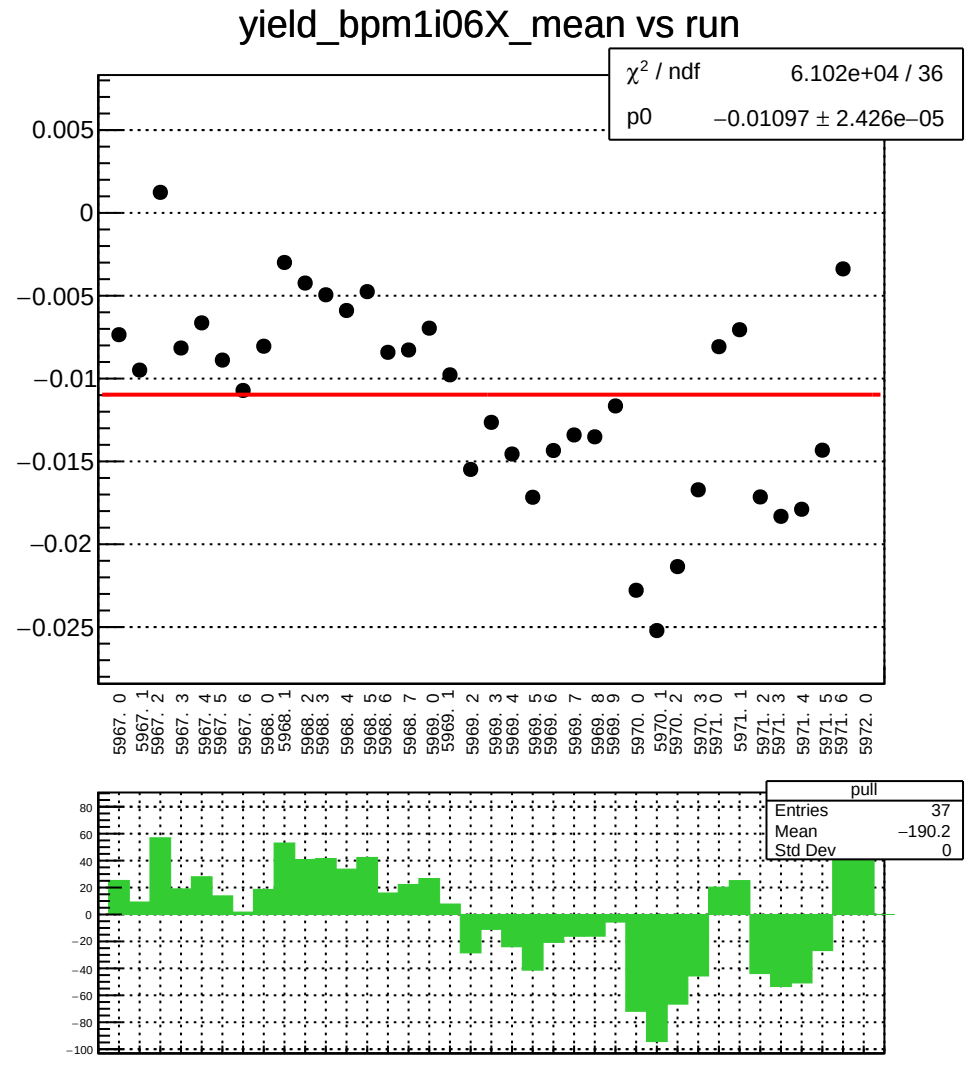
yield_bpm1i06X_mean vs run
χ² / ndf 6.102e+04 / 36
p0 −0.01097 ± 2.426e−05
0.005
0
−0.005
−0.01
−0.015
−0.02
−0.025
5967. 0
5967. 1
5967. 2
5967. 3
5967. 4
5967. 5
5967. 6
5968. 0
5968. 1
5968. 2
5968. 3
5968. 4
5968. 5
5968. 6
5968. 7
5969. 0
5969. 1
5969. 2
5969. 3
5969. 4
5969. 5
5969. 6
5969. 7
5969. 8
5969. 9
5970. 0
5970. 1
5970. 2
5970. 3
5971. 0
5971. 1
5971. 2
5971. 3
5971. 4
5971. 5
5971. 6
5972. 0
pull
Entries 37
Mean −190.2
Std Dev 0
80
60
40
20
0
−20
−40
−60
−80
−100

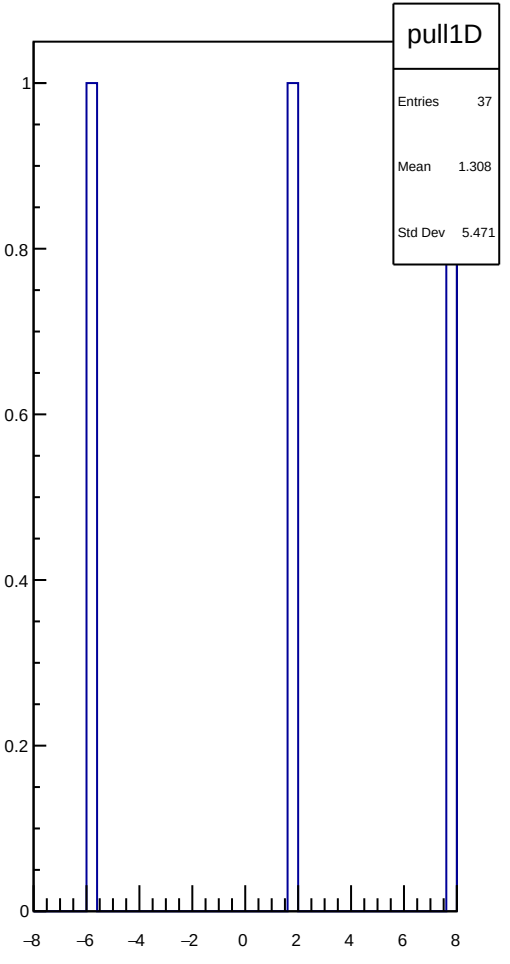
pull1D
Entries 37
Mean 1.308
Std Dev 5.471
1
0.8
0.6
0.4
0.2
0
−8
−6
−4
−2
0
2
4
6
8

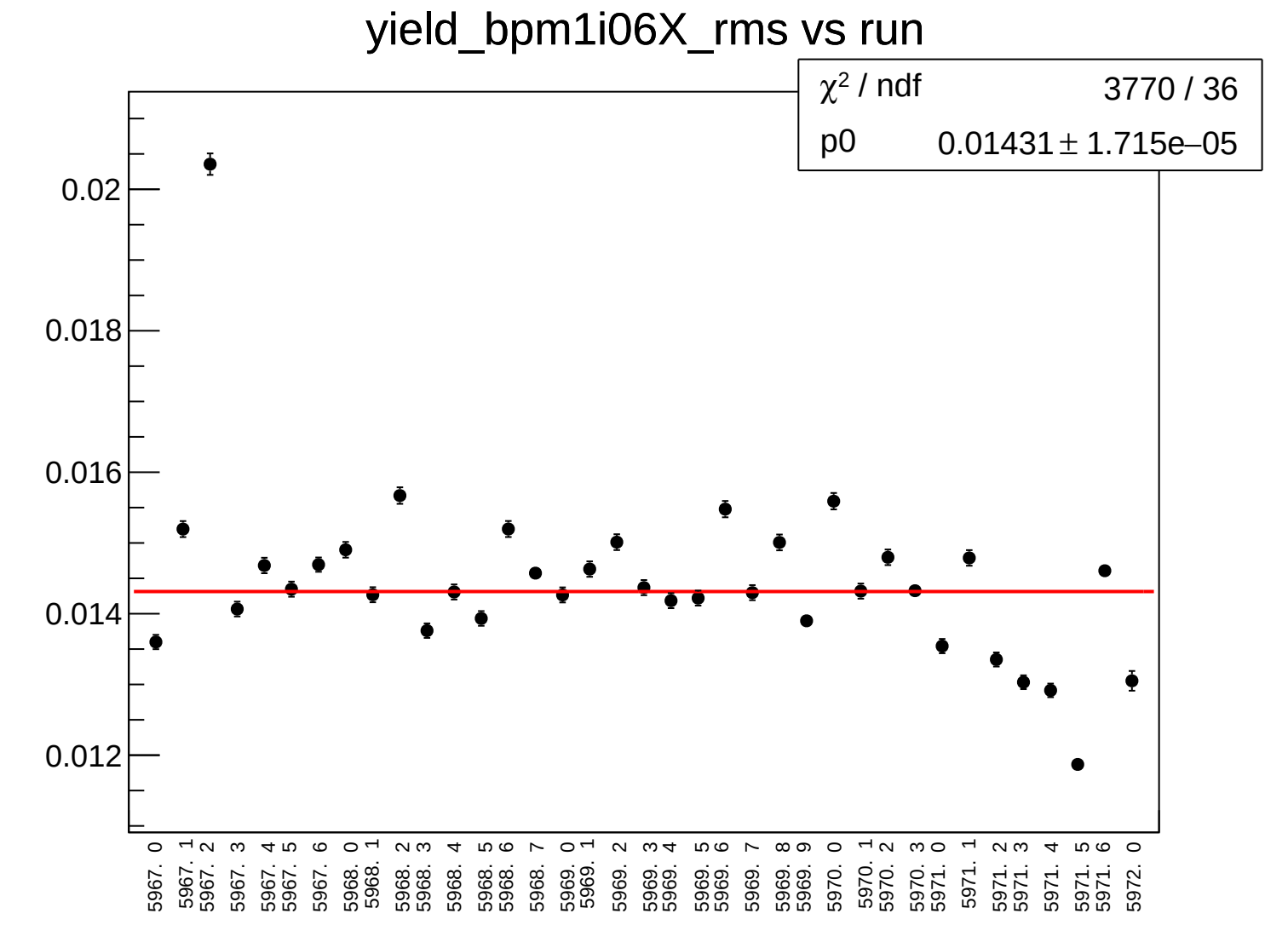
yield_bpm1i06X_rms vs run
χ² / ndf 3770 / 36
p0 0.01431 ± 1.715e–05
0.02
0.018
0.016
0.014
0.012
5967. 0
5967. 1
5967. 2
5967. 3
5967. 4
5967. 5
5967. 6
5968. 0
5968. 1
5968. 2
5968. 3
5968. 4
5968. 5
5968. 6
5968. 7
5969. 0
5969. 1
5969. 2
5969. 3
5969. 4
5969. 5
5969. 6
5969. 7
5969. 8
5969. 9
5970. 0
5970. 1
5970. 2
5970. 3
5971. 0
5971. 1
5971. 2
5971. 3
5971. 4
5971. 5
5971. 6
5972. 0

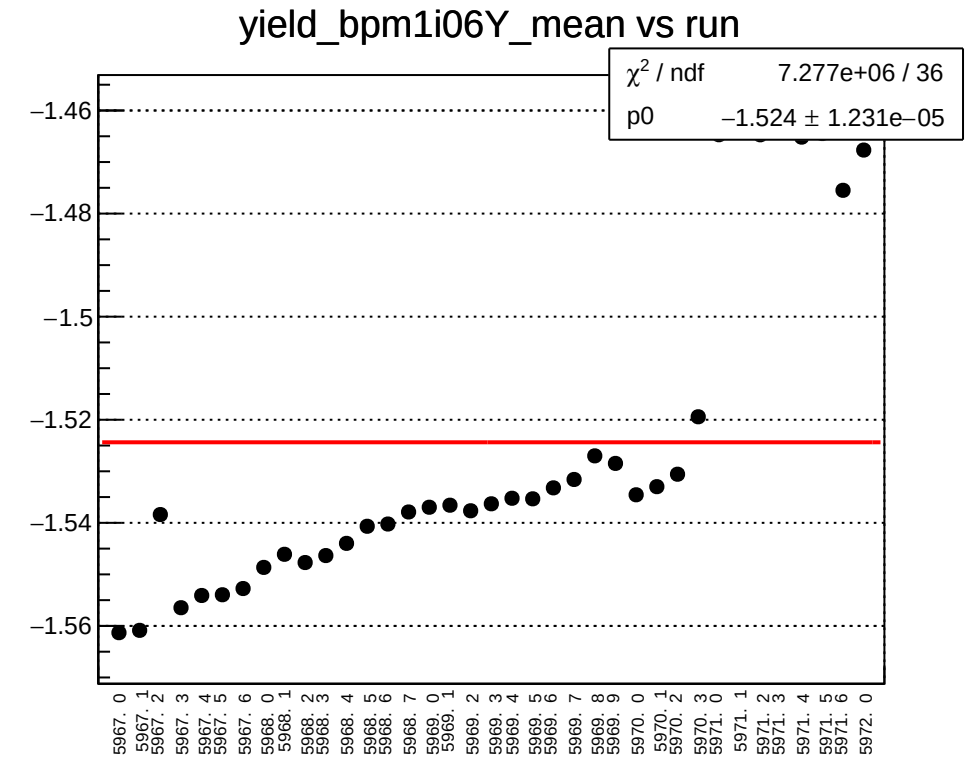
yield_bpm1i06Y_mean vs run
χ² / ndf 7.277e+06 / 36
p0 −1.524 ± 1.231e−05
−1.46
−1.48
−1.5
−1.52
−1.54
−1.56
5967. 0
5967. 1
5967. 2
5967. 3
5967. 4
5967. 5
5967. 6
5968. 0
5968. 1
5968. 2
5968. 3
5968. 4
5968. 5
5968. 6
5968. 7
5969. 0
5969. 1
5969. 2
5969. 3
5969. 4
5969. 5
5969. 6
5969. 7
5969. 8
5969. 9
5970. 0
5970. 1
5970. 2
5970. 3
5971. 0
5971. 1
5971. 2
5971. 3
5971. 4
5971. 5
5971. 6
5972. 0

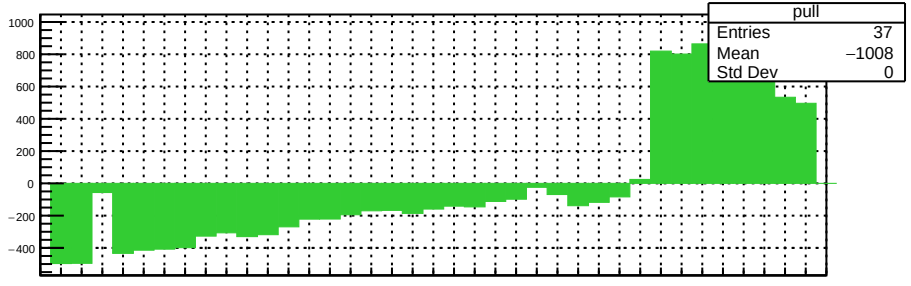
pull
Entries 37
Mean −1008
Std Dev 0
1000
800
600
400
200
0
−200
−400

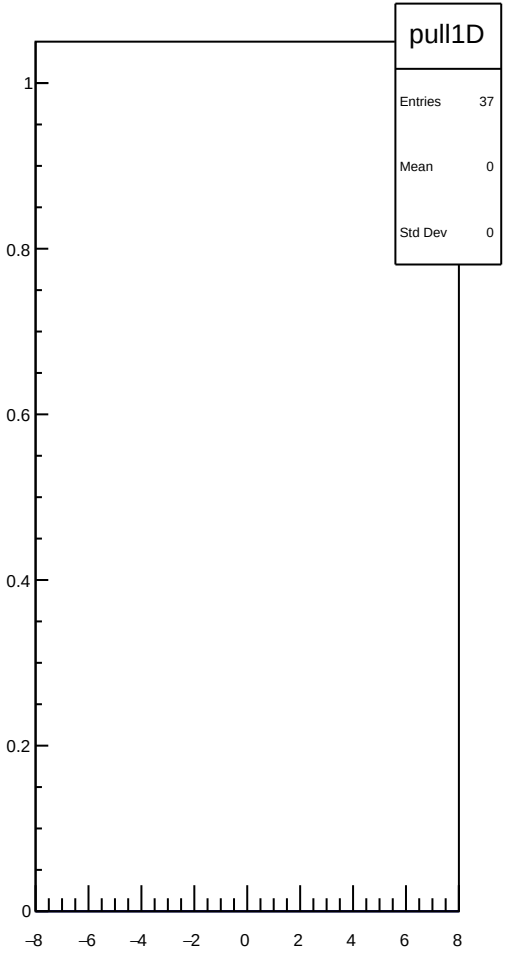
pull1D
Entries 37
Mean 0
Std Dev 0
1
0.8
0.6
0.4
0.2
0
−8
−6
−4
−2
0
2
4
6
8

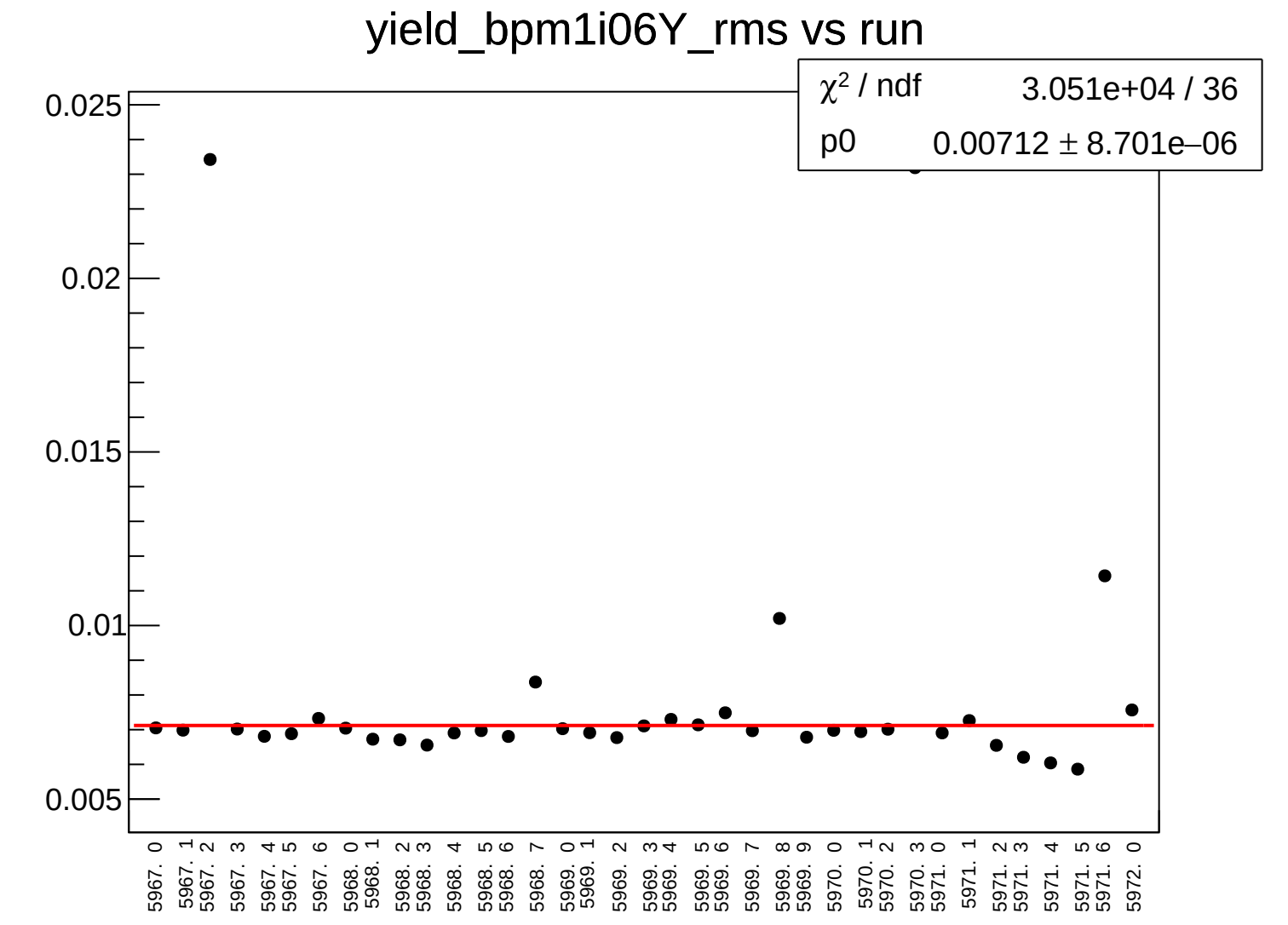
yield_bpm1i06Y_rms vs run
χ² / ndf 3.051e+04 / 36
p0 0.00712 ± 8.701e–06
0.025
0.02
0.015
0.01
0.005
5967. 0
5967. 1
5967. 2
5967. 3
5967. 4
5967. 5
5967. 6
5968. 0
5968. 1
5968. 2
5968. 3
5968. 4
5968. 5
5968. 6
5968. 7
5969. 0
5969. 1
5969. 2
5969. 3
5969. 4
5969. 5
5969. 6
5969. 7
5969. 8
5969. 9
5970. 0
5970. 1
5970. 2
5970. 3
5971. 0
5971. 1
5971. 2
5971. 3
5971. 4
5971. 5
5971. 6
5972. 0

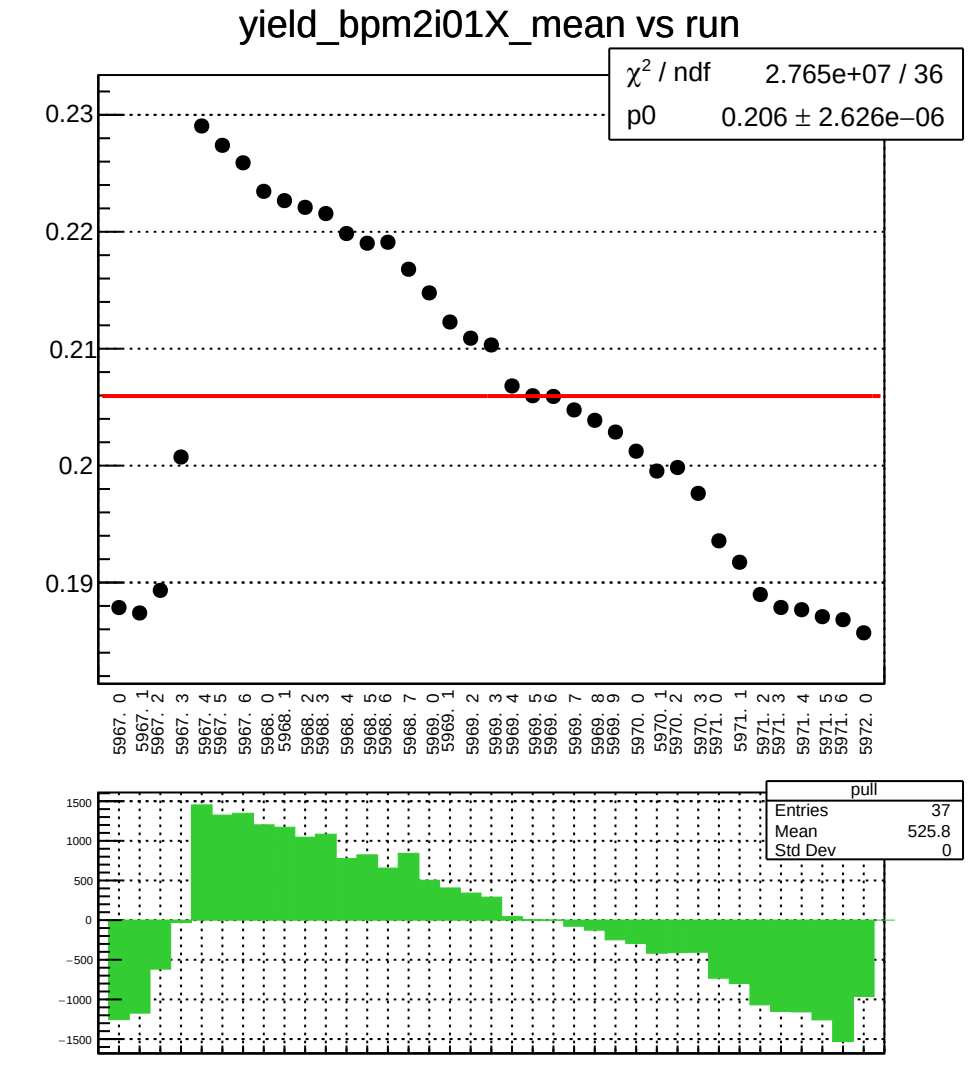
yield_bpm2i01X_mean vs run
χ² / ndf 2.765e+07 / 36
p0 0.206 ± 2.626e−06
0.23
0.22
0.21
0.2
0.19
5967. 0
5967. 1
5967. 2
5967. 3
5967. 4
5967. 5
5967. 6
5968. 0
5968. 1
5968. 2
5968. 3
5968. 4
5968. 5
5968. 6
5968. 7
5969. 0
5969. 1
5969. 2
5969. 3
5969. 4
5969. 5
5969. 6
5969. 7
5969. 8
5969. 9
5970. 0
5970. 1
5970. 2
5970. 3
5971. 0
5971. 1
5971. 2
5971. 3
5971. 4
5971. 5
5971. 6
5972. 0
pull
Entries 37
Mean 525.8
Std Dev 0
1500
1000
500
0
−500
−1000
−1500

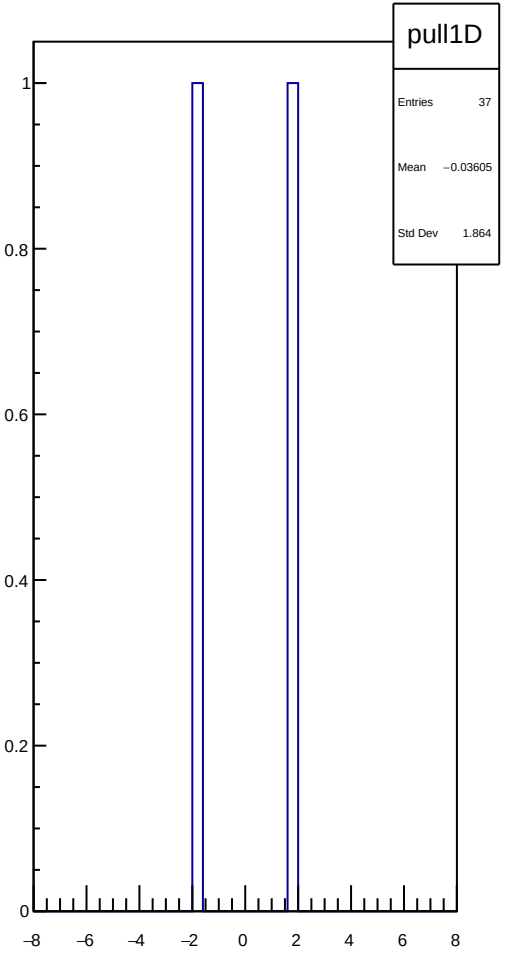
pull1D
Entries 37
Mean −0.03605
Std Dev 1.864
1
0.8
0.6
0.4
0.2
0
−8
−6
−4
−2
0
2
4
6
8

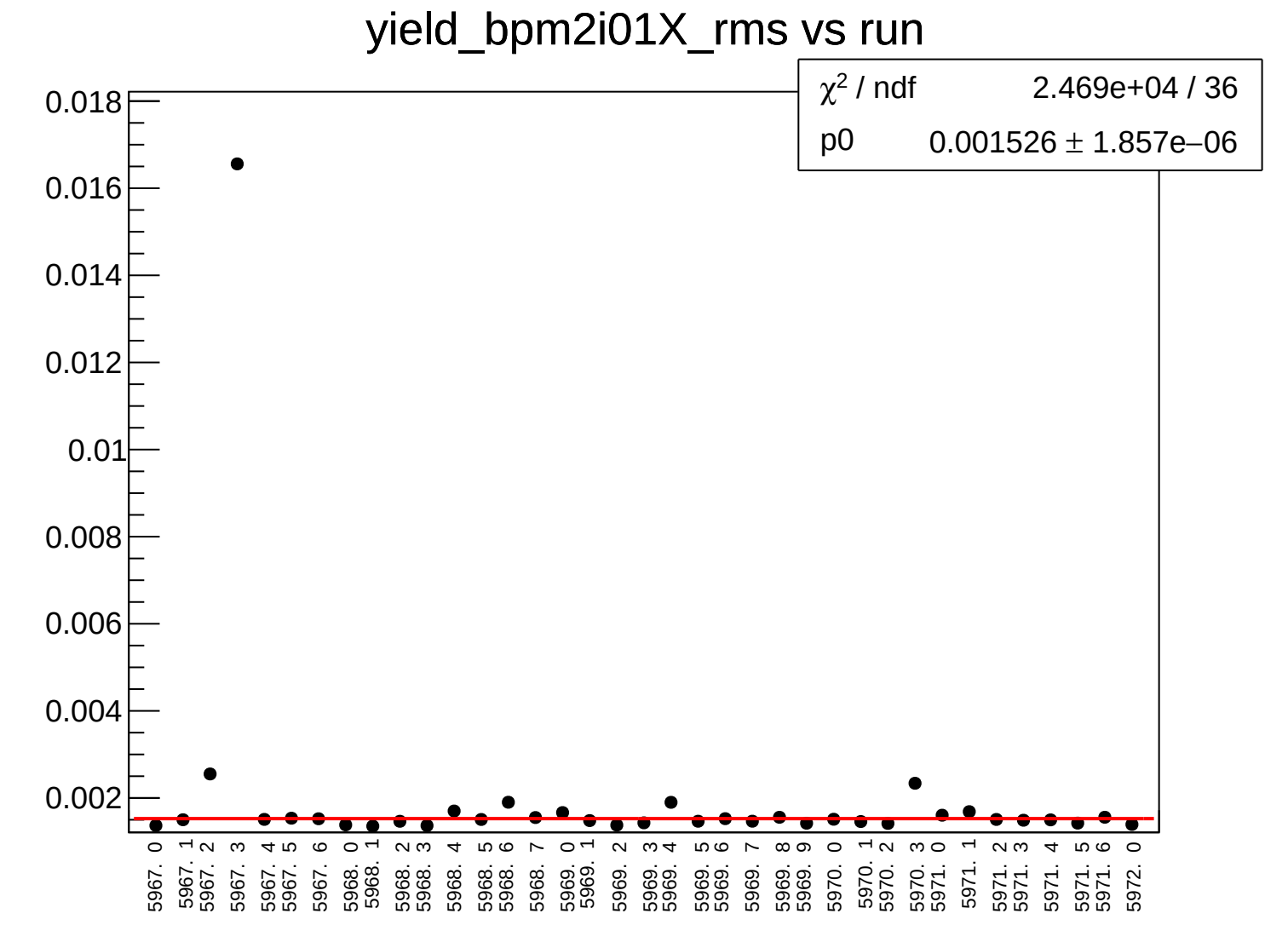
yield_bpm2i01X_rms vs run
χ² / ndf 2.469e+04 / 36
p0 0.001526 ± 1.857e−06
0.018
0.016
0.014
0.012
0.01
0.008
0.006
0.004
0.002
5967. 0
5967. 1
5967. 2
5967. 3
5967. 4
5967. 5
5967. 6
5968. 0
5968. 1
5968. 2
5968. 3
5968. 4
5968. 5
5968. 6
5968. 7
5969. 0
5969. 1
5969. 2
5969. 3
5969. 4
5969. 5
5969. 6
5969. 7
5969. 8
5969. 9
5970. 0
5970. 1
5970. 2
5970. 3
5971. 0
5971. 1
5971. 2
5971. 3
5971. 4
5971. 5
5971. 6
5972. 0

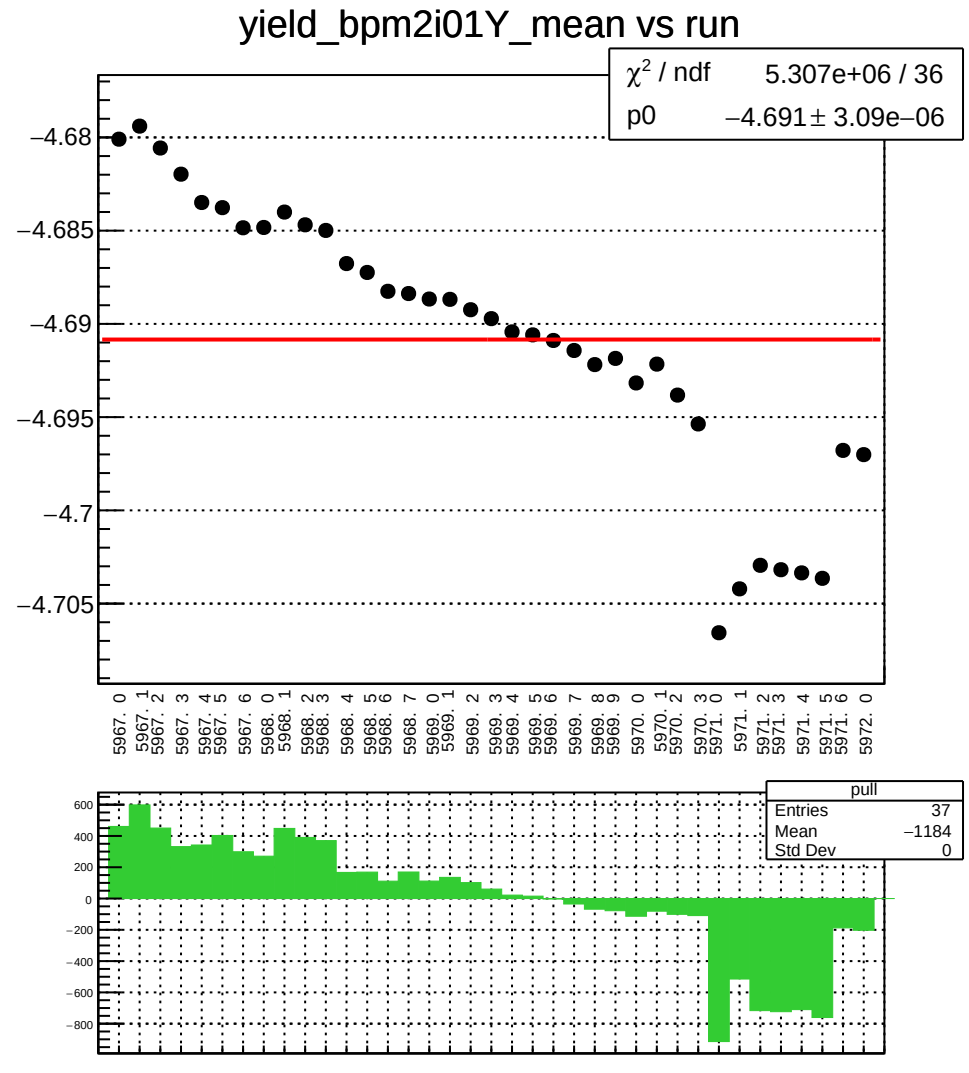
yield_bpm2i01Y_mean vs run
χ² / ndf 5.307e+06 / 36
p0 −4.691 ± 3.09e−06
−4.68
−4.685
−4.69
−4.695
−4.7
−4.705
5967. 0
5967. 1
5967. 2
5967. 3
5967. 4
5967. 5
5967. 6
5968. 0
5968. 1
5968. 2
5968. 3
5968. 4
5968. 5
5968. 6
5968. 7
5969. 0
5969. 1
5969. 2
5969. 3
5969. 4
5969. 5
5969. 6
5969. 7
5969. 8
5969. 9
5970. 0
5970. 1
5970. 2
5970. 3
5971. 0
5971. 1
5971. 2
5971. 3
5971. 4
5971. 5
5971. 6
5972. 0
pull
Entries 37
Mean −1184
Std Dev 0
600
400
200
0
−200
−400
−600
−800

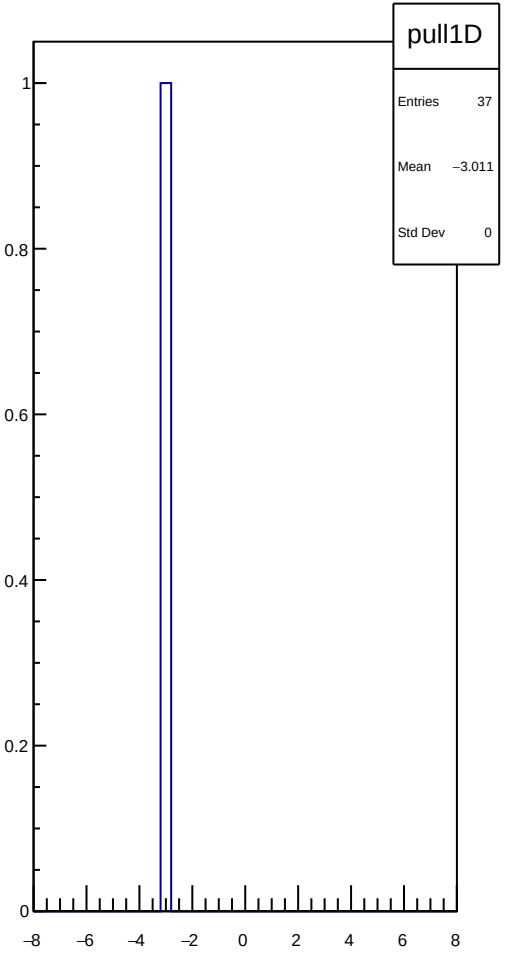
pull1D
Entries 37
Mean −3.011
Std Dev 0
1
0.8
0.6
0.4
0.2
0
−8
−6
−4
−2
0
2
4
6
8

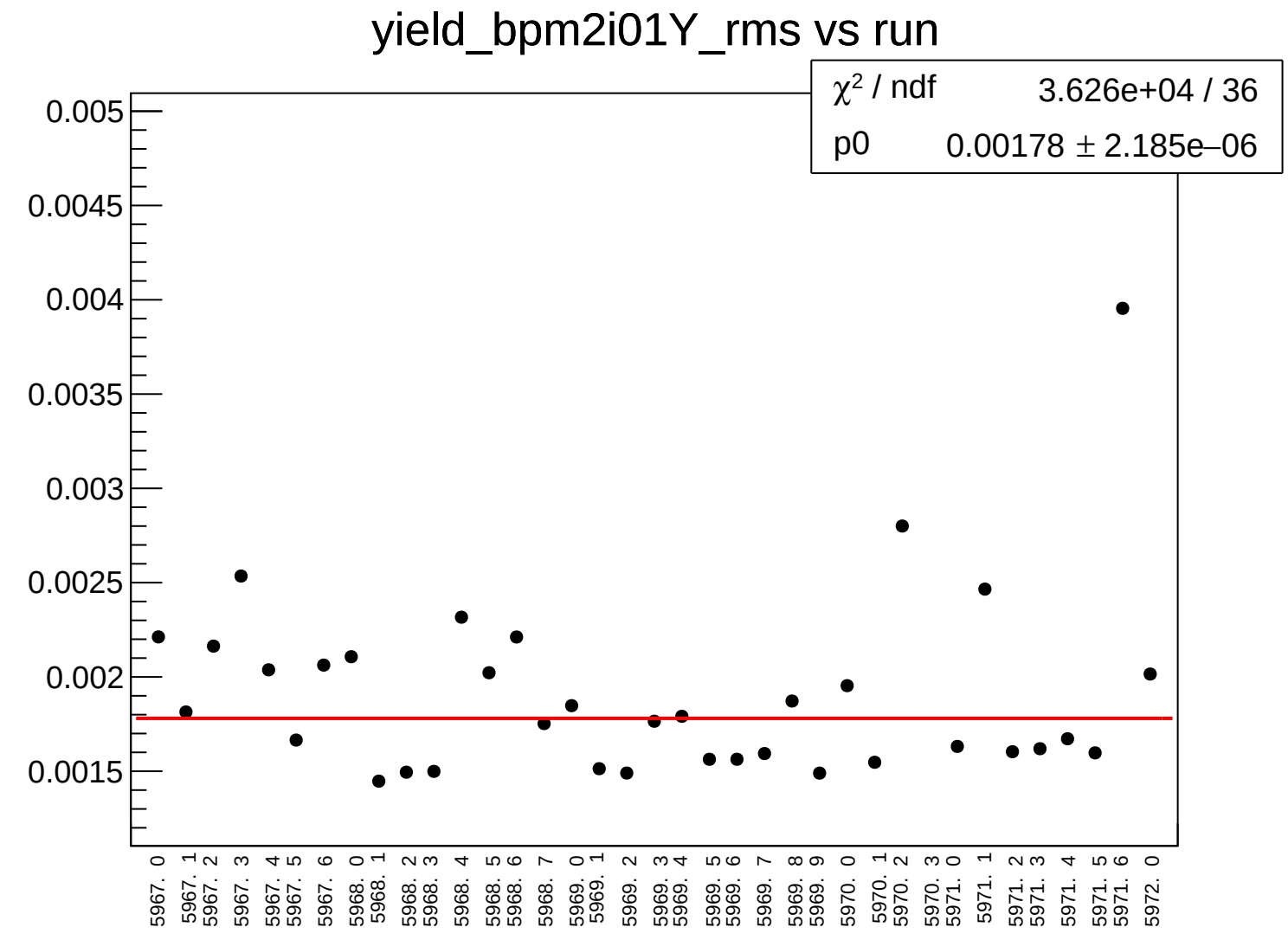
yield_bpm2i01Y_rms vs run
χ² / ndf 3.626e+04 / 36
p0 0.00178 ± 2.185e–06
0.005
0.0045
0.004
0.0035
0.003
0.0025
0.002
0.0015
5967. 0
5967. 1
5967. 2
5967. 3
5967. 4
5967. 5
5967. 6
5968. 0
5968. 1
5968. 2
5968. 3
5968. 4
5968. 5
5968. 6
5968. 7
5969. 0
5969. 1
5969. 2
5969. 3
5969. 4
5969. 5
5969. 6
5969. 7
5969. 8
5969. 9
5970. 0
5970. 1
5970. 2
5970. 3
5971. 0
5971. 1
5971. 2
5971. 3
5971. 4
5971. 5
5971. 6
5972. 0

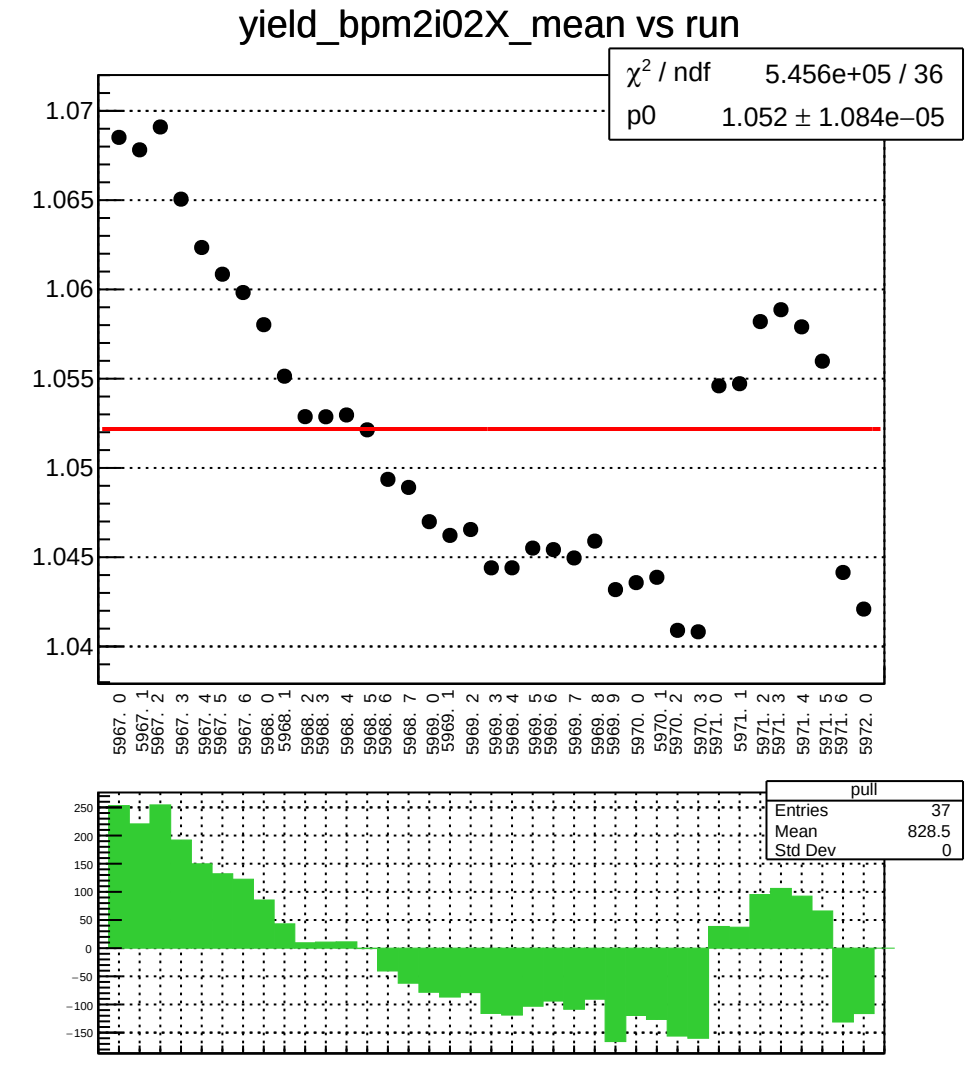
yield_bpm2i02X_mean vs run
χ² / ndf 5.456e+05 / 36
p0 1.052 ± 1.084e−05
1.07
1.065
1.06
1.055
1.05
1.045
1.04
5967. 0
5967. 1
5967. 2
5967. 3
5967. 4
5967. 5
5967. 6
5968. 0
5968. 1
5968. 2
5968. 3
5968. 4
5968. 5
5968. 6
5968. 7
5969. 0
5969. 1
5969. 2
5969. 3
5969. 4
5969. 5
5969. 6
5969. 7
5969. 8
5969. 9
5970. 0
5970. 1
5970. 2
5970. 3
5971. 0
5971. 1
5971. 2
5971. 3
5971. 4
5971. 5
5971. 6
5972. 0
pull
Entries 37
Mean 828.5
Std Dev 0
250
200
150
100
50
0
−50
−100
−150

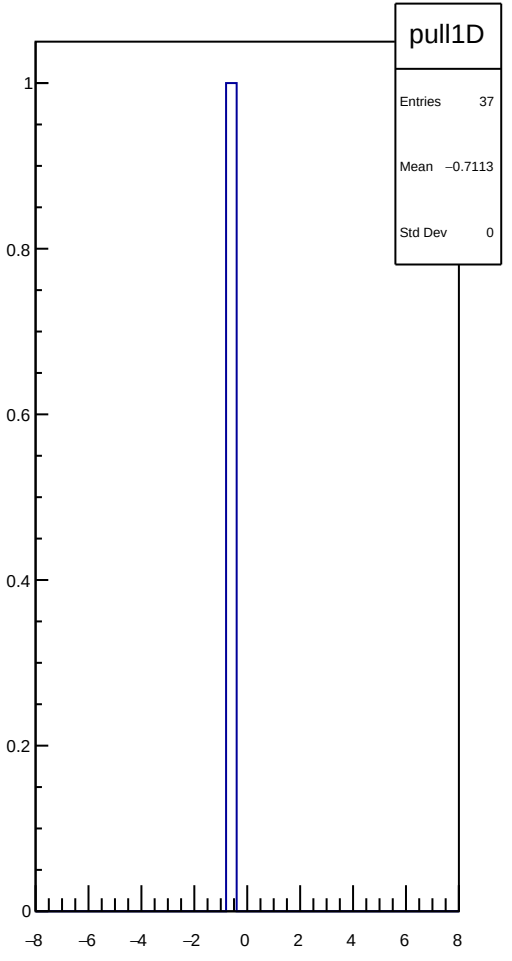
pull1D
Entries 37
Mean −0.7113
Std Dev 0
1
0.8
0.6
0.4
0.2
0
−8
−6
−4
−2
0
2
4
6
8

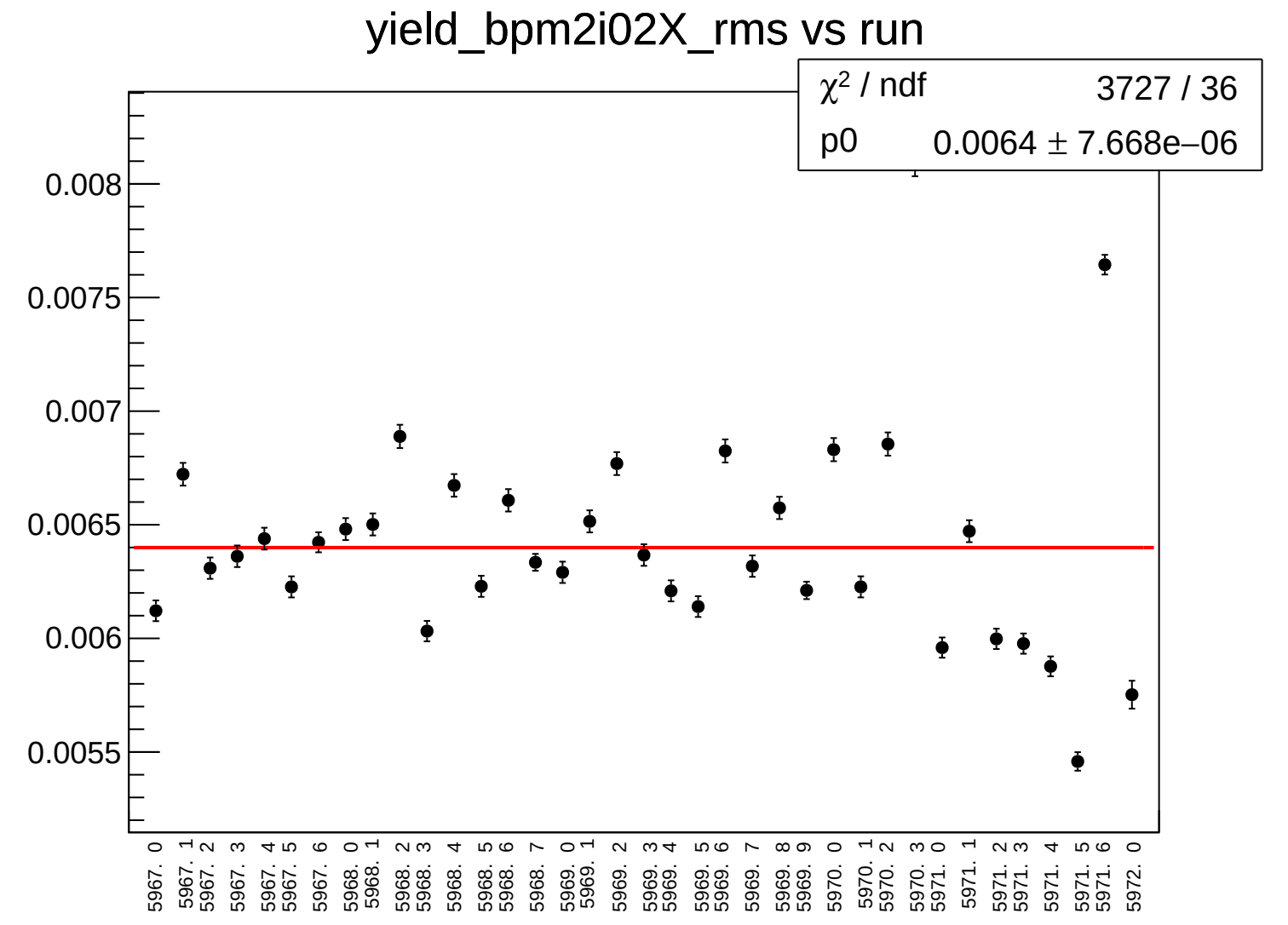
yield_bpm2i02X_rms vs run
χ² / ndf 3727 / 36
p0 0.0064 ± 7.668e−06
0.008
0.0075
0.007
0.0065
0.006
0.0055
5967. 0
5967. 1
5967. 2
5967. 3
5967. 4
5967. 5
5967. 6
5968. 0
5968. 1
5968. 2
5968. 3
5968. 4
5968. 5
5968. 6
5968. 7
5969. 0
5969. 1
5969. 2
5969. 3
5969. 4
5969. 5
5969. 6
5969. 7
5969. 8
5969. 9
5970. 0
5970. 1
5970. 2
5970. 3
5971. 0
5971. 1
5971. 2
5971. 3
5971. 4
5971. 5
5971. 6
5972. 0

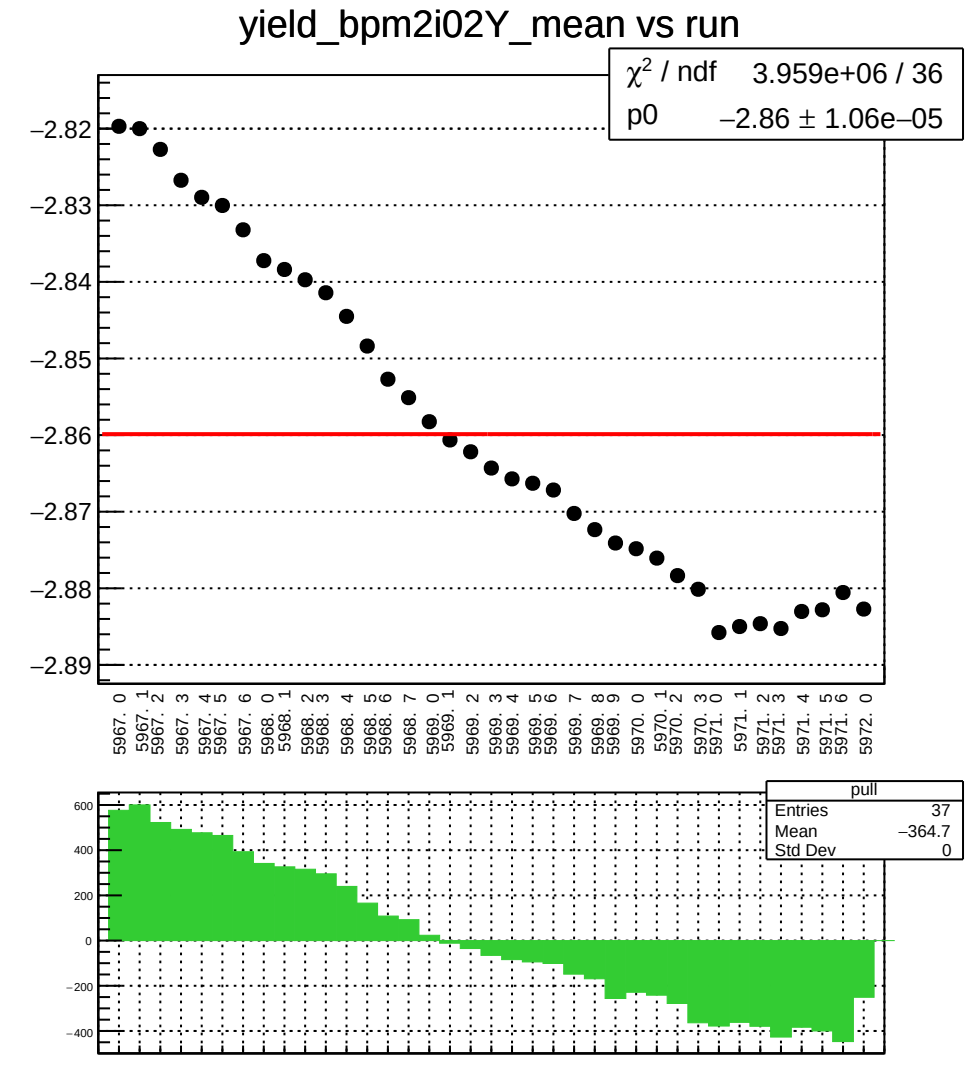
yield_bpm2i02Y_mean vs run
χ² / ndf 3.959e+06 / 36
p0 −2.86 ± 1.06e−05
−2.82
−2.83
−2.84
−2.85
−2.86
−2.87
−2.88
−2.89
5967. 0
5967. 1
5967. 2
5967. 3
5967. 4
5967. 5
5967. 6
5968. 0
5968. 1
5968. 2
5968. 3
5968. 4
5968. 5
5968. 6
5968. 7
5969. 0
5969. 1
5969. 2
5969. 3
5969. 4
5969. 5
5969. 6
5969. 7
5969. 8
5969. 9
5970. 0
5970. 1
5970. 2
5970. 3
5971. 0
5971. 1
5971. 2
5971. 3
5971. 4
5971. 5
5971. 6
5972. 0
pull
Entries 37
Mean −364.7
Std Dev 0
600
400
200
0
−200
−400

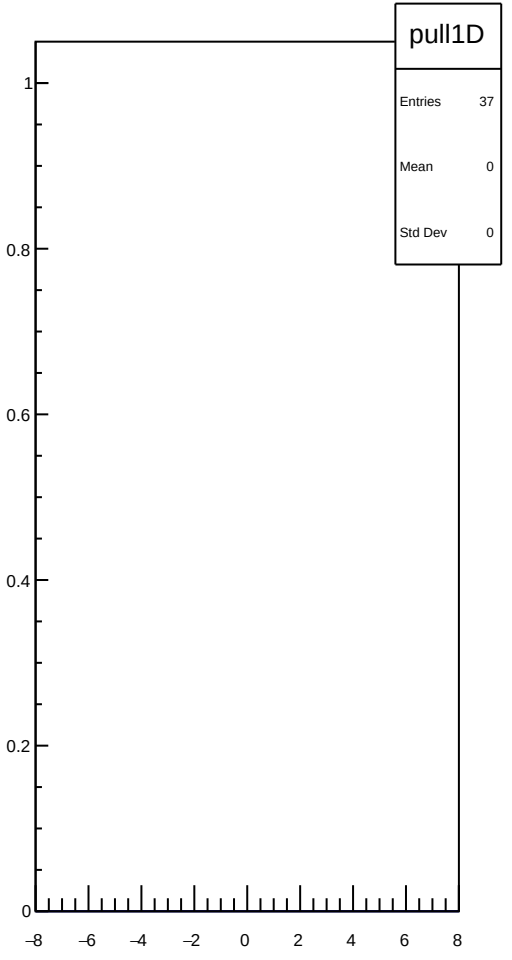
pull1D
Entries 37
Mean 0
Std Dev 0
1
0.8
0.6
0.4
0.2
0
−8
−6
−4
−2
0
2
4
6
8

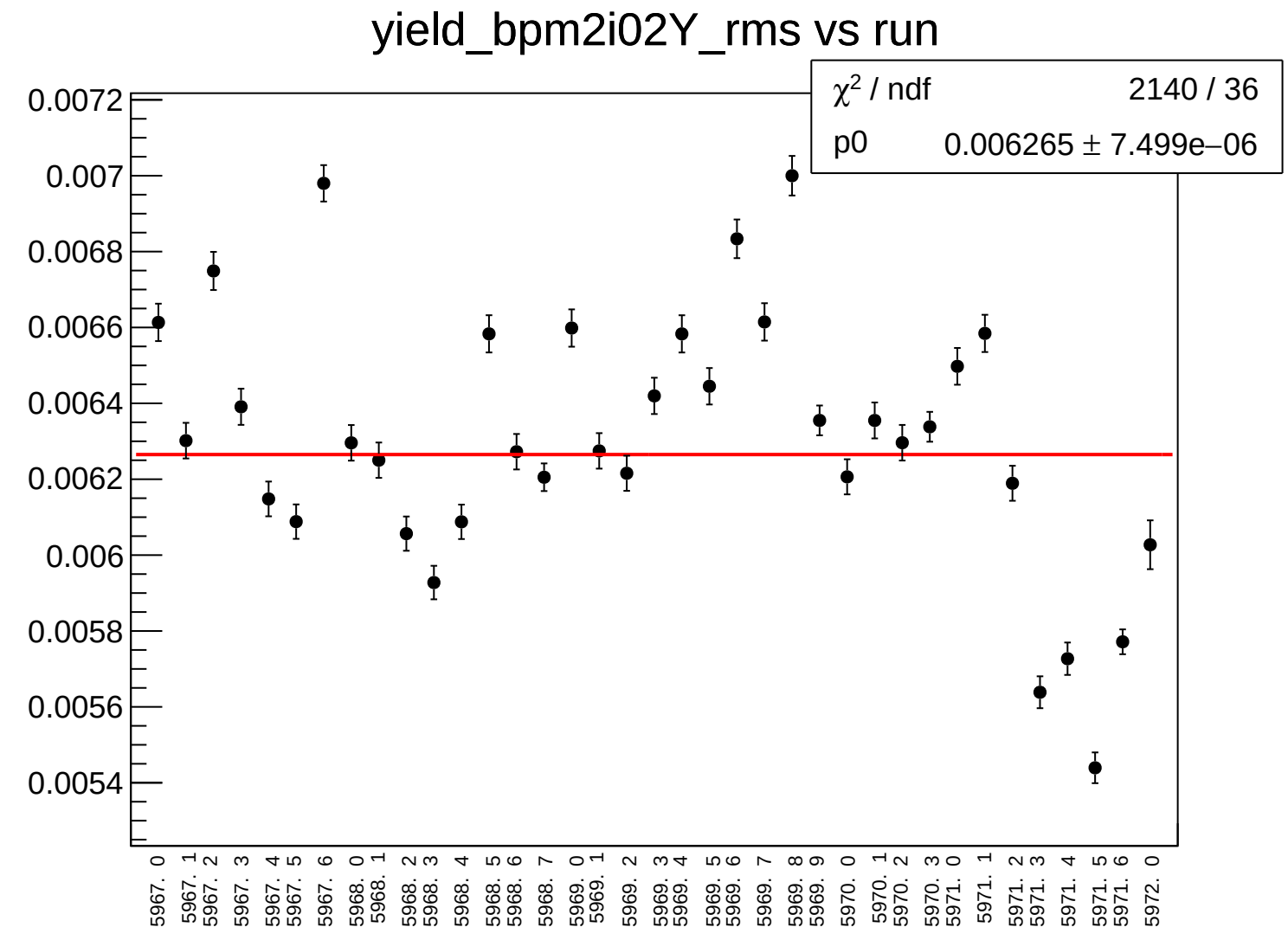
yield_bpm2i02Y_rms vs run
χ² / ndf 2140 / 36
p0 0.006265 ± 7.499e−06
0.0072
0.007
0.0068
0.0066
0.0064
0.0062
0.006
0.0058
0.0056
0.0054
5967. 0
5967. 1
5967. 2
5967. 3
5967. 4
5967. 5
5967. 6
5968. 0
5968. 1
5968. 2
5968. 3
5968. 4
5968. 5
5968. 6
5968. 7
5969. 0
5969. 1
5969. 2
5969. 3
5969. 4
5969. 5
5969. 6
5969. 7
5969. 8
5969. 9
5970. 0
5970. 1
5970. 2
5970. 3
5971. 0
5971. 1
5971. 2
5971. 3
5971. 4
5971. 5
5971. 6
5972. 0

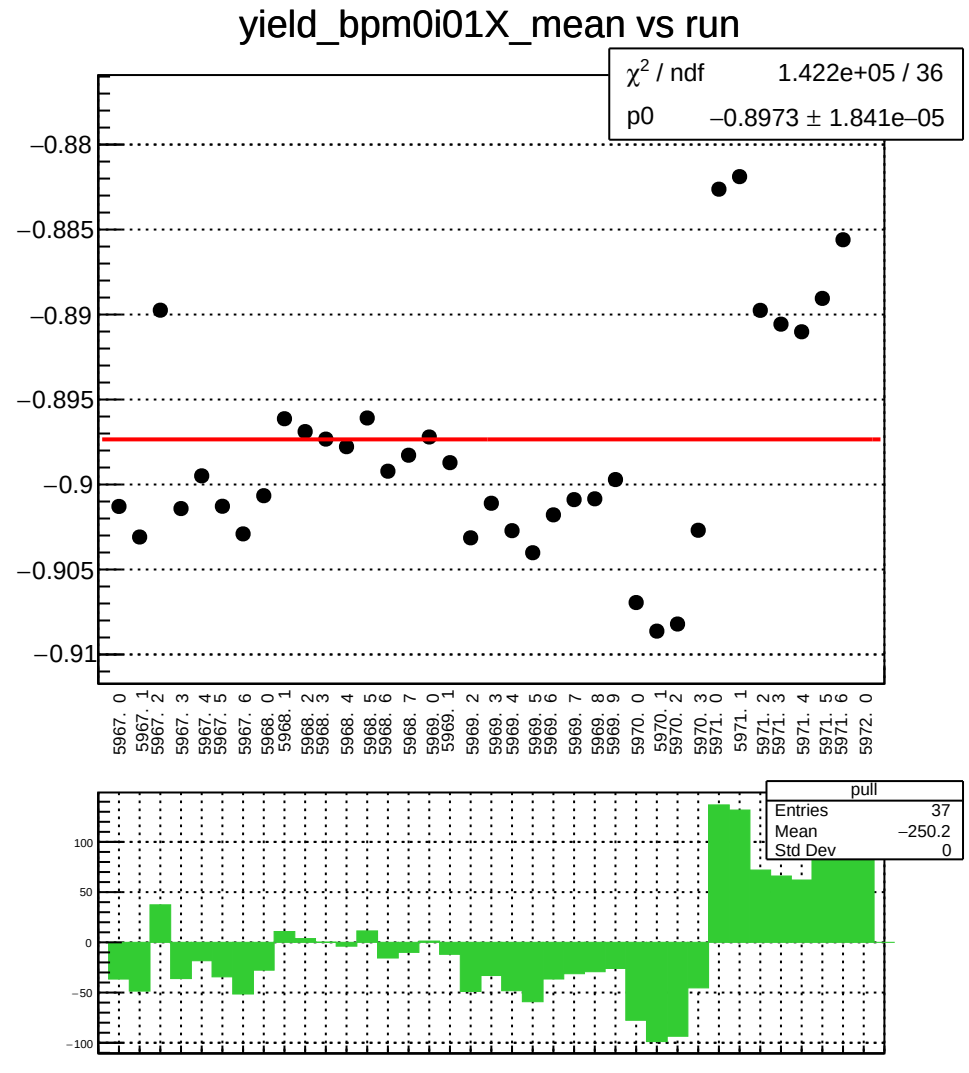
yield_bpm0i01X_mean vs run
χ² / ndf 1.422e+05 / 36
p0 −0.8973 ± 1.841e−05
−0.88
−0.885
−0.89
−0.895
−0.9
−0.905
−0.91
5967. 0
5967. 1
5967. 2
5967. 3
5967. 4
5967. 5
5967. 6
5968. 0
5968. 1
5968. 2
5968. 3
5968. 4
5968. 5
5968. 6
5968. 7
5969. 0
5969. 1
5969. 2
5969. 3
5969. 4
5969. 5
5969. 6
5969. 7
5969. 8
5969. 9
5970. 0
5970. 1
5970. 2
5970. 3
5971. 0
5971. 1
5971. 2
5971. 3
5971. 4
5971. 5
5971. 6
5972. 0
pull
Entries 37
Mean −250.2
Std Dev 0
100
50
0
−50
−100

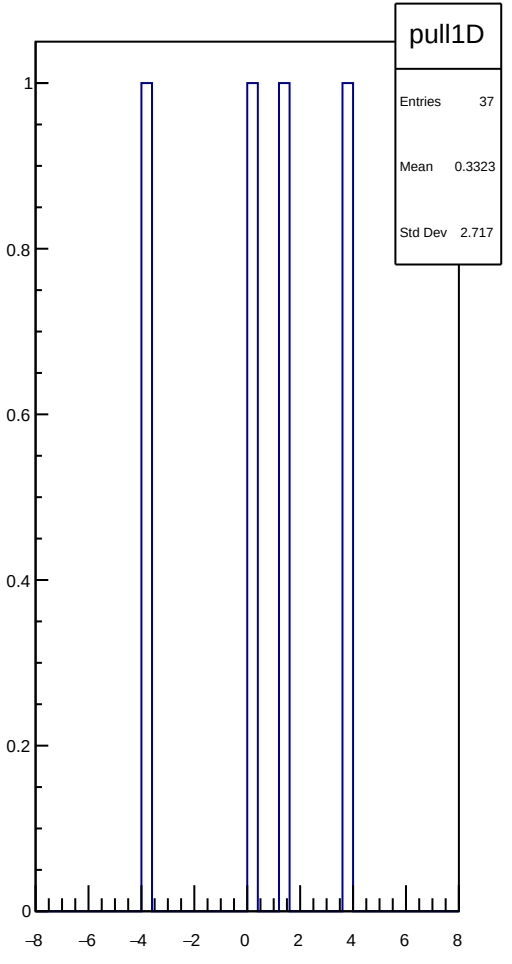
pull1D
Entries 37
Mean 0.3323
Std Dev 2.717
1
0.8
0.6
0.4
0.2
0
−8
−6
−4
−2
0
2
4
6
8

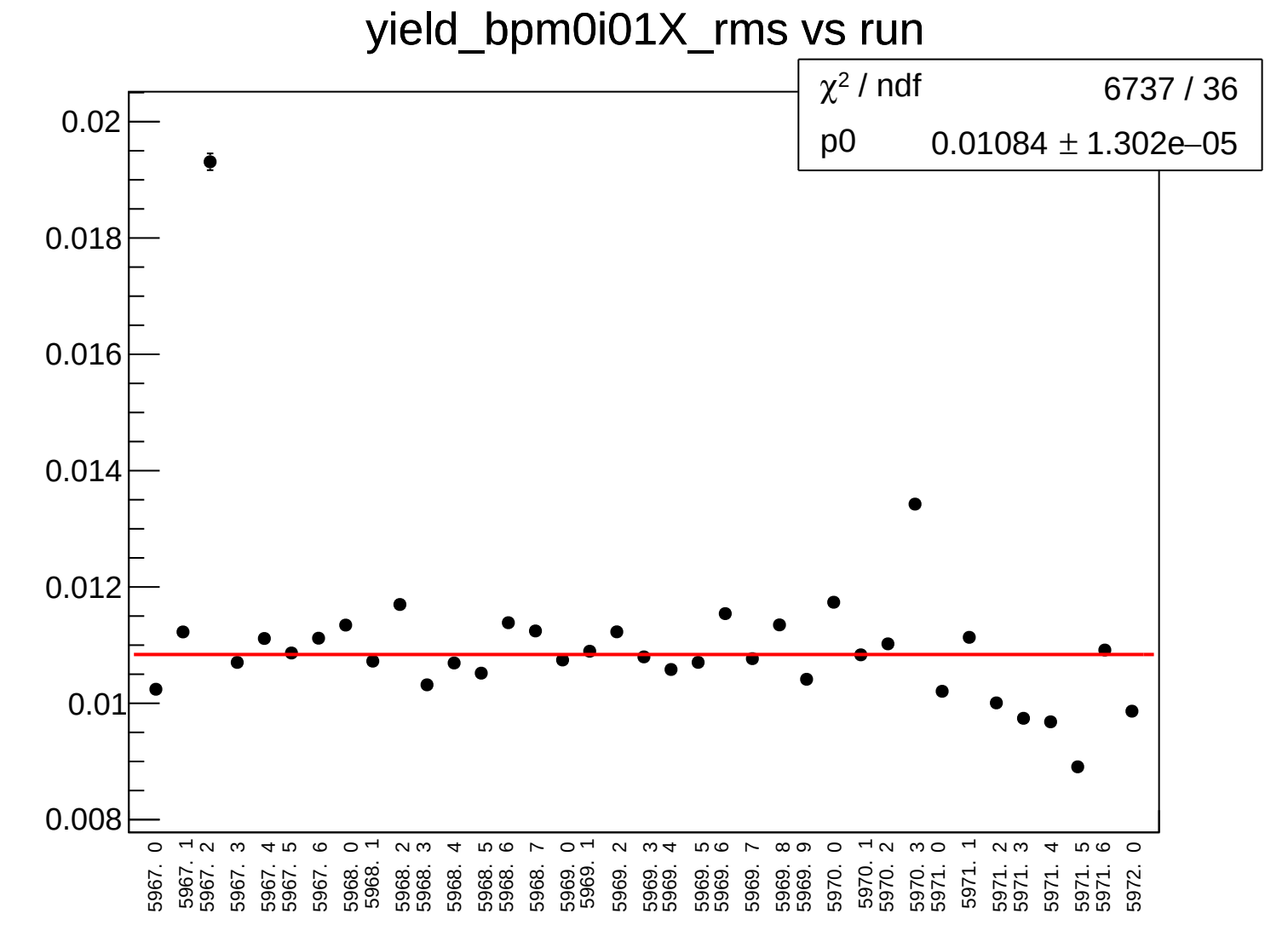
yield_bpm0i01X_rms vs run
χ² / ndf 6737 / 36
p0 0.01084 ± 1.302e–05
0.02
0.018
0.016
0.014
0.012
0.01
0.008
5967. 0
5967. 1
5967. 2
5967. 3
5967. 4
5967. 5
5967. 6
5968. 0
5968. 1
5968. 2
5968. 3
5968. 4
5968. 5
5968. 6
5968. 7
5969. 0
5969. 1
5969. 2
5969. 3
5969. 4
5969. 5
5969. 6
5969. 7
5969. 8
5969. 9
5970. 0
5970. 1
5970. 2
5970. 3
5971. 0
5971. 1
5971. 2
5971. 3
5971. 4
5971. 5
5971. 6
5972. 0

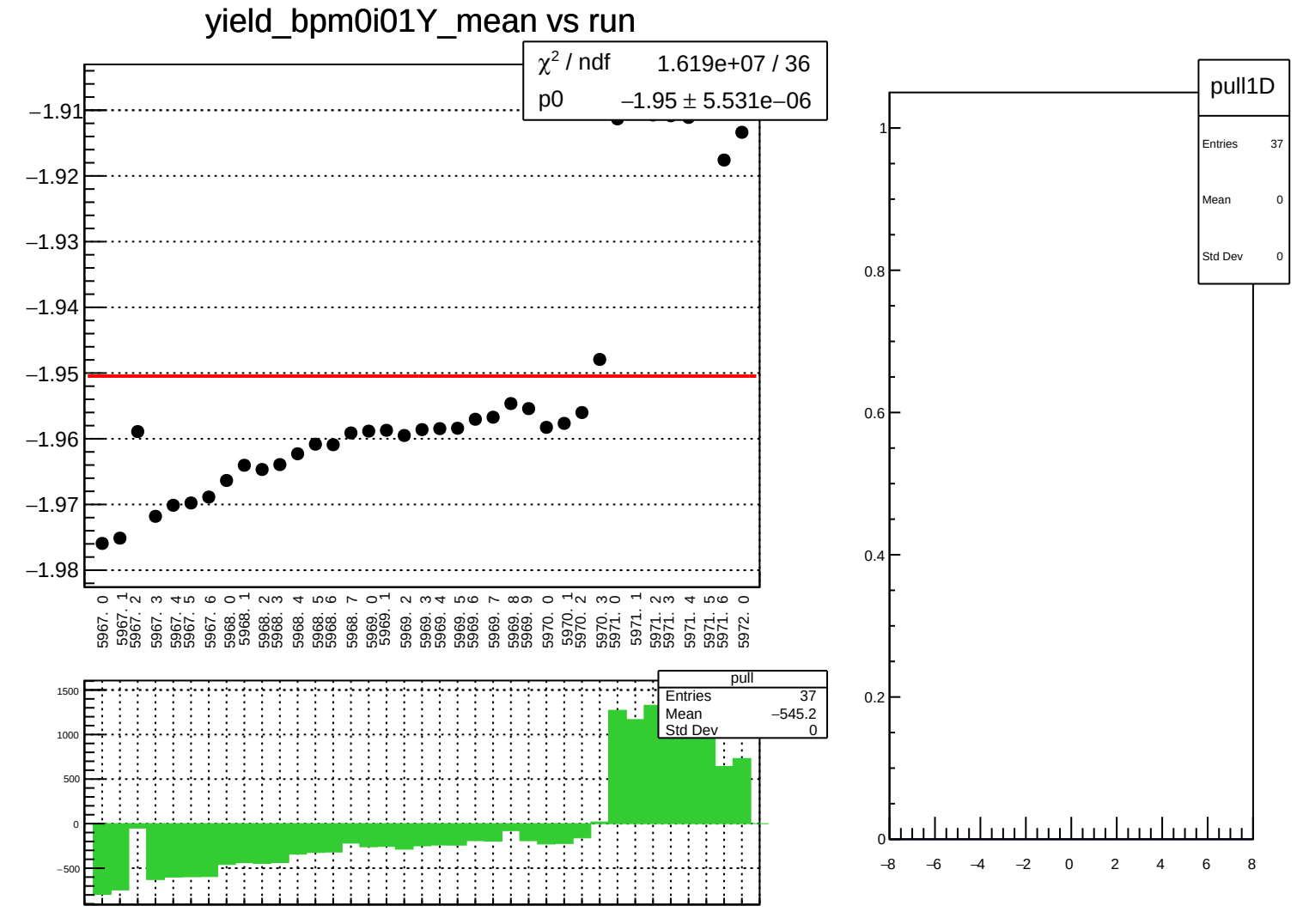
yield_bpm0i01Y_mean vs run
χ² / ndf 1.619e+07 / 36
p0 −1.95 ± 5.531e−06
−1.91
−1.92
−1.93
−1.94
−1.95
−1.96
−1.97
−1.98
5967. 0
5967. 1
5967. 2
5967. 3
5967. 4
5967. 5
5967. 6
5968. 0
5968. 1
5968. 2
5968. 3
5968. 4
5968. 5
5968. 6
5968. 7
5969. 0
5969. 1
5969. 2
5969. 3
5969. 4
5969. 5
5969. 6
5969. 7
5969. 8
5969. 9
5970. 0
5970. 1
5970. 2
5970. 3
5971. 0
5971. 1
5971. 2
5971. 3
5971. 4
5971. 5
5971. 6
5972. 0
pull
Entries 37
Mean −545.2
Std Dev 0
1500
1000
500
0
−500
pull1D
Entries 37
Mean 0
Std Dev 0
1
0.8
0.6
0.4
0.2
0
−8
−6
−4
−2
0
2
4
6
8

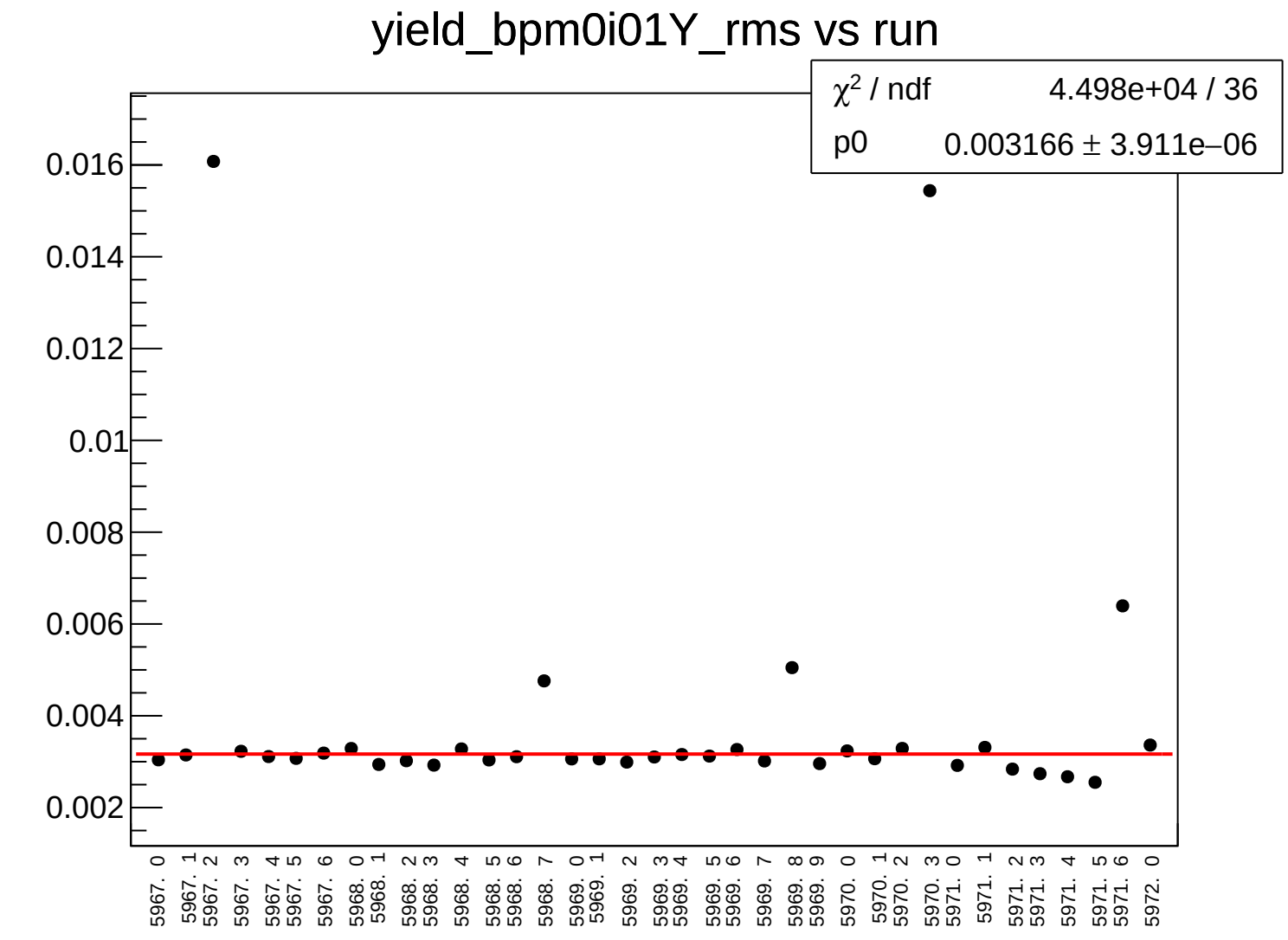
yield_bpm0i01Y_rms vs run
χ² / ndf 4.498e+04 / 36
p0 0.003166 ± 3.911e−06
0.016
0.014
0.012
0.01
0.008
0.006
0.004
0.002
5967. 0
5967. 1
5967. 2
5967. 3
5967. 4
5967. 5
5967. 6
5968. 0
5968. 1
5968. 2
5968. 3
5968. 4
5968. 5
5968. 6
5968. 7
5969. 0
5969. 1
5969. 2
5969. 3
5969. 4
5969. 5
5969. 6
5969. 7
5969. 8
5969. 9
5970. 0
5970. 1
5970. 2
5970. 3
5971. 0
5971. 1
5971. 2
5971. 3
5971. 4
5971. 5
5971. 6
5972. 0

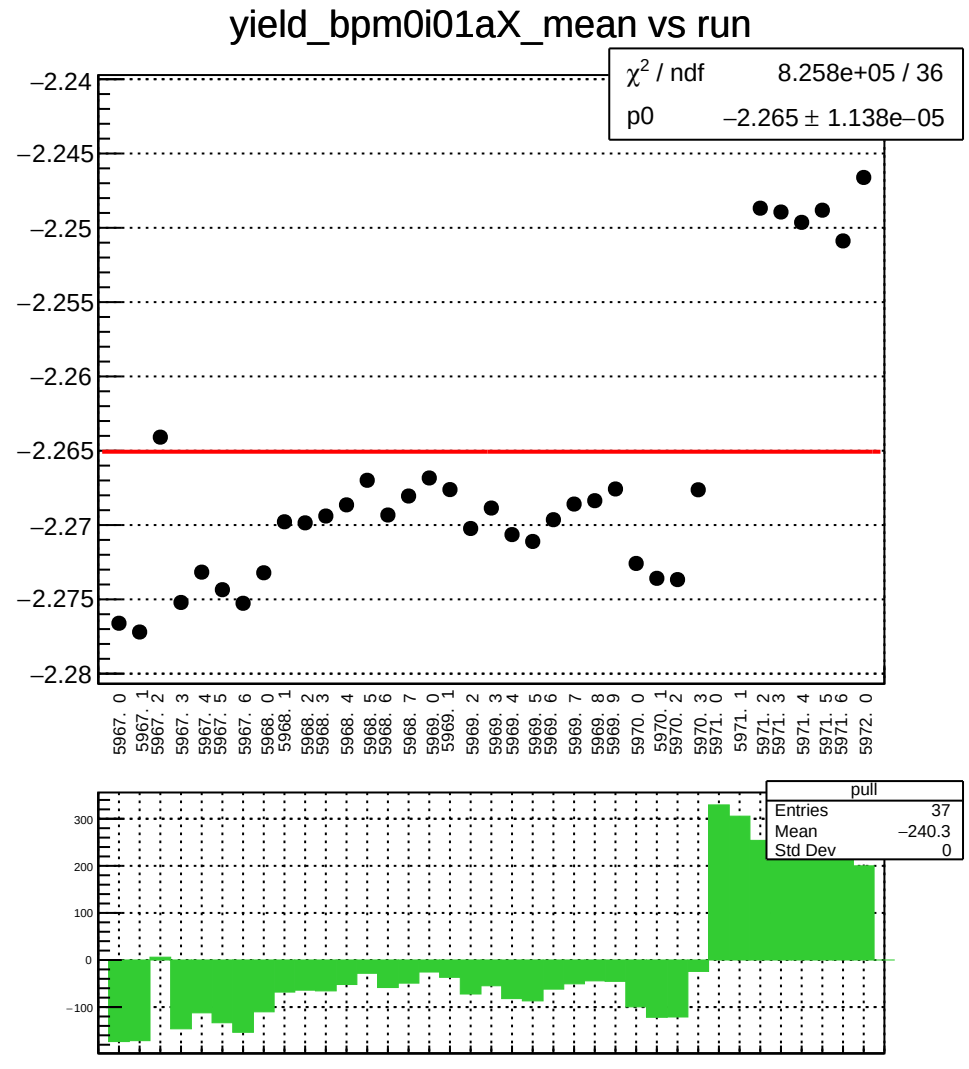
yield_bpm0i01aX_mean vs run
χ² / ndf 8.258e+05 / 36
p0 −2.265 ± 1.138e−05
−2.24
−2.245
−2.25
−2.255
−2.26
−2.265
−2.27
−2.275
−2.28
5967. 0
5967. 1
5967. 2
5967. 3
5967. 4
5967. 5
5967. 6
5968. 0
5968. 1
5968. 2
5968. 3
5968. 4
5968. 5
5968. 6
5968. 7
5969. 0
5969. 1
5969. 2
5969. 3
5969. 4
5969. 5
5969. 6
5969. 7
5969. 8
5969. 9
5970. 0
5970. 1
5970. 2
5970. 3
5971. 0
5971. 1
5971. 2
5971. 3
5971. 4
5971. 5
5971. 6
5972. 0
pull
Entries 37
Mean −240.3
Std Dev 0
300
200
100
0
−100

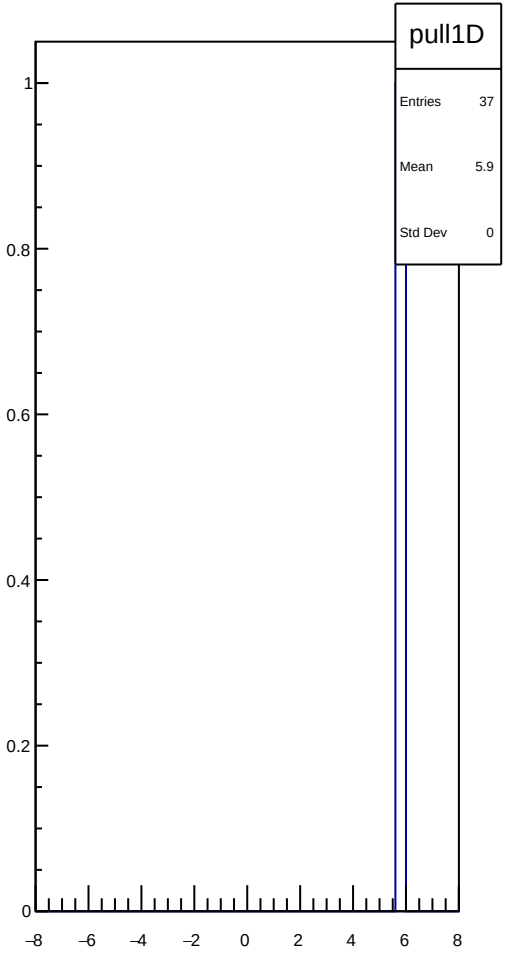
pull1D
Entries 37
Mean 5.9
Std Dev 0
1
0.8
0.6
0.4
0.2
0
−8
−6
−4
−2
0
2
4
6
8

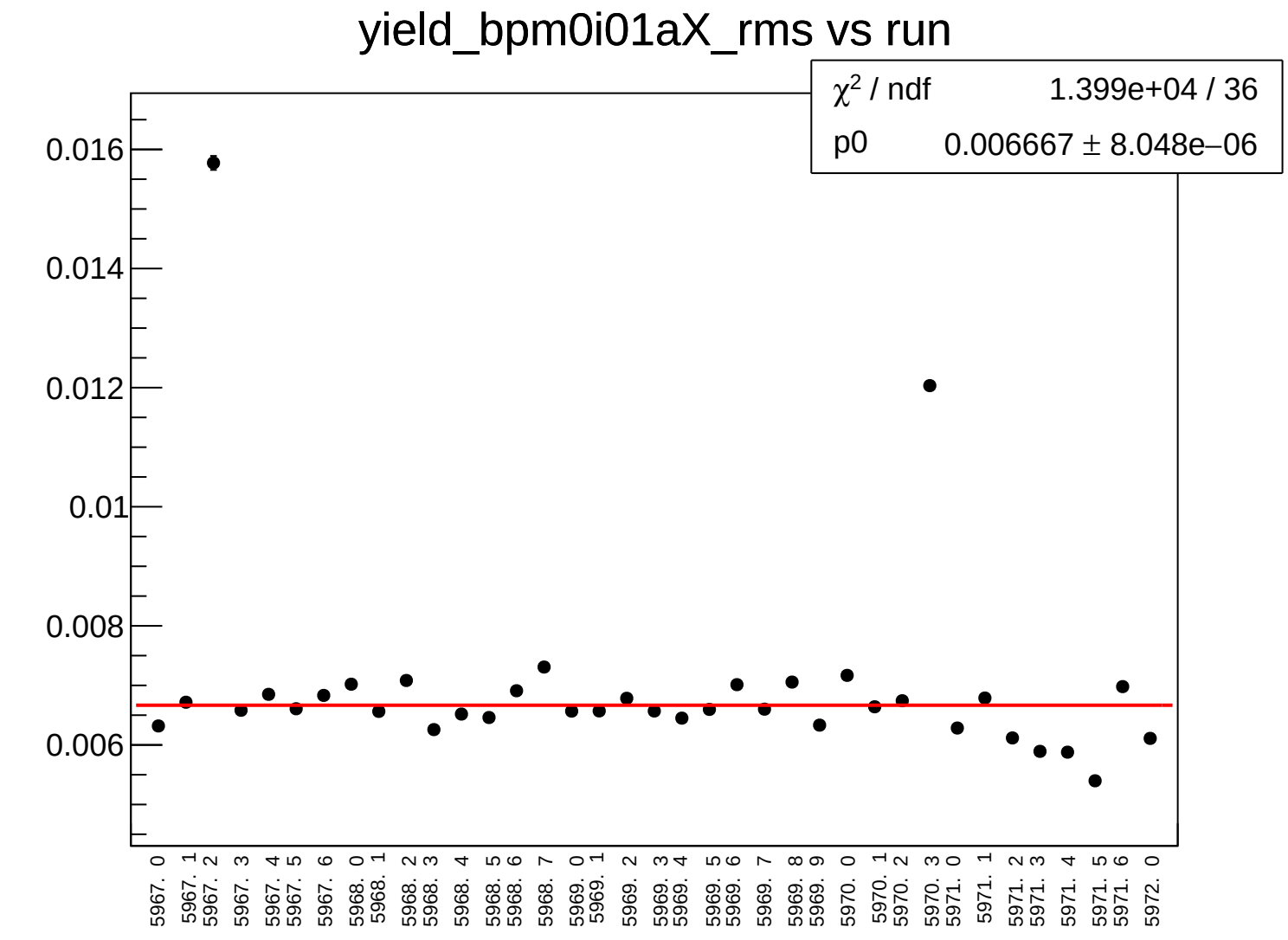
yield_bpm0i01aX_rms vs run
χ² / ndf 1.399e+04 / 36
p0 0.006667 ± 8.048e−06
0.016
0.014
0.012
0.01
0.008
0.006
5967. 0
5967. 1
5967. 2
5967. 3
5967. 4
5967. 5
5967. 6
5968. 0
5968. 1
5968. 2
5968. 3
5968. 4
5968. 5
5968. 6
5968. 7
5969. 0
5969. 1
5969. 2
5969. 3
5969. 4
5969. 5
5969. 6
5969. 7
5969. 8
5969. 9
5970. 0
5970. 1
5970. 2
5970. 3
5971. 0
5971. 1
5971. 2
5971. 3
5971. 4
5971. 5
5971. 6
5972. 0

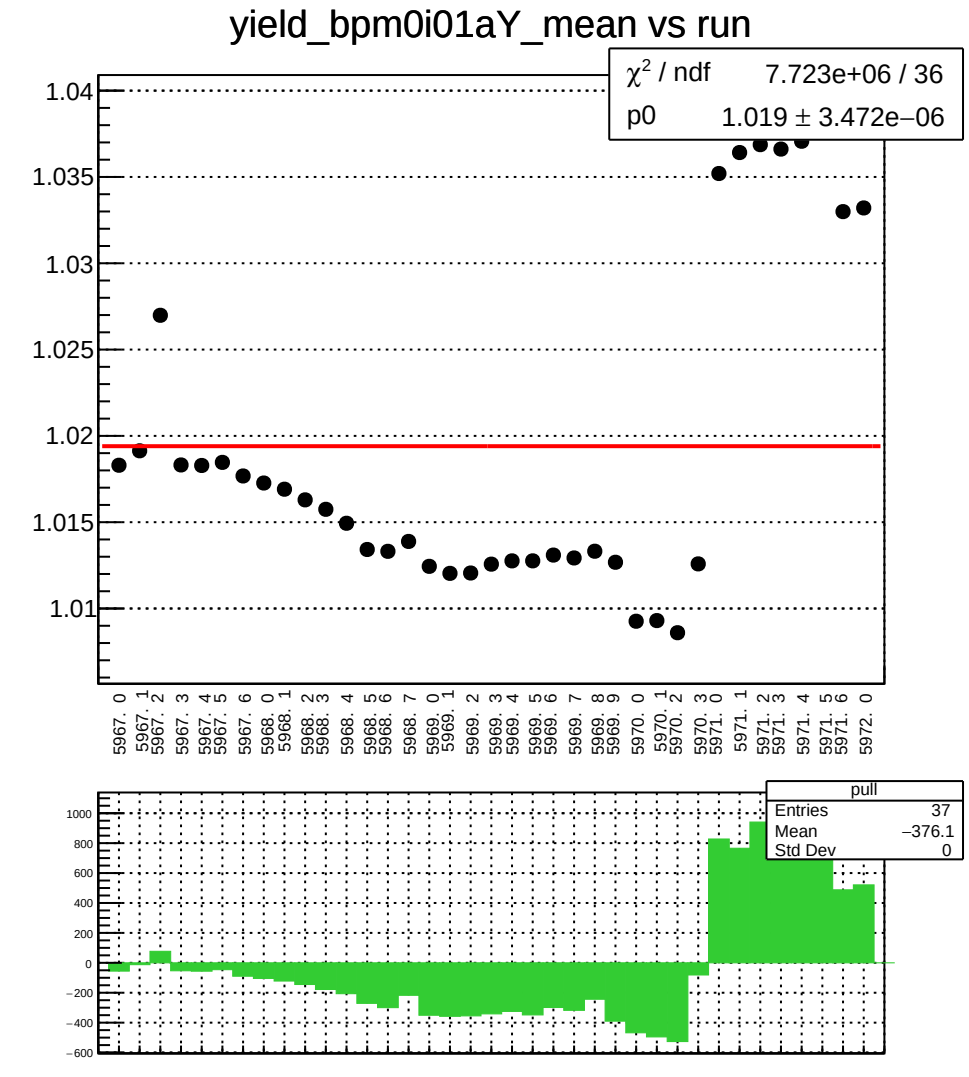
yield_bpm0i01aY_mean vs run
χ² / ndf 7.723e+06 / 36
p0 1.019 ± 3.472e−06
1.04
1.035
1.03
1.025
1.02
1.015
1.01
5967. 0
5967. 1
5967. 2
5967. 3
5967. 4
5967. 5
5967. 6
5968. 0
5968. 1
5968. 2
5968. 3
5968. 4
5968. 5
5968. 6
5968. 7
5969. 0
5969. 1
5969. 2
5969. 3
5969. 4
5969. 5
5969. 6
5969. 7
5969. 8
5969. 9
5970. 0
5970. 1
5970. 2
5970. 3
5971. 0
5971. 1
5971. 2
5971. 3
5971. 4
5971. 5
5971. 6
5972. 0
pull
Entries 37
Mean −376.1
Std Dev 0
1000
800
600
400
200
0
−200
−400
−600

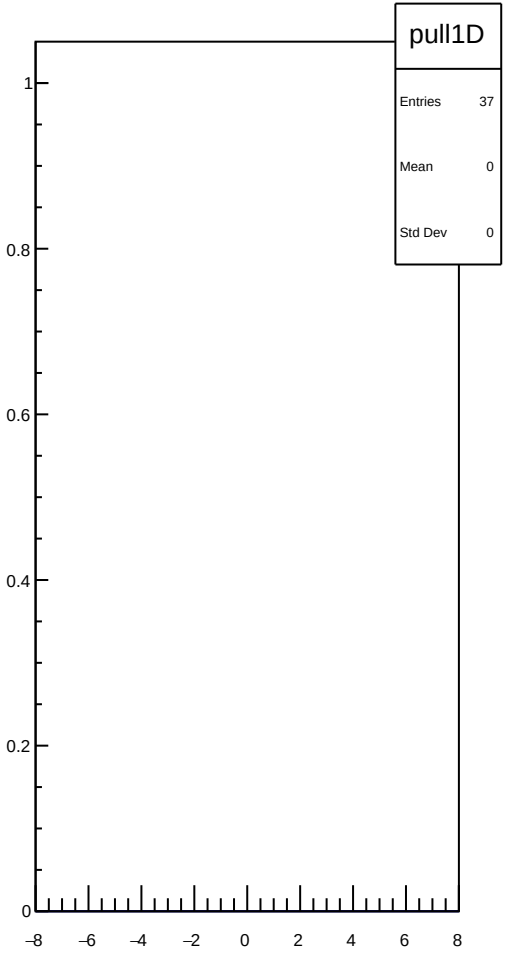
pull1D
Entries 37
Mean 0
Std Dev 0
1
0.8
0.6
0.4
0.2
0
−8
−6
−4
−2
0
2
4
6
8

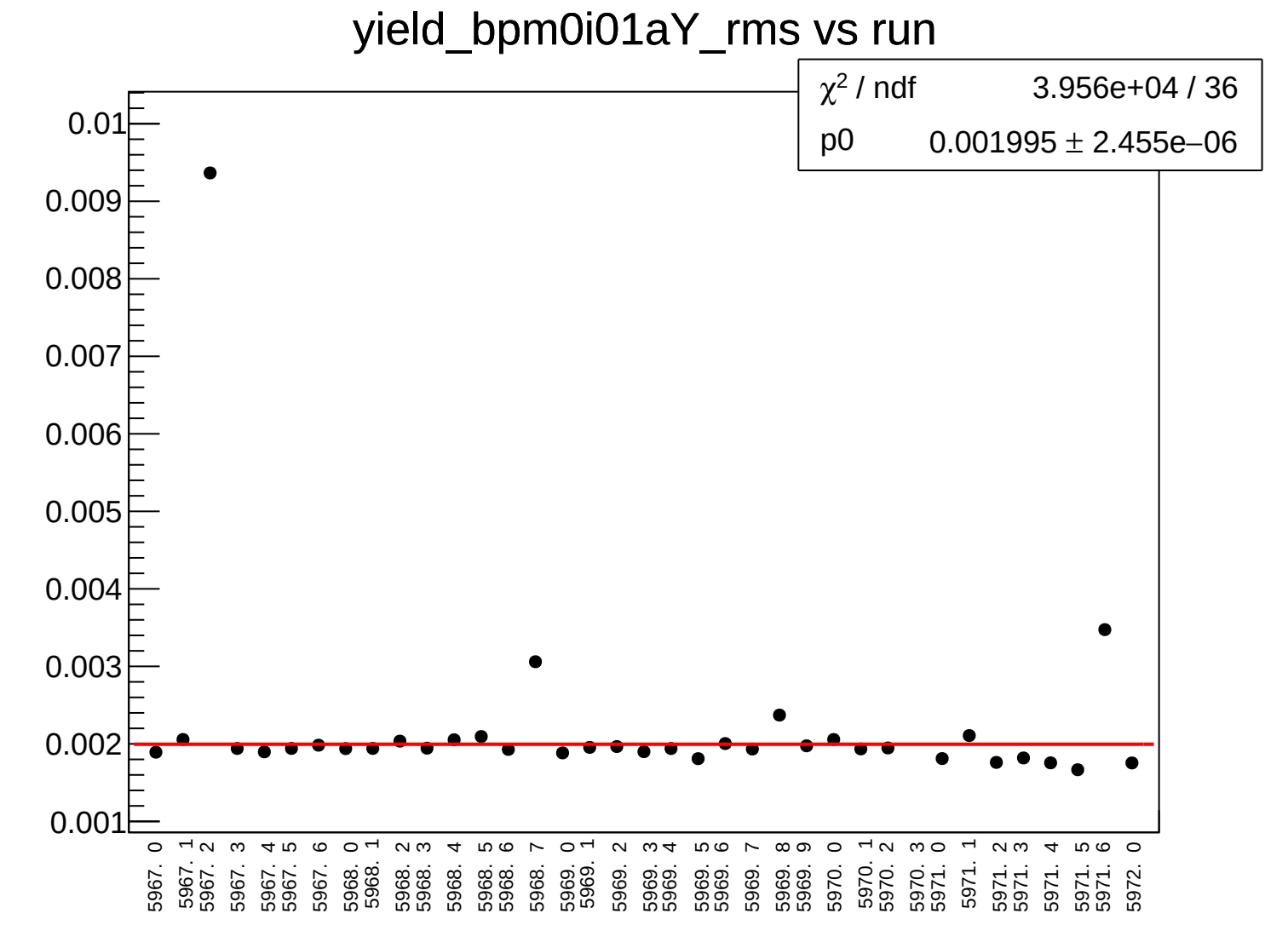
yield_bpm0i01aY_rms vs run
χ² / ndf 3.956e+04 / 36
p0 0.001995 ± 2.455e−06
0.01
0.009
0.008
0.007
0.006
0.005
0.004
0.003
0.002
0.001
5967. 0
5967. 1
5967. 2
5967. 3
5967. 4
5967. 5
5967. 6
5968. 0
5968. 1
5968. 2
5968. 3
5968. 4
5968. 5
5968. 6
5968. 7
5969. 0
5969. 1
5969. 2
5969. 3
5969. 4
5969. 5
5969. 6
5969. 7
5969. 8
5969. 9
5970. 0
5970. 1
5970. 2
5970. 3
5971. 0
5971. 1
5971. 2
5971. 3
5971. 4
5971. 5
5971. 6
5972. 0

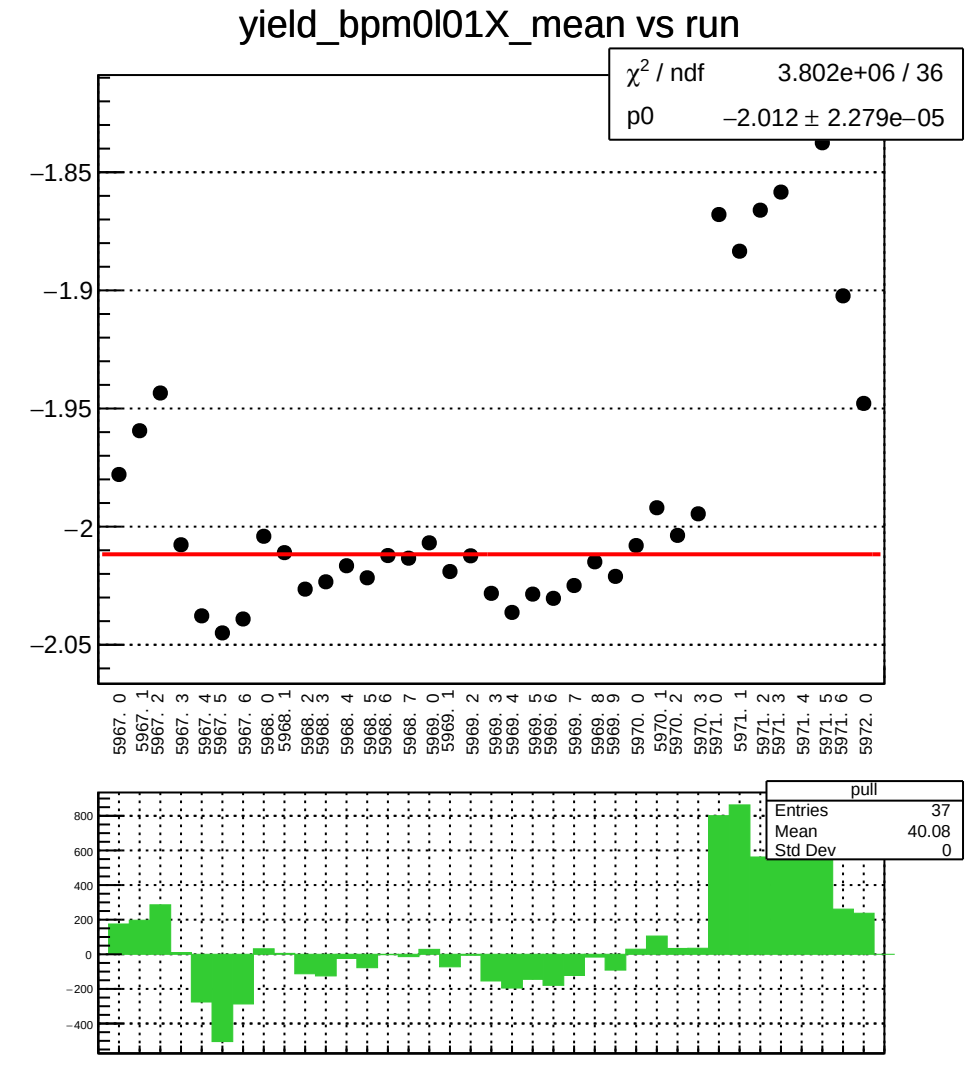
yield_bpm0l01X_mean vs run
χ² / ndf 3.802e+06 / 36
p0 −2.012 ± 2.279e−05
−1.85
−1.9
−1.95
−2
−2.05
5967. 0
5967. 1
5967. 2
5967. 3
5967. 4
5967. 5
5967. 6
5968. 0
5968. 1
5968. 2
5968. 3
5968. 4
5968. 5
5968. 6
5968. 7
5969. 0
5969. 1
5969. 2
5969. 3
5969. 4
5969. 5
5969. 6
5969. 7
5969. 8
5969. 9
5970. 0
5970. 1
5970. 2
5970. 3
5971. 0
5971. 1
5971. 2
5971. 3
5971. 4
5971. 5
5971. 6
5972. 0
pull
Entries 37
Mean 40.08
Std Dev 0
800
600
400
200
0
−200
−400
pull1D
Entries 37
Mean −0.8534
Std Dev 4.501
1
0.8
0.6
0.4
0.2
0
−8
−6
−4
−2
0
2
4
6
8

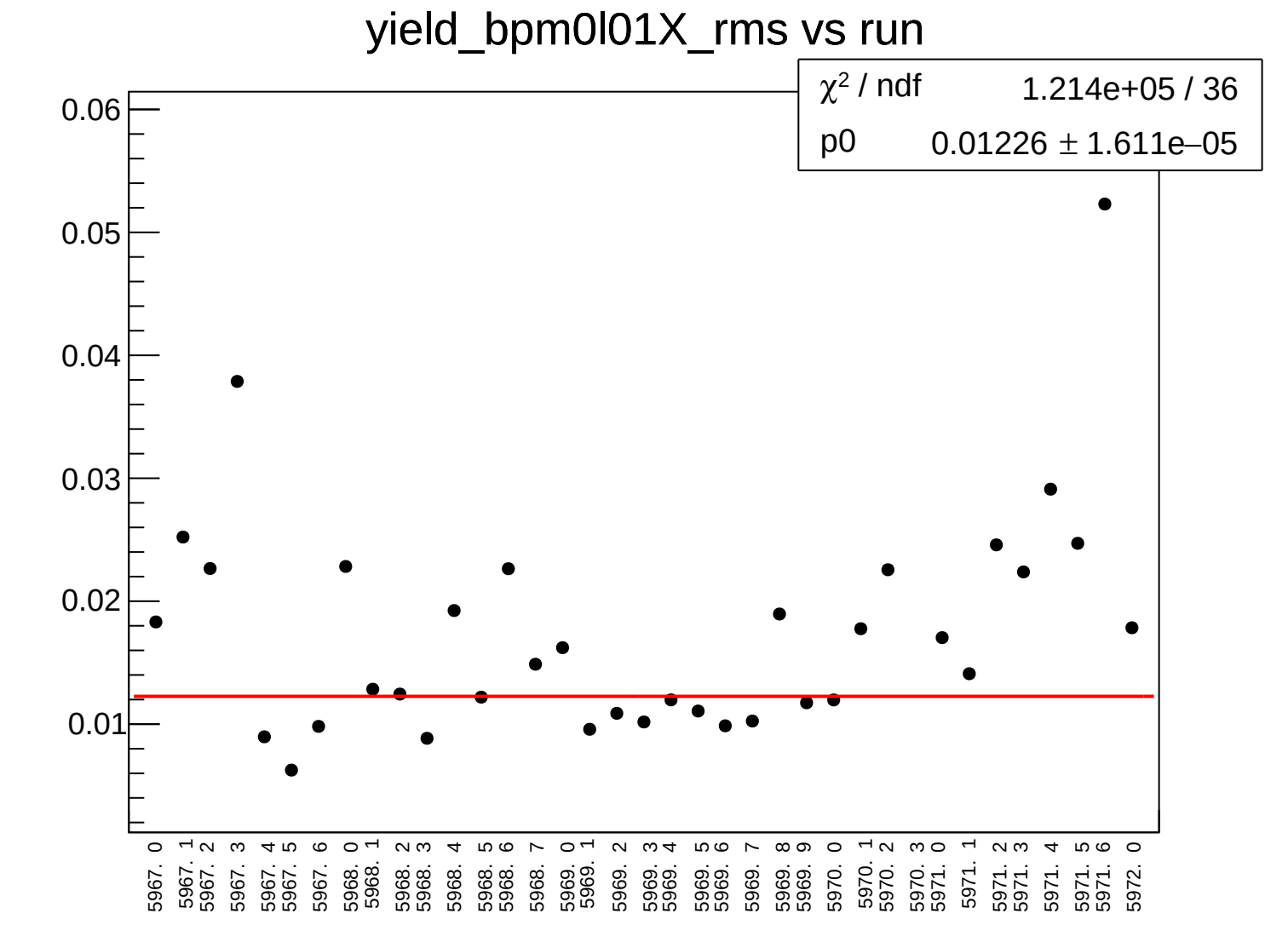
yield_bpm0l01X_rms vs run
χ² / ndf 1.214e+05 / 36
p0 0.01226 ± 1.611e–05
0.06
0.05
0.04
0.03
0.02
0.01
5967. 0
5967. 1
5967. 2
5967. 3
5967. 4
5967. 5
5967. 6
5968. 0
5968. 1
5968. 2
5968. 3
5968. 4
5968. 5
5968. 6
5968. 7
5969. 0
5969. 1
5969. 2
5969. 3
5969. 4
5969. 5
5969. 6
5969. 7
5969. 8
5969. 9
5970. 0
5970. 1
5970. 2
5970. 3
5971. 0
5971. 1
5971. 2
5971. 3
5971. 4
5971. 5
5971. 6
5972. 0

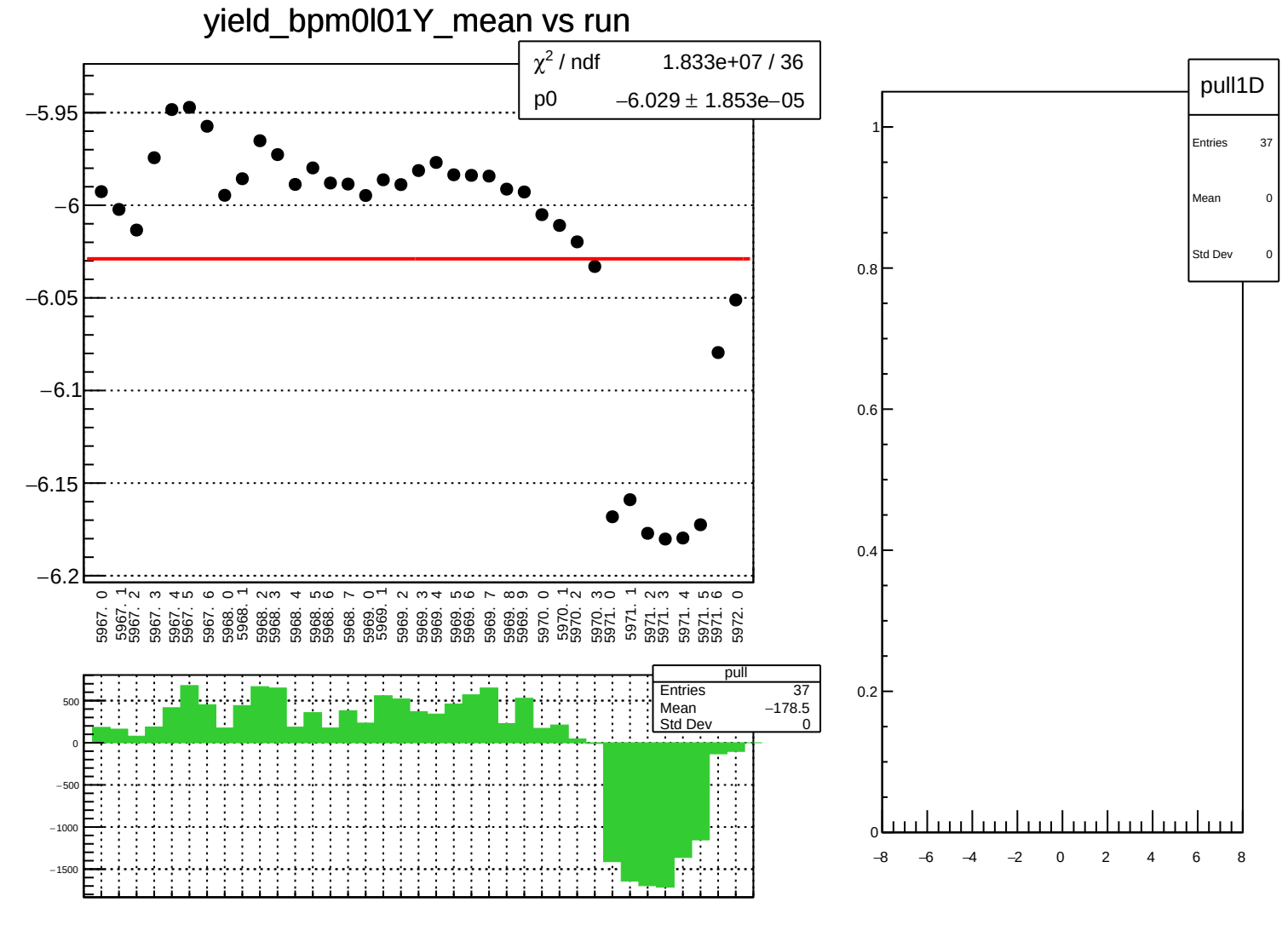
yield_bpm0l01Y_mean vs run
χ² / ndf 1.833e+07 / 36
p0 −6.029 ± 1.853e−05
−5.95
−6
−6.05
−6.1
−6.15
−6.2
5967. 0
5967. 1
5967. 2
5967. 3
5967. 4
5967. 5
5967. 6
5968. 0
5968. 1
5968. 2
5968. 3
5968. 4
5968. 5
5968. 6
5968. 7
5969. 0
5969. 1
5969. 2
5969. 3
5969. 4
5969. 5
5969. 6
5969. 7
5969. 8
5969. 9
5970. 0
5970. 1
5970. 2
5970. 3
5971. 0
5971. 1
5971. 2
5971. 3
5971. 4
5971. 5
5971. 6
5972. 0
pull
Entries 37
Mean −178.5
Std Dev 0
500
0
−500
−1000
−1500
pull1D
Entries 37
Mean 0
Std Dev 0
1
0.8
0.6
0.4
0.2
0
−8
−6
−4
−2
0
2
4
6
8

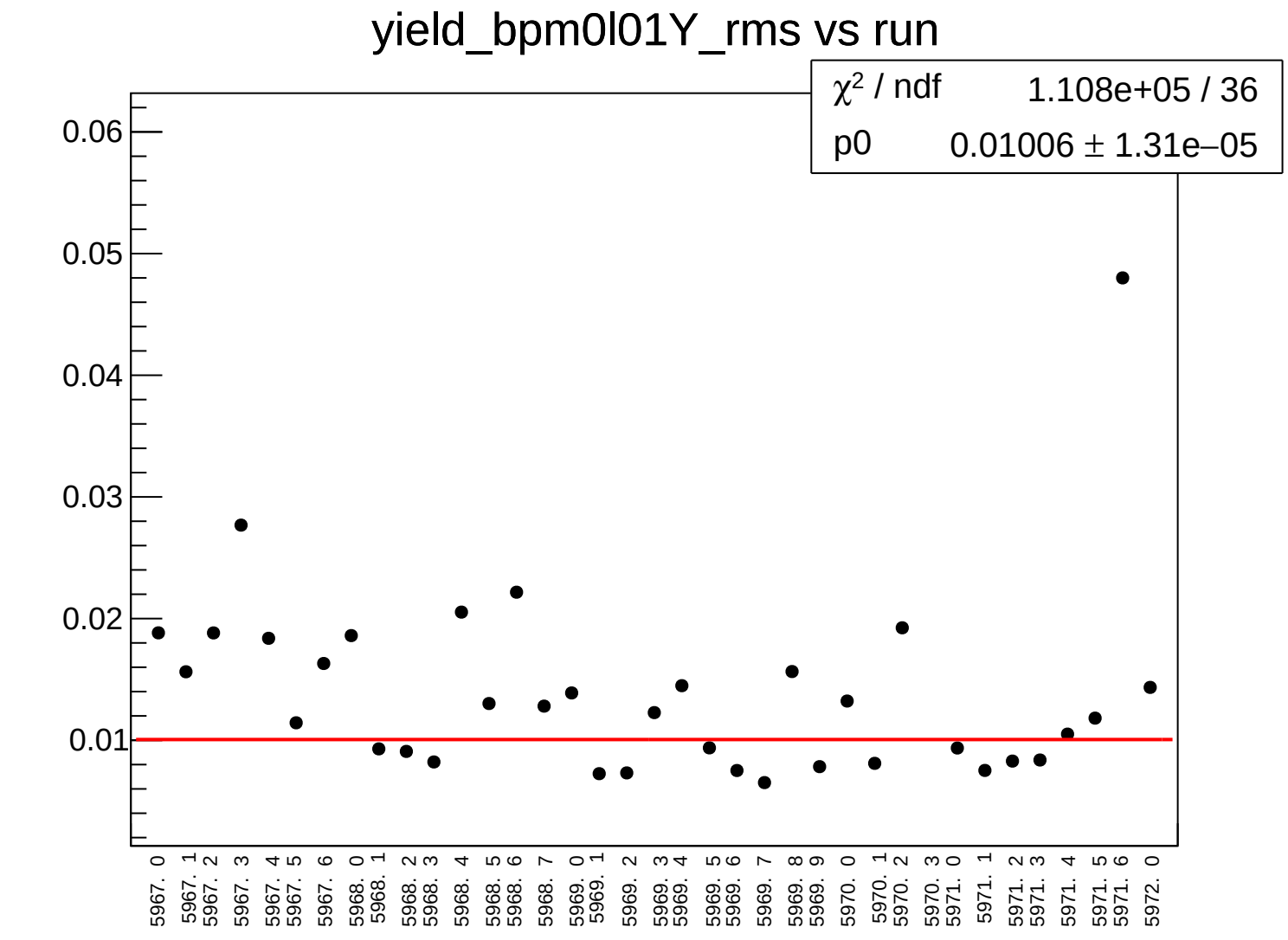
yield_bpm0l01Y_rms vs run
χ² / ndf 1.108e+05 / 36
p0 0.01006 ± 1.31e−05
0.06
0.05
0.04
0.03
0.02
0.01
5967. 0
5967. 1
5967. 2
5967. 3
5967. 4
5967. 5
5967. 6
5968. 0
5968. 1
5968. 2
5968. 3
5968. 4
5968. 5
5968. 6
5968. 7
5969. 0
5969. 1
5969. 2
5969. 3
5969. 4
5969. 5
5969. 6
5969. 7
5969. 8
5969. 9
5970. 0
5970. 1
5970. 2
5970. 3
5971. 0
5971. 1
5971. 2
5971. 3
5971. 4
5971. 5
5971. 6
5972. 0

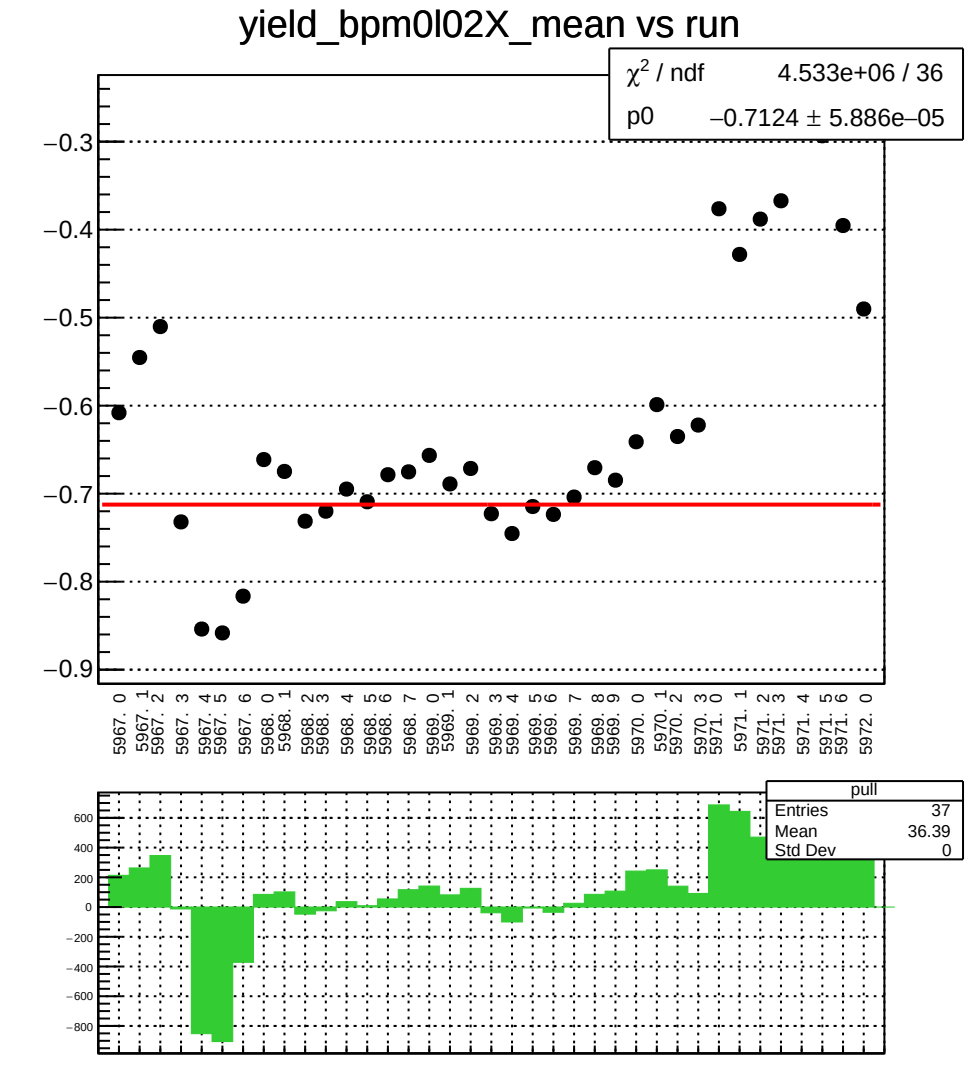
yield_bpm0l02X_mean vs run
χ² / ndf 4.533e+06 / 36
p0 −0.7124 ± 5.886e−05
pull
Entries 37
Mean 36.39
Std Dev 0

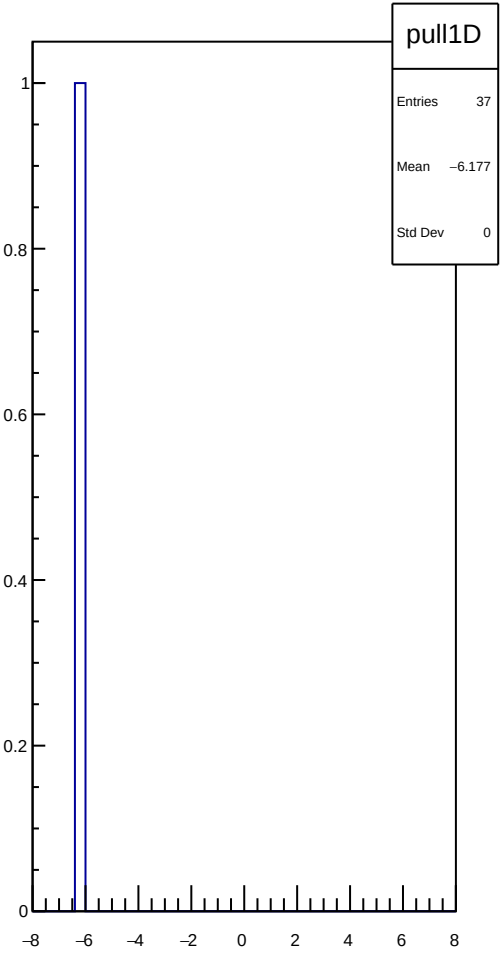
pull1D
Entries 37
Mean −6.177
Std Dev 0

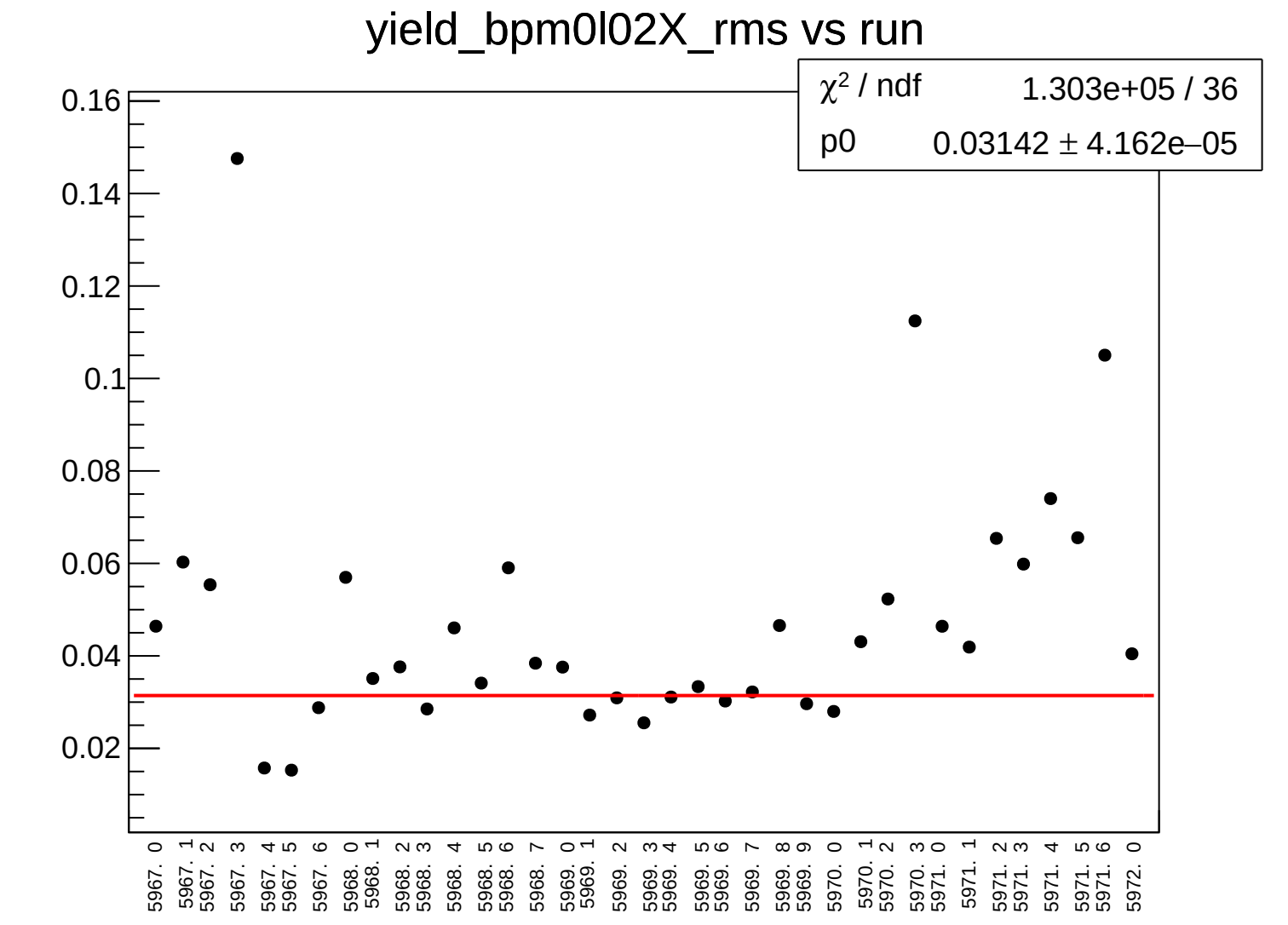
yield_bpm0l02X_rms vs run
χ² / ndf 1.303e+05 / 36
p0 0.03142 ± 4.162e–05
0.16
0.14
0.12
0.1
0.08
0.06
0.04
0.02
5967. 0
5967. 1
5967. 2
5967. 3
5967. 4
5967. 5
5967. 6
5968. 0
5968. 1
5968. 2
5968. 3
5968. 4
5968. 5
5968. 6
5968. 7
5969. 0
5969. 1
5969. 2
5969. 3
5969. 4
5969. 5
5969. 6
5969. 7
5969. 8
5969. 9
5970. 0
5970. 1
5970. 2
5970. 3
5971. 0
5971. 1
5971. 2
5971. 3
5971. 4
5971. 5
5971. 6
5972. 0

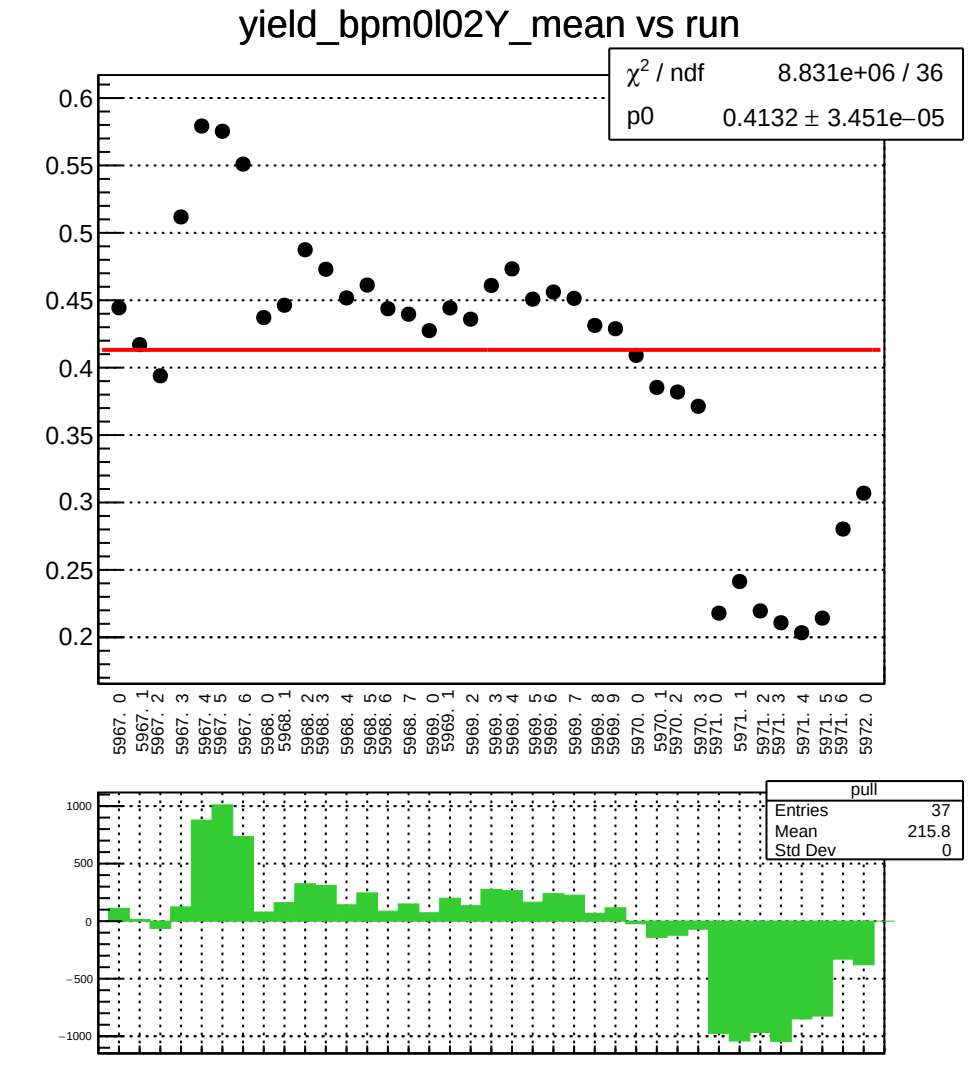
yield_bpm0l02Y_mean vs run
χ² / ndf 8.831e+06 / 36
p0 0.4132 ± 3.451e−05
pull
Entries 37
Mean 215.8
Std Dev 0

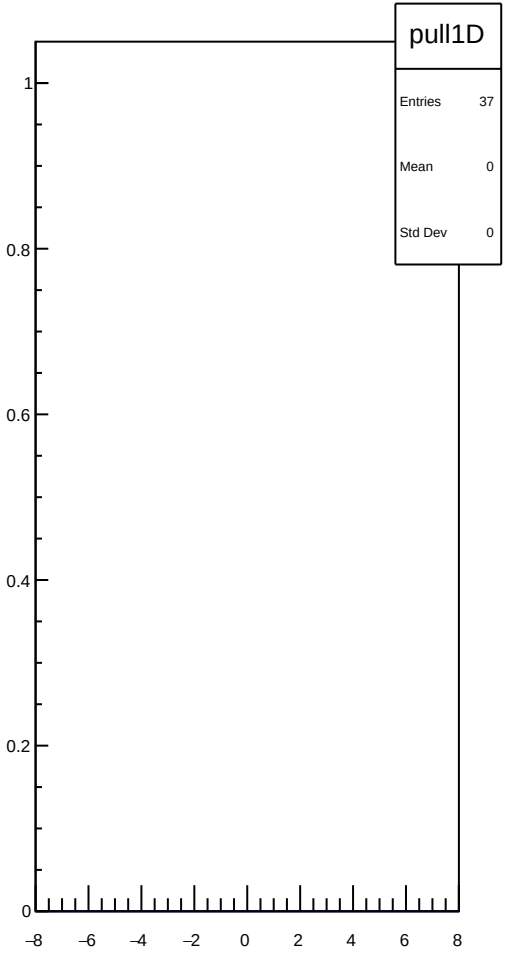
pull1D
Entries 37
Mean 0
Std Dev 0

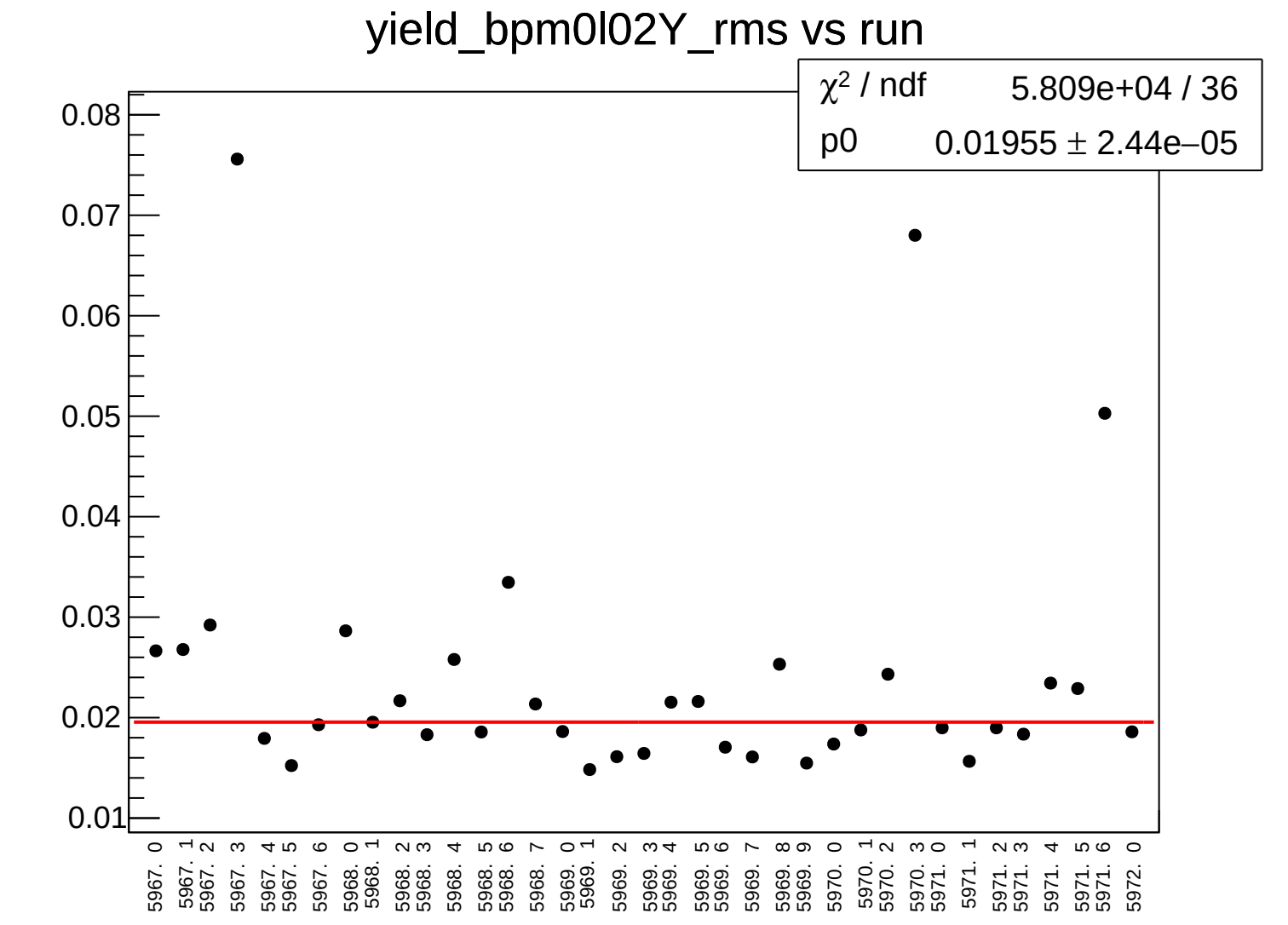
yield_bpm0l02Y_rms vs run
χ² / ndf 5.809e+04 / 36
p0 0.01955 ± 2.44e−05
0.08
0.07
0.06
0.05
0.04
0.03
0.02
0.01
5967. 0
5967. 1
5967. 2
5967. 3
5967. 4
5967. 5
5967. 6
5968. 0
5968. 1
5968. 2
5968. 3
5968. 4
5968. 5
5968. 6
5968. 7
5969. 0
5969. 1
5969. 2
5969. 3
5969. 4
5969. 5
5969. 6
5969. 7
5969. 8
5969. 9
5970. 0
5970. 1
5970. 2
5970. 3
5971. 0
5971. 1
5971. 2
5971. 3
5971. 4
5971. 5
5971. 6
5972. 0

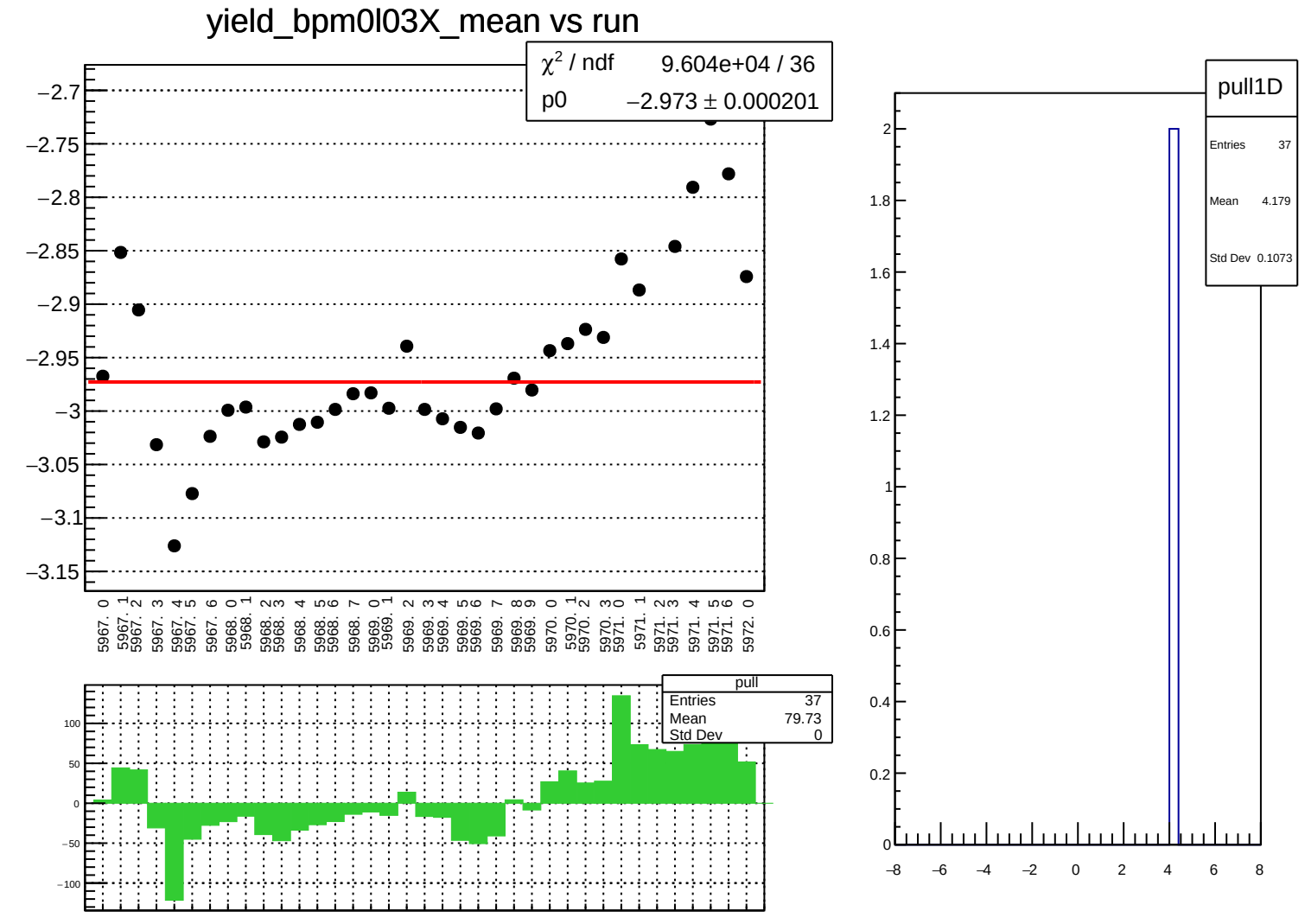
yield_bpm0l03X_mean vs run
χ² / ndf 9.604e+04 / 36
p0 −2.973 ± 0.000201
−2.7
−2.75
−2.8
−2.85
−2.9
−2.95
−3
−3.05
−3.1
−3.15
5967. 0
5967. 1
5967. 2
5967. 3
5967. 4
5967. 5
5967. 6
5968. 0
5968. 1
5968. 2
5968. 3
5968. 4
5968. 5
5968. 6
5968. 7
5969. 0
5969. 1
5969. 2
5969. 3
5969. 4
5969. 5
5969. 6
5969. 7
5969. 8
5969. 9
5970. 0
5970. 1
5970. 2
5970. 3
5971. 0
5971. 1
5971. 2
5971. 3
5971. 4
5971. 5
5971. 6
5972. 0
pull
Entries 37
Mean 79.73
Std Dev 0
100
50
0
−50
−100
pull1D
Entries 37
Mean 4.179
Std Dev 0.1073
2
1.8
1.6
1.4
1.2
1
0.8
0.6
0.4
0.2
0
−8
−6
−4
−2
0
2
4
6
8

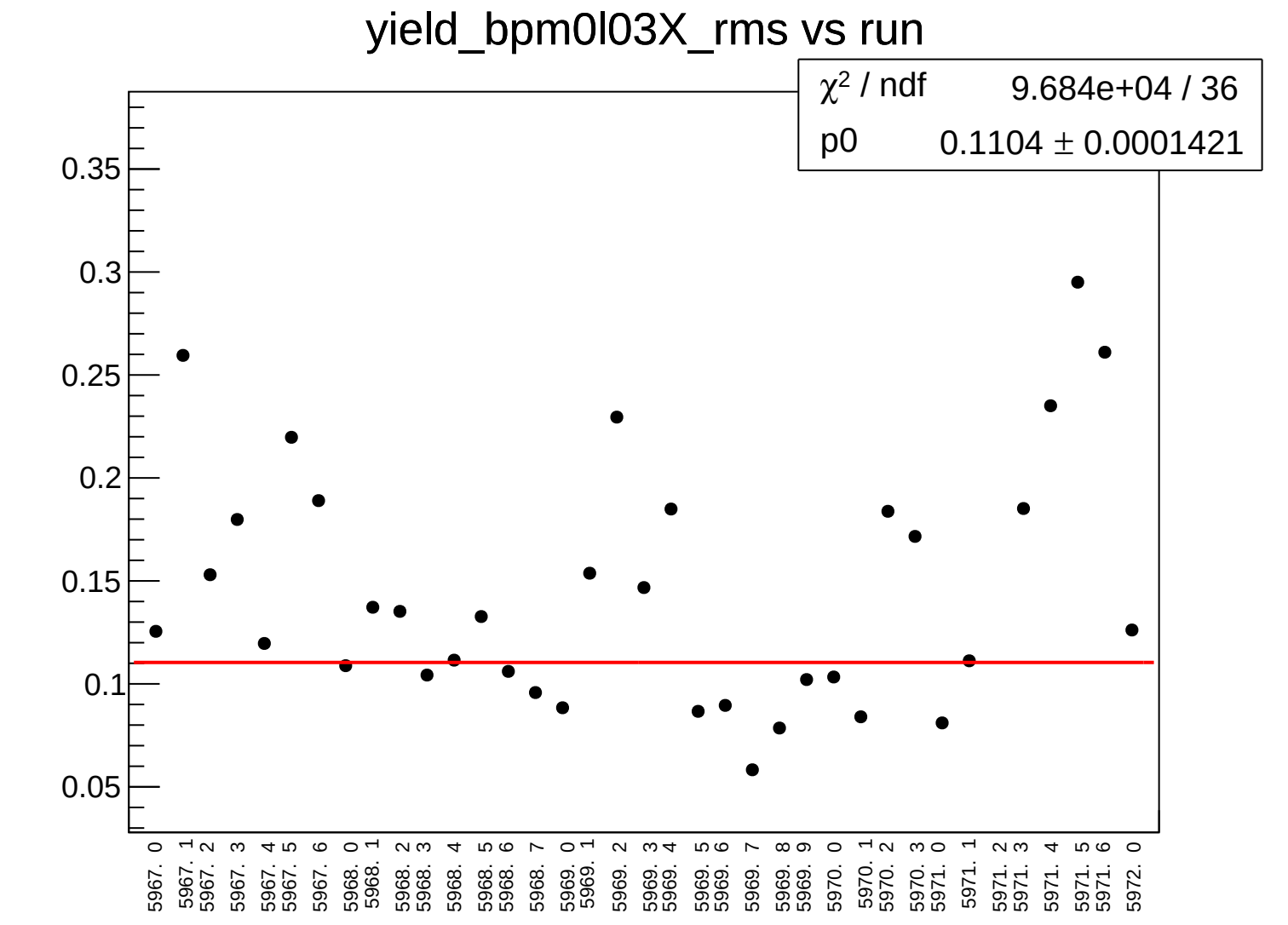
yield_bpm0l03X_rms vs run
χ² / ndf 9.684e+04 / 36
p0 0.1104 ± 0.0001421
0.35
0.3
0.25
0.2
0.15
0.1
0.05
5967. 0
5967. 1
5967. 2
5967. 3
5967. 4
5967. 5
5967. 6
5968. 0
5968. 1
5968. 2
5968. 3
5968. 4
5968. 5
5968. 6
5968. 7
5969. 0
5969. 1
5969. 2
5969. 3
5969. 4
5969. 5
5969. 6
5969. 7
5969. 8
5969. 9
5970. 0
5970. 1
5970. 2
5970. 3
5971. 0
5971. 1
5971. 2
5971. 3
5971. 4
5971. 5
5971. 6
5972. 0

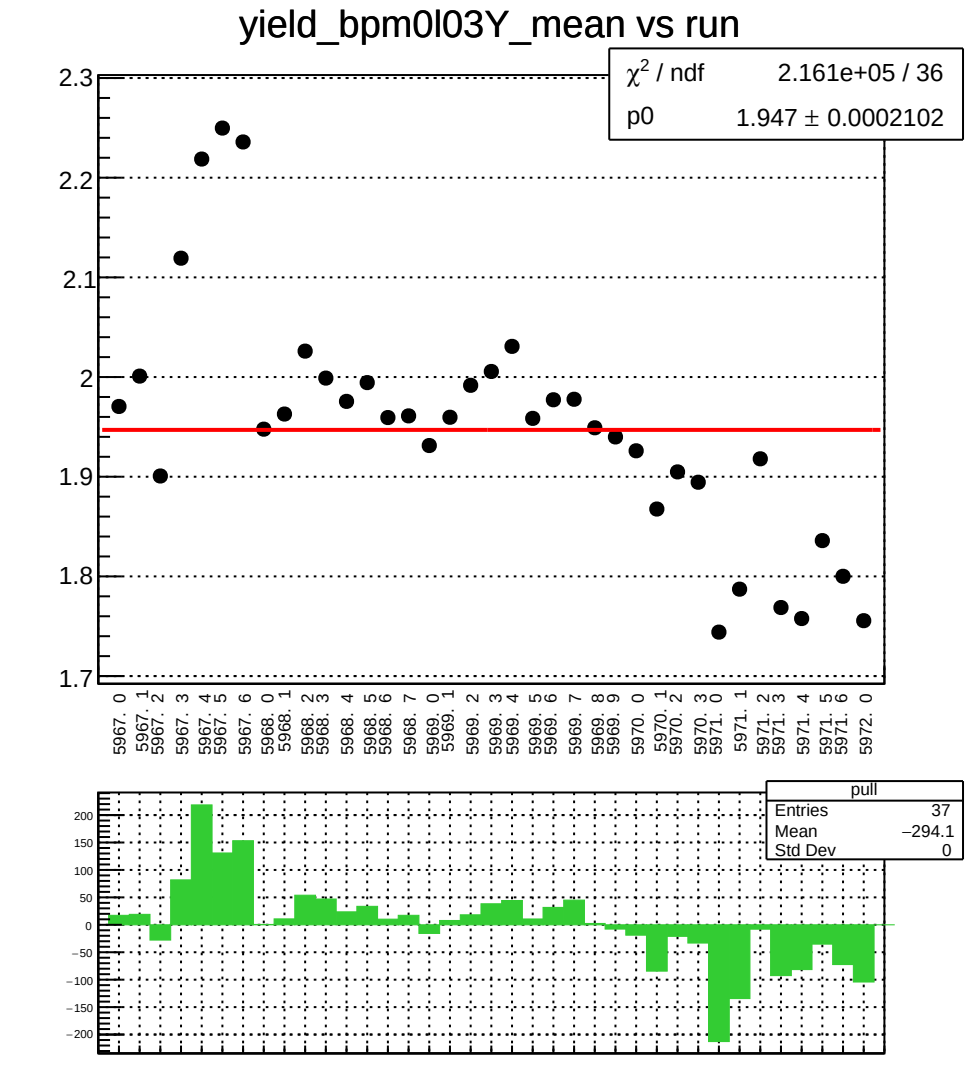
yield_bpm0l03Y_mean vs run
χ² / ndf 2.161e+05 / 36
p0 1.947 ± 0.0002102
pull
Entries 37
Mean −294.1
Std Dev 0

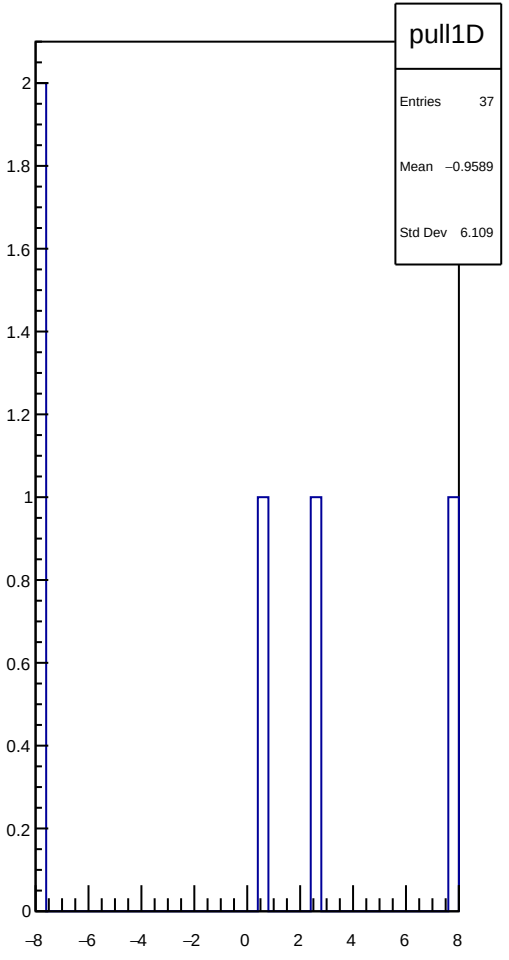
pull1D
Entries 37
Mean −0.9589
Std Dev 6.109

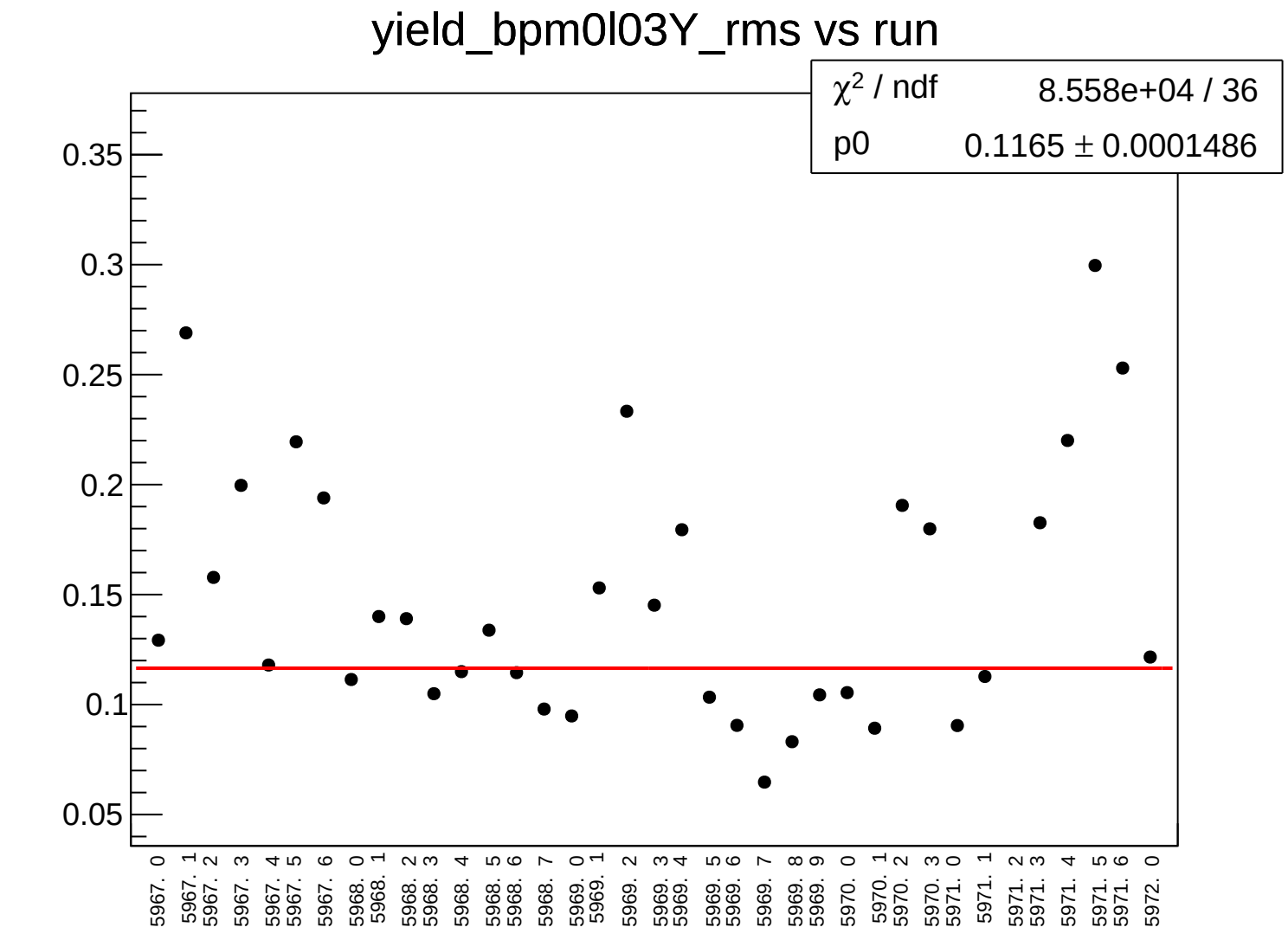
yield_bpm0l03Y_rms vs run
χ² / ndf 8.558e+04 / 36
p0 0.1165 ± 0.0001486
0.35
0.3
0.25
0.2
0.15
0.1
0.05
5967. 0
5967. 1
5967. 2
5967. 3
5967. 4
5967. 5
5967. 6
5968. 0
5968. 1
5968. 2
5968. 3
5968. 4
5968. 5
5968. 6
5968. 7
5969. 0
5969. 1
5969. 2
5969. 3
5969. 4
5969. 5
5969. 6
5969. 7
5969. 8
5969. 9
5970. 0
5970. 1
5970. 2
5970. 3
5971. 0
5971. 1
5971. 2
5971. 3
5971. 4
5971. 5
5971. 6
5972. 0

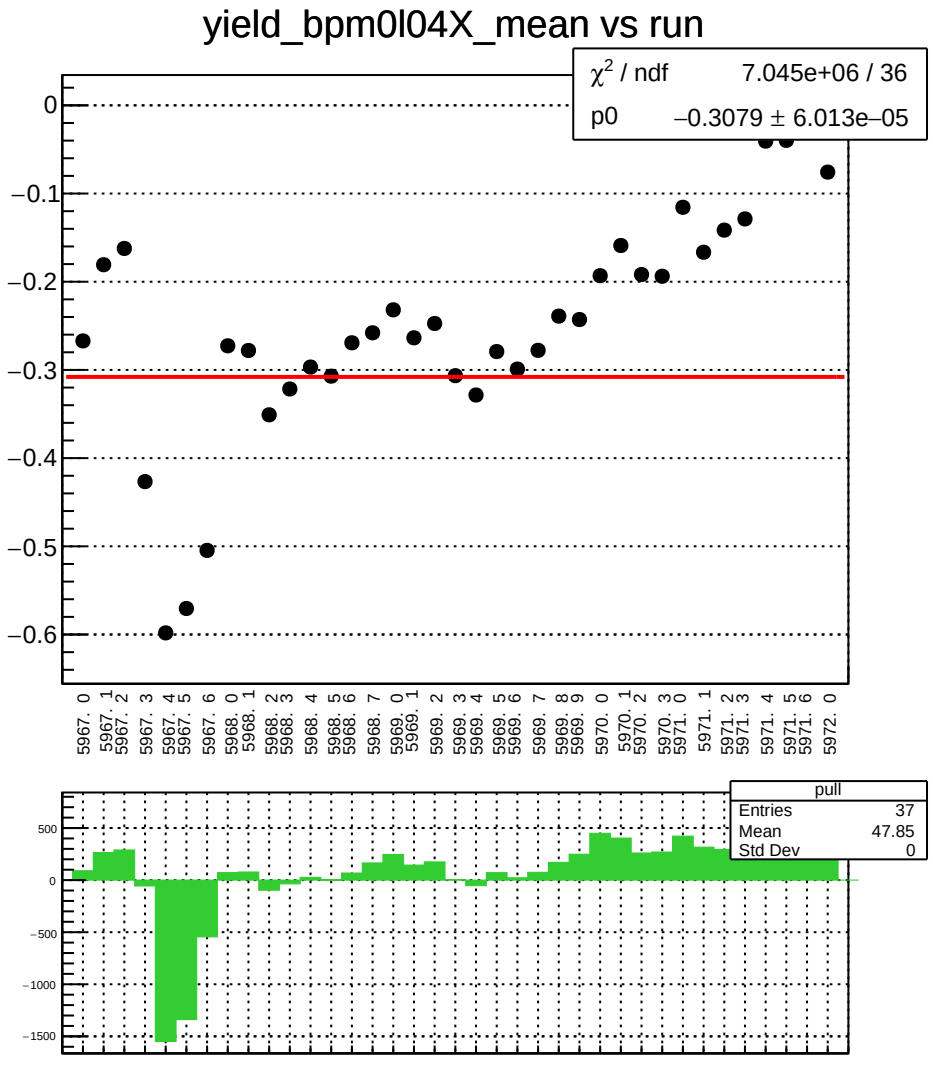
yield_bpm0l04X_mean vs run
χ² / ndf 7.045e+06 / 36
p0 −0.3079 ± 6.013e−05
0
−0.1
−0.2
−0.3
−0.4
−0.5
−0.6
5967. 0
5967. 1
5967. 2
5967. 3
5967. 4
5967. 5
5967. 6
5968. 0
5968. 1
5968. 2
5968. 3
5968. 4
5968. 5
5968. 6
5968. 7
5969. 0
5969. 1
5969. 2
5969. 3
5969. 4
5969. 5
5969. 6
5969. 7
5969. 8
5969. 9
5970. 0
5970. 1
5970. 2
5970. 3
5971. 0
5971. 1
5971. 2
5971. 3
5971. 4
5971. 5
5971. 6
5972. 0
pull
Entries 37
Mean 47.85
Std Dev 0
500
0
−500
−1000
−1500

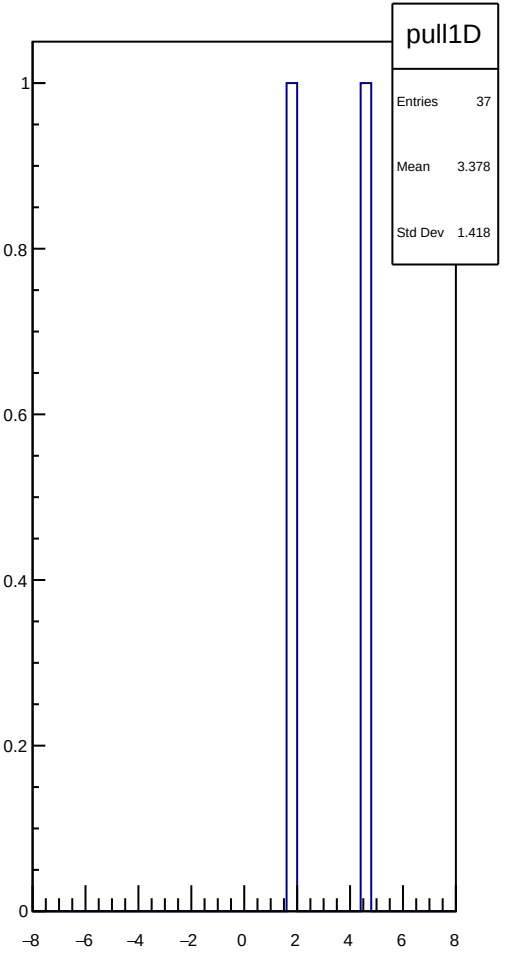
pull1D
Entries 37
Mean 3.378
Std Dev 1.418
1
0.8
0.6
0.4
0.2
0
−8
−6
−4
−2
0
2
4
6
8

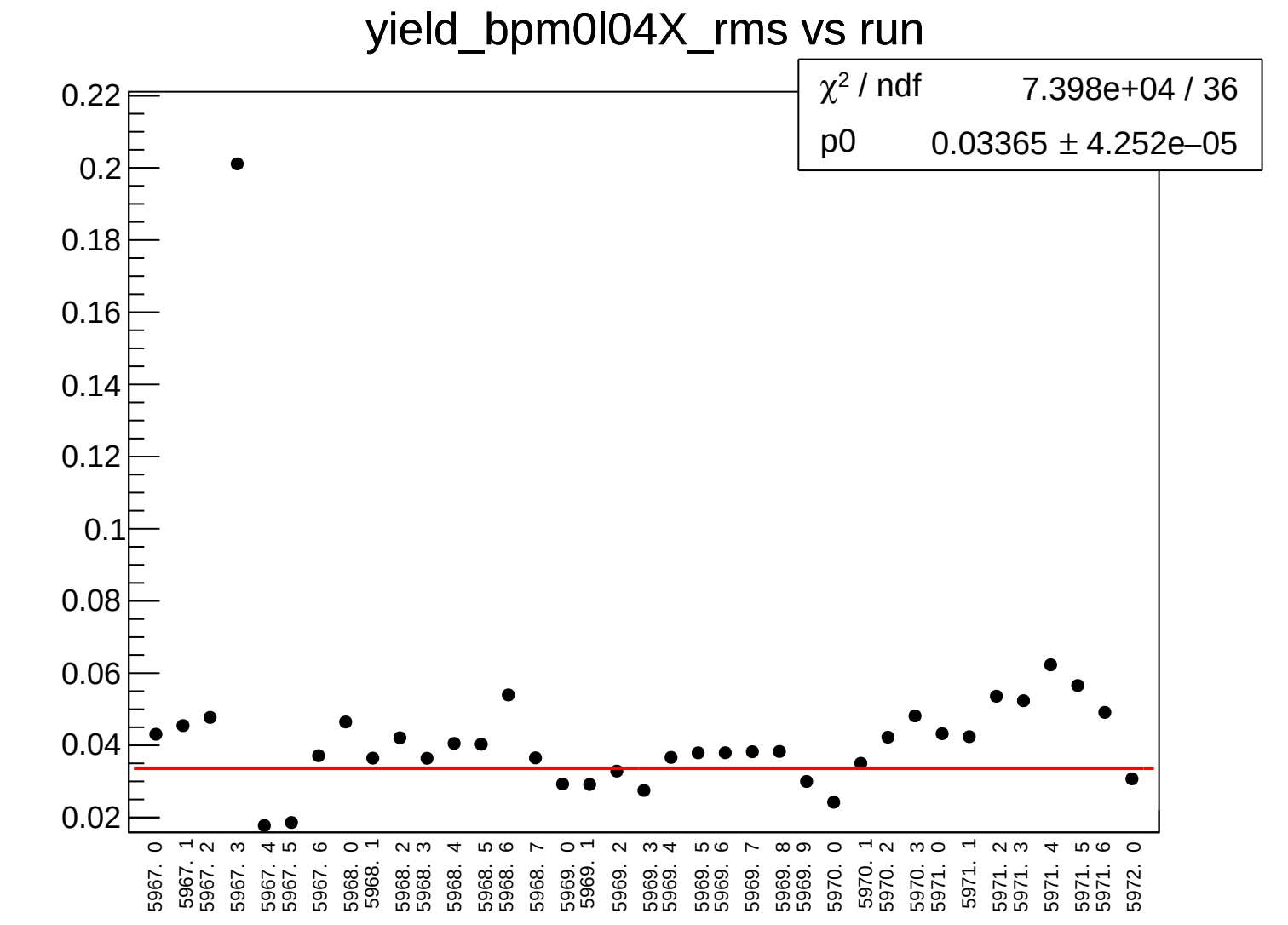
yield_bpm0l04X_rms vs run
χ² / ndf 7.398e+04 / 36
p0 0.03365 ± 4.252e–05
0.22
0.2
0.18
0.16
0.14
0.12
0.1
0.08
0.06
0.04
0.02
5967. 0
5967. 1
5967. 2
5967. 3
5967. 4
5967. 5
5967. 6
5968. 0
5968. 1
5968. 2
5968. 3
5968. 4
5968. 5
5968. 6
5968. 7
5969. 0
5969. 1
5969. 2
5969. 3
5969. 4
5969. 5
5969. 6
5969. 7
5969. 8
5969. 9
5970. 0
5970. 1
5970. 2
5970. 3
5971. 0
5971. 1
5971. 2
5971. 3
5971. 4
5971. 5
5971. 6
5972. 0

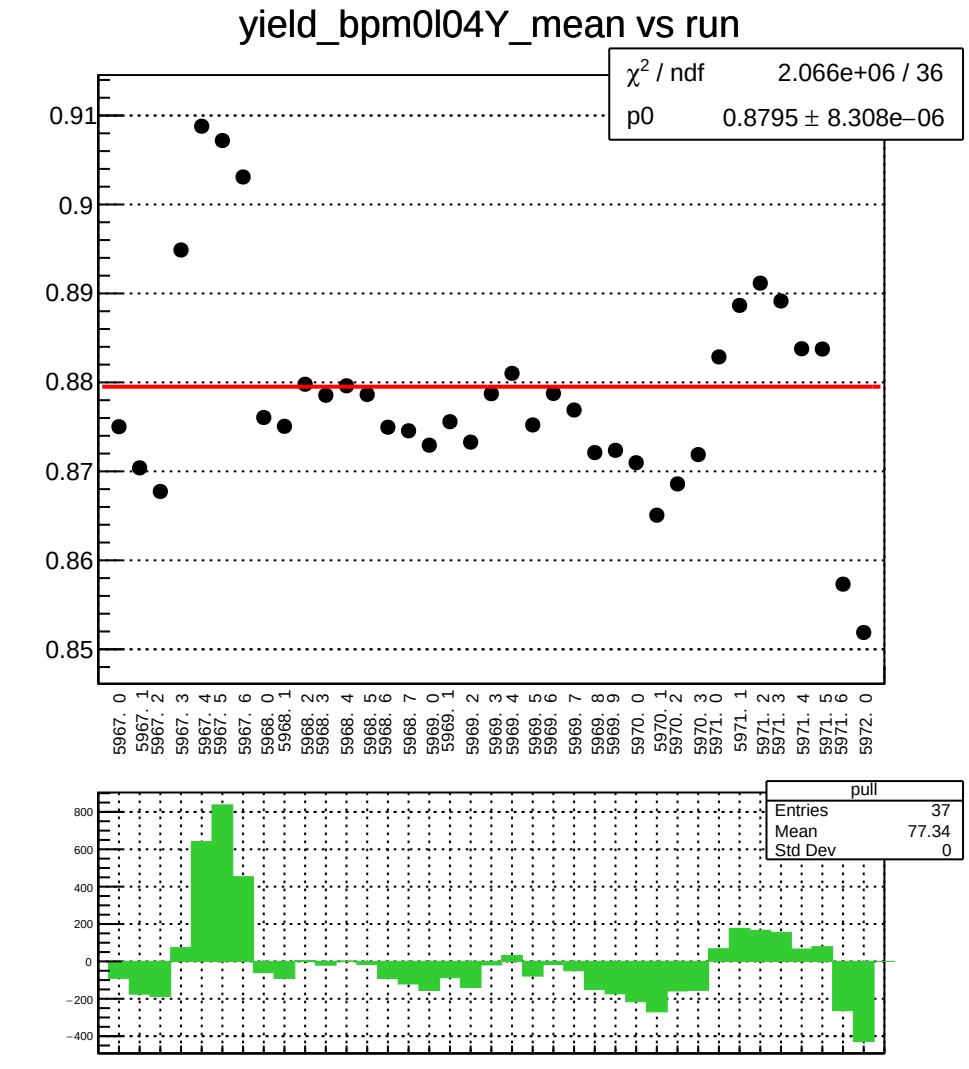
yield_bpm0l04Y_mean vs run
χ² / ndf 2.066e+06 / 36
p0 0.8795 ± 8.308e−06
0.91
0.9
0.89
0.88
0.87
0.86
0.85
5967. 0
5967. 1
5967. 2
5967. 3
5967. 4
5967. 5
5967. 6
5968. 0
5968. 1
5968. 2
5968. 3
5968. 4
5968. 5
5968. 6
5968. 7
5969. 0
5969. 1
5969. 2
5969. 3
5969. 4
5969. 5
5969. 6
5969. 7
5969. 8
5969. 9
5970. 0
5970. 1
5970. 2
5970. 3
5971. 0
5971. 1
5971. 2
5971. 3
5971. 4
5971. 5
5971. 6
5972. 0
pull
Entries 37
Mean 77.34
Std Dev 0
800
600
400
200
0
−200
−400

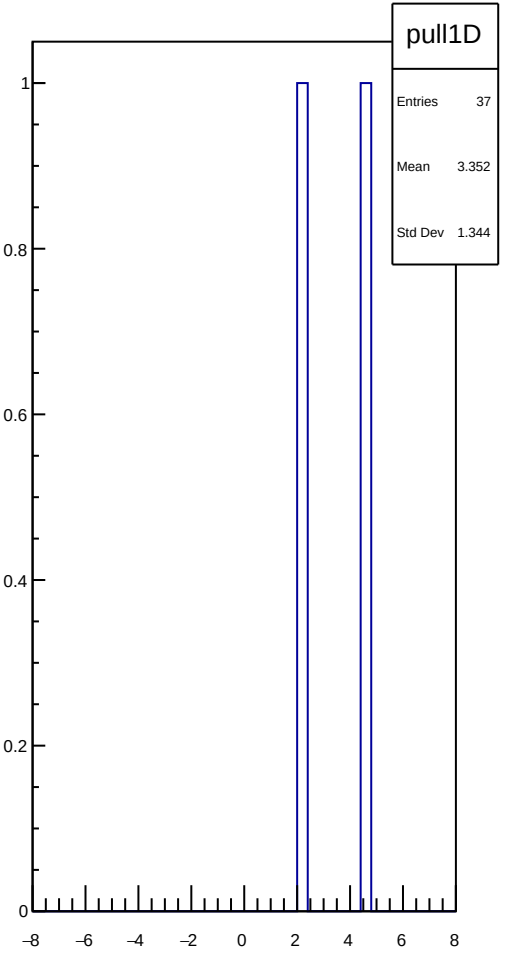
pull1D
Entries 37
Mean 3.352
Std Dev 1.344
1
0.8
0.6
0.4
0.2
0
−8
−6
−4
−2
0
2
4
6
8

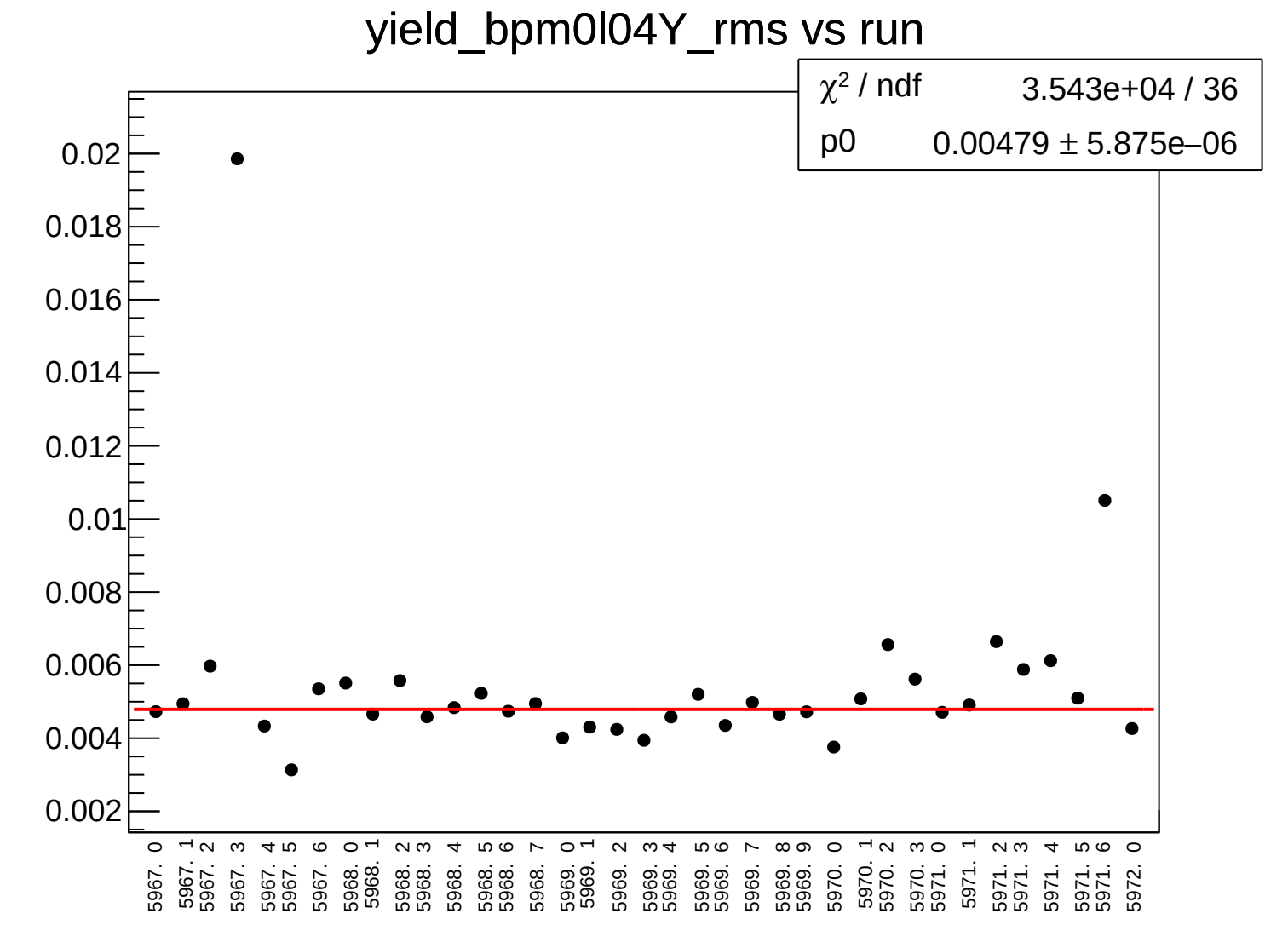
yield_bpm0l04Y_rms vs run
χ² / ndf 3.543e+04 / 36
p0 0.00479 ± 5.875e–06
0.02
0.018
0.016
0.014
0.012
0.01
0.008
0.006
0.004
0.002
5967. 0
5967. 1
5967. 2
5967. 3
5967. 4
5967. 5
5967. 6
5968. 0
5968. 1
5968. 2
5968. 3
5968. 4
5968. 5
5968. 6
5968. 7
5969. 0
5969. 1
5969. 2
5969. 3
5969. 4
5969. 5
5969. 6
5969. 7
5969. 8
5969. 9
5970. 0
5970. 1
5970. 2
5970. 3
5971. 0
5971. 1
5971. 2
5971. 3
5971. 4
5971. 5
5971. 6
5972. 0

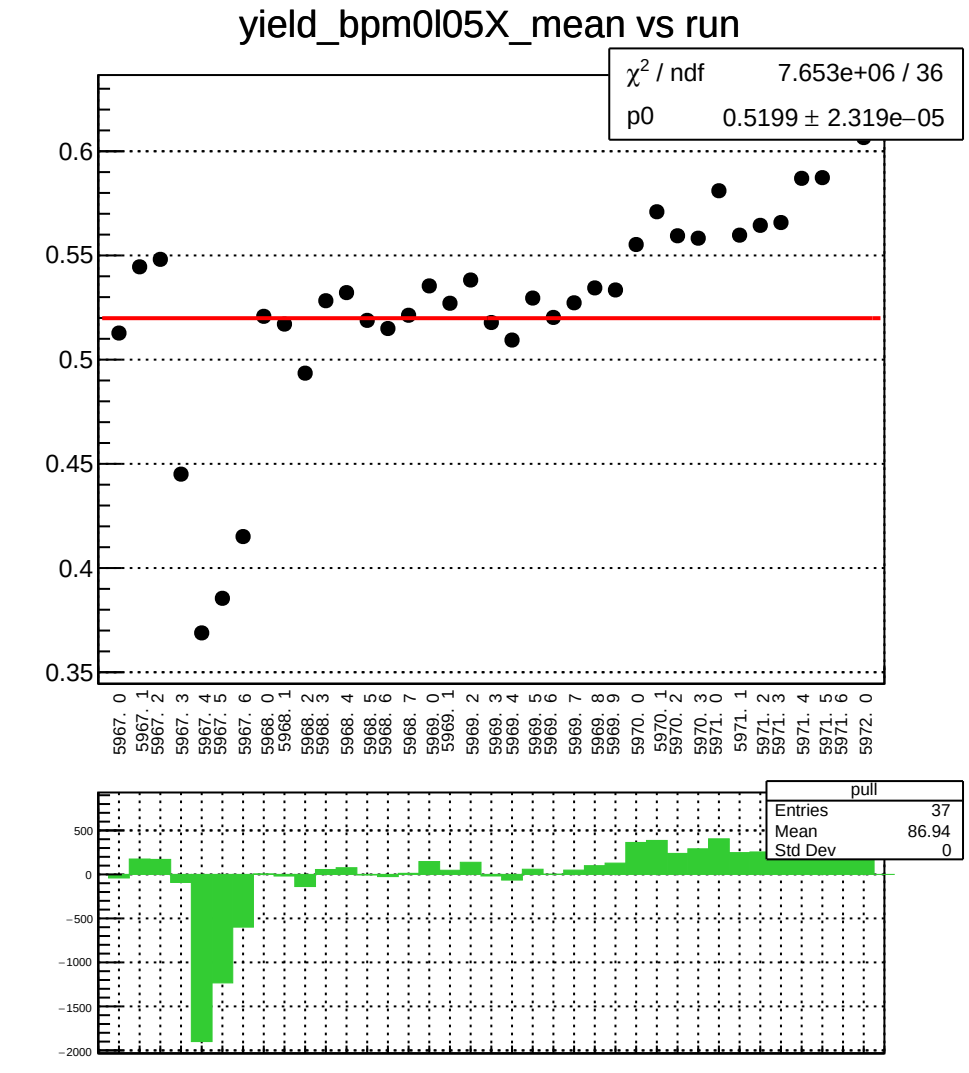
yield_bpm0l05X_mean vs run
χ² / ndf 7.653e+06 / 36
p0 0.5199 ± 2.319e−05
0.6
0.55
0.5
0.45
0.4
0.35
5967. 0
5967. 1
5967. 2
5967. 3
5967. 4
5967. 5
5967. 6
5968. 0
5968. 1
5968. 2
5968. 3
5968. 4
5968. 5
5968. 6
5968. 7
5969. 0
5969. 1
5969. 2
5969. 3
5969. 4
5969. 5
5969. 6
5969. 7
5969. 8
5969. 9
5970. 0
5970. 1
5970. 2
5970. 3
5971. 0
5971. 1
5971. 2
5971. 3
5971. 4
5971. 5
5971. 6
5972. 0
pull
Entries 37
Mean 86.94
Std Dev 0
500
0
−500
−1000
−1500
−2000

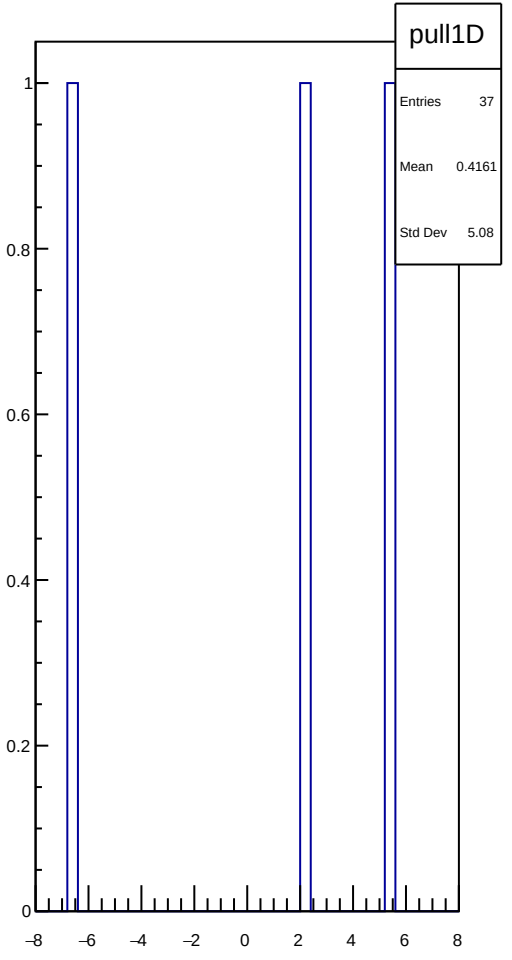
pull1D
Entries 37
Mean 0.4161
Std Dev 5.08
1
0.8
0.6
0.4
0.2
0
−8
−6
−4
−2
0
2
4
6
8

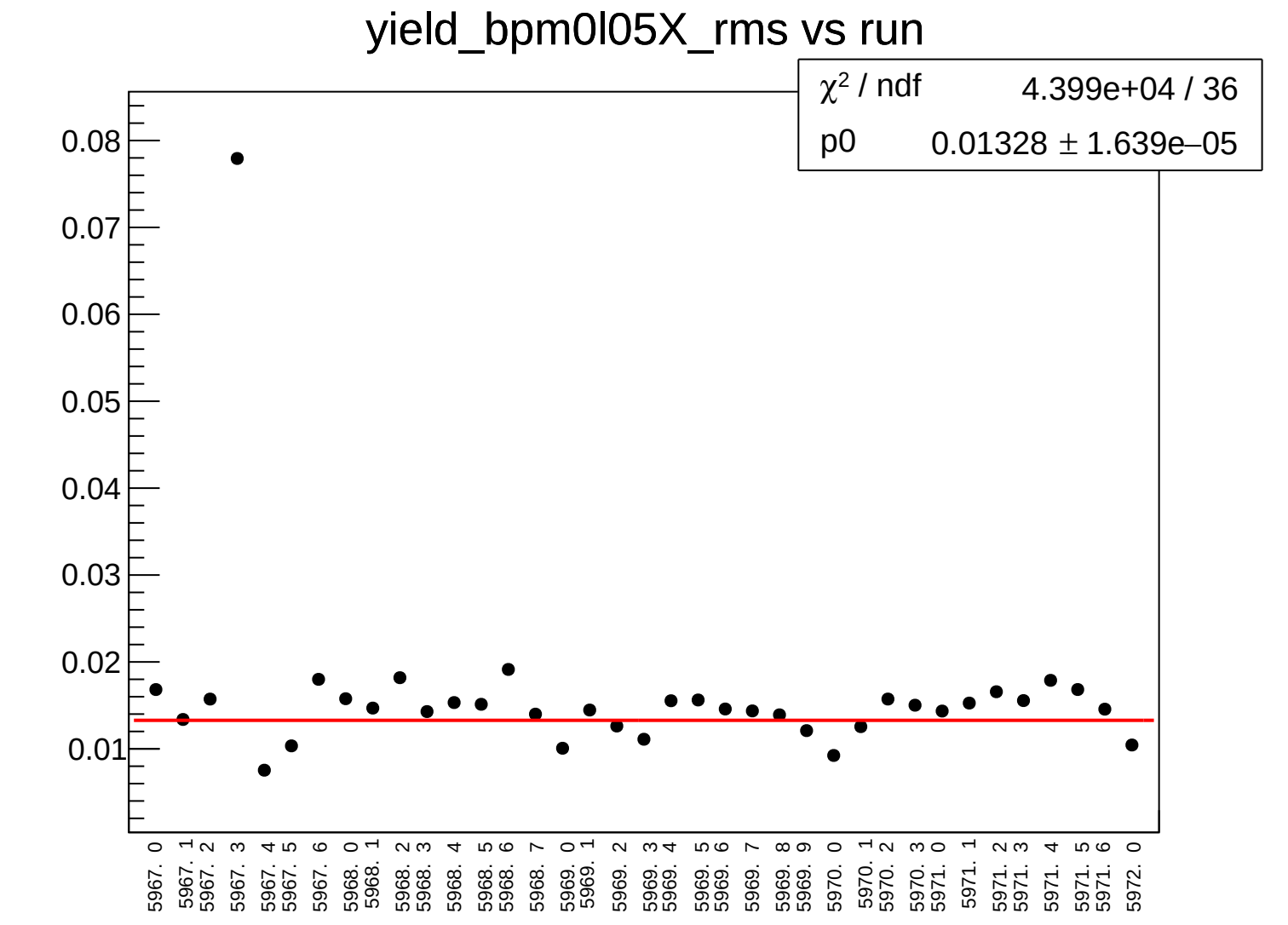
yield_bpm0l05X_rms vs run
χ² / ndf 4.399e+04 / 36
p0 0.01328 ± 1.639e–05
0.08
0.07
0.06
0.05
0.04
0.03
0.02
0.01
5967. 0
5967. 1
5967. 2
5967. 3
5967. 4
5967. 5
5967. 6
5968. 0
5968. 1
5968. 2
5968. 3
5968. 4
5968. 5
5968. 6
5968. 7
5969. 0
5969. 1
5969. 2
5969. 3
5969. 4
5969. 5
5969. 6
5969. 7
5969. 8
5969. 9
5970. 0
5970. 1
5970. 2
5970. 3
5971. 0
5971. 1
5971. 2
5971. 3
5971. 4
5971. 5
5971. 6
5972. 0

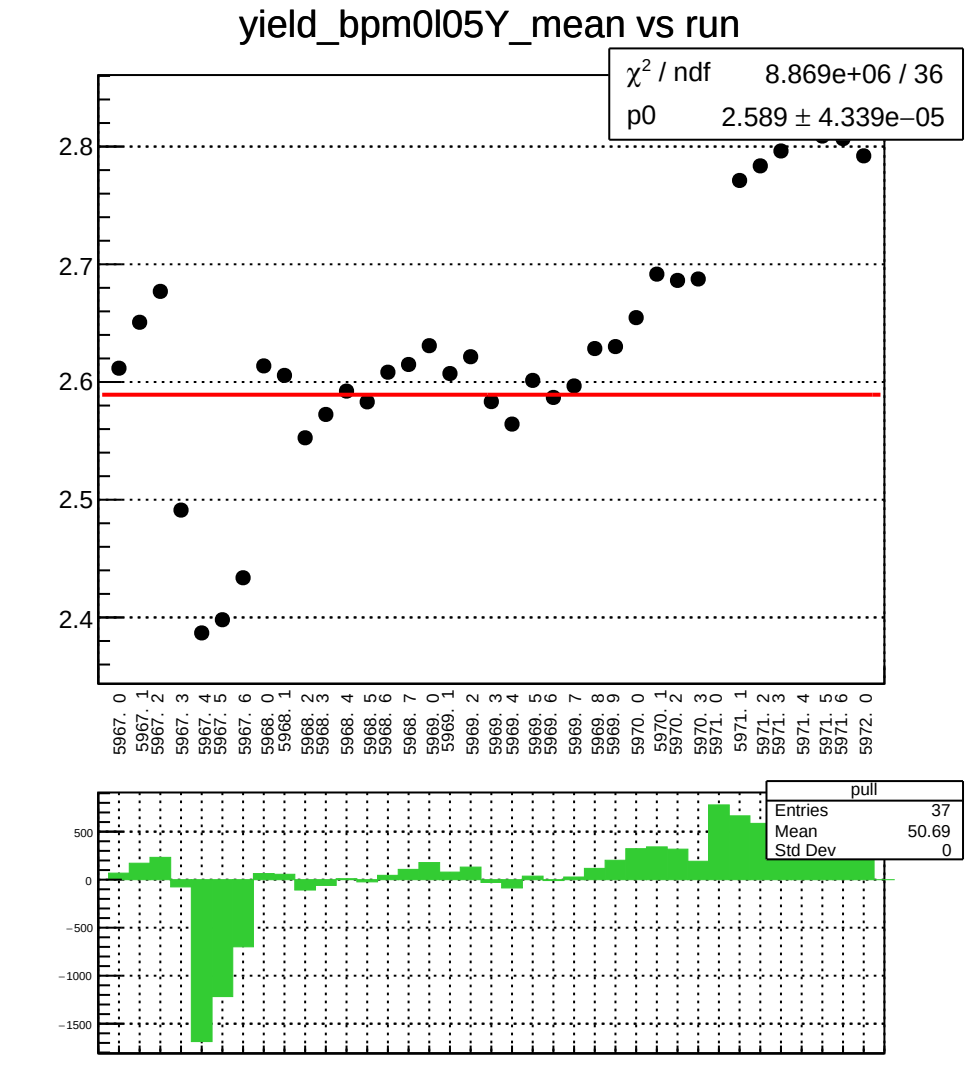
yield_bpm0l05Y_mean vs run
χ² / ndf 8.869e+06 / 36
p0 2.589 ± 4.339e−05
2.8
2.7
2.6
2.5
2.4
5967. 0
5967. 1
5967. 2
5967. 3
5967. 4
5967. 5
5967. 6
5968. 0
5968. 1
5968. 2
5968. 3
5968. 4
5968. 5
5968. 6
5968. 7
5969. 0
5969. 1
5969. 2
5969. 3
5969. 4
5969. 5
5969. 6
5969. 7
5969. 8
5969. 9
5970. 0
5970. 1
5970. 2
5970. 3
5971. 0
5971. 1
5971. 2
5971. 3
5971. 4
5971. 5
5971. 6
5972. 0
pull
Entries 37
Mean 50.69
Std Dev 0
500
0
−500
−1000
−1500

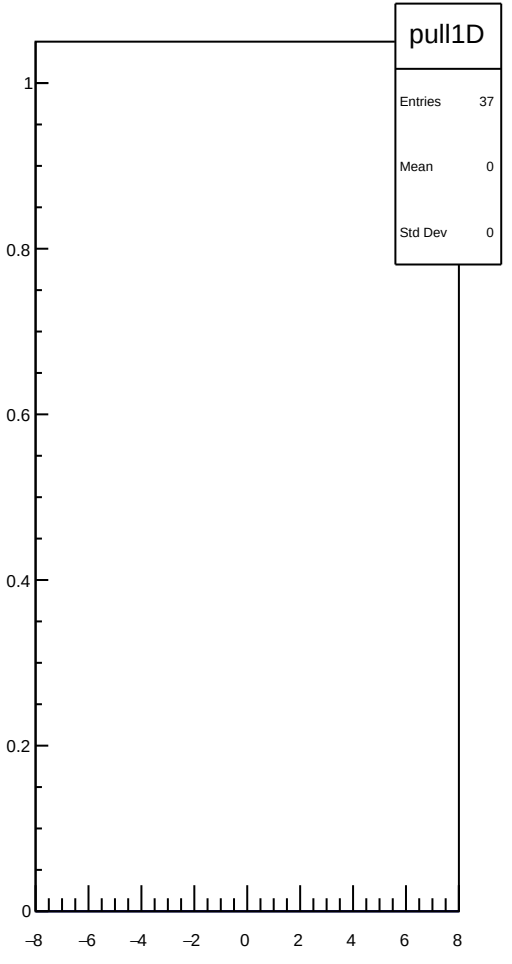
pull1D
Entries 37
Mean 0
Std Dev 0
1
0.8
0.6
0.4
0.2
0
−8
−6
−4
−2
0
2
4
6
8

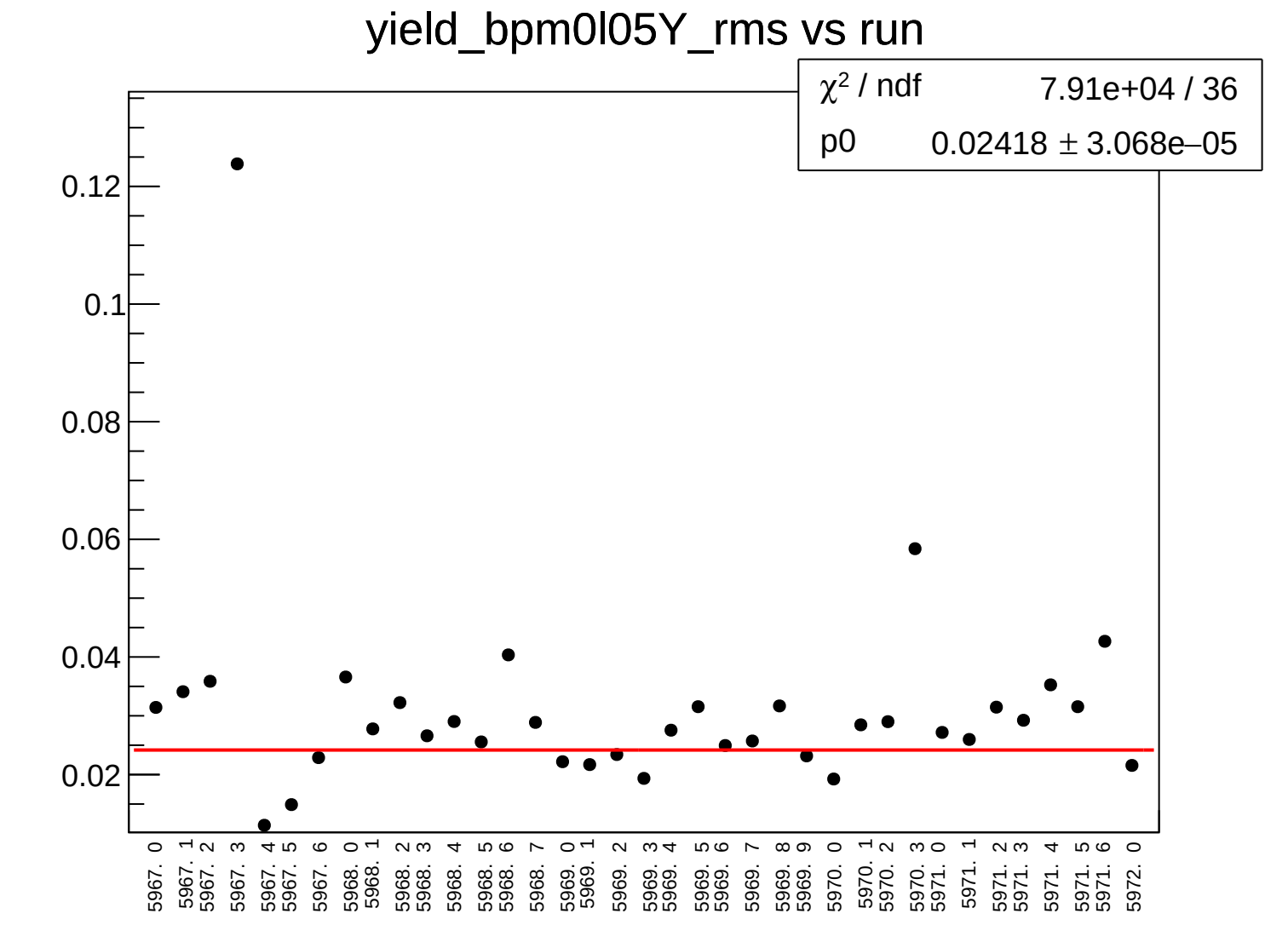
yield_bpm0l05Y_rms vs run
χ² / ndf 7.91e+04 / 36
p0 0.02418 ± 3.068e–05
0.12
0.1
0.08
0.06
0.04
0.02
5967. 0
5967. 1
5967. 2
5967. 3
5967. 4
5967. 5
5967. 6
5968. 0
5968. 1
5968. 2
5968. 3
5968. 4
5968. 5
5968. 6
5968. 7
5969. 0
5969. 1
5969. 2
5969. 3
5969. 4
5969. 5
5969. 6
5969. 7
5969. 8
5969. 9
5970. 0
5970. 1
5970. 2
5970. 3
5971. 0
5971. 1
5971. 2
5971. 3
5971. 4
5971. 5
5971. 6
5972. 0

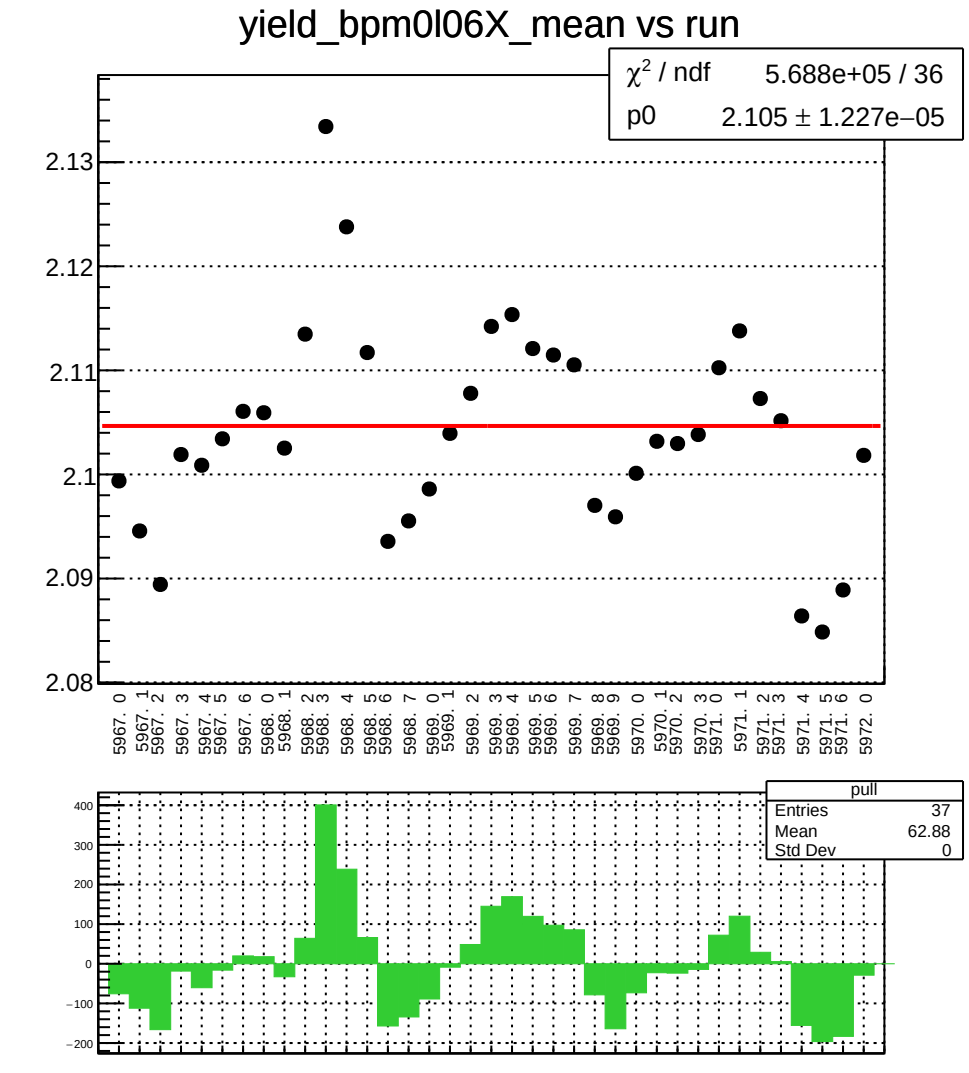
yield_bpm0l06X_mean vs run
χ² / ndf 5.688e+05 / 36
p0 2.105 ± 1.227e−05
2.13
2.12
2.11
2.1
2.09
2.08
5967. 0
5967. 1
5967. 2
5967. 3
5967. 4
5967. 5
5967. 6
5968. 0
5968. 1
5968. 2
5968. 3
5968. 4
5968. 5
5968. 6
5968. 7
5969. 0
5969. 1
5969. 2
5969. 3
5969. 4
5969. 5
5969. 6
5969. 7
5969. 8
5969. 9
5970. 0
5970. 1
5970. 2
5970. 3
5971. 0
5971. 1
5971. 2
5971. 3
5971. 4
5971. 5
5971. 6
5972. 0
pull
Entries 37
Mean 62.88
Std Dev 0
400
300
200
100
0
−100
−200

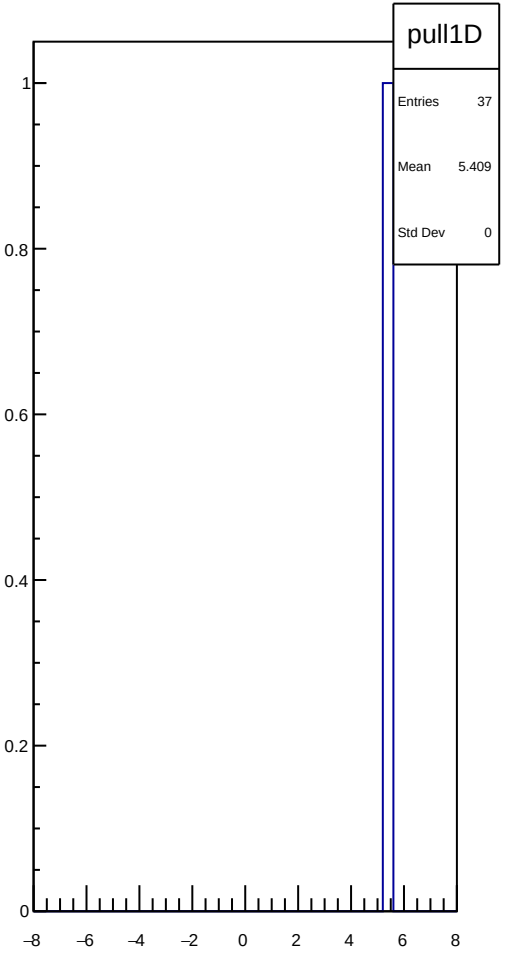
pull1D
Entries 37
Mean 5.409
Std Dev 0
1
0.8
0.6
0.4
0.2
0
−8
−6
−4
−2
0
2
4
6
8

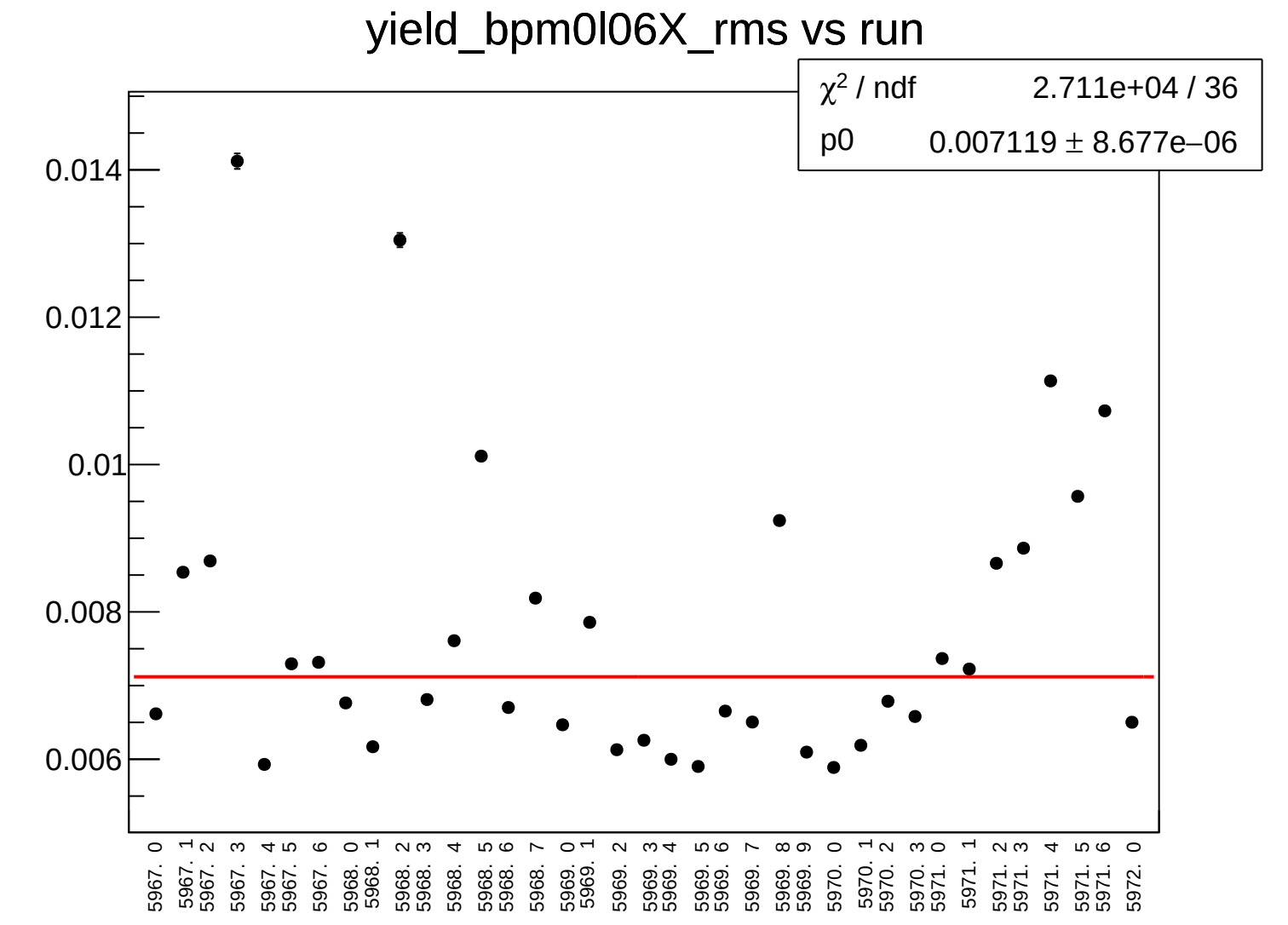
yield_bpm0l06X_rms vs run
χ² / ndf 2.711e+04 / 36
p0 0.007119 ± 8.677e−06
0.014
0.012
0.01
0.008
0.006
5967. 0
5967. 1
5967. 2
5967. 3
5967. 4
5967. 5
5967. 6
5968. 0
5968. 1
5968. 2
5968. 3
5968. 4
5968. 5
5968. 6
5968. 7
5969. 0
5969. 1
5969. 2
5969. 3
5969. 4
5969. 5
5969. 6
5969. 7
5969. 8
5969. 9
5970. 0
5970. 1
5970. 2
5970. 3
5971. 0
5971. 1
5971. 2
5971. 3
5971. 4
5971. 5
5971. 6
5972. 0

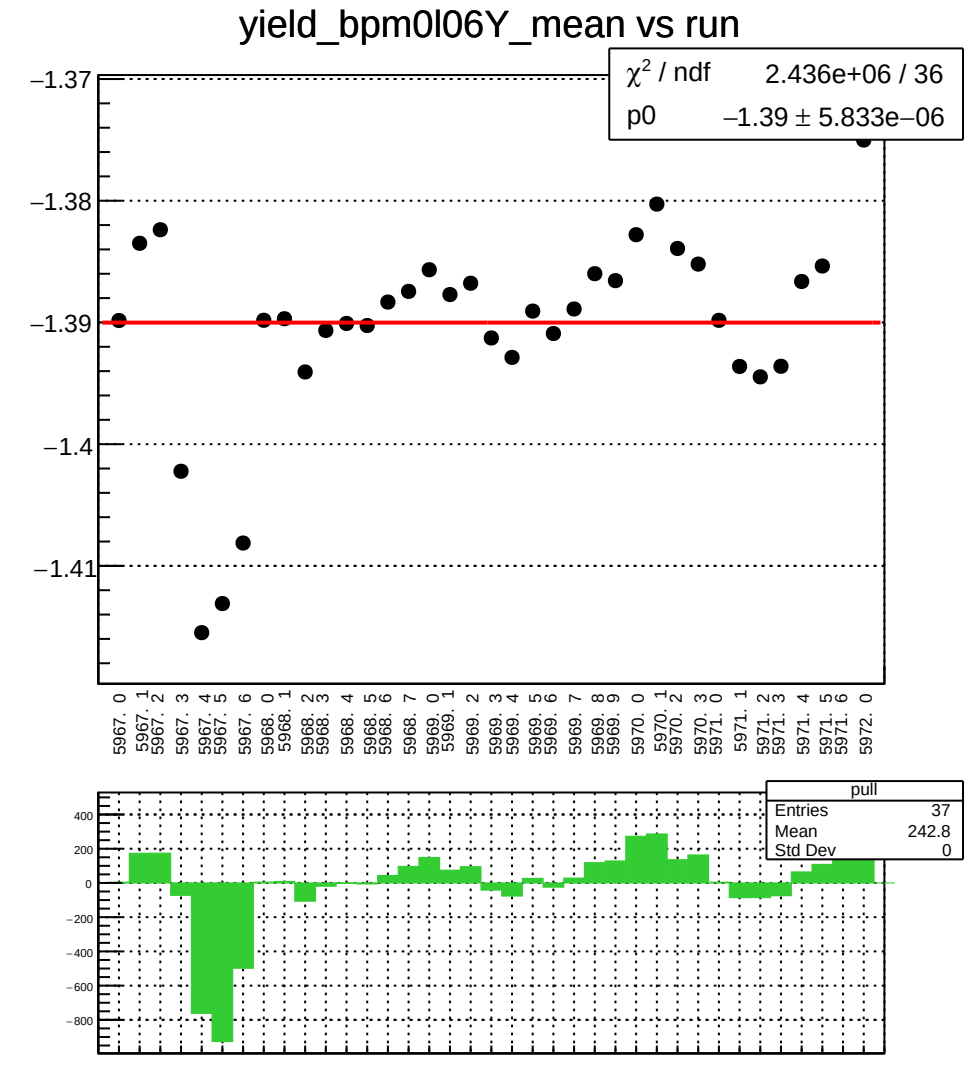
yield_bpm0l06Y_mean vs run
χ² / ndf 2.436e+06 / 36
p0 −1.39 ± 5.833e−06
−1.37
−1.38
−1.39
−1.4
−1.41
5967. 0
5967. 1
5967. 2
5967. 3
5967. 4
5967. 5
5967. 6
5968. 0
5968. 1
5968. 2
5968. 3
5968. 4
5968. 5
5968. 6
5968. 7
5969. 0
5969. 1
5969. 2
5969. 3
5969. 4
5969. 5
5969. 6
5969. 7
5969. 8
5969. 9
5970. 0
5970. 1
5970. 2
5970. 3
5971. 0
5971. 1
5971. 2
5971. 3
5971. 4
5971. 5
5971. 6
5972. 0
pull
Entries 37
Mean 242.8
Std Dev 0
400
200
0
−200
−400
−600
−800
pull1D
Entries 37
Mean 1.206
Std Dev 4.442
2
1.8
1.6
1.4
1.2
1
0.8
0.6
0.4
0.2
0
−8
−6
−4
−2
0
2
4
6
8

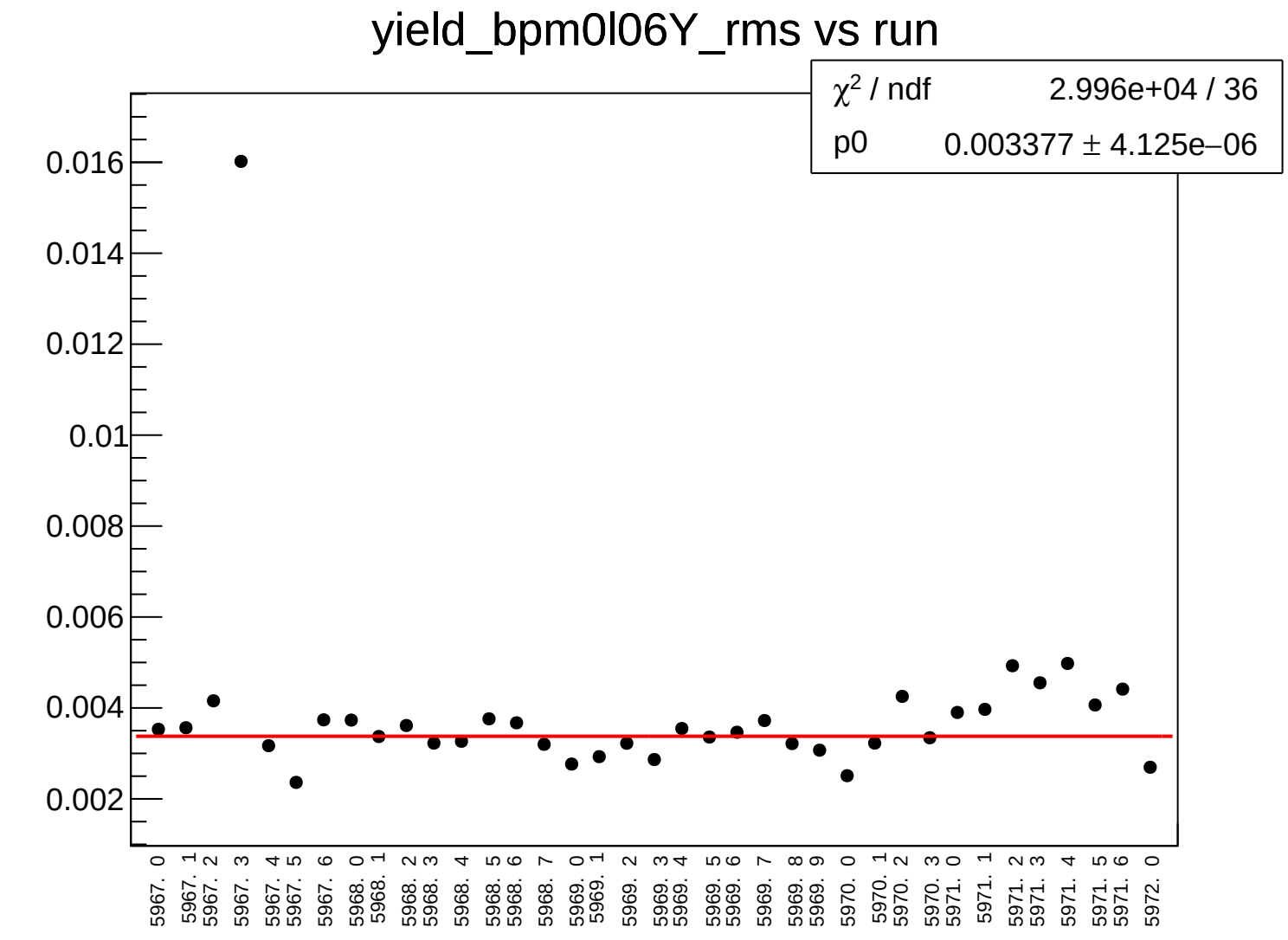
yield_bpm0l06Y_rms vs run
χ² / ndf 2.996e+04 / 36
p0 0.003377 ± 4.125e−06
0.016
0.014
0.012
0.01
0.008
0.006
0.004
0.002
5967. 0
5967. 1
5967. 2
5967. 3
5967. 4
5967. 5
5967. 6
5968. 0
5968. 1
5968. 2
5968. 3
5968. 4
5968. 5
5968. 6
5968. 7
5969. 0
5969. 1
5969. 2
5969. 3
5969. 4
5969. 5
5969. 6
5969. 7
5969. 8
5969. 9
5970. 0
5970. 1
5970. 2
5970. 3
5971. 0
5971. 1
5971. 2
5971. 3
5971. 4
5971. 5
5971. 6
5972. 0

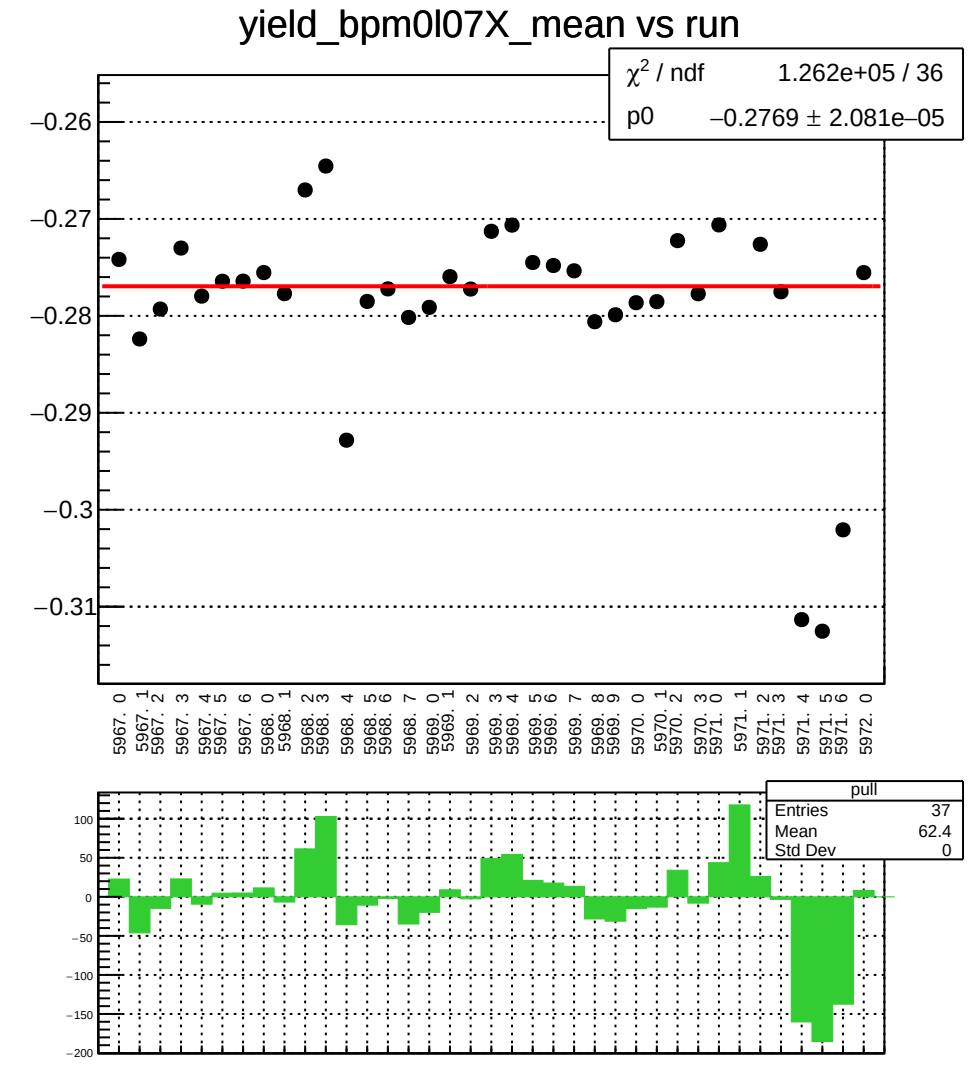
yield_bpm0l07X_mean vs run
χ² / ndf 1.262e+05 / 36
p0 −0.2769 ± 2.081e−05
−0.26
−0.27
−0.28
−0.29
−0.3
−0.31
5967. 0
5967. 1
5967. 2
5967. 3
5967. 4
5967. 5
5967. 6
5968. 0
5968. 1
5968. 2
5968. 3
5968. 4
5968. 5
5968. 6
5968. 7
5969. 0
5969. 1
5969. 2
5969. 3
5969. 4
5969. 5
5969. 6
5969. 7
5969. 8
5969. 9
5970. 0
5970. 1
5970. 2
5970. 3
5971. 0
5971. 1
5971. 2
5971. 3
5971. 4
5971. 5
5971. 6
5972. 0
pull
Entries 37
Mean 62.4
Std Dev 0
100
50
0
−50
−100
−150
−200
pull1D
Entries 37
Mean −0.846
Std Dev 4.231
1
0.8
0.6
0.4
0.2
0
−8
−6
−4
−2
0
2
4
6
8

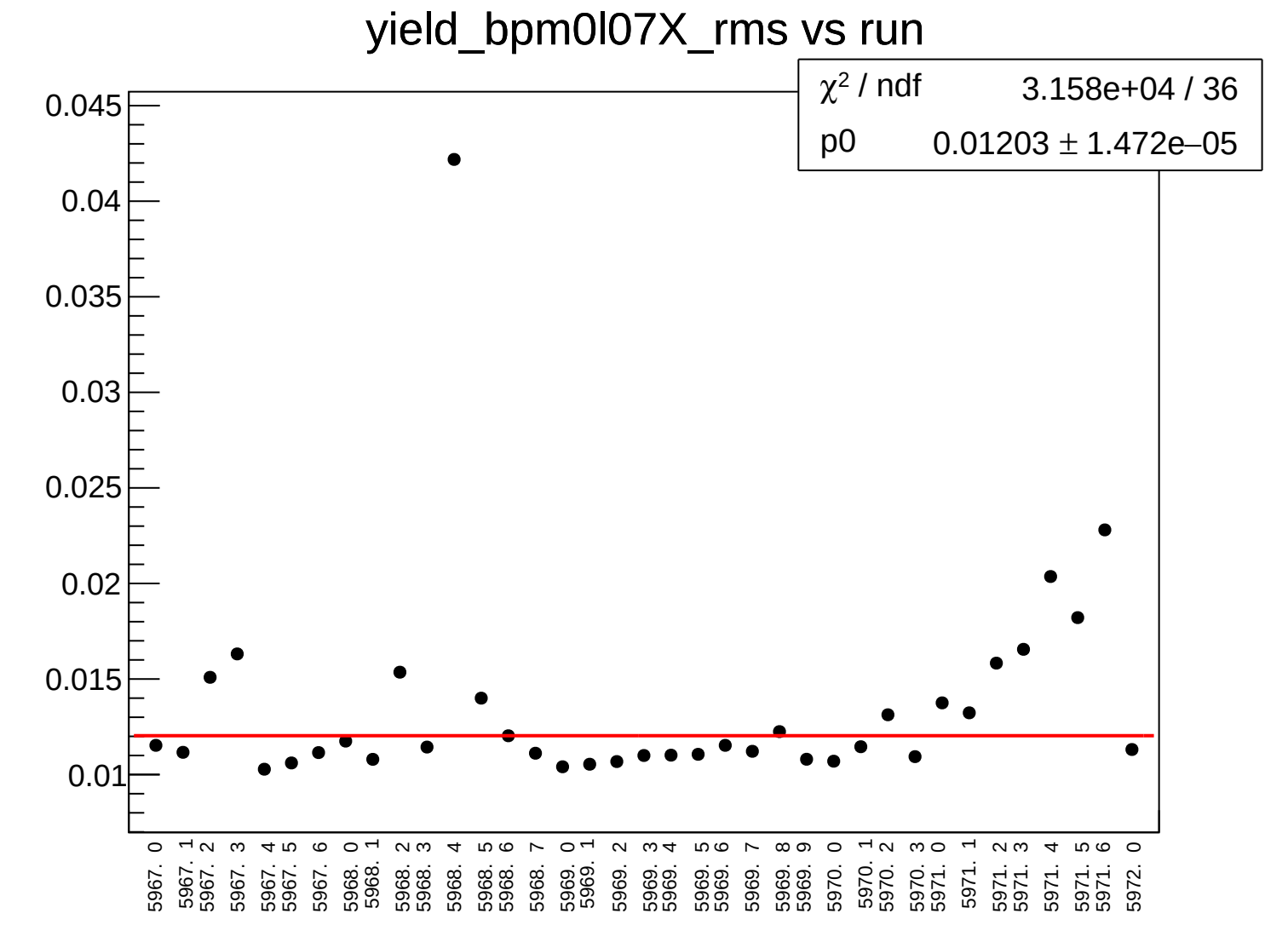
yield_bpm0l07X_rms vs run
χ² / ndf 3.158e+04 / 36
p0 0.01203 ± 1.472e−05
0.045
0.04
0.035
0.03
0.025
0.02
0.015
0.01
5967. 0
5967. 1
5967. 2
5967. 3
5967. 4
5967. 5
5967. 6
5968. 0
5968. 1
5968. 2
5968. 3
5968. 4
5968. 5
5968. 6
5968. 7
5969. 0
5969. 1
5969. 2
5969. 3
5969. 4
5969. 5
5969. 6
5969. 7
5969. 8
5969. 9
5970. 0
5970. 1
5970. 2
5970. 3
5971. 0
5971. 1
5971. 2
5971. 3
5971. 4
5971. 5
5971. 6
5972. 0

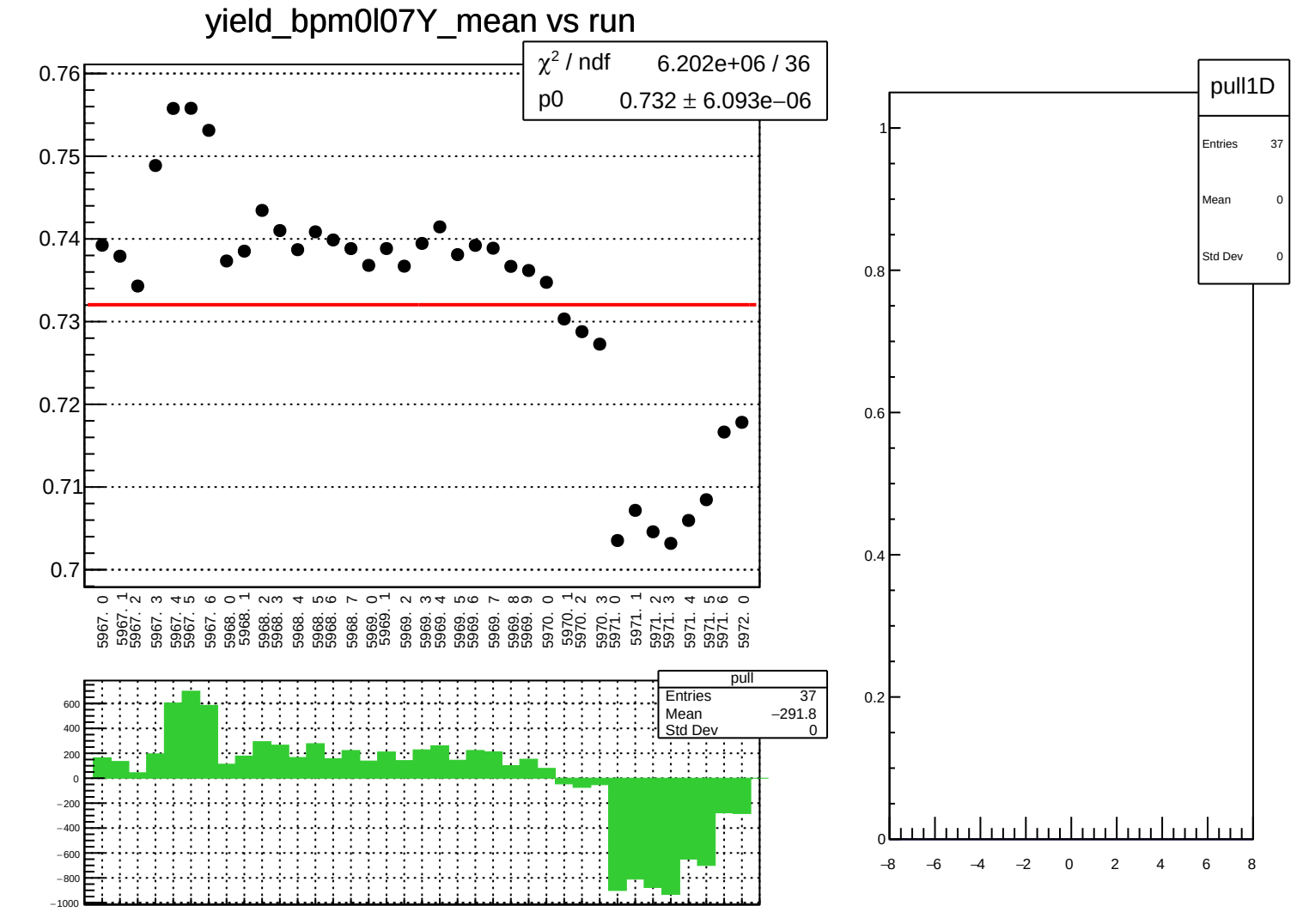
yield_bpm0l07Y_mean vs run
χ² / ndf 6.202e+06 / 36
p0 0.732 ± 6.093e−06
0.76
0.75
0.74
0.73
0.72
0.71
0.7
5967. 0
5967. 1
5967. 2
5967. 3
5967. 4
5967. 5
5967. 6
5968. 0
5968. 1
5968. 2
5968. 3
5968. 4
5968. 5
5968. 6
5968. 7
5969. 0
5969. 1
5969. 2
5969. 3
5969. 4
5969. 5
5969. 6
5969. 7
5969. 8
5969. 9
5970. 0
5970. 1
5970. 2
5970. 3
5971. 0
5971. 1
5971. 2
5971. 3
5971. 4
5971. 5
5971. 6
5972. 0
pull
Entries 37
Mean −291.8
Std Dev 0
600
400
200
0
−200
−400
−600
−800
−1000
pull1D
Entries 37
Mean 0
Std Dev 0
1
0.8
0.6
0.4
0.2
0
−8
−6
−4
−2
0
2
4
6
8

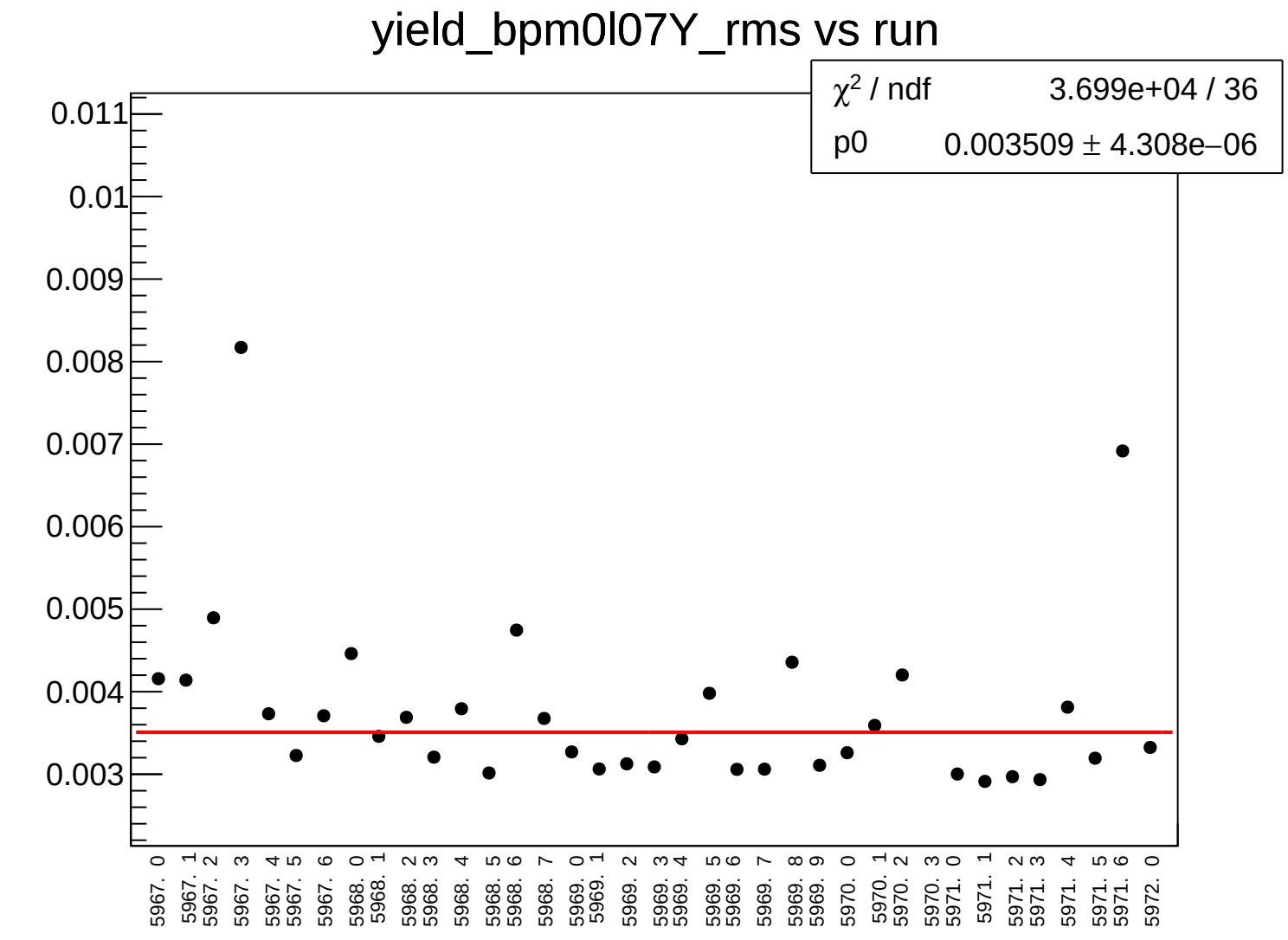
yield_bpm0l07Y_rms vs run
χ² / ndf 3.699e+04 / 36
p0 0.003509 ± 4.308e−06
0.011
0.01
0.009
0.008
0.007
0.006
0.005
0.004
0.003
5967. 0
5967. 1
5967. 2
5967. 3
5967. 4
5967. 5
5967. 6
5968. 0
5968. 1
5968. 2
5968. 3
5968. 4
5968. 5
5968. 6
5968. 7
5969. 0
5969. 1
5969. 2
5969. 3
5969. 4
5969. 5
5969. 6
5969. 7
5969. 8
5969. 9
5970. 0
5970. 1
5970. 2
5970. 3
5971. 0
5971. 1
5971. 2
5971. 3
5971. 4
5971. 5
5971. 6
5972. 0

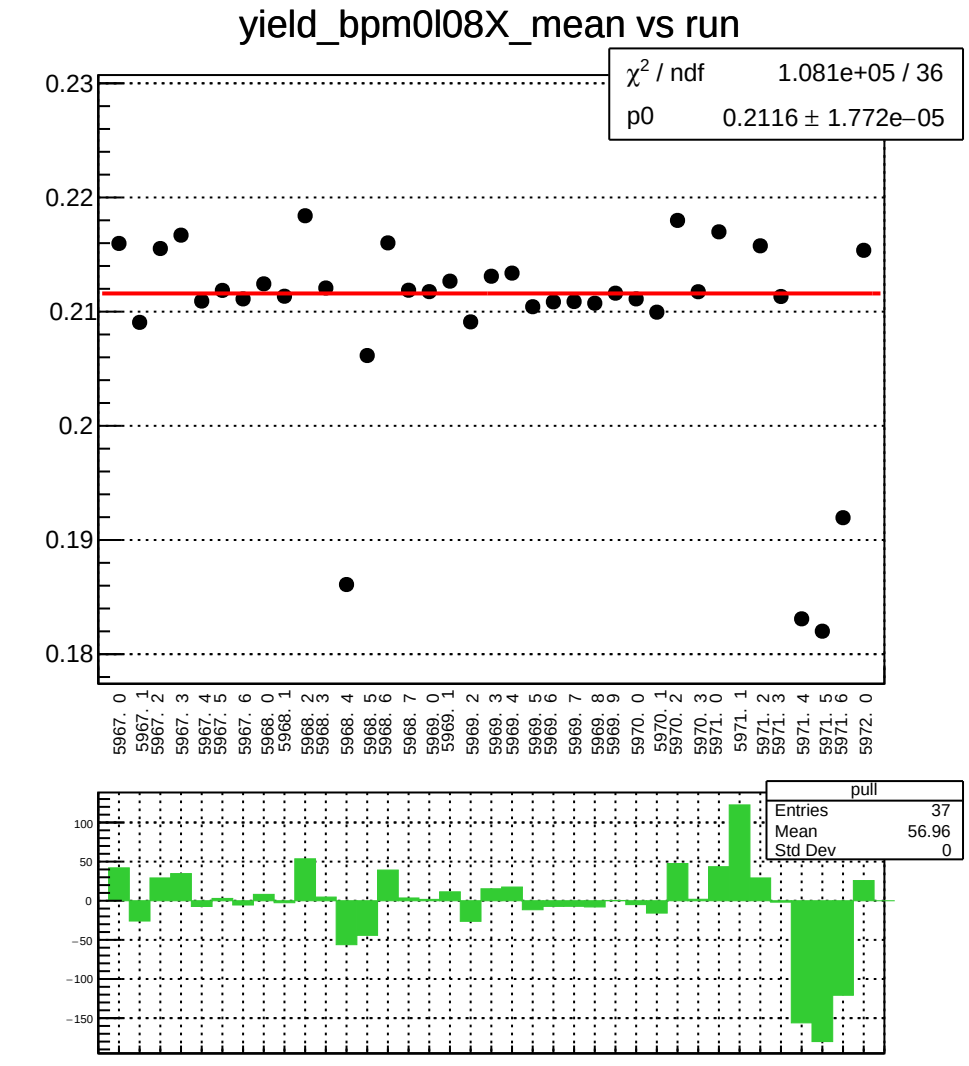
yield_bpm0l08X_mean vs run
χ² / ndf 1.081e+05 / 36
p0 0.2116 ± 1.772e−05
0.23
0.22
0.21
0.2
0.19
0.18
5967. 0
5967. 1
5967. 2
5967. 3
5967. 4
5967. 5
5967. 6
5968. 0
5968. 1
5968. 2
5968. 3
5968. 4
5968. 5
5968. 6
5968. 7
5969. 0
5969. 1
5969. 2
5969. 3
5969. 4
5969. 5
5969. 6
5969. 7
5969. 8
5969. 9
5970. 0
5970. 1
5970. 2
5970. 3
5971. 0
5971. 1
5971. 2
5971. 3
5971. 4
5971. 5
5971. 6
5972. 0
pull
Entries 37
Mean 56.96
Std Dev 0
100
50
0
−50
−100
−150
pull1D
Entries 37
Mean −2.074
Std Dev 4.386
2
1.8
1.6
1.4
1.2
1
0.8
0.6
0.4
0.2
0
−8
−6
−4
−2
0
2
4
6
8

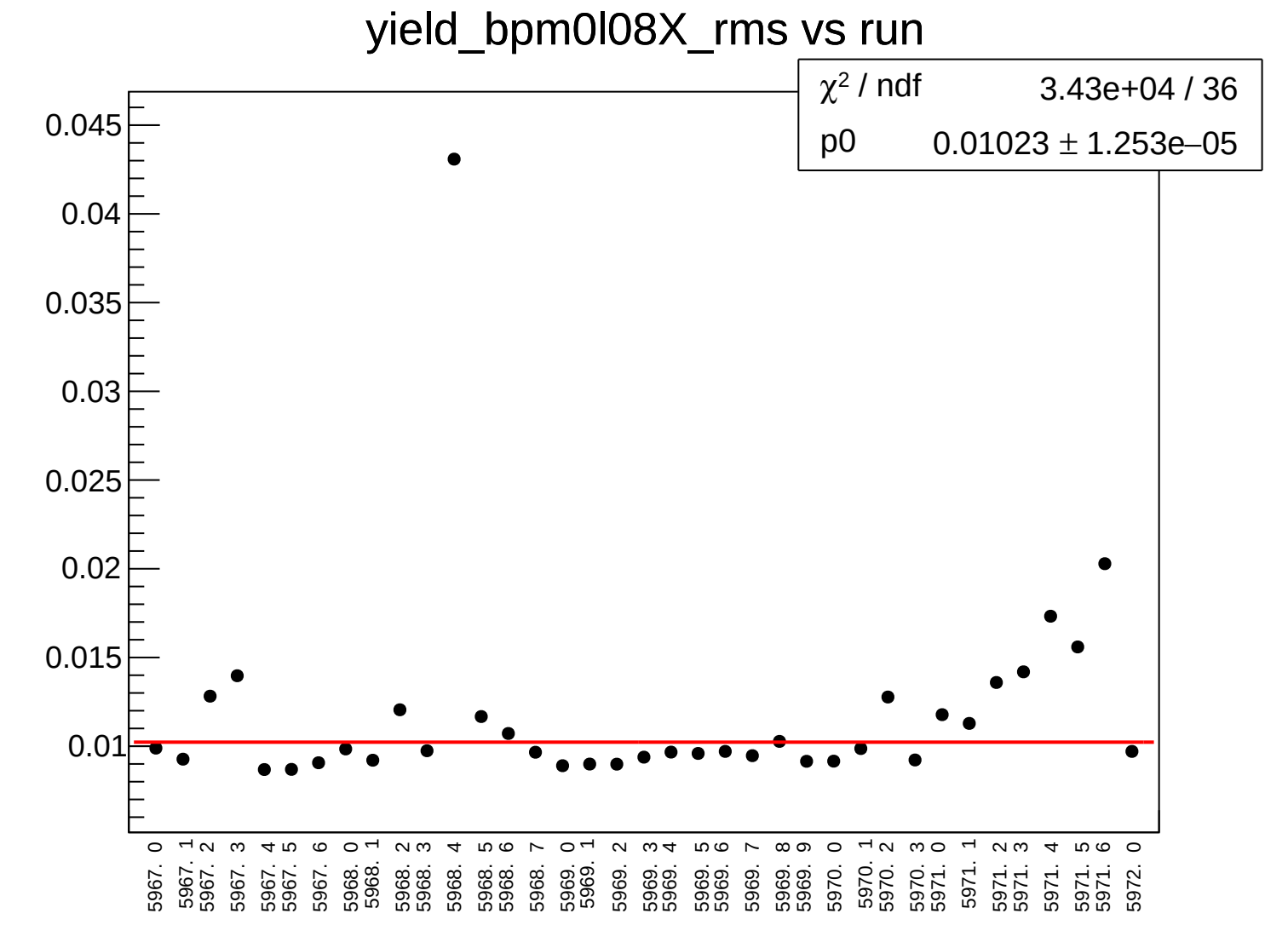
yield_bpm0l08X_rms vs run
χ² / ndf 3.43e+04 / 36
p0 0.01023 ± 1.253e–05
0.045
0.04
0.035
0.03
0.025
0.02
0.015
0.01
5967. 0
5967. 1
5967. 2
5967. 3
5967. 4
5967. 5
5967. 6
5968. 0
5968. 1
5968. 2
5968. 3
5968. 4
5968. 5
5968. 6
5968. 7
5969. 0
5969. 1
5969. 2
5969. 3
5969. 4
5969. 5
5969. 6
5969. 7
5969. 8
5969. 9
5970. 0
5970. 1
5970. 2
5970. 3
5971. 0
5971. 1
5971. 2
5971. 3
5971. 4
5971. 5
5971. 6
5972. 0

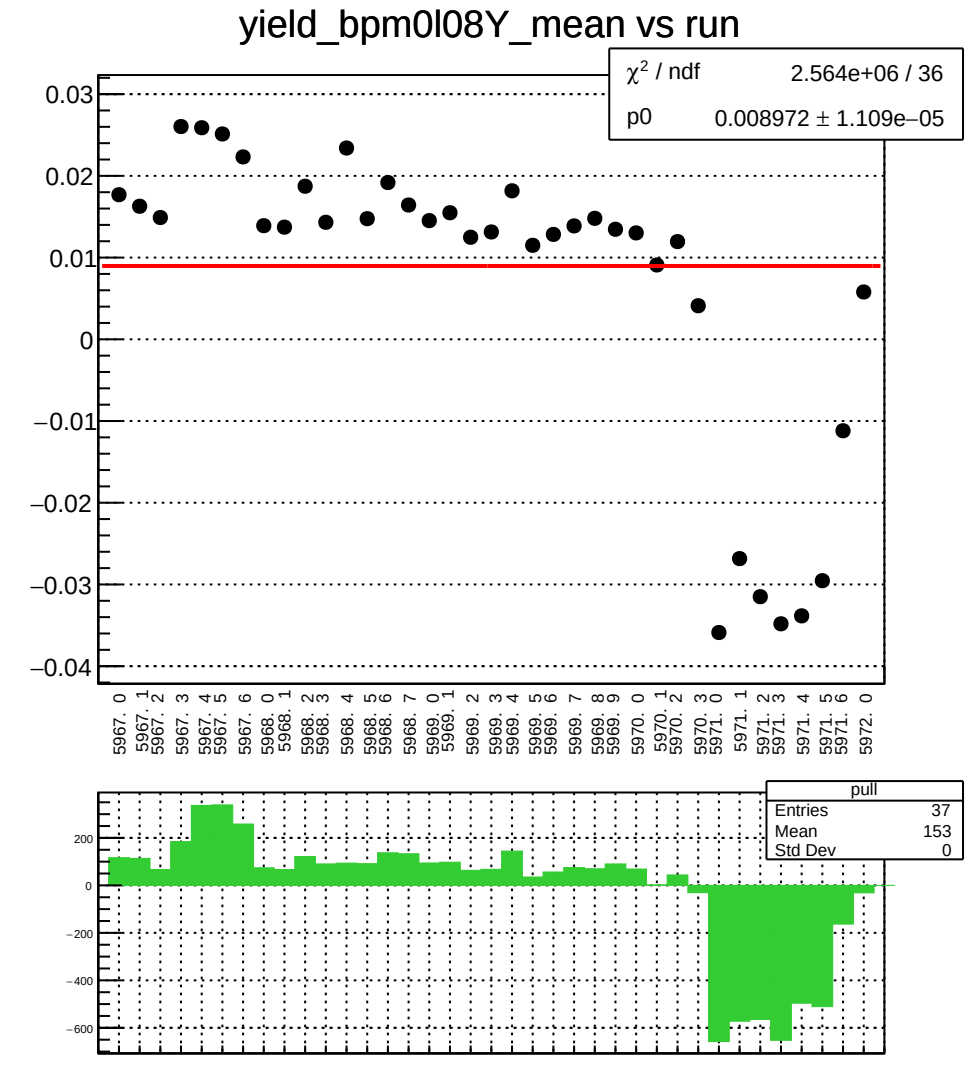
yield_bpm0l08Y_mean vs run
χ² / ndf 2.564e+06 / 36
p0 0.008972 ± 1.109e−05
0.03
0.02
0.01
0
−0.01
−0.02
−0.03
−0.04
5967. 0
5967. 1
5967. 2
5967. 3
5967. 4
5967. 5
5967. 6
5968. 0
5968. 1
5968. 2
5968. 3
5968. 4
5968. 5
5968. 6
5968. 7
5969. 0
5969. 1
5969. 2
5969. 3
5969. 4
5969. 5
5969. 6
5969. 7
5969. 8
5969. 9
5970. 0
5970. 1
5970. 2
5970. 3
5971. 0
5971. 1
5971. 2
5971. 3
5971. 4
5971. 5
5971. 6
5972. 0
pull
Entries 37
Mean 153
Std Dev 0
200
0
−200
−400
−600

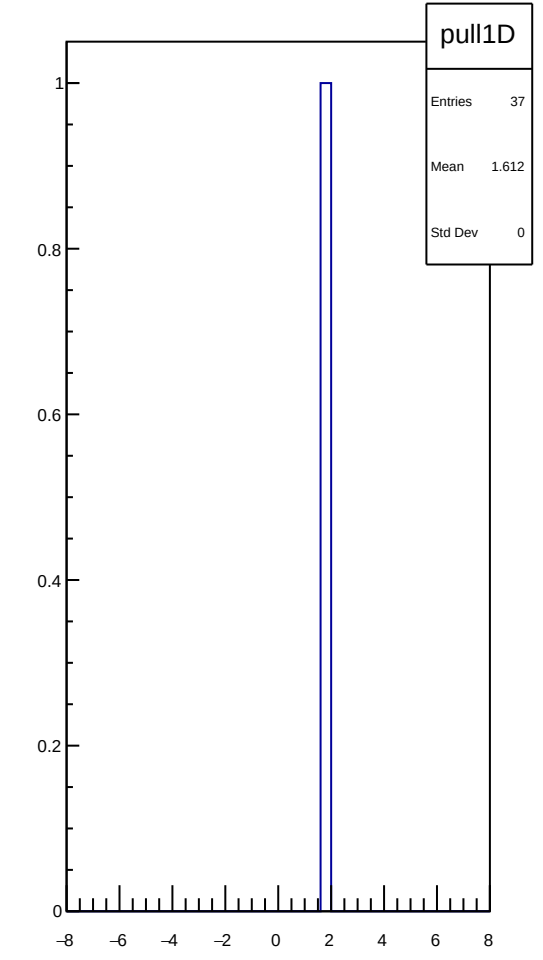
pull1D
Entries 37
Mean 1.612
Std Dev 0
1
0.8
0.6
0.4
0.2
0
−8
−6
−4
−2
0
2
4
6
8

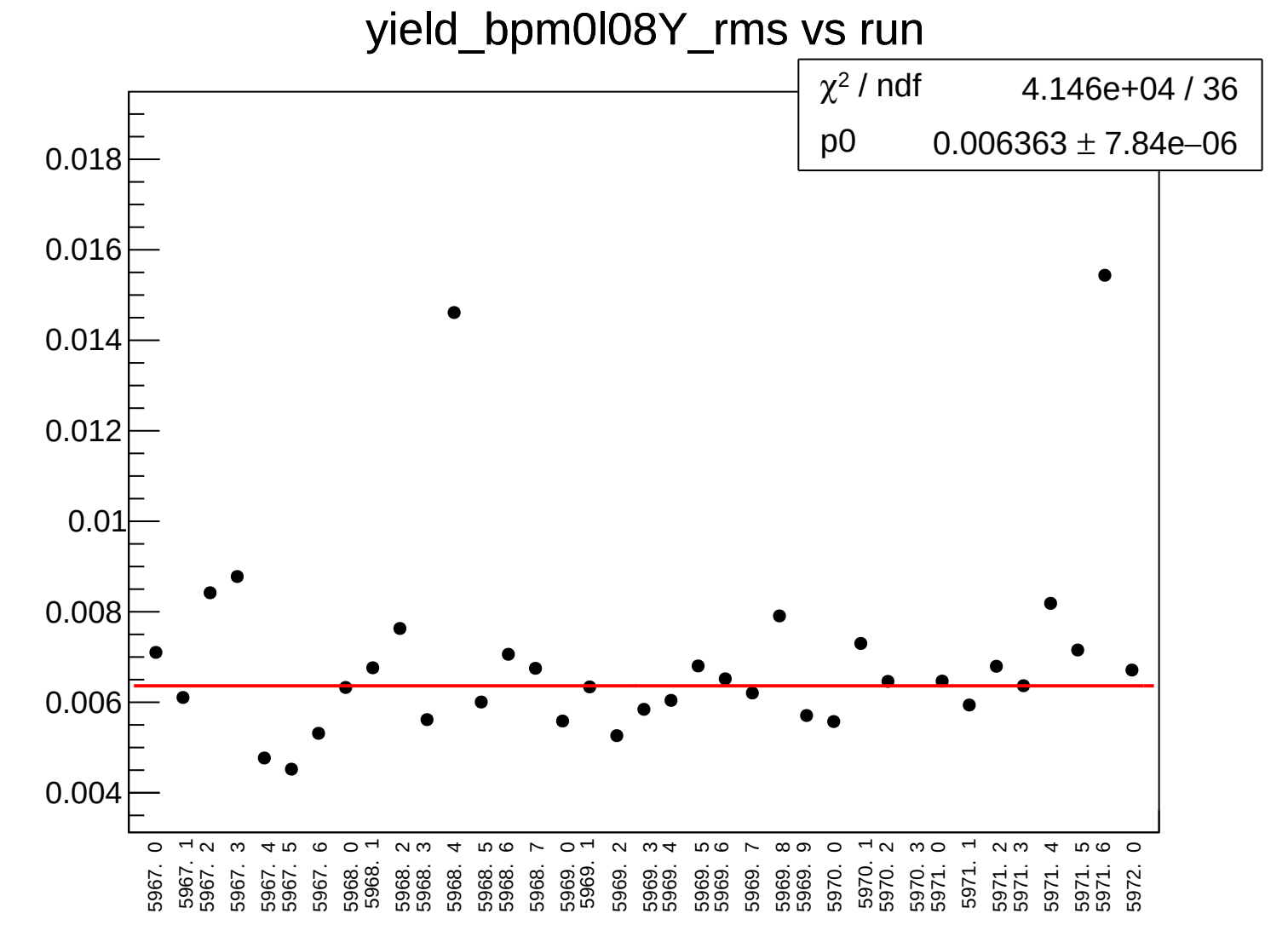
yield_bpm0l08Y_rms vs run
χ² / ndf 4.146e+04 / 36
p0 0.006363 ± 7.84e–06
0.018
0.016
0.014
0.012
0.01
0.008
0.006
0.004
5967. 0
5967. 1
5967. 2
5967. 3
5967. 4
5967. 5
5967. 6
5968. 0
5968. 1
5968. 2
5968. 3
5968. 4
5968. 5
5968. 6
5968. 7
5969. 0
5969. 1
5969. 2
5969. 3
5969. 4
5969. 5
5969. 6
5969. 7
5969. 8
5969. 9
5970. 0
5970. 1
5970. 2
5970. 3
5971. 0
5971. 1
5971. 2
5971. 3
5971. 4
5971. 5
5971. 6
5972. 0

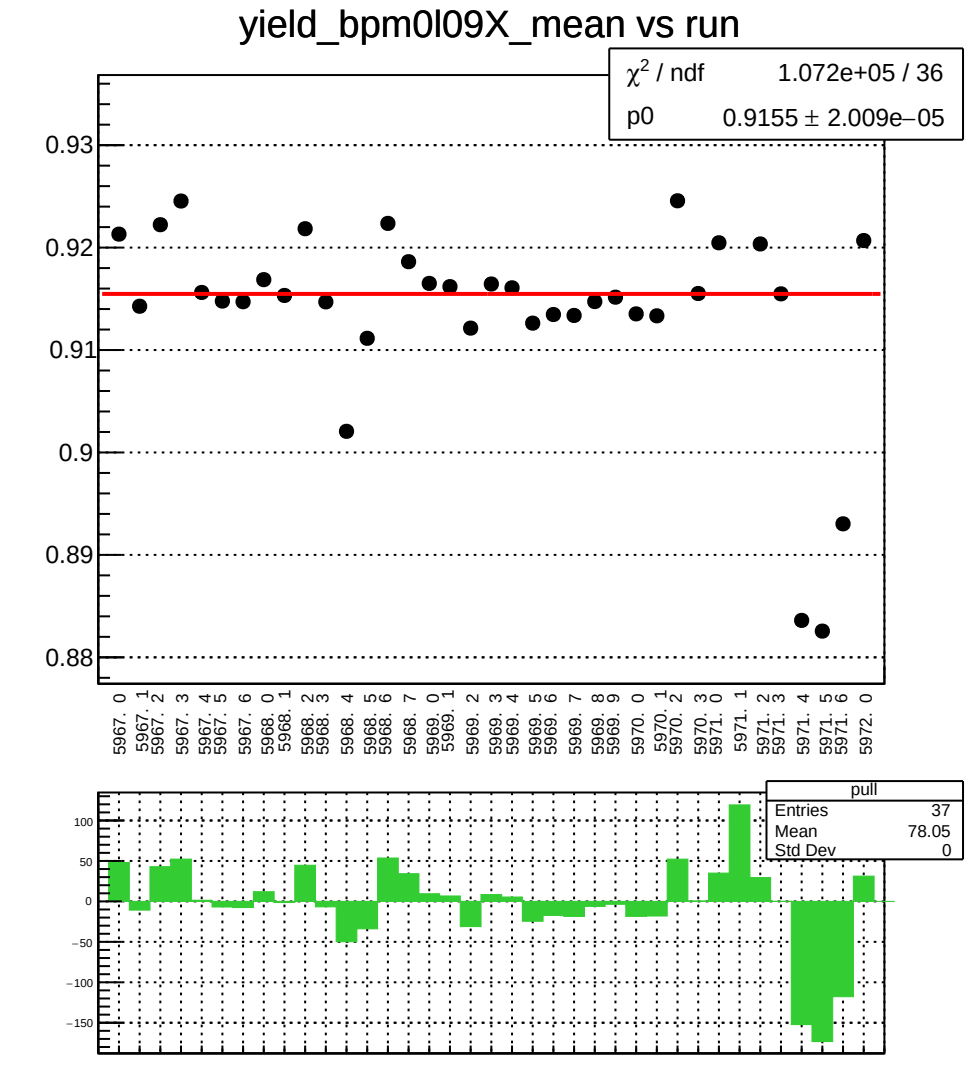
yield_bpm0l09X_mean vs run
χ² / ndf 1.072e+05 / 36
p0 0.9155 ± 2.009e−05
0.93
0.92
0.91
0.9
0.89
0.88
5967. 0
5967. 1
5967. 2
5967. 3
5967. 4
5967. 5
5967. 6
5968. 0
5968. 1
5968. 2
5968. 3
5968. 4
5968. 5
5968. 6
5968. 7
5969. 0
5969. 1
5969. 2
5969. 3
5969. 4
5969. 5
5969. 6
5969. 7
5969. 8
5969. 9
5970. 0
5970. 1
5970. 2
5970. 3
5971. 0
5971. 1
5971. 2
5971. 3
5971. 4
5971. 5
5971. 6
5972. 0
pull
Entries 37
Mean 78.05
Std Dev 0
100
50
0
−50
−100
−150

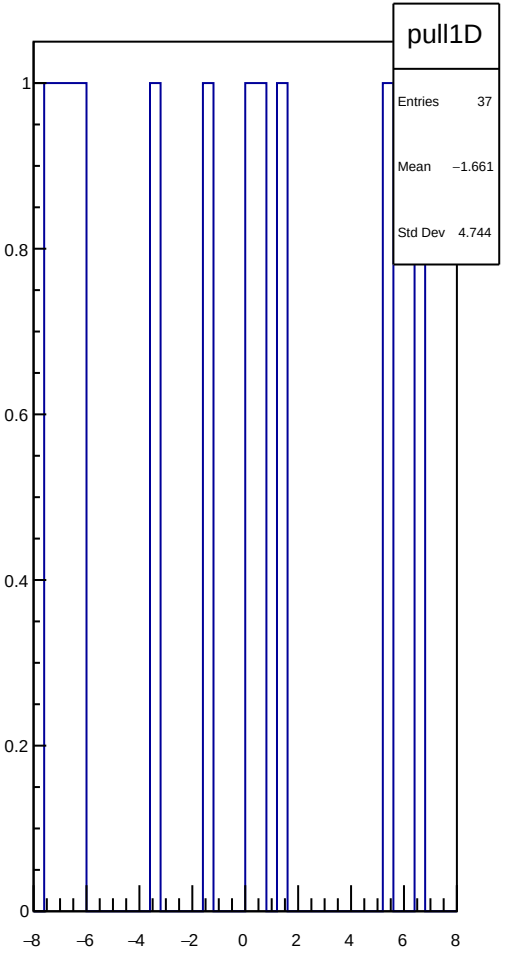
pull1D
Entries 37
Mean −1.661
Std Dev 4.744
1
0.8
0.6
0.4
0.2
0
−8
−6
−4
−2
0
2
4
6
8

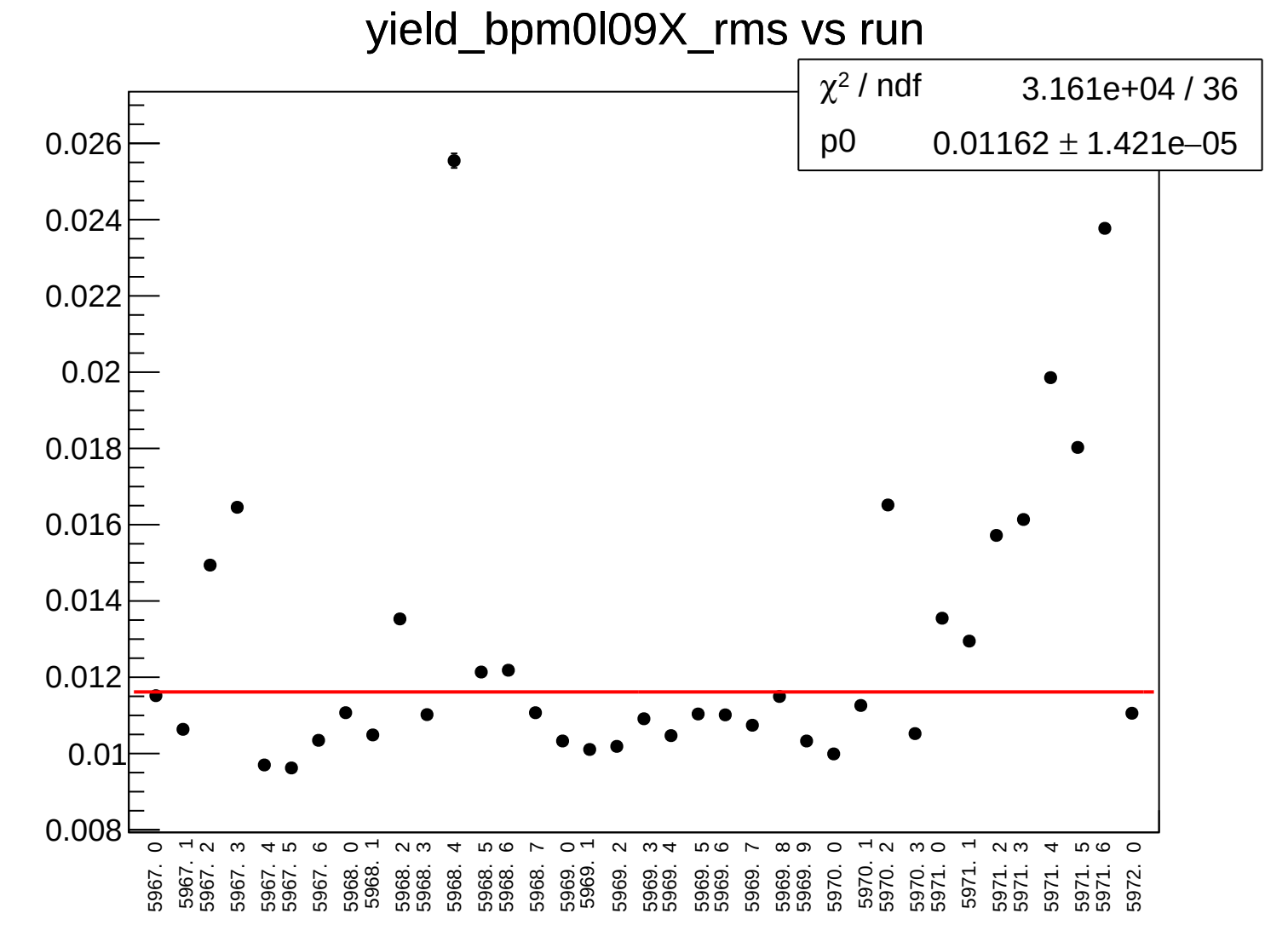
yield_bpm0l09X_rms vs run
χ² / ndf 3.161e+04 / 36
p0 0.01162 ± 1.421e–05
0.026
0.024
0.022
0.02
0.018
0.016
0.014
0.012
0.01
0.008
5967. 0
5967. 1
5967. 2
5967. 3
5967. 4
5967. 5
5967. 6
5968. 0
5968. 1
5968. 2
5968. 3
5968. 4
5968. 5
5968. 6
5968. 7
5969. 0
5969. 1
5969. 2
5969. 3
5969. 4
5969. 5
5969. 6
5969. 7
5969. 8
5969. 9
5970. 0
5970. 1
5970. 2
5970. 3
5971. 0
5971. 1
5971. 2
5971. 3
5971. 4
5971. 5
5971. 6
5972. 0

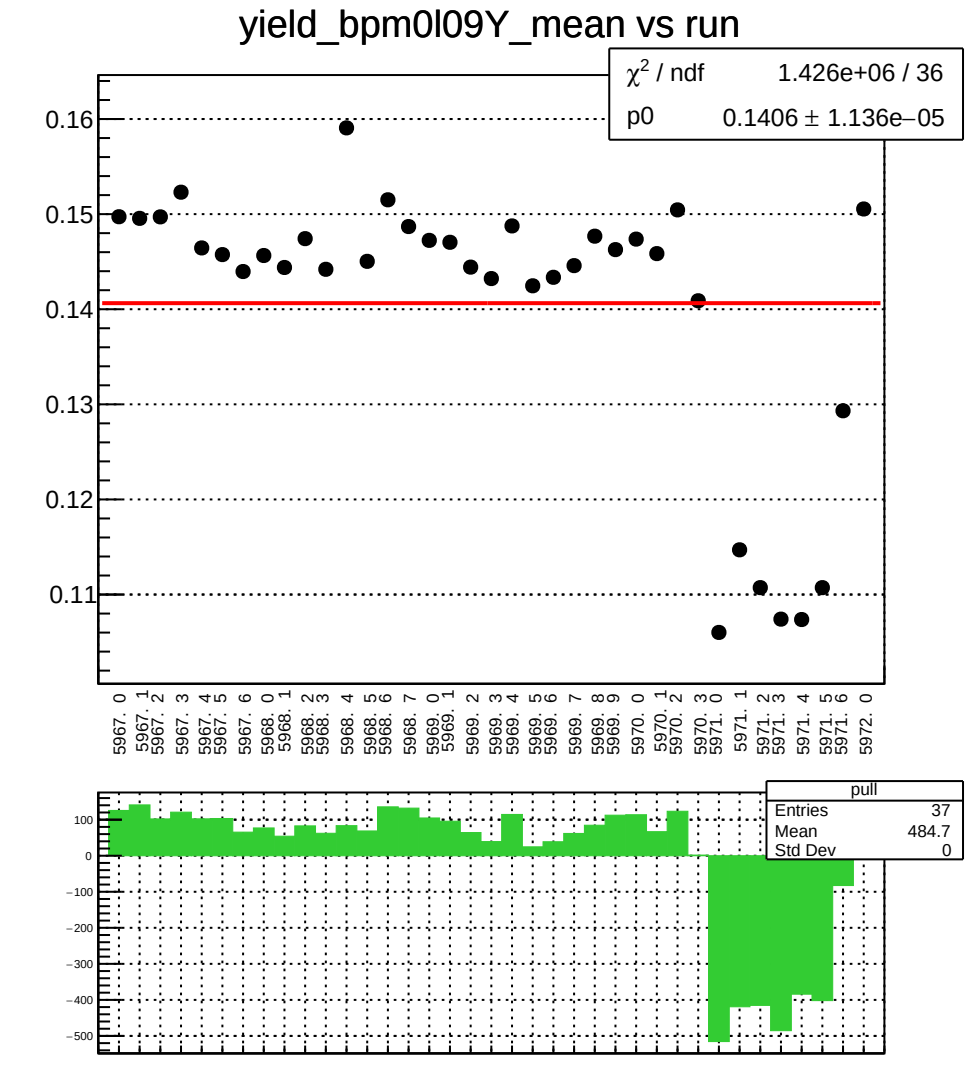
yield_bpm0l09Y_mean vs run
χ² / ndf 1.426e+06 / 36
p0 0.1406 ± 1.136e−05
0.16
0.15
0.14
0.13
0.12
0.11
5967. 0
5967. 1
5967. 2
5967. 3
5967. 4
5967. 5
5967. 6
5968. 0
5968. 1
5968. 2
5968. 3
5968. 4
5968. 5
5968. 6
5968. 7
5969. 0
5969. 1
5969. 2
5969. 3
5969. 4
5969. 5
5969. 6
5969. 7
5969. 8
5969. 9
5970. 0
5970. 1
5970. 2
5970. 3
5971. 0
5971. 1
5971. 2
5971. 3
5971. 4
5971. 5
5971. 6
5972. 0
pull
Entries 37
Mean 484.7
Std Dev 0
100
0
−100
−200
−300
−400
−500

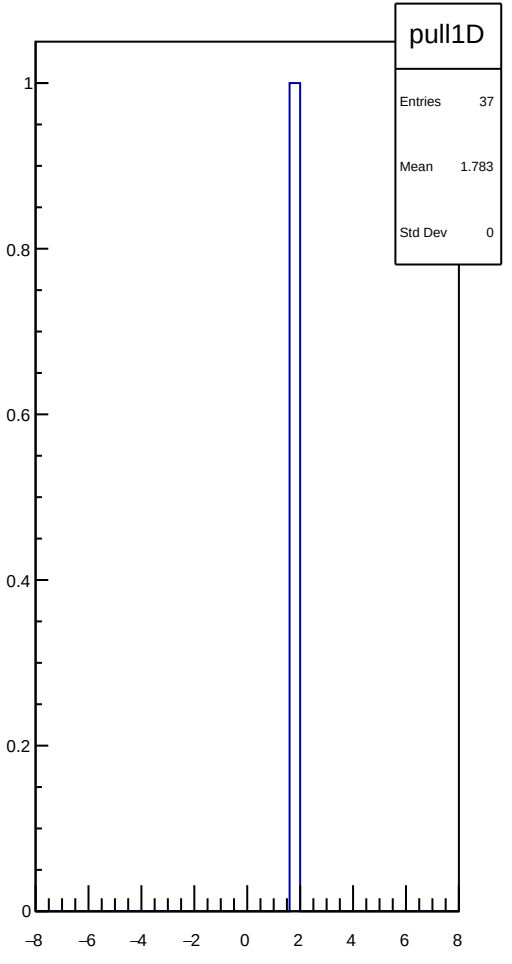
pull1D
Entries 37
Mean 1.783
Std Dev 0
1
0.8
0.6
0.4
0.2
0
−8
−6
−4
−2
0
2
4
6
8

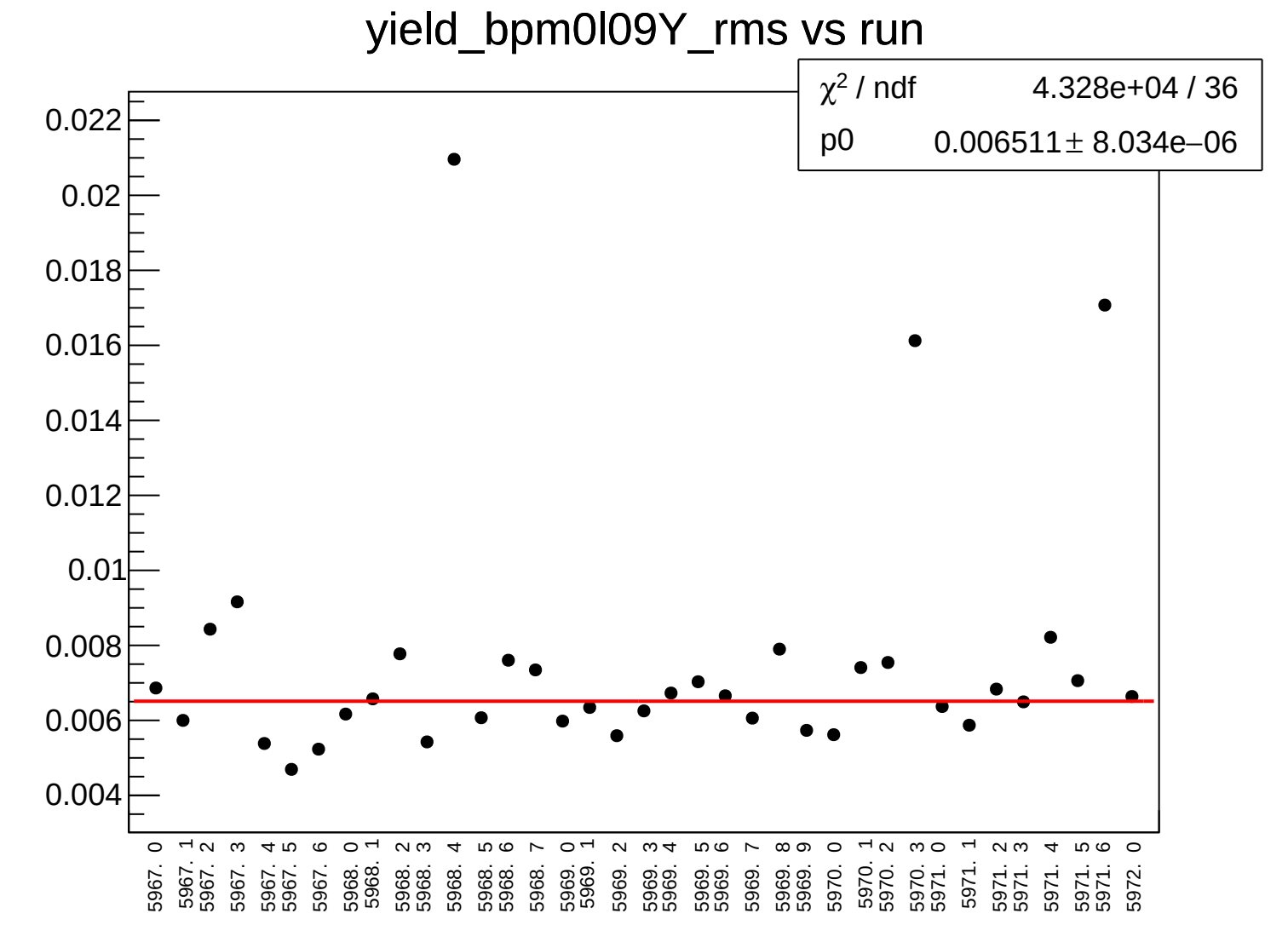
yield_bpm0l09Y_rms vs run
χ² / ndf 4.328e+04 / 36
p0 0.006511 ± 8.034e−06
0.022
0.02
0.018
0.016
0.014
0.012
0.01
0.008
0.006
0.004
5967. 0
5967. 1
5967. 2
5967. 3
5967. 4
5967. 5
5967. 6
5968. 0
5968. 1
5968. 2
5968. 3
5968. 4
5968. 5
5968. 6
5968. 7
5969. 0
5969. 1
5969. 2
5969. 3
5969. 4
5969. 5
5969. 6
5969. 7
5969. 8
5969. 9
5970. 0
5970. 1
5970. 2
5970. 3
5971. 0
5971. 1
5971. 2
5971. 3
5971. 4
5971. 5
5971. 6
5972. 0

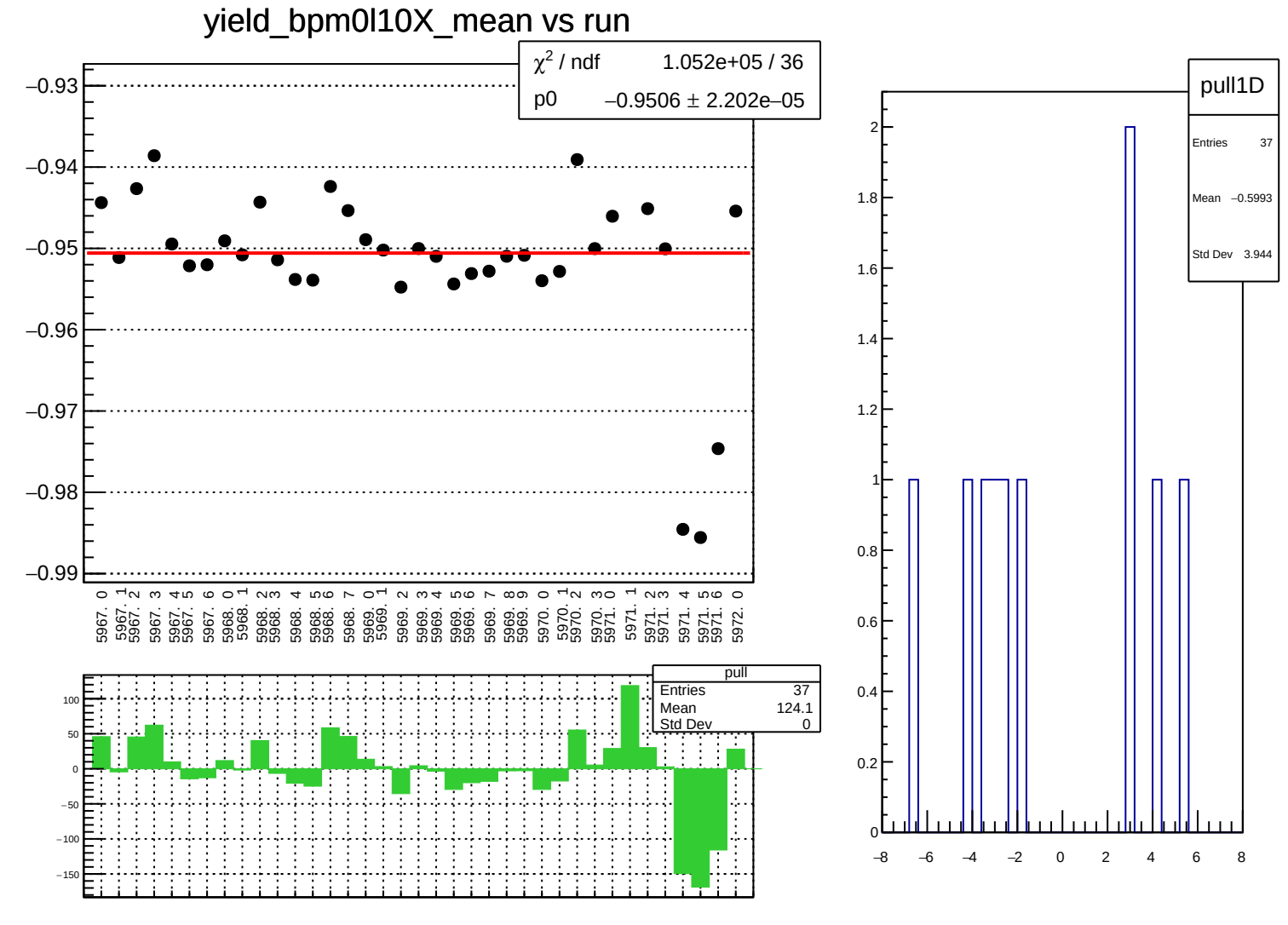
yield_bpm0l10X_mean vs run
χ² / ndf 1.052e+05 / 36
p0 −0.9506 ± 2.202e−05
−0.93
−0.94
−0.95
−0.96
−0.97
−0.98
−0.99
5967. 0
5967. 1
5967. 2
5967. 3
5967. 4
5967. 5
5967. 6
5968. 0
5968. 1
5968. 2
5968. 3
5968. 4
5968. 5
5968. 6
5968. 7
5969. 0
5969. 1
5969. 2
5969. 3
5969. 4
5969. 5
5969. 6
5969. 7
5969. 8
5969. 9
5970. 0
5970. 1
5970. 2
5970. 3
5971. 0
5971. 1
5971. 2
5971. 3
5971. 4
5971. 5
5971. 6
5972. 0
pull
Entries 37
Mean 124.1
Std Dev 0
100
50
0
−50
−100
−150
pull1D
Entries 37
Mean −0.5993
Std Dev 3.944
2
1.8
1.6
1.4
1.2
1
0.8
0.6
0.4
0.2
0
−8
−6
−4
−2
0
2
4
6
8

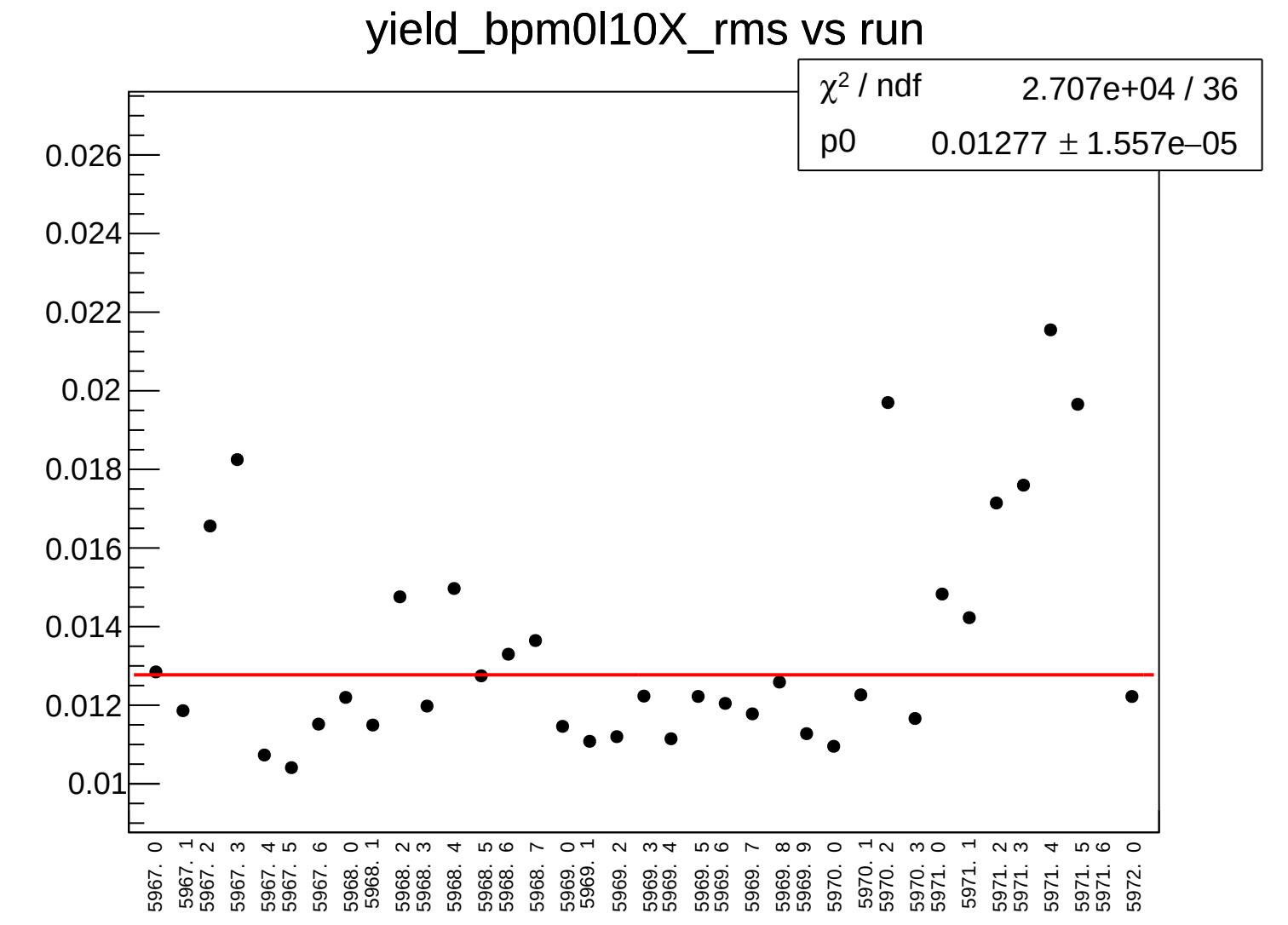
yield_bpm0l10X_rms vs run
χ² / ndf 2.707e+04 / 36
p0 0.01277 ± 1.557e–05
0.026
0.024
0.022
0.02
0.018
0.016
0.014
0.012
0.01
5967. 0
5967. 1
5967. 2
5967. 3
5967. 4
5967. 5
5967. 6
5968. 0
5968. 1
5968. 2
5968. 3
5968. 4
5968. 5
5968. 6
5968. 7
5969. 0
5969. 1
5969. 2
5969. 3
5969. 4
5969. 5
5969. 6
5969. 7
5969. 8
5969. 9
5970. 0
5970. 1
5970. 2
5970. 3
5971. 0
5971. 1
5971. 2
5971. 3
5971. 4
5971. 5
5971. 6
5972. 0

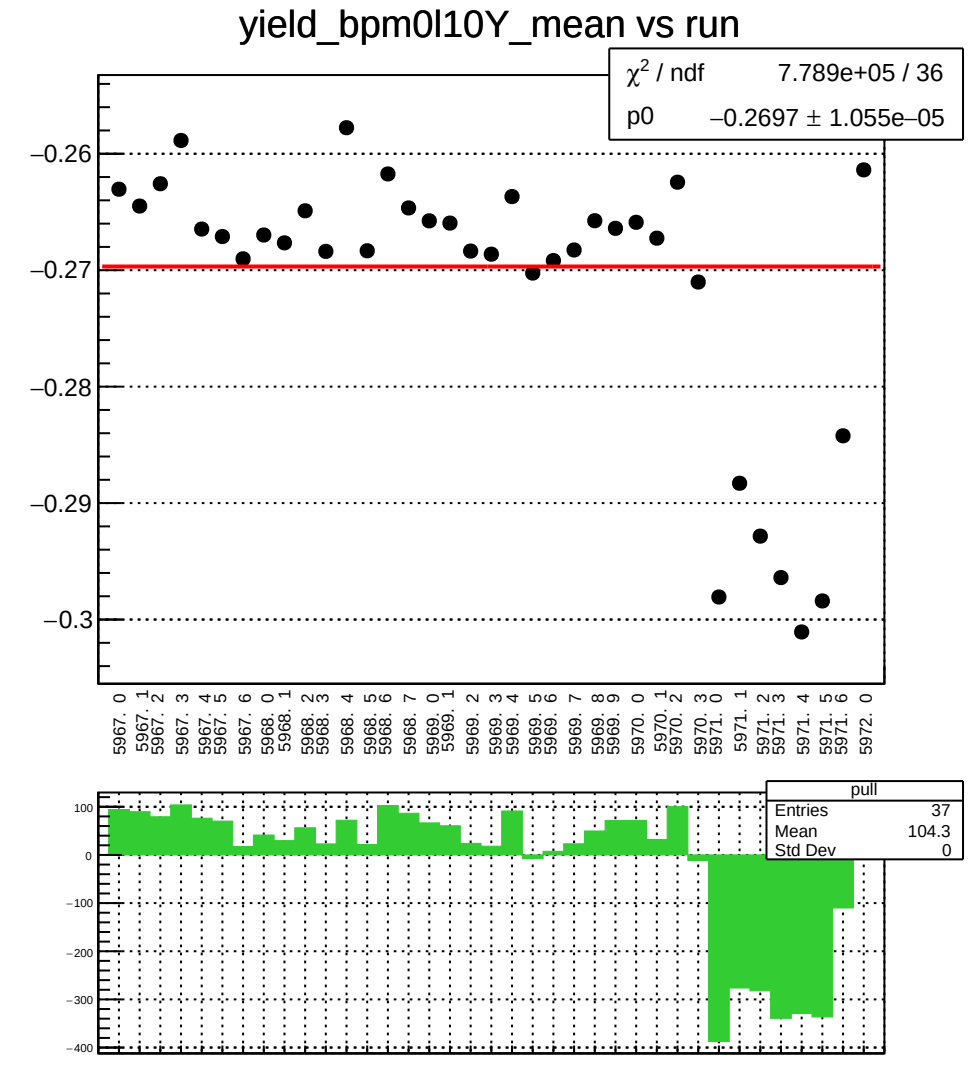
yield_bpm0l10Y_mean vs run
χ² / ndf 7.789e+05 / 36
p0 −0.2697 ± 1.055e−05
−0.26
−0.27
−0.28
−0.29
−0.3
5967. 0
5967. 1
5967. 2
5967. 3
5967. 4
5967. 5
5967. 6
5968. 0
5968. 1
5968. 2
5968. 3
5968. 4
5968. 5
5968. 6
5968. 7
5969. 0
5969. 1
5969. 2
5969. 3
5969. 4
5969. 5
5969. 6
5969. 7
5969. 8
5969. 9
5970. 0
5970. 1
5970. 2
5970. 3
5971. 0
5971. 1
5971. 2
5971. 3
5971. 4
5971. 5
5971. 6
5972. 0
pull
Entries 37
Mean 104.3
Std Dev 0
100
0
−100
−200
−300
−400

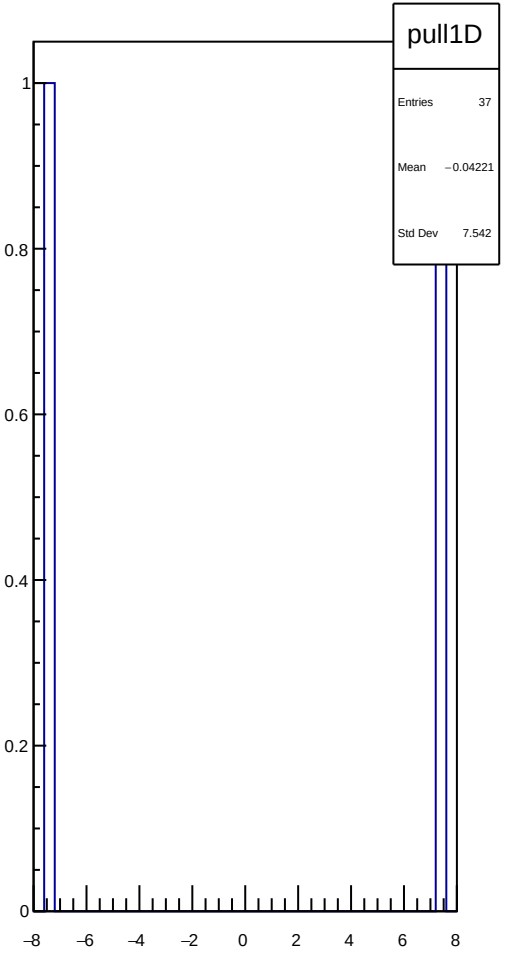
pull1D
Entries 37
Mean −0.04221
Std Dev 7.542
1
0.8
0.6
0.4
0.2
0
−8
−6
−4
−2
0
2
4
6
8

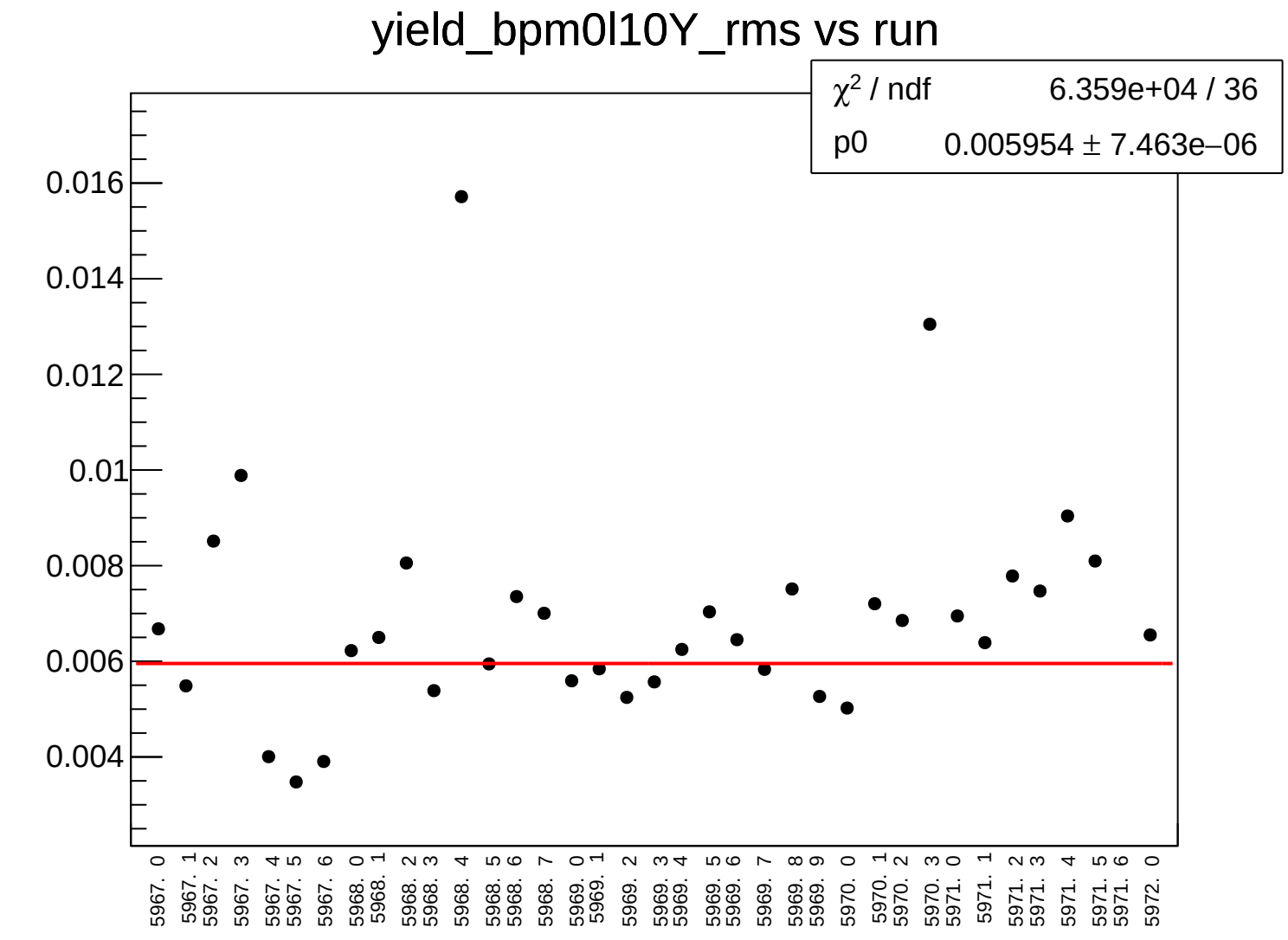
yield_bpm0l10Y_rms vs run
χ² / ndf 6.359e+04 / 36
p0 0.005954 ± 7.463e−06
0.016
0.014
0.012
0.01
0.008
0.006
0.004
5967. 0
5967. 1
5967. 2
5967. 3
5967. 4
5967. 5
5967. 6
5968. 0
5968. 1
5968. 2
5968. 3
5968. 4
5968. 5
5968. 6
5968. 7
5969. 0
5969. 1
5969. 2
5969. 3
5969. 4
5969. 5
5969. 6
5969. 7
5969. 8
5969. 9
5970. 0
5970. 1
5970. 2
5970. 3
5971. 0
5971. 1
5971. 2
5971. 3
5971. 4
5971. 5
5971. 6
5972. 0

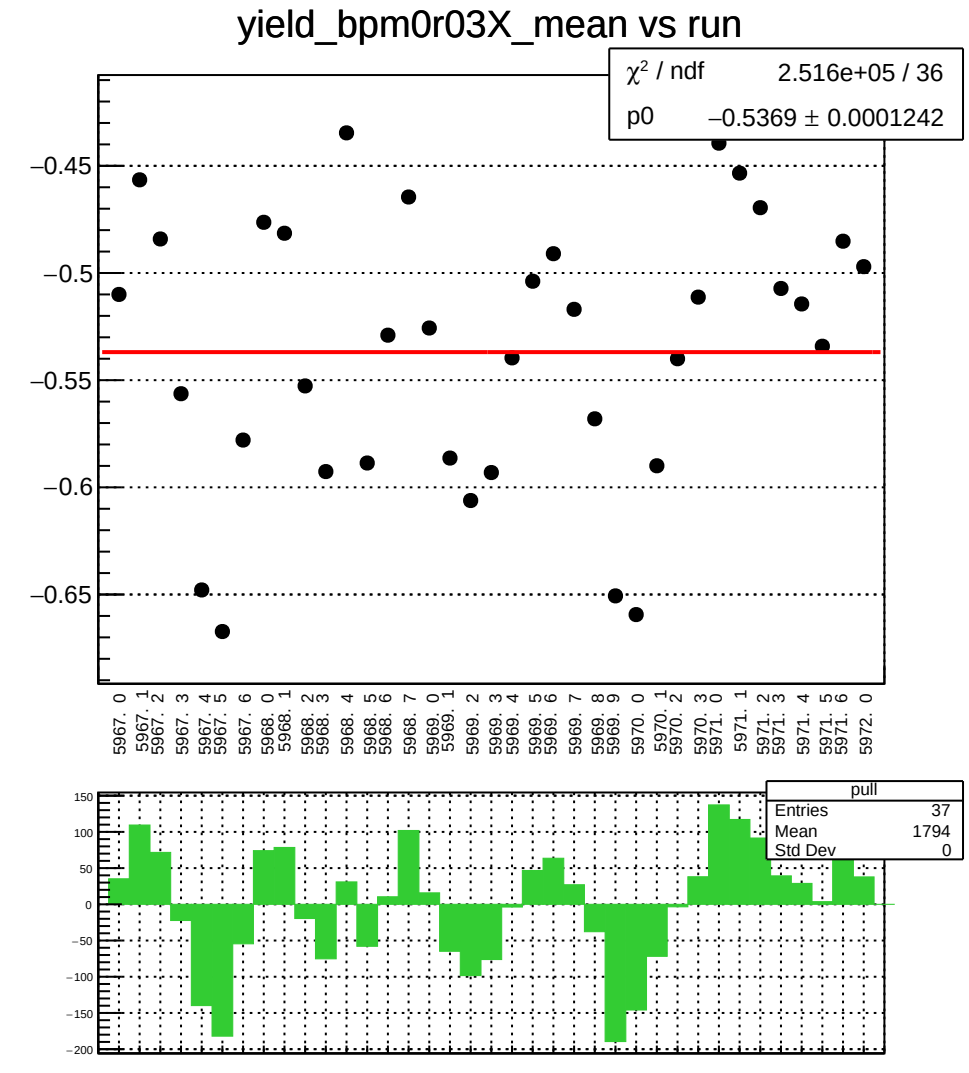
yield_bpm0r03X_mean vs run
χ² / ndf 2.516e+05 / 36
p0 −0.5369 ± 0.0001242
−0.45
−0.5
−0.55
−0.6
−0.65
5967. 0
5967. 1
5967. 2
5967. 3
5967. 4
5967. 5
5967. 6
5968. 0
5968. 1
5968. 2
5968. 3
5968. 4
5968. 5
5968. 6
5968. 7
5969. 0
5969. 1
5969. 2
5969. 3
5969. 4
5969. 5
5969. 6
5969. 7
5969. 8
5969. 9
5970. 0
5970. 1
5970. 2
5970. 3
5971. 0
5971. 1
5971. 2
5971. 3
5971. 4
5971. 5
5971. 6
5972. 0
pull
Entries 37
Mean 1794
Std Dev 0
150
100
50
0
−50
−100
−150
−200
pull1D
Entries 37
Mean −1.17
Std Dev 3.42
1
0.8
0.6
0.4
0.2
0
−8
−6
−4
−2
0
2
4
6
8

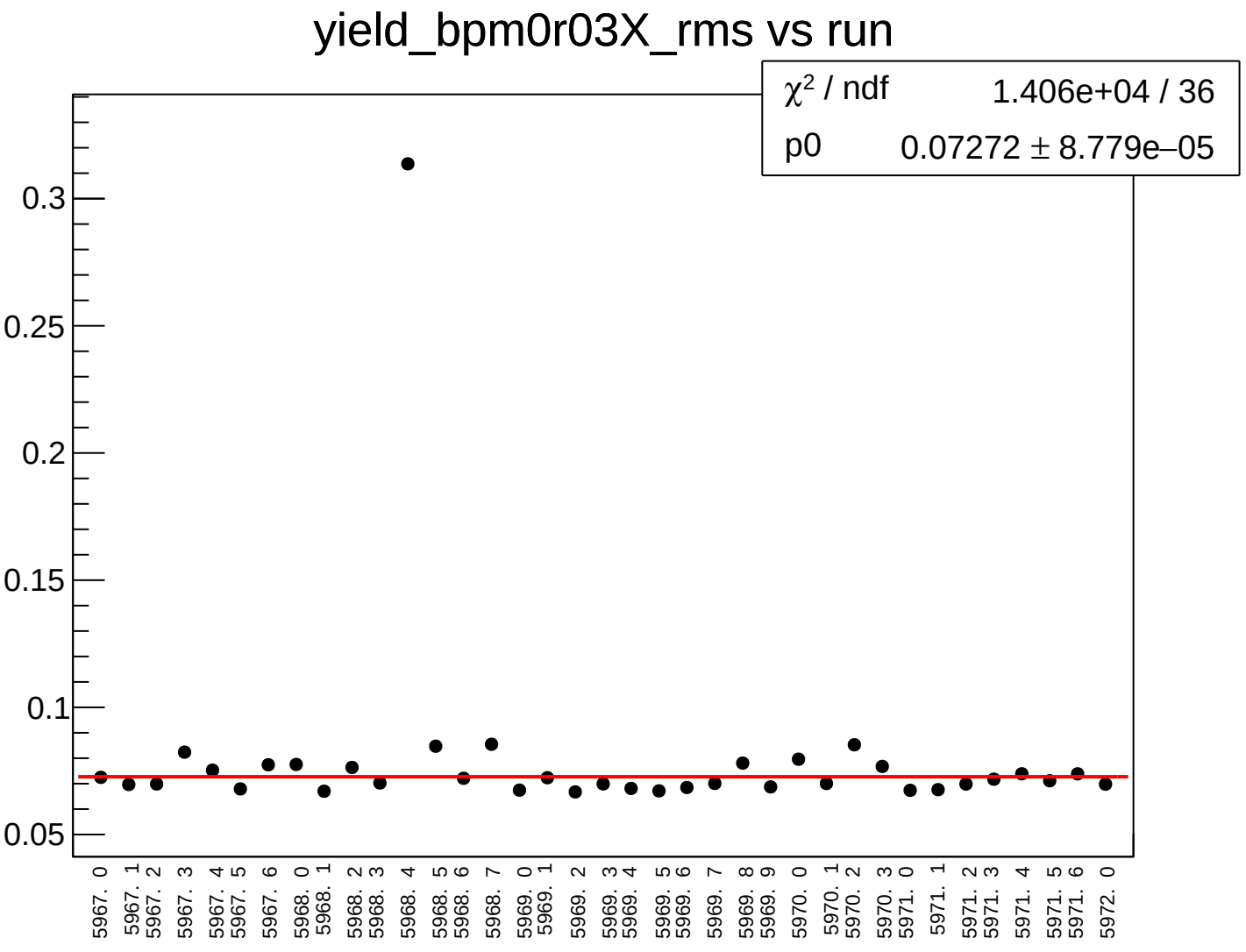
yield_bpm0r03X_rms vs run
χ² / ndf 1.406e+04 / 36
p0 0.07272 ± 8.779e–05
0.3
0.25
0.2
0.15
0.1
0.05
5967. 0
5967. 1
5967. 2
5967. 3
5967. 4
5967. 5
5967. 6
5968. 0
5968. 1
5968. 2
5968. 3
5968. 4
5968. 5
5968. 6
5968. 7
5969. 0
5969. 1
5969. 2
5969. 3
5969. 4
5969. 5
5969. 6
5969. 7
5969. 8
5969. 9
5970. 0
5970. 1
5970. 2
5970. 3
5971. 0
5971. 1
5971. 2
5971. 3
5971. 4
5971. 5
5971. 6
5972. 0

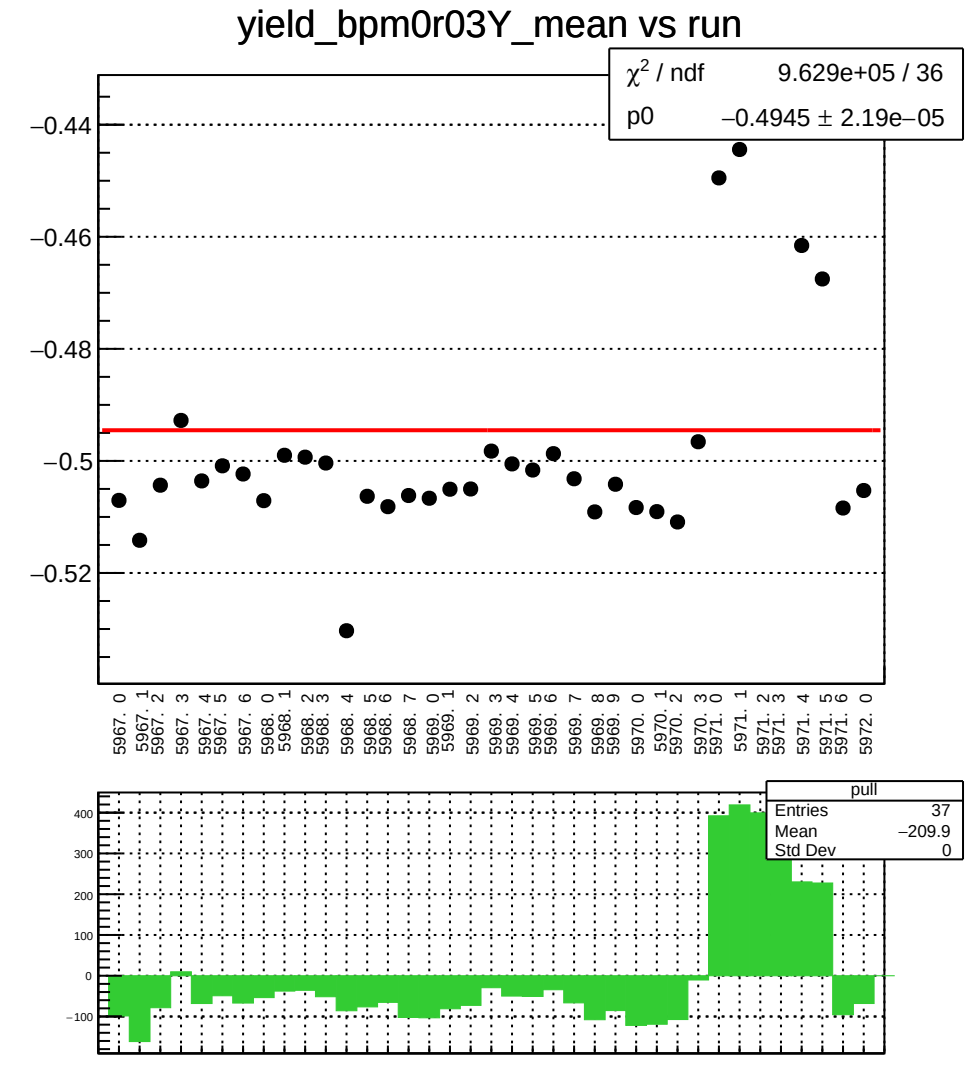
yield_bpm0r03Y_mean vs run
χ² / ndf 9.629e+05 / 36
p0 −0.4945 ± 2.19e−05
−0.44
−0.46
−0.48
−0.5
−0.52
5967. 0
5967. 1
5967. 2
5967. 3
5967. 4
5967. 5
5967. 6
5968. 0
5968. 1
5968. 2
5968. 3
5968. 4
5968. 5
5968. 6
5968. 7
5969. 0
5969. 1
5969. 2
5969. 3
5969. 4
5969. 5
5969. 6
5969. 7
5969. 8
5969. 9
5970. 0
5970. 1
5970. 2
5970. 3
5971. 0
5971. 1
5971. 2
5971. 3
5971. 4
5971. 5
5971. 6
5972. 0
pull
Entries 37
Mean −209.9
Std Dev 0
400
300
200
100
0
−100
pull1D
Entries 37
Mean 0
Std Dev 0
1
0.8
0.6
0.4
0.2
0
−8
−6
−4
−2
0
2
4
6
8

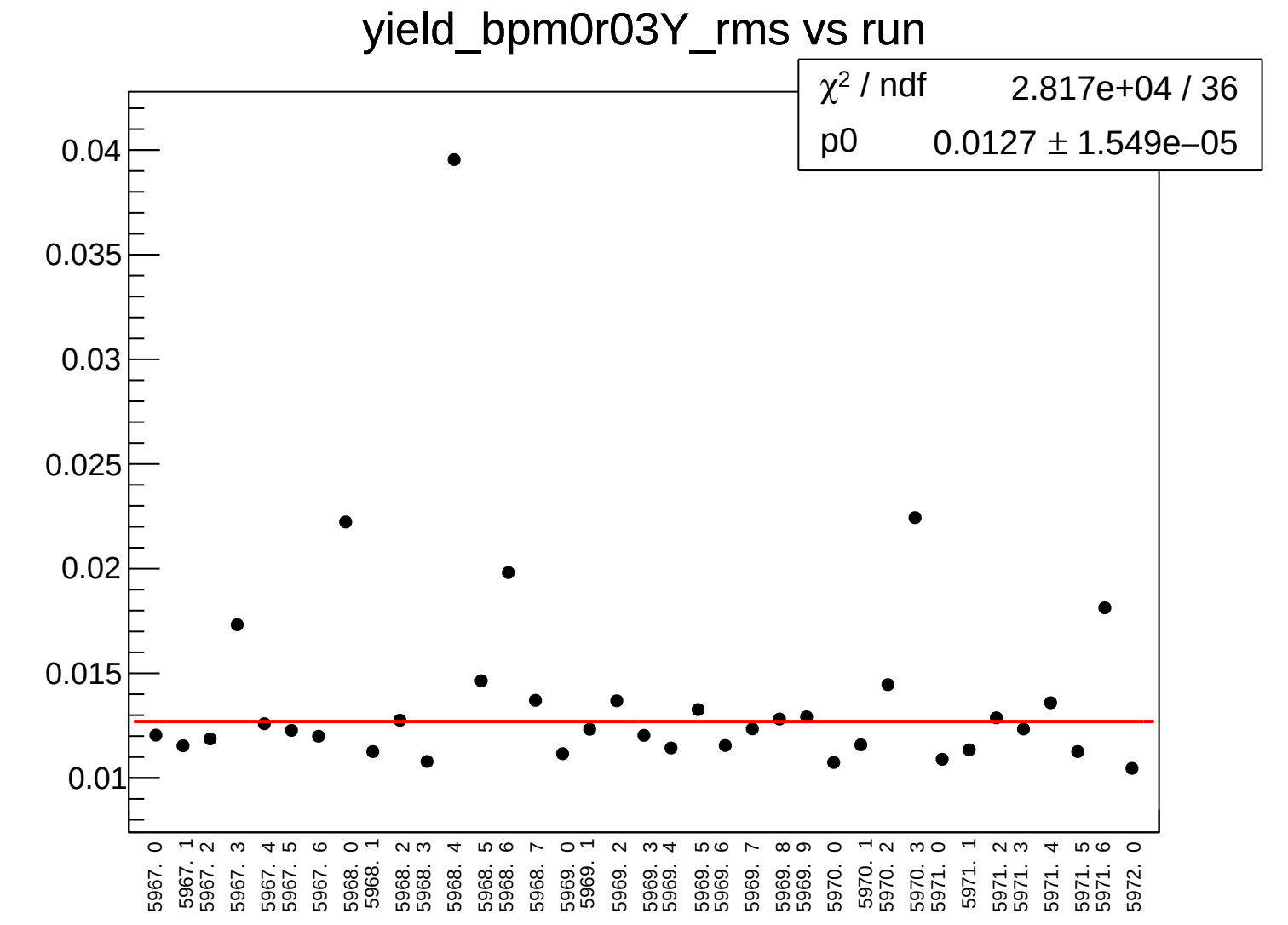
yield_bpm0r03Y_rms vs run
χ² / ndf 2.817e+04 / 36
p0 0.0127 ± 1.549e−05
0.04
0.035
0.03
0.025
0.02
0.015
0.01
5967. 0
5967. 1
5967. 2
5967. 3
5967. 4
5967. 5
5967. 6
5968. 0
5968. 1
5968. 2
5968. 3
5968. 4
5968. 5
5968. 6
5968. 7
5969. 0
5969. 1
5969. 2
5969. 3
5969. 4
5969. 5
5969. 6
5969. 7
5969. 8
5969. 9
5970. 0
5970. 1
5970. 2
5970. 3
5971. 0
5971. 1
5971. 2
5971. 3
5971. 4
5971. 5
5971. 6
5972. 0

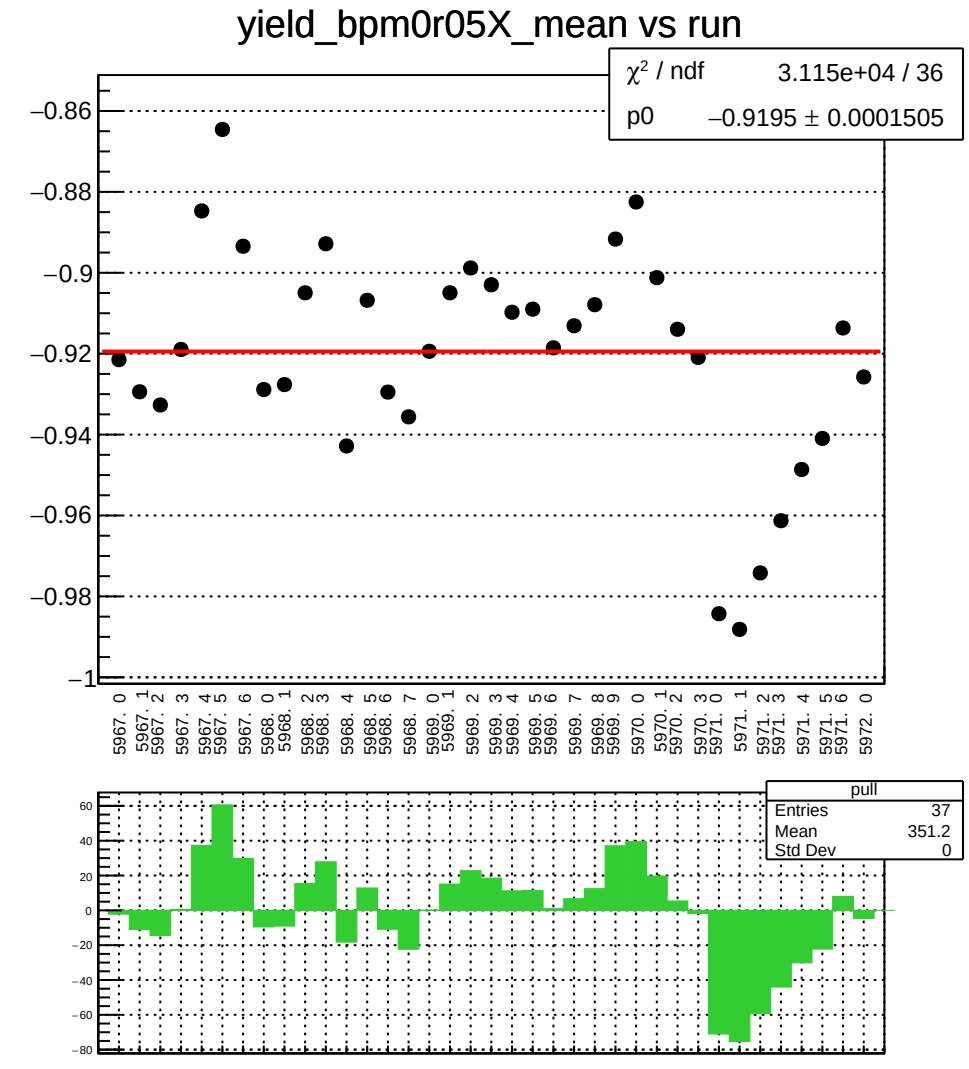
yield_bpm0r05X_mean vs run
χ² / ndf 3.115e+04 / 36
p0 −0.9195 ± 0.0001505
−0.86
−0.88
−0.9
−0.92
−0.94
−0.96
−0.98
−1
5967. 0
5967. 1
5967. 2
5967. 3
5967. 4
5967. 5
5967. 6
5968. 0
5968. 1
5968. 2
5968. 3
5968. 4
5968. 5
5968. 6
5968. 7
5969. 0
5969. 1
5969. 2
5969. 3
5969. 4
5969. 5
5969. 6
5969. 7
5969. 8
5969. 9
5970. 0
5970. 1
5970. 2
5970. 3
5971. 0
5971. 1
5971. 2
5971. 3
5971. 4
5971. 5
5971. 6
5972. 0
pull
Entries 37
Mean 351.2
Std Dev 0
60
40
20
0
−20
−40
−60
−80

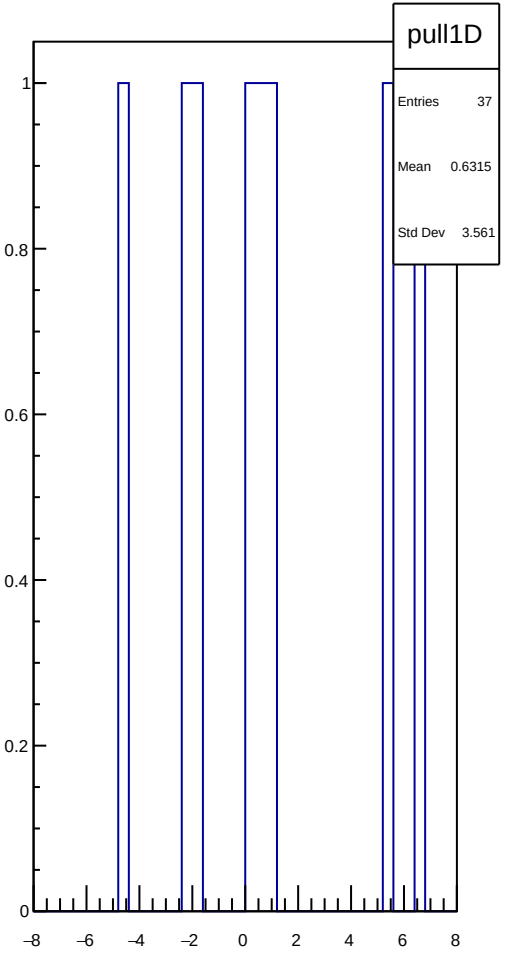
pull1D
Entries 37
Mean 0.6315
Std Dev 3.561
1
0.8
0.6
0.4
0.2
0
−8
−6
−4
−2
0
2
4
6
8

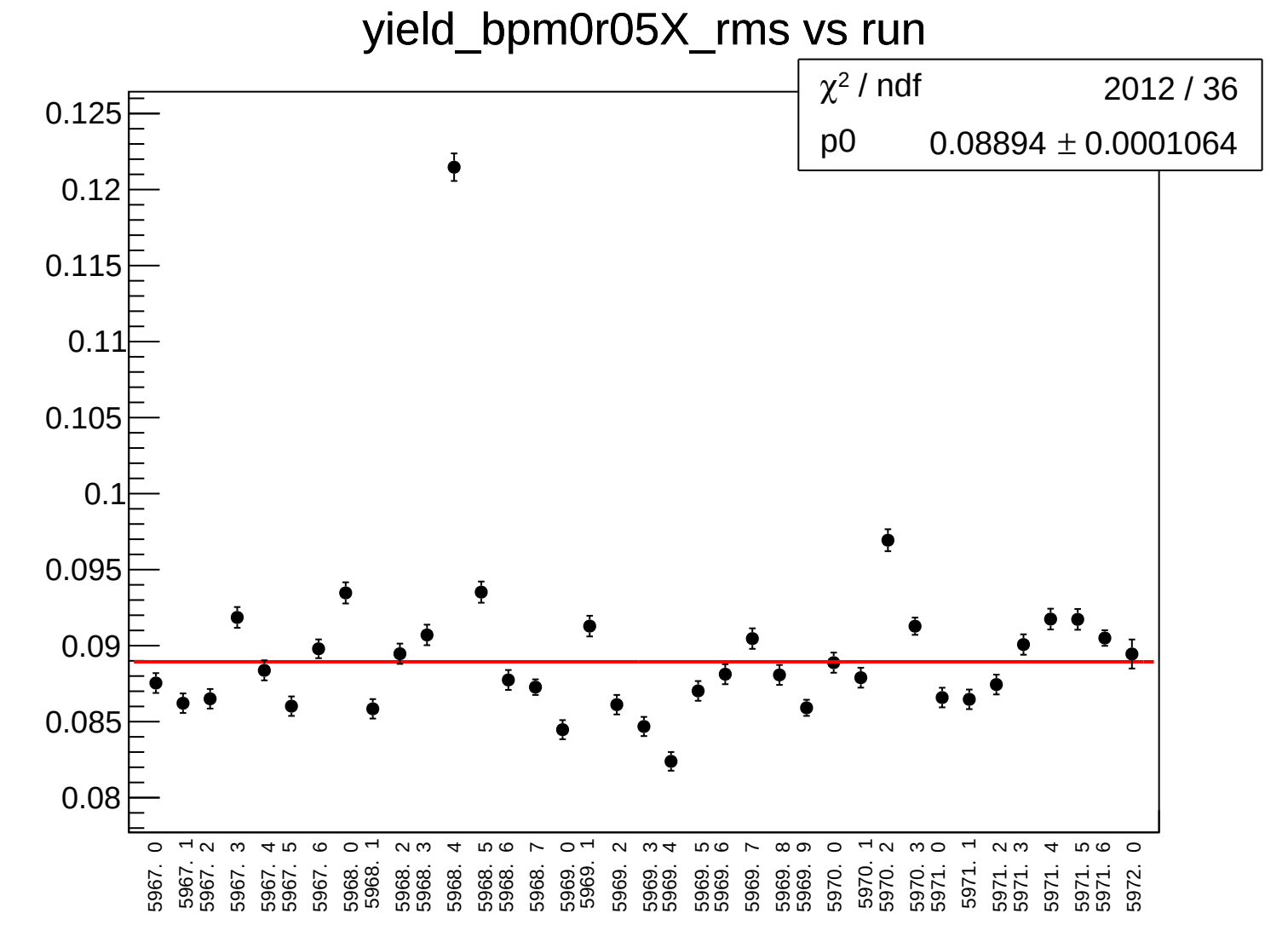
yield_bpm0r05X_rms vs run
χ² / ndf 2012 / 36
p0 0.08894 ± 0.0001064
0.125
0.12
0.115
0.11
0.105
0.1
0.095
0.09
0.085
0.08
5967. 0
5967. 1
5967. 2
5967. 3
5967. 4
5967. 5
5967. 6
5968. 0
5968. 1
5968. 2
5968. 3
5968. 4
5968. 5
5968. 6
5968. 7
5969. 0
5969. 1
5969. 2
5969. 3
5969. 4
5969. 5
5969. 6
5969. 7
5969. 8
5969. 9
5970. 0
5970. 1
5970. 2
5970. 3
5971. 0
5971. 1
5971. 2
5971. 3
5971. 4
5971. 5
5971. 6
5972. 0

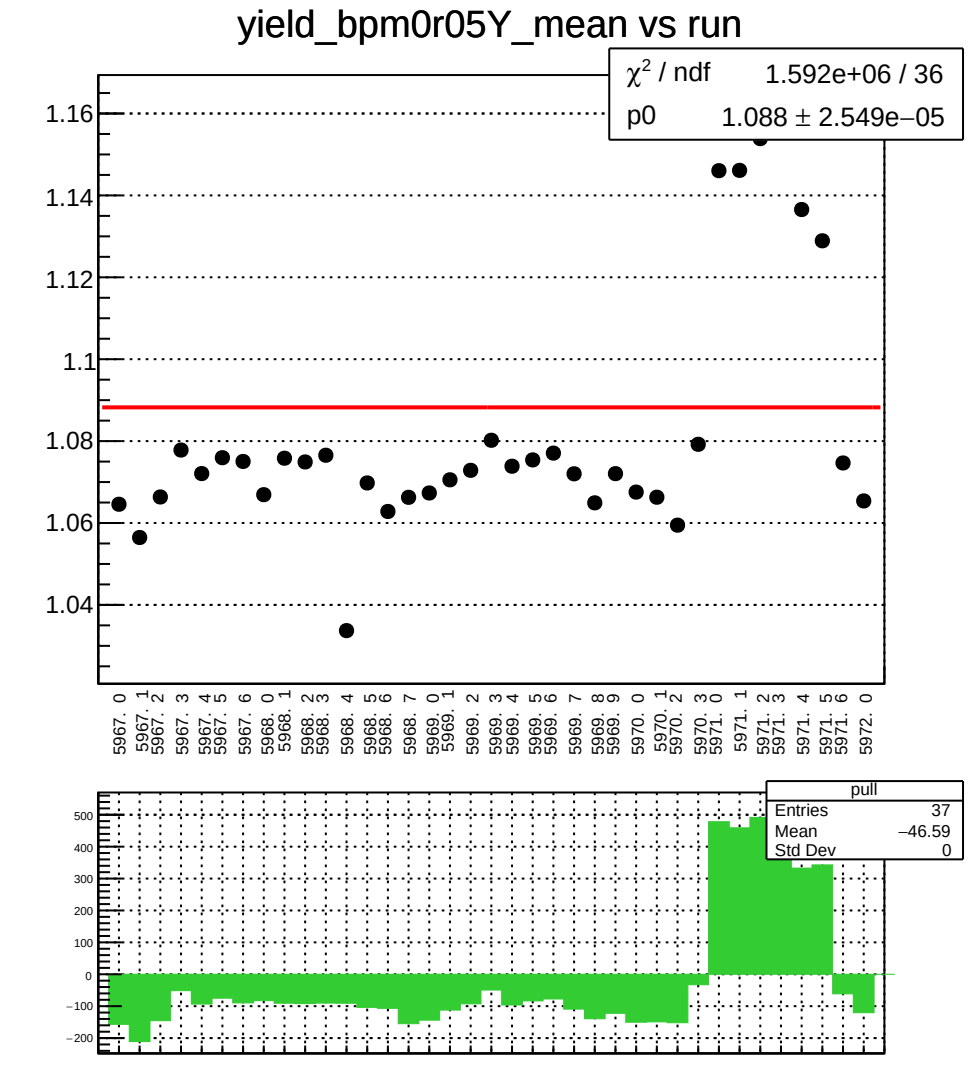
yield_bpm0r05Y_mean vs run
χ² / ndf 1.592e+06 / 36
p0 1.088 ± 2.549e−05
1.16
1.14
1.12
1.1
1.08
1.06
1.04
5967. 0
5967. 1
5967. 2
5967. 3
5967. 4
5967. 5
5967. 6
5968. 0
5968. 1
5968. 2
5968. 3
5968. 4
5968. 5
5968. 6
5968. 7
5969. 0
5969. 1
5969. 2
5969. 3
5969. 4
5969. 5
5969. 6
5969. 7
5969. 8
5969. 9
5970. 0
5970. 1
5970. 2
5970. 3
5971. 0
5971. 1
5971. 2
5971. 3
5971. 4
5971. 5
5971. 6
5972. 0
pull
Entries 37
Mean −46.59
Std Dev 0
500
400
300
200
100
0
−100
−200

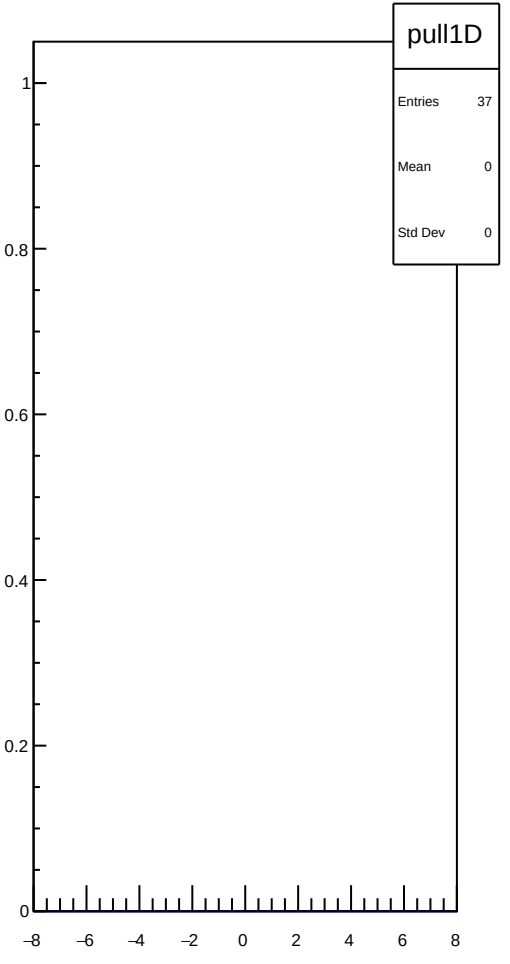
pull1D
Entries 37
Mean 0
Std Dev 0
1
0.8
0.6
0.4
0.2
0
−8
−6
−4
−2
0
2
4
6
8

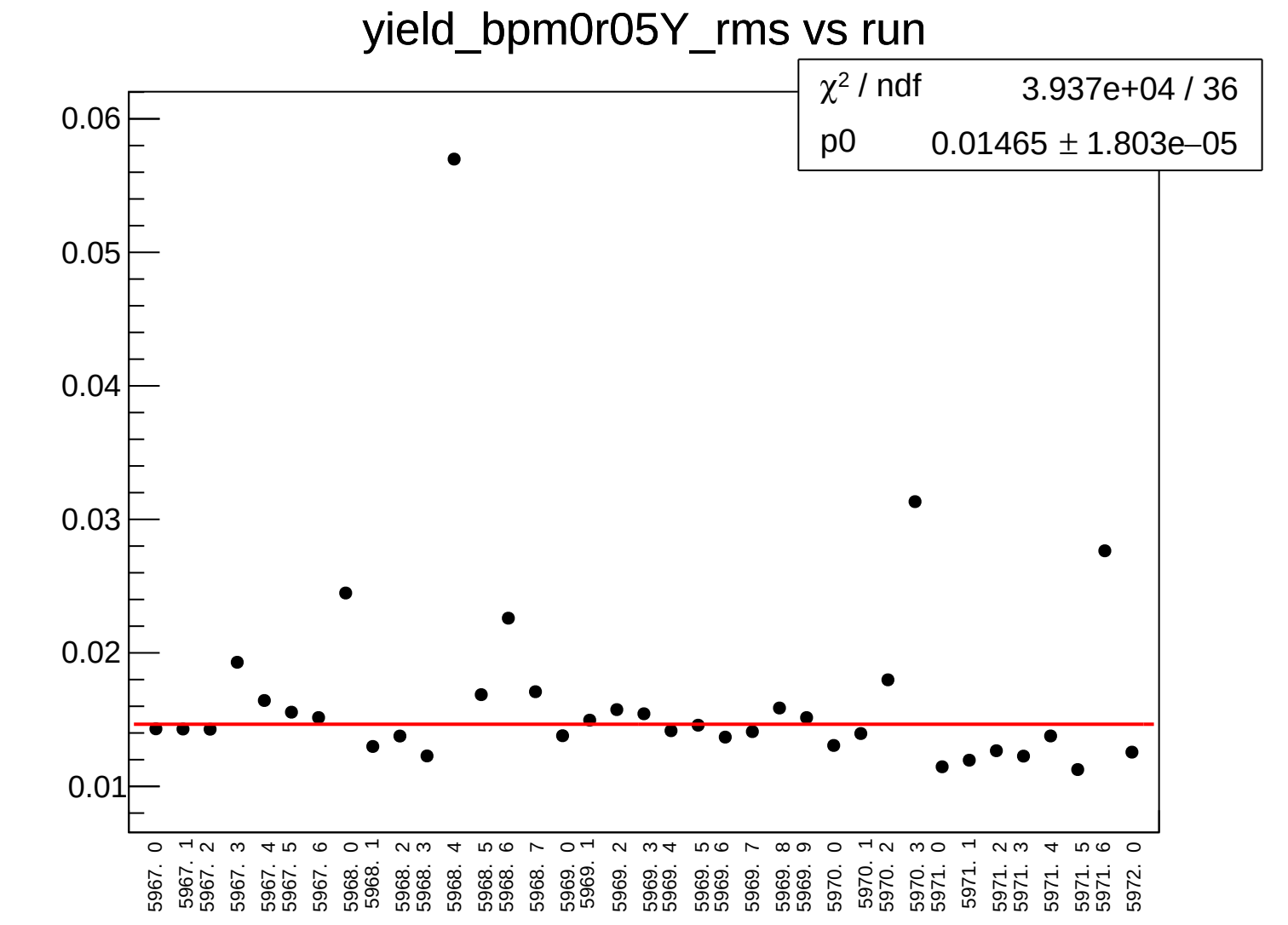
yield_bpm0r05Y_rms vs run
χ² / ndf 3.937e+04 / 36
p0 0.01465 ± 1.803e−05
0.06
0.05
0.04
0.03
0.02
0.01
5967. 0
5967. 1
5967. 2
5967. 3
5967. 4
5967. 5
5967. 6
5968. 0
5968. 1
5968. 2
5968. 3
5968. 4
5968. 5
5968. 6
5968. 7
5969. 0
5969. 1
5969. 2
5969. 3
5969. 4
5969. 5
5969. 6
5969. 7
5969. 8
5969. 9
5970. 0
5970. 1
5970. 2
5970. 3
5971. 0
5971. 1
5971. 2
5971. 3
5971. 4
5971. 5
5971. 6
5972. 0

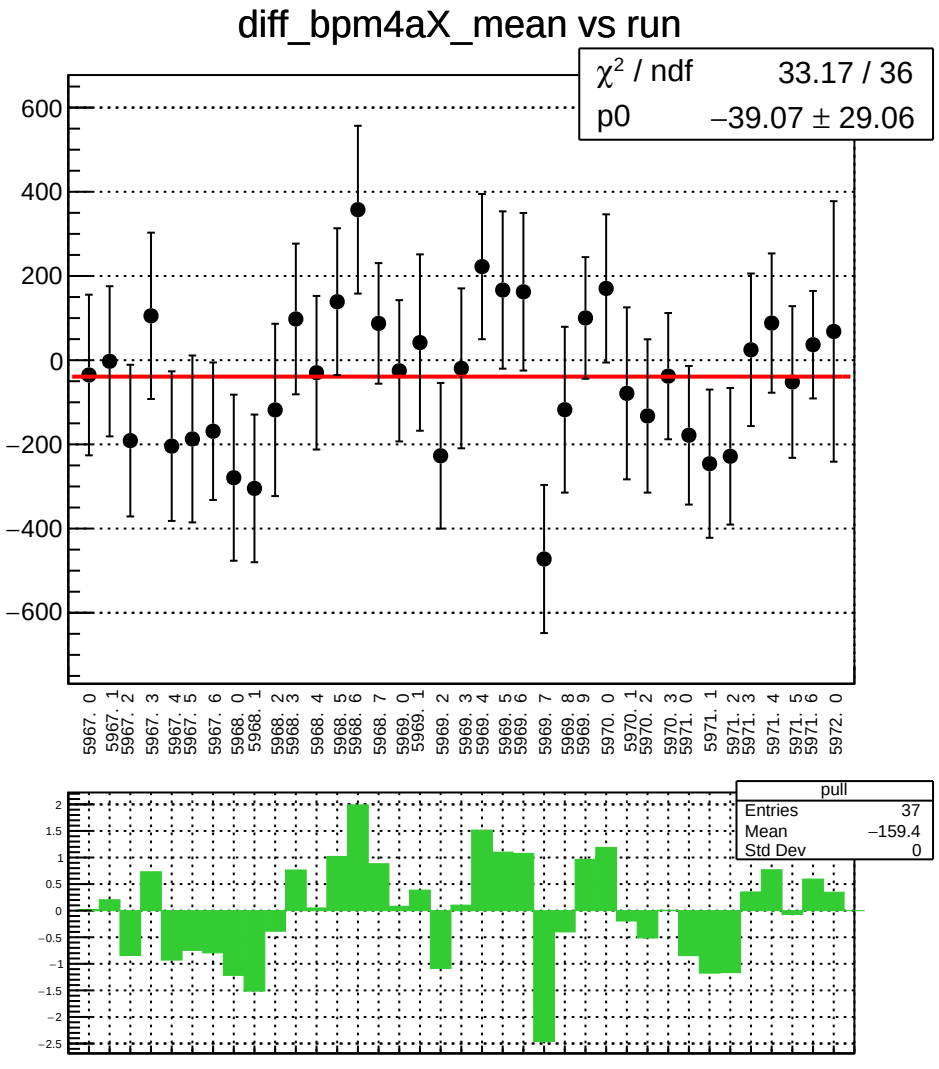
diff_bpm4aX_mean vs run
χ² / ndf 33.17 / 36
p0 −39.07 ± 29.06
600
400
200
0
−200
−400
−600
5967. 0
5967. 1
5967. 2
5967. 3
5967. 4
5967. 5
5967. 6
5968. 0
5968. 1
5968. 2
5968. 3
5968. 4
5968. 5
5968. 6
5968. 7
5969. 0
5969. 1
5969. 2
5969. 3
5969. 4
5969. 5
5969. 6
5969. 7
5969. 8
5969. 9
5970. 0
5970. 1
5970. 2
5970. 3
5971. 0
5971. 1
5971. 2
5971. 3
5971. 4
5971. 5
5971. 6
5972. 0
pull
Entries 37
Mean −159.4
Std Dev 0
2
1.5
1
0.5
0
−0.5
−1
−1.5
−2
−2.5

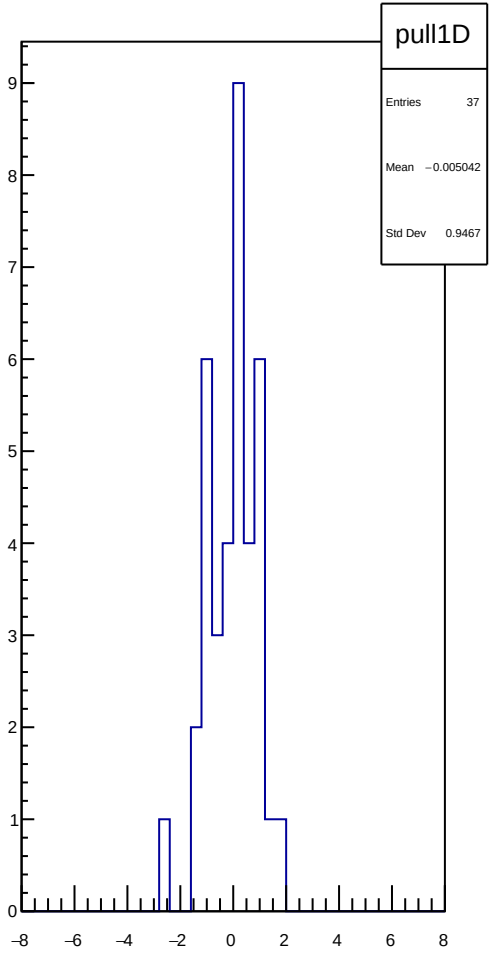
pull1D
Entries 37
Mean −0.005042
Std Dev 0.9467
9
8
7
6
5
4
3
2
1
0
−8
−6
−4
−2
0
2
4
6
8

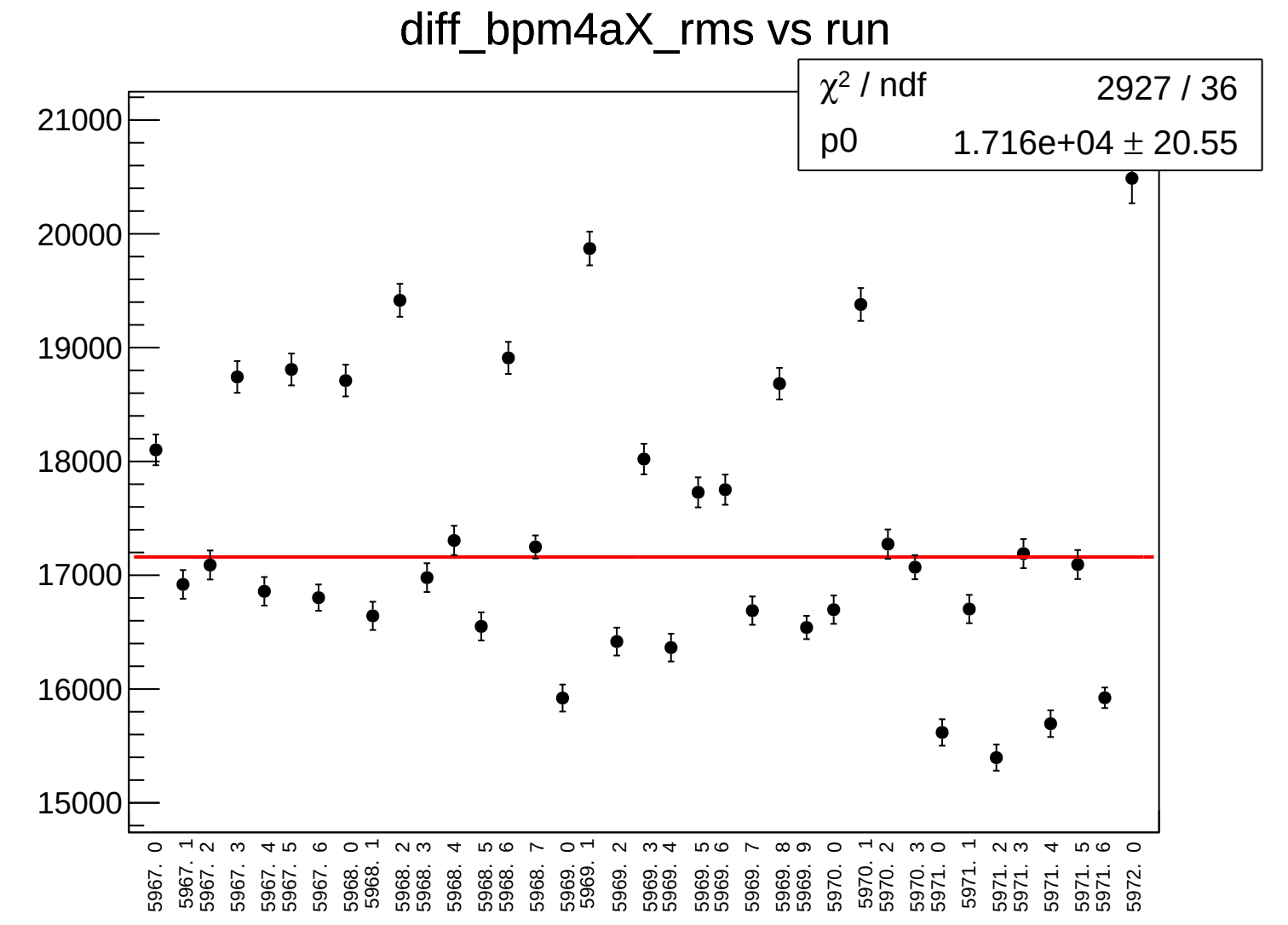
diff_bpm4aX_rms vs run
χ² / ndf 2927 / 36
p0 1.716e+04 ± 20.55
21000
20000
19000
18000
17000
16000
15000
5967. 0
5967. 1
5967. 2
5967. 3
5967. 4
5967. 5
5967. 6
5968. 0
5968. 1
5968. 2
5968. 3
5968. 4
5968. 5
5968. 6
5968. 7
5969. 0
5969. 1
5969. 2
5969. 3
5969. 4
5969. 5
5969. 6
5969. 7
5969. 8
5969. 9
5970. 0
5970. 1
5970. 2
5970. 3
5971. 0
5971. 1
5971. 2
5971. 3
5971. 4
5971. 5
5971. 6
5972. 0

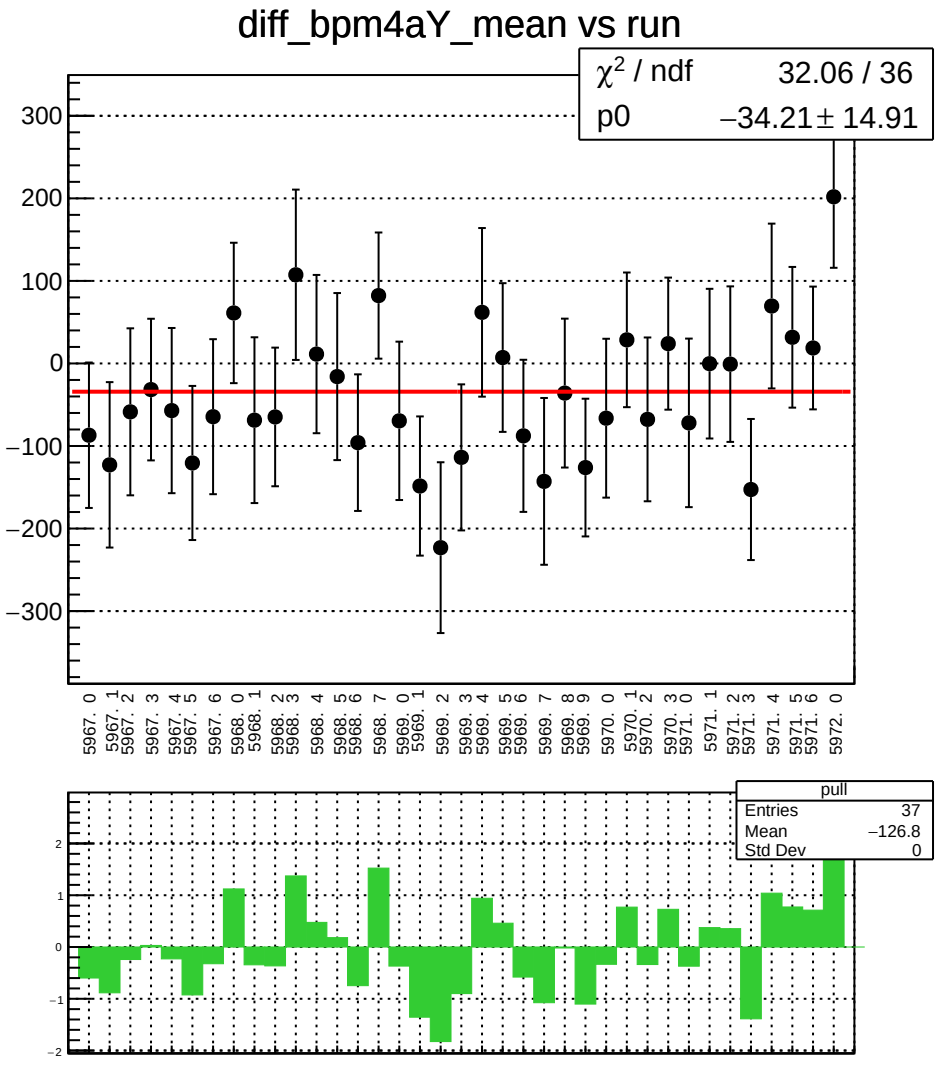
diff_bpm4aY_mean vs run
χ² / ndf 32.06 / 36
p0 −34.21 ± 14.91
300
200
100
0
−100
−200
−300
5967. 0
5967. 1
5967. 2
5967. 3
5967. 4
5967. 5
5967. 6
5968. 0
5968. 1
5968. 2
5968. 3
5968. 4
5968. 5
5968. 6
5968. 7
5969. 0
5969. 1
5969. 2
5969. 3
5969. 4
5969. 5
5969. 6
5969. 7
5969. 8
5969. 9
5970. 0
5970. 1
5970. 2
5970. 3
5971. 0
5971. 1
5971. 2
5971. 3
5971. 4
5971. 5
5971. 6
5972. 0
pull
Entries 37
Mean −126.8
Std Dev 0
2
1
0
−1
−2

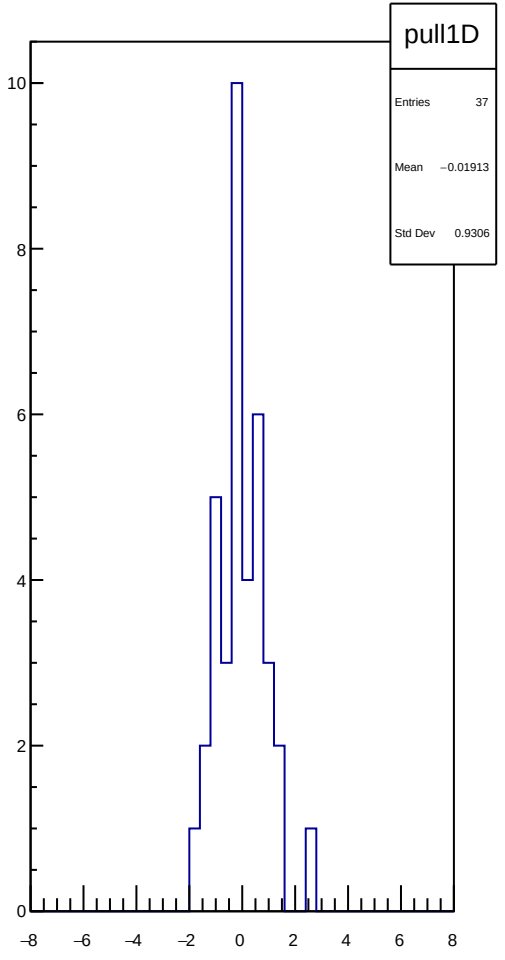
pull1D
Entries 37
Mean −0.01913
Std Dev 0.9306
10
8
6
4
2
0
−8
−6
−4
−2
0
2
4
6
8

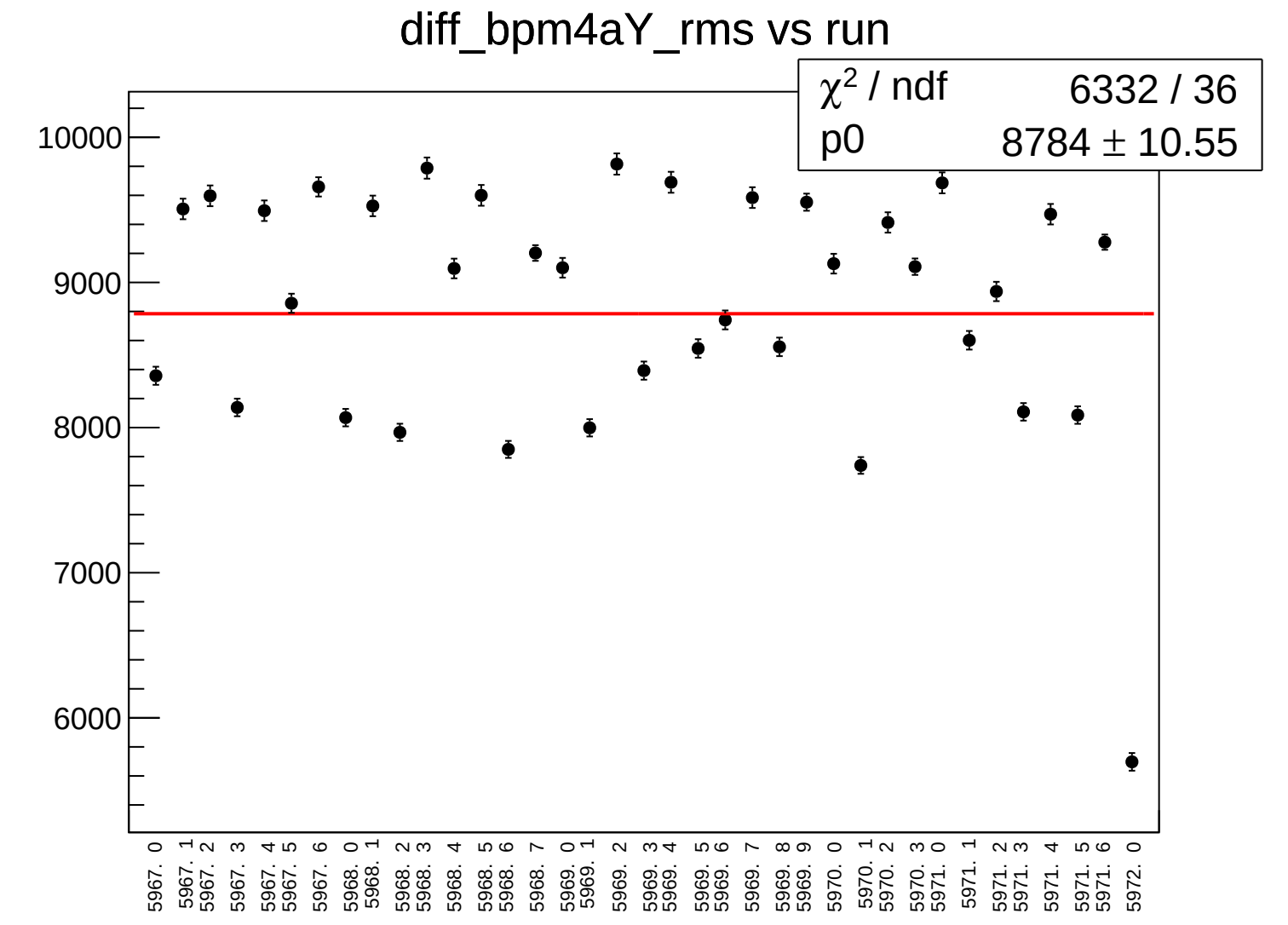
diff_bpm4aY_rms vs run
χ^2 / ndf 6332 / 36
p0 8784 ± 10.55
10000
9000
8000
7000
6000
5967. 0
5967. 1
5967. 2
5967. 3
5967. 4
5967. 5
5967. 6
5968. 0
5968. 1
5968. 2
5968. 3
5968. 4
5968. 5
5968. 6
5968. 7
5969. 0
5969. 1
5969. 2
5969. 3
5969. 4
5969. 5
5969. 6
5969. 7
5969. 8
5969. 9
5970. 0
5970. 1
5970. 2
5970. 3
5971. 0
5971. 1
5971. 2
5971. 3
5971. 4
5971. 5
5971. 6
5972. 0

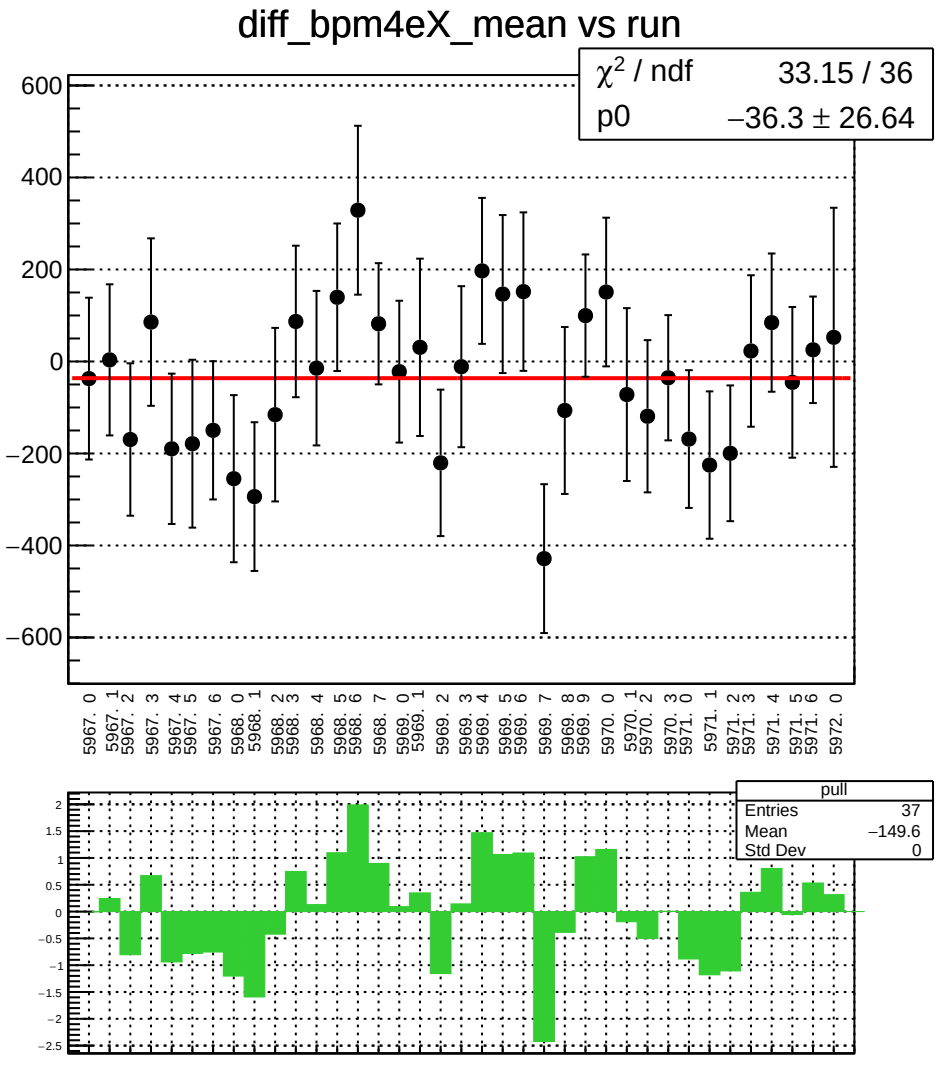
diff_bpm4eX_mean vs run
χ² / ndf 33.15 / 36
p0 −36.3 ± 26.64
600
400
200
0
−200
−400
−600
5967. 0
5967. 1
5967. 2
5967. 3
5967. 4
5967. 5
5967. 6
5968. 0
5968. 1
5968. 2
5968. 3
5968. 4
5968. 5
5968. 6
5968. 7
5969. 0
5969. 1
5969. 2
5969. 3
5969. 4
5969. 5
5969. 6
5969. 7
5969. 8
5969. 9
5970. 0
5970. 1
5970. 2
5970. 3
5971. 0
5971. 1
5971. 2
5971. 3
5971. 4
5971. 5
5971. 6
5972. 0
pull
Entries 37
Mean −149.6
Std Dev 0
2
1.5
1
0.5
0
−0.5
−1
−1.5
−2
−2.5

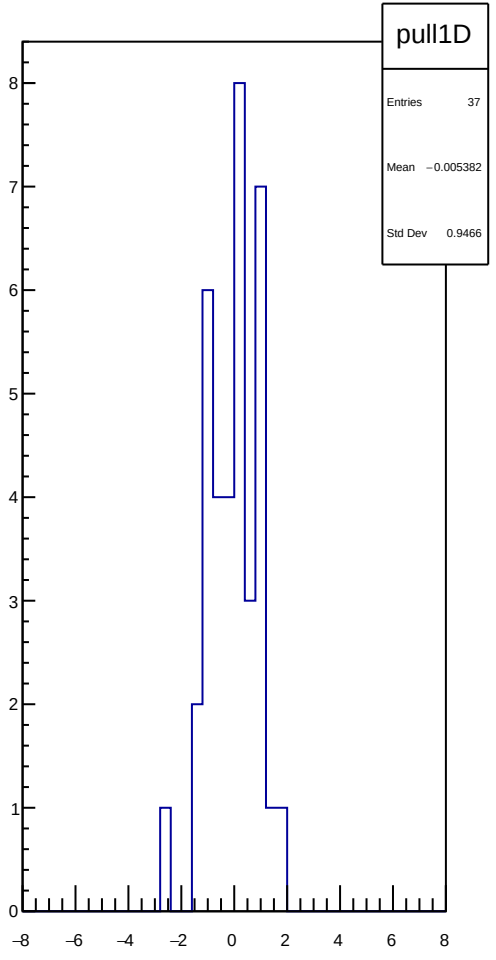
pull1D
Entries 37
Mean −0.005382
Std Dev 0.9466
8
7
6
5
4
3
2
1
0
−8
−6
−4
−2
0
2
4
6
8

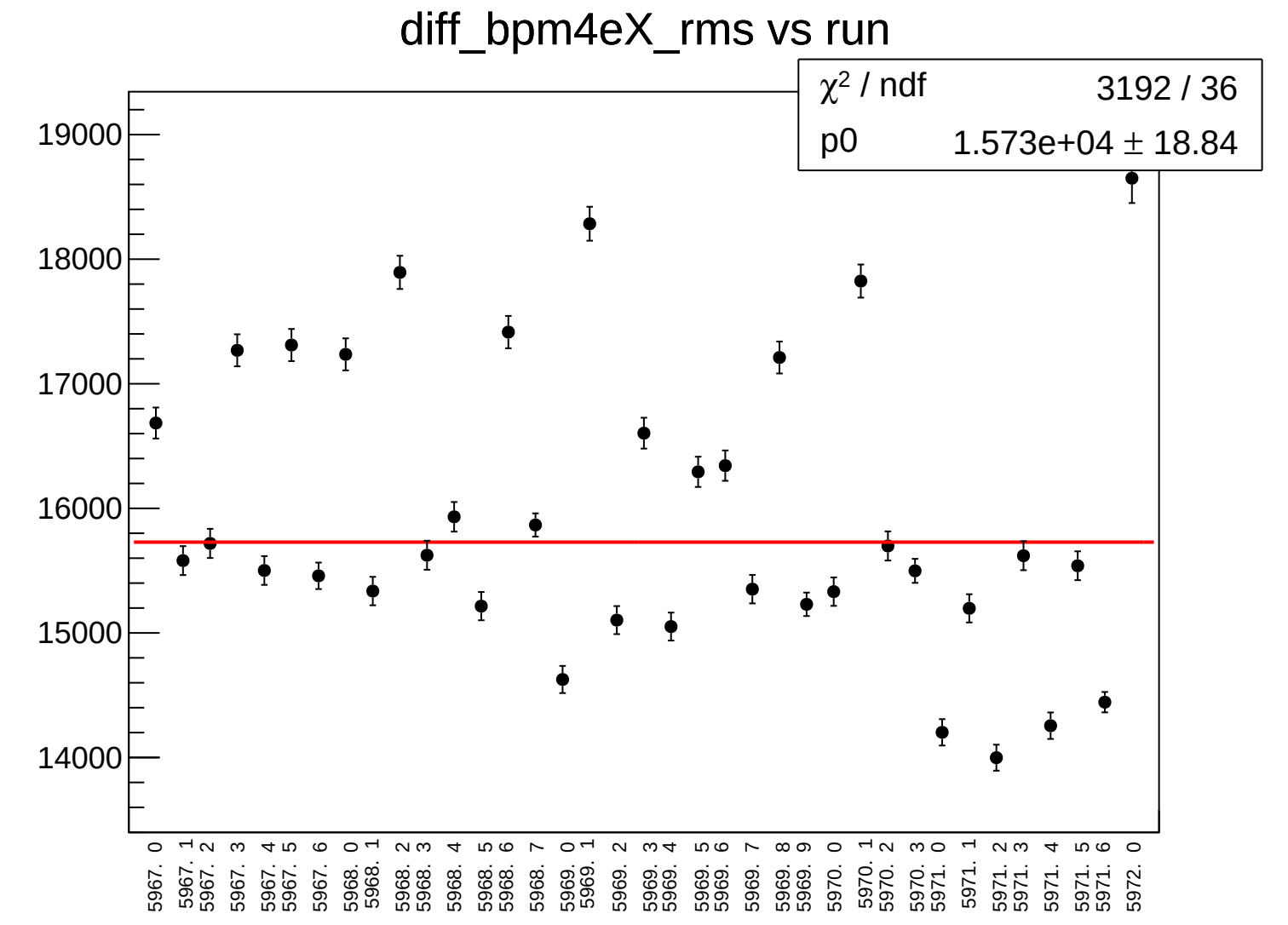
diff_bpm4eX_rms vs run
χ² / ndf 3192 / 36
p0 1.573e+04 ± 18.84
19000
18000
17000
16000
15000
14000
5967. 0
5967. 1
5967. 2
5967. 3
5967. 4
5967. 5
5967. 6
5968. 0
5968. 1
5968. 2
5968. 3
5968. 4
5968. 5
5968. 6
5968. 7
5969. 0
5969. 1
5969. 2
5969. 3
5969. 4
5969. 5
5969. 6
5969. 7
5969. 8
5969. 9
5970. 0
5970. 1
5970. 2
5970. 3
5971. 0
5971. 1
5971. 2
5971. 3
5971. 4
5971. 5
5971. 6
5972. 0

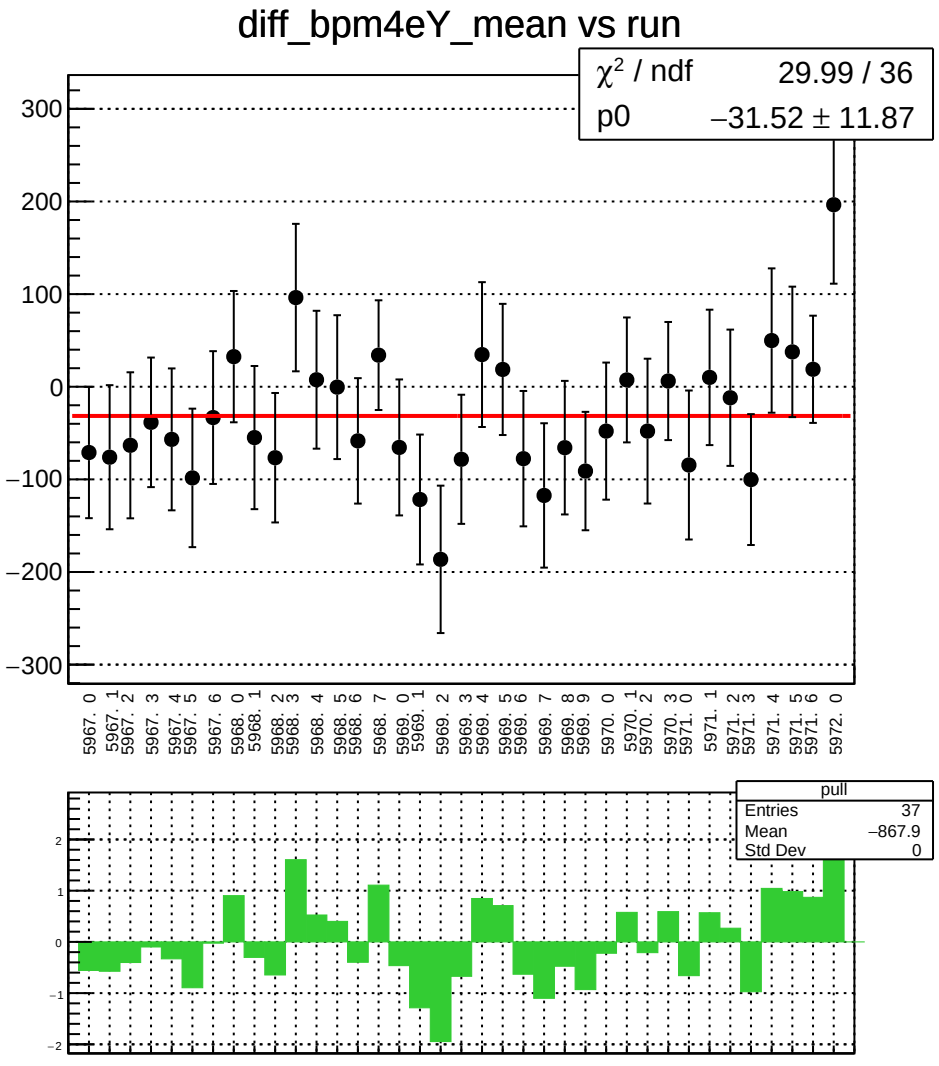
diff_bpm4eY_mean vs run
χ² / ndf 29.99 / 36
p0 −31.52 ± 11.87
300
200
100
0
−100
−200
−300
5967. 0
5967. 1
5967. 2
5967. 3
5967. 4
5967. 5
5967. 6
5968. 0
5968. 1
5968. 2
5968. 3
5968. 4
5968. 5
5968. 6
5968. 7
5969. 0
5969. 1
5969. 2
5969. 3
5969. 4
5969. 5
5969. 6
5969. 7
5969. 8
5969. 9
5970. 0
5970. 1
5970. 2
5970. 3
5971. 0
5971. 1
5971. 2
5971. 3
5971. 4
5971. 5
5971. 6
5972. 0
pull
Entries 37
Mean −867.9
Std Dev 0
2
1
0
−1
−2

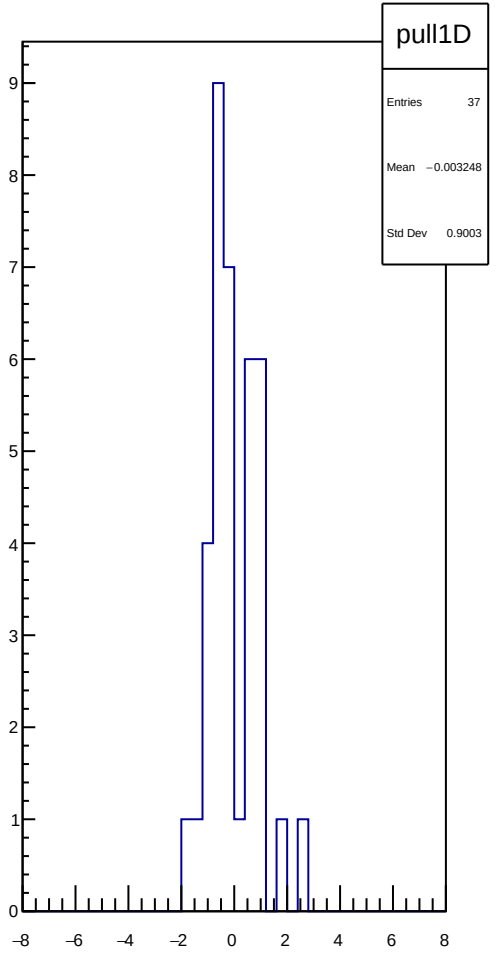
pull1D
Entries 37
Mean −0.003248
Std Dev 0.9003
9
8
7
6
5
4
3
2
1
0
−8
−6
−4
−2
0
2
4
6
8

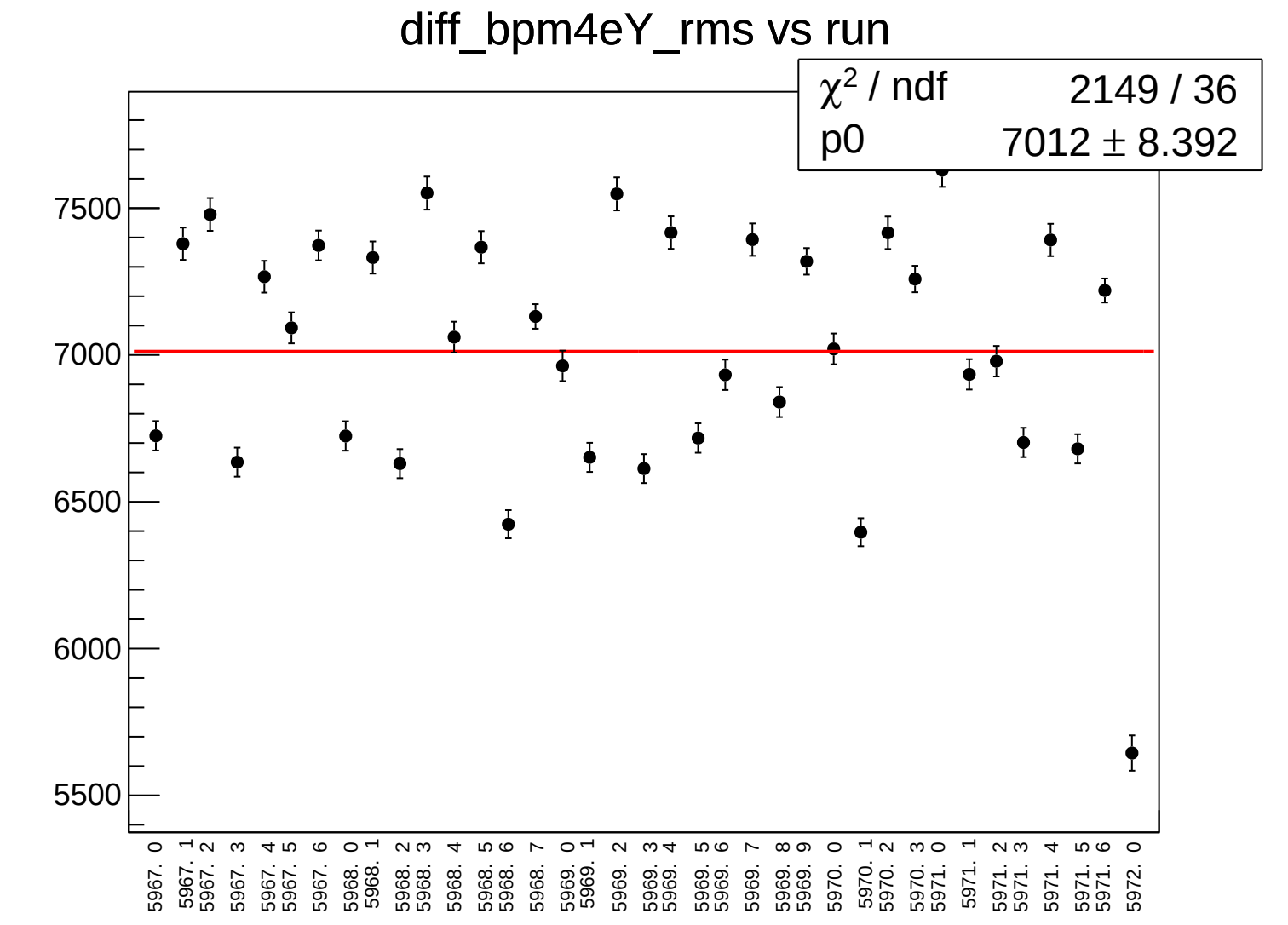
diff_bpm4eY_rms vs run
χ² / ndf 2149 / 36
p0 7012 ± 8.392
7500
7000
6500
6000
5500
5967. 0
5967. 1
5967. 2
5967. 3
5967. 4
5967. 5
5967. 6
5968. 0
5968. 1
5968. 2
5968. 3
5968. 4
5968. 5
5968. 6
5968. 7
5969. 0
5969. 1
5969. 2
5969. 3
5969. 4
5969. 5
5969. 6
5969. 7
5969. 8
5969. 9
5970. 0
5970. 1
5970. 2
5970. 3
5971. 0
5971. 1
5971. 2
5971. 3
5971. 4
5971. 5
5971. 6
5972. 0

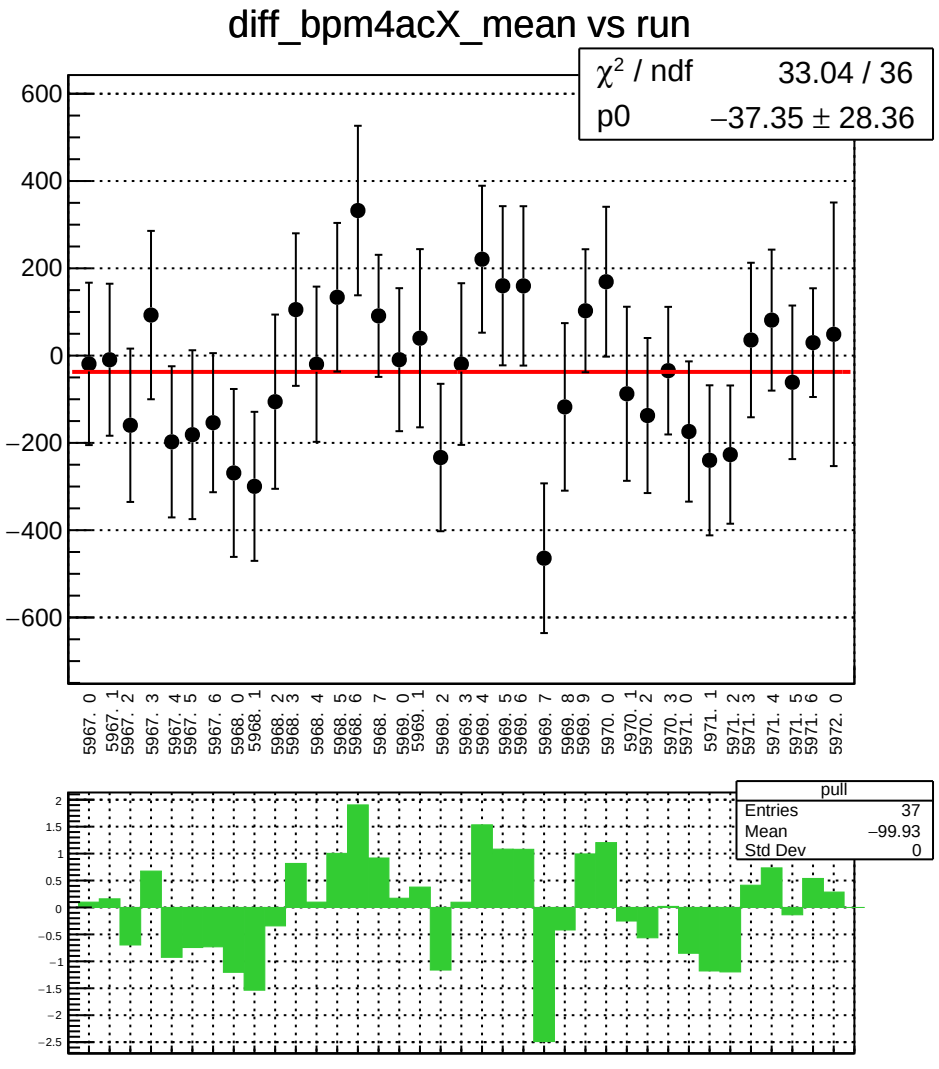
diff_bpm4acX_mean vs run
χ² / ndf 33.04 / 36
p0 −37.35 ± 28.36
600
400
200
0
−200
−400
−600
5967. 0
5967. 1
5967. 2
5967. 3
5967. 4
5967. 5
5967. 6
5968. 0
5968. 1
5968. 2
5968. 3
5968. 4
5968. 5
5968. 6
5968. 7
5969. 0
5969. 1
5969. 2
5969. 3
5969. 4
5969. 5
5969. 6
5969. 7
5969. 8
5969. 9
5970. 0
5970. 1
5970. 2
5970. 3
5971. 0
5971. 1
5971. 2
5971. 3
5971. 4
5971. 5
5971. 6
5972. 0
pull
Entries 37
Mean −99.93
Std Dev 0
2
1.5
1
0.5
0
−0.5
−1
−1.5
−2
−2.5

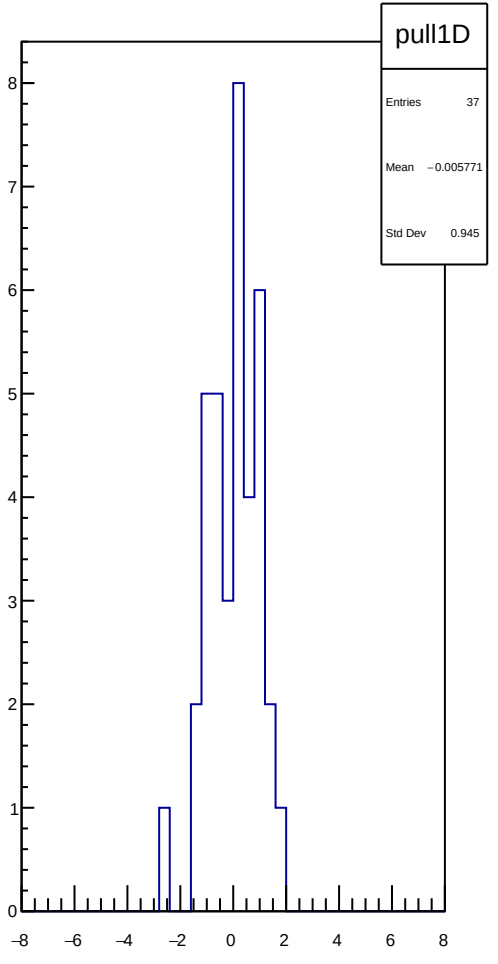
pull1D
Entries 37
Mean −0.005771
Std Dev 0.945
8
7
6
5
4
3
2
1
0
−8
−6
−4
−2
0
2
4
6
8

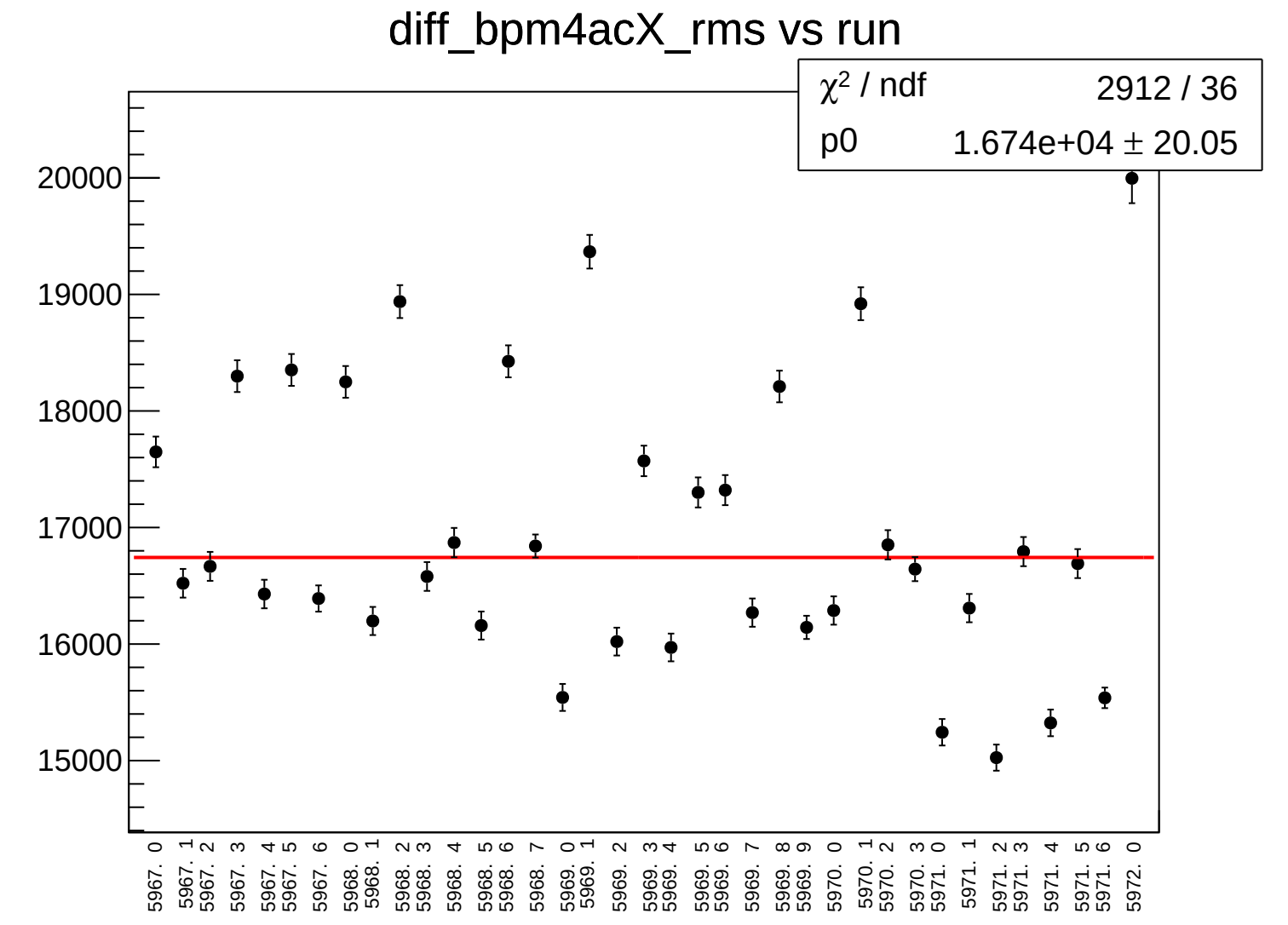
diff_bpm4acX_rms vs run
χ² / ndf 2912 / 36
p0 1.674e+04 ± 20.05
20000
19000
18000
17000
16000
15000
5967. 0
5967. 1
5967. 2
5967. 3
5967. 4
5967. 5
5967. 6
5968. 0
5968. 1
5968. 2
5968. 3
5968. 4
5968. 5
5968. 6
5968. 7
5969. 0
5969. 1
5969. 2
5969. 3
5969. 4
5969. 5
5969. 6
5969. 7
5969. 8
5969. 9
5970. 0
5970. 1
5970. 2
5970. 3
5971. 0
5971. 1
5971. 2
5971. 3
5971. 4
5971. 5
5971. 6
5972. 0

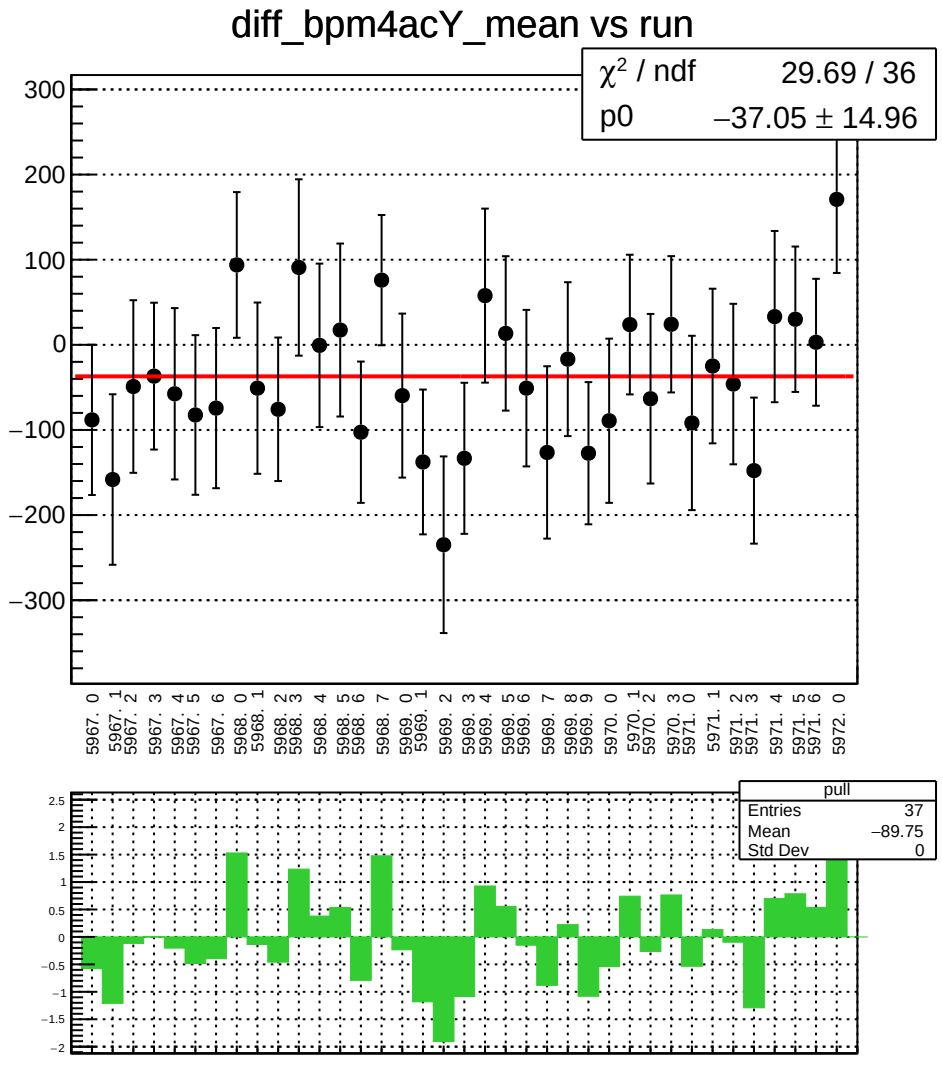
diff_bpm4acY_mean vs run
χ² / ndf 29.69 / 36
p0 −37.05 ± 14.96
300
200
100
0
−100
−200
−300
5967. 0
5967. 1
5967. 2
5967. 3
5967. 4
5967. 5
5967. 6
5968. 0
5968. 1
5968. 2
5968. 3
5968. 4
5968. 5
5968. 6
5968. 7
5969. 0
5969. 1
5969. 2
5969. 3
5969. 4
5969. 5
5969. 6
5969. 7
5969. 8
5969. 9
5970. 0
5970. 1
5970. 2
5970. 3
5971. 0
5971. 1
5971. 2
5971. 3
5971. 4
5971. 5
5971. 6
5972. 0
pull
Entries 37
Mean −89.75
Std Dev 0
2.5
2
1.5
1
0.5
0
−0.5
−1
−1.5
−2

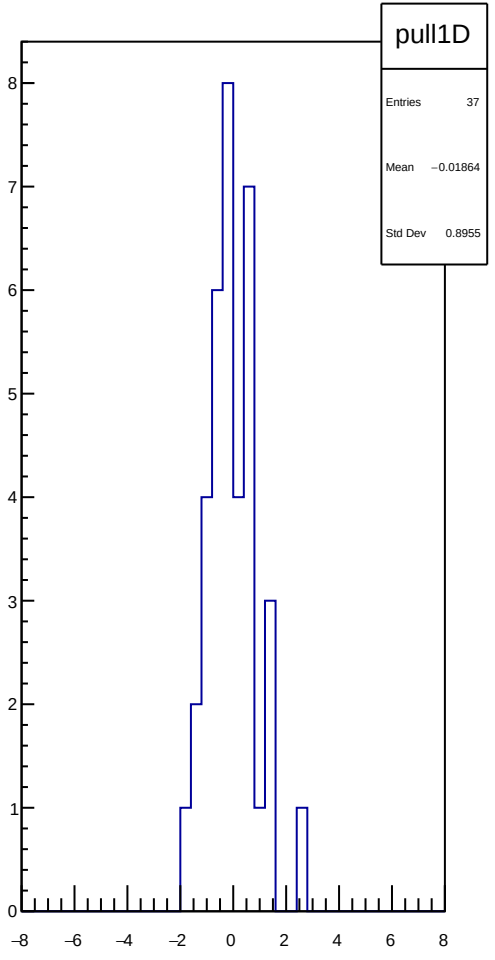
pull1D
Entries 37
Mean −0.01864
Std Dev 0.8955
8
7
6
5
4
3
2
1
0
−8
−6
−4
−2
0
2
4
6
8

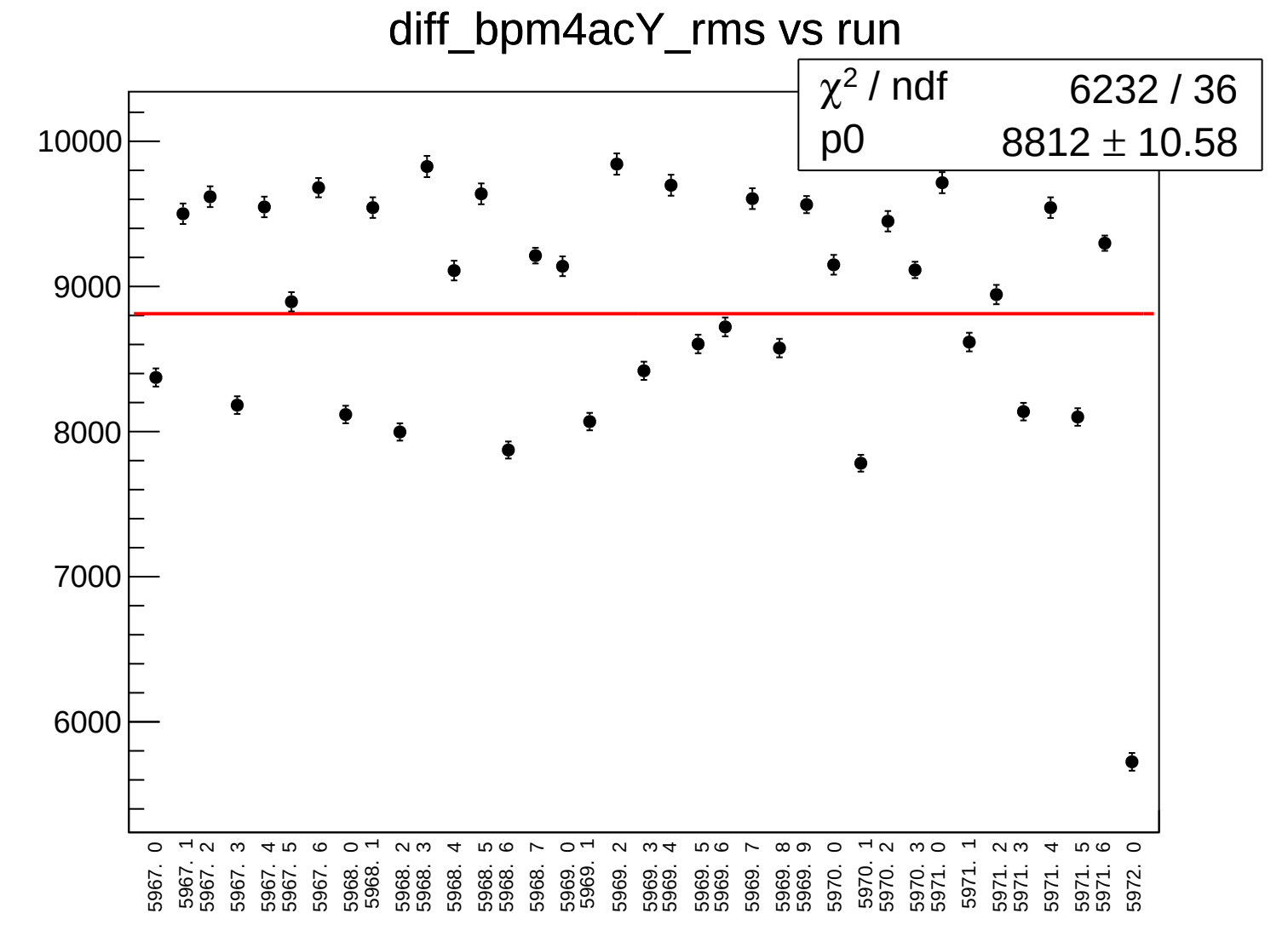
diff_bpm4acY_rms vs run
χ² / ndf 6232 / 36
p0 8812 ± 10.58
10000
9000
8000
7000
6000
5967. 0
5967. 1
5967. 2
5967. 3
5967. 4
5967. 5
5967. 6
5968. 0
5968. 1
5968. 2
5968. 3
5968. 4
5968. 5
5968. 6
5968. 7
5969. 0
5969. 1
5969. 2
5969. 3
5969. 4
5969. 5
5969. 6
5969. 7
5969. 8
5969. 9
5970. 0
5970. 1
5970. 2
5970. 3
5971. 0
5971. 1
5971. 2
5971. 3
5971. 4
5971. 5
5971. 6
5972. 0

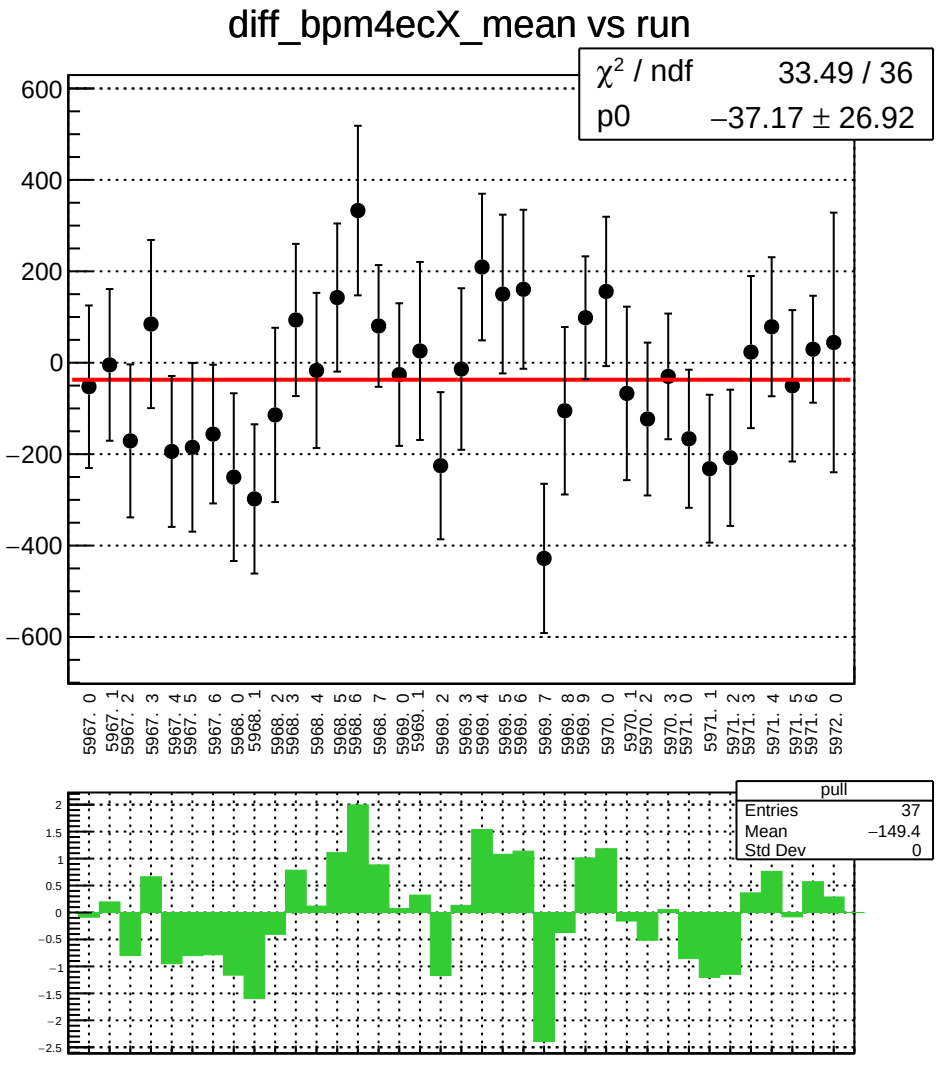
diff_bpm4ecX_mean vs run
χ² / ndf 33.49 / 36
p0 −37.17 ± 26.92
600
400
200
0
−200
−400
−600
5967. 0
5967. 1
5967. 2
5967. 3
5967. 4
5967. 5
5967. 6
5968. 0
5968. 1
5968. 2
5968. 3
5968. 4
5968. 5
5968. 6
5968. 7
5969. 0
5969. 1
5969. 2
5969. 3
5969. 4
5969. 5
5969. 6
5969. 7
5969. 8
5969. 9
5970. 0
5970. 1
5970. 2
5970. 3
5971. 0
5971. 1
5971. 2
5971. 3
5971. 4
5971. 5
5971. 6
5972. 0
pull
Entries 37
Mean −149.4
Std Dev 0
2
1.5
1
0.5
0
−0.5
−1
−1.5
−2
−2.5

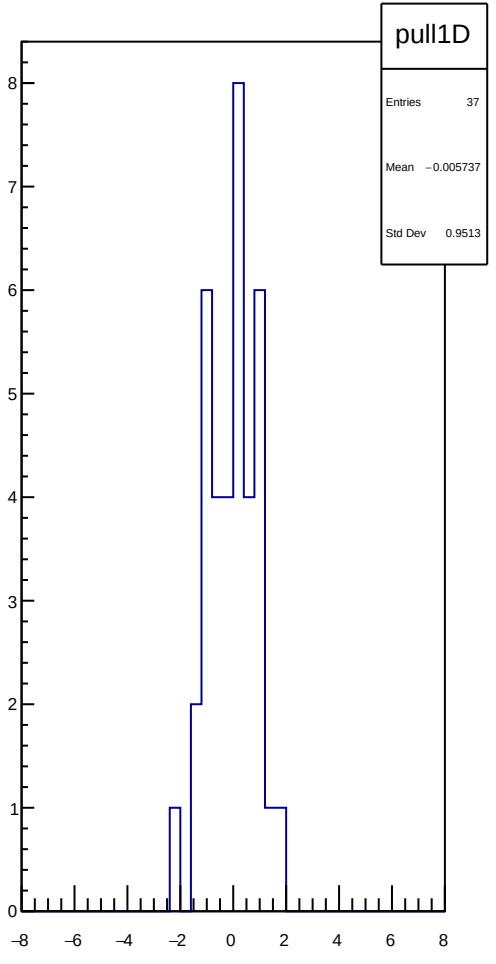
pull1D
Entries 37
Mean −0.005737
Std Dev 0.9513
8
7
6
5
4
3
2
1
0
−8
−6
−4
−2
0
2
4
6
8

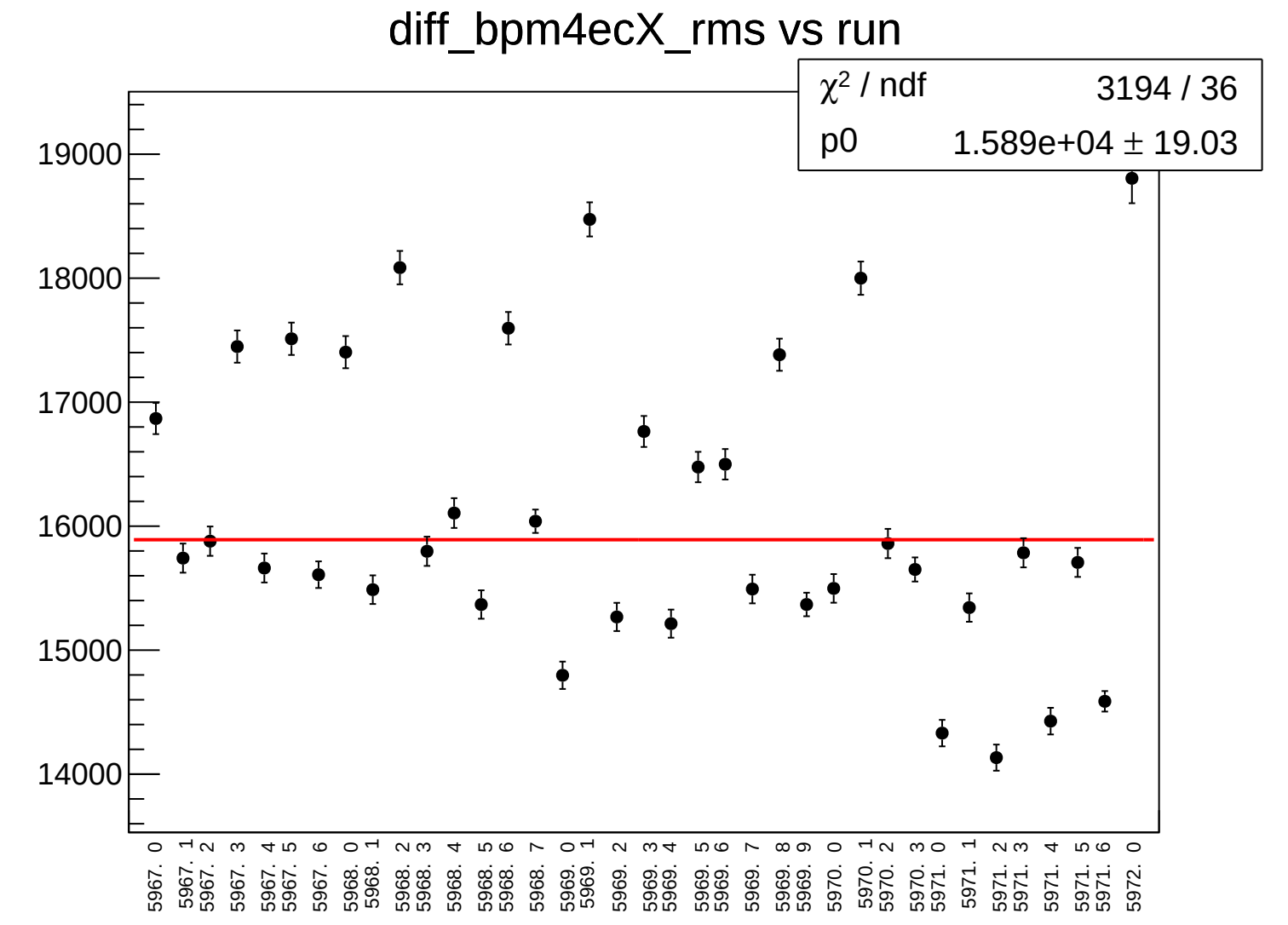
diff_bpm4ecX_rms vs run
χ² / ndf 3194 / 36
p0 1.589e+04 ± 19.03
19000
18000
17000
16000
15000
14000
5967. 0
5967. 1
5967. 2
5967. 3
5967. 4
5967. 5
5967. 6
5968. 0
5968. 1
5968. 2
5968. 3
5968. 4
5968. 5
5968. 6
5968. 7
5969. 0
5969. 1
5969. 2
5969. 3
5969. 4
5969. 5
5969. 6
5969. 7
5969. 8
5969. 9
5970. 0
5970. 1
5970. 2
5970. 3
5971. 0
5971. 1
5971. 2
5971. 3
5971. 4
5971. 5
5971. 6
5972. 0

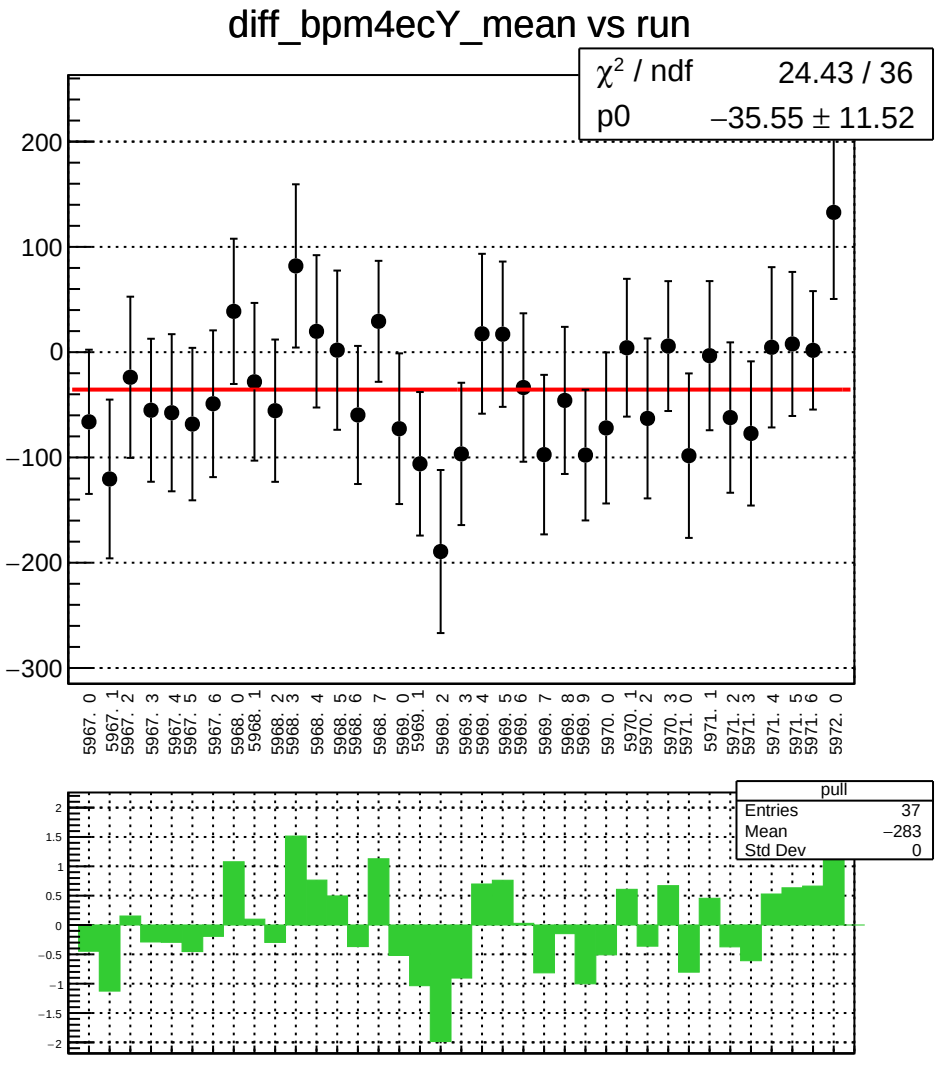
diff_bpm4ecY_mean vs run
χ² / ndf 24.43 / 36
p0 −35.55 ± 11.52
200
100
0
−100
−200
−300
5967. 0
5967. 1
5967. 2
5967. 3
5967. 4
5967. 5
5967. 6
5968. 0
5968. 1
5968. 2
5968. 3
5968. 4
5968. 5
5968. 6
5968. 7
5969. 0
5969. 1
5969. 2
5969. 3
5969. 4
5969. 5
5969. 6
5969. 7
5969. 8
5969. 9
5970. 0
5970. 1
5970. 2
5970. 3
5971. 0
5971. 1
5971. 2
5971. 3
5971. 4
5971. 5
5971. 6
5972. 0
pull
Entries 37
Mean −283
Std Dev 0
2
1.5
1
0.5
0
−0.5
−1
−1.5
−2

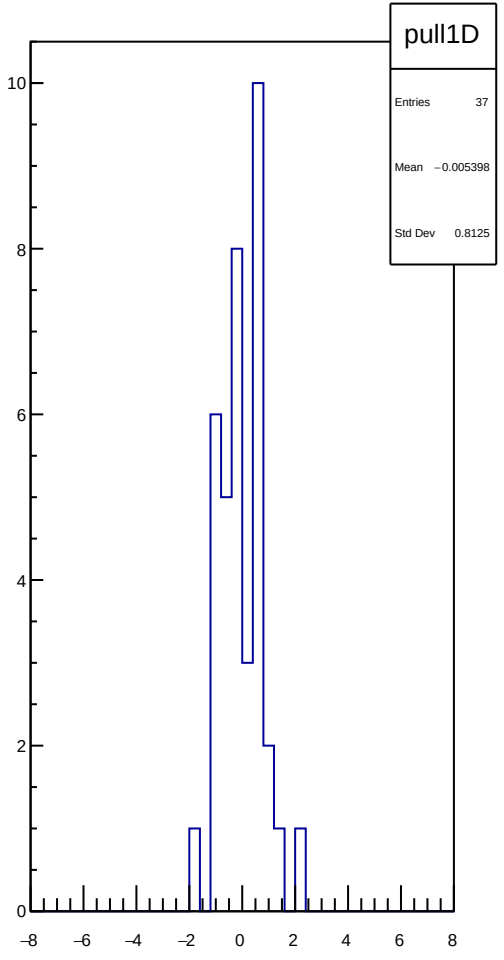
pull1D
Entries 37
Mean −0.005398
Std Dev 0.8125
10
8
6
4
2
0
−8
−6
−4
−2
0
2
4
6
8

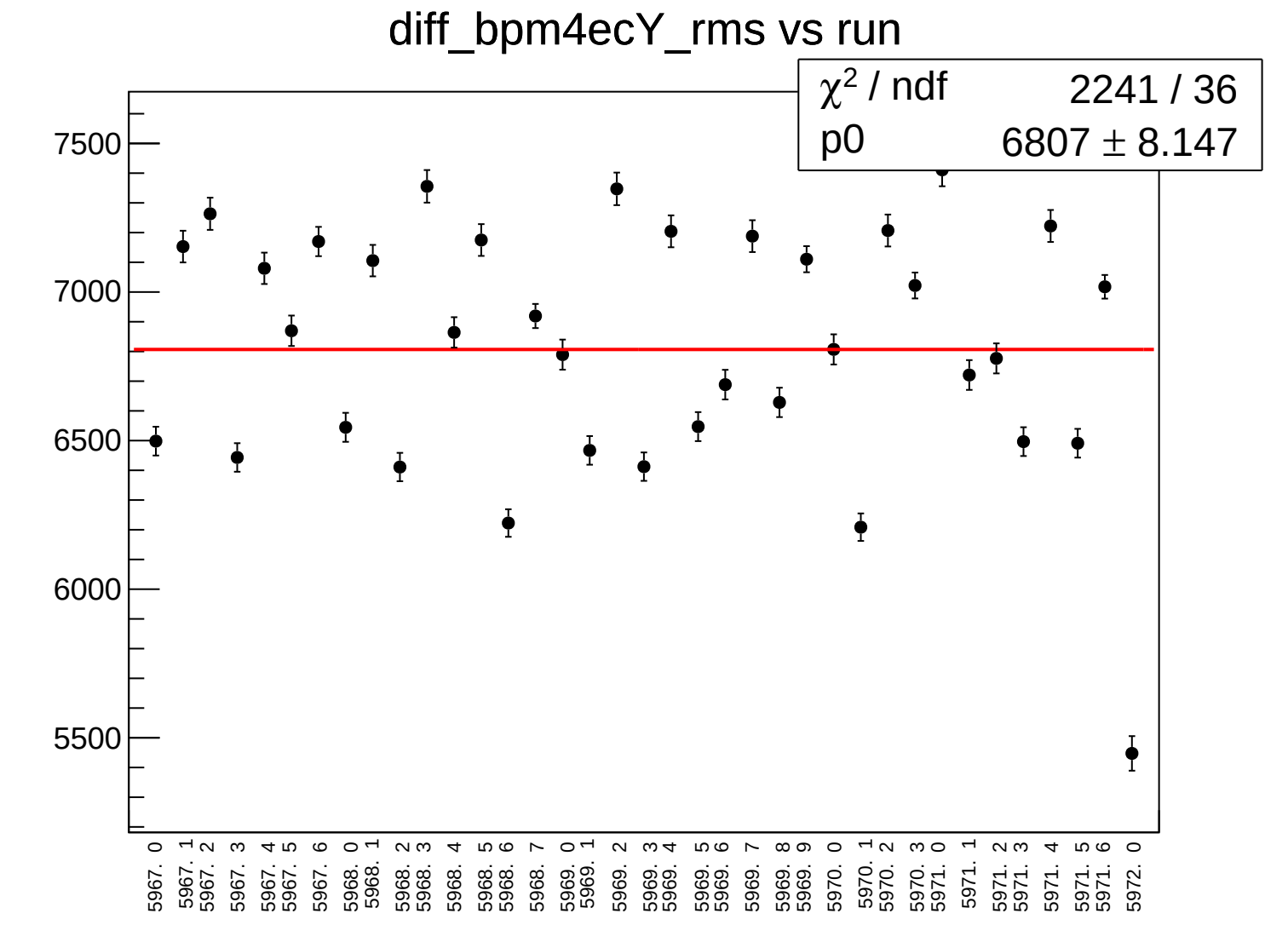
diff_bpm4ecY_rms vs run
χ² / ndf 2241 / 36
p0 6807 ± 8.147
7500
7000
6500
6000
5500
5967. 0
5967. 1
5967. 2
5967. 3
5967. 4
5967. 5
5967. 6
5968. 0
5968. 1
5968. 2
5968. 3
5968. 4
5968. 5
5968. 6
5968. 7
5969. 0
5969. 1
5969. 2
5969. 3
5969. 4
5969. 5
5969. 6
5969. 7
5969. 8
5969. 9
5970. 0
5970. 1
5970. 2
5970. 3
5971. 0
5971. 1
5971. 2
5971. 3
5971. 4
5971. 5
5971. 6
5972. 0

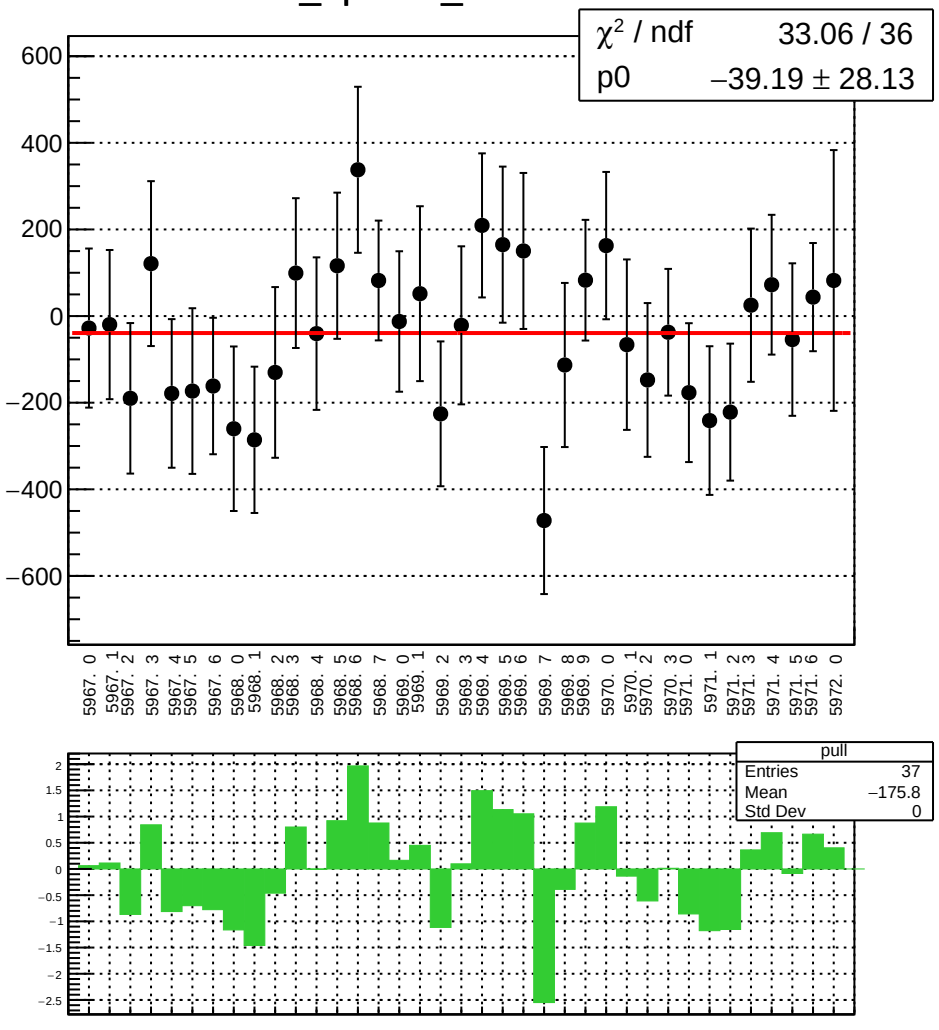
diff_bpm1X_mean vs run
χ² / ndf 33.06 / 36
p0 −39.19 ± 28.13
pull
Entries 37
Mean −175.8
Std Dev 0

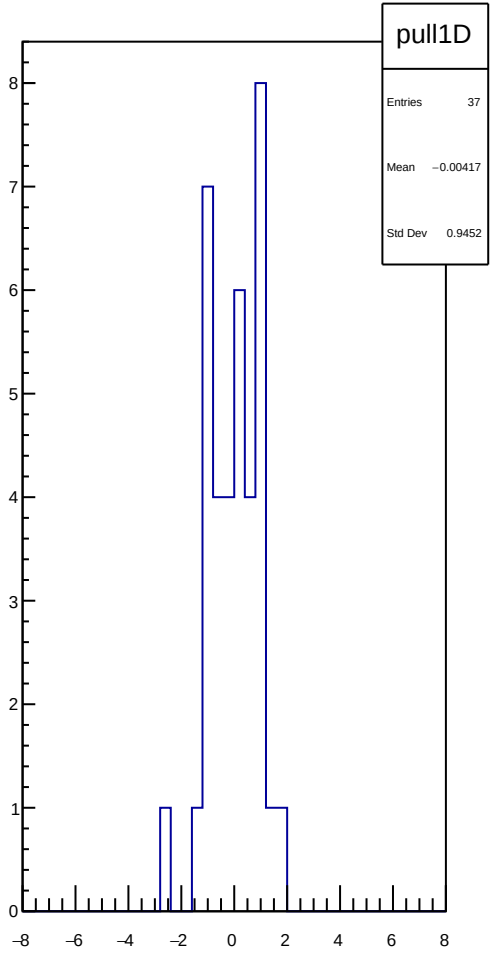
pull1D
Entries 37
Mean −0.00417
Std Dev 0.9452

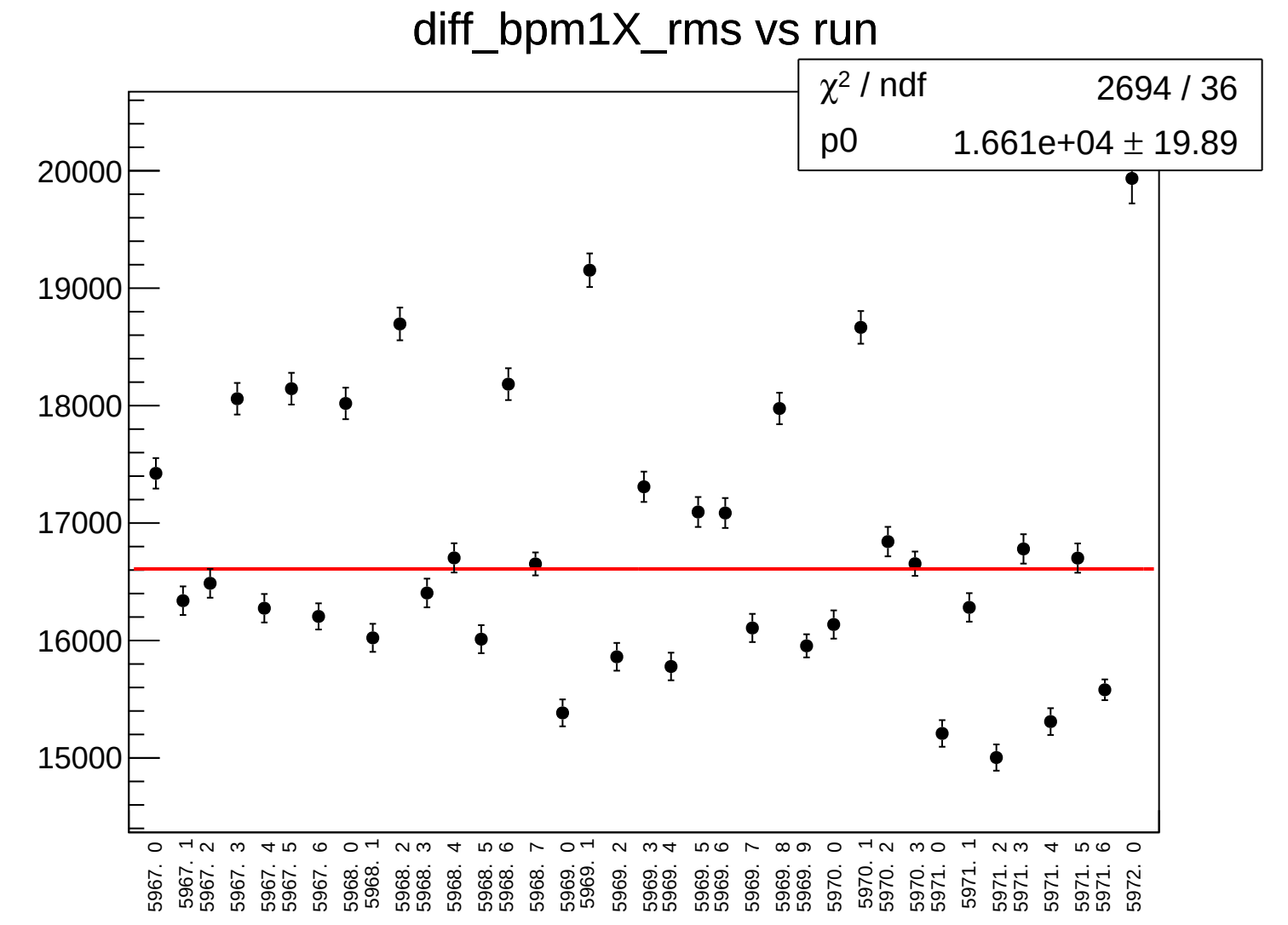
diff_bpm1X_rms vs run
χ² / ndf 2694 / 36
p0 1.661e+04 ± 19.89
20000
19000
18000
17000
16000
15000
5967. 0
5967. 1
5967. 2
5967. 3
5967. 4
5967. 5
5967. 6
5968. 0
5968. 1
5968. 2
5968. 3
5968. 4
5968. 5
5968. 6
5968. 7
5969. 0
5969. 1
5969. 2
5969. 3
5969. 4
5969. 5
5969. 6
5969. 7
5969. 8
5969. 9
5970. 0
5970. 1
5970. 2
5970. 3
5971. 0
5971. 1
5971. 2
5971. 3
5971. 4
5971. 5
5971. 6
5972. 0

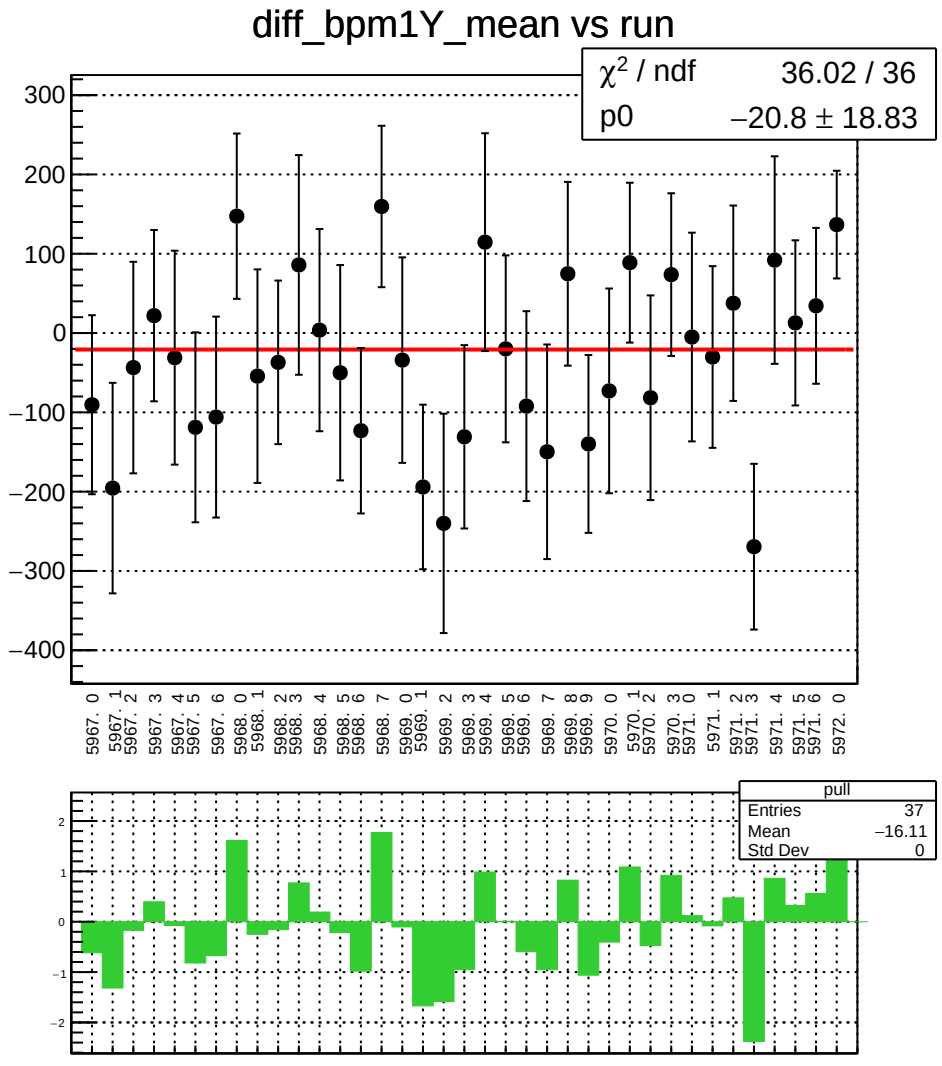
diff_bpm1Y_mean vs run
χ² / ndf 36.02 / 36
p0 −20.8 ± 18.83
300
200
100
0
−100
−200
−300
−400
5967. 0
5967. 1
5967. 2
5967. 3
5967. 4
5967. 5
5967. 6
5968. 0
5968. 1
5968. 2
5968. 3
5968. 4
5968. 5
5968. 6
5968. 7
5969. 0
5969. 1
5969. 2
5969. 3
5969. 4
5969. 5
5969. 6
5969. 7
5969. 8
5969. 9
5970. 0
5970. 1
5970. 2
5970. 3
5971. 0
5971. 1
5971. 2
5971. 3
5971. 4
5971. 5
5971. 6
5972. 0
pull
Entries 37
Mean −16.11
Std Dev 0
2
1
0
−1
−2

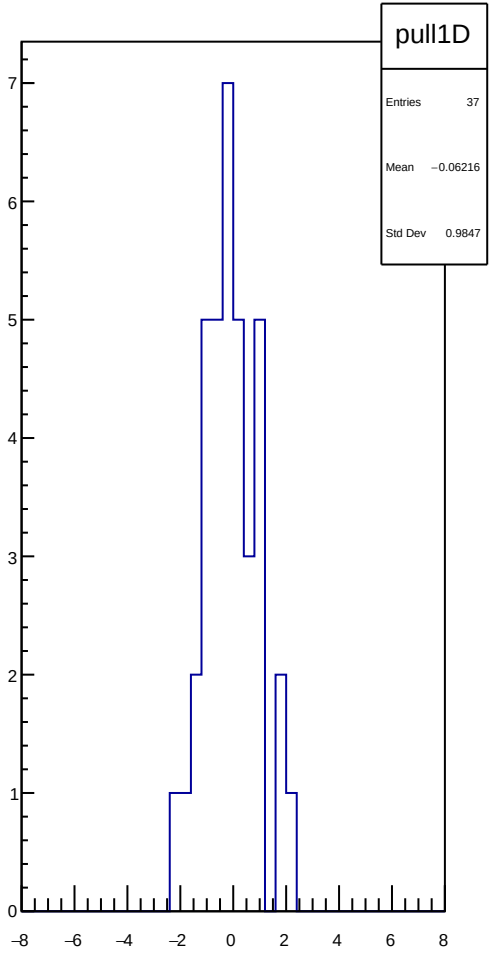
pull1D
Entries 37
Mean −0.06216
Std Dev 0.9847
7
6
5
4
3
2
1
0
−8
−6
−4
−2
0
2
4
6
8

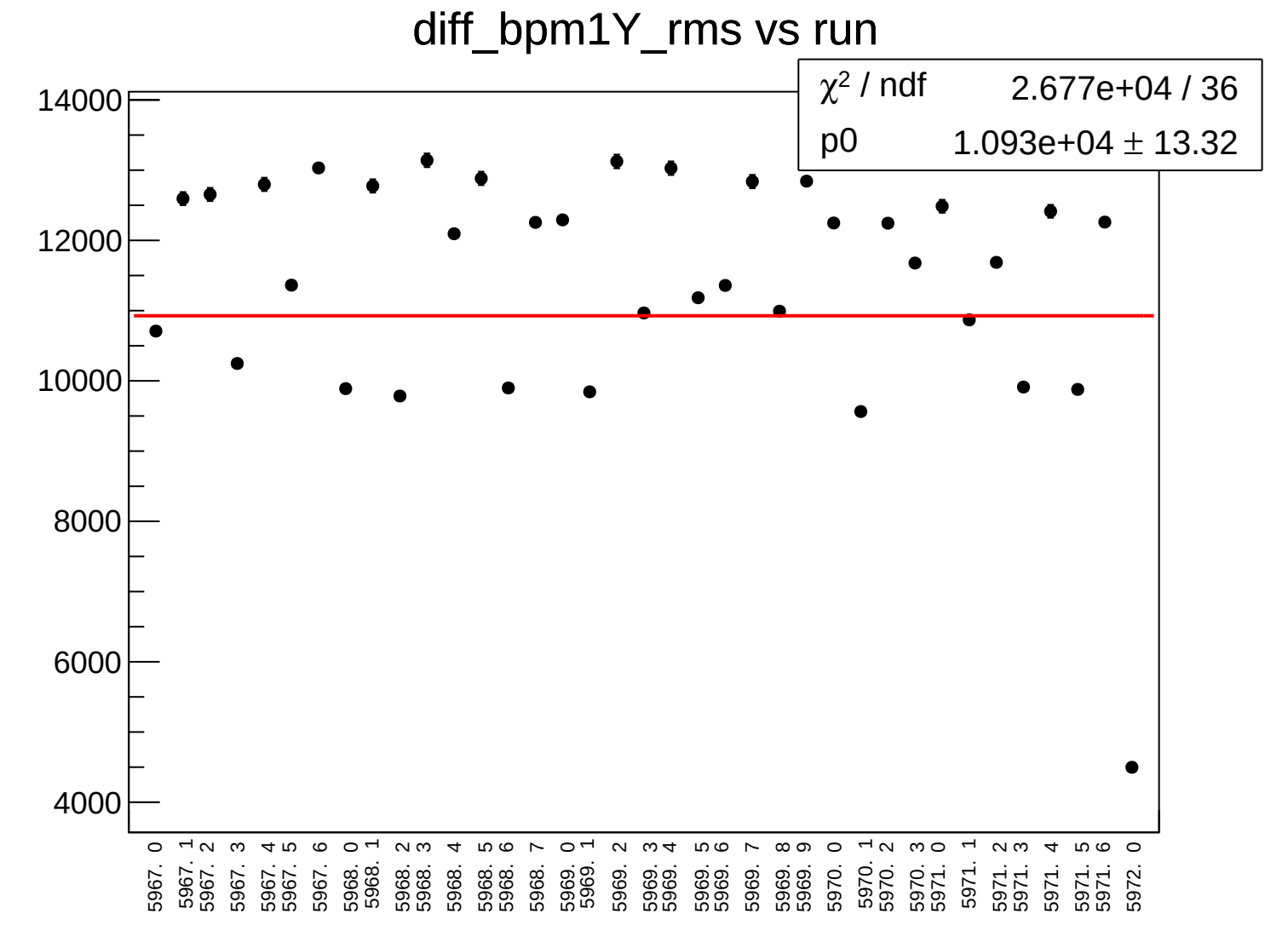
diff_bpm1Y_rms vs run
χ² / ndf 2.677e+04 / 36
p0 1.093e+04 ± 13.32
14000
12000
10000
8000
6000
4000
5967. 0
5967. 1
5967. 2
5967. 3
5967. 4
5967. 5
5967. 6
5968. 0
5968. 1
5968. 2
5968. 3
5968. 4
5968. 5
5968. 6
5968. 7
5969. 0
5969. 1
5969. 2
5969. 3
5969. 4
5969. 5
5969. 6
5969. 7
5969. 8
5969. 9
5970. 0
5970. 1
5970. 2
5970. 3
5971. 0
5971. 1
5971. 2
5971. 3
5971. 4
5971. 5
5971. 6
5972. 0

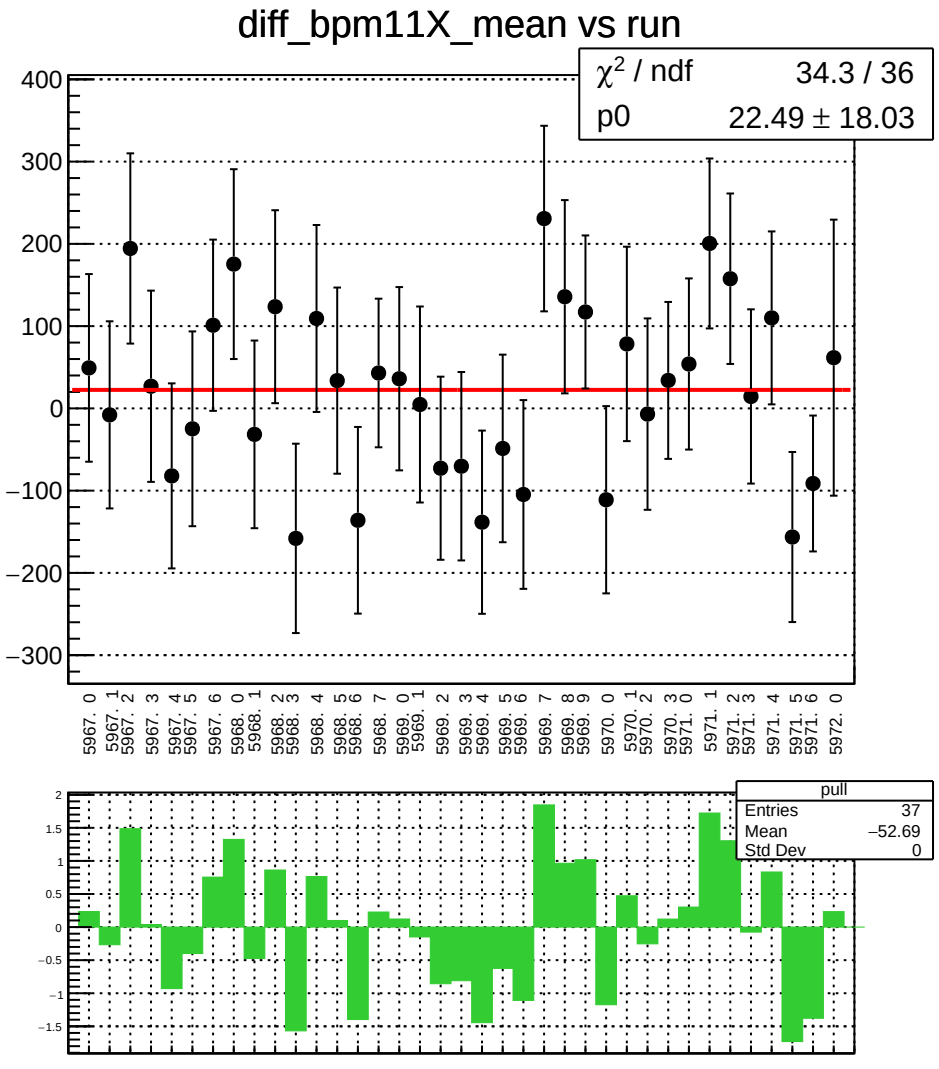
diff_bpm11X_mean vs run
χ² / ndf 34.3 / 36
p0 22.49 ± 18.03
pull
Entries 37
Mean −52.69
Std Dev 0

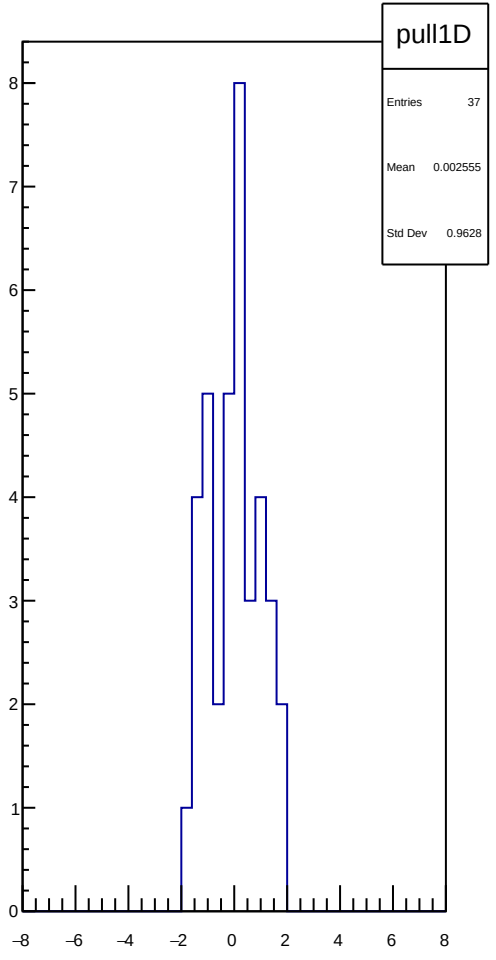
pull1D
Entries 37
Mean 0.002555
Std Dev 0.9628

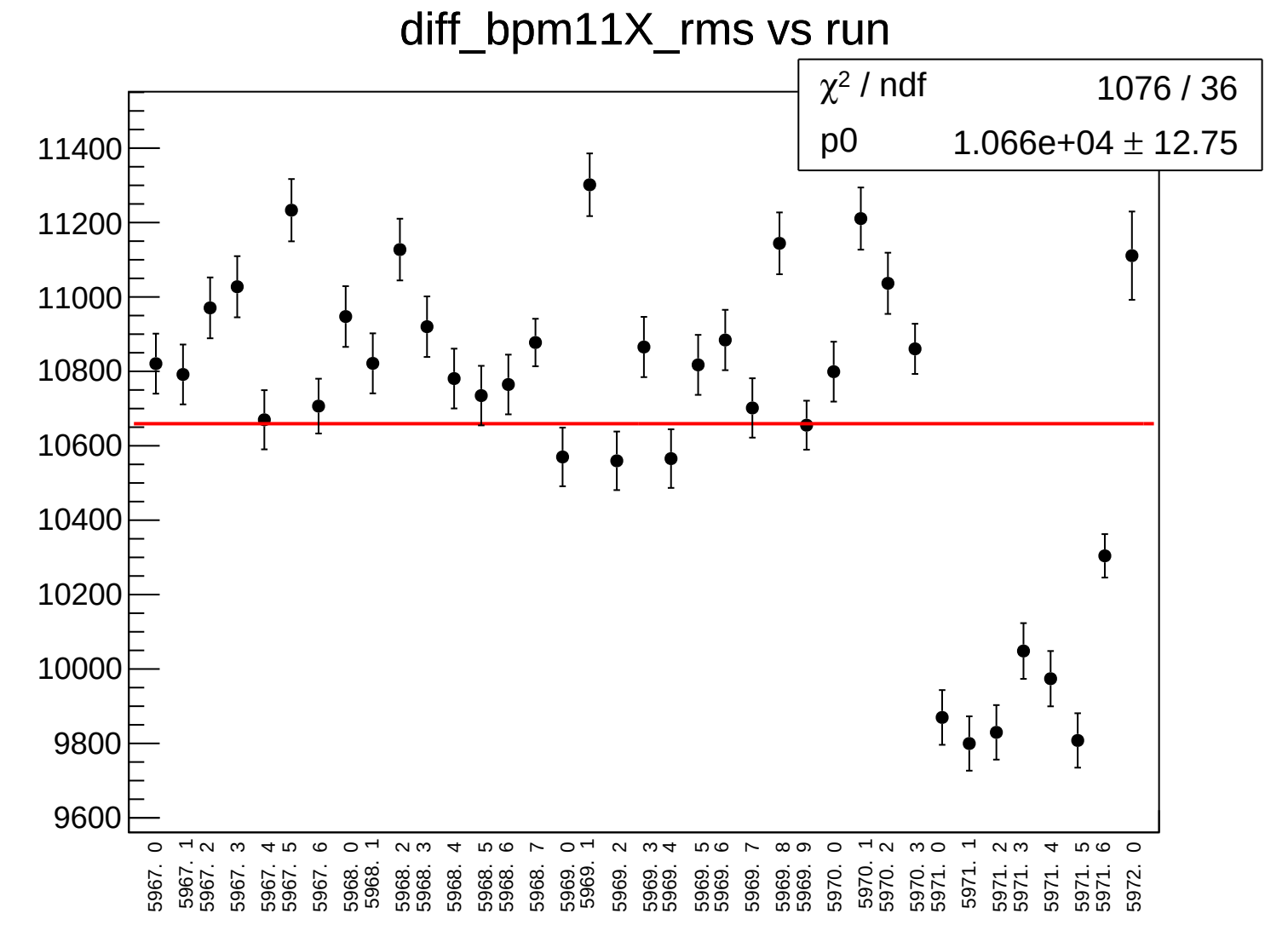
diff_bpm11X_rms vs run
χ² / ndf 1076 / 36
p0 1.066e+04 ± 12.75
11400
11200
11000
10800
10600
10400
10200
10000
9800
9600
5967. 0
5967. 1
5967. 2
5967. 3
5967. 4
5967. 5
5967. 6
5968. 0
5968. 1
5968. 2
5968. 3
5968. 4
5968. 5
5968. 6
5968. 7
5969. 0
5969. 1
5969. 2
5969. 3
5969. 4
5969. 5
5969. 6
5969. 7
5969. 8
5969. 9
5970. 0
5970. 1
5970. 2
5970. 3
5971. 0
5971. 1
5971. 2
5971. 3
5971. 4
5971. 5
5971. 6
5972. 0

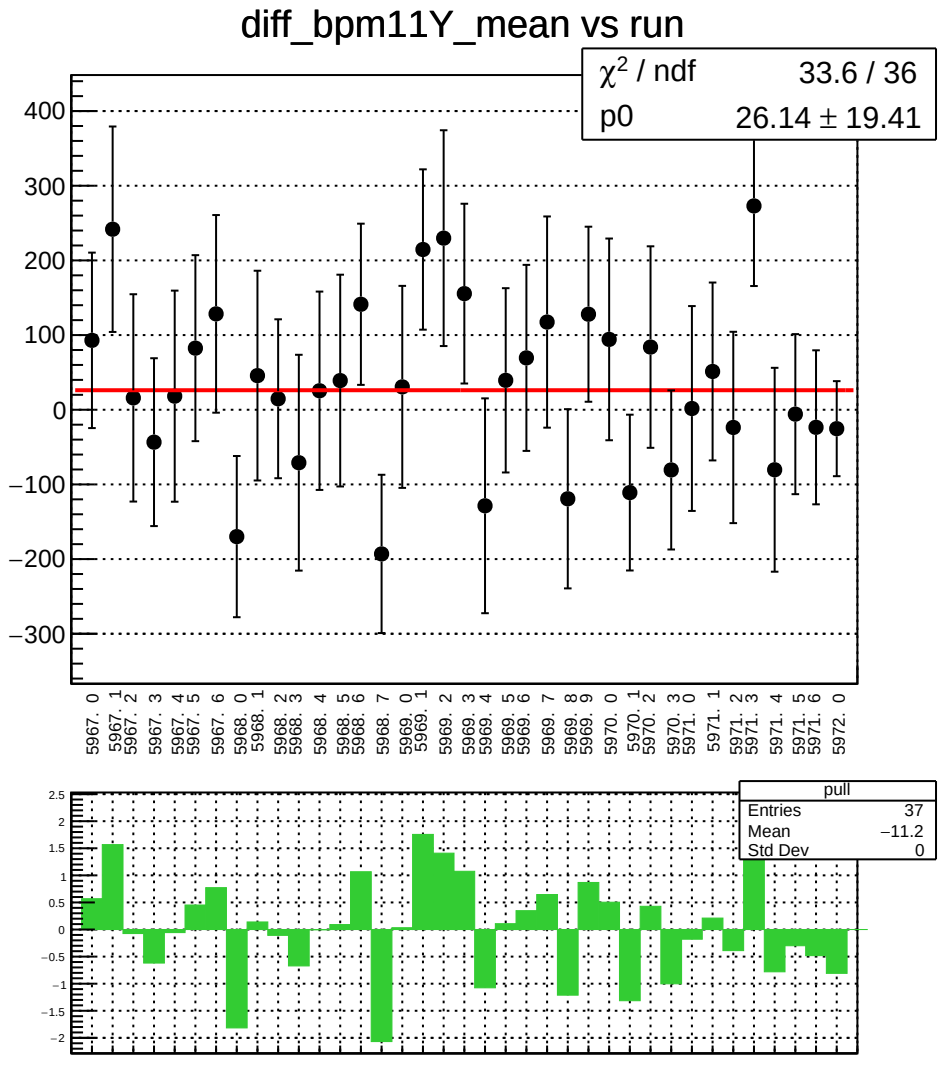
diff_bpm11Y_mean vs run
χ^2 / ndf 33.6 / 36
p0 26.14 ± 19.41
pull
Entries 37
Mean −11.2
Std Dev 0

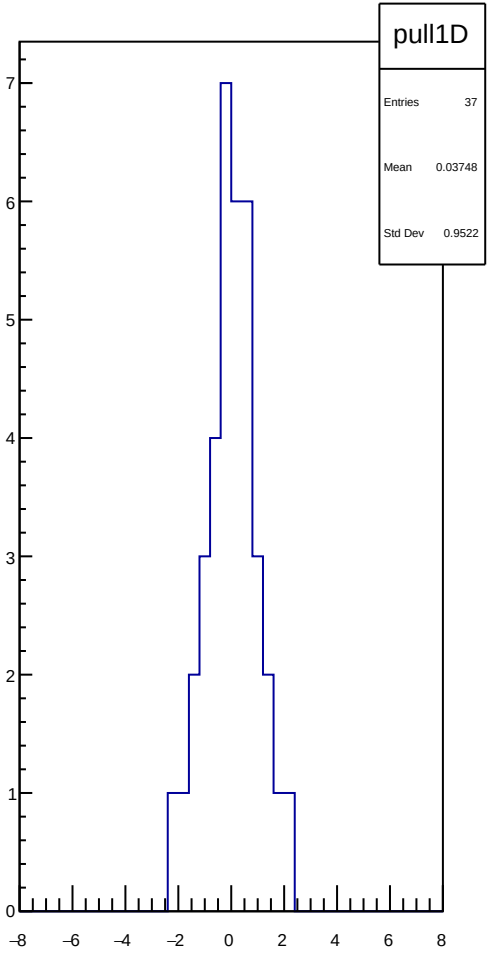
pull1D
Entries 37
Mean 0.03748
Std Dev 0.9522

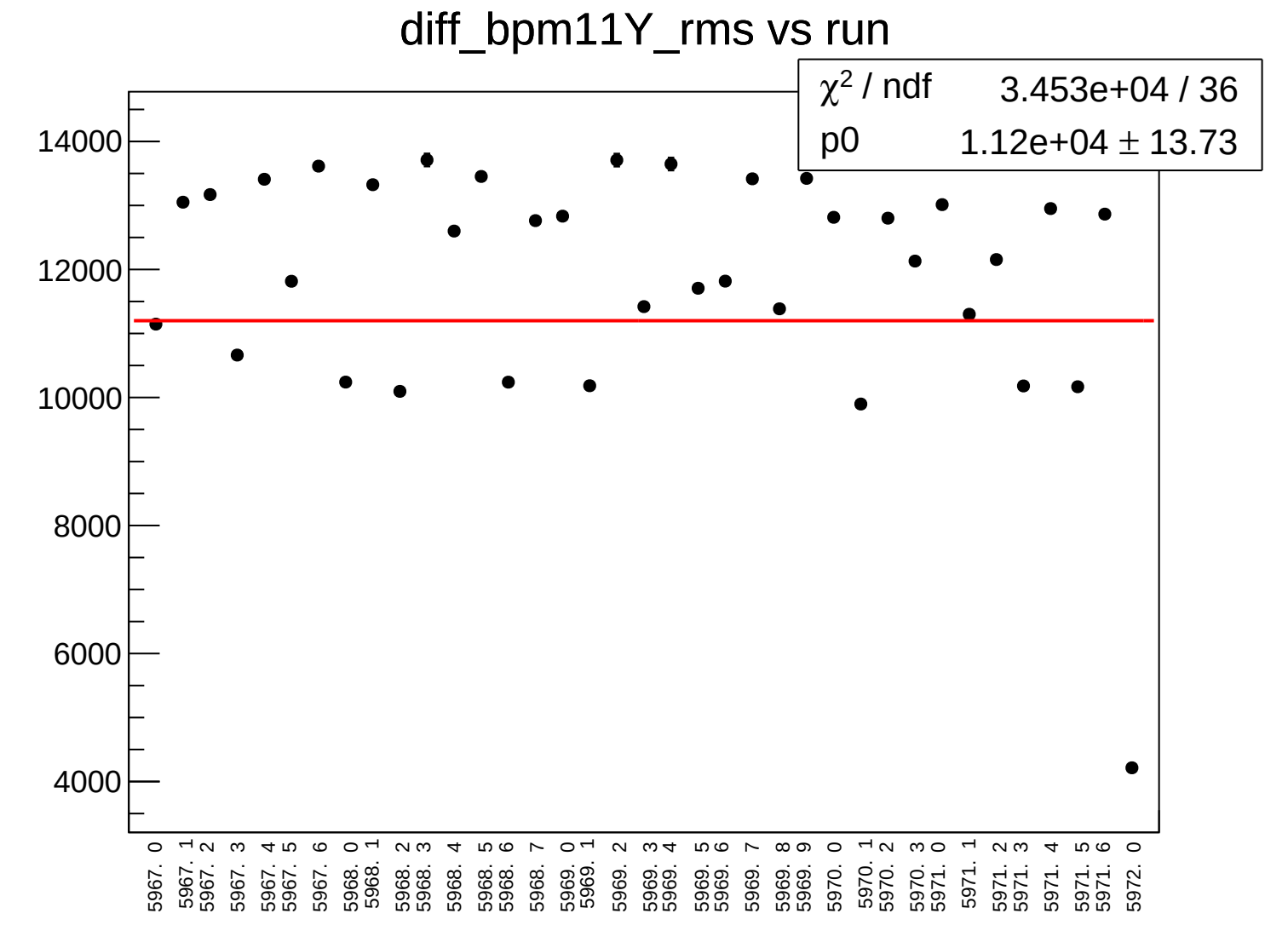
diff_bpm11Y_rms vs run
χ² / ndf 3.453e+04 / 36
p0 1.12e+04 ± 13.73
14000
12000
10000
8000
6000
4000
5967. 0
5967. 1
5967. 2
5967. 3
5967. 4
5967. 5
5967. 6
5968. 0
5968. 1
5968. 2
5968. 3
5968. 4
5968. 5
5968. 6
5968. 7
5969. 0
5969. 1
5969. 2
5969. 3
5969. 4
5969. 5
5969. 6
5969. 7
5969. 8
5969. 9
5970. 0
5970. 1
5970. 2
5970. 3
5971. 0
5971. 1
5971. 2
5971. 3
5971. 4
5971. 5
5971. 6
5972. 0

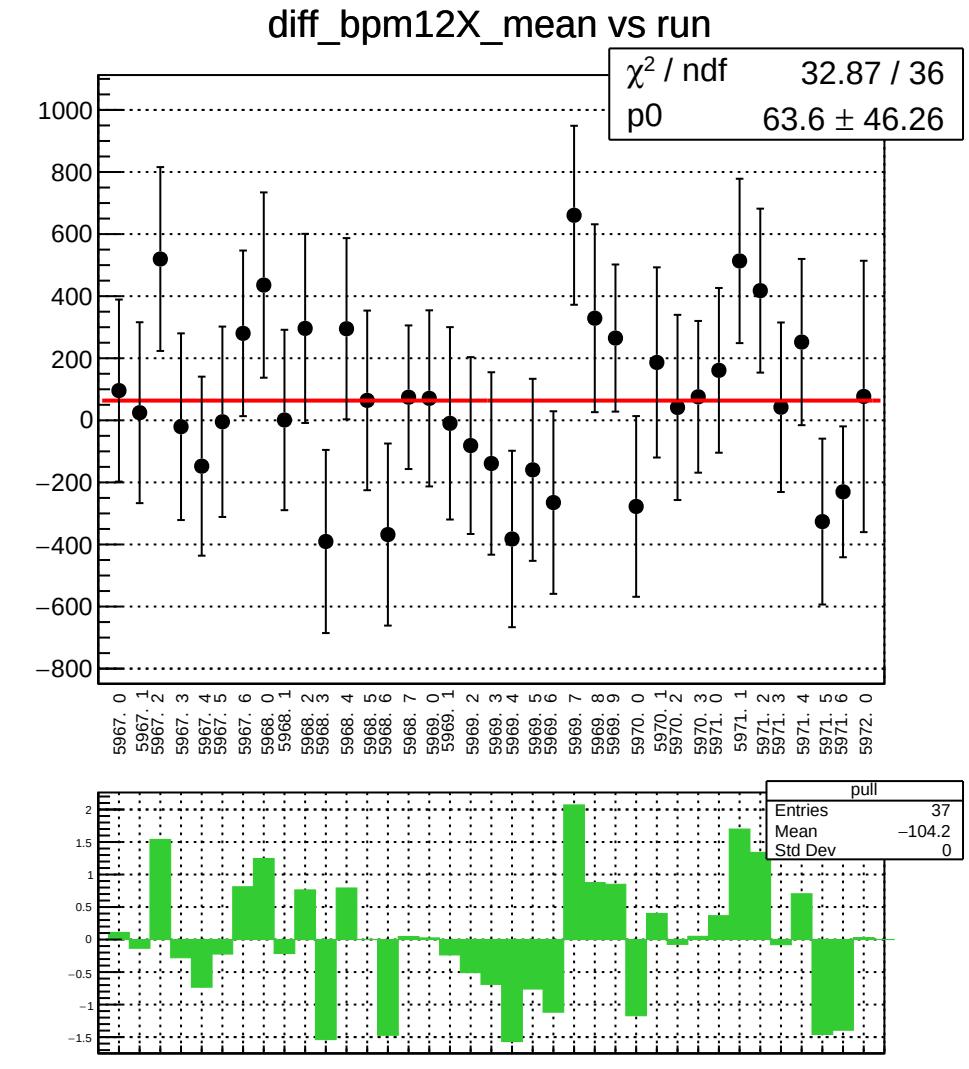
diff_bpm12X_mean vs run
χ² / ndf 32.87 / 36
p0 63.6 ± 46.26
1000
800
600
400
200
0
−200
−400
−600
−800
5967. 0
5967. 1
5967. 2
5967. 3
5967. 4
5967. 5
5967. 6
5968. 0
5968. 1
5968. 2
5968. 3
5968. 4
5968. 5
5968. 6
5968. 7
5969. 0
5969. 1
5969. 2
5969. 3
5969. 4
5969. 5
5969. 6
5969. 7
5969. 8
5969. 9
5970. 0
5970. 1
5970. 2
5970. 3
5971. 0
5971. 1
5971. 2
5971. 3
5971. 4
5971. 5
5971. 6
5972. 0
pull
Entries 37
Mean −104.2
Std Dev 0
2
1.5
1
0.5
0
−0.5
−1
−1.5

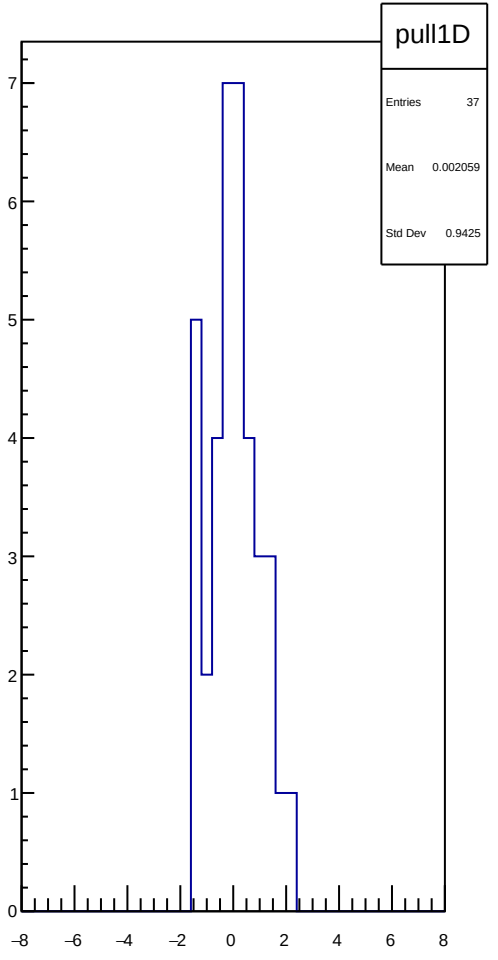
pull1D
Entries 37
Mean 0.002059
Std Dev 0.9425
7
6
5
4
3
2
1
0
−8
−6
−4
−2
0
2
4
6
8

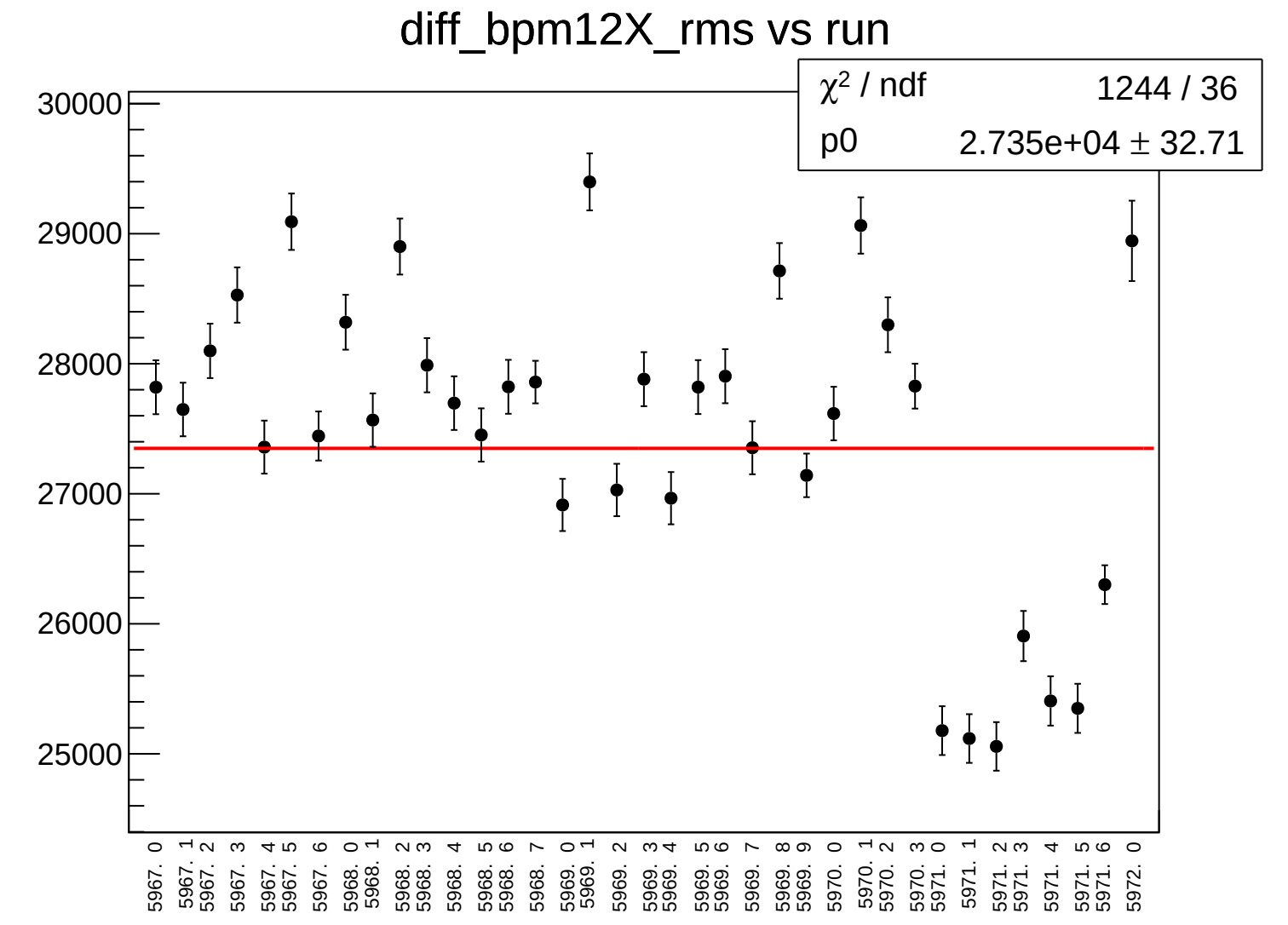
diff_bpm12X_rms vs run
χ² / ndf 1244 / 36
p0 2.735e+04 ± 32.71
30000
29000
28000
27000
26000
25000
5967. 0
5967. 1
5967. 2
5967. 3
5967. 4
5967. 5
5967. 6
5968. 0
5968. 1
5968. 2
5968. 3
5968. 4
5968. 5
5968. 6
5968. 7
5969. 0
5969. 1
5969. 2
5969. 3
5969. 4
5969. 5
5969. 6
5969. 7
5969. 8
5969. 9
5970. 0
5970. 1
5970. 2
5970. 3
5971. 0
5971. 1
5971. 2
5971. 3
5971. 4
5971. 5
5971. 6
5972. 0

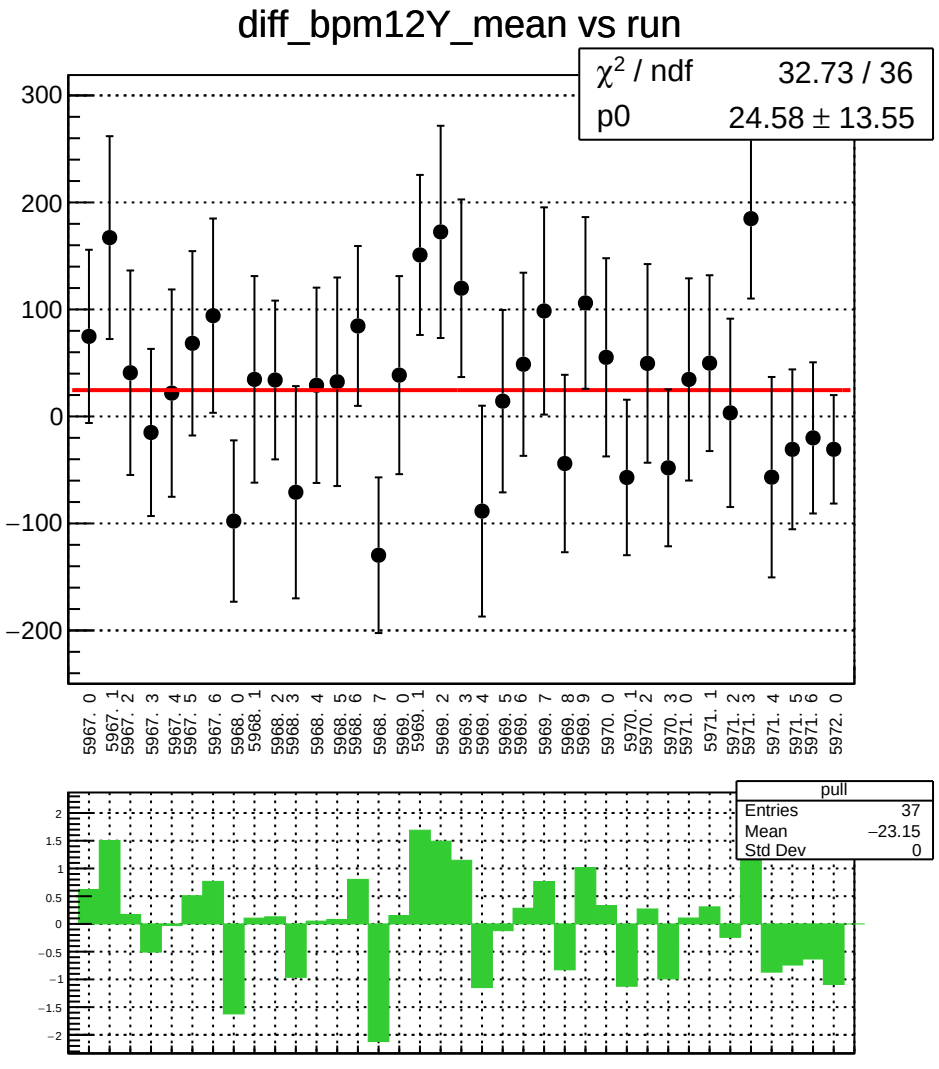
diff_bpm12Y_mean vs run
χ² / ndf 32.73 / 36
p0 24.58 ± 13.55
300
200
100
0
−100
−200
5967. 0
5967. 1
5967. 2
5967. 3
5967. 4
5967. 5
5967. 6
5968. 0
5968. 1
5968. 2
5968. 3
5968. 4
5968. 5
5968. 6
5968. 7
5969. 0
5969. 1
5969. 2
5969. 3
5969. 4
5969. 5
5969. 6
5969. 7
5969. 8
5969. 9
5970. 0
5970. 1
5970. 2
5970. 3
5971. 0
5971. 1
5971. 2
5971. 3
5971. 4
5971. 5
5971. 6
5972. 0
pull
Entries 37
Mean −23.15
Std Dev 0
2
1.5
1
0.5
0
−0.5
−1
−1.5
−2

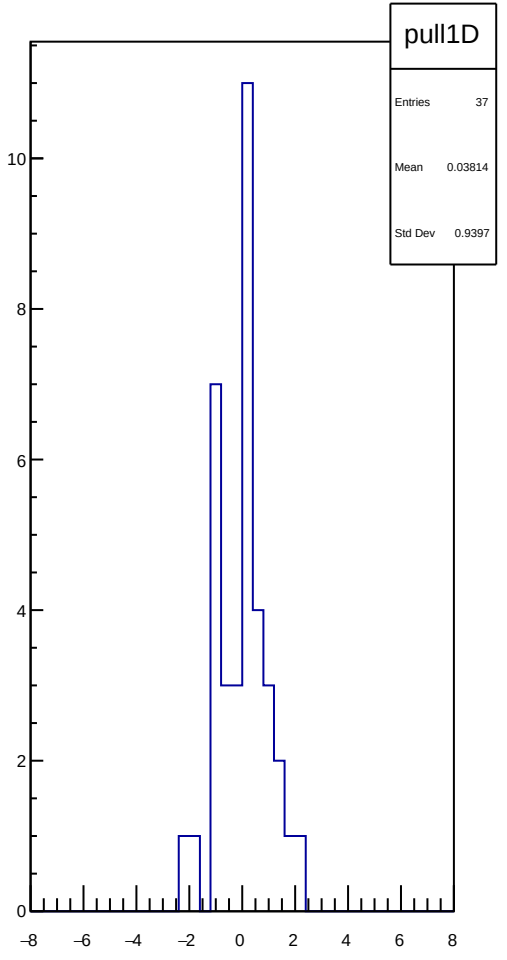
pull1D
Entries 37
Mean 0.03814
Std Dev 0.9397
10
8
6
4
2
0
−8
−6
−4
−2
0
2
4
6
8

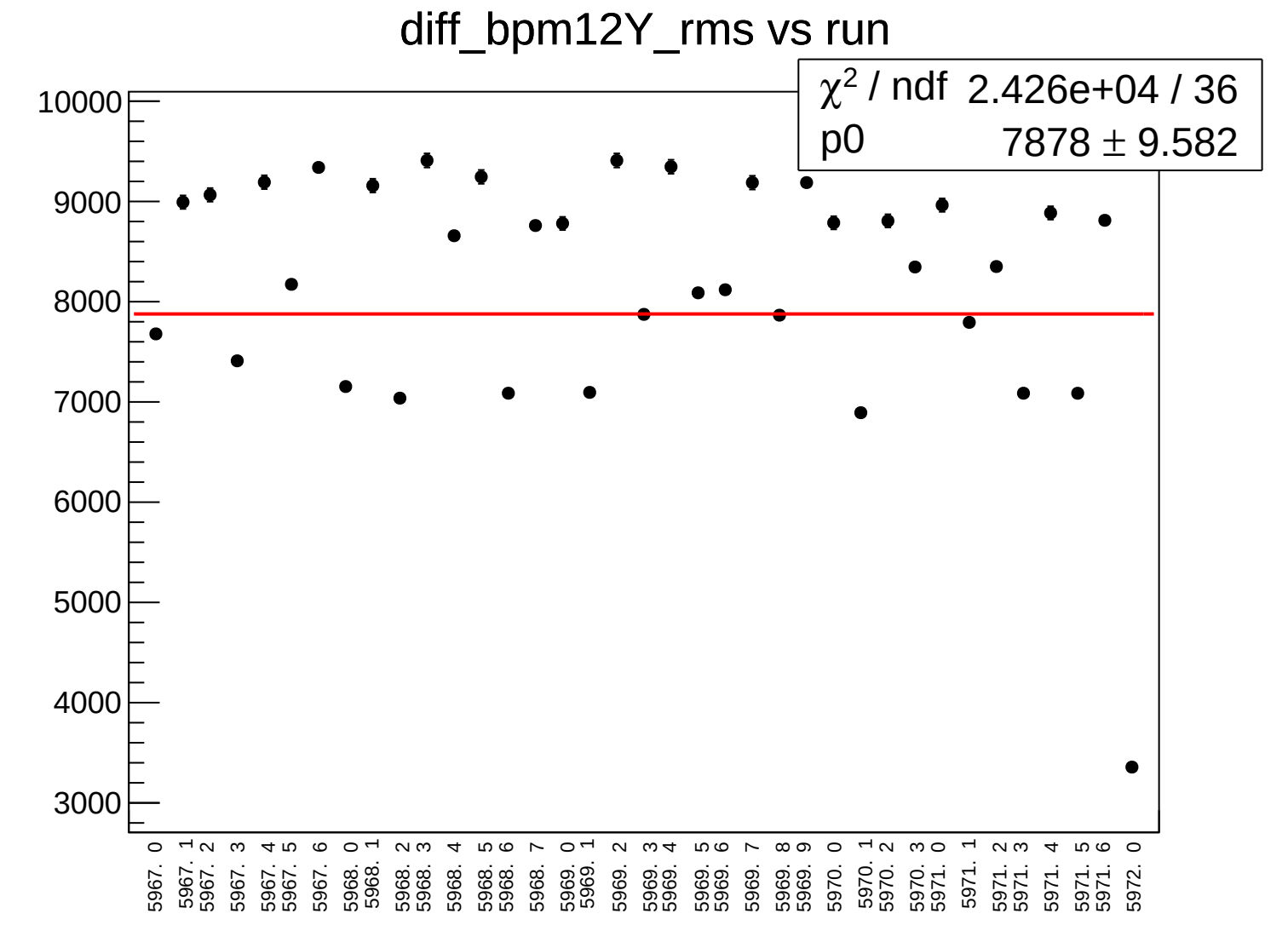
diff_bpm12Y_rms vs run
χ² / ndf 2.426e+04 / 36
p0 7878 ± 9.582
10000
9000
8000
7000
6000
5000
4000
3000
5967. 0
5967. 1
5967. 2
5967. 3
5967. 4
5967. 5
5967. 6
5968. 0
5968. 1
5968. 2
5968. 3
5968. 4
5968. 5
5968. 6
5968. 7
5969. 0
5969. 1
5969. 2
5969. 3
5969. 4
5969. 5
5969. 6
5969. 7
5969. 8
5969. 9
5970. 0
5970. 1
5970. 2
5970. 3
5971. 0
5971. 1
5971. 2
5971. 3
5971. 4
5971. 5
5971. 6
5972. 0

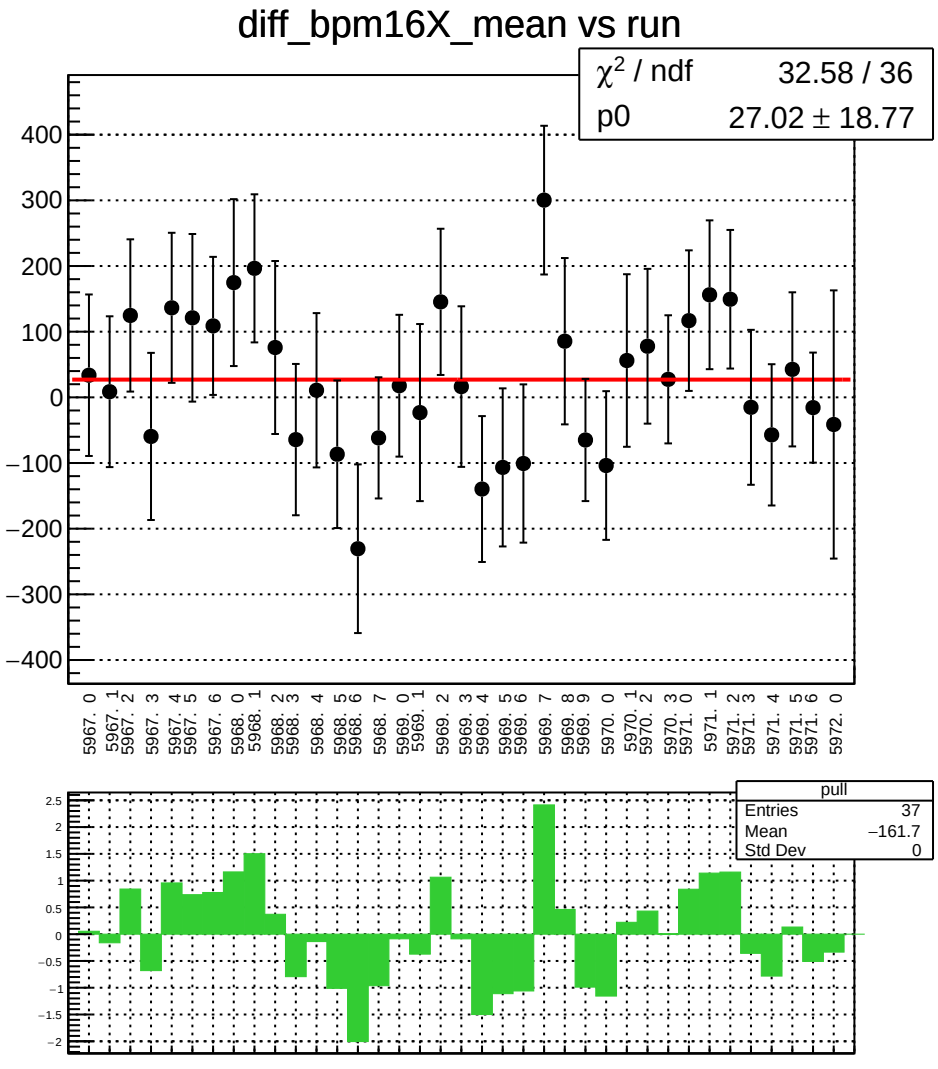
diff_bpm16X_mean vs run
χ² / ndf 32.58 / 36
p0 27.02 ± 18.77
pull
Entries 37
Mean −161.7
Std Dev 0

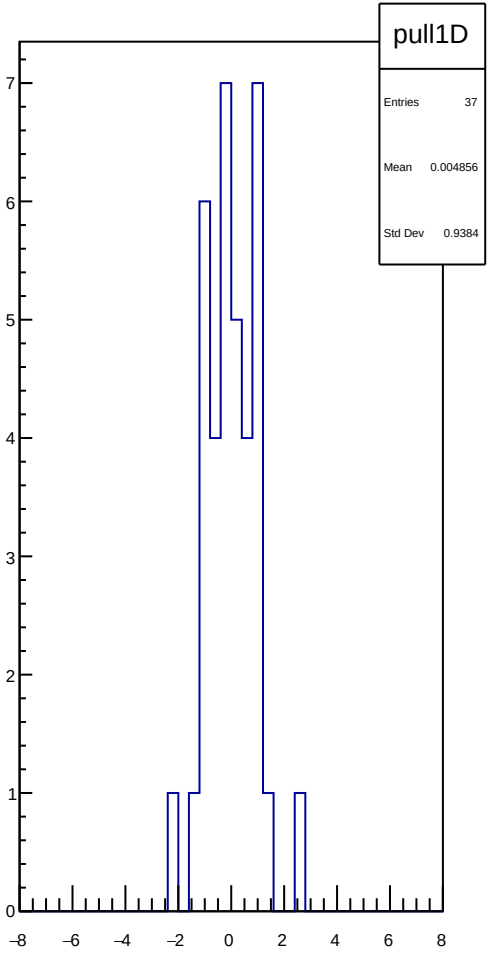
pull1D
Entries 37
Mean 0.004856
Std Dev 0.9384

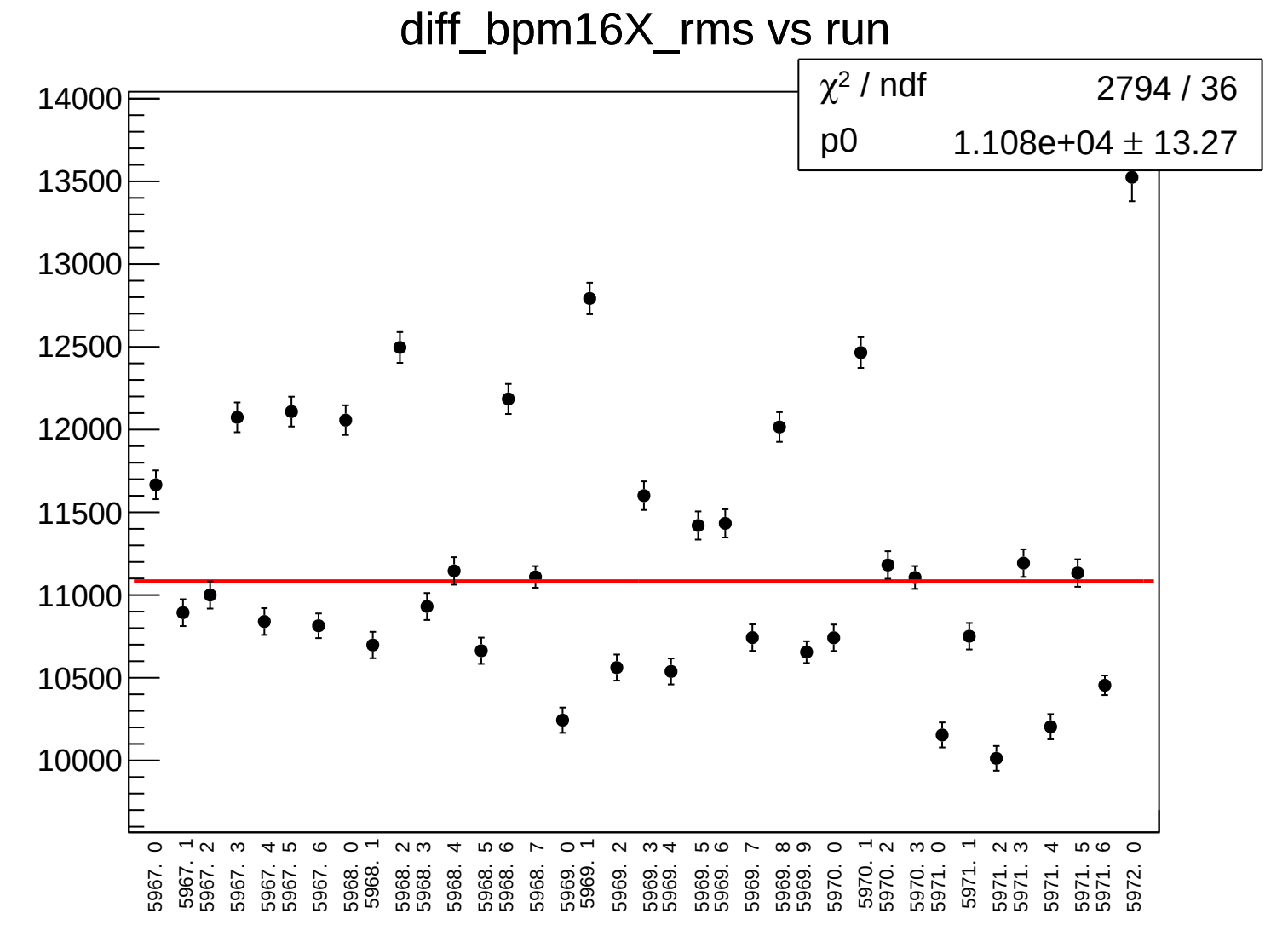
diff_bpm16X_rms vs run
χ² / ndf 2794 / 36
p0 1.108e+04 ± 13.27
14000
13500
13000
12500
12000
11500
11000
10500
10000
5967. 0
5967. 1
5967. 2
5967. 3
5967. 4
5967. 5
5967. 6
5968. 0
5968. 1
5968. 2
5968. 3
5968. 4
5968. 5
5968. 6
5968. 7
5969. 0
5969. 1
5969. 2
5969. 3
5969. 4
5969. 5
5969. 6
5969. 7
5969. 8
5969. 9
5970. 0
5970. 1
5970. 2
5970. 3
5971. 0
5971. 1
5971. 2
5971. 3
5971. 4
5971. 5
5971. 6
5972. 0

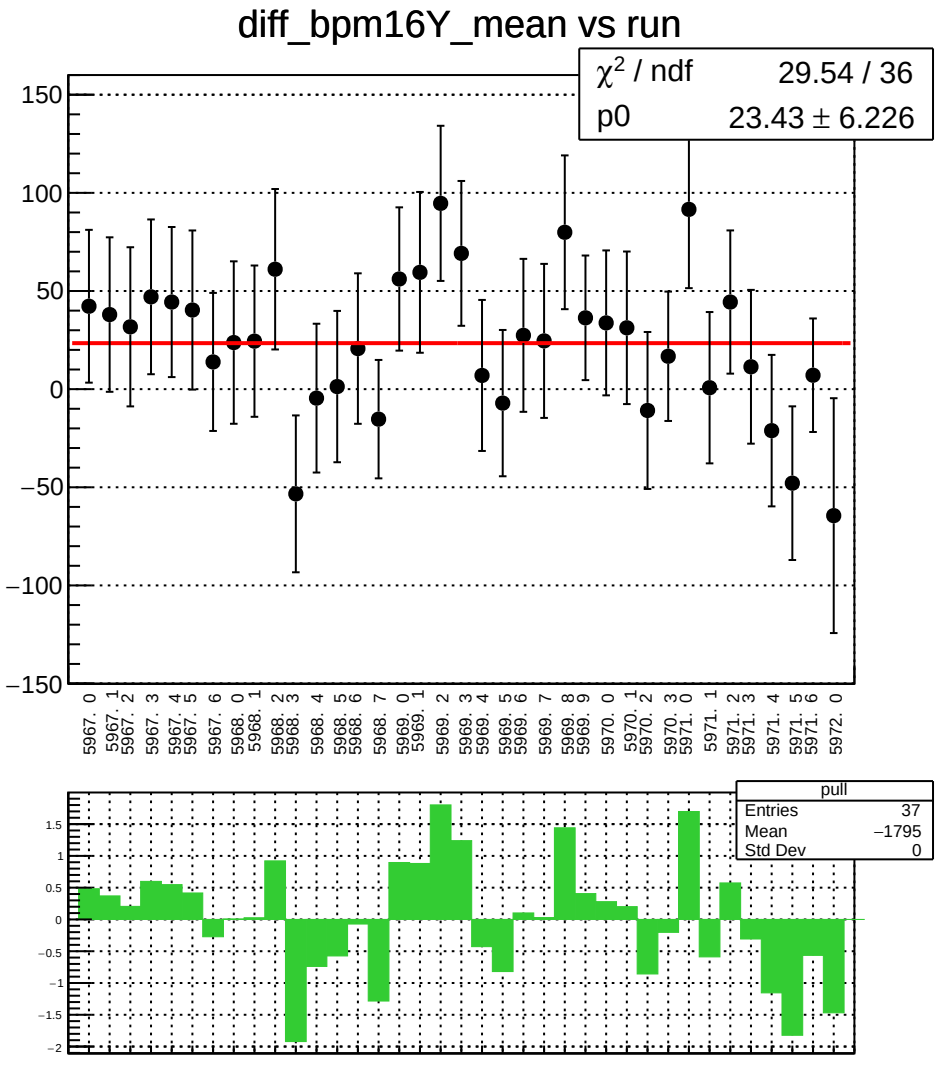
diff_bpm16Y_mean vs run
χ² / ndf 29.54 / 36
p0 23.43 ± 6.226
150
100
50
0
−50
−100
−150
5967. 0
5967. 1
5967. 2
5967. 3
5967. 4
5967. 5
5967. 6
5968. 0
5968. 1
5968. 2
5968. 3
5968. 4
5968. 5
5968. 6
5968. 7
5969. 0
5969. 1
5969. 2
5969. 3
5969. 4
5969. 5
5969. 6
5969. 7
5969. 8
5969. 9
5970. 0
5970. 1
5970. 2
5970. 3
5971. 0
5971. 1
5971. 2
5971. 3
5971. 4
5971. 5
5971. 6
5972. 0
pull
Entries 37
Mean −1795
Std Dev 0
1.5
1
0.5
0
−0.5
−1
−1.5
−2

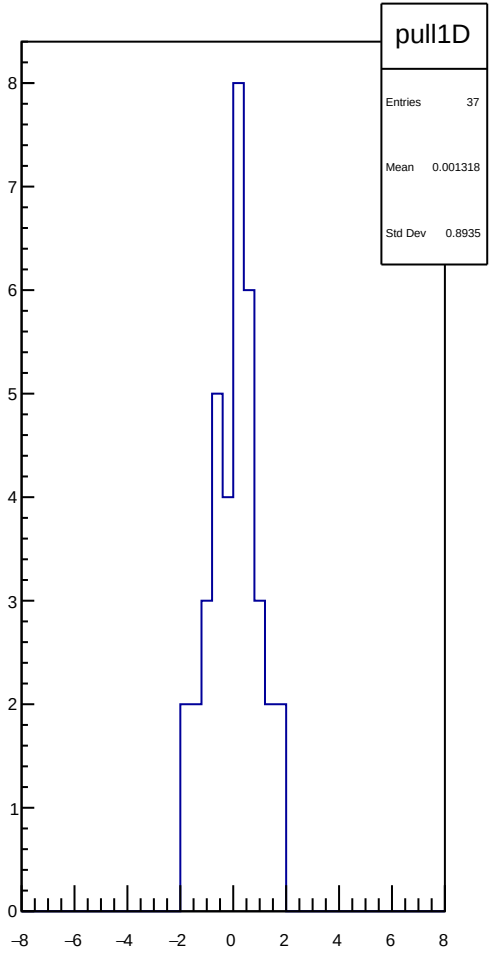
pull1D
Entries 37
Mean 0.001318
Std Dev 0.8935
8
7
6
5
4
3
2
1
0
−8
−6
−4
−2
0
2
4
6
8

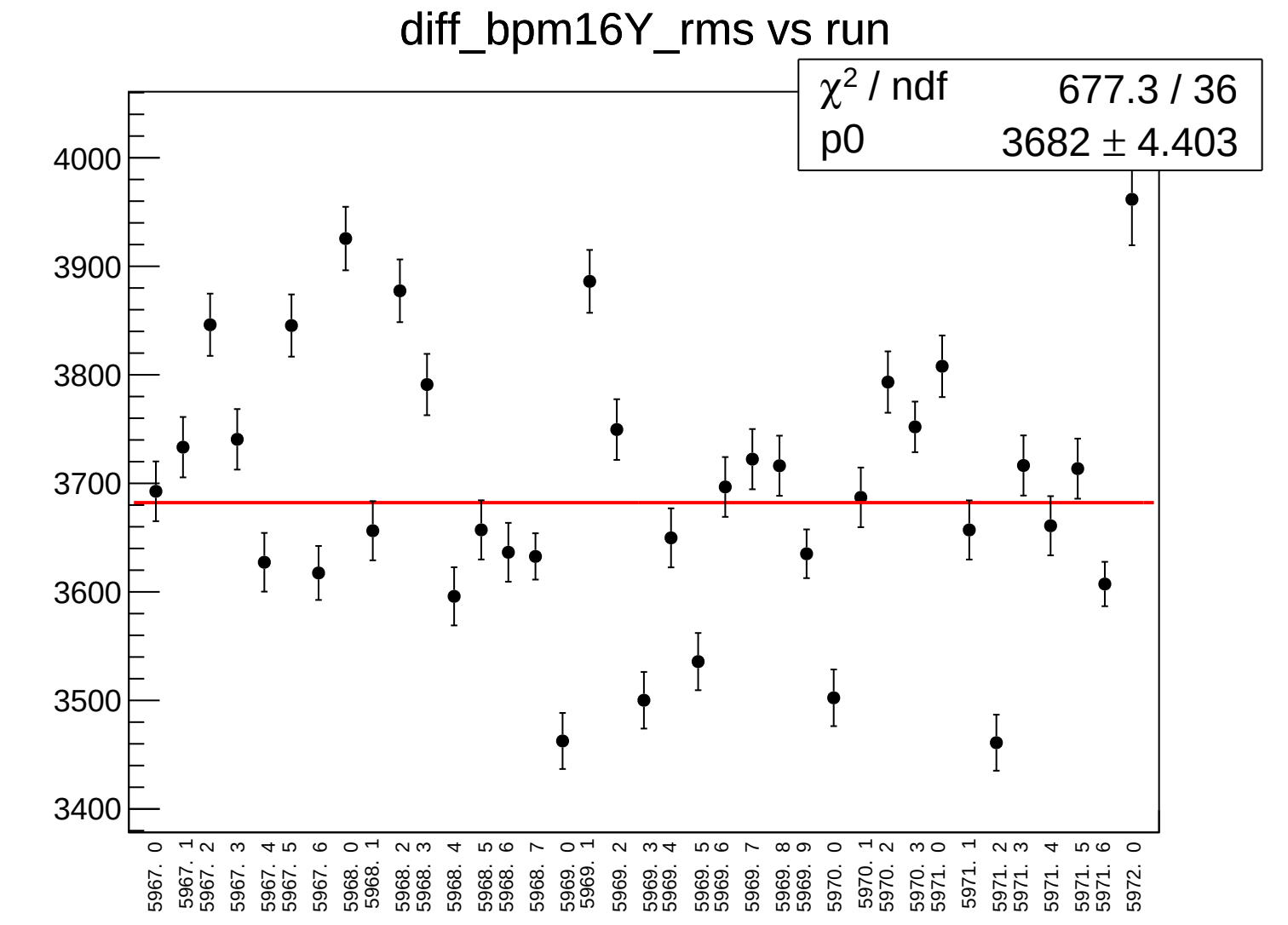
diff_bpm16Y_rms vs run
χ² / ndf 677.3 / 36
p0 3682 ± 4.403
4000
3900
3800
3700
3600
3500
3400
5967. 0
5967. 1
5967. 2
5967. 3
5967. 4
5967. 5
5967. 6
5968. 0
5968. 1
5968. 2
5968. 3
5968. 4
5968. 5
5968. 6
5968. 7
5969. 0
5969. 1
5969. 2
5969. 3
5969. 4
5969. 5
5969. 6
5969. 7
5969. 8
5969. 9
5970. 0
5970. 1
5970. 2
5970. 3
5971. 0
5971. 1
5971. 2
5971. 3
5971. 4
5971. 5
5971. 6
5972. 0

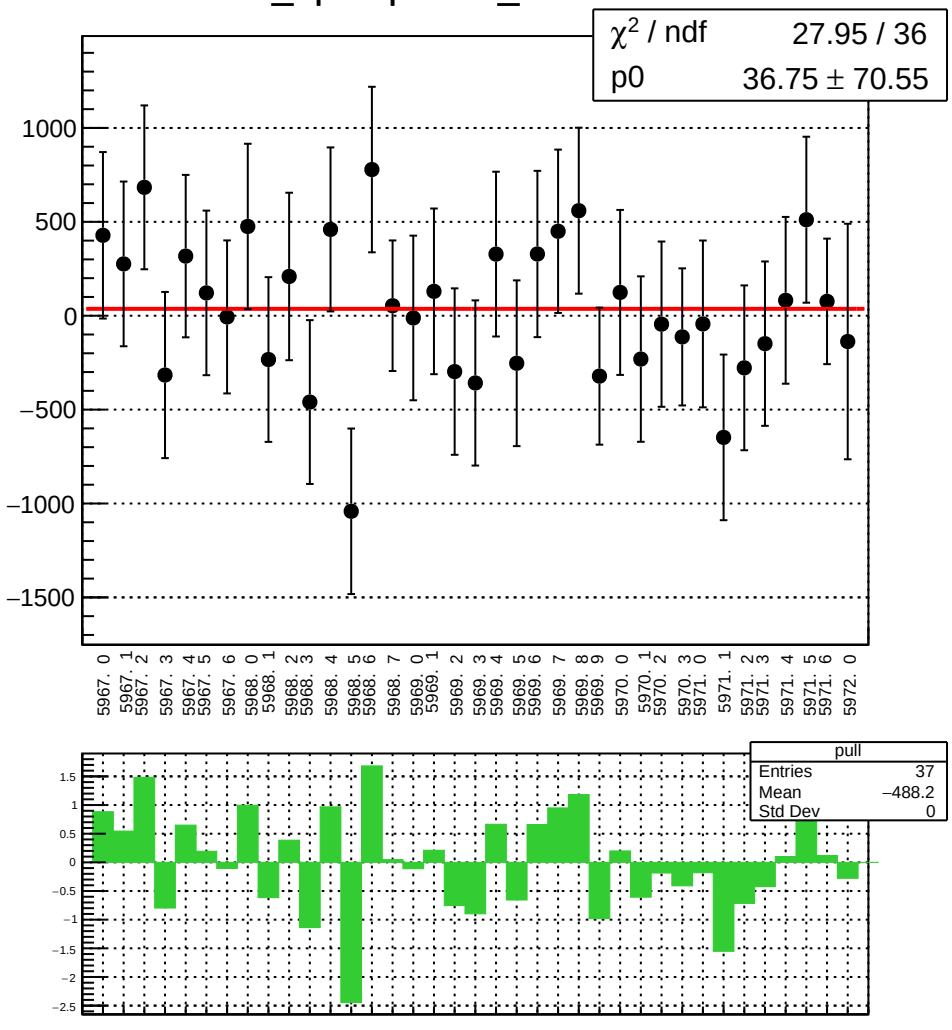
diff_bpm1p02bX_mean vs run
χ² / ndf 27.95 / 36
p0 36.75 ± 70.55
1000
500
0
−500
−1000
−1500
5967. 0
5967. 1
5967. 2
5967. 3
5967. 4
5967. 5
5967. 6
5968. 0
5968. 1
5968. 2
5968. 3
5968. 4
5968. 5
5968. 6
5968. 7
5969. 0
5969. 1
5969. 2
5969. 3
5969. 4
5969. 5
5969. 6
5969. 7
5969. 8
5969. 9
5970. 0
5970. 1
5970. 2
5970. 3
5971. 0
5971. 1
5971. 2
5971. 3
5971. 4
5971. 5
5971. 6
5972. 0
pull
Entries 37
Mean −488.2
Std Dev 0
1.5
1
0.5
0
−0.5
−1
−1.5
−2
−2.5

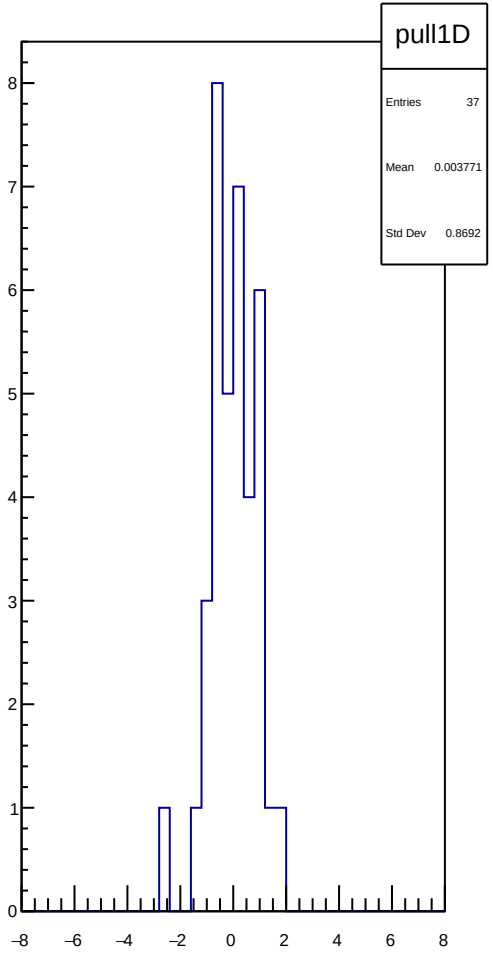
pull1D
Entries 37
Mean 0.003771
Std Dev 0.8692
8
7
6
5
4
3
2
1
0
−8
−6
−4
−2
0
2
4
6
8

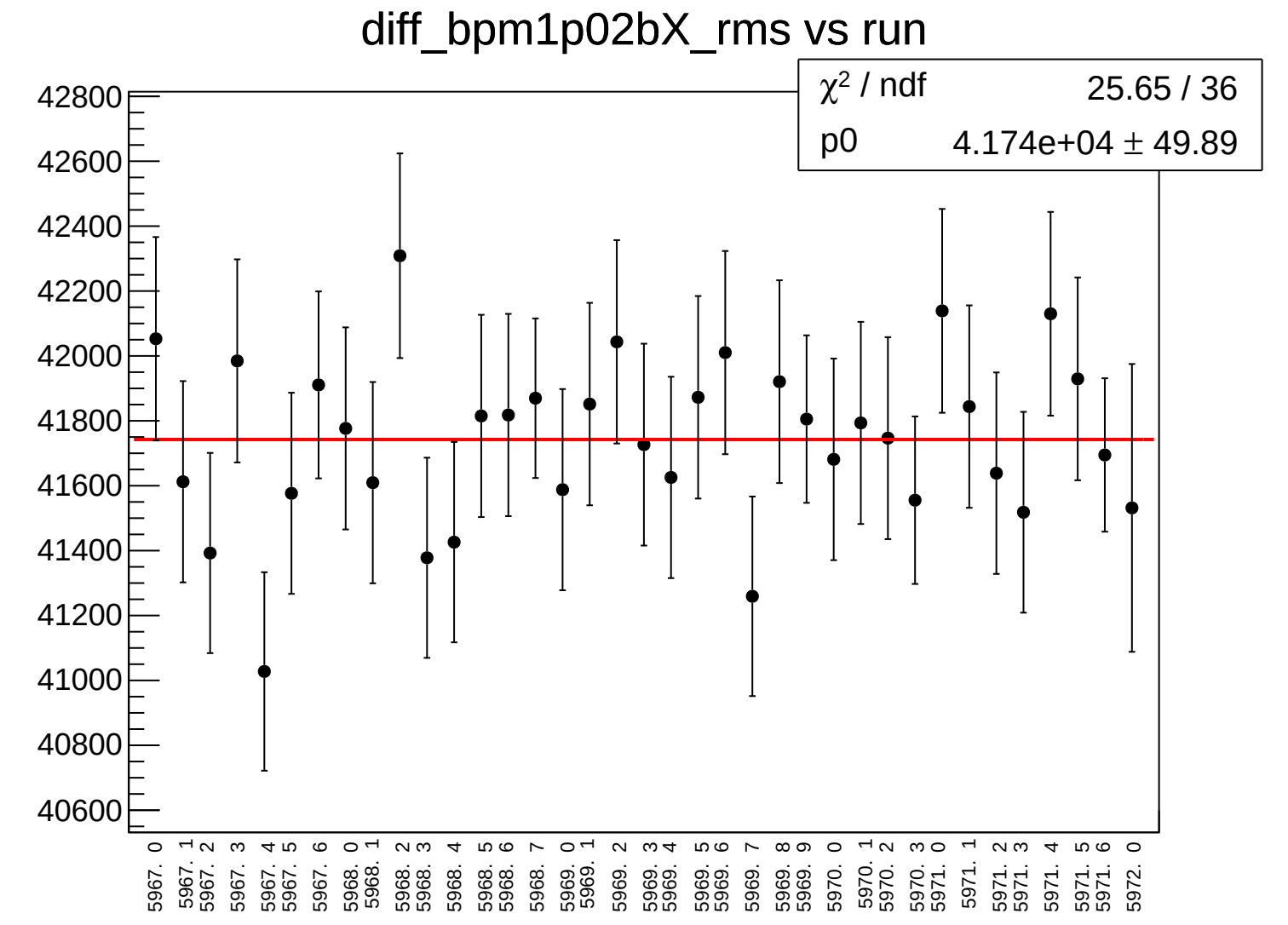
diff_bpm1p02bX_rms vs run
χ² / ndf 25.65 / 36
p0 4.174e+04 ± 49.89
42800
42600
42400
42200
42000
41800
41600
41400
41200
41000
40800
40600
5967. 0
5967. 1
5967. 2
5967. 3
5967. 4
5967. 5
5967. 6
5968. 0
5968. 1
5968. 2
5968. 3
5968. 4
5968. 5
5968. 6
5968. 7
5969. 0
5969. 1
5969. 2
5969. 3
5969. 4
5969. 5
5969. 6
5969. 7
5969. 8
5969. 9
5970. 0
5970. 1
5970. 2
5970. 3
5971. 0
5971. 1
5971. 2
5971. 3
5971. 4
5971. 5
5971. 6
5972. 0

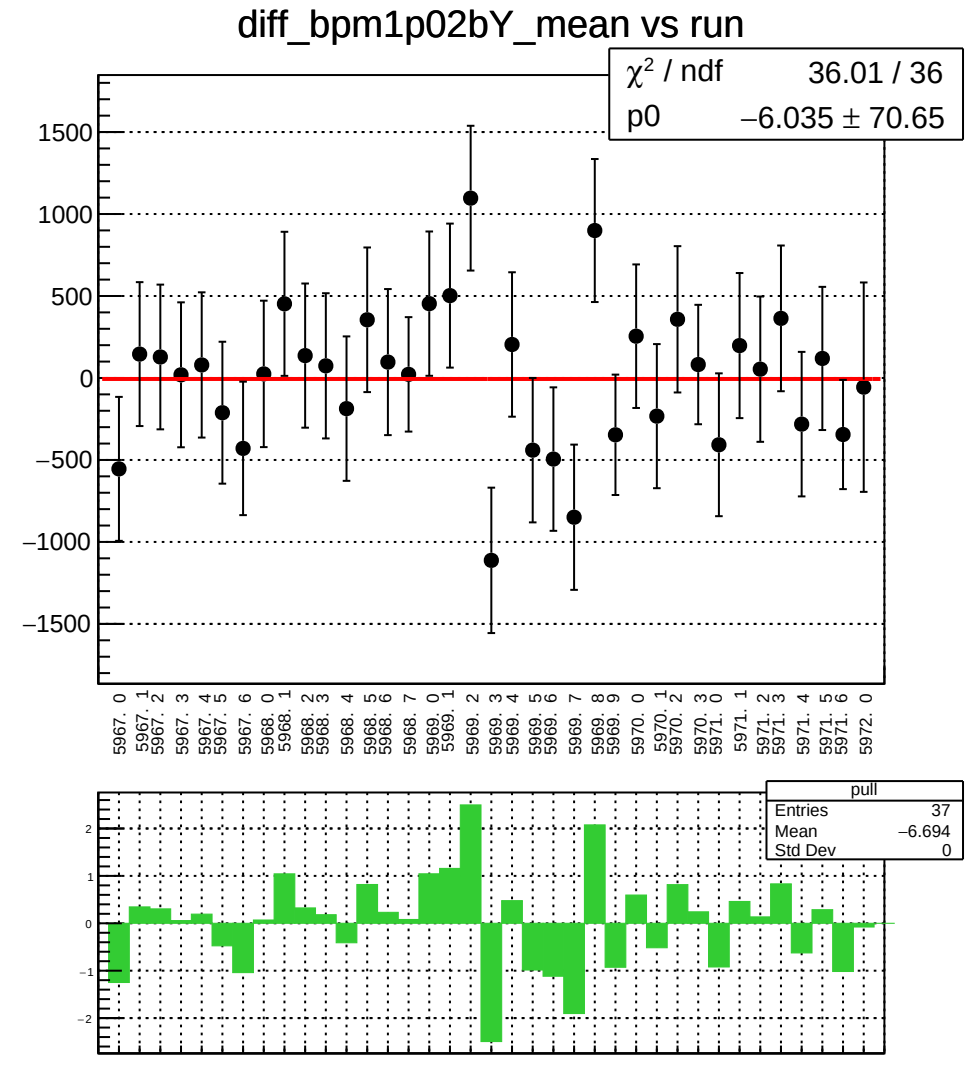
diff_bpm1p02bY_mean vs run
χ² / ndf 36.01 / 36
p0 −6.035 ± 70.65
1500
1000
500
0
−500
−1000
−1500
5967. 0
5967. 1
5967. 2
5967. 3
5967. 4
5967. 5
5967. 6
5968. 0
5968. 1
5968. 2
5968. 3
5968. 4
5968. 5
5968. 6
5968. 7
5969. 0
5969. 1
5969. 2
5969. 3
5969. 4
5969. 5
5969. 6
5969. 7
5969. 8
5969. 9
5970. 0
5970. 1
5970. 2
5970. 3
5971. 0
5971. 1
5971. 2
5971. 3
5971. 4
5971. 5
5971. 6
5972. 0
pull
Entries 37
Mean −6.694
Std Dev 0
2
1
0
−1
−2

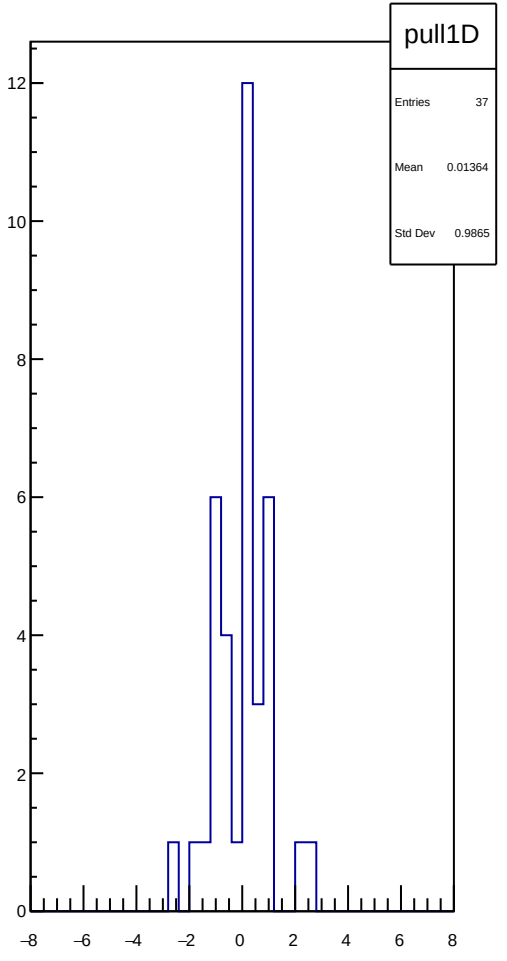
pull1D
Entries 37
Mean 0.01364
Std Dev 0.9865
12
10
8
6
4
2
0
−8
−6
−4
−2
0
2
4
6
8

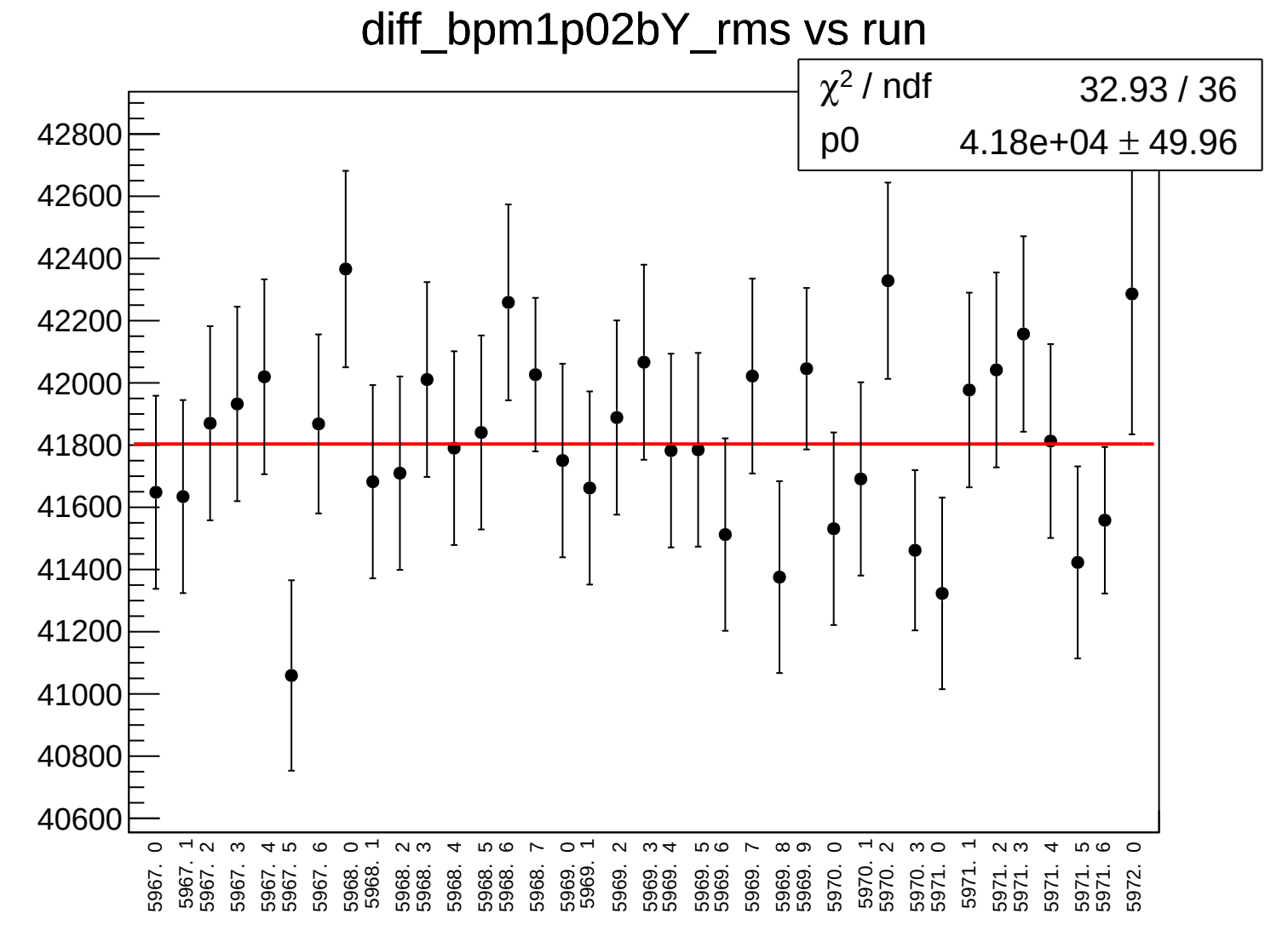
diff_bpm1p02bY_rms vs run
χ² / ndf 32.93 / 36
p0 4.18e+04 ± 49.96
42800
42600
42400
42200
42000
41800
41600
41400
41200
41000
40800
40600
5967. 0
5967. 1
5967. 2
5967. 3
5967. 4
5967. 5
5967. 6
5968. 0
5968. 1
5968. 2
5968. 3
5968. 4
5968. 5
5968. 6
5968. 7
5969. 0
5969. 1
5969. 2
5969. 3
5969. 4
5969. 5
5969. 6
5969. 7
5969. 8
5969. 9
5970. 0
5970. 1
5970. 2
5970. 3
5971. 0
5971. 1
5971. 2
5971. 3
5971. 4
5971. 5
5971. 6
5972. 0

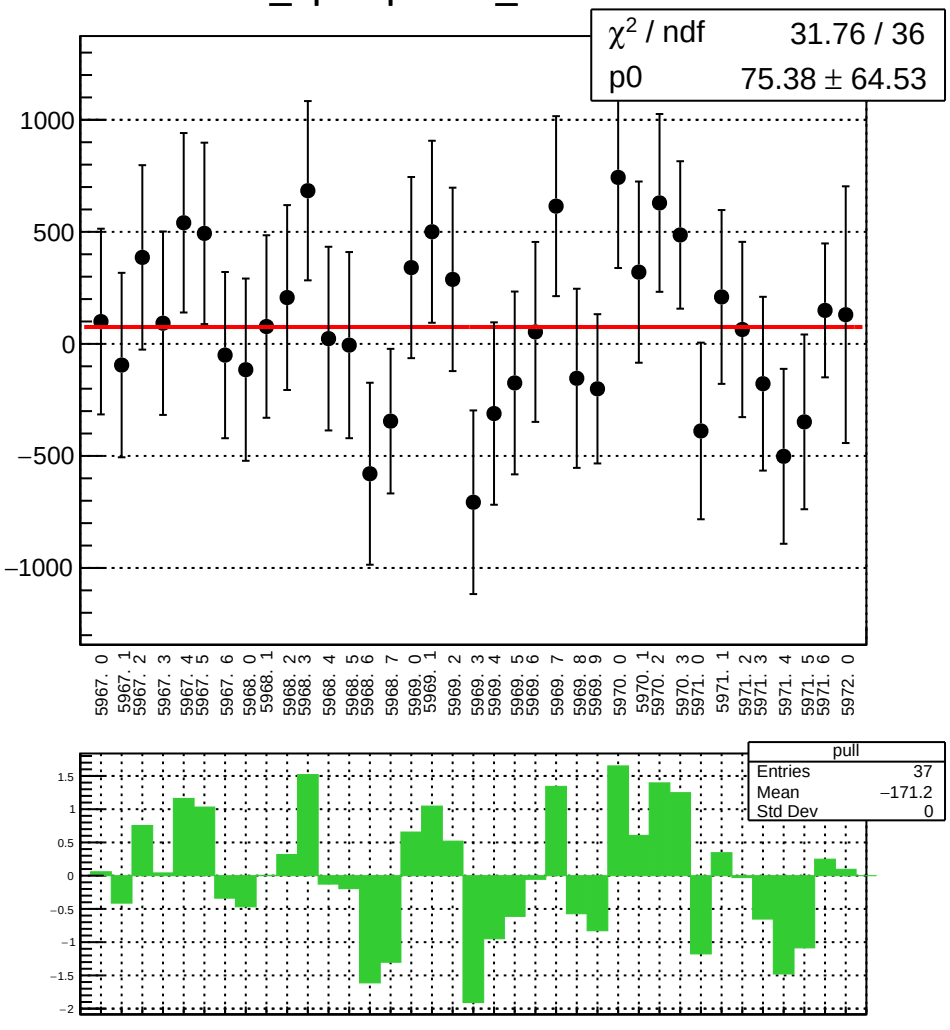
diff_bpm1p03aX_mean vs run
χ² / ndf 31.76 / 36
p0 75.38 ± 64.53
1000
500
0
−500
−1000
5967. 0
5967. 1
5967. 2
5967. 3
5967. 4
5967. 5
5967. 6
5968. 0
5968. 1
5968. 2
5968. 3
5968. 4
5968. 5
5968. 6
5968. 7
5969. 0
5969. 1
5969. 2
5969. 3
5969. 4
5969. 5
5969. 6
5969. 7
5969. 8
5969. 9
5970. 0
5970. 1
5970. 2
5970. 3
5971. 0
5971. 1
5971. 2
5971. 3
5971. 4
5971. 5
5971. 6
5972. 0
pull
Entries 37
Mean −171.2
Std Dev 0
1.5
1
0.5
0
−0.5
−1
−1.5
−2
pull1D
Entries 37
Mean 0.006668
Std Dev 0.9264
7
6
5
4
3
2
1
0
−8
−6
−4
−2
0
2
4
6
8

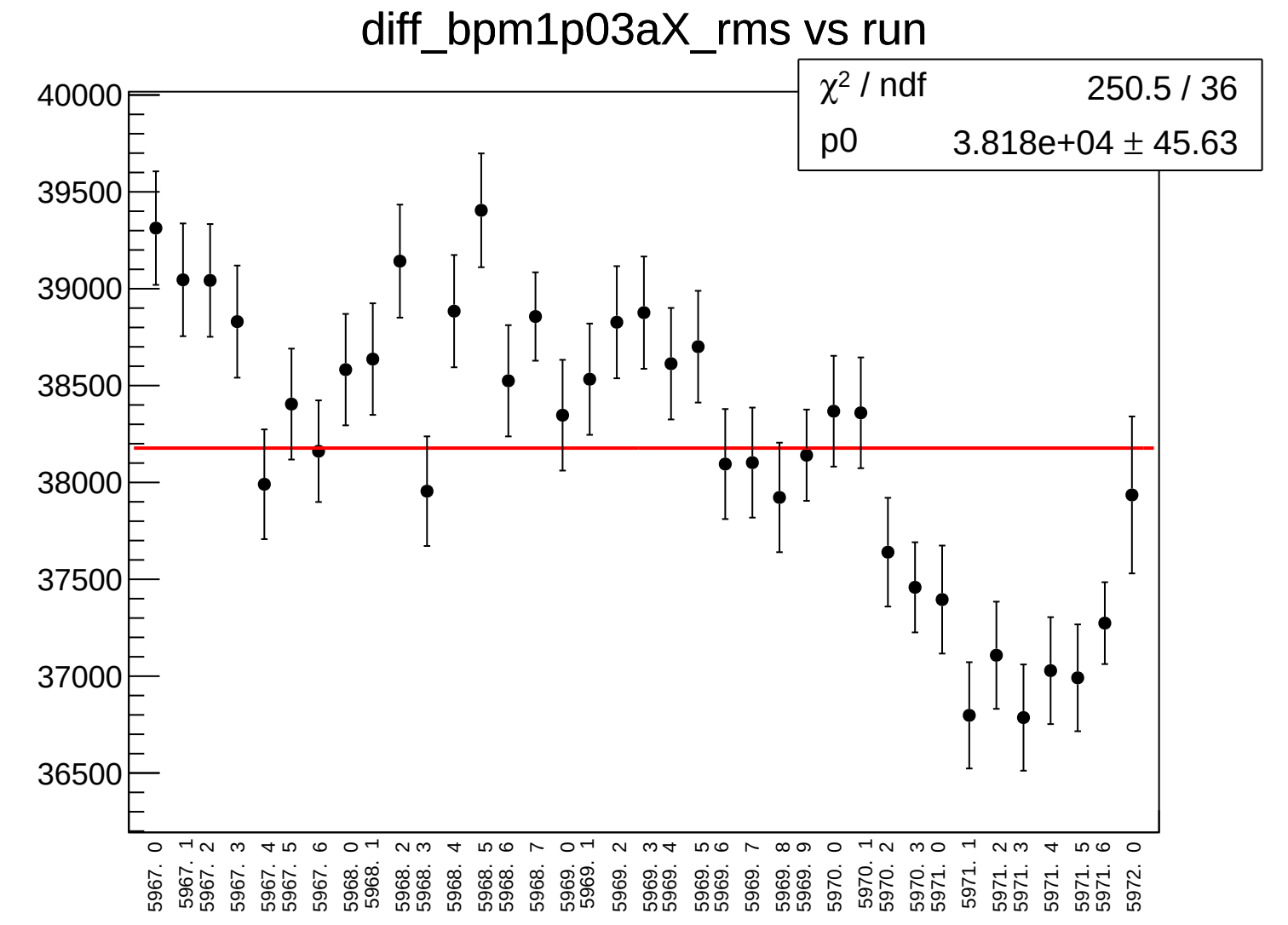
diff_bpm1p03aX_rms vs run
χ² / ndf 250.5 / 36
p0 3.818e+04 ± 45.63
40000
39500
39000
38500
38000
37500
37000
36500
5967. 0
5967. 1
5967. 2
5967. 3
5967. 4
5967. 5
5967. 6
5968. 0
5968. 1
5968. 2
5968. 3
5968. 4
5968. 5
5968. 6
5968. 7
5969. 0
5969. 1
5969. 2
5969. 3
5969. 4
5969. 5
5969. 6
5969. 7
5969. 8
5969. 9
5970. 0
5970. 1
5970. 2
5970. 3
5971. 0
5971. 1
5971. 2
5971. 3
5971. 4
5971. 5
5971. 6
5972. 0

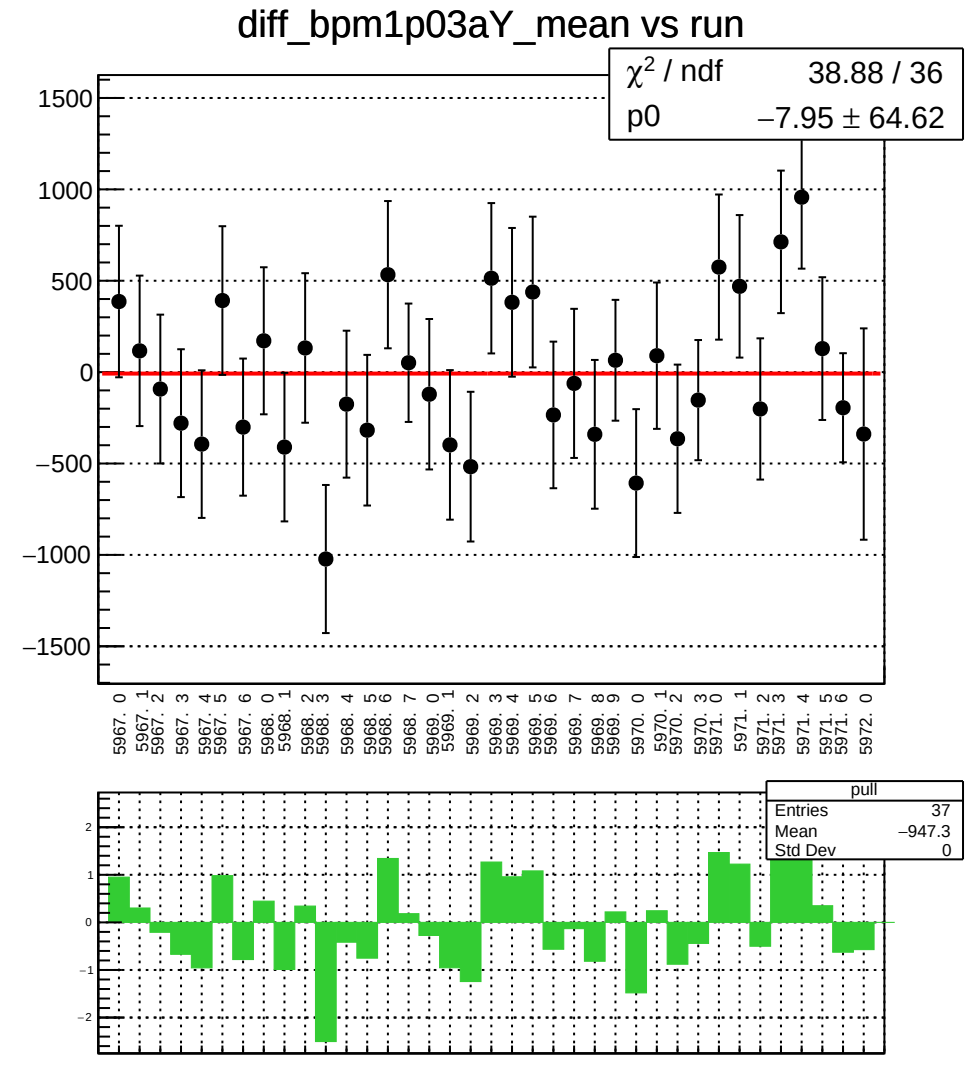
diff_bpm1p03aY_mean vs run
χ² / ndf 38.88 / 36
p0 −7.95 ± 64.62
1500
1000
500
0
−500
−1000
−1500
5967. 0
5967. 1
5967. 2
5967. 3
5967. 4
5967. 5
5967. 6
5968. 0
5968. 1
5968. 2
5968. 3
5968. 4
5968. 5
5968. 6
5968. 7
5969. 0
5969. 1
5969. 2
5969. 3
5969. 4
5969. 5
5969. 6
5969. 7
5969. 8
5969. 9
5970. 0
5970. 1
5970. 2
5970. 3
5971. 0
5971. 1
5971. 2
5971. 3
5971. 4
5971. 5
5971. 6
5972. 0
pull
Entries 37
Mean −947.3
Std Dev 0
2
1
0
−1
−2

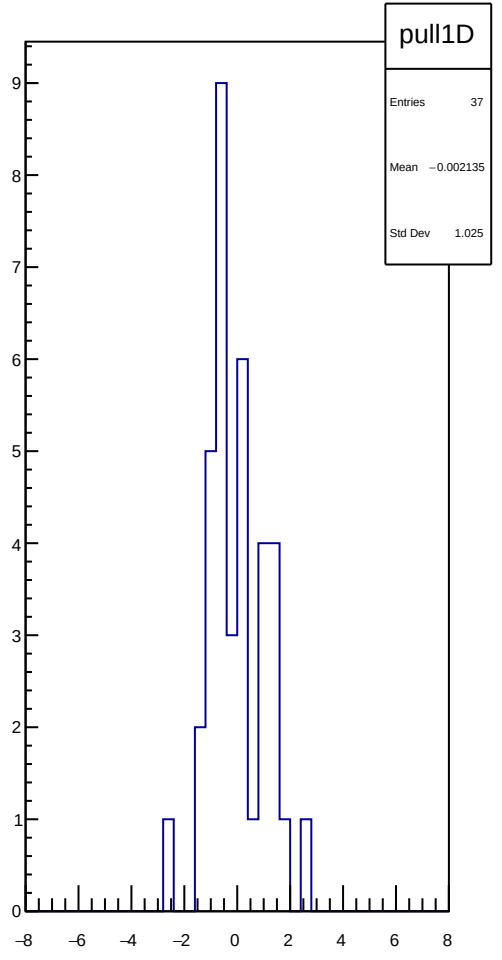
pull1D
Entries 37
Mean −0.002135
Std Dev 1.025
9
8
7
6
5
4
3
2
1
0
−8
−6
−4
−2
0
2
4
6
8

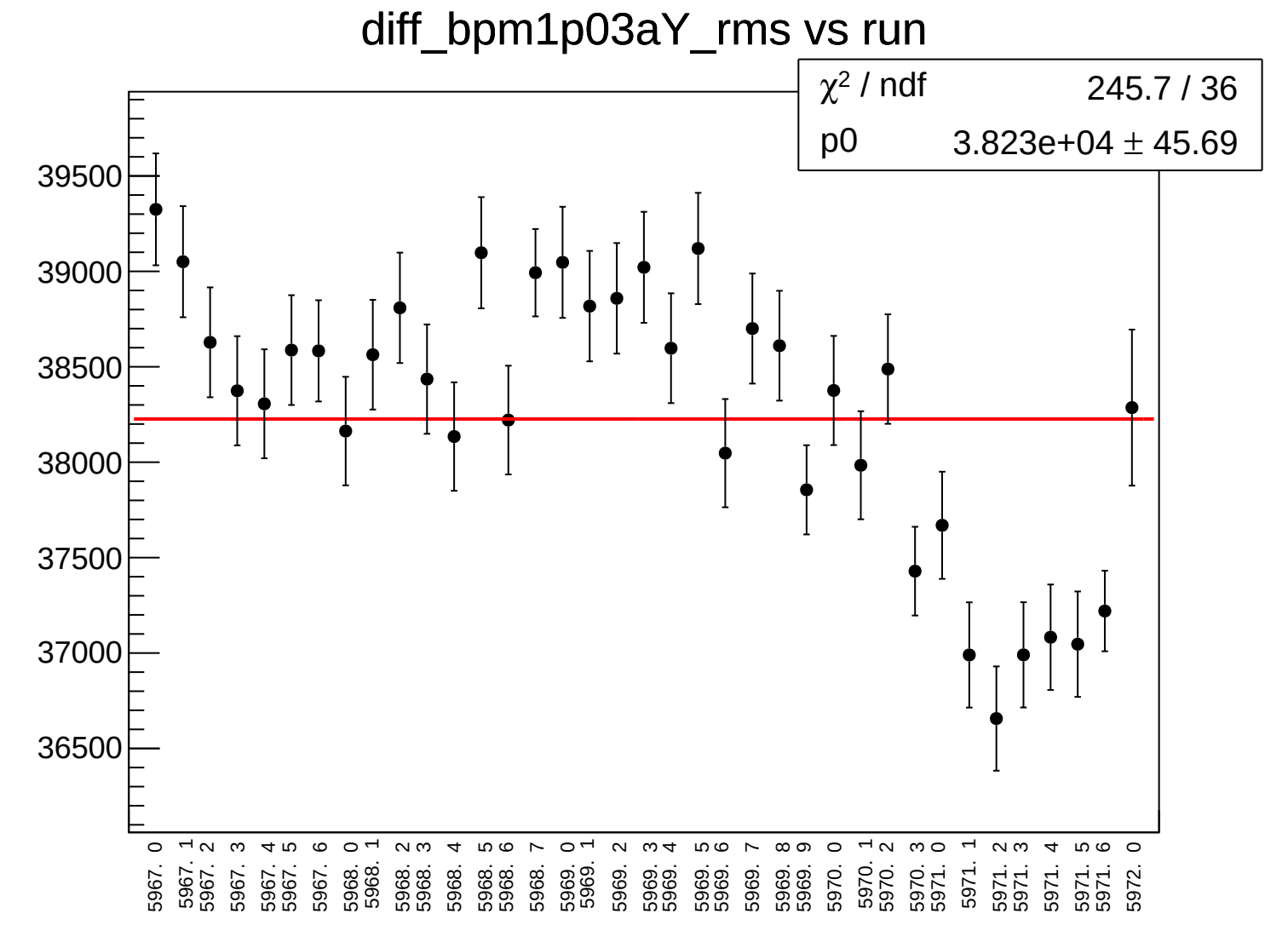
diff_bpm1p03aY_rms vs run
χ² / ndf 245.7 / 36
p0 3.823e+04 ± 45.69
39500
39000
38500
38000
37500
37000
36500
5967. 0
5967. 1
5967. 2
5967. 3
5967. 4
5967. 5
5967. 6
5968. 0
5968. 1
5968. 2
5968. 3
5968. 4
5968. 5
5968. 6
5968. 7
5969. 0
5969. 1
5969. 2
5969. 3
5969. 4
5969. 5
5969. 6
5969. 7
5969. 8
5969. 9
5970. 0
5970. 1
5970. 2
5970. 3
5971. 0
5971. 1
5971. 2
5971. 3
5971. 4
5971. 5
5971. 6
5972. 0

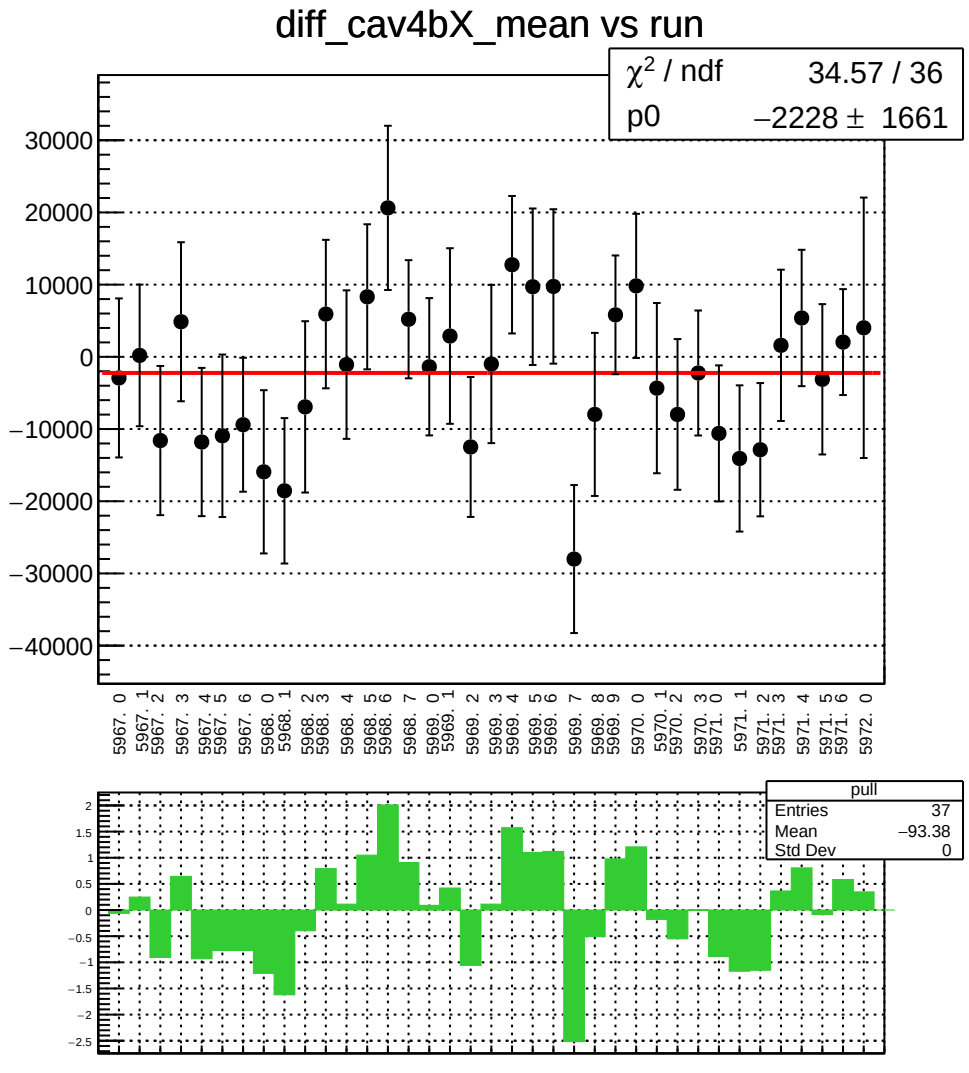
diff_cav4bX_mean vs run
χ^2 / ndf 34.57 / 36
p0 −2228 ± 1661
30000
20000
10000
0
−10000
−20000
−30000
−40000
5967. 0
5967. 1
5967. 2
5967. 3
5967. 4
5967. 5
5967. 6
5968. 0
5968. 1
5968. 2
5968. 3
5968. 4
5968. 5
5968. 6
5968. 7
5969. 0
5969. 1
5969. 2
5969. 3
5969. 4
5969. 5
5969. 6
5969. 7
5969. 8
5969. 9
5970. 0
5970. 1
5970. 2
5970. 3
5971. 0
5971. 1
5971. 2
5971. 3
5971. 4
5971. 5
5971. 6
5972. 0
pull
Entries 37
Mean −93.38
Std Dev 0
2
1.5
1
0.5
0
−0.5
−1
−1.5
−2
−2.5

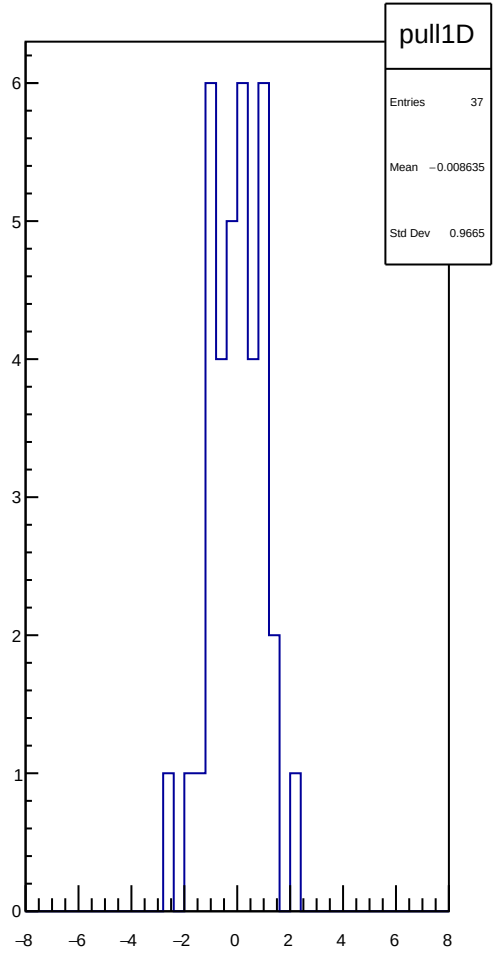
pull1D
Entries 37
Mean −0.008635
Std Dev 0.9665
6
5
4
3
2
1
0
−8
−6
−4
−2
0
2
4
6
8

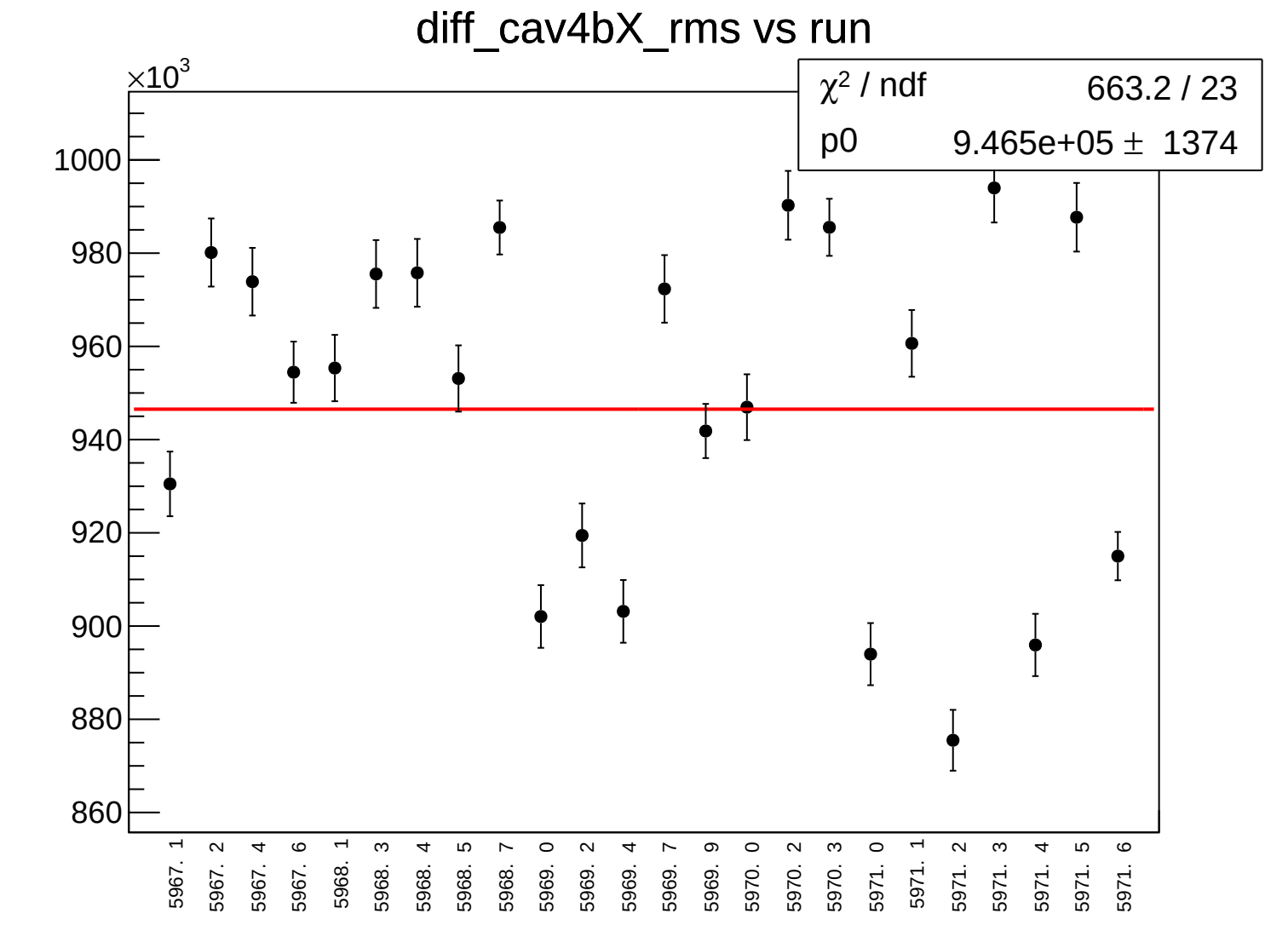
diff_cav4bX_rms vs run
×10^3
χ² / ndf 663.2 / 23
p0 9.465e+05 ± 1374
1000
980
960
940
920
900
880
860
5967. 1
5967. 2
5967. 4
5967. 6
5968. 1
5968. 3
5968. 4
5968. 5
5968. 7
5969. 0
5969. 2
5969. 4
5969. 7
5969. 9
5970. 0
5970. 2
5970. 3
5971. 0
5971. 1
5971. 2
5971. 3
5971. 4
5971. 5
5971. 6

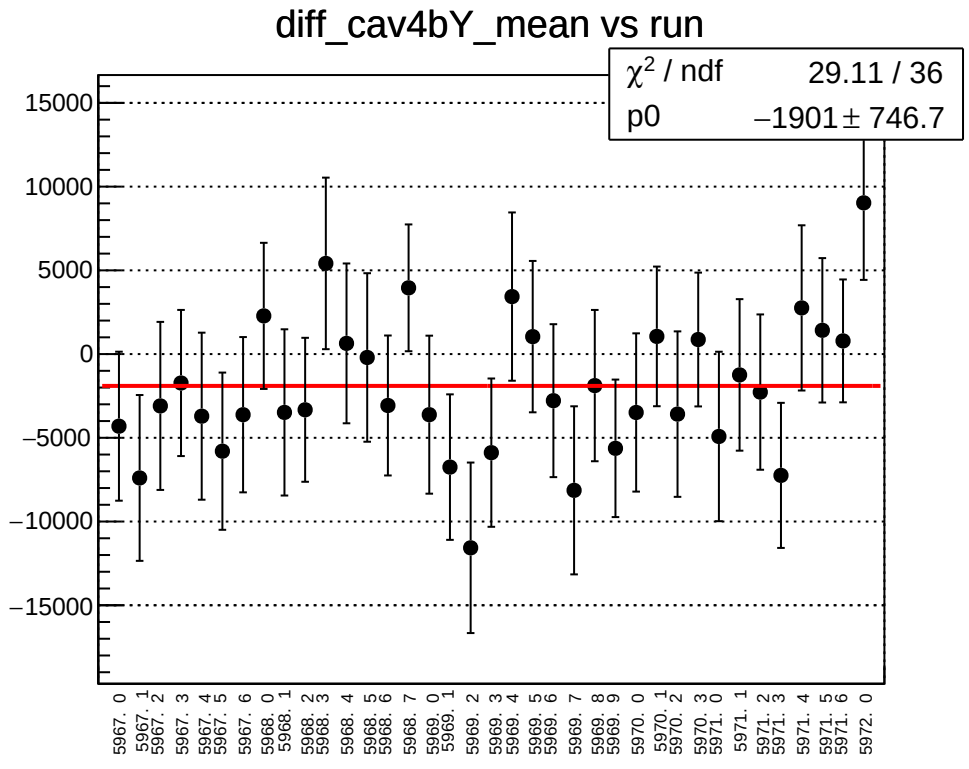
diff_cav4bY_mean vs run
χ² / ndf 29.11 / 36
p0 −1901 ± 746.7
15000
10000
5000
0
−5000
−10000
−15000
5967. 0
5967. 1
5967. 2
5967. 3
5967. 4
5967. 5
5967. 6
5968. 0
5968. 1
5968. 2
5968. 3
5968. 4
5968. 5
5968. 6
5968. 7
5969. 0
5969. 1
5969. 2
5969. 3
5969. 4
5969. 5
5969. 6
5969. 7
5969. 8
5969. 9
5970. 0
5970. 1
5970. 2
5970. 3
5971. 0
5971. 1
5971. 2
5971. 3
5971. 4
5971. 5
5971. 6
5972. 0

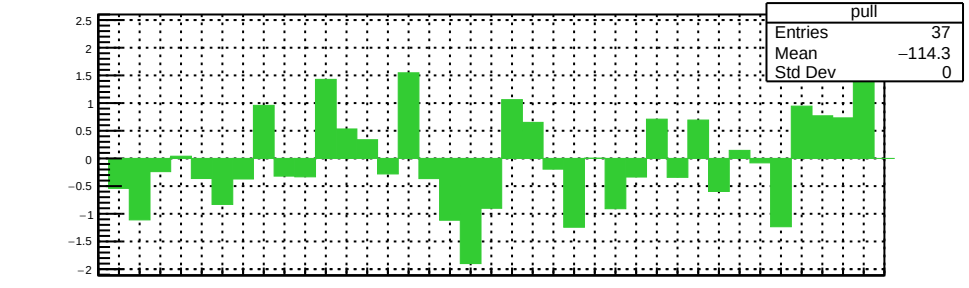
pull
Entries 37
Mean −114.3
Std Dev 0
2.5
2
1.5
1
0.5
0
−0.5
−1
−1.5
−2

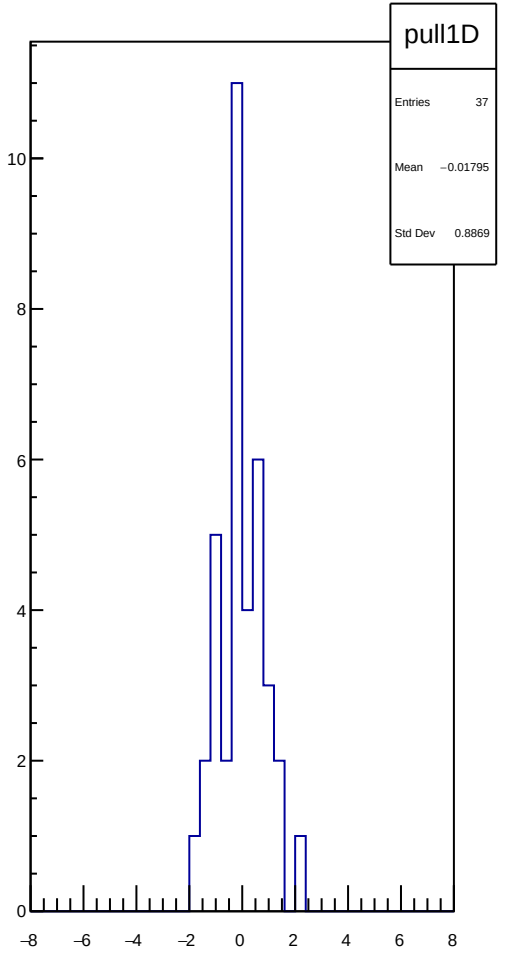
pull1D
Entries 37
Mean −0.01795
Std Dev 0.8869
10
8
6
4
2
0
−8
−6
−4
−2
0
2
4
6
8

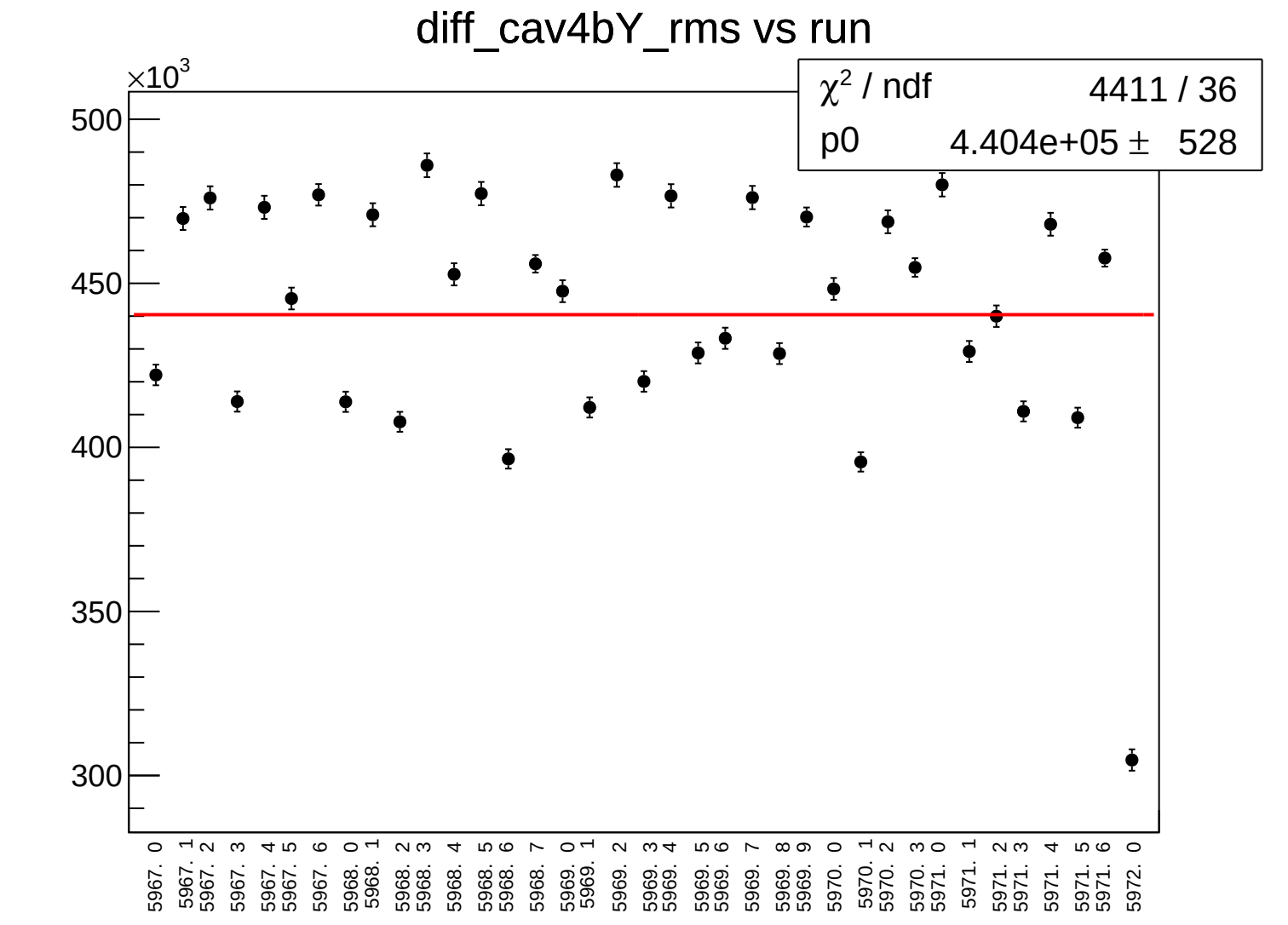
diff_cav4bY_rms vs run
×10^3
χ^2 / ndf 4411 / 36
p0 4.404e+05 ± 528
500
450
400
350
300
5967. 0
5967. 1
5967. 2
5967. 3
5967. 4
5967. 5
5967. 6
5968. 0
5968. 1
5968. 2
5968. 3
5968. 4
5968. 5
5968. 6
5968. 7
5969. 0
5969. 1
5969. 2
5969. 3
5969. 4
5969. 5
5969. 6
5969. 7
5969. 8
5969. 9
5970. 0
5970. 1
5970. 2
5970. 3
5971. 0
5971. 1
5971. 2
5971. 3
5971. 4
5971. 5
5971. 6
5972. 0

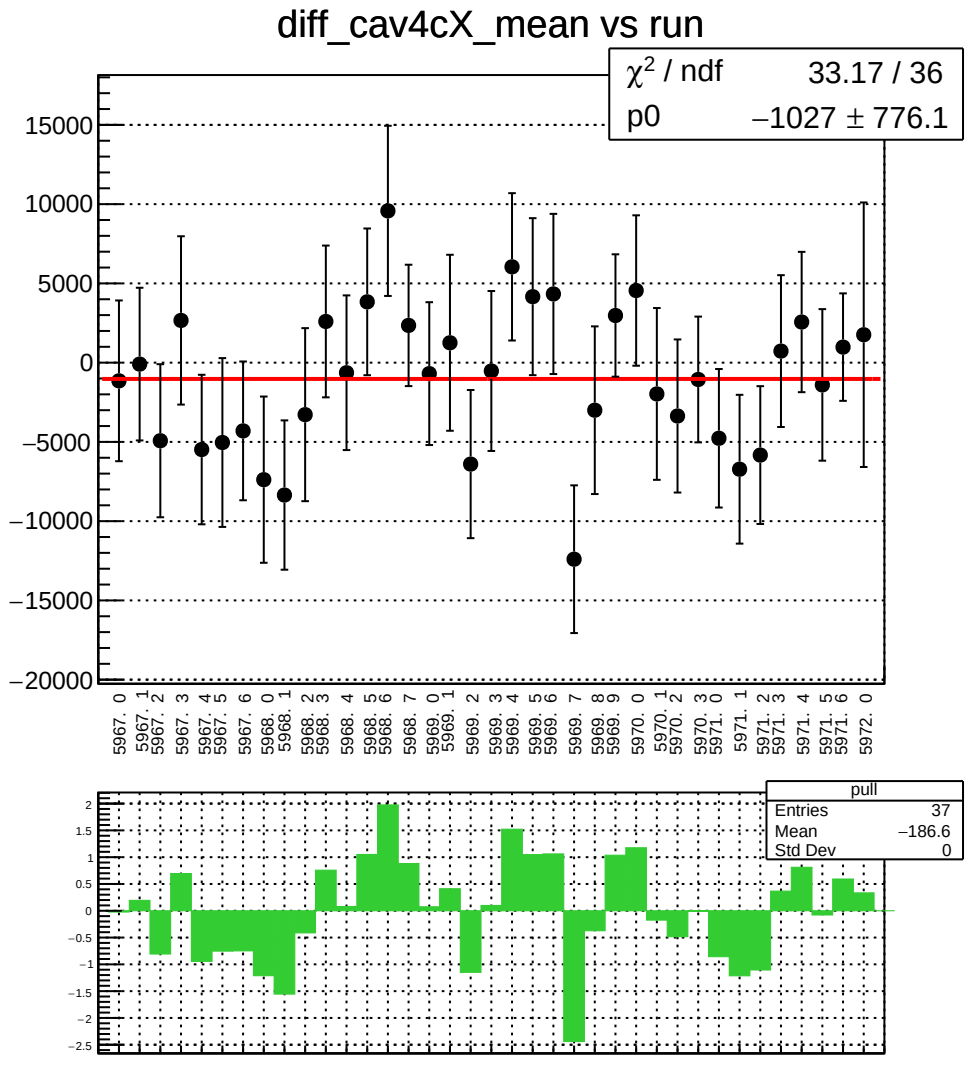
diff_cav4cX_mean vs run
χ² / ndf 33.17 / 36
p0 −1027 ± 776.1
15000
10000
5000
0
−5000
−10000
−15000
−20000
5967. 0
5967. 1
5967. 2
5967. 3
5967. 4
5967. 5
5967. 6
5968. 0
5968. 1
5968. 2
5968. 3
5968. 4
5968. 5
5968. 6
5968. 7
5969. 0
5969. 1
5969. 2
5969. 3
5969. 4
5969. 5
5969. 6
5969. 7
5969. 8
5969. 9
5970. 0
5970. 1
5970. 2
5970. 3
5971. 0
5971. 1
5971. 2
5971. 3
5971. 4
5971. 5
5971. 6
5972. 0
pull
Entries 37
Mean −186.6
Std Dev 0
2
1.5
1
0.5
0
−0.5
−1
−1.5
−2
−2.5

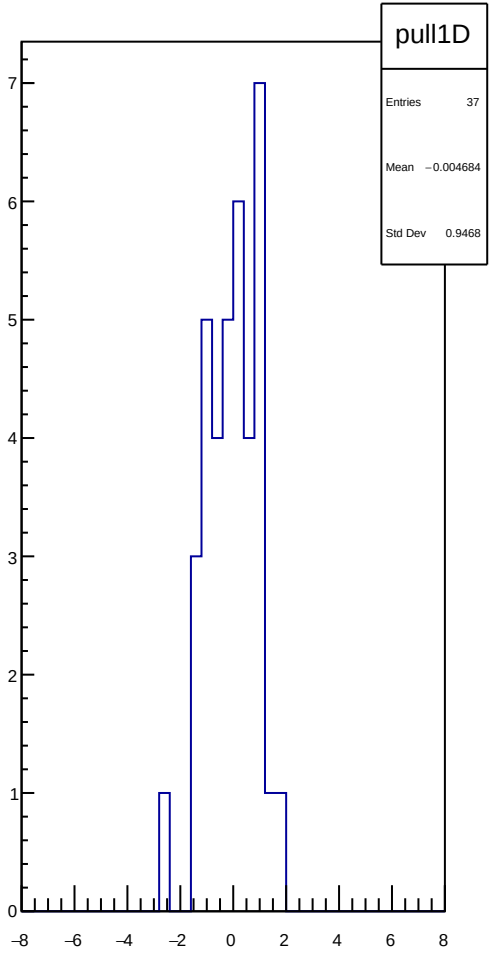
pull1D
Entries 37
Mean −0.004684
Std Dev 0.9468
7
6
5
4
3
2
1
0
−8
−6
−4
−2
0
2
4
6
8

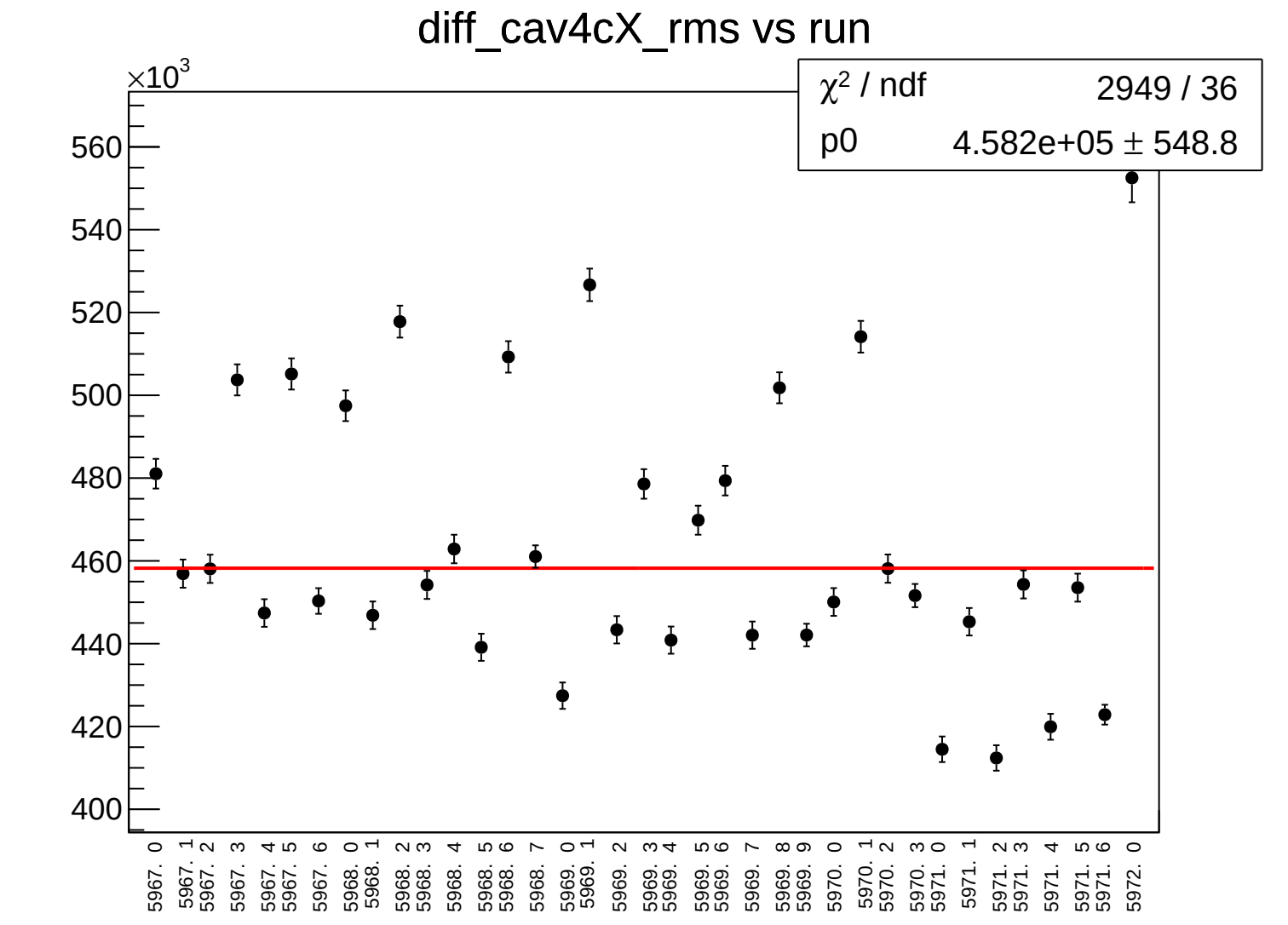
diff_cav4cX_rms vs run
×10^3
χ² / ndf 2949 / 36
p0 4.582e+05 ± 548.8
560
540
520
500
480
460
440
420
400
5967. 0
5967. 1
5967. 2
5967. 3
5967. 4
5967. 5
5967. 6
5968. 0
5968. 1
5968. 2
5968. 3
5968. 4
5968. 5
5968. 6
5968. 7
5969. 0
5969. 1
5969. 2
5969. 3
5969. 4
5969. 5
5969. 6
5969. 7
5969. 8
5969. 9
5970. 0
5970. 1
5970. 2
5970. 3
5971. 0
5971. 1
5971. 2
5971. 3
5971. 4
5971. 5
5971. 6
5972. 0

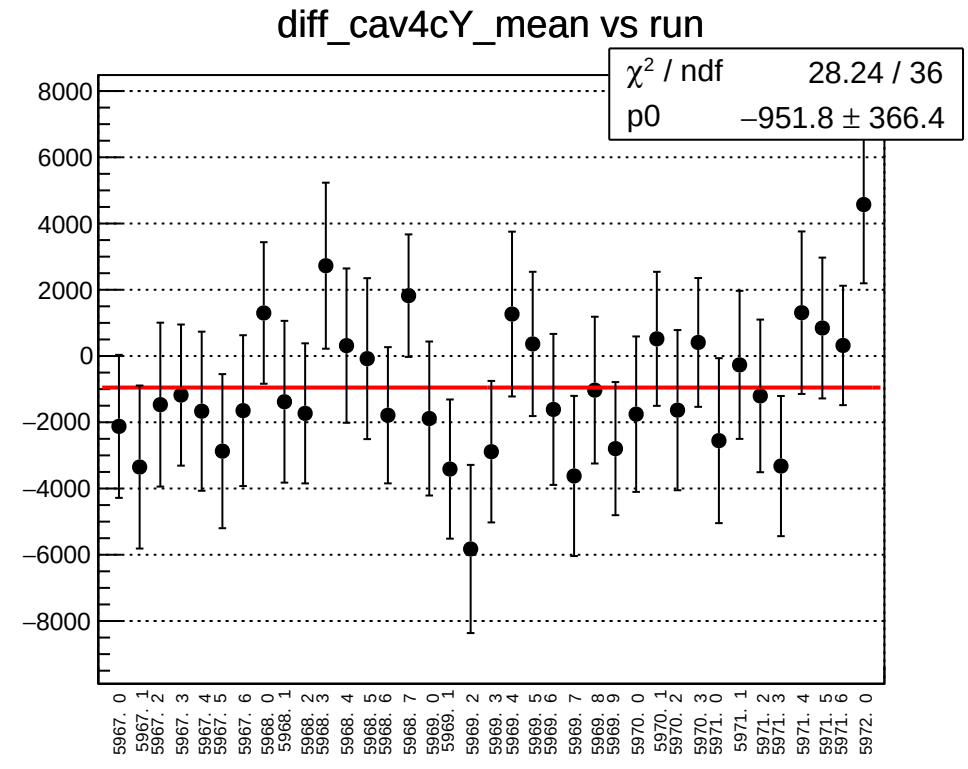
diff_cav4cY_mean vs run
χ² / ndf 28.24 / 36
p0 −951.8 ± 366.4
8000
6000
4000
2000
0
−2000
−4000
−6000
−8000
5967. 0
5967. 1
5967. 2
5967. 3
5967. 4
5967. 5
5967. 6
5968. 0
5968. 1
5968. 2
5968. 3
5968. 4
5968. 5
5968. 6
5968. 7
5969. 0
5969. 1
5969. 2
5969. 3
5969. 4
5969. 5
5969. 6
5969. 7
5969. 8
5969. 9
5970. 0
5970. 1
5970. 2
5970. 3
5971. 0
5971. 1
5971. 2
5971. 3
5971. 4
5971. 5
5971. 6
5972. 0
pull
Entries 37
Mean −152.1
Std Dev 0
2.5
2
1.5
1
0.5
0
−0.5
−1
−1.5
−2

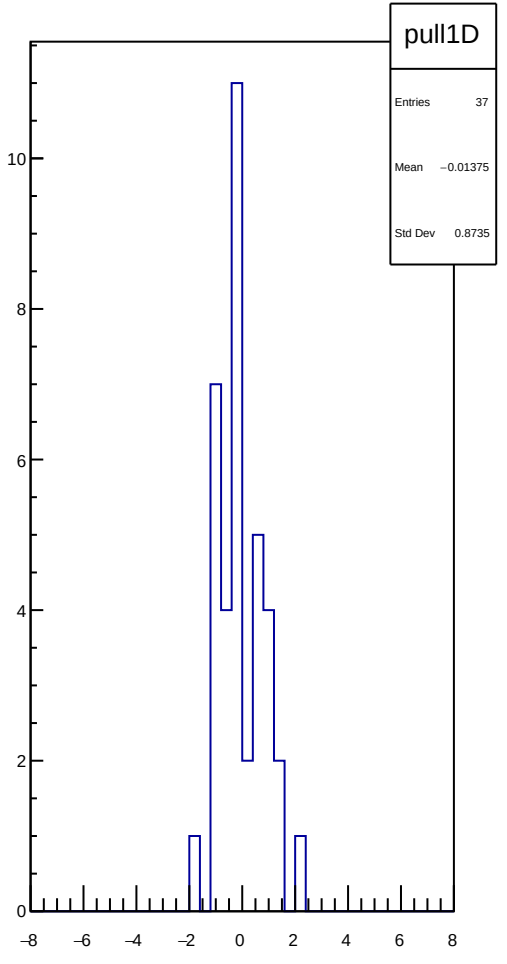
pull1D
Entries 37
Mean −0.01375
Std Dev 0.8735
10
8
6
4
2
0
−8
−6
−4
−2
0
2
4
6
8

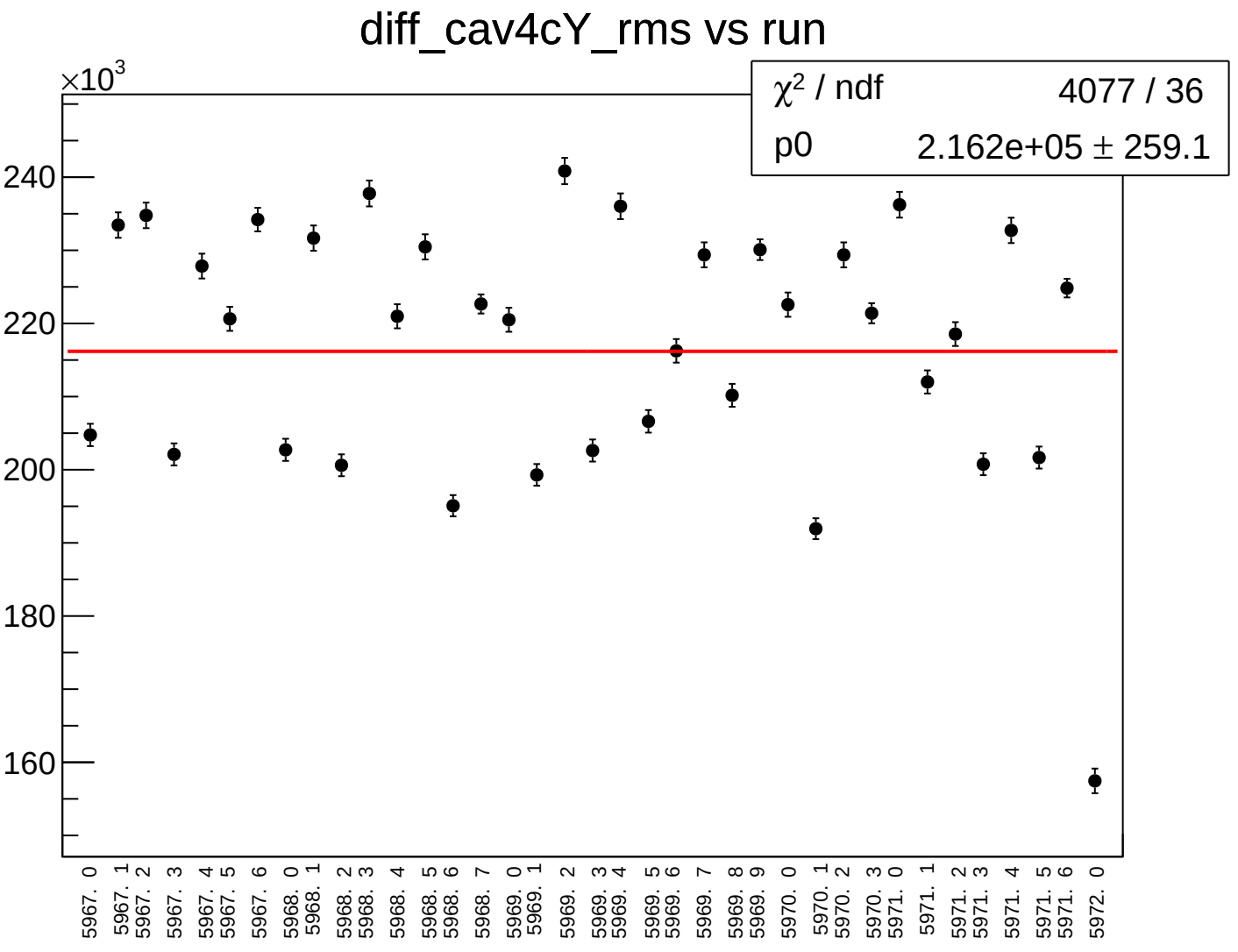
diff_cav4cY_rms vs run
×10^3
χ² / ndf 4077 / 36
p0 2.162e+05 ± 259.1
240
220
200
180
160
5967. 0
5967. 1
5967. 2
5967. 3
5967. 4
5967. 5
5967. 6
5968. 0
5968. 1
5968. 2
5968. 3
5968. 4
5968. 5
5968. 6
5968. 7
5969. 0
5969. 1
5969. 2
5969. 3
5969. 4
5969. 5
5969. 6
5969. 7
5969. 8
5969. 9
5970. 0
5970. 1
5970. 2
5970. 3
5971. 0
5971. 1
5971. 2
5971. 3
5971. 4
5971. 5
5971. 6
5972. 0

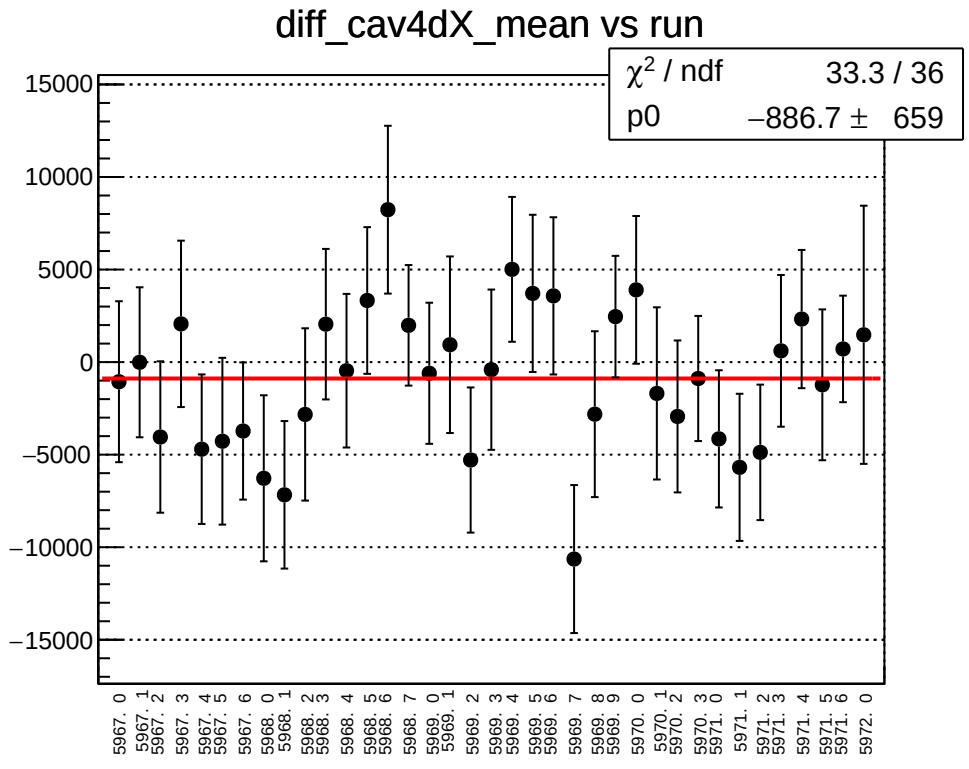
diff_cav4dX_mean vs run
χ² / ndf 33.3 / 36
p0 −886.7 ± 659
15000
10000
5000
0
−5000
−10000
−15000
5967. 0
5967. 1
5967. 2
5967. 3
5967. 4
5967. 5
5967. 6
5968. 0
5968. 1
5968. 2
5968. 3
5968. 4
5968. 5
5968. 6
5968. 7
5969. 0
5969. 1
5969. 2
5969. 3
5969. 4
5969. 5
5969. 6
5969. 7
5969. 8
5969. 9
5970. 0
5970. 1
5970. 2
5970. 3
5971. 0
5971. 1
5971. 2
5971. 3
5971. 4
5971. 5
5971. 6
5972. 0
pull
Entries 37
Mean −164.5
Std Dev 0
2
1.5
1
0.5
0
−0.5
−1
−1.5
−2
−2.5

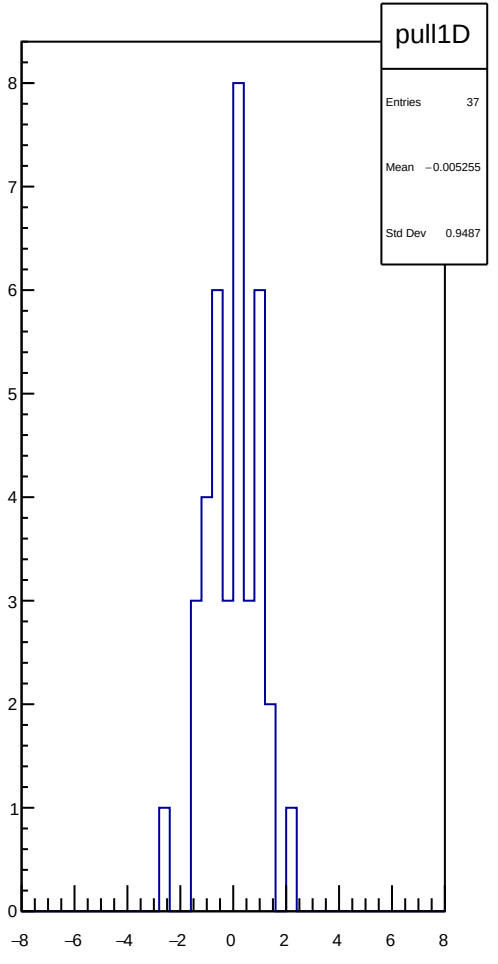
pull1D
Entries 37
Mean −0.005255
Std Dev 0.9487
8
7
6
5
4
3
2
1
0
−8
−6
−4
−2
0
2
4
6
8

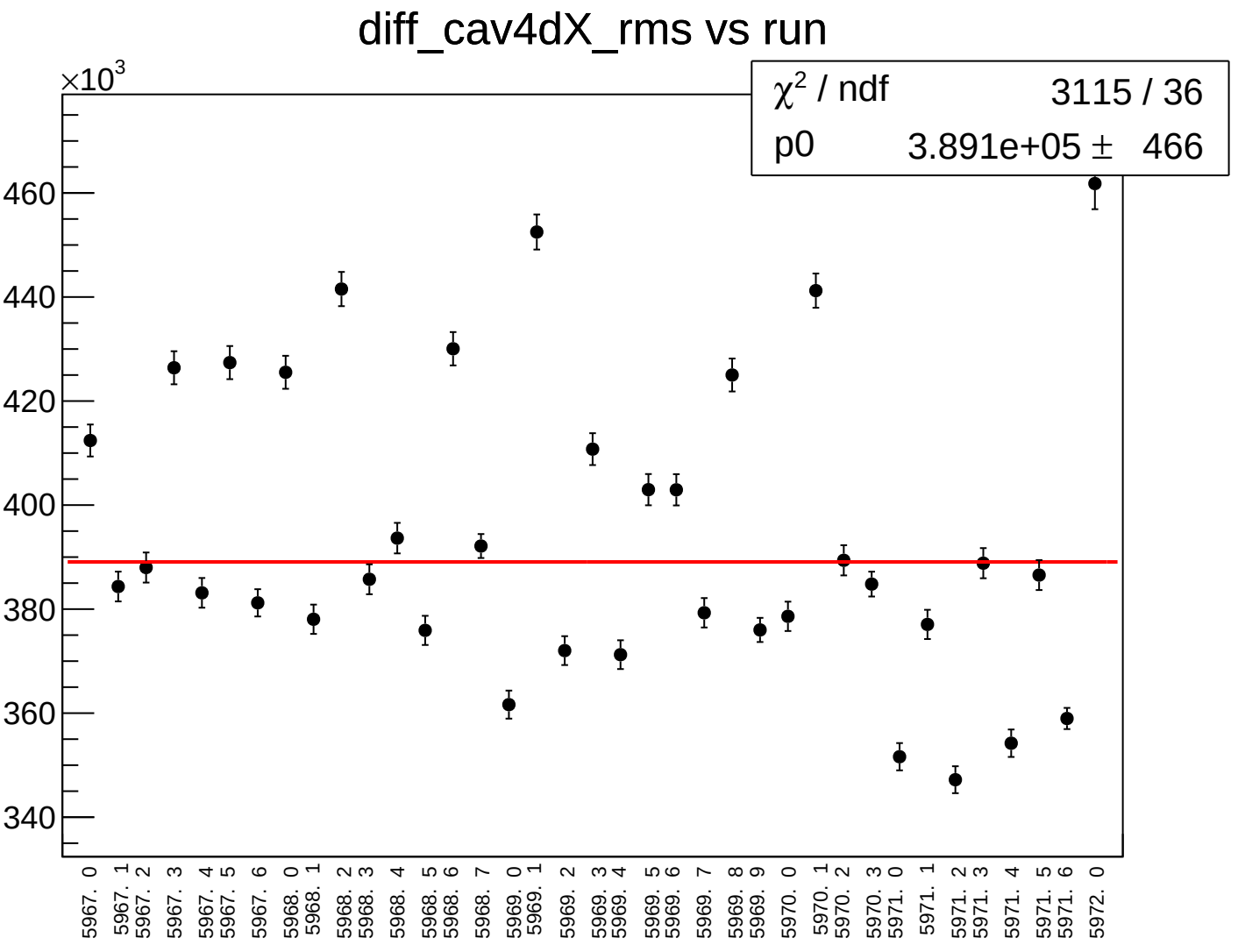
diff_cav4dX_rms vs run
×10^3
χ^2 / ndf 3115 / 36
p0 3.891e+05 ± 466
460
440
420
400
380
360
340
5967. 0
5967. 1
5967. 2
5967. 3
5967. 4
5967. 5
5967. 6
5968. 0
5968. 1
5968. 2
5968. 3
5968. 4
5968. 5
5968. 6
5968. 7
5969. 0
5969. 1
5969. 2
5969. 3
5969. 4
5969. 5
5969. 6
5969. 7
5969. 8
5969. 9
5970. 0
5970. 1
5970. 2
5970. 3
5971. 0
5971. 1
5971. 2
5971. 3
5971. 4
5971. 5
5971. 6
5972. 0

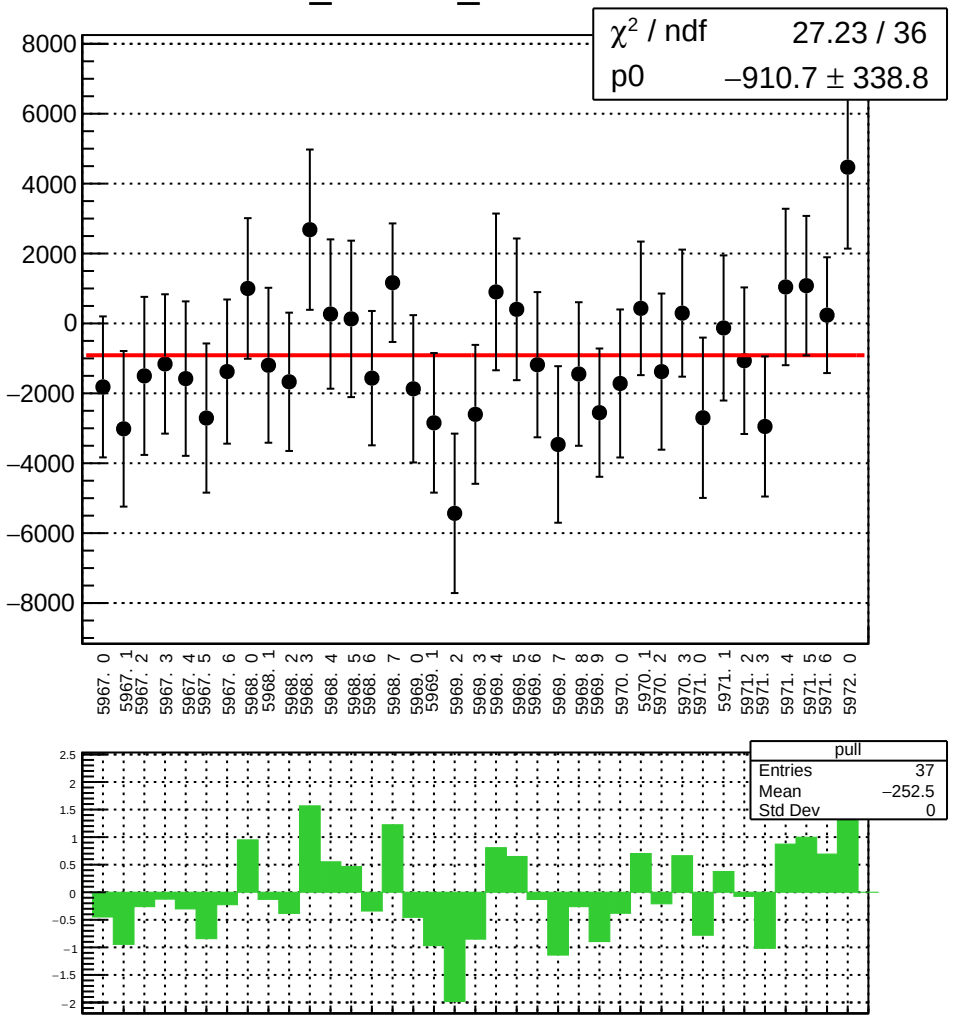
diff_cav4dY_mean vs run
χ² / ndf 27.23 / 36
p0 −910.7 ± 338.8
8000
6000
4000
2000
0
−2000
−4000
−6000
−8000
5967. 0
5967. 1
5967. 2
5967. 3
5967. 4
5967. 5
5967. 6
5968. 0
5968. 1
5968. 2
5968. 3
5968. 4
5968. 5
5968. 6
5968. 7
5969. 0
5969. 1
5969. 2
5969. 3
5969. 4
5969. 5
5969. 6
5969. 7
5969. 8
5969. 9
5970. 0
5970. 1
5970. 2
5970. 3
5971. 0
5971. 1
5971. 2
5971. 3
5971. 4
5971. 5
5971. 6
5972. 0
pull
Entries 37
Mean −252.5
Std Dev 0
2.5
2
1.5
1
0.5
0
−0.5
−1
−1.5
−2

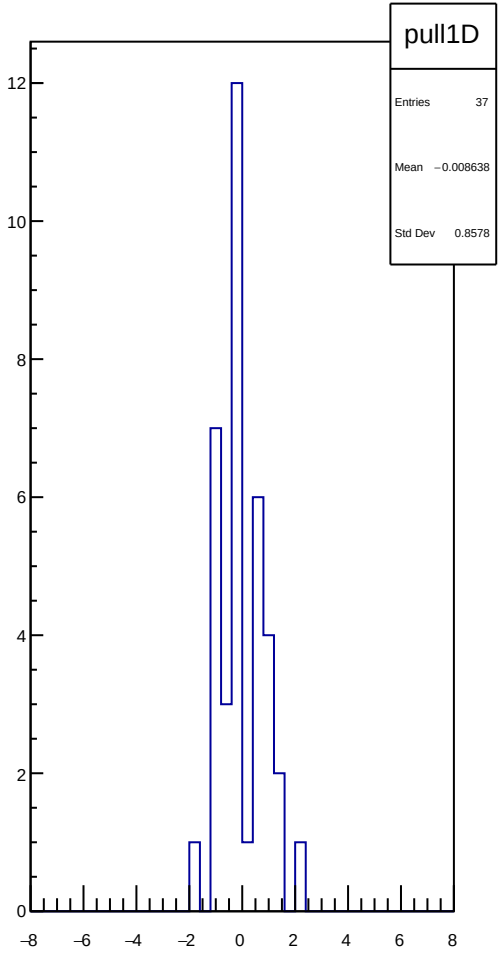
pull1D
Entries 37
Mean −0.008638
Std Dev 0.8578
12
10
8
6
4
2
0
−8
−6
−4
−2
0
2
4
6
8

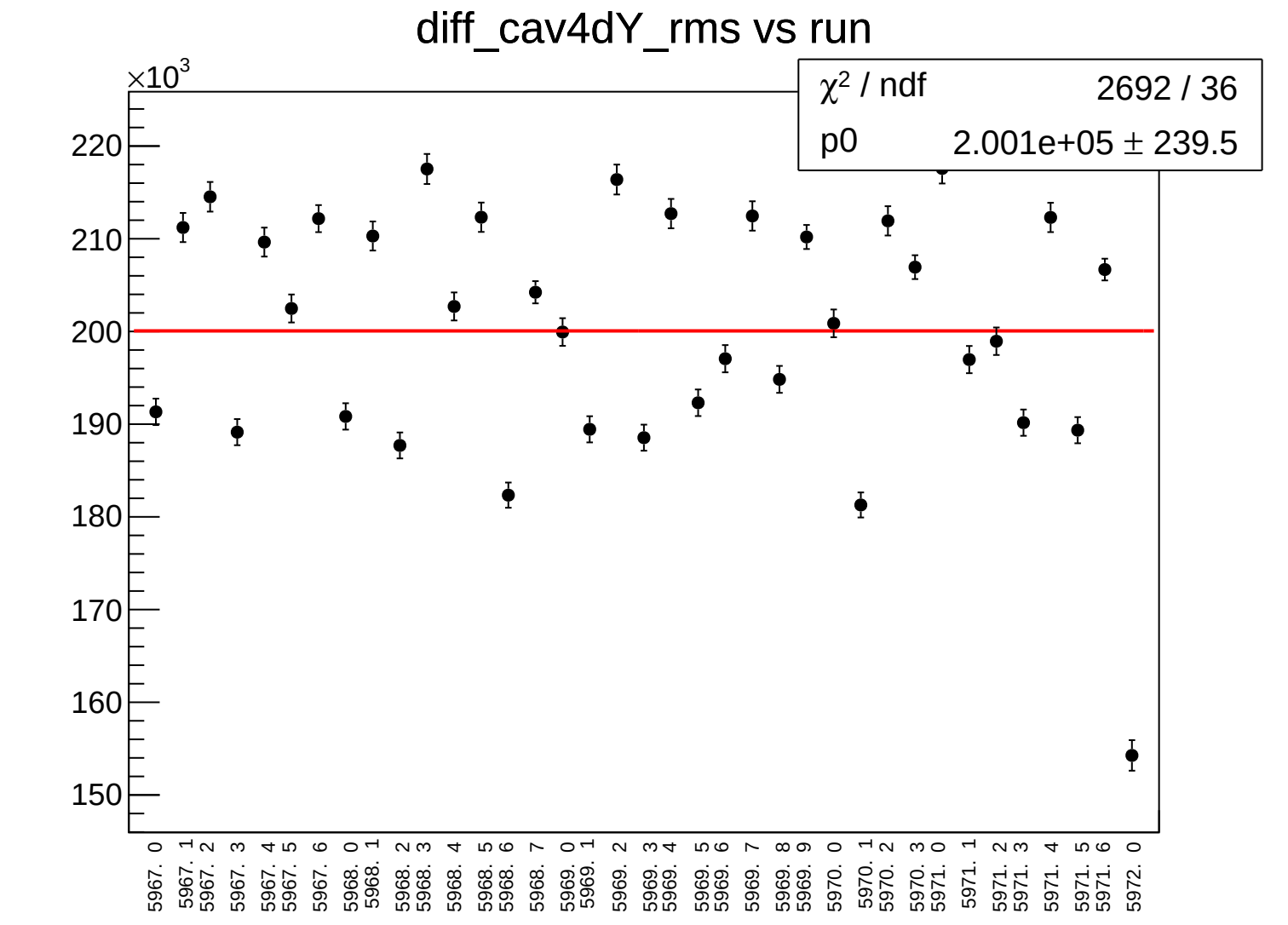
diff_cav4dY_rms vs run
×10^3
χ² / ndf 2692 / 36
p0 2.001e+05 ± 239.5
220
210
200
190
180
170
160
150
5967. 0
5967. 1
5967. 2
5967. 3
5967. 4
5967. 5
5967. 6
5968. 0
5968. 1
5968. 2
5968. 3
5968. 4
5968. 5
5968. 6
5968. 7
5969. 0
5969. 1
5969. 2
5969. 3
5969. 4
5969. 5
5969. 6
5969. 7
5969. 8
5969. 9
5970. 0
5970. 1
5970. 2
5970. 3
5971. 0
5971. 1
5971. 2
5971. 3
5971. 4
5971. 5
5971. 6
5972. 0

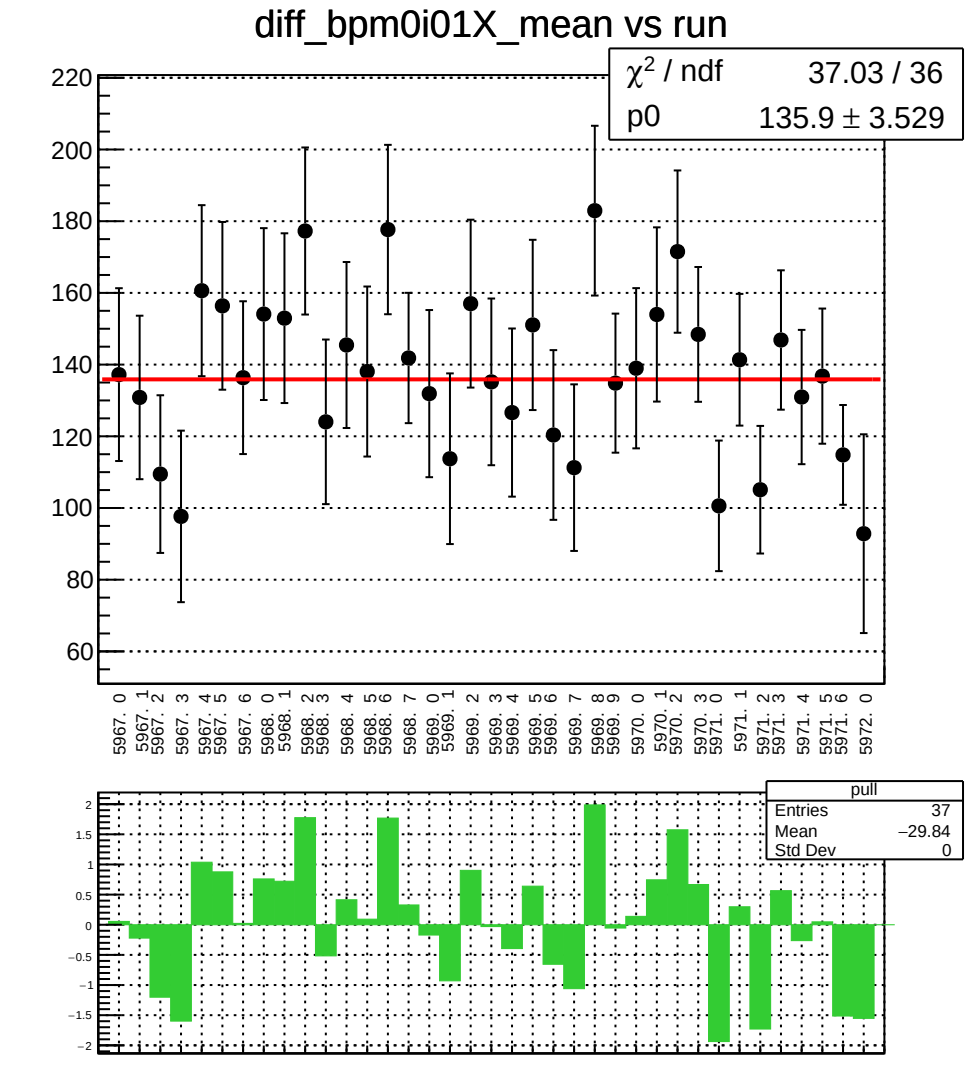
diff_bpm0i01X_mean vs run
χ^2 / ndf 37.03 / 36
p0 135.9 ± 3.529
220
200
180
160
140
120
100
80
60
5967. 0
5967. 1
5967. 2
5967. 3
5967. 4
5967. 5
5967. 6
5968. 0
5968. 1
5968. 2
5968. 3
5968. 4
5968. 5
5968. 6
5968. 7
5969. 0
5969. 1
5969. 2
5969. 3
5969. 4
5969. 5
5969. 6
5969. 7
5969. 8
5969. 9
5970. 0
5970. 1
5970. 2
5970. 3
5971. 0
5971. 1
5971. 2
5971. 3
5971. 4
5971. 5
5971. 6
5972. 0
pull
Entries 37
Mean −29.84
Std Dev 0
2
1.5
1
0.5
0
−0.5
−1
−1.5
−2

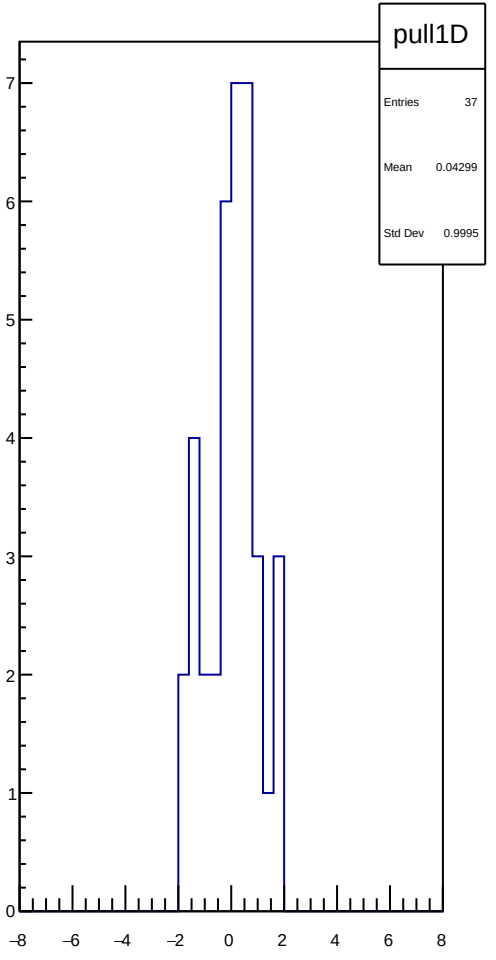
pull1D
Entries 37
Mean 0.04299
Std Dev 0.9995
7
6
5
4
3
2
1
0
−8
−6
−4
−2
0
2
4
6
8

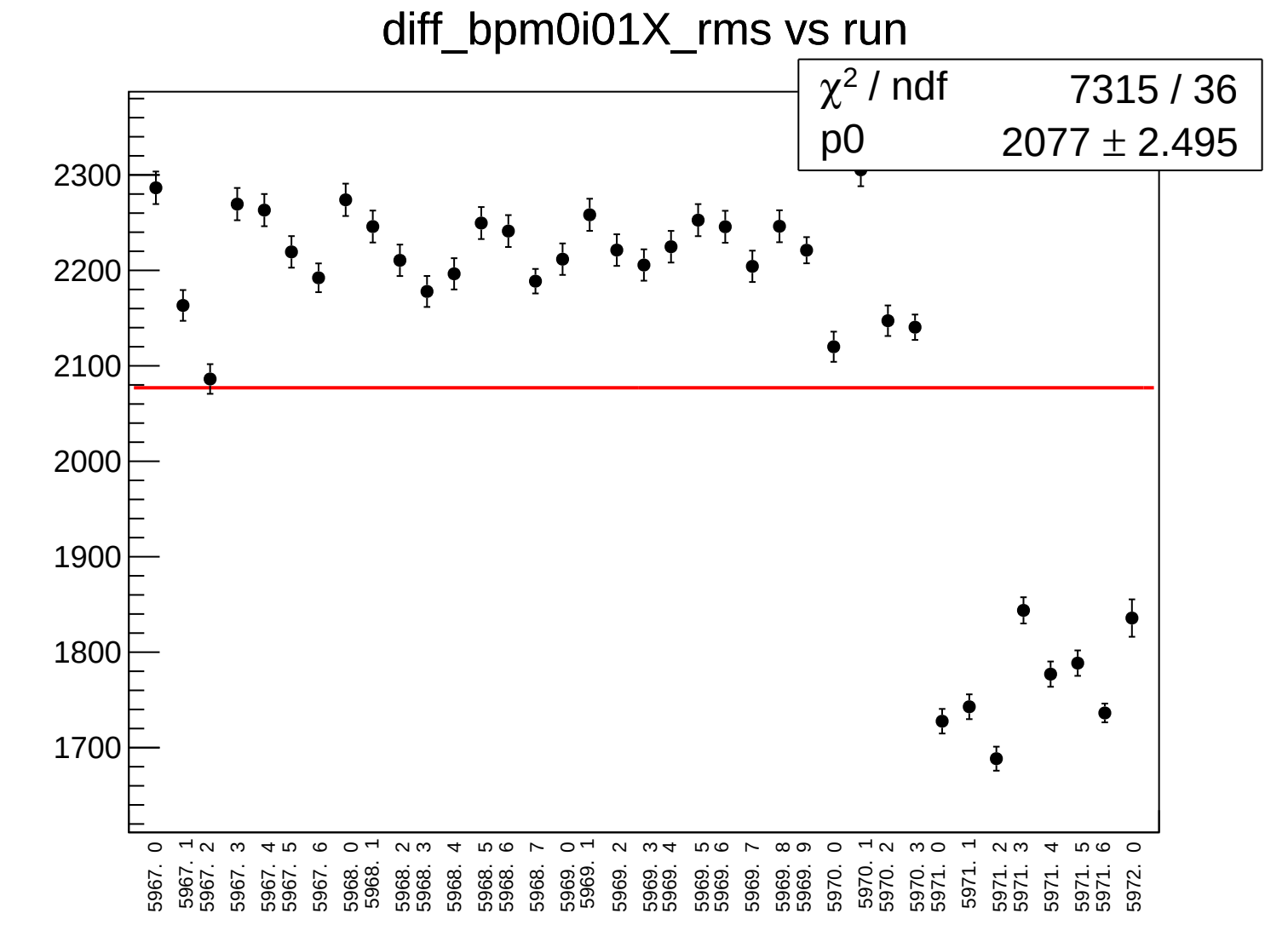
diff_bpm0i01X_rms vs run
χ² / ndf 7315 / 36
p0 2077 ± 2.495
2300
2200
2100
2000
1900
1800
1700
5967. 0
5967. 1
5967. 2
5967. 3
5967. 4
5967. 5
5967. 6
5968. 0
5968. 1
5968. 2
5968. 3
5968. 4
5968. 5
5968. 6
5968. 7
5969. 0
5969. 1
5969. 2
5969. 3
5969. 4
5969. 5
5969. 6
5969. 7
5969. 8
5969. 9
5970. 0
5970. 1
5970. 2
5970. 3
5971. 0
5971. 1
5971. 2
5971. 3
5971. 4
5971. 5
5971. 6
5972. 0

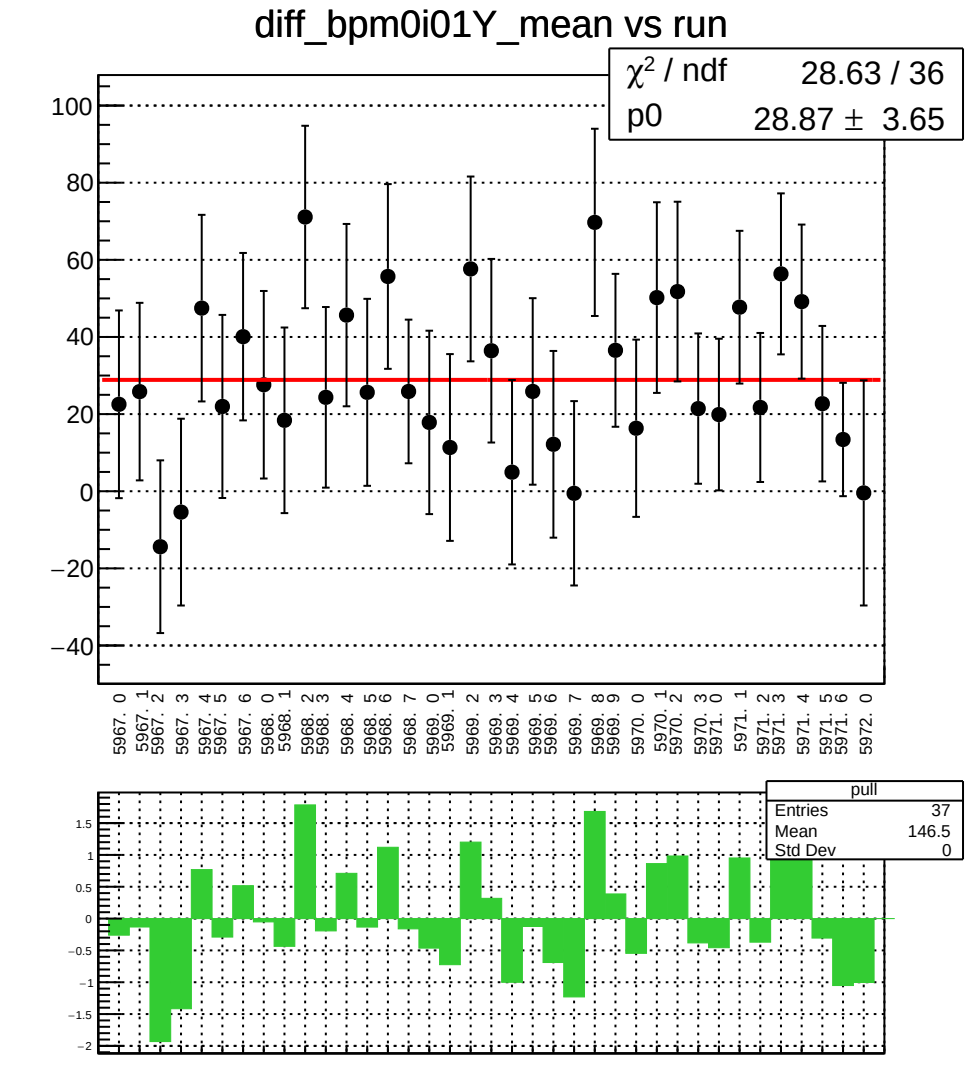
diff_bpm0i01Y_mean vs run
χ² / ndf 28.63 / 36
p0 28.87 ± 3.65
100
80
60
40
20
0
−20
−40
5967. 0
5967. 1
5967. 2
5967. 3
5967. 4
5967. 5
5967. 6
5968. 0
5968. 1
5968. 2
5968. 3
5968. 4
5968. 5
5968. 6
5968. 7
5969. 0
5969. 1
5969. 2
5969. 3
5969. 4
5969. 5
5969. 6
5969. 7
5969. 8
5969. 9
5970. 0
5970. 1
5970. 2
5970. 3
5971. 0
5971. 1
5971. 2
5971. 3
5971. 4
5971. 5
5971. 6
5972. 0
pull
Entries 37
Mean 146.5
Std Dev 0
1.5
1
0.5
0
−0.5
−1
−1.5
−2

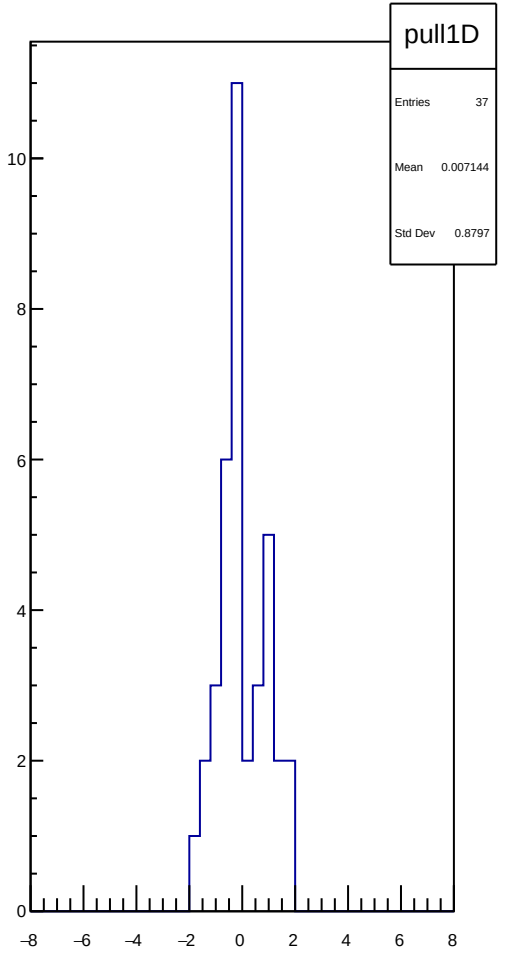
pull1D
Entries 37
Mean 0.007144
Std Dev 0.8797
10
8
6
4
2
0
−8
−6
−4
−2
0
2
4
6
8

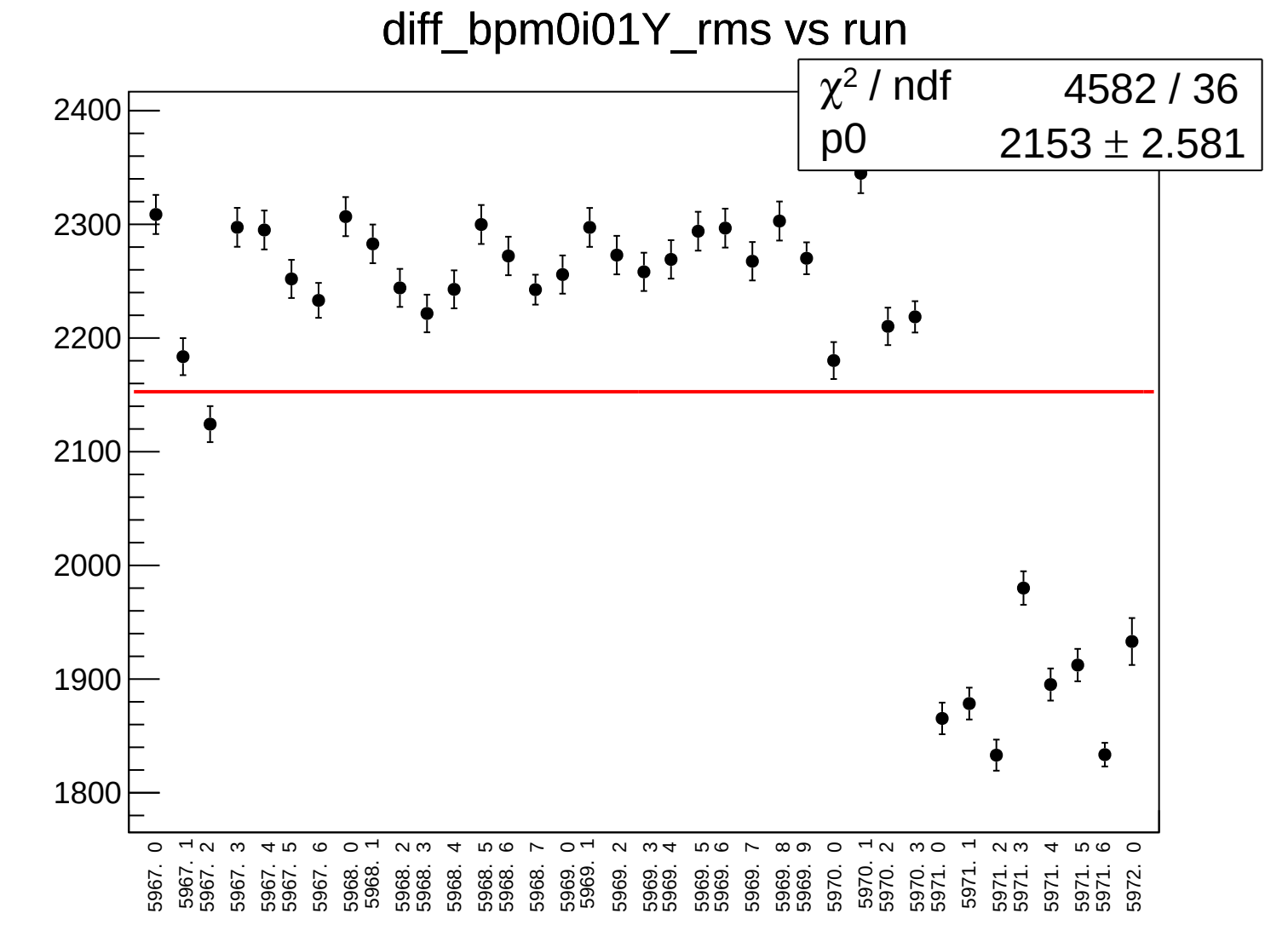
diff_bpm0i01Y_rms vs run
χ² / ndf 4582 / 36
p0 2153 ± 2.581
2400
2300
2200
2100
2000
1900
1800
5967. 0
5967. 1
5967. 2
5967. 3
5967. 4
5967. 5
5967. 6
5968. 0
5968. 1
5968. 2
5968. 3
5968. 4
5968. 5
5968. 6
5968. 7
5969. 0
5969. 1
5969. 2
5969. 3
5969. 4
5969. 5
5969. 6
5969. 7
5969. 8
5969. 9
5970. 0
5970. 1
5970. 2
5970. 3
5971. 0
5971. 1
5971. 2
5971. 3
5971. 4
5971. 5
5971. 6
5972. 0

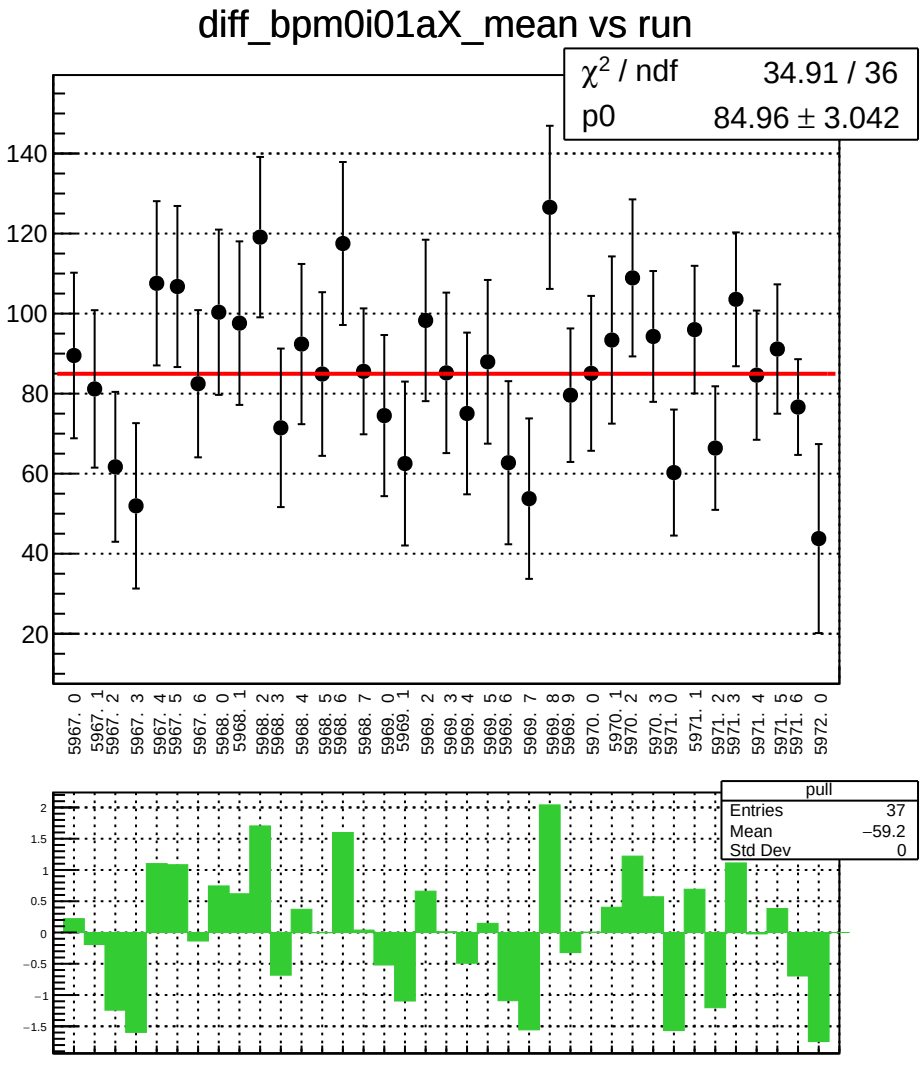
diff_bpm0i01aX_mean vs run
χ² / ndf 34.91 / 36
p0 84.96 ± 3.042
140
120
100
80
60
40
20
5967. 0
5967. 1
5967. 2
5967. 3
5967. 4
5967. 5
5967. 6
5968. 0
5968. 1
5968. 2
5968. 3
5968. 4
5968. 5
5968. 6
5968. 7
5969. 0
5969. 1
5969. 2
5969. 3
5969. 4
5969. 5
5969. 6
5969. 7
5969. 8
5969. 9
5970. 0
5970. 1
5970. 2
5970. 3
5971. 0
5971. 1
5971. 2
5971. 3
5971. 4
5971. 5
5971. 6
5972. 0
pull
Entries 37
Mean −59.2
Std Dev 0
2
1.5
1
0.5
0
−0.5
−1
−1.5
pull1D
Entries 37
Mean 0.0155
Std Dev 0.9712
7
6
5
4
3
2
1
0
−8
−6
−4
−2
0
2
4
6
8

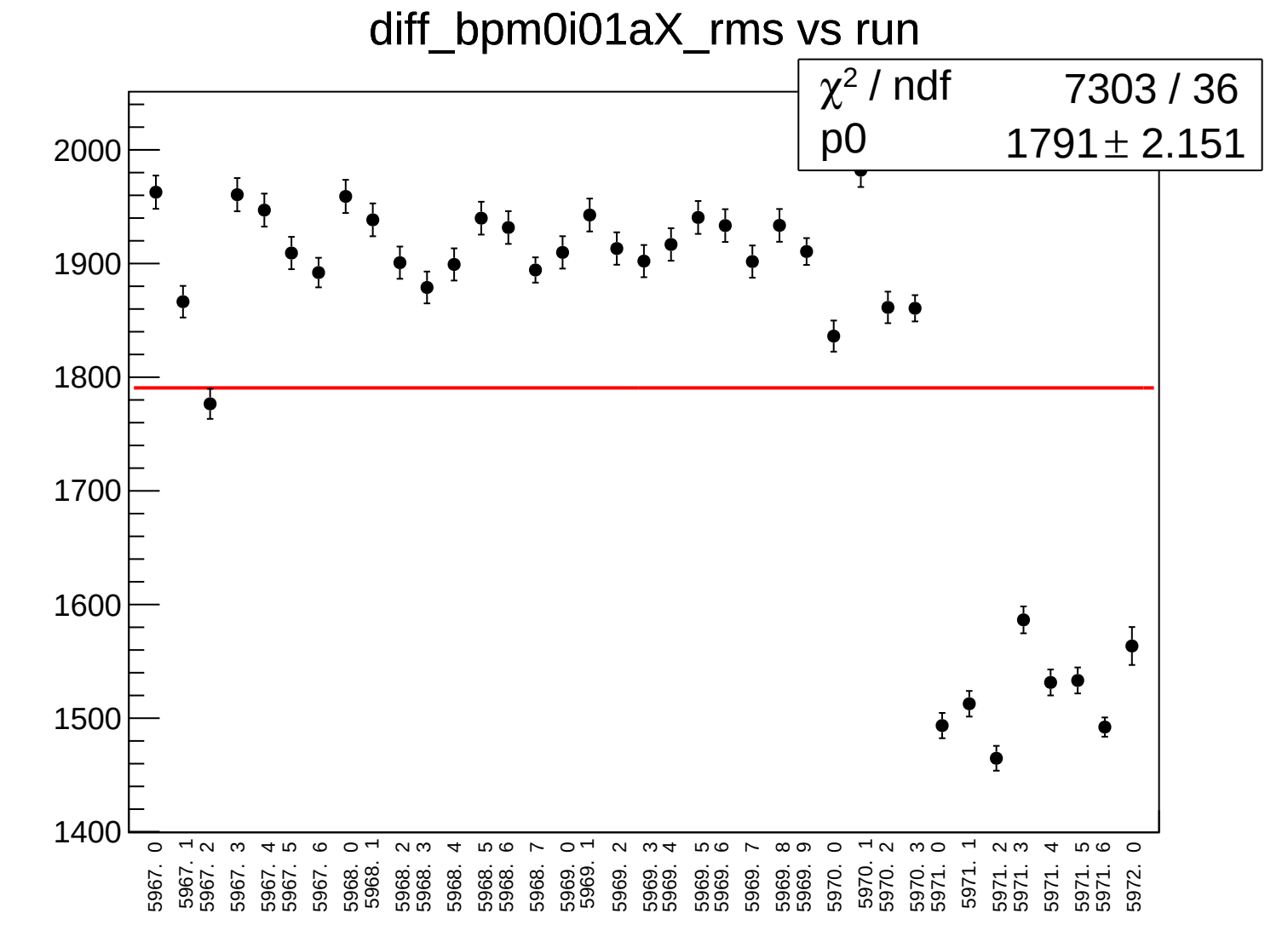
diff_bpm0i01aX_rms vs run
χ² / ndf 7303 / 36
p0 1791 ± 2.151
2000
1900
1800
1700
1600
1500
1400
5967. 0
5967. 1
5967. 2
5967. 3
5967. 4
5967. 5
5967. 6
5968. 0
5968. 1
5968. 2
5968. 3
5968. 4
5968. 5
5968. 6
5968. 7
5969. 0
5969. 1
5969. 2
5969. 3
5969. 4
5969. 5
5969. 6
5969. 7
5969. 8
5969. 9
5970. 0
5970. 1
5970. 2
5970. 3
5971. 0
5971. 1
5971. 2
5971. 3
5971. 4
5971. 5
5971. 6
5972. 0

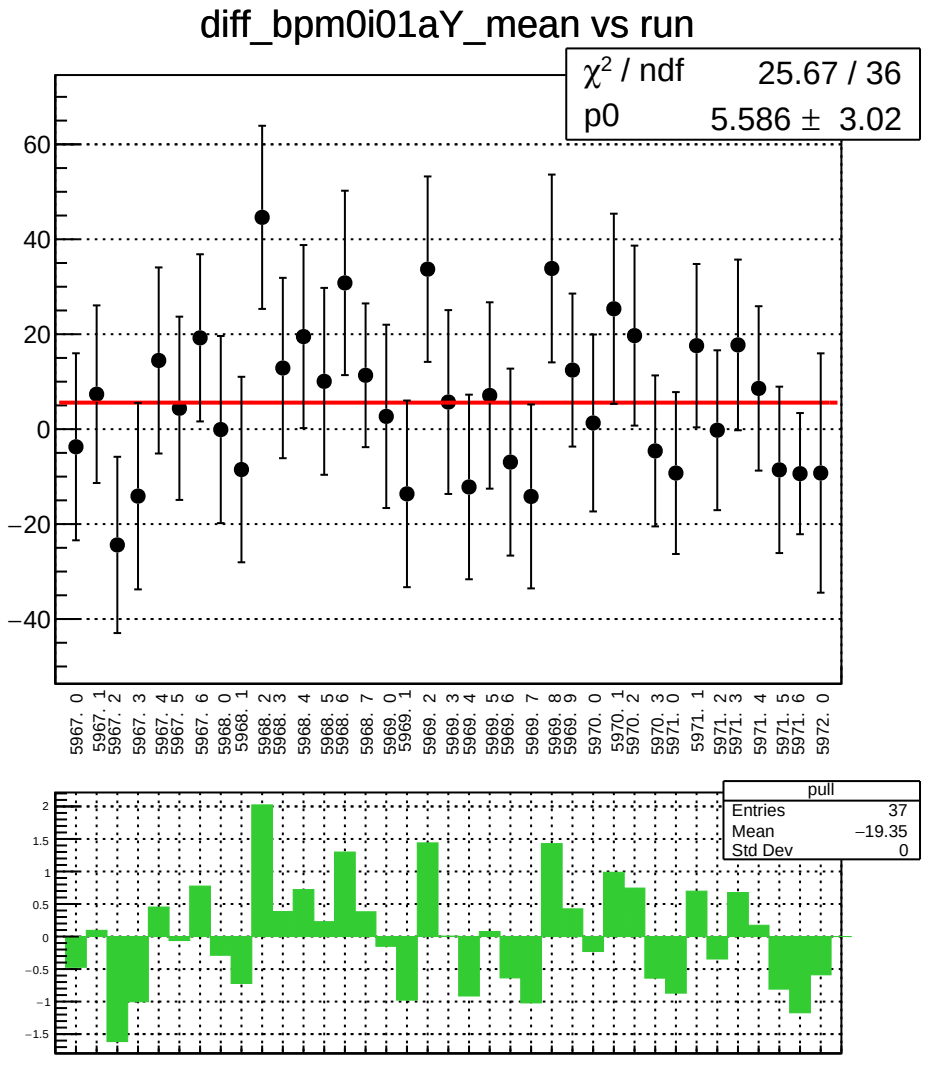
diff_bpm0i01aY_mean vs run
χ² / ndf 25.67 / 36
p0 5.586 ± 3.02
60
40
20
0
−20
−40
5967. 0
5967. 1
5967. 2
5967. 3
5967. 4
5967. 5
5967. 6
5968. 0
5968. 1
5968. 2
5968. 3
5968. 4
5968. 5
5968. 6
5968. 7
5969. 0
5969. 1
5969. 2
5969. 3
5969. 4
5969. 5
5969. 6
5969. 7
5969. 8
5969. 9
5970. 0
5970. 1
5970. 2
5970. 3
5971. 0
5971. 1
5971. 2
5971. 3
5971. 4
5971. 5
5971. 6
5972. 0
pull
Entries 37
Mean −19.35
Std Dev 0
2
1.5
1
0.5
0
−0.5
−1
−1.5
pull1D
Entries 37
Mean 0.01355
Std Dev 0.8329
7
6
5
4
3
2
1
0
−8
−6
−4
−2
0
2
4
6
8

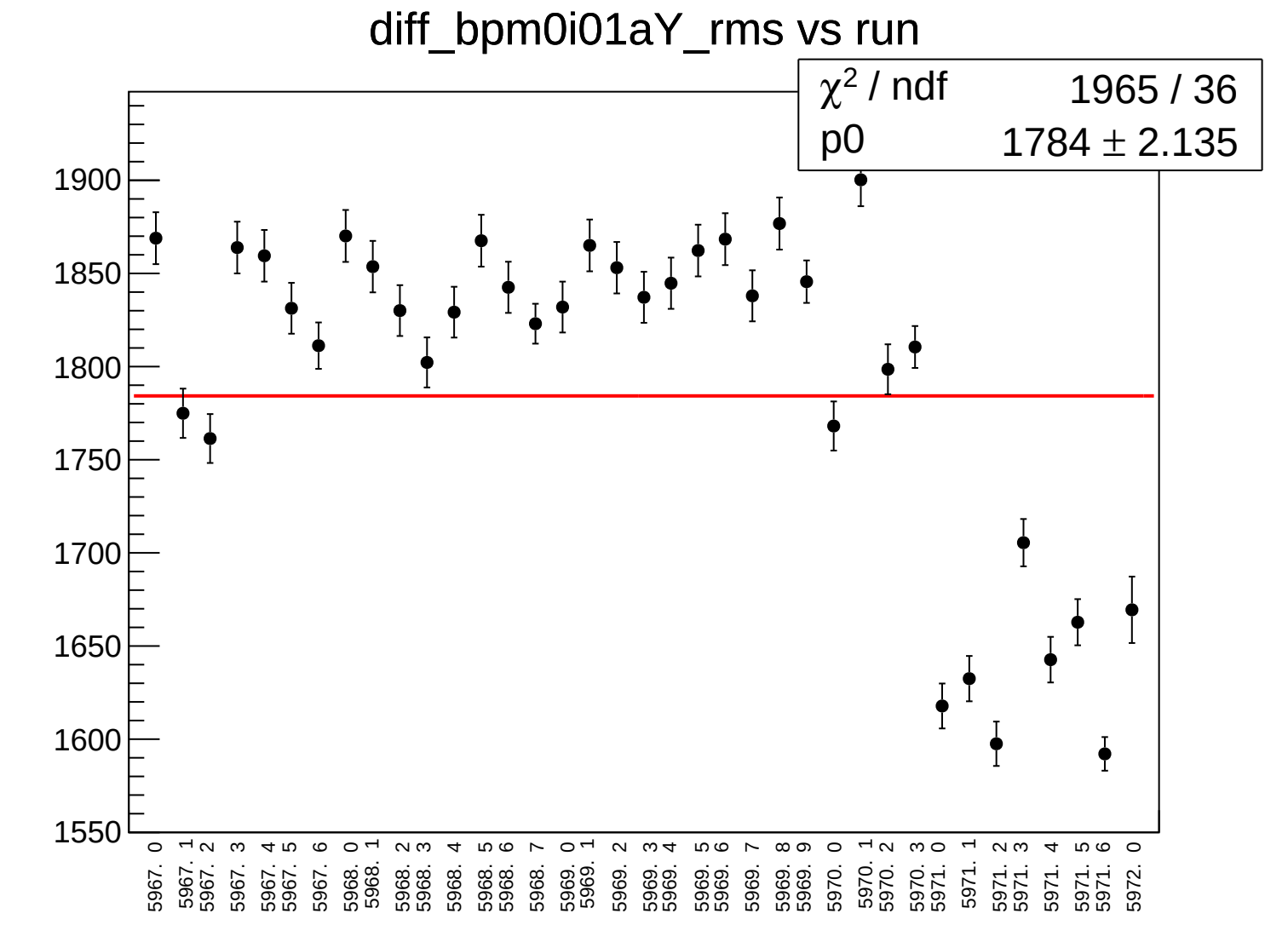
diff_bpm0i01aY_rms vs run
χ² / ndf 1965 / 36
p0 1784 ± 2.135
1900
1850
1800
1750
1700
1650
1600
1550
5967. 0
5967. 1
5967. 2
5967. 3
5967. 4
5967. 5
5967. 6
5968. 0
5968. 1
5968. 2
5968. 3
5968. 4
5968. 5
5968. 6
5968. 7
5969. 0
5969. 1
5969. 2
5969. 3
5969. 4
5969. 5
5969. 6
5969. 7
5969. 8
5969. 9
5970. 0
5970. 1
5970. 2
5970. 3
5971. 0
5971. 1
5971. 2
5971. 3
5971. 4
5971. 5
5971. 6
5972. 0

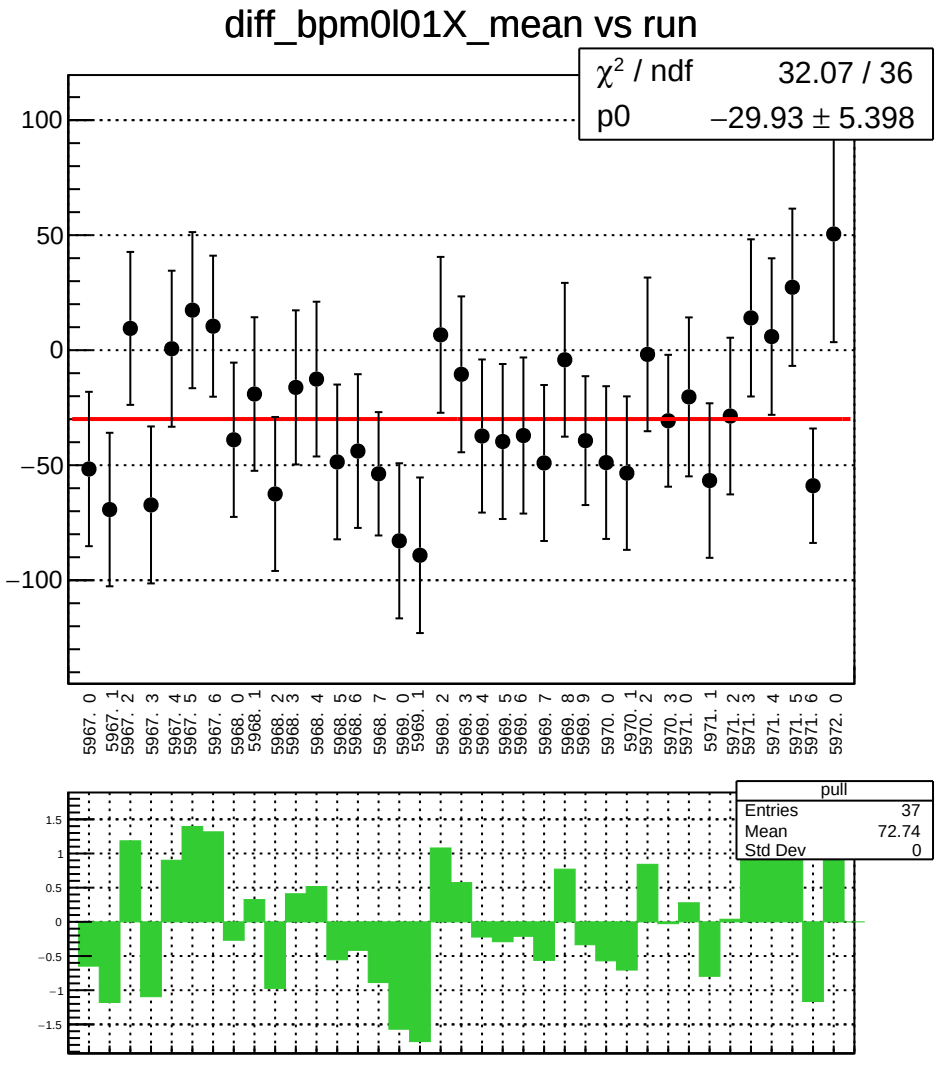
diff_bpm0l01X_mean vs run
χ² / ndf 32.07 / 36
p0 −29.93 ± 5.398
100
50
0
−50
−100
5967. 0
5967. 1
5967. 2
5967. 3
5967. 4
5967. 5
5967. 6
5968. 0
5968. 1
5968. 2
5968. 3
5968. 4
5968. 5
5968. 6
5968. 7
5969. 0
5969. 1
5969. 2
5969. 3
5969. 4
5969. 5
5969. 6
5969. 7
5969. 8
5969. 9
5970. 0
5970. 1
5970. 2
5970. 3
5971. 0
5971. 1
5971. 2
5971. 3
5971. 4
5971. 5
5971. 6
5972. 0
pull
Entries 37
Mean 72.74
Std Dev 0
1.5
1
0.5
0
−0.5
−1
−1.5

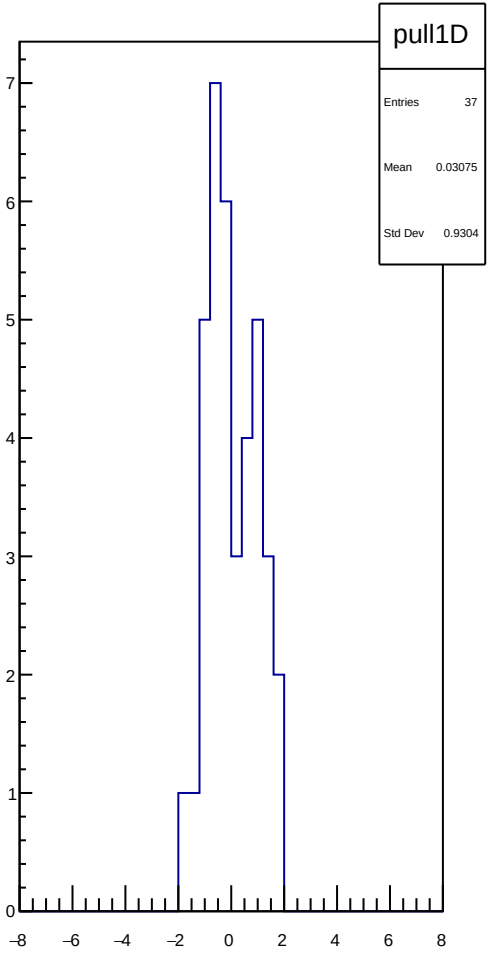
pull1D
Entries 37
Mean 0.03075
Std Dev 0.9304
7
6
5
4
3
2
1
0
−8
−6
−4
−2
0
2
4
6
8

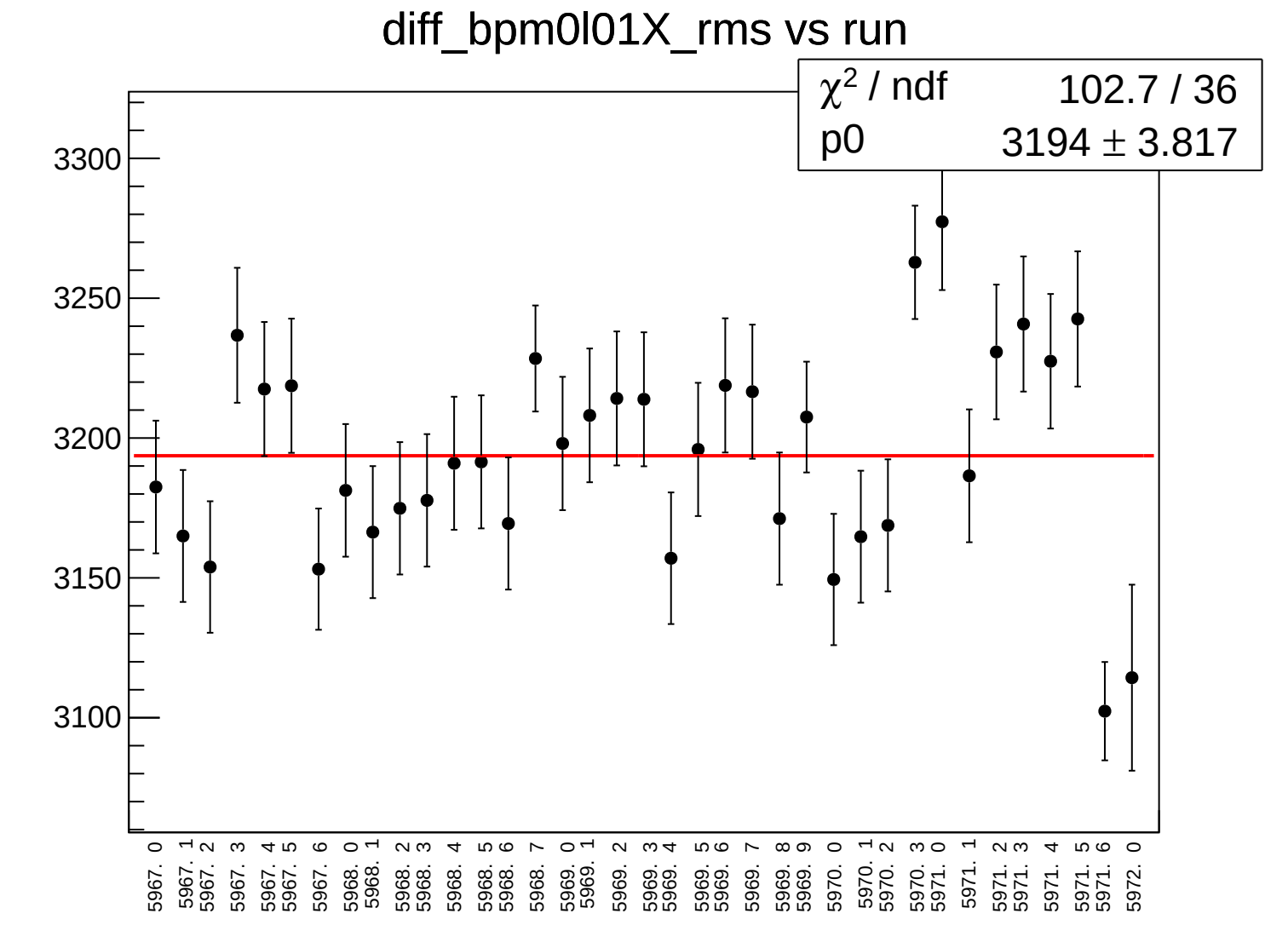
diff_bpm0l01X_rms vs run
χ² / ndf 102.7 / 36
p0 3194 ± 3.817
3300
3250
3200
3150
3100
5967. 0
5967. 1
5967. 2
5967. 3
5967. 4
5967. 5
5967. 6
5968. 0
5968. 1
5968. 2
5968. 3
5968. 4
5968. 5
5968. 6
5968. 7
5969. 0
5969. 1
5969. 2
5969. 3
5969. 4
5969. 5
5969. 6
5969. 7
5969. 8
5969. 9
5970. 0
5970. 1
5970. 2
5970. 3
5971. 0
5971. 1
5971. 2
5971. 3
5971. 4
5971. 5
5971. 6
5972. 0

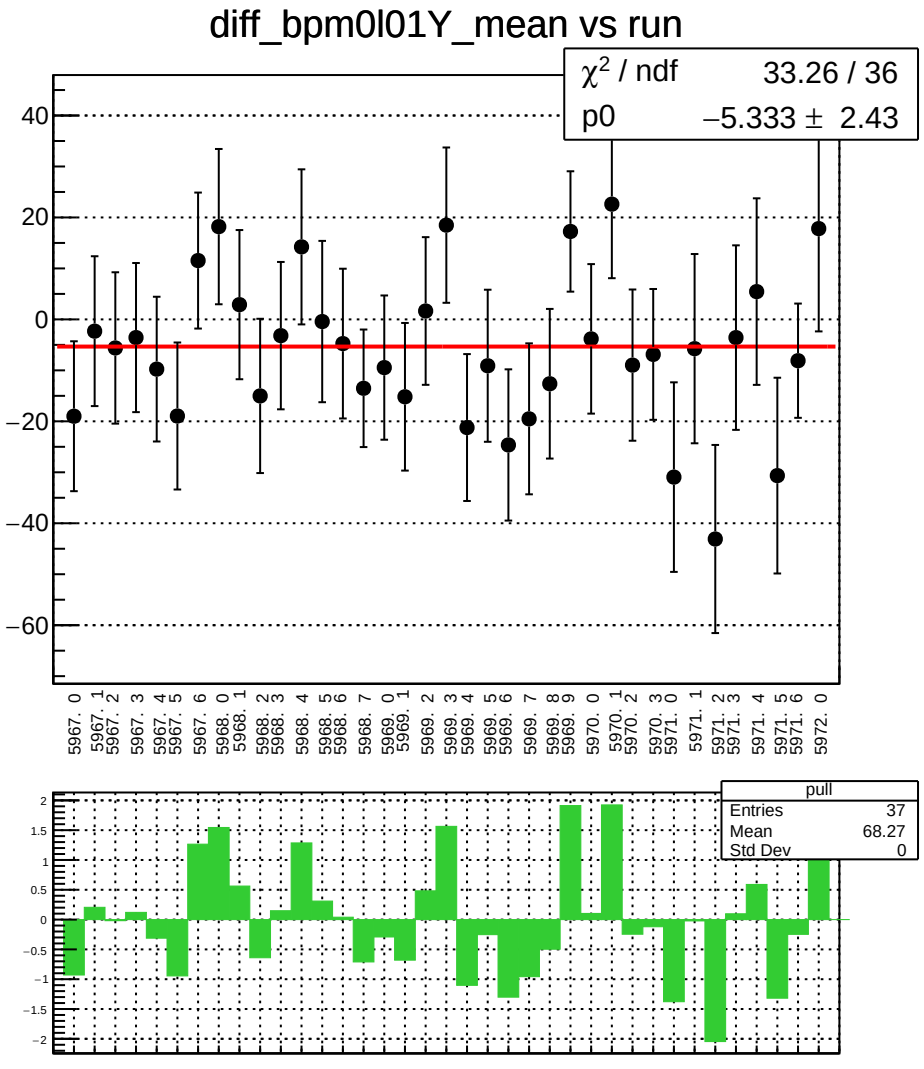
diff_bpm0l01Y_mean vs run
χ² / ndf 33.26 / 36
p0 −5.333 ± 2.43
40
20
0
−20
−40
−60
5967. 0
5967. 1
5967. 2
5967. 3
5967. 4
5967. 5
5967. 6
5968. 0
5968. 1
5968. 2
5968. 3
5968. 4
5968. 5
5968. 6
5968. 7
5969. 0
5969. 1
5969. 2
5969. 3
5969. 4
5969. 5
5969. 6
5969. 7
5969. 8
5969. 9
5970. 0
5970. 1
5970. 2
5970. 3
5971. 0
5971. 1
5971. 2
5971. 3
5971. 4
5971. 5
5971. 6
5972. 0
pull
Entries 37
Mean 68.27
Std Dev 0
2
1.5
1
0.5
0
−0.5
−1
−1.5
−2

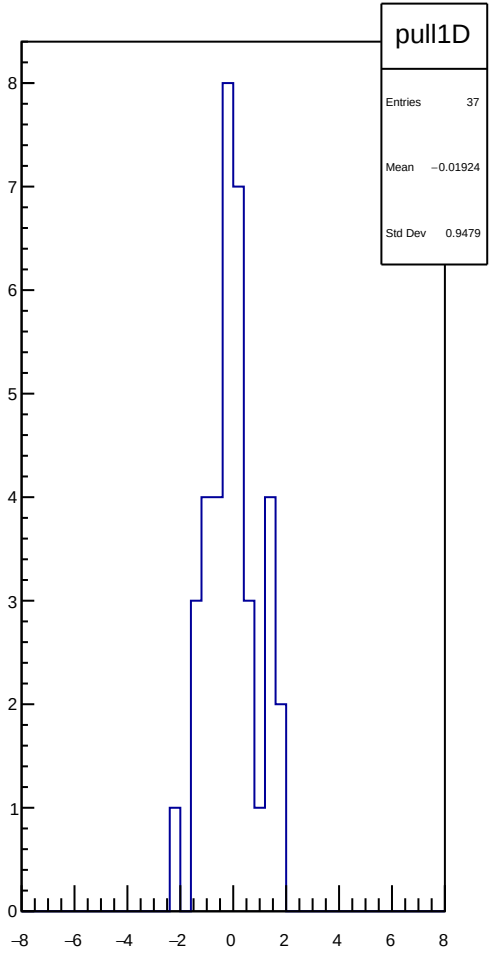
pull1D
Entries 37
Mean −0.01924
Std Dev 0.9479
8
7
6
5
4
3
2
1
0
−8
−6
−4
−2
0
2
4
6
8

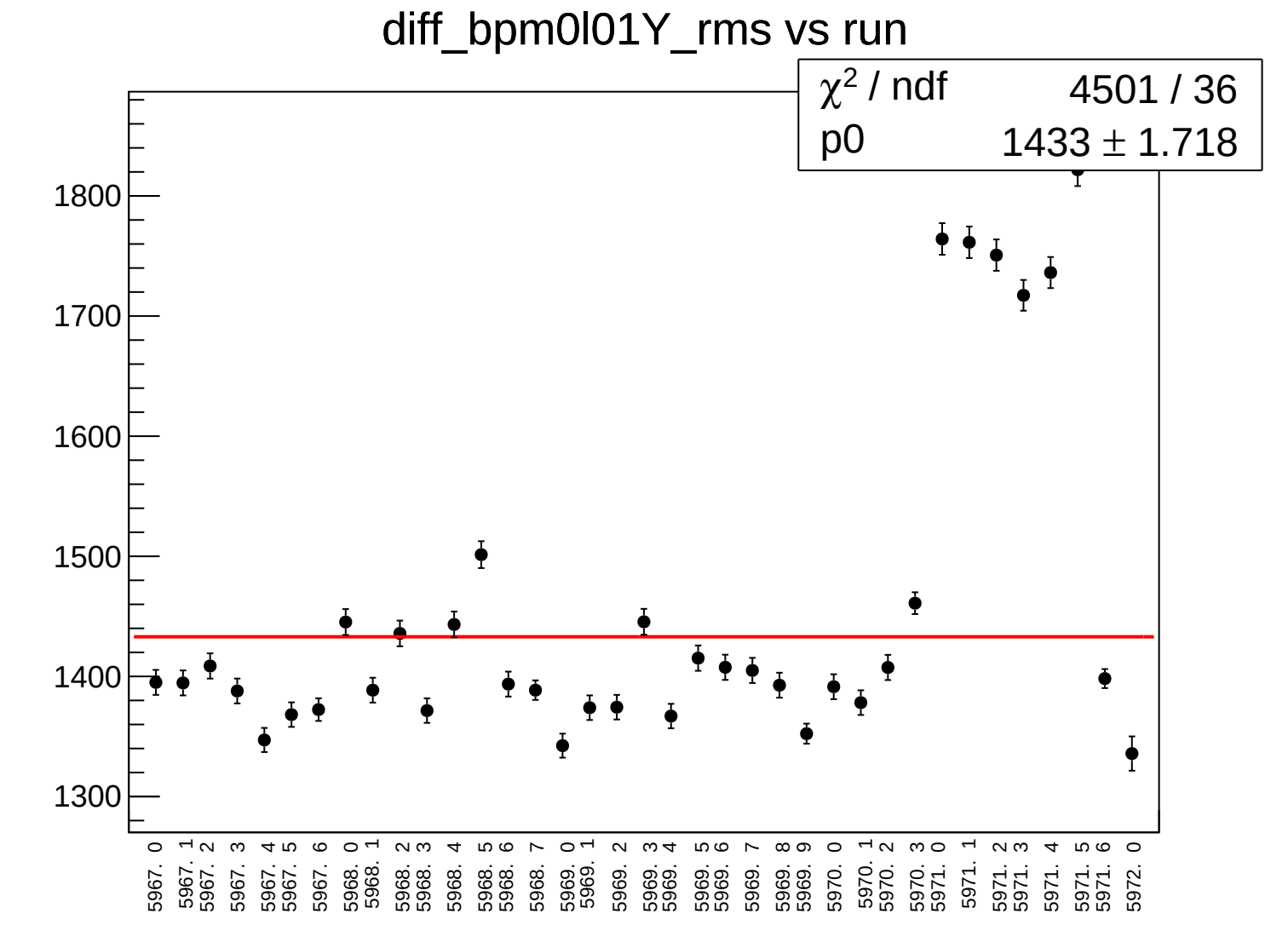
diff_bpm0l01Y_rms vs run
χ² / ndf 4501 / 36
p0 1433 ± 1.718
1800
1700
1600
1500
1400
1300
5967. 0
5967. 1
5967. 2
5967. 3
5967. 4
5967. 5
5967. 6
5968. 0
5968. 1
5968. 2
5968. 3
5968. 4
5968. 5
5968. 6
5968. 7
5969. 0
5969. 1
5969. 2
5969. 3
5969. 4
5969. 5
5969. 6
5969. 7
5969. 8
5969. 9
5970. 0
5970. 1
5970. 2
5970. 3
5971. 0
5971. 1
5971. 2
5971. 3
5971. 4
5971. 5
5971. 6
5972. 0

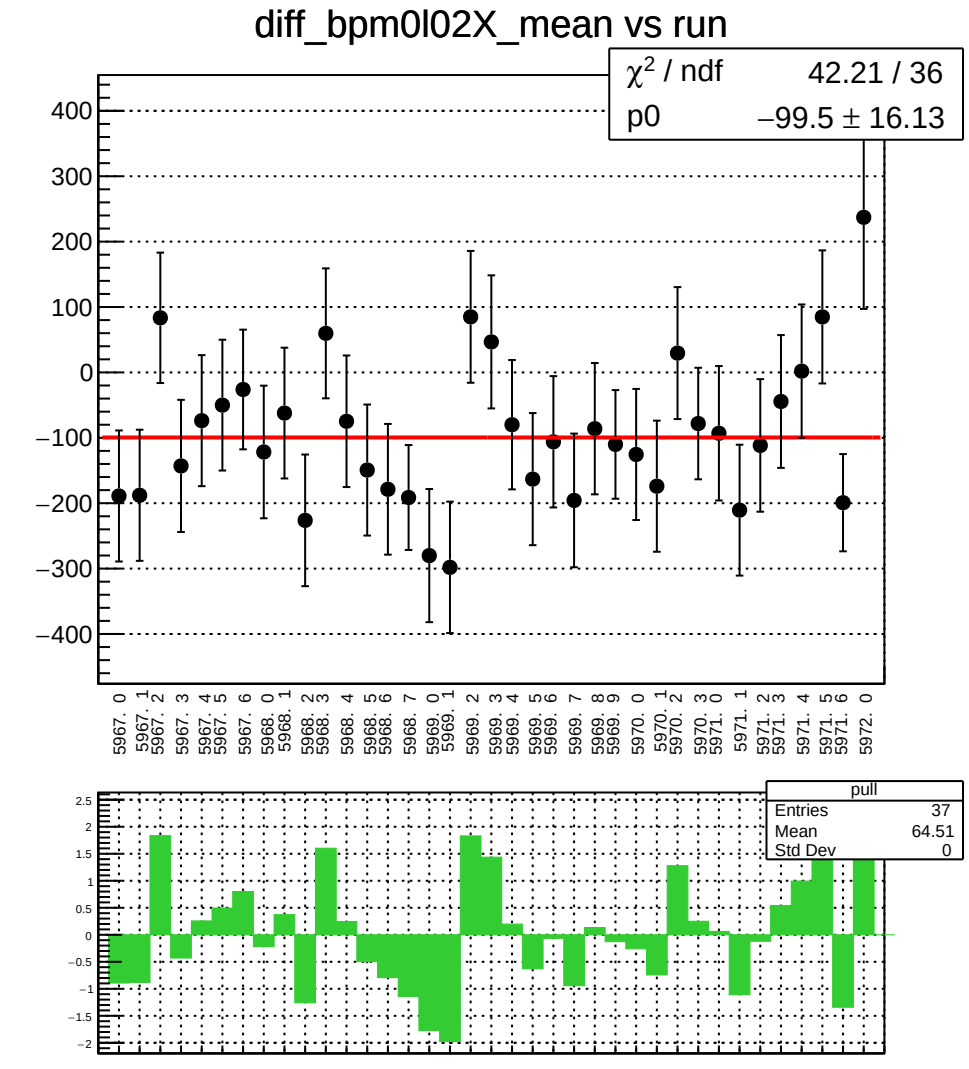
diff_bpm0l02X_mean vs run
χ² / ndf 42.21 / 36
p0 −99.5 ± 16.13
pull
Entries 37
Mean 64.51
Std Dev 0

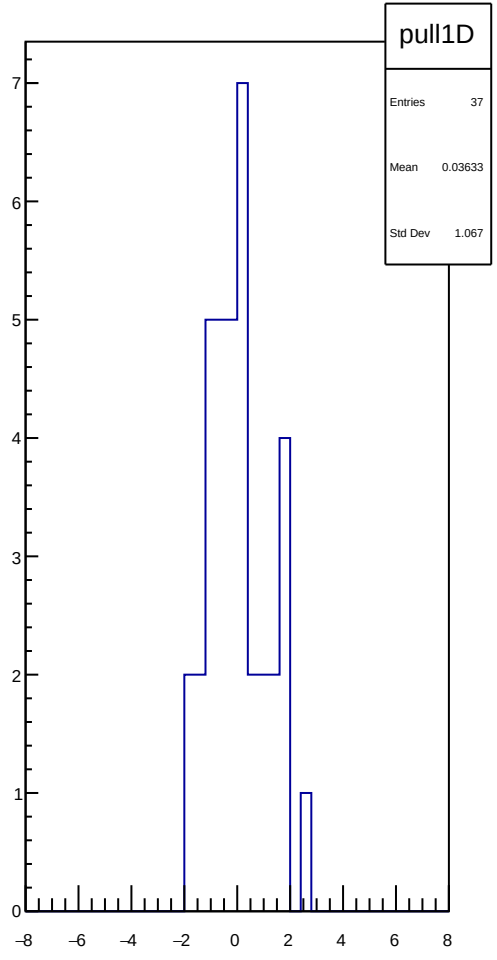
pull1D
Entries 37
Mean 0.03633
Std Dev 1.067

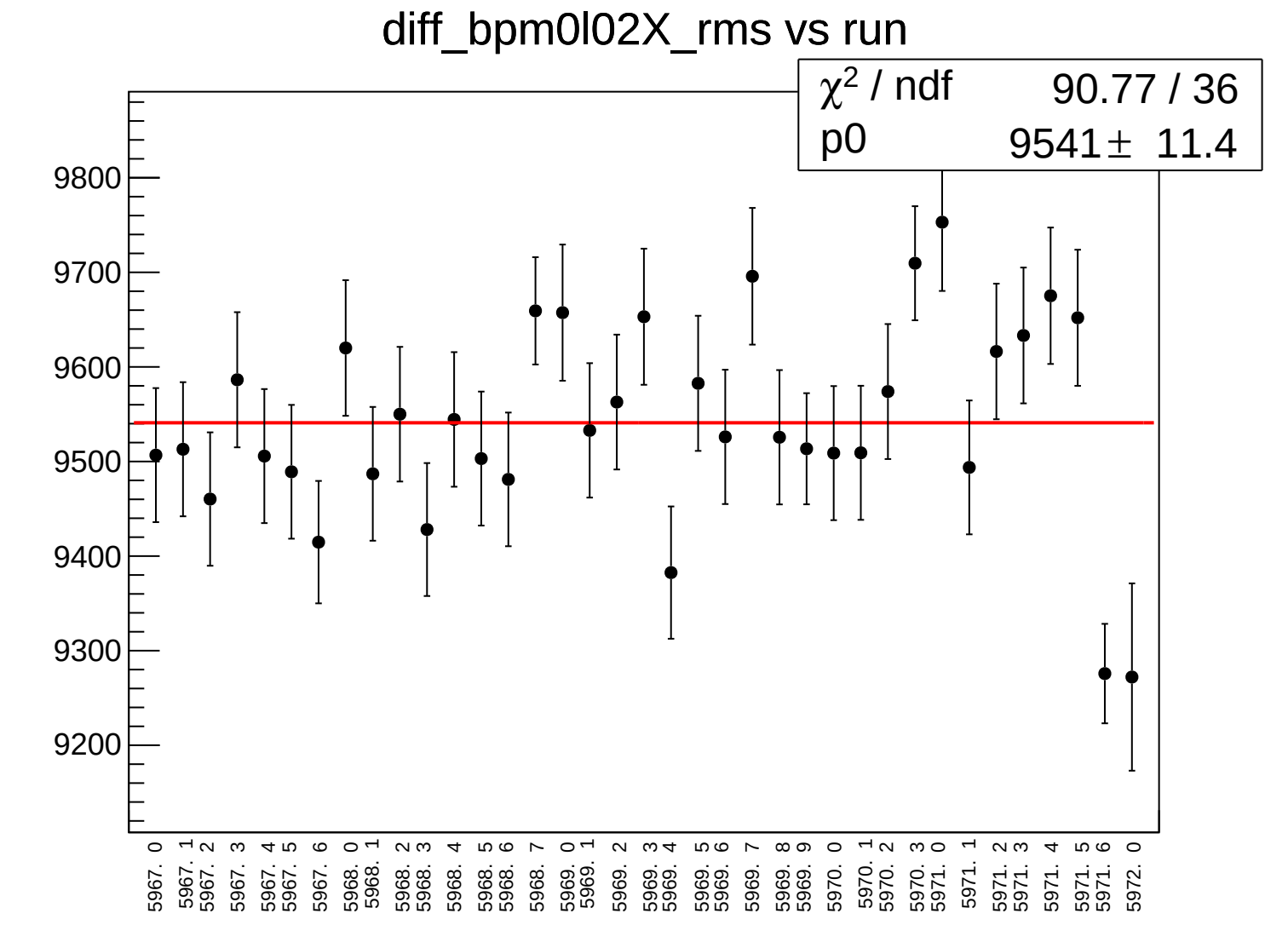
diff_bpm0l02X_rms vs run
χ² / ndf 90.77 / 36
p0 9541 ± 11.4
9800
9700
9600
9500
9400
9300
9200
5967. 0
5967. 1
5967. 2
5967. 3
5967. 4
5967. 5
5967. 6
5968. 0
5968. 1
5968. 2
5968. 3
5968. 4
5968. 5
5968. 6
5968. 7
5969. 0
5969. 1
5969. 2
5969. 3
5969. 4
5969. 5
5969. 6
5969. 7
5969. 8
5969. 9
5970. 0
5970. 1
5970. 2
5970. 3
5971. 0
5971. 1
5971. 2
5971. 3
5971. 4
5971. 5
5971. 6
5972. 0

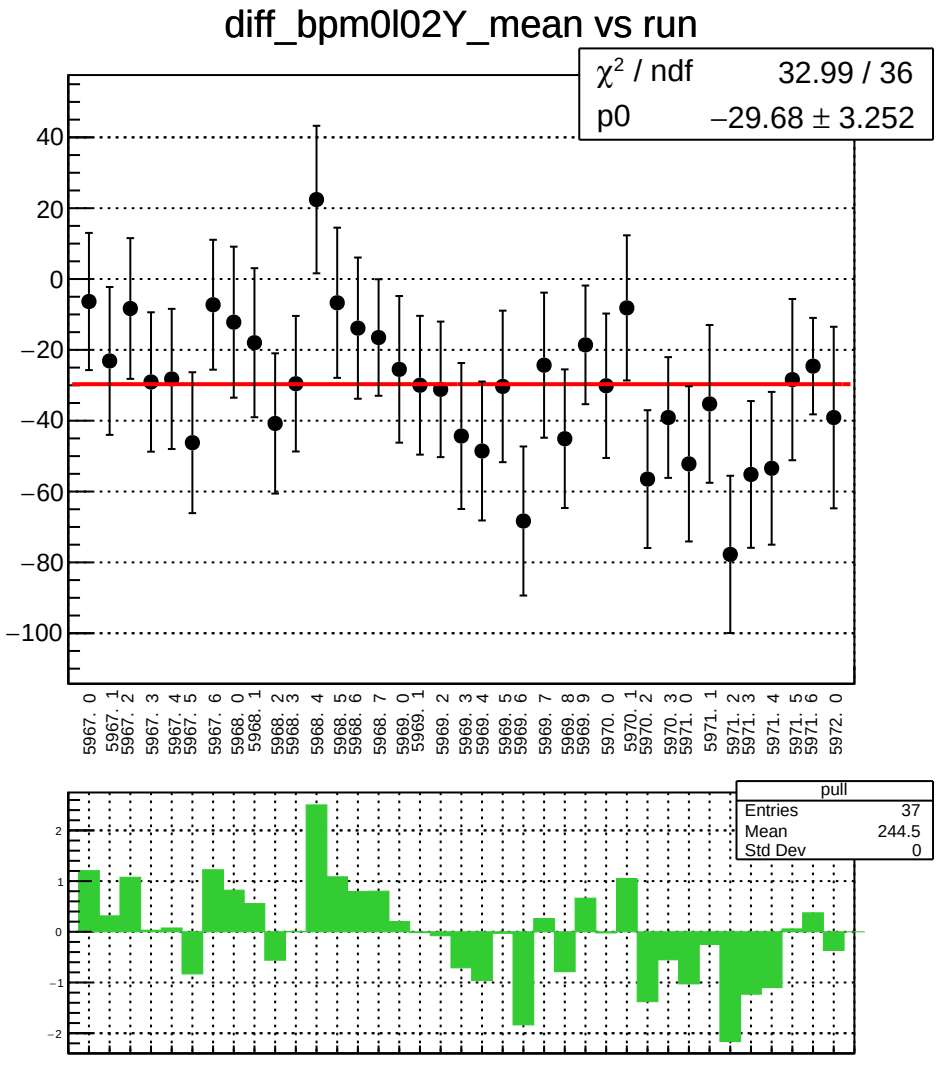
diff_bpm0l02Y_mean vs run
χ² / ndf 32.99 / 36
p0 −29.68 ± 3.252
pull
Entries 37
Mean 244.5
Std Dev 0
pull1D
Entries 37
Mean −0.02172
Std Dev 0.9441

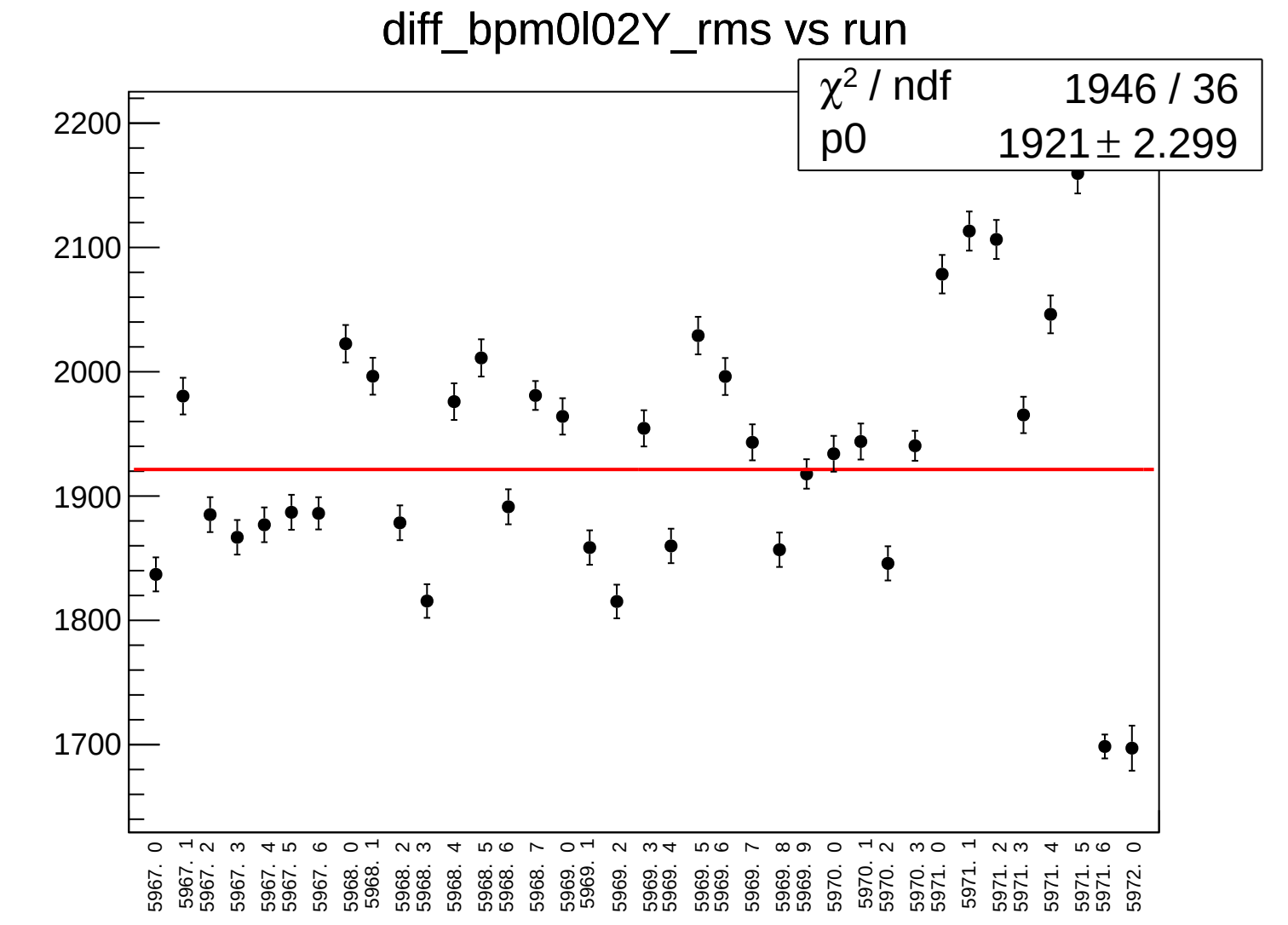
diff_bpm0l02Y_rms vs run
χ² / ndf 1946 / 36
p0 1921 ± 2.299
2200
2100
2000
1900
1800
1700
5967. 0
5967. 1
5967. 2
5967. 3
5967. 4
5967. 5
5967. 6
5968. 0
5968. 1
5968. 2
5968. 3
5968. 4
5968. 5
5968. 6
5968. 7
5969. 0
5969. 1
5969. 2
5969. 3
5969. 4
5969. 5
5969. 6
5969. 7
5969. 8
5969. 9
5970. 0
5970. 1
5970. 2
5970. 3
5971. 0
5971. 1
5971. 2
5971. 3
5971. 4
5971. 5
5971. 6
5972. 0

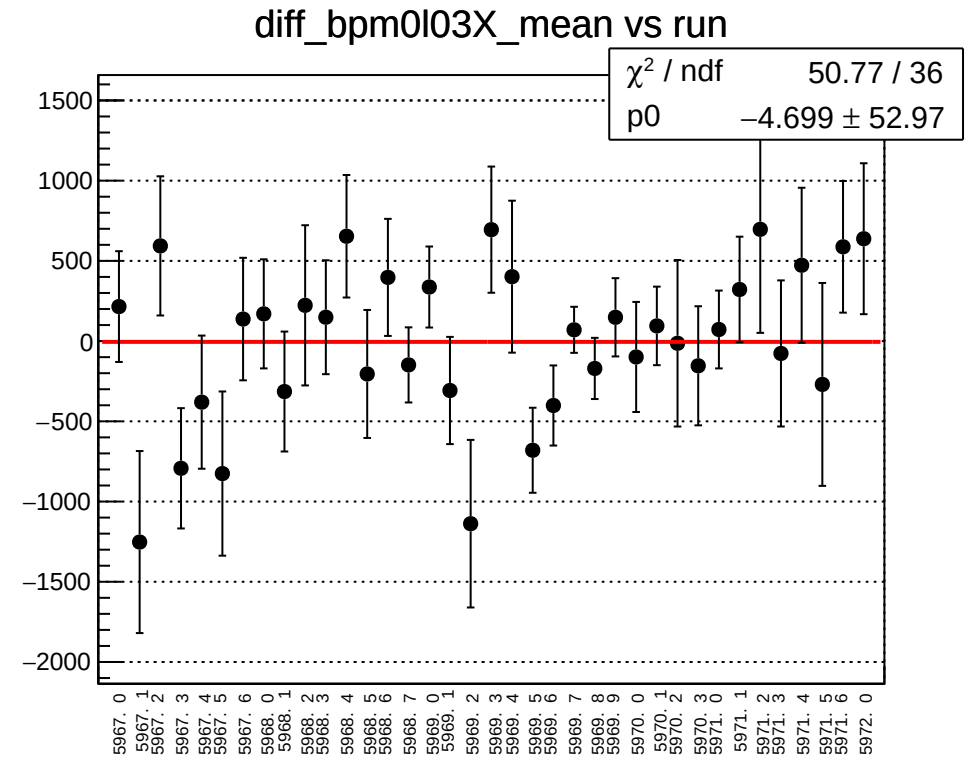
diff_bpm0l03X_mean vs run
χ² / ndf 50.77 / 36
p0 −4.699 ± 52.97
1500
1000
500
0
−500
−1000
−1500
−2000
5967. 0
5967. 1
5967. 2
5967. 3
5967. 4
5967. 5
5967. 6
5968. 0
5968. 1
5968. 2
5968. 3
5968. 4
5968. 5
5968. 6
5968. 7
5969. 0
5969. 1
5969. 2
5969. 3
5969. 4
5969. 5
5969. 6
5969. 7
5969. 8
5969. 9
5970. 0
5970. 1
5970. 2
5970. 3
5971. 0
5971. 1
5971. 2
5971. 3
5971. 4
5971. 5
5971. 6
5972. 0
pull
Entries 37
Mean 506.9
Std Dev 0
2
1.5
1
0.5
0
−0.5
−1
−1.5
−2
−2.5

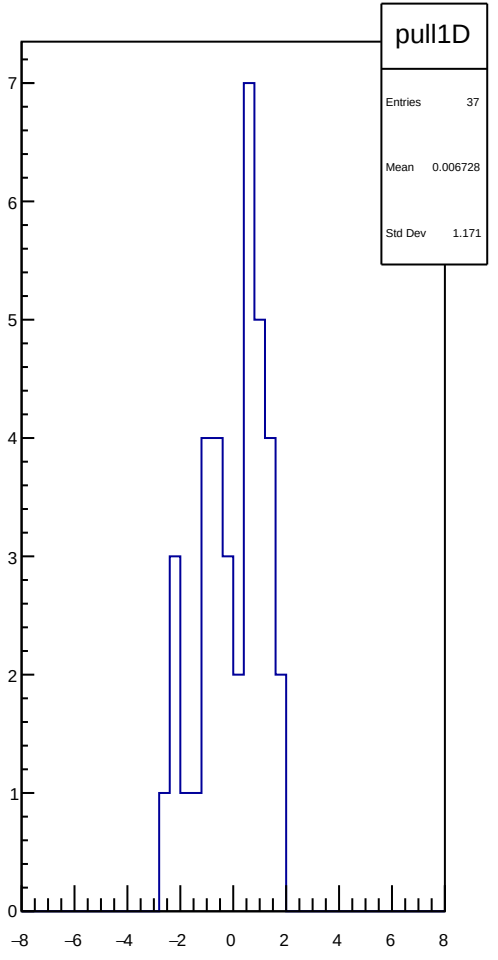
pull1D
Entries 37
Mean 0.006728
Std Dev 1.171
7
6
5
4
3
2
1
0
−8
−6
−4
−2
0
2
4
6
8

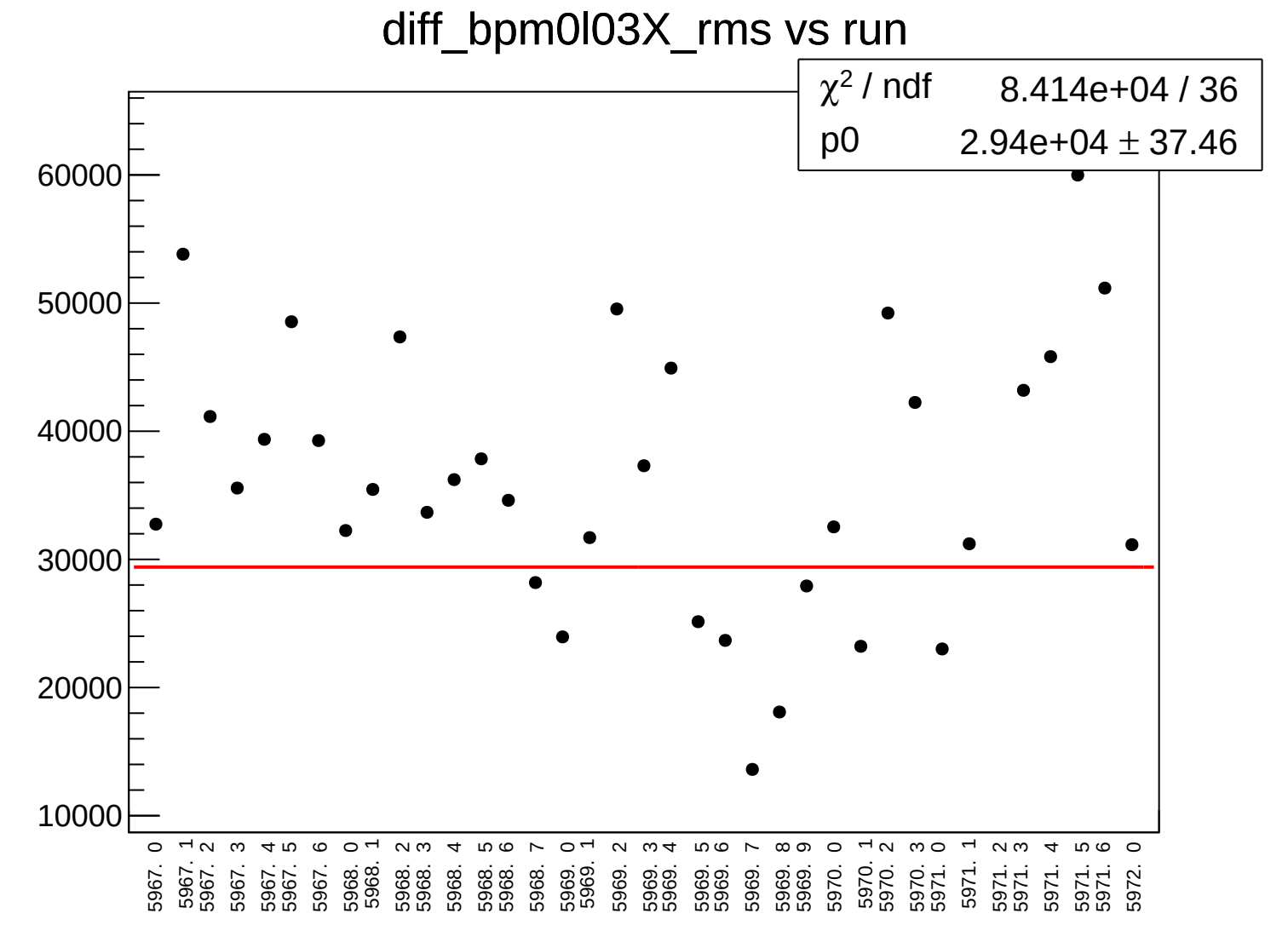
diff_bpm0l03X_rms vs run
χ² / ndf 8.414e+04 / 36
p0 2.94e+04 ± 37.46
60000
50000
40000
30000
20000
10000
5967. 0
5967. 1
5967. 2
5967. 3
5967. 4
5967. 5
5967. 6
5968. 0
5968. 1
5968. 2
5968. 3
5968. 4
5968. 5
5968. 6
5968. 7
5969. 0
5969. 1
5969. 2
5969. 3
5969. 4
5969. 5
5969. 6
5969. 7
5969. 8
5969. 9
5970. 0
5970. 1
5970. 2
5970. 3
5971. 0
5971. 1
5971. 2
5971. 3
5971. 4
5971. 5
5971. 6
5972. 0

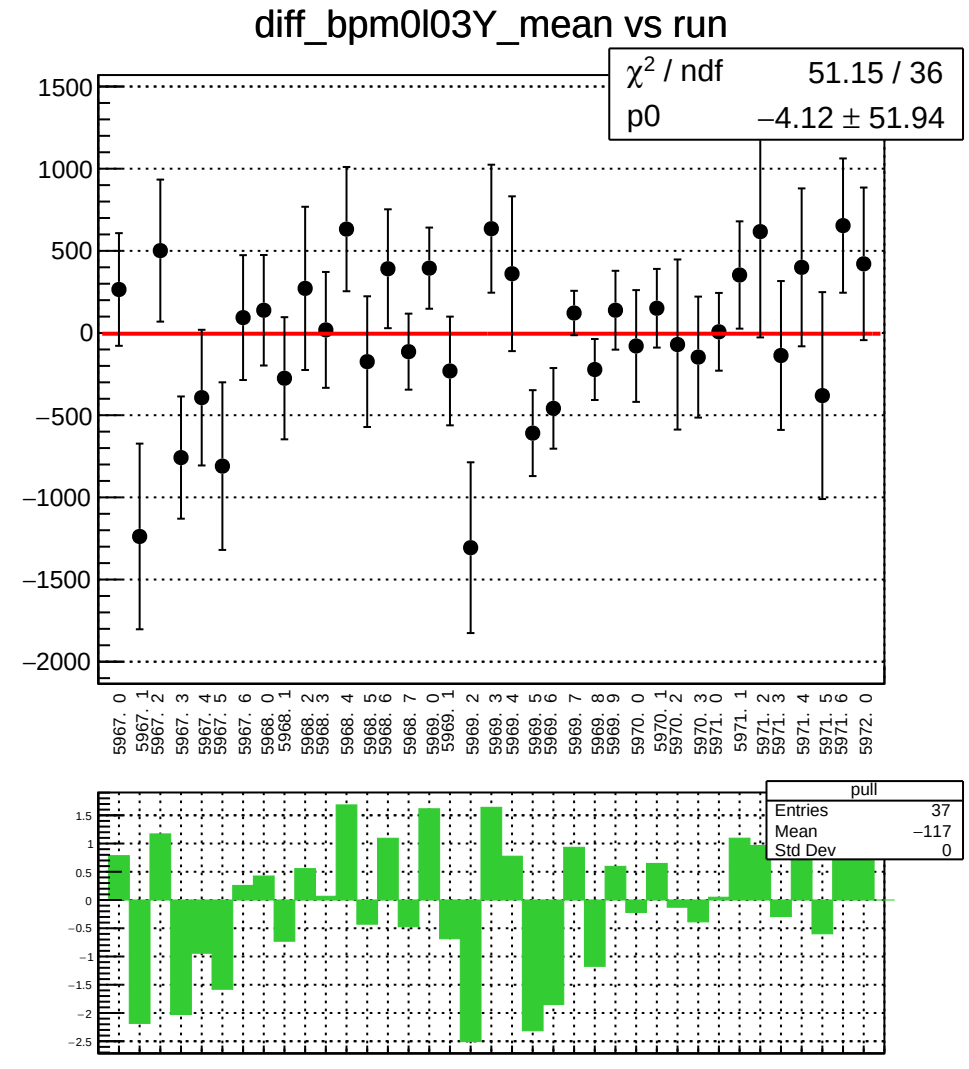
diff_bpm0l03Y_mean vs run
χ² / ndf 51.15 / 36
p0 −4.12 ± 51.94
1500
1000
500
0
−500
−1000
−1500
−2000
5967. 0
5967. 1
5967. 2
5967. 3
5967. 4
5967. 5
5967. 6
5968. 0
5968. 1
5968. 2
5968. 3
5968. 4
5968. 5
5968. 6
5968. 7
5969. 0
5969. 1
5969. 2
5969. 3
5969. 4
5969. 5
5969. 6
5969. 7
5969. 8
5969. 9
5970. 0
5970. 1
5970. 2
5970. 3
5971. 0
5971. 1
5971. 2
5971. 3
5971. 4
5971. 5
5971. 6
5972. 0
pull
Entries 37
Mean −117
Std Dev 0
1.5
1
0.5
0
−0.5
−1
−1.5
−2
−2.5

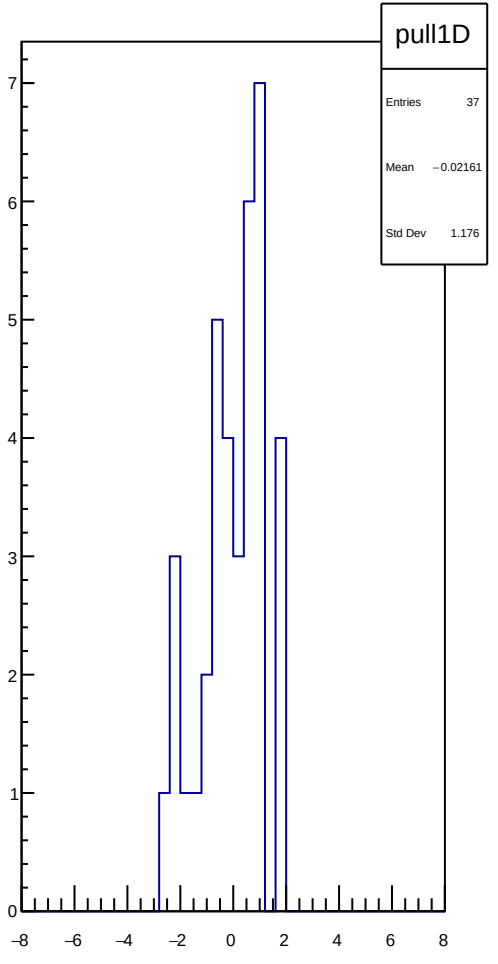
pull1D
Entries 37
Mean −0.02161
Std Dev 1.176
7
6
5
4
3
2
1
0
−8
−6
−4
−2
0
2
4
6
8

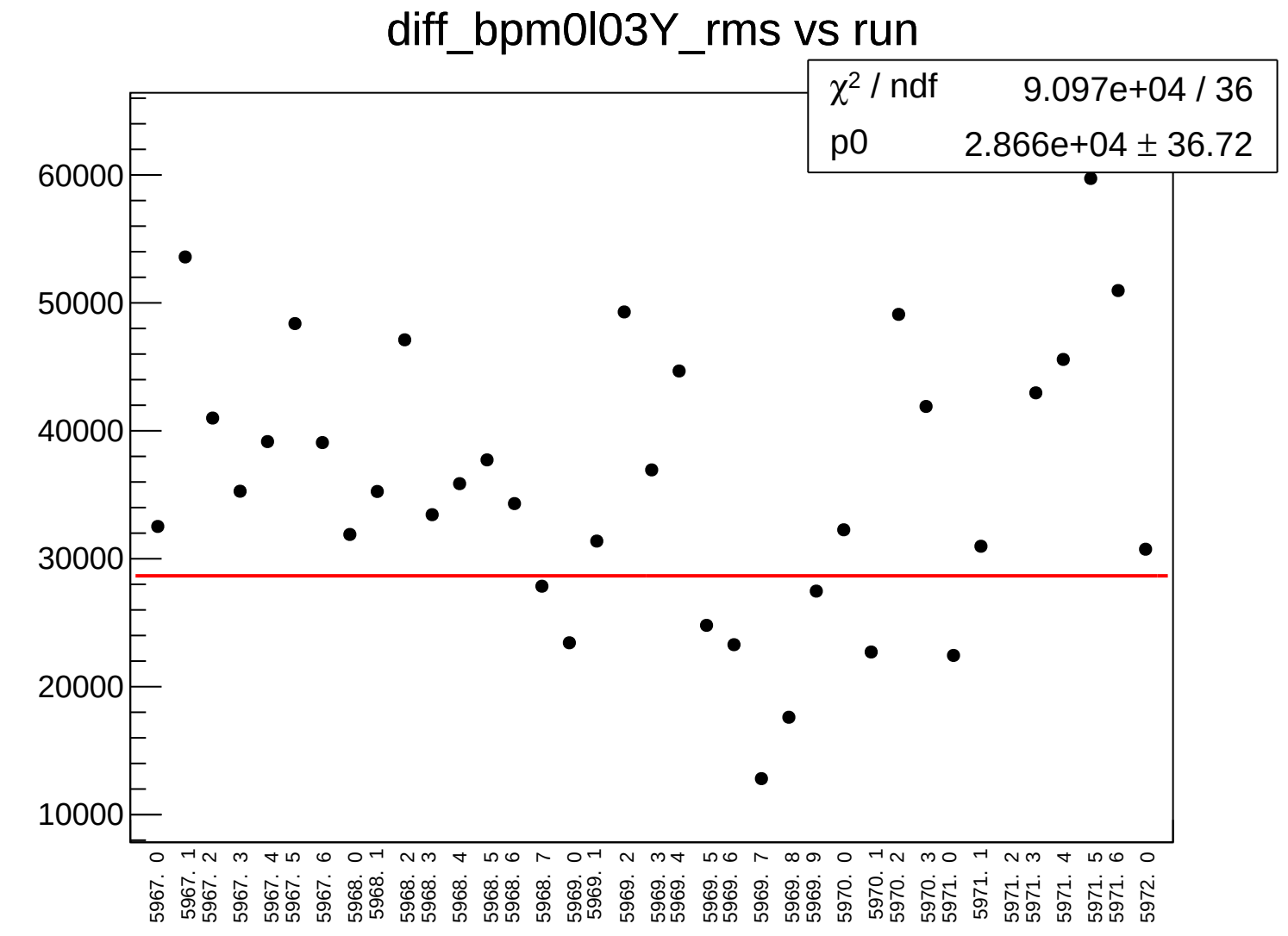
diff_bpm0l03Y_rms vs run
χ² / ndf 9.097e+04 / 36
p0 2.866e+04 ± 36.72
60000
50000
40000
30000
20000
10000
5967. 0
5967. 1
5967. 2
5967. 3
5967. 4
5967. 5
5967. 6
5968. 0
5968. 1
5968. 2
5968. 3
5968. 4
5968. 5
5968. 6
5968. 7
5969. 0
5969. 1
5969. 2
5969. 3
5969. 4
5969. 5
5969. 6
5969. 7
5969. 8
5969. 9
5970. 0
5970. 1
5970. 2
5970. 3
5971. 0
5971. 1
5971. 2
5971. 3
5971. 4
5971. 5
5971. 6
5972. 0

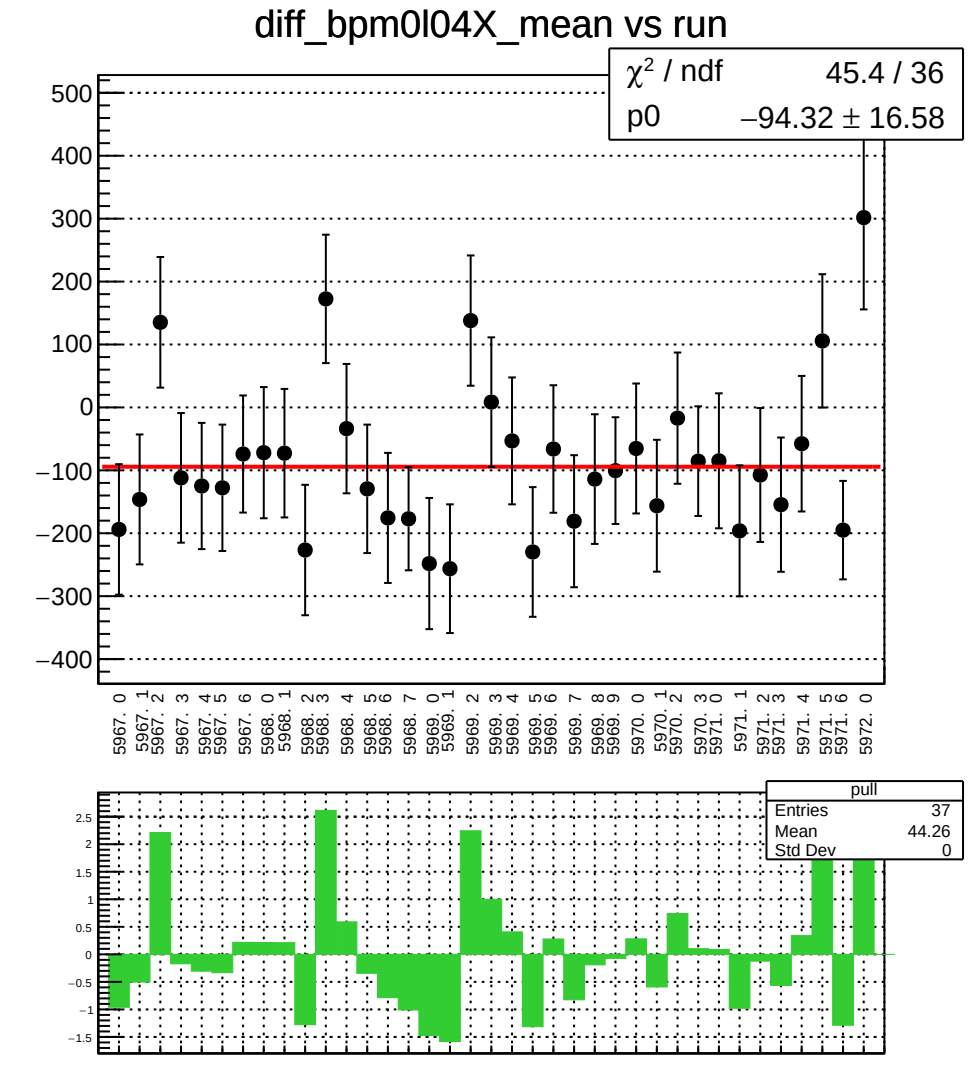
diff_bpm0l04X_mean vs run
χ² / ndf 45.4 / 36
p0 −94.32 ± 16.58
pull
Entries 37
Mean 44.26
Std Dev 0

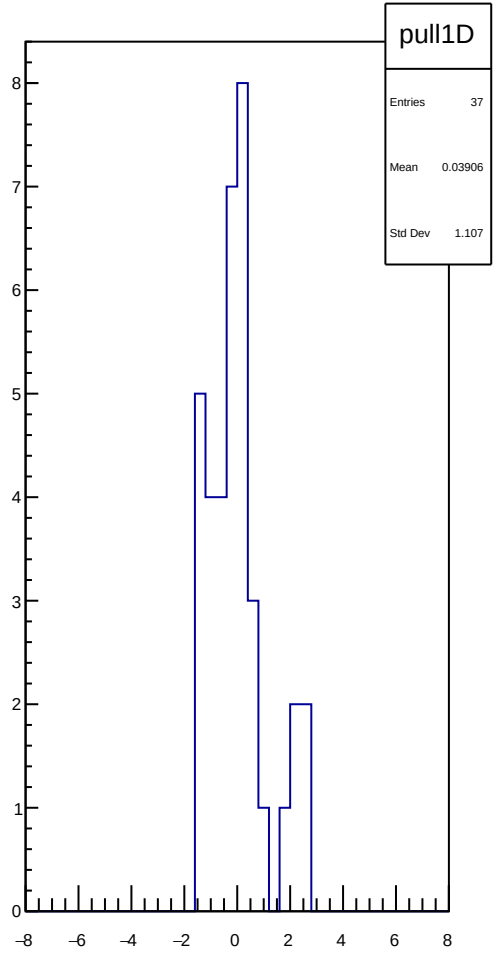
pull1D
Entries 37
Mean 0.03906
Std Dev 1.107

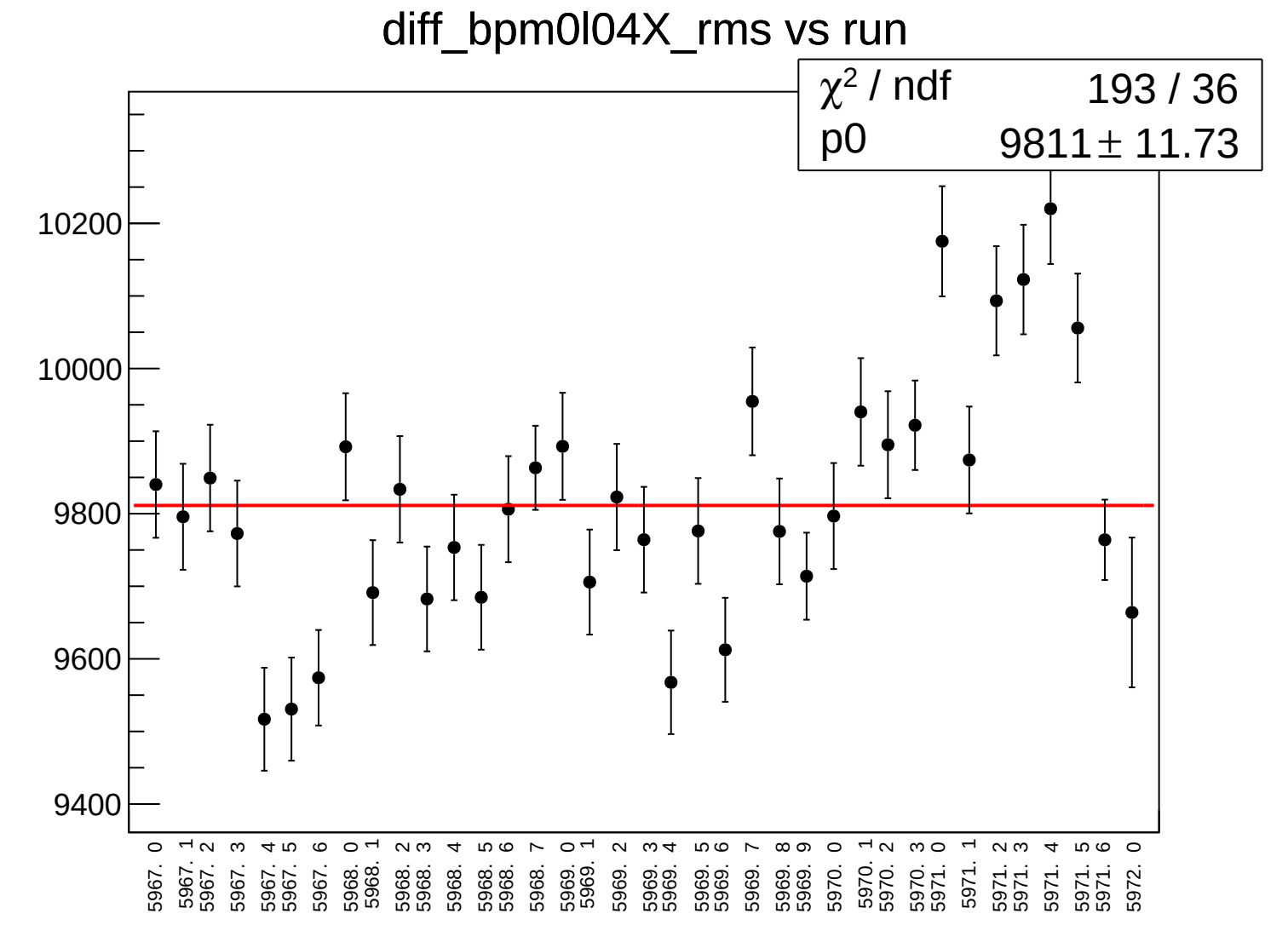
diff_bpm0l04X_rms vs run
χ² / ndf 193 / 36
p0 9811 ± 11.73
10200
10000
9800
9600
9400
5967. 0
5967. 1
5967. 2
5967. 3
5967. 4
5967. 5
5967. 6
5968. 0
5968. 1
5968. 2
5968. 3
5968. 4
5968. 5
5968. 6
5968. 7
5969. 0
5969. 1
5969. 2
5969. 3
5969. 4
5969. 5
5969. 6
5969. 7
5969. 8
5969. 9
5970. 0
5970. 1
5970. 2
5970. 3
5971. 0
5971. 1
5971. 2
5971. 3
5971. 4
5971. 5
5971. 6
5972. 0

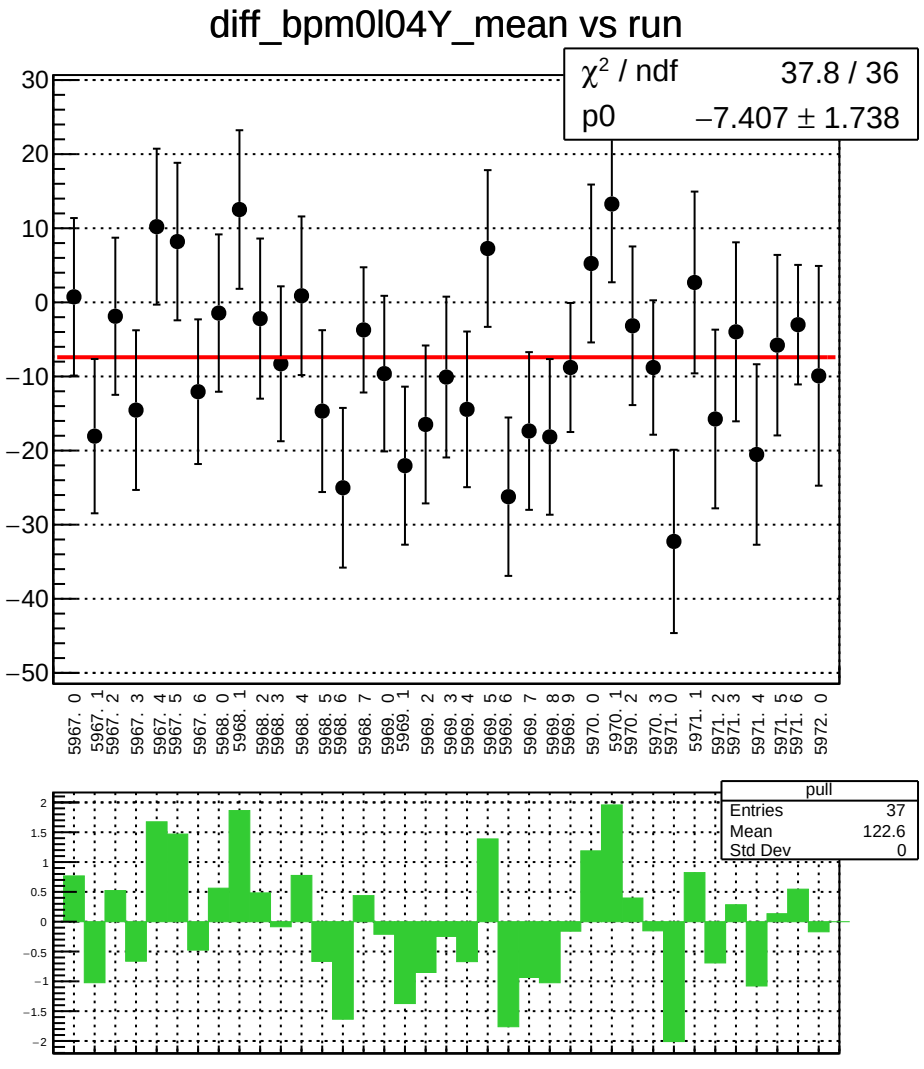
diff_bpm0l04Y_mean vs run
χ² / ndf 37.8 / 36
p0 −7.407 ± 1.738
pull
Entries 37
Mean 122.6
Std Dev 0

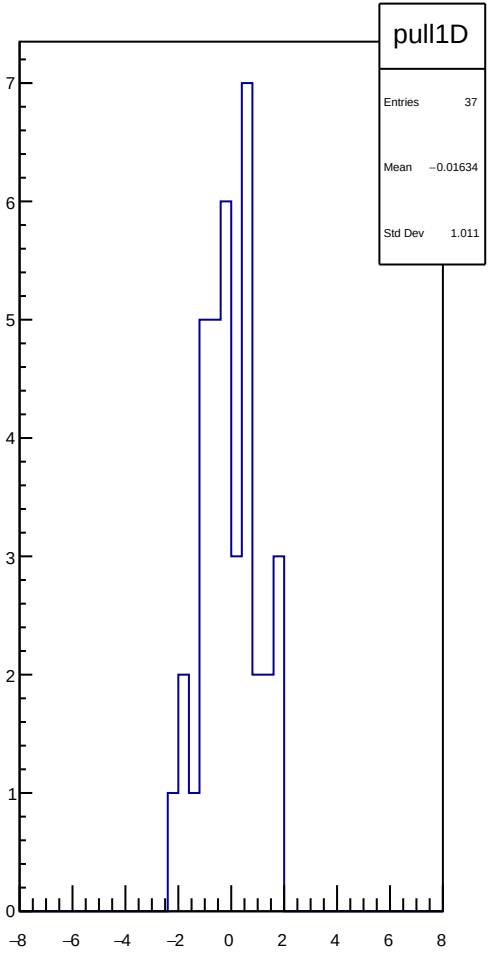
pull1D
Entries 37
Mean −0.01634
Std Dev 1.011

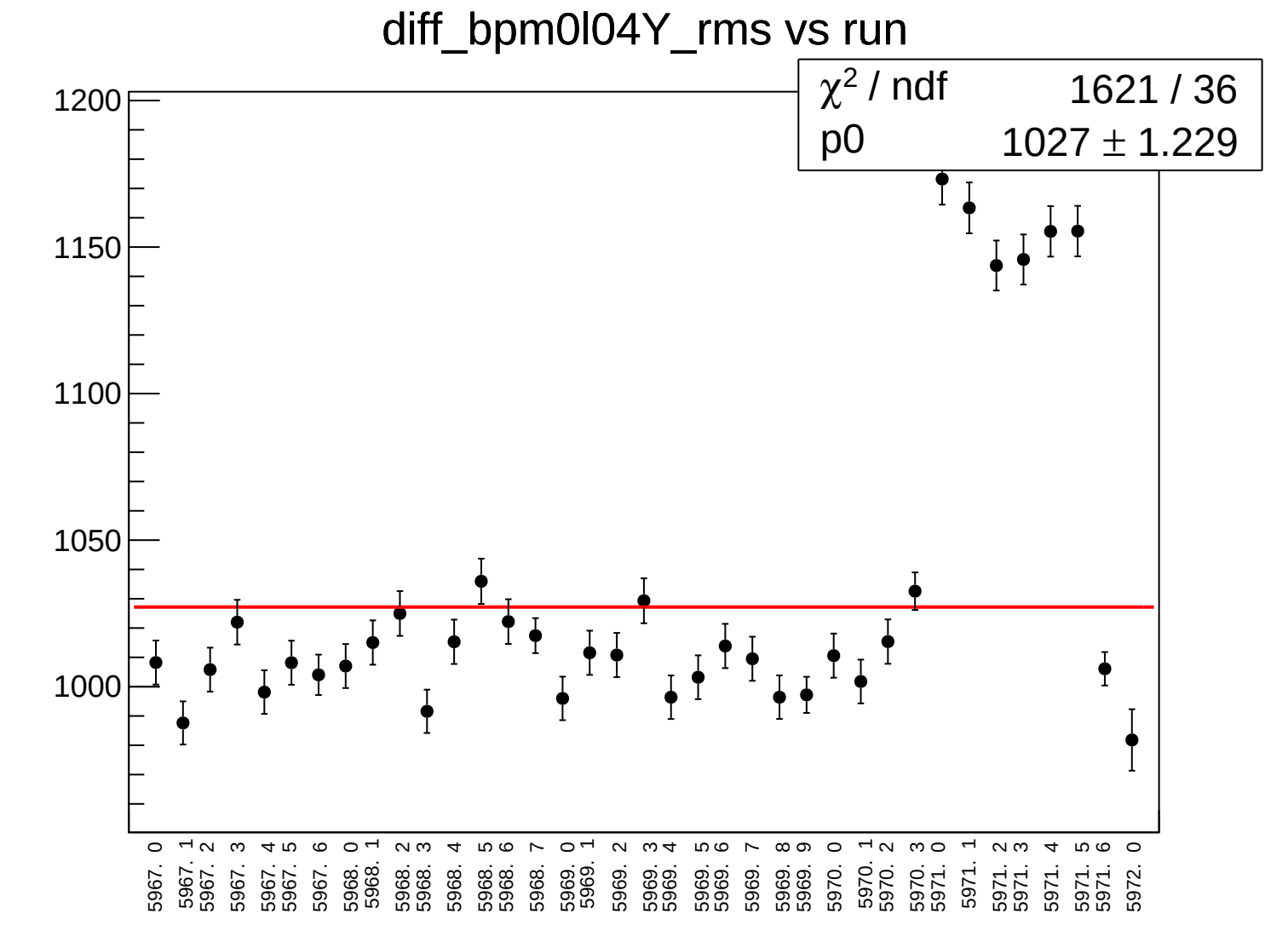
diff_bpm0l04Y_rms vs run
χ² / ndf 1621 / 36
p0 1027 ± 1.229
1200
1150
1100
1050
1000
5967. 0
5967. 1
5967. 2
5967. 3
5967. 4
5967. 5
5967. 6
5968. 0
5968. 1
5968. 2
5968. 3
5968. 4
5968. 5
5968. 6
5968. 7
5969. 0
5969. 1
5969. 2
5969. 3
5969. 4
5969. 5
5969. 6
5969. 7
5969. 8
5969. 9
5970. 0
5970. 1
5970. 2
5970. 3
5971. 0
5971. 1
5971. 2
5971. 3
5971. 4
5971. 5
5971. 6
5972. 0

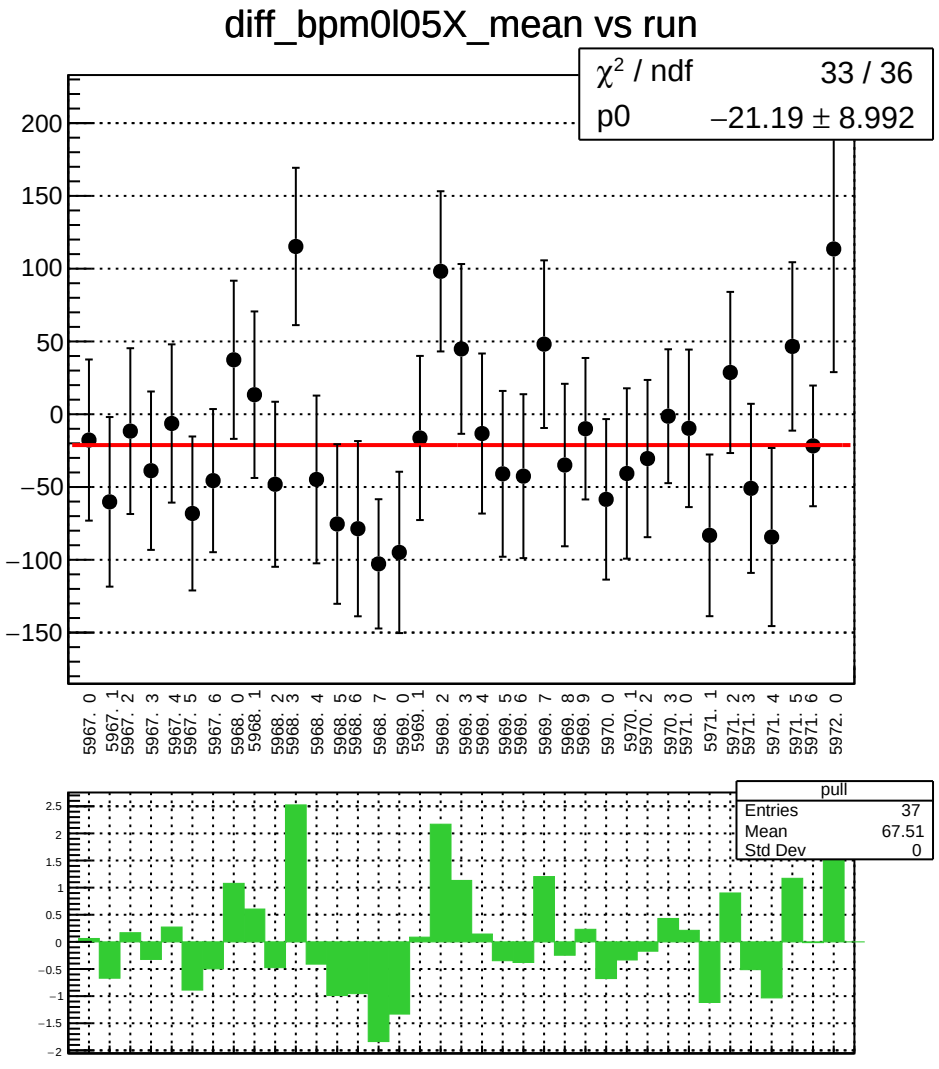
diff_bpm0l05X_mean vs run
χ² / ndf 33 / 36
p0 −21.19 ± 8.992
pull
Entries 37
Mean 67.51
Std Dev 0

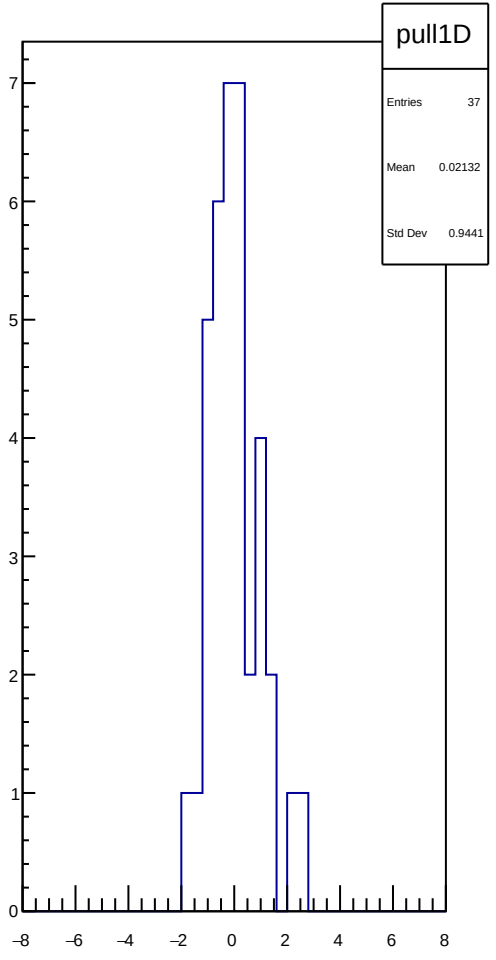
pull1D
Entries 37
Mean 0.02132
Std Dev 0.9441

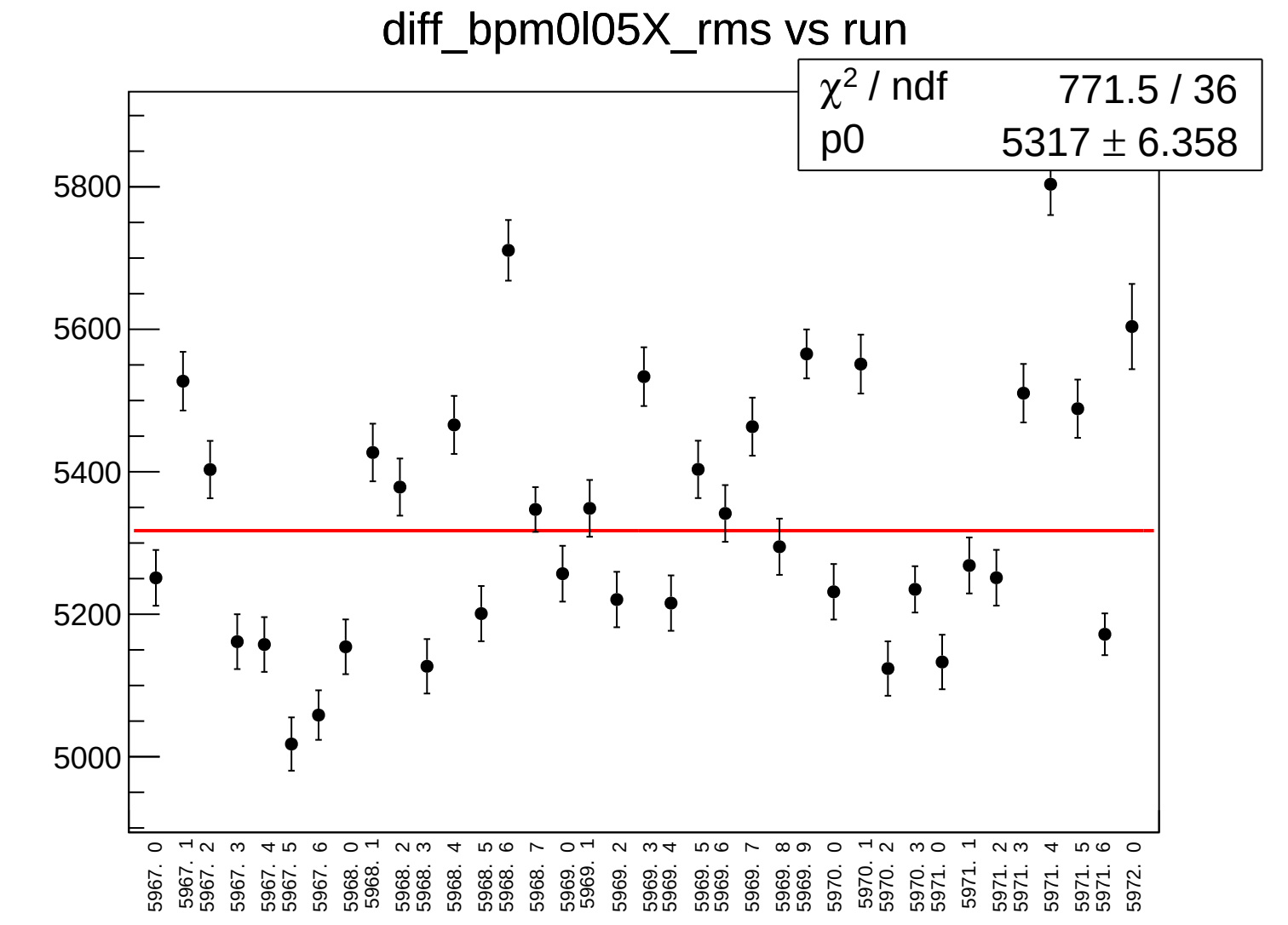
diff_bpm0l05X_rms vs run
χ² / ndf 771.5 / 36
p0 5317 ± 6.358
5800
5600
5400
5200
5000
5967. 0
5967. 1
5967. 2
5967. 3
5967. 4
5967. 5
5967. 6
5968. 0
5968. 1
5968. 2
5968. 3
5968. 4
5968. 5
5968. 6
5968. 7
5969. 0
5969. 1
5969. 2
5969. 3
5969. 4
5969. 5
5969. 6
5969. 7
5969. 8
5969. 9
5970. 0
5970. 1
5970. 2
5970. 3
5971. 0
5971. 1
5971. 2
5971. 3
5971. 4
5971. 5
5971. 6
5972. 0

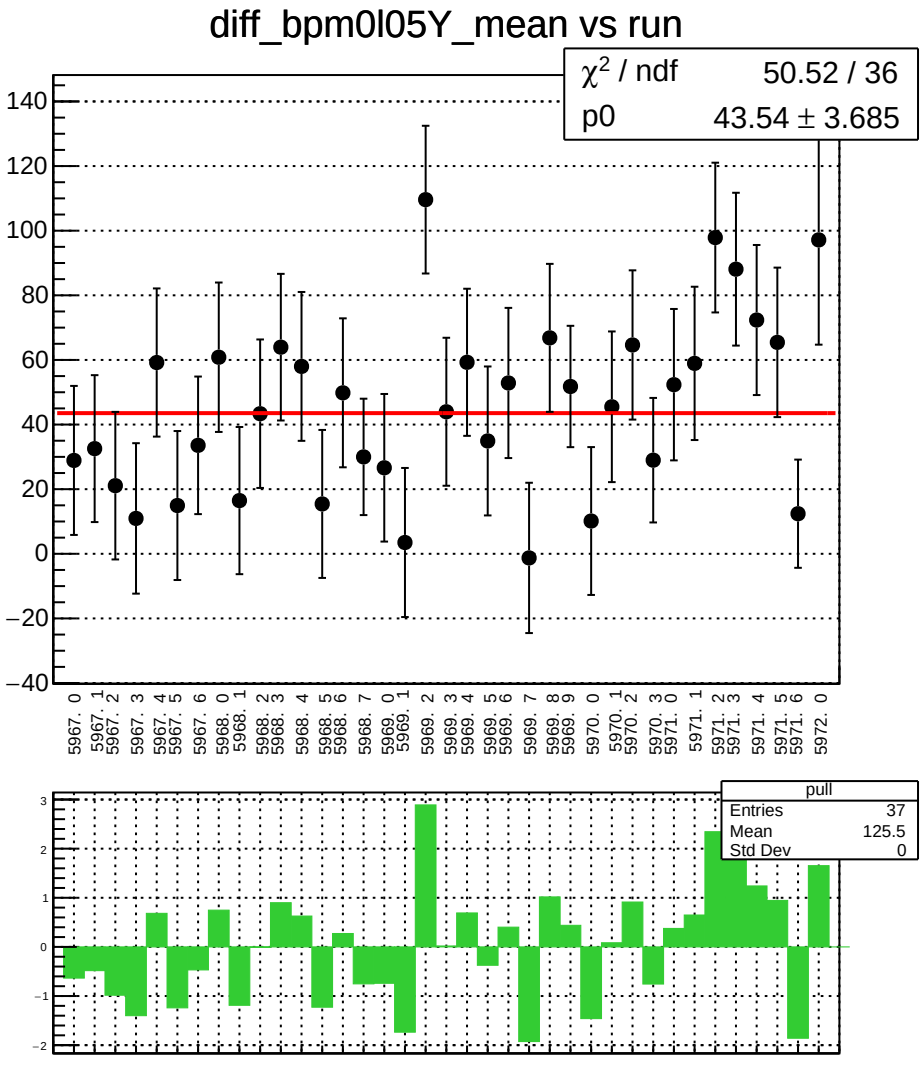
diff_bpm0l05Y_mean vs run
χ² / ndf 50.52 / 36
p0 43.54 ± 3.685
pull
Entries 37
Mean 125.5
Std Dev 0
pull1D
Entries 37
Mean 0.04179
Std Dev 1.168

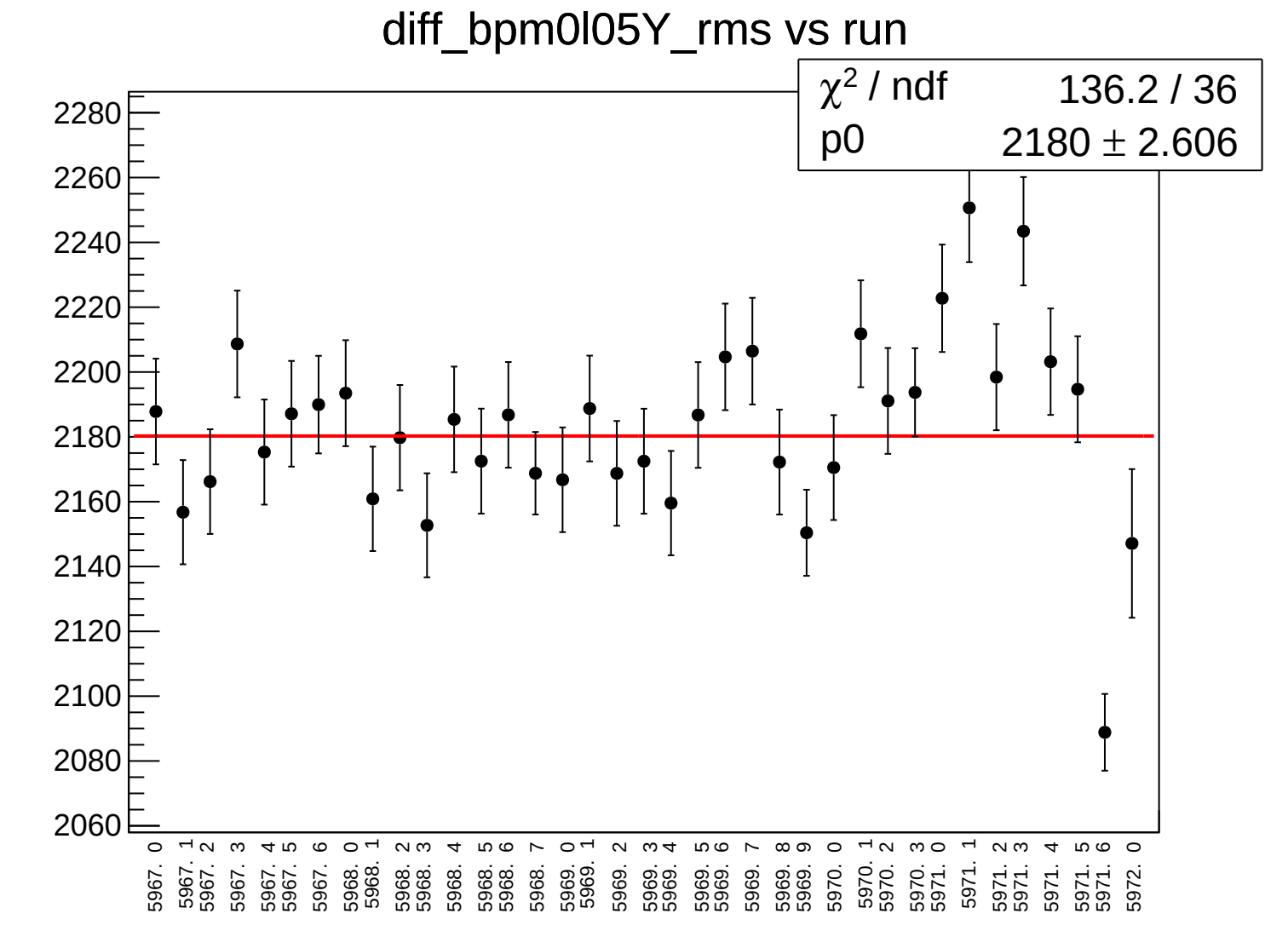
diff_bpm0l05Y_rms vs run
χ² / ndf 136.2 / 36
p0 2180 ± 2.606
2280
2260
2240
2220
2200
2180
2160
2140
2120
2100
2080
2060
5967. 0
5967. 1
5967. 2
5967. 3
5967. 4
5967. 5
5967. 6
5968. 0
5968. 1
5968. 2
5968. 3
5968. 4
5968. 5
5968. 6
5968. 7
5969. 0
5969. 1
5969. 2
5969. 3
5969. 4
5969. 5
5969. 6
5969. 7
5969. 8
5969. 9
5970. 0
5970. 1
5970. 2
5970. 3
5971. 0
5971. 1
5971. 2
5971. 3
5971. 4
5971. 5
5971. 6
5972. 0

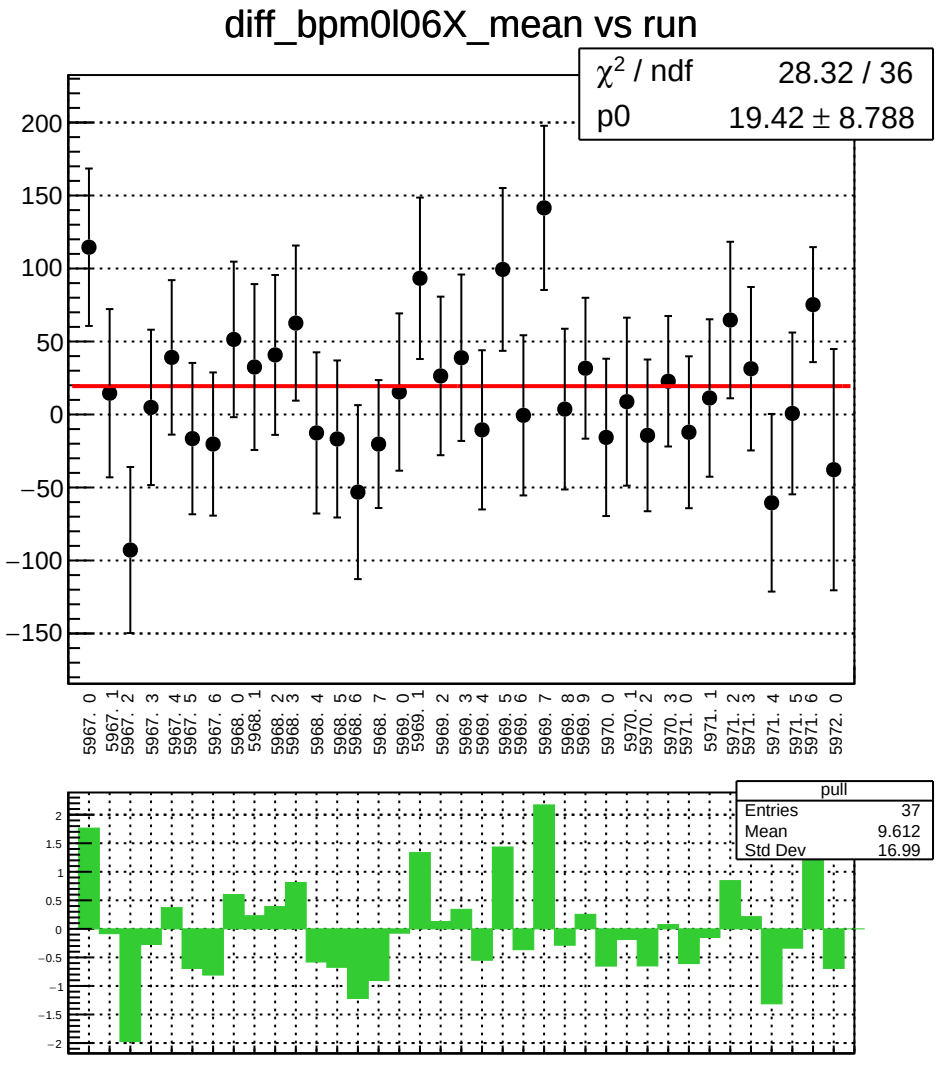
diff_bpm0l06X_mean vs run
χ² / ndf 28.32 / 36
p0 19.42 ± 8.788
200
150
100
50
0
−50
−100
−150
5967. 0
5967. 1
5967. 2
5967. 3
5967. 4
5967. 5
5967. 6
5968. 0
5968. 1
5968. 2
5968. 3
5968. 4
5968. 5
5968. 6
5968. 7
5969. 0
5969. 1
5969. 2
5969. 3
5969. 4
5969. 5
5969. 6
5969. 7
5969. 8
5969. 9
5970. 0
5970. 1
5970. 2
5970. 3
5971. 0
5971. 1
5971. 2
5971. 3
5971. 4
5971. 5
5971. 6
5972. 0
pull
Entries 37
Mean 9.612
Std Dev 16.99
2
1.5
1
0.5
0
−0.5
−1
−1.5
−2

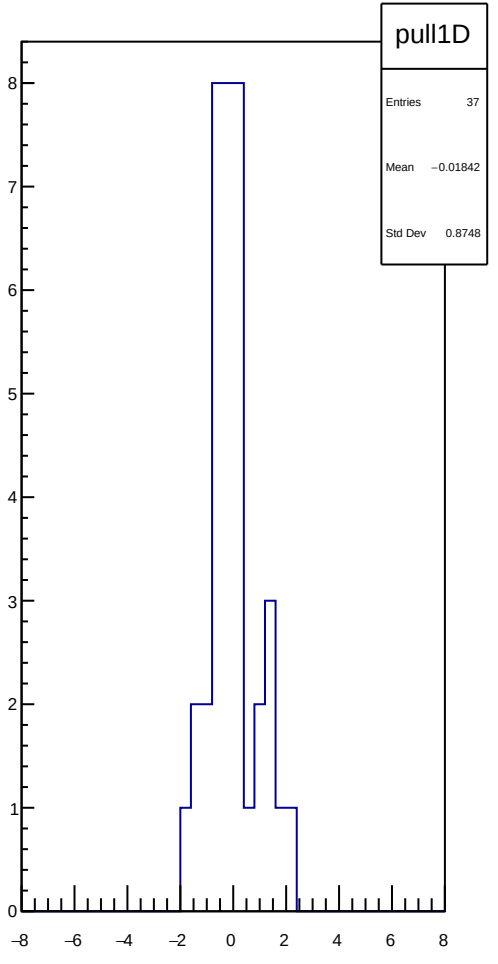
pull1D
Entries 37
Mean −0.01842
Std Dev 0.8748
8
7
6
5
4
3
2
1
0
−8
−6
−4
−2
0
2
4
6
8

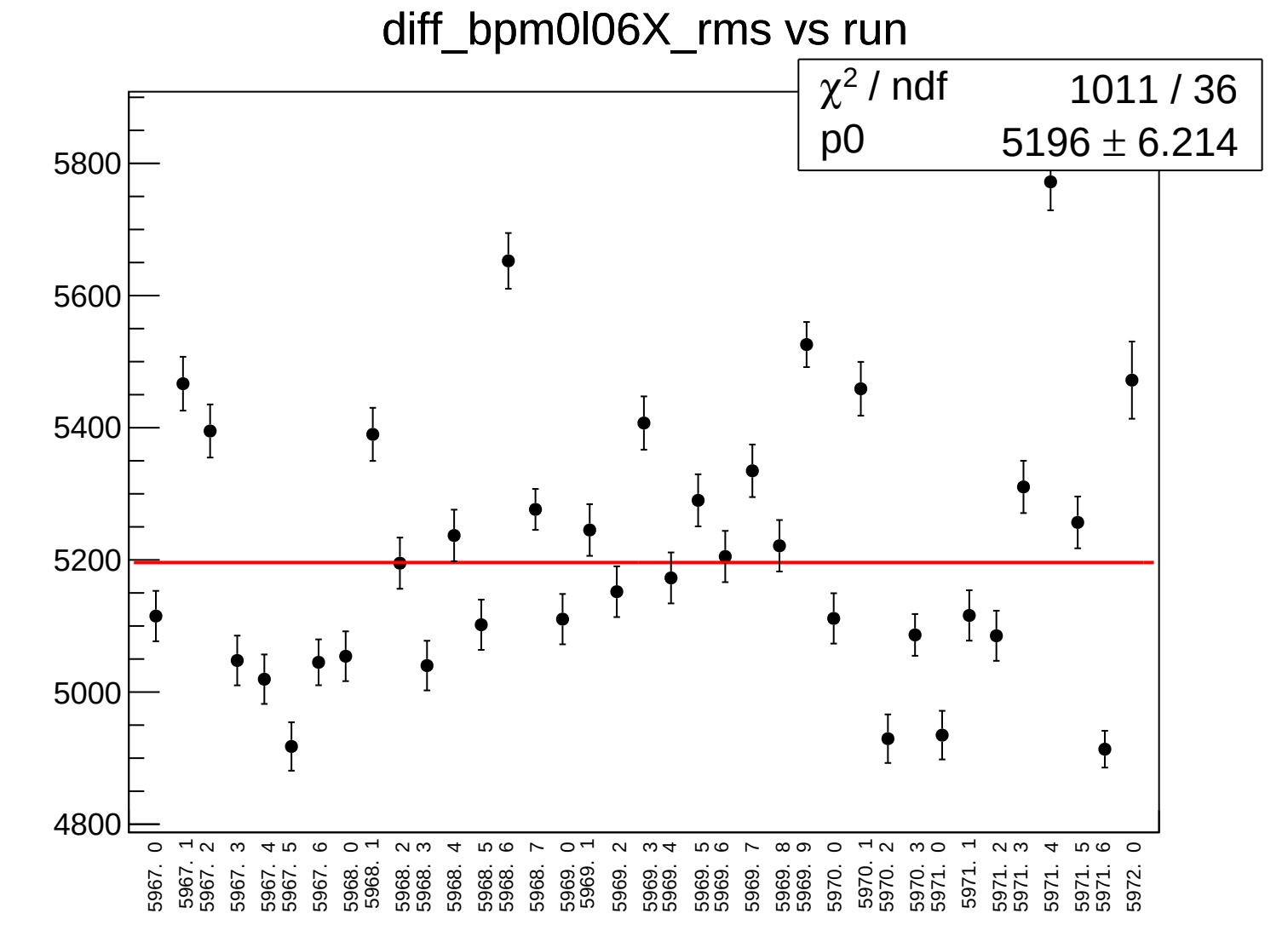
diff_bpm0l06X_rms vs run
χ² / ndf 1011 / 36
p0 5196 ± 6.214
5800
5600
5400
5200
5000
4800
5967. 0
5967. 1
5967. 2
5967. 3
5967. 4
5967. 5
5967. 6
5968. 0
5968. 1
5968. 2
5968. 3
5968. 4
5968. 5
5968. 6
5968. 7
5969. 0
5969. 1
5969. 2
5969. 3
5969. 4
5969. 5
5969. 6
5969. 7
5969. 8
5969. 9
5970. 0
5970. 1
5970. 2
5970. 3
5971. 0
5971. 1
5971. 2
5971. 3
5971. 4
5971. 5
5971. 6
5972. 0

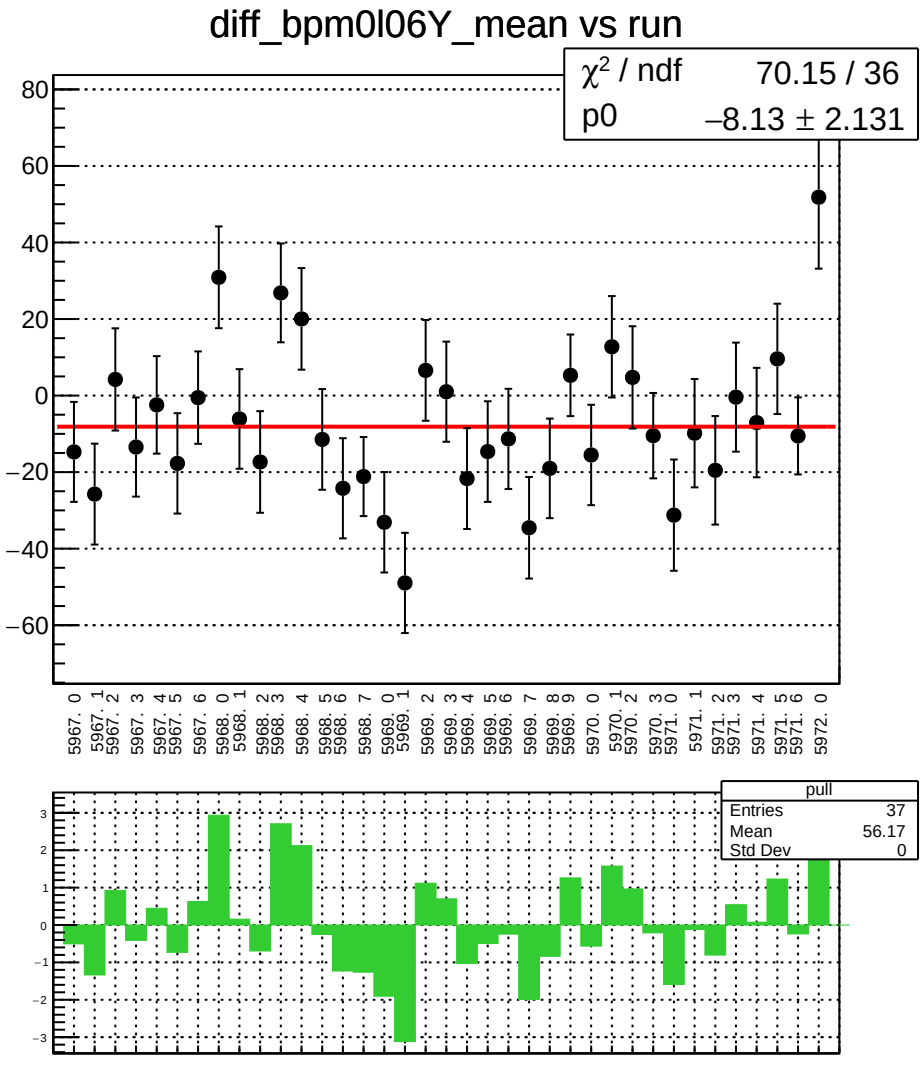
diff_bpm0l06Y_mean vs run
χ² / ndf 70.15 / 36
p0 −8.13 ± 2.131
pull
Entries 37
Mean 56.17
Std Dev 0

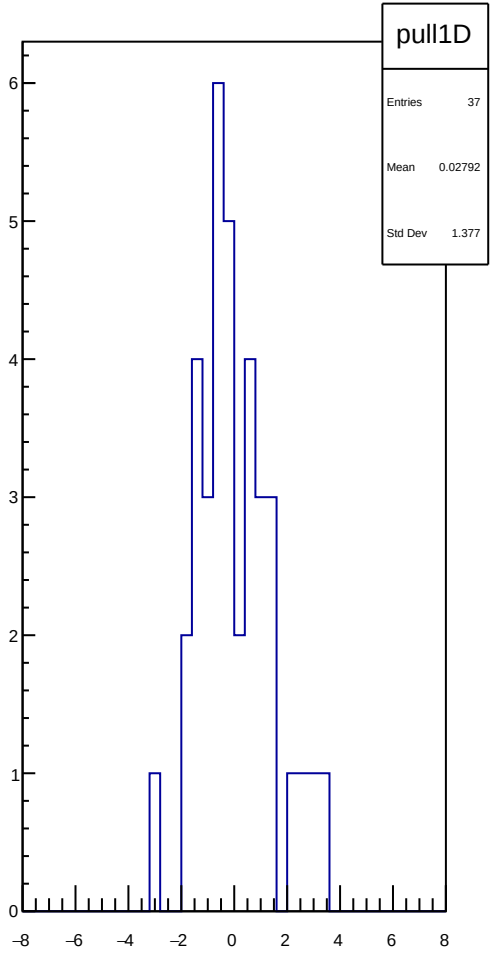
pull1D
Entries 37
Mean 0.02792
Std Dev 1.377

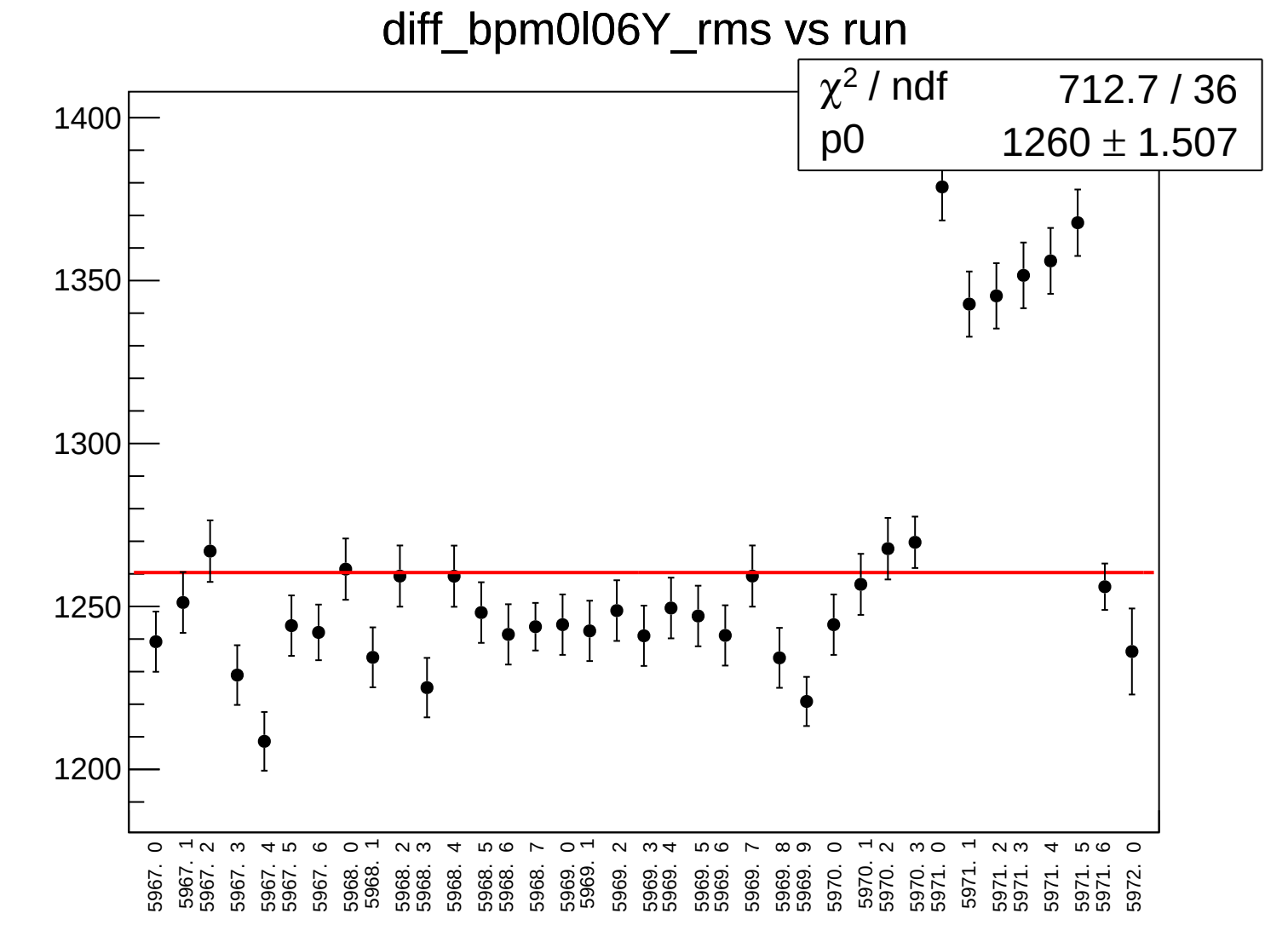
diff_bpm0l06Y_rms vs run
χ² / ndf 712.7 / 36
p0 1260 ± 1.507
1400
1350
1300
1250
1200
5967. 0
5967. 1
5967. 2
5967. 3
5967. 4
5967. 5
5967. 6
5968. 0
5968. 1
5968. 2
5968. 3
5968. 4
5968. 5
5968. 6
5968. 7
5969. 0
5969. 1
5969. 2
5969. 3
5969. 4
5969. 5
5969. 6
5969. 7
5969. 8
5969. 9
5970. 0
5970. 1
5970. 2
5970. 3
5971. 0
5971. 1
5971. 2
5971. 3
5971. 4
5971. 5
5971. 6
5972. 0

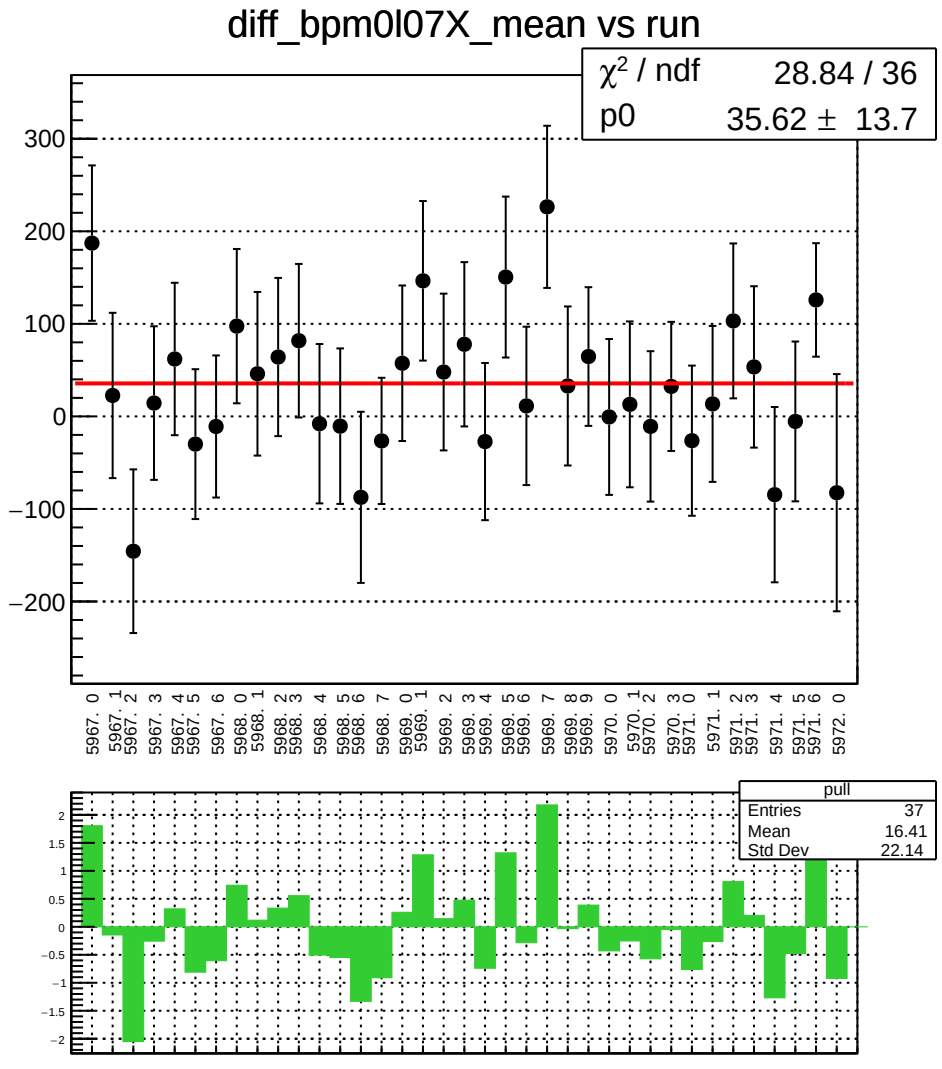
diff_bpm0l07X_mean vs run
χ² / ndf 28.84 / 36
p0 35.62 ± 13.7
300
200
100
0
−100
−200
5967. 0
5967. 1
5967. 2
5967. 3
5967. 4
5967. 5
5967. 6
5968. 0
5968. 1
5968. 2
5968. 3
5968. 4
5968. 5
5968. 6
5968. 7
5969. 0
5969. 1
5969. 2
5969. 3
5969. 4
5969. 5
5969. 6
5969. 7
5969. 8
5969. 9
5970. 0
5970. 1
5970. 2
5970. 3
5971. 0
5971. 1
5971. 2
5971. 3
5971. 4
5971. 5
5971. 6
5972. 0
pull
Entries 37
Mean 16.41
Std Dev 22.14
2
1.5
1
0.5
0
−0.5
−1
−1.5
−2

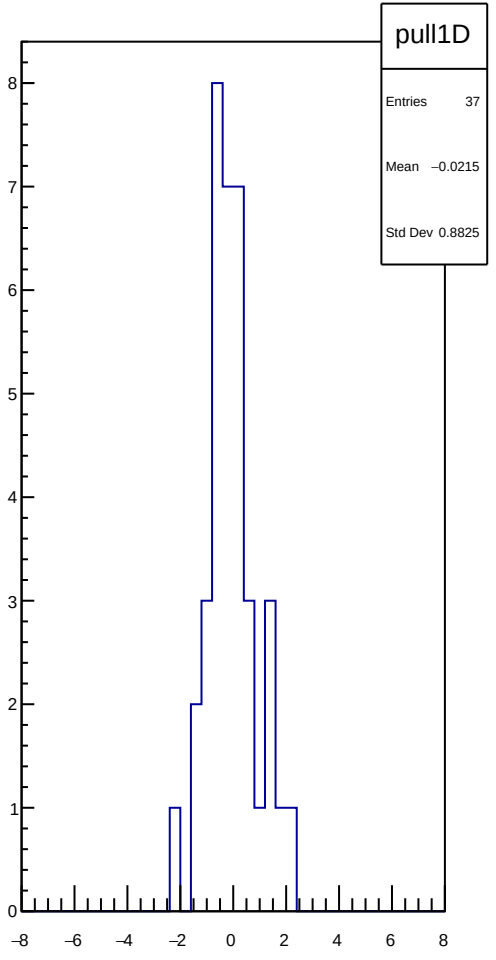
pull1D
Entries 37
Mean −0.0215
Std Dev 0.8825
8
7
6
5
4
3
2
1
0
−8
−6
−4
−2
0
2
4
6
8

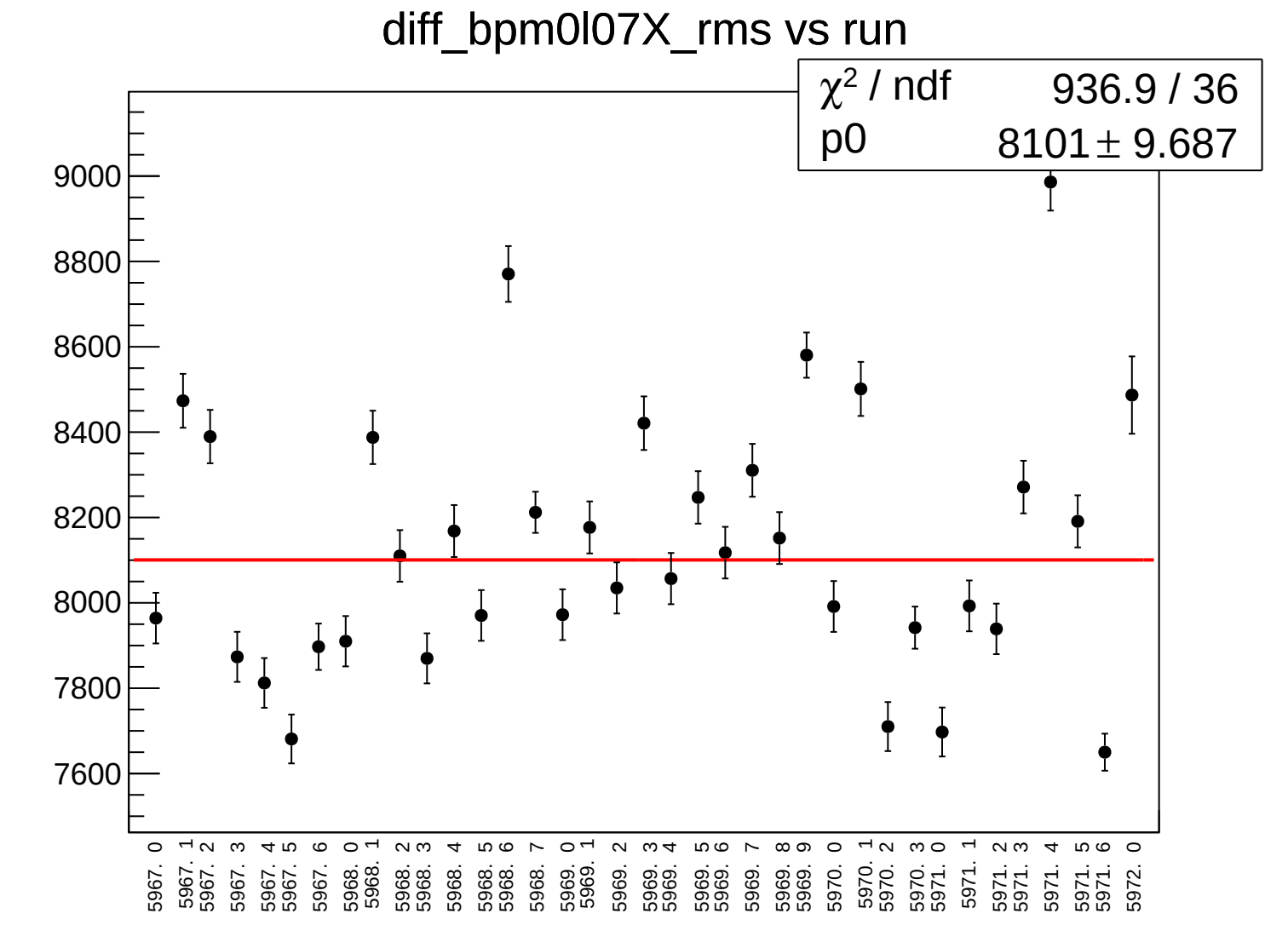
diff_bpm0l07X_rms vs run
χ² / ndf 936.9 / 36
p0 8101 ± 9.687
9000
8800
8600
8400
8200
8000
7800
7600
5967. 0
5967. 1
5967. 2
5967. 3
5967. 4
5967. 5
5967. 6
5968. 0
5968. 1
5968. 2
5968. 3
5968. 4
5968. 5
5968. 6
5968. 7
5969. 0
5969. 1
5969. 2
5969. 3
5969. 4
5969. 5
5969. 6
5969. 7
5969. 8
5969. 9
5970. 0
5970. 1
5970. 2
5970. 3
5971. 0
5971. 1
5971. 2
5971. 3
5971. 4
5971. 5
5971. 6
5972. 0

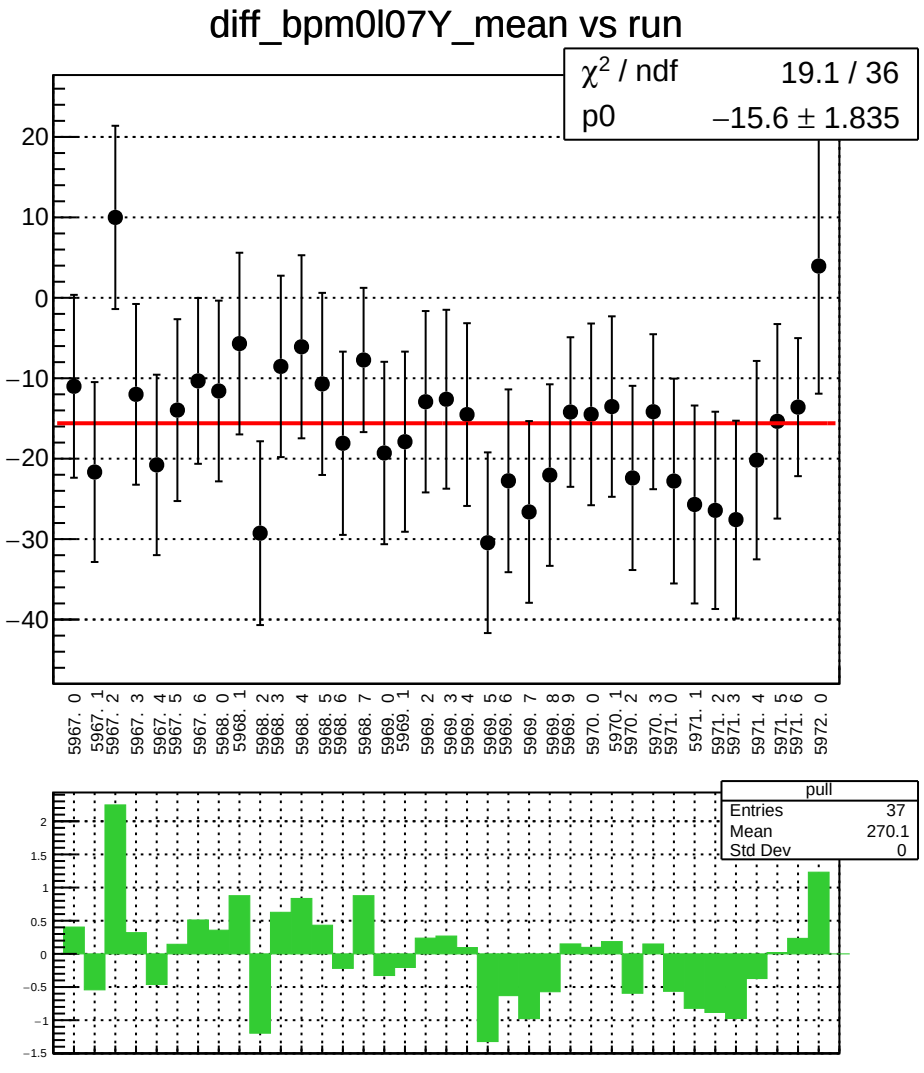
diff_bpm0l07Y_mean vs run
χ² / ndf 19.1 / 36
p0 −15.6 ± 1.835
20
10
0
−10
−20
−30
−40
5967. 0
5967. 1
5967. 2
5967. 3
5967. 4
5967. 5
5967. 6
5968. 0
5968. 1
5968. 2
5968. 3
5968. 4
5968. 5
5968. 6
5968. 7
5969. 0
5969. 1
5969. 2
5969. 3
5969. 4
5969. 5
5969. 6
5969. 7
5969. 8
5969. 9
5970. 0
5970. 1
5970. 2
5970. 3
5971. 0
5971. 1
5971. 2
5971. 3
5971. 4
5971. 5
5971. 6
5972. 0
pull
Entries 37
Mean 270.1
Std Dev 0
2
1.5
1
0.5
0
−0.5
−1
−1.5

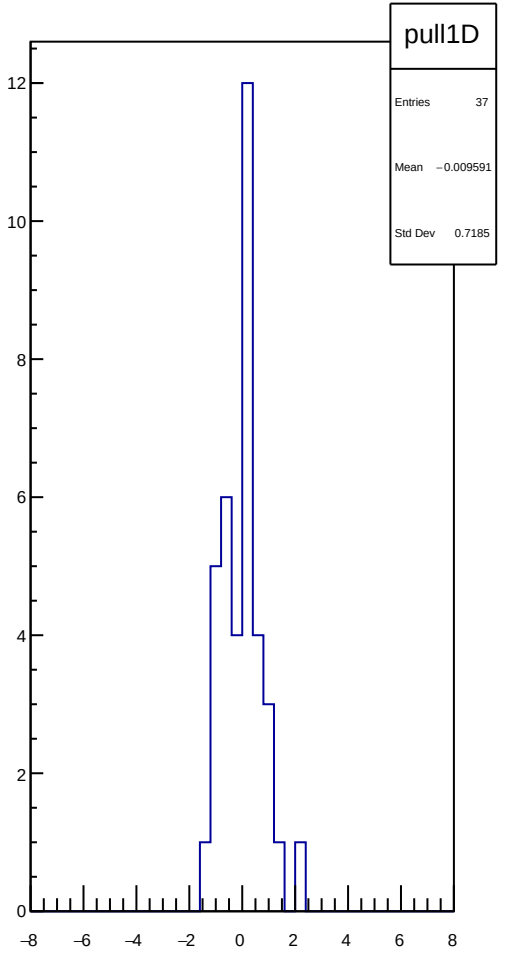
pull1D
Entries 37
Mean −0.009591
Std Dev 0.7185
12
10
8
6
4
2
0
−8
−6
−4
−2
0
2
4
6
8

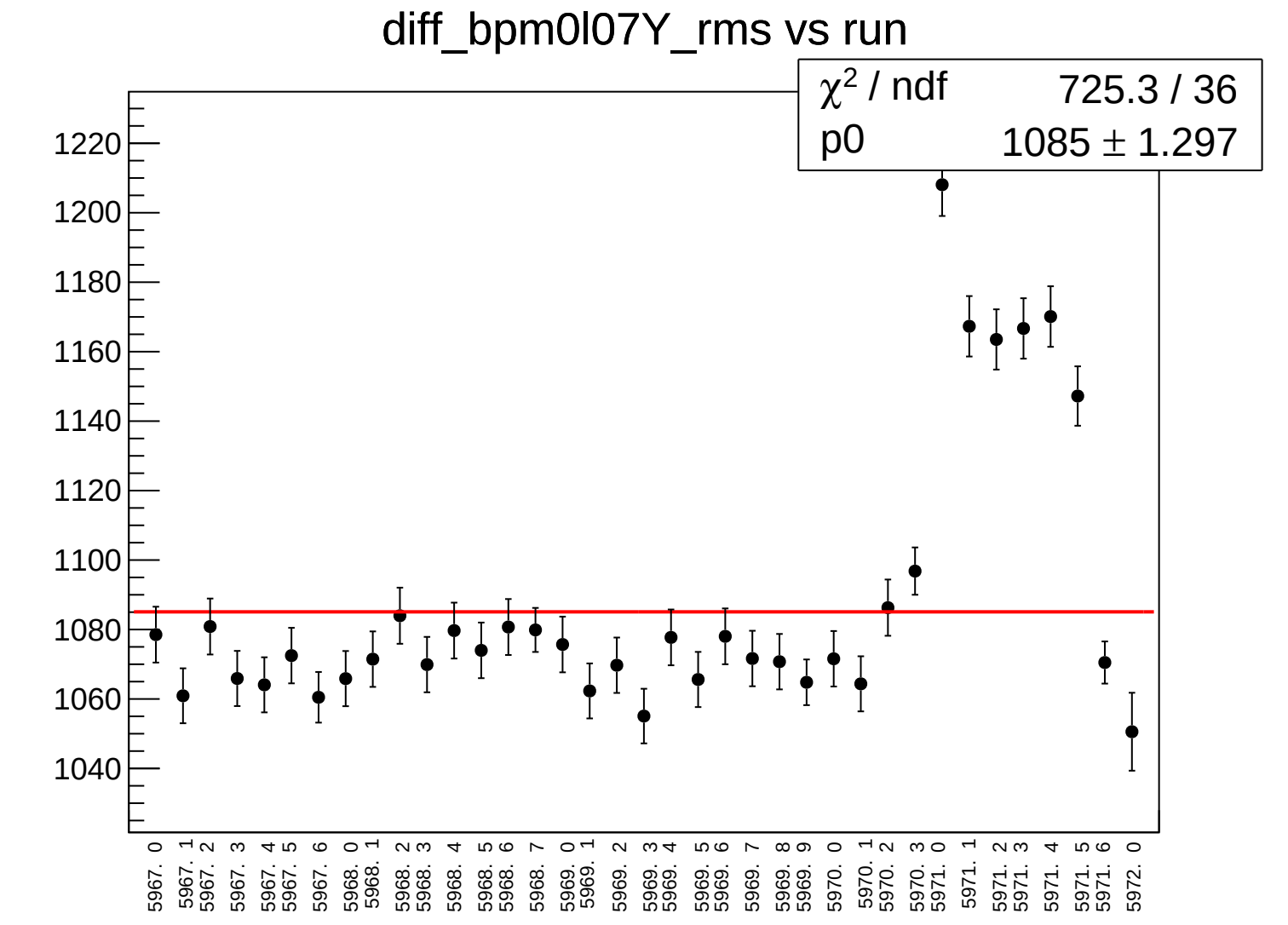
diff_bpm0l07Y_rms vs run
χ² / ndf 725.3 / 36
p0 1085 ± 1.297
1220
1200
1180
1160
1140
1120
1100
1080
1060
1040
5967. 0
5967. 1
5967. 2
5967. 3
5967. 4
5967. 5
5967. 6
5968. 0
5968. 1
5968. 2
5968. 3
5968. 4
5968. 5
5968. 6
5968. 7
5969. 0
5969. 1
5969. 2
5969. 3
5969. 4
5969. 5
5969. 6
5969. 7
5969. 8
5969. 9
5970. 0
5970. 1
5970. 2
5970. 3
5971. 0
5971. 1
5971. 2
5971. 3
5971. 4
5971. 5
5971. 6
5972. 0

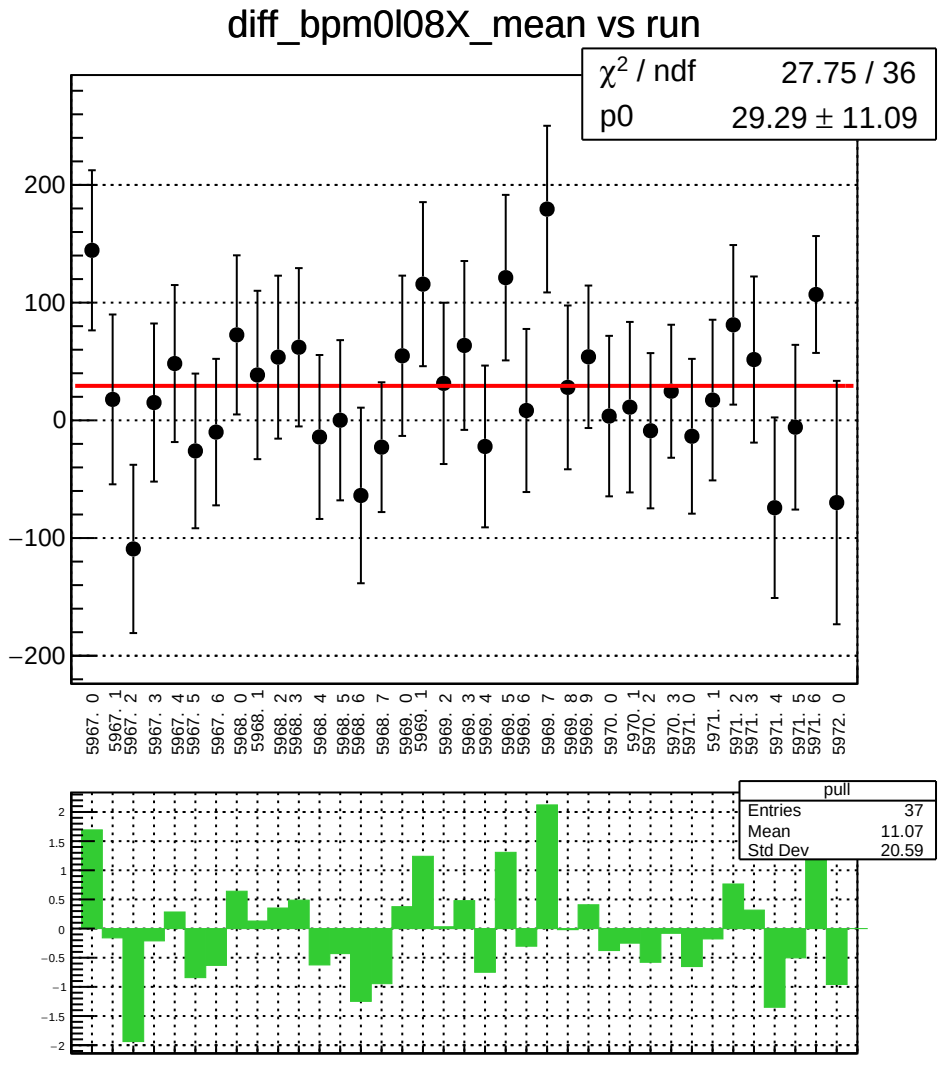
diff_bpm0l08X_mean vs run
χ² / ndf 27.75 / 36
p0 29.29 ± 11.09
200
100
0
−100
−200
5967. 0
5967. 1
5967. 2
5967. 3
5967. 4
5967. 5
5967. 6
5968. 0
5968. 1
5968. 2
5968. 3
5968. 4
5968. 5
5968. 6
5968. 7
5969. 0
5969. 1
5969. 2
5969. 3
5969. 4
5969. 5
5969. 6
5969. 7
5969. 8
5969. 9
5970. 0
5970. 1
5970. 2
5970. 3
5971. 0
5971. 1
5971. 2
5971. 3
5971. 4
5971. 5
5971. 6
5972. 0
pull
Entries 37
Mean 11.07
Std Dev 20.59
2
1.5
1
0.5
0
−0.5
−1
−1.5
−2

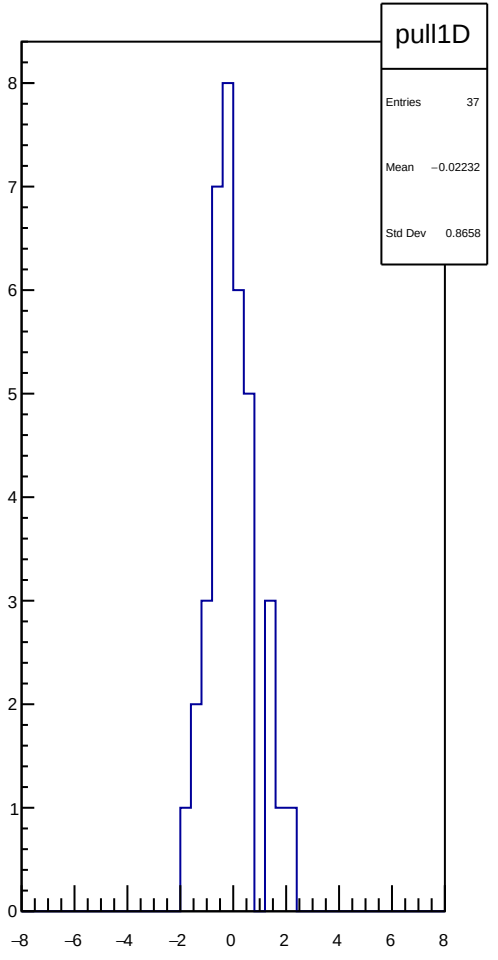
pull1D
Entries 37
Mean −0.02232
Std Dev 0.8658
8
7
6
5
4
3
2
1
0
−8
−6
−4
−2
0
2
4
6
8

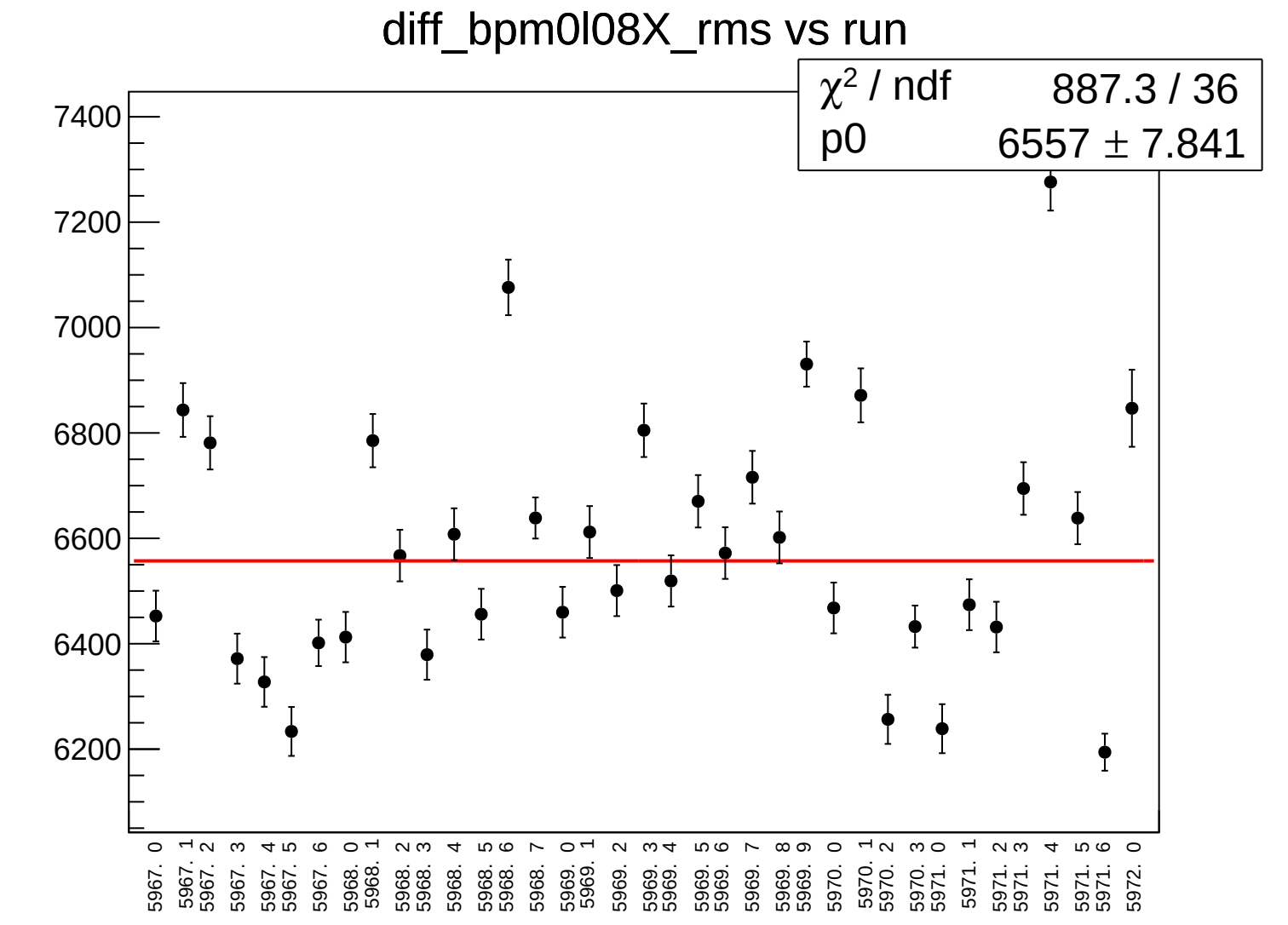
diff_bpm0l08X_rms vs run
χ² / ndf 887.3 / 36
p0 6557 ± 7.841
7400
7200
7000
6800
6600
6400
6200
5967. 0
5967. 1
5967. 2
5967. 3
5967. 4
5967. 5
5967. 6
5968. 0
5968. 1
5968. 2
5968. 3
5968. 4
5968. 5
5968. 6
5968. 7
5969. 0
5969. 1
5969. 2
5969. 3
5969. 4
5969. 5
5969. 6
5969. 7
5969. 8
5969. 9
5970. 0
5970. 1
5970. 2
5970. 3
5971. 0
5971. 1
5971. 2
5971. 3
5971. 4
5971. 5
5971. 6
5972. 0

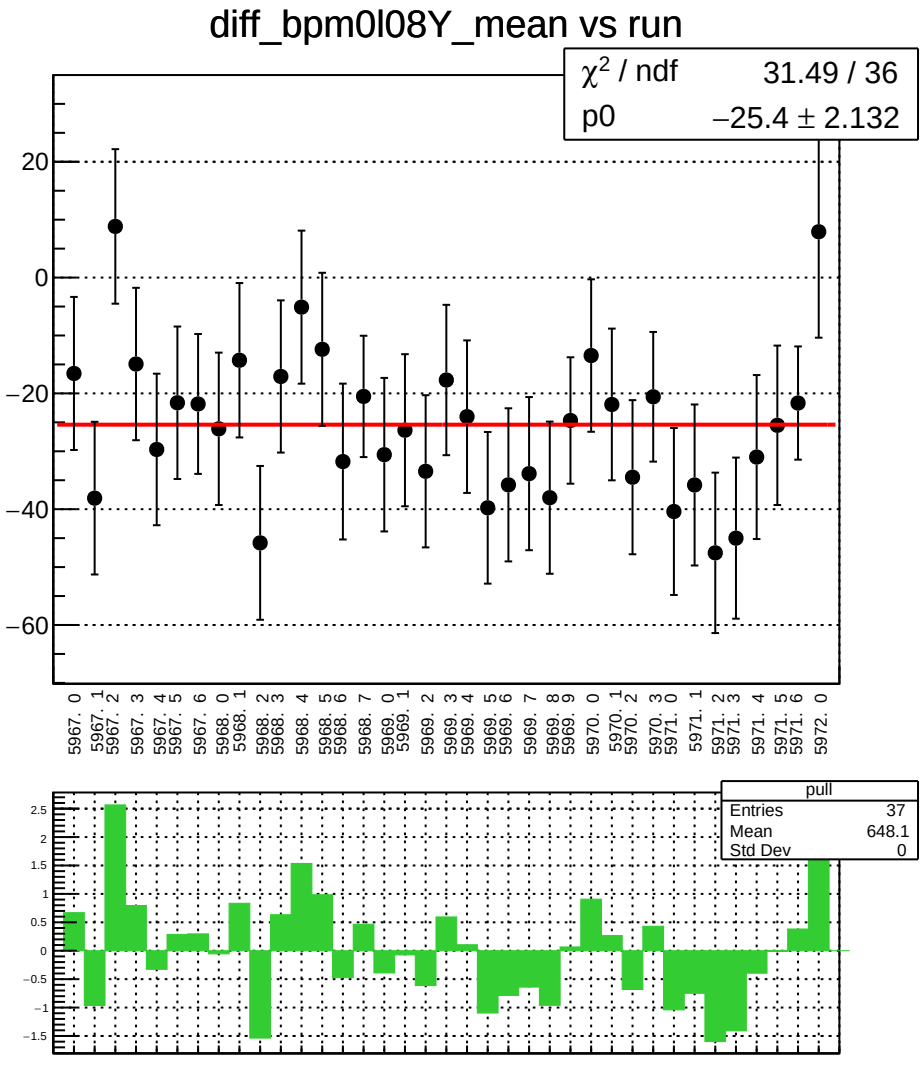
diff_bpm0l08Y_mean vs run
χ² / ndf 31.49 / 36
p0 −25.4 ± 2.132
20
0
−20
−40
−60
5967. 0
5967. 1
5967. 2
5967. 3
5967. 4
5967. 5
5967. 6
5968. 0
5968. 1
5968. 2
5968. 3
5968. 4
5968. 5
5968. 6
5968. 7
5969. 0
5969. 1
5969. 2
5969. 3
5969. 4
5969. 5
5969. 6
5969. 7
5969. 8
5969. 9
5970. 0
5970. 1
5970. 2
5970. 3
5971. 0
5971. 1
5971. 2
5971. 3
5971. 4
5971. 5
5971. 6
5972. 0
pull
Entries 37
Mean 648.1
Std Dev 0
2.5
2
1.5
1
0.5
0
−0.5
−1
−1.5

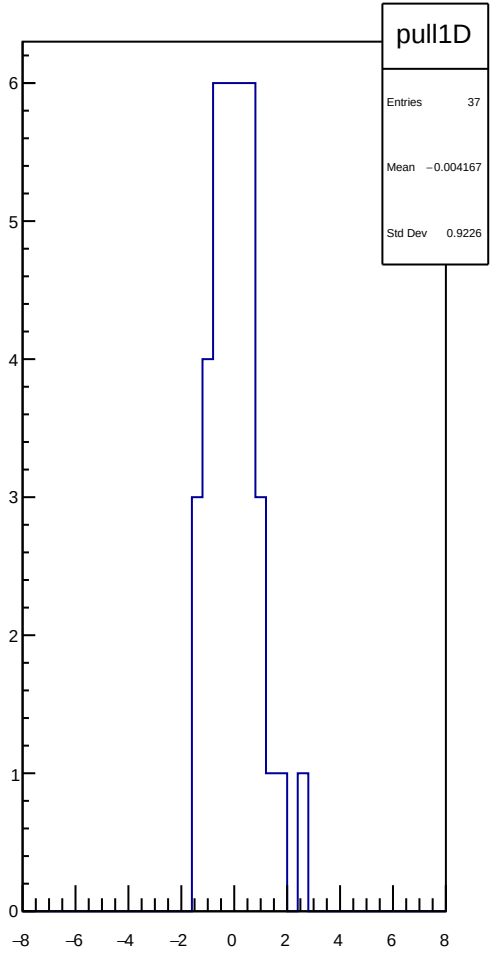
pull1D
Entries 37
Mean −0.004167
Std Dev 0.9226
6
5
4
3
2
1
0
−8
−6
−4
−2
0
2
4
6
8

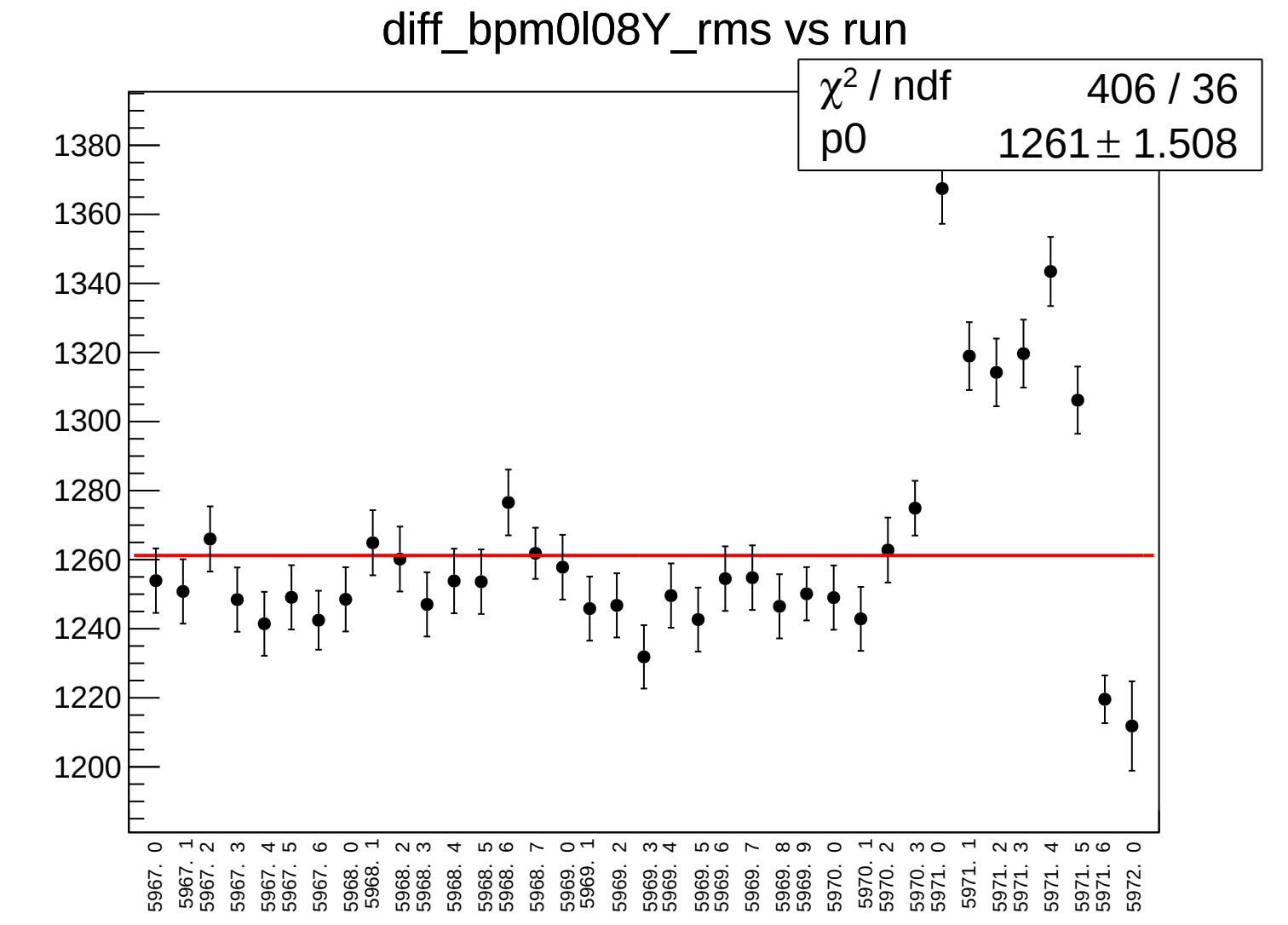
diff_bpm0l08Y_rms vs run
χ² / ndf 406 / 36
p0 1261 ± 1.508
1380
1360
1340
1320
1300
1280
1260
1240
1220
1200
5967. 0
5967. 1
5967. 2
5967. 3
5967. 4
5967. 5
5967. 6
5968. 0
5968. 1
5968. 2
5968. 3
5968. 4
5968. 5
5968. 6
5968. 7
5969. 0
5969. 1
5969. 2
5969. 3
5969. 4
5969. 5
5969. 6
5969. 7
5969. 8
5969. 9
5970. 0
5970. 1
5970. 2
5970. 3
5971. 0
5971. 1
5971. 2
5971. 3
5971. 4
5971. 5
5971. 6
5972. 0

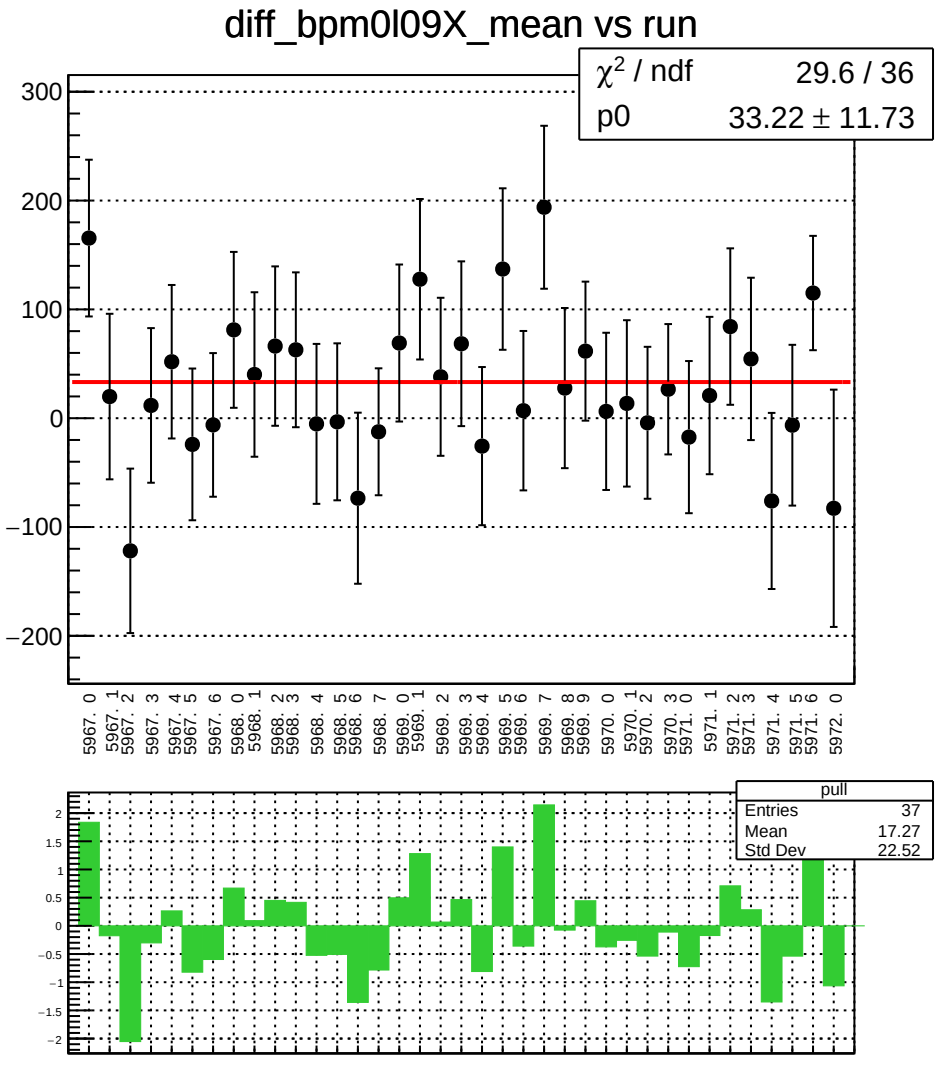
diff_bpm0l09X_mean vs run
χ^2 / ndf 29.6 / 36
p0 33.22 ± 11.73
300
200
100
0
−100
−200
5967. 0
5967. 1
5967. 2
5967. 3
5967. 4
5967. 5
5967. 6
5968. 0
5968. 1
5968. 2
5968. 3
5968. 4
5968. 5
5968. 6
5968. 7
5969. 0
5969. 1
5969. 2
5969. 3
5969. 4
5969. 5
5969. 6
5969. 7
5969. 8
5969. 9
5970. 0
5970. 1
5970. 2
5970. 3
5971. 0
5971. 1
5971. 2
5971. 3
5971. 4
5971. 5
5971. 6
5972. 0
pull
Entries 37
Mean 17.27
Std Dev 22.52
2
1.5
1
0.5
0
−0.5
−1
−1.5
−2

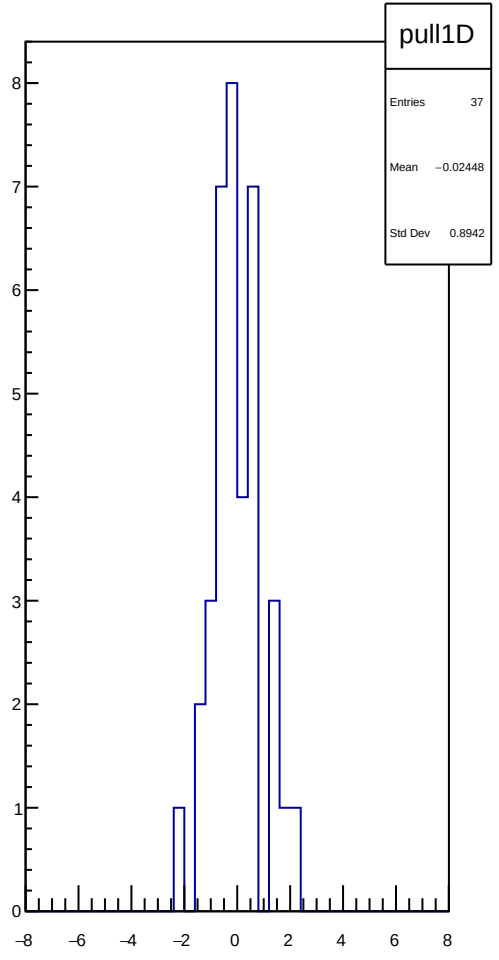
pull1D
Entries 37
Mean −0.02448
Std Dev 0.8942
8
7
6
5
4
3
2
1
0
−8
−6
−4
−2
0
2
4
6
8

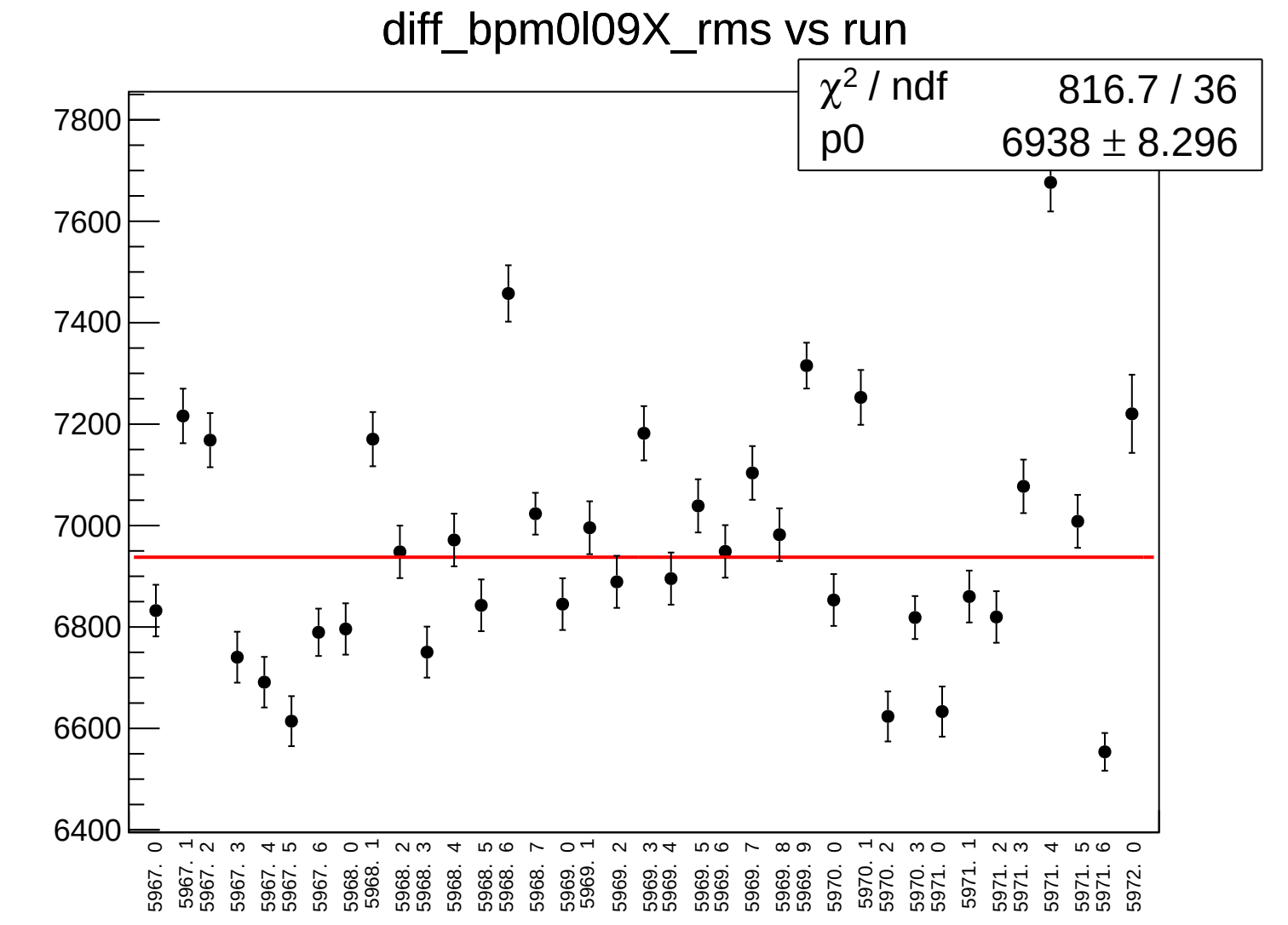
diff_bpm0l09X_rms vs run
χ² / ndf 816.7 / 36
p0 6938 ± 8.296
7800
7600
7400
7200
7000
6800
6600
6400
5967. 0
5967. 1
5967. 2
5967. 3
5967. 4
5967. 5
5967. 6
5968. 0
5968. 1
5968. 2
5968. 3
5968. 4
5968. 5
5968. 6
5968. 7
5969. 0
5969. 1
5969. 2
5969. 3
5969. 4
5969. 5
5969. 6
5969. 7
5969. 8
5969. 9
5970. 0
5970. 1
5970. 2
5970. 3
5971. 0
5971. 1
5971. 2
5971. 3
5971. 4
5971. 5
5971. 6
5972. 0

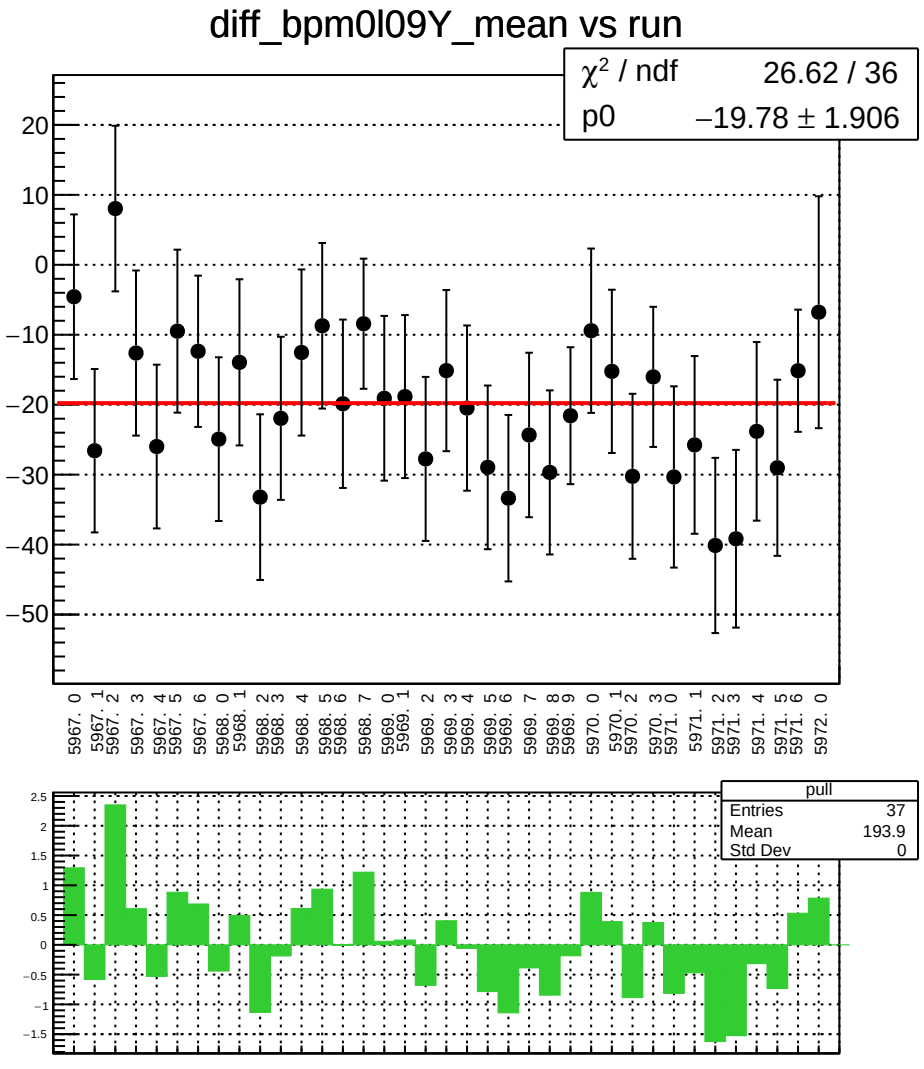
diff_bpm0l09Y_mean vs run
χ² / ndf 26.62 / 36
p0 −19.78 ± 1.906
pull
Entries 37
Mean 193.9
Std Dev 0

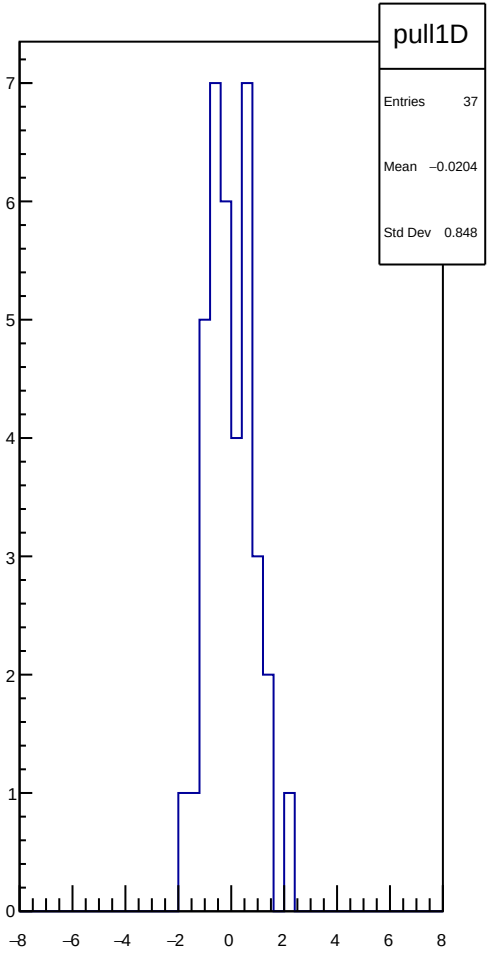
pull1D
Entries 37
Mean −0.0204
Std Dev 0.848

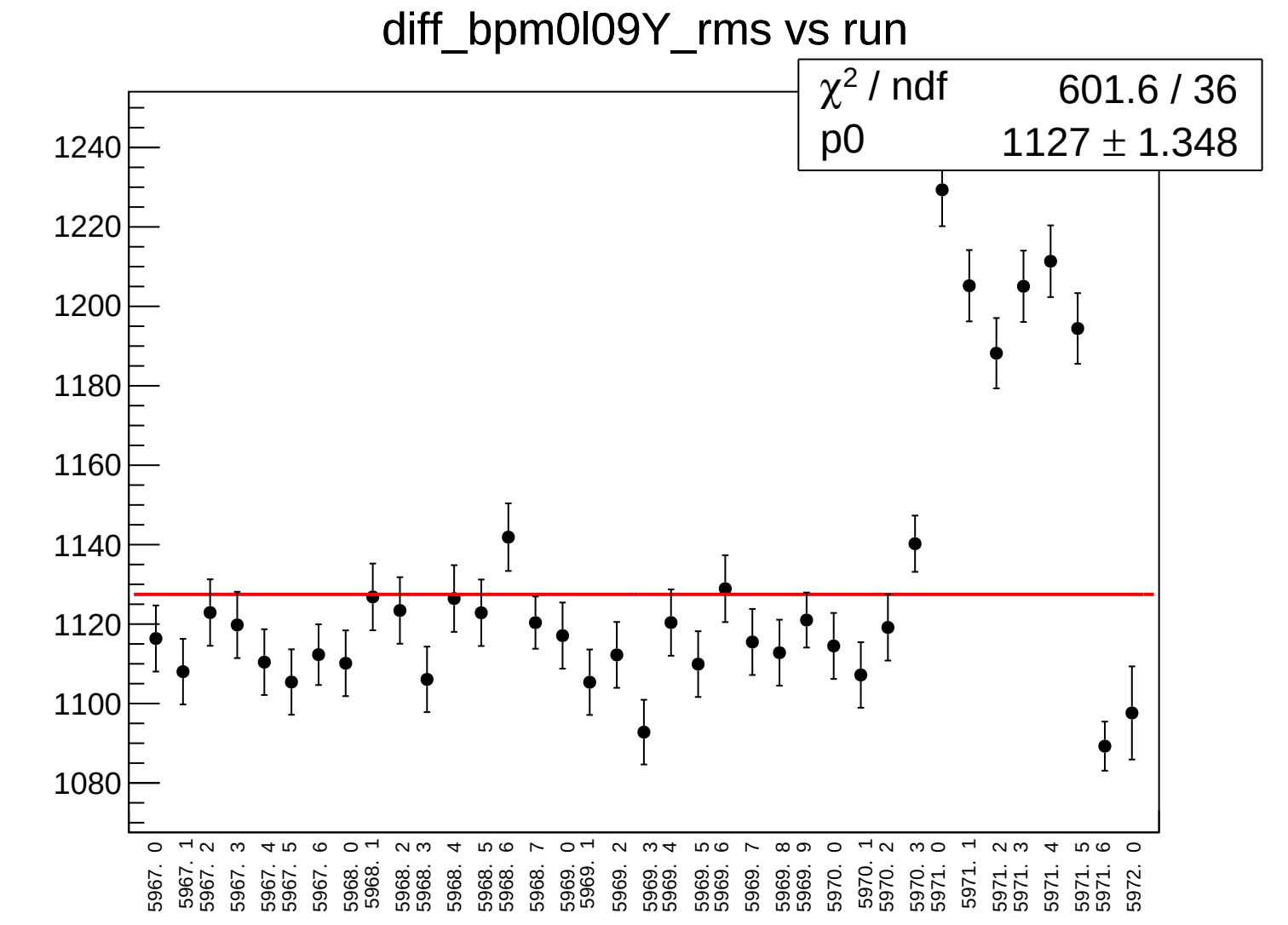
diff_bpm0l09Y_rms vs run
χ² / ndf 601.6 / 36
p0 1127 ± 1.348
1240
1220
1200
1180
1160
1140
1120
1100
1080
5967. 0
5967. 1
5967. 2
5967. 3
5967. 4
5967. 5
5967. 6
5968. 0
5968. 1
5968. 2
5968. 3
5968. 4
5968. 5
5968. 6
5968. 7
5969. 0
5969. 1
5969. 2
5969. 3
5969. 4
5969. 5
5969. 6
5969. 7
5969. 8
5969. 9
5970. 0
5970. 1
5970. 2
5970. 3
5971. 0
5971. 1
5971. 2
5971. 3
5971. 4
5971. 5
5971. 6
5972. 0

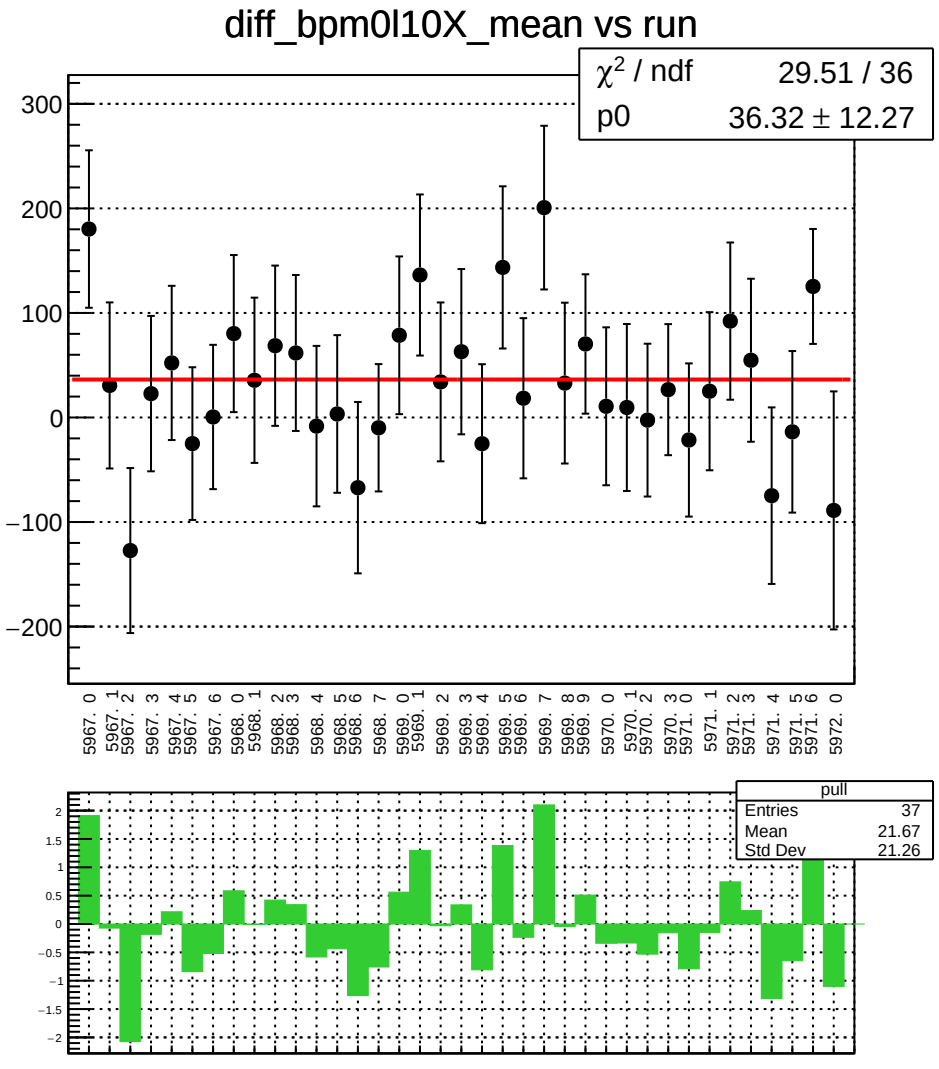
diff_bpm0l10X_mean vs run
χ² / ndf 29.51 / 36
p0 36.32 ± 12.27
300
200
100
0
−100
−200
5967. 0
5967. 1
5967. 2
5967. 3
5967. 4
5967. 5
5967. 6
5968. 0
5968. 1
5968. 2
5968. 3
5968. 4
5968. 5
5968. 6
5968. 7
5969. 0
5969. 1
5969. 2
5969. 3
5969. 4
5969. 5
5969. 6
5969. 7
5969. 8
5969. 9
5970. 0
5970. 1
5970. 2
5970. 3
5971. 0
5971. 1
5971. 2
5971. 3
5971. 4
5971. 5
5971. 6
5972. 0
pull
Entries 37
Mean 21.67
Std Dev 21.26
2
1.5
1
0.5
0
−0.5
−1
−1.5
−2

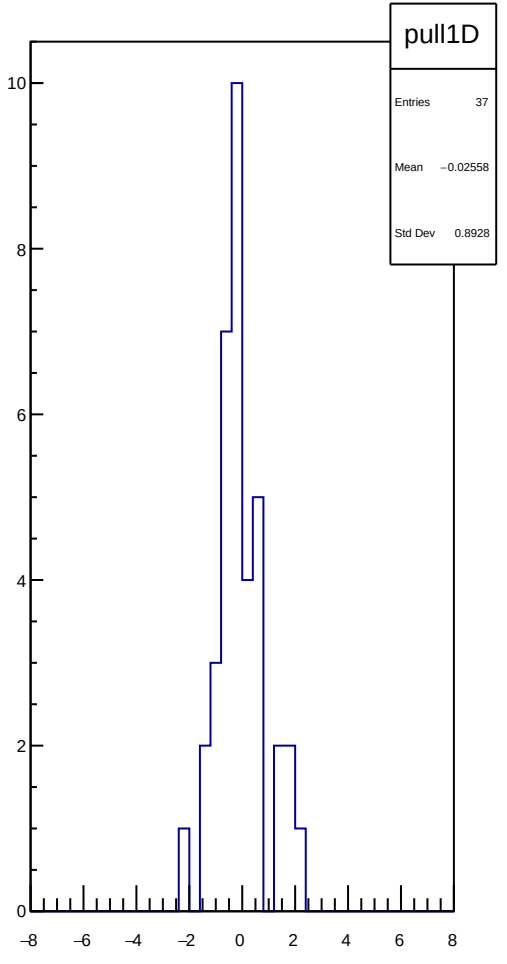
pull1D
Entries 37
Mean −0.02558
Std Dev 0.8928
10
8
6
4
2
0
−8
−6
−4
−2
0
2
4
6
8

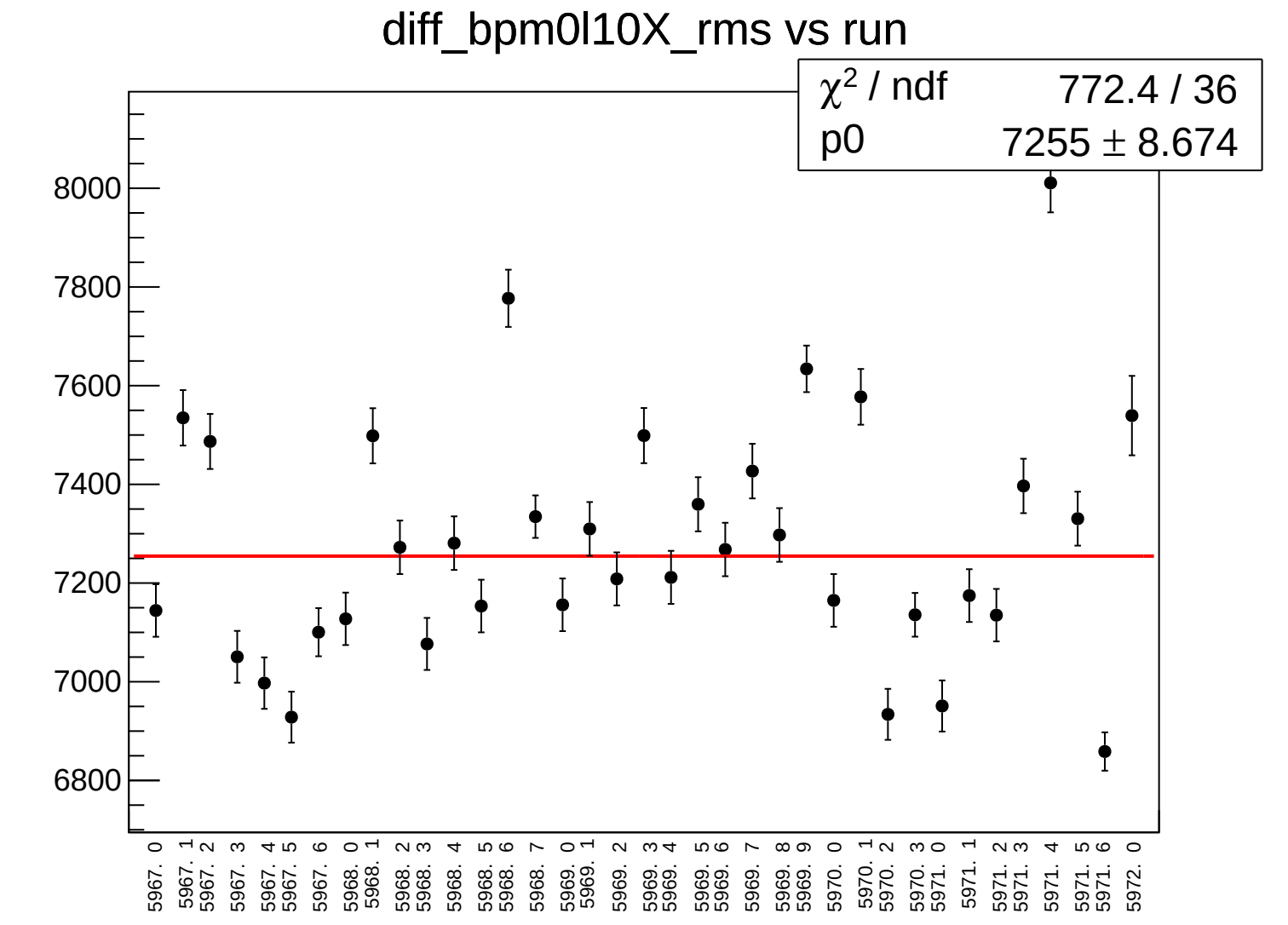
diff_bpm0l10X_rms vs run
χ² / ndf 772.4 / 36
p0 7255 ± 8.674
8000
7800
7600
7400
7200
7000
6800
5967. 0
5967. 1
5967. 2
5967. 3
5967. 4
5967. 5
5967. 6
5968. 0
5968. 1
5968. 2
5968. 3
5968. 4
5968. 5
5968. 6
5968. 7
5969. 0
5969. 1
5969. 2
5969. 3
5969. 4
5969. 5
5969. 6
5969. 7
5969. 8
5969. 9
5970. 0
5970. 1
5970. 2
5970. 3
5971. 0
5971. 1
5971. 2
5971. 3
5971. 4
5971. 5
5971. 6
5972. 0

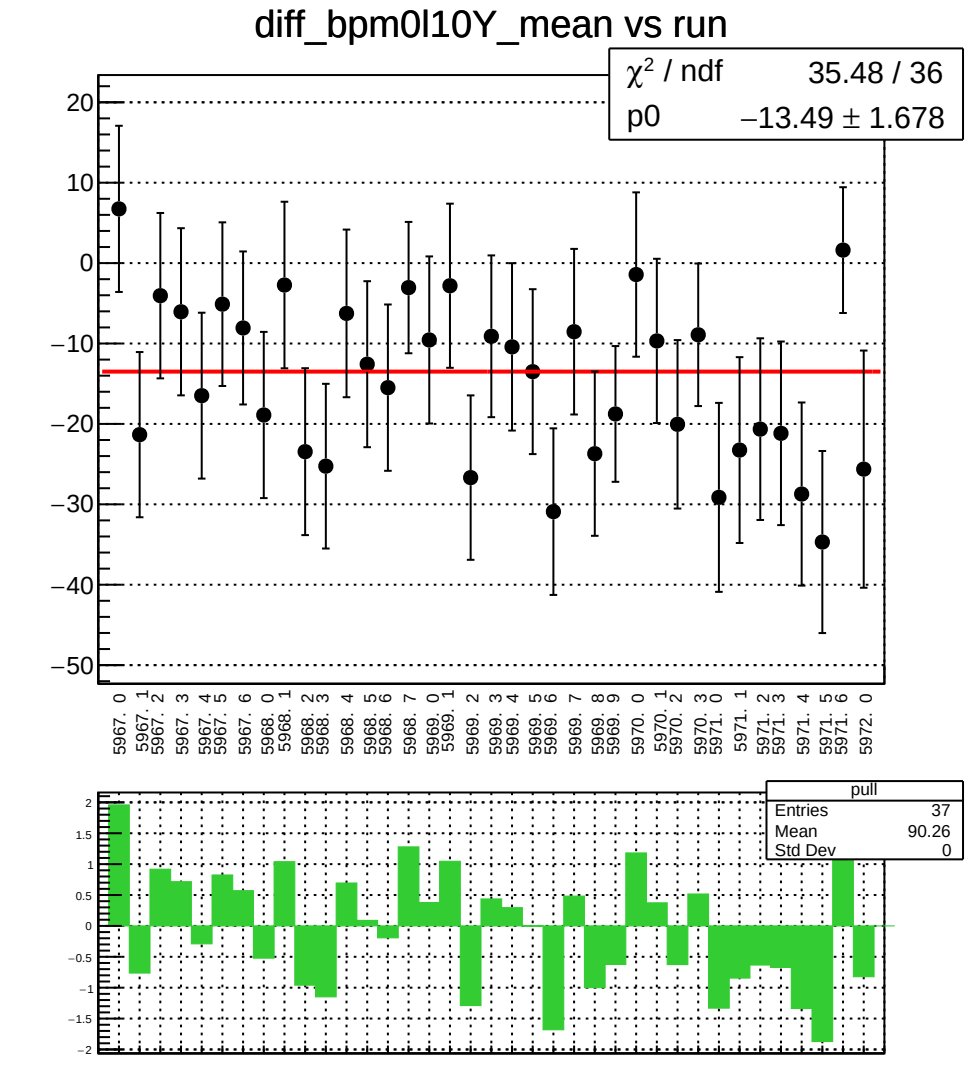
diff_bpm0l10Y_mean vs run
χ² / ndf 35.48 / 36
p0 −13.49 ± 1.678
pull
Entries 37
Mean 90.26
Std Dev 0

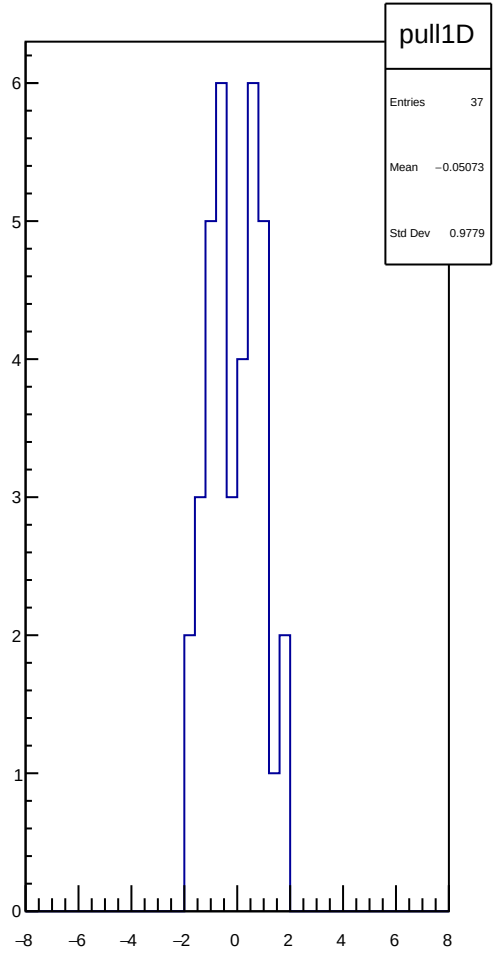
pull1D
Entries 37
Mean −0.05073
Std Dev 0.9779

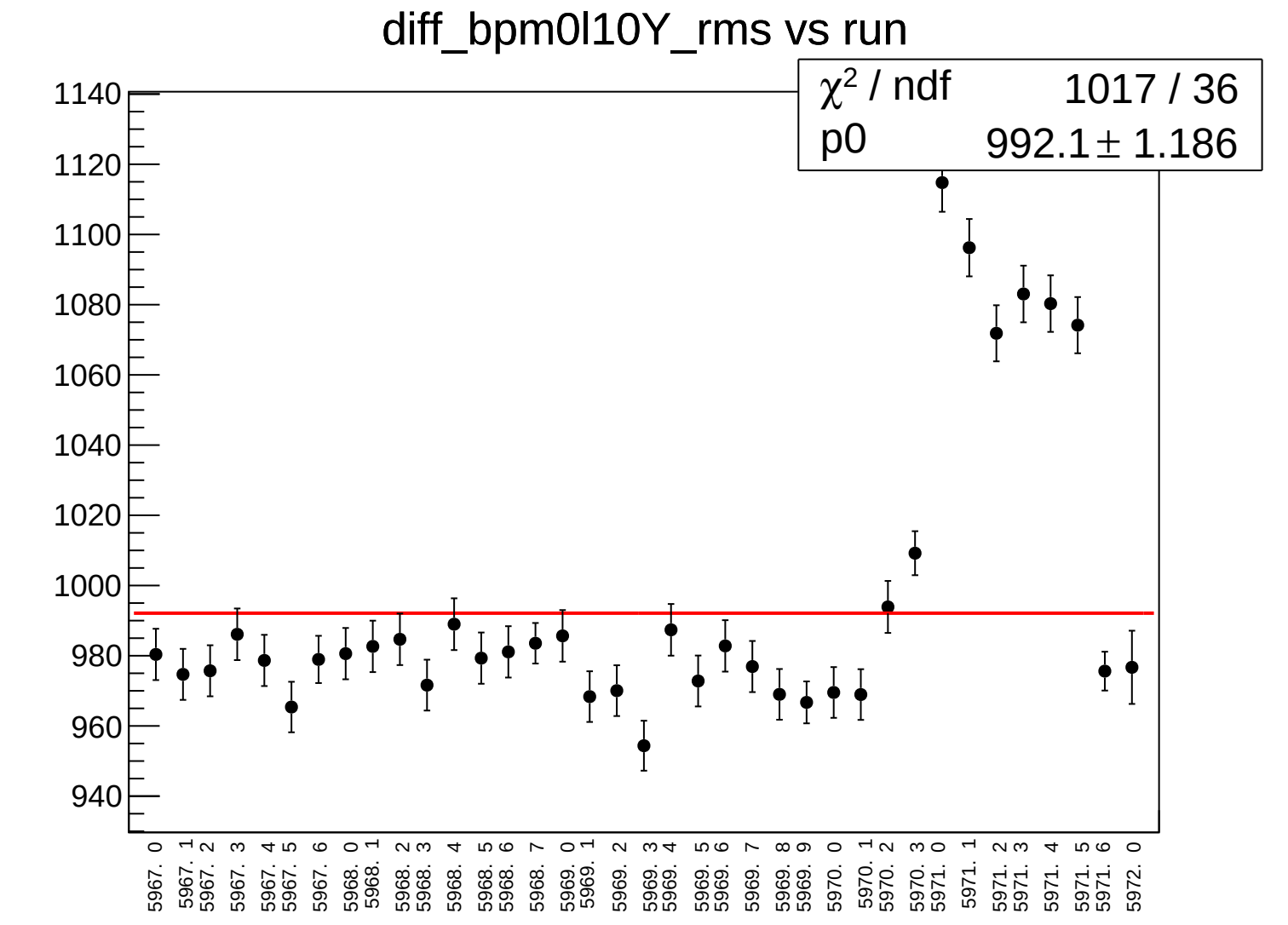
diff_bpm0l10Y_rms vs run
χ² / ndf 1017 / 36
p0 992.1 ± 1.186
1140
1120
1100
1080
1060
1040
1020
1000
980
960
940
5967. 0
5967. 1
5967. 2
5967. 3
5967. 4
5967. 5
5967. 6
5968. 0
5968. 1
5968. 2
5968. 3
5968. 4
5968. 5
5968. 6
5968. 7
5969. 0
5969. 1
5969. 2
5969. 3
5969. 4
5969. 5
5969. 6
5969. 7
5969. 8
5969. 9
5970. 0
5970. 1
5970. 2
5970. 3
5971. 0
5971. 1
5971. 2
5971. 3
5971. 4
5971. 5
5971. 6
5972. 0

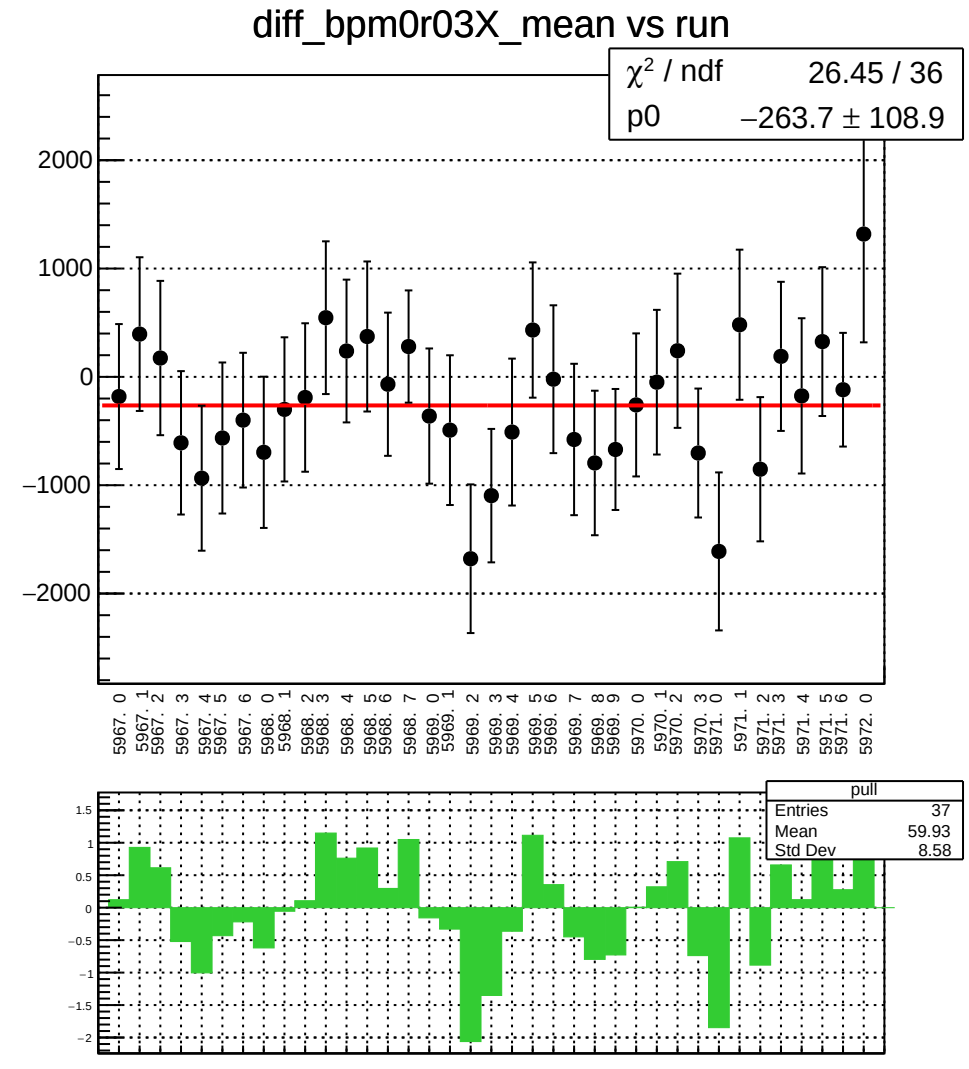
diff_bpm0r03X_mean vs run
χ² / ndf 26.45 / 36
p0 −263.7 ± 108.9
2000
1000
0
−1000
−2000
5967. 0
5967. 1
5967. 2
5967. 3
5967. 4
5967. 5
5967. 6
5968. 0
5968. 1
5968. 2
5968. 3
5968. 4
5968. 5
5968. 6
5968. 7
5969. 0
5969. 1
5969. 2
5969. 3
5969. 4
5969. 5
5969. 6
5969. 7
5969. 8
5969. 9
5970. 0
5970. 1
5970. 2
5970. 3
5971. 0
5971. 1
5971. 2
5971. 3
5971. 4
5971. 5
5971. 6
5972. 0
pull
Entries 37
Mean 59.93
Std Dev 8.58
1.5
1
0.5
0
−0.5
−1
−1.5
−2

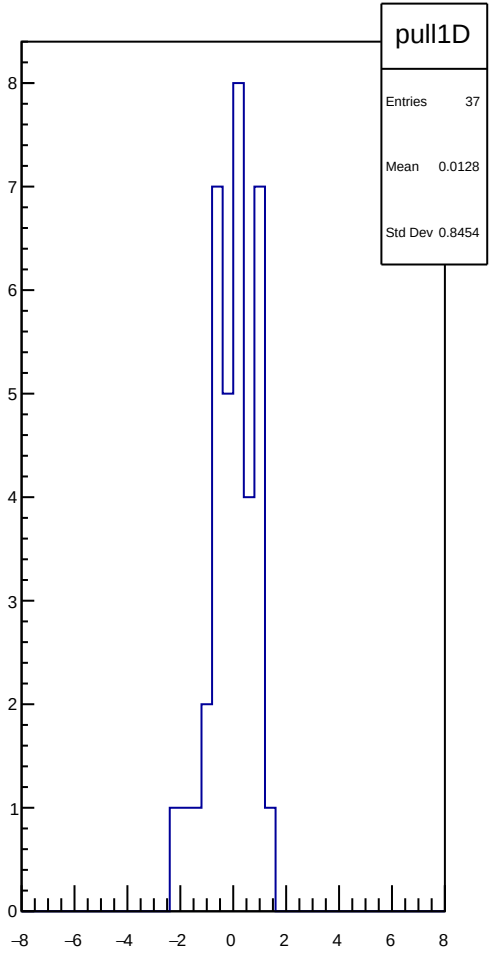
pull1D
Entries 37
Mean 0.0128
Std Dev 0.8454
8
7
6
5
4
3
2
1
0
−8
−6
−4
−2
0
2
4
6
8

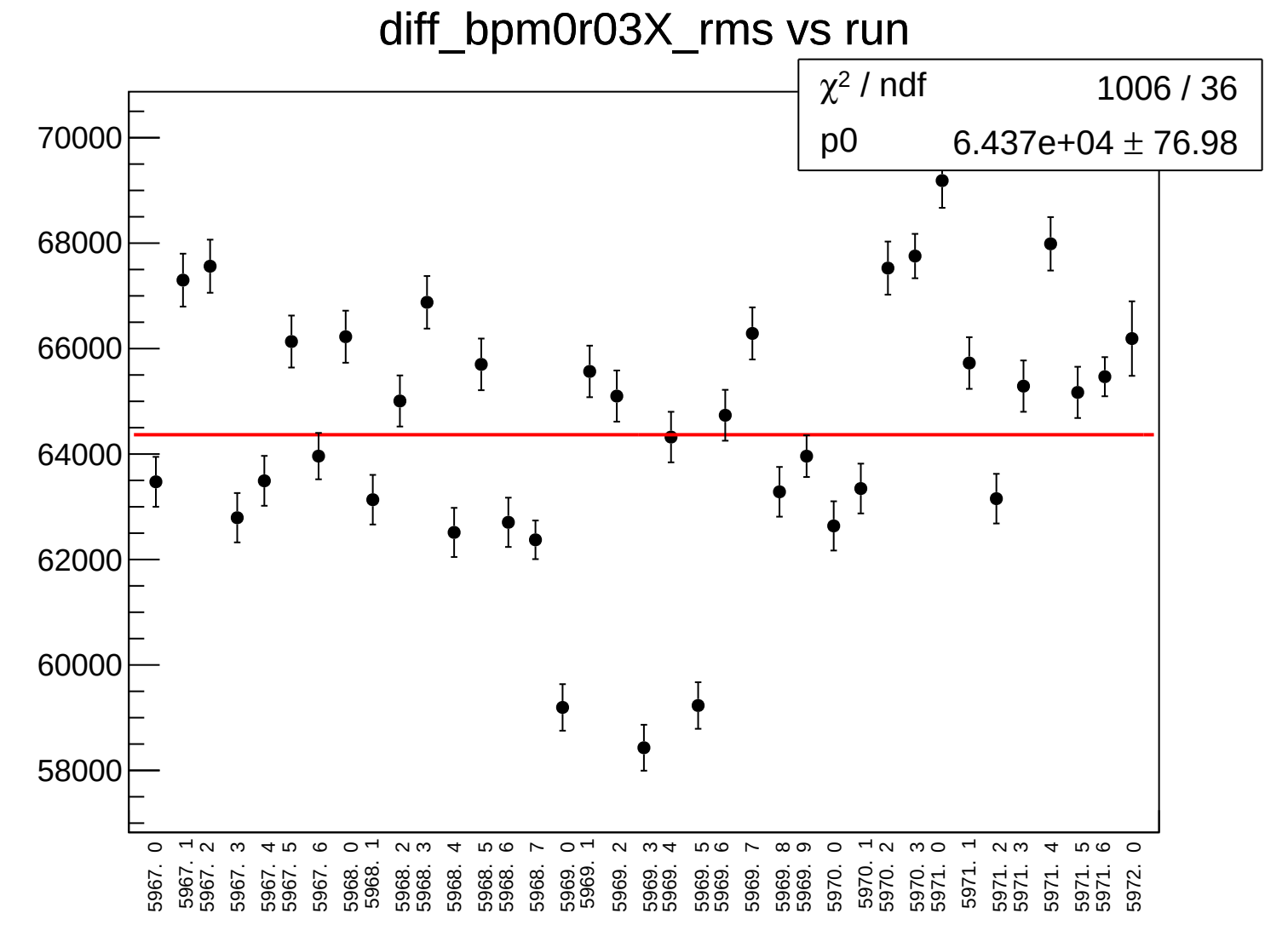
diff_bpm0r03X_rms vs run
χ² / ndf 1006 / 36
p0 6.437e+04 ± 76.98
70000
68000
66000
64000
62000
60000
58000
5967. 0
5967. 1
5967. 2
5967. 3
5967. 4
5967. 5
5967. 6
5968. 0
5968. 1
5968. 2
5968. 3
5968. 4
5968. 5
5968. 6
5968. 7
5969. 0
5969. 1
5969. 2
5969. 3
5969. 4
5969. 5
5969. 6
5969. 7
5969. 8
5969. 9
5970. 0
5970. 1
5970. 2
5970. 3
5971. 0
5971. 1
5971. 2
5971. 3
5971. 4
5971. 5
5971. 6
5972. 0

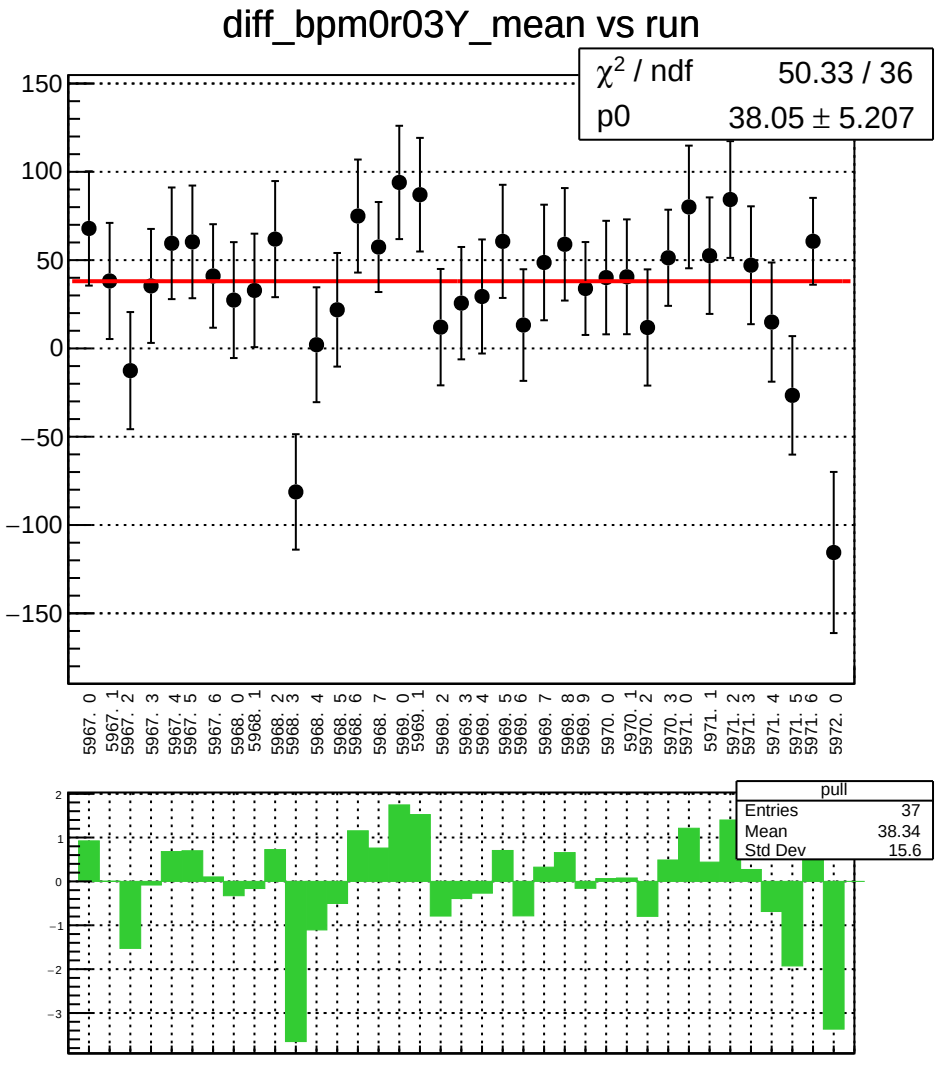
diff_bpm0r03Y_mean vs run
χ² / ndf 50.33 / 36
p0 38.05 ± 5.207
150
100
50
0
−50
−100
−150
5967. 0
5967. 1
5967. 2
5967. 3
5967. 4
5967. 5
5967. 6
5968. 0
5968. 1
5968. 2
5968. 3
5968. 4
5968. 5
5968. 6
5968. 7
5969. 0
5969. 1
5969. 2
5969. 3
5969. 4
5969. 5
5969. 6
5969. 7
5969. 8
5969. 9
5970. 0
5970. 1
5970. 2
5970. 3
5971. 0
5971. 1
5971. 2
5971. 3
5971. 4
5971. 5
5971. 6
5972. 0
pull
Entries 37
Mean 38.34
Std Dev 15.6
2
1
0
−1
−2
−3

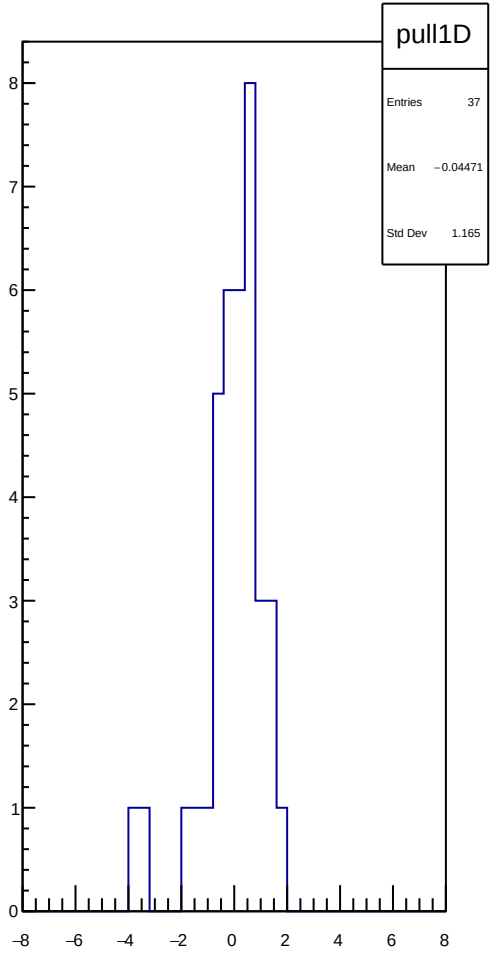
pull1D
Entries 37
Mean −0.04471
Std Dev 1.165
8
7
6
5
4
3
2
1
0
−8
−6
−4
−2
0
2
4
6
8

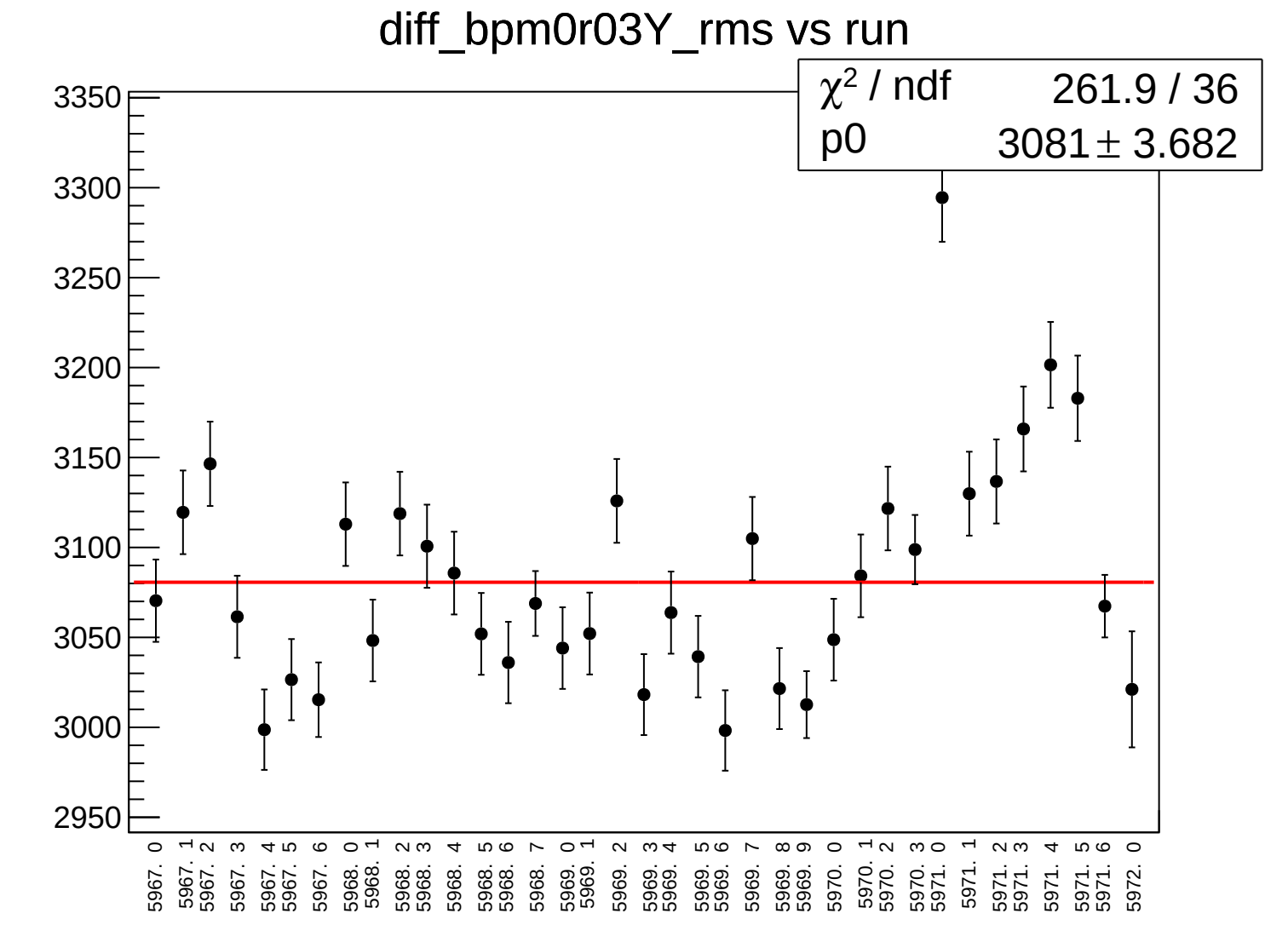
diff_bpm0r03Y_rms vs run
χ² / ndf 261.9 / 36
p0 3081 ± 3.682
3350
3300
3250
3200
3150
3100
3050
3000
2950
5967. 0
5967. 1
5967. 2
5967. 3
5967. 4
5967. 5
5967. 6
5968. 0
5968. 1
5968. 2
5968. 3
5968. 4
5968. 5
5968. 6
5968. 7
5969. 0
5969. 1
5969. 2
5969. 3
5969. 4
5969. 5
5969. 6
5969. 7
5969. 8
5969. 9
5970. 0
5970. 1
5970. 2
5970. 3
5971. 0
5971. 1
5971. 2
5971. 3
5971. 4
5971. 5
5971. 6
5972. 0

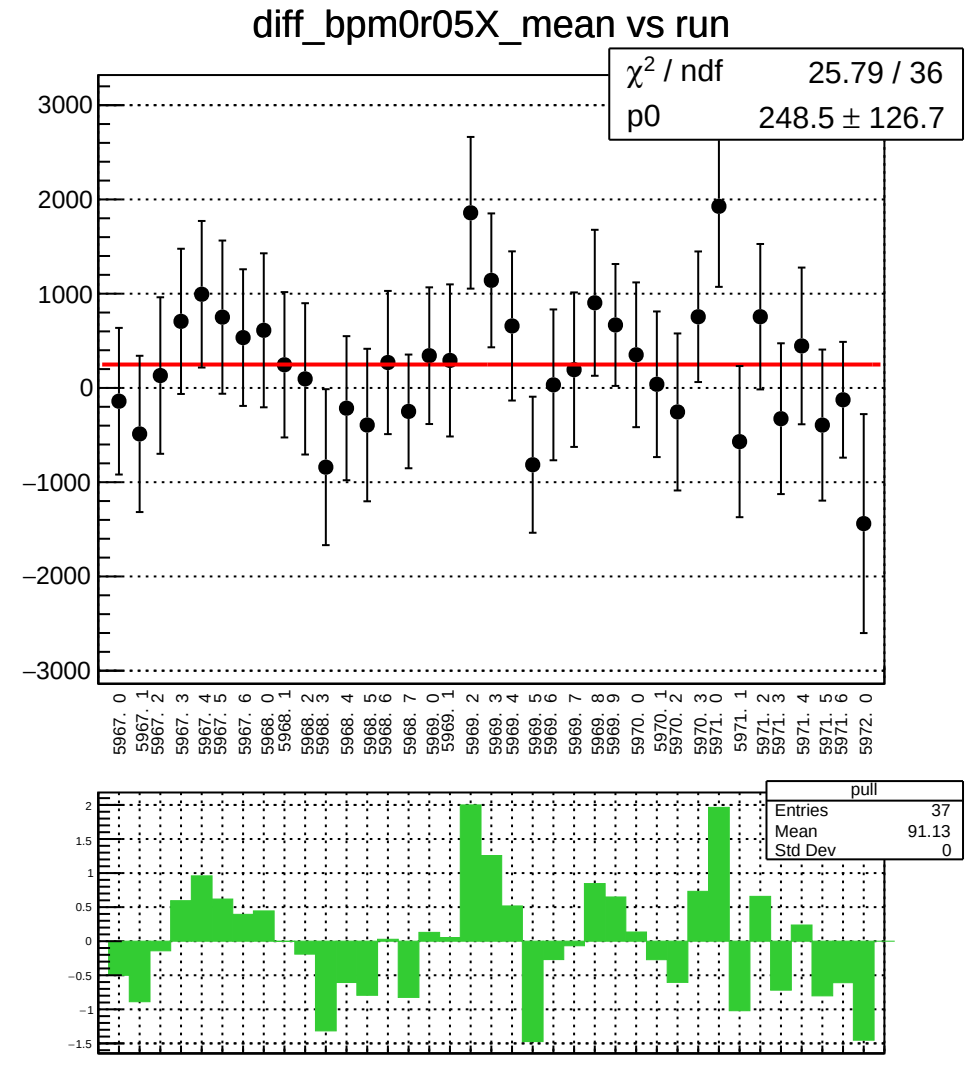
diff_bpm0r05X_mean vs run
χ² / ndf 25.79 / 36
p0 248.5 ± 126.7
3000
2000
1000
0
−1000
−2000
−3000
5967. 0
5967. 1
5967. 2
5967. 3
5967. 4
5967. 5
5967. 6
5968. 0
5968. 1
5968. 2
5968. 3
5968. 4
5968. 5
5968. 6
5968. 7
5969. 0
5969. 1
5969. 2
5969. 3
5969. 4
5969. 5
5969. 6
5969. 7
5969. 8
5969. 9
5970. 0
5970. 1
5970. 2
5970. 3
5971. 0
5971. 1
5971. 2
5971. 3
5971. 4
5971. 5
5971. 6
5972. 0
pull
Entries 37
Mean 91.13
Std Dev 0
2
1.5
1
0.5
0
−0.5
−1
−1.5

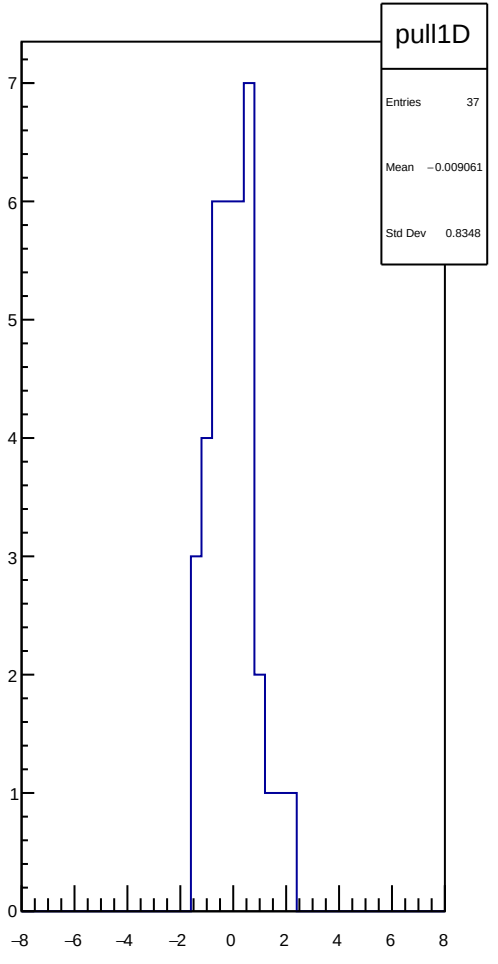
pull1D
Entries 37
Mean −0.009061
Std Dev 0.8348
7
6
5
4
3
2
1
0
−8
−6
−4
−2
0
2
4
6
8

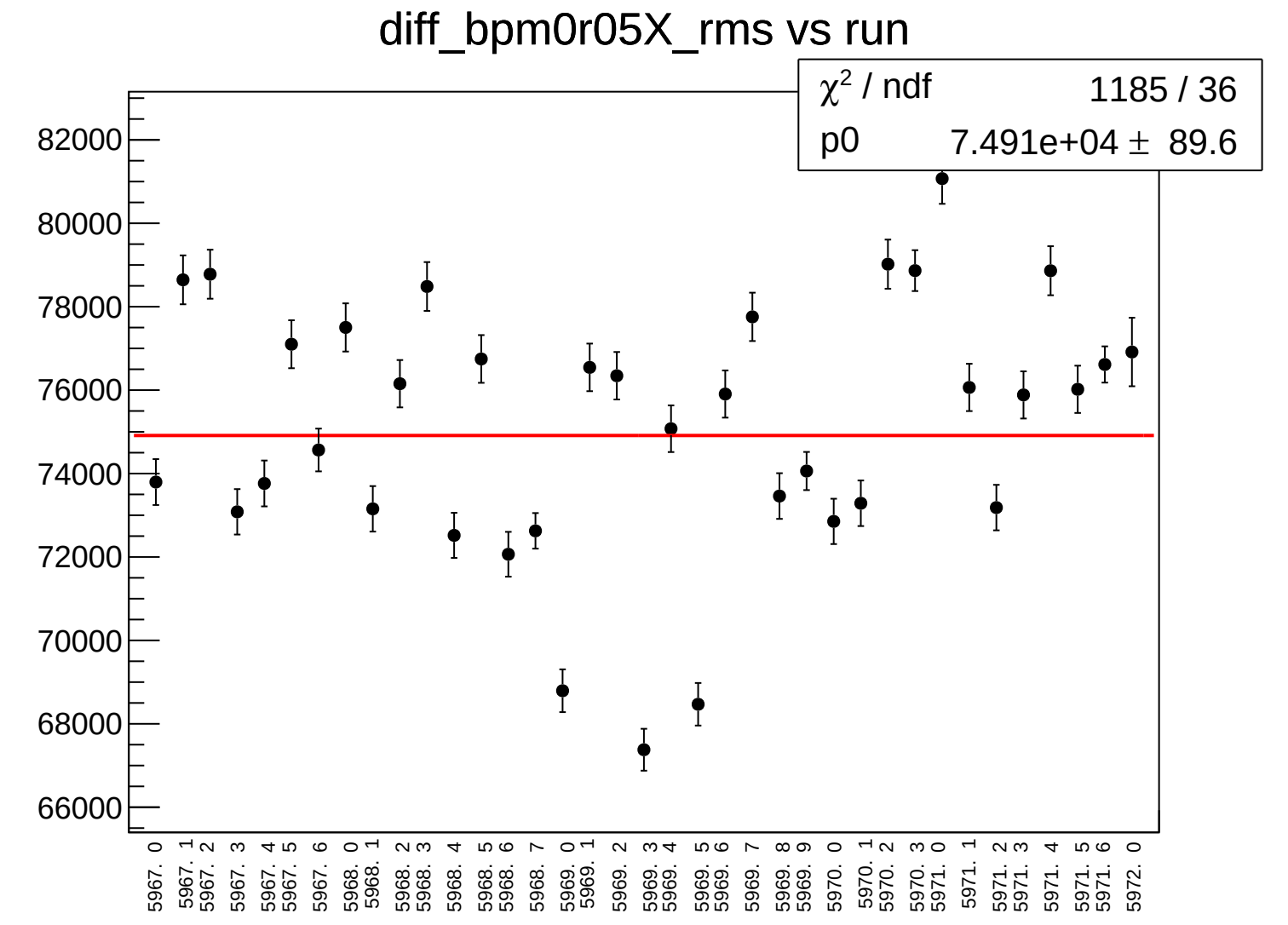
diff_bpm0r05X_rms vs run
χ² / ndf 1185 / 36
p0 7.491e+04 ± 89.6
82000
80000
78000
76000
74000
72000
70000
68000
66000
5967. 0
5967. 1
5967. 2
5967. 3
5967. 4
5967. 5
5967. 6
5968. 0
5968. 1
5968. 2
5968. 3
5968. 4
5968. 5
5968. 6
5968. 7
5969. 0
5969. 1
5969. 2
5969. 3
5969. 4
5969. 5
5969. 6
5969. 7
5969. 8
5969. 9
5970. 0
5970. 1
5970. 2
5970. 3
5971. 0
5971. 1
5971. 2
5971. 3
5971. 4
5971. 5
5971. 6
5972. 0

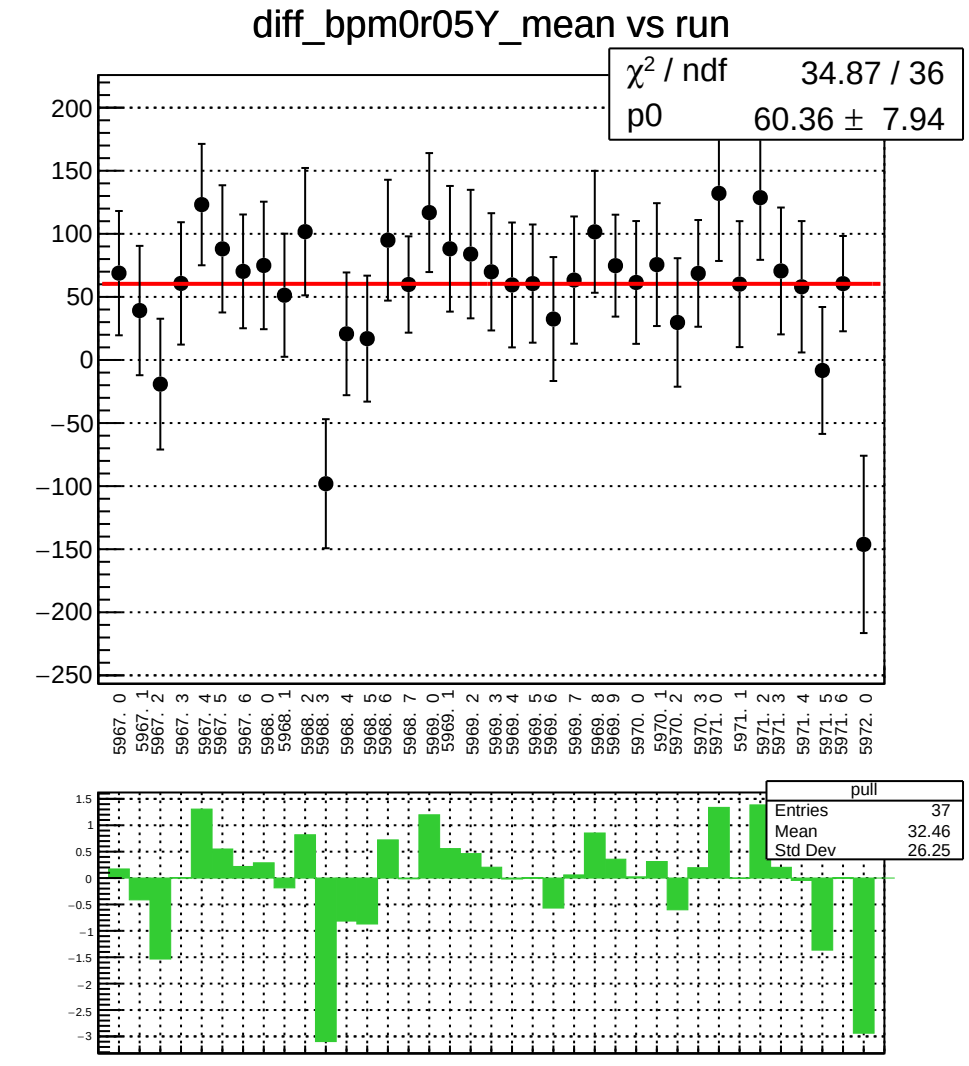
diff_bpm0r05Y_mean vs run
χ² / ndf 34.87 / 36
p0 60.36 ± 7.94
pull
Entries 37
Mean 32.46
Std Dev 26.25

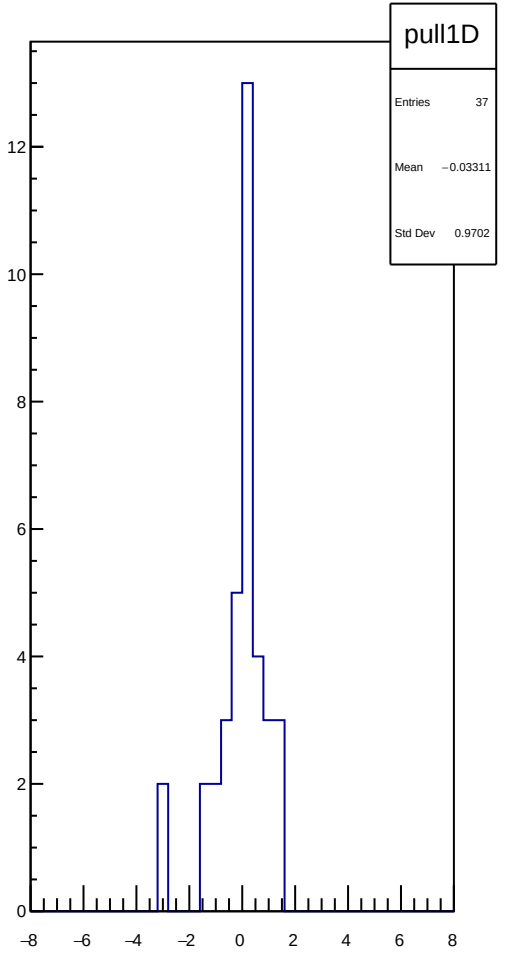
pull1D
Entries 37
Mean −0.03311
Std Dev 0.9702

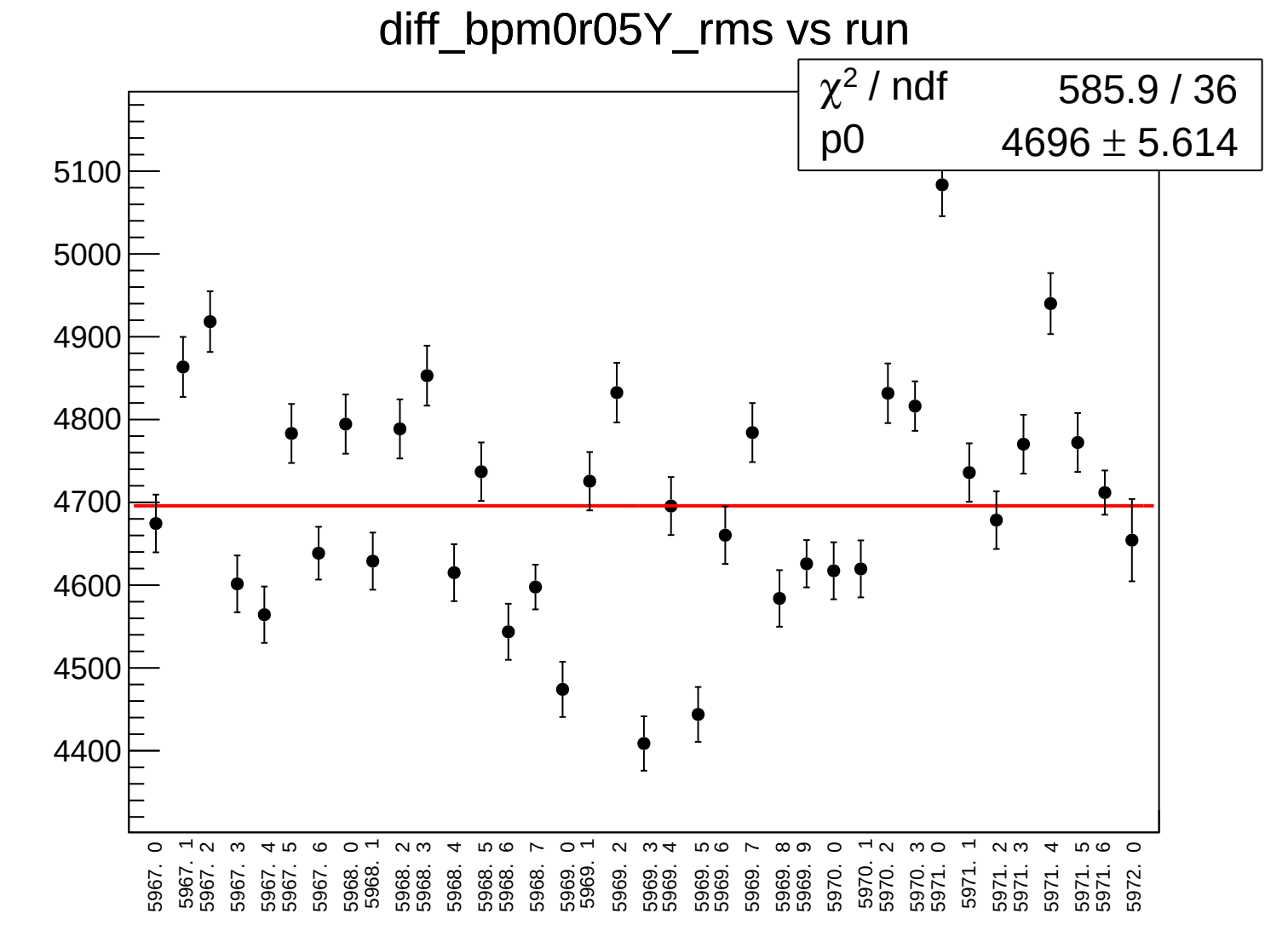
diff_bpm0r05Y_rms vs run
χ² / ndf 585.9 / 36
p0 4696 ± 5.614
5100
5000
4900
4800
4700
4600
4500
4400
5967. 0
5967. 1
5967. 2
5967. 3
5967. 4
5967. 5
5967. 6
5968. 0
5968. 1
5968. 2
5968. 3
5968. 4
5968. 5
5968. 6
5968. 7
5969. 0
5969. 1
5969. 2
5969. 3
5969. 4
5969. 5
5969. 6
5969. 7
5969. 8
5969. 9
5970. 0
5970. 1
5970. 2
5970. 3
5971. 0
5971. 1
5971. 2
5971. 3
5971. 4
5971. 5
5971. 6
5972. 0

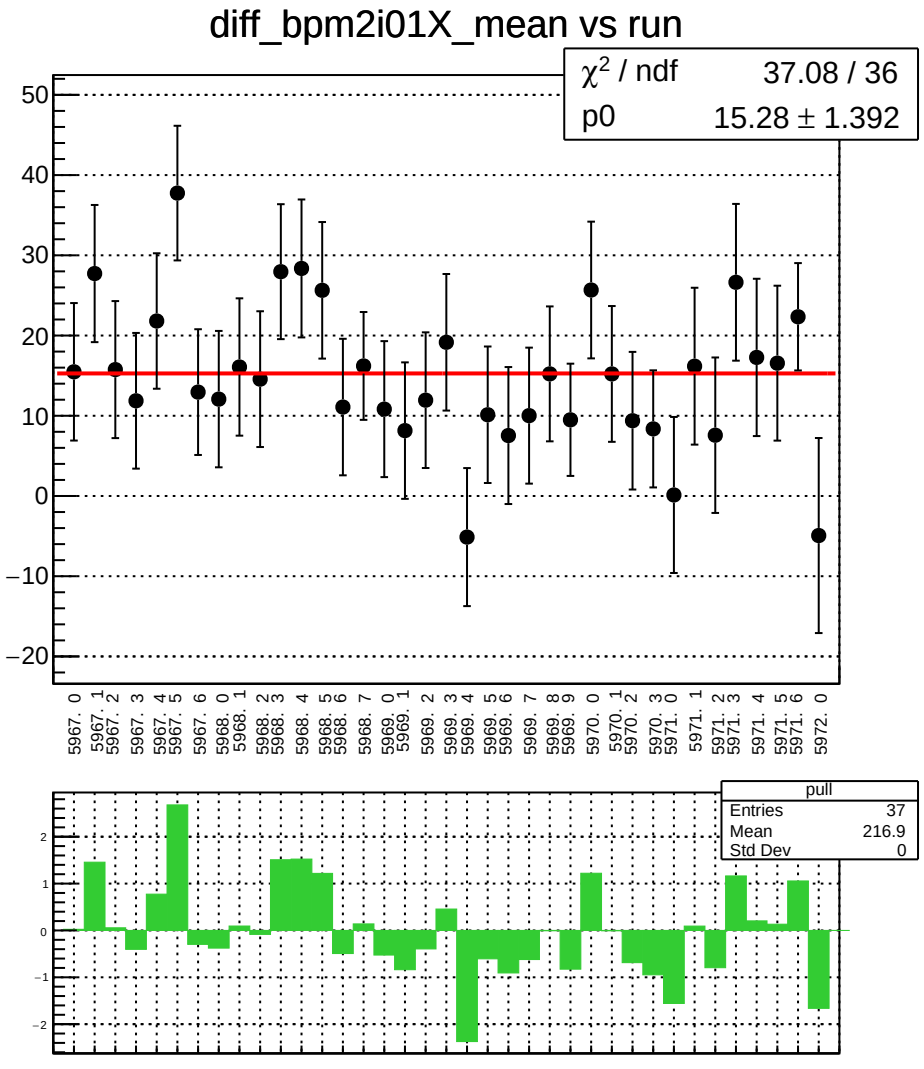
diff_bpm2i01X_mean vs run
χ² / ndf 37.08 / 36
p0 15.28 ± 1.392
pull
Entries 37
Mean 216.9
Std Dev 0

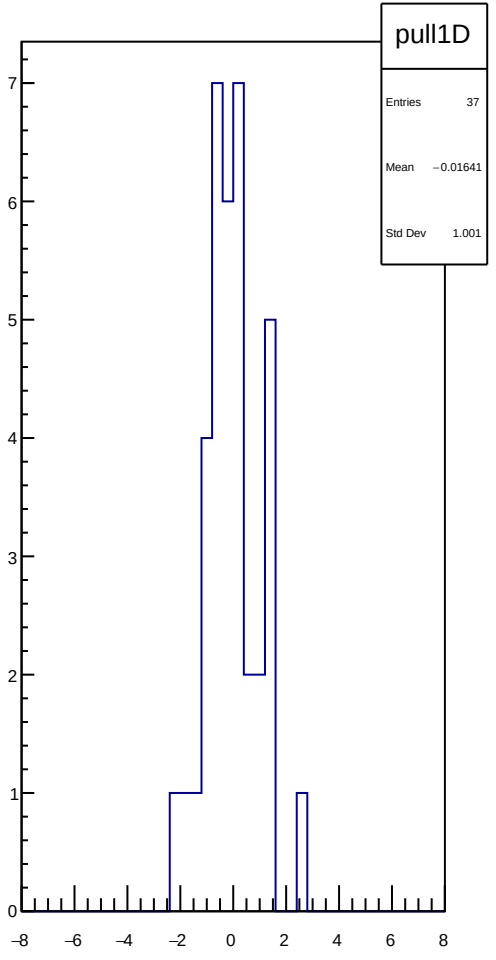
pull1D
Entries 37
Mean −0.01641
Std Dev 1.001

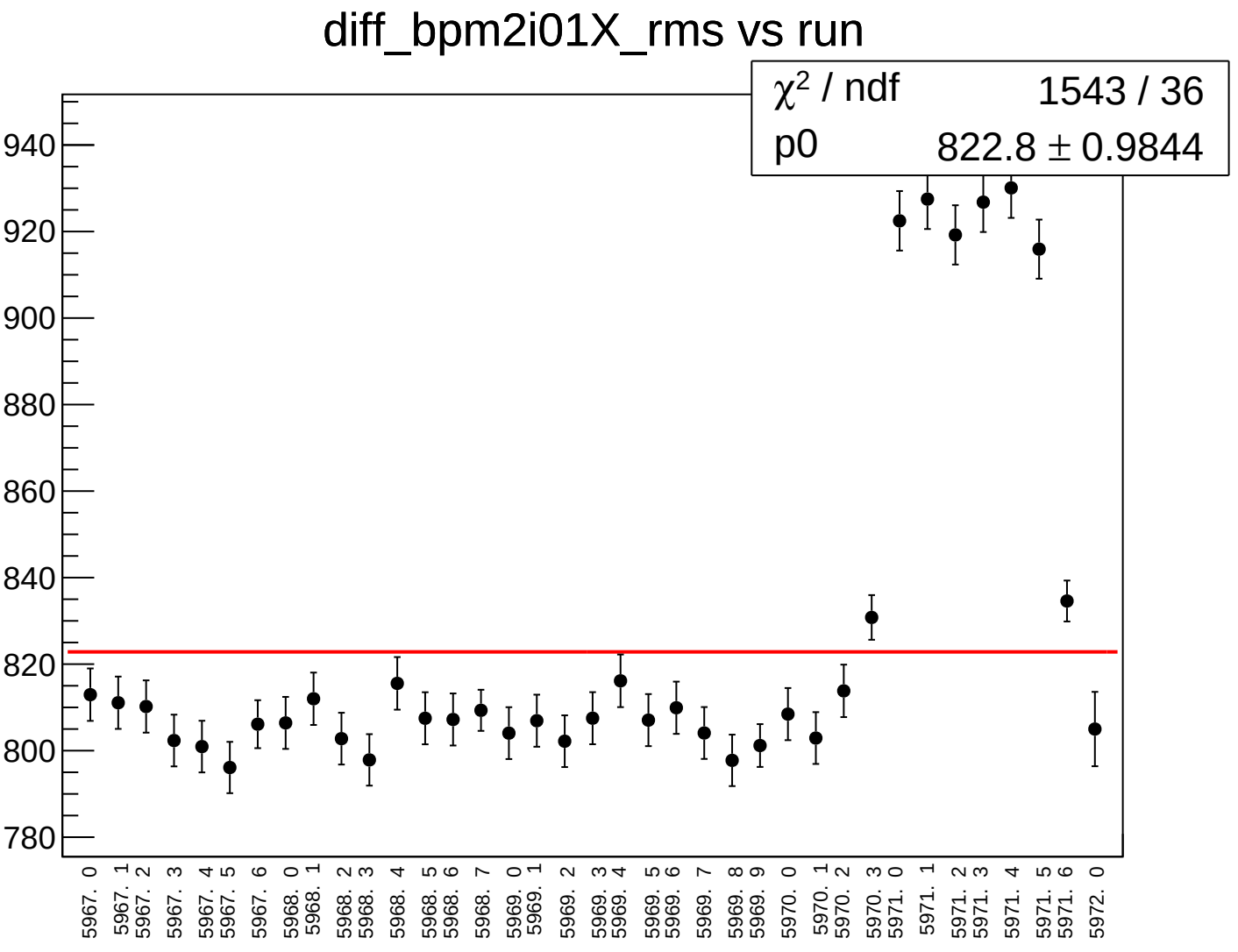
diff_bpm2i01X_rms vs run
χ² / ndf 1543 / 36
p0 822.8 ± 0.9844
940
920
900
880
860
840
820
800
780
5967. 0
5967. 1
5967. 2
5967. 3
5967. 4
5967. 5
5967. 6
5968. 0
5968. 1
5968. 2
5968. 3
5968. 4
5968. 5
5968. 6
5968. 7
5969. 0
5969. 1
5969. 2
5969. 3
5969. 4
5969. 5
5969. 6
5969. 7
5969. 8
5969. 9
5970. 0
5970. 1
5970. 2
5970. 3
5971. 0
5971. 1
5971. 2
5971. 3
5971. 4
5971. 5
5971. 6
5972. 0

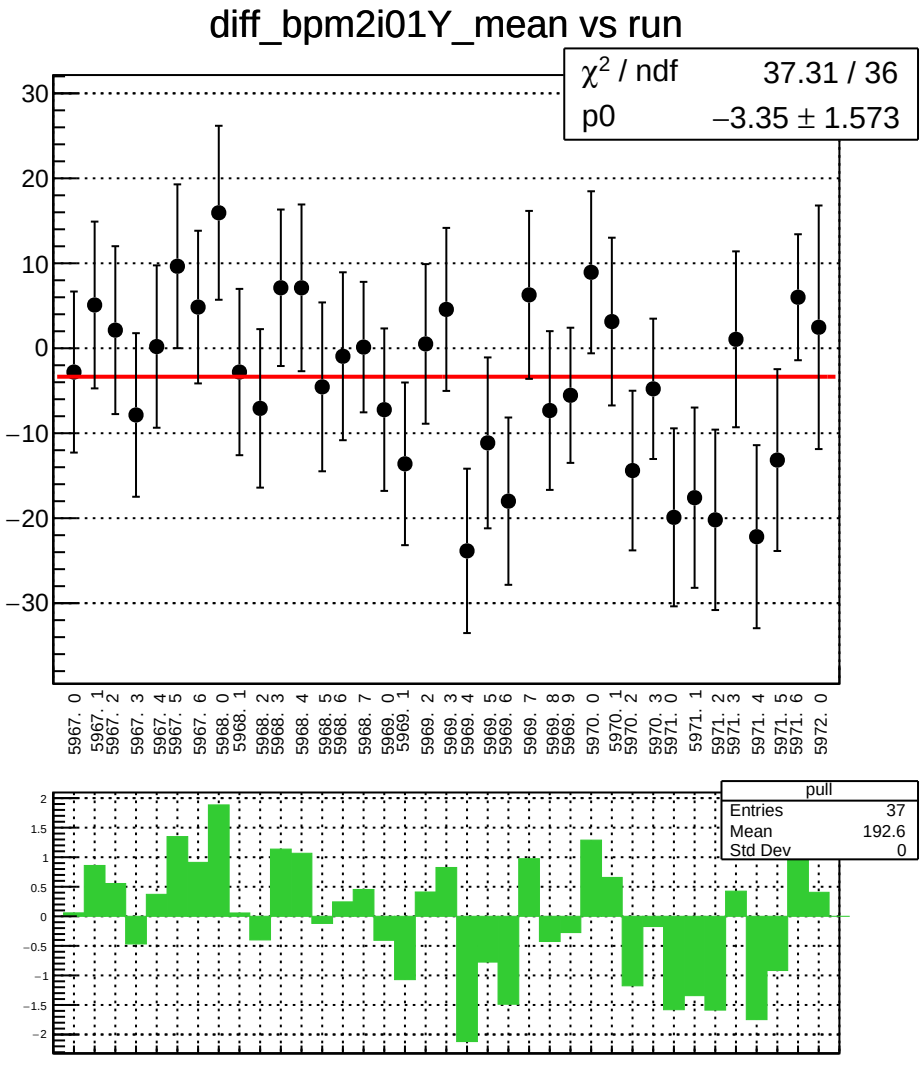
diff_bpm2i01Y_mean vs run
χ² / ndf 37.31 / 36
p0 −3.35 ± 1.573
pull
Entries 37
Mean 192.6
Std Dev 0

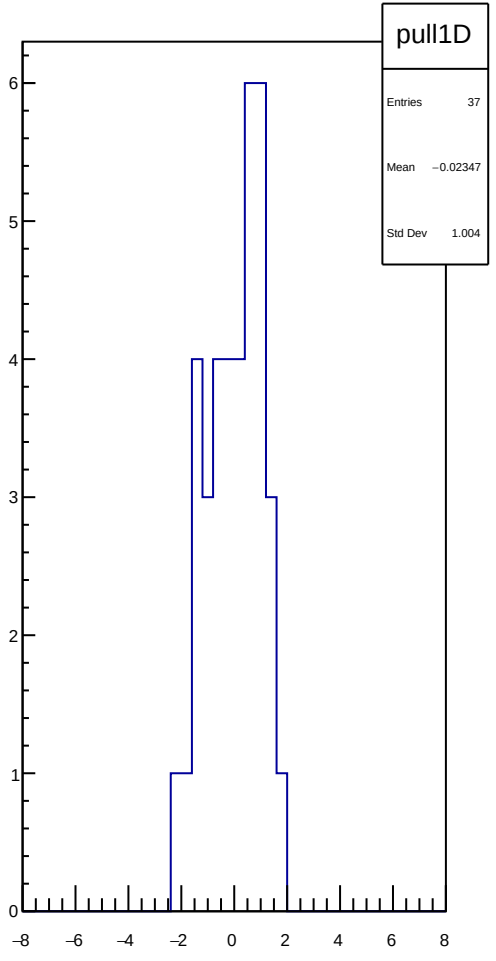
pull1D
Entries 37
Mean −0.02347
Std Dev 1.004

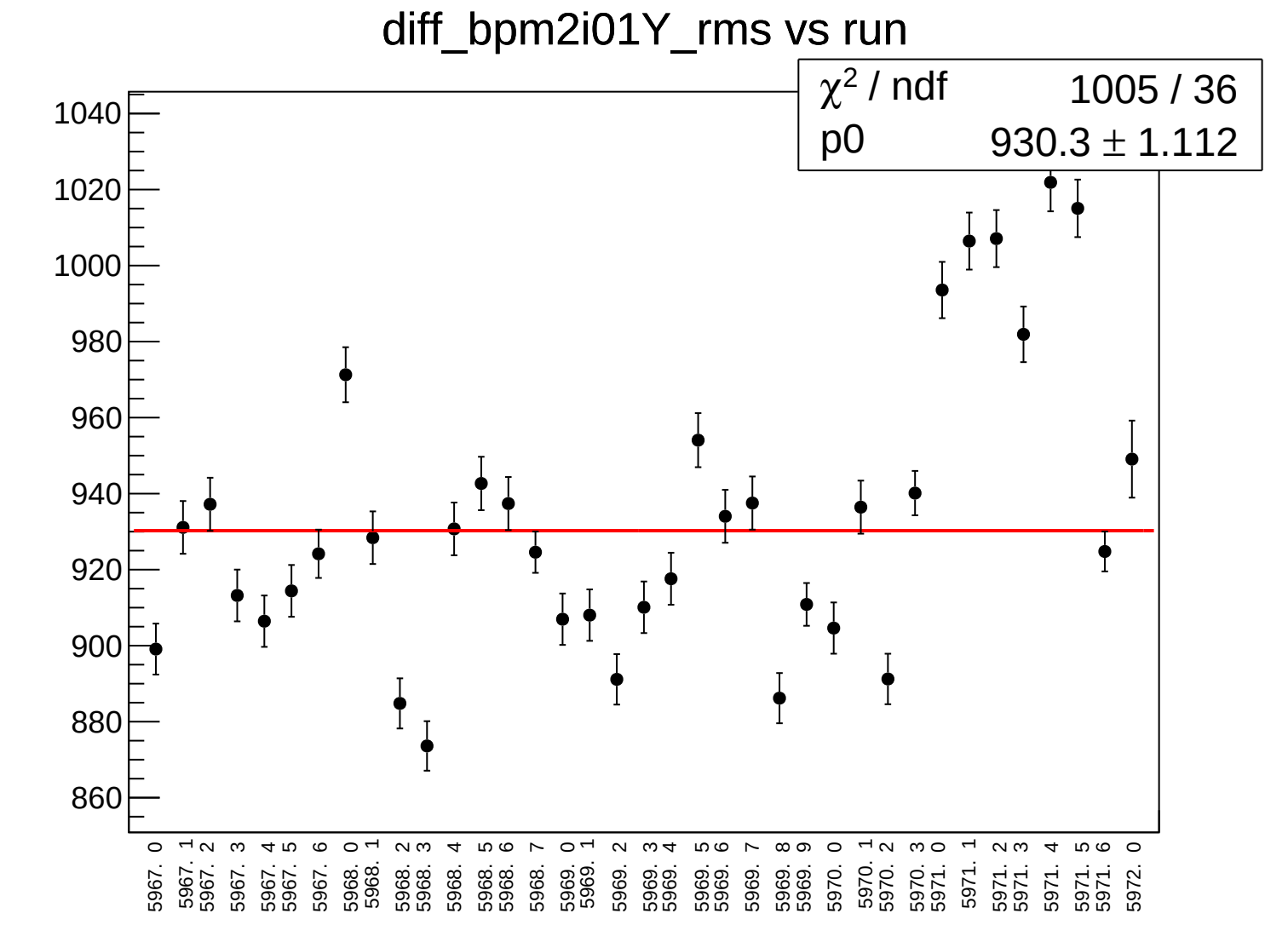
diff_bpm2i01Y_rms vs run
χ² / ndf 1005 / 36
p0 930.3 ± 1.112
1040
1020
1000
980
960
940
920
900
880
860
5967. 0
5967. 1
5967. 2
5967. 3
5967. 4
5967. 5
5967. 6
5968. 0
5968. 1
5968. 2
5968. 3
5968. 4
5968. 5
5968. 6
5968. 7
5969. 0
5969. 1
5969. 2
5969. 3
5969. 4
5969. 5
5969. 6
5969. 7
5969. 8
5969. 9
5970. 0
5970. 1
5970. 2
5970. 3
5971. 0
5971. 1
5971. 2
5971. 3
5971. 4
5971. 5
5971. 6
5972. 0

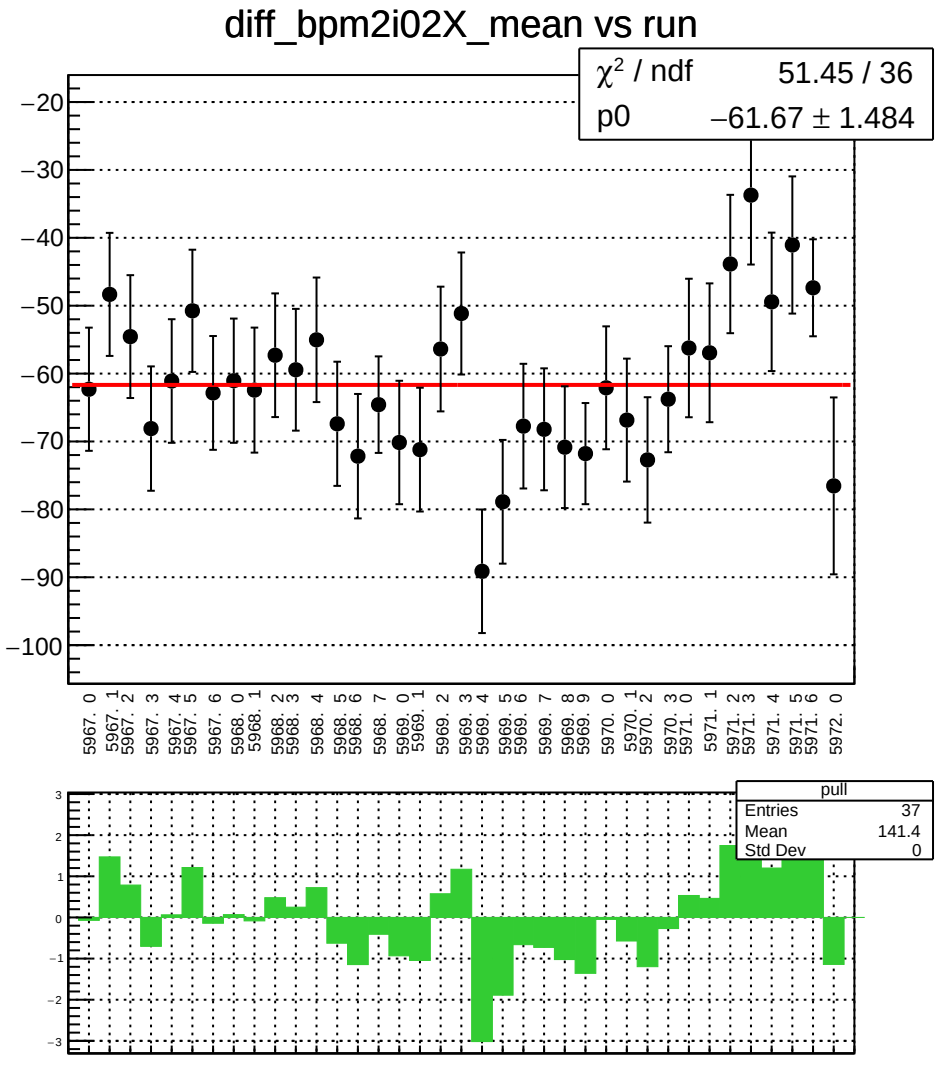
diff_bpm2i02X_mean vs run
χ² / ndf 51.45 / 36
p0 −61.67 ± 1.484
pull
Entries 37
Mean 141.4
Std Dev 0

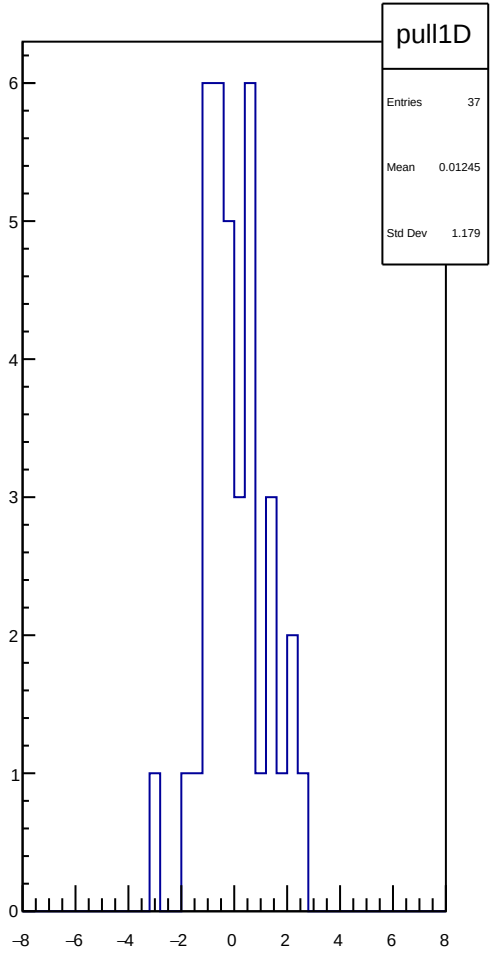
pull1D
Entries 37
Mean 0.01245
Std Dev 1.179

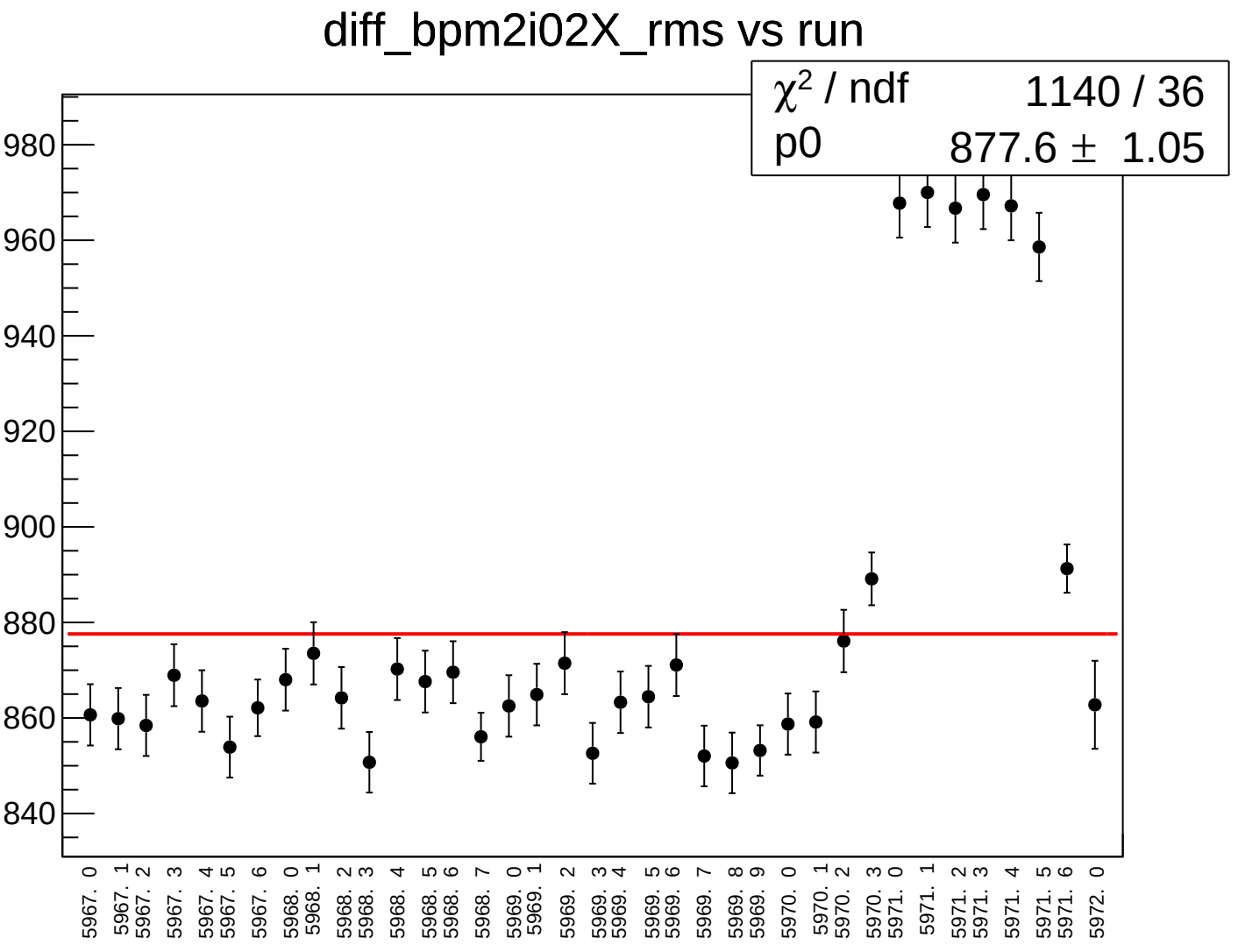
diff_bpm2i02X_rms vs run
χ² / ndf 1140 / 36
p0 877.6 ± 1.05
980
960
940
920
900
880
860
840
5967. 0
5967. 1
5967. 2
5967. 3
5967. 4
5967. 5
5967. 6
5968. 0
5968. 1
5968. 2
5968. 3
5968. 4
5968. 5
5968. 6
5968. 7
5969. 0
5969. 1
5969. 2
5969. 3
5969. 4
5969. 5
5969. 6
5969. 7
5969. 8
5969. 9
5970. 0
5970. 1
5970. 2
5970. 3
5971. 0
5971. 1
5971. 2
5971. 3
5971. 4
5971. 5
5971. 6
5972. 0

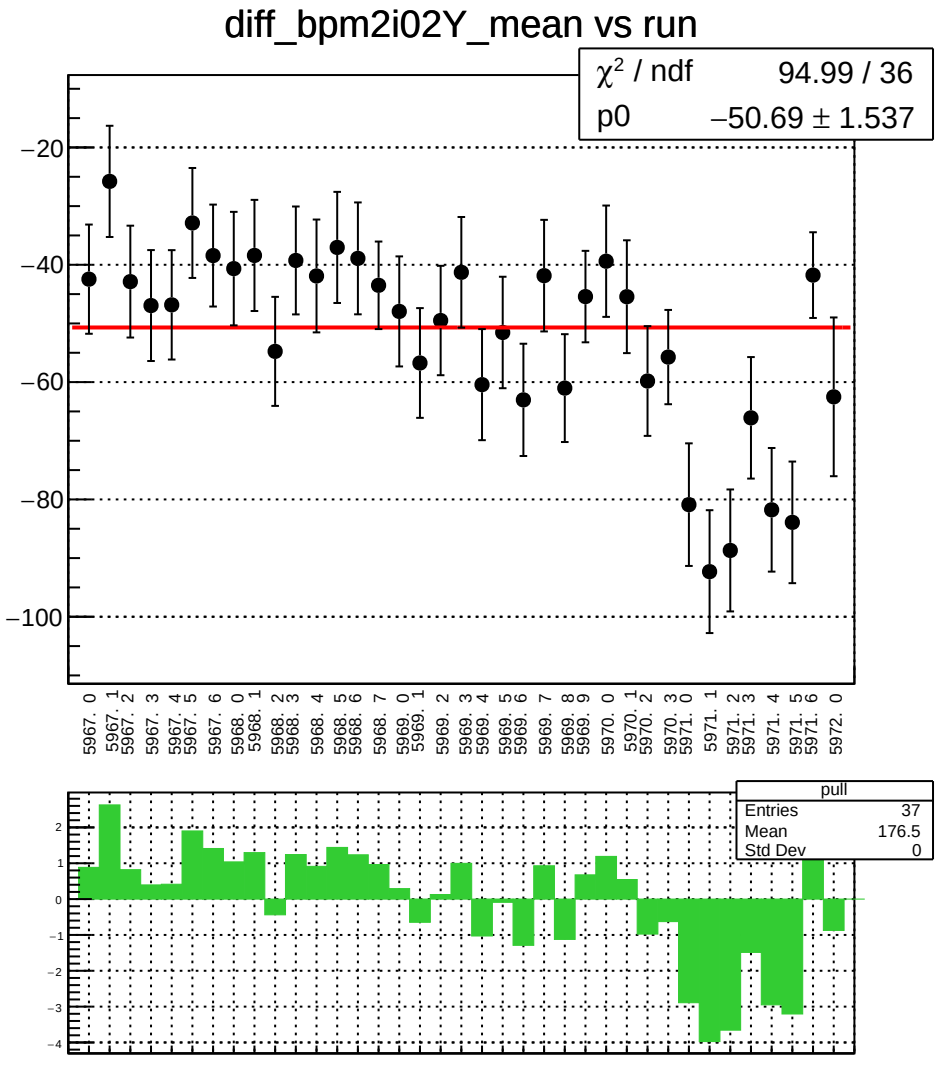
diff_bpm2i02Y_mean vs run
χ² / ndf 94.99 / 36
p0 −50.69 ± 1.537
−20
−40
−60
−80
−100
5967. 0
5967. 1
5967. 2
5967. 3
5967. 4
5967. 5
5967. 6
5968. 0
5968. 1
5968. 2
5968. 3
5968. 4
5968. 5
5968. 6
5968. 7
5969. 0
5969. 1
5969. 2
5969. 3
5969. 4
5969. 5
5969. 6
5969. 7
5969. 8
5969. 9
5970. 0
5970. 1
5970. 2
5970. 3
5971. 0
5971. 1
5971. 2
5971. 3
5971. 4
5971. 5
5971. 6
5972. 0
pull
Entries 37
Mean 176.5
Std Dev 0
2
1
0
−1
−2
−3
−4

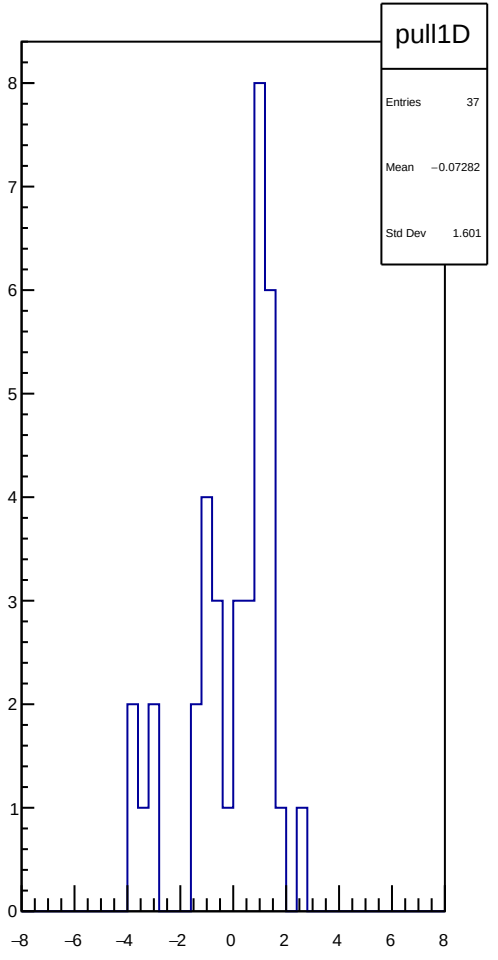
pull1D
Entries 37
Mean −0.07282
Std Dev 1.601
8
7
6
5
4
3
2
1
0
−8
−6
−4
−2
0
2
4
6
8

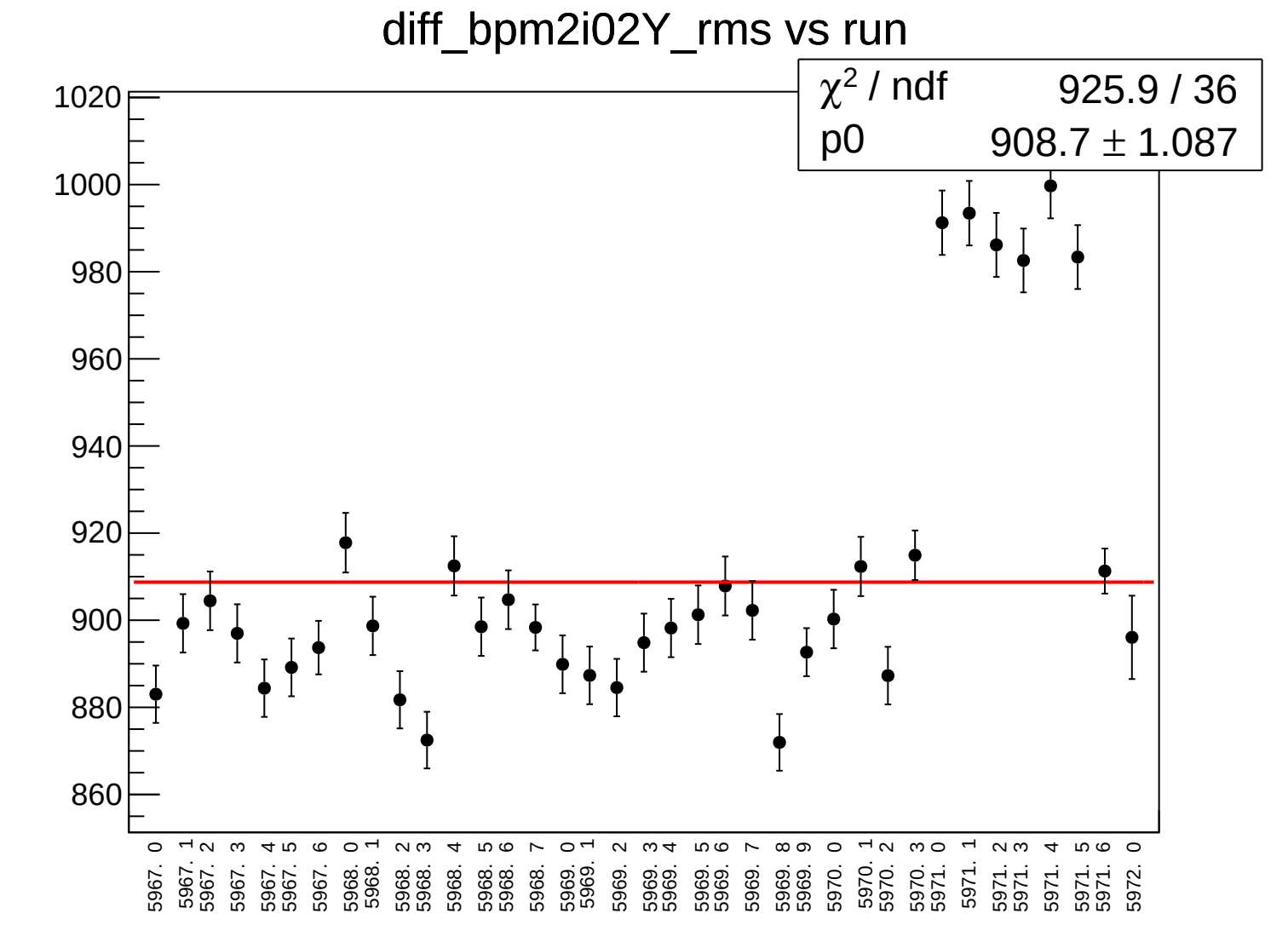
diff_bpm2i02Y_rms vs run
χ² / ndf 925.9 / 36
p0 908.7 ± 1.087
1020
1000
980
960
940
920
900
880
860
5967. 0
5967. 1
5967. 2
5967. 3
5967. 4
5967. 5
5967. 6
5968. 0
5968. 1
5968. 2
5968. 3
5968. 4
5968. 5
5968. 6
5968. 7
5969. 0
5969. 1
5969. 2
5969. 3
5969. 4
5969. 5
5969. 6
5969. 7
5969. 8
5969. 9
5970. 0
5970. 1
5970. 2
5970. 3
5971. 0
5971. 1
5971. 2
5971. 3
5971. 4
5971. 5
5971. 6
5972. 0

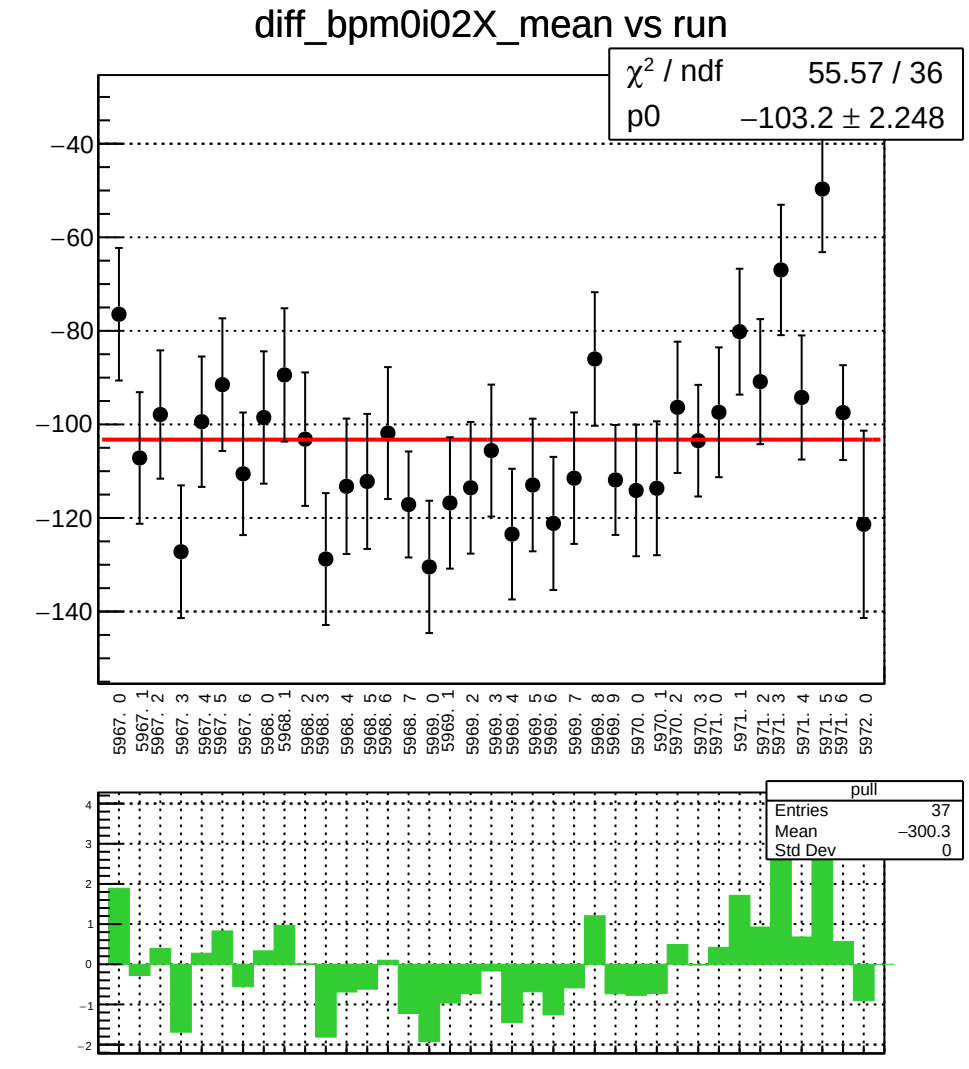
diff_bpm0i02X_mean vs run
χ² / ndf 55.57 / 36
p0 −103.2 ± 2.248
−40
−60
−80
−100
−120
−140
5967. 0
5967. 1
5967. 2
5967. 3
5967. 4
5967. 5
5967. 6
5968. 0
5968. 1
5968. 2
5968. 3
5968. 4
5968. 5
5968. 6
5968. 7
5969. 0
5969. 1
5969. 2
5969. 3
5969. 4
5969. 5
5969. 6
5969. 7
5969. 8
5969. 9
5970. 0
5970. 1
5970. 2
5970. 3
5971. 0
5971. 1
5971. 2
5971. 3
5971. 4
5971. 5
5971. 6
5972. 0
pull
Entries 37
Mean −300.3
Std Dev 0
4
3
2
1
0
−1
−2

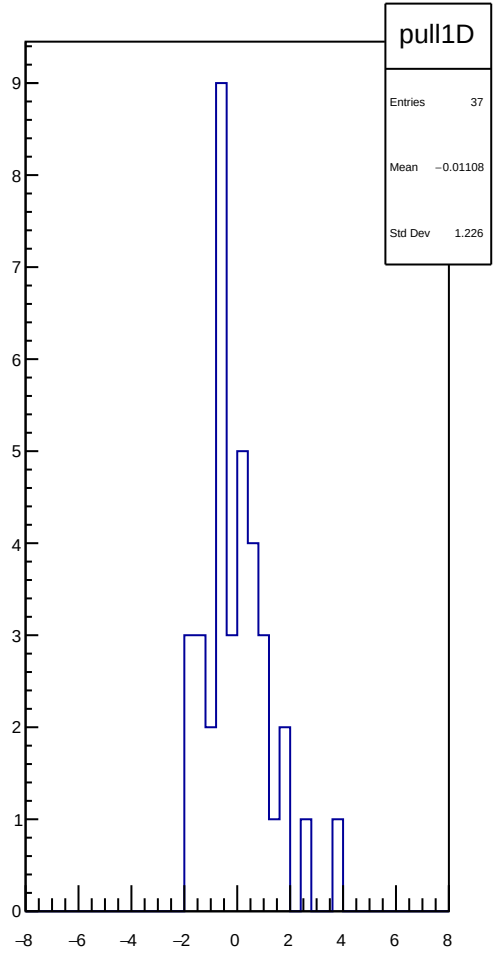
pull1D
Entries 37
Mean −0.01108
Std Dev 1.226
9
8
7
6
5
4
3
2
1
0
−8
−6
−4
−2
0
2
4
6
8

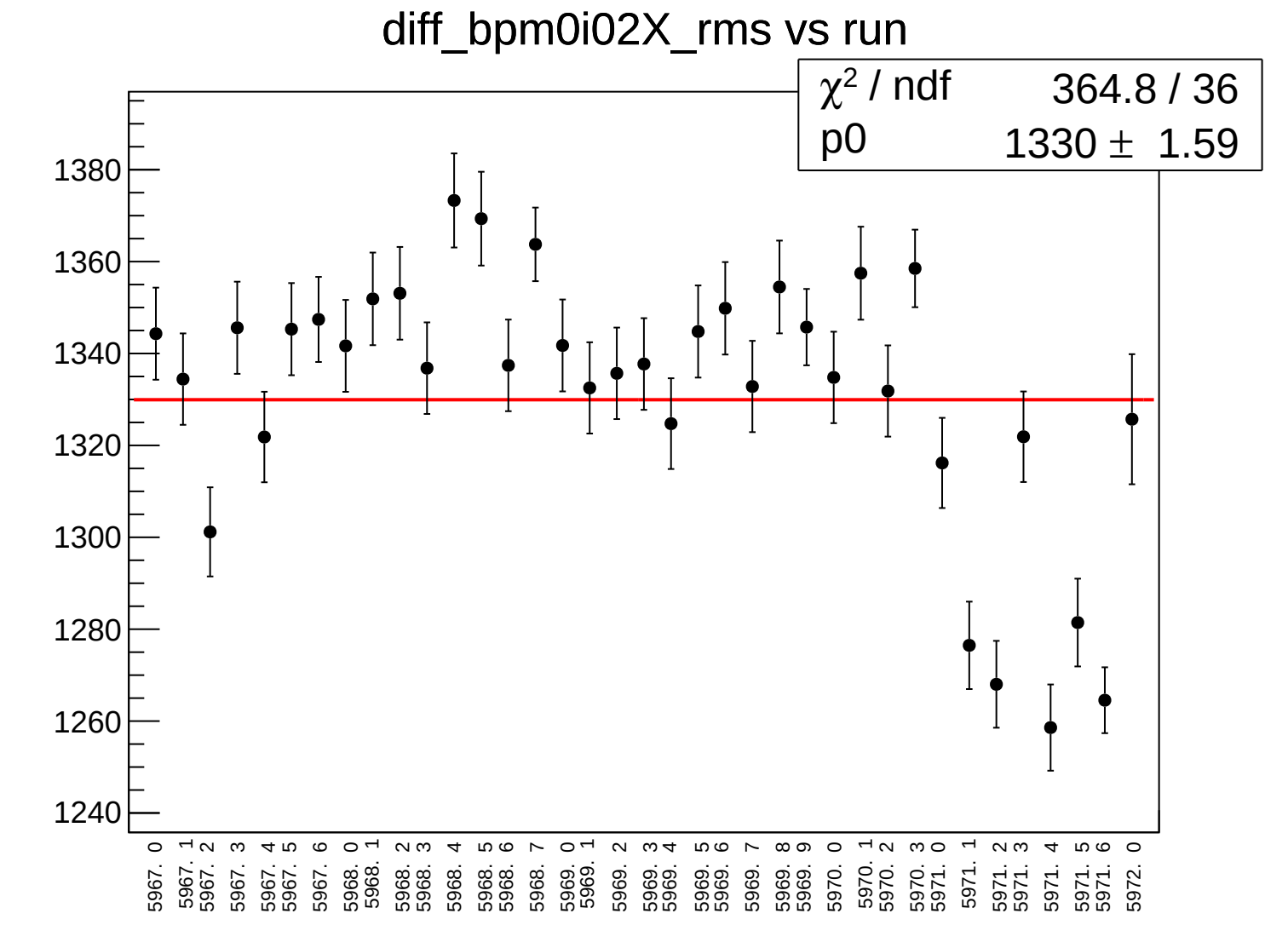
diff_bpm0i02X_rms vs run
χ² / ndf 364.8 / 36
p0 1330 ± 1.59
1380
1360
1340
1320
1300
1280
1260
1240
5967. 0
5967. 1
5967. 2
5967. 3
5967. 4
5967. 5
5967. 6
5968. 0
5968. 1
5968. 2
5968. 3
5968. 4
5968. 5
5968. 6
5968. 7
5969. 0
5969. 1
5969. 2
5969. 3
5969. 4
5969. 5
5969. 6
5969. 7
5969. 8
5969. 9
5970. 0
5970. 1
5970. 2
5970. 3
5971. 0
5971. 1
5971. 2
5971. 3
5971. 4
5971. 5
5971. 6
5972. 0

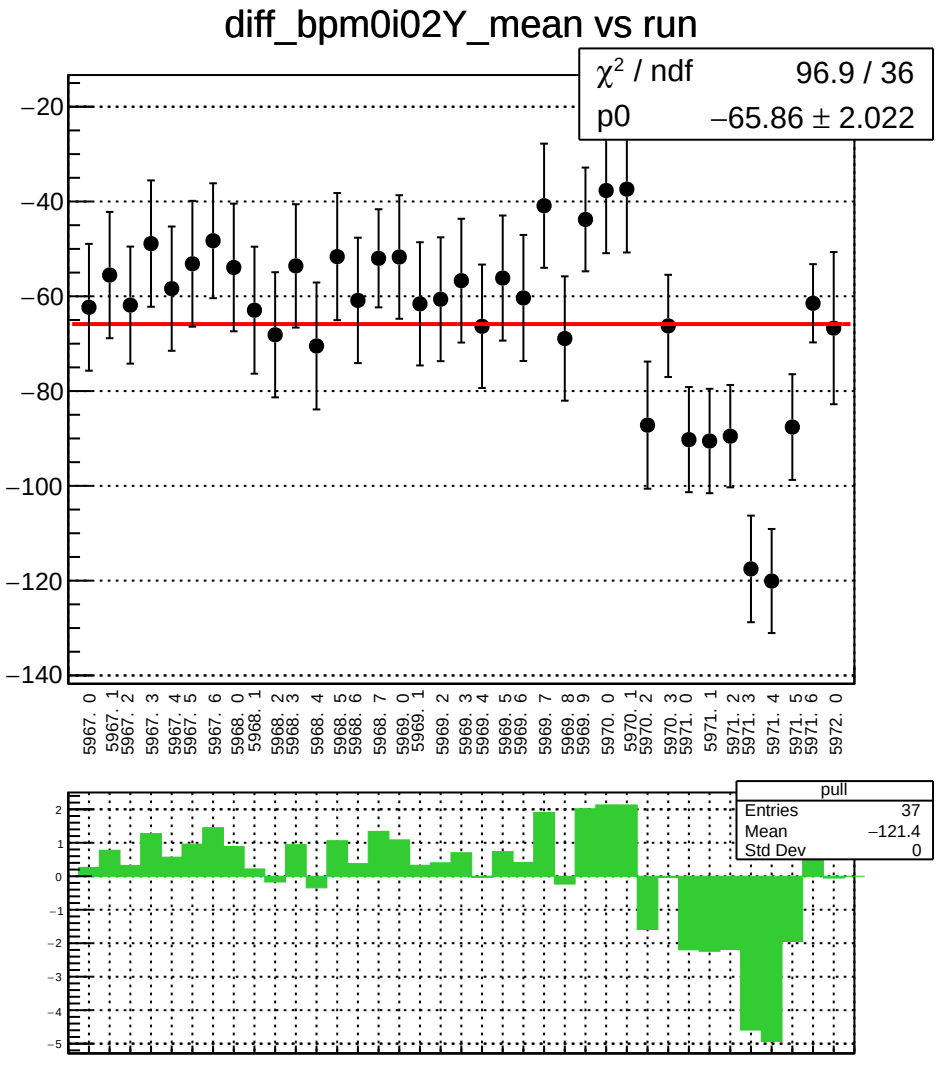
diff_bpm0i02Y_mean vs run
χ² / ndf 96.9 / 36
p0 −65.86 ± 2.022
pull
Entries 37
Mean −121.4
Std Dev 0

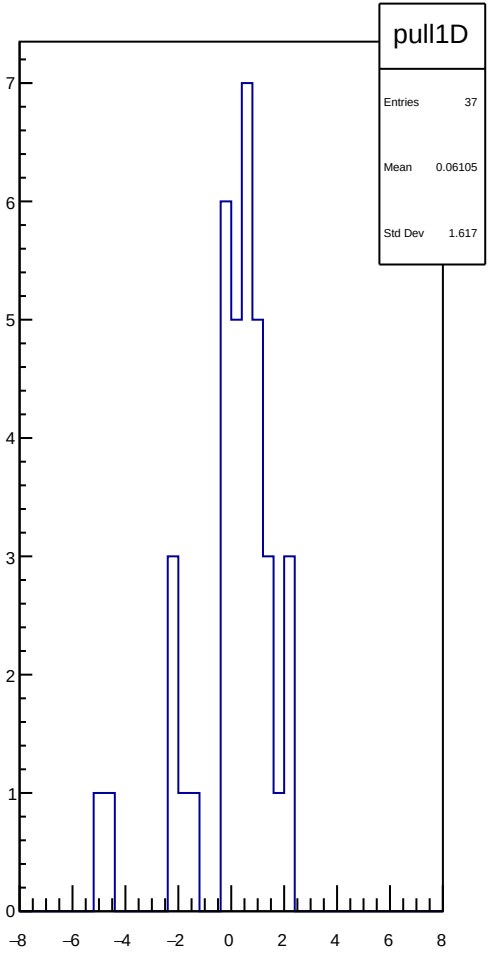
pull1D
Entries 37
Mean 0.06105
Std Dev 1.617

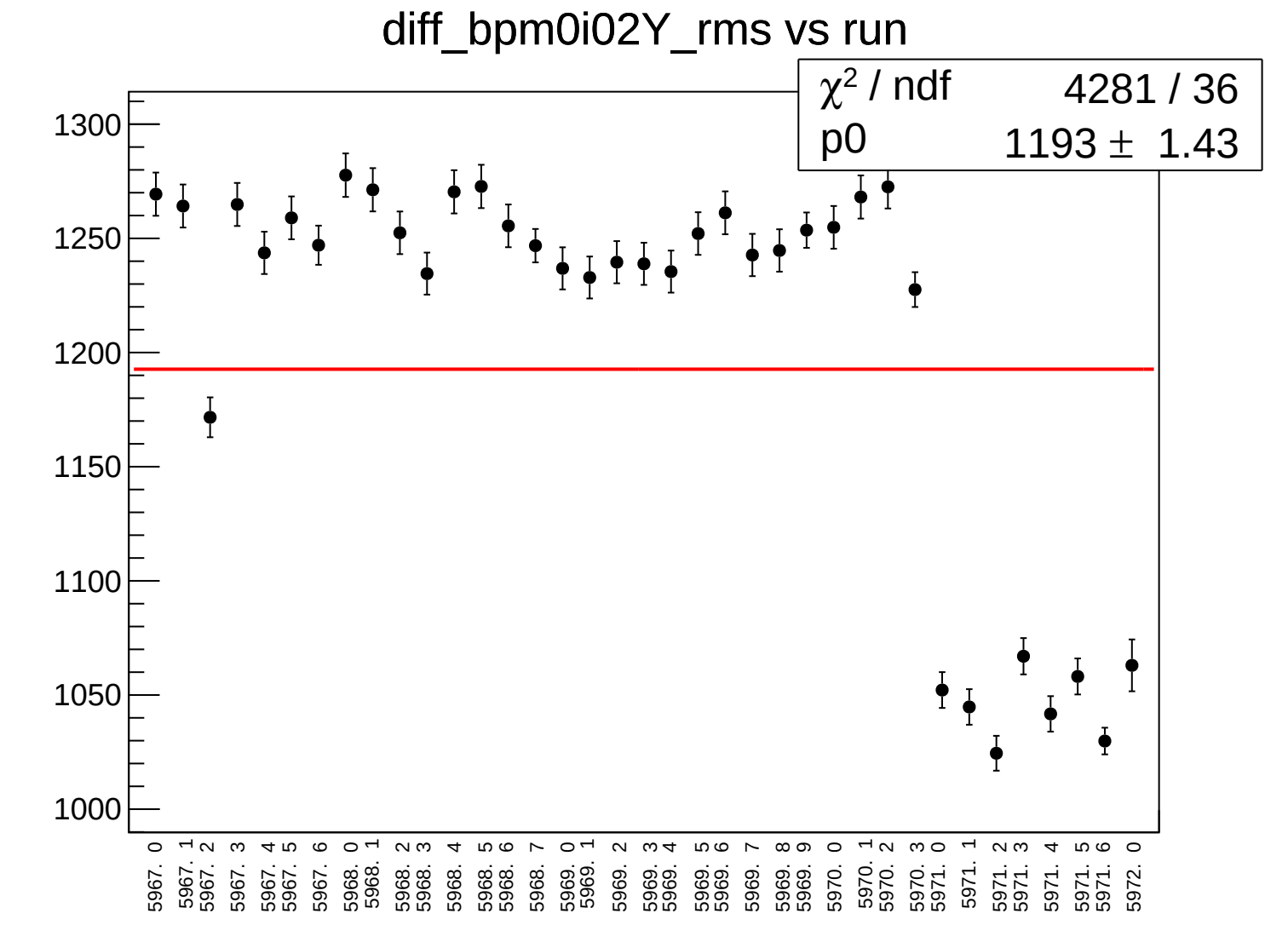
diff_bpm0i02Y_rms vs run
χ² / ndf 4281 / 36
p0 1193 ± 1.43
1300
1250
1200
1150
1100
1050
1000
5967. 0
5967. 1
5967. 2
5967. 3
5967. 4
5967. 5
5967. 6
5968. 0
5968. 1
5968. 2
5968. 3
5968. 4
5968. 5
5968. 6
5968. 7
5969. 0
5969. 1
5969. 2
5969. 3
5969. 4
5969. 5
5969. 6
5969. 7
5969. 8
5969. 9
5970. 0
5970. 1
5970. 2
5970. 3
5971. 0
5971. 1
5971. 2
5971. 3
5971. 4
5971. 5
5971. 6
5972. 0

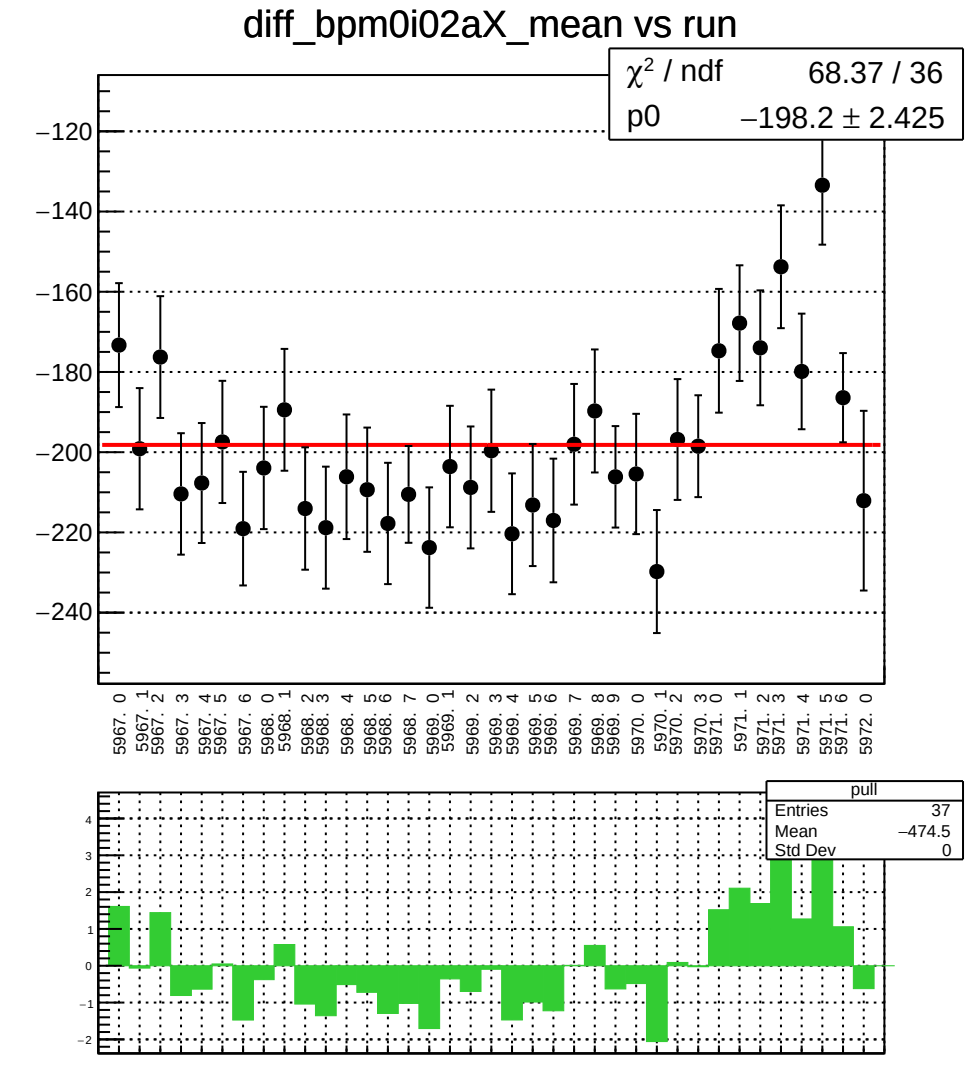
diff_bpm0i02aX_mean vs run
χ² / ndf 68.37 / 36
p0 −198.2 ± 2.425
−120
−140
−160
−180
−200
−220
−240
5967. 0
5967. 1
5967. 2
5967. 3
5967. 4
5967. 5
5967. 6
5968. 0
5968. 1
5968. 2
5968. 3
5968. 4
5968. 5
5968. 6
5968. 7
5969. 0
5969. 1
5969. 2
5969. 3
5969. 4
5969. 5
5969. 6
5969. 7
5969. 8
5969. 9
5970. 0
5970. 1
5970. 2
5970. 3
5971. 0
5971. 1
5971. 2
5971. 3
5971. 4
5971. 5
5971. 6
5972. 0
pull
Entries 37
Mean −474.5
Std Dev 0
4
3
2
1
0
−1
−2

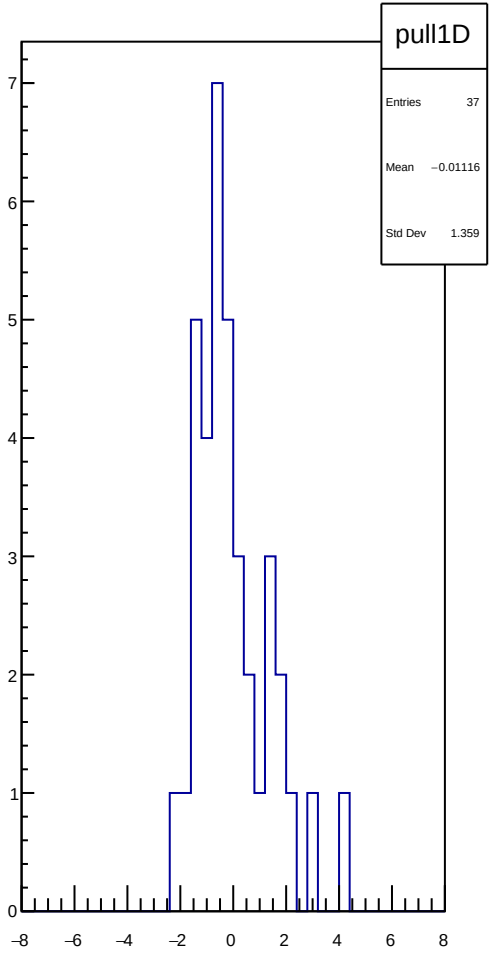
pull1D
Entries 37
Mean −0.01116
Std Dev 1.359
7
6
5
4
3
2
1
0
−8
−6
−4
−2
0
2
4
6
8

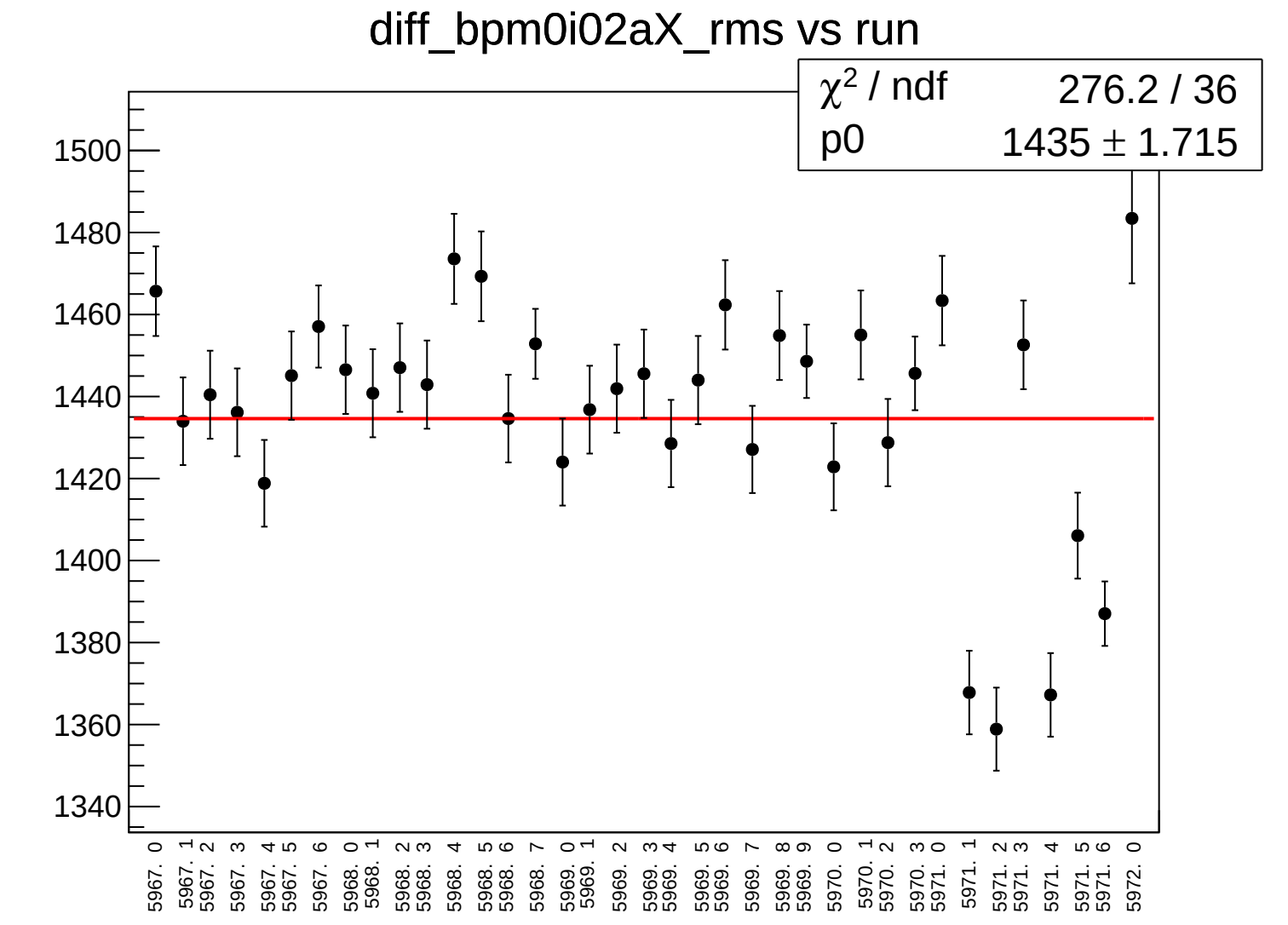
diff_bpm0i02aX_rms vs run
χ² / ndf 276.2 / 36
p0 1435 ± 1.715
1500
1480
1460
1440
1420
1400
1380
1360
1340
5967. 0
5967. 1
5967. 2
5967. 3
5967. 4
5967. 5
5967. 6
5968. 0
5968. 1
5968. 2
5968. 3
5968. 4
5968. 5
5968. 6
5968. 7
5969. 0
5969. 1
5969. 2
5969. 3
5969. 4
5969. 5
5969. 6
5969. 7
5969. 8
5969. 9
5970. 0
5970. 1
5970. 2
5970. 3
5971. 0
5971. 1
5971. 2
5971. 3
5971. 4
5971. 5
5971. 6
5972. 0

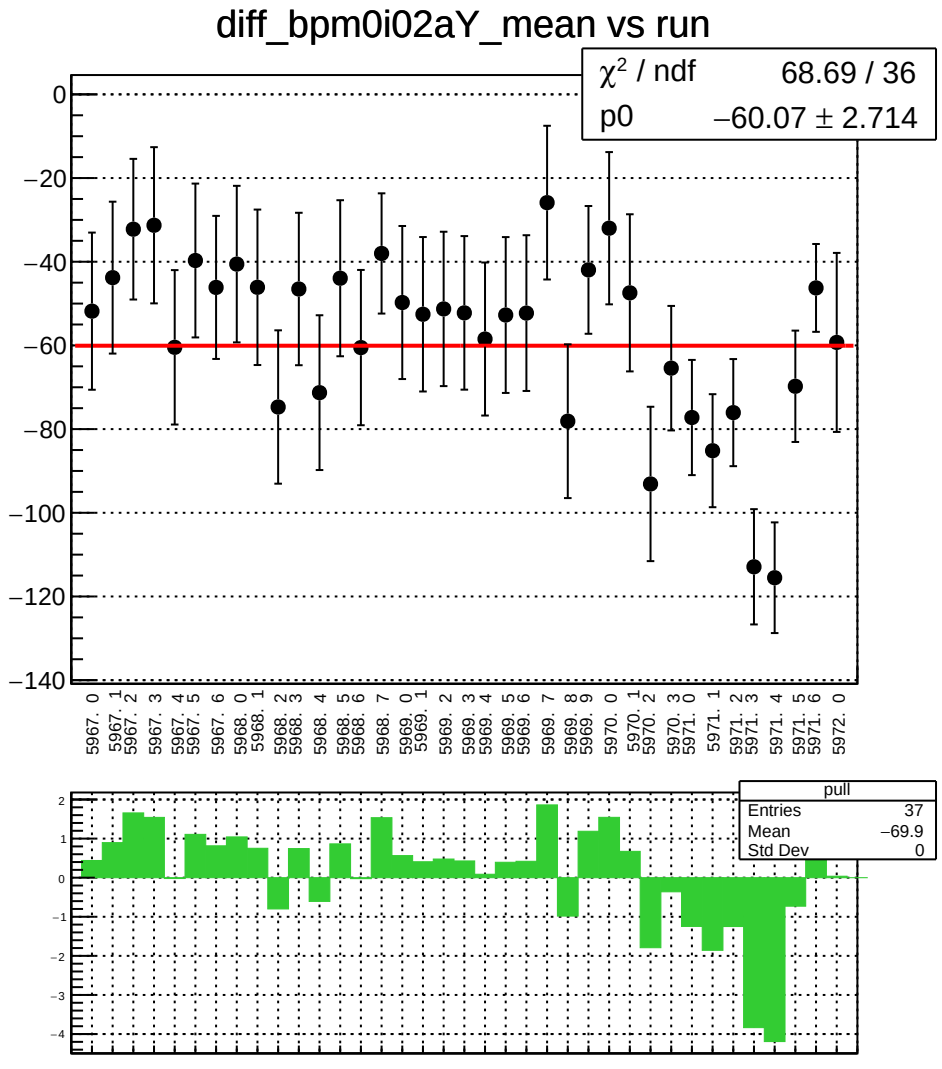
diff_bpm0i02aY_mean vs run
χ² / ndf 68.69 / 36
p0 −60.07 ± 2.714
0
−20
−40
−60
−80
−100
−120
−140
5967. 0
5967. 1
5967. 2
5967. 3
5967. 4
5967. 5
5967. 6
5968. 0
5968. 1
5968. 2
5968. 3
5968. 4
5968. 5
5968. 6
5968. 7
5969. 0
5969. 1
5969. 2
5969. 3
5969. 4
5969. 5
5969. 6
5969. 7
5969. 8
5969. 9
5970. 0
5970. 1
5970. 2
5970. 3
5971. 0
5971. 1
5971. 2
5971. 3
5971. 4
5971. 5
5971. 6
5972. 0
pull
Entries 37
Mean −69.9
Std Dev 0
2
1
0
−1
−2
−3
−4

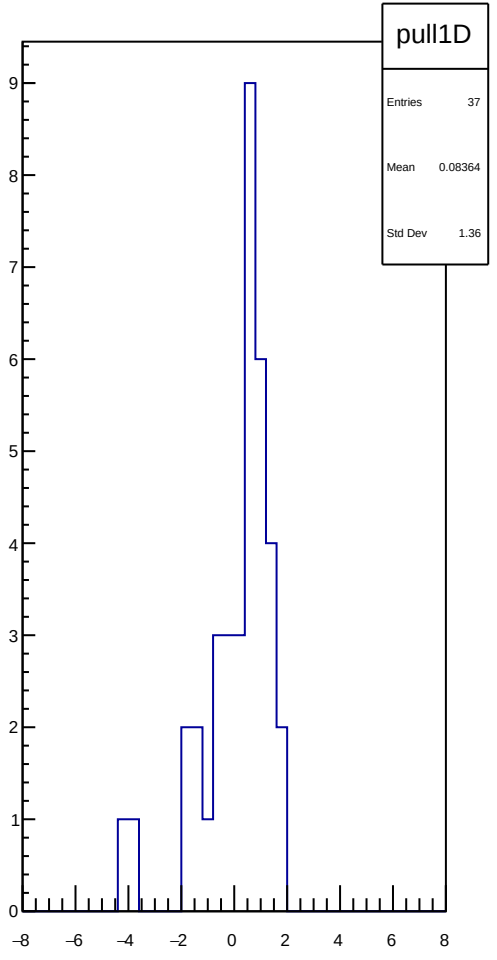
pull1D
Entries 37
Mean 0.08364
Std Dev 1.36
9
8
7
6
5
4
3
2
1
0
−8
−6
−4
−2
0
2
4
6
8

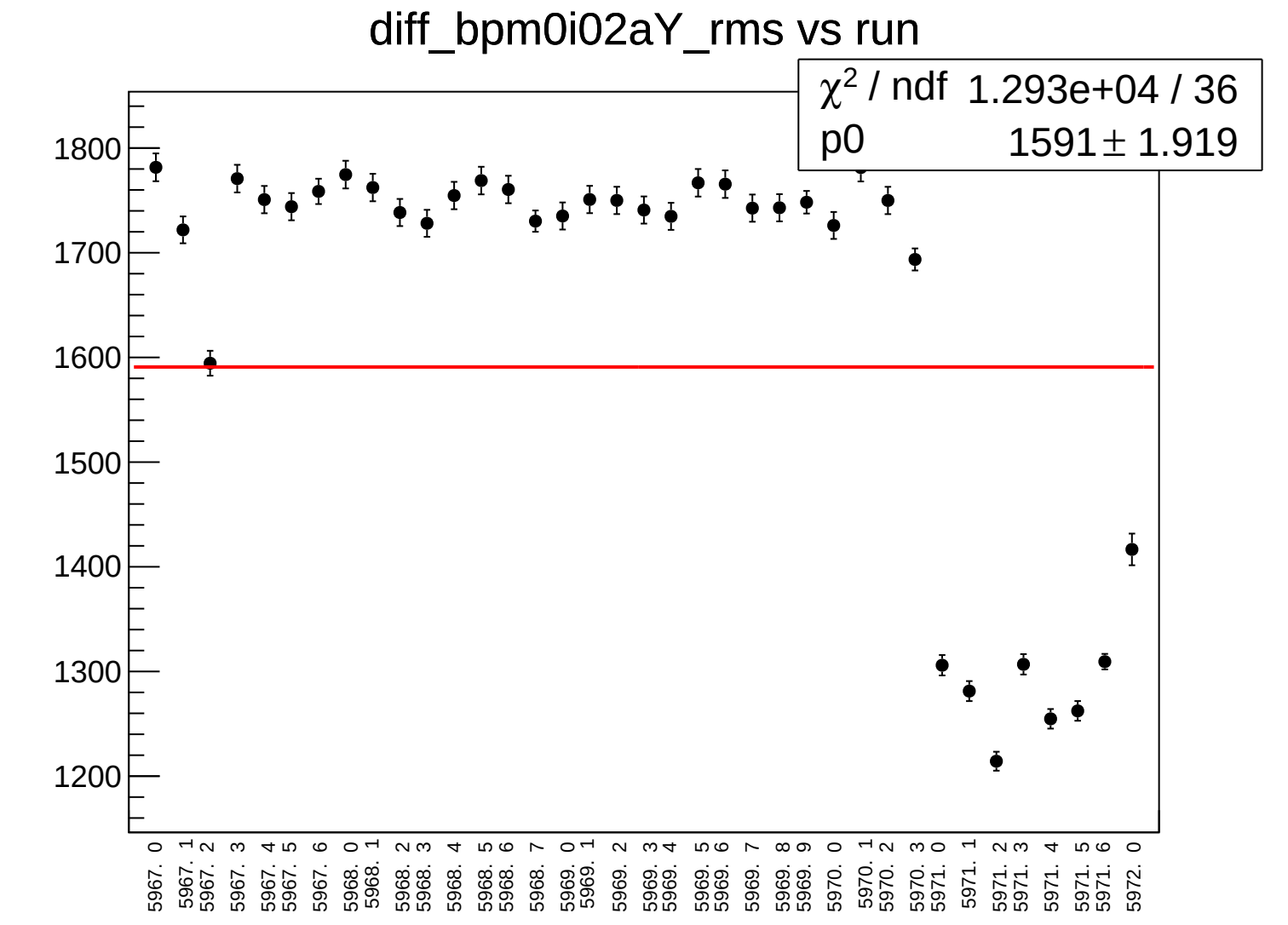
diff_bpm0i02aY_rms vs run
χ² / ndf 1.293e+04 / 36
p0 1591 ± 1.919
1800
1700
1600
1500
1400
1300
1200
5967. 0
5967. 1
5967. 2
5967. 3
5967. 4
5967. 5
5967. 6
5968. 0
5968. 1
5968. 2
5968. 3
5968. 4
5968. 5
5968. 6
5968. 7
5969. 0
5969. 1
5969. 2
5969. 3
5969. 4
5969. 5
5969. 6
5969. 7
5969. 8
5969. 9
5970. 0
5970. 1
5970. 2
5970. 3
5971. 0
5971. 1
5971. 2
5971. 3
5971. 4
5971. 5
5971. 6
5972. 0

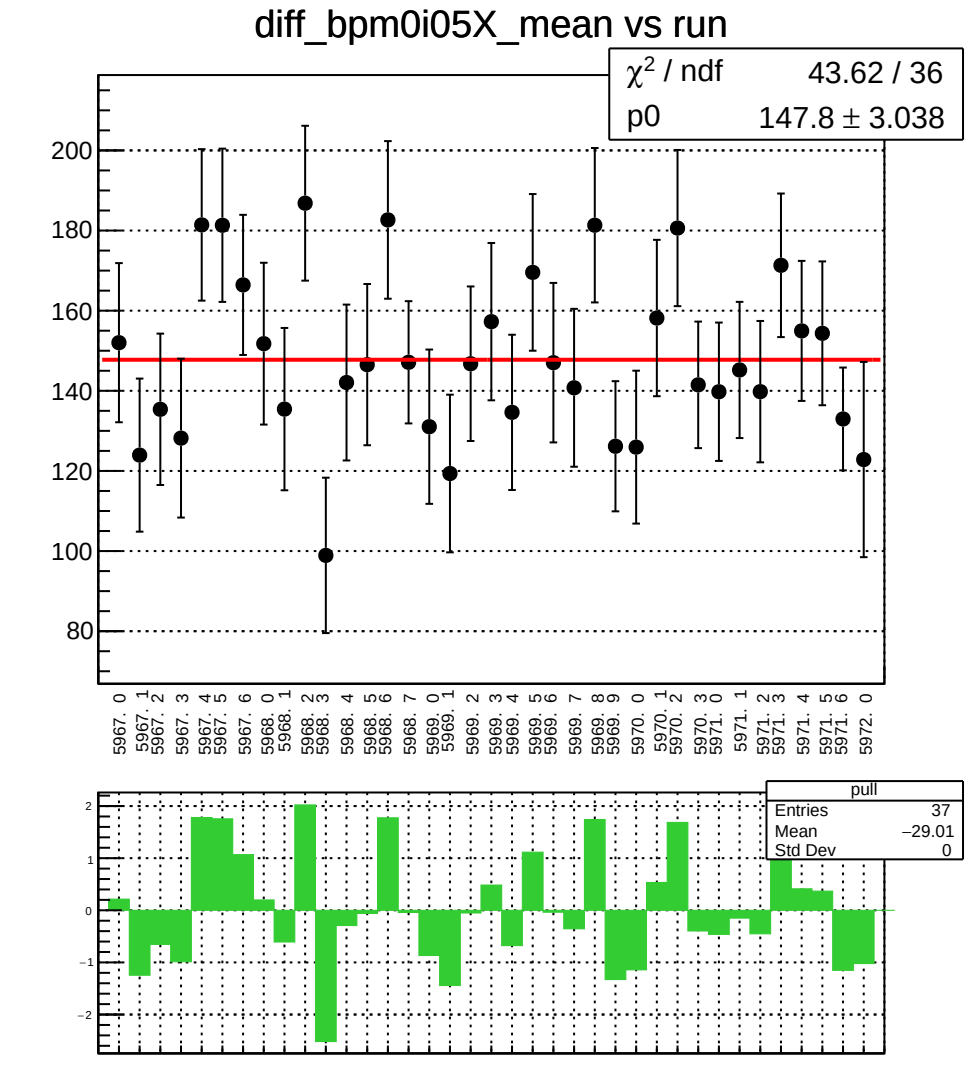
diff_bpm0i05X_mean vs run
χ^2 / ndf 43.62 / 36
p0 147.8 ± 3.038
200
180
160
140
120
100
80
5967. 0
5967. 1
5967. 2
5967. 3
5967. 4
5967. 5
5967. 6
5968. 0
5968. 1
5968. 2
5968. 3
5968. 4
5968. 5
5968. 6
5968. 7
5969. 0
5969. 1
5969. 2
5969. 3
5969. 4
5969. 5
5969. 6
5969. 7
5969. 8
5969. 9
5970. 0
5970. 1
5970. 2
5970. 3
5971. 0
5971. 1
5971. 2
5971. 3
5971. 4
5971. 5
5971. 6
5972. 0
pull
Entries 37
Mean −29.01
Std Dev 0
2
1
0
−1
−2

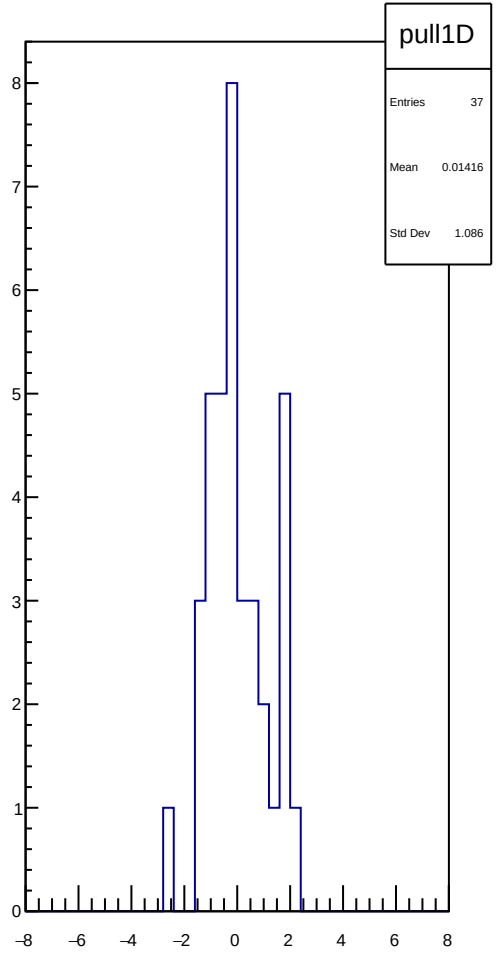
pull1D
Entries 37
Mean 0.01416
Std Dev 1.086
8
7
6
5
4
3
2
1
0
−8
−6
−4
−2
0
2
4
6
8

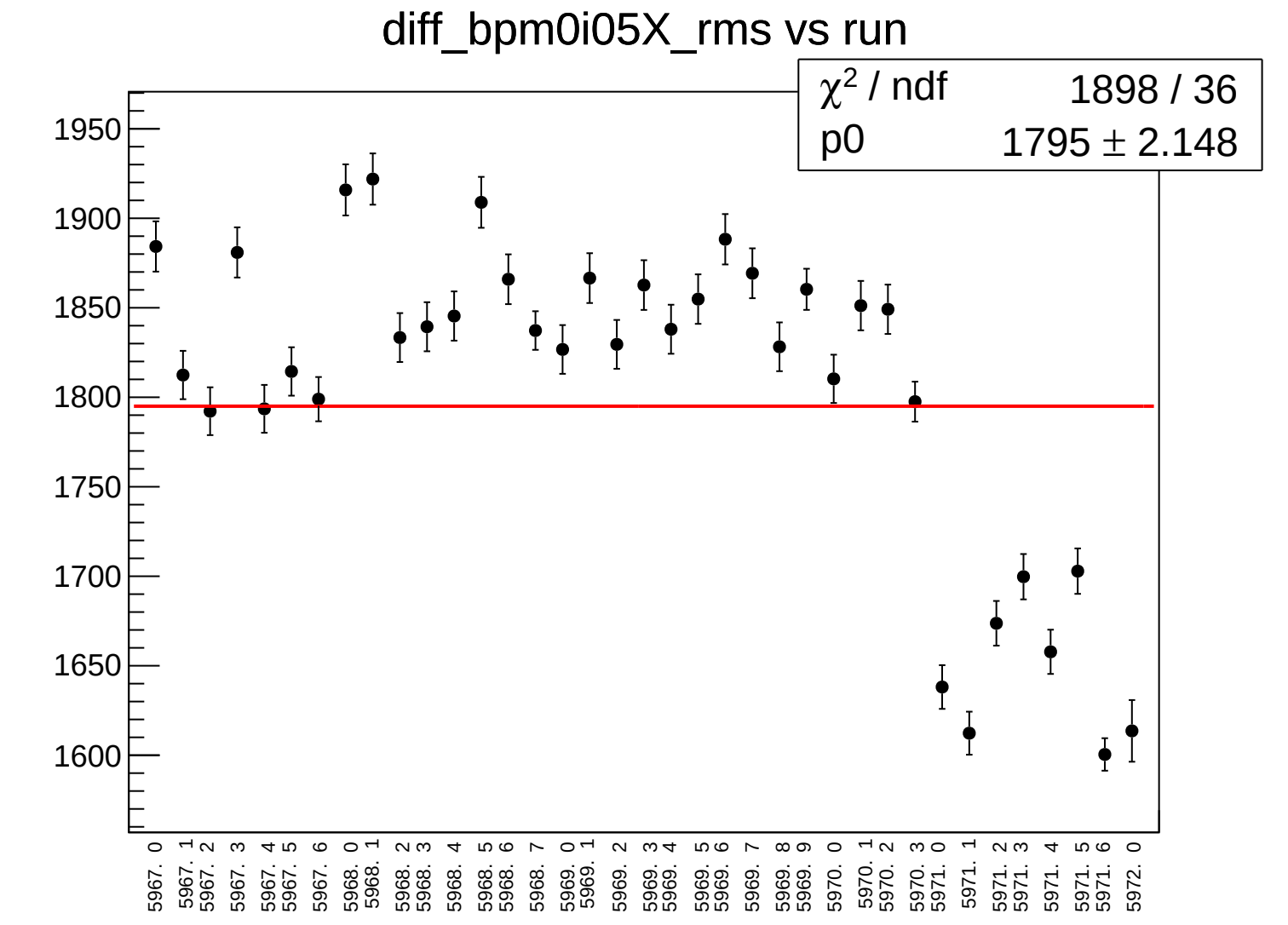
diff_bpm0i05X_rms vs run
χ² / ndf 1898 / 36
p0 1795 ± 2.148
1950
1900
1850
1800
1750
1700
1650
1600
5967. 0
5967. 1
5967. 2
5967. 3
5967. 4
5967. 5
5967. 6
5968. 0
5968. 1
5968. 2
5968. 3
5968. 4
5968. 5
5968. 6
5968. 7
5969. 0
5969. 1
5969. 2
5969. 3
5969. 4
5969. 5
5969. 6
5969. 7
5969. 8
5969. 9
5970. 0
5970. 1
5970. 2
5970. 3
5971. 0
5971. 1
5971. 2
5971. 3
5971. 4
5971. 5
5971. 6
5972. 0

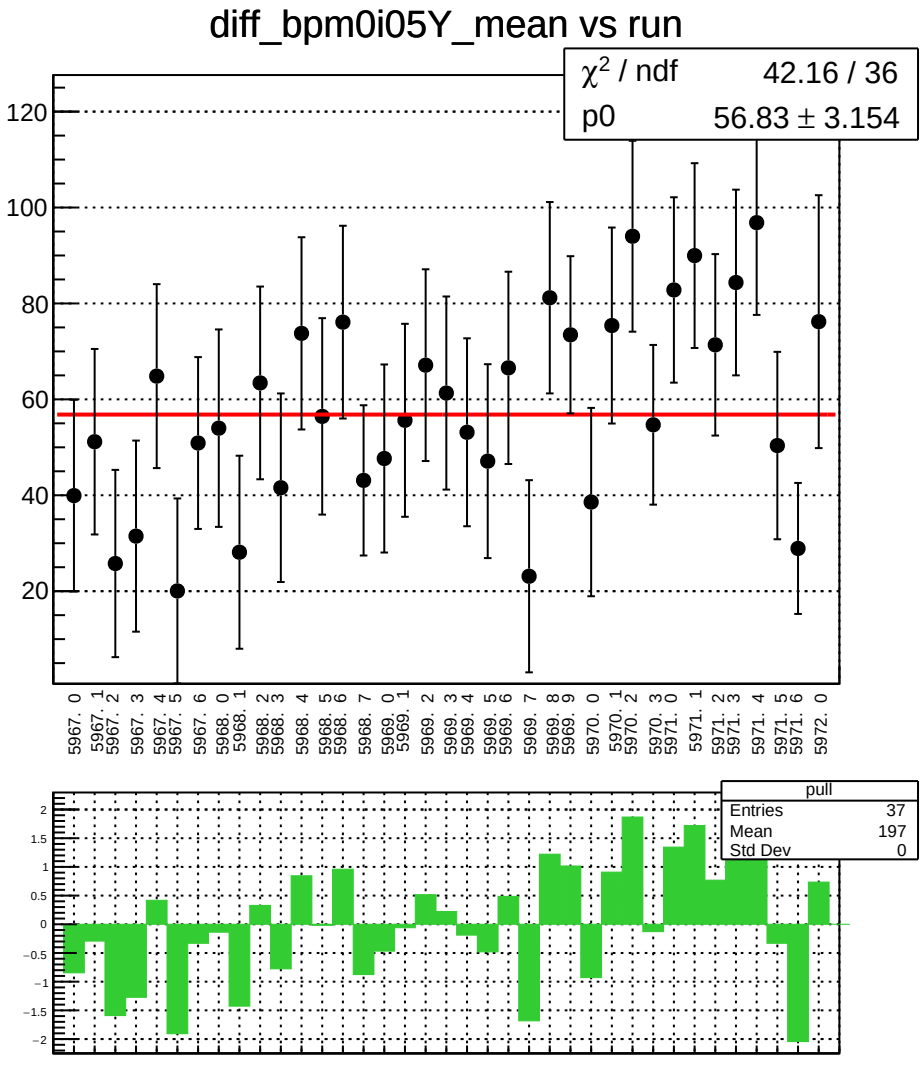
diff_bpm0i05Y_mean vs run
χ² / ndf 42.16 / 36
p0 56.83 ± 3.154
pull
Entries 37
Mean 197
Std Dev 0

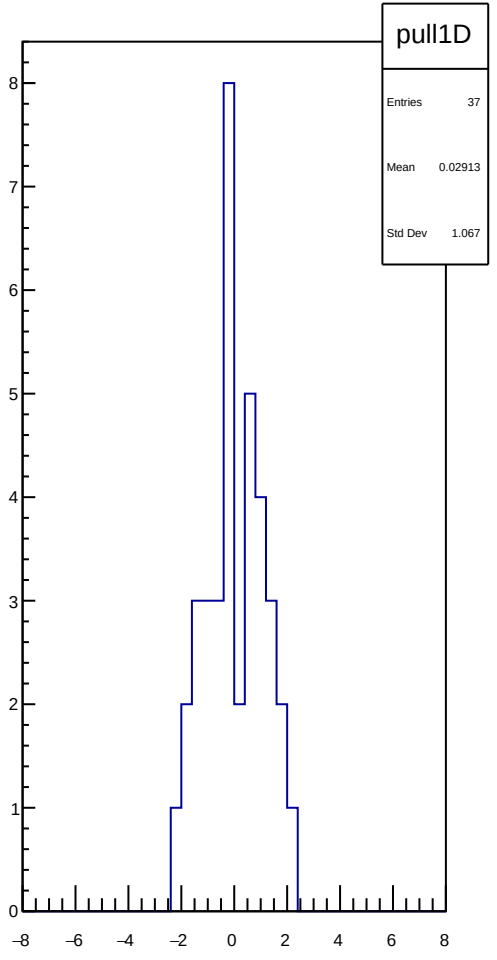
pull1D
Entries 37
Mean 0.02913
Std Dev 1.067

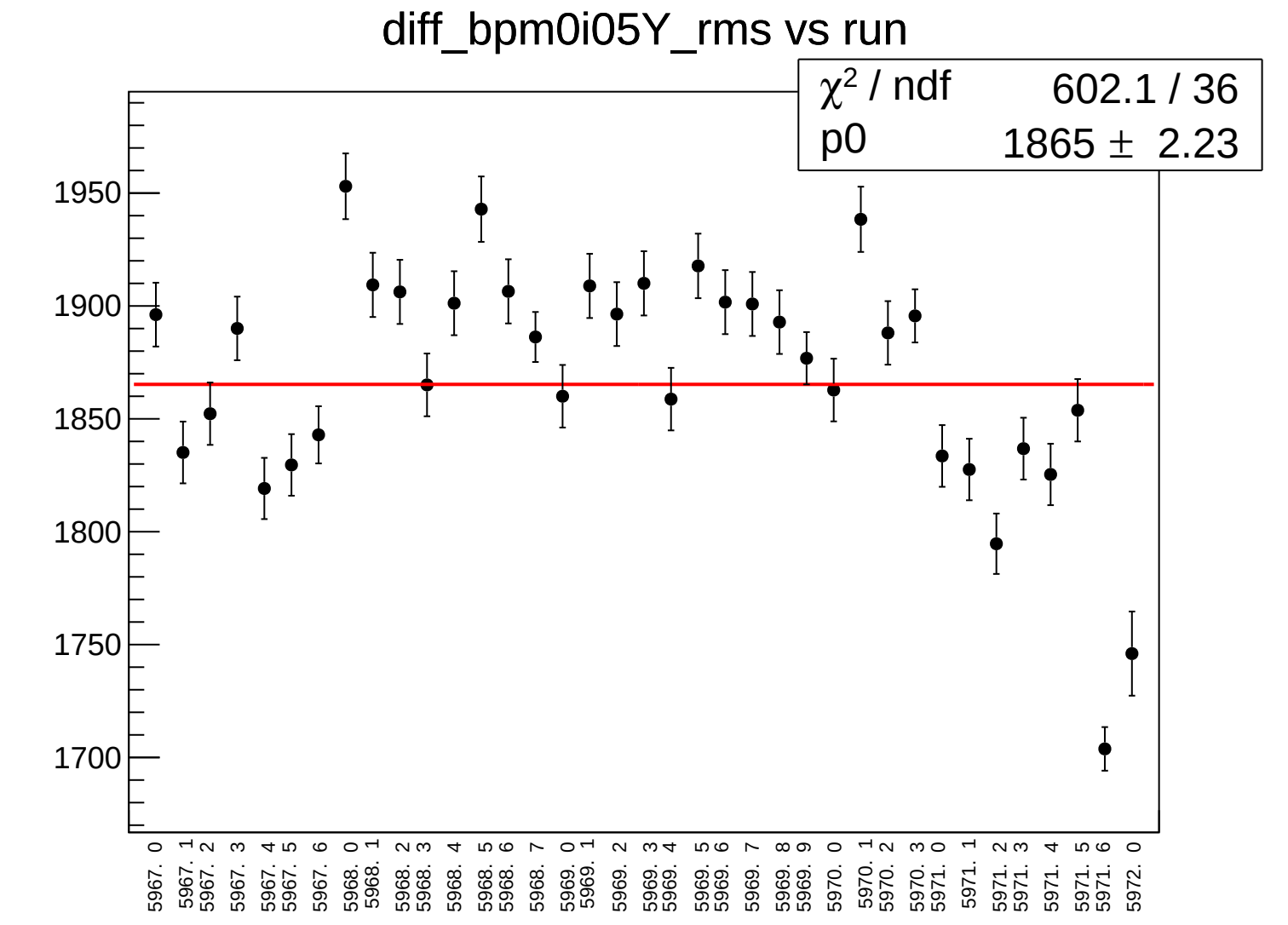
diff_bpm0i05Y_rms vs run
χ² / ndf 602.1 / 36
p0 1865 ± 2.23
1950
1900
1850
1800
1750
1700
5967. 0
5967. 1
5967. 2
5967. 3
5967. 4
5967. 5
5967. 6
5968. 0
5968. 1
5968. 2
5968. 3
5968. 4
5968. 5
5968. 6
5968. 7
5969. 0
5969. 1
5969. 2
5969. 3
5969. 4
5969. 5
5969. 6
5969. 7
5969. 8
5969. 9
5970. 0
5970. 1
5970. 2
5970. 3
5971. 0
5971. 1
5971. 2
5971. 3
5971. 4
5971. 5
5971. 6
5972. 0

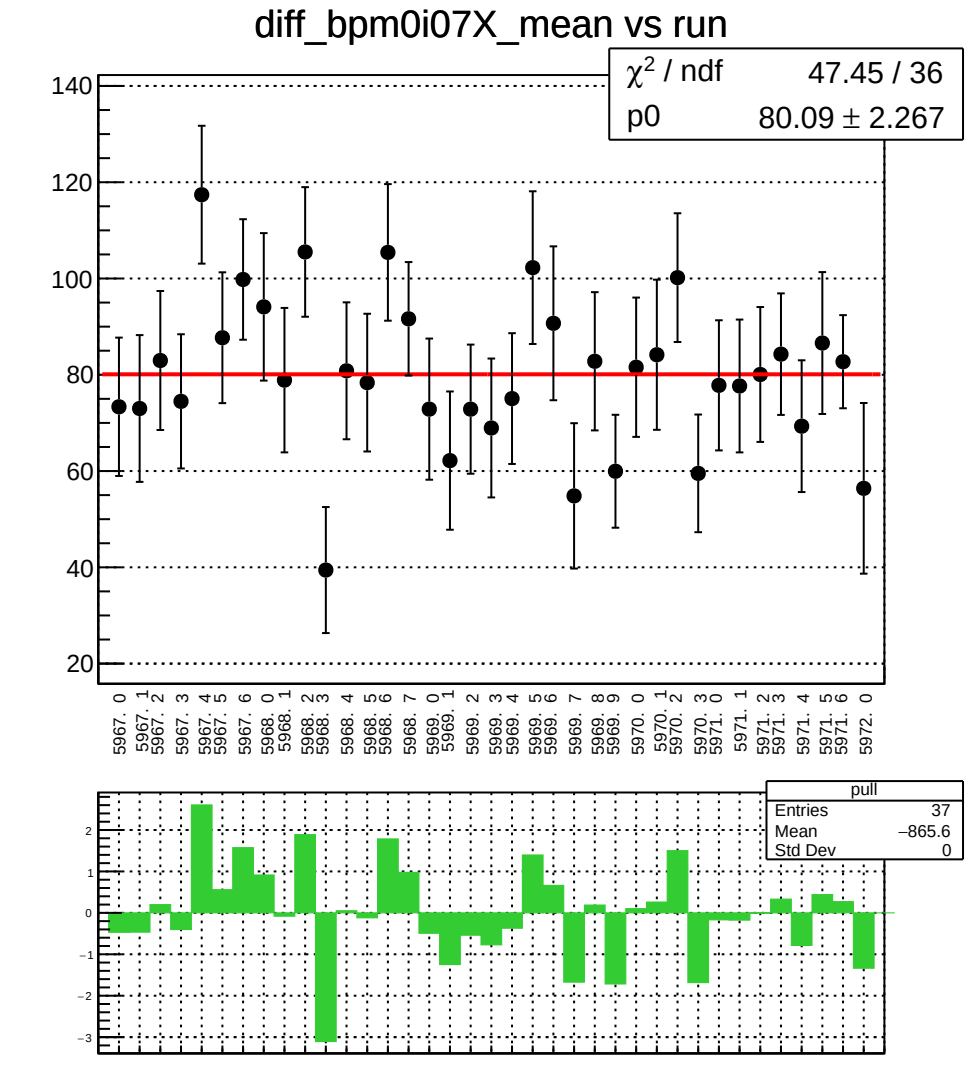
diff_bpm0i07X_mean vs run
χ² / ndf 47.45 / 36
p0 80.09 ± 2.267
pull
Entries 37
Mean −865.6
Std Dev 0
pull1D
Entries 37
Mean 0.002705
Std Dev 1.132

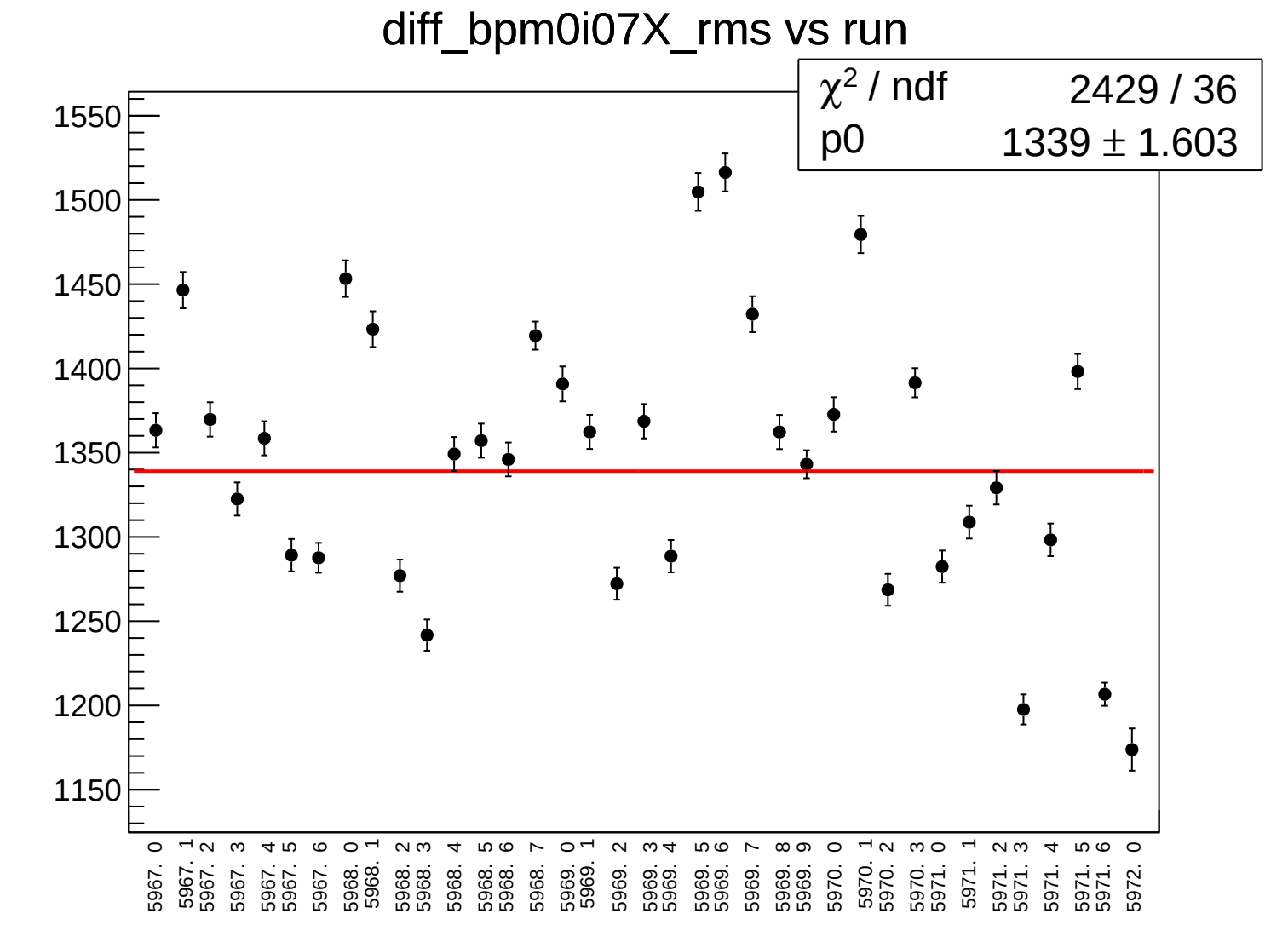
diff_bpm0i07X_rms vs run
χ² / ndf 2429 / 36
p0 1339 ± 1.603
1550
1500
1450
1400
1350
1300
1250
1200
1150
5967. 0
5967. 1
5967. 2
5967. 3
5967. 4
5967. 5
5967. 6
5968. 0
5968. 1
5968. 2
5968. 3
5968. 4
5968. 5
5968. 6
5968. 7
5969. 0
5969. 1
5969. 2
5969. 3
5969. 4
5969. 5
5969. 6
5969. 7
5969. 8
5969. 9
5970. 0
5970. 1
5970. 2
5970. 3
5971. 0
5971. 1
5971. 2
5971. 3
5971. 4
5971. 5
5971. 6
5972. 0

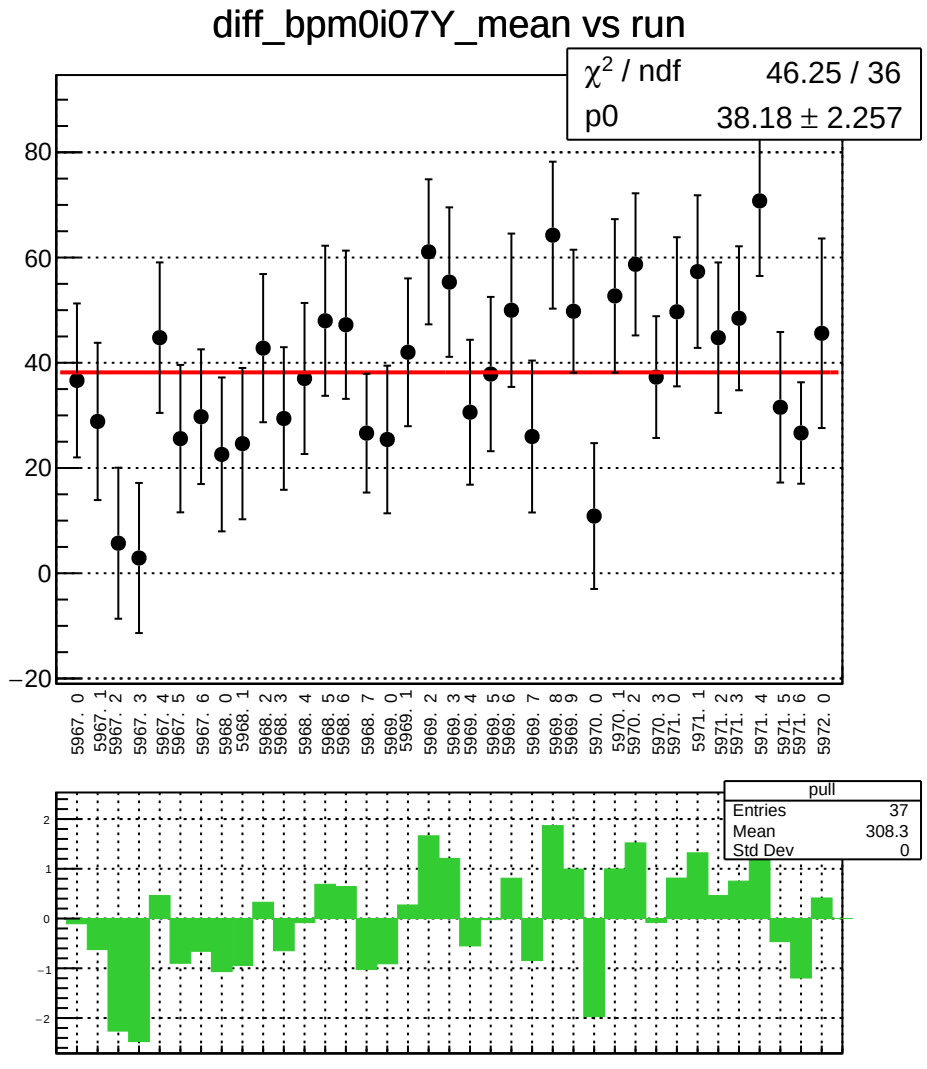
diff_bpm0i07Y_mean vs run
χ² / ndf 46.25 / 36
p0 38.18 ± 2.257
pull
Entries 37
Mean 308.3
Std Dev 0
pull1D
Entries 37
Mean 0.0183
Std Dev 1.118

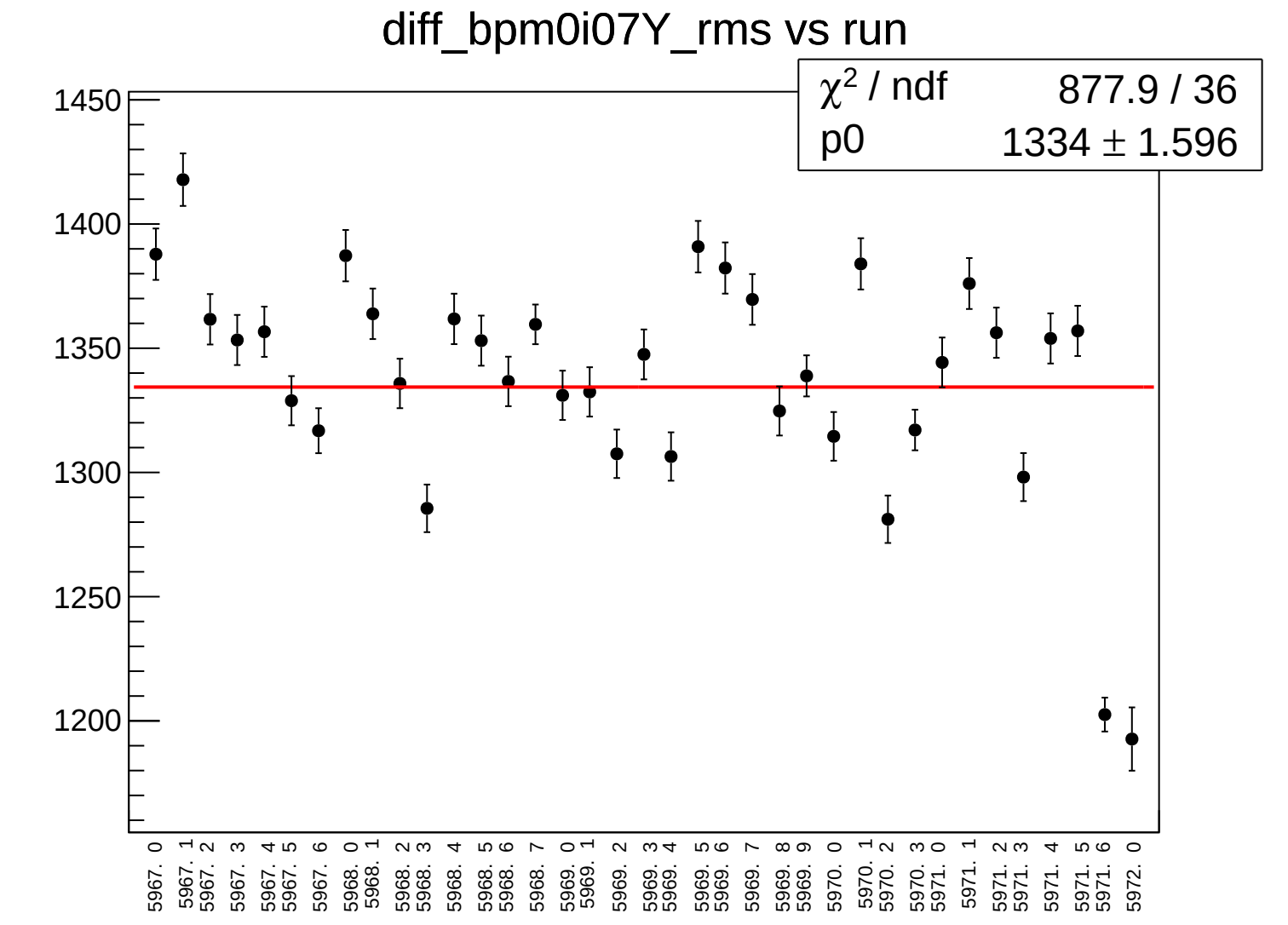
diff_bpm0i07Y_rms vs run
χ² / ndf 877.9 / 36
p0 1334 ± 1.596
1450
1400
1350
1300
1250
1200
5967. 0
5967. 1
5967. 2
5967. 3
5967. 4
5967. 5
5967. 6
5968. 0
5968. 1
5968. 2
5968. 3
5968. 4
5968. 5
5968. 6
5968. 7
5969. 0
5969. 1
5969. 2
5969. 3
5969. 4
5969. 5
5969. 6
5969. 7
5969. 8
5969. 9
5970. 0
5970. 1
5970. 2
5970. 3
5971. 0
5971. 1
5971. 2
5971. 3
5971. 4
5971. 5
5971. 6
5972. 0

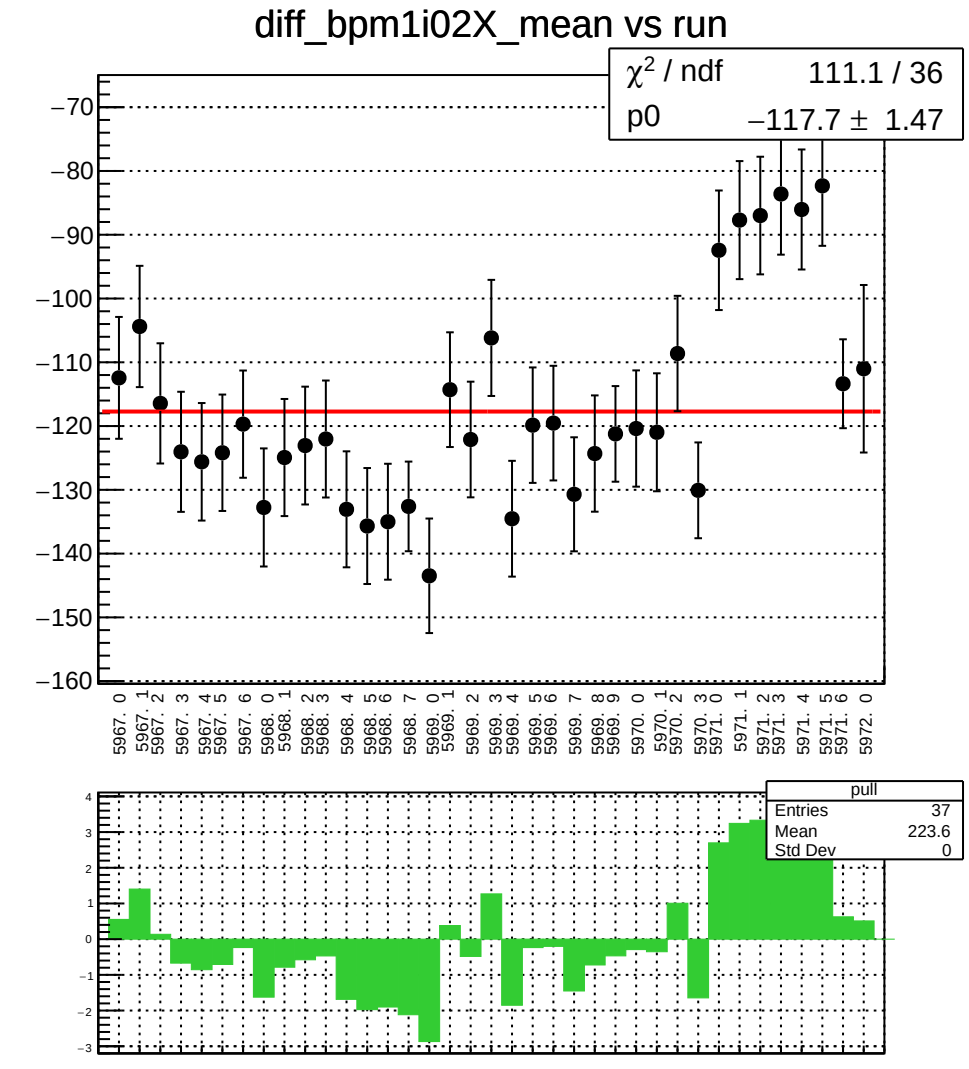
diff_bpm1i02X_mean vs run
χ² / ndf 111.1 / 36
p0 −117.7 ± 1.47
pull
Entries 37
Mean 223.6
Std Dev 0

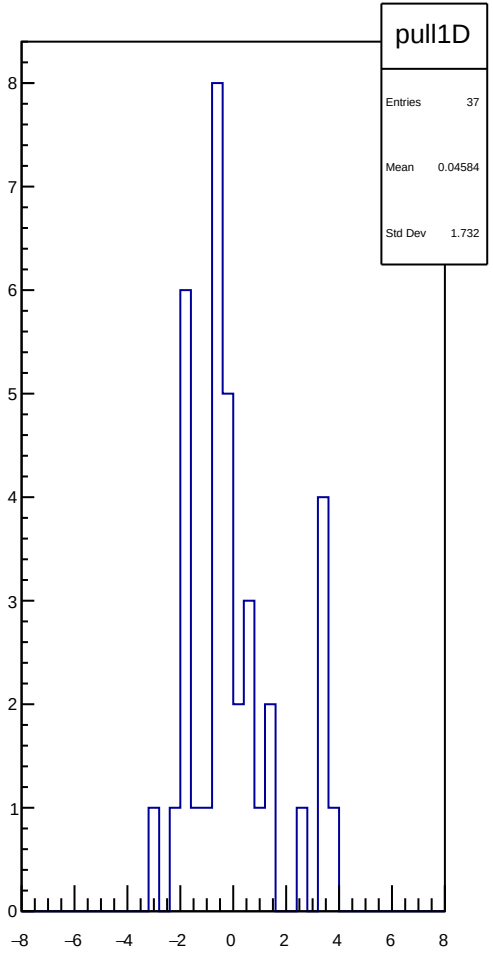
pull1D
Entries 37
Mean 0.04584
Std Dev 1.732

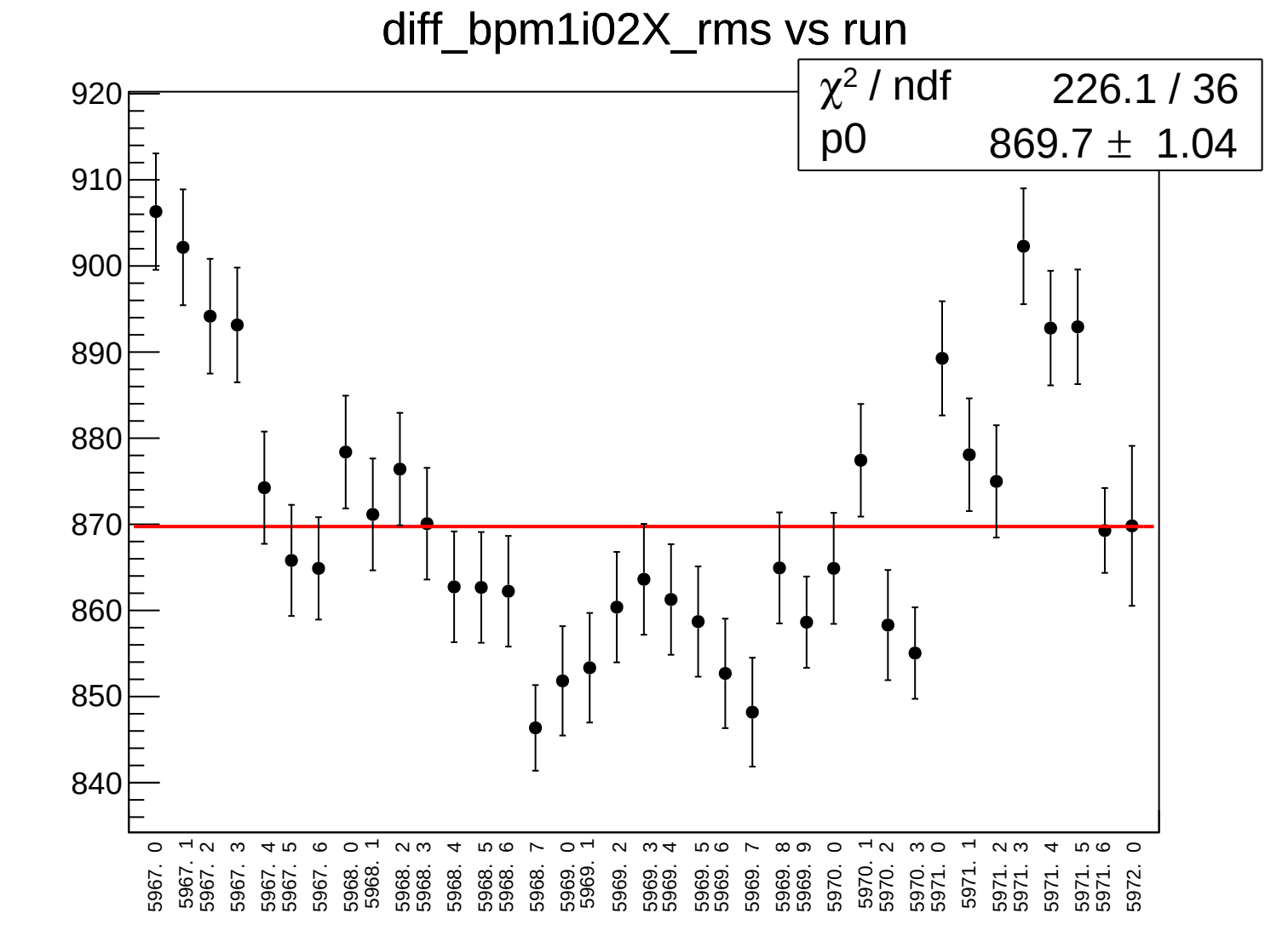
diff_bpm1i02X_rms vs run
χ² / ndf 226.1 / 36
p0 869.7 ± 1.04
920
910
900
890
880
870
860
850
840
5967. 0
5967. 1
5967. 2
5967. 3
5967. 4
5967. 5
5967. 6
5968. 0
5968. 1
5968. 2
5968. 3
5968. 4
5968. 5
5968. 6
5968. 7
5969. 0
5969. 1
5969. 2
5969. 3
5969. 4
5969. 5
5969. 6
5969. 7
5969. 8
5969. 9
5970. 0
5970. 1
5970. 2
5970. 3
5971. 0
5971. 1
5971. 2
5971. 3
5971. 4
5971. 5
5971. 6
5972. 0

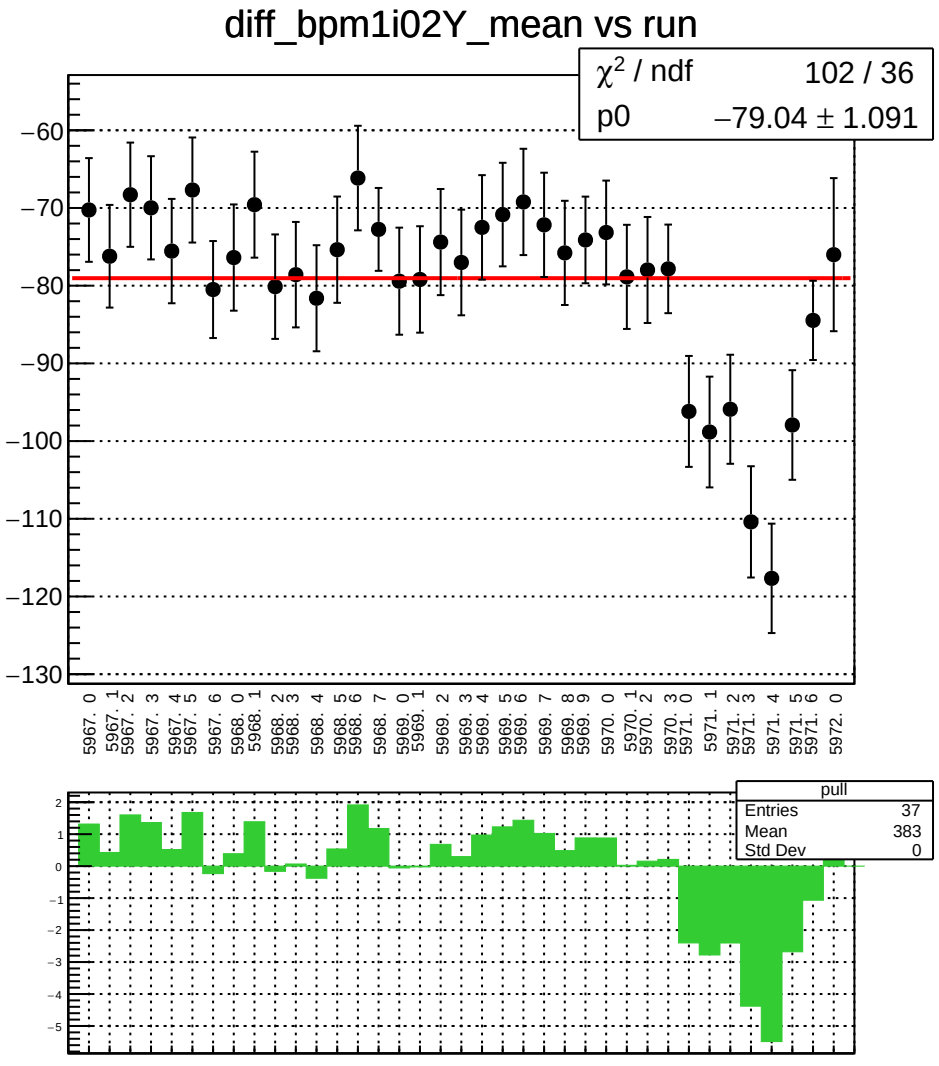
diff_bpm1i02Y_mean vs run
χ² / ndf 102 / 36
p0 −79.04 ± 1.091
−60
−70
−80
−90
−100
−110
−120
−130
5967. 0
5967. 1
5967. 2
5967. 3
5967. 4
5967. 5
5967. 6
5968. 0
5968. 1
5968. 2
5968. 3
5968. 4
5968. 5
5968. 6
5968. 7
5969. 0
5969. 1
5969. 2
5969. 3
5969. 4
5969. 5
5969. 6
5969. 7
5969. 8
5969. 9
5970. 0
5970. 1
5970. 2
5970. 3
5971. 0
5971. 1
5971. 2
5971. 3
5971. 4
5971. 5
5971. 6
5972. 0
pull
Entries 37
Mean 383
Std Dev 0
2
1
0
−1
−2
−3
−4
−5

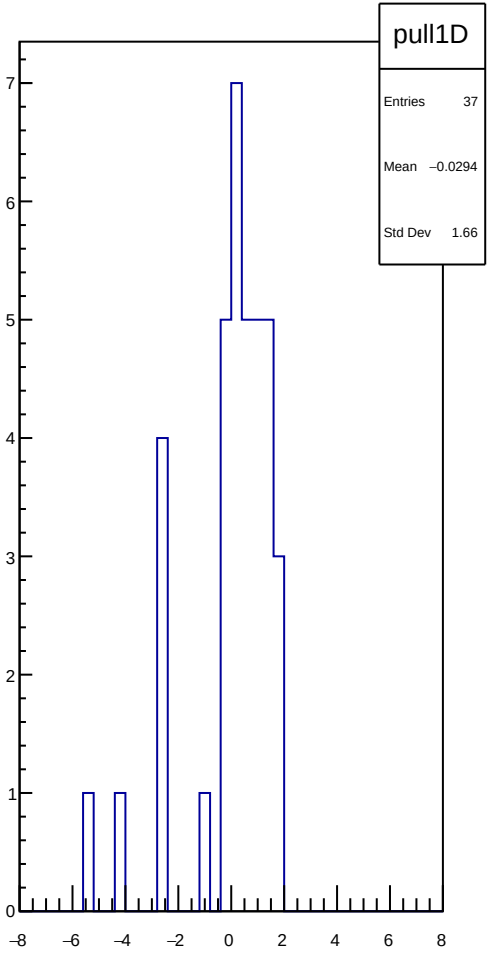
pull1D
Entries 37
Mean −0.0294
Std Dev 1.66
7
6
5
4
3
2
1
0
−8
−6
−4
−2
0
2
4
6
8

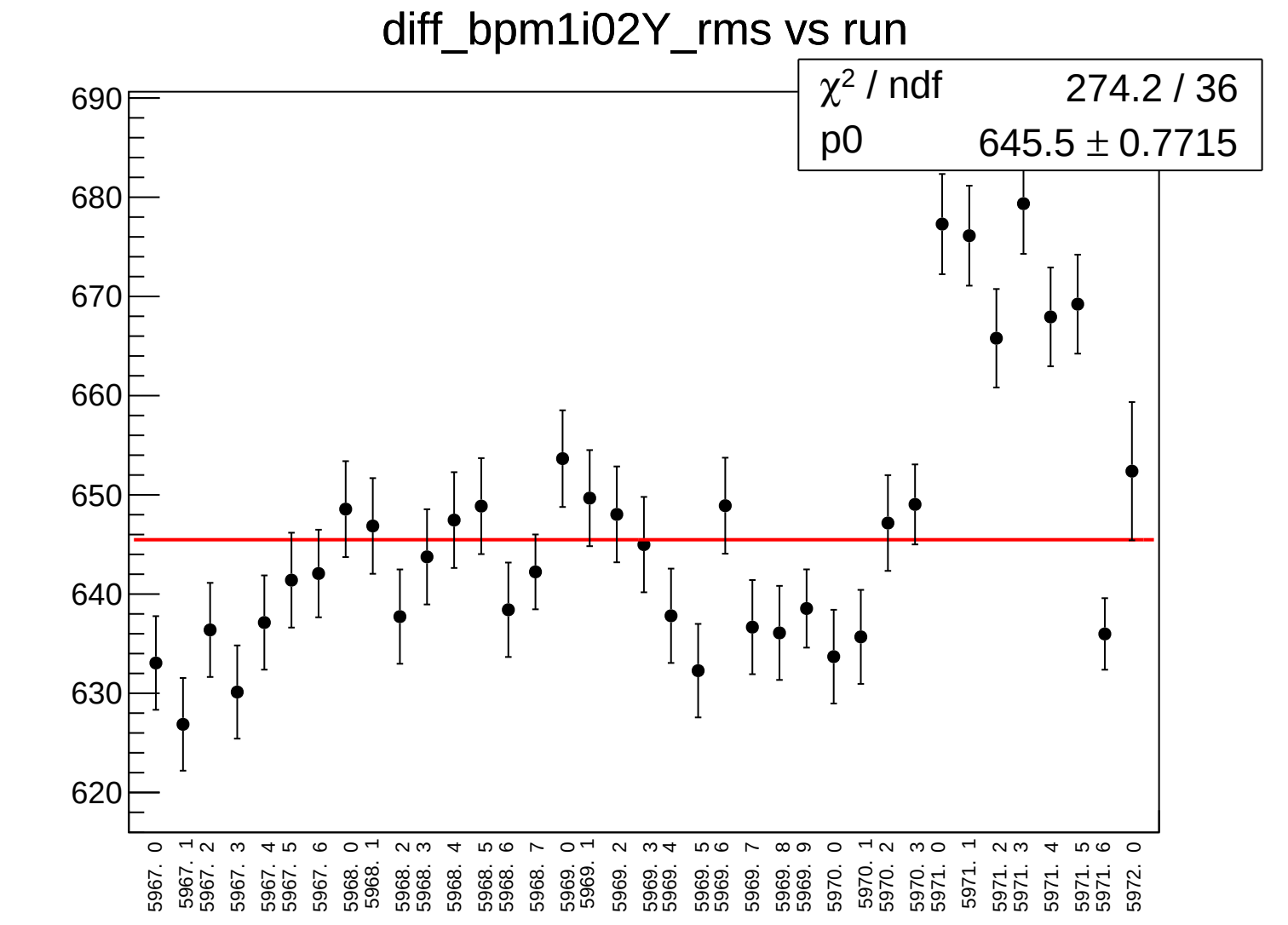
diff_bpm1i02Y_rms vs run
χ² / ndf 274.2 / 36
p0 645.5 ± 0.7715
690
680
670
660
650
640
630
620
5967. 0
5967. 1
5967. 2
5967. 3
5967. 4
5967. 5
5967. 6
5968. 0
5968. 1
5968. 2
5968. 3
5968. 4
5968. 5
5968. 6
5968. 7
5969. 0
5969. 1
5969. 2
5969. 3
5969. 4
5969. 5
5969. 6
5969. 7
5969. 8
5969. 9
5970. 0
5970. 1
5970. 2
5970. 3
5971. 0
5971. 1
5971. 2
5971. 3
5971. 4
5971. 5
5971. 6
5972. 0

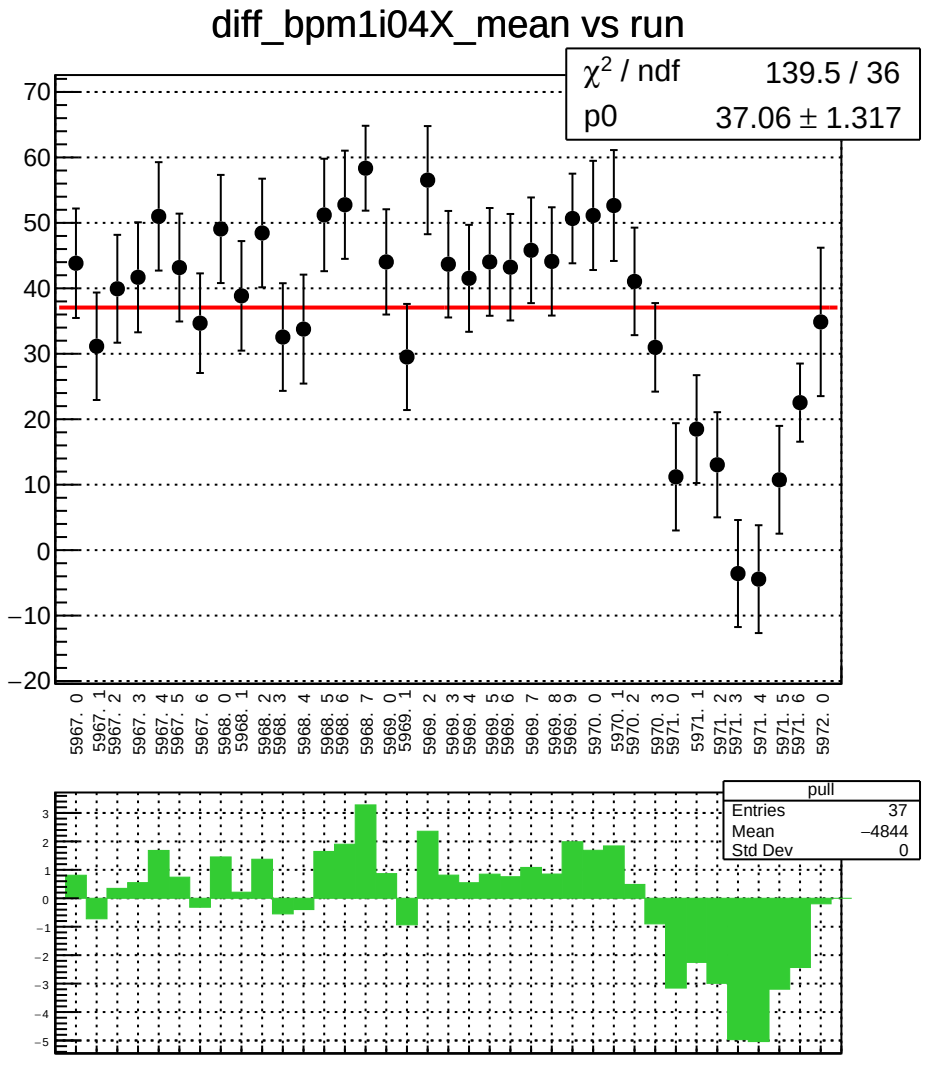
diff_bpm1i04X_mean vs run
χ^2 / ndf 139.5 / 36
p0 37.06 ± 1.317
pull
Entries 37
Mean −4844
Std Dev 0

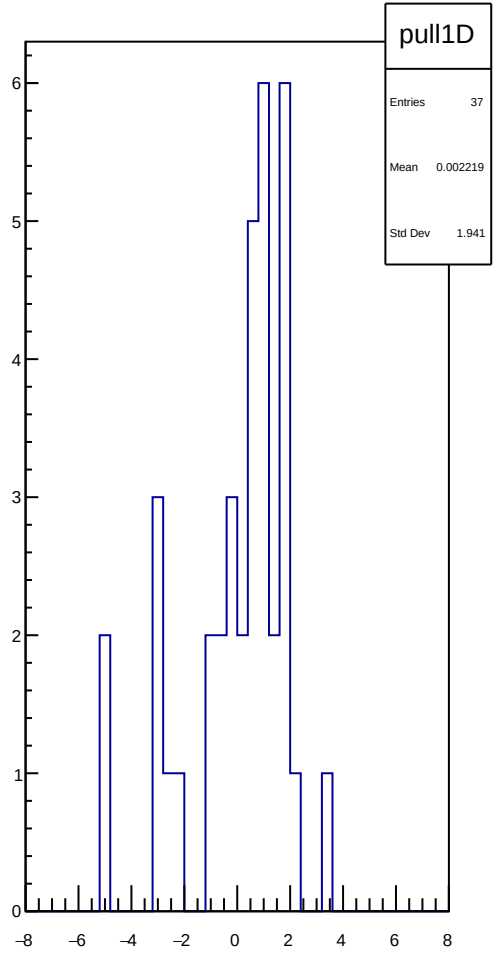
pull1D
Entries 37
Mean 0.002219
Std Dev 1.941

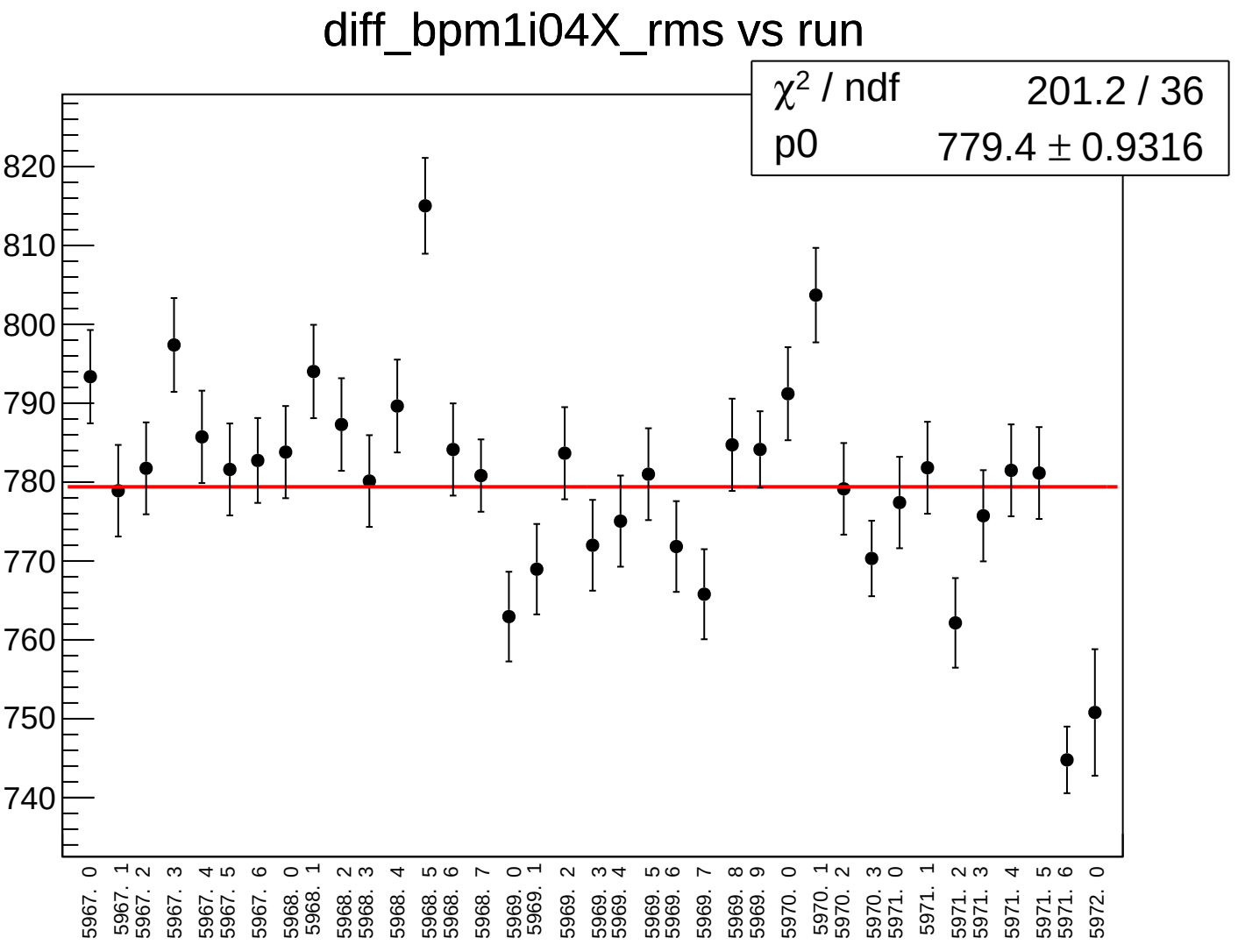
diff_bpm1i04X_rms vs run
χ² / ndf 201.2 / 36
p0 779.4 ± 0.9316
820
810
800
790
780
770
760
750
740
5967. 0
5967. 1
5967. 2
5967. 3
5967. 4
5967. 5
5967. 6
5968. 0
5968. 1
5968. 2
5968. 3
5968. 4
5968. 5
5968. 6
5968. 7
5969. 0
5969. 1
5969. 2
5969. 3
5969. 4
5969. 5
5969. 6
5969. 7
5969. 8
5969. 9
5970. 0
5970. 1
5970. 2
5970. 3
5971. 0
5971. 1
5971. 2
5971. 3
5971. 4
5971. 5
5971. 6
5972. 0

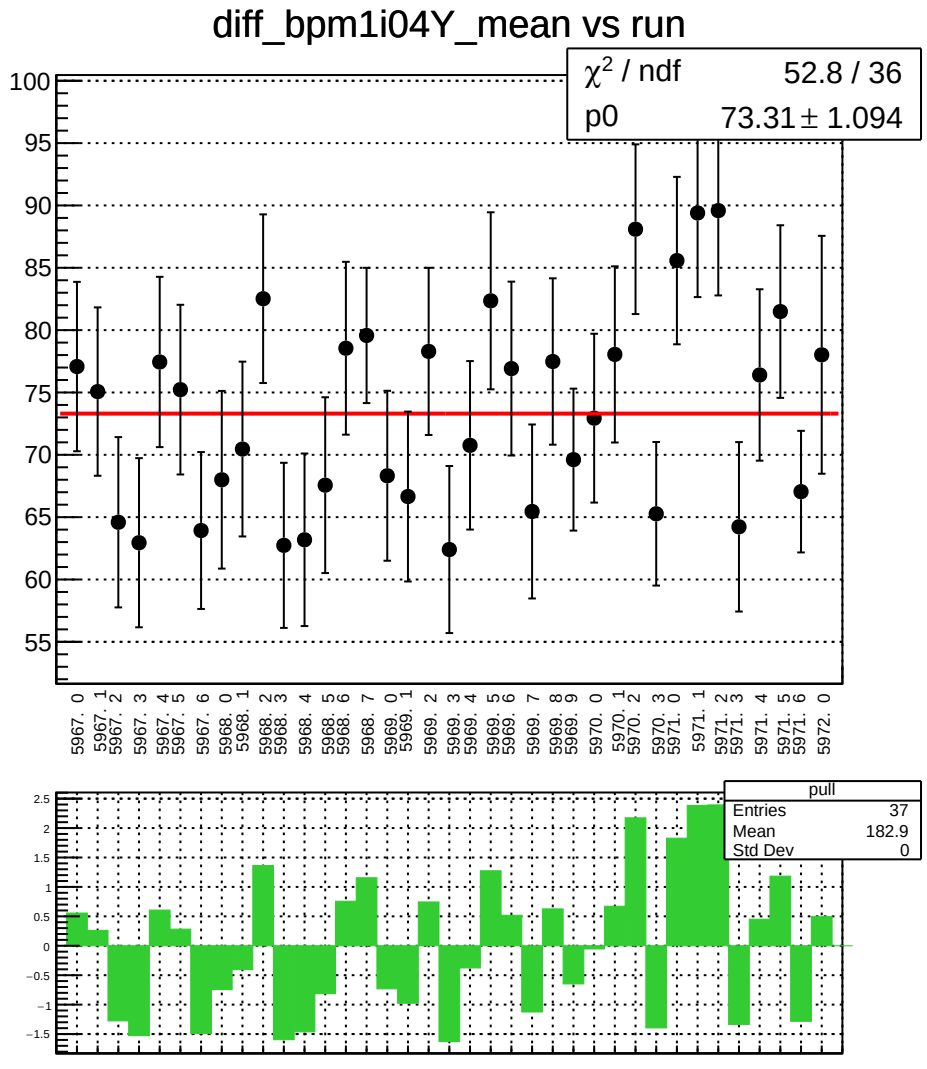
diff_bpm1i04Y_mean vs run
χ² / ndf 52.8 / 36
p0 73.31 ± 1.094
pull
Entries 37
Mean 182.9
Std Dev 0

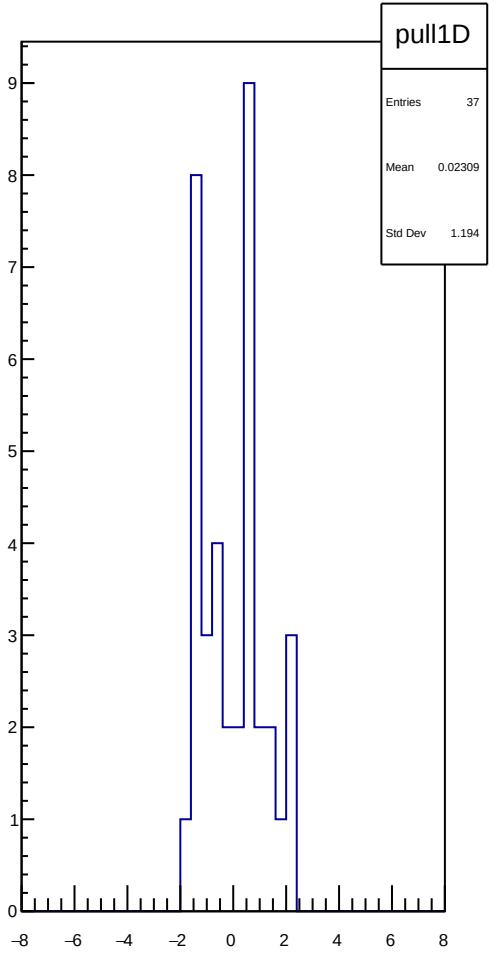
pull1D
Entries 37
Mean 0.02309
Std Dev 1.194

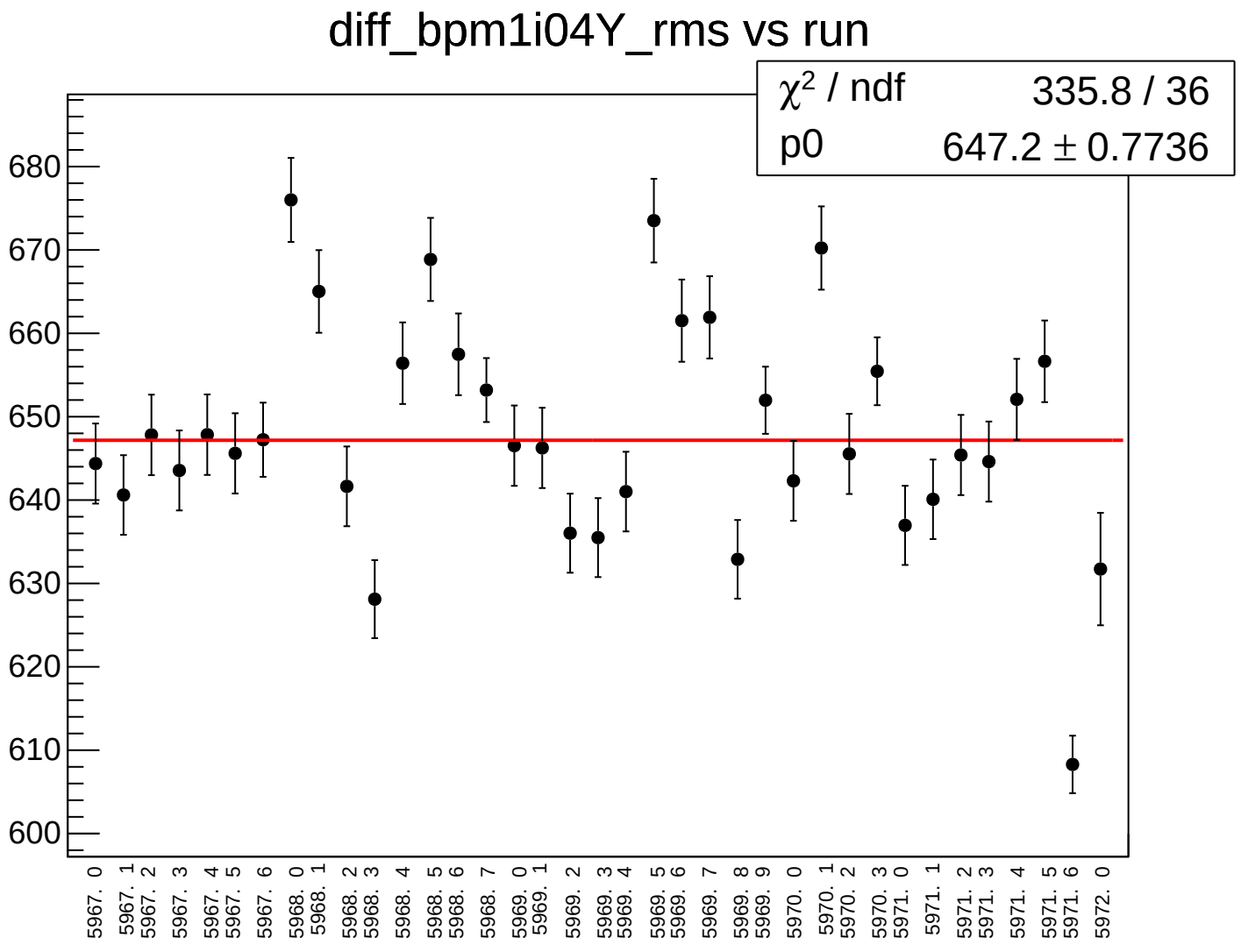
diff_bpm1i04Y_rms vs run
χ² / ndf 335.8 / 36
p0 647.2 ± 0.7736
680
670
660
650
640
630
620
610
600
5967. 0
5967. 1
5967. 2
5967. 3
5967. 4
5967. 5
5967. 6
5968. 0
5968. 1
5968. 2
5968. 3
5968. 4
5968. 5
5968. 6
5968. 7
5969. 0
5969. 1
5969. 2
5969. 3
5969. 4
5969. 5
5969. 6
5969. 7
5969. 8
5969. 9
5970. 0
5970. 1
5970. 2
5970. 3
5971. 0
5971. 1
5971. 2
5971. 3
5971. 4
5971. 5
5971. 6
5972. 0

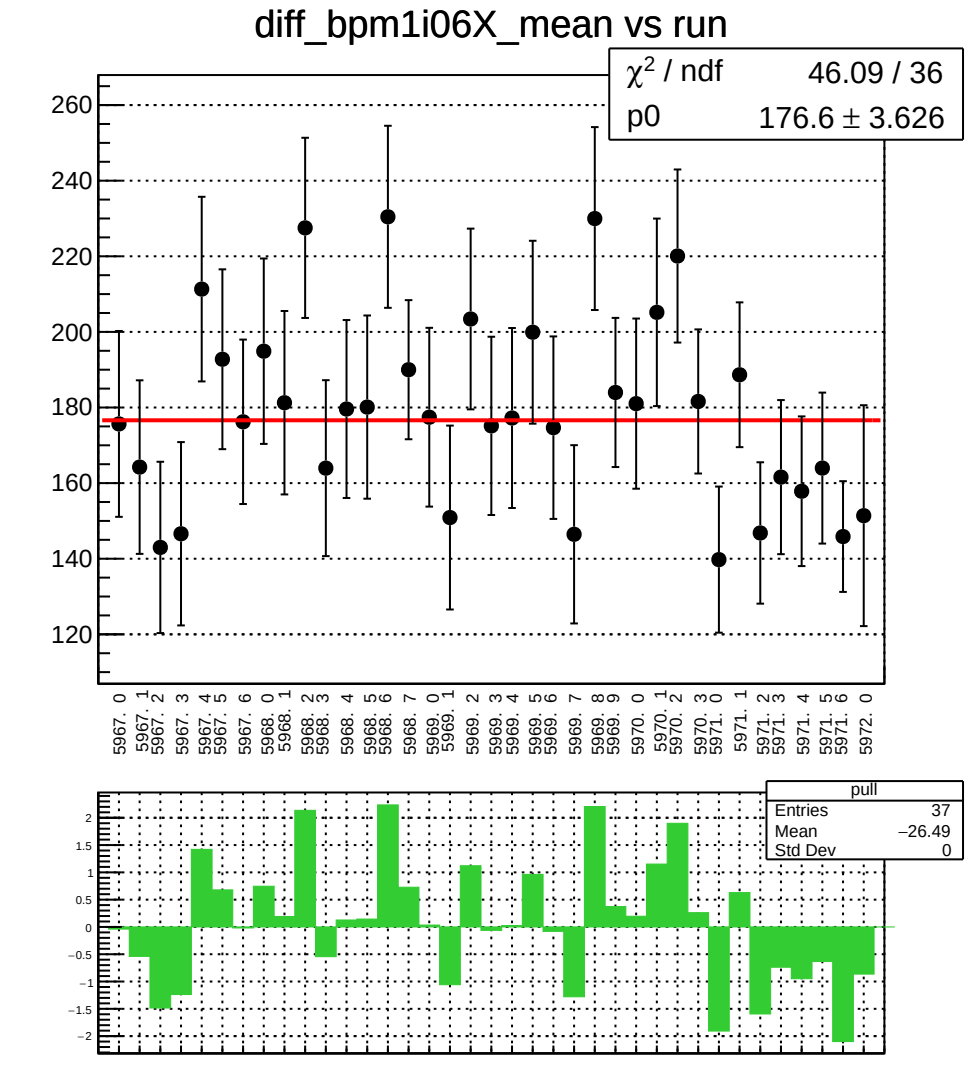
diff_bpm1i06X_mean vs run
χ² / ndf 46.09 / 36
p0 176.6 ± 3.626
260
240
220
200
180
160
140
120
5967. 0
5967. 1
5967. 2
5967. 3
5967. 4
5967. 5
5967. 6
5968. 0
5968. 1
5968. 2
5968. 3
5968. 4
5968. 5
5968. 6
5968. 7
5969. 0
5969. 1
5969. 2
5969. 3
5969. 4
5969. 5
5969. 6
5969. 7
5969. 8
5969. 9
5970. 0
5970. 1
5970. 2
5970. 3
5971. 0
5971. 1
5971. 2
5971. 3
5971. 4
5971. 5
5971. 6
5972. 0
pull
Entries 37
Mean −26.49
Std Dev 0
2
1.5
1
0.5
0
−0.5
−1
−1.5
−2

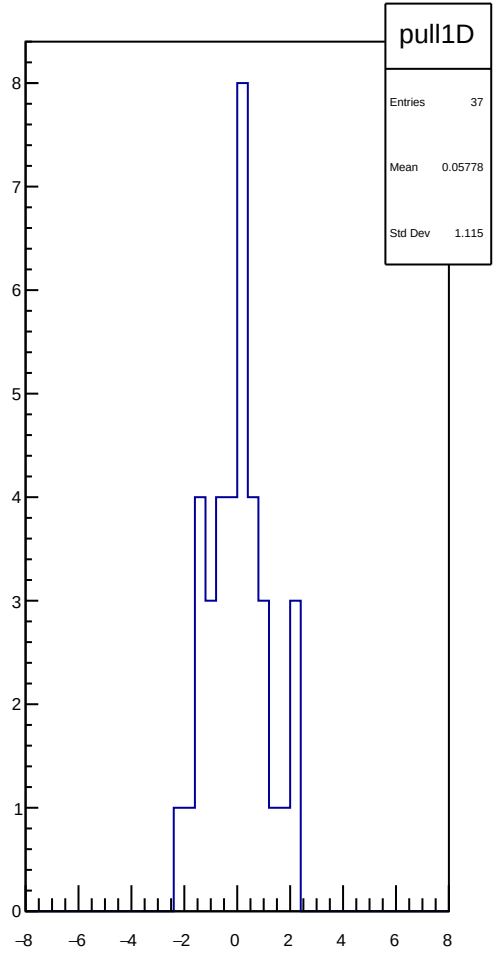
pull1D
Entries 37
Mean 0.05778
Std Dev 1.115
8
7
6
5
4
3
2
1
0
−8
−6
−4
−2
0
2
4
6
8

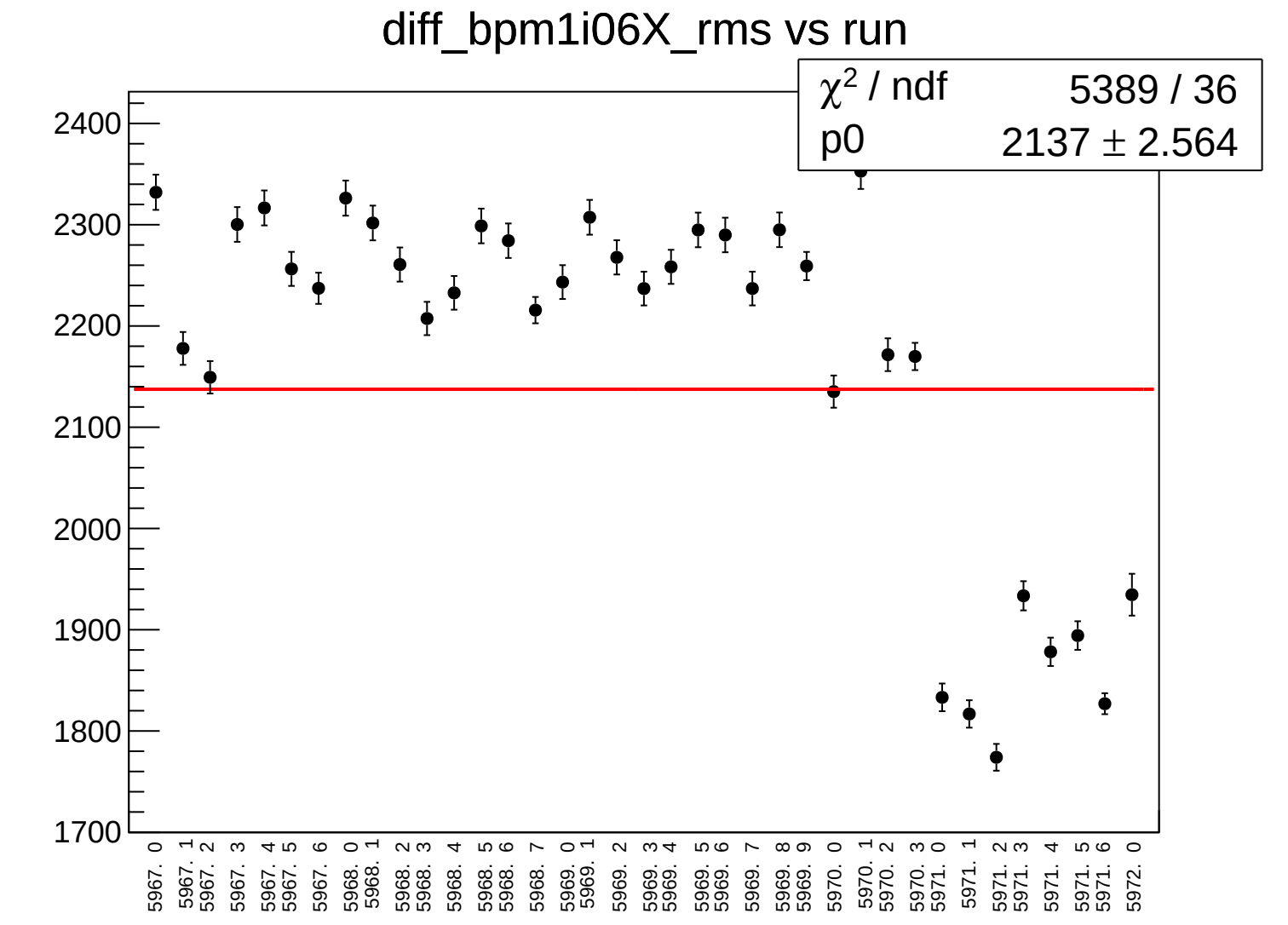
diff_bpm1i06X_rms vs run
χ² / ndf 5389 / 36
p0 2137 ± 2.564
2400
2300
2200
2100
2000
1900
1800
1700
5967. 0
5967. 1
5967. 2
5967. 3
5967. 4
5967. 5
5967. 6
5968. 0
5968. 1
5968. 2
5968. 3
5968. 4
5968. 5
5968. 6
5968. 7
5969. 0
5969. 1
5969. 2
5969. 3
5969. 4
5969. 5
5969. 6
5969. 7
5969. 8
5969. 9
5970. 0
5970. 1
5970. 2
5970. 3
5971. 0
5971. 1
5971. 2
5971. 3
5971. 4
5971. 5
5971. 6
5972. 0

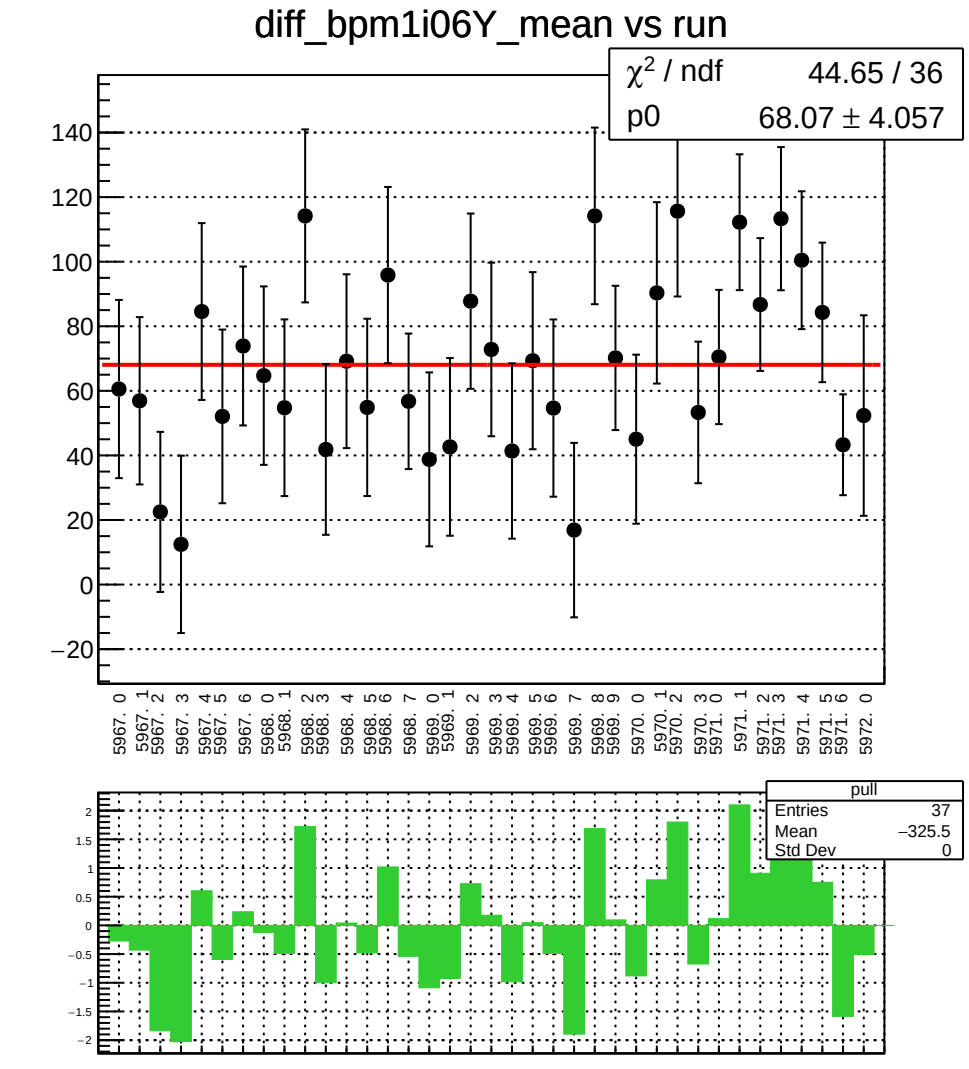
diff_bpm1i06Y_mean vs run
χ² / ndf 44.65 / 36
p0 68.07 ± 4.057
pull
Entries 37
Mean −325.5
Std Dev 0

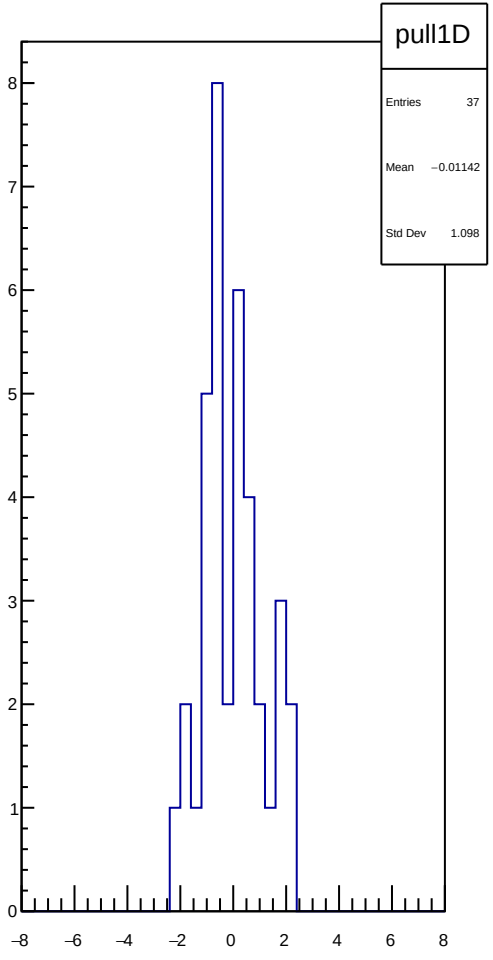
pull1D
Entries 37
Mean −0.01142
Std Dev 1.098

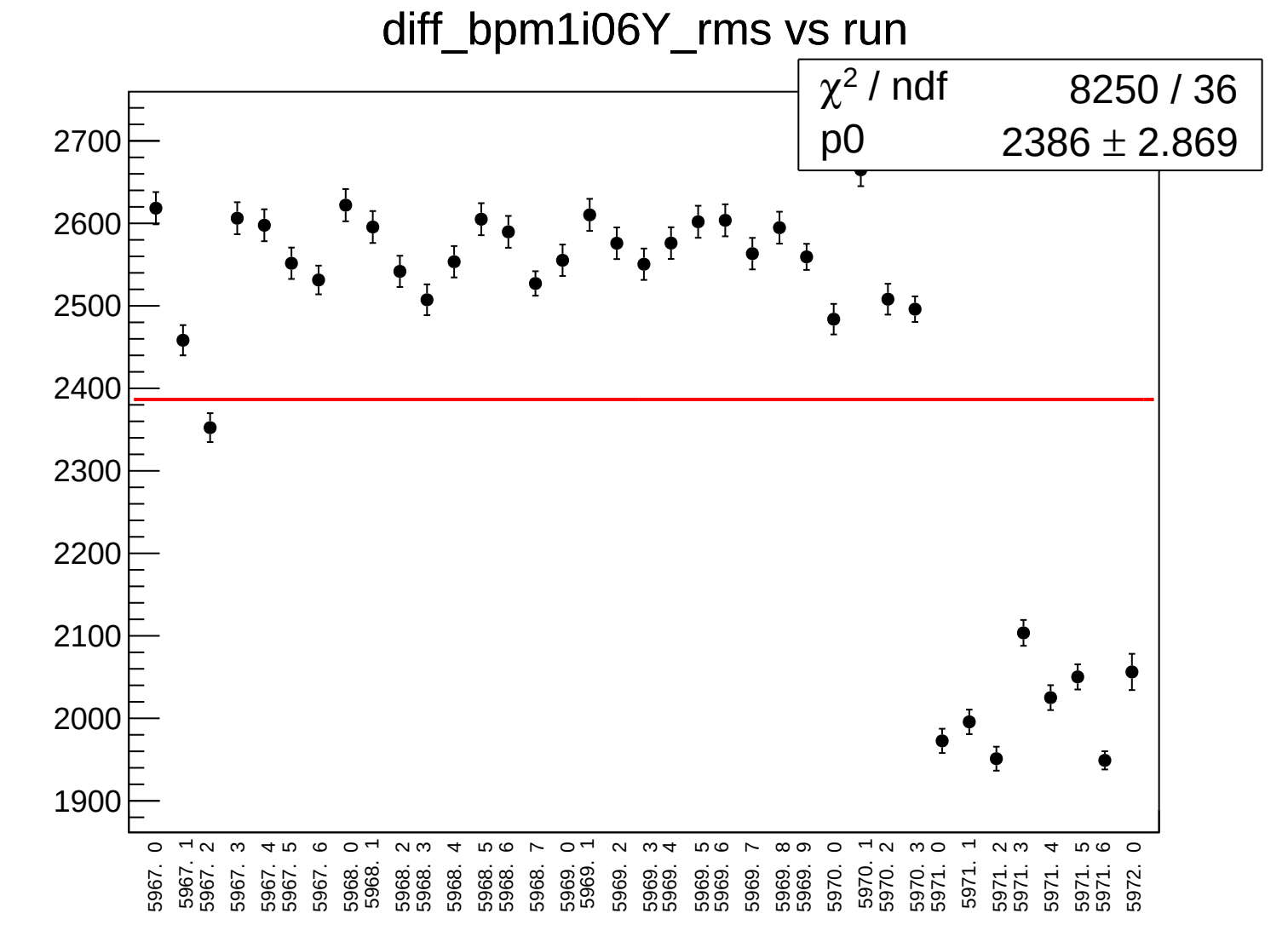
diff_bpm1i06Y_rms vs run
χ² / ndf 8250 / 36
p0 2386 ± 2.869
2700
2600
2500
2400
2300
2200
2100
2000
1900
5967. 0
5967. 1
5967. 2
5967. 3
5967. 4
5967. 5
5967. 6
5968. 0
5968. 1
5968. 2
5968. 3
5968. 4
5968. 5
5968. 6
5968. 7
5969. 0
5969. 1
5969. 2
5969. 3
5969. 4
5969. 5
5969. 6
5969. 7
5969. 8
5969. 9
5970. 0
5970. 1
5970. 2
5970. 3
5971. 0
5971. 1
5971. 2
5971. 3
5971. 4
5971. 5
5971. 6
5972. 0

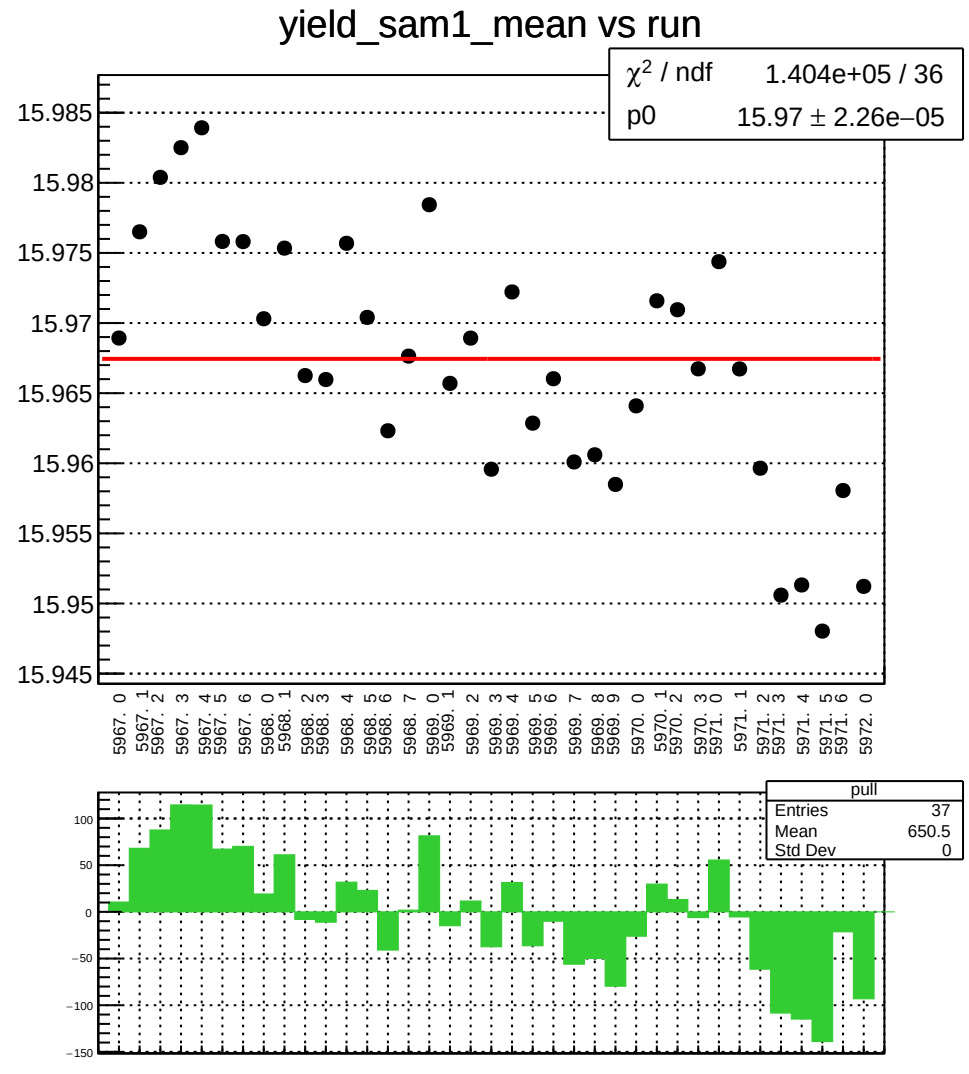
yield_sam1_mean vs run
χ² / ndf 1.404e+05 / 36
p0 15.97 ± 2.26e−05
15.985
15.98
15.975
15.97
15.965
15.96
15.955
15.95
15.945
5967. 0
5967. 1
5967. 2
5967. 3
5967. 4
5967. 5
5967. 6
5968. 0
5968. 1
5968. 2
5968. 3
5968. 4
5968. 5
5968. 6
5968. 7
5969. 0
5969. 1
5969. 2
5969. 3
5969. 4
5969. 5
5969. 6
5969. 7
5969. 8
5969. 9
5970. 0
5970. 1
5970. 2
5970. 3
5971. 0
5971. 1
5971. 2
5971. 3
5971. 4
5971. 5
5971. 6
5972. 0
pull
Entries 37
Mean 650.5
Std Dev 0
100
50
0
−50
−100
−150

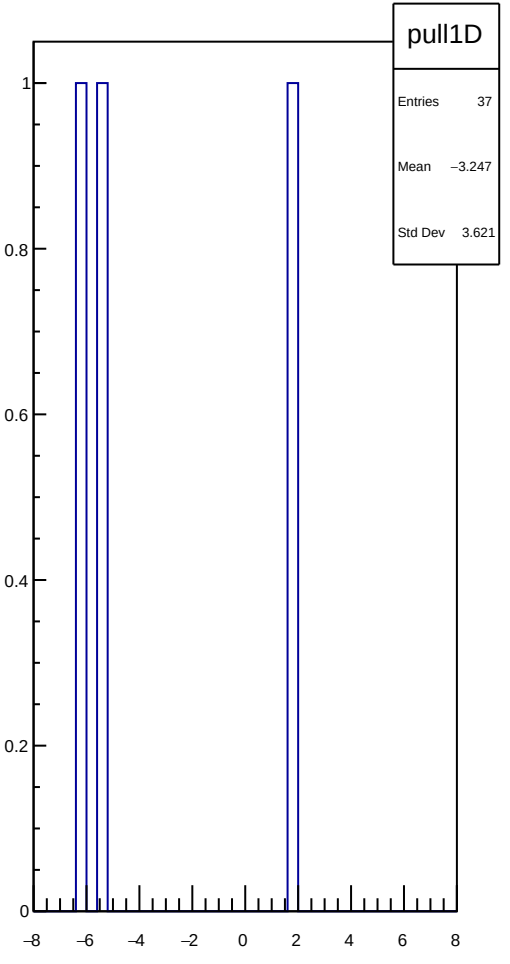
pull1D
Entries 37
Mean −3.247
Std Dev 3.621
1
0.8
0.6
0.4
0.2
0
−8
−6
−4
−2
0
2
4
6
8

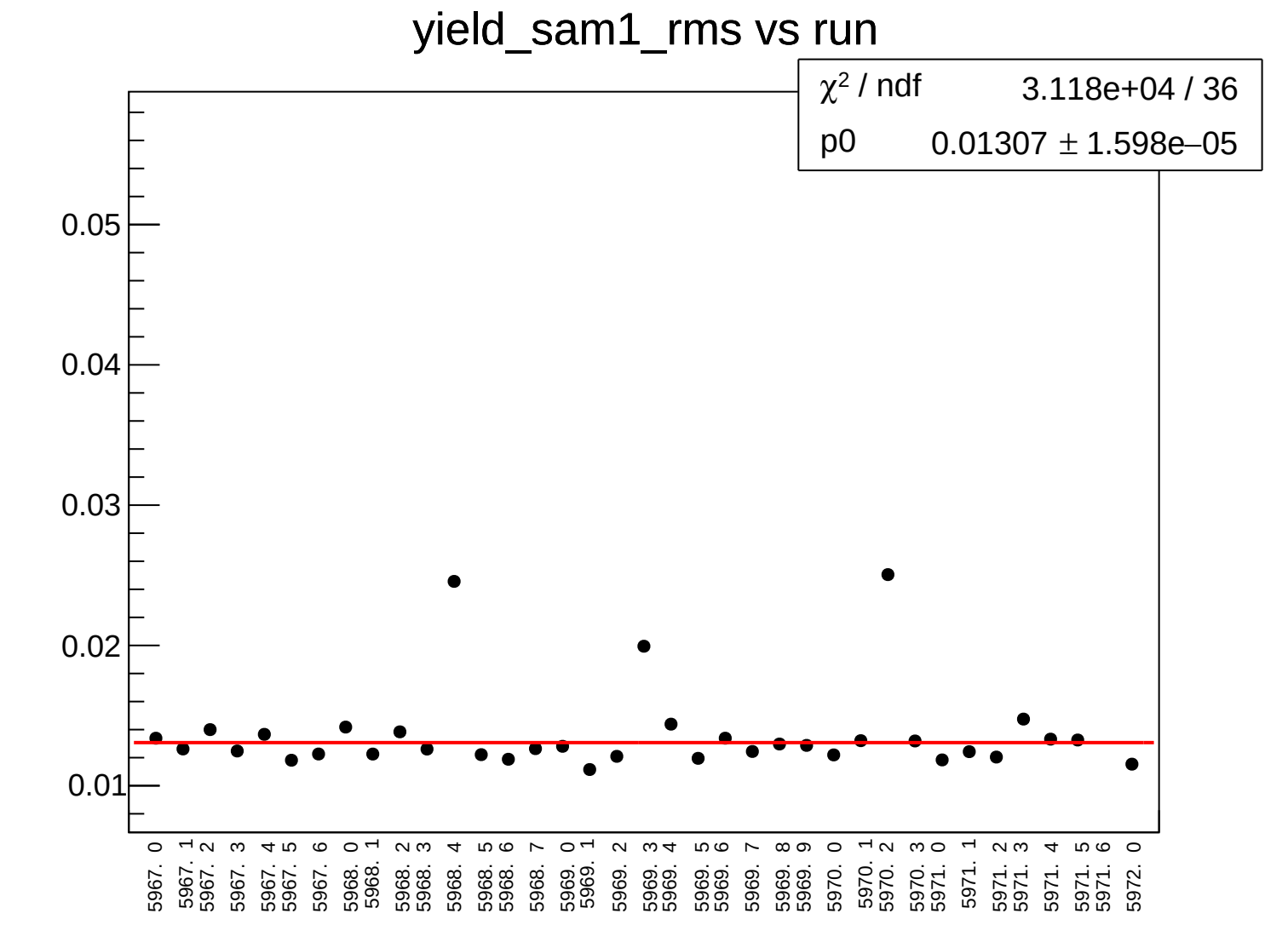
yield_sam1_rms vs run
χ² / ndf 3.118e+04 / 36
p0 0.01307 ± 1.598e–05
0.05
0.04
0.03
0.02
0.01
5967. 0
5967. 1
5967. 2
5967. 3
5967. 4
5967. 5
5967. 6
5968. 0
5968. 1
5968. 2
5968. 3
5968. 4
5968. 5
5968. 6
5968. 7
5969. 0
5969. 1
5969. 2
5969. 3
5969. 4
5969. 5
5969. 6
5969. 7
5969. 8
5969. 9
5970. 0
5970. 1
5970. 2
5970. 3
5971. 0
5971. 1
5971. 2
5971. 3
5971. 4
5971. 5
5971. 6
5972. 0

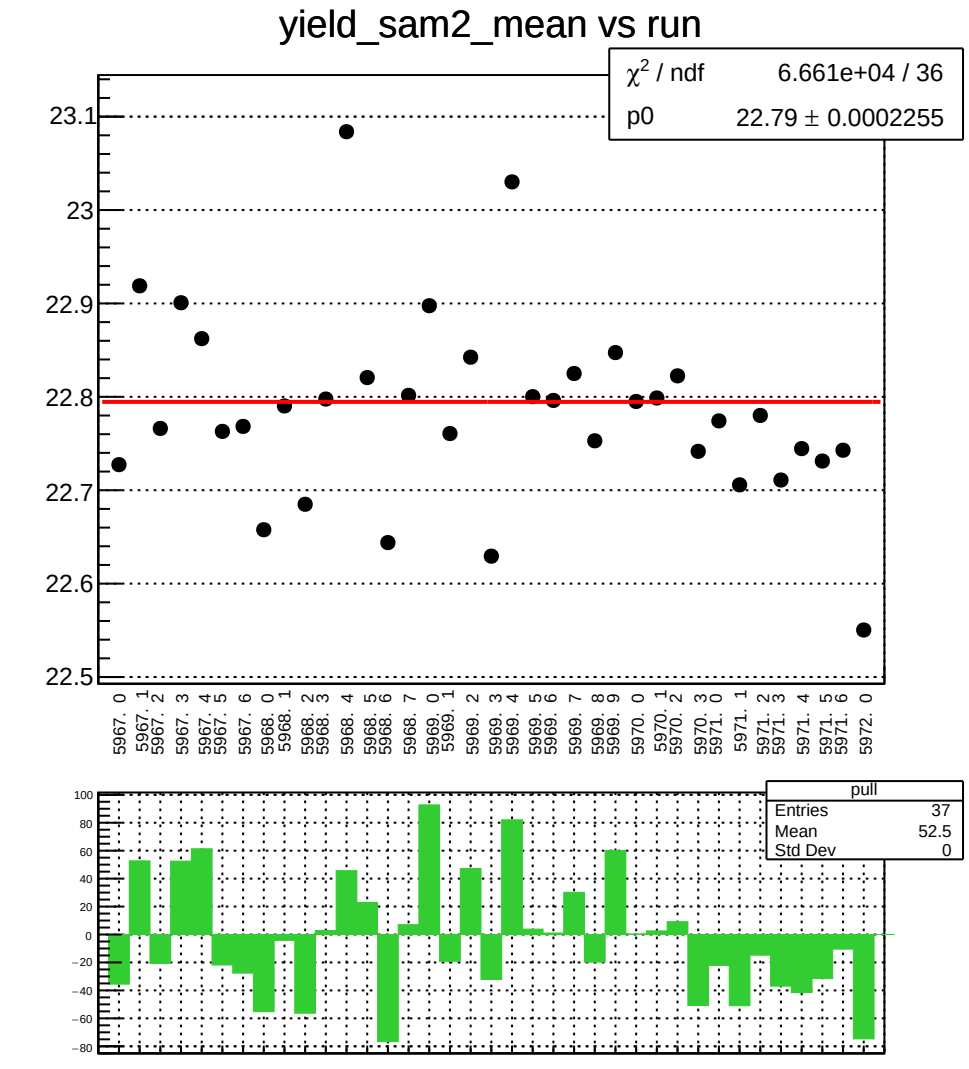
yield_sam2_mean vs run
χ² / ndf 6.661e+04 / 36
p0 22.79 ± 0.0002255
23.1
23
22.9
22.8
22.7
22.6
22.5
5967. 0
5967. 1
5967. 2
5967. 3
5967. 4
5967. 5
5967. 6
5968. 0
5968. 1
5968. 2
5968. 3
5968. 4
5968. 5
5968. 6
5968. 7
5969. 0
5969. 1
5969. 2
5969. 3
5969. 4
5969. 5
5969. 6
5969. 7
5969. 8
5969. 9
5970. 0
5970. 1
5970. 2
5970. 3
5971. 0
5971. 1
5971. 2
5971. 3
5971. 4
5971. 5
5971. 6
5972. 0
pull
Entries 37
Mean 52.5
Std Dev 0
100
80
60
40
20
0
−20
−40
−60
−80
pull1D
Entries 37
Mean 1.937
Std Dev 3.199
1
0.8
0.6
0.4
0.2
0
−8
−6
−4
−2
0
2
4
6
8

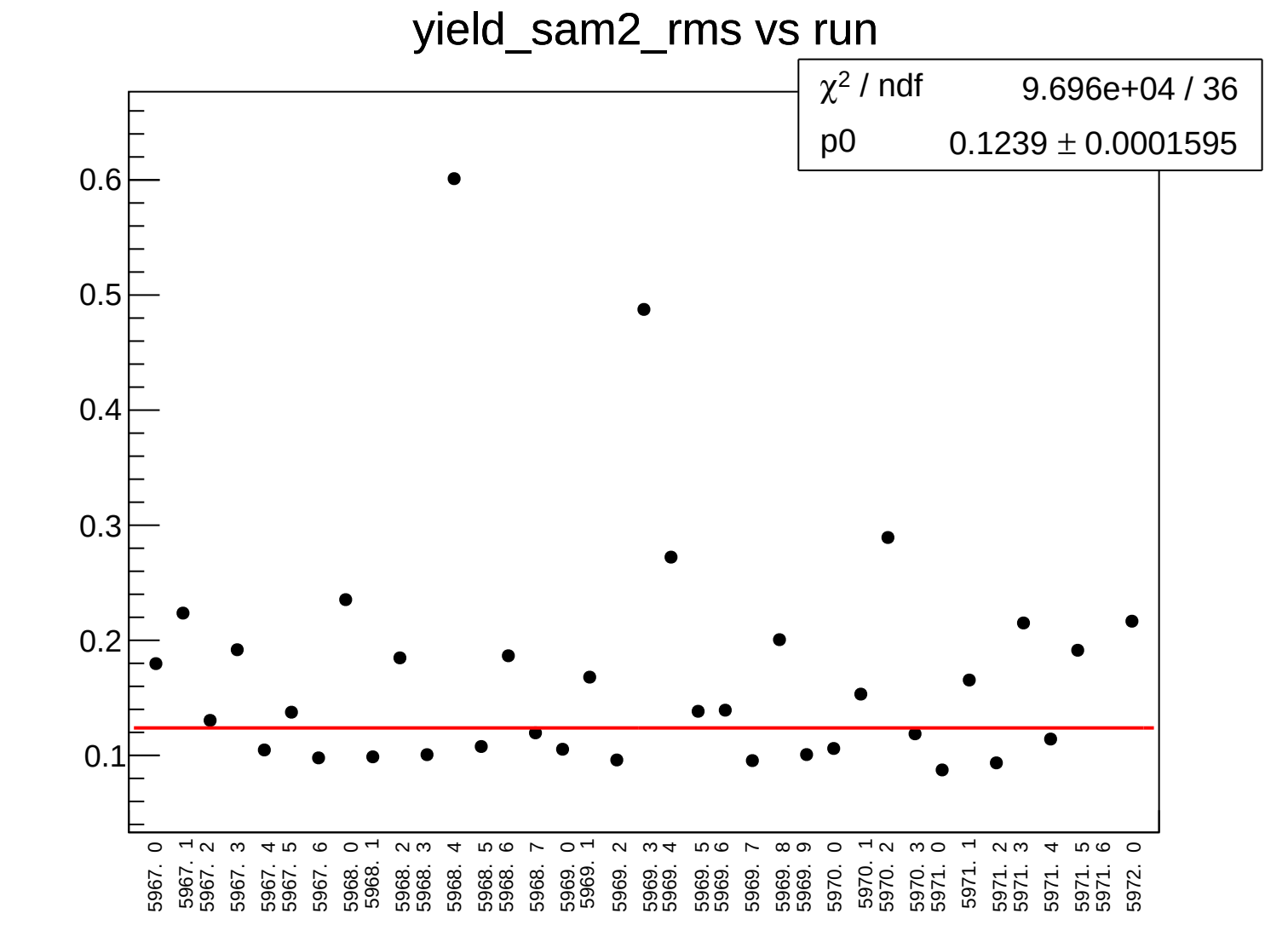
yield_sam2_rms vs run
χ² / ndf 9.696e+04 / 36
p0 0.1239 ± 0.0001595
0.6
0.5
0.4
0.3
0.2
0.1
5967. 0
5967. 1
5967. 2
5967. 3
5967. 4
5967. 5
5967. 6
5968. 0
5968. 1
5968. 2
5968. 3
5968. 4
5968. 5
5968. 6
5968. 7
5969. 0
5969. 1
5969. 2
5969. 3
5969. 4
5969. 5
5969. 6
5969. 7
5969. 8
5969. 9
5970. 0
5970. 1
5970. 2
5970. 3
5971. 0
5971. 1
5971. 2
5971. 3
5971. 4
5971. 5
5971. 6
5972. 0

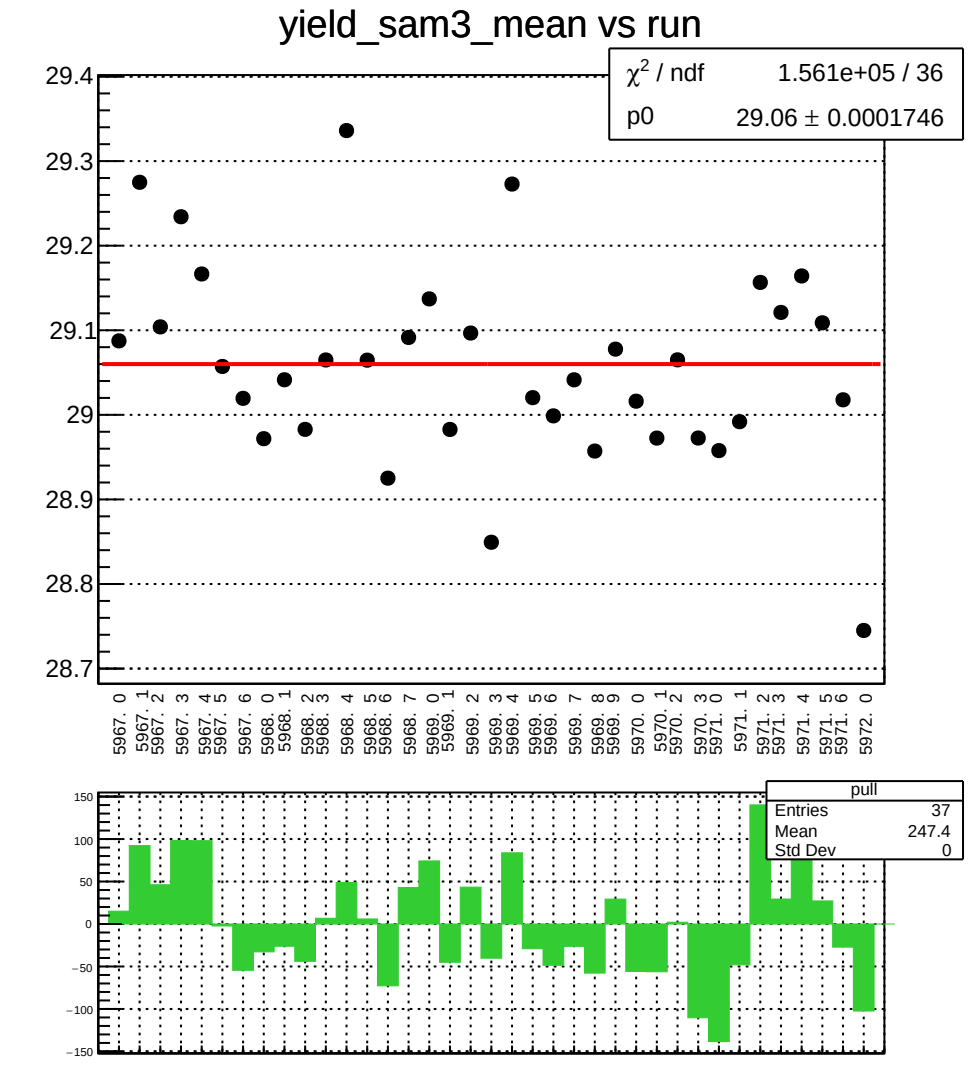
yield_sam3_mean vs run
χ² / ndf 1.561e+05 / 36
p0 29.06 ± 0.0001746
29.4
29.3
29.2
29.1
29
28.9
28.8
28.7
5967. 0
5967. 1
5967. 2
5967. 3
5967. 4
5967. 5
5967. 6
5968. 0
5968. 1
5968. 2
5968. 3
5968. 4
5968. 5
5968. 6
5968. 7
5969. 0
5969. 1
5969. 2
5969. 3
5969. 4
5969. 5
5969. 6
5969. 7
5969. 8
5969. 9
5970. 0
5970. 1
5970. 2
5970. 3
5971. 0
5971. 1
5971. 2
5971. 3
5971. 4
5971. 5
5971. 6
5972. 0
pull
Entries 37
Mean 247.4
Std Dev 0
150
100
50
0
−50
−100
−150

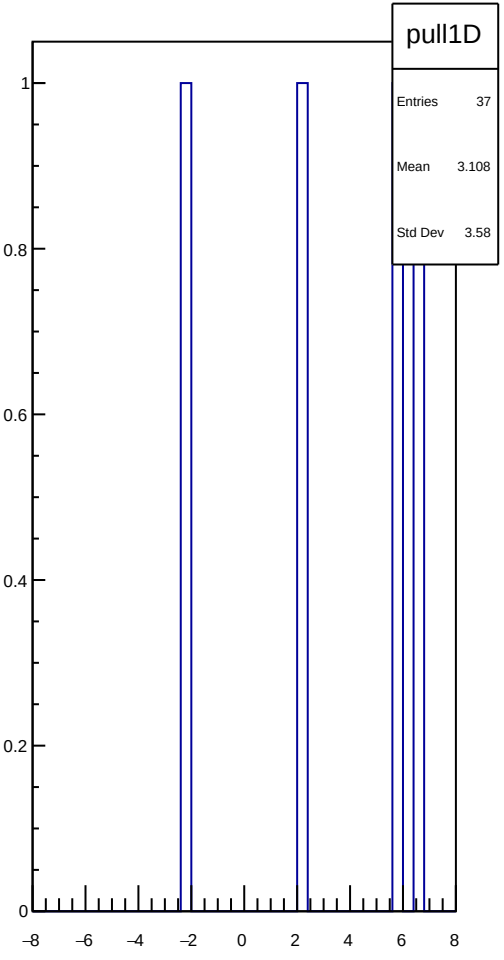
pull1D
Entries 37
Mean 3.108
Std Dev 3.58
1
0.8
0.6
0.4
0.2
0
−8
−6
−4
−2
0
2
4
6
8

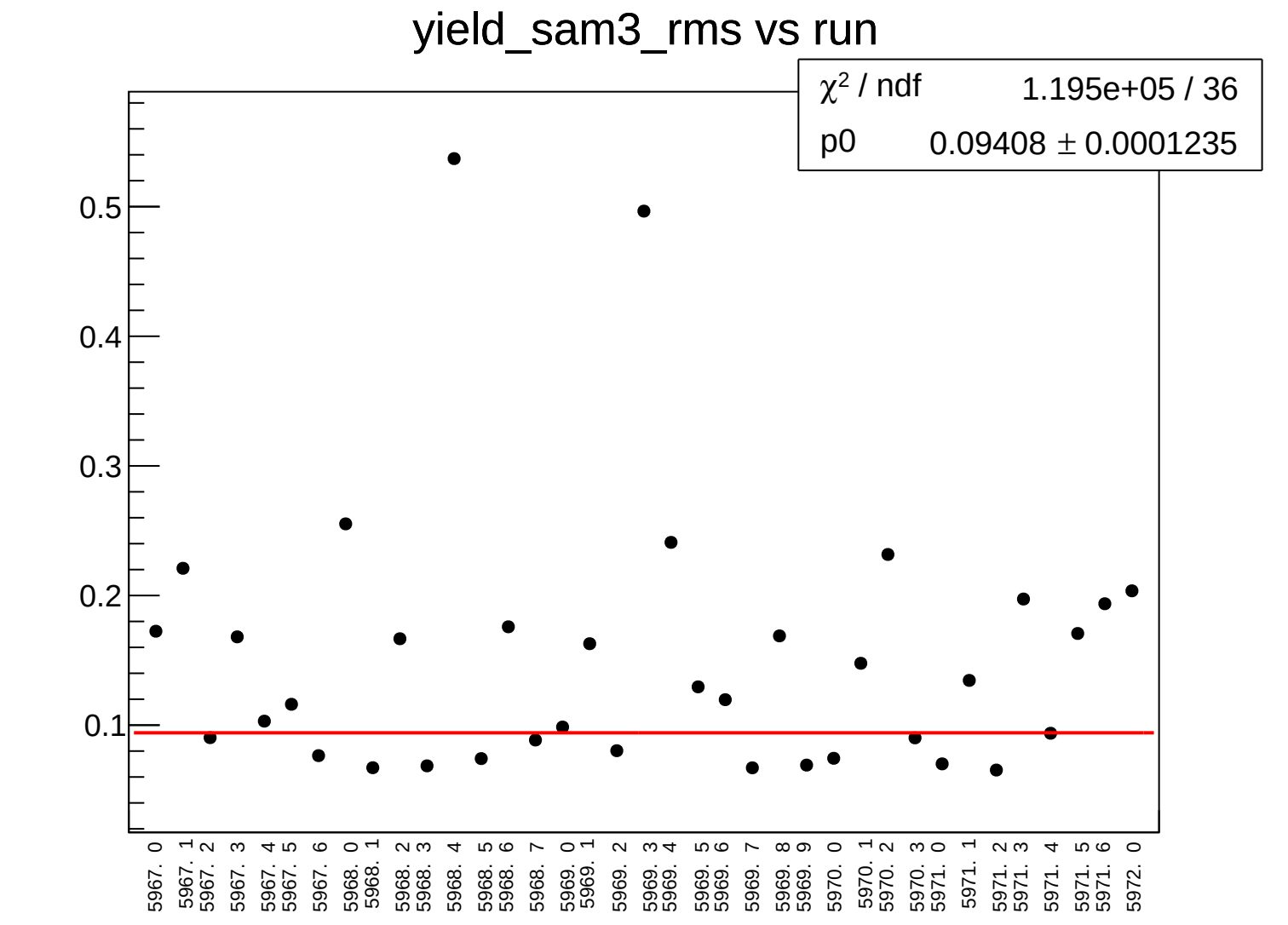
yield_sam3_rms vs run
χ² / ndf 1.195e+05 / 36
p0 0.09408 ± 0.0001235
0.5
0.4
0.3
0.2
0.1
5967. 0
5967. 1
5967. 2
5967. 3
5967. 4
5967. 5
5967. 6
5968. 0
5968. 1
5968. 2
5968. 3
5968. 4
5968. 5
5968. 6
5968. 7
5969. 0
5969. 1
5969. 2
5969. 3
5969. 4
5969. 5
5969. 6
5969. 7
5969. 8
5969. 9
5970. 0
5970. 1
5970. 2
5970. 3
5971. 0
5971. 1
5971. 2
5971. 3
5971. 4
5971. 5
5971. 6
5972. 0

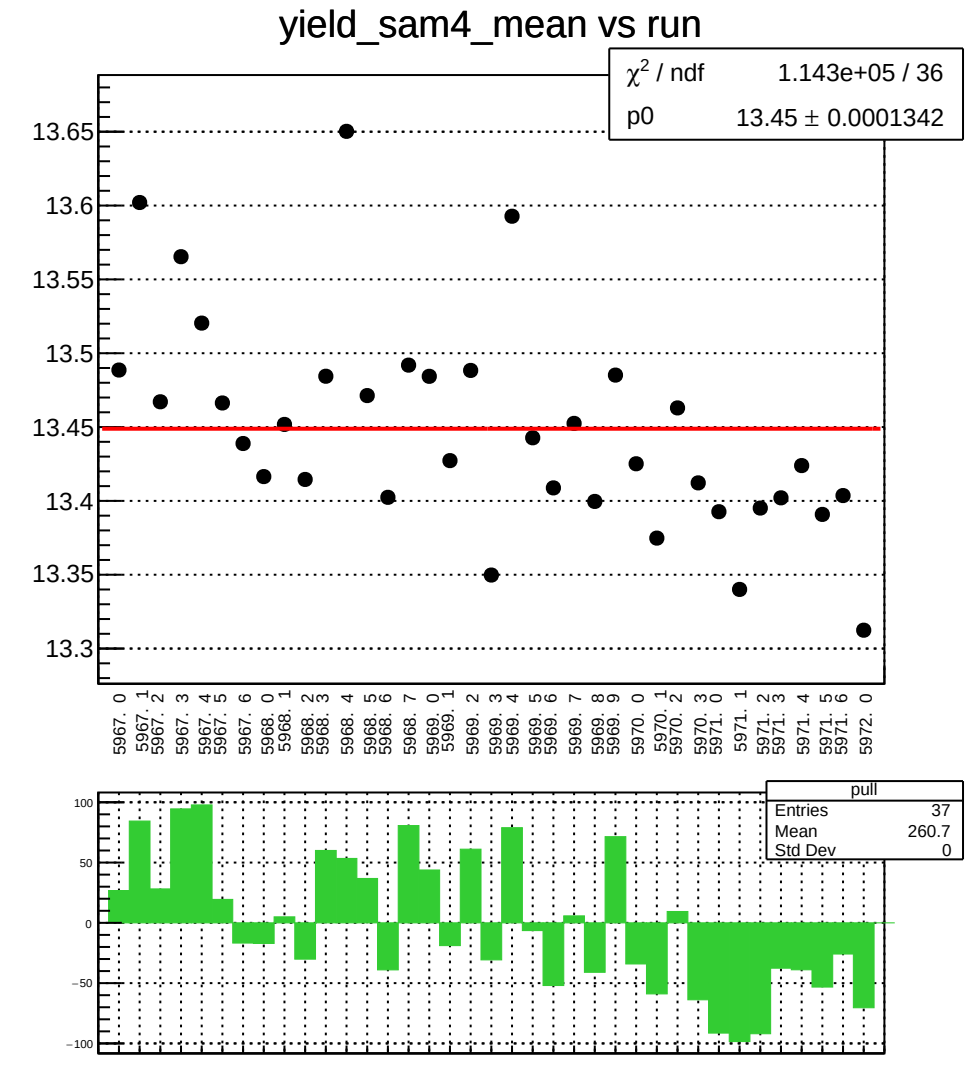
yield_sam4_mean vs run
χ² / ndf 1.143e+05 / 36
p0 13.45 ± 0.0001342
13.65
13.6
13.55
13.5
13.45
13.4
13.35
13.3
5967. 0
5967. 1
5967. 2
5967. 3
5967. 4
5967. 5
5967. 6
5968. 0
5968. 1
5968. 2
5968. 3
5968. 4
5968. 5
5968. 6
5968. 7
5969. 0
5969. 1
5969. 2
5969. 3
5969. 4
5969. 5
5969. 6
5969. 7
5969. 8
5969. 9
5970. 0
5970. 1
5970. 2
5970. 3
5971. 0
5971. 1
5971. 2
5971. 3
5971. 4
5971. 5
5971. 6
5972. 0
pull
Entries 37
Mean 260.7
Std Dev 0
100
50
0
−50
−100

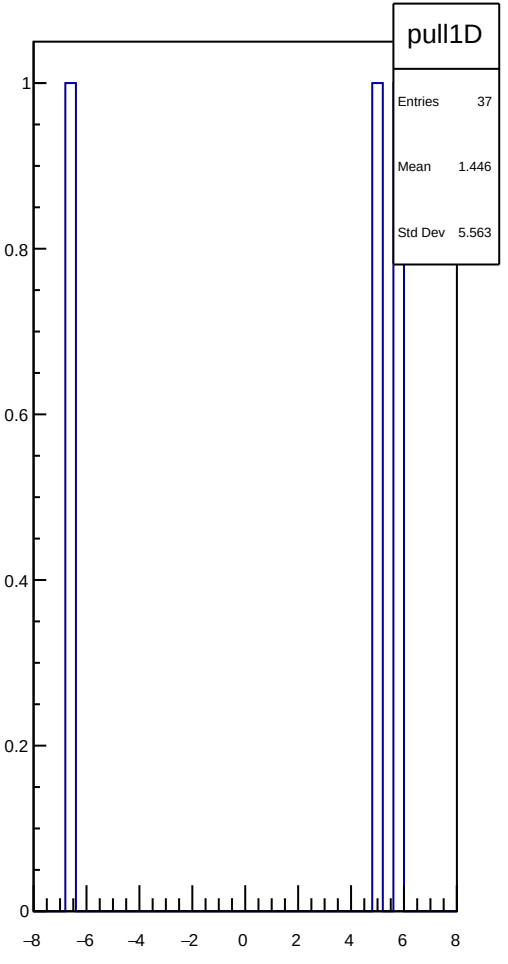
pull1D
Entries 37
Mean 1.446
Std Dev 5.563
1
0.8
0.6
0.4
0.2
0
−8
−6
−4
−2
0
2
4
6
8

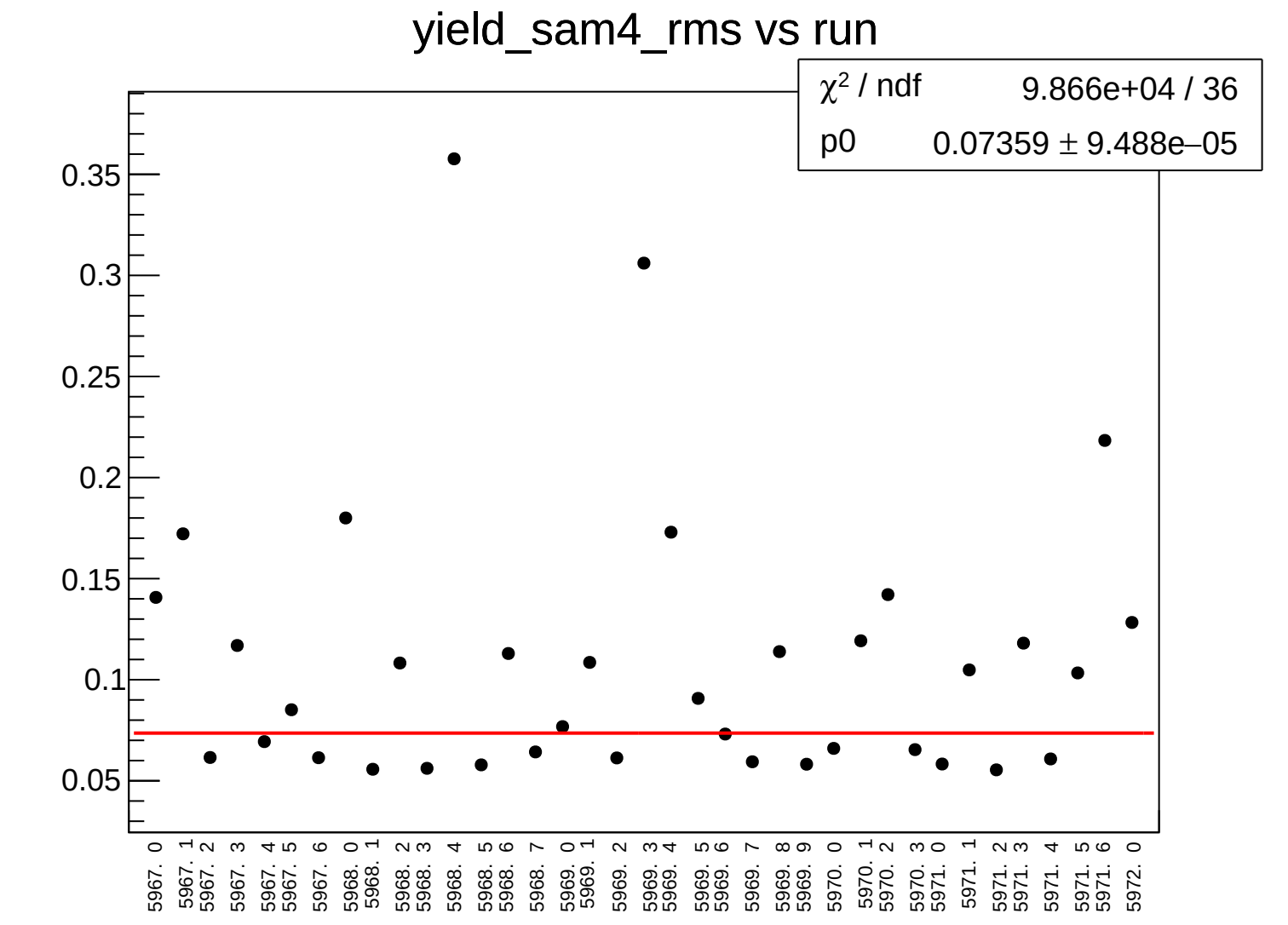
yield_sam4_rms vs run
χ² / ndf 9.866e+04 / 36
p0 0.07359 ± 9.488e–05
0.35
0.3
0.25
0.2
0.15
0.1
0.05
5967. 0
5967. 1
5967. 2
5967. 3
5967. 4
5967. 5
5967. 6
5968. 0
5968. 1
5968. 2
5968. 3
5968. 4
5968. 5
5968. 6
5968. 7
5969. 0
5969. 1
5969. 2
5969. 3
5969. 4
5969. 5
5969. 6
5969. 7
5969. 8
5969. 9
5970. 0
5970. 1
5970. 2
5970. 3
5971. 0
5971. 1
5971. 2
5971. 3
5971. 4
5971. 5
5971. 6
5972. 0

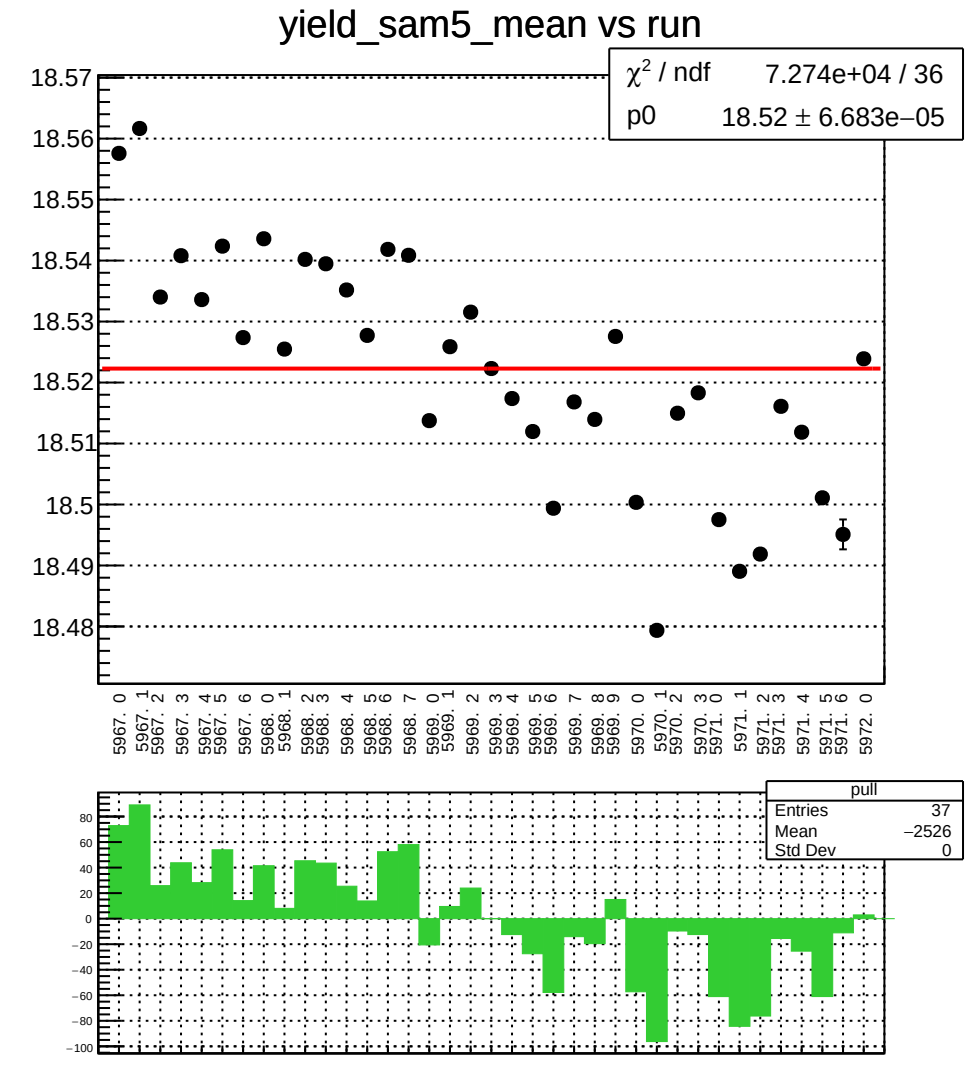
yield_sam5_mean vs run
χ² / ndf 7.274e+04 / 36
p0 18.52 ± 6.683e−05
18.57
18.56
18.55
18.54
18.53
18.52
18.51
18.5
18.49
18.48
5967. 0
5967. 1
5967. 2
5967. 3
5967. 4
5967. 5
5967. 6
5968. 0
5968. 1
5968. 2
5968. 3
5968. 4
5968. 5
5968. 6
5968. 7
5969. 0
5969. 1
5969. 2
5969. 3
5969. 4
5969. 5
5969. 6
5969. 7
5969. 8
5969. 9
5970. 0
5970. 1
5970. 2
5970. 3
5971. 0
5971. 1
5971. 2
5971. 3
5971. 4
5971. 5
5971. 6
5972. 0
pull
Entries 37
Mean −2526
Std Dev 0
80
60
40
20
0
−20
−40
−60
−80
−100

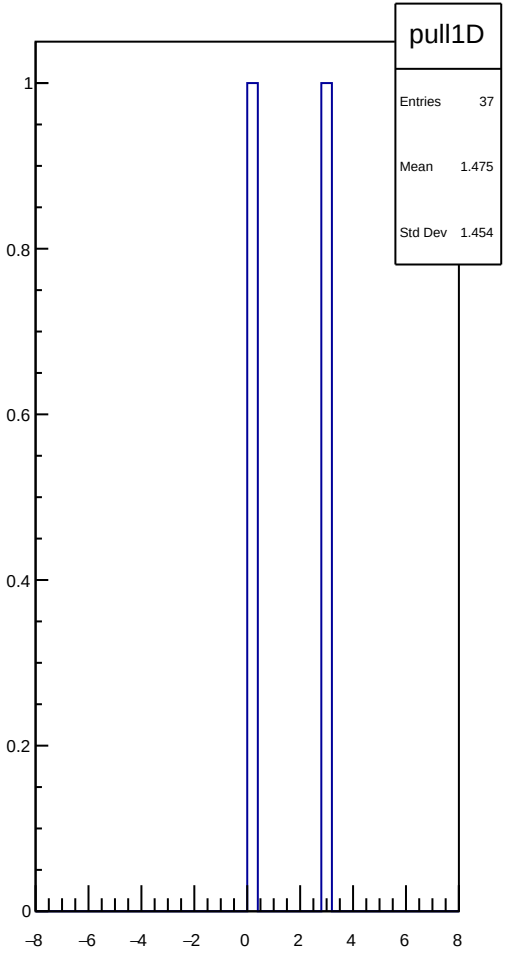
pull1D
Entries 37
Mean 1.475
Std Dev 1.454
1
0.8
0.6
0.4
0.2
0
−8
−6
−4
−2
0
2
4
6
8

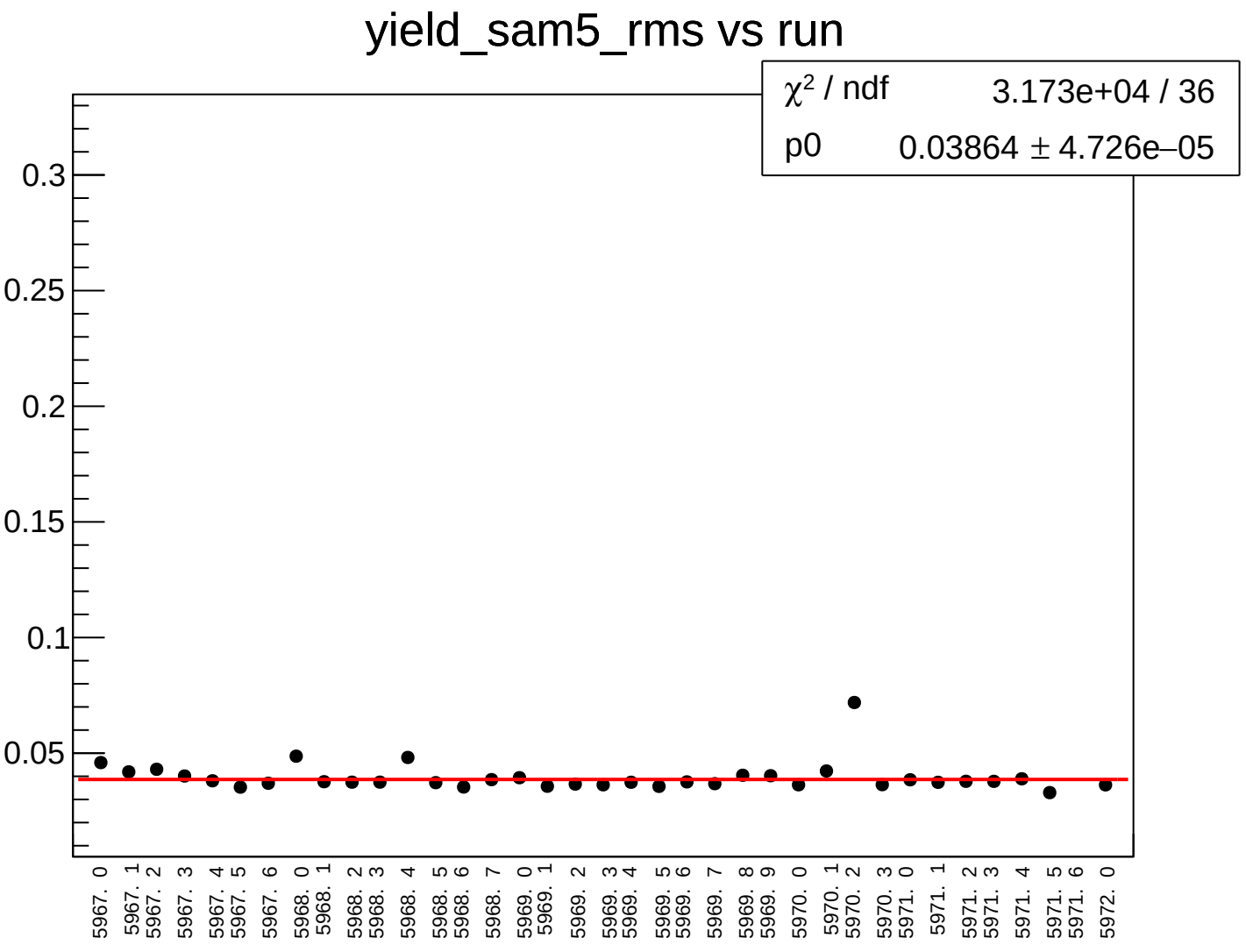
yield_sam5_rms vs run
χ² / ndf 3.173e+04 / 36
p0 0.03864 ± 4.726e−05
0.3
0.25
0.2
0.15
0.1
0.05
5967. 0
5967. 1
5967. 2
5967. 3
5967. 4
5967. 5
5967. 6
5968. 0
5968. 1
5968. 2
5968. 3
5968. 4
5968. 5
5968. 6
5968. 7
5969. 0
5969. 1
5969. 2
5969. 3
5969. 4
5969. 5
5969. 6
5969. 7
5969. 8
5969. 9
5970. 0
5970. 1
5970. 2
5970. 3
5971. 0
5971. 1
5971. 2
5971. 3
5971. 4
5971. 5
5971. 6
5972. 0

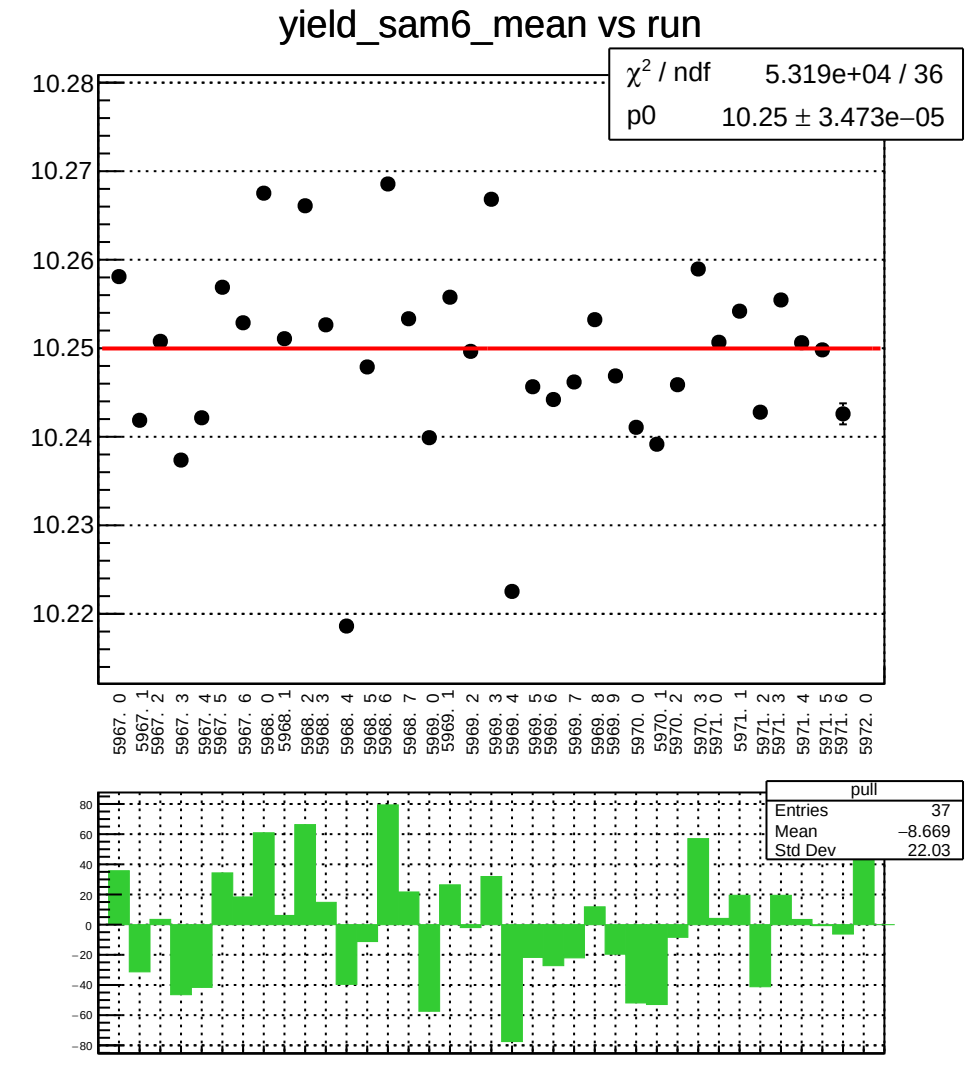
yield_sam6_mean vs run
χ² / ndf 5.319e+04 / 36
p0 10.25 ± 3.473e−05
10.28
10.27
10.26
10.25
10.24
10.23
10.22
5967. 0
5967. 1
5967. 2
5967. 3
5967. 4
5967. 5
5967. 6
5968. 0
5968. 1
5968. 2
5968. 3
5968. 4
5968. 5
5968. 6
5968. 7
5969. 0
5969. 1
5969. 2
5969. 3
5969. 4
5969. 5
5969. 6
5969. 7
5969. 8
5969. 9
5970. 0
5970. 1
5970. 2
5970. 3
5971. 0
5971. 1
5971. 2
5971. 3
5971. 4
5971. 5
5971. 6
5972. 0
pull
Entries 37
Mean −8.669
Std Dev 22.03
80
60
40
20
0
−20
−40
−60
−80

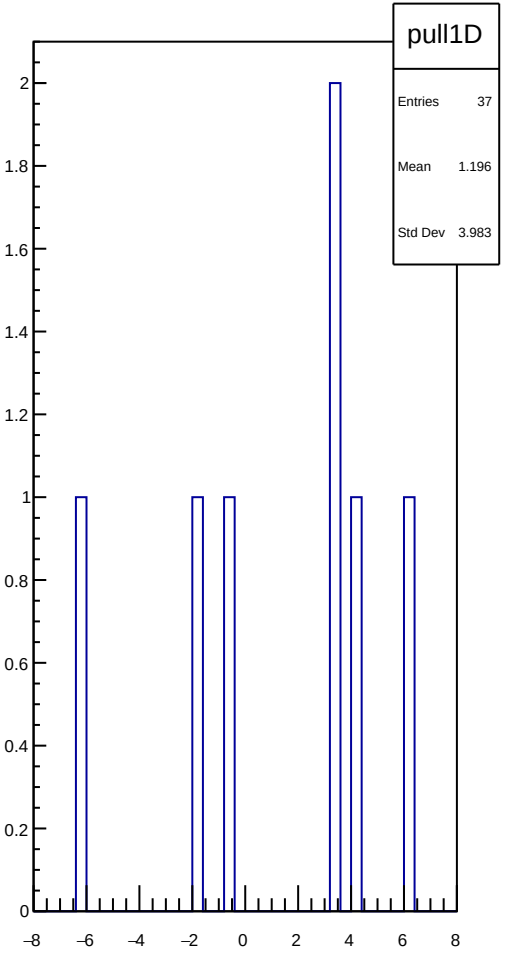
pull1D
Entries 37
Mean 1.196
Std Dev 3.983
2
1.8
1.6
1.4
1.2
1
0.8
0.6
0.4
0.2
0
−8
−6
−4
−2
0
2
4
6
8

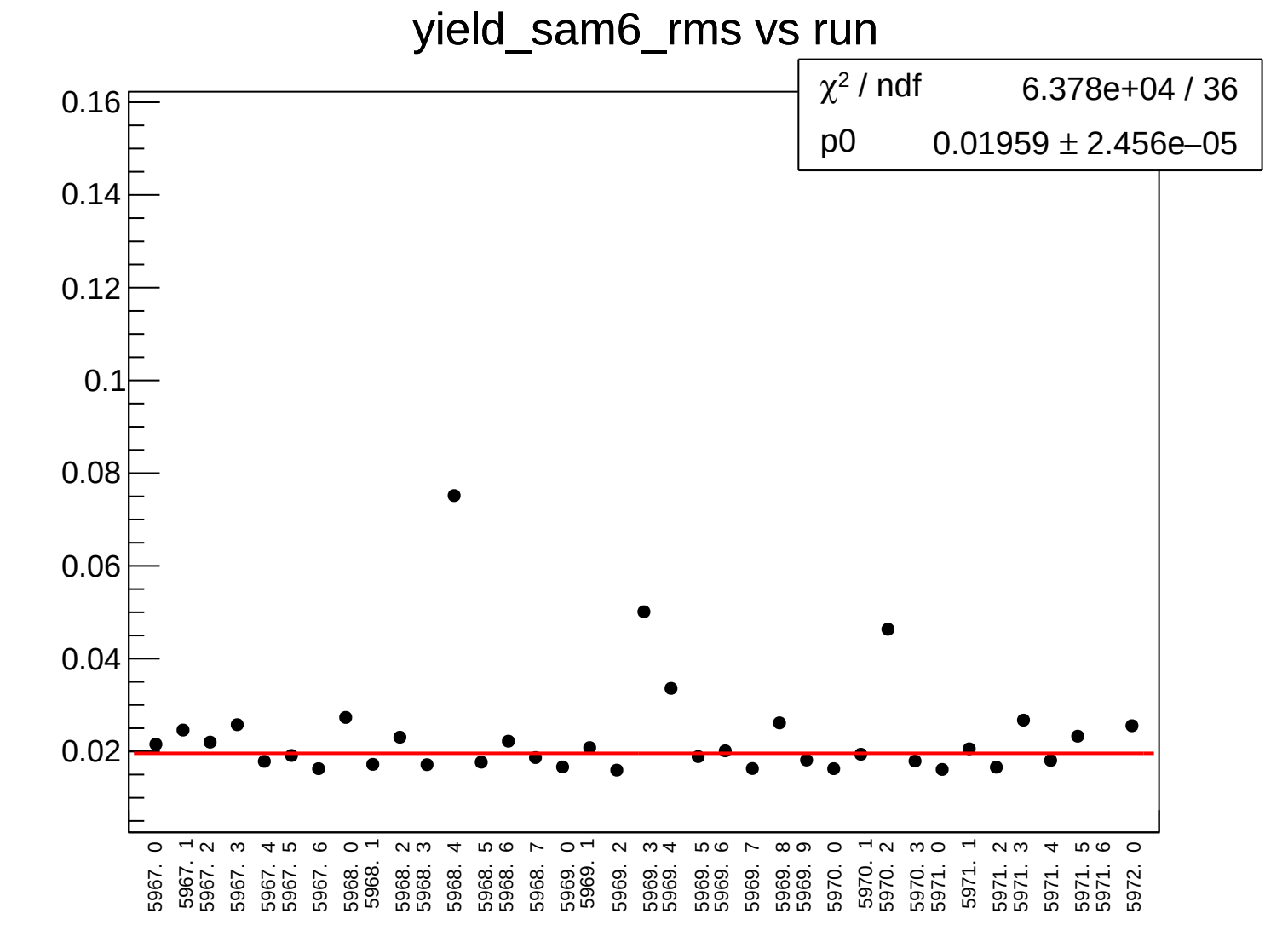
yield_sam6_rms vs run
χ² / ndf 6.378e+04 / 36
p0 0.01959 ± 2.456e−05
0.16
0.14
0.12
0.1
0.08
0.06
0.04
0.02
5967. 0
5967. 1
5967. 2
5967. 3
5967. 4
5967. 5
5967. 6
5968. 0
5968. 1
5968. 2
5968. 3
5968. 4
5968. 5
5968. 6
5968. 7
5969. 0
5969. 1
5969. 2
5969. 3
5969. 4
5969. 5
5969. 6
5969. 7
5969. 8
5969. 9
5970. 0
5970. 1
5970. 2
5970. 3
5971. 0
5971. 1
5971. 2
5971. 3
5971. 4
5971. 5
5971. 6
5972. 0

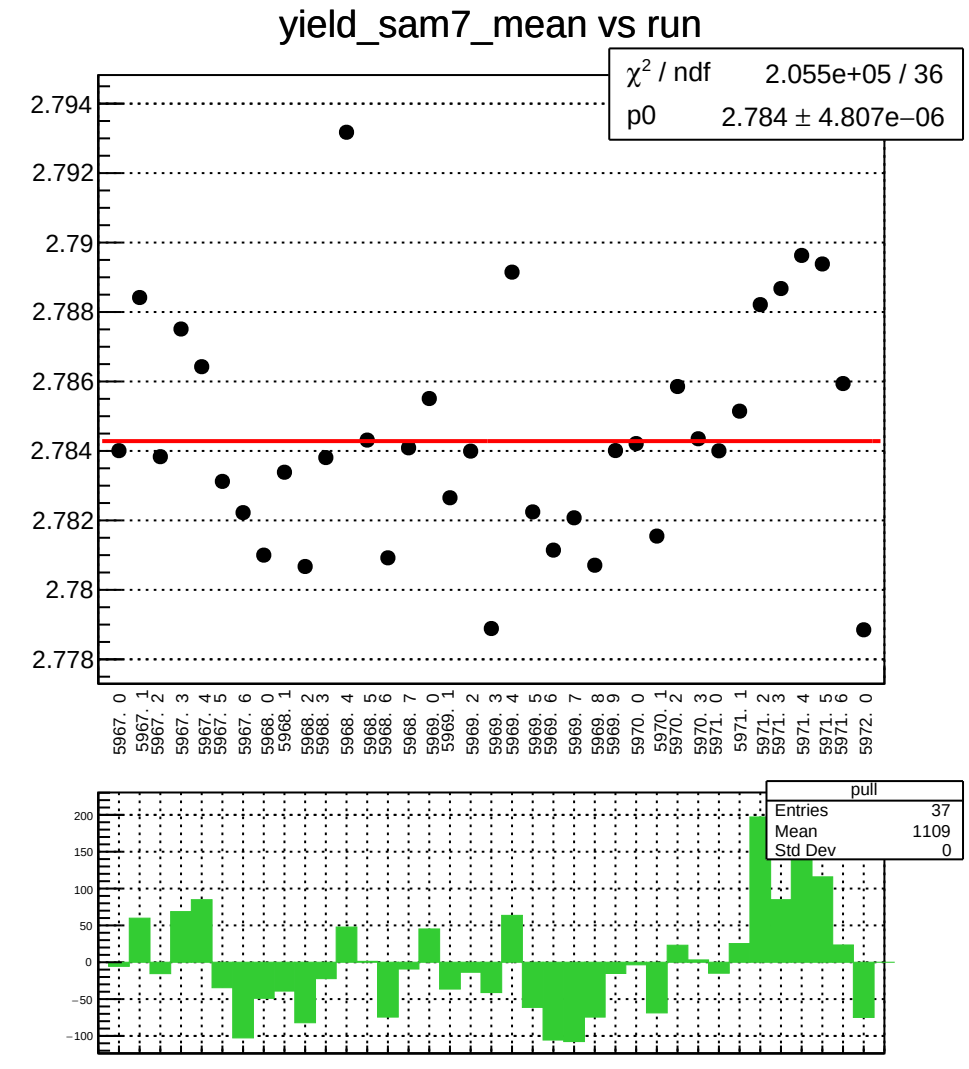
yield_sam7_mean vs run
χ² / ndf 2.055e+05 / 36
p0 2.784 ± 4.807e−06
2.794
2.792
2.79
2.788
2.786
2.784
2.782
2.78
2.778
5967. 0
5967. 1
5967. 2
5967. 3
5967. 4
5967. 5
5967. 6
5968. 0
5968. 1
5968. 2
5968. 3
5968. 4
5968. 5
5968. 6
5968. 7
5969. 0
5969. 1
5969. 2
5969. 3
5969. 4
5969. 5
5969. 6
5969. 7
5969. 8
5969. 9
5970. 0
5970. 1
5970. 2
5970. 3
5971. 0
5971. 1
5971. 2
5971. 3
5971. 4
5971. 5
5971. 6
5972. 0
pull
Entries 37
Mean 1109
Std Dev 0
200
150
100
50
0
−50
−100

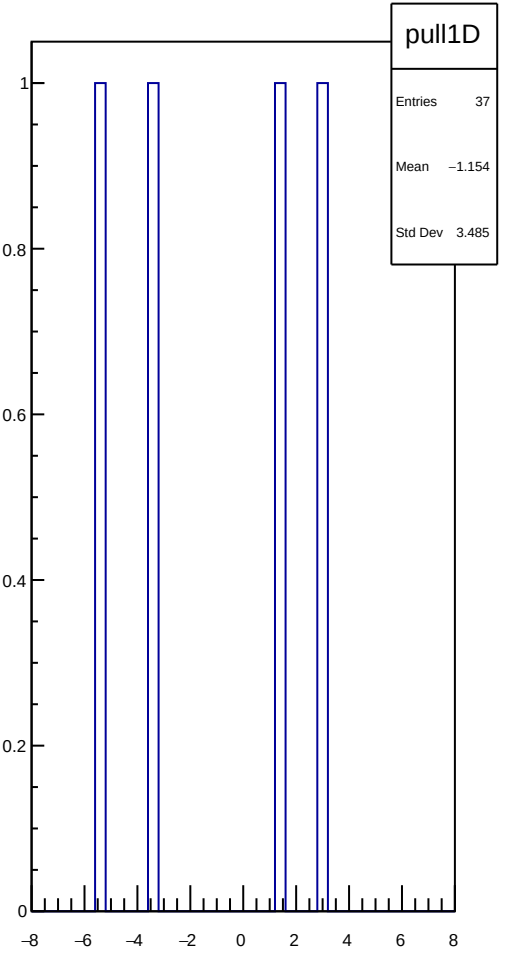
pull1D
Entries 37
Mean −1.154
Std Dev 3.485
1
0.8
0.6
0.4
0.2
0
−8
−6
−4
−2
0
2
4
6
8

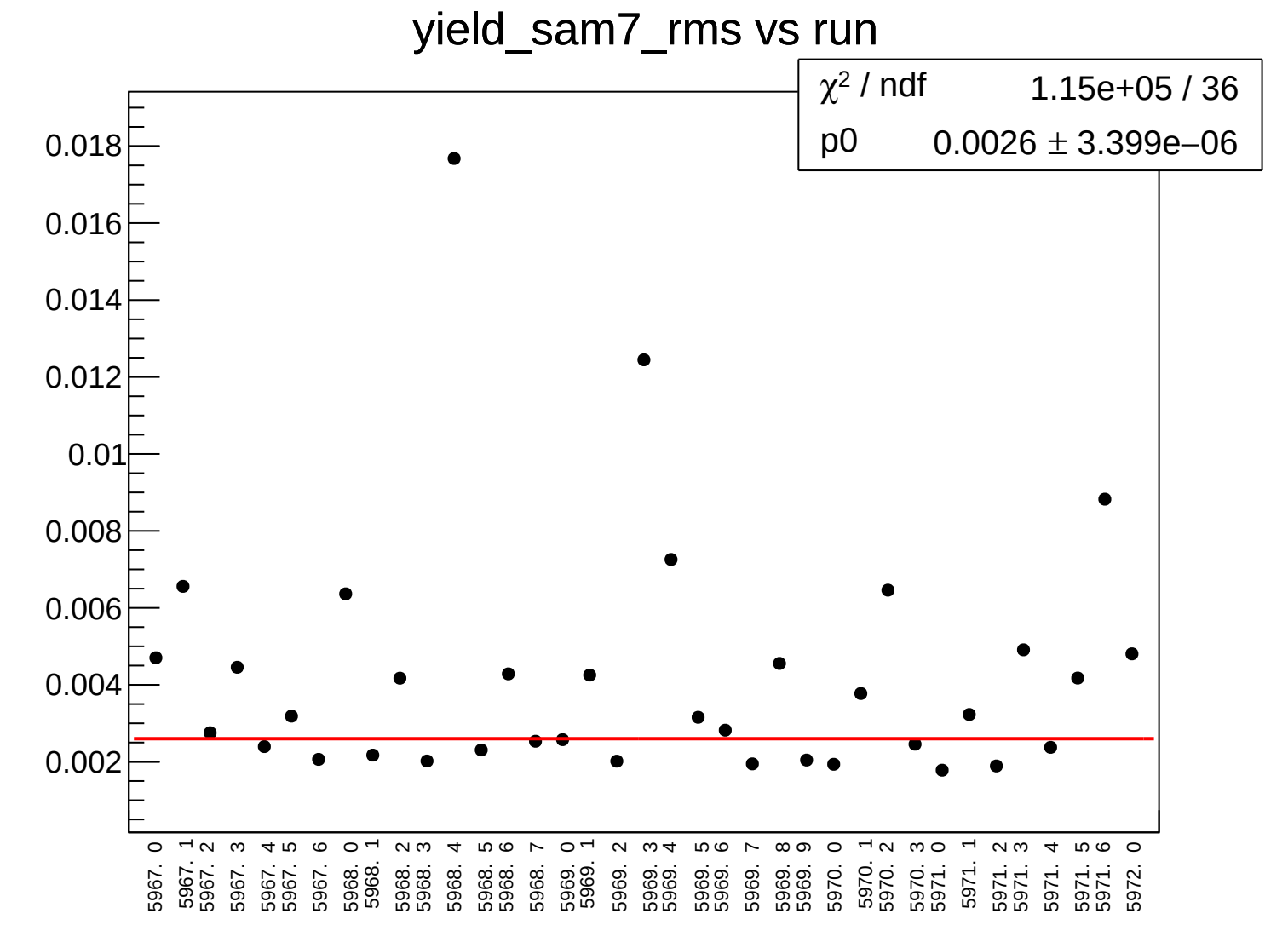
yield_sam7_rms vs run
χ² / ndf 1.15e+05 / 36
p0 0.0026 ± 3.399e−06
0.018
0.016
0.014
0.012
0.01
0.008
0.006
0.004
0.002
5967. 0
5967. 1
5967. 2
5967. 3
5967. 4
5967. 5
5967. 6
5968. 0
5968. 1
5968. 2
5968. 3
5968. 4
5968. 5
5968. 6
5968. 7
5969. 0
5969. 1
5969. 2
5969. 3
5969. 4
5969. 5
5969. 6
5969. 7
5969. 8
5969. 9
5970. 0
5970. 1
5970. 2
5970. 3
5971. 0
5971. 1
5971. 2
5971. 3
5971. 4
5971. 5
5971. 6
5972. 0

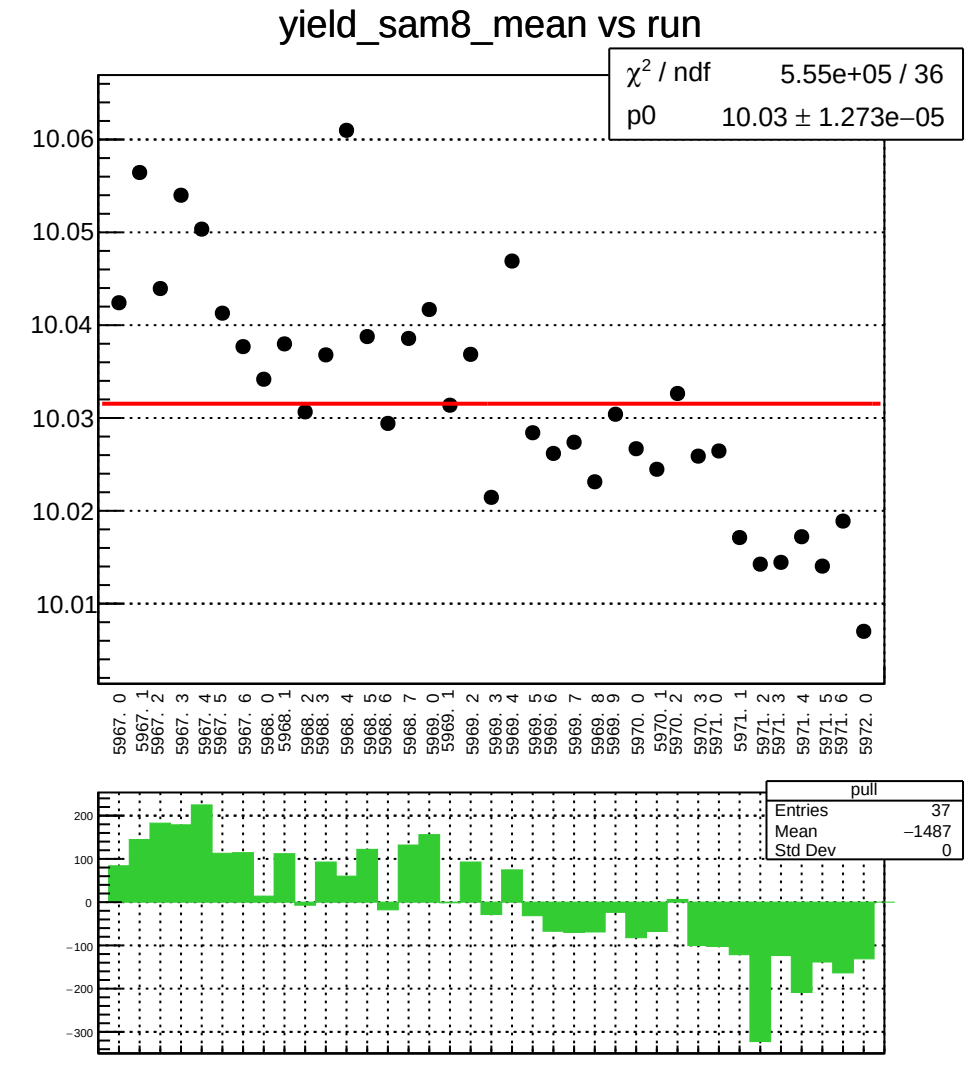
yield_sam8_mean vs run
χ² / ndf 5.55e+05 / 36
p0 10.03 ± 1.273e−05
10.06
10.05
10.04
10.03
10.02
10.01
5967. 0
5967. 1
5967. 2
5967. 3
5967. 4
5967. 5
5967. 6
5968. 0
5968. 1
5968. 2
5968. 3
5968. 4
5968. 5
5968. 6
5968. 7
5969. 0
5969. 1
5969. 2
5969. 3
5969. 4
5969. 5
5969. 6
5969. 7
5969. 8
5969. 9
5970. 0
5970. 1
5970. 2
5970. 3
5971. 0
5971. 1
5971. 2
5971. 3
5971. 4
5971. 5
5971. 6
5972. 0
pull
Entries 37
Mean −1487
Std Dev 0
200
100
0
−100
−200
−300
pull1D
Entries 37
Mean −0.7267
Std Dev 5.434
1
0.8
0.6
0.4
0.2
0
−8
−6
−4
−2
0
2
4
6
8

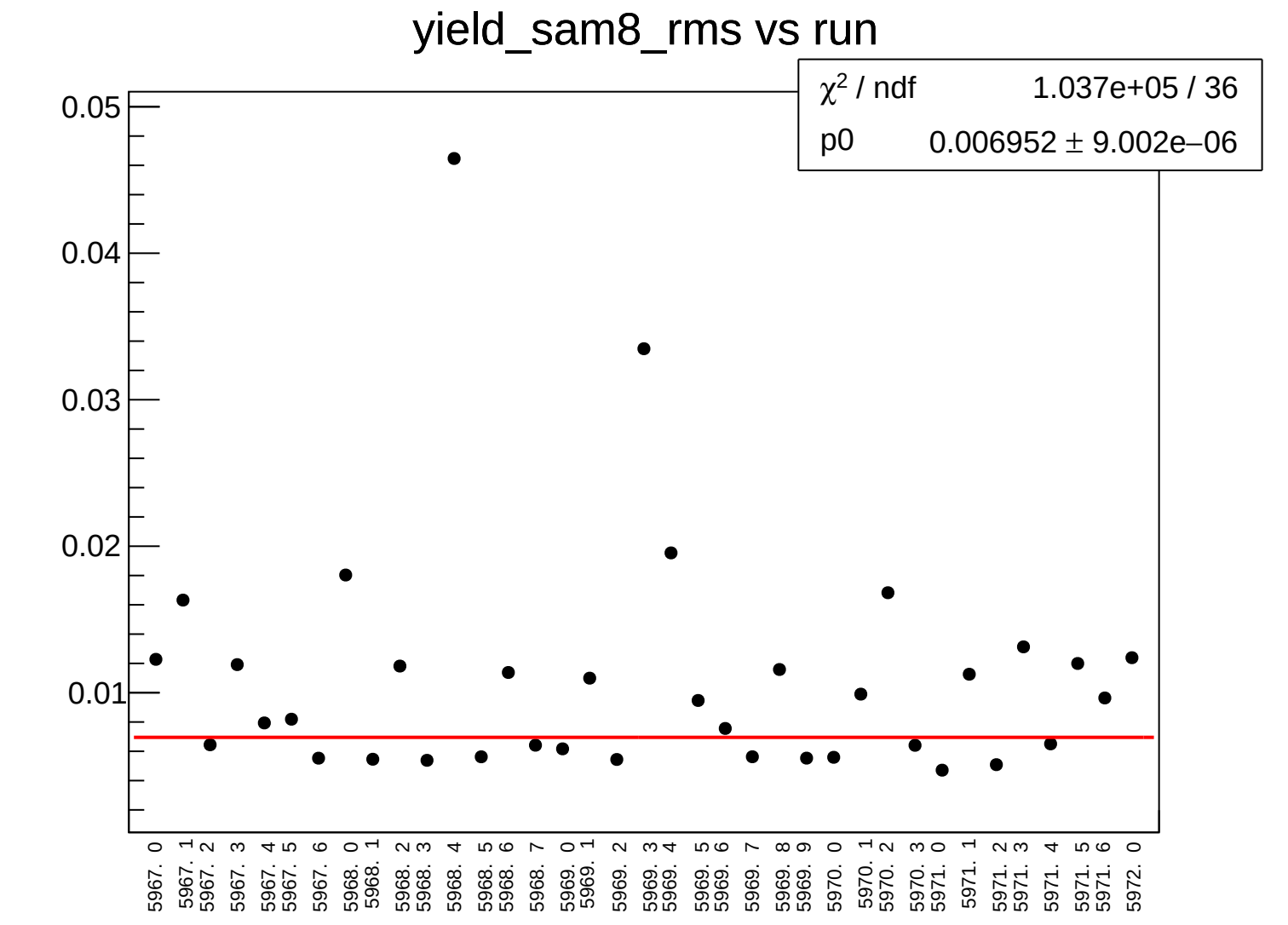
yield_sam8_rms vs run
χ² / ndf 1.037e+05 / 36
p0 0.006952 ± 9.002e−06
0.05
0.04
0.03
0.02
0.01
5967. 0
5967. 1
5967. 2
5967. 3
5967. 4
5967. 5
5967. 6
5968. 0
5968. 1
5968. 2
5968. 3
5968. 4
5968. 5
5968. 6
5968. 7
5969. 0
5969. 1
5969. 2
5969. 3
5969. 4
5969. 5
5969. 6
5969. 7
5969. 8
5969. 9
5970. 0
5970. 1
5970. 2
5970. 3
5971. 0
5971. 1
5971. 2
5971. 3
5971. 4
5971. 5
5971. 6
5972. 0

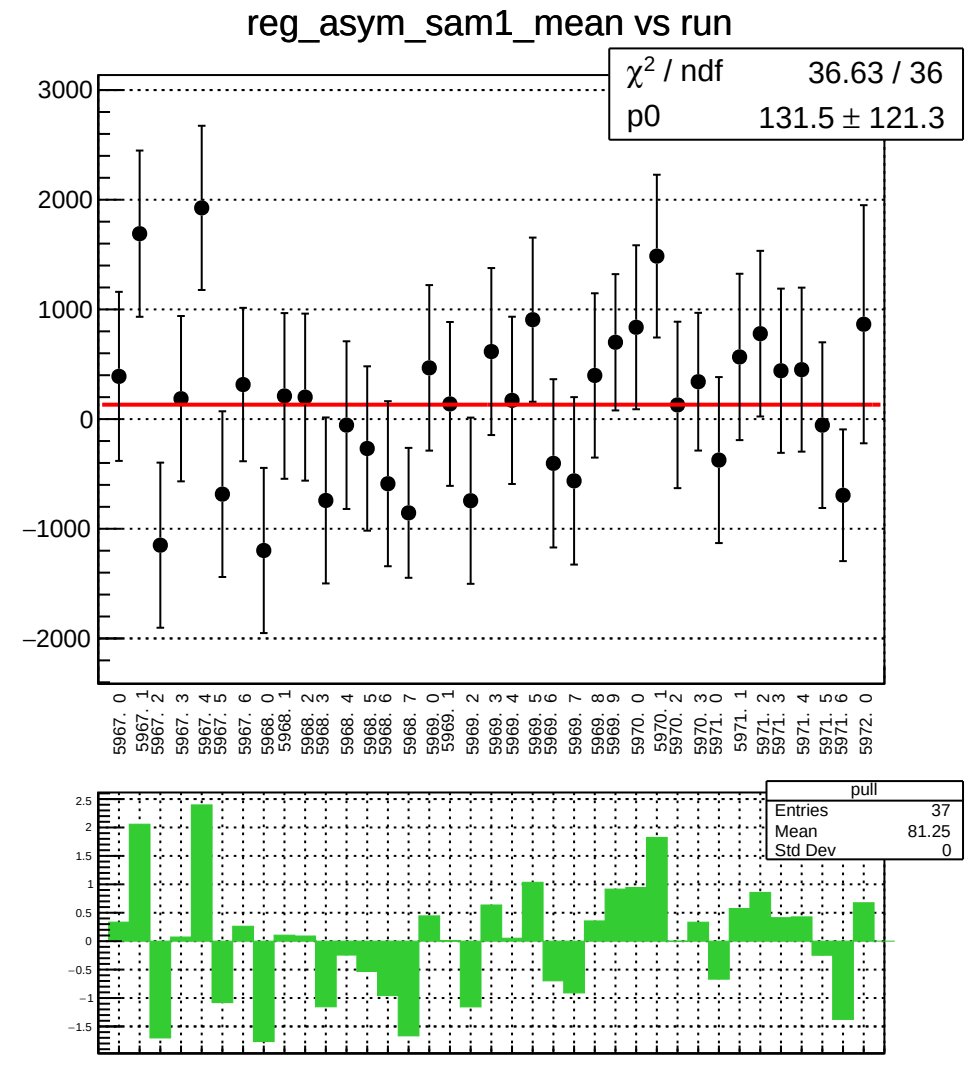
reg_asym_sam1_mean vs run
χ² / ndf 36.63 / 36
p0 131.5 ± 121.3
3000
2000
1000
0
−1000
−2000
5967. 0
5967. 1
5967. 2
5967. 3
5967. 4
5967. 5
5967. 6
5968. 0
5968. 1
5968. 2
5968. 3
5968. 4
5968. 5
5968. 6
5968. 7
5969. 0
5969. 1
5969. 2
5969. 3
5969. 4
5969. 5
5969. 6
5969. 7
5969. 8
5969. 9
5970. 0
5970. 1
5970. 2
5970. 3
5971. 0
5971. 1
5971. 2
5971. 3
5971. 4
5971. 5
5971. 6
5972. 0
pull
Entries 37
Mean 81.25
Std Dev 0
2.5
2
1.5
1
0.5
0
−0.5
−1
−1.5

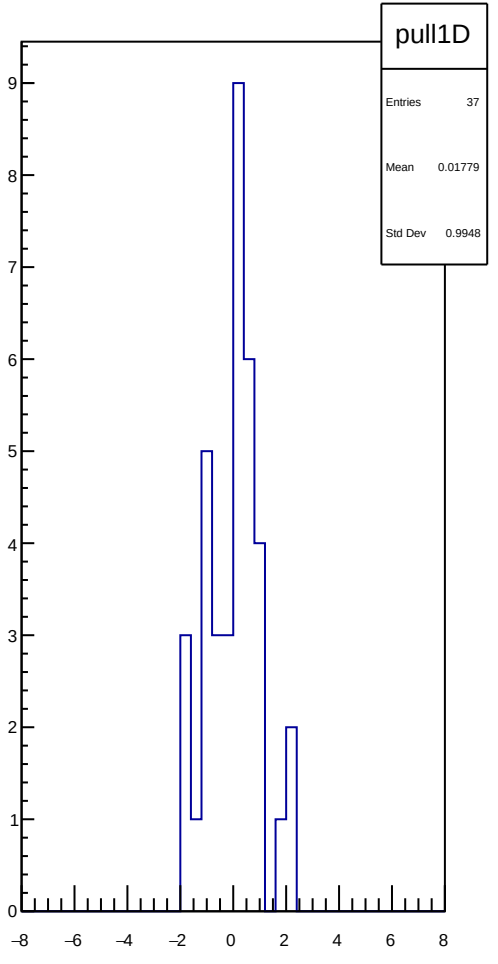
pull1D
Entries 37
Mean 0.01779
Std Dev 0.9948
9
8
7
6
5
4
3
2
1
0
−8
−6
−4
−2
0
2
4
6
8

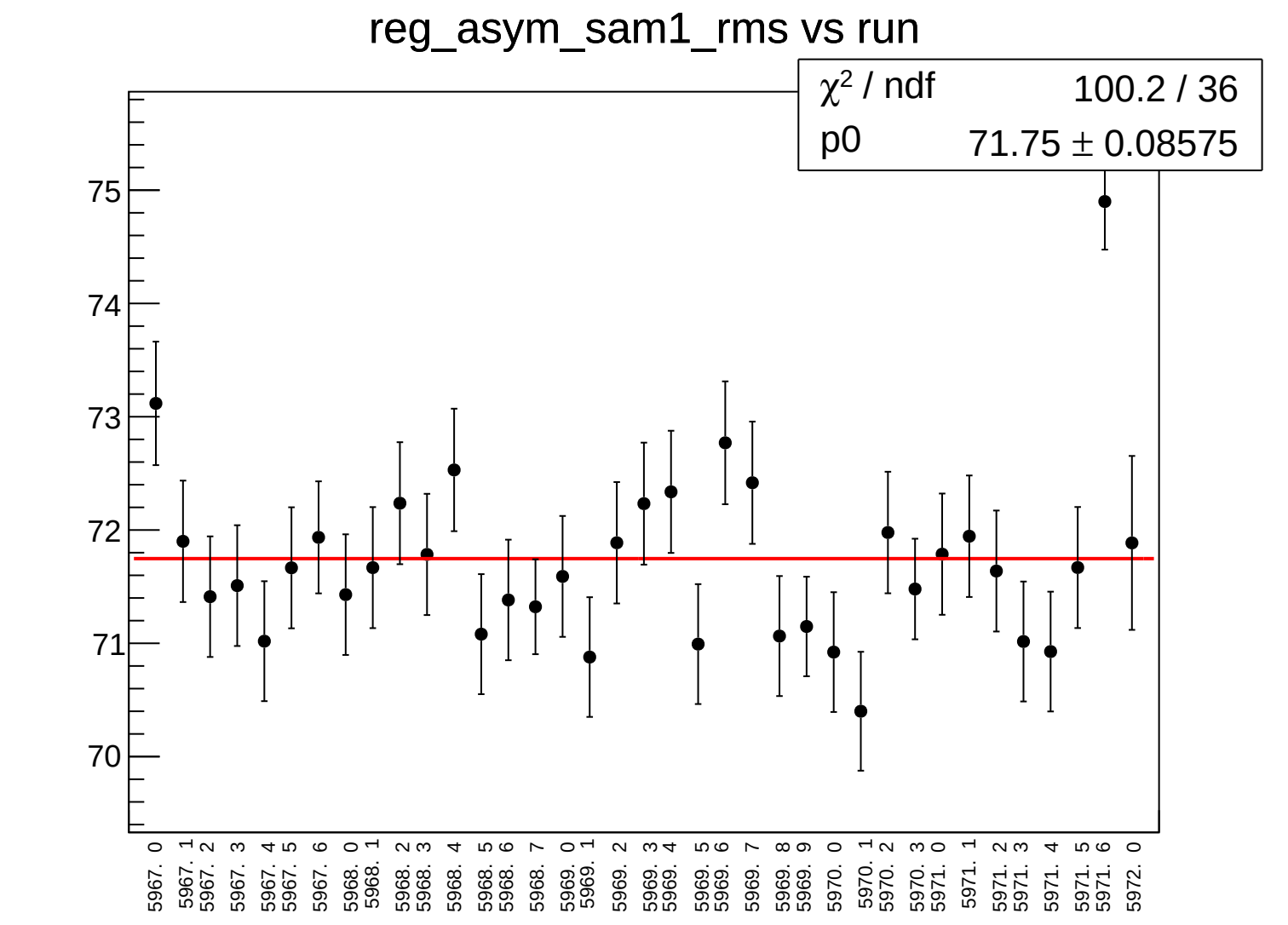
reg_asym_sam1_rms vs run
χ^2 / ndf 100.2 / 36
p0 71.75 ± 0.08575
75
74
73
72
71
70
5967. 0
5967. 1
5967. 2
5967. 3
5967. 4
5967. 5
5967. 6
5968. 0
5968. 1
5968. 2
5968. 3
5968. 4
5968. 5
5968. 6
5968. 7
5969. 0
5969. 1
5969. 2
5969. 3
5969. 4
5969. 5
5969. 6
5969. 7
5969. 8
5969. 9
5970. 0
5970. 1
5970. 2
5970. 3
5971. 0
5971. 1
5971. 2
5971. 3
5971. 4
5971. 5
5971. 6
5972. 0

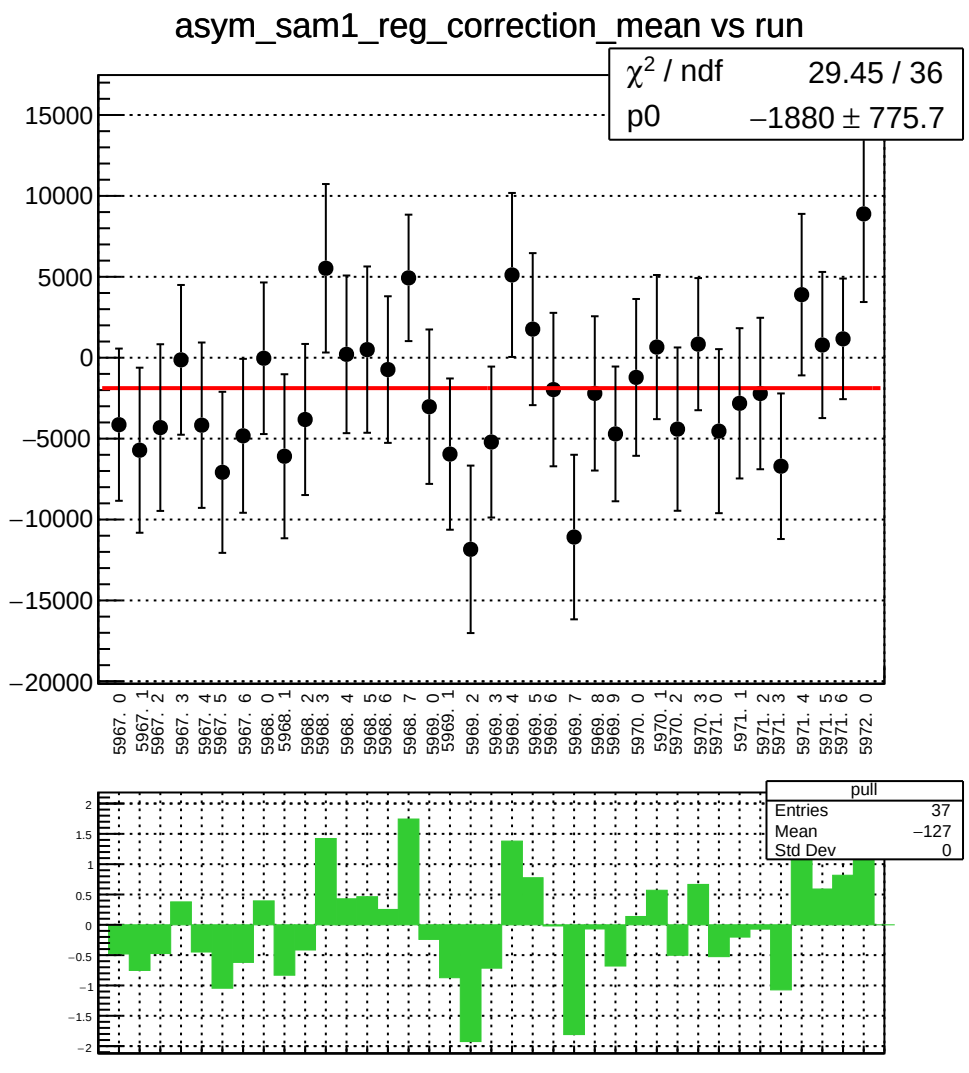
asym_sam1_reg_correction_mean vs run
χ² / ndf 29.45 / 36
p0 −1880 ± 775.7
15000
10000
5000
0
−5000
−10000
−15000
−20000
5967. 0
5967. 1
5967. 2
5967. 3
5967. 4
5967. 5
5967. 6
5968. 0
5968. 1
5968. 2
5968. 3
5968. 4
5968. 5
5968. 6
5968. 7
5969. 0
5969. 1
5969. 2
5969. 3
5969. 4
5969. 5
5969. 6
5969. 7
5969. 8
5969. 9
5970. 0
5970. 1
5970. 2
5970. 3
5971. 0
5971. 1
5971. 2
5971. 3
5971. 4
5971. 5
5971. 6
5972. 0
pull
Entries 37
Mean −127
Std Dev 0
2
1.5
1
0.5
0
−0.5
−1
−1.5
−2

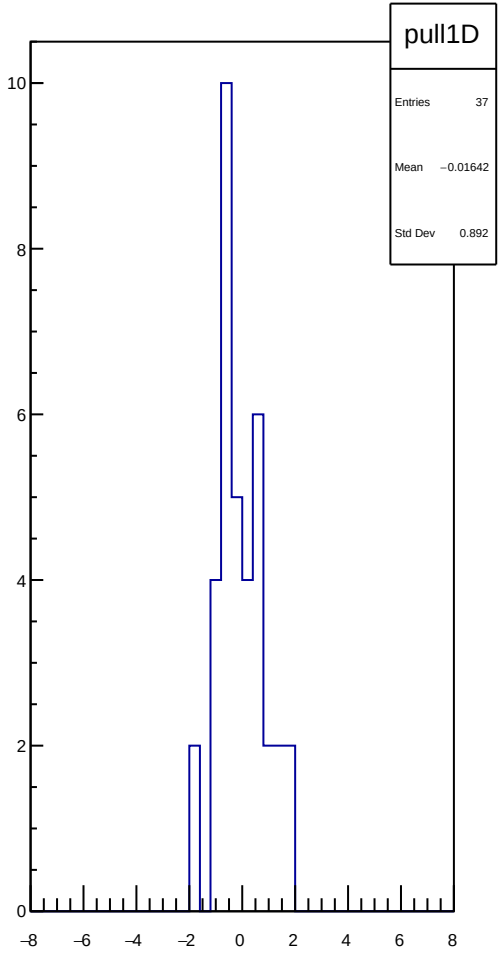
pull1D
Entries 37
Mean −0.01642
Std Dev 0.892
10
8
6
4
2
0
−8
−6
−4
−2
0
2
4
6
8

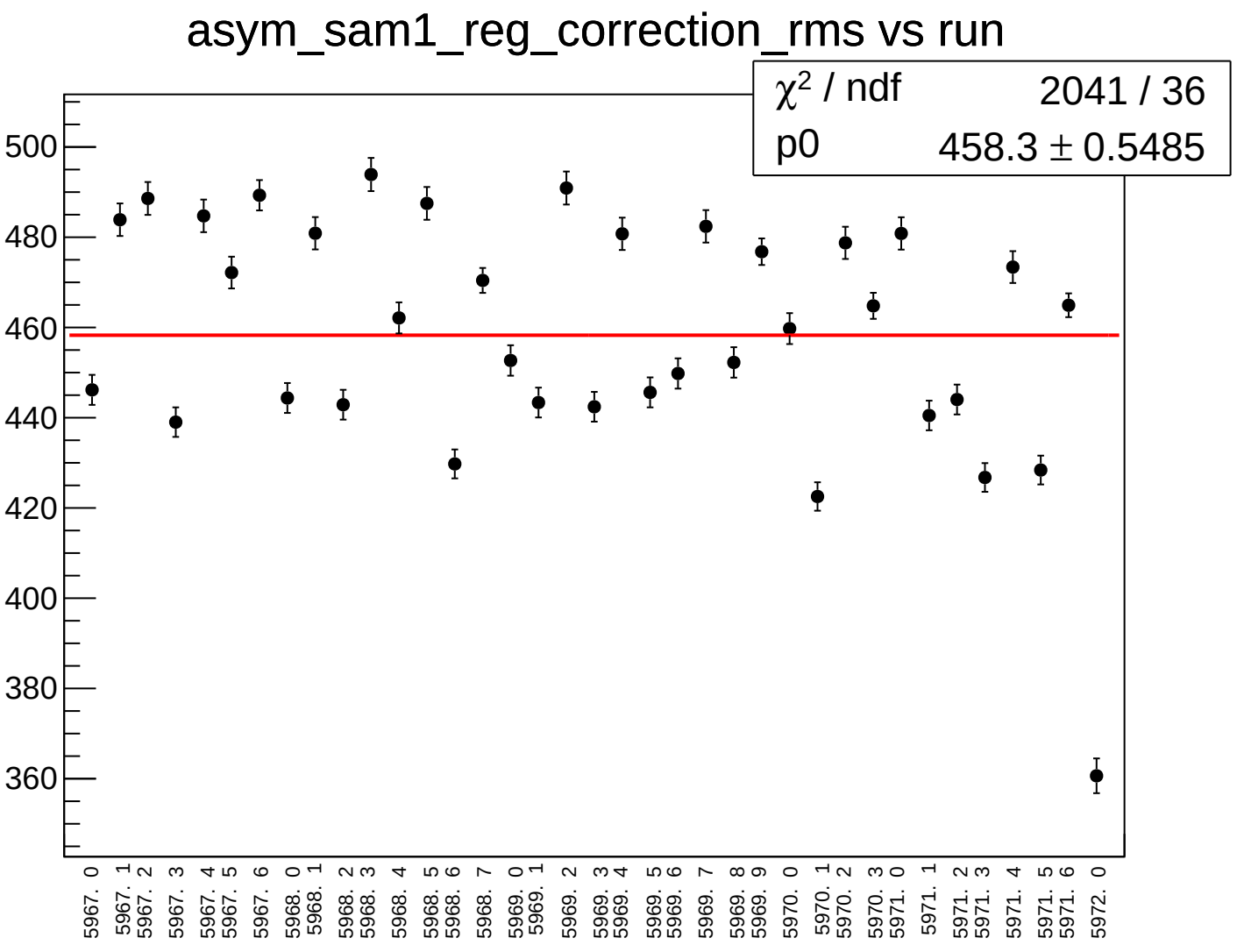
asym_sam1_reg_correction_rms vs run
χ² / ndf 2041 / 36
p0 458.3 ± 0.5485
500
480
460
440
420
400
380
360
5967. 0
5967. 1
5967. 2
5967. 3
5967. 4
5967. 5
5967. 6
5968. 0
5968. 1
5968. 2
5968. 3
5968. 4
5968. 5
5968. 6
5968. 7
5969. 0
5969. 1
5969. 2
5969. 3
5969. 4
5969. 5
5969. 6
5969. 7
5969. 8
5969. 9
5970. 0
5970. 1
5970. 2
5970. 3
5971. 0
5971. 1
5971. 2
5971. 3
5971. 4
5971. 5
5971. 6
5972. 0

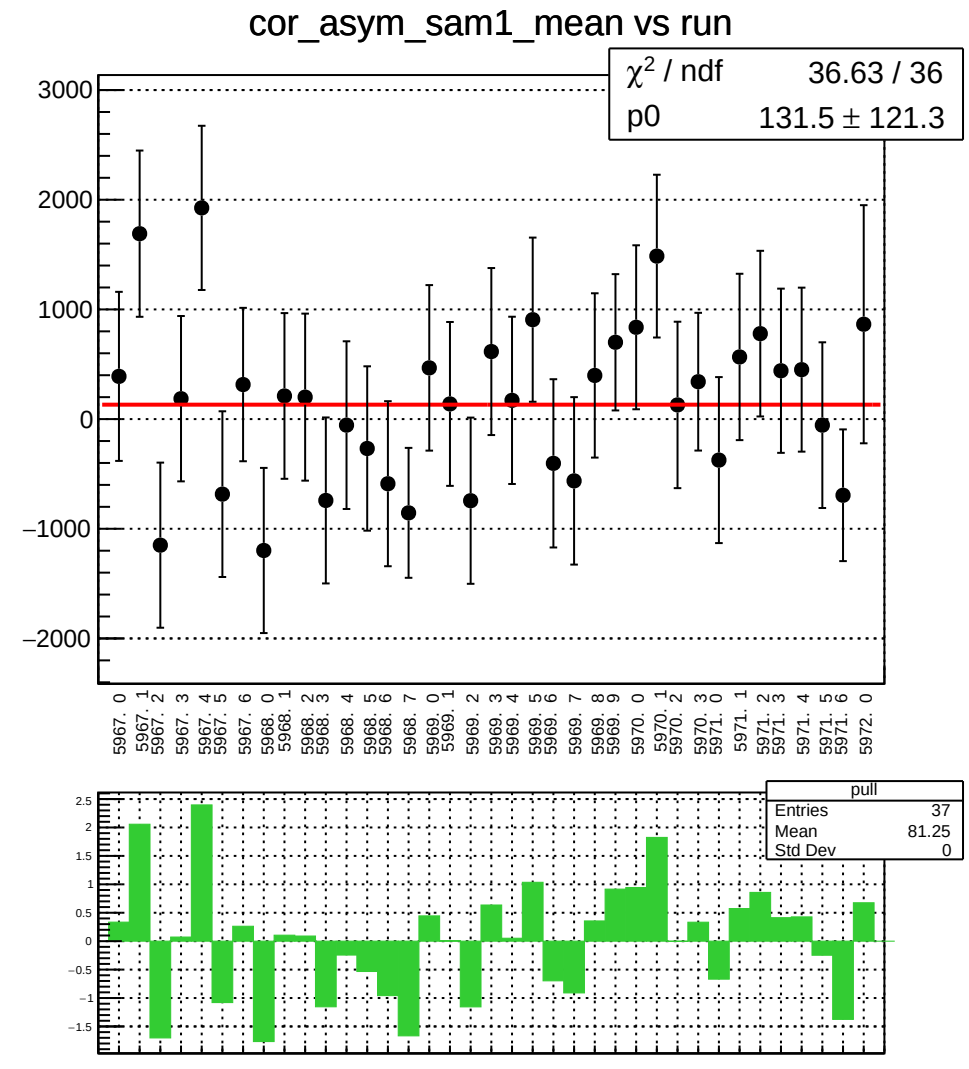
cor_asym_sam1_mean vs run
χ² / ndf 36.63 / 36
p0 131.5 ± 121.3
3000
2000
1000
0
−1000
−2000
5967. 0
5967. 1
5967. 2
5967. 3
5967. 4
5967. 5
5967. 6
5968. 0
5968. 1
5968. 2
5968. 3
5968. 4
5968. 5
5968. 6
5968. 7
5969. 0
5969. 1
5969. 2
5969. 3
5969. 4
5969. 5
5969. 6
5969. 7
5969. 8
5969. 9
5970. 0
5970. 1
5970. 2
5970. 3
5971. 0
5971. 1
5971. 2
5971. 3
5971. 4
5971. 5
5971. 6
5972. 0
pull
Entries 37
Mean 81.25
Std Dev 0
2.5
2
1.5
1
0.5
0
−0.5
−1
−1.5

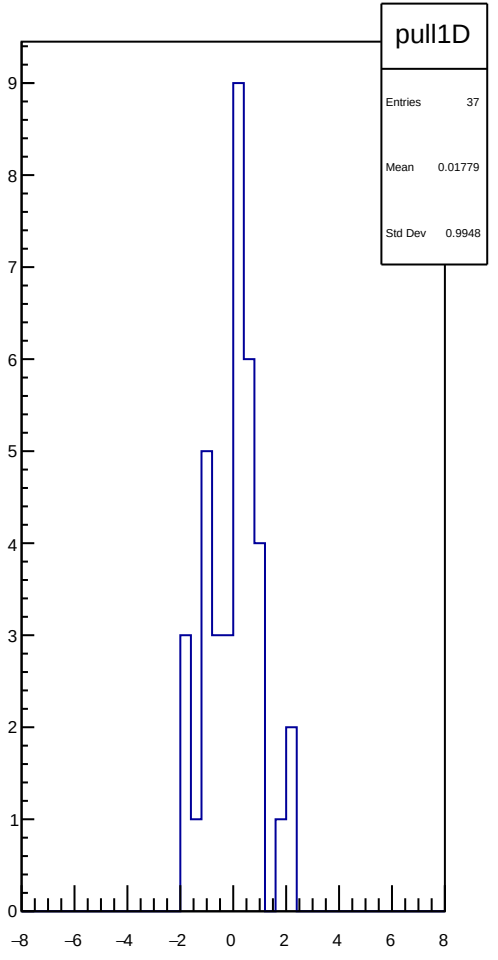
pull1D
Entries 37
Mean 0.01779
Std Dev 0.9948
9
8
7
6
5
4
3
2
1
0
−8
−6
−4
−2
0
2
4
6
8

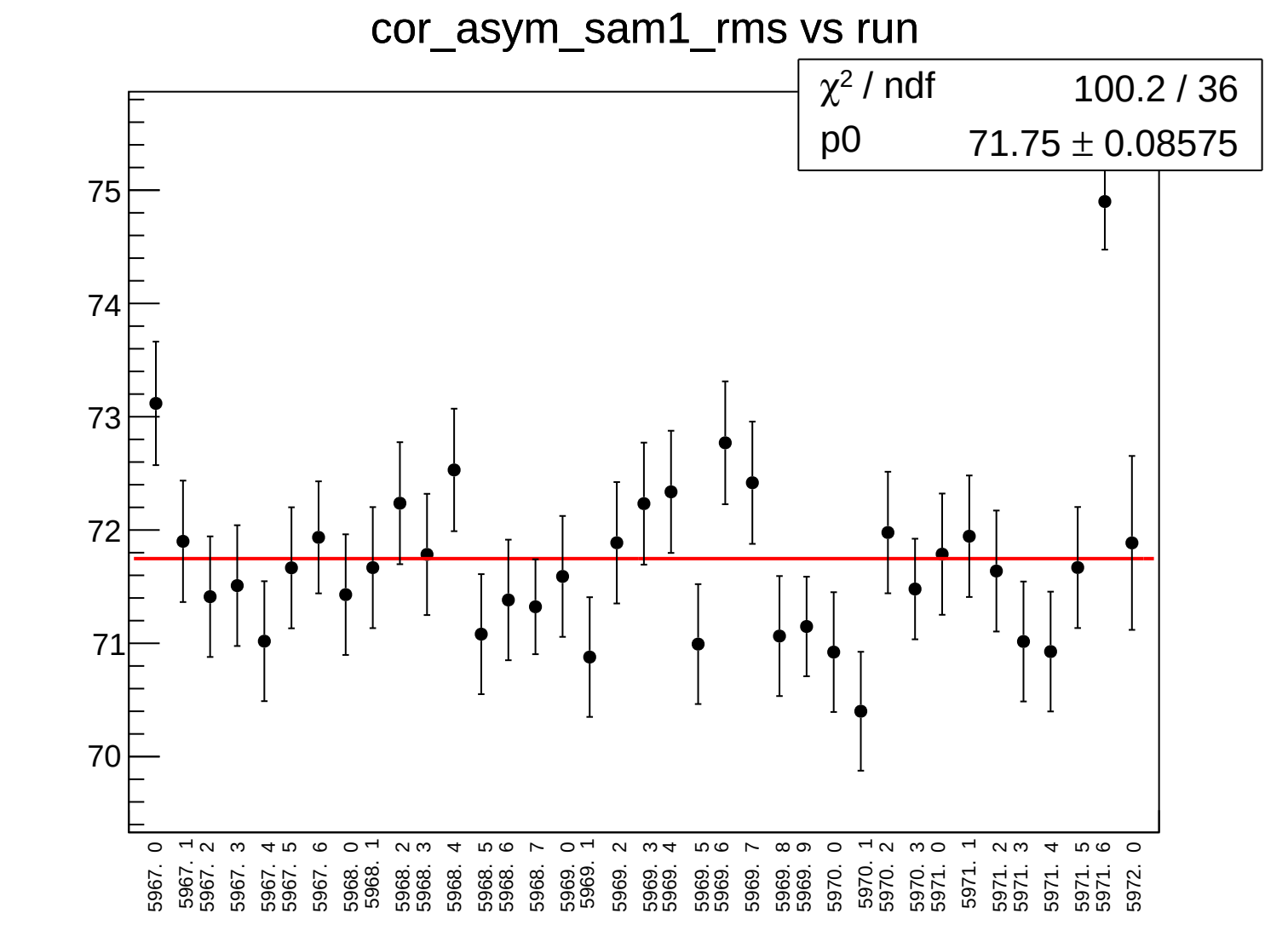
cor_asym_sam1_rms vs run
χ^2 / ndf 100.2 / 36
p0 71.75 ± 0.08575
75
74
73
72
71
70
5967. 0
5967. 1
5967. 2
5967. 3
5967. 4
5967. 5
5967. 6
5968. 0
5968. 1
5968. 2
5968. 3
5968. 4
5968. 5
5968. 6
5968. 7
5969. 0
5969. 1
5969. 2
5969. 3
5969. 4
5969. 5
5969. 6
5969. 7
5969. 8
5969. 9
5970. 0
5970. 1
5970. 2
5970. 3
5971. 0
5971. 1
5971. 2
5971. 3
5971. 4
5971. 5
5971. 6
5972. 0

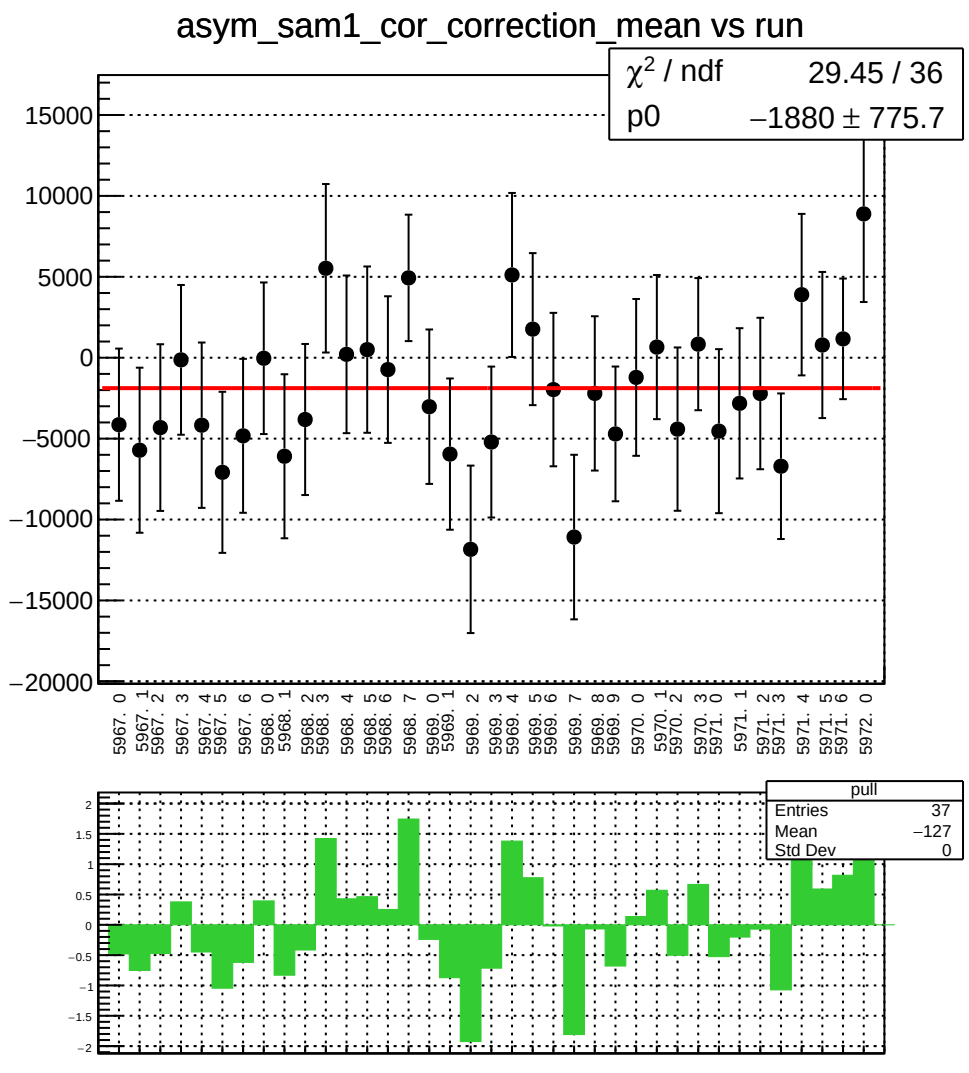
asym_sam1_cor_correction_mean vs run
χ² / ndf 29.45 / 36
p0 −1880 ± 775.7
15000
10000
5000
0
−5000
−10000
−15000
−20000
5967. 0
5967. 1
5967. 2
5967. 3
5967. 4
5967. 5
5967. 6
5968. 0
5968. 1
5968. 2
5968. 3
5968. 4
5968. 5
5968. 6
5968. 7
5969. 0
5969. 1
5969. 2
5969. 3
5969. 4
5969. 5
5969. 6
5969. 7
5969. 8
5969. 9
5970. 0
5970. 1
5970. 2
5970. 3
5971. 0
5971. 1
5971. 2
5971. 3
5971. 4
5971. 5
5971. 6
5972. 0
pull
Entries 37
Mean −127
Std Dev 0
2
1.5
1
0.5
0
−0.5
−1
−1.5
−2

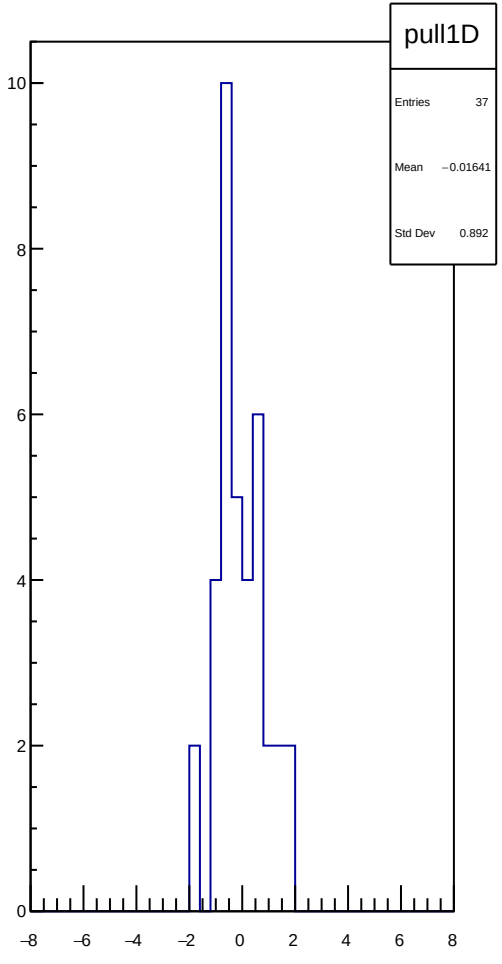
pull1D
Entries 37
Mean −0.01641
Std Dev 0.892
10
8
6
4
2
0
−8
−6
−4
−2
0
2
4
6
8

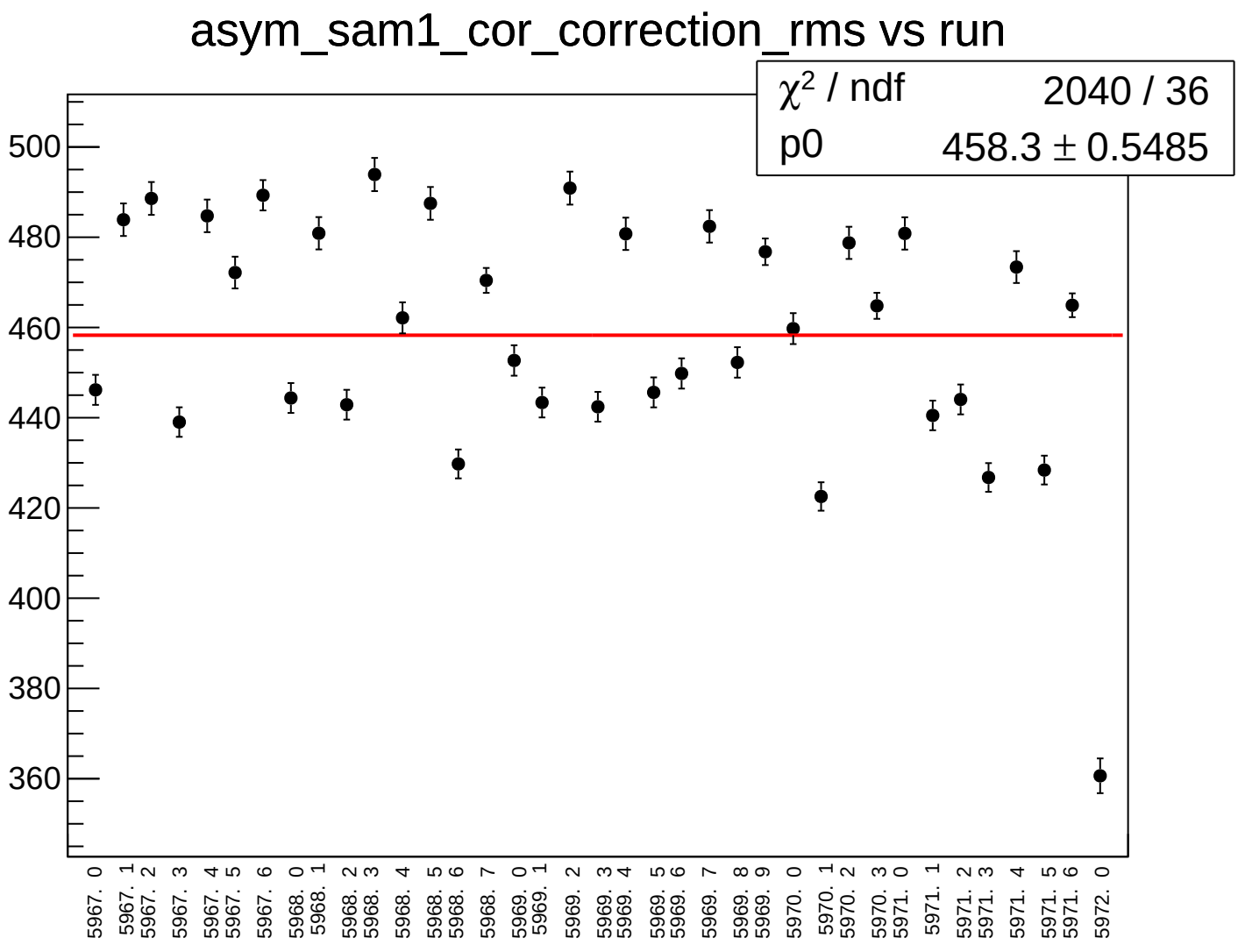
asym_sam1_cor_correction_rms vs run
χ² / ndf 2040 / 36
p0 458.3 ± 0.5485
500
480
460
440
420
400
380
360
5967. 0
5967. 1
5967. 2
5967. 3
5967. 4
5967. 5
5967. 6
5968. 0
5968. 1
5968. 2
5968. 3
5968. 4
5968. 5
5968. 6
5968. 7
5969. 0
5969. 1
5969. 2
5969. 3
5969. 4
5969. 5
5969. 6
5969. 7
5969. 8
5969. 9
5970. 0
5970. 1
5970. 2
5970. 3
5971. 0
5971. 1
5971. 2
5971. 3
5971. 4
5971. 5
5971. 6
5972. 0

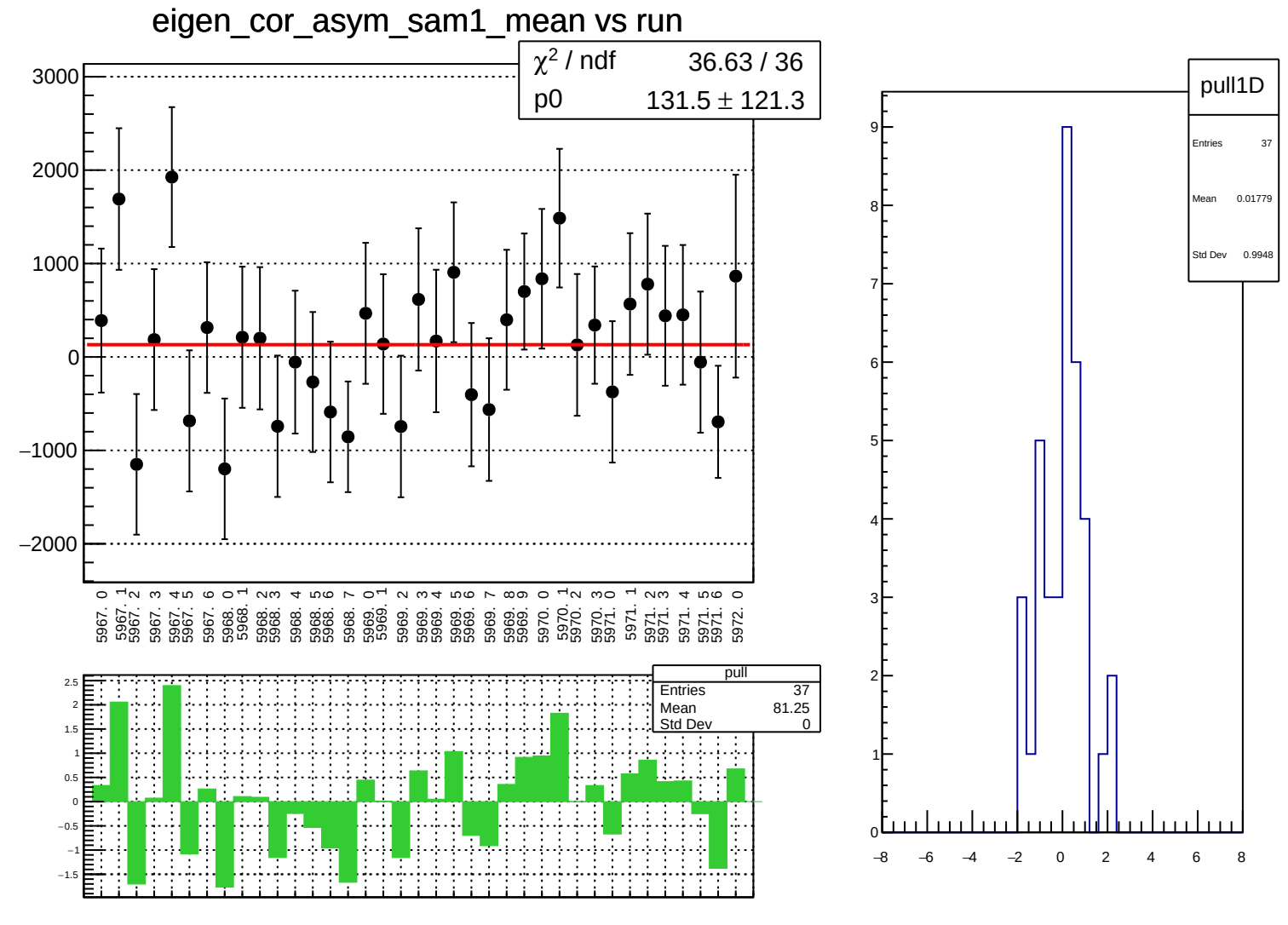
eigen_cor_asym_sam1_mean vs run
χ² / ndf 36.63 / 36
p0 131.5 ± 121.3
pull
Entries 37
Mean 81.25
Std Dev 0
pull1D
Entries 37
Mean 0.01779
Std Dev 0.9948

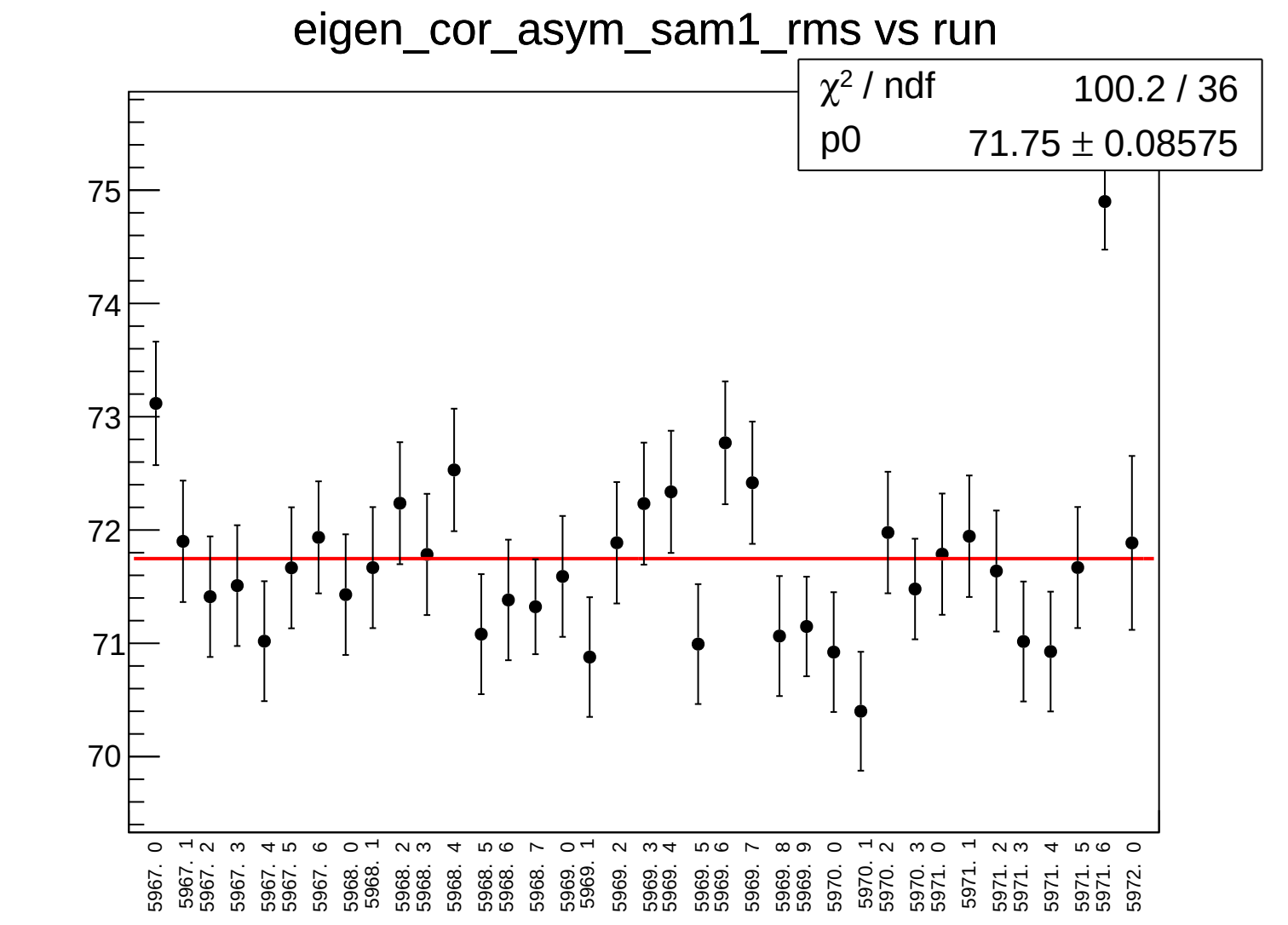
eigen_cor_asym_sam1_rms vs run
χ² / ndf 100.2 / 36
p0 71.75 ± 0.08575
75
74
73
72
71
70
5967. 0
5967. 1
5967. 2
5967. 3
5967. 4
5967. 5
5967. 6
5968. 0
5968. 1
5968. 2
5968. 3
5968. 4
5968. 5
5968. 6
5968. 7
5969. 0
5969. 1
5969. 2
5969. 3
5969. 4
5969. 5
5969. 6
5969. 7
5969. 8
5969. 9
5970. 0
5970. 1
5970. 2
5970. 3
5971. 0
5971. 1
5971. 2
5971. 3
5971. 4
5971. 5
5971. 6
5972. 0

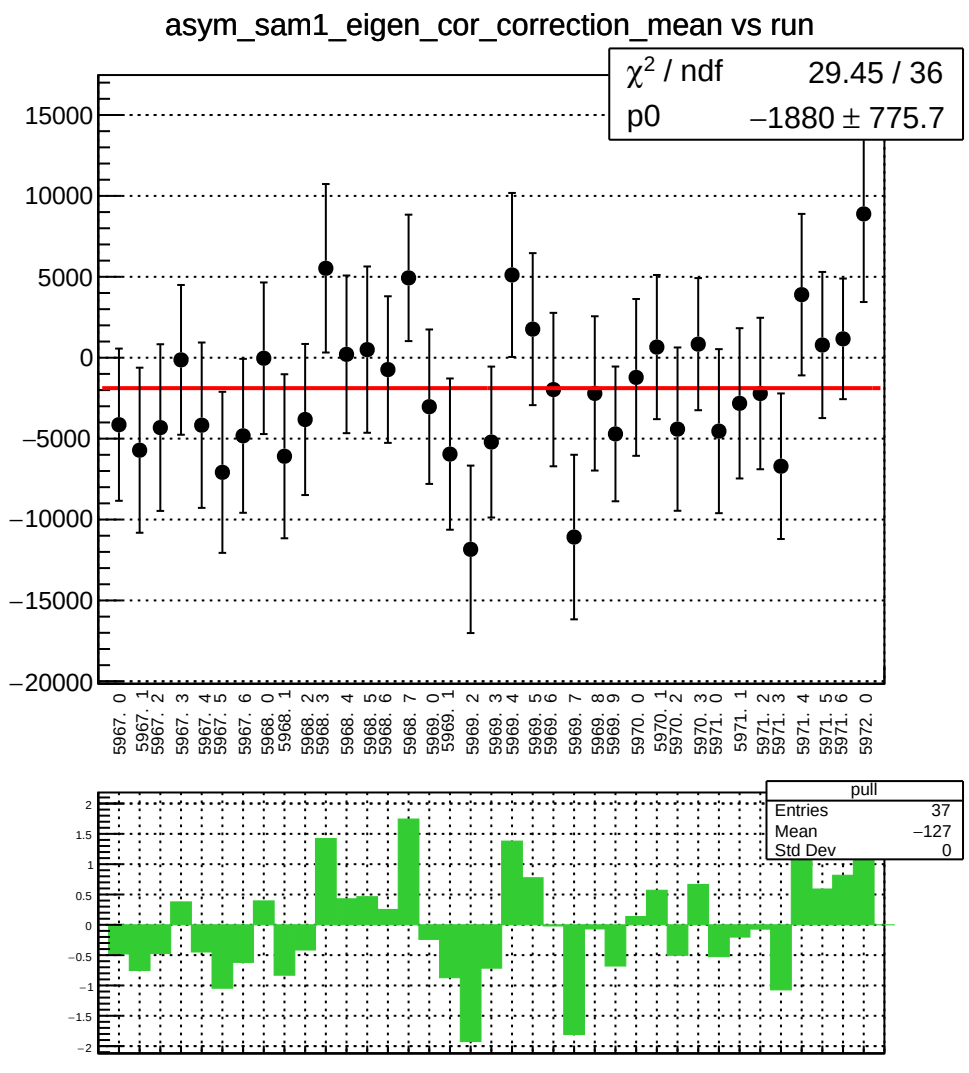
asym_sam1_eigen_cor_correction_mean vs run
χ² / ndf 29.45 / 36
p0 −1880 ± 775.7
15000
10000
5000
0
−5000
−10000
−15000
−20000
5967. 0
5967. 1
5967. 2
5967. 3
5967. 4
5967. 5
5967. 6
5968. 0
5968. 1
5968. 2
5968. 3
5968. 4
5968. 5
5968. 6
5968. 7
5969. 0
5969. 1
5969. 2
5969. 3
5969. 4
5969. 5
5969. 6
5969. 7
5969. 8
5969. 9
5970. 0
5970. 1
5970. 2
5970. 3
5971. 0
5971. 1
5971. 2
5971. 3
5971. 4
5971. 5
5971. 6
5972. 0
pull
Entries 37
Mean −127
Std Dev 0
2
1.5
1
0.5
0
−0.5
−1
−1.5
−2

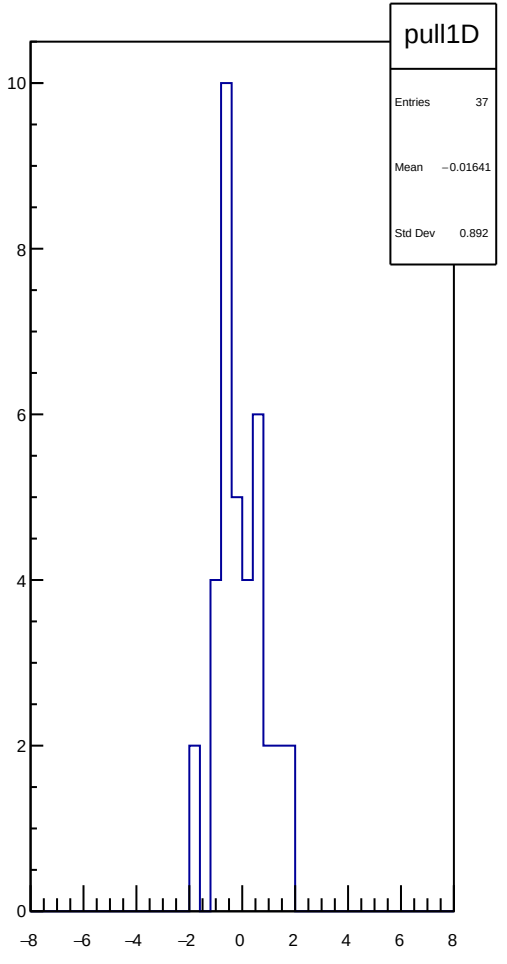
pull1D
Entries 37
Mean −0.01641
Std Dev 0.892
10
8
6
4
2
0
−8
−6
−4
−2
0
2
4
6
8

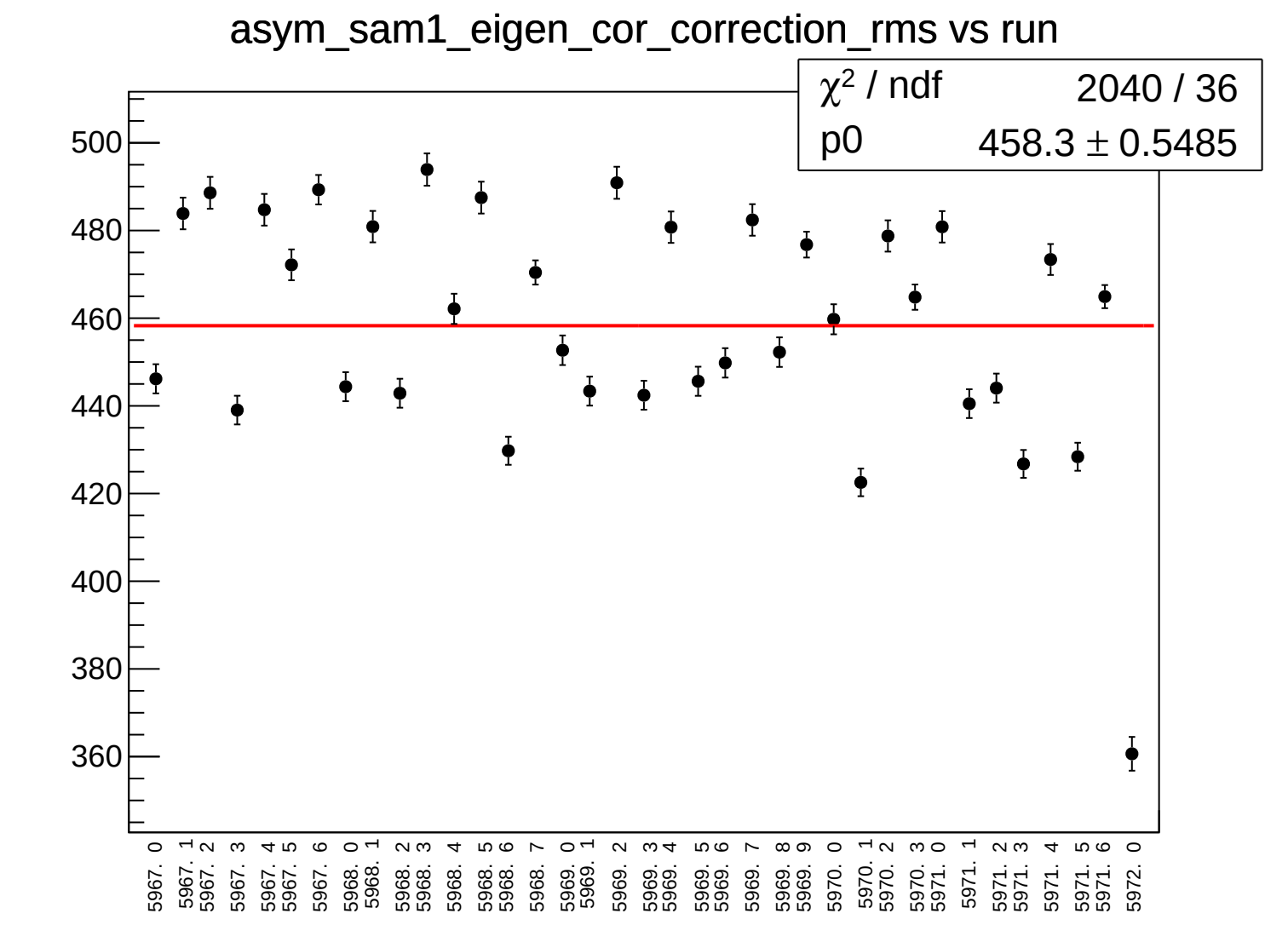
asym_sam1_eigen_cor_correction_rms vs run
χ² / ndf 2040 / 36
p0 458.3 ± 0.5485
500
480
460
440
420
400
380
360
5967. 0
5967. 1
5967. 2
5967. 3
5967. 4
5967. 5
5967. 6
5968. 0
5968. 1
5968. 2
5968. 3
5968. 4
5968. 5
5968. 6
5968. 7
5969. 0
5969. 1
5969. 2
5969. 3
5969. 4
5969. 5
5969. 6
5969. 7
5969. 8
5969. 9
5970. 0
5970. 1
5970. 2
5970. 3
5971. 0
5971. 1
5971. 2
5971. 3
5971. 4
5971. 5
5971. 6
5972. 0

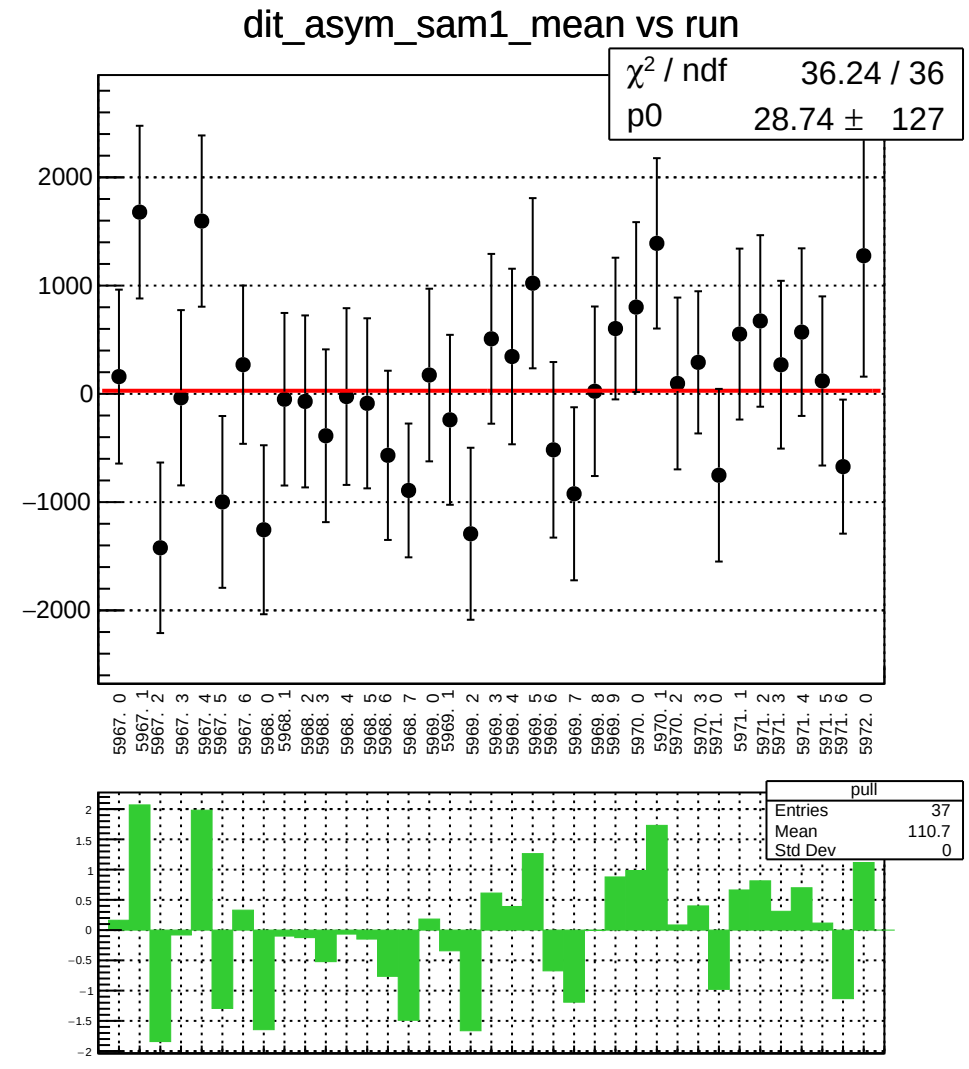
dit_asym_sam1_mean vs run
χ² / ndf 36.24 / 36
p0 28.74 ± 127
2000
1000
0
−1000
−2000
5967. 0
5967. 1
5967. 2
5967. 3
5967. 4
5967. 5
5967. 6
5968. 0
5968. 1
5968. 2
5968. 3
5968. 4
5968. 5
5968. 6
5968. 7
5969. 0
5969. 1
5969. 2
5969. 3
5969. 4
5969. 5
5969. 6
5969. 7
5969. 8
5969. 9
5970. 0
5970. 1
5970. 2
5970. 3
5971. 0
5971. 1
5971. 2
5971. 3
5971. 4
5971. 5
5971. 6
5972. 0
pull
Entries 37
Mean 110.7
Std Dev 0
2
1.5
1
0.5
0
−0.5
−1
−1.5
−2

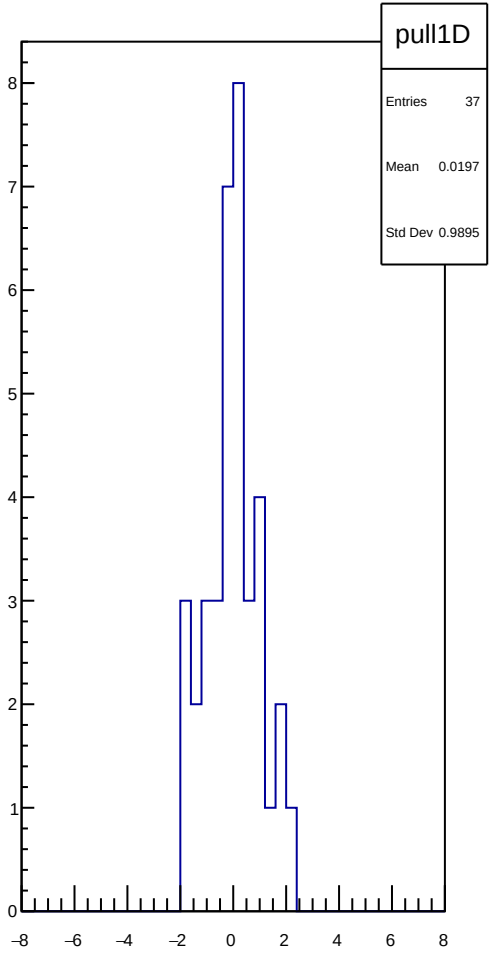
pull1D
Entries 37
Mean 0.0197
Std Dev 0.9895
8
7
6
5
4
3
2
1
0
−8
−6
−4
−2
0
2
4
6
8

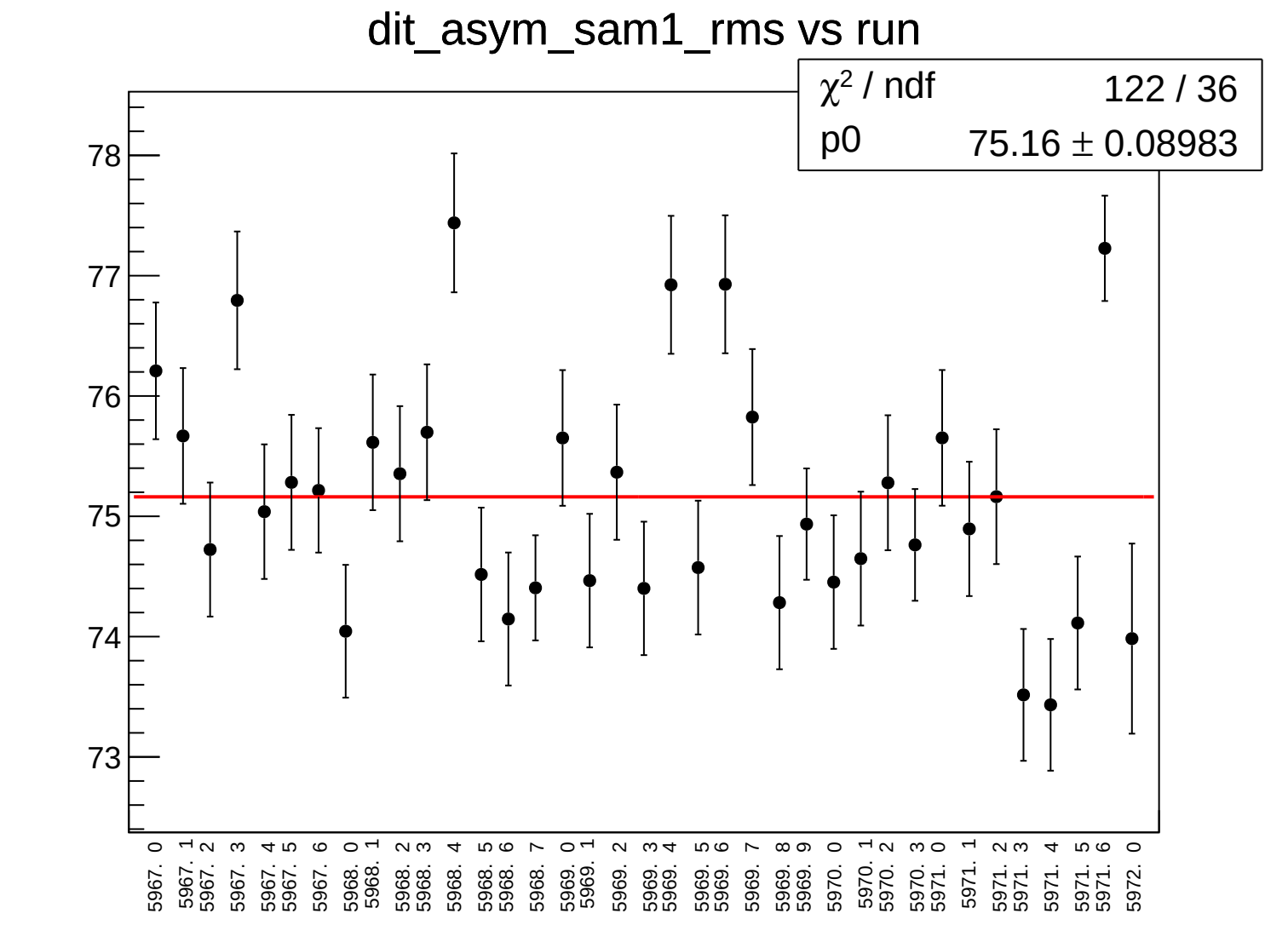
dit_asym_sam1_rms vs run
χ² / ndf 122 / 36
p0 75.16 ± 0.08983
78
77
76
75
74
73
5967. 0
5967. 1
5967. 2
5967. 3
5967. 4
5967. 5
5967. 6
5968. 0
5968. 1
5968. 2
5968. 3
5968. 4
5968. 5
5968. 6
5968. 7
5969. 0
5969. 1
5969. 2
5969. 3
5969. 4
5969. 5
5969. 6
5969. 7
5969. 8
5969. 9
5970. 0
5970. 1
5970. 2
5970. 3
5971. 0
5971. 1
5971. 2
5971. 3
5971. 4
5971. 5
5971. 6
5972. 0

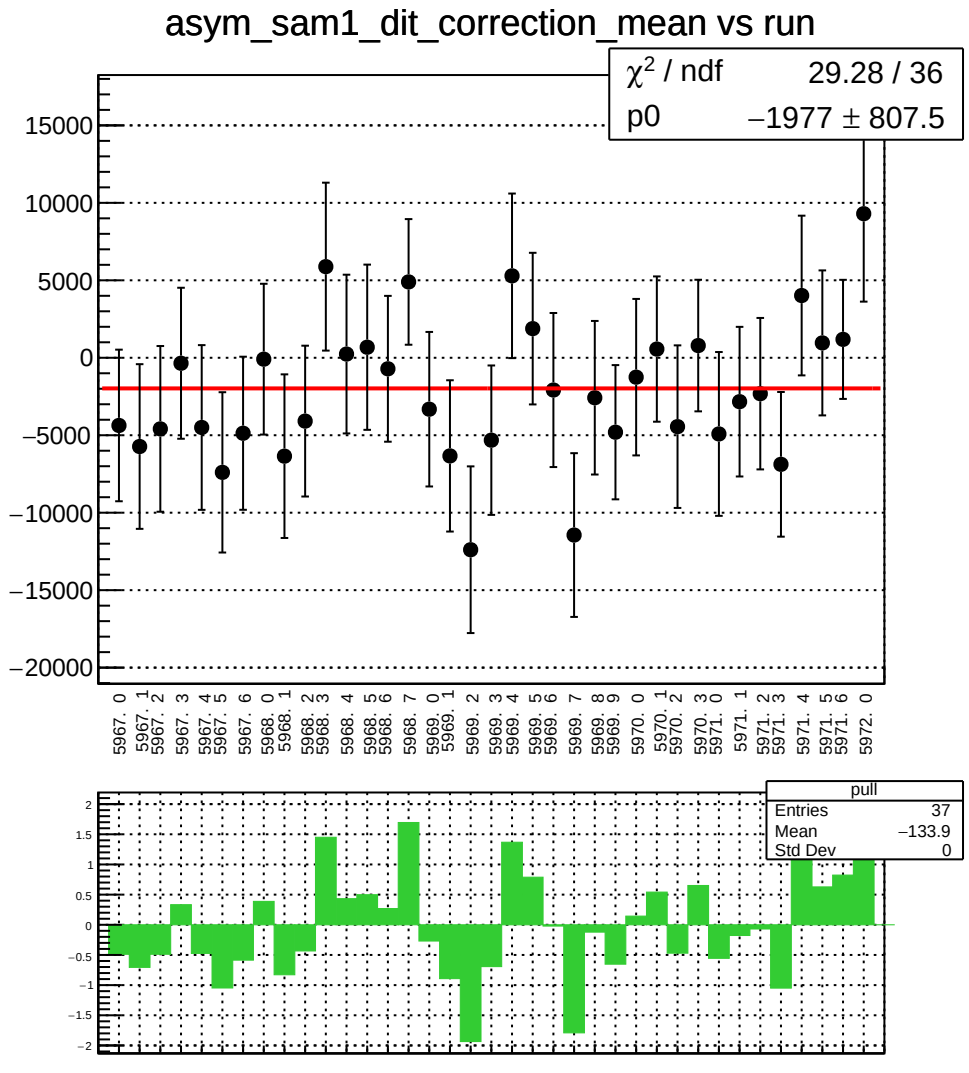
asym_sam1_dit_correction_mean vs run
χ² / ndf 29.28 / 36
p0 −1977 ± 807.5
15000
10000
5000
0
−5000
−10000
−15000
−20000
5967. 0
5967. 1
5967. 2
5967. 3
5967. 4
5967. 5
5967. 6
5968. 0
5968. 1
5968. 2
5968. 3
5968. 4
5968. 5
5968. 6
5968. 7
5969. 0
5969. 1
5969. 2
5969. 3
5969. 4
5969. 5
5969. 6
5969. 7
5969. 8
5969. 9
5970. 0
5970. 1
5970. 2
5970. 3
5971. 0
5971. 1
5971. 2
5971. 3
5971. 4
5971. 5
5971. 6
5972. 0
pull
Entries 37
Mean −133.9
Std Dev 0
2
1.5
1
0.5
0
−0.5
−1
−1.5
−2

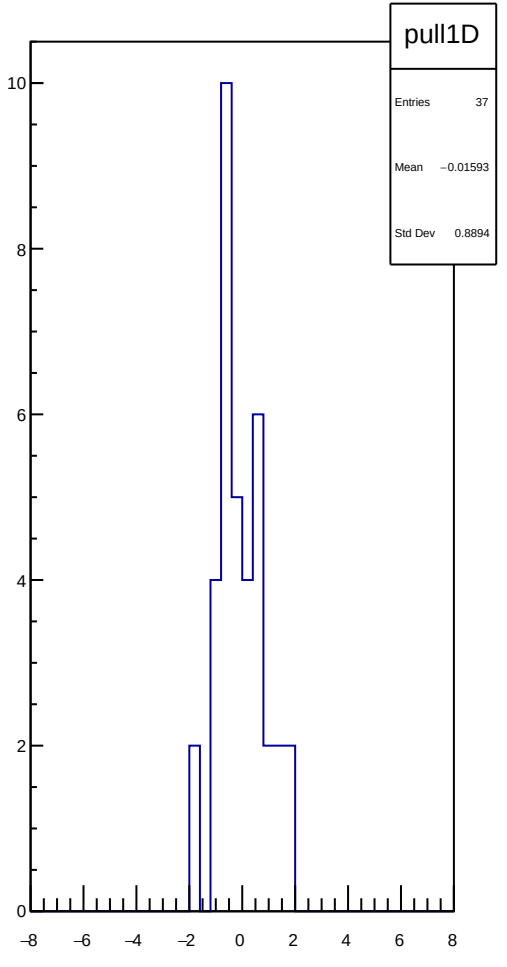
pull1D
Entries 37
Mean −0.01593
Std Dev 0.8894
10
8
6
4
2
0
−8
−6
−4
−2
0
2
4
6
8

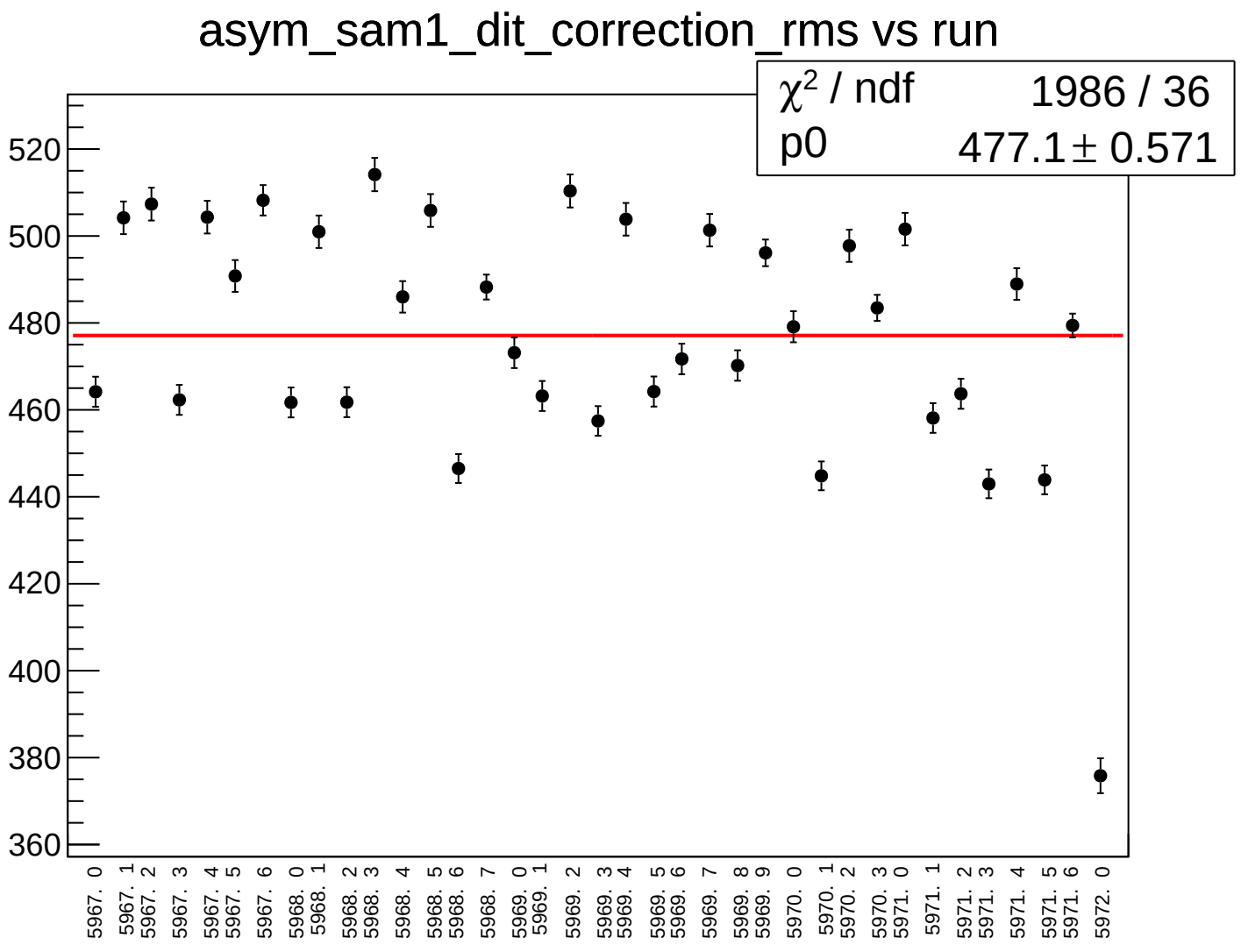
asym_sam1_dit_correction_rms vs run
χ² / ndf 1986 / 36
p0 477.1 ± 0.571
520
500
480
460
440
420
400
380
360
5967. 0
5967. 1
5967. 2
5967. 3
5967. 4
5967. 5
5967. 6
5968. 0
5968. 1
5968. 2
5968. 3
5968. 4
5968. 5
5968. 6
5968. 7
5969. 0
5969. 1
5969. 2
5969. 3
5969. 4
5969. 5
5969. 6
5969. 7
5969. 8
5969. 9
5970. 0
5970. 1
5970. 2
5970. 3
5971. 0
5971. 1
5971. 2
5971. 3
5971. 4
5971. 5
5971. 6
5972. 0

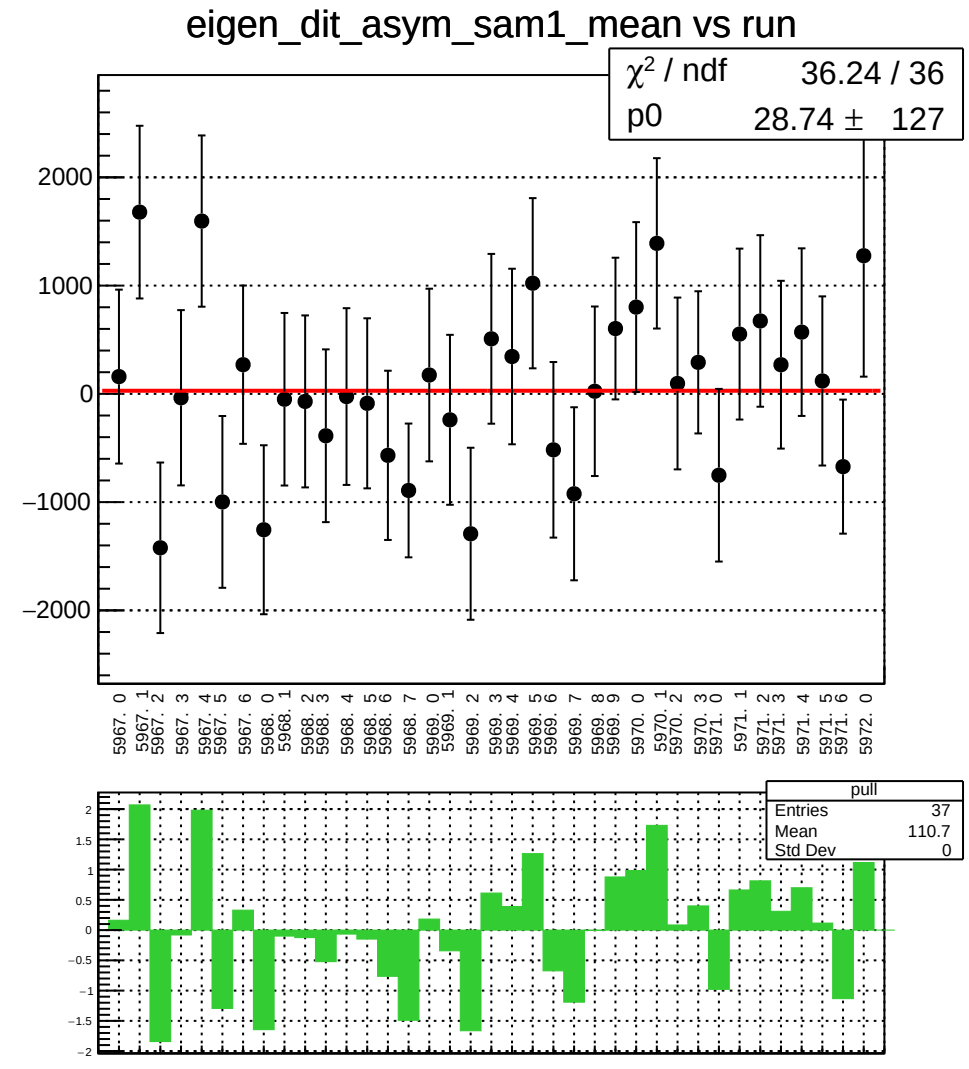
eigen_dit_asym_sam1_mean vs run
χ² / ndf 36.24 / 36
p0 28.74 ± 127
2000
1000
0
−1000
−2000
5967. 0
5967. 1
5967. 2
5967. 3
5967. 4
5967. 5
5967. 6
5968. 0
5968. 1
5968. 2
5968. 3
5968. 4
5968. 5
5968. 6
5968. 7
5969. 0
5969. 1
5969. 2
5969. 3
5969. 4
5969. 5
5969. 6
5969. 7
5969. 8
5969. 9
5970. 0
5970. 1
5970. 2
5970. 3
5971. 0
5971. 1
5971. 2
5971. 3
5971. 4
5971. 5
5971. 6
5972. 0
pull
Entries 37
Mean 110.7
Std Dev 0
2
1.5
1
0.5
0
−0.5
−1
−1.5
−2

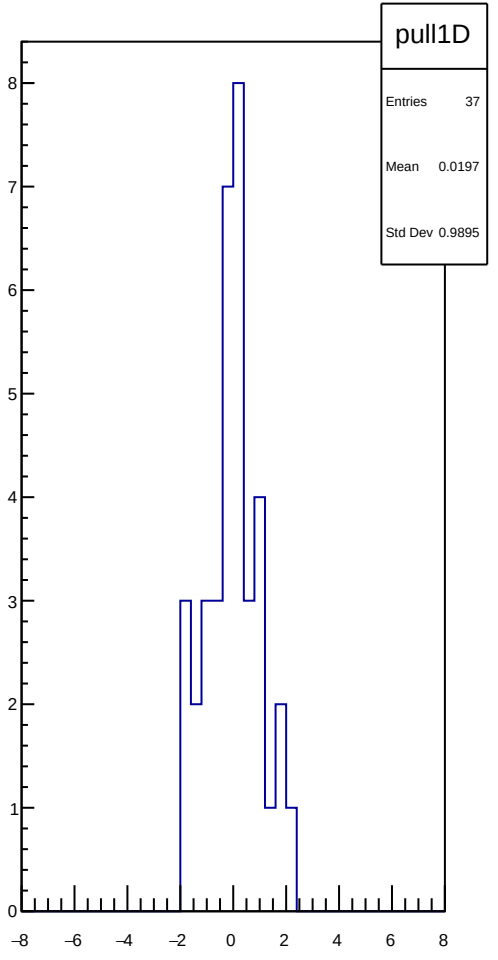
pull1D
Entries 37
Mean 0.0197
Std Dev 0.9895
8
7
6
5
4
3
2
1
0
−8
−6
−4
−2
0
2
4
6
8

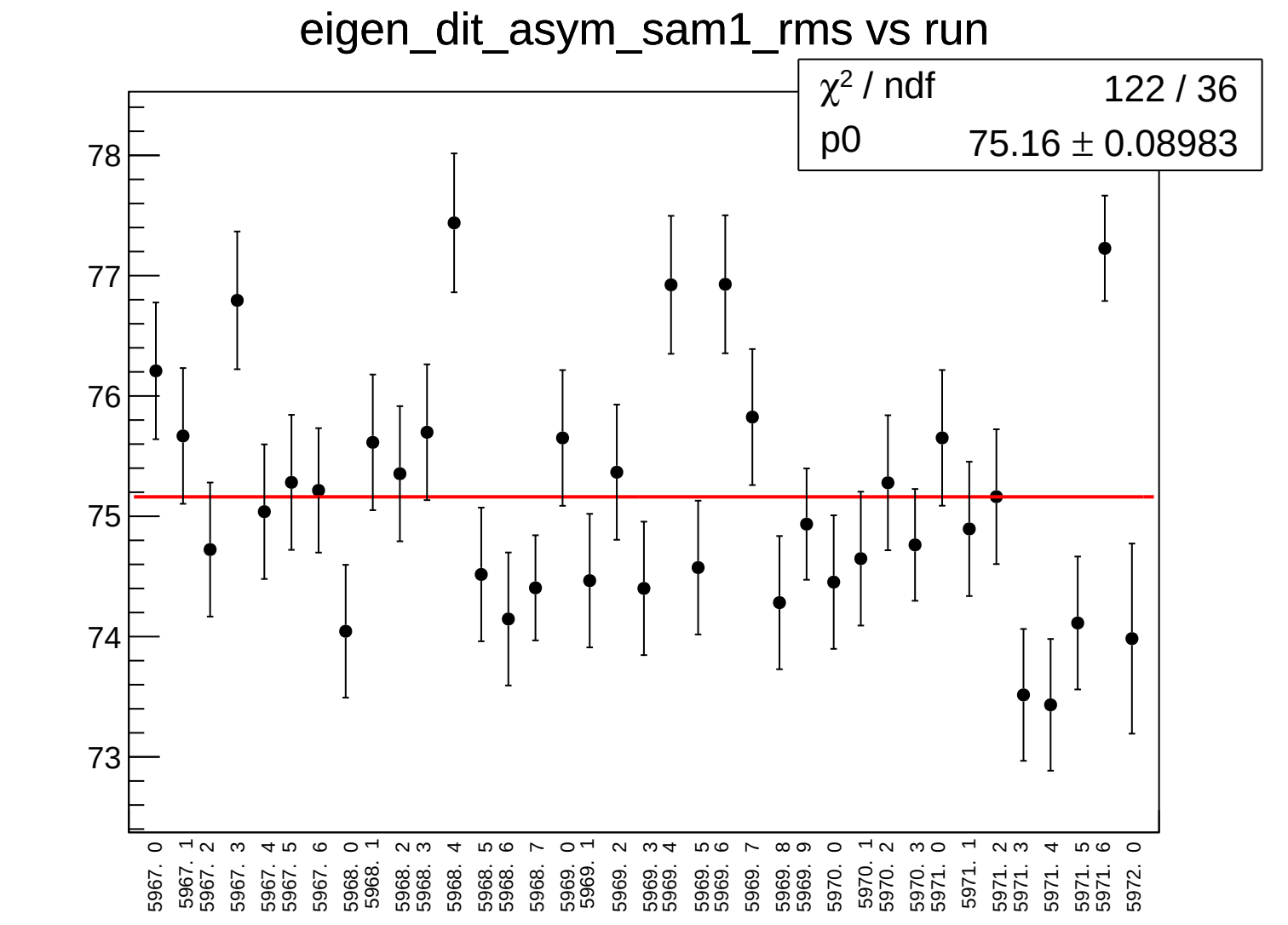
eigen_dit_asym_sam1_rms vs run
χ² / ndf 122 / 36
p0 75.16 ± 0.08983
78
77
76
75
74
73
5967. 0
5967. 1
5967. 2
5967. 3
5967. 4
5967. 5
5967. 6
5968. 0
5968. 1
5968. 2
5968. 3
5968. 4
5968. 5
5968. 6
5968. 7
5969. 0
5969. 1
5969. 2
5969. 3
5969. 4
5969. 5
5969. 6
5969. 7
5969. 8
5969. 9
5970. 0
5970. 1
5970. 2
5970. 3
5971. 0
5971. 1
5971. 2
5971. 3
5971. 4
5971. 5
5971. 6
5972. 0

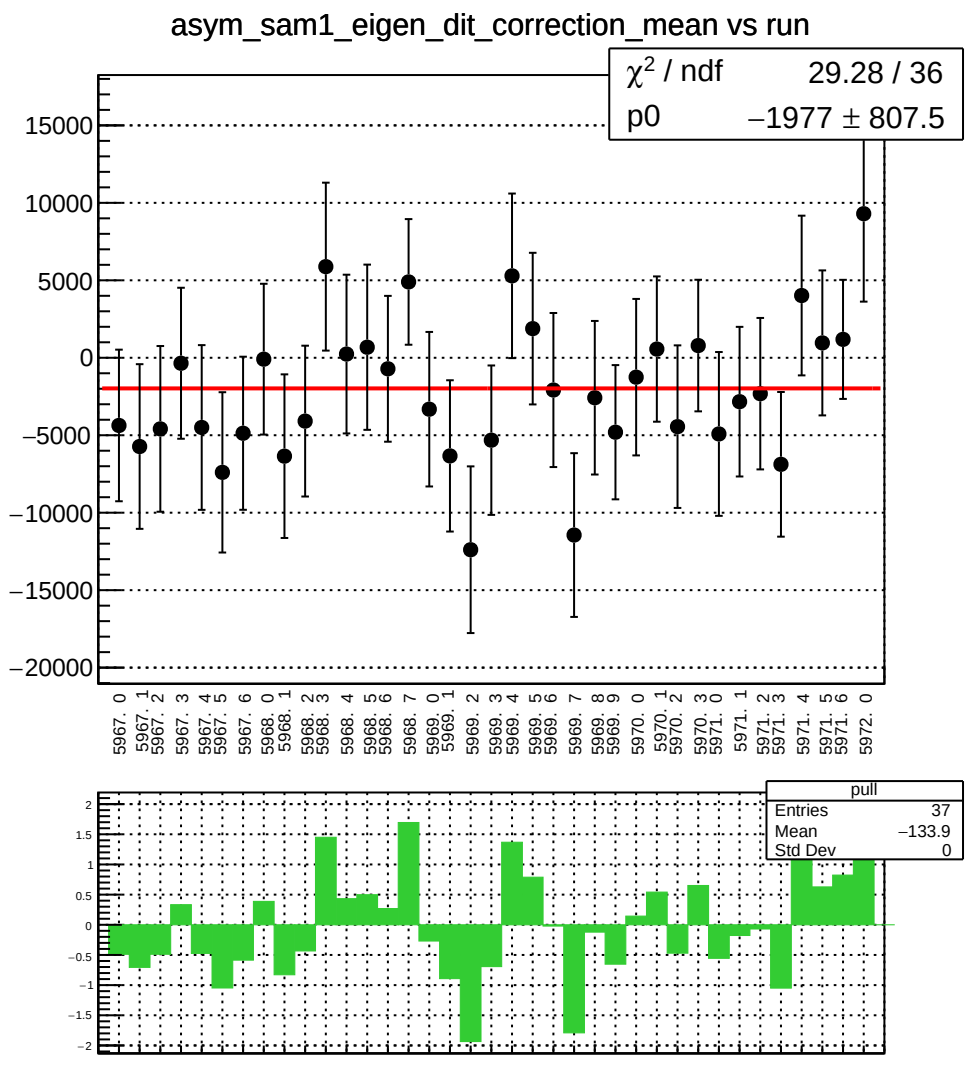
asym_sam1_eigen_dit_correction_mean vs run
χ² / ndf 29.28 / 36
p0 −1977 ± 807.5
15000
10000
5000
0
−5000
−10000
−15000
−20000
5967. 0
5967. 1
5967. 2
5967. 3
5967. 4
5967. 5
5967. 6
5968. 0
5968. 1
5968. 2
5968. 3
5968. 4
5968. 5
5968. 6
5968. 7
5969. 0
5969. 1
5969. 2
5969. 3
5969. 4
5969. 5
5969. 6
5969. 7
5969. 8
5969. 9
5970. 0
5970. 1
5970. 2
5970. 3
5971. 0
5971. 1
5971. 2
5971. 3
5971. 4
5971. 5
5971. 6
5972. 0
pull
Entries 37
Mean −133.9
Std Dev 0
2
1.5
1
0.5
0
−0.5
−1
−1.5
−2

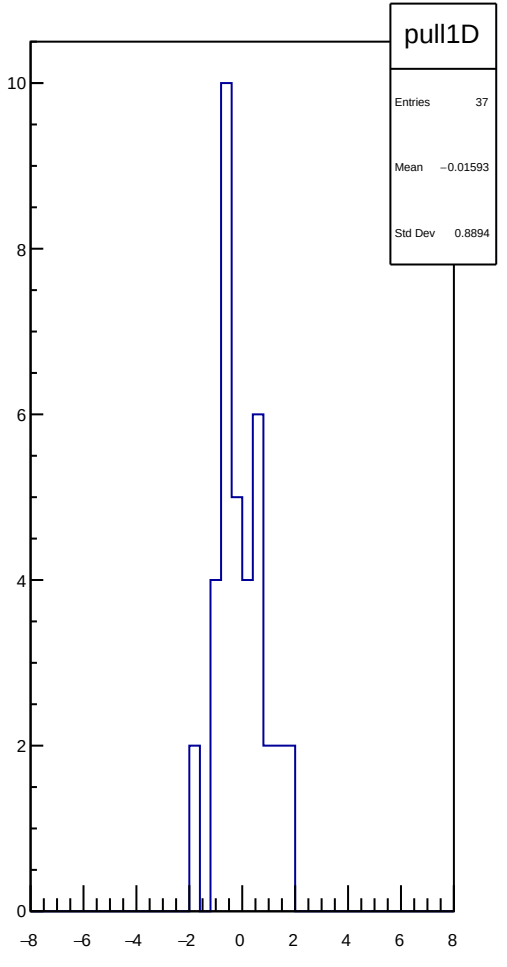
pull1D
Entries 37
Mean −0.01593
Std Dev 0.8894
10
8
6
4
2
0
−8
−6
−4
−2
0
2
4
6
8

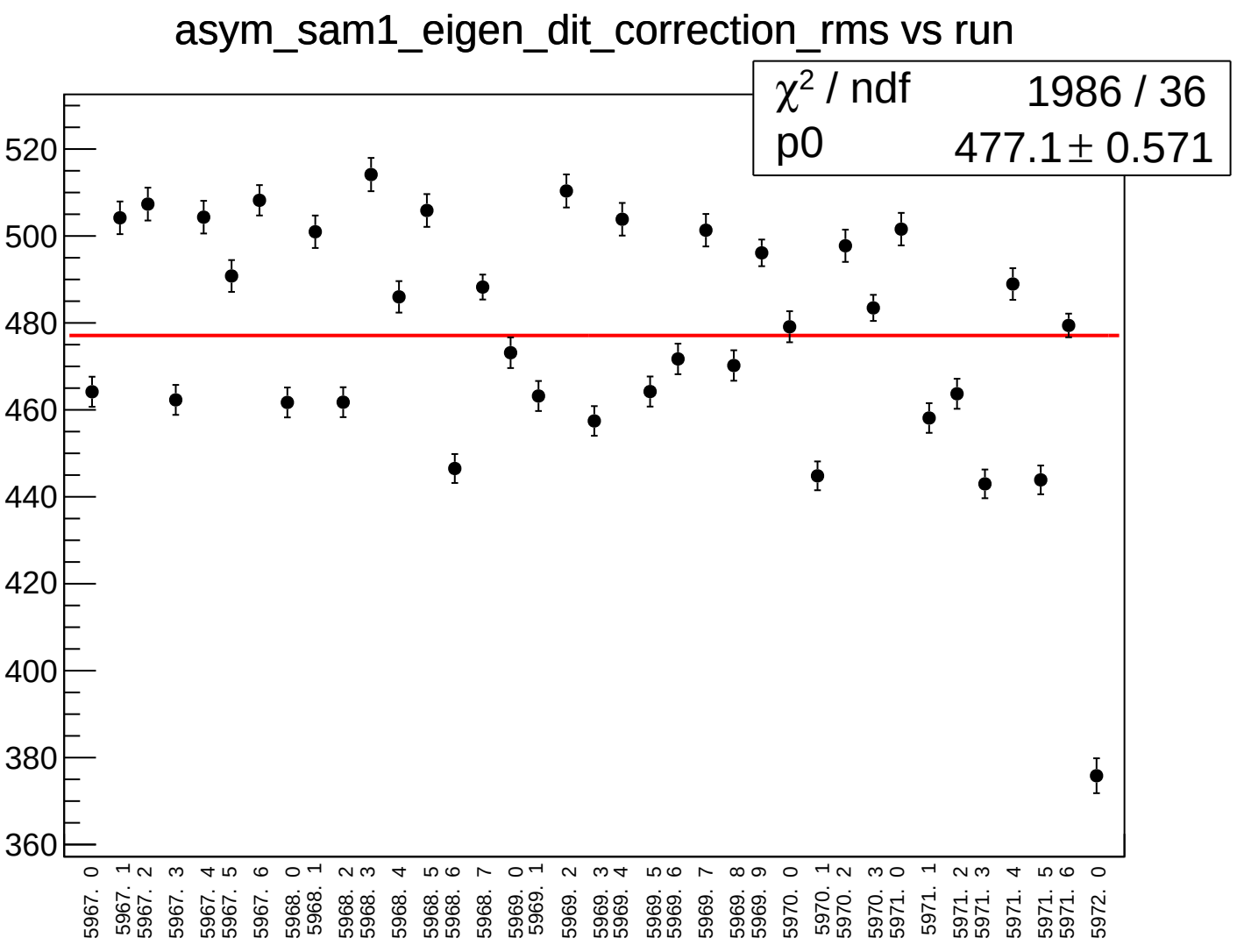
asym_sam1_eigen_dit_correction_rms vs run
χ² / ndf 1986 / 36
p0 477.1 ± 0.571
520
500
480
460
440
420
400
380
360
5967. 0
5967. 1
5967. 2
5967. 3
5967. 4
5967. 5
5967. 6
5968. 0
5968. 1
5968. 2
5968. 3
5968. 4
5968. 5
5968. 6
5968. 7
5969. 0
5969. 1
5969. 2
5969. 3
5969. 4
5969. 5
5969. 6
5969. 7
5969. 8
5969. 9
5970. 0
5970. 1
5970. 2
5970. 3
5971. 0
5971. 1
5971. 2
5971. 3
5971. 4
5971. 5
5971. 6
5972. 0

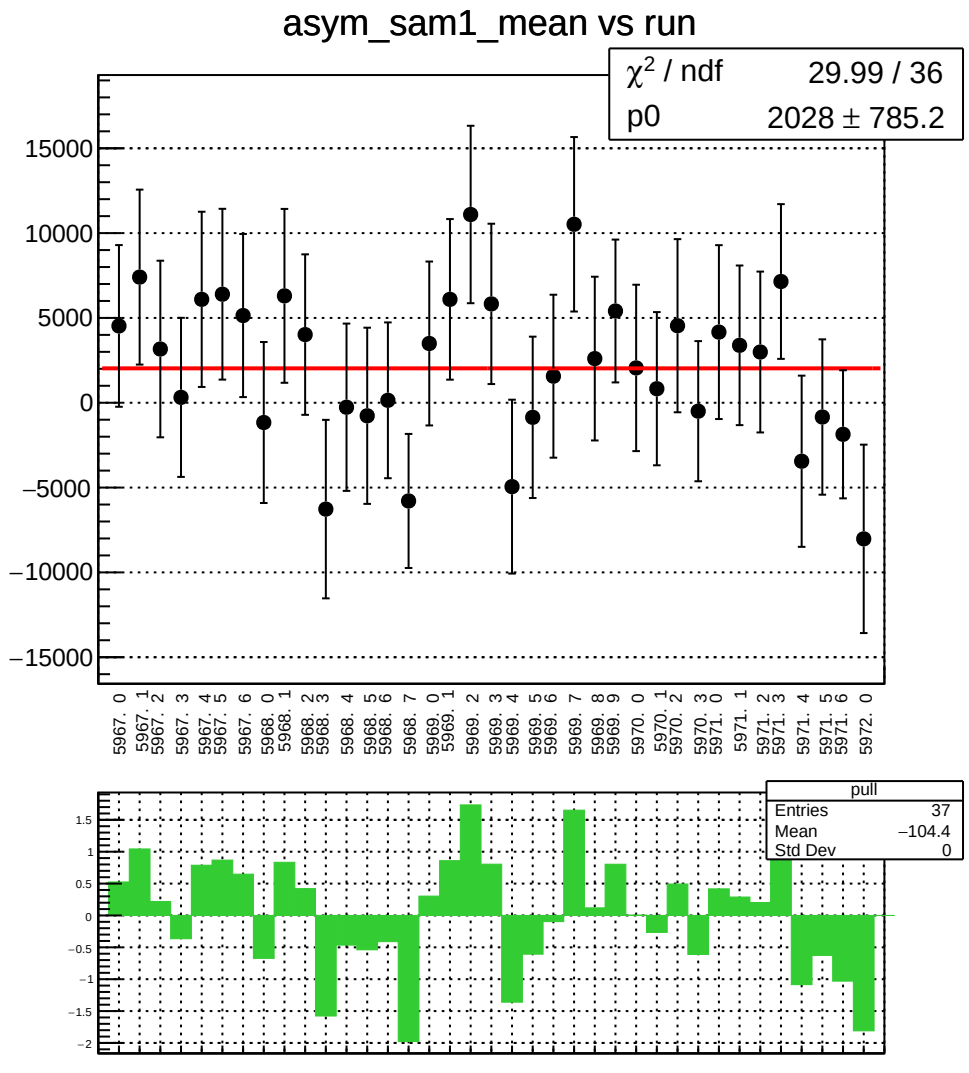
asym_sam1_mean vs run
χ² / ndf 29.99 / 36
p0 2028 ± 785.2
15000
10000
5000
0
−5000
−10000
−15000
5967. 0
5967. 1
5967. 2
5967. 3
5967. 4
5967. 5
5967. 6
5968. 0
5968. 1
5968. 2
5968. 3
5968. 4
5968. 5
5968. 6
5968. 7
5969. 0
5969. 1
5969. 2
5969. 3
5969. 4
5969. 5
5969. 6
5969. 7
5969. 8
5969. 9
5970. 0
5970. 1
5970. 2
5970. 3
5971. 0
5971. 1
5971. 2
5971. 3
5971. 4
5971. 5
5971. 6
5972. 0
pull
Entries 37
Mean −104.4
Std Dev 0
1.5
1
0.5
0
−0.5
−1
−1.5
−2

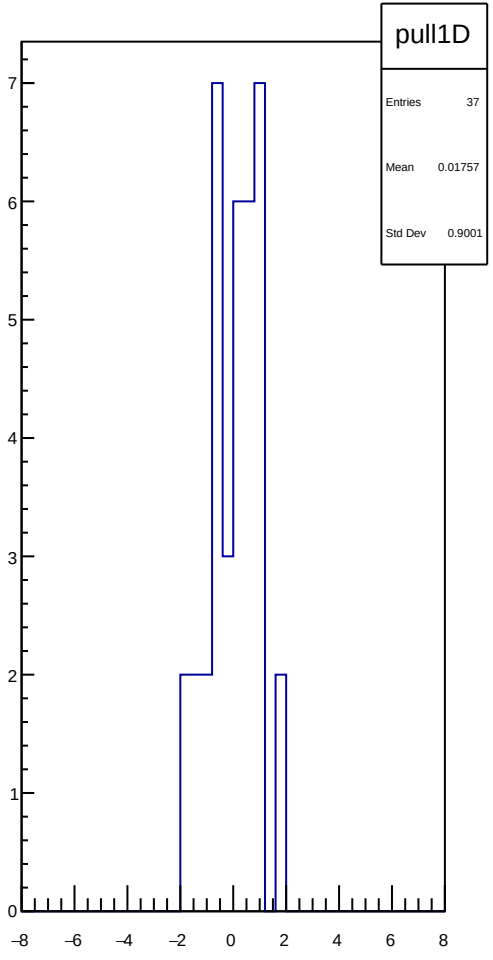
pull1D
Entries 37
Mean 0.01757
Std Dev 0.9001
7
6
5
4
3
2
1
0
−8
−6
−4
−2
0
2
4
6
8

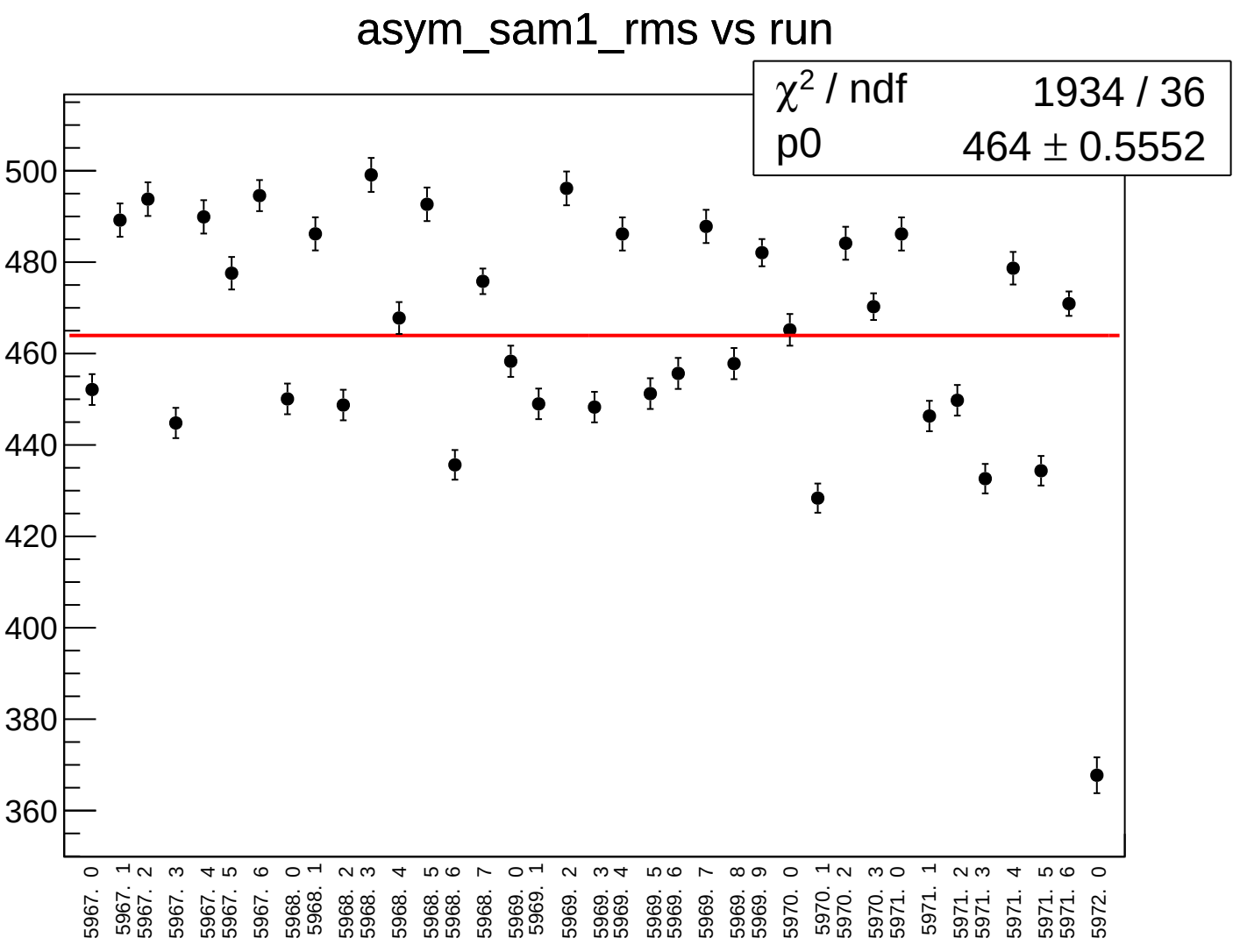
asym_sam1_rms vs run
χ² / ndf 1934 / 36
p0 464 ± 0.5552
500
480
460
440
420
400
380
360
5967. 0
5967. 1
5967. 2
5967. 3
5967. 4
5967. 5
5967. 6
5968. 0
5968. 1
5968. 2
5968. 3
5968. 4
5968. 5
5968. 6
5968. 7
5969. 0
5969. 1
5969. 2
5969. 3
5969. 4
5969. 5
5969. 6
5969. 7
5969. 8
5969. 9
5970. 0
5970. 1
5970. 2
5970. 3
5971. 0
5971. 1
5971. 2
5971. 3
5971. 4
5971. 5
5971. 6
5972. 0

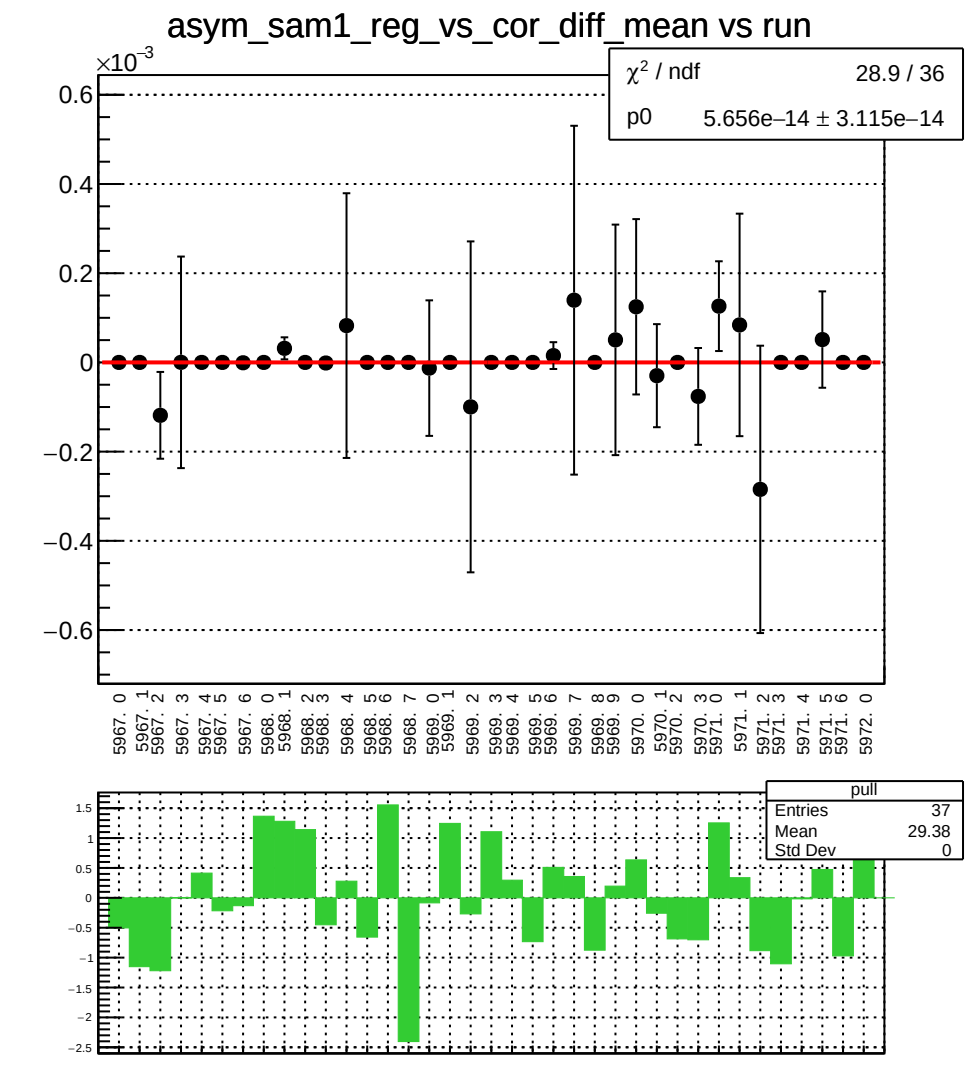
asym_sam1_reg_vs_cor_diff_mean vs run
×10⁻³
χ² / ndf 28.9 / 36
p0 5.656e−14 ± 3.115e−14
0.6
0.4
0.2
0
−0.2
−0.4
−0.6
5967. 0
5967. 1
5967. 2
5967. 3
5967. 4
5967. 5
5967. 6
5968. 0
5968. 1
5968. 2
5968. 3
5968. 4
5968. 5
5968. 6
5968. 7
5969. 0
5969. 1
5969. 2
5969. 3
5969. 4
5969. 5
5969. 6
5969. 7
5969. 8
5969. 9
5970. 0
5970. 1
5970. 2
5970. 3
5971. 0
5971. 1
5971. 2
5971. 3
5971. 4
5971. 5
5971. 6
5972. 0
pull
Entries 37
Mean 29.38
Std Dev 0
1.5
1
0.5
0
−0.5
−1
−1.5
−2
−2.5
pull1D
Entries 37
Mean 0.002492
Std Dev 0.8837
6
5
4
3
2
1
0
−8
−6
−4
−2
0
2
4
6
8

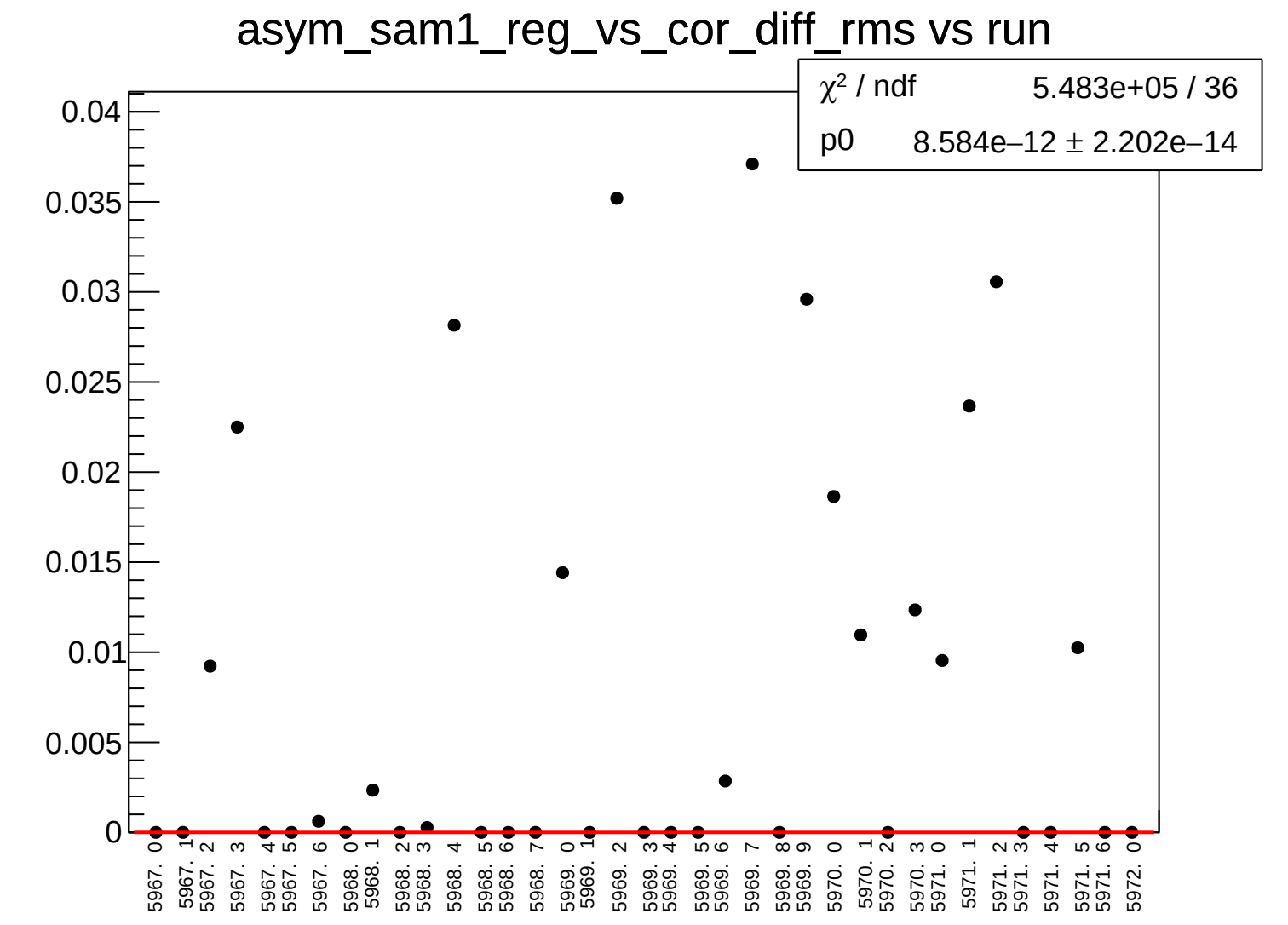
asym_sam1_reg_vs_cor_diff_rms vs run
χ² / ndf 5.483e+05 / 36
p0 8.584e−12 ± 2.202e−14
0.04
0.035
0.03
0.025
0.02
0.015
0.01
0.005
0
5967. 0
5967. 1
5967. 2
5967. 3
5967. 4
5967. 5
5967. 6
5968. 0
5968. 1
5968. 2
5968. 3
5968. 4
5968. 5
5968. 6
5968. 7
5969. 0
5969. 1
5969. 2
5969. 3
5969. 4
5969. 5
5969. 6
5969. 7
5969. 8
5969. 9
5970. 0
5970. 1
5970. 2
5970. 3
5971. 0
5971. 1
5971. 2
5971. 3
5971. 4
5971. 5
5971. 6
5972. 0

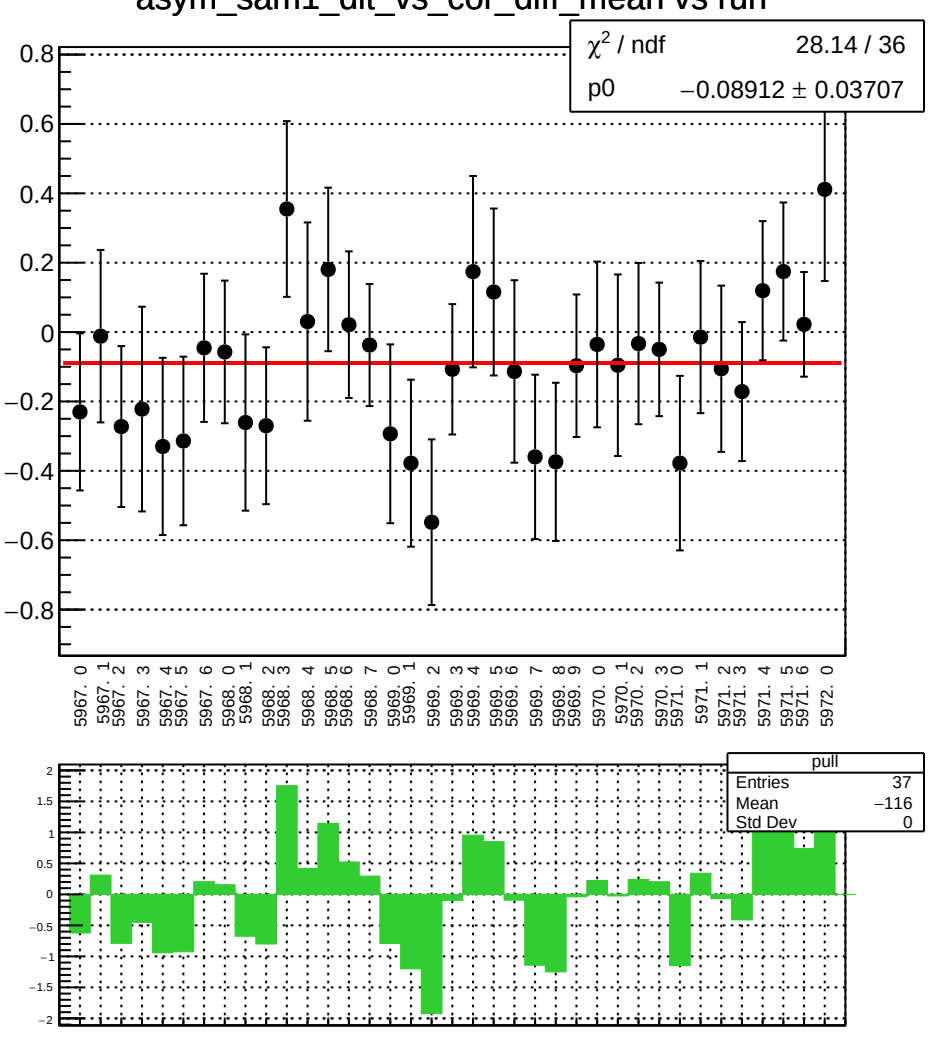
asym_sam1_dit_vs_cor_diff_mean vs run
χ² / ndf 28.14 / 36
p0 −0.08912 ± 0.03707
pull
Entries 37
Mean −116
Std Dev 0

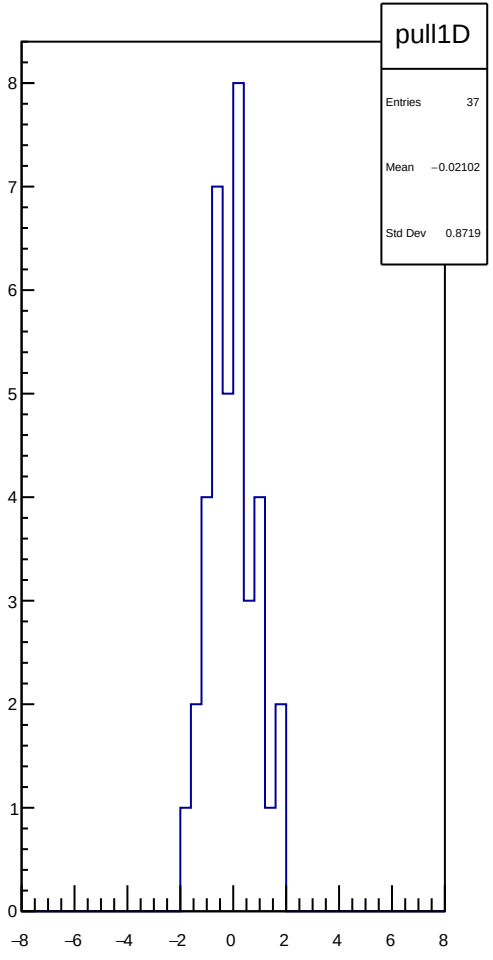
pull1D
Entries 37
Mean −0.02102
Std Dev 0.8719

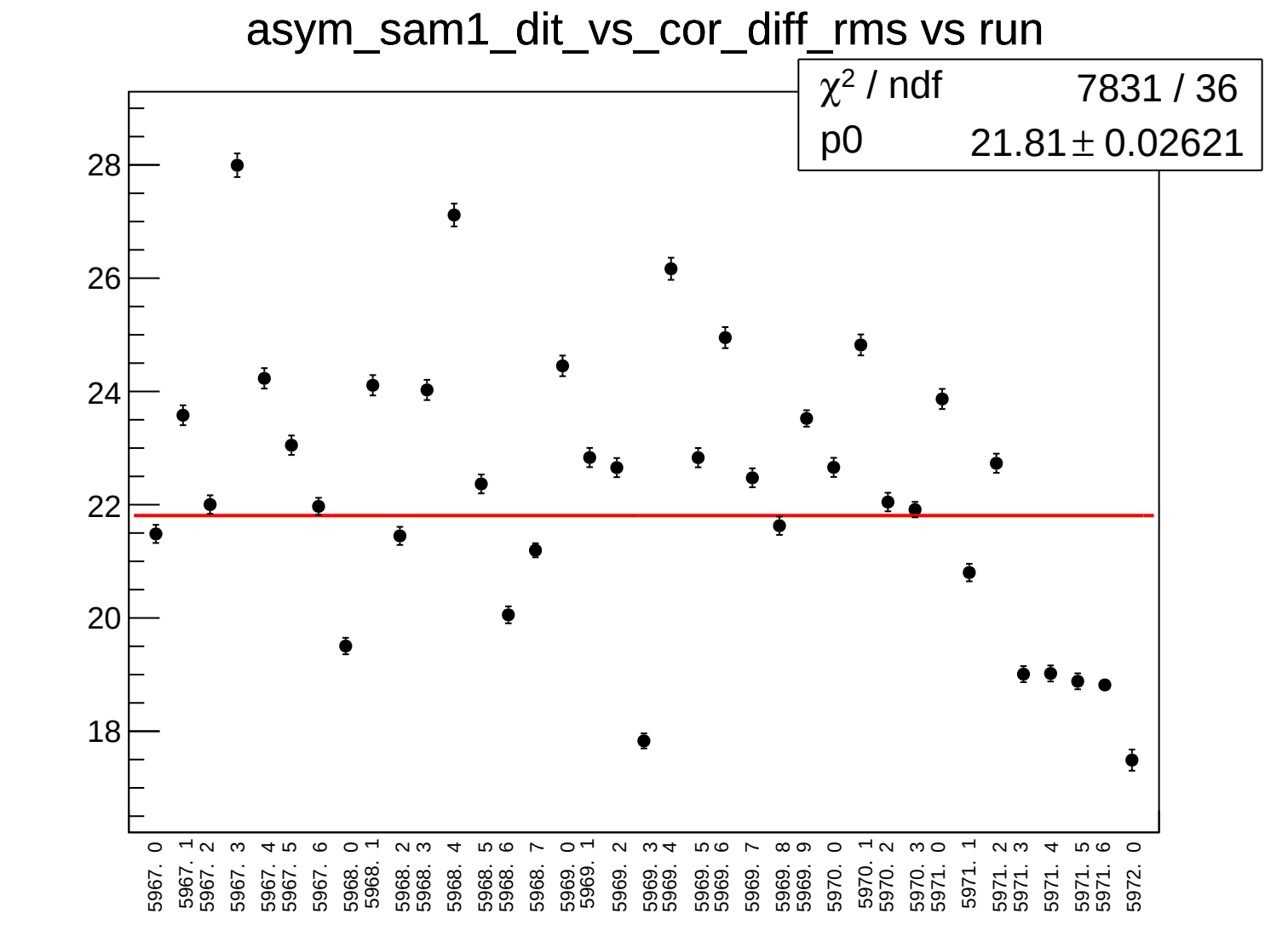
asym_sam1_dit_vs_cor_diff_rms vs run
χ² / ndf 7831 / 36
p0 21.81 ± 0.02621
28
26
24
22
20
18
5967. 0
5967. 1
5967. 2
5967. 3
5967. 4
5967. 5
5967. 6
5968. 0
5968. 1
5968. 2
5968. 3
5968. 4
5968. 5
5968. 6
5968. 7
5969. 0
5969. 1
5969. 2
5969. 3
5969. 4
5969. 5
5969. 6
5969. 7
5969. 8
5969. 9
5970. 0
5970. 1
5970. 2
5970. 3
5971. 0
5971. 1
5971. 2
5971. 3
5971. 4
5971. 5
5971. 6
5972. 0

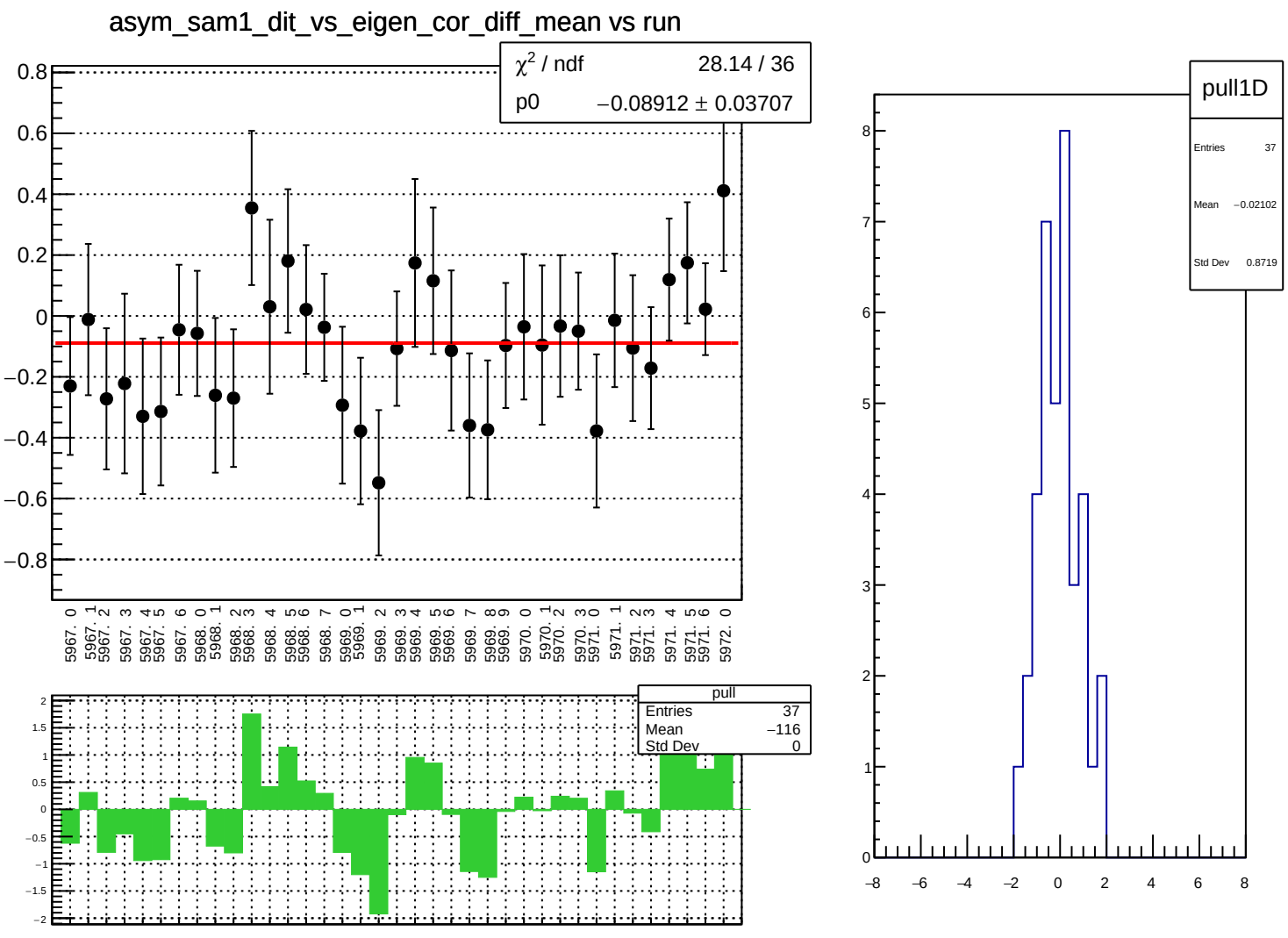
asym_sam1_dit_vs_eigen_cor_diff_mean vs run
χ² / ndf 28.14 / 36
p0 −0.08912 ± 0.03707
pull
Entries 37
Mean −116
Std Dev 0
pull1D
Entries 37
Mean −0.02102
Std Dev 0.8719

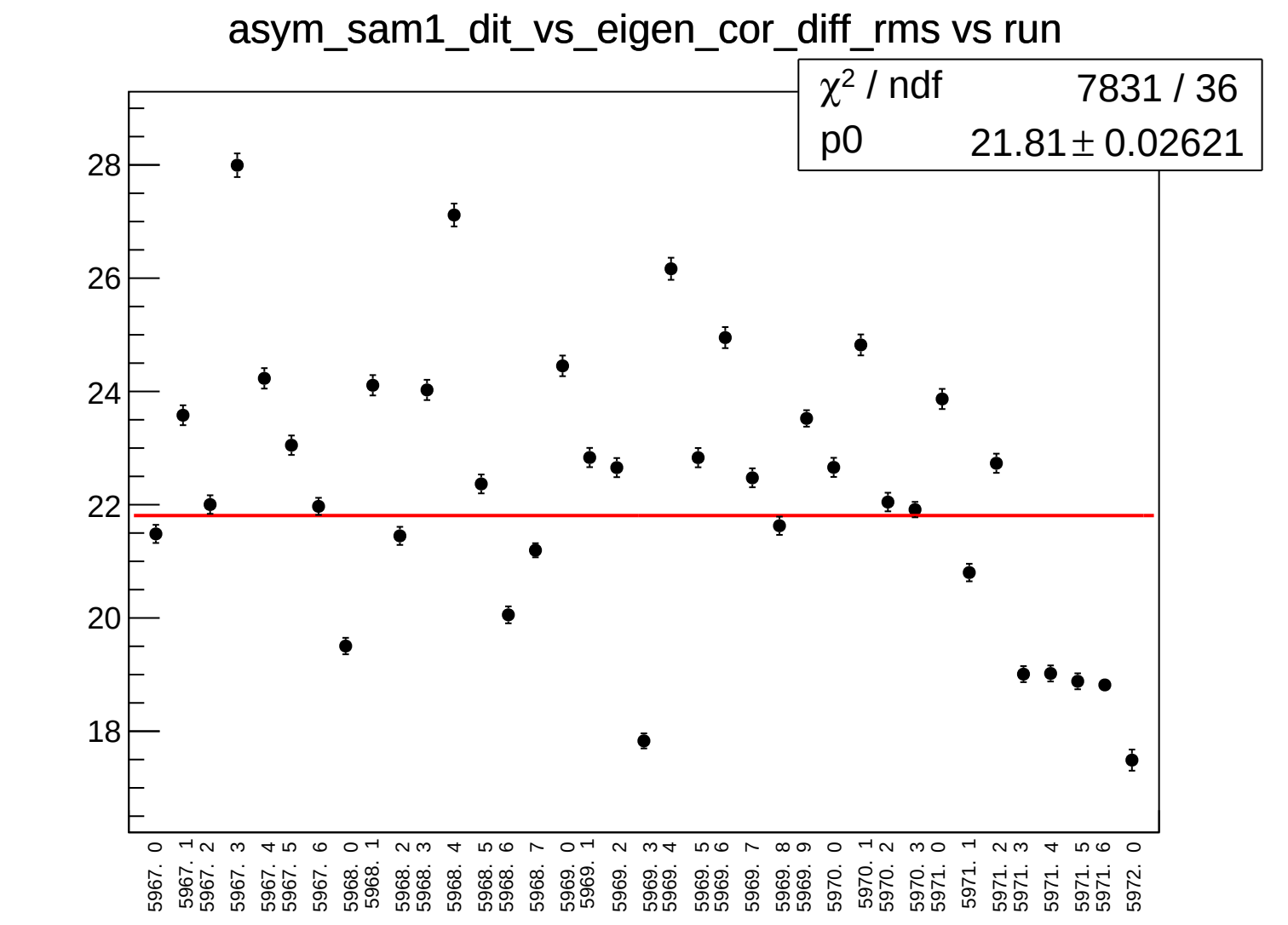
asym_sam1_dit_vs_eigen_cor_diff_rms vs run
χ² / ndf 7831 / 36
p0 21.81 ± 0.02621
28
26
24
22
20
18
5967. 0
5967. 1
5967. 2
5967. 3
5967. 4
5967. 5
5967. 6
5968. 0
5968. 1
5968. 2
5968. 3
5968. 4
5968. 5
5968. 6
5968. 7
5969. 0
5969. 1
5969. 2
5969. 3
5969. 4
5969. 5
5969. 6
5969. 7
5969. 8
5969. 9
5970. 0
5970. 1
5970. 2
5970. 3
5971. 0
5971. 1
5971. 2
5971. 3
5971. 4
5971. 5
5971. 6
5972. 0

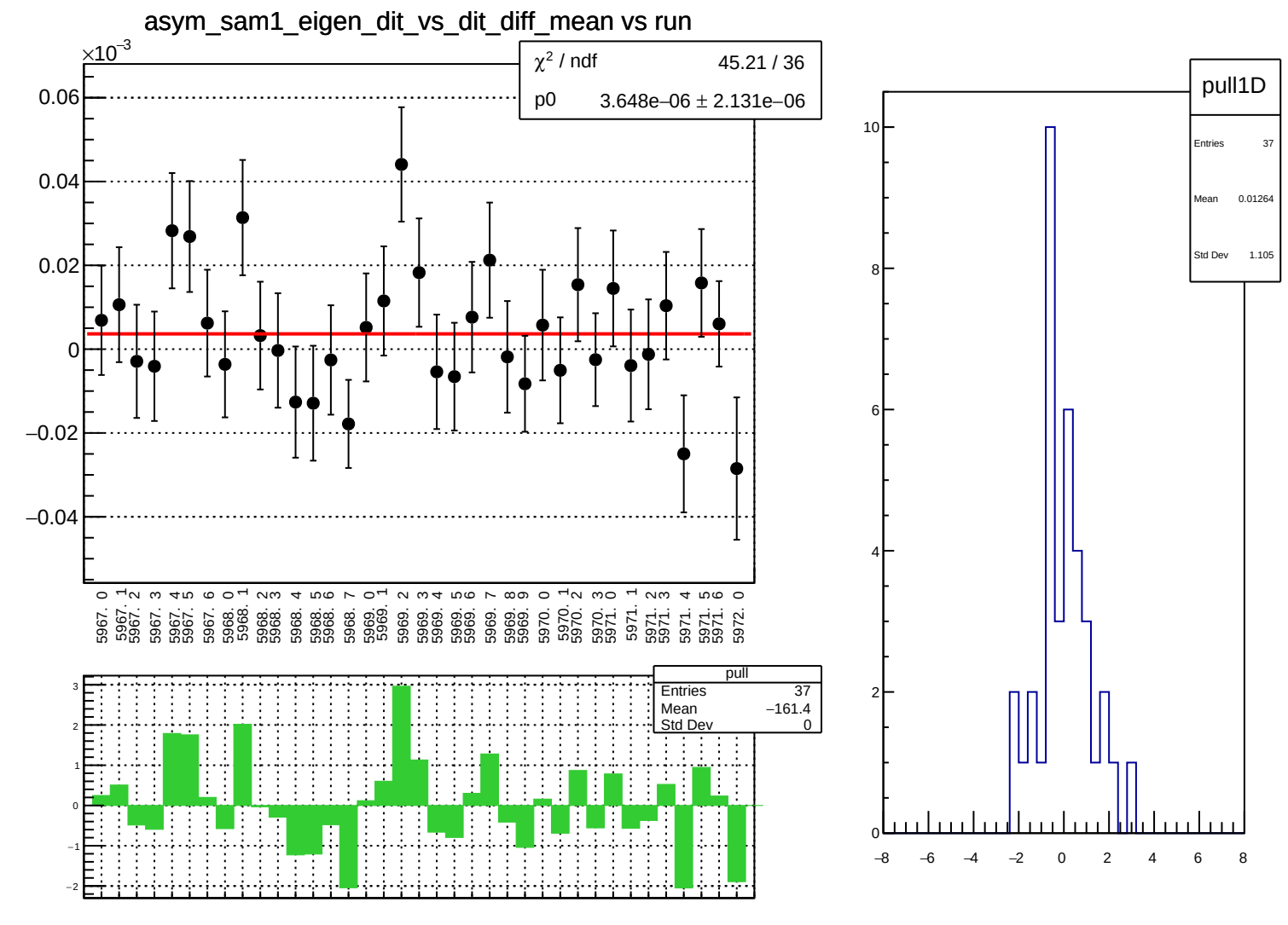
asym_sam1_eigen_dit_vs_dit_diff_mean vs run
×10⁻³
χ² / ndf 45.21 / 36
p0 3.648e−06 ± 2.131e−06
0.06
0.04
0.02
0
−0.02
−0.04
5967. 0
5967. 1
5967. 2
5967. 3
5967. 4
5967. 5
5967. 6
5968. 0
5968. 1
5968. 2
5968. 3
5968. 4
5968. 5
5968. 6
5968. 7
5969. 0
5969. 1
5969. 2
5969. 3
5969. 4
5969. 5
5969. 6
5969. 7
5969. 8
5969. 9
5970. 0
5970. 1
5970. 2
5970. 3
5971. 0
5971. 1
5971. 2
5971. 3
5971. 4
5971. 5
5971. 6
5972. 0
pull
Entries 37
Mean −161.4
Std Dev 0
3
2
1
0
−1
−2
pull1D
Entries 37
Mean 0.01264
Std Dev 1.105
10
8
6
4
2
0
−8
−6
−4
−2
0
2
4
6
8

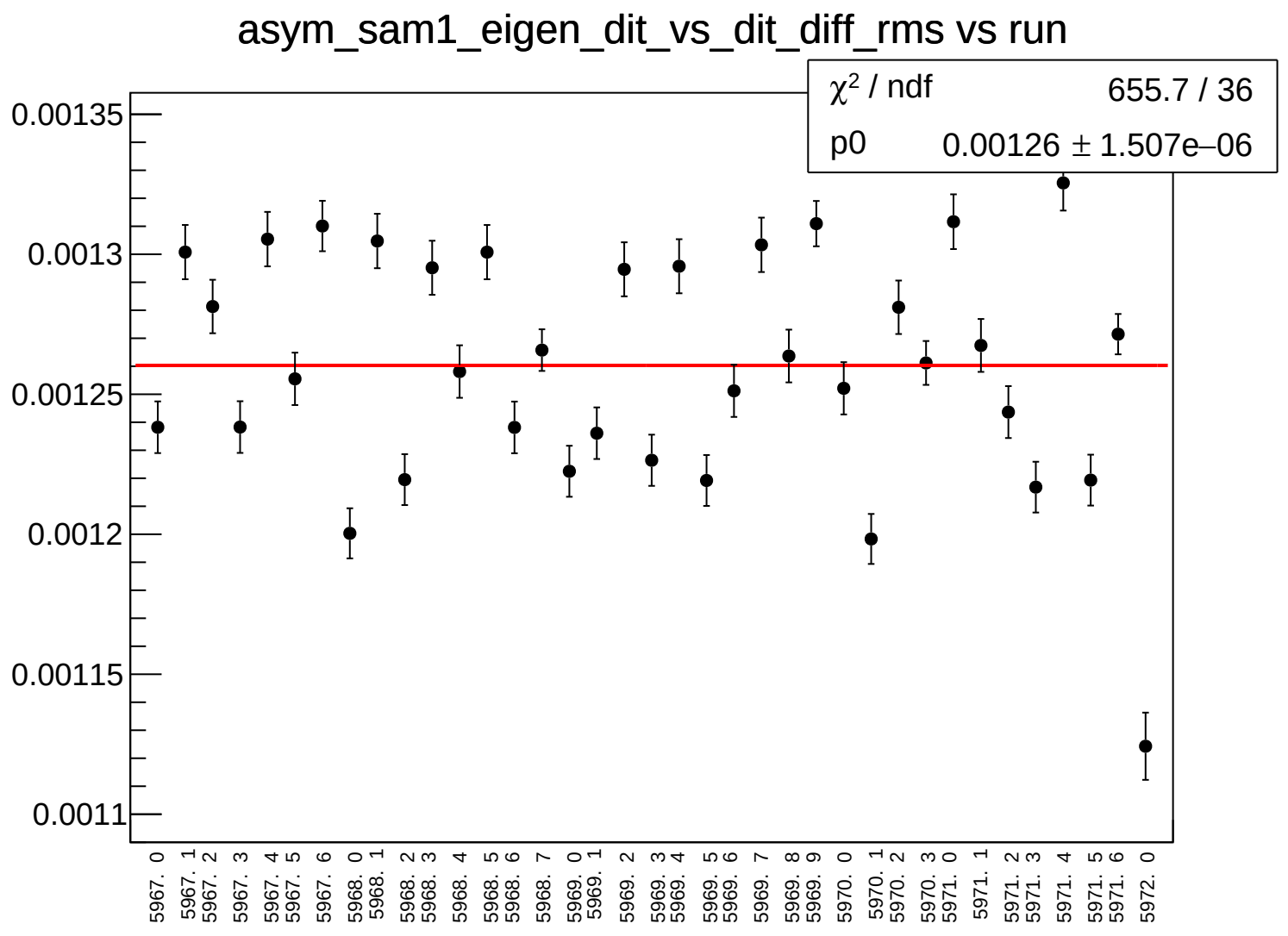
asym_sam1_eigen_dit_vs_dit_diff_rms vs run
χ² / ndf 655.7 / 36
p0 0.00126 ± 1.507e–06
0.00135
0.0013
0.00125
0.0012
0.00115
0.0011
5967. 0
5967. 1
5967. 2
5967. 3
5967. 4
5967. 5
5967. 6
5968. 0
5968. 1
5968. 2
5968. 3
5968. 4
5968. 5
5968. 6
5968. 7
5969. 0
5969. 1
5969. 2
5969. 3
5969. 4
5969. 5
5969. 6
5969. 7
5969. 8
5969. 9
5970. 0
5970. 1
5970. 2
5970. 3
5971. 0
5971. 1
5971. 2
5971. 3
5971. 4
5971. 5
5971. 6
5972. 0

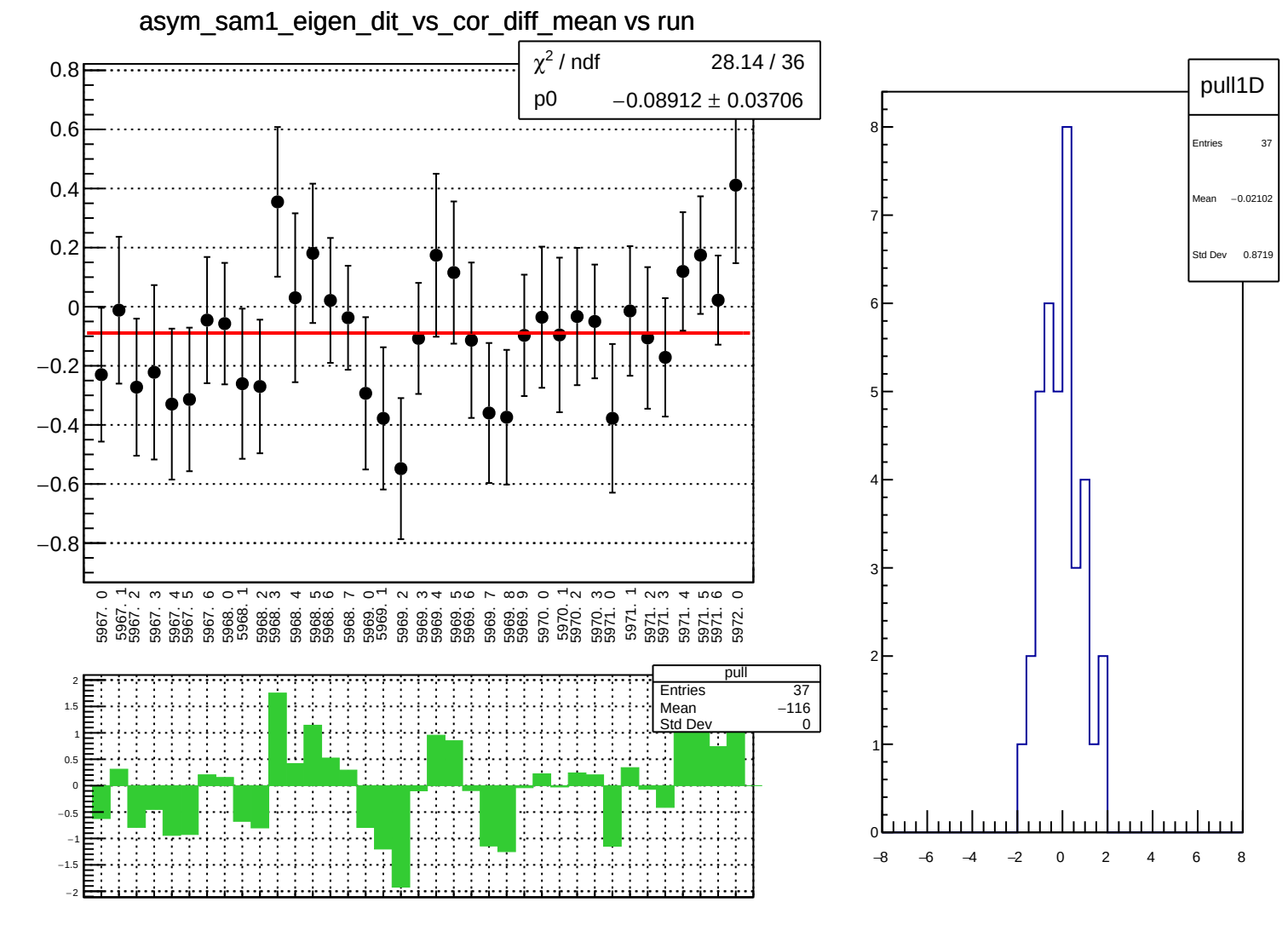
asym_sam1_eigen_dit_vs_cor_diff_mean vs run
χ² / ndf 28.14 / 36
p0 −0.08912 ± 0.03706
pull
Entries 37
Mean −116
Std Dev 0
pull1D
Entries 37
Mean −0.02102
Std Dev 0.8719

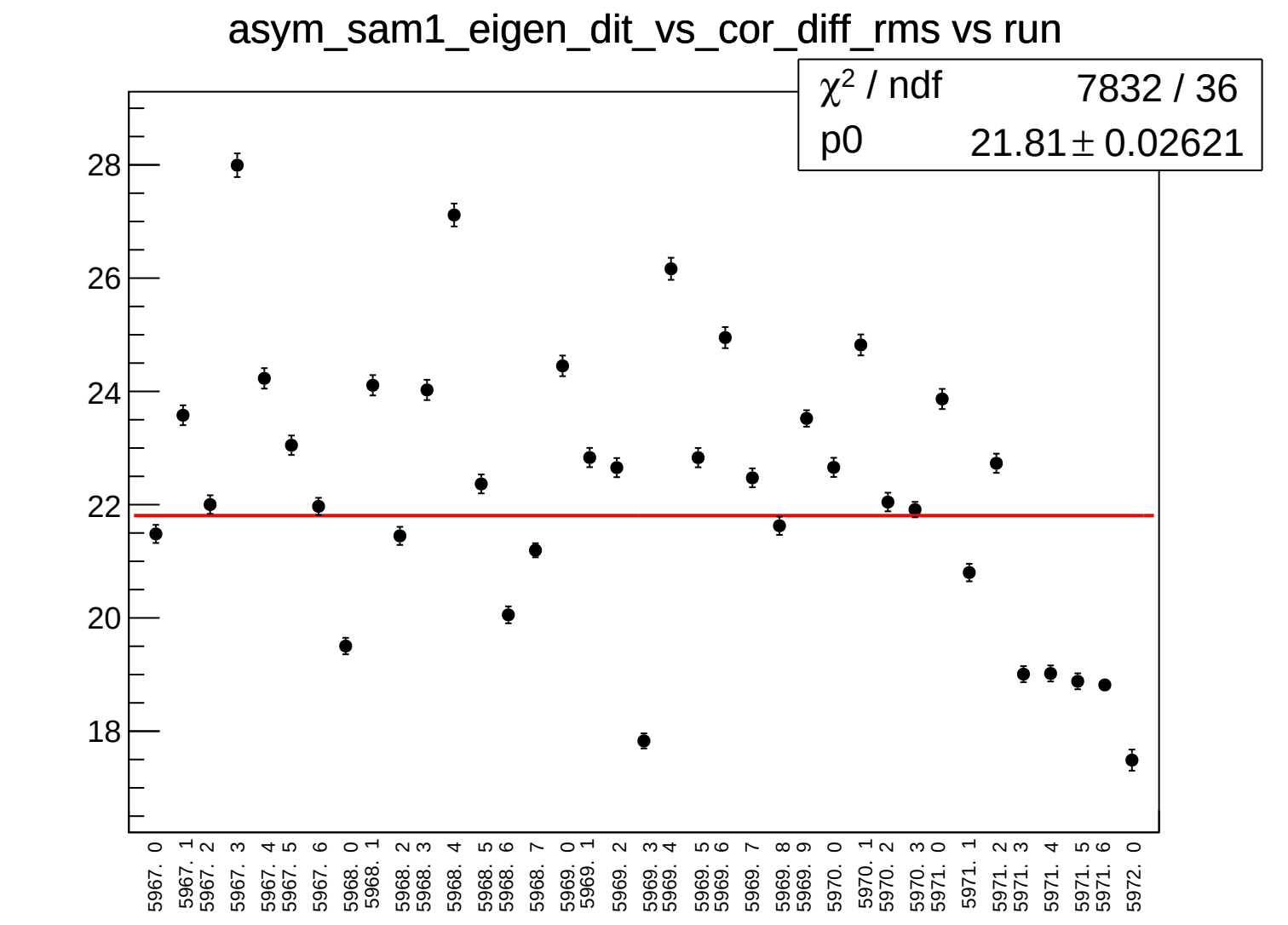
asym_sam1_eigen_dit_vs_cor_diff_rms vs run
χ² / ndf 7832 / 36
p0 21.81 ± 0.02621
28
26
24
22
20
18
5967. 0
5967. 1
5967. 2
5967. 3
5967. 4
5967. 5
5967. 6
5968. 0
5968. 1
5968. 2
5968. 3
5968. 4
5968. 5
5968. 6
5968. 7
5969. 0
5969. 1
5969. 2
5969. 3
5969. 4
5969. 5
5969. 6
5969. 7
5969. 8
5969. 9
5970. 0
5970. 1
5970. 2
5970. 3
5971. 0
5971. 1
5971. 2
5971. 3
5971. 4
5971. 5
5971. 6
5972. 0

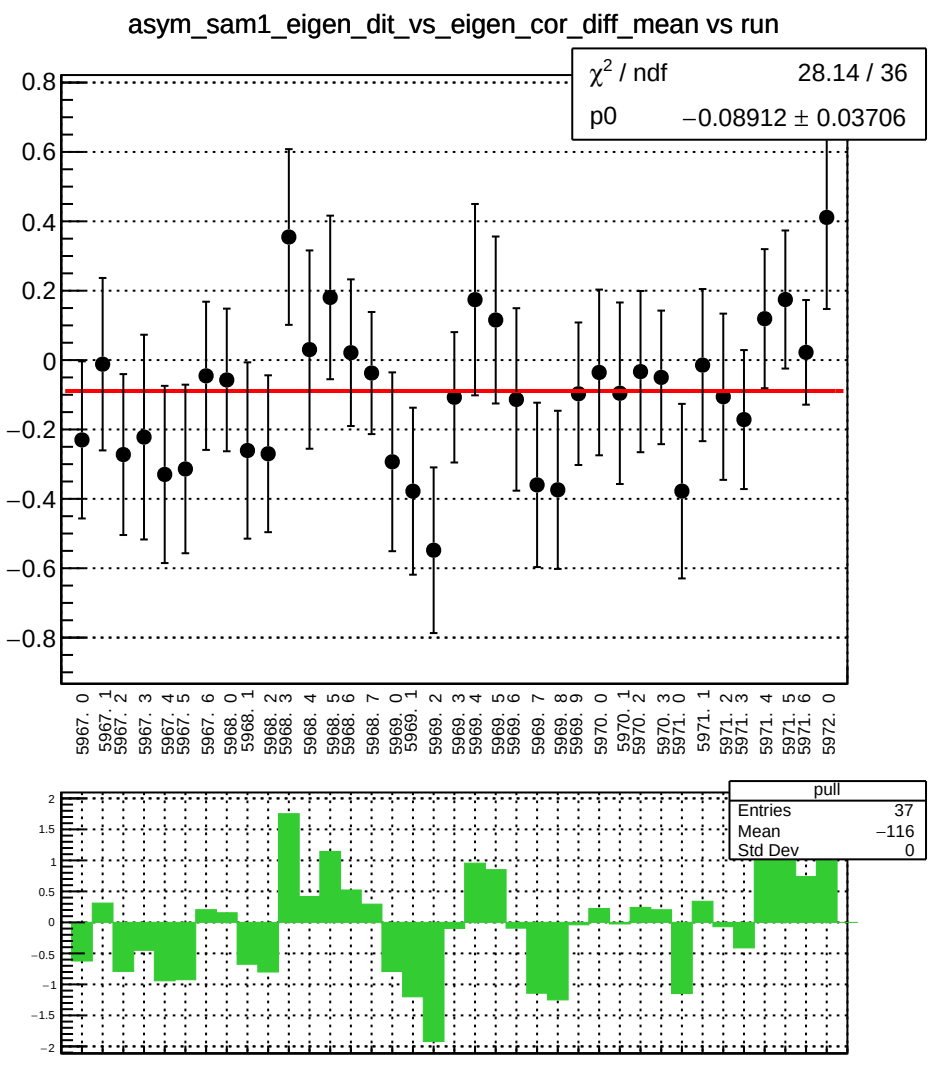
asym_sam1_eigen_dit_vs_eigen_cor_diff_mean vs run
χ² / ndf 28.14 / 36
p0 −0.08912 ± 0.03706
0.8
0.6
0.4
0.2
0
−0.2
−0.4
−0.6
−0.8
5967. 0
5967. 1
5967. 2
5967. 3
5967. 4
5967. 5
5967. 6
5968. 0
5968. 1
5968. 2
5968. 3
5968. 4
5968. 5
5968. 6
5968. 7
5969. 0
5969. 1
5969. 2
5969. 3
5969. 4
5969. 5
5969. 6
5969. 7
5969. 8
5969. 9
5970. 0
5970. 1
5970. 2
5970. 3
5971. 0
5971. 1
5971. 2
5971. 3
5971. 4
5971. 5
5971. 6
5972. 0
pull
Entries 37
Mean −116
Std Dev 0
2
1.5
1
0.5
0
−0.5
−1
−1.5
−2

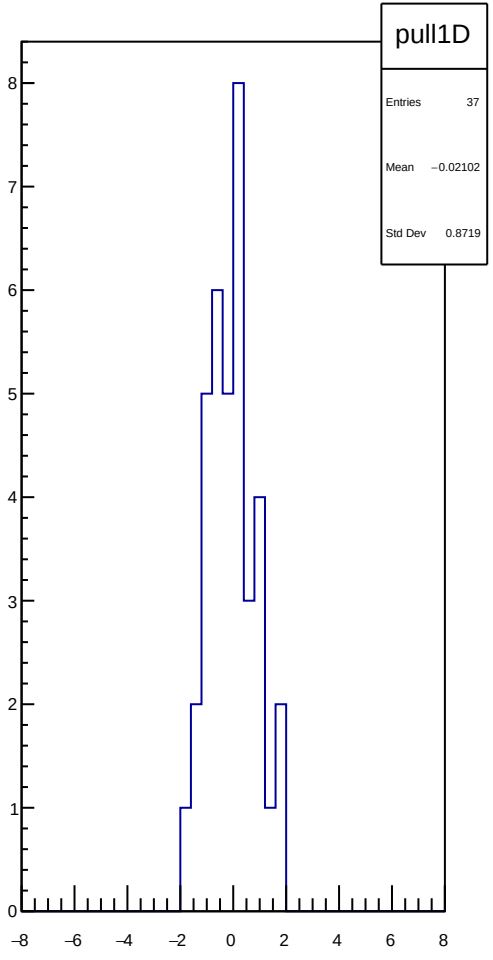
pull1D
Entries 37
Mean −0.02102
Std Dev 0.8719
8
7
6
5
4
3
2
1
0
−8
−6
−4
−2
0
2
4
6
8

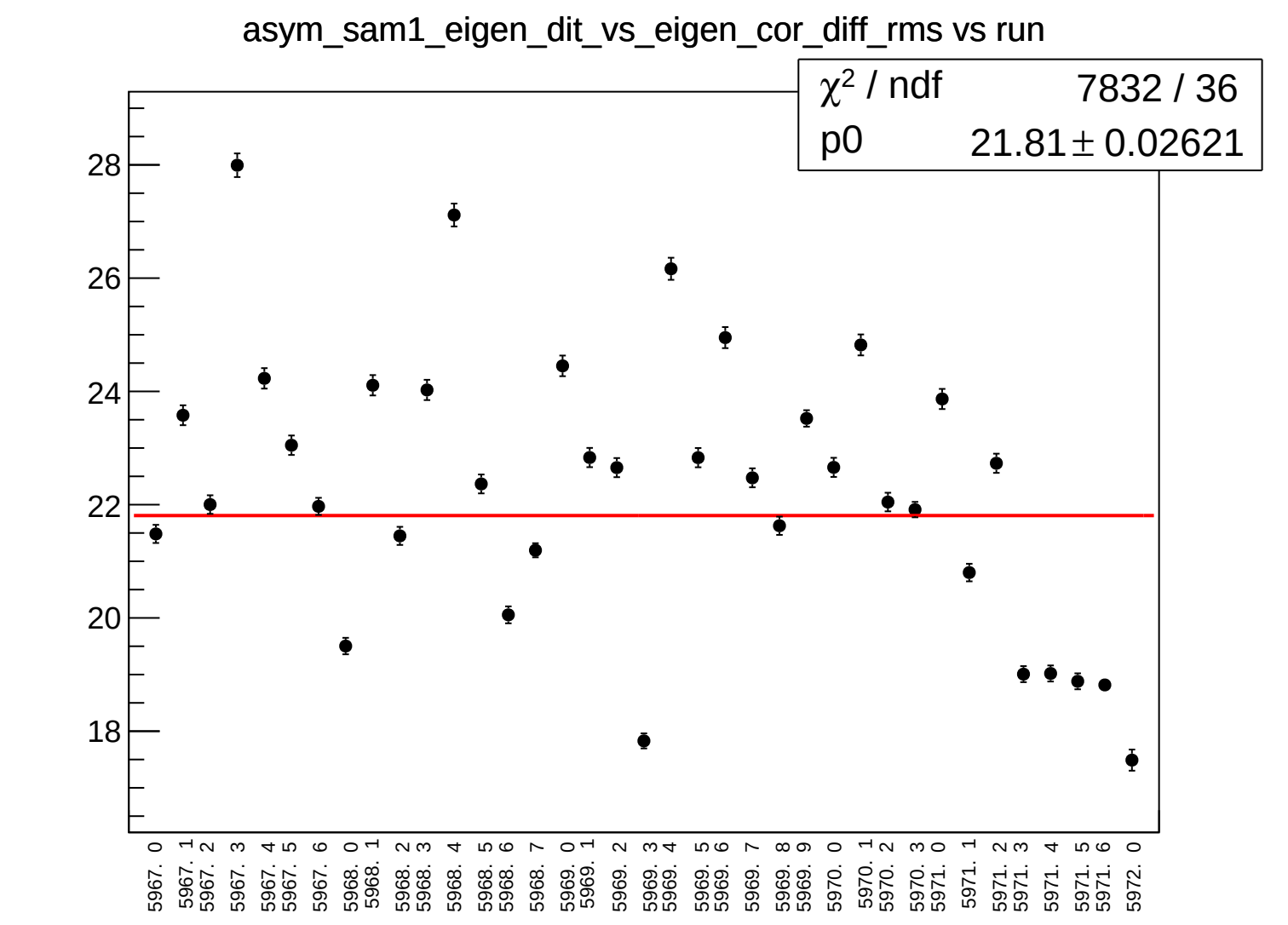
asym_sam1_eigen_dit_vs_eigen_cor_diff_rms vs run
χ² / ndf 7832 / 36
p0 21.81 ± 0.02621
28
26
24
22
20
18
5967. 0
5967. 1
5967. 2
5967. 3
5967. 4
5967. 5
5967. 6
5968. 0
5968. 1
5968. 2
5968. 3
5968. 4
5968. 5
5968. 6
5968. 7
5969. 0
5969. 1
5969. 2
5969. 3
5969. 4
5969. 5
5969. 6
5969. 7
5969. 8
5969. 9
5970. 0
5970. 1
5970. 2
5970. 3
5971. 0
5971. 1
5971. 2
5971. 3
5971. 4
5971. 5
5971. 6
5972. 0

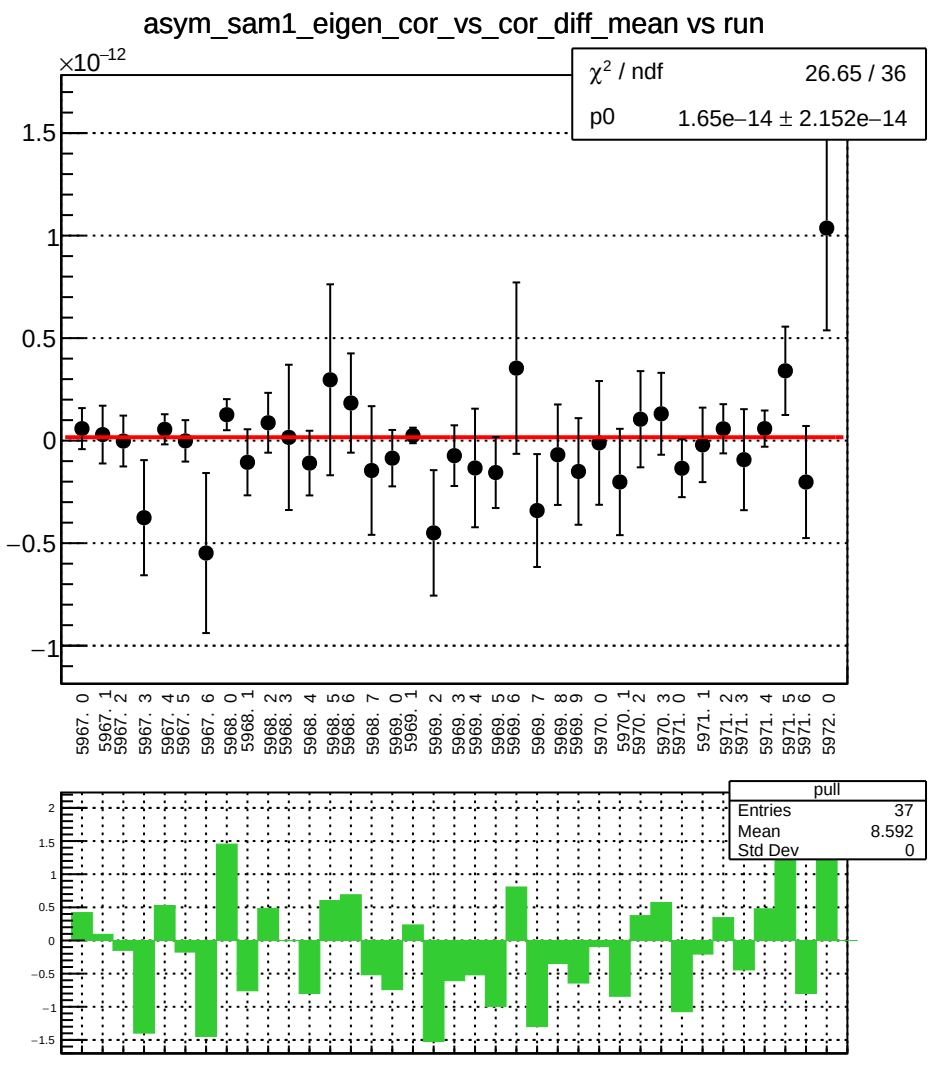
asym_sam1_eigen_cor_vs_cor_diff_mean vs run
×10⁻¹²
χ² / ndf 26.65 / 36
p0 1.65e−14 ± 2.152e−14
1.5
1
0.5
0
−0.5
−1
5967. 0
5967. 1
5967. 2
5967. 3
5967. 4
5967. 5
5967. 6
5968. 0
5968. 1
5968. 2
5968. 3
5968. 4
5968. 5
5968. 6
5968. 7
5969. 0
5969. 1
5969. 2
5969. 3
5969. 4
5969. 5
5969. 6
5969. 7
5969. 8
5969. 9
5970. 0
5970. 1
5970. 2
5970. 3
5971. 0
5971. 1
5971. 2
5971. 3
5971. 4
5971. 5
5971. 6
5972. 0
pull
Entries 37
Mean 8.592
Std Dev 0
2
1.5
1
0.5
0
−0.5
−1
−1.5

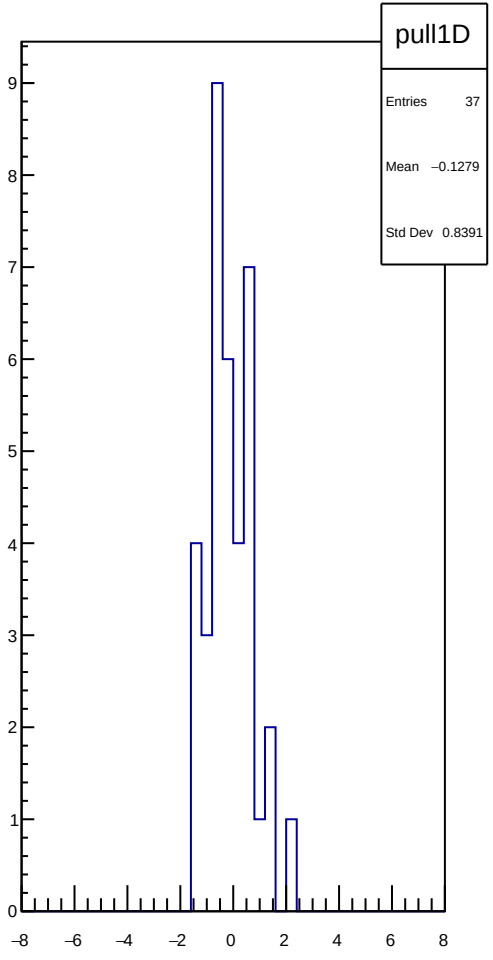
pull1D
Entries 37
Mean −0.1279
Std Dev 0.8391
9
8
7
6
5
4
3
2
1
0
−8
−6
−4
−2
0
2
4
6
8

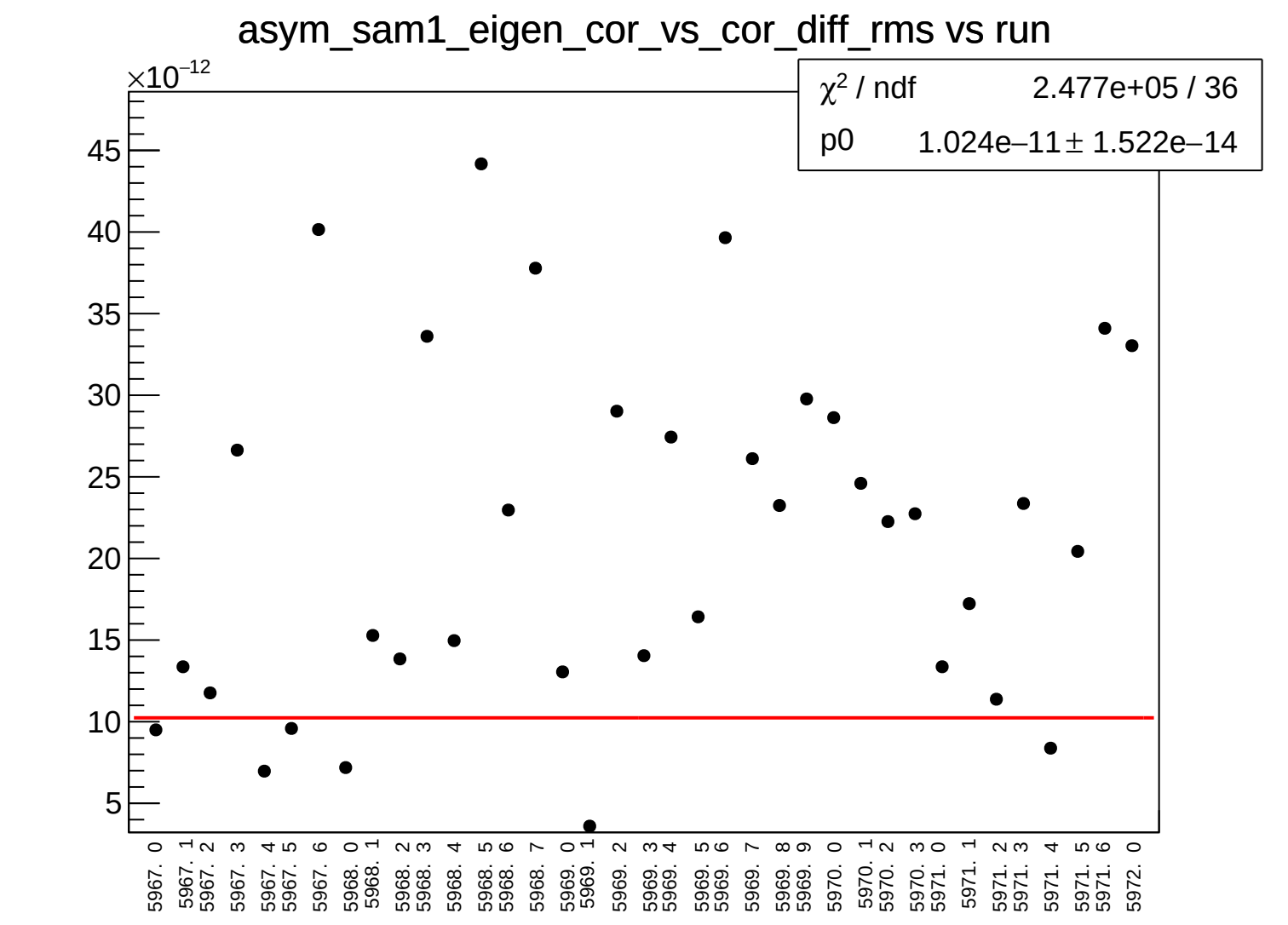
asym_sam1_eigen_cor_vs_cor_diff_rms vs run
×10⁻¹²
χ² / ndf 2.477e+05 / 36
p0 1.024e−11 ± 1.522e−14
45
40
35
30
25
20
15
10
5
5967. 0
5967. 1
5967. 2
5967. 3
5967. 4
5967. 5
5967. 6
5968. 0
5968. 1
5968. 2
5968. 3
5968. 4
5968. 5
5968. 6
5968. 7
5969. 0
5969. 1
5969. 2
5969. 3
5969. 4
5969. 5
5969. 6
5969. 7
5969. 8
5969. 9
5970. 0
5970. 1
5970. 2
5970. 3
5971. 0
5971. 1
5971. 2
5971. 3
5971. 4
5971. 5
5971. 6
5972. 0

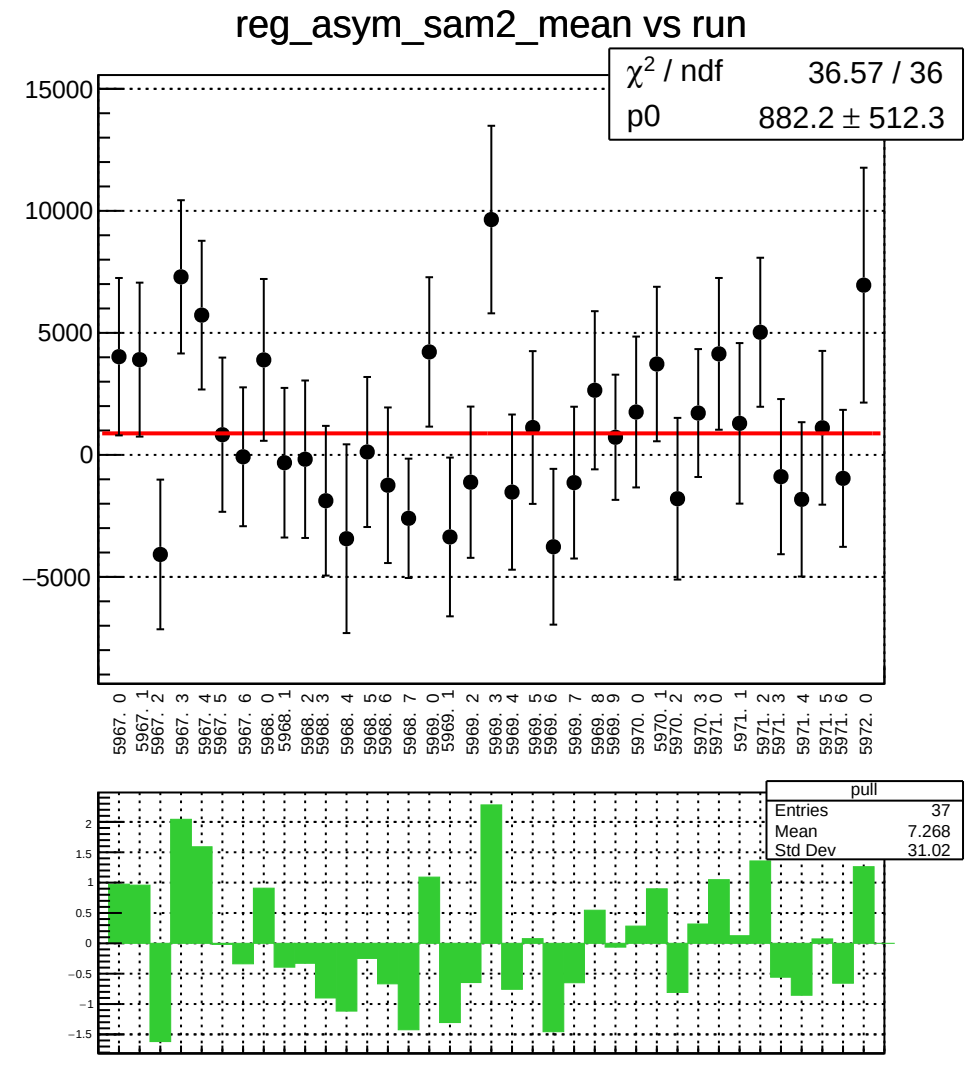
reg_asym_sam2_mean vs run
χ² / ndf 36.57 / 36
p0 882.2 ± 512.3
15000
10000
5000
0
−5000
5967. 0
5967. 1
5967. 2
5967. 3
5967. 4
5967. 5
5967. 6
5968. 0
5968. 1
5968. 2
5968. 3
5968. 4
5968. 5
5968. 6
5968. 7
5969. 0
5969. 1
5969. 2
5969. 3
5969. 4
5969. 5
5969. 6
5969. 7
5969. 8
5969. 9
5970. 0
5970. 1
5970. 2
5970. 3
5971. 0
5971. 1
5971. 2
5971. 3
5971. 4
5971. 5
5971. 6
5972. 0
pull
Entries 37
Mean 7.268
Std Dev 31.02
2
1.5
1
0.5
0
−0.5
−1
−1.5
pull1D
Entries 37
Mean 0.02782
Std Dev 0.9938
6
5
4
3
2
1
0
−8
−6
−4
−2
0
2
4
6
8

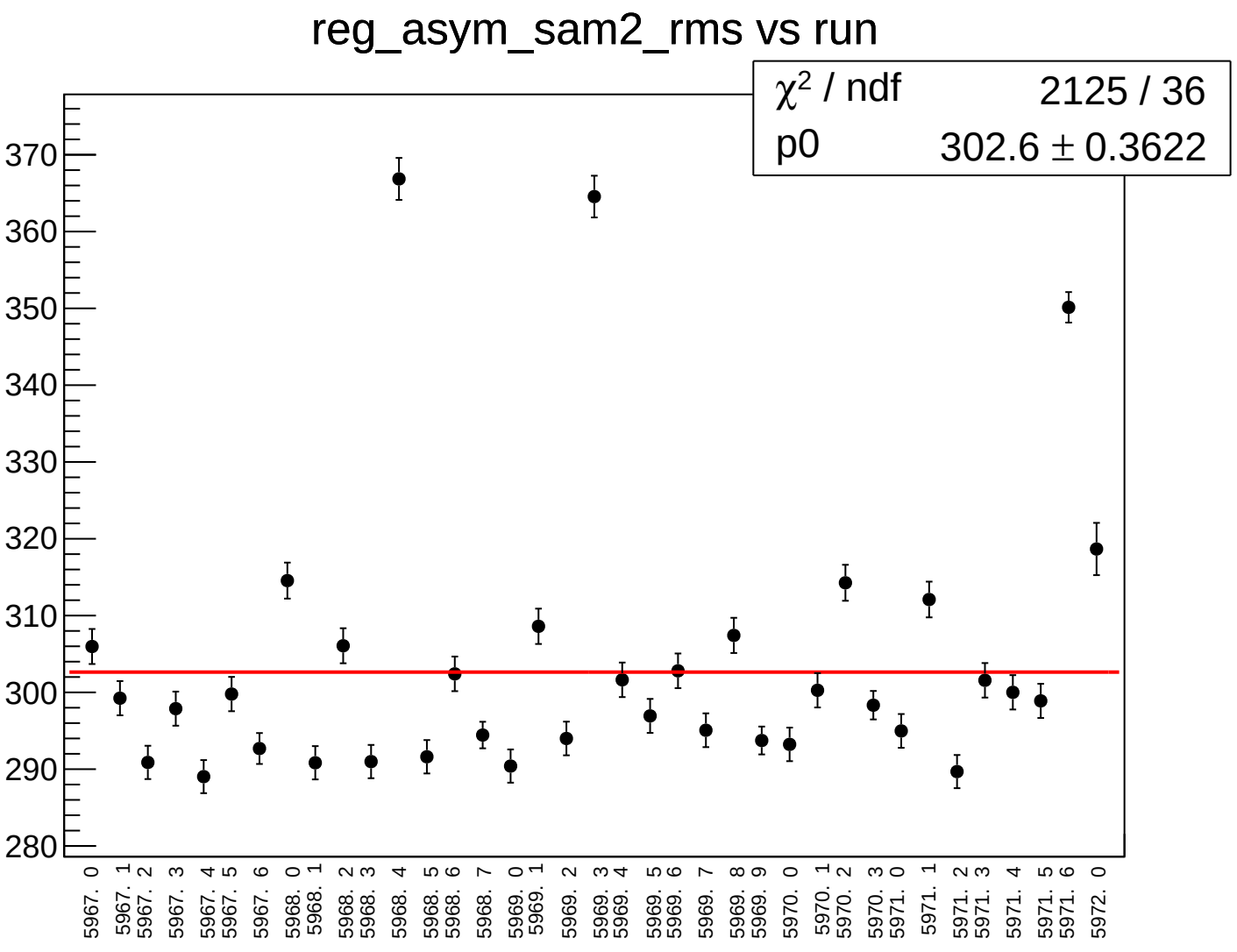
reg_asym_sam2_rms vs run
χ² / ndf 2125 / 36
p0 302.6 ± 0.3622
370
360
350
340
330
320
310
300
290
280
5967. 0
5967. 1
5967. 2
5967. 3
5967. 4
5967. 5
5967. 6
5968. 0
5968. 1
5968. 2
5968. 3
5968. 4
5968. 5
5968. 6
5968. 7
5969. 0
5969. 1
5969. 2
5969. 3
5969. 4
5969. 5
5969. 6
5969. 7
5969. 8
5969. 9
5970. 0
5970. 1
5970. 2
5970. 3
5971. 0
5971. 1
5971. 2
5971. 3
5971. 4
5971. 5
5971. 6
5972. 0

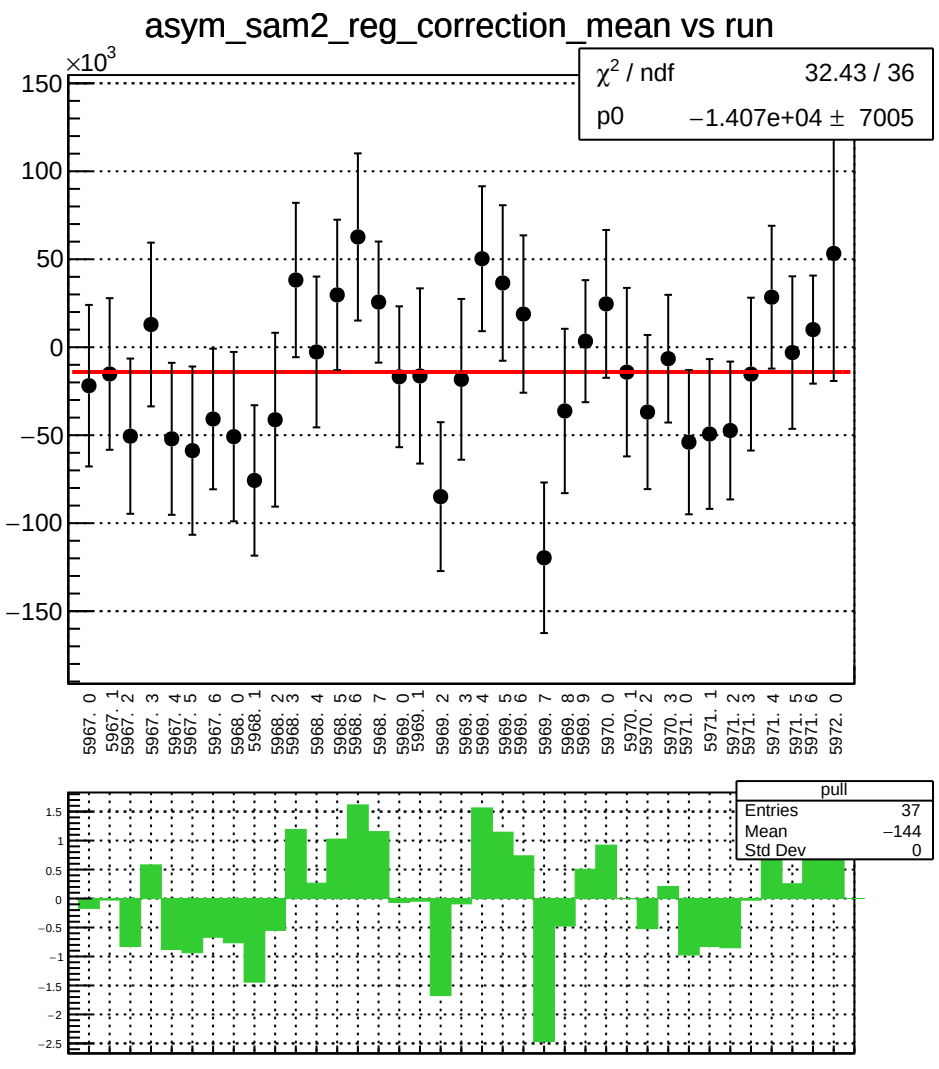
asym_sam2_reg_correction_mean vs run
×10^3
χ² / ndf 32.43 / 36
p0 −1.407e+04 ± 7005
150
100
50
0
−50
−100
−150
5967. 0
5967. 1
5967. 2
5967. 3
5967. 4
5967. 5
5967. 6
5968. 0
5968. 1
5968. 2
5968. 3
5968. 4
5968. 5
5968. 6
5968. 7
5969. 0
5969. 1
5969. 2
5969. 3
5969. 4
5969. 5
5969. 6
5969. 7
5969. 8
5969. 9
5970. 0
5970. 1
5970. 2
5970. 3
5971. 0
5971. 1
5971. 2
5971. 3
5971. 4
5971. 5
5971. 6
5972. 0
pull
Entries 37
Mean −144
Std Dev 0
1.5
1
0.5
0
−0.5
−1
−1.5
−2
−2.5
pull1D
Entries 37
Mean −0.009725
Std Dev 0.9362
7
6
5
4
3
2
1
0
−8
−6
−4
−2
0
2
4
6
8

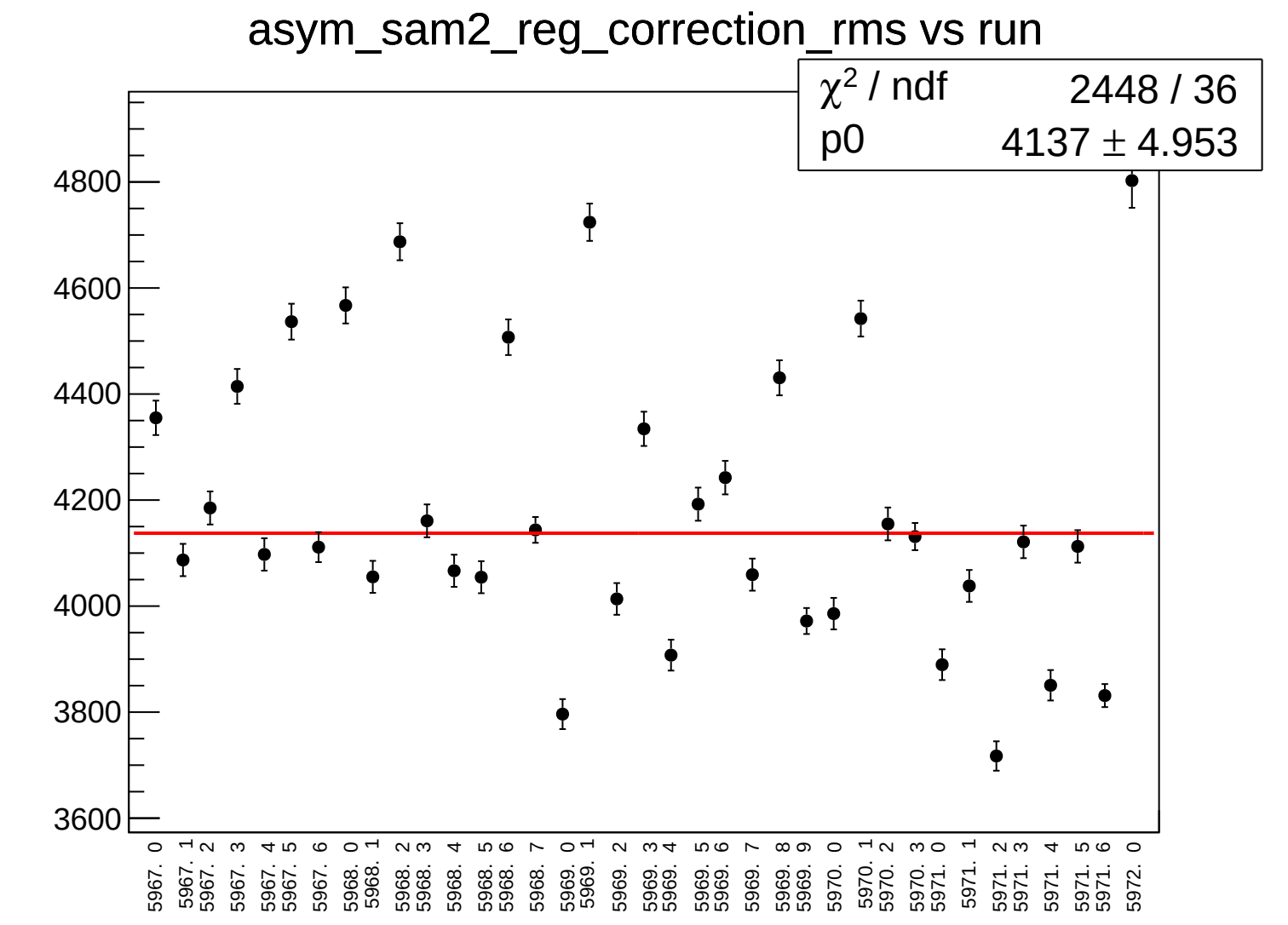
asym_sam2_reg_correction_rms vs run
χ² / ndf 2448 / 36
p0 4137 ± 4.953
4800
4600
4400
4200
4000
3800
3600
5967. 0
5967. 1
5967. 2
5967. 3
5967. 4
5967. 5
5967. 6
5968. 0
5968. 1
5968. 2
5968. 3
5968. 4
5968. 5
5968. 6
5968. 7
5969. 0
5969. 1
5969. 2
5969. 3
5969. 4
5969. 5
5969. 6
5969. 7
5969. 8
5969. 9
5970. 0
5970. 1
5970. 2
5970. 3
5971. 0
5971. 1
5971. 2
5971. 3
5971. 4
5971. 5
5971. 6
5972. 0

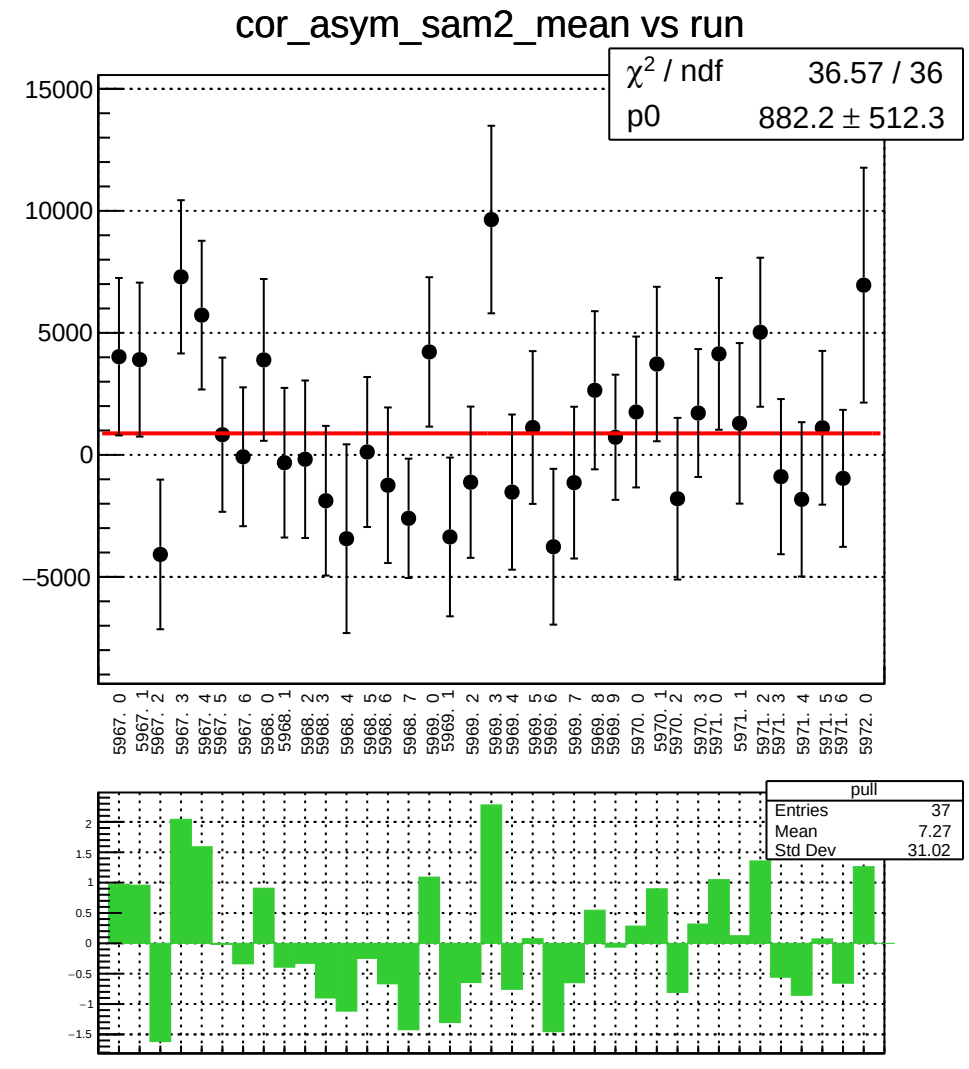
cor_asym_sam2_mean vs run
χ² / ndf 36.57 / 36
p0 882.2 ± 512.3
15000
10000
5000
0
−5000
5967. 0
5967. 1
5967. 2
5967. 3
5967. 4
5967. 5
5967. 6
5968. 0
5968. 1
5968. 2
5968. 3
5968. 4
5968. 5
5968. 6
5968. 7
5969. 0
5969. 1
5969. 2
5969. 3
5969. 4
5969. 5
5969. 6
5969. 7
5969. 8
5969. 9
5970. 0
5970. 1
5970. 2
5970. 3
5971. 0
5971. 1
5971. 2
5971. 3
5971. 4
5971. 5
5971. 6
5972. 0
pull
Entries 37
Mean 7.27
Std Dev 31.02
2
1.5
1
0.5
0
−0.5
−1
−1.5
pull1D
Entries 37
Mean 0.02782
Std Dev 0.9938
6
5
4
3
2
1
0
−8
−6
−4
−2
0
2
4
6
8

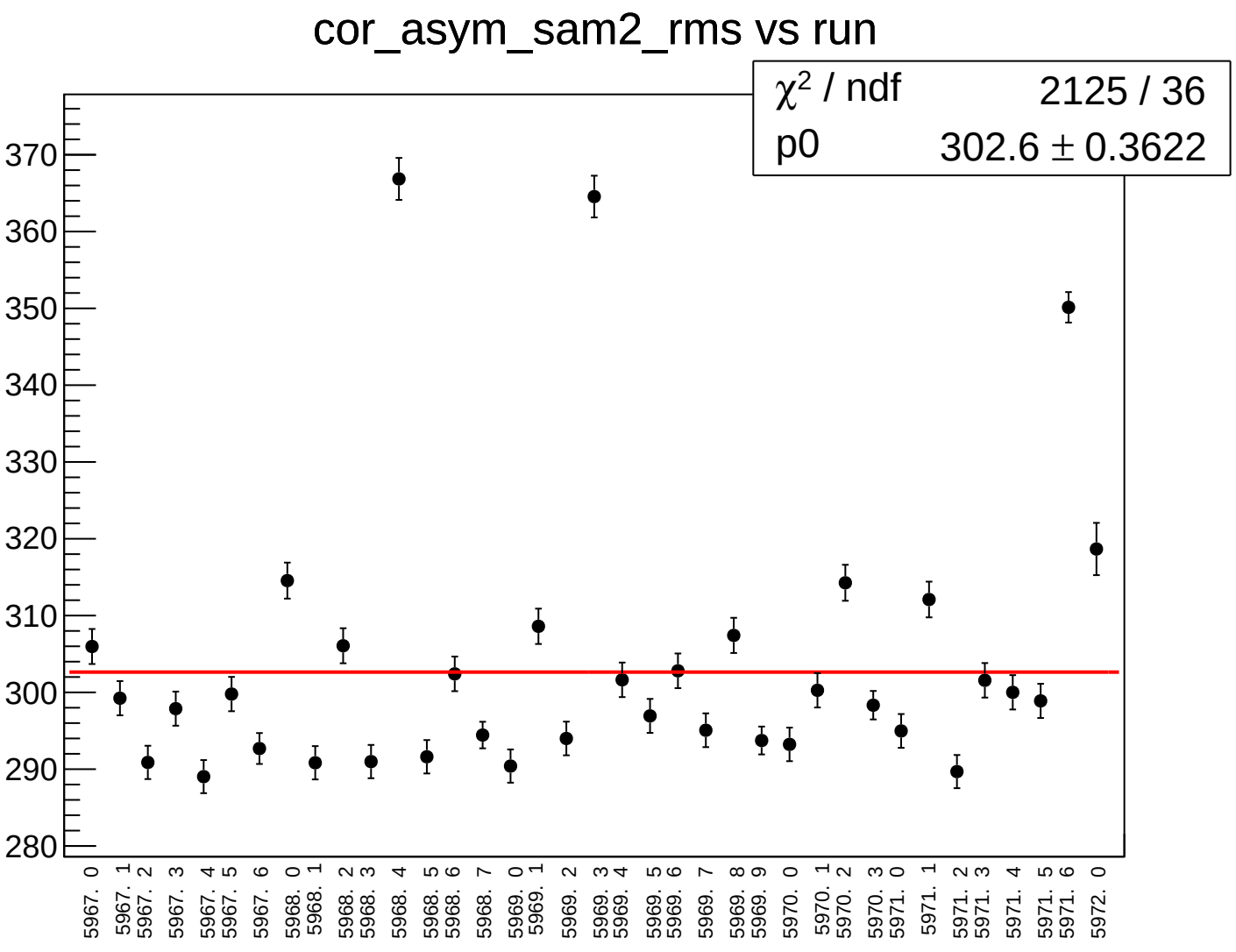
cor_asym_sam2_rms vs run
χ² / ndf 2125 / 36
p0 302.6 ± 0.3622
370
360
350
340
330
320
310
300
290
280
5967. 0
5967. 1
5967. 2
5967. 3
5967. 4
5967. 5
5967. 6
5968. 0
5968. 1
5968. 2
5968. 3
5968. 4
5968. 5
5968. 6
5968. 7
5969. 0
5969. 1
5969. 2
5969. 3
5969. 4
5969. 5
5969. 6
5969. 7
5969. 8
5969. 9
5970. 0
5970. 1
5970. 2
5970. 3
5971. 0
5971. 1
5971. 2
5971. 3
5971. 4
5971. 5
5971. 6
5972. 0

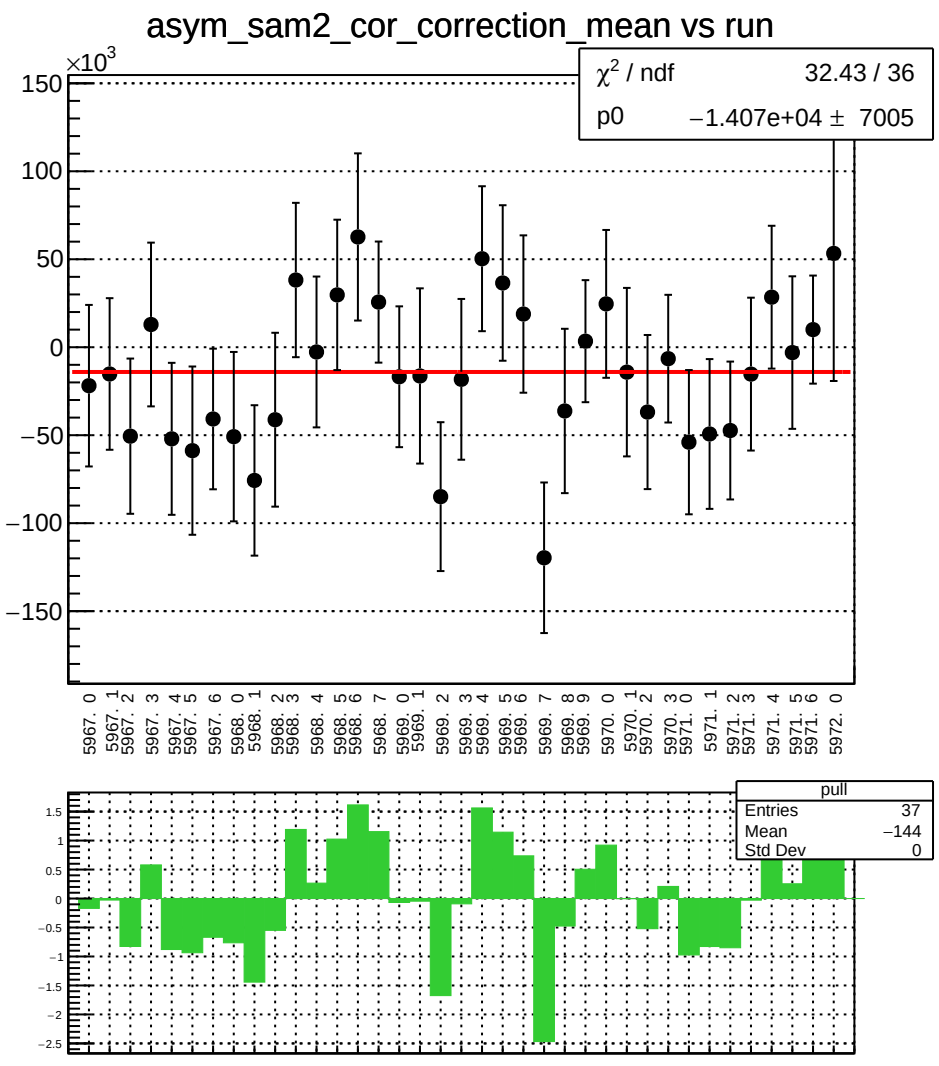
asym_sam2_cor_correction_mean vs run
×10^3
χ² / ndf 32.43 / 36
p0 −1.407e+04 ± 7005
150
100
50
0
−50
−100
−150
5967. 0
5967. 1
5967. 2
5967. 3
5967. 4
5967. 5
5967. 6
5968. 0
5968. 1
5968. 2
5968. 3
5968. 4
5968. 5
5968. 6
5968. 7
5969. 0
5969. 1
5969. 2
5969. 3
5969. 4
5969. 5
5969. 6
5969. 7
5969. 8
5969. 9
5970. 0
5970. 1
5970. 2
5970. 3
5971. 0
5971. 1
5971. 2
5971. 3
5971. 4
5971. 5
5971. 6
5972. 0
pull
Entries 37
Mean −144
Std Dev 0
1.5
1
0.5
0
−0.5
−1
−1.5
−2
−2.5
pull1D
Entries 37
Mean −0.009726
Std Dev 0.9362
7
6
5
4
3
2
1
0
−8
−6
−4
−2
0
2
4
6
8

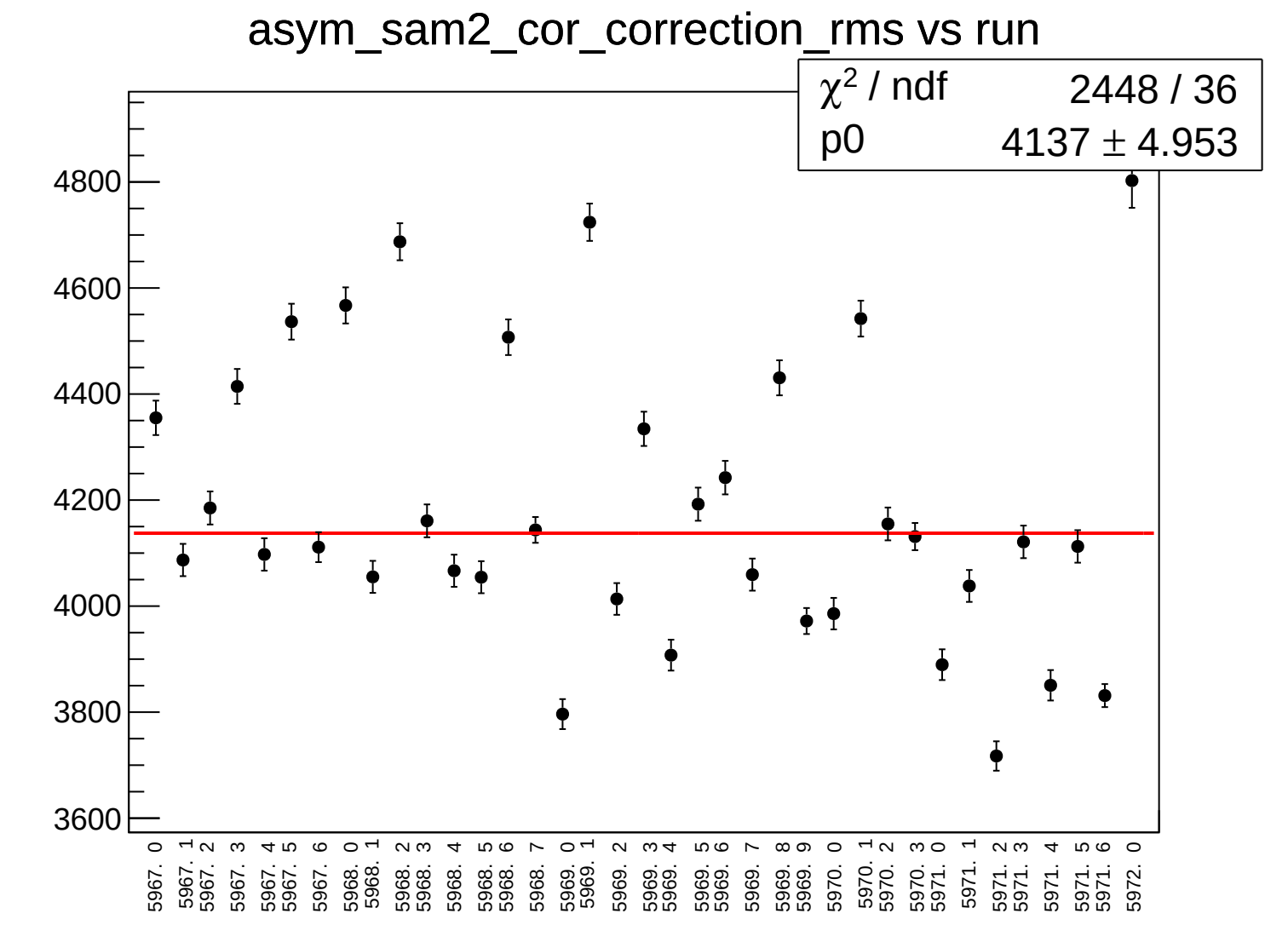
asym_sam2_cor_correction_rms vs run
χ² / ndf 2448 / 36
p0 4137 ± 4.953
4800
4600
4400
4200
4000
3800
3600
5967. 0
5967. 1
5967. 2
5967. 3
5967. 4
5967. 5
5967. 6
5968. 0
5968. 1
5968. 2
5968. 3
5968. 4
5968. 5
5968. 6
5968. 7
5969. 0
5969. 1
5969. 2
5969. 3
5969. 4
5969. 5
5969. 6
5969. 7
5969. 8
5969. 9
5970. 0
5970. 1
5970. 2
5970. 3
5971. 0
5971. 1
5971. 2
5971. 3
5971. 4
5971. 5
5971. 6
5972. 0

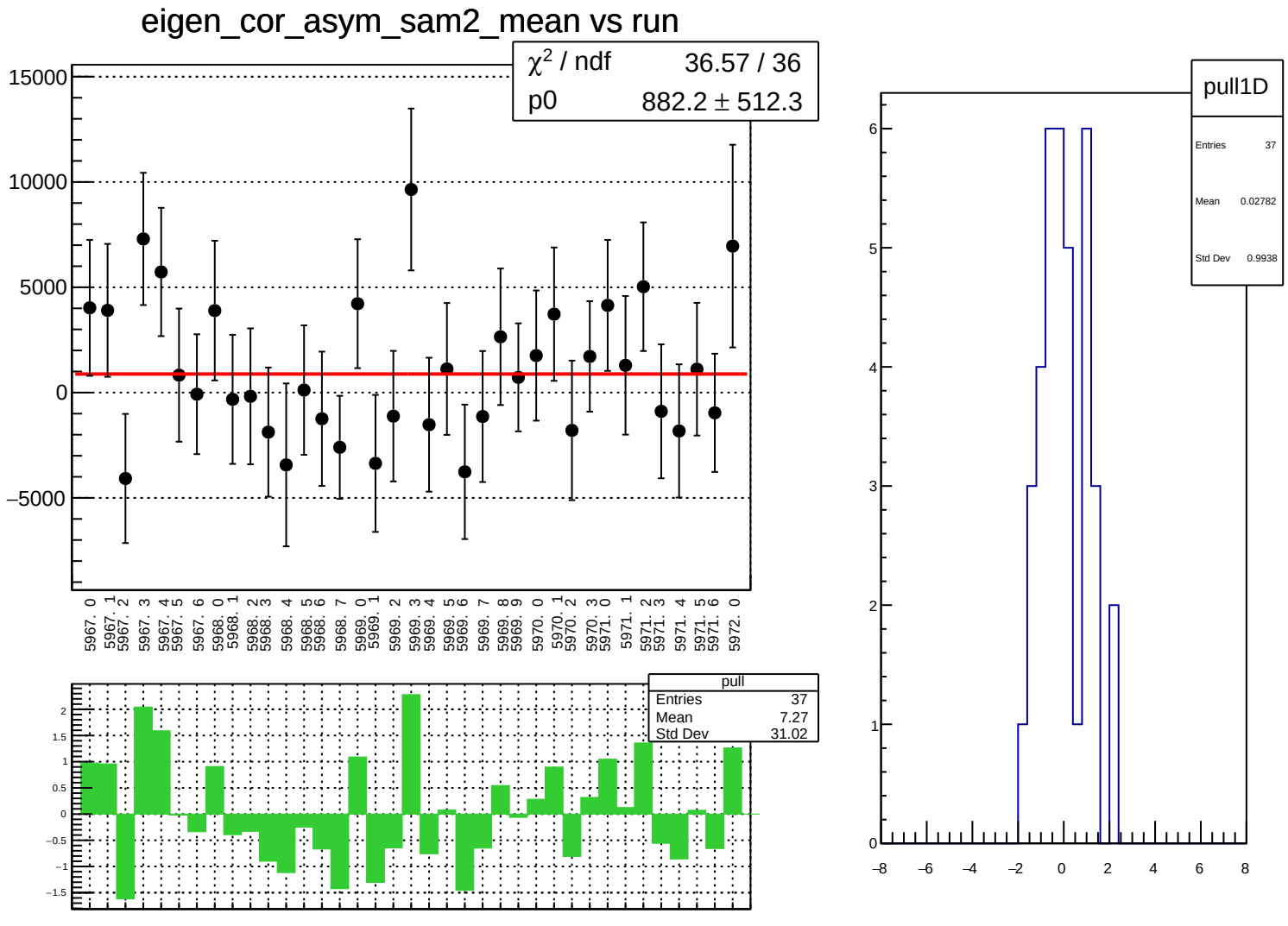
eigen_cor_asym_sam2_mean vs run
χ² / ndf 36.57 / 36
p0 882.2 ± 512.3
15000
10000
5000
0
−5000
5967. 0
5967. 1
5967. 2
5967. 3
5967. 4
5967. 5
5967. 6
5968. 0
5968. 1
5968. 2
5968. 3
5968. 4
5968. 5
5968. 6
5968. 7
5969. 0
5969. 1
5969. 2
5969. 3
5969. 4
5969. 5
5969. 6
5969. 7
5969. 8
5969. 9
5970. 0
5970. 1
5970. 2
5970. 3
5971. 0
5971. 1
5971. 2
5971. 3
5971. 4
5971. 5
5971. 6
5972. 0
pull
Entries 37
Mean 7.27
Std Dev 31.02
2
1.5
1
0.5
0
−0.5
−1
−1.5
pull1D
Entries 37
Mean 0.02782
Std Dev 0.9938
6
5
4
3
2
1
0
−8
−6
−4
−2
0
2
4
6
8

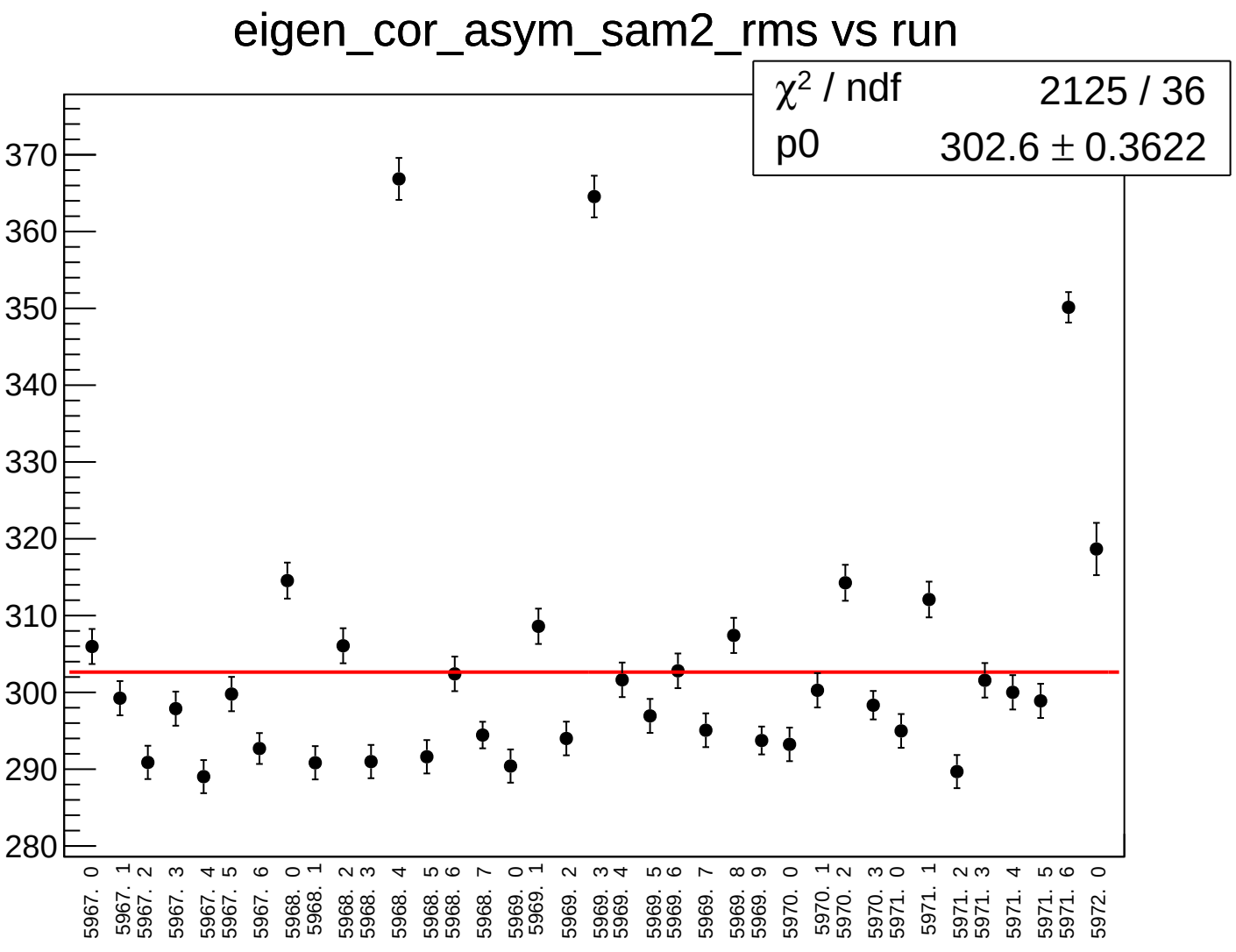
eigen_cor_asym_sam2_rms vs run
χ² / ndf 2125 / 36
p0 302.6 ± 0.3622
370
360
350
340
330
320
310
300
290
280
5967. 0
5967. 1
5967. 2
5967. 3
5967. 4
5967. 5
5967. 6
5968. 0
5968. 1
5968. 2
5968. 3
5968. 4
5968. 5
5968. 6
5968. 7
5969. 0
5969. 1
5969. 2
5969. 3
5969. 4
5969. 5
5969. 6
5969. 7
5969. 8
5969. 9
5970. 0
5970. 1
5970. 2
5970. 3
5971. 0
5971. 1
5971. 2
5971. 3
5971. 4
5971. 5
5971. 6
5972. 0

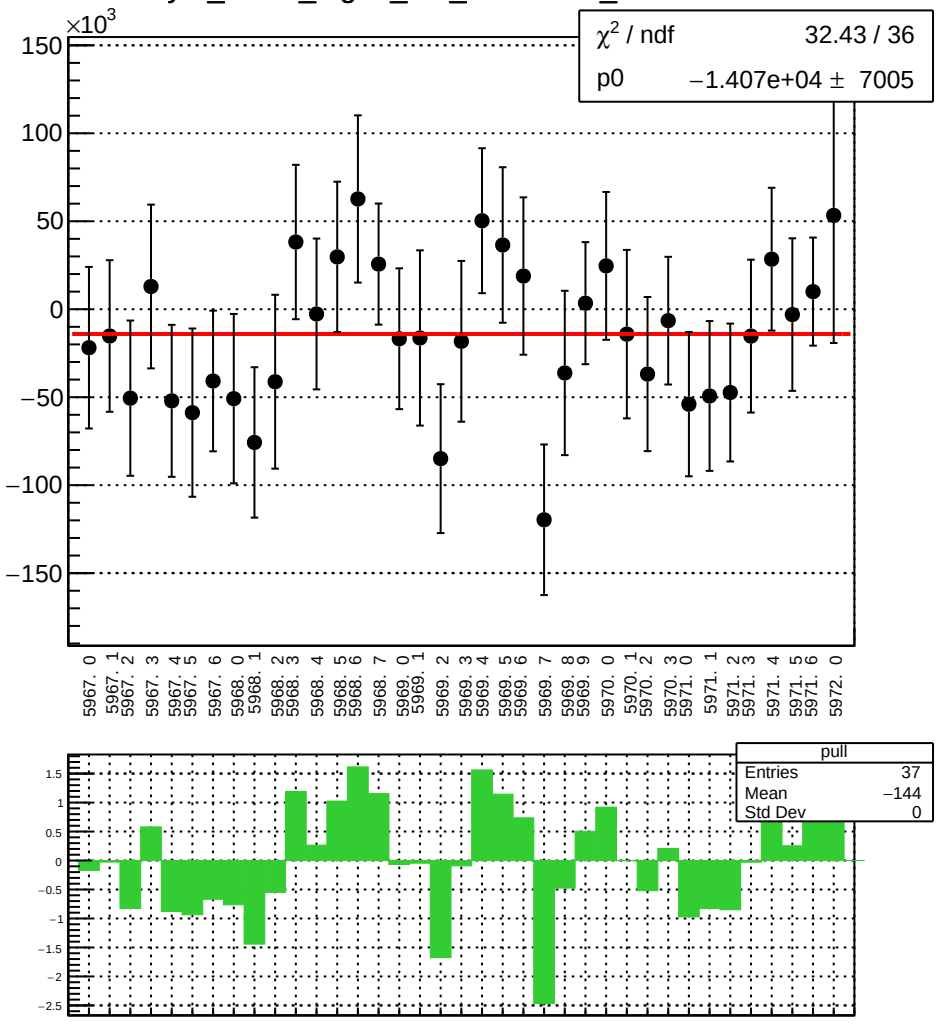
asym_sam2_eigen_cor_correction_mean vs run
×10^3
χ² / ndf 32.43 / 36
p0 −1.407e+04 ± 7005
150
100
50
0
−50
−100
−150
5967. 0
5967. 1
5967. 2
5967. 3
5967. 4
5967. 5
5967. 6
5968. 0
5968. 1
5968. 2
5968. 3
5968. 4
5968. 5
5968. 6
5968. 7
5969. 0
5969. 1
5969. 2
5969. 3
5969. 4
5969. 5
5969. 6
5969. 7
5969. 8
5969. 9
5970. 0
5970. 1
5970. 2
5970. 3
5971. 0
5971. 1
5971. 2
5971. 3
5971. 4
5971. 5
5971. 6
5972. 0
pull
Entries 37
Mean −144
Std Dev 0
1.5
1
0.5
0
−0.5
−1
−1.5
−2
−2.5
pull1D
Entries 37
Mean −0.009726
Std Dev 0.9362
7
6
5
4
3
2
1
0
−8
−6
−4
−2
0
2
4
6
8

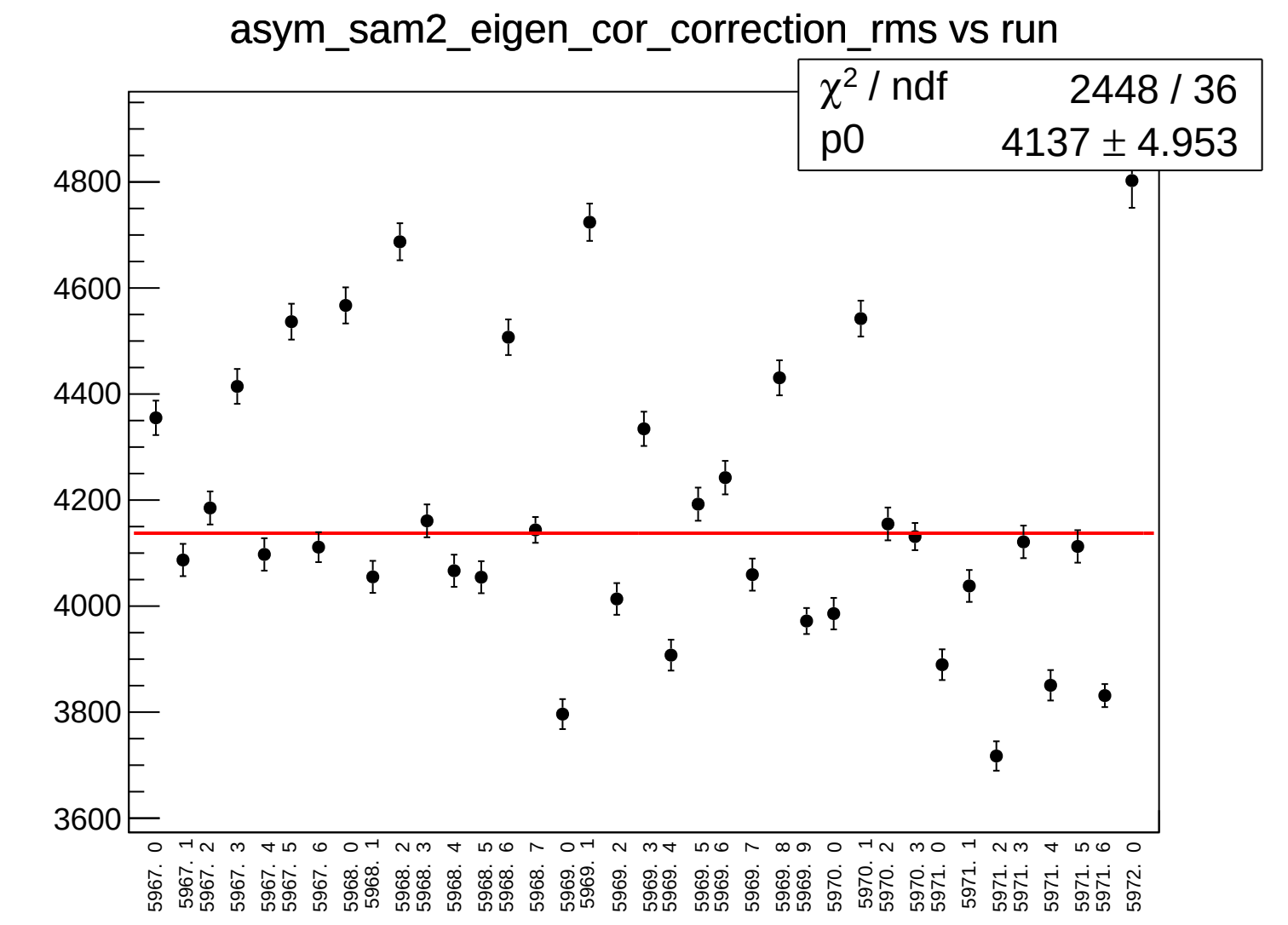
asym_sam2_eigen_cor_correction_rms vs run
χ² / ndf 2448 / 36
p0 4137 ± 4.953
4800
4600
4400
4200
4000
3800
3600
5967. 0
5967. 1
5967. 2
5967. 3
5967. 4
5967. 5
5967. 6
5968. 0
5968. 1
5968. 2
5968. 3
5968. 4
5968. 5
5968. 6
5968. 7
5969. 0
5969. 1
5969. 2
5969. 3
5969. 4
5969. 5
5969. 6
5969. 7
5969. 8
5969. 9
5970. 0
5970. 1
5970. 2
5970. 3
5971. 0
5971. 1
5971. 2
5971. 3
5971. 4
5971. 5
5971. 6
5972. 0

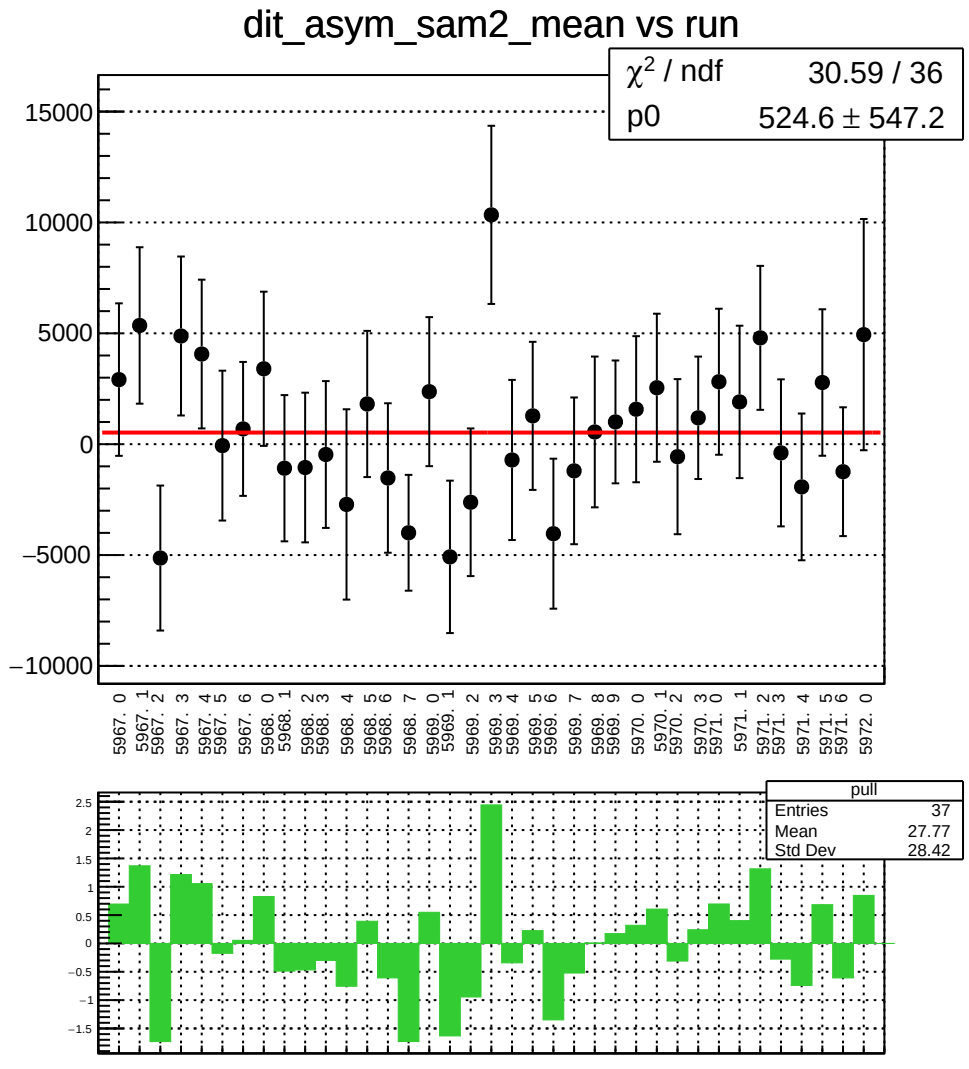
dit_asym_sam2_mean vs run
χ² / ndf 30.59 / 36
p0 524.6 ± 547.2
15000
10000
5000
0
−5000
−10000
5967. 0
5967. 1
5967. 2
5967. 3
5967. 4
5967. 5
5967. 6
5968. 0
5968. 1
5968. 2
5968. 3
5968. 4
5968. 5
5968. 6
5968. 7
5969. 0
5969. 1
5969. 2
5969. 3
5969. 4
5969. 5
5969. 6
5969. 7
5969. 8
5969. 9
5970. 0
5970. 1
5970. 2
5970. 3
5971. 0
5971. 1
5971. 2
5971. 3
5971. 4
5971. 5
5971. 6
5972. 0
pull
Entries 37
Mean 27.77
Std Dev 28.42
2.5
2
1.5
1
0.5
0
−0.5
−1
−1.5

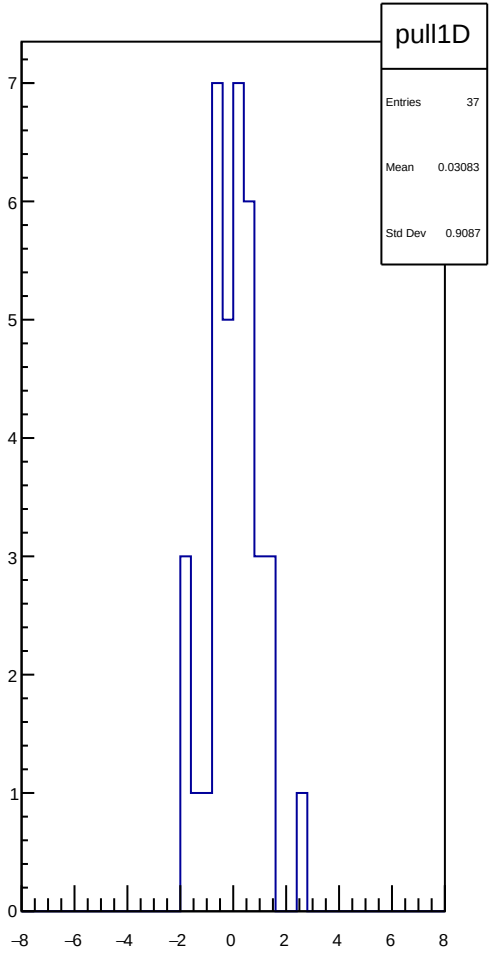
pull1D
Entries 37
Mean 0.03083
Std Dev 0.9087
7
6
5
4
3
2
1
0
−8
−6
−4
−2
0
2
4
6
8

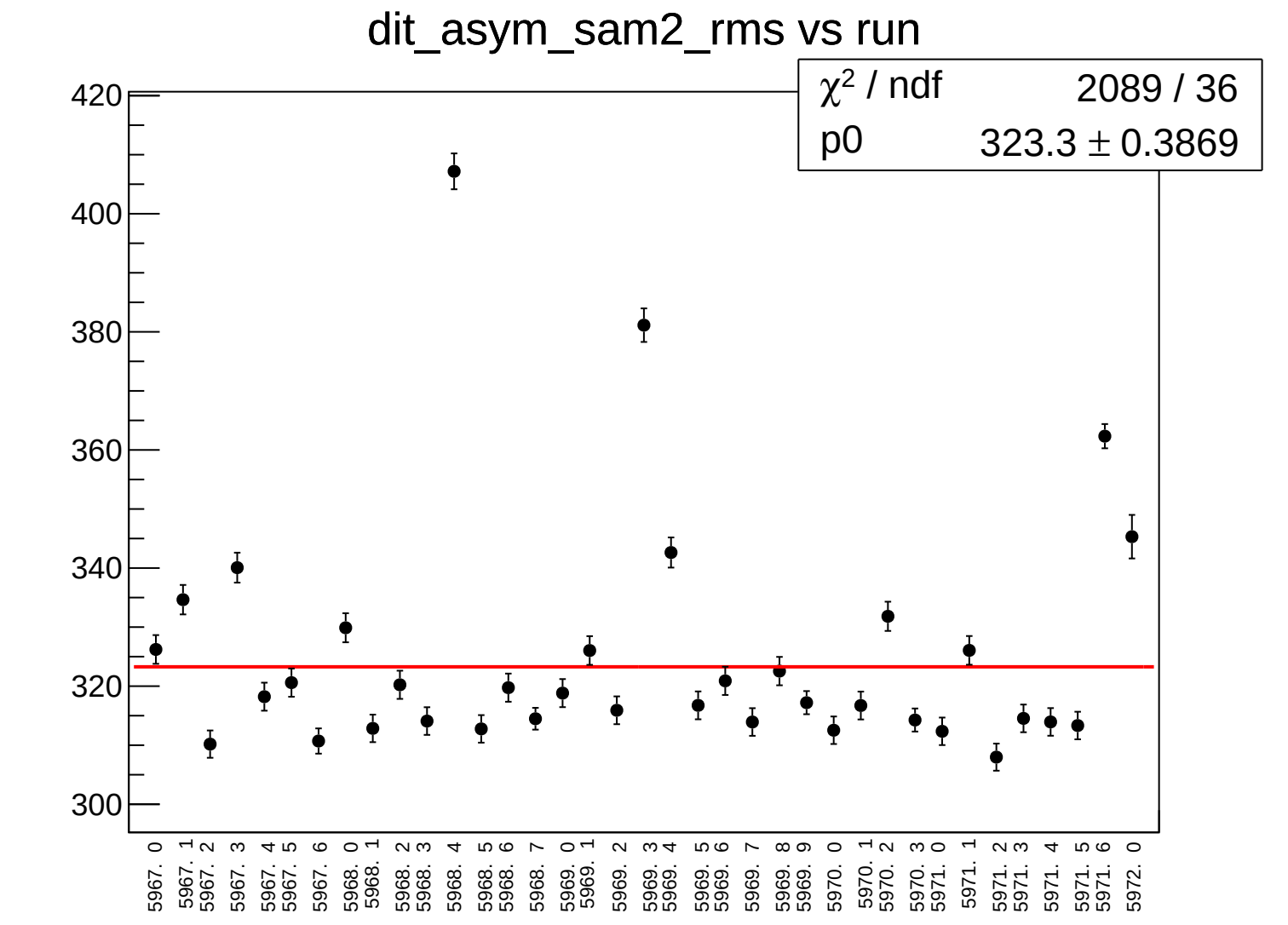
dit_asym_sam2_rms vs run
χ² / ndf 2089 / 36
p0 323.3 ± 0.3869
420
400
380
360
340
320
300
5967. 0
5967. 1
5967. 2
5967. 3
5967. 4
5967. 5
5967. 6
5968. 0
5968. 1
5968. 2
5968. 3
5968. 4
5968. 5
5968. 6
5968. 7
5969. 0
5969. 1
5969. 2
5969. 3
5969. 4
5969. 5
5969. 6
5969. 7
5969. 8
5969. 9
5970. 0
5970. 1
5970. 2
5970. 3
5971. 0
5971. 1
5971. 2
5971. 3
5971. 4
5971. 5
5971. 6
5972. 0

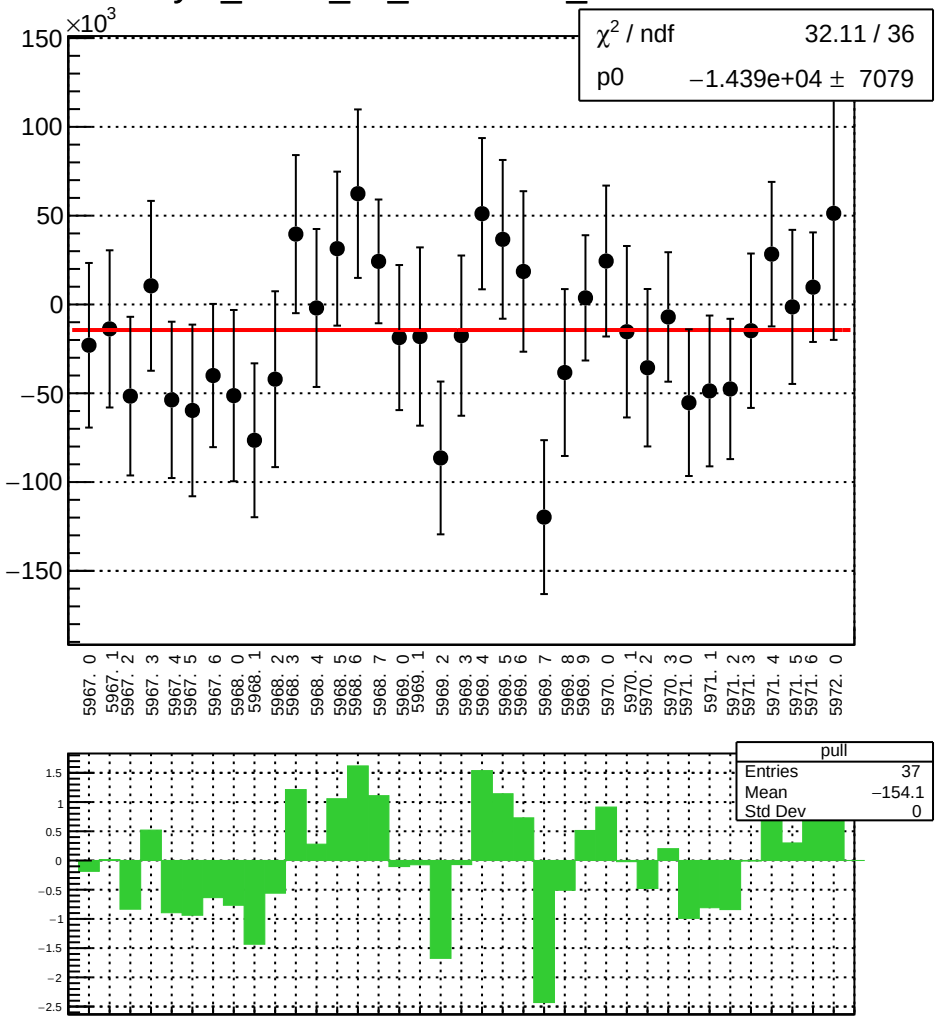
asym_sam2_dit_correction_mean vs run
×10^3
χ² / ndf 32.11 / 36
p0 −1.439e+04 ± 7079
150
100
50
0
−50
−100
−150
5967. 0
5967. 1
5967. 2
5967. 3
5967. 4
5967. 5
5967. 6
5968. 0
5968. 1
5968. 2
5968. 3
5968. 4
5968. 5
5968. 6
5968. 7
5969. 0
5969. 1
5969. 2
5969. 3
5969. 4
5969. 5
5969. 6
5969. 7
5969. 8
5969. 9
5970. 0
5970. 1
5970. 2
5970. 3
5971. 0
5971. 1
5971. 2
5971. 3
5971. 4
5971. 5
5971. 6
5972. 0
pull
Entries 37
Mean −154.1
Std Dev 0
1.5
1
0.5
0
−0.5
−1
−1.5
−2
−2.5
pull1D
Entries 37
Mean −0.00938
Std Dev 0.9316
6
5
4
3
2
1
0
−8
−6
−4
−2
0
2
4
6
8

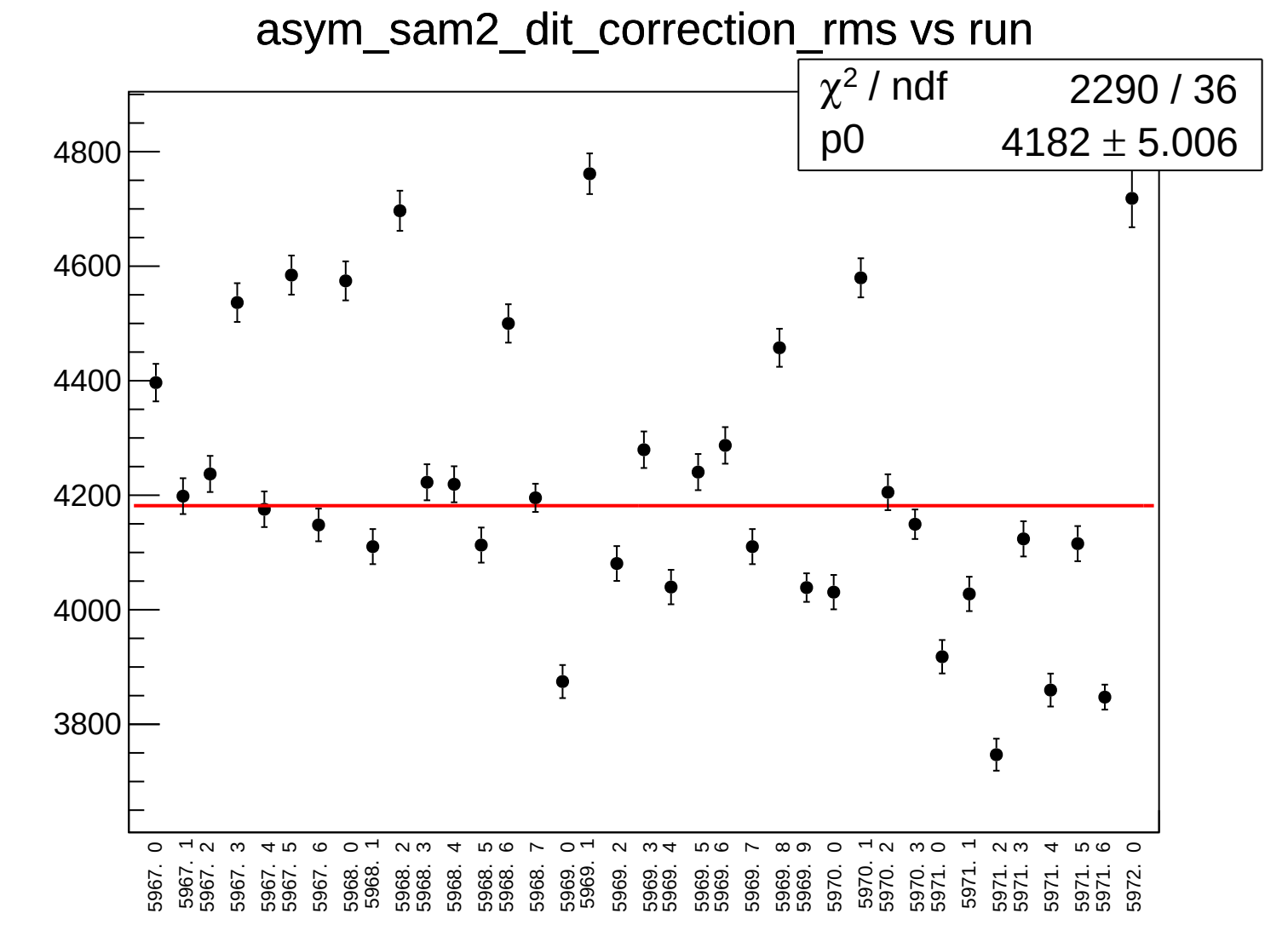
asym_sam2_dit_correction_rms vs run
χ² / ndf 2290 / 36
p0 4182 ± 5.006
4800
4600
4400
4200
4000
3800
5967. 0
5967. 1
5967. 2
5967. 3
5967. 4
5967. 5
5967. 6
5968. 0
5968. 1
5968. 2
5968. 3
5968. 4
5968. 5
5968. 6
5968. 7
5969. 0
5969. 1
5969. 2
5969. 3
5969. 4
5969. 5
5969. 6
5969. 7
5969. 8
5969. 9
5970. 0
5970. 1
5970. 2
5970. 3
5971. 0
5971. 1
5971. 2
5971. 3
5971. 4
5971. 5
5971. 6
5972. 0

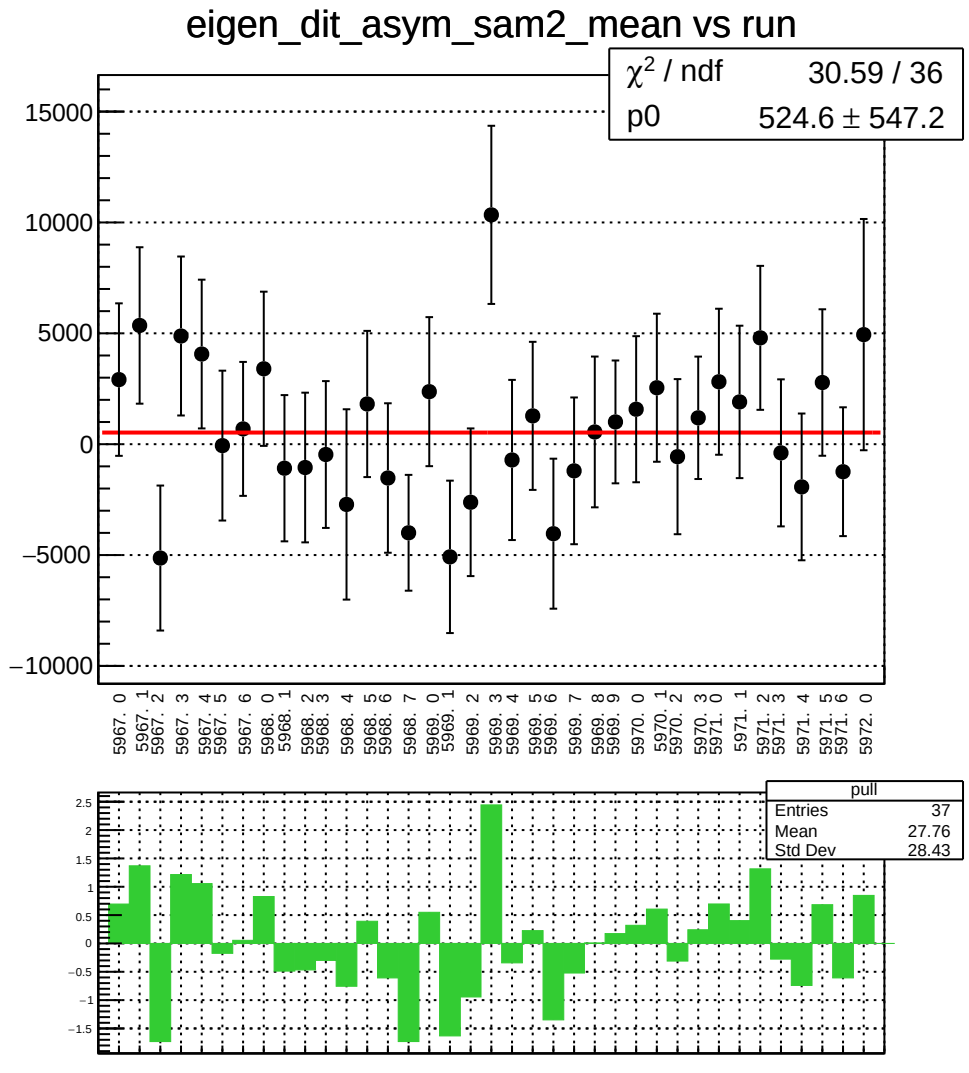
eigen_dit_asym_sam2_mean vs run
χ² / ndf 30.59 / 36
p0 524.6 ± 547.2
15000
10000
5000
0
−5000
−10000
5967. 0
5967. 1
5967. 2
5967. 3
5967. 4
5967. 5
5967. 6
5968. 0
5968. 1
5968. 2
5968. 3
5968. 4
5968. 5
5968. 6
5968. 7
5969. 0
5969. 1
5969. 2
5969. 3
5969. 4
5969. 5
5969. 6
5969. 7
5969. 8
5969. 9
5970. 0
5970. 1
5970. 2
5970. 3
5971. 0
5971. 1
5971. 2
5971. 3
5971. 4
5971. 5
5971. 6
5972. 0
pull
Entries 37
Mean 27.76
Std Dev 28.43
2.5
2
1.5
1
0.5
0
−0.5
−1
−1.5

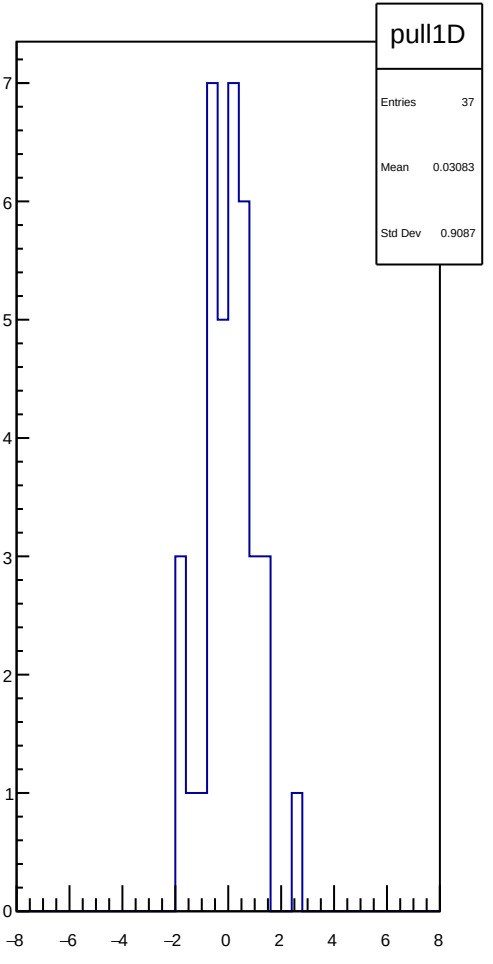
pull1D
Entries 37
Mean 0.03083
Std Dev 0.9087
7
6
5
4
3
2
1
0
−8
−6
−4
−2
0
2
4
6
8

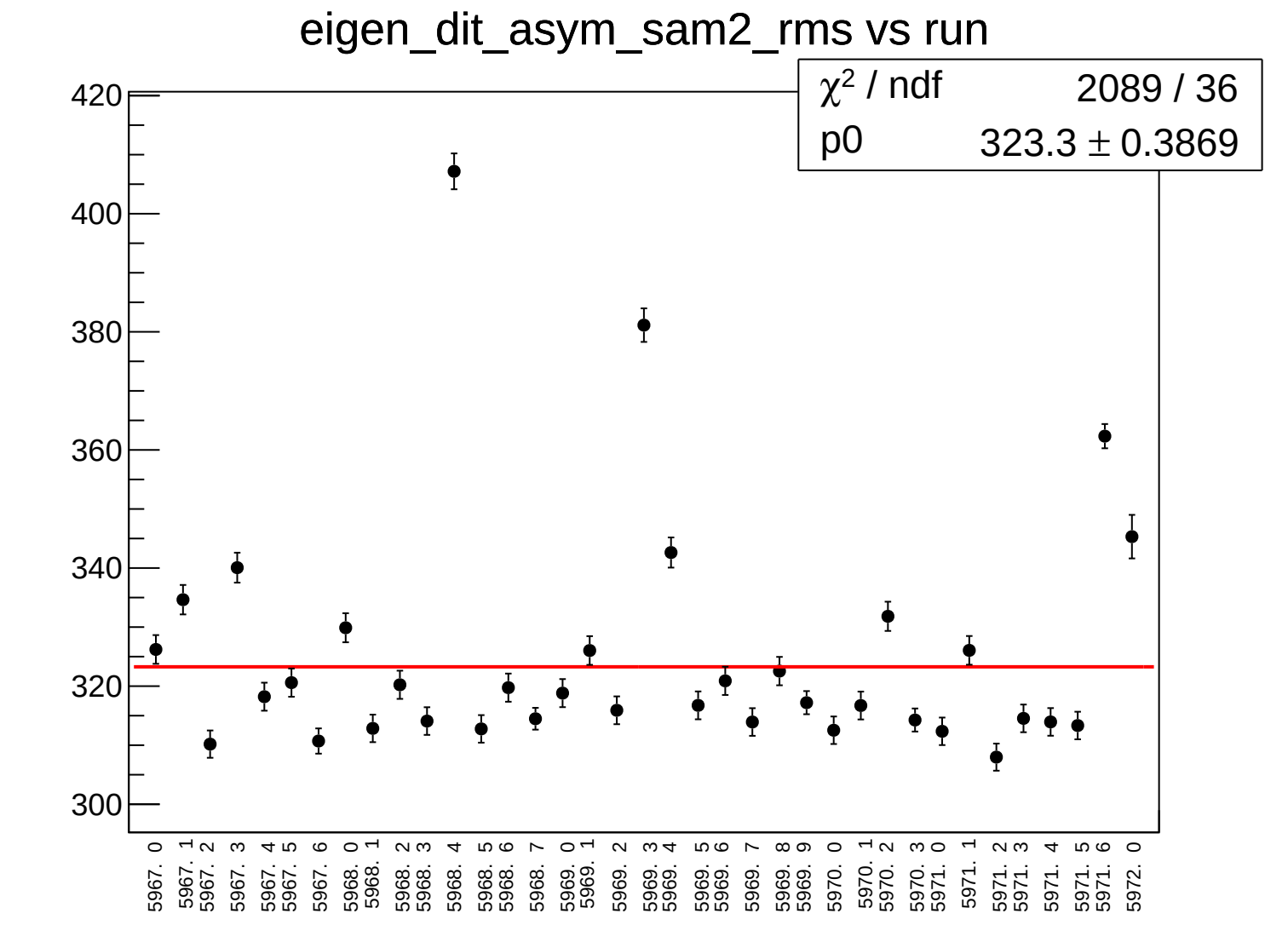
eigen_dit_asym_sam2_rms vs run
χ² / ndf 2089 / 36
p0 323.3 ± 0.3869
420
400
380
360
340
320
300
5967. 0
5967. 1
5967. 2
5967. 3
5967. 4
5967. 5
5967. 6
5968. 0
5968. 1
5968. 2
5968. 3
5968. 4
5968. 5
5968. 6
5968. 7
5969. 0
5969. 1
5969. 2
5969. 3
5969. 4
5969. 5
5969. 6
5969. 7
5969. 8
5969. 9
5970. 0
5970. 1
5970. 2
5970. 3
5971. 0
5971. 1
5971. 2
5971. 3
5971. 4
5971. 5
5971. 6
5972. 0

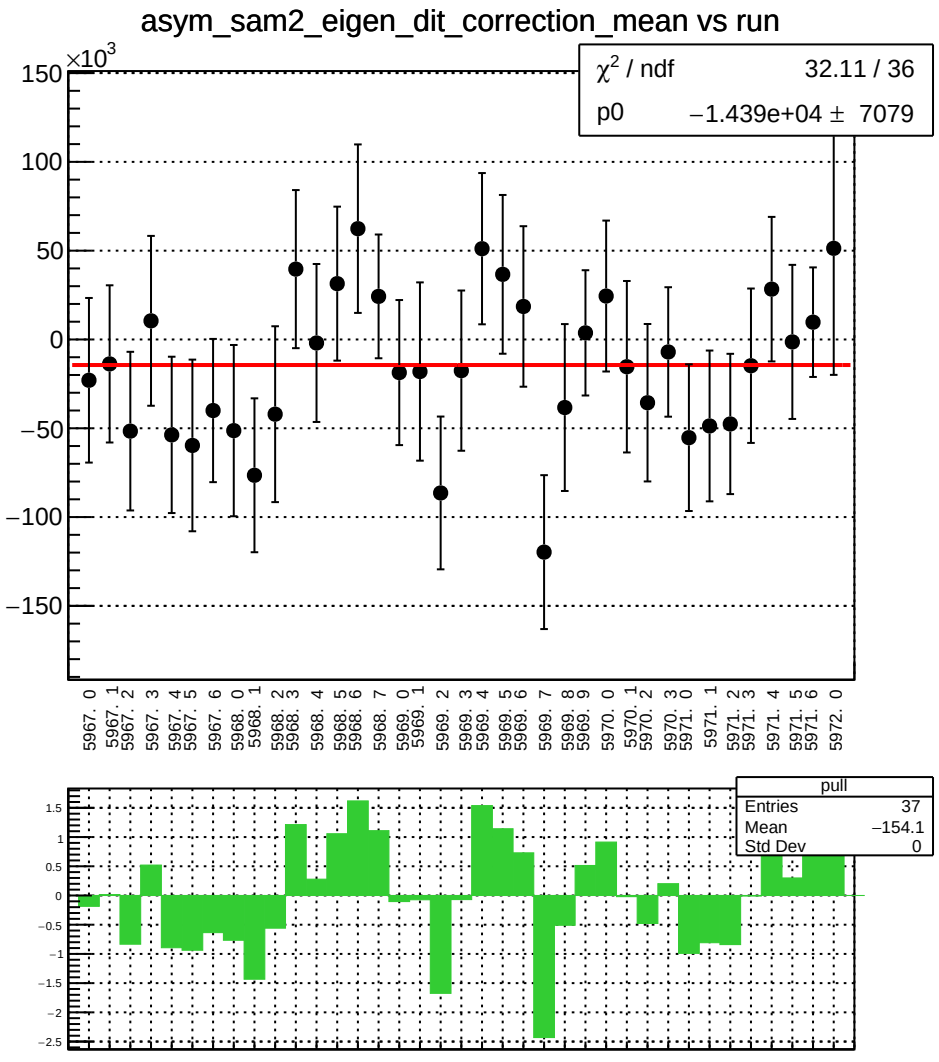
asym_sam2_eigen_dit_correction_mean vs run
×10^3
χ² / ndf 32.11 / 36
p0 −1.439e+04 ± 7079
150
100
50
0
−50
−100
−150
5967. 0
5967. 1
5967. 2
5967. 3
5967. 4
5967. 5
5967. 6
5968. 0
5968. 1
5968. 2
5968. 3
5968. 4
5968. 5
5968. 6
5968. 7
5969. 0
5969. 1
5969. 2
5969. 3
5969. 4
5969. 5
5969. 6
5969. 7
5969. 8
5969. 9
5970. 0
5970. 1
5970. 2
5970. 3
5971. 0
5971. 1
5971. 2
5971. 3
5971. 4
5971. 5
5971. 6
5972. 0
pull
Entries 37
Mean −154.1
Std Dev 0
1.5
1
0.5
0
−0.5
−1
−1.5
−2
−2.5
pull1D
Entries 37
Mean −0.00938
Std Dev 0.9316
6
5
4
3
2
1
0
−8
−6
−4
−2
0
2
4
6
8

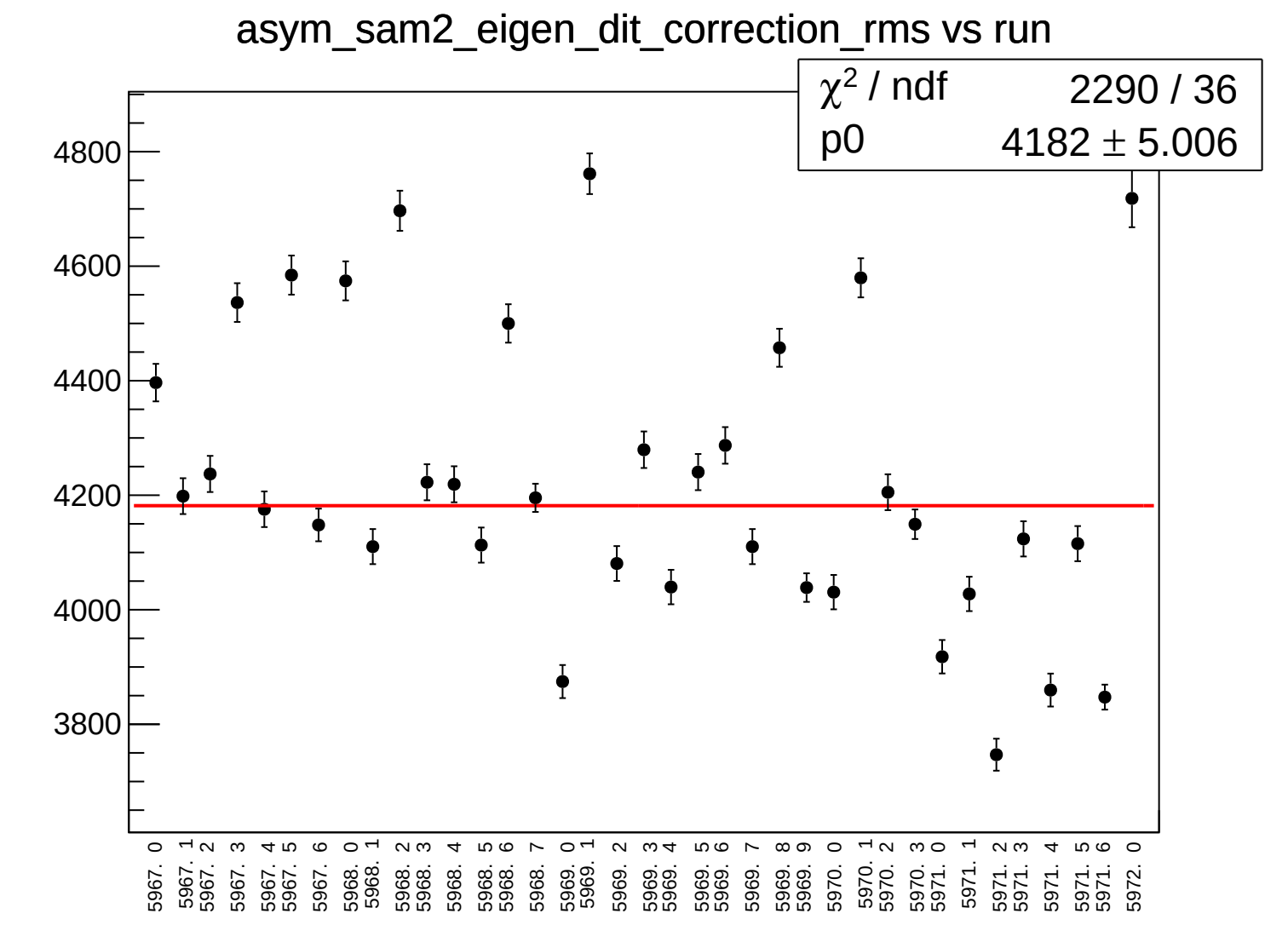
asym_sam2_eigen_dit_correction_rms vs run
χ² / ndf 2290 / 36
p0 4182 ± 5.006
4800
4600
4400
4200
4000
3800
5967. 0
5967. 1
5967. 2
5967. 3
5967. 4
5967. 5
5967. 6
5968. 0
5968. 1
5968. 2
5968. 3
5968. 4
5968. 5
5968. 6
5968. 7
5969. 0
5969. 1
5969. 2
5969. 3
5969. 4
5969. 5
5969. 6
5969. 7
5969. 8
5969. 9
5970. 0
5970. 1
5970. 2
5970. 3
5971. 0
5971. 1
5971. 2
5971. 3
5971. 4
5971. 5
5971. 6
5972. 0

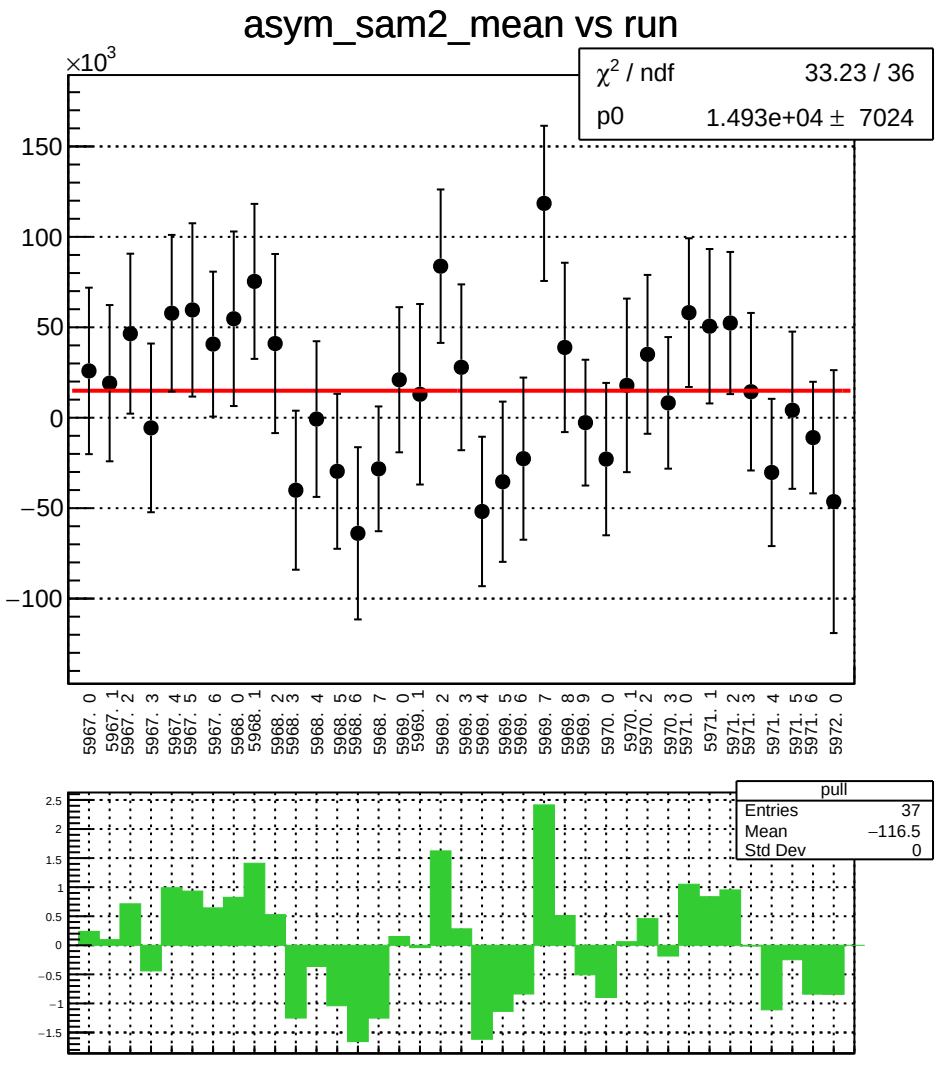
asym_sam2_mean vs run
×10^3
χ² / ndf 33.23 / 36
p0 1.493e+04 ± 7024
150
100
50
0
−50
−100
5967. 0
5967. 1
5967. 2
5967. 3
5967. 4
5967. 5
5967. 6
5968. 0
5968. 1
5968. 2
5968. 3
5968. 4
5968. 5
5968. 6
5968. 7
5969. 0
5969. 1
5969. 2
5969. 3
5969. 4
5969. 5
5969. 6
5969. 7
5969. 8
5969. 9
5970. 0
5970. 1
5970. 2
5970. 3
5971. 0
5971. 1
5971. 2
5971. 3
5971. 4
5971. 5
5971. 6
5972. 0
pull
Entries 37
Mean −116.5
Std Dev 0
2.5
2
1.5
1
0.5
0
−0.5
−1
−1.5

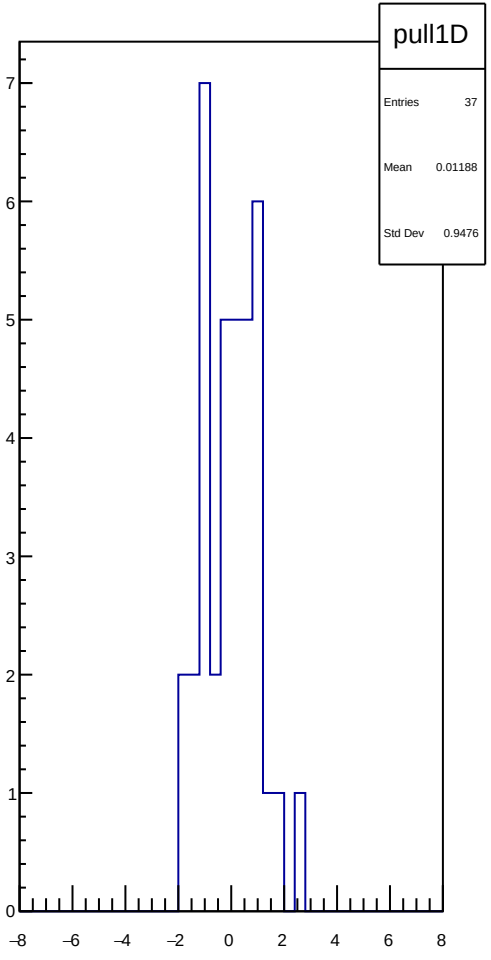
pull1D
Entries 37
Mean 0.01188
Std Dev 0.9476
7
6
5
4
3
2
1
0
−8
−6
−4
−2
0
2
4
6
8

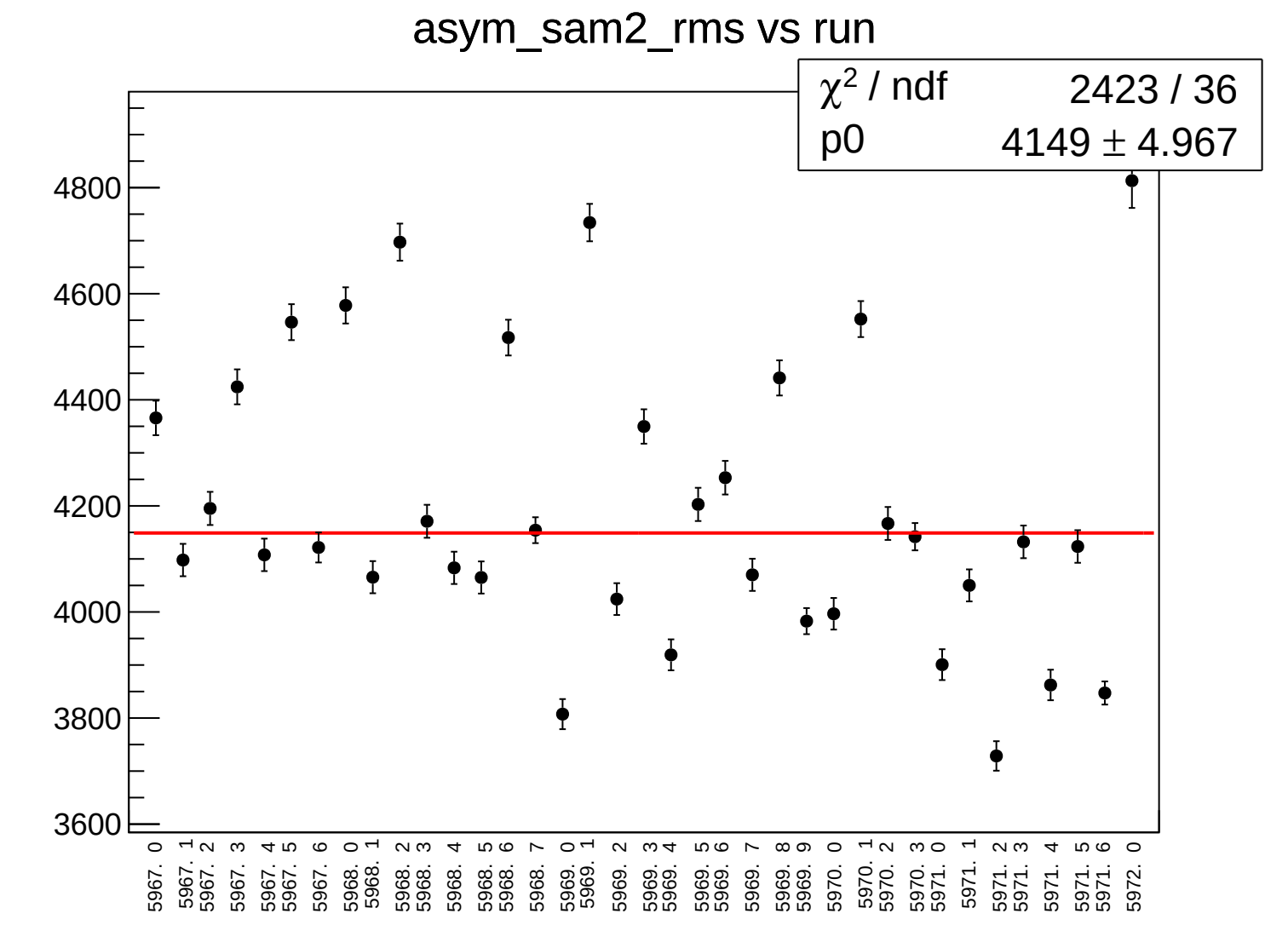
asym_sam2_rms vs run
χ² / ndf 2423 / 36
p0 4149 ± 4.967
4800
4600
4400
4200
4000
3800
3600
5967. 0
5967. 1
5967. 2
5967. 3
5967. 4
5967. 5
5967. 6
5968. 0
5968. 1
5968. 2
5968. 3
5968. 4
5968. 5
5968. 6
5968. 7
5969. 0
5969. 1
5969. 2
5969. 3
5969. 4
5969. 5
5969. 6
5969. 7
5969. 8
5969. 9
5970. 0
5970. 1
5970. 2
5970. 3
5971. 0
5971. 1
5971. 2
5971. 3
5971. 4
5971. 5
5971. 6
5972. 0

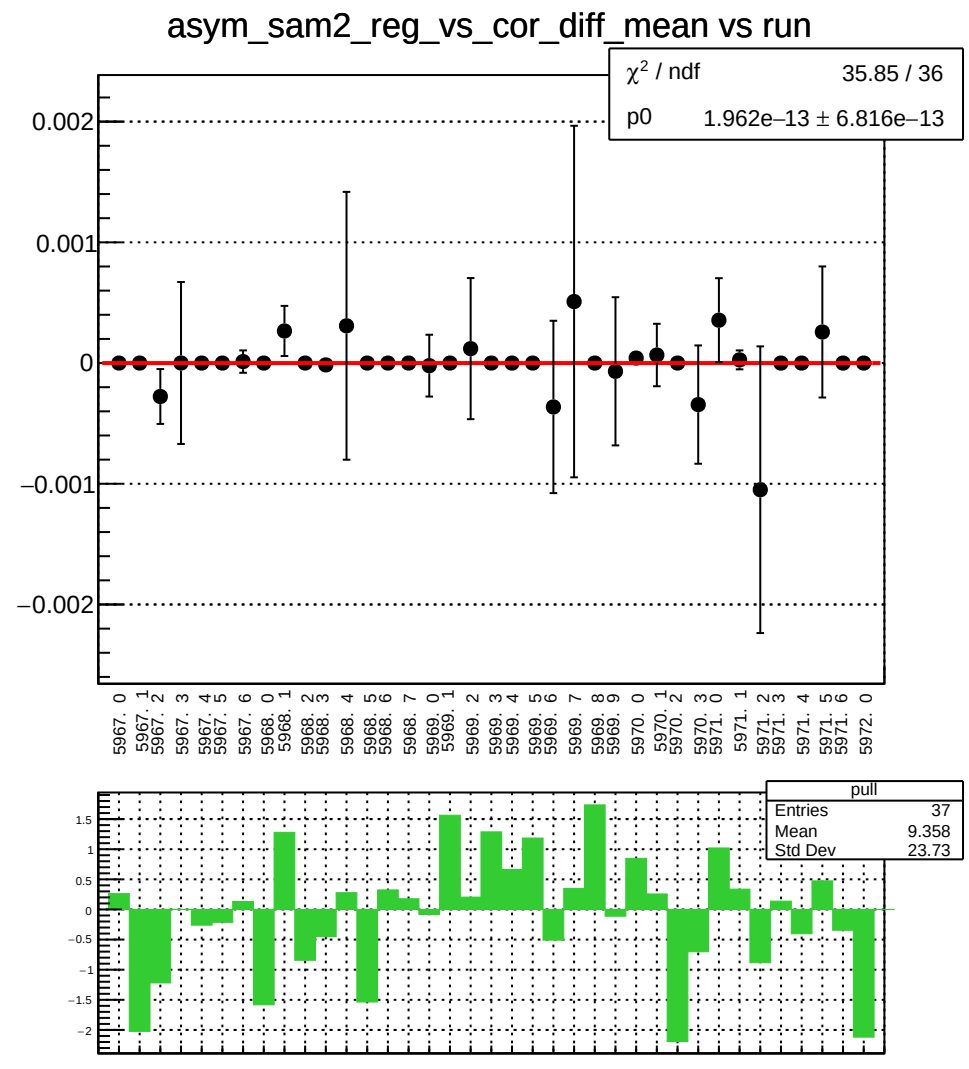
asym_sam2_reg_vs_cor_diff_mean vs run
χ² / ndf 35.85 / 36
p0 1.962e−13 ± 6.816e−13
0.002
0.001
0
−0.001
−0.002
5967. 0
5967. 1
5967. 2
5967. 3
5967. 4
5967. 5
5967. 6
5968. 0
5968. 1
5968. 2
5968. 3
5968. 4
5968. 5
5968. 6
5968. 7
5969. 0
5969. 1
5969. 2
5969. 3
5969. 4
5969. 5
5969. 6
5969. 7
5969. 8
5969. 9
5970. 0
5970. 1
5970. 2
5970. 3
5971. 0
5971. 1
5971. 2
5971. 3
5971. 4
5971. 5
5971. 6
5972. 0
pull
Entries 37
Mean 9.358
Std Dev 23.73
1.5
1
0.5
0
−0.5
−1
−1.5
−2

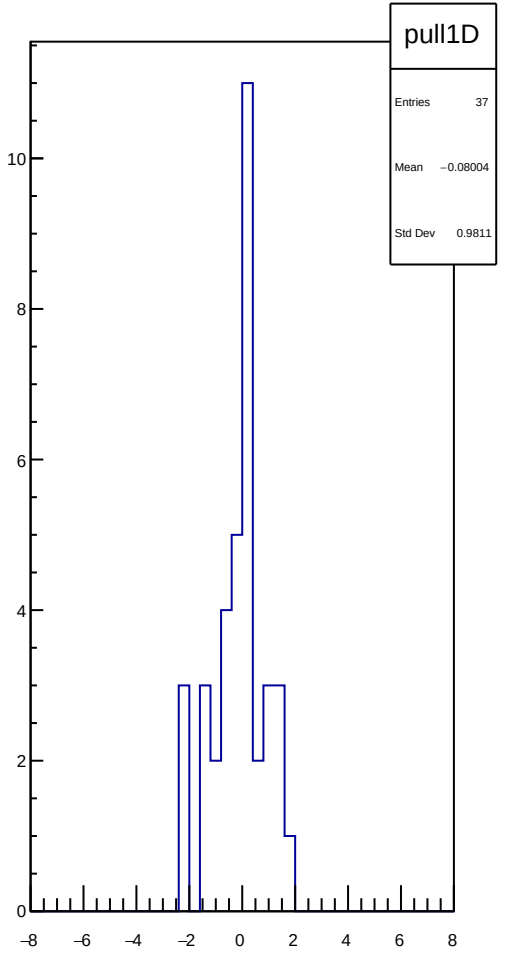
pull1D
Entries 37
Mean −0.08004
Std Dev 0.9811
10
8
6
4
2
0
−8
−6
−4
−2
0
2
4
6
8

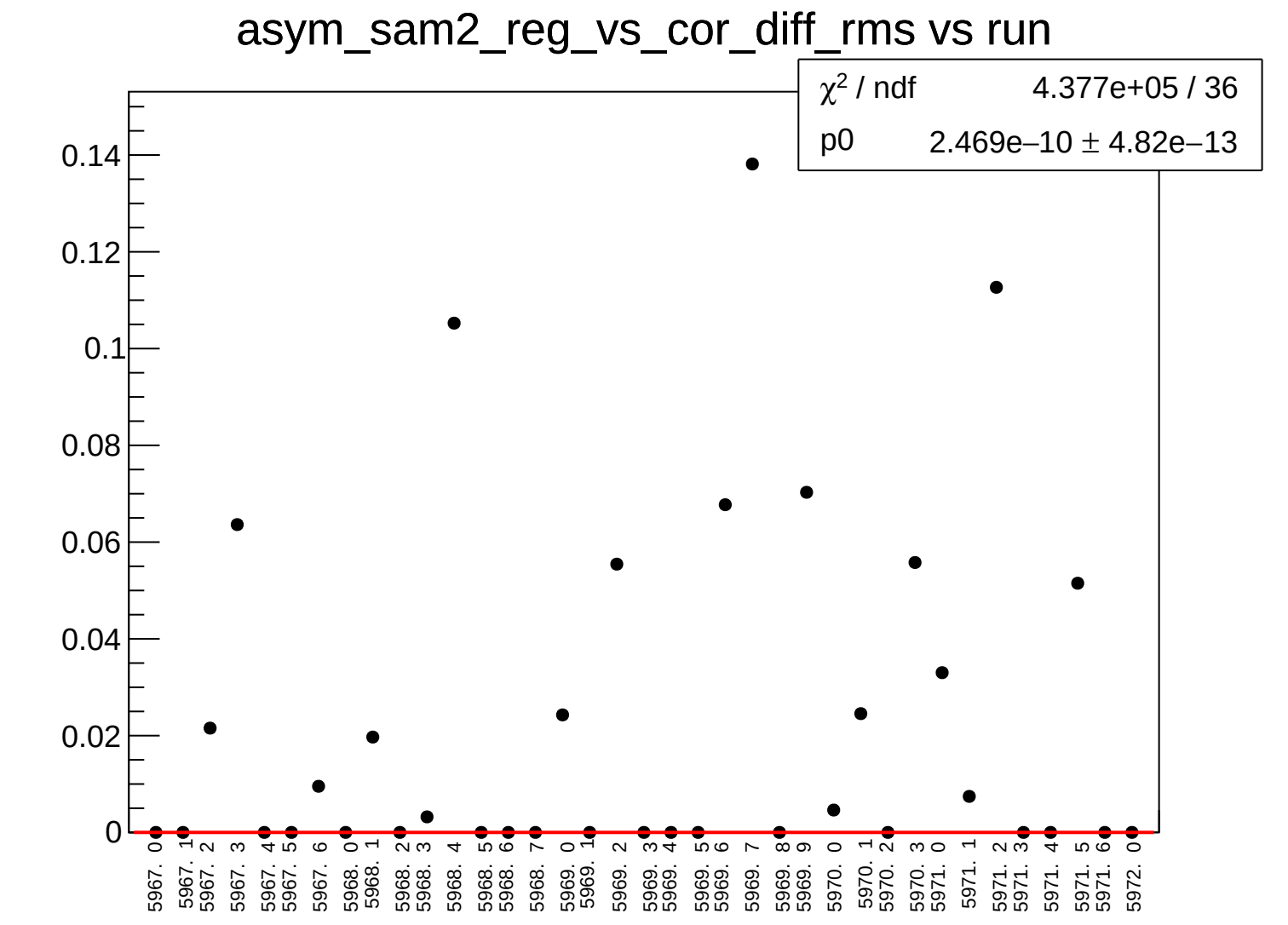
asym_sam2_reg_vs_cor_diff_rms vs run
χ² / ndf 4.377e+05 / 36
p0 2.469e−10 ± 4.82e−13
0.14
0.12
0.1
0.08
0.06
0.04
0.02
0
5967. 0
5967. 1
5967. 2
5967. 3
5967. 4
5967. 5
5967. 6
5968. 0
5968. 1
5968. 2
5968. 3
5968. 4
5968. 5
5968. 6
5968. 7
5969. 0
5969. 1
5969. 2
5969. 3
5969. 4
5969. 5
5969. 6
5969. 7
5969. 8
5969. 9
5970. 0
5970. 1
5970. 2
5970. 3
5971. 0
5971. 1
5971. 2
5971. 3
5971. 4
5971. 5
5971. 6
5972. 0

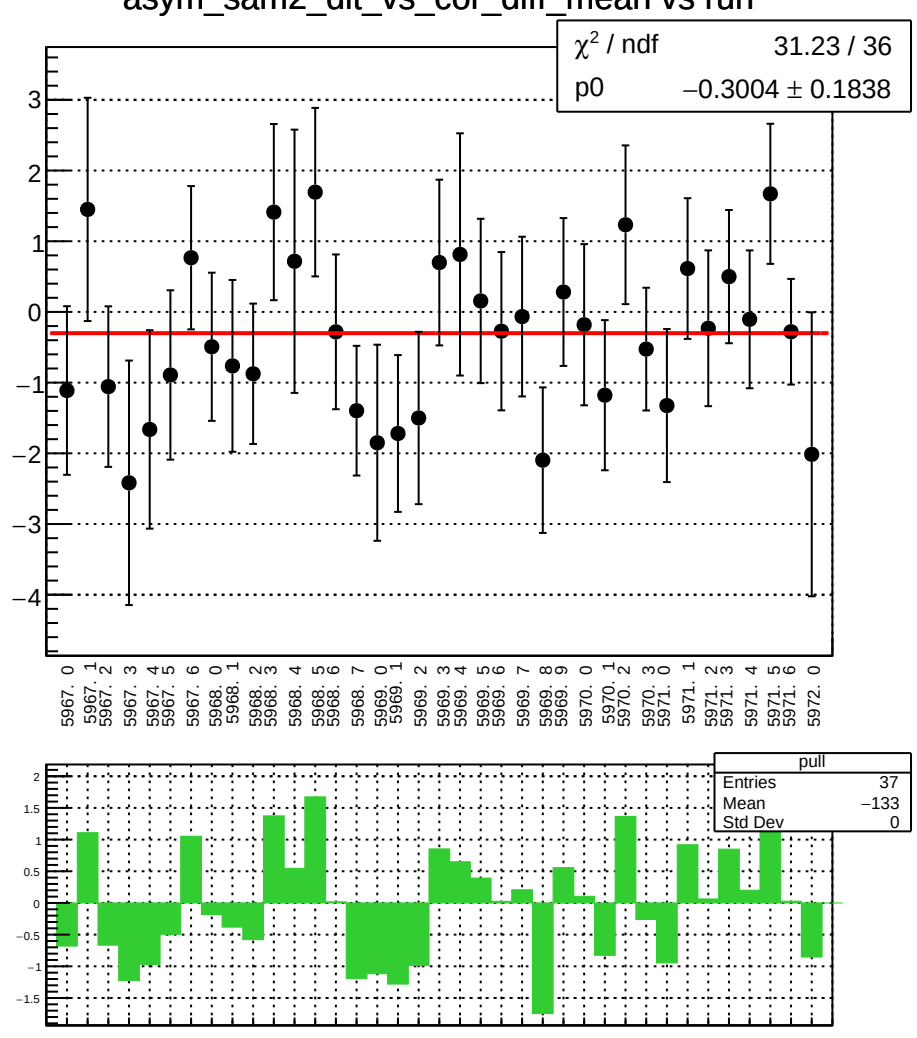
asym_sam2_dit_vs_cor_diff_mean vs run
χ² / ndf 31.23 / 36
p0 −0.3004 ± 0.1838
pull
Entries 37
Mean −133
Std Dev 0
pull1D
Entries 37
Mean −0.01098
Std Dev 0.9187

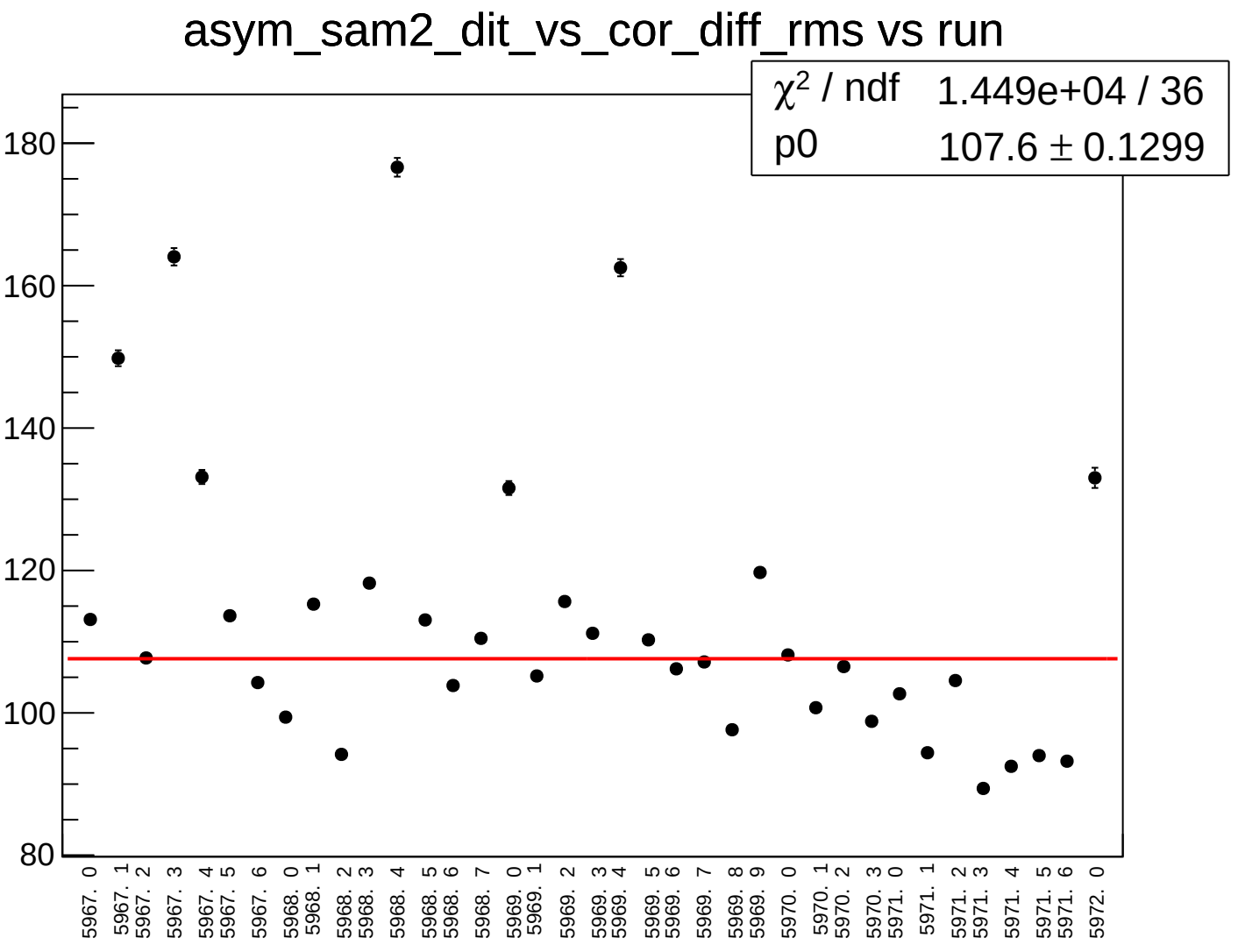
asym_sam2_dit_vs_cor_diff_rms vs run
χ² / ndf 1.449e+04 / 36
p0 107.6 ± 0.1299
180
160
140
120
100
80
5967. 0
5967. 1
5967. 2
5967. 3
5967. 4
5967. 5
5967. 6
5968. 0
5968. 1
5968. 2
5968. 3
5968. 4
5968. 5
5968. 6
5968. 7
5969. 0
5969. 1
5969. 2
5969. 3
5969. 4
5969. 5
5969. 6
5969. 7
5969. 8
5969. 9
5970. 0
5970. 1
5970. 2
5970. 3
5971. 0
5971. 1
5971. 2
5971. 3
5971. 4
5971. 5
5971. 6
5972. 0

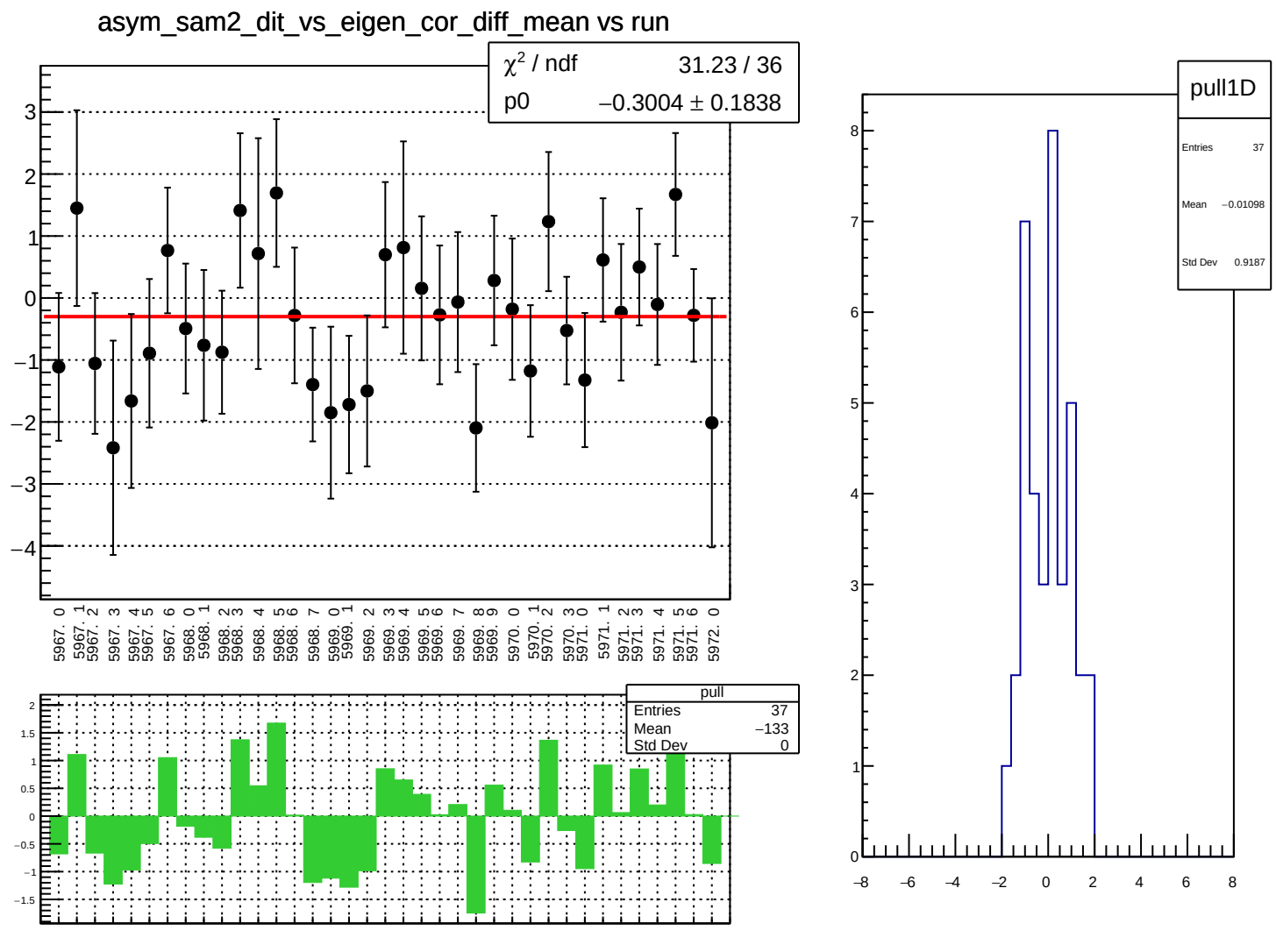
asym_sam2_dit_vs_eigen_cor_diff_mean vs run
χ² / ndf 31.23 / 36
p0 −0.3004 ± 0.1838
pull
Entries 37
Mean −133
Std Dev 0
pull1D
Entries 37
Mean −0.01098
Std Dev 0.9187

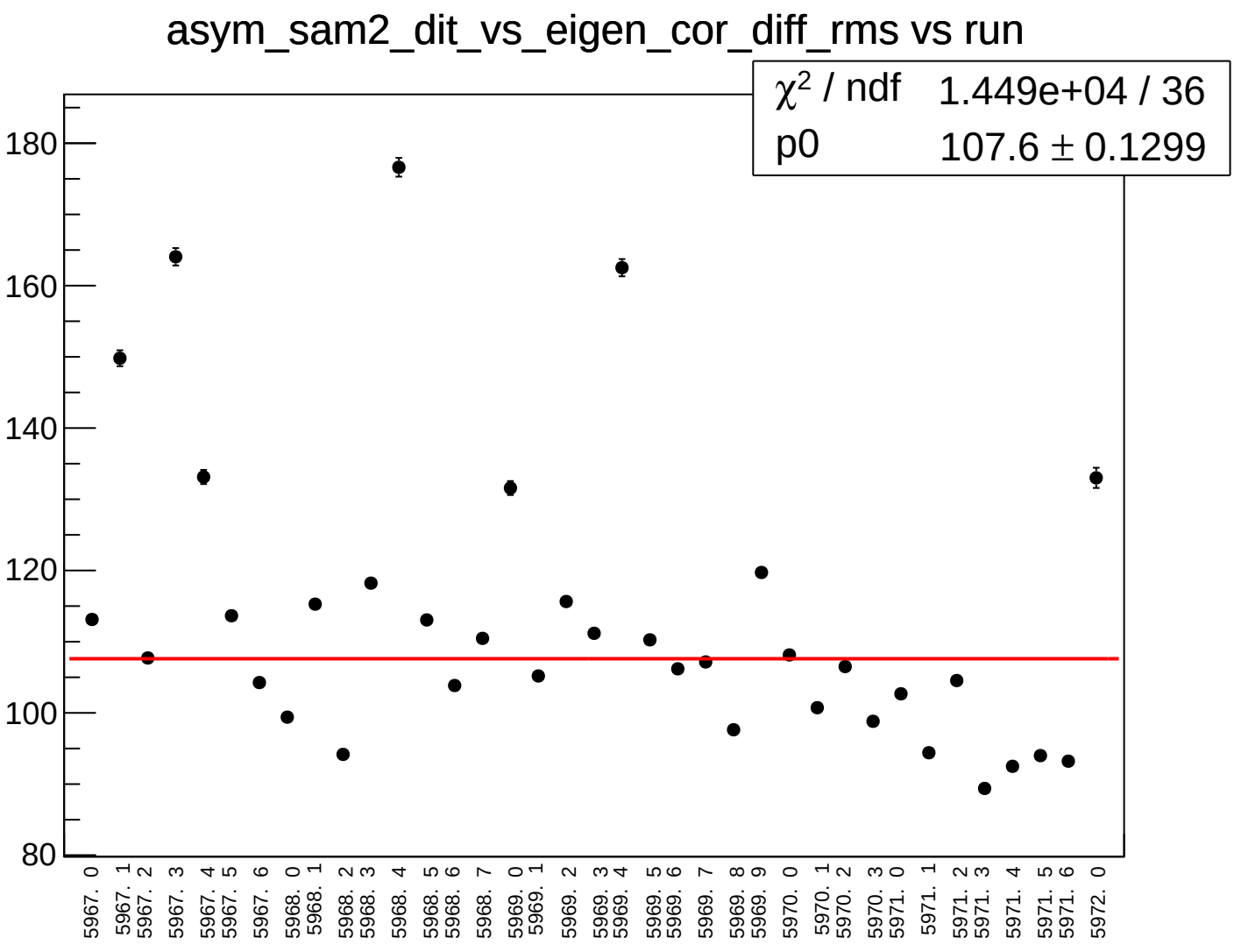
asym_sam2_dit_vs_eigen_cor_diff_rms vs run
χ² / ndf 1.449e+04 / 36
p0 107.6 ± 0.1299
180
160
140
120
100
80
5967. 0
5967. 1
5967. 2
5967. 3
5967. 4
5967. 5
5967. 6
5968. 0
5968. 1
5968. 2
5968. 3
5968. 4
5968. 5
5968. 6
5968. 7
5969. 0
5969. 1
5969. 2
5969. 3
5969. 4
5969. 5
5969. 6
5969. 7
5969. 8
5969. 9
5970. 0
5970. 1
5970. 2
5970. 3
5971. 0
5971. 1
5971. 2
5971. 3
5971. 4
5971. 5
5971. 6
5972. 0

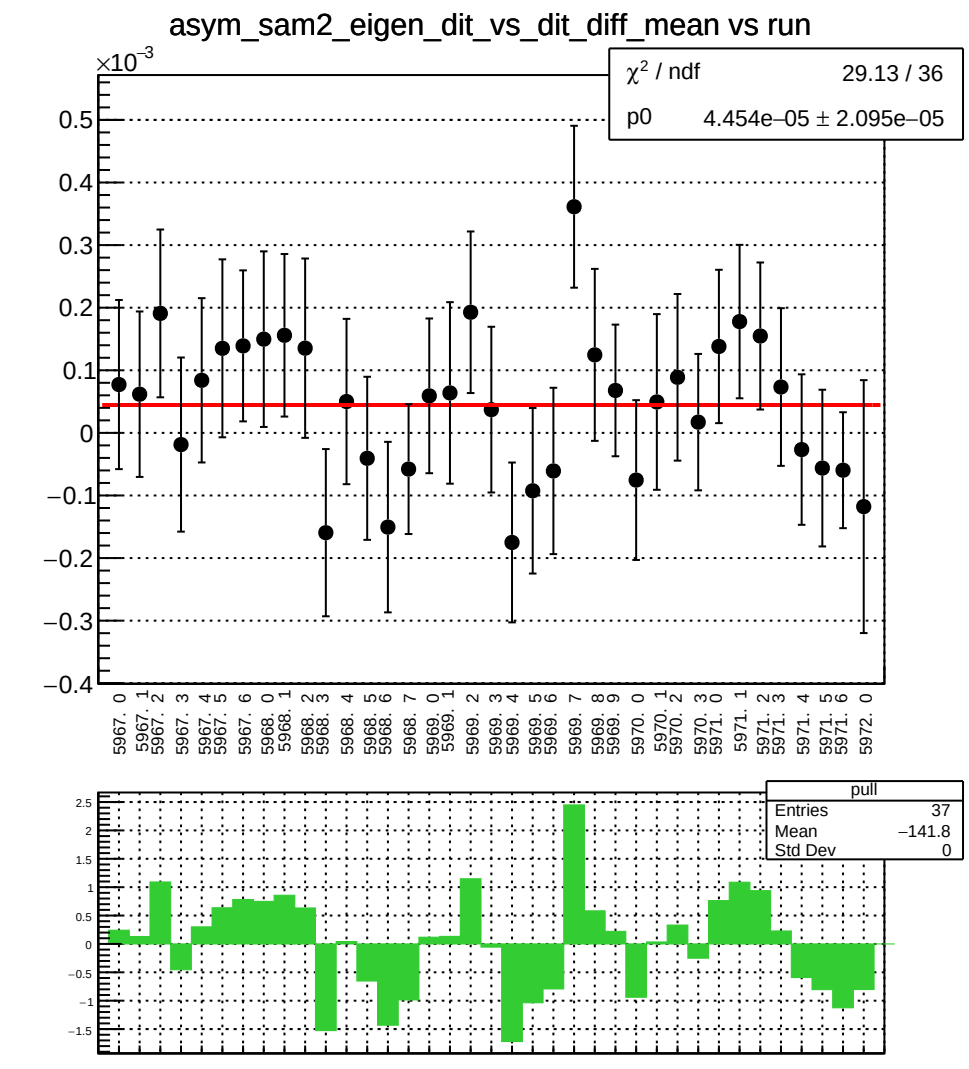
asym_sam2_eigen_dit_vs_dit_diff_mean vs run
×10⁻³
χ² / ndf 29.13 / 36
p0 4.454e−05 ± 2.095e−05
pull
Entries 37
Mean −141.8
Std Dev 0

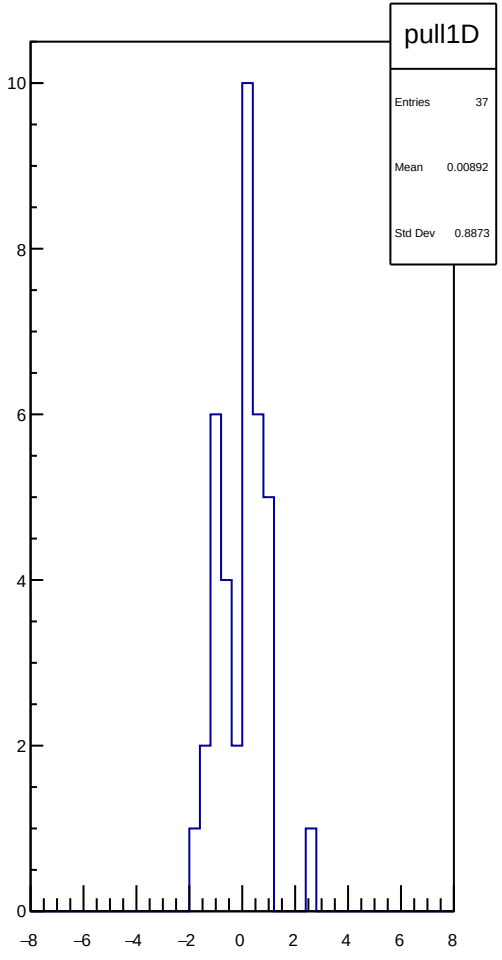
pull1D
Entries 37
Mean 0.00892
Std Dev 0.8873

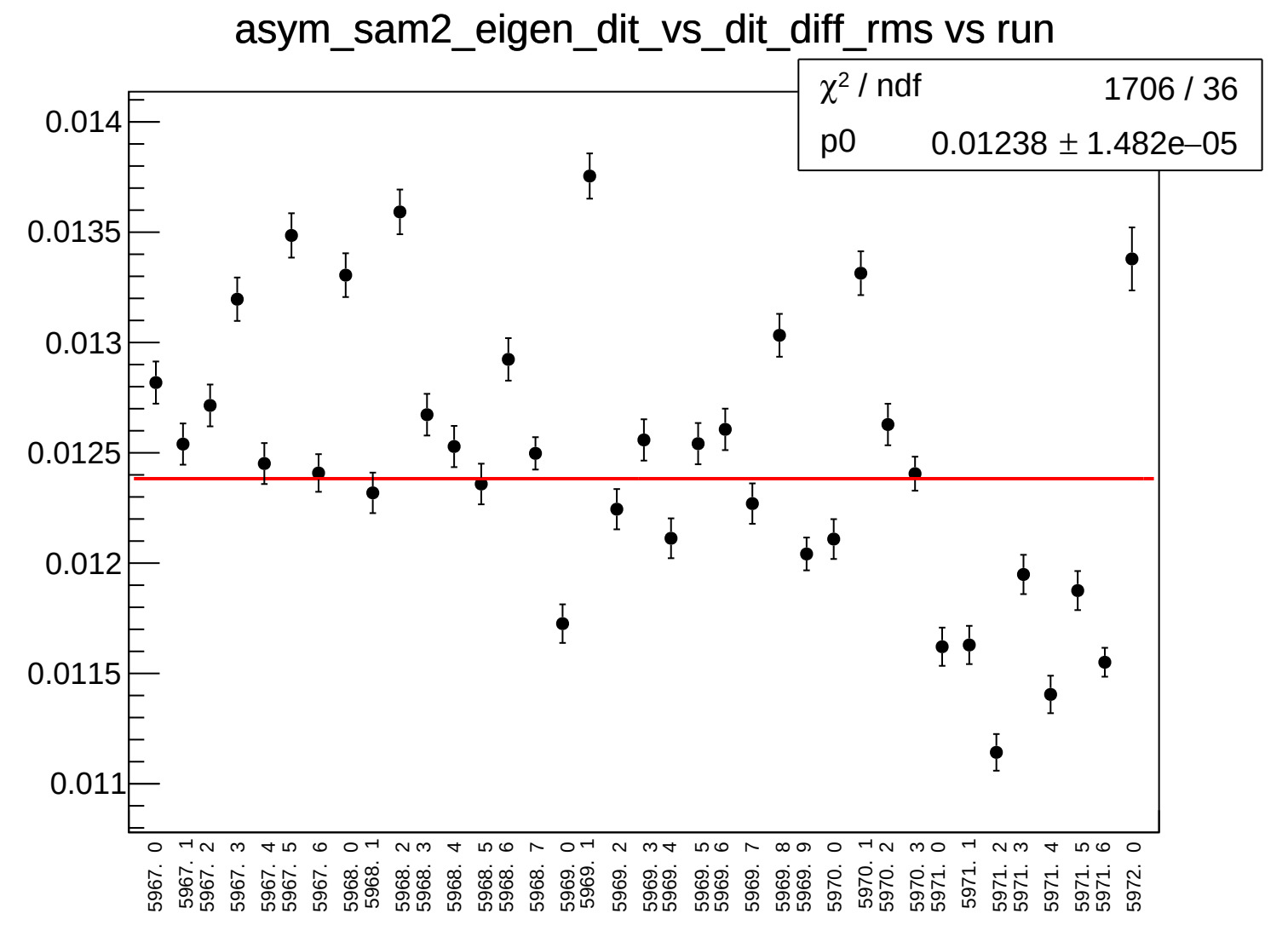
asym_sam2_eigen_dit_vs_dit_diff_rms vs run
χ² / ndf 1706 / 36
p0 0.01238 ± 1.482e–05
0.014
0.0135
0.013
0.0125
0.012
0.0115
0.011
5967. 0
5967. 1
5967. 2
5967. 3
5967. 4
5967. 5
5967. 6
5968. 0
5968. 1
5968. 2
5968. 3
5968. 4
5968. 5
5968. 6
5968. 7
5969. 0
5969. 1
5969. 2
5969. 3
5969. 4
5969. 5
5969. 6
5969. 7
5969. 8
5969. 9
5970. 0
5970. 1
5970. 2
5970. 3
5971. 0
5971. 1
5971. 2
5971. 3
5971. 4
5971. 5
5971. 6
5972. 0

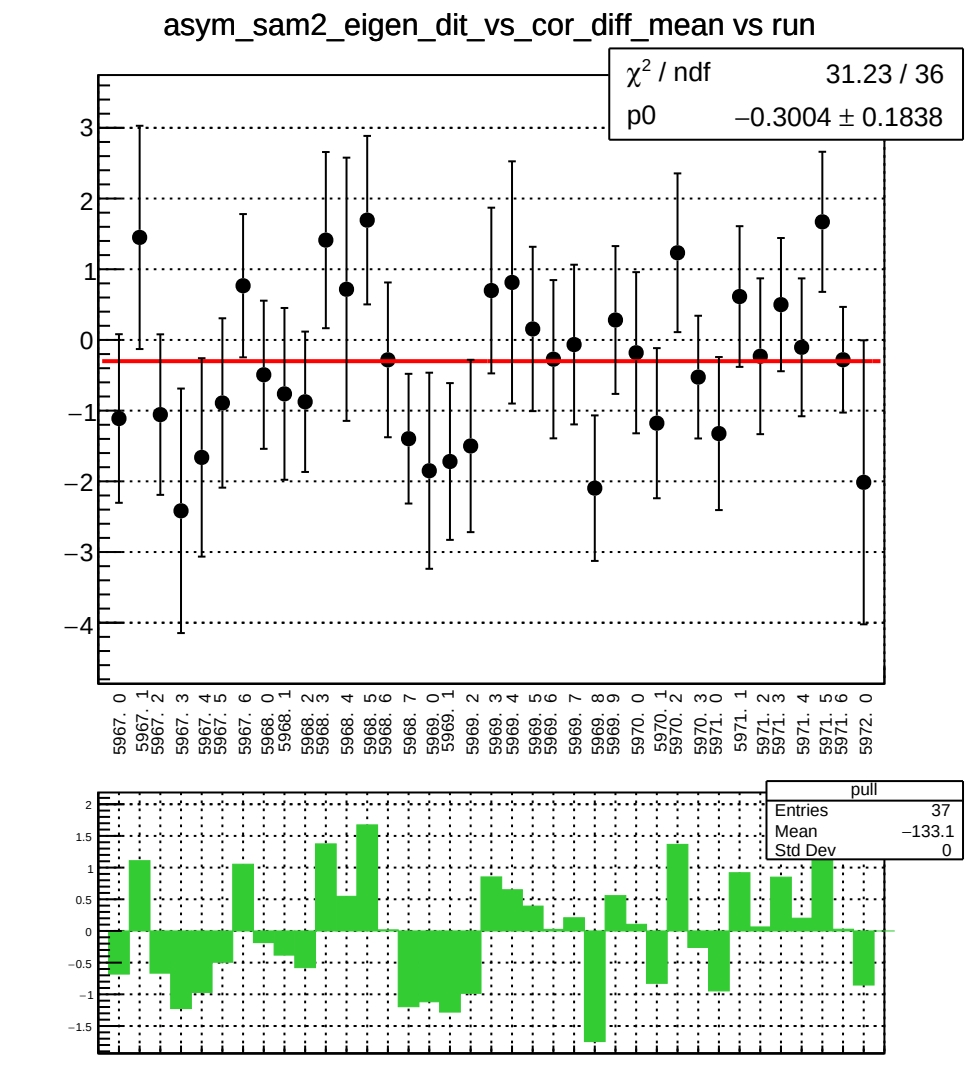
asym_sam2_eigen_dit_vs_cor_diff_mean vs run
χ² / ndf 31.23 / 36
p0 −0.3004 ± 0.1838
pull
Entries 37
Mean −133.1
Std Dev 0

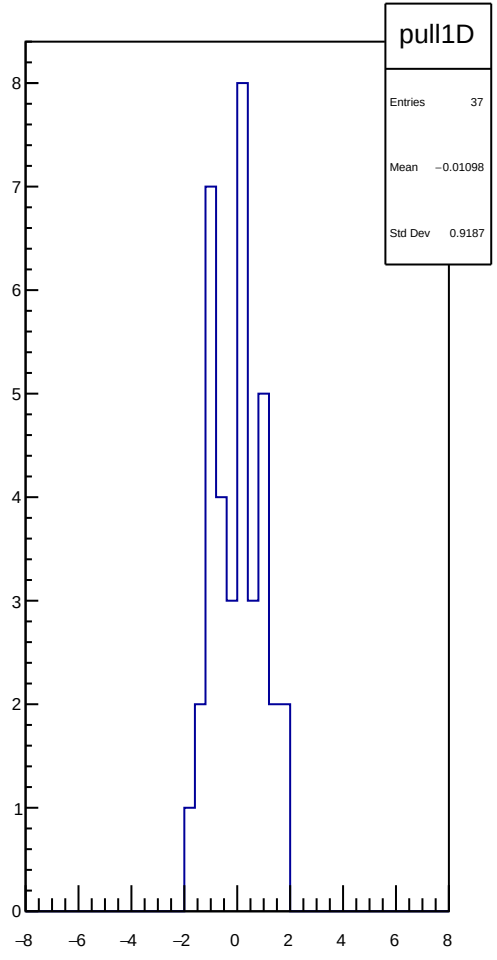
pull1D
Entries 37
Mean −0.01098
Std Dev 0.9187

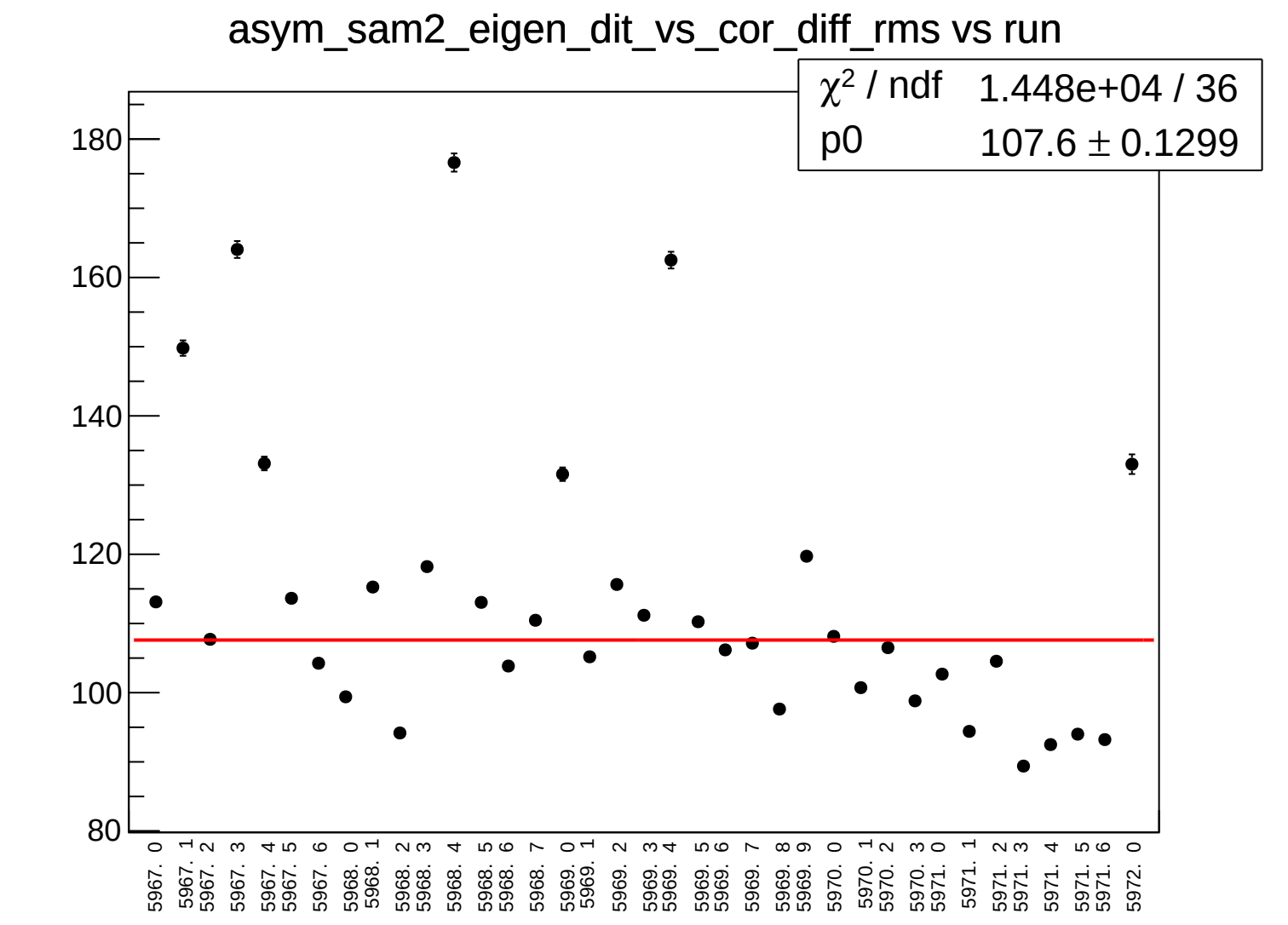
asym_sam2_eigen_dit_vs_cor_diff_rms vs run
χ² / ndf 1.448e+04 / 36
p0 107.6 ± 0.1299
180
160
140
120
100
80
5967. 0
5967. 1
5967. 2
5967. 3
5967. 4
5967. 5
5967. 6
5968. 0
5968. 1
5968. 2
5968. 3
5968. 4
5968. 5
5968. 6
5968. 7
5969. 0
5969. 1
5969. 2
5969. 3
5969. 4
5969. 5
5969. 6
5969. 7
5969. 8
5969. 9
5970. 0
5970. 1
5970. 2
5970. 3
5971. 0
5971. 1
5971. 2
5971. 3
5971. 4
5971. 5
5971. 6
5972. 0

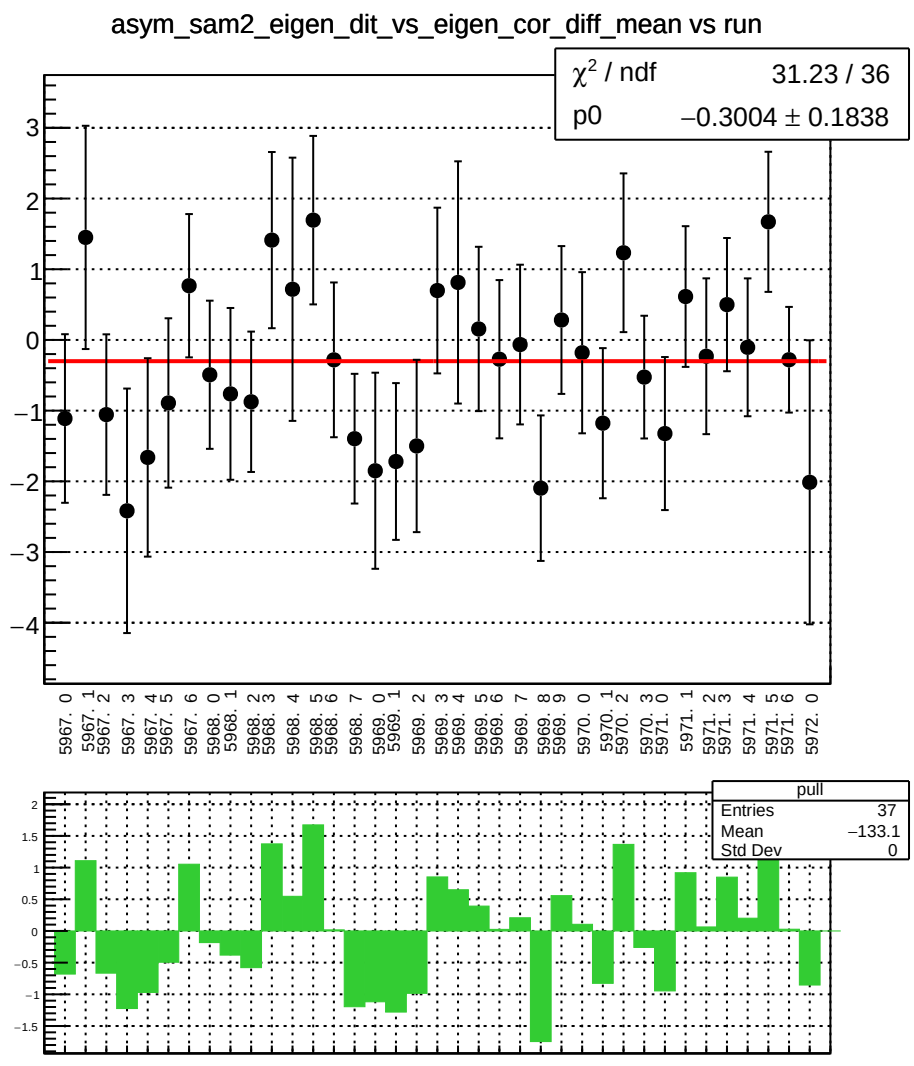
asym_sam2_eigen_dit_vs_eigen_cor_diff_mean vs run
χ² / ndf 31.23 / 36
p0 −0.3004 ± 0.1838
pull
Entries 37
Mean −133.1
Std Dev 0

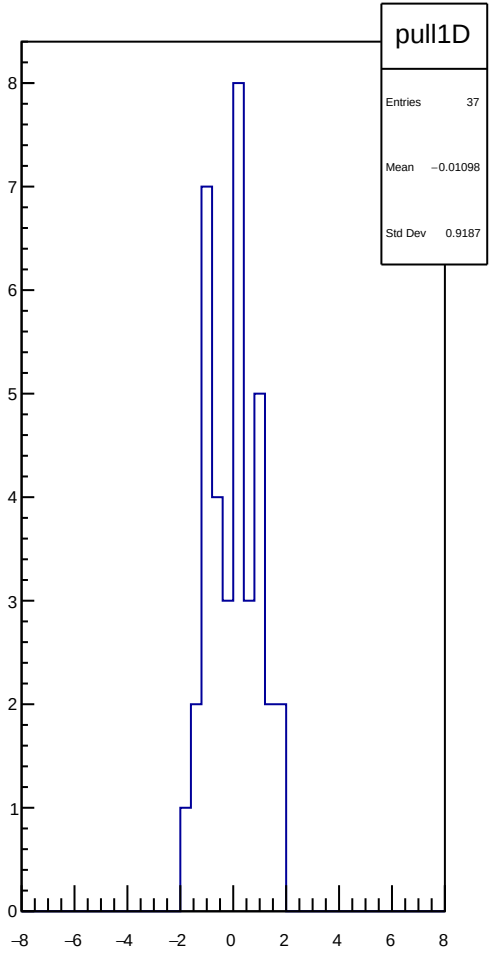
pull1D
Entries 37
Mean −0.01098
Std Dev 0.9187

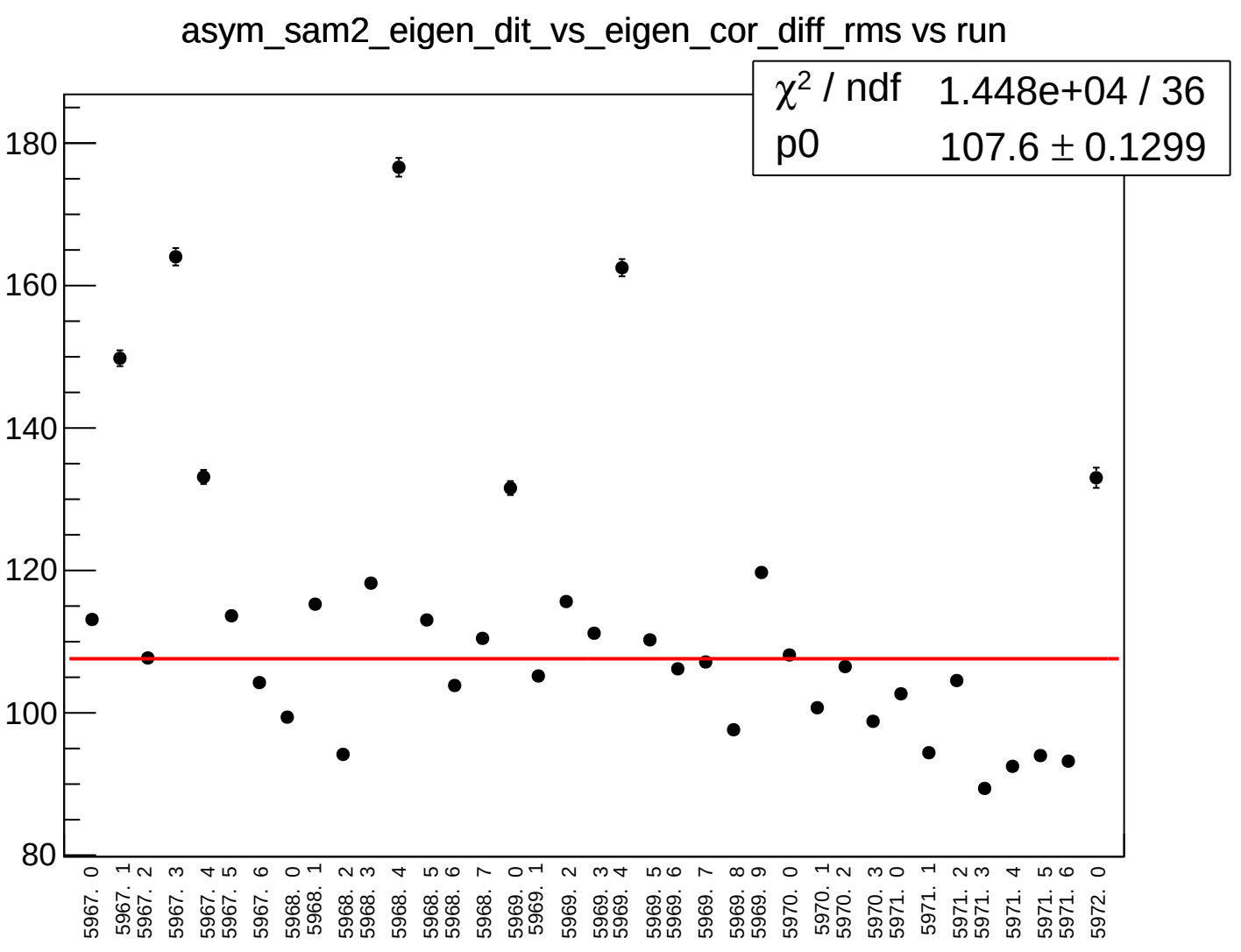
asym_sam2_eigen_dit_vs_eigen_cor_diff_rms vs run
χ² / ndf 1.448e+04 / 36
p0 107.6 ± 0.1299
180
160
140
120
100
80
5967. 0
5967. 1
5967. 2
5967. 3
5967. 4
5967. 5
5967. 6
5968. 0
5968. 1
5968. 2
5968. 3
5968. 4
5968. 5
5968. 6
5968. 7
5969. 0
5969. 1
5969. 2
5969. 3
5969. 4
5969. 5
5969. 6
5969. 7
5969. 8
5969. 9
5970. 0
5970. 1
5970. 2
5970. 3
5971. 0
5971. 1
5971. 2
5971. 3
5971. 4
5971. 5
5971. 6
5972. 0

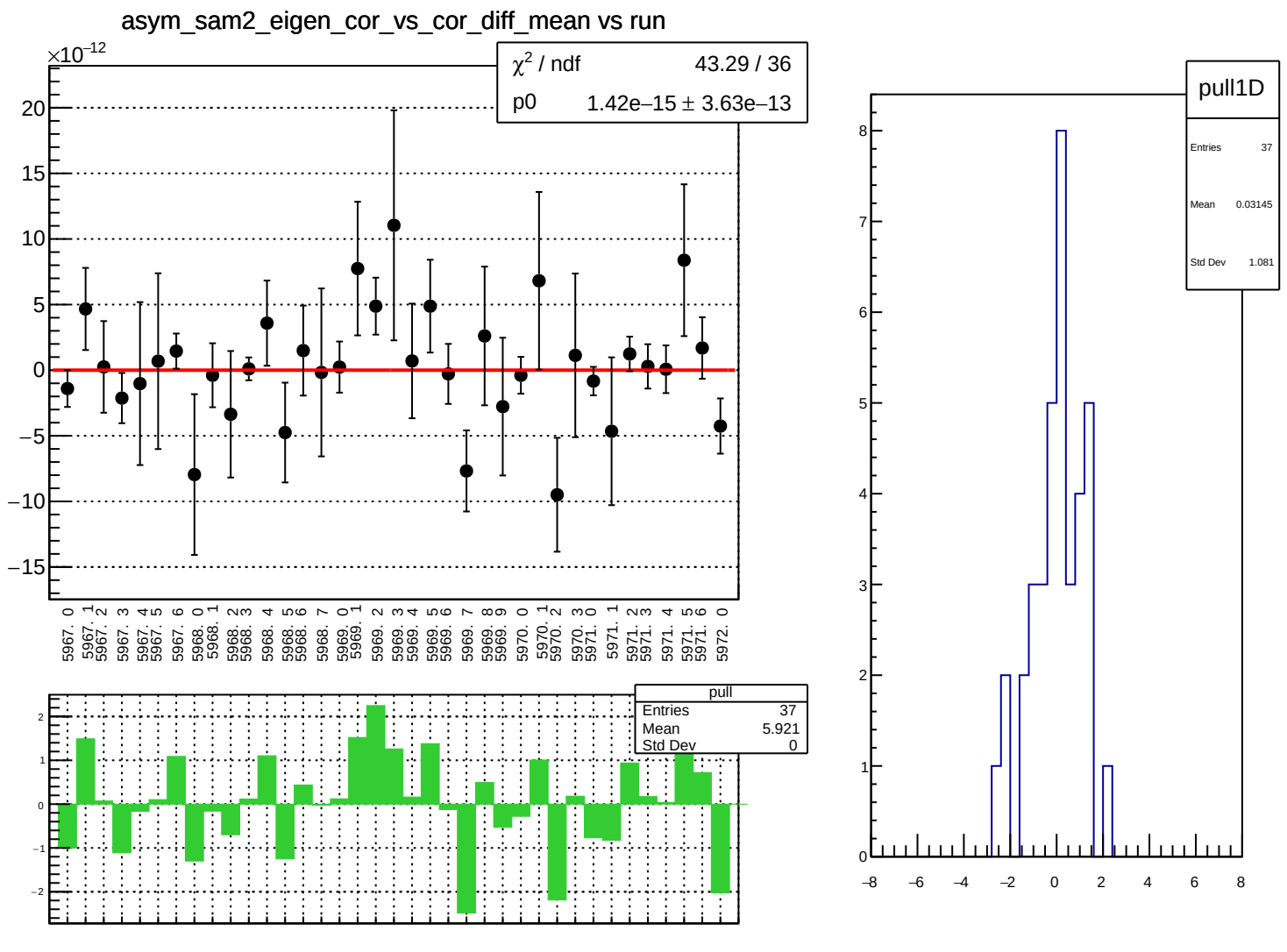
asym_sam2_eigen_cor_vs_cor_diff_mean vs run
×10⁻¹²
χ² / ndf 43.29 / 36
p0 1.42e−15 ± 3.63e−13
20
15
10
5
0
−5
−10
−15
5967. 0
5967. 1
5967. 2
5967. 3
5967. 4
5967. 5
5967. 6
5968. 0
5968. 1
5968. 2
5968. 3
5968. 4
5968. 5
5968. 6
5968. 7
5969. 0
5969. 1
5969. 2
5969. 3
5969. 4
5969. 5
5969. 6
5969. 7
5969. 8
5969. 9
5970. 0
5970. 1
5970. 2
5970. 3
5971. 0
5971. 1
5971. 2
5971. 3
5971. 4
5971. 5
5971. 6
5972. 0
pull
Entries 37
Mean 5.921
Std Dev 0
2
1
0
−1
−2
pull1D
Entries 37
Mean 0.03145
Std Dev 1.081
8
7
6
5
4
3
2
1
0
−8
−6
−4
−2
0
2
4
6
8

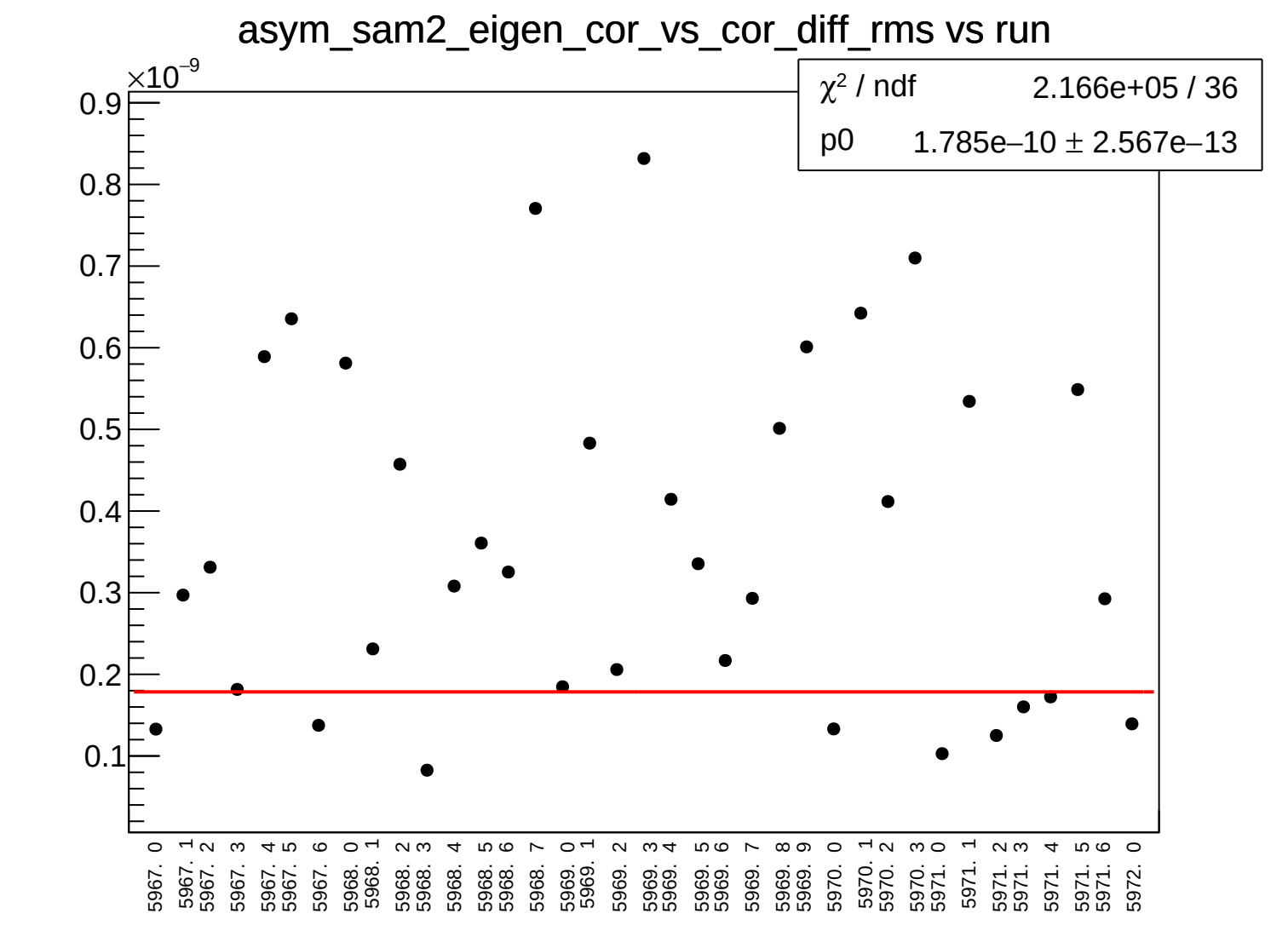
asym_sam2_eigen_cor_vs_cor_diff_rms vs run
×10⁻⁹
χ² / ndf 2.166e+05 / 36
p0 1.785e−10 ± 2.567e−13
0.9
0.8
0.7
0.6
0.5
0.4
0.3
0.2
0.1
5967. 0
5967. 1
5967. 2
5967. 3
5967. 4
5967. 5
5967. 6
5968. 0
5968. 1
5968. 2
5968. 3
5968. 4
5968. 5
5968. 6
5968. 7
5969. 0
5969. 1
5969. 2
5969. 3
5969. 4
5969. 5
5969. 6
5969. 7
5969. 8
5969. 9
5970. 0
5970. 1
5970. 2
5970. 3
5971. 0
5971. 1
5971. 2
5971. 3
5971. 4
5971. 5
5971. 6
5972. 0

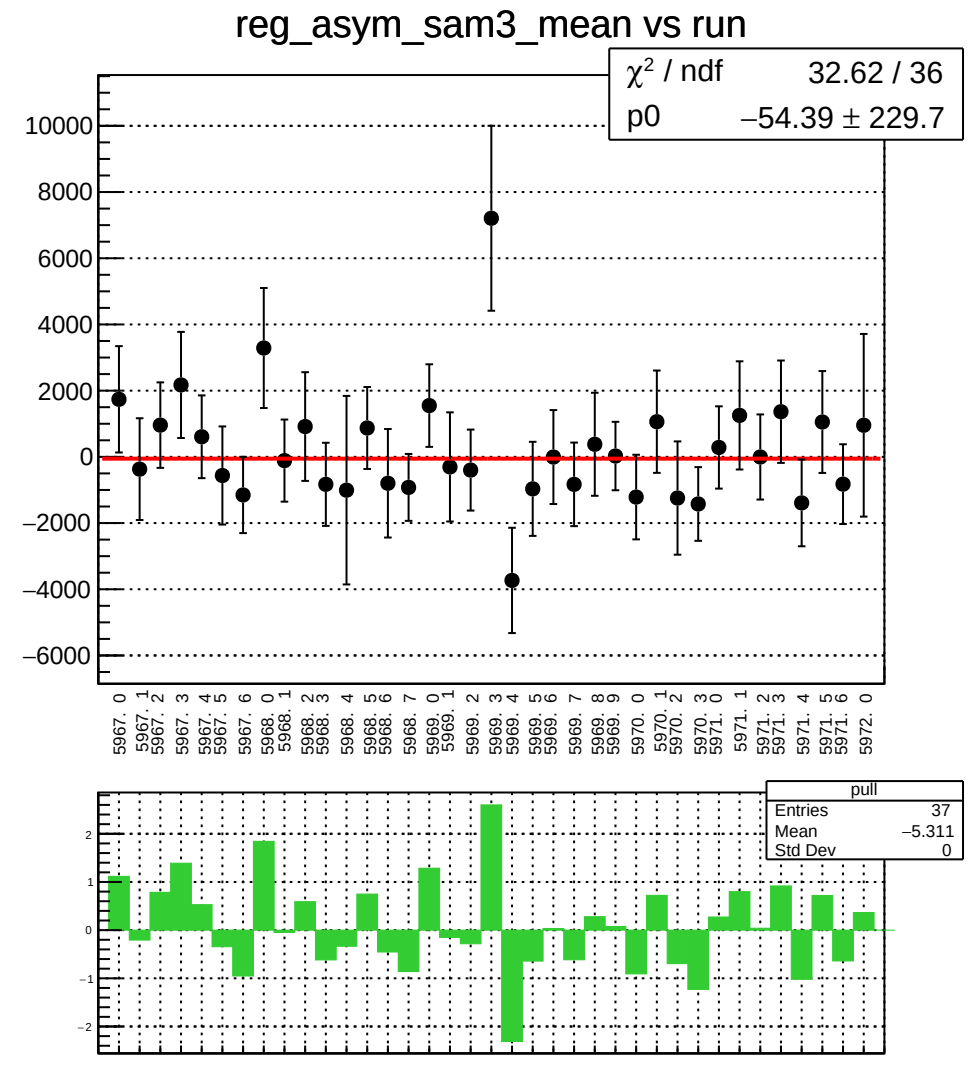
reg_asym_sam3_mean vs run
χ² / ndf 32.62 / 36
p0 −54.39 ± 229.7
pull
Entries 37
Mean −5.311
Std Dev 0

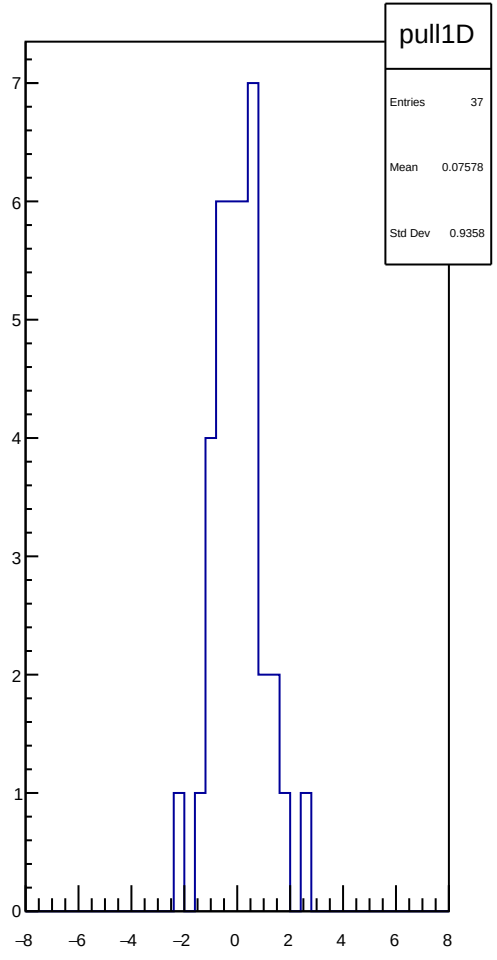
pull1D
Entries 37
Mean 0.07578
Std Dev 0.9358

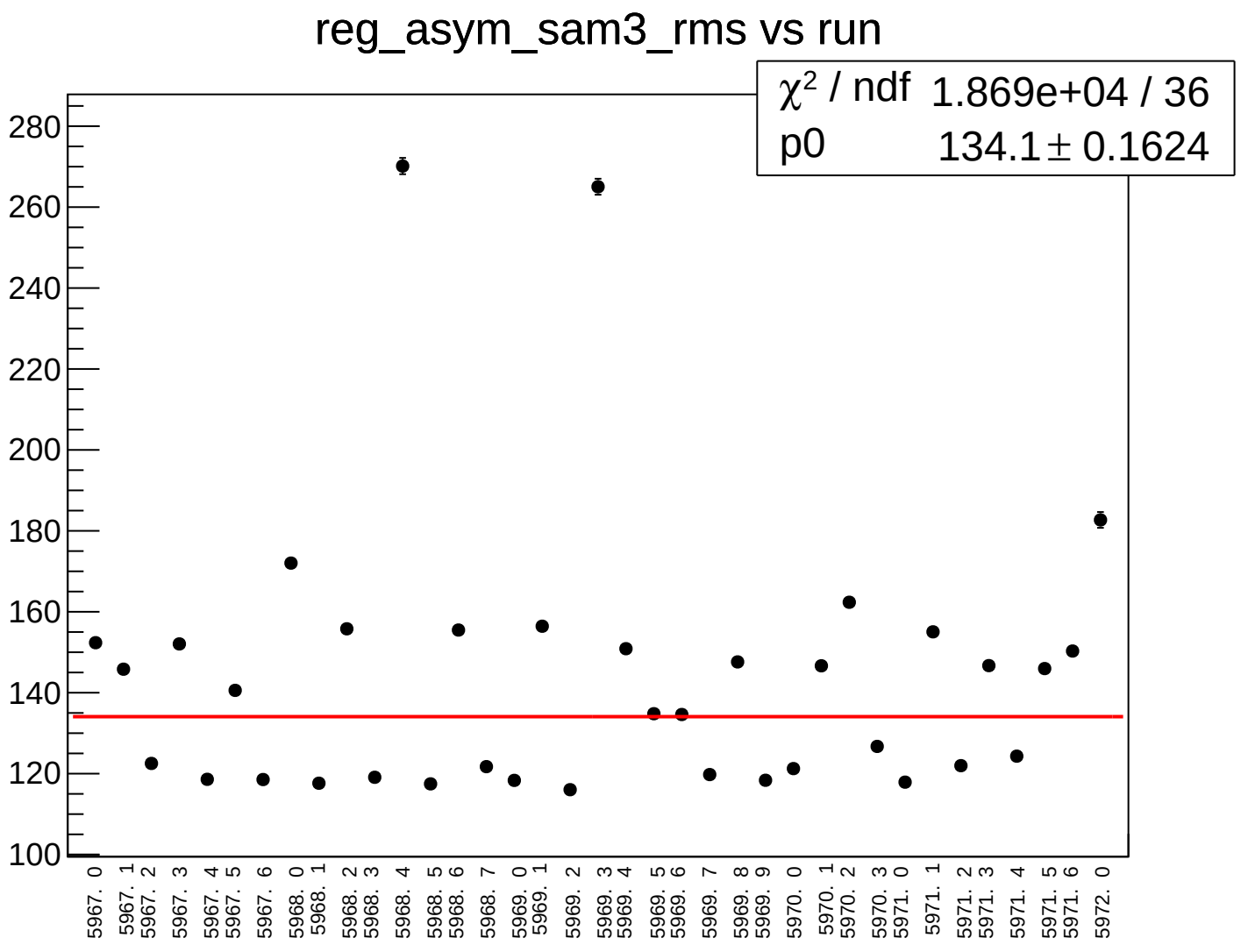
reg_asym_sam3_rms vs run
χ² / ndf 1.869e+04 / 36
p0 134.1 ± 0.1624
280
260
240
220
200
180
160
140
120
100
5967. 0
5967. 1
5967. 2
5967. 3
5967. 4
5967. 5
5967. 6
5968. 0
5968. 1
5968. 2
5968. 3
5968. 4
5968. 5
5968. 6
5968. 7
5969. 0
5969. 1
5969. 2
5969. 3
5969. 4
5969. 5
5969. 6
5969. 7
5969. 8
5969. 9
5970. 0
5970. 1
5970. 2
5970. 3
5971. 0
5971. 1
5971. 2
5971. 3
5971. 4
5971. 5
5971. 6
5972. 0

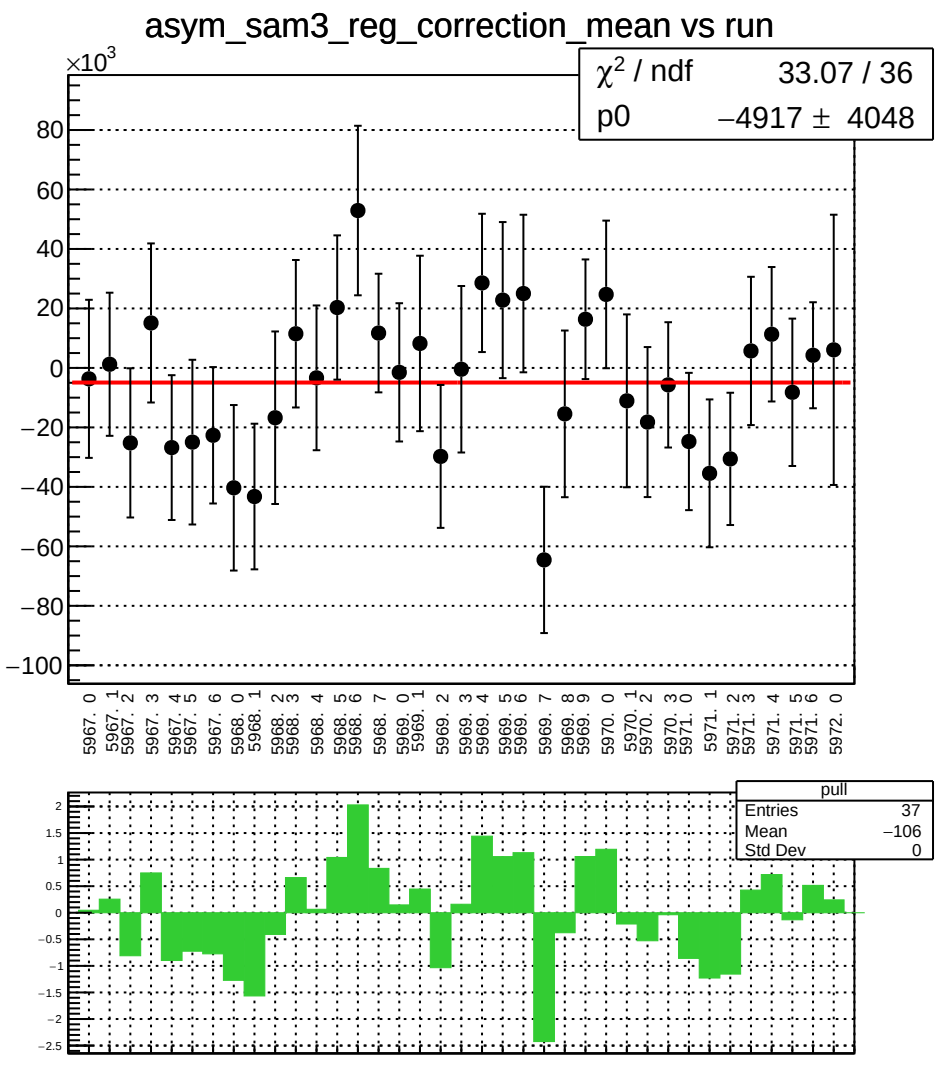
asym_sam3_reg_correction_mean vs run
×10^3
χ² / ndf 33.07 / 36
p0 −4917 ± 4048
80
60
40
20
0
−20
−40
−60
−80
−100
5967. 0
5967. 1
5967. 2
5967. 3
5967. 4
5967. 5
5967. 6
5968. 0
5968. 1
5968. 2
5968. 3
5968. 4
5968. 5
5968. 6
5968. 7
5969. 0
5969. 1
5969. 2
5969. 3
5969. 4
5969. 5
5969. 6
5969. 7
5969. 8
5969. 9
5970. 0
5970. 1
5970. 2
5970. 3
5971. 0
5971. 1
5971. 2
5971. 3
5971. 4
5971. 5
5971. 6
5972. 0
pull
Entries 37
Mean −106
Std Dev 0
2
1.5
1
0.5
0
−0.5
−1
−1.5
−2
−2.5

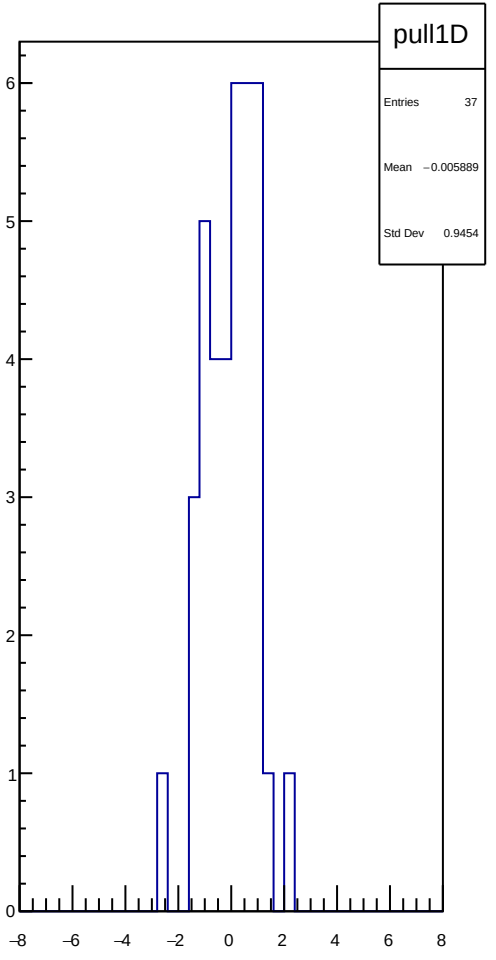
pull1D
Entries 37
Mean −0.005889
Std Dev 0.9454
6
5
4
3
2
1
0
−8
−6
−4
−2
0
2
4
6
8

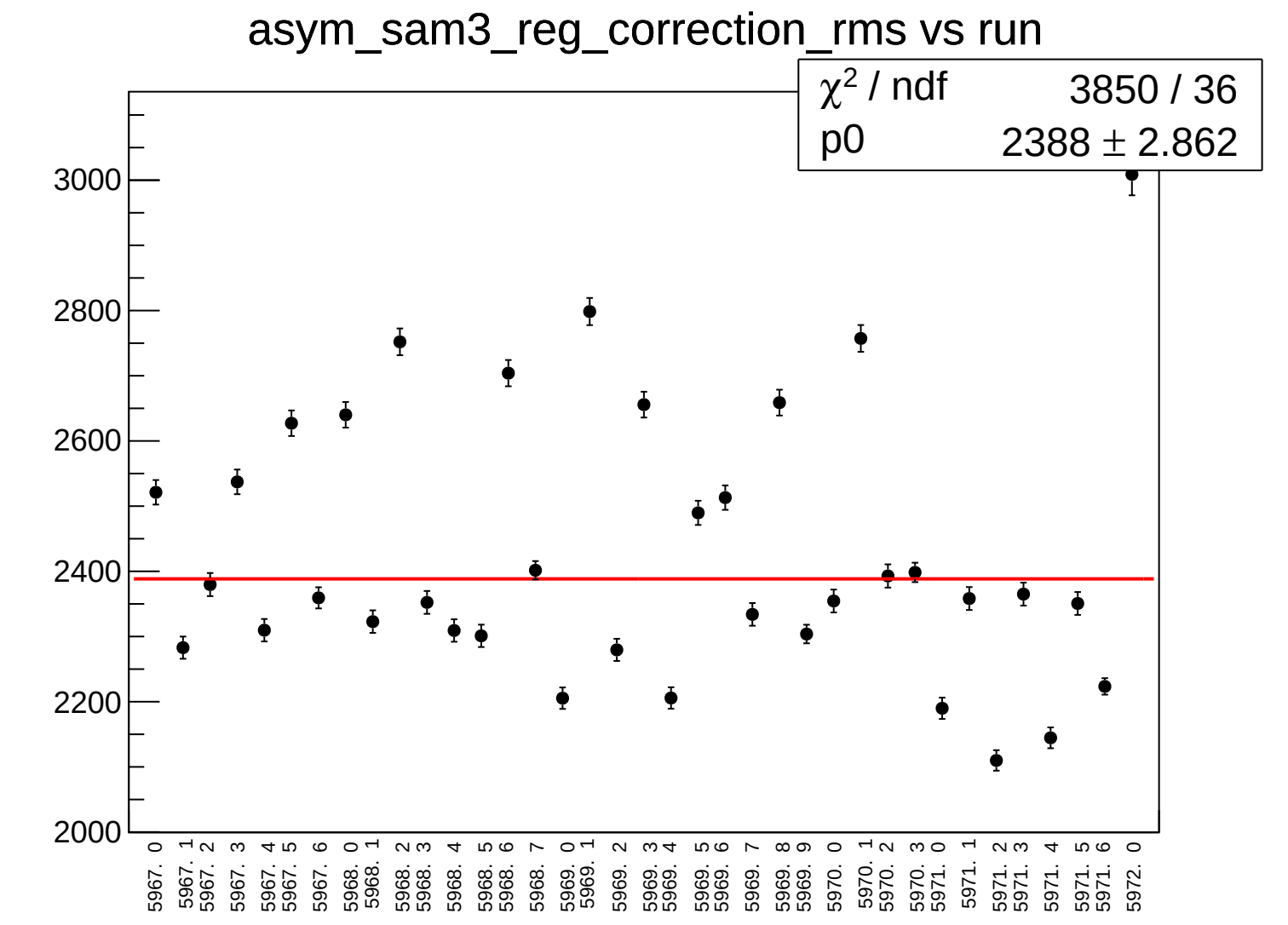
asym_sam3_reg_correction_rms vs run
χ² / ndf 3850 / 36
p0 2388 ± 2.862
3000
2800
2600
2400
2200
2000
5967. 0
5967. 1
5967. 2
5967. 3
5967. 4
5967. 5
5967. 6
5968. 0
5968. 1
5968. 2
5968. 3
5968. 4
5968. 5
5968. 6
5968. 7
5969. 0
5969. 1
5969. 2
5969. 3
5969. 4
5969. 5
5969. 6
5969. 7
5969. 8
5969. 9
5970. 0
5970. 1
5970. 2
5970. 3
5971. 0
5971. 1
5971. 2
5971. 3
5971. 4
5971. 5
5971. 6
5972. 0

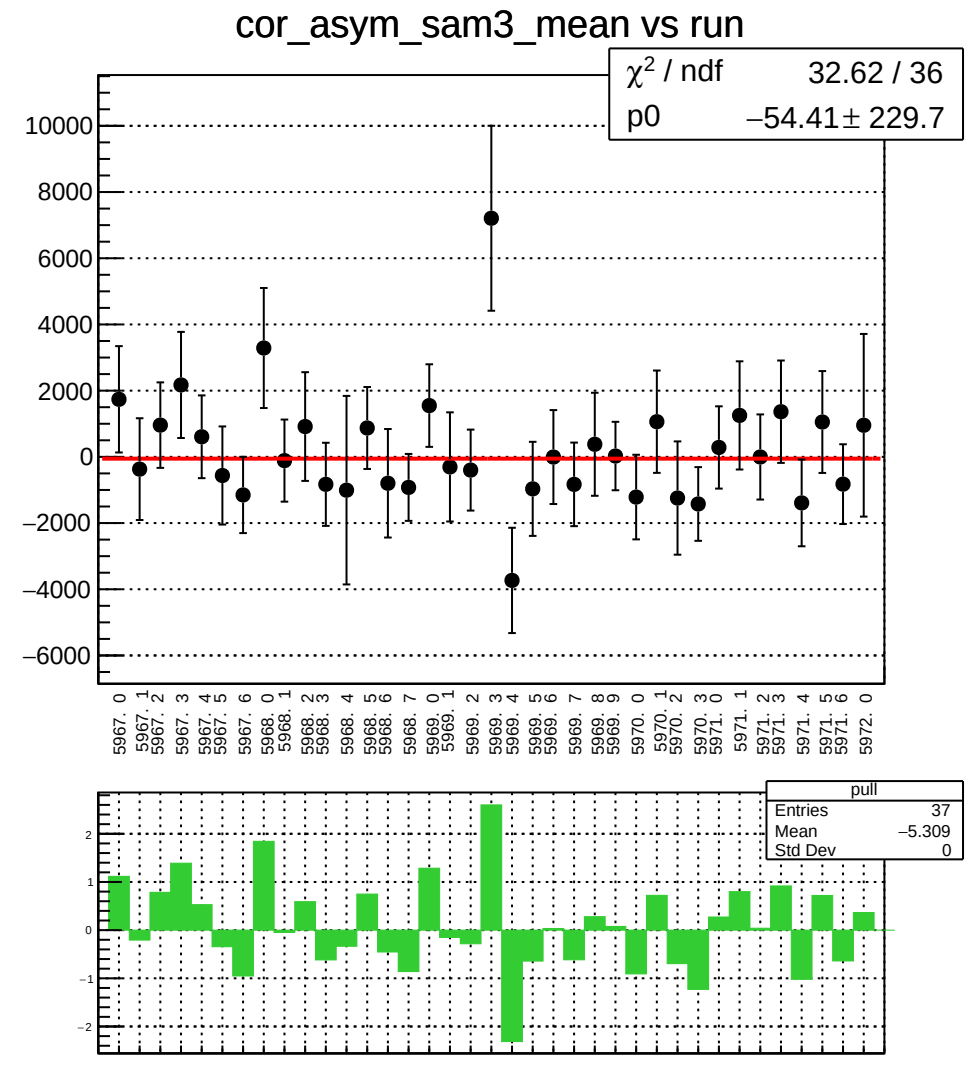
cor_asym_sam3_mean vs run
χ² / ndf 32.62 / 36
p0 −54.41± 229.7
10000
8000
6000
4000
2000
0
−2000
−4000
−6000
5967. 0
5967. 1
5967. 2
5967. 3
5967. 4
5967. 5
5967. 6
5968. 0
5968. 1
5968. 2
5968. 3
5968. 4
5968. 5
5968. 6
5968. 7
5969. 0
5969. 1
5969. 2
5969. 3
5969. 4
5969. 5
5969. 6
5969. 7
5969. 8
5969. 9
5970. 0
5970. 1
5970. 2
5970. 3
5971. 0
5971. 1
5971. 2
5971. 3
5971. 4
5971. 5
5971. 6
5972. 0
pull
Entries 37
Mean −5.309
Std Dev 0
2
1
0
−1
−2

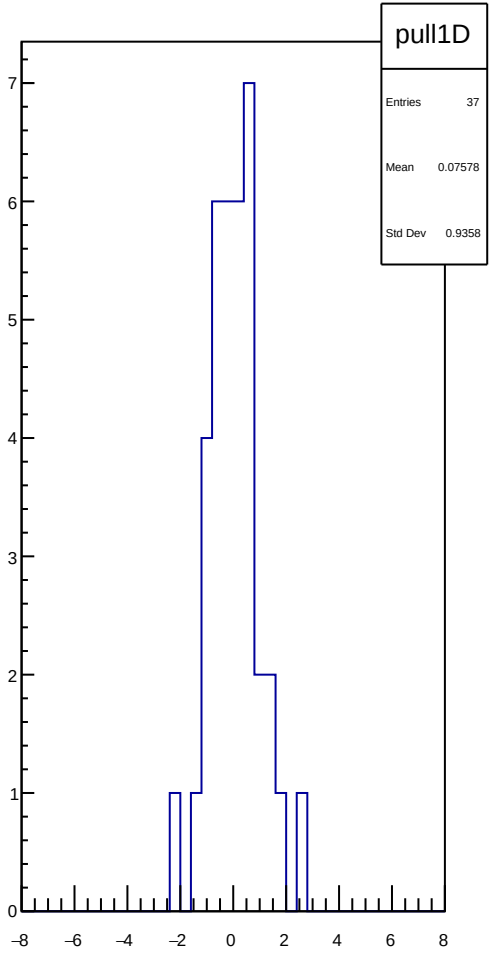
pull1D
Entries 37
Mean 0.07578
Std Dev 0.9358
7
6
5
4
3
2
1
0
−8
−6
−4
−2
0
2
4
6
8

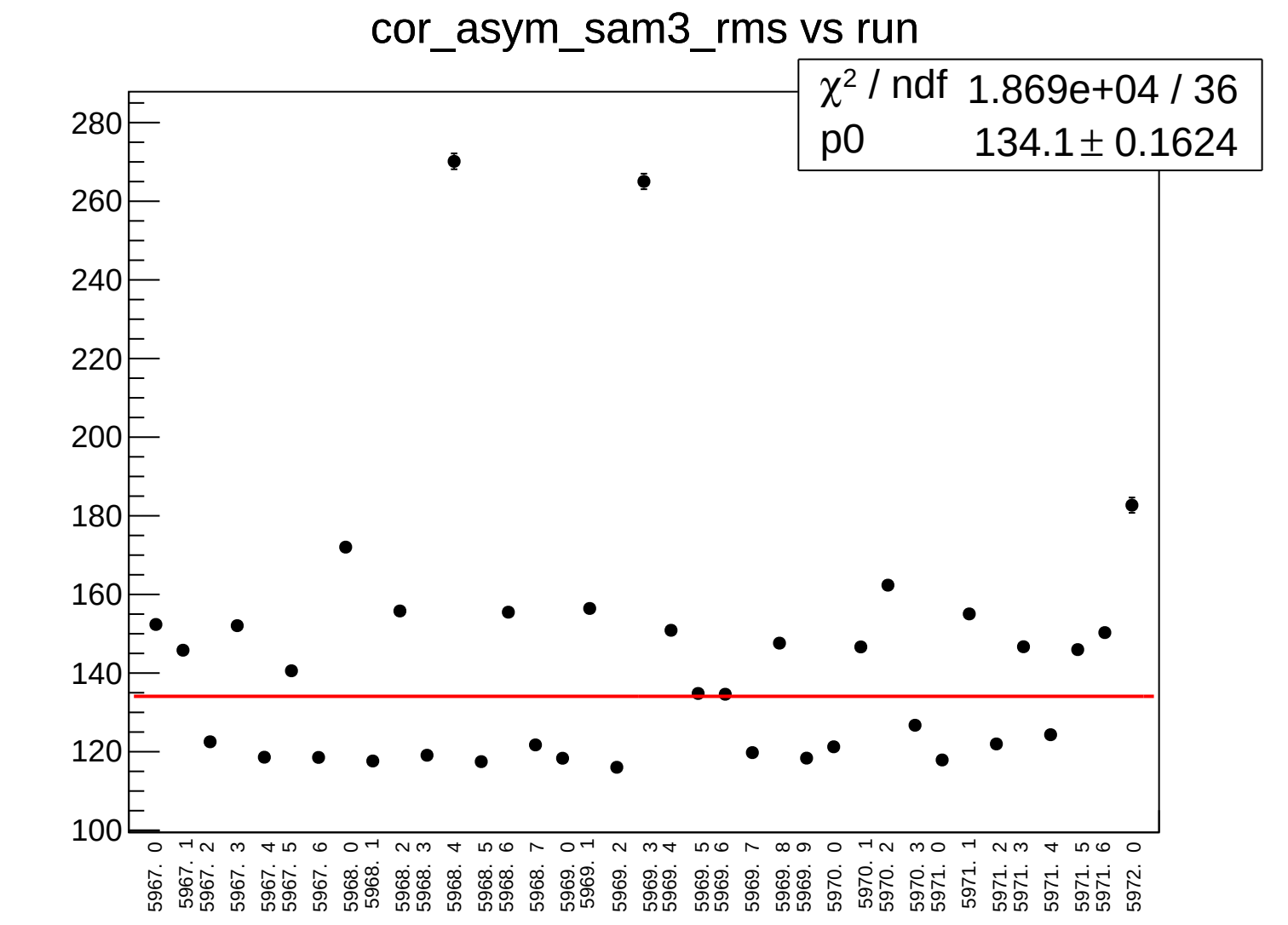
cor_asym_sam3_rms vs run
χ² / ndf 1.869e+04 / 36
p0 134.1 ± 0.1624
280
260
240
220
200
180
160
140
120
100
5967. 0
5967. 1
5967. 2
5967. 3
5967. 4
5967. 5
5967. 6
5968. 0
5968. 1
5968. 2
5968. 3
5968. 4
5968. 5
5968. 6
5968. 7
5969. 0
5969. 1
5969. 2
5969. 3
5969. 4
5969. 5
5969. 6
5969. 7
5969. 8
5969. 9
5970. 0
5970. 1
5970. 2
5970. 3
5971. 0
5971. 1
5971. 2
5971. 3
5971. 4
5971. 5
5971. 6
5972. 0

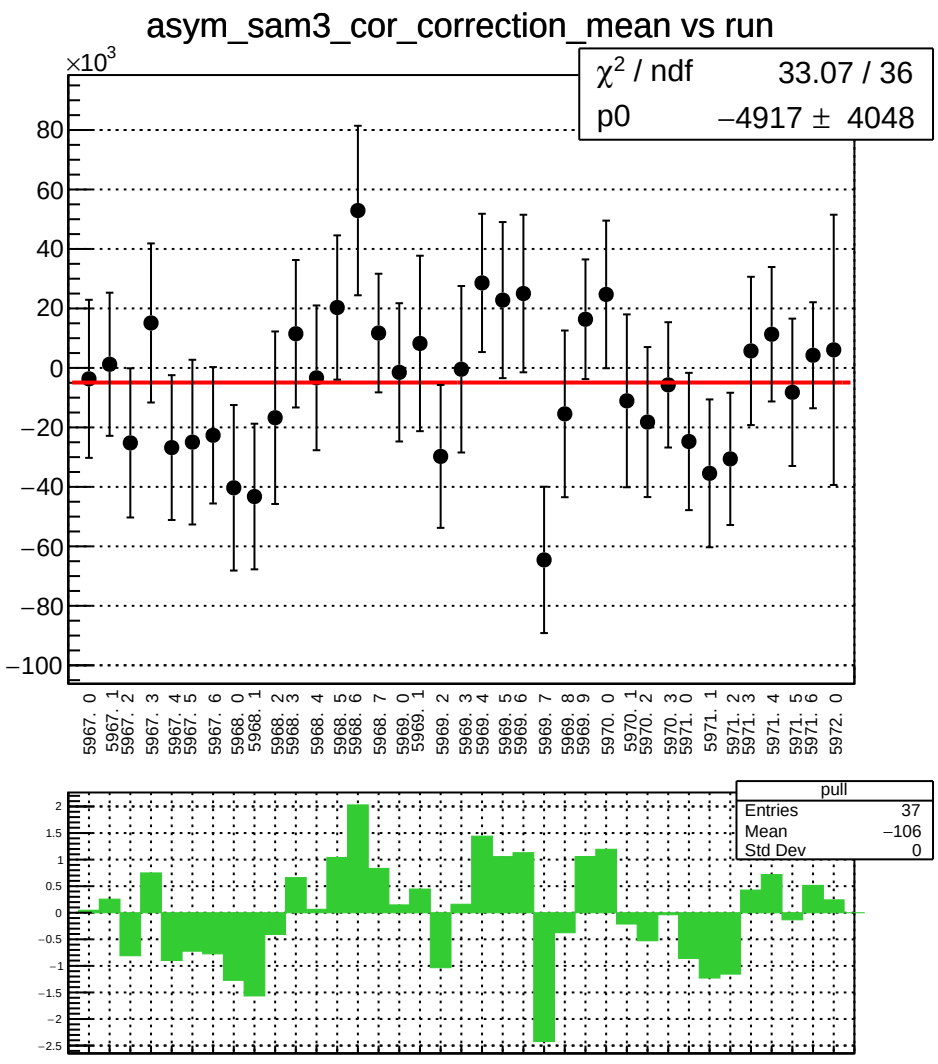
asym_sam3_cor_correction_mean vs run
×10^3
χ² / ndf 33.07 / 36
p0 −4917 ± 4048
80
60
40
20
0
−20
−40
−60
−80
−100
5967. 0
5967. 1
5967. 2
5967. 3
5967. 4
5967. 5
5967. 6
5968. 0
5968. 1
5968. 2
5968. 3
5968. 4
5968. 5
5968. 6
5968. 7
5969. 0
5969. 1
5969. 2
5969. 3
5969. 4
5969. 5
5969. 6
5969. 7
5969. 8
5969. 9
5970. 0
5970. 1
5970. 2
5970. 3
5971. 0
5971. 1
5971. 2
5971. 3
5971. 4
5971. 5
5971. 6
5972. 0
pull
Entries 37
Mean −106
Std Dev 0
2
1.5
1
0.5
0
−0.5
−1
−1.5
−2
−2.5

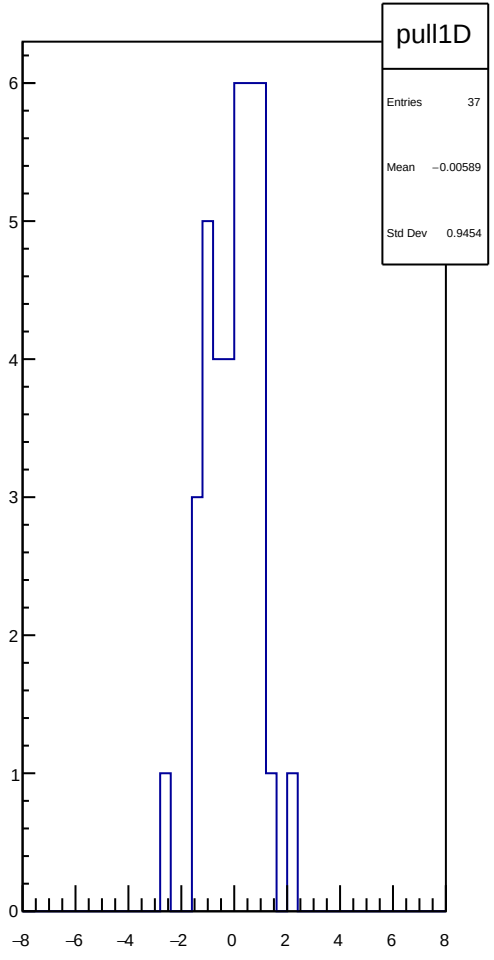
pull1D
Entries 37
Mean −0.00589
Std Dev 0.9454
6
5
4
3
2
1
0
−8
−6
−4
−2
0
2
4
6
8

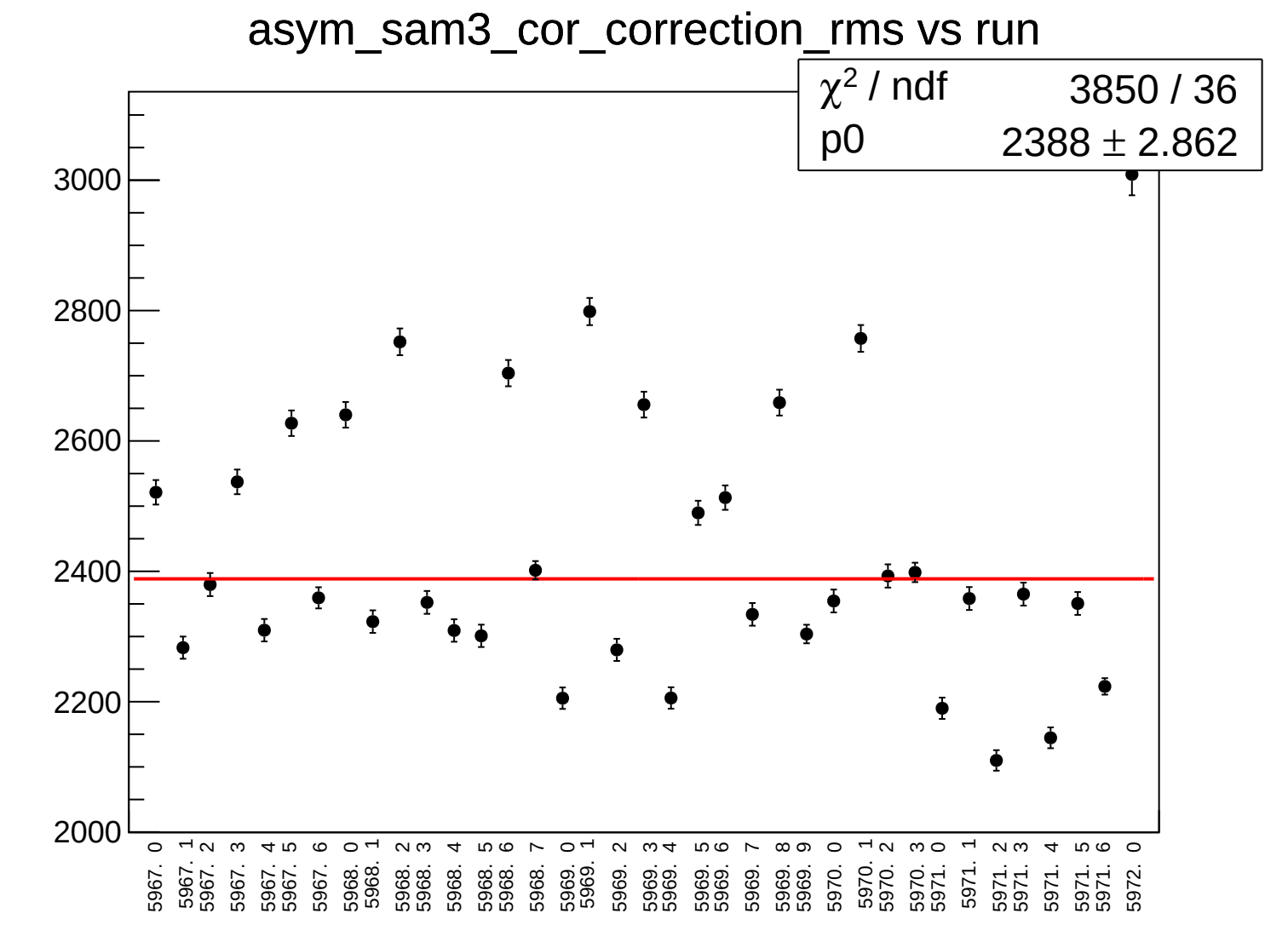
asym_sam3_cor_correction_rms vs run
χ² / ndf 3850 / 36
p0 2388 ± 2.862
3000
2800
2600
2400
2200
2000
5967. 0
5967. 1
5967. 2
5967. 3
5967. 4
5967. 5
5967. 6
5968. 0
5968. 1
5968. 2
5968. 3
5968. 4
5968. 5
5968. 6
5968. 7
5969. 0
5969. 1
5969. 2
5969. 3
5969. 4
5969. 5
5969. 6
5969. 7
5969. 8
5969. 9
5970. 0
5970. 1
5970. 2
5970. 3
5971. 0
5971. 1
5971. 2
5971. 3
5971. 4
5971. 5
5971. 6
5972. 0

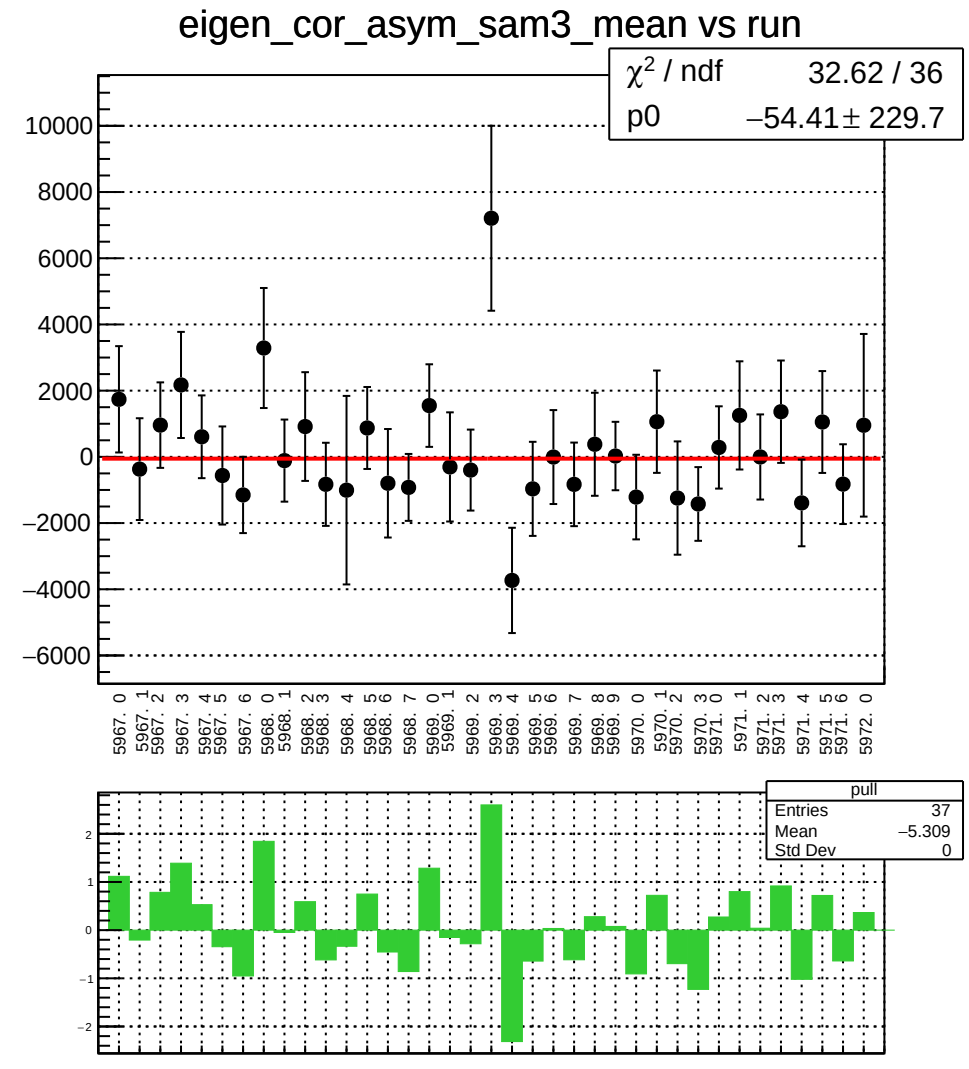
eigen_cor_asym_sam3_mean vs run
χ² / ndf 32.62 / 36
p0 −54.41 ± 229.7
pull
Entries 37
Mean −5.309
Std Dev 0
pull1D
Entries 37
Mean 0.07578
Std Dev 0.9358

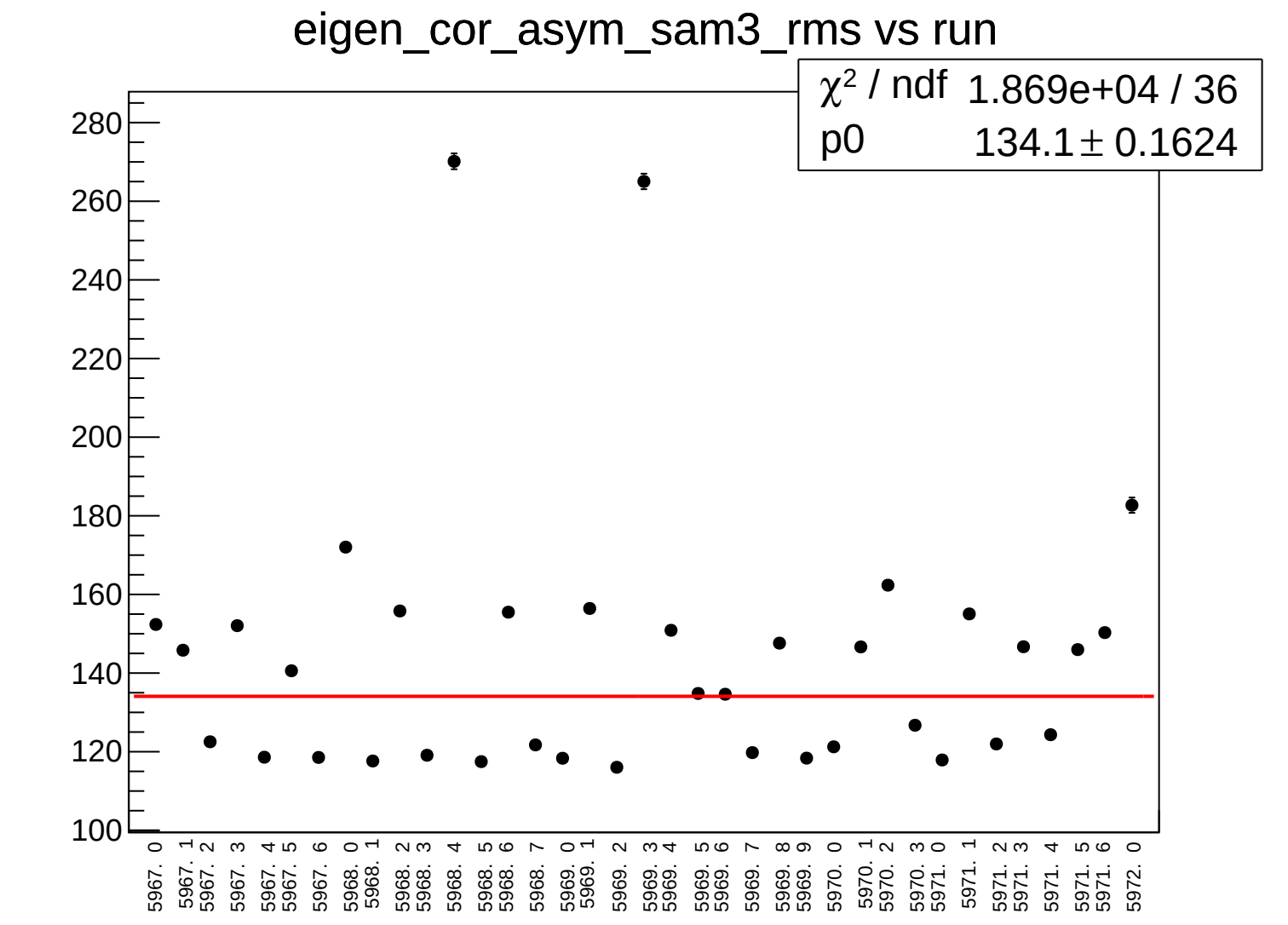
eigen_cor_asym_sam3_rms vs run
χ² / ndf 1.869e+04 / 36
p0 134.1 ± 0.1624
280
260
240
220
200
180
160
140
120
100
5967. 0
5967. 1
5967. 2
5967. 3
5967. 4
5967. 5
5967. 6
5968. 0
5968. 1
5968. 2
5968. 3
5968. 4
5968. 5
5968. 6
5968. 7
5969. 0
5969. 1
5969. 2
5969. 3
5969. 4
5969. 5
5969. 6
5969. 7
5969. 8
5969. 9
5970. 0
5970. 1
5970. 2
5970. 3
5971. 0
5971. 1
5971. 2
5971. 3
5971. 4
5971. 5
5971. 6
5972. 0

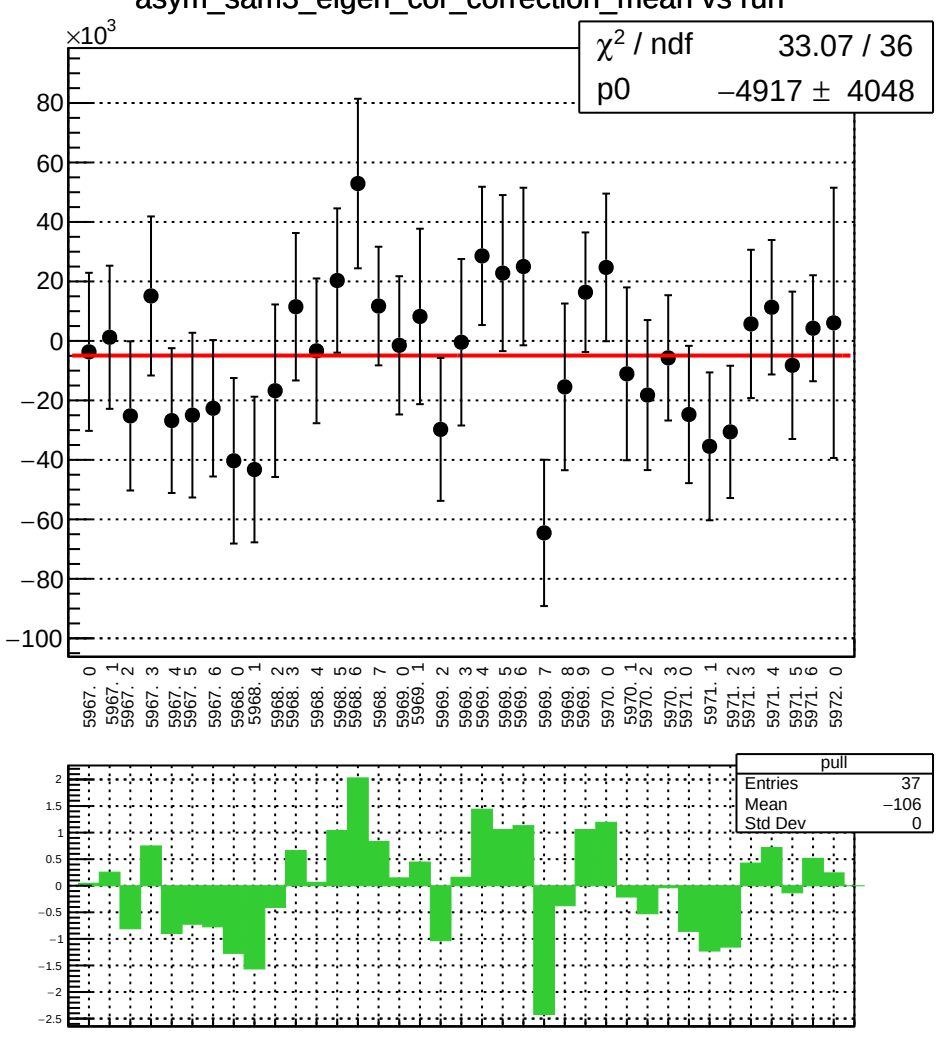
asym_sam3_eigen_cor_correction_mean vs run
×10^3
χ² / ndf 33.07 / 36
p0 −4917 ± 4048
80
60
40
20
0
−20
−40
−60
−80
−100
5967. 0
5967. 1
5967. 2
5967. 3
5967. 4
5967. 5
5967. 6
5968. 0
5968. 1
5968. 2
5968. 3
5968. 4
5968. 5
5968. 6
5968. 7
5969. 0
5969. 1
5969. 2
5969. 3
5969. 4
5969. 5
5969. 6
5969. 7
5969. 8
5969. 9
5970. 0
5970. 1
5970. 2
5970. 3
5971. 0
5971. 1
5971. 2
5971. 3
5971. 4
5971. 5
5971. 6
5972. 0
pull
Entries 37
Mean −106
Std Dev 0
2
1.5
1
0.5
0
−0.5
−1
−1.5
−2
−2.5

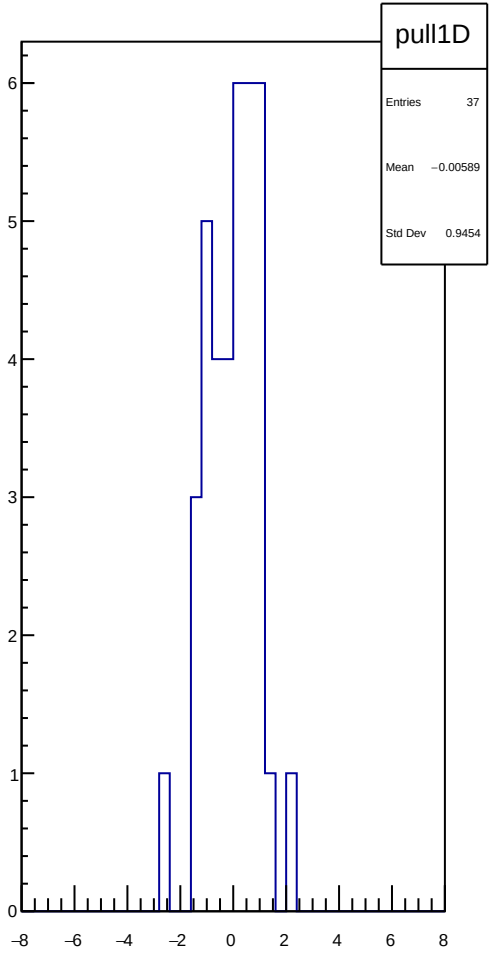
pull1D
Entries 37
Mean −0.00589
Std Dev 0.9454
6
5
4
3
2
1
0
−8
−6
−4
−2
0
2
4
6
8

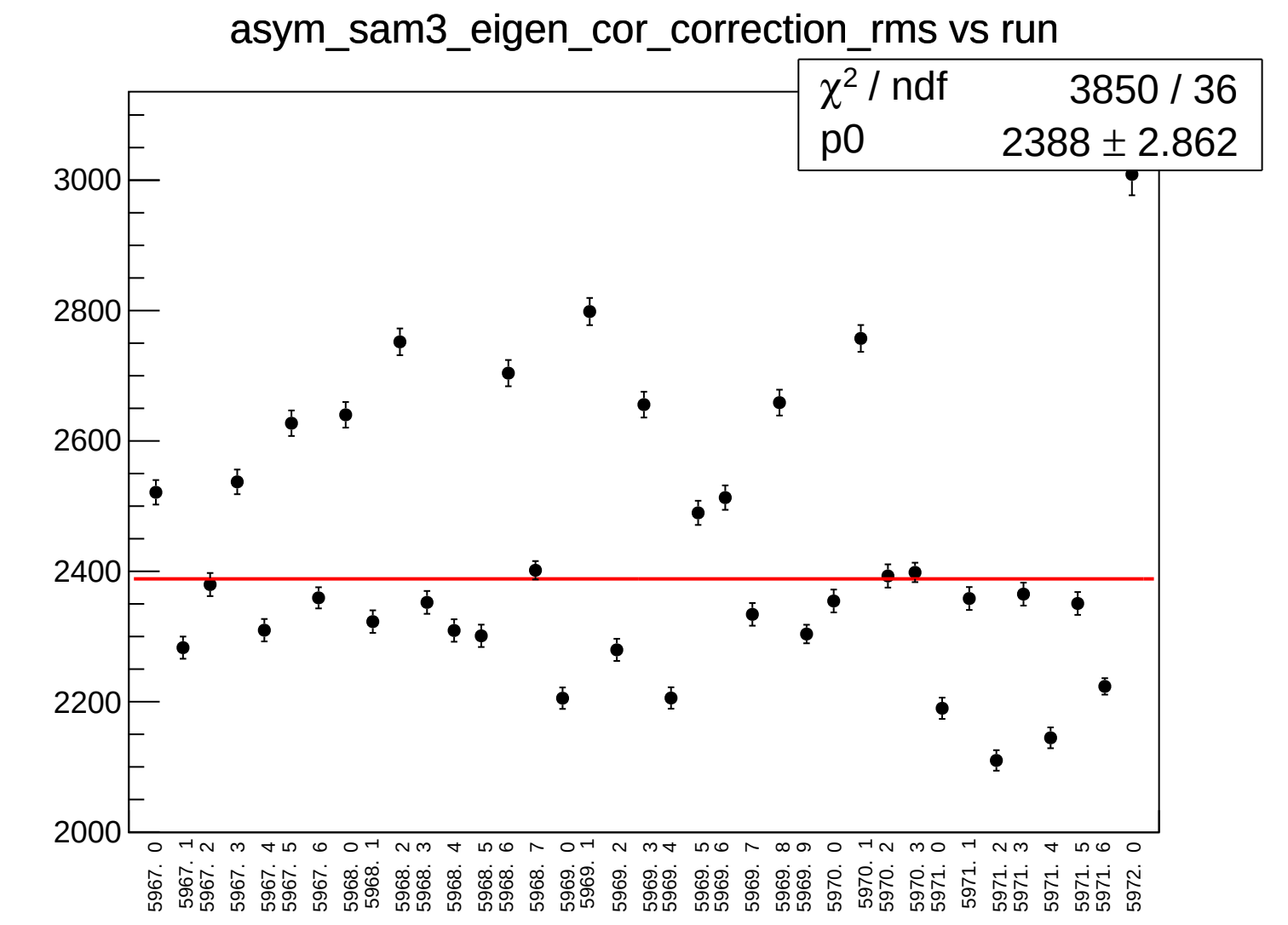
asym_sam3_eigen_cor_correction_rms vs run
χ² / ndf 3850 / 36
p0 2388 ± 2.862
3000
2800
2600
2400
2200
2000
5967. 0
5967. 1
5967. 2
5967. 3
5967. 4
5967. 5
5967. 6
5968. 0
5968. 1
5968. 2
5968. 3
5968. 4
5968. 5
5968. 6
5968. 7
5969. 0
5969. 1
5969. 2
5969. 3
5969. 4
5969. 5
5969. 6
5969. 7
5969. 8
5969. 9
5970. 0
5970. 1
5970. 2
5970. 3
5971. 0
5971. 1
5971. 2
5971. 3
5971. 4
5971. 5
5971. 6
5972. 0

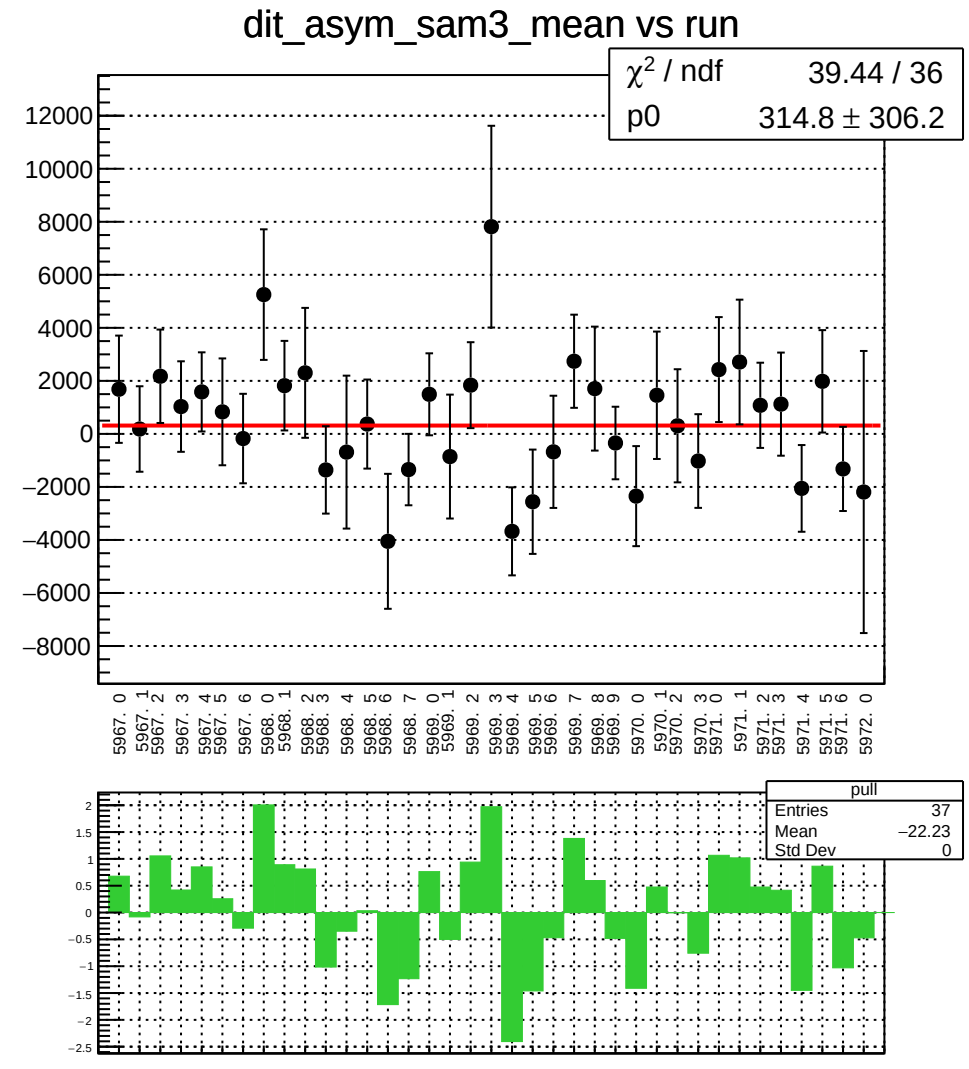
dit_asym_sam3_mean vs run
χ² / ndf 39.44 / 36
p0 314.8 ± 306.2
12000
10000
8000
6000
4000
2000
0
−2000
−4000
−6000
−8000
5967. 0
5967. 1
5967. 2
5967. 3
5967. 4
5967. 5
5967. 6
5968. 0
5968. 1
5968. 2
5968. 3
5968. 4
5968. 5
5968. 6
5968. 7
5969. 0
5969. 1
5969. 2
5969. 3
5969. 4
5969. 5
5969. 6
5969. 7
5969. 8
5969. 9
5970. 0
5970. 1
5970. 2
5970. 3
5971. 0
5971. 1
5971. 2
5971. 3
5971. 4
5971. 5
5971. 6
5972. 0
pull
Entries 37
Mean −22.23
Std Dev 0
2
1.5
1
0.5
0
−0.5
−1
−1.5
−2
−2.5

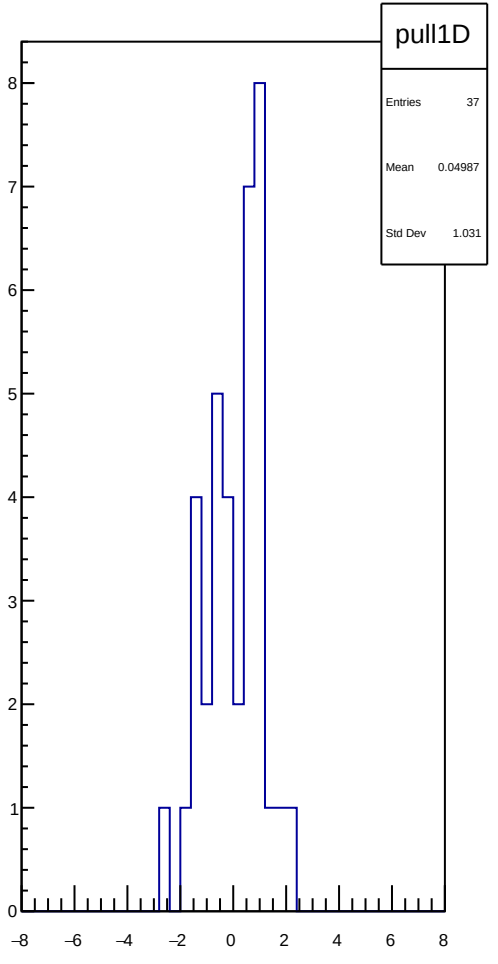
pull1D
Entries 37
Mean 0.04987
Std Dev 1.031
8
7
6
5
4
3
2
1
0
−8
−6
−4
−2
0
2
4
6
8

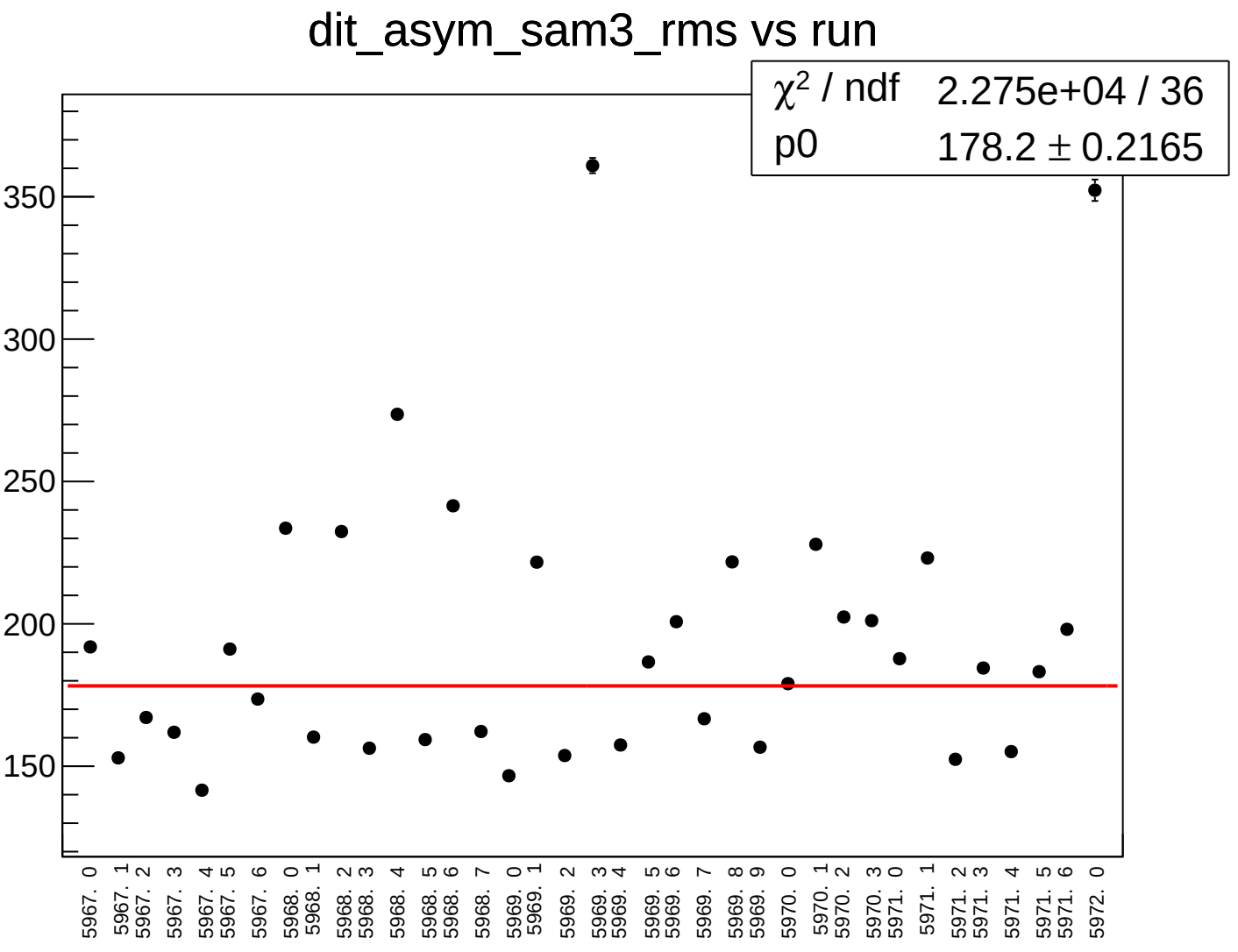
dit_asym_sam3_rms vs run
χ² / ndf 2.275e+04 / 36
p0 178.2 ± 0.2165
350
300
250
200
150
5967. 0
5967. 1
5967. 2
5967. 3
5967. 4
5967. 5
5967. 6
5968. 0
5968. 1
5968. 2
5968. 3
5968. 4
5968. 5
5968. 6
5968. 7
5969. 0
5969. 1
5969. 2
5969. 3
5969. 4
5969. 5
5969. 6
5969. 7
5969. 8
5969. 9
5970. 0
5970. 1
5970. 2
5970. 3
5971. 0
5971. 1
5971. 2
5971. 3
5971. 4
5971. 5
5971. 6
5972. 0

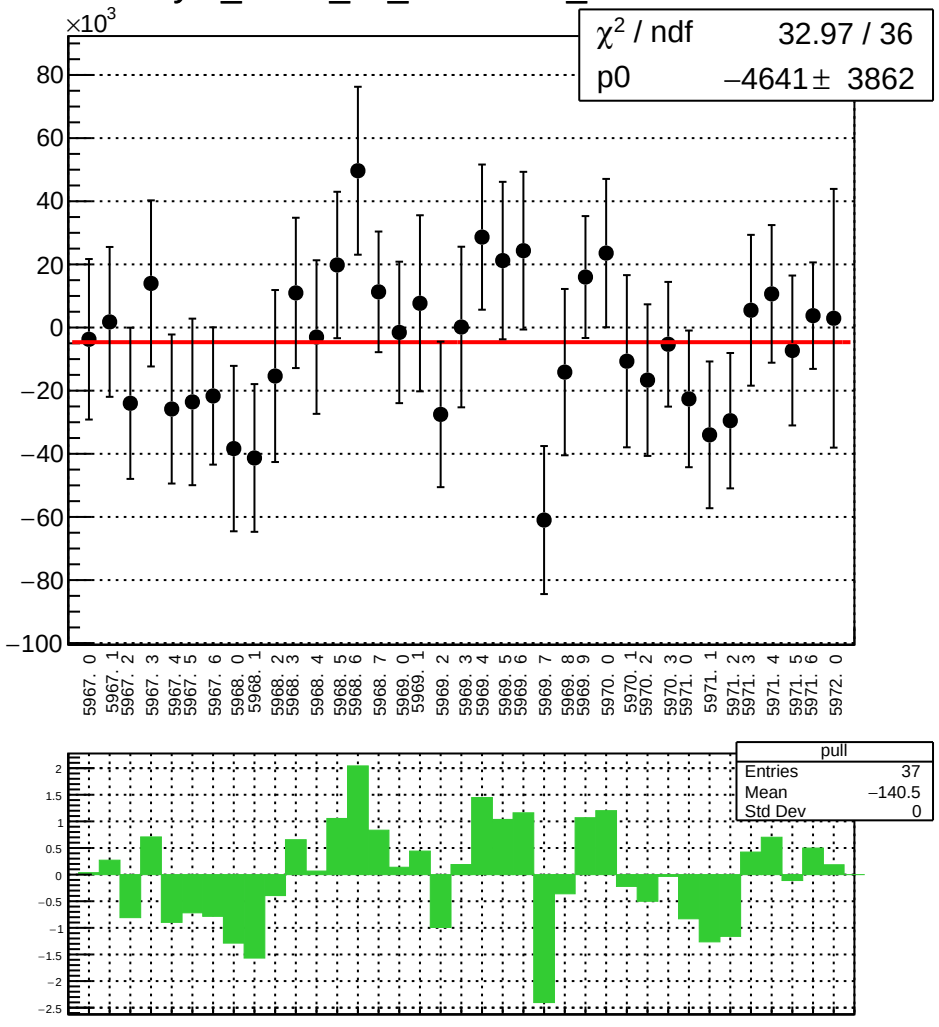
asym_sam3_dit_correction_mean vs run
χ² / ndf 32.97 / 36
p0 −4641 ± 3862
×10³
pull
Entries 37
Mean −140.5
Std Dev 0
pull1D
Entries 37
Mean −0.004545
Std Dev 0.944

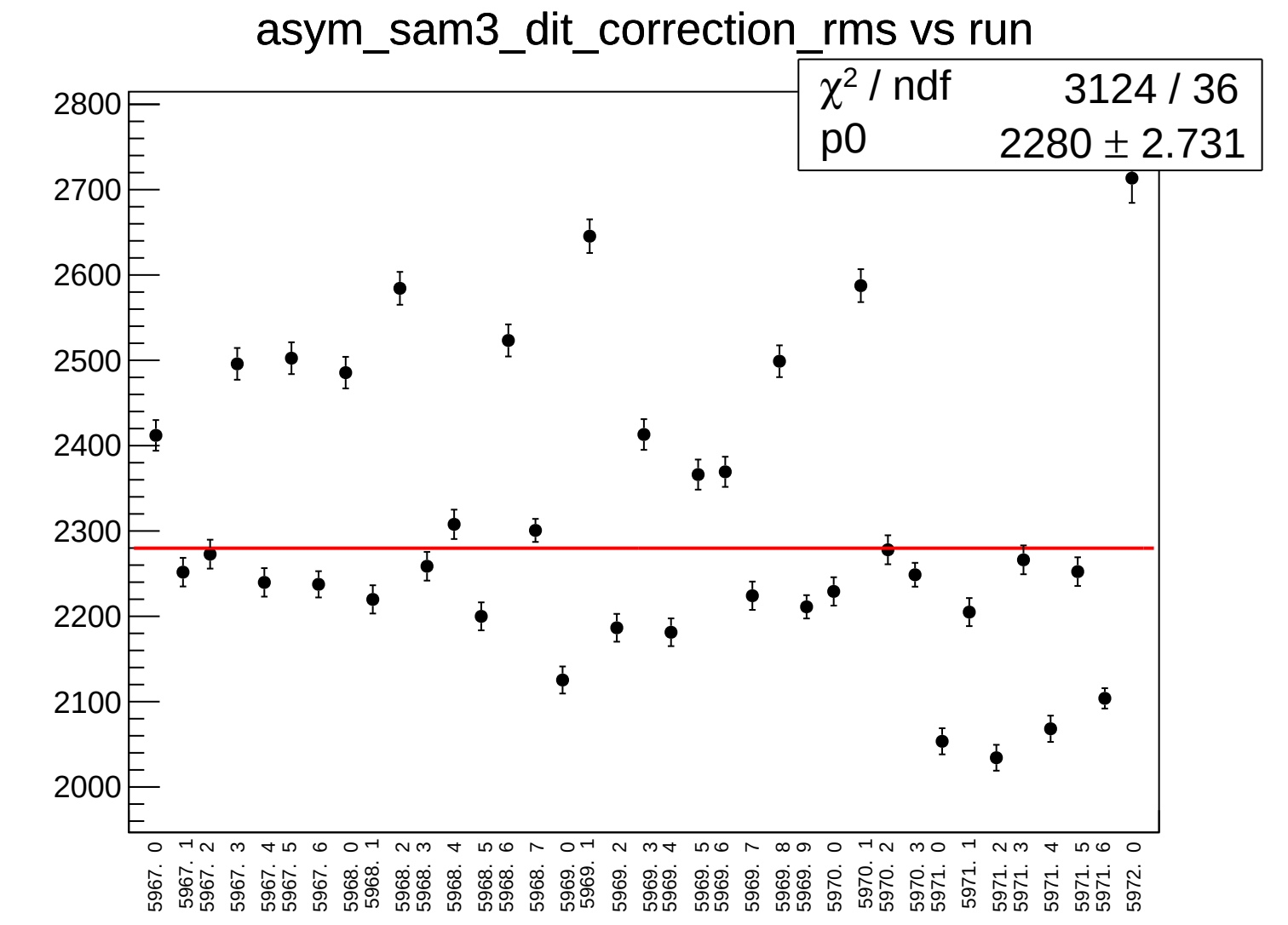
asym_sam3_dit_correction_rms vs run
χ² / ndf 3124 / 36
p0 2280 ± 2.731
2800
2700
2600
2500
2400
2300
2200
2100
2000
5967. 0
5967. 1
5967. 2
5967. 3
5967. 4
5967. 5
5967. 6
5968. 0
5968. 1
5968. 2
5968. 3
5968. 4
5968. 5
5968. 6
5968. 7
5969. 0
5969. 1
5969. 2
5969. 3
5969. 4
5969. 5
5969. 6
5969. 7
5969. 8
5969. 9
5970. 0
5970. 1
5970. 2
5970. 3
5971. 0
5971. 1
5971. 2
5971. 3
5971. 4
5971. 5
5971. 6
5972. 0

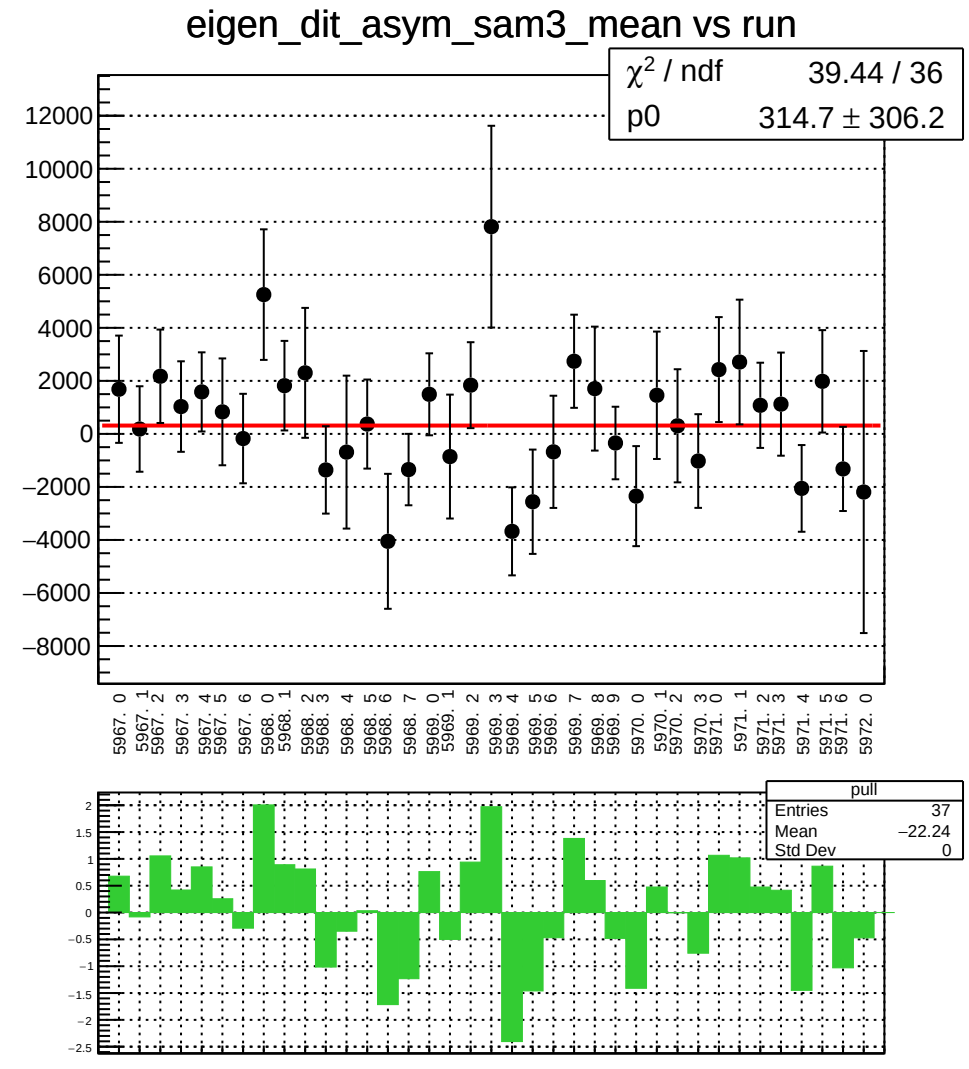
eigen_dit_asym_sam3_mean vs run
χ^2 / ndf 39.44 / 36
p0 314.7 ± 306.2
12000
10000
8000
6000
4000
2000
0
−2000
−4000
−6000
−8000
5967. 0
5967. 1
5967. 2
5967. 3
5967. 4
5967. 5
5967. 6
5968. 0
5968. 1
5968. 2
5968. 3
5968. 4
5968. 5
5968. 6
5968. 7
5969. 0
5969. 1
5969. 2
5969. 3
5969. 4
5969. 5
5969. 6
5969. 7
5969. 8
5969. 9
5970. 0
5970. 1
5970. 2
5970. 3
5971. 0
5971. 1
5971. 2
5971. 3
5971. 4
5971. 5
5971. 6
5972. 0
pull
Entries 37
Mean −22.24
Std Dev 0
2
1.5
1
0.5
0
−0.5
−1
−1.5
−2
−2.5

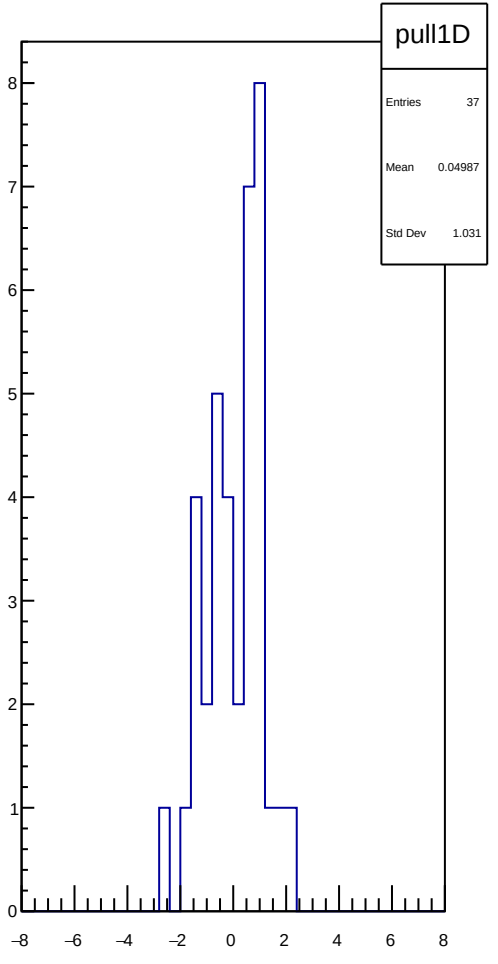
pull1D
Entries 37
Mean 0.04987
Std Dev 1.031
8
7
6
5
4
3
2
1
0
−8
−6
−4
−2
0
2
4
6
8

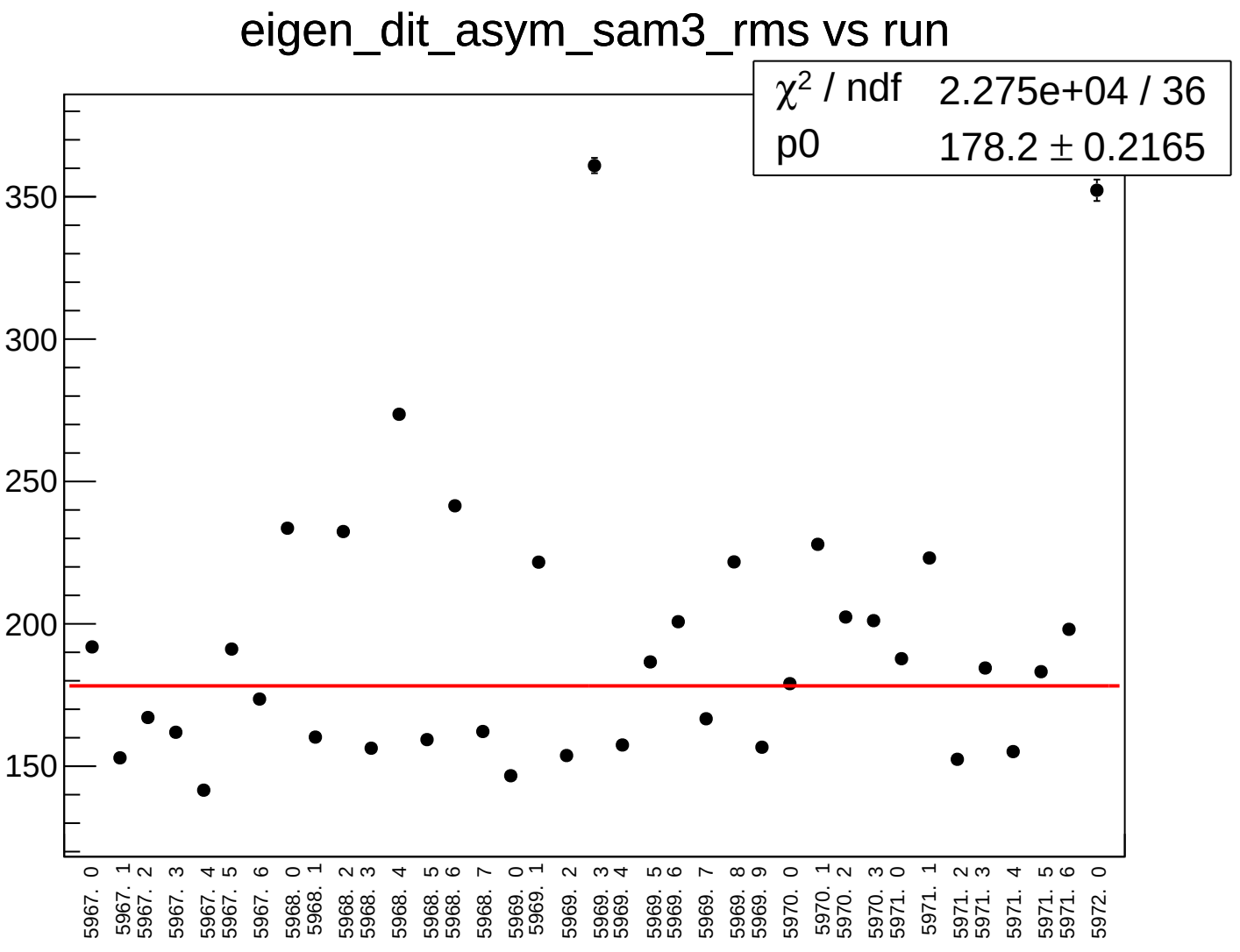
eigen_dit_asym_sam3_rms vs run
χ² / ndf 2.275e+04 / 36
p0 178.2 ± 0.2165
350
300
250
200
150
5967. 0
5967. 1
5967. 2
5967. 3
5967. 4
5967. 5
5967. 6
5968. 0
5968. 1
5968. 2
5968. 3
5968. 4
5968. 5
5968. 6
5968. 7
5969. 0
5969. 1
5969. 2
5969. 3
5969. 4
5969. 5
5969. 6
5969. 7
5969. 8
5969. 9
5970. 0
5970. 1
5970. 2
5970. 3
5971. 0
5971. 1
5971. 2
5971. 3
5971. 4
5971. 5
5971. 6
5972. 0

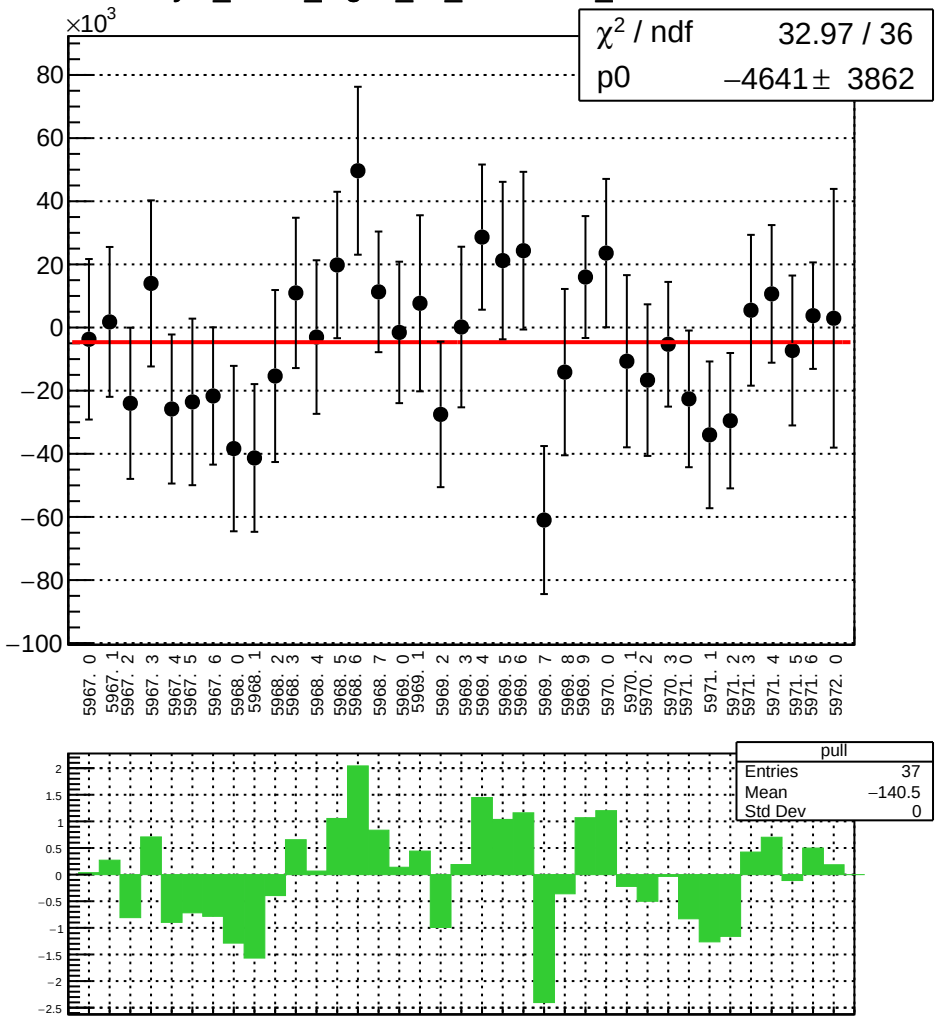
asym_sam3_eigen_dit_correction_mean vs run
×10^3
χ² / ndf 32.97 / 36
p0 −4641 ± 3862
pull
Entries 37
Mean −140.5
Std Dev 0

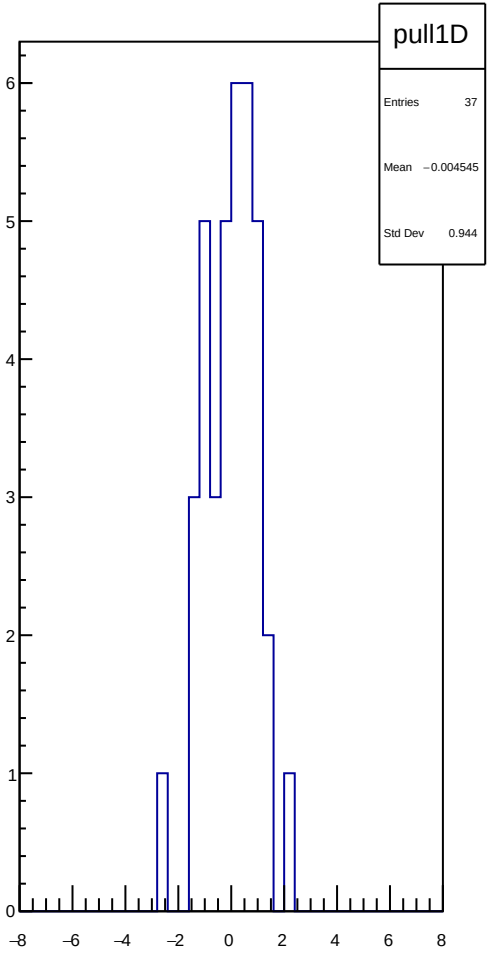
pull1D
Entries 37
Mean −0.004545
Std Dev 0.944

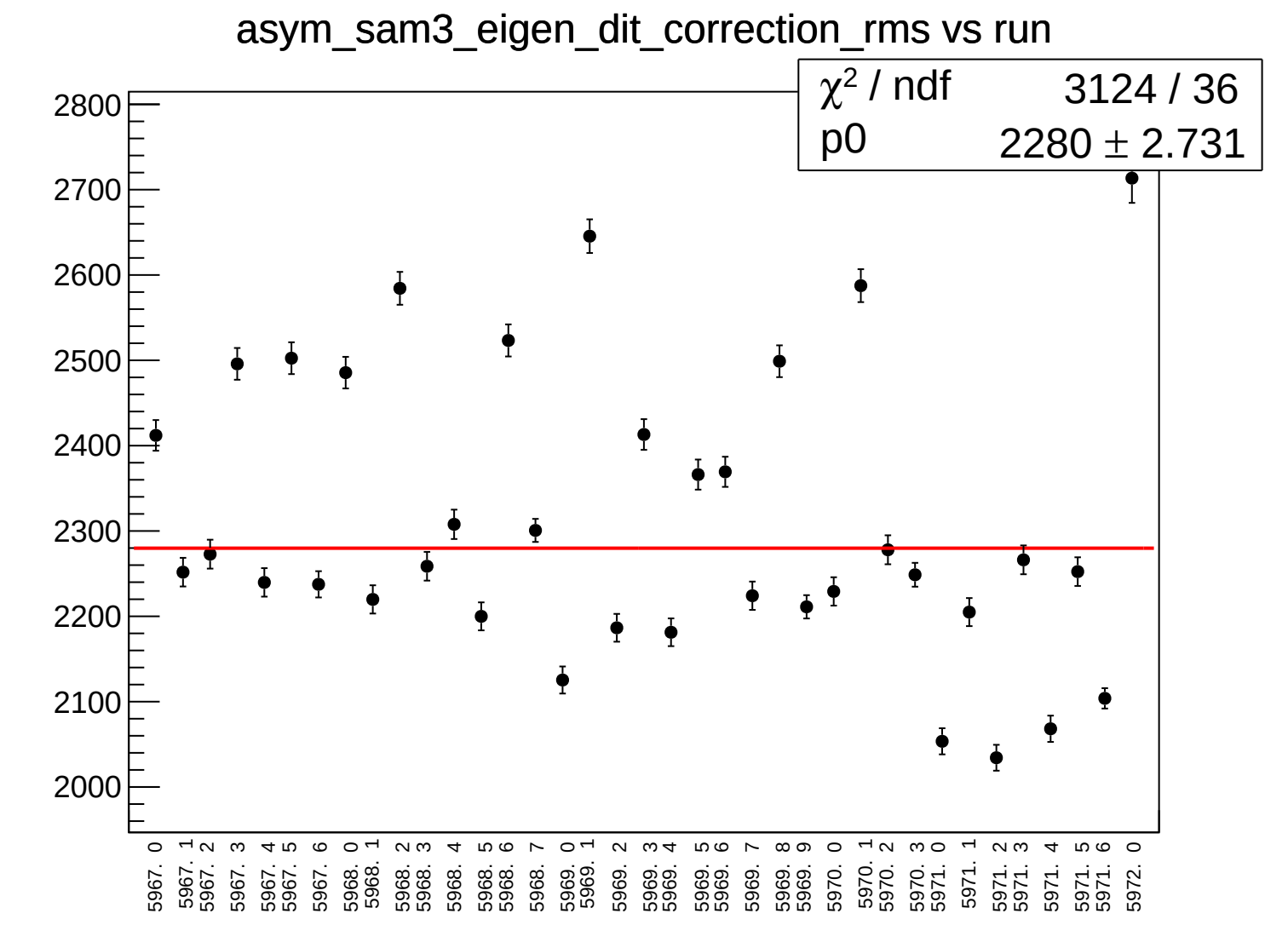
asym_sam3_eigen_dit_correction_rms vs run
χ² / ndf 3124 / 36
p0 2280 ± 2.731
2800
2700
2600
2500
2400
2300
2200
2100
2000
5967. 0
5967. 1
5967. 2
5967. 3
5967. 4
5967. 5
5967. 6
5968. 0
5968. 1
5968. 2
5968. 3
5968. 4
5968. 5
5968. 6
5968. 7
5969. 0
5969. 1
5969. 2
5969. 3
5969. 4
5969. 5
5969. 6
5969. 7
5969. 8
5969. 9
5970. 0
5970. 1
5970. 2
5970. 3
5971. 0
5971. 1
5971. 2
5971. 3
5971. 4
5971. 5
5971. 6
5972. 0

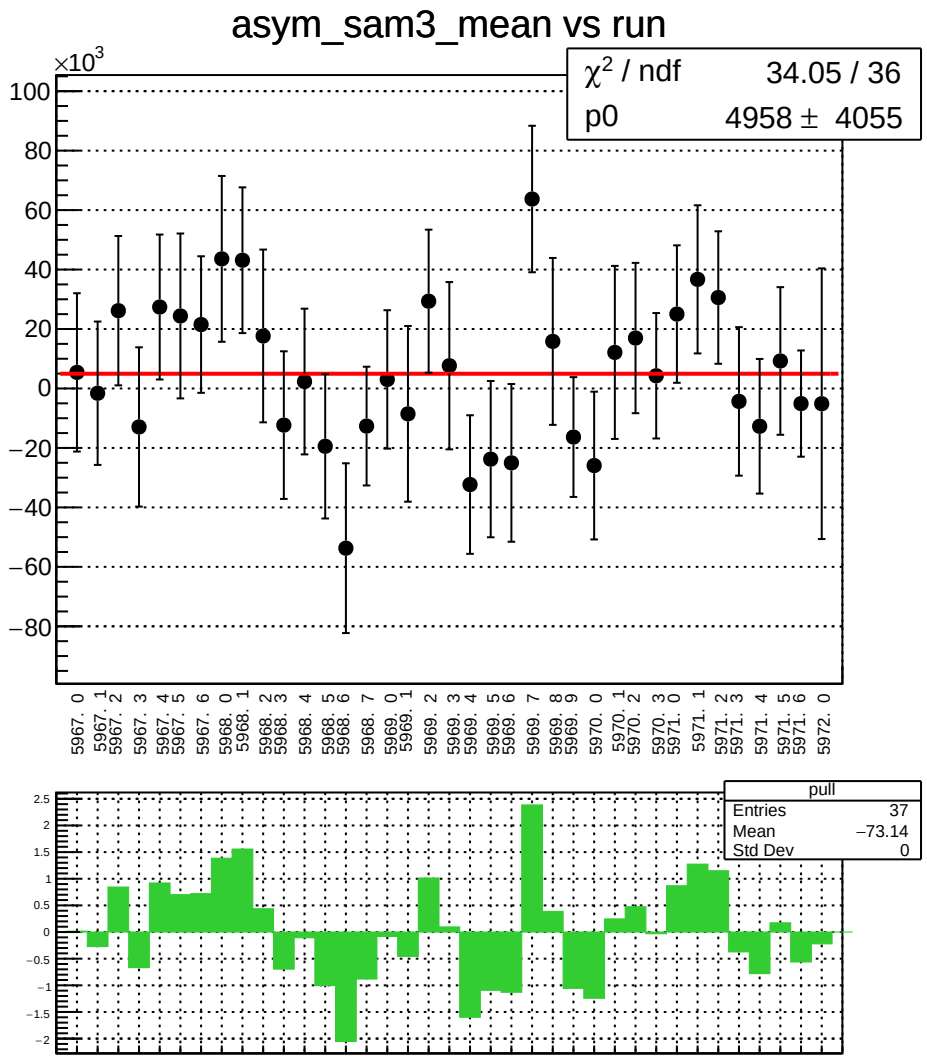
asym_sam3_mean vs run
×10^3
χ² / ndf 34.05 / 36
p0 4958 ± 4055
pull
Entries 37
Mean −73.14
Std Dev 0

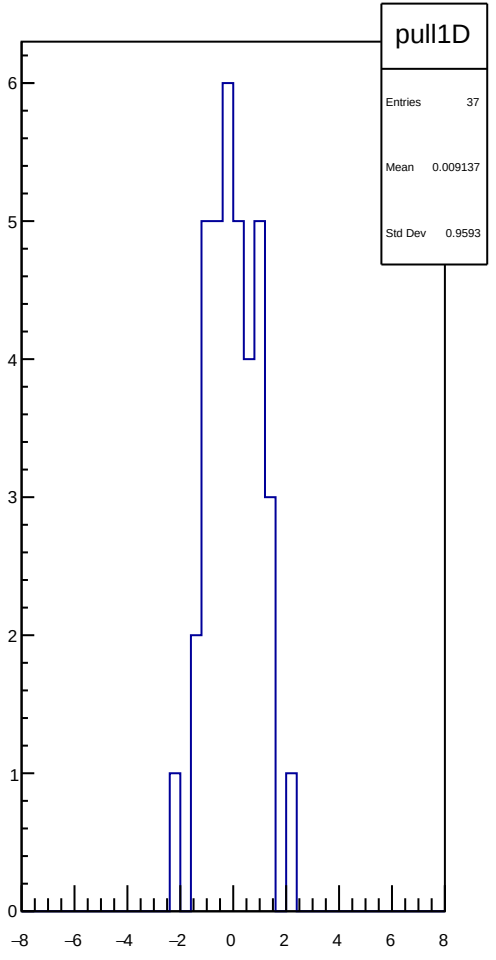
pull1D
Entries 37
Mean 0.009137
Std Dev 0.9593

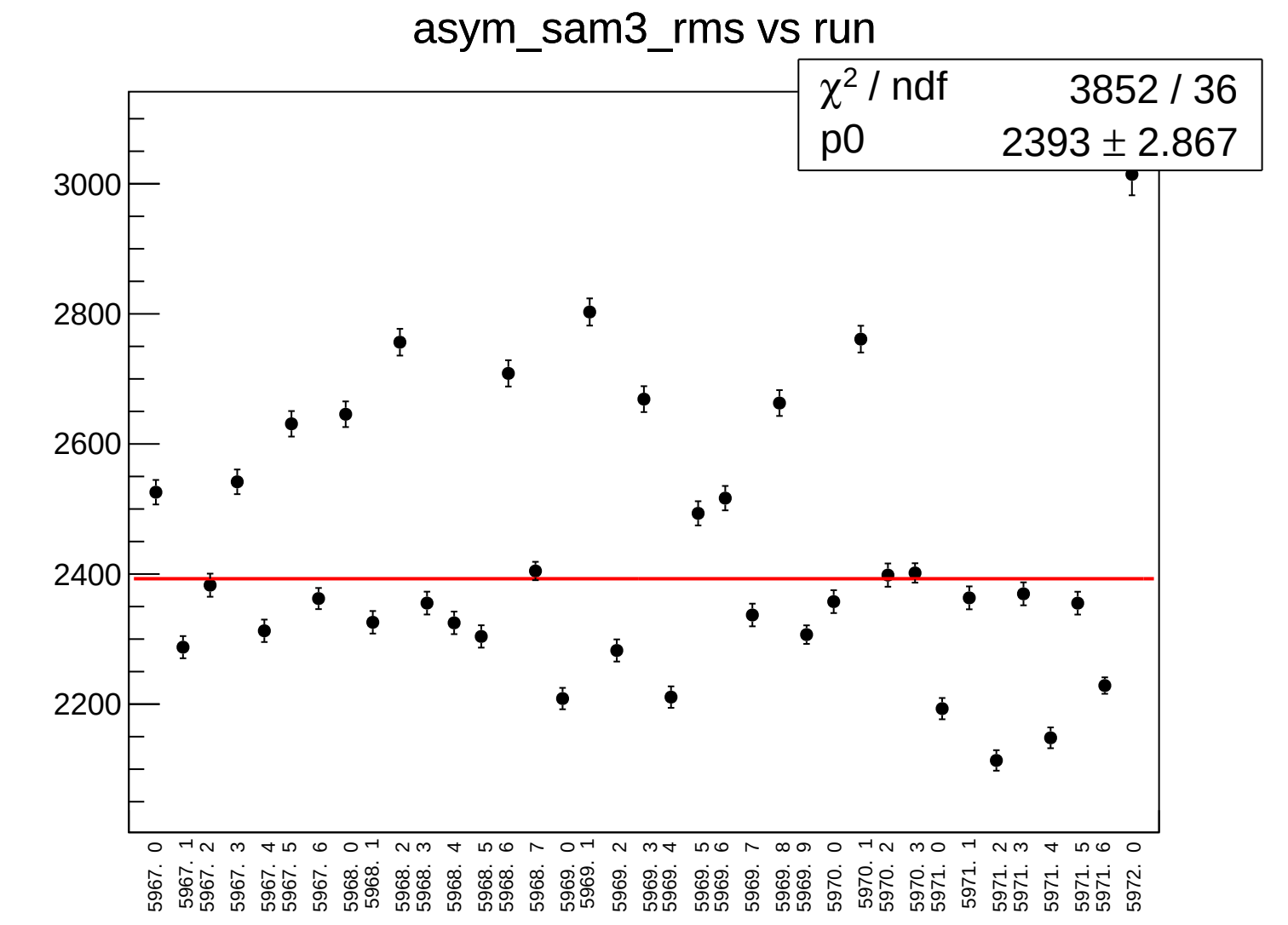
asym_sam3_rms vs run
χ² / ndf 3852 / 36
p0 2393 ± 2.867
3000
2800
2600
2400
2200
5967. 0
5967. 1
5967. 2
5967. 3
5967. 4
5967. 5
5967. 6
5968. 0
5968. 1
5968. 2
5968. 3
5968. 4
5968. 5
5968. 6
5968. 7
5969. 0
5969. 1
5969. 2
5969. 3
5969. 4
5969. 5
5969. 6
5969. 7
5969. 8
5969. 9
5970. 0
5970. 1
5970. 2
5970. 3
5971. 0
5971. 1
5971. 2
5971. 3
5971. 4
5971. 5
5971. 6
5972. 0

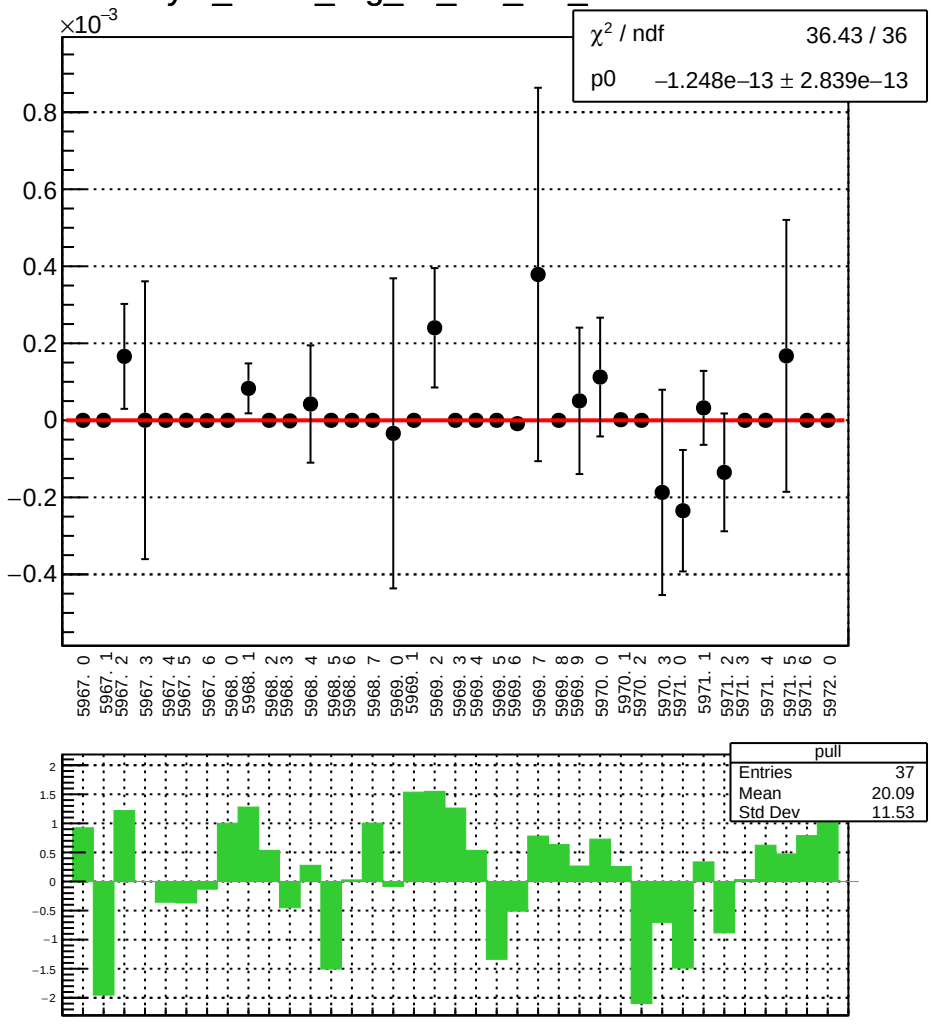
asym_sam3_reg_vs_cor_diff_mean vs run
×10⁻³
χ² / ndf 36.43 / 36
p0 −1.248e−13 ± 2.839e−13
0.8
0.6
0.4
0.2
0
−0.2
−0.4
5967. 0
5967. 1
5967. 2
5967. 3
5967. 4
5967. 5
5967. 6
5968. 0
5968. 1
5968. 2
5968. 3
5968. 4
5968. 5
5968. 6
5968. 7
5969. 0
5969. 1
5969. 2
5969. 3
5969. 4
5969. 5
5969. 6
5969. 7
5969. 8
5969. 9
5970. 0
5970. 1
5970. 2
5970. 3
5971. 0
5971. 1
5971. 2
5971. 3
5971. 4
5971. 5
5971. 6
5972. 0
pull
Entries 37
Mean 20.09
Std Dev 11.53
2
1.5
1
0.5
0
−0.5
−1
−1.5
−2

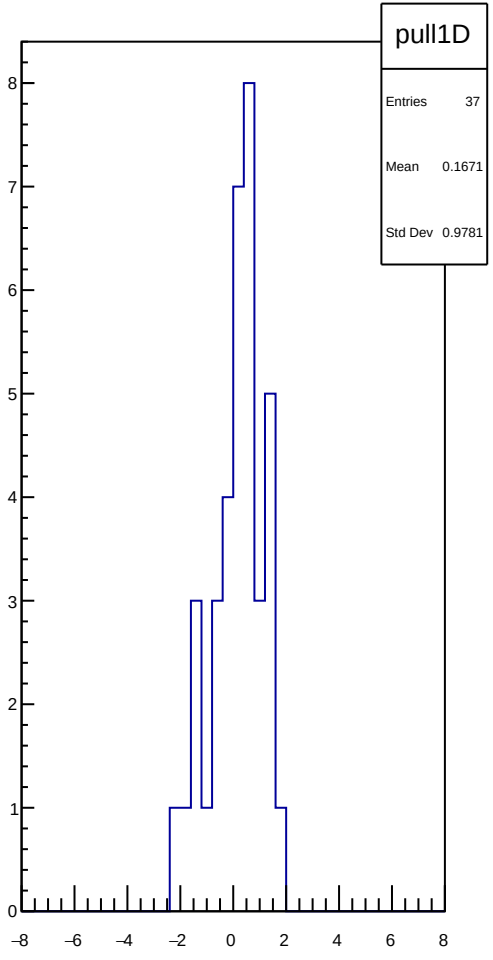
pull1D
Entries 37
Mean 0.1671
Std Dev 0.9781
8
7
6
5
4
3
2
1
0
−8
−6
−4
−2
0
2
4
6
8

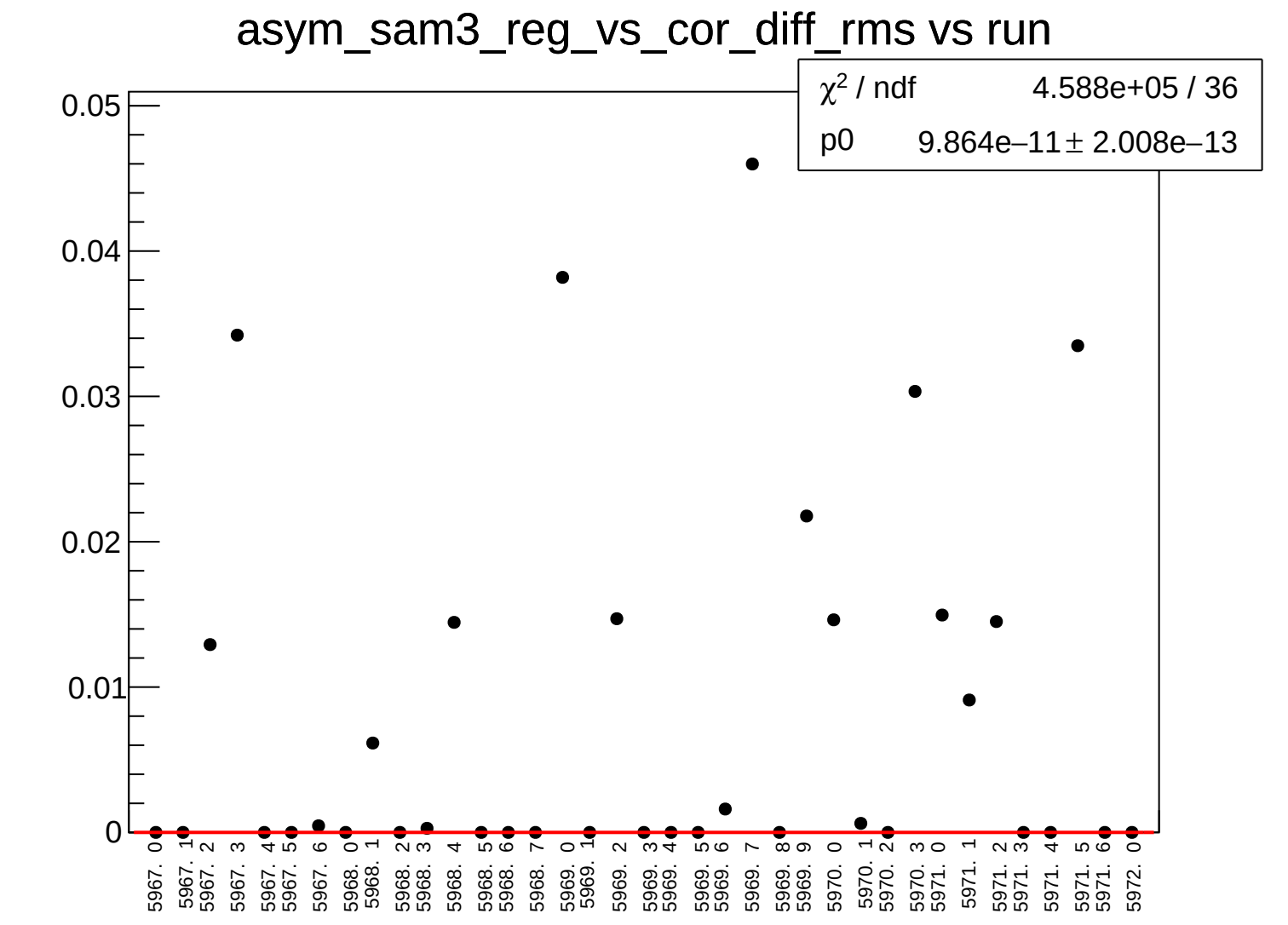
asym_sam3_reg_vs_cor_diff_rms vs run
χ² / ndf 4.588e+05 / 36
p0 9.864e−11 ± 2.008e−13
0.05
0.04
0.03
0.02
0.01
0
5967. 0
5967. 1
5967. 2
5967. 3
5967. 4
5967. 5
5967. 6
5968. 0
5968. 1
5968. 2
5968. 3
5968. 4
5968. 5
5968. 6
5968. 7
5969. 0
5969. 1
5969. 2
5969. 3
5969. 4
5969. 5
5969. 6
5969. 7
5969. 8
5969. 9
5970. 0
5970. 1
5970. 2
5970. 3
5971. 0
5971. 1
5971. 2
5971. 3
5971. 4
5971. 5
5971. 6
5972. 0

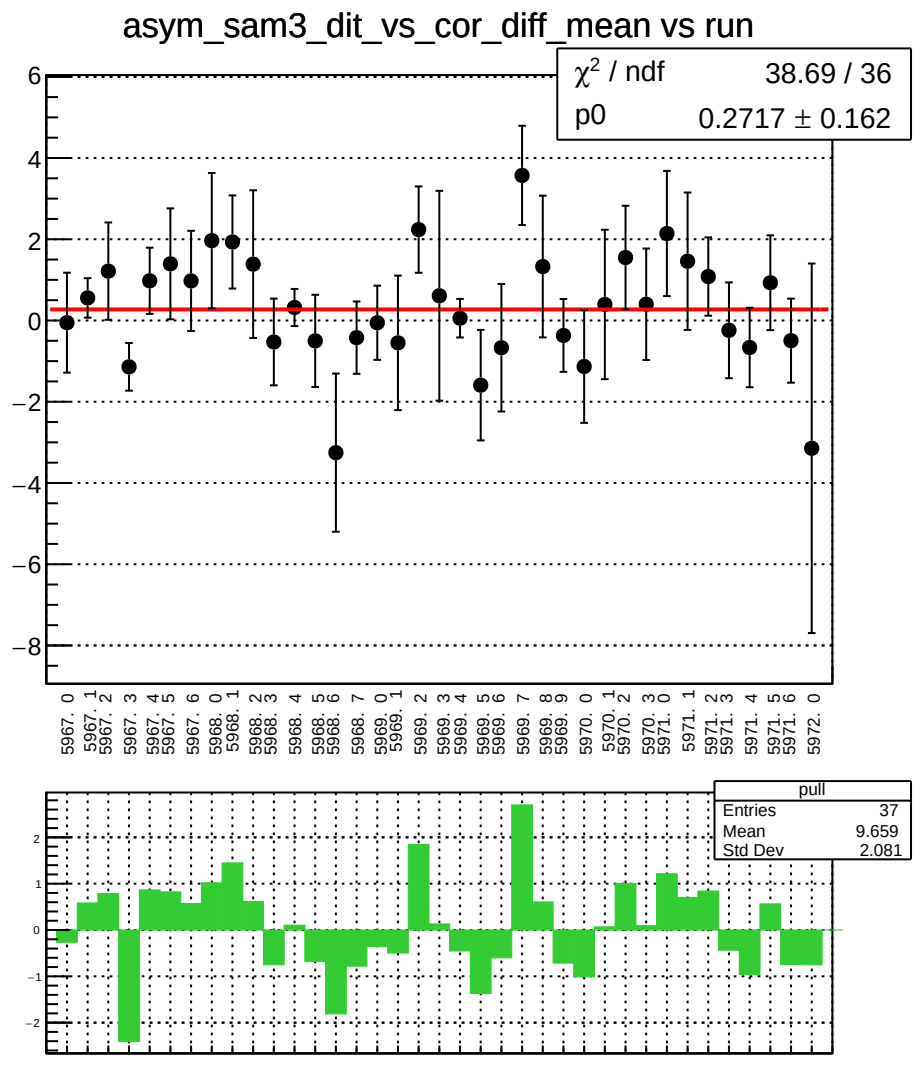
asym_sam3_dit_vs_cor_diff_mean vs run
χ² / ndf 38.69 / 36
p0 0.2717 ± 0.162
pull
Entries 37
Mean 9.659
Std Dev 2.081

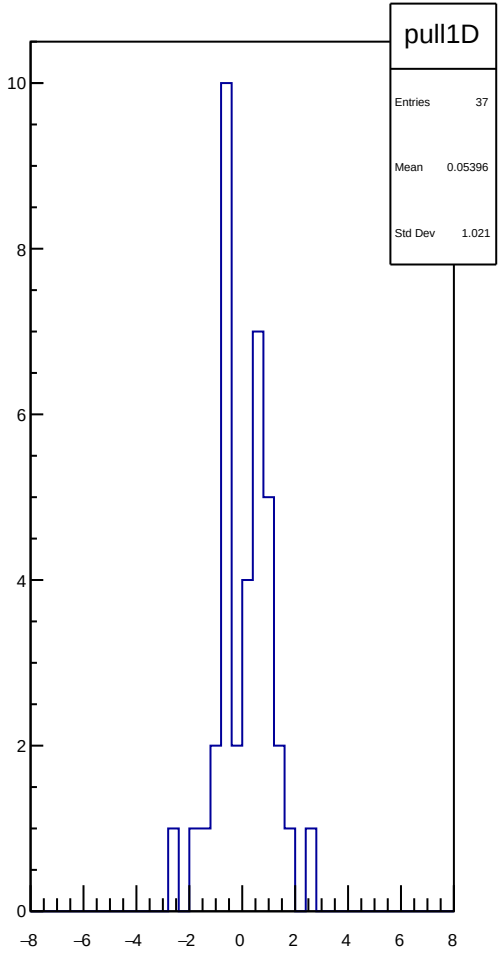
pull1D
Entries 37
Mean 0.05396
Std Dev 1.021

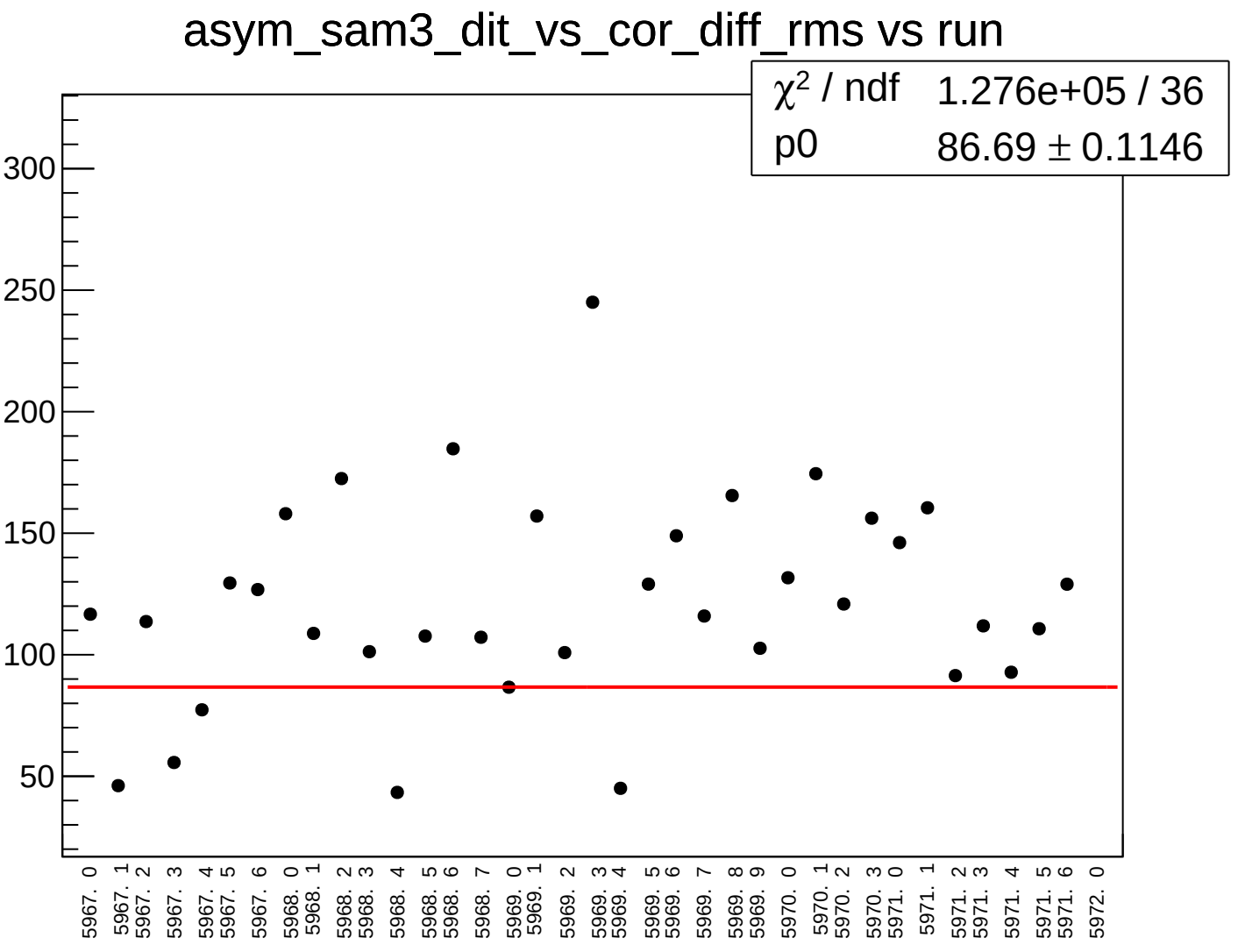
asym_sam3_dit_vs_cor_diff_rms vs run
χ² / ndf 1.276e+05 / 36
p0 86.69 ± 0.1146
300
250
200
150
100
50
5967. 0
5967. 1
5967. 2
5967. 3
5967. 4
5967. 5
5967. 6
5968. 0
5968. 1
5968. 2
5968. 3
5968. 4
5968. 5
5968. 6
5968. 7
5969. 0
5969. 1
5969. 2
5969. 3
5969. 4
5969. 5
5969. 6
5969. 7
5969. 8
5969. 9
5970. 0
5970. 1
5970. 2
5970. 3
5971. 0
5971. 1
5971. 2
5971. 3
5971. 4
5971. 5
5971. 6
5972. 0

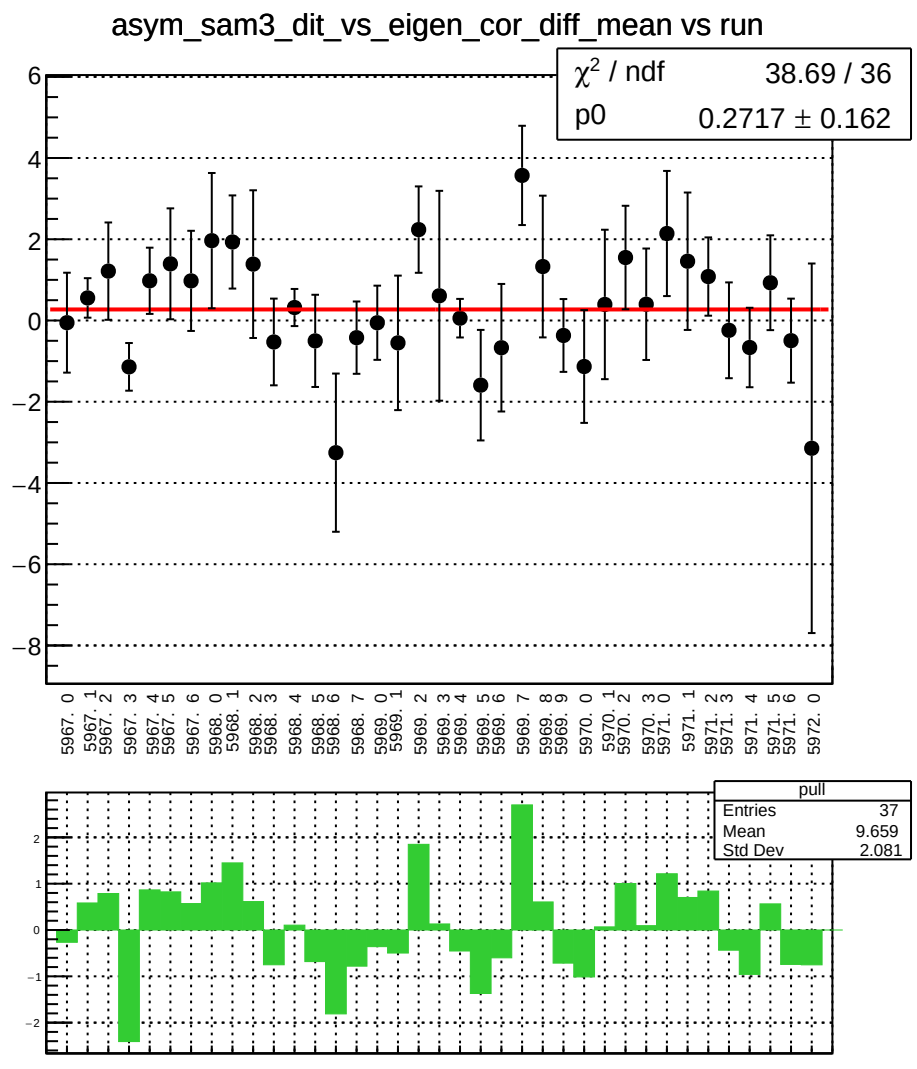
asym_sam3_dit_vs_eigen_cor_diff_mean vs run
χ² / ndf 38.69 / 36
p0 0.2717 ± 0.162
pull
Entries 37
Mean 9.659
Std Dev 2.081

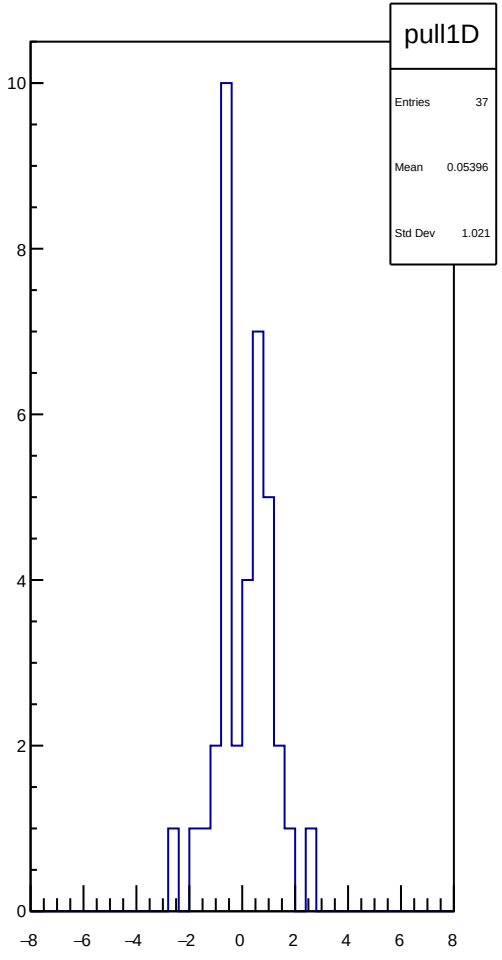
pull1D
Entries 37
Mean 0.05396
Std Dev 1.021

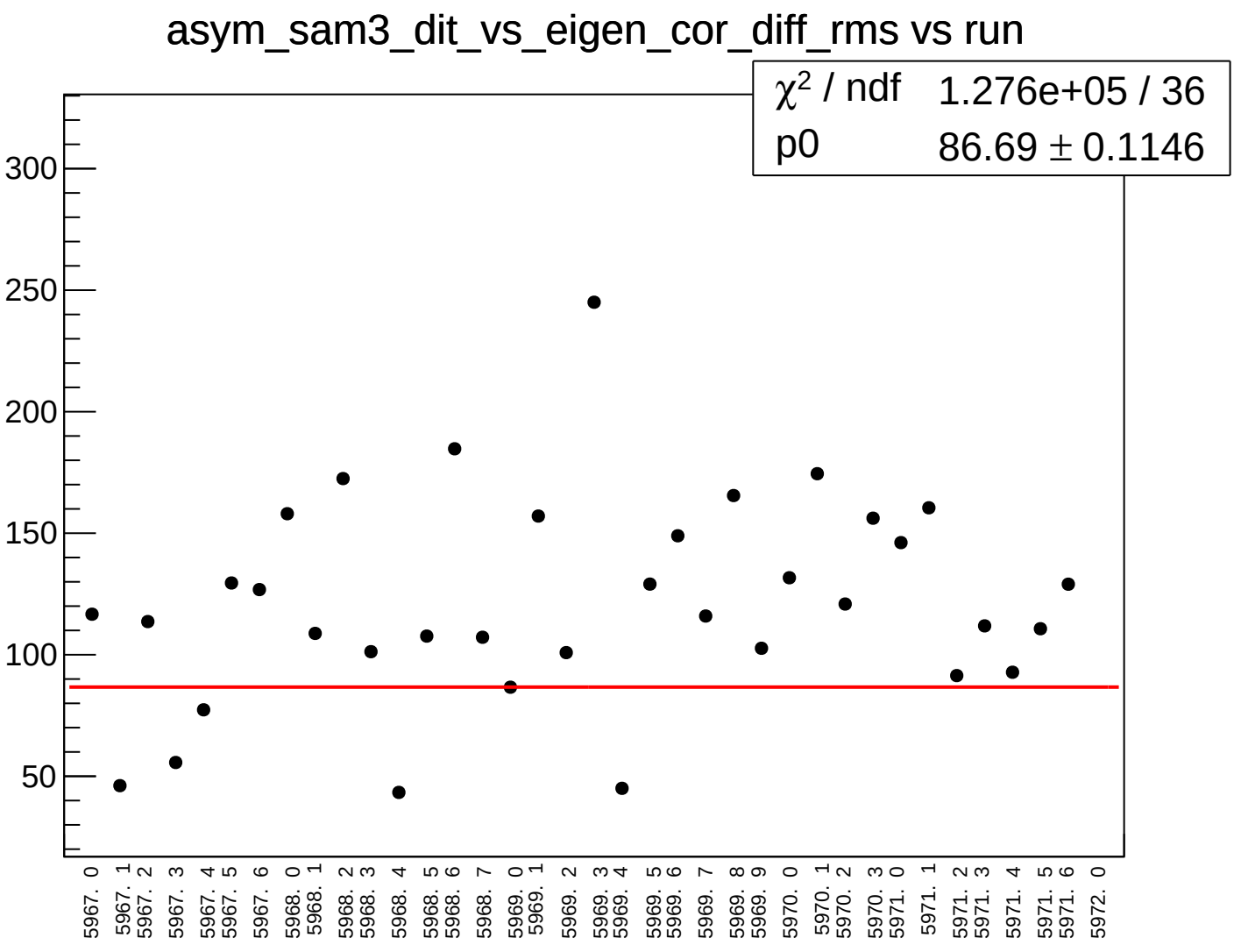
asym_sam3_dit_vs_eigen_cor_diff_rms vs run
χ² / ndf 1.276e+05 / 36
p0 86.69 ± 0.1146
300
250
200
150
100
50
5967. 0
5967. 1
5967. 2
5967. 3
5967. 4
5967. 5
5967. 6
5968. 0
5968. 1
5968. 2
5968. 3
5968. 4
5968. 5
5968. 6
5968. 7
5969. 0
5969. 1
5969. 2
5969. 3
5969. 4
5969. 5
5969. 6
5969. 7
5969. 8
5969. 9
5970. 0
5970. 1
5970. 2
5970. 3
5971. 0
5971. 1
5971. 2
5971. 3
5971. 4
5971. 5
5971. 6
5972. 0

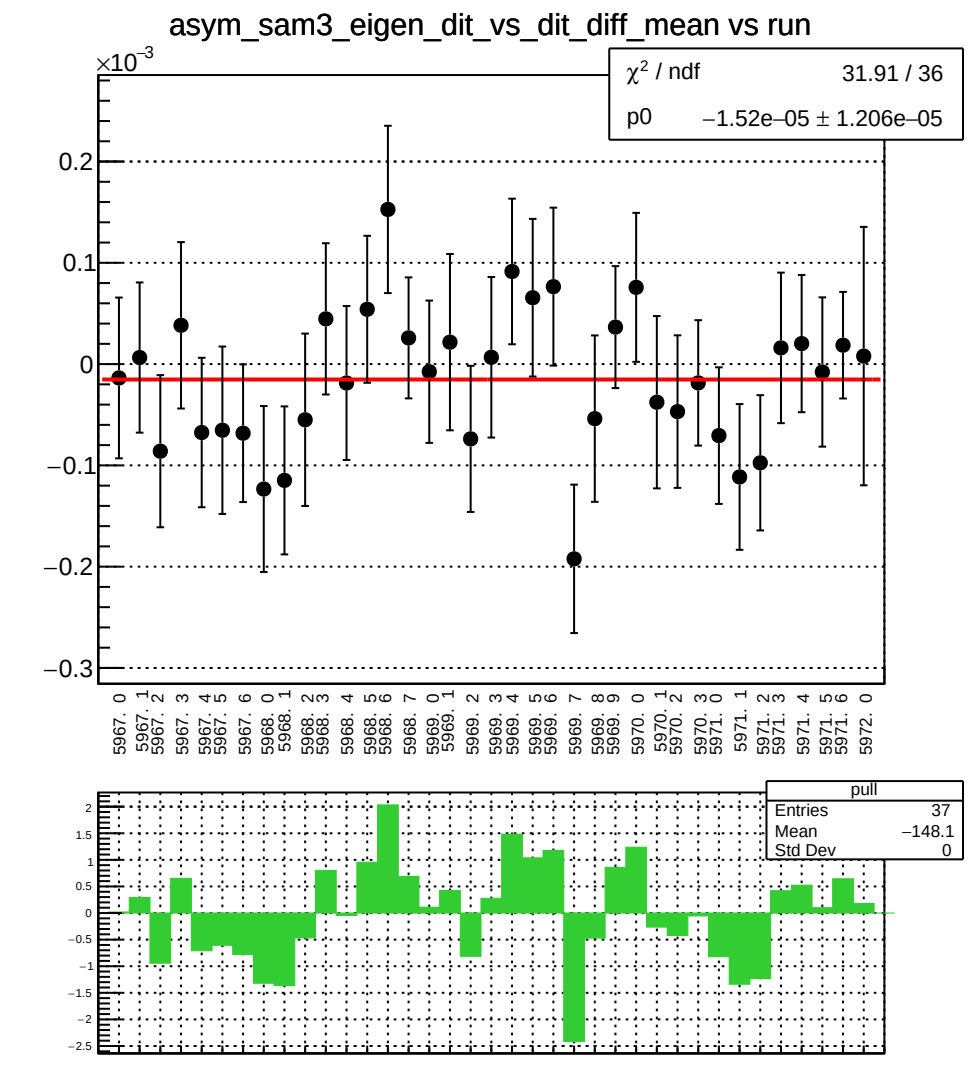
asym_sam3_eigen_dit_vs_dit_diff_mean vs run
×10⁻³
χ² / ndf 31.91 / 36
p0 −1.52e−05 ± 1.206e−05
0.2
0.1
0
−0.1
−0.2
−0.3
5967. 0
5967. 1
5967. 2
5967. 3
5967. 4
5967. 5
5967. 6
5968. 0
5968. 1
5968. 2
5968. 3
5968. 4
5968. 5
5968. 6
5968. 7
5969. 0
5969. 1
5969. 2
5969. 3
5969. 4
5969. 5
5969. 6
5969. 7
5969. 8
5969. 9
5970. 0
5970. 1
5970. 2
5970. 3
5971. 0
5971. 1
5971. 2
5971. 3
5971. 4
5971. 5
5971. 6
5972. 0
pull
Entries 37
Mean −148.1
Std Dev 0
2
1.5
1
0.5
0
−0.5
−1
−1.5
−2
−2.5

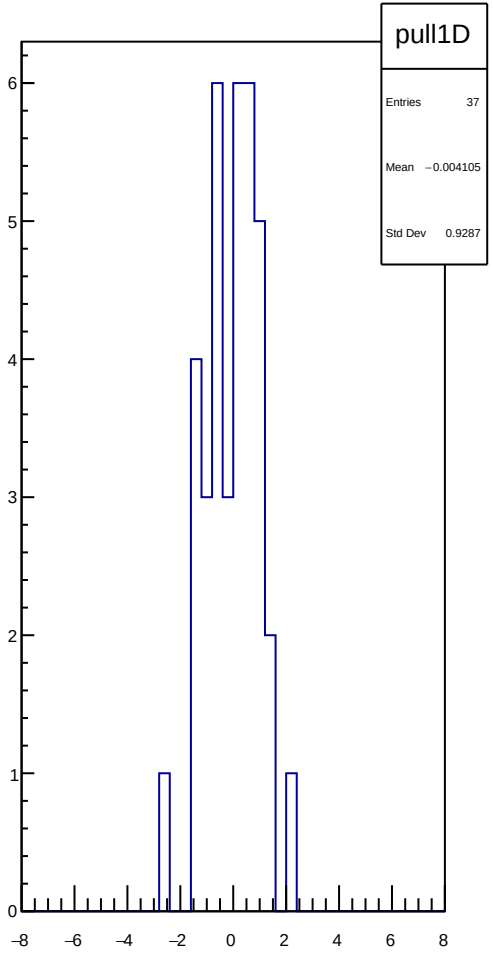
pull1D
Entries 37
Mean −0.004105
Std Dev 0.9287
6
5
4
3
2
1
0
−8
−6
−4
−2
0
2
4
6
8

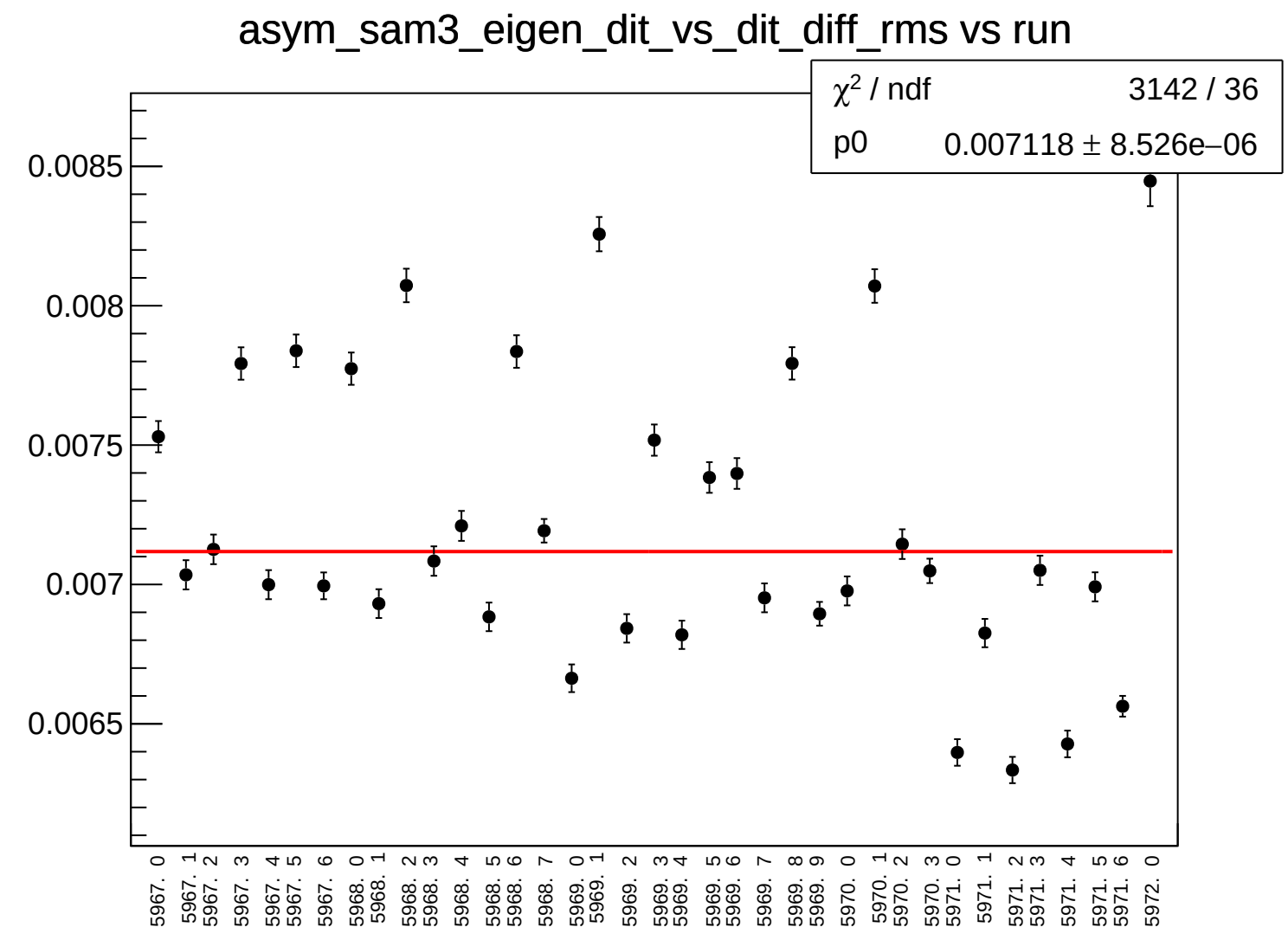
asym_sam3_eigen_dit_vs_dit_diff_rms vs run
χ² / ndf 3142 / 36
p0 0.007118 ± 8.526e−06
0.0085
0.008
0.0075
0.007
0.0065
5967. 0
5967. 1
5967. 2
5967. 3
5967. 4
5967. 5
5967. 6
5968. 0
5968. 1
5968. 2
5968. 3
5968. 4
5968. 5
5968. 6
5968. 7
5969. 0
5969. 1
5969. 2
5969. 3
5969. 4
5969. 5
5969. 6
5969. 7
5969. 8
5969. 9
5970. 0
5970. 1
5970. 2
5970. 3
5971. 0
5971. 1
5971. 2
5971. 3
5971. 4
5971. 5
5971. 6
5972. 0

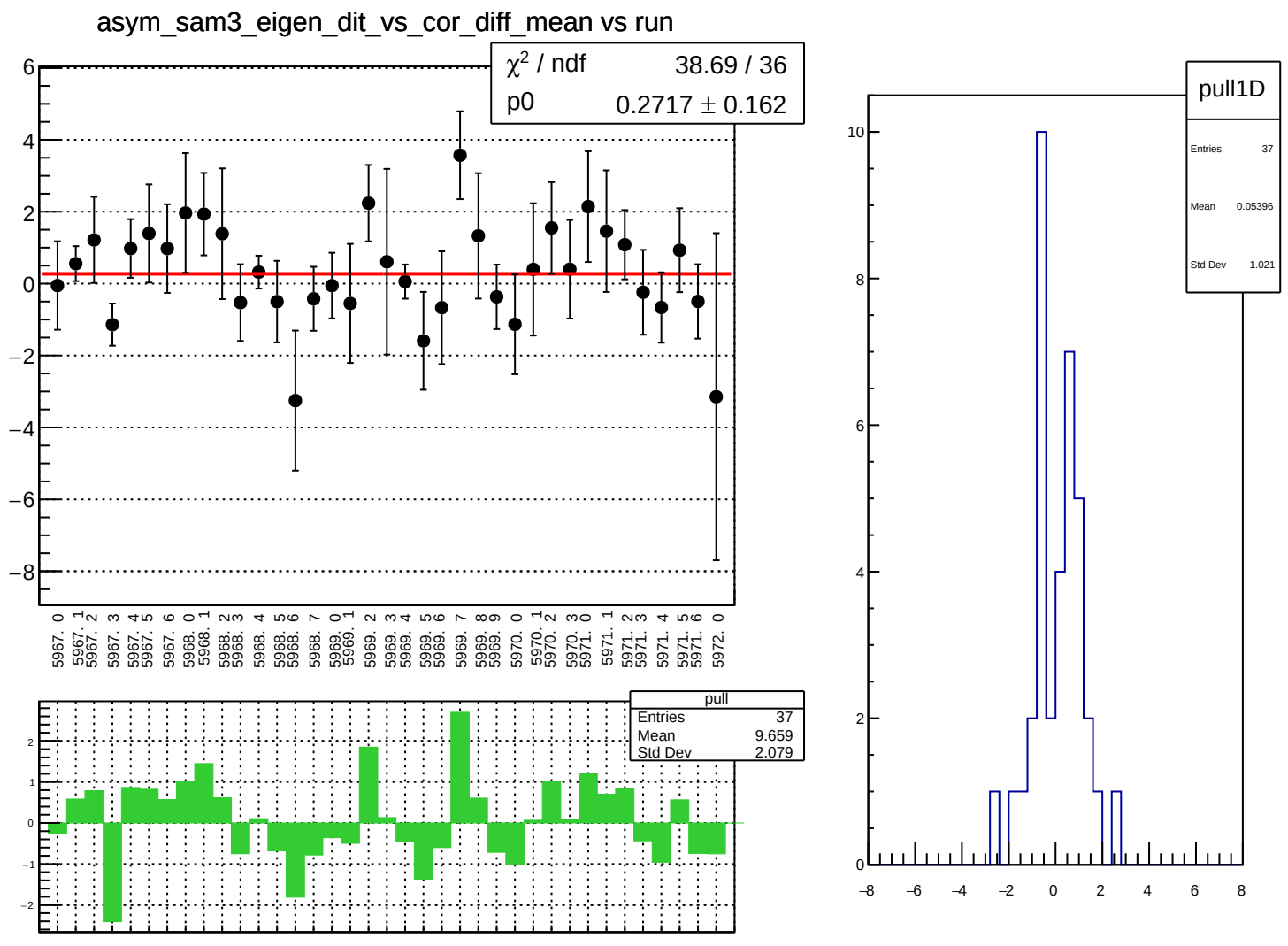
asym_sam3_eigen_dit_vs_cor_diff_mean vs run
χ² / ndf 38.69 / 36
p0 0.2717 ± 0.162
pull
Entries 37
Mean 9.659
Std Dev 2.079
pull1D
Entries 37
Mean 0.05396
Std Dev 1.021

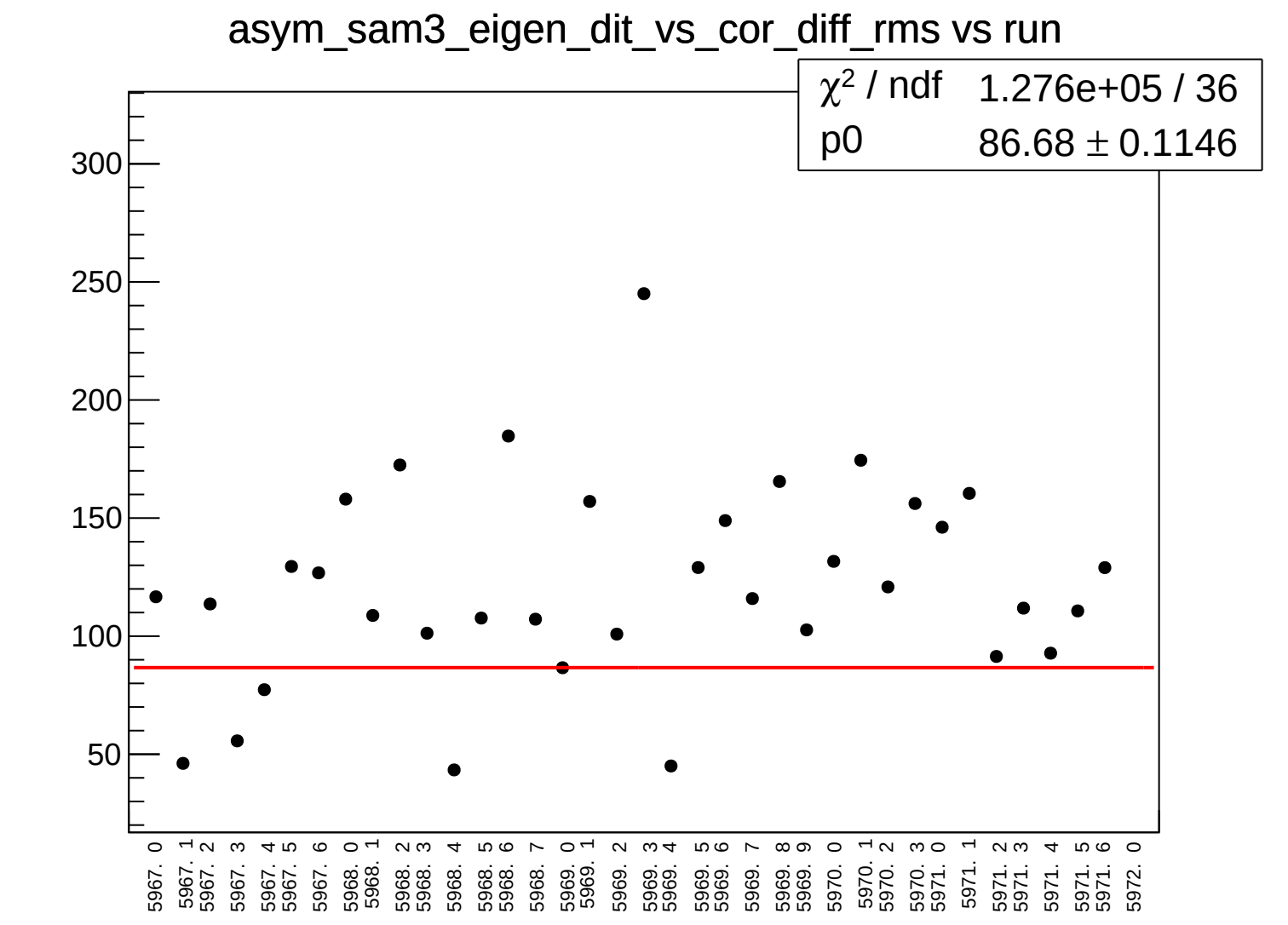
asym_sam3_eigen_dit_vs_cor_diff_rms vs run
χ² / ndf 1.276e+05 / 36
p0 86.68 ± 0.1146
300
250
200
150
100
50
5967. 0
5967. 1
5967. 2
5967. 3
5967. 4
5967. 5
5967. 6
5968. 0
5968. 1
5968. 2
5968. 3
5968. 4
5968. 5
5968. 6
5968. 7
5969. 0
5969. 1
5969. 2
5969. 3
5969. 4
5969. 5
5969. 6
5969. 7
5969. 8
5969. 9
5970. 0
5970. 1
5970. 2
5970. 3
5971. 0
5971. 1
5971. 2
5971. 3
5971. 4
5971. 5
5971. 6
5972. 0

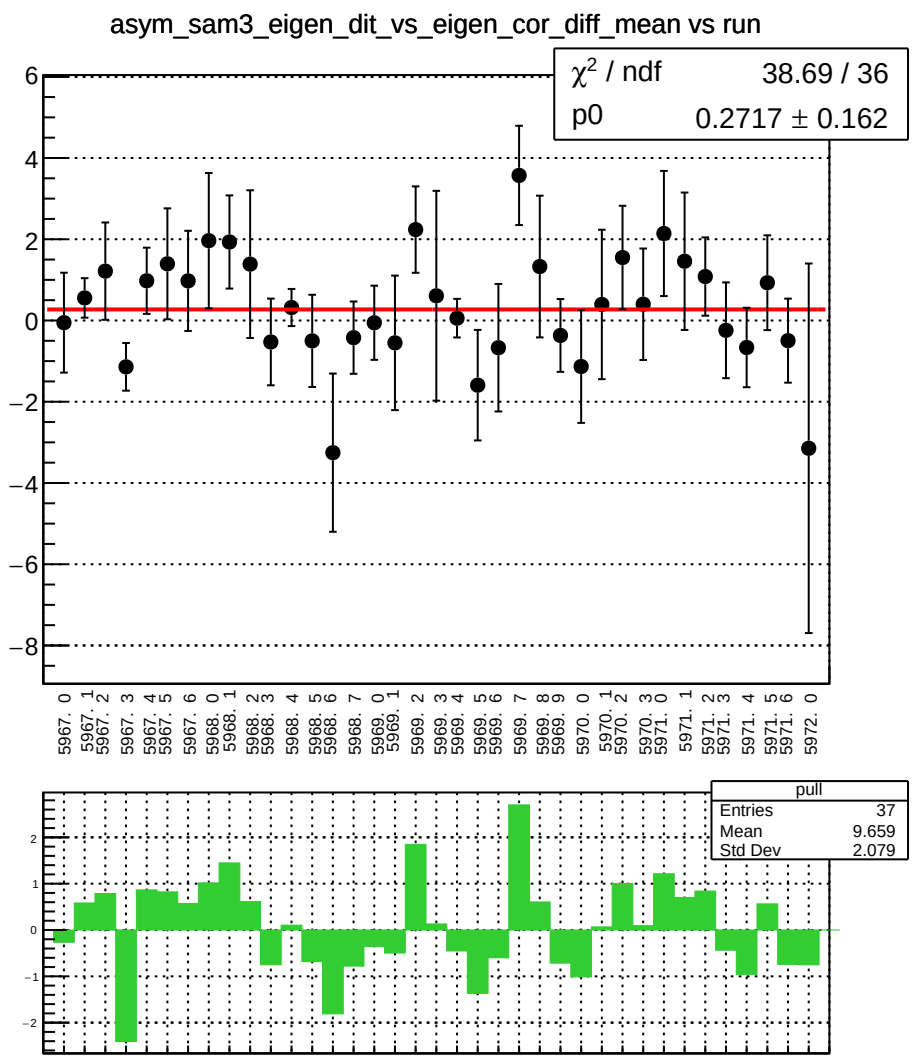
asym_sam3_eigen_dit_vs_eigen_cor_diff_mean vs run
χ² / ndf 38.69 / 36
p0 0.2717 ± 0.162
pull
Entries 37
Mean 9.659
Std Dev 2.079

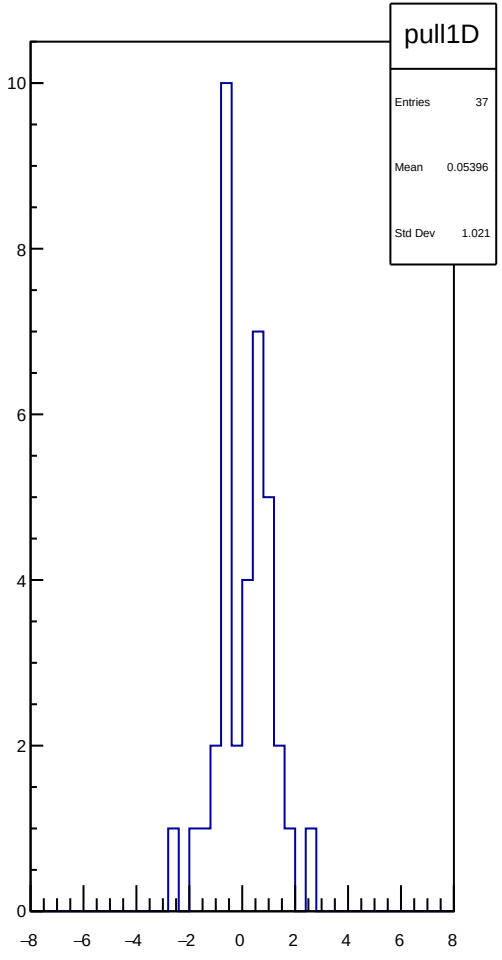
pull1D
Entries 37
Mean 0.05396
Std Dev 1.021

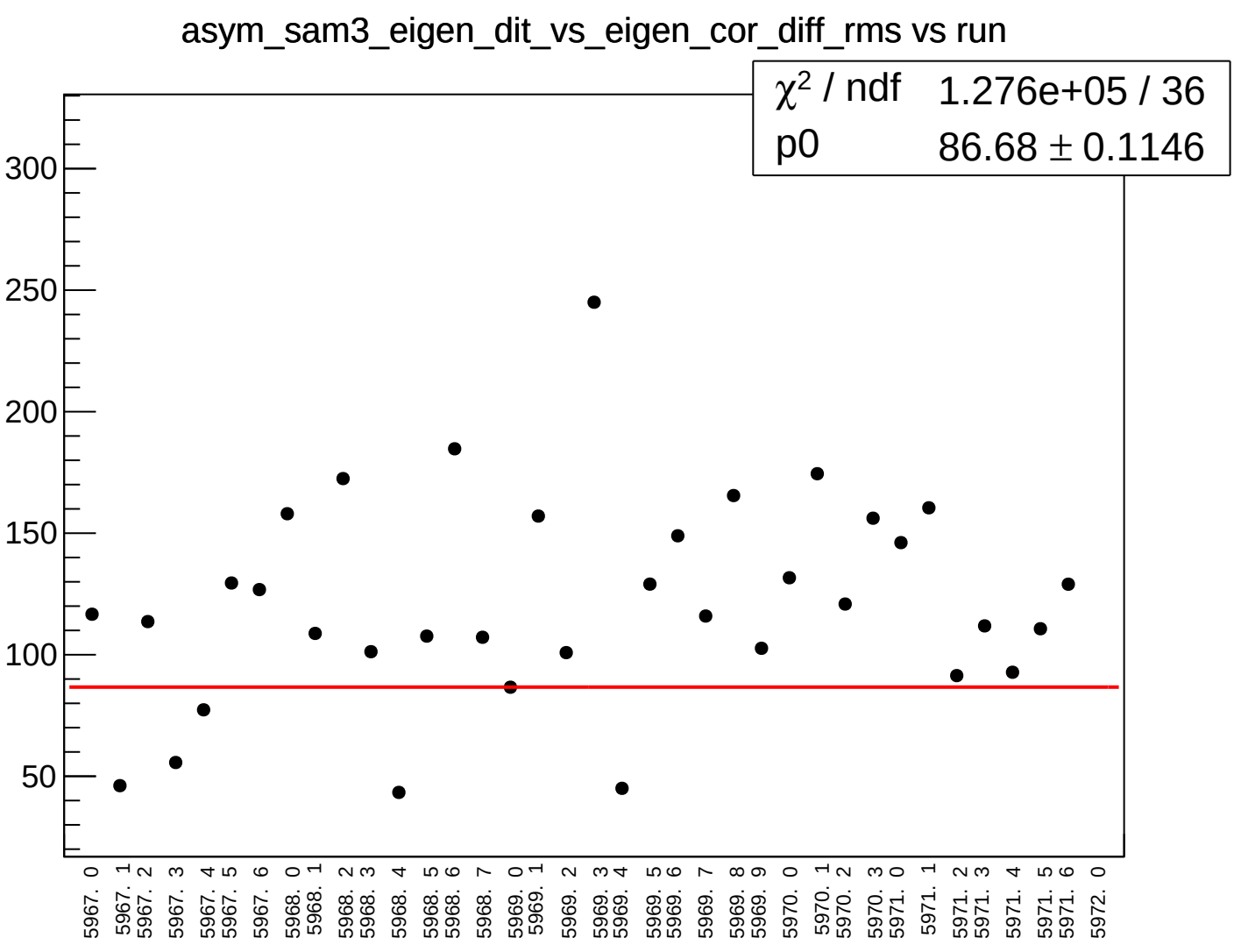
asym_sam3_eigen_dit_vs_eigen_cor_diff_rms vs run
χ² / ndf 1.276e+05 / 36
p0 86.68 ± 0.1146
300
250
200
150
100
50
5967. 0
5967. 1
5967. 2
5967. 3
5967. 4
5967. 5
5967. 6
5968. 0
5968. 1
5968. 2
5968. 3
5968. 4
5968. 5
5968. 6
5968. 7
5969. 0
5969. 1
5969. 2
5969. 3
5969. 4
5969. 5
5969. 6
5969. 7
5969. 8
5969. 9
5970. 0
5970. 1
5970. 2
5970. 3
5971. 0
5971. 1
5971. 2
5971. 3
5971. 4
5971. 5
5971. 6
5972. 0

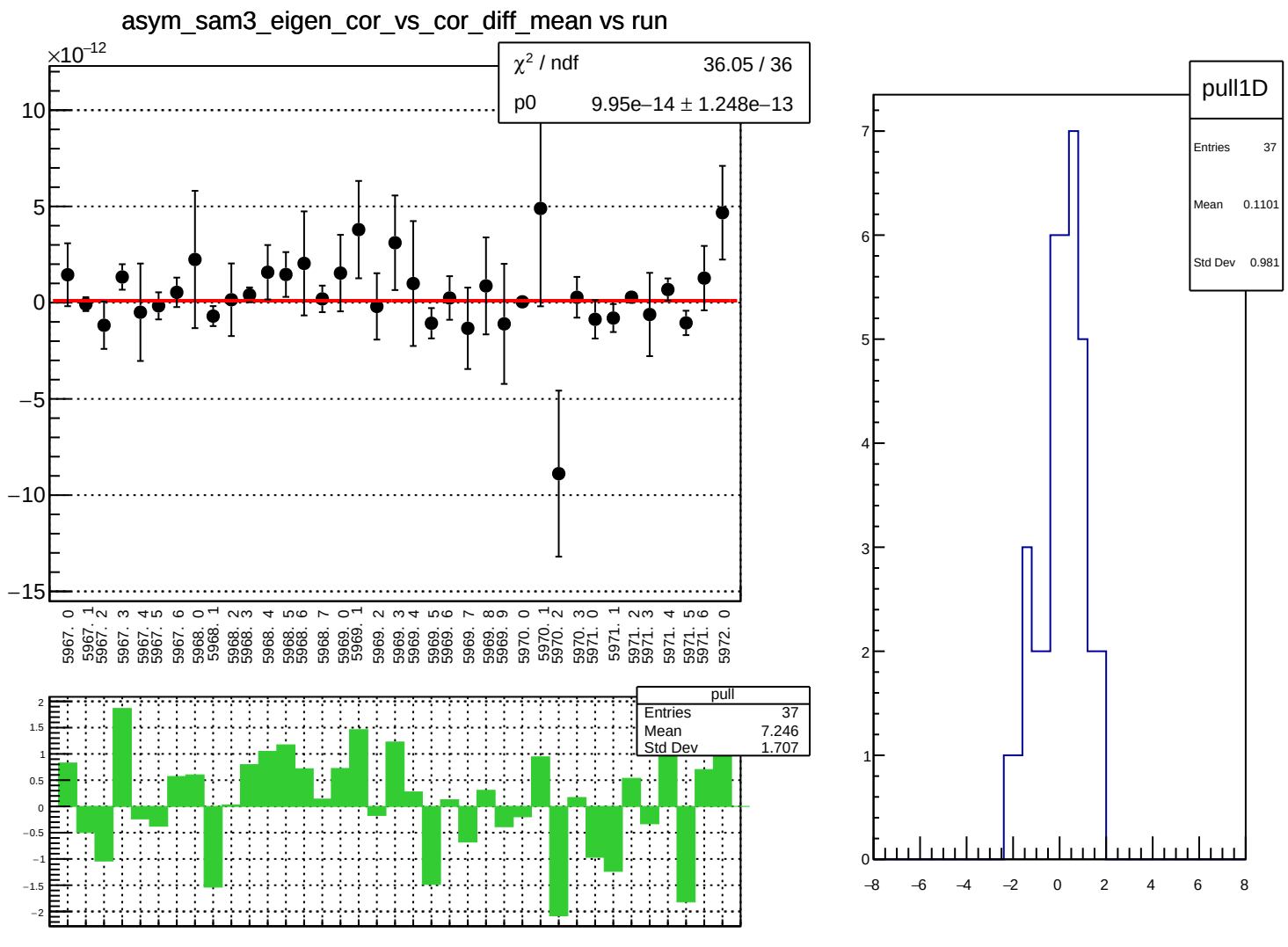
asym_sam3_eigen_cor_vs_cor_diff_mean vs run
×10⁻¹²
χ² / ndf 36.05 / 36
p0 9.95e−14 ± 1.248e−13
10
5
0
−5
−10
−15
5967. 0
5967. 1
5967. 2
5967. 3
5967. 4
5967. 5
5967. 6
5968. 0
5968. 1
5968. 2
5968. 3
5968. 4
5968. 5
5968. 6
5968. 7
5969. 0
5969. 1
5969. 2
5969. 3
5969. 4
5969. 5
5969. 6
5969. 7
5969. 8
5969. 9
5970. 0
5970. 1
5970. 2
5970. 3
5971. 0
5971. 1
5971. 2
5971. 3
5971. 4
5971. 5
5971. 6
5972. 0
pull
Entries 37
Mean 7.246
Std Dev 1.707
2
1.5
1
0.5
0
−0.5
−1
−1.5
−2
pull1D
Entries 37
Mean 0.1101
Std Dev 0.981
7
6
5
4
3
2
1
0
−8
−6
−4
−2
0
2
4
6
8

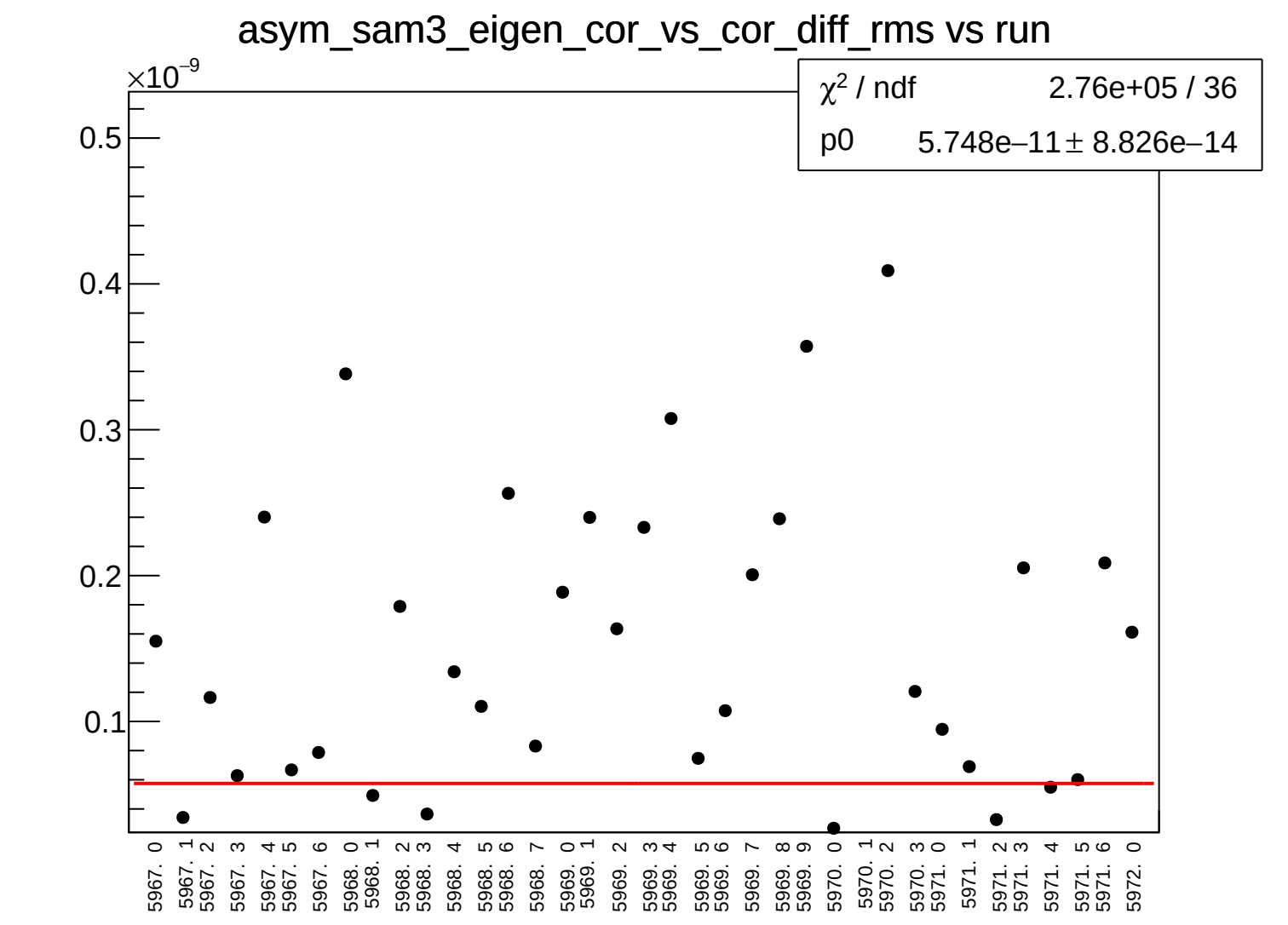
asym_sam3_eigen_cor_vs_cor_diff_rms vs run
×10⁻⁹
χ² / ndf 2.76e+05 / 36
p0 5.748e−11 ± 8.826e−14
0.5
0.4
0.3
0.2
0.1
5967. 0
5967. 1
5967. 2
5967. 3
5967. 4
5967. 5
5967. 6
5968. 0
5968. 1
5968. 2
5968. 3
5968. 4
5968. 5
5968. 6
5968. 7
5969. 0
5969. 1
5969. 2
5969. 3
5969. 4
5969. 5
5969. 6
5969. 7
5969. 8
5969. 9
5970. 0
5970. 1
5970. 2
5970. 3
5971. 0
5971. 1
5971. 2
5971. 3
5971. 4
5971. 5
5971. 6
5972. 0

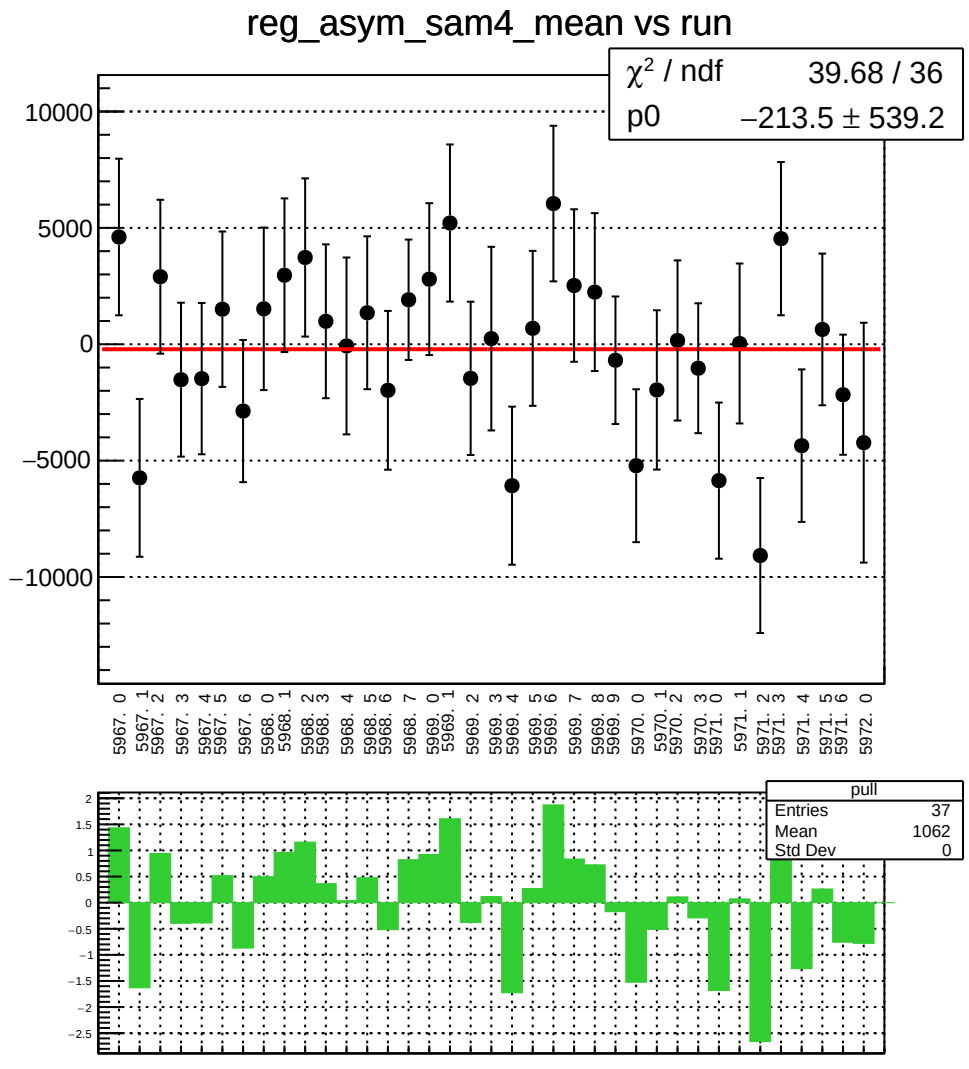
reg_asym_sam4_mean vs run
χ² / ndf 39.68 / 36
p0 −213.5 ± 539.2
10000
5000
0
−5000
−10000
5967. 0
5967. 1
5967. 2
5967. 3
5967. 4
5967. 5
5967. 6
5968. 0
5968. 1
5968. 2
5968. 3
5968. 4
5968. 5
5968. 6
5968. 7
5969. 0
5969. 1
5969. 2
5969. 3
5969. 4
5969. 5
5969. 6
5969. 7
5969. 8
5969. 9
5970. 0
5970. 1
5970. 2
5970. 3
5971. 0
5971. 1
5971. 2
5971. 3
5971. 4
5971. 5
5971. 6
5972. 0
pull
Entries 37
Mean 1062
Std Dev 0
2
1.5
1
0.5
0
−0.5
−1
−1.5
−2
−2.5

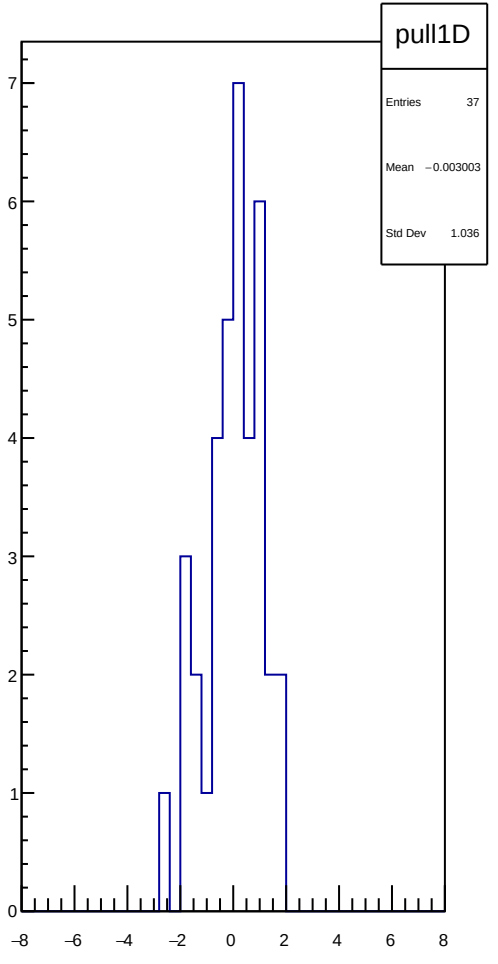
pull1D
Entries 37
Mean −0.003003
Std Dev 1.036
7
6
5
4
3
2
1
0
−8
−6
−4
−2
0
2
4
6
8

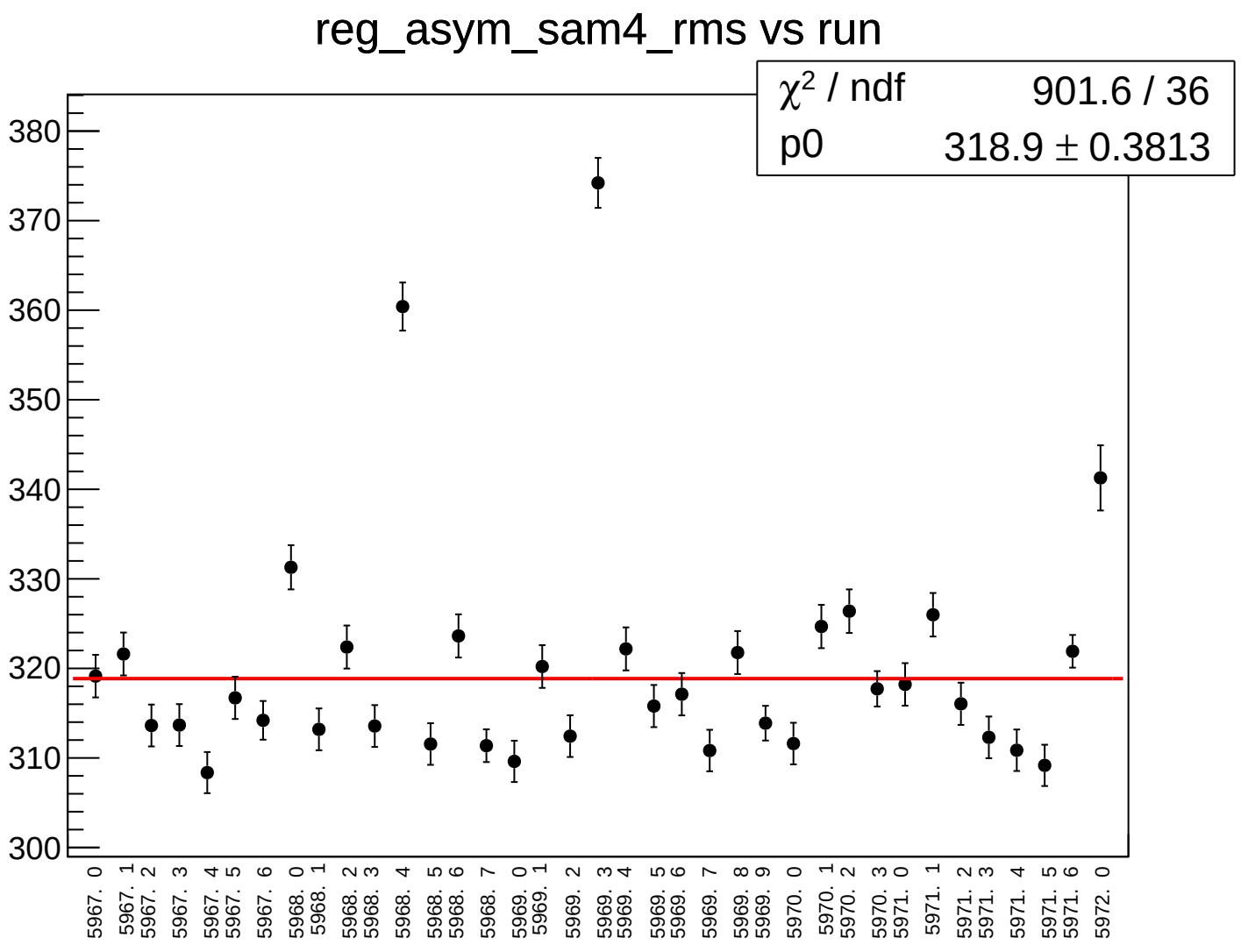
reg_asym_sam4_rms vs run
χ² / ndf 901.6 / 36
p0 318.9 ± 0.3813
380
370
360
350
340
330
320
310
300
5967. 0
5967. 1
5967. 2
5967. 3
5967. 4
5967. 5
5967. 6
5968. 0
5968. 1
5968. 2
5968. 3
5968. 4
5968. 5
5968. 6
5968. 7
5969. 0
5969. 1
5969. 2
5969. 3
5969. 4
5969. 5
5969. 6
5969. 7
5969. 8
5969. 9
5970. 0
5970. 1
5970. 2
5970. 3
5971. 0
5971. 1
5971. 2
5971. 3
5971. 4
5971. 5
5971. 6
5972. 0

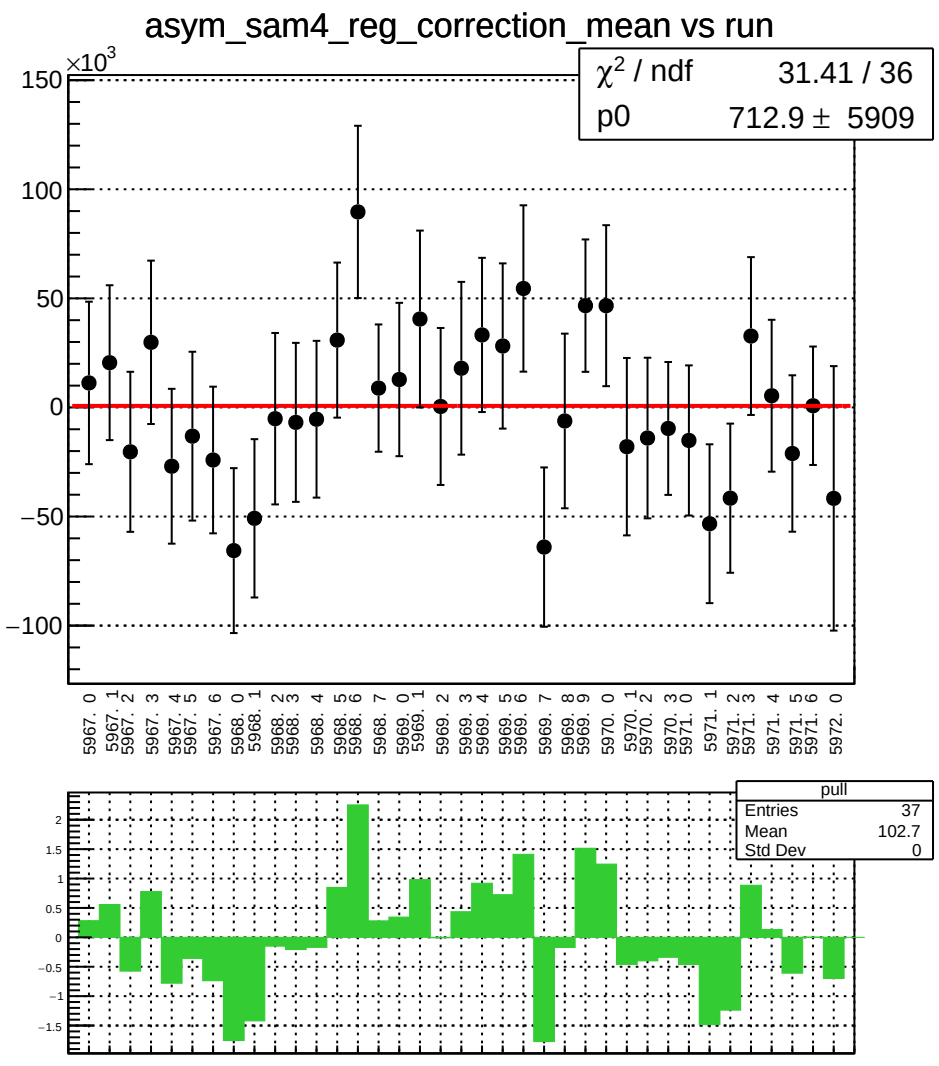
asym_sam4_reg_correction_mean vs run
χ² / ndf 31.41 / 36
p0 712.9 ± 5909
×10³
150
100
50
0
−50
−100
5967. 0
5967. 1
5967. 2
5967. 3
5967. 4
5967. 5
5967. 6
5968. 0
5968. 1
5968. 2
5968. 3
5968. 4
5968. 5
5968. 6
5968. 7
5969. 0
5969. 1
5969. 2
5969. 3
5969. 4
5969. 5
5969. 6
5969. 7
5969. 8
5969. 9
5970. 0
5970. 1
5970. 2
5970. 3
5971. 0
5971. 1
5971. 2
5971. 3
5971. 4
5971. 5
5971. 6
5972. 0
pull
Entries 37
Mean 102.7
Std Dev 0
2
1.5
1
0.5
0
−0.5
−1
−1.5
pull1D
Entries 37
Mean −0.005282
Std Dev 0.9214
8
7
6
5
4
3
2
1
0
−8
−6
−4
−2
0
2
4
6
8

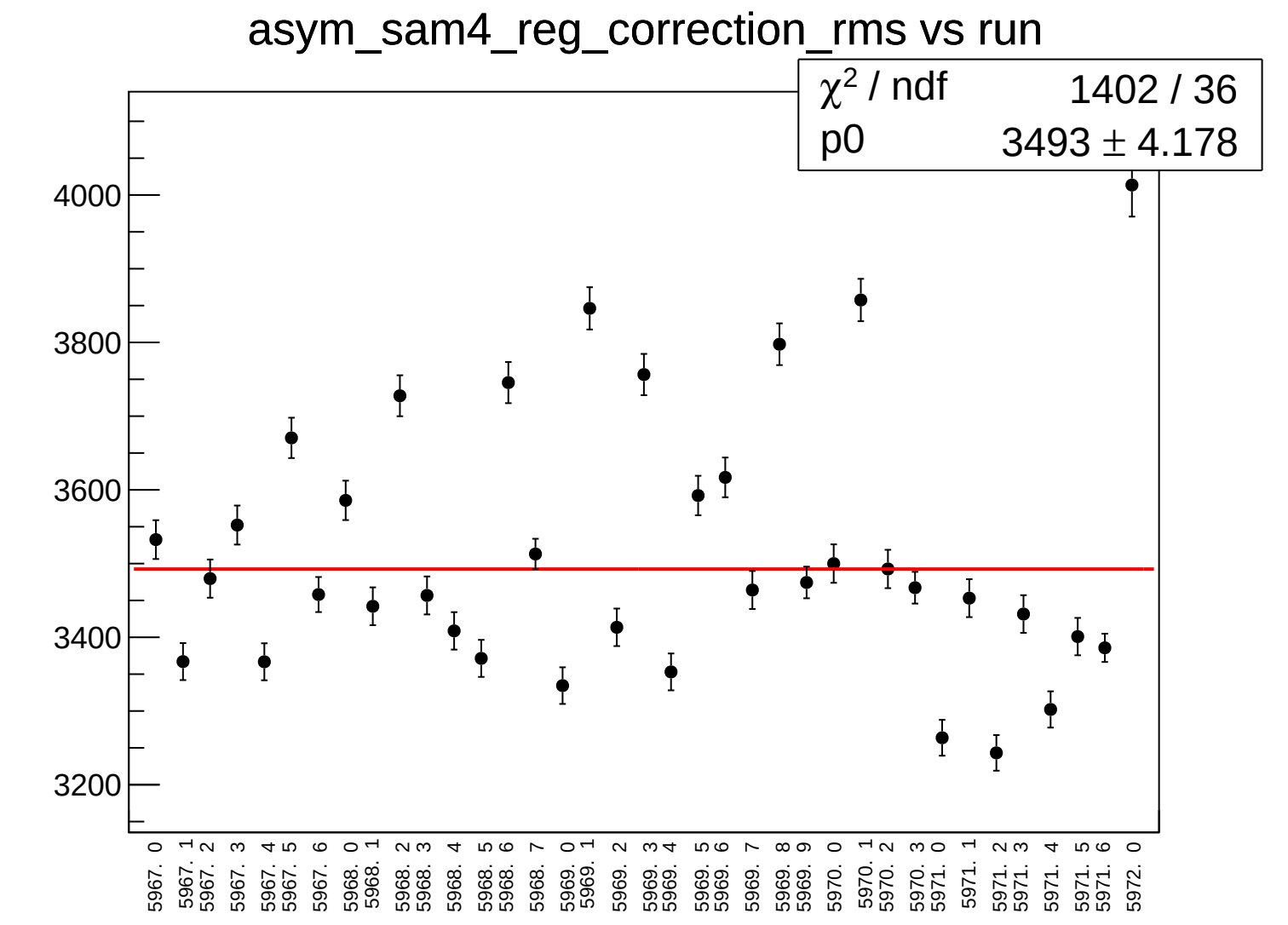
asym_sam4_reg_correction_rms vs run
χ² / ndf 1402 / 36
p0 3493 ± 4.178
4000
3800
3600
3400
3200
5967. 0
5967. 1
5967. 2
5967. 3
5967. 4
5967. 5
5967. 6
5968. 0
5968. 1
5968. 2
5968. 3
5968. 4
5968. 5
5968. 6
5968. 7
5969. 0
5969. 1
5969. 2
5969. 3
5969. 4
5969. 5
5969. 6
5969. 7
5969. 8
5969. 9
5970. 0
5970. 1
5970. 2
5970. 3
5971. 0
5971. 1
5971. 2
5971. 3
5971. 4
5971. 5
5971. 6
5972. 0

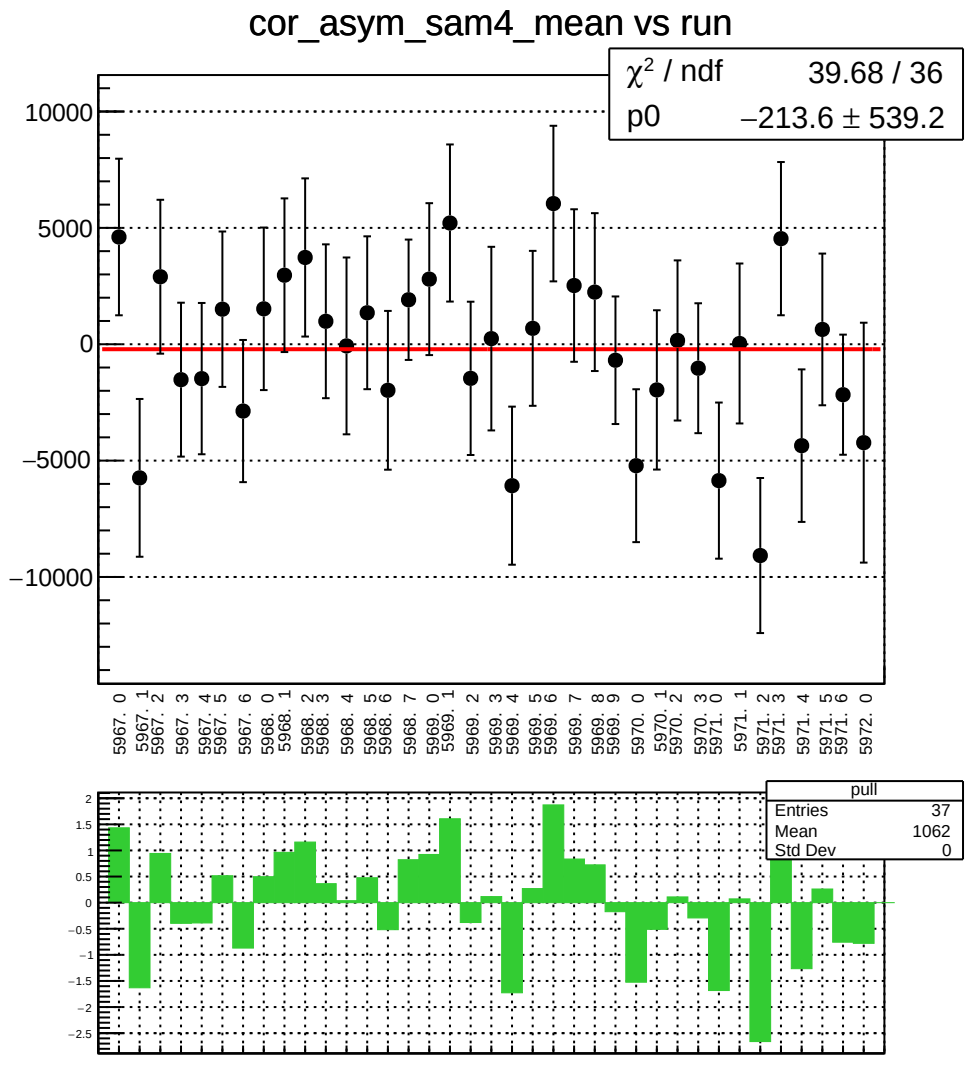
cor_asym_sam4_mean vs run
χ² / ndf 39.68 / 36
p0 −213.6 ± 539.2
10000
5000
0
−5000
−10000
5967. 0
5967. 1
5967. 2
5967. 3
5967. 4
5967. 5
5967. 6
5968. 0
5968. 1
5968. 2
5968. 3
5968. 4
5968. 5
5968. 6
5968. 7
5969. 0
5969. 1
5969. 2
5969. 3
5969. 4
5969. 5
5969. 6
5969. 7
5969. 8
5969. 9
5970. 0
5970. 1
5970. 2
5970. 3
5971. 0
5971. 1
5971. 2
5971. 3
5971. 4
5971. 5
5971. 6
5972. 0
pull
Entries 37
Mean 1062
Std Dev 0
2
1.5
1
0.5
0
−0.5
−1
−1.5
−2
−2.5

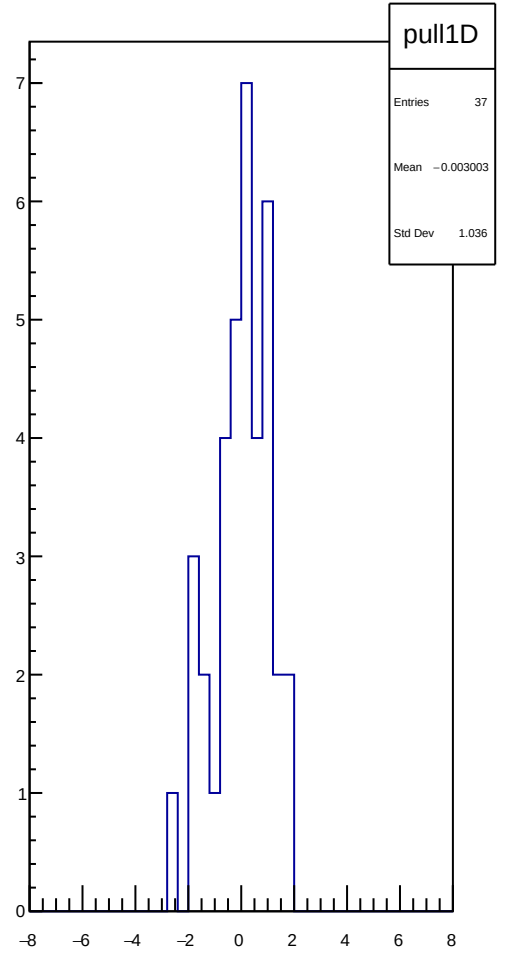
pull1D
Entries 37
Mean −0.003003
Std Dev 1.036
7
6
5
4
3
2
1
0
−8
−6
−4
−2
0
2
4
6
8

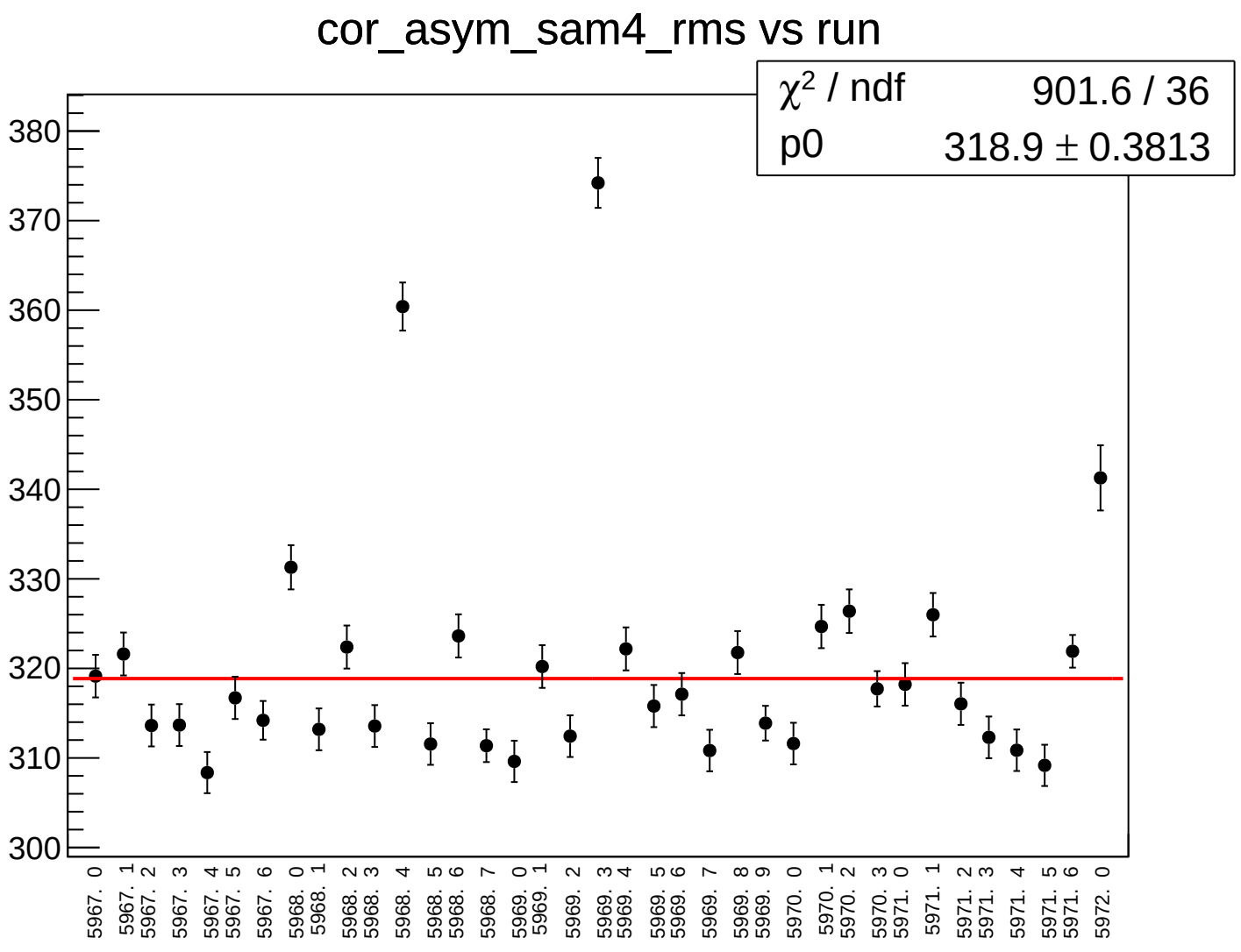
cor_asym_sam4_rms vs run
χ² / ndf 901.6 / 36
p0 318.9 ± 0.3813
380
370
360
350
340
330
320
310
300
5967. 0
5967. 1
5967. 2
5967. 3
5967. 4
5967. 5
5967. 6
5968. 0
5968. 1
5968. 2
5968. 3
5968. 4
5968. 5
5968. 6
5968. 7
5969. 0
5969. 1
5969. 2
5969. 3
5969. 4
5969. 5
5969. 6
5969. 7
5969. 8
5969. 9
5970. 0
5970. 1
5970. 2
5970. 3
5971. 0
5971. 1
5971. 2
5971. 3
5971. 4
5971. 5
5971. 6
5972. 0

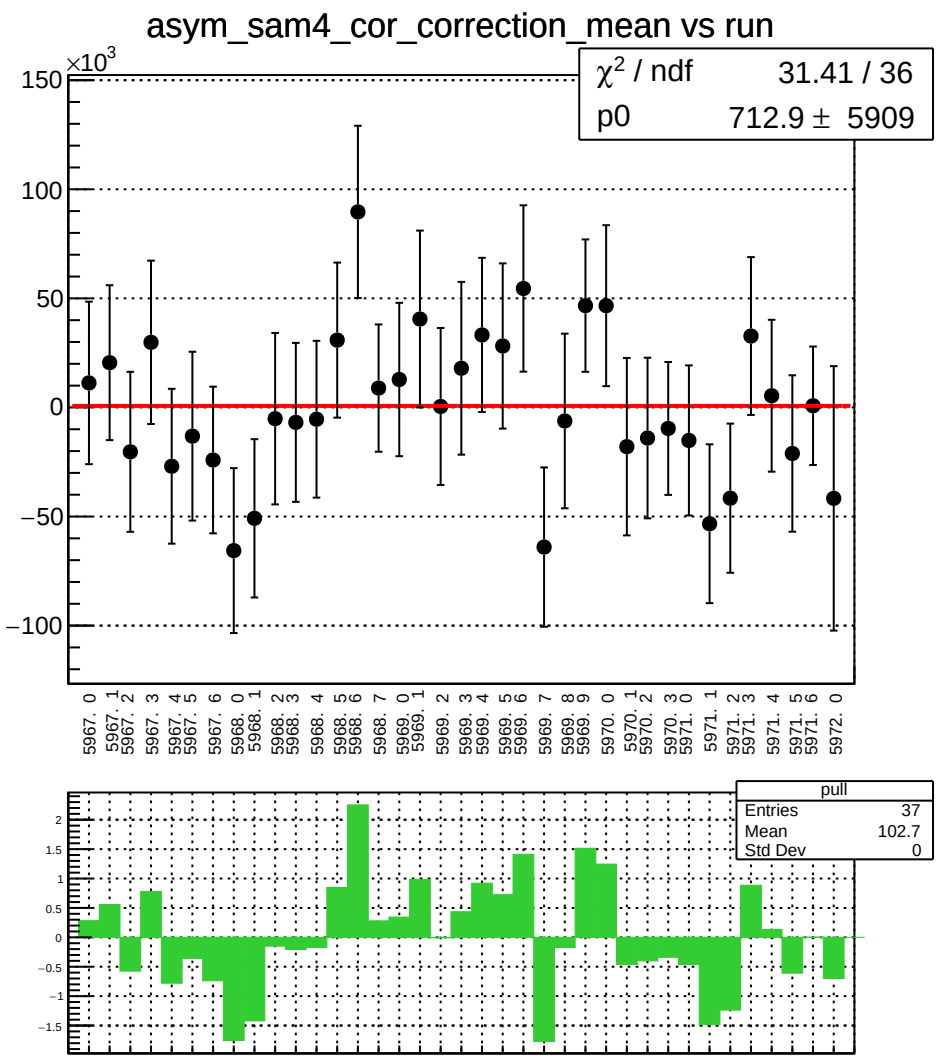
asym_sam4_cor_correction_mean vs run
×10^3
χ² / ndf 31.41 / 36
p0 712.9 ± 5909
150
100
50
0
−50
−100
5967. 0
5967. 1
5967. 2
5967. 3
5967. 4
5967. 5
5967. 6
5968. 0
5968. 1
5968. 2
5968. 3
5968. 4
5968. 5
5968. 6
5968. 7
5969. 0
5969. 1
5969. 2
5969. 3
5969. 4
5969. 5
5969. 6
5969. 7
5969. 8
5969. 9
5970. 0
5970. 1
5970. 2
5970. 3
5971. 0
5971. 1
5971. 2
5971. 3
5971. 4
5971. 5
5971. 6
5972. 0
pull
Entries 37
Mean 102.7
Std Dev 0
2
1.5
1
0.5
0
−0.5
−1
−1.5

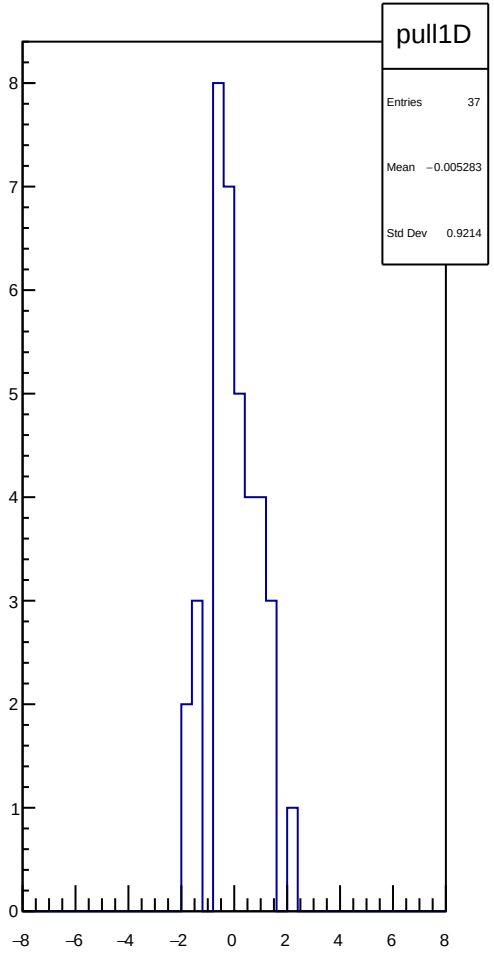
pull1D
Entries 37
Mean −0.005283
Std Dev 0.9214
8
7
6
5
4
3
2
1
0
−8
−6
−4
−2
0
2
4
6
8

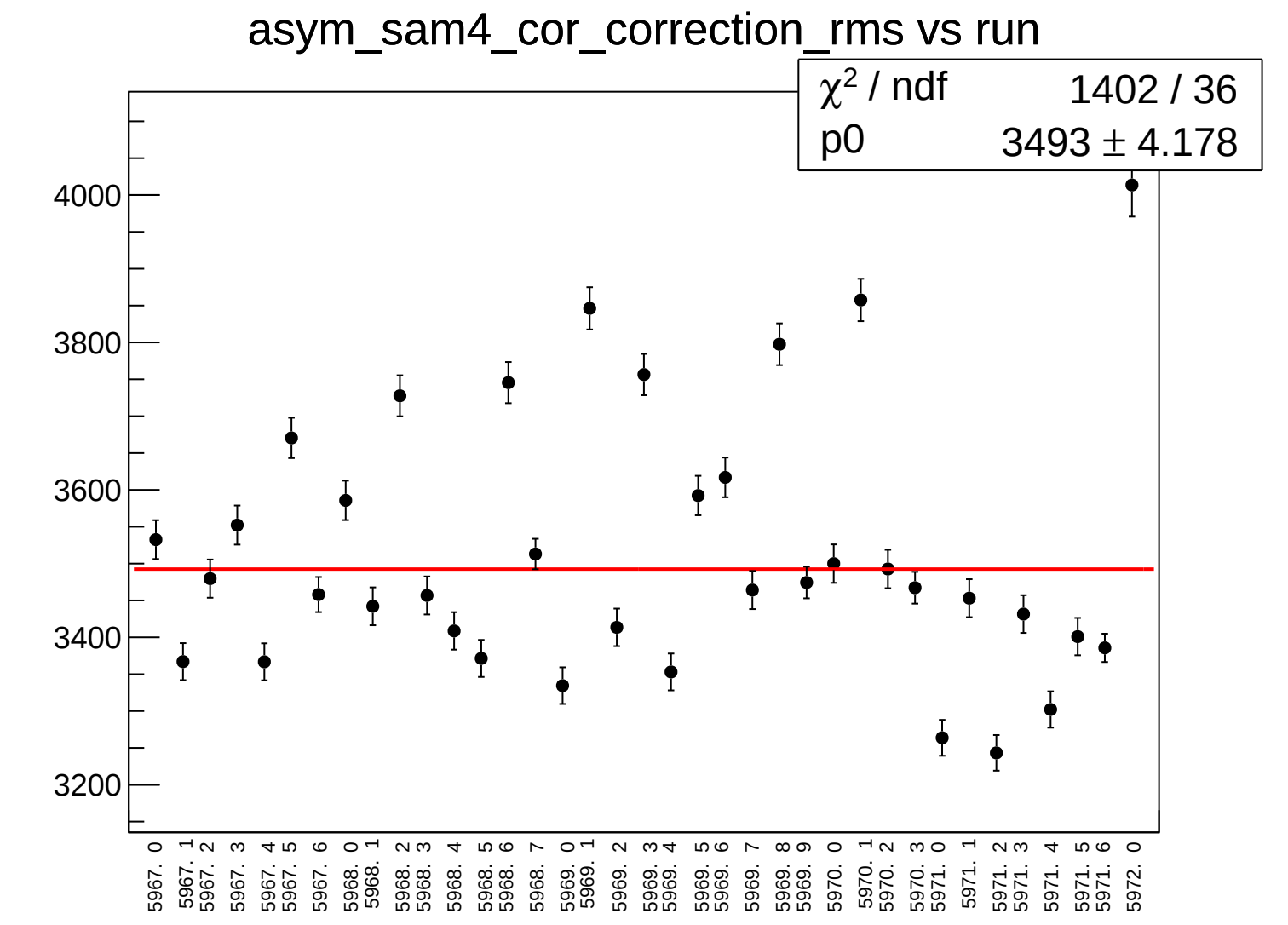
asym_sam4_cor_correction_rms vs run
χ² / ndf 1402 / 36
p0 3493 ± 4.178
4000
3800
3600
3400
3200
5967. 0
5967. 1
5967. 2
5967. 3
5967. 4
5967. 5
5967. 6
5968. 0
5968. 1
5968. 2
5968. 3
5968. 4
5968. 5
5968. 6
5968. 7
5969. 0
5969. 1
5969. 2
5969. 3
5969. 4
5969. 5
5969. 6
5969. 7
5969. 8
5969. 9
5970. 0
5970. 1
5970. 2
5970. 3
5971. 0
5971. 1
5971. 2
5971. 3
5971. 4
5971. 5
5971. 6
5972. 0

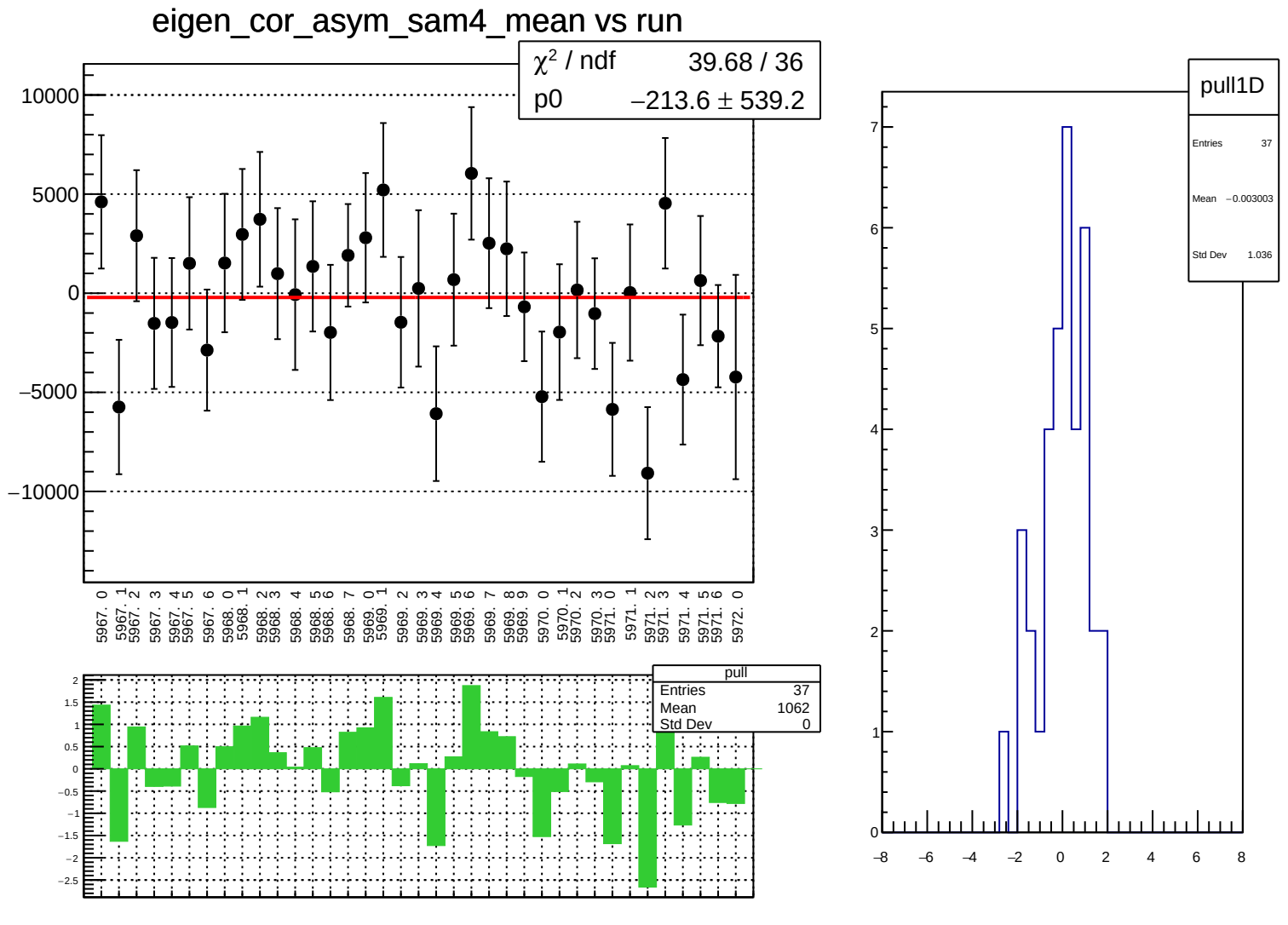
eigen_cor_asym_sam4_mean vs run
χ² / ndf 39.68 / 36
p0 −213.6 ± 539.2
10000
5000
0
−5000
−10000
5967. 0
5967. 1
5967. 2
5967. 3
5967. 4
5967. 5
5967. 6
5968. 0
5968. 1
5968. 2
5968. 3
5968. 4
5968. 5
5968. 6
5968. 7
5969. 0
5969. 1
5969. 2
5969. 3
5969. 4
5969. 5
5969. 6
5969. 7
5969. 8
5969. 9
5970. 0
5970. 1
5970. 2
5970. 3
5971. 0
5971. 1
5971. 2
5971. 3
5971. 4
5971. 5
5971. 6
5972. 0
pull
Entries 37
Mean 1062
Std Dev 0
2
1.5
1
0.5
0
−0.5
−1
−1.5
−2
−2.5
pull1D
Entries 37
Mean −0.003003
Std Dev 1.036
7
6
5
4
3
2
1
0
−8
−6
−4
−2
0
2
4
6
8

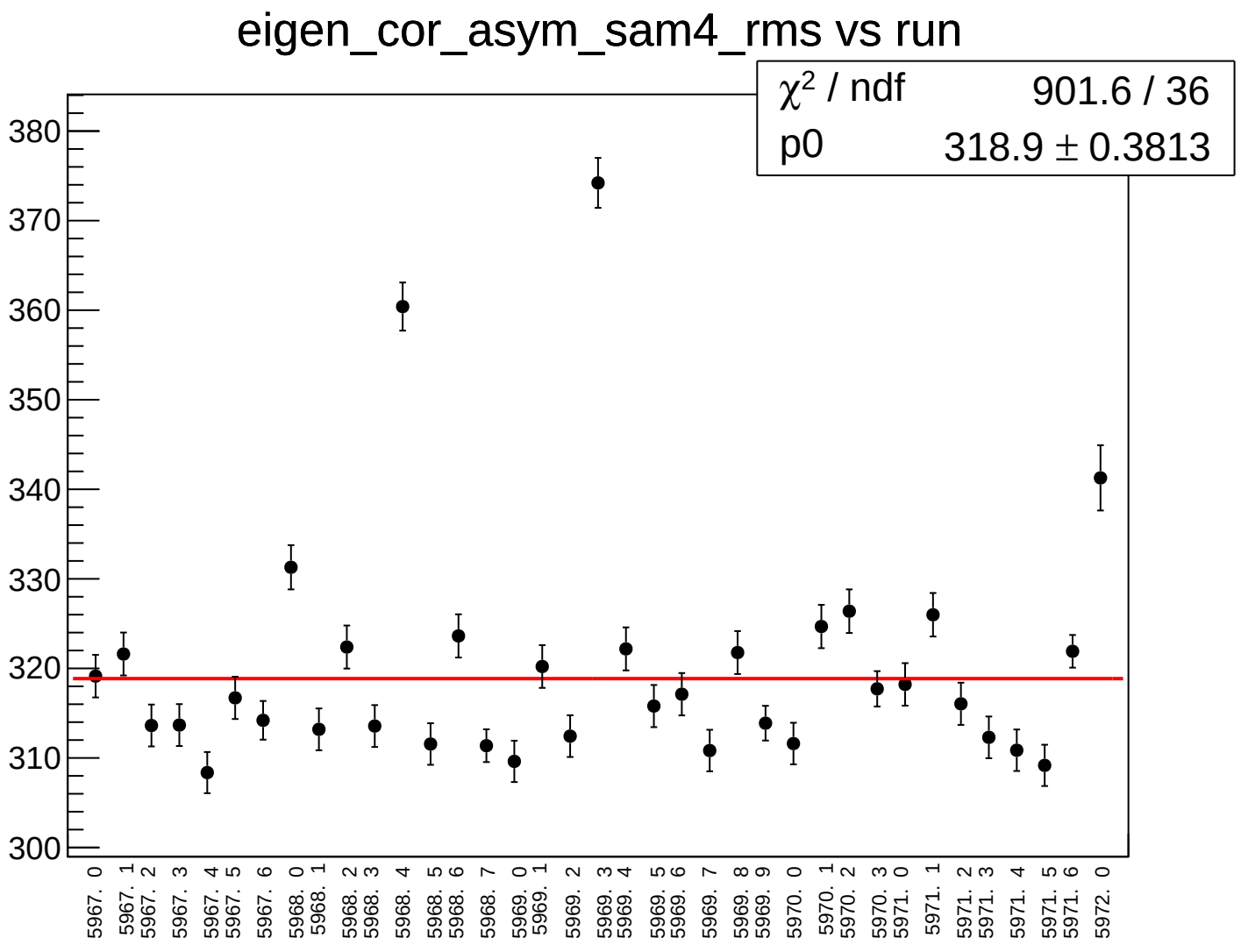
eigen_cor_asym_sam4_rms vs run
χ² / ndf 901.6 / 36
p0 318.9 ± 0.3813
380
370
360
350
340
330
320
310
300
5967. 0
5967. 1
5967. 2
5967. 3
5967. 4
5967. 5
5967. 6
5968. 0
5968. 1
5968. 2
5968. 3
5968. 4
5968. 5
5968. 6
5968. 7
5969. 0
5969. 1
5969. 2
5969. 3
5969. 4
5969. 5
5969. 6
5969. 7
5969. 8
5969. 9
5970. 0
5970. 1
5970. 2
5970. 3
5971. 0
5971. 1
5971. 2
5971. 3
5971. 4
5971. 5
5971. 6
5972. 0

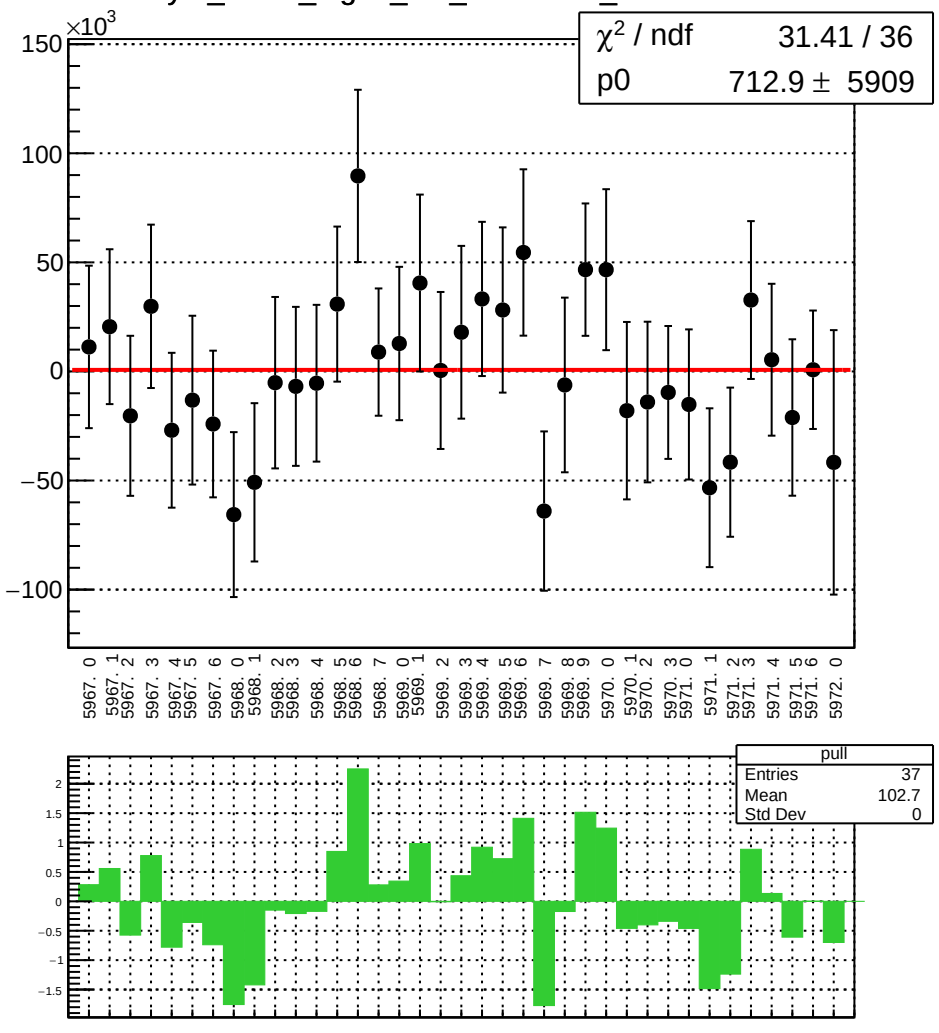
asym_sam4_eigen_cor_correction_mean vs run
×10^3
χ² / ndf 31.41 / 36
p0 712.9 ± 5909
150
100
50
0
−50
−100
5967. 0
5967. 1
5967. 2
5967. 3
5967. 4
5967. 5
5967. 6
5968. 0
5968. 1
5968. 2
5968. 3
5968. 4
5968. 5
5968. 6
5968. 7
5969. 0
5969. 1
5969. 2
5969. 3
5969. 4
5969. 5
5969. 6
5969. 7
5969. 8
5969. 9
5970. 0
5970. 1
5970. 2
5970. 3
5971. 0
5971. 1
5971. 2
5971. 3
5971. 4
5971. 5
5971. 6
5972. 0
pull
Entries 37
Mean 102.7
Std Dev 0
2
1.5
1
0.5
0
−0.5
−1
−1.5
pull1D
Entries 37
Mean −0.005283
Std Dev 0.9214
8
7
6
5
4
3
2
1
0
−8
−6
−4
−2
0
2
4
6
8

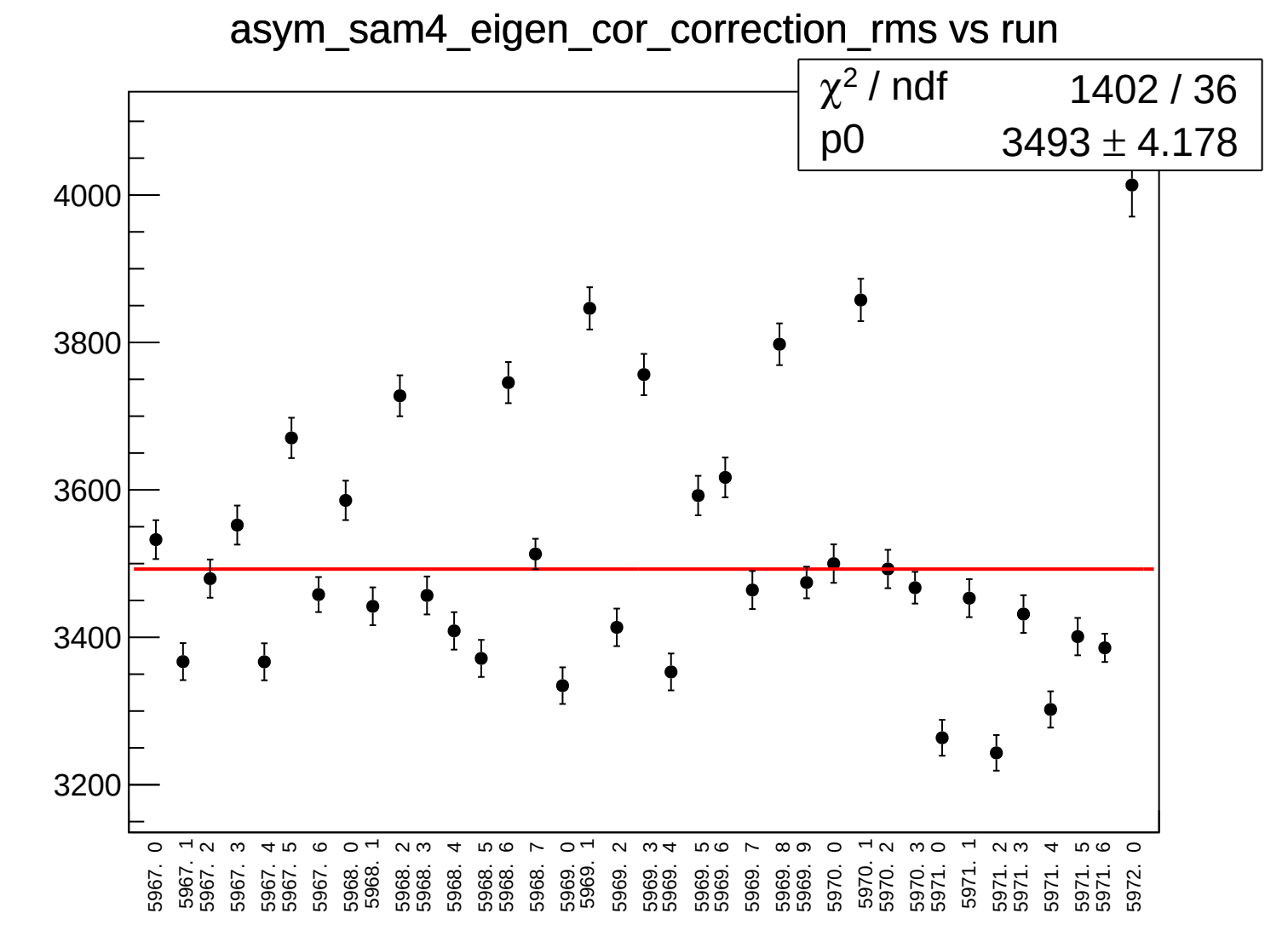
asym_sam4_eigen_cor_correction_rms vs run
χ² / ndf 1402 / 36
p0 3493 ± 4.178
4000
3800
3600
3400
3200
5967. 0
5967. 1
5967. 2
5967. 3
5967. 4
5967. 5
5967. 6
5968. 0
5968. 1
5968. 2
5968. 3
5968. 4
5968. 5
5968. 6
5968. 7
5969. 0
5969. 1
5969. 2
5969. 3
5969. 4
5969. 5
5969. 6
5969. 7
5969. 8
5969. 9
5970. 0
5970. 1
5970. 2
5970. 3
5971. 0
5971. 1
5971. 2
5971. 3
5971. 4
5971. 5
5971. 6
5972. 0

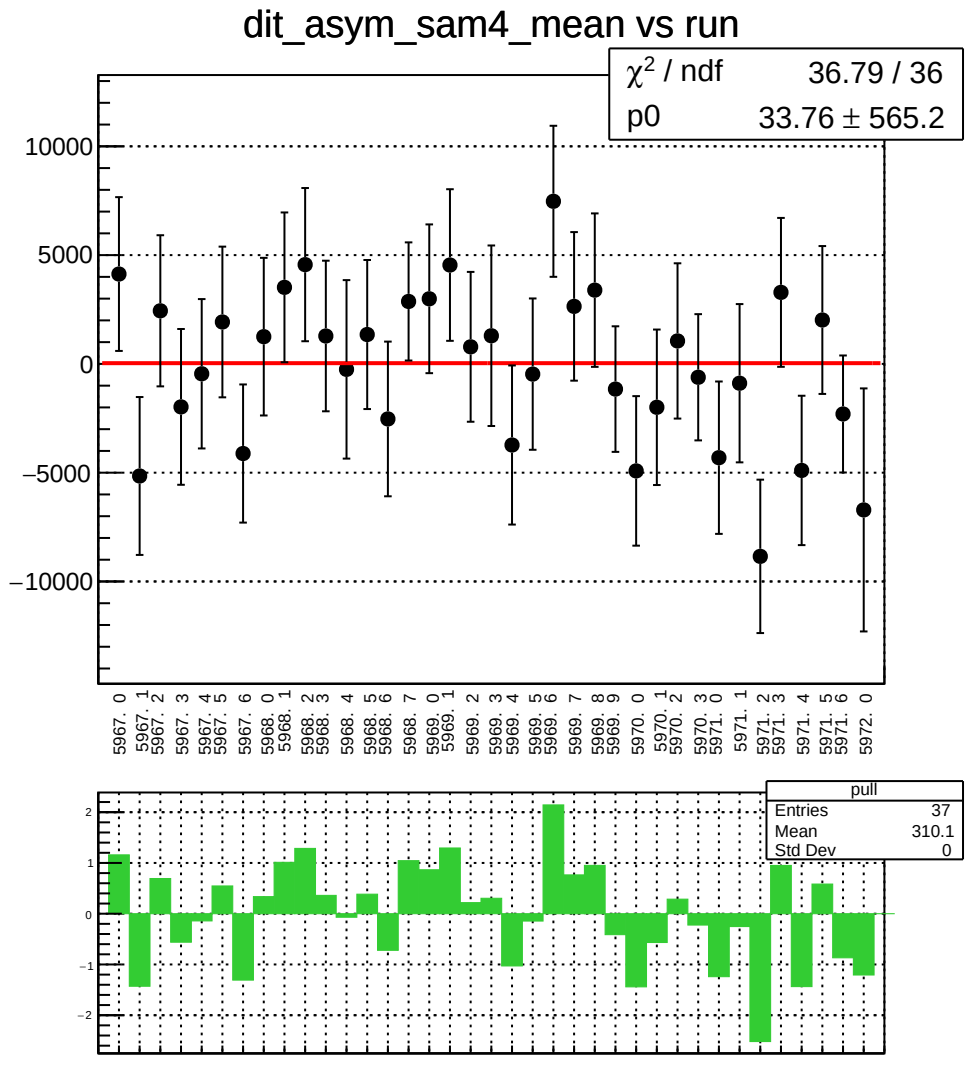
dit_asym_sam4_mean vs run
χ² / ndf 36.79 / 36
p0 33.76 ± 565.2
10000
5000
0
−5000
−10000
5967. 0
5967. 1
5967. 2
5967. 3
5967. 4
5967. 5
5967. 6
5968. 0
5968. 1
5968. 2
5968. 3
5968. 4
5968. 5
5968. 6
5968. 7
5969. 0
5969. 1
5969. 2
5969. 3
5969. 4
5969. 5
5969. 6
5969. 7
5969. 8
5969. 9
5970. 0
5970. 1
5970. 2
5970. 3
5971. 0
5971. 1
5971. 2
5971. 3
5971. 4
5971. 5
5971. 6
5972. 0
pull
Entries 37
Mean 310.1
Std Dev 0
2
1
0
−1
−2

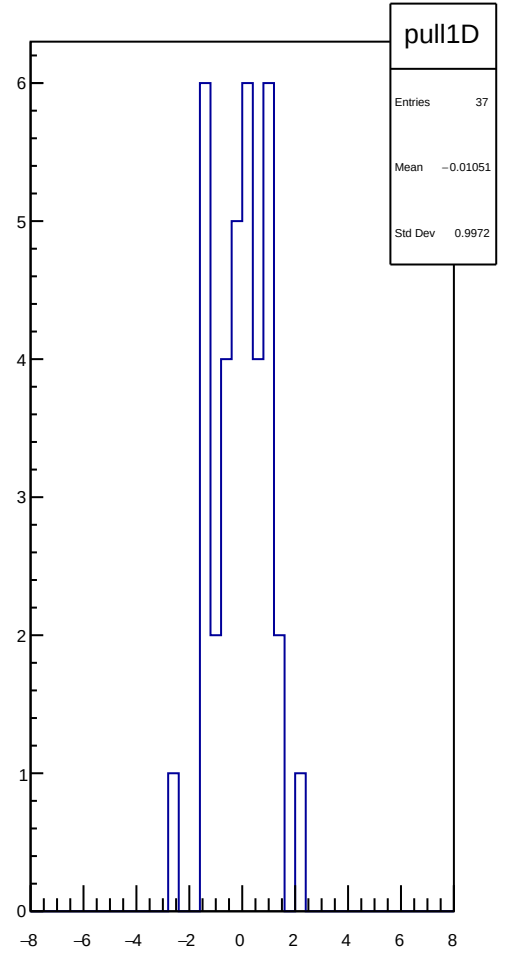
pull1D
Entries 37
Mean −0.01051
Std Dev 0.9972
6
5
4
3
2
1
0
−8
−6
−4
−2
0
2
4
6
8

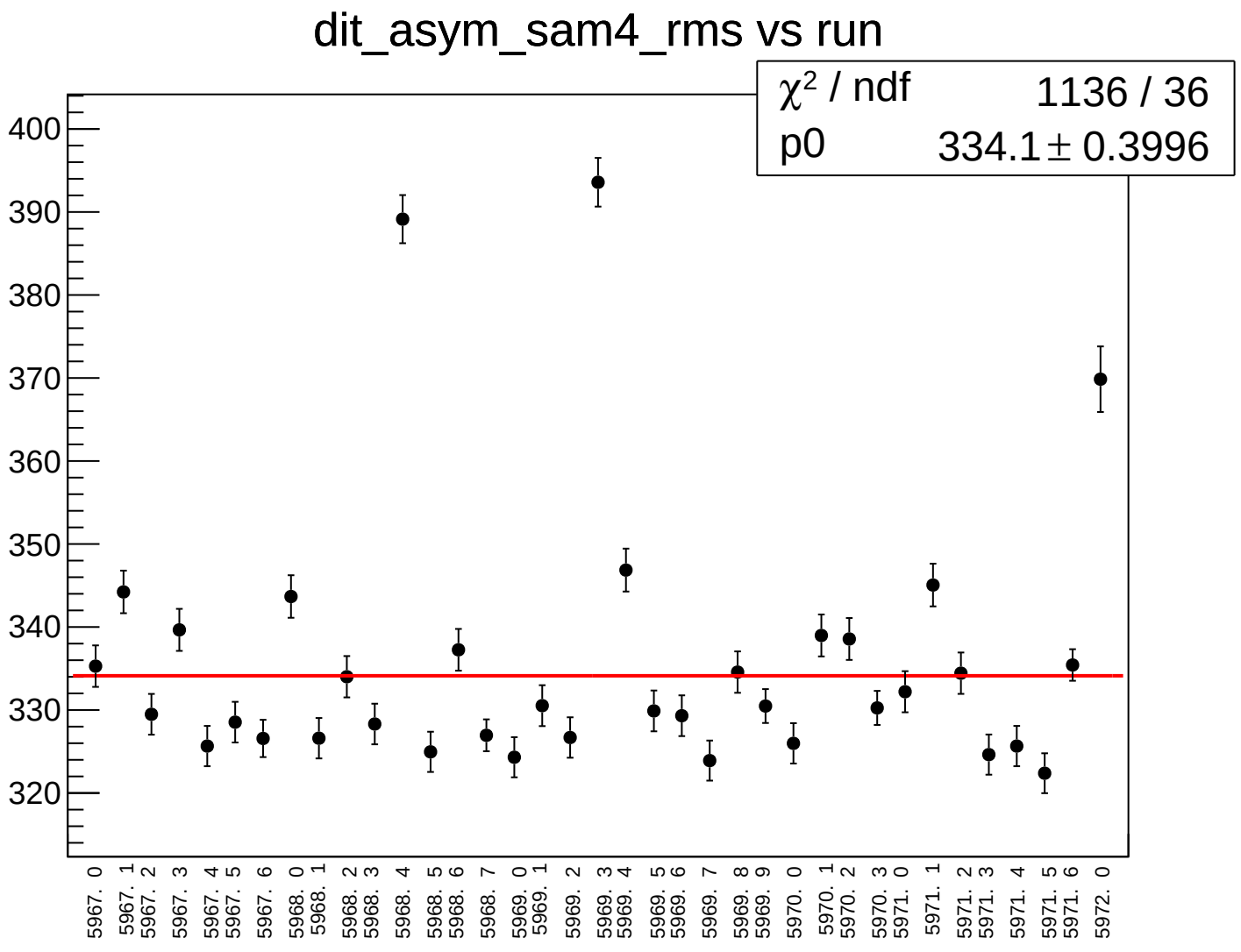
dit_asym_sam4_rms vs run
χ² / ndf 1136 / 36
p0 334.1 ± 0.3996
400
390
380
370
360
350
340
330
320
5967. 0
5967. 1
5967. 2
5967. 3
5967. 4
5967. 5
5967. 6
5968. 0
5968. 1
5968. 2
5968. 3
5968. 4
5968. 5
5968. 6
5968. 7
5969. 0
5969. 1
5969. 2
5969. 3
5969. 4
5969. 5
5969. 6
5969. 7
5969. 8
5969. 9
5970. 0
5970. 1
5970. 2
5970. 3
5971. 0
5971. 1
5971. 2
5971. 3
5971. 4
5971. 5
5971. 6
5972. 0

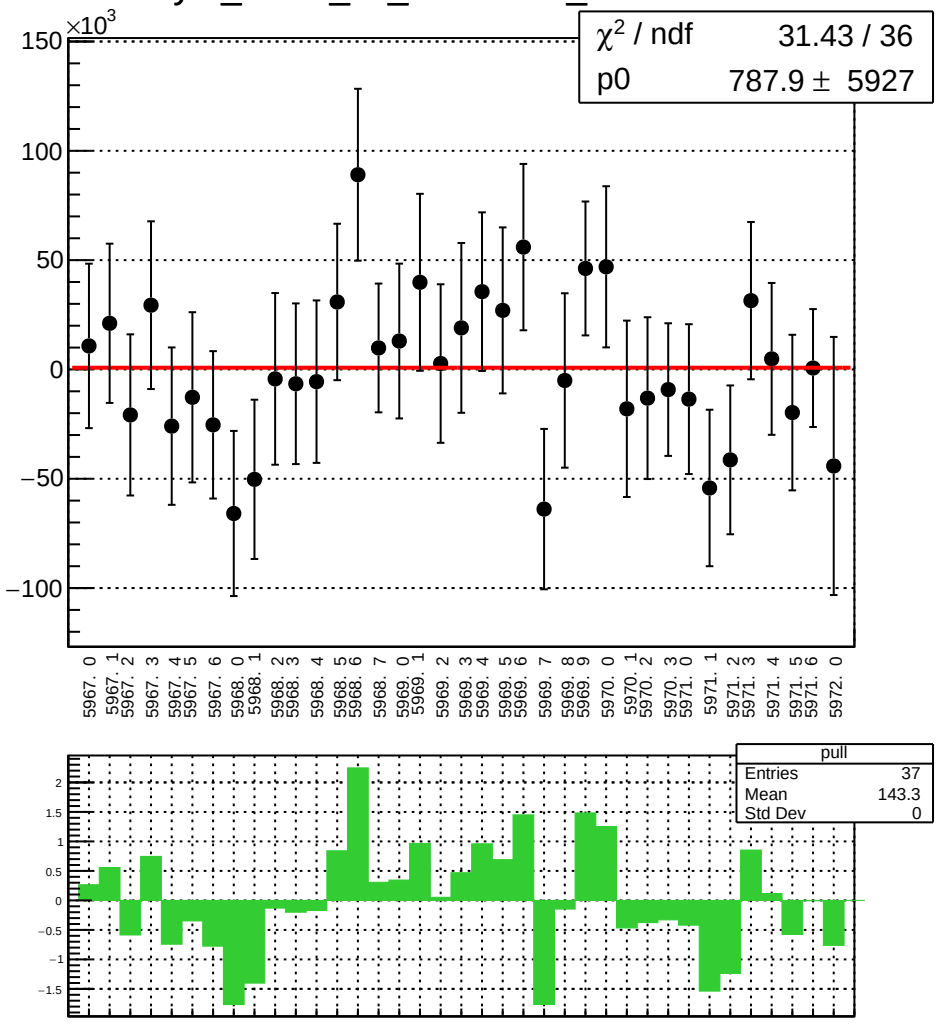
asym_sam4_dit_correction_mean vs run
×10^3
χ² / ndf 31.43 / 36
p0 787.9 ± 5927
150
100
50
0
−50
−100
5967. 0
5967. 1
5967. 2
5967. 3
5967. 4
5967. 5
5967. 6
5968. 0
5968. 1
5968. 2
5968. 3
5968. 4
5968. 5
5968. 6
5968. 7
5969. 0
5969. 1
5969. 2
5969. 3
5969. 4
5969. 5
5969. 6
5969. 7
5969. 8
5969. 9
5970. 0
5970. 1
5970. 2
5970. 3
5971. 0
5971. 1
5971. 2
5971. 3
5971. 4
5971. 5
5971. 6
5972. 0
pull
Entries 37
Mean 143.3
Std Dev 0
2
1.5
1
0.5
0
−0.5
−1
−1.5
pull1D
Entries 37
Mean −0.003751
Std Dev 0.9216
8
7
6
5
4
3
2
1
0
−8
−6
−4
−2
0
2
4
6
8

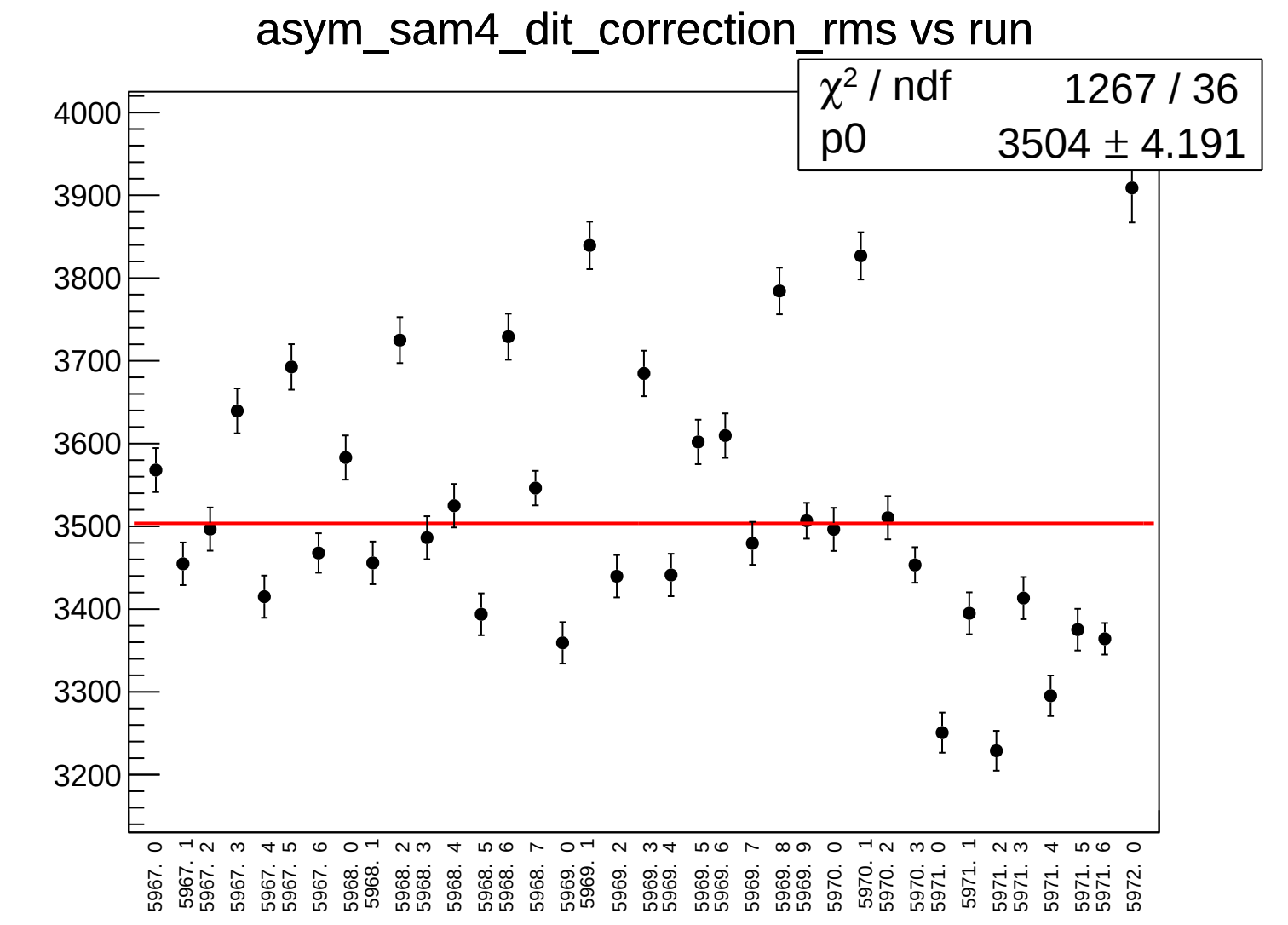
asym_sam4_dit_correction_rms vs run
χ² / ndf 1267 / 36
p0 3504 ± 4.191
4000
3900
3800
3700
3600
3500
3400
3300
3200
5967. 0
5967. 1
5967. 2
5967. 3
5967. 4
5967. 5
5967. 6
5968. 0
5968. 1
5968. 2
5968. 3
5968. 4
5968. 5
5968. 6
5968. 7
5969. 0
5969. 1
5969. 2
5969. 3
5969. 4
5969. 5
5969. 6
5969. 7
5969. 8
5969. 9
5970. 0
5970. 1
5970. 2
5970. 3
5971. 0
5971. 1
5971. 2
5971. 3
5971. 4
5971. 5
5971. 6
5972. 0

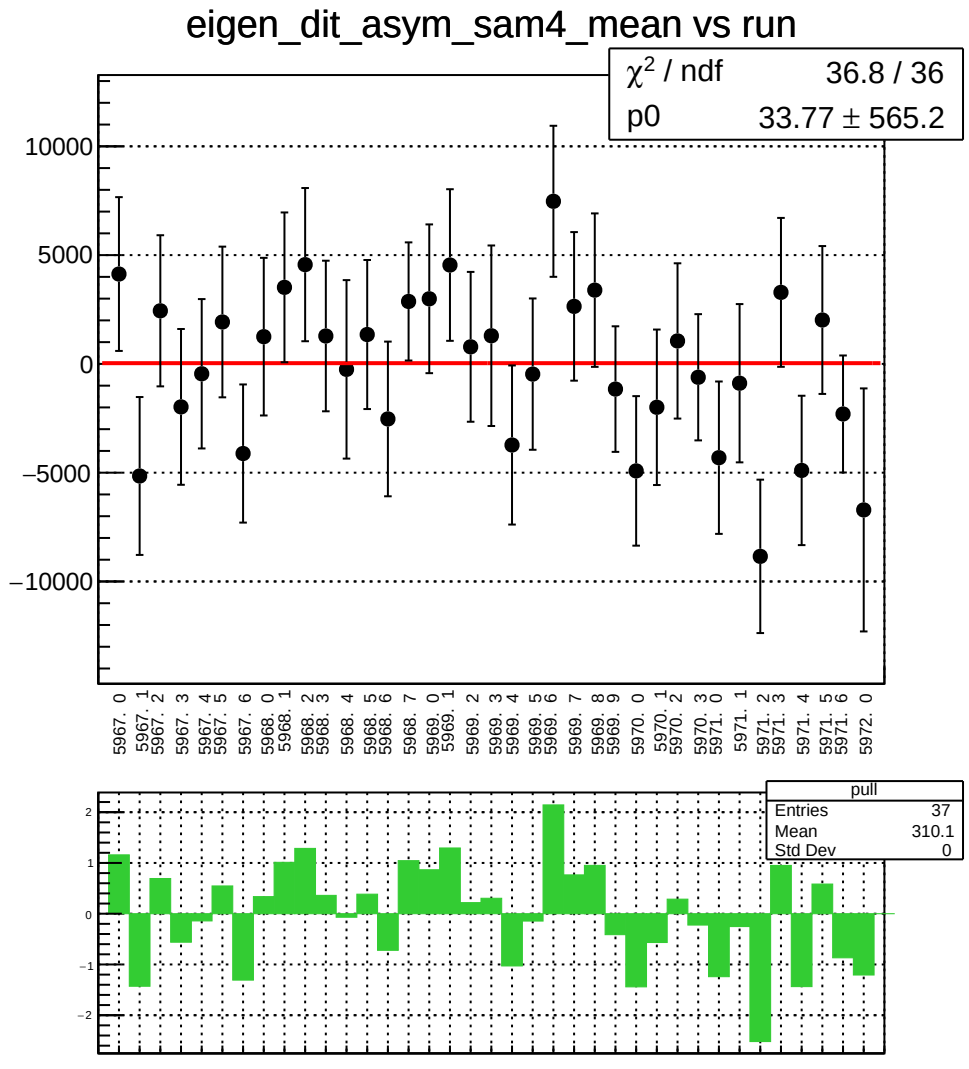
eigen_dit_asym_sam4_mean vs run
χ² / ndf 36.8 / 36
p0 33.77 ± 565.2
10000
5000
0
−5000
−10000
5967. 0
5967. 1
5967. 2
5967. 3
5967. 4
5967. 5
5967. 6
5968. 0
5968. 1
5968. 2
5968. 3
5968. 4
5968. 5
5968. 6
5968. 7
5969. 0
5969. 1
5969. 2
5969. 3
5969. 4
5969. 5
5969. 6
5969. 7
5969. 8
5969. 9
5970. 0
5970. 1
5970. 2
5970. 3
5971. 0
5971. 1
5971. 2
5971. 3
5971. 4
5971. 5
5971. 6
5972. 0
pull
Entries 37
Mean 310.1
Std Dev 0
2
1
0
−1
−2
pull1D
Entries 37
Mean −0.01051
Std Dev 0.9972
6
5
4
3
2
1
0
−8
−6
−4
−2
0
2
4
6
8

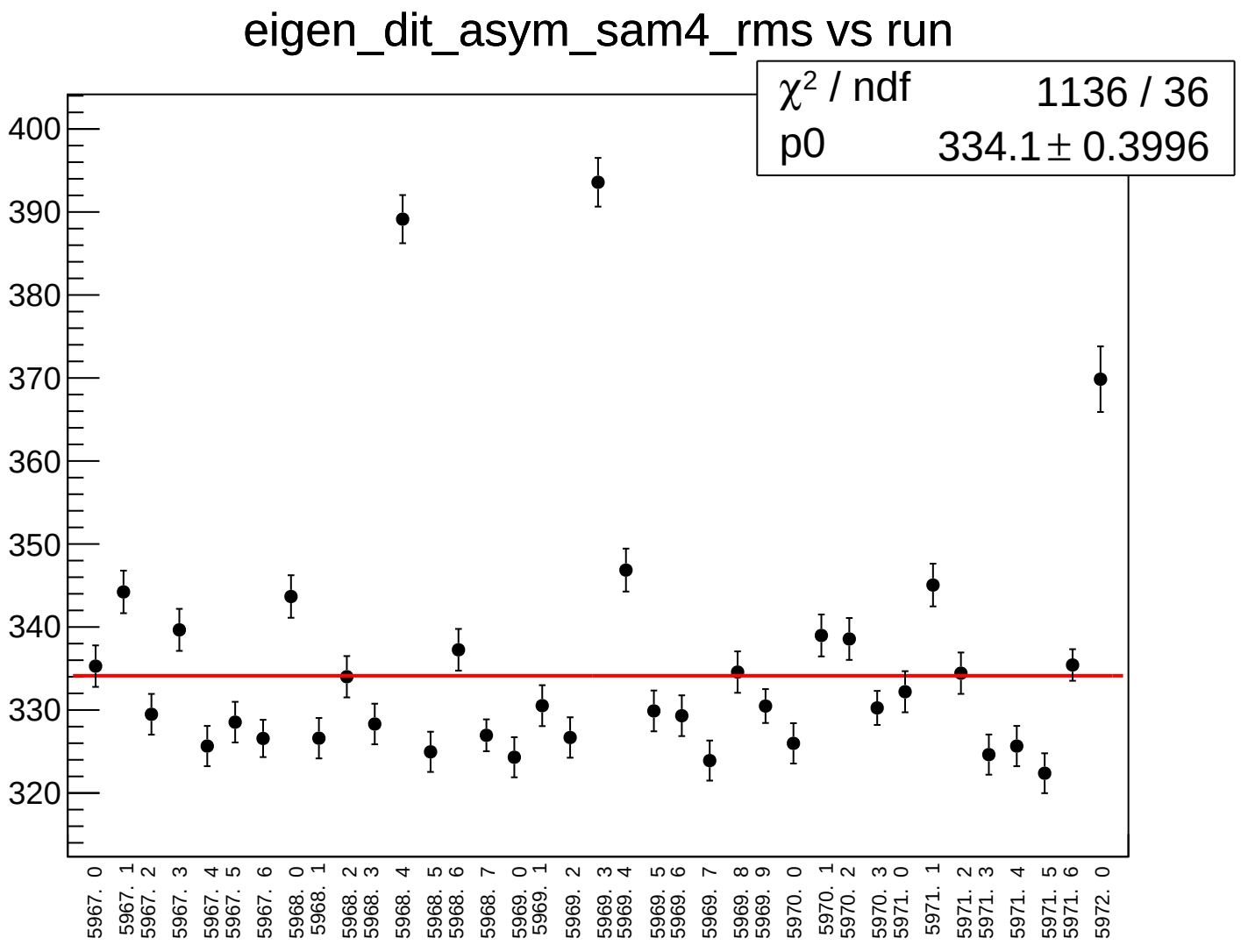
eigen_dit_asym_sam4_rms vs run
χ² / ndf 1136 / 36
p0 334.1 ± 0.3996
400
390
380
370
360
350
340
330
320
5967. 0
5967. 1
5967. 2
5967. 3
5967. 4
5967. 5
5967. 6
5968. 0
5968. 1
5968. 2
5968. 3
5968. 4
5968. 5
5968. 6
5968. 7
5969. 0
5969. 1
5969. 2
5969. 3
5969. 4
5969. 5
5969. 6
5969. 7
5969. 8
5969. 9
5970. 0
5970. 1
5970. 2
5970. 3
5971. 0
5971. 1
5971. 2
5971. 3
5971. 4
5971. 5
5971. 6
5972. 0

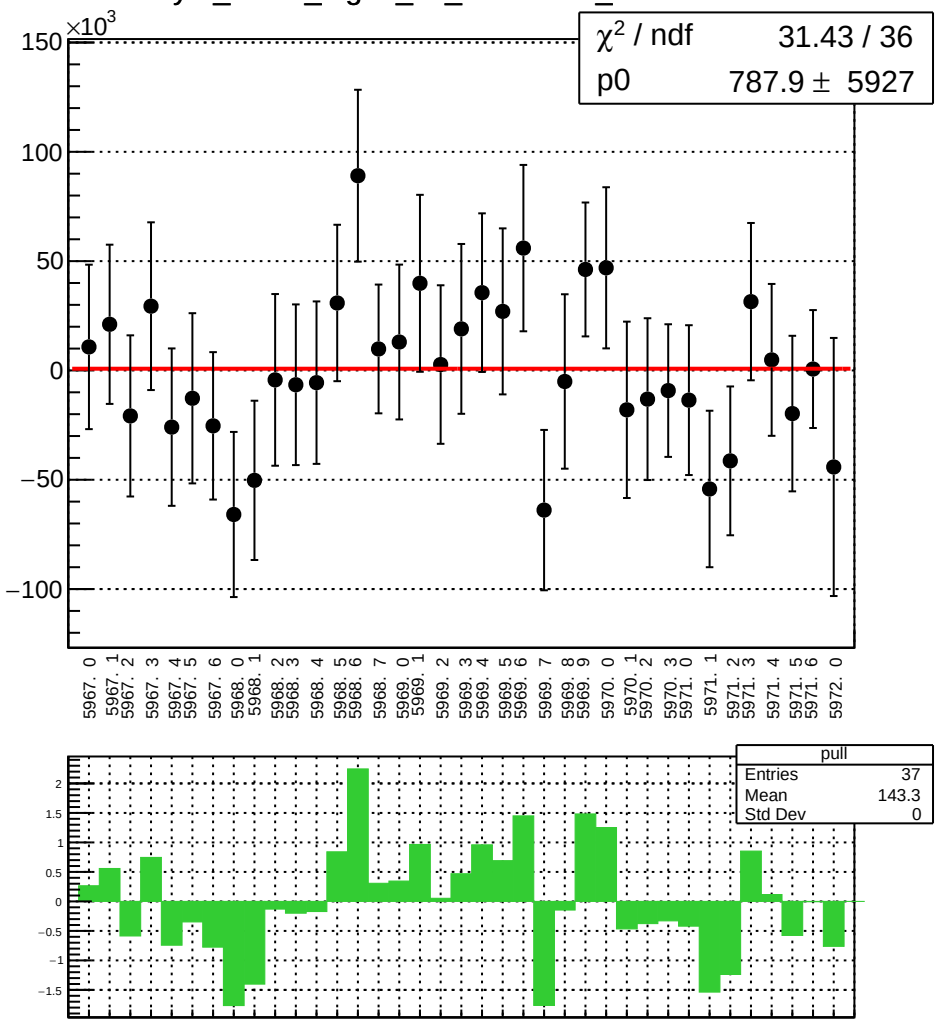
asym_sam4_eigen_dit_correction_mean vs run
×10^3
χ² / ndf 31.43 / 36
p0 787.9 ± 5927
150
100
50
0
−50
−100
5967. 0
5967. 1
5967. 2
5967. 3
5967. 4
5967. 5
5967. 6
5968. 0
5968. 1
5968. 2
5968. 3
5968. 4
5968. 5
5968. 6
5968. 7
5969. 0
5969. 1
5969. 2
5969. 3
5969. 4
5969. 5
5969. 6
5969. 7
5969. 8
5969. 9
5970. 0
5970. 1
5970. 2
5970. 3
5971. 0
5971. 1
5971. 2
5971. 3
5971. 4
5971. 5
5971. 6
5972. 0
pull
Entries 37
Mean 143.3
Std Dev 0
2
1.5
1
0.5
0
−0.5
−1
−1.5
pull1D
Entries 37
Mean −0.003751
Std Dev 0.9216
8
7
6
5
4
3
2
1
0
−8
−6
−4
−2
0
2
4
6
8

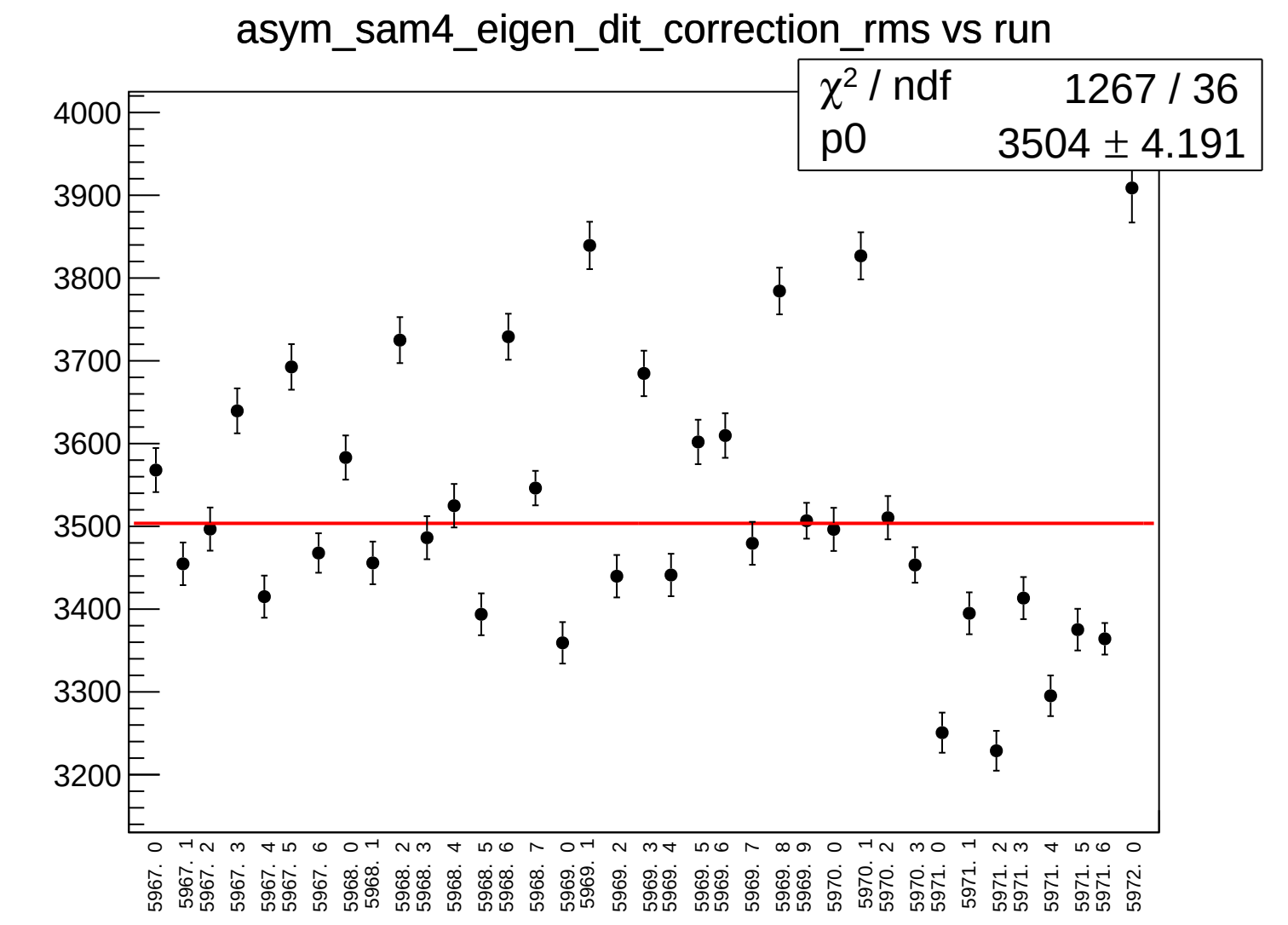
asym_sam4_eigen_dit_correction_rms vs run
χ² / ndf 1267 / 36
p0 3504 ± 4.191
4000
3900
3800
3700
3600
3500
3400
3300
3200
5967. 0
5967. 1
5967. 2
5967. 3
5967. 4
5967. 5
5967. 6
5968. 0
5968. 1
5968. 2
5968. 3
5968. 4
5968. 5
5968. 6
5968. 7
5969. 0
5969. 1
5969. 2
5969. 3
5969. 4
5969. 5
5969. 6
5969. 7
5969. 8
5969. 9
5970. 0
5970. 1
5970. 2
5970. 3
5971. 0
5971. 1
5971. 2
5971. 3
5971. 4
5971. 5
5971. 6
5972. 0

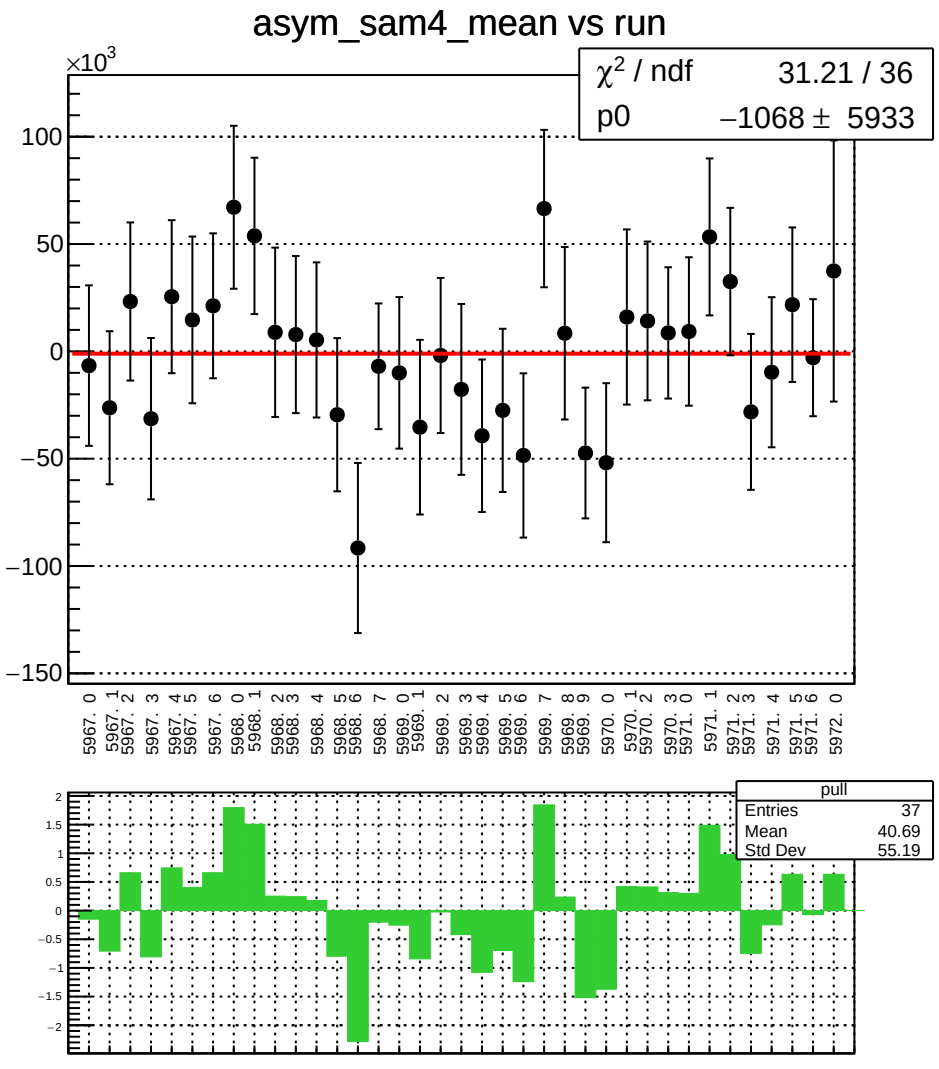
asym_sam4_mean vs run
×10^3
χ² / ndf 31.21 / 36
p0 −1068 ± 5933
100
50
0
−50
−100
−150
5967. 0
5967. 1
5967. 2
5967. 3
5967. 4
5967. 5
5967. 6
5968. 0
5968. 1
5968. 2
5968. 3
5968. 4
5968. 5
5968. 6
5968. 7
5969. 0
5969. 1
5969. 2
5969. 3
5969. 4
5969. 5
5969. 6
5969. 7
5969. 8
5969. 9
5970. 0
5970. 1
5970. 2
5970. 3
5971. 0
5971. 1
5971. 2
5971. 3
5971. 4
5971. 5
5971. 6
5972. 0
pull
Entries 37
Mean 40.69
Std Dev 55.19
2
1.5
1
0.5
0
−0.5
−1
−1.5
−2

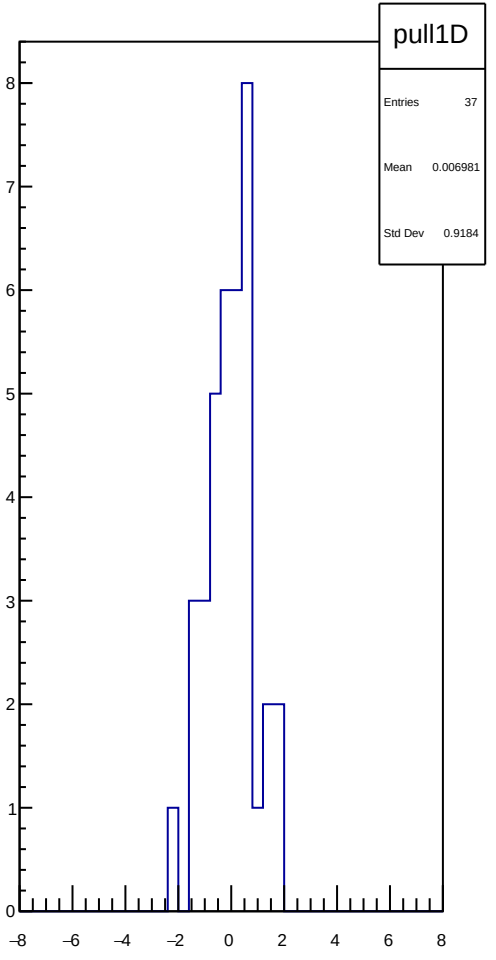
pull1D
Entries 37
Mean 0.006981
Std Dev 0.9184
8
7
6
5
4
3
2
1
0
−8
−6
−4
−2
0
2
4
6
8

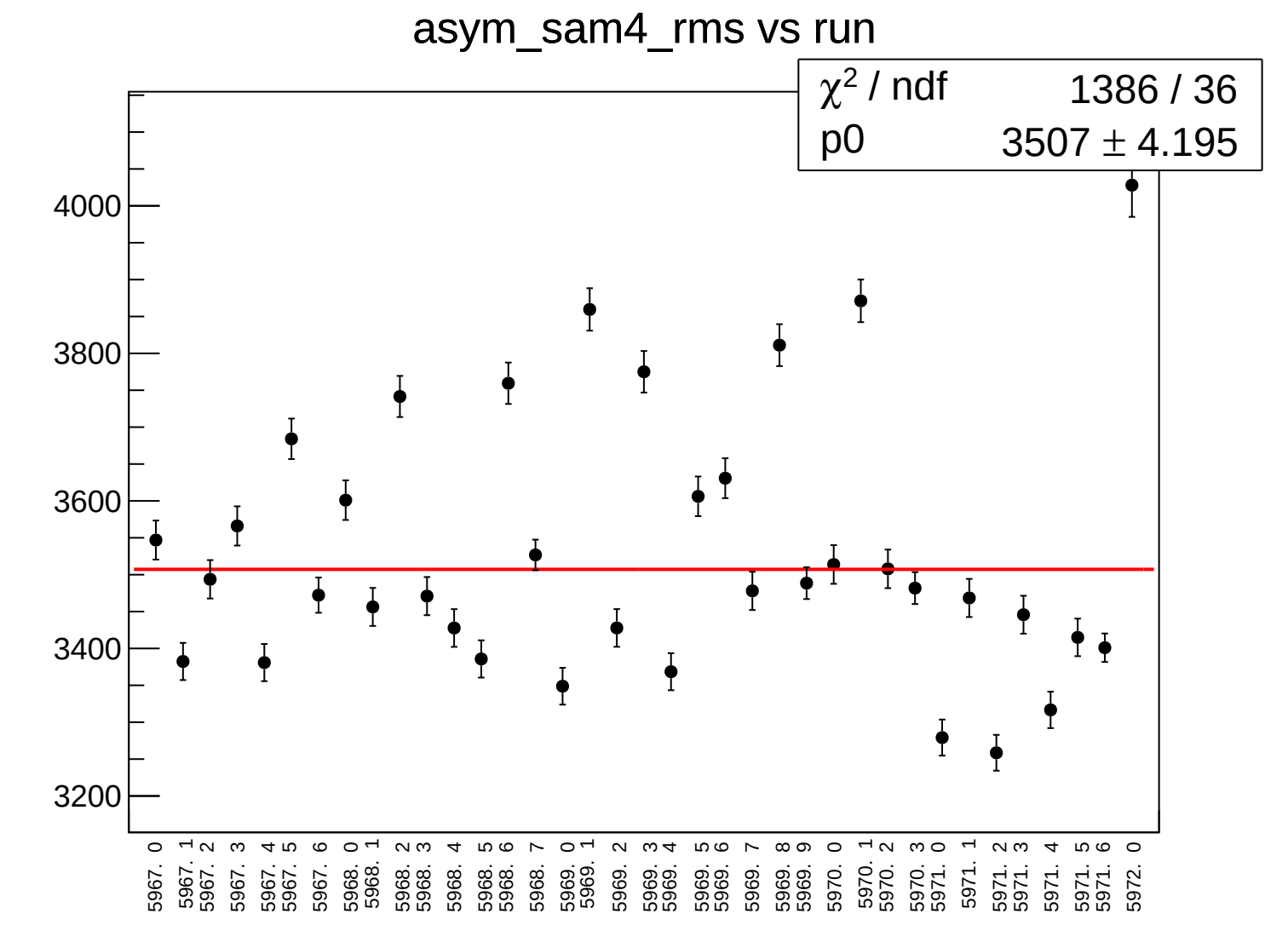
asym_sam4_rms vs run
χ² / ndf 1386 / 36
p0 3507 ± 4.195
4000
3800
3600
3400
3200
5967. 0
5967. 1
5967. 2
5967. 3
5967. 4
5967. 5
5967. 6
5968. 0
5968. 1
5968. 2
5968. 3
5968. 4
5968. 5
5968. 6
5968. 7
5969. 0
5969. 1
5969. 2
5969. 3
5969. 4
5969. 5
5969. 6
5969. 7
5969. 8
5969. 9
5970. 0
5970. 1
5970. 2
5970. 3
5971. 0
5971. 1
5971. 2
5971. 3
5971. 4
5971. 5
5971. 6
5972. 0

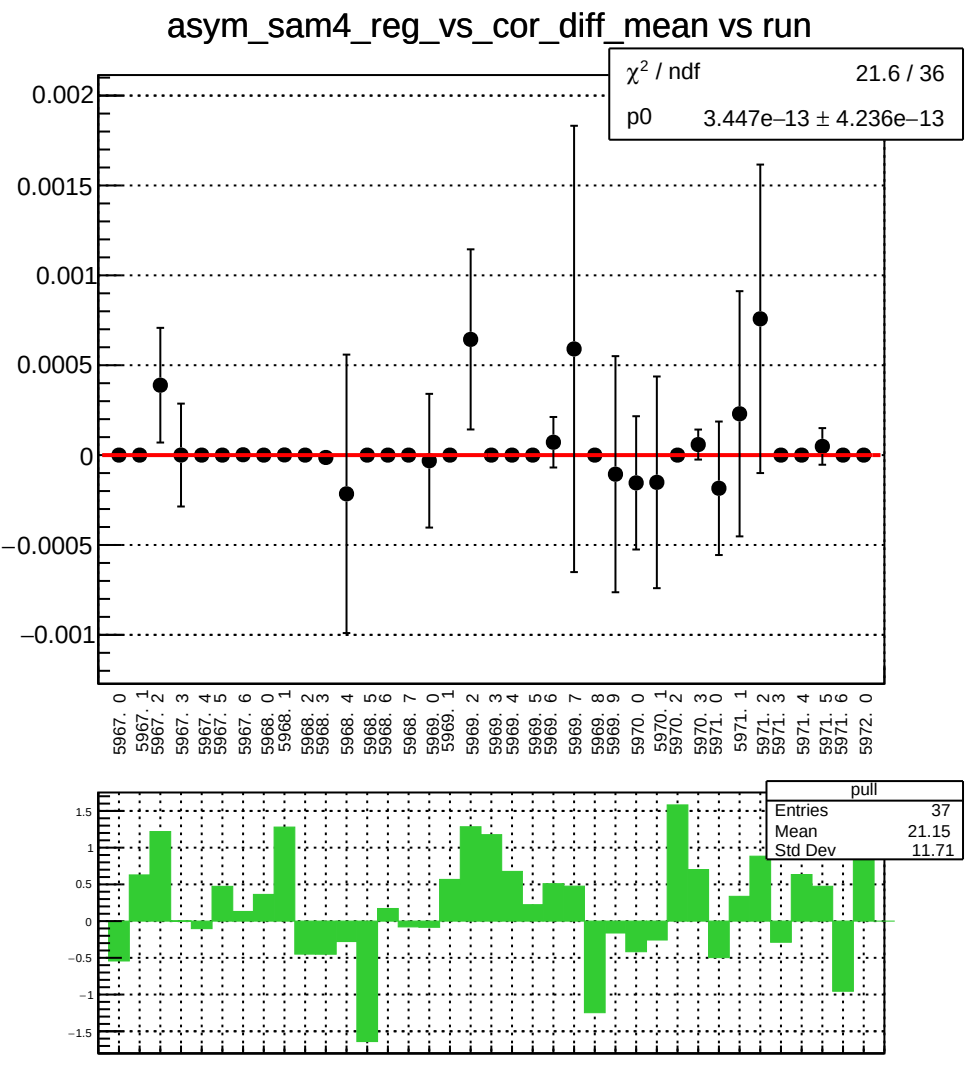
asym_sam4_reg_vs_cor_diff_mean vs run
χ² / ndf 21.6 / 36
p0 3.447e−13 ± 4.236e−13
0.002
0.0015
0.001
0.0005
0
−0.0005
−0.001
5967. 0
5967. 1
5967. 2
5967. 3
5967. 4
5967. 5
5967. 6
5968. 0
5968. 1
5968. 2
5968. 3
5968. 4
5968. 5
5968. 6
5968. 7
5969. 0
5969. 1
5969. 2
5969. 3
5969. 4
5969. 5
5969. 6
5969. 7
5969. 8
5969. 9
5970. 0
5970. 1
5970. 2
5970. 3
5971. 0
5971. 1
5971. 2
5971. 3
5971. 4
5971. 5
5971. 6
5972. 0
pull
Entries 37
Mean 21.15
Std Dev 11.71
1.5
1
0.5
0
−0.5
−1
−1.5
pull1D
Entries 37
Mean 0.2122
Std Dev 0.7341
9
8
7
6
5
4
3
2
1
0
−8
−6
−4
−2
0
2
4
6
8

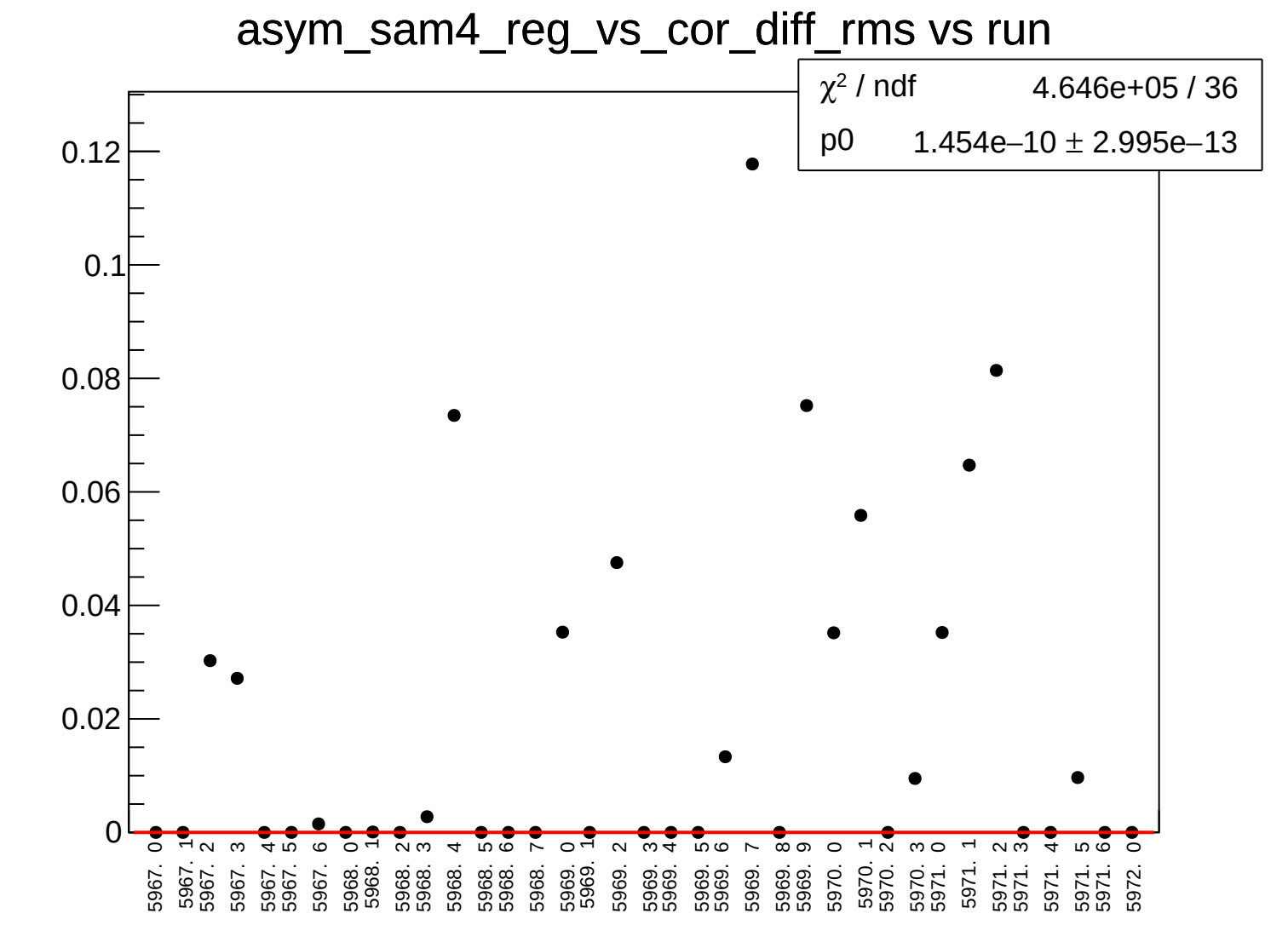
asym_sam4_reg_vs_cor_diff_rms vs run
χ² / ndf 4.646e+05 / 36
p0 1.454e−10 ± 2.995e−13
0.12
0.1
0.08
0.06
0.04
0.02
0
5967. 0
5967. 1
5967. 2
5967. 3
5967. 4
5967. 5
5967. 6
5968. 0
5968. 1
5968. 2
5968. 3
5968. 4
5968. 5
5968. 6
5968. 7
5969. 0
5969. 1
5969. 2
5969. 3
5969. 4
5969. 5
5969. 6
5969. 7
5969. 8
5969. 9
5970. 0
5970. 1
5970. 2
5970. 3
5971. 0
5971. 1
5971. 2
5971. 3
5971. 4
5971. 5
5971. 6
5972. 0

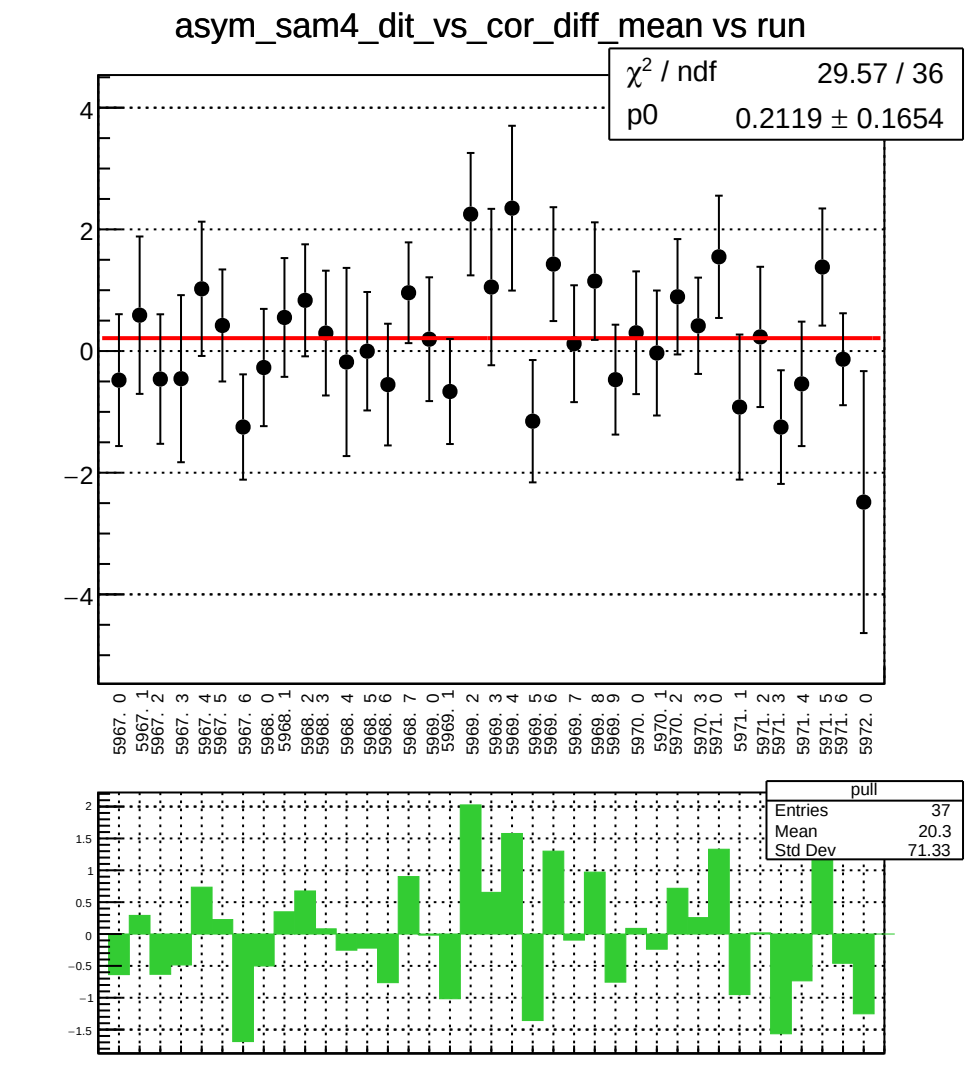
asym_sam4_dit_vs_cor_diff_mean vs run
χ² / ndf 29.57 / 36
p0 0.2119 ± 0.1654
pull
Entries 37
Mean 20.3
Std Dev 71.33

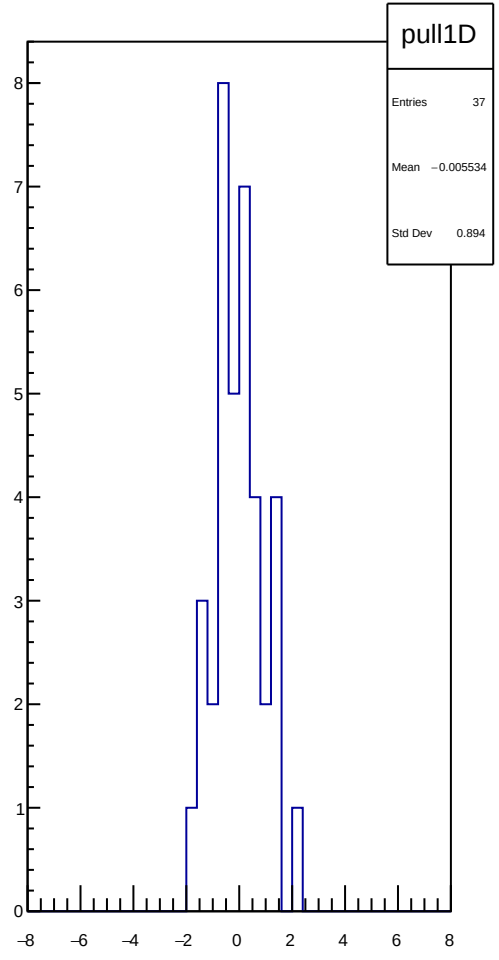
pull1D
Entries 37
Mean −0.005534
Std Dev 0.894

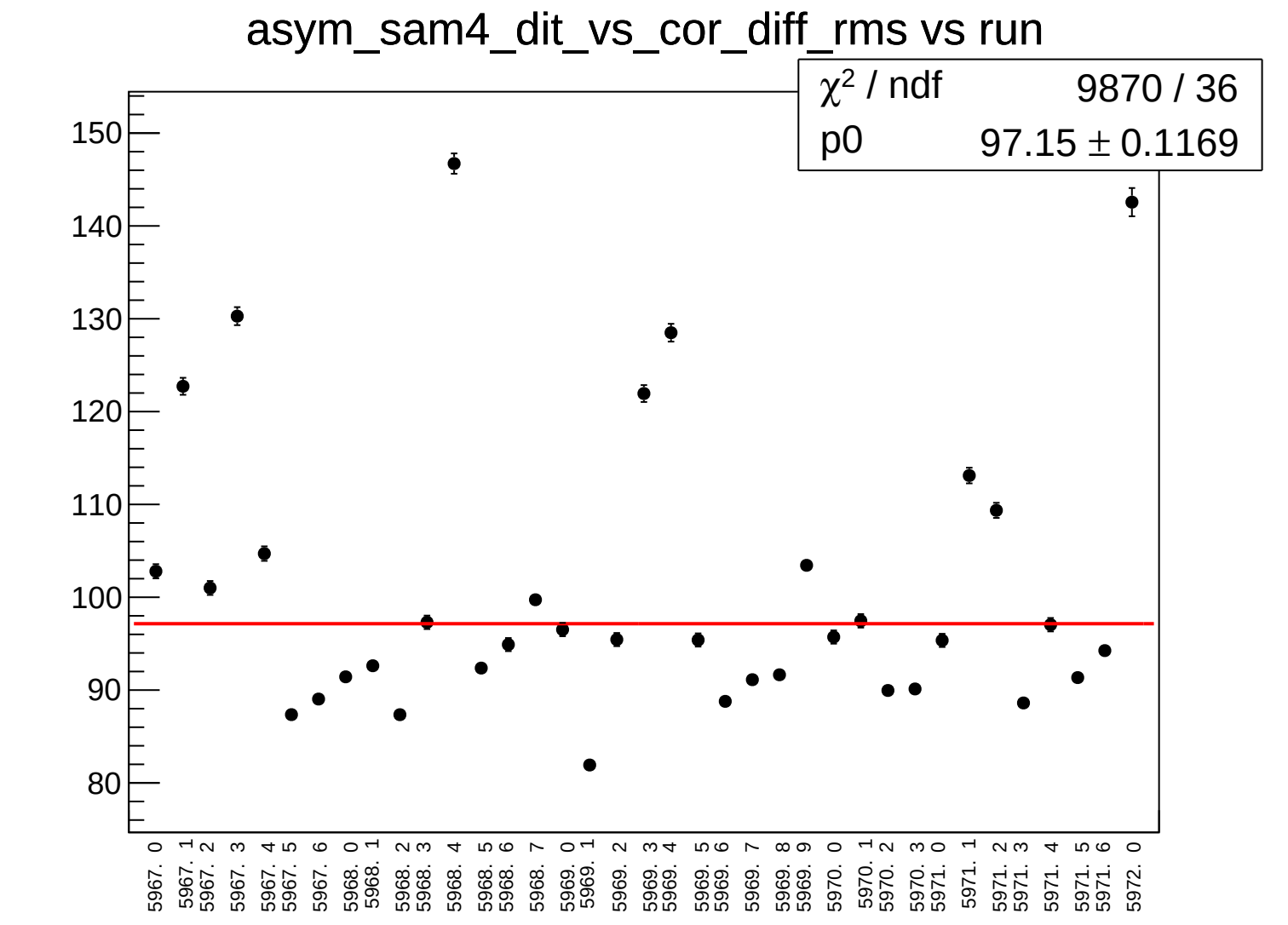
asym_sam4_dit_vs_cor_diff_rms vs run
χ² / ndf 9870 / 36
p0 97.15 ± 0.1169
150
140
130
120
110
100
90
80
5967. 0
5967. 1
5967. 2
5967. 3
5967. 4
5967. 5
5967. 6
5968. 0
5968. 1
5968. 2
5968. 3
5968. 4
5968. 5
5968. 6
5968. 7
5969. 0
5969. 1
5969. 2
5969. 3
5969. 4
5969. 5
5969. 6
5969. 7
5969. 8
5969. 9
5970. 0
5970. 1
5970. 2
5970. 3
5971. 0
5971. 1
5971. 2
5971. 3
5971. 4
5971. 5
5971. 6
5972. 0

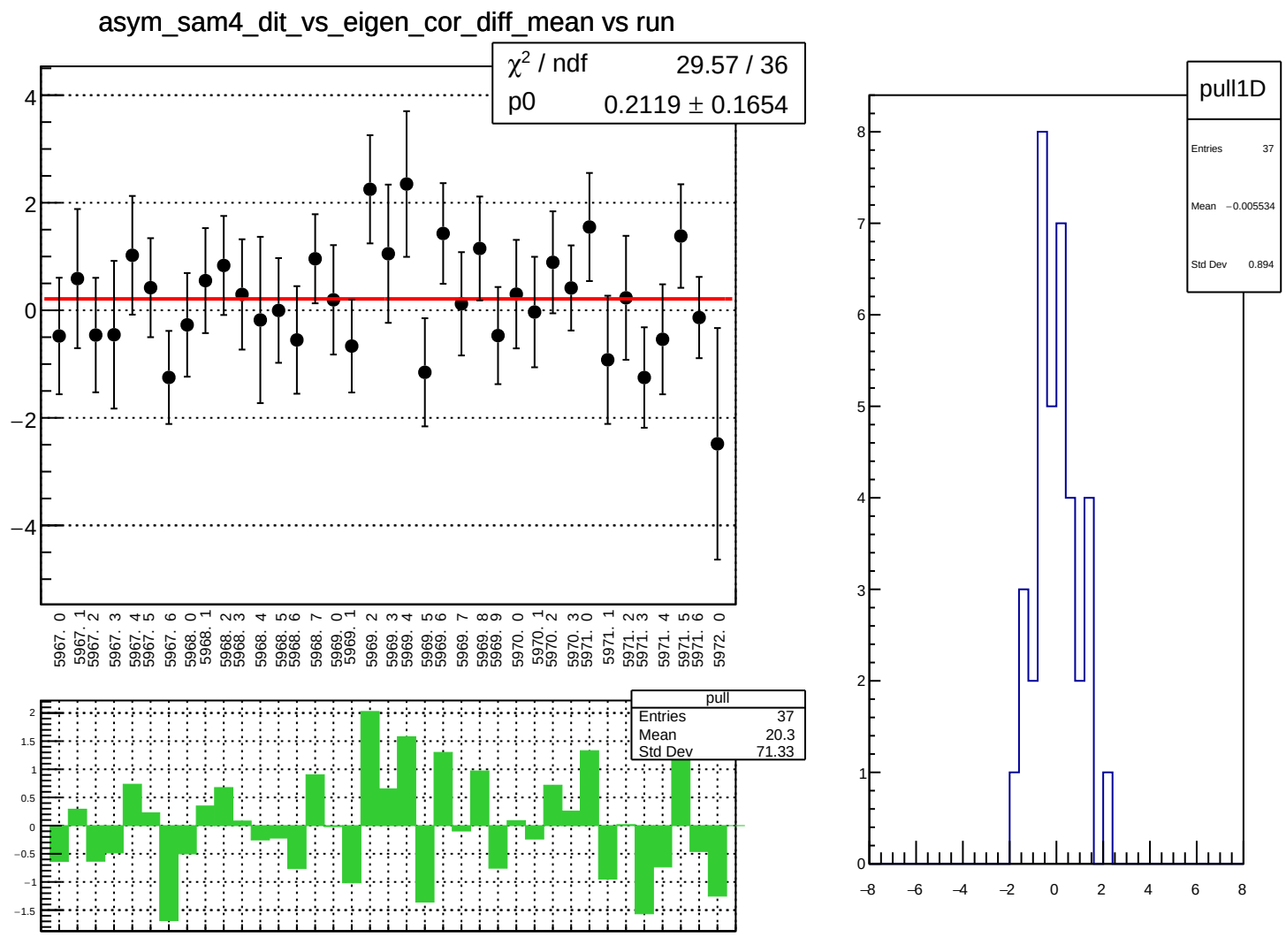
asym_sam4_dit_vs_eigen_cor_diff_mean vs run
χ² / ndf 29.57 / 36
p0 0.2119 ± 0.1654
pull
Entries 37
Mean 20.3
Std Dev 71.33
pull1D
Entries 37
Mean −0.005534
Std Dev 0.894

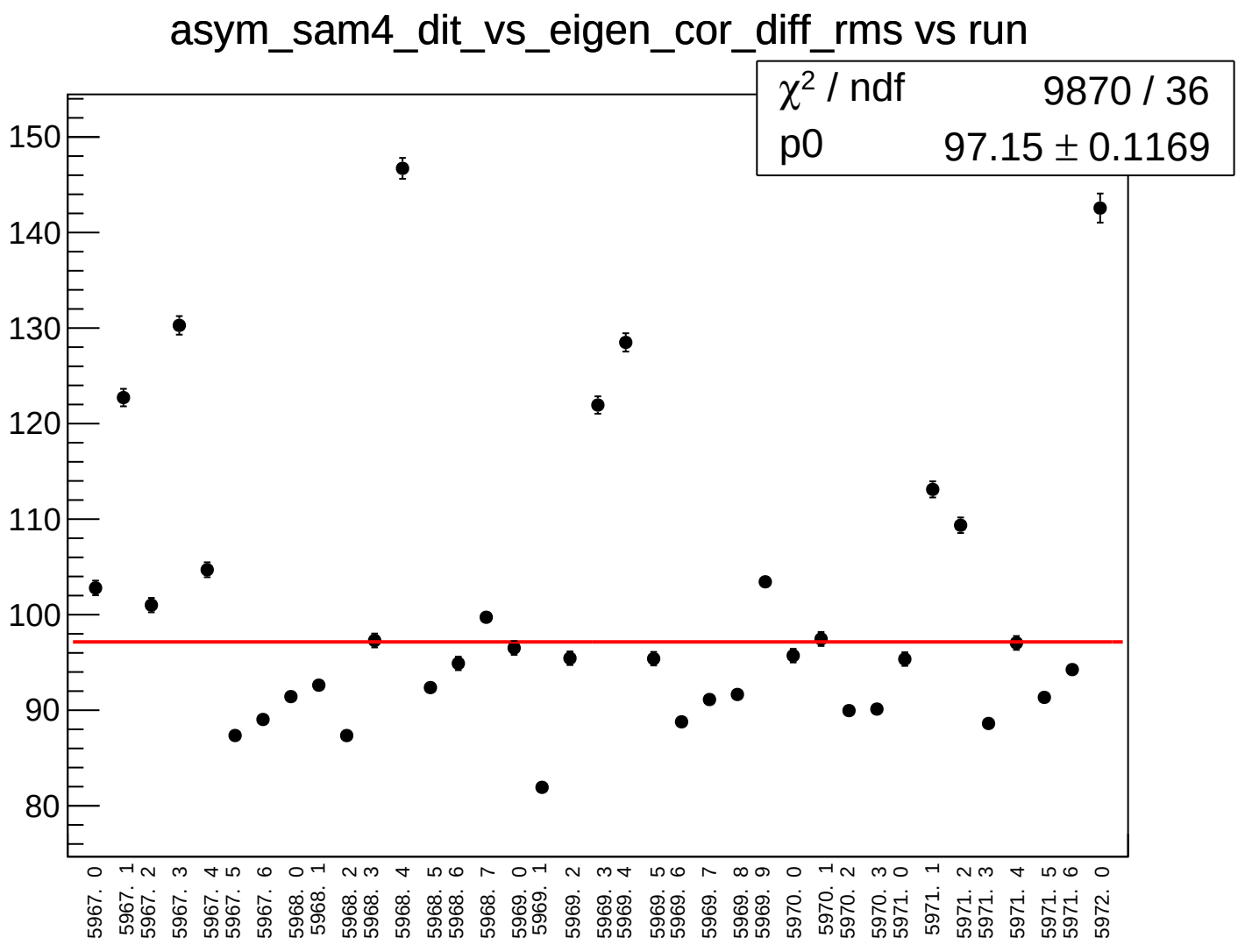
asym_sam4_dit_vs_eigen_cor_diff_rms vs run
χ² / ndf 9870 / 36
p0 97.15 ± 0.1169
150
140
130
120
110
100
90
80
5967. 0
5967. 1
5967. 2
5967. 3
5967. 4
5967. 5
5967. 6
5968. 0
5968. 1
5968. 2
5968. 3
5968. 4
5968. 5
5968. 6
5968. 7
5969. 0
5969. 1
5969. 2
5969. 3
5969. 4
5969. 5
5969. 6
5969. 7
5969. 8
5969. 9
5970. 0
5970. 1
5970. 2
5970. 3
5971. 0
5971. 1
5971. 2
5971. 3
5971. 4
5971. 5
5971. 6
5972. 0

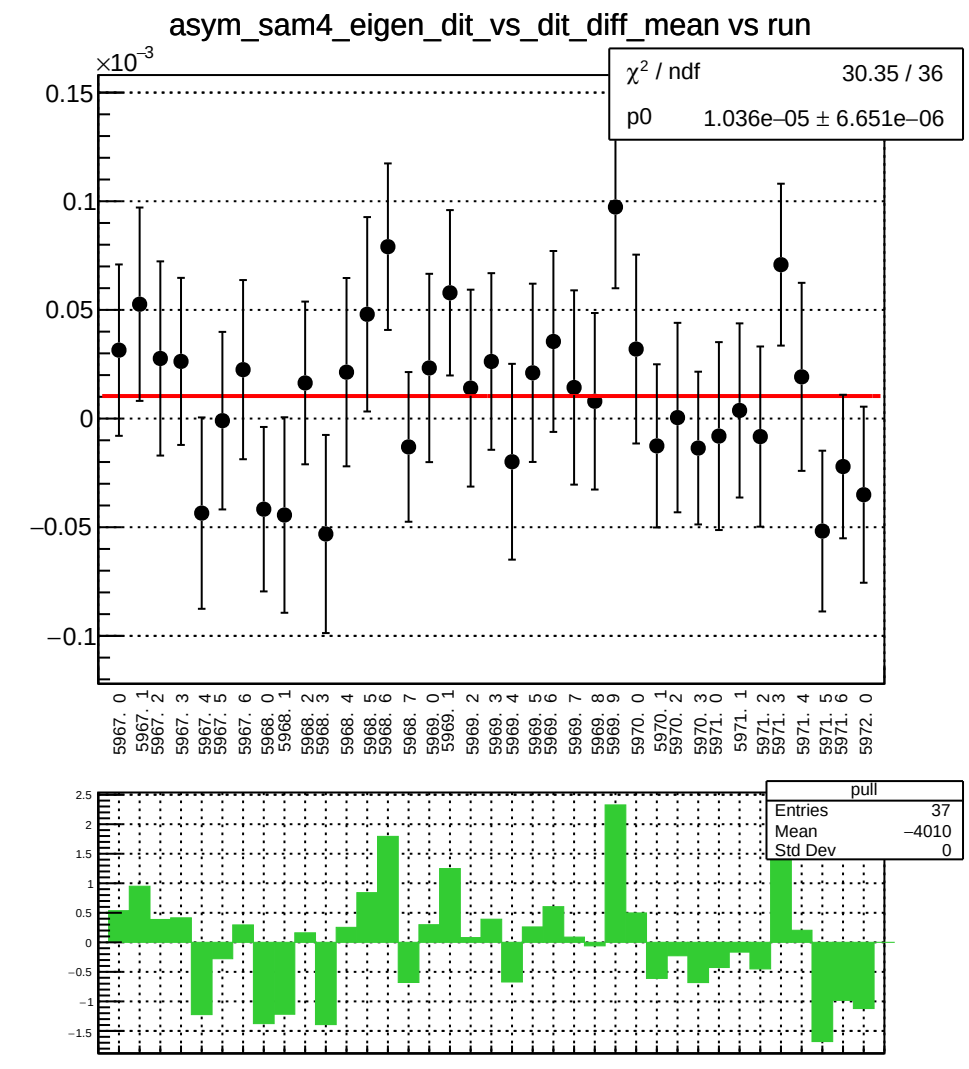
asym_sam4_eigen_dit_vs_dit_diff_mean vs run
×10⁻³
χ² / ndf 30.35 / 36
p0 1.036e−05 ± 6.651e−06
0.15
0.1
0.05
0
−0.05
−0.1
5967. 0
5967. 1
5967. 2
5967. 3
5967. 4
5967. 5
5967. 6
5968. 0
5968. 1
5968. 2
5968. 3
5968. 4
5968. 5
5968. 6
5968. 7
5969. 0
5969. 1
5969. 2
5969. 3
5969. 4
5969. 5
5969. 6
5969. 7
5969. 8
5969. 9
5970. 0
5970. 1
5970. 2
5970. 3
5971. 0
5971. 1
5971. 2
5971. 3
5971. 4
5971. 5
5971. 6
5972. 0
pull
Entries 37
Mean −4010
Std Dev 0
2.5
2
1.5
1
0.5
0
−0.5
−1
−1.5

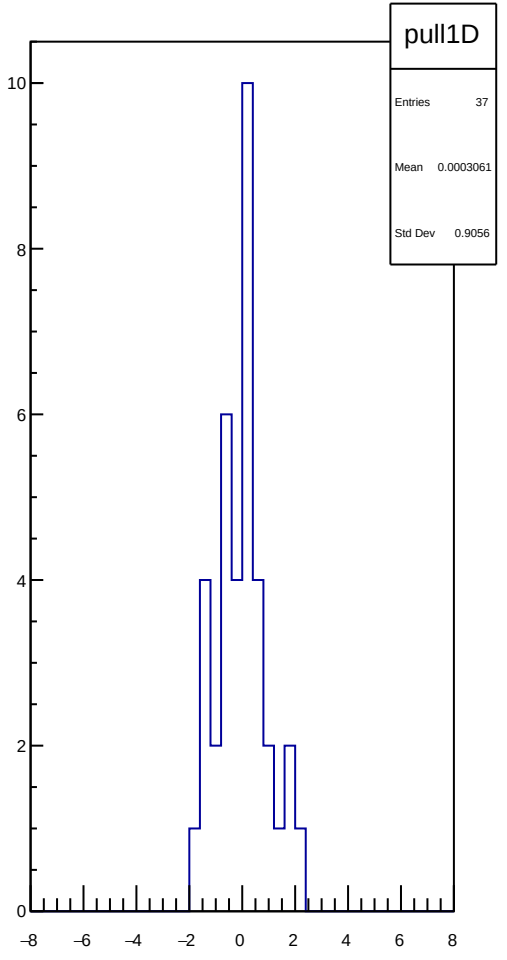
pull1D
Entries 37
Mean 0.0003061
Std Dev 0.9056
10
8
6
4
2
0
−8
−6
−4
−2
0
2
4
6
8

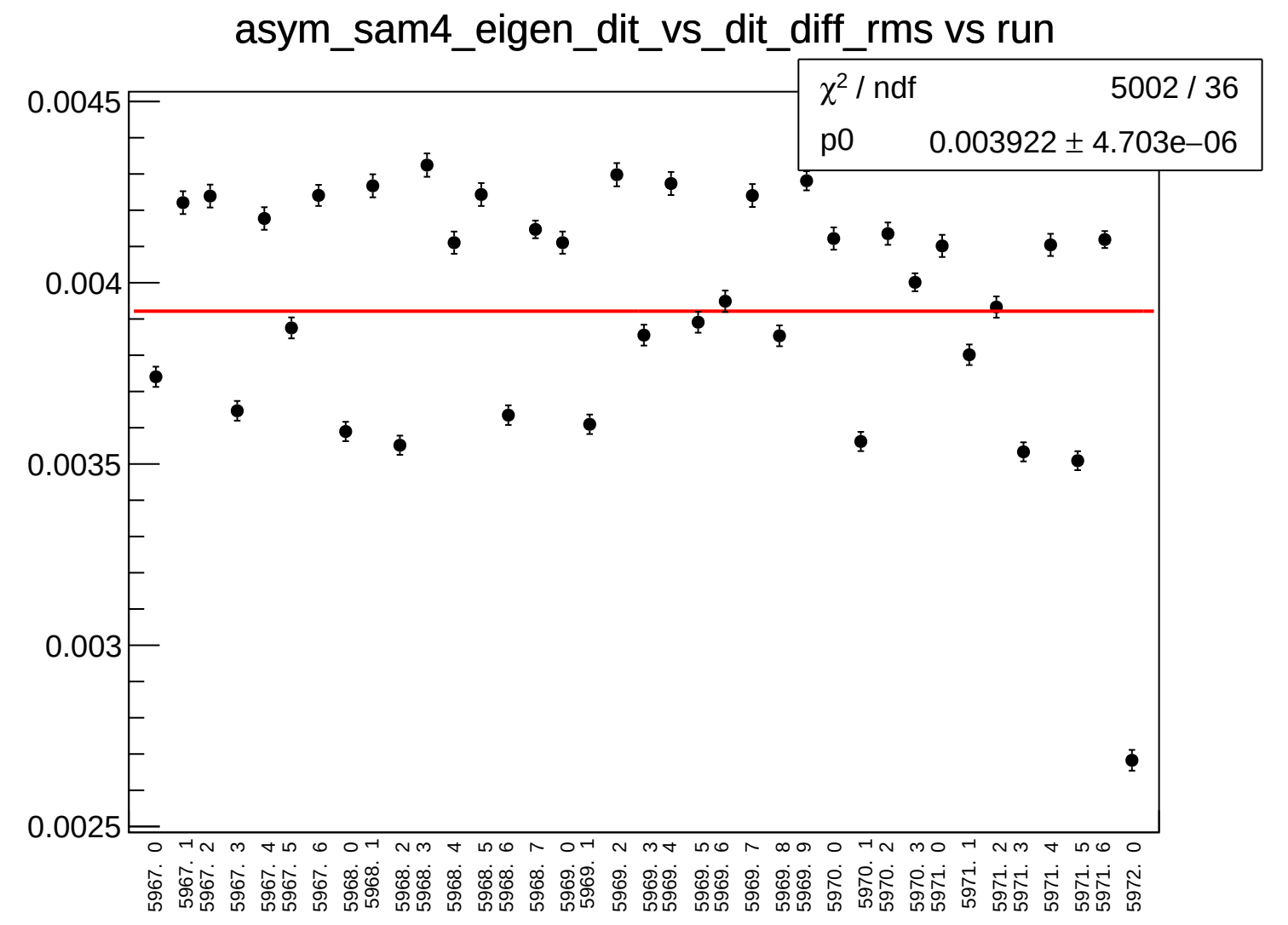
asym_sam4_eigen_dit_vs_dit_diff_rms vs run
χ² / ndf 5002 / 36
p0 0.003922 ± 4.703e−06
0.0045
0.004
0.0035
0.003
0.0025
5967. 0
5967. 1
5967. 2
5967. 3
5967. 4
5967. 5
5967. 6
5968. 0
5968. 1
5968. 2
5968. 3
5968. 4
5968. 5
5968. 6
5968. 7
5969. 0
5969. 1
5969. 2
5969. 3
5969. 4
5969. 5
5969. 6
5969. 7
5969. 8
5969. 9
5970. 0
5970. 1
5970. 2
5970. 3
5971. 0
5971. 1
5971. 2
5971. 3
5971. 4
5971. 5
5971. 6
5972. 0

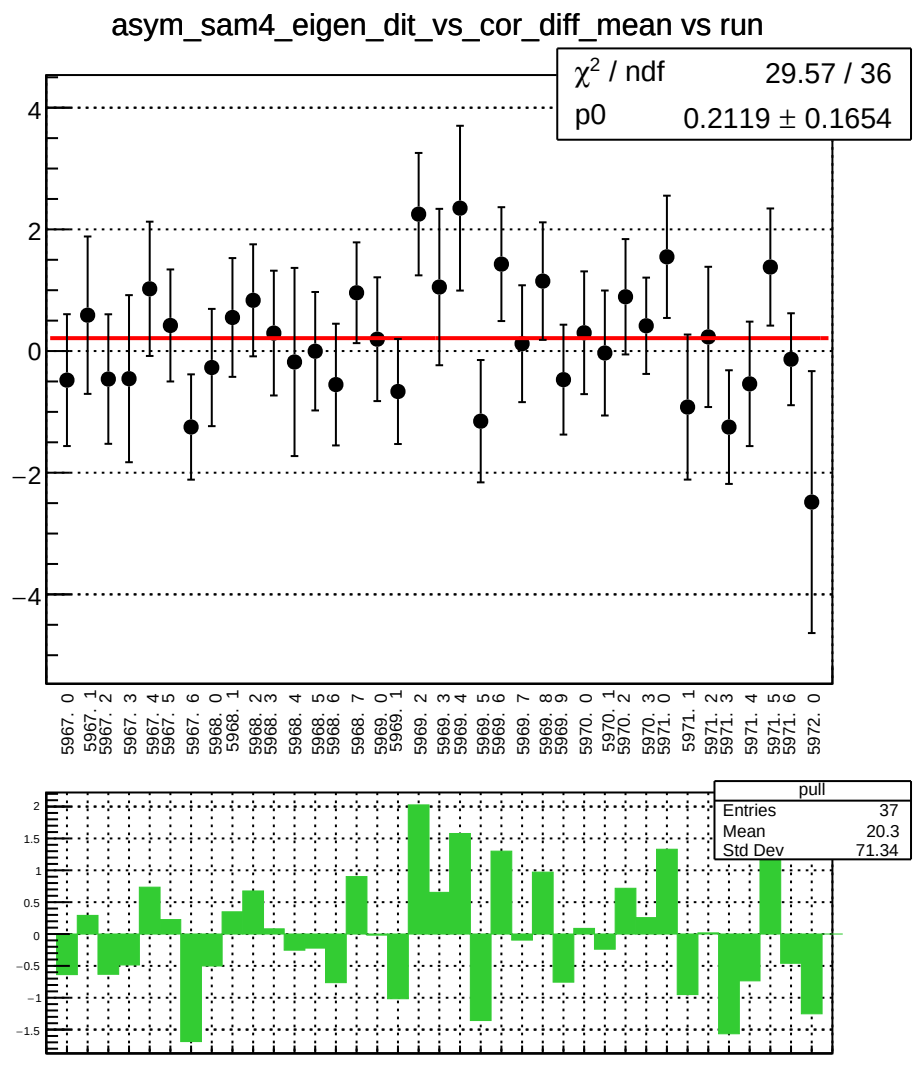
asym_sam4_eigen_dit_vs_cor_diff_mean vs run
χ² / ndf 29.57 / 36
p0 0.2119 ± 0.1654
pull
Entries 37
Mean 20.3
Std Dev 71.34

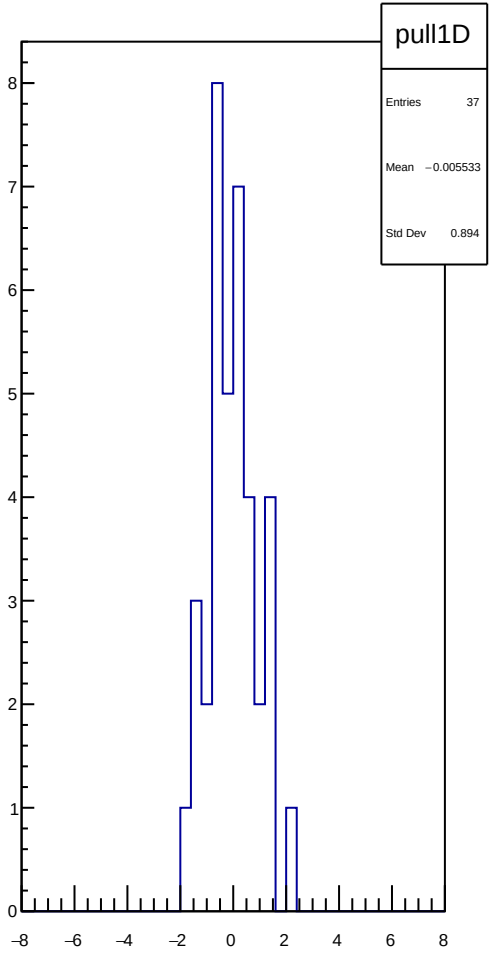
pull1D
Entries 37
Mean −0.005533
Std Dev 0.894

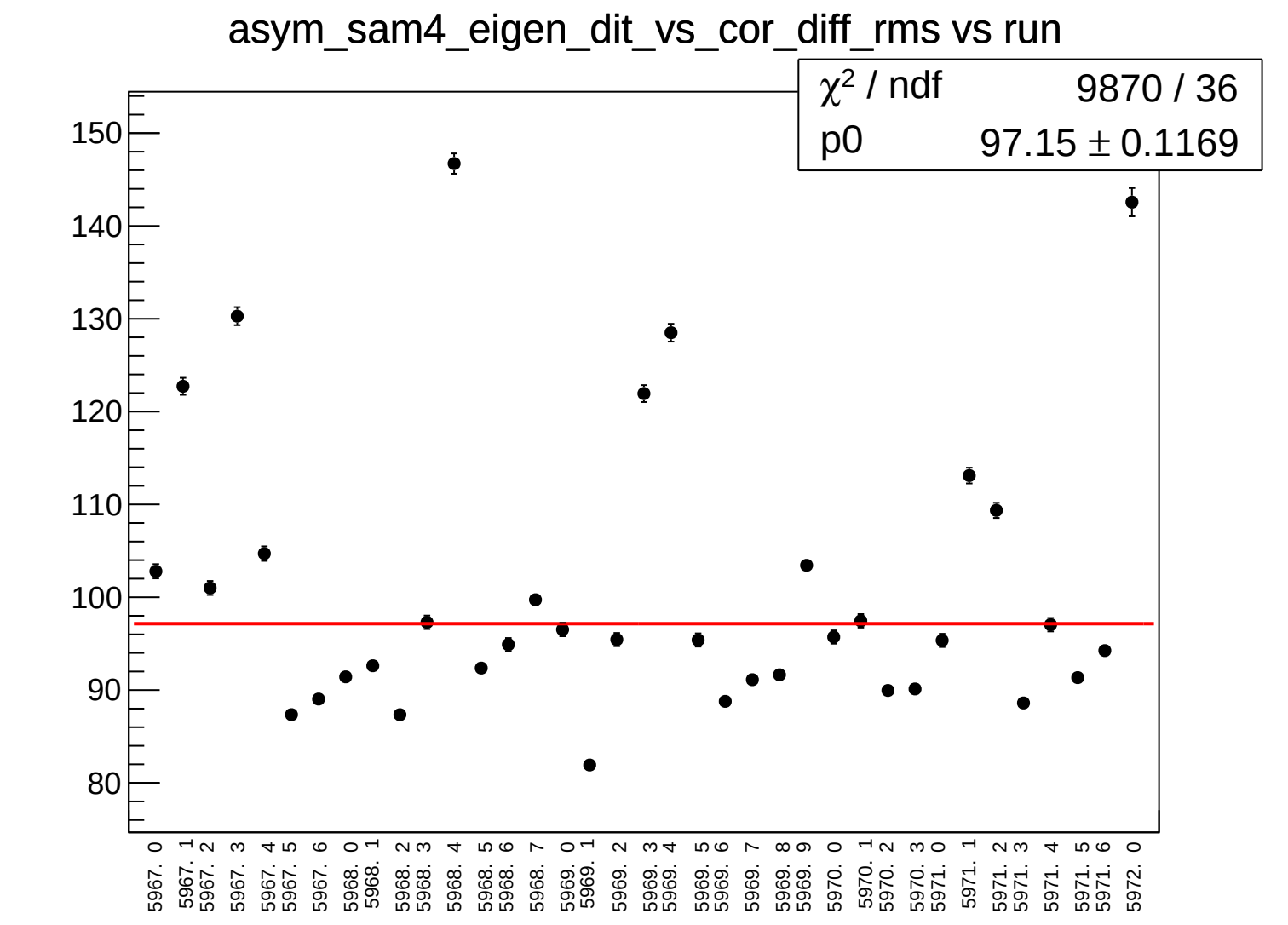
asym_sam4_eigen_dit_vs_cor_diff_rms vs run
χ² / ndf 9870 / 36
p0 97.15 ± 0.1169
150
140
130
120
110
100
90
80
5967. 0
5967. 1
5967. 2
5967. 3
5967. 4
5967. 5
5967. 6
5968. 0
5968. 1
5968. 2
5968. 3
5968. 4
5968. 5
5968. 6
5968. 7
5969. 0
5969. 1
5969. 2
5969. 3
5969. 4
5969. 5
5969. 6
5969. 7
5969. 8
5969. 9
5970. 0
5970. 1
5970. 2
5970. 3
5971. 0
5971. 1
5971. 2
5971. 3
5971. 4
5971. 5
5971. 6
5972. 0

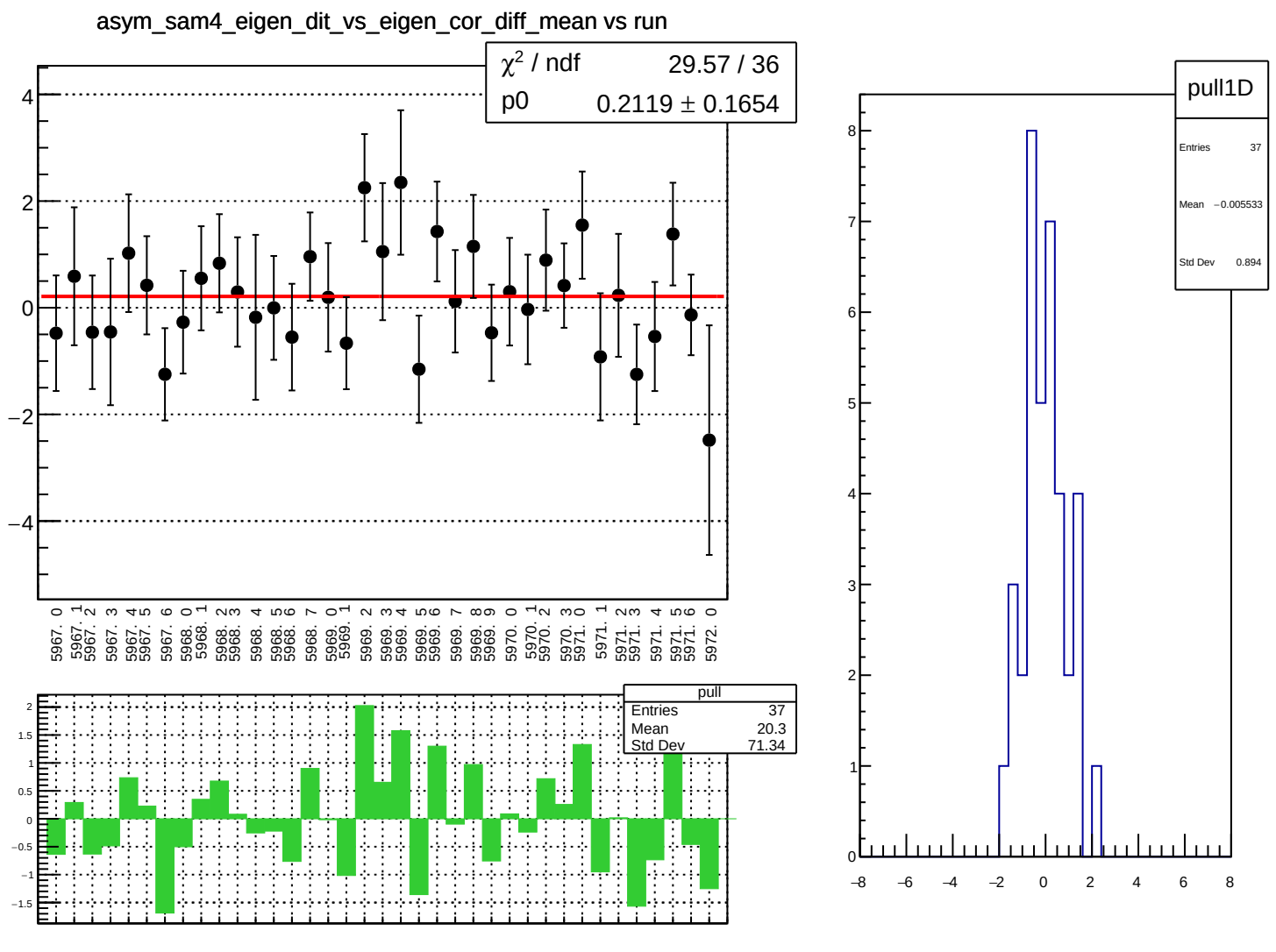
asym_sam4_eigen_dit_vs_eigen_cor_diff_mean vs run
χ² / ndf 29.57 / 36
p0 0.2119 ± 0.1654
4
2
0
−2
−4
5967. 0
5967. 1
5967. 2
5967. 3
5967. 4
5967. 5
5967. 6
5968. 0
5968. 1
5968. 2
5968. 3
5968. 4
5968. 5
5968. 6
5968. 7
5969. 0
5969. 1
5969. 2
5969. 3
5969. 4
5969. 5
5969. 6
5969. 7
5969. 8
5969. 9
5970. 0
5970. 1
5970. 2
5970. 3
5971. 0
5971. 1
5971. 2
5971. 3
5971. 4
5971. 5
5971. 6
5972. 0
pull
Entries 37
Mean 20.3
Std Dev 71.34
2
1.5
1
0.5
0
−0.5
−1
−1.5
pull1D
Entries 37
Mean −0.005533
Std Dev 0.894
8
7
6
5
4
3
2
1
0
−8
−6
−4
−2
0
2
4
6
8

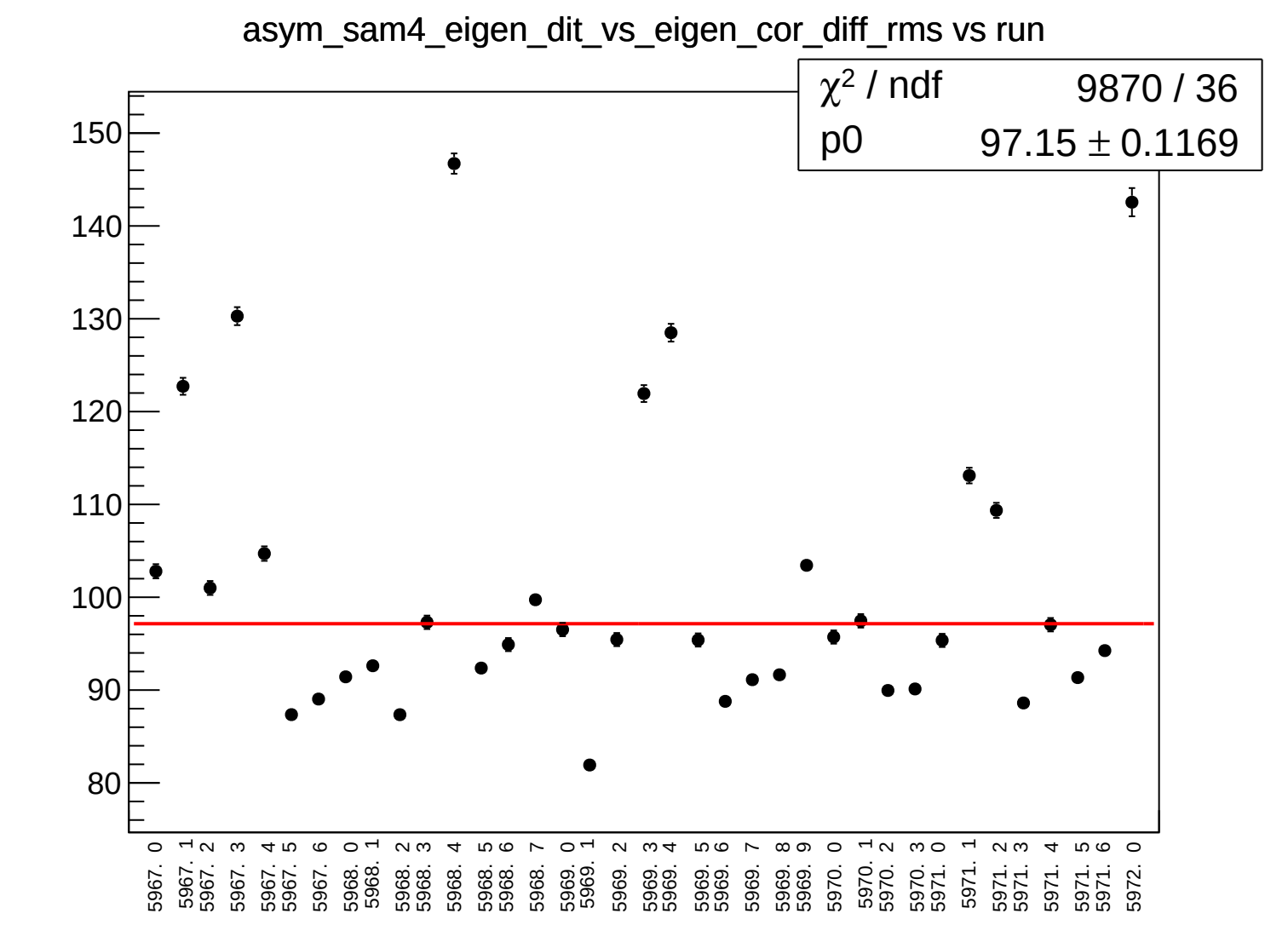
asym_sam4_eigen_dit_vs_eigen_cor_diff_rms vs run
χ² / ndf 9870 / 36
p0 97.15 ± 0.1169
150
140
130
120
110
100
90
80
5967. 0
5967. 1
5967. 2
5967. 3
5967. 4
5967. 5
5967. 6
5968. 0
5968. 1
5968. 2
5968. 3
5968. 4
5968. 5
5968. 6
5968. 7
5969. 0
5969. 1
5969. 2
5969. 3
5969. 4
5969. 5
5969. 6
5969. 7
5969. 8
5969. 9
5970. 0
5970. 1
5970. 2
5970. 3
5971. 0
5971. 1
5971. 2
5971. 3
5971. 4
5971. 5
5971. 6
5972. 0

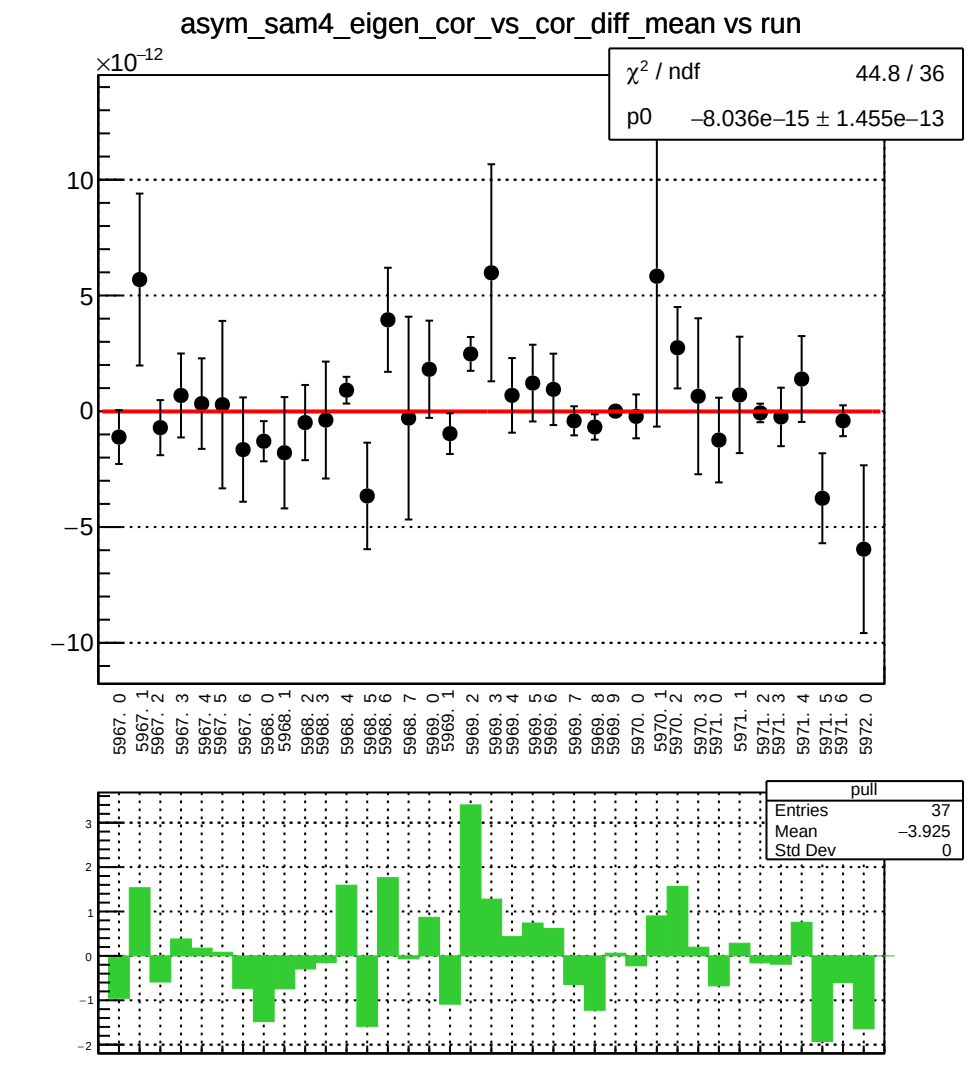
asym_sam4_eigen_cor_vs_cor_diff_mean vs run
×10⁻¹²
χ² / ndf 44.8 / 36
p0 −8.036e−15 ± 1.455e−13
10
5
0
−5
−10
5967. 0
5967. 1
5967. 2
5967. 3
5967. 4
5967. 5
5967. 6
5968. 0
5968. 1
5968. 2
5968. 3
5968. 4
5968. 5
5968. 6
5968. 7
5969. 0
5969. 1
5969. 2
5969. 3
5969. 4
5969. 5
5969. 6
5969. 7
5969. 8
5969. 9
5970. 0
5970. 1
5970. 2
5970. 3
5971. 0
5971. 1
5971. 2
5971. 3
5971. 4
5971. 5
5971. 6
5972. 0
pull
Entries 37
Mean −3.925
Std Dev 0
3
2
1
0
−1
−2

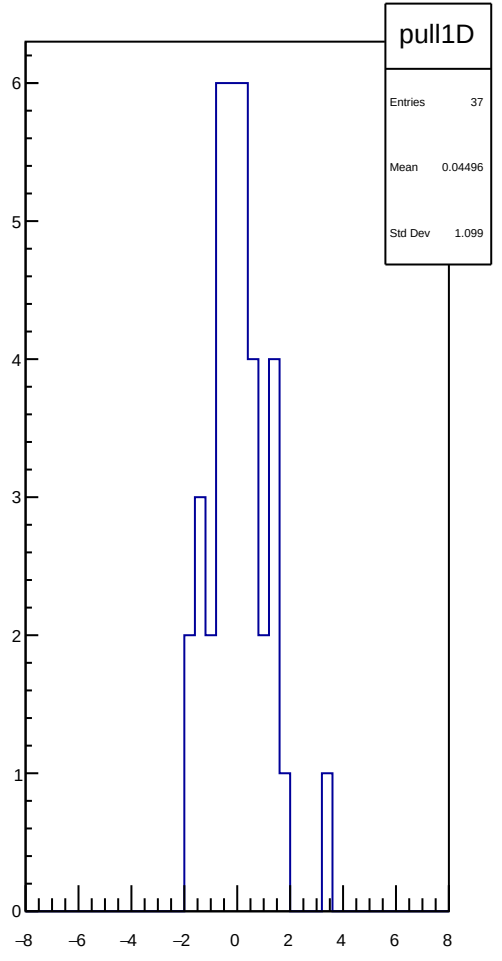
pull1D
Entries 37
Mean 0.04496
Std Dev 1.099
6
5
4
3
2
1
0
−8
−6
−4
−2
0
2
4
6
8

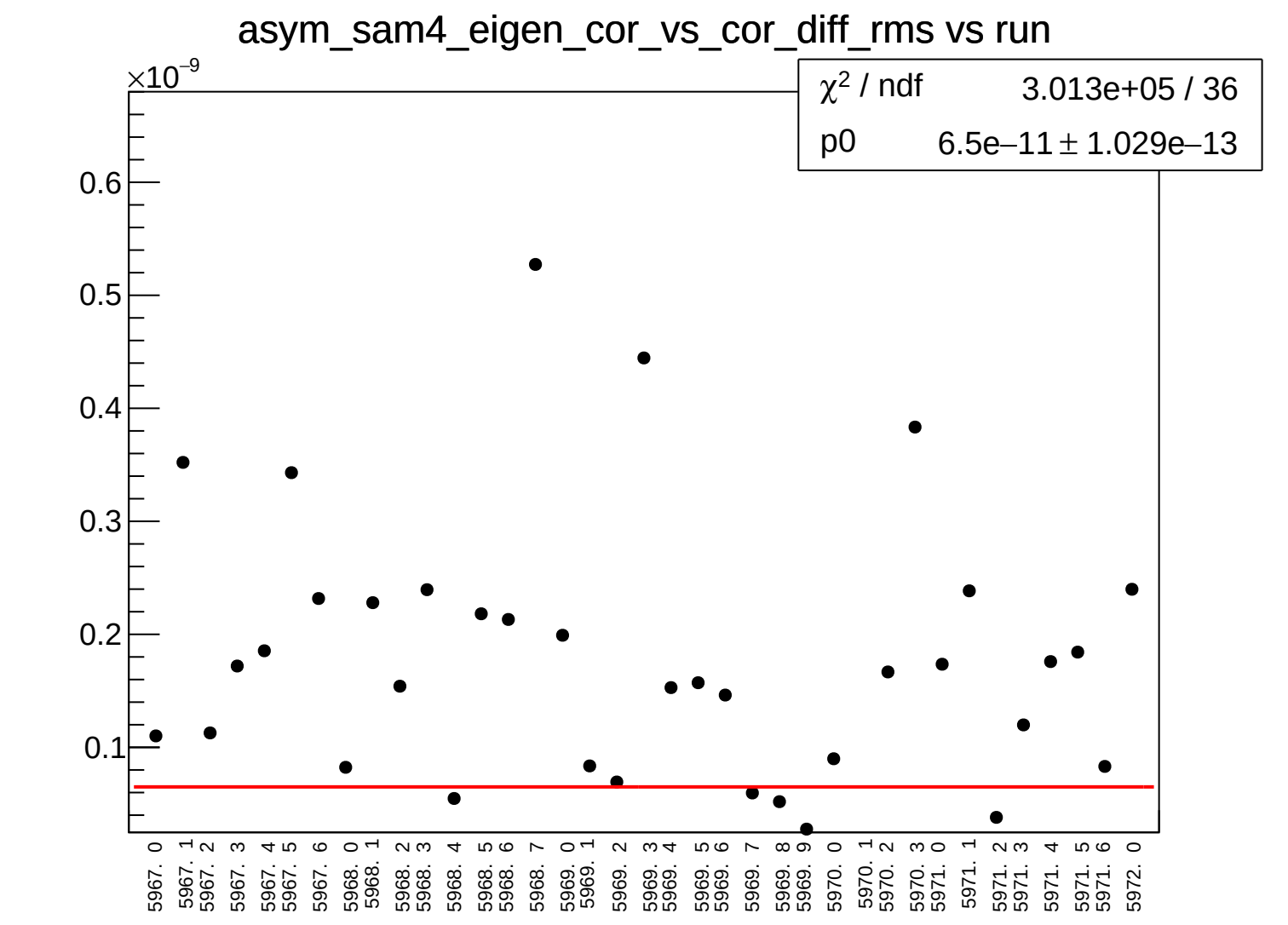
asym_sam4_eigen_cor_vs_cor_diff_rms vs run
×10⁻⁹
χ² / ndf 3.013e+05 / 36
p0 6.5e−11 ± 1.029e−13
0.6
0.5
0.4
0.3
0.2
0.1
5967. 0
5967. 1
5967. 2
5967. 3
5967. 4
5967. 5
5967. 6
5968. 0
5968. 1
5968. 2
5968. 3
5968. 4
5968. 5
5968. 6
5968. 7
5969. 0
5969. 1
5969. 2
5969. 3
5969. 4
5969. 5
5969. 6
5969. 7
5969. 8
5969. 9
5970. 0
5970. 1
5970. 2
5970. 3
5971. 0
5971. 1
5971. 2
5971. 3
5971. 4
5971. 5
5971. 6
5972. 0

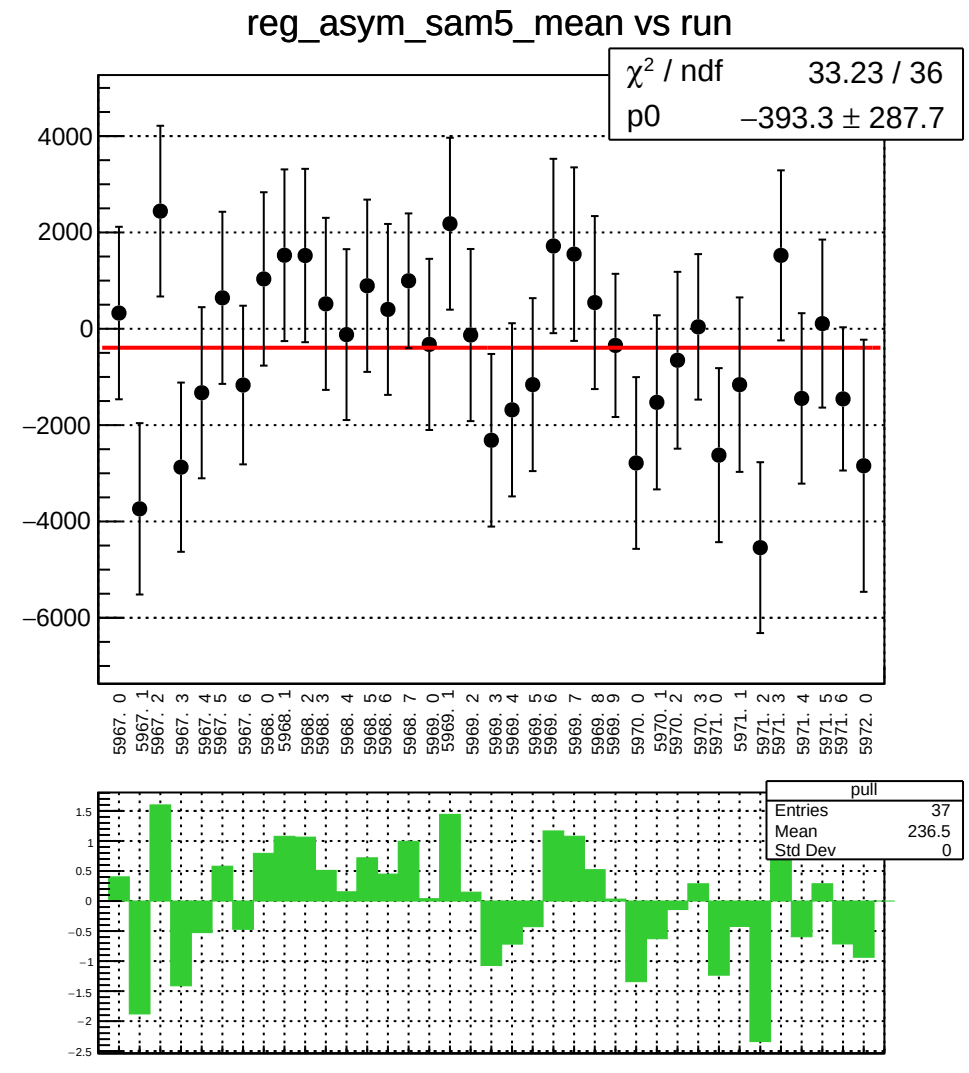
reg_asym_sam5_mean vs run
χ² / ndf 33.23 / 36
p0 −393.3 ± 287.7
4000
2000
0
−2000
−4000
−6000
5967. 0
5967. 1
5967. 2
5967. 3
5967. 4
5967. 5
5967. 6
5968. 0
5968. 1
5968. 2
5968. 3
5968. 4
5968. 5
5968. 6
5968. 7
5969. 0
5969. 1
5969. 2
5969. 3
5969. 4
5969. 5
5969. 6
5969. 7
5969. 8
5969. 9
5970. 0
5970. 1
5970. 2
5970. 3
5971. 0
5971. 1
5971. 2
5971. 3
5971. 4
5971. 5
5971. 6
5972. 0
pull
Entries 37
Mean 236.5
Std Dev 0
1.5
1
0.5
0
−0.5
−1
−1.5
−2
−2.5

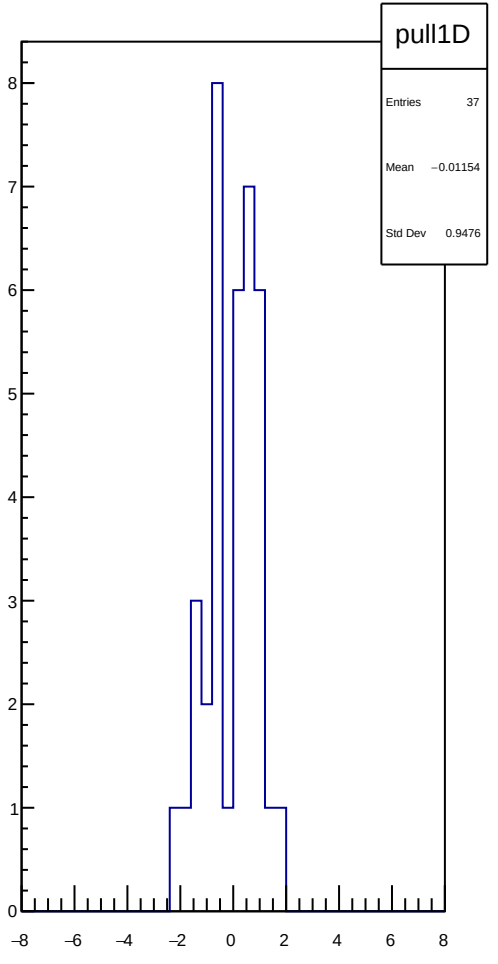
pull1D
Entries 37
Mean −0.01154
Std Dev 0.9476
8
7
6
5
4
3
2
1
0
−8
−6
−4
−2
0
2
4
6
8

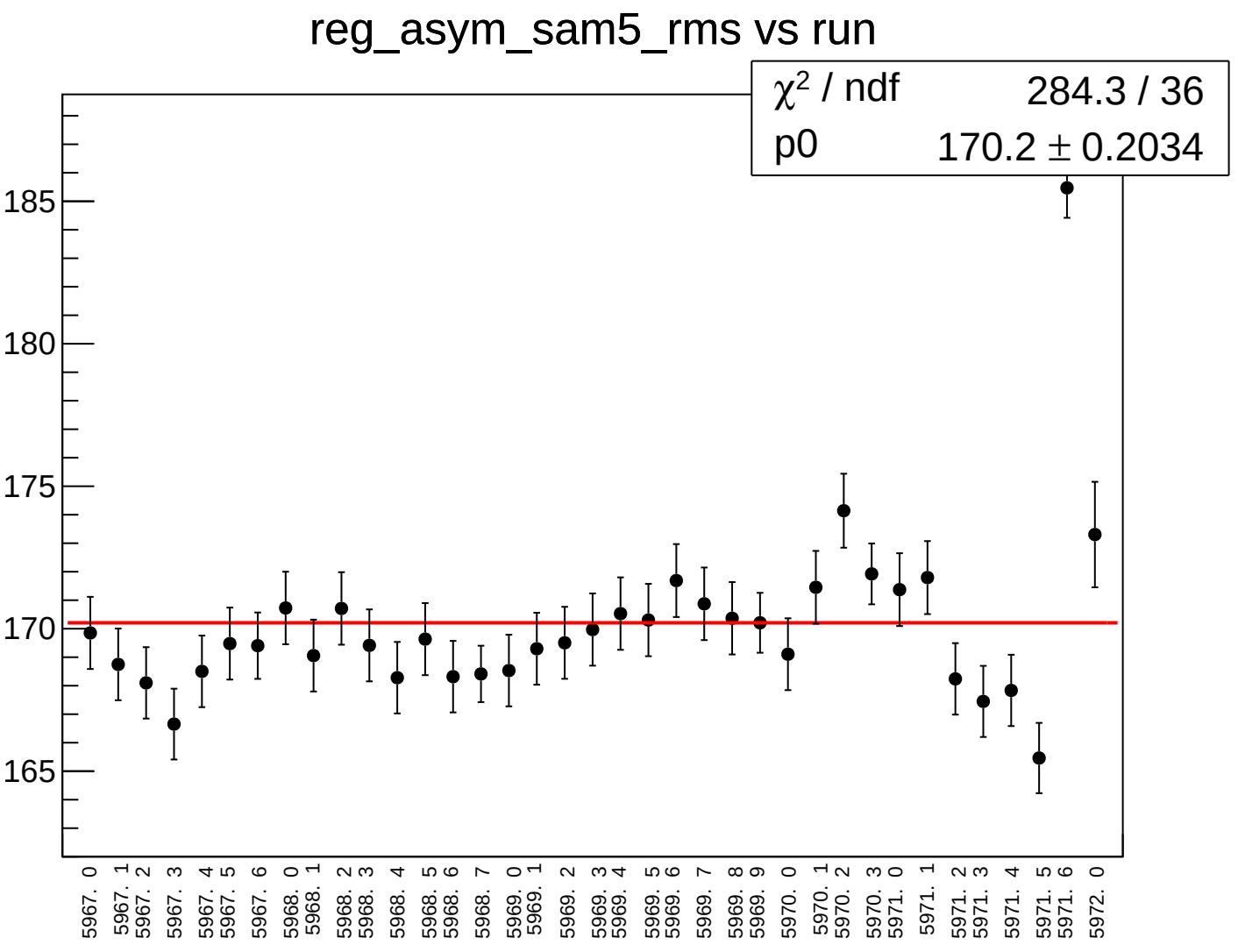
reg_asym_sam5_rms vs run
χ² / ndf 284.3 / 36
p0 170.2 ± 0.2034
185
180
175
170
165
5967. 0
5967. 1
5967. 2
5967. 3
5967. 4
5967. 5
5967. 6
5968. 0
5968. 1
5968. 2
5968. 3
5968. 4
5968. 5
5968. 6
5968. 7
5969. 0
5969. 1
5969. 2
5969. 3
5969. 4
5969. 5
5969. 6
5969. 7
5969. 8
5969. 9
5970. 0
5970. 1
5970. 2
5970. 3
5971. 0
5971. 1
5971. 2
5971. 3
5971. 4
5971. 5
5971. 6
5972. 0

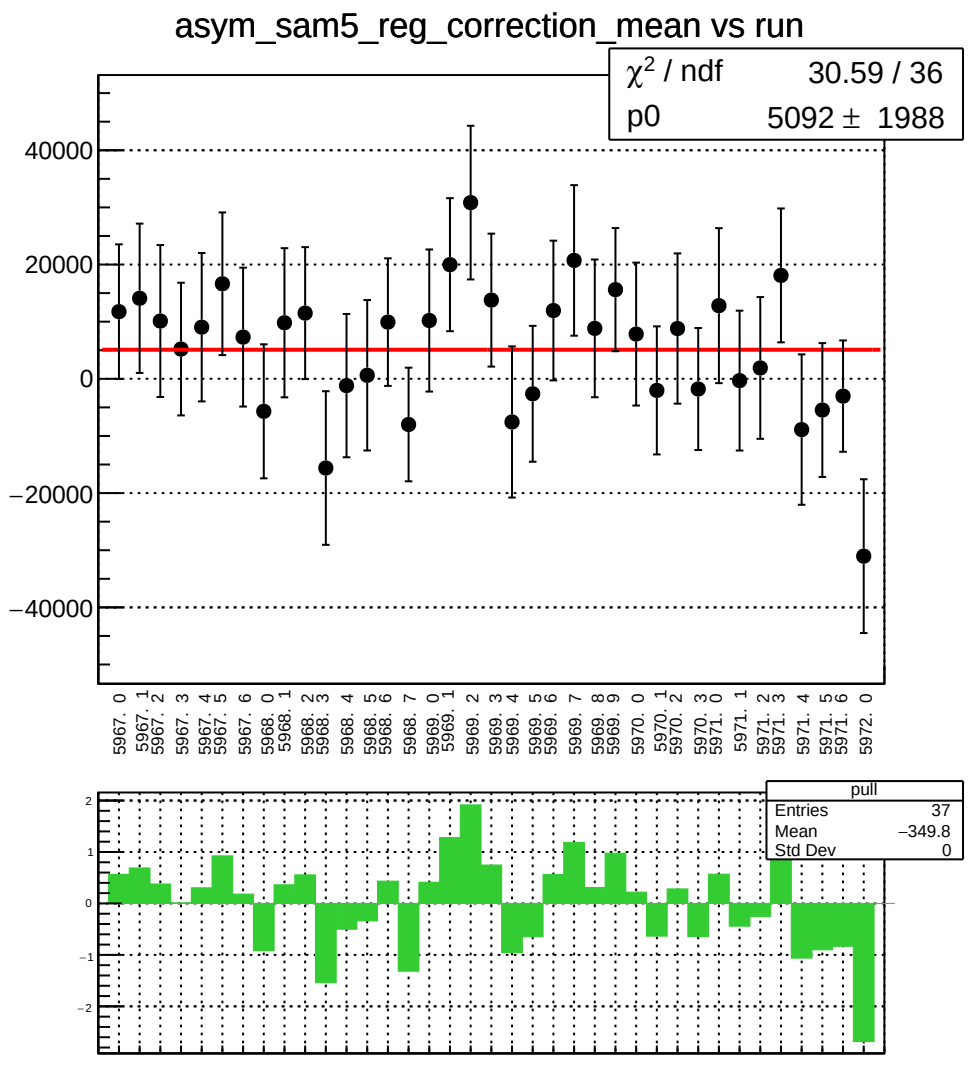
asym_sam5_reg_correction_mean vs run
χ² / ndf 30.59 / 36
p0 5092 ± 1988
40000
20000
0
−20000
−40000
5967. 0
5967. 1
5967. 2
5967. 3
5967. 4
5967. 5
5967. 6
5968. 0
5968. 1
5968. 2
5968. 3
5968. 4
5968. 5
5968. 6
5968. 7
5969. 0
5969. 1
5969. 2
5969. 3
5969. 4
5969. 5
5969. 6
5969. 7
5969. 8
5969. 9
5970. 0
5970. 1
5970. 2
5970. 3
5971. 0
5971. 1
5971. 2
5971. 3
5971. 4
5971. 5
5971. 6
5972. 0
pull
Entries 37
Mean −349.8
Std Dev 0
2
1
0
−1
−2

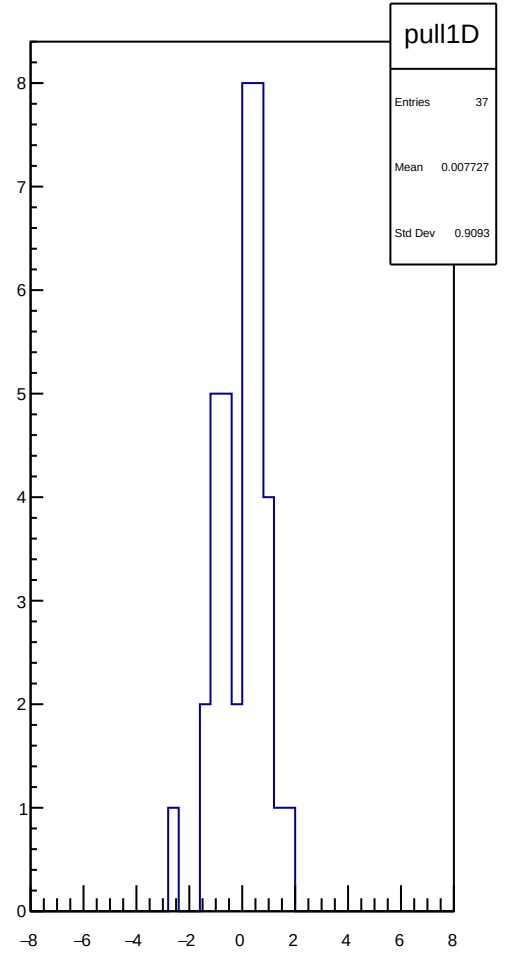
pull1D
Entries 37
Mean 0.007727
Std Dev 0.9093
8
7
6
5
4
3
2
1
0
−8
−6
−4
−2
0
2
4
6
8

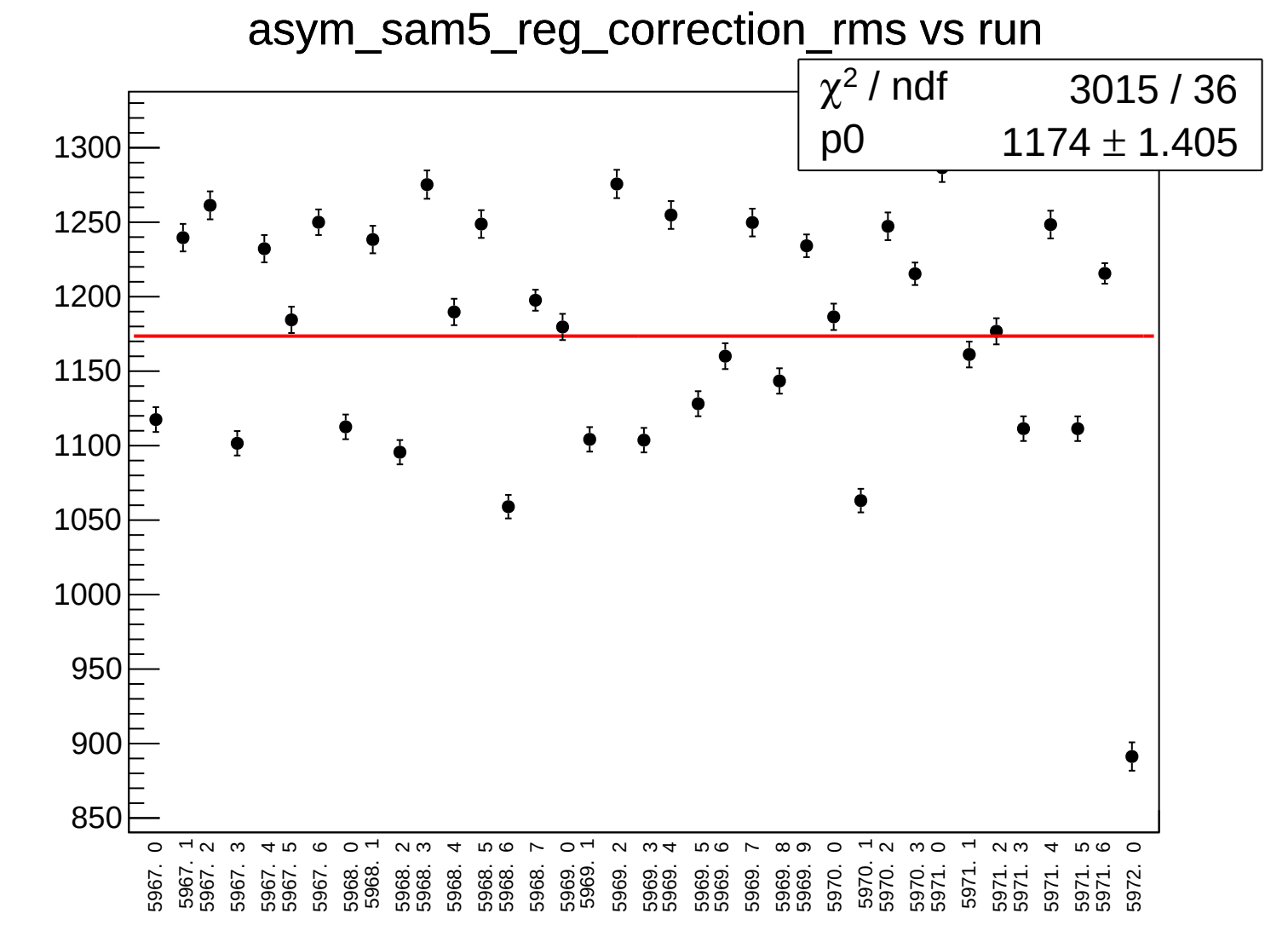
asym_sam5_reg_correction_rms vs run
χ² / ndf 3015 / 36
p0 1174 ± 1.405
1300
1250
1200
1150
1100
1050
1000
950
900
850
5967. 0
5967. 1
5967. 2
5967. 3
5967. 4
5967. 5
5967. 6
5968. 0
5968. 1
5968. 2
5968. 3
5968. 4
5968. 5
5968. 6
5968. 7
5969. 0
5969. 1
5969. 2
5969. 3
5969. 4
5969. 5
5969. 6
5969. 7
5969. 8
5969. 9
5970. 0
5970. 1
5970. 2
5970. 3
5971. 0
5971. 1
5971. 2
5971. 3
5971. 4
5971. 5
5971. 6
5972. 0

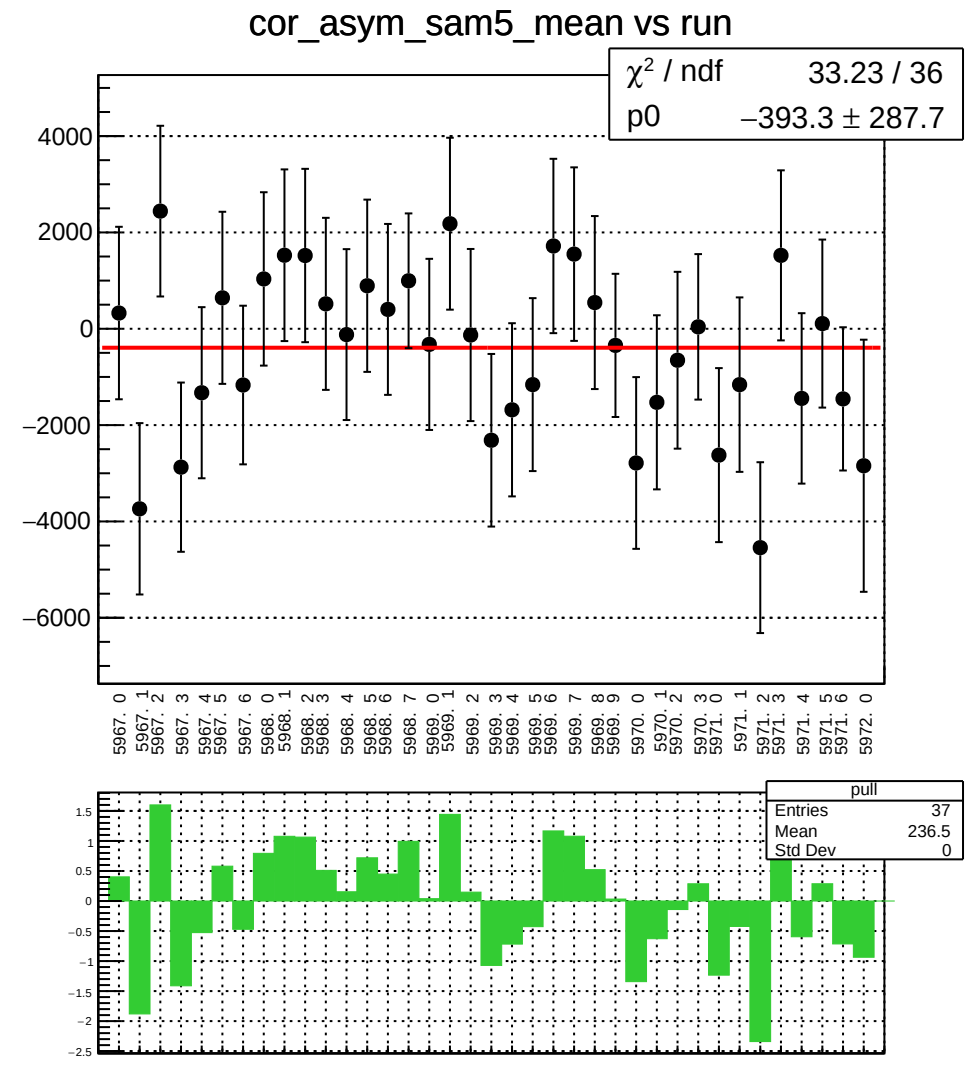
cor_asym_sam5_mean vs run
χ² / ndf 33.23 / 36
p0 −393.3 ± 287.7
4000
2000
0
−2000
−4000
−6000
5967. 0
5967. 1
5967. 2
5967. 3
5967. 4
5967. 5
5967. 6
5968. 0
5968. 1
5968. 2
5968. 3
5968. 4
5968. 5
5968. 6
5968. 7
5969. 0
5969. 1
5969. 2
5969. 3
5969. 4
5969. 5
5969. 6
5969. 7
5969. 8
5969. 9
5970. 0
5970. 1
5970. 2
5970. 3
5971. 0
5971. 1
5971. 2
5971. 3
5971. 4
5971. 5
5971. 6
5972. 0
pull
Entries 37
Mean 236.5
Std Dev 0
1.5
1
0.5
0
−0.5
−1
−1.5
−2
−2.5

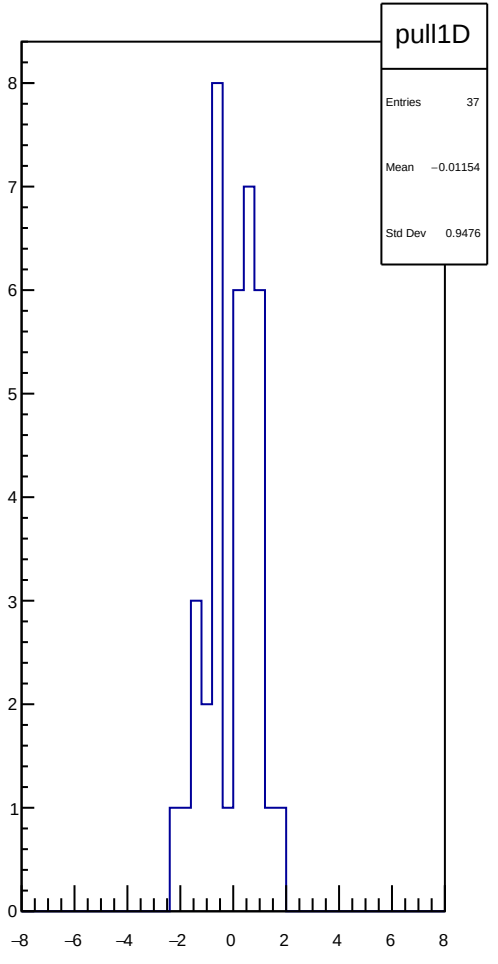
pull1D
Entries 37
Mean −0.01154
Std Dev 0.9476
8
7
6
5
4
3
2
1
0
−8
−6
−4
−2
0
2
4
6
8

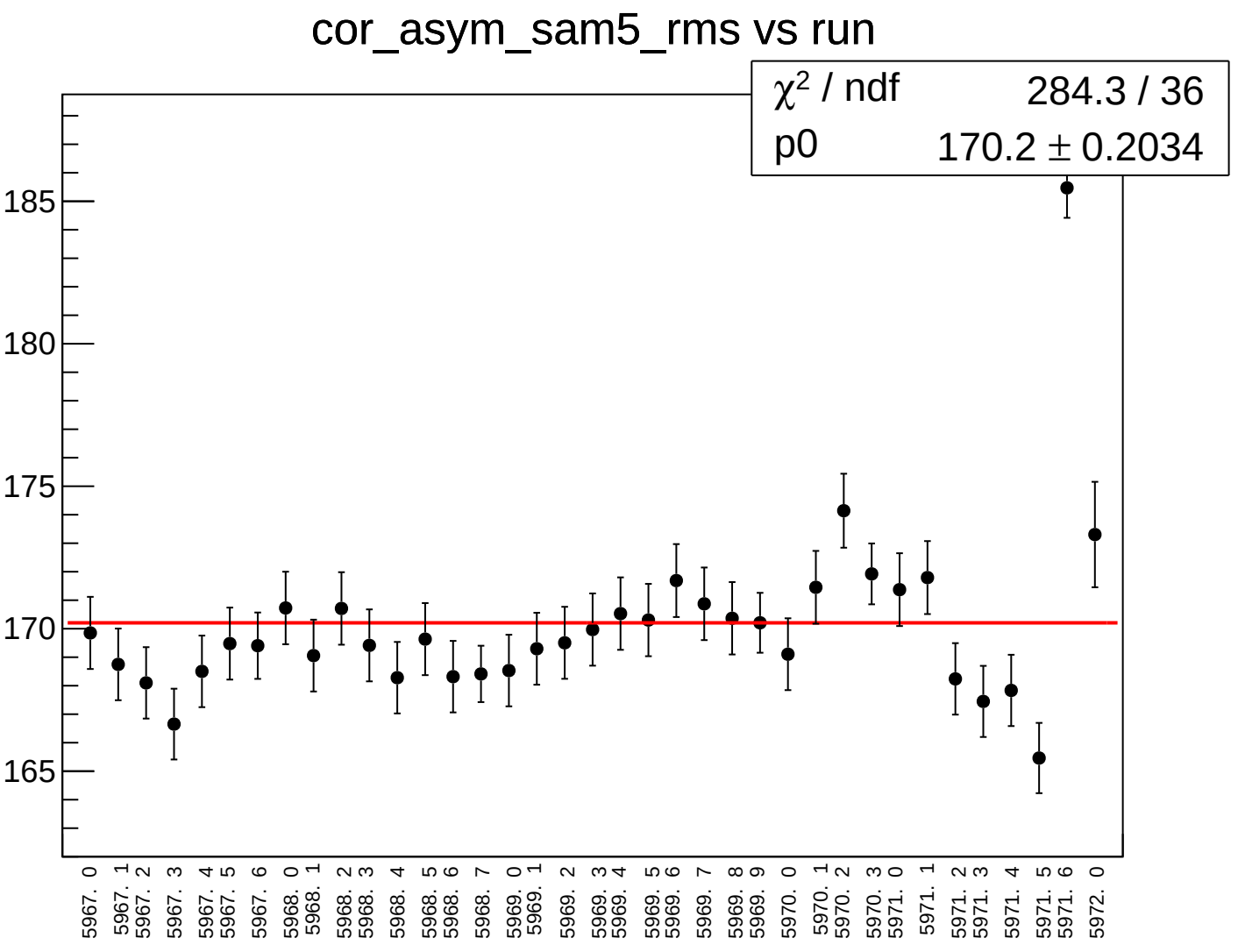
cor_asym_sam5_rms vs run
χ² / ndf 284.3 / 36
p0 170.2 ± 0.2034
185
180
175
170
165
5967. 0
5967. 1
5967. 2
5967. 3
5967. 4
5967. 5
5967. 6
5968. 0
5968. 1
5968. 2
5968. 3
5968. 4
5968. 5
5968. 6
5968. 7
5969. 0
5969. 1
5969. 2
5969. 3
5969. 4
5969. 5
5969. 6
5969. 7
5969. 8
5969. 9
5970. 0
5970. 1
5970. 2
5970. 3
5971. 0
5971. 1
5971. 2
5971. 3
5971. 4
5971. 5
5971. 6
5972. 0

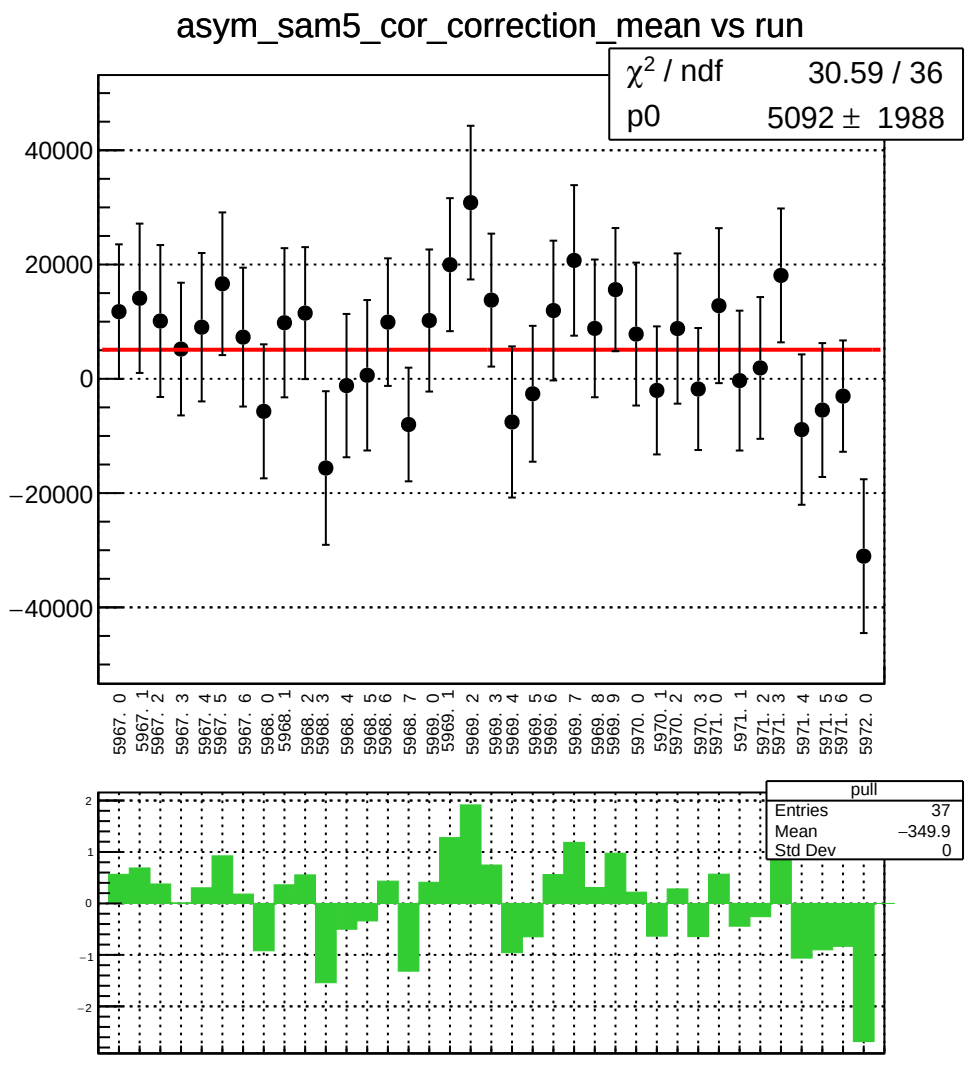
asym_sam5_cor_correction_mean vs run
χ² / ndf 30.59 / 36
p0 5092 ± 1988
40000
20000
0
−20000
−40000
5967. 0
5967. 1
5967. 2
5967. 3
5967. 4
5967. 5
5967. 6
5968. 0
5968. 1
5968. 2
5968. 3
5968. 4
5968. 5
5968. 6
5968. 7
5969. 0
5969. 1
5969. 2
5969. 3
5969. 4
5969. 5
5969. 6
5969. 7
5969. 8
5969. 9
5970. 0
5970. 1
5970. 2
5970. 3
5971. 0
5971. 1
5971. 2
5971. 3
5971. 4
5971. 5
5971. 6
5972. 0
pull
Entries 37
Mean −349.9
Std Dev 0
2
1
0
−1
−2

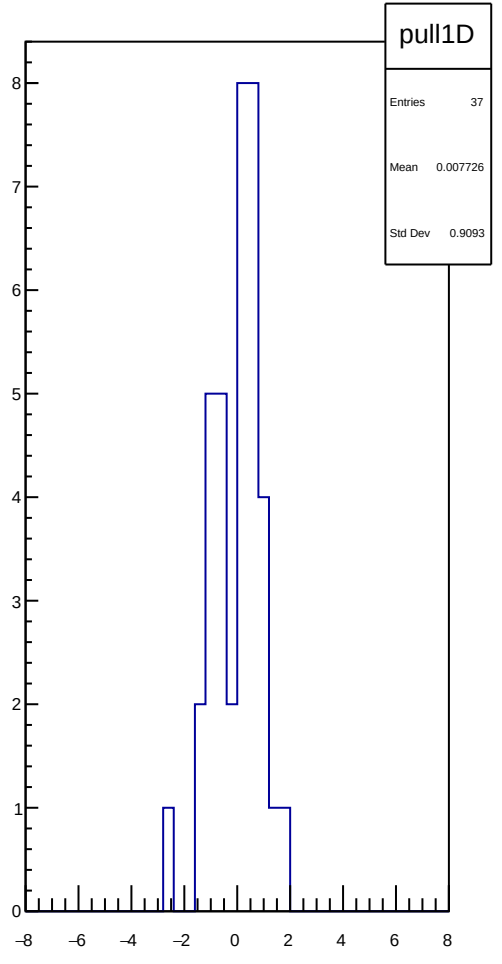
pull1D
Entries 37
Mean 0.007726
Std Dev 0.9093
8
7
6
5
4
3
2
1
0
−8
−6
−4
−2
0
2
4
6
8

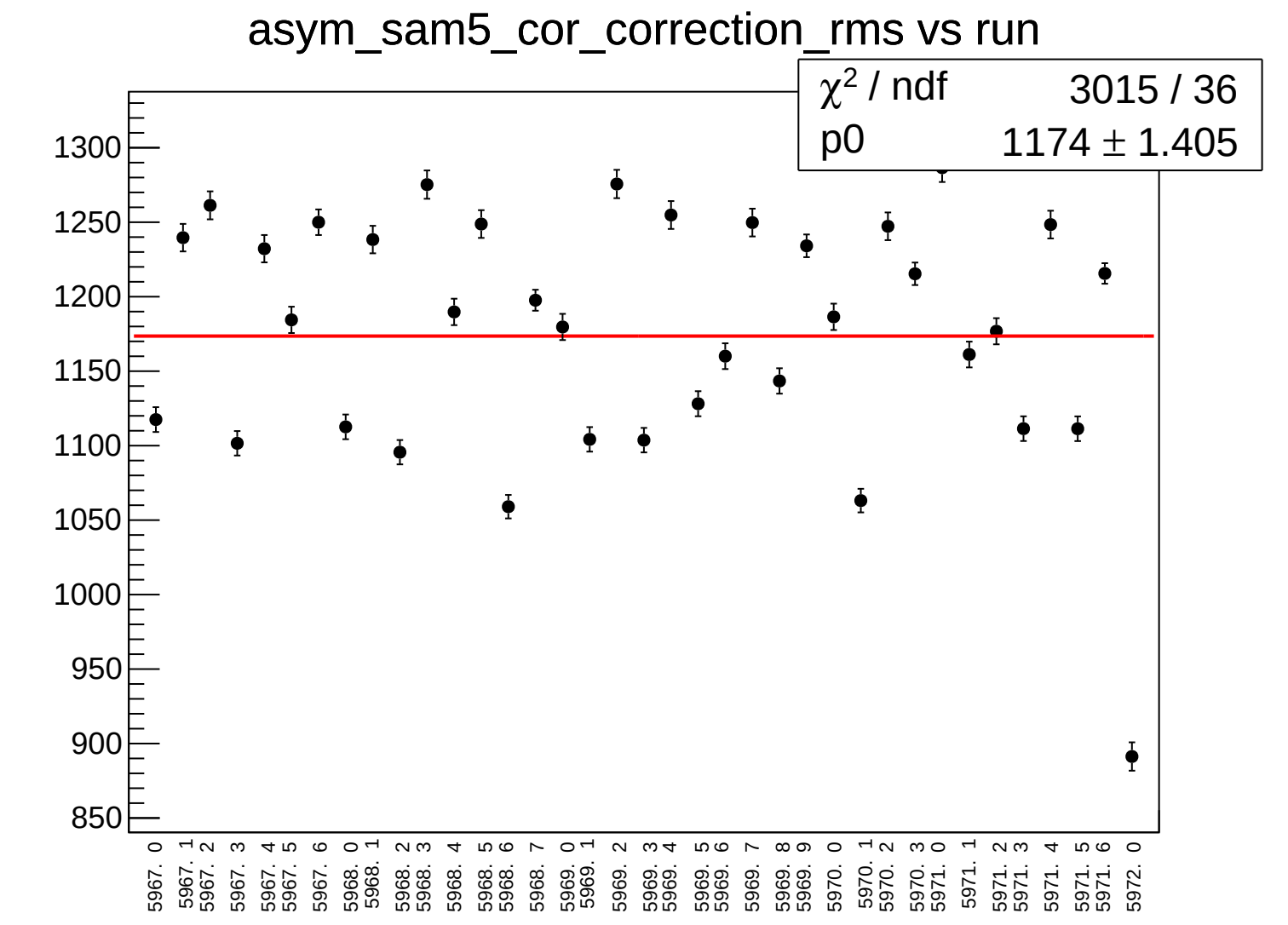
asym_sam5_cor_correction_rms vs run
χ² / ndf 3015 / 36
p0 1174 ± 1.405
1300
1250
1200
1150
1100
1050
1000
950
900
850
5967. 0
5967. 1
5967. 2
5967. 3
5967. 4
5967. 5
5967. 6
5968. 0
5968. 1
5968. 2
5968. 3
5968. 4
5968. 5
5968. 6
5968. 7
5969. 0
5969. 1
5969. 2
5969. 3
5969. 4
5969. 5
5969. 6
5969. 7
5969. 8
5969. 9
5970. 0
5970. 1
5970. 2
5970. 3
5971. 0
5971. 1
5971. 2
5971. 3
5971. 4
5971. 5
5971. 6
5972. 0

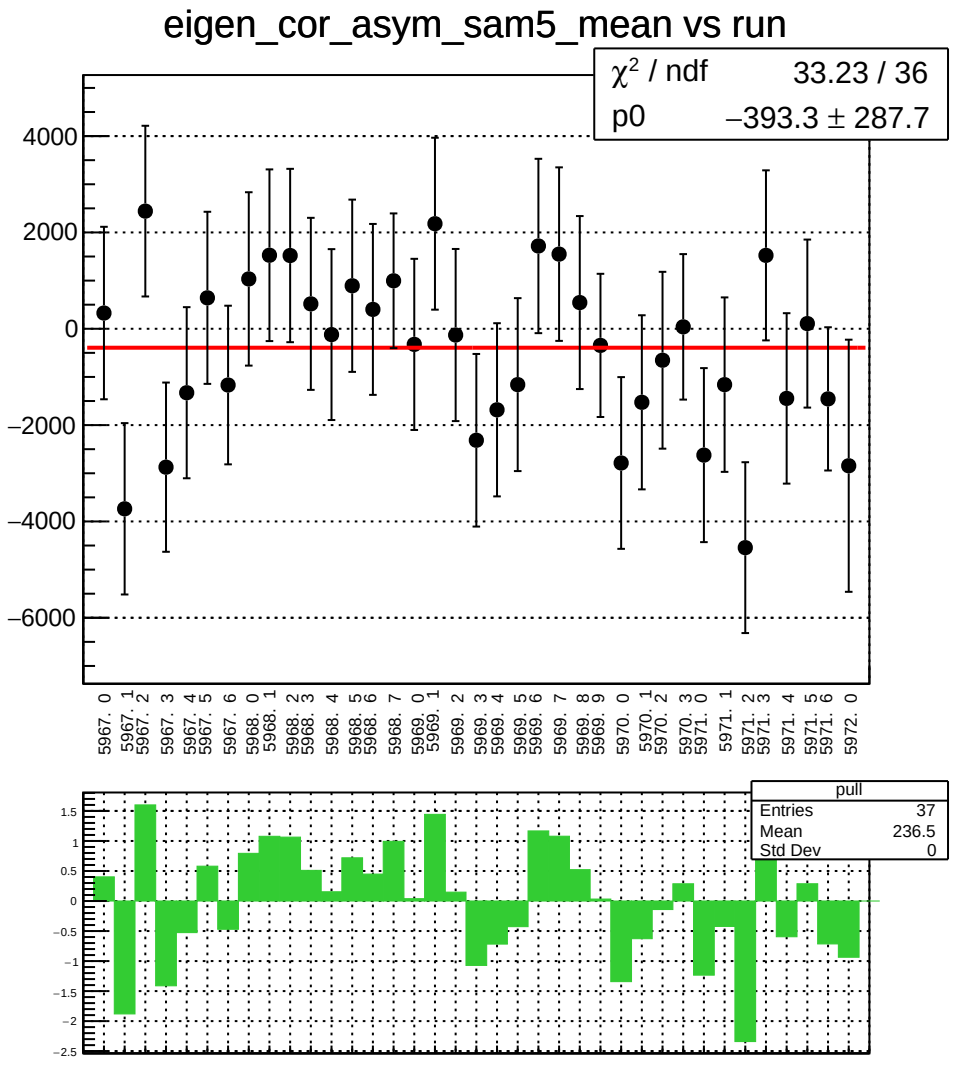
eigen_cor_asym_sam5_mean vs run
χ² / ndf 33.23 / 36
p0 −393.3 ± 287.7
4000
2000
0
−2000
−4000
−6000
5967. 0
5967. 1
5967. 2
5967. 3
5967. 4
5967. 5
5967. 6
5968. 0
5968. 1
5968. 2
5968. 3
5968. 4
5968. 5
5968. 6
5968. 7
5969. 0
5969. 1
5969. 2
5969. 3
5969. 4
5969. 5
5969. 6
5969. 7
5969. 8
5969. 9
5970. 0
5970. 1
5970. 2
5970. 3
5971. 0
5971. 1
5971. 2
5971. 3
5971. 4
5971. 5
5971. 6
5972. 0
pull
Entries 37
Mean 236.5
Std Dev 0
1.5
1
0.5
0
−0.5
−1
−1.5
−2
−2.5
pull1D
Entries 37
Mean −0.01154
Std Dev 0.9476
8
7
6
5
4
3
2
1
0
−8
−6
−4
−2
0
2
4
6
8

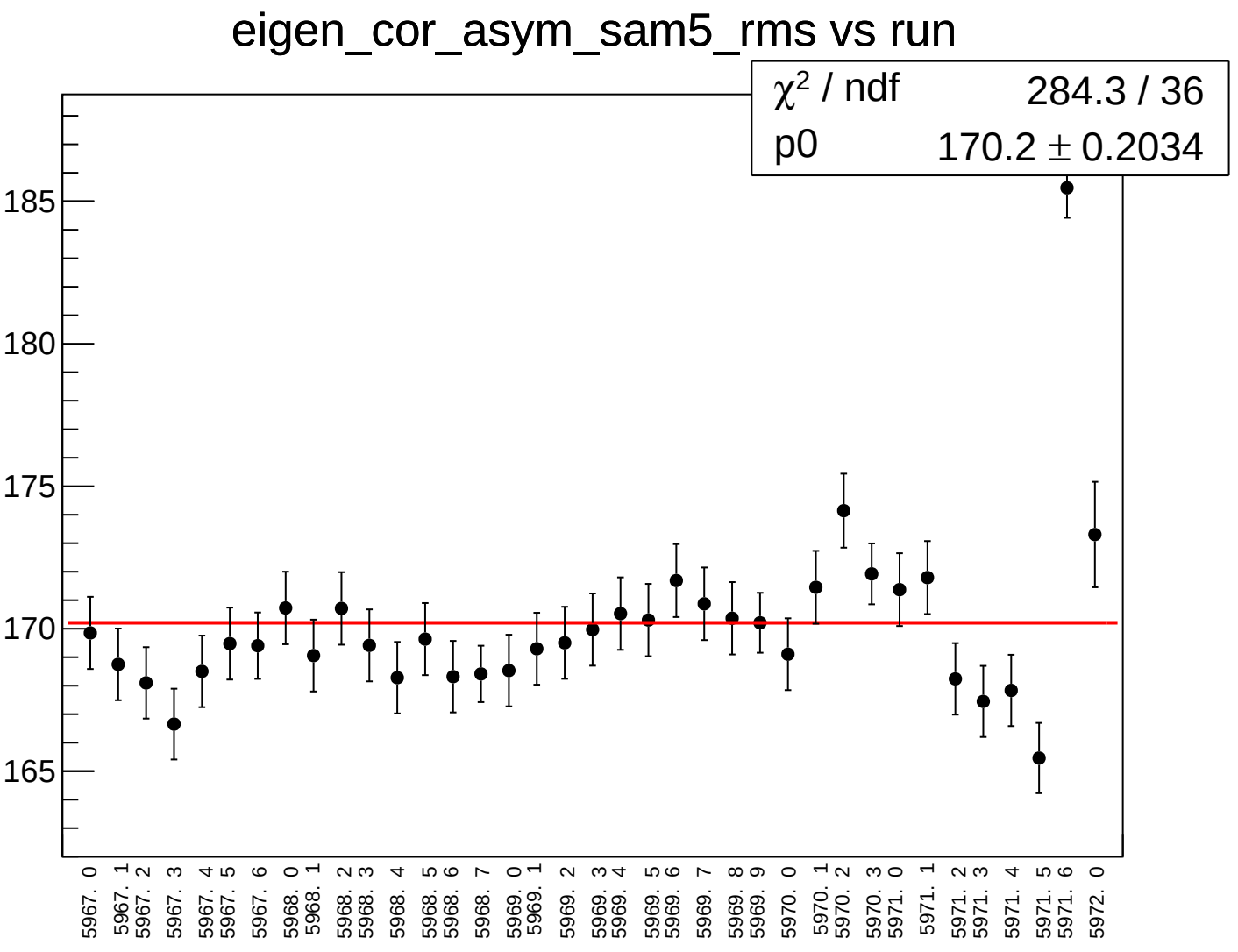
eigen_cor_asym_sam5_rms vs run
χ² / ndf 284.3 / 36
p0 170.2 ± 0.2034
185
180
175
170
165
5967. 0
5967. 1
5967. 2
5967. 3
5967. 4
5967. 5
5967. 6
5968. 0
5968. 1
5968. 2
5968. 3
5968. 4
5968. 5
5968. 6
5968. 7
5969. 0
5969. 1
5969. 2
5969. 3
5969. 4
5969. 5
5969. 6
5969. 7
5969. 8
5969. 9
5970. 0
5970. 1
5970. 2
5970. 3
5971. 0
5971. 1
5971. 2
5971. 3
5971. 4
5971. 5
5971. 6
5972. 0

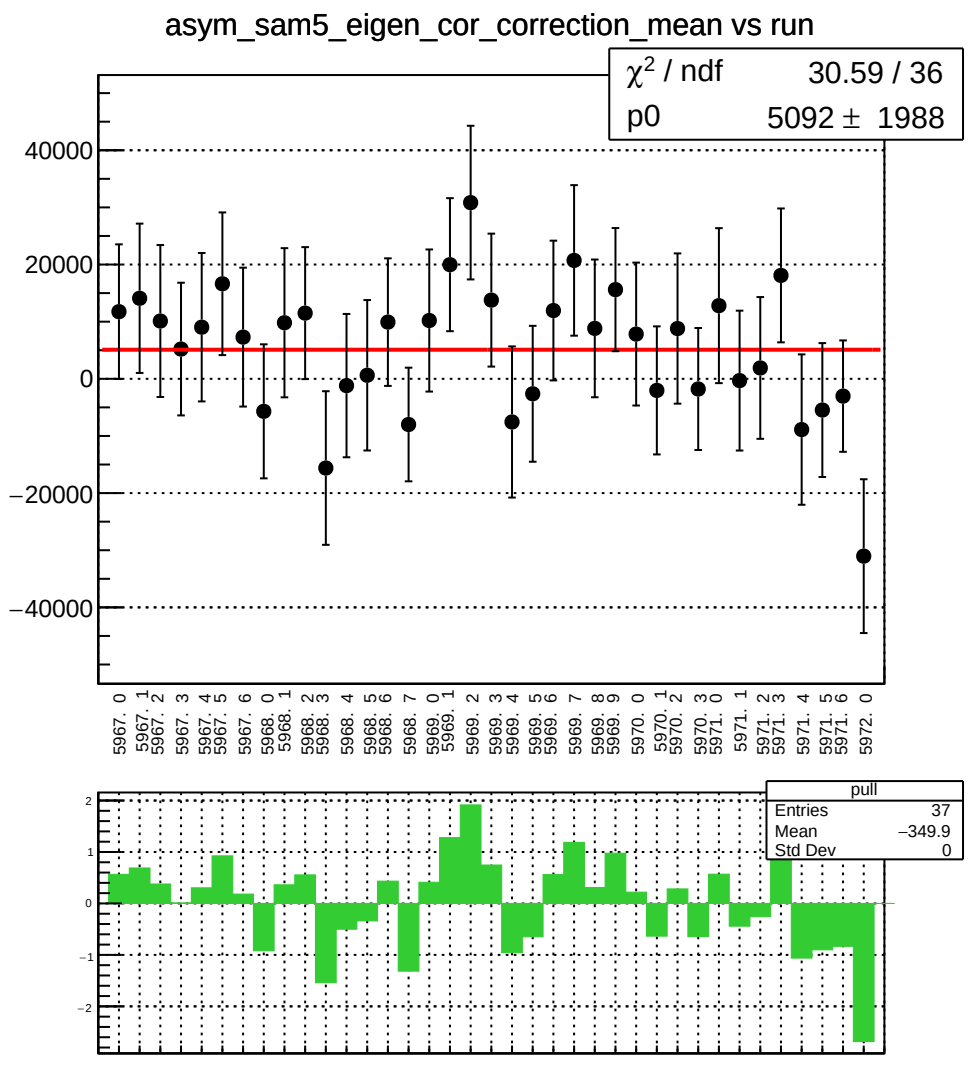
asym_sam5_eigen_cor_correction_mean vs run
χ² / ndf 30.59 / 36
p0 5092 ± 1988
40000
20000
0
−20000
−40000
5967. 0
5967. 1
5967. 2
5967. 3
5967. 4
5967. 5
5967. 6
5968. 0
5968. 1
5968. 2
5968. 3
5968. 4
5968. 5
5968. 6
5968. 7
5969. 0
5969. 1
5969. 2
5969. 3
5969. 4
5969. 5
5969. 6
5969. 7
5969. 8
5969. 9
5970. 0
5970. 1
5970. 2
5970. 3
5971. 0
5971. 1
5971. 2
5971. 3
5971. 4
5971. 5
5971. 6
5972. 0
pull
Entries 37
Mean −349.9
Std Dev 0
2
1
0
−1
−2
pull1D
Entries 37
Mean 0.007726
Std Dev 0.9093
8
7
6
5
4
3
2
1
0
−8
−6
−4
−2
0
2
4
6
8

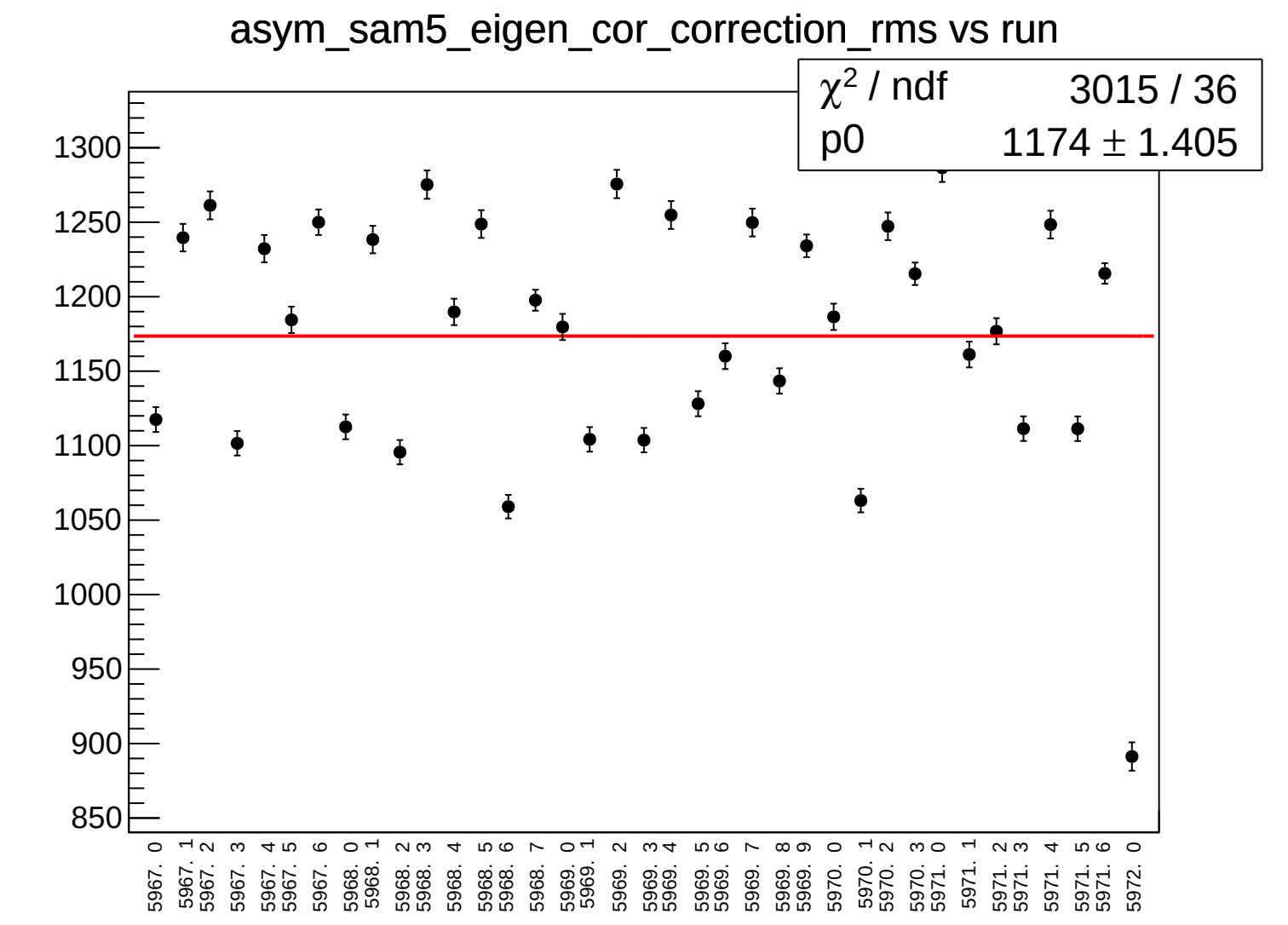
asym_sam5_eigen_cor_correction_rms vs run
χ² / ndf 3015 / 36
p0 1174 ± 1.405
1300
1250
1200
1150
1100
1050
1000
950
900
850
5967. 0
5967. 1
5967. 2
5967. 3
5967. 4
5967. 5
5967. 6
5968. 0
5968. 1
5968. 2
5968. 3
5968. 4
5968. 5
5968. 6
5968. 7
5969. 0
5969. 1
5969. 2
5969. 3
5969. 4
5969. 5
5969. 6
5969. 7
5969. 8
5969. 9
5970. 0
5970. 1
5970. 2
5970. 3
5971. 0
5971. 1
5971. 2
5971. 3
5971. 4
5971. 5
5971. 6
5972. 0

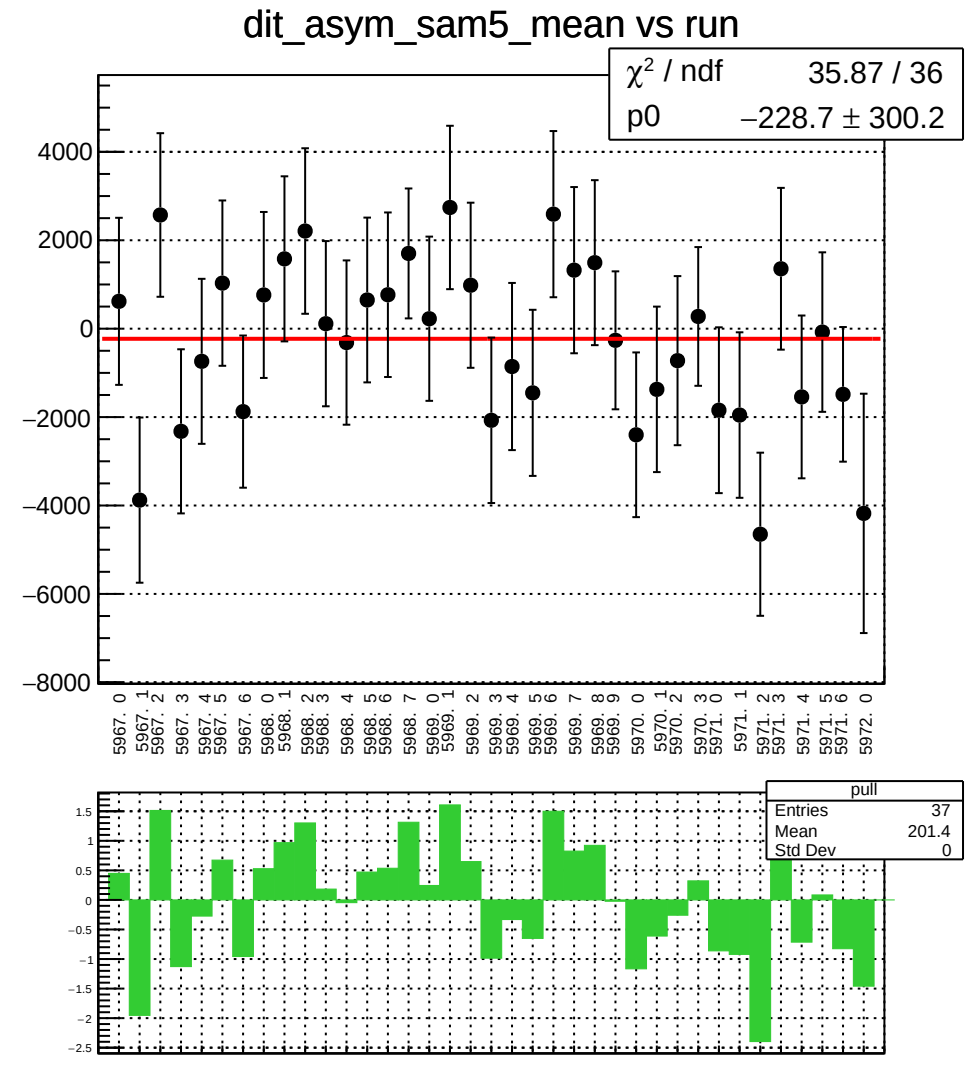
dit_asym_sam5_mean vs run
χ² / ndf 35.87 / 36
p0 −228.7 ± 300.2
4000
2000
0
−2000
−4000
−6000
−8000
5967. 0
5967. 1
5967. 2
5967. 3
5967. 4
5967. 5
5967. 6
5968. 0
5968. 1
5968. 2
5968. 3
5968. 4
5968. 5
5968. 6
5968. 7
5969. 0
5969. 1
5969. 2
5969. 3
5969. 4
5969. 5
5969. 6
5969. 7
5969. 8
5969. 9
5970. 0
5970. 1
5970. 2
5970. 3
5971. 0
5971. 1
5971. 2
5971. 3
5971. 4
5971. 5
5971. 6
5972. 0
pull
Entries 37
Mean 201.4
Std Dev 0
1.5
1
0.5
0
−0.5
−1
−1.5
−2
−2.5

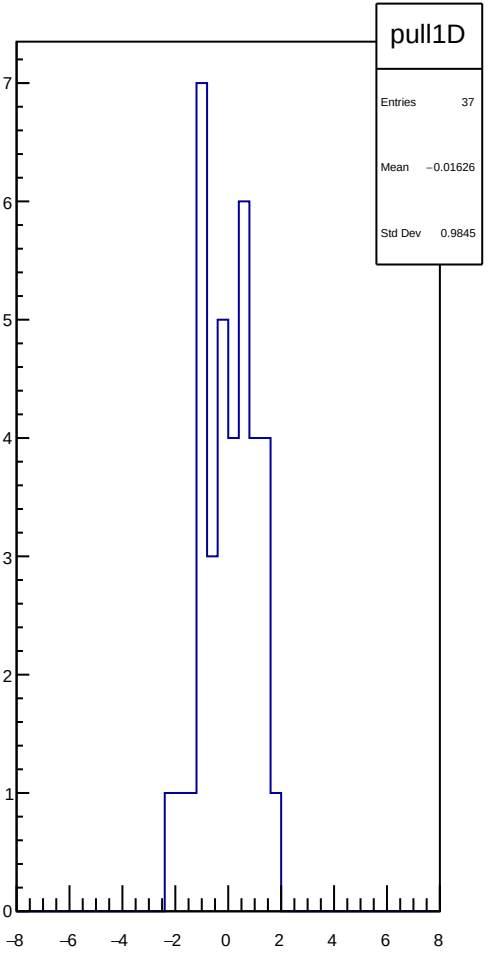
pull1D
Entries 37
Mean −0.01626
Std Dev 0.9845
7
6
5
4
3
2
1
0
−8
−6
−4
−2
0
2
4
6
8

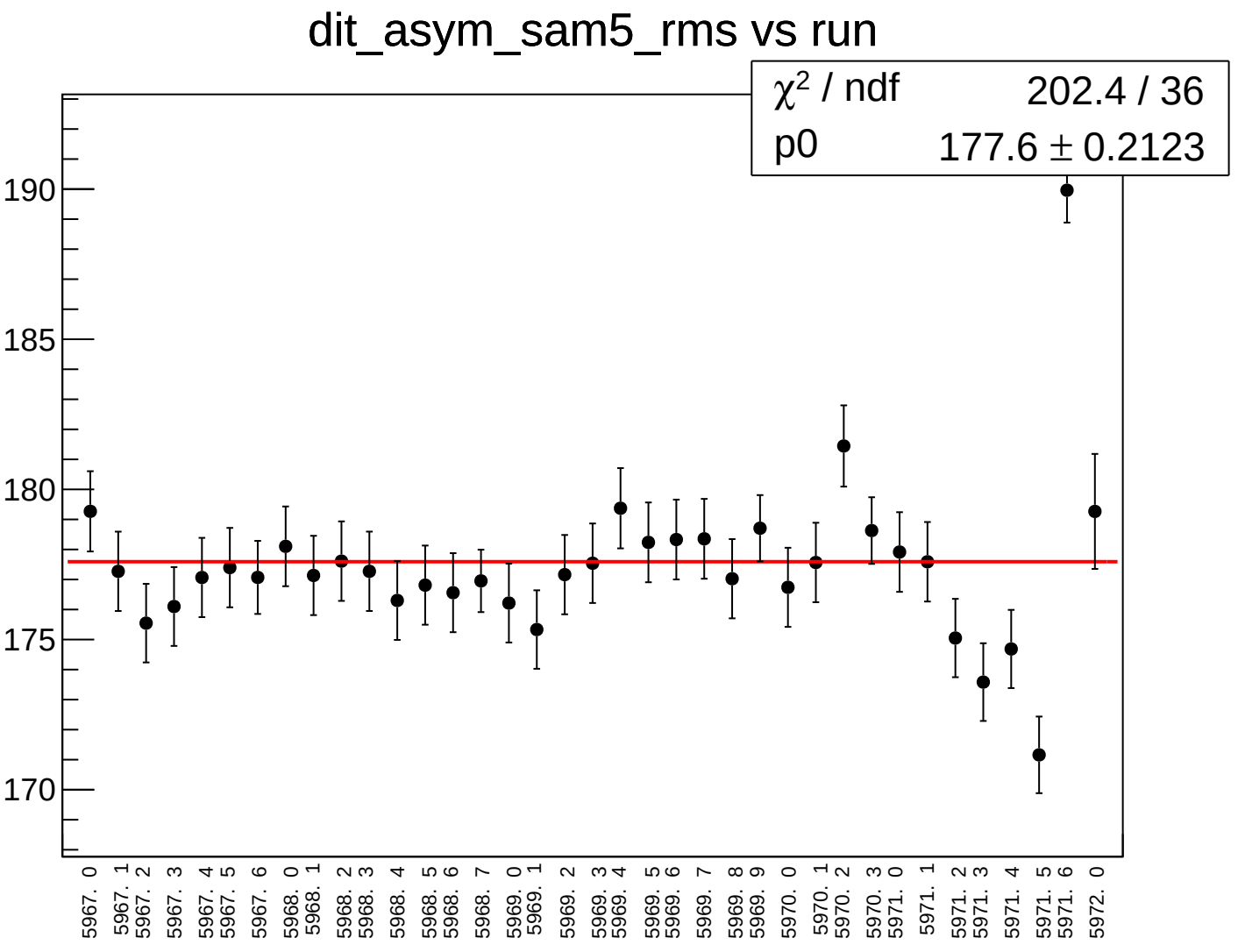
dit_asym_sam5_rms vs run
χ² / ndf 202.4 / 36
p0 177.6 ± 0.2123
190
185
180
175
170
5967. 0
5967. 1
5967. 2
5967. 3
5967. 4
5967. 5
5967. 6
5968. 0
5968. 1
5968. 2
5968. 3
5968. 4
5968. 5
5968. 6
5968. 7
5969. 0
5969. 1
5969. 2
5969. 3
5969. 4
5969. 5
5969. 6
5969. 7
5969. 8
5969. 9
5970. 0
5970. 1
5970. 2
5970. 3
5971. 0
5971. 1
5971. 2
5971. 3
5971. 4
5971. 5
5971. 6
5972. 0

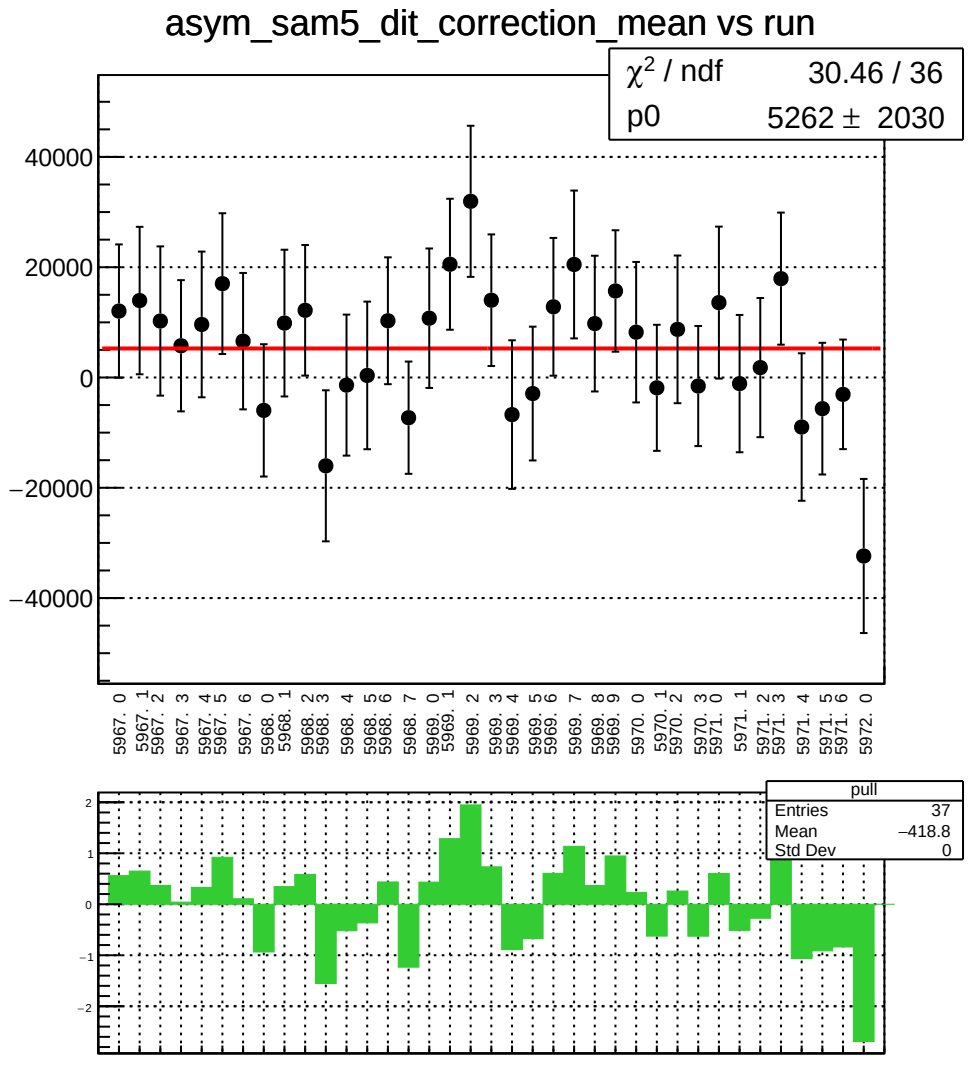
asym_sam5_dit_correction_mean vs run
χ² / ndf 30.46 / 36
p0 5262 ± 2030
40000
20000
0
−20000
−40000
5967. 0
5967. 1
5967. 2
5967. 3
5967. 4
5967. 5
5967. 6
5968. 0
5968. 1
5968. 2
5968. 3
5968. 4
5968. 5
5968. 6
5968. 7
5969. 0
5969. 1
5969. 2
5969. 3
5969. 4
5969. 5
5969. 6
5969. 7
5969. 8
5969. 9
5970. 0
5970. 1
5970. 2
5970. 3
5971. 0
5971. 1
5971. 2
5971. 3
5971. 4
5971. 5
5971. 6
5972. 0
pull
Entries 37
Mean −418.8
Std Dev 0
2
1
0
−1
−2

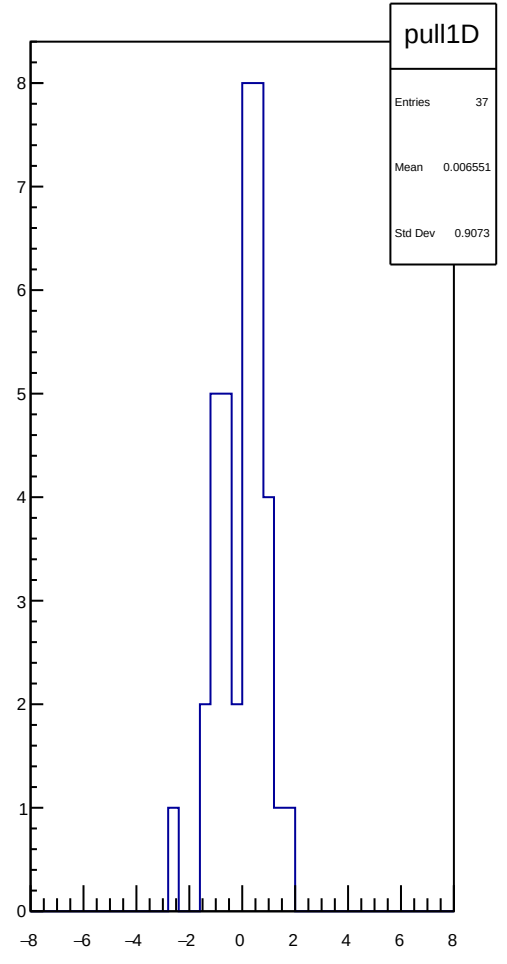
pull1D
Entries 37
Mean 0.006551
Std Dev 0.9073
8
7
6
5
4
3
2
1
0
−8
−6
−4
−2
0
2
4
6
8

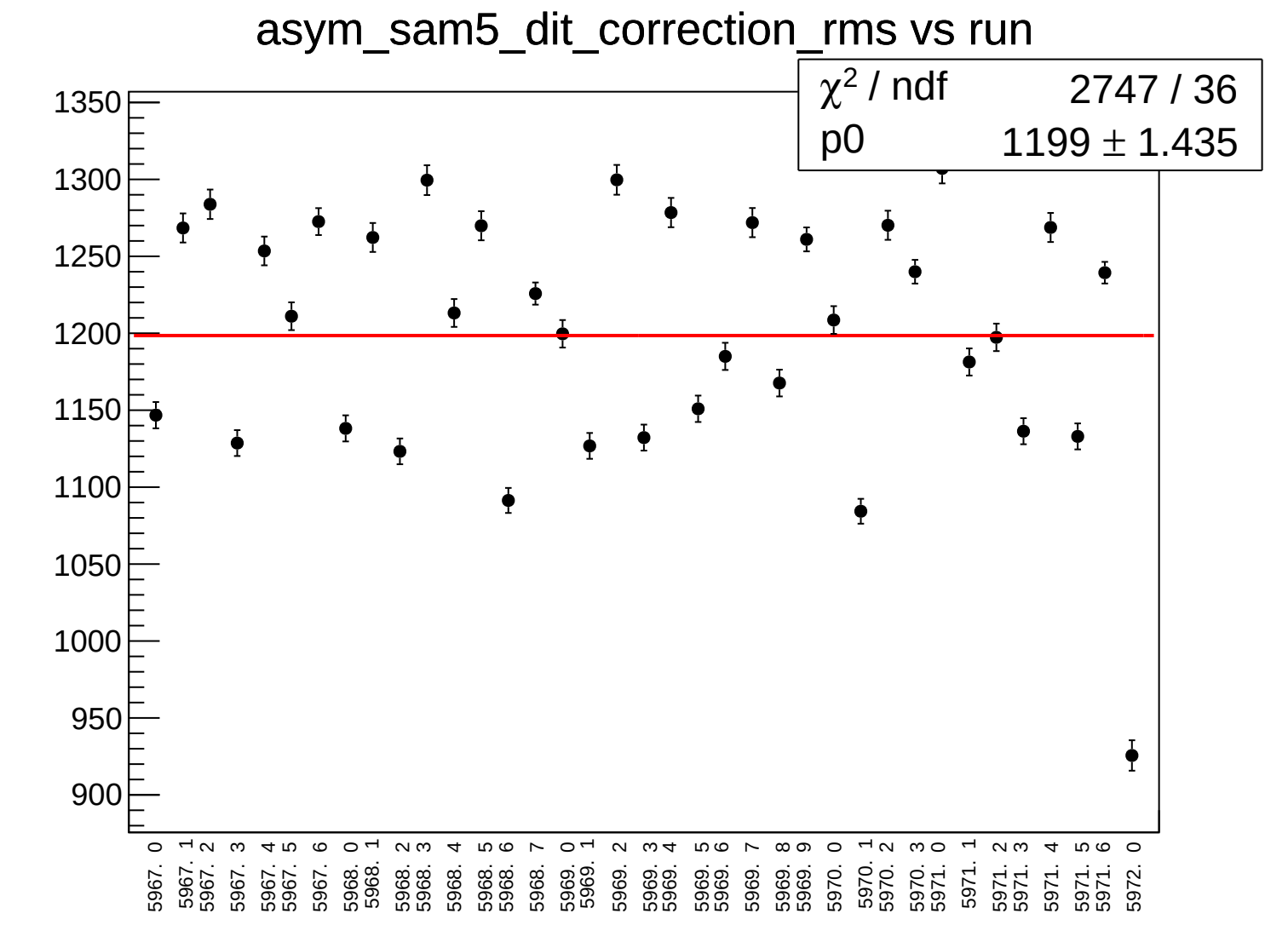
asym_sam5_dit_correction_rms vs run
χ² / ndf 2747 / 36
p0 1199 ± 1.435
1350
1300
1250
1200
1150
1100
1050
1000
950
900
5967. 0
5967. 1
5967. 2
5967. 3
5967. 4
5967. 5
5967. 6
5968. 0
5968. 1
5968. 2
5968. 3
5968. 4
5968. 5
5968. 6
5968. 7
5969. 0
5969. 1
5969. 2
5969. 3
5969. 4
5969. 5
5969. 6
5969. 7
5969. 8
5969. 9
5970. 0
5970. 1
5970. 2
5970. 3
5971. 0
5971. 1
5971. 2
5971. 3
5971. 4
5971. 5
5971. 6
5972. 0

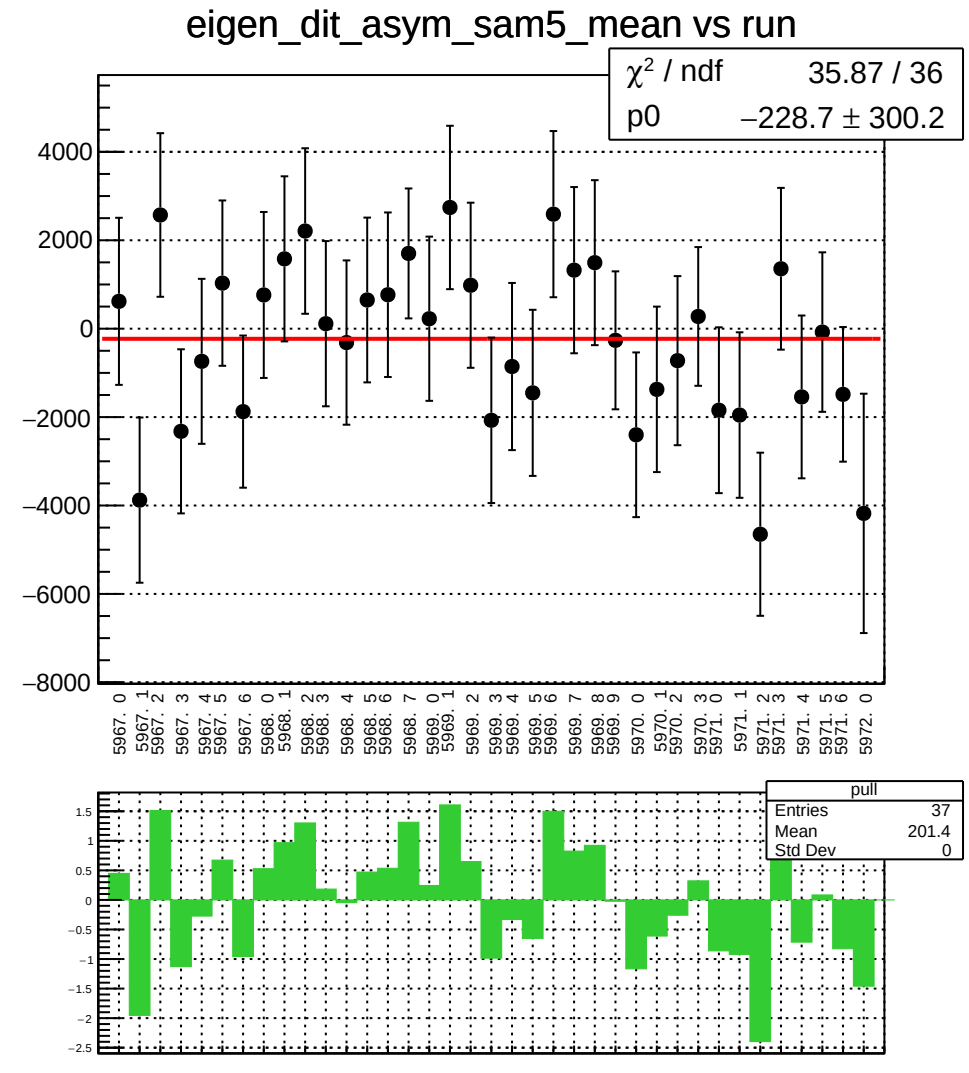
eigen_dit_asym_sam5_mean vs run
χ² / ndf 35.87 / 36
p0 −228.7 ± 300.2
4000
2000
0
−2000
−4000
−6000
−8000
5967. 0
5967. 1
5967. 2
5967. 3
5967. 4
5967. 5
5967. 6
5968. 0
5968. 1
5968. 2
5968. 3
5968. 4
5968. 5
5968. 6
5968. 7
5969. 0
5969. 1
5969. 2
5969. 3
5969. 4
5969. 5
5969. 6
5969. 7
5969. 8
5969. 9
5970. 0
5970. 1
5970. 2
5970. 3
5971. 0
5971. 1
5971. 2
5971. 3
5971. 4
5971. 5
5971. 6
5972. 0
pull
Entries 37
Mean 201.4
Std Dev 0
1.5
1
0.5
0
−0.5
−1
−1.5
−2
−2.5

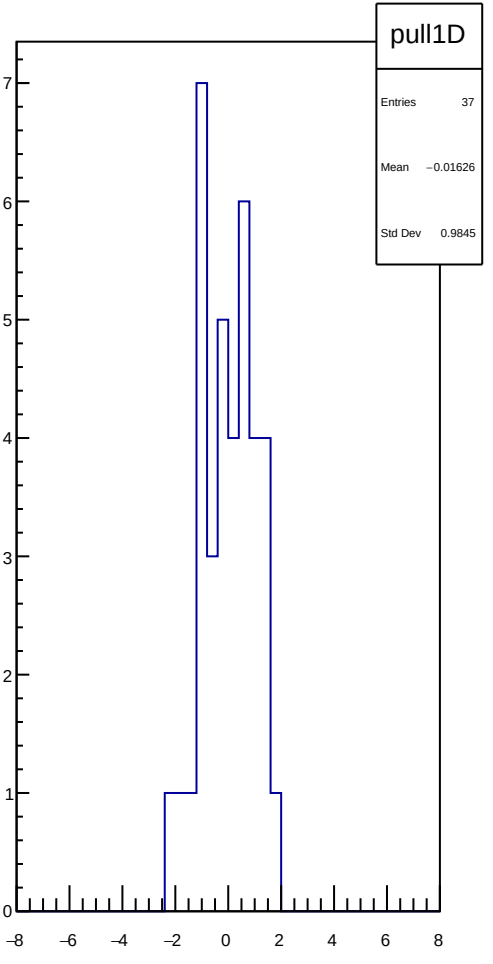
pull1D
Entries 37
Mean −0.01626
Std Dev 0.9845
7
6
5
4
3
2
1
0
−8
−6
−4
−2
0
2
4
6
8

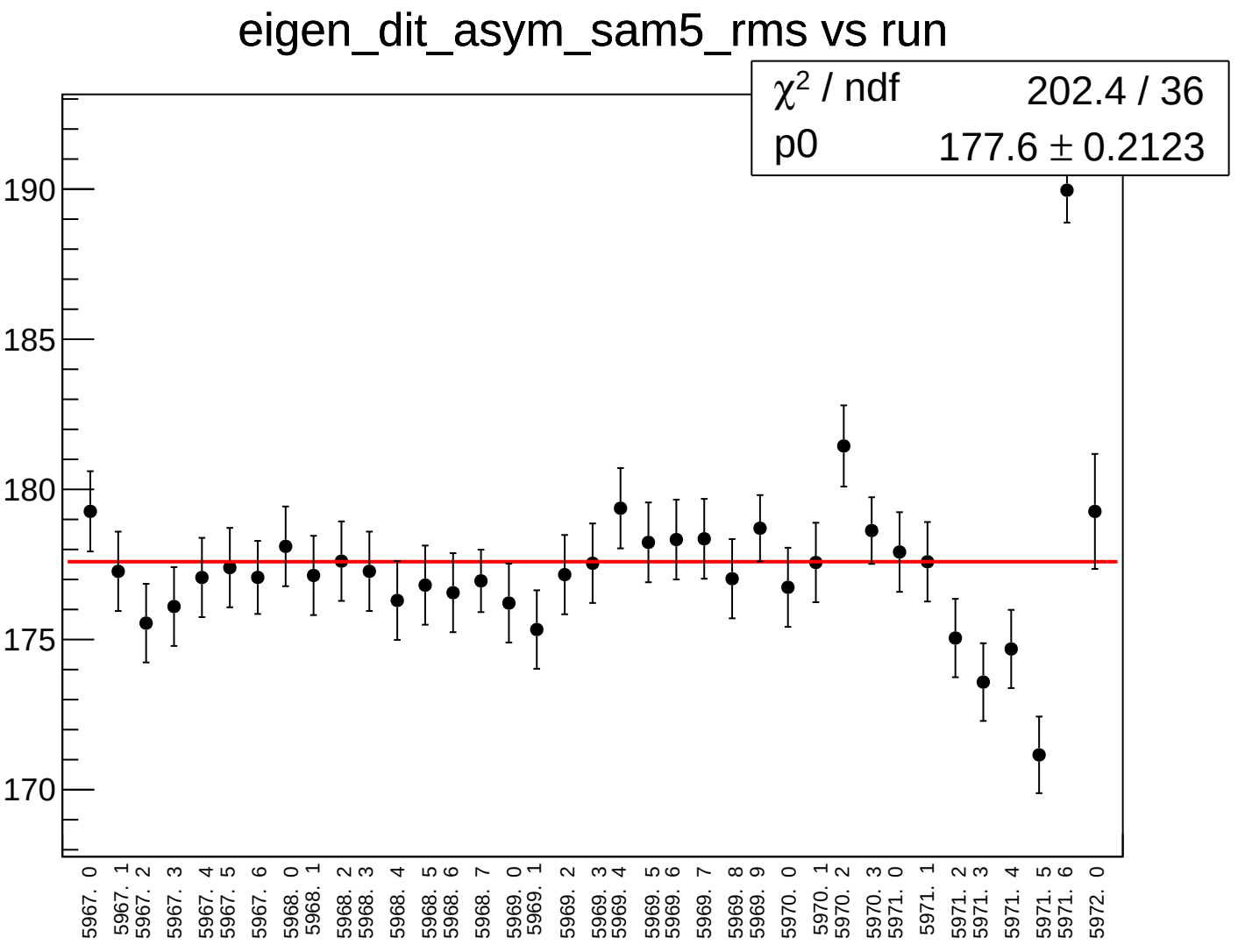
eigen_dit_asym_sam5_rms vs run
χ² / ndf 202.4 / 36
p0 177.6 ± 0.2123
190
185
180
175
170
5967. 0
5967. 1
5967. 2
5967. 3
5967. 4
5967. 5
5967. 6
5968. 0
5968. 1
5968. 2
5968. 3
5968. 4
5968. 5
5968. 6
5968. 7
5969. 0
5969. 1
5969. 2
5969. 3
5969. 4
5969. 5
5969. 6
5969. 7
5969. 8
5969. 9
5970. 0
5970. 1
5970. 2
5970. 3
5971. 0
5971. 1
5971. 2
5971. 3
5971. 4
5971. 5
5971. 6
5972. 0

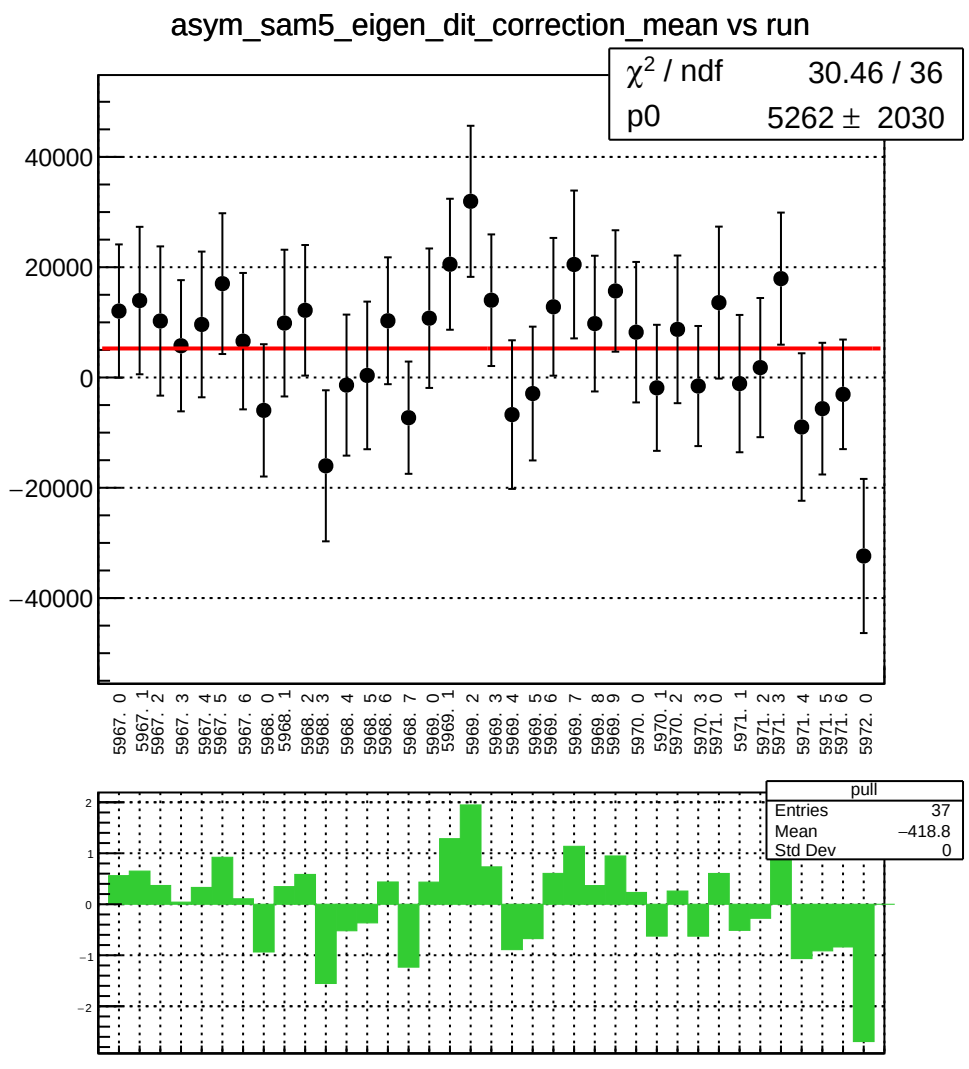
asym_sam5_eigen_dit_correction_mean vs run
χ² / ndf 30.46 / 36
p0 5262 ± 2030
40000
20000
0
−20000
−40000
5967. 0
5967. 1
5967. 2
5967. 3
5967. 4
5967. 5
5967. 6
5968. 0
5968. 1
5968. 2
5968. 3
5968. 4
5968. 5
5968. 6
5968. 7
5969. 0
5969. 1
5969. 2
5969. 3
5969. 4
5969. 5
5969. 6
5969. 7
5969. 8
5969. 9
5970. 0
5970. 1
5970. 2
5970. 3
5971. 0
5971. 1
5971. 2
5971. 3
5971. 4
5971. 5
5971. 6
5972. 0
pull
Entries 37
Mean −418.8
Std Dev 0
2
1
0
−1
−2

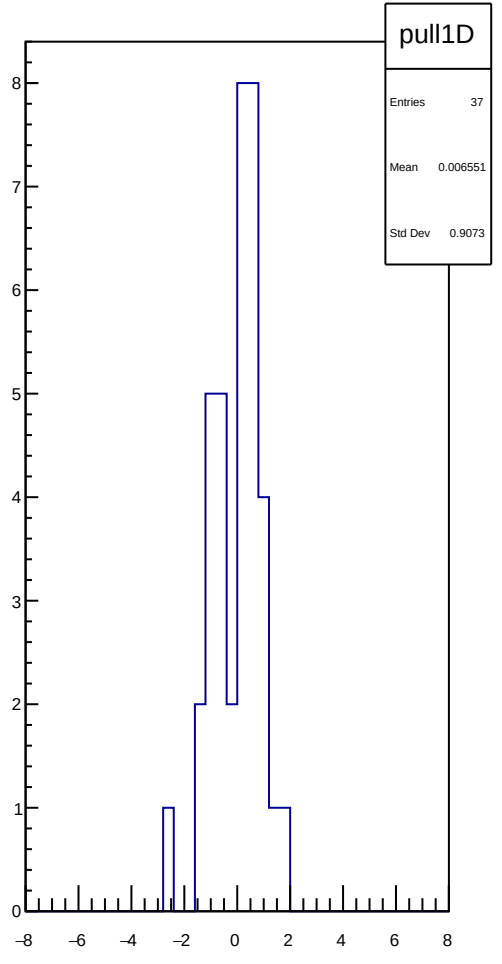
pull1D
Entries 37
Mean 0.006551
Std Dev 0.9073
8
7
6
5
4
3
2
1
0
−8
−6
−4
−2
0
2
4
6
8

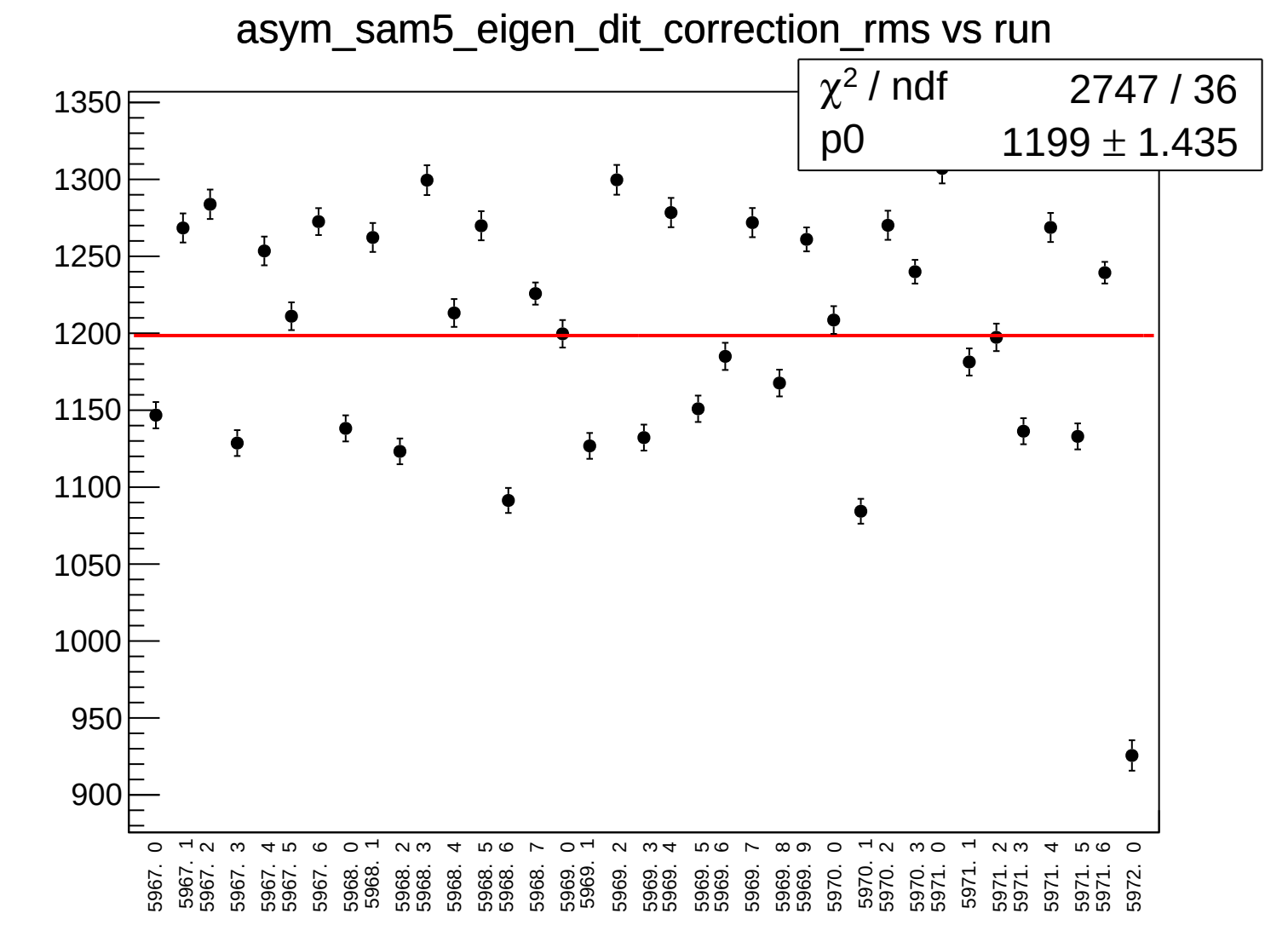
asym_sam5_eigen_dit_correction_rms vs run
χ² / ndf 2747 / 36
p0 1199 ± 1.435
1350
1300
1250
1200
1150
1100
1050
1000
950
900
5967. 0
5967. 1
5967. 2
5967. 3
5967. 4
5967. 5
5967. 6
5968. 0
5968. 1
5968. 2
5968. 3
5968. 4
5968. 5
5968. 6
5968. 7
5969. 0
5969. 1
5969. 2
5969. 3
5969. 4
5969. 5
5969. 6
5969. 7
5969. 8
5969. 9
5970. 0
5970. 1
5970. 2
5970. 3
5971. 0
5971. 1
5971. 2
5971. 3
5971. 4
5971. 5
5971. 6
5972. 0

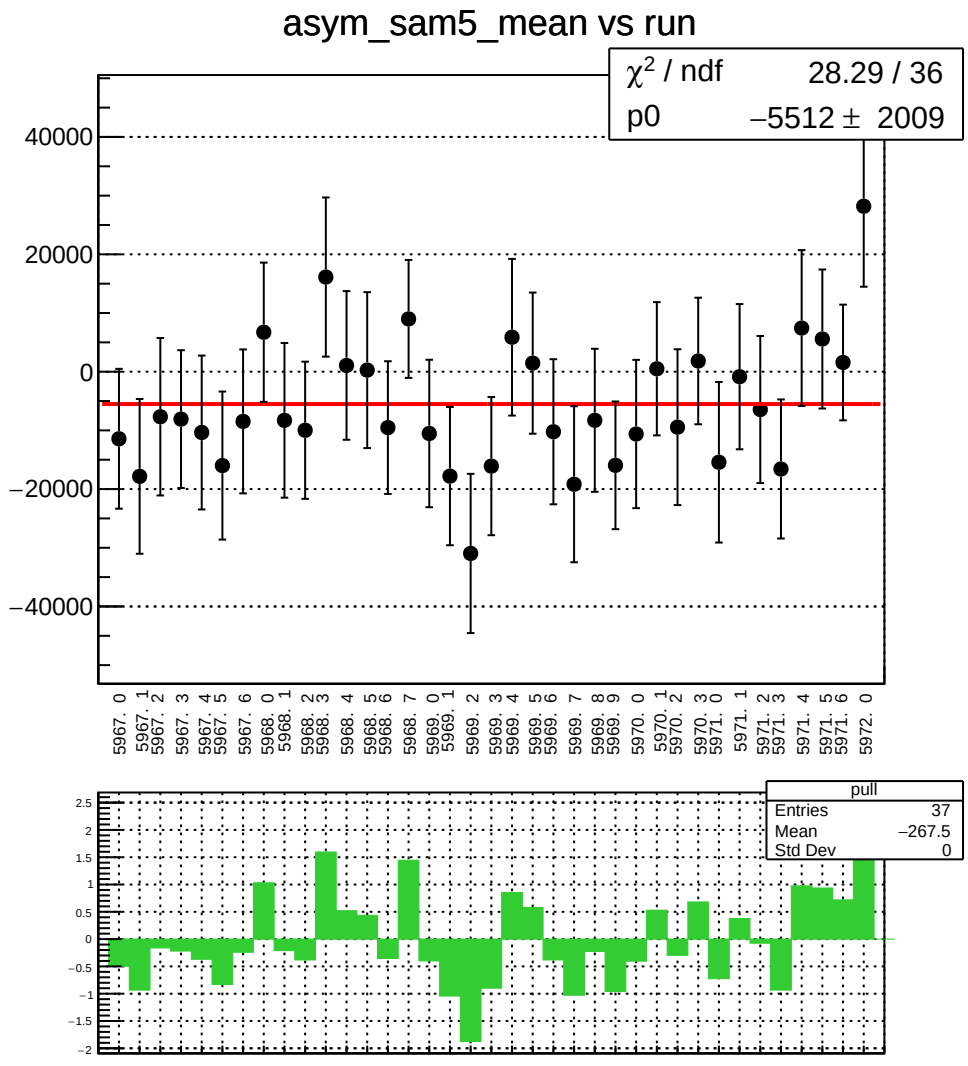
asym_sam5_mean vs run
χ² / ndf 28.29 / 36
p0 −5512 ± 2009
40000
20000
0
−20000
−40000
5967. 0
5967. 1
5967. 2
5967. 3
5967. 4
5967. 5
5967. 6
5968. 0
5968. 1
5968. 2
5968. 3
5968. 4
5968. 5
5968. 6
5968. 7
5969. 0
5969. 1
5969. 2
5969. 3
5969. 4
5969. 5
5969. 6
5969. 7
5969. 8
5969. 9
5970. 0
5970. 1
5970. 2
5970. 3
5971. 0
5971. 1
5971. 2
5971. 3
5971. 4
5971. 5
5971. 6
5972. 0
pull
Entries 37
Mean −267.5
Std Dev 0
2.5
2
1.5
1
0.5
0
−0.5
−1
−1.5
−2

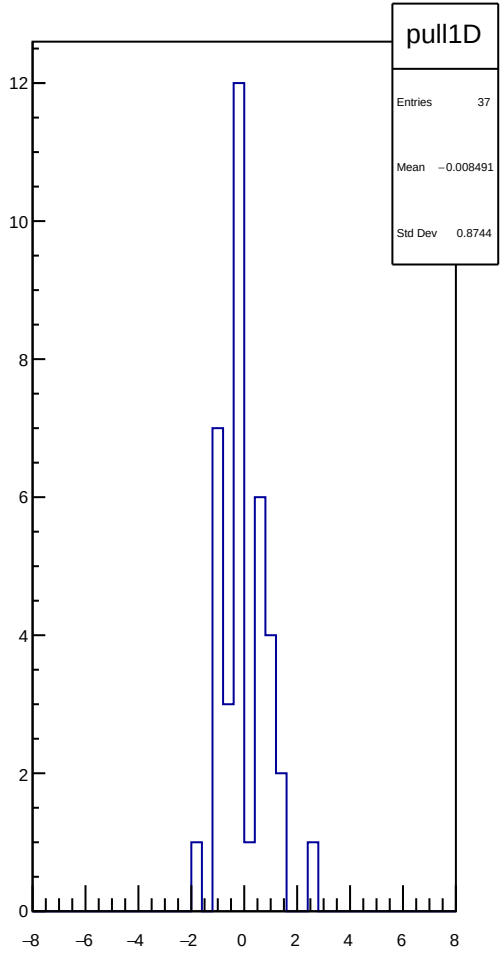
pull1D
Entries 37
Mean −0.008491
Std Dev 0.8744
12
10
8
6
4
2
0
−8
−6
−4
−2
0
2
4
6
8

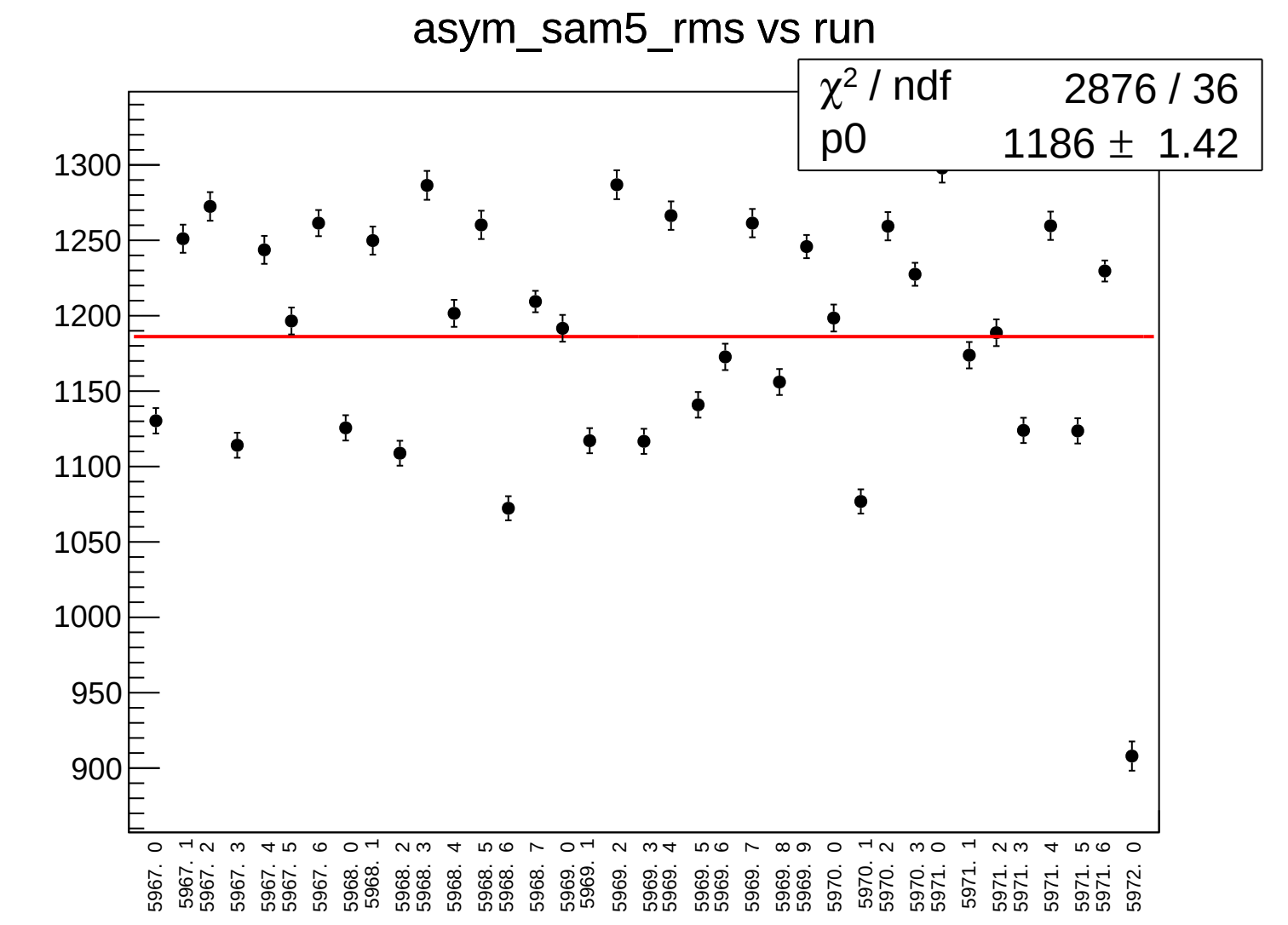
asym_sam5_rms vs run
χ² / ndf 2876 / 36
p0 1186 ± 1.42
1300
1250
1200
1150
1100
1050
1000
950
900
5967. 0
5967. 1
5967. 2
5967. 3
5967. 4
5967. 5
5967. 6
5968. 0
5968. 1
5968. 2
5968. 3
5968. 4
5968. 5
5968. 6
5968. 7
5969. 0
5969. 1
5969. 2
5969. 3
5969. 4
5969. 5
5969. 6
5969. 7
5969. 8
5969. 9
5970. 0
5970. 1
5970. 2
5970. 3
5971. 0
5971. 1
5971. 2
5971. 3
5971. 4
5971. 5
5971. 6
5972. 0

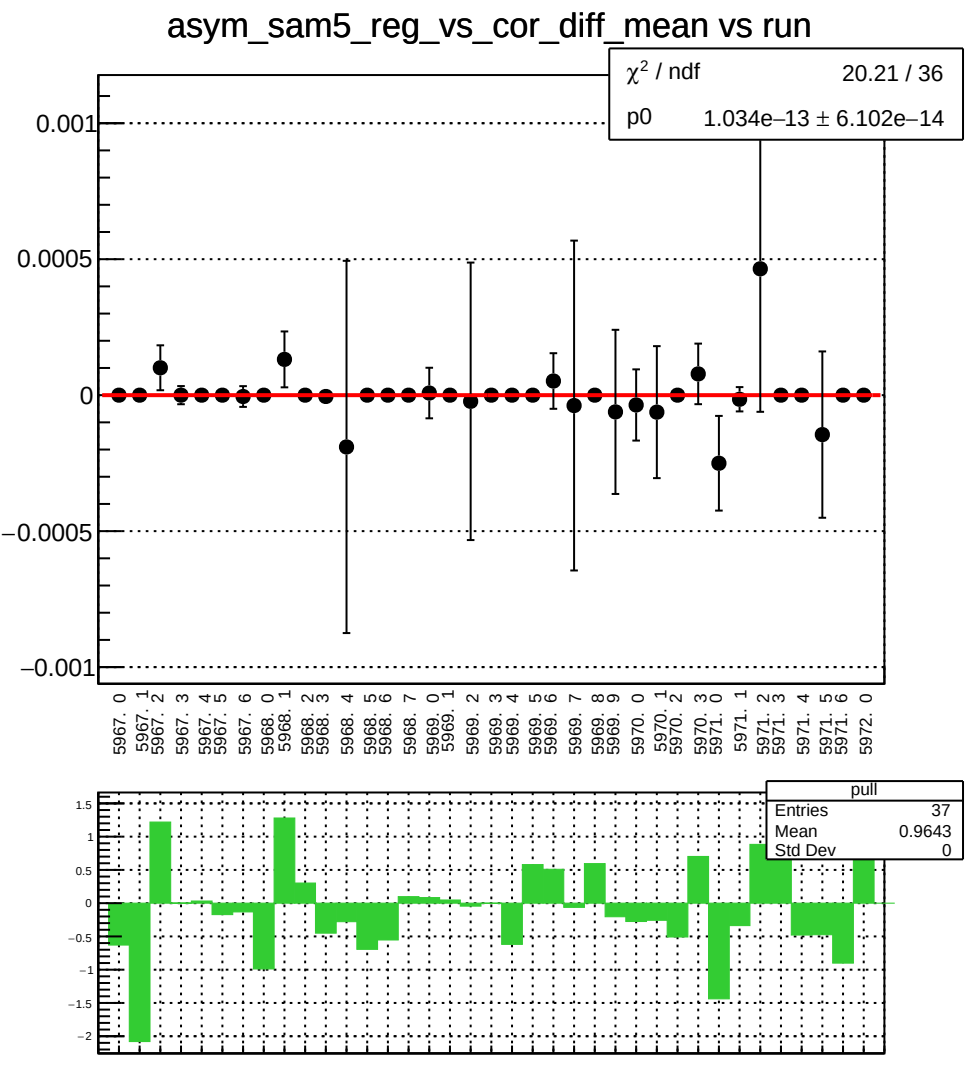
asym_sam5_reg_vs_cor_diff_mean vs run
χ² / ndf 20.21 / 36
p0 1.034e−13 ± 6.102e−14
0.001
0.0005
0
−0.0005
−0.001
5967. 0
5967. 1
5967. 2
5967. 3
5967. 4
5967. 5
5967. 6
5968. 0
5968. 1
5968. 2
5968. 3
5968. 4
5968. 5
5968. 6
5968. 7
5969. 0
5969. 1
5969. 2
5969. 3
5969. 4
5969. 5
5969. 6
5969. 7
5969. 8
5969. 9
5970. 0
5970. 1
5970. 2
5970. 3
5971. 0
5971. 1
5971. 2
5971. 3
5971. 4
5971. 5
5971. 6
5972. 0
pull
Entries 37
Mean 0.9643
Std Dev 0
1.5
1
0.5
0
−0.5
−1
−1.5
−2

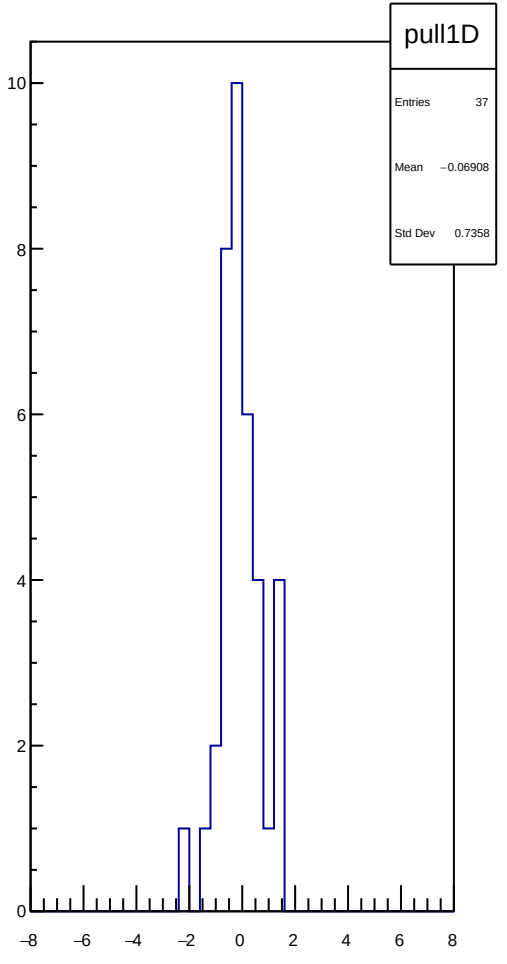
pull1D
Entries 37
Mean −0.06908
Std Dev 0.7358
10
8
6
4
2
0
−8
−6
−4
−2
0
2
4
6
8

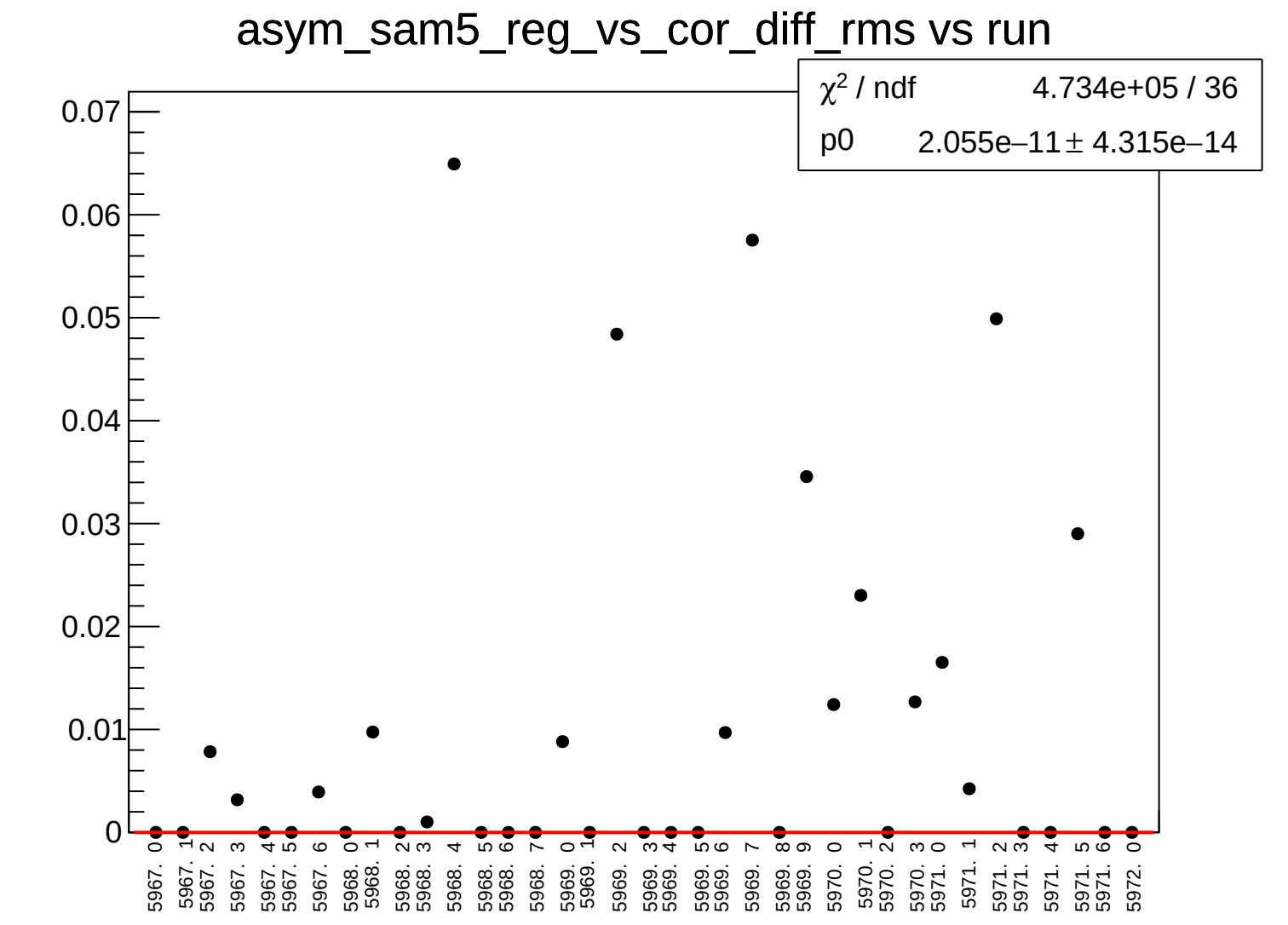
asym_sam5_reg_vs_cor_diff_rms vs run
χ² / ndf 4.734e+05 / 36
p0 2.055e−11 ± 4.315e−14
0.07
0.06
0.05
0.04
0.03
0.02
0.01
0
5967. 0
5967. 1
5967. 2
5967. 3
5967. 4
5967. 5
5967. 6
5968. 0
5968. 1
5968. 2
5968. 3
5968. 4
5968. 5
5968. 6
5968. 7
5969. 0
5969. 1
5969. 2
5969. 3
5969. 4
5969. 5
5969. 6
5969. 7
5969. 8
5969. 9
5970. 0
5970. 1
5970. 2
5970. 3
5971. 0
5971. 1
5971. 2
5971. 3
5971. 4
5971. 5
5971. 6
5972. 0

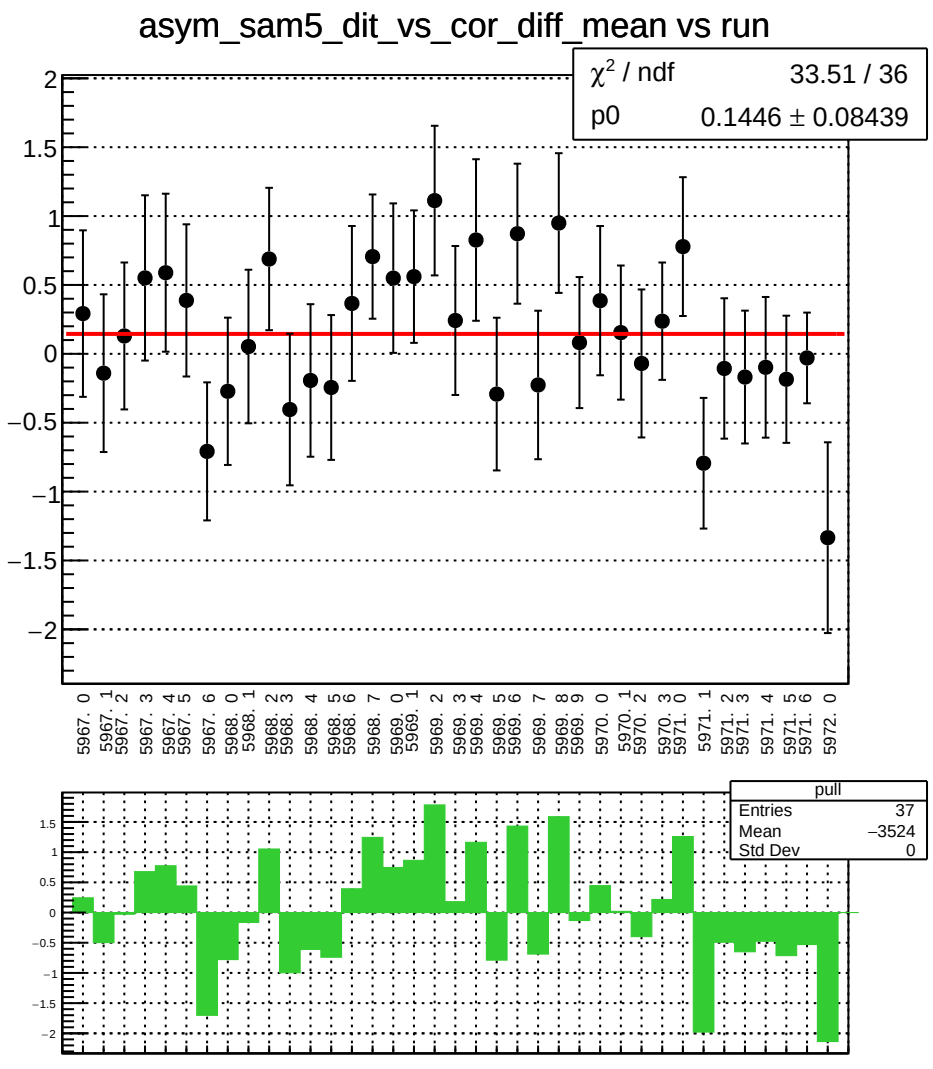
asym_sam5_dit_vs_cor_diff_mean vs run
χ² / ndf 33.51 / 36
p0 0.1446 ± 0.08439
pull
Entries 37
Mean −3524
Std Dev 0

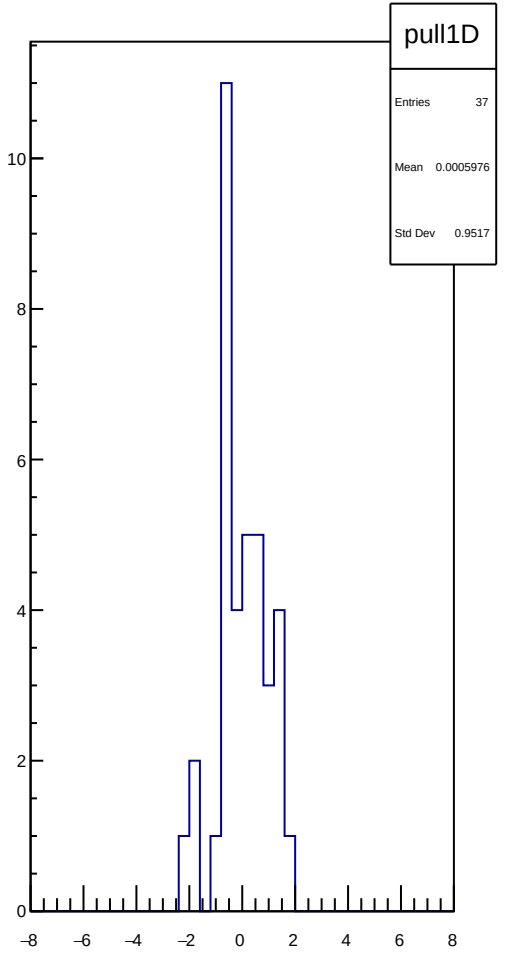
pull1D
Entries 37
Mean 0.0005976
Std Dev 0.9517

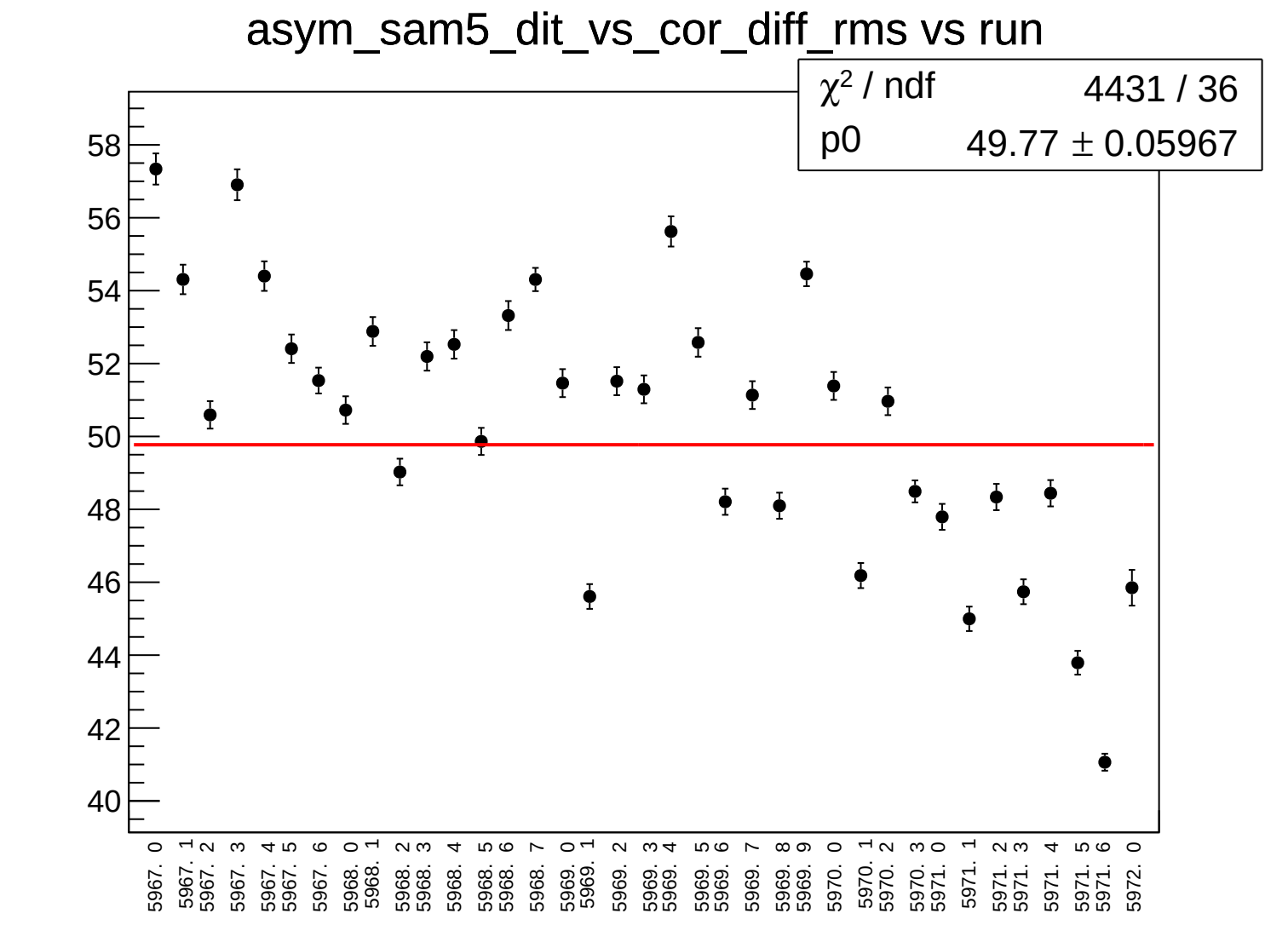
asym_sam5_dit_vs_cor_diff_rms vs run
χ² / ndf 4431 / 36
p0 49.77 ± 0.05967
58
56
54
52
50
48
46
44
42
40
5967. 0
5967. 1
5967. 2
5967. 3
5967. 4
5967. 5
5967. 6
5968. 0
5968. 1
5968. 2
5968. 3
5968. 4
5968. 5
5968. 6
5968. 7
5969. 0
5969. 1
5969. 2
5969. 3
5969. 4
5969. 5
5969. 6
5969. 7
5969. 8
5969. 9
5970. 0
5970. 1
5970. 2
5970. 3
5971. 0
5971. 1
5971. 2
5971. 3
5971. 4
5971. 5
5971. 6
5972. 0

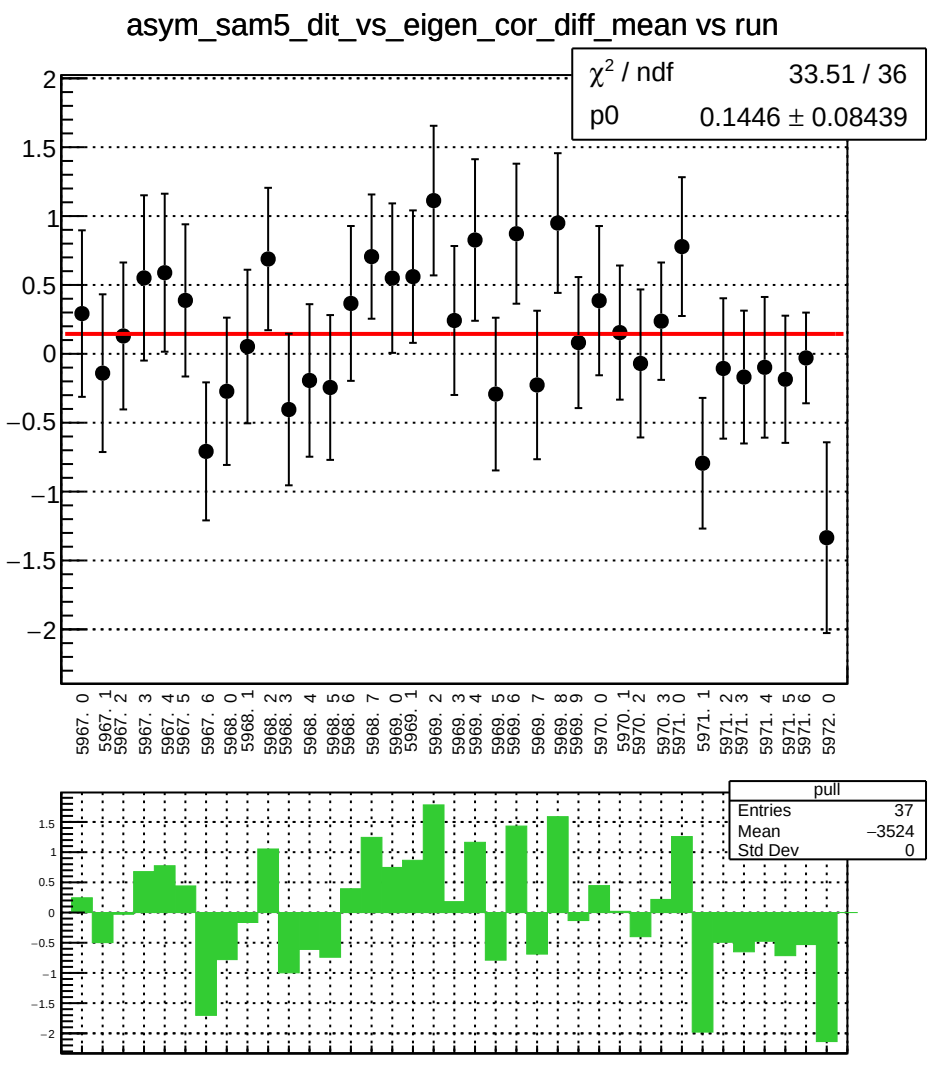
asym_sam5_dit_vs_eigen_cor_diff_mean vs run
χ² / ndf 33.51 / 36
p0 0.1446 ± 0.08439
pull
Entries 37
Mean −3524
Std Dev 0

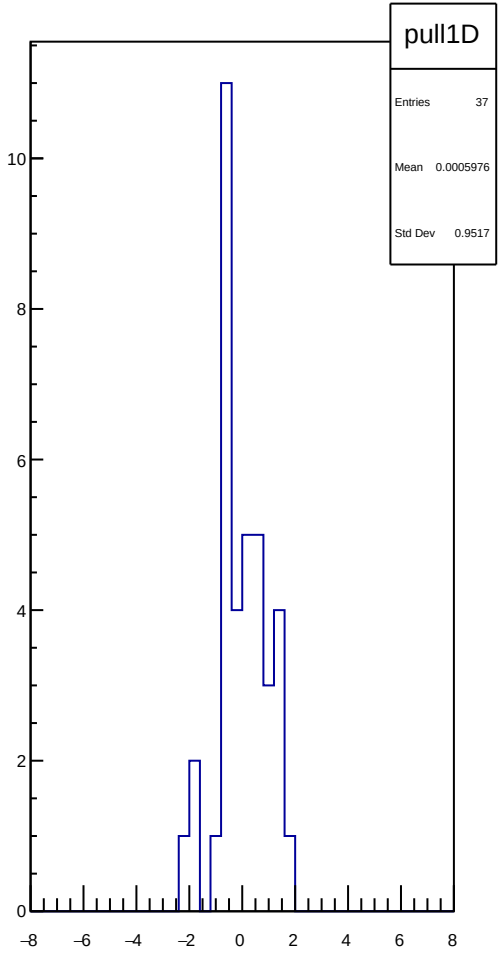
pull1D
Entries 37
Mean 0.0005976
Std Dev 0.9517

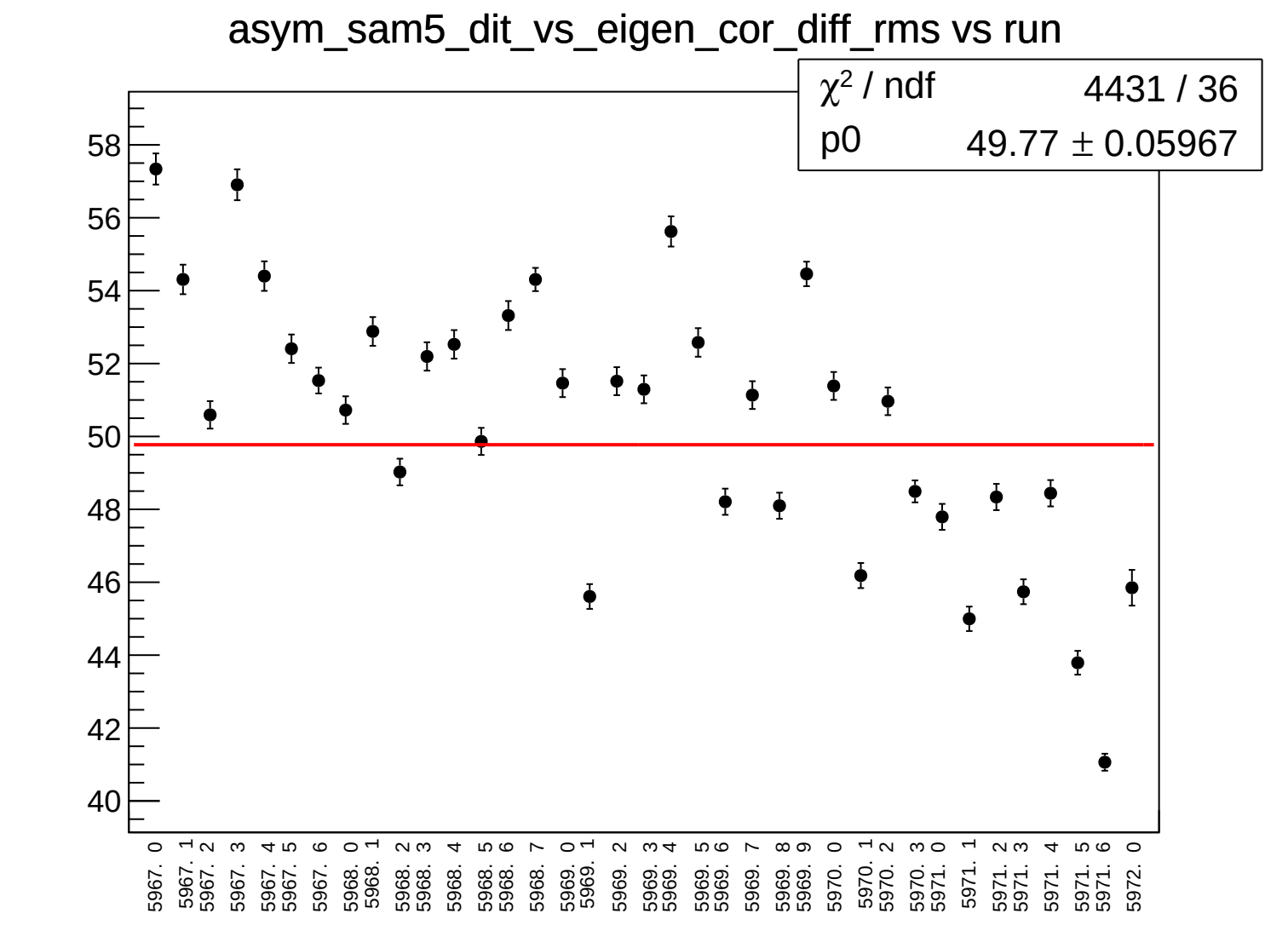
asym_sam5_dit_vs_eigen_cor_diff_rms vs run
χ² / ndf 4431 / 36
p0 49.77 ± 0.05967
58
56
54
52
50
48
46
44
42
40
5967. 0
5967. 1
5967. 2
5967. 3
5967. 4
5967. 5
5967. 6
5968. 0
5968. 1
5968. 2
5968. 3
5968. 4
5968. 5
5968. 6
5968. 7
5969. 0
5969. 1
5969. 2
5969. 3
5969. 4
5969. 5
5969. 6
5969. 7
5969. 8
5969. 9
5970. 0
5970. 1
5970. 2
5970. 3
5971. 0
5971. 1
5971. 2
5971. 3
5971. 4
5971. 5
5971. 6
5972. 0

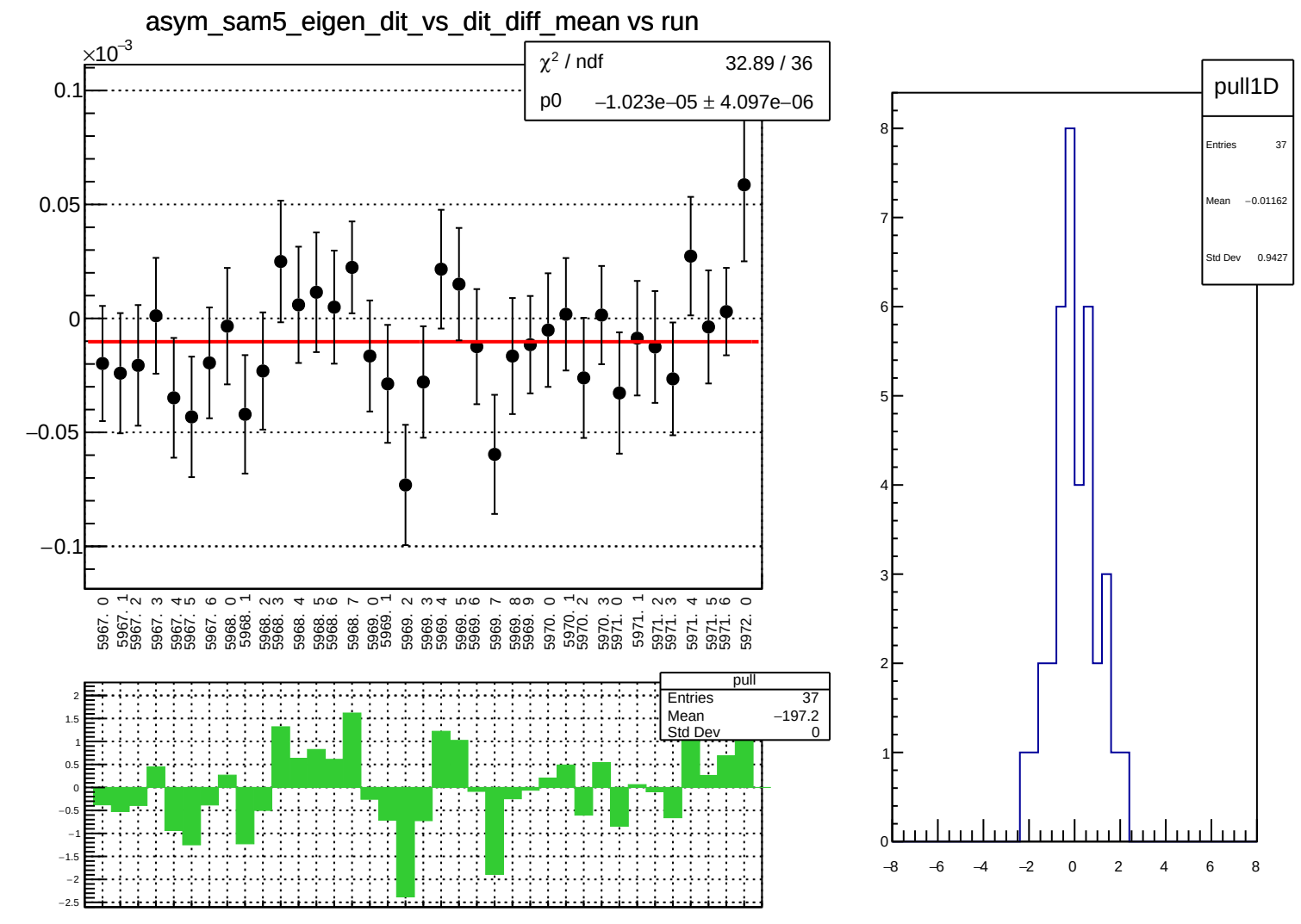
asym_sam5_eigen_dit_vs_dit_diff_mean vs run
×10⁻³
χ² / ndf 32.89 / 36
p0 −1.023e−05 ± 4.097e−06
0.1
0.05
0
−0.05
−0.1
5967. 0
5967. 1
5967. 2
5967. 3
5967. 4
5967. 5
5967. 6
5968. 0
5968. 1
5968. 2
5968. 3
5968. 4
5968. 5
5968. 6
5968. 7
5969. 0
5969. 1
5969. 2
5969. 3
5969. 4
5969. 5
5969. 6
5969. 7
5969. 8
5969. 9
5970. 0
5970. 1
5970. 2
5970. 3
5971. 0
5971. 1
5971. 2
5971. 3
5971. 4
5971. 5
5971. 6
5972. 0
pull
Entries 37
Mean −197.2
Std Dev 0
2
1.5
1
0.5
0
−0.5
−1
−1.5
−2
−2.5
pull1D
Entries 37
Mean −0.01162
Std Dev 0.9427
8
7
6
5
4
3
2
1
0
−8
−6
−4
−2
0
2
4
6
8

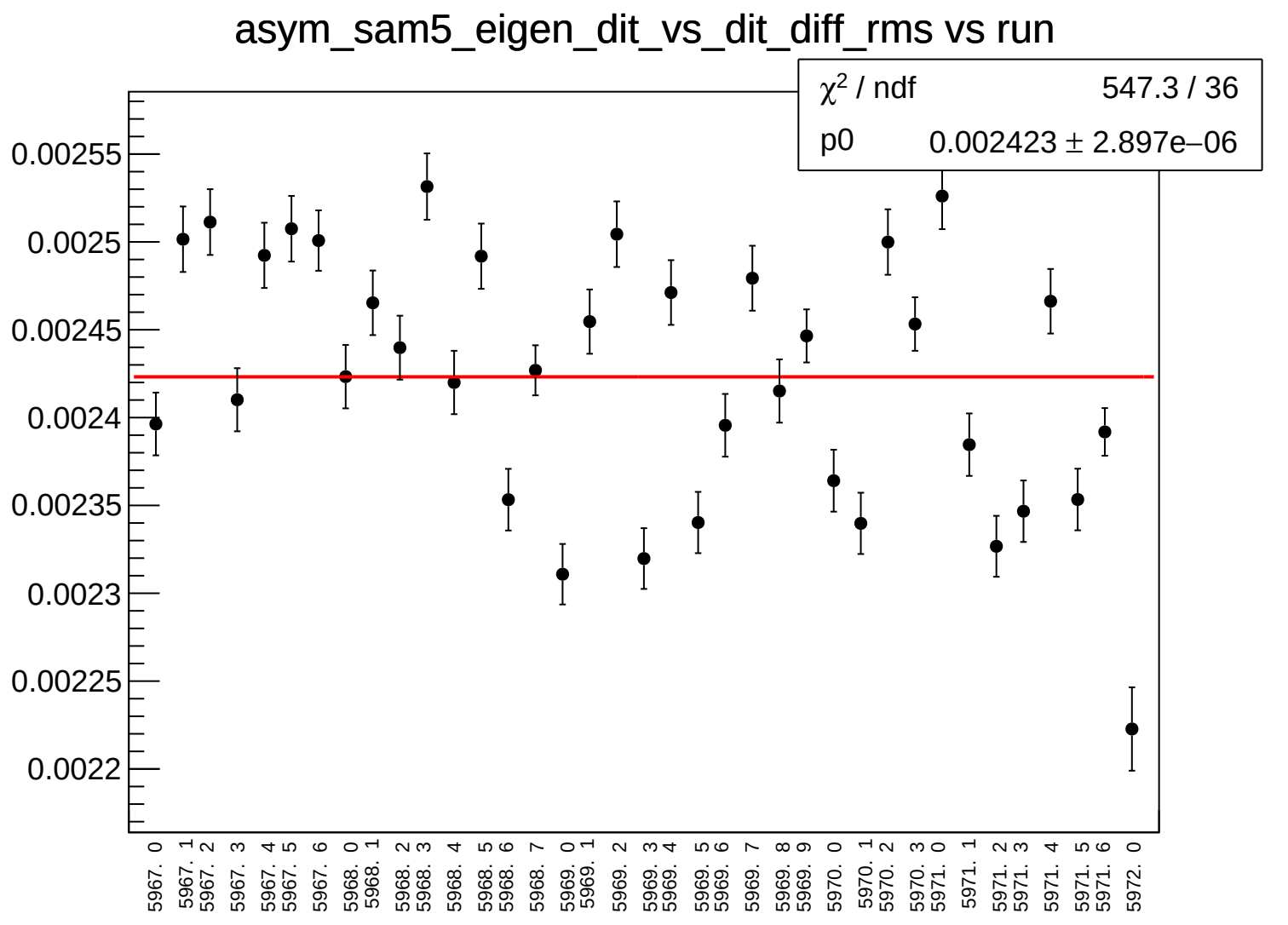
asym_sam5_eigen_dit_vs_dit_diff_rms vs run
χ² / ndf 547.3 / 36
p0 0.002423 ± 2.897e−06
0.00255
0.0025
0.00245
0.0024
0.00235
0.0023
0.00225
0.0022
5967. 0
5967. 1
5967. 2
5967. 3
5967. 4
5967. 5
5967. 6
5968. 0
5968. 1
5968. 2
5968. 3
5968. 4
5968. 5
5968. 6
5968. 7
5969. 0
5969. 1
5969. 2
5969. 3
5969. 4
5969. 5
5969. 6
5969. 7
5969. 8
5969. 9
5970. 0
5970. 1
5970. 2
5970. 3
5971. 0
5971. 1
5971. 2
5971. 3
5971. 4
5971. 5
5971. 6
5972. 0

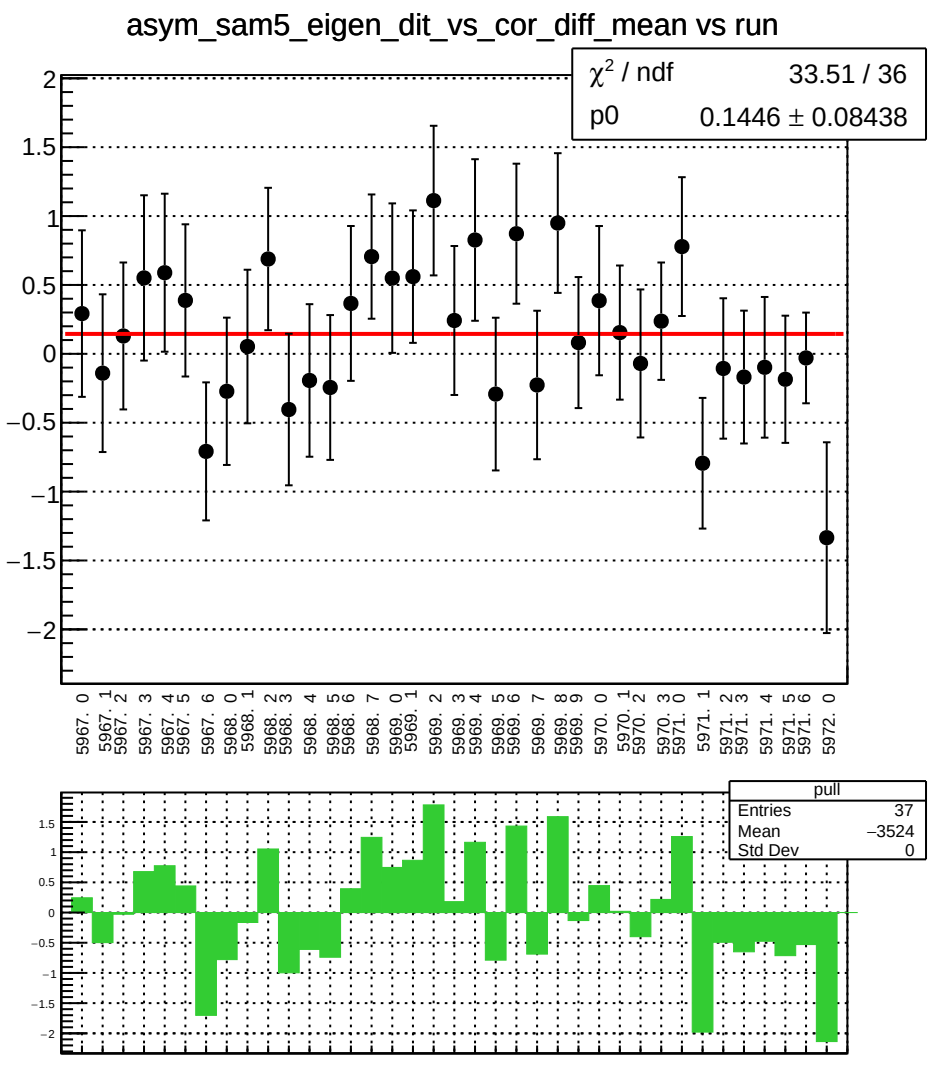
asym_sam5_eigen_dit_vs_cor_diff_mean vs run
χ² / ndf 33.51 / 36
p0 0.1446 ± 0.08438
pull
Entries 37
Mean −3524
Std Dev 0

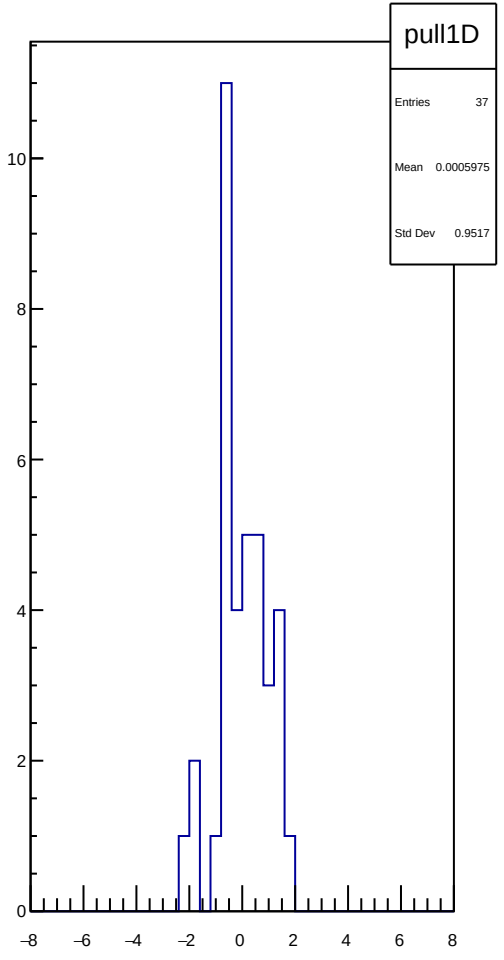
pull1D
Entries 37
Mean 0.0005975
Std Dev 0.9517

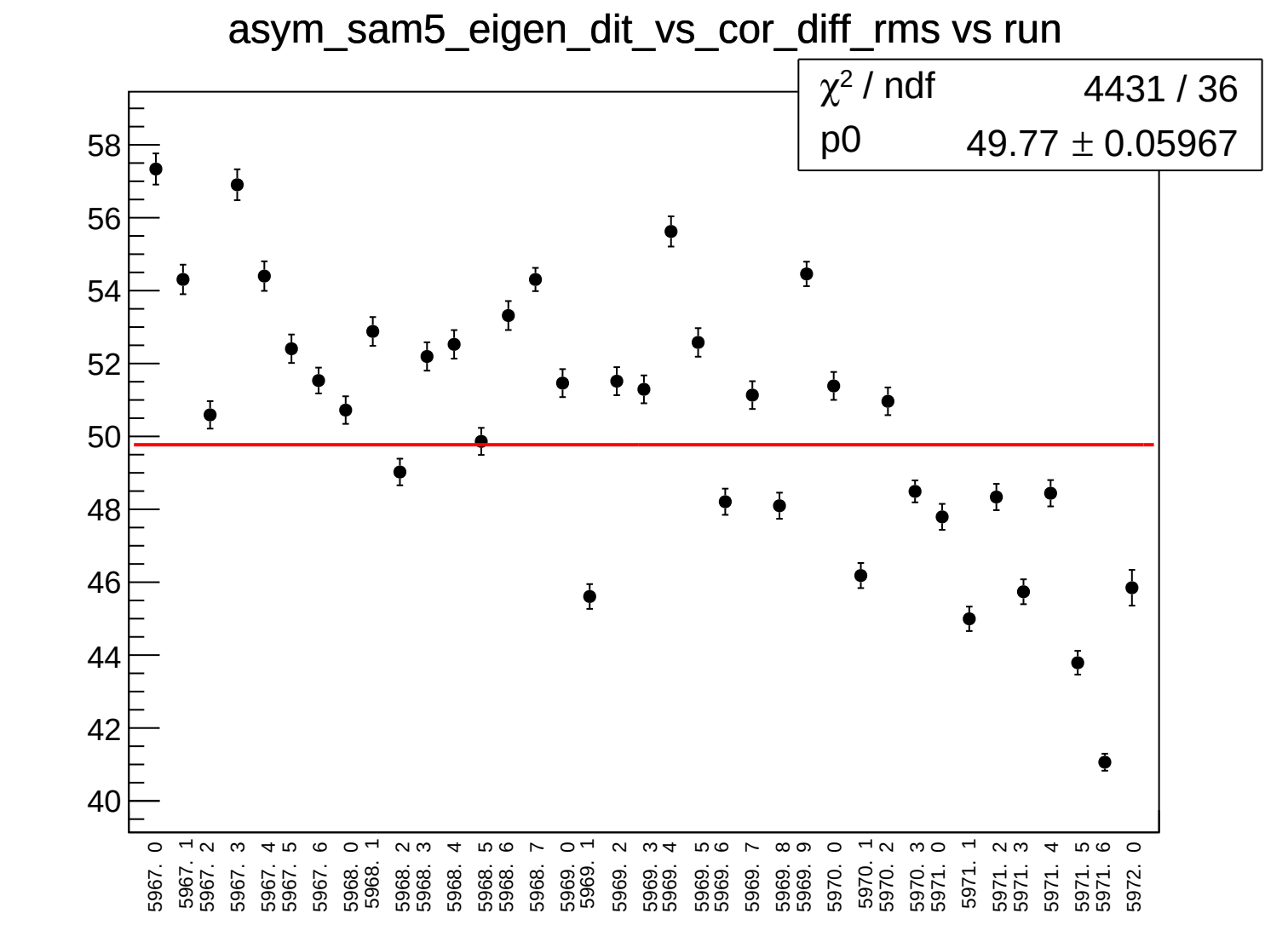
asym_sam5_eigen_dit_vs_cor_diff_rms vs run
χ² / ndf 4431 / 36
p0 49.77 ± 0.05967
58
56
54
52
50
48
46
44
42
40
5967. 0
5967. 1
5967. 2
5967. 3
5967. 4
5967. 5
5967. 6
5968. 0
5968. 1
5968. 2
5968. 3
5968. 4
5968. 5
5968. 6
5968. 7
5969. 0
5969. 1
5969. 2
5969. 3
5969. 4
5969. 5
5969. 6
5969. 7
5969. 8
5969. 9
5970. 0
5970. 1
5970. 2
5970. 3
5971. 0
5971. 1
5971. 2
5971. 3
5971. 4
5971. 5
5971. 6
5972. 0

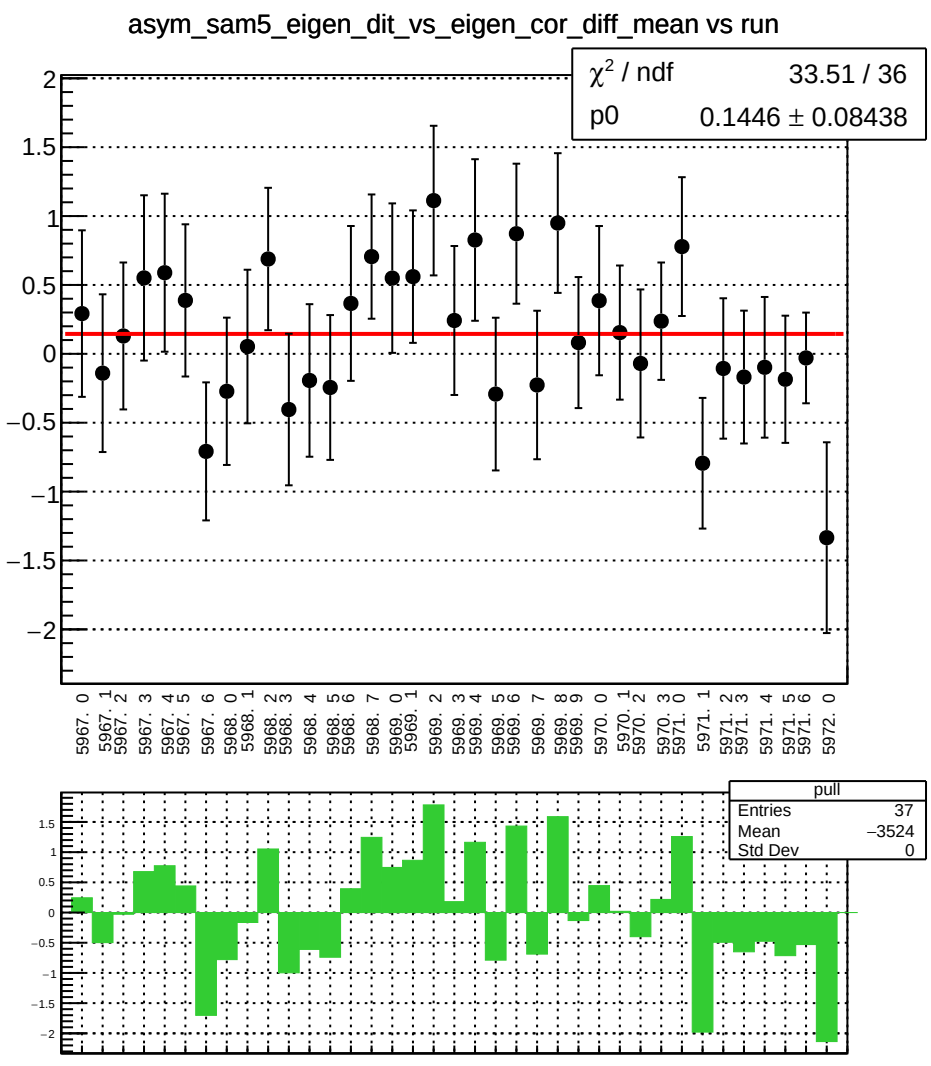
asym_sam5_eigen_dit_vs_eigen_cor_diff_mean vs run
χ² / ndf 33.51 / 36
p0 0.1446 ± 0.08438
pull
Entries 37
Mean −3524
Std Dev 0

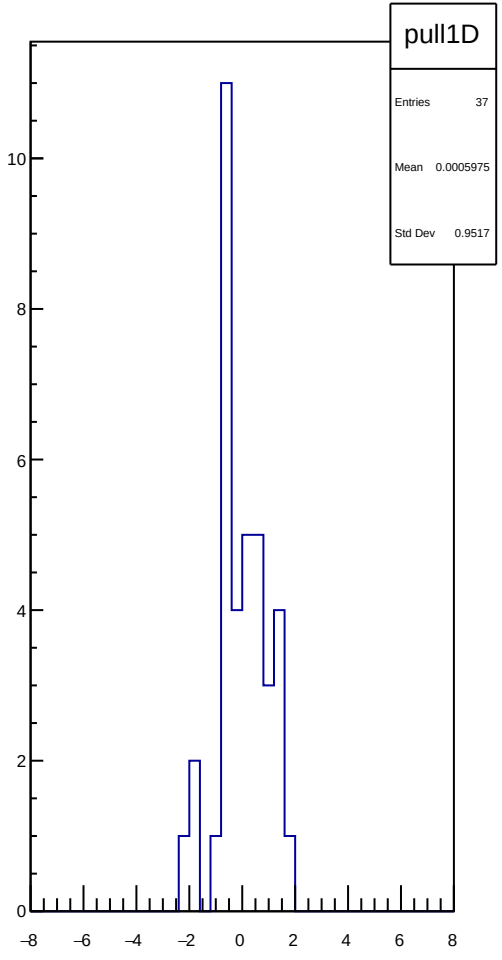
pull1D
Entries 37
Mean 0.0005975
Std Dev 0.9517

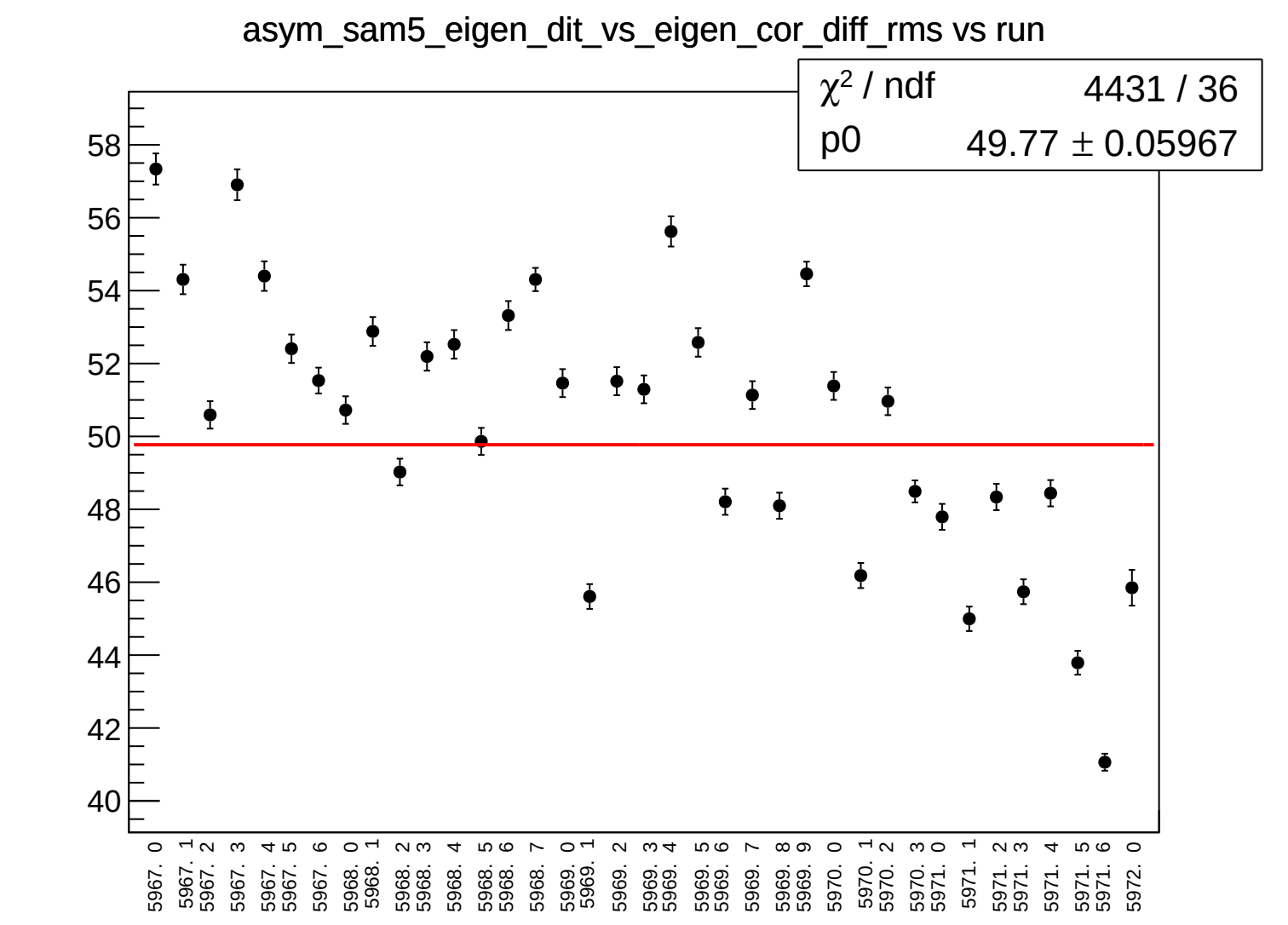
asym_sam5_eigen_dit_vs_eigen_cor_diff_rms vs run
χ² / ndf 4431 / 36
p0 49.77 ± 0.05967
58
56
54
52
50
48
46
44
42
40
5967. 0
5967. 1
5967. 2
5967. 3
5967. 4
5967. 5
5967. 6
5968. 0
5968. 1
5968. 2
5968. 3
5968. 4
5968. 5
5968. 6
5968. 7
5969. 0
5969. 1
5969. 2
5969. 3
5969. 4
5969. 5
5969. 6
5969. 7
5969. 8
5969. 9
5970. 0
5970. 1
5970. 2
5970. 3
5971. 0
5971. 1
5971. 2
5971. 3
5971. 4
5971. 5
5971. 6
5972. 0

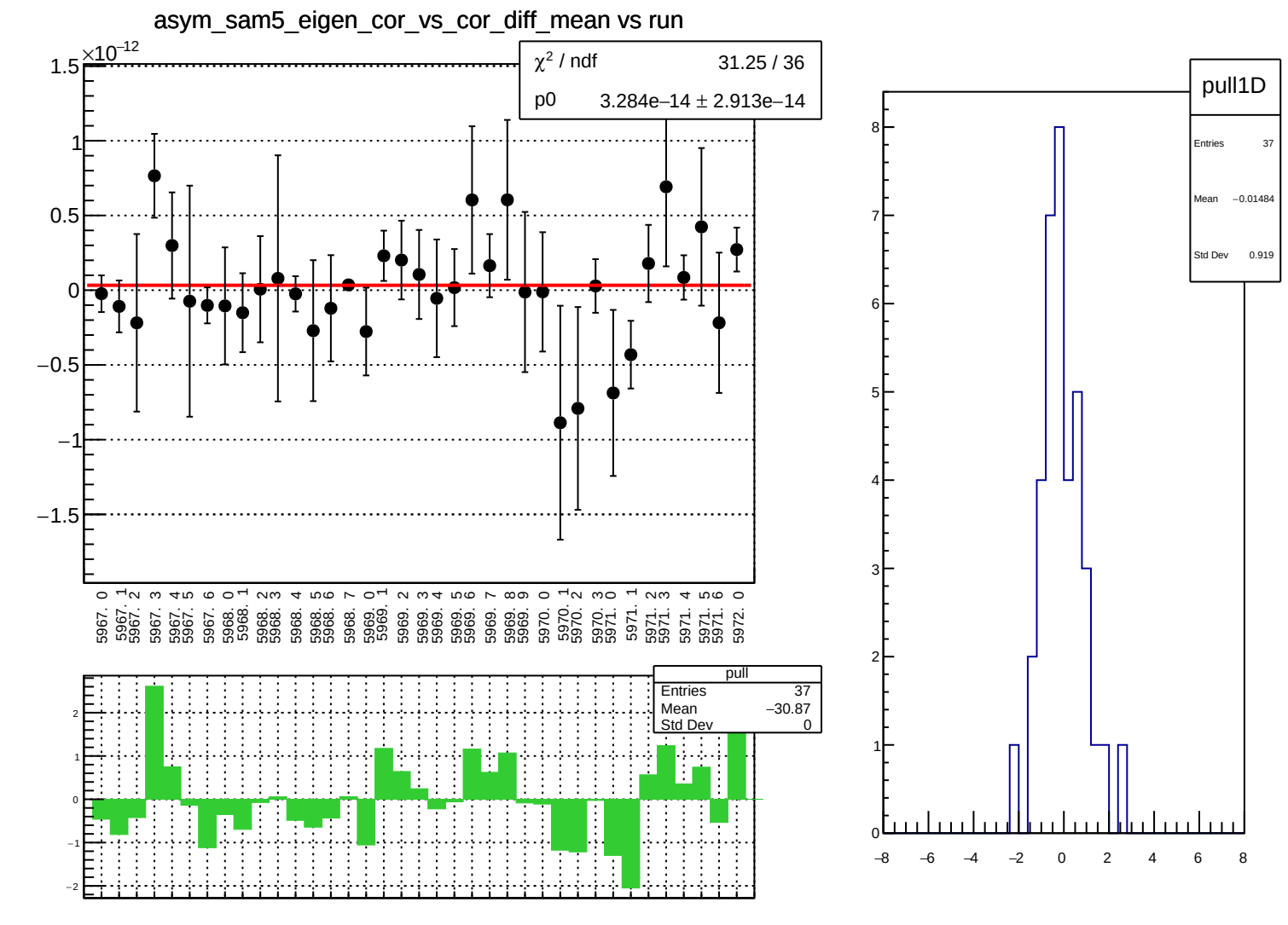
asym_sam5_eigen_cor_vs_cor_diff_mean vs run
×10⁻¹²
χ² / ndf 31.25 / 36
p0 3.284e−14 ± 2.913e−14
1.5
1
0.5
0
−0.5
−1
−1.5
5967. 0
5967. 1
5967. 2
5967. 3
5967. 4
5967. 5
5967. 6
5968. 0
5968. 1
5968. 2
5968. 3
5968. 4
5968. 5
5968. 6
5968. 7
5969. 0
5969. 1
5969. 2
5969. 3
5969. 4
5969. 5
5969. 6
5969. 7
5969. 8
5969. 9
5970. 0
5970. 1
5970. 2
5970. 3
5971. 0
5971. 1
5971. 2
5971. 3
5971. 4
5971. 5
5971. 6
5972. 0
pull
Entries 37
Mean −30.87
Std Dev 0
2
1
0
−1
−2
pull1D
Entries 37
Mean −0.01484
Std Dev 0.919
8
7
6
5
4
3
2
1
0
−8
−6
−4
−2
0
2
4
6
8

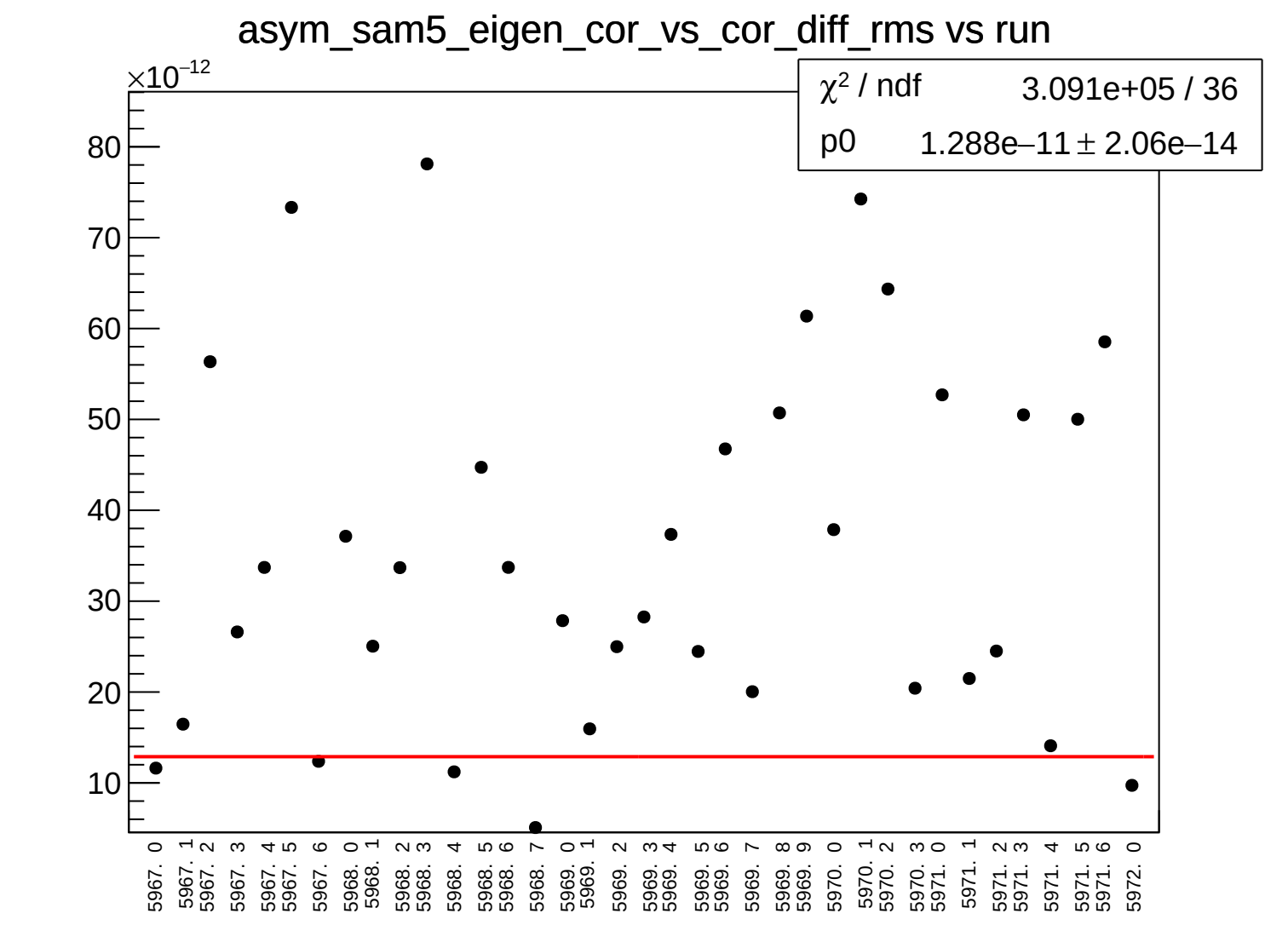
asym_sam5_eigen_cor_vs_cor_diff_rms vs run
×10⁻¹²
χ² / ndf 3.091e+05 / 36
p0 1.288e−11 ± 2.06e−14
80
70
60
50
40
30
20
10
5967. 0
5967. 1
5967. 2
5967. 3
5967. 4
5967. 5
5967. 6
5968. 0
5968. 1
5968. 2
5968. 3
5968. 4
5968. 5
5968. 6
5968. 7
5969. 0
5969. 1
5969. 2
5969. 3
5969. 4
5969. 5
5969. 6
5969. 7
5969. 8
5969. 9
5970. 0
5970. 1
5970. 2
5970. 3
5971. 0
5971. 1
5971. 2
5971. 3
5971. 4
5971. 5
5971. 6
5972. 0

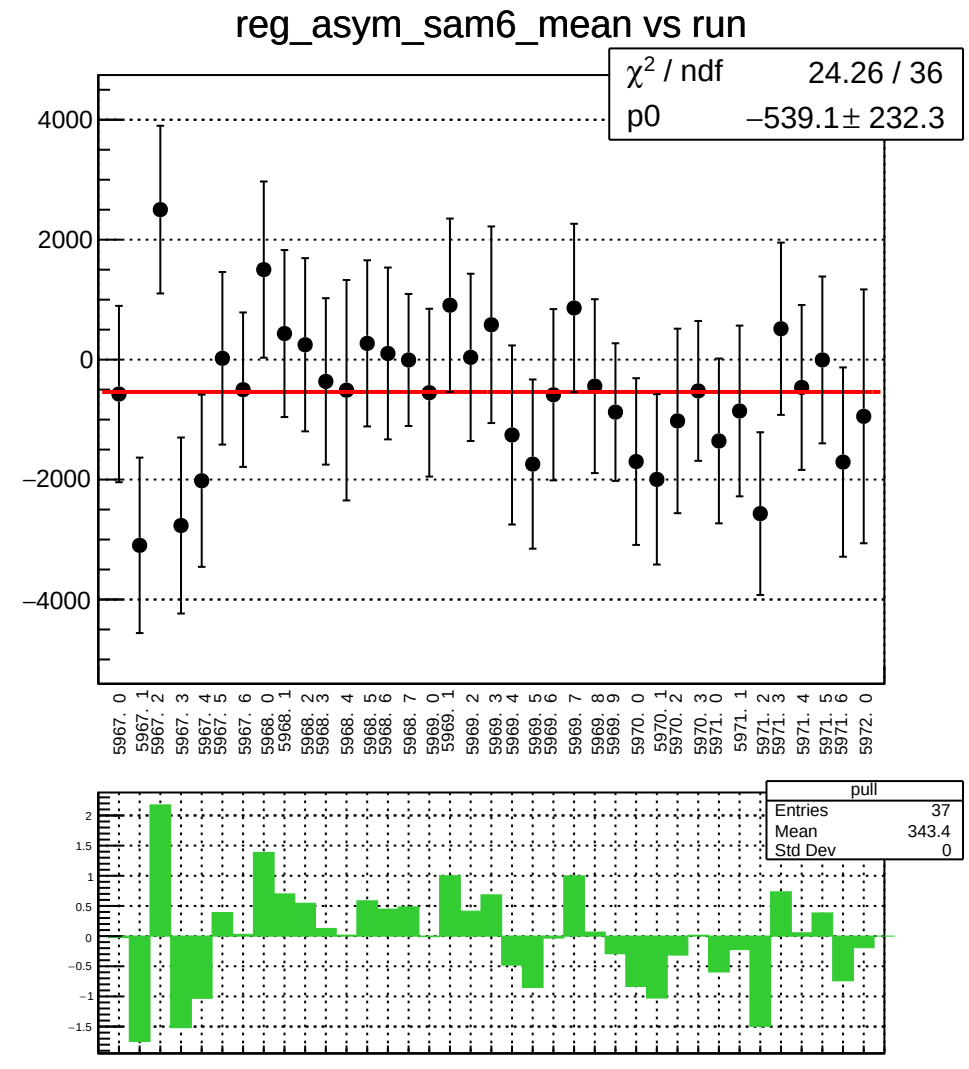
reg_asym_sam6_mean vs run
χ² / ndf 24.26 / 36
p0 −539.1± 232.3
4000
2000
0
−2000
−4000
5967. 0
5967. 1
5967. 2
5967. 3
5967. 4
5967. 5
5967. 6
5968. 0
5968. 1
5968. 2
5968. 3
5968. 4
5968. 5
5968. 6
5968. 7
5969. 0
5969. 1
5969. 2
5969. 3
5969. 4
5969. 5
5969. 6
5969. 7
5969. 8
5969. 9
5970. 0
5970. 1
5970. 2
5970. 3
5971. 0
5971. 1
5971. 2
5971. 3
5971. 4
5971. 5
5971. 6
5972. 0
pull
Entries 37
Mean 343.4
Std Dev 0
2
1.5
1
0.5
0
−0.5
−1
−1.5

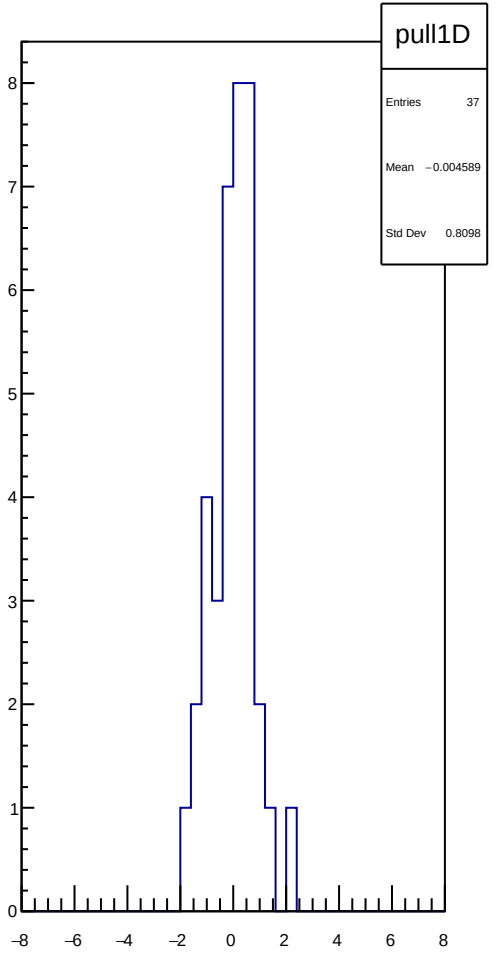
pull1D
Entries 37
Mean −0.004589
Std Dev 0.8098
8
7
6
5
4
3
2
1
0
−8
−6
−4
−2
0
2
4
6
8

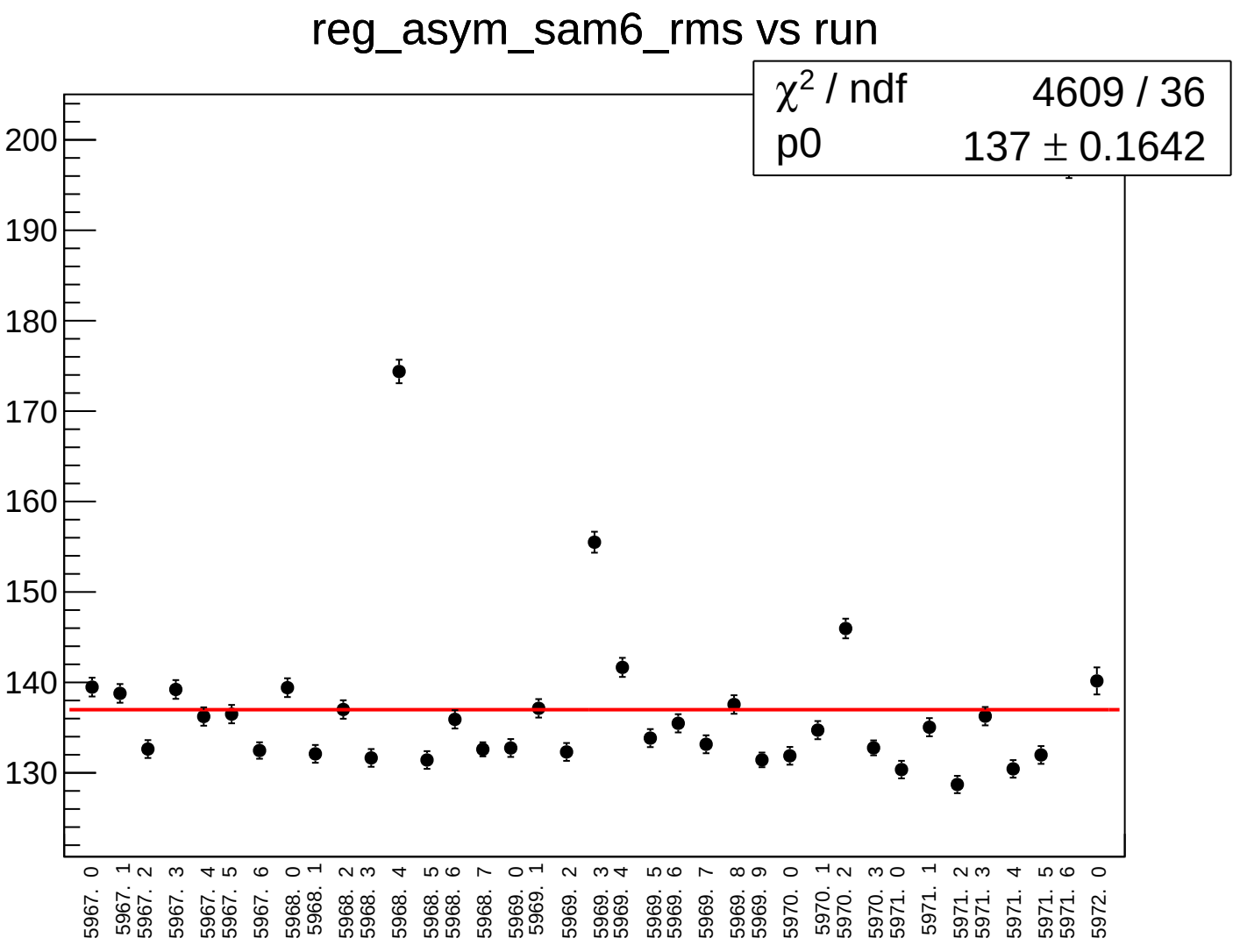
reg_asym_sam6_rms vs run
χ² / ndf 4609 / 36
p0 137 ± 0.1642
200
190
180
170
160
150
140
130
5967. 0
5967. 1
5967. 2
5967. 3
5967. 4
5967. 5
5967. 6
5968. 0
5968. 1
5968. 2
5968. 3
5968. 4
5968. 5
5968. 6
5968. 7
5969. 0
5969. 1
5969. 2
5969. 3
5969. 4
5969. 5
5969. 6
5969. 7
5969. 8
5969. 9
5970. 0
5970. 1
5970. 2
5970. 3
5971. 0
5971. 1
5971. 2
5971. 3
5971. 4
5971. 5
5971. 6
5972. 0

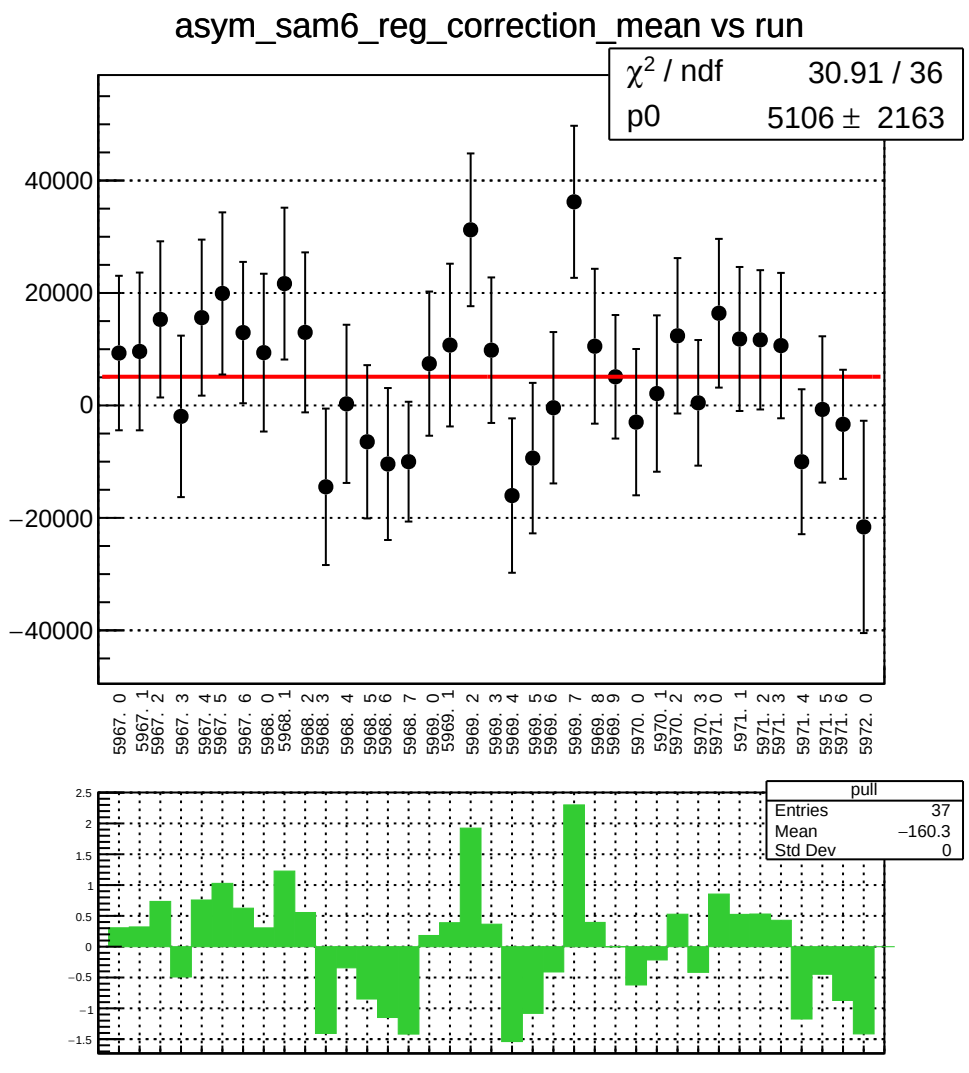
asym_sam6_reg_correction_mean vs run
χ² / ndf 30.91 / 36
p0 5106 ± 2163
40000
20000
0
−20000
−40000
5967. 0
5967. 1
5967. 2
5967. 3
5967. 4
5967. 5
5967. 6
5968. 0
5968. 1
5968. 2
5968. 3
5968. 4
5968. 5
5968. 6
5968. 7
5969. 0
5969. 1
5969. 2
5969. 3
5969. 4
5969. 5
5969. 6
5969. 7
5969. 8
5969. 9
5970. 0
5970. 1
5970. 2
5970. 3
5971. 0
5971. 1
5971. 2
5971. 3
5971. 4
5971. 5
5971. 6
5972. 0
pull
Entries 37
Mean −160.3
Std Dev 0
2.5
2
1.5
1
0.5
0
−0.5
−1
−1.5

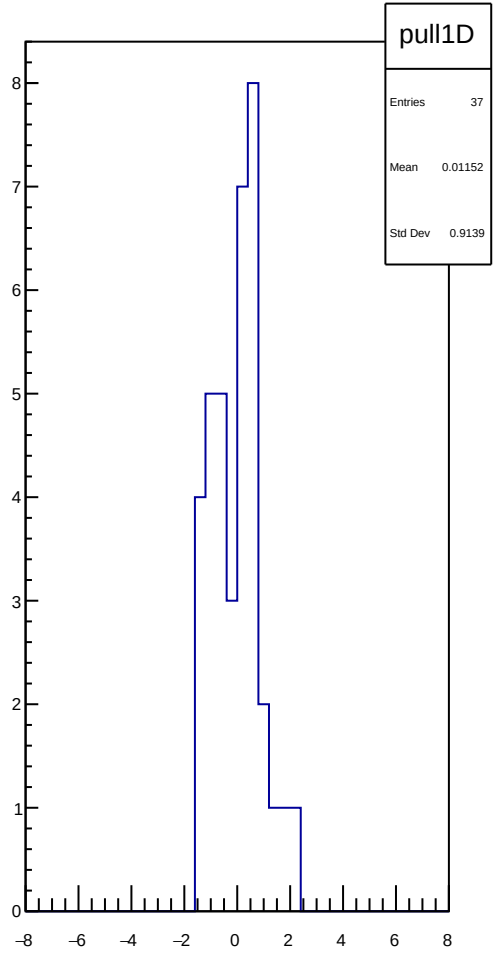
pull1D
Entries 37
Mean 0.01152
Std Dev 0.9139
8
7
6
5
4
3
2
1
0
−8
−6
−4
−2
0
2
4
6
8

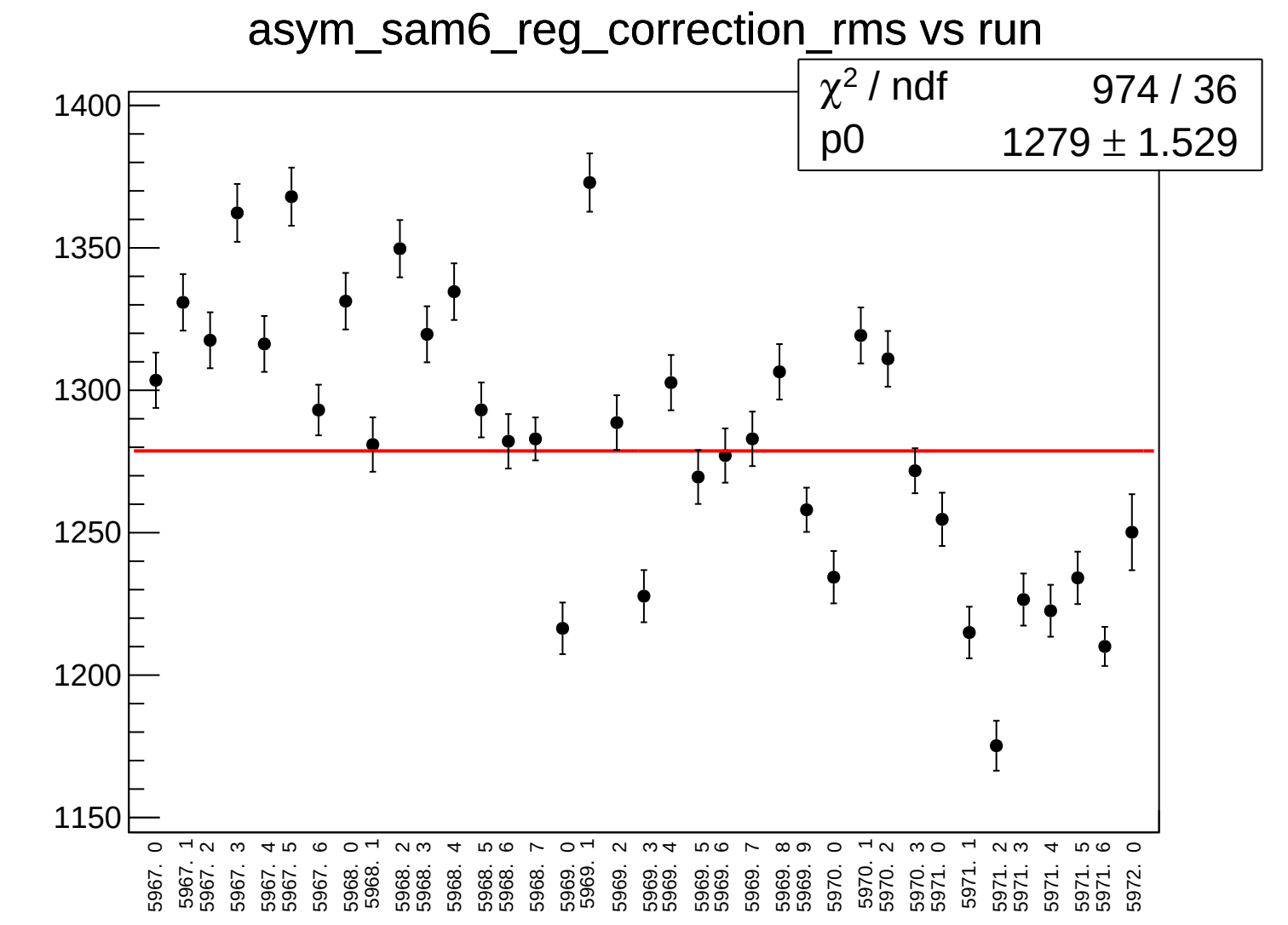
asym_sam6_reg_correction_rms vs run
χ² / ndf 974 / 36
p0 1279 ± 1.529
1400
1350
1300
1250
1200
1150
5967. 0
5967. 1
5967. 2
5967. 3
5967. 4
5967. 5
5967. 6
5968. 0
5968. 1
5968. 2
5968. 3
5968. 4
5968. 5
5968. 6
5968. 7
5969. 0
5969. 1
5969. 2
5969. 3
5969. 4
5969. 5
5969. 6
5969. 7
5969. 8
5969. 9
5970. 0
5970. 1
5970. 2
5970. 3
5971. 0
5971. 1
5971. 2
5971. 3
5971. 4
5971. 5
5971. 6
5972. 0

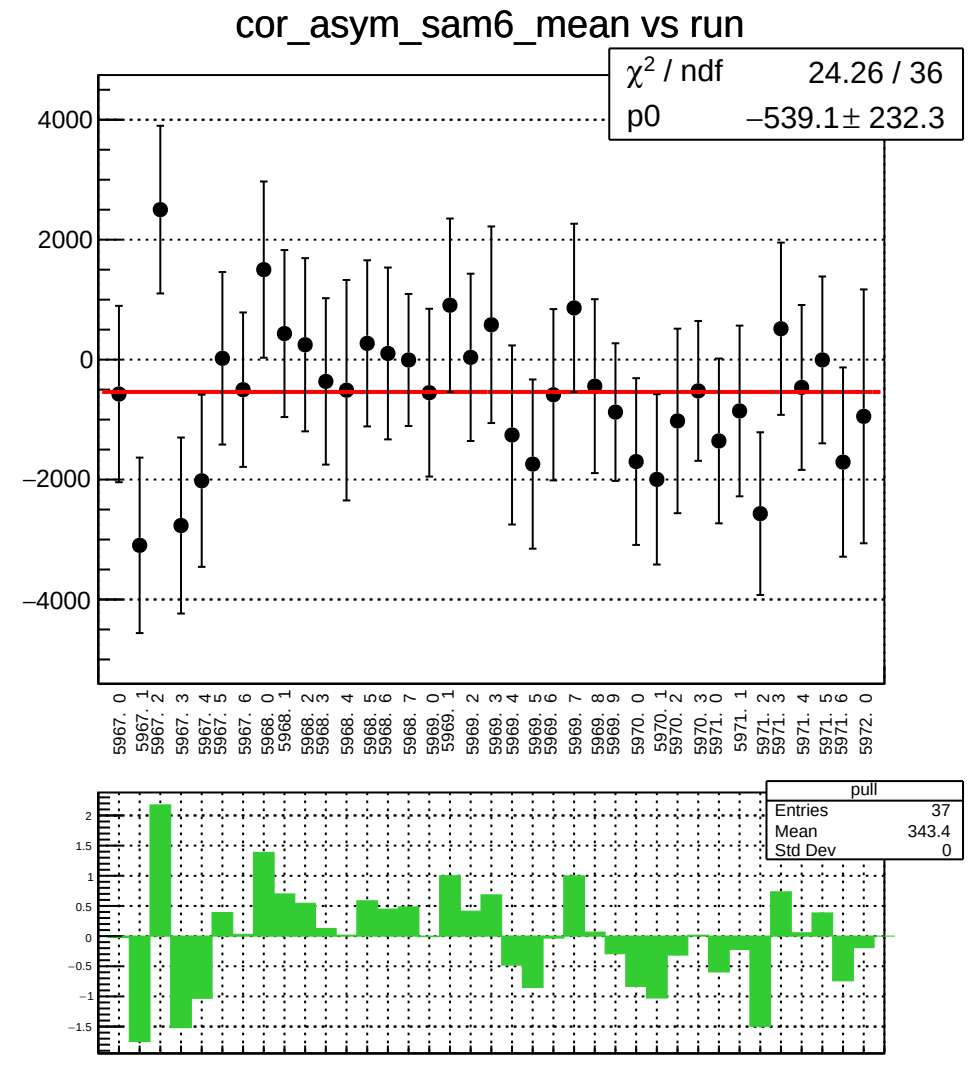
cor_asym_sam6_mean vs run
χ² / ndf 24.26 / 36
p0 −539.1± 232.3
4000
2000
0
−2000
−4000
5967. 0
5967. 1
5967. 2
5967. 3
5967. 4
5967. 5
5967. 6
5968. 0
5968. 1
5968. 2
5968. 3
5968. 4
5968. 5
5968. 6
5968. 7
5969. 0
5969. 1
5969. 2
5969. 3
5969. 4
5969. 5
5969. 6
5969. 7
5969. 8
5969. 9
5970. 0
5970. 1
5970. 2
5970. 3
5971. 0
5971. 1
5971. 2
5971. 3
5971. 4
5971. 5
5971. 6
5972. 0
pull
Entries 37
Mean 343.4
Std Dev 0
2
1.5
1
0.5
0
−0.5
−1
−1.5

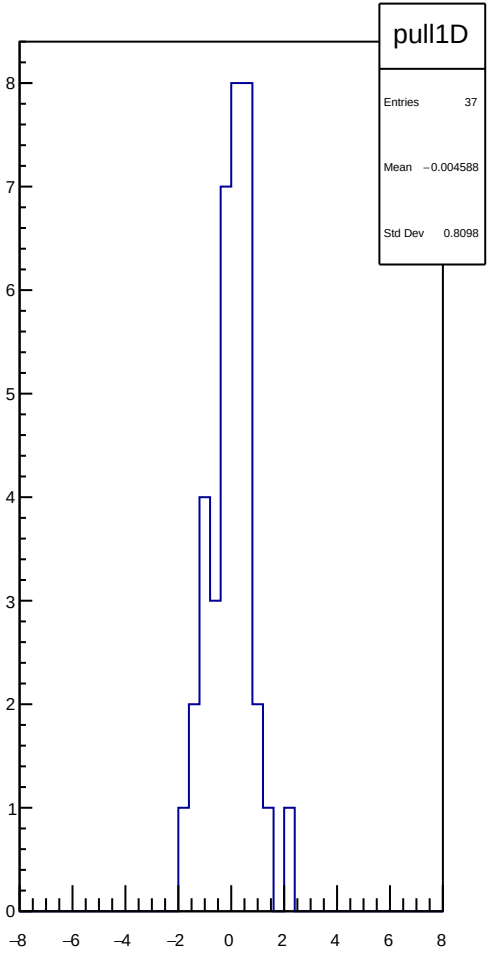
pull1D
Entries 37
Mean −0.004588
Std Dev 0.8098
8
7
6
5
4
3
2
1
0
−8
−6
−4
−2
0
2
4
6
8

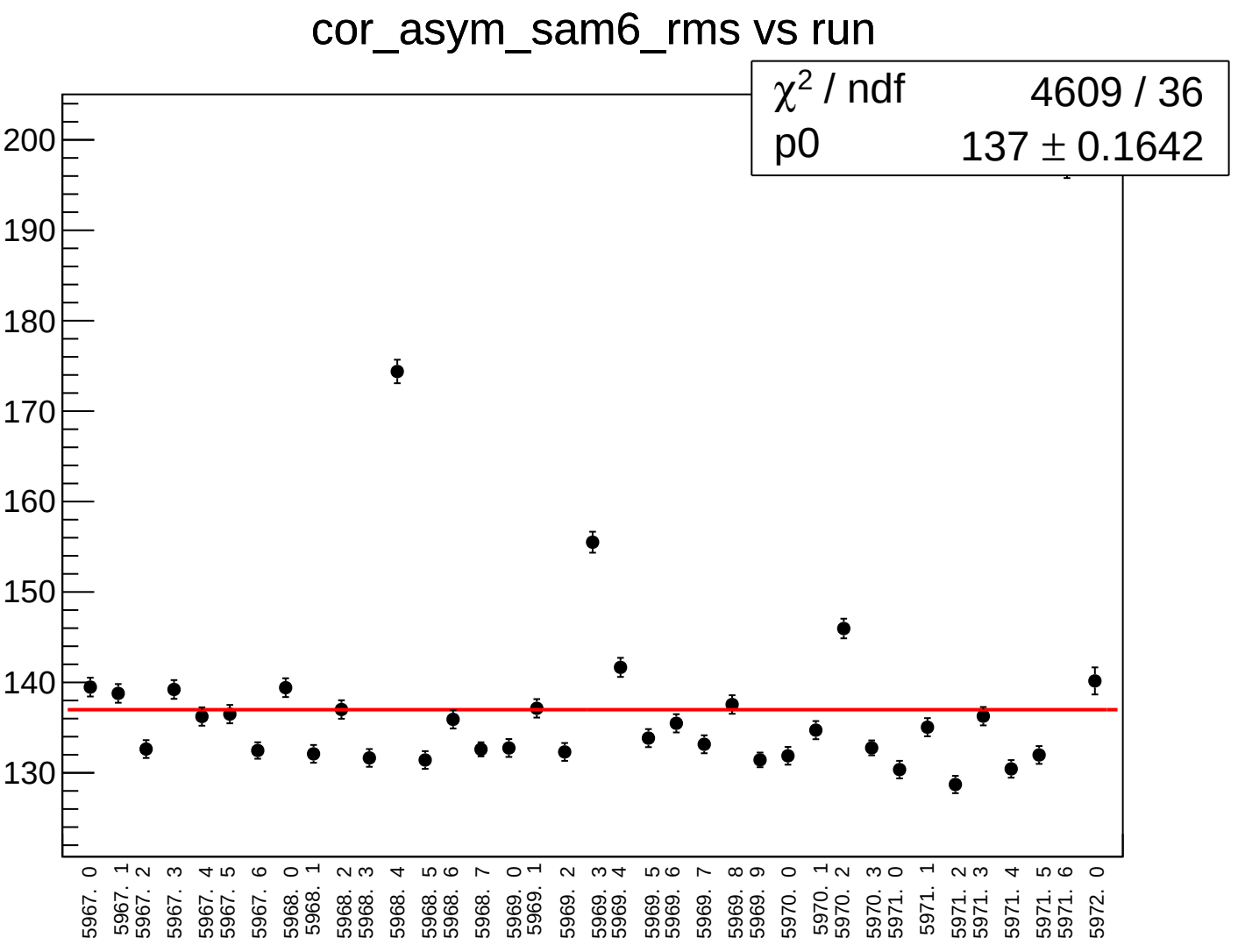
cor_asym_sam6_rms vs run
χ² / ndf 4609 / 36
p0 137 ± 0.1642
200
190
180
170
160
150
140
130
5967. 0
5967. 1
5967. 2
5967. 3
5967. 4
5967. 5
5967. 6
5968. 0
5968. 1
5968. 2
5968. 3
5968. 4
5968. 5
5968. 6
5968. 7
5969. 0
5969. 1
5969. 2
5969. 3
5969. 4
5969. 5
5969. 6
5969. 7
5969. 8
5969. 9
5970. 0
5970. 1
5970. 2
5970. 3
5971. 0
5971. 1
5971. 2
5971. 3
5971. 4
5971. 5
5971. 6
5972. 0

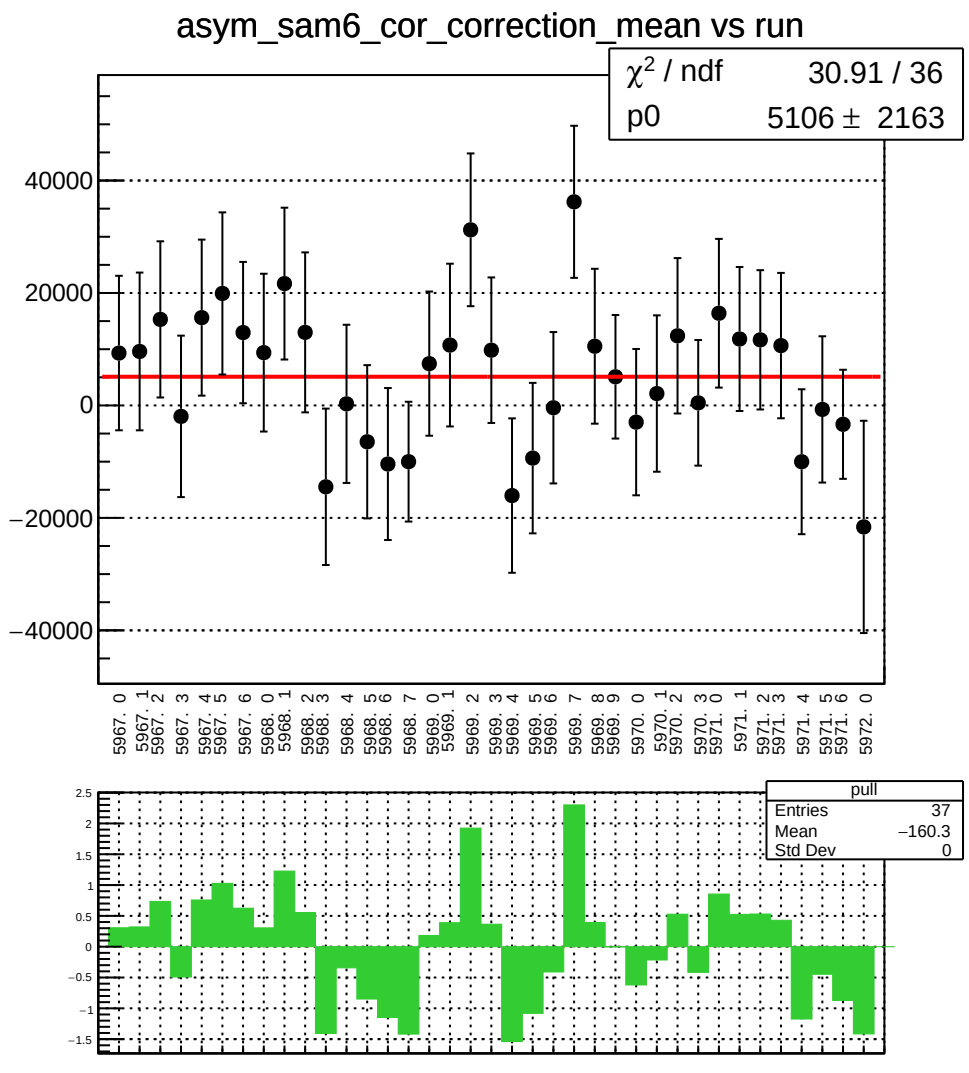
asym_sam6_cor_correction_mean vs run
χ² / ndf 30.91 / 36
p0 5106 ± 2163
40000
20000
0
−20000
−40000
5967. 0
5967. 1
5967. 2
5967. 3
5967. 4
5967. 5
5967. 6
5968. 0
5968. 1
5968. 2
5968. 3
5968. 4
5968. 5
5968. 6
5968. 7
5969. 0
5969. 1
5969. 2
5969. 3
5969. 4
5969. 5
5969. 6
5969. 7
5969. 8
5969. 9
5970. 0
5970. 1
5970. 2
5970. 3
5971. 0
5971. 1
5971. 2
5971. 3
5971. 4
5971. 5
5971. 6
5972. 0
pull
Entries 37
Mean −160.3
Std Dev 0
2.5
2
1.5
1
0.5
0
−0.5
−1
−1.5

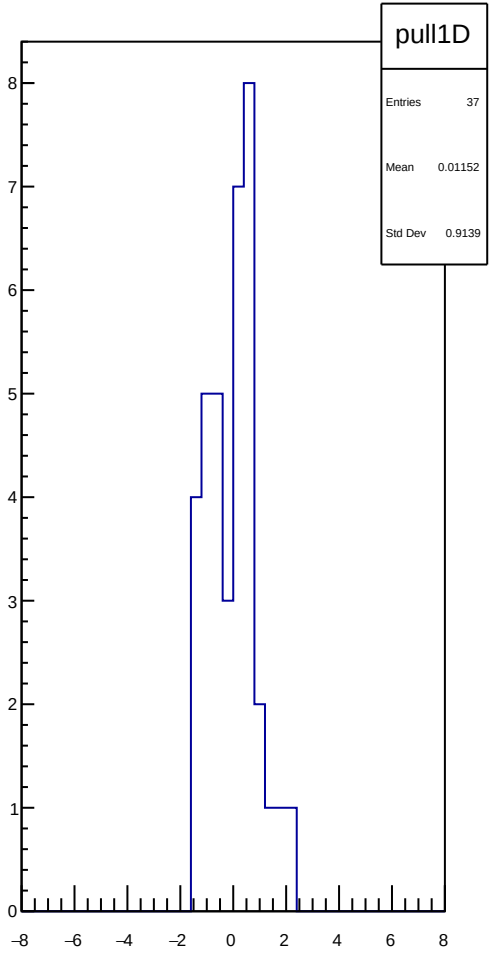
pull1D
Entries 37
Mean 0.01152
Std Dev 0.9139
8
7
6
5
4
3
2
1
0
−8
−6
−4
−2
0
2
4
6
8

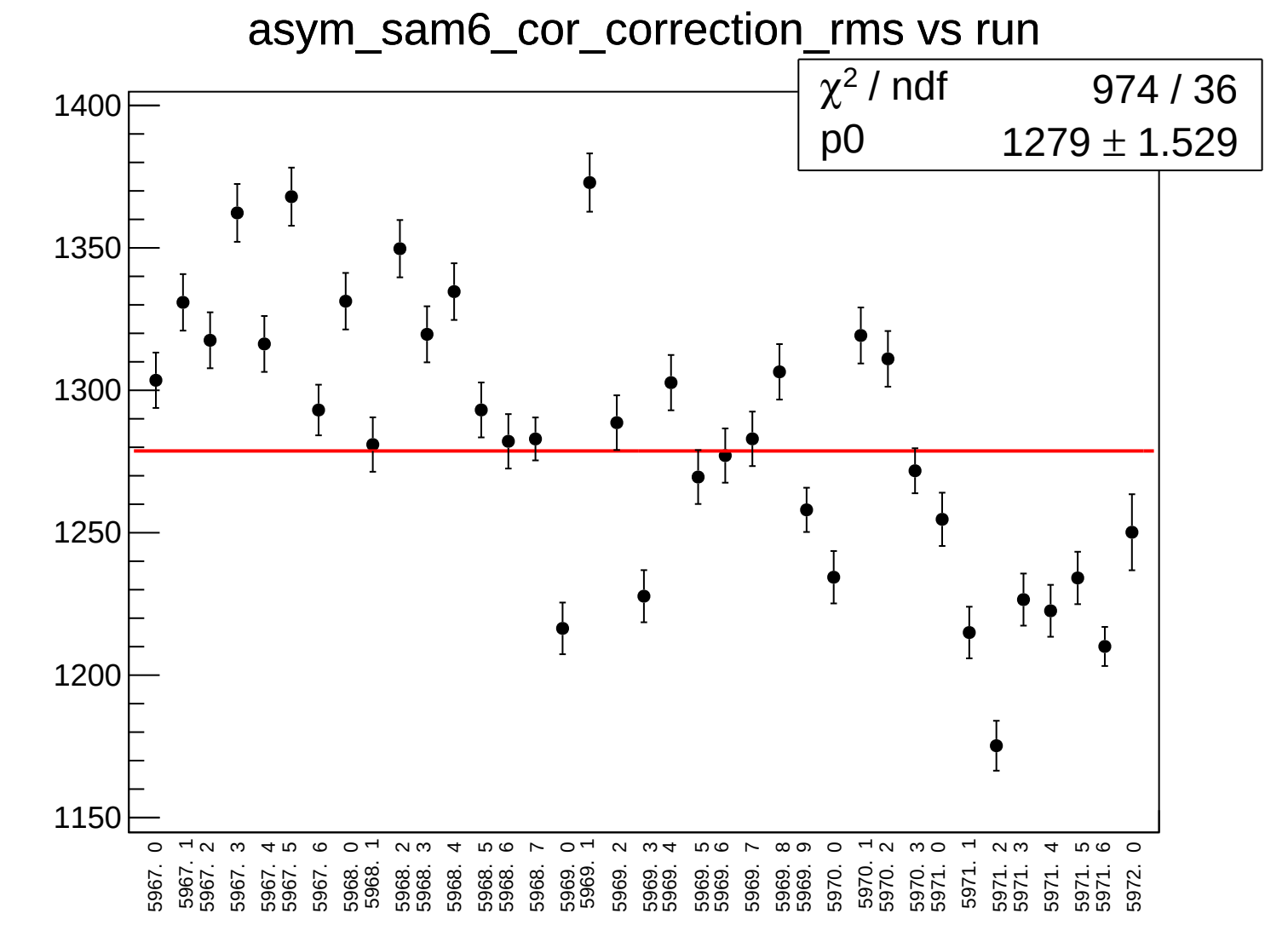
asym_sam6_cor_correction_rms vs run
χ² / ndf 974 / 36
p0 1279 ± 1.529
1400
1350
1300
1250
1200
1150
5967. 0
5967. 1
5967. 2
5967. 3
5967. 4
5967. 5
5967. 6
5968. 0
5968. 1
5968. 2
5968. 3
5968. 4
5968. 5
5968. 6
5968. 7
5969. 0
5969. 1
5969. 2
5969. 3
5969. 4
5969. 5
5969. 6
5969. 7
5969. 8
5969. 9
5970. 0
5970. 1
5970. 2
5970. 3
5971. 0
5971. 1
5971. 2
5971. 3
5971. 4
5971. 5
5971. 6
5972. 0

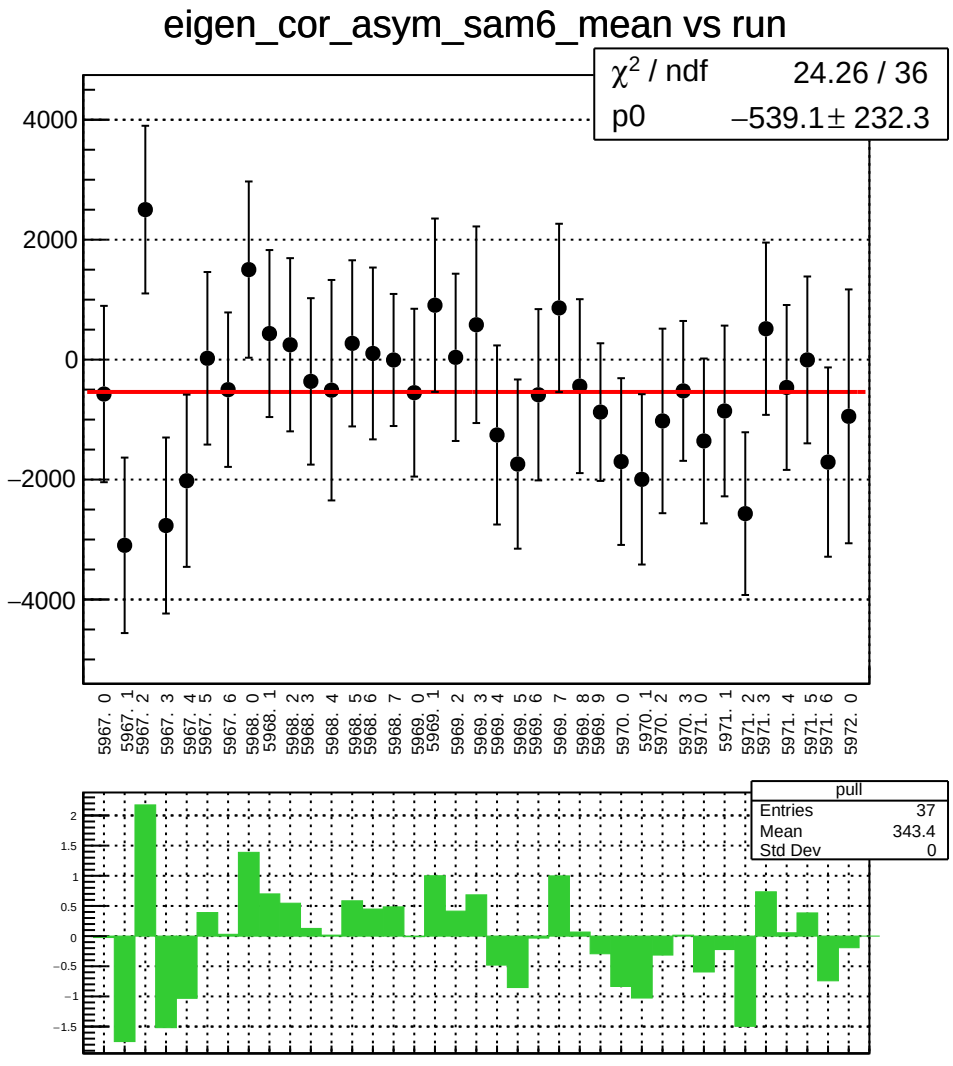
eigen_cor_asym_sam6_mean vs run
χ² / ndf 24.26 / 36
p0 −539.1± 232.3
4000
2000
0
−2000
−4000
5967. 0
5967. 1
5967. 2
5967. 3
5967. 4
5967. 5
5967. 6
5968. 0
5968. 1
5968. 2
5968. 3
5968. 4
5968. 5
5968. 6
5968. 7
5969. 0
5969. 1
5969. 2
5969. 3
5969. 4
5969. 5
5969. 6
5969. 7
5969. 8
5969. 9
5970. 0
5970. 1
5970. 2
5970. 3
5971. 0
5971. 1
5971. 2
5971. 3
5971. 4
5971. 5
5971. 6
5972. 0
pull
Entries 37
Mean 343.4
Std Dev 0
2
1.5
1
0.5
0
−0.5
−1
−1.5

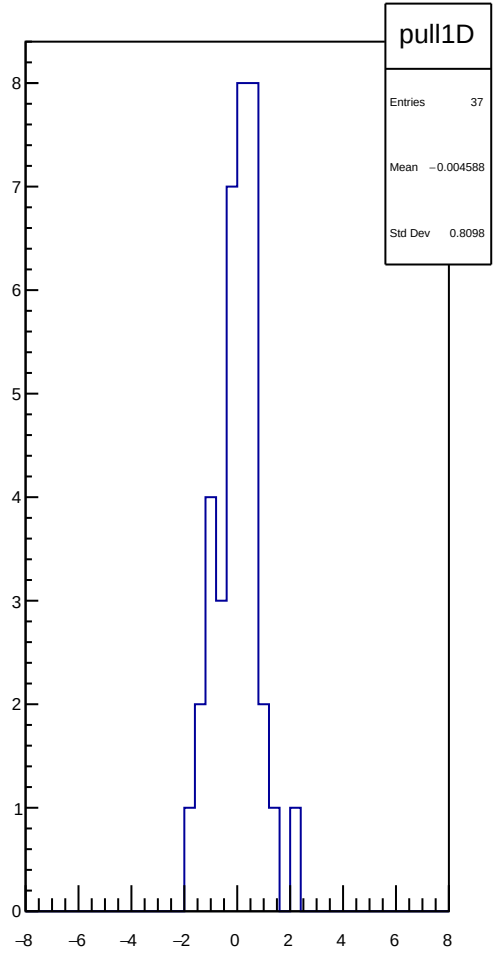
pull1D
Entries 37
Mean −0.004588
Std Dev 0.8098
8
7
6
5
4
3
2
1
0
−8
−6
−4
−2
0
2
4
6
8

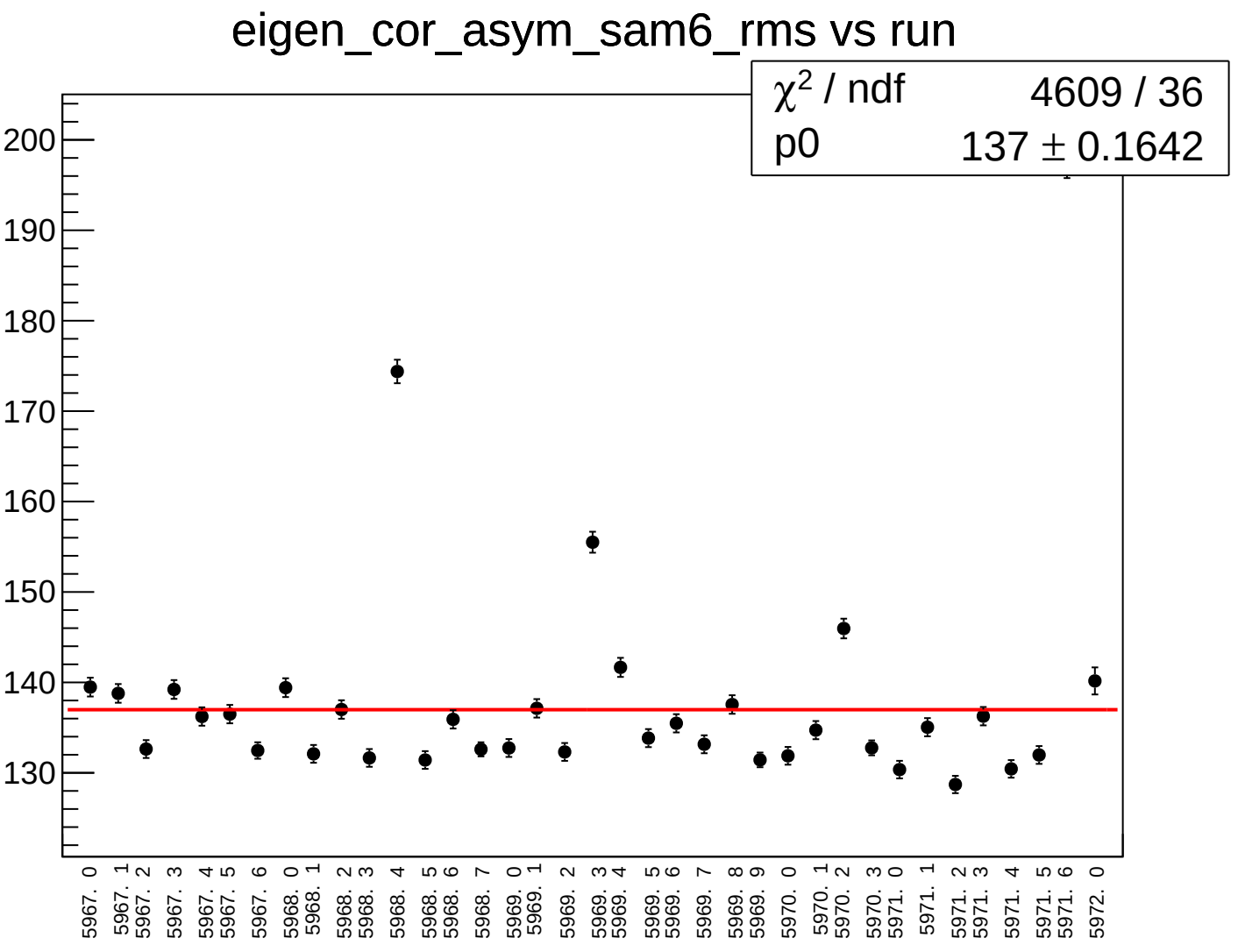
eigen_cor_asym_sam6_rms vs run
χ² / ndf 4609 / 36
p0 137 ± 0.1642
200
190
180
170
160
150
140
130
5967. 0
5967. 1
5967. 2
5967. 3
5967. 4
5967. 5
5967. 6
5968. 0
5968. 1
5968. 2
5968. 3
5968. 4
5968. 5
5968. 6
5968. 7
5969. 0
5969. 1
5969. 2
5969. 3
5969. 4
5969. 5
5969. 6
5969. 7
5969. 8
5969. 9
5970. 0
5970. 1
5970. 2
5970. 3
5971. 0
5971. 1
5971. 2
5971. 3
5971. 4
5971. 5
5971. 6
5972. 0

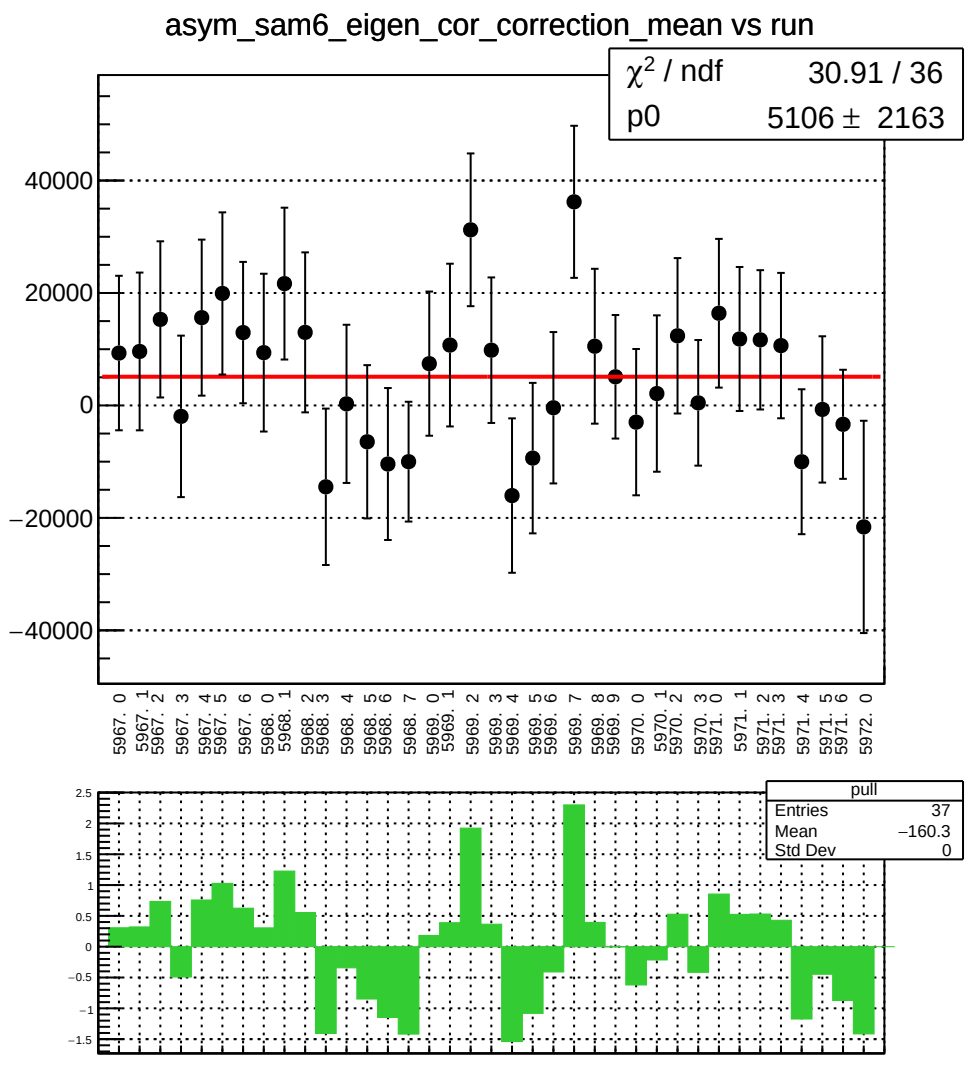
asym_sam6_eigen_cor_correction_mean vs run
χ² / ndf 30.91 / 36
p0 5106 ± 2163
40000
20000
0
−20000
−40000
5967. 0
5967. 1
5967. 2
5967. 3
5967. 4
5967. 5
5967. 6
5968. 0
5968. 1
5968. 2
5968. 3
5968. 4
5968. 5
5968. 6
5968. 7
5969. 0
5969. 1
5969. 2
5969. 3
5969. 4
5969. 5
5969. 6
5969. 7
5969. 8
5969. 9
5970. 0
5970. 1
5970. 2
5970. 3
5971. 0
5971. 1
5971. 2
5971. 3
5971. 4
5971. 5
5971. 6
5972. 0
pull
Entries 37
Mean −160.3
Std Dev 0
2.5
2
1.5
1
0.5
0
−0.5
−1
−1.5
pull1D
Entries 37
Mean 0.01152
Std Dev 0.9139
8
7
6
5
4
3
2
1
0
−8
−6
−4
−2
0
2
4
6
8

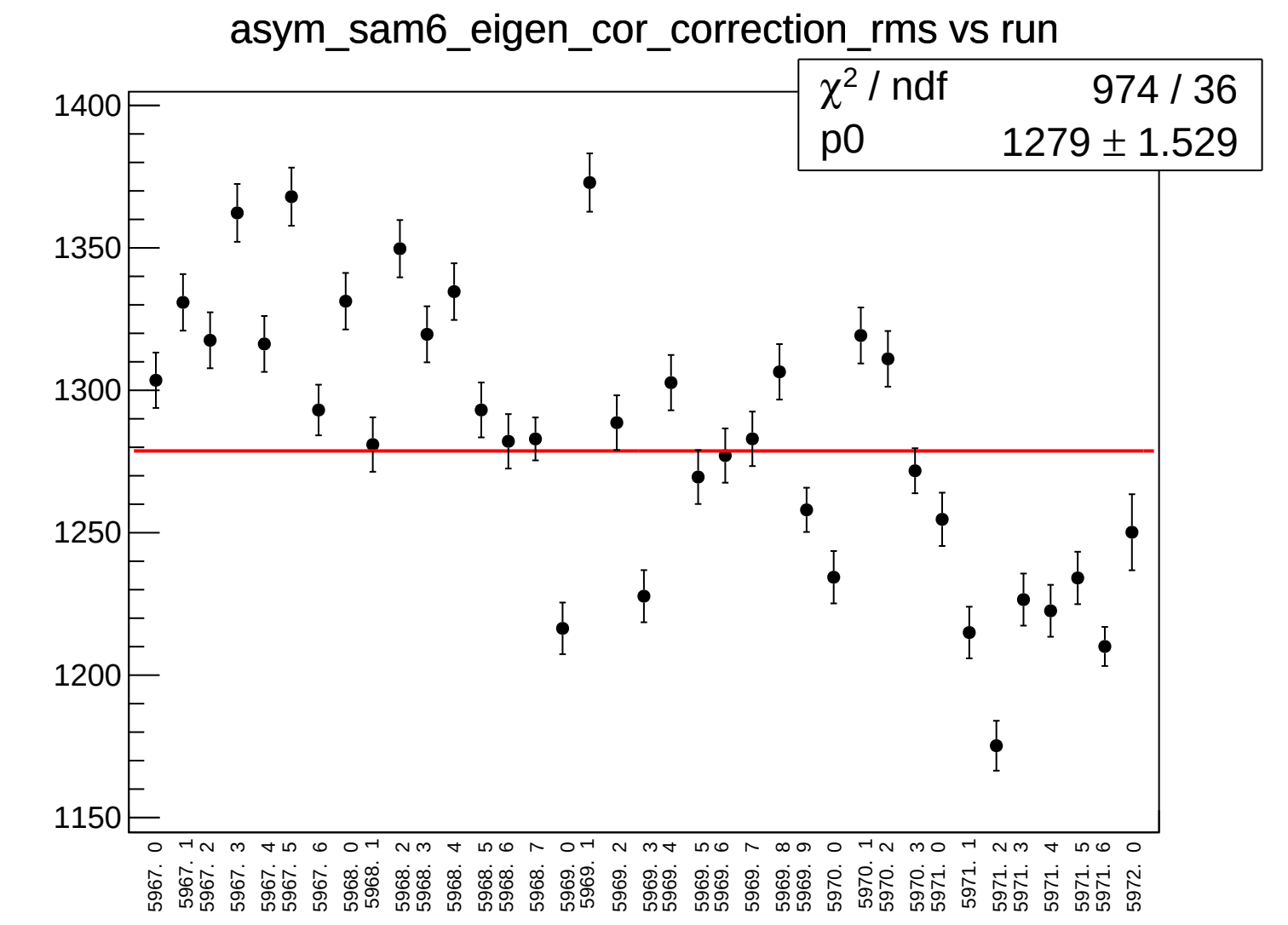
asym_sam6_eigen_cor_correction_rms vs run
χ² / ndf 974 / 36
p0 1279 ± 1.529
1400
1350
1300
1250
1200
1150
5967. 0
5967. 1
5967. 2
5967. 3
5967. 4
5967. 5
5967. 6
5968. 0
5968. 1
5968. 2
5968. 3
5968. 4
5968. 5
5968. 6
5968. 7
5969. 0
5969. 1
5969. 2
5969. 3
5969. 4
5969. 5
5969. 6
5969. 7
5969. 8
5969. 9
5970. 0
5970. 1
5970. 2
5970. 3
5971. 0
5971. 1
5971. 2
5971. 3
5971. 4
5971. 5
5971. 6
5972. 0

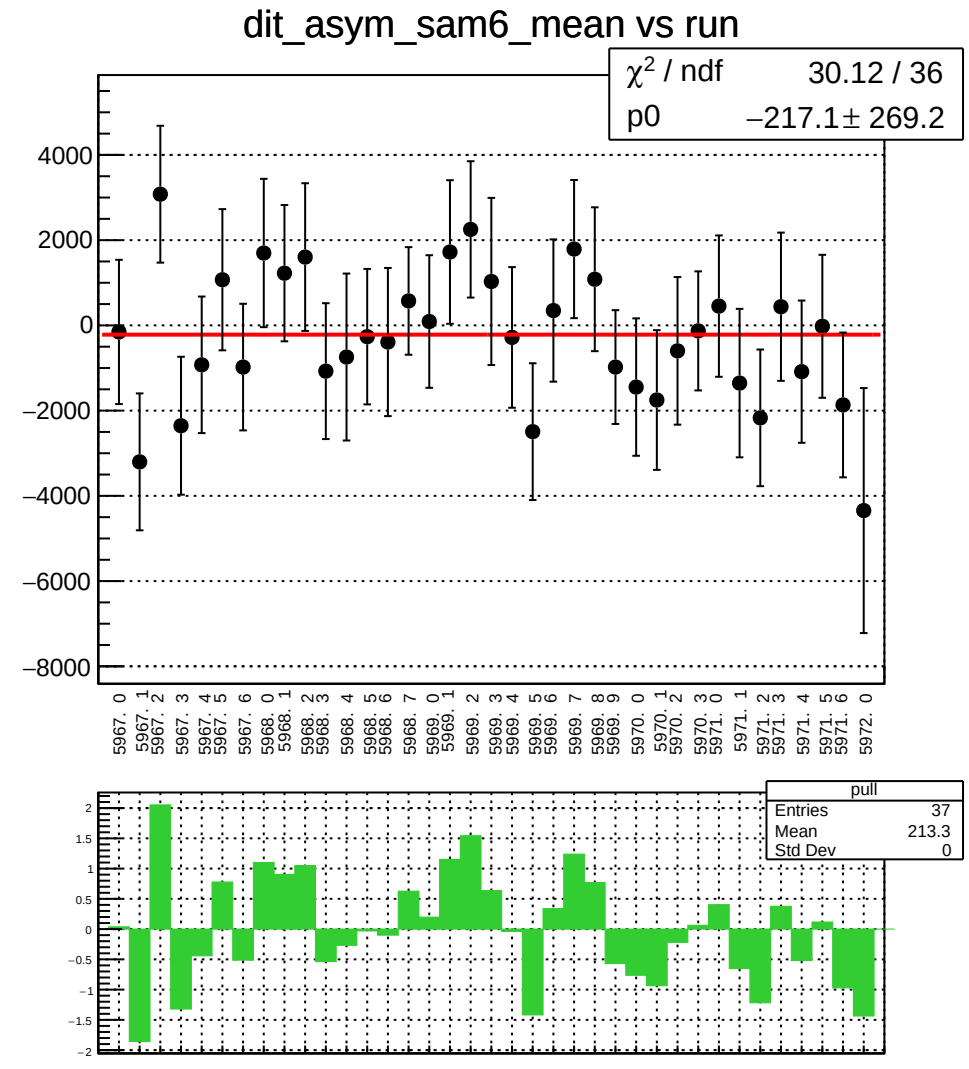
dit_asym_sam6_mean vs run
χ² / ndf 30.12 / 36
p0 −217.1± 269.2
4000
2000
0
−2000
−4000
−6000
−8000
5967. 0
5967. 1
5967. 2
5967. 3
5967. 4
5967. 5
5967. 6
5968. 0
5968. 1
5968. 2
5968. 3
5968. 4
5968. 5
5968. 6
5968. 7
5969. 0
5969. 1
5969. 2
5969. 3
5969. 4
5969. 5
5969. 6
5969. 7
5969. 8
5969. 9
5970. 0
5970. 1
5970. 2
5970. 3
5971. 0
5971. 1
5971. 2
5971. 3
5971. 4
5971. 5
5971. 6
5972. 0
pull
Entries 37
Mean 213.3
Std Dev 0
2
1.5
1
0.5
0
−0.5
−1
−1.5
−2

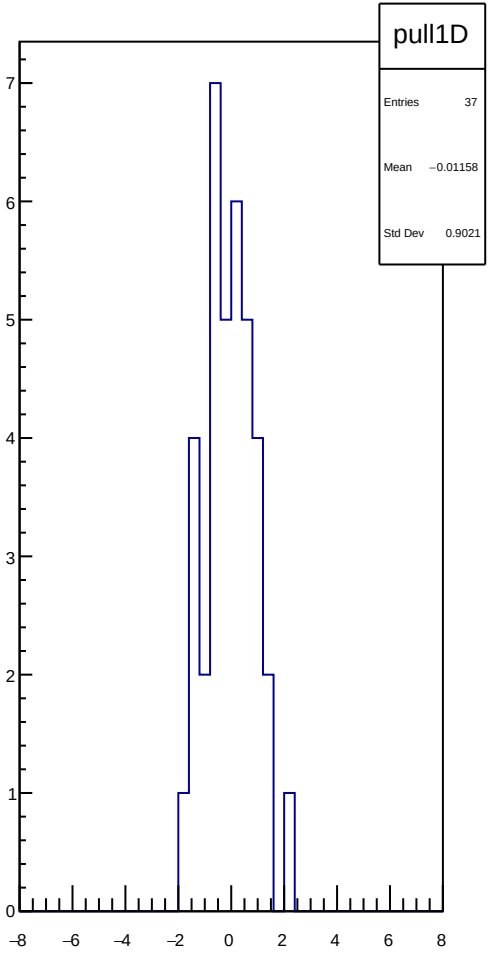
pull1D
Entries 37
Mean −0.01158
Std Dev 0.9021
7
6
5
4
3
2
1
0
−8
−6
−4
−2
0
2
4
6
8

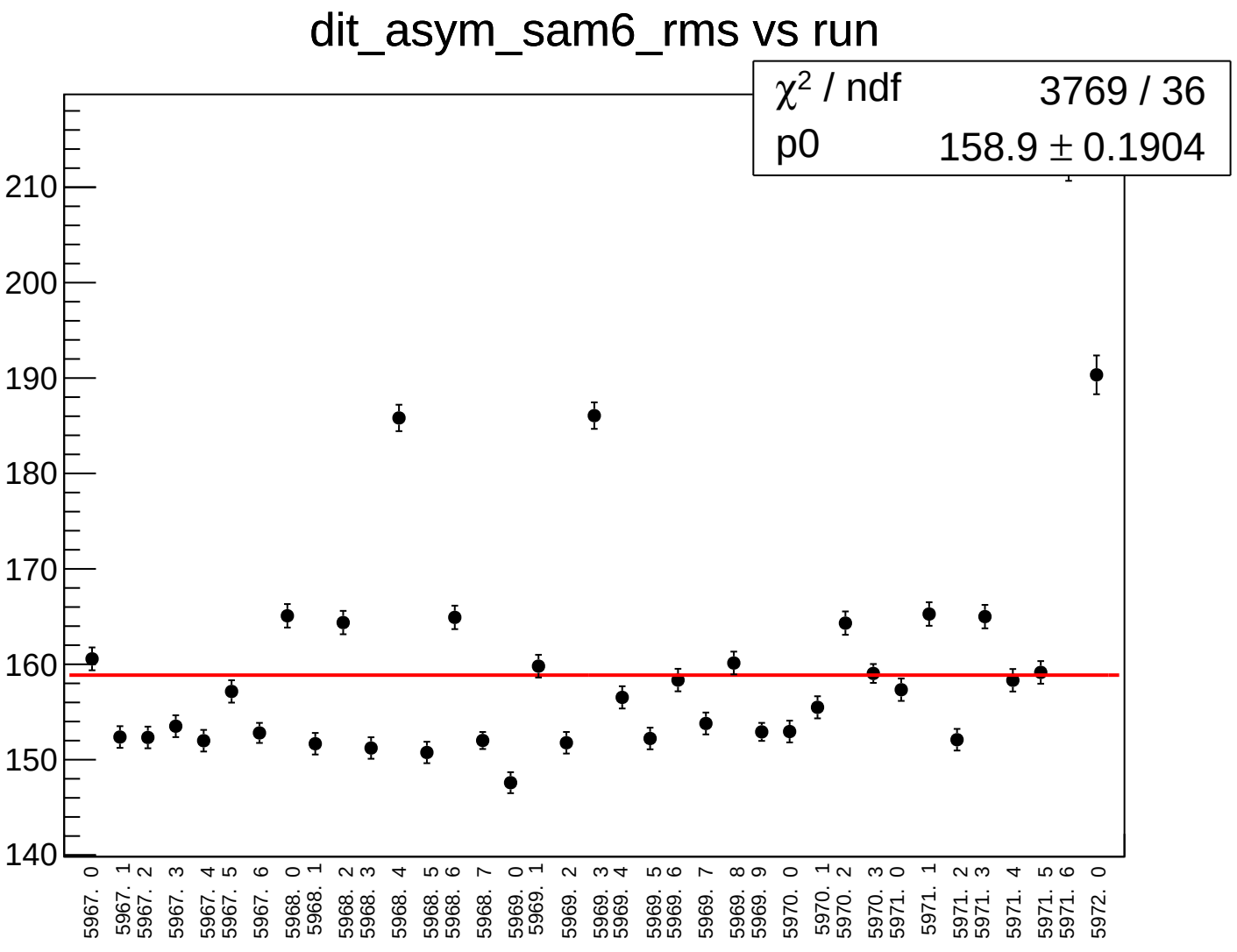
dit_asym_sam6_rms vs run
χ² / ndf 3769 / 36
p0 158.9 ± 0.1904
210
200
190
180
170
160
150
140
5967. 0
5967. 1
5967. 2
5967. 3
5967. 4
5967. 5
5967. 6
5968. 0
5968. 1
5968. 2
5968. 3
5968. 4
5968. 5
5968. 6
5968. 7
5969. 0
5969. 1
5969. 2
5969. 3
5969. 4
5969. 5
5969. 6
5969. 7
5969. 8
5969. 9
5970. 0
5970. 1
5970. 2
5970. 3
5971. 0
5971. 1
5971. 2
5971. 3
5971. 4
5971. 5
5971. 6
5972. 0

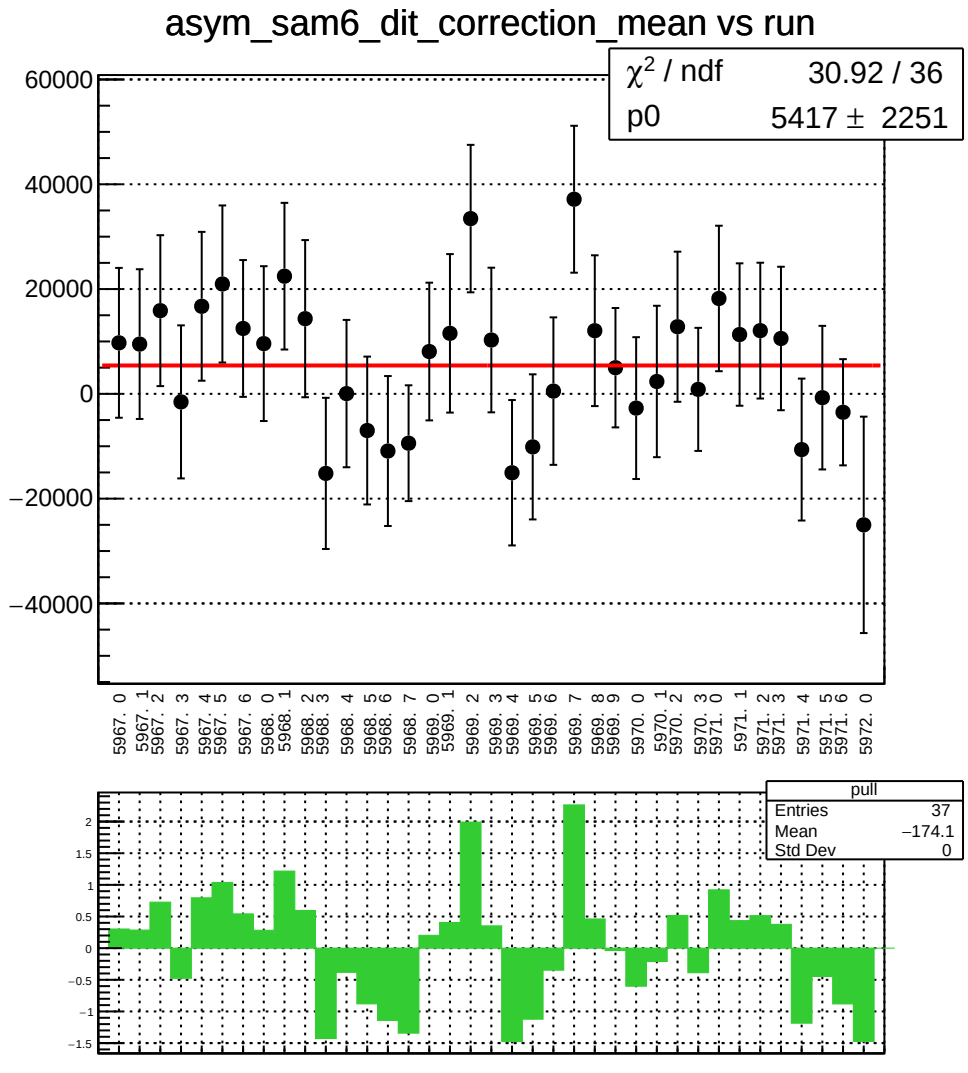
asym_sam6_dit_correction_mean vs run
χ² / ndf 30.92 / 36
p0 5417 ± 2251
60000
40000
20000
0
−20000
−40000
5967. 0
5967. 1
5967. 2
5967. 3
5967. 4
5967. 5
5967. 6
5968. 0
5968. 1
5968. 2
5968. 3
5968. 4
5968. 5
5968. 6
5968. 7
5969. 0
5969. 1
5969. 2
5969. 3
5969. 4
5969. 5
5969. 6
5969. 7
5969. 8
5969. 9
5970. 0
5970. 1
5970. 2
5970. 3
5971. 0
5971. 1
5971. 2
5971. 3
5971. 4
5971. 5
5971. 6
5972. 0
pull
Entries 37
Mean −174.1
Std Dev 0
2
1.5
1
0.5
0
−0.5
−1
−1.5
pull1D
Entries 37
Mean 0.01086
Std Dev 0.914
9
8
7
6
5
4
3
2
1
0
−8
−6
−4
−2
0
2
4
6
8

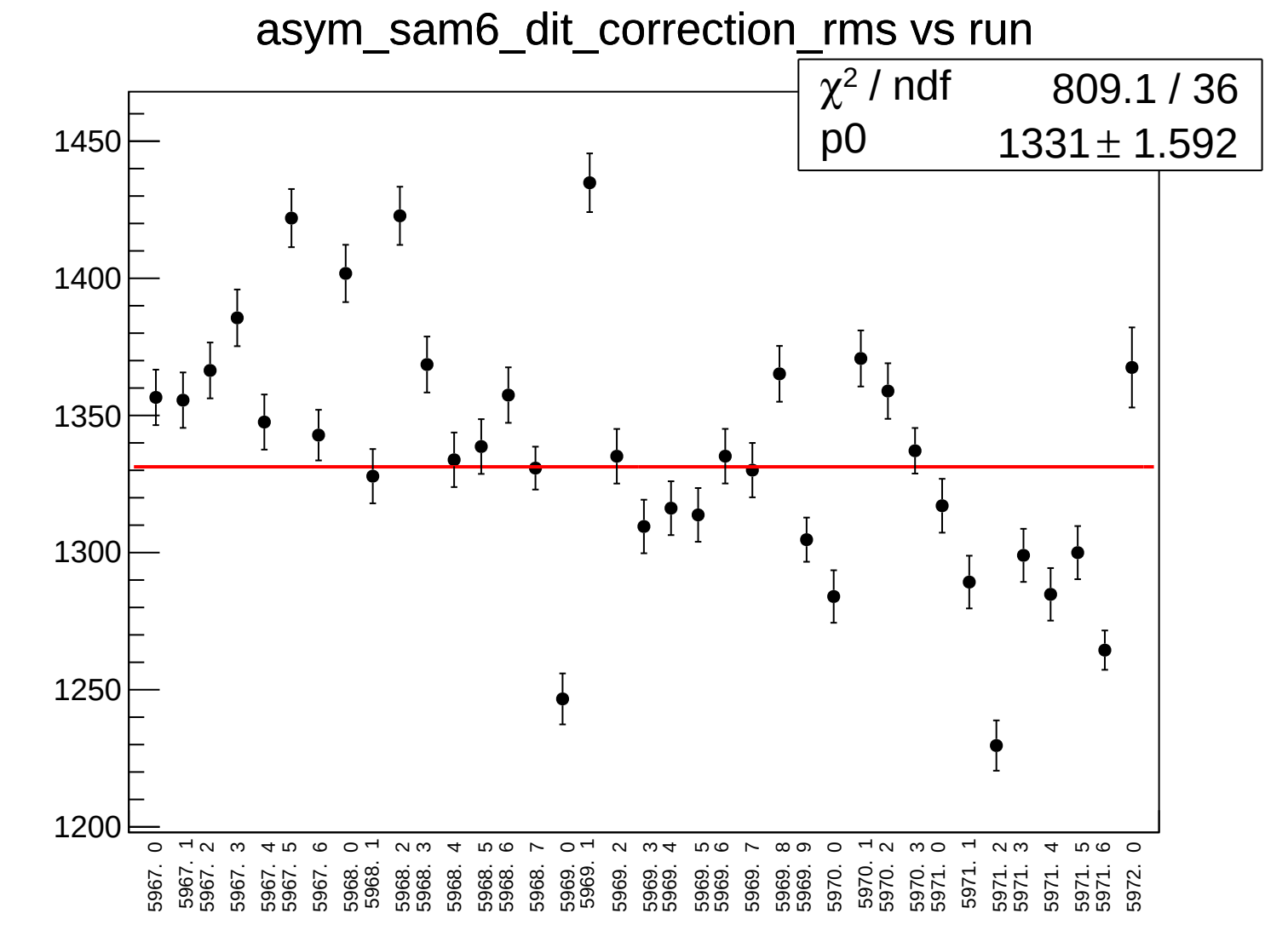
asym_sam6_dit_correction_rms vs run
χ² / ndf 809.1 / 36
p0 1331 ± 1.592
1450
1400
1350
1300
1250
1200
5967. 0
5967. 1
5967. 2
5967. 3
5967. 4
5967. 5
5967. 6
5968. 0
5968. 1
5968. 2
5968. 3
5968. 4
5968. 5
5968. 6
5968. 7
5969. 0
5969. 1
5969. 2
5969. 3
5969. 4
5969. 5
5969. 6
5969. 7
5969. 8
5969. 9
5970. 0
5970. 1
5970. 2
5970. 3
5971. 0
5971. 1
5971. 2
5971. 3
5971. 4
5971. 5
5971. 6
5972. 0

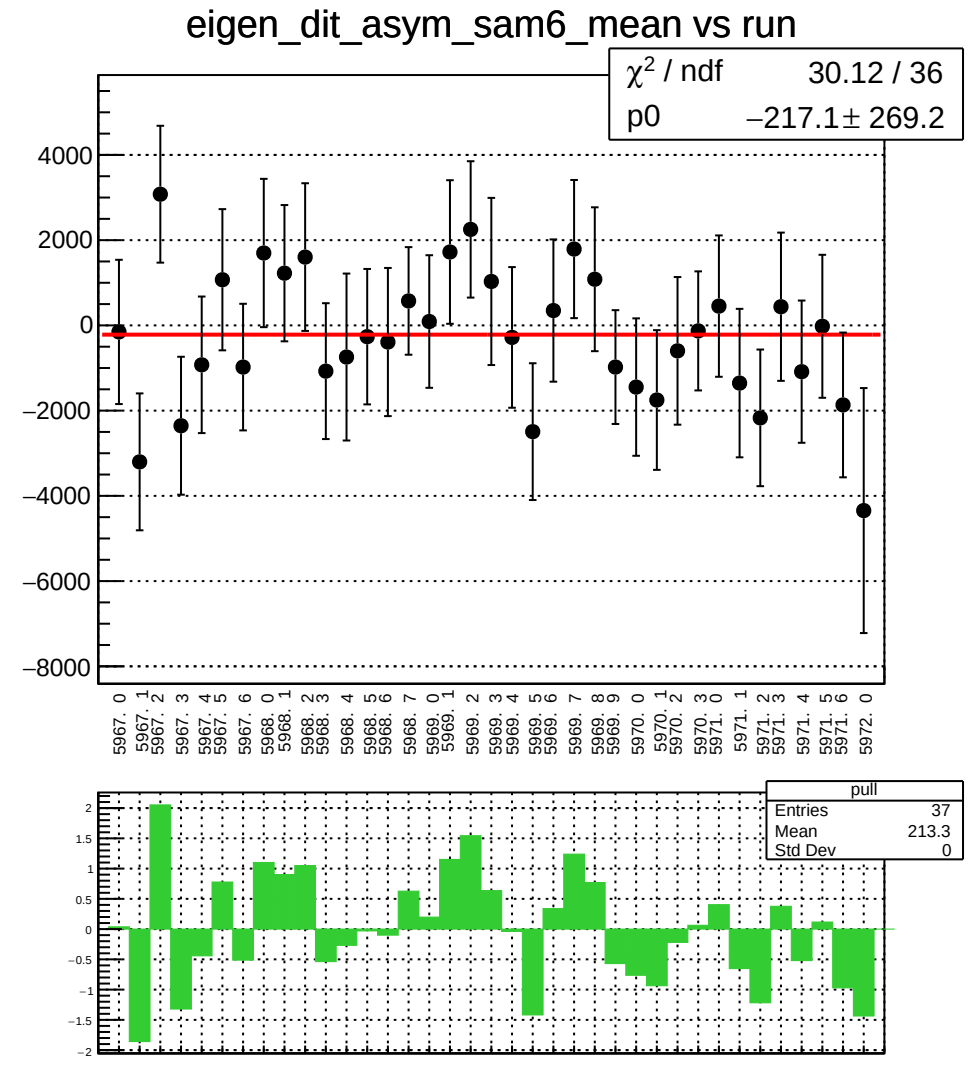
eigen_dit_asym_sam6_mean vs run
χ² / ndf 30.12 / 36
p0 −217.1± 269.2
4000
2000
0
−2000
−4000
−6000
−8000
5967. 0
5967. 1
5967. 2
5967. 3
5967. 4
5967. 5
5967. 6
5968. 0
5968. 1
5968. 2
5968. 3
5968. 4
5968. 5
5968. 6
5968. 7
5969. 0
5969. 1
5969. 2
5969. 3
5969. 4
5969. 5
5969. 6
5969. 7
5969. 8
5969. 9
5970. 0
5970. 1
5970. 2
5970. 3
5971. 0
5971. 1
5971. 2
5971. 3
5971. 4
5971. 5
5971. 6
5972. 0
pull
Entries 37
Mean 213.3
Std Dev 0
2
1.5
1
0.5
0
−0.5
−1
−1.5
−2

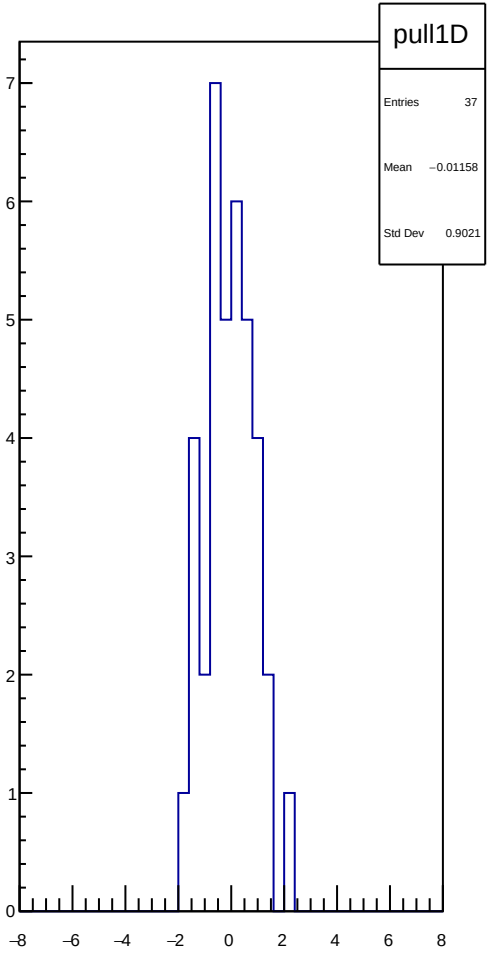
pull1D
Entries 37
Mean −0.01158
Std Dev 0.9021
7
6
5
4
3
2
1
0
−8
−6
−4
−2
0
2
4
6
8

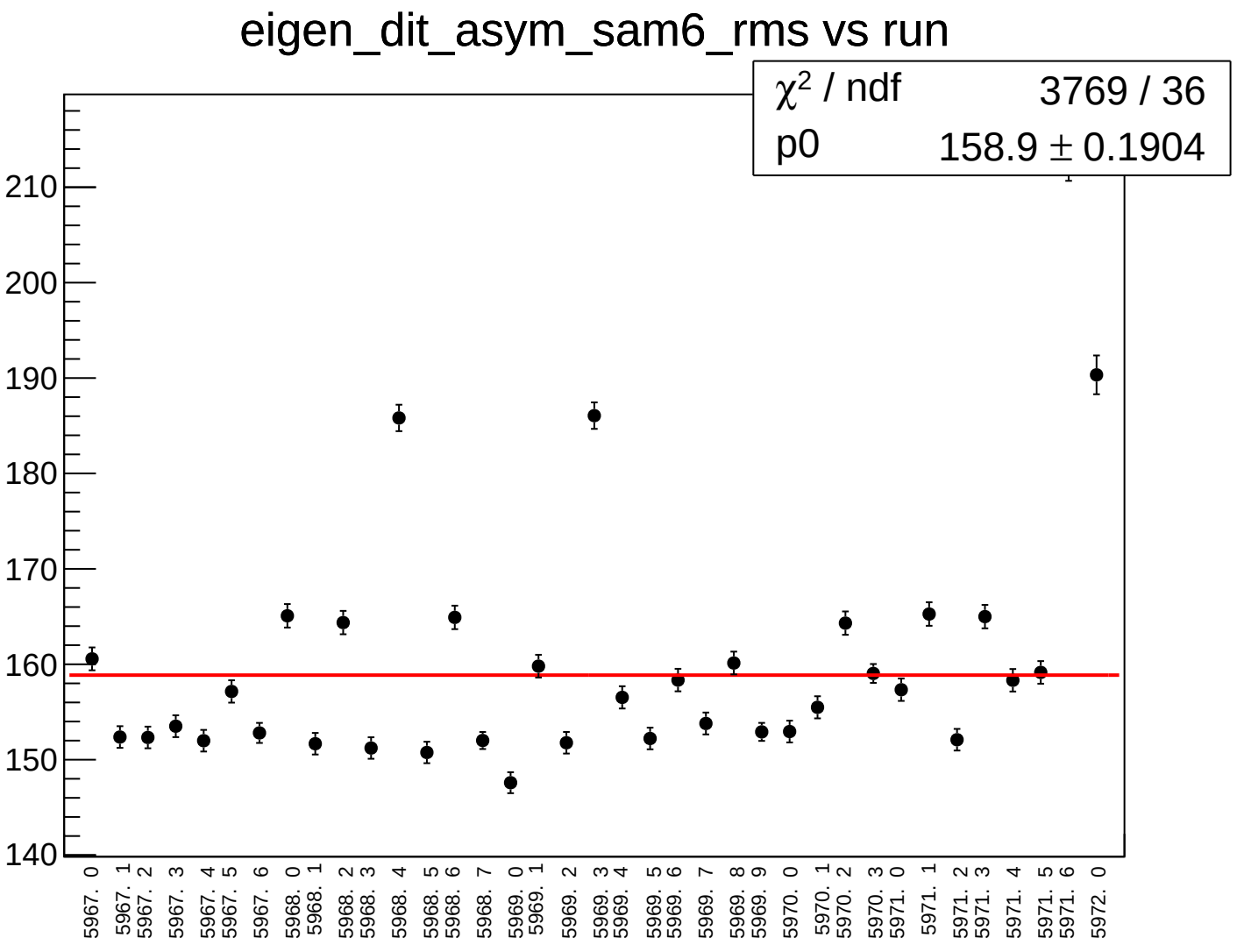
eigen_dit_asym_sam6_rms vs run
χ² / ndf 3769 / 36
p0 158.9 ± 0.1904
210
200
190
180
170
160
150
140
5967. 0
5967. 1
5967. 2
5967. 3
5967. 4
5967. 5
5967. 6
5968. 0
5968. 1
5968. 2
5968. 3
5968. 4
5968. 5
5968. 6
5968. 7
5969. 0
5969. 1
5969. 2
5969. 3
5969. 4
5969. 5
5969. 6
5969. 7
5969. 8
5969. 9
5970. 0
5970. 1
5970. 2
5970. 3
5971. 0
5971. 1
5971. 2
5971. 3
5971. 4
5971. 5
5971. 6
5972. 0

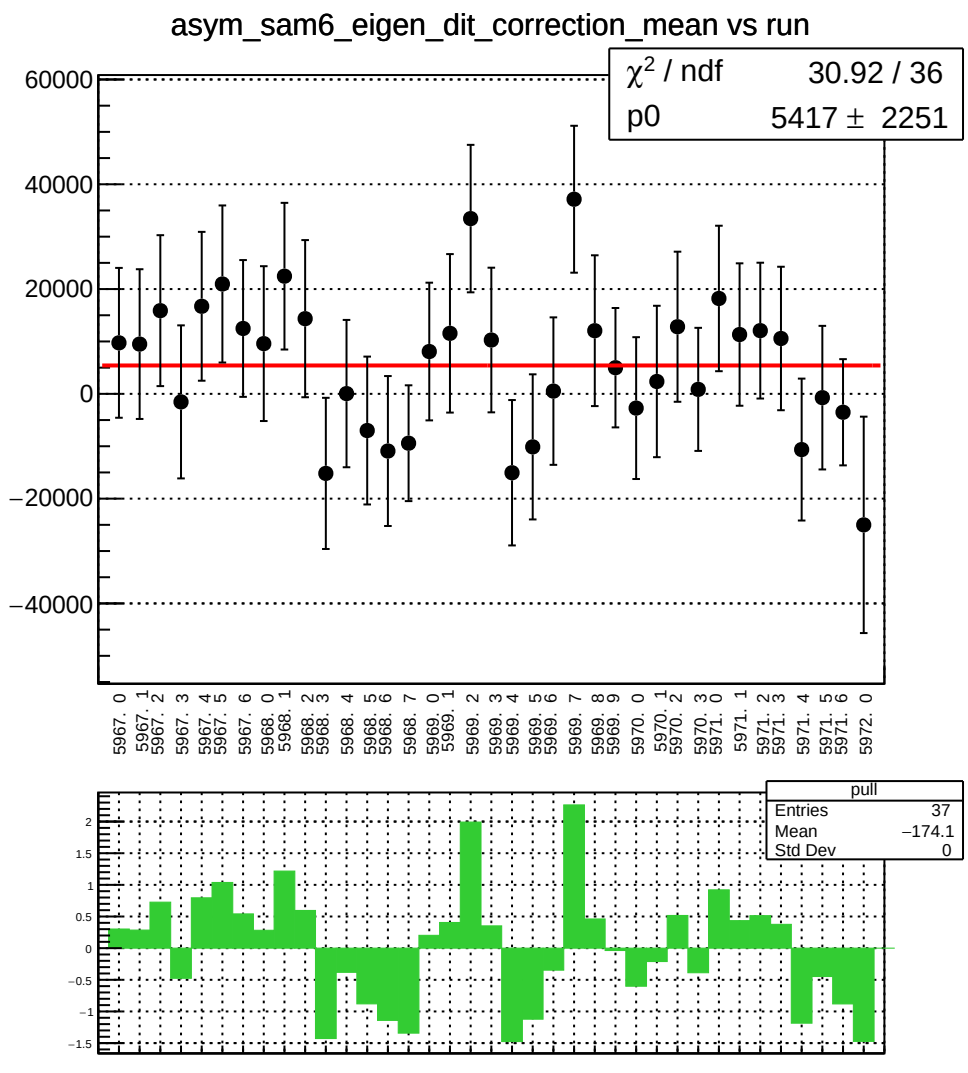
asym_sam6_eigen_dit_correction_mean vs run
χ² / ndf 30.92 / 36
p0 5417 ± 2251
60000
40000
20000
0
−20000
−40000
5967. 0
5967. 1
5967. 2
5967. 3
5967. 4
5967. 5
5967. 6
5968. 0
5968. 1
5968. 2
5968. 3
5968. 4
5968. 5
5968. 6
5968. 7
5969. 0
5969. 1
5969. 2
5969. 3
5969. 4
5969. 5
5969. 6
5969. 7
5969. 8
5969. 9
5970. 0
5970. 1
5970. 2
5970. 3
5971. 0
5971. 1
5971. 2
5971. 3
5971. 4
5971. 5
5971. 6
5972. 0
pull
Entries 37
Mean −174.1
Std Dev 0
2
1.5
1
0.5
0
−0.5
−1
−1.5
pull1D
Entries 37
Mean 0.01086
Std Dev 0.914
9
8
7
6
5
4
3
2
1
0
−8
−6
−4
−2
0
2
4
6
8

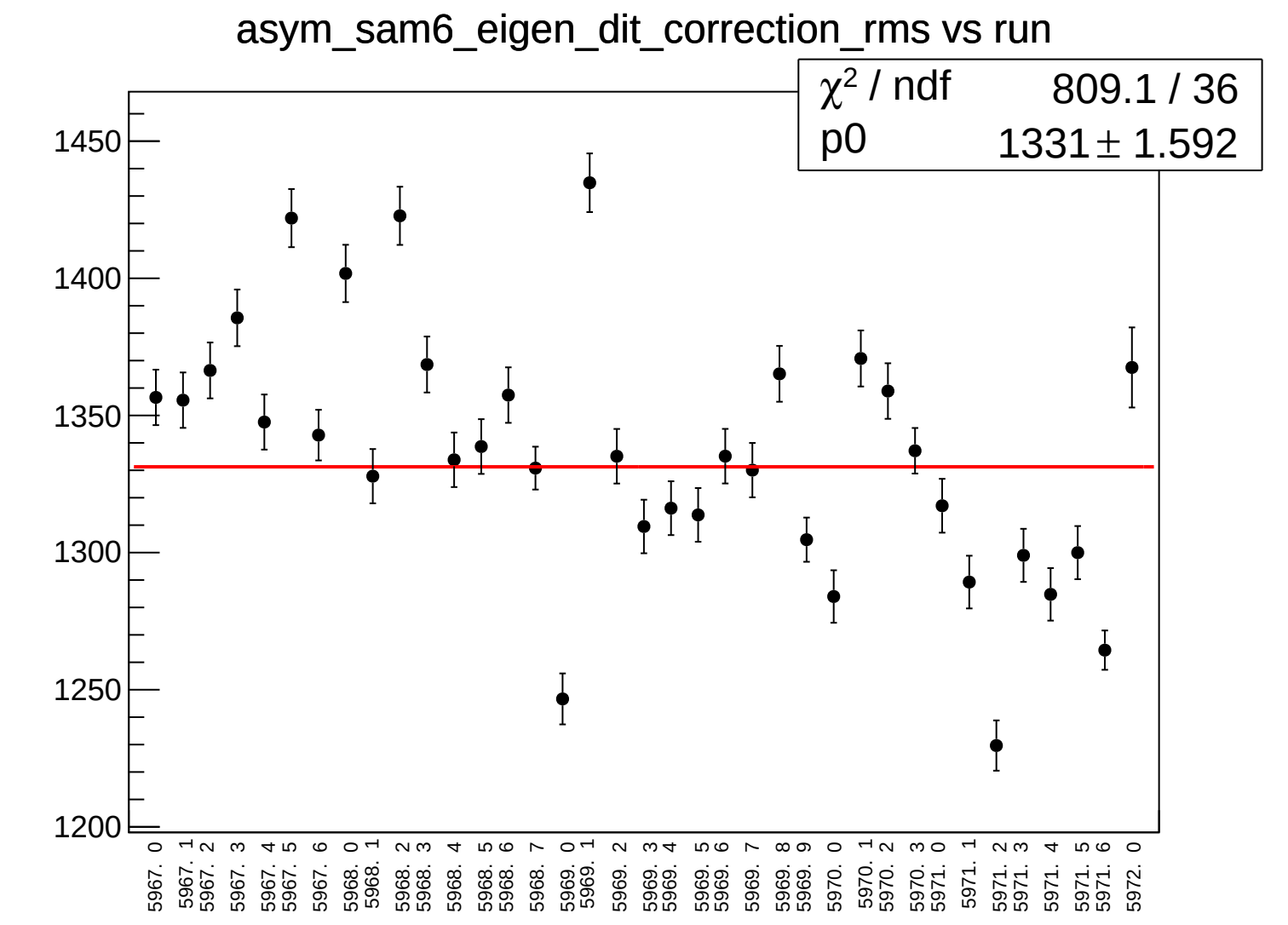
asym_sam6_eigen_dit_correction_rms vs run
χ² / ndf 809.1 / 36
p0 1331 ± 1.592
1450
1400
1350
1300
1250
1200
5967. 0
5967. 1
5967. 2
5967. 3
5967. 4
5967. 5
5967. 6
5968. 0
5968. 1
5968. 2
5968. 3
5968. 4
5968. 5
5968. 6
5968. 7
5969. 0
5969. 1
5969. 2
5969. 3
5969. 4
5969. 5
5969. 6
5969. 7
5969. 8
5969. 9
5970. 0
5970. 1
5970. 2
5970. 3
5971. 0
5971. 1
5971. 2
5971. 3
5971. 4
5971. 5
5971. 6
5972. 0

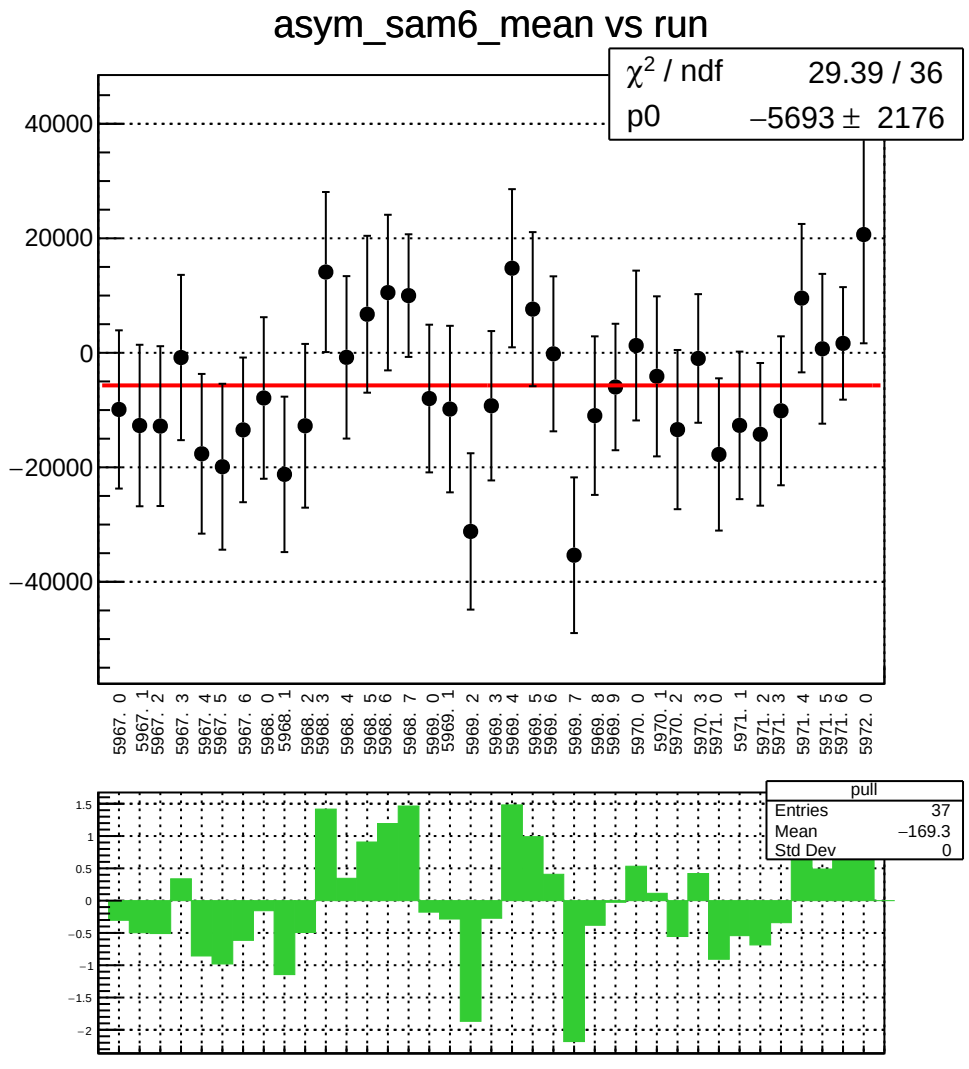
asym_sam6_mean vs run
χ² / ndf 29.39 / 36
p0 −5693 ± 2176
40000
20000
0
−20000
−40000
5967. 0
5967. 1
5967. 2
5967. 3
5967. 4
5967. 5
5967. 6
5968. 0
5968. 1
5968. 2
5968. 3
5968. 4
5968. 5
5968. 6
5968. 7
5969. 0
5969. 1
5969. 2
5969. 3
5969. 4
5969. 5
5969. 6
5969. 7
5969. 8
5969. 9
5970. 0
5970. 1
5970. 2
5970. 3
5971. 0
5971. 1
5971. 2
5971. 3
5971. 4
5971. 5
5971. 6
5972. 0
pull
Entries 37
Mean −169.3
Std Dev 0
1.5
1
0.5
0
−0.5
−1
−1.5
−2

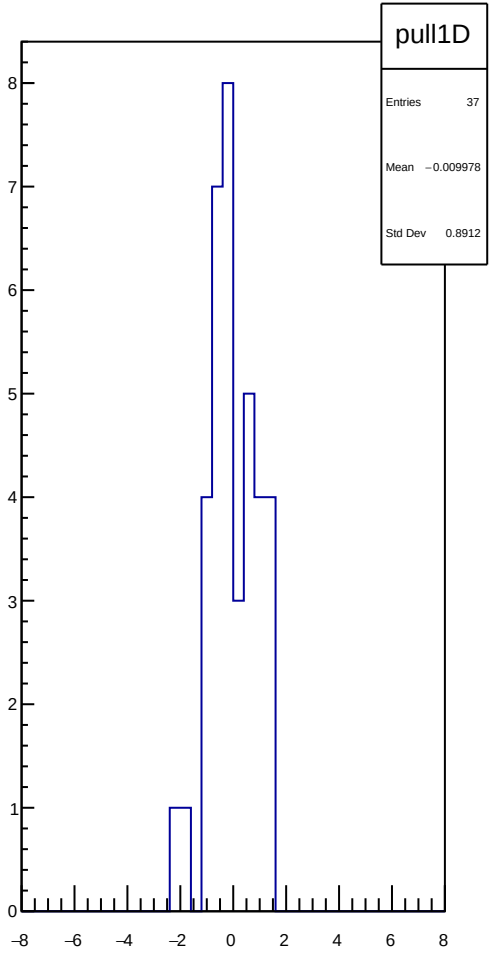
pull1D
Entries 37
Mean −0.009978
Std Dev 0.8912
8
7
6
5
4
3
2
1
0
−8
−6
−4
−2
0
2
4
6
8

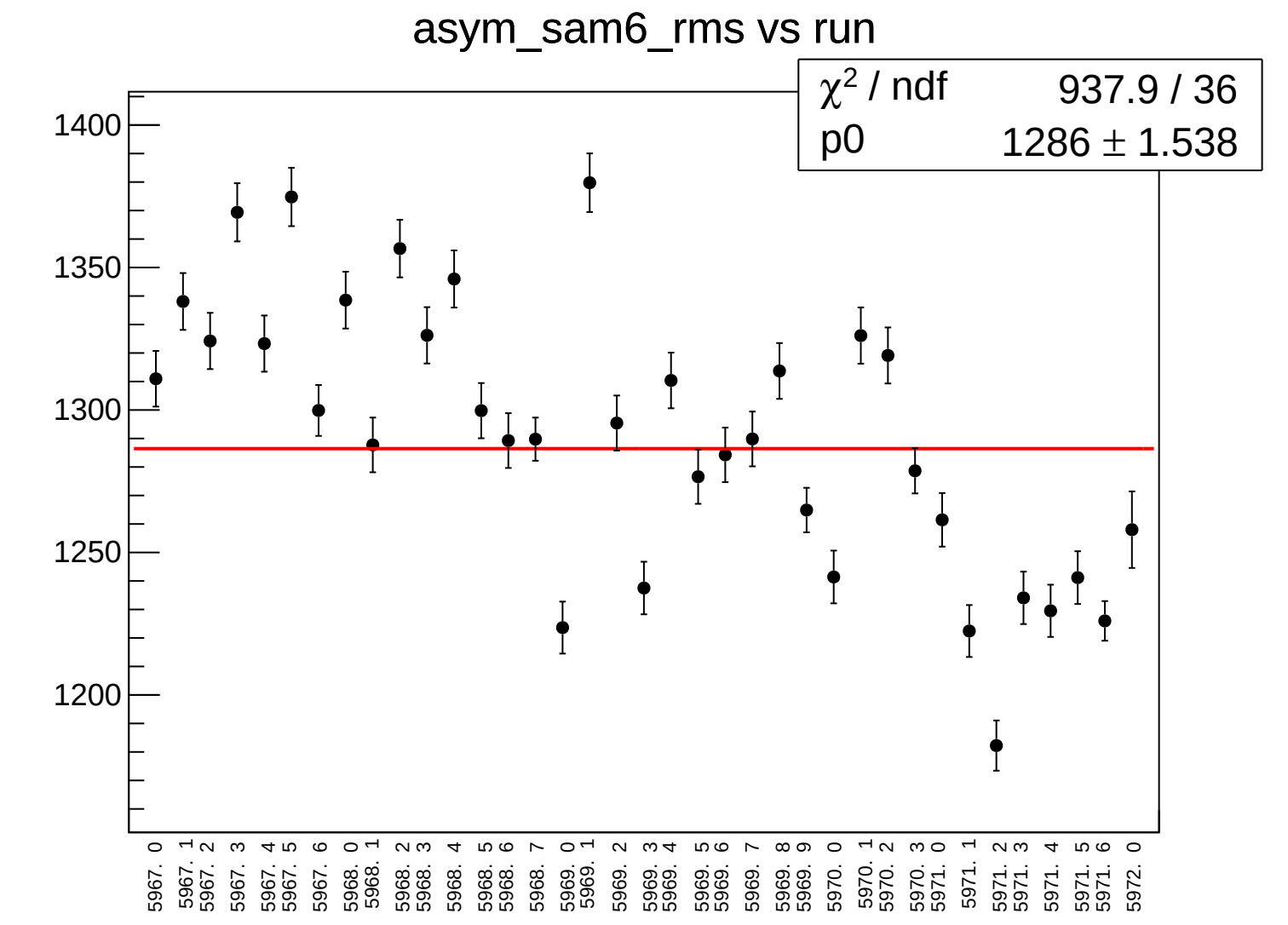
asym_sam6_rms vs run
χ² / ndf 937.9 / 36
p0 1286 ± 1.538
1400
1350
1300
1250
1200
5967. 0
5967. 1
5967. 2
5967. 3
5967. 4
5967. 5
5967. 6
5968. 0
5968. 1
5968. 2
5968. 3
5968. 4
5968. 5
5968. 6
5968. 7
5969. 0
5969. 1
5969. 2
5969. 3
5969. 4
5969. 5
5969. 6
5969. 7
5969. 8
5969. 9
5970. 0
5970. 1
5970. 2
5970. 3
5971. 0
5971. 1
5971. 2
5971. 3
5971. 4
5971. 5
5971. 6
5972. 0

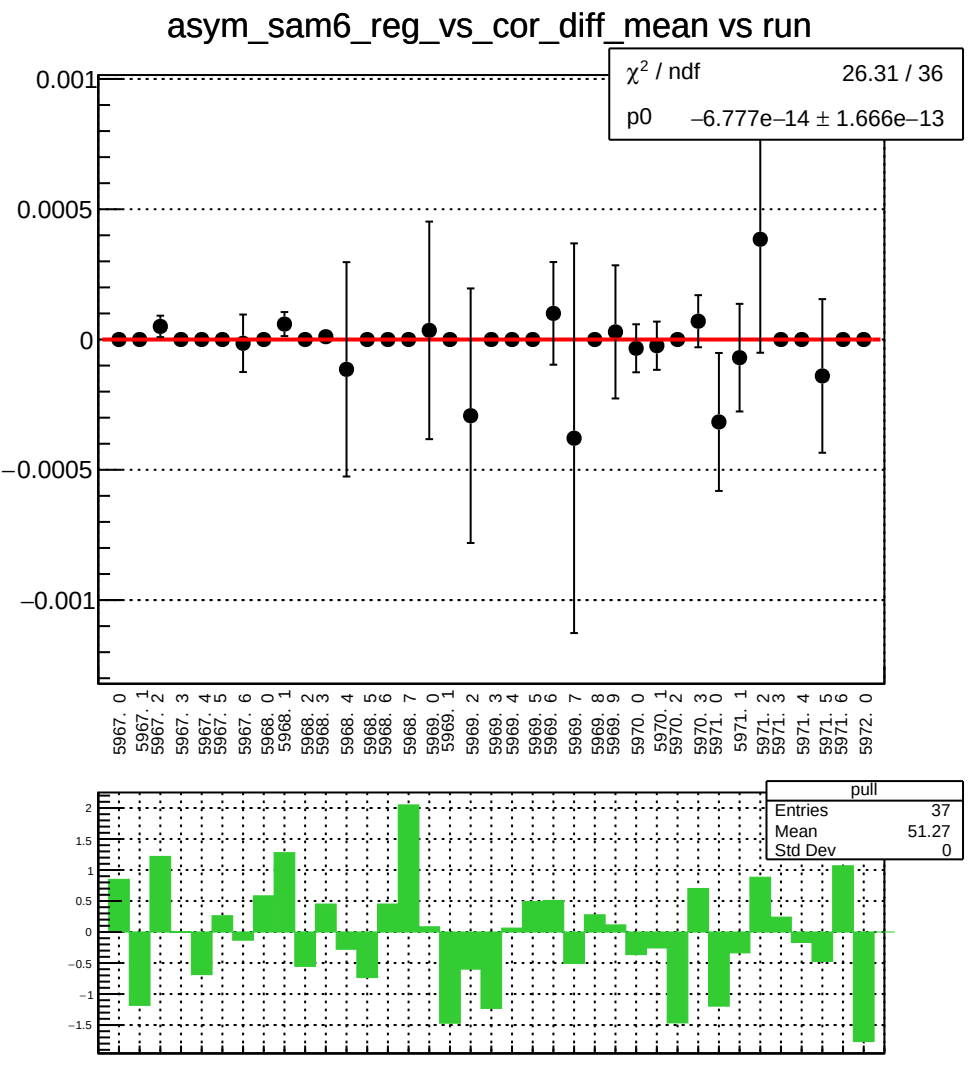
asym_sam6_reg_vs_cor_diff_mean vs run
χ² / ndf 26.31 / 36
p0 −6.777e−14 ± 1.666e−13
0.001
0.0005
0
−0.0005
−0.001
5967. 0
5967. 1
5967. 2
5967. 3
5967. 4
5967. 5
5967. 6
5968. 0
5968. 1
5968. 2
5968. 3
5968. 4
5968. 5
5968. 6
5968. 7
5969. 0
5969. 1
5969. 2
5969. 3
5969. 4
5969. 5
5969. 6
5969. 7
5969. 8
5969. 9
5970. 0
5970. 1
5970. 2
5970. 3
5971. 0
5971. 1
5971. 2
5971. 3
5971. 4
5971. 5
5971. 6
5972. 0
pull
Entries 37
Mean 51.27
Std Dev 0
2
1.5
1
0.5
0
−0.5
−1
−1.5
pull1D
Entries 37
Mean −0.04933
Std Dev 0.8418
7
6
5
4
3
2
1
0
−8
−6
−4
−2
0
2
4
6
8

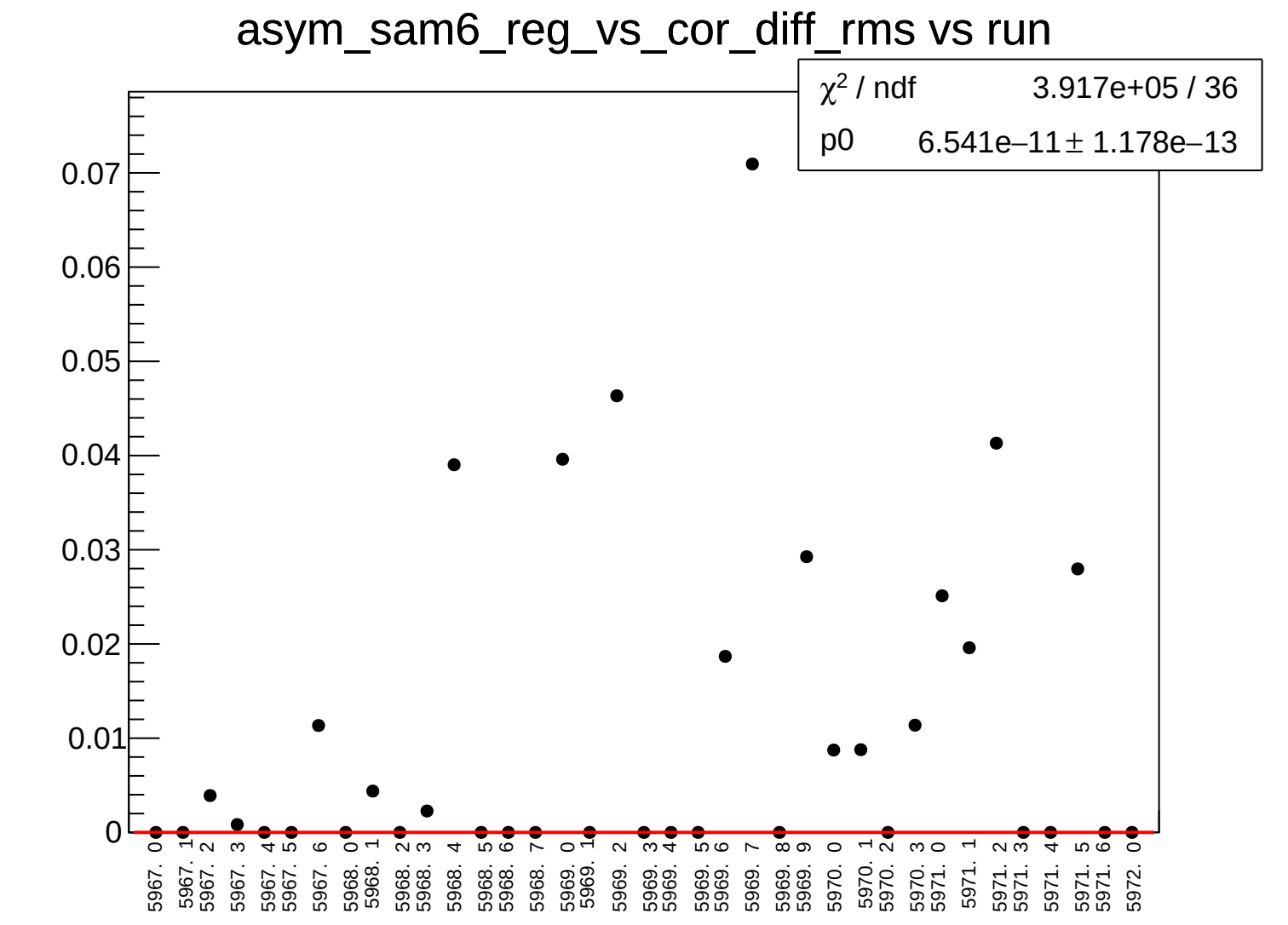
asym_sam6_reg_vs_cor_diff_rms vs run
χ² / ndf 3.917e+05 / 36
p0 6.541e−11 ± 1.178e−13
0.07
0.06
0.05
0.04
0.03
0.02
0.01
0
5967. 0
5967. 1
5967. 2
5967. 3
5967. 4
5967. 5
5967. 6
5968. 0
5968. 1
5968. 2
5968. 3
5968. 4
5968. 5
5968. 6
5968. 7
5969. 0
5969. 1
5969. 2
5969. 3
5969. 4
5969. 5
5969. 6
5969. 7
5969. 8
5969. 9
5970. 0
5970. 1
5970. 2
5970. 3
5971. 0
5971. 1
5971. 2
5971. 3
5971. 4
5971. 5
5971. 6
5972. 0

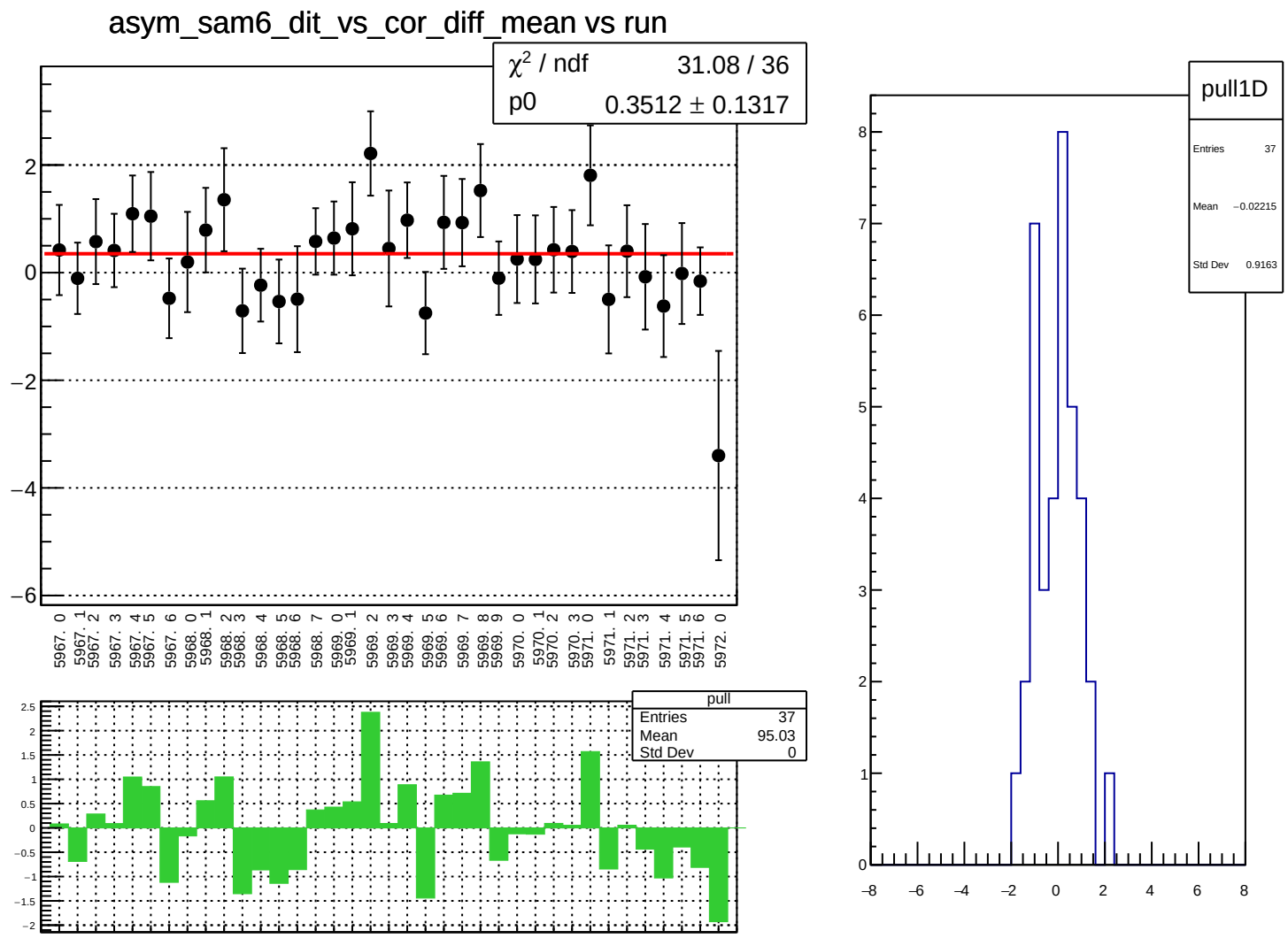
asym_sam6_dit_vs_cor_diff_mean vs run
χ² / ndf 31.08 / 36
p0 0.3512 ± 0.1317
pull
Entries 37
Mean 95.03
Std Dev 0
pull1D
Entries 37
Mean −0.02215
Std Dev 0.9163

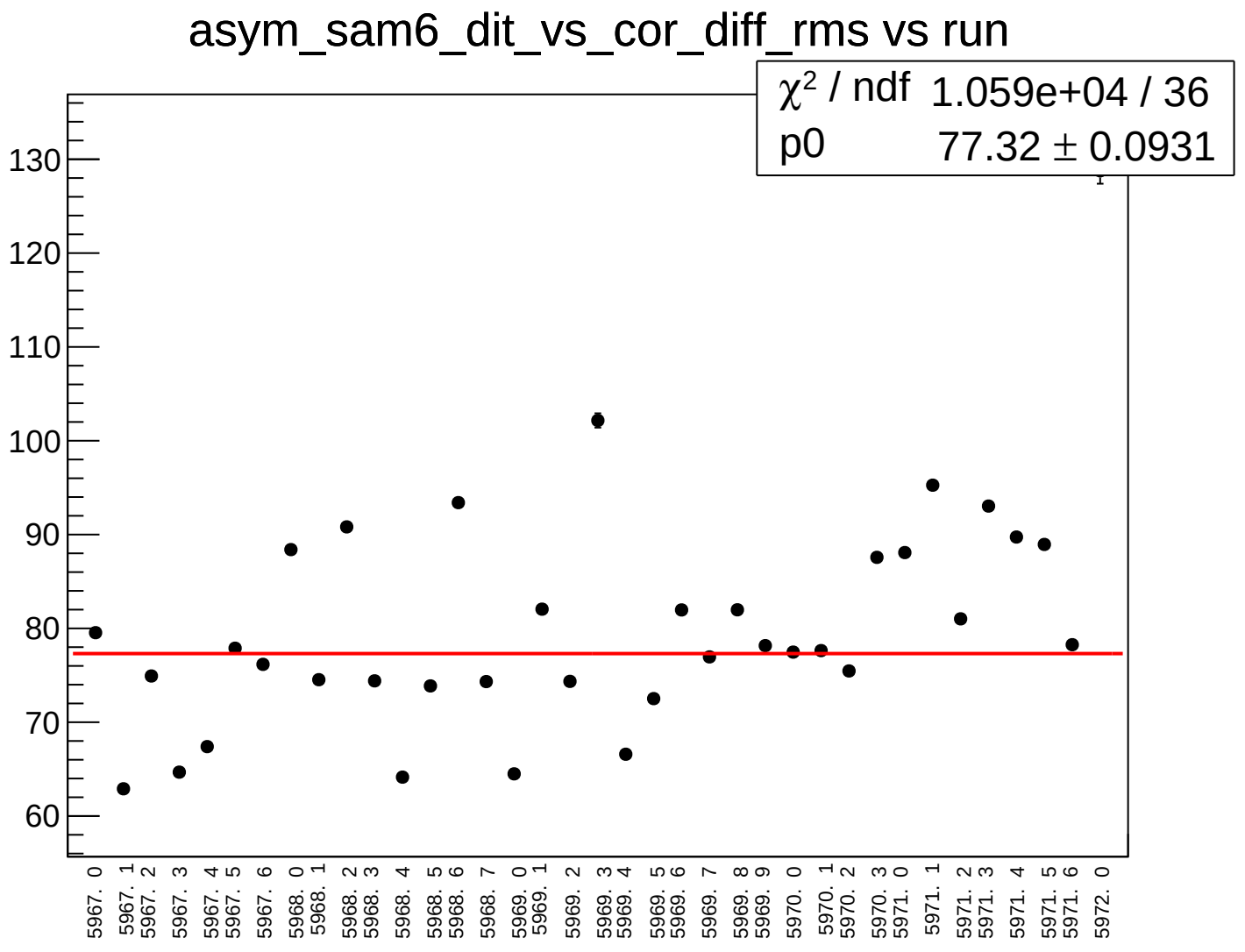
asym_sam6_dit_vs_cor_diff_rms vs run
χ² / ndf 1.059e+04 / 36
p0 77.32 ± 0.0931
130
120
110
100
90
80
70
60
5967. 0
5967. 1
5967. 2
5967. 3
5967. 4
5967. 5
5967. 6
5968. 0
5968. 1
5968. 2
5968. 3
5968. 4
5968. 5
5968. 6
5968. 7
5969. 0
5969. 1
5969. 2
5969. 3
5969. 4
5969. 5
5969. 6
5969. 7
5969. 8
5969. 9
5970. 0
5970. 1
5970. 2
5970. 3
5971. 0
5971. 1
5971. 2
5971. 3
5971. 4
5971. 5
5971. 6
5972. 0

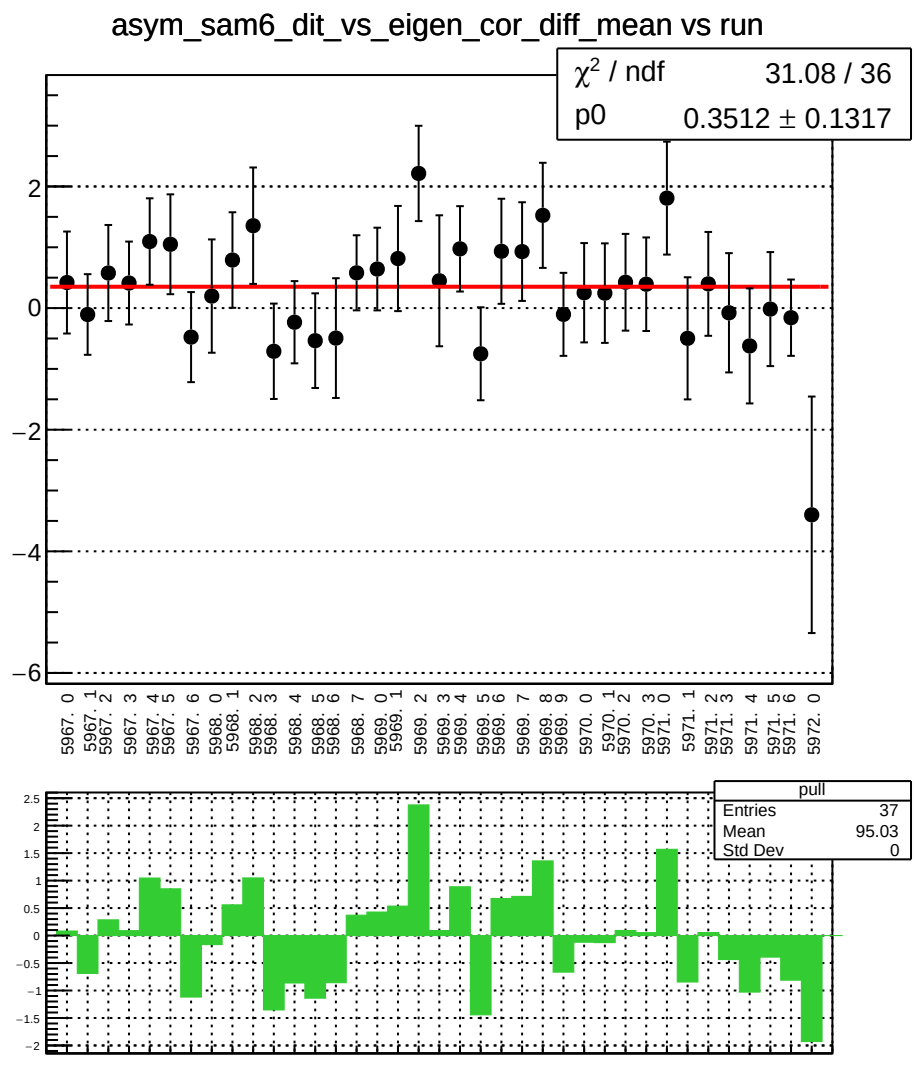
asym_sam6_dit_vs_eigen_cor_diff_mean vs run
χ² / ndf 31.08 / 36
p0 0.3512 ± 0.1317
pull
Entries 37
Mean 95.03
Std Dev 0

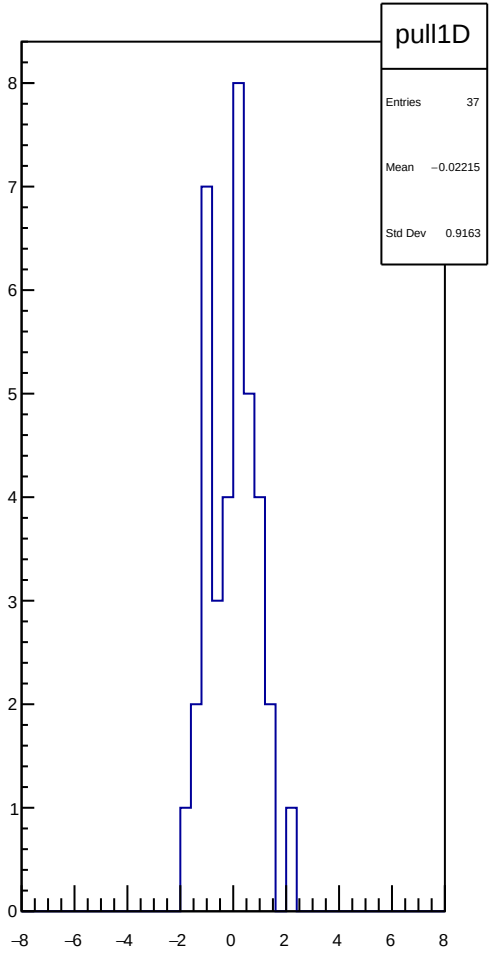
pull1D
Entries 37
Mean −0.02215
Std Dev 0.9163

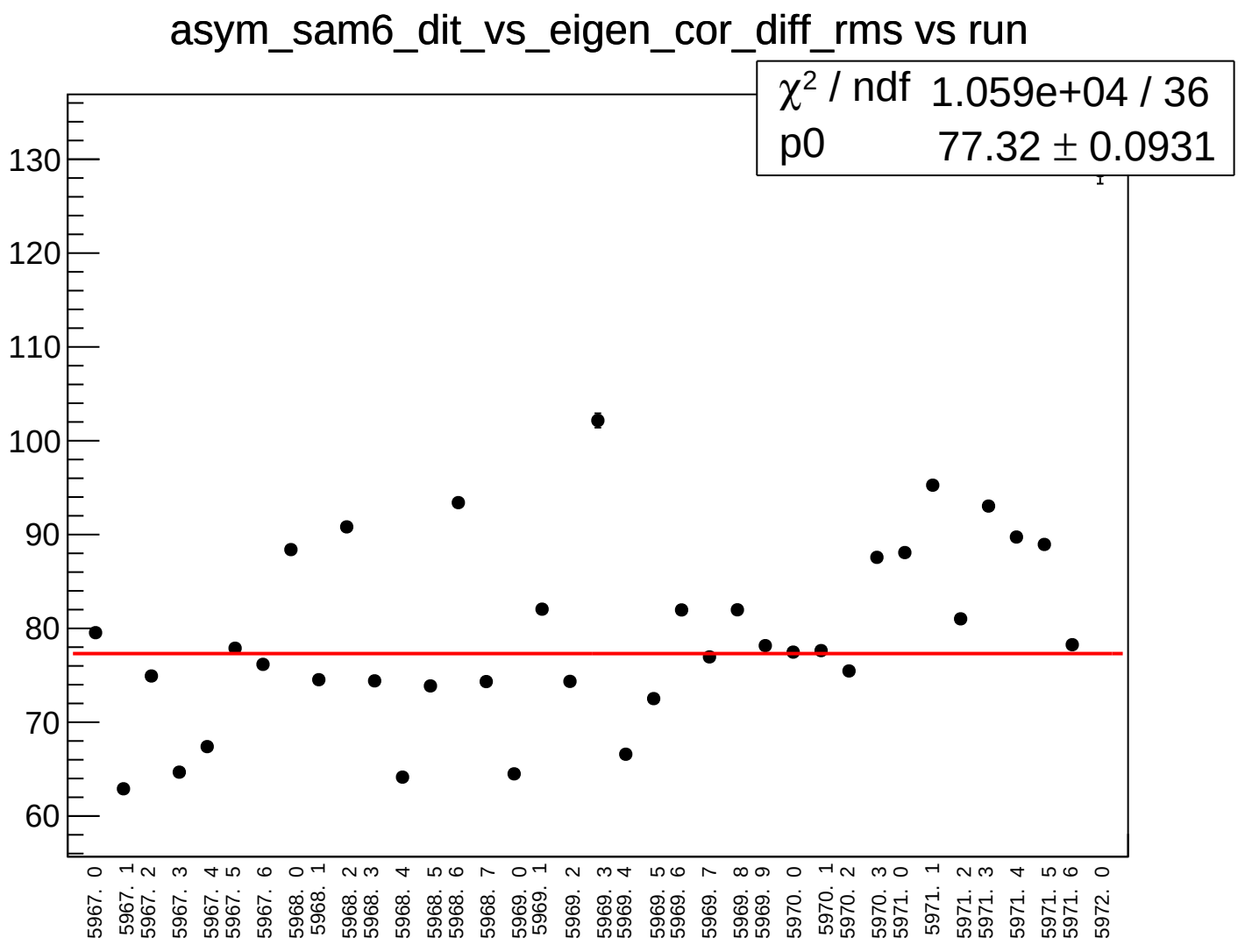
asym_sam6_dit_vs_eigen_cor_diff_rms vs run
χ² / ndf 1.059e+04 / 36
p0 77.32 ± 0.0931
130
120
110
100
90
80
70
60
5967. 0
5967. 1
5967. 2
5967. 3
5967. 4
5967. 5
5967. 6
5968. 0
5968. 1
5968. 2
5968. 3
5968. 4
5968. 5
5968. 6
5968. 7
5969. 0
5969. 1
5969. 2
5969. 3
5969. 4
5969. 5
5969. 6
5969. 7
5969. 8
5969. 9
5970. 0
5970. 1
5970. 2
5970. 3
5971. 0
5971. 1
5971. 2
5971. 3
5971. 4
5971. 5
5971. 6
5972. 0

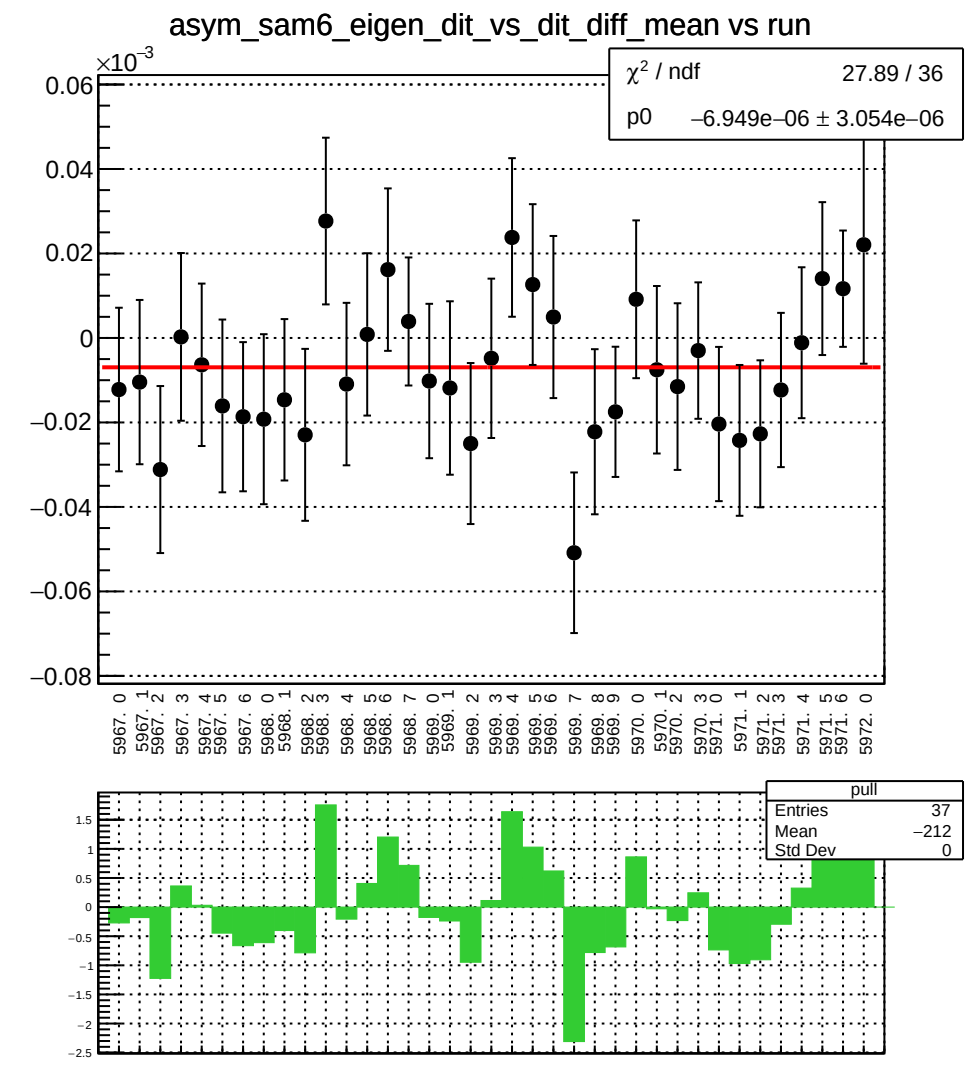
asym_sam6_eigen_dit_vs_dit_diff_mean vs run
×10⁻³
χ² / ndf 27.89 / 36
p0 −6.949e−06 ± 3.054e−06
0.06
0.04
0.02
0
−0.02
−0.04
−0.06
−0.08
5967. 0
5967. 1
5967. 2
5967. 3
5967. 4
5967. 5
5967. 6
5968. 0
5968. 1
5968. 2
5968. 3
5968. 4
5968. 5
5968. 6
5968. 7
5969. 0
5969. 1
5969. 2
5969. 3
5969. 4
5969. 5
5969. 6
5969. 7
5969. 8
5969. 9
5970. 0
5970. 1
5970. 2
5970. 3
5971. 0
5971. 1
5971. 2
5971. 3
5971. 4
5971. 5
5971. 6
5972. 0
pull
Entries 37
Mean −212
Std Dev 0
1.5
1
0.5
0
−0.5
−1
−1.5
−2
−2.5

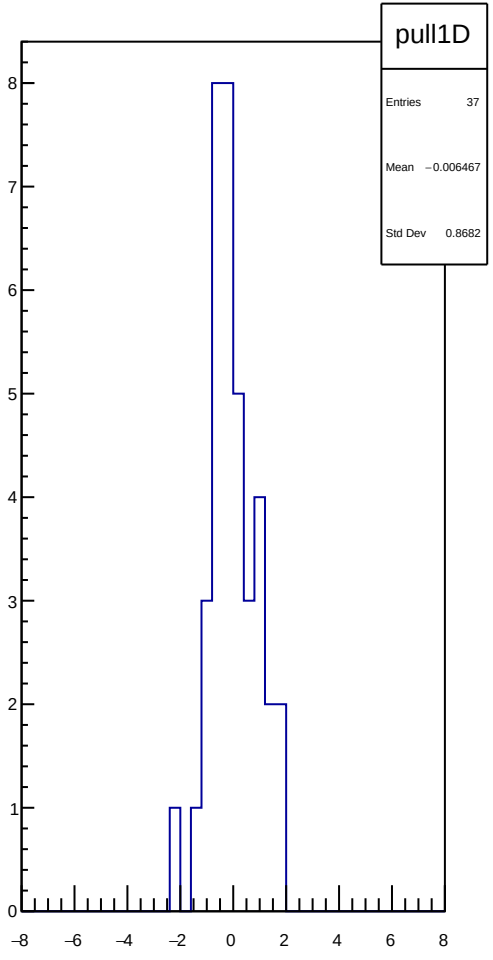
pull1D
Entries 37
Mean −0.006467
Std Dev 0.8682
8
7
6
5
4
3
2
1
0
−8
−6
−4
−2
0
2
4
6
8

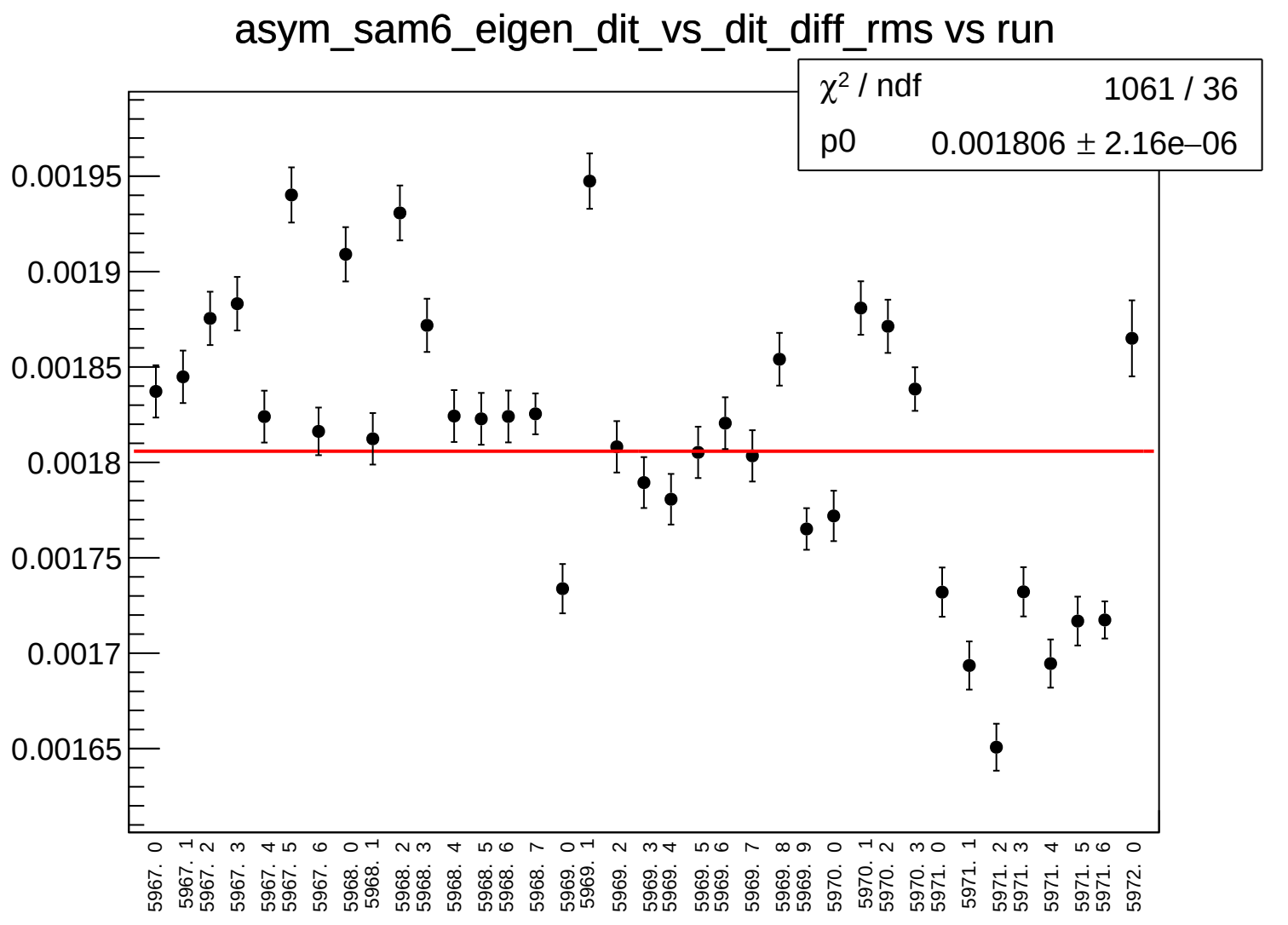
asym_sam6_eigen_dit_vs_dit_diff_rms vs run
χ² / ndf 1061 / 36
p0 0.001806 ± 2.16e–06
0.00195
0.0019
0.00185
0.0018
0.00175
0.0017
0.00165
5967. 0
5967. 1
5967. 2
5967. 3
5967. 4
5967. 5
5967. 6
5968. 0
5968. 1
5968. 2
5968. 3
5968. 4
5968. 5
5968. 6
5968. 7
5969. 0
5969. 1
5969. 2
5969. 3
5969. 4
5969. 5
5969. 6
5969. 7
5969. 8
5969. 9
5970. 0
5970. 1
5970. 2
5970. 3
5971. 0
5971. 1
5971. 2
5971. 3
5971. 4
5971. 5
5971. 6
5972. 0

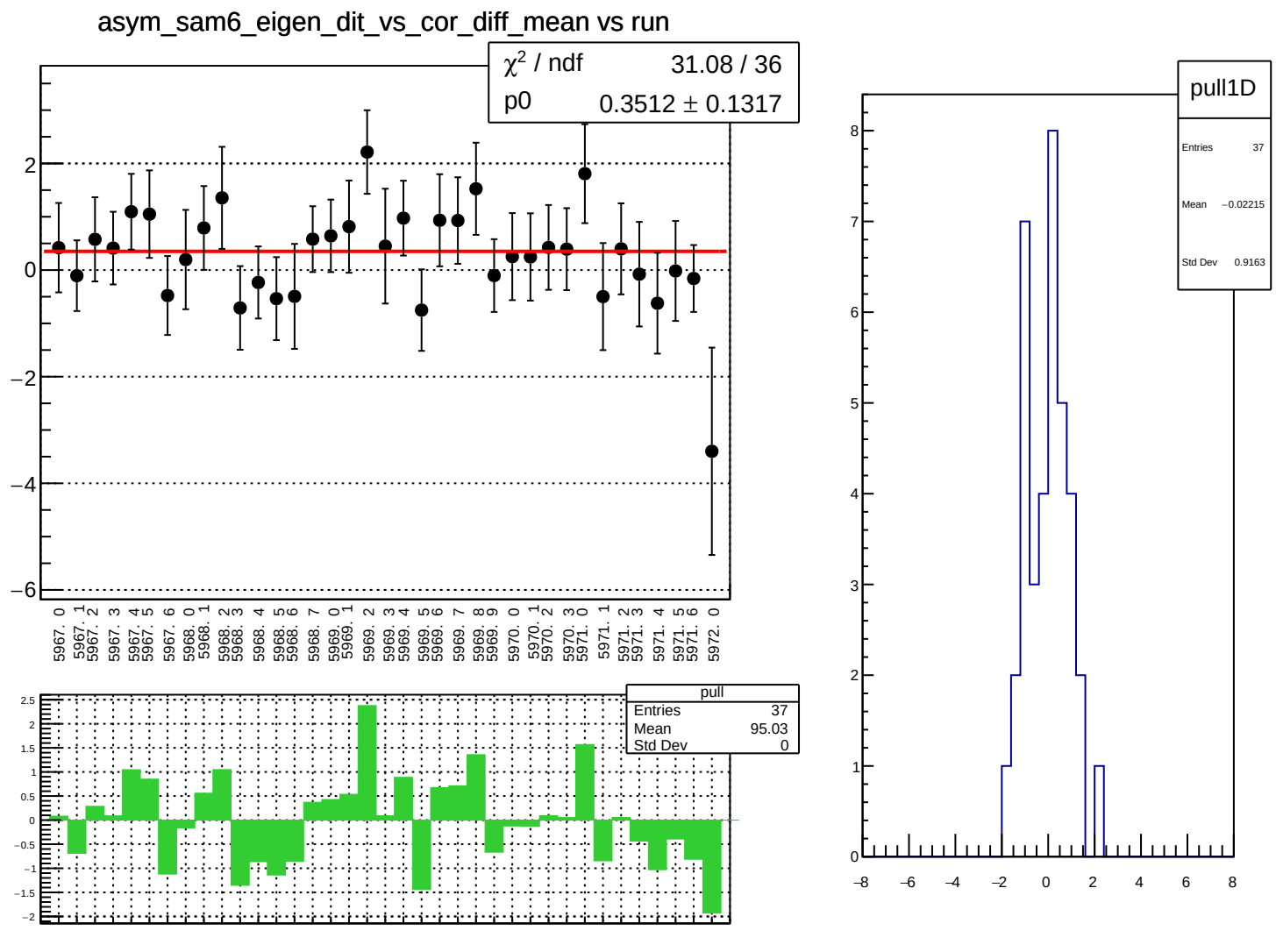
asym_sam6_eigen_dit_vs_cor_diff_mean vs run
χ² / ndf 31.08 / 36
p0 0.3512 ± 0.1317
pull
Entries 37
Mean 95.03
Std Dev 0
pull1D
Entries 37
Mean −0.02215
Std Dev 0.9163

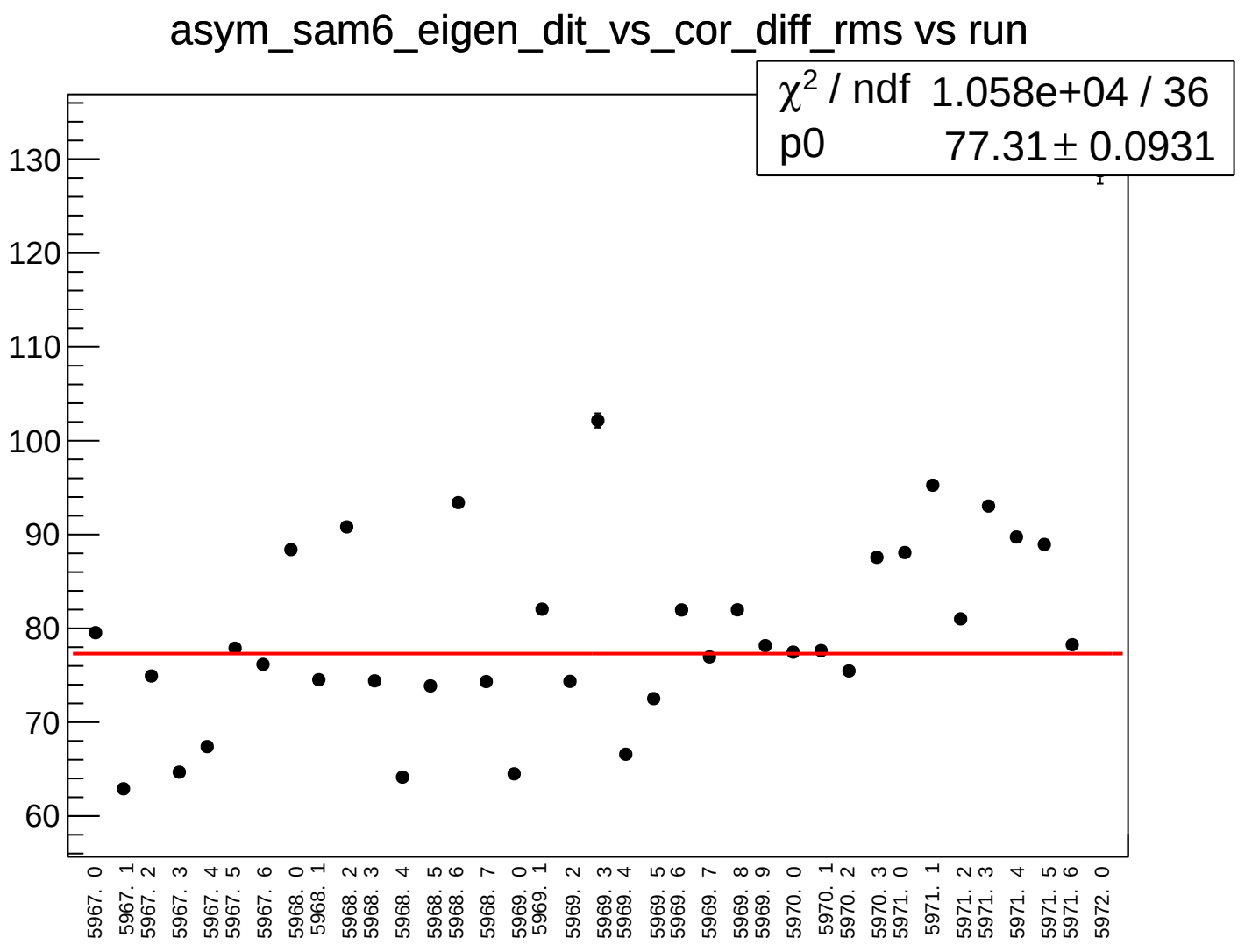
asym_sam6_eigen_dit_vs_cor_diff_rms vs run
χ² / ndf 1.058e+04 / 36
p0 77.31 ± 0.0931
130
120
110
100
90
80
70
60
5967. 0
5967. 1
5967. 2
5967. 3
5967. 4
5967. 5
5967. 6
5968. 0
5968. 1
5968. 2
5968. 3
5968. 4
5968. 5
5968. 6
5968. 7
5969. 0
5969. 1
5969. 2
5969. 3
5969. 4
5969. 5
5969. 6
5969. 7
5969. 8
5969. 9
5970. 0
5970. 1
5970. 2
5970. 3
5971. 0
5971. 1
5971. 2
5971. 3
5971. 4
5971. 5
5971. 6
5972. 0

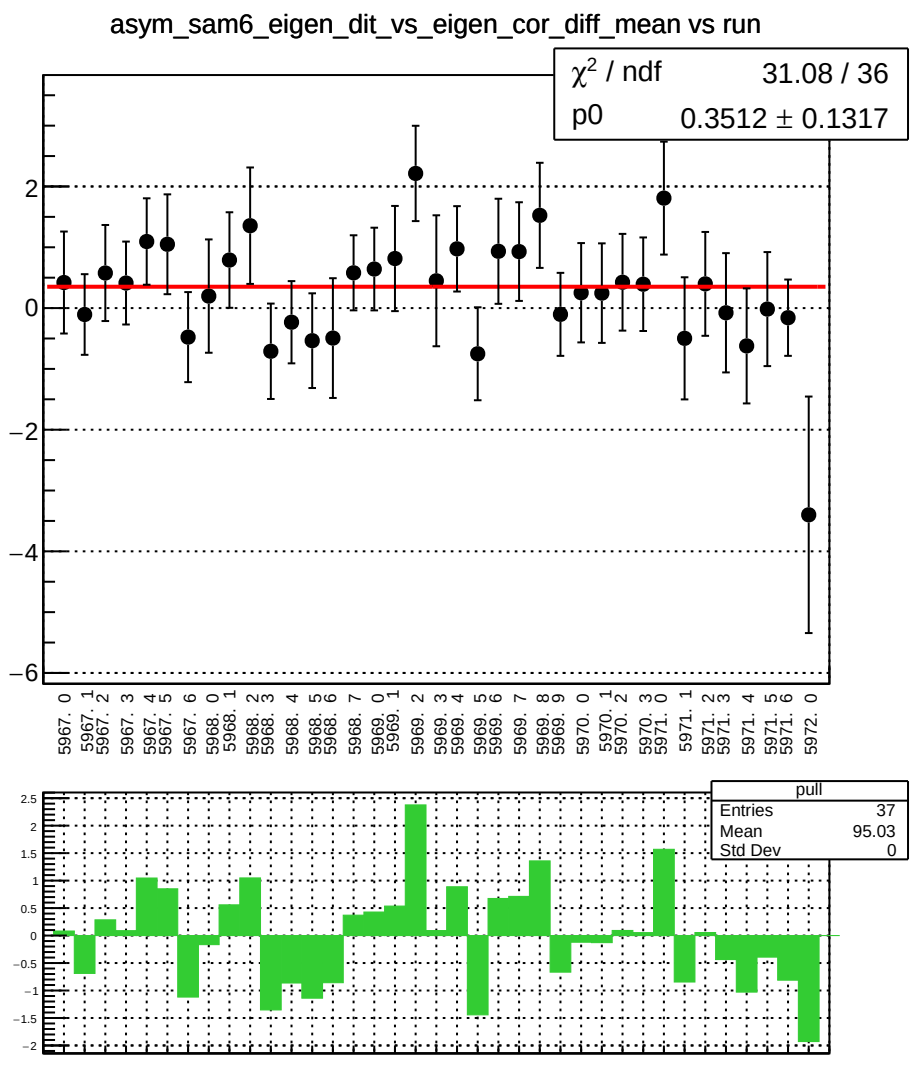
asym_sam6_eigen_dit_vs_eigen_cor_diff_mean vs run
χ² / ndf 31.08 / 36
p0 0.3512 ± 0.1317
pull
Entries 37
Mean 95.03
Std Dev 0

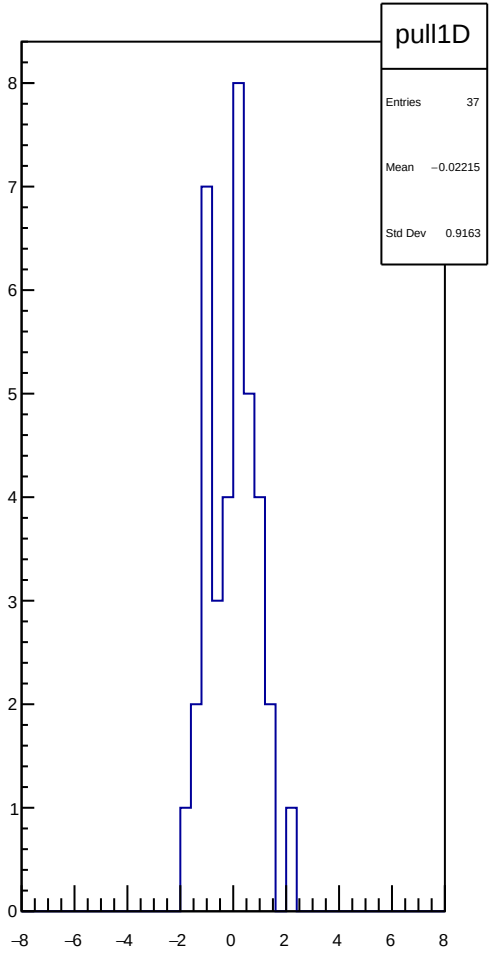
pull1D
Entries 37
Mean −0.02215
Std Dev 0.9163

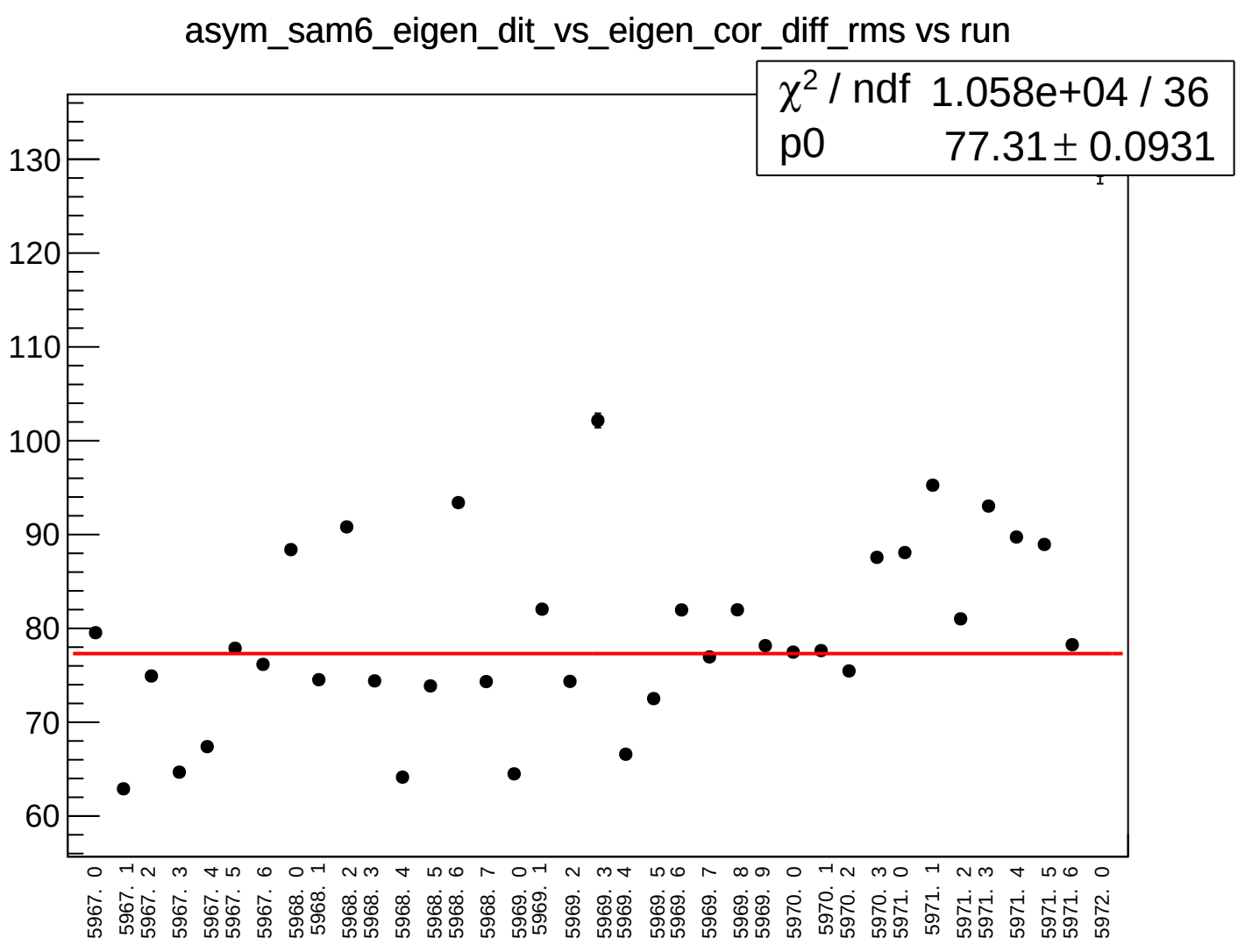
asym_sam6_eigen_dit_vs_eigen_cor_diff_rms vs run
χ² / ndf 1.058e+04 / 36
p0 77.31 ± 0.0931
130
120
110
100
90
80
70
60
5967. 0
5967. 1
5967. 2
5967. 3
5967. 4
5967. 5
5967. 6
5968. 0
5968. 1
5968. 2
5968. 3
5968. 4
5968. 5
5968. 6
5968. 7
5969. 0
5969. 1
5969. 2
5969. 3
5969. 4
5969. 5
5969. 6
5969. 7
5969. 8
5969. 9
5970. 0
5970. 1
5970. 2
5970. 3
5971. 0
5971. 1
5971. 2
5971. 3
5971. 4
5971. 5
5971. 6
5972. 0

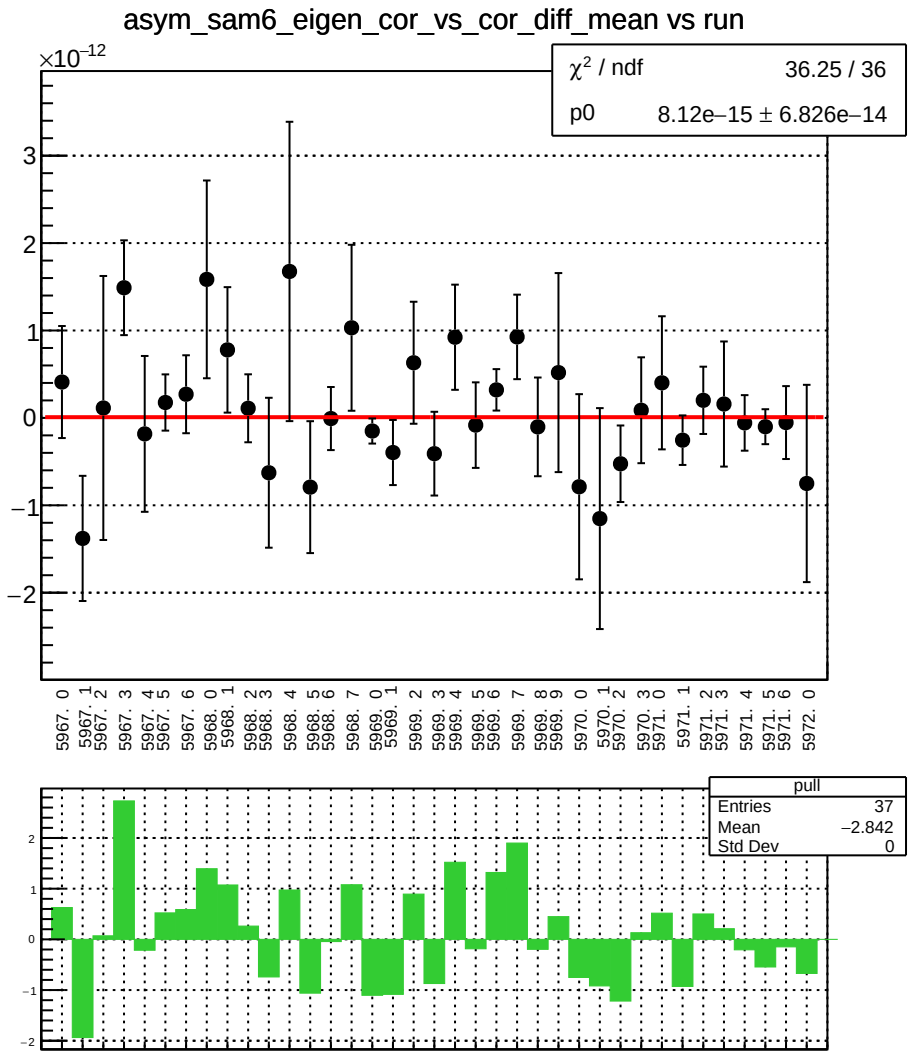
asym_sam6_eigen_cor_vs_cor_diff_mean vs run
×10⁻¹²
χ² / ndf 36.25 / 36
p0 8.12e−15 ± 6.826e−14
pull
Entries 37
Mean −2.842
Std Dev 0

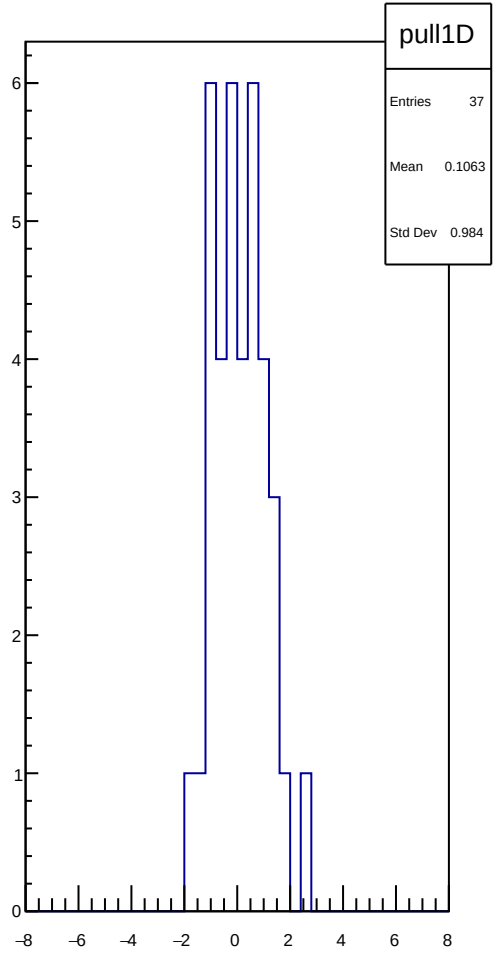
pull1D
Entries 37
Mean 0.1063
Std Dev 0.984

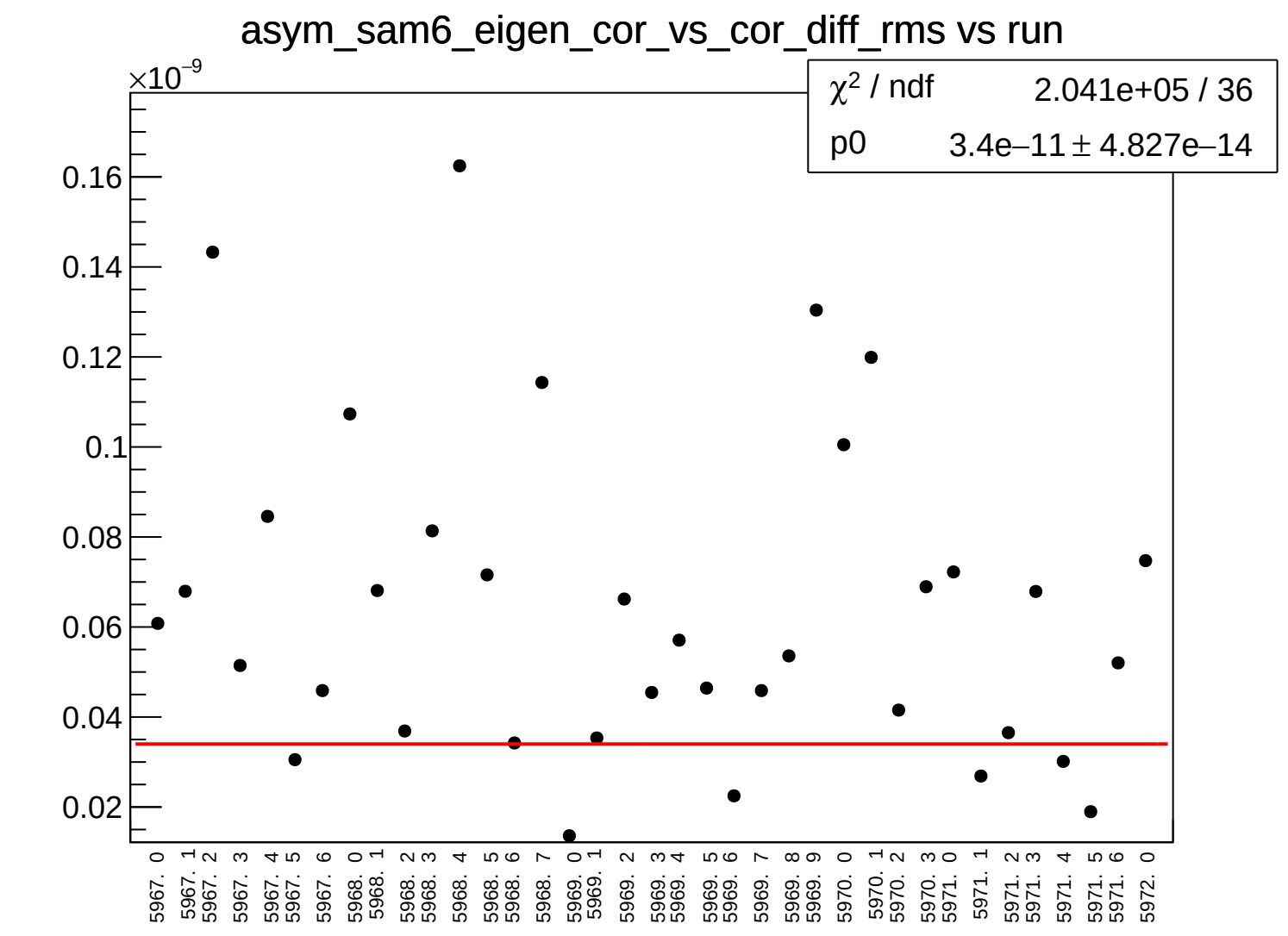
asym_sam6_eigen_cor_vs_cor_diff_rms vs run
×10⁻⁹
χ² / ndf 2.041e+05 / 36
p0 3.4e−11 ± 4.827e−14
0.16
0.14
0.12
0.1
0.08
0.06
0.04
0.02
5967. 0
5967. 1
5967. 2
5967. 3
5967. 4
5967. 5
5967. 6
5968. 0
5968. 1
5968. 2
5968. 3
5968. 4
5968. 5
5968. 6
5968. 7
5969. 0
5969. 1
5969. 2
5969. 3
5969. 4
5969. 5
5969. 6
5969. 7
5969. 8
5969. 9
5970. 0
5970. 1
5970. 2
5970. 3
5971. 0
5971. 1
5971. 2
5971. 3
5971. 4
5971. 5
5971. 6
5972. 0

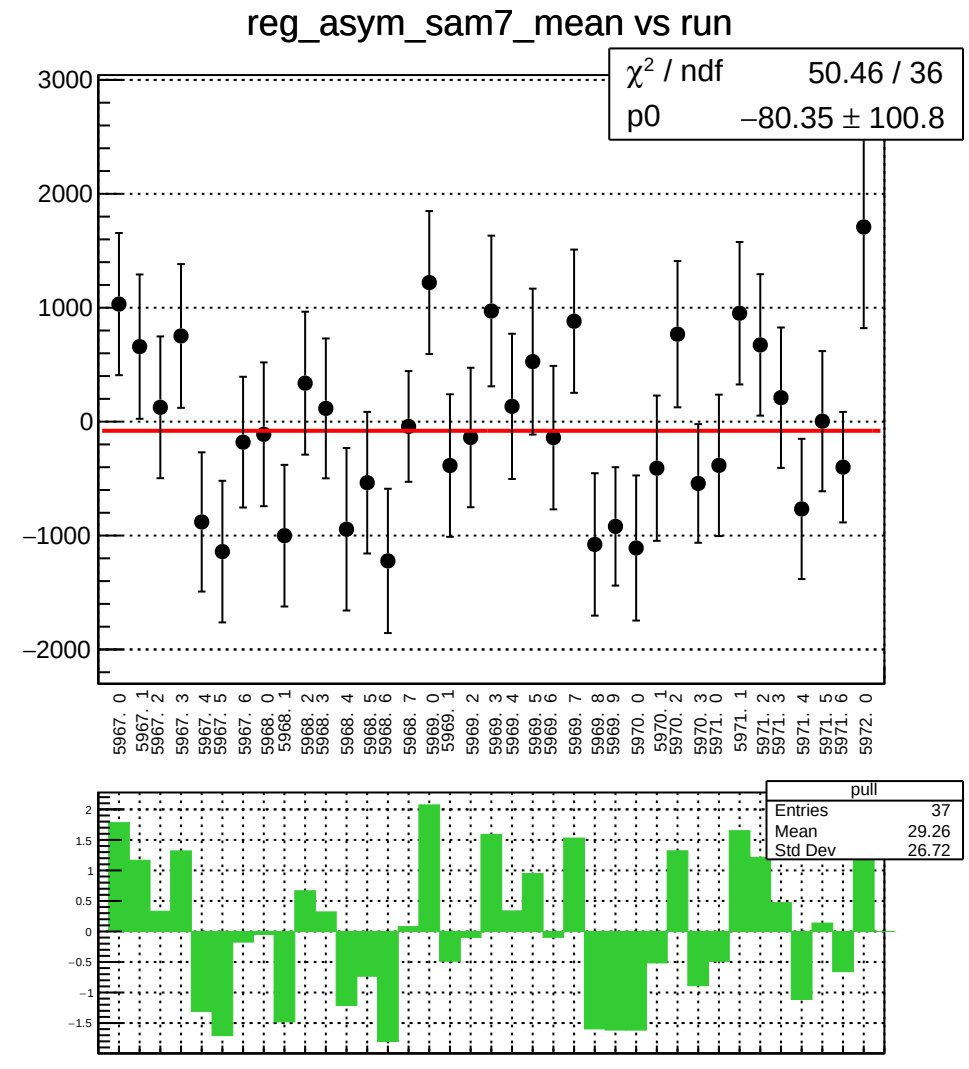
reg_asym_sam7_mean vs run
χ² / ndf 50.46 / 36
p0 −80.35 ± 100.8
3000
2000
1000
0
−1000
−2000
5967. 0
5967. 1
5967. 2
5967. 3
5967. 4
5967. 5
5967. 6
5968. 0
5968. 1
5968. 2
5968. 3
5968. 4
5968. 5
5968. 6
5968. 7
5969. 0
5969. 1
5969. 2
5969. 3
5969. 4
5969. 5
5969. 6
5969. 7
5969. 8
5969. 9
5970. 0
5970. 1
5970. 2
5970. 3
5971. 0
5971. 1
5971. 2
5971. 3
5971. 4
5971. 5
5971. 6
5972. 0
pull
Entries 37
Mean 29.26
Std Dev 26.72
2
1.5
1
0.5
0
−0.5
−1
−1.5

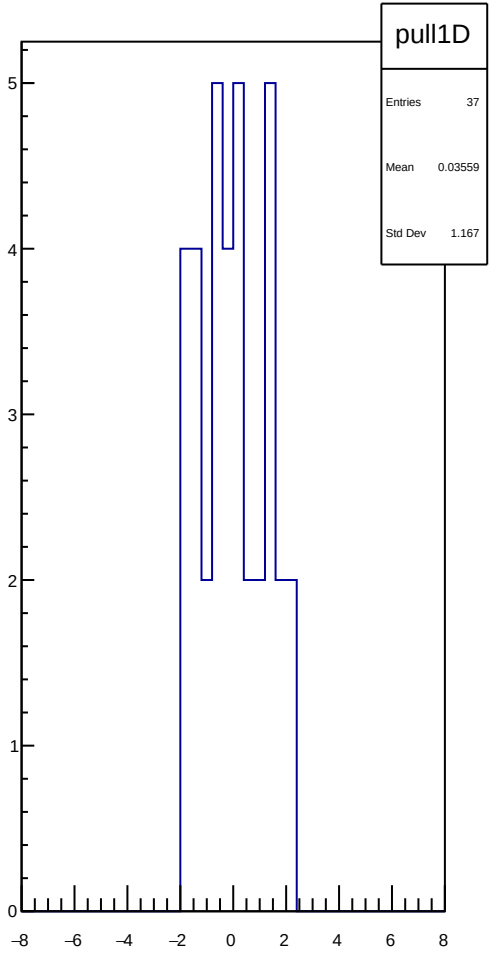
pull1D
Entries 37
Mean 0.03559
Std Dev 1.167
5
4
3
2
1
0
−8
−6
−4
−2
0
2
4
6
8

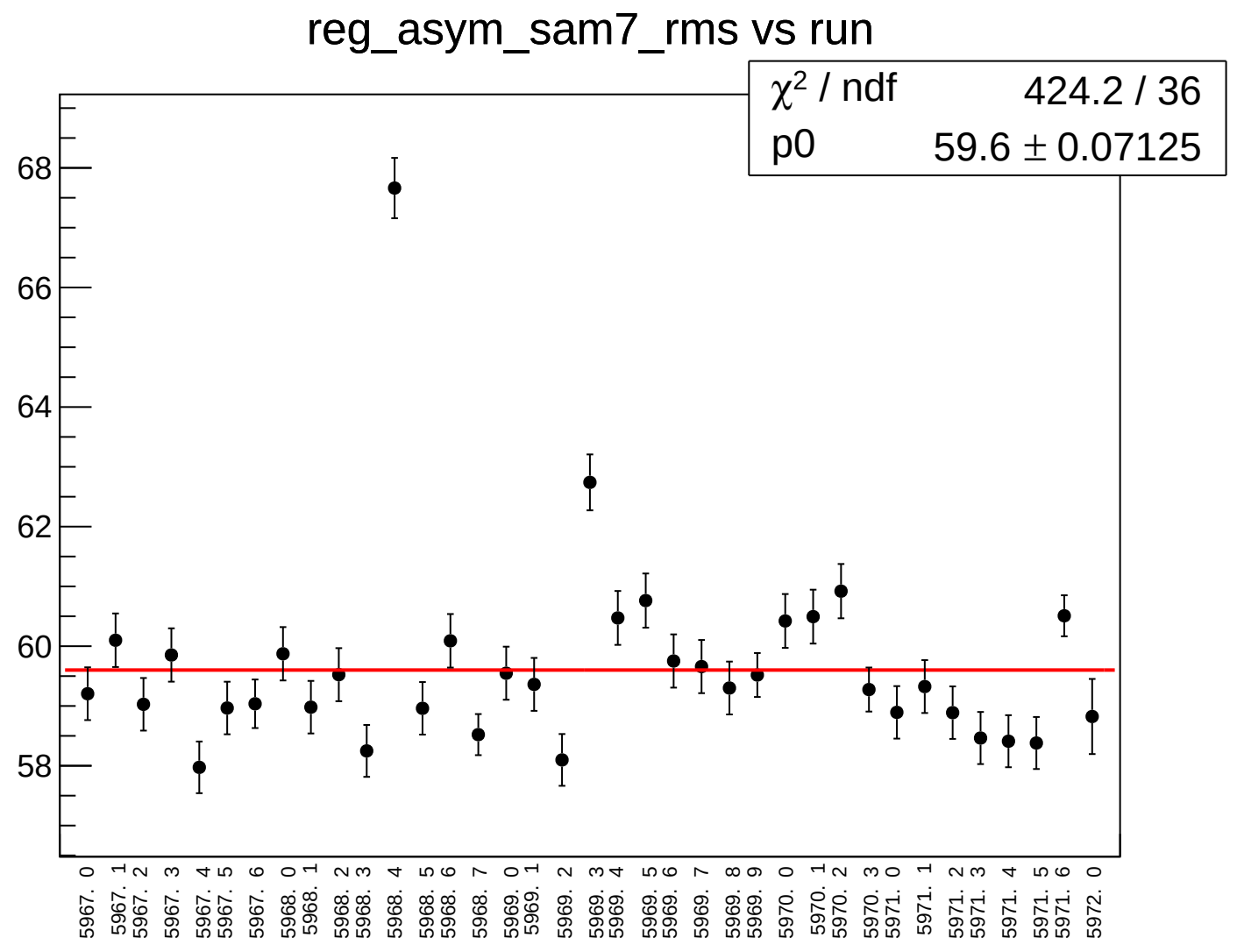
reg_asym_sam7_rms vs run
χ² / ndf 424.2 / 36
p0 59.6 ± 0.07125
68
66
64
62
60
58
5967. 0
5967. 1
5967. 2
5967. 3
5967. 4
5967. 5
5967. 6
5968. 0
5968. 1
5968. 2
5968. 3
5968. 4
5968. 5
5968. 6
5968. 7
5969. 0
5969. 1
5969. 2
5969. 3
5969. 4
5969. 5
5969. 6
5969. 7
5969. 8
5969. 9
5970. 0
5970. 1
5970. 2
5970. 3
5971. 0
5971. 1
5971. 2
5971. 3
5971. 4
5971. 5
5971. 6
5972. 0

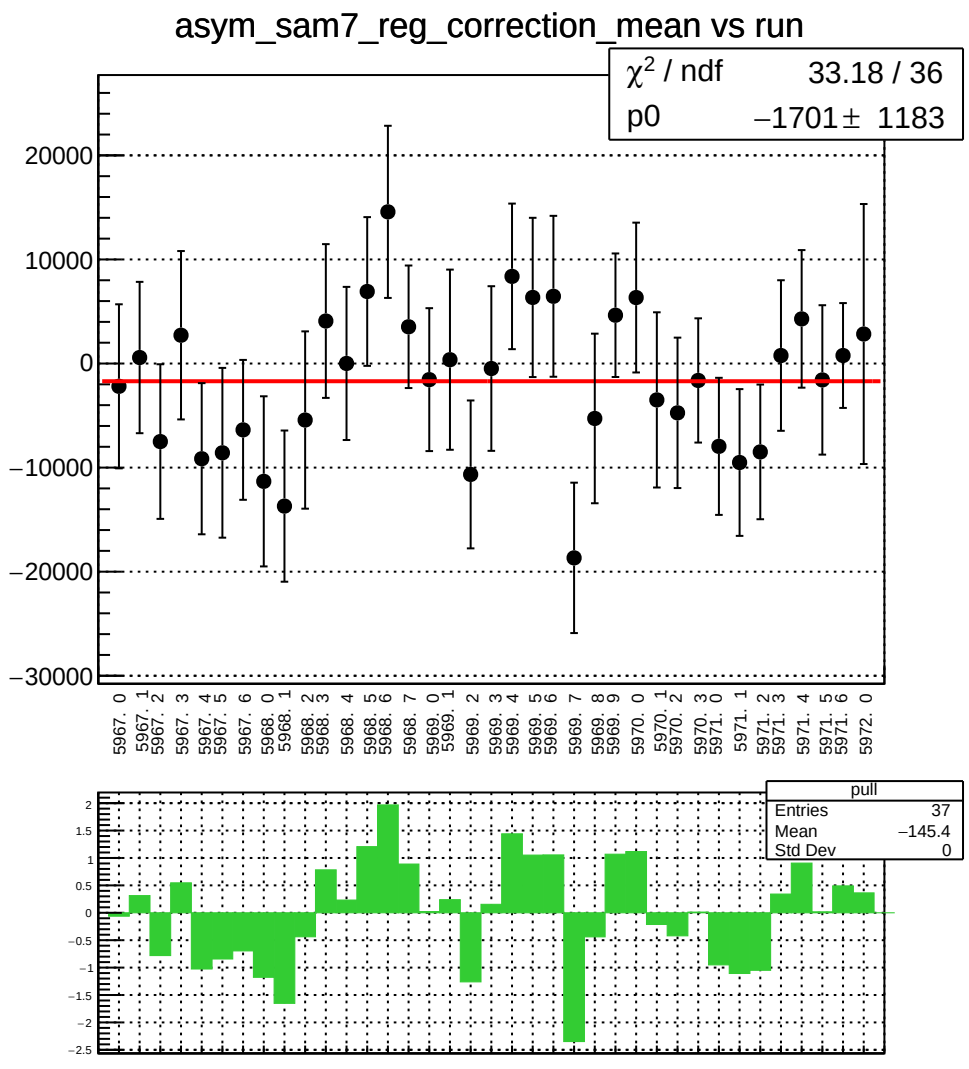
asym_sam7_reg_correction_mean vs run
χ² / ndf 33.18 / 36
p0 −1701 ± 1183
20000
10000
0
−10000
−20000
−30000
5967. 0
5967. 1
5967. 2
5967. 3
5967. 4
5967. 5
5967. 6
5968. 0
5968. 1
5968. 2
5968. 3
5968. 4
5968. 5
5968. 6
5968. 7
5969. 0
5969. 1
5969. 2
5969. 3
5969. 4
5969. 5
5969. 6
5969. 7
5969. 8
5969. 9
5970. 0
5970. 1
5970. 2
5970. 3
5971. 0
5971. 1
5971. 2
5971. 3
5971. 4
5971. 5
5971. 6
5972. 0
pull
Entries 37
Mean −145.4
Std Dev 0
2
1.5
1
0.5
0
−0.5
−1
−1.5
−2
−2.5

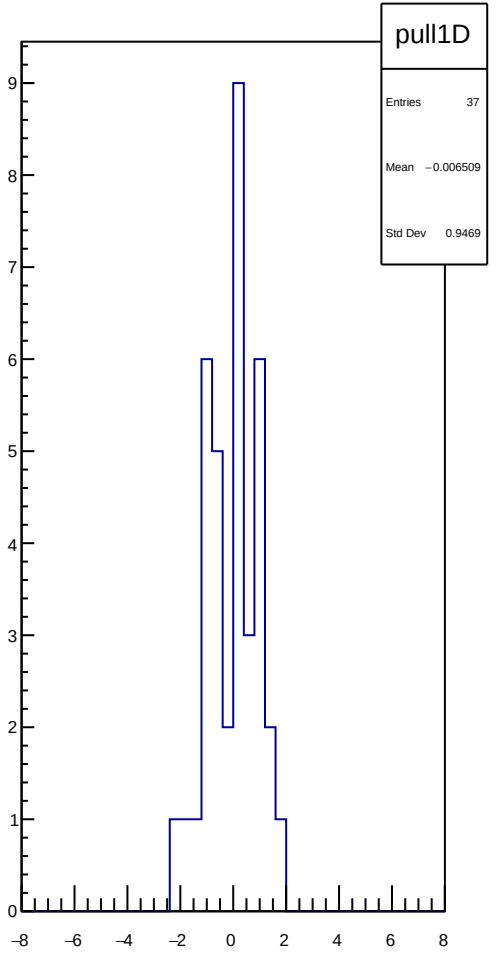
pull1D
Entries 37
Mean −0.006509
Std Dev 0.9469
9
8
7
6
5
4
3
2
1
0
−8
−6
−4
−2
0
2
4
6
8

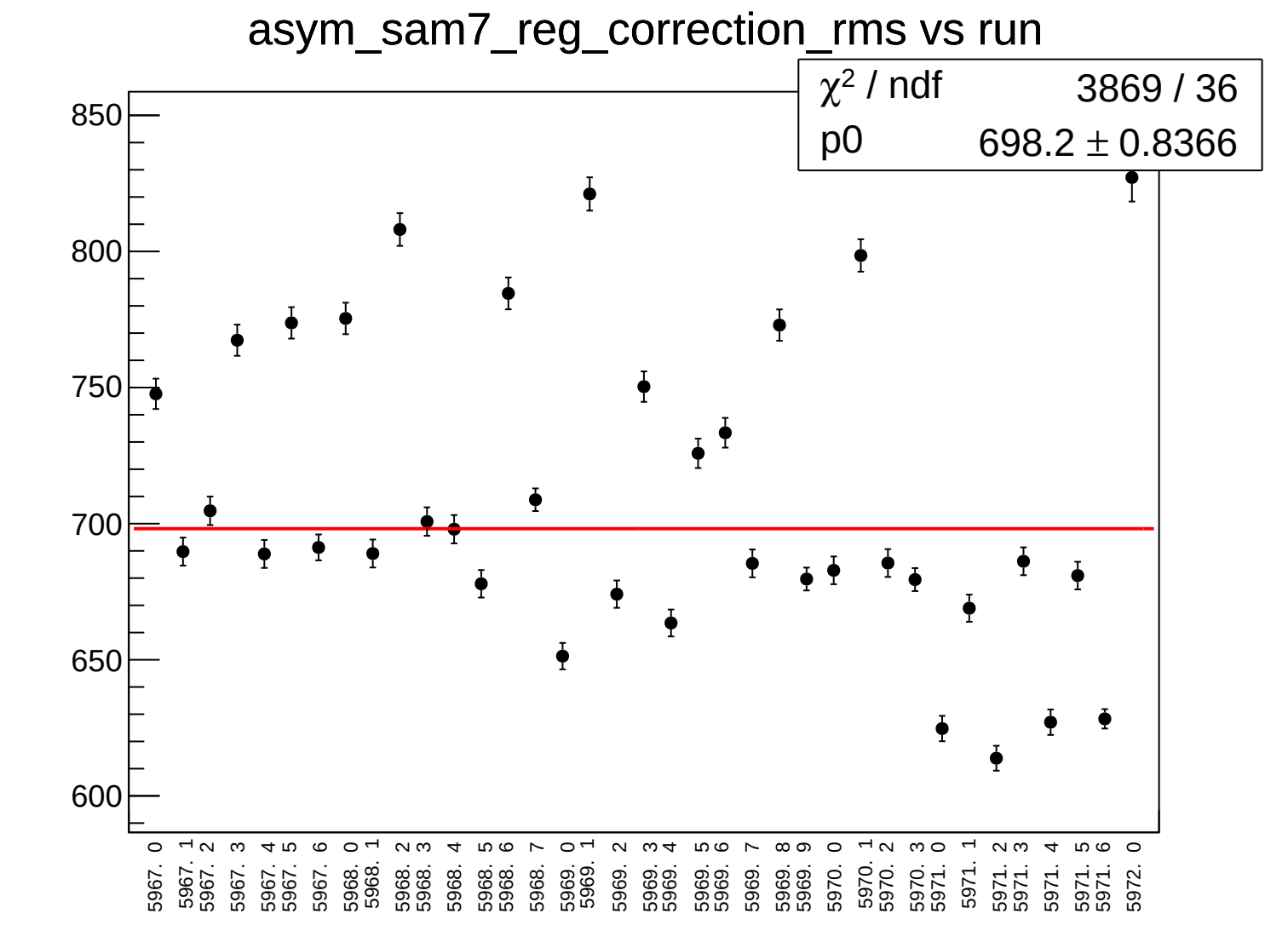
asym_sam7_reg_correction_rms vs run
χ² / ndf 3869 / 36
p0 698.2 ± 0.8366
850
800
750
700
650
600
5967. 0
5967. 1
5967. 2
5967. 3
5967. 4
5967. 5
5967. 6
5968. 0
5968. 1
5968. 2
5968. 3
5968. 4
5968. 5
5968. 6
5968. 7
5969. 0
5969. 1
5969. 2
5969. 3
5969. 4
5969. 5
5969. 6
5969. 7
5969. 8
5969. 9
5970. 0
5970. 1
5970. 2
5970. 3
5971. 0
5971. 1
5971. 2
5971. 3
5971. 4
5971. 5
5971. 6
5972. 0

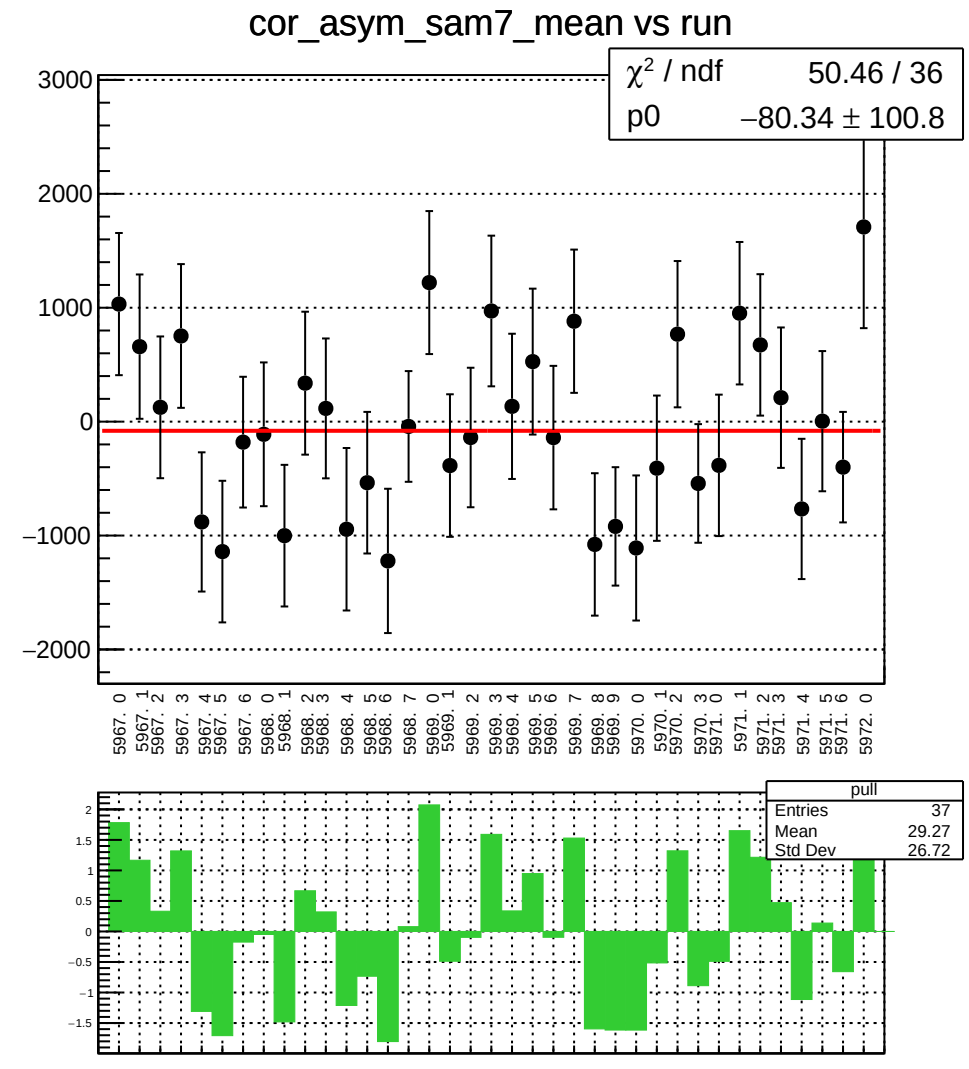
cor_asym_sam7_mean vs run
χ² / ndf 50.46 / 36
p0 −80.34 ± 100.8
3000
2000
1000
0
−1000
−2000
5967. 0
5967. 1
5967. 2
5967. 3
5967. 4
5967. 5
5967. 6
5968. 0
5968. 1
5968. 2
5968. 3
5968. 4
5968. 5
5968. 6
5968. 7
5969. 0
5969. 1
5969. 2
5969. 3
5969. 4
5969. 5
5969. 6
5969. 7
5969. 8
5969. 9
5970. 0
5970. 1
5970. 2
5970. 3
5971. 0
5971. 1
5971. 2
5971. 3
5971. 4
5971. 5
5971. 6
5972. 0
pull
Entries 37
Mean 29.27
Std Dev 26.72
2
1.5
1
0.5
0
−0.5
−1
−1.5
pull1D
Entries 37
Mean 0.03559
Std Dev 1.167
5
4
3
2
1
0
−8
−6
−4
−2
0
2
4
6
8

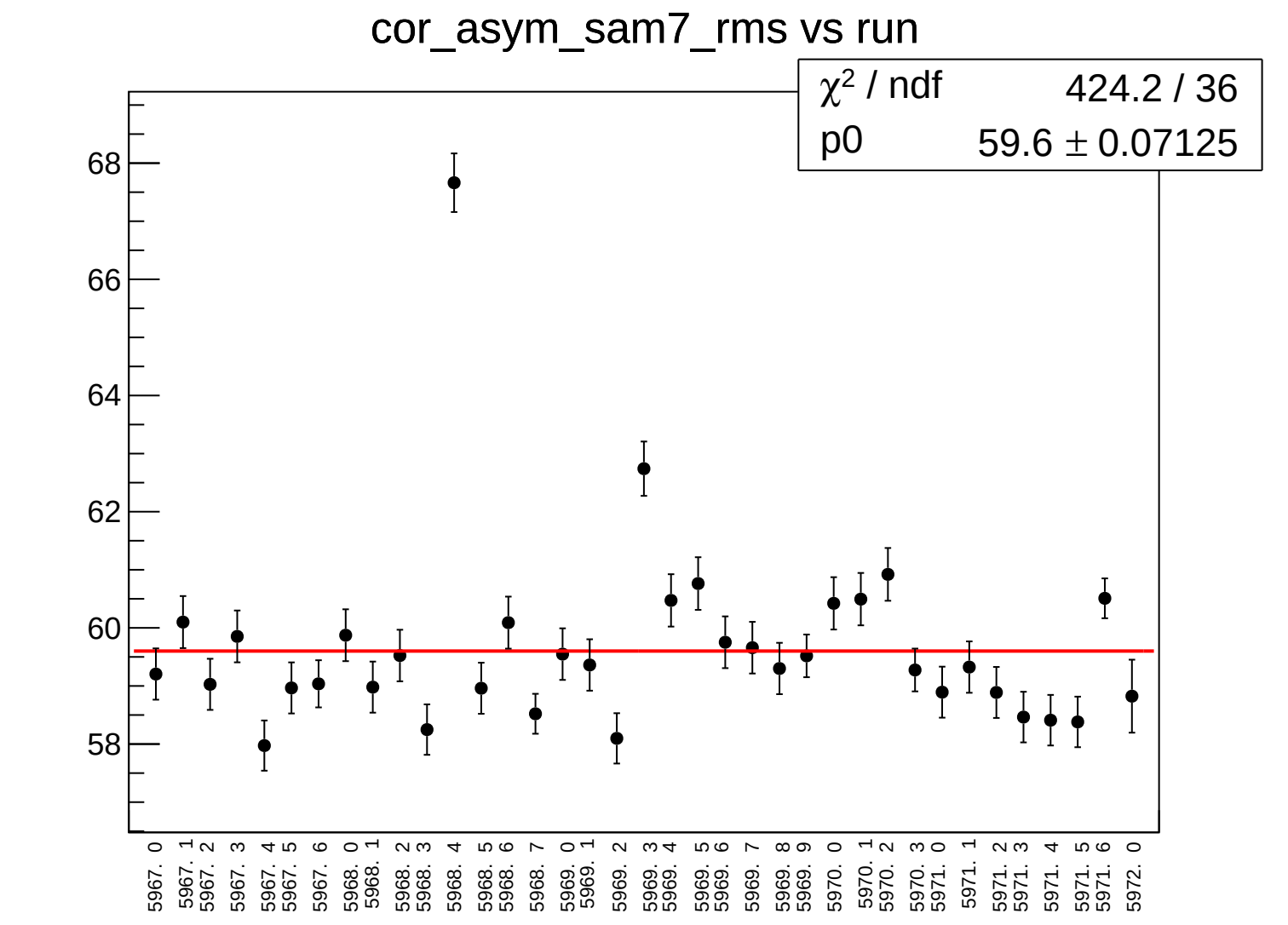
cor_asym_sam7_rms vs run
χ² / ndf 424.2 / 36
p0 59.6 ± 0.07125
68
66
64
62
60
58
5967. 0
5967. 1
5967. 2
5967. 3
5967. 4
5967. 5
5967. 6
5968. 0
5968. 1
5968. 2
5968. 3
5968. 4
5968. 5
5968. 6
5968. 7
5969. 0
5969. 1
5969. 2
5969. 3
5969. 4
5969. 5
5969. 6
5969. 7
5969. 8
5969. 9
5970. 0
5970. 1
5970. 2
5970. 3
5971. 0
5971. 1
5971. 2
5971. 3
5971. 4
5971. 5
5971. 6
5972. 0

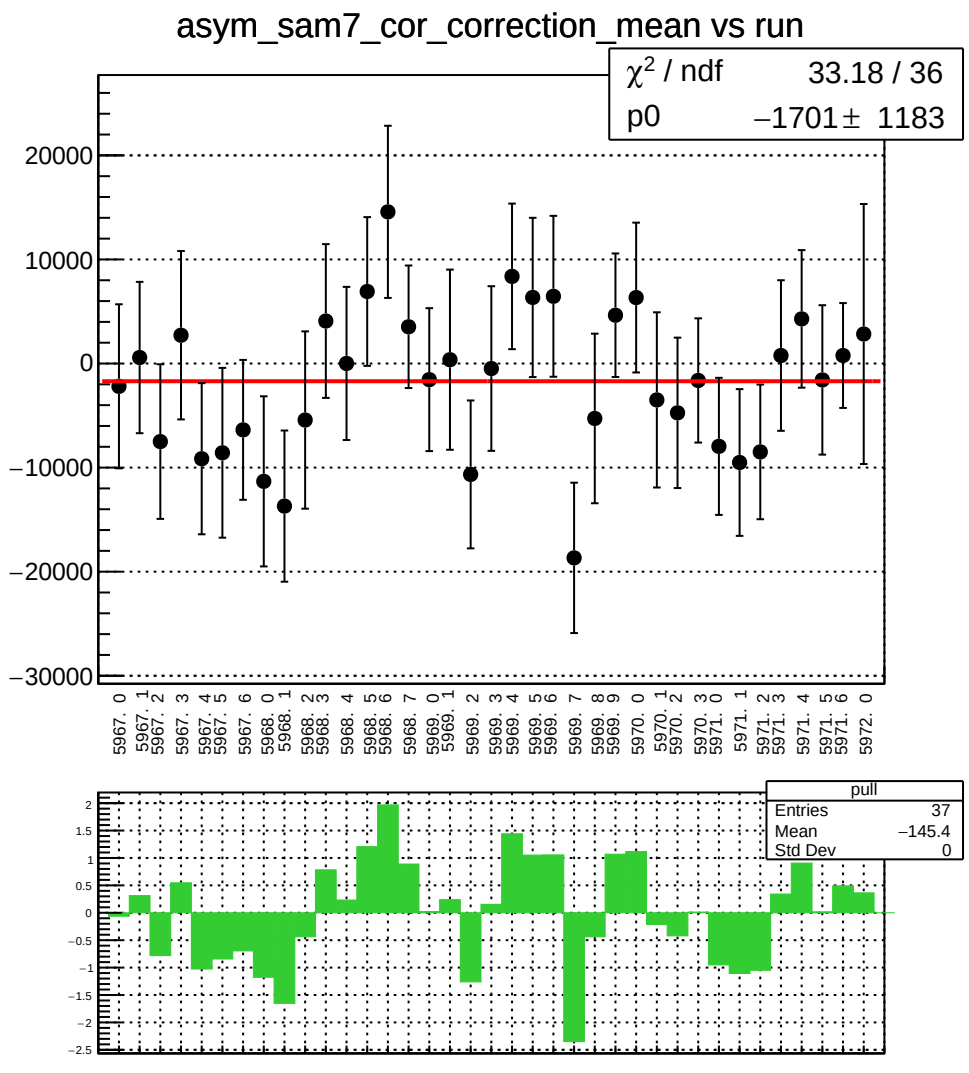
asym_sam7_cor_correction_mean vs run
χ² / ndf 33.18 / 36
p0 −1701 ± 1183
20000
10000
0
−10000
−20000
−30000
5967. 0
5967. 1
5967. 2
5967. 3
5967. 4
5967. 5
5967. 6
5968. 0
5968. 1
5968. 2
5968. 3
5968. 4
5968. 5
5968. 6
5968. 7
5969. 0
5969. 1
5969. 2
5969. 3
5969. 4
5969. 5
5969. 6
5969. 7
5969. 8
5969. 9
5970. 0
5970. 1
5970. 2
5970. 3
5971. 0
5971. 1
5971. 2
5971. 3
5971. 4
5971. 5
5971. 6
5972. 0
pull
Entries 37
Mean −145.4
Std Dev 0
2
1.5
1
0.5
0
−0.5
−1
−1.5
−2
−2.5

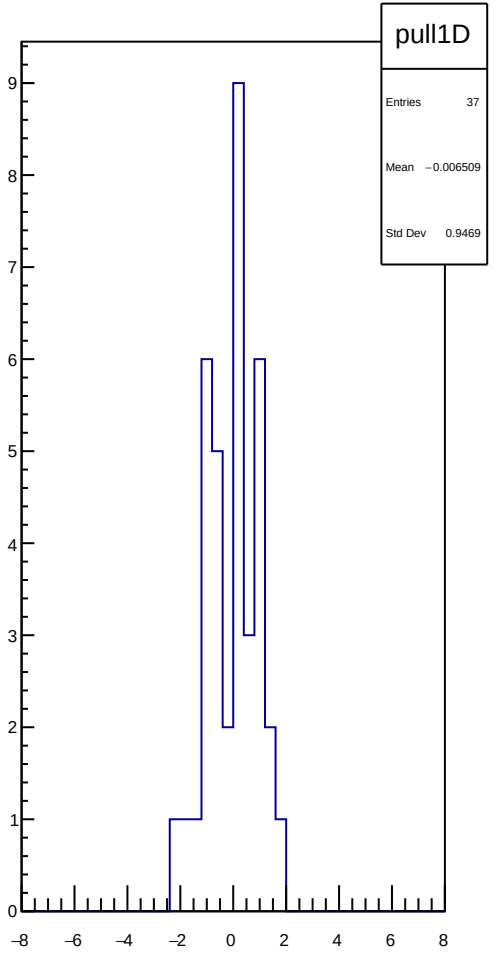
pull1D
Entries 37
Mean −0.006509
Std Dev 0.9469
9
8
7
6
5
4
3
2
1
0
−8
−6
−4
−2
0
2
4
6
8

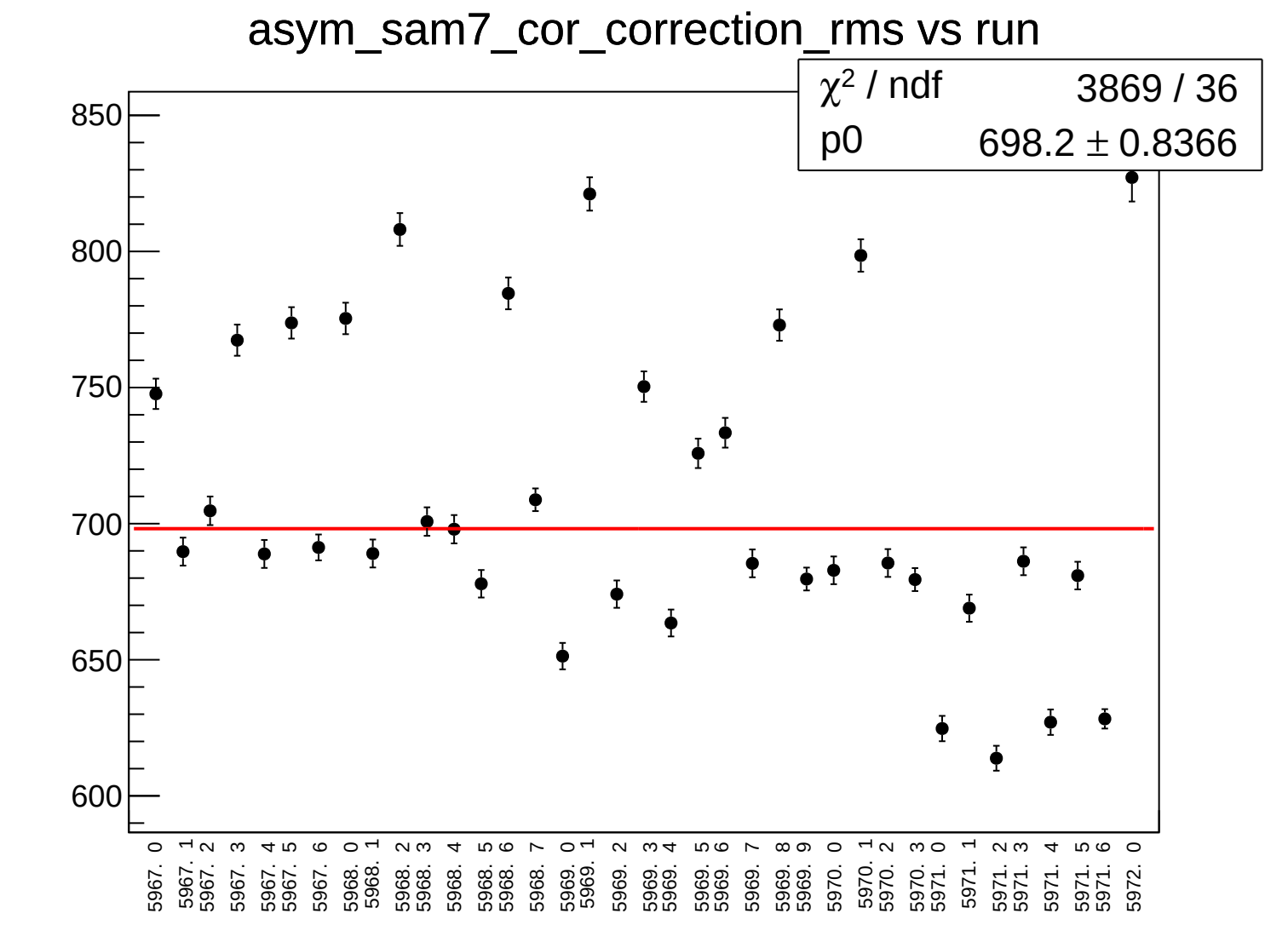
asym_sam7_cor_correction_rms vs run
χ² / ndf 3869 / 36
p0 698.2 ± 0.8366
850
800
750
700
650
600
5967. 0
5967. 1
5967. 2
5967. 3
5967. 4
5967. 5
5967. 6
5968. 0
5968. 1
5968. 2
5968. 3
5968. 4
5968. 5
5968. 6
5968. 7
5969. 0
5969. 1
5969. 2
5969. 3
5969. 4
5969. 5
5969. 6
5969. 7
5969. 8
5969. 9
5970. 0
5970. 1
5970. 2
5970. 3
5971. 0
5971. 1
5971. 2
5971. 3
5971. 4
5971. 5
5971. 6
5972. 0

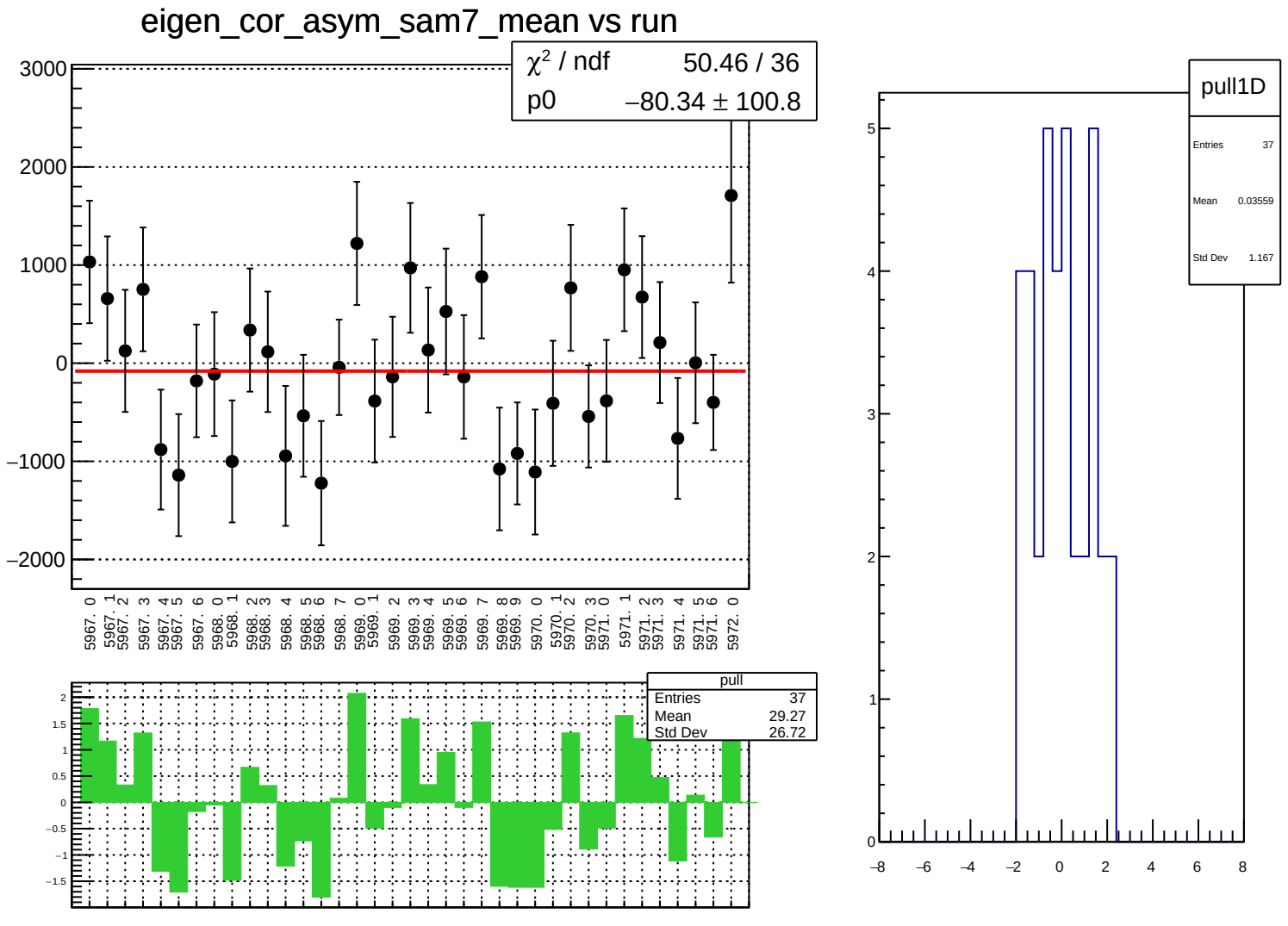
eigen_cor_asym_sam7_mean vs run
χ² / ndf 50.46 / 36
p0 −80.34 ± 100.8
3000
2000
1000
0
−1000
−2000
5967. 0
5967. 1
5967. 2
5967. 3
5967. 4
5967. 5
5967. 6
5968. 0
5968. 1
5968. 2
5968. 3
5968. 4
5968. 5
5968. 6
5968. 7
5969. 0
5969. 1
5969. 2
5969. 3
5969. 4
5969. 5
5969. 6
5969. 7
5969. 8
5969. 9
5970. 0
5970. 1
5970. 2
5970. 3
5971. 0
5971. 1
5971. 2
5971. 3
5971. 4
5971. 5
5971. 6
5972. 0
pull
Entries 37
Mean 29.27
Std Dev 26.72
2
1.5
1
0.5
0
−0.5
−1
−1.5
pull1D
Entries 37
Mean 0.03559
Std Dev 1.167
5
4
3
2
1
0
−8
−6
−4
−2
0
2
4
6
8

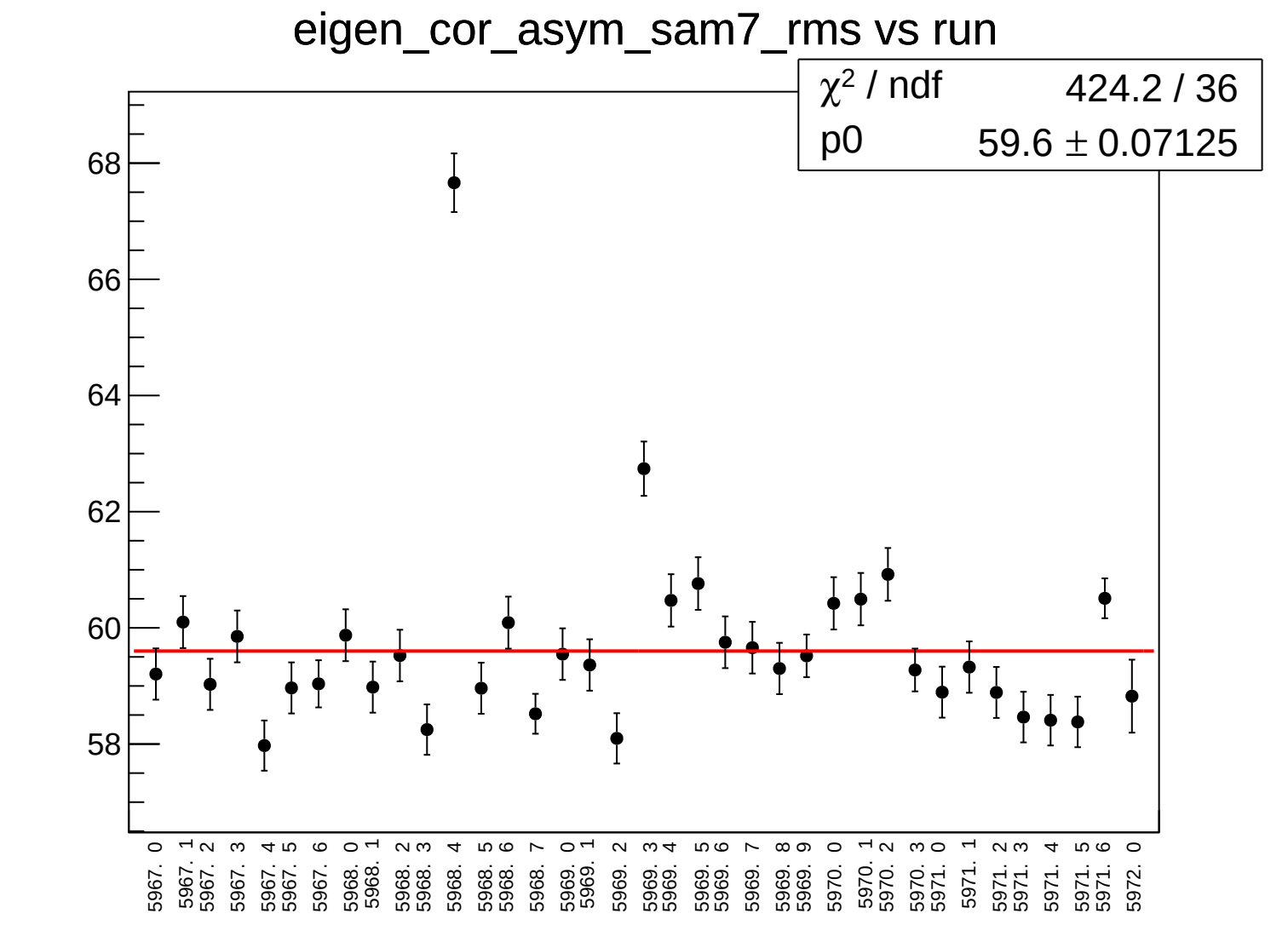
eigen_cor_asym_sam7_rms vs run
χ² / ndf 424.2 / 36
p0 59.6 ± 0.07125
68
66
64
62
60
58
5967. 0
5967. 1
5967. 2
5967. 3
5967. 4
5967. 5
5967. 6
5968. 0
5968. 1
5968. 2
5968. 3
5968. 4
5968. 5
5968. 6
5968. 7
5969. 0
5969. 1
5969. 2
5969. 3
5969. 4
5969. 5
5969. 6
5969. 7
5969. 8
5969. 9
5970. 0
5970. 1
5970. 2
5970. 3
5971. 0
5971. 1
5971. 2
5971. 3
5971. 4
5971. 5
5971. 6
5972. 0

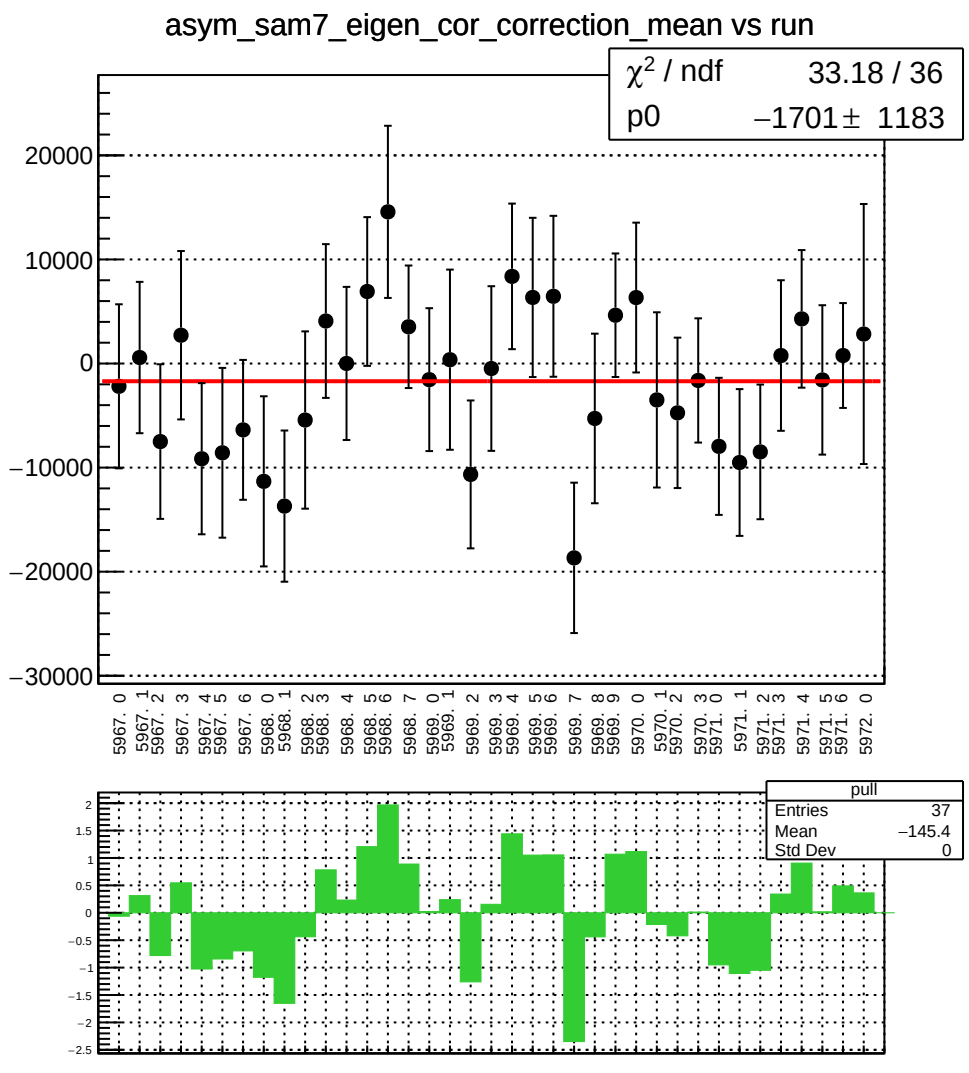
asym_sam7_eigen_cor_correction_mean vs run
χ² / ndf 33.18 / 36
p0 −1701 ± 1183
20000
10000
0
−10000
−20000
−30000
5967. 0
5967. 1
5967. 2
5967. 3
5967. 4
5967. 5
5967. 6
5968. 0
5968. 1
5968. 2
5968. 3
5968. 4
5968. 5
5968. 6
5968. 7
5969. 0
5969. 1
5969. 2
5969. 3
5969. 4
5969. 5
5969. 6
5969. 7
5969. 8
5969. 9
5970. 0
5970. 1
5970. 2
5970. 3
5971. 0
5971. 1
5971. 2
5971. 3
5971. 4
5971. 5
5971. 6
5972. 0
pull
Entries 37
Mean −145.4
Std Dev 0
2
1.5
1
0.5
0
−0.5
−1
−1.5
−2
−2.5

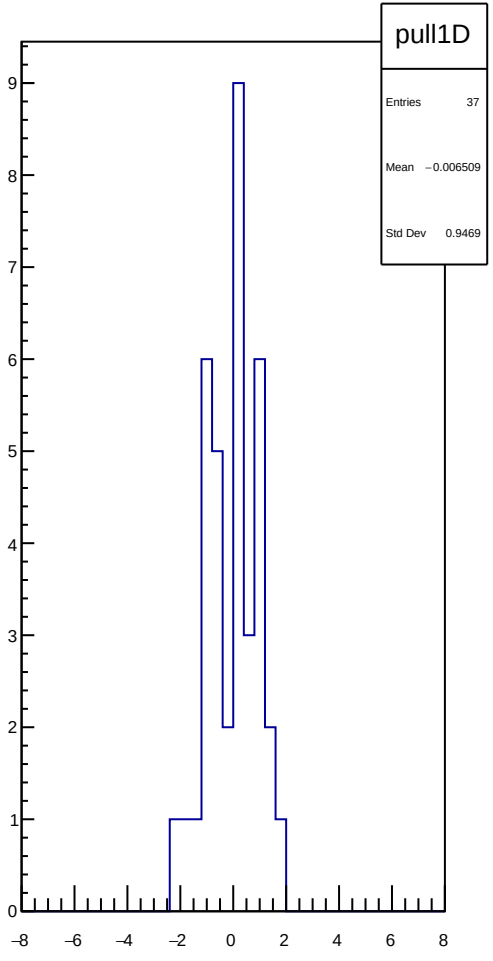
pull1D
Entries 37
Mean −0.006509
Std Dev 0.9469
9
8
7
6
5
4
3
2
1
0
−8
−6
−4
−2
0
2
4
6
8

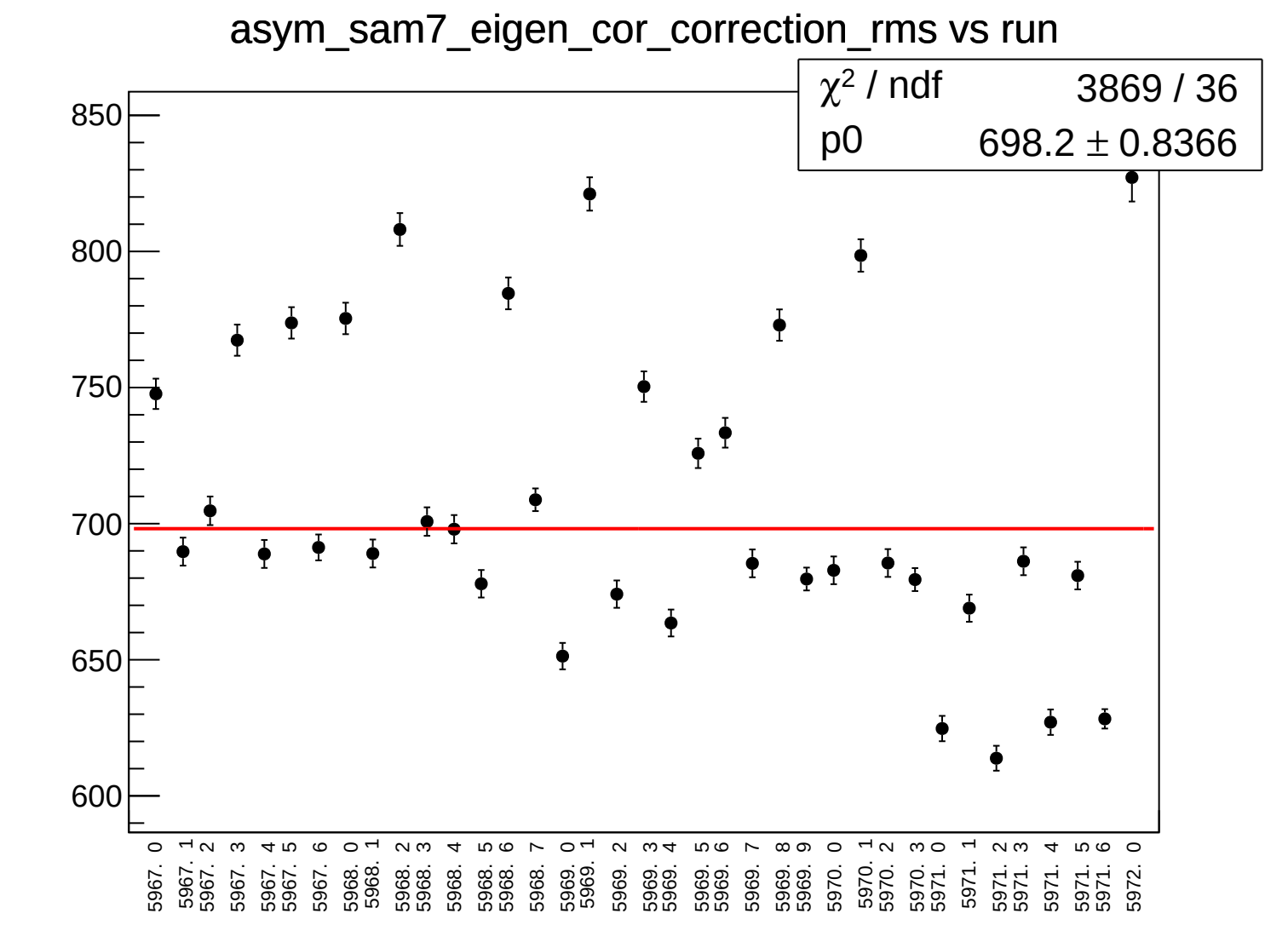
asym_sam7_eigen_cor_correction_rms vs run
χ² / ndf 3869 / 36
p0 698.2 ± 0.8366
850
800
750
700
650
600
5967. 0
5967. 1
5967. 2
5967. 3
5967. 4
5967. 5
5967. 6
5968. 0
5968. 1
5968. 2
5968. 3
5968. 4
5968. 5
5968. 6
5968. 7
5969. 0
5969. 1
5969. 2
5969. 3
5969. 4
5969. 5
5969. 6
5969. 7
5969. 8
5969. 9
5970. 0
5970. 1
5970. 2
5970. 3
5971. 0
5971. 1
5971. 2
5971. 3
5971. 4
5971. 5
5971. 6
5972. 0

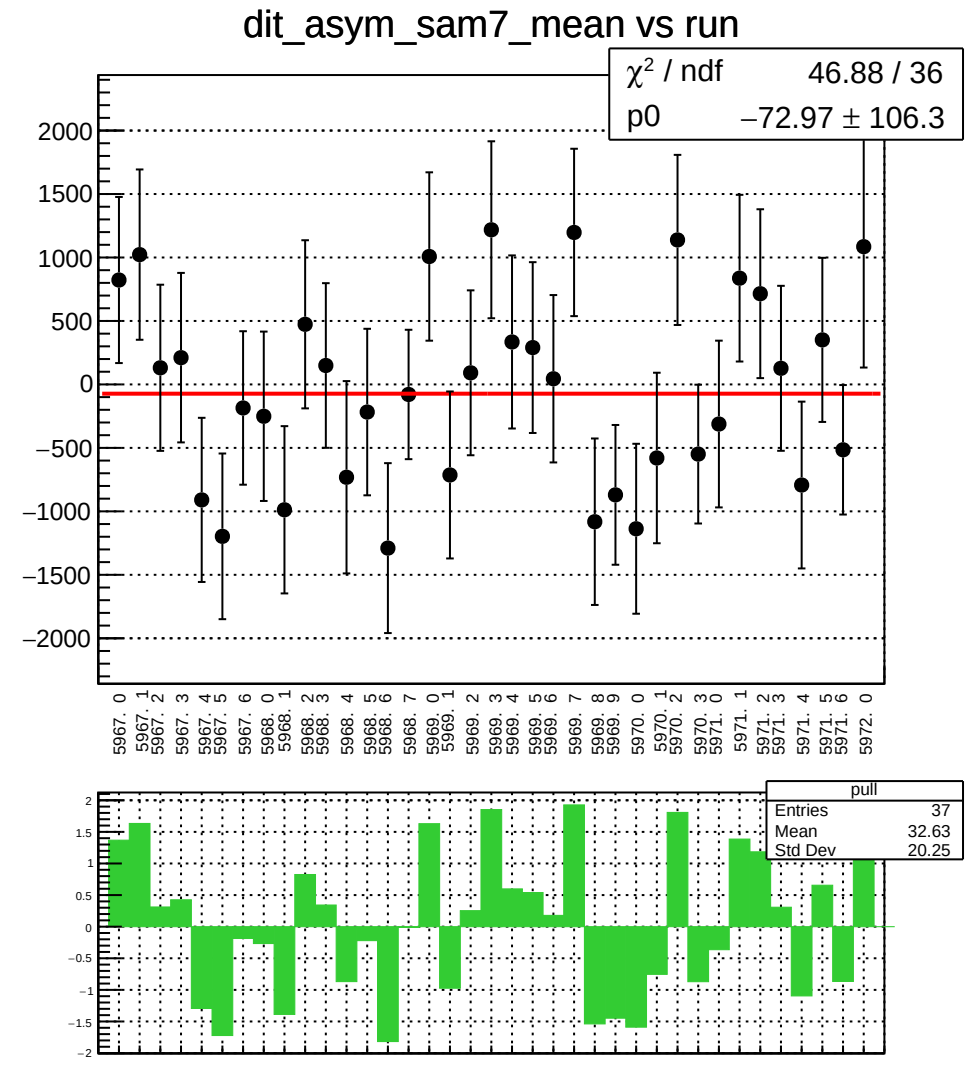
dit_asym_sam7_mean vs run
χ² / ndf 46.88 / 36
p0 −72.97 ± 106.3
2000
1500
1000
500
0
−500
−1000
−1500
−2000
5967. 0
5967. 1
5967. 2
5967. 3
5967. 4
5967. 5
5967. 6
5968. 0
5968. 1
5968. 2
5968. 3
5968. 4
5968. 5
5968. 6
5968. 7
5969. 0
5969. 1
5969. 2
5969. 3
5969. 4
5969. 5
5969. 6
5969. 7
5969. 8
5969. 9
5970. 0
5970. 1
5970. 2
5970. 3
5971. 0
5971. 1
5971. 2
5971. 3
5971. 4
5971. 5
5971. 6
5972. 0
pull
Entries 37
Mean 32.63
Std Dev 20.25
2
1.5
1
0.5
0
−0.5
−1
−1.5
−2

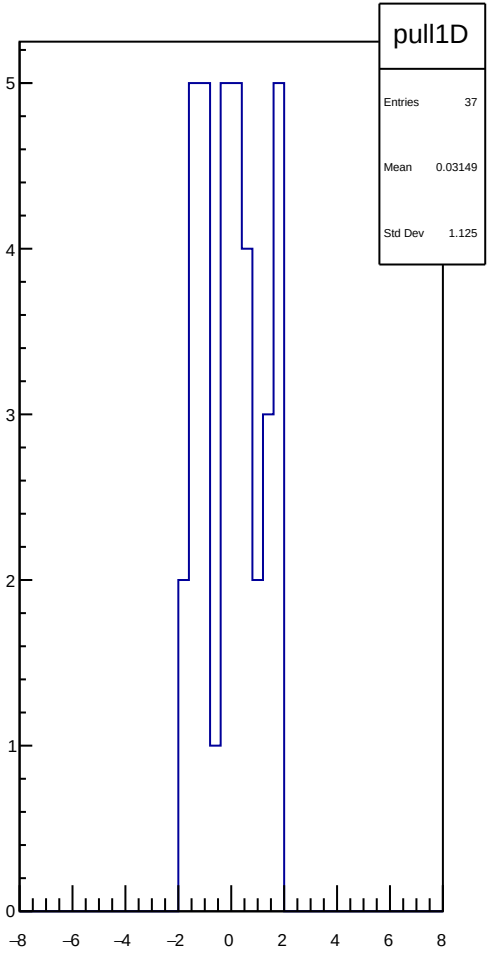
pull1D
Entries 37
Mean 0.03149
Std Dev 1.125
5
4
3
2
1
0
−8
−6
−4
−2
0
2
4
6
8

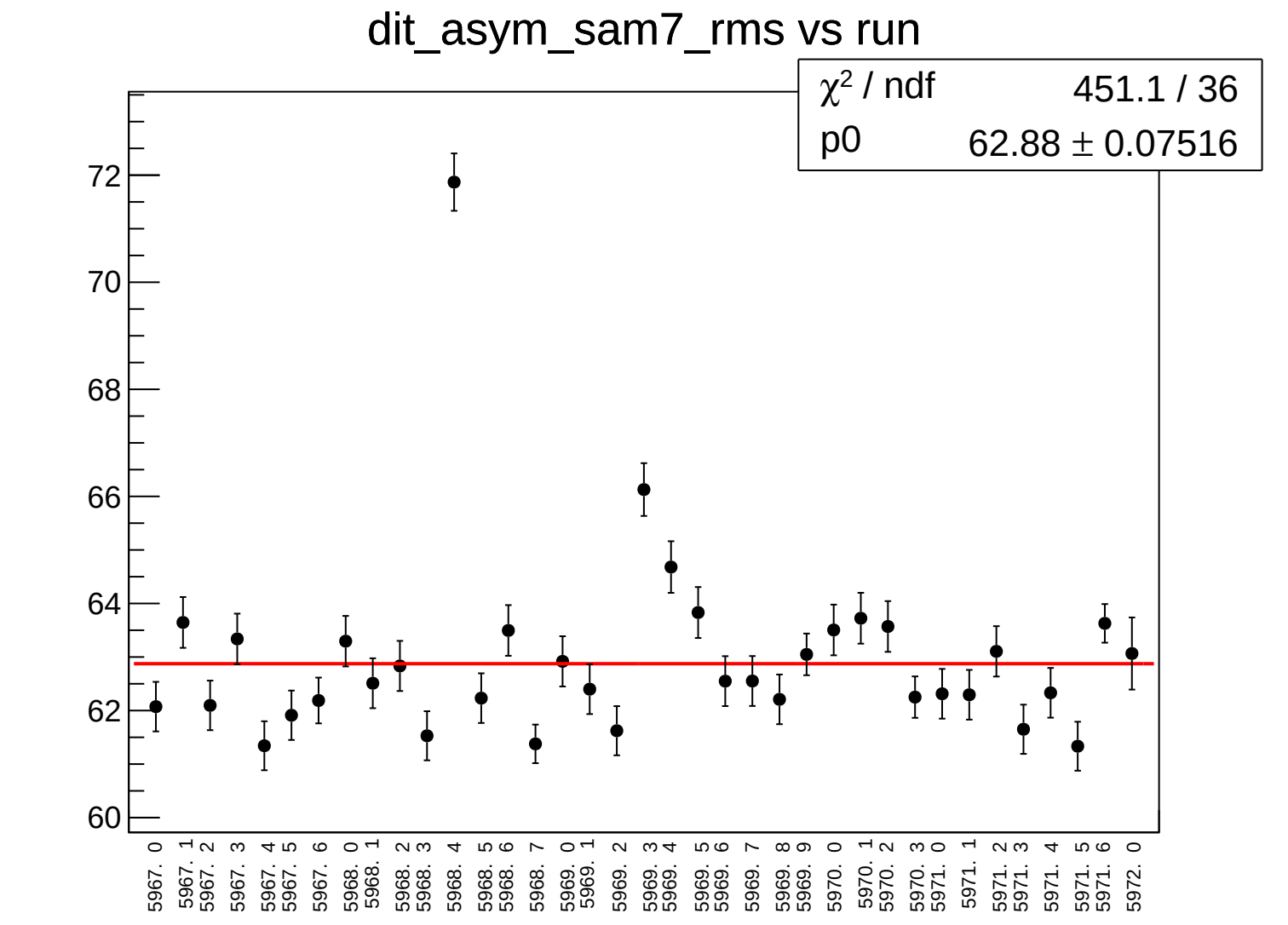
dit_asym_sam7_rms vs run
χ² / ndf 451.1 / 36
p0 62.88 ± 0.07516
72
70
68
66
64
62
60
5967. 0
5967. 1
5967. 2
5967. 3
5967. 4
5967. 5
5967. 6
5968. 0
5968. 1
5968. 2
5968. 3
5968. 4
5968. 5
5968. 6
5968. 7
5969. 0
5969. 1
5969. 2
5969. 3
5969. 4
5969. 5
5969. 6
5969. 7
5969. 8
5969. 9
5970. 0
5970. 1
5970. 2
5970. 3
5971. 0
5971. 1
5971. 2
5971. 3
5971. 4
5971. 5
5971. 6
5972. 0

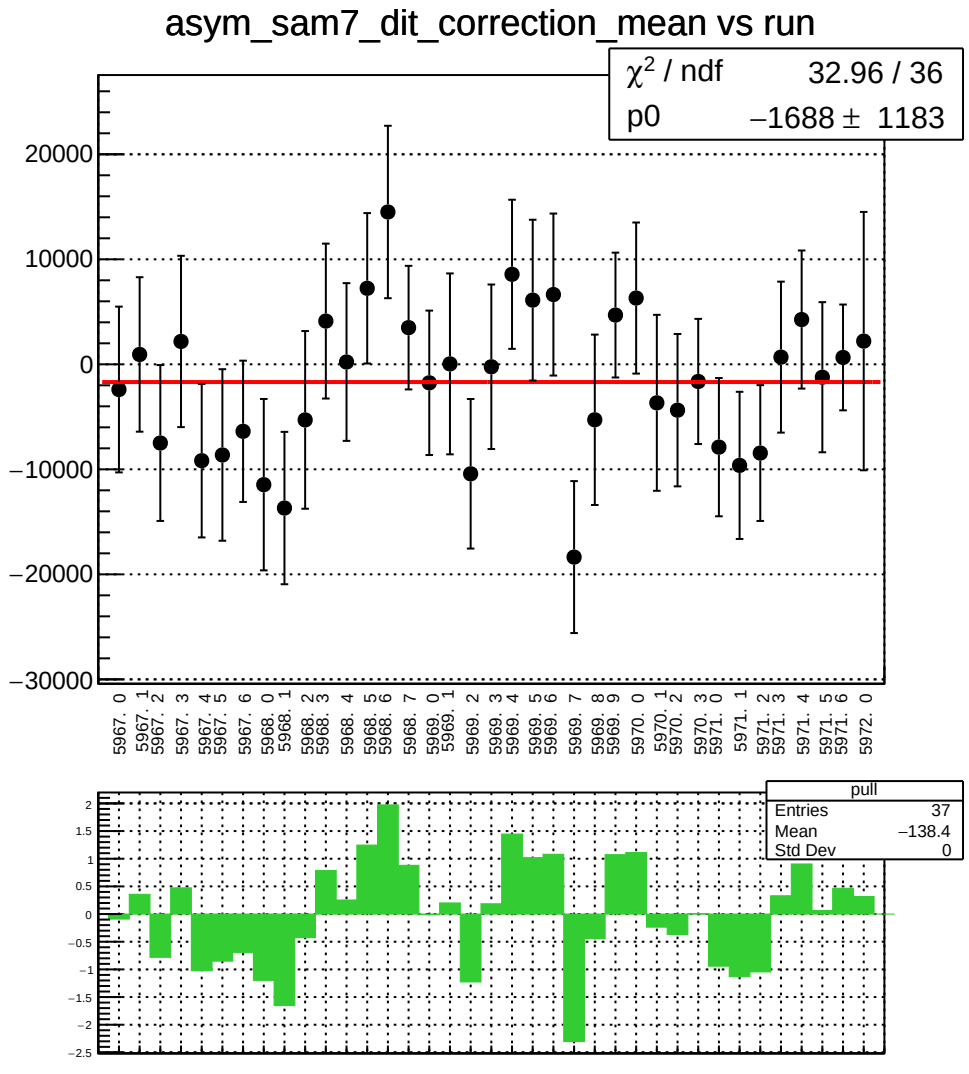
asym_sam7_dit_correction_mean vs run
χ² / ndf 32.96 / 36
p0 −1688 ± 1183
20000
10000
0
−10000
−20000
−30000
5967. 0
5967. 1
5967. 2
5967. 3
5967. 4
5967. 5
5967. 6
5968. 0
5968. 1
5968. 2
5968. 3
5968. 4
5968. 5
5968. 6
5968. 7
5969. 0
5969. 1
5969. 2
5969. 3
5969. 4
5969. 5
5969. 6
5969. 7
5969. 8
5969. 9
5970. 0
5970. 1
5970. 2
5970. 3
5971. 0
5971. 1
5971. 2
5971. 3
5971. 4
5971. 5
5971. 6
5972. 0
pull
Entries 37
Mean −138.4
Std Dev 0
2
1.5
1
0.5
0
−0.5
−1
−1.5
−2
−2.5

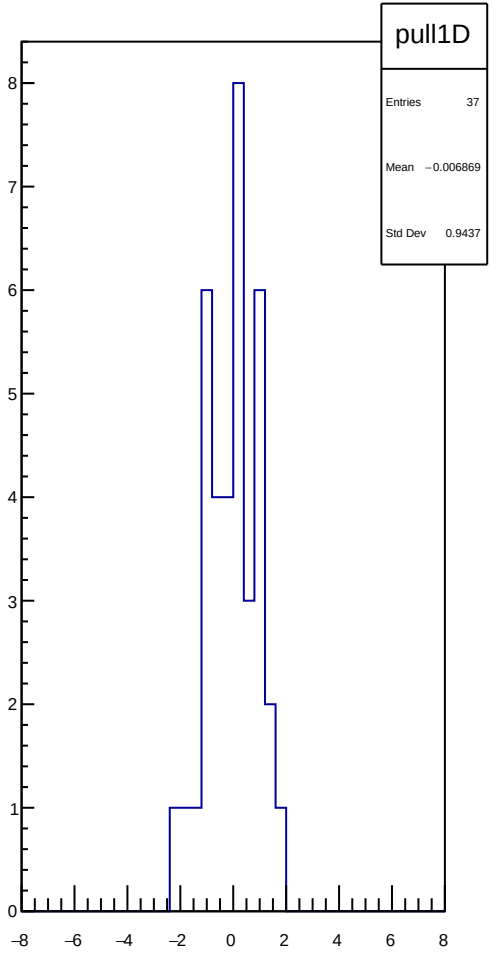
pull1D
Entries 37
Mean −0.006869
Std Dev 0.9437
8
7
6
5
4
3
2
1
0
−8
−6
−4
−2
0
2
4
6
8

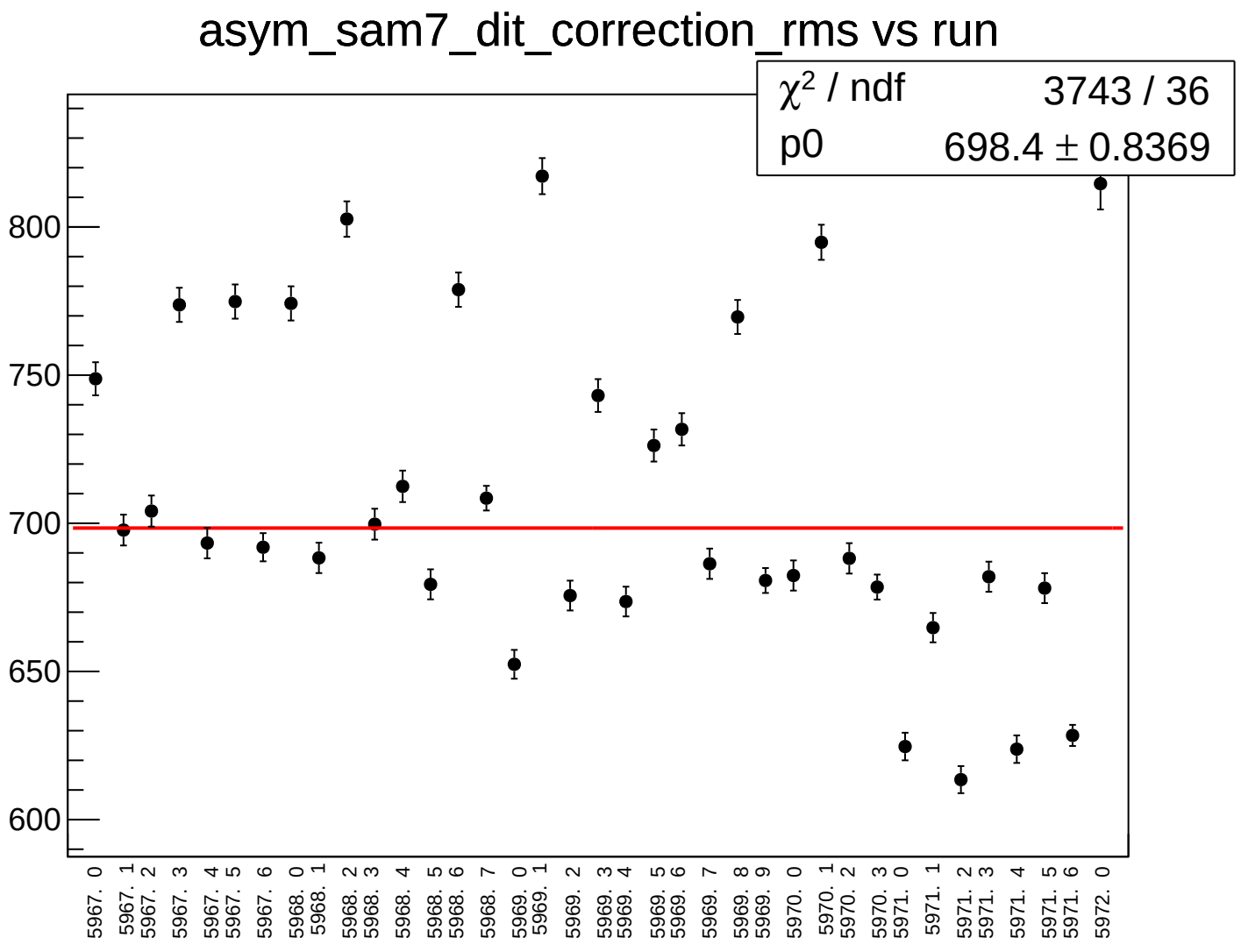
asym_sam7_dit_correction_rms vs run
χ² / ndf 3743 / 36
p0 698.4 ± 0.8369
800
750
700
650
600
5967. 0
5967. 1
5967. 2
5967. 3
5967. 4
5967. 5
5967. 6
5968. 0
5968. 1
5968. 2
5968. 3
5968. 4
5968. 5
5968. 6
5968. 7
5969. 0
5969. 1
5969. 2
5969. 3
5969. 4
5969. 5
5969. 6
5969. 7
5969. 8
5969. 9
5970. 0
5970. 1
5970. 2
5970. 3
5971. 0
5971. 1
5971. 2
5971. 3
5971. 4
5971. 5
5971. 6
5972. 0

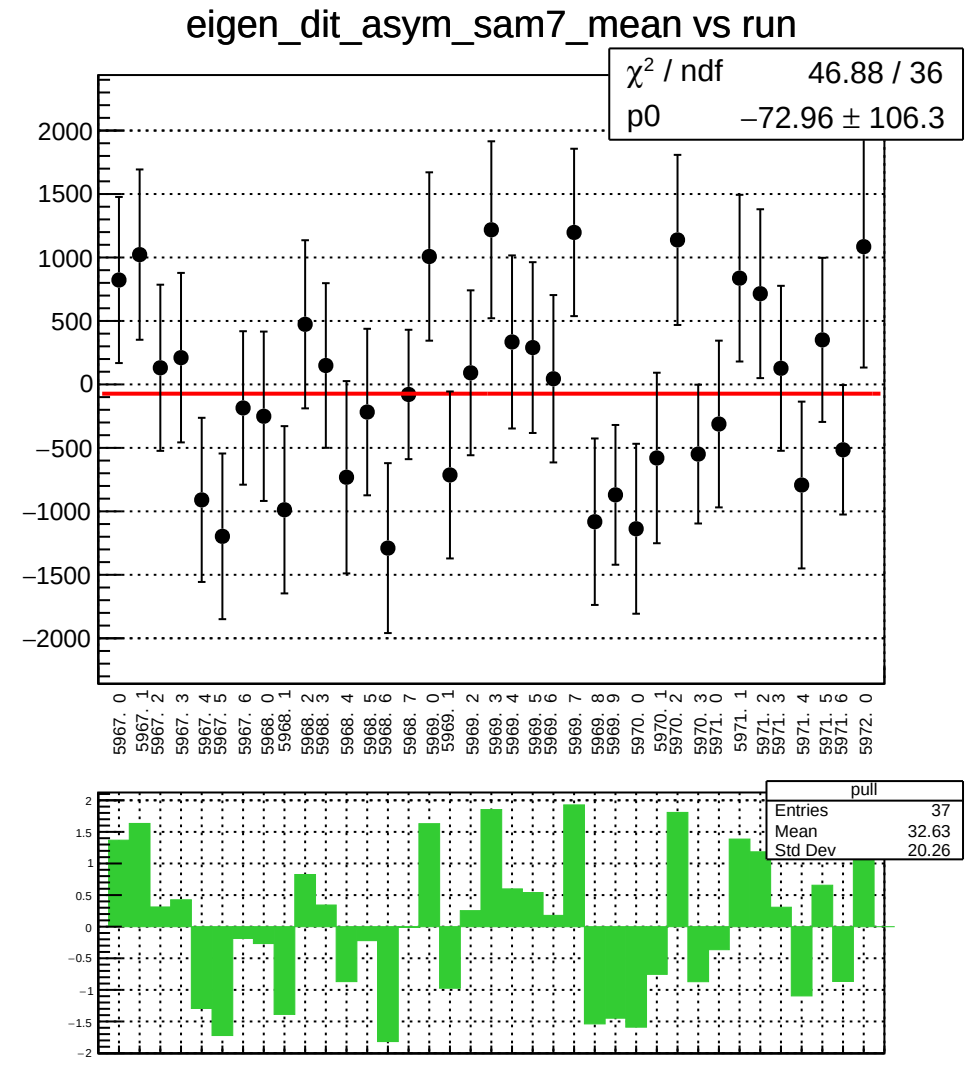
eigen_dit_asym_sam7_mean vs run
χ² / ndf 46.88 / 36
p0 −72.96 ± 106.3
2000
1500
1000
500
0
−500
−1000
−1500
−2000
5967. 0
5967. 1
5967. 2
5967. 3
5967. 4
5967. 5
5967. 6
5968. 0
5968. 1
5968. 2
5968. 3
5968. 4
5968. 5
5968. 6
5968. 7
5969. 0
5969. 1
5969. 2
5969. 3
5969. 4
5969. 5
5969. 6
5969. 7
5969. 8
5969. 9
5970. 0
5970. 1
5970. 2
5970. 3
5971. 0
5971. 1
5971. 2
5971. 3
5971. 4
5971. 5
5971. 6
5972. 0
pull
Entries 37
Mean 32.63
Std Dev 20.26
2
1.5
1
0.5
0
−0.5
−1
−1.5
−2

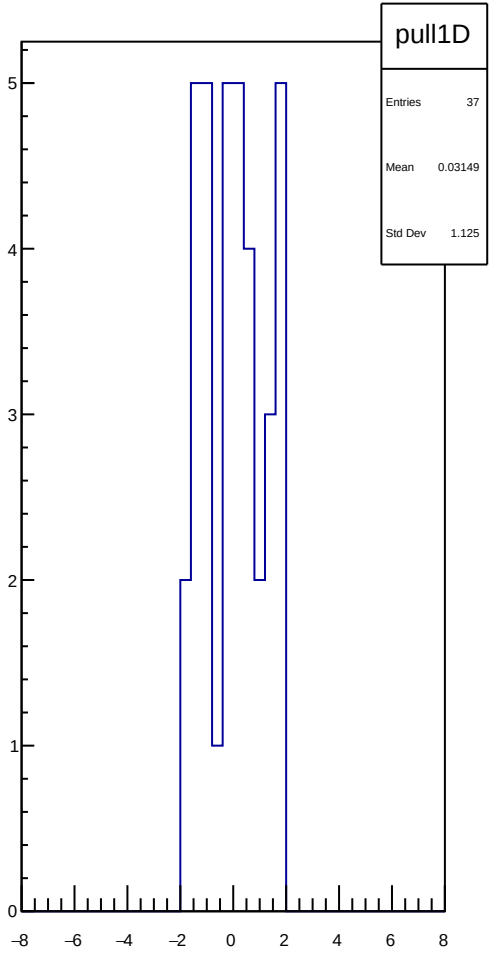
pull1D
Entries 37
Mean 0.03149
Std Dev 1.125
5
4
3
2
1
0
−8
−6
−4
−2
0
2
4
6
8

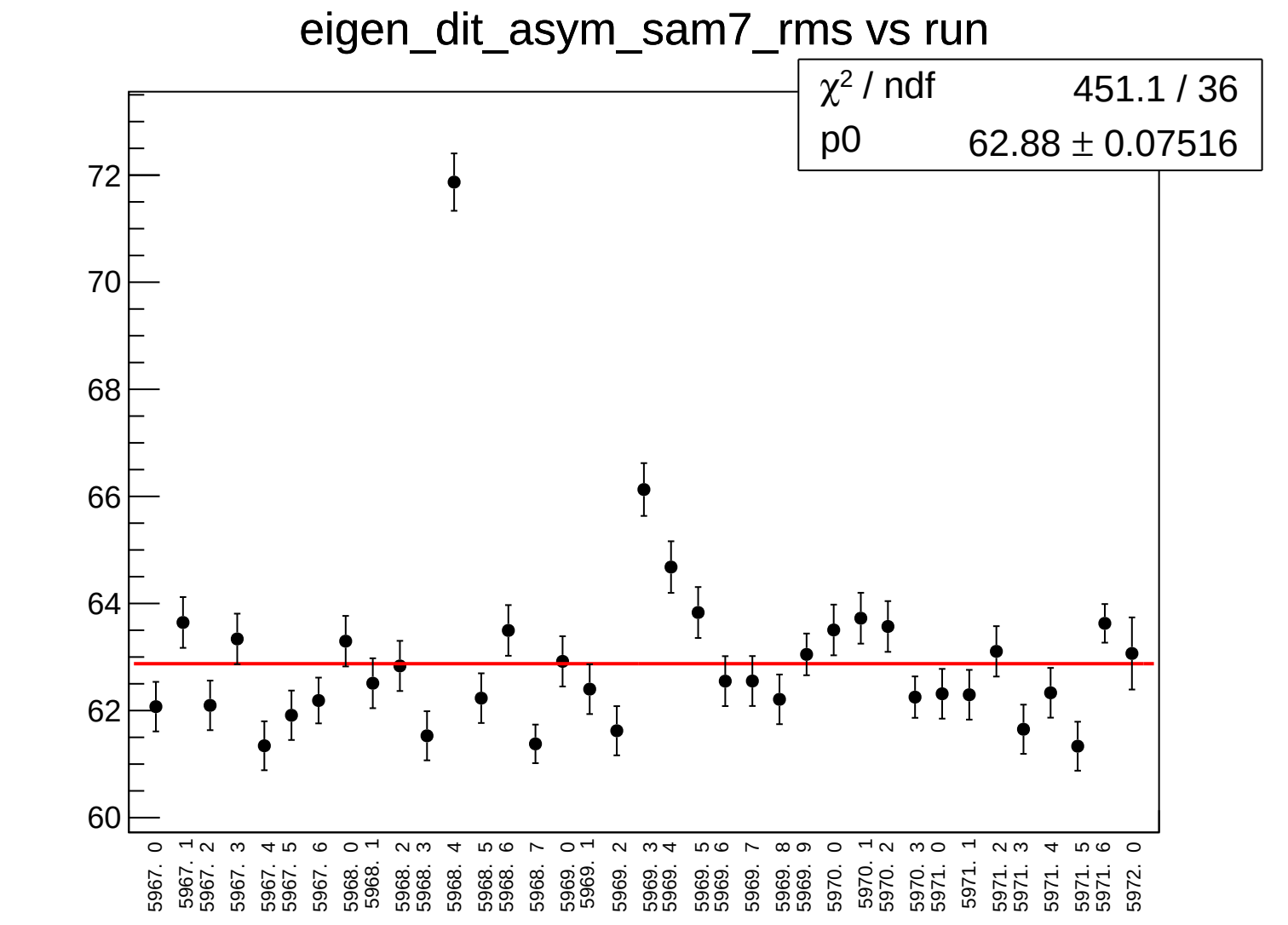
eigen_dit_asym_sam7_rms vs run
χ^2 / ndf 451.1 / 36
p0 62.88 ± 0.07516
72
70
68
66
64
62
60
5967. 0
5967. 1
5967. 2
5967. 3
5967. 4
5967. 5
5967. 6
5968. 0
5968. 1
5968. 2
5968. 3
5968. 4
5968. 5
5968. 6
5968. 7
5969. 0
5969. 1
5969. 2
5969. 3
5969. 4
5969. 5
5969. 6
5969. 7
5969. 8
5969. 9
5970. 0
5970. 1
5970. 2
5970. 3
5971. 0
5971. 1
5971. 2
5971. 3
5971. 4
5971. 5
5971. 6
5972. 0

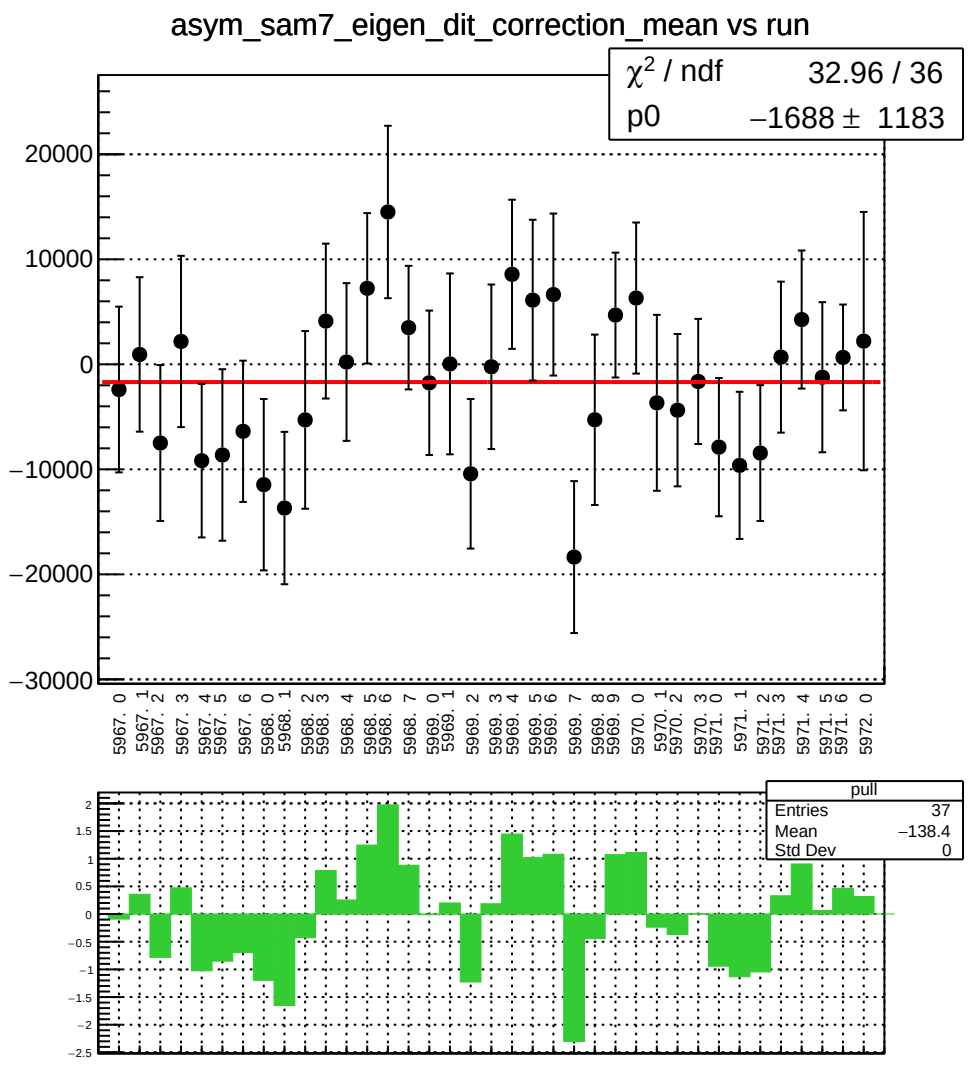
asym_sam7_eigen_dit_correction_mean vs run
χ² / ndf 32.96 / 36
p0 −1688 ± 1183
20000
10000
0
−10000
−20000
−30000
5967. 0
5967. 1
5967. 2
5967. 3
5967. 4
5967. 5
5967. 6
5968. 0
5968. 1
5968. 2
5968. 3
5968. 4
5968. 5
5968. 6
5968. 7
5969. 0
5969. 1
5969. 2
5969. 3
5969. 4
5969. 5
5969. 6
5969. 7
5969. 8
5969. 9
5970. 0
5970. 1
5970. 2
5970. 3
5971. 0
5971. 1
5971. 2
5971. 3
5971. 4
5971. 5
5971. 6
5972. 0
pull
Entries 37
Mean −138.4
Std Dev 0
2
1.5
1
0.5
0
−0.5
−1
−1.5
−2
−2.5

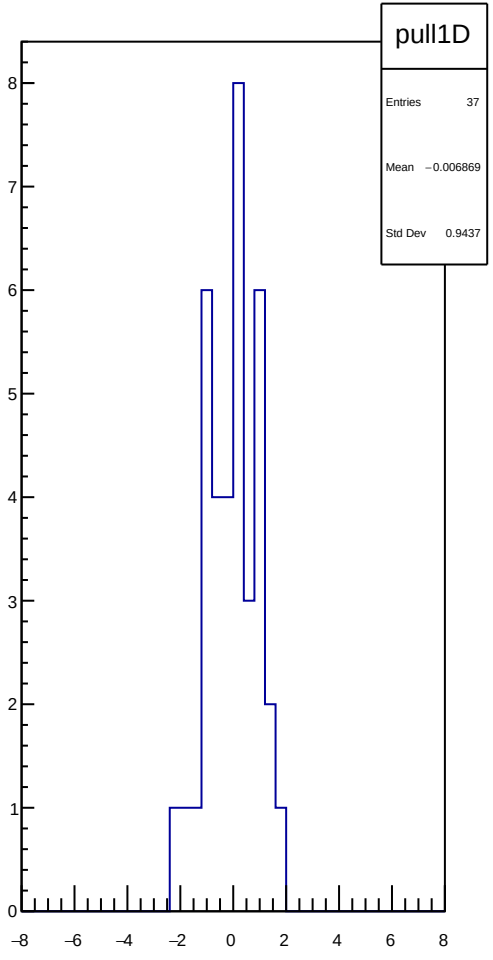
pull1D
Entries 37
Mean −0.006869
Std Dev 0.9437
8
7
6
5
4
3
2
1
0
−8
−6
−4
−2
0
2
4
6
8

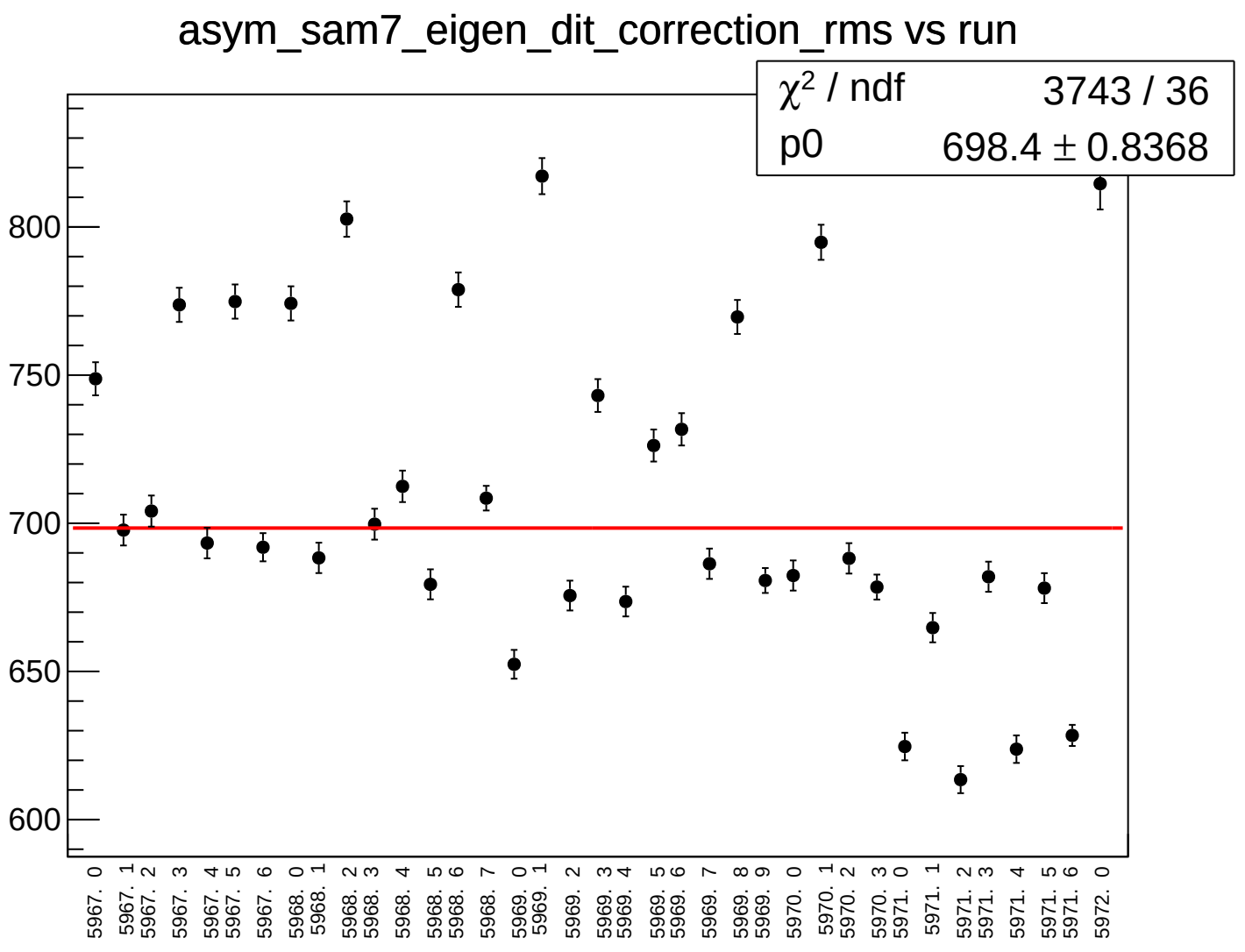
asym_sam7_eigen_dit_correction_rms vs run
χ² / ndf 3743 / 36
p0 698.4 ± 0.8368
800
750
700
650
600
5967. 0
5967. 1
5967. 2
5967. 3
5967. 4
5967. 5
5967. 6
5968. 0
5968. 1
5968. 2
5968. 3
5968. 4
5968. 5
5968. 6
5968. 7
5969. 0
5969. 1
5969. 2
5969. 3
5969. 4
5969. 5
5969. 6
5969. 7
5969. 8
5969. 9
5970. 0
5970. 1
5970. 2
5970. 3
5971. 0
5971. 1
5971. 2
5971. 3
5971. 4
5971. 5
5971. 6
5972. 0

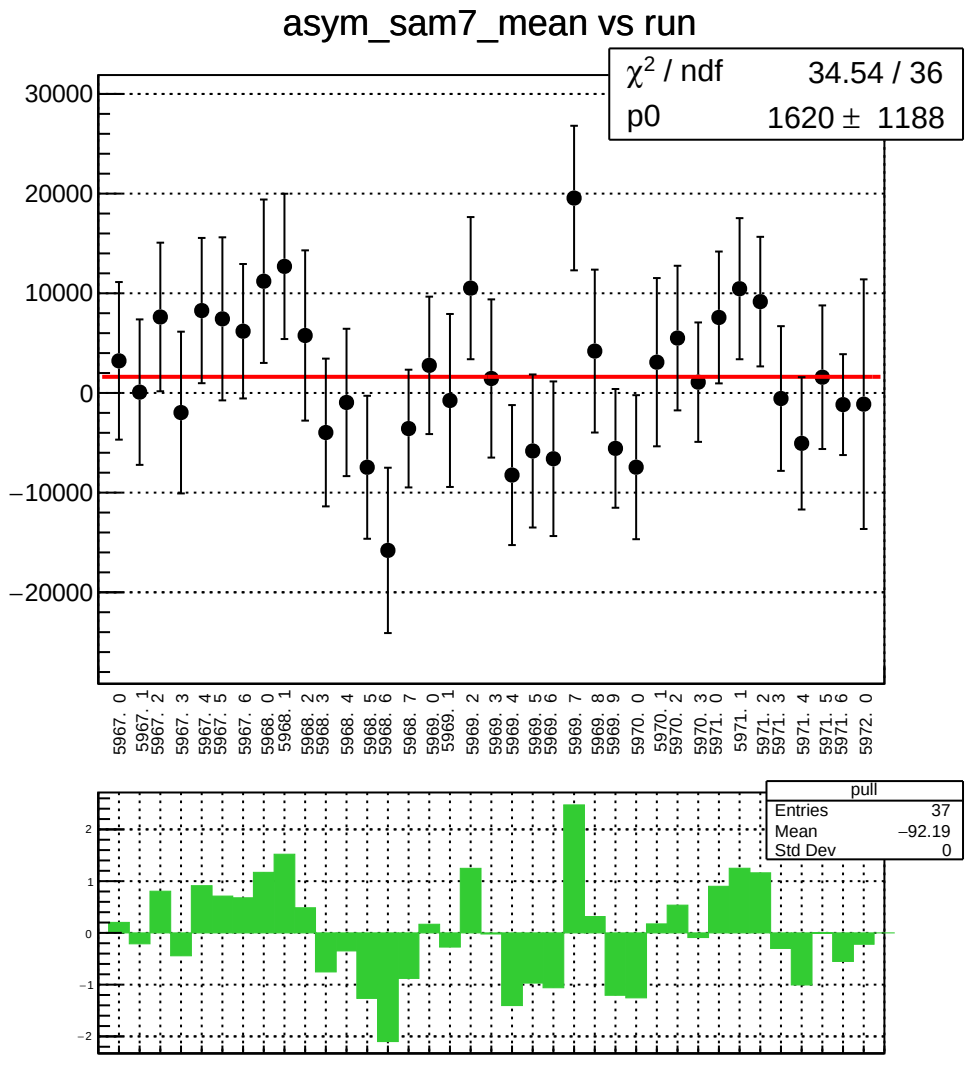
asym_sam7_mean vs run
χ² / ndf 34.54 / 36
p0 1620 ± 1188
30000
20000
10000
0
−10000
−20000
5967. 0
5967. 1
5967. 2
5967. 3
5967. 4
5967. 5
5967. 6
5968. 0
5968. 1
5968. 2
5968. 3
5968. 4
5968. 5
5968. 6
5968. 7
5969. 0
5969. 1
5969. 2
5969. 3
5969. 4
5969. 5
5969. 6
5969. 7
5969. 8
5969. 9
5970. 0
5970. 1
5970. 2
5970. 3
5971. 0
5971. 1
5971. 2
5971. 3
5971. 4
5971. 5
5971. 6
5972. 0
pull
Entries 37
Mean −92.19
Std Dev 0
2
1
0
−1
−2

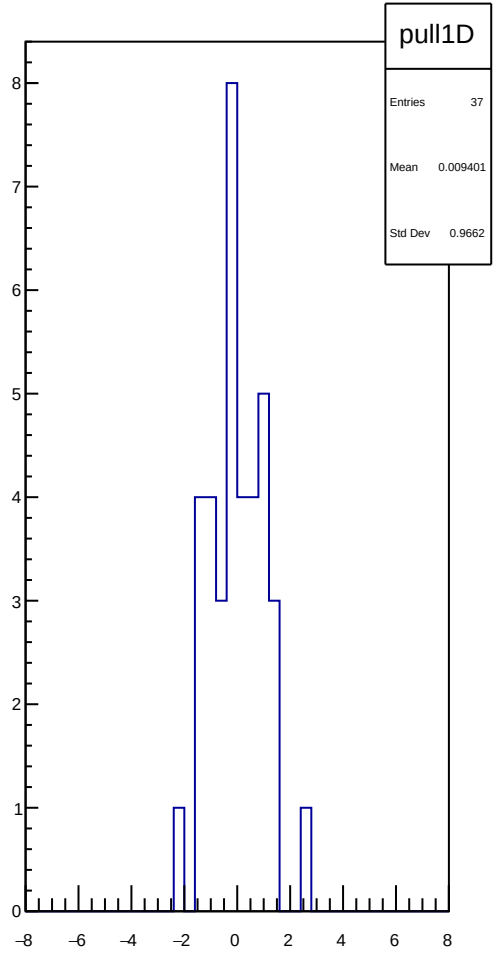
pull1D
Entries 37
Mean 0.009401
Std Dev 0.9662
8
7
6
5
4
3
2
1
0
−8
−6
−4
−2
0
2
4
6
8

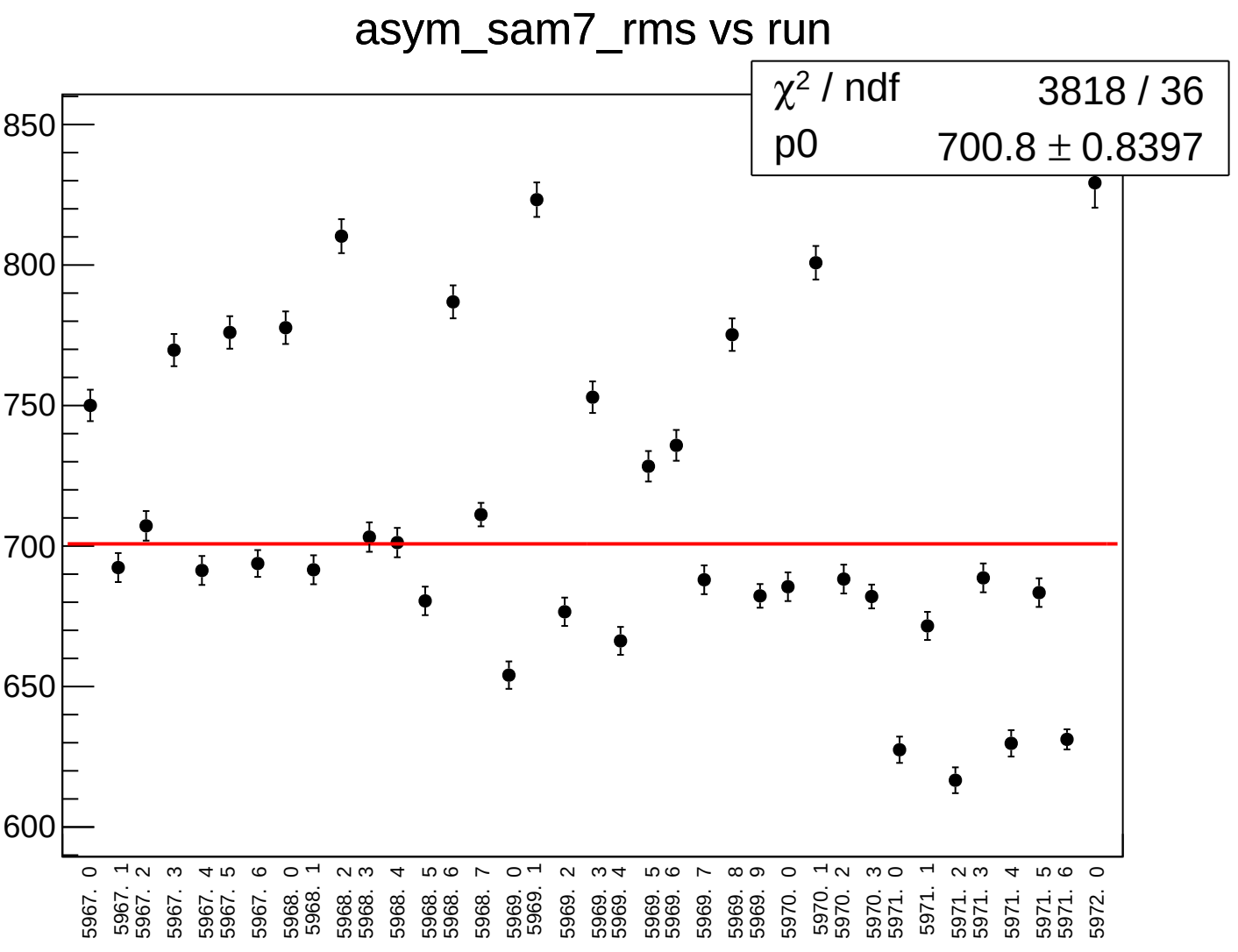
asym_sam7_rms vs run
χ² / ndf 3818 / 36
p0 700.8 ± 0.8397
850
800
750
700
650
600
5967. 0
5967. 1
5967. 2
5967. 3
5967. 4
5967. 5
5967. 6
5968. 0
5968. 1
5968. 2
5968. 3
5968. 4
5968. 5
5968. 6
5968. 7
5969. 0
5969. 1
5969. 2
5969. 3
5969. 4
5969. 5
5969. 6
5969. 7
5969. 8
5969. 9
5970. 0
5970. 1
5970. 2
5970. 3
5971. 0
5971. 1
5971. 2
5971. 3
5971. 4
5971. 5
5971. 6
5972. 0

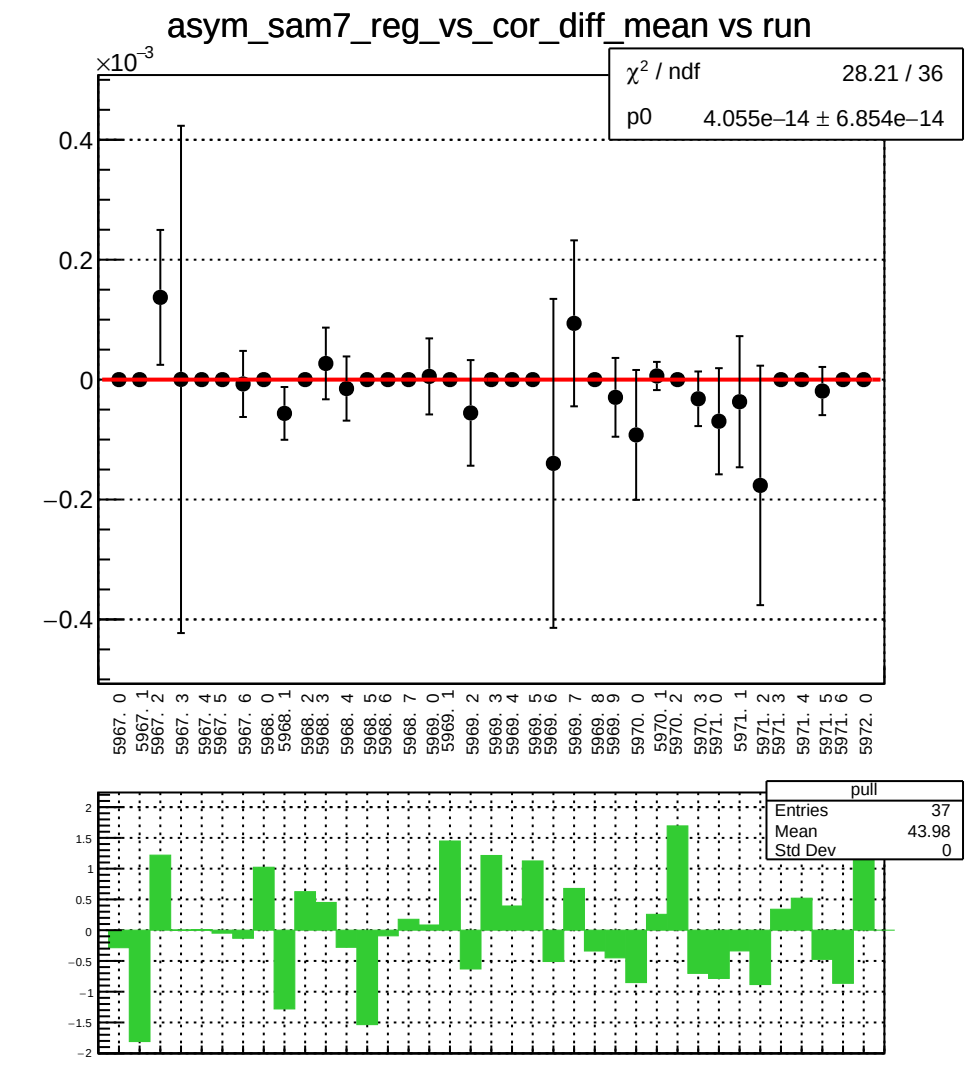
asym_sam7_reg_vs_cor_diff_mean vs run
×10⁻³
χ² / ndf 28.21 / 36
p0 4.055e−14 ± 6.854e−14
0.4
0.2
0
−0.2
−0.4
5967. 0
5967. 1
5967. 2
5967. 3
5967. 4
5967. 5
5967. 6
5968. 0
5968. 1
5968. 2
5968. 3
5968. 4
5968. 5
5968. 6
5968. 7
5969. 0
5969. 1
5969. 2
5969. 3
5969. 4
5969. 5
5969. 6
5969. 7
5969. 8
5969. 9
5970. 0
5970. 1
5970. 2
5970. 3
5971. 0
5971. 1
5971. 2
5971. 3
5971. 4
5971. 5
5971. 6
5972. 0
pull
Entries 37
Mean 43.98
Std Dev 0
2
1.5
1
0.5
0
−0.5
−1
−1.5
−2

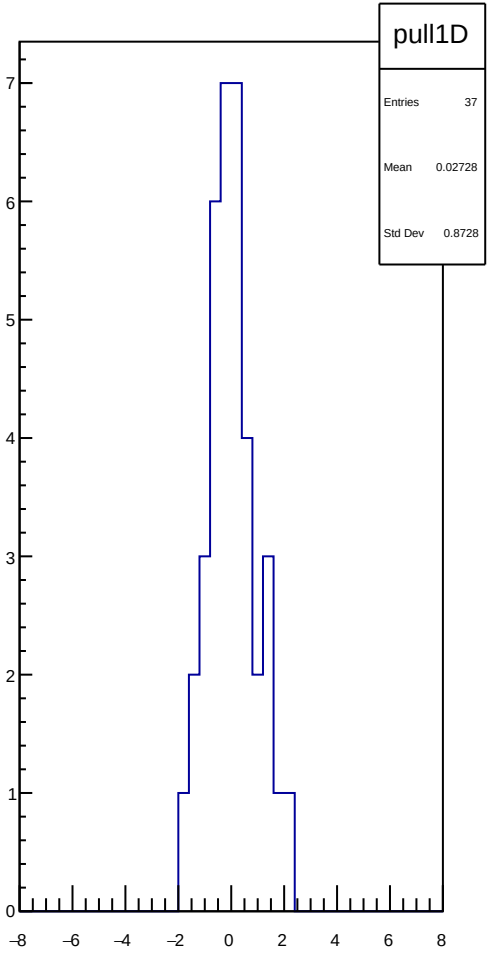
pull1D
Entries 37
Mean 0.02728
Std Dev 0.8728
7
6
5
4
3
2
1
0
−8
−6
−4
−2
0
2
4
6
8

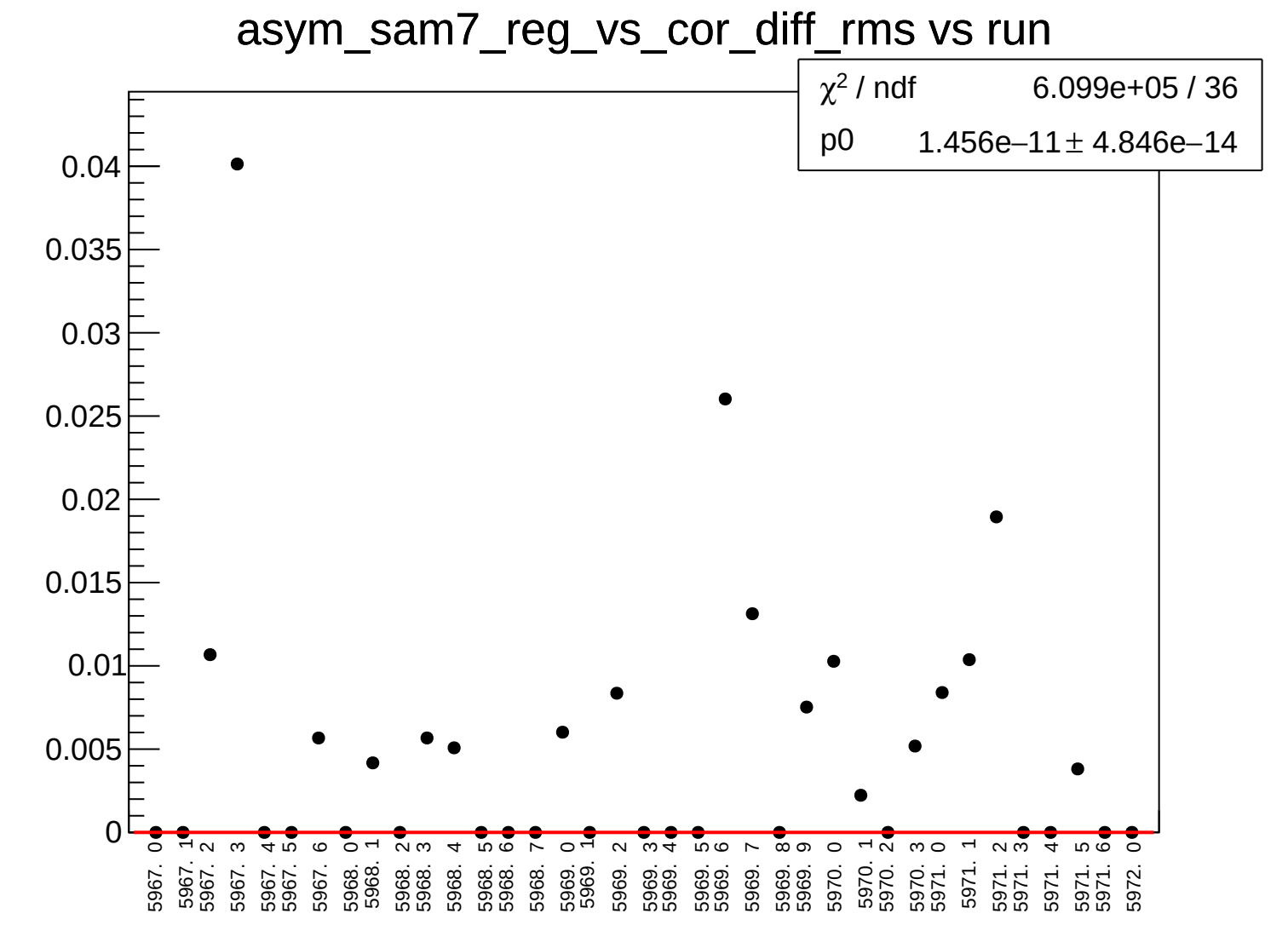
asym_sam7_reg_vs_cor_diff_rms vs run
χ² / ndf 6.099e+05 / 36
p0 1.456e−11 ± 4.846e−14
0.04
0.035
0.03
0.025
0.02
0.015
0.01
0.005
0
5967. 0
5967. 1
5967. 2
5967. 3
5967. 4
5967. 5
5967. 6
5968. 0
5968. 1
5968. 2
5968. 3
5968. 4
5968. 5
5968. 6
5968. 7
5969. 0
5969. 1
5969. 2
5969. 3
5969. 4
5969. 5
5969. 6
5969. 7
5969. 8
5969. 9
5970. 0
5970. 1
5970. 2
5970. 3
5971. 0
5971. 1
5971. 2
5971. 3
5971. 4
5971. 5
5971. 6
5972. 0

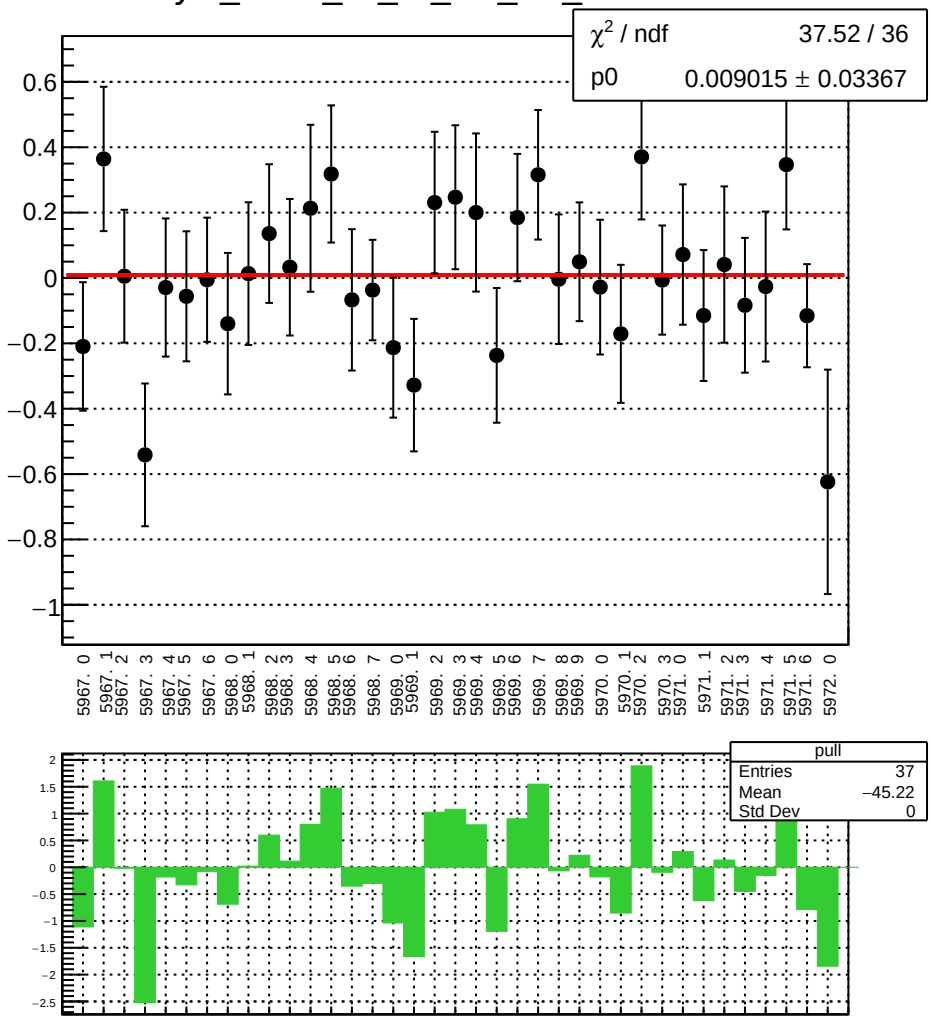
asym_sam7_dit_vs_cor_diff_mean vs run
χ² / ndf 37.52 / 36
p0 0.009015 ± 0.03367
pull
Entries 37
Mean −45.22
Std Dev 0

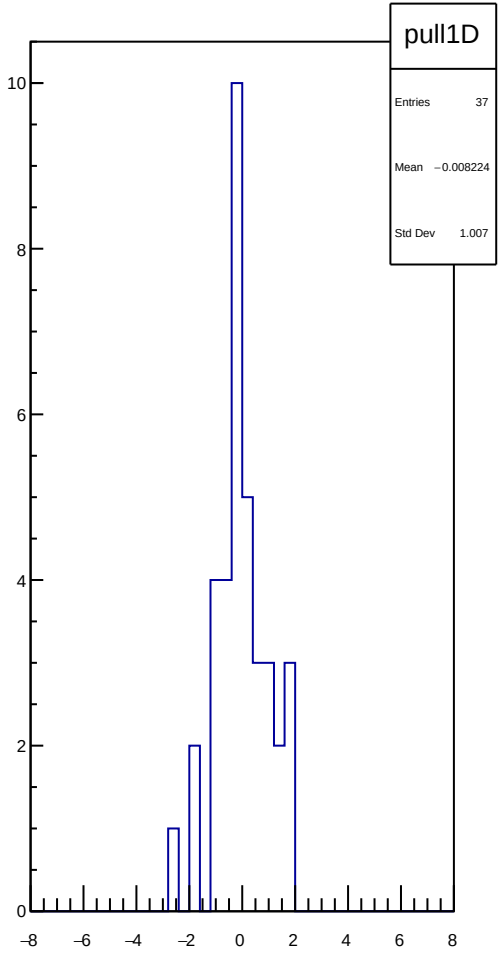
pull1D
Entries 37
Mean −0.008224
Std Dev 1.007

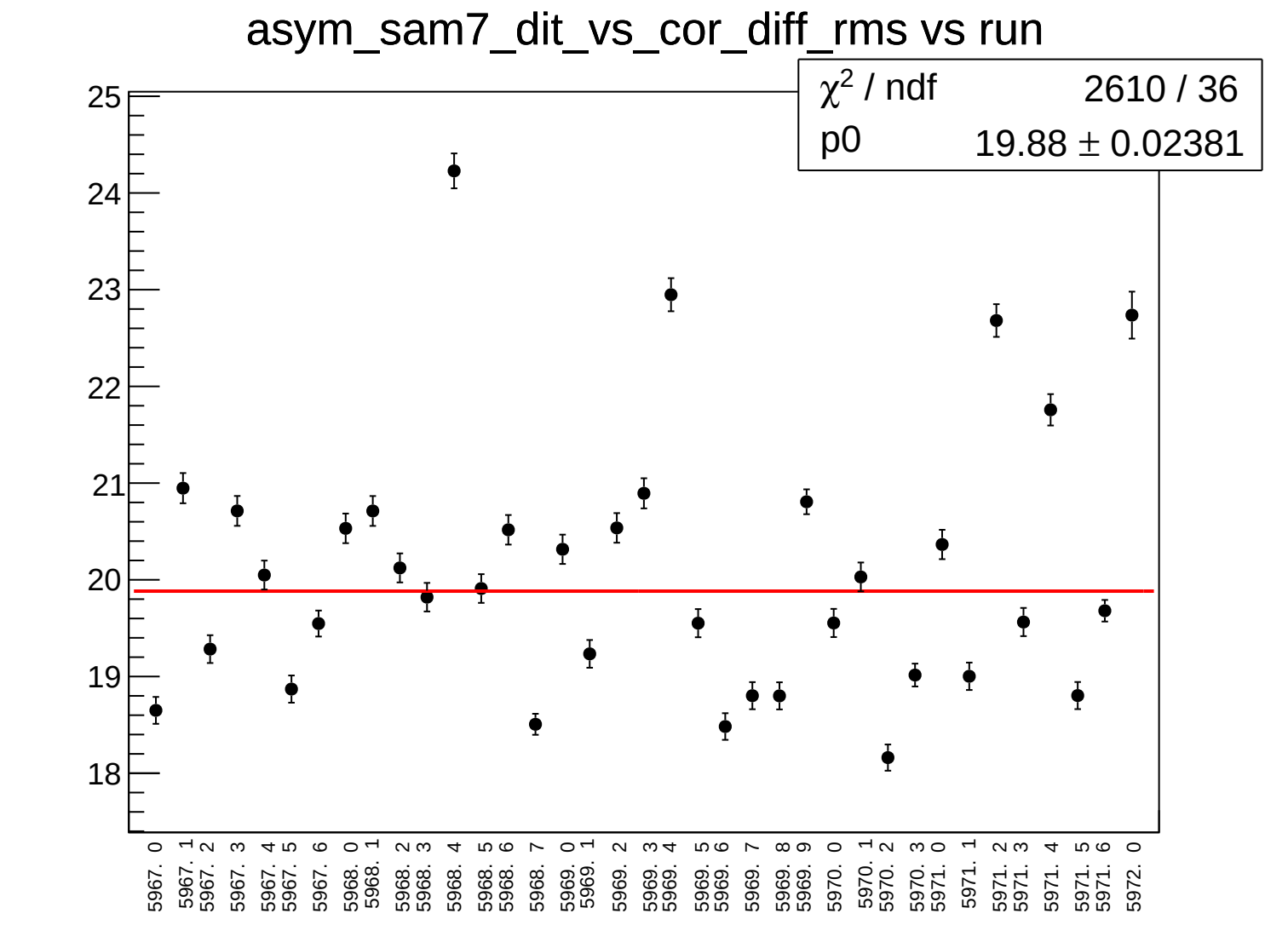
asym_sam7_dit_vs_cor_diff_rms vs run
χ² / ndf 2610 / 36
p0 19.88 ± 0.02381
25
24
23
22
21
20
19
18
5967. 0
5967. 1
5967. 2
5967. 3
5967. 4
5967. 5
5967. 6
5968. 0
5968. 1
5968. 2
5968. 3
5968. 4
5968. 5
5968. 6
5968. 7
5969. 0
5969. 1
5969. 2
5969. 3
5969. 4
5969. 5
5969. 6
5969. 7
5969. 8
5969. 9
5970. 0
5970. 1
5970. 2
5970. 3
5971. 0
5971. 1
5971. 2
5971. 3
5971. 4
5971. 5
5971. 6
5972. 0

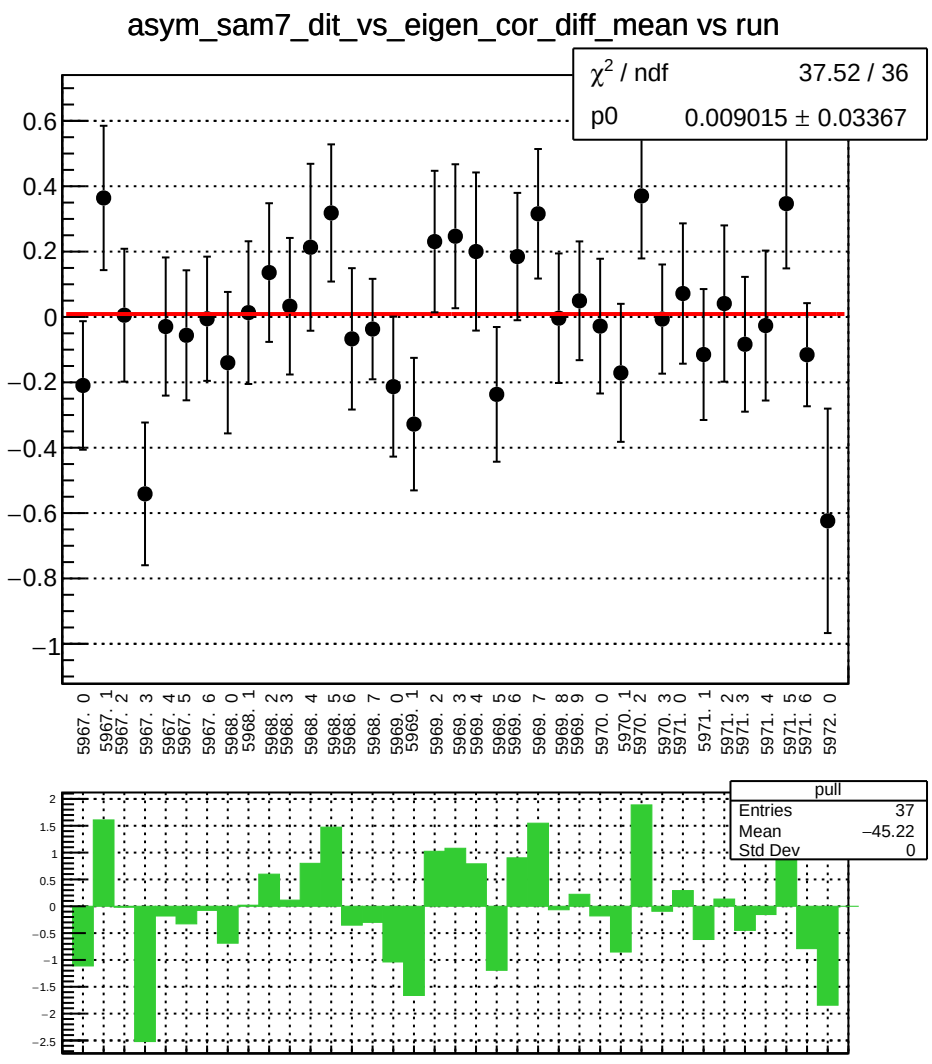
asym_sam7_dit_vs_eigen_cor_diff_mean vs run
χ² / ndf 37.52 / 36
p0 0.009015 ± 0.03367
pull
Entries 37
Mean −45.22
Std Dev 0

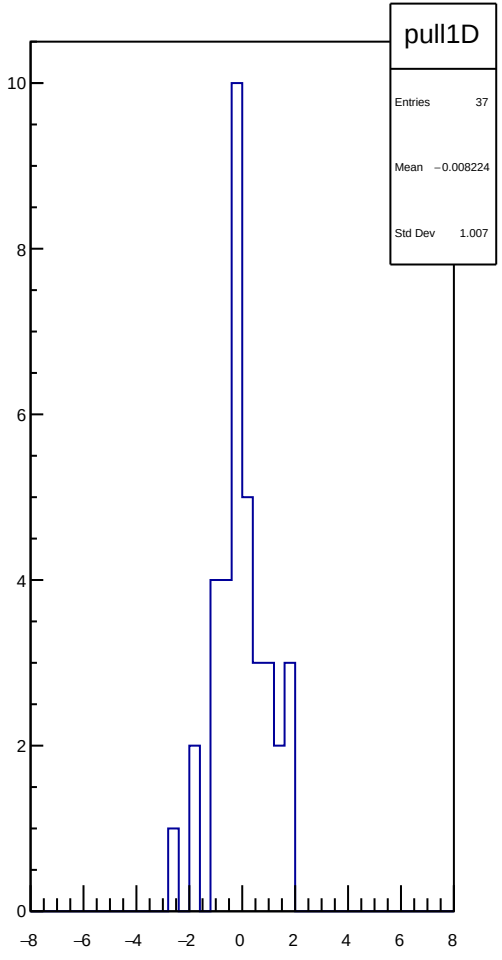
pull1D
Entries 37
Mean −0.008224
Std Dev 1.007

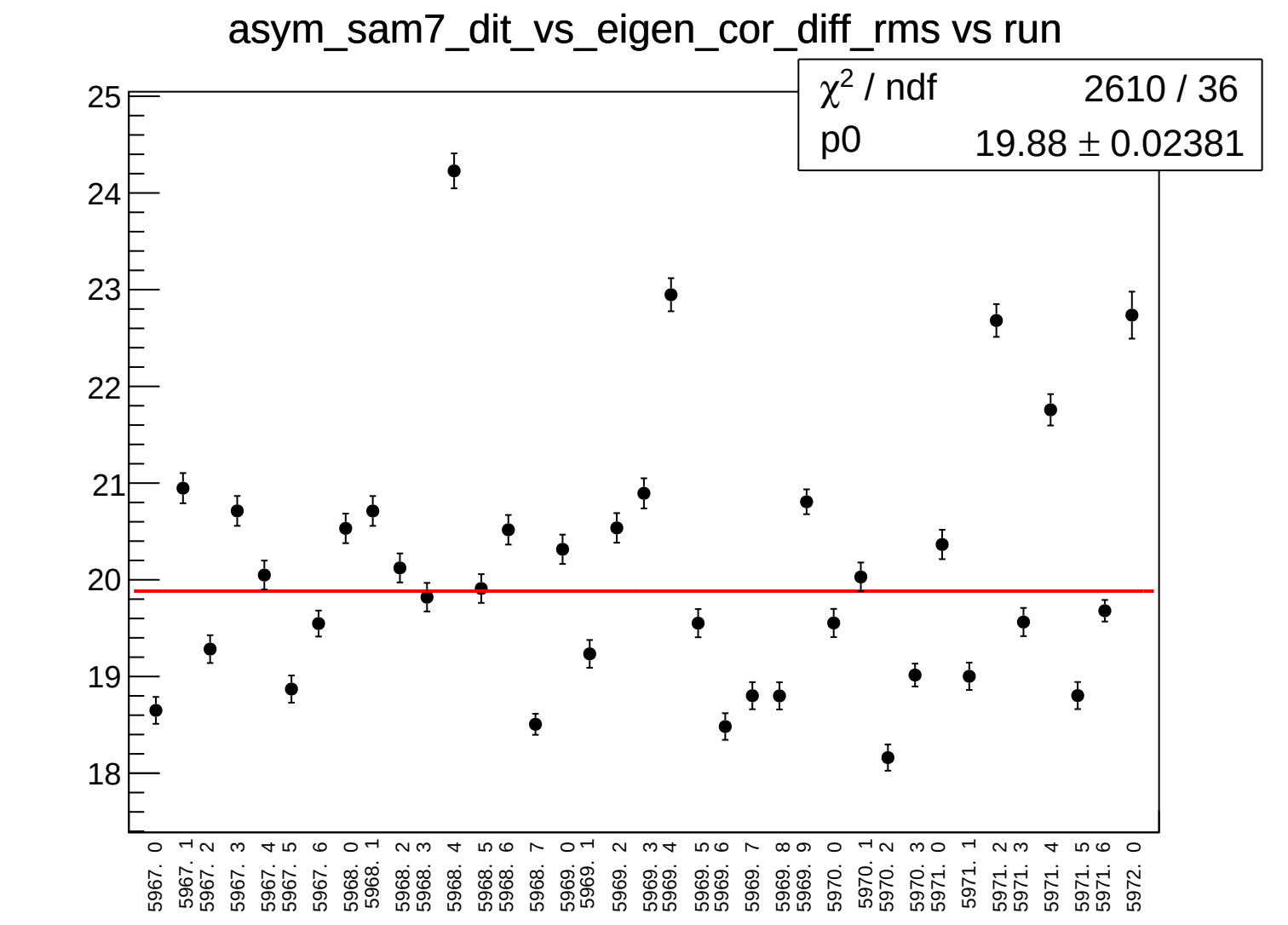
asym_sam7_dit_vs_eigen_cor_diff_rms vs run
χ² / ndf 2610 / 36
p0 19.88 ± 0.02381
25
24
23
22
21
20
19
18
5967. 0
5967. 1
5967. 2
5967. 3
5967. 4
5967. 5
5967. 6
5968. 0
5968. 1
5968. 2
5968. 3
5968. 4
5968. 5
5968. 6
5968. 7
5969. 0
5969. 1
5969. 2
5969. 3
5969. 4
5969. 5
5969. 6
5969. 7
5969. 8
5969. 9
5970. 0
5970. 1
5970. 2
5970. 3
5971. 0
5971. 1
5971. 2
5971. 3
5971. 4
5971. 5
5971. 6
5972. 0

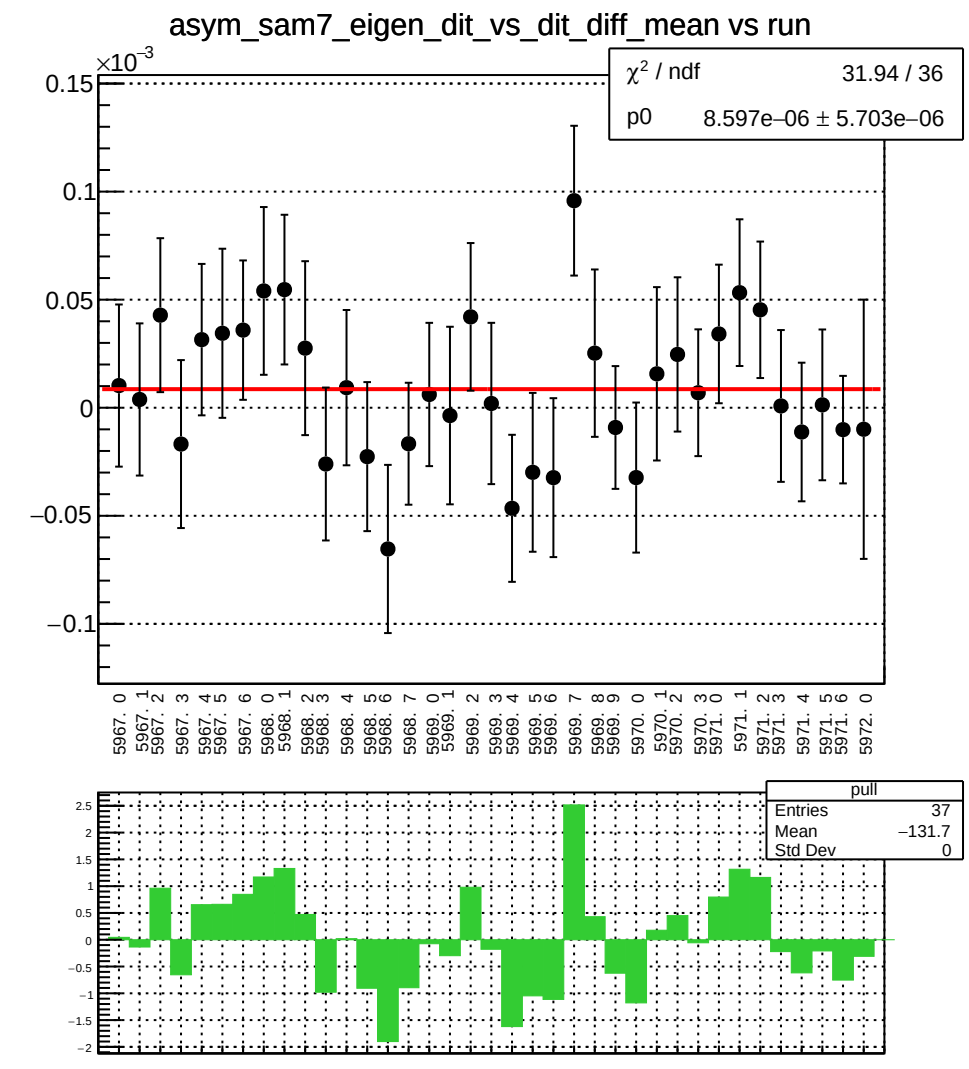
asym_sam7_eigen_dit_vs_dit_diff_mean vs run
×10⁻³
χ² / ndf 31.94 / 36
p0 8.597e−06 ± 5.703e−06
0.15
0.1
0.05
0
−0.05
−0.1
5967. 0
5967. 1
5967. 2
5967. 3
5967. 4
5967. 5
5967. 6
5968. 0
5968. 1
5968. 2
5968. 3
5968. 4
5968. 5
5968. 6
5968. 7
5969. 0
5969. 1
5969. 2
5969. 3
5969. 4
5969. 5
5969. 6
5969. 7
5969. 8
5969. 9
5970. 0
5970. 1
5970. 2
5970. 3
5971. 0
5971. 1
5971. 2
5971. 3
5971. 4
5971. 5
5971. 6
5972. 0
pull
Entries 37
Mean −131.7
Std Dev 0
2.5
2
1.5
1
0.5
0
−0.5
−1
−1.5
−2
pull1D
Entries 37
Mean 0.005883
Std Dev 0.9292
8
7
6
5
4
3
2
1
0
−8
−6
−4
−2
0
2
4
6
8

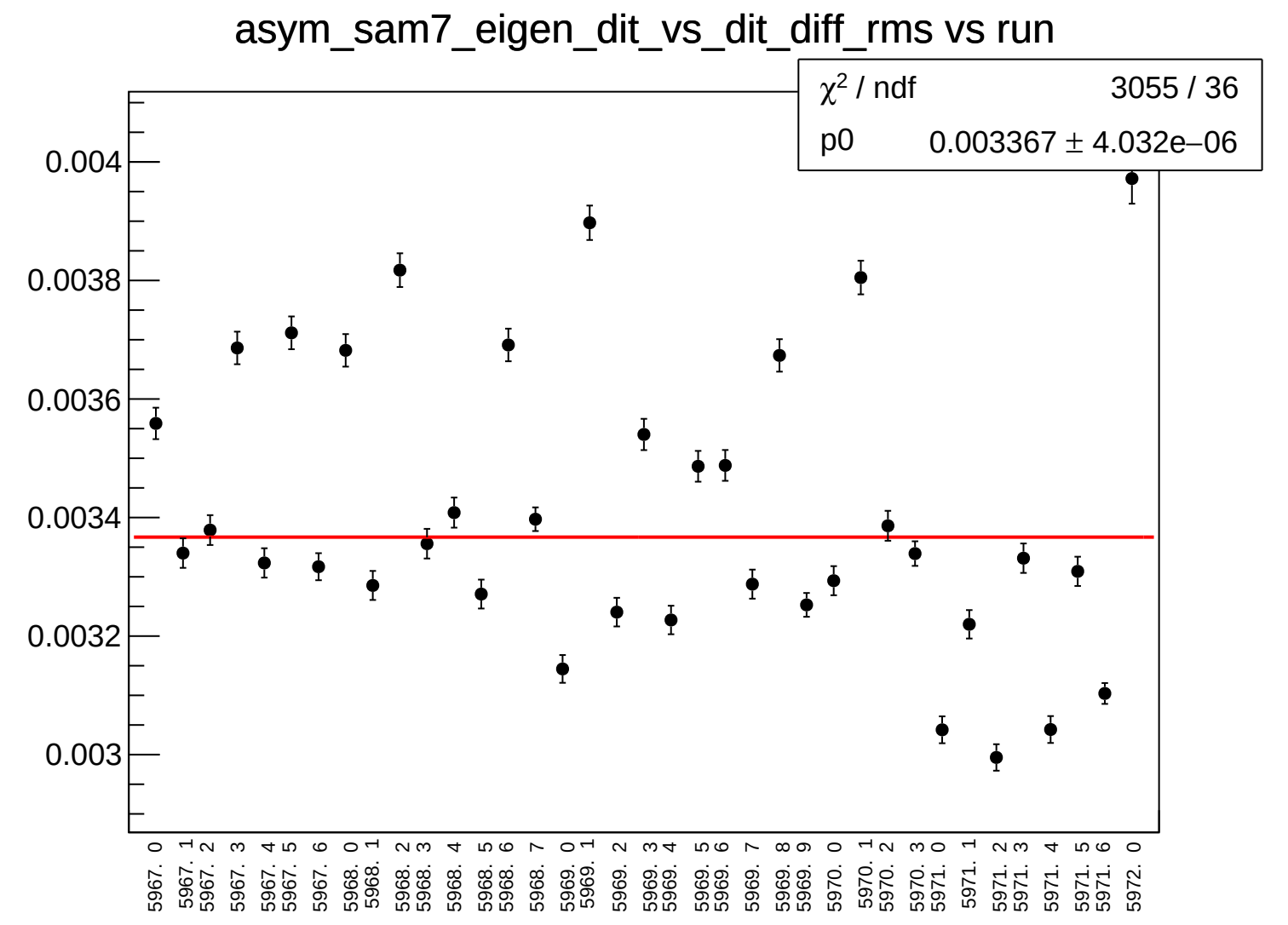
asym_sam7_eigen_dit_vs_dit_diff_rms vs run
χ² / ndf 3055 / 36
p0 0.003367 ± 4.032e−06
0.004
0.0038
0.0036
0.0034
0.0032
0.003
5967. 0
5967. 1
5967. 2
5967. 3
5967. 4
5967. 5
5967. 6
5968. 0
5968. 1
5968. 2
5968. 3
5968. 4
5968. 5
5968. 6
5968. 7
5969. 0
5969. 1
5969. 2
5969. 3
5969. 4
5969. 5
5969. 6
5969. 7
5969. 8
5969. 9
5970. 0
5970. 1
5970. 2
5970. 3
5971. 0
5971. 1
5971. 2
5971. 3
5971. 4
5971. 5
5971. 6
5972. 0

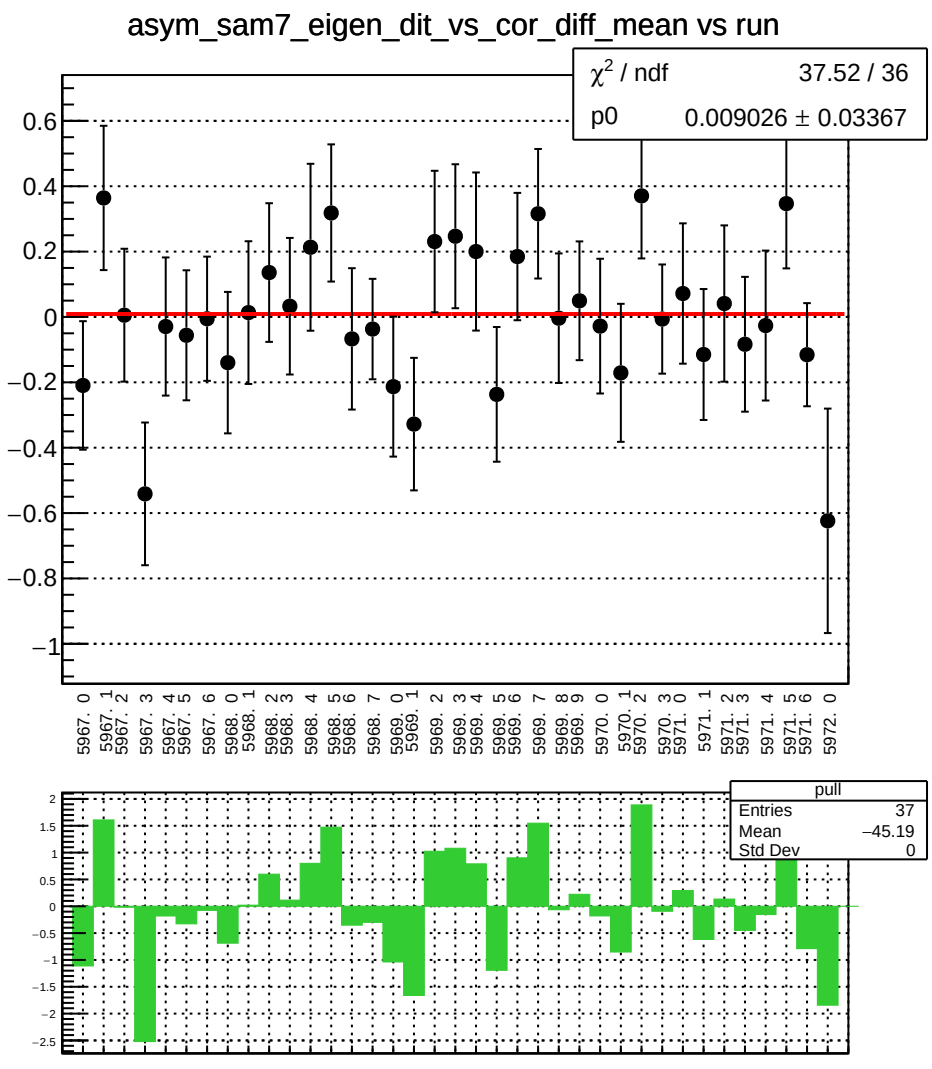
asym_sam7_eigen_dit_vs_cor_diff_mean vs run
χ² / ndf 37.52 / 36
p0 0.009026 ± 0.03367
pull
Entries 37
Mean −45.19
Std Dev 0

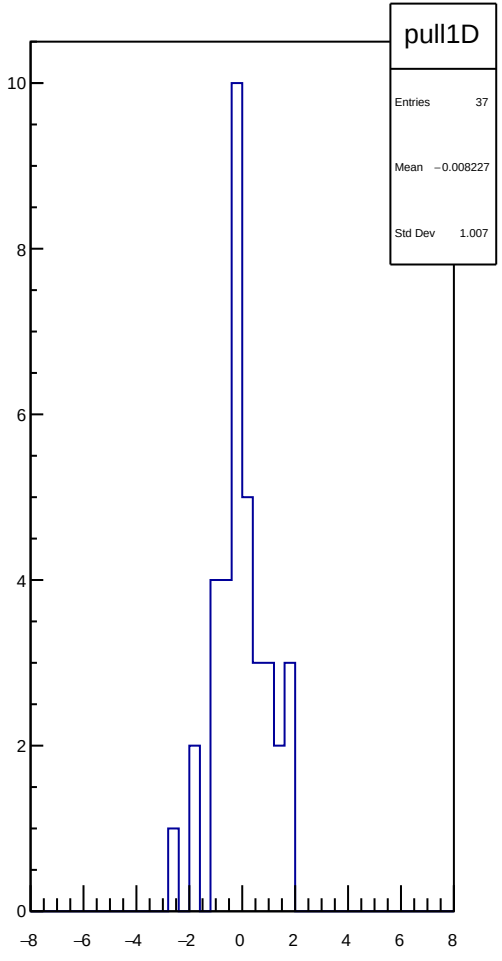
pull1D
Entries 37
Mean −0.008227
Std Dev 1.007

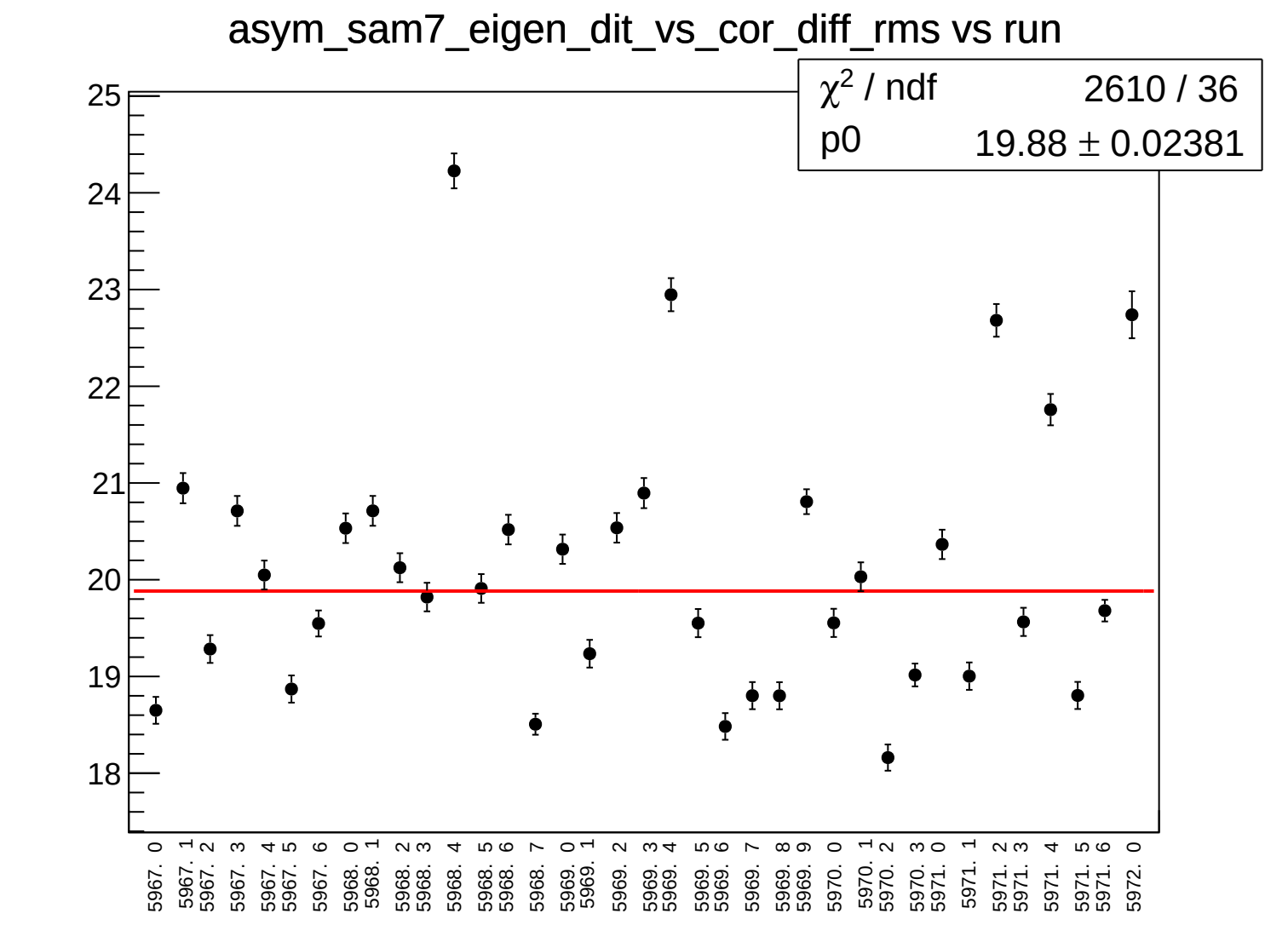
asym_sam7_eigen_dit_vs_cor_diff_rms vs run
χ² / ndf 2610 / 36
p0 19.88 ± 0.02381
25
24
23
22
21
20
19
18
5967. 0
5967. 1
5967. 2
5967. 3
5967. 4
5967. 5
5967. 6
5968. 0
5968. 1
5968. 2
5968. 3
5968. 4
5968. 5
5968. 6
5968. 7
5969. 0
5969. 1
5969. 2
5969. 3
5969. 4
5969. 5
5969. 6
5969. 7
5969. 8
5969. 9
5970. 0
5970. 1
5970. 2
5970. 3
5971. 0
5971. 1
5971. 2
5971. 3
5971. 4
5971. 5
5971. 6
5972. 0

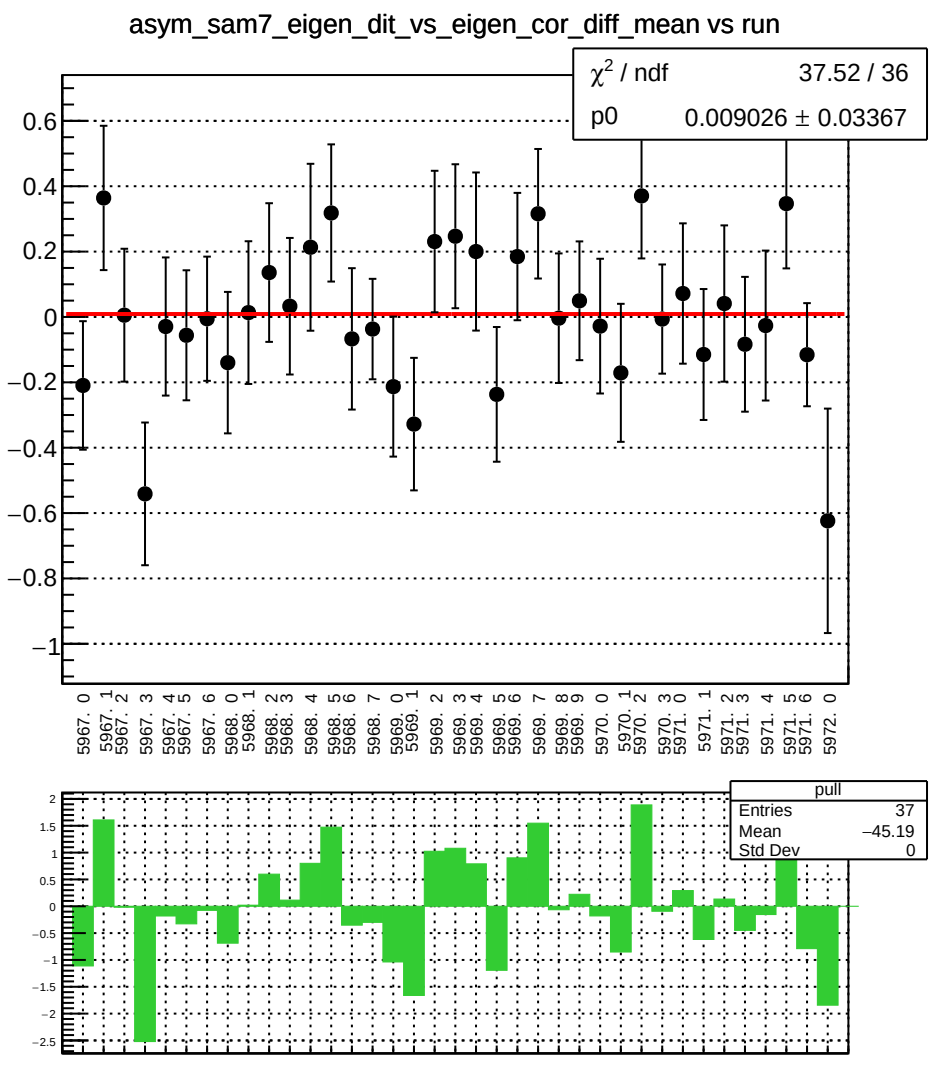
asym_sam7_eigen_dit_vs_eigen_cor_diff_mean vs run
χ² / ndf 37.52 / 36
p0 0.009026 ± 0.03367
pull
Entries 37
Mean −45.19
Std Dev 0

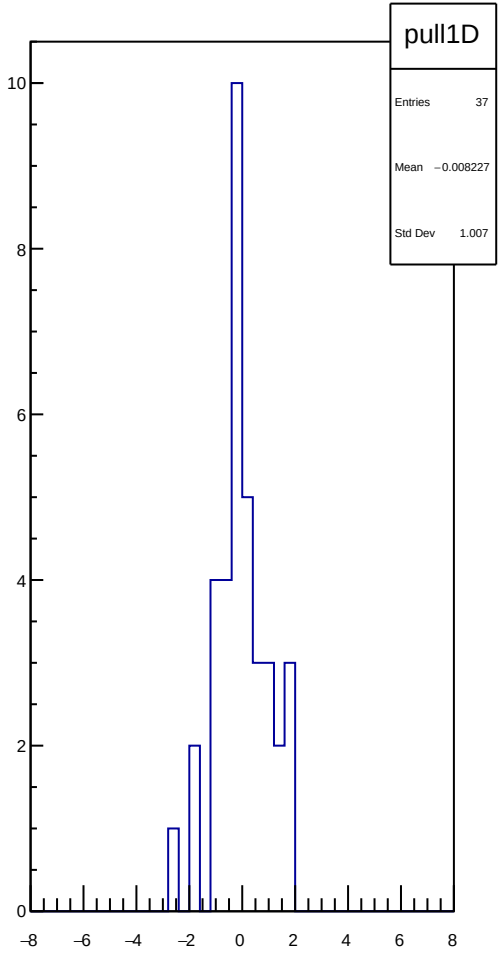
pull1D
Entries 37
Mean −0.008227
Std Dev 1.007

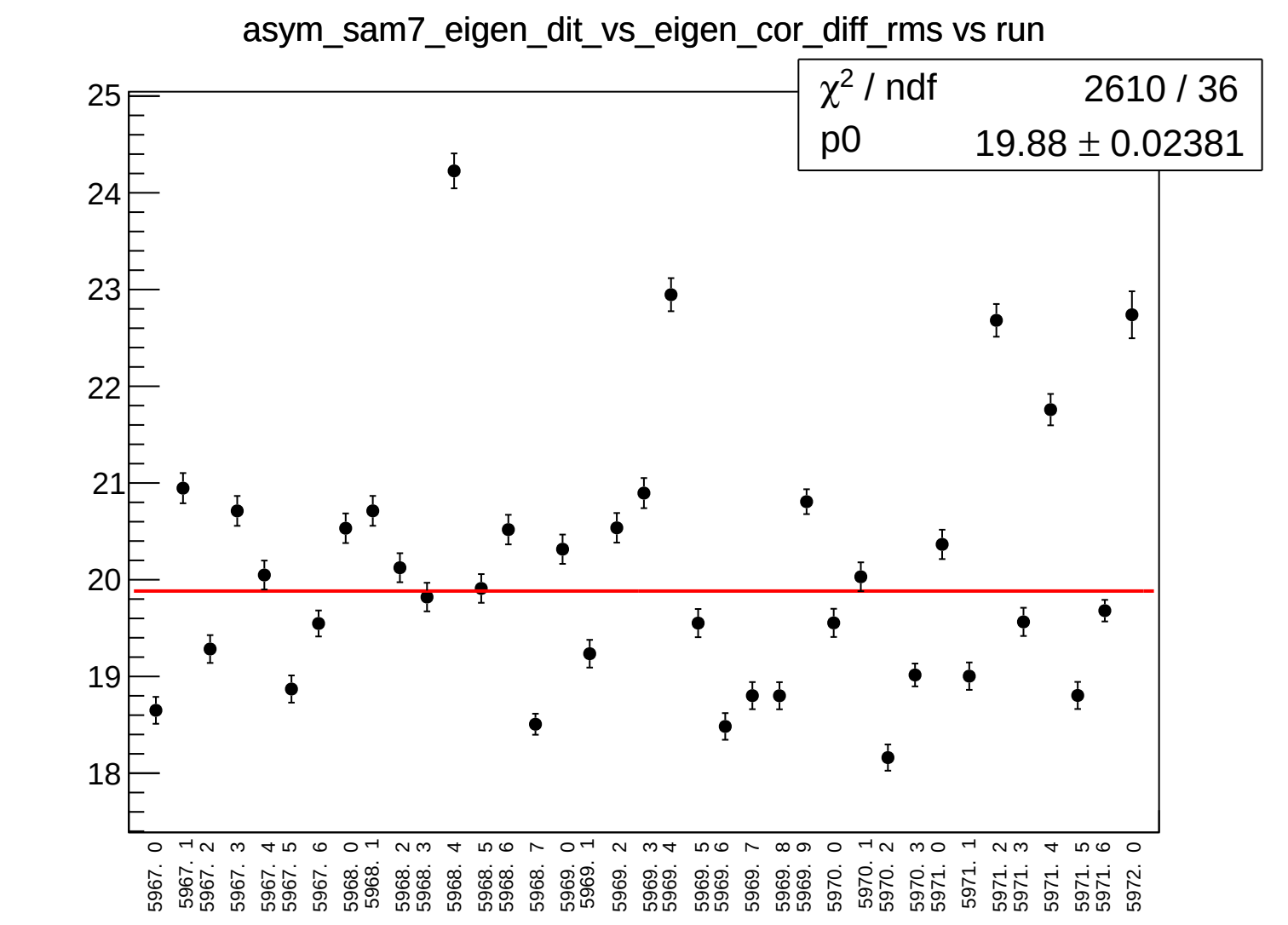
asym_sam7_eigen_dit_vs_eigen_cor_diff_rms vs run
χ2 / ndf 2610 / 36
p0 19.88 ± 0.02381
25
24
23
22
21
20
19
18
5967. 0
5967. 1
5967. 2
5967. 3
5967. 4
5967. 5
5967. 6
5968. 0
5968. 1
5968. 2
5968. 3
5968. 4
5968. 5
5968. 6
5968. 7
5969. 0
5969. 1
5969. 2
5969. 3
5969. 4
5969. 5
5969. 6
5969. 7
5969. 8
5969. 9
5970. 0
5970. 1
5970. 2
5970. 3
5971. 0
5971. 1
5971. 2
5971. 3
5971. 4
5971. 5
5971. 6
5972. 0

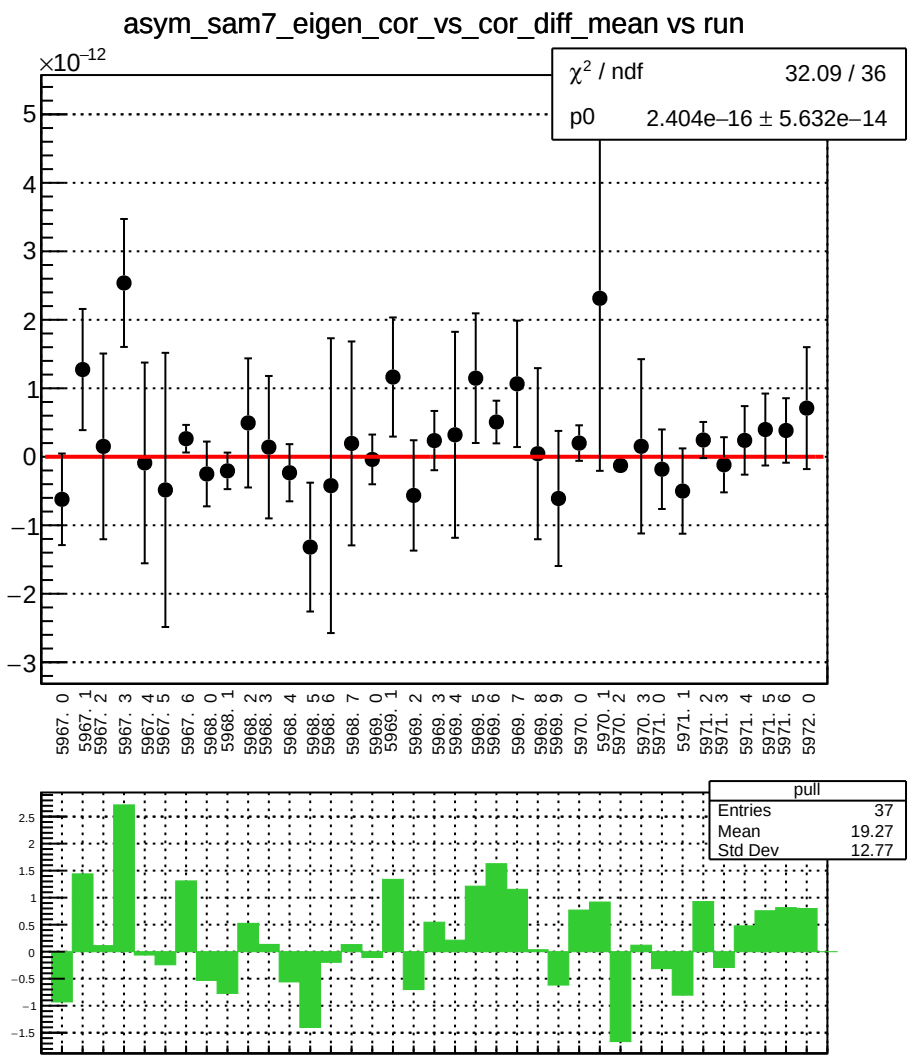
asym_sam7_eigen_cor_vs_cor_diff_mean vs run
×10⁻¹²
χ² / ndf 32.09 / 36
p0 2.404e−16 ± 5.632e−14
pull
Entries 37
Mean 19.27
Std Dev 12.77

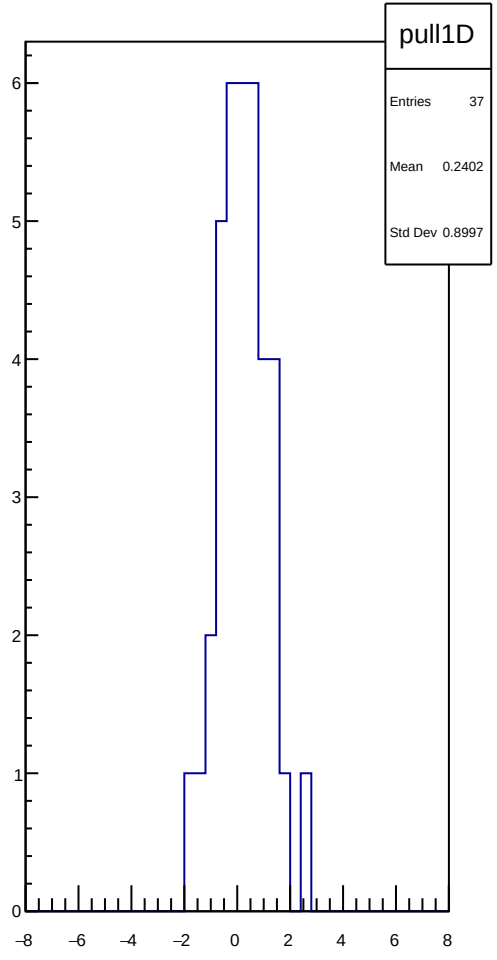
pull1D
Entries 37
Mean 0.2402
Std Dev 0.8997

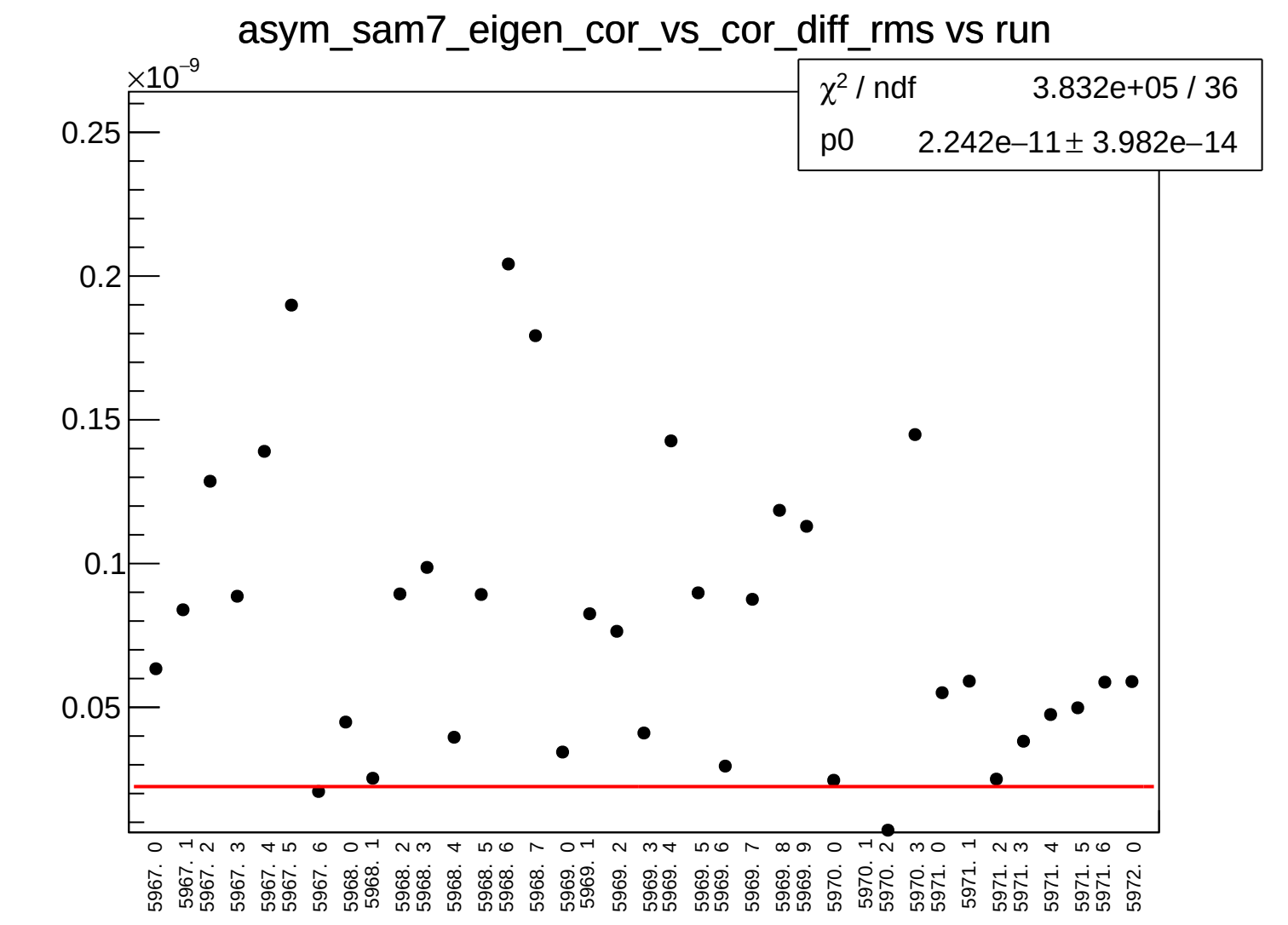
asym_sam7_eigen_cor_vs_cor_diff_rms vs run
×10⁻⁹
χ² / ndf 3.832e+05 / 36
p0 2.242e−11 ± 3.982e−14
0.25
0.2
0.15
0.1
0.05
5967. 0
5967. 1
5967. 2
5967. 3
5967. 4
5967. 5
5967. 6
5968. 0
5968. 1
5968. 2
5968. 3
5968. 4
5968. 5
5968. 6
5968. 7
5969. 0
5969. 1
5969. 2
5969. 3
5969. 4
5969. 5
5969. 6
5969. 7
5969. 8
5969. 9
5970. 0
5970. 1
5970. 2
5970. 3
5971. 0
5971. 1
5971. 2
5971. 3
5971. 4
5971. 5
5971. 6
5972. 0

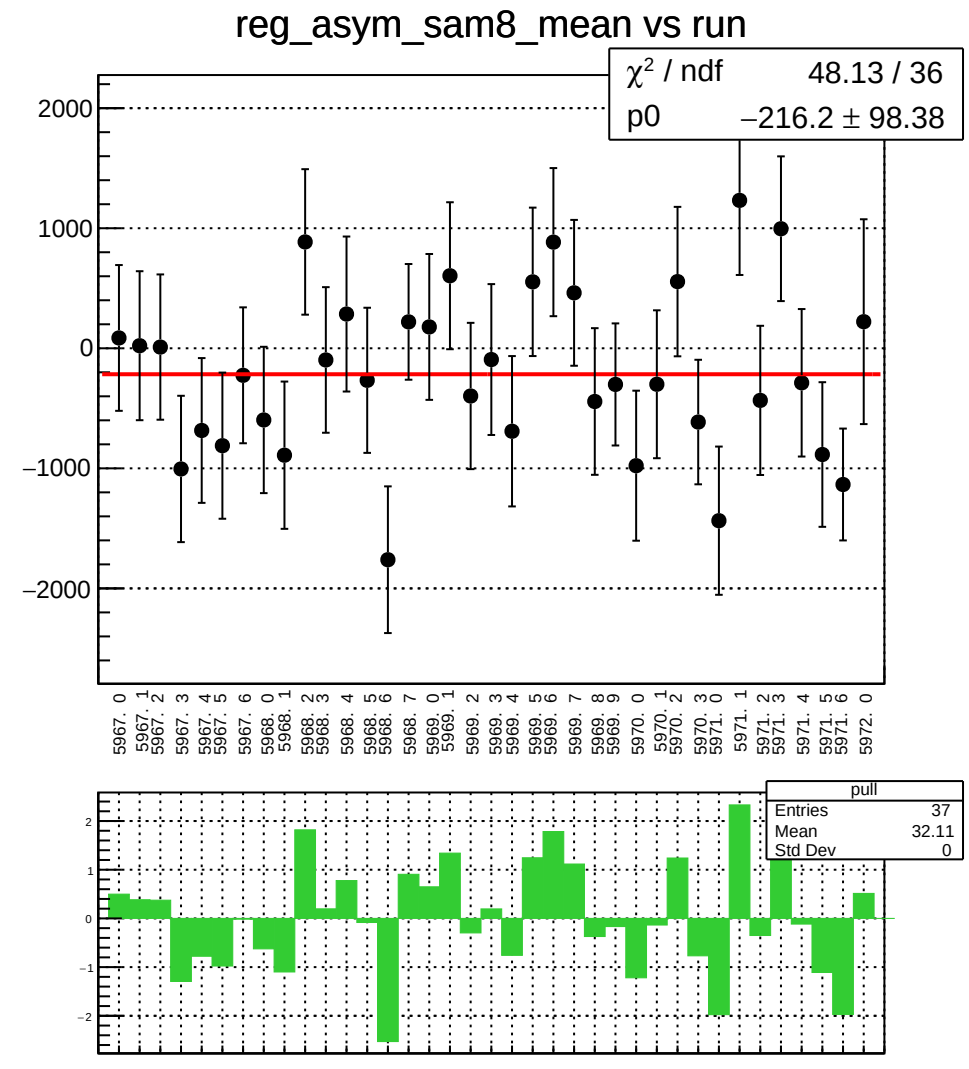
reg_asym_sam8_mean vs run
χ² / ndf 48.13 / 36
p0 −216.2 ± 98.38
2000
1000
0
−1000
−2000
5967. 0
5967. 1
5967. 2
5967. 3
5967. 4
5967. 5
5967. 6
5968. 0
5968. 1
5968. 2
5968. 3
5968. 4
5968. 5
5968. 6
5968. 7
5969. 0
5969. 1
5969. 2
5969. 3
5969. 4
5969. 5
5969. 6
5969. 7
5969. 8
5969. 9
5970. 0
5970. 1
5970. 2
5970. 3
5971. 0
5971. 1
5971. 2
5971. 3
5971. 4
5971. 5
5971. 6
5972. 0
pull
Entries 37
Mean 32.11
Std Dev 0
2
1
0
−1
−2

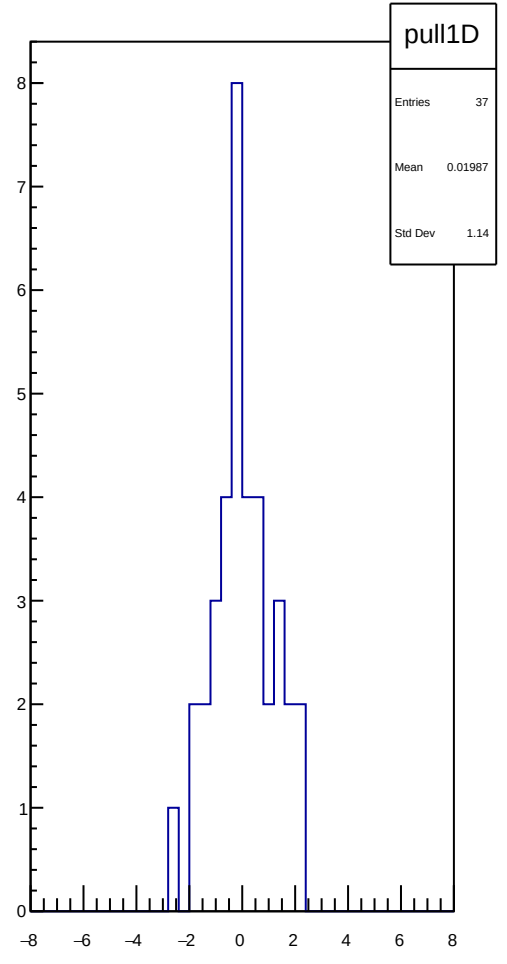
pull1D
Entries 37
Mean 0.01987
Std Dev 1.14
8
7
6
5
4
3
2
1
0
−8
−6
−4
−2
0
2
4
6
8

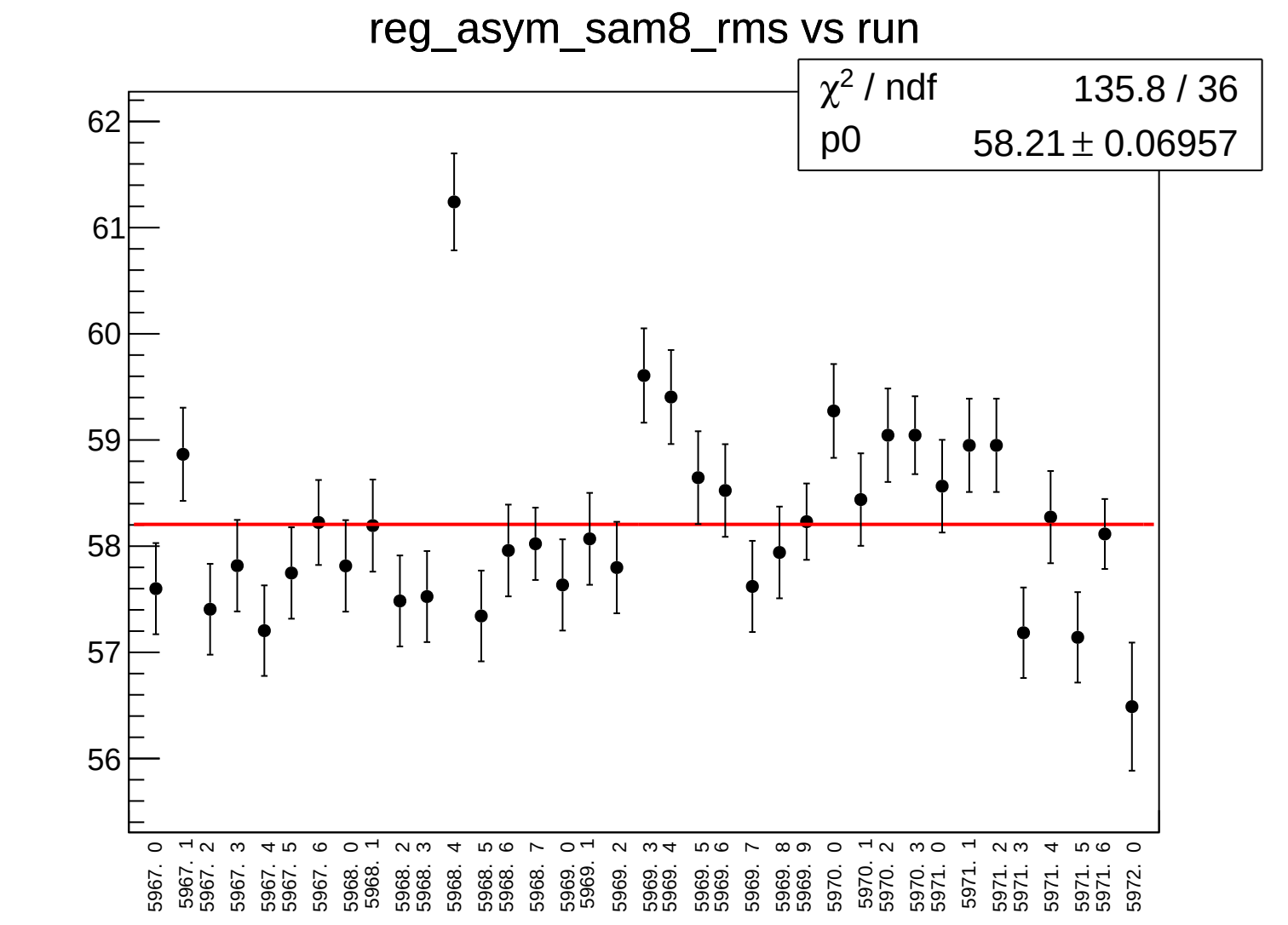
reg_asym_sam8_rms vs run
χ^2 / ndf 135.8 / 36
p0 58.21 ± 0.06957
62
61
60
59
58
57
56
5967. 0
5967. 1
5967. 2
5967. 3
5967. 4
5967. 5
5967. 6
5968. 0
5968. 1
5968. 2
5968. 3
5968. 4
5968. 5
5968. 6
5968. 7
5969. 0
5969. 1
5969. 2
5969. 3
5969. 4
5969. 5
5969. 6
5969. 7
5969. 8
5969. 9
5970. 0
5970. 1
5970. 2
5970. 3
5971. 0
5971. 1
5971. 2
5971. 3
5971. 4
5971. 5
5971. 6
5972. 0

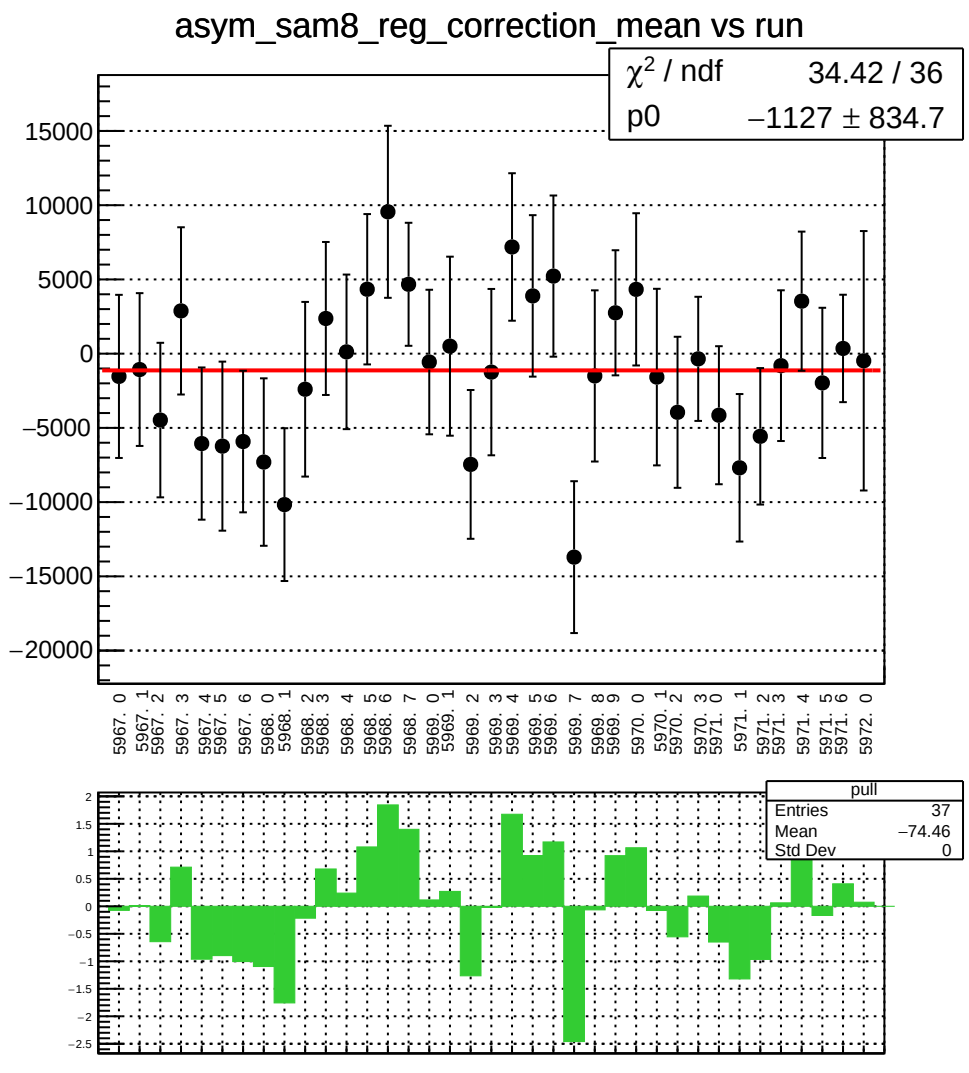
asym_sam8_reg_correction_mean vs run
χ² / ndf 34.42 / 36
p0 −1127 ± 834.7
15000
10000
5000
0
−5000
−10000
−15000
−20000
5967. 0
5967. 1
5967. 2
5967. 3
5967. 4
5967. 5
5967. 6
5968. 0
5968. 1
5968. 2
5968. 3
5968. 4
5968. 5
5968. 6
5968. 7
5969. 0
5969. 1
5969. 2
5969. 3
5969. 4
5969. 5
5969. 6
5969. 7
5969. 8
5969. 9
5970. 0
5970. 1
5970. 2
5970. 3
5971. 0
5971. 1
5971. 2
5971. 3
5971. 4
5971. 5
5971. 6
5972. 0
pull
Entries 37
Mean −74.46
Std Dev 0
2
1.5
1
0.5
0
−0.5
−1
−1.5
−2
−2.5

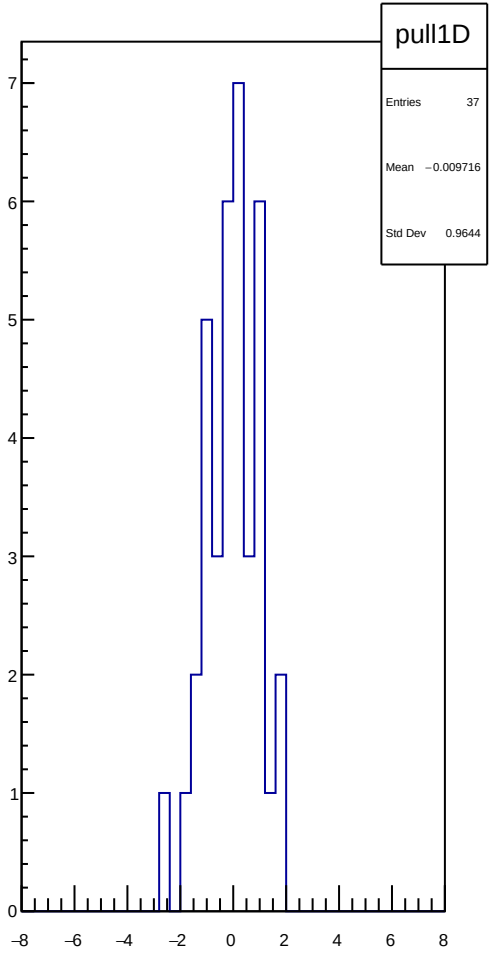
pull1D
Entries 37
Mean −0.009716
Std Dev 0.9644
7
6
5
4
3
2
1
0
−8
−6
−4
−2
0
2
4
6
8

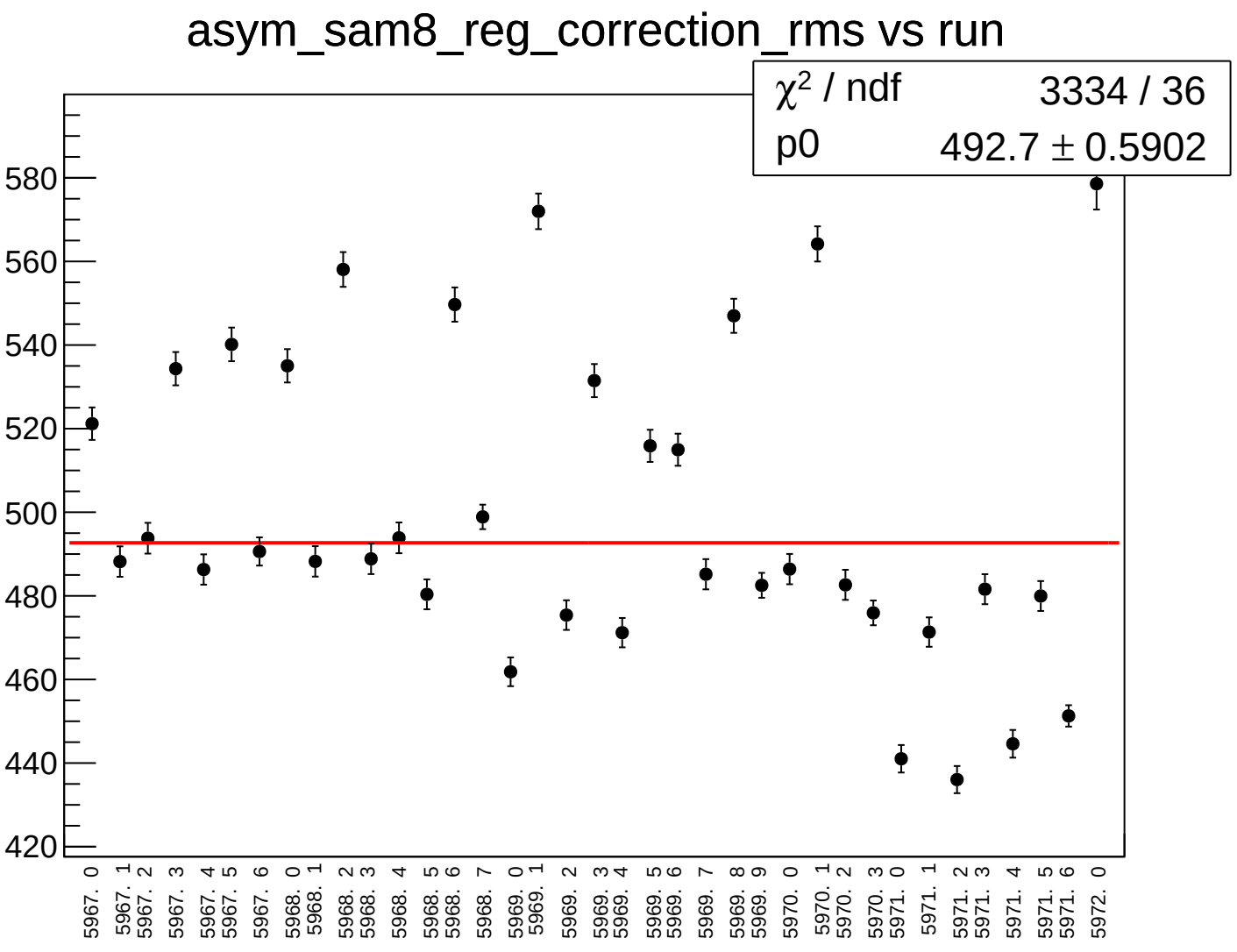
asym_sam8_reg_correction_rms vs run
χ² / ndf 3334 / 36
p0 492.7 ± 0.5902
580
560
540
520
500
480
460
440
420
5967. 0
5967. 1
5967. 2
5967. 3
5967. 4
5967. 5
5967. 6
5968. 0
5968. 1
5968. 2
5968. 3
5968. 4
5968. 5
5968. 6
5968. 7
5969. 0
5969. 1
5969. 2
5969. 3
5969. 4
5969. 5
5969. 6
5969. 7
5969. 8
5969. 9
5970. 0
5970. 1
5970. 2
5970. 3
5971. 0
5971. 1
5971. 2
5971. 3
5971. 4
5971. 5
5971. 6
5972. 0

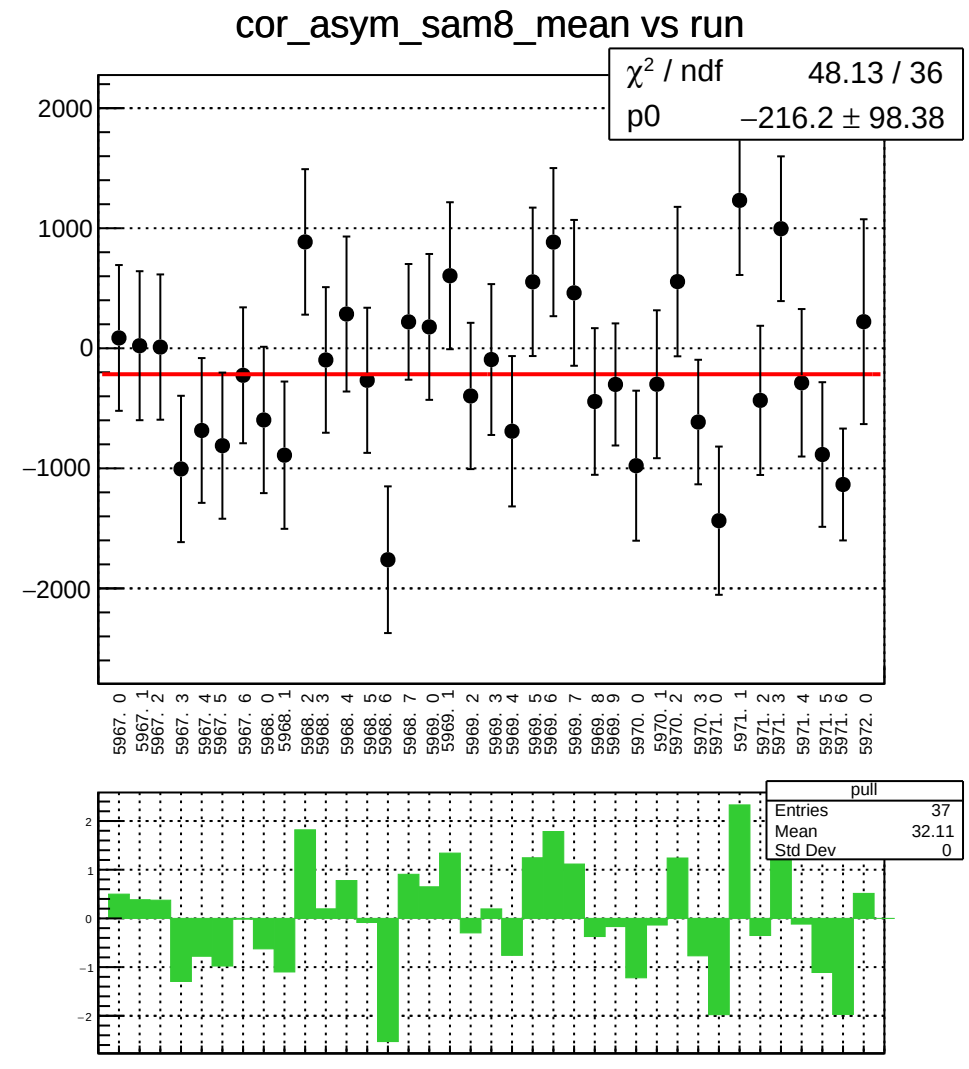
cor_asym_sam8_mean vs run
χ² / ndf 48.13 / 36
p0 −216.2 ± 98.38
2000
1000
0
−1000
−2000
5967. 0
5967. 1
5967. 2
5967. 3
5967. 4
5967. 5
5967. 6
5968. 0
5968. 1
5968. 2
5968. 3
5968. 4
5968. 5
5968. 6
5968. 7
5969. 0
5969. 1
5969. 2
5969. 3
5969. 4
5969. 5
5969. 6
5969. 7
5969. 8
5969. 9
5970. 0
5970. 1
5970. 2
5970. 3
5971. 0
5971. 1
5971. 2
5971. 3
5971. 4
5971. 5
5971. 6
5972. 0
pull
Entries 37
Mean 32.11
Std Dev 0
2
1
0
−1
−2

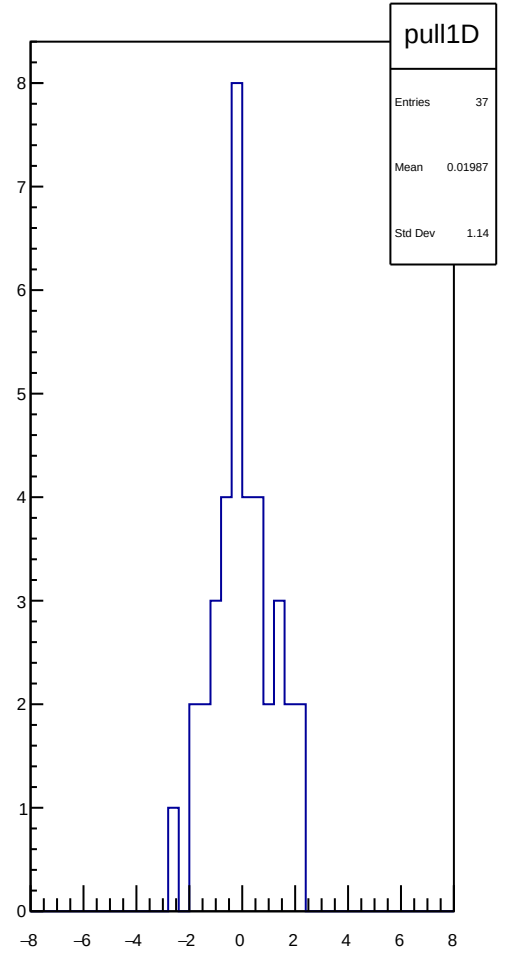
pull1D
Entries 37
Mean 0.01987
Std Dev 1.14
8
7
6
5
4
3
2
1
0
−8
−6
−4
−2
0
2
4
6
8

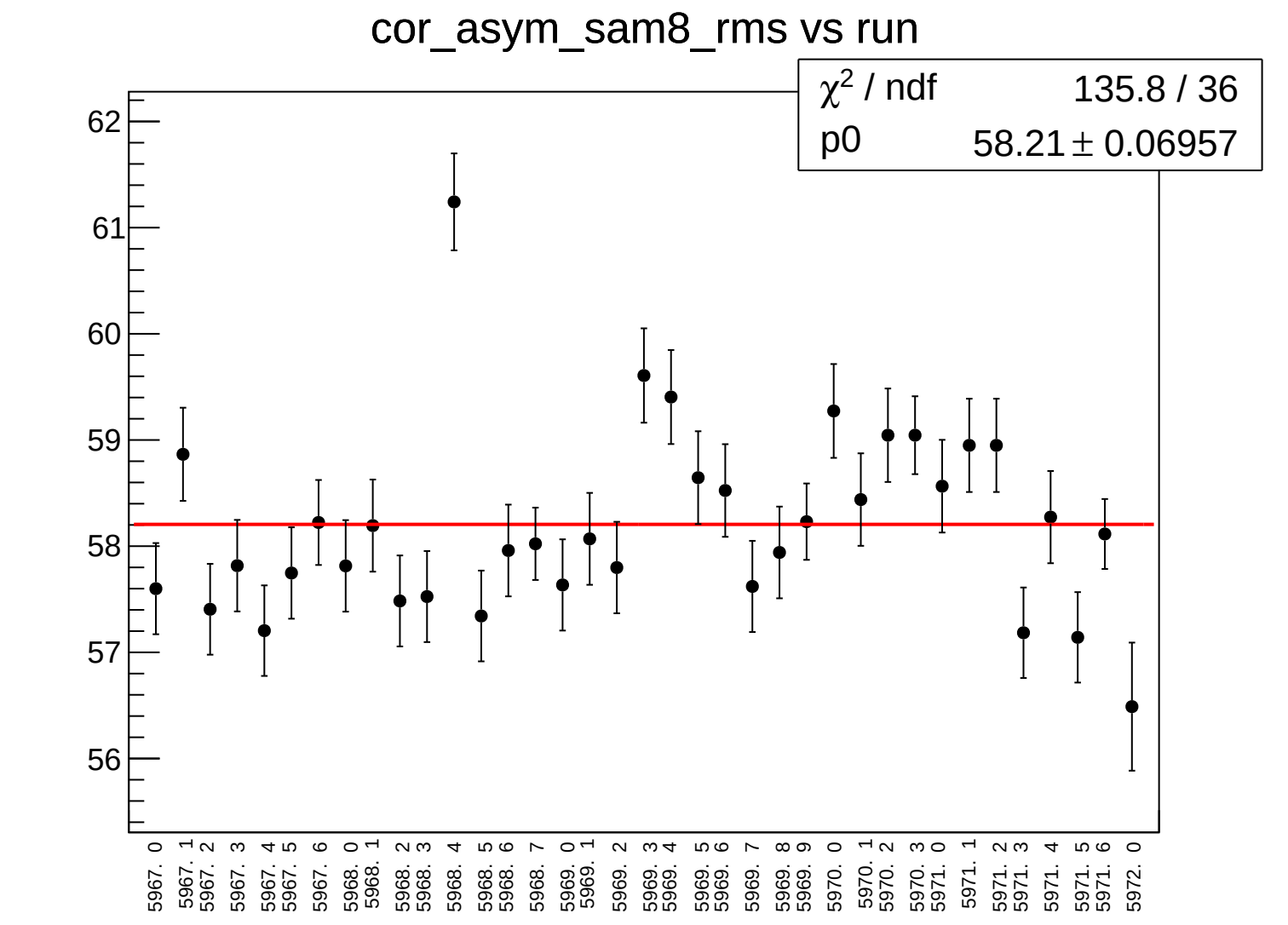
cor_asym_sam8_rms vs run
χ² / ndf 135.8 / 36
p0 58.21 ± 0.06957
62
61
60
59
58
57
56
5967. 0
5967. 1
5967. 2
5967. 3
5967. 4
5967. 5
5967. 6
5968. 0
5968. 1
5968. 2
5968. 3
5968. 4
5968. 5
5968. 6
5968. 7
5969. 0
5969. 1
5969. 2
5969. 3
5969. 4
5969. 5
5969. 6
5969. 7
5969. 8
5969. 9
5970. 0
5970. 1
5970. 2
5970. 3
5971. 0
5971. 1
5971. 2
5971. 3
5971. 4
5971. 5
5971. 6
5972. 0

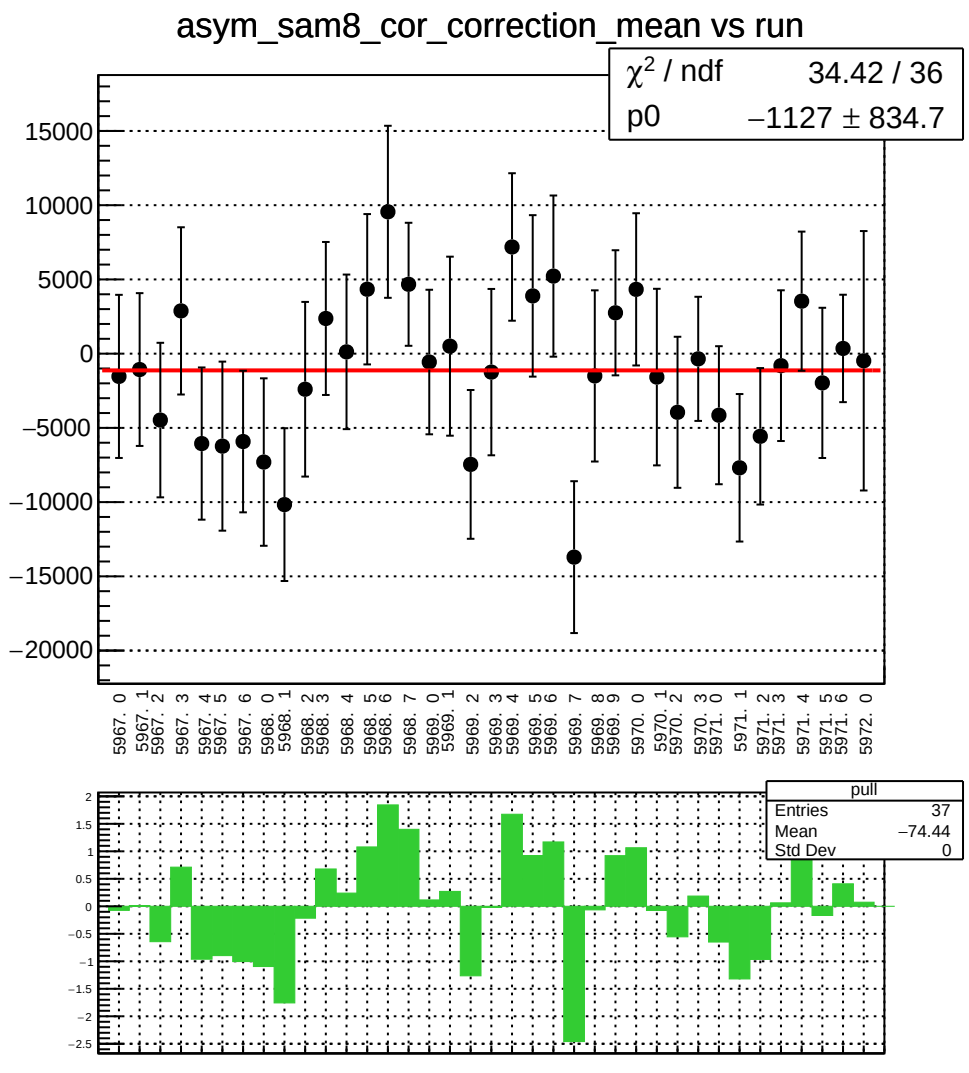
asym_sam8_cor_correction_mean vs run
χ² / ndf 34.42 / 36
p0 −1127 ± 834.7
15000
10000
5000
0
−5000
−10000
−15000
−20000
5967. 0
5967. 1
5967. 2
5967. 3
5967. 4
5967. 5
5967. 6
5968. 0
5968. 1
5968. 2
5968. 3
5968. 4
5968. 5
5968. 6
5968. 7
5969. 0
5969. 1
5969. 2
5969. 3
5969. 4
5969. 5
5969. 6
5969. 7
5969. 8
5969. 9
5970. 0
5970. 1
5970. 2
5970. 3
5971. 0
5971. 1
5971. 2
5971. 3
5971. 4
5971. 5
5971. 6
5972. 0
pull
Entries 37
Mean −74.44
Std Dev 0
2
1.5
1
0.5
0
−0.5
−1
−1.5
−2
−2.5

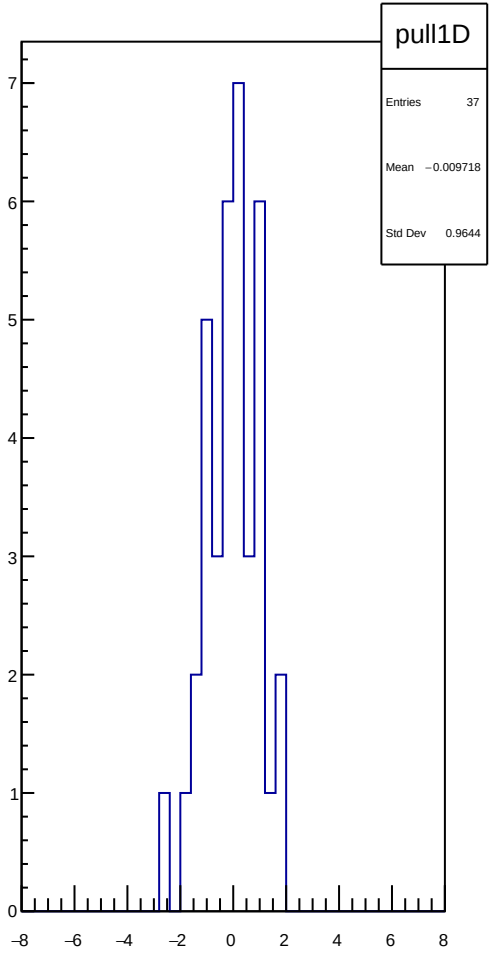
pull1D
Entries 37
Mean −0.009718
Std Dev 0.9644
7
6
5
4
3
2
1
0
−8
−6
−4
−2
0
2
4
6
8

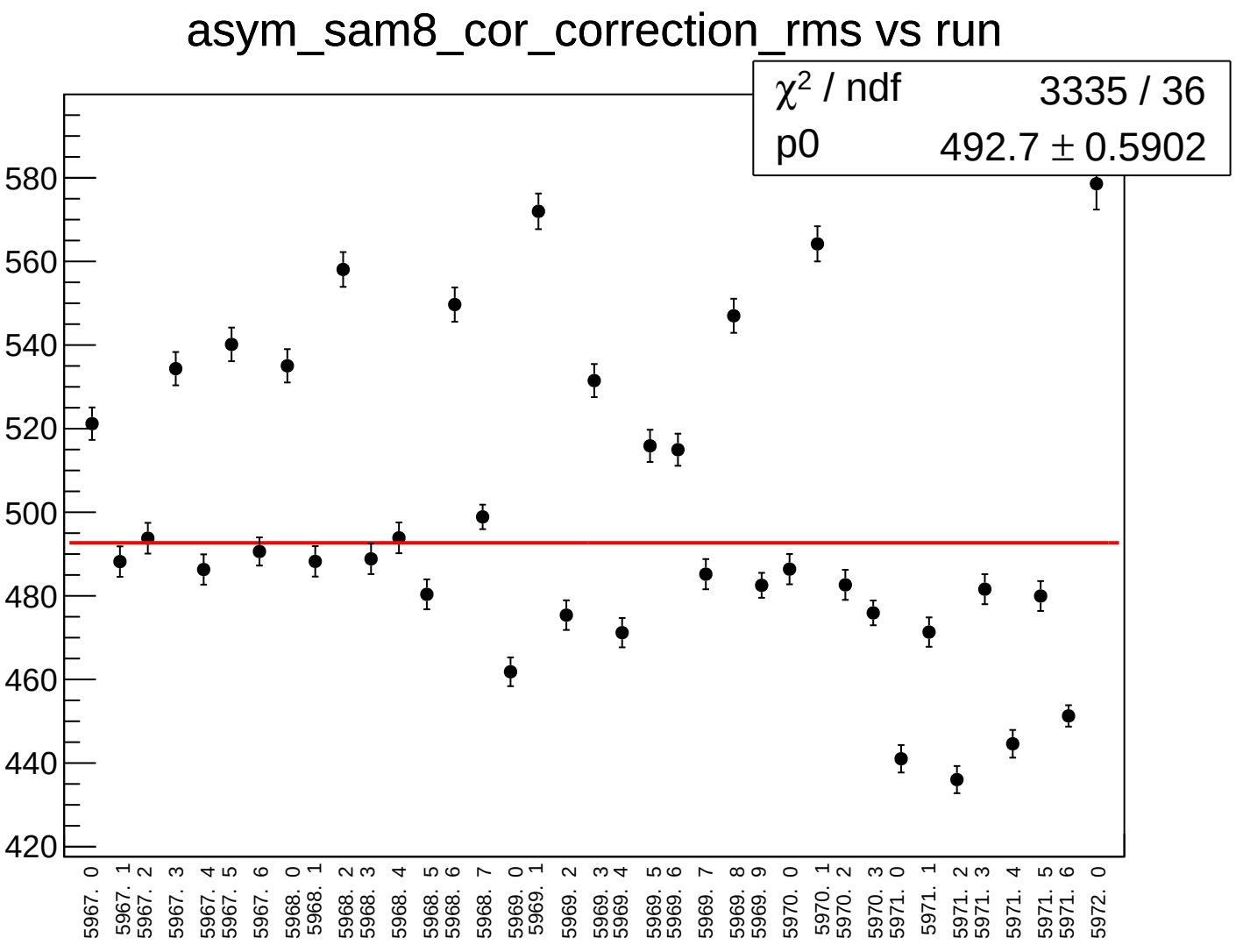
asym_sam8_cor_correction_rms vs run
χ² / ndf 3335 / 36
p0 492.7 ± 0.5902
580
560
540
520
500
480
460
440
420
5967. 0
5967. 1
5967. 2
5967. 3
5967. 4
5967. 5
5967. 6
5968. 0
5968. 1
5968. 2
5968. 3
5968. 4
5968. 5
5968. 6
5968. 7
5969. 0
5969. 1
5969. 2
5969. 3
5969. 4
5969. 5
5969. 6
5969. 7
5969. 8
5969. 9
5970. 0
5970. 1
5970. 2
5970. 3
5971. 0
5971. 1
5971. 2
5971. 3
5971. 4
5971. 5
5971. 6
5972. 0

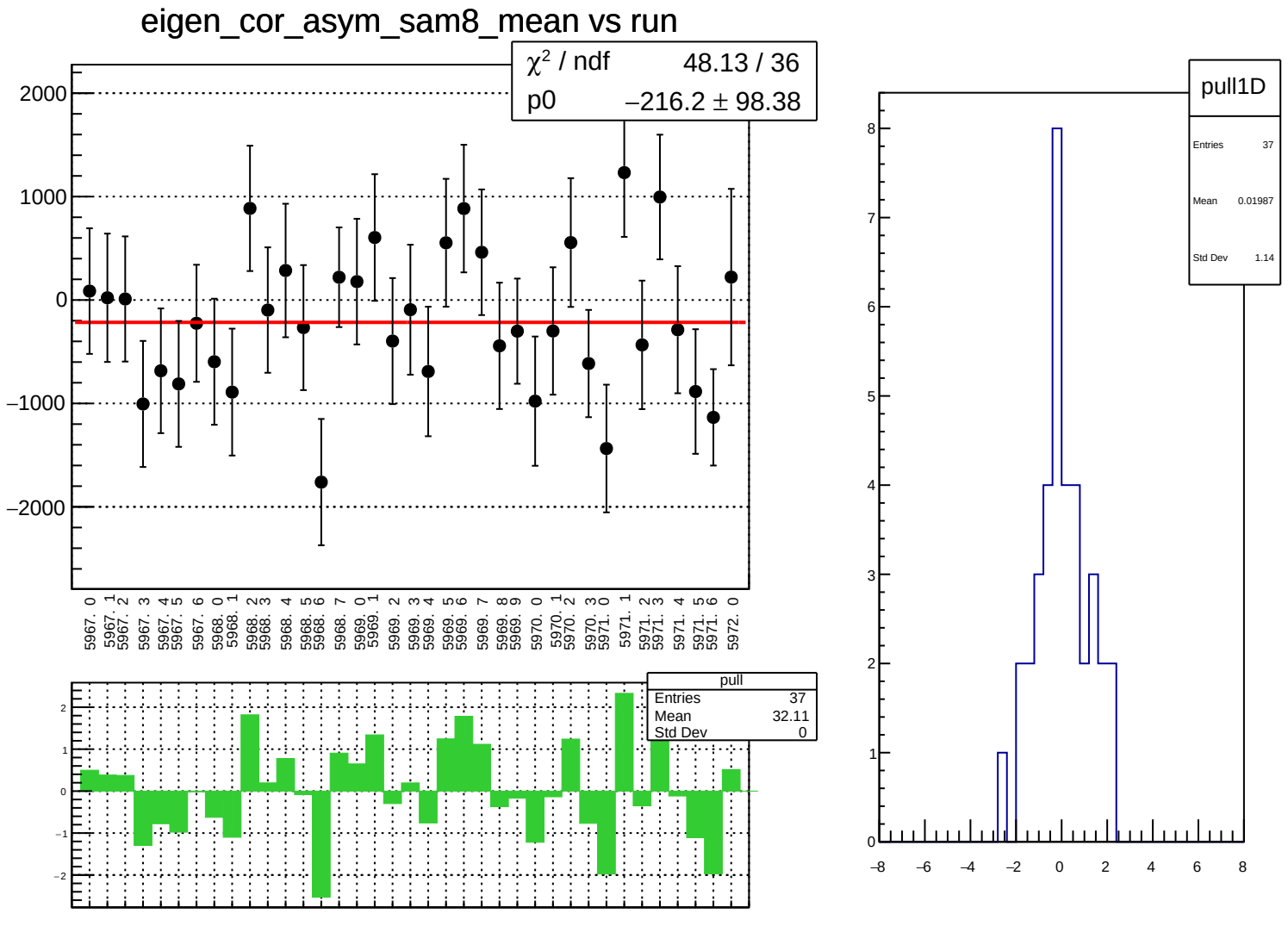
eigen_cor_asym_sam8_mean vs run
χ² / ndf 48.13 / 36
p0 −216.2 ± 98.38
2000
1000
0
−1000
−2000
5967. 0
5967. 1
5967. 2
5967. 3
5967. 4
5967. 5
5967. 6
5968. 0
5968. 1
5968. 2
5968. 3
5968. 4
5968. 5
5968. 6
5968. 7
5969. 0
5969. 1
5969. 2
5969. 3
5969. 4
5969. 5
5969. 6
5969. 7
5969. 8
5969. 9
5970. 0
5970. 1
5970. 2
5970. 3
5971. 0
5971. 1
5971. 2
5971. 3
5971. 4
5971. 5
5971. 6
5972. 0
pull
Entries 37
Mean 32.11
Std Dev 0
2
1
0
−1
−2
pull1D
Entries 37
Mean 0.01987
Std Dev 1.14
8
7
6
5
4
3
2
1
0
−8
−6
−4
−2
0
2
4
6
8

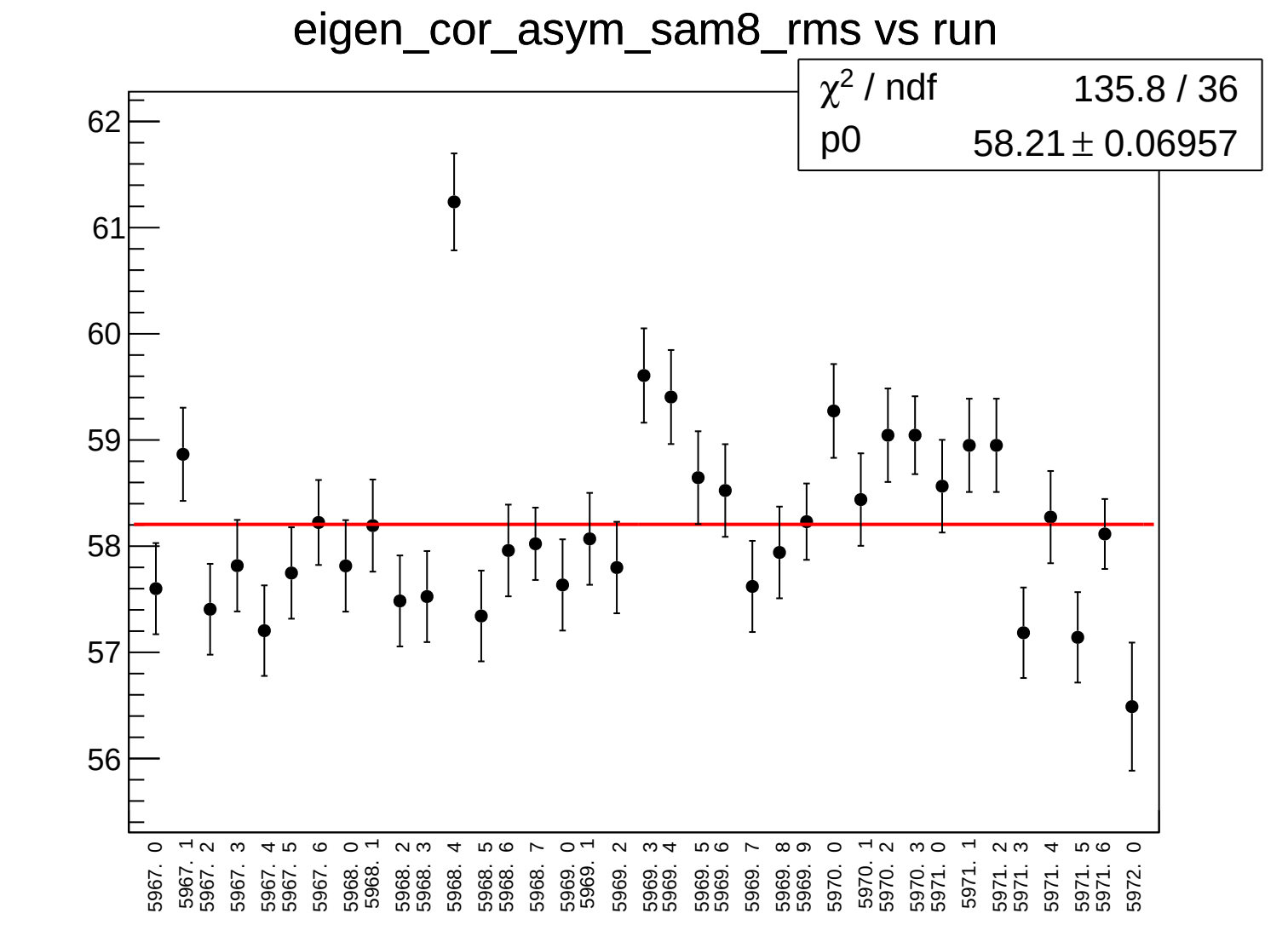
eigen_cor_asym_sam8_rms vs run
χ^2 / ndf 135.8 / 36
p0 58.21 ± 0.06957
62
61
60
59
58
57
56
5967. 0
5967. 1
5967. 2
5967. 3
5967. 4
5967. 5
5967. 6
5968. 0
5968. 1
5968. 2
5968. 3
5968. 4
5968. 5
5968. 6
5968. 7
5969. 0
5969. 1
5969. 2
5969. 3
5969. 4
5969. 5
5969. 6
5969. 7
5969. 8
5969. 9
5970. 0
5970. 1
5970. 2
5970. 3
5971. 0
5971. 1
5971. 2
5971. 3
5971. 4
5971. 5
5971. 6
5972. 0

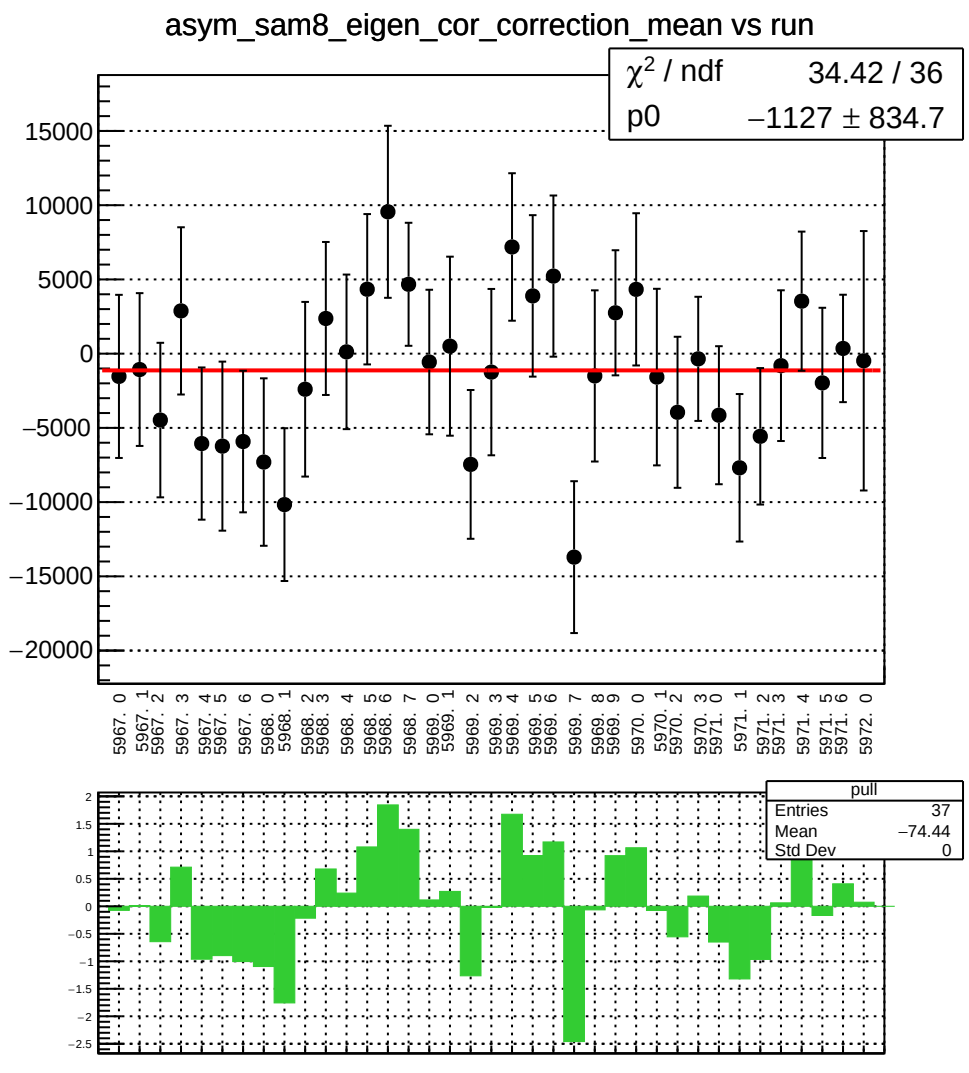
asym_sam8_eigen_cor_correction_mean vs run
χ² / ndf 34.42 / 36
p0 −1127 ± 834.7
15000
10000
5000
0
−5000
−10000
−15000
−20000
5967. 0
5967. 1
5967. 2
5967. 3
5967. 4
5967. 5
5967. 6
5968. 0
5968. 1
5968. 2
5968. 3
5968. 4
5968. 5
5968. 6
5968. 7
5969. 0
5969. 1
5969. 2
5969. 3
5969. 4
5969. 5
5969. 6
5969. 7
5969. 8
5969. 9
5970. 0
5970. 1
5970. 2
5970. 3
5971. 0
5971. 1
5971. 2
5971. 3
5971. 4
5971. 5
5971. 6
5972. 0
pull
Entries 37
Mean −74.44
Std Dev 0
2
1.5
1
0.5
0
−0.5
−1
−1.5
−2
−2.5

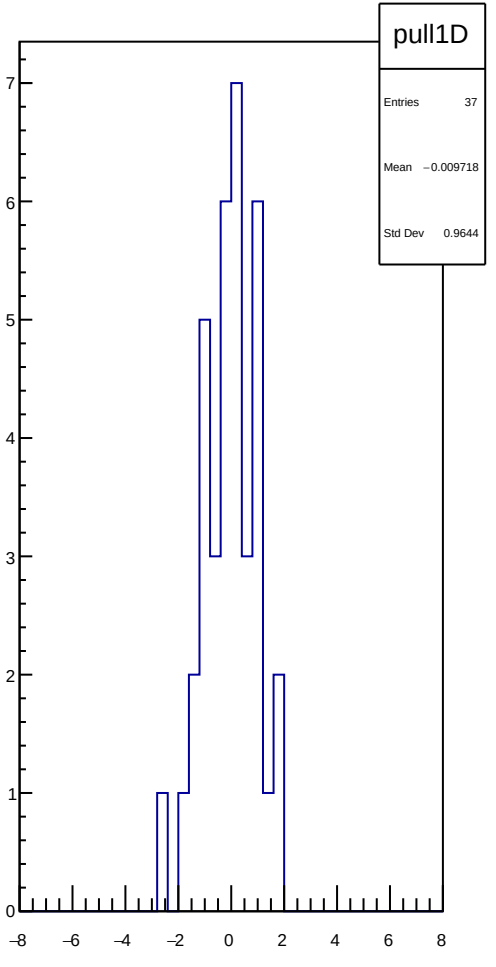
pull1D
Entries 37
Mean −0.009718
Std Dev 0.9644
7
6
5
4
3
2
1
0
−8
−6
−4
−2
0
2
4
6
8

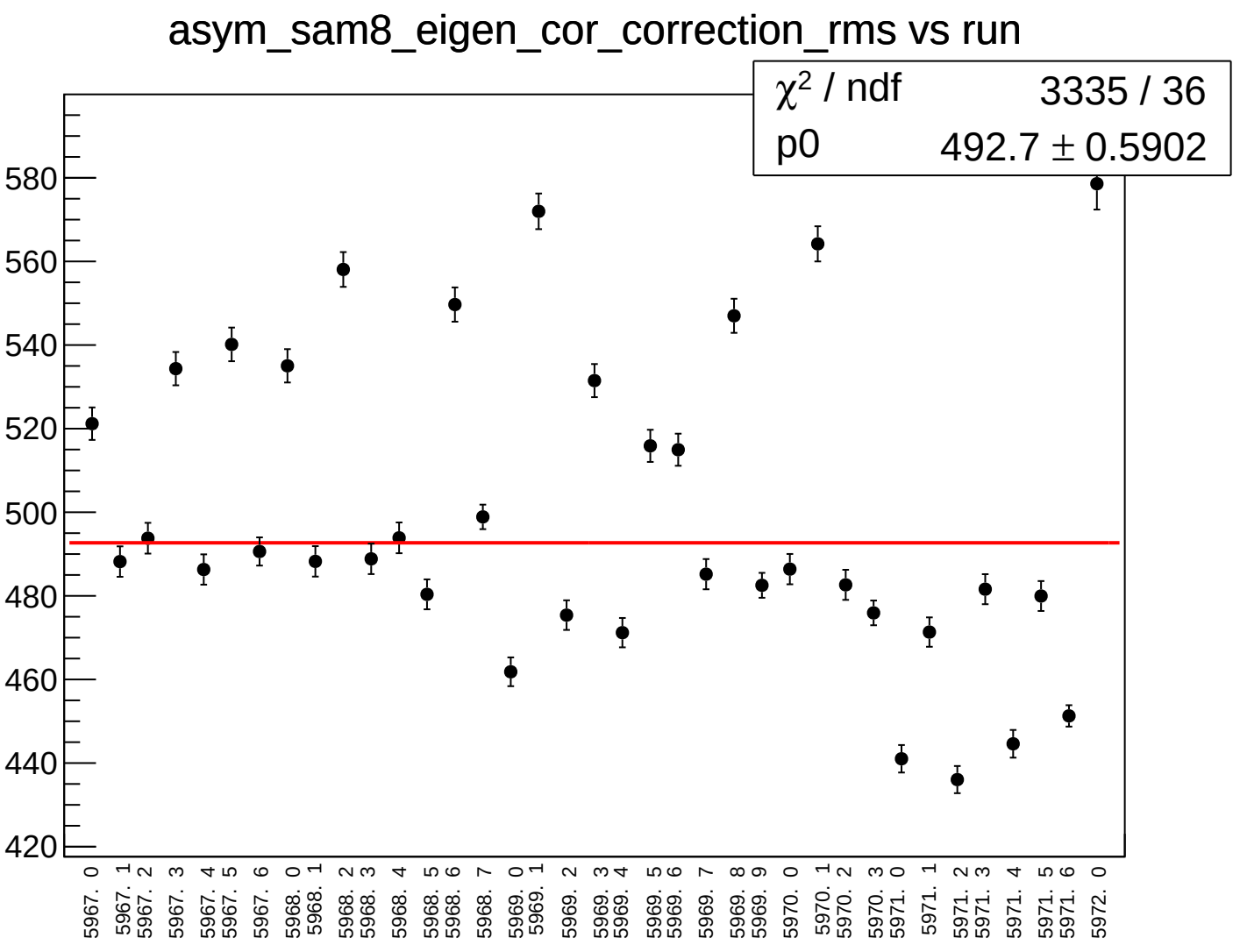
asym_sam8_eigen_cor_correction_rms vs run
χ² / ndf 3335 / 36
p0 492.7 ± 0.5902
580
560
540
520
500
480
460
440
420
5967. 0
5967. 1
5967. 2
5967. 3
5967. 4
5967. 5
5967. 6
5968. 0
5968. 1
5968. 2
5968. 3
5968. 4
5968. 5
5968. 6
5968. 7
5969. 0
5969. 1
5969. 2
5969. 3
5969. 4
5969. 5
5969. 6
5969. 7
5969. 8
5969. 9
5970. 0
5970. 1
5970. 2
5970. 3
5971. 0
5971. 1
5971. 2
5971. 3
5971. 4
5971. 5
5971. 6
5972. 0

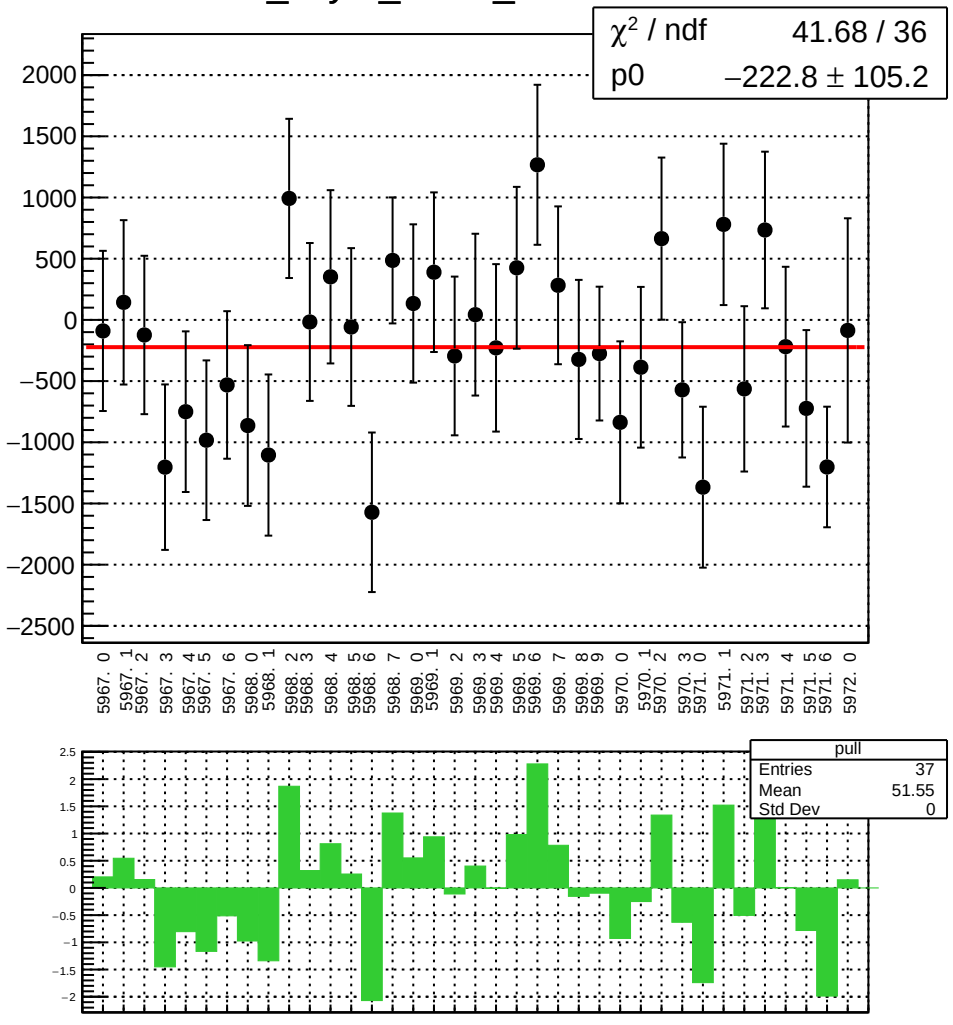
dit_asym_sam8_mean vs run
χ² / ndf 41.68 / 36
p0 −222.8 ± 105.2
pull
Entries 37
Mean 51.55
Std Dev 0

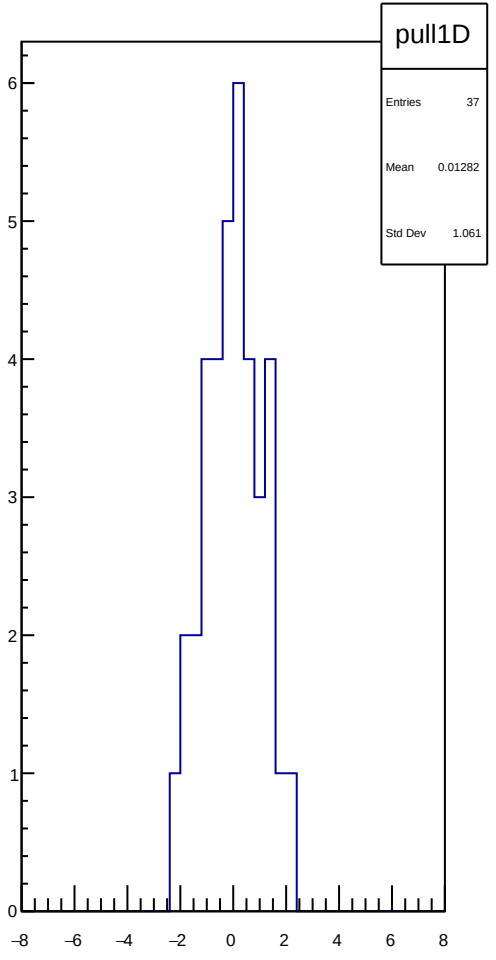
pull1D
Entries 37
Mean 0.01282
Std Dev 1.061

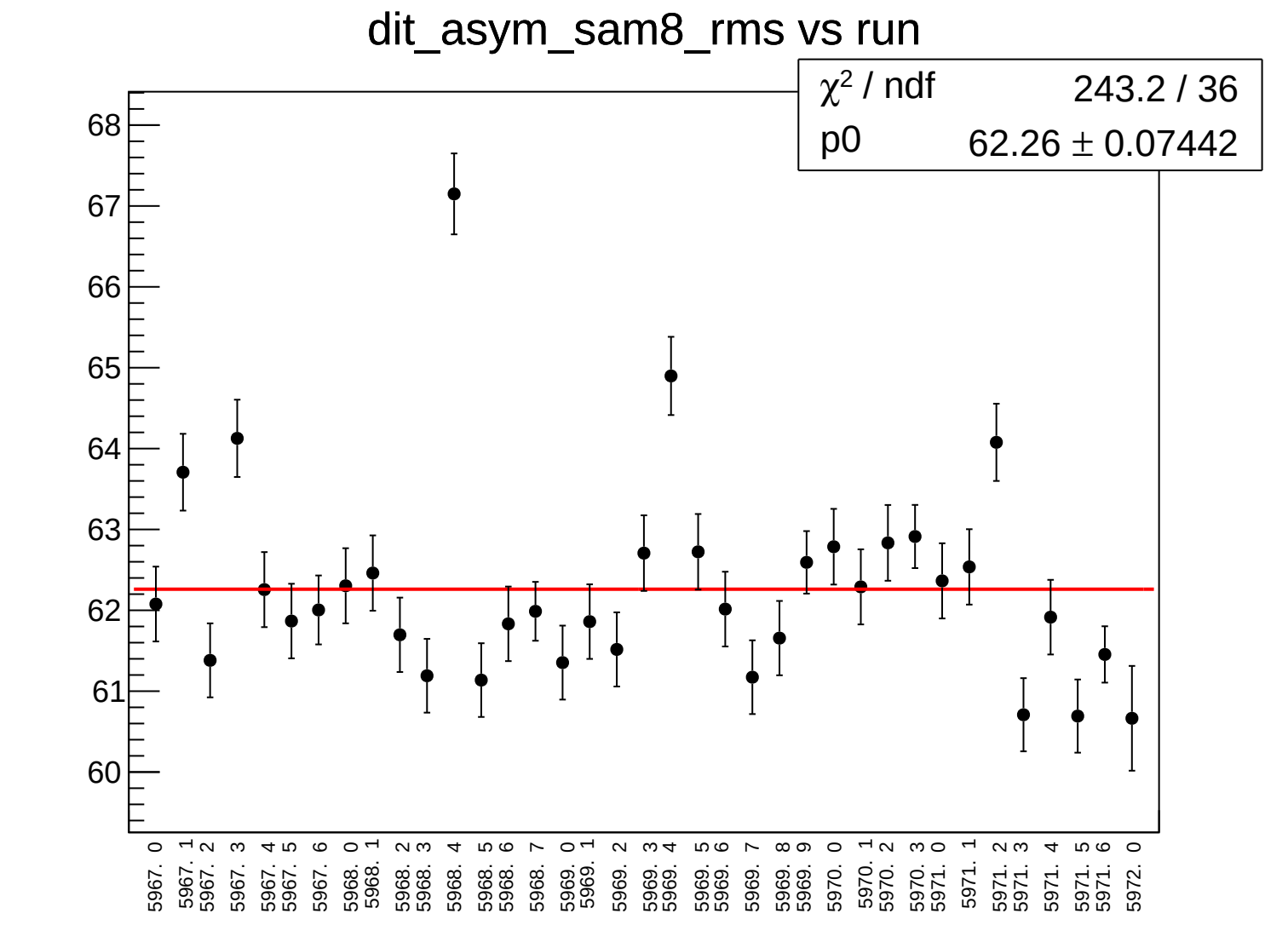
dit_asym_sam8_rms vs run
χ² / ndf 243.2 / 36
p0 62.26 ± 0.07442
68
67
66
65
64
63
62
61
60
5967. 0
5967. 1
5967. 2
5967. 3
5967. 4
5967. 5
5967. 6
5968. 0
5968. 1
5968. 2
5968. 3
5968. 4
5968. 5
5968. 6
5968. 7
5969. 0
5969. 1
5969. 2
5969. 3
5969. 4
5969. 5
5969. 6
5969. 7
5969. 8
5969. 9
5970. 0
5970. 1
5970. 2
5970. 3
5971. 0
5971. 1
5971. 2
5971. 3
5971. 4
5971. 5
5971. 6
5972. 0

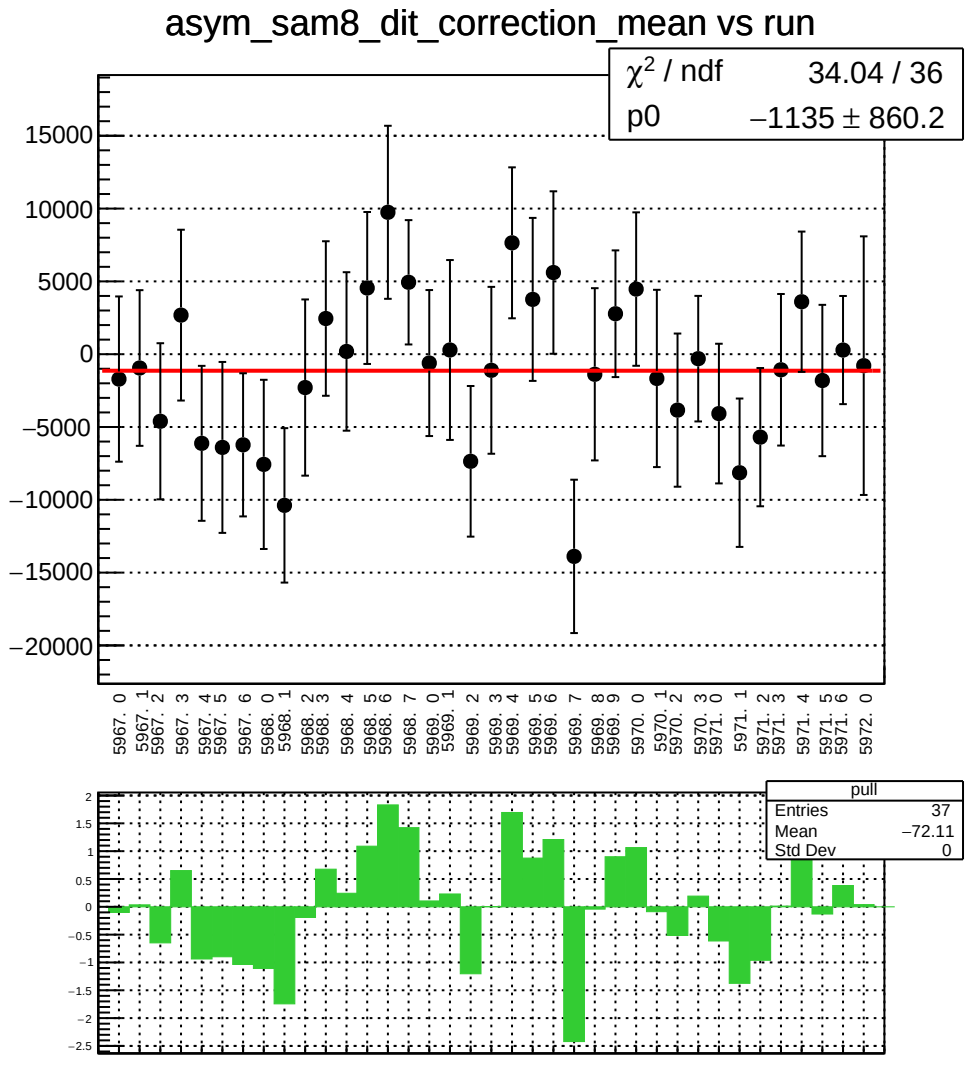
asym_sam8_dit_correction_mean vs run
χ² / ndf 34.04 / 36
p0 −1135 ± 860.2
15000
10000
5000
0
−5000
−10000
−15000
−20000
5967. 0
5967. 1
5967. 2
5967. 3
5967. 4
5967. 5
5967. 6
5968. 0
5968. 1
5968. 2
5968. 3
5968. 4
5968. 5
5968. 6
5968. 7
5969. 0
5969. 1
5969. 2
5969. 3
5969. 4
5969. 5
5969. 6
5969. 7
5969. 8
5969. 9
5970. 0
5970. 1
5970. 2
5970. 3
5971. 0
5971. 1
5971. 2
5971. 3
5971. 4
5971. 5
5971. 6
5972. 0
pull
Entries 37
Mean −72.11
Std Dev 0
2
1.5
1
0.5
0
−0.5
−1
−1.5
−2
−2.5

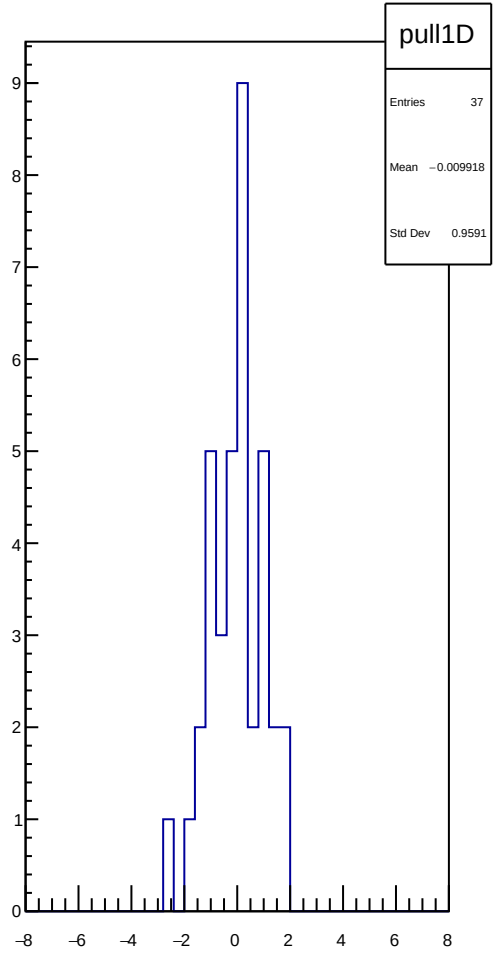
pull1D
Entries 37
Mean −0.009918
Std Dev 0.9591
9
8
7
6
5
4
3
2
1
0
−8
−6
−4
−2
0
2
4
6
8

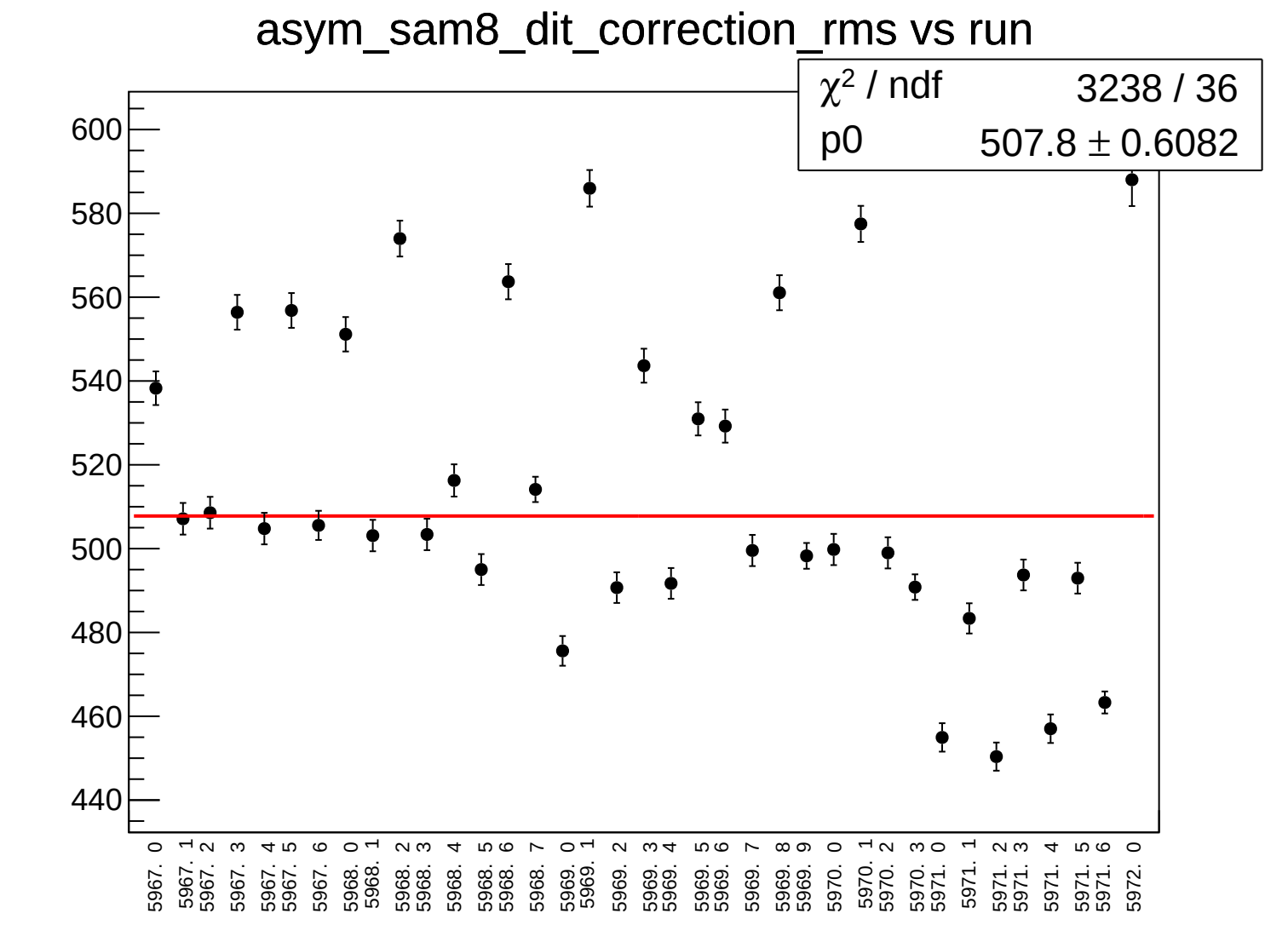
asym_sam8_dit_correction_rms vs run
χ² / ndf 3238 / 36
p0 507.8 ± 0.6082
600
580
560
540
520
500
480
460
440
5967. 0
5967. 1
5967. 2
5967. 3
5967. 4
5967. 5
5967. 6
5968. 0
5968. 1
5968. 2
5968. 3
5968. 4
5968. 5
5968. 6
5968. 7
5969. 0
5969. 1
5969. 2
5969. 3
5969. 4
5969. 5
5969. 6
5969. 7
5969. 8
5969. 9
5970. 0
5970. 1
5970. 2
5970. 3
5971. 0
5971. 1
5971. 2
5971. 3
5971. 4
5971. 5
5971. 6
5972. 0

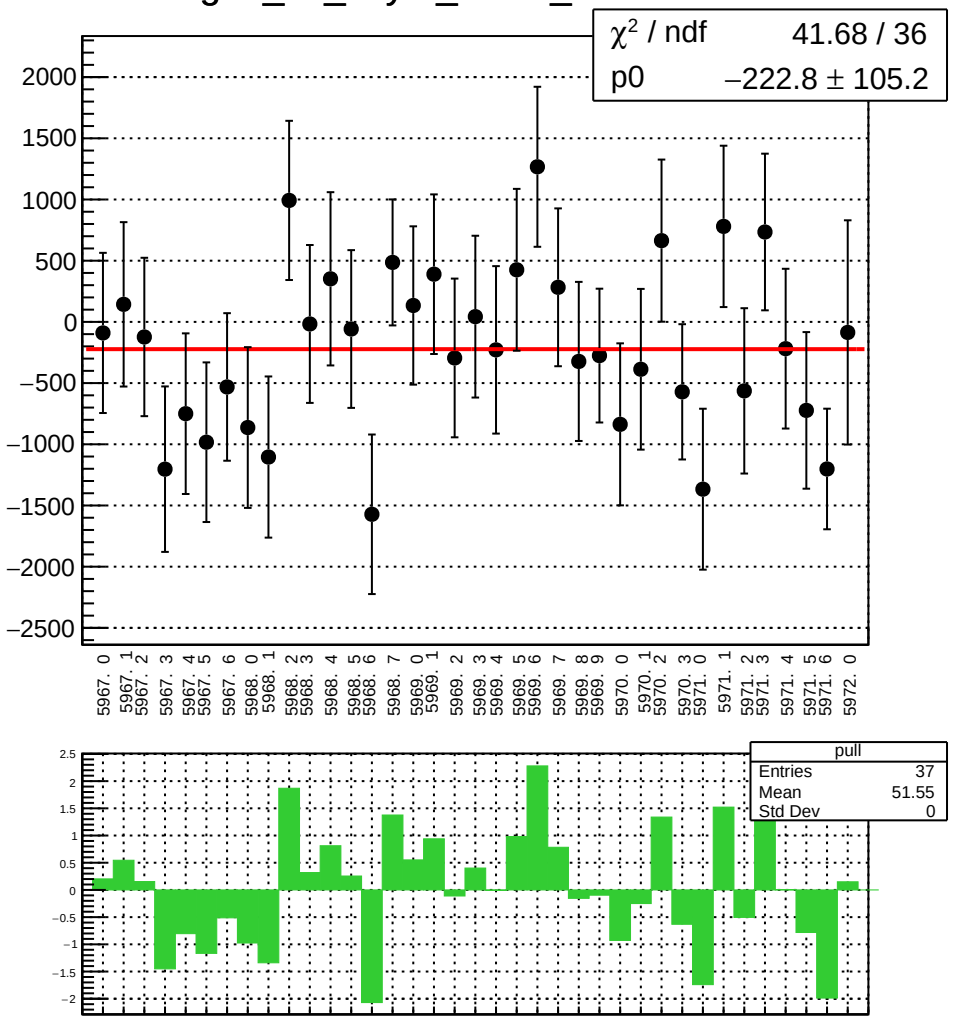
eigen_dit_asym_sam8_mean vs run
χ² / ndf 41.68 / 36
p0 −222.8 ± 105.2
pull
Entries 37
Mean 51.55
Std Dev 0

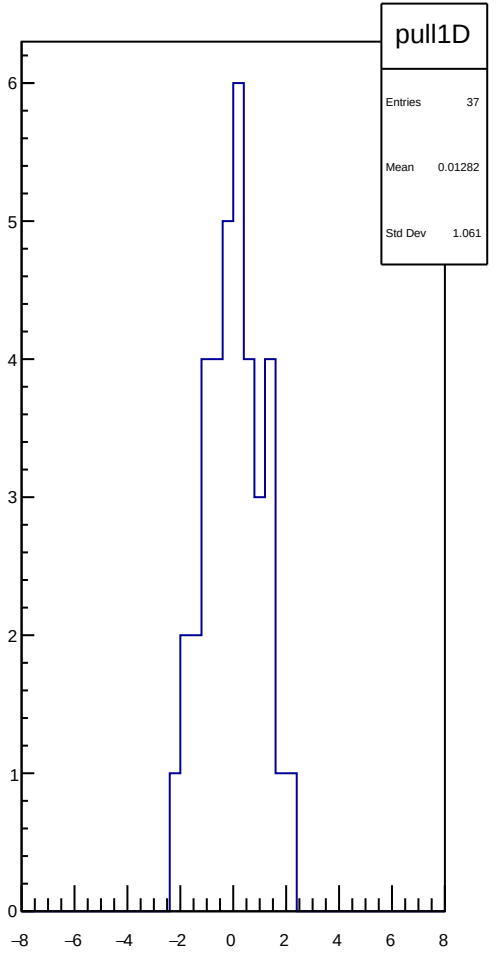
pull1D
Entries 37
Mean 0.01282
Std Dev 1.061

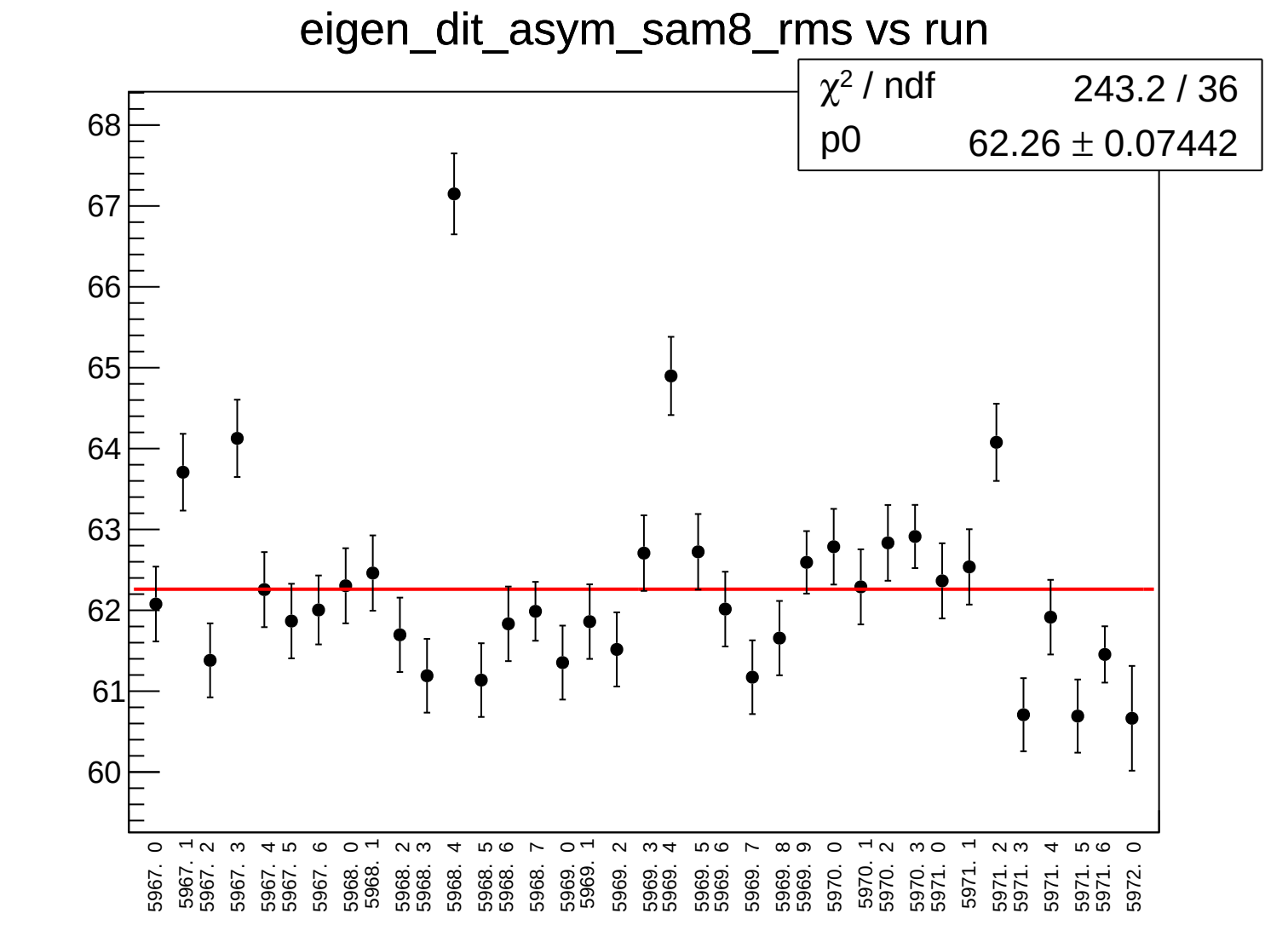
eigen_dit_asym_sam8_rms vs run
χ² / ndf 243.2 / 36
p0 62.26 ± 0.07442
68
67
66
65
64
63
62
61
60
5967. 0
5967. 1
5967. 2
5967. 3
5967. 4
5967. 5
5967. 6
5968. 0
5968. 1
5968. 2
5968. 3
5968. 4
5968. 5
5968. 6
5968. 7
5969. 0
5969. 1
5969. 2
5969. 3
5969. 4
5969. 5
5969. 6
5969. 7
5969. 8
5969. 9
5970. 0
5970. 1
5970. 2
5970. 3
5971. 0
5971. 1
5971. 2
5971. 3
5971. 4
5971. 5
5971. 6
5972. 0

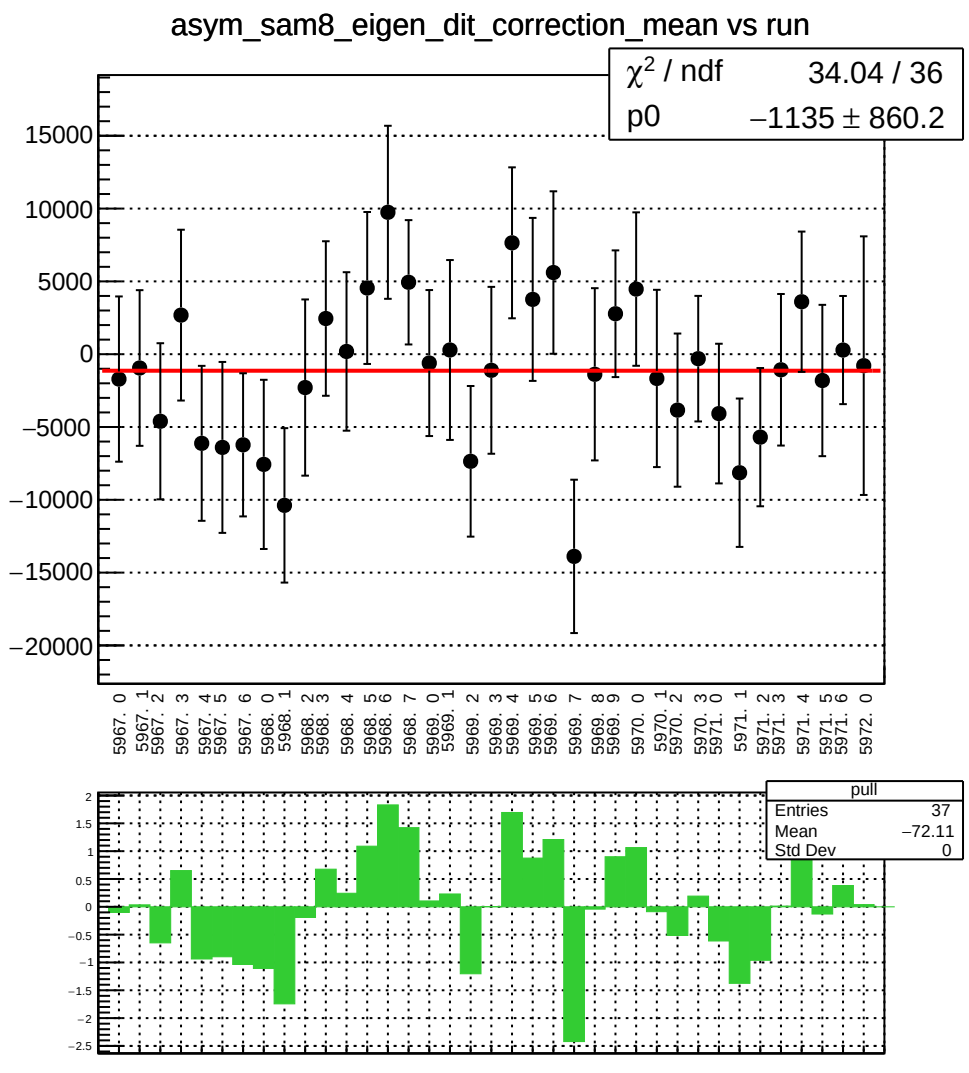
asym_sam8_eigen_dit_correction_mean vs run
χ² / ndf 34.04 / 36
p0 −1135 ± 860.2
15000
10000
5000
0
−5000
−10000
−15000
−20000
5967. 0
5967. 1
5967. 2
5967. 3
5967. 4
5967. 5
5967. 6
5968. 0
5968. 1
5968. 2
5968. 3
5968. 4
5968. 5
5968. 6
5968. 7
5969. 0
5969. 1
5969. 2
5969. 3
5969. 4
5969. 5
5969. 6
5969. 7
5969. 8
5969. 9
5970. 0
5970. 1
5970. 2
5970. 3
5971. 0
5971. 1
5971. 2
5971. 3
5971. 4
5971. 5
5971. 6
5972. 0
pull
Entries 37
Mean −72.11
Std Dev 0
2
1.5
1
0.5
0
−0.5
−1
−1.5
−2
−2.5

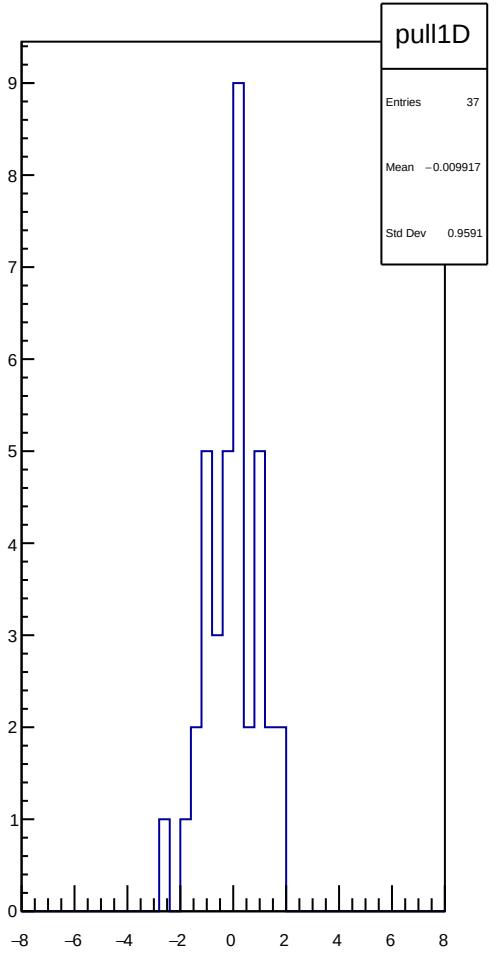
pull1D
Entries 37
Mean −0.009917
Std Dev 0.9591
9
8
7
6
5
4
3
2
1
0
−8
−6
−4
−2
0
2
4
6
8

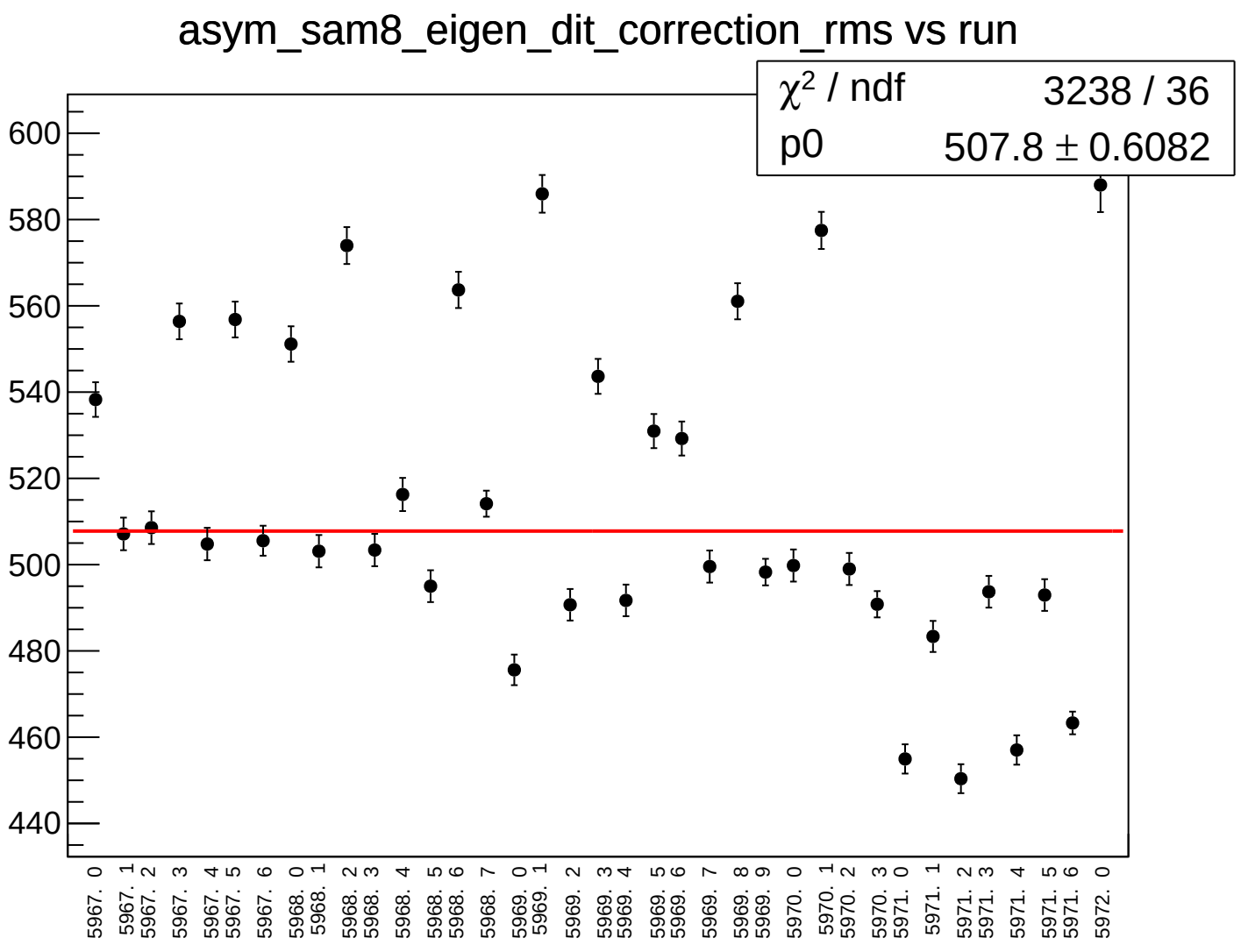
asym_sam8_eigen_dit_correction_rms vs run
χ² / ndf 3238 / 36
p0 507.8 ± 0.6082
600
580
560
540
520
500
480
460
440
5967. 0
5967. 1
5967. 2
5967. 3
5967. 4
5967. 5
5967. 6
5968. 0
5968. 1
5968. 2
5968. 3
5968. 4
5968. 5
5968. 6
5968. 7
5969. 0
5969. 1
5969. 2
5969. 3
5969. 4
5969. 5
5969. 6
5969. 7
5969. 8
5969. 9
5970. 0
5970. 1
5970. 2
5970. 3
5971. 0
5971. 1
5971. 2
5971. 3
5971. 4
5971. 5
5971. 6
5972. 0

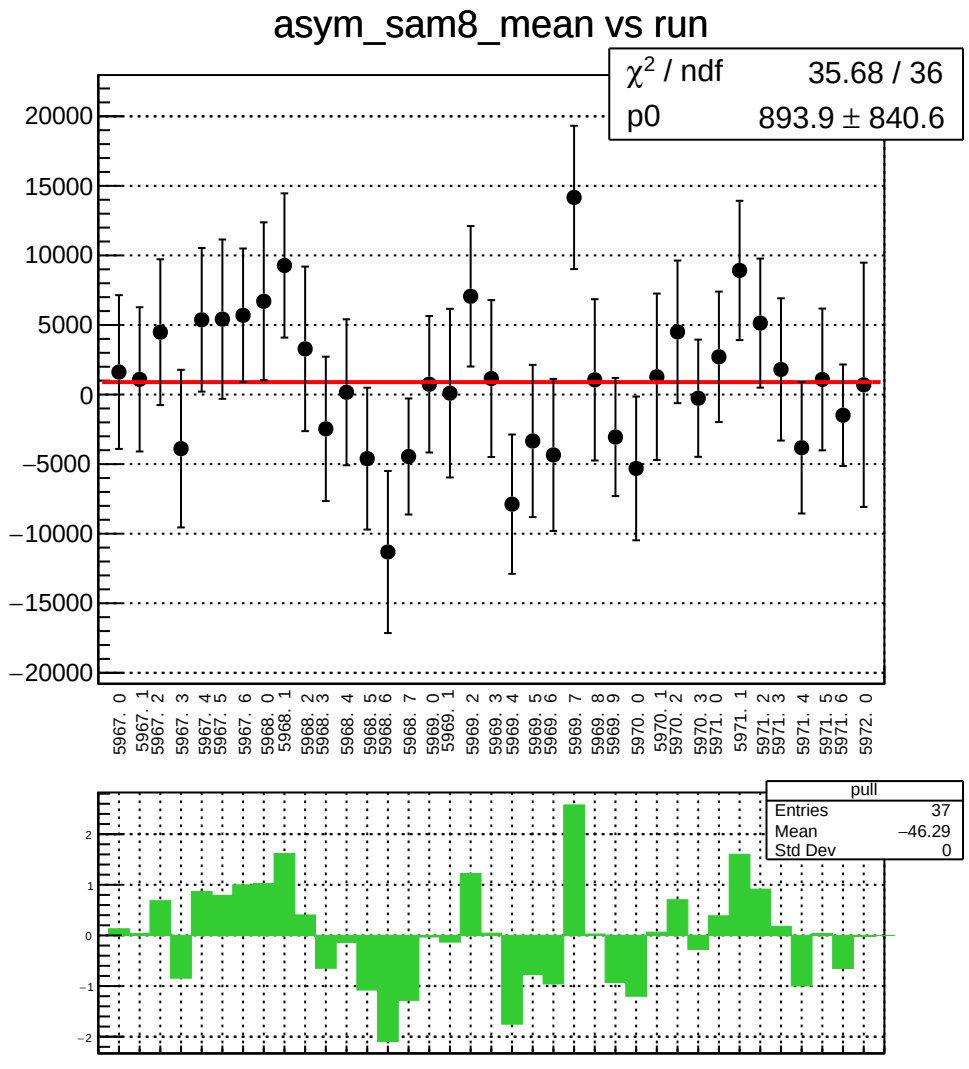
asym_sam8_mean vs run
χ² / ndf 35.68 / 36
p0 893.9 ± 840.6
20000
15000
10000
5000
0
−5000
−10000
−15000
−20000
5967. 0
5967. 1
5967. 2
5967. 3
5967. 4
5967. 5
5967. 6
5968. 0
5968. 1
5968. 2
5968. 3
5968. 4
5968. 5
5968. 6
5968. 7
5969. 0
5969. 1
5969. 2
5969. 3
5969. 4
5969. 5
5969. 6
5969. 7
5969. 8
5969. 9
5970. 0
5970. 1
5970. 2
5970. 3
5971. 0
5971. 1
5971. 2
5971. 3
5971. 4
5971. 5
5971. 6
5972. 0
pull
Entries 37
Mean −46.29
Std Dev 0
2
1
0
−1
−2

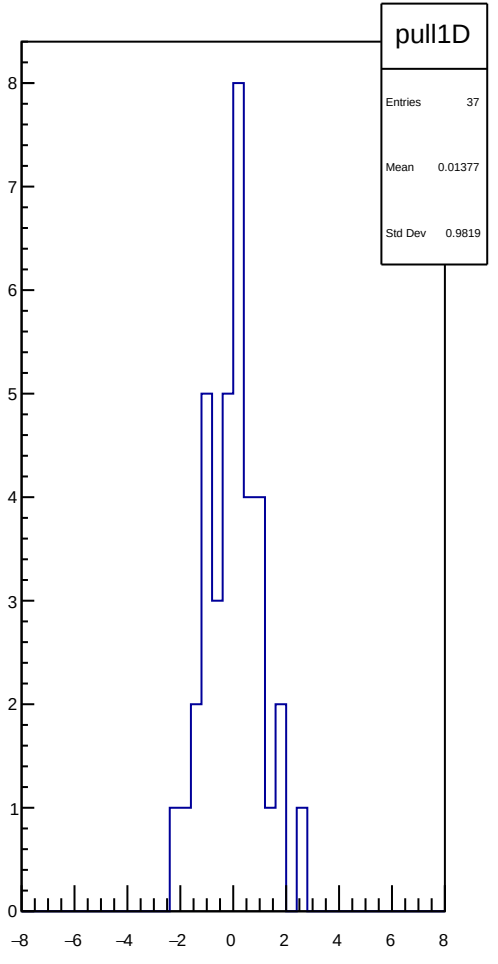
pull1D
Entries 37
Mean 0.01377
Std Dev 0.9819
8
7
6
5
4
3
2
1
0
−8
−6
−4
−2
0
2
4
6
8

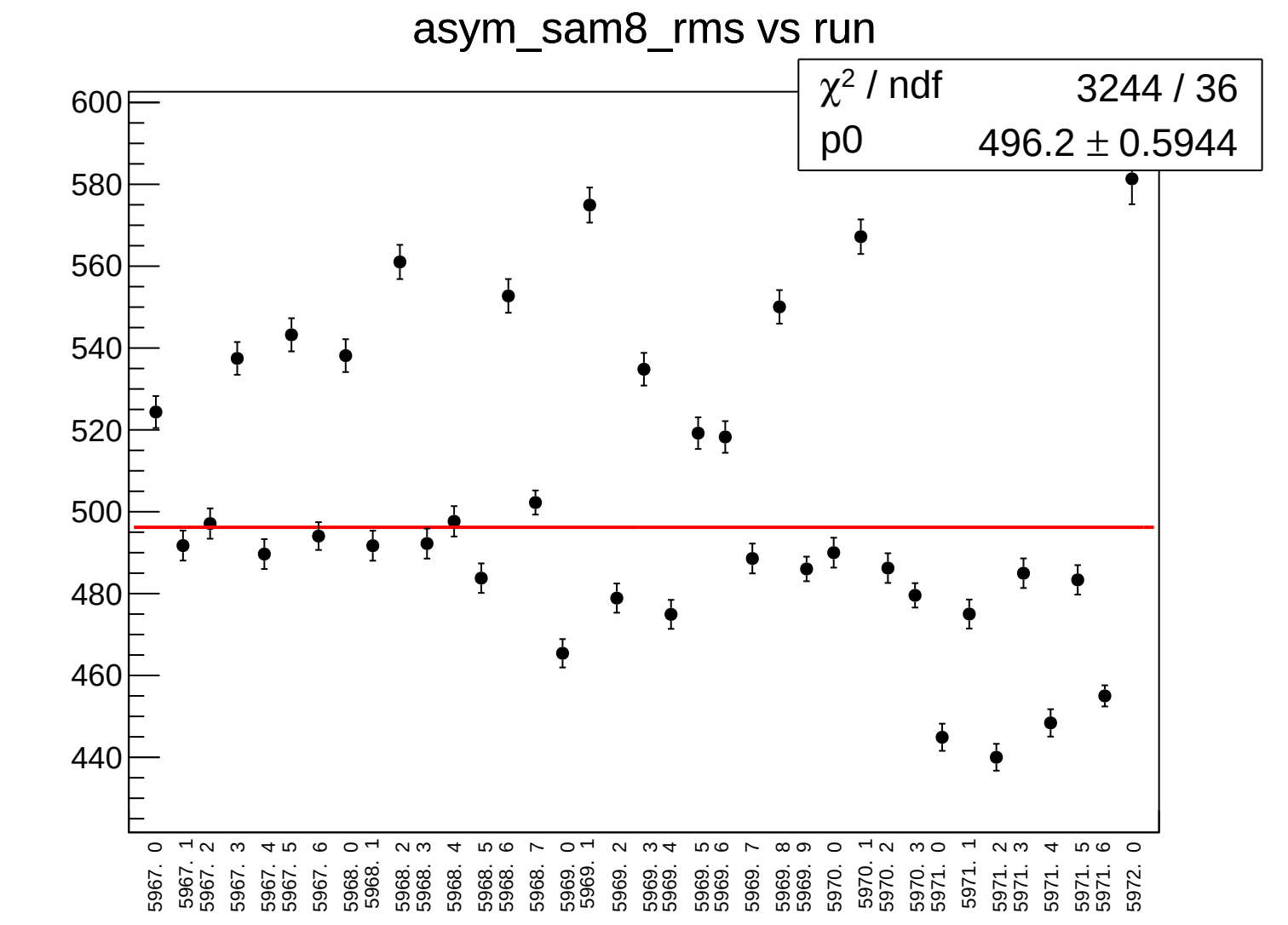
asym_sam8_rms vs run
χ² / ndf 3244 / 36
p0 496.2 ± 0.5944
600
580
560
540
520
500
480
460
440
5967. 0
5967. 1
5967. 2
5967. 3
5967. 4
5967. 5
5967. 6
5968. 0
5968. 1
5968. 2
5968. 3
5968. 4
5968. 5
5968. 6
5968. 7
5969. 0
5969. 1
5969. 2
5969. 3
5969. 4
5969. 5
5969. 6
5969. 7
5969. 8
5969. 9
5970. 0
5970. 1
5970. 2
5970. 3
5971. 0
5971. 1
5971. 2
5971. 3
5971. 4
5971. 5
5971. 6
5972. 0

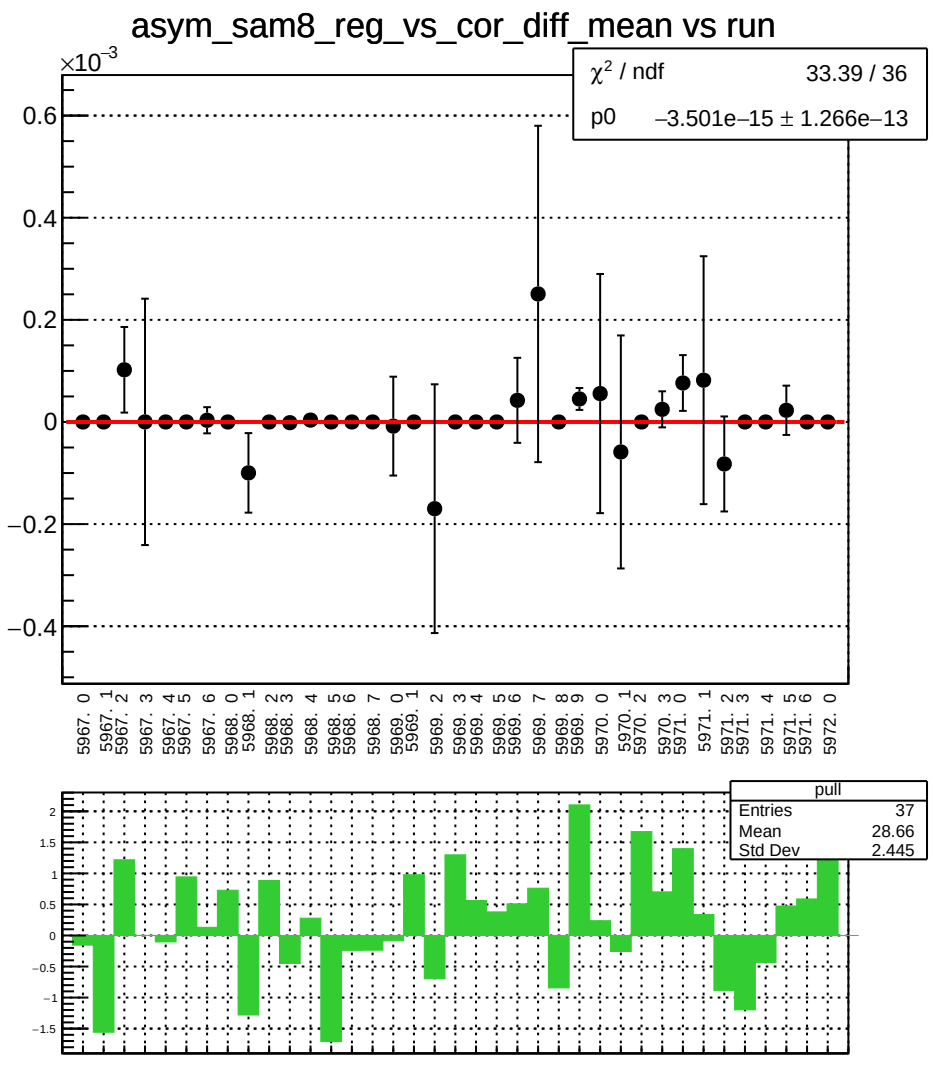
asym_sam8_reg_vs_cor_diff_mean vs run
×10⁻³
χ² / ndf 33.39 / 36
p0 −3.501e−15 ± 1.266e−13
pull
Entries 37
Mean 28.66
Std Dev 2.445

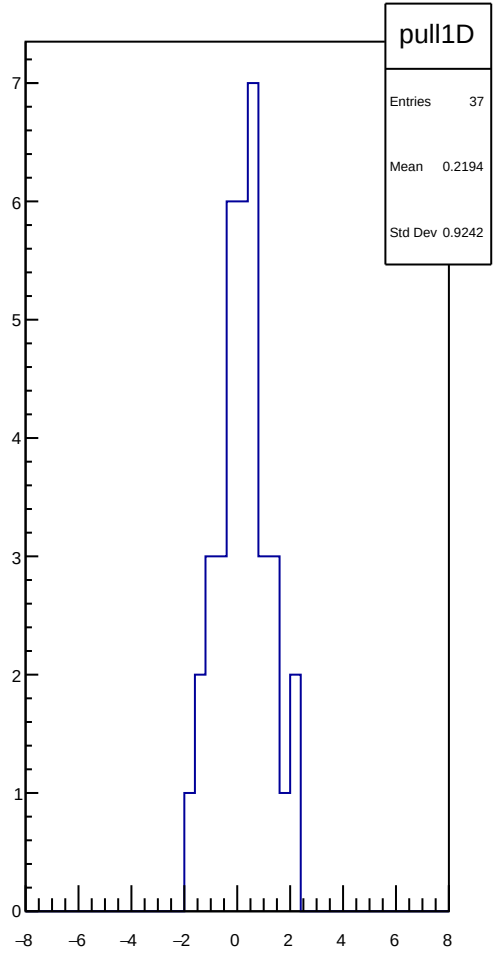
pull1D
Entries 37
Mean 0.2194
Std Dev 0.9242

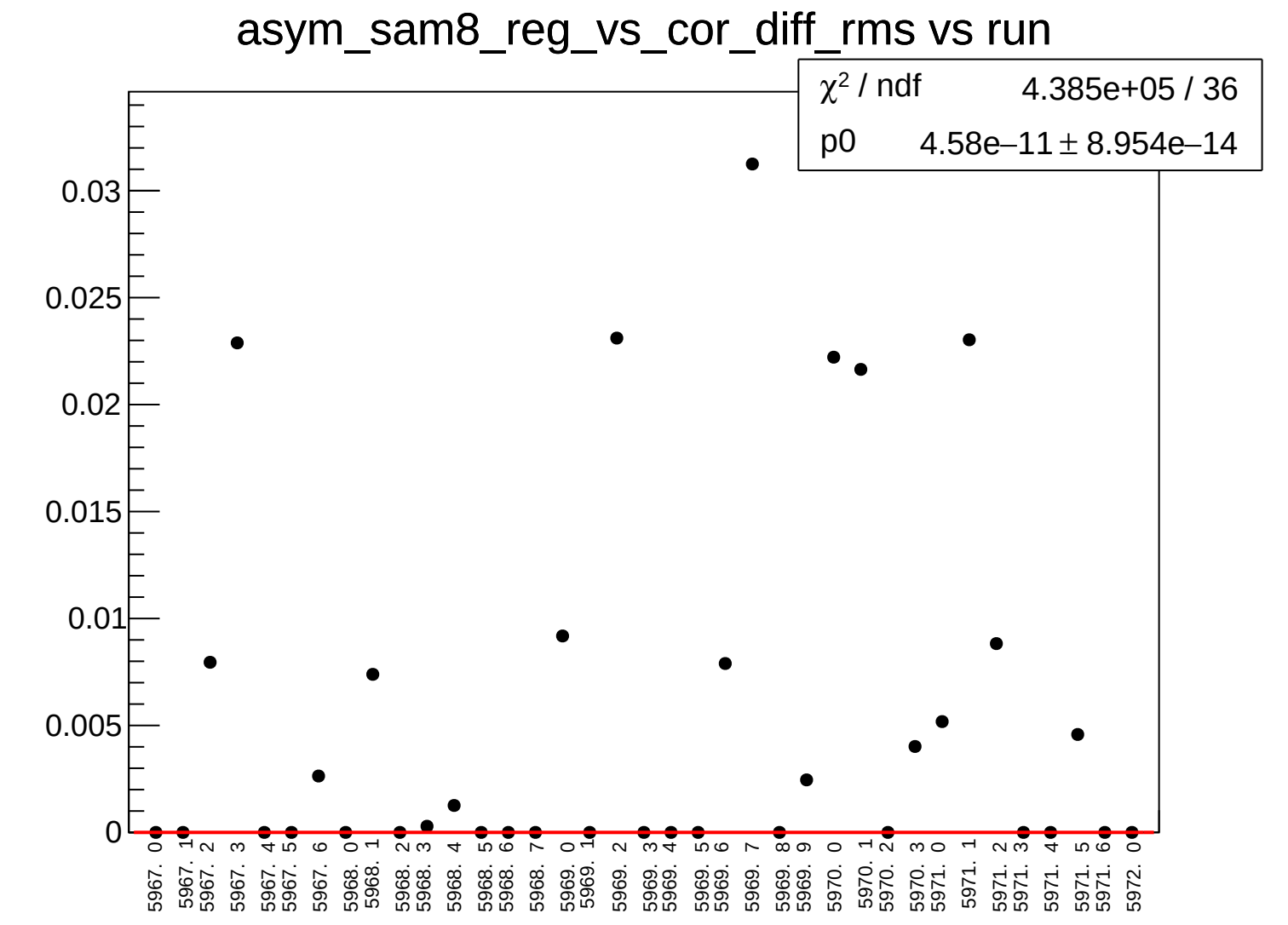
asym_sam8_reg_vs_cor_diff_rms vs run
χ² / ndf 4.385e+05 / 36
p0 4.58e−11 ± 8.954e−14
0.03
0.025
0.02
0.015
0.01
0.005
0
5967. 0
5967. 1
5967. 2
5967. 3
5967. 4
5967. 5
5967. 6
5968. 0
5968. 1
5968. 2
5968. 3
5968. 4
5968. 5
5968. 6
5968. 7
5969. 0
5969. 1
5969. 2
5969. 3
5969. 4
5969. 5
5969. 6
5969. 7
5969. 8
5969. 9
5970. 0
5970. 1
5970. 2
5970. 3
5971. 0
5971. 1
5971. 2
5971. 3
5971. 4
5971. 5
5971. 6
5972. 0

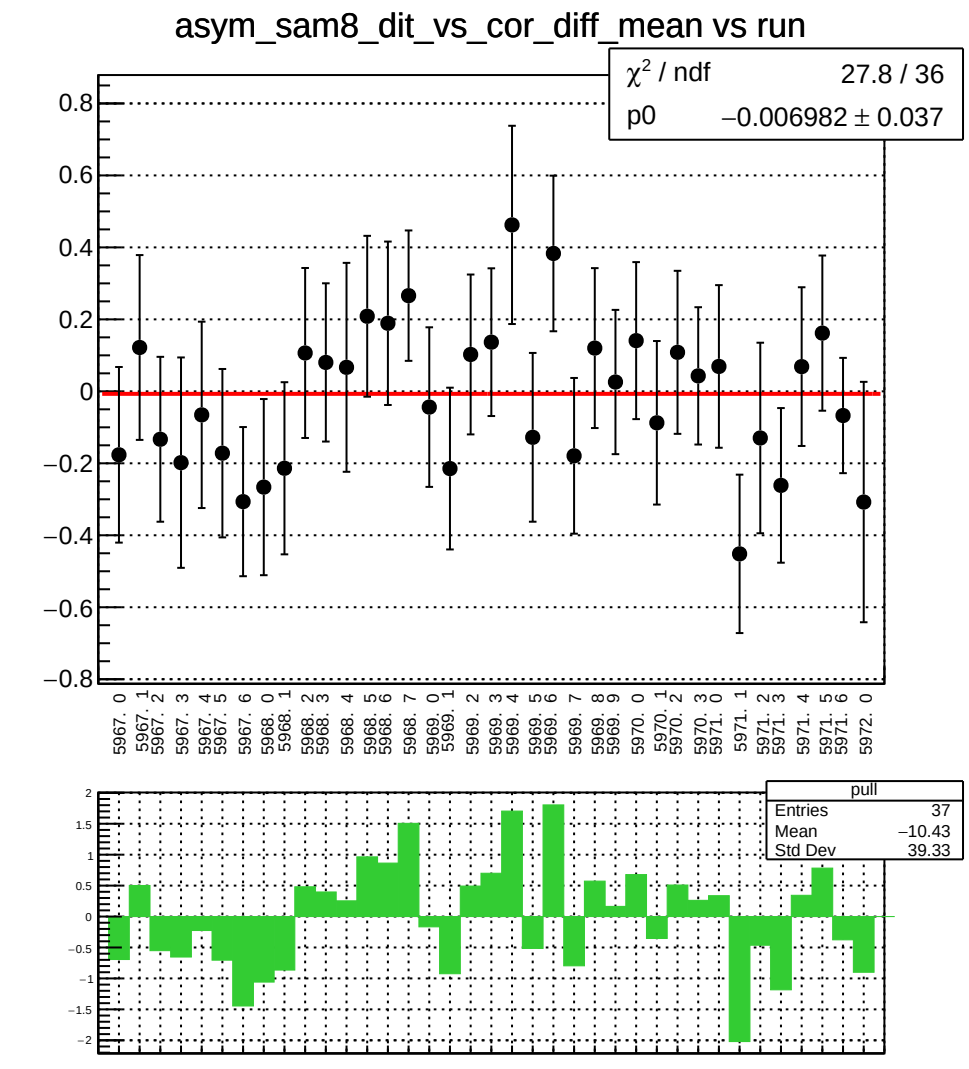
asym_sam8_dit_vs_cor_diff_mean vs run
χ² / ndf 27.8 / 36
p0 −0.006982 ± 0.037
pull
Entries 37
Mean −10.43
Std Dev 39.33

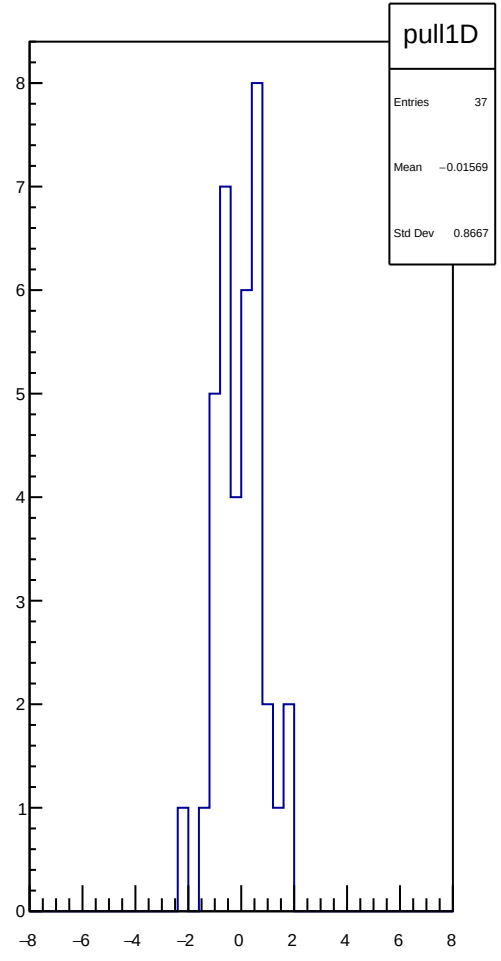
pull1D
Entries 37
Mean −0.01569
Std Dev 0.8667

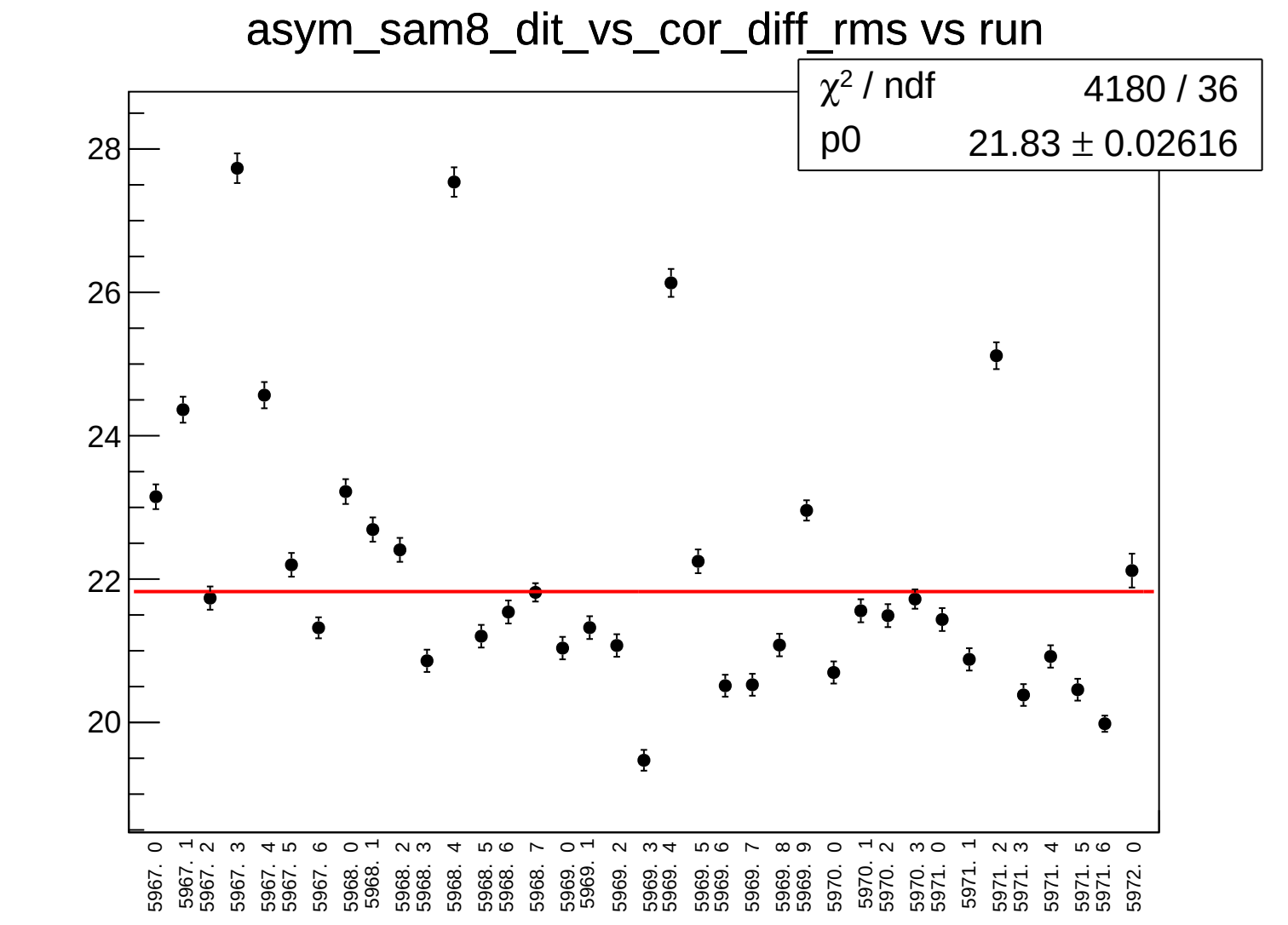
asym_sam8_dit_vs_cor_diff_rms vs run
χ² / ndf 4180 / 36
p0 21.83 ± 0.02616
28
26
24
22
20
5967. 0
5967. 1
5967. 2
5967. 3
5967. 4
5967. 5
5967. 6
5968. 0
5968. 1
5968. 2
5968. 3
5968. 4
5968. 5
5968. 6
5968. 7
5969. 0
5969. 1
5969. 2
5969. 3
5969. 4
5969. 5
5969. 6
5969. 7
5969. 8
5969. 9
5970. 0
5970. 1
5970. 2
5970. 3
5971. 0
5971. 1
5971. 2
5971. 3
5971. 4
5971. 5
5971. 6
5972. 0

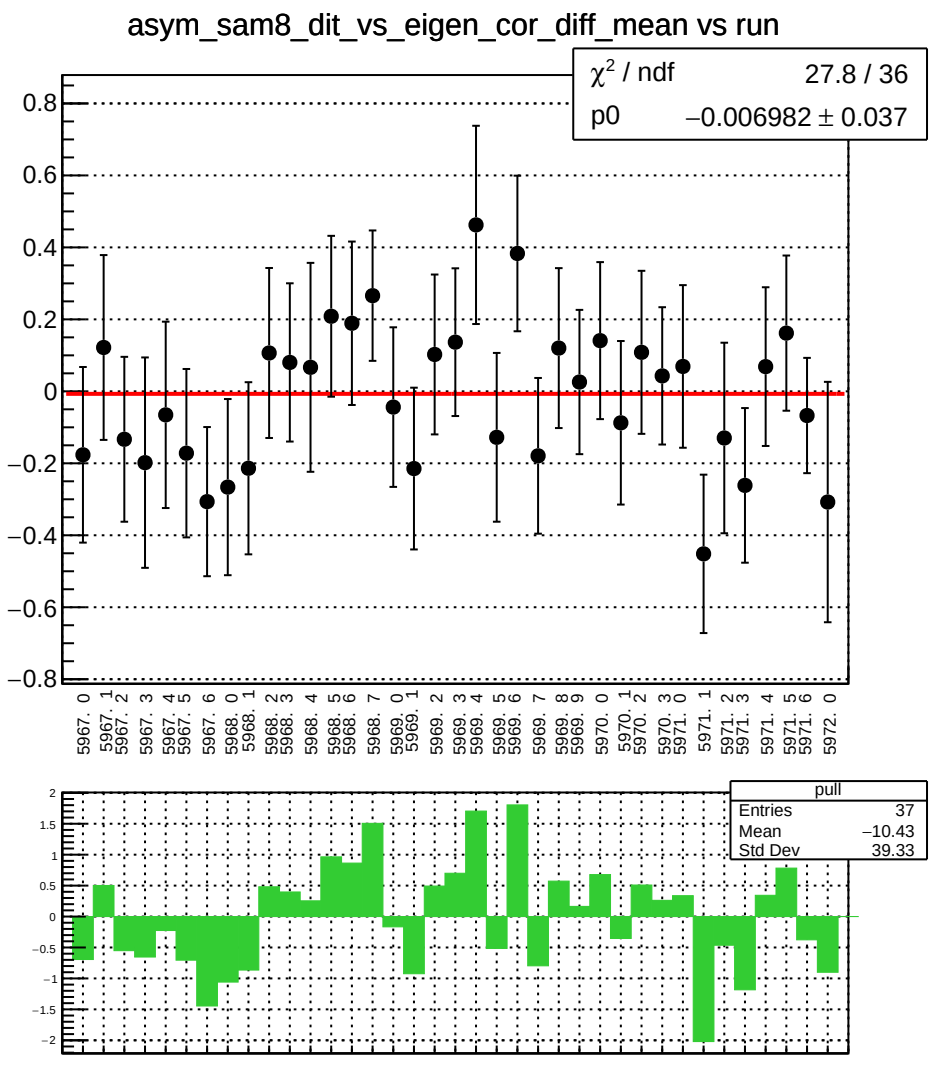
asym_sam8_dit_vs_eigen_cor_diff_mean vs run
χ² / ndf 27.8 / 36
p0 −0.006982 ± 0.037
0.8
0.6
0.4
0.2
0
−0.2
−0.4
−0.6
−0.8
5967. 0
5967. 1
5967. 2
5967. 3
5967. 4
5967. 5
5967. 6
5968. 0
5968. 1
5968. 2
5968. 3
5968. 4
5968. 5
5968. 6
5968. 7
5969. 0
5969. 1
5969. 2
5969. 3
5969. 4
5969. 5
5969. 6
5969. 7
5969. 8
5969. 9
5970. 0
5970. 1
5970. 2
5970. 3
5971. 0
5971. 1
5971. 2
5971. 3
5971. 4
5971. 5
5971. 6
5972. 0
pull
Entries 37
Mean −10.43
Std Dev 39.33
2
1.5
1
0.5
0
−0.5
−1
−1.5
−2

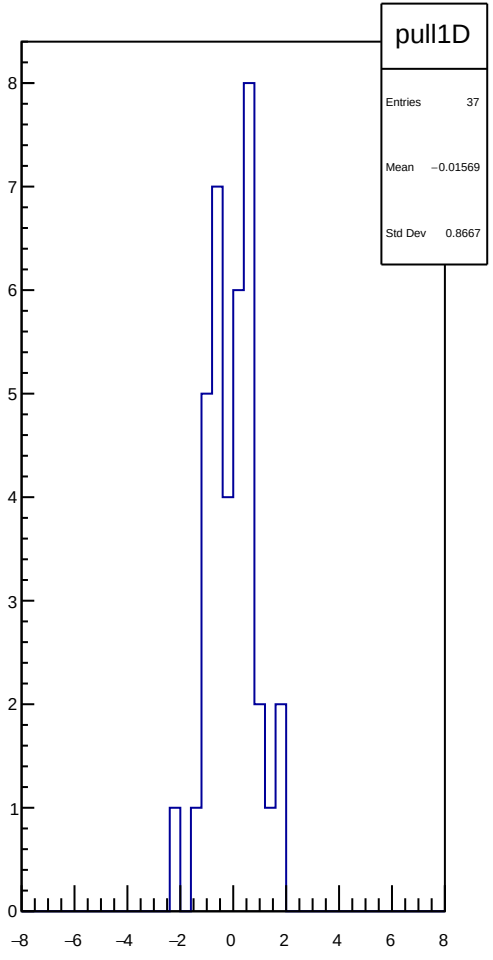
pull1D
Entries 37
Mean −0.01569
Std Dev 0.8667
8
7
6
5
4
3
2
1
0
−8
−6
−4
−2
0
2
4
6
8

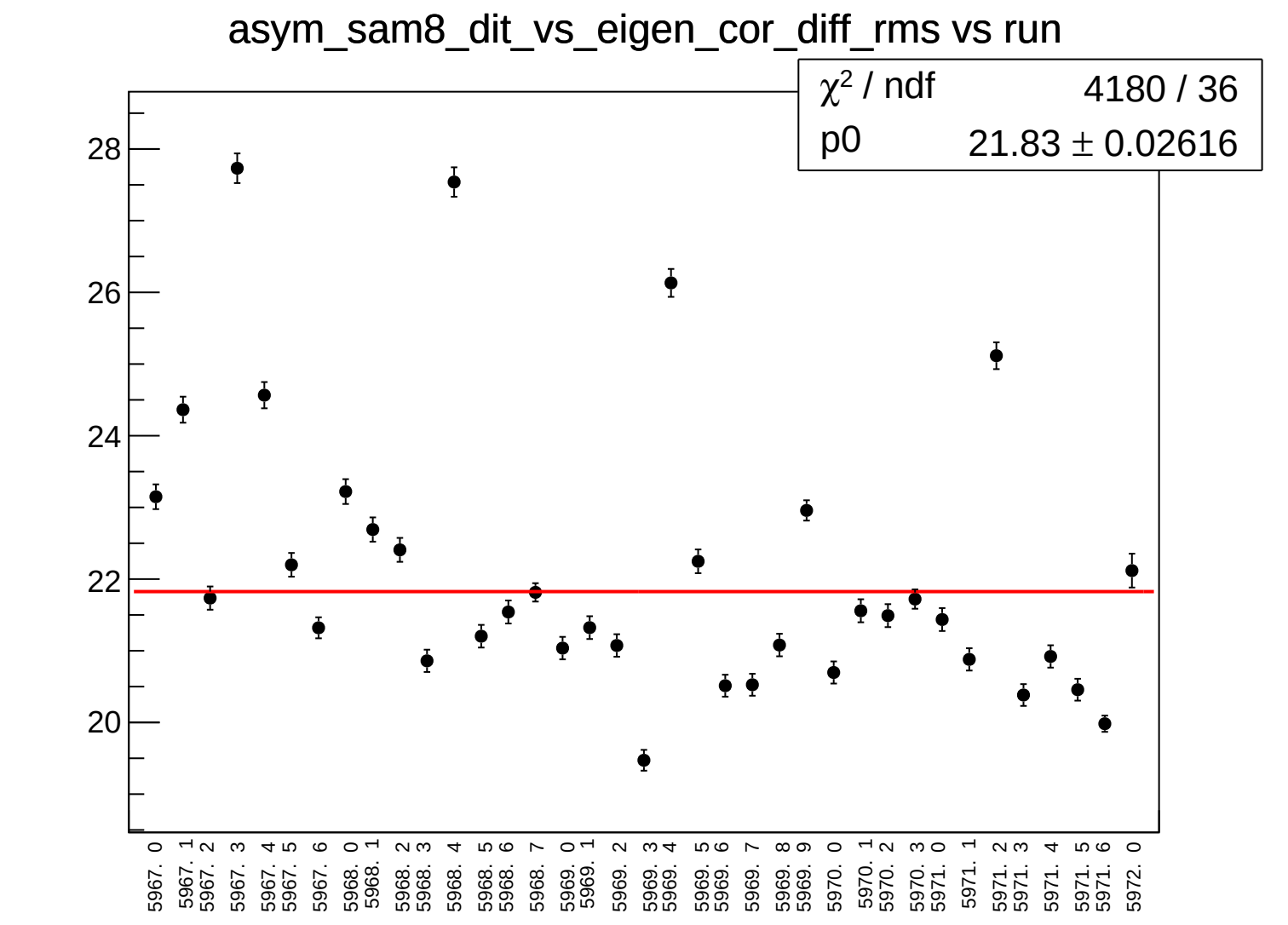
asym_sam8_dit_vs_eigen_cor_diff_rms vs run
χ² / ndf 4180 / 36
p0 21.83 ± 0.02616
28
26
24
22
20
5967. 0
5967. 1
5967. 2
5967. 3
5967. 4
5967. 5
5967. 6
5968. 0
5968. 1
5968. 2
5968. 3
5968. 4
5968. 5
5968. 6
5968. 7
5969. 0
5969. 1
5969. 2
5969. 3
5969. 4
5969. 5
5969. 6
5969. 7
5969. 8
5969. 9
5970. 0
5970. 1
5970. 2
5970. 3
5971. 0
5971. 1
5971. 2
5971. 3
5971. 4
5971. 5
5971. 6
5972. 0

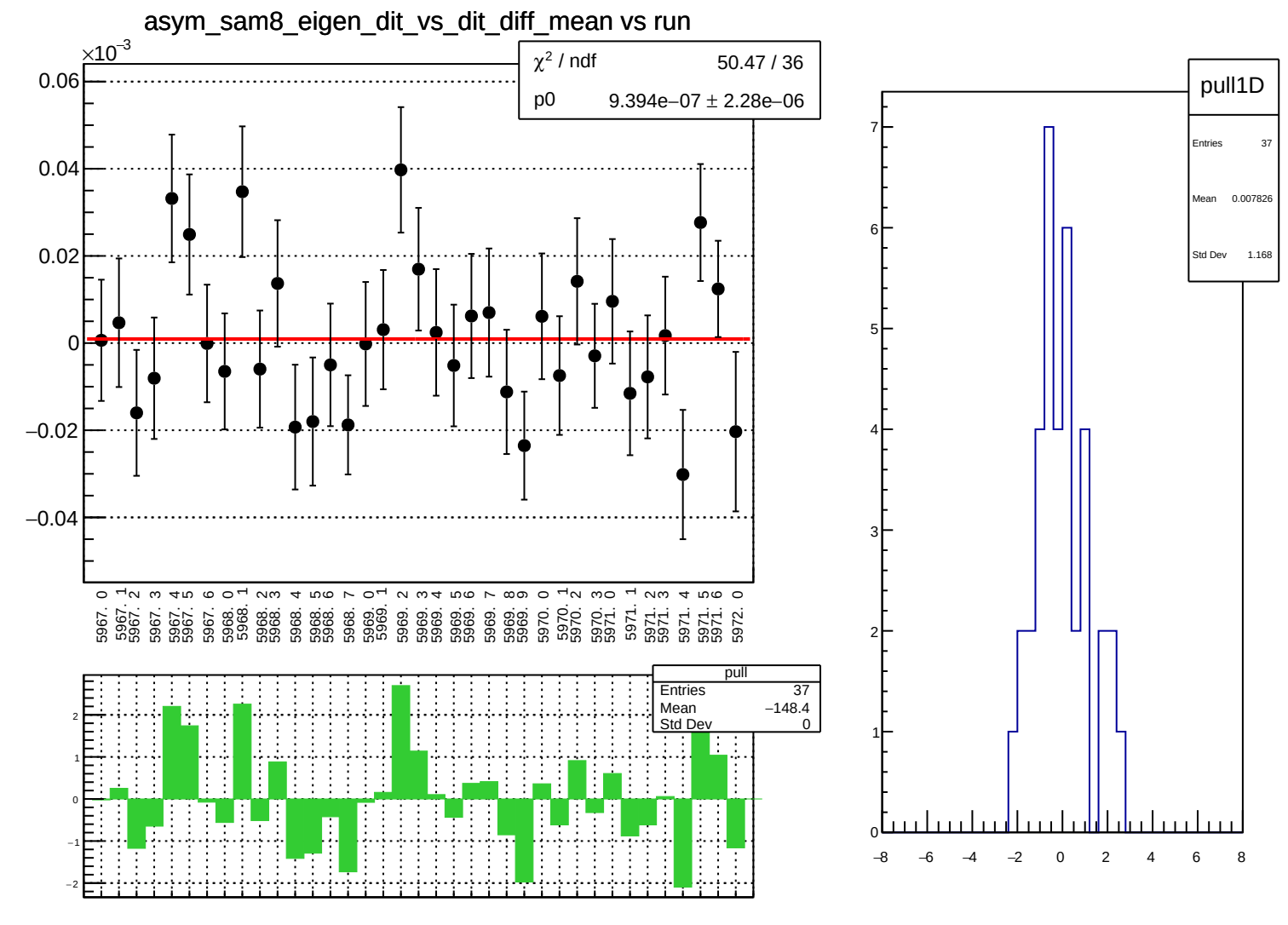
asym_sam8_eigen_dit_vs_dit_diff_mean vs run
×10⁻³
χ² / ndf 50.47 / 36
p0 9.394e−07 ± 2.28e−06
0.06
0.04
0.02
0
−0.02
−0.04
5967. 0
5967. 1
5967. 2
5967. 3
5967. 4
5967. 5
5967. 6
5968. 0
5968. 1
5968. 2
5968. 3
5968. 4
5968. 5
5968. 6
5968. 7
5969. 0
5969. 1
5969. 2
5969. 3
5969. 4
5969. 5
5969. 6
5969. 7
5969. 8
5969. 9
5970. 0
5970. 1
5970. 2
5970. 3
5971. 0
5971. 1
5971. 2
5971. 3
5971. 4
5971. 5
5971. 6
5972. 0
pull
Entries 37
Mean −148.4
Std Dev 0
2
1
0
−1
−2
pull1D
Entries 37
Mean 0.007826
Std Dev 1.168
7
6
5
4
3
2
1
0
−8
−6
−4
−2
0
2
4
6
8

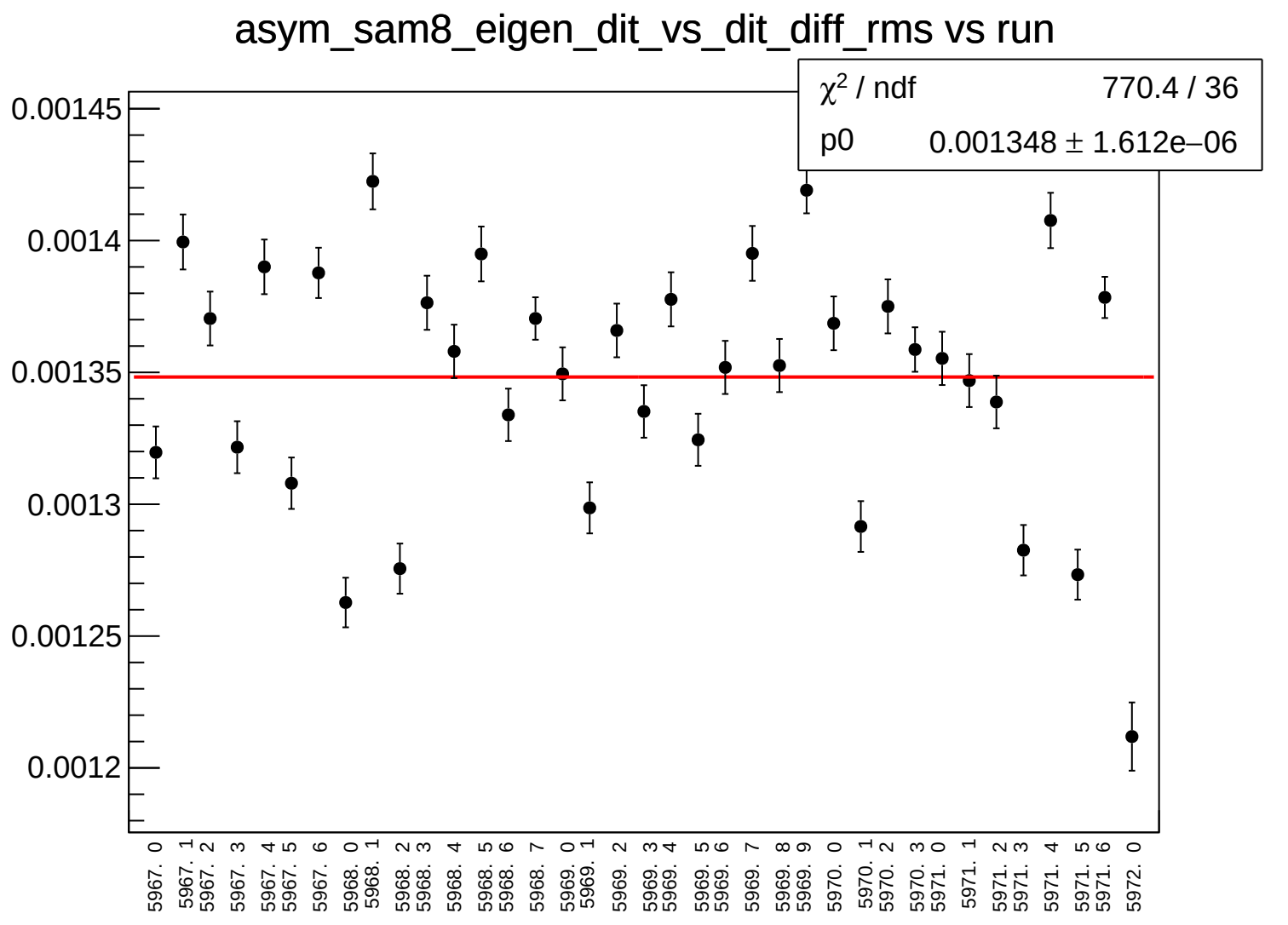
asym_sam8_eigen_dit_vs_dit_diff_rms vs run
χ² / ndf 770.4 / 36
p0 0.001348 ± 1.612e−06
0.00145
0.0014
0.00135
0.0013
0.00125
0.0012
5967. 0
5967. 1
5967. 2
5967. 3
5967. 4
5967. 5
5967. 6
5968. 0
5968. 1
5968. 2
5968. 3
5968. 4
5968. 5
5968. 6
5968. 7
5969. 0
5969. 1
5969. 2
5969. 3
5969. 4
5969. 5
5969. 6
5969. 7
5969. 8
5969. 9
5970. 0
5970. 1
5970. 2
5970. 3
5971. 0
5971. 1
5971. 2
5971. 3
5971. 4
5971. 5
5971. 6
5972. 0

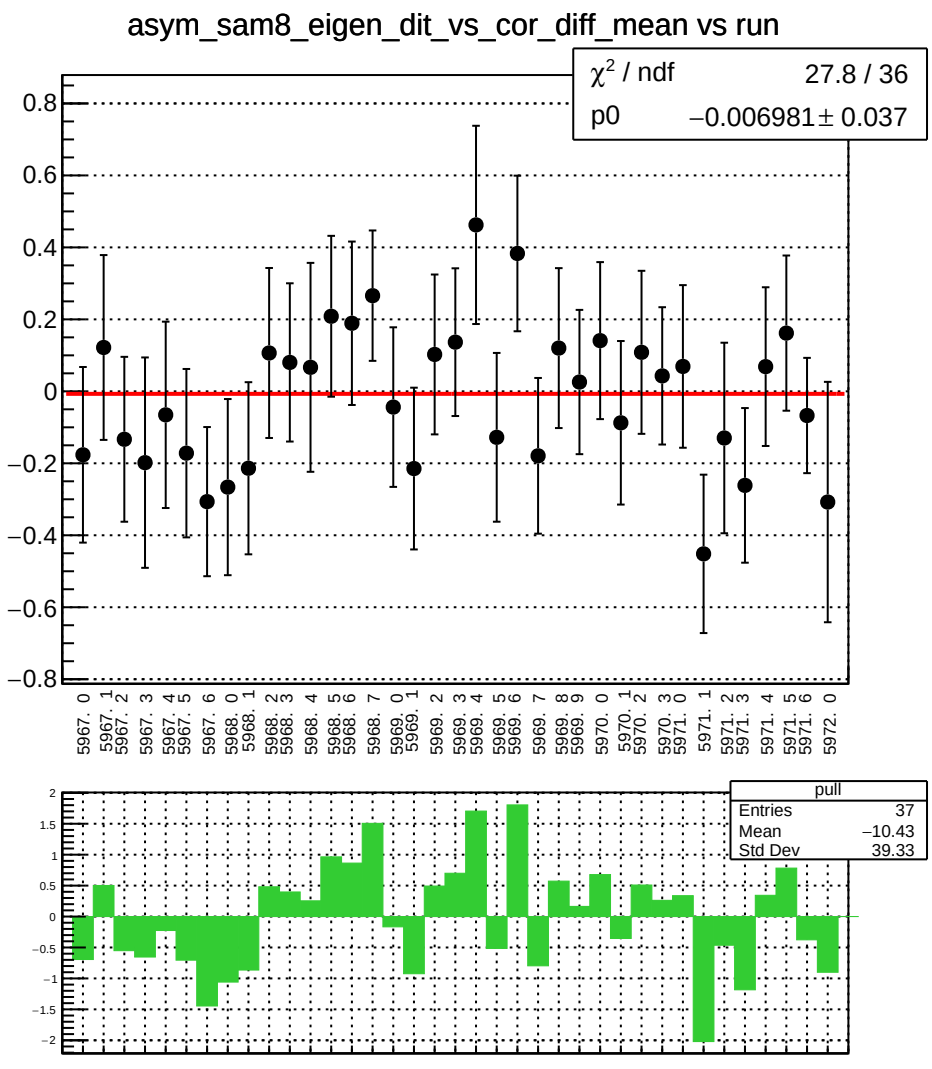
asym_sam8_eigen_dit_vs_cor_diff_mean vs run
χ² / ndf 27.8 / 36
p0 −0.006981 ± 0.037
pull
Entries 37
Mean −10.43
Std Dev 39.33

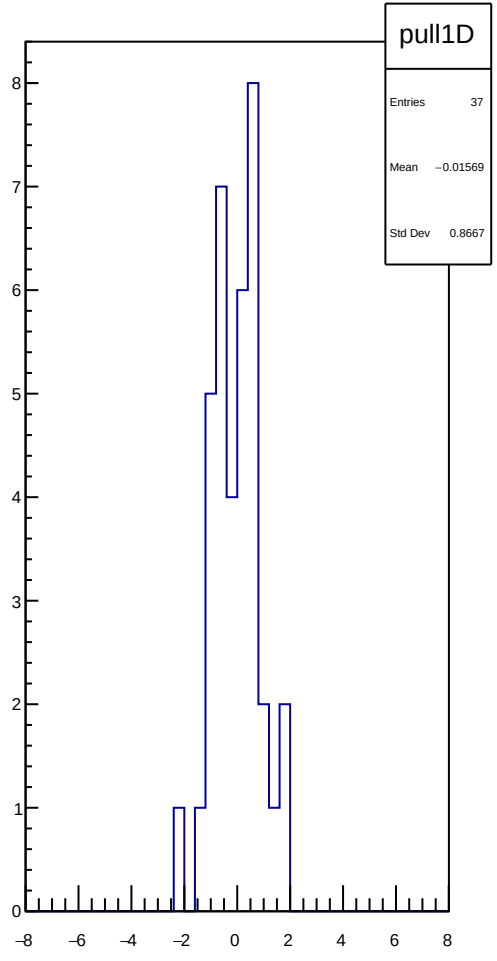
pull1D
Entries 37
Mean −0.01569
Std Dev 0.8667

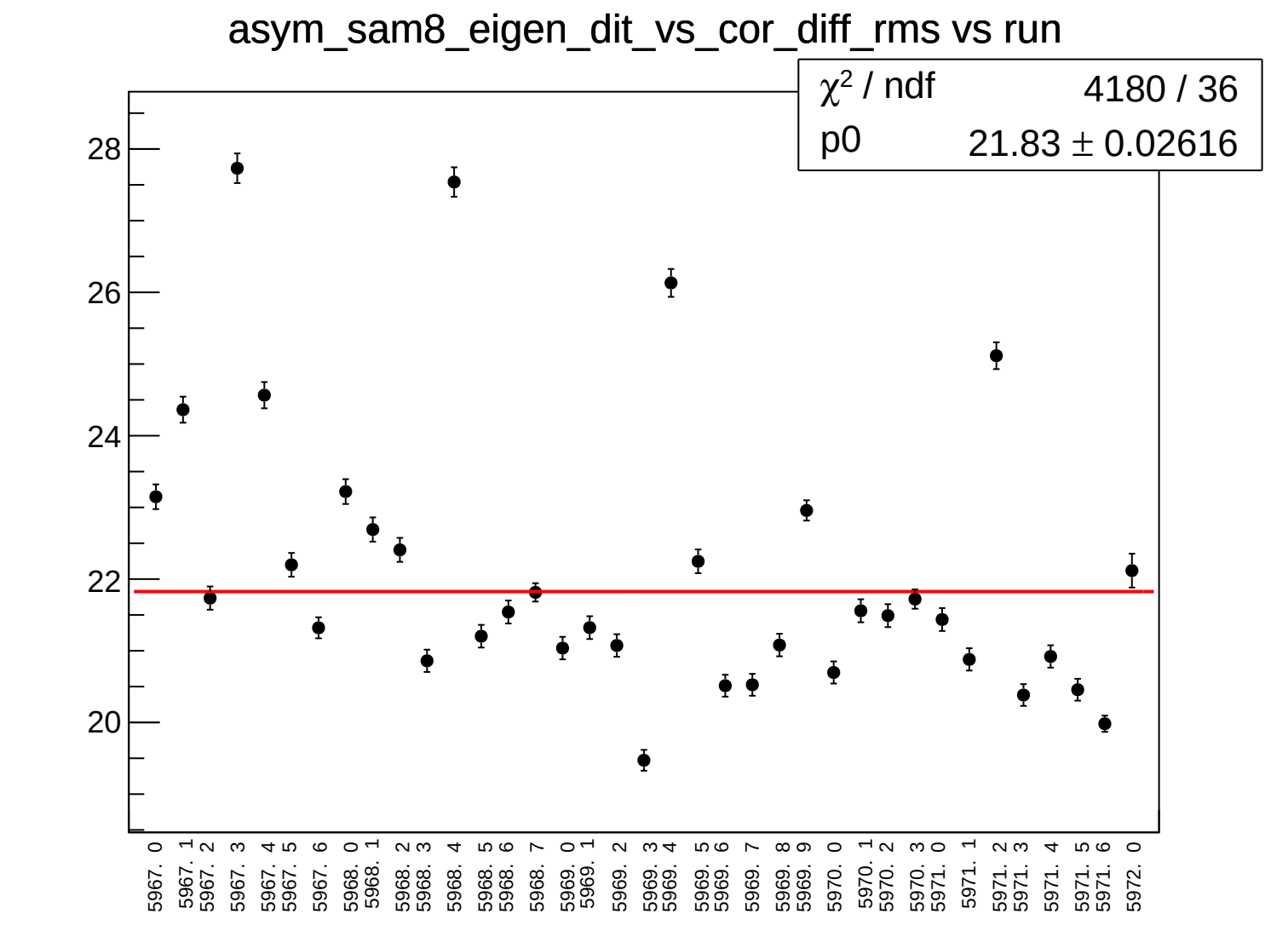
asym_sam8_eigen_dit_vs_cor_diff_rms vs run
χ² / ndf 4180 / 36
p0 21.83 ± 0.02616
28
26
24
22
20
5967. 0
5967. 1
5967. 2
5967. 3
5967. 4
5967. 5
5967. 6
5968. 0
5968. 1
5968. 2
5968. 3
5968. 4
5968. 5
5968. 6
5968. 7
5969. 0
5969. 1
5969. 2
5969. 3
5969. 4
5969. 5
5969. 6
5969. 7
5969. 8
5969. 9
5970. 0
5970. 1
5970. 2
5970. 3
5971. 0
5971. 1
5971. 2
5971. 3
5971. 4
5971. 5
5971. 6
5972. 0

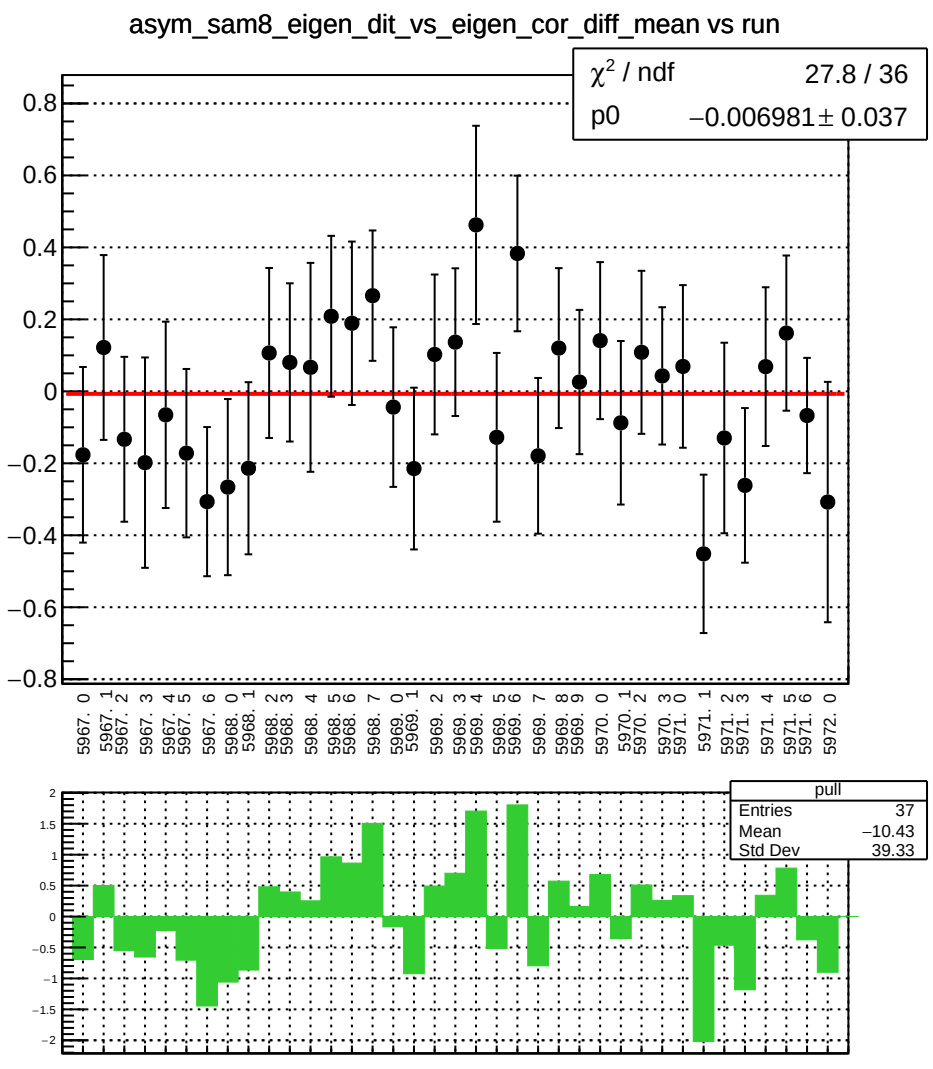
asym_sam8_eigen_dit_vs_eigen_cor_diff_mean vs run
χ² / ndf 27.8 / 36
p0 −0.006981 ± 0.037
pull
Entries 37
Mean −10.43
Std Dev 39.33

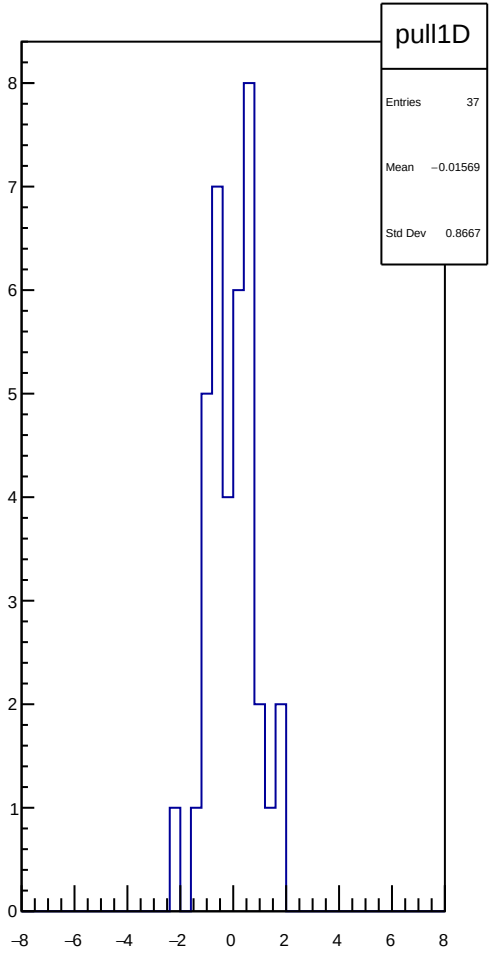
pull1D
Entries 37
Mean −0.01569
Std Dev 0.8667

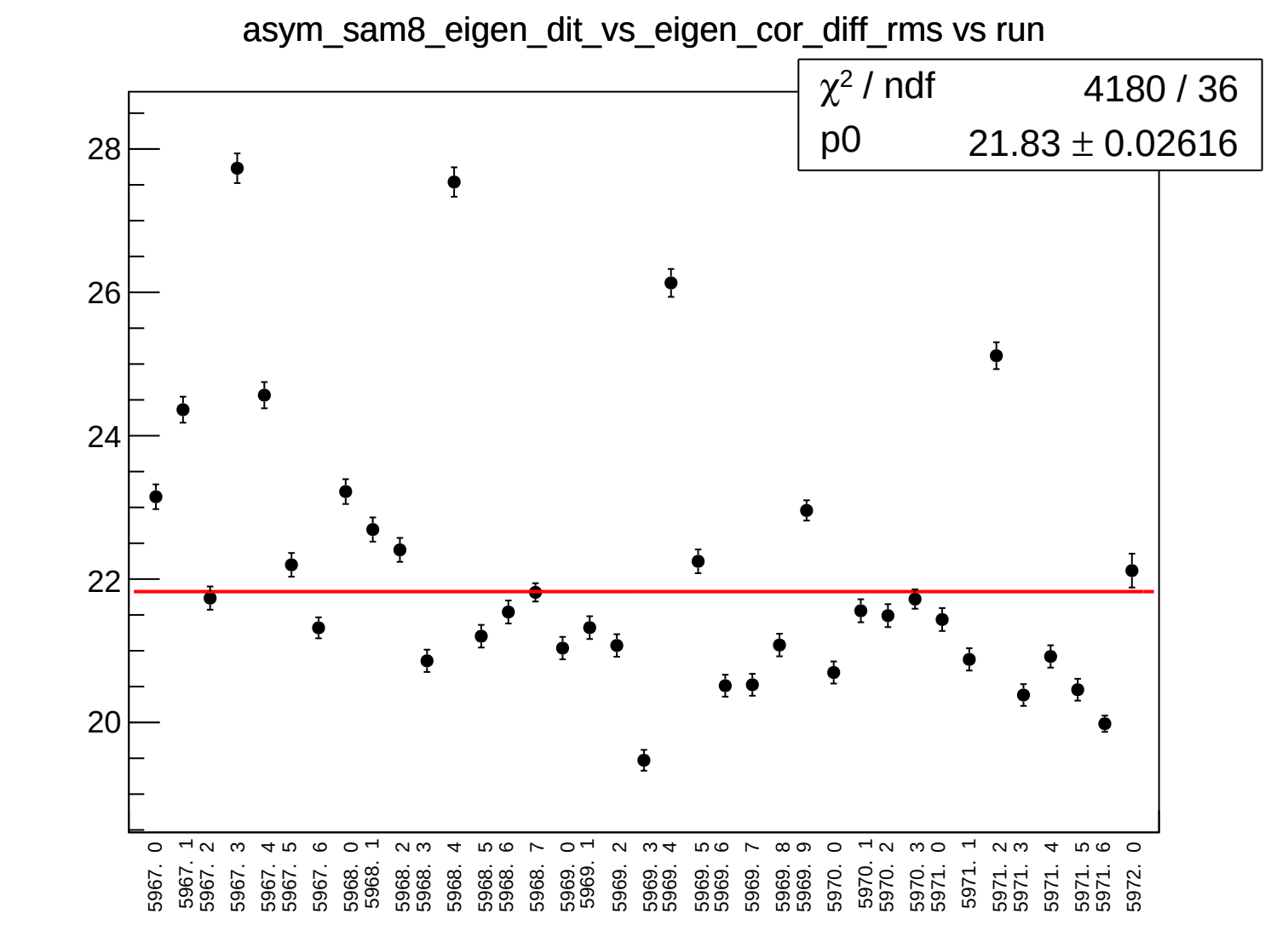
asym_sam8_eigen_dit_vs_eigen_cor_diff_rms vs run
χ² / ndf 4180 / 36
p0 21.83 ± 0.02616
28
26
24
22
20
5967. 0
5967. 1
5967. 2
5967. 3
5967. 4
5967. 5
5967. 6
5968. 0
5968. 1
5968. 2
5968. 3
5968. 4
5968. 5
5968. 6
5968. 7
5969. 0
5969. 1
5969. 2
5969. 3
5969. 4
5969. 5
5969. 6
5969. 7
5969. 8
5969. 9
5970. 0
5970. 1
5970. 2
5970. 3
5971. 0
5971. 1
5971. 2
5971. 3
5971. 4
5971. 5
5971. 6
5972. 0

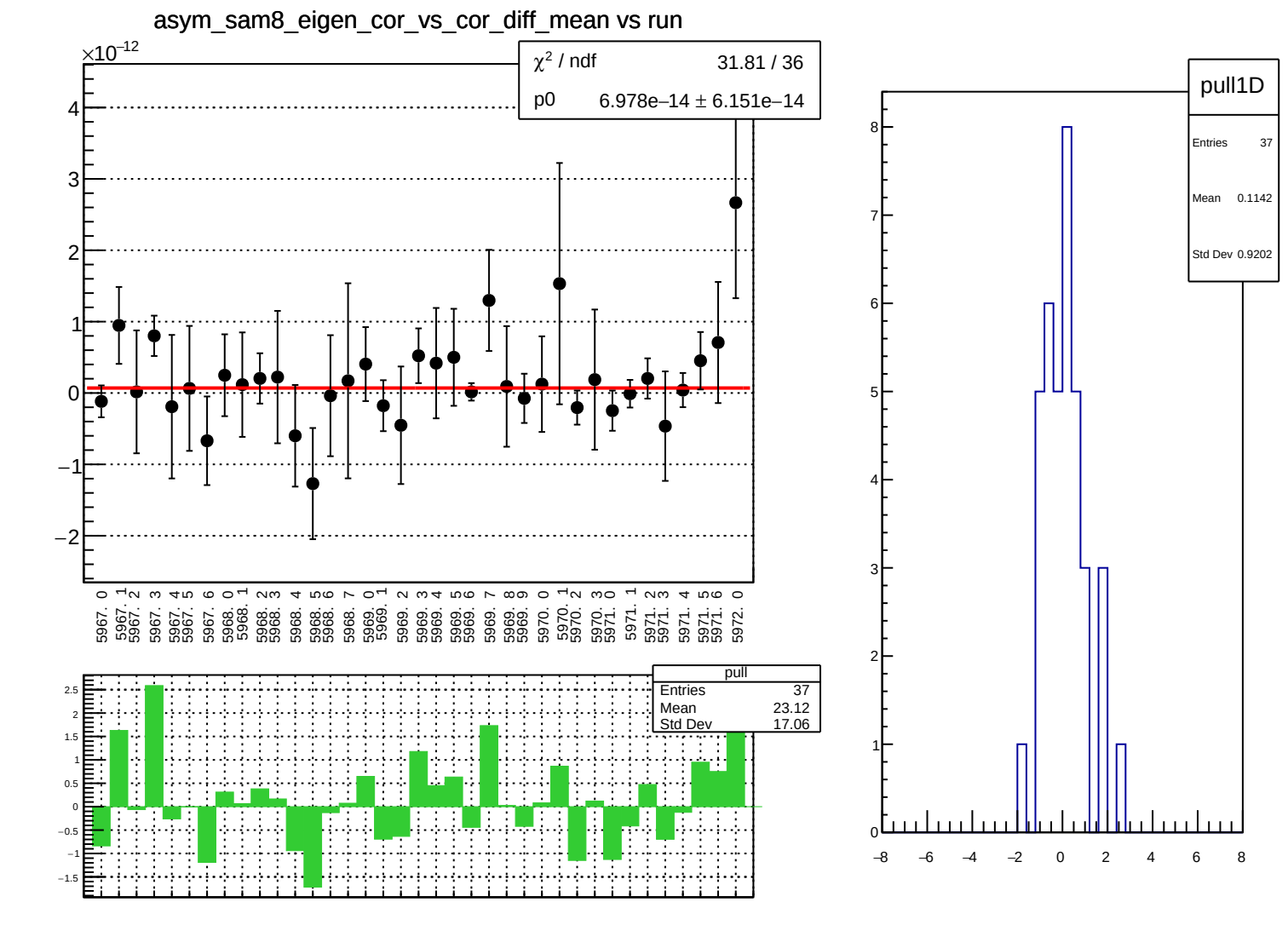
asym_sam8_eigen_cor_vs_cor_diff_mean vs run
×10⁻¹²
χ² / ndf 31.81 / 36
p0 6.978e−14 ± 6.151e−14
pull
Entries 37
Mean 23.12
Std Dev 17.06
pull1D
Entries 37
Mean 0.1142
Std Dev 0.9202

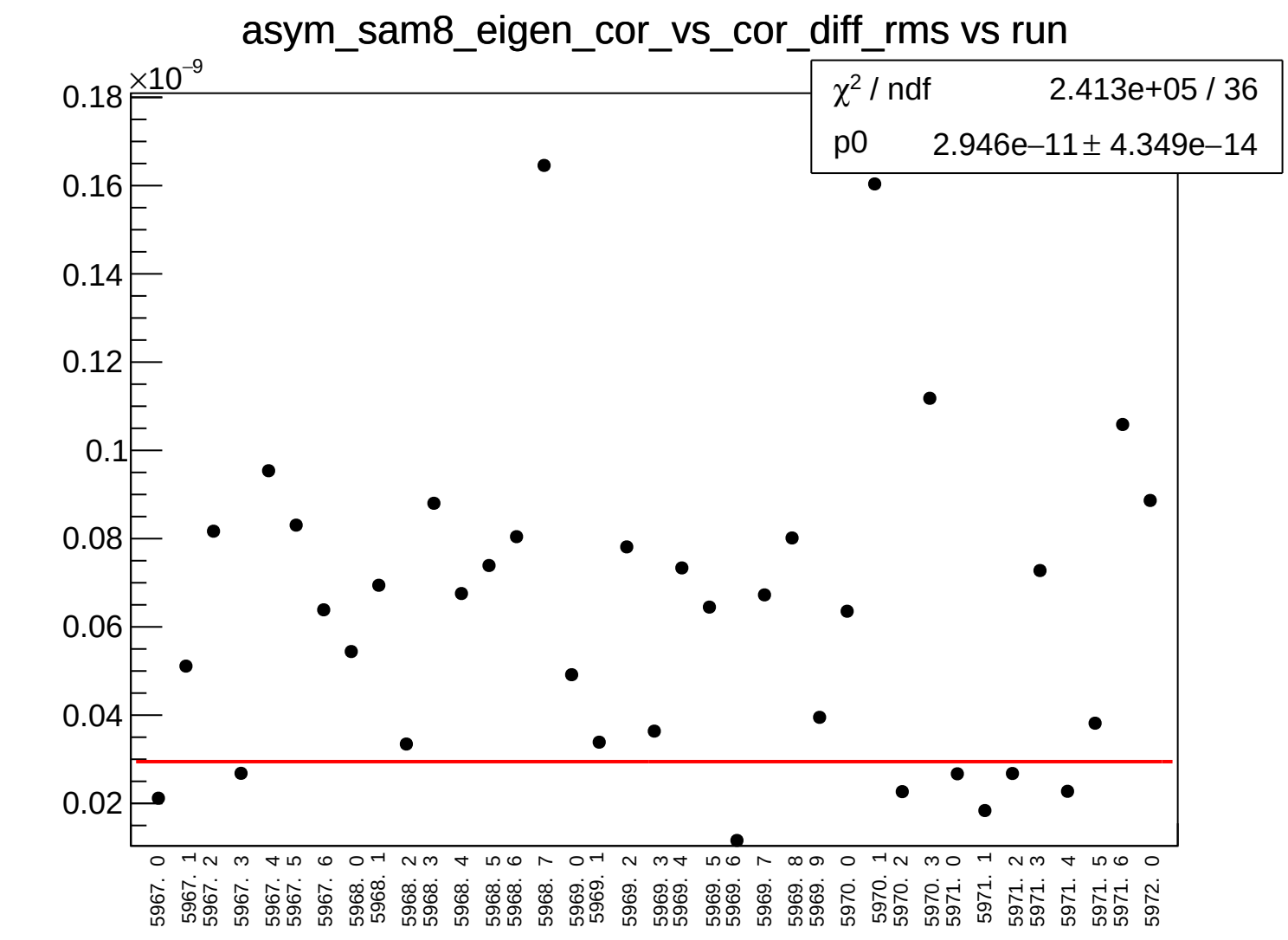
asym_sam8_eigen_cor_vs_cor_diff_rms vs run
×10⁻⁹
χ² / ndf 2.413e+05 / 36
p0 2.946e−11 ± 4.349e−14
0.18
0.16
0.14
0.12
0.1
0.08
0.06
0.04
0.02
5967. 0
5967. 1
5967. 2
5967. 3
5967. 4
5967. 5
5967. 6
5968. 0
5968. 1
5968. 2
5968. 3
5968. 4
5968. 5
5968. 6
5968. 7
5969. 0
5969. 1
5969. 2
5969. 3
5969. 4
5969. 5
5969. 6
5969. 7
5969. 8
5969. 9
5970. 0
5970. 1
5970. 2
5970. 3
5971. 0
5971. 1
5971. 2
5971. 3
5971. 4
5971. 5
5971. 6
5972. 0

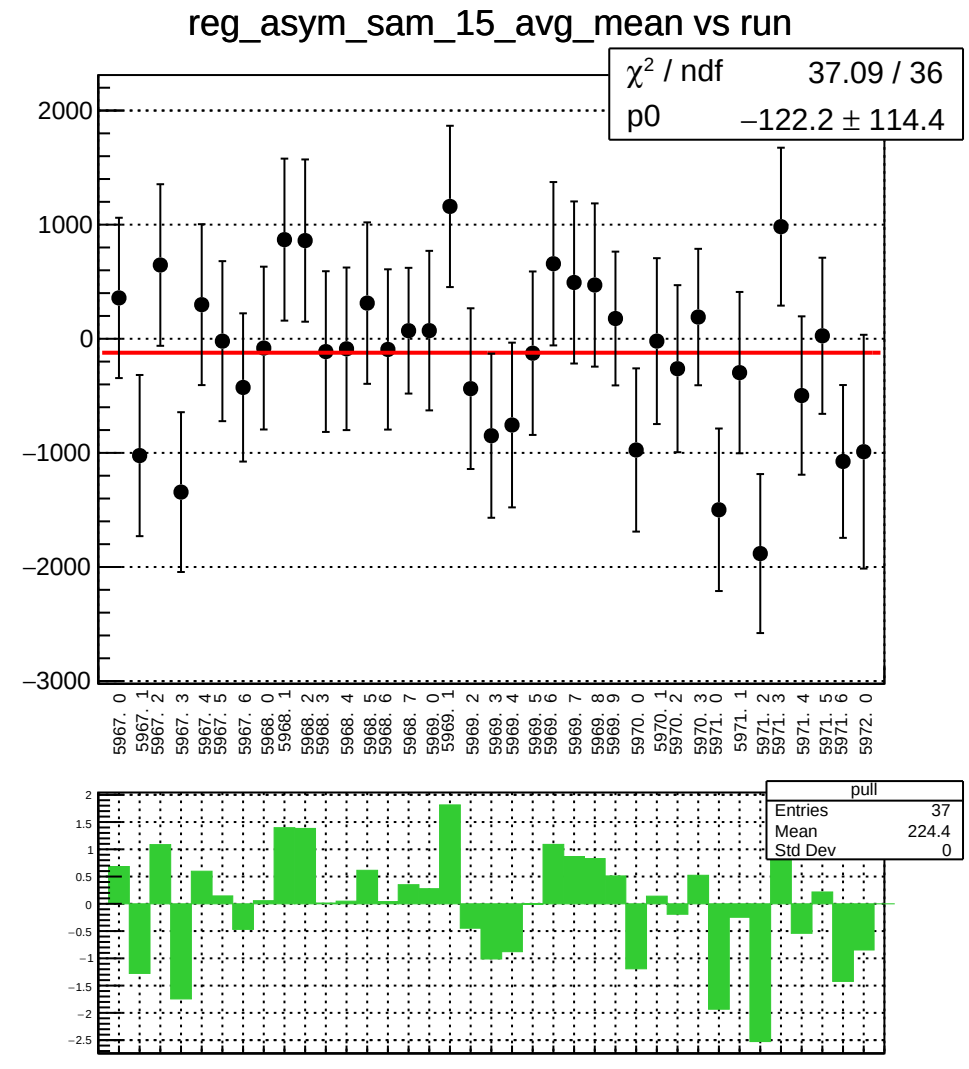
reg_asym_sam_15_avg_mean vs run
χ² / ndf 37.09 / 36
p0 −122.2 ± 114.4
2000
1000
0
−1000
−2000
−3000
5967. 0
5967. 1
5967. 2
5967. 3
5967. 4
5967. 5
5967. 6
5968. 0
5968. 1
5968. 2
5968. 3
5968. 4
5968. 5
5968. 6
5968. 7
5969. 0
5969. 1
5969. 2
5969. 3
5969. 4
5969. 5
5969. 6
5969. 7
5969. 8
5969. 9
5970. 0
5970. 1
5970. 2
5970. 3
5971. 0
5971. 1
5971. 2
5971. 3
5971. 4
5971. 5
5971. 6
5972. 0
pull
Entries 37
Mean 224.4
Std Dev 0
2
1.5
1
0.5
0
−0.5
−1
−1.5
−2
−2.5

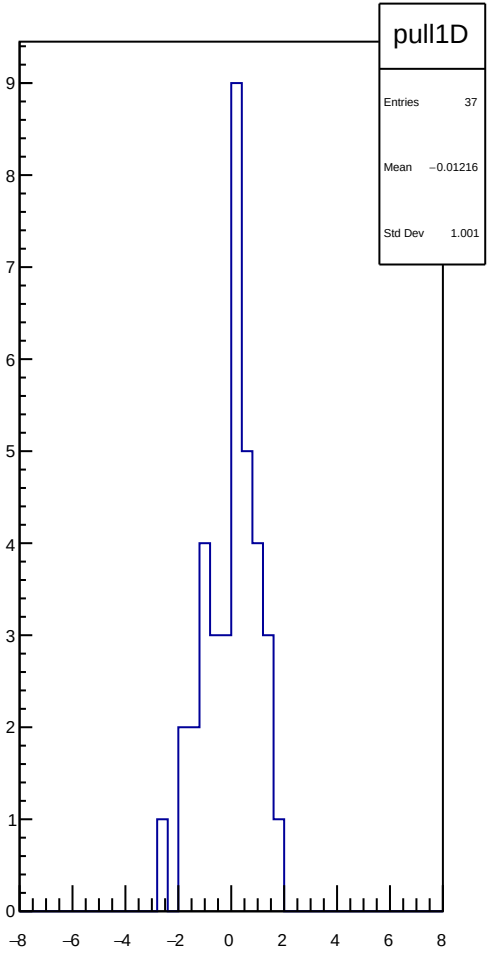
pull1D
Entries 37
Mean −0.01216
Std Dev 1.001
9
8
7
6
5
4
3
2
1
0
−8
−6
−4
−2
0
2
4
6
8

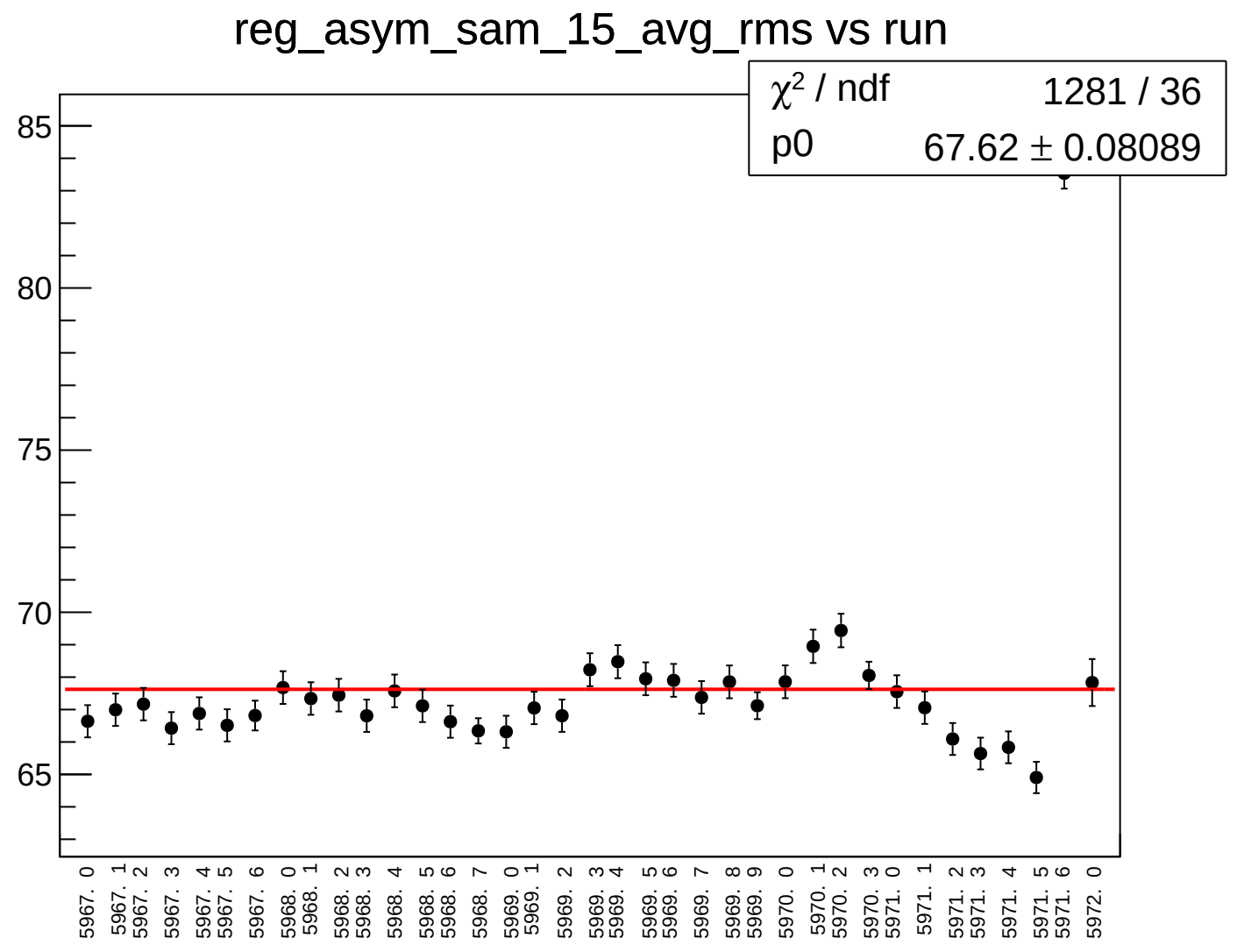
reg_asym_sam_15_avg_rms vs run
χ² / ndf 1281 / 36
p0 67.62 ± 0.08089
85
80
75
70
65
5967. 0
5967. 1
5967. 2
5967. 3
5967. 4
5967. 5
5967. 6
5968. 0
5968. 1
5968. 2
5968. 3
5968. 4
5968. 5
5968. 6
5968. 7
5969. 0
5969. 1
5969. 2
5969. 3
5969. 4
5969. 5
5969. 6
5969. 7
5969. 8
5969. 9
5970. 0
5970. 1
5970. 2
5970. 3
5971. 0
5971. 1
5971. 2
5971. 3
5971. 4
5971. 5
5971. 6
5972. 0

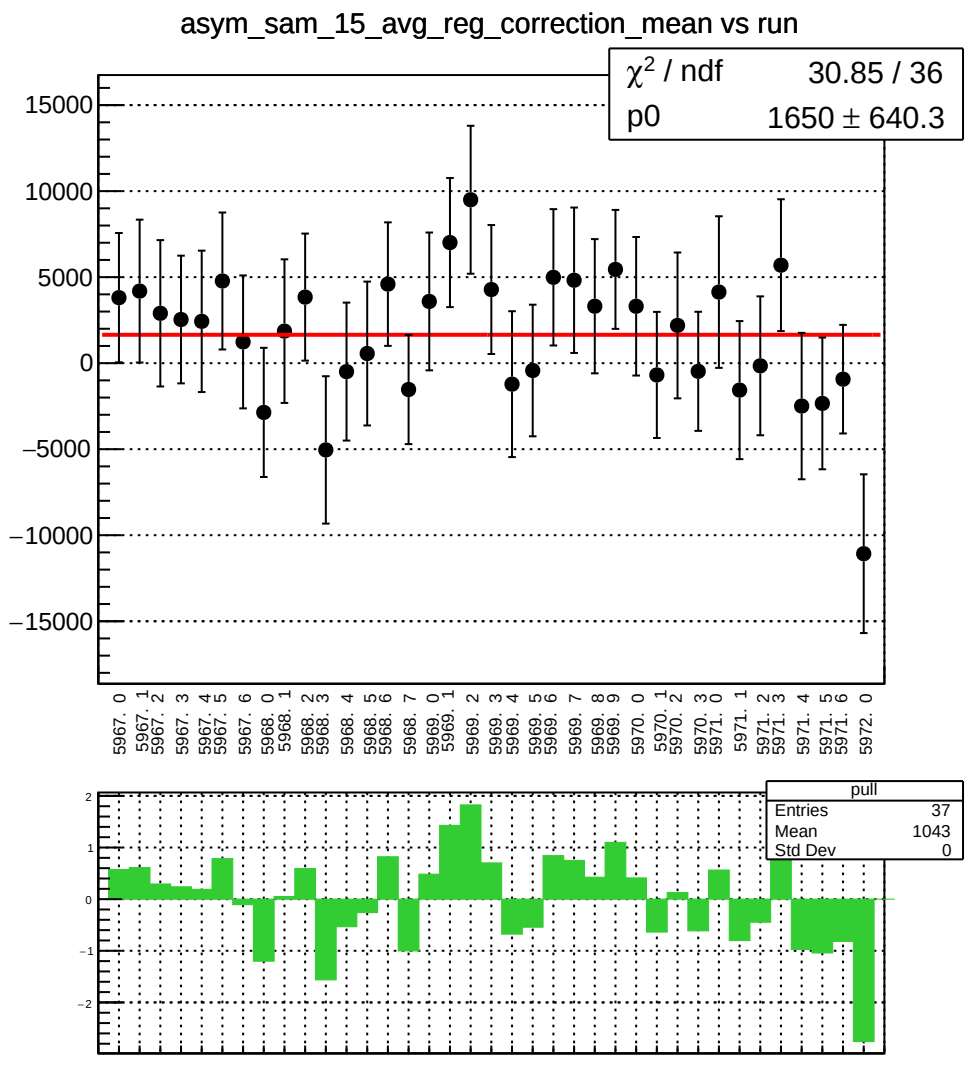
asym_sam_15_avg_reg_correction_mean vs run
χ² / ndf 30.85 / 36
p0 1650 ± 640.3
15000
10000
5000
0
−5000
−10000
−15000
5967. 0
5967. 1
5967. 2
5967. 3
5967. 4
5967. 5
5967. 6
5968. 0
5968. 1
5968. 2
5968. 3
5968. 4
5968. 5
5968. 6
5968. 7
5969. 0
5969. 1
5969. 2
5969. 3
5969. 4
5969. 5
5969. 6
5969. 7
5969. 8
5969. 9
5970. 0
5970. 1
5970. 2
5970. 3
5971. 0
5971. 1
5971. 2
5971. 3
5971. 4
5971. 5
5971. 6
5972. 0
pull
Entries 37
Mean 1043
Std Dev 0
2
1
0
−1
−2

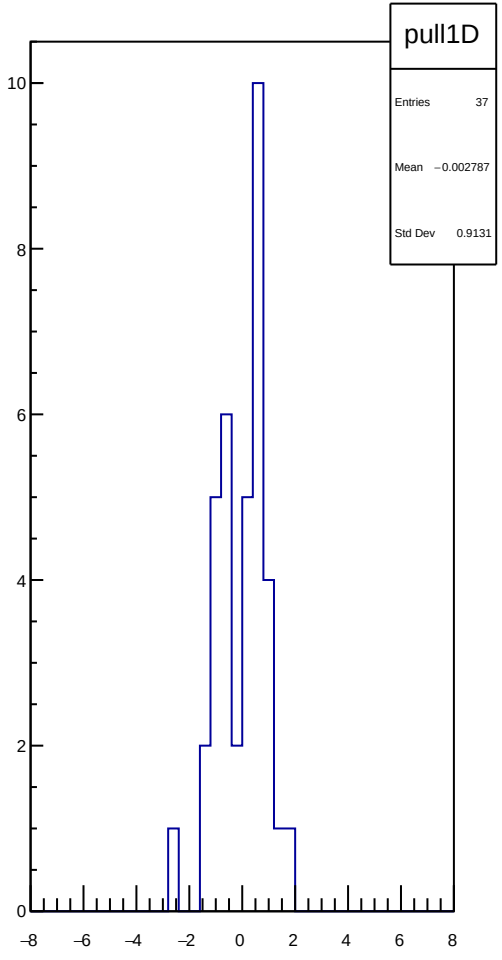
pull1D
Entries 37
Mean −0.002787
Std Dev 0.9131
10
8
6
4
2
0
−8
−6
−4
−2
0
2
4
6
8

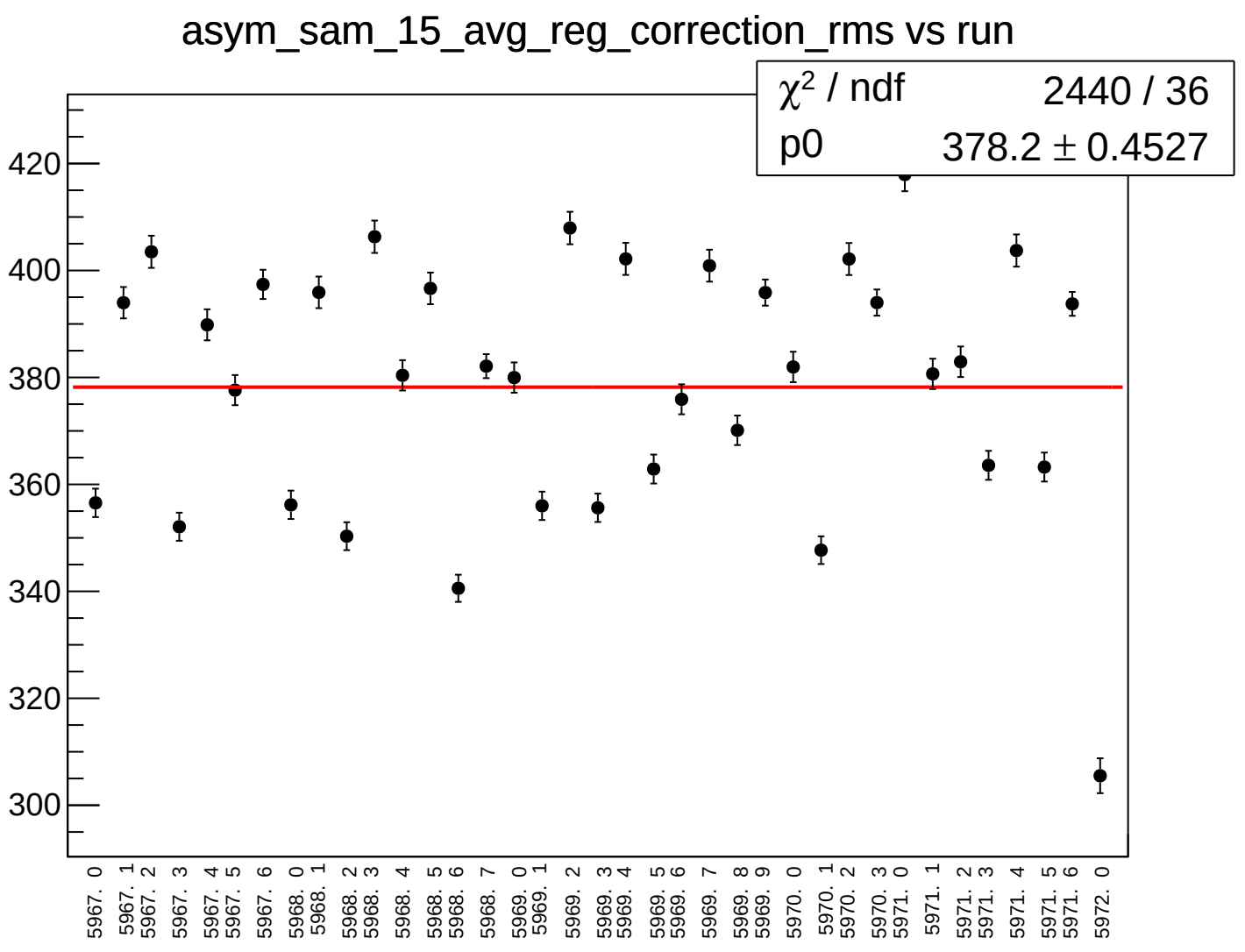
asym_sam_15_avg_reg_correction_rms vs run
χ² / ndf 2440 / 36
p0 378.2 ± 0.4527
420
400
380
360
340
320
300
5967. 0
5967. 1
5967. 2
5967. 3
5967. 4
5967. 5
5967. 6
5968. 0
5968. 1
5968. 2
5968. 3
5968. 4
5968. 5
5968. 6
5968. 7
5969. 0
5969. 1
5969. 2
5969. 3
5969. 4
5969. 5
5969. 6
5969. 7
5969. 8
5969. 9
5970. 0
5970. 1
5970. 2
5970. 3
5971. 0
5971. 1
5971. 2
5971. 3
5971. 4
5971. 5
5971. 6
5972. 0

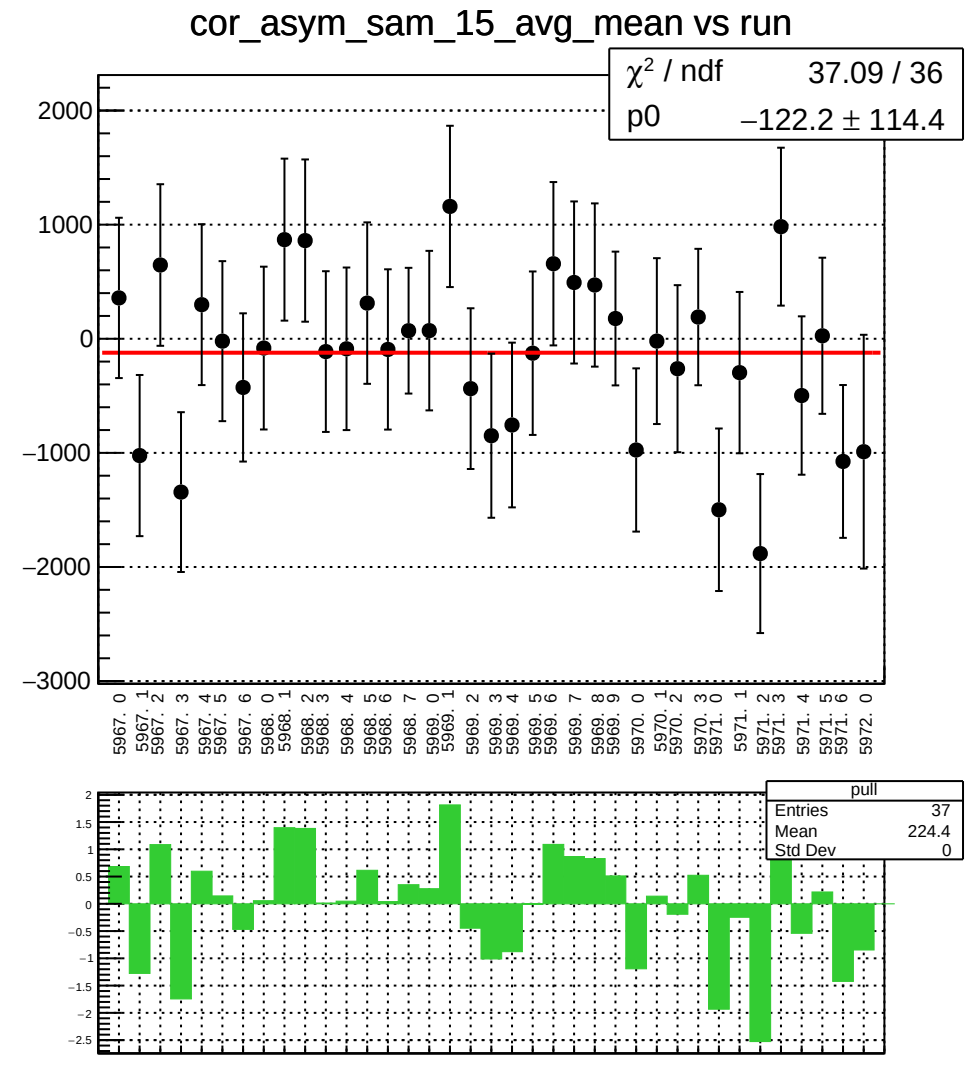
cor_asym_sam_15_avg_mean vs run
χ² / ndf 37.09 / 36
p0 −122.2 ± 114.4
2000
1000
0
−1000
−2000
−3000
5967. 0
5967. 1
5967. 2
5967. 3
5967. 4
5967. 5
5967. 6
5968. 0
5968. 1
5968. 2
5968. 3
5968. 4
5968. 5
5968. 6
5968. 7
5969. 0
5969. 1
5969. 2
5969. 3
5969. 4
5969. 5
5969. 6
5969. 7
5969. 8
5969. 9
5970. 0
5970. 1
5970. 2
5970. 3
5971. 0
5971. 1
5971. 2
5971. 3
5971. 4
5971. 5
5971. 6
5972. 0
pull
Entries 37
Mean 224.4
Std Dev 0
2
1.5
1
0.5
0
−0.5
−1
−1.5
−2
−2.5

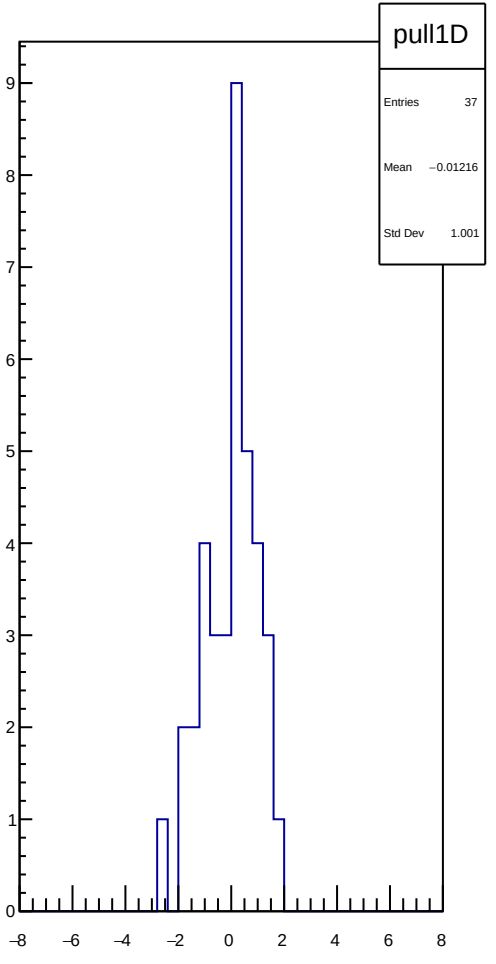
pull1D
Entries 37
Mean −0.01216
Std Dev 1.001
9
8
7
6
5
4
3
2
1
0
−8
−6
−4
−2
0
2
4
6
8

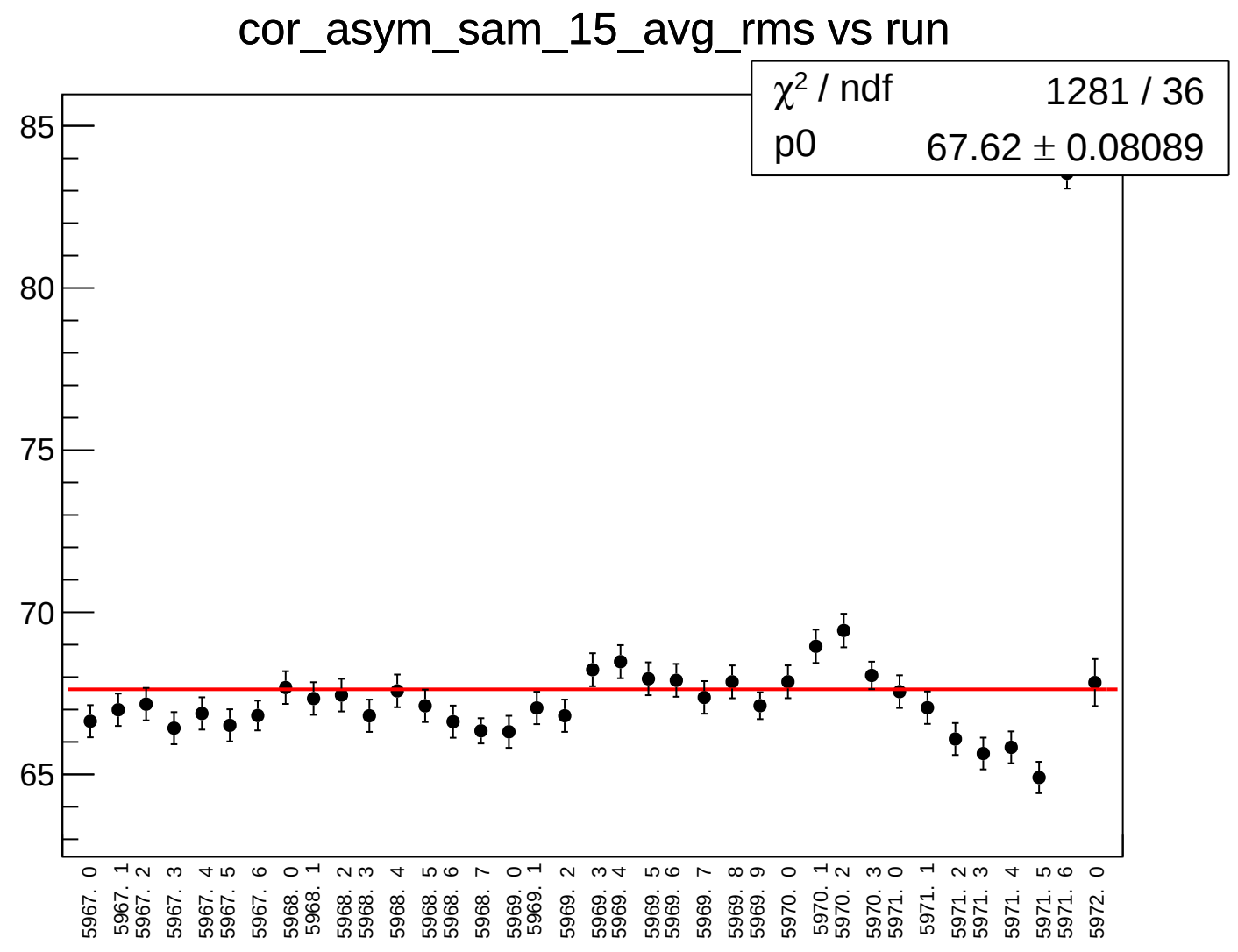
cor_asym_sam_15_avg_rms vs run
χ² / ndf 1281 / 36
p0 67.62 ± 0.08089
85
80
75
70
65
5967. 0
5967. 1
5967. 2
5967. 3
5967. 4
5967. 5
5967. 6
5968. 0
5968. 1
5968. 2
5968. 3
5968. 4
5968. 5
5968. 6
5968. 7
5969. 0
5969. 1
5969. 2
5969. 3
5969. 4
5969. 5
5969. 6
5969. 7
5969. 8
5969. 9
5970. 0
5970. 1
5970. 2
5970. 3
5971. 0
5971. 1
5971. 2
5971. 3
5971. 4
5971. 5
5971. 6
5972. 0

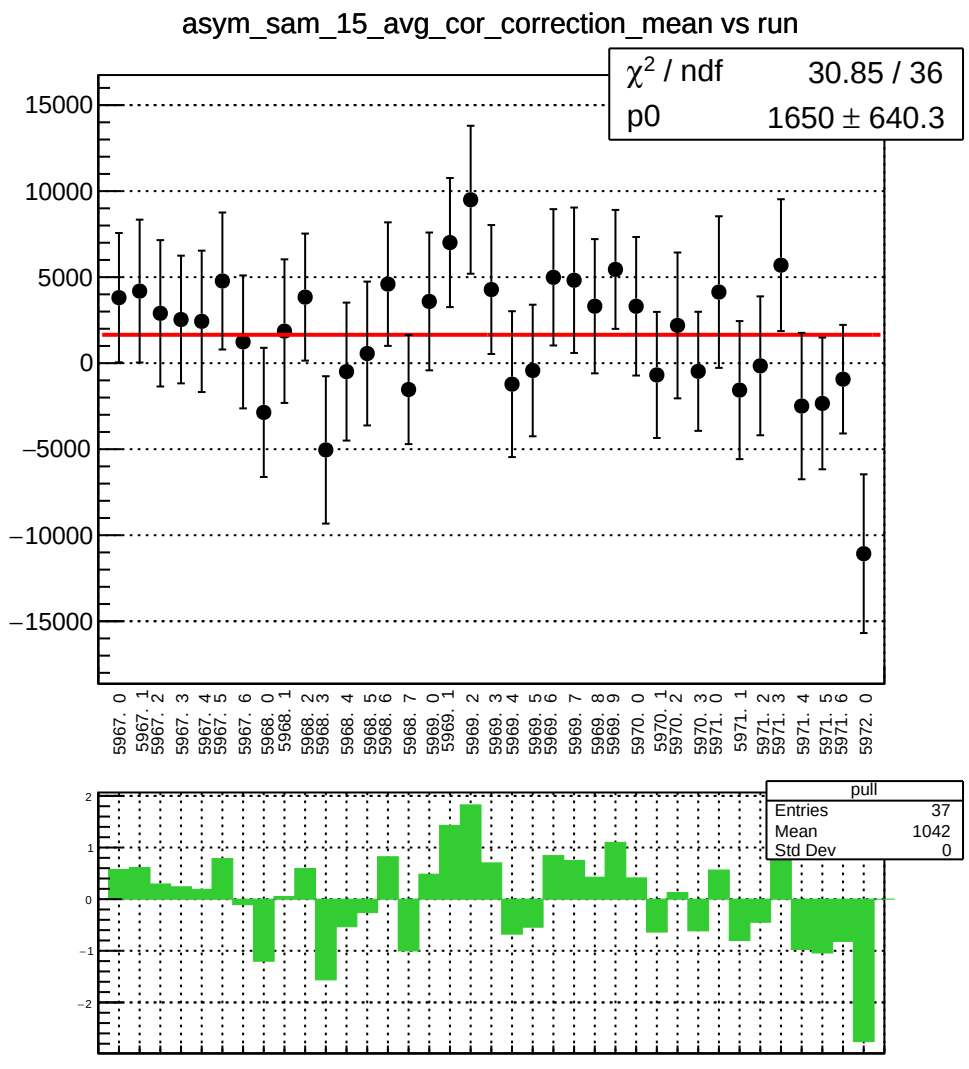
asym_sam_15_avg_cor_correction_mean vs run
χ² / ndf 30.85 / 36
p0 1650 ± 640.3
15000
10000
5000
0
−5000
−10000
−15000
5967. 0
5967. 1
5967. 2
5967. 3
5967. 4
5967. 5
5967. 6
5968. 0
5968. 1
5968. 2
5968. 3
5968. 4
5968. 5
5968. 6
5968. 7
5969. 0
5969. 1
5969. 2
5969. 3
5969. 4
5969. 5
5969. 6
5969. 7
5969. 8
5969. 9
5970. 0
5970. 1
5970. 2
5970. 3
5971. 0
5971. 1
5971. 2
5971. 3
5971. 4
5971. 5
5971. 6
5972. 0
pull
Entries 37
Mean 1042
Std Dev 0
2
1
0
−1
−2

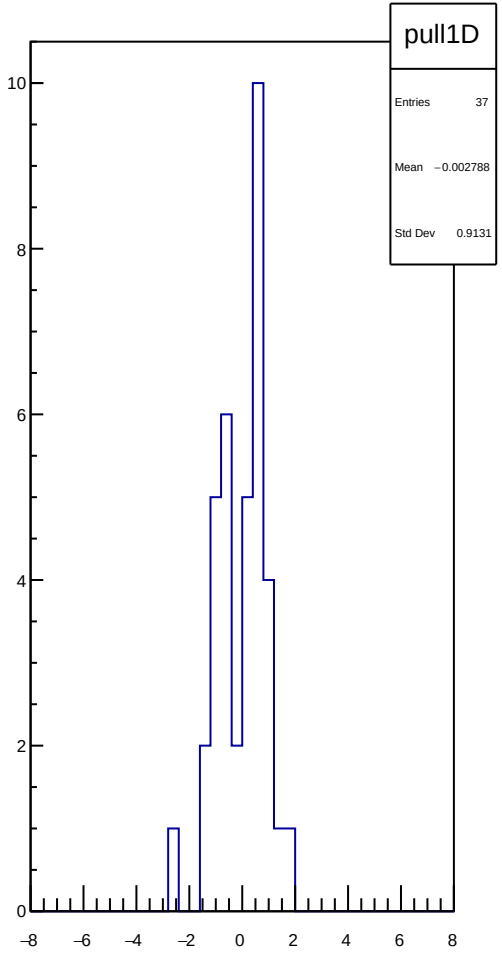
pull1D
Entries 37
Mean −0.002788
Std Dev 0.9131
10
8
6
4
2
0
−8
−6
−4
−2
0
2
4
6
8

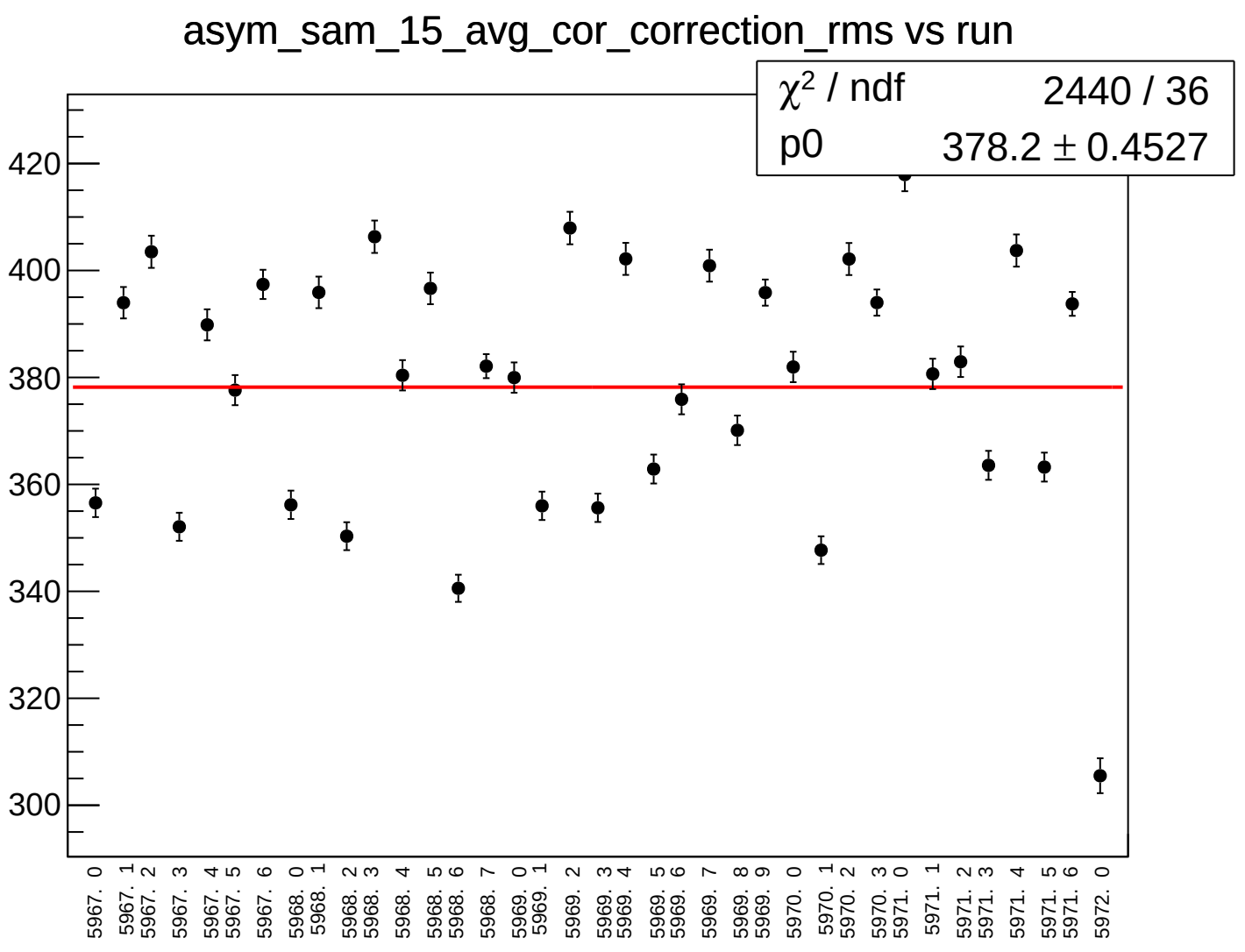
asym_sam_15_avg_cor_correction_rms vs run
χ² / ndf 2440 / 36
p0 378.2 ± 0.4527
420
400
380
360
340
320
300
5967. 0
5967. 1
5967. 2
5967. 3
5967. 4
5967. 5
5967. 6
5968. 0
5968. 1
5968. 2
5968. 3
5968. 4
5968. 5
5968. 6
5968. 7
5969. 0
5969. 1
5969. 2
5969. 3
5969. 4
5969. 5
5969. 6
5969. 7
5969. 8
5969. 9
5970. 0
5970. 1
5970. 2
5970. 3
5971. 0
5971. 1
5971. 2
5971. 3
5971. 4
5971. 5
5971. 6
5972. 0

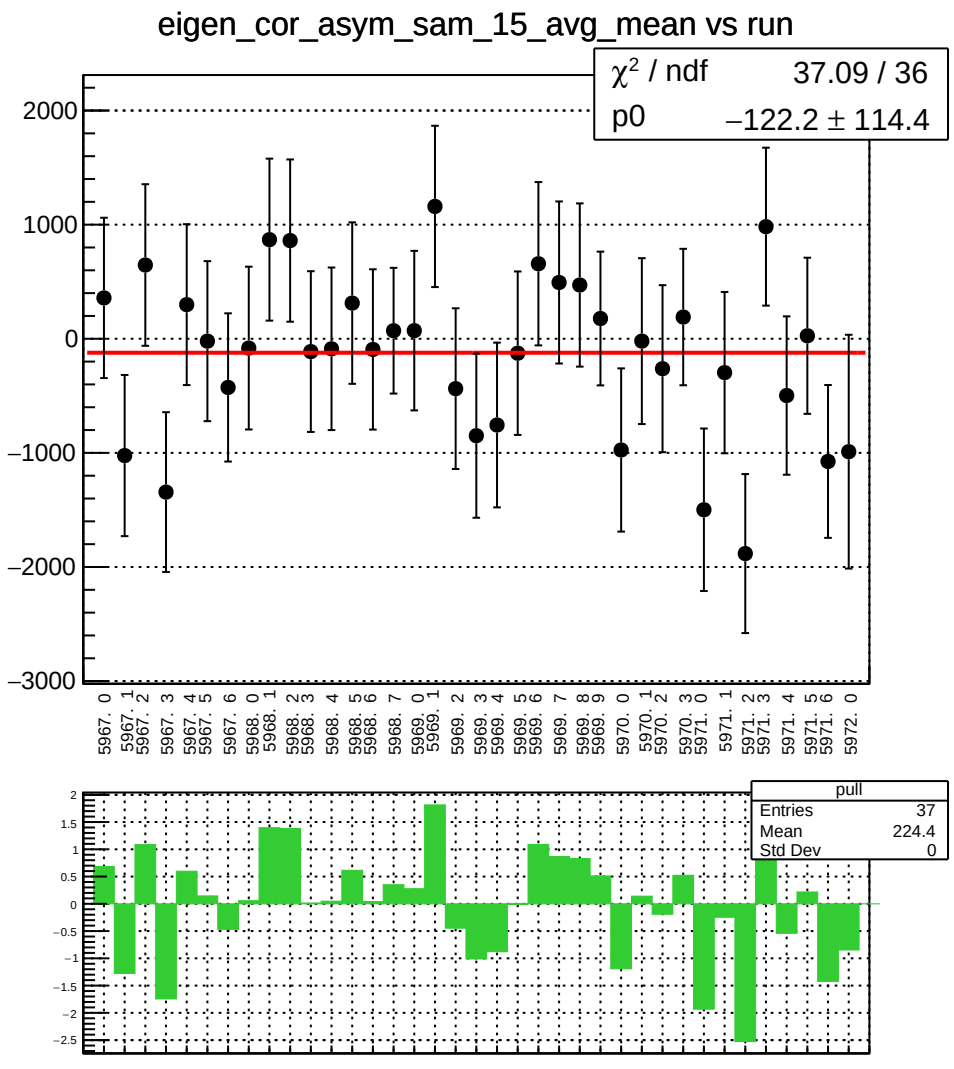
eigen_cor_asym_sam_15_avg_mean vs run
χ² / ndf 37.09 / 36
p0 −122.2 ± 114.4
2000
1000
0
−1000
−2000
−3000
5967. 0
5967. 1
5967. 2
5967. 3
5967. 4
5967. 5
5967. 6
5968. 0
5968. 1
5968. 2
5968. 3
5968. 4
5968. 5
5968. 6
5968. 7
5969. 0
5969. 1
5969. 2
5969. 3
5969. 4
5969. 5
5969. 6
5969. 7
5969. 8
5969. 9
5970. 0
5970. 1
5970. 2
5970. 3
5971. 0
5971. 1
5971. 2
5971. 3
5971. 4
5971. 5
5971. 6
5972. 0
pull
Entries 37
Mean 224.4
Std Dev 0
2
1.5
1
0.5
0
−0.5
−1
−1.5
−2
−2.5

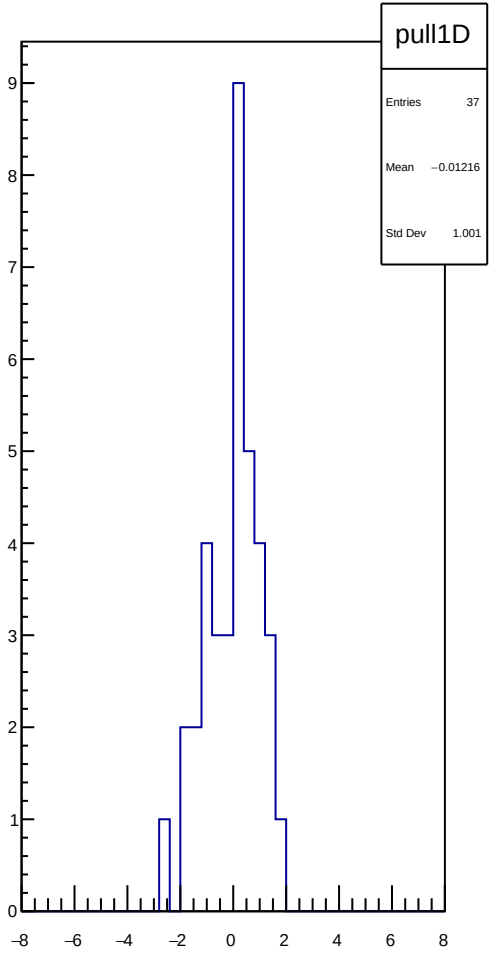
pull1D
Entries 37
Mean −0.01216
Std Dev 1.001
9
8
7
6
5
4
3
2
1
0
−8
−6
−4
−2
0
2
4
6
8

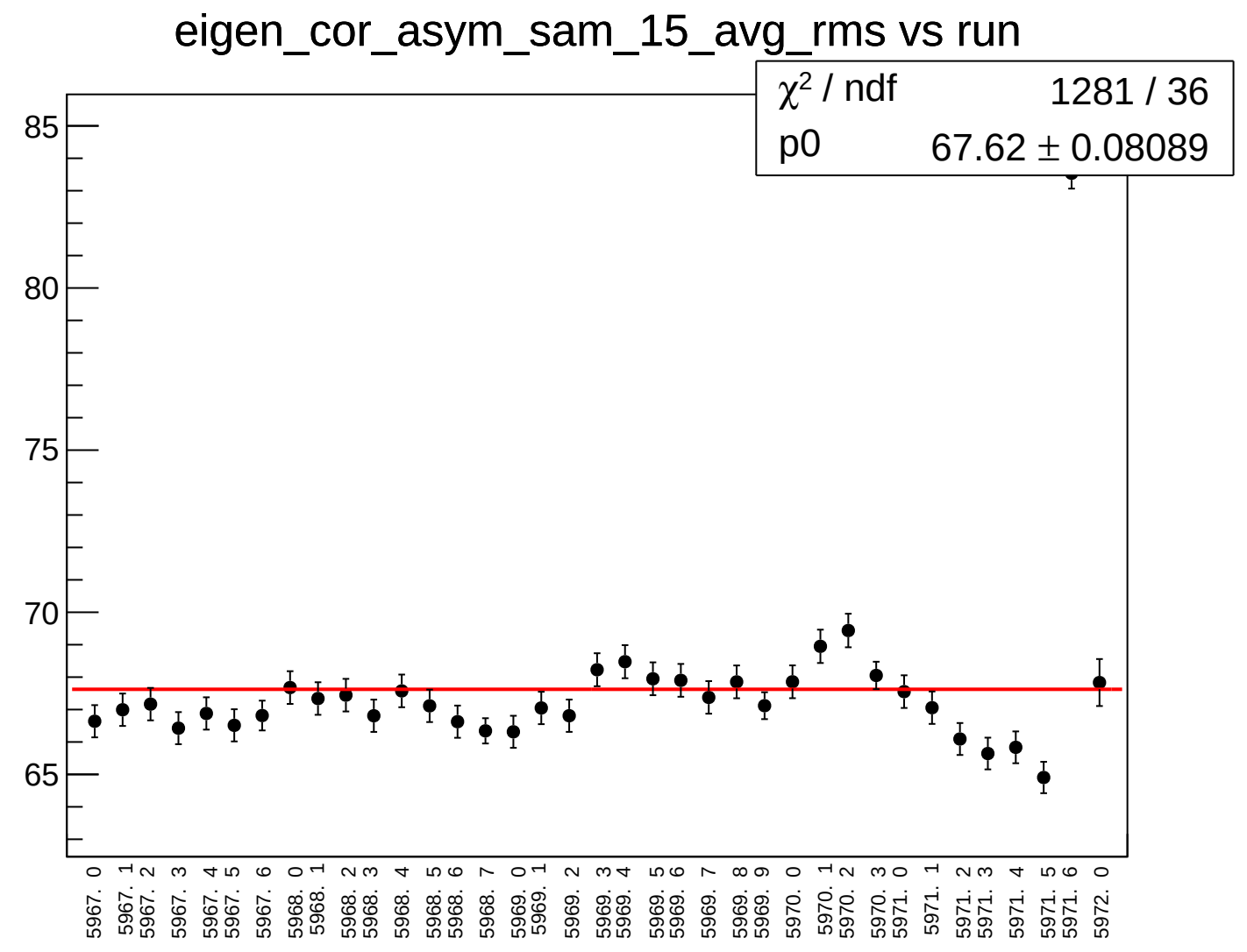
eigen_cor_asym_sam_15_avg_rms vs run
χ² / ndf 1281 / 36
p0 67.62 ± 0.08089
85
80
75
70
65
5967. 0
5967. 1
5967. 2
5967. 3
5967. 4
5967. 5
5967. 6
5968. 0
5968. 1
5968. 2
5968. 3
5968. 4
5968. 5
5968. 6
5968. 7
5969. 0
5969. 1
5969. 2
5969. 3
5969. 4
5969. 5
5969. 6
5969. 7
5969. 8
5969. 9
5970. 0
5970. 1
5970. 2
5970. 3
5971. 0
5971. 1
5971. 2
5971. 3
5971. 4
5971. 5
5971. 6
5972. 0

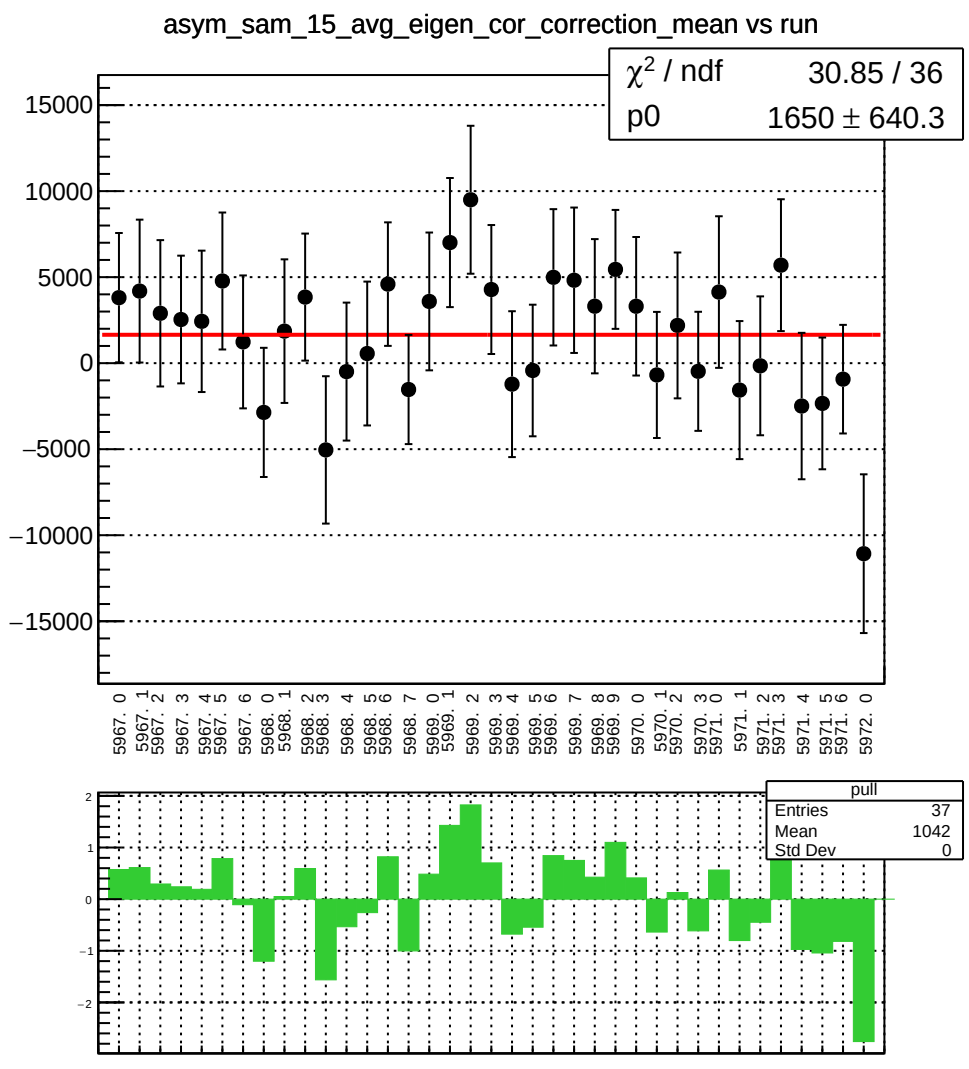
asym_sam_15_avg_eigen_cor_correction_mean vs run
χ² / ndf 30.85 / 36
p0 1650 ± 640.3
15000
10000
5000
0
−5000
−10000
−15000
5967. 0
5967. 1
5967. 2
5967. 3
5967. 4
5967. 5
5967. 6
5968. 0
5968. 1
5968. 2
5968. 3
5968. 4
5968. 5
5968. 6
5968. 7
5969. 0
5969. 1
5969. 2
5969. 3
5969. 4
5969. 5
5969. 6
5969. 7
5969. 8
5969. 9
5970. 0
5970. 1
5970. 2
5970. 3
5971. 0
5971. 1
5971. 2
5971. 3
5971. 4
5971. 5
5971. 6
5972. 0
pull
Entries 37
Mean 1042
Std Dev 0
2
1
0
−1
−2

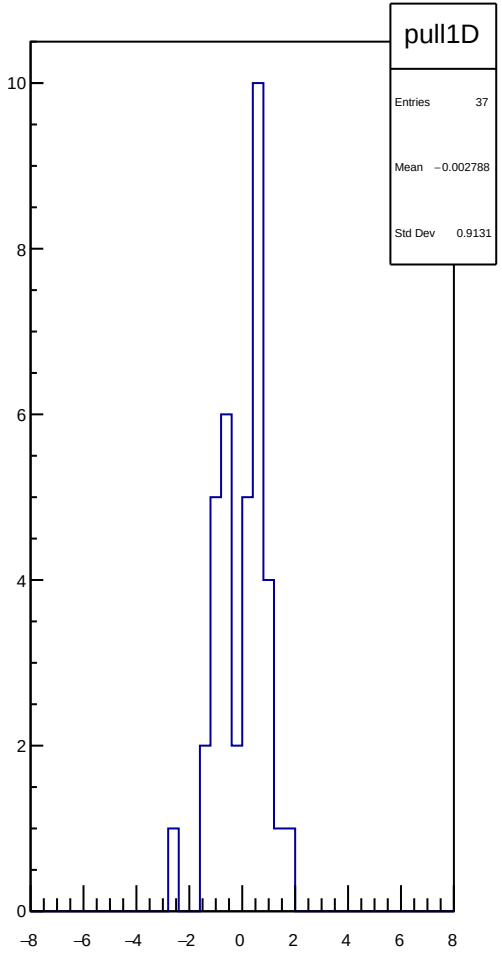
pull1D
Entries 37
Mean −0.002788
Std Dev 0.9131
10
8
6
4
2
0
−8
−6
−4
−2
0
2
4
6
8

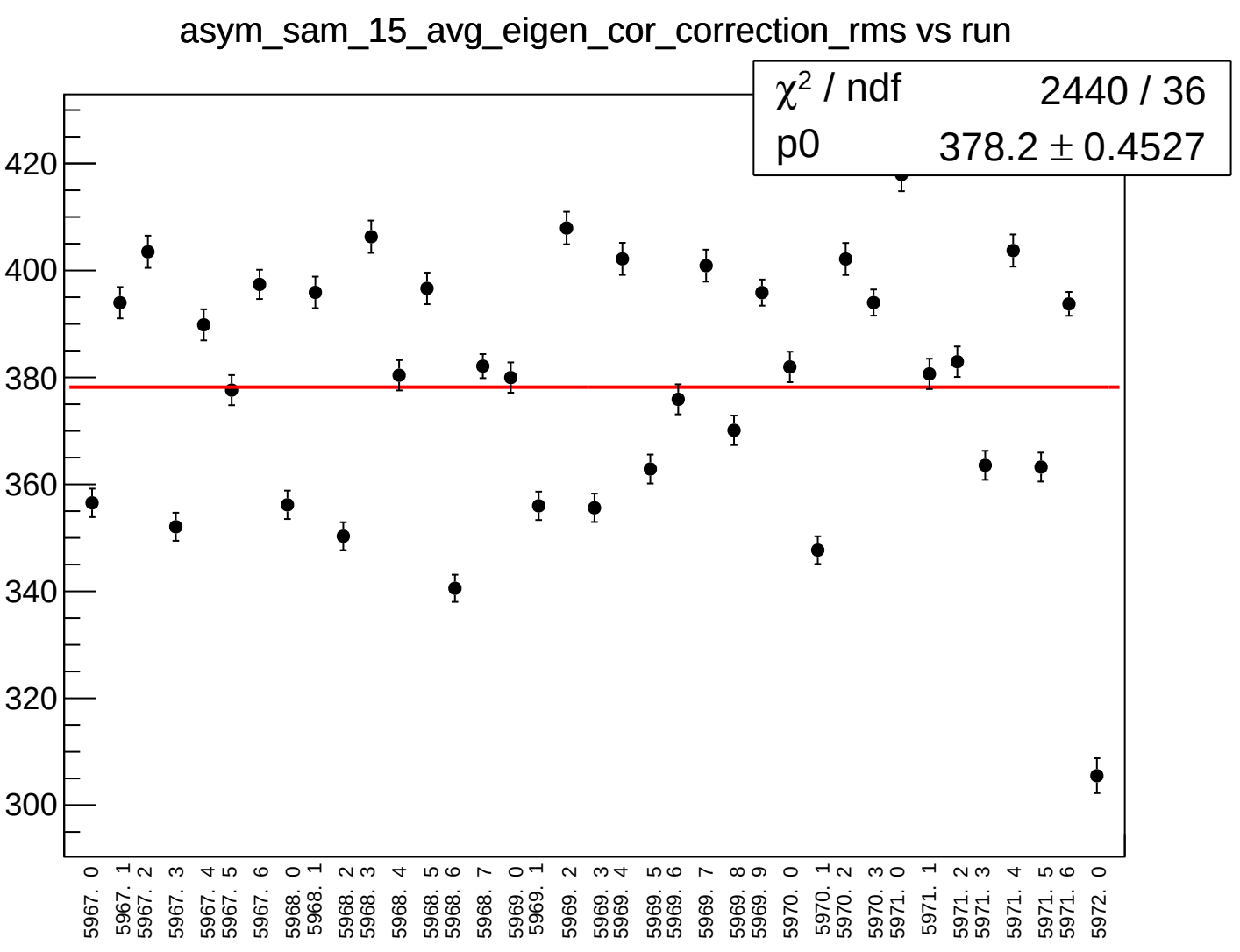
asym_sam_15_avg_eigen_cor_correction_rms vs run
χ² / ndf 2440 / 36
p0 378.2 ± 0.4527
420
400
380
360
340
320
300
5967. 0
5967. 1
5967. 2
5967. 3
5967. 4
5967. 5
5967. 6
5968. 0
5968. 1
5968. 2
5968. 3
5968. 4
5968. 5
5968. 6
5968. 7
5969. 0
5969. 1
5969. 2
5969. 3
5969. 4
5969. 5
5969. 6
5969. 7
5969. 8
5969. 9
5970. 0
5970. 1
5970. 2
5970. 3
5971. 0
5971. 1
5971. 2
5971. 3
5971. 4
5971. 5
5971. 6
5972. 0

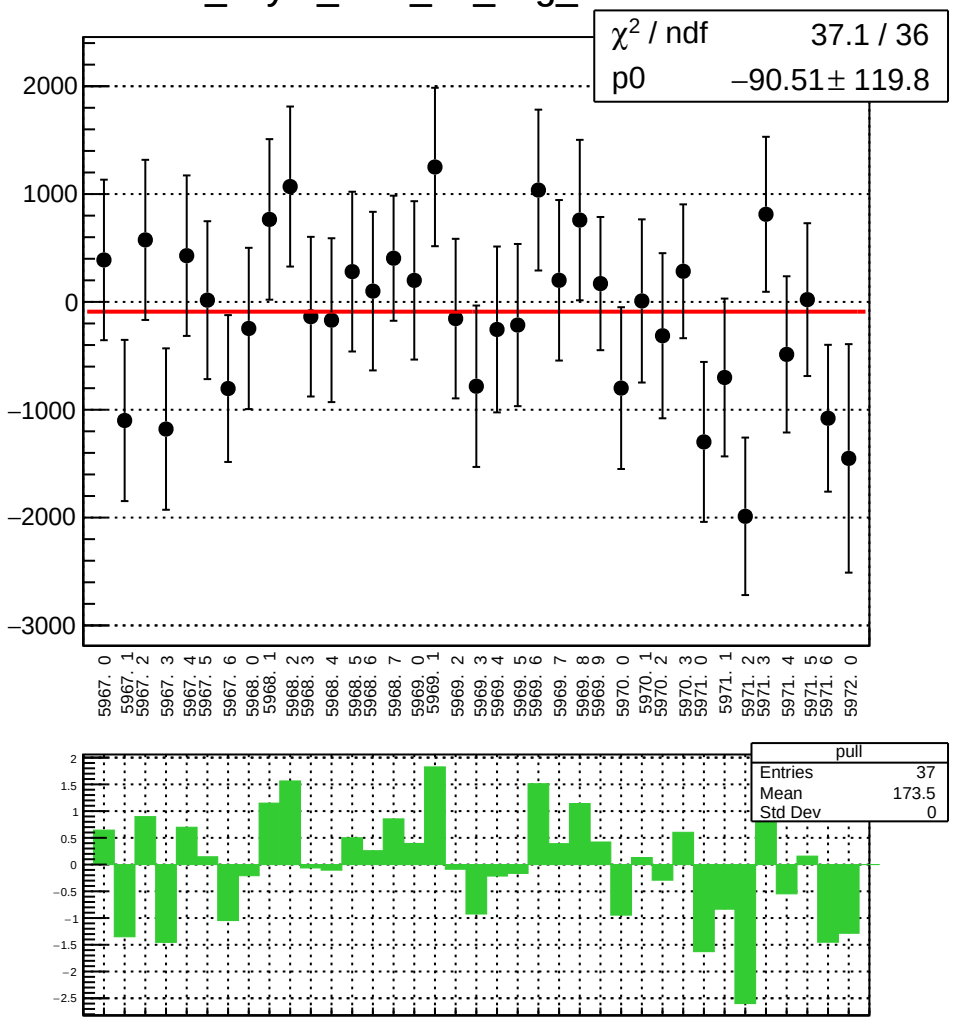
dit_asym_sam_15_avg_mean vs run
χ² / ndf 37.1 / 36
p0 −90.51 ± 119.8
pull
Entries 37
Mean 173.5
Std Dev 0

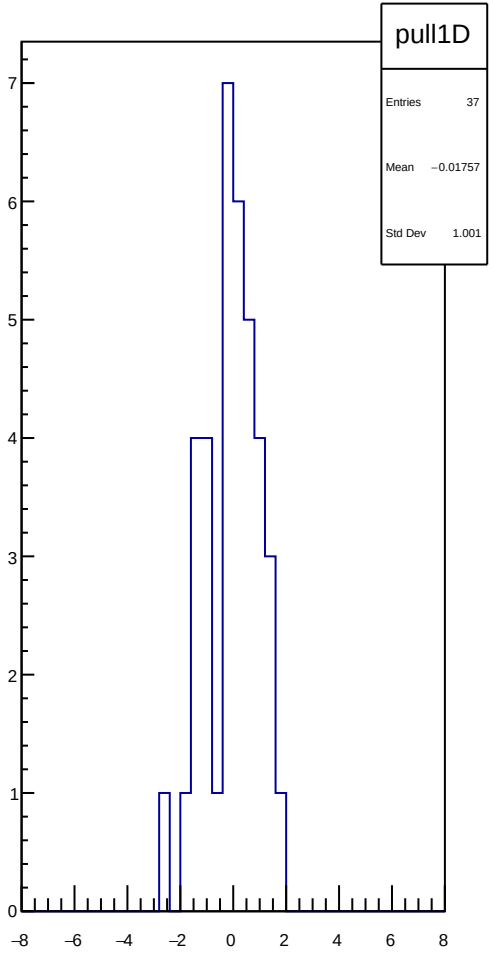
pull1D
Entries 37
Mean −0.01757
Std Dev 1.001

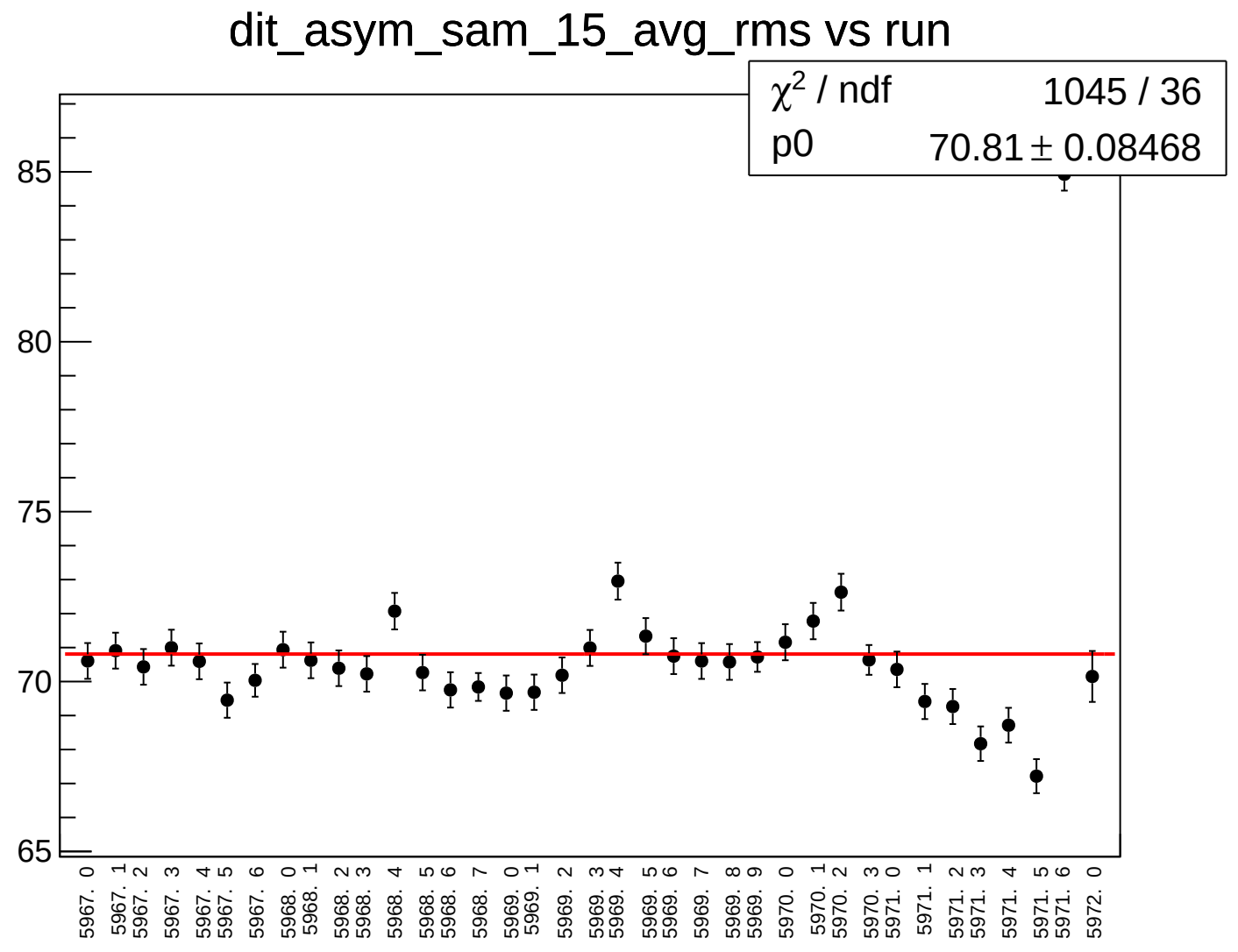
dit_asym_sam_15_avg_rms vs run
χ² / ndf 1045 / 36
p0 70.81 ± 0.08468
85
80
75
70
65
5967. 0
5967. 1
5967. 2
5967. 3
5967. 4
5967. 5
5967. 6
5968. 0
5968. 1
5968. 2
5968. 3
5968. 4
5968. 5
5968. 6
5968. 7
5969. 0
5969. 1
5969. 2
5969. 3
5969. 4
5969. 5
5969. 6
5969. 7
5969. 8
5969. 9
5970. 0
5970. 1
5970. 2
5970. 3
5971. 0
5971. 1
5971. 2
5971. 3
5971. 4
5971. 5
5971. 6
5972. 0

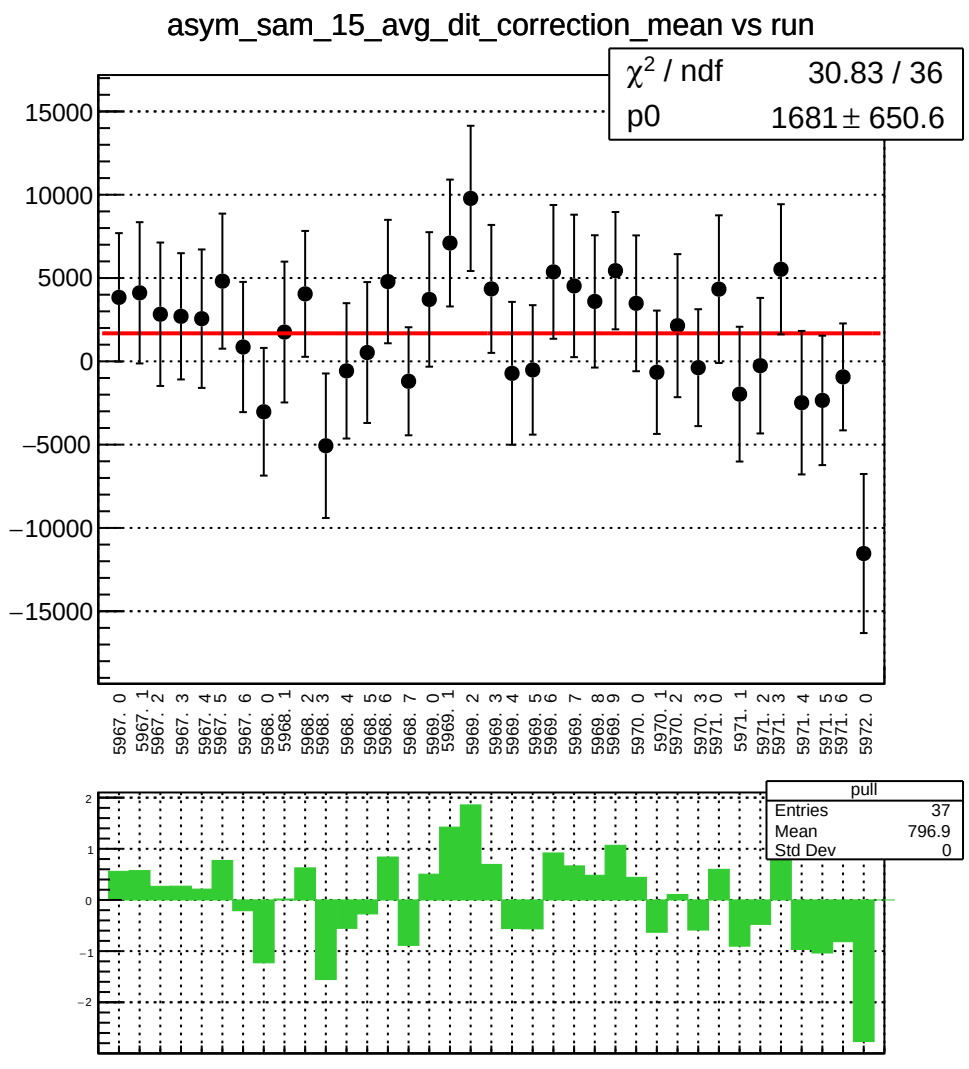
asym_sam_15_avg_dit_correction_mean vs run
χ² / ndf 30.83 / 36
p0 1681 ± 650.6
15000
10000
5000
0
−5000
−10000
−15000
5967. 0
5967. 1
5967. 2
5967. 3
5967. 4
5967. 5
5967. 6
5968. 0
5968. 1
5968. 2
5968. 3
5968. 4
5968. 5
5968. 6
5968. 7
5969. 0
5969. 1
5969. 2
5969. 3
5969. 4
5969. 5
5969. 6
5969. 7
5969. 8
5969. 9
5970. 0
5970. 1
5970. 2
5970. 3
5971. 0
5971. 1
5971. 2
5971. 3
5971. 4
5971. 5
5971. 6
5972. 0
pull
Entries 37
Mean 796.9
Std Dev 0
2
1
0
−1
−2
pull1D
Entries 37
Mean −0.003665
Std Dev 0.9128
10
8
6
4
2
0
−8
−6
−4
−2
0
2
4
6
8

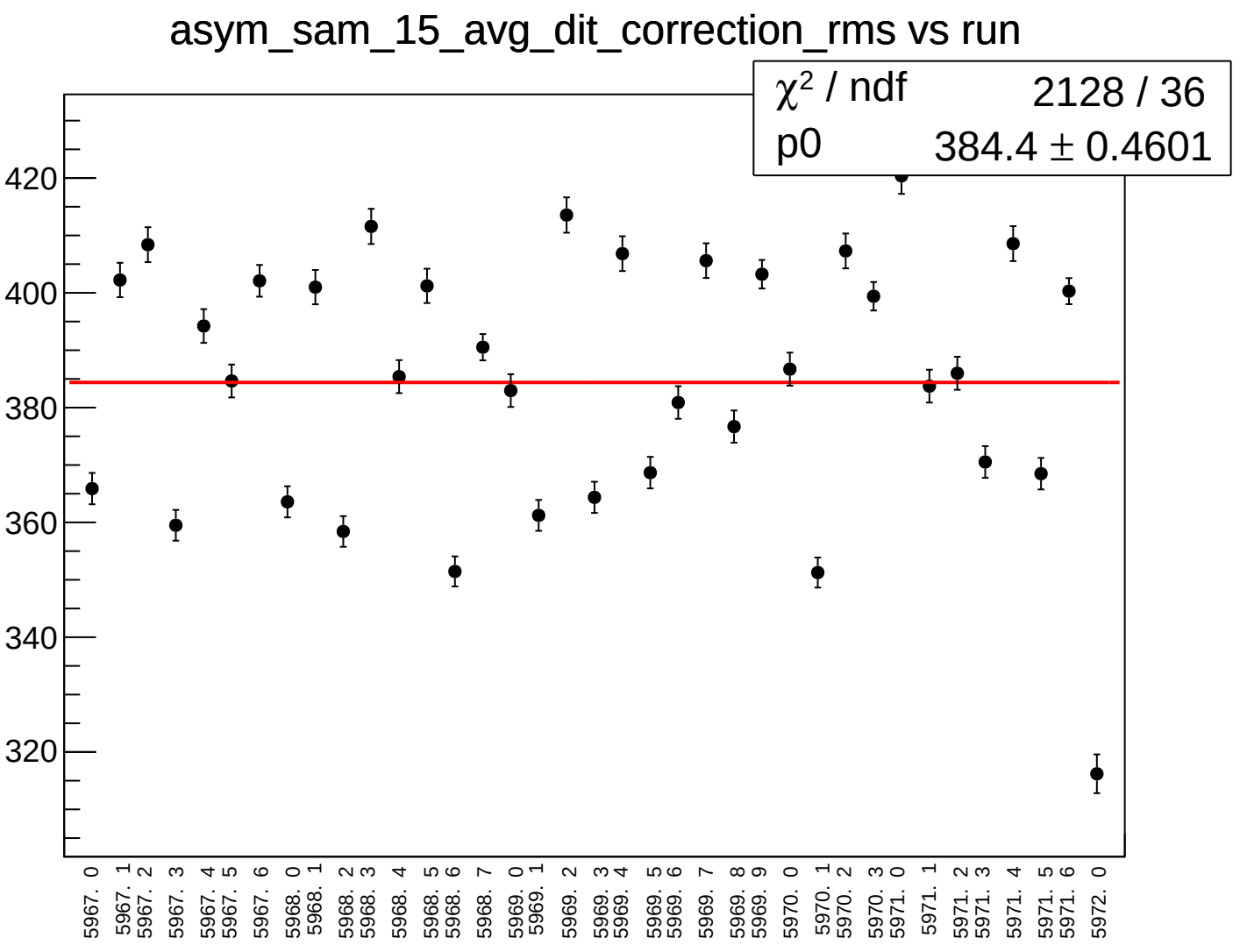
asym_sam_15_avg_dit_correction_rms vs run
χ² / ndf 2128 / 36
p0 384.4 ± 0.4601
420
400
380
360
340
320
5967. 0
5967. 1
5967. 2
5967. 3
5967. 4
5967. 5
5967. 6
5968. 0
5968. 1
5968. 2
5968. 3
5968. 4
5968. 5
5968. 6
5968. 7
5969. 0
5969. 1
5969. 2
5969. 3
5969. 4
5969. 5
5969. 6
5969. 7
5969. 8
5969. 9
5970. 0
5970. 1
5970. 2
5970. 3
5971. 0
5971. 1
5971. 2
5971. 3
5971. 4
5971. 5
5971. 6
5972. 0

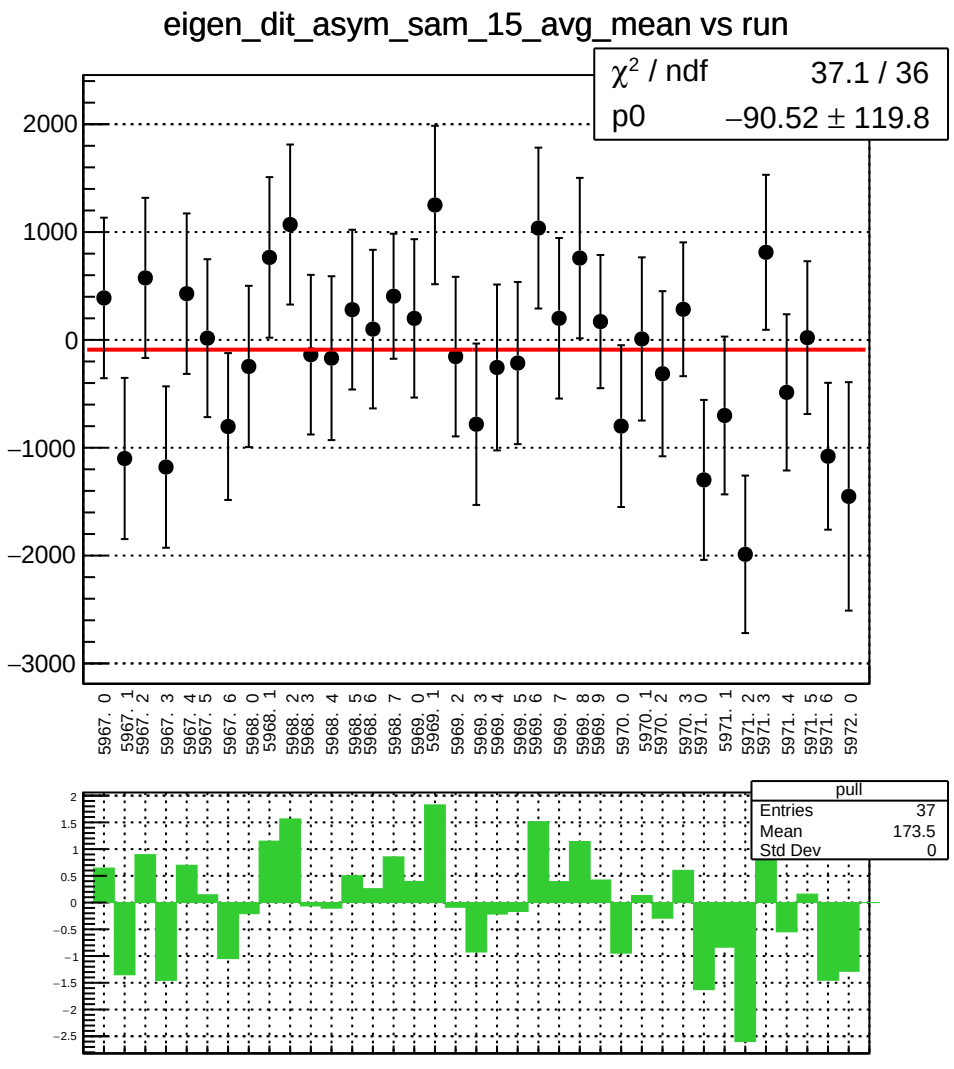
eigen_dit_asym_sam_15_avg_mean vs run
χ² / ndf 37.1 / 36
p0 −90.52 ± 119.8
2000
1000
0
−1000
−2000
−3000
5967. 0
5967. 1
5967. 2
5967. 3
5967. 4
5967. 5
5967. 6
5968. 0
5968. 1
5968. 2
5968. 3
5968. 4
5968. 5
5968. 6
5968. 7
5969. 0
5969. 1
5969. 2
5969. 3
5969. 4
5969. 5
5969. 6
5969. 7
5969. 8
5969. 9
5970. 0
5970. 1
5970. 2
5970. 3
5971. 0
5971. 1
5971. 2
5971. 3
5971. 4
5971. 5
5971. 6
5972. 0
pull
Entries 37
Mean 173.5
Std Dev 0
2
1.5
1
0.5
0
−0.5
−1
−1.5
−2
−2.5
pull1D
Entries 37
Mean −0.01757
Std Dev 1.001
7
6
5
4
3
2
1
0
−8
−6
−4
−2
0
2
4
6
8

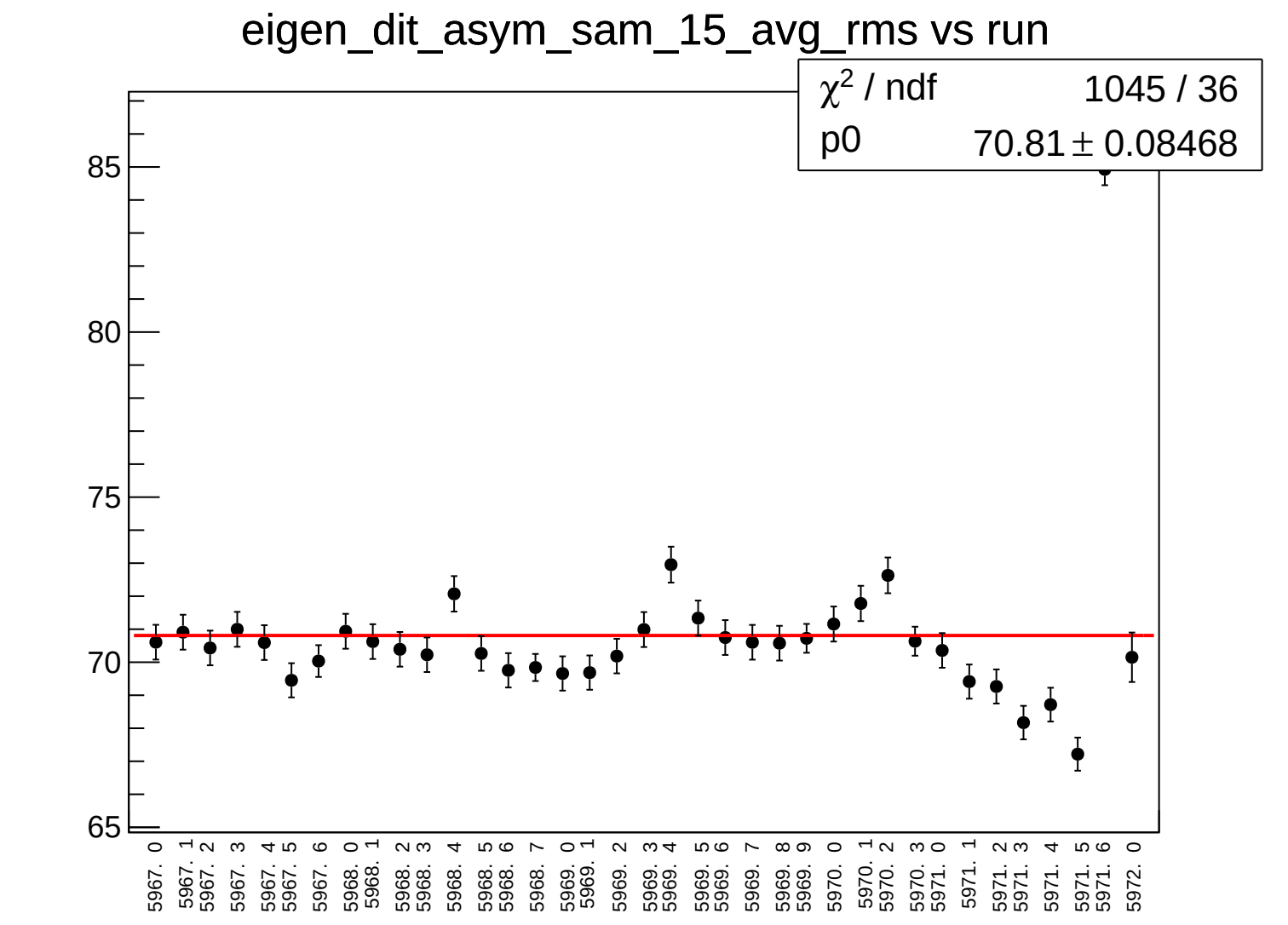
eigen_dit_asym_sam_15_avg_rms vs run
χ² / ndf 1045 / 36
p0 70.81 ± 0.08468
85
80
75
70
65
5967. 0
5967. 1
5967. 2
5967. 3
5967. 4
5967. 5
5967. 6
5968. 0
5968. 1
5968. 2
5968. 3
5968. 4
5968. 5
5968. 6
5968. 7
5969. 0
5969. 1
5969. 2
5969. 3
5969. 4
5969. 5
5969. 6
5969. 7
5969. 8
5969. 9
5970. 0
5970. 1
5970. 2
5970. 3
5971. 0
5971. 1
5971. 2
5971. 3
5971. 4
5971. 5
5971. 6
5972. 0

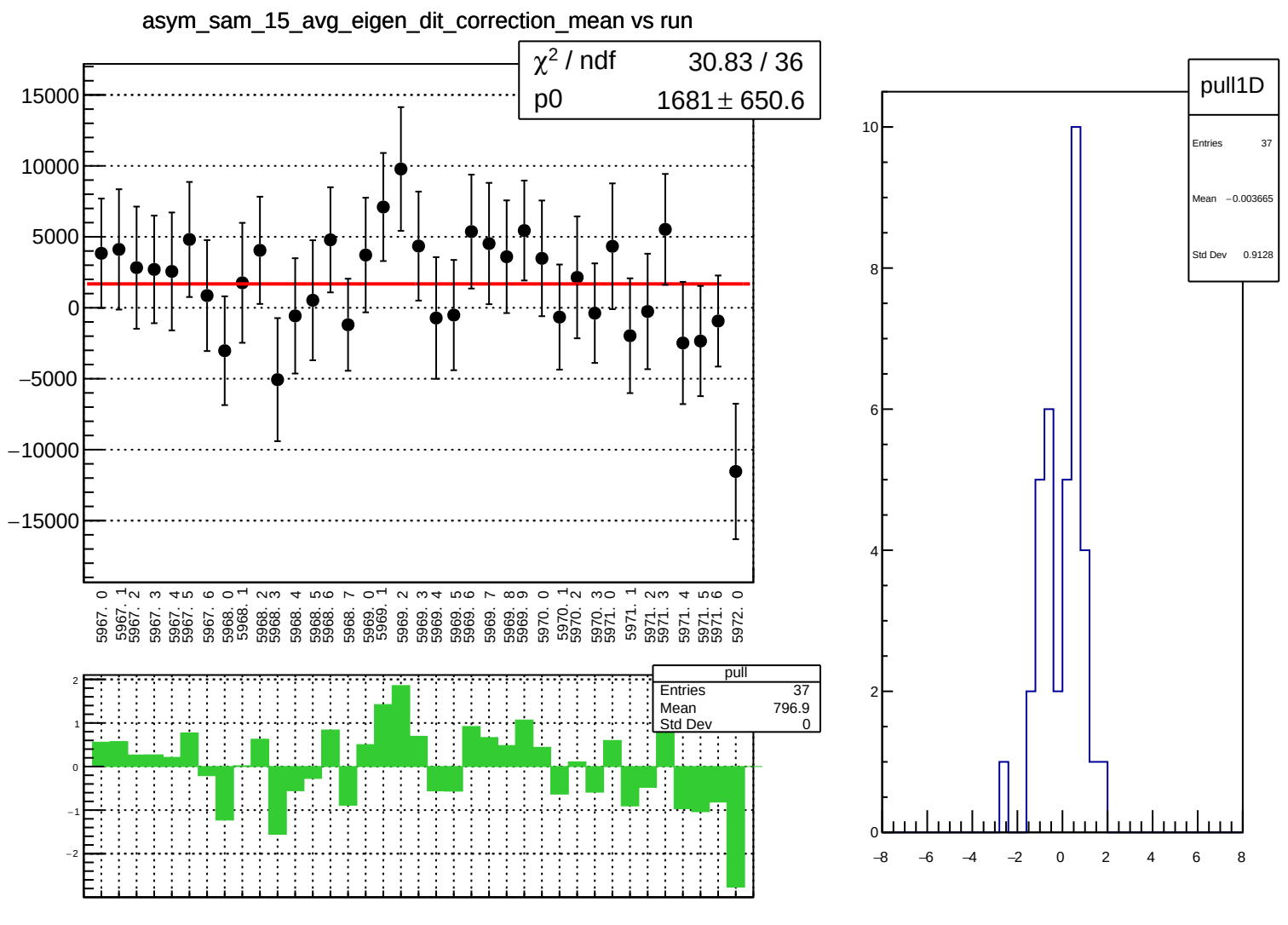
asym_sam_15_avg_eigen_dit_correction_mean vs run
χ² / ndf 30.83 / 36
p0 1681 ± 650.6
15000
10000
5000
0
−5000
−10000
−15000
5967. 0
5967. 1
5967. 2
5967. 3
5967. 4
5967. 5
5967. 6
5968. 0
5968. 1
5968. 2
5968. 3
5968. 4
5968. 5
5968. 6
5968. 7
5969. 0
5969. 1
5969. 2
5969. 3
5969. 4
5969. 5
5969. 6
5969. 7
5969. 8
5969. 9
5970. 0
5970. 1
5970. 2
5970. 3
5971. 0
5971. 1
5971. 2
5971. 3
5971. 4
5971. 5
5971. 6
5972. 0
pull
Entries 37
Mean 796.9
Std Dev 0
2
1
0
−1
−2
pull1D
Entries 37
Mean −0.003665
Std Dev 0.9128
10
8
6
4
2
0
−8
−6
−4
−2
0
2
4
6
8

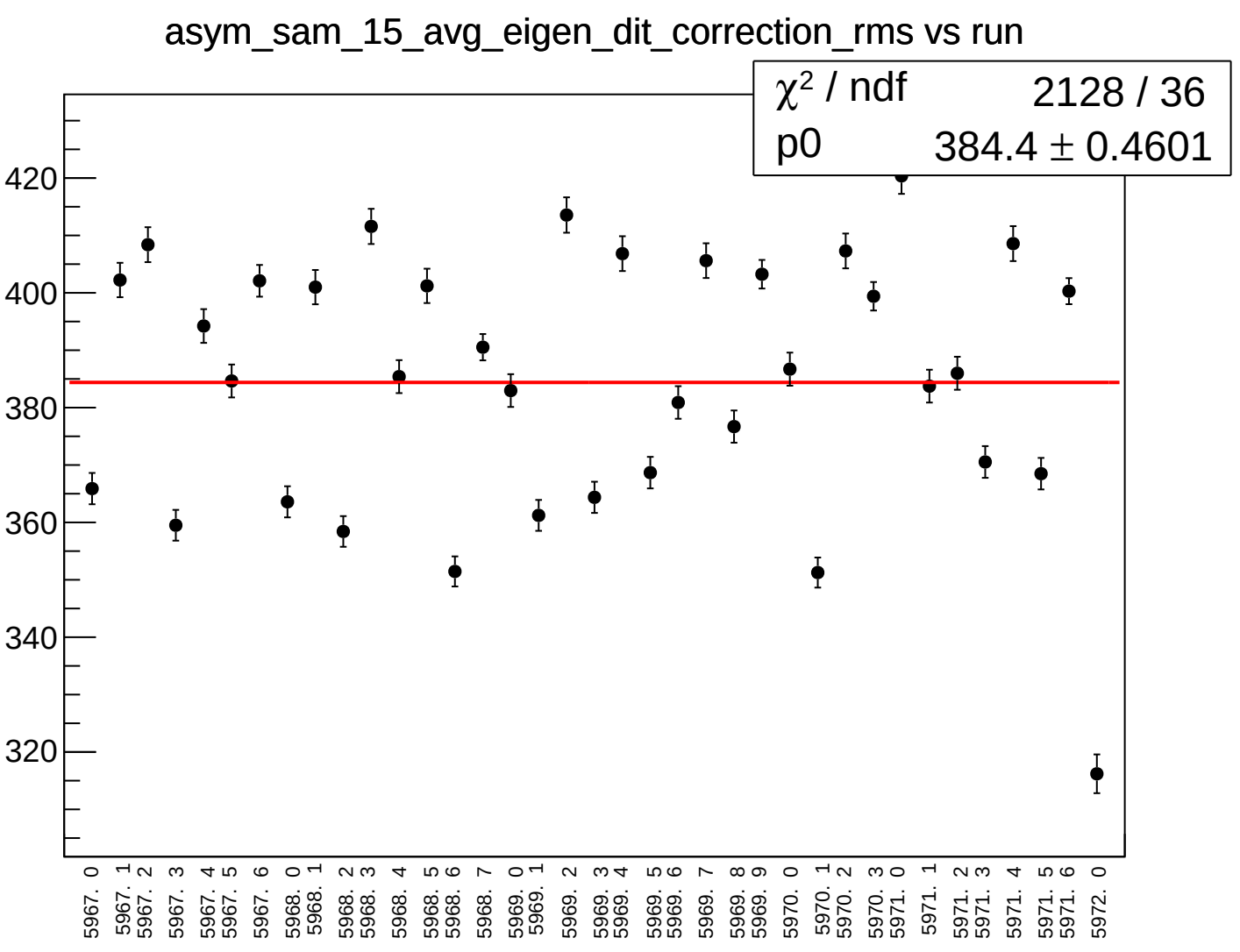
asym_sam_15_avg_eigen_dit_correction_rms vs run
χ² / ndf 2128 / 36
p0 384.4 ± 0.4601
420
400
380
360
340
320
5967. 0
5967. 1
5967. 2
5967. 3
5967. 4
5967. 5
5967. 6
5968. 0
5968. 1
5968. 2
5968. 3
5968. 4
5968. 5
5968. 6
5968. 7
5969. 0
5969. 1
5969. 2
5969. 3
5969. 4
5969. 5
5969. 6
5969. 7
5969. 8
5969. 9
5970. 0
5970. 1
5970. 2
5970. 3
5971. 0
5971. 1
5971. 2
5971. 3
5971. 4
5971. 5
5971. 6
5972. 0

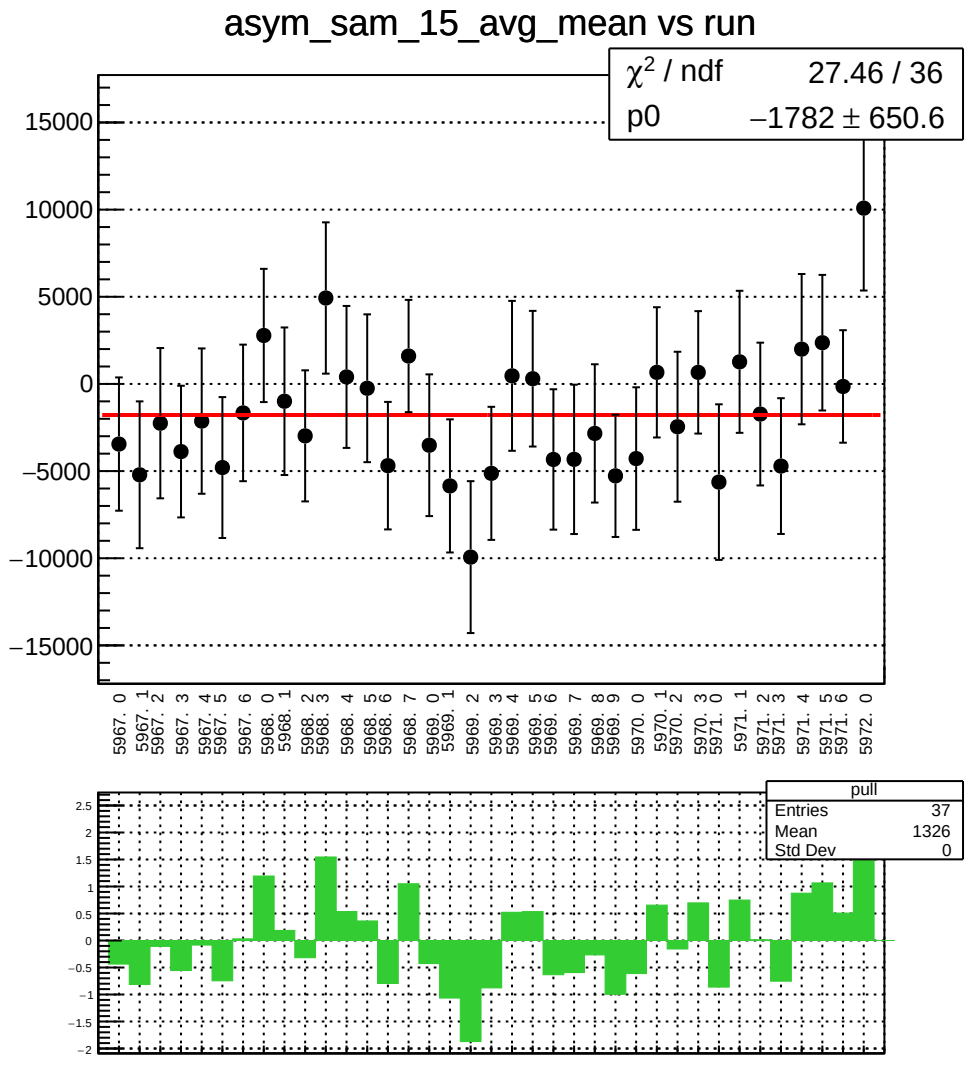
asym_sam_15_avg_mean vs run
χ² / ndf 27.46 / 36
p0 −1782 ± 650.6
15000
10000
5000
0
−5000
−10000
−15000
5967. 0
5967. 1
5967. 2
5967. 3
5967. 4
5967. 5
5967. 6
5968. 0
5968. 1
5968. 2
5968. 3
5968. 4
5968. 5
5968. 6
5968. 7
5969. 0
5969. 1
5969. 2
5969. 3
5969. 4
5969. 5
5969. 6
5969. 7
5969. 8
5969. 9
5970. 0
5970. 1
5970. 2
5970. 3
5971. 0
5971. 1
5971. 2
5971. 3
5971. 4
5971. 5
5971. 6
5972. 0
pull
Entries 37
Mean 1326
Std Dev 0
2.5
2
1.5
1
0.5
0
−0.5
−1
−1.5
−2

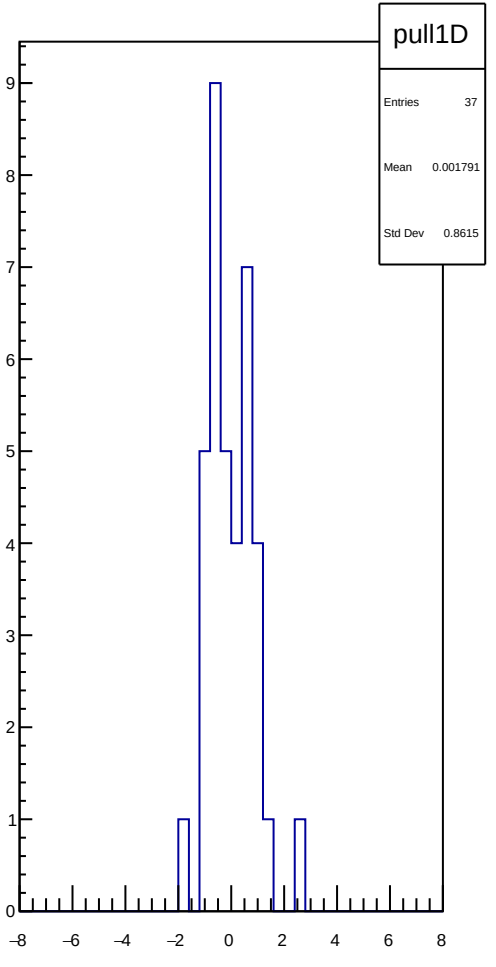
pull1D
Entries 37
Mean 0.001791
Std Dev 0.8615
9
8
7
6
5
4
3
2
1
0
−8
−6
−4
−2
0
2
4
6
8

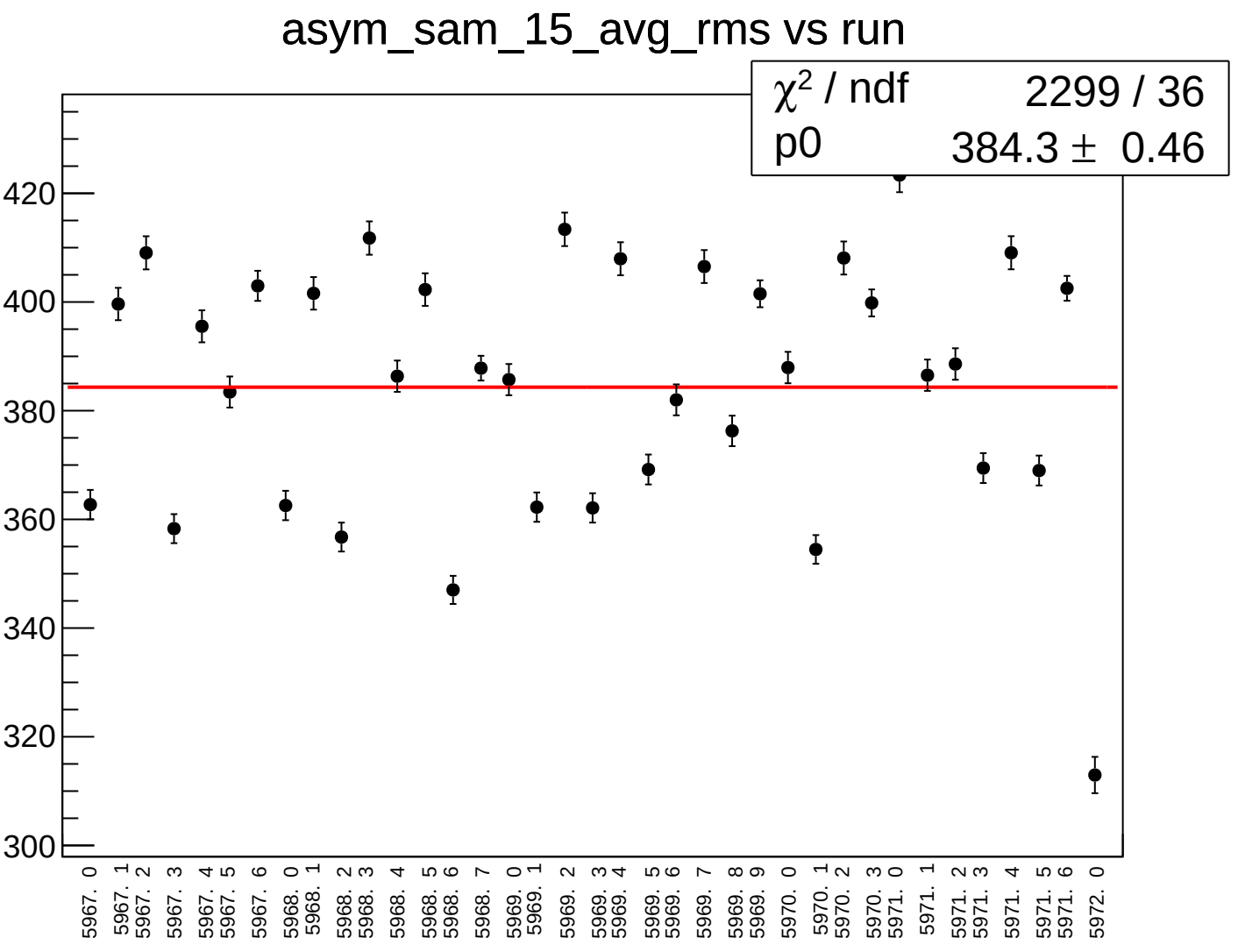
asym_sam_15_avg_rms vs run
χ² / ndf 2299 / 36
p0 384.3 ± 0.46
420
400
380
360
340
320
300
5967. 0
5967. 1
5967. 2
5967. 3
5967. 4
5967. 5
5967. 6
5968. 0
5968. 1
5968. 2
5968. 3
5968. 4
5968. 5
5968. 6
5968. 7
5969. 0
5969. 1
5969. 2
5969. 3
5969. 4
5969. 5
5969. 6
5969. 7
5969. 8
5969. 9
5970. 0
5970. 1
5970. 2
5970. 3
5971. 0
5971. 1
5971. 2
5971. 3
5971. 4
5971. 5
5971. 6
5972. 0

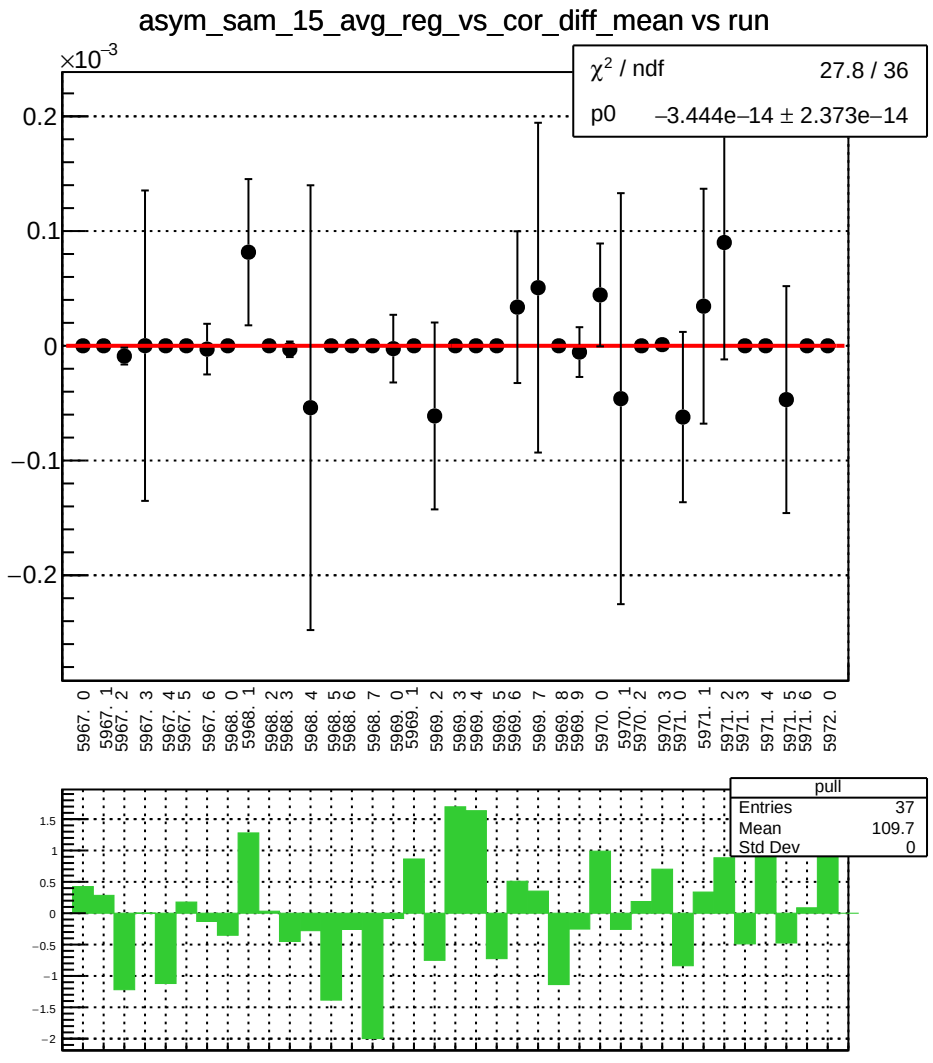
asym_sam_15_avg_reg_vs_cor_diff_mean vs run
×10⁻³
χ² / ndf 27.8 / 36
p0 −3.444e−14 ± 2.373e−14
0.2
0.1
0
−0.1
−0.2
5967. 0
5967. 1
5967. 2
5967. 3
5967. 4
5967. 5
5967. 6
5968. 0
5968. 1
5968. 2
5968. 3
5968. 4
5968. 5
5968. 6
5968. 7
5969. 0
5969. 1
5969. 2
5969. 3
5969. 4
5969. 5
5969. 6
5969. 7
5969. 8
5969. 9
5970. 0
5970. 1
5970. 2
5970. 3
5971. 0
5971. 1
5971. 2
5971. 3
5971. 4
5971. 5
5971. 6
5972. 0
pull
Entries 37
Mean 109.7
Std Dev 0
1.5
1
0.5
0
−0.5
−1
−1.5
−2

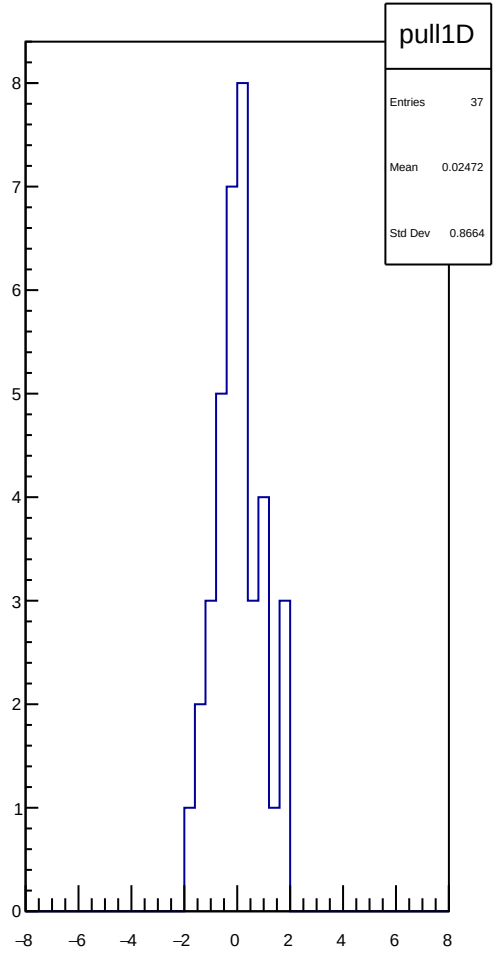
pull1D
Entries 37
Mean 0.02472
Std Dev 0.8664
8
7
6
5
4
3
2
1
0
−8
−6
−4
−2
0
2
4
6
8

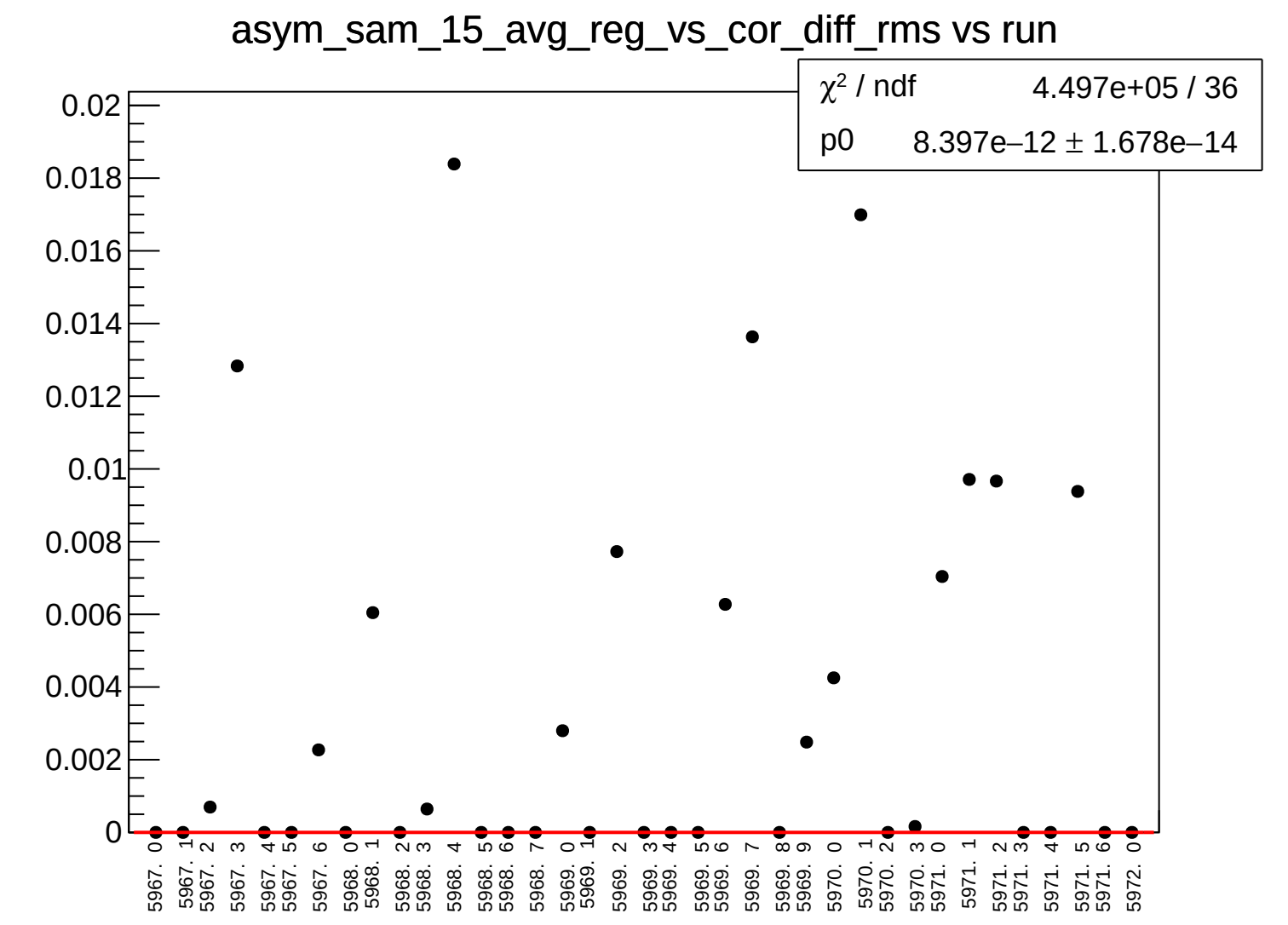
asym_sam_15_avg_reg_vs_cor_diff_rms vs run
χ² / ndf 4.497e+05 / 36
p0 8.397e−12 ± 1.678e−14
0.02
0.018
0.016
0.014
0.012
0.01
0.008
0.006
0.004
0.002
0
5967. 0
5967. 1
5967. 2
5967. 3
5967. 4
5967. 5
5967. 6
5968. 0
5968. 1
5968. 2
5968. 3
5968. 4
5968. 5
5968. 6
5968. 7
5969. 0
5969. 1
5969. 2
5969. 3
5969. 4
5969. 5
5969. 6
5969. 7
5969. 8
5969. 9
5970. 0
5970. 1
5970. 2
5970. 3
5971. 0
5971. 1
5971. 2
5971. 3
5971. 4
5971. 5
5971. 6
5972. 0

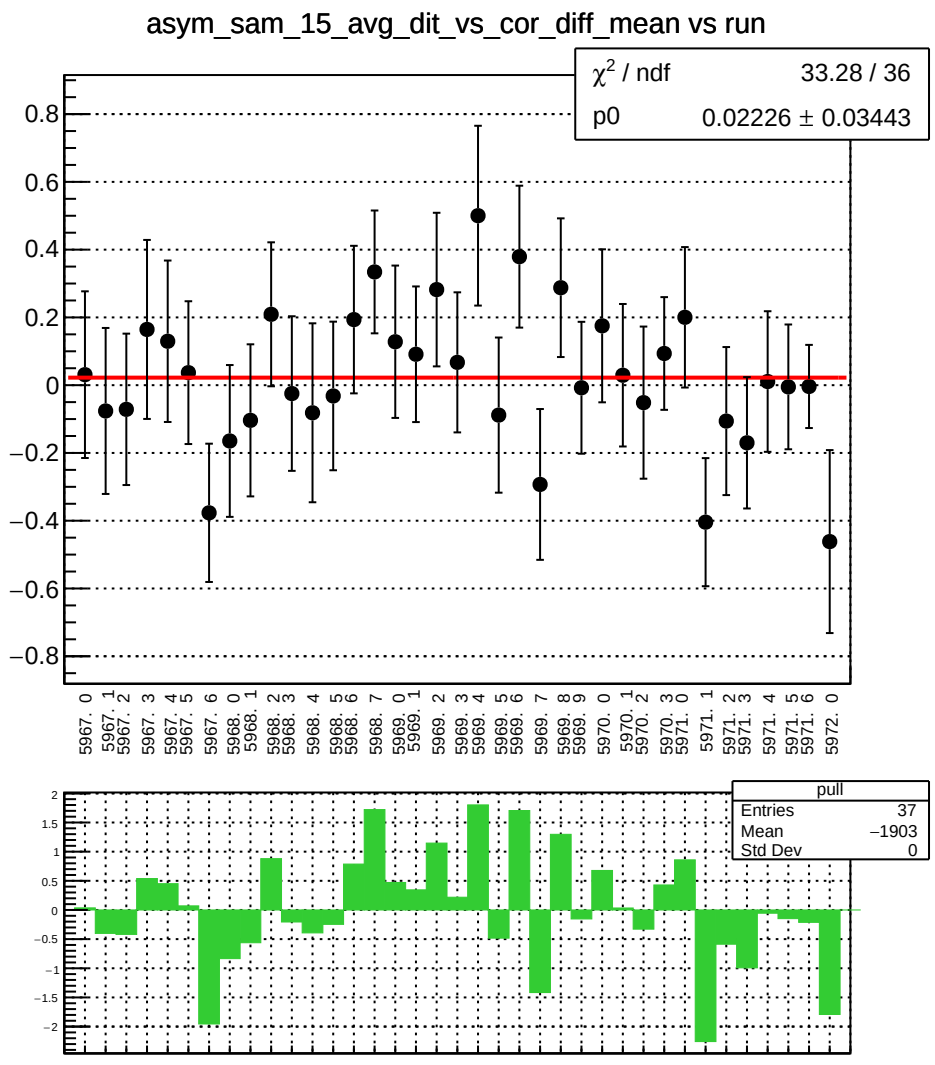
asym_sam_15_avg_dit_vs_cor_diff_mean vs run
χ² / ndf 33.28 / 36
p0 0.02226 ± 0.03443
pull
Entries 37
Mean −1903
Std Dev 0

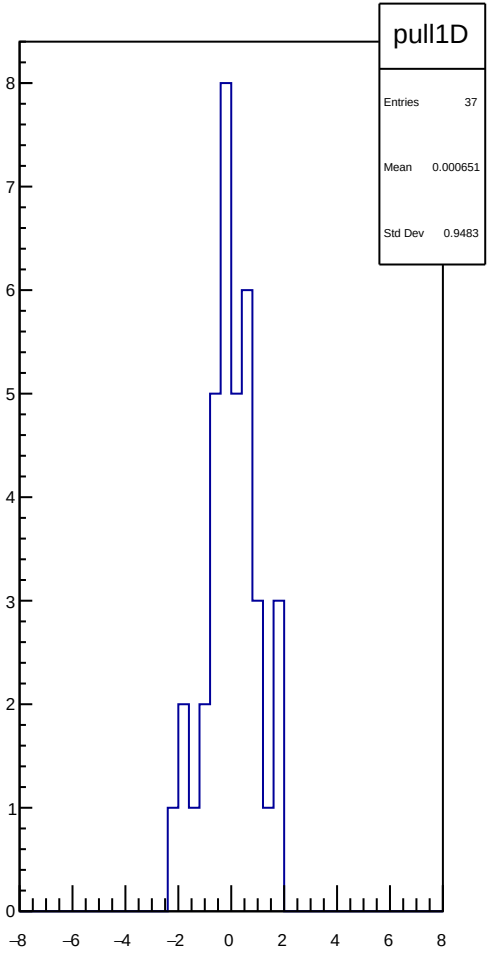
pull1D
Entries 37
Mean 0.000651
Std Dev 0.9483

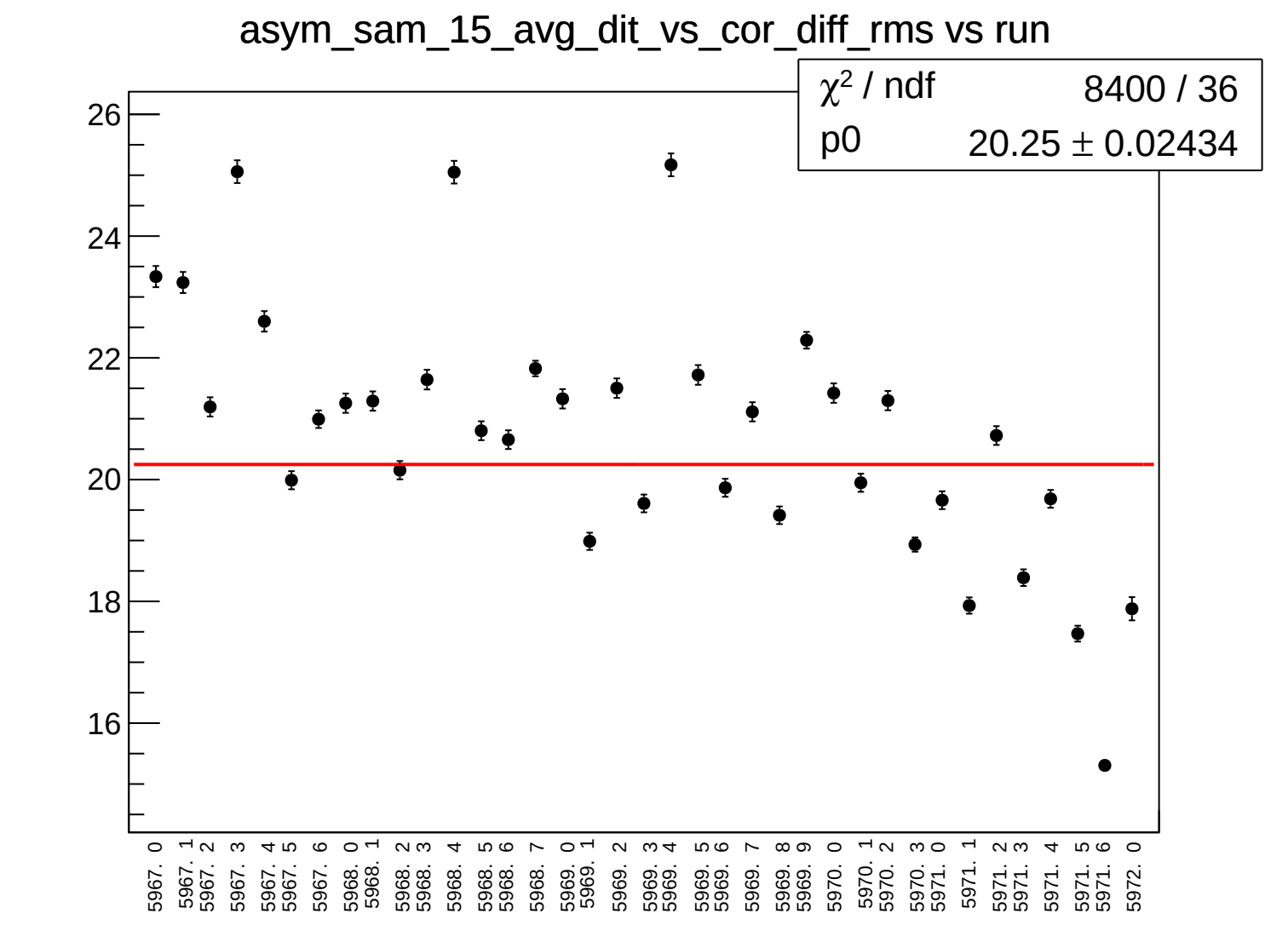
asym_sam_15_avg_dit_vs_cor_diff_rms vs run
χ² / ndf 8400 / 36
p0 20.25 ± 0.02434
26
24
22
20
18
16
5967. 0
5967. 1
5967. 2
5967. 3
5967. 4
5967. 5
5967. 6
5968. 0
5968. 1
5968. 2
5968. 3
5968. 4
5968. 5
5968. 6
5968. 7
5969. 0
5969. 1
5969. 2
5969. 3
5969. 4
5969. 5
5969. 6
5969. 7
5969. 8
5969. 9
5970. 0
5970. 1
5970. 2
5970. 3
5971. 0
5971. 1
5971. 2
5971. 3
5971. 4
5971. 5
5971. 6
5972. 0

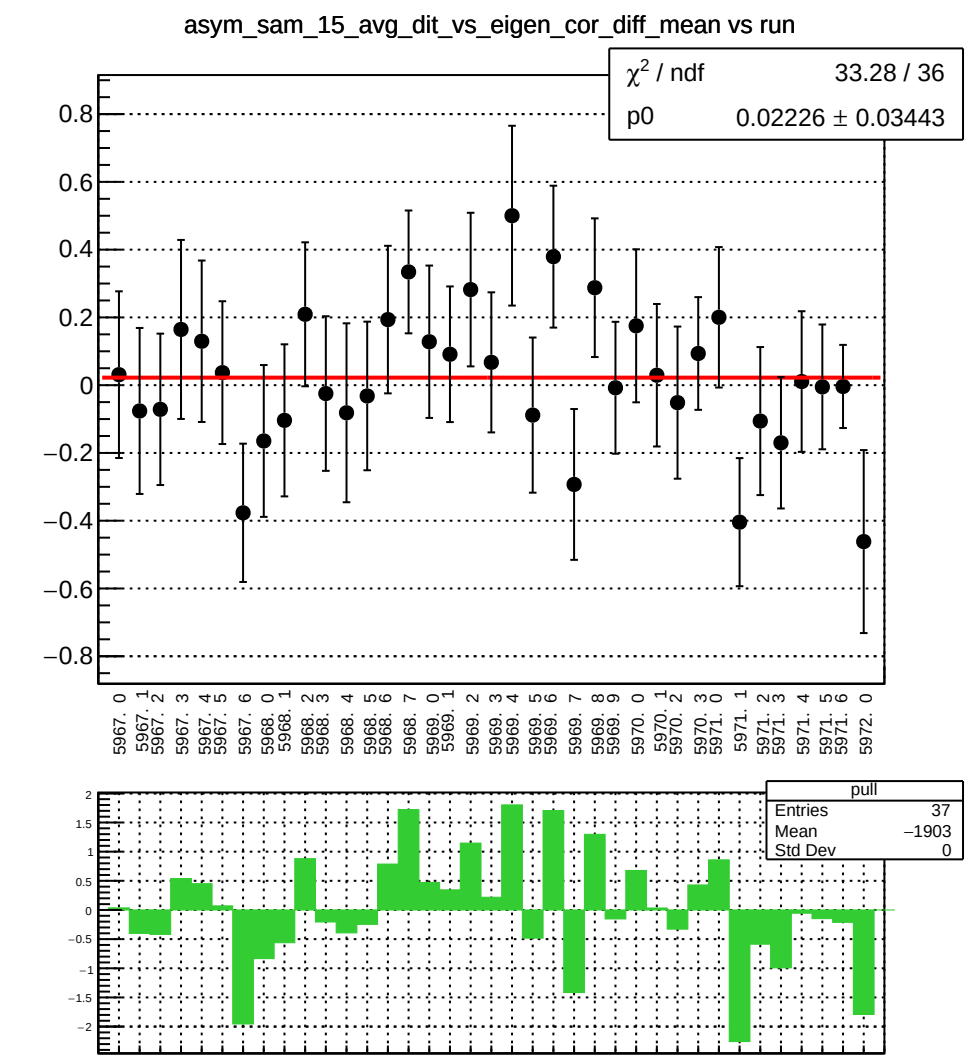
asym_sam_15_avg_dit_vs_eigen_cor_diff_mean vs run
χ² / ndf 33.28 / 36
p0 0.02226 ± 0.03443
pull
Entries 37
Mean −1903
Std Dev 0

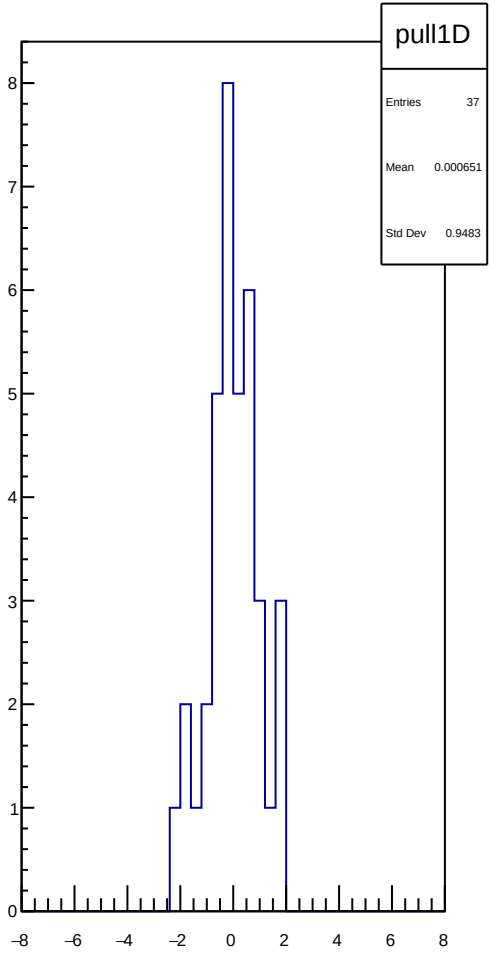
pull1D
Entries 37
Mean 0.000651
Std Dev 0.9483

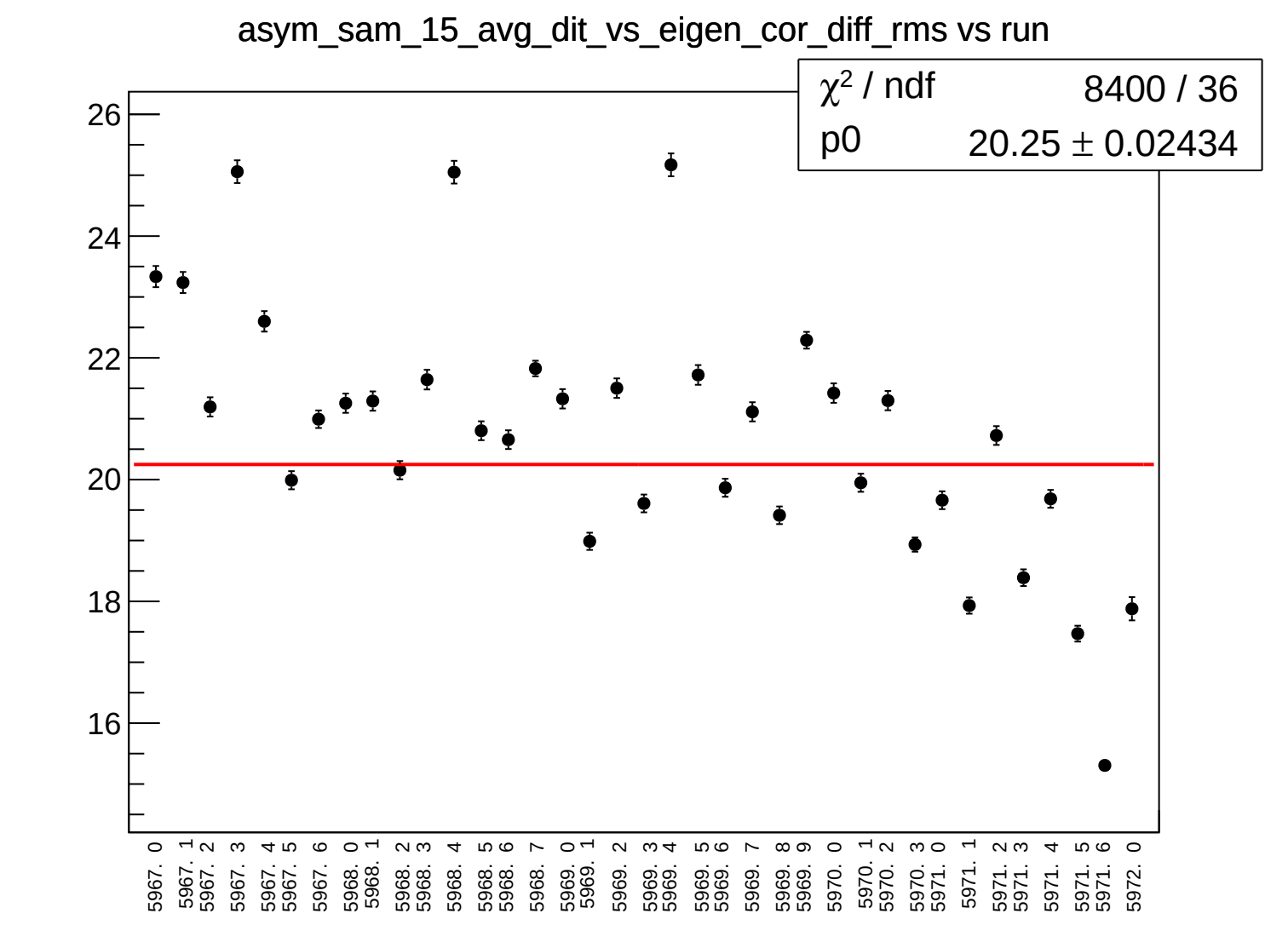
asym_sam_15_avg_dit_vs_eigen_cor_diff_rms vs run
χ² / ndf 8400 / 36
p0 20.25 ± 0.02434
26
24
22
20
18
16
5967. 0
5967. 1
5967. 2
5967. 3
5967. 4
5967. 5
5967. 6
5968. 0
5968. 1
5968. 2
5968. 3
5968. 4
5968. 5
5968. 6
5968. 7
5969. 0
5969. 1
5969. 2
5969. 3
5969. 4
5969. 5
5969. 6
5969. 7
5969. 8
5969. 9
5970. 0
5970. 1
5970. 2
5970. 3
5971. 0
5971. 1
5971. 2
5971. 3
5971. 4
5971. 5
5971. 6
5972. 0

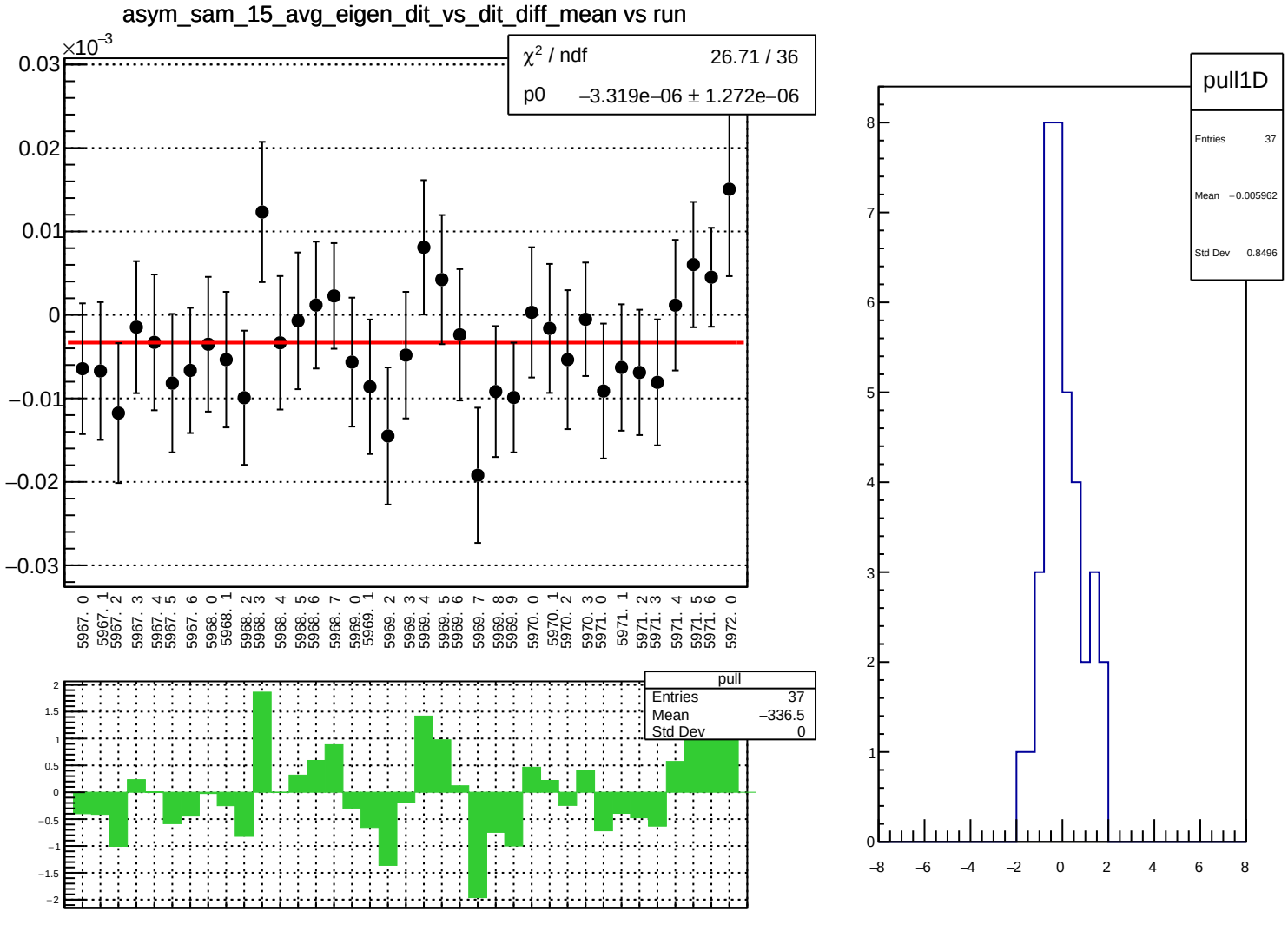
asym_sam_15_avg_eigen_dit_vs_dit_diff_mean vs run
×10^−3
χ² / ndf 26.71 / 36
p0 −3.319e−06 ± 1.272e−06
0.03
0.02
0.01
0
−0.01
−0.02
−0.03
5967. 0
5967. 1
5967. 2
5967. 3
5967. 4
5967. 5
5967. 6
5968. 0
5968. 1
5968. 2
5968. 3
5968. 4
5968. 5
5968. 6
5968. 7
5969. 0
5969. 1
5969. 2
5969. 3
5969. 4
5969. 5
5969. 6
5969. 7
5969. 8
5969. 9
5970. 0
5970. 1
5970. 2
5970. 3
5971. 0
5971. 1
5971. 2
5971. 3
5971. 4
5971. 5
5971. 6
5972. 0
pull
Entries 37
Mean −336.5
Std Dev 0
2
1.5
1
0.5
0
−0.5
−1
−1.5
−2
pull1D
Entries 37
Mean −0.005962
Std Dev 0.8496
8
7
6
5
4
3
2
1
0
−8
−6
−4
−2
0
2
4
6
8

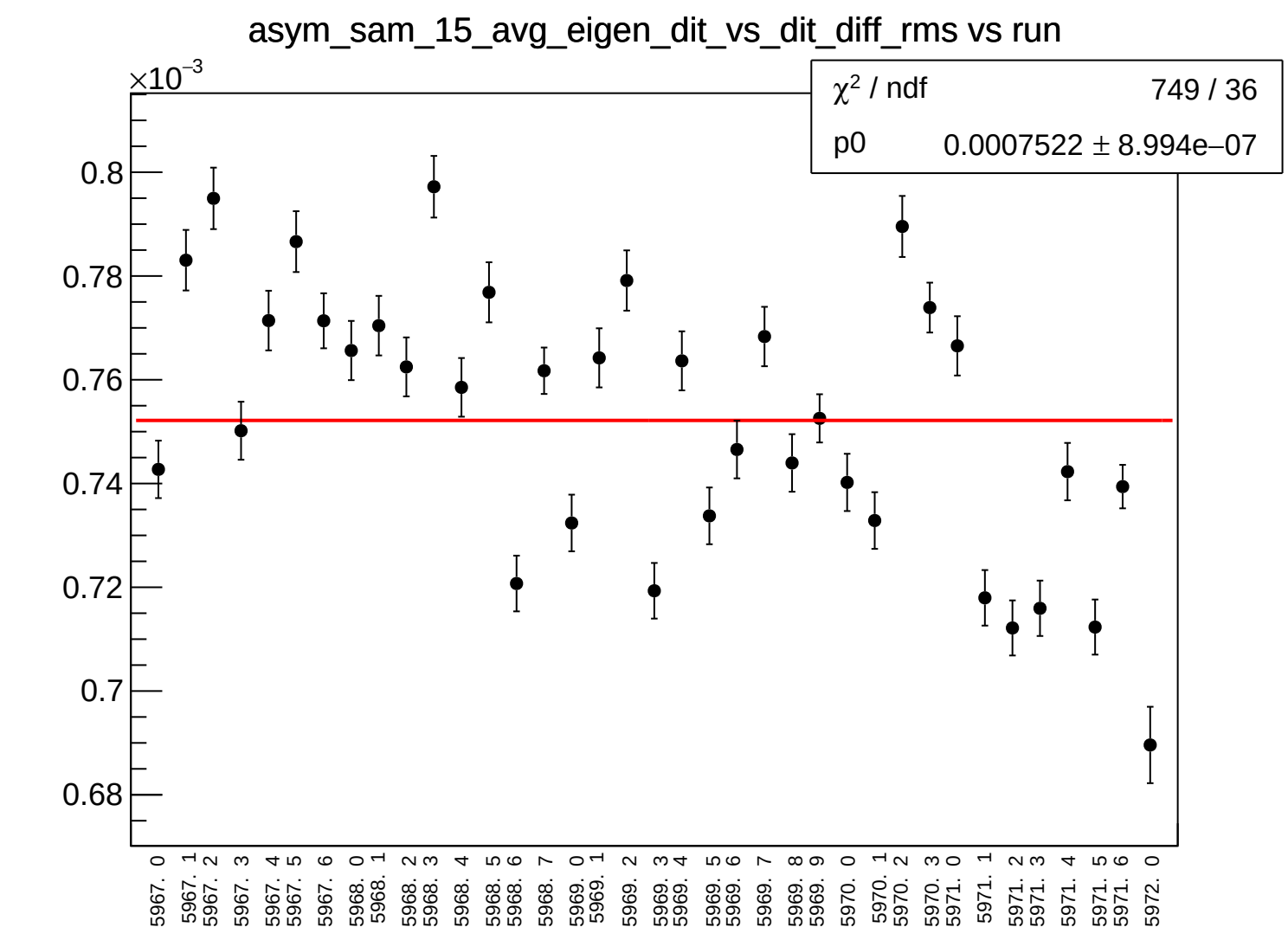
asym_sam_15_avg_eigen_dit_vs_dit_diff_rms vs run
×10⁻³
χ² / ndf 749 / 36
p0 0.0007522 ± 8.994e−07
0.8
0.78
0.76
0.74
0.72
0.7
0.68
5967. 0
5967. 1
5967. 2
5967. 3
5967. 4
5967. 5
5967. 6
5968. 0
5968. 1
5968. 2
5968. 3
5968. 4
5968. 5
5968. 6
5968. 7
5969. 0
5969. 1
5969. 2
5969. 3
5969. 4
5969. 5
5969. 6
5969. 7
5969. 8
5969. 9
5970. 0
5970. 1
5970. 2
5970. 3
5971. 0
5971. 1
5971. 2
5971. 3
5971. 4
5971. 5
5971. 6
5972. 0

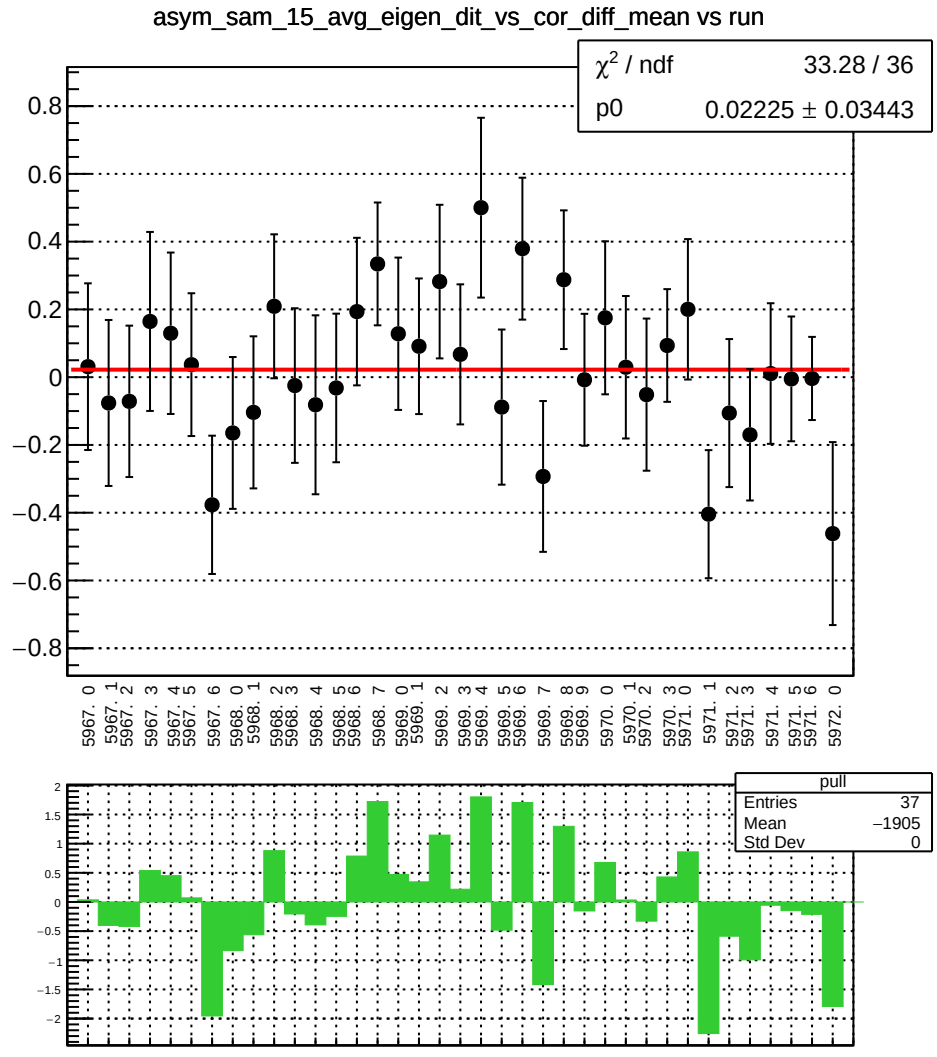
asym_sam_15_avg_eigen_dit_vs_cor_diff_mean vs run
χ² / ndf 33.28 / 36
p0 0.02225 ± 0.03443
pull
Entries 37
Mean −1905
Std Dev 0
pull1D
Entries 37
Mean 0.0006504
Std Dev 0.9483

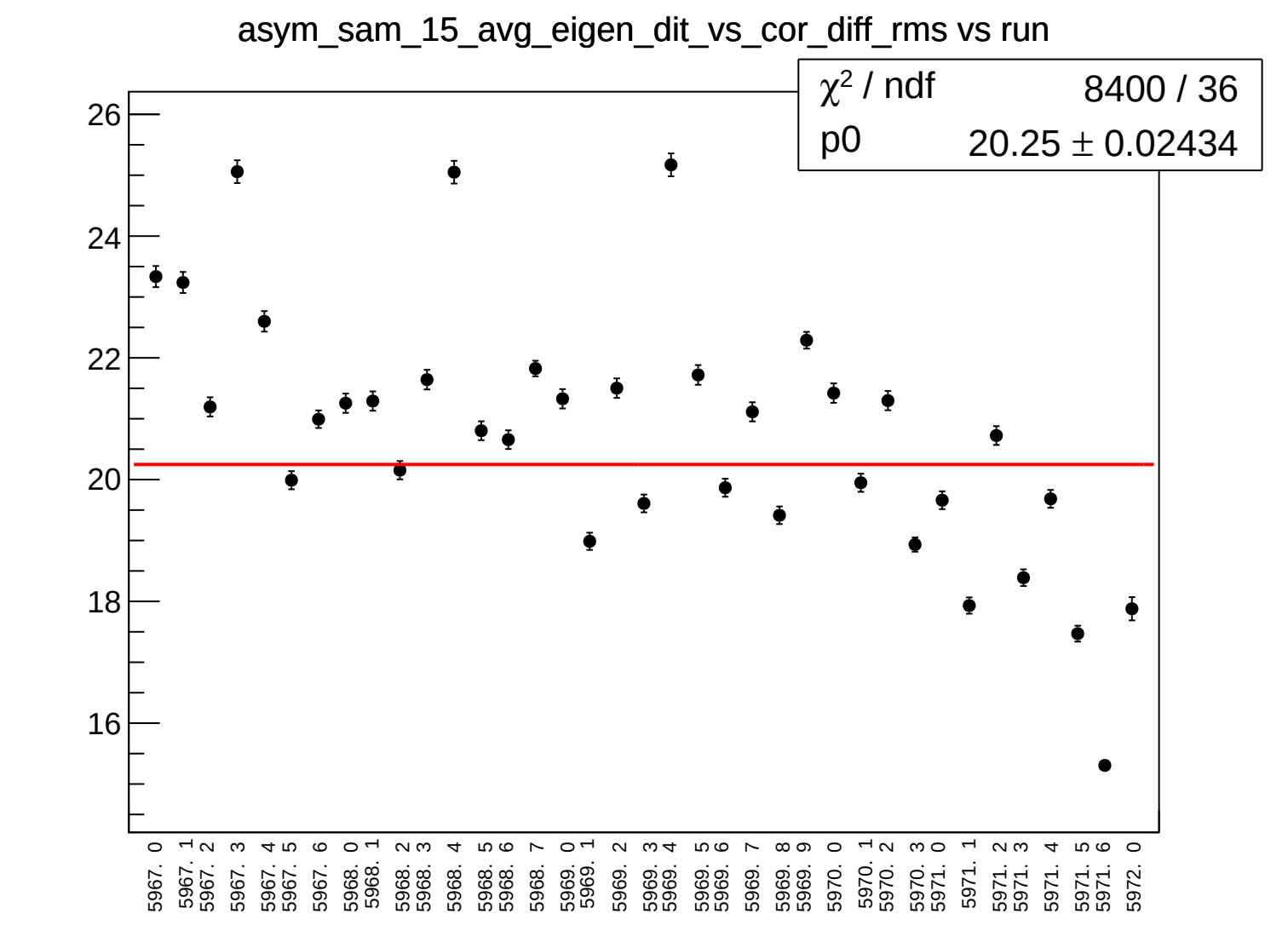
asym_sam_15_avg_eigen_dit_vs_cor_diff_rms vs run
χ² / ndf 8400 / 36
p0 20.25 ± 0.02434
26
24
22
20
18
16
5967. 0
5967. 1
5967. 2
5967. 3
5967. 4
5967. 5
5967. 6
5968. 0
5968. 1
5968. 2
5968. 3
5968. 4
5968. 5
5968. 6
5968. 7
5969. 0
5969. 1
5969. 2
5969. 3
5969. 4
5969. 5
5969. 6
5969. 7
5969. 8
5969. 9
5970. 0
5970. 1
5970. 2
5970. 3
5971. 0
5971. 1
5971. 2
5971. 3
5971. 4
5971. 5
5971. 6
5972. 0

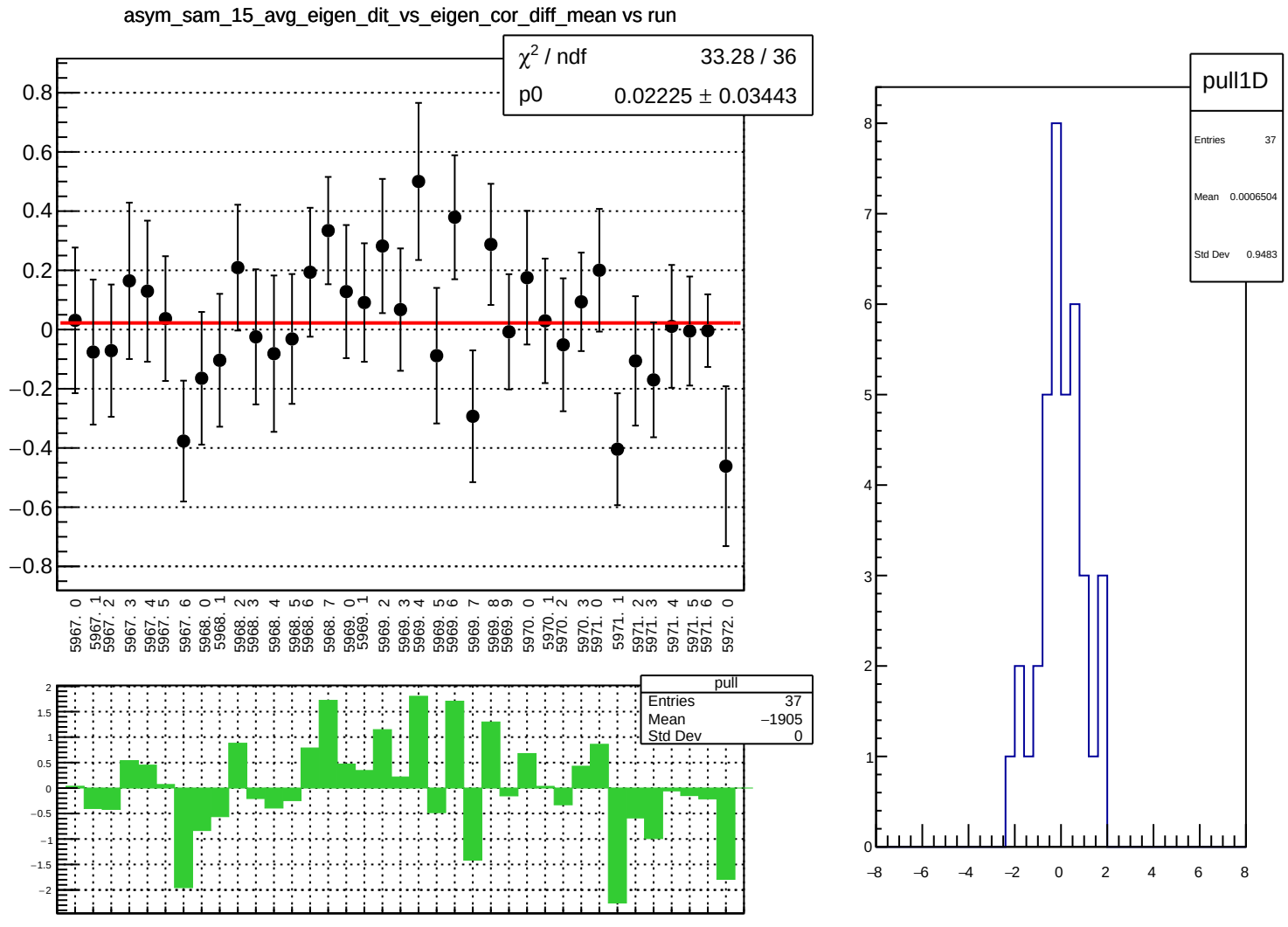
asym_sam_15_avg_eigen_dit_vs_eigen_cor_diff_mean vs run
χ² / ndf 33.28 / 36
p0 0.02225 ± 0.03443
pull
Entries 37
Mean −1905
Std Dev 0
pull1D
Entries 37
Mean 0.0006504
Std Dev 0.9483

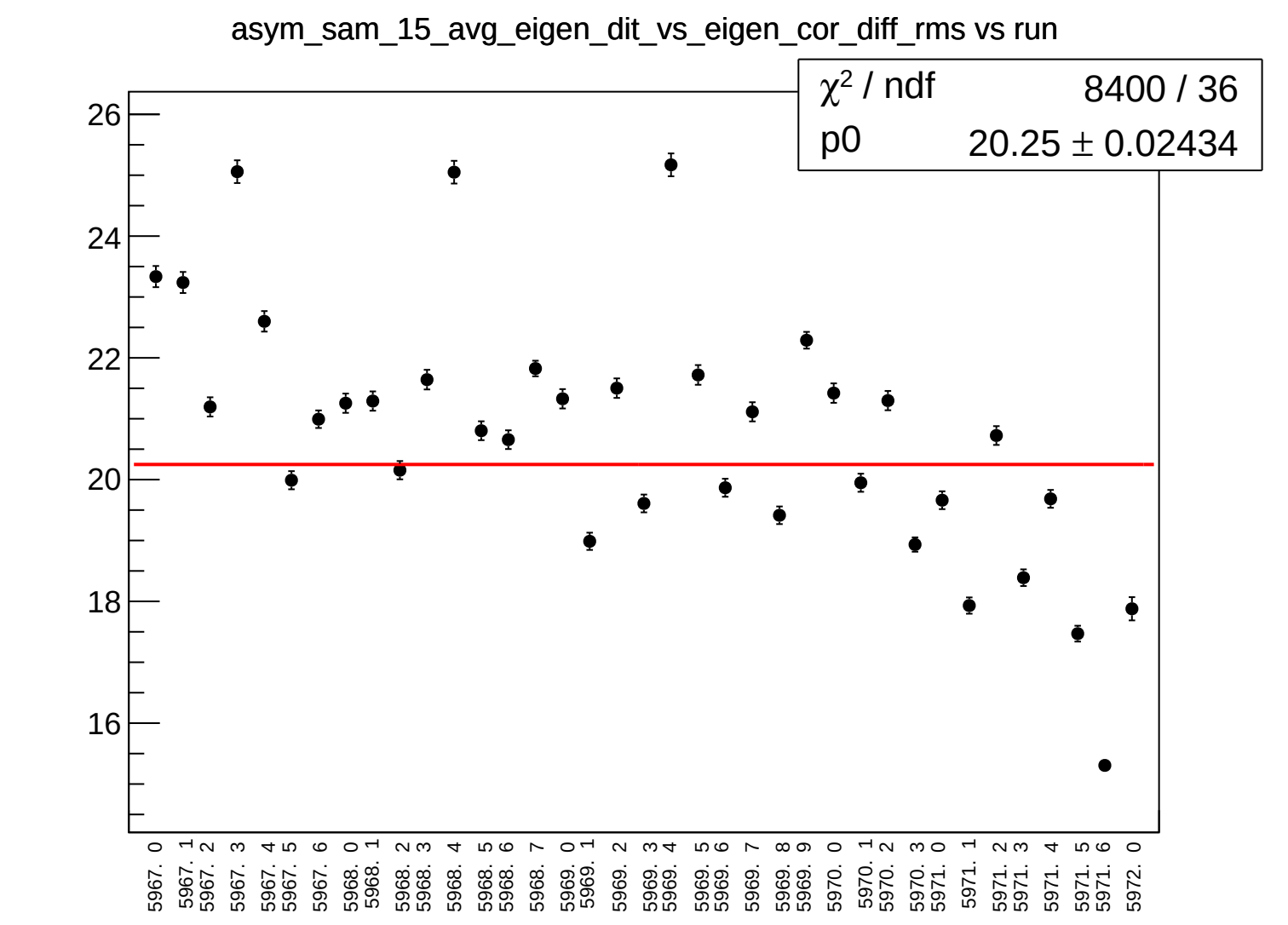
asym_sam_15_avg_eigen_dit_vs_eigen_cor_diff_rms vs run
χ² / ndf 8400 / 36
p0 20.25 ± 0.02434
26
24
22
20
18
16
5967. 0
5967. 1
5967. 2
5967. 3
5967. 4
5967. 5
5967. 6
5968. 0
5968. 1
5968. 2
5968. 3
5968. 4
5968. 5
5968. 6
5968. 7
5969. 0
5969. 1
5969. 2
5969. 3
5969. 4
5969. 5
5969. 6
5969. 7
5969. 8
5969. 9
5970. 0
5970. 1
5970. 2
5970. 3
5971. 0
5971. 1
5971. 2
5971. 3
5971. 4
5971. 5
5971. 6
5972. 0

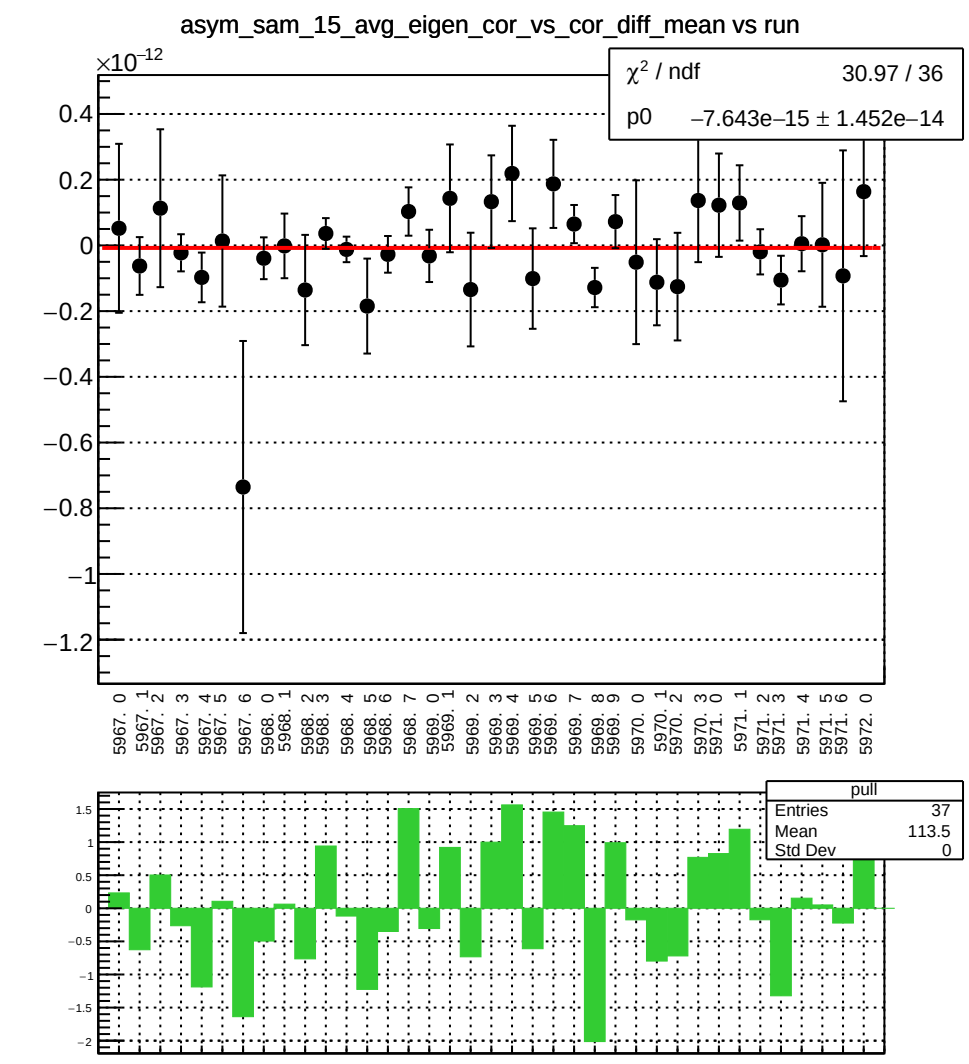
asym_sam_15_avg_eigen_cor_vs_cor_diff_mean vs run
×10−12
χ2 / ndf 30.97 / 36
p0 −7.643e−15 ± 1.452e−14
0.4
0.2
0
−0.2
−0.4
−0.6
−0.8
−1
−1.2
5967. 0
5967. 1
5967. 2
5967. 3
5967. 4
5967. 5
5967. 6
5968. 0
5968. 1
5968. 2
5968. 3
5968. 4
5968. 5
5968. 6
5968. 7
5969. 0
5969. 1
5969. 2
5969. 3
5969. 4
5969. 5
5969. 6
5969. 7
5969. 8
5969. 9
5970. 0
5970. 1
5970. 2
5970. 3
5971. 0
5971. 1
5971. 2
5971. 3
5971. 4
5971. 5
5971. 6
5972. 0
pull
Entries 37
Mean 113.5
Std Dev 0
1.5
1
0.5
0
−0.5
−1
−1.5
−2

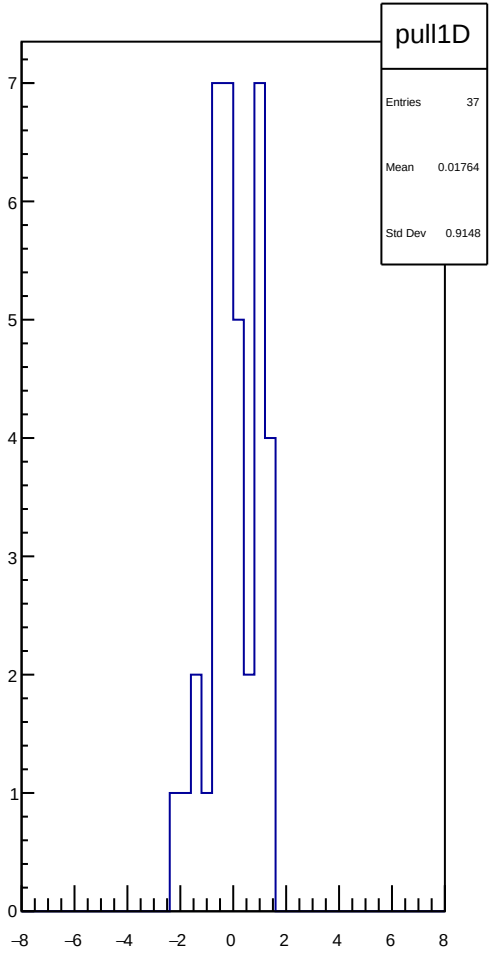
pull1D
Entries 37
Mean 0.01764
Std Dev 0.9148
7
6
5
4
3
2
1
0
−8
−6
−4
−2
0
2
4
6
8

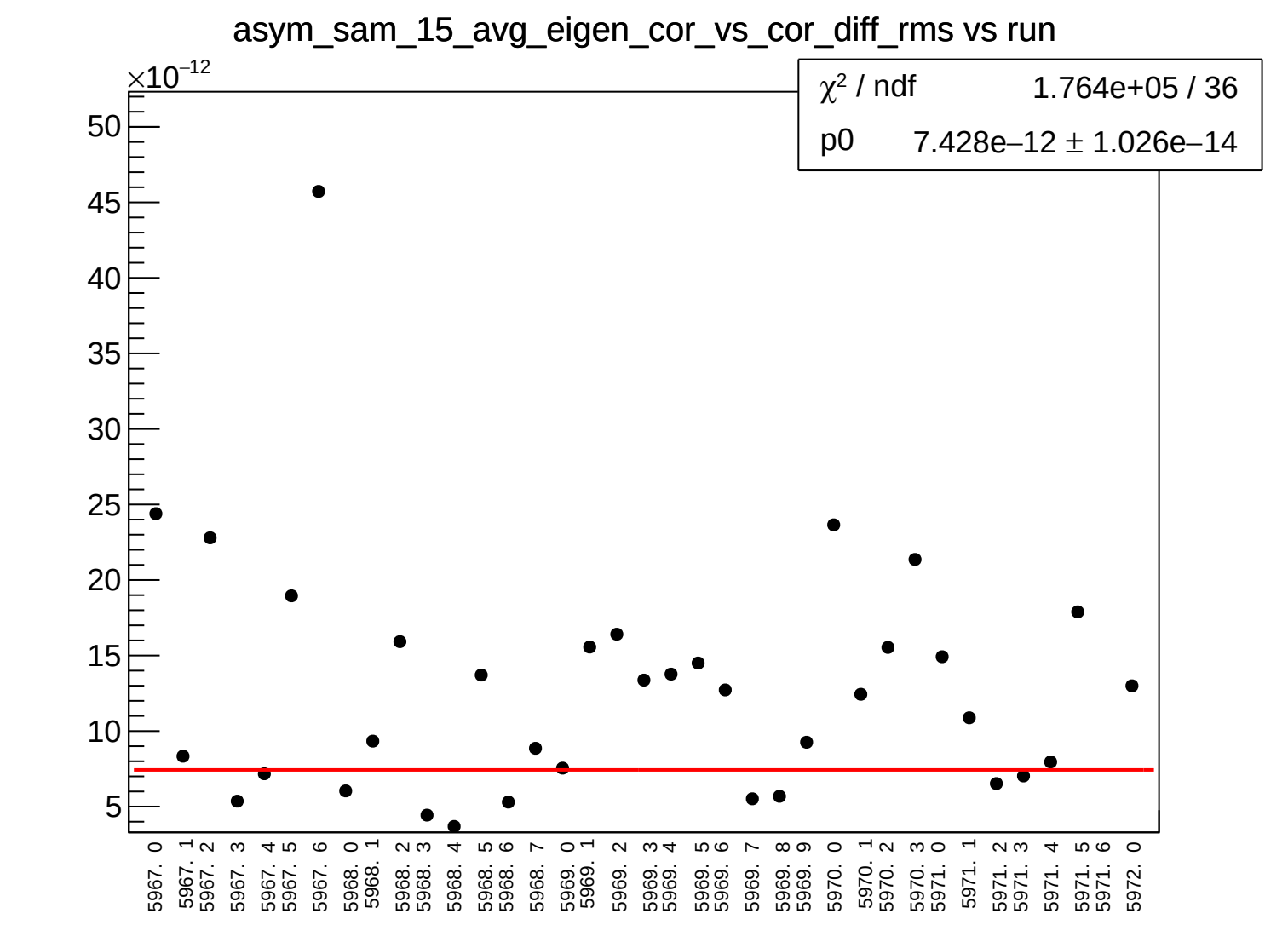
asym_sam_15_avg_eigen_cor_vs_cor_diff_rms vs run
×10⁻¹²
χ² / ndf 1.764e+05 / 36
p0 7.428e−12 ± 1.026e−14
50
45
40
35
30
25
20
15
10
5
5967. 0
5967. 1
5967. 2
5967. 3
5967. 4
5967. 5
5967. 6
5968. 0
5968. 1
5968. 2
5968. 3
5968. 4
5968. 5
5968. 6
5968. 7
5969. 0
5969. 1
5969. 2
5969. 3
5969. 4
5969. 5
5969. 6
5969. 7
5969. 8
5969. 9
5970. 0
5970. 1
5970. 2
5970. 3
5971. 0
5971. 1
5971. 2
5971. 3
5971. 4
5971. 5
5971. 6
5972. 0

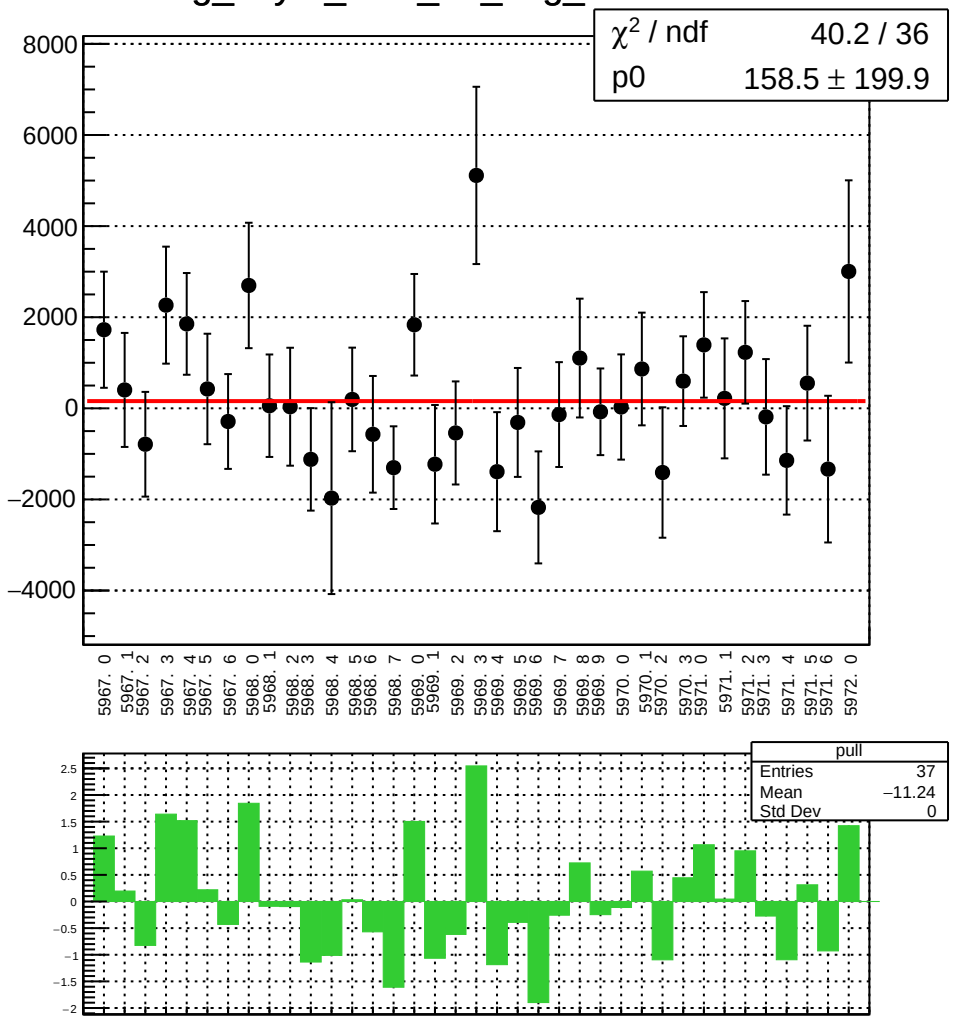
reg_asym_sam_26_avg_mean vs run
χ² / ndf 40.2 / 36
p0 158.5 ± 199.9
pull
Entries 37
Mean −11.24
Std Dev 0

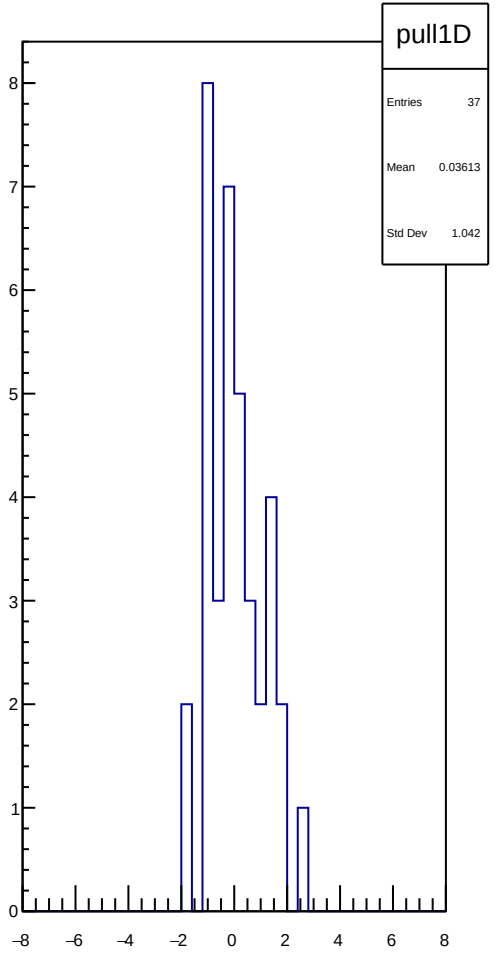
pull1D
Entries 37
Mean 0.03613
Std Dev 1.042

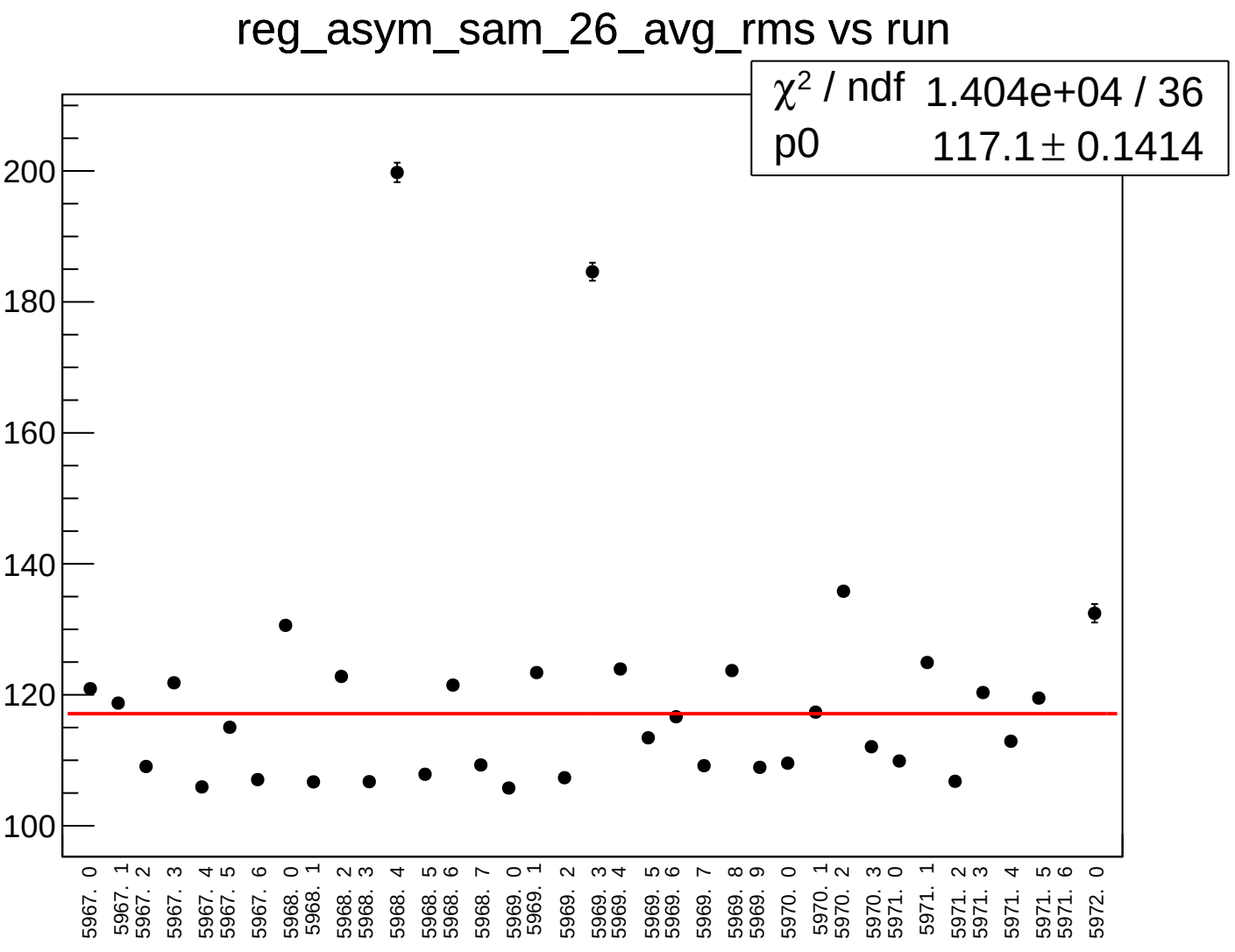
reg_asym_sam_26_avg_rms vs run
χ² / ndf 1.404e+04 / 36
p0 117.1 ± 0.1414
200
180
160
140
120
100
5967. 0
5967. 1
5967. 2
5967. 3
5967. 4
5967. 5
5967. 6
5968. 0
5968. 1
5968. 2
5968. 3
5968. 4
5968. 5
5968. 6
5968. 7
5969. 0
5969. 1
5969. 2
5969. 3
5969. 4
5969. 5
5969. 6
5969. 7
5969. 8
5969. 9
5970. 0
5970. 1
5970. 2
5970. 3
5971. 0
5971. 1
5971. 2
5971. 3
5971. 4
5971. 5
5971. 6
5972. 0

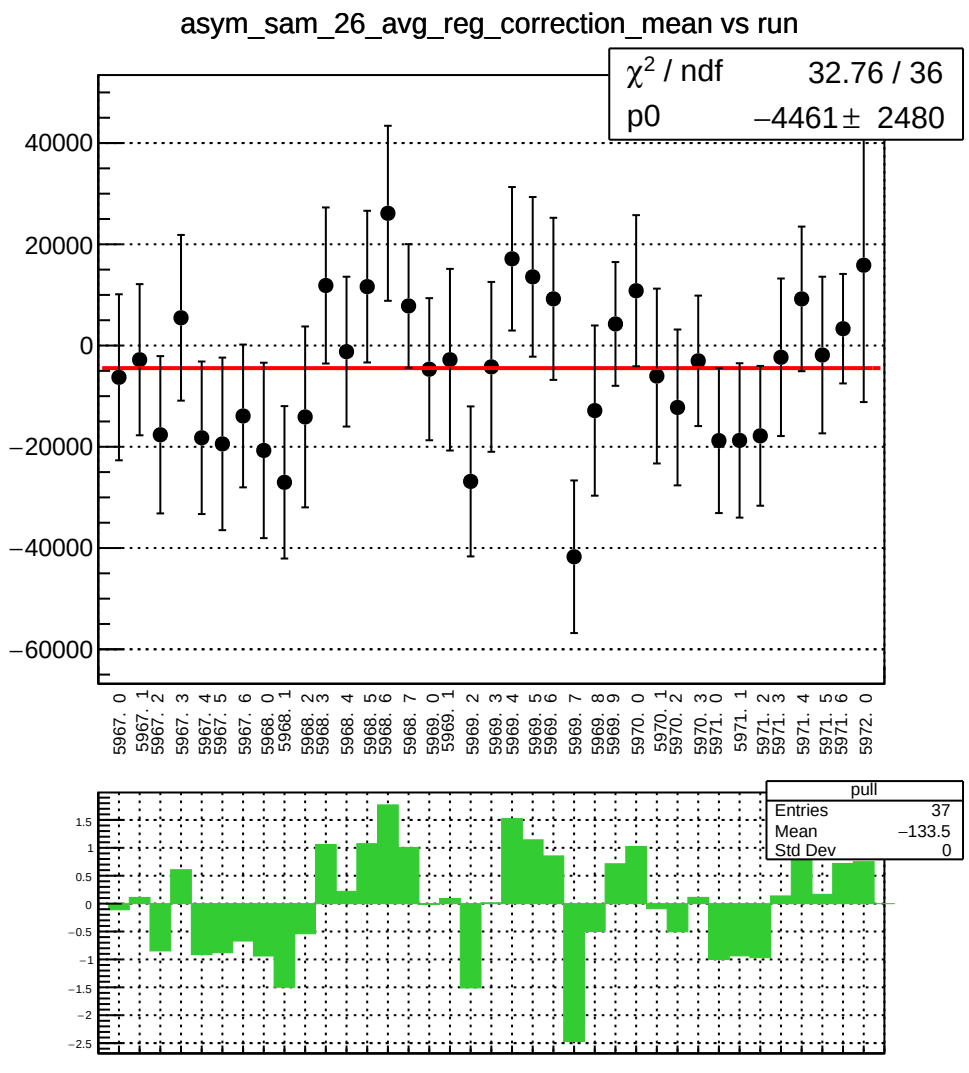
asym_sam_26_avg_reg_correction_mean vs run
χ² / ndf 32.76 / 36
p0 −4461 ± 2480
40000
20000
0
−20000
−40000
−60000
5967. 0
5967. 1
5967. 2
5967. 3
5967. 4
5967. 5
5967. 6
5968. 0
5968. 1
5968. 2
5968. 3
5968. 4
5968. 5
5968. 6
5968. 7
5969. 0
5969. 1
5969. 2
5969. 3
5969. 4
5969. 5
5969. 6
5969. 7
5969. 8
5969. 9
5970. 0
5970. 1
5970. 2
5970. 3
5971. 0
5971. 1
5971. 2
5971. 3
5971. 4
5971. 5
5971. 6
5972. 0
pull
Entries 37
Mean −133.5
Std Dev 0
1.5
1
0.5
0
−0.5
−1
−1.5
−2
−2.5

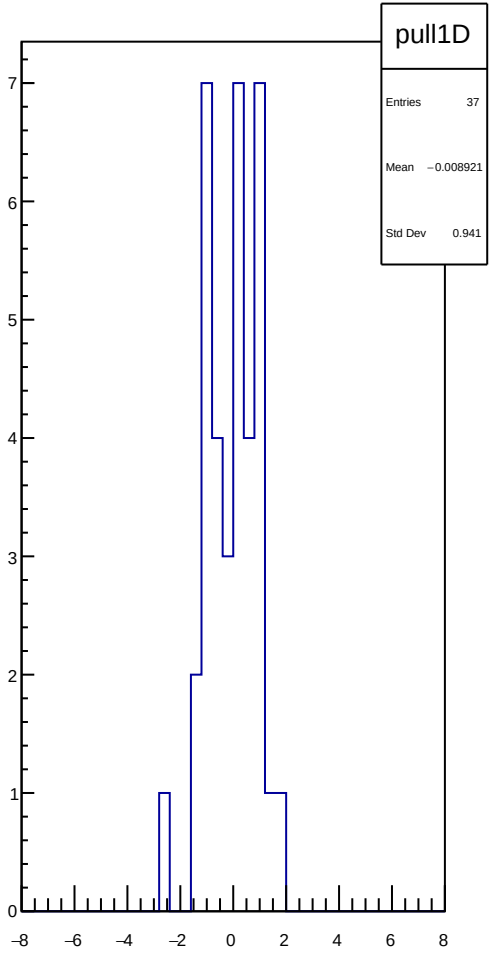
pull1D
Entries 37
Mean −0.008921
Std Dev 0.941
7
6
5
4
3
2
1
0
−8
−6
−4
−2
0
2
4
6
8

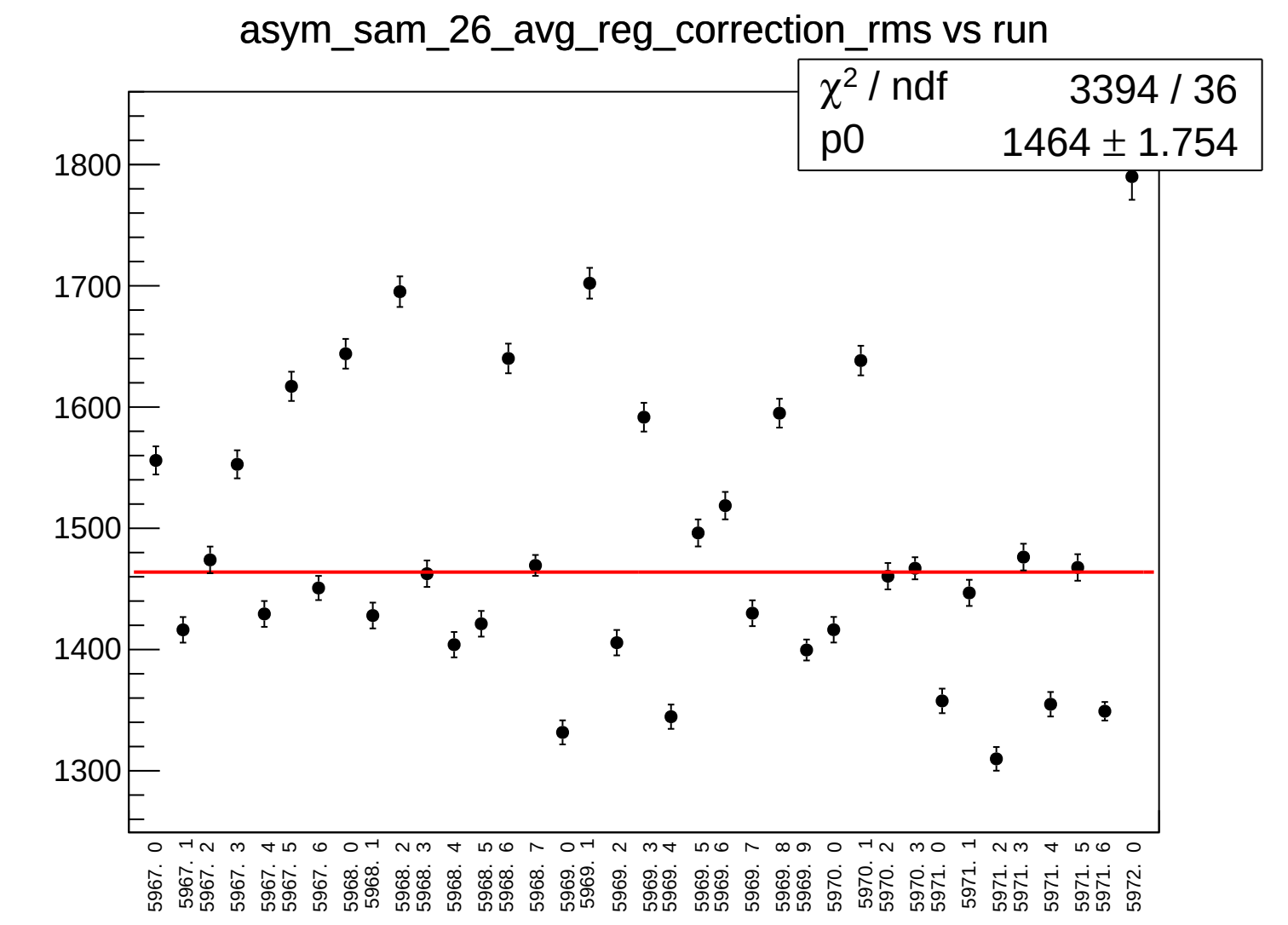
asym_sam_26_avg_reg_correction_rms vs run
χ² / ndf 3394 / 36
p0 1464 ± 1.754
1800
1700
1600
1500
1400
1300
5967. 0
5967. 1
5967. 2
5967. 3
5967. 4
5967. 5
5967. 6
5968. 0
5968. 1
5968. 2
5968. 3
5968. 4
5968. 5
5968. 6
5968. 7
5969. 0
5969. 1
5969. 2
5969. 3
5969. 4
5969. 5
5969. 6
5969. 7
5969. 8
5969. 9
5970. 0
5970. 1
5970. 2
5970. 3
5971. 0
5971. 1
5971. 2
5971. 3
5971. 4
5971. 5
5971. 6
5972. 0

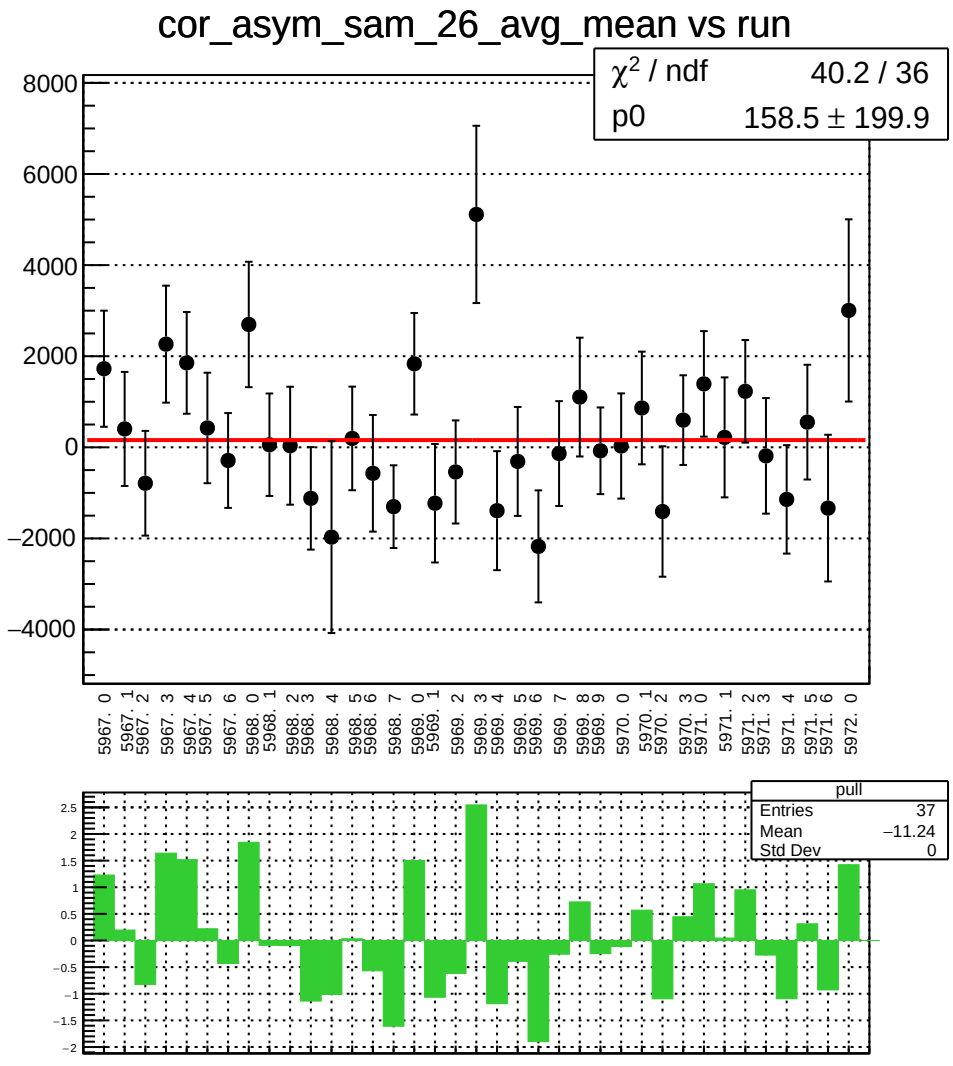
cor_asym_sam_26_avg_mean vs run
χ² / ndf 40.2 / 36
p0 158.5 ± 199.9
pull
Entries 37
Mean −11.24
Std Dev 0

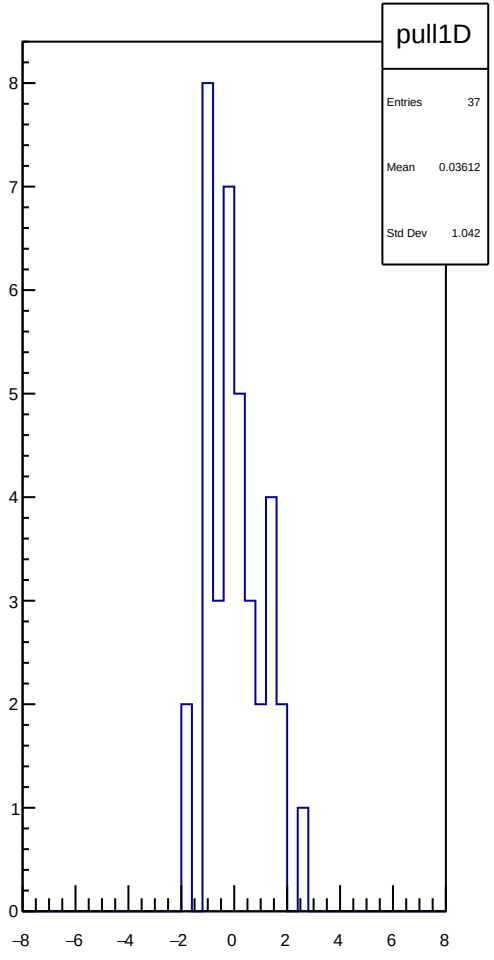
pull1D
Entries 37
Mean 0.03612
Std Dev 1.042

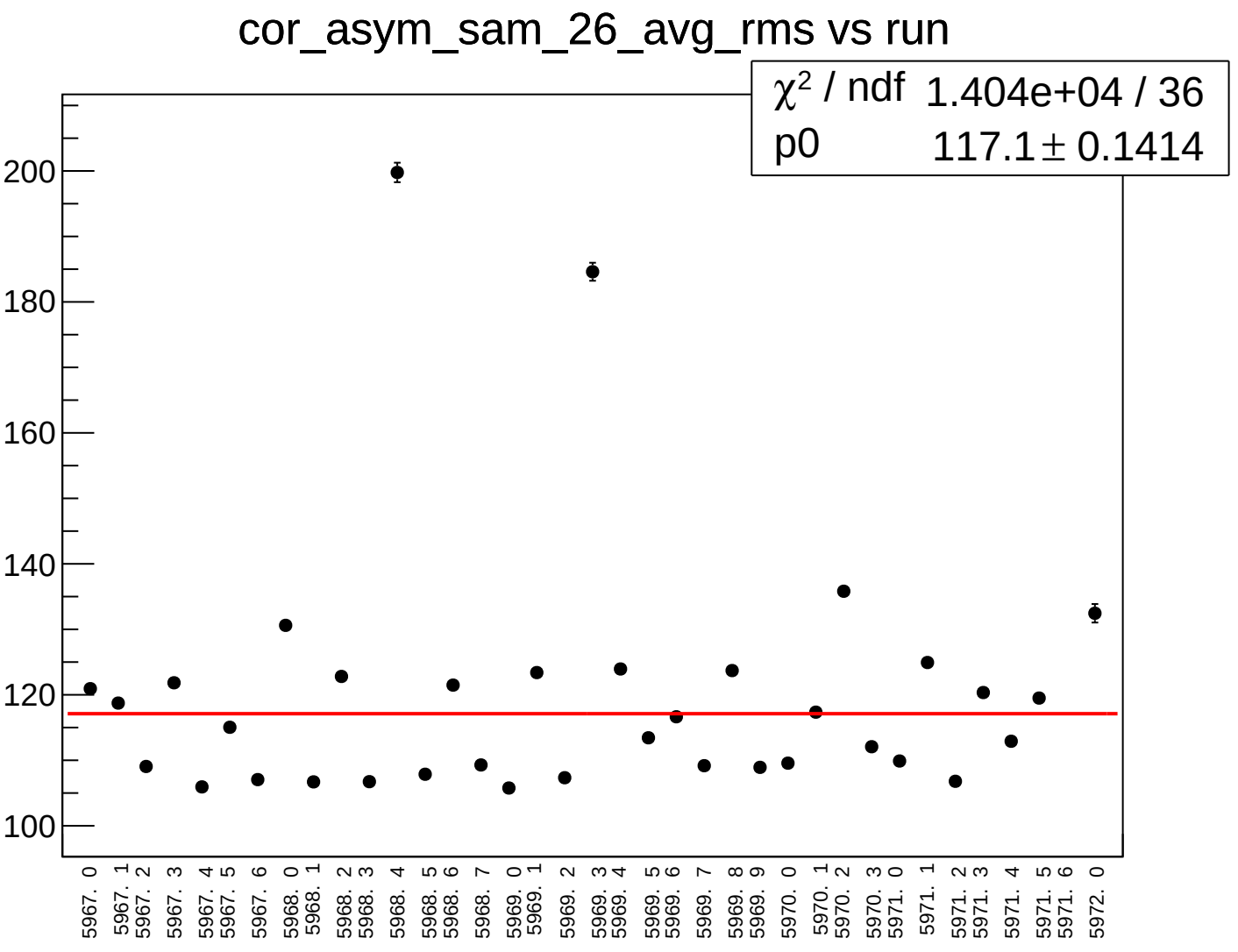
cor_asym_sam_26_avg_rms vs run
χ² / ndf 1.404e+04 / 36
p0 117.1 ± 0.1414
200
180
160
140
120
100
5967. 0
5967. 1
5967. 2
5967. 3
5967. 4
5967. 5
5967. 6
5968. 0
5968. 1
5968. 2
5968. 3
5968. 4
5968. 5
5968. 6
5968. 7
5969. 0
5969. 1
5969. 2
5969. 3
5969. 4
5969. 5
5969. 6
5969. 7
5969. 8
5969. 9
5970. 0
5970. 1
5970. 2
5970. 3
5971. 0
5971. 1
5971. 2
5971. 3
5971. 4
5971. 5
5971. 6
5972. 0

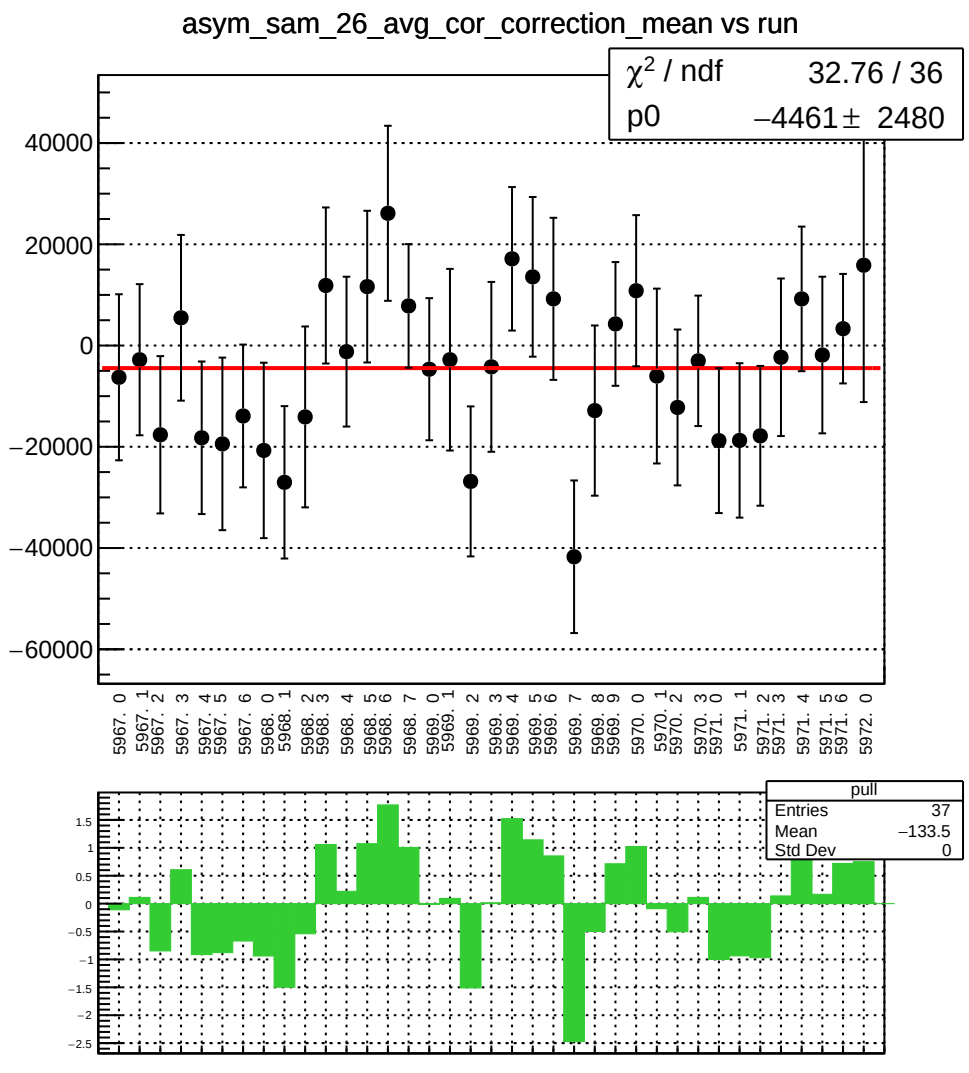
asym_sam_26_avg_cor_correction_mean vs run
χ² / ndf 32.76 / 36
p0 −4461 ± 2480
40000
20000
0
−20000
−40000
−60000
5967. 0
5967. 1
5967. 2
5967. 3
5967. 4
5967. 5
5967. 6
5968. 0
5968. 1
5968. 2
5968. 3
5968. 4
5968. 5
5968. 6
5968. 7
5969. 0
5969. 1
5969. 2
5969. 3
5969. 4
5969. 5
5969. 6
5969. 7
5969. 8
5969. 9
5970. 0
5970. 1
5970. 2
5970. 3
5971. 0
5971. 1
5971. 2
5971. 3
5971. 4
5971. 5
5971. 6
5972. 0
pull
Entries 37
Mean −133.5
Std Dev 0
1.5
1
0.5
0
−0.5
−1
−1.5
−2
−2.5

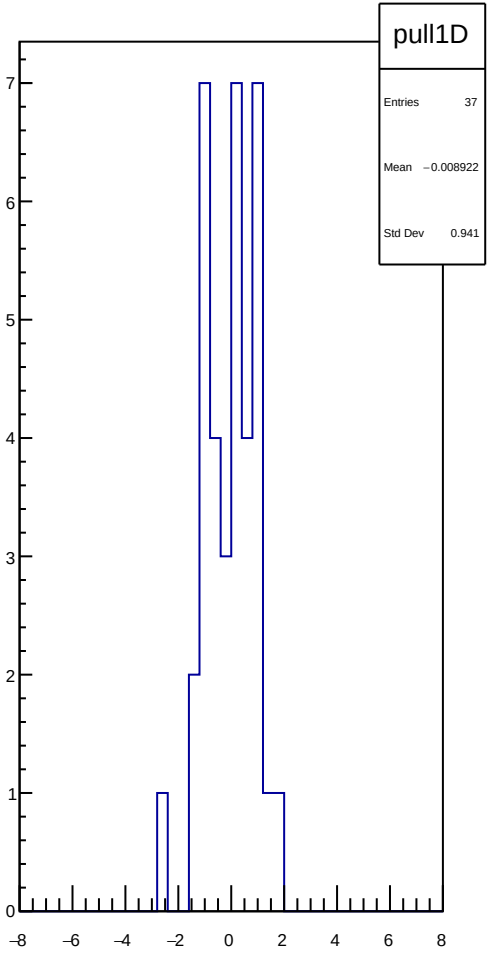
pull1D
Entries 37
Mean −0.008922
Std Dev 0.941
7
6
5
4
3
2
1
0
−8
−6
−4
−2
0
2
4
6
8

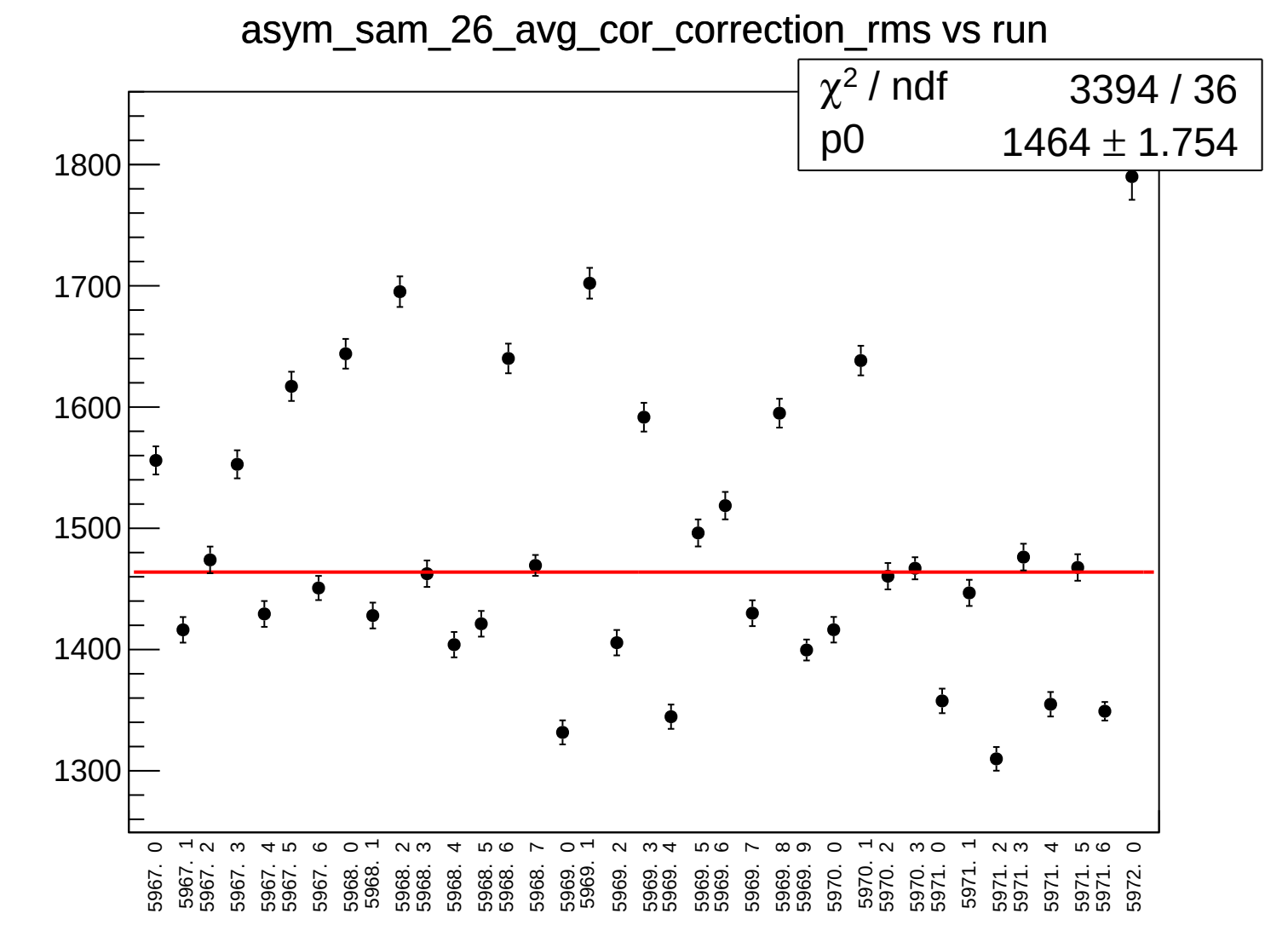
asym_sam_26_avg_cor_correction_rms vs run
χ² / ndf 3394 / 36
p0 1464 ± 1.754
1800
1700
1600
1500
1400
1300
5967. 0
5967. 1
5967. 2
5967. 3
5967. 4
5967. 5
5967. 6
5968. 0
5968. 1
5968. 2
5968. 3
5968. 4
5968. 5
5968. 6
5968. 7
5969. 0
5969. 1
5969. 2
5969. 3
5969. 4
5969. 5
5969. 6
5969. 7
5969. 8
5969. 9
5970. 0
5970. 1
5970. 2
5970. 3
5971. 0
5971. 1
5971. 2
5971. 3
5971. 4
5971. 5
5971. 6
5972. 0

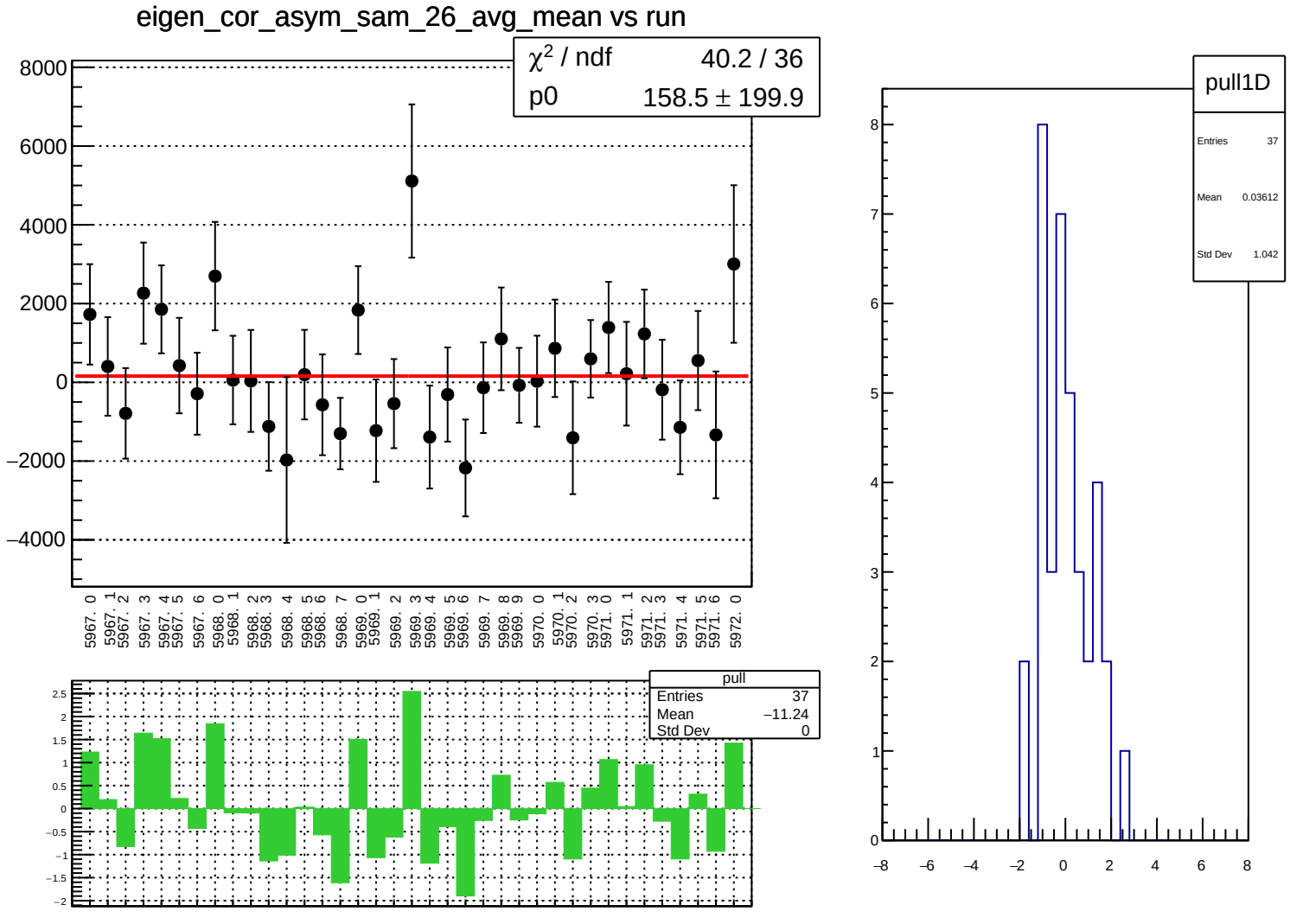
eigen_cor_asym_sam_26_avg_mean vs run
χ² / ndf 40.2 / 36
p0 158.5 ± 199.9
8000
6000
4000
2000
0
−2000
−4000
5967. 0
5967. 1
5967. 2
5967. 3
5967. 4
5967. 5
5967. 6
5968. 0
5968. 1
5968. 2
5968. 3
5968. 4
5968. 5
5968. 6
5968. 7
5969. 0
5969. 1
5969. 2
5969. 3
5969. 4
5969. 5
5969. 6
5969. 7
5969. 8
5969. 9
5970. 0
5970. 1
5970. 2
5970. 3
5971. 0
5971. 1
5971. 2
5971. 3
5971. 4
5971. 5
5971. 6
5972. 0
pull
Entries 37
Mean −11.24
Std Dev 0
2.5
2
1.5
1
0.5
0
−0.5
−1
−1.5
−2
pull1D
Entries 37
Mean 0.03612
Std Dev 1.042
8
7
6
5
4
3
2
1
0
−8
−6
−4
−2
0
2
4
6
8

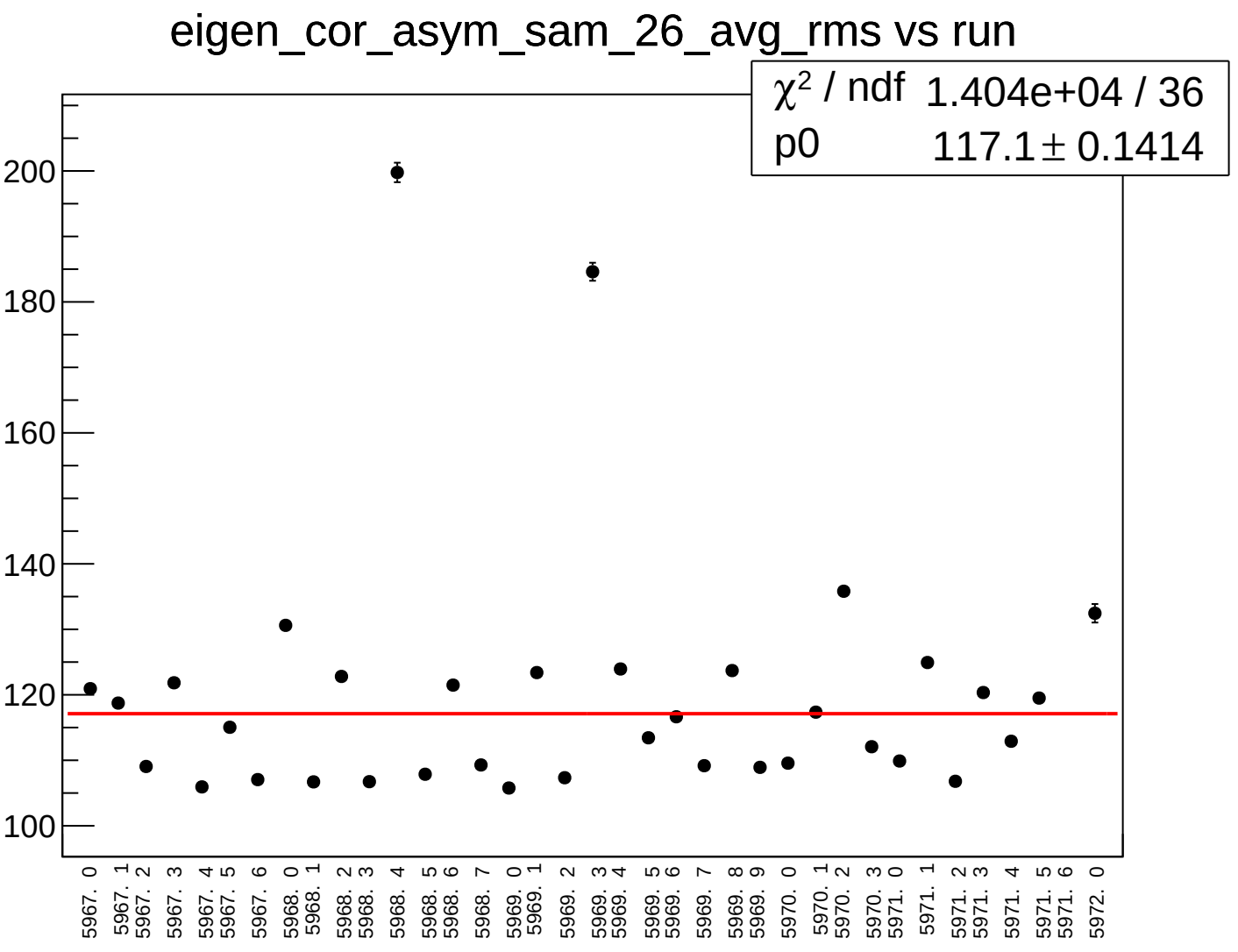
eigen_cor_asym_sam_26_avg_rms vs run
χ² / ndf 1.404e+04 / 36
p0 117.1 ± 0.1414
200
180
160
140
120
100
5967. 0
5967. 1
5967. 2
5967. 3
5967. 4
5967. 5
5967. 6
5968. 0
5968. 1
5968. 2
5968. 3
5968. 4
5968. 5
5968. 6
5968. 7
5969. 0
5969. 1
5969. 2
5969. 3
5969. 4
5969. 5
5969. 6
5969. 7
5969. 8
5969. 9
5970. 0
5970. 1
5970. 2
5970. 3
5971. 0
5971. 1
5971. 2
5971. 3
5971. 4
5971. 5
5971. 6
5972. 0

asym_sam_26_avg_eigen_cor_correction_mean vs run

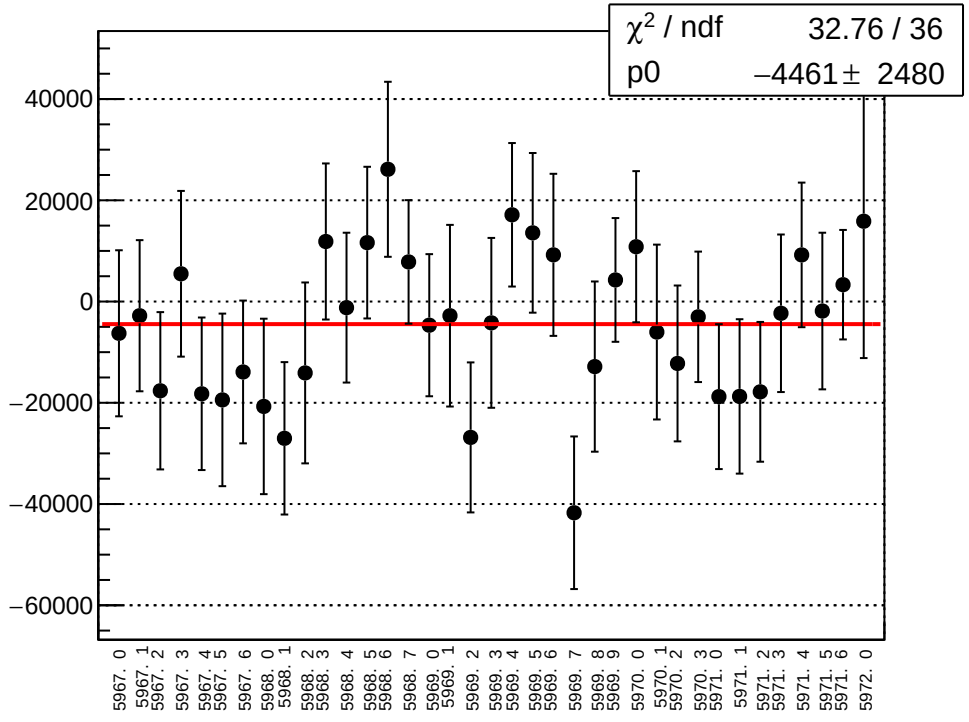

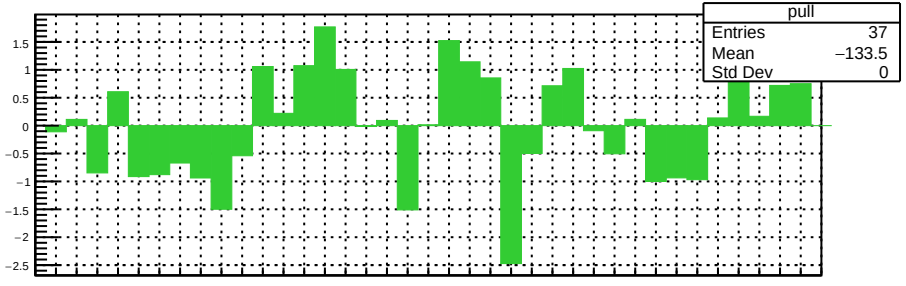

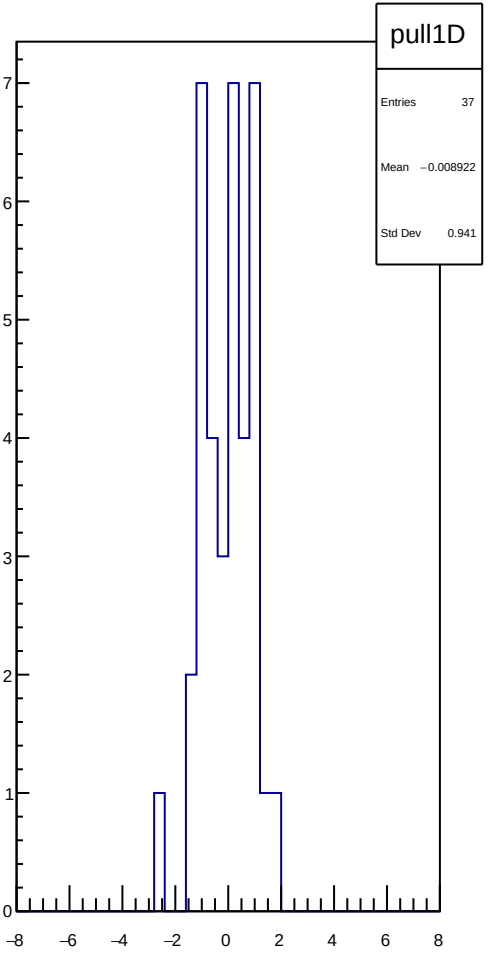

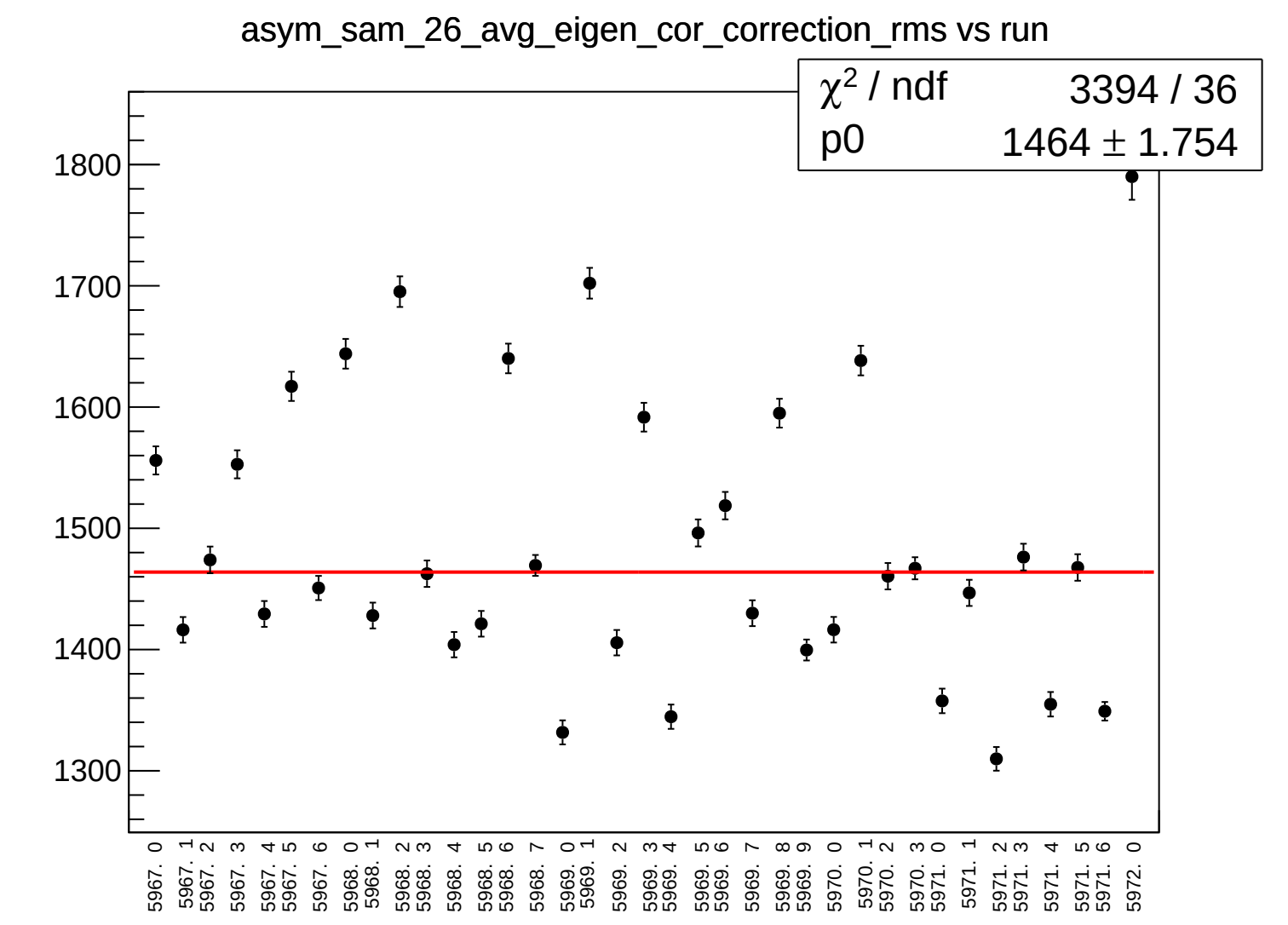
asym_sam_26_avg_eigen_cor_correction_rms vs run
χ² / ndf 3394 / 36
p0 1464 ± 1.754
1800
1700
1600
1500
1400
1300
5967. 0
5967. 1
5967. 2
5967. 3
5967. 4
5967. 5
5967. 6
5968. 0
5968. 1
5968. 2
5968. 3
5968. 4
5968. 5
5968. 6
5968. 7
5969. 0
5969. 1
5969. 2
5969. 3
5969. 4
5969. 5
5969. 6
5969. 7
5969. 8
5969. 9
5970. 0
5970. 1
5970. 2
5970. 3
5971. 0
5971. 1
5971. 2
5971. 3
5971. 4
5971. 5
5971. 6
5972. 0

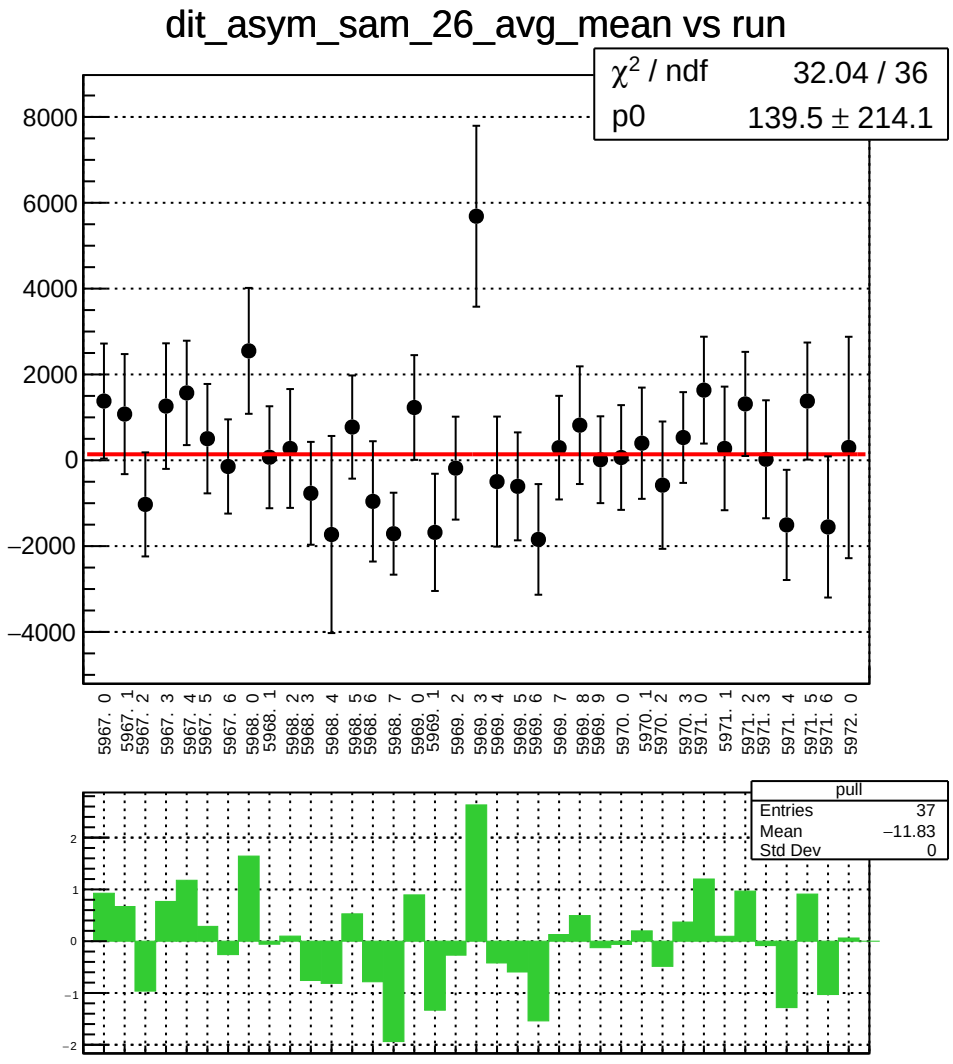
dit_asym_sam_26_avg_mean vs run
χ² / ndf 32.04 / 36
p0 139.5 ± 214.1
8000
6000
4000
2000
0
−2000
−4000
5967. 0
5967. 1
5967. 2
5967. 3
5967. 4
5967. 5
5967. 6
5968. 0
5968. 1
5968. 2
5968. 3
5968. 4
5968. 5
5968. 6
5968. 7
5969. 0
5969. 1
5969. 2
5969. 3
5969. 4
5969. 5
5969. 6
5969. 7
5969. 8
5969. 9
5970. 0
5970. 1
5970. 2
5970. 3
5971. 0
5971. 1
5971. 2
5971. 3
5971. 4
5971. 5
5971. 6
5972. 0
pull
Entries 37
Mean −11.83
Std Dev 0
2
1
0
−1
−2
pull1D
Entries 37
Mean 0.03378
Std Dev 0.9299
7
6
5
4
3
2
1
0
−8
−6
−4
−2
0
2
4
6
8

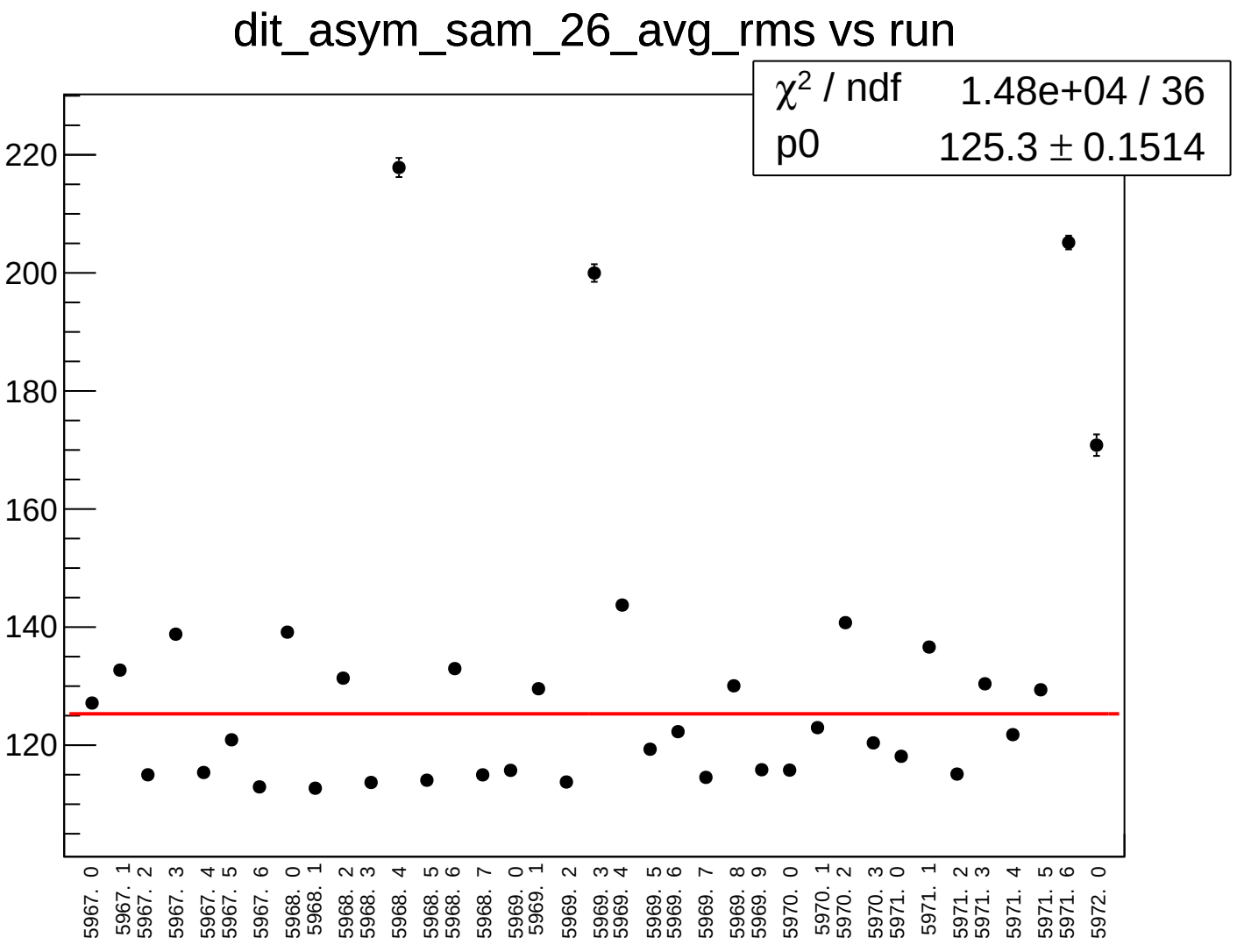
dit_asym_sam_26_avg_rms vs run
χ² / ndf 1.48e+04 / 36
p0 125.3 ± 0.1514
220
200
180
160
140
120
5967. 0
5967. 1
5967. 2
5967. 3
5967. 4
5967. 5
5967. 6
5968. 0
5968. 1
5968. 2
5968. 3
5968. 4
5968. 5
5968. 6
5968. 7
5969. 0
5969. 1
5969. 2
5969. 3
5969. 4
5969. 5
5969. 6
5969. 7
5969. 8
5969. 9
5970. 0
5970. 1
5970. 2
5970. 3
5971. 0
5971. 1
5971. 2
5971. 3
5971. 4
5971. 5
5971. 6
5972. 0

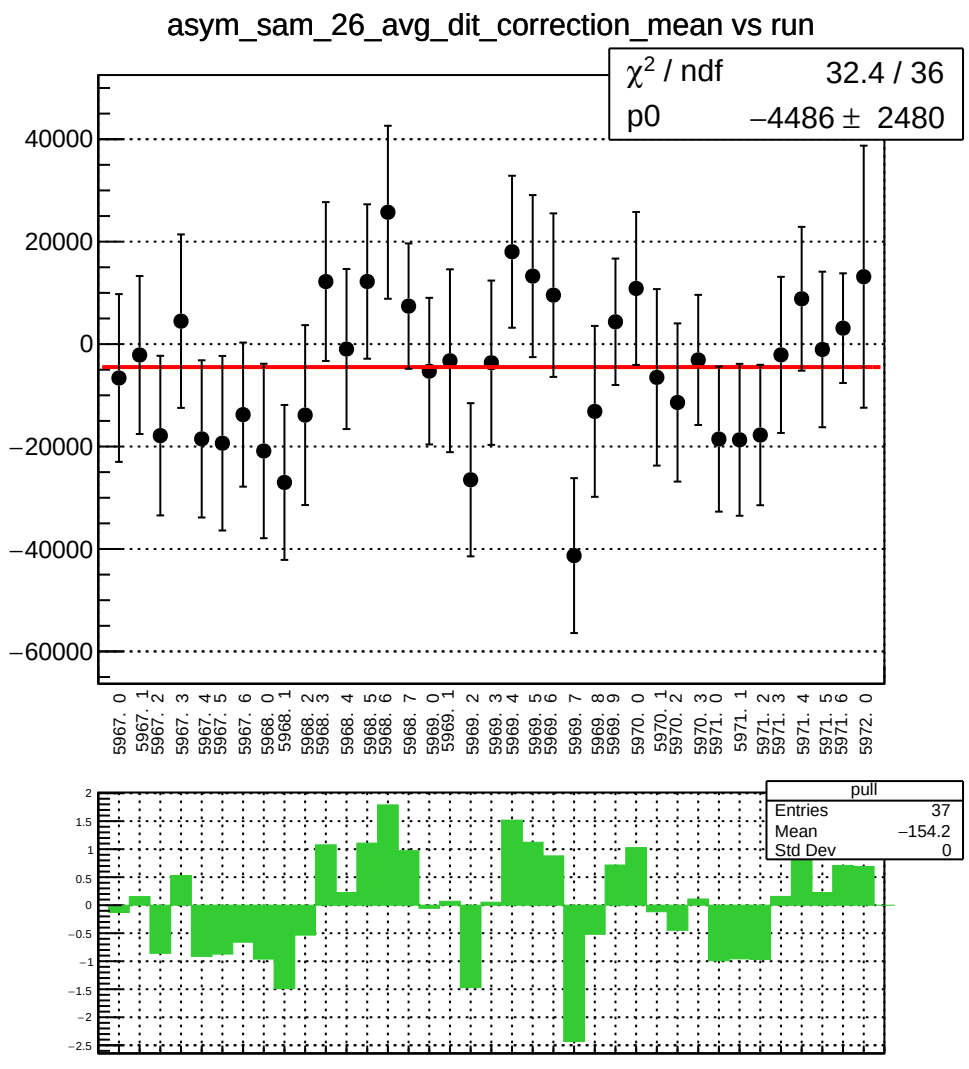
asym_sam_26_avg_dit_correction_mean vs run
χ² / ndf 32.4 / 36
p0 −4486 ± 2480
40000
20000
0
−20000
−40000
−60000
5967. 0
5967. 1
5967. 2
5967. 3
5967. 4
5967. 5
5967. 6
5968. 0
5968. 1
5968. 2
5968. 3
5968. 4
5968. 5
5968. 6
5968. 7
5969. 0
5969. 1
5969. 2
5969. 3
5969. 4
5969. 5
5969. 6
5969. 7
5969. 8
5969. 9
5970. 0
5970. 1
5970. 2
5970. 3
5971. 0
5971. 1
5971. 2
5971. 3
5971. 4
5971. 5
5971. 6
5972. 0
pull
Entries 37
Mean −154.2
Std Dev 0
2
1.5
1
0.5
0
−0.5
−1
−1.5
−2
−2.5
pull1D
Entries 37
Mean −0.007972
Std Dev 0.9358
7
6
5
4
3
2
1
0
−8
−6
−4
−2
0
2
4
6
8

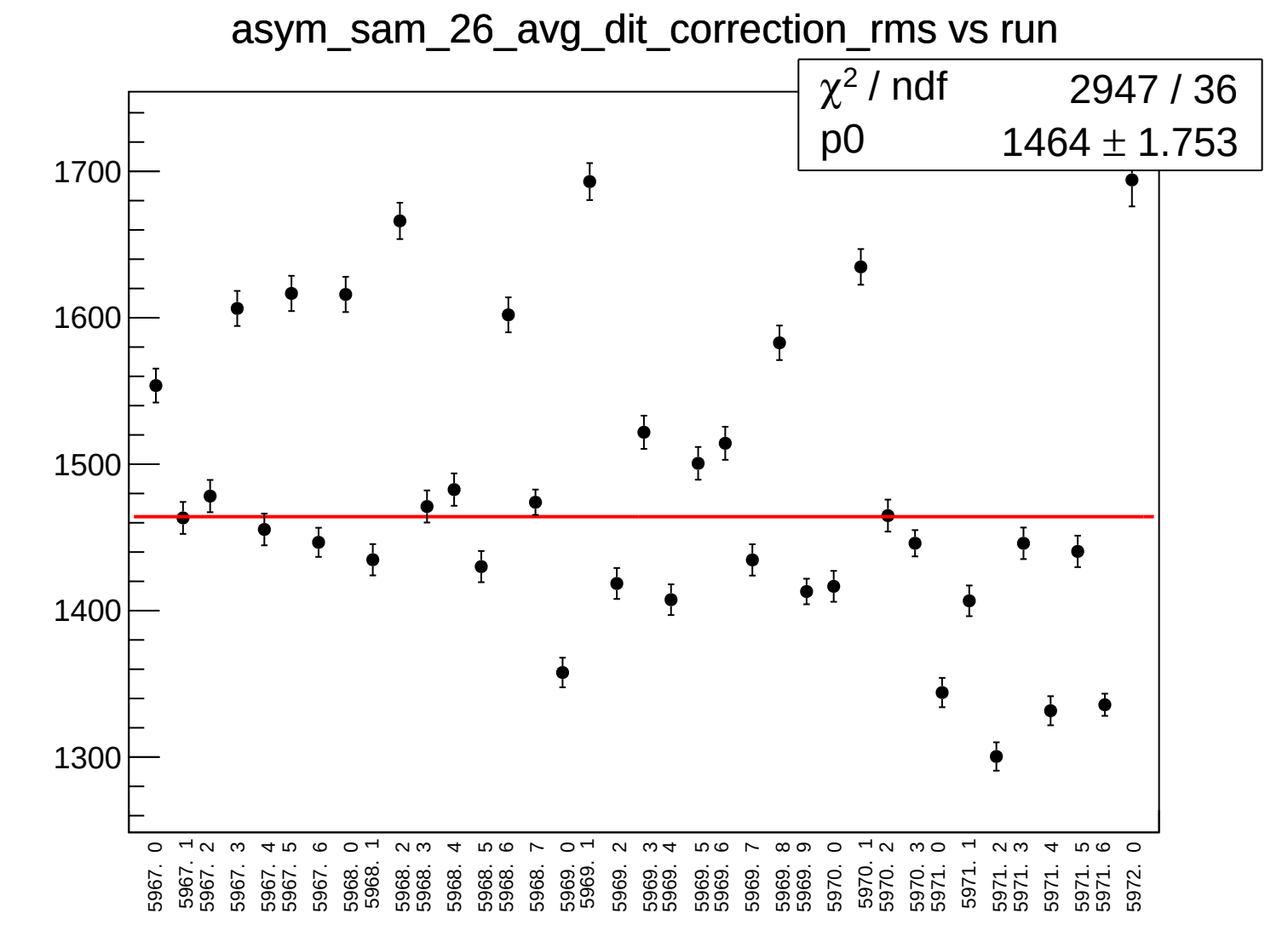
asym_sam_26_avg_dit_correction_rms vs run
χ² / ndf 2947 / 36
p0 1464 ± 1.753
1700
1600
1500
1400
1300
5967. 0
5967. 1
5967. 2
5967. 3
5967. 4
5967. 5
5967. 6
5968. 0
5968. 1
5968. 2
5968. 3
5968. 4
5968. 5
5968. 6
5968. 7
5969. 0
5969. 1
5969. 2
5969. 3
5969. 4
5969. 5
5969. 6
5969. 7
5969. 8
5969. 9
5970. 0
5970. 1
5970. 2
5970. 3
5971. 0
5971. 1
5971. 2
5971. 3
5971. 4
5971. 5
5971. 6
5972. 0

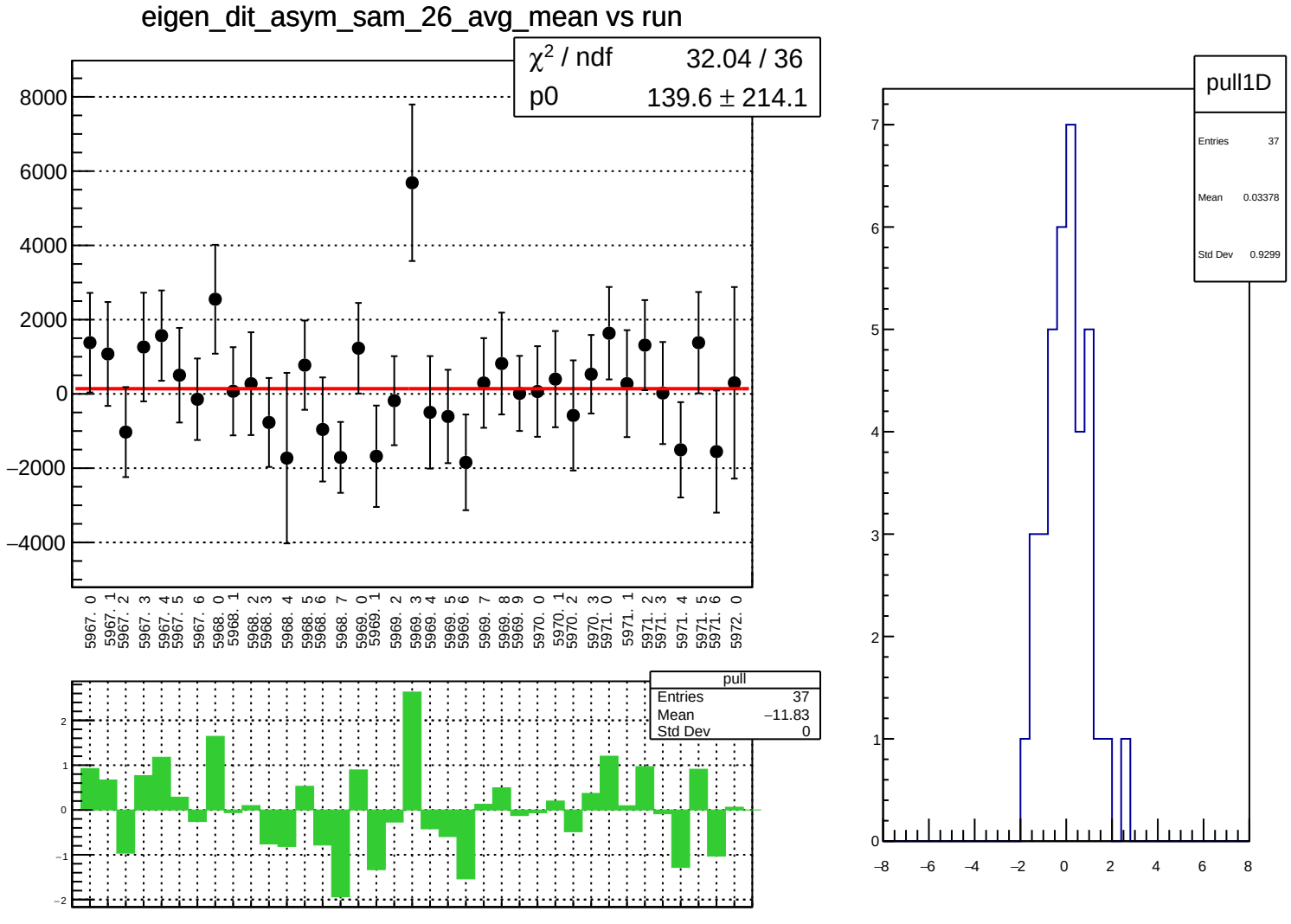
eigen_dit_asym_sam_26_avg_mean vs run
χ² / ndf 32.04 / 36
p0 139.6 ± 214.1
8000
6000
4000
2000
0
−2000
−4000
5967. 0
5967. 1
5967. 2
5967. 3
5967. 4
5967. 5
5967. 6
5968. 0
5968. 1
5968. 2
5968. 3
5968. 4
5968. 5
5968. 6
5968. 7
5969. 0
5969. 1
5969. 2
5969. 3
5969. 4
5969. 5
5969. 6
5969. 7
5969. 8
5969. 9
5970. 0
5970. 1
5970. 2
5970. 3
5971. 0
5971. 1
5971. 2
5971. 3
5971. 4
5971. 5
5971. 6
5972. 0
pull
Entries 37
Mean −11.83
Std Dev 0
2
1
0
−1
−2
pull1D
Entries 37
Mean 0.03378
Std Dev 0.9299
7
6
5
4
3
2
1
0
−8
−6
−4
−2
0
2
4
6
8

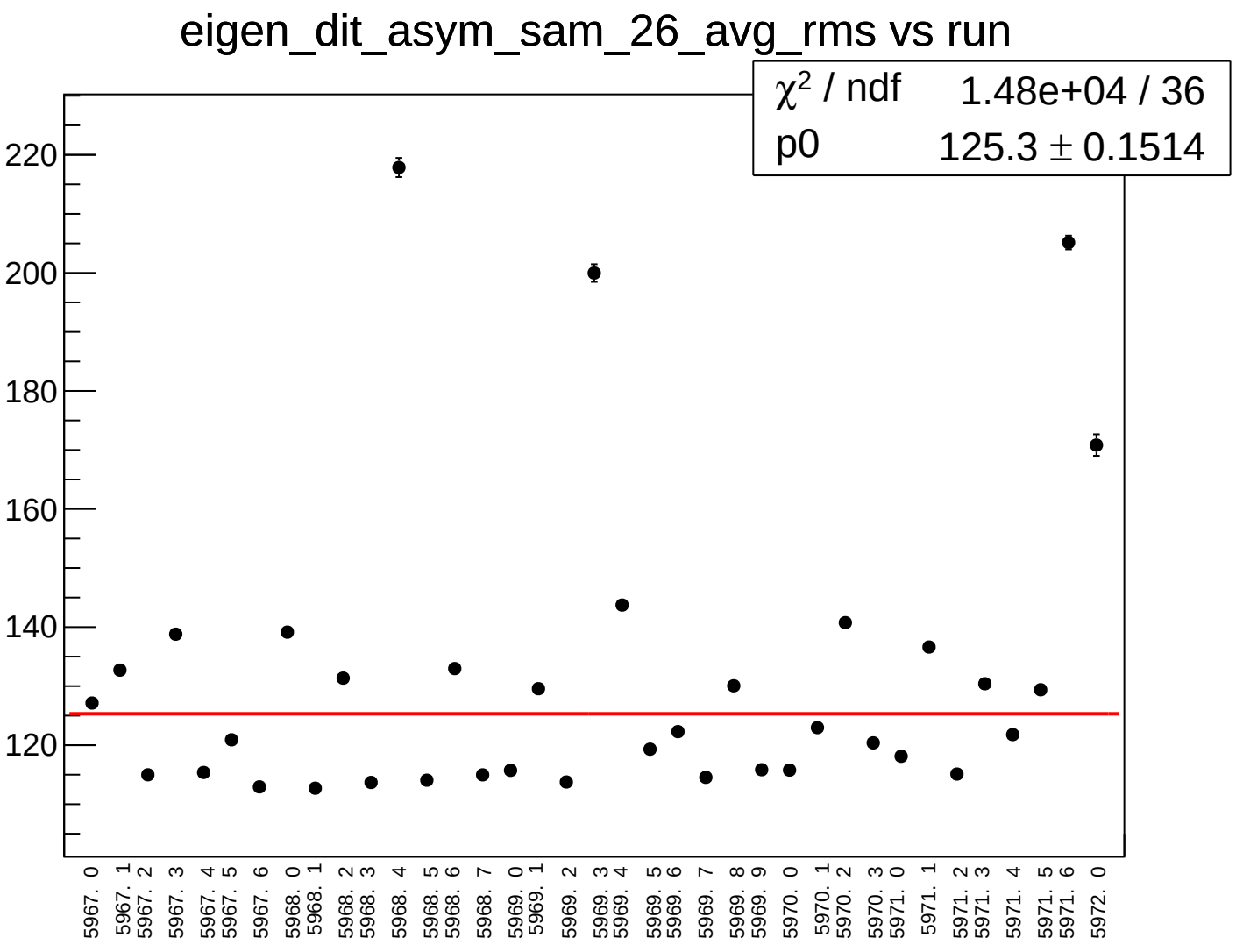
eigen_dit_asym_sam_26_avg_rms vs run
χ² / ndf 1.48e+04 / 36
p0 125.3 ± 0.1514
220
200
180
160
140
120
5967. 0
5967. 1
5967. 2
5967. 3
5967. 4
5967. 5
5967. 6
5968. 0
5968. 1
5968. 2
5968. 3
5968. 4
5968. 5
5968. 6
5968. 7
5969. 0
5969. 1
5969. 2
5969. 3
5969. 4
5969. 5
5969. 6
5969. 7
5969. 8
5969. 9
5970. 0
5970. 1
5970. 2
5970. 3
5971. 0
5971. 1
5971. 2
5971. 3
5971. 4
5971. 5
5971. 6
5972. 0

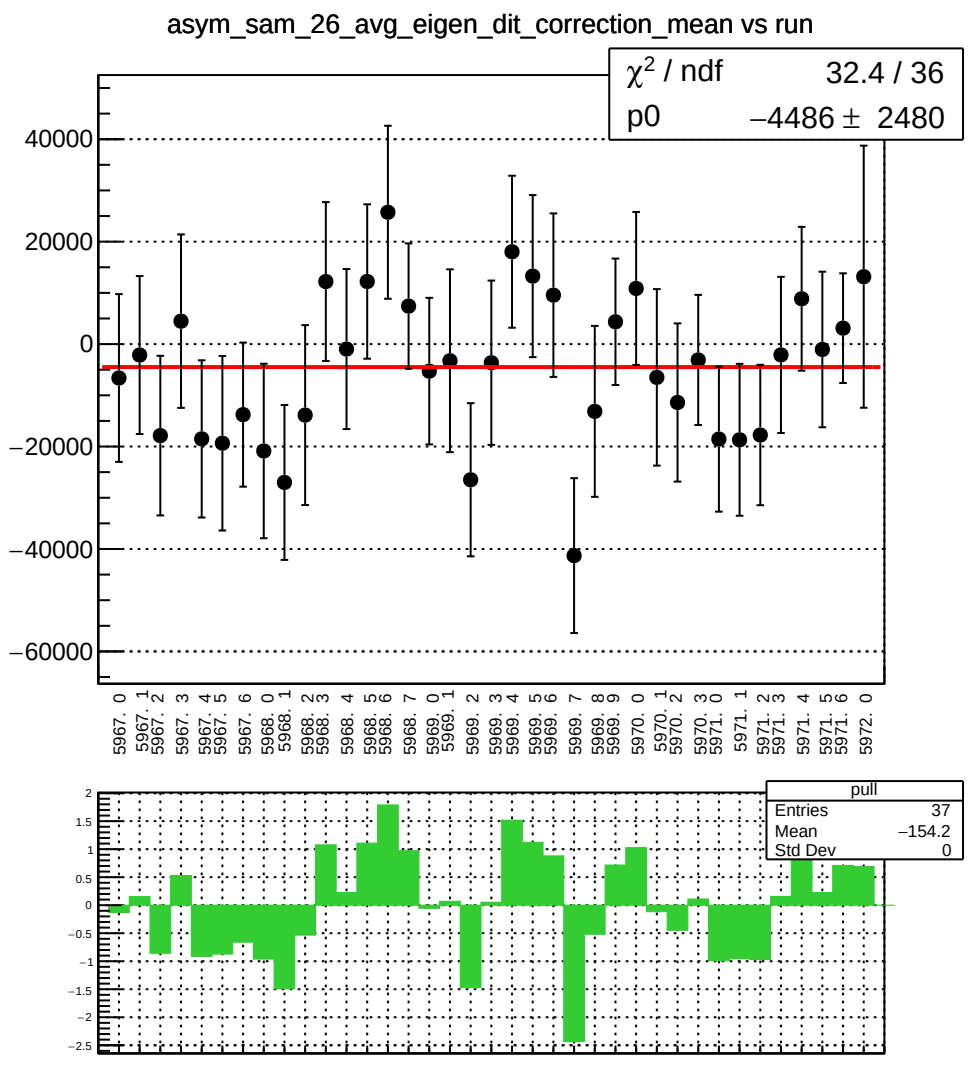
asym_sam_26_avg_eigen_dit_correction_mean vs run
χ² / ndf 32.4 / 36
p0 −4486 ± 2480
40000
20000
0
−20000
−40000
−60000
5967. 0
5967. 1
5967. 2
5967. 3
5967. 4
5967. 5
5967. 6
5968. 0
5968. 1
5968. 2
5968. 3
5968. 4
5968. 5
5968. 6
5968. 7
5969. 0
5969. 1
5969. 2
5969. 3
5969. 4
5969. 5
5969. 6
5969. 7
5969. 8
5969. 9
5970. 0
5970. 1
5970. 2
5970. 3
5971. 0
5971. 1
5971. 2
5971. 3
5971. 4
5971. 5
5971. 6
5972. 0
pull
Entries 37
Mean −154.2
Std Dev 0
2
1.5
1
0.5
0
−0.5
−1
−1.5
−2
−2.5
pull1D
Entries 37
Mean −0.007972
Std Dev 0.9358
7
6
5
4
3
2
1
0
−8
−6
−4
−2
0
2
4
6
8

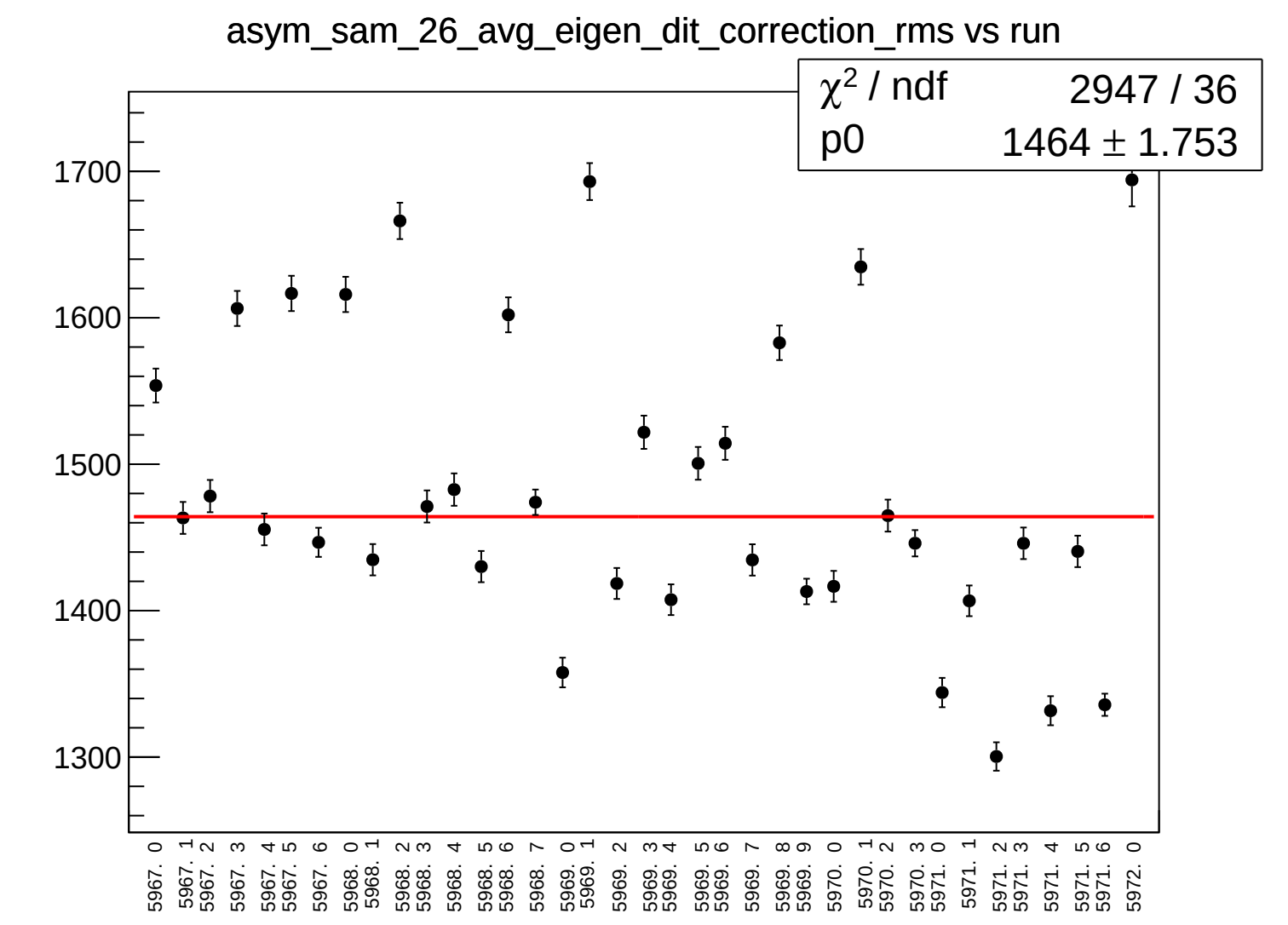
asym_sam_26_avg_eigen_dit_correction_rms vs run
χ² / ndf 2947 / 36
p0 1464 ± 1.753
1700
1600
1500
1400
1300
5967. 0
5967. 1
5967. 2
5967. 3
5967. 4
5967. 5
5967. 6
5968. 0
5968. 1
5968. 2
5968. 3
5968. 4
5968. 5
5968. 6
5968. 7
5969. 0
5969. 1
5969. 2
5969. 3
5969. 4
5969. 5
5969. 6
5969. 7
5969. 8
5969. 9
5970. 0
5970. 1
5970. 2
5970. 3
5971. 0
5971. 1
5971. 2
5971. 3
5971. 4
5971. 5
5971. 6
5972. 0

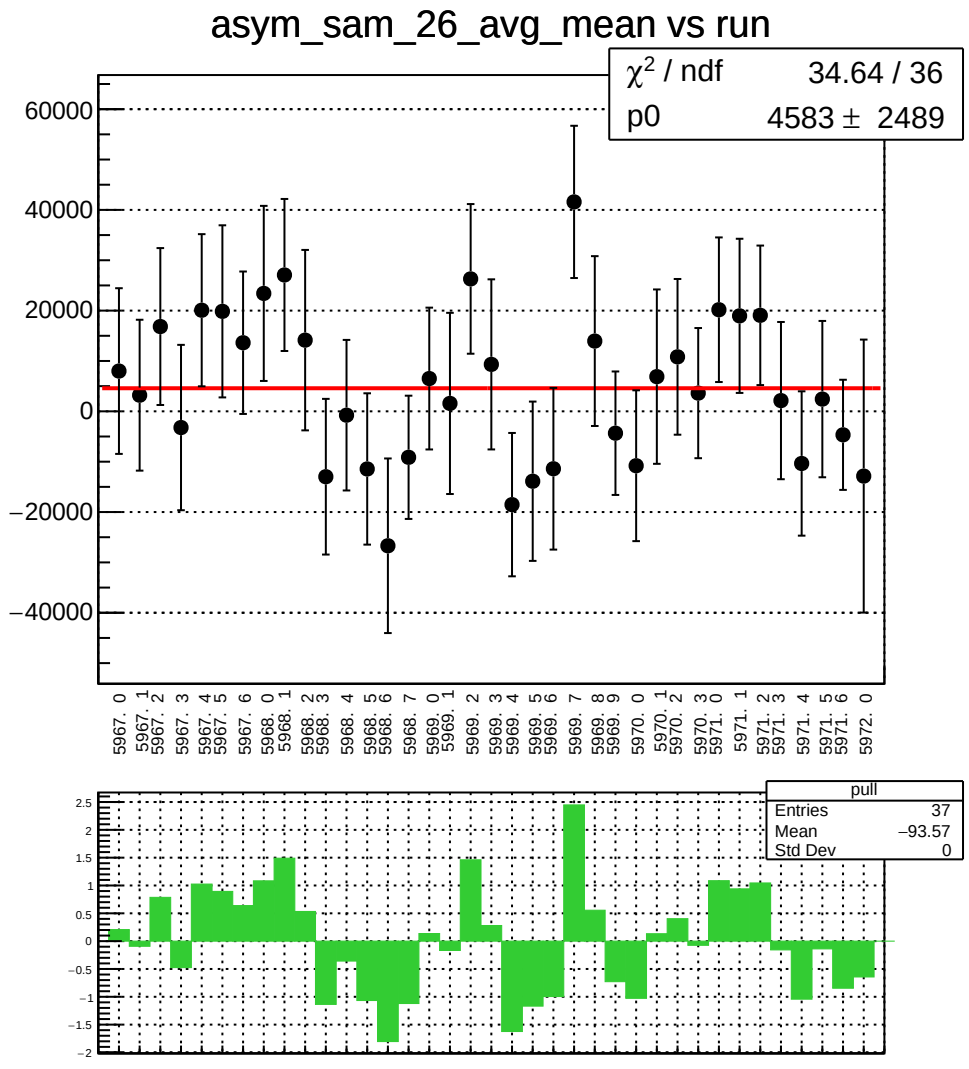
asym_sam_26_avg_mean vs run
χ² / ndf 34.64 / 36
p0 4583 ± 2489
60000
40000
20000
0
−20000
−40000
5967. 0
5967. 1
5967. 2
5967. 3
5967. 4
5967. 5
5967. 6
5968. 0
5968. 1
5968. 2
5968. 3
5968. 4
5968. 5
5968. 6
5968. 7
5969. 0
5969. 1
5969. 2
5969. 3
5969. 4
5969. 5
5969. 6
5969. 7
5969. 8
5969. 9
5970. 0
5970. 1
5970. 2
5970. 3
5971. 0
5971. 1
5971. 2
5971. 3
5971. 4
5971. 5
5971. 6
5972. 0
pull
Entries 37
Mean −93.57
Std Dev 0
2.5
2
1.5
1
0.5
0
−0.5
−1
−1.5
−2

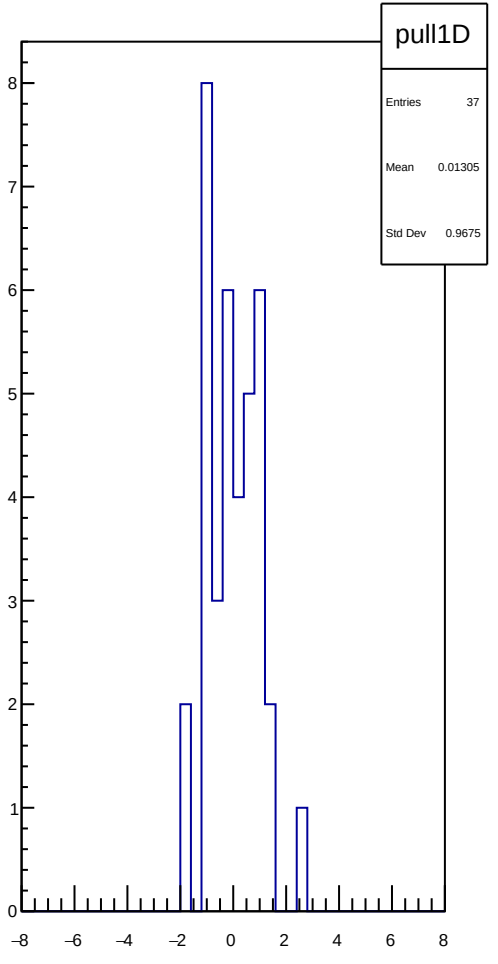
pull1D
Entries 37
Mean 0.01305
Std Dev 0.9675
8
7
6
5
4
3
2
1
0
−8
−6
−4
−2
0
2
4
6
8

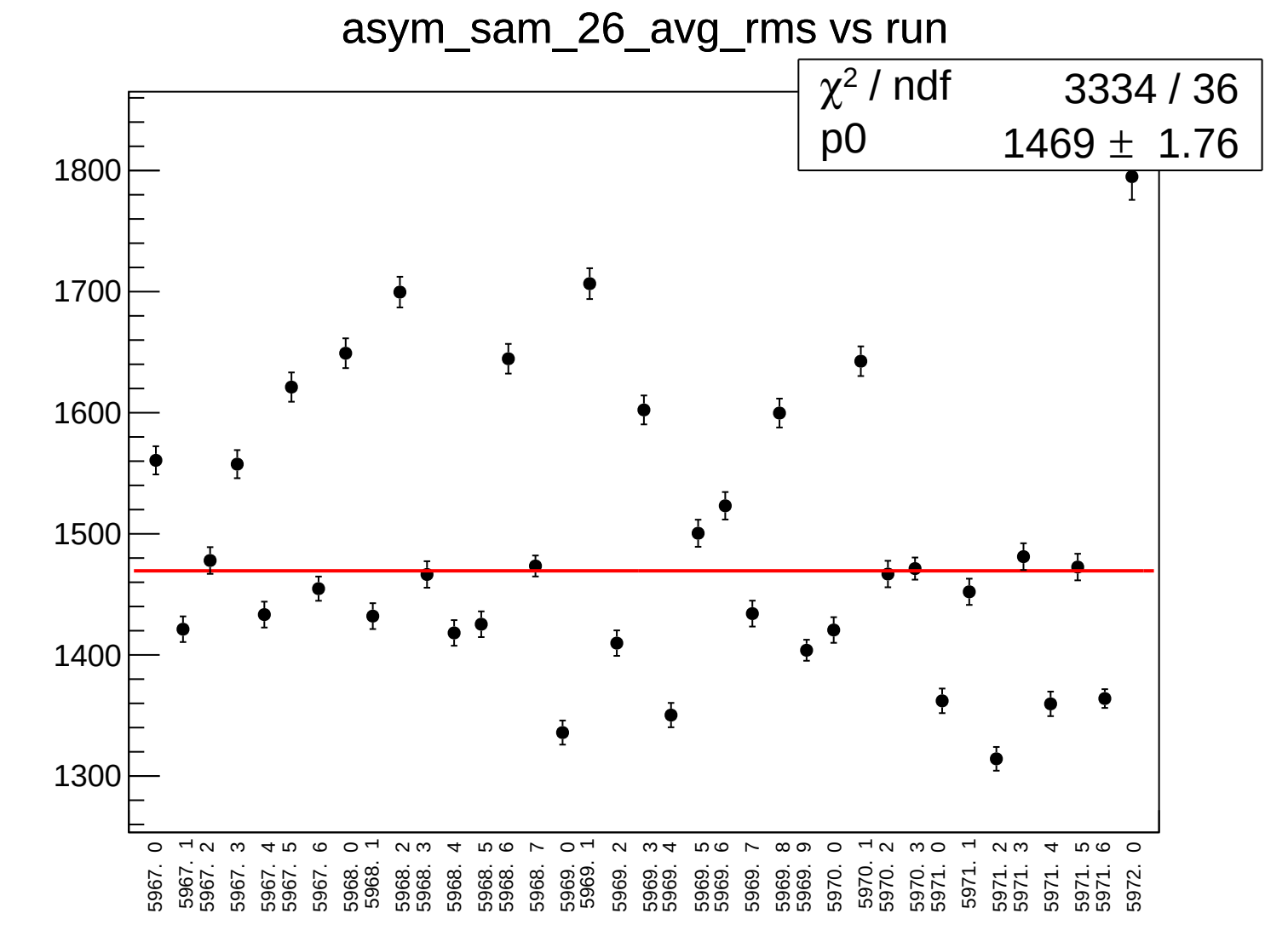
asym_sam_26_avg_rms vs run
χ² / ndf 3334 / 36
p0 1469 ± 1.76
1800
1700
1600
1500
1400
1300
5967. 0
5967. 1
5967. 2
5967. 3
5967. 4
5967. 5
5967. 6
5968. 0
5968. 1
5968. 2
5968. 3
5968. 4
5968. 5
5968. 6
5968. 7
5969. 0
5969. 1
5969. 2
5969. 3
5969. 4
5969. 5
5969. 6
5969. 7
5969. 8
5969. 9
5970. 0
5970. 1
5970. 2
5970. 3
5971. 0
5971. 1
5971. 2
5971. 3
5971. 4
5971. 5
5971. 6
5972. 0

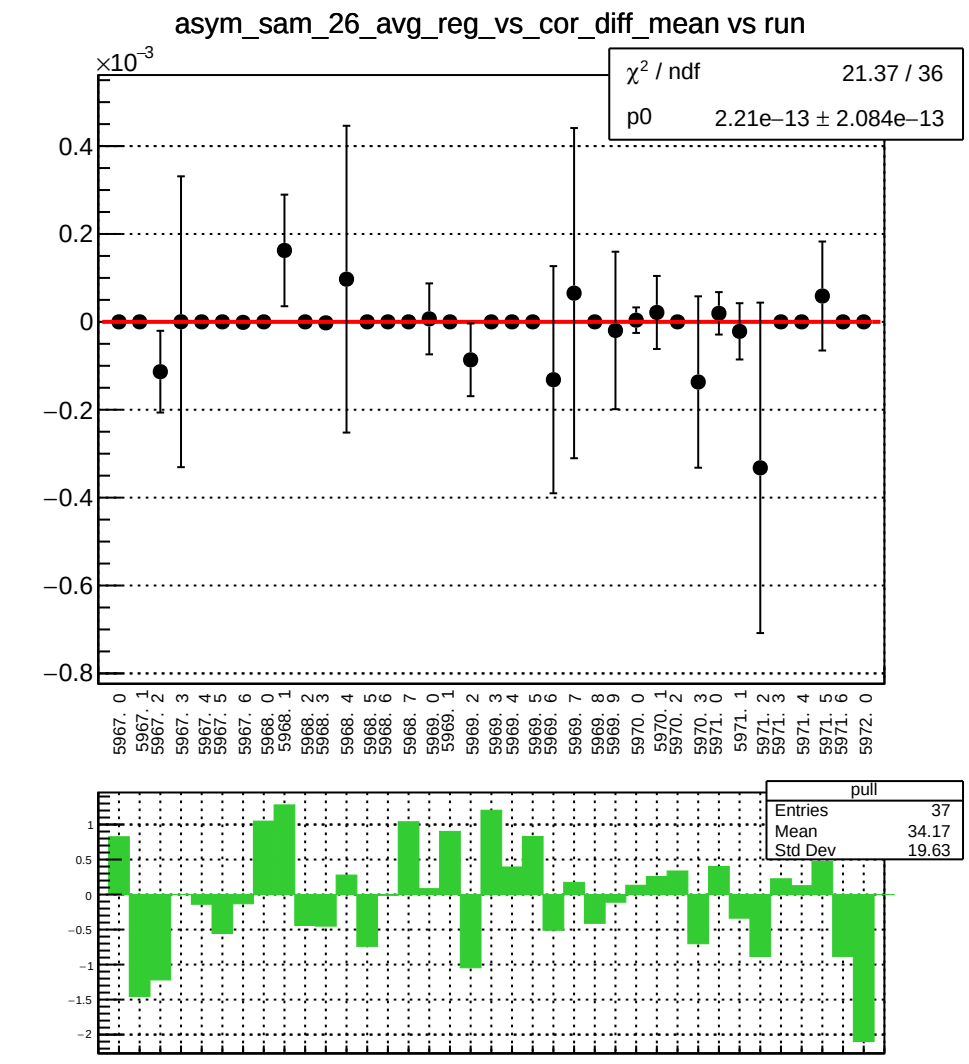
asym_sam_26_avg_reg_vs_cor_diff_mean vs run
×10⁻³
χ² / ndf 21.37 / 36
p0 2.21e−13 ± 2.084e−13
0.4
0.2
0
−0.2
−0.4
−0.6
−0.8
5967. 0
5967. 1
5967. 2
5967. 3
5967. 4
5967. 5
5967. 6
5968. 0
5968. 1
5968. 2
5968. 3
5968. 4
5968. 5
5968. 6
5968. 7
5969. 0
5969. 1
5969. 2
5969. 3
5969. 4
5969. 5
5969. 6
5969. 7
5969. 8
5969. 9
5970. 0
5970. 1
5970. 2
5970. 3
5971. 0
5971. 1
5971. 2
5971. 3
5971. 4
5971. 5
5971. 6
5972. 0
pull
Entries 37
Mean 34.17
Std Dev 19.63
1
0.5
0
−0.5
−1
−1.5
−2

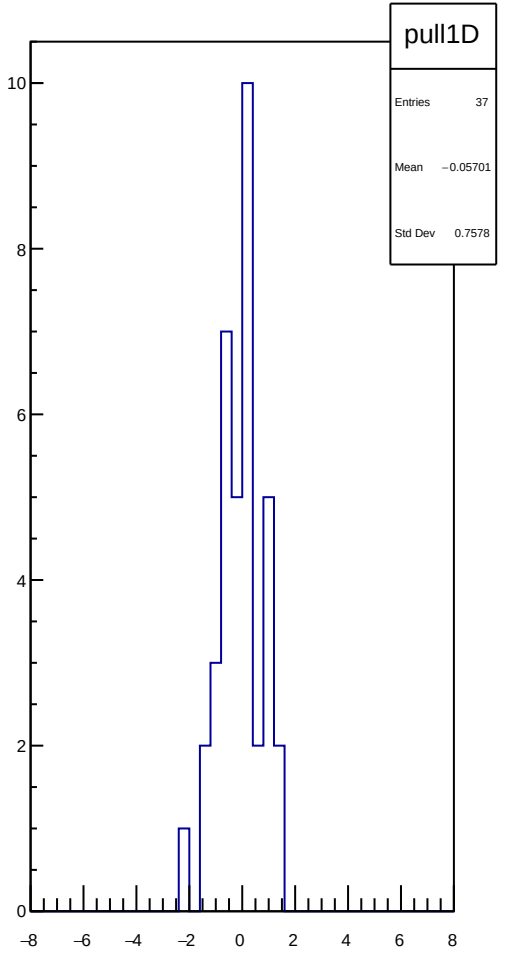
pull1D
Entries 37
Mean −0.05701
Std Dev 0.7578
10
8
6
4
2
0
−8
−6
−4
−2
0
2
4
6
8

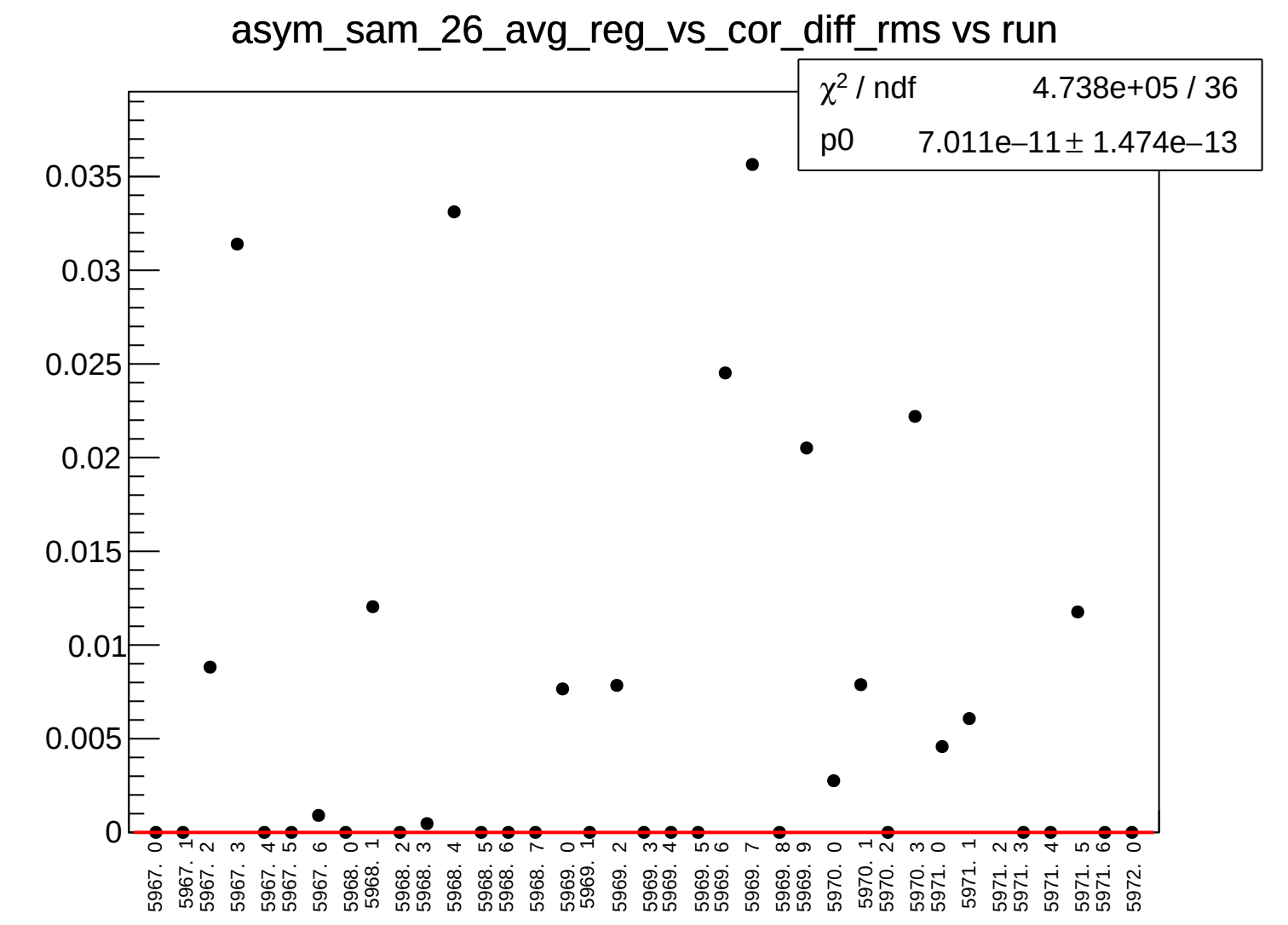
asym_sam_26_avg_reg_vs_cor_diff_rms vs run
χ² / ndf 4.738e+05 / 36
p0 7.011e−11 ± 1.474e−13
0.035
0.03
0.025
0.02
0.015
0.01
0.005
0
5967. 0
5967. 1
5967. 2
5967. 3
5967. 4
5967. 5
5967. 6
5968. 0
5968. 1
5968. 2
5968. 3
5968. 4
5968. 5
5968. 6
5968. 7
5969. 0
5969. 1
5969. 2
5969. 3
5969. 4
5969. 5
5969. 6
5969. 7
5969. 8
5969. 9
5970. 0
5970. 1
5970. 2
5970. 3
5971. 0
5971. 1
5971. 2
5971. 3
5971. 4
5971. 5
5971. 6
5972. 0

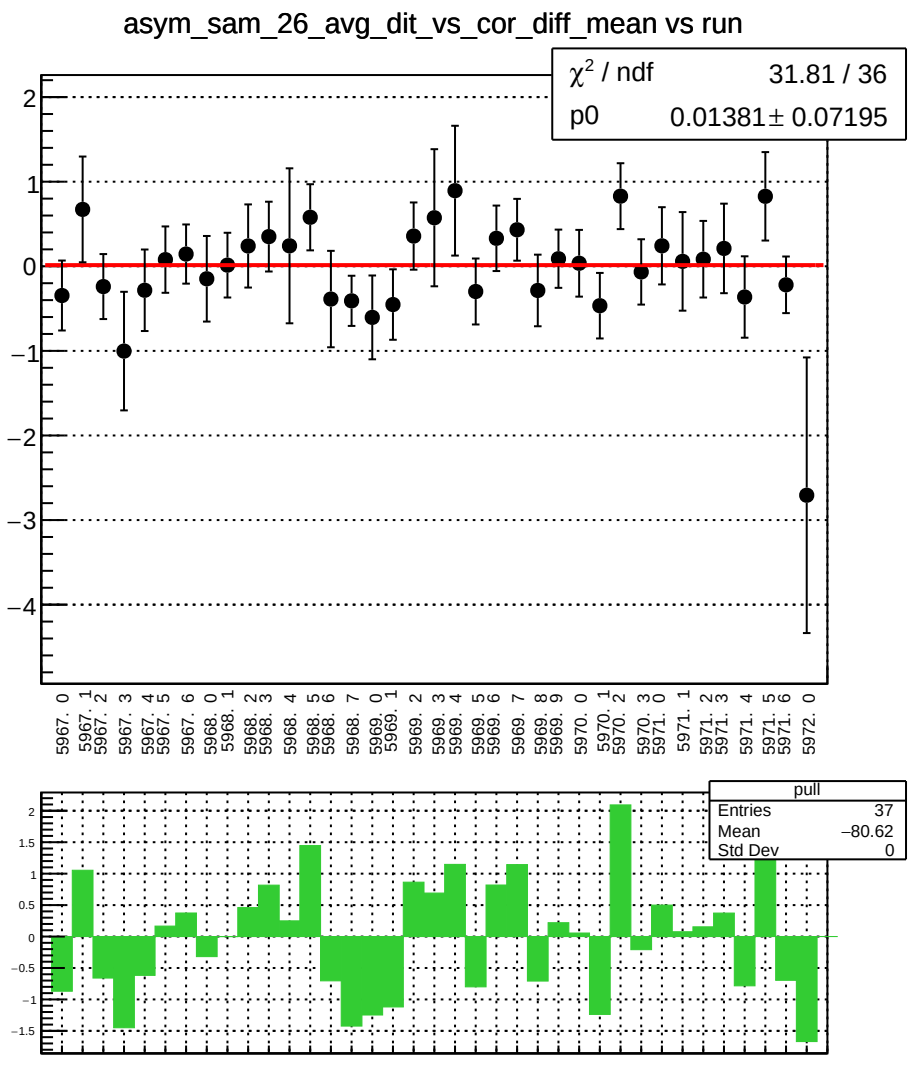
asym_sam_26_avg_dit_vs_cor_diff_mean vs run
χ² / ndf 31.81 / 36
p0 0.01381 ± 0.07195
pull
Entries 37
Mean −80.62
Std Dev 0

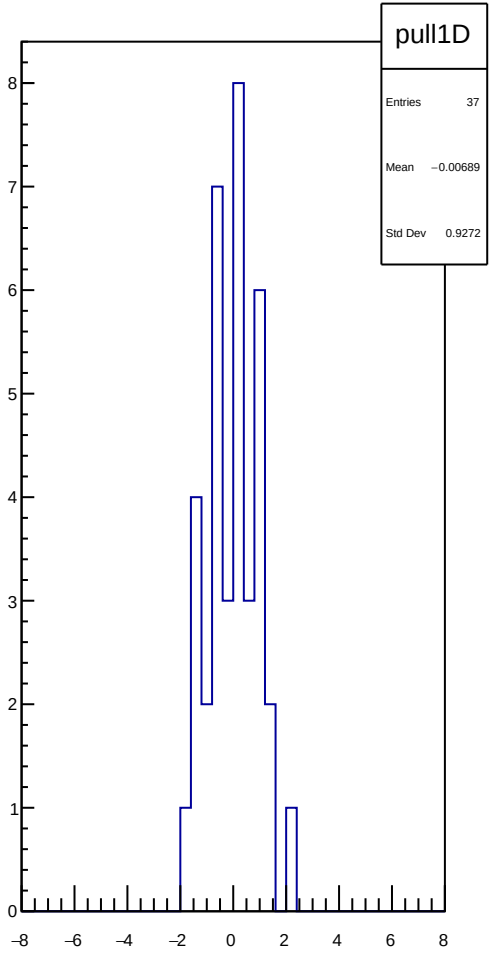
pull1D
Entries 37
Mean −0.00689
Std Dev 0.9272

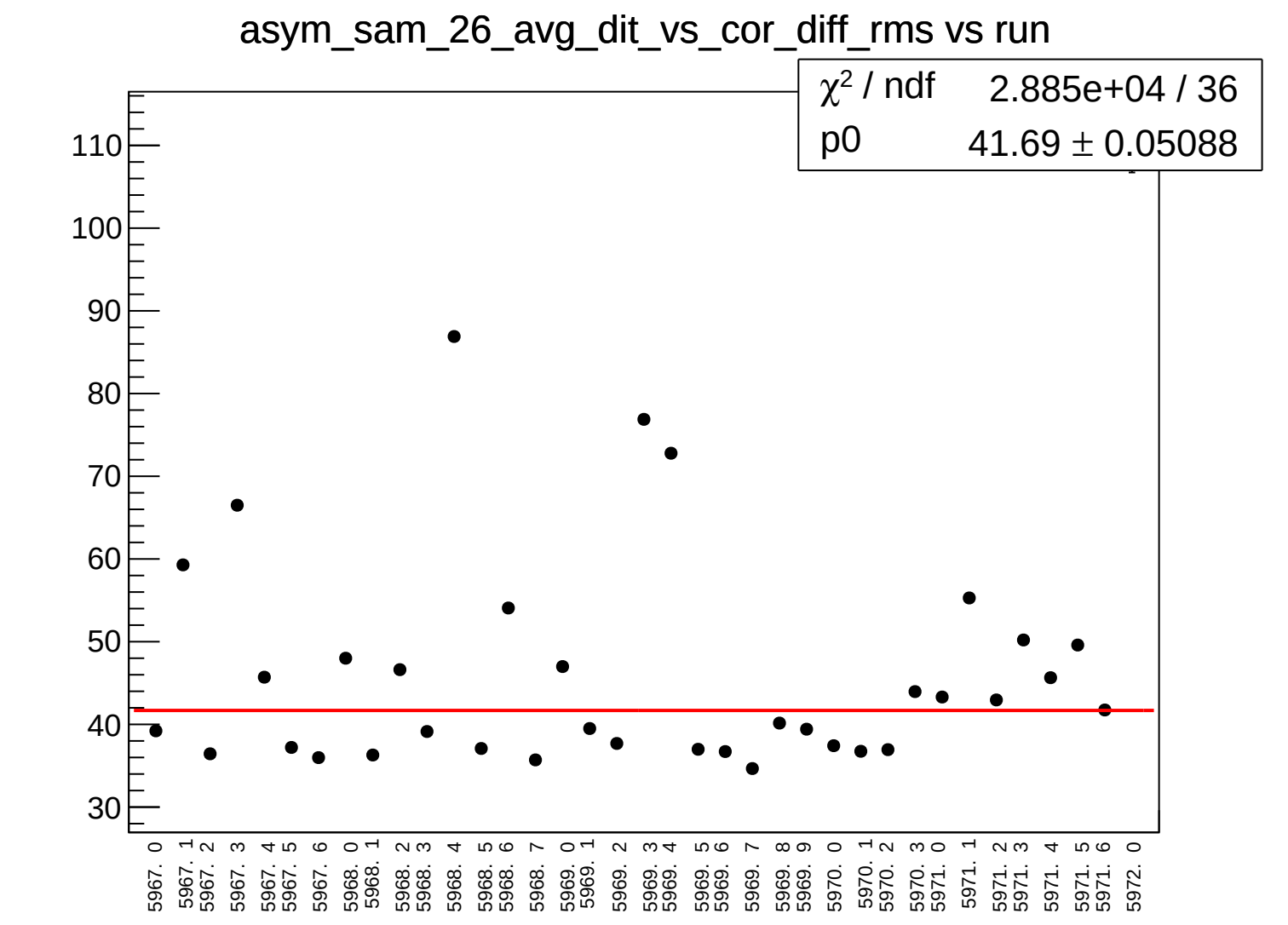
asym_sam_26_avg_dit_vs_cor_diff_rms vs run
χ² / ndf 2.885e+04 / 36
p0 41.69 ± 0.05088
110
100
90
80
70
60
50
40
30
5967. 0
5967. 1
5967. 2
5967. 3
5967. 4
5967. 5
5967. 6
5968. 0
5968. 1
5968. 2
5968. 3
5968. 4
5968. 5
5968. 6
5968. 7
5969. 0
5969. 1
5969. 2
5969. 3
5969. 4
5969. 5
5969. 6
5969. 7
5969. 8
5969. 9
5970. 0
5970. 1
5970. 2
5970. 3
5971. 0
5971. 1
5971. 2
5971. 3
5971. 4
5971. 5
5971. 6
5972. 0

asym_sam_26_avg_dit_vs_eigen_cor_diff_mean vs run

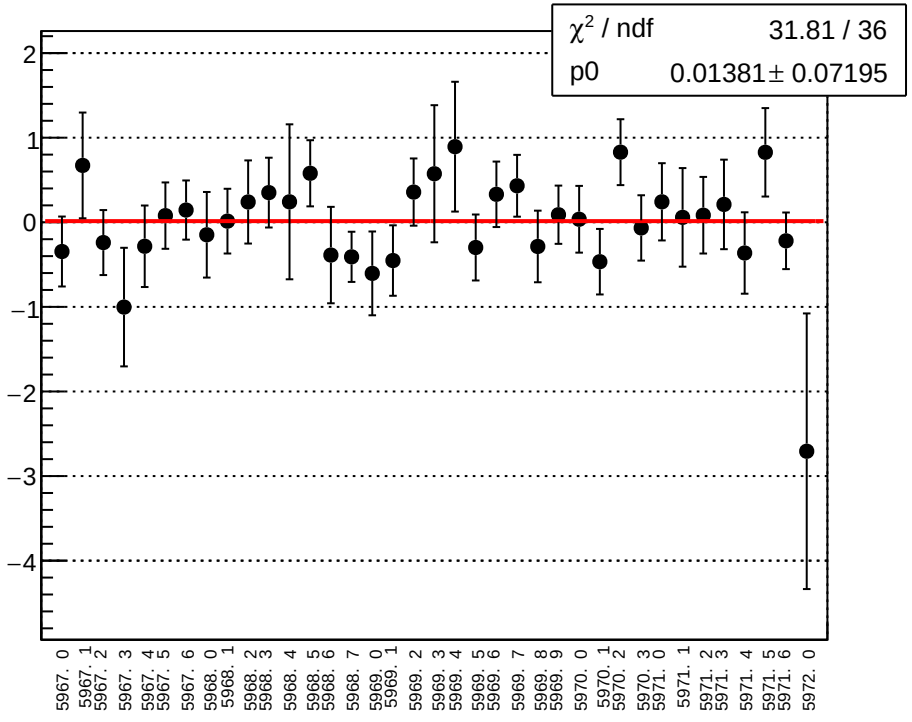

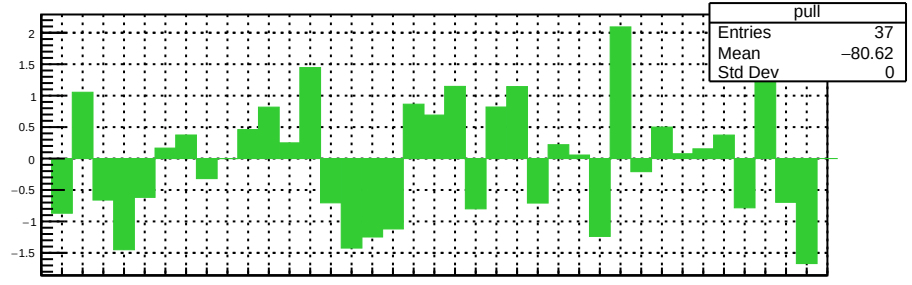

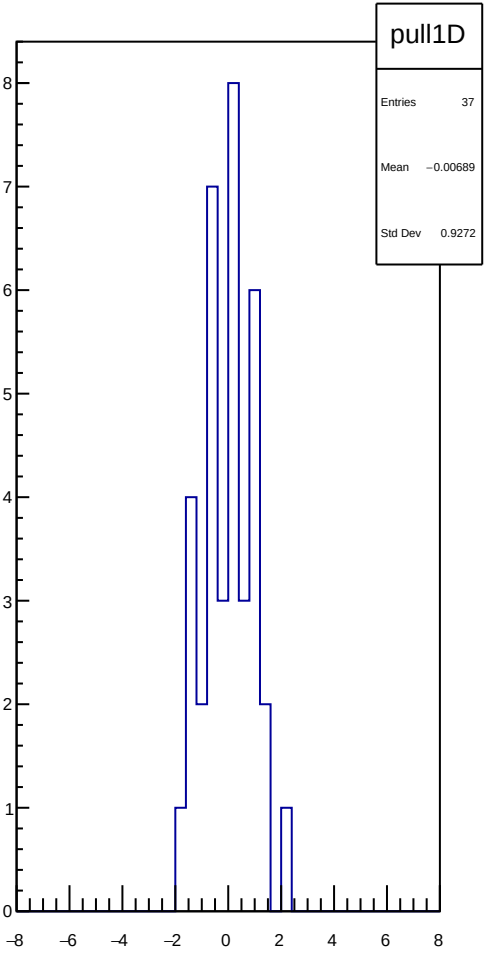

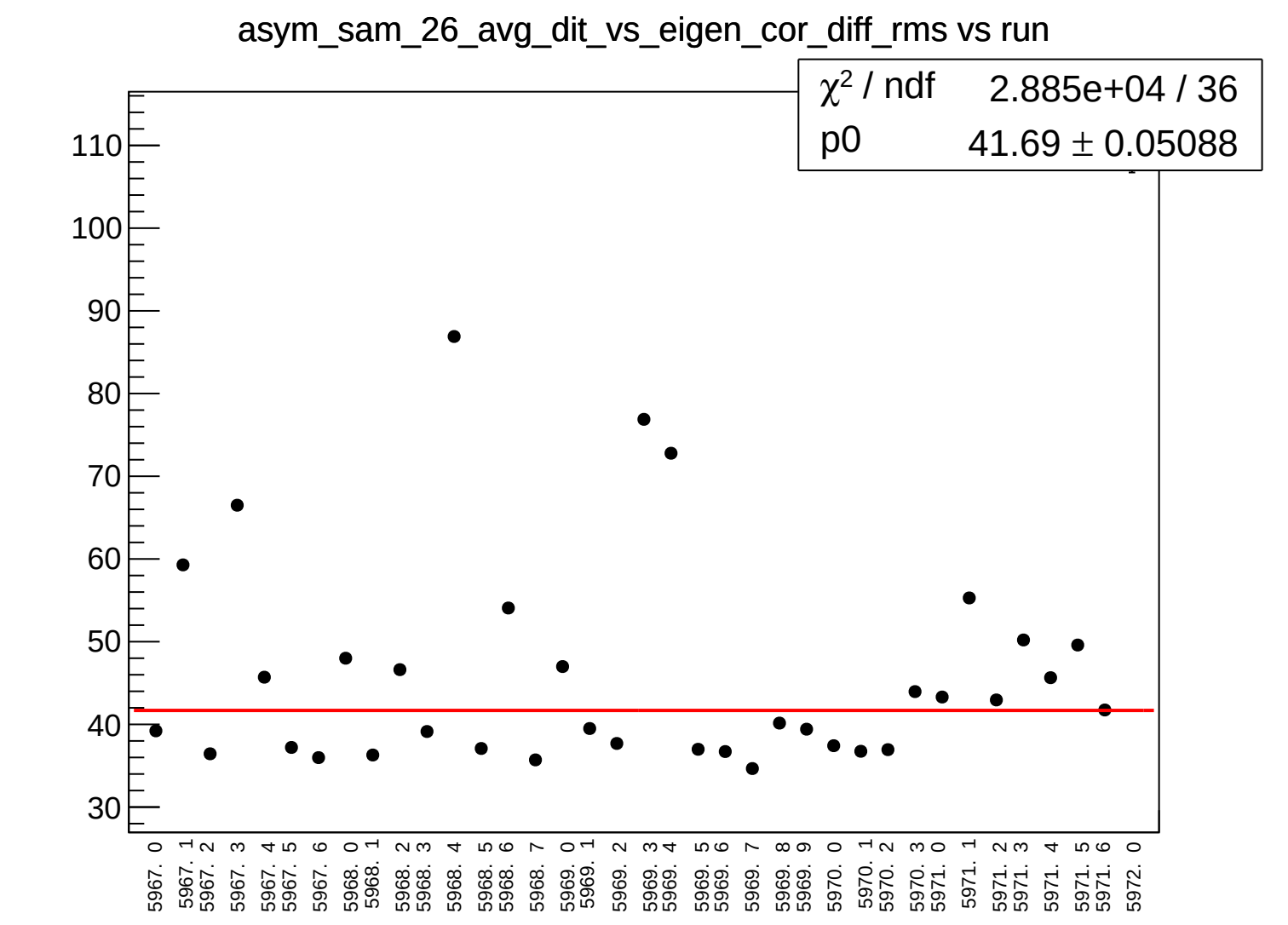
asym_sam_26_avg_dit_vs_eigen_cor_diff_rms vs run
χ² / ndf 2.885e+04 / 36
p0 41.69 ± 0.05088
110
100
90
80
70
60
50
40
30
5967. 0
5967. 1
5967. 2
5967. 3
5967. 4
5967. 5
5967. 6
5968. 0
5968. 1
5968. 2
5968. 3
5968. 4
5968. 5
5968. 6
5968. 7
5969. 0
5969. 1
5969. 2
5969. 3
5969. 4
5969. 5
5969. 6
5969. 7
5969. 8
5969. 9
5970. 0
5970. 1
5970. 2
5970. 3
5971. 0
5971. 1
5971. 2
5971. 3
5971. 4
5971. 5
5971. 6
5972. 0

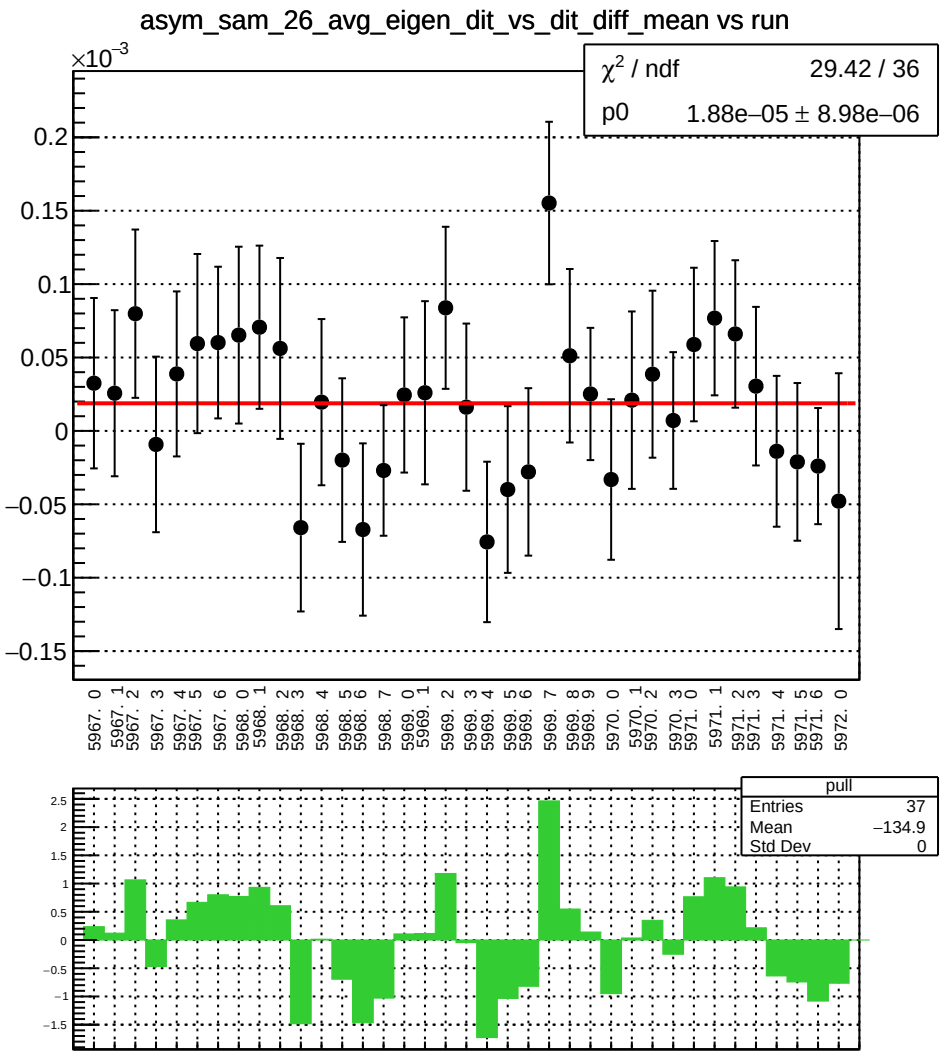
asym_sam_26_avg_eigen_dit_vs_dit_diff_mean vs run
×10⁻³
χ² / ndf 29.42 / 36
p0 1.88e−05 ± 8.98e−06
0.2
0.15
0.1
0.05
0
−0.05
−0.1
−0.15
5967. 0
5967. 1
5967. 2
5967. 3
5967. 4
5967. 5
5967. 6
5968. 0
5968. 1
5968. 2
5968. 3
5968. 4
5968. 5
5968. 6
5968. 7
5969. 0
5969. 1
5969. 2
5969. 3
5969. 4
5969. 5
5969. 6
5969. 7
5969. 8
5969. 9
5970. 0
5970. 1
5970. 2
5970. 3
5971. 0
5971. 1
5971. 2
5971. 3
5971. 4
5971. 5
5971. 6
5972. 0
pull
Entries 37
Mean −134.9
Std Dev 0
2.5
2
1.5
1
0.5
0
−0.5
−1
−1.5

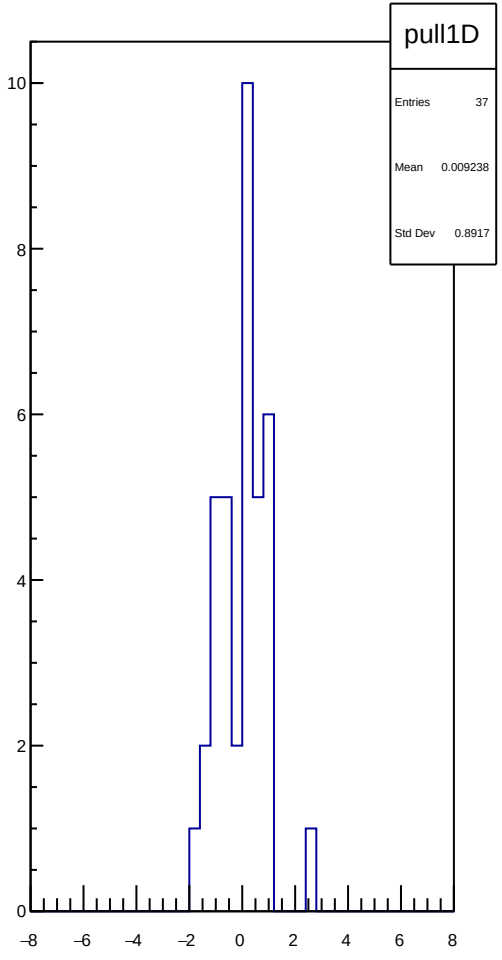
pull1D
Entries 37
Mean 0.009238
Std Dev 0.8917
10
8
6
4
2
0
−8
−6
−4
−2
0
2
4
6
8

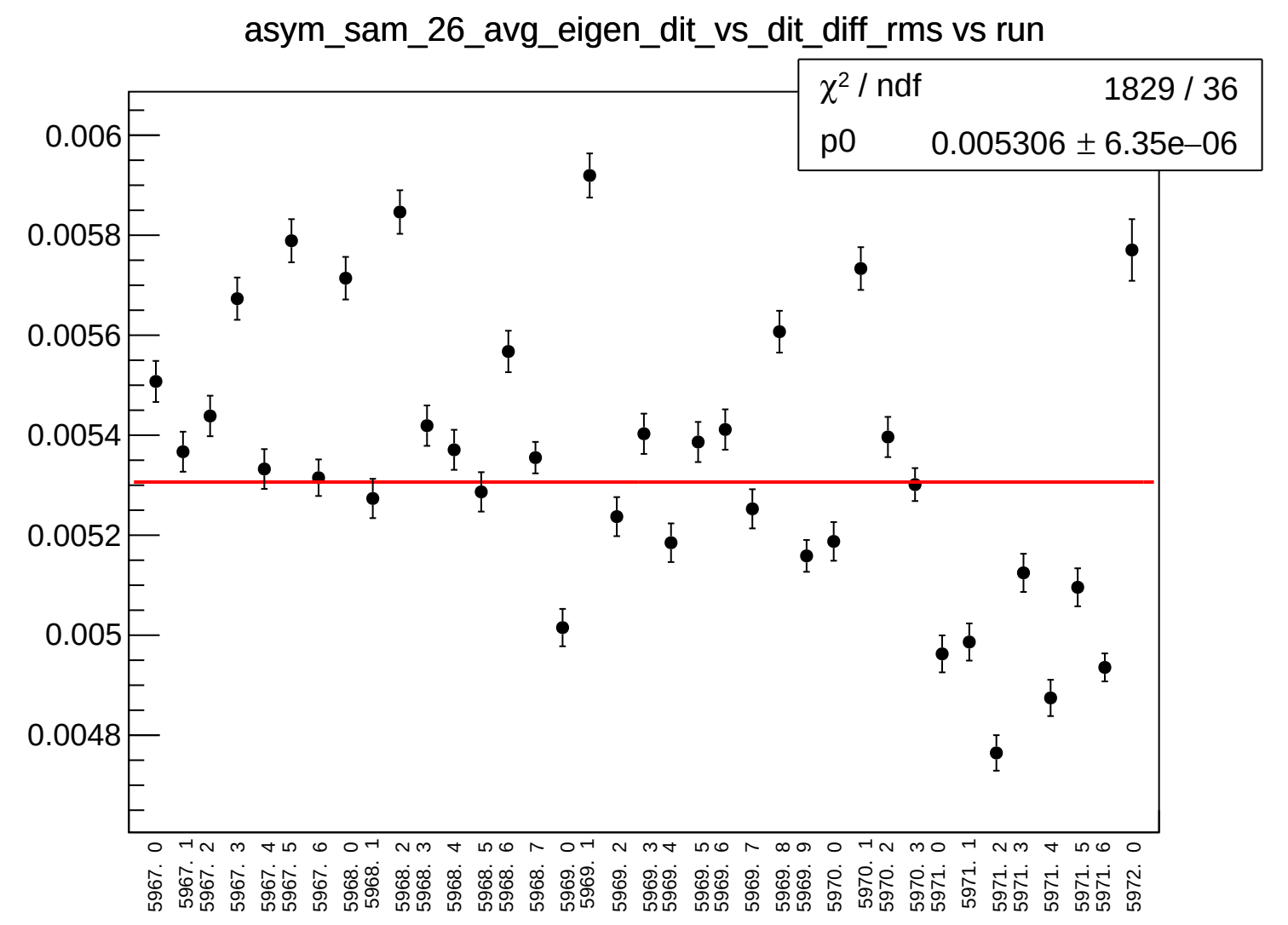
asym_sam_26_avg_eigen_dit_vs_dit_diff_rms vs run
χ² / ndf 1829 / 36
p0 0.005306 ± 6.35e−06
0.006
0.0058
0.0056
0.0054
0.0052
0.005
0.0048
5967. 0
5967. 1
5967. 2
5967. 3
5967. 4
5967. 5
5967. 6
5968. 0
5968. 1
5968. 2
5968. 3
5968. 4
5968. 5
5968. 6
5968. 7
5969. 0
5969. 1
5969. 2
5969. 3
5969. 4
5969. 5
5969. 6
5969. 7
5969. 8
5969. 9
5970. 0
5970. 1
5970. 2
5970. 3
5971. 0
5971. 1
5971. 2
5971. 3
5971. 4
5971. 5
5971. 6
5972. 0

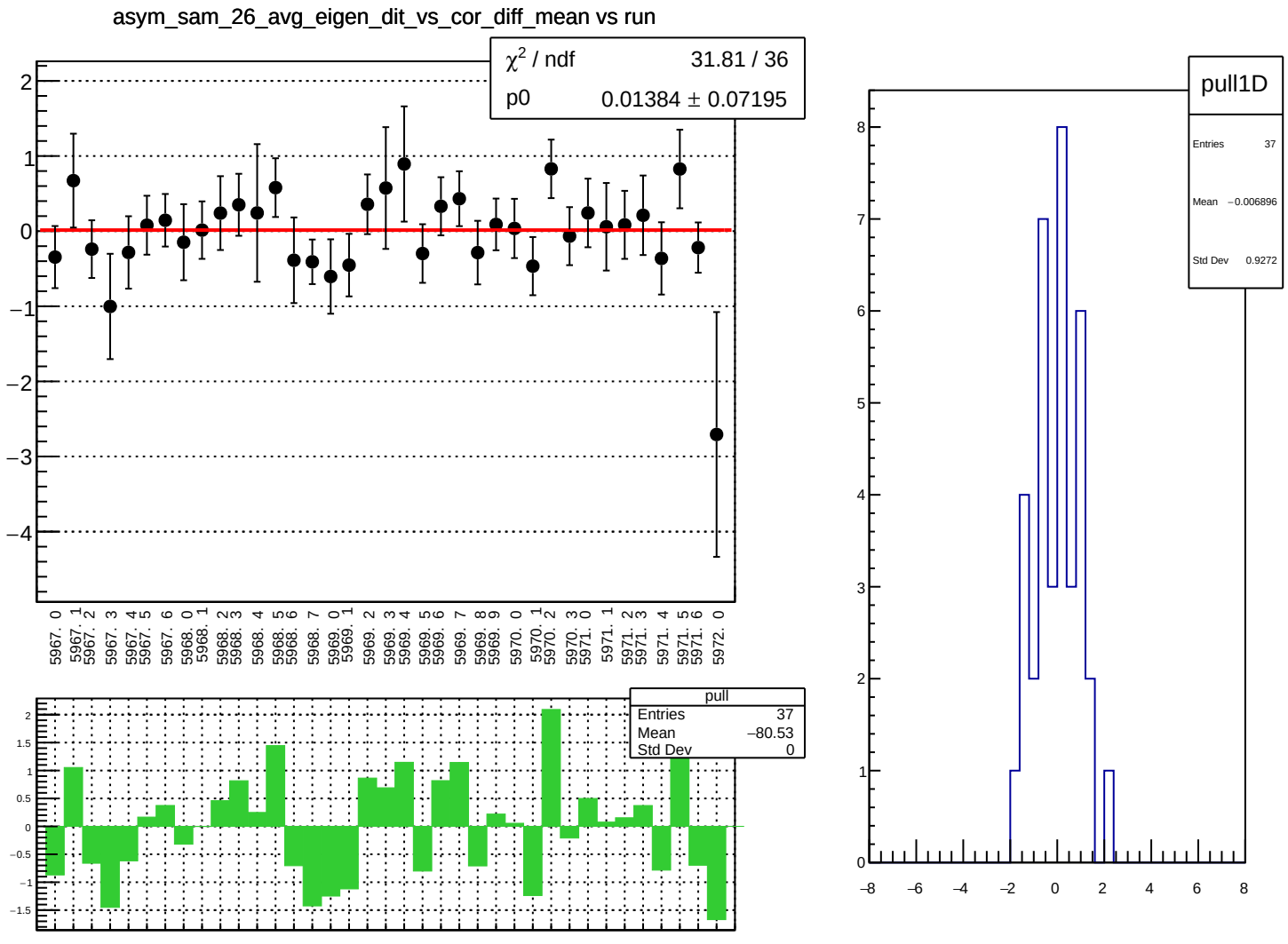
asym_sam_26_avg_eigen_dit_vs_cor_diff_mean vs run
χ² / ndf 31.81 / 36
p0 0.01384 ± 0.07195
pull
Entries 37
Mean −80.53
Std Dev 0
pull1D
Entries 37
Mean −0.006896
Std Dev 0.9272

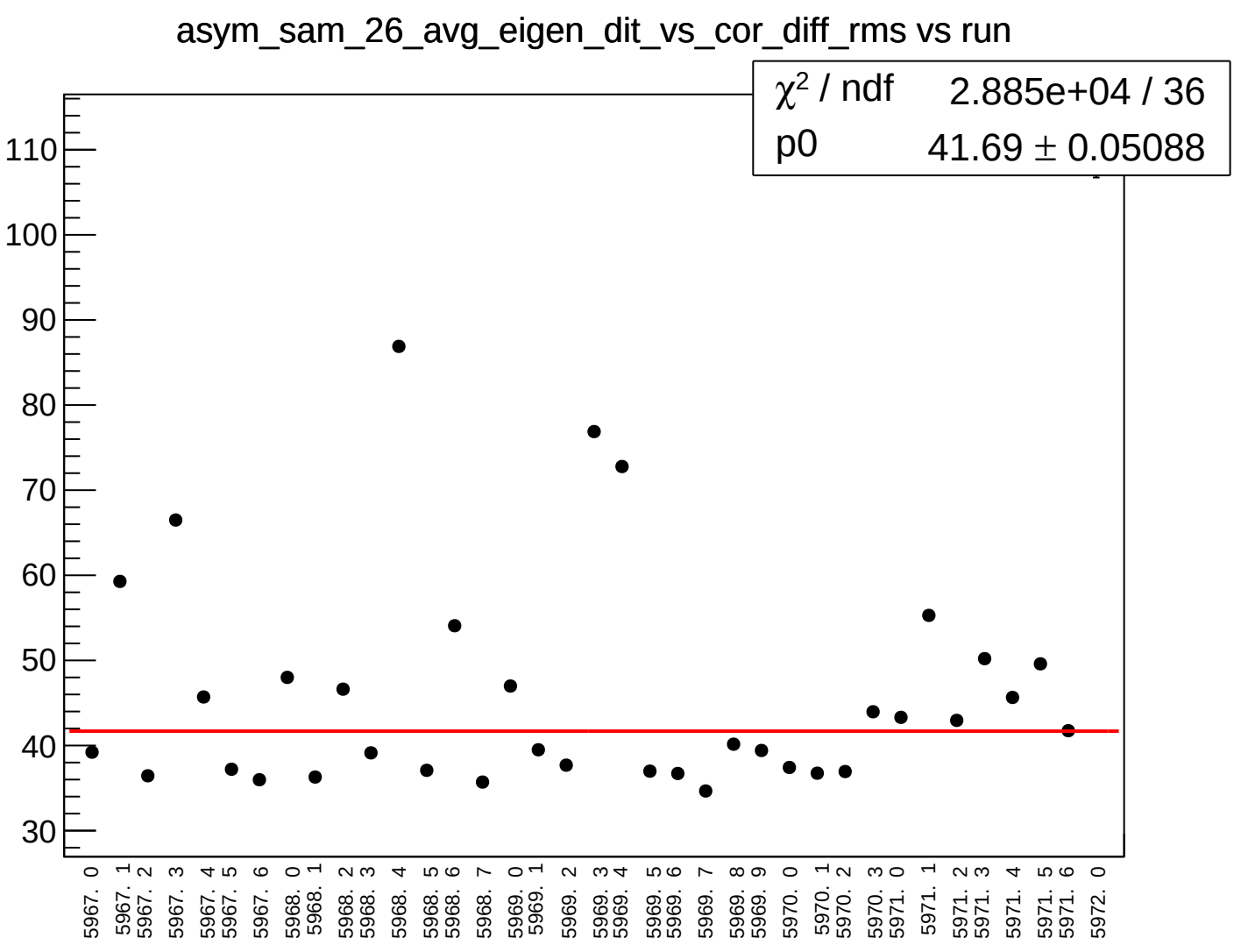
asym_sam_26_avg_eigen_dit_vs_cor_diff_rms vs run
χ² / ndf 2.885e+04 / 36
p0 41.69 ± 0.05088
110
100
90
80
70
60
50
40
30
5967. 0
5967. 1
5967. 2
5967. 3
5967. 4
5967. 5
5967. 6
5968. 0
5968. 1
5968. 2
5968. 3
5968. 4
5968. 5
5968. 6
5968. 7
5969. 0
5969. 1
5969. 2
5969. 3
5969. 4
5969. 5
5969. 6
5969. 7
5969. 8
5969. 9
5970. 0
5970. 1
5970. 2
5970. 3
5971. 0
5971. 1
5971. 2
5971. 3
5971. 4
5971. 5
5971. 6
5972. 0

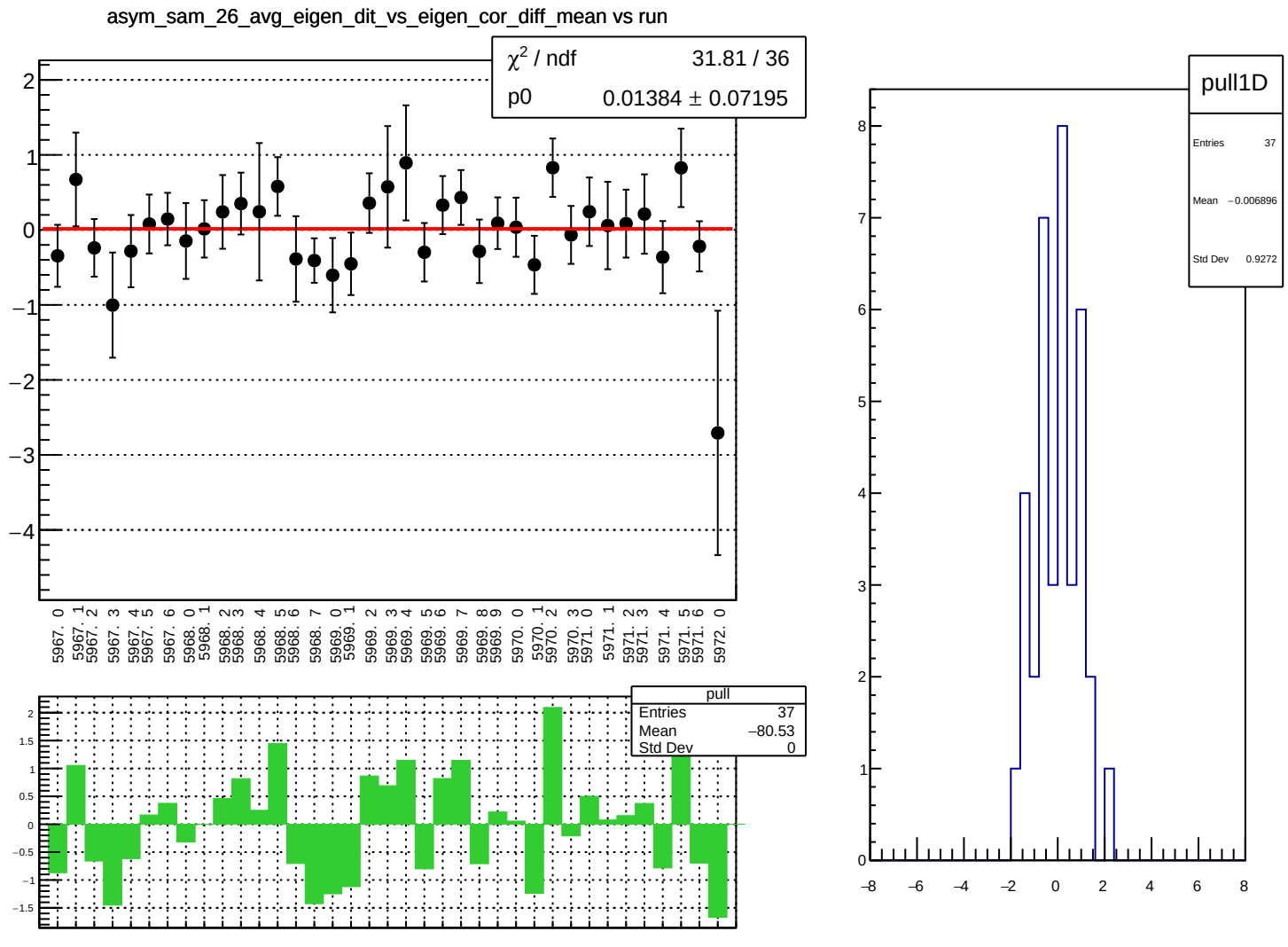
asym_sam_26_avg_eigen_dit_vs_eigen_cor_diff_mean vs run
χ² / ndf 31.81 / 36
p0 0.01384 ± 0.07195
pull
Entries 37
Mean −80.53
Std Dev 0
pull1D
Entries 37
Mean −0.006896
Std Dev 0.9272

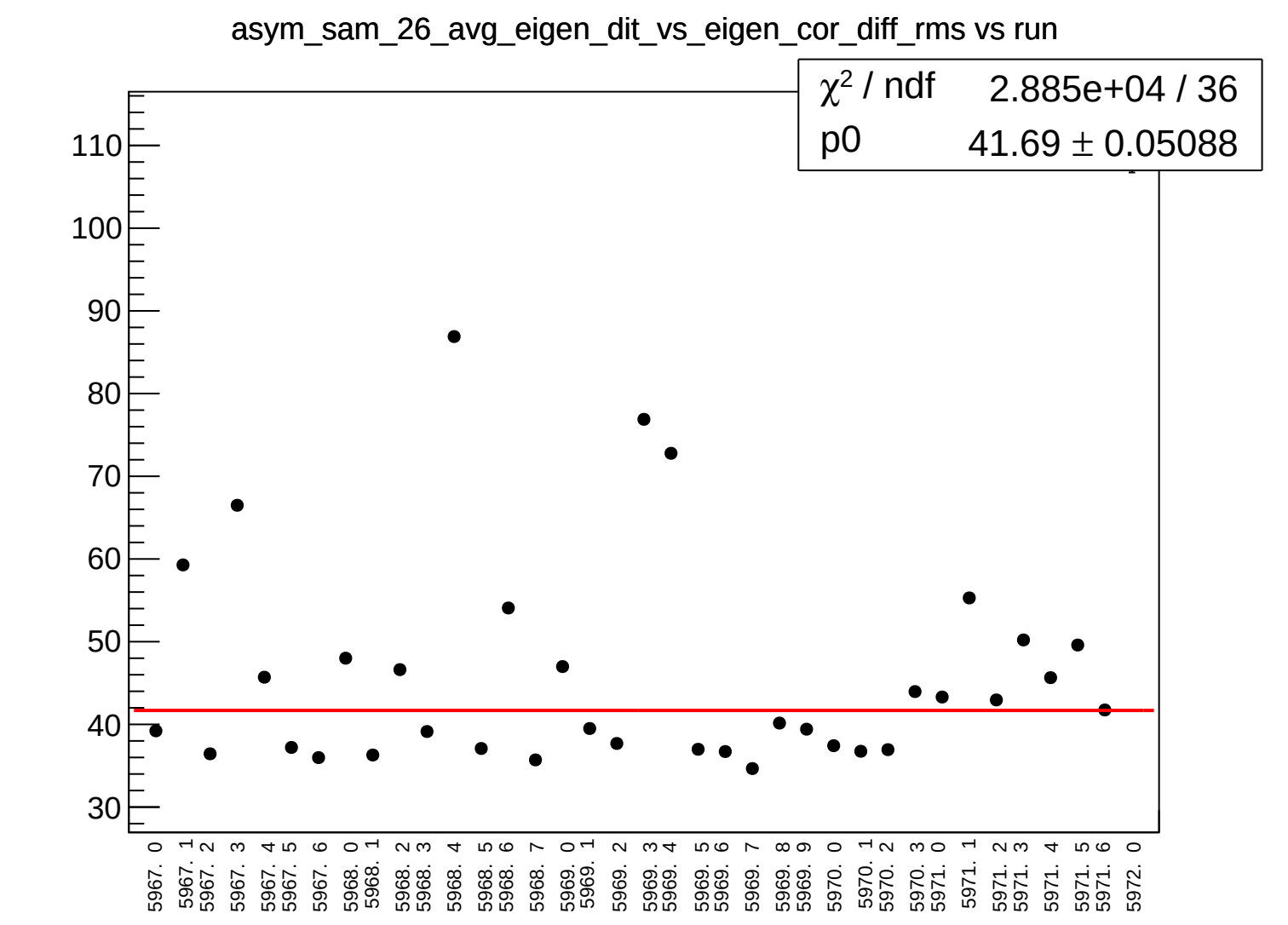
asym_sam_26_avg_eigen_dit_vs_eigen_cor_diff_rms vs run
χ² / ndf 2.885e+04 / 36
p0 41.69 ± 0.05088
110
100
90
80
70
60
50
40
30
5967. 0
5967. 1
5967. 2
5967. 3
5967. 4
5967. 5
5967. 6
5968. 0
5968. 1
5968. 2
5968. 3
5968. 4
5968. 5
5968. 6
5968. 7
5969. 0
5969. 1
5969. 2
5969. 3
5969. 4
5969. 5
5969. 6
5969. 7
5969. 8
5969. 9
5970. 0
5970. 1
5970. 2
5970. 3
5971. 0
5971. 1
5971. 2
5971. 3
5971. 4
5971. 5
5971. 6
5972. 0

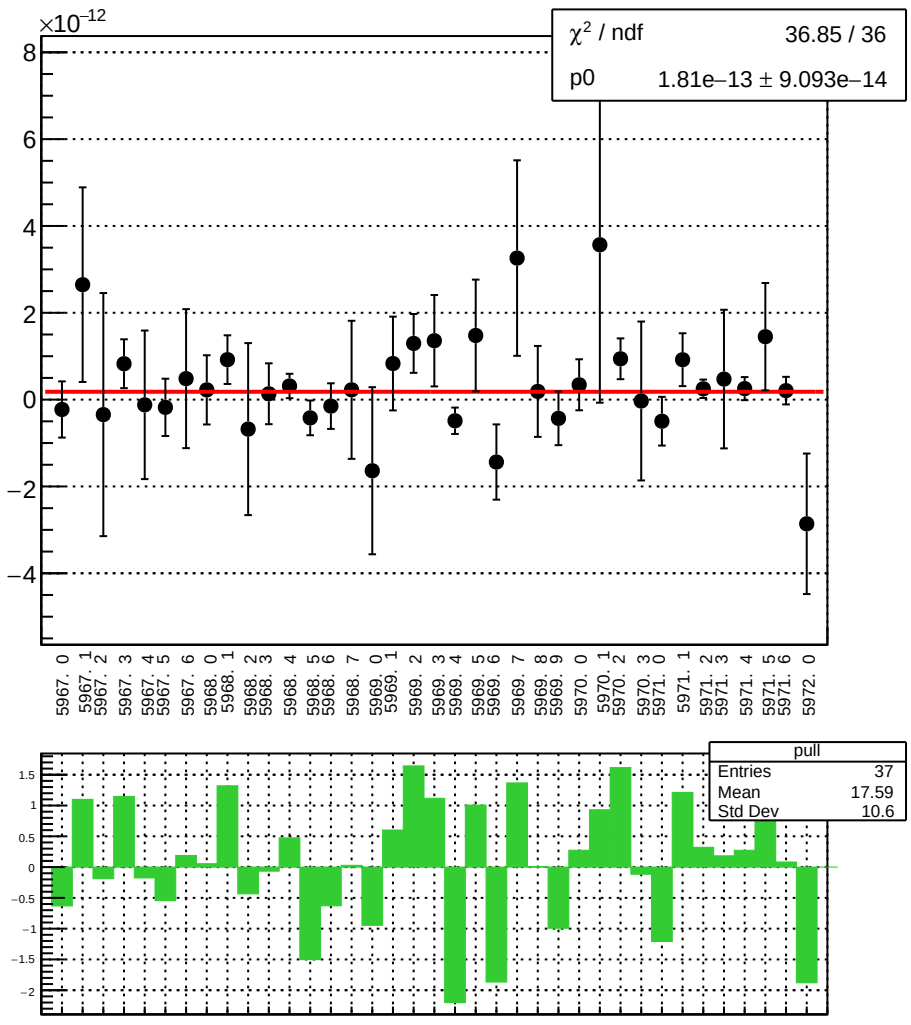
asym_sam_26_avg_eigen_cor_vs_cor_diff_mean vs run
×10⁻¹²
χ² / ndf 36.85 / 36
p0 1.81e−13 ± 9.093e−14
pull
Entries 37
Mean 17.59
Std Dev 10.6

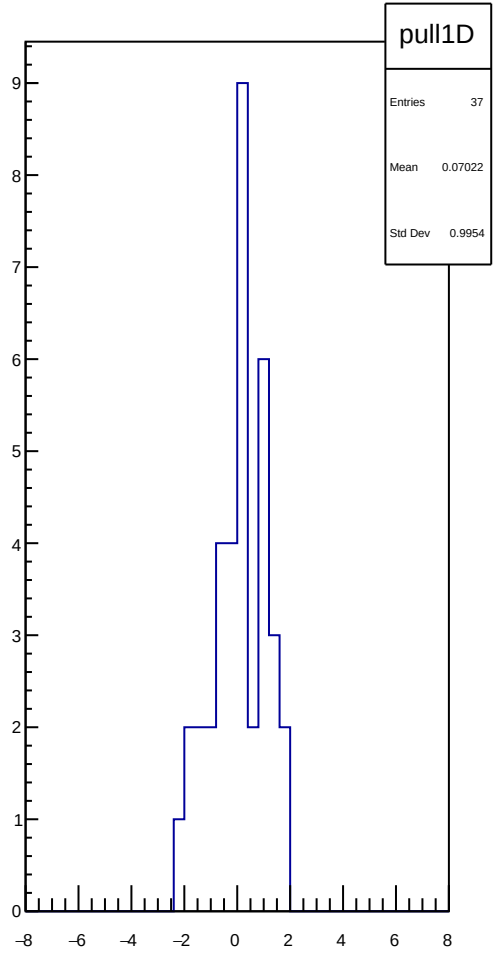
pull1D
Entries 37
Mean 0.07022
Std Dev 0.9954

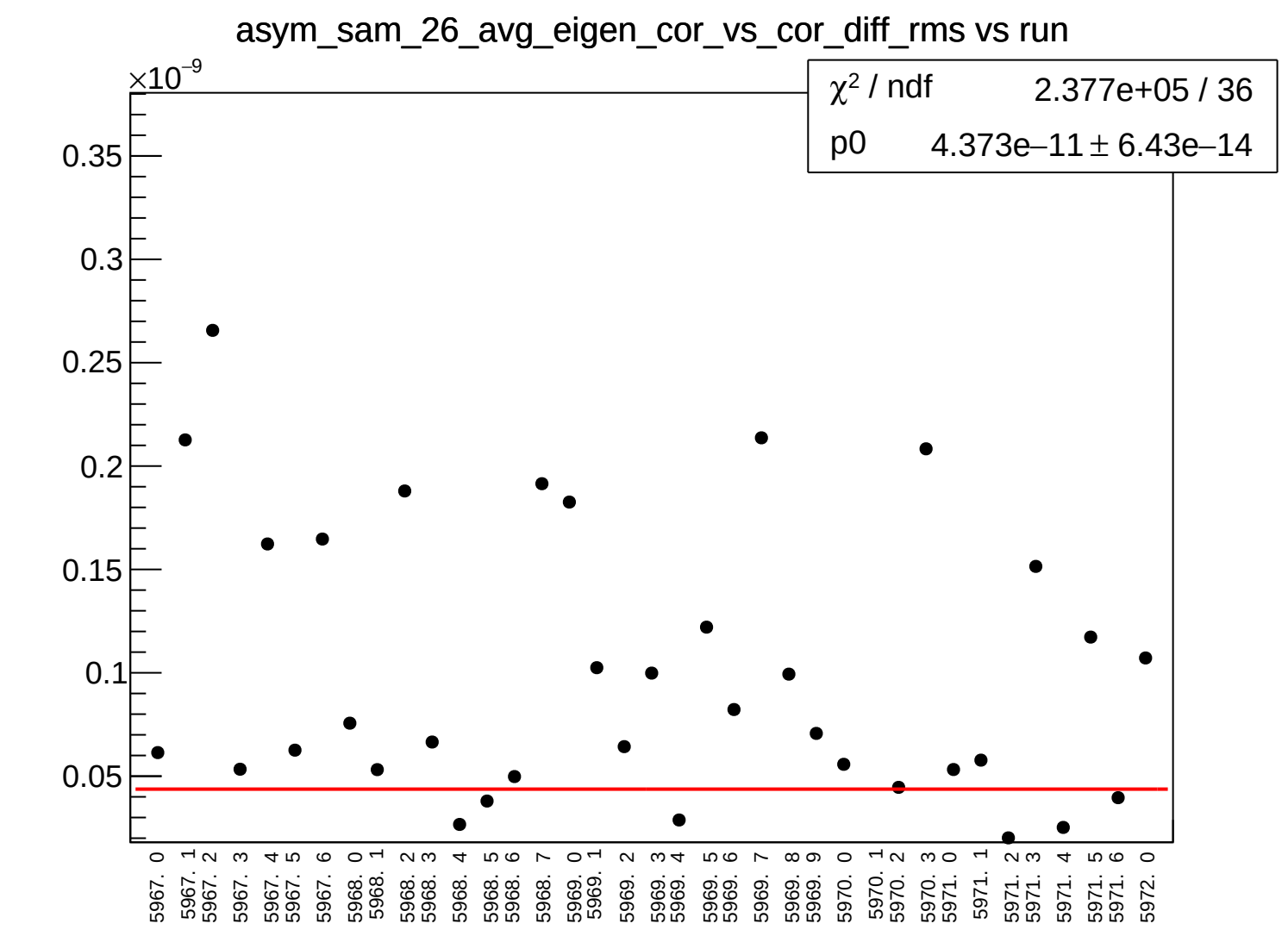
asym_sam_26_avg_eigen_cor_vs_cor_diff_rms vs run
×10⁻⁹
χ² / ndf 2.377e+05 / 36
p0 4.373e−11 ± 6.43e−14
0.35
0.3
0.25
0.2
0.15
0.1
0.05
5967. 0
5967. 1
5967. 2
5967. 3
5967. 4
5967. 5
5967. 6
5968. 0
5968. 1
5968. 2
5968. 3
5968. 4
5968. 5
5968. 6
5968. 7
5969. 0
5969. 1
5969. 2
5969. 3
5969. 4
5969. 5
5969. 6
5969. 7
5969. 8
5969. 9
5970. 0
5970. 1
5970. 2
5970. 3
5971. 0
5971. 1
5971. 2
5971. 3
5971. 4
5971. 5
5971. 6
5972. 0

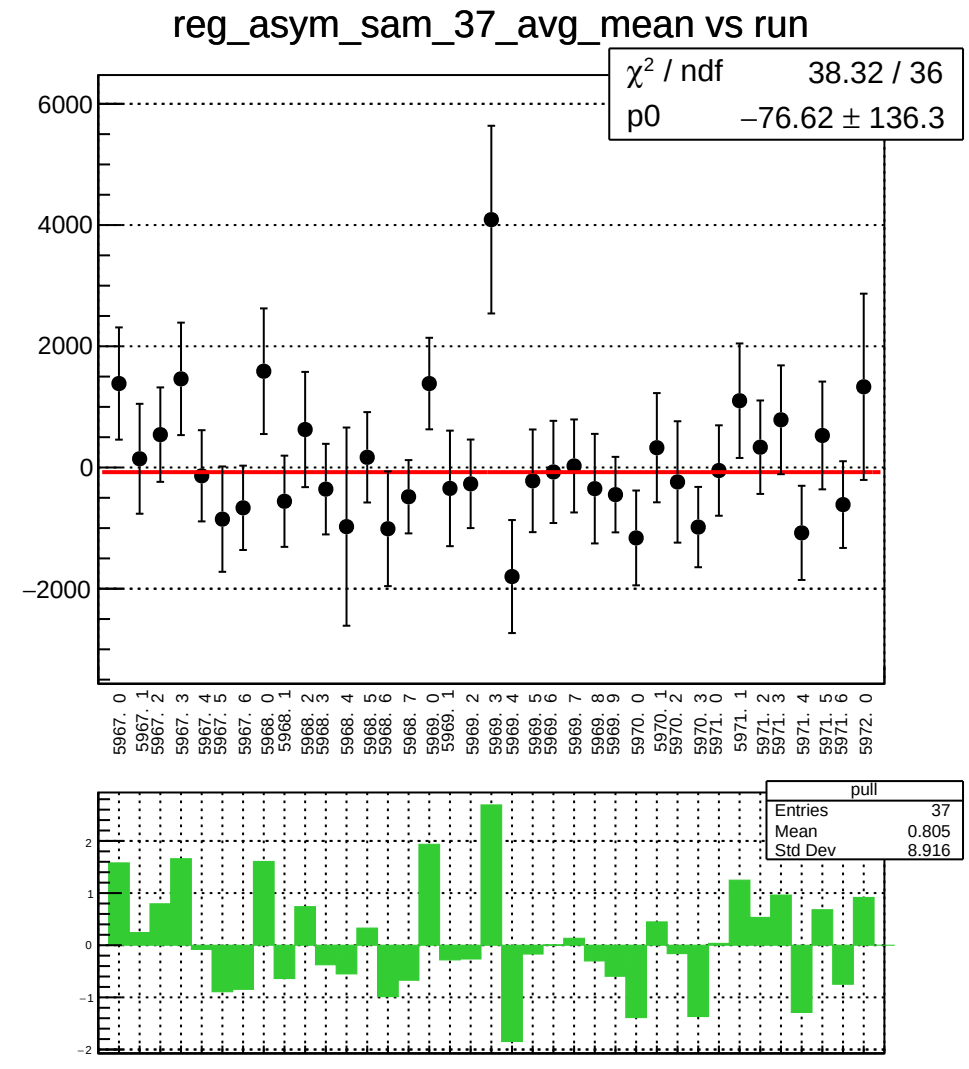
reg_asym_sam_37_avg_mean vs run
χ² / ndf 38.32 / 36
p0 −76.62 ± 136.3
6000
4000
2000
0
−2000
5967. 0
5967. 1
5967. 2
5967. 3
5967. 4
5967. 5
5967. 6
5968. 0
5968. 1
5968. 2
5968. 3
5968. 4
5968. 5
5968. 6
5968. 7
5969. 0
5969. 1
5969. 2
5969. 3
5969. 4
5969. 5
5969. 6
5969. 7
5969. 8
5969. 9
5970. 0
5970. 1
5970. 2
5970. 3
5971. 0
5971. 1
5971. 2
5971. 3
5971. 4
5971. 5
5971. 6
5972. 0
pull
Entries 37
Mean 0.805
Std Dev 8.916
2
1
0
−1
−2

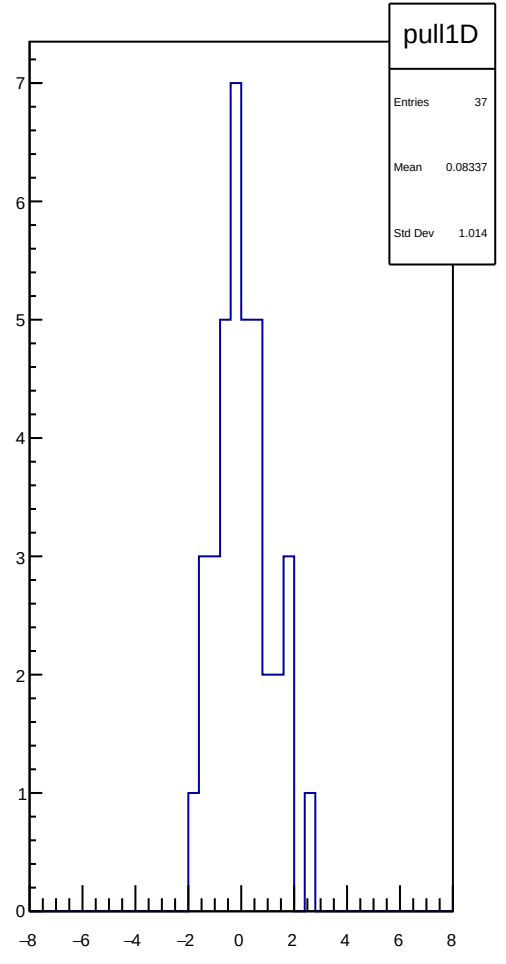
pull1D
Entries 37
Mean 0.08337
Std Dev 1.014
7
6
5
4
3
2
1
0
−8
−6
−4
−2
0
2
4
6
8

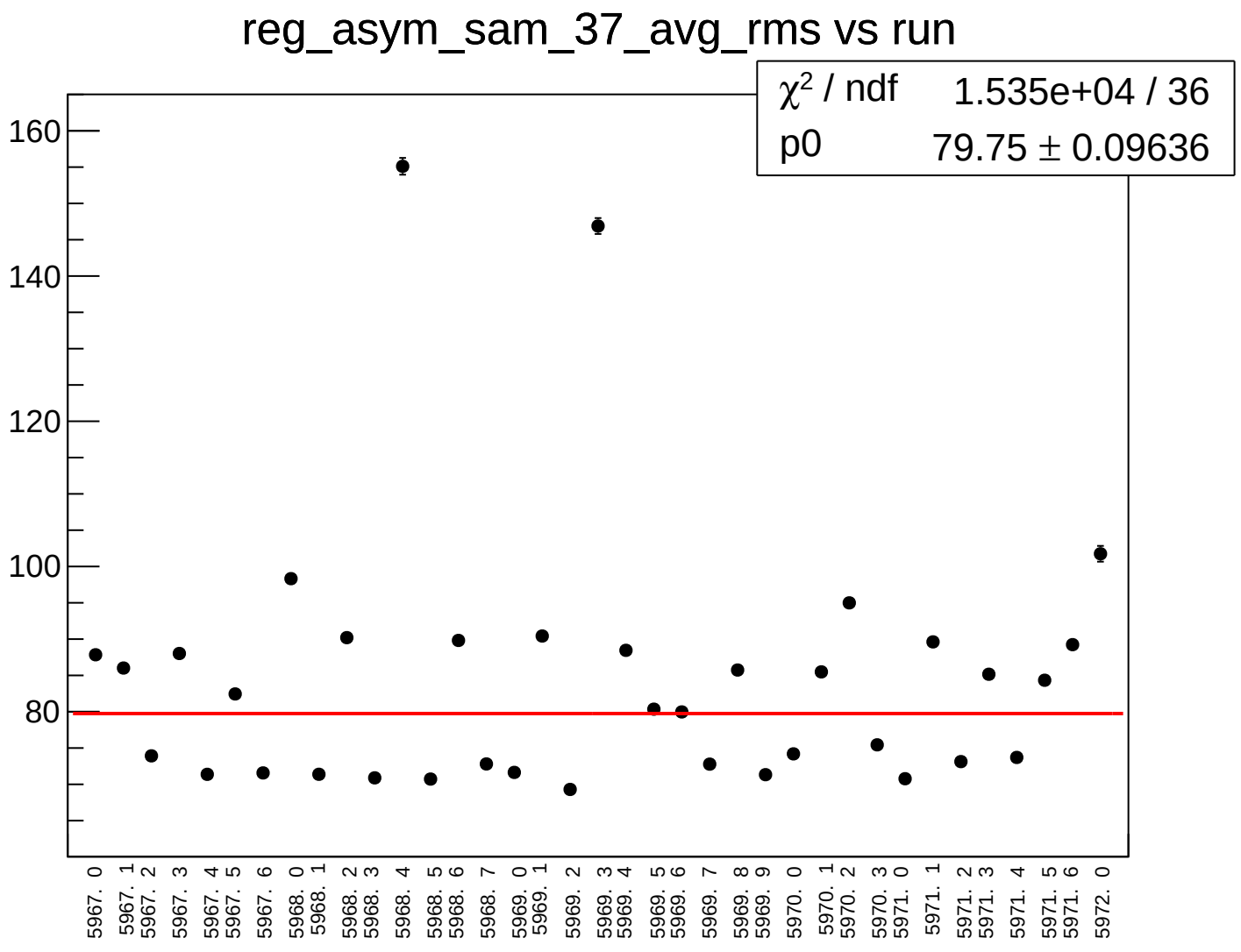
reg_asym_sam_37_avg_rms vs run
χ² / ndf 1.535e+04 / 36
p0 79.75 ± 0.09636
160
140
120
100
80
5967. 0
5967. 1
5967. 2
5967. 3
5967. 4
5967. 5
5967. 6
5968. 0
5968. 1
5968. 2
5968. 3
5968. 4
5968. 5
5968. 6
5968. 7
5969. 0
5969. 1
5969. 2
5969. 3
5969. 4
5969. 5
5969. 6
5969. 7
5969. 8
5969. 9
5970. 0
5970. 1
5970. 2
5970. 3
5971. 0
5971. 1
5971. 2
5971. 3
5971. 4
5971. 5
5971. 6
5972. 0

asym_sam_37_avg_reg_correction_mean vs run

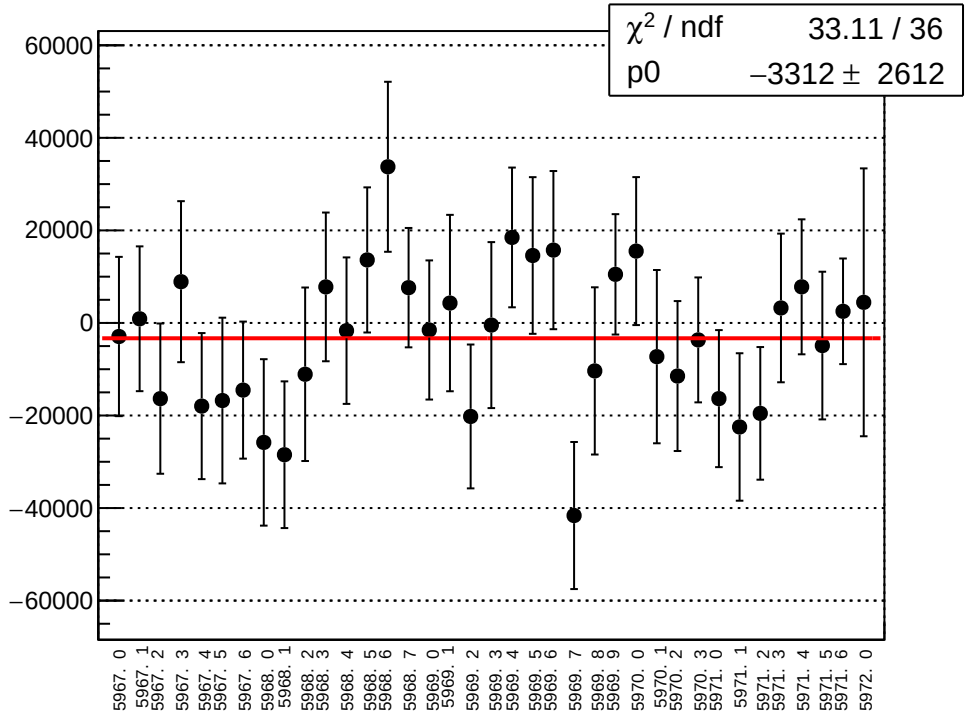

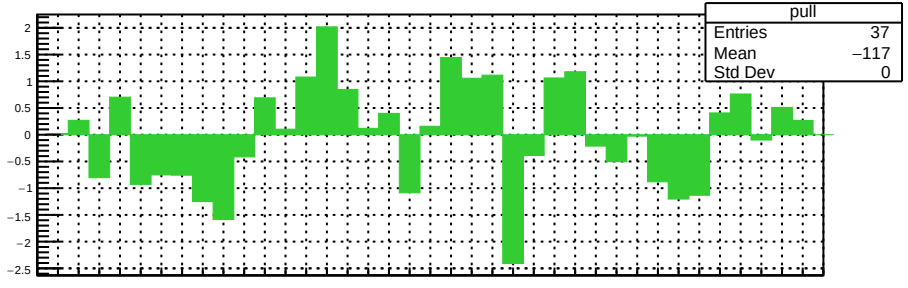

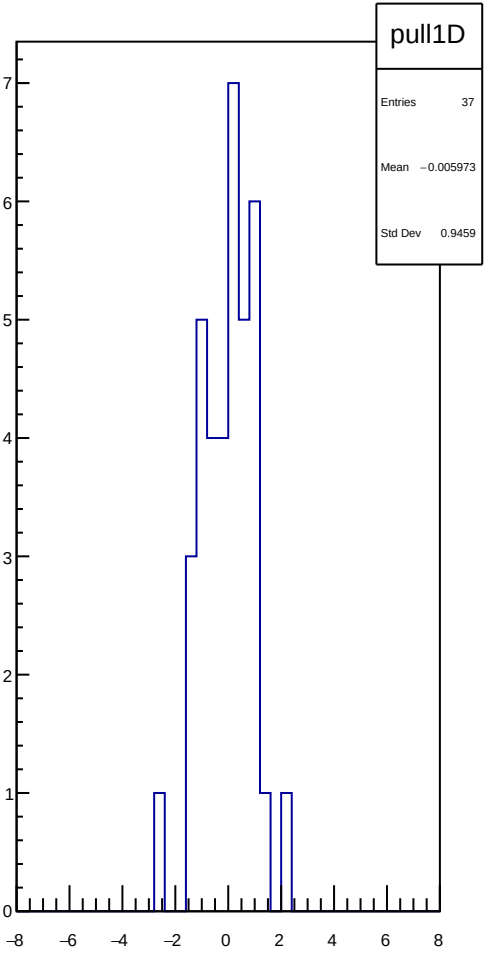

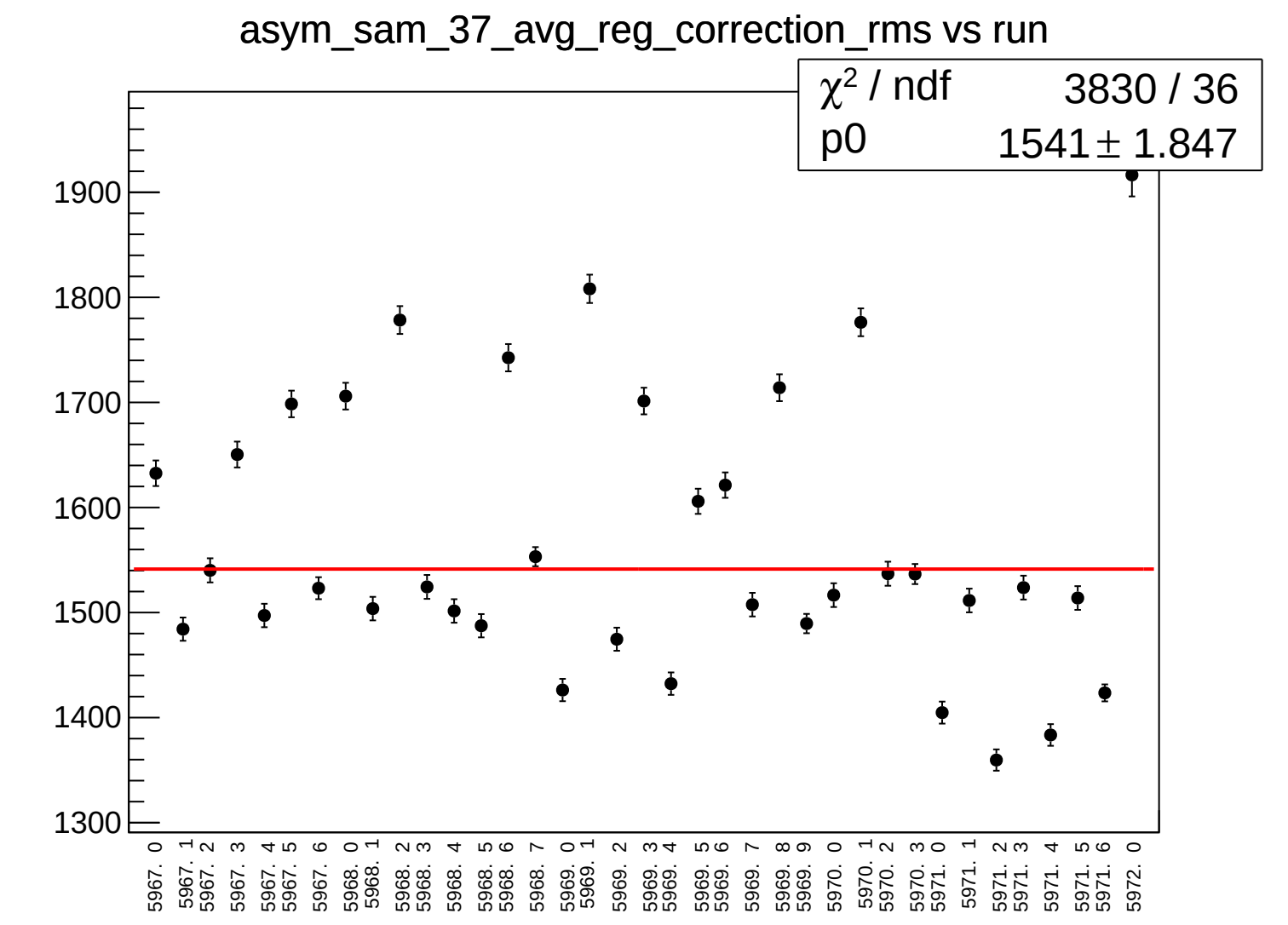
asym_sam_37_avg_reg_correction_rms vs run
χ² / ndf 3830 / 36
p0 1541 ± 1.847
1900
1800
1700
1600
1500
1400
1300
5967. 0
5967. 1
5967. 2
5967. 3
5967. 4
5967. 5
5967. 6
5968. 0
5968. 1
5968. 2
5968. 3
5968. 4
5968. 5
5968. 6
5968. 7
5969. 0
5969. 1
5969. 2
5969. 3
5969. 4
5969. 5
5969. 6
5969. 7
5969. 8
5969. 9
5970. 0
5970. 1
5970. 2
5970. 3
5971. 0
5971. 1
5971. 2
5971. 3
5971. 4
5971. 5
5971. 6
5972. 0

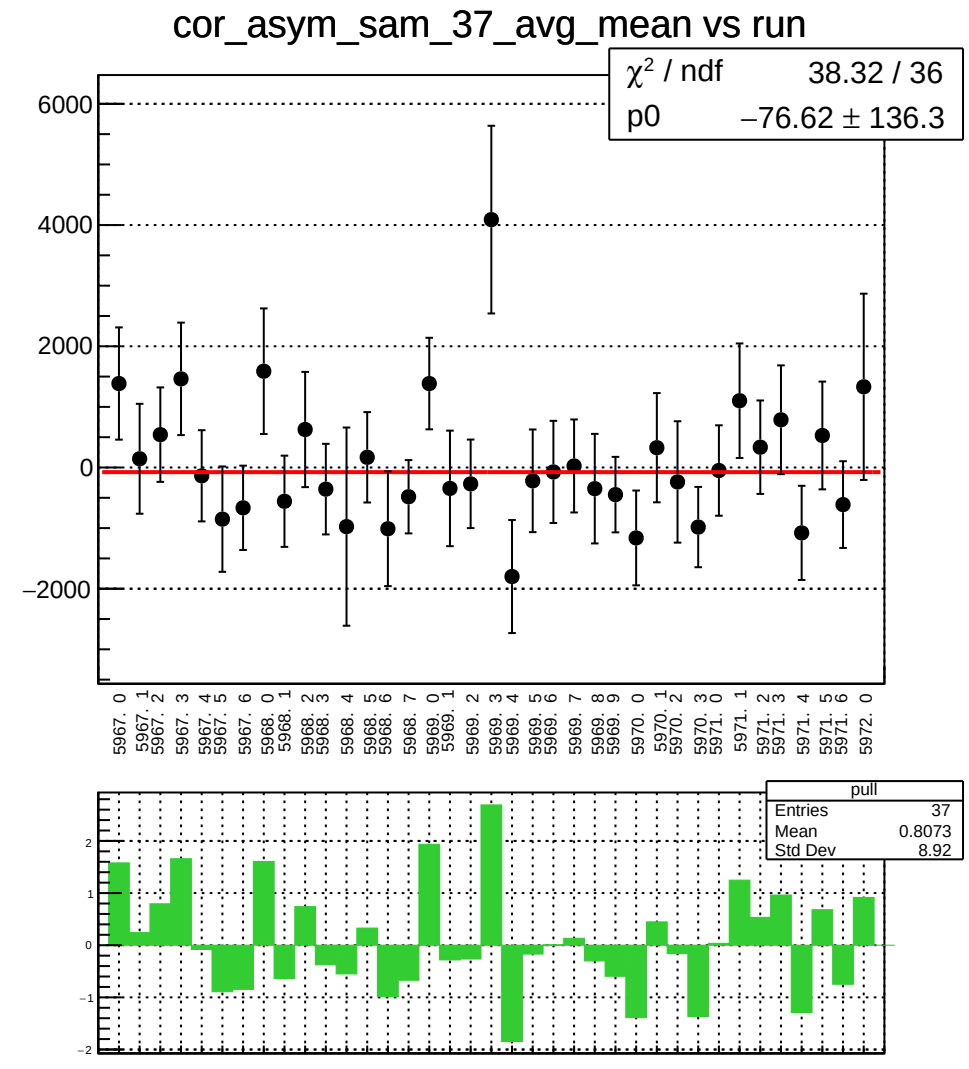
cor_asym_sam_37_avg_mean vs run
χ² / ndf 38.32 / 36
p0 −76.62 ± 136.3
6000
4000
2000
0
−2000
5967. 0
5967. 1
5967. 2
5967. 3
5967. 4
5967. 5
5967. 6
5968. 0
5968. 1
5968. 2
5968. 3
5968. 4
5968. 5
5968. 6
5968. 7
5969. 0
5969. 1
5969. 2
5969. 3
5969. 4
5969. 5
5969. 6
5969. 7
5969. 8
5969. 9
5970. 0
5970. 1
5970. 2
5970. 3
5971. 0
5971. 1
5971. 2
5971. 3
5971. 4
5971. 5
5971. 6
5972. 0
pull
Entries 37
Mean 0.8073
Std Dev 8.92
2
1
0
−1
−2

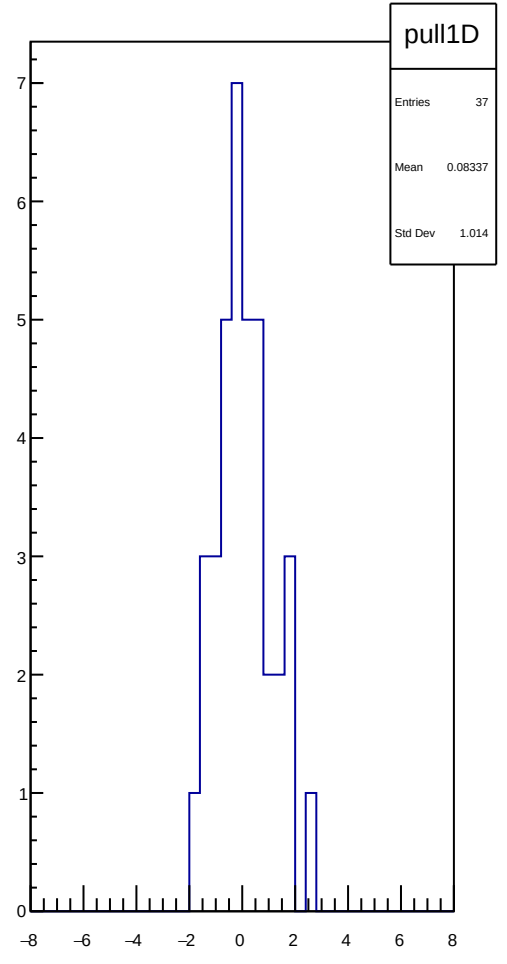
pull1D
Entries 37
Mean 0.08337
Std Dev 1.014
7
6
5
4
3
2
1
0
−8
−6
−4
−2
0
2
4
6
8

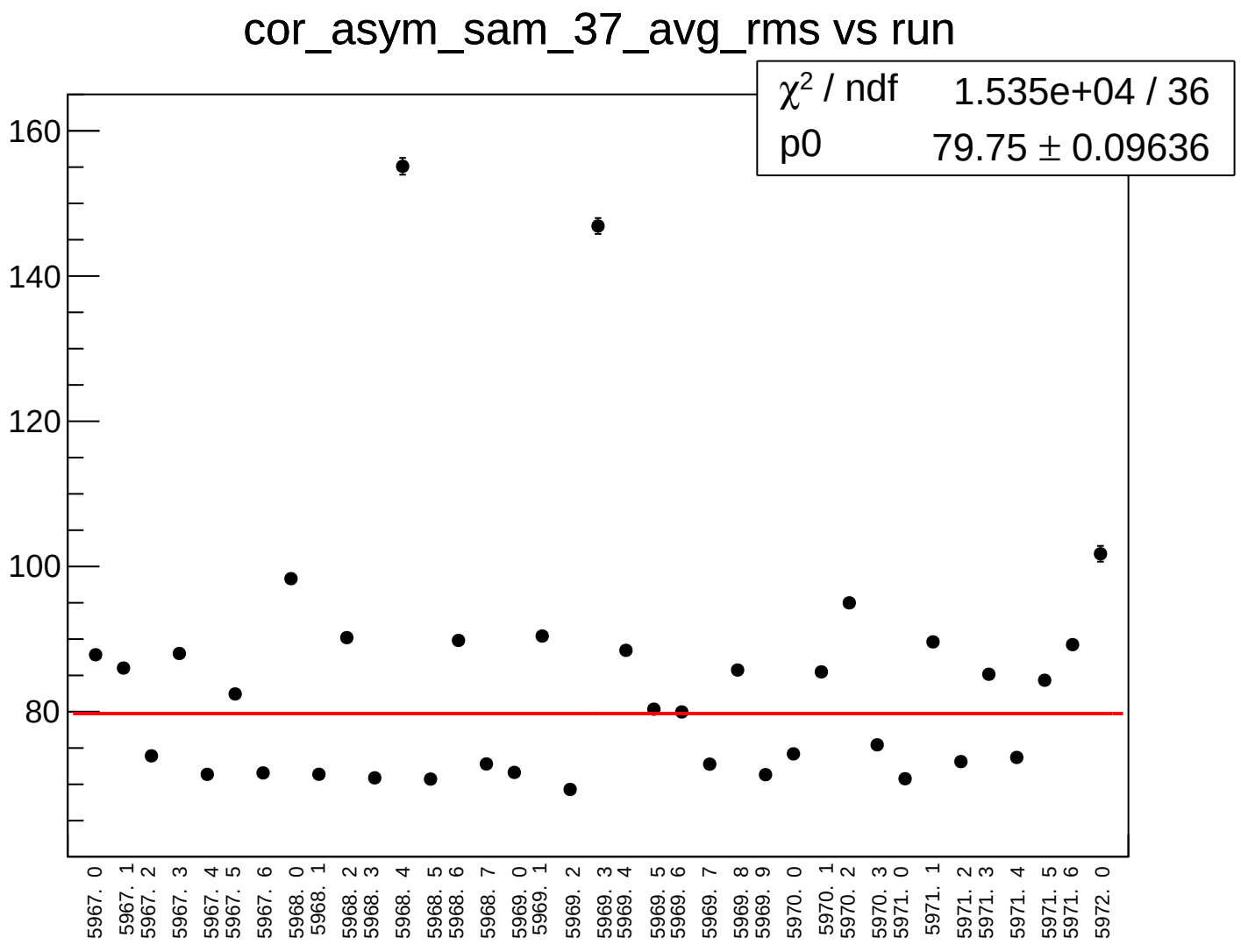
cor_asym_sam_37_avg_rms vs run
χ² / ndf 1.535e+04 / 36
p0 79.75 ± 0.09636
160
140
120
100
80
5967. 0
5967. 1
5967. 2
5967. 3
5967. 4
5967. 5
5967. 6
5968. 0
5968. 1
5968. 2
5968. 3
5968. 4
5968. 5
5968. 6
5968. 7
5969. 0
5969. 1
5969. 2
5969. 3
5969. 4
5969. 5
5969. 6
5969. 7
5969. 8
5969. 9
5970. 0
5970. 1
5970. 2
5970. 3
5971. 0
5971. 1
5971. 2
5971. 3
5971. 4
5971. 5
5971. 6
5972. 0

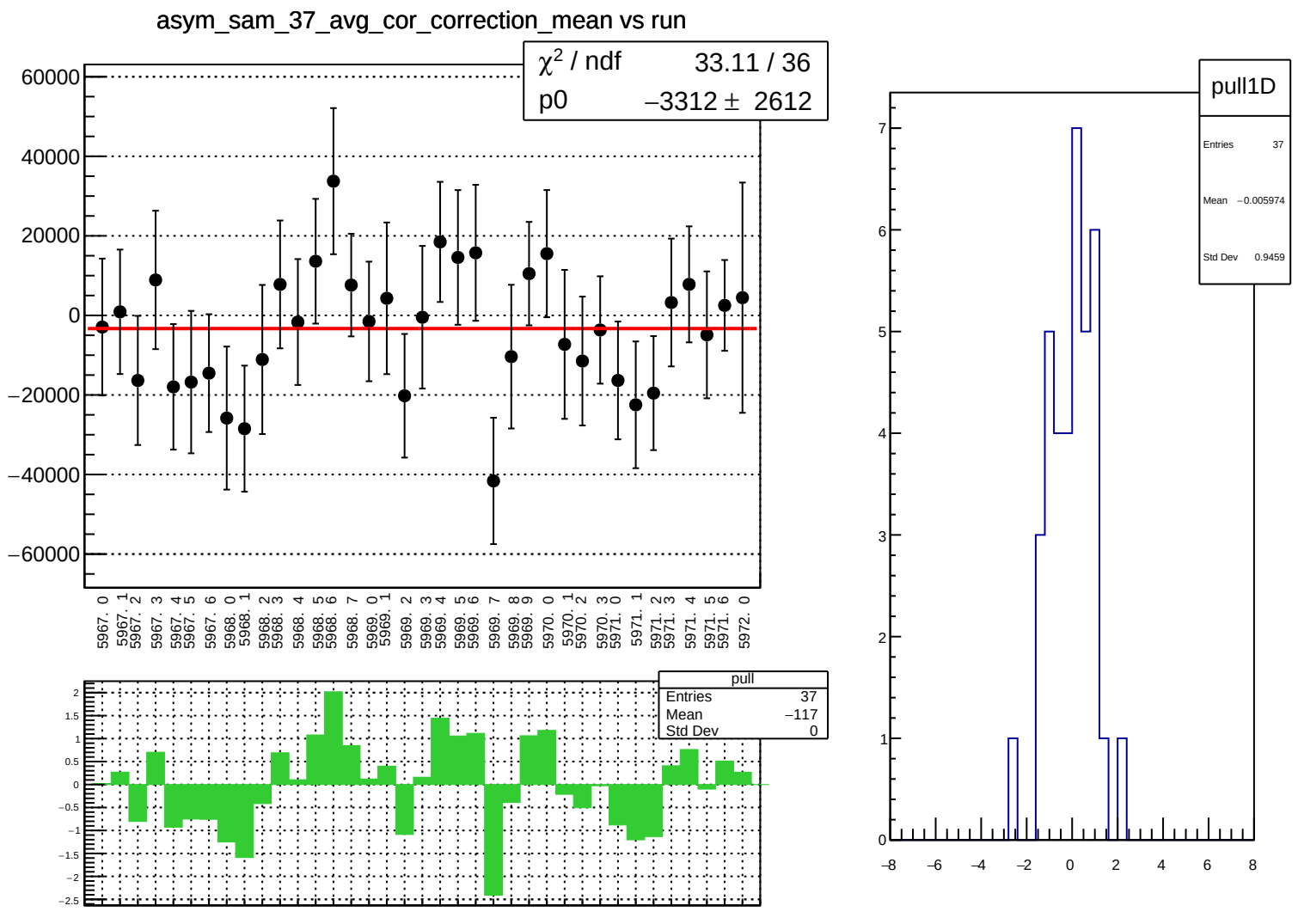
asym_sam_37_avg_cor_correction_mean vs run
χ² / ndf 33.11 / 36
p0 −3312 ± 2612
60000
40000
20000
0
−20000
−40000
−60000
5967. 0
5967. 1
5967. 2
5967. 3
5967. 4
5967. 5
5967. 6
5968. 0
5968. 1
5968. 2
5968. 3
5968. 4
5968. 5
5968. 6
5968. 7
5969. 0
5969. 1
5969. 2
5969. 3
5969. 4
5969. 5
5969. 6
5969. 7
5969. 8
5969. 9
5970. 0
5970. 1
5970. 2
5970. 3
5971. 0
5971. 1
5971. 2
5971. 3
5971. 4
5971. 5
5971. 6
5972. 0
pull
Entries 37
Mean −117
Std Dev 0
2
1.5
1
0.5
0
−0.5
−1
−1.5
−2
−2.5
pull1D
Entries 37
Mean −0.005974
Std Dev 0.9459
7
6
5
4
3
2
1
0
−8
−6
−4
−2
0
2
4
6
8

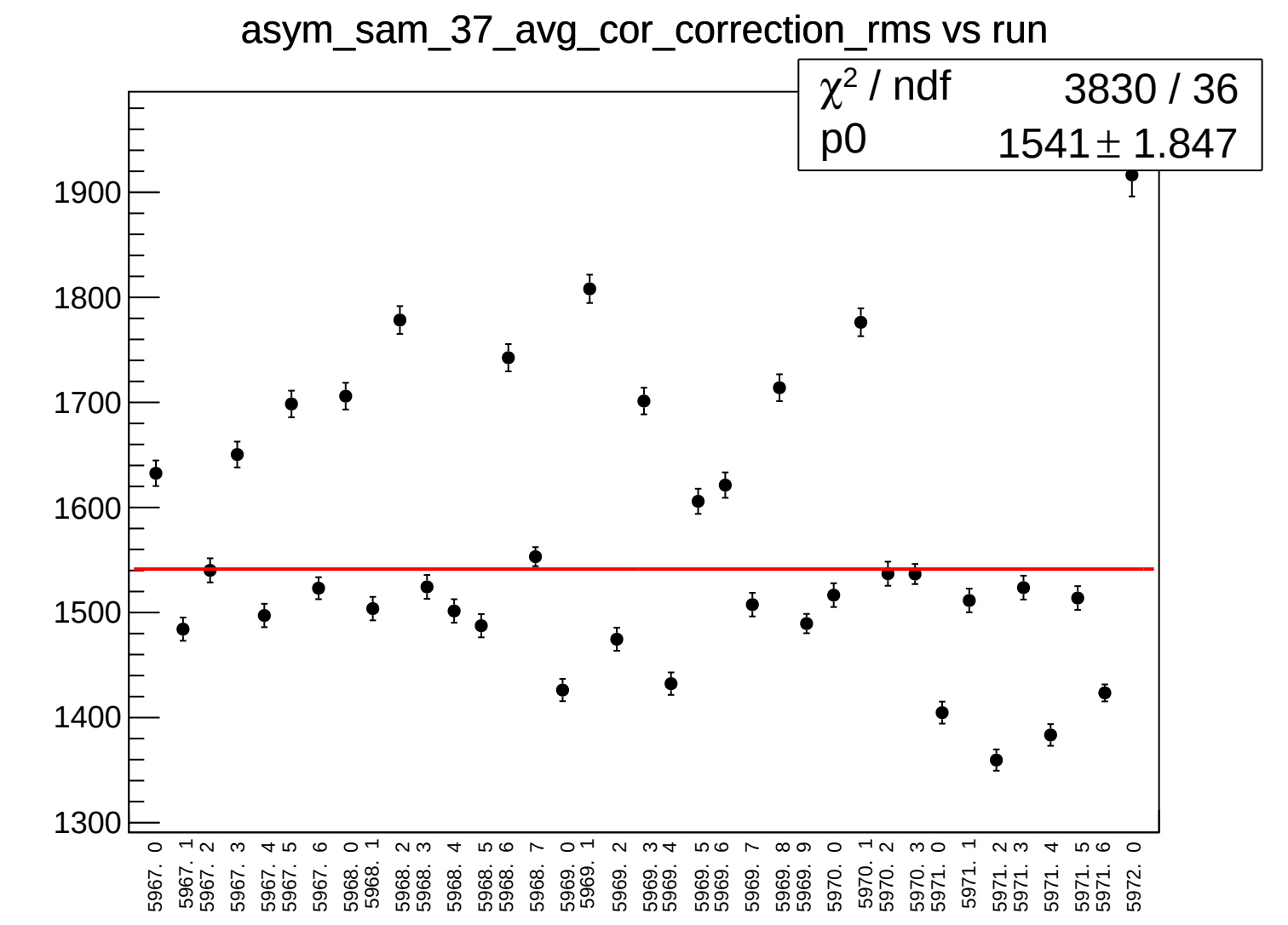
asym_sam_37_avg_cor_correction_rms vs run
χ² / ndf 3830 / 36
p0 1541 ± 1.847
1900
1800
1700
1600
1500
1400
1300
5967. 0
5967. 1
5967. 2
5967. 3
5967. 4
5967. 5
5967. 6
5968. 0
5968. 1
5968. 2
5968. 3
5968. 4
5968. 5
5968. 6
5968. 7
5969. 0
5969. 1
5969. 2
5969. 3
5969. 4
5969. 5
5969. 6
5969. 7
5969. 8
5969. 9
5970. 0
5970. 1
5970. 2
5970. 3
5971. 0
5971. 1
5971. 2
5971. 3
5971. 4
5971. 5
5971. 6
5972. 0

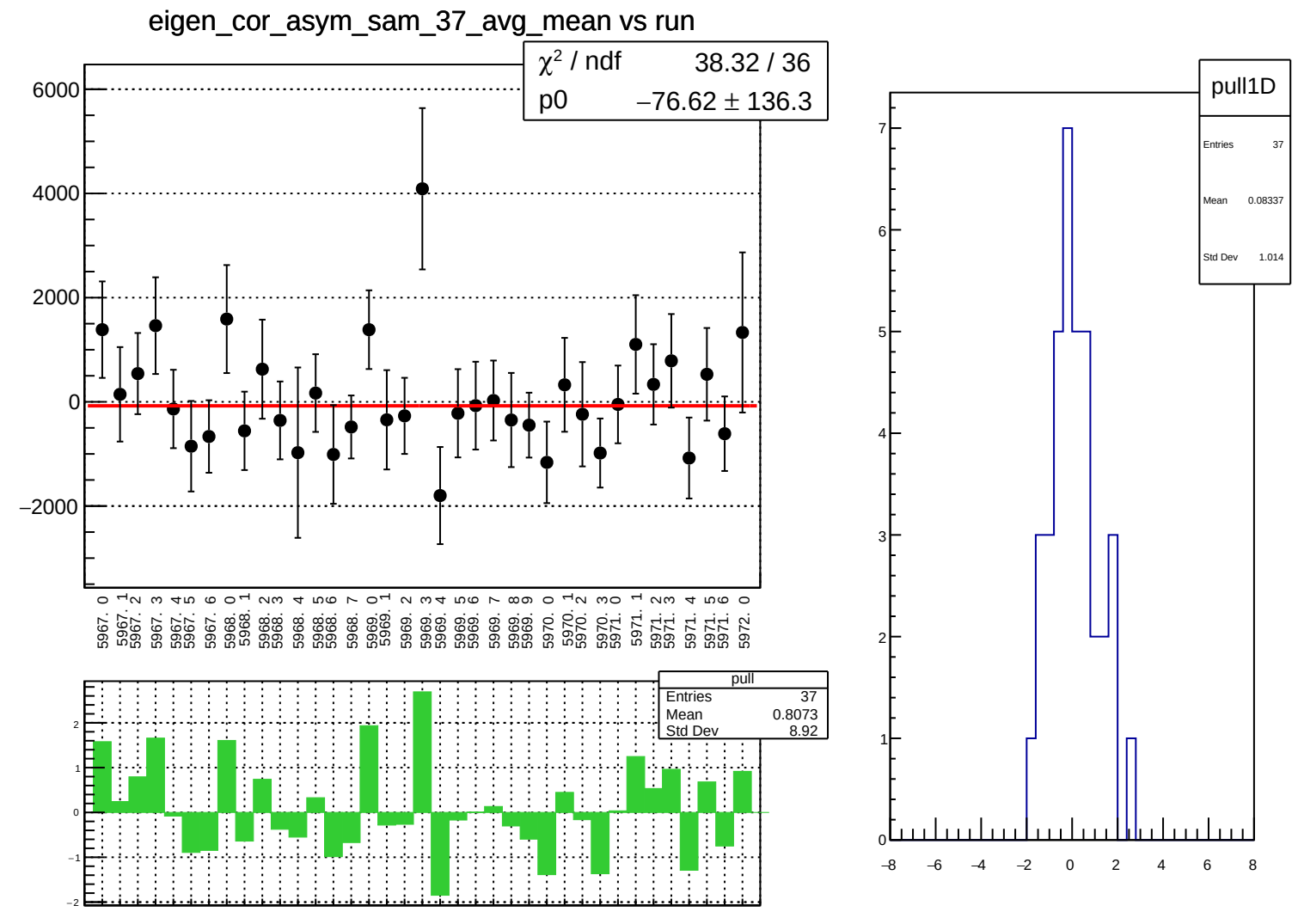
eigen_cor_asym_sam_37_avg_mean vs run
χ² / ndf 38.32 / 36
p0 −76.62 ± 136.3
6000
4000
2000
0
−2000
5967. 0
5967. 1
5967. 2
5967. 3
5967. 4
5967. 5
5967. 6
5968. 0
5968. 1
5968. 2
5968. 3
5968. 4
5968. 5
5968. 6
5968. 7
5969. 0
5969. 1
5969. 2
5969. 3
5969. 4
5969. 5
5969. 6
5969. 7
5969. 8
5969. 9
5970. 0
5970. 1
5970. 2
5970. 3
5971. 0
5971. 1
5971. 2
5971. 3
5971. 4
5971. 5
5971. 6
5972. 0
pull
Entries 37
Mean 0.8073
Std Dev 8.92
2
1
0
−1
−2
pull1D
Entries 37
Mean 0.08337
Std Dev 1.014
7
6
5
4
3
2
1
0
−8
−6
−4
−2
0
2
4
6
8

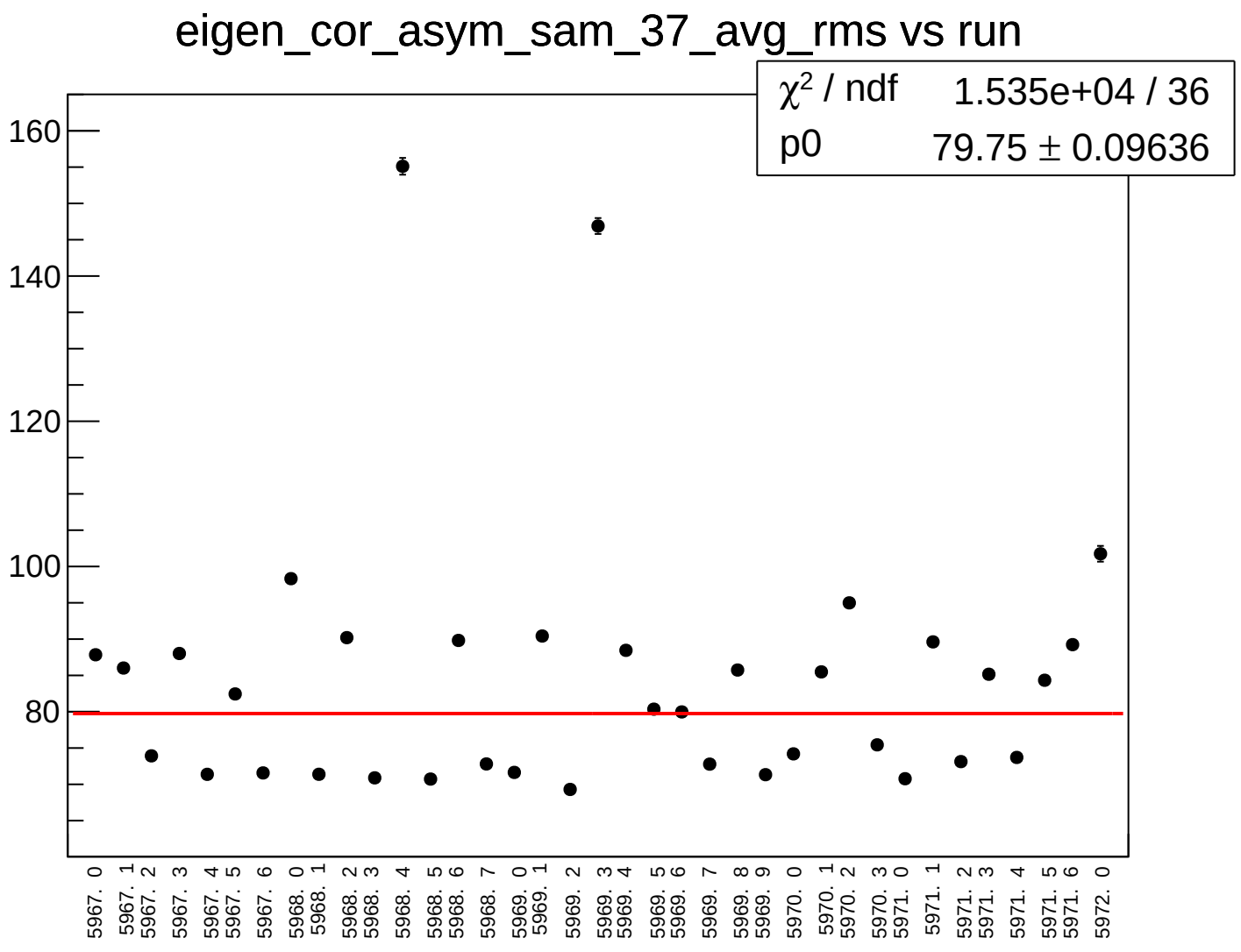
eigen_cor_asym_sam_37_avg_rms vs run
χ² / ndf 1.535e+04 / 36
p0 79.75 ± 0.09636
160
140
120
100
80
5967. 0
5967. 1
5967. 2
5967. 3
5967. 4
5967. 5
5967. 6
5968. 0
5968. 1
5968. 2
5968. 3
5968. 4
5968. 5
5968. 6
5968. 7
5969. 0
5969. 1
5969. 2
5969. 3
5969. 4
5969. 5
5969. 6
5969. 7
5969. 8
5969. 9
5970. 0
5970. 1
5970. 2
5970. 3
5971. 0
5971. 1
5971. 2
5971. 3
5971. 4
5971. 5
5971. 6
5972. 0

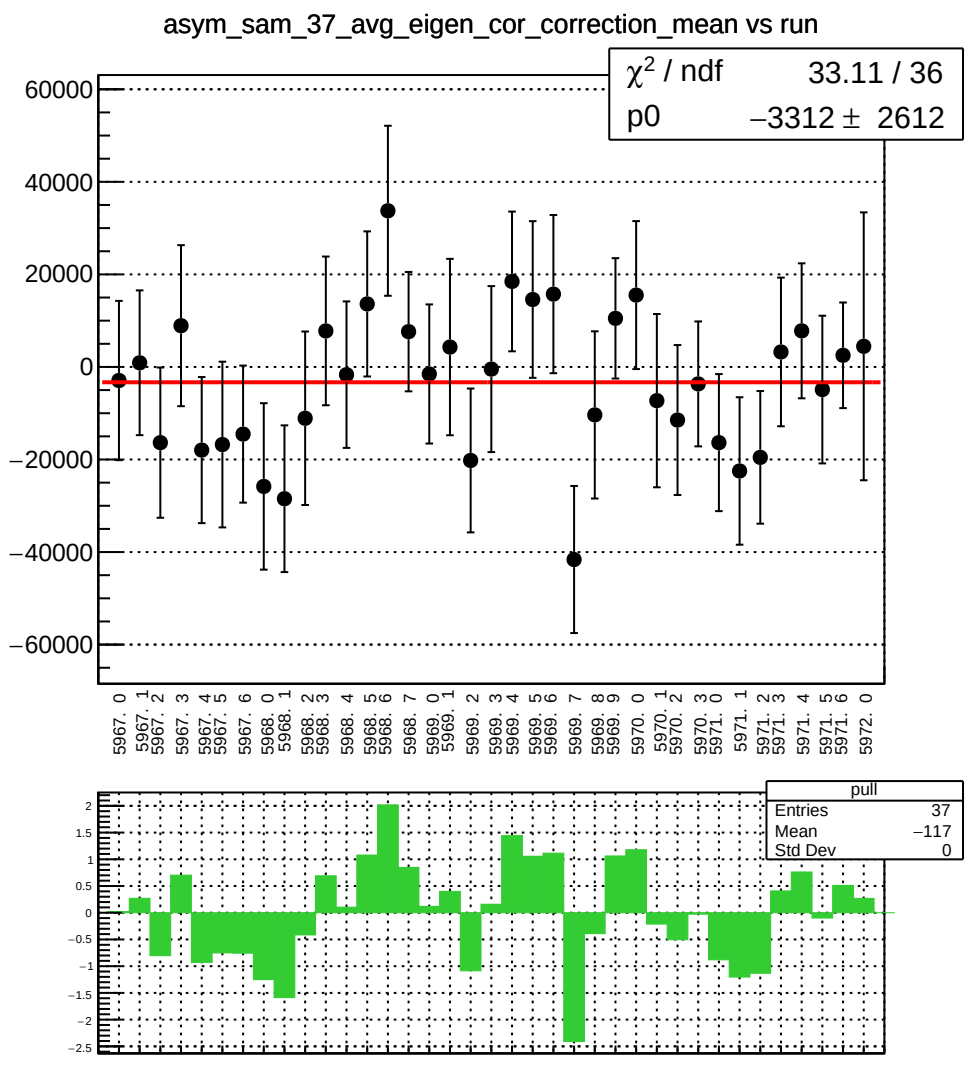
asym_sam_37_avg_eigen_cor_correction_mean vs run
χ² / ndf 33.11 / 36
p0 −3312 ± 2612
60000
40000
20000
0
−20000
−40000
−60000
5967. 0
5967. 1
5967. 2
5967. 3
5967. 4
5967. 5
5967. 6
5968. 0
5968. 1
5968. 2
5968. 3
5968. 4
5968. 5
5968. 6
5968. 7
5969. 0
5969. 1
5969. 2
5969. 3
5969. 4
5969. 5
5969. 6
5969. 7
5969. 8
5969. 9
5970. 0
5970. 1
5970. 2
5970. 3
5971. 0
5971. 1
5971. 2
5971. 3
5971. 4
5971. 5
5971. 6
5972. 0
pull
Entries 37
Mean −117
Std Dev 0
2
1.5
1
0.5
0
−0.5
−1
−1.5
−2
−2.5
pull1D
Entries 37
Mean −0.005974
Std Dev 0.9459
7
6
5
4
3
2
1
0
−8
−6
−4
−2
0
2
4
6
8

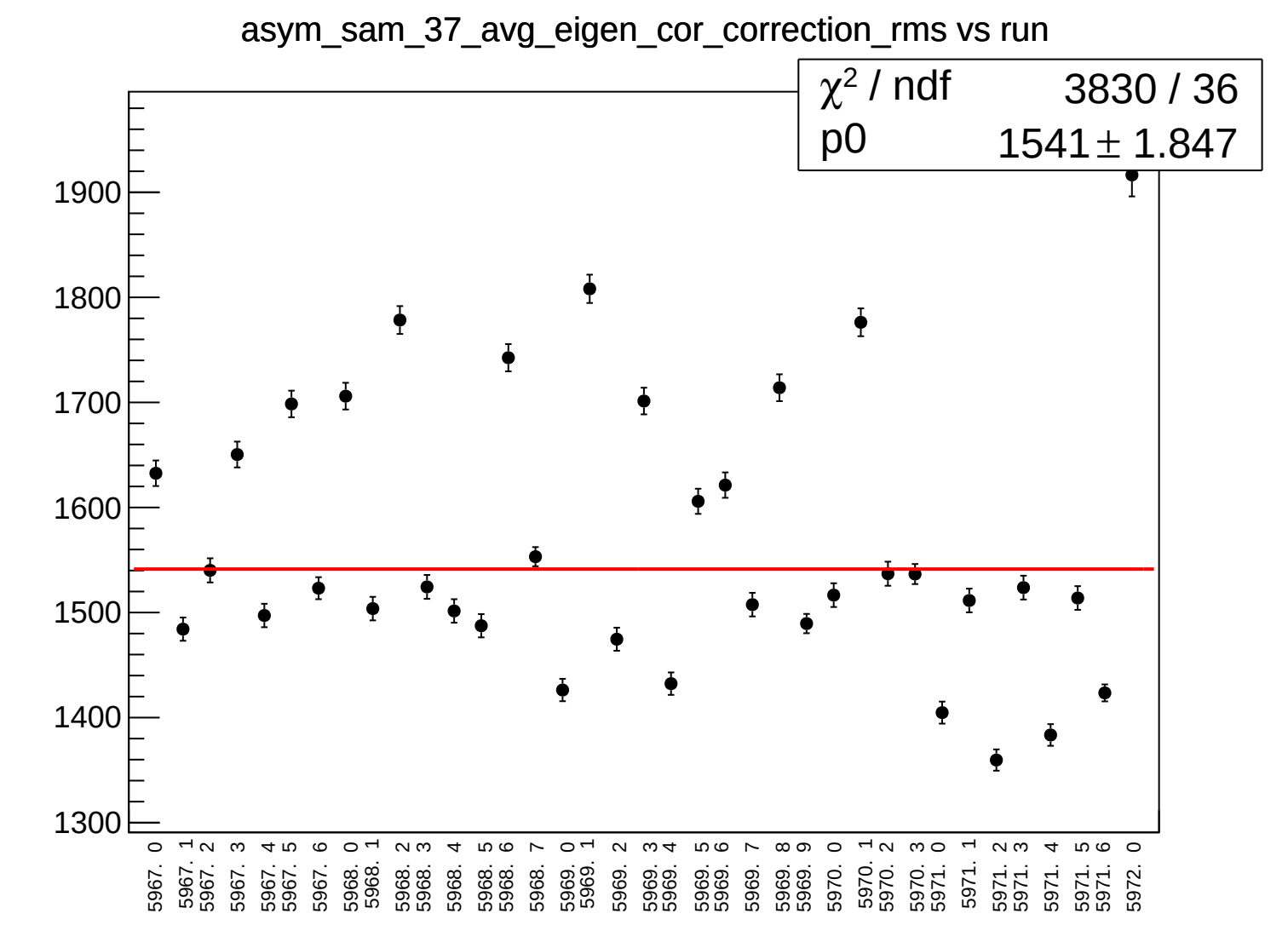
asym_sam_37_avg_eigen_cor_correction_rms vs run
χ² / ndf 3830 / 36
p0 1541 ± 1.847
1900
1800
1700
1600
1500
1400
1300
5967. 0
5967. 1
5967. 2
5967. 3
5967. 4
5967. 5
5967. 6
5968. 0
5968. 1
5968. 2
5968. 3
5968. 4
5968. 5
5968. 6
5968. 7
5969. 0
5969. 1
5969. 2
5969. 3
5969. 4
5969. 5
5969. 6
5969. 7
5969. 8
5969. 9
5970. 0
5970. 1
5970. 2
5970. 3
5971. 0
5971. 1
5971. 2
5971. 3
5971. 4
5971. 5
5971. 6
5972. 0

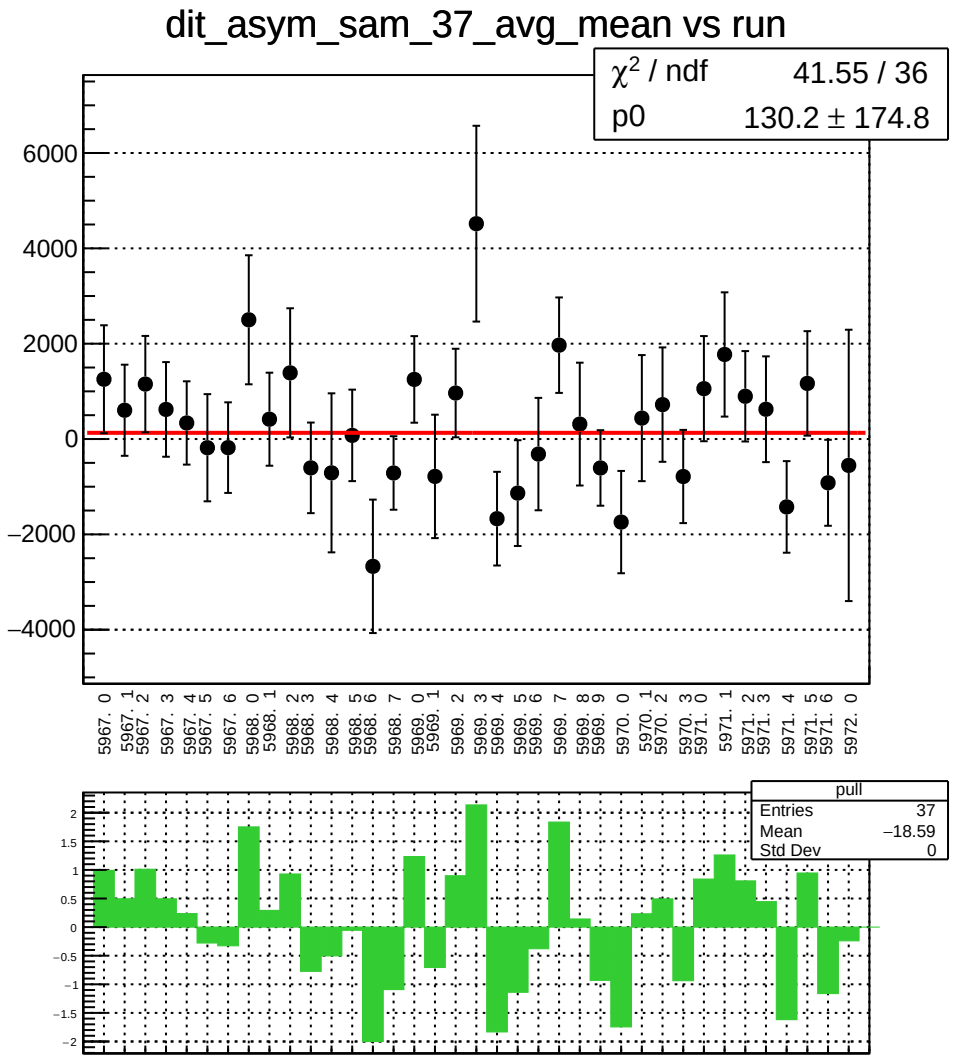
dit_asym_sam_37_avg_mean vs run
χ^2 / ndf 41.55 / 36
p0 130.2 ± 174.8
6000
4000
2000
0
−2000
−4000
5967. 0
5967. 1
5967. 2
5967. 3
5967. 4
5967. 5
5967. 6
5968. 0
5968. 1
5968. 2
5968. 3
5968. 4
5968. 5
5968. 6
5968. 7
5969. 0
5969. 1
5969. 2
5969. 3
5969. 4
5969. 5
5969. 6
5969. 7
5969. 8
5969. 9
5970. 0
5970. 1
5970. 2
5970. 3
5971. 0
5971. 1
5971. 2
5971. 3
5971. 4
5971. 5
5971. 6
5972. 0
pull
Entries 37
Mean −18.59
Std Dev 0
2
1.5
1
0.5
0
−0.5
−1
−1.5
−2

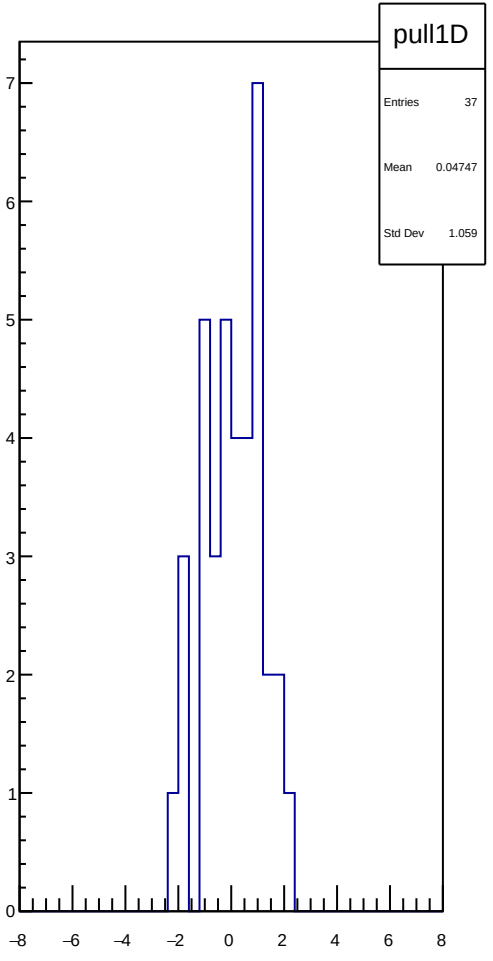
pull1D
Entries 37
Mean 0.04747
Std Dev 1.059
7
6
5
4
3
2
1
0
−8
−6
−4
−2
0
2
4
6
8

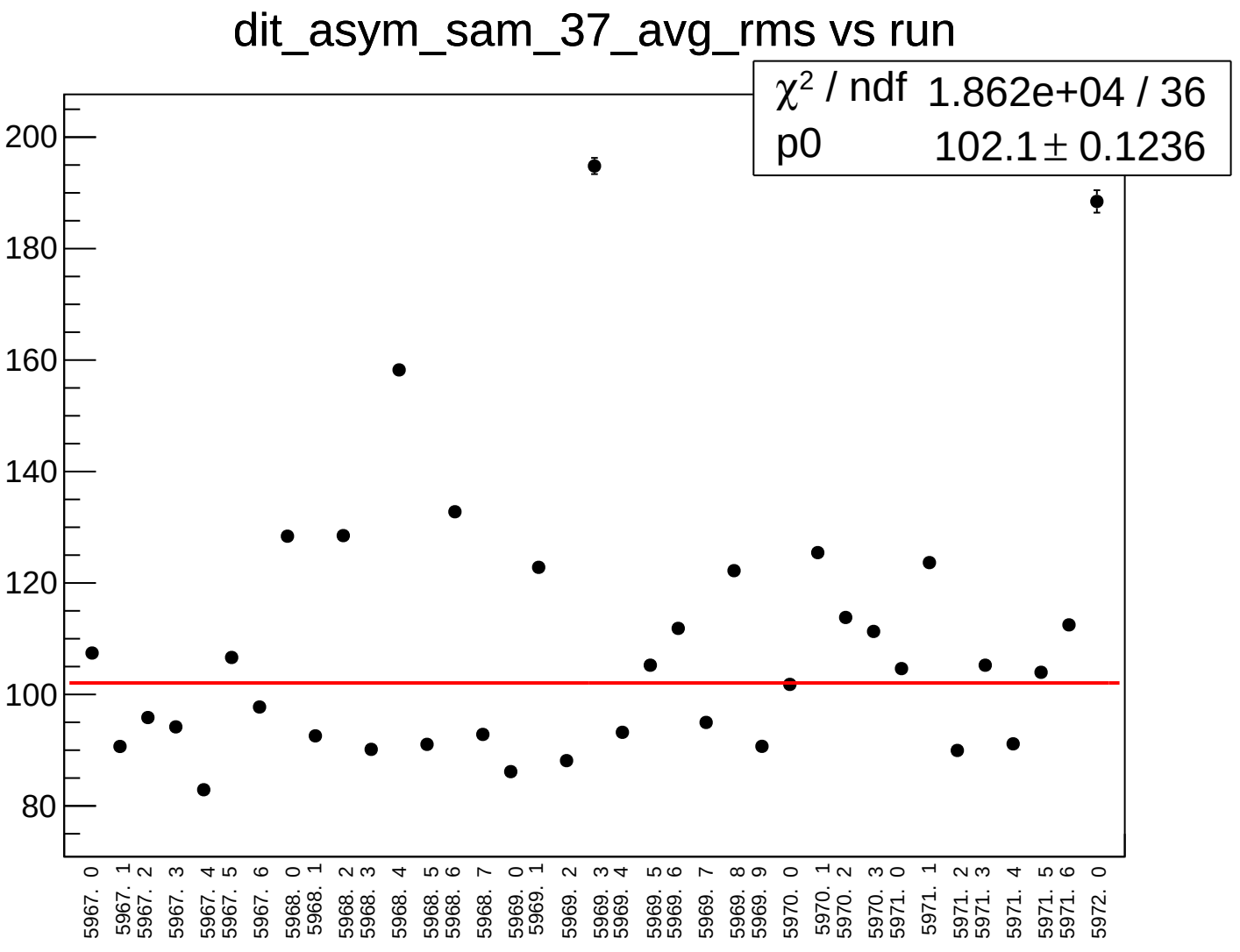
dit_asym_sam_37_avg_rms vs run
χ² / ndf 1.862e+04 / 36
p0 102.1 ± 0.1236
200
180
160
140
120
100
80
5967. 0
5967. 1
5967. 2
5967. 3
5967. 4
5967. 5
5967. 6
5968. 0
5968. 1
5968. 2
5968. 3
5968. 4
5968. 5
5968. 6
5968. 7
5969. 0
5969. 1
5969. 2
5969. 3
5969. 4
5969. 5
5969. 6
5969. 7
5969. 8
5969. 9
5970. 0
5970. 1
5970. 2
5970. 3
5971. 0
5971. 1
5971. 2
5971. 3
5971. 4
5971. 5
5971. 6
5972. 0

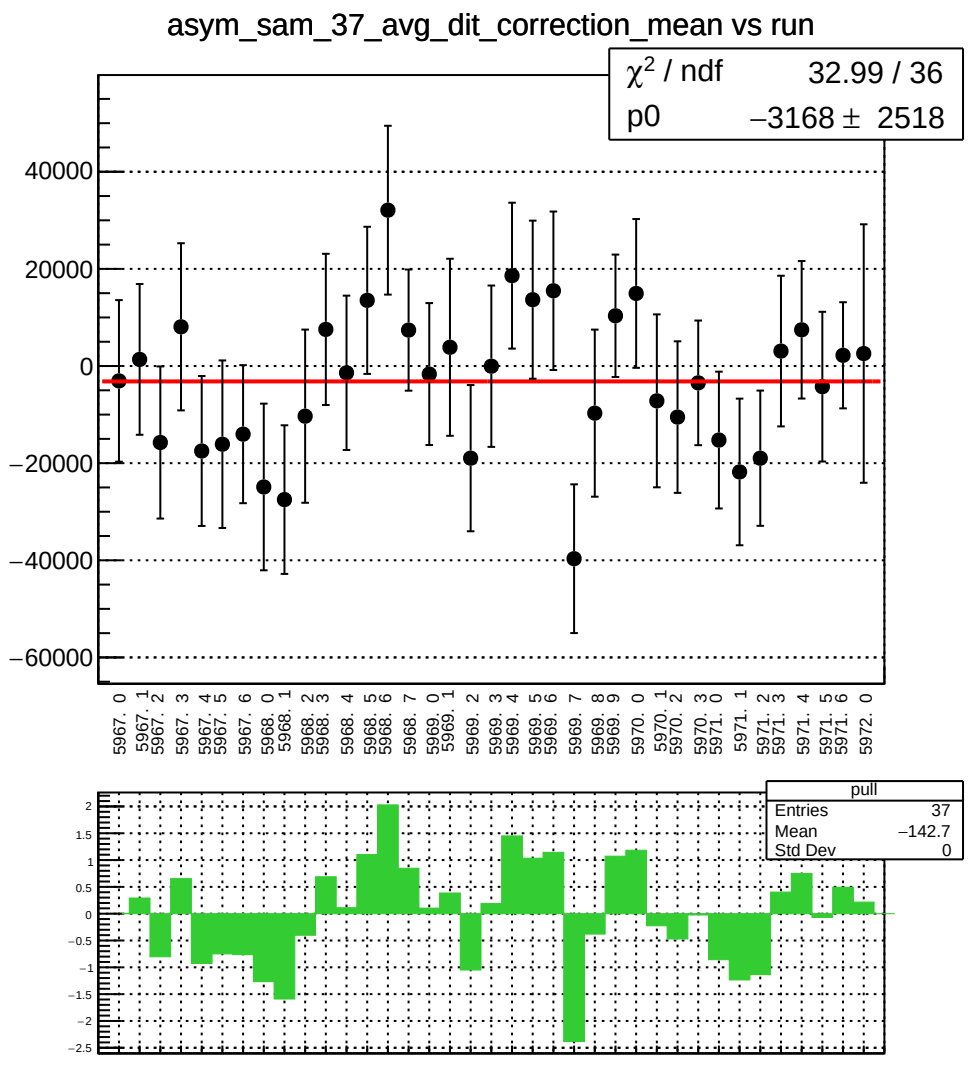
asym_sam_37_avg_dit_correction_mean vs run
χ² / ndf 32.99 / 36
p0 −3168 ± 2518
40000
20000
0
−20000
−40000
−60000
5967. 0
5967. 1
5967. 2
5967. 3
5967. 4
5967. 5
5967. 6
5968. 0
5968. 1
5968. 2
5968. 3
5968. 4
5968. 5
5968. 6
5968. 7
5969. 0
5969. 1
5969. 2
5969. 3
5969. 4
5969. 5
5969. 6
5969. 7
5969. 8
5969. 9
5970. 0
5970. 1
5970. 2
5970. 3
5971. 0
5971. 1
5971. 2
5971. 3
5971. 4
5971. 5
5971. 6
5972. 0
pull
Entries 37
Mean −142.7
Std Dev 0
2
1.5
1
0.5
0
−0.5
−1
−1.5
−2
−2.5
pull1D
Entries 37
Mean −0.005002
Std Dev 0.9442
7
6
5
4
3
2
1
0
−8
−6
−4
−2
0
2
4
6
8

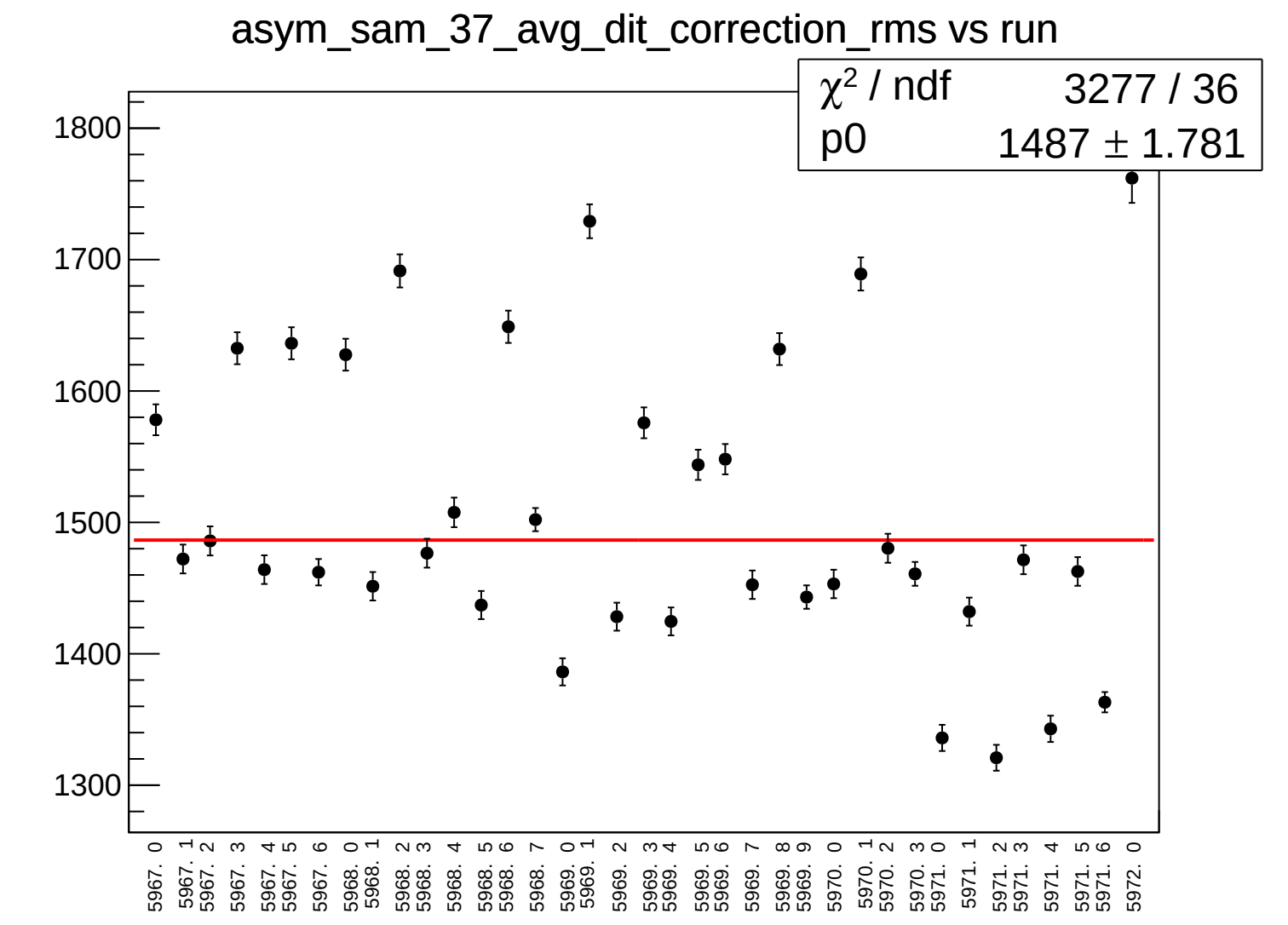
asym_sam_37_avg_dit_correction_rms vs run
χ² / ndf 3277 / 36
p0 1487 ± 1.781
1800
1700
1600
1500
1400
1300
5967. 0
5967. 1
5967. 2
5967. 3
5967. 4
5967. 5
5967. 6
5968. 0
5968. 1
5968. 2
5968. 3
5968. 4
5968. 5
5968. 6
5968. 7
5969. 0
5969. 1
5969. 2
5969. 3
5969. 4
5969. 5
5969. 6
5969. 7
5969. 8
5969. 9
5970. 0
5970. 1
5970. 2
5970. 3
5971. 0
5971. 1
5971. 2
5971. 3
5971. 4
5971. 5
5971. 6
5972. 0

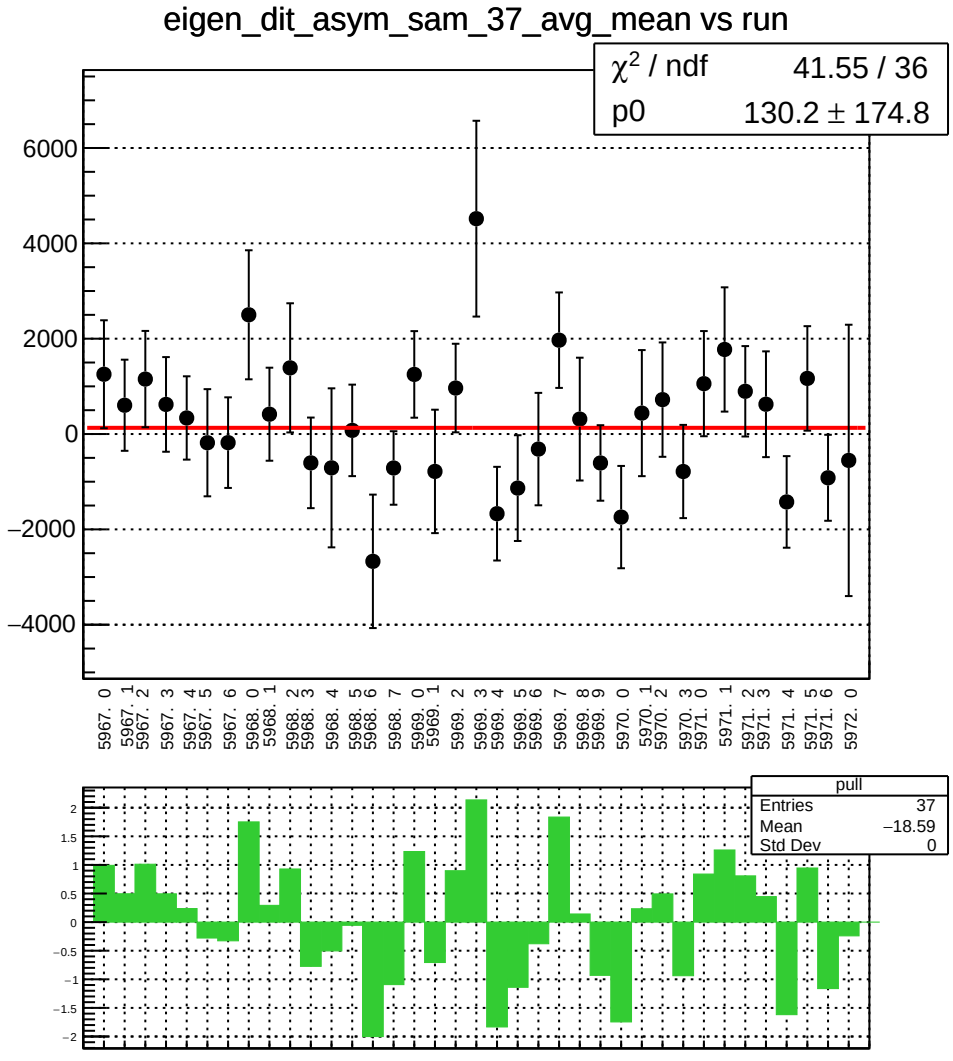
eigen_dit_asym_sam_37_avg_mean vs run
χ² / ndf 41.55 / 36
p0 130.2 ± 174.8
6000
4000
2000
0
−2000
−4000
5967. 0
5967. 1
5967. 2
5967. 3
5967. 4
5967. 5
5967. 6
5968. 0
5968. 1
5968. 2
5968. 3
5968. 4
5968. 5
5968. 6
5968. 7
5969. 0
5969. 1
5969. 2
5969. 3
5969. 4
5969. 5
5969. 6
5969. 7
5969. 8
5969. 9
5970. 0
5970. 1
5970. 2
5970. 3
5971. 0
5971. 1
5971. 2
5971. 3
5971. 4
5971. 5
5971. 6
5972. 0
pull
Entries 37
Mean −18.59
Std Dev 0
2
1.5
1
0.5
0
−0.5
−1
−1.5
−2
pull1D
Entries 37
Mean 0.04747
Std Dev 1.059
7
6
5
4
3
2
1
0
−8
−6
−4
−2
0
2
4
6
8

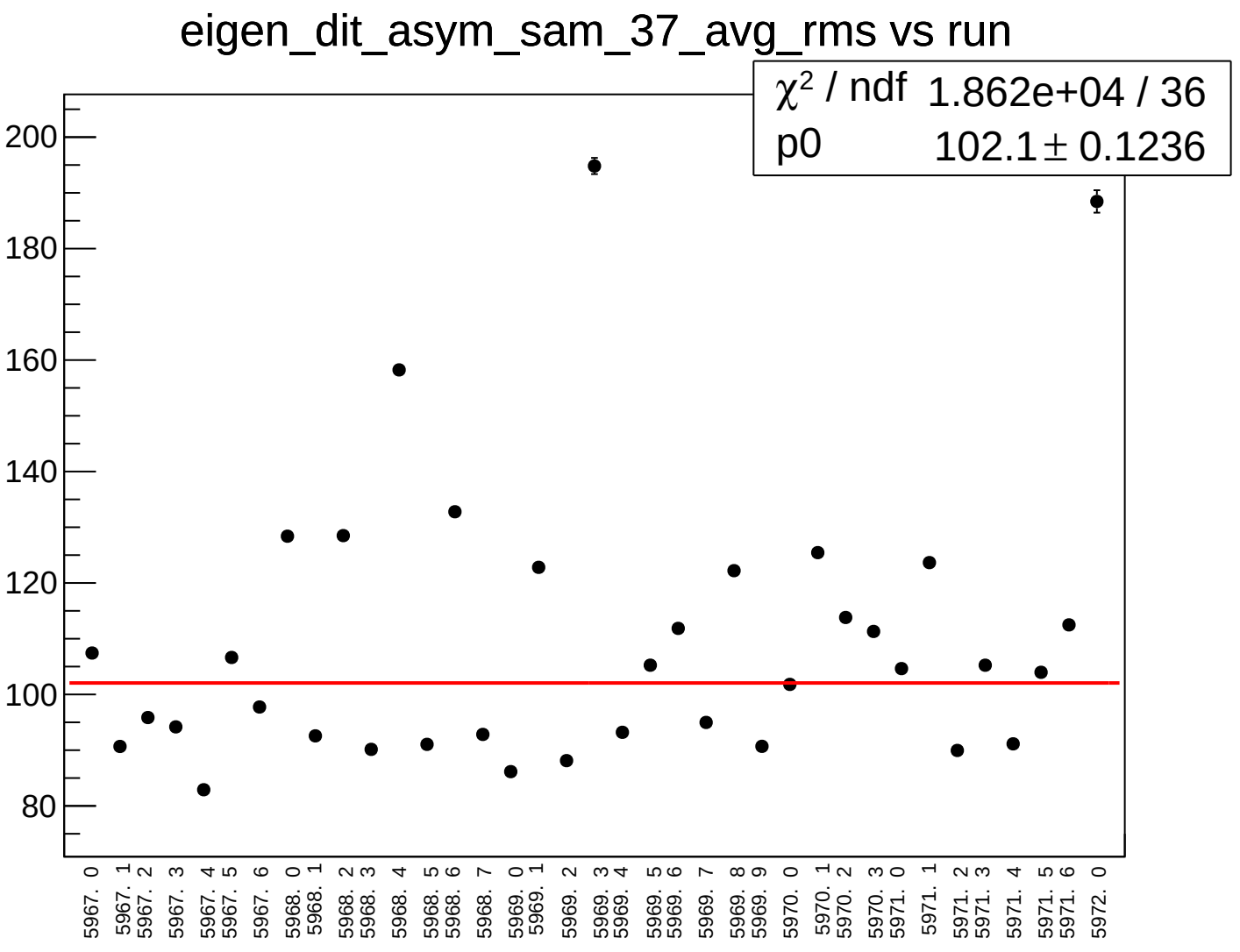
eigen_dit_asym_sam_37_avg_rms vs run
χ² / ndf 1.862e+04 / 36
p0 102.1 ± 0.1236
200
180
160
140
120
100
80
5967. 0
5967. 1
5967. 2
5967. 3
5967. 4
5967. 5
5967. 6
5968. 0
5968. 1
5968. 2
5968. 3
5968. 4
5968. 5
5968. 6
5968. 7
5969. 0
5969. 1
5969. 2
5969. 3
5969. 4
5969. 5
5969. 6
5969. 7
5969. 8
5969. 9
5970. 0
5970. 1
5970. 2
5970. 3
5971. 0
5971. 1
5971. 2
5971. 3
5971. 4
5971. 5
5971. 6
5972. 0

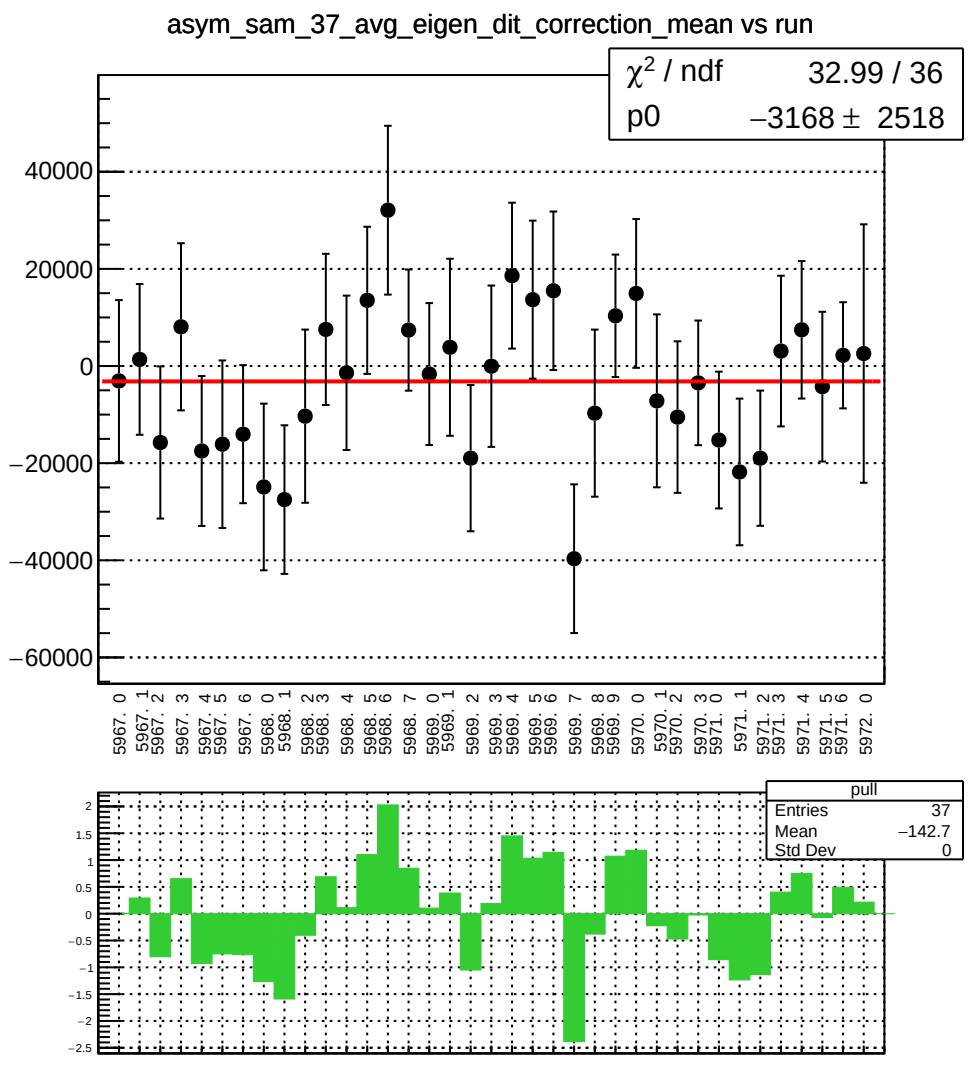
asym_sam_37_avg_eigen_dit_correction_mean vs run
χ² / ndf 32.99 / 36
p0 −3168 ± 2518
40000
20000
0
−20000
−40000
−60000
5967. 0
5967. 1
5967. 2
5967. 3
5967. 4
5967. 5
5967. 6
5968. 0
5968. 1
5968. 2
5968. 3
5968. 4
5968. 5
5968. 6
5968. 7
5969. 0
5969. 1
5969. 2
5969. 3
5969. 4
5969. 5
5969. 6
5969. 7
5969. 8
5969. 9
5970. 0
5970. 1
5970. 2
5970. 3
5971. 0
5971. 1
5971. 2
5971. 3
5971. 4
5971. 5
5971. 6
5972. 0
pull
Entries 37
Mean −142.7
Std Dev 0
2
1.5
1
0.5
0
−0.5
−1
−1.5
−2
−2.5
pull1D
Entries 37
Mean −0.005002
Std Dev 0.9442
7
6
5
4
3
2
1
0
−8
−6
−4
−2
0
2
4
6
8

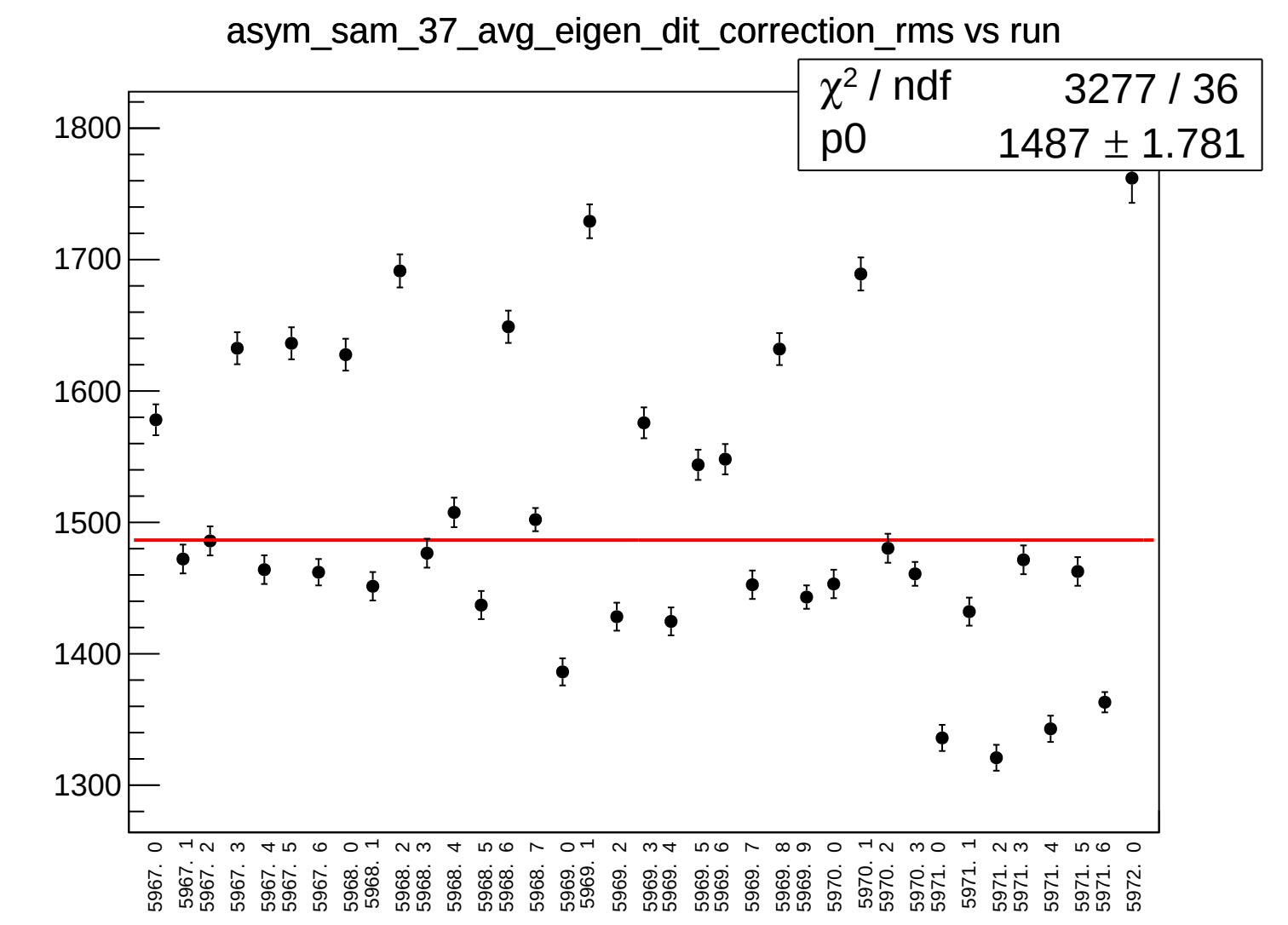
asym_sam_37_avg_eigen_dit_correction_rms vs run
χ² / ndf 3277 / 36
p0 1487 ± 1.781
1800
1700
1600
1500
1400
1300
5967. 0
5967. 1
5967. 2
5967. 3
5967. 4
5967. 5
5967. 6
5968. 0
5968. 1
5968. 2
5968. 3
5968. 4
5968. 5
5968. 6
5968. 7
5969. 0
5969. 1
5969. 2
5969. 3
5969. 4
5969. 5
5969. 6
5969. 7
5969. 8
5969. 9
5970. 0
5970. 1
5970. 2
5970. 3
5971. 0
5971. 1
5971. 2
5971. 3
5971. 4
5971. 5
5971. 6
5972. 0

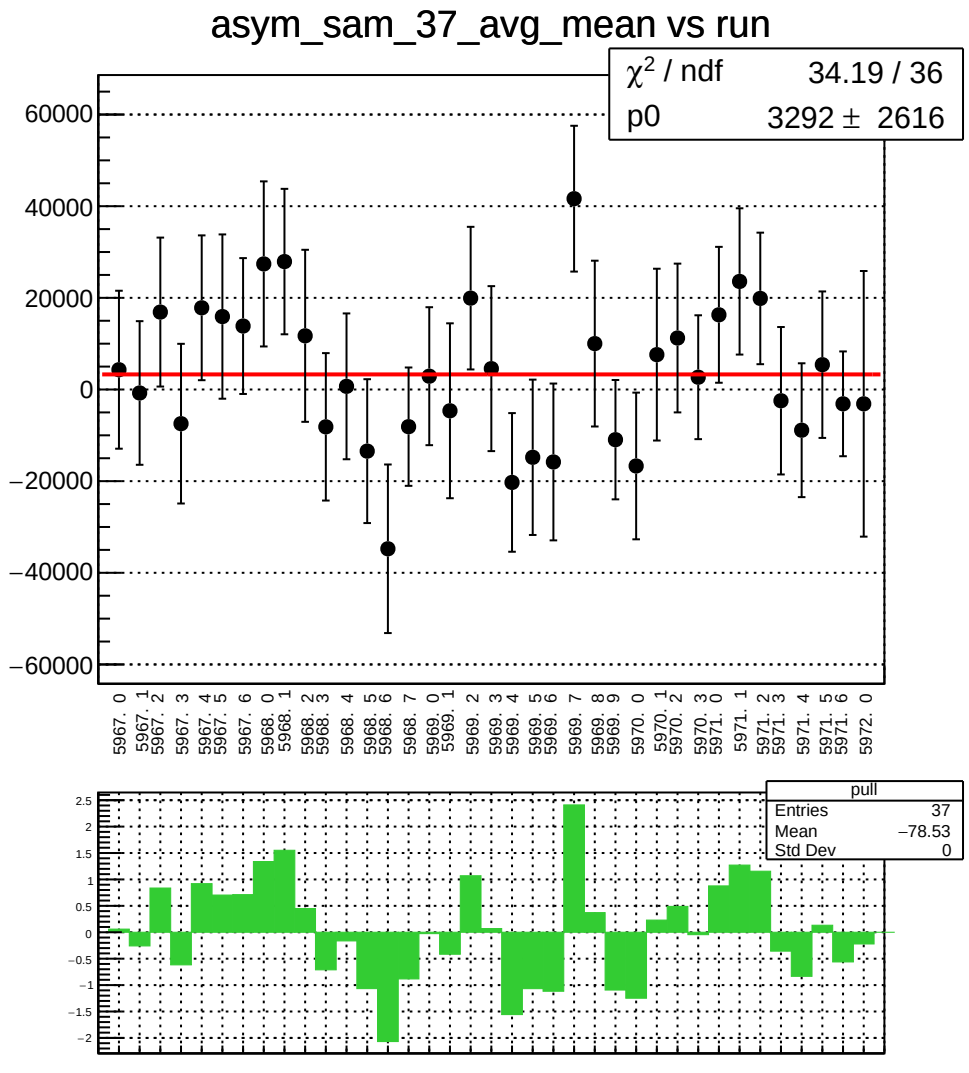
asym_sam_37_avg_mean vs run
χ² / ndf 34.19 / 36
p0 3292 ± 2616
60000
40000
20000
0
−20000
−40000
−60000
5967. 0
5967. 1
5967. 2
5967. 3
5967. 4
5967. 5
5967. 6
5968. 0
5968. 1
5968. 2
5968. 3
5968. 4
5968. 5
5968. 6
5968. 7
5969. 0
5969. 1
5969. 2
5969. 3
5969. 4
5969. 5
5969. 6
5969. 7
5969. 8
5969. 9
5970. 0
5970. 1
5970. 2
5970. 3
5971. 0
5971. 1
5971. 2
5971. 3
5971. 4
5971. 5
5971. 6
5972. 0
pull
Entries 37
Mean −78.53
Std Dev 0
2.5
2
1.5
1
0.5
0
−0.5
−1
−1.5
−2

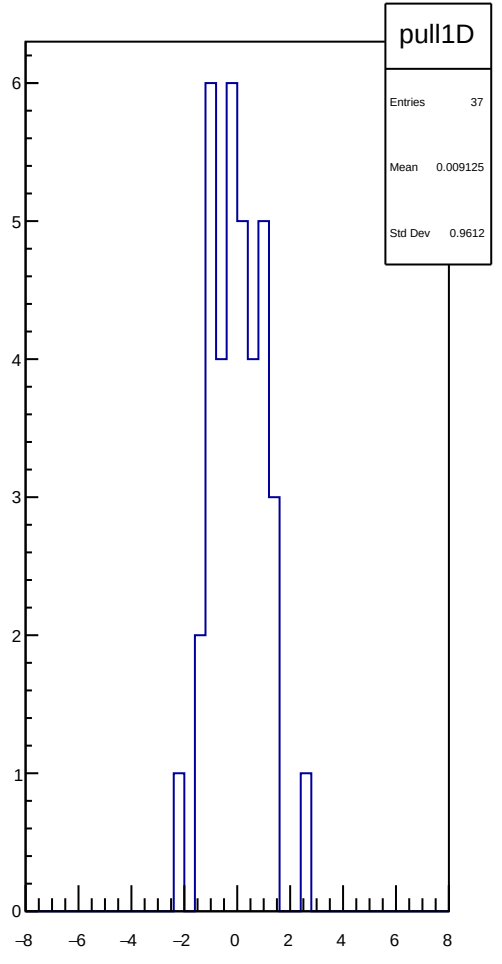
pull1D
Entries 37
Mean 0.009125
Std Dev 0.9612
6
5
4
3
2
1
0
−8
−6
−4
−2
0
2
4
6
8

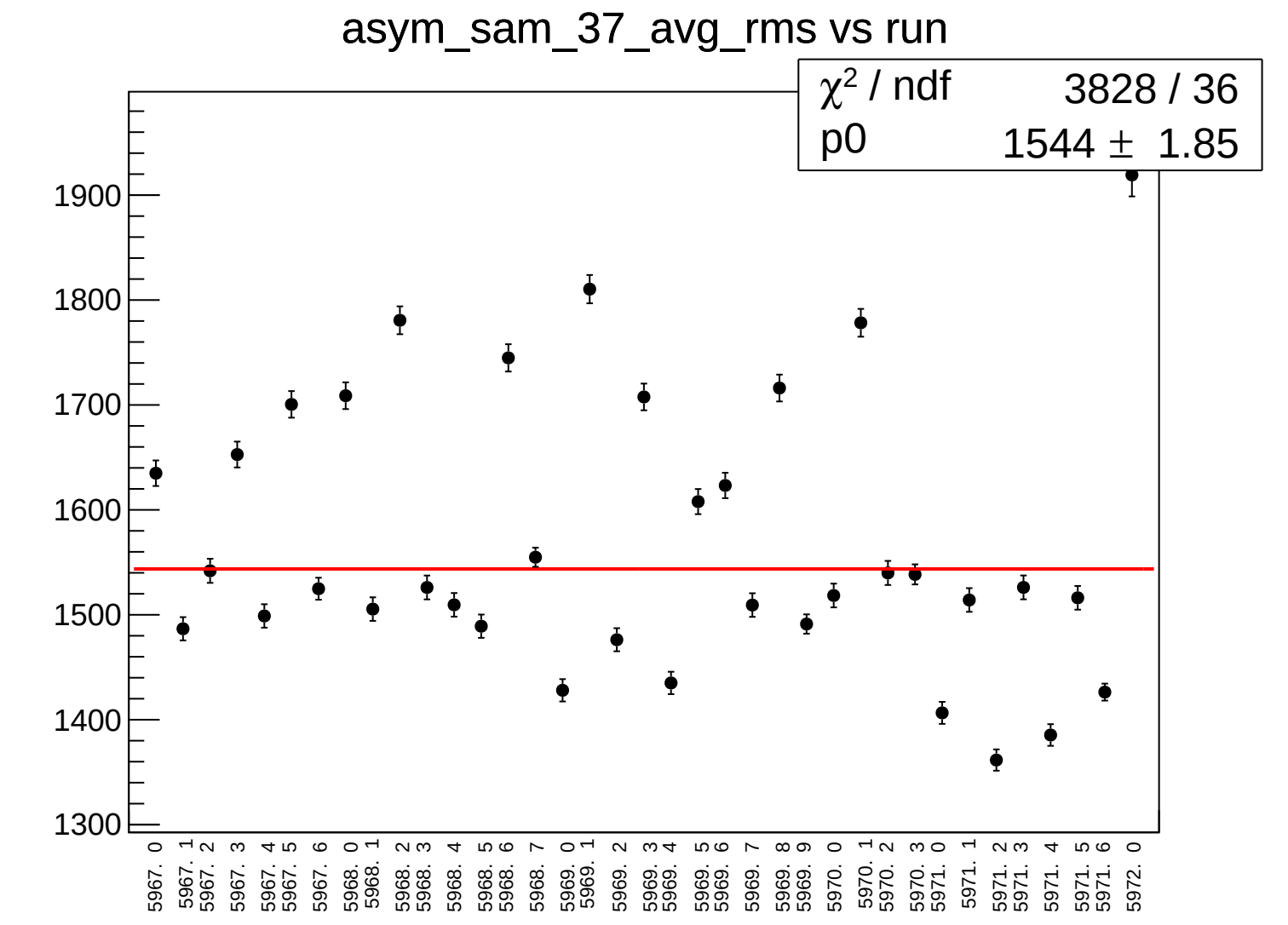
asym_sam_37_avg_rms vs run
χ² / ndf 3828 / 36
p0 1544 ± 1.85
1900
1800
1700
1600
1500
1400
1300
5967. 0
5967. 1
5967. 2
5967. 3
5967. 4
5967. 5
5967. 6
5968. 0
5968. 1
5968. 2
5968. 3
5968. 4
5968. 5
5968. 6
5968. 7
5969. 0
5969. 1
5969. 2
5969. 3
5969. 4
5969. 5
5969. 6
5969. 7
5969. 8
5969. 9
5970. 0
5970. 1
5970. 2
5970. 3
5971. 0
5971. 1
5971. 2
5971. 3
5971. 4
5971. 5
5971. 6
5972. 0

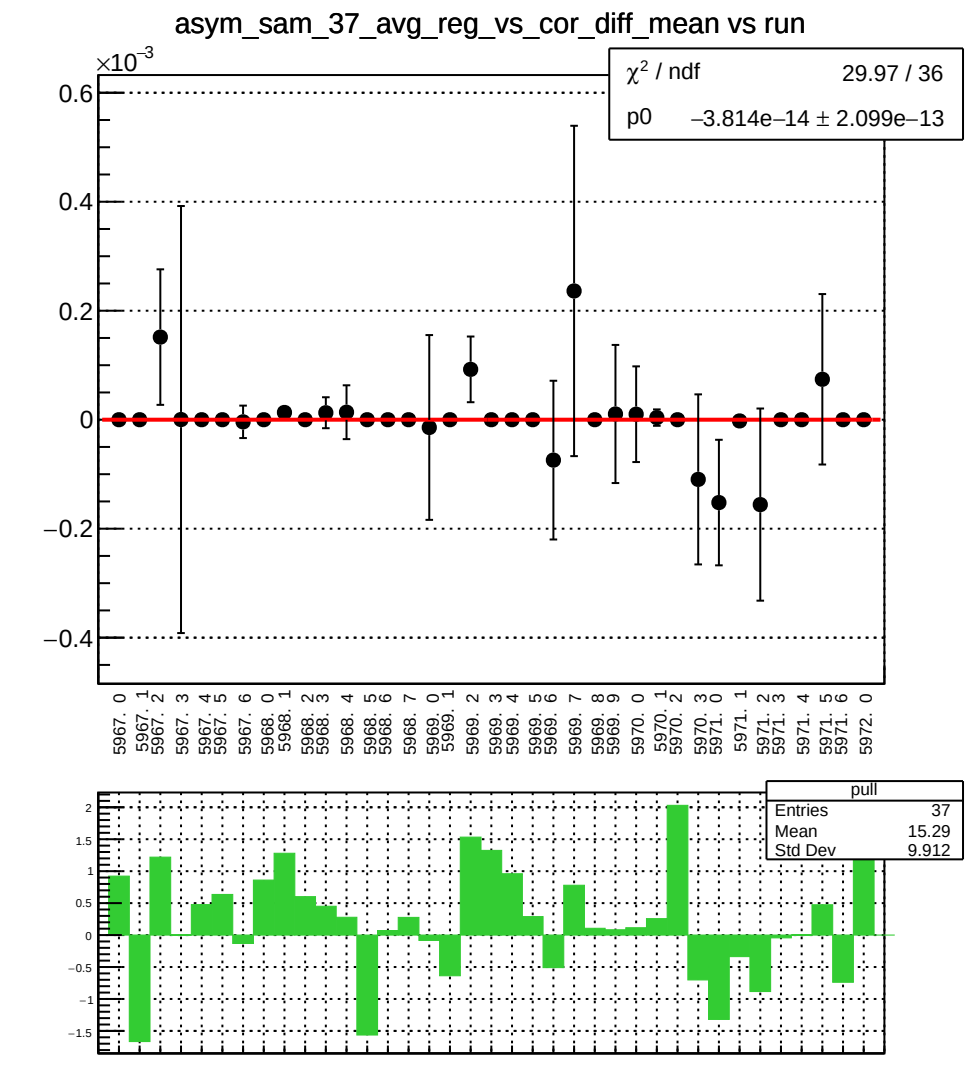
asym_sam_37_avg_reg_vs_cor_diff_mean vs run
×10^−3
χ² / ndf 29.97 / 36
p0 −3.814e−14 ± 2.099e−13
0.6
0.4
0.2
0
−0.2
−0.4
5967. 0
5967. 1
5967. 2
5967. 3
5967. 4
5967. 5
5967. 6
5968. 0
5968. 1
5968. 2
5968. 3
5968. 4
5968. 5
5968. 6
5968. 7
5969. 0
5969. 1
5969. 2
5969. 3
5969. 4
5969. 5
5969. 6
5969. 7
5969. 8
5969. 9
5970. 0
5970. 1
5970. 2
5970. 3
5971. 0
5971. 1
5971. 2
5971. 3
5971. 4
5971. 5
5971. 6
5972. 0
pull
Entries 37
Mean 15.29
Std Dev 9.912
2
1.5
1
0.5
0
−0.5
−1
−1.5

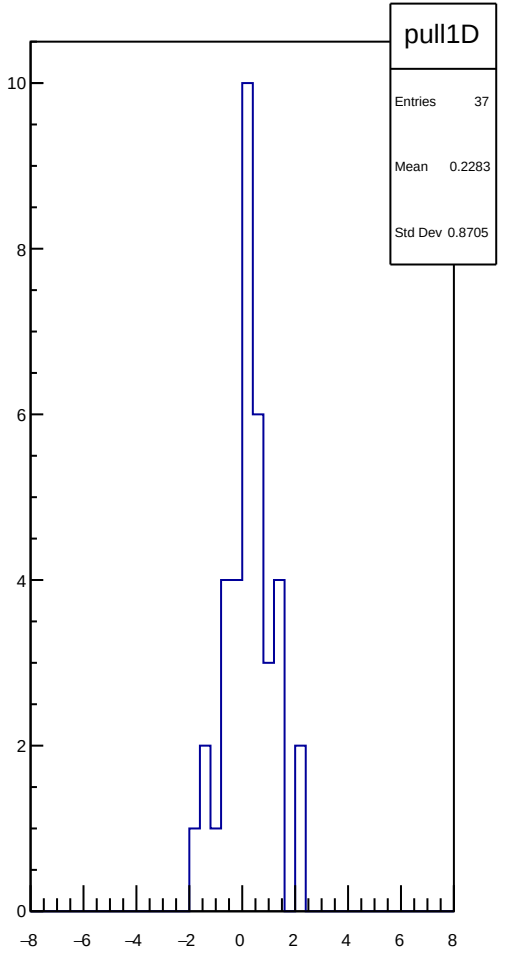
pull1D
Entries 37
Mean 0.2283
Std Dev 0.8705
10
8
6
4
2
0
−8
−6
−4
−2
0
2
4
6
8

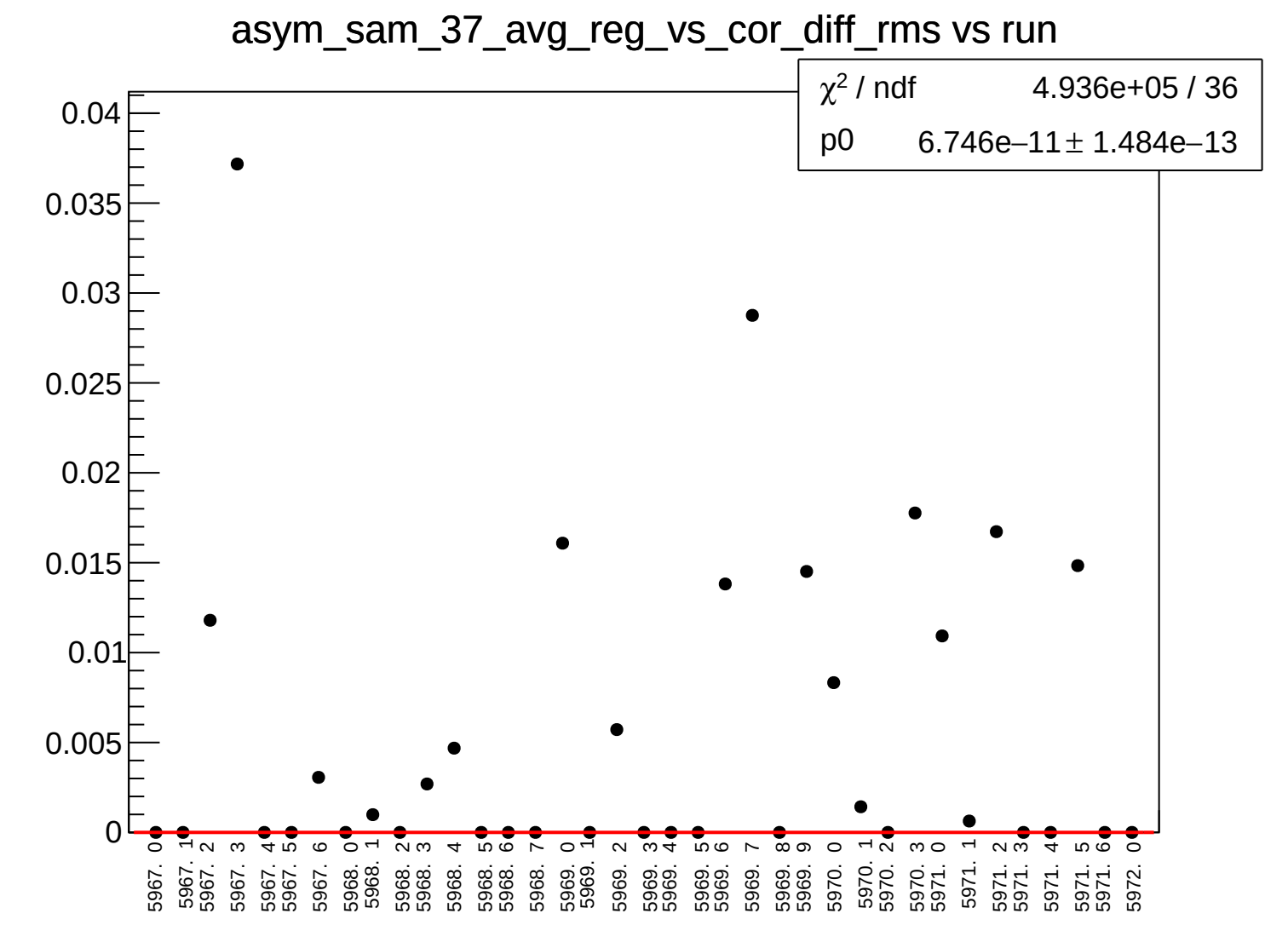
asym_sam_37_avg_reg_vs_cor_diff_rms vs run
χ² / ndf 4.936e+05 / 36
p0 6.746e−11 ± 1.484e−13
0.04
0.035
0.03
0.025
0.02
0.015
0.01
0.005
0
5967. 0
5967. 1
5967. 2
5967. 3
5967. 4
5967. 5
5967. 6
5968. 0
5968. 1
5968. 2
5968. 3
5968. 4
5968. 5
5968. 6
5968. 7
5969. 0
5969. 1
5969. 2
5969. 3
5969. 4
5969. 5
5969. 6
5969. 7
5969. 8
5969. 9
5970. 0
5970. 1
5970. 2
5970. 3
5971. 0
5971. 1
5971. 2
5971. 3
5971. 4
5971. 5
5971. 6
5972. 0

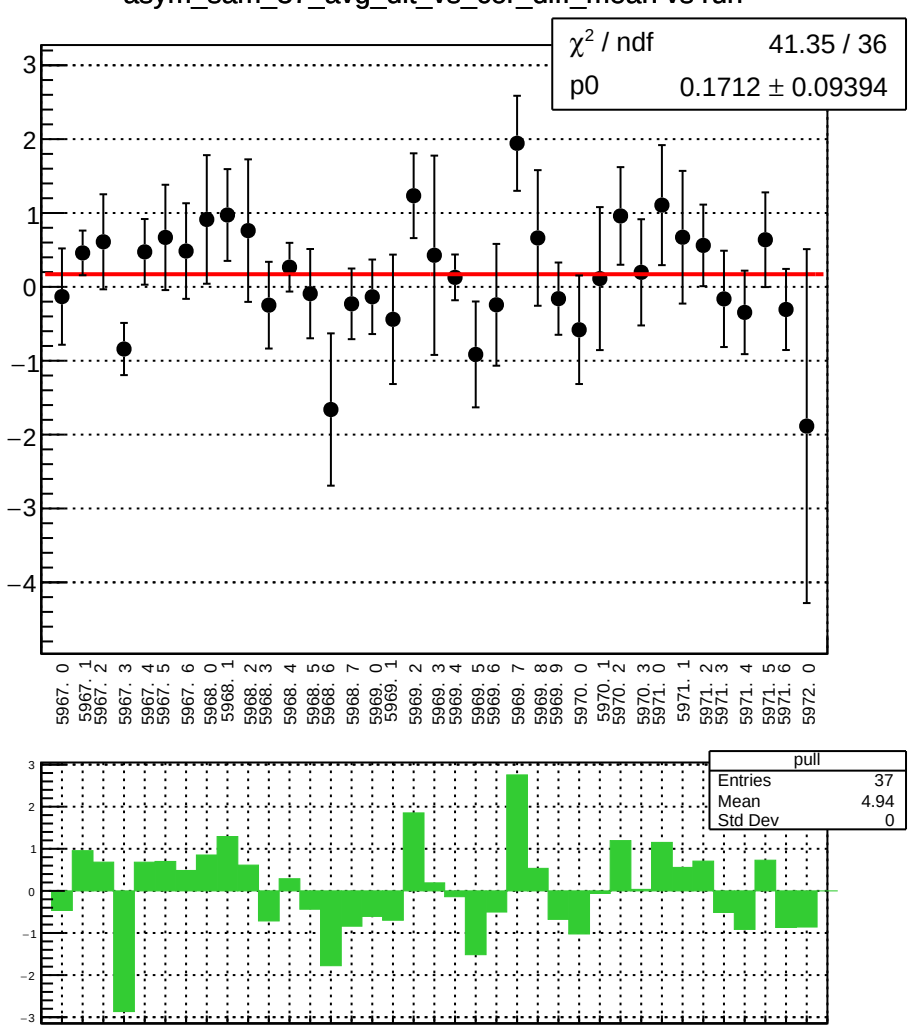
asym_sam_37_avg_dit_vs_cor_diff_mean vs run
χ² / ndf 41.35 / 36
p0 0.1712 ± 0.09394
pull
Entries 37
Mean 4.94
Std Dev 0

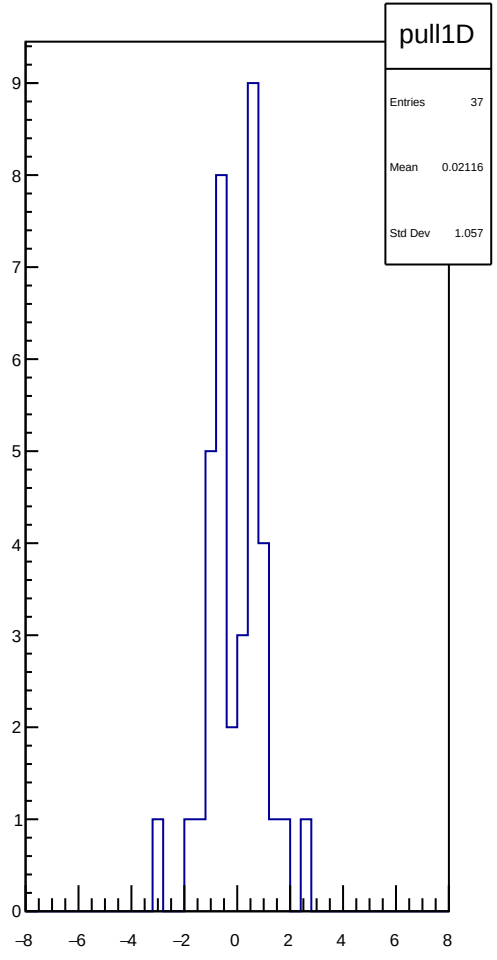
pull1D
Entries 37
Mean 0.02116
Std Dev 1.057

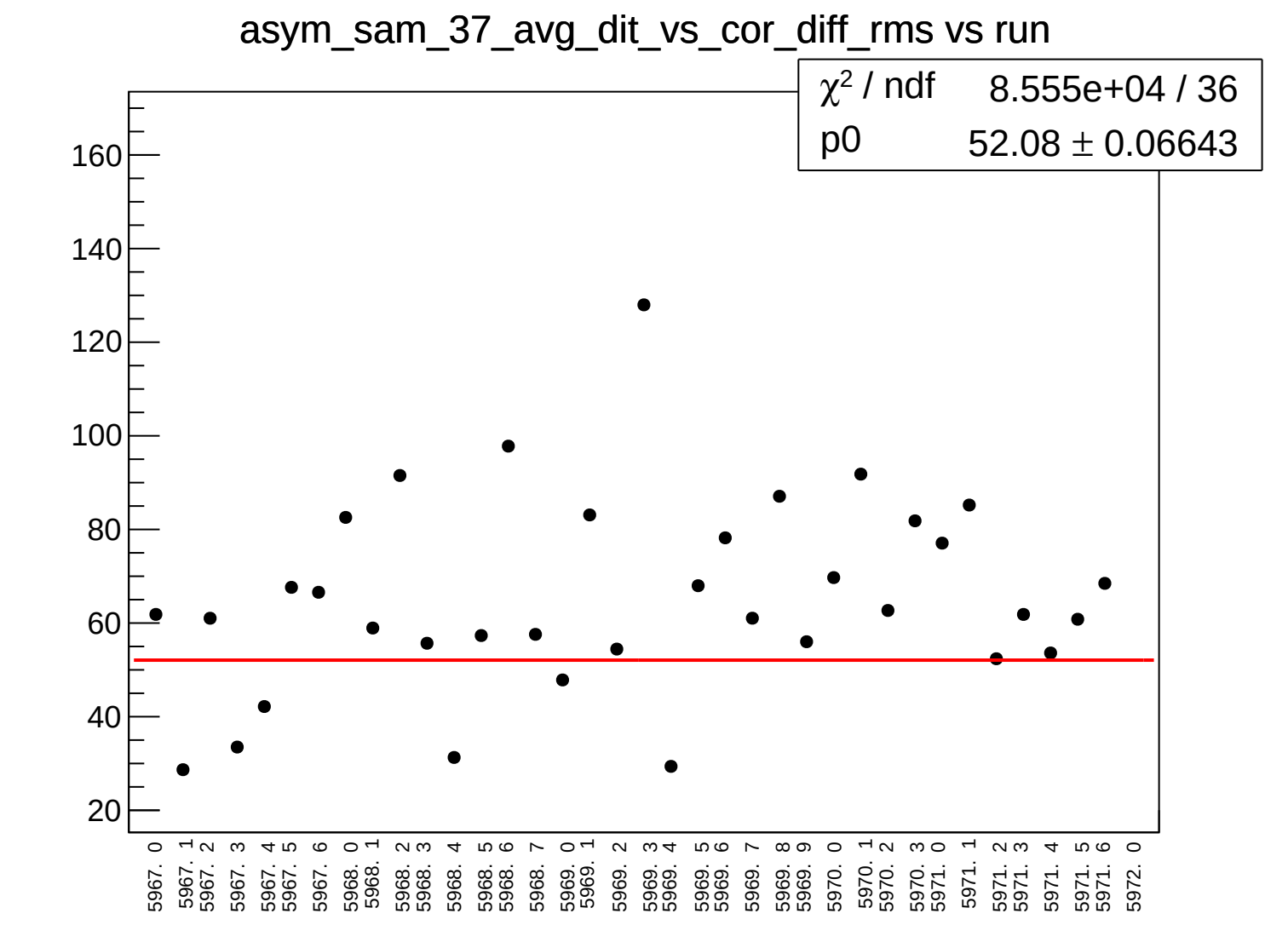
asym_sam_37_avg_dit_vs_cor_diff_rms vs run
χ² / ndf 8.555e+04 / 36
p0 52.08 ± 0.06643
160
140
120
100
80
60
40
20
5967. 0
5967. 1
5967. 2
5967. 3
5967. 4
5967. 5
5967. 6
5968. 0
5968. 1
5968. 2
5968. 3
5968. 4
5968. 5
5968. 6
5968. 7
5969. 0
5969. 1
5969. 2
5969. 3
5969. 4
5969. 5
5969. 6
5969. 7
5969. 8
5969. 9
5970. 0
5970. 1
5970. 2
5970. 3
5971. 0
5971. 1
5971. 2
5971. 3
5971. 4
5971. 5
5971. 6
5972. 0

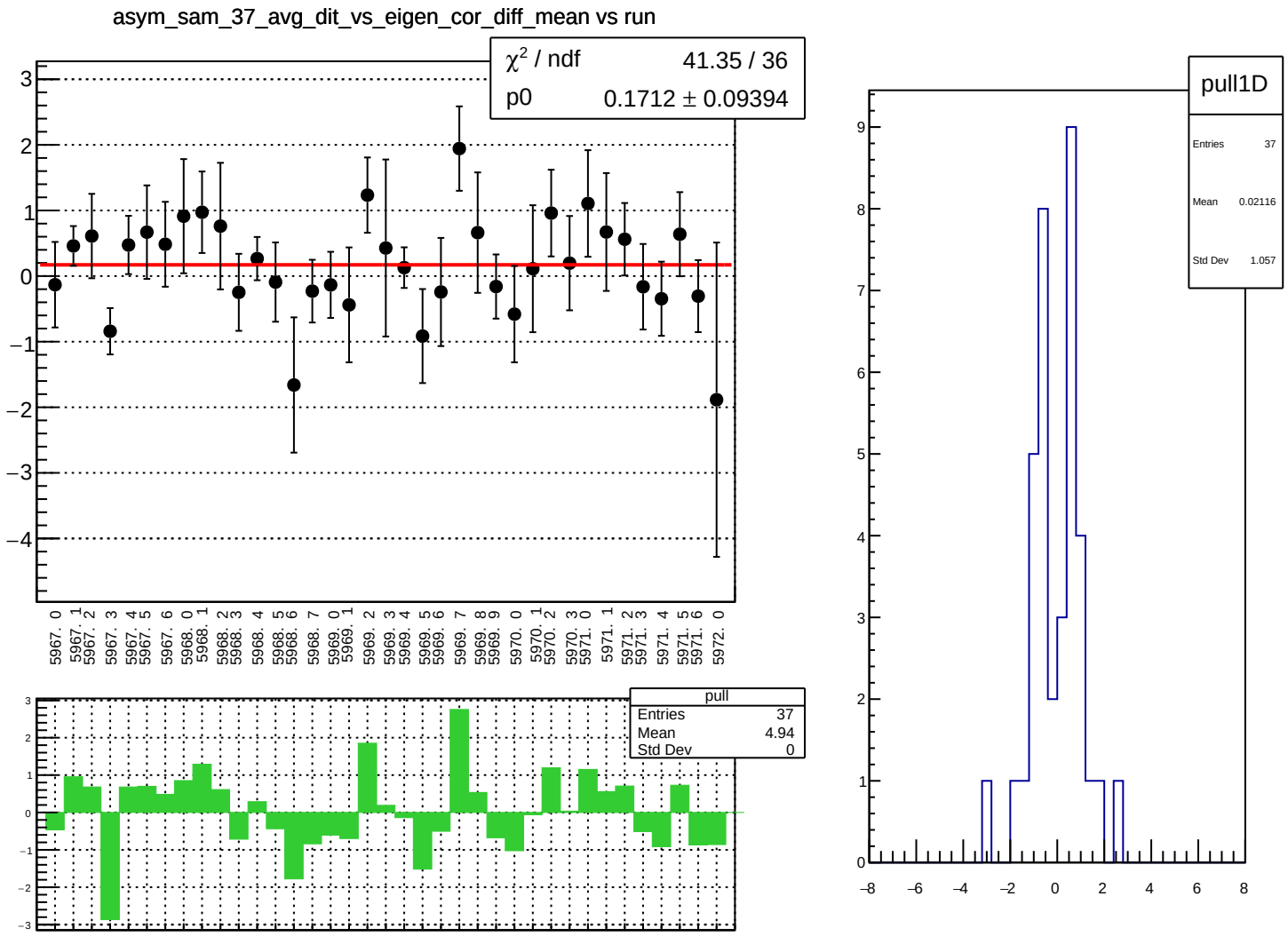
asym_sam_37_avg_dit_vs_eigen_cor_diff_mean vs run
χ² / ndf 41.35 / 36
p0 0.1712 ± 0.09394
pull
Entries 37
Mean 4.94
Std Dev 0
pull1D
Entries 37
Mean 0.02116
Std Dev 1.057

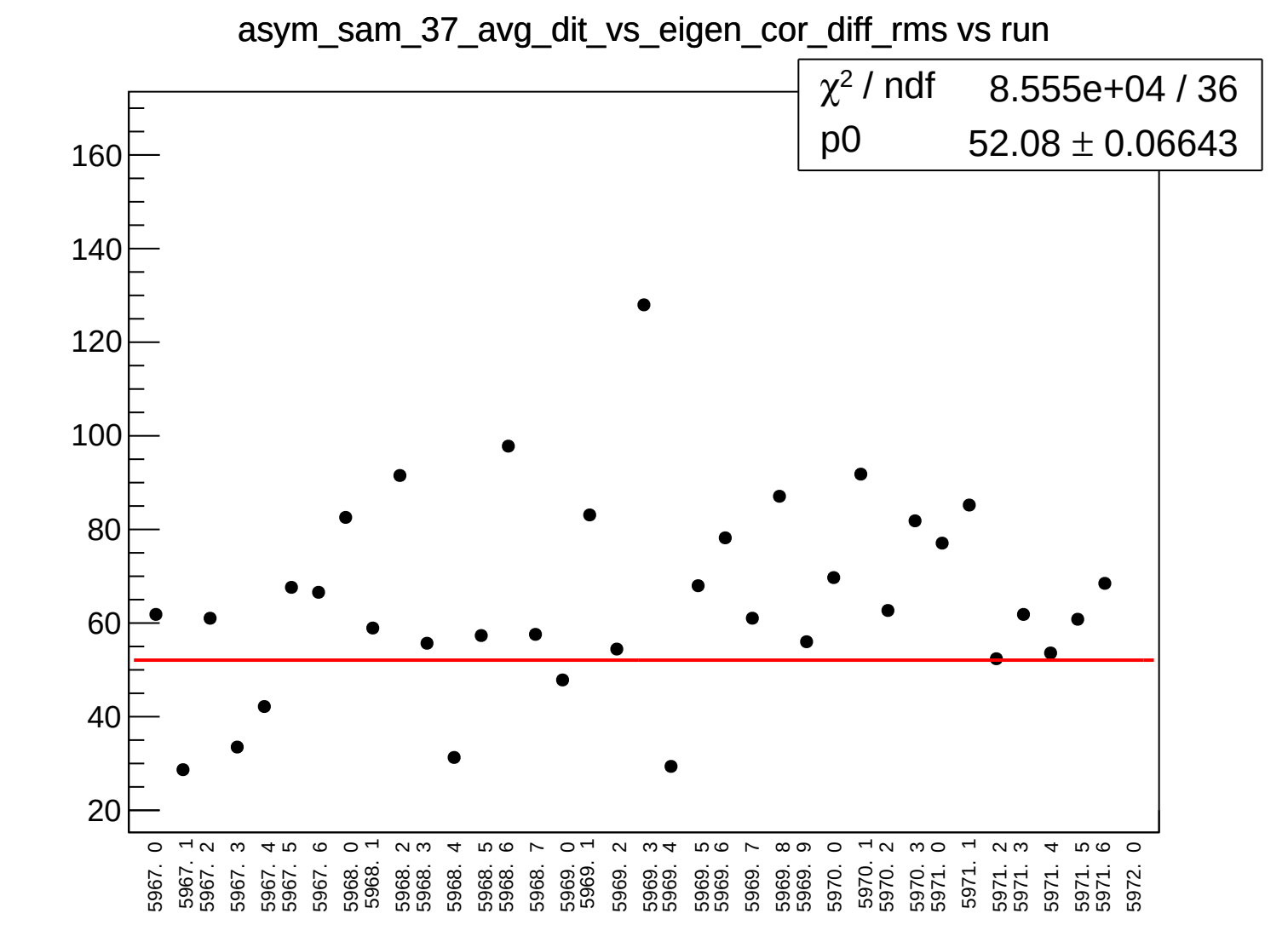
asym_sam_37_avg_dit_vs_eigen_cor_diff_rms vs run
χ² / ndf 8.555e+04 / 36
p0 52.08 ± 0.06643
160
140
120
100
80
60
40
20
5967. 0
5967. 1
5967. 2
5967. 3
5967. 4
5967. 5
5967. 6
5968. 0
5968. 1
5968. 2
5968. 3
5968. 4
5968. 5
5968. 6
5968. 7
5969. 0
5969. 1
5969. 2
5969. 3
5969. 4
5969. 5
5969. 6
5969. 7
5969. 8
5969. 9
5970. 0
5970. 1
5970. 2
5970. 3
5971. 0
5971. 1
5971. 2
5971. 3
5971. 4
5971. 5
5971. 6
5972. 0

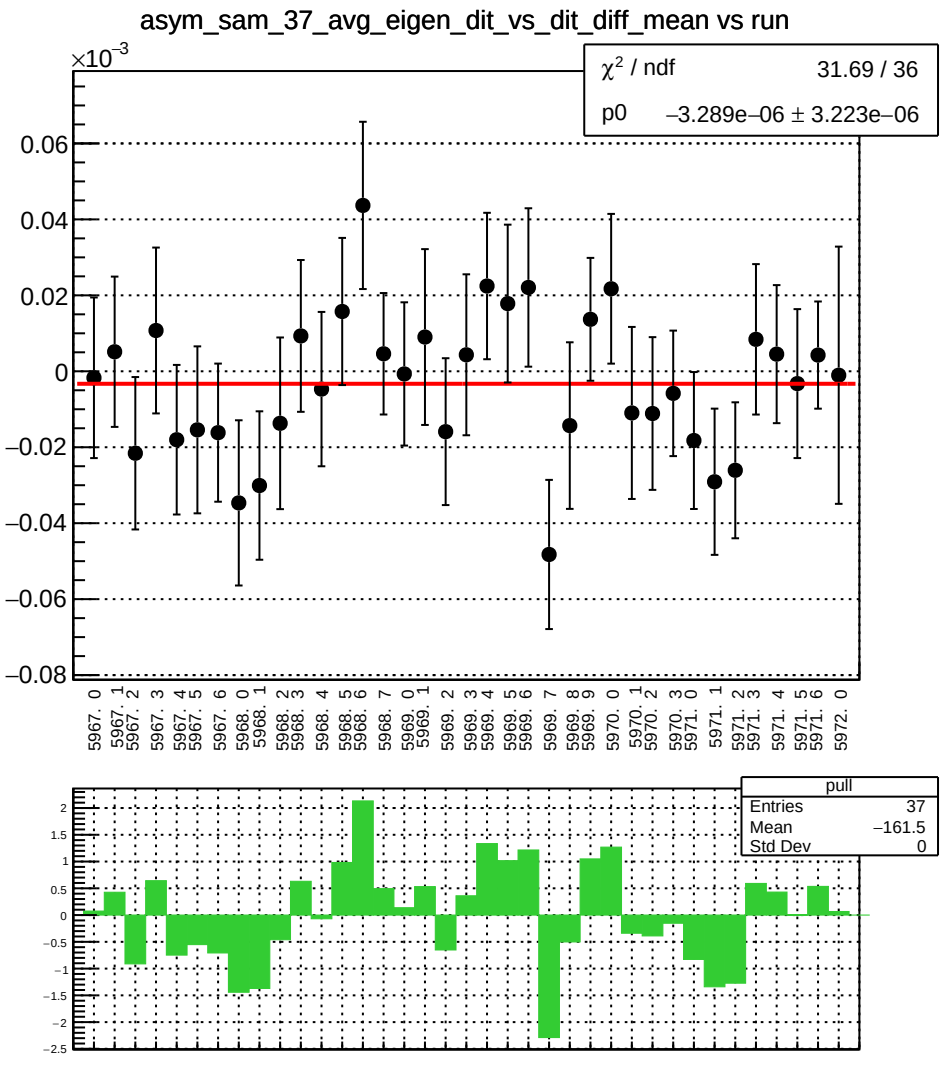
asym_sam_37_avg_eigen_dit_vs_dit_diff_mean vs run
×10⁻³
χ² / ndf 31.69 / 36
p0 −3.289e−06 ± 3.223e−06
0.06
0.04
0.02
0
−0.02
−0.04
−0.06
−0.08
5967. 0
5967. 1
5967. 2
5967. 3
5967. 4
5967. 5
5967. 6
5968. 0
5968. 1
5968. 2
5968. 3
5968. 4
5968. 5
5968. 6
5968. 7
5969. 0
5969. 1
5969. 2
5969. 3
5969. 4
5969. 5
5969. 6
5969. 7
5969. 8
5969. 9
5970. 0
5970. 1
5970. 2
5970. 3
5971. 0
5971. 1
5971. 2
5971. 3
5971. 4
5971. 5
5971. 6
5972. 0
pull
Entries 37
Mean −161.5
Std Dev 0
2
1.5
1
0.5
0
−0.5
−1
−1.5
−2
−2.5
pull1D
Entries 37
Mean −0.002761
Std Dev 0.9255
8
7
6
5
4
3
2
1
0
−8
−6
−4
−2
0
2
4
6
8

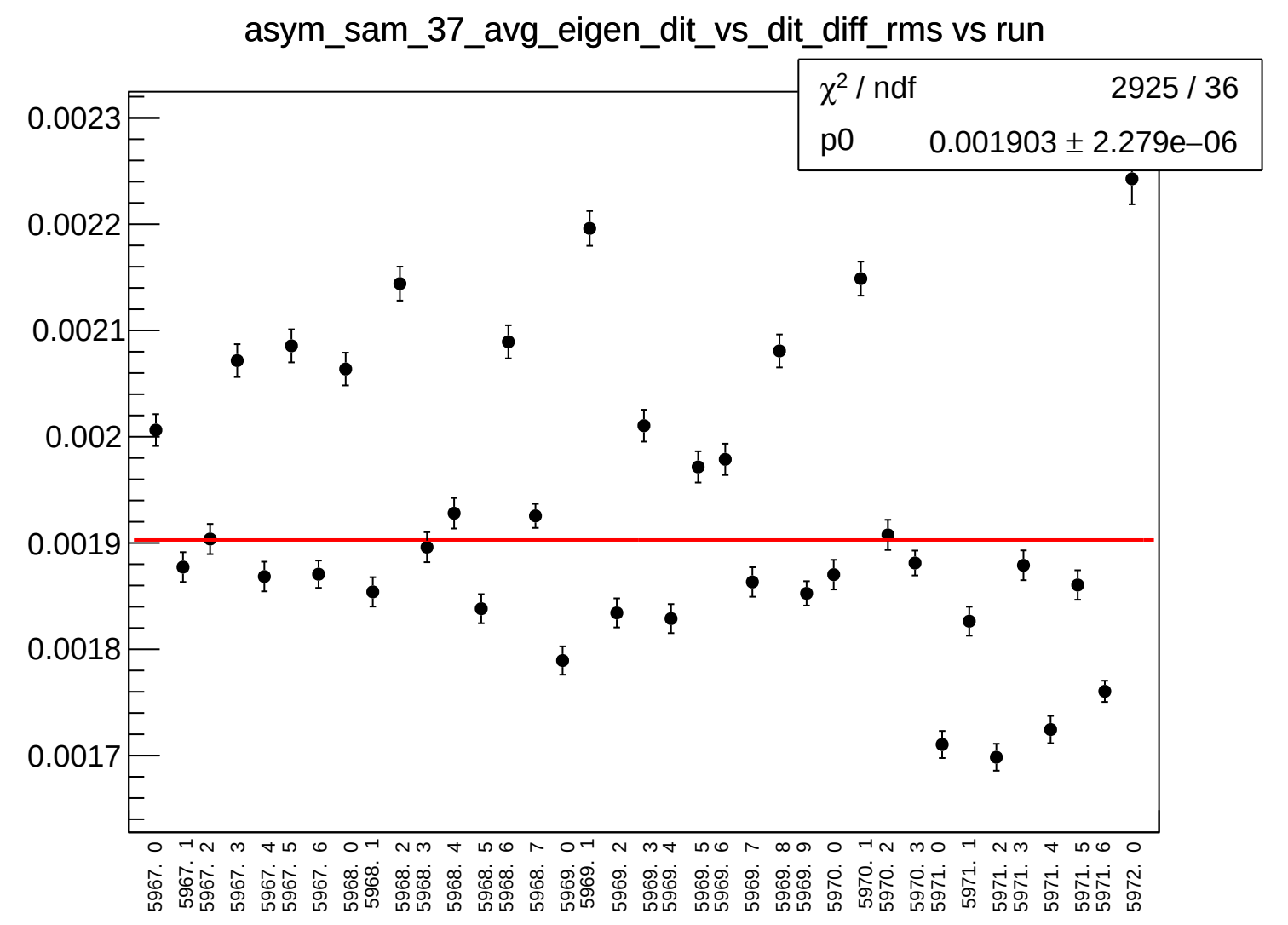
asym_sam_37_avg_eigen_dit_vs_dit_diff_rms vs run
χ² / ndf 2925 / 36
p0 0.001903 ± 2.279e−06
0.0023
0.0022
0.0021
0.002
0.0019
0.0018
0.0017
5967. 0
5967. 1
5967. 2
5967. 3
5967. 4
5967. 5
5967. 6
5968. 0
5968. 1
5968. 2
5968. 3
5968. 4
5968. 5
5968. 6
5968. 7
5969. 0
5969. 1
5969. 2
5969. 3
5969. 4
5969. 5
5969. 6
5969. 7
5969. 8
5969. 9
5970. 0
5970. 1
5970. 2
5970. 3
5971. 0
5971. 1
5971. 2
5971. 3
5971. 4
5971. 5
5971. 6
5972. 0

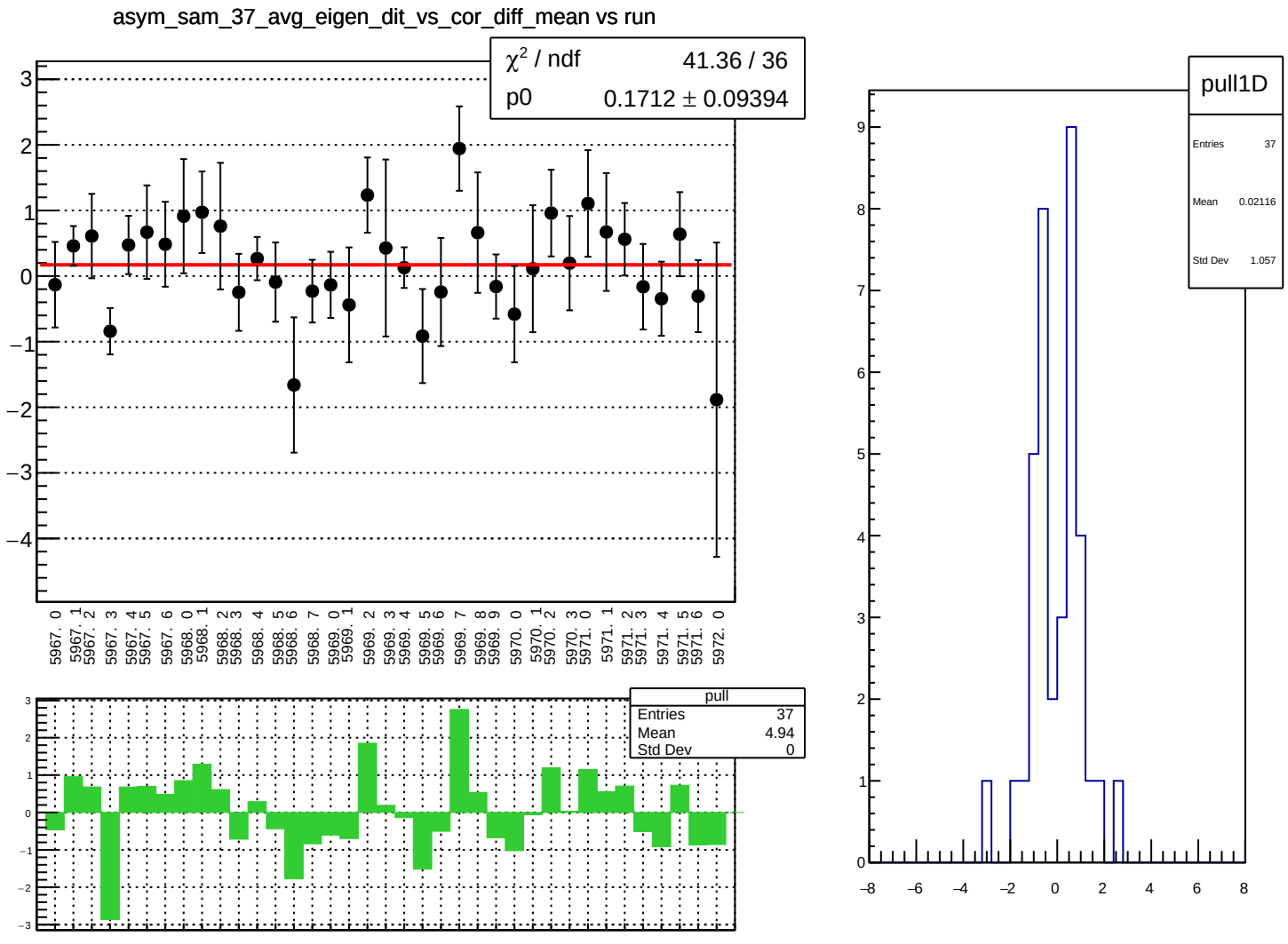
asym_sam_37_avg_eigen_dit_vs_cor_diff_mean vs run
χ² / ndf 41.36 / 36
p0 0.1712 ± 0.09394
pull
Entries 37
Mean 4.94
Std Dev 0
pull1D
Entries 37
Mean 0.02116
Std Dev 1.057

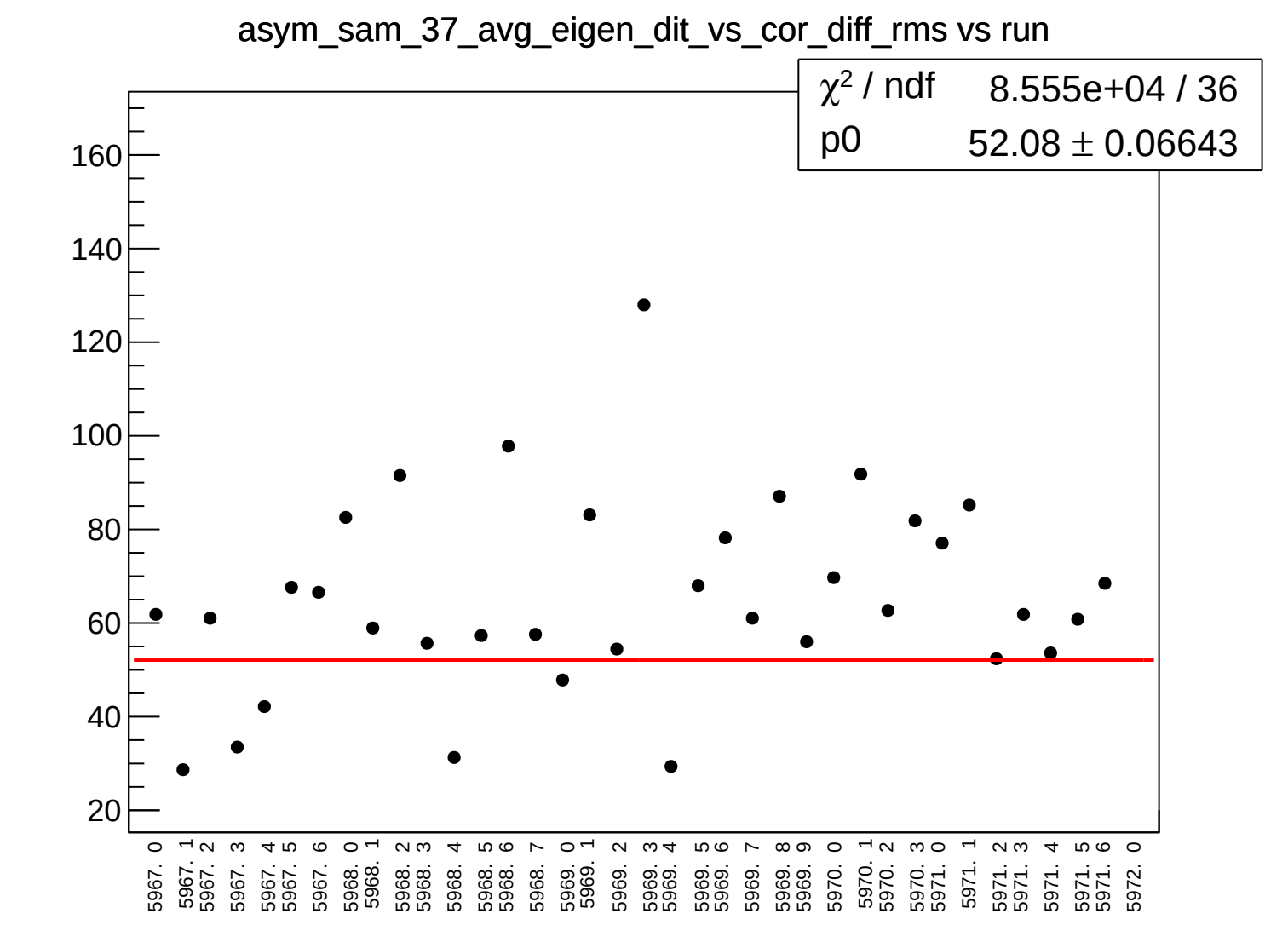
asym_sam_37_avg_eigen_dit_vs_cor_diff_rms vs run
χ² / ndf 8.555e+04 / 36
p0 52.08 ± 0.06643
160
140
120
100
80
60
40
20
5967. 0
5967. 1
5967. 2
5967. 3
5967. 4
5967. 5
5967. 6
5968. 0
5968. 1
5968. 2
5968. 3
5968. 4
5968. 5
5968. 6
5968. 7
5969. 0
5969. 1
5969. 2
5969. 3
5969. 4
5969. 5
5969. 6
5969. 7
5969. 8
5969. 9
5970. 0
5970. 1
5970. 2
5970. 3
5971. 0
5971. 1
5971. 2
5971. 3
5971. 4
5971. 5
5971. 6
5972. 0

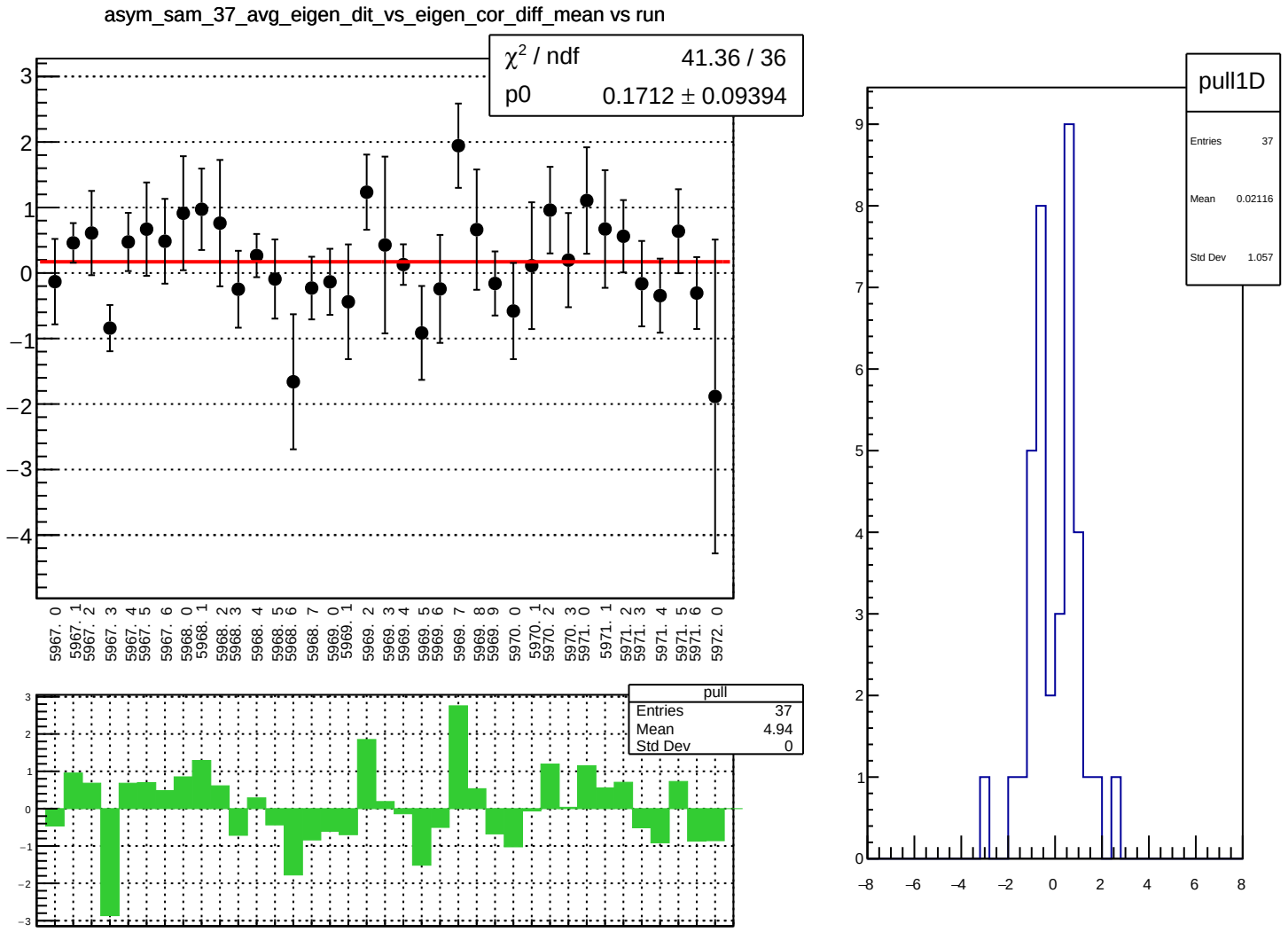
asym_sam_37_avg_eigen_dit_vs_eigen_cor_diff_mean vs run
χ² / ndf 41.36 / 36
p0 0.1712 ± 0.09394
pull
Entries 37
Mean 4.94
Std Dev 0
pull1D
Entries 37
Mean 0.02116
Std Dev 1.057

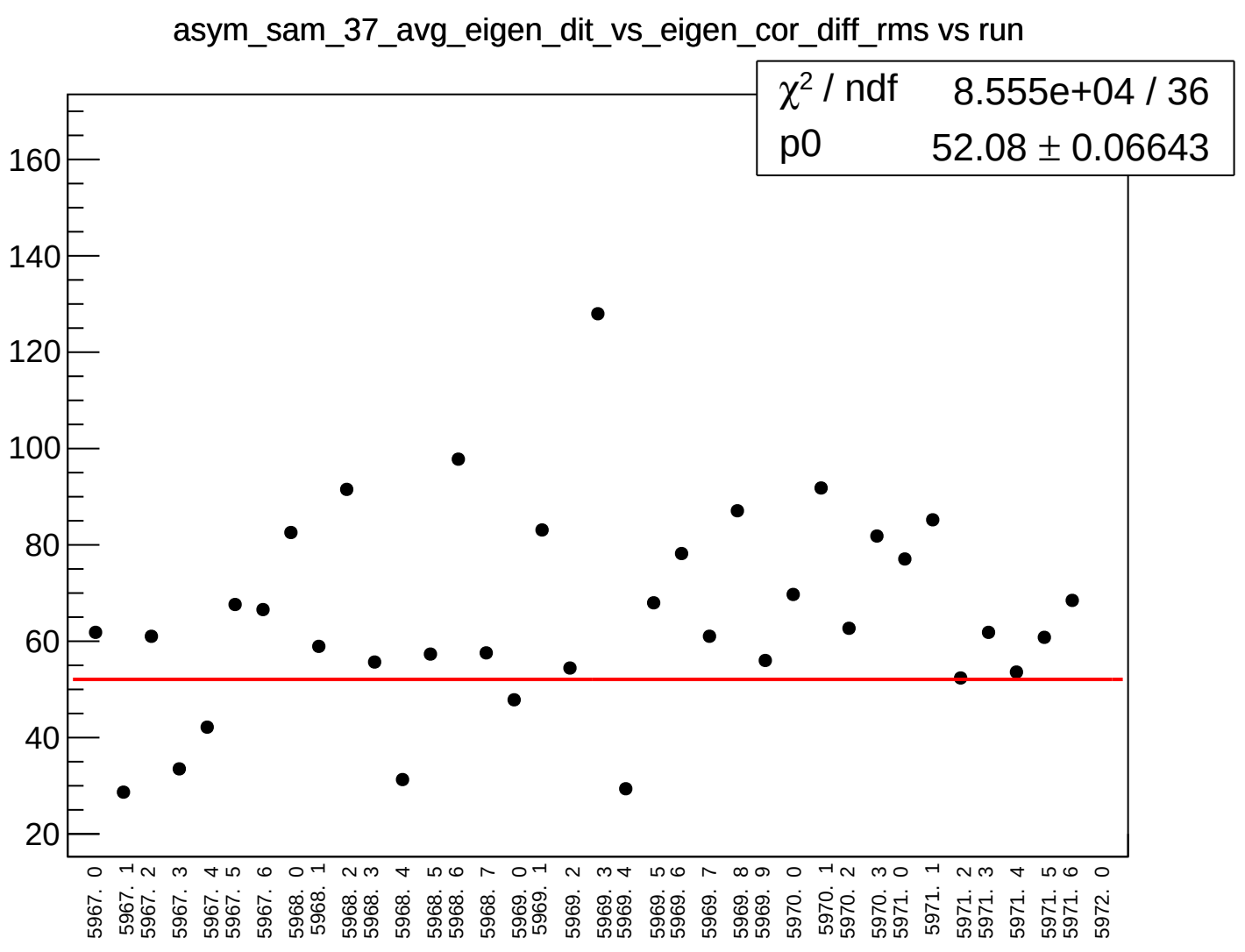
asym_sam_37_avg_eigen_dit_vs_eigen_cor_diff_rms vs run
χ² / ndf 8.555e+04 / 36
p0 52.08 ± 0.06643
160
140
120
100
80
60
40
20
5967. 0
5967. 1
5967. 2
5967. 3
5967. 4
5967. 5
5967. 6
5968. 0
5968. 1
5968. 2
5968. 3
5968. 4
5968. 5
5968. 6
5968. 7
5969. 0
5969. 1
5969. 2
5969. 3
5969. 4
5969. 5
5969. 6
5969. 7
5969. 8
5969. 9
5970. 0
5970. 1
5970. 2
5970. 3
5971. 0
5971. 1
5971. 2
5971. 3
5971. 4
5971. 5
5971. 6
5972. 0

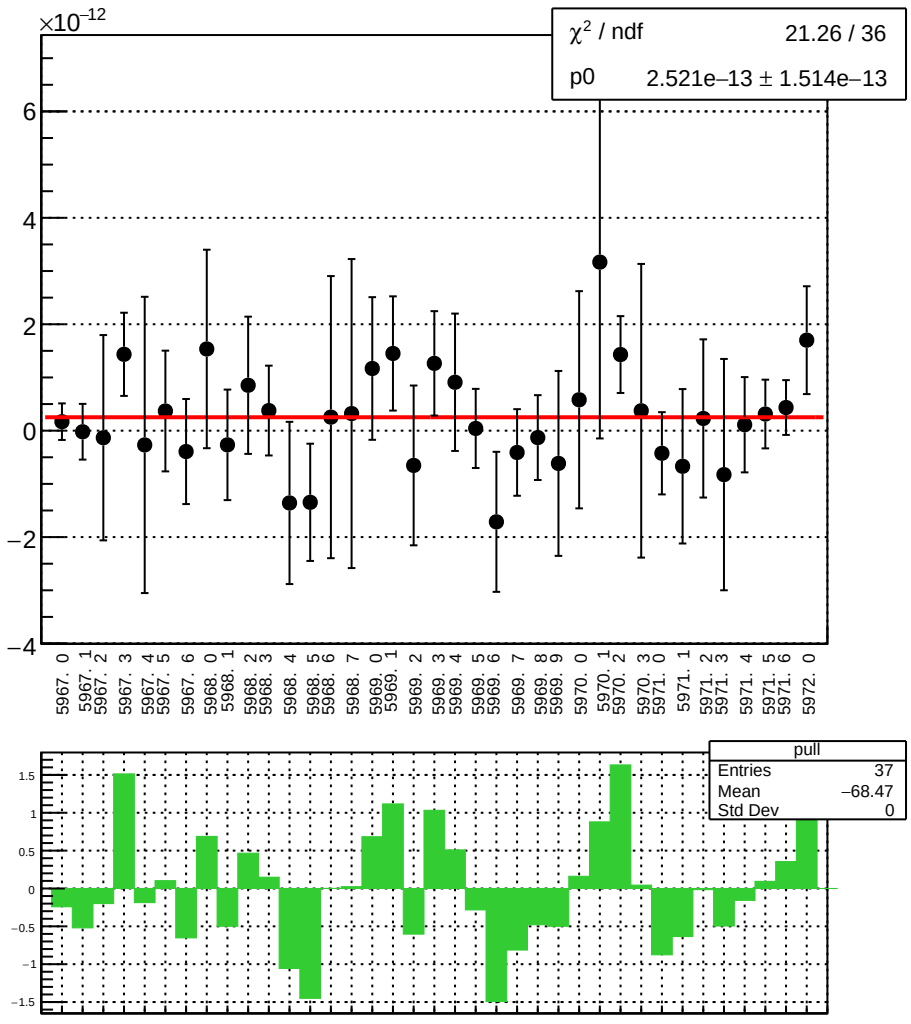
asym_sam_37_avg_eigen_cor_vs_cor_diff_mean vs run
×10⁻¹²
χ² / ndf 21.26 / 36
p0 2.521e−13 ± 1.514e−13
6
4
2
0
−2
−4
5967. 0
5967. 1
5967. 2
5967. 3
5967. 4
5967. 5
5967. 6
5968. 0
5968. 1
5968. 2
5968. 3
5968. 4
5968. 5
5968. 6
5968. 7
5969. 0
5969. 1
5969. 2
5969. 3
5969. 4
5969. 5
5969. 6
5969. 7
5969. 8
5969. 9
5970. 0
5970. 1
5970. 2
5970. 3
5971. 0
5971. 1
5971. 2
5971. 3
5971. 4
5971. 5
5971. 6
5972. 0
pull
Entries 37
Mean −68.47
Std Dev 0
1.5
1
0.5
0
−0.5
−1
−1.5

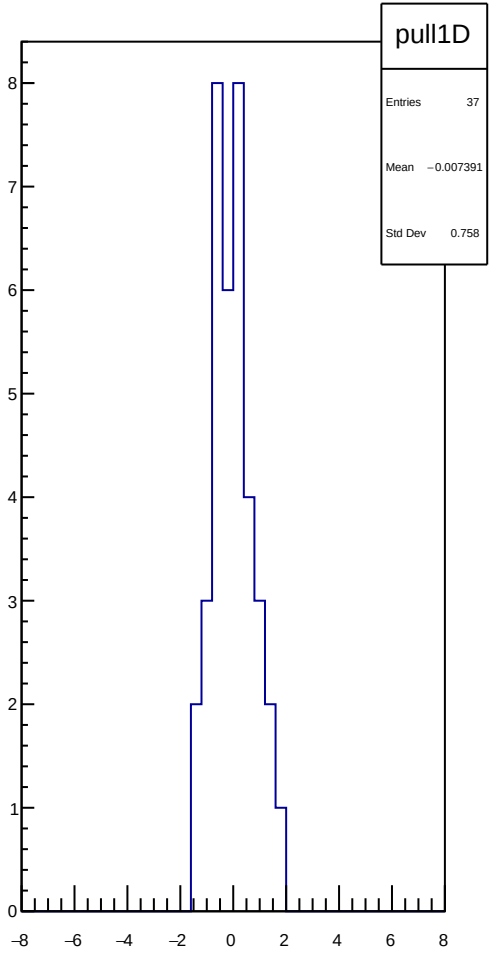
pull1D
Entries 37
Mean −0.007391
Std Dev 0.758
8
7
6
5
4
3
2
1
0
−8
−6
−4
−2
0
2
4
6
8

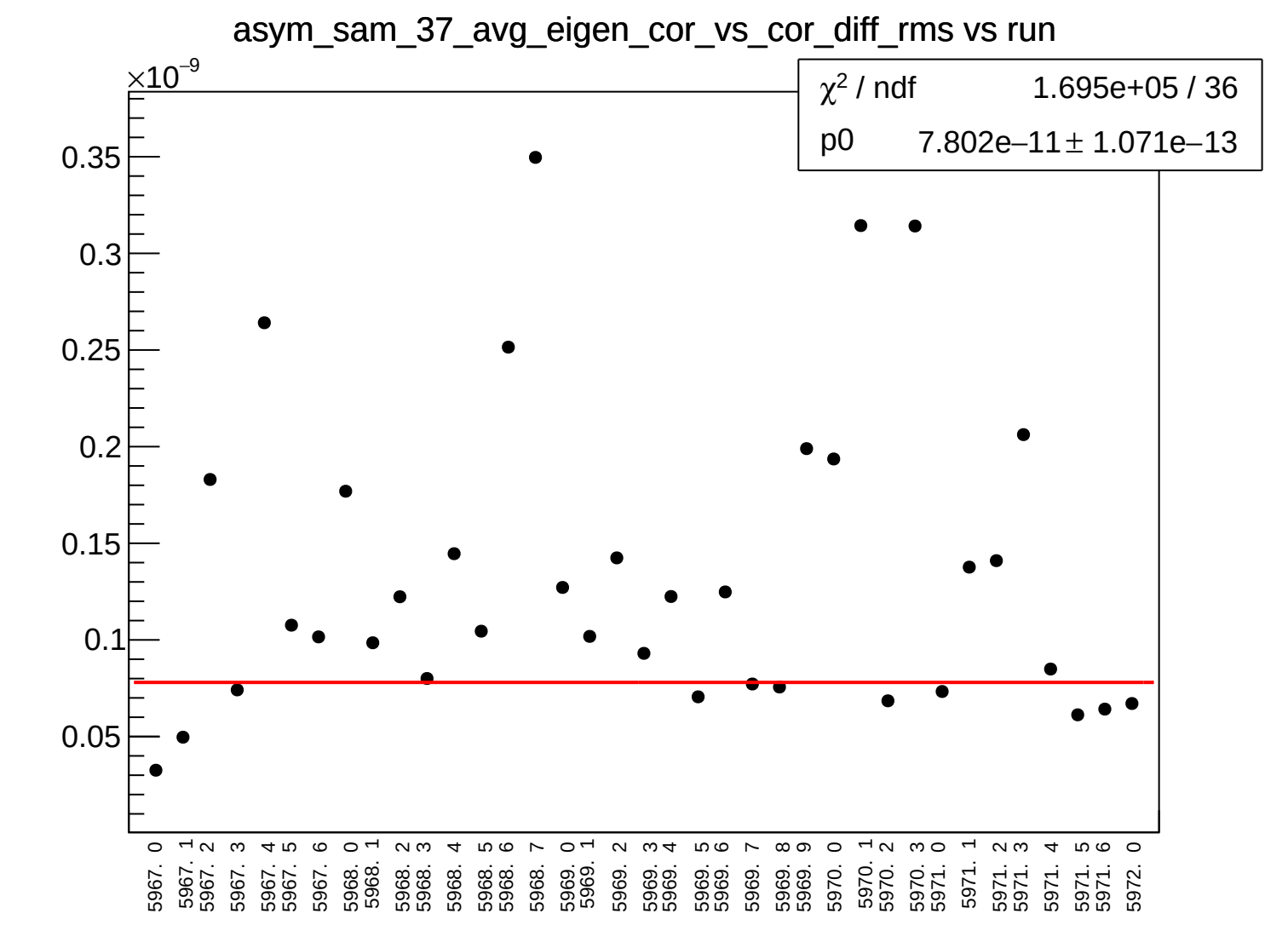
asym_sam_37_avg_eigen_cor_vs_cor_diff_rms vs run
×10⁻⁹
χ² / ndf 1.695e+05 / 36
p0 7.802e−11 ± 1.071e−13
0.35
0.3
0.25
0.2
0.15
0.1
0.05
5967. 0
5967. 1
5967. 2
5967. 3
5967. 4
5967. 5
5967. 6
5968. 0
5968. 1
5968. 2
5968. 3
5968. 4
5968. 5
5968. 6
5968. 7
5969. 0
5969. 1
5969. 2
5969. 3
5969. 4
5969. 5
5969. 6
5969. 7
5969. 8
5969. 9
5970. 0
5970. 1
5970. 2
5970. 3
5971. 0
5971. 1
5971. 2
5971. 3
5971. 4
5971. 5
5971. 6
5972. 0

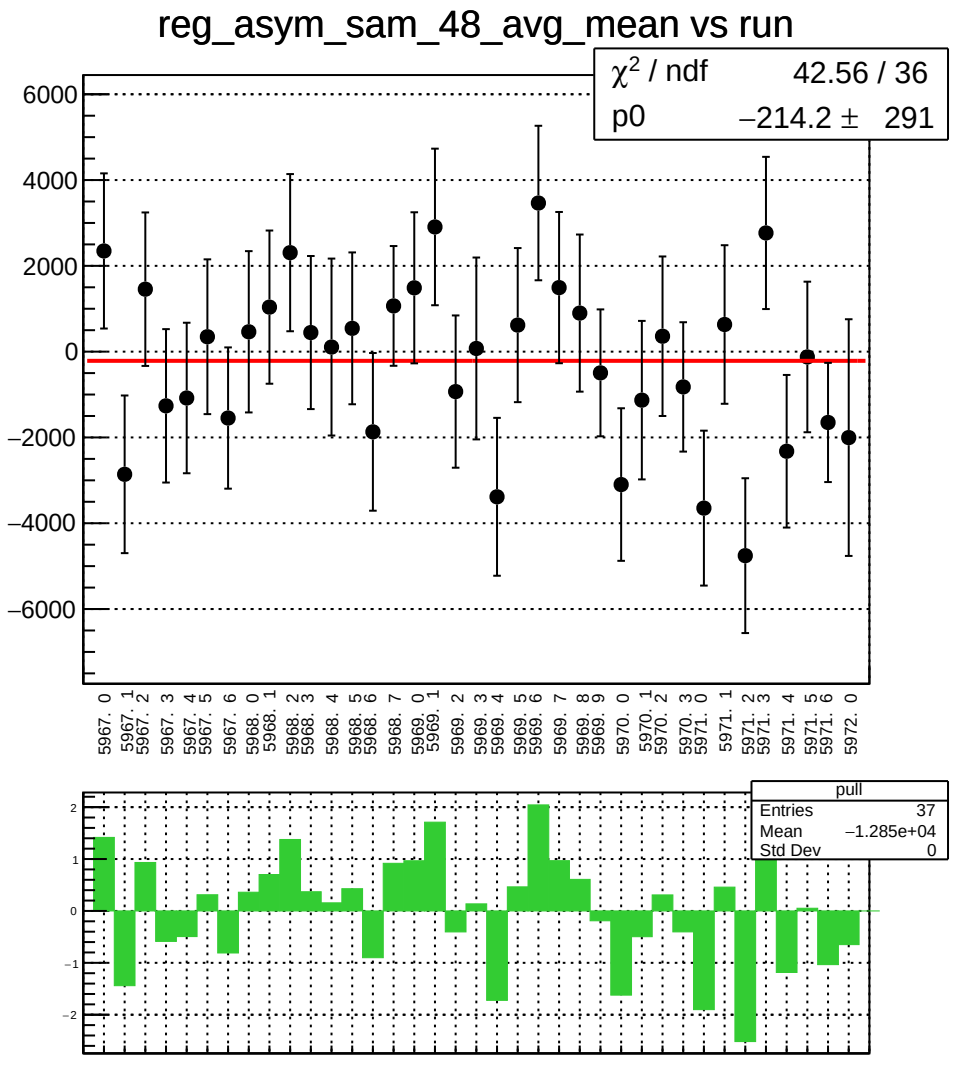
reg_asym_sam_48_avg_mean vs run
χ² / ndf 42.56 / 36
p0 −214.2 ± 291
6000
4000
2000
0
−2000
−4000
−6000
5967. 0
5967. 1
5967. 2
5967. 3
5967. 4
5967. 5
5967. 6
5968. 0
5968. 1
5968. 2
5968. 3
5968. 4
5968. 5
5968. 6
5968. 7
5969. 0
5969. 1
5969. 2
5969. 3
5969. 4
5969. 5
5969. 6
5969. 7
5969. 8
5969. 9
5970. 0
5970. 1
5970. 2
5970. 3
5971. 0
5971. 1
5971. 2
5971. 3
5971. 4
5971. 5
5971. 6
5972. 0
pull
Entries 37
Mean −1.285e+04
Std Dev 0
2
1
0
−1
−2

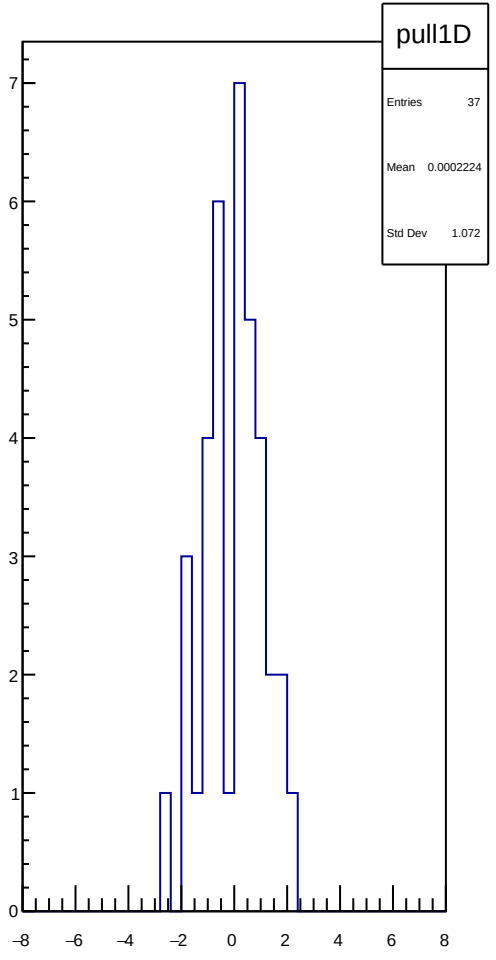
pull1D
Entries 37
Mean 0.0002224
Std Dev 1.072
7
6
5
4
3
2
1
0
−8
−6
−4
−2
0
2
4
6
8

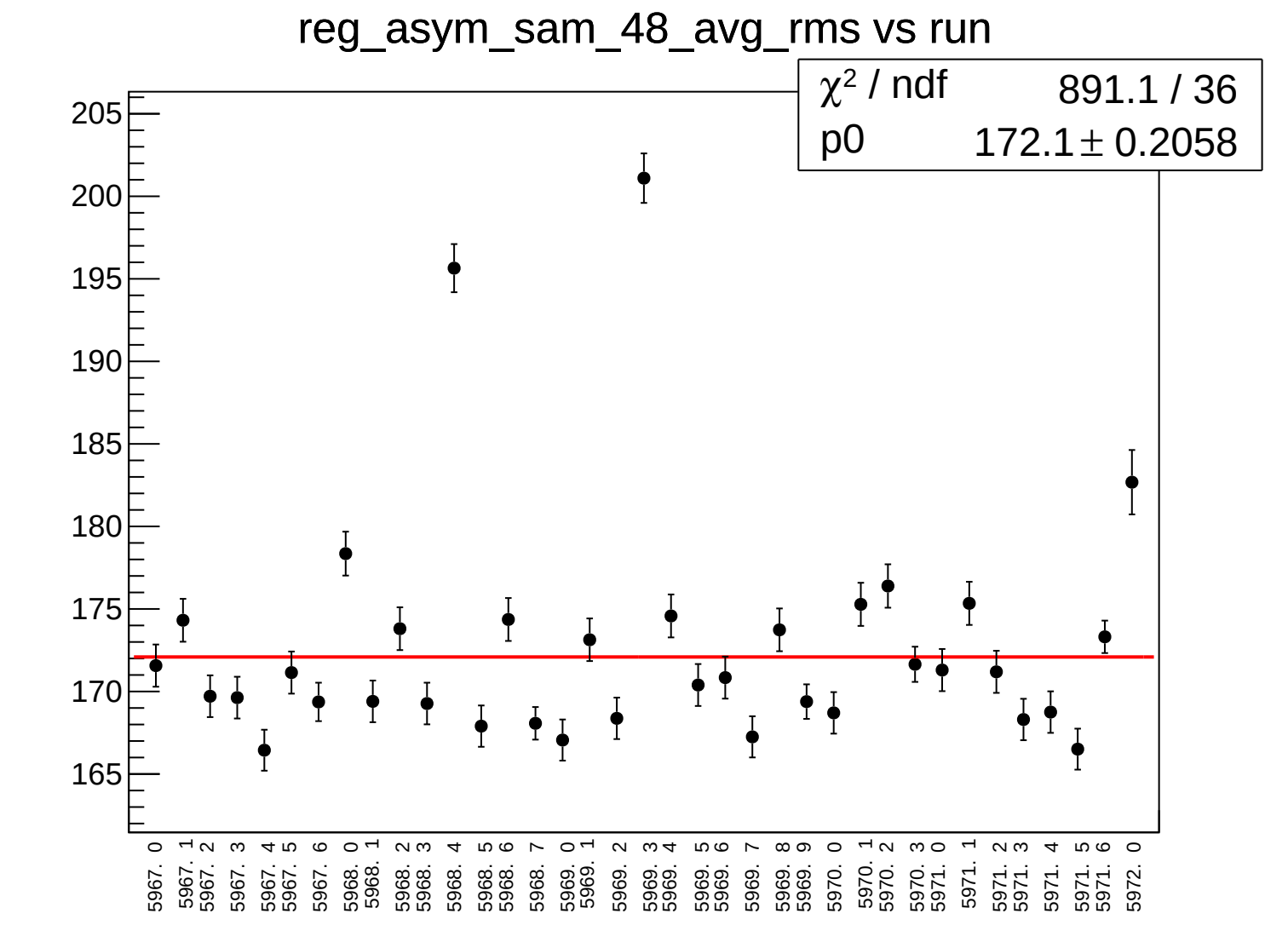
reg_asym_sam_48_avg_rms vs run
χ² / ndf 891.1 / 36
p0 172.1 ± 0.2058
205
200
195
190
185
180
175
170
165
5967. 0
5967. 1
5967. 2
5967. 3
5967. 4
5967. 5
5967. 6
5968. 0
5968. 1
5968. 2
5968. 3
5968. 4
5968. 5
5968. 6
5968. 7
5969. 0
5969. 1
5969. 2
5969. 3
5969. 4
5969. 5
5969. 6
5969. 7
5969. 8
5969. 9
5970. 0
5970. 1
5970. 2
5970. 3
5971. 0
5971. 1
5971. 2
5971. 3
5971. 4
5971. 5
5971. 6
5972. 0

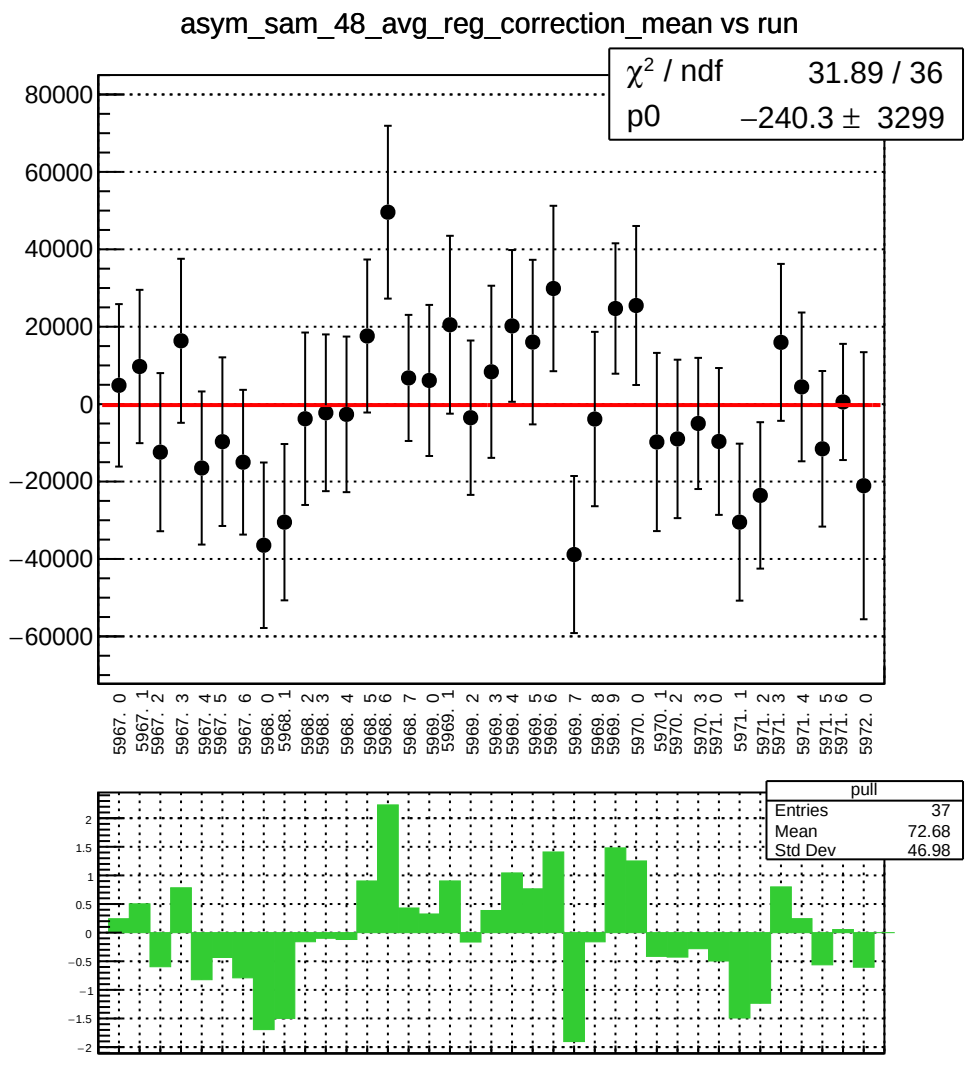
asym_sam_48_avg_reg_correction_mean vs run
χ² / ndf 31.89 / 36
p0 −240.3 ± 3299
80000
60000
40000
20000
0
−20000
−40000
−60000
5967. 0
5967. 1
5967. 2
5967. 3
5967. 4
5967. 5
5967. 6
5968. 0
5968. 1
5968. 2
5968. 3
5968. 4
5968. 5
5968. 6
5968. 7
5969. 0
5969. 1
5969. 2
5969. 3
5969. 4
5969. 5
5969. 6
5969. 7
5969. 8
5969. 9
5970. 0
5970. 1
5970. 2
5970. 3
5971. 0
5971. 1
5971. 2
5971. 3
5971. 4
5971. 5
5971. 6
5972. 0
pull
Entries 37
Mean 72.68
Std Dev 46.98
2
1.5
1
0.5
0
−0.5
−1
−1.5
−2
pull1D
Entries 37
Mean −0.00508
Std Dev 0.9283
8
7
6
5
4
3
2
1
0
−8
−6
−4
−2
0
2
4
6
8

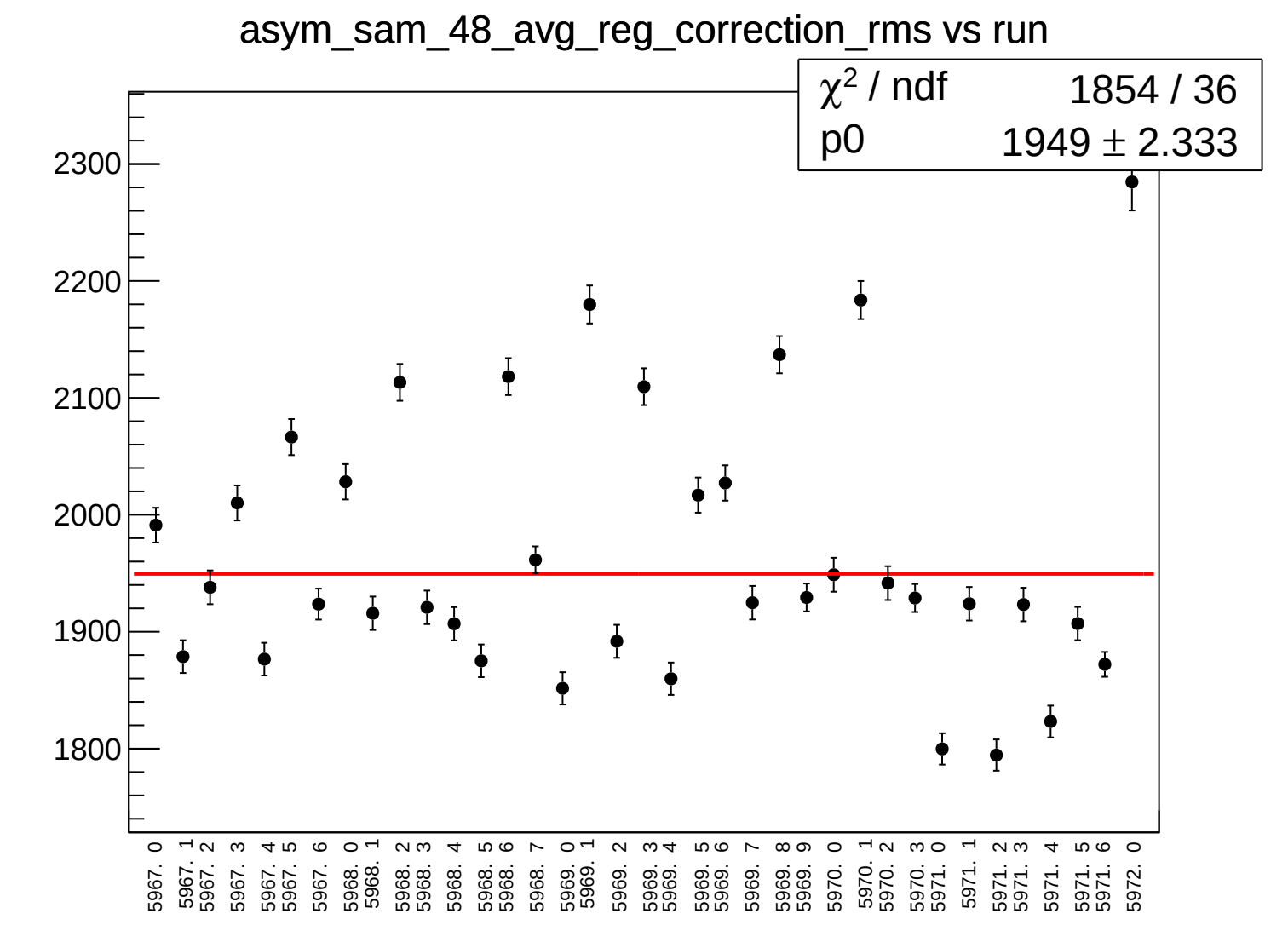
asym_sam_48_avg_reg_correction_rms vs run
χ² / ndf 1854 / 36
p0 1949 ± 2.333
2300
2200
2100
2000
1900
1800
5967. 0
5967. 1
5967. 2
5967. 3
5967. 4
5967. 5
5967. 6
5968. 0
5968. 1
5968. 2
5968. 3
5968. 4
5968. 5
5968. 6
5968. 7
5969. 0
5969. 1
5969. 2
5969. 3
5969. 4
5969. 5
5969. 6
5969. 7
5969. 8
5969. 9
5970. 0
5970. 1
5970. 2
5970. 3
5971. 0
5971. 1
5971. 2
5971. 3
5971. 4
5971. 5
5971. 6
5972. 0

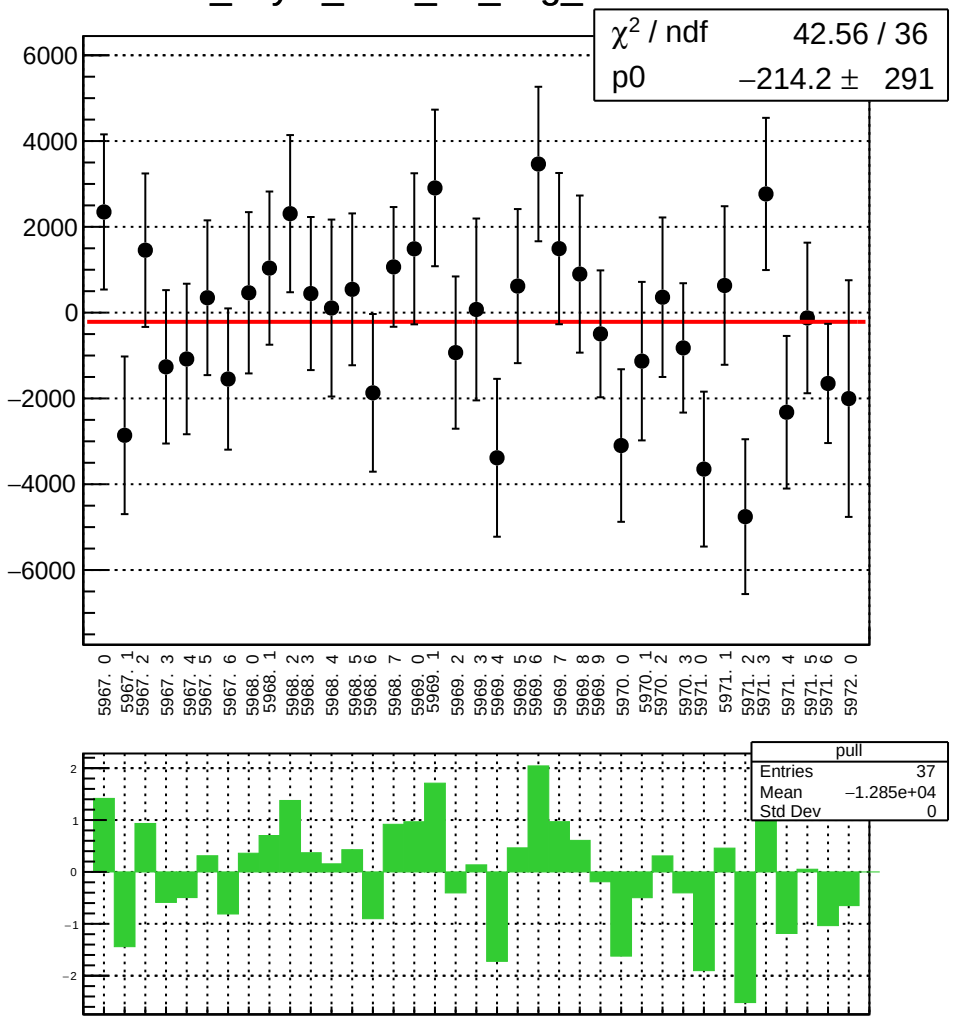
cor_asym_sam_48_avg_mean vs run
χ² / ndf 42.56 / 36
p0 −214.2 ± 291
6000
4000
2000
0
−2000
−4000
−6000
5967. 0
5967. 1
5967. 2
5967. 3
5967. 4
5967. 5
5967. 6
5968. 0
5968. 1
5968. 2
5968. 3
5968. 4
5968. 5
5968. 6
5968. 7
5969. 0
5969. 1
5969. 2
5969. 3
5969. 4
5969. 5
5969. 6
5969. 7
5969. 8
5969. 9
5970. 0
5970. 1
5970. 2
5970. 3
5971. 0
5971. 1
5971. 2
5971. 3
5971. 4
5971. 5
5971. 6
5972. 0
pull
Entries 37
Mean −1.285e+04
Std Dev 0
2
1
0
−1
−2

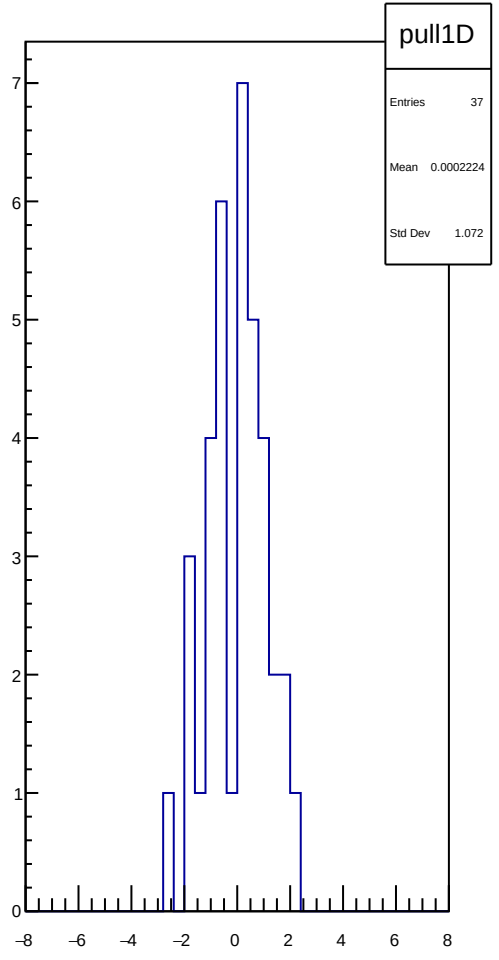
pull1D
Entries 37
Mean 0.0002224
Std Dev 1.072
7
6
5
4
3
2
1
0
−8
−6
−4
−2
0
2
4
6
8

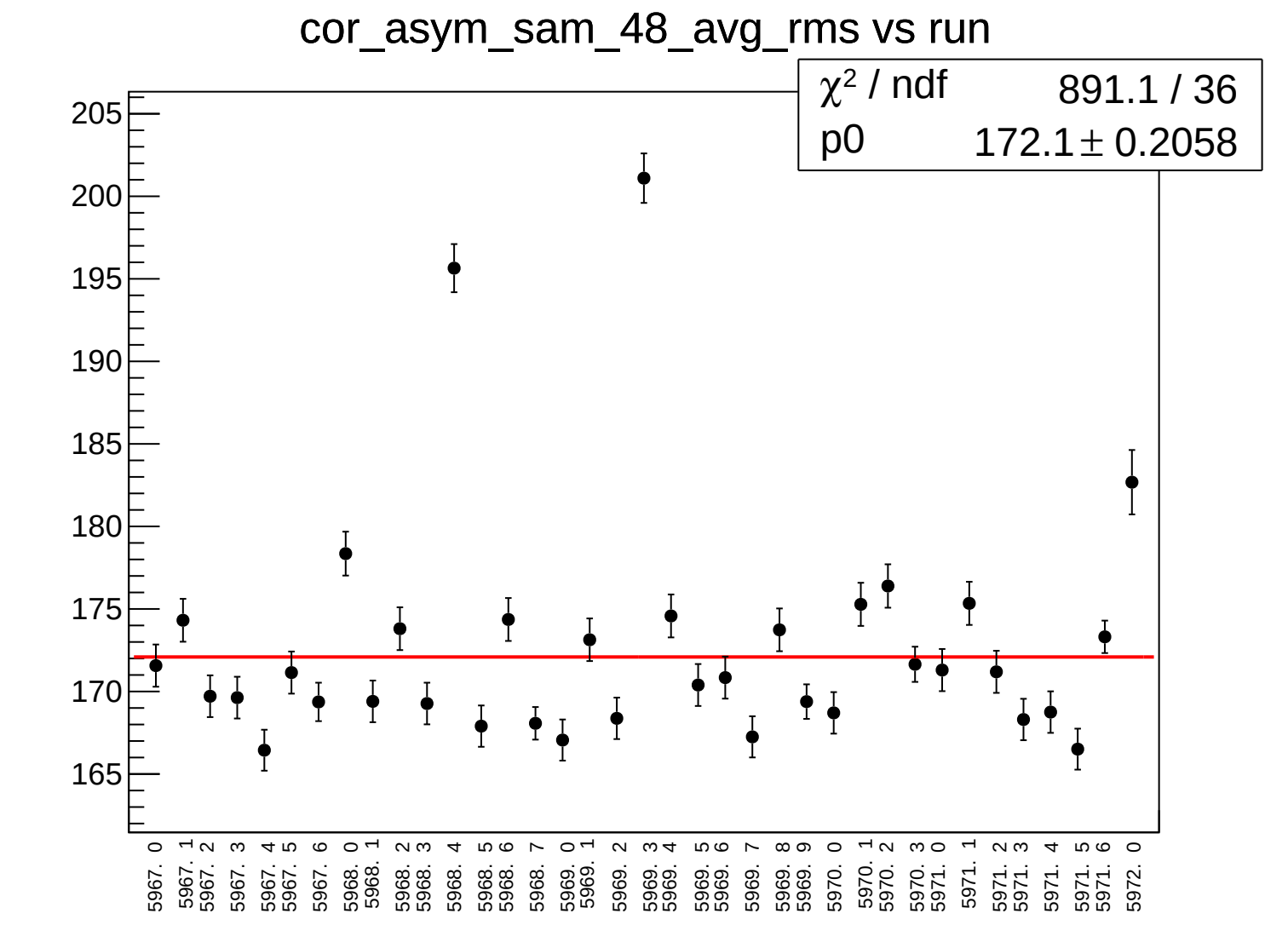
cor_asym_sam_48_avg_rms vs run
χ² / ndf 891.1 / 36
p0 172.1 ± 0.2058
205
200
195
190
185
180
175
170
165
5967. 0
5967. 1
5967. 2
5967. 3
5967. 4
5967. 5
5967. 6
5968. 0
5968. 1
5968. 2
5968. 3
5968. 4
5968. 5
5968. 6
5968. 7
5969. 0
5969. 1
5969. 2
5969. 3
5969. 4
5969. 5
5969. 6
5969. 7
5969. 8
5969. 9
5970. 0
5970. 1
5970. 2
5970. 3
5971. 0
5971. 1
5971. 2
5971. 3
5971. 4
5971. 5
5971. 6
5972. 0

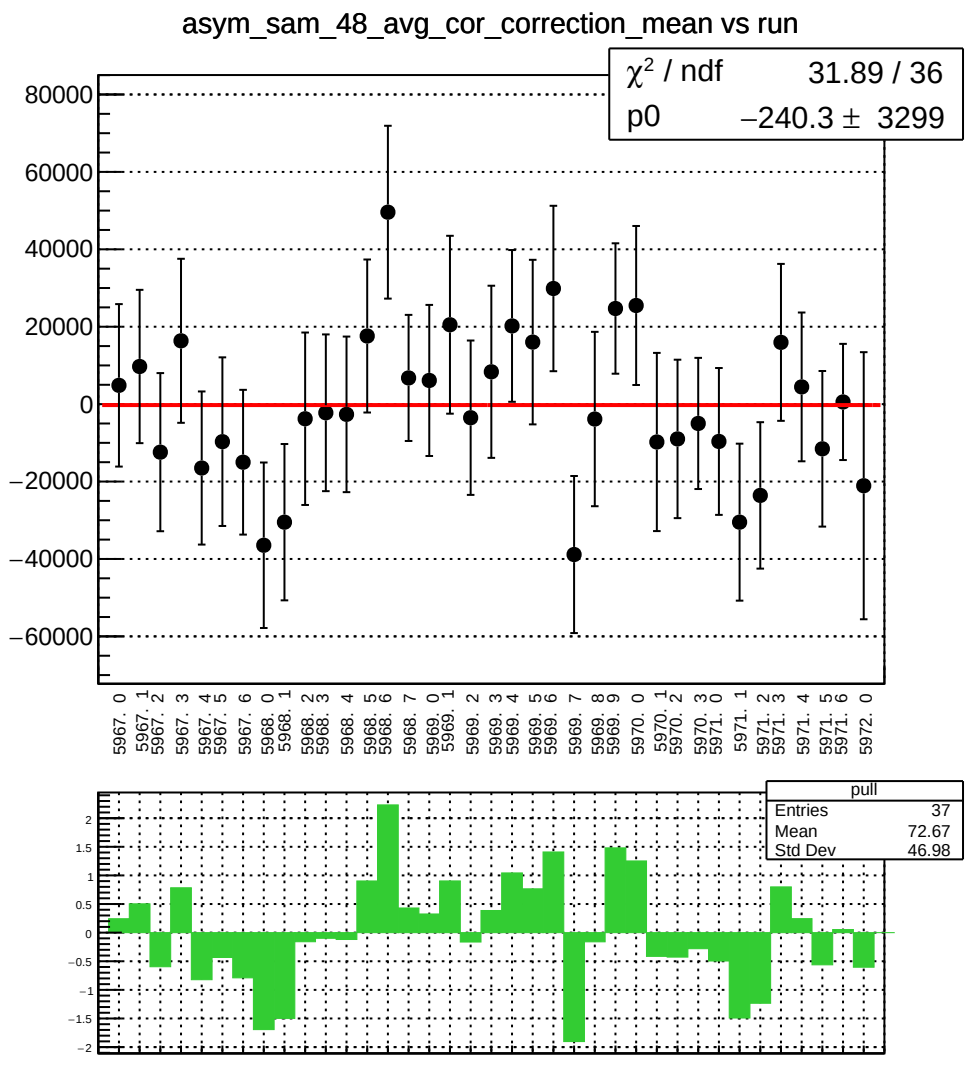
asym_sam_48_avg_cor_correction_mean vs run
χ² / ndf 31.89 / 36
p0 −240.3 ± 3299
80000
60000
40000
20000
0
−20000
−40000
−60000
5967. 0
5967. 1
5967. 2
5967. 3
5967. 4
5967. 5
5967. 6
5968. 0
5968. 1
5968. 2
5968. 3
5968. 4
5968. 5
5968. 6
5968. 7
5969. 0
5969. 1
5969. 2
5969. 3
5969. 4
5969. 5
5969. 6
5969. 7
5969. 8
5969. 9
5970. 0
5970. 1
5970. 2
5970. 3
5971. 0
5971. 1
5971. 2
5971. 3
5971. 4
5971. 5
5971. 6
5972. 0
pull
Entries 37
Mean 72.67
Std Dev 46.98
2
1.5
1
0.5
0
−0.5
−1
−1.5
−2
pull1D
Entries 37
Mean −0.00508
Std Dev 0.9284
8
7
6
5
4
3
2
1
0
−8
−6
−4
−2
0
2
4
6
8

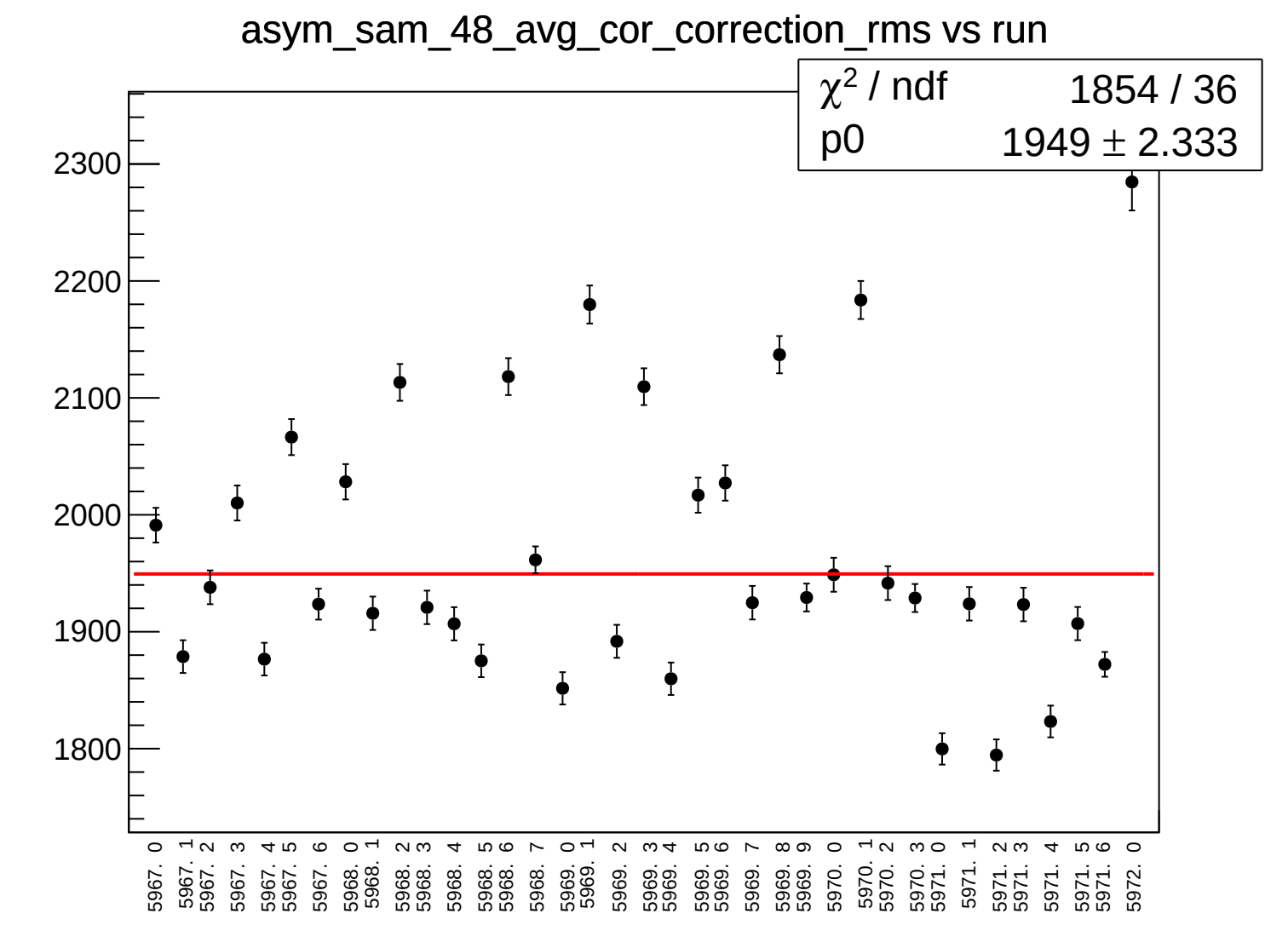
asym_sam_48_avg_cor_correction_rms vs run
χ^2 / ndf 1854 / 36
p0 1949 ± 2.333
2300
2200
2100
2000
1900
1800
5967. 0
5967. 1
5967. 2
5967. 3
5967. 4
5967. 5
5967. 6
5968. 0
5968. 1
5968. 2
5968. 3
5968. 4
5968. 5
5968. 6
5968. 7
5969. 0
5969. 1
5969. 2
5969. 3
5969. 4
5969. 5
5969. 6
5969. 7
5969. 8
5969. 9
5970. 0
5970. 1
5970. 2
5970. 3
5971. 0
5971. 1
5971. 2
5971. 3
5971. 4
5971. 5
5971. 6
5972. 0

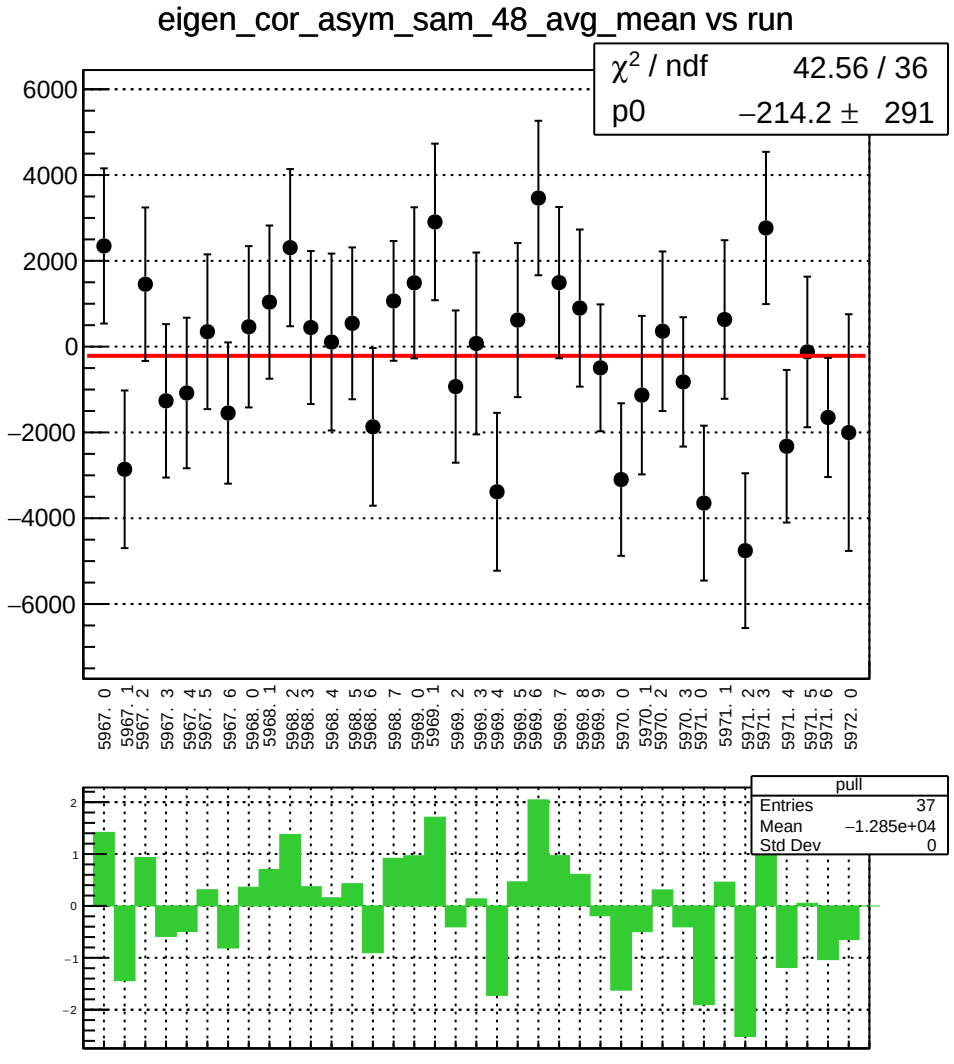
eigen_cor_asym_sam_48_avg_mean vs run
χ² / ndf 42.56 / 36
p0 −214.2 ± 291
6000
4000
2000
0
−2000
−4000
−6000
5967. 0
5967. 1
5967. 2
5967. 3
5967. 4
5967. 5
5967. 6
5968. 0
5968. 1
5968. 2
5968. 3
5968. 4
5968. 5
5968. 6
5968. 7
5969. 0
5969. 1
5969. 2
5969. 3
5969. 4
5969. 5
5969. 6
5969. 7
5969. 8
5969. 9
5970. 0
5970. 1
5970. 2
5970. 3
5971. 0
5971. 1
5971. 2
5971. 3
5971. 4
5971. 5
5971. 6
5972. 0
pull
Entries 37
Mean −1.285e+04
Std Dev 0
2
1
0
−1
−2
pull1D
Entries 37
Mean 0.0002224
Std Dev 1.072
7
6
5
4
3
2
1
0
−8
−6
−4
−2
0
2
4
6
8

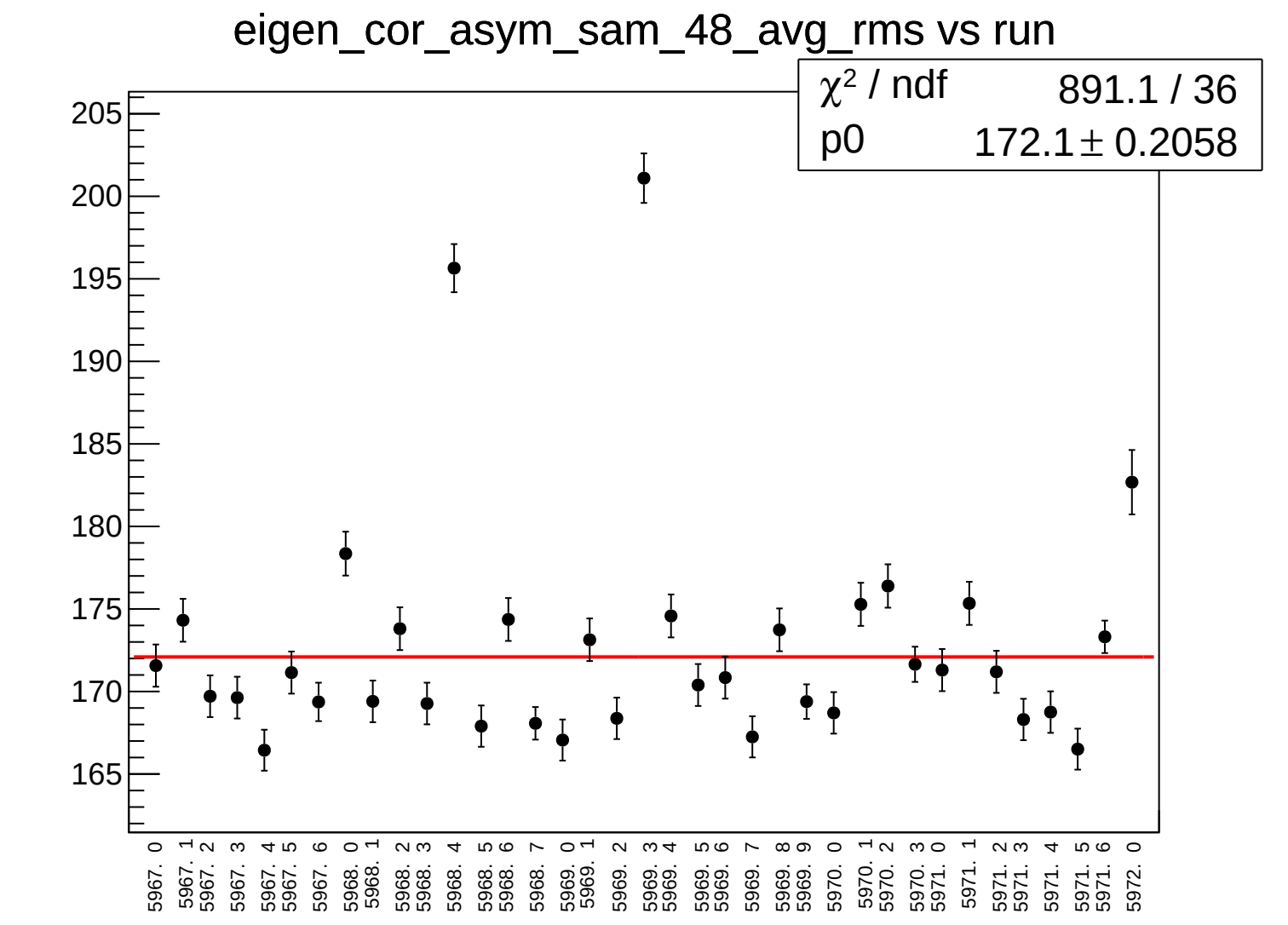
eigen_cor_asym_sam_48_avg_rms vs run
χ² / ndf 891.1 / 36
p0 172.1 ± 0.2058
205
200
195
190
185
180
175
170
165
5967. 0
5967. 1
5967. 2
5967. 3
5967. 4
5967. 5
5967. 6
5968. 0
5968. 1
5968. 2
5968. 3
5968. 4
5968. 5
5968. 6
5968. 7
5969. 0
5969. 1
5969. 2
5969. 3
5969. 4
5969. 5
5969. 6
5969. 7
5969. 8
5969. 9
5970. 0
5970. 1
5970. 2
5970. 3
5971. 0
5971. 1
5971. 2
5971. 3
5971. 4
5971. 5
5971. 6
5972. 0

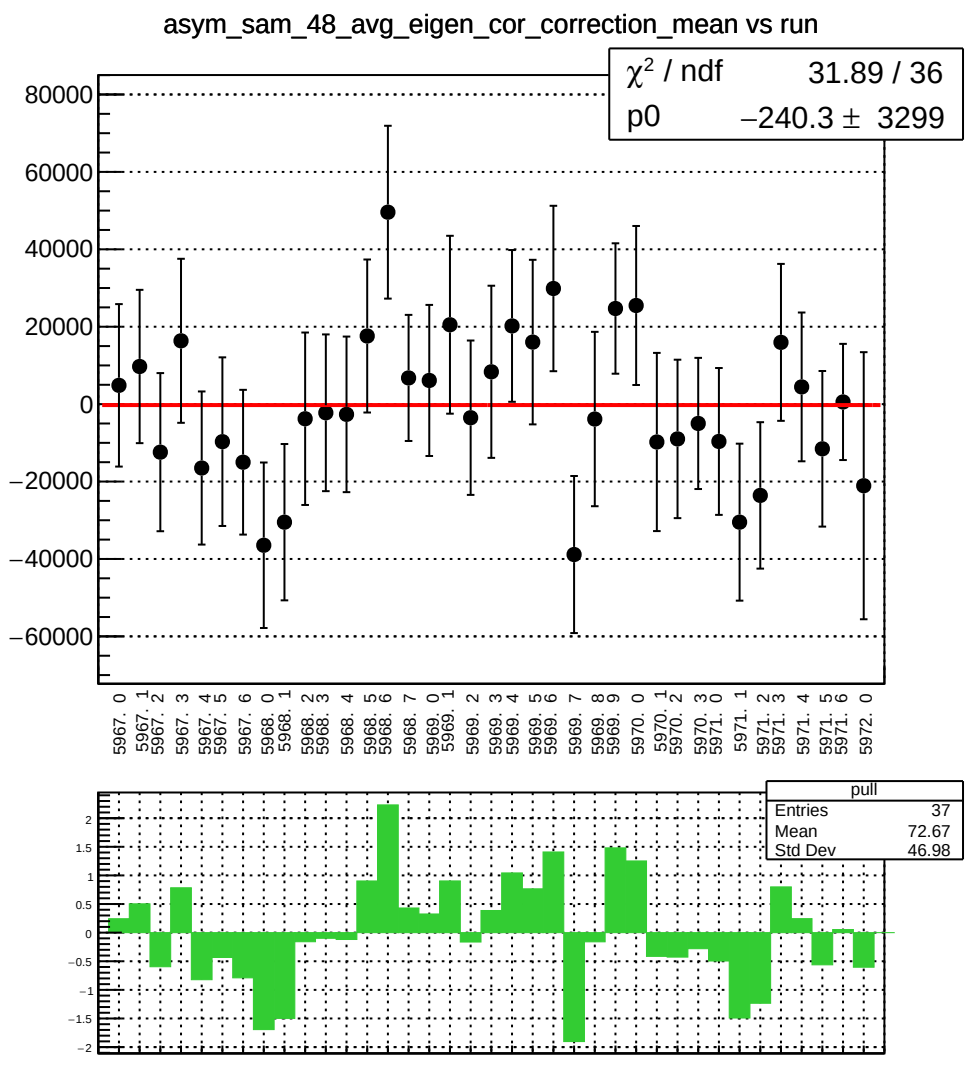
asym_sam_48_avg_eigen_cor_correction_mean vs run
χ² / ndf 31.89 / 36
p0 −240.3 ± 3299
80000
60000
40000
20000
0
−20000
−40000
−60000
5967. 0
5967. 1
5967. 2
5967. 3
5967. 4
5967. 5
5967. 6
5968. 0
5968. 1
5968. 2
5968. 3
5968. 4
5968. 5
5968. 6
5968. 7
5969. 0
5969. 1
5969. 2
5969. 3
5969. 4
5969. 5
5969. 6
5969. 7
5969. 8
5969. 9
5970. 0
5970. 1
5970. 2
5970. 3
5971. 0
5971. 1
5971. 2
5971. 3
5971. 4
5971. 5
5971. 6
5972. 0
pull
Entries 37
Mean 72.67
Std Dev 46.98
2
1.5
1
0.5
0
−0.5
−1
−1.5
−2
pull1D
Entries 37
Mean −0.00508
Std Dev 0.9284
8
7
6
5
4
3
2
1
0
−8
−6
−4
−2
0
2
4
6
8

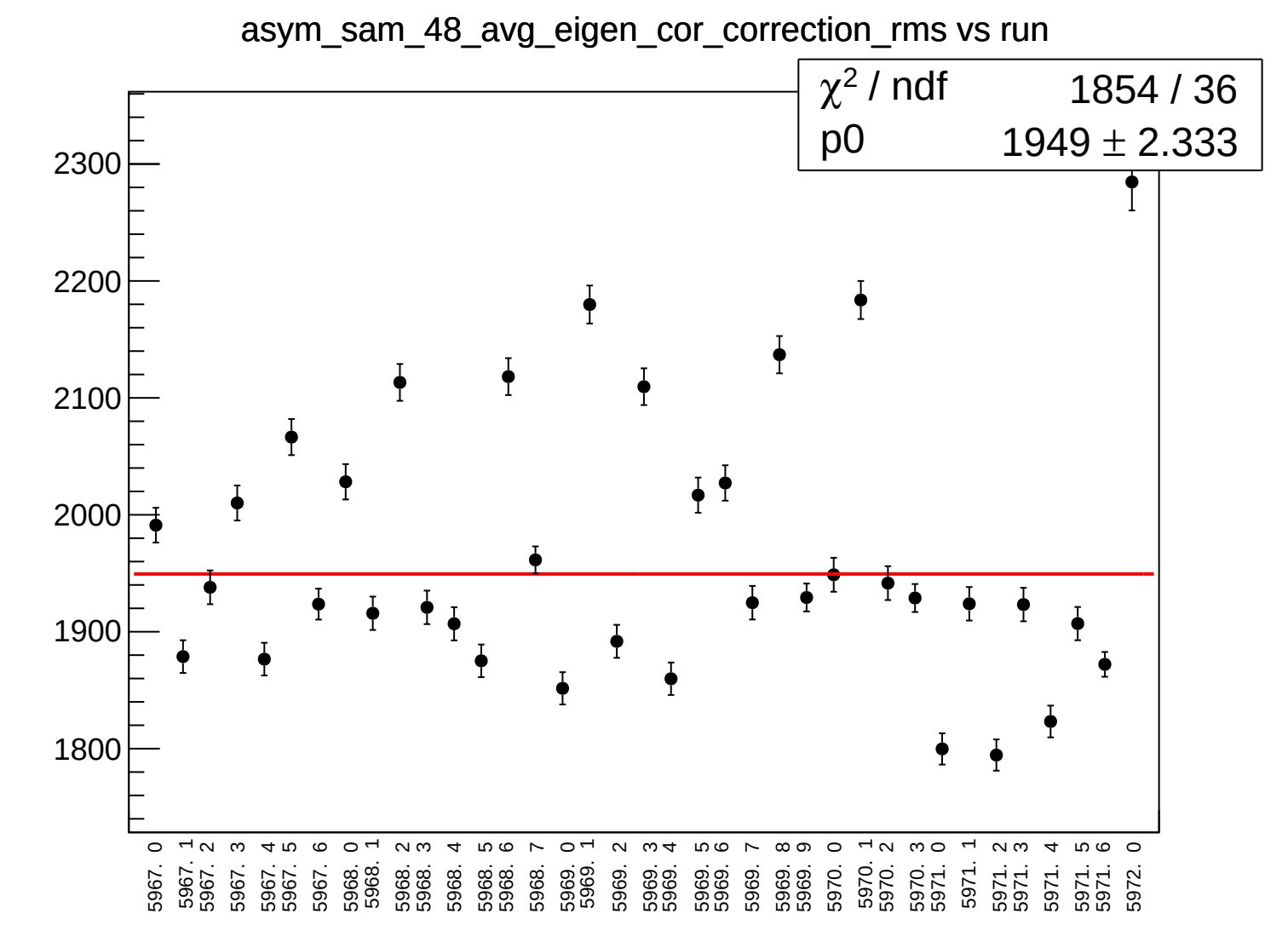
asym_sam_48_avg_eigen_cor_correction_rms vs run
χ² / ndf 1854 / 36
p0 1949 ± 2.333
2300
2200
2100
2000
1900
1800
5967. 0
5967. 1
5967. 2
5967. 3
5967. 4
5967. 5
5967. 6
5968. 0
5968. 1
5968. 2
5968. 3
5968. 4
5968. 5
5968. 6
5968. 7
5969. 0
5969. 1
5969. 2
5969. 3
5969. 4
5969. 5
5969. 6
5969. 7
5969. 8
5969. 9
5970. 0
5970. 1
5970. 2
5970. 3
5971. 0
5971. 1
5971. 2
5971. 3
5971. 4
5971. 5
5971. 6
5972. 0

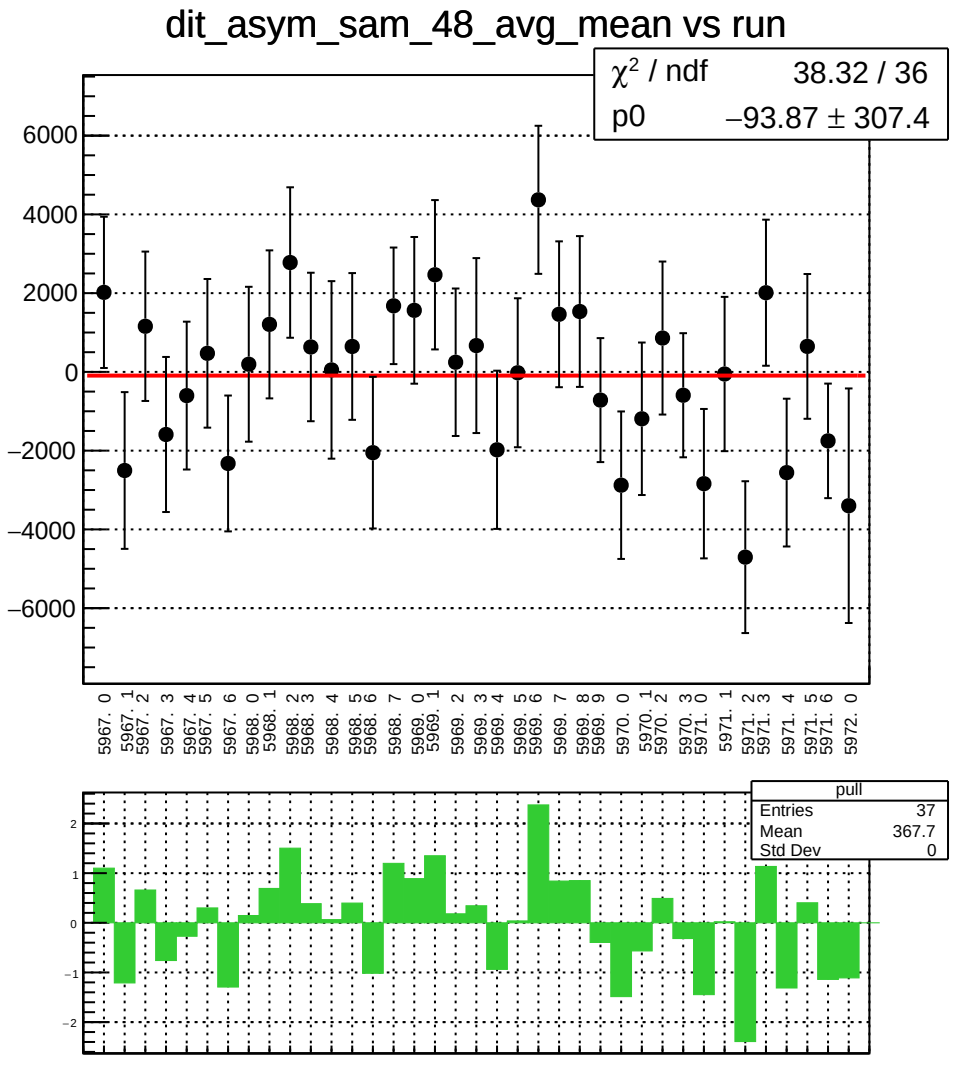
dit_asym_sam_48_avg_mean vs run
χ² / ndf 38.32 / 36
p0 −93.87 ± 307.4
6000
4000
2000
0
−2000
−4000
−6000
5967. 0
5967. 1
5967. 2
5967. 3
5967. 4
5967. 5
5967. 6
5968. 0
5968. 1
5968. 2
5968. 3
5968. 4
5968. 5
5968. 6
5968. 7
5969. 0
5969. 1
5969. 2
5969. 3
5969. 4
5969. 5
5969. 6
5969. 7
5969. 8
5969. 9
5970. 0
5970. 1
5970. 2
5970. 3
5971. 0
5971. 1
5971. 2
5971. 3
5971. 4
5971. 5
5971. 6
5972. 0
pull
Entries 37
Mean 367.7
Std Dev 0
2
1
0
−1
−2
pull1D
Entries 37
Mean −0.007884
Std Dev 1.018
9
8
7
6
5
4
3
2
1
0
−8
−6
−4
−2
0
2
4
6
8

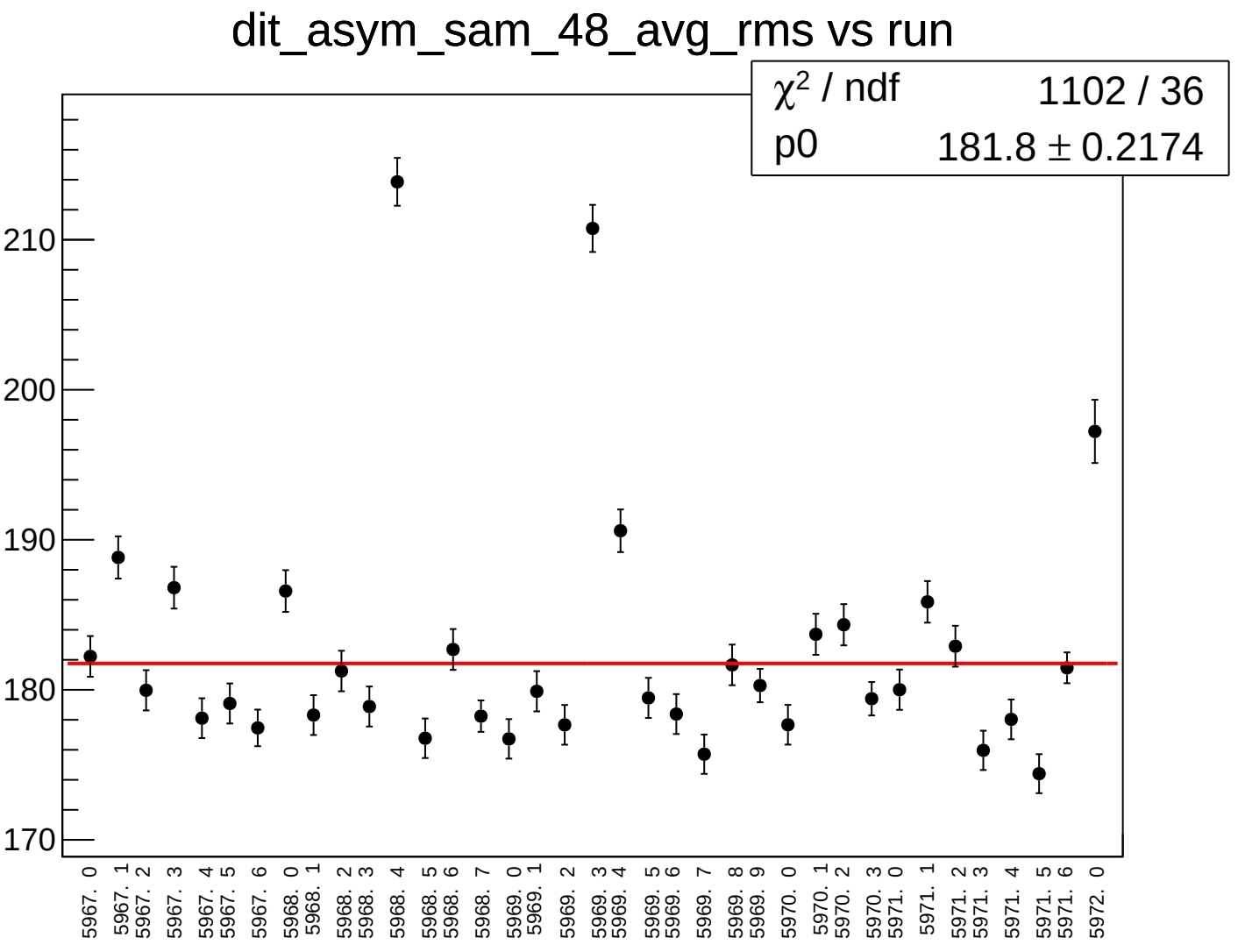
dit_asym_sam_48_avg_rms vs run
χ² / ndf 1102 / 36
p0 181.8 ± 0.2174
210
200
190
180
170
5967. 0
5967. 1
5967. 2
5967. 3
5967. 4
5967. 5
5967. 6
5968. 0
5968. 1
5968. 2
5968. 3
5968. 4
5968. 5
5968. 6
5968. 7
5969. 0
5969. 1
5969. 2
5969. 3
5969. 4
5969. 5
5969. 6
5969. 7
5969. 8
5969. 9
5970. 0
5970. 1
5970. 2
5970. 3
5971. 0
5971. 1
5971. 2
5971. 3
5971. 4
5971. 5
5971. 6
5972. 0

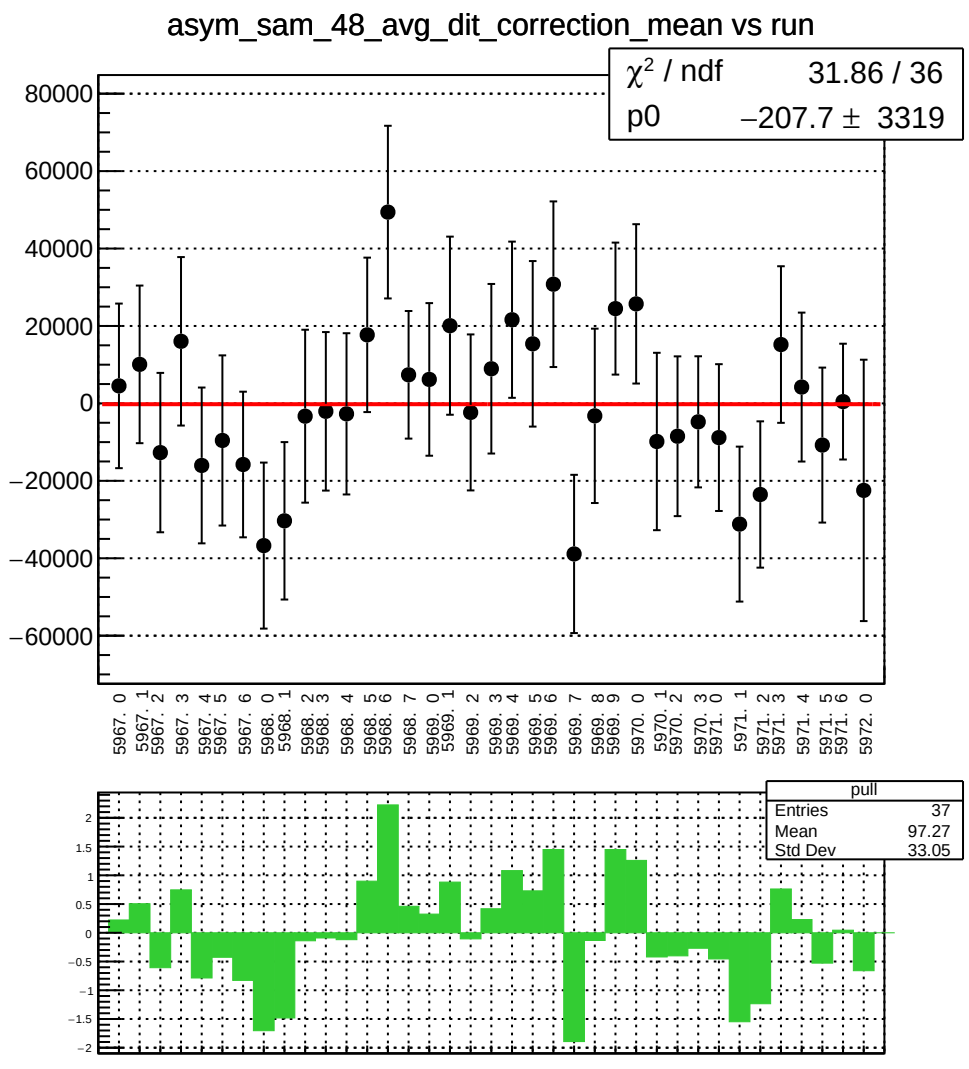
asym_sam_48_avg_dit_correction_mean vs run
χ² / ndf 31.86 / 36
p0 −207.7 ± 3319
80000
60000
40000
20000
0
−20000
−40000
−60000
5967. 0
5967. 1
5967. 2
5967. 3
5967. 4
5967. 5
5967. 6
5968. 0
5968. 1
5968. 2
5968. 3
5968. 4
5968. 5
5968. 6
5968. 7
5969. 0
5969. 1
5969. 2
5969. 3
5969. 4
5969. 5
5969. 6
5969. 7
5969. 8
5969. 9
5970. 0
5970. 1
5970. 2
5970. 3
5971. 0
5971. 1
5971. 2
5971. 3
5971. 4
5971. 5
5971. 6
5972. 0
pull
Entries 37
Mean 97.27
Std Dev 33.05
2
1.5
1
0.5
0
−0.5
−1
−1.5
−2
pull1D
Entries 37
Mean −0.003704
Std Dev 0.9279
8
7
6
5
4
3
2
1
0
−8
−6
−4
−2
0
2
4
6
8

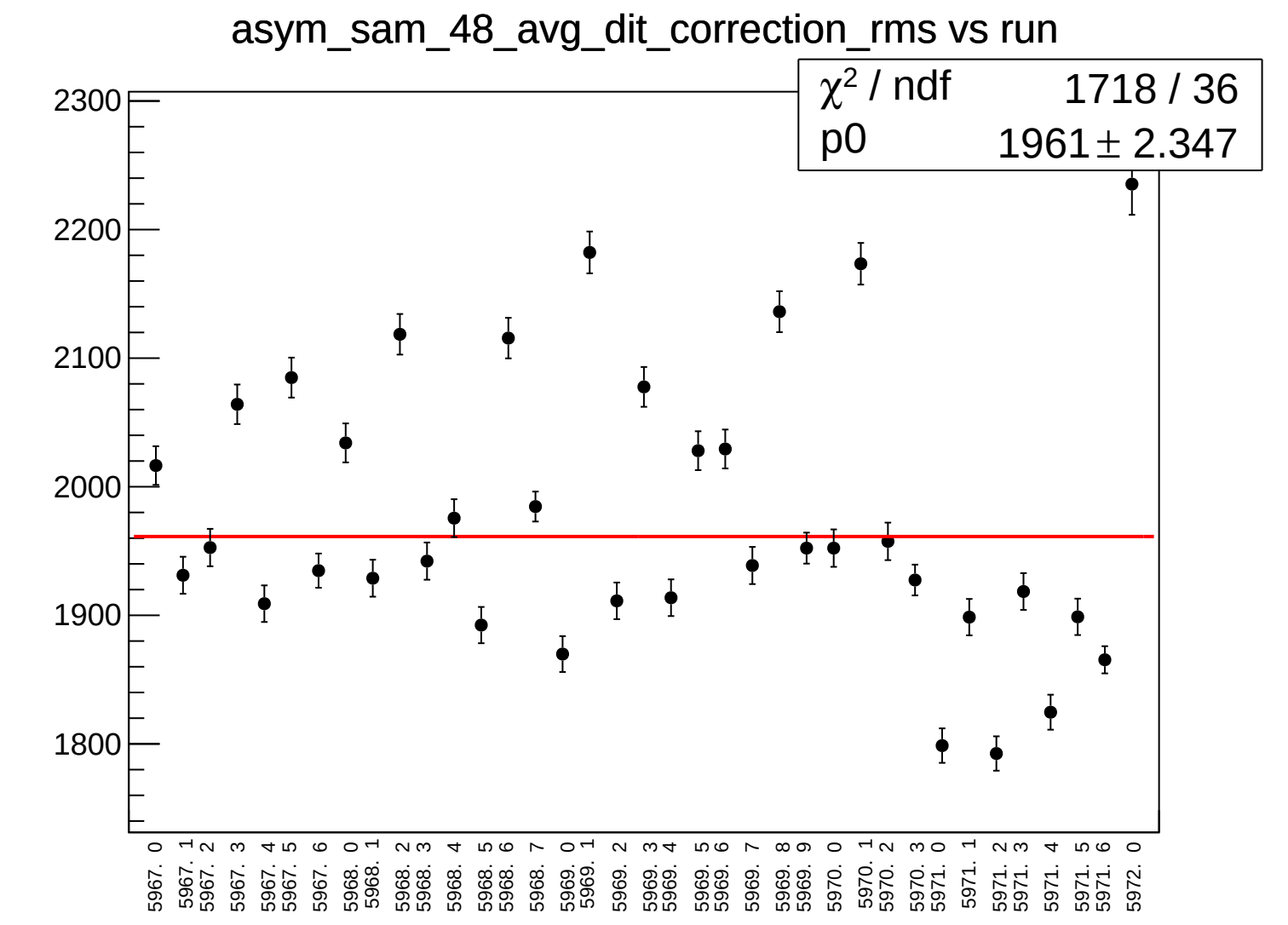
asym_sam_48_avg_dit_correction_rms vs run
χ² / ndf 1718 / 36
p0 1961 ± 2.347
2300
2200
2100
2000
1900
1800
5967. 0
5967. 1
5967. 2
5967. 3
5967. 4
5967. 5
5967. 6
5968. 0
5968. 1
5968. 2
5968. 3
5968. 4
5968. 5
5968. 6
5968. 7
5969. 0
5969. 1
5969. 2
5969. 3
5969. 4
5969. 5
5969. 6
5969. 7
5969. 8
5969. 9
5970. 0
5970. 1
5970. 2
5970. 3
5971. 0
5971. 1
5971. 2
5971. 3
5971. 4
5971. 5
5971. 6
5972. 0

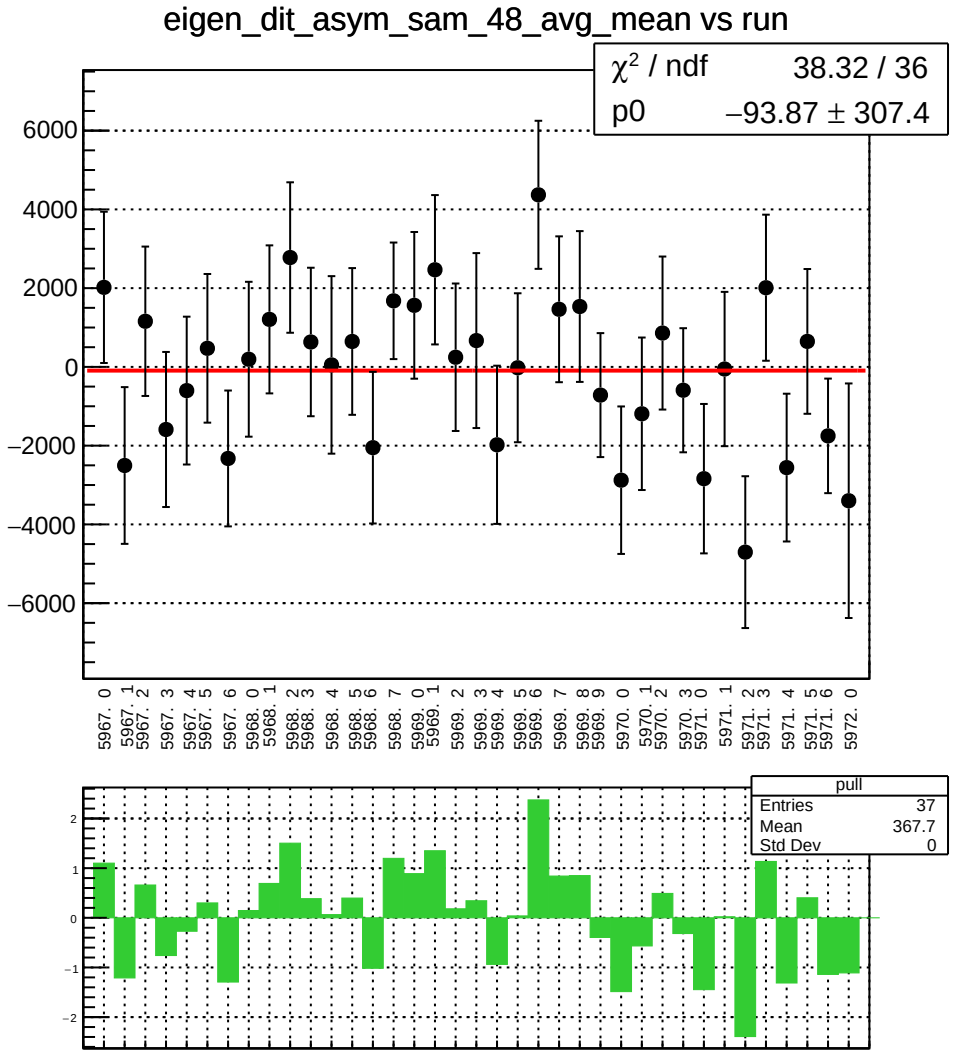
eigen_dit_asym_sam_48_avg_mean vs run
χ² / ndf 38.32 / 36
p0 −93.87 ± 307.4
6000
4000
2000
0
−2000
−4000
−6000
5967. 0
5967. 1
5967. 2
5967. 3
5967. 4
5967. 5
5967. 6
5968. 0
5968. 1
5968. 2
5968. 3
5968. 4
5968. 5
5968. 6
5968. 7
5969. 0
5969. 1
5969. 2
5969. 3
5969. 4
5969. 5
5969. 6
5969. 7
5969. 8
5969. 9
5970. 0
5970. 1
5970. 2
5970. 3
5971. 0
5971. 1
5971. 2
5971. 3
5971. 4
5971. 5
5971. 6
5972. 0
pull
Entries 37
Mean 367.7
Std Dev 0
2
1
0
−1
−2
pull1D
Entries 37
Mean −0.007884
Std Dev 1.018
9
8
7
6
5
4
3
2
1
0
−8
−6
−4
−2
0
2
4
6
8

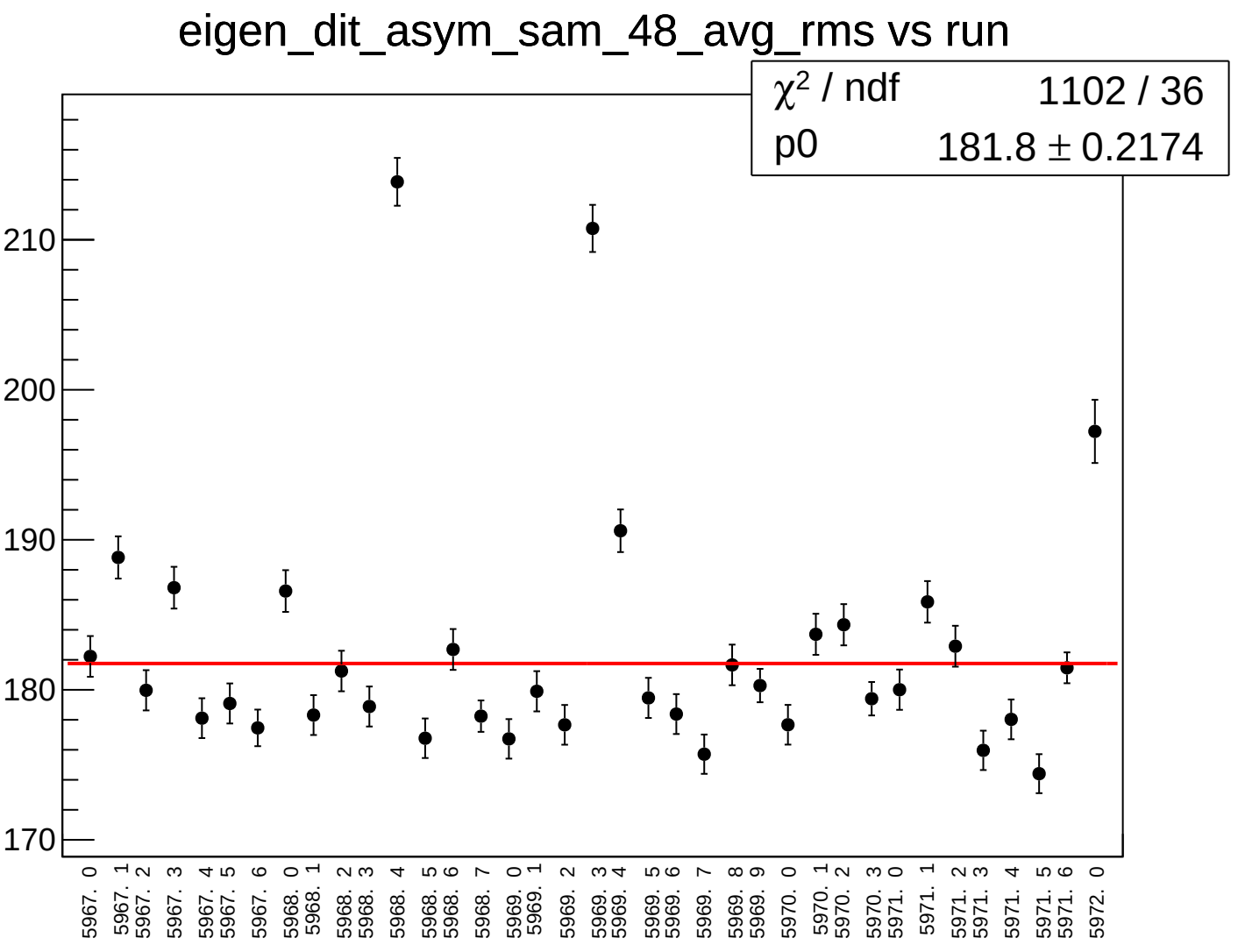
eigen_dit_asym_sam_48_avg_rms vs run
χ² / ndf 1102 / 36
p0 181.8 ± 0.2174
210
200
190
180
170
5967. 0
5967. 1
5967. 2
5967. 3
5967. 4
5967. 5
5967. 6
5968. 0
5968. 1
5968. 2
5968. 3
5968. 4
5968. 5
5968. 6
5968. 7
5969. 0
5969. 1
5969. 2
5969. 3
5969. 4
5969. 5
5969. 6
5969. 7
5969. 8
5969. 9
5970. 0
5970. 1
5970. 2
5970. 3
5971. 0
5971. 1
5971. 2
5971. 3
5971. 4
5971. 5
5971. 6
5972. 0

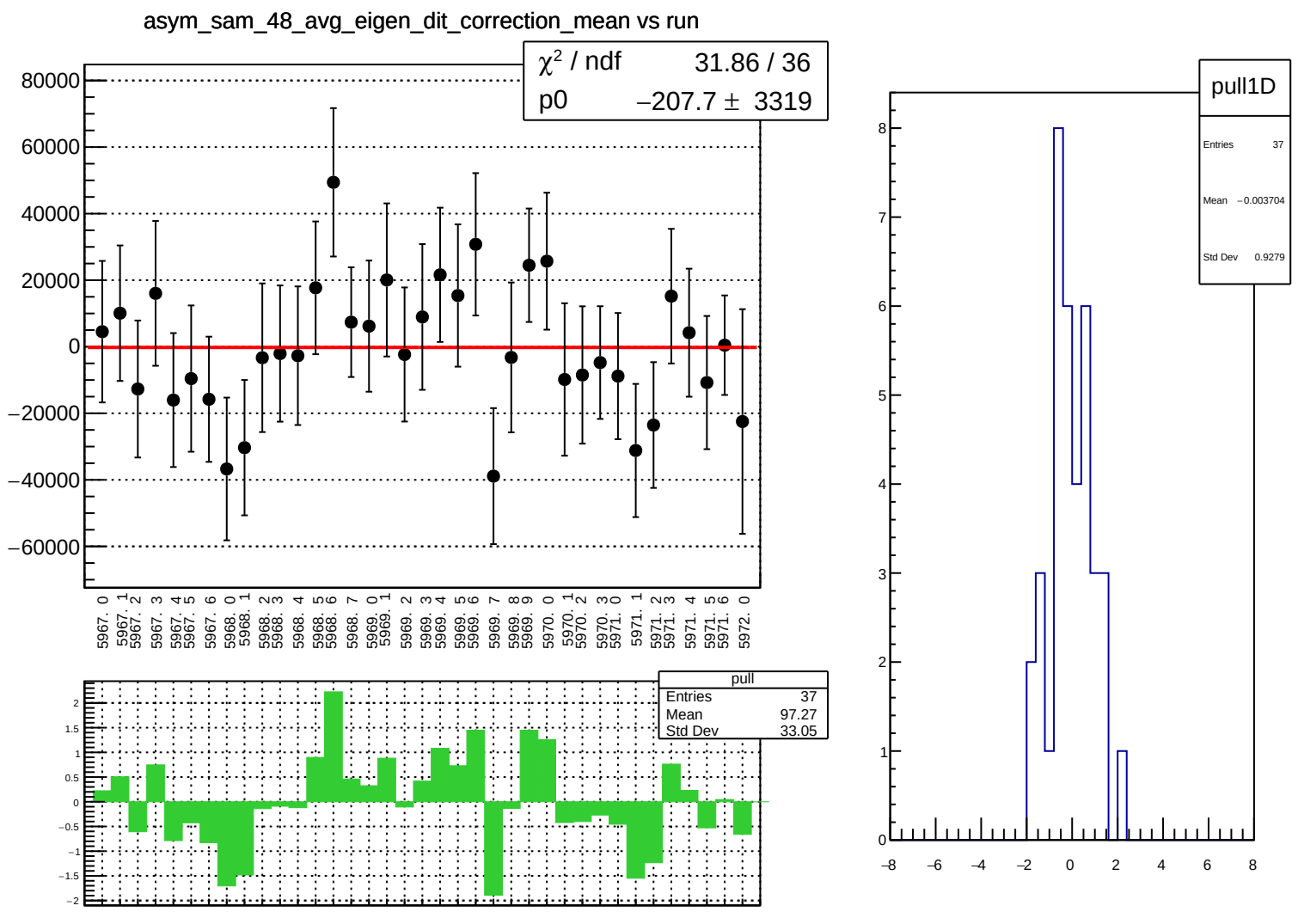
asym_sam_48_avg_eigen_dit_correction_mean vs run
χ² / ndf 31.86 / 36
p0 −207.7 ± 3319
80000
60000
40000
20000
0
−20000
−40000
−60000
5967. 0
5967. 1
5967. 2
5967. 3
5967. 4
5967. 5
5967. 6
5968. 0
5968. 1
5968. 2
5968. 3
5968. 4
5968. 5
5968. 6
5968. 7
5969. 0
5969. 1
5969. 2
5969. 3
5969. 4
5969. 5
5969. 6
5969. 7
5969. 8
5969. 9
5970. 0
5970. 1
5970. 2
5970. 3
5971. 0
5971. 1
5971. 2
5971. 3
5971. 4
5971. 5
5971. 6
5972. 0
pull
Entries 37
Mean 97.27
Std Dev 33.05
2
1.5
1
0.5
0
−0.5
−1
−1.5
−2
pull1D
Entries 37
Mean −0.003704
Std Dev 0.9279
8
7
6
5
4
3
2
1
0
−8
−6
−4
−2
0
2
4
6
8

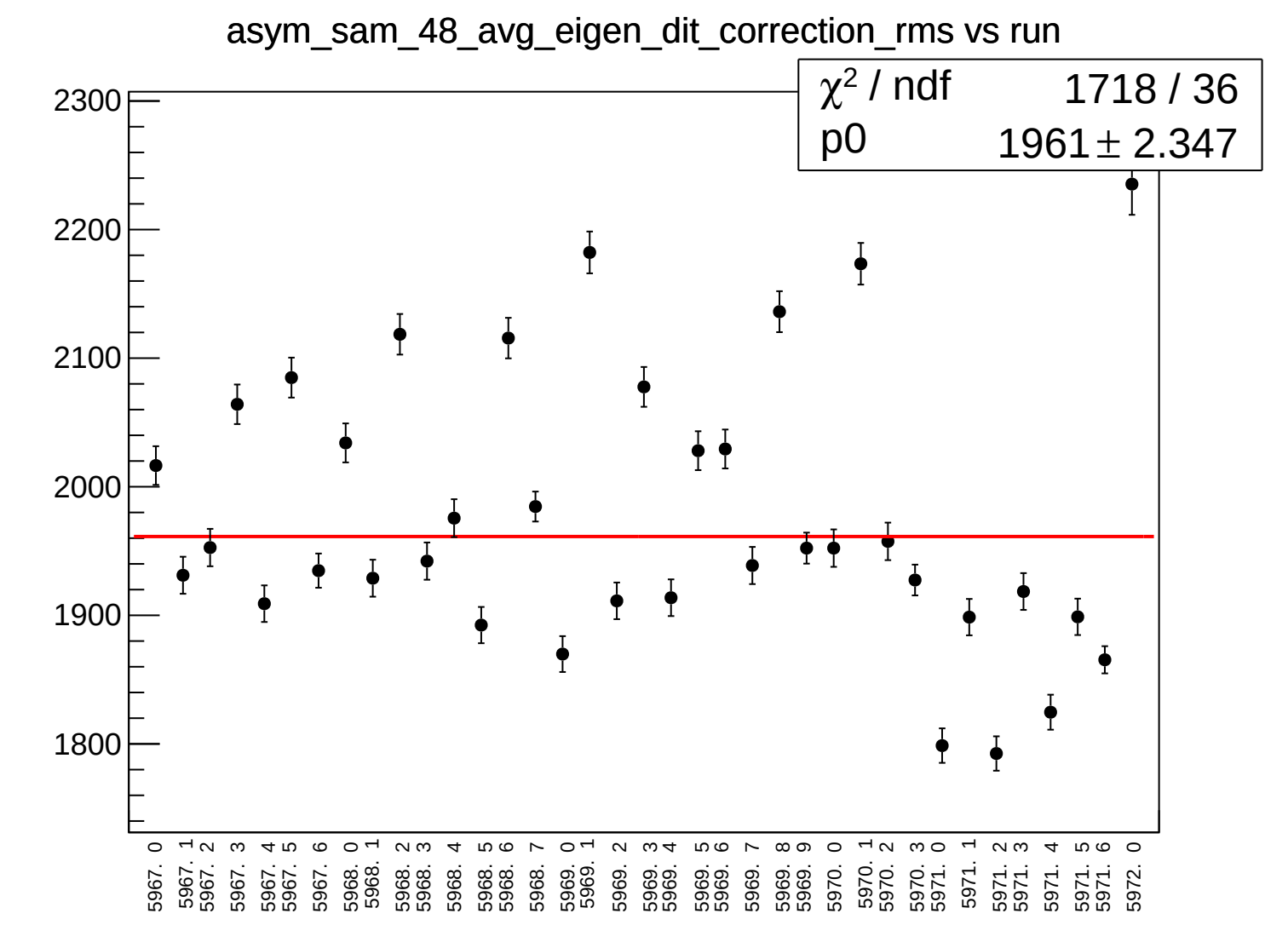
asym_sam_48_avg_eigen_dit_correction_rms vs run
χ² / ndf 1718 / 36
p0 1961 ± 2.347
2300
2200
2100
2000
1900
1800
5967. 0
5967. 1
5967. 2
5967. 3
5967. 4
5967. 5
5967. 6
5968. 0
5968. 1
5968. 2
5968. 3
5968. 4
5968. 5
5968. 6
5968. 7
5969. 0
5969. 1
5969. 2
5969. 3
5969. 4
5969. 5
5969. 6
5969. 7
5969. 8
5969. 9
5970. 0
5970. 1
5970. 2
5970. 3
5971. 0
5971. 1
5971. 2
5971. 3
5971. 4
5971. 5
5971. 6
5972. 0

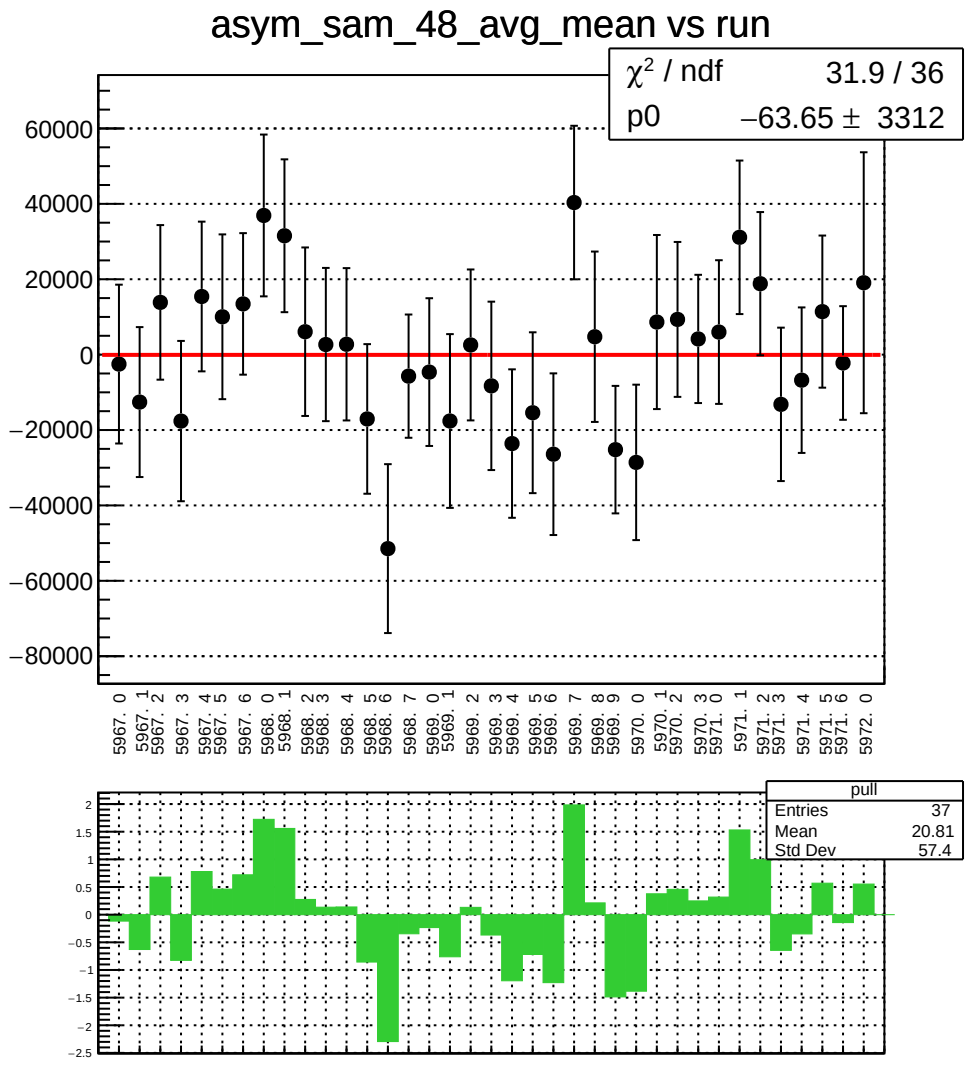
asym_sam_48_avg_mean vs run
χ² / ndf 31.9 / 36
p0 −63.65 ± 3312
60000
40000
20000
0
−20000
−40000
−60000
−80000
5967. 0
5967. 1
5967. 2
5967. 3
5967. 4
5967. 5
5967. 6
5968. 0
5968. 1
5968. 2
5968. 3
5968. 4
5968. 5
5968. 6
5968. 7
5969. 0
5969. 1
5969. 2
5969. 3
5969. 4
5969. 5
5969. 6
5969. 7
5969. 8
5969. 9
5970. 0
5970. 1
5970. 2
5970. 3
5971. 0
5971. 1
5971. 2
5971. 3
5971. 4
5971. 5
5971. 6
5972. 0
pull
Entries 37
Mean 20.81
Std Dev 57.4
2
1.5
1
0.5
0
−0.5
−1
−1.5
−2
−2.5

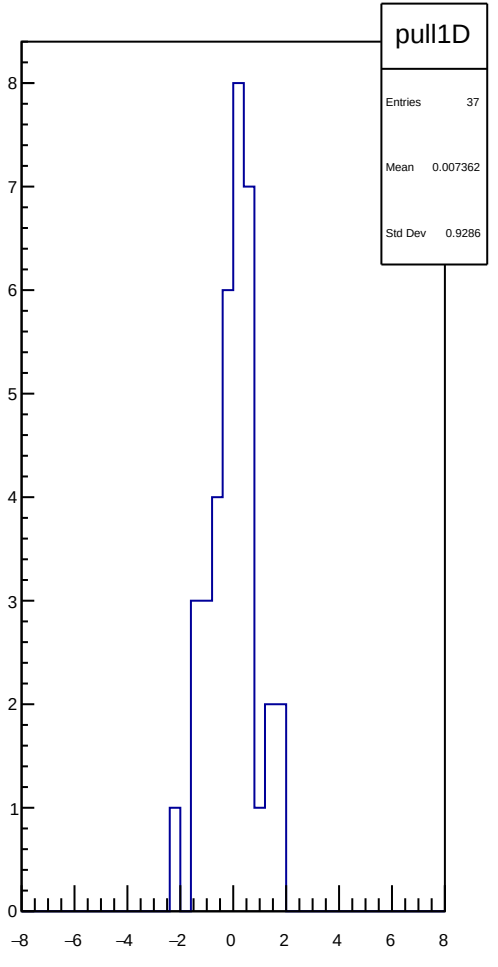
pull1D
Entries 37
Mean 0.007362
Std Dev 0.9286
8
7
6
5
4
3
2
1
0
−8
−6
−4
−2
0
2
4
6
8

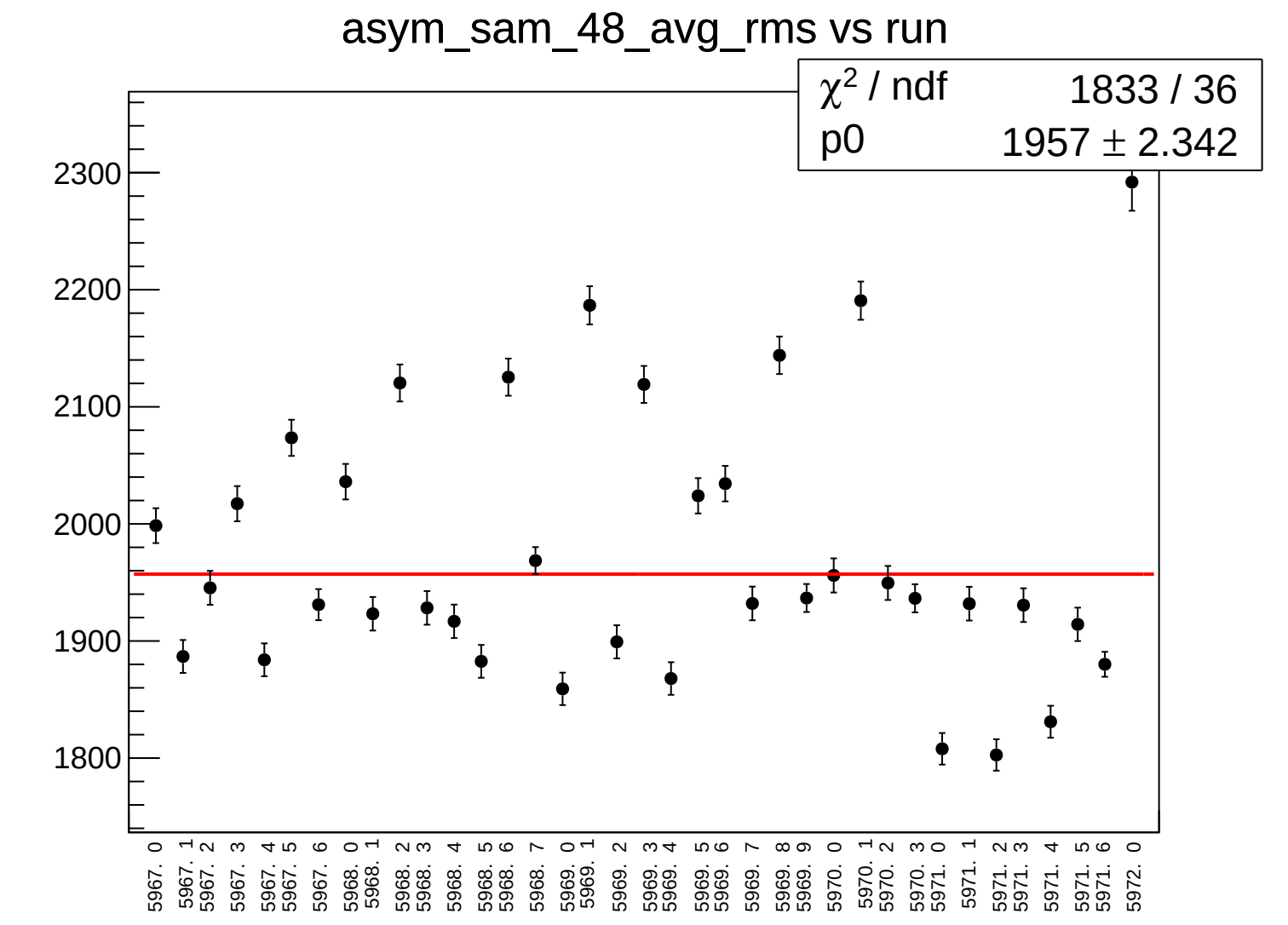
asym_sam_48_avg_rms vs run
χ² / ndf 1833 / 36
p0 1957 ± 2.342
2300
2200
2100
2000
1900
1800
5967. 0
5967. 1
5967. 2
5967. 3
5967. 4
5967. 5
5967. 6
5968. 0
5968. 1
5968. 2
5968. 3
5968. 4
5968. 5
5968. 6
5968. 7
5969. 0
5969. 1
5969. 2
5969. 3
5969. 4
5969. 5
5969. 6
5969. 7
5969. 8
5969. 9
5970. 0
5970. 1
5970. 2
5970. 3
5971. 0
5971. 1
5971. 2
5971. 3
5971. 4
5971. 5
5971. 6
5972. 0

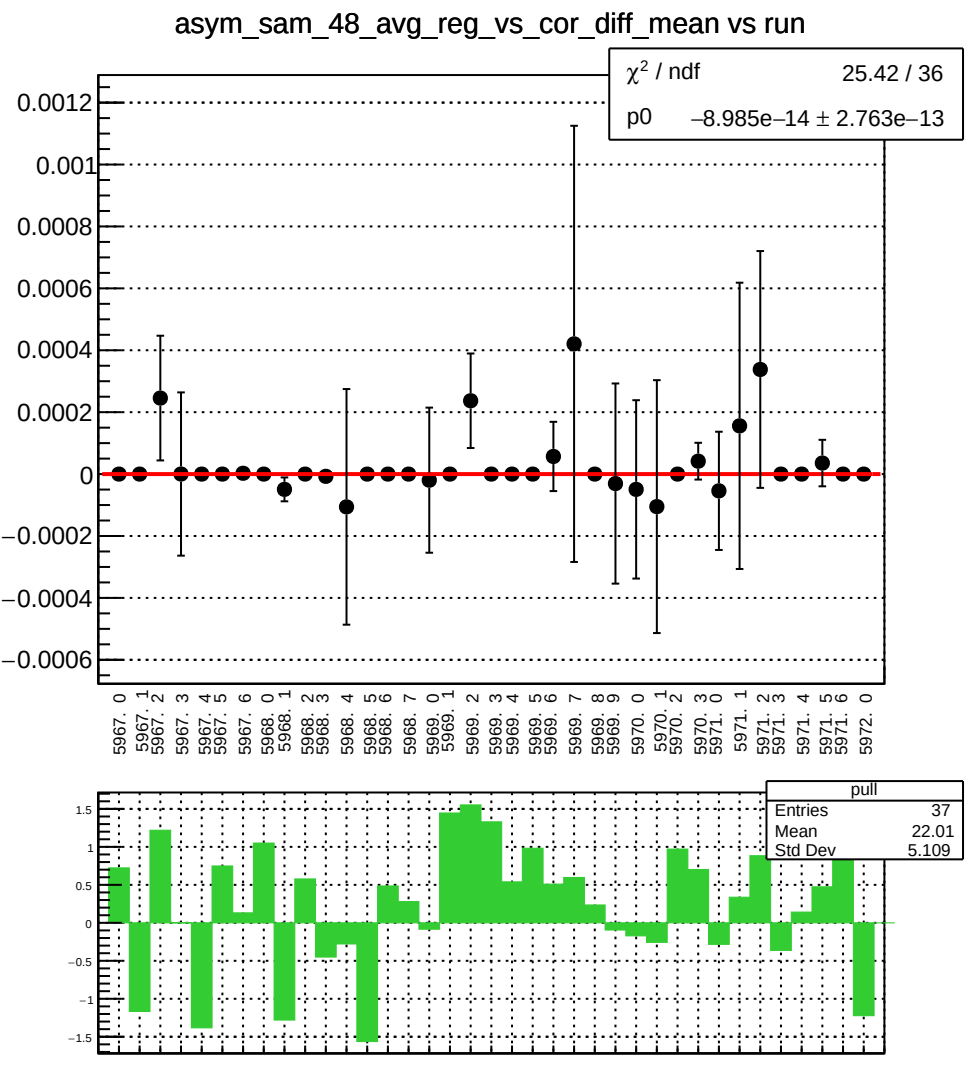
asym_sam_48_avg_reg_vs_cor_diff_mean vs run
χ² / ndf 25.42 / 36
p0 −8.985e−14 ± 2.763e−13
0.0012
0.001
0.0008
0.0006
0.0004
0.0002
0
−0.0002
−0.0004
−0.0006
5967. 0
5967. 1
5967. 2
5967. 3
5967. 4
5967. 5
5967. 6
5968. 0
5968. 1
5968. 2
5968. 3
5968. 4
5968. 5
5968. 6
5968. 7
5969. 0
5969. 1
5969. 2
5969. 3
5969. 4
5969. 5
5969. 6
5969. 7
5969. 8
5969. 9
5970. 0
5970. 1
5970. 2
5970. 3
5971. 0
5971. 1
5971. 2
5971. 3
5971. 4
5971. 5
5971. 6
5972. 0
pull
Entries 37
Mean 22.01
Std Dev 5.109
1.5
1
0.5
0
−0.5
−1
−1.5
pull1D
Entries 37
Mean 0.2228
Std Dev 0.7983
9
8
7
6
5
4
3
2
1
0
−8
−6
−4
−2
0
2
4
6
8

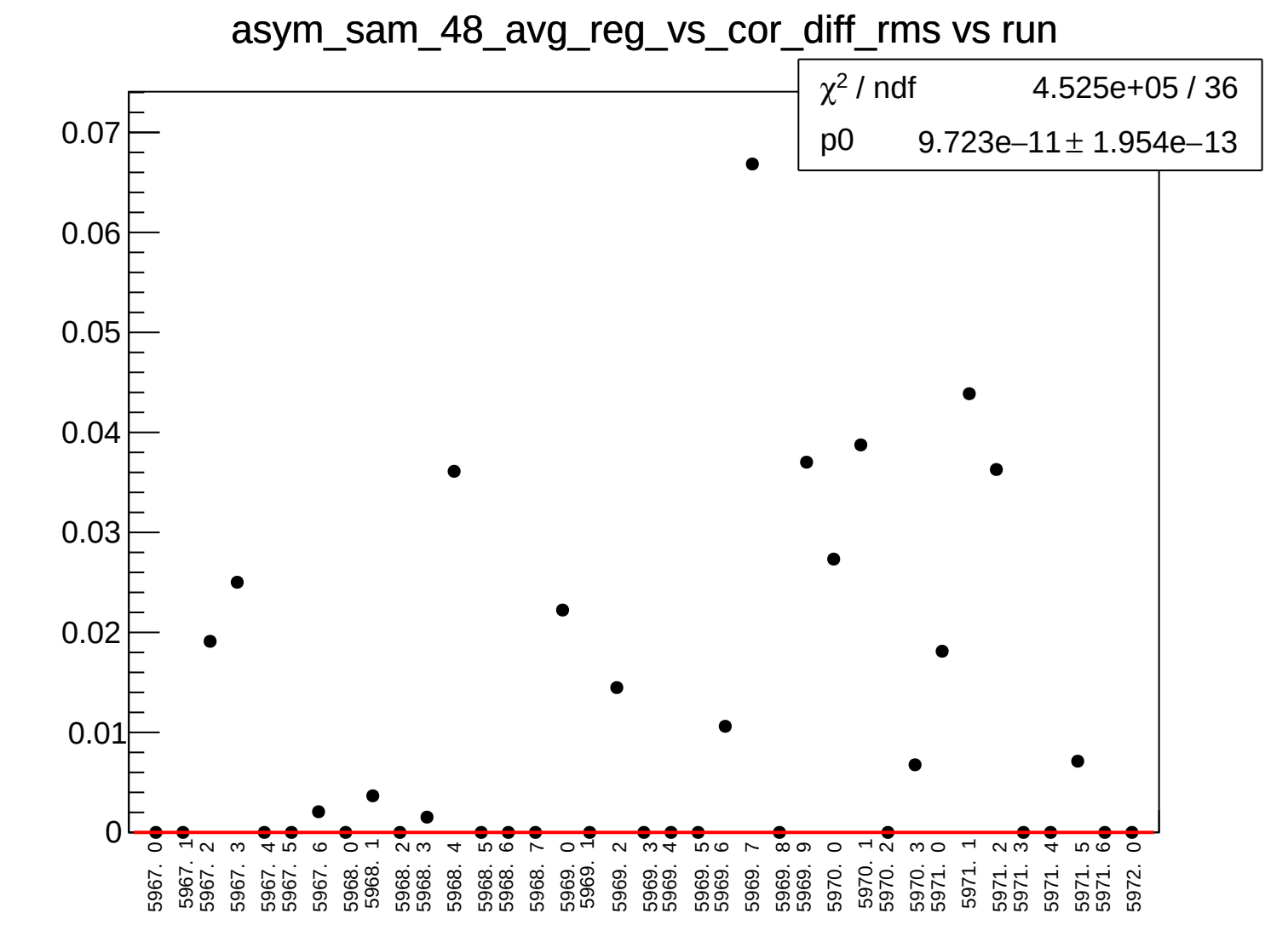
asym_sam_48_avg_reg_vs_cor_diff_rms vs run
χ² / ndf 4.525e+05 / 36
p0 9.723e−11 ± 1.954e−13
0.07
0.06
0.05
0.04
0.03
0.02
0.01
0
5967. 0
5967. 1
5967. 2
5967. 3
5967. 4
5967. 5
5967. 6
5968. 0
5968. 1
5968. 2
5968. 3
5968. 4
5968. 5
5968. 6
5968. 7
5969. 0
5969. 1
5969. 2
5969. 3
5969. 4
5969. 5
5969. 6
5969. 7
5969. 8
5969. 9
5970. 0
5970. 1
5970. 2
5970. 3
5971. 0
5971. 1
5971. 2
5971. 3
5971. 4
5971. 5
5971. 6
5972. 0

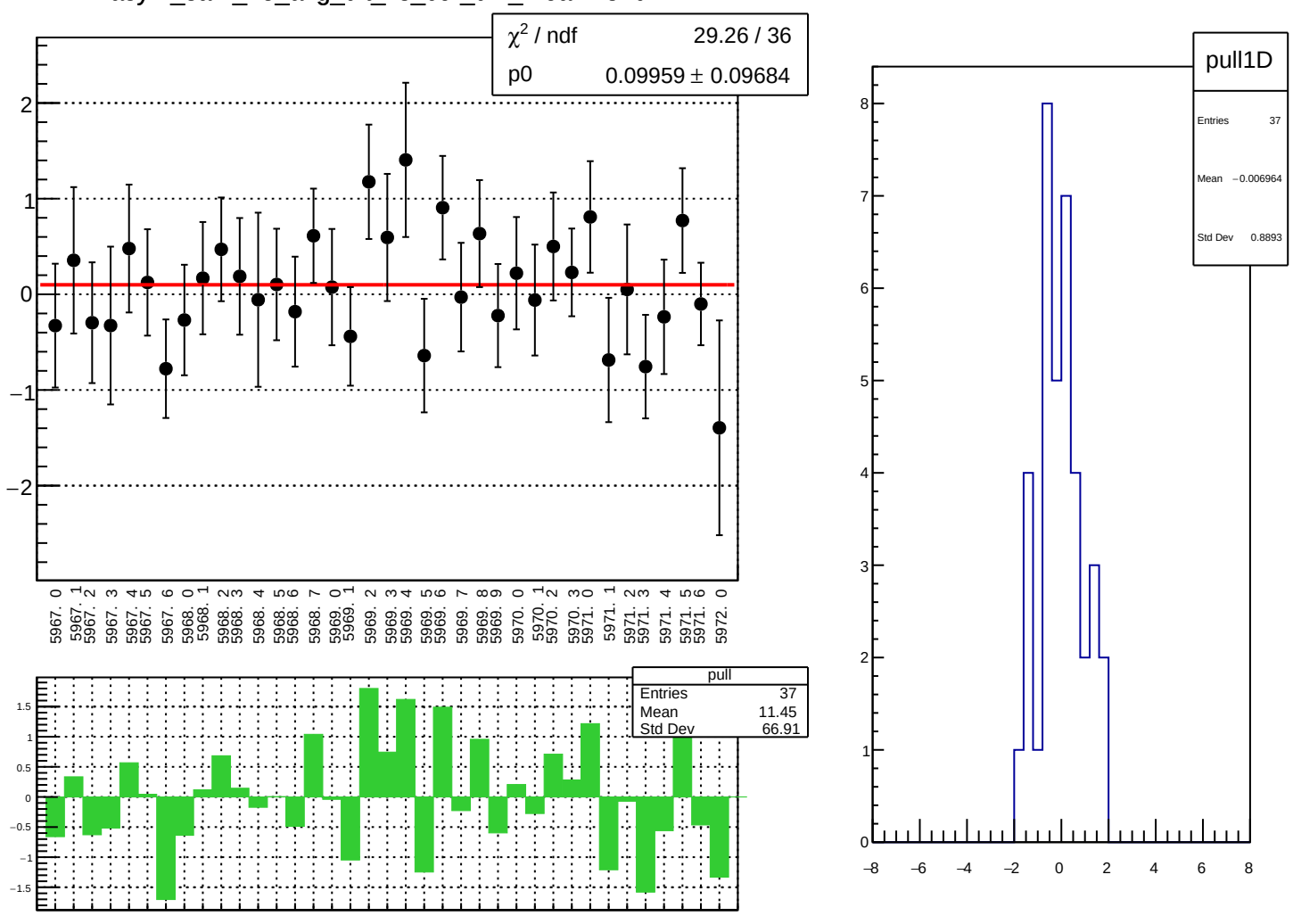
asym_sam_48_avg_dit_vs_cor_diff_mean vs run
χ² / ndf 29.26 / 36
p0 0.09959 ± 0.09684
pull
Entries 37
Mean 11.45
Std Dev 66.91
pull1D
Entries 37
Mean −0.006964
Std Dev 0.8893

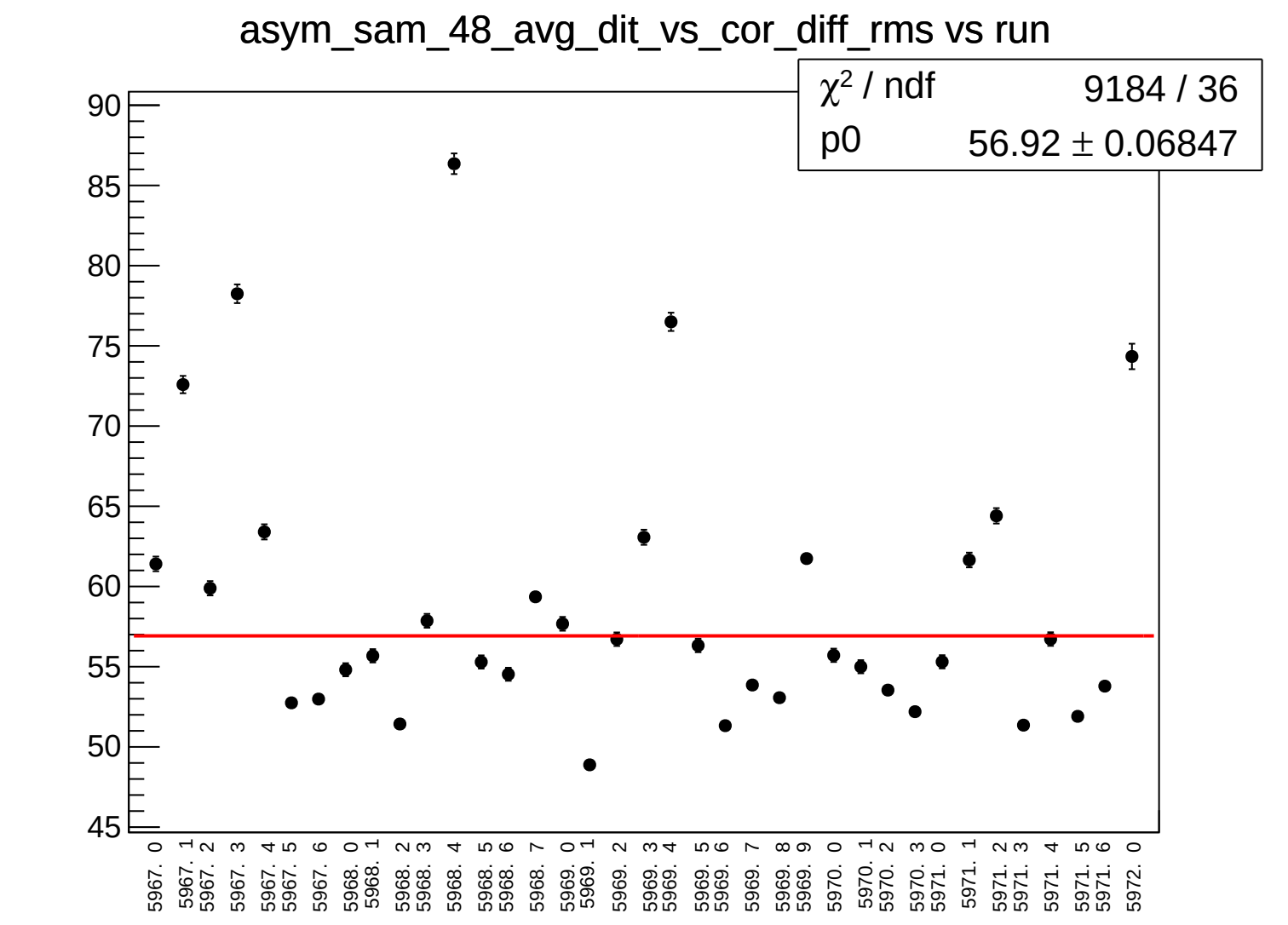
asym_sam_48_avg_dit_vs_cor_diff_rms vs run
χ² / ndf 9184 / 36
p0 56.92 ± 0.06847
90
85
80
75
70
65
60
55
50
45
5967. 0
5967. 1
5967. 2
5967. 3
5967. 4
5967. 5
5967. 6
5968. 0
5968. 1
5968. 2
5968. 3
5968. 4
5968. 5
5968. 6
5968. 7
5969. 0
5969. 1
5969. 2
5969. 3
5969. 4
5969. 5
5969. 6
5969. 7
5969. 8
5969. 9
5970. 0
5970. 1
5970. 2
5970. 3
5971. 0
5971. 1
5971. 2
5971. 3
5971. 4
5971. 5
5971. 6
5972. 0

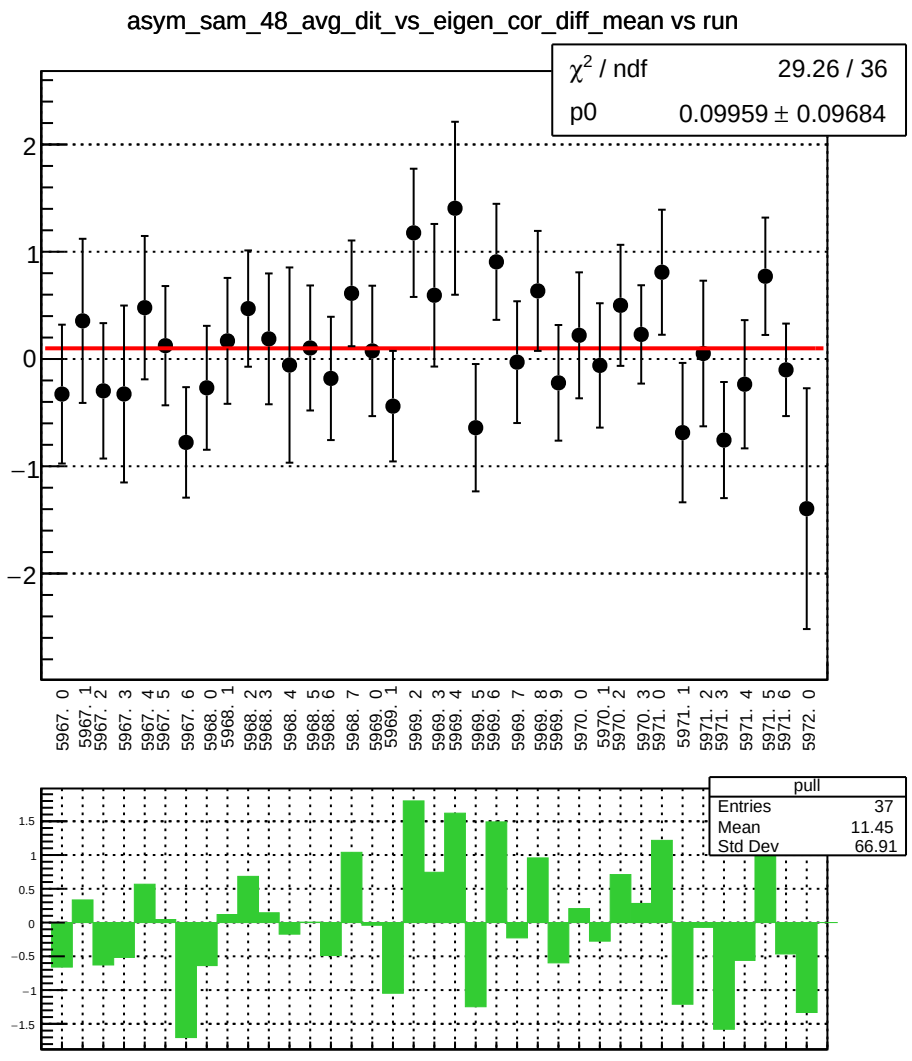
asym_sam_48_avg_dit_vs_eigen_cor_diff_mean vs run
χ² / ndf 29.26 / 36
p0 0.09959 ± 0.09684
pull
Entries 37
Mean 11.45
Std Dev 66.91

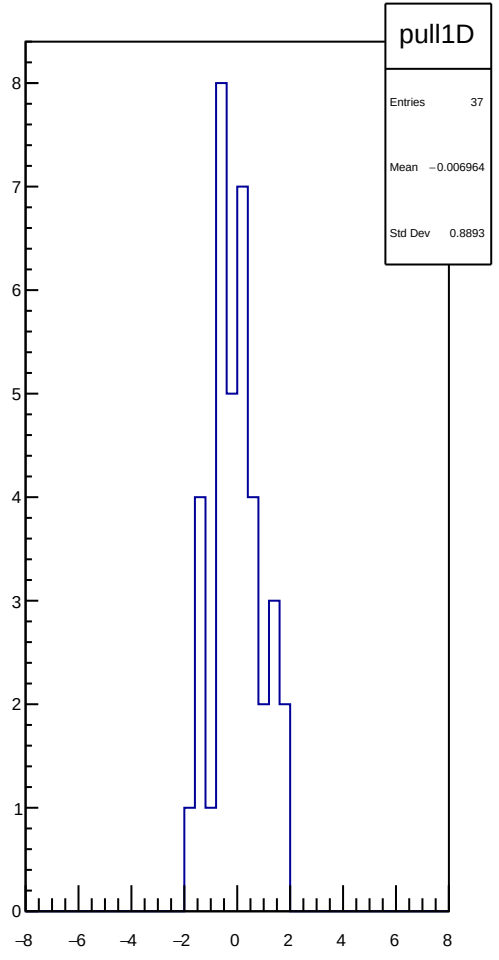
pull1D
Entries 37
Mean −0.006964
Std Dev 0.8893

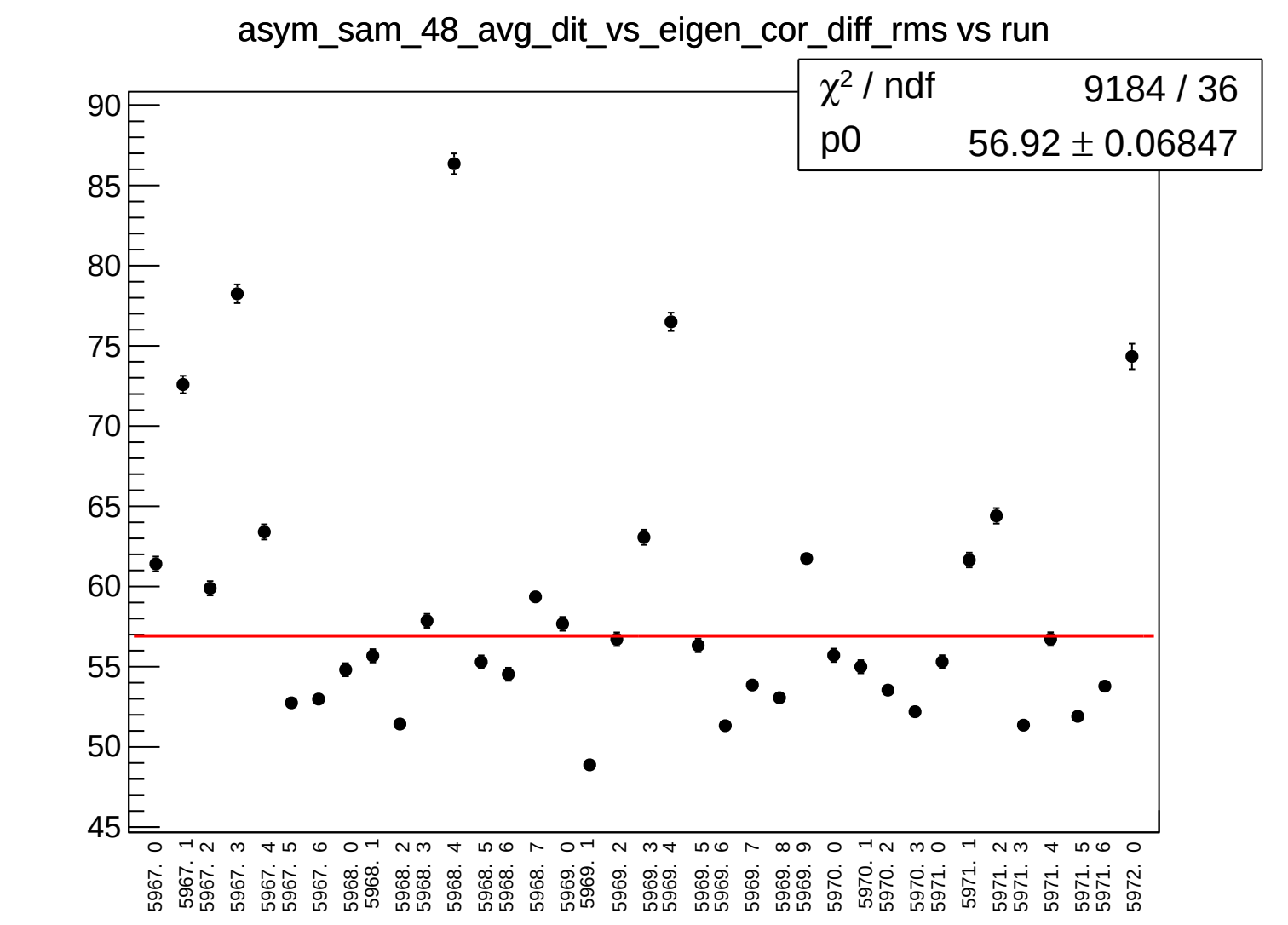
asym_sam_48_avg_dit_vs_eigen_cor_diff_rms vs run
χ² / ndf 9184 / 36
p0 56.92 ± 0.06847
90
85
80
75
70
65
60
55
50
45
5967. 0
5967. 1
5967. 2
5967. 3
5967. 4
5967. 5
5967. 6
5968. 0
5968. 1
5968. 2
5968. 3
5968. 4
5968. 5
5968. 6
5968. 7
5969. 0
5969. 1
5969. 2
5969. 3
5969. 4
5969. 5
5969. 6
5969. 7
5969. 8
5969. 9
5970. 0
5970. 1
5970. 2
5970. 3
5971. 0
5971. 1
5971. 2
5971. 3
5971. 4
5971. 5
5971. 6
5972. 0

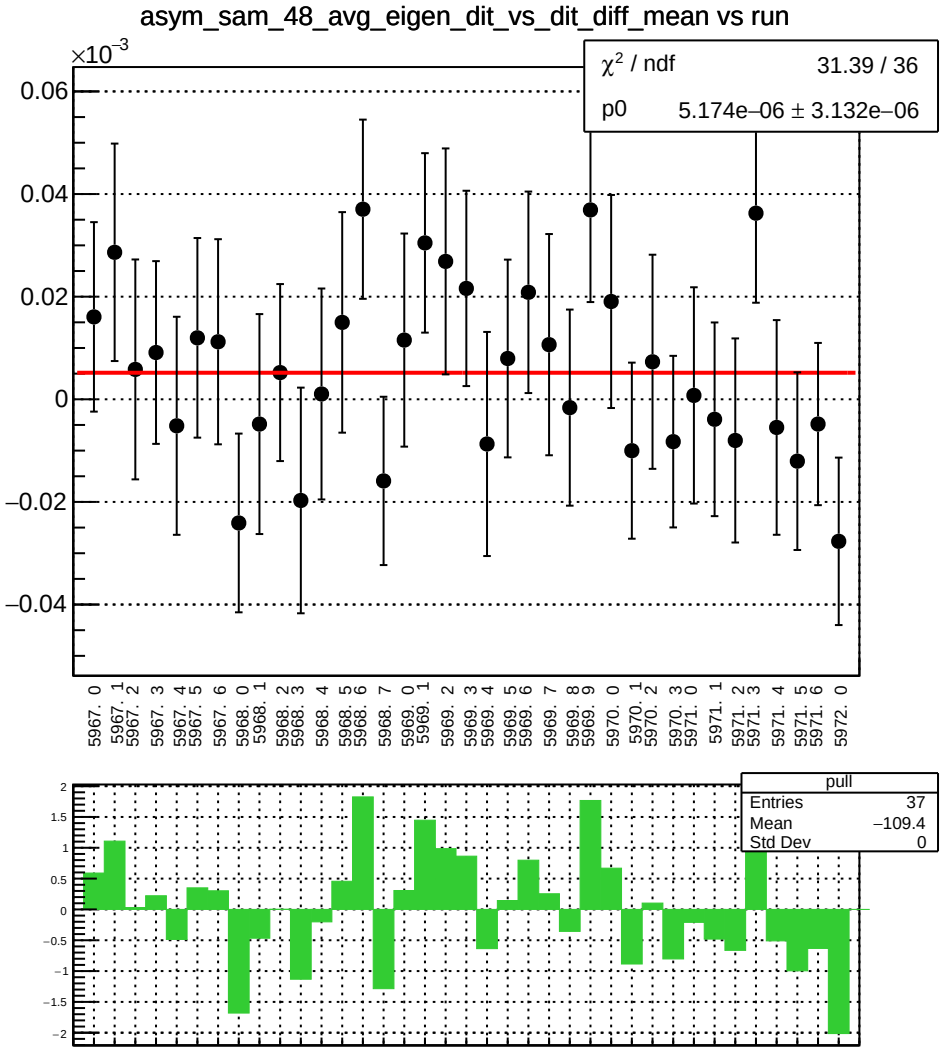
asym_sam_48_avg_eigen_dit_vs_dit_diff_mean vs run
×10⁻³
χ² / ndf 31.39 / 36
p0 5.174e−06 ± 3.132e−06
0.06
0.04
0.02
0
−0.02
−0.04
5967. 0
5967. 1
5967. 2
5967. 3
5967. 4
5967. 5
5967. 6
5968. 0
5968. 1
5968. 2
5968. 3
5968. 4
5968. 5
5968. 6
5968. 7
5969. 0
5969. 1
5969. 2
5969. 3
5969. 4
5969. 5
5969. 6
5969. 7
5969. 8
5969. 9
5970. 0
5970. 1
5970. 2
5970. 3
5971. 0
5971. 1
5971. 2
5971. 3
5971. 4
5971. 5
5971. 6
5972. 0
pull
Entries 37
Mean −109.4
Std Dev 0
2
1.5
1
0.5
0
−0.5
−1
−1.5
−2

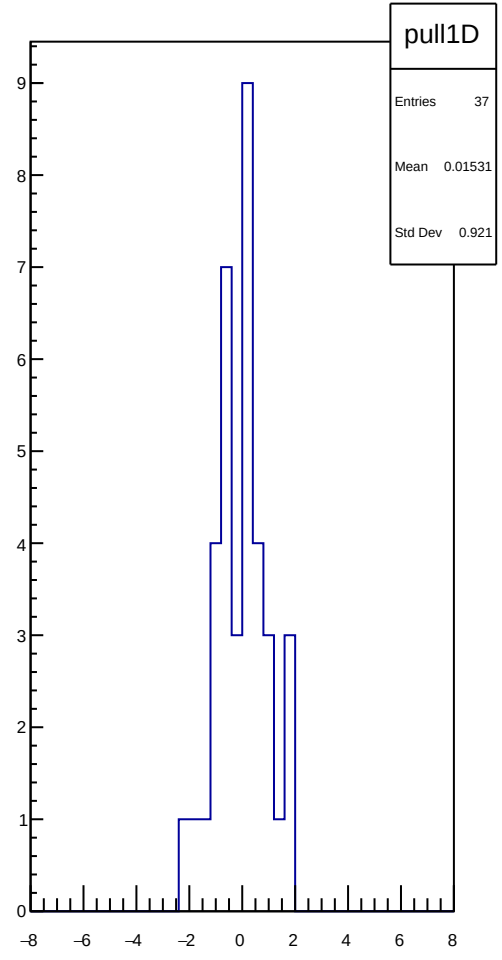
pull1D
Entries 37
Mean 0.01531
Std Dev 0.921
9
8
7
6
5
4
3
2
1
0
−8
−6
−4
−2
0
2
4
6
8

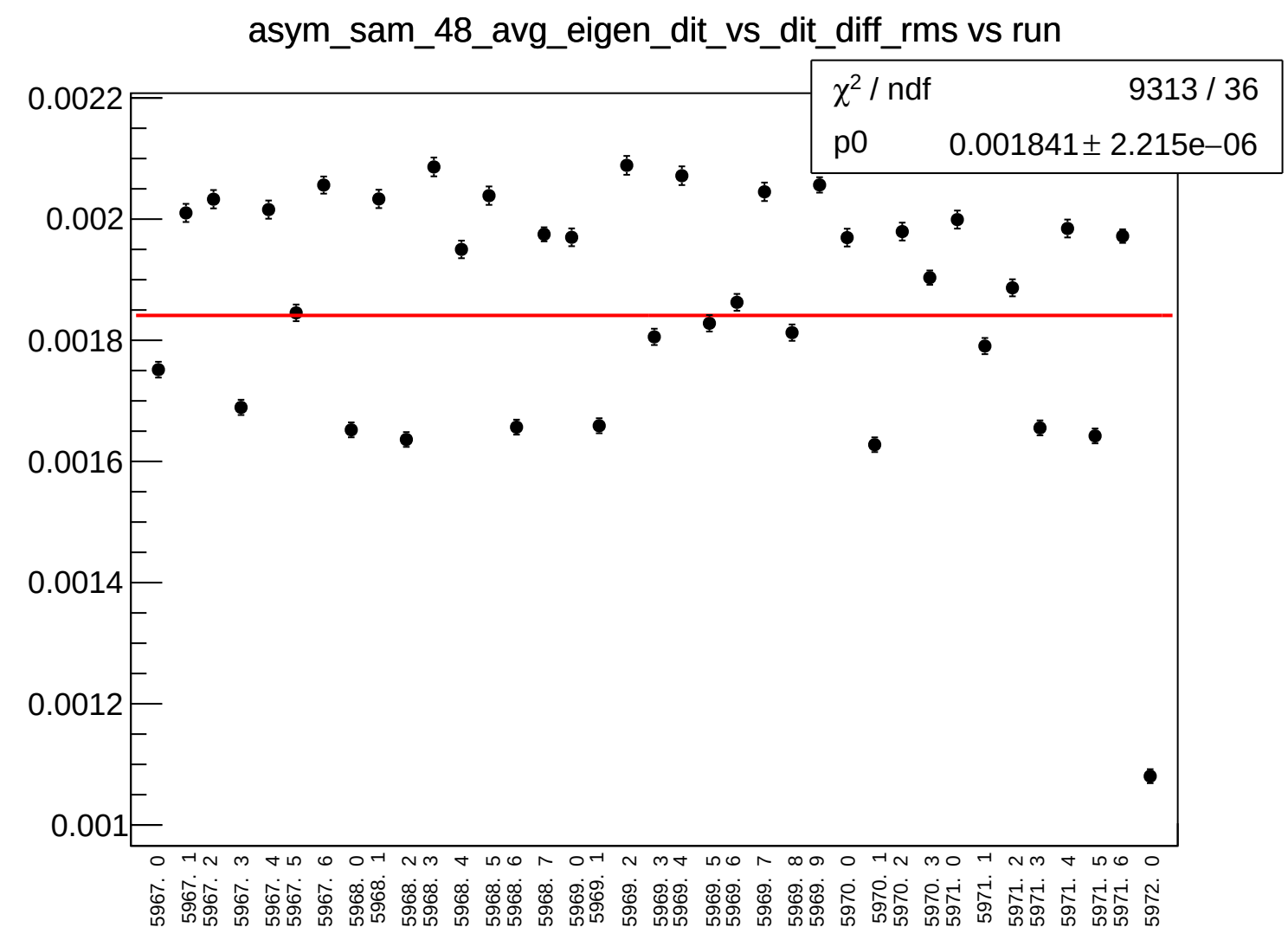
asym_sam_48_avg_eigen_dit_vs_dit_diff_rms vs run
χ² / ndf 9313 / 36
p0 0.001841 ± 2.215e−06
0.0022
0.002
0.0018
0.0016
0.0014
0.0012
0.001
5967. 0
5967. 1
5967. 2
5967. 3
5967. 4
5967. 5
5967. 6
5968. 0
5968. 1
5968. 2
5968. 3
5968. 4
5968. 5
5968. 6
5968. 7
5969. 0
5969. 1
5969. 2
5969. 3
5969. 4
5969. 5
5969. 6
5969. 7
5969. 8
5969. 9
5970. 0
5970. 1
5970. 2
5970. 3
5971. 0
5971. 1
5971. 2
5971. 3
5971. 4
5971. 5
5971. 6
5972. 0

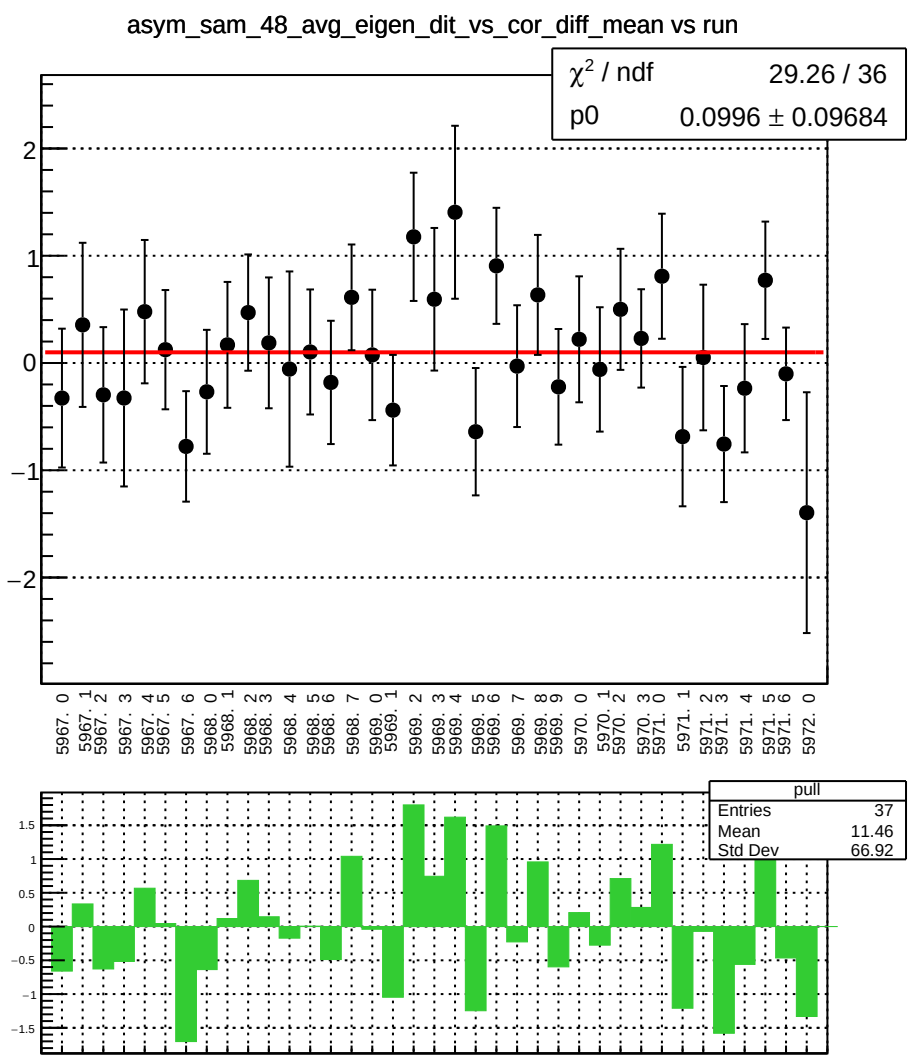
asym_sam_48_avg_eigen_dit_vs_cor_diff_mean vs run
χ² / ndf 29.26 / 36
p0 0.0996 ± 0.09684
pull
Entries 37
Mean 11.46
Std Dev 66.92

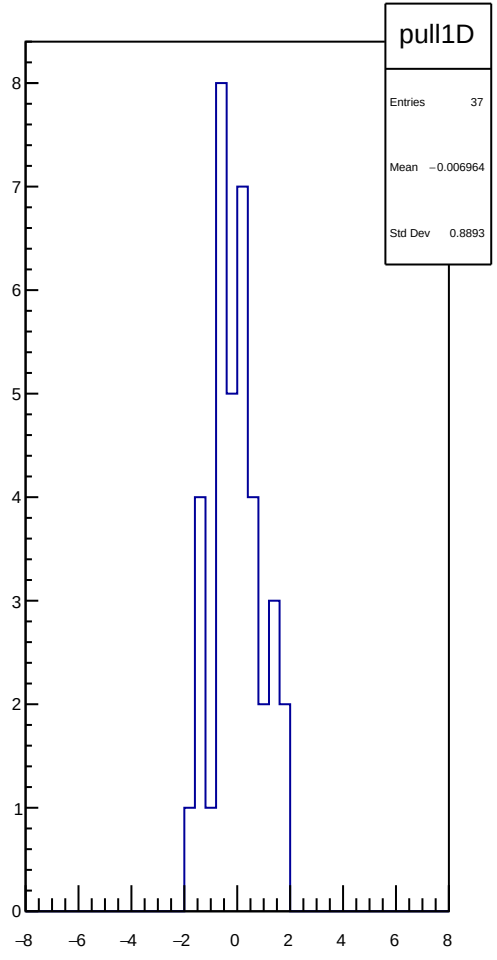
pull1D
Entries 37
Mean −0.006964
Std Dev 0.8893

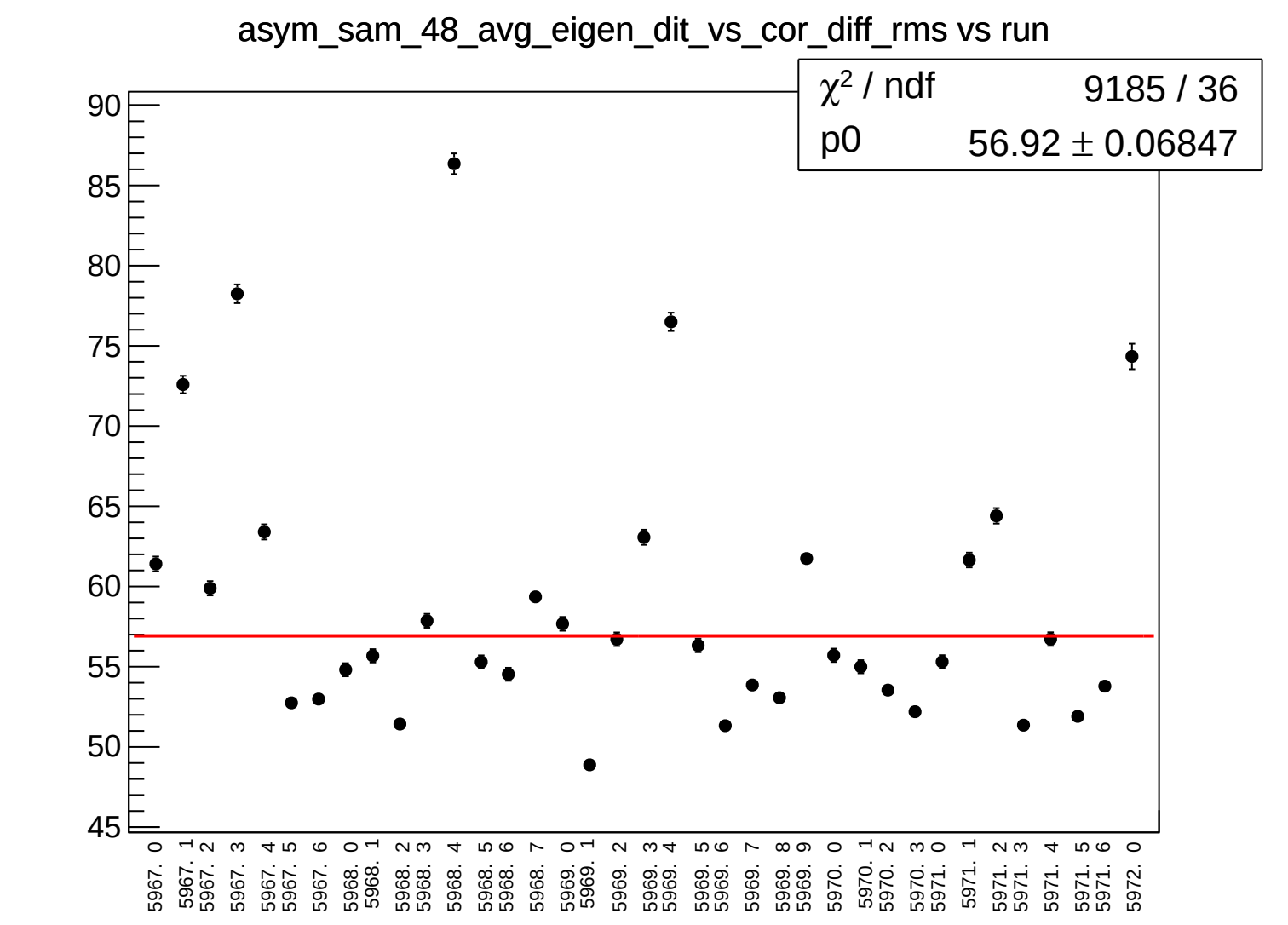
asym_sam_48_avg_eigen_dit_vs_cor_diff_rms vs run
χ² / ndf 9185 / 36
p0 56.92 ± 0.06847
90
85
80
75
70
65
60
55
50
45
5967. 0
5967. 1
5967. 2
5967. 3
5967. 4
5967. 5
5967. 6
5968. 0
5968. 1
5968. 2
5968. 3
5968. 4
5968. 5
5968. 6
5968. 7
5969. 0
5969. 1
5969. 2
5969. 3
5969. 4
5969. 5
5969. 6
5969. 7
5969. 8
5969. 9
5970. 0
5970. 1
5970. 2
5970. 3
5971. 0
5971. 1
5971. 2
5971. 3
5971. 4
5971. 5
5971. 6
5972. 0

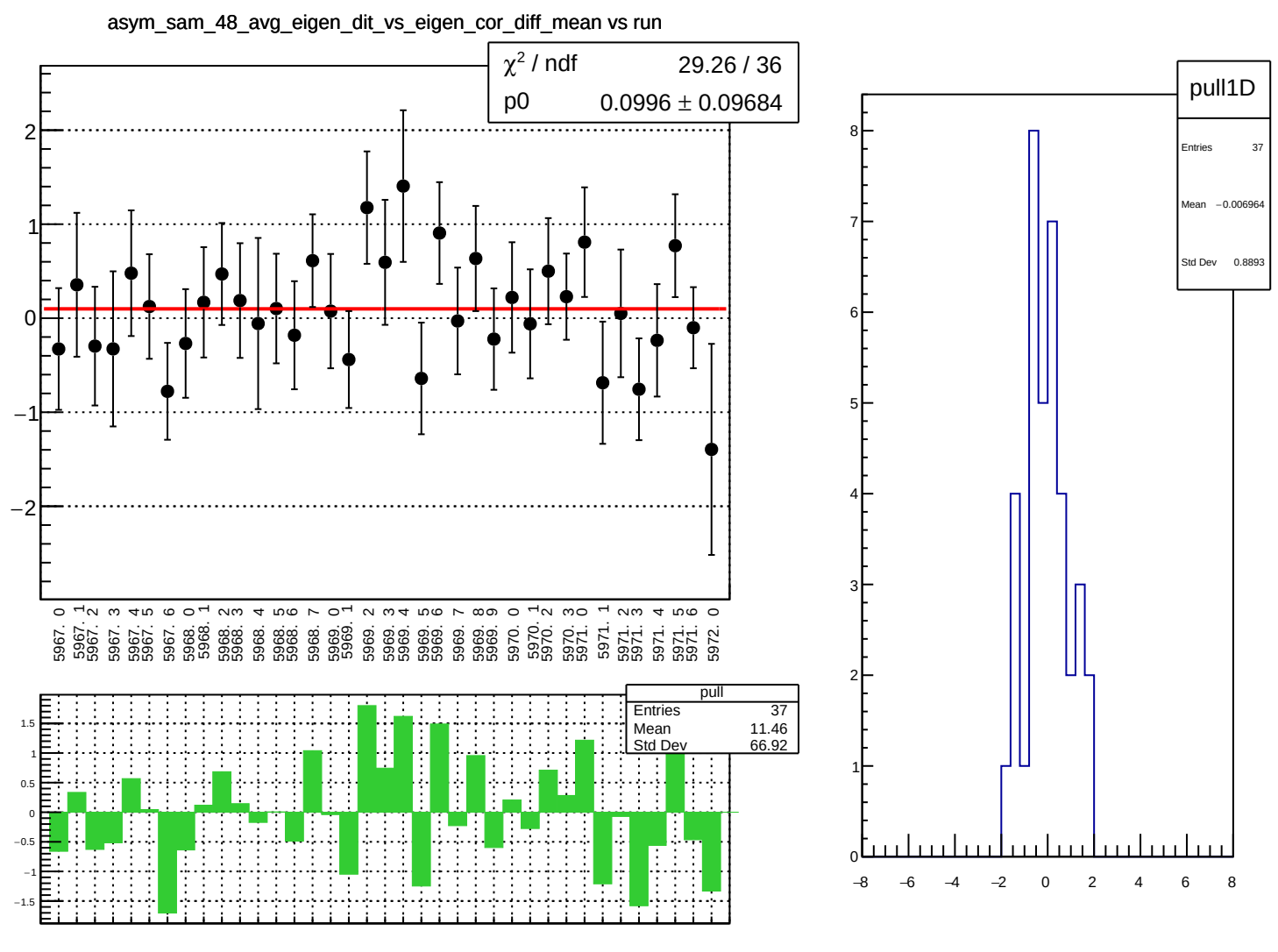
asym_sam_48_avg_eigen_dit_vs_eigen_cor_diff_mean vs run
χ² / ndf 29.26 / 36
p0 0.0996 ± 0.09684
2
1
0
−1
−2
5967. 0
5967. 1
5967. 2
5967. 3
5967. 4
5967. 5
5967. 6
5968. 0
5968. 1
5968. 2
5968. 3
5968. 4
5968. 5
5968. 6
5968. 7
5969. 0
5969. 1
5969. 2
5969. 3
5969. 4
5969. 5
5969. 6
5969. 7
5969. 8
5969. 9
5970. 0
5970. 1
5970. 2
5970. 3
5971. 0
5971. 1
5971. 2
5971. 3
5971. 4
5971. 5
5971. 6
5972. 0
pull
Entries 37
Mean 11.46
Std Dev 66.92
1.5
1
0.5
0
−0.5
−1
−1.5
pull1D
Entries 37
Mean −0.006964
Std Dev 0.8893
8
7
6
5
4
3
2
1
0
−8
−6
−4
−2
0
2
4
6
8

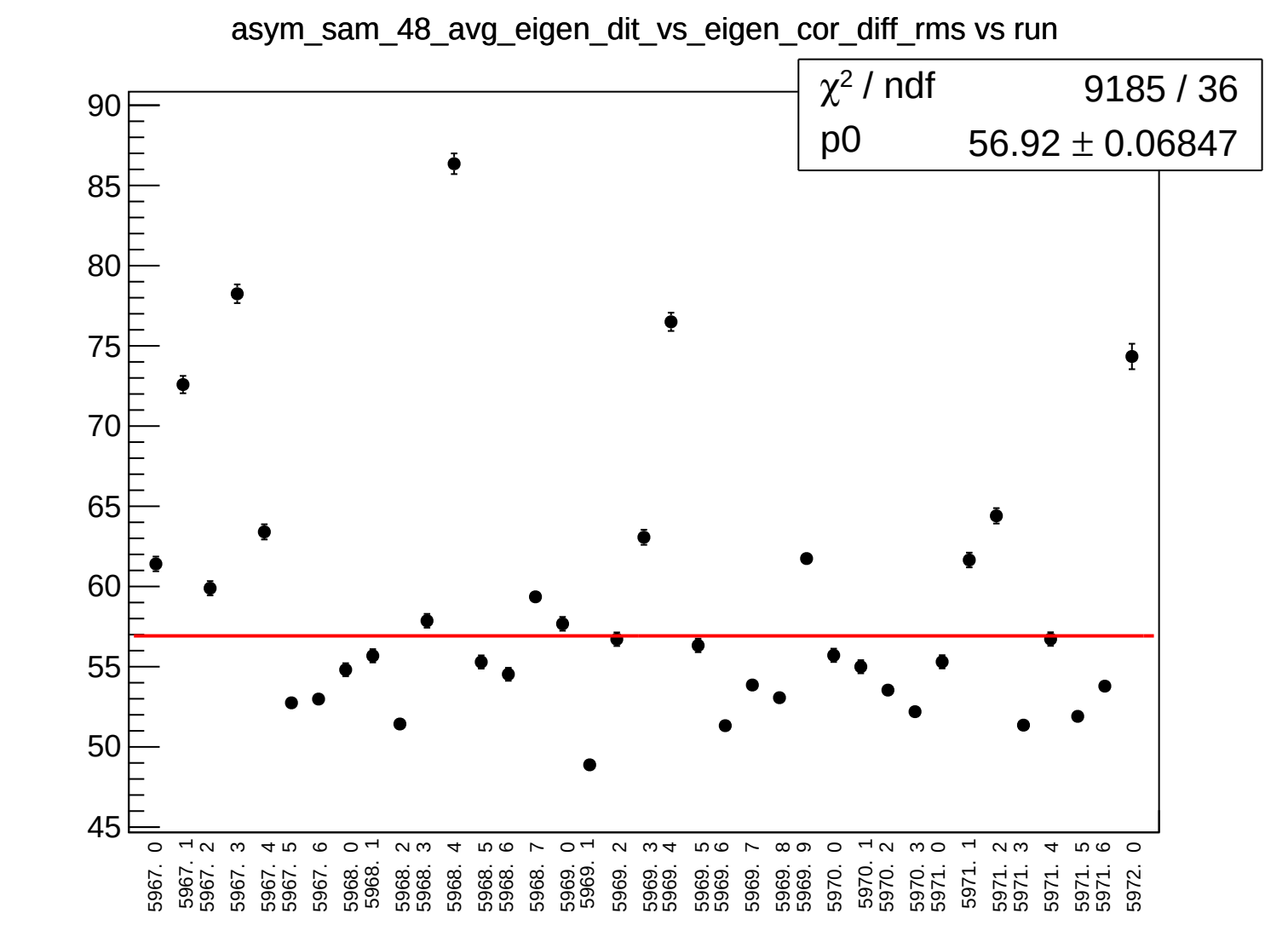
asym_sam_48_avg_eigen_dit_vs_eigen_cor_diff_rms vs run
χ² / ndf 9185 / 36
p0 56.92 ± 0.06847
90
85
80
75
70
65
60
55
50
45
5967. 0
5967. 1
5967. 2
5967. 3
5967. 4
5967. 5
5967. 6
5968. 0
5968. 1
5968. 2
5968. 3
5968. 4
5968. 5
5968. 6
5968. 7
5969. 0
5969. 1
5969. 2
5969. 3
5969. 4
5969. 5
5969. 6
5969. 7
5969. 8
5969. 9
5970. 0
5970. 1
5970. 2
5970. 3
5971. 0
5971. 1
5971. 2
5971. 3
5971. 4
5971. 5
5971. 6
5972. 0

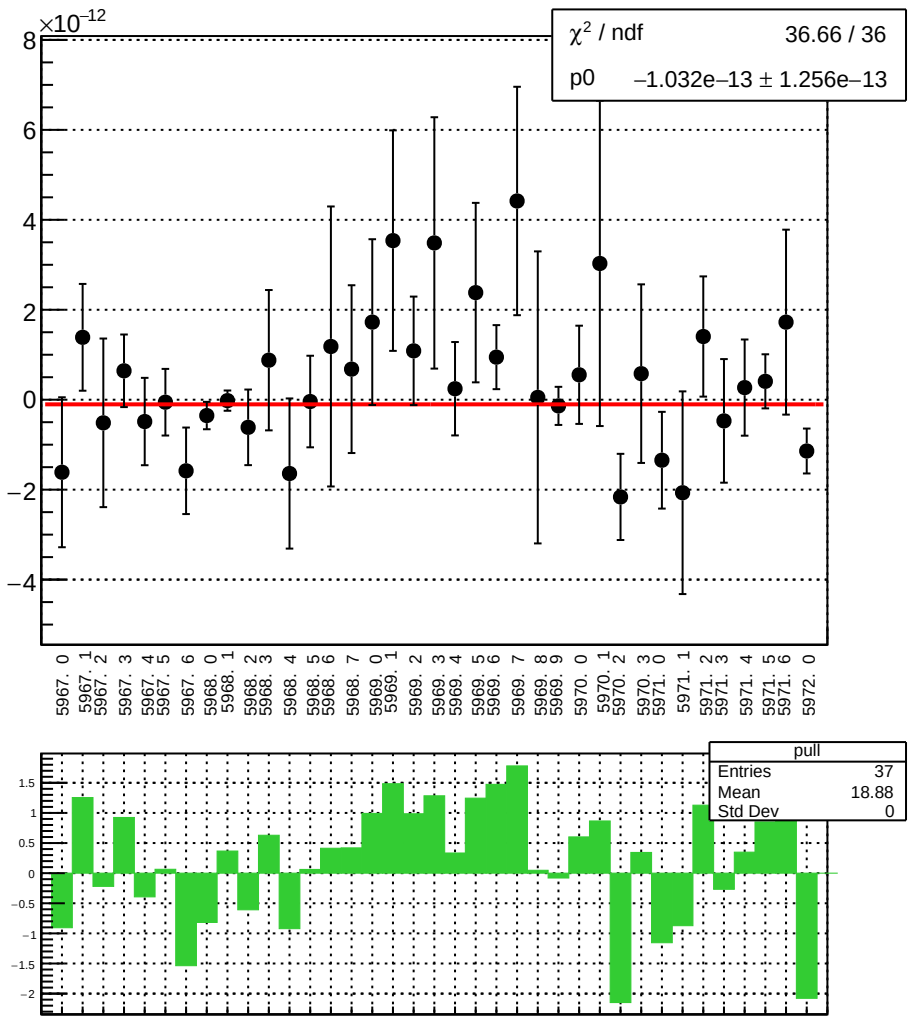
asym_sam_48_avg_eigen_cor_vs_cor_diff_mean vs run
×10⁻¹²
χ² / ndf 36.66 / 36
p0 −1.032e−13 ± 1.256e−13
pull
Entries 37
Mean 18.88
Std Dev 0

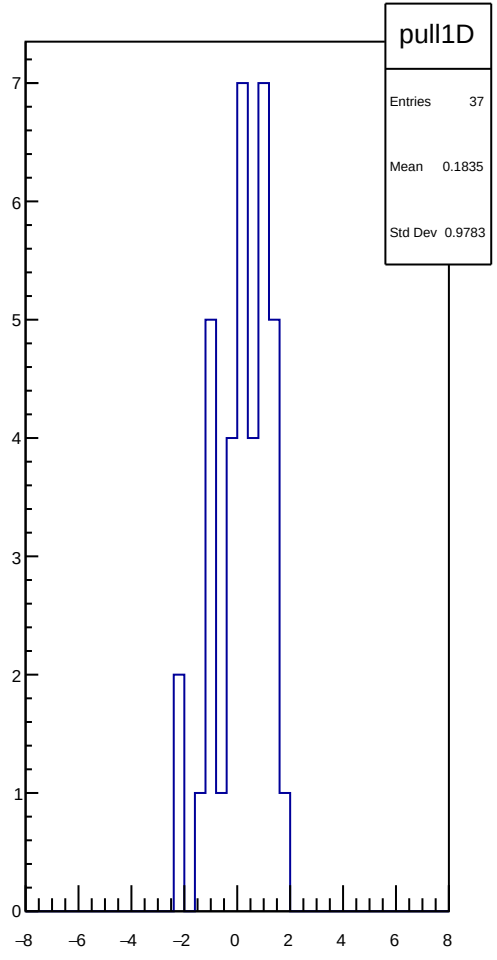
pull1D
Entries 37
Mean 0.1835
Std Dev 0.9783

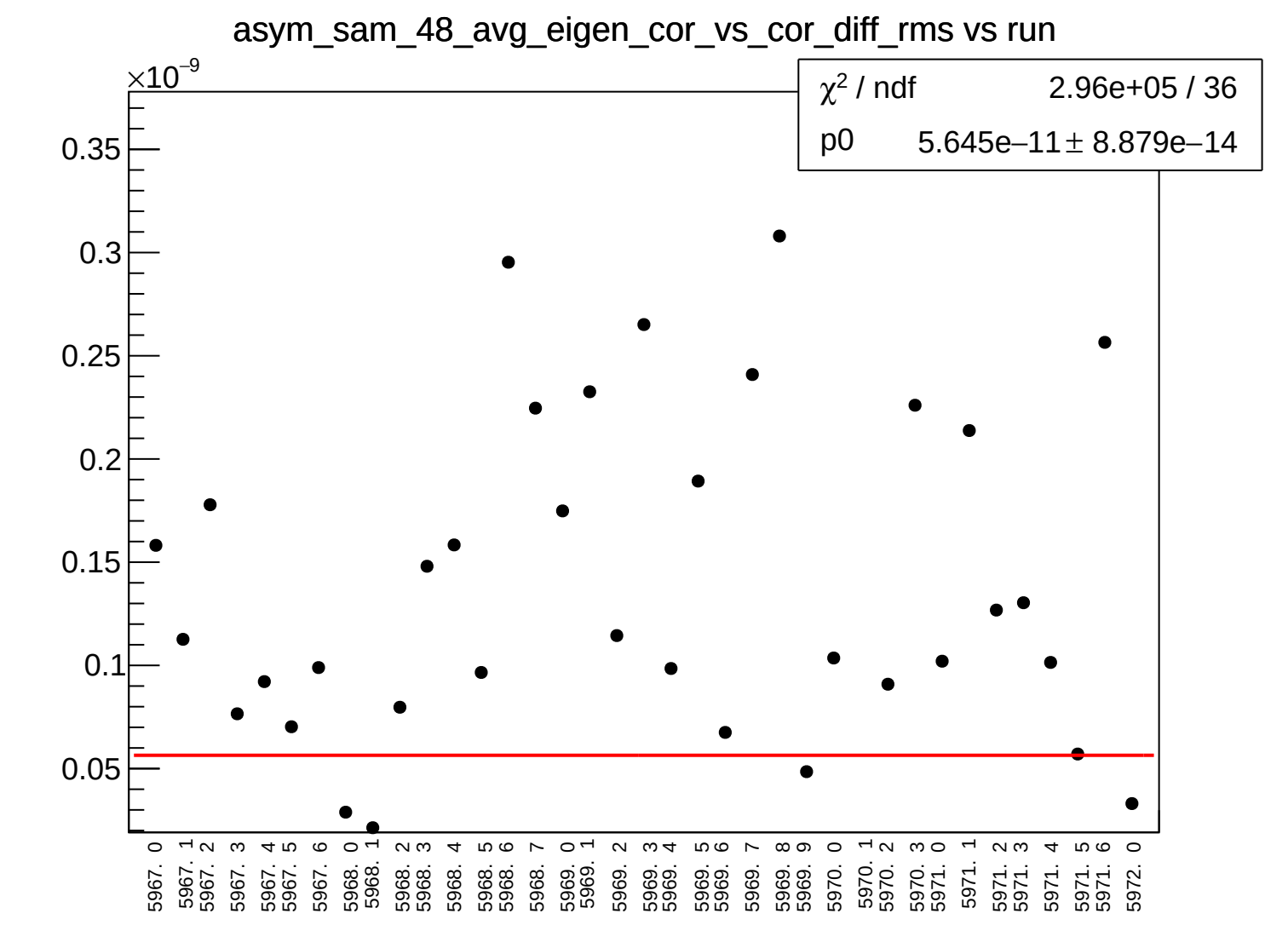
asym_sam_48_avg_eigen_cor_vs_cor_diff_rms vs run
×10⁻⁹
χ² / ndf 2.96e+05 / 36
p0 5.645e−11 ± 8.879e−14
0.35
0.3
0.25
0.2
0.15
0.1
0.05
5967. 0
5967. 1
5967. 2
5967. 3
5967. 4
5967. 5
5967. 6
5968. 0
5968. 1
5968. 2
5968. 3
5968. 4
5968. 5
5968. 6
5968. 7
5969. 0
5969. 1
5969. 2
5969. 3
5969. 4
5969. 5
5969. 6
5969. 7
5969. 8
5969. 9
5970. 0
5970. 1
5970. 2
5970. 3
5971. 0
5971. 1
5971. 2
5971. 3
5971. 4
5971. 5
5971. 6
5972. 0

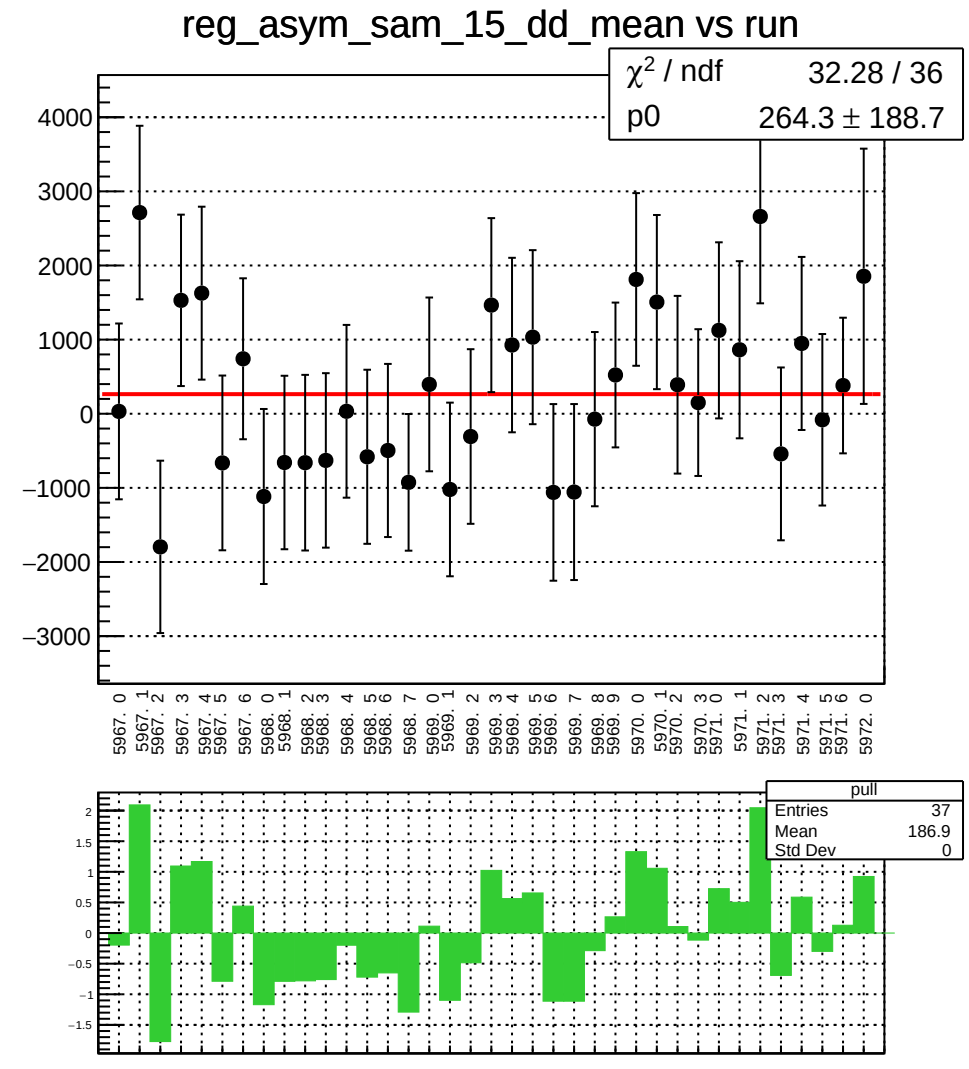
reg_asym_sam_15_dd_mean vs run
χ² / ndf 32.28 / 36
p0 264.3 ± 188.7
4000
3000
2000
1000
0
−1000
−2000
−3000
5967. 0
5967. 1
5967. 2
5967. 3
5967. 4
5967. 5
5967. 6
5968. 0
5968. 1
5968. 2
5968. 3
5968. 4
5968. 5
5968. 6
5968. 7
5969. 0
5969. 1
5969. 2
5969. 3
5969. 4
5969. 5
5969. 6
5969. 7
5969. 8
5969. 9
5970. 0
5970. 1
5970. 2
5970. 3
5971. 0
5971. 1
5971. 2
5971. 3
5971. 4
5971. 5
5971. 6
5972. 0
pull
Entries 37
Mean 186.9
Std Dev 0
2
1.5
1
0.5
0
−0.5
−1
−1.5

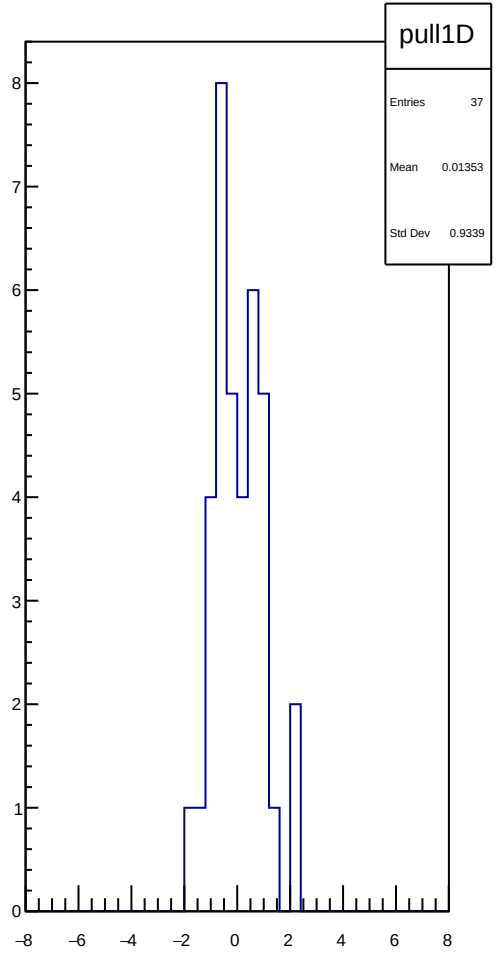
pull1D
Entries 37
Mean 0.01353
Std Dev 0.9339
8
7
6
5
4
3
2
1
0
−8
−6
−4
−2
0
2
4
6
8

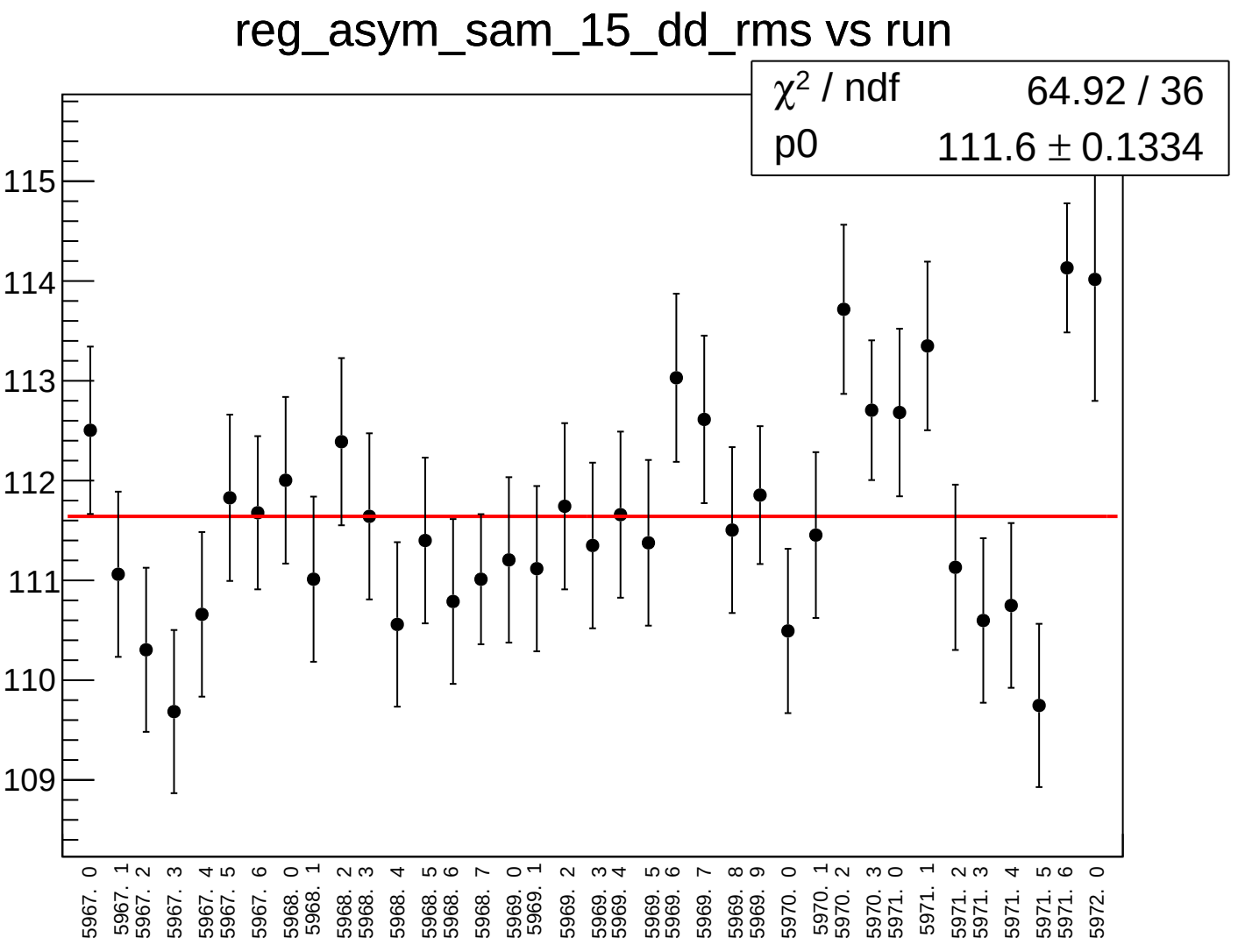
reg_asym_sam_15_dd_rms vs run
χ² / ndf 64.92 / 36
p0 111.6 ± 0.1334
115
114
113
112
111
110
109
5967. 0
5967. 1
5967. 2
5967. 3
5967. 4
5967. 5
5967. 6
5968. 0
5968. 1
5968. 2
5968. 3
5968. 4
5968. 5
5968. 6
5968. 7
5969. 0
5969. 1
5969. 2
5969. 3
5969. 4
5969. 5
5969. 6
5969. 7
5969. 8
5969. 9
5970. 0
5970. 1
5970. 2
5970. 3
5971. 0
5971. 1
5971. 2
5971. 3
5971. 4
5971. 5
5971. 6
5972. 0

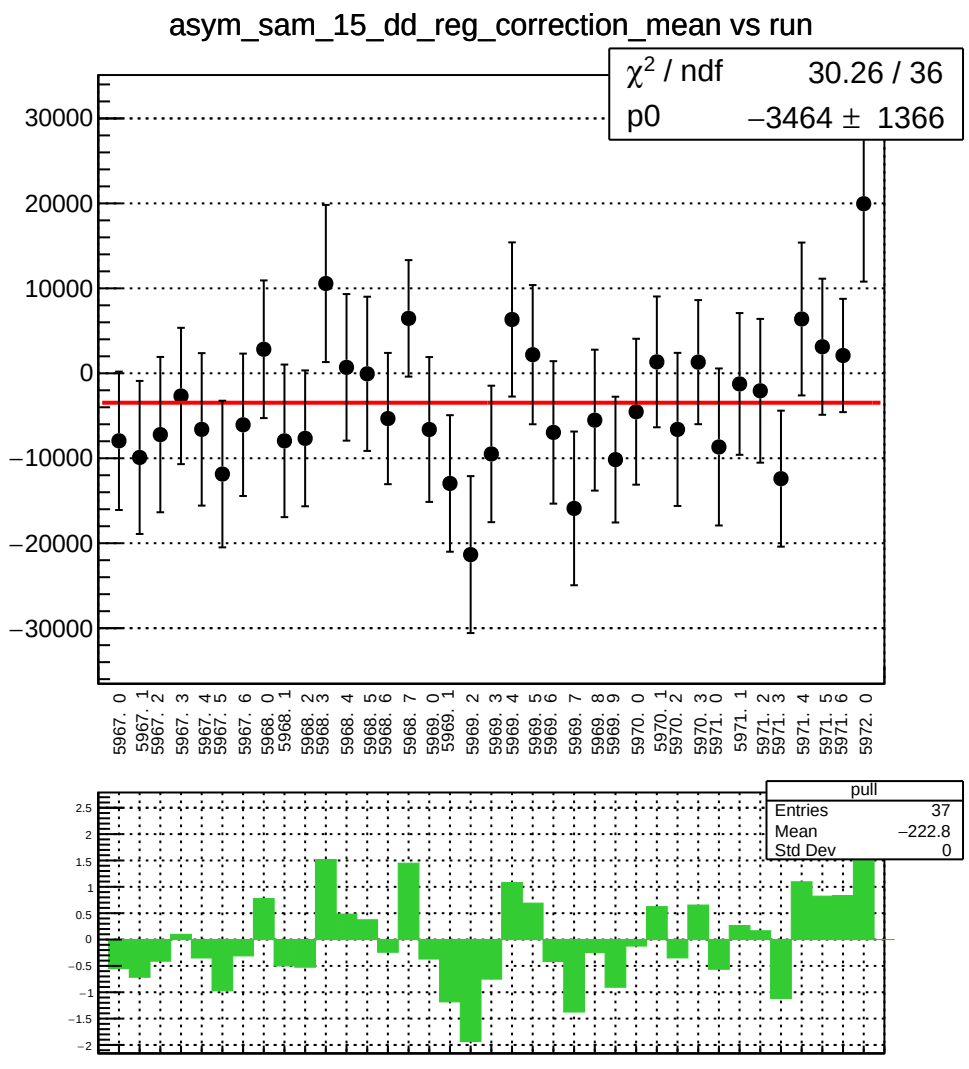
asym_sam_15_dd_reg_correction_mean vs run
χ² / ndf 30.26 / 36
p0 −3464 ± 1366
30000
20000
10000
0
−10000
−20000
−30000
5967. 0
5967. 1
5967. 2
5967. 3
5967. 4
5967. 5
5967. 6
5968. 0
5968. 1
5968. 2
5968. 3
5968. 4
5968. 5
5968. 6
5968. 7
5969. 0
5969. 1
5969. 2
5969. 3
5969. 4
5969. 5
5969. 6
5969. 7
5969. 8
5969. 9
5970. 0
5970. 1
5970. 2
5970. 3
5971. 0
5971. 1
5971. 2
5971. 3
5971. 4
5971. 5
5971. 6
5972. 0
pull
Entries 37
Mean −222.8
Std Dev 0
2.5
2
1.5
1
0.5
0
−0.5
−1
−1.5
−2

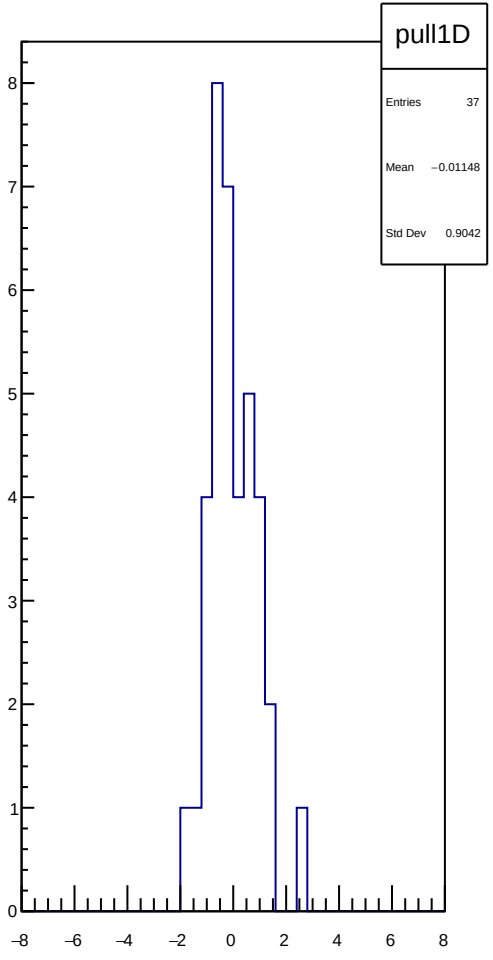
pull1D
Entries 37
Mean −0.01148
Std Dev 0.9042
8
7
6
5
4
3
2
1
0
−8
−6
−4
−2
0
2
4
6
8

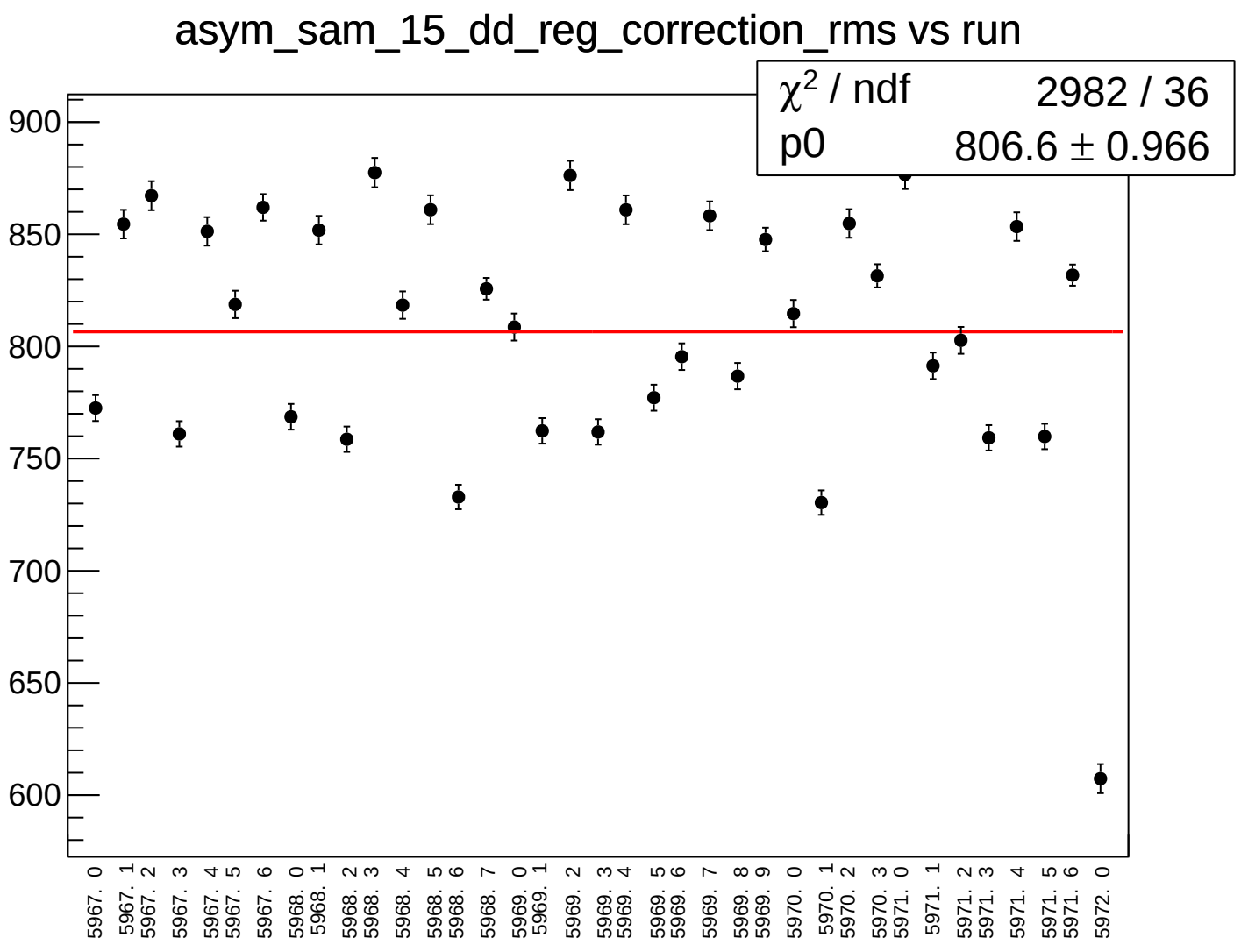
asym_sam_15_dd_reg_correction_rms vs run
χ^2 / ndf 2982 / 36
p0 806.6 ± 0.966
900
850
800
750
700
650
600
5967. 0
5967. 1
5967. 2
5967. 3
5967. 4
5967. 5
5967. 6
5968. 0
5968. 1
5968. 2
5968. 3
5968. 4
5968. 5
5968. 6
5968. 7
5969. 0
5969. 1
5969. 2
5969. 3
5969. 4
5969. 5
5969. 6
5969. 7
5969. 8
5969. 9
5970. 0
5970. 1
5970. 2
5970. 3
5971. 0
5971. 1
5971. 2
5971. 3
5971. 4
5971. 5
5971. 6
5972. 0

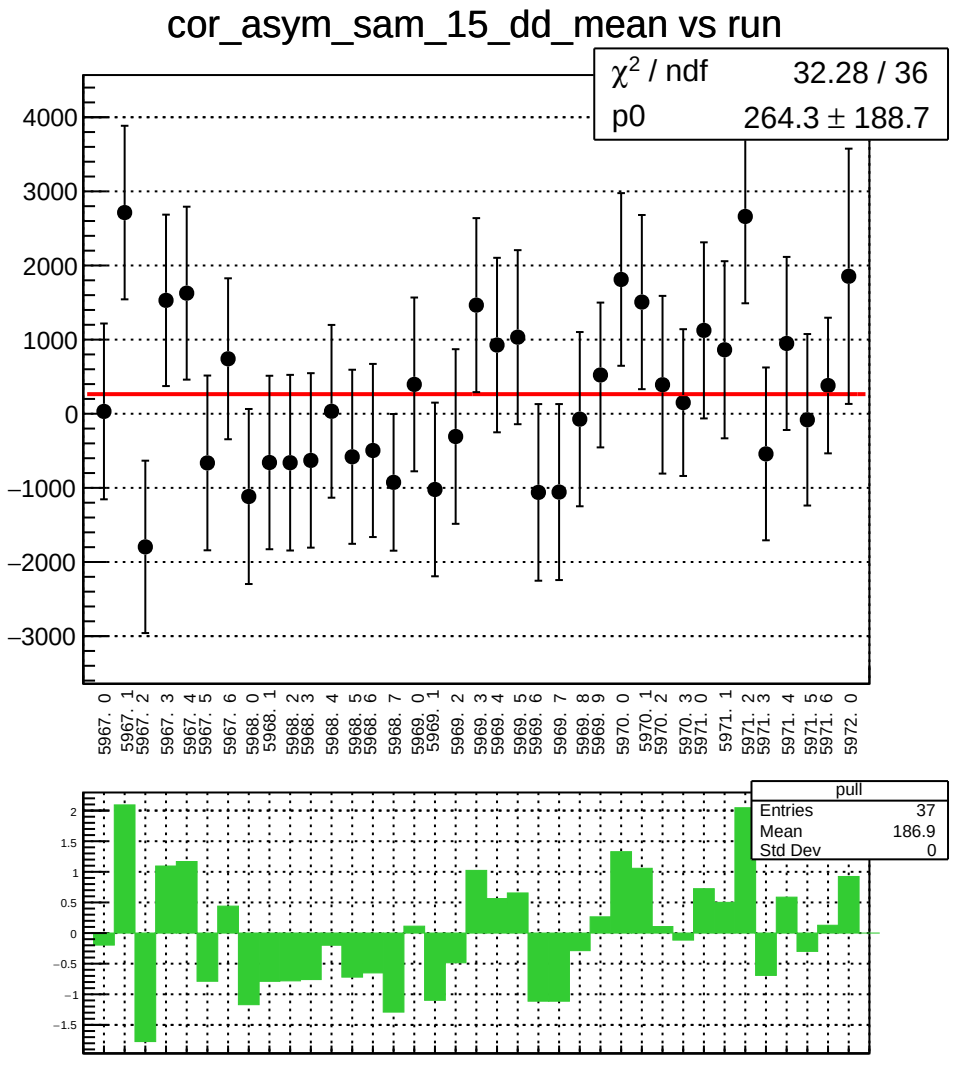
cor_asym_sam_15_dd_mean vs run
χ² / ndf 32.28 / 36
p0 264.3 ± 188.7
4000
3000
2000
1000
0
−1000
−2000
−3000
5967. 0
5967. 1
5967. 2
5967. 3
5967. 4
5967. 5
5967. 6
5968. 0
5968. 1
5968. 2
5968. 3
5968. 4
5968. 5
5968. 6
5968. 7
5969. 0
5969. 1
5969. 2
5969. 3
5969. 4
5969. 5
5969. 6
5969. 7
5969. 8
5969. 9
5970. 0
5970. 1
5970. 2
5970. 3
5971. 0
5971. 1
5971. 2
5971. 3
5971. 4
5971. 5
5971. 6
5972. 0
pull
Entries 37
Mean 186.9
Std Dev 0
2
1.5
1
0.5
0
−0.5
−1
−1.5

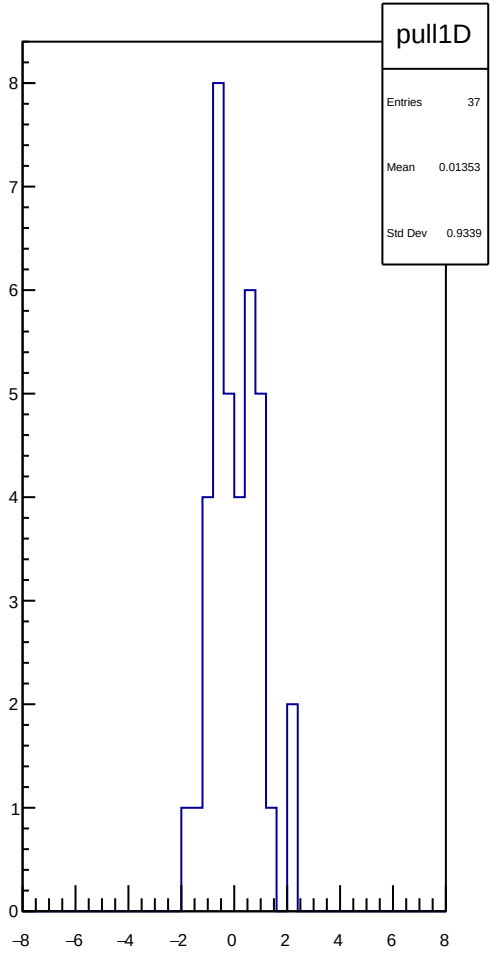
pull1D
Entries 37
Mean 0.01353
Std Dev 0.9339
8
7
6
5
4
3
2
1
0
−8
−6
−4
−2
0
2
4
6
8

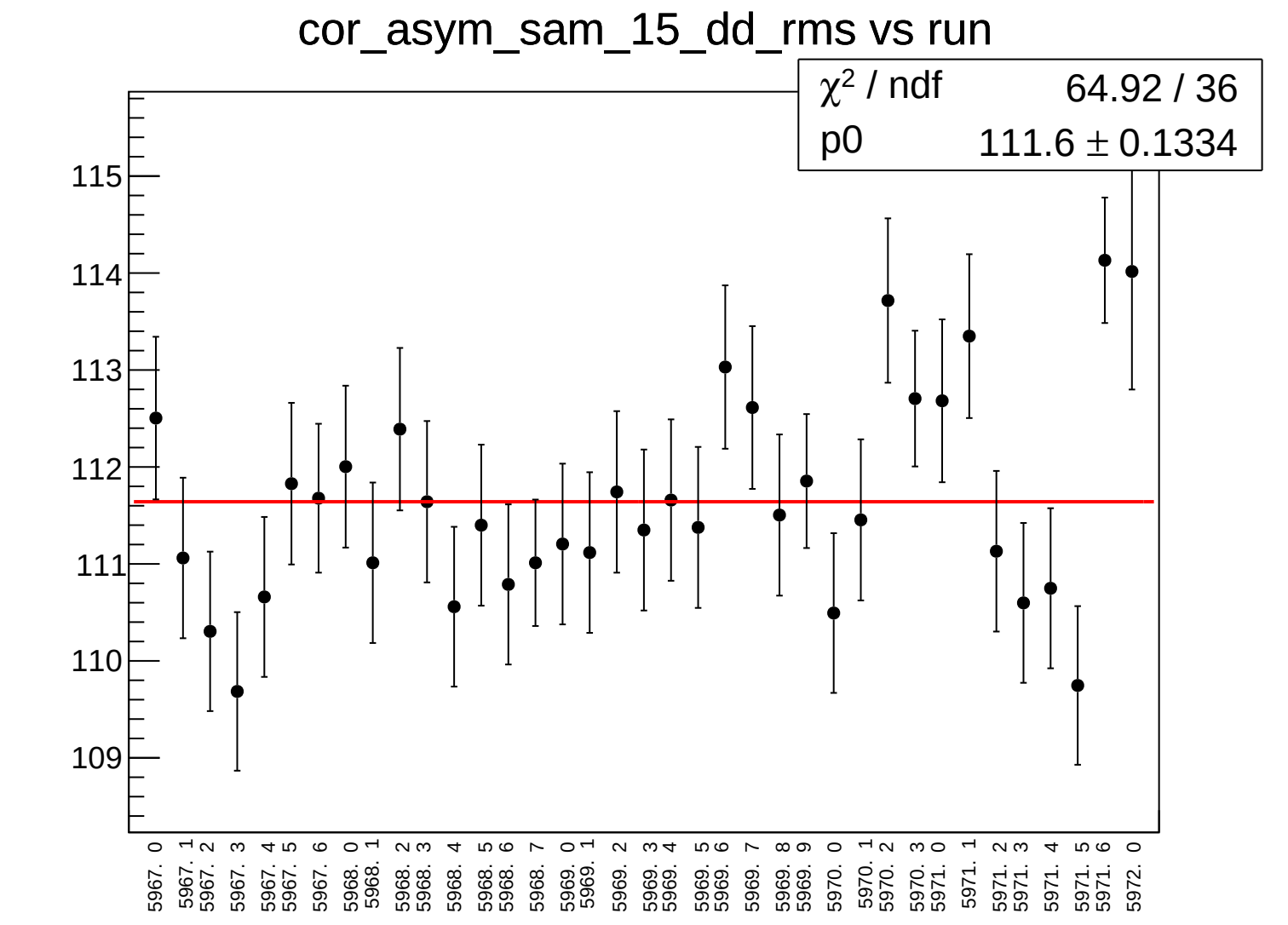
cor_asym_sam_15_dd_rms vs run
χ^2 / ndf 64.92 / 36
p0 111.6 ± 0.1334
115
114
113
112
111
110
109
5967. 0
5967. 1
5967. 2
5967. 3
5967. 4
5967. 5
5967. 6
5968. 0
5968. 1
5968. 2
5968. 3
5968. 4
5968. 5
5968. 6
5968. 7
5969. 0
5969. 1
5969. 2
5969. 3
5969. 4
5969. 5
5969. 6
5969. 7
5969. 8
5969. 9
5970. 0
5970. 1
5970. 2
5970. 3
5971. 0
5971. 1
5971. 2
5971. 3
5971. 4
5971. 5
5971. 6
5972. 0

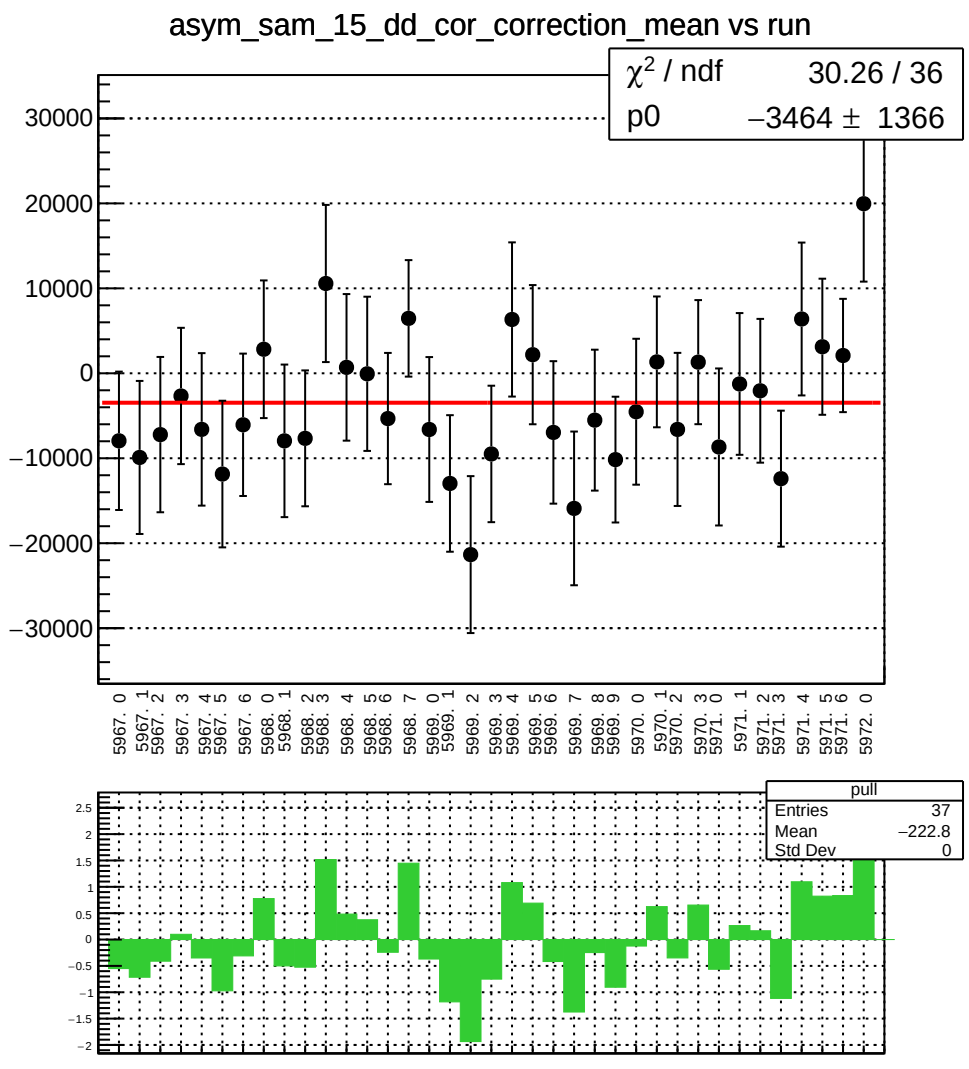
asym_sam_15_dd_cor_correction_mean vs run
χ² / ndf 30.26 / 36
p0 −3464 ± 1366
30000
20000
10000
0
−10000
−20000
−30000
5967. 0
5967. 1
5967. 2
5967. 3
5967. 4
5967. 5
5967. 6
5968. 0
5968. 1
5968. 2
5968. 3
5968. 4
5968. 5
5968. 6
5968. 7
5969. 0
5969. 1
5969. 2
5969. 3
5969. 4
5969. 5
5969. 6
5969. 7
5969. 8
5969. 9
5970. 0
5970. 1
5970. 2
5970. 3
5971. 0
5971. 1
5971. 2
5971. 3
5971. 4
5971. 5
5971. 6
5972. 0
pull
Entries 37
Mean −222.8
Std Dev 0
2.5
2
1.5
1
0.5
0
−0.5
−1
−1.5
−2

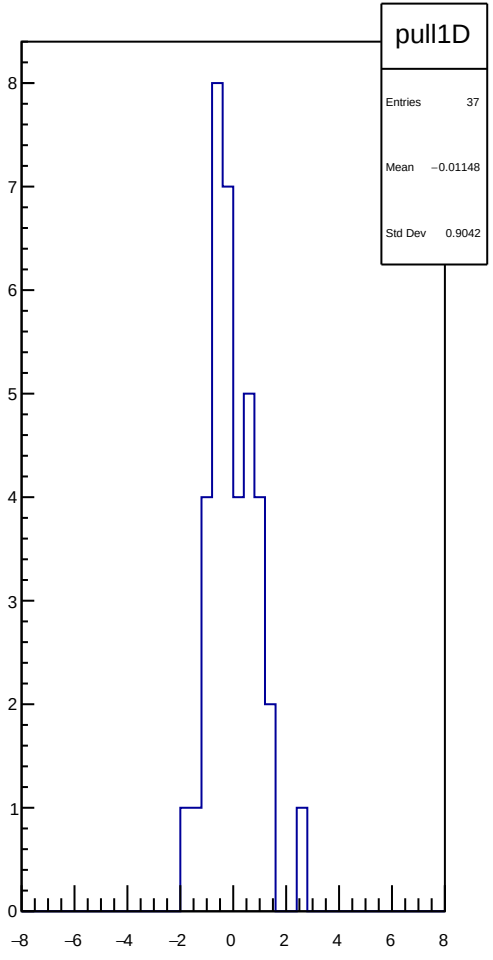
pull1D
Entries 37
Mean −0.01148
Std Dev 0.9042
8
7
6
5
4
3
2
1
0
−8
−6
−4
−2
0
2
4
6
8

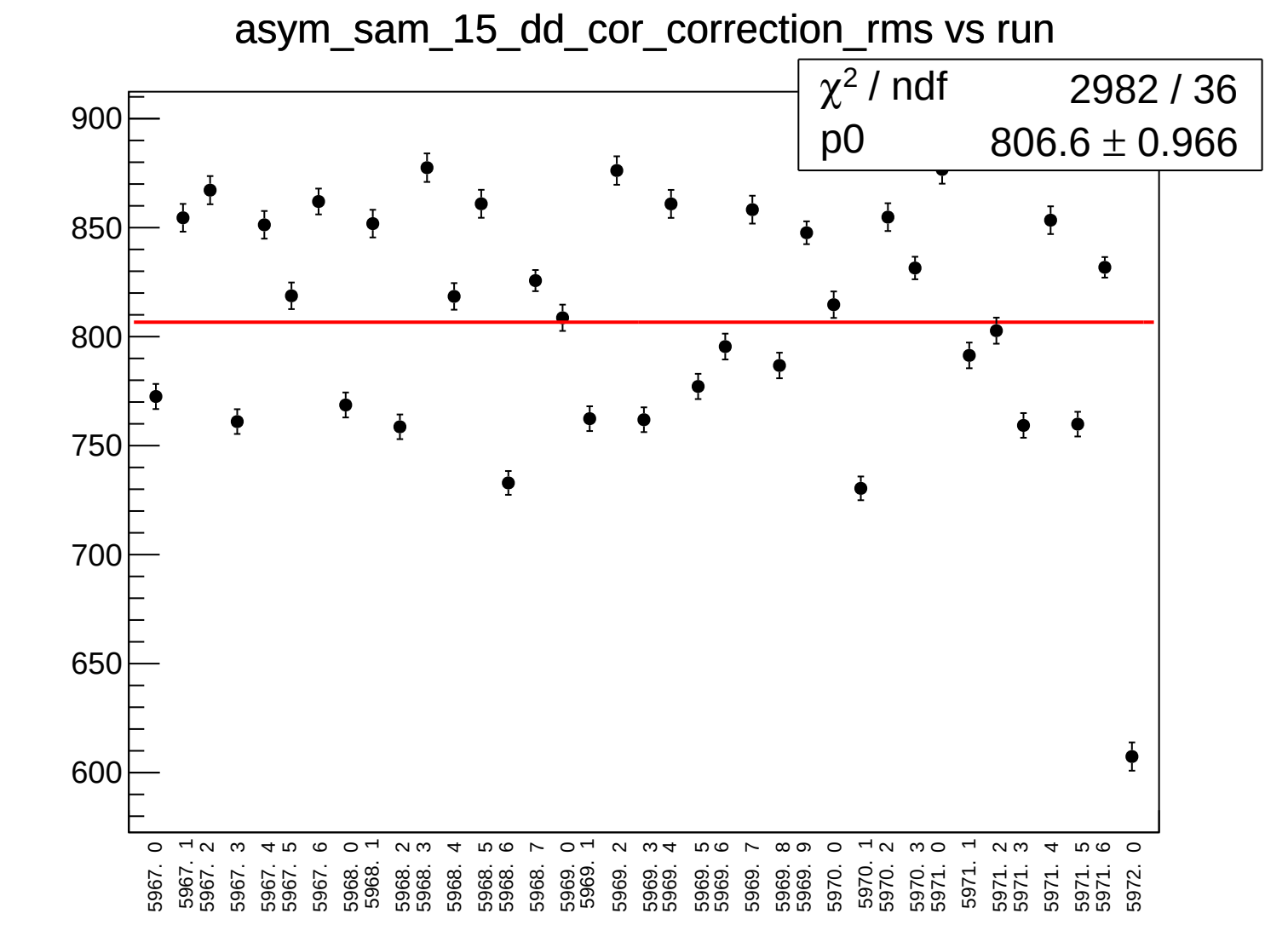
asym_sam_15_dd_cor_correction_rms vs run
χ² / ndf 2982 / 36
p0 806.6 ± 0.966
900
850
800
750
700
650
600
5967. 0
5967. 1
5967. 2
5967. 3
5967. 4
5967. 5
5967. 6
5968. 0
5968. 1
5968. 2
5968. 3
5968. 4
5968. 5
5968. 6
5968. 7
5969. 0
5969. 1
5969. 2
5969. 3
5969. 4
5969. 5
5969. 6
5969. 7
5969. 8
5969. 9
5970. 0
5970. 1
5970. 2
5970. 3
5971. 0
5971. 1
5971. 2
5971. 3
5971. 4
5971. 5
5971. 6
5972. 0

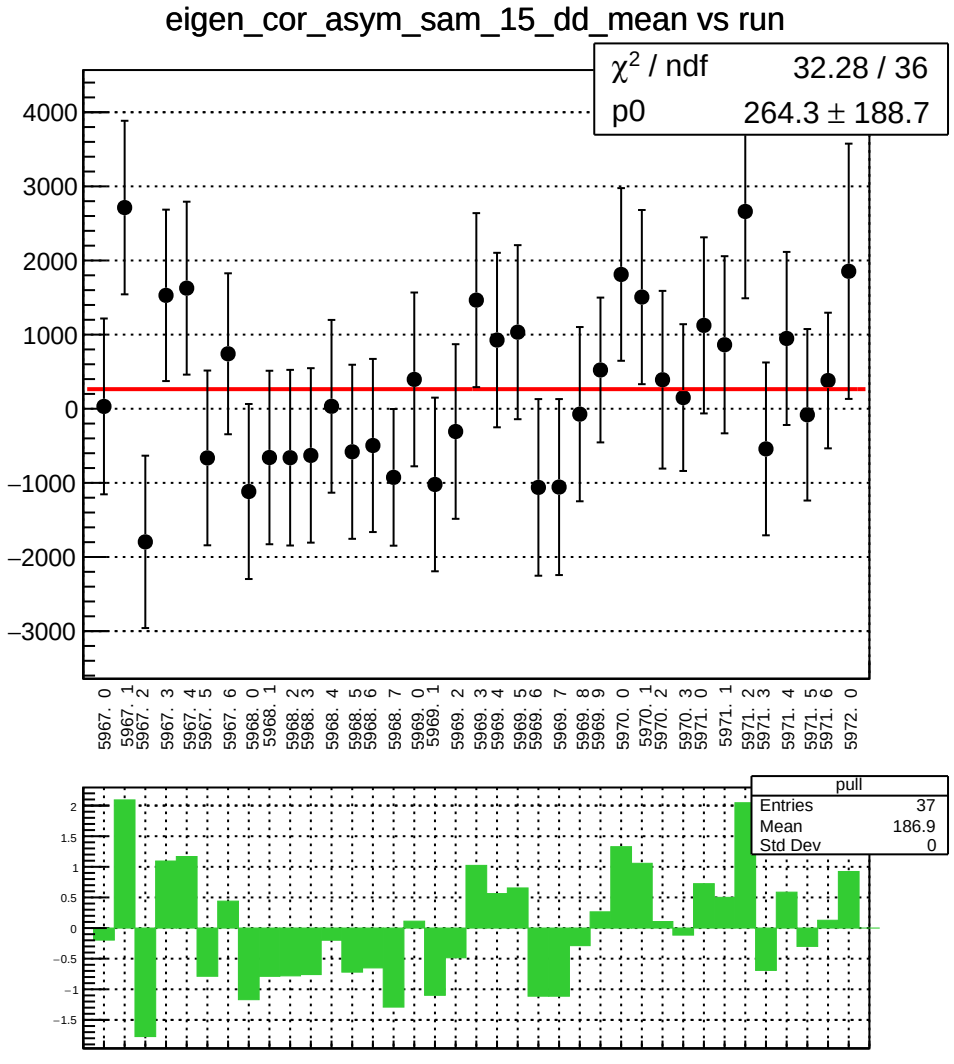
eigen_cor_asym_sam_15_dd_mean vs run
χ² / ndf 32.28 / 36
p0 264.3 ± 188.7
4000
3000
2000
1000
0
−1000
−2000
−3000
5967. 0
5967. 1
5967. 2
5967. 3
5967. 4
5967. 5
5967. 6
5968. 0
5968. 1
5968. 2
5968. 3
5968. 4
5968. 5
5968. 6
5968. 7
5969. 0
5969. 1
5969. 2
5969. 3
5969. 4
5969. 5
5969. 6
5969. 7
5969. 8
5969. 9
5970. 0
5970. 1
5970. 2
5970. 3
5971. 0
5971. 1
5971. 2
5971. 3
5971. 4
5971. 5
5971. 6
5972. 0
pull
Entries 37
Mean 186.9
Std Dev 0
2
1.5
1
0.5
0
−0.5
−1
−1.5

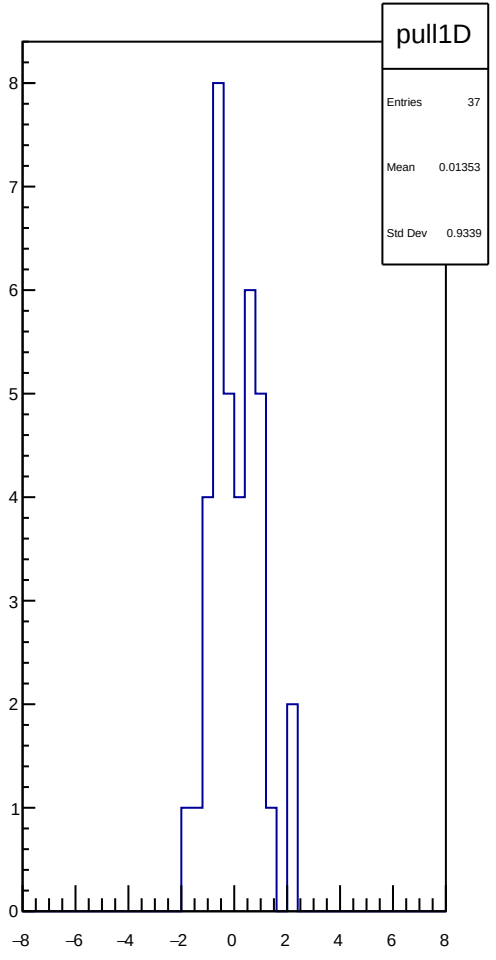
pull1D
Entries 37
Mean 0.01353
Std Dev 0.9339
8
7
6
5
4
3
2
1
0
−8
−6
−4
−2
0
2
4
6
8

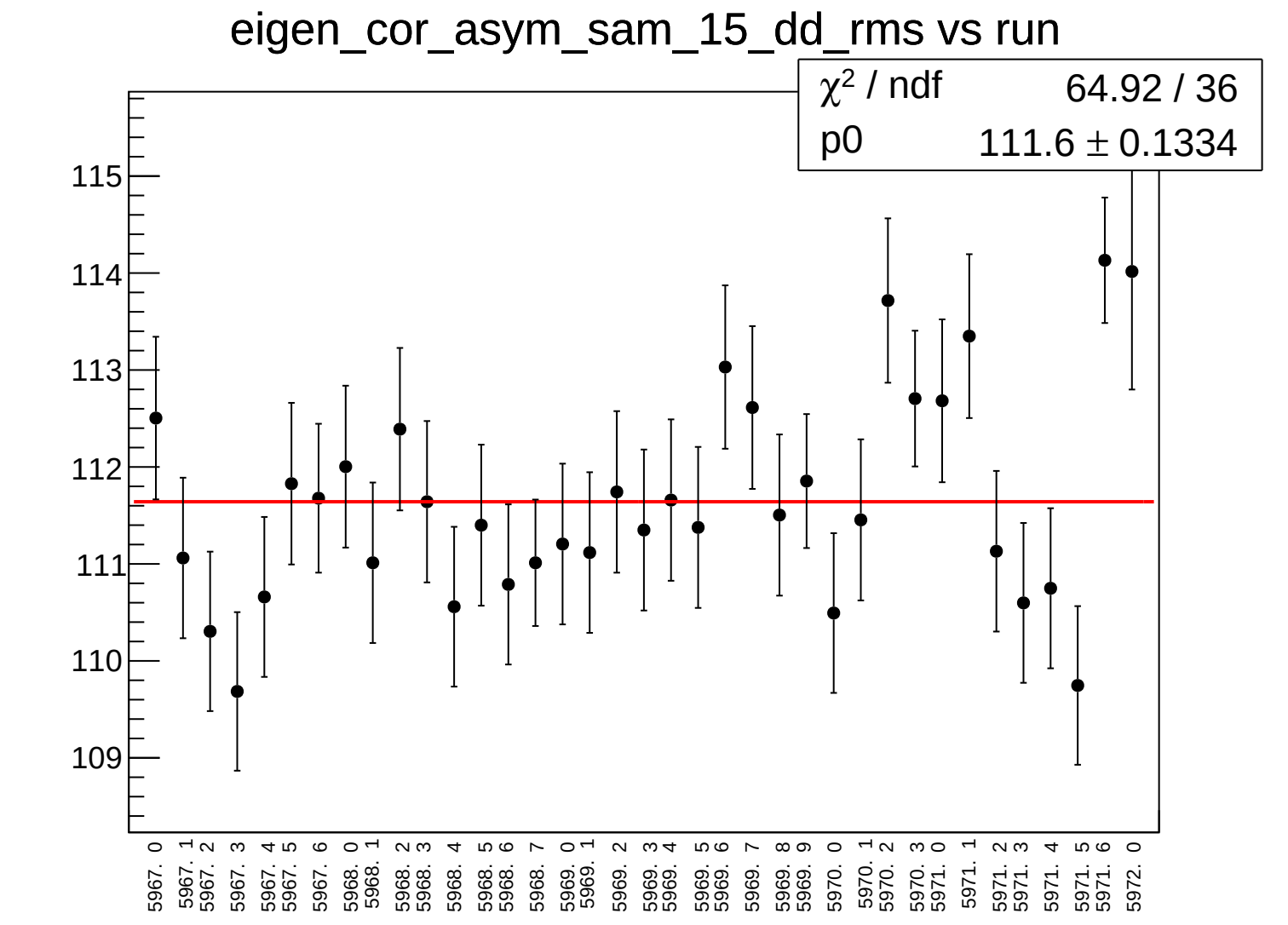
eigen_cor_asym_sam_15_dd_rms vs run
χ² / ndf 64.92 / 36
p0 111.6 ± 0.1334
115
114
113
112
111
110
109
5967. 0
5967. 1
5967. 2
5967. 3
5967. 4
5967. 5
5967. 6
5968. 0
5968. 1
5968. 2
5968. 3
5968. 4
5968. 5
5968. 6
5968. 7
5969. 0
5969. 1
5969. 2
5969. 3
5969. 4
5969. 5
5969. 6
5969. 7
5969. 8
5969. 9
5970. 0
5970. 1
5970. 2
5970. 3
5971. 0
5971. 1
5971. 2
5971. 3
5971. 4
5971. 5
5971. 6
5972. 0

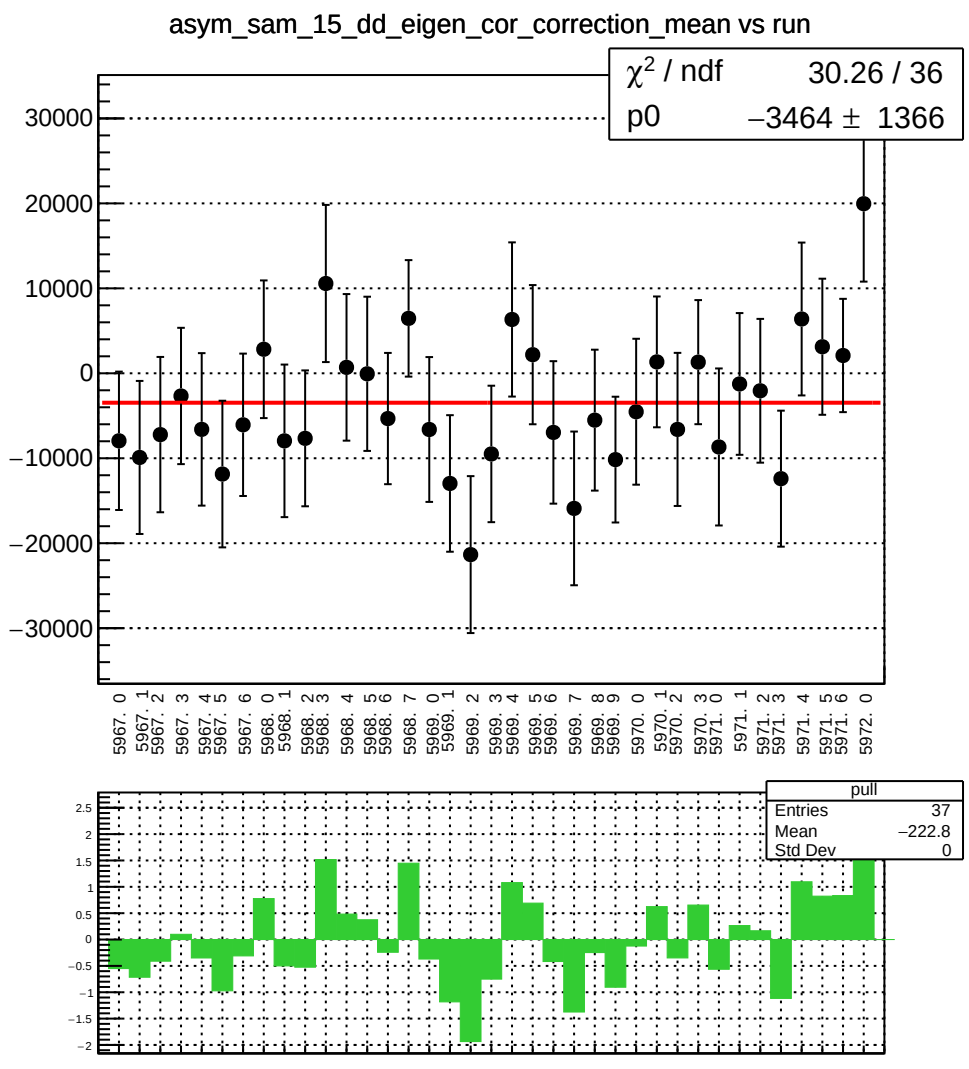
asym_sam_15_dd_eigen_cor_correction_mean vs run
χ² / ndf 30.26 / 36
p0 −3464 ± 1366
30000
20000
10000
0
−10000
−20000
−30000
5967. 0
5967. 1
5967. 2
5967. 3
5967. 4
5967. 5
5967. 6
5968. 0
5968. 1
5968. 2
5968. 3
5968. 4
5968. 5
5968. 6
5968. 7
5969. 0
5969. 1
5969. 2
5969. 3
5969. 4
5969. 5
5969. 6
5969. 7
5969. 8
5969. 9
5970. 0
5970. 1
5970. 2
5970. 3
5971. 0
5971. 1
5971. 2
5971. 3
5971. 4
5971. 5
5971. 6
5972. 0
pull
Entries 37
Mean −222.8
Std Dev 0
2.5
2
1.5
1
0.5
0
−0.5
−1
−1.5
−2

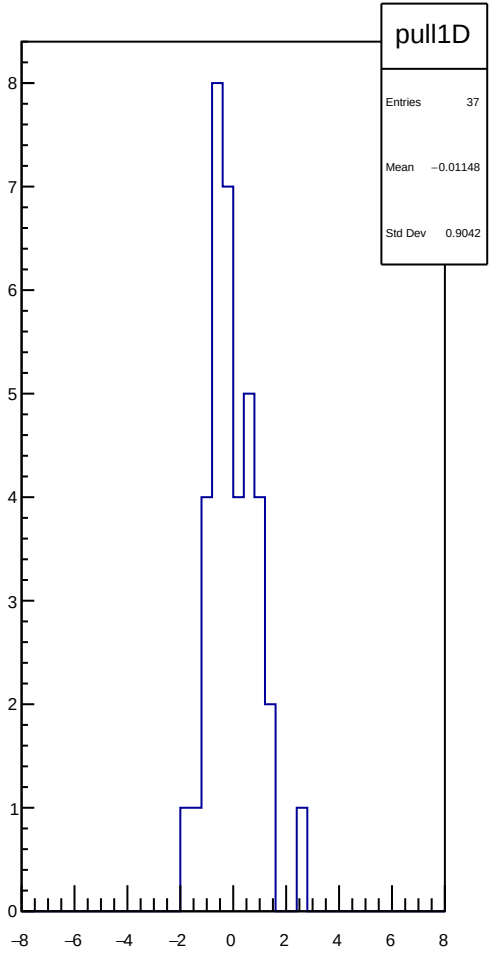
pull1D
Entries 37
Mean −0.01148
Std Dev 0.9042
8
7
6
5
4
3
2
1
0
−8
−6
−4
−2
0
2
4
6
8

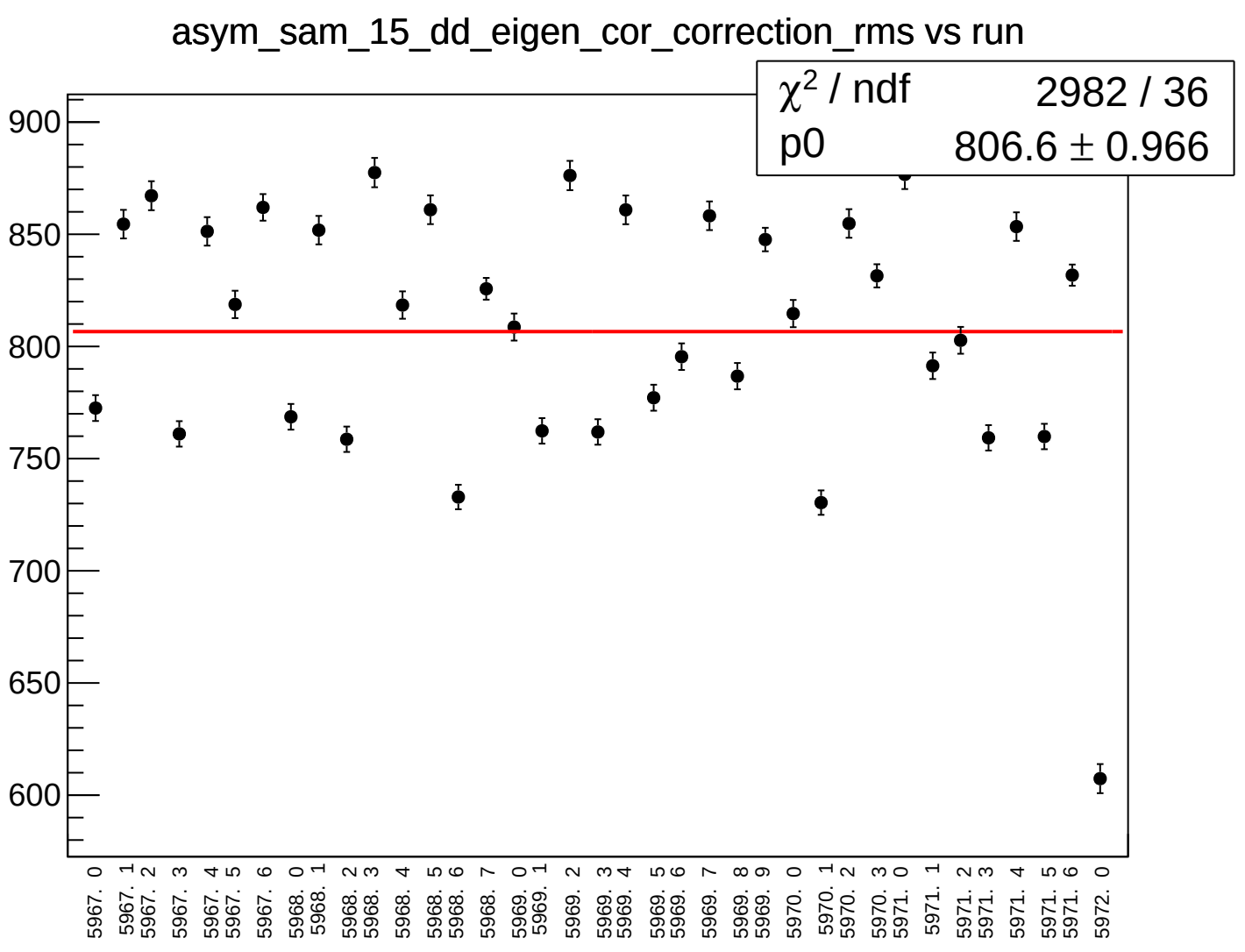
asym_sam_15_dd_eigen_cor_correction_rms vs run
χ² / ndf 2982 / 36
p0 806.6 ± 0.966
900
850
800
750
700
650
600
5967. 0
5967. 1
5967. 2
5967. 3
5967. 4
5967. 5
5967. 6
5968. 0
5968. 1
5968. 2
5968. 3
5968. 4
5968. 5
5968. 6
5968. 7
5969. 0
5969. 1
5969. 2
5969. 3
5969. 4
5969. 5
5969. 6
5969. 7
5969. 8
5969. 9
5970. 0
5970. 1
5970. 2
5970. 3
5971. 0
5971. 1
5971. 2
5971. 3
5971. 4
5971. 5
5971. 6
5972. 0

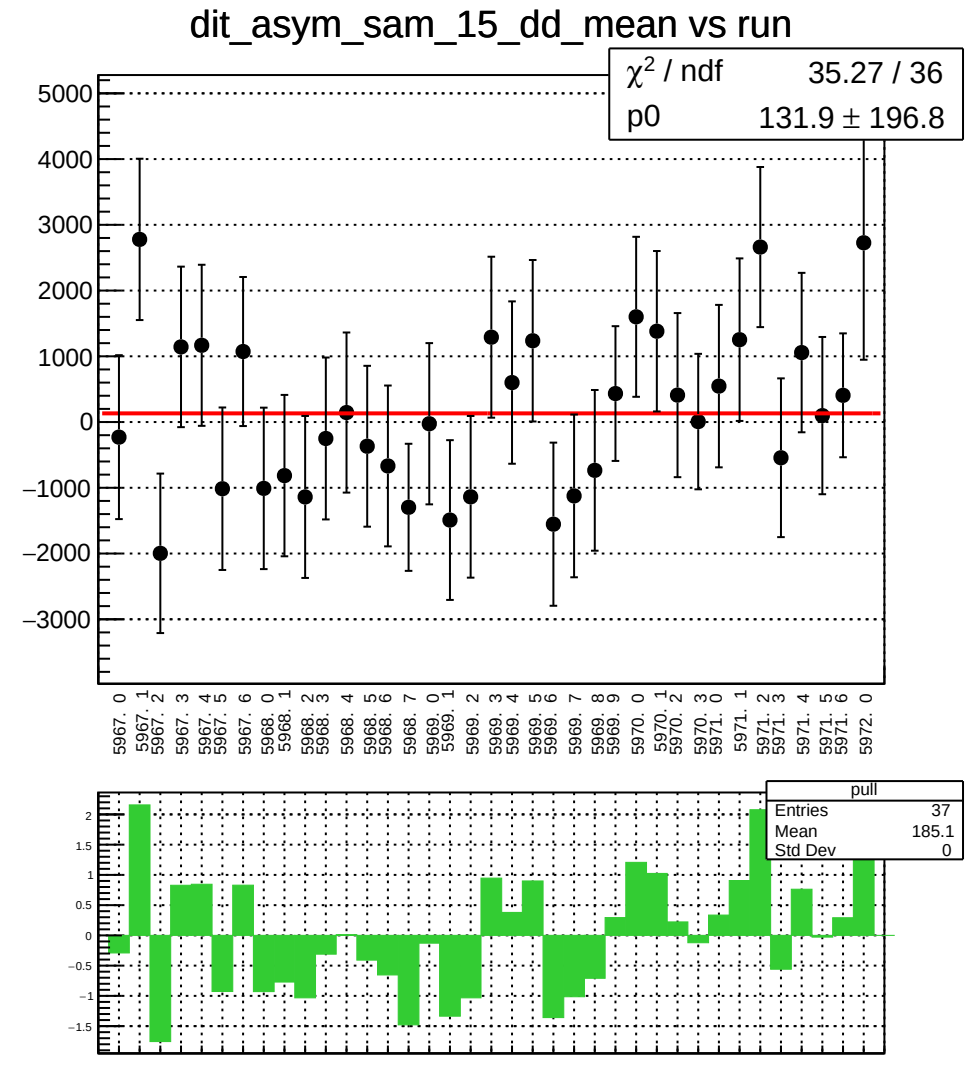
dit_asym_sam_15_dd_mean vs run
χ² / ndf 35.27 / 36
p0 131.9 ± 196.8
pull
Entries 37
Mean 185.1
Std Dev 0

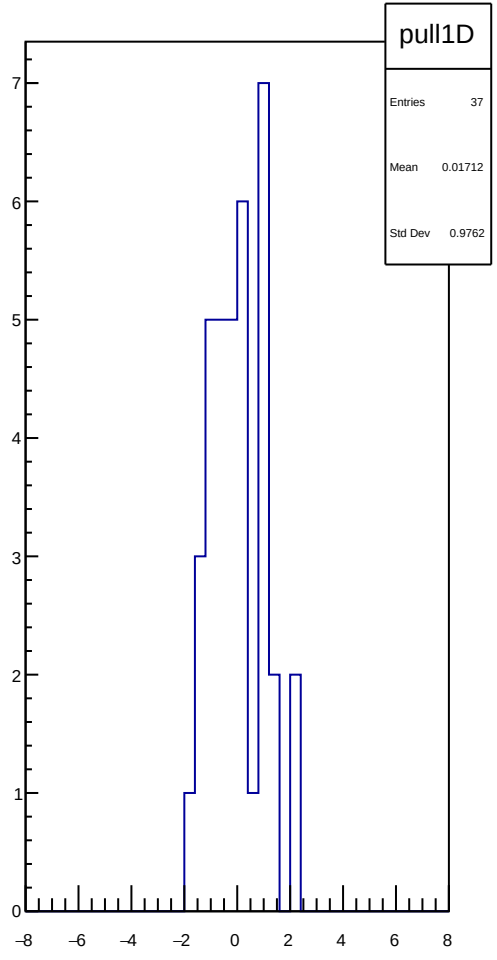
pull1D
Entries 37
Mean 0.01712
Std Dev 0.9762

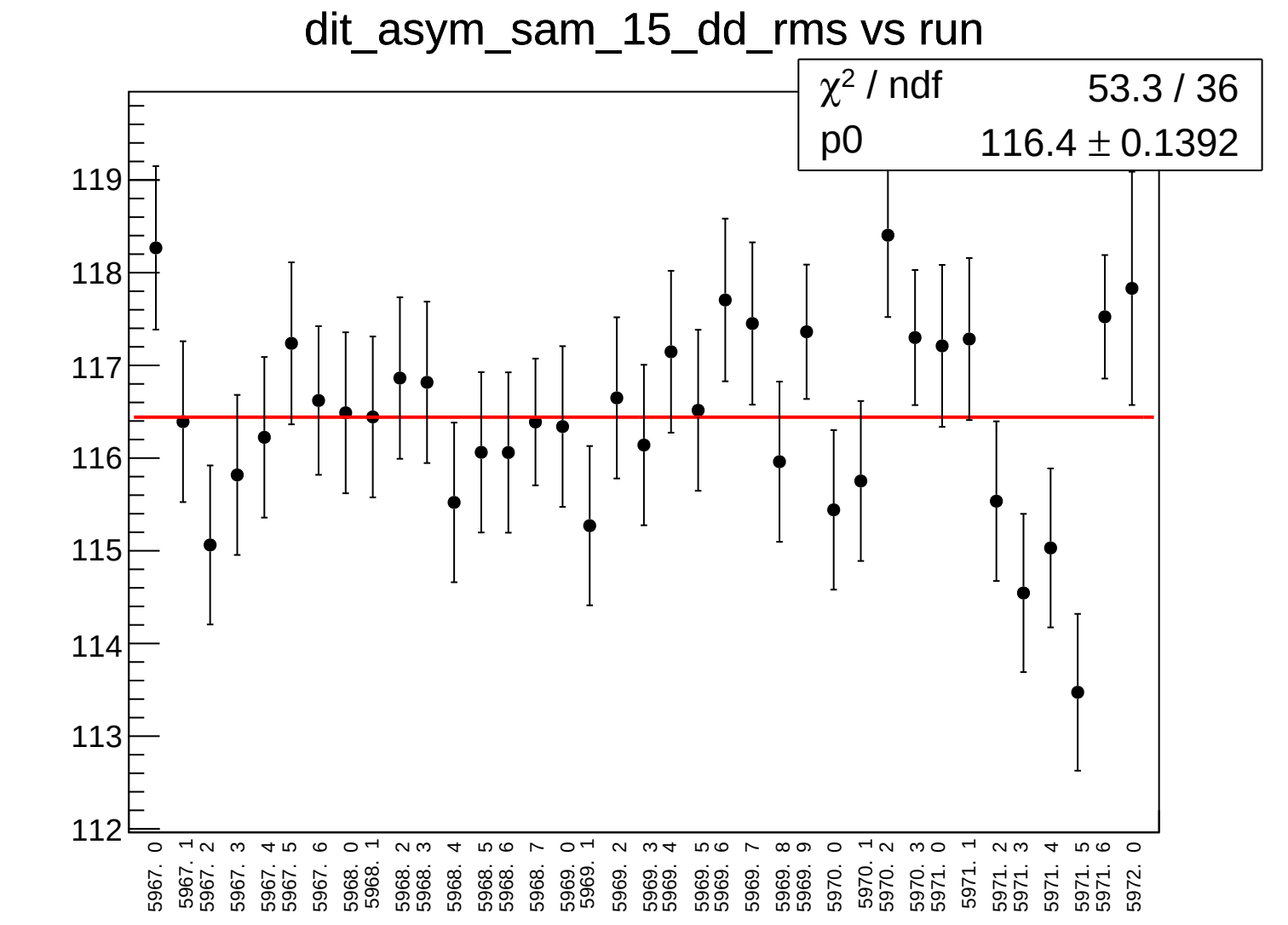
dit_asym_sam_15_dd_rms vs run
χ² / ndf 53.3 / 36
p0 116.4 ± 0.1392
119
118
117
116
115
114
113
112
5967. 0
5967. 1
5967. 2
5967. 3
5967. 4
5967. 5
5967. 6
5968. 0
5968. 1
5968. 2
5968. 3
5968. 4
5968. 5
5968. 6
5968. 7
5969. 0
5969. 1
5969. 2
5969. 3
5969. 4
5969. 5
5969. 6
5969. 7
5969. 8
5969. 9
5970. 0
5970. 1
5970. 2
5970. 3
5971. 0
5971. 1
5971. 2
5971. 3
5971. 4
5971. 5
5971. 6
5972. 0

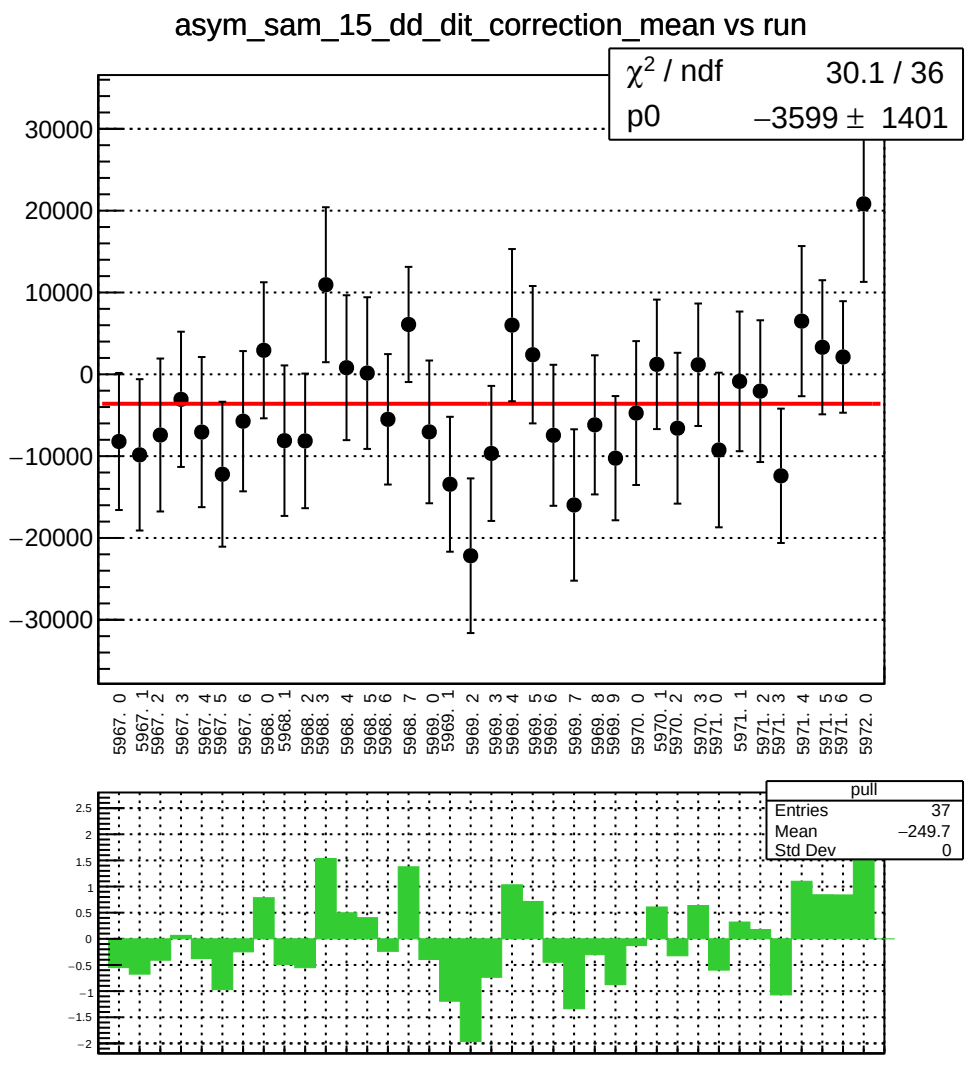
asym_sam_15_dd_dit_correction_mean vs run
χ² / ndf 30.1 / 36
p0 −3599 ± 1401
30000
20000
10000
0
−10000
−20000
−30000
5967. 0
5967. 1
5967. 2
5967. 3
5967. 4
5967. 5
5967. 6
5968. 0
5968. 1
5968. 2
5968. 3
5968. 4
5968. 5
5968. 6
5968. 7
5969. 0
5969. 1
5969. 2
5969. 3
5969. 4
5969. 5
5969. 6
5969. 7
5969. 8
5969. 9
5970. 0
5970. 1
5970. 2
5970. 3
5971. 0
5971. 1
5971. 2
5971. 3
5971. 4
5971. 5
5971. 6
5972. 0
pull
Entries 37
Mean −249.7
Std Dev 0
2.5
2
1.5
1
0.5
0
−0.5
−1
−1.5
−2

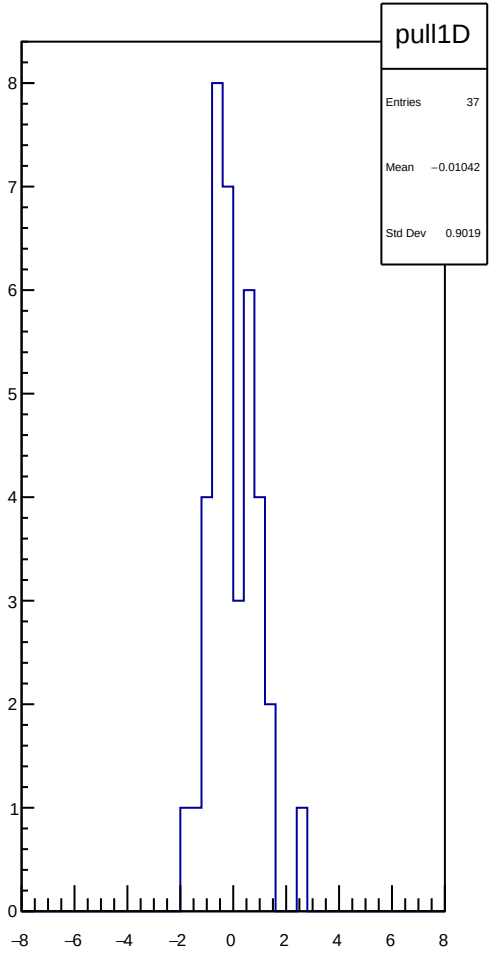
pull1D
Entries 37
Mean −0.01042
Std Dev 0.9019
8
7
6
5
4
3
2
1
0
−8
−6
−4
−2
0
2
4
6
8

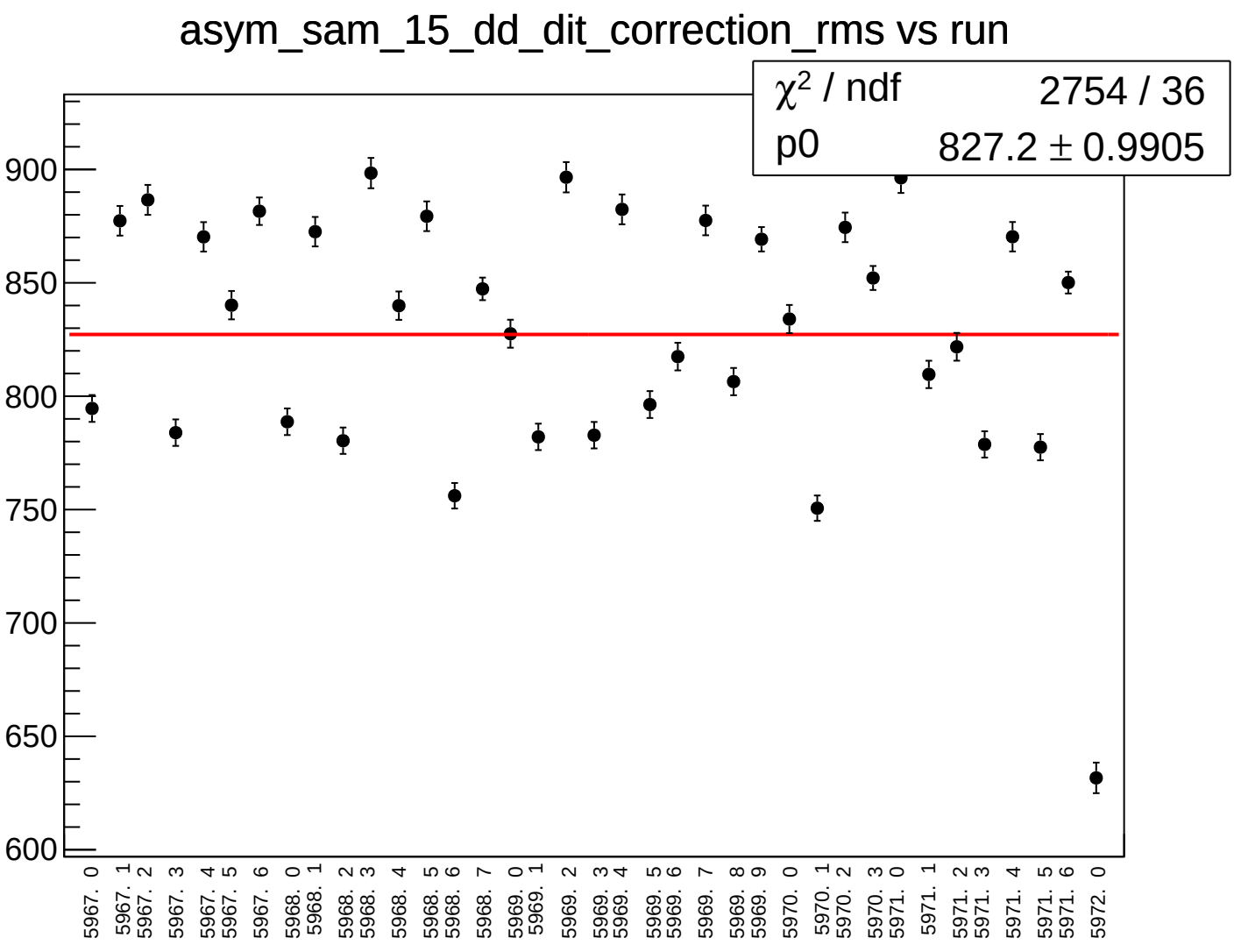
asym_sam_15_dd_dit_correction_rms vs run
χ² / ndf 2754 / 36
p0 827.2 ± 0.9905
900
850
800
750
700
650
600
5967. 0
5967. 1
5967. 2
5967. 3
5967. 4
5967. 5
5967. 6
5968. 0
5968. 1
5968. 2
5968. 3
5968. 4
5968. 5
5968. 6
5968. 7
5969. 0
5969. 1
5969. 2
5969. 3
5969. 4
5969. 5
5969. 6
5969. 7
5969. 8
5969. 9
5970. 0
5970. 1
5970. 2
5970. 3
5971. 0
5971. 1
5971. 2
5971. 3
5971. 4
5971. 5
5971. 6
5972. 0

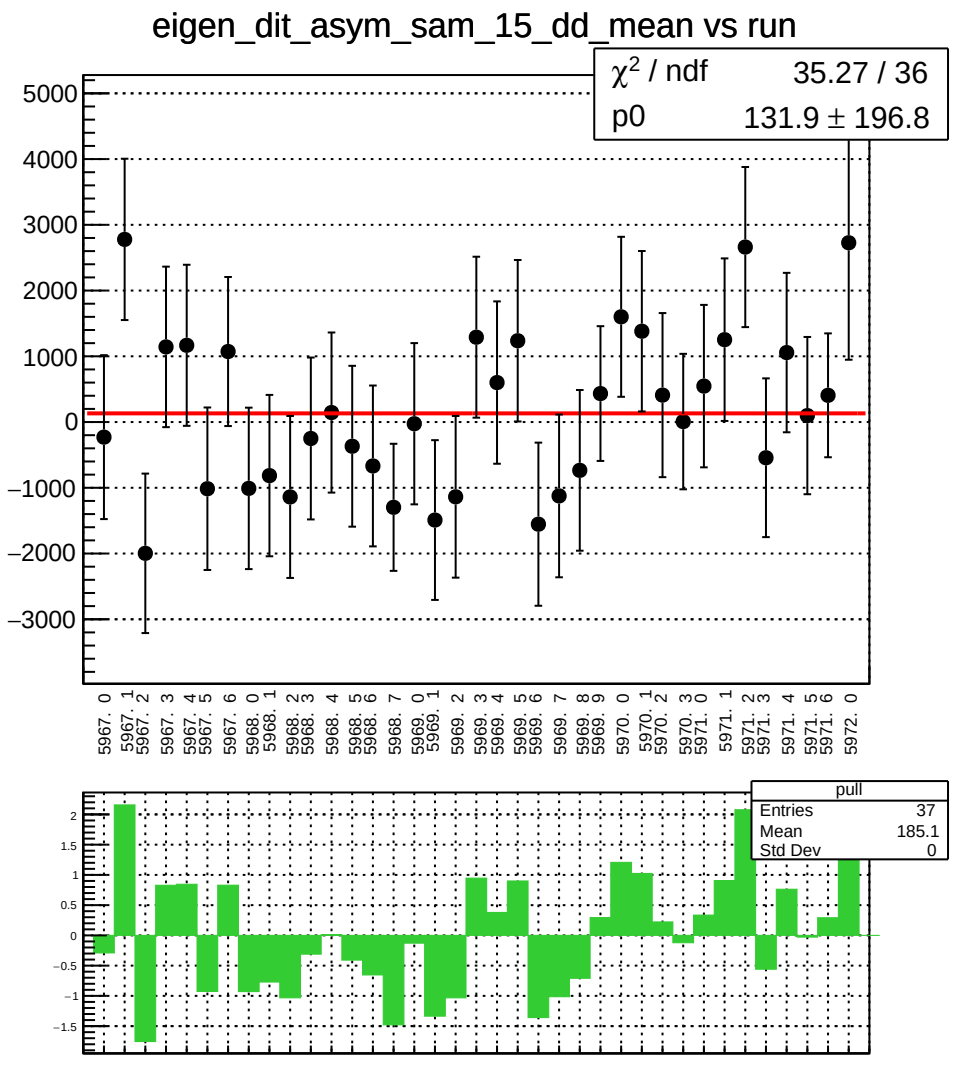
eigen_dit_asym_sam_15_dd_mean vs run
χ² / ndf 35.27 / 36
p0 131.9 ± 196.8
5000
4000
3000
2000
1000
0
−1000
−2000
−3000
5967. 0
5967. 1
5967. 2
5967. 3
5967. 4
5967. 5
5967. 6
5968. 0
5968. 1
5968. 2
5968. 3
5968. 4
5968. 5
5968. 6
5968. 7
5969. 0
5969. 1
5969. 2
5969. 3
5969. 4
5969. 5
5969. 6
5969. 7
5969. 8
5969. 9
5970. 0
5970. 1
5970. 2
5970. 3
5971. 0
5971. 1
5971. 2
5971. 3
5971. 4
5971. 5
5971. 6
5972. 0
pull
Entries 37
Mean 185.1
Std Dev 0
2
1.5
1
0.5
0
−0.5
−1
−1.5
pull1D
Entries 37
Mean 0.01712
Std Dev 0.9762
7
6
5
4
3
2
1
0
−8
−6
−4
−2
0
2
4
6
8

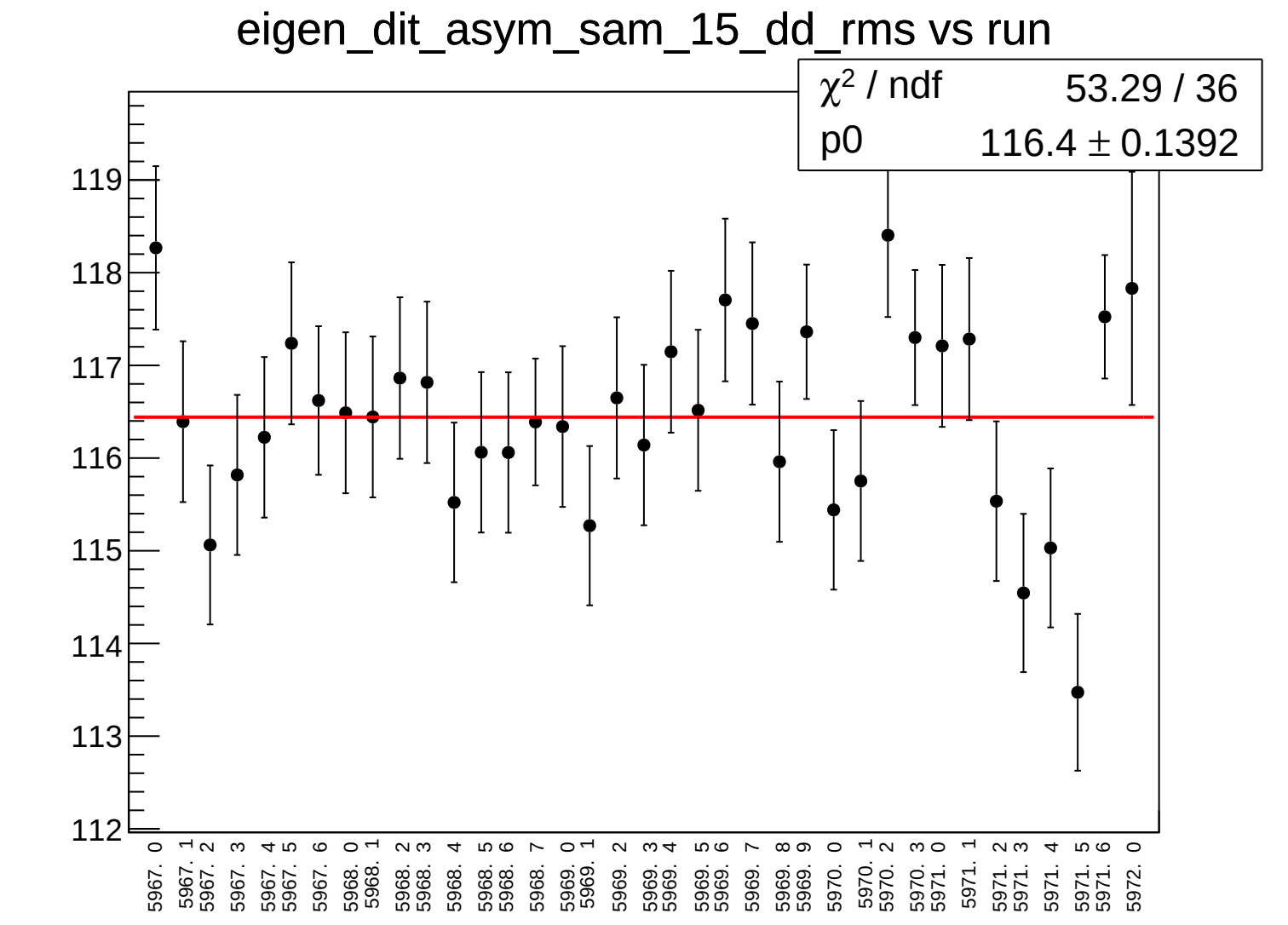
eigen_dit_asym_sam_15_dd_rms vs run
χ² / ndf 53.29 / 36
p0 116.4 ± 0.1392
119
118
117
116
115
114
113
112
5967. 0
5967. 1
5967. 2
5967. 3
5967. 4
5967. 5
5967. 6
5968. 0
5968. 1
5968. 2
5968. 3
5968. 4
5968. 5
5968. 6
5968. 7
5969. 0
5969. 1
5969. 2
5969. 3
5969. 4
5969. 5
5969. 6
5969. 7
5969. 8
5969. 9
5970. 0
5970. 1
5970. 2
5970. 3
5971. 0
5971. 1
5971. 2
5971. 3
5971. 4
5971. 5
5971. 6
5972. 0

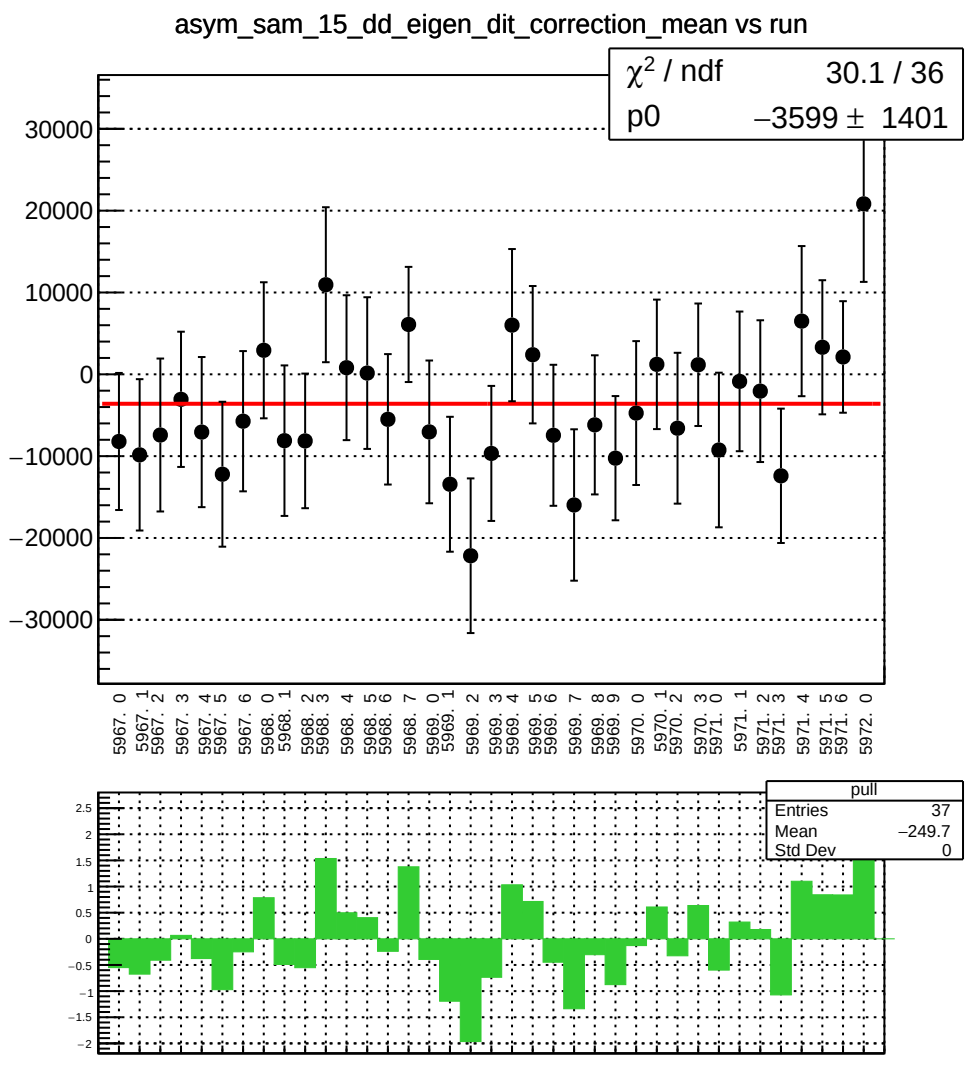
asym_sam_15_dd_eigen_dit_correction_mean vs run
χ² / ndf 30.1 / 36
p0 −3599 ± 1401
30000
20000
10000
0
−10000
−20000
−30000
5967. 0
5967. 1
5967. 2
5967. 3
5967. 4
5967. 5
5967. 6
5968. 0
5968. 1
5968. 2
5968. 3
5968. 4
5968. 5
5968. 6
5968. 7
5969. 0
5969. 1
5969. 2
5969. 3
5969. 4
5969. 5
5969. 6
5969. 7
5969. 8
5969. 9
5970. 0
5970. 1
5970. 2
5970. 3
5971. 0
5971. 1
5971. 2
5971. 3
5971. 4
5971. 5
5971. 6
5972. 0
pull
Entries 37
Mean −249.7
Std Dev 0
2.5
2
1.5
1
0.5
0
−0.5
−1
−1.5
−2

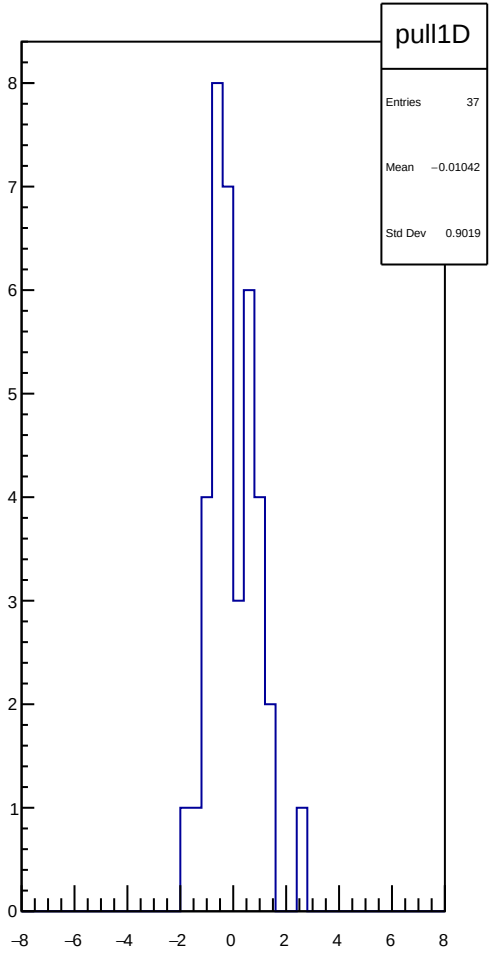
pull1D
Entries 37
Mean −0.01042
Std Dev 0.9019
8
7
6
5
4
3
2
1
0
−8
−6
−4
−2
0
2
4
6
8

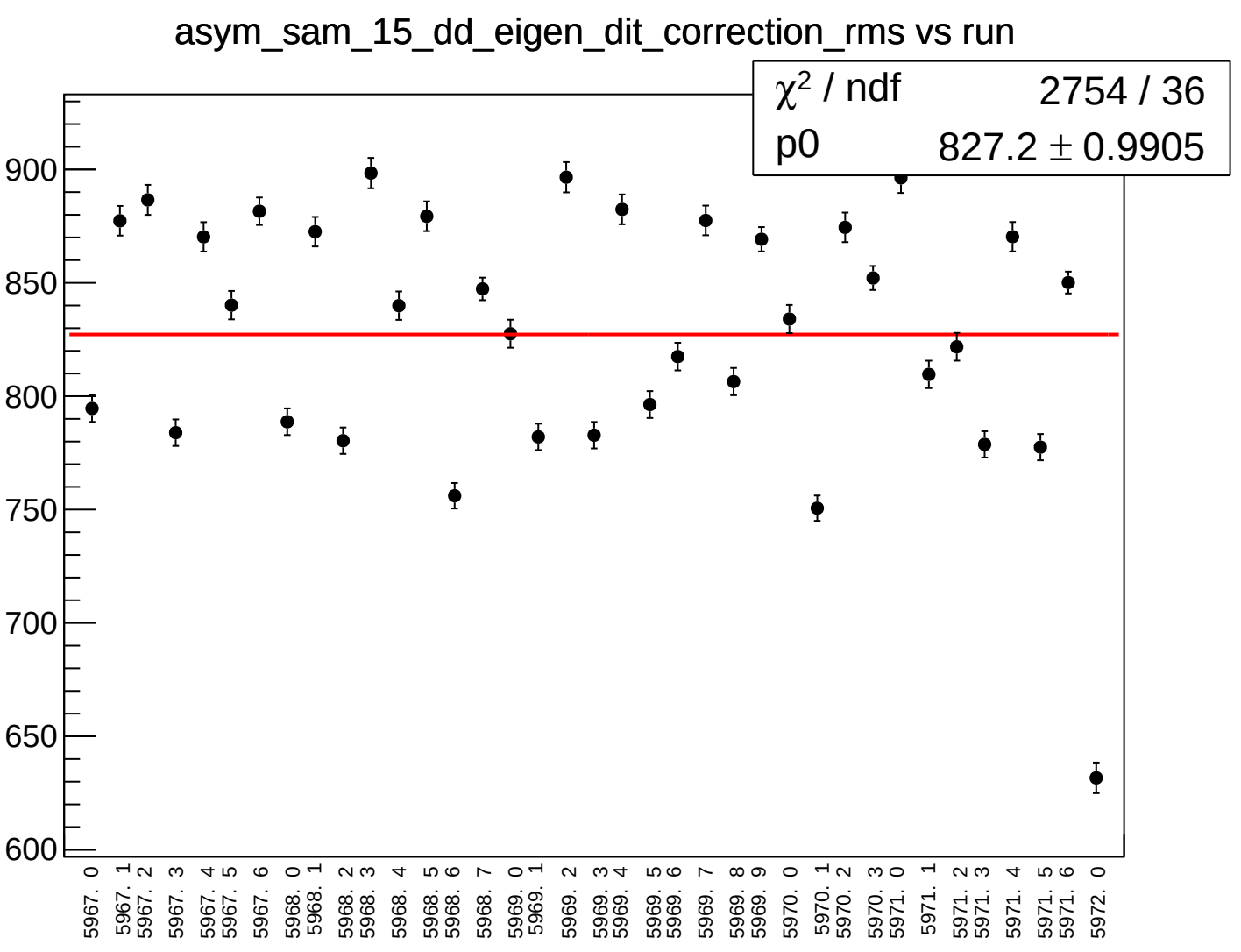
asym_sam_15_dd_eigen_dit_correction_rms vs run
χ² / ndf 2754 / 36
p0 827.2 ± 0.9905
900
850
800
750
700
650
600
5967. 0
5967. 1
5967. 2
5967. 3
5967. 4
5967. 5
5967. 6
5968. 0
5968. 1
5968. 2
5968. 3
5968. 4
5968. 5
5968. 6
5968. 7
5969. 0
5969. 1
5969. 2
5969. 3
5969. 4
5969. 5
5969. 6
5969. 7
5969. 8
5969. 9
5970. 0
5970. 1
5970. 2
5970. 3
5971. 0
5971. 1
5971. 2
5971. 3
5971. 4
5971. 5
5971. 6
5972. 0

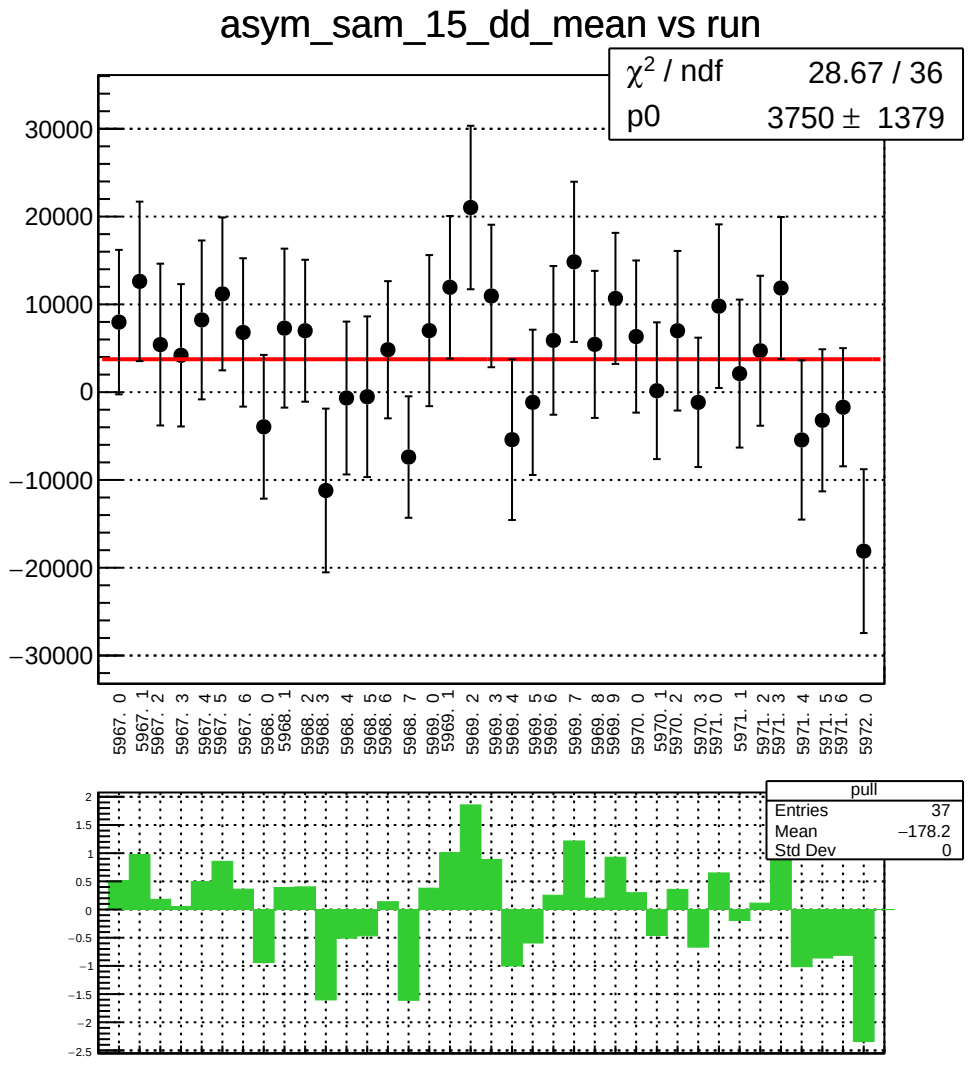
asym_sam_15_dd_mean vs run
χ² / ndf 28.67 / 36
p0 3750 ± 1379
30000
20000
10000
0
−10000
−20000
−30000
5967. 0
5967. 1
5967. 2
5967. 3
5967. 4
5967. 5
5967. 6
5968. 0
5968. 1
5968. 2
5968. 3
5968. 4
5968. 5
5968. 6
5968. 7
5969. 0
5969. 1
5969. 2
5969. 3
5969. 4
5969. 5
5969. 6
5969. 7
5969. 8
5969. 9
5970. 0
5970. 1
5970. 2
5970. 3
5971. 0
5971. 1
5971. 2
5971. 3
5971. 4
5971. 5
5971. 6
5972. 0
pull
Entries 37
Mean −178.2
Std Dev 0
2
1.5
1
0.5
0
−0.5
−1
−1.5
−2
−2.5

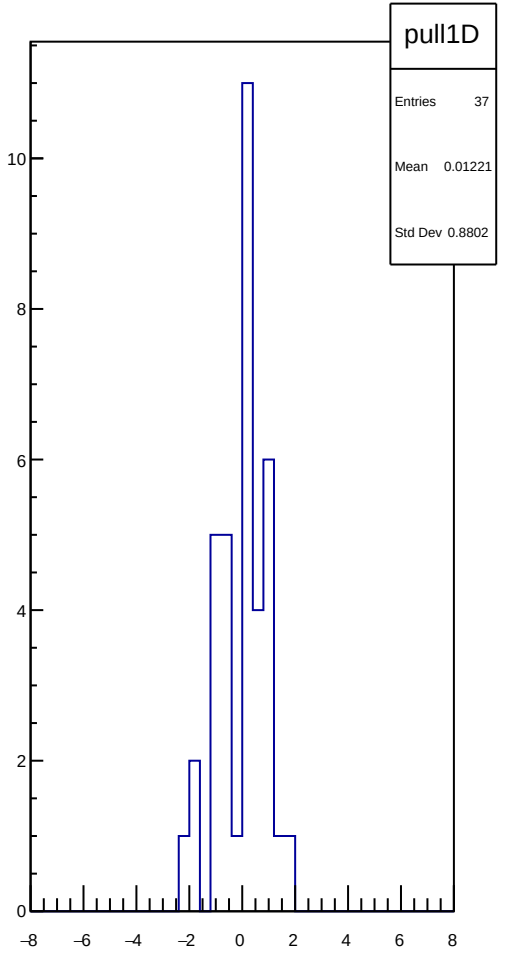
pull1D
Entries 37
Mean 0.01221
Std Dev 0.8802
10
8
6
4
2
0
−8
−6
−4
−2
0
2
4
6
8

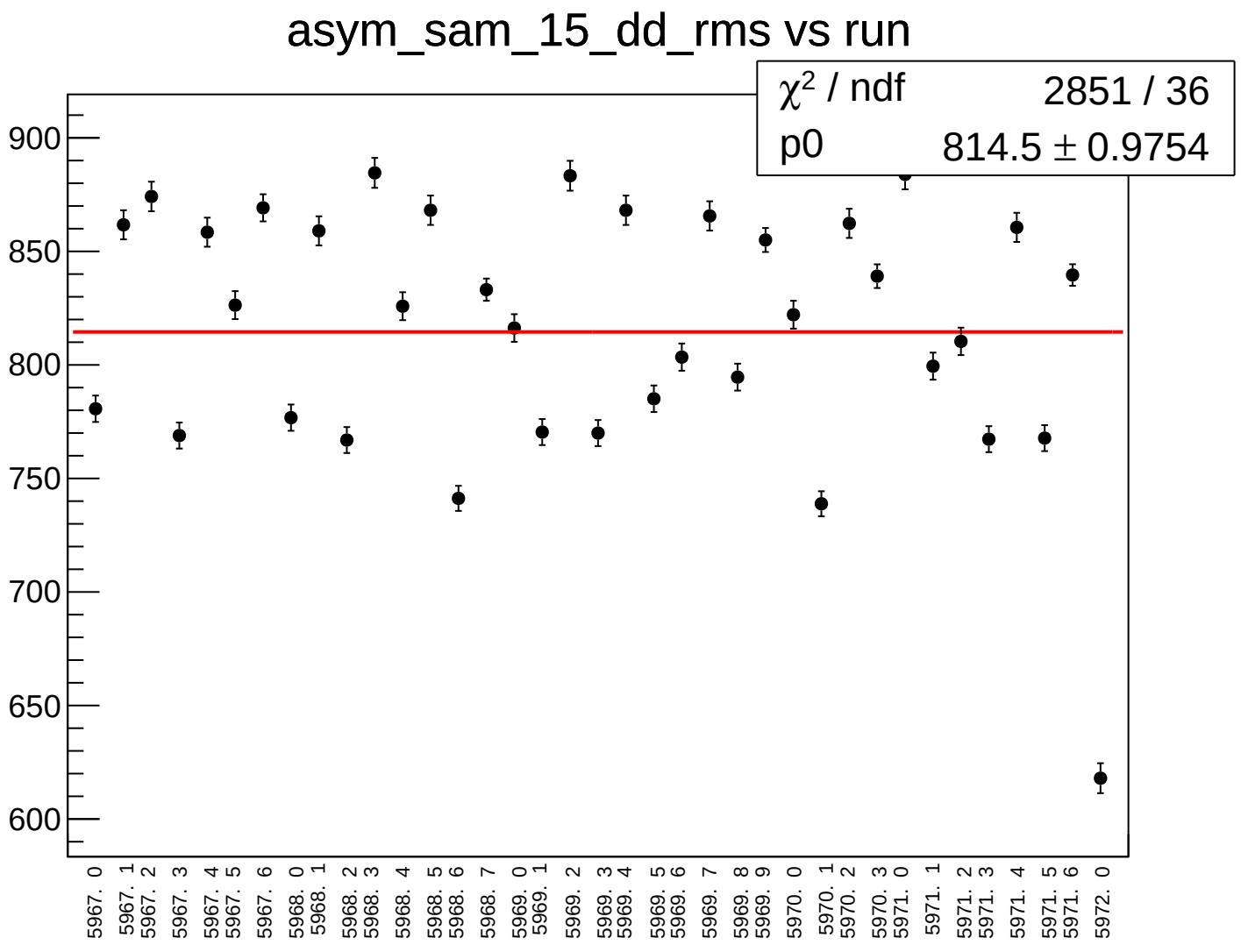
asym_sam_15_dd_rms vs run
χ^2 / ndf 2851 / 36
p0 814.5 ± 0.9754
900
850
800
750
700
650
600
5967. 0
5967. 1
5967. 2
5967. 3
5967. 4
5967. 5
5967. 6
5968. 0
5968. 1
5968. 2
5968. 3
5968. 4
5968. 5
5968. 6
5968. 7
5969. 0
5969. 1
5969. 2
5969. 3
5969. 4
5969. 5
5969. 6
5969. 7
5969. 8
5969. 9
5970. 0
5970. 1
5970. 2
5970. 3
5971. 0
5971. 1
5971. 2
5971. 3
5971. 4
5971. 5
5971. 6
5972. 0

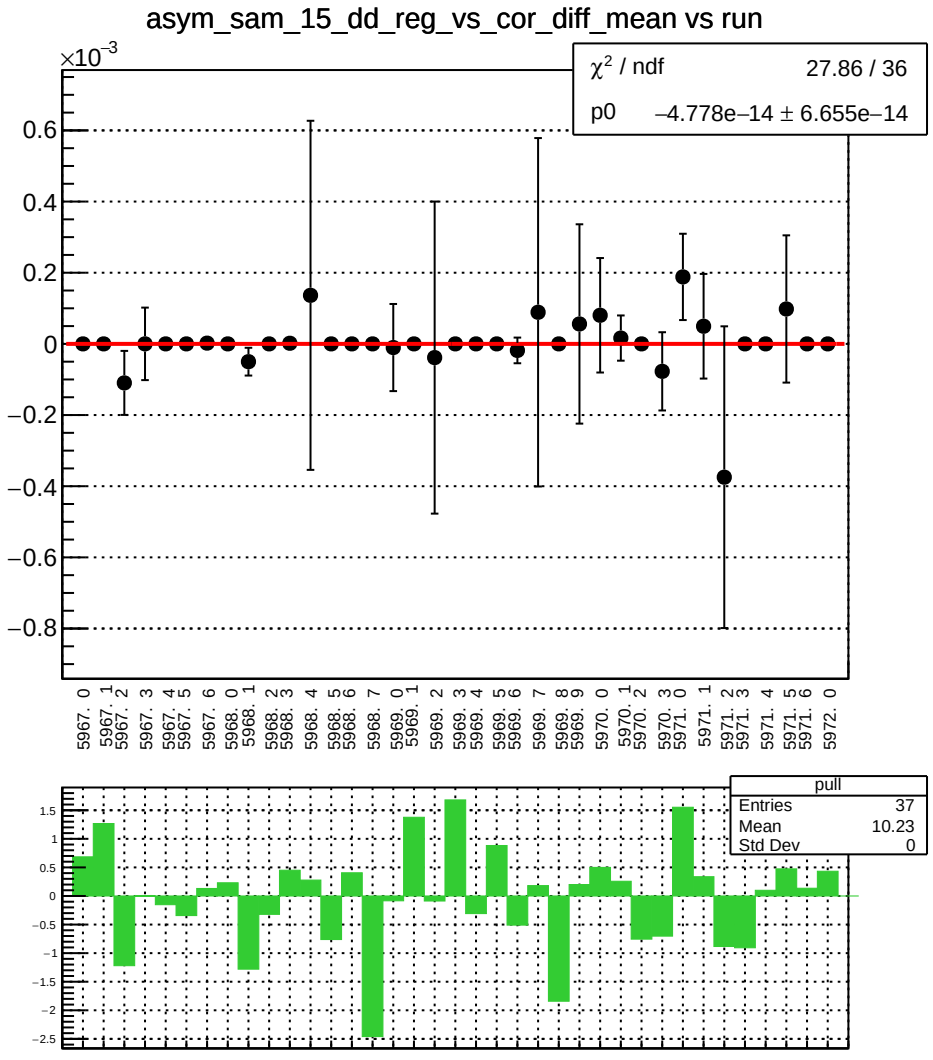
asym_sam_15_dd_reg_vs_cor_diff_mean vs run
×10⁻³
χ² / ndf 27.86 / 36
p0 −4.778e−14 ± 6.655e−14
pull
Entries 37
Mean 10.23
Std Dev 0

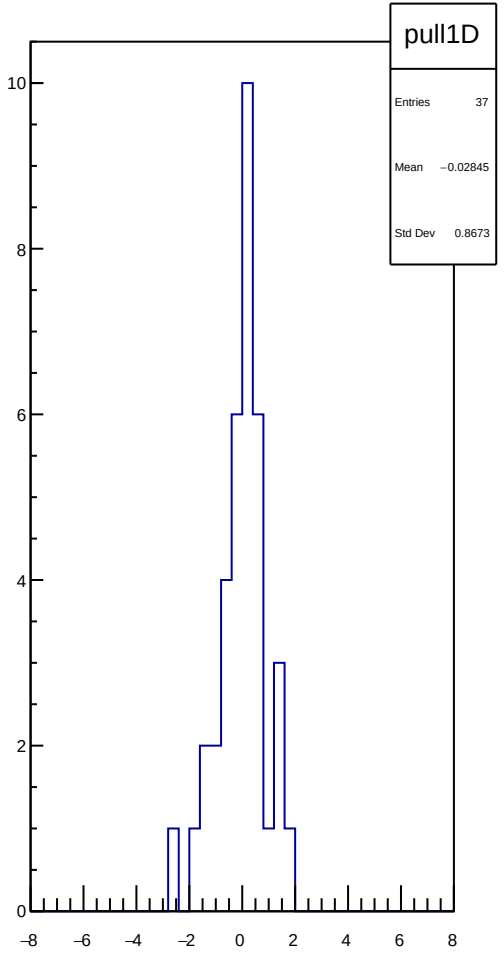
pull1D
Entries 37
Mean −0.02845
Std Dev 0.8673

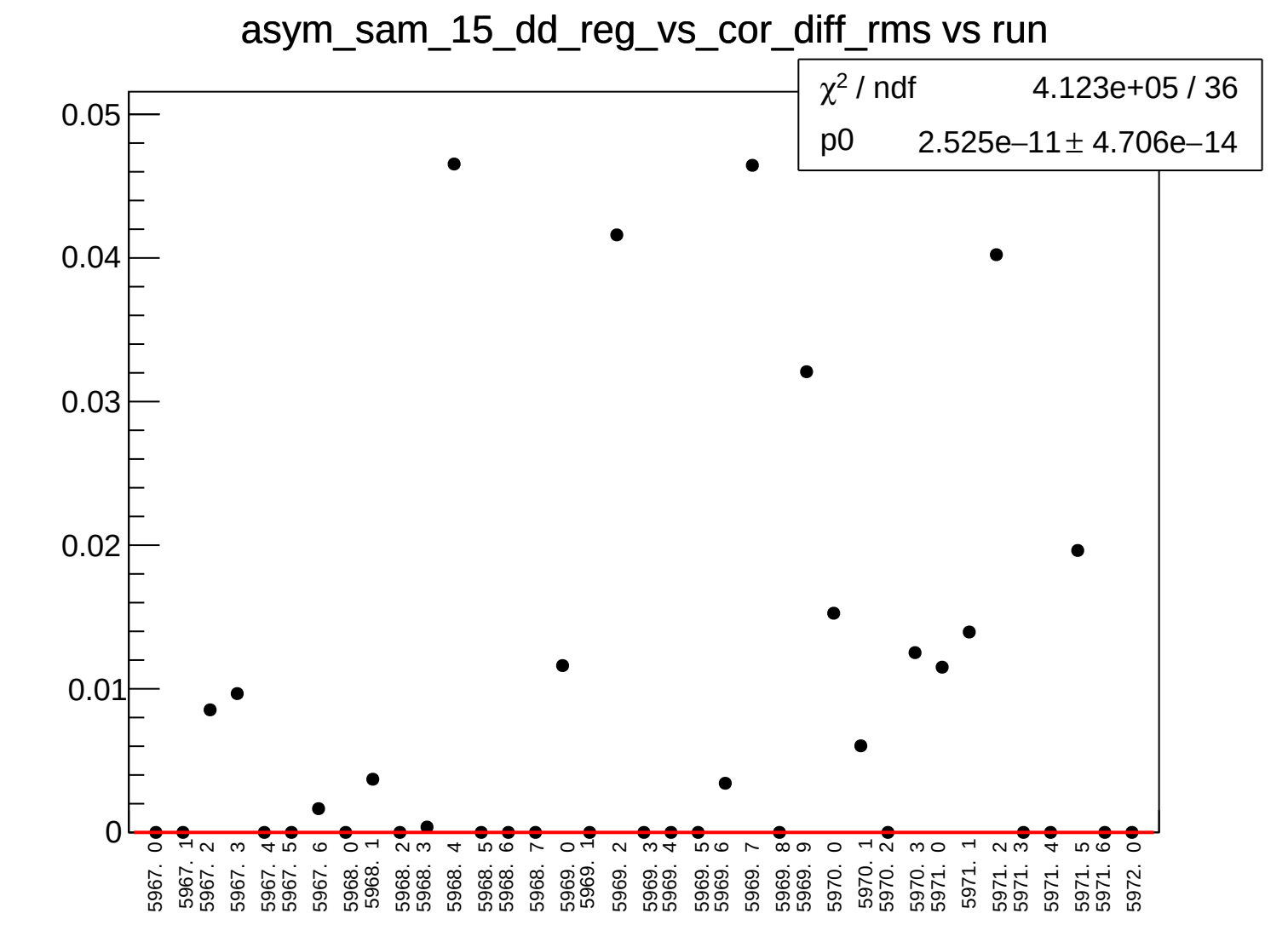
asym_sam_15_dd_reg_vs_cor_diff_rms vs run
χ² / ndf 4.123e+05 / 36
p0 2.525e−11 ± 4.706e−14
0.05
0.04
0.03
0.02
0.01
0
5967. 0
5967. 1
5967. 2
5967. 3
5967. 4
5967. 5
5967. 6
5968. 0
5968. 1
5968. 2
5968. 3
5968. 4
5968. 5
5968. 6
5968. 7
5969. 0
5969. 1
5969. 2
5969. 3
5969. 4
5969. 5
5969. 6
5969. 7
5969. 8
5969. 9
5970. 0
5970. 1
5970. 2
5970. 3
5971. 0
5971. 1
5971. 2
5971. 3
5971. 4
5971. 5
5971. 6
5972. 0

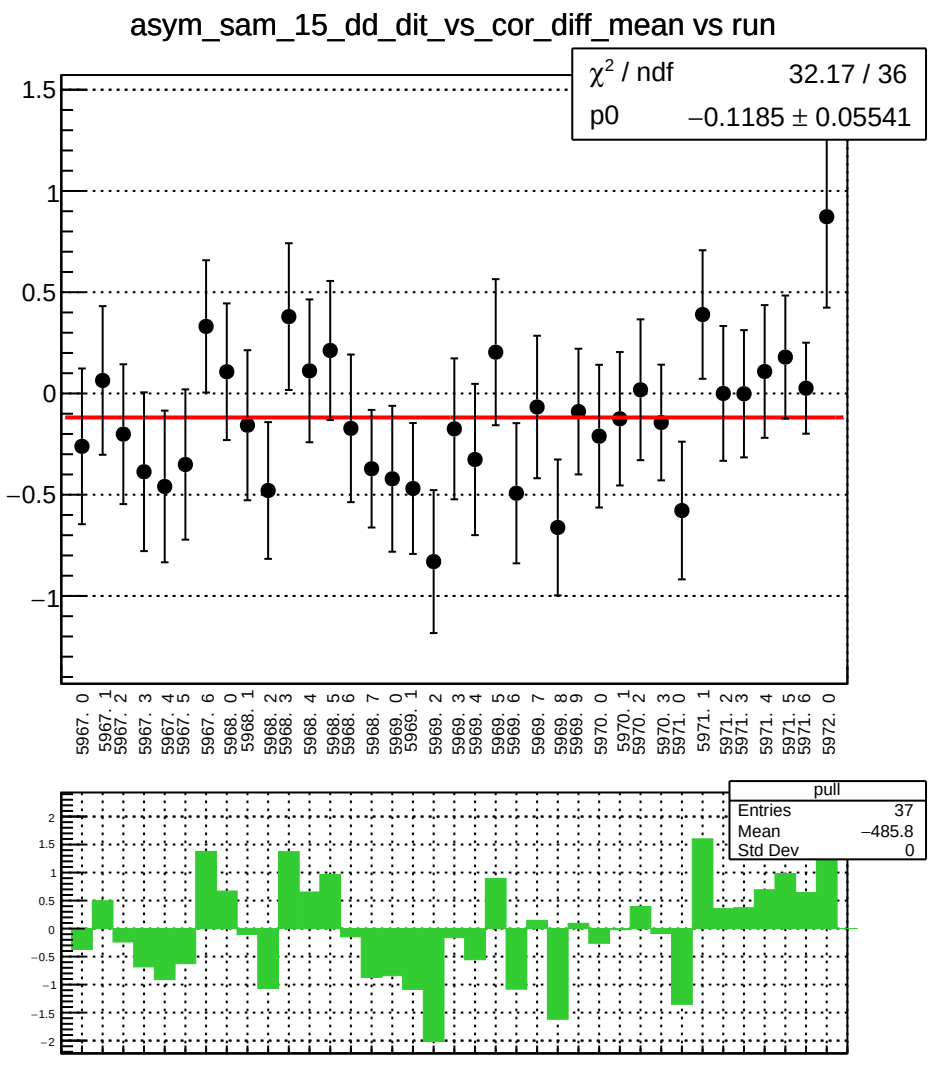
asym_sam_15_dd_dit_vs_cor_diff_mean vs run
χ² / ndf 32.17 / 36
p0 −0.1185 ± 0.05541
1.5
1
0.5
0
−0.5
−1
5967. 0
5967. 1
5967. 2
5967. 3
5967. 4
5967. 5
5967. 6
5968. 0
5968. 1
5968. 2
5968. 3
5968. 4
5968. 5
5968. 6
5968. 7
5969. 0
5969. 1
5969. 2
5969. 3
5969. 4
5969. 5
5969. 6
5969. 7
5969. 8
5969. 9
5970. 0
5970. 1
5970. 2
5970. 3
5971. 0
5971. 1
5971. 2
5971. 3
5971. 4
5971. 5
5971. 6
5972. 0
pull
Entries 37
Mean −485.8
Std Dev 0
2
1.5
1
0.5
0
−0.5
−1
−1.5
−2

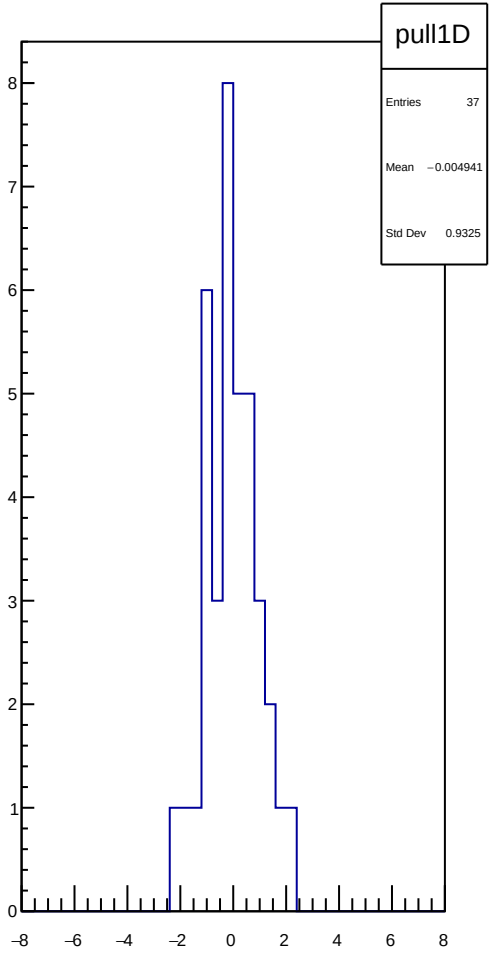
pull1D
Entries 37
Mean −0.004941
Std Dev 0.9325
8
7
6
5
4
3
2
1
0
−8
−6
−4
−2
0
2
4
6
8

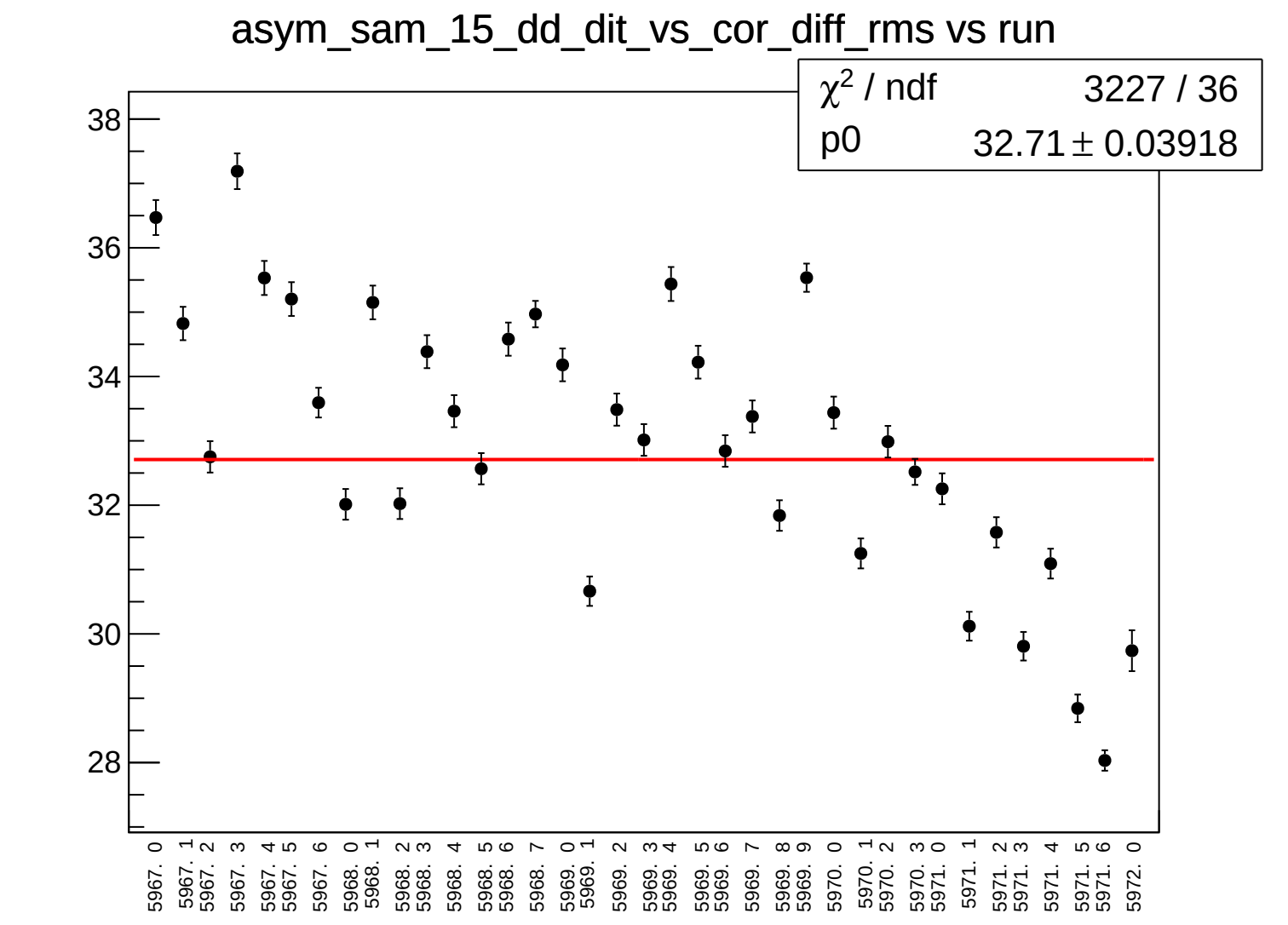
asym_sam_15_dd_dit_vs_cor_diff_rms vs run
χ² / ndf 3227 / 36
p0 32.71 ± 0.03918
38
36
34
32
30
28
5967. 0
5967. 1
5967. 2
5967. 3
5967. 4
5967. 5
5967. 6
5968. 0
5968. 1
5968. 2
5968. 3
5968. 4
5968. 5
5968. 6
5968. 7
5969. 0
5969. 1
5969. 2
5969. 3
5969. 4
5969. 5
5969. 6
5969. 7
5969. 8
5969. 9
5970. 0
5970. 1
5970. 2
5970. 3
5971. 0
5971. 1
5971. 2
5971. 3
5971. 4
5971. 5
5971. 6
5972. 0

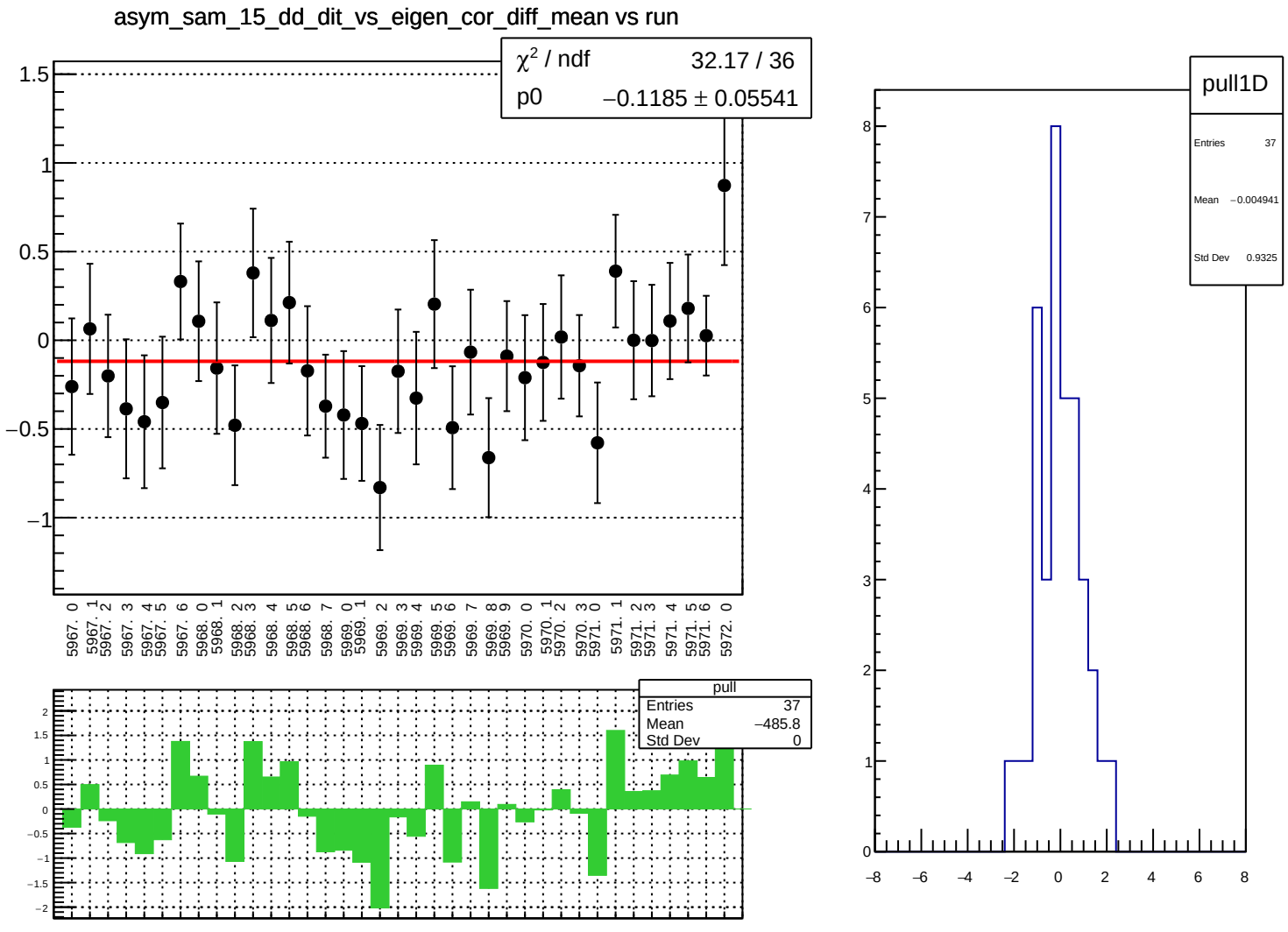
asym_sam_15_dd_dit_vs_eigen_cor_diff_mean vs run
χ² / ndf 32.17 / 36
p0 −0.1185 ± 0.05541
1.5
1
0.5
0
−0.5
−1
5967. 0
5967. 1
5967. 2
5967. 3
5967. 4
5967. 5
5967. 6
5968. 0
5968. 1
5968. 2
5968. 3
5968. 4
5968. 5
5968. 6
5968. 7
5969. 0
5969. 1
5969. 2
5969. 3
5969. 4
5969. 5
5969. 6
5969. 7
5969. 8
5969. 9
5970. 0
5970. 1
5970. 2
5970. 3
5971. 0
5971. 1
5971. 2
5971. 3
5971. 4
5971. 5
5971. 6
5972. 0
pull
Entries 37
Mean −485.8
Std Dev 0
2
1.5
1
0.5
0
−0.5
−1
−1.5
−2
pull1D
Entries 37
Mean −0.004941
Std Dev 0.9325
8
7
6
5
4
3
2
1
0
−8
−6
−4
−2
0
2
4
6
8

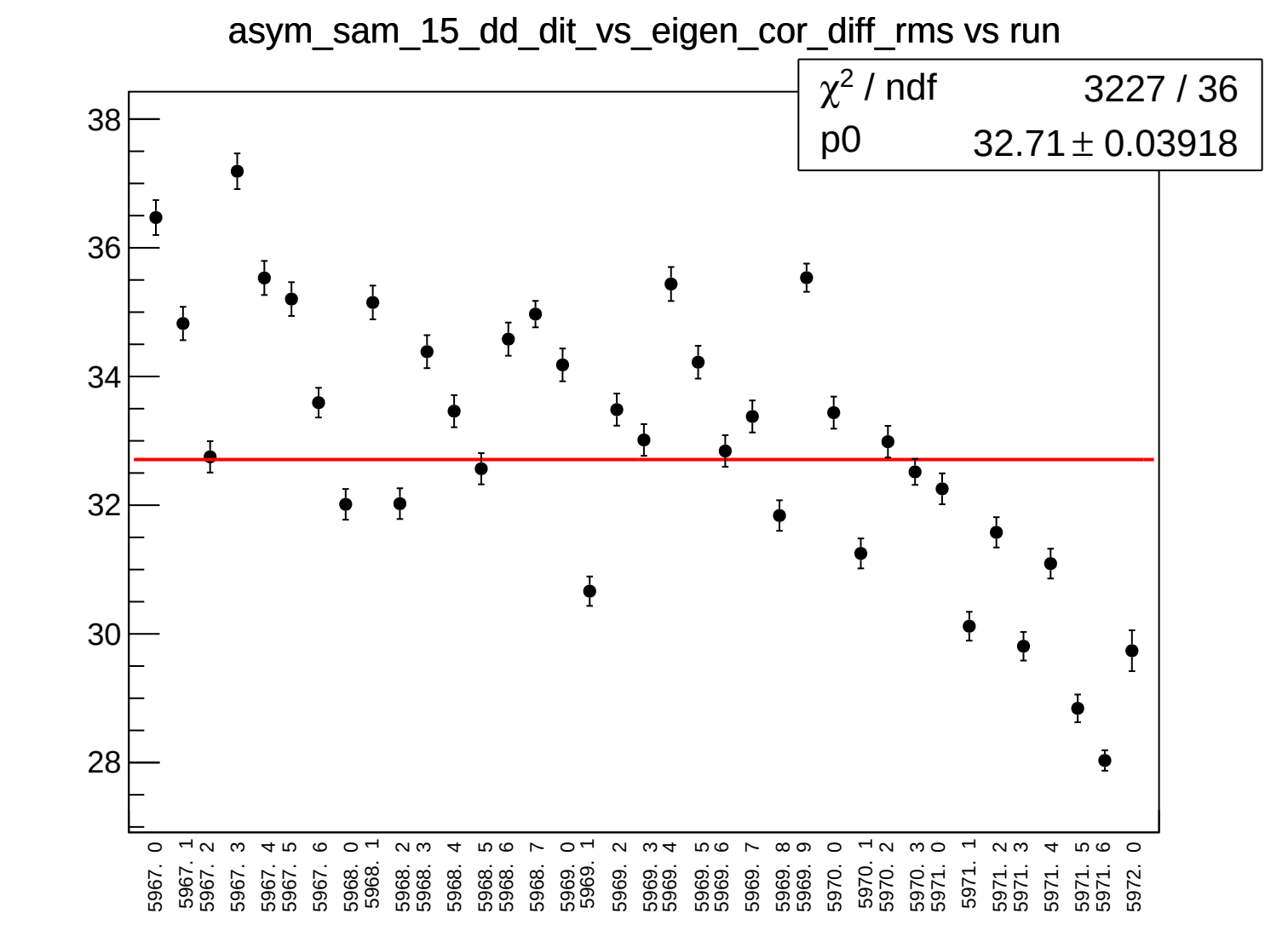
asym_sam_15_dd_dit_vs_eigen_cor_diff_rms vs run
χ² / ndf 3227 / 36
p0 32.71 ± 0.03918
38
36
34
32
30
28
5967. 0
5967. 1
5967. 2
5967. 3
5967. 4
5967. 5
5967. 6
5968. 0
5968. 1
5968. 2
5968. 3
5968. 4
5968. 5
5968. 6
5968. 7
5969. 0
5969. 1
5969. 2
5969. 3
5969. 4
5969. 5
5969. 6
5969. 7
5969. 8
5969. 9
5970. 0
5970. 1
5970. 2
5970. 3
5971. 0
5971. 1
5971. 2
5971. 3
5971. 4
5971. 5
5971. 6
5972. 0

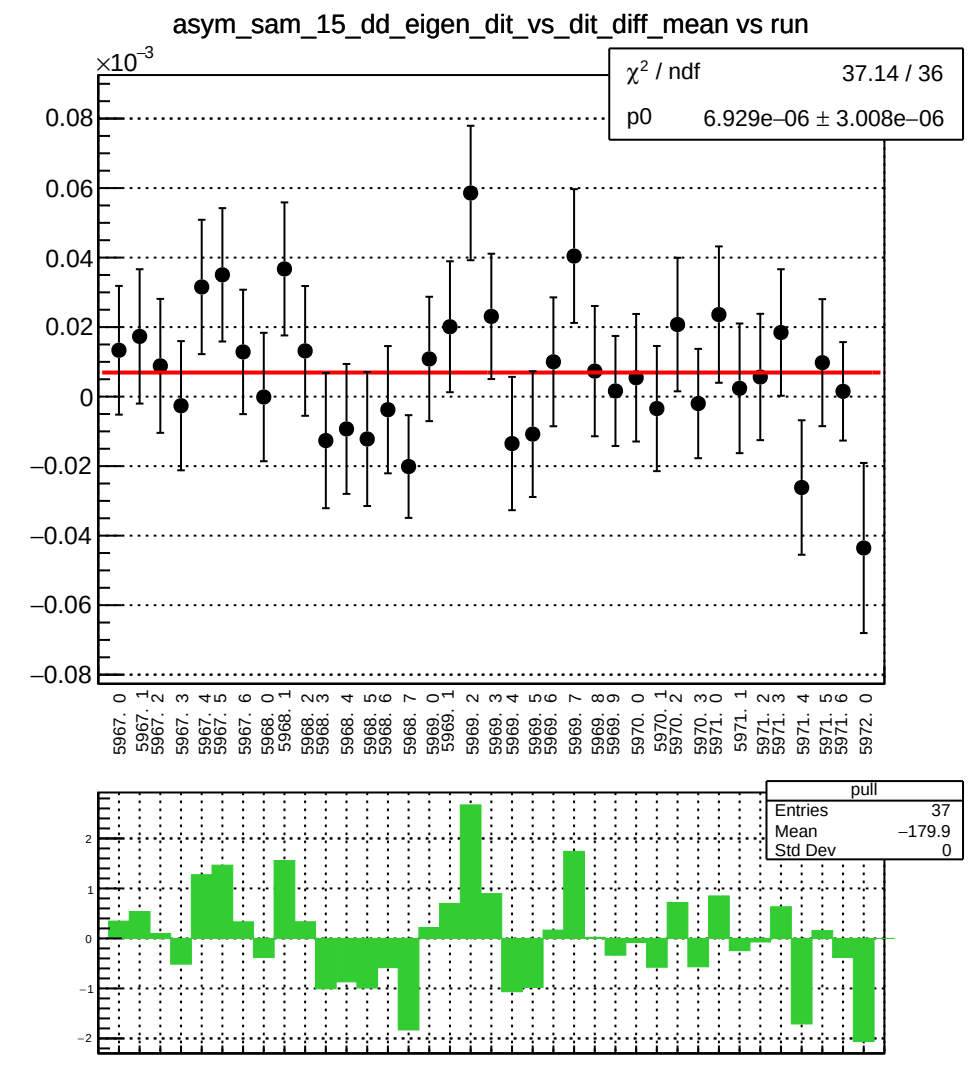
asym_sam_15_dd_eigen_dit_vs_dit_diff_mean vs run
×10⁻³
χ² / ndf 37.14 / 36
p0 6.929e−06 ± 3.008e−06
0.08
0.06
0.04
0.02
0
−0.02
−0.04
−0.06
−0.08
5967. 0
5967. 1
5967. 2
5967. 3
5967. 4
5967. 5
5967. 6
5968. 0
5968. 1
5968. 2
5968. 3
5968. 4
5968. 5
5968. 6
5968. 7
5969. 0
5969. 1
5969. 2
5969. 3
5969. 4
5969. 5
5969. 6
5969. 7
5969. 8
5969. 9
5970. 0
5970. 1
5970. 2
5970. 3
5971. 0
5971. 1
5971. 2
5971. 3
5971. 4
5971. 5
5971. 6
5972. 0
pull
Entries 37
Mean −179.9
Std Dev 0
2
1
0
−1
−2

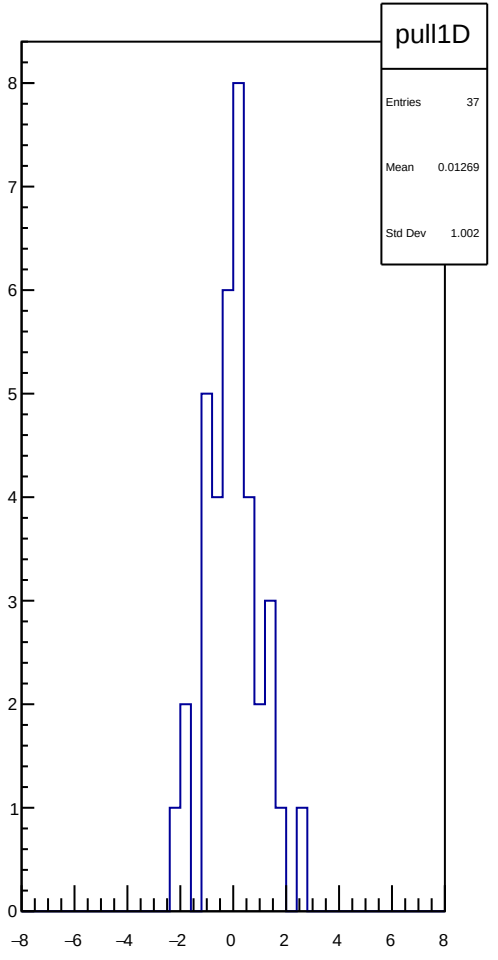
pull1D
Entries 37
Mean 0.01269
Std Dev 1.002
8
7
6
5
4
3
2
1
0
−8
−6
−4
−2
0
2
4
6
8

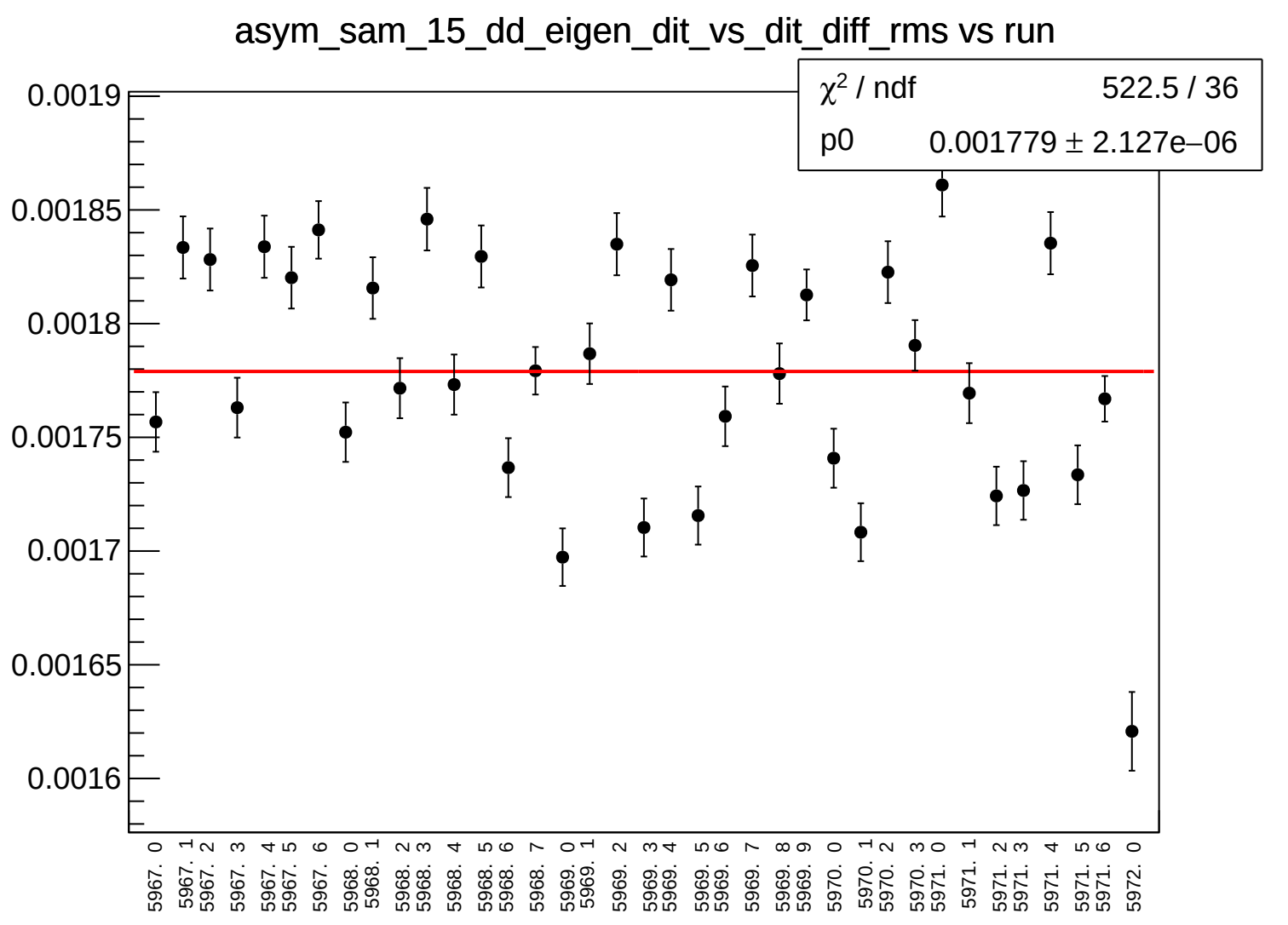
asym_sam_15_dd_eigen_dit_vs_dit_diff_rms vs run
χ² / ndf 522.5 / 36
p0 0.001779 ± 2.127e−06
0.0019
0.00185
0.0018
0.00175
0.0017
0.00165
0.0016
5967. 0
5967. 1
5967. 2
5967. 3
5967. 4
5967. 5
5967. 6
5968. 0
5968. 1
5968. 2
5968. 3
5968. 4
5968. 5
5968. 6
5968. 7
5969. 0
5969. 1
5969. 2
5969. 3
5969. 4
5969. 5
5969. 6
5969. 7
5969. 8
5969. 9
5970. 0
5970. 1
5970. 2
5970. 3
5971. 0
5971. 1
5971. 2
5971. 3
5971. 4
5971. 5
5971. 6
5972. 0

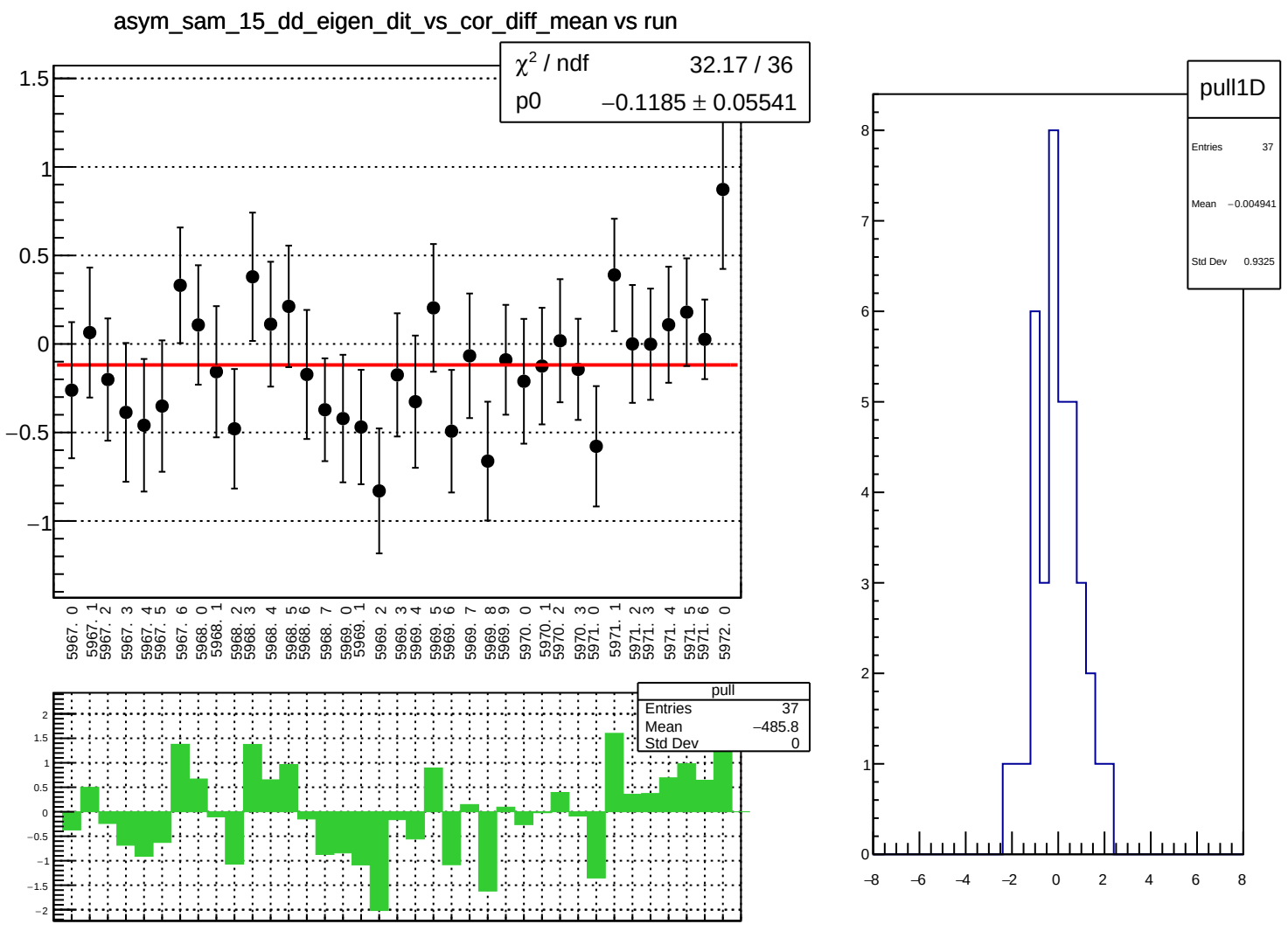
asym_sam_15_dd_eigen_dit_vs_cor_diff_mean vs run
χ² / ndf 32.17 / 36
p0 −0.1185 ± 0.05541
1.5
1
0.5
0
−0.5
−1
5967. 0
5967. 1
5967. 2
5967. 3
5967. 4
5967. 5
5967. 6
5968. 0
5968. 1
5968. 2
5968. 3
5968. 4
5968. 5
5968. 6
5968. 7
5969. 0
5969. 1
5969. 2
5969. 3
5969. 4
5969. 5
5969. 6
5969. 7
5969. 8
5969. 9
5970. 0
5970. 1
5970. 2
5970. 3
5971. 0
5971. 1
5971. 2
5971. 3
5971. 4
5971. 5
5971. 6
5972. 0
pull
Entries 37
Mean −485.8
Std Dev 0
2
1.5
1
0.5
0
−0.5
−1
−1.5
−2
pull1D
Entries 37
Mean −0.004941
Std Dev 0.9325
8
7
6
5
4
3
2
1
0
−8
−6
−4
−2
0
2
4
6
8

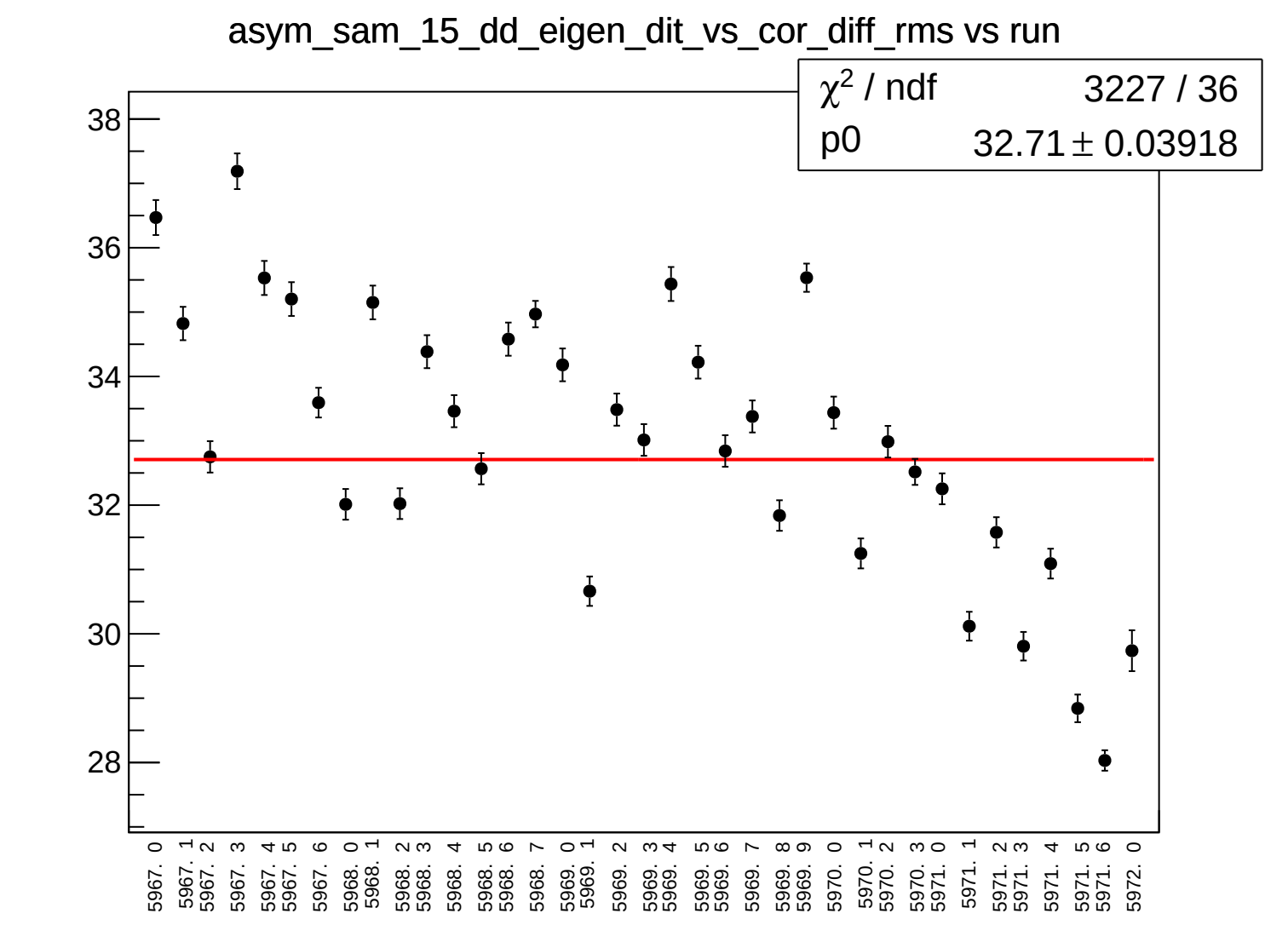
asym_sam_15_dd_eigen_dit_vs_cor_diff_rms vs run
χ² / ndf 3227 / 36
p0 32.71 ± 0.03918
38
36
34
32
30
28
5967. 0
5967. 1
5967. 2
5967. 3
5967. 4
5967. 5
5967. 6
5968. 0
5968. 1
5968. 2
5968. 3
5968. 4
5968. 5
5968. 6
5968. 7
5969. 0
5969. 1
5969. 2
5969. 3
5969. 4
5969. 5
5969. 6
5969. 7
5969. 8
5969. 9
5970. 0
5970. 1
5970. 2
5970. 3
5971. 0
5971. 1
5971. 2
5971. 3
5971. 4
5971. 5
5971. 6
5972. 0

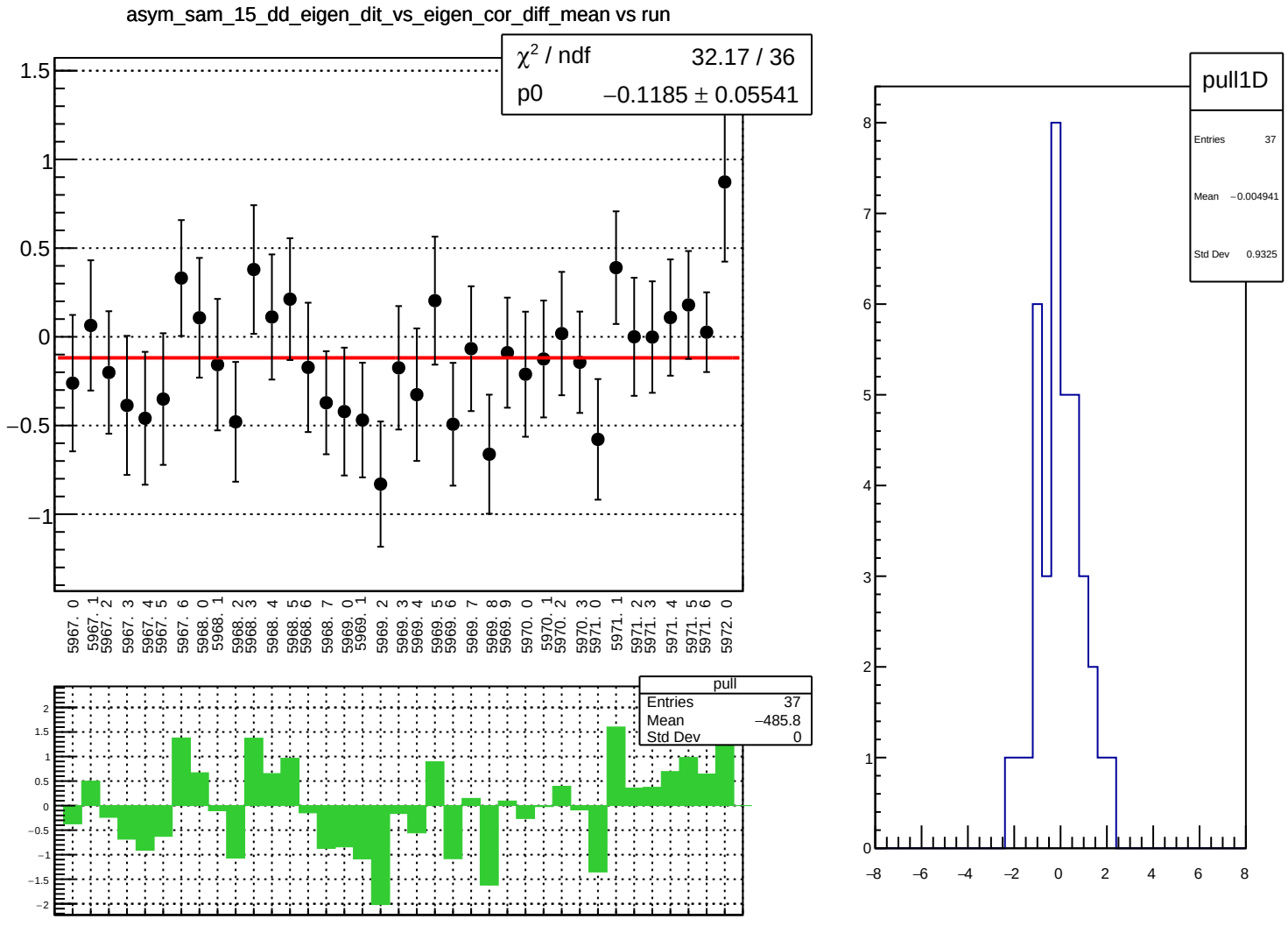
asym_sam_15_dd_eigen_dit_vs_eigen_cor_diff_mean vs run
χ² / ndf 32.17 / 36
p0 −0.1185 ± 0.05541
1.5
1
0.5
0
−0.5
−1
5967. 0
5967. 1
5967. 2
5967. 3
5967. 4
5967. 5
5967. 6
5968. 0
5968. 1
5968. 2
5968. 3
5968. 4
5968. 5
5968. 6
5968. 7
5969. 0
5969. 1
5969. 2
5969. 3
5969. 4
5969. 5
5969. 6
5969. 7
5969. 8
5969. 9
5970. 0
5970. 1
5970. 2
5970. 3
5971. 0
5971. 1
5971. 2
5971. 3
5971. 4
5971. 5
5971. 6
5972. 0
pull
Entries 37
Mean −485.8
Std Dev 0
2
1.5
1
0.5
0
−0.5
−1
−1.5
−2
pull1D
Entries 37
Mean −0.004941
Std Dev 0.9325
8
7
6
5
4
3
2
1
0
−8
−6
−4
−2
0
2
4
6
8

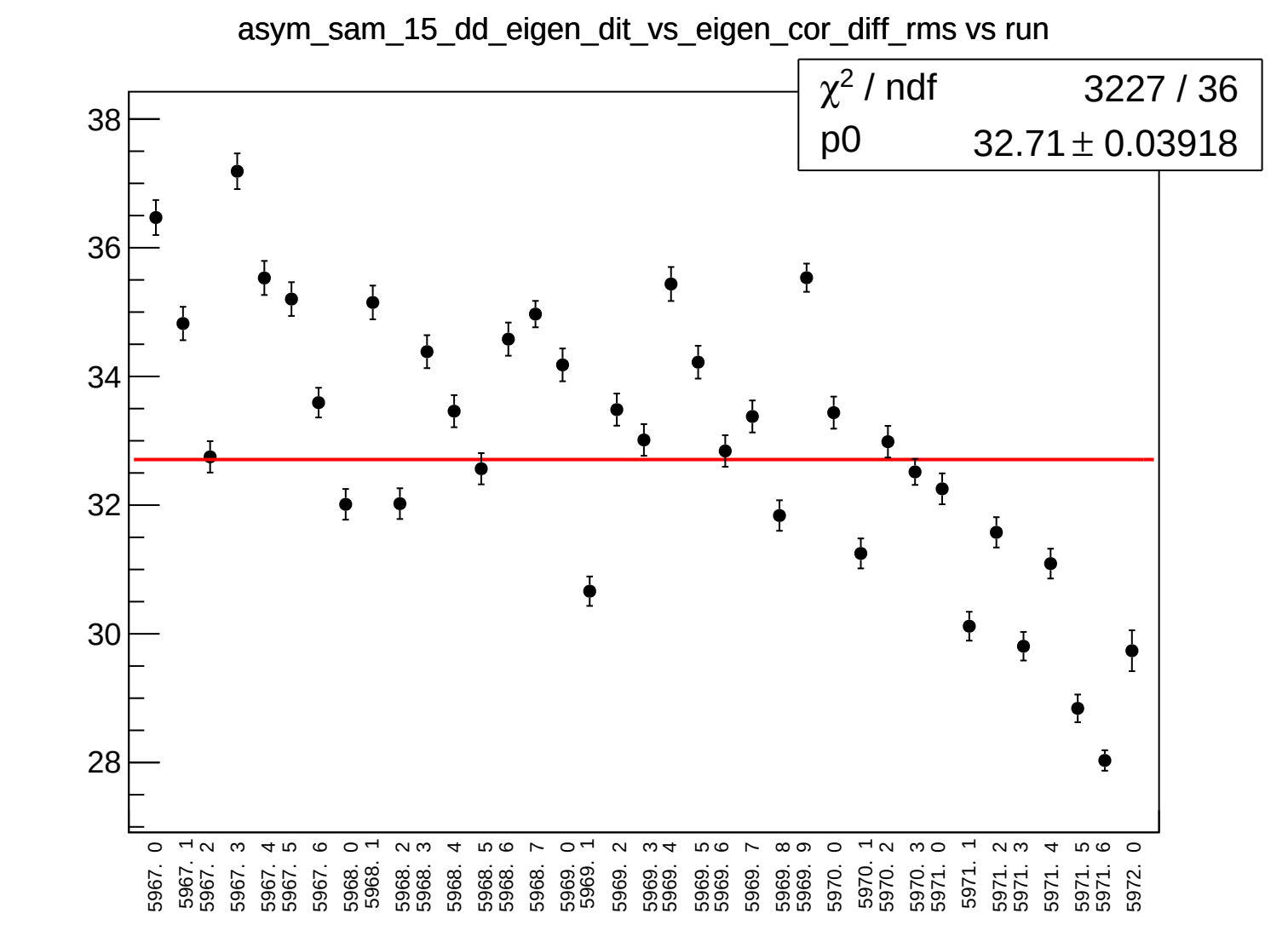
asym_sam_15_dd_eigen_dit_vs_eigen_cor_diff_rms vs run
χ² / ndf 3227 / 36
p0 32.71 ± 0.03918
38
36
34
32
30
28
5967. 0
5967. 1
5967. 2
5967. 3
5967. 4
5967. 5
5967. 6
5968. 0
5968. 1
5968. 2
5968. 3
5968. 4
5968. 5
5968. 6
5968. 7
5969. 0
5969. 1
5969. 2
5969. 3
5969. 4
5969. 5
5969. 6
5969. 7
5969. 8
5969. 9
5970. 0
5970. 1
5970. 2
5970. 3
5971. 0
5971. 1
5971. 2
5971. 3
5971. 4
5971. 5
5971. 6
5972. 0

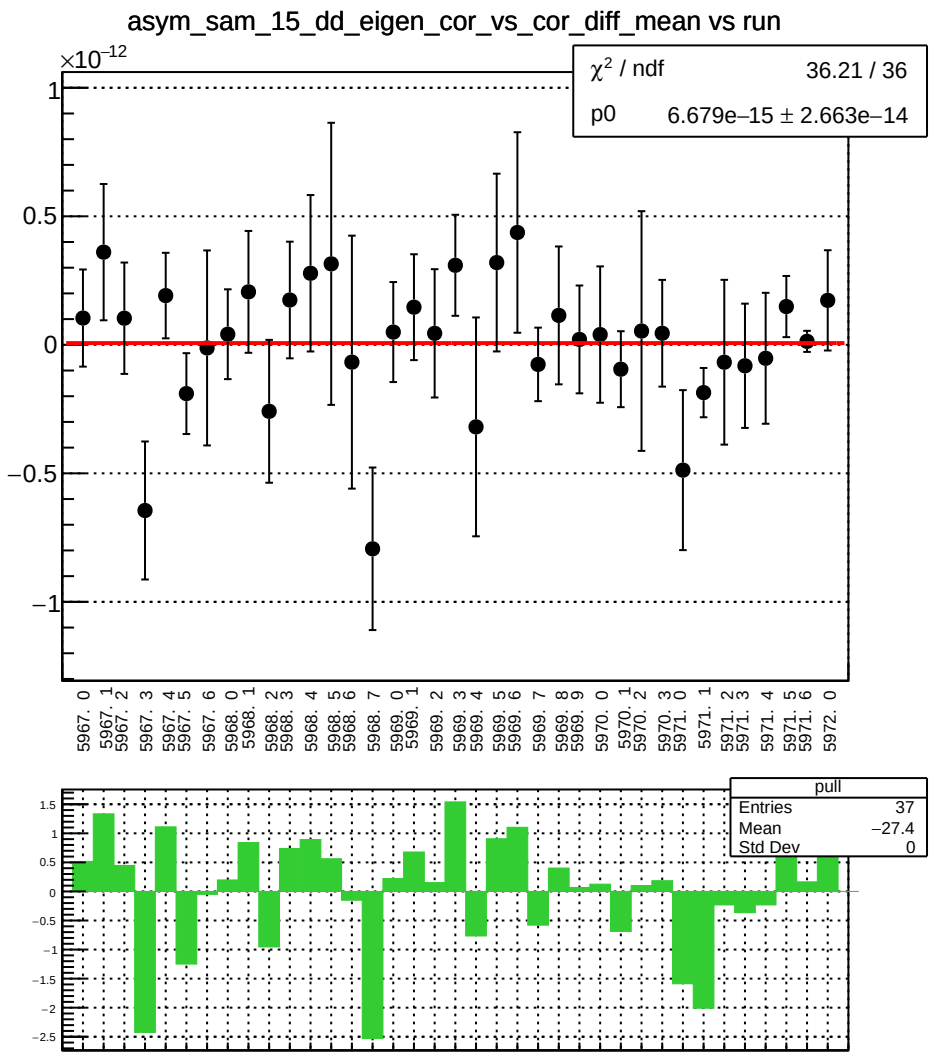
asym_sam_15_dd_eigen_cor_vs_cor_diff_mean vs run
×10⁻¹²
χ² / ndf 36.21 / 36
p0 6.679e−15 ± 2.663e−14
1
0.5
0
−0.5
−1
5967. 0
5967. 1
5967. 2
5967. 3
5967. 4
5967. 5
5967. 6
5968. 0
5968. 1
5968. 2
5968. 3
5968. 4
5968. 5
5968. 6
5968. 7
5969. 0
5969. 1
5969. 2
5969. 3
5969. 4
5969. 5
5969. 6
5969. 7
5969. 8
5969. 9
5970. 0
5970. 1
5970. 2
5970. 3
5971. 0
5971. 1
5971. 2
5971. 3
5971. 4
5971. 5
5971. 6
5972. 0
pull
Entries 37
Mean −27.4
Std Dev 0
1.5
1
0.5
0
−0.5
−1
−1.5
−2
−2.5
pull1D
Entries 37
Mean 0.01391
Std Dev 0.9892
8
7
6
5
4
3
2
1
0
−8
−6
−4
−2
0
2
4
6
8

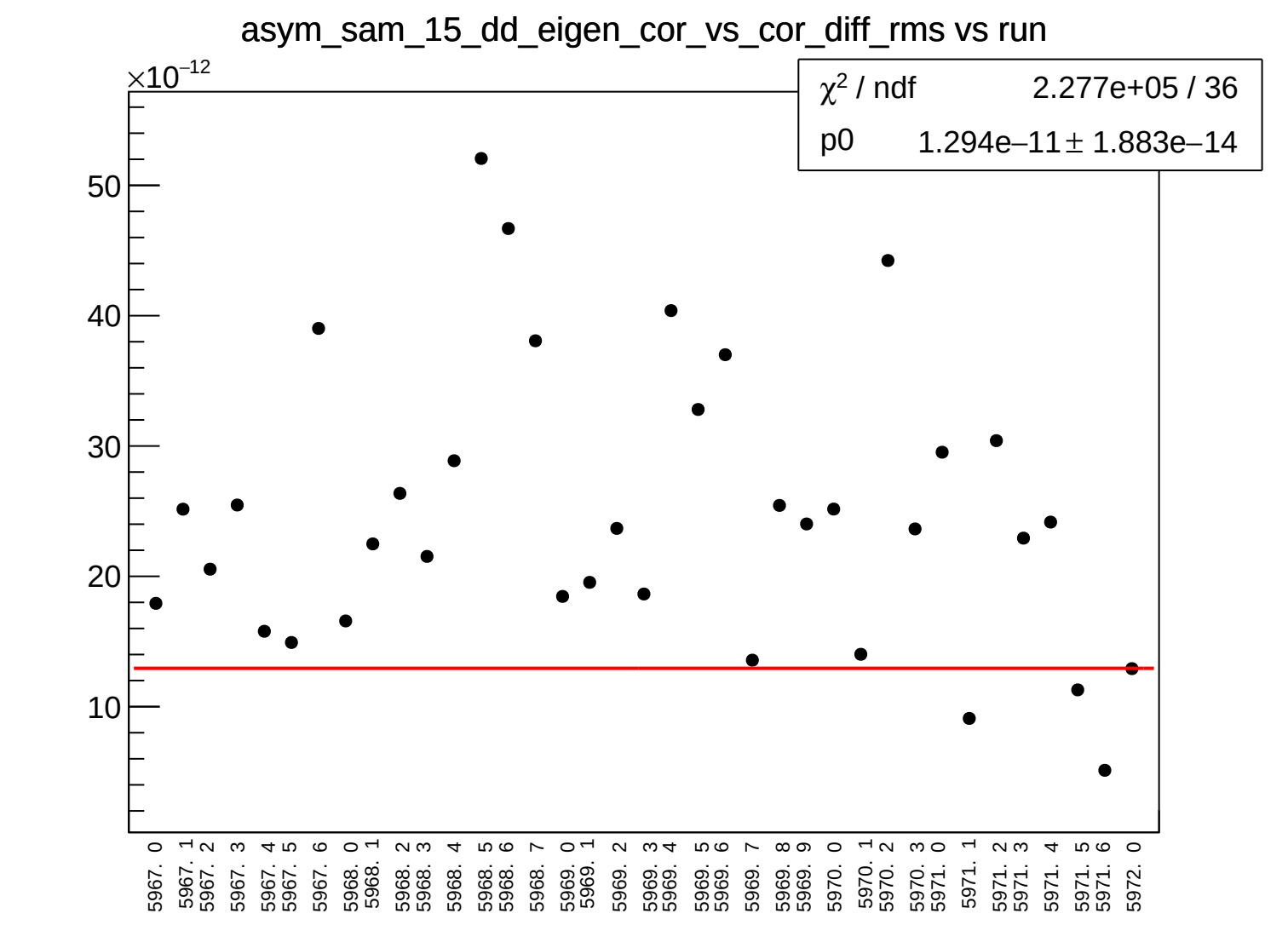
asym_sam_15_dd_eigen_cor_vs_cor_diff_rms vs run
×10⁻¹²
χ² / ndf 2.277e+05 / 36
p0 1.294e−11 ± 1.883e−14
50
40
30
20
10
5967. 0
5967. 1
5967. 2
5967. 3
5967. 4
5967. 5
5967. 6
5968. 0
5968. 1
5968. 2
5968. 3
5968. 4
5968. 5
5968. 6
5968. 7
5969. 0
5969. 1
5969. 2
5969. 3
5969. 4
5969. 5
5969. 6
5969. 7
5969. 8
5969. 9
5970. 0
5970. 1
5970. 2
5970. 3
5971. 0
5971. 1
5971. 2
5971. 3
5971. 4
5971. 5
5971. 6
5972. 0

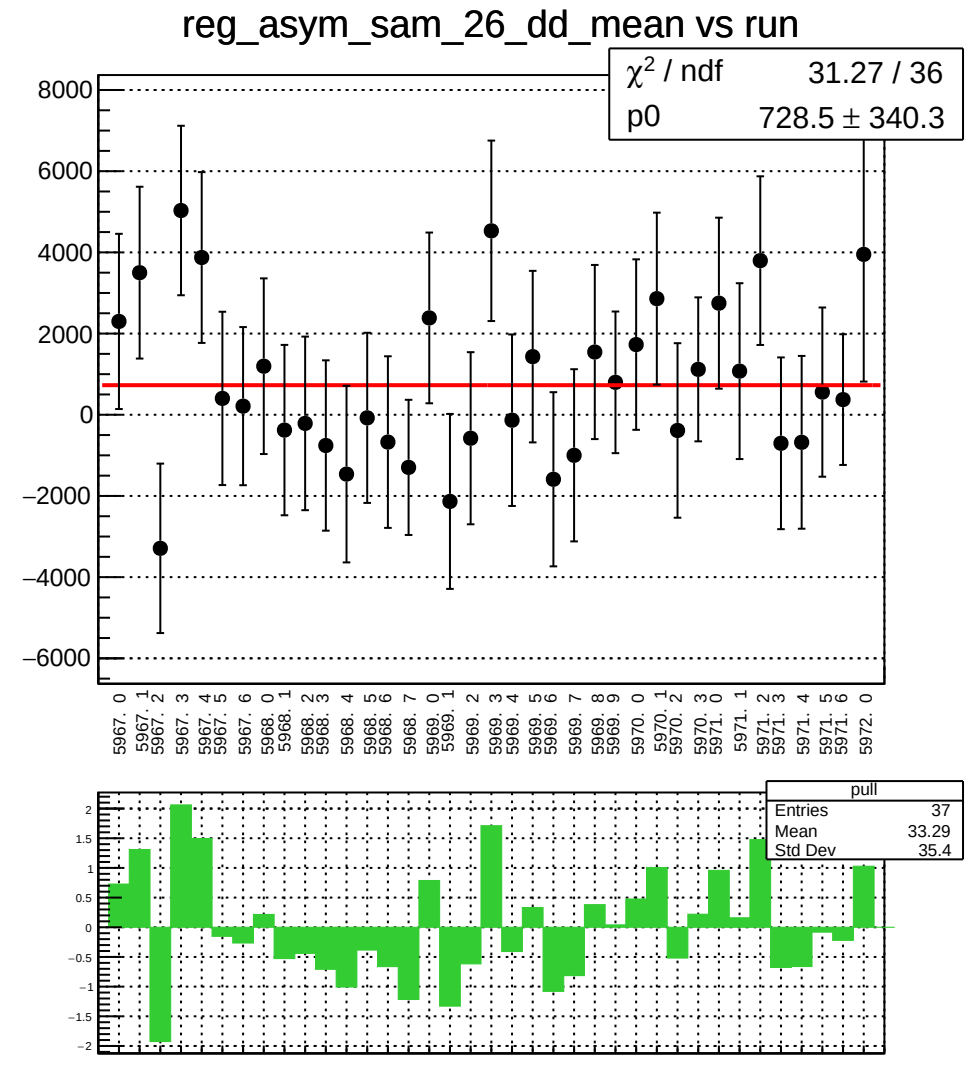
reg_asym_sam_26_dd_mean vs run
χ² / ndf 31.27 / 36
p0 728.5 ± 340.3
8000
6000
4000
2000
0
−2000
−4000
−6000
5967. 0
5967. 1
5967. 2
5967. 3
5967. 4
5967. 5
5967. 6
5968. 0
5968. 1
5968. 2
5968. 3
5968. 4
5968. 5
5968. 6
5968. 7
5969. 0
5969. 1
5969. 2
5969. 3
5969. 4
5969. 5
5969. 6
5969. 7
5969. 8
5969. 9
5970. 0
5970. 1
5970. 2
5970. 3
5971. 0
5971. 1
5971. 2
5971. 3
5971. 4
5971. 5
5971. 6
5972. 0
pull
Entries 37
Mean 33.29
Std Dev 35.4
2
1.5
1
0.5
0
−0.5
−1
−1.5
−2
pull1D
Entries 37
Mean 0.01876
Std Dev 0.9191
9
8
7
6
5
4
3
2
1
0
−8
−6
−4
−2
0
2
4
6
8

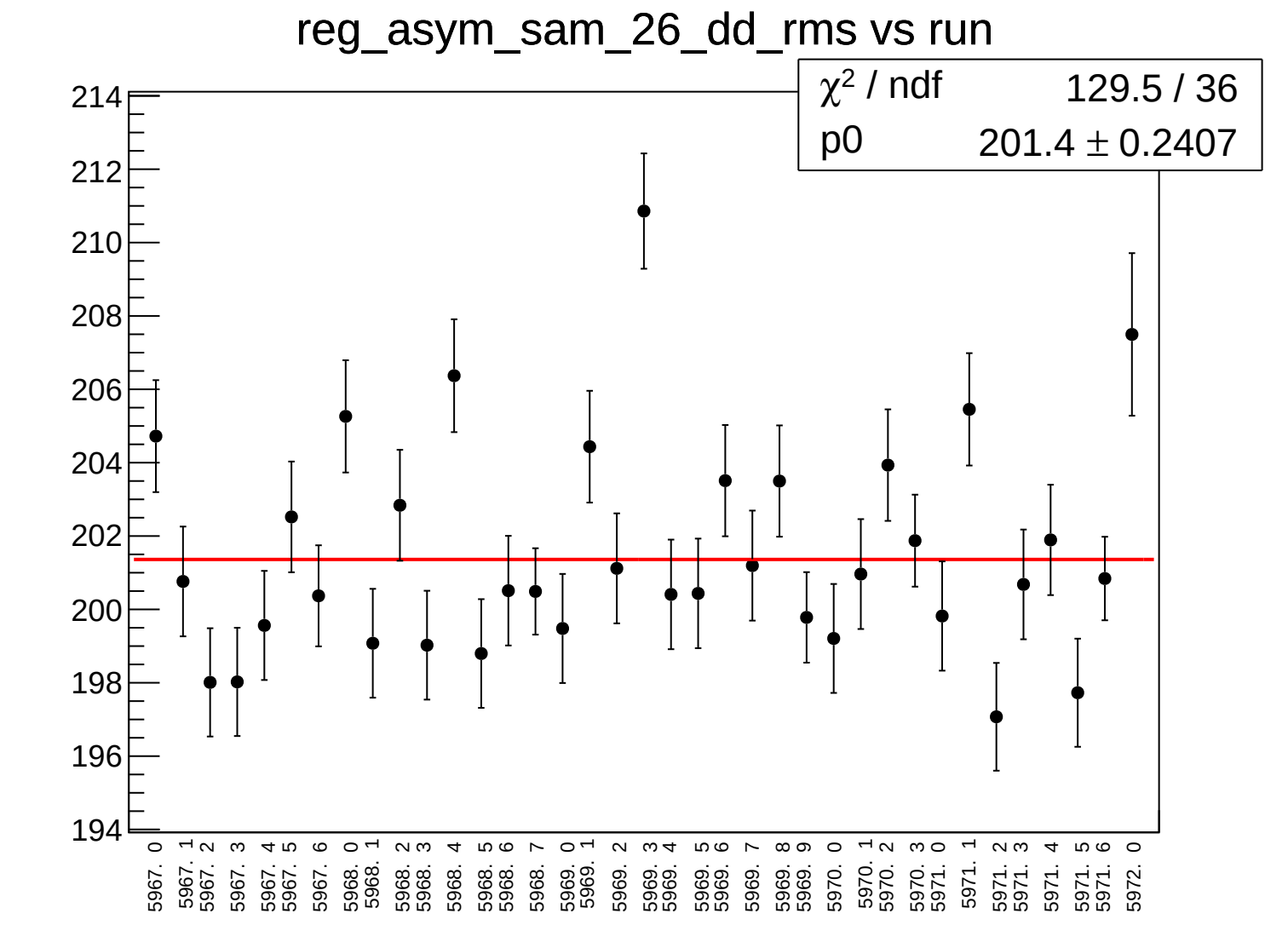
reg_asym_sam_26_dd_rms vs run
χ² / ndf 129.5 / 36
p0 201.4 ± 0.2407
214
212
210
208
206
204
202
200
198
196
194
5967. 0
5967. 1
5967. 2
5967. 3
5967. 4
5967. 5
5967. 6
5968. 0
5968. 1
5968. 2
5968. 3
5968. 4
5968. 5
5968. 6
5968. 7
5969. 0
5969. 1
5969. 2
5969. 3
5969. 4
5969. 5
5969. 6
5969. 7
5969. 8
5969. 9
5970. 0
5970. 1
5970. 2
5970. 3
5971. 0
5971. 1
5971. 2
5971. 3
5971. 4
5971. 5
5971. 6
5972. 0

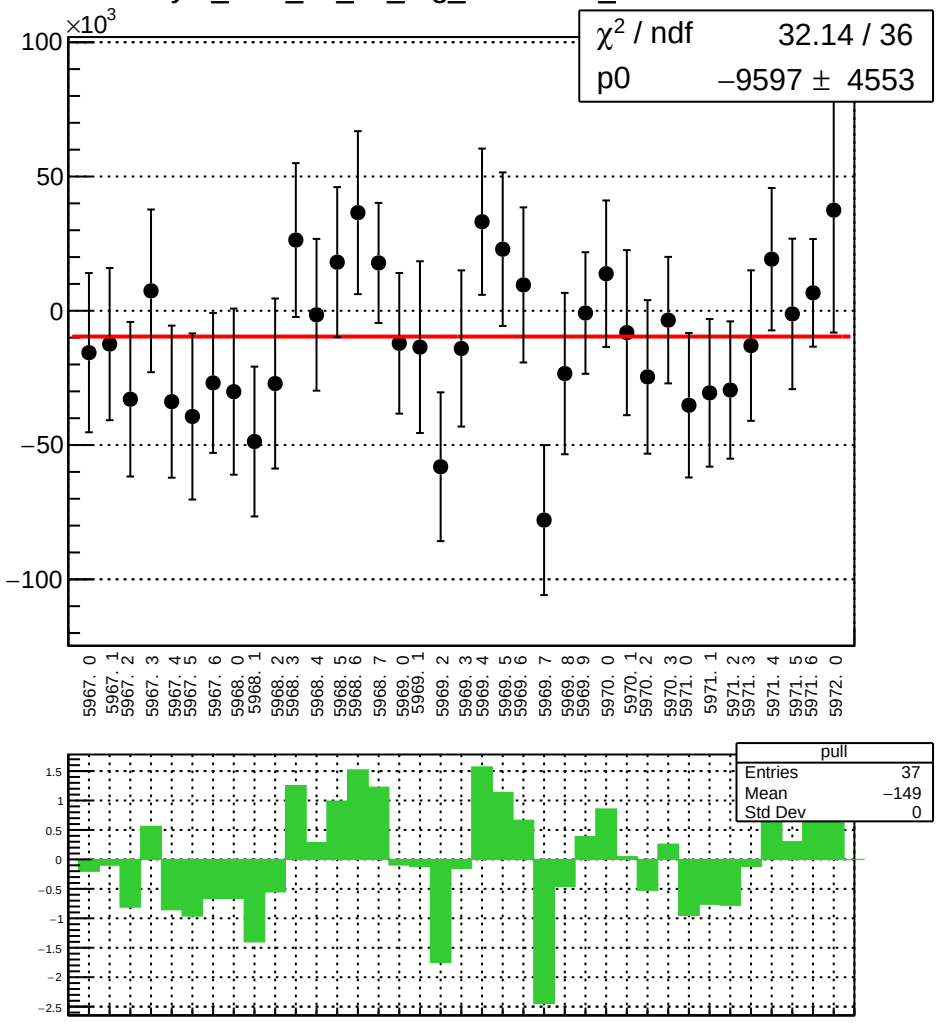
asym_sam_26_dd_reg_correction_mean vs run
×10^3
χ² / ndf 32.14 / 36
p0 −9597 ± 4553
pull
Entries 37
Mean −149
Std Dev 0
pull1D
Entries 37
Mean −0.01014
Std Dev 0.9319

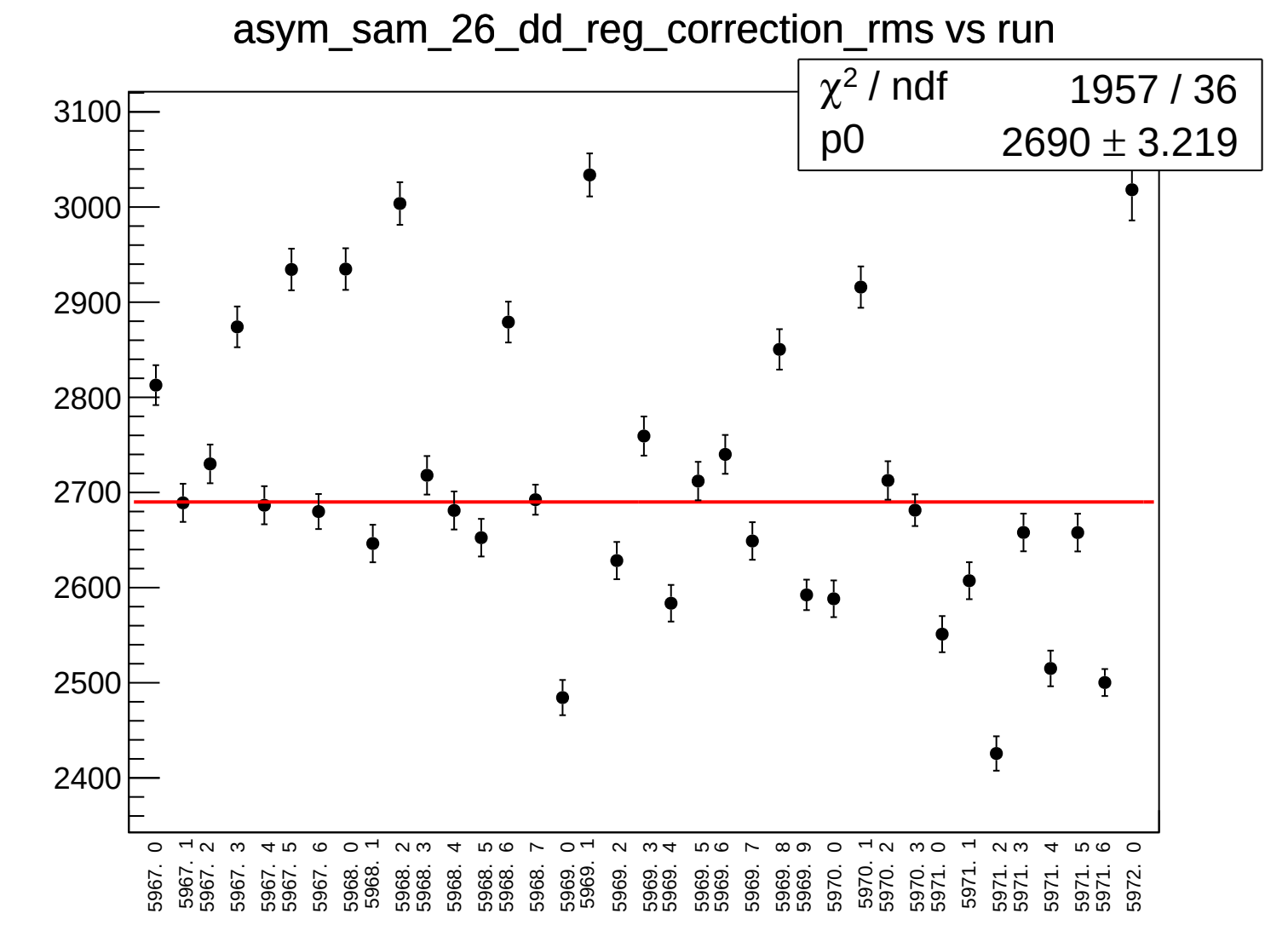
asym_sam_26_dd_reg_correction_rms vs run
χ² / ndf 1957 / 36
p0 2690 ± 3.219
3100
3000
2900
2800
2700
2600
2500
2400
5967. 0
5967. 1
5967. 2
5967. 3
5967. 4
5967. 5
5967. 6
5968. 0
5968. 1
5968. 2
5968. 3
5968. 4
5968. 5
5968. 6
5968. 7
5969. 0
5969. 1
5969. 2
5969. 3
5969. 4
5969. 5
5969. 6
5969. 7
5969. 8
5969. 9
5970. 0
5970. 1
5970. 2
5970. 3
5971. 0
5971. 1
5971. 2
5971. 3
5971. 4
5971. 5
5971. 6
5972. 0

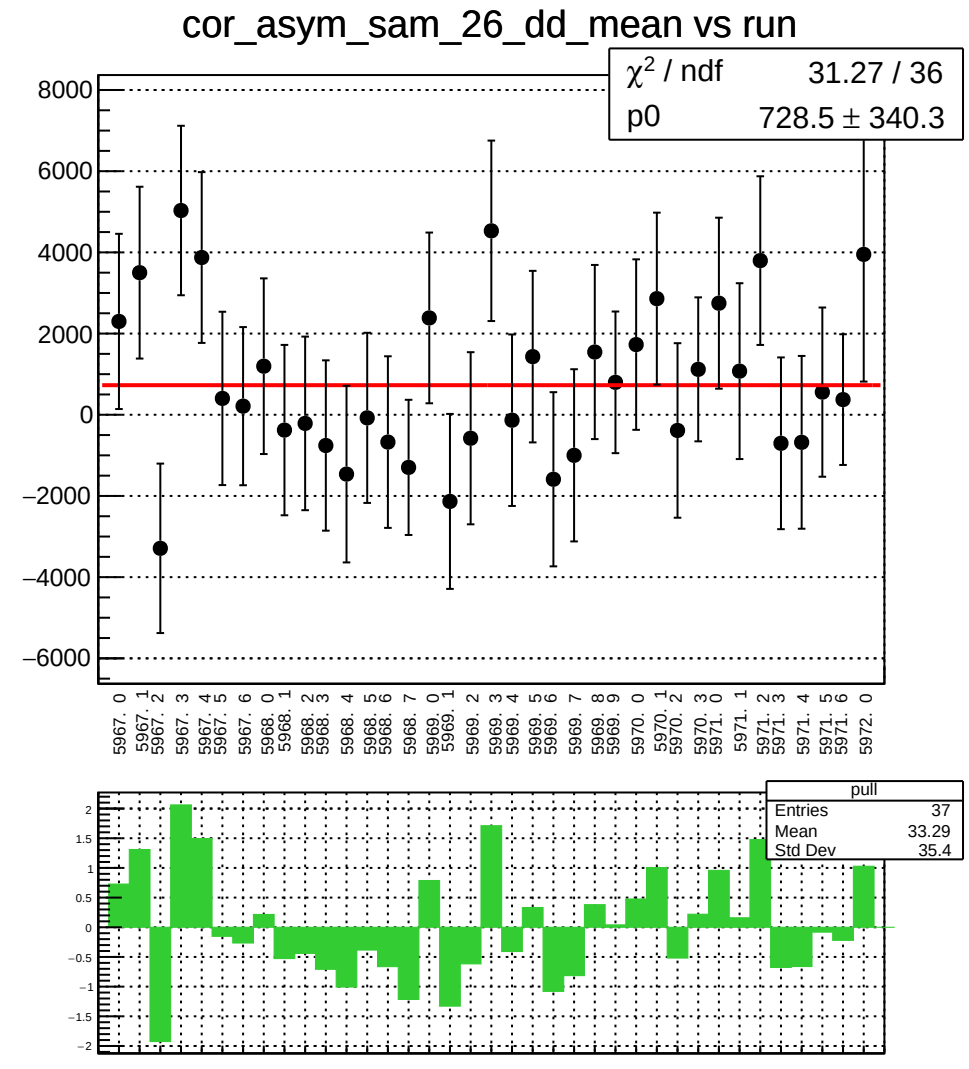
cor_asym_sam_26_dd_mean vs run
χ² / ndf 31.27 / 36
p0 728.5 ± 340.3
8000
6000
4000
2000
0
−2000
−4000
−6000
5967. 0
5967. 1
5967. 2
5967. 3
5967. 4
5967. 5
5967. 6
5968. 0
5968. 1
5968. 2
5968. 3
5968. 4
5968. 5
5968. 6
5968. 7
5969. 0
5969. 1
5969. 2
5969. 3
5969. 4
5969. 5
5969. 6
5969. 7
5969. 8
5969. 9
5970. 0
5970. 1
5970. 2
5970. 3
5971. 0
5971. 1
5971. 2
5971. 3
5971. 4
5971. 5
5971. 6
5972. 0
pull
Entries 37
Mean 33.29
Std Dev 35.4
2
1.5
1
0.5
0
−0.5
−1
−1.5
−2
pull1D
Entries 37
Mean 0.01876
Std Dev 0.9191
9
8
7
6
5
4
3
2
1
0
−8
−6
−4
−2
0
2
4
6
8

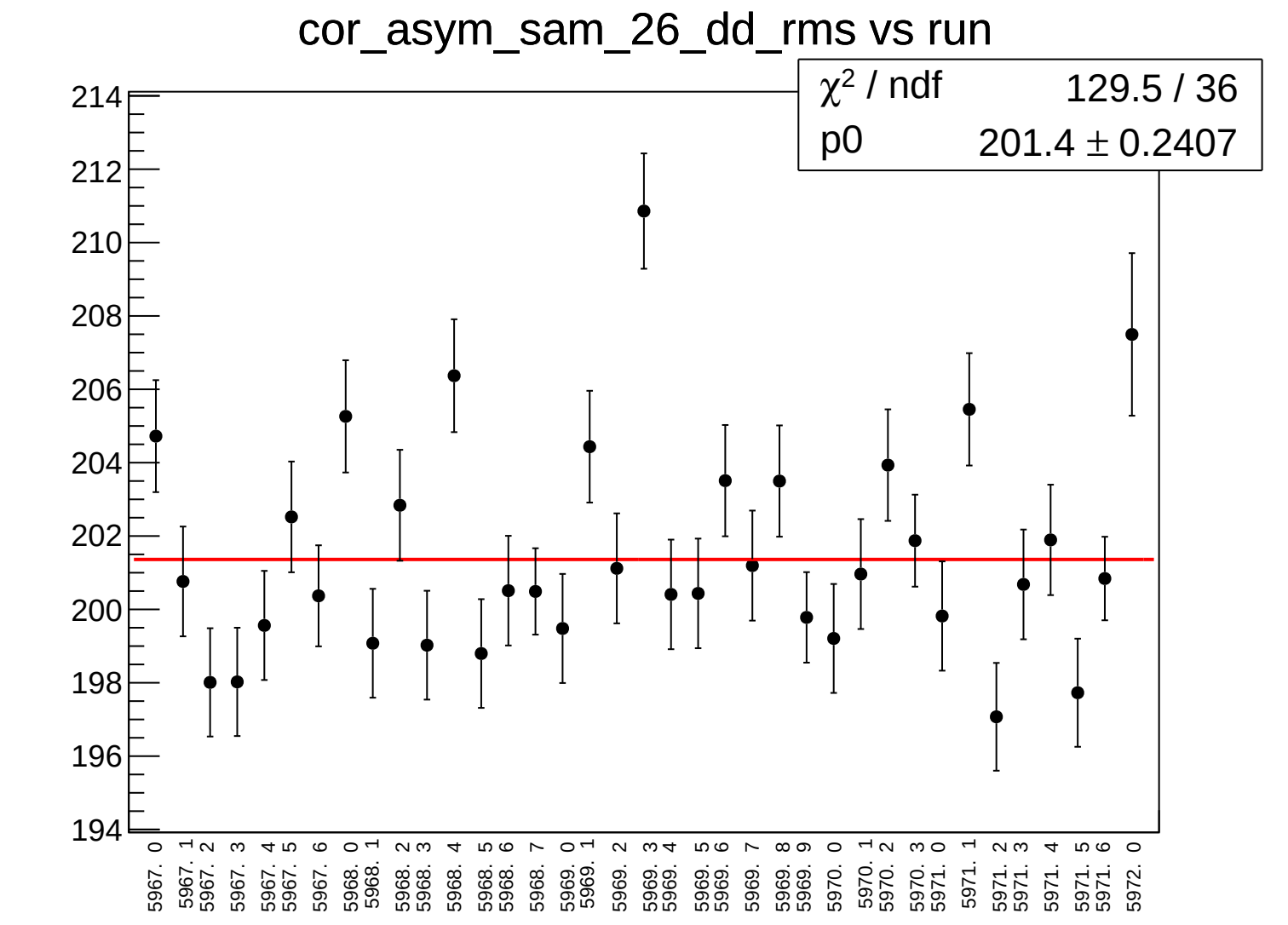
cor_asym_sam_26_dd_rms vs run
χ^2 / ndf 129.5 / 36
p0 201.4 ± 0.2407
214
212
210
208
206
204
202
200
198
196
194
5967. 0
5967. 1
5967. 2
5967. 3
5967. 4
5967. 5
5967. 6
5968. 0
5968. 1
5968. 2
5968. 3
5968. 4
5968. 5
5968. 6
5968. 7
5969. 0
5969. 1
5969. 2
5969. 3
5969. 4
5969. 5
5969. 6
5969. 7
5969. 8
5969. 9
5970. 0
5970. 1
5970. 2
5970. 3
5971. 0
5971. 1
5971. 2
5971. 3
5971. 4
5971. 5
5971. 6
5972. 0

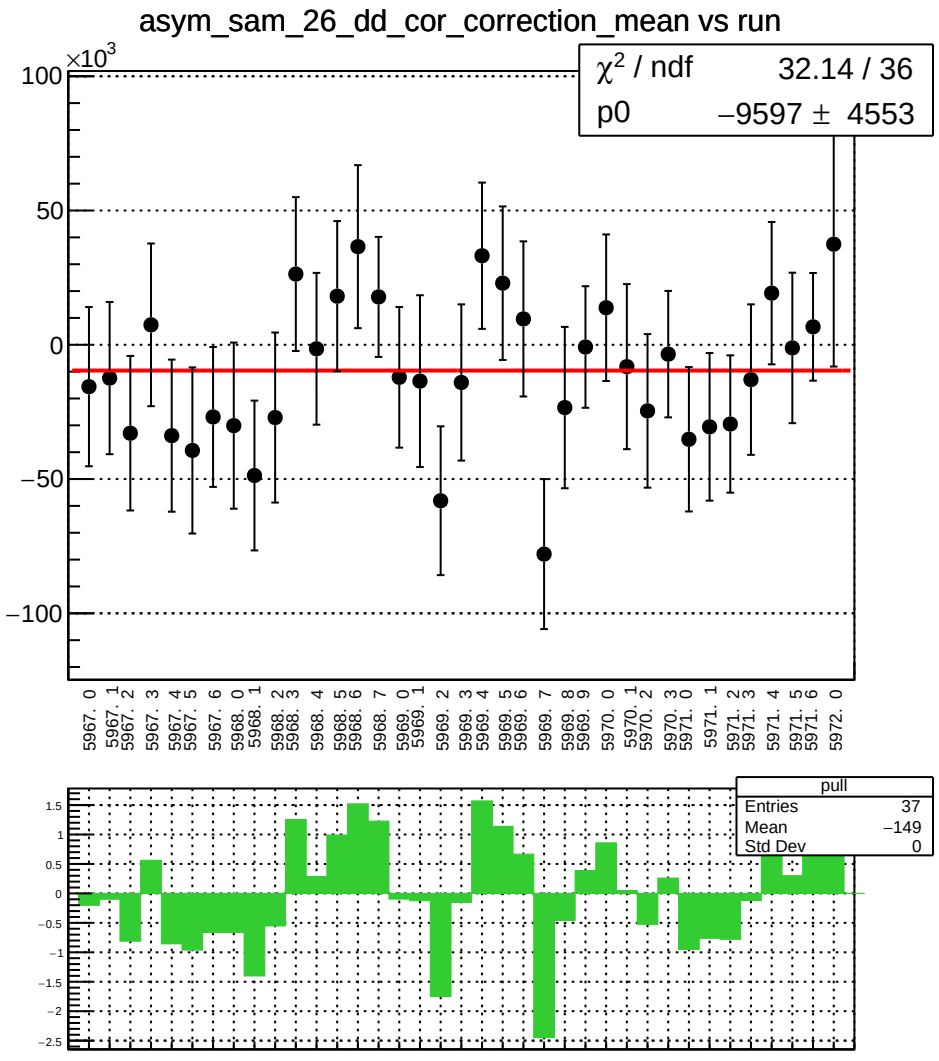
asym_sam_26_dd_cor_correction_mean vs run
×10^3
χ² / ndf 32.14 / 36
p0 −9597 ± 4553
100
50
0
−50
−100
5967. 0
5967. 1
5967. 2
5967. 3
5967. 4
5967. 5
5967. 6
5968. 0
5968. 1
5968. 2
5968. 3
5968. 4
5968. 5
5968. 6
5968. 7
5969. 0
5969. 1
5969. 2
5969. 3
5969. 4
5969. 5
5969. 6
5969. 7
5969. 8
5969. 9
5970. 0
5970. 1
5970. 2
5970. 3
5971. 0
5971. 1
5971. 2
5971. 3
5971. 4
5971. 5
5971. 6
5972. 0
pull
Entries 37
Mean −149
Std Dev 0
1.5
1
0.5
0
−0.5
−1
−1.5
−2
−2.5
pull1D
Entries 37
Mean −0.01014
Std Dev 0.9319
7
6
5
4
3
2
1
0
−8
−6
−4
−2
0
2
4
6
8

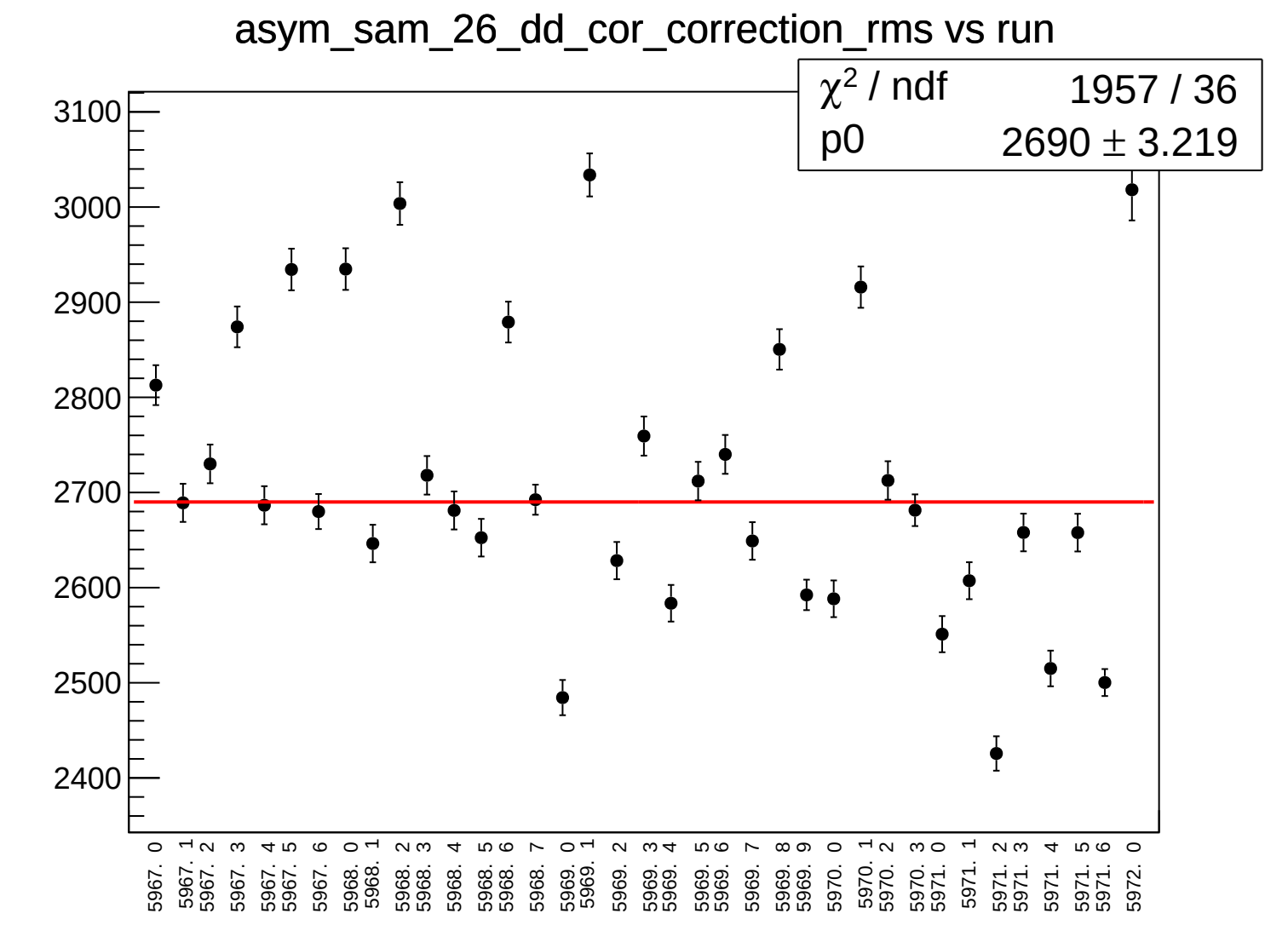
asym_sam_26_dd_cor_correction_rms vs run
χ² / ndf 1957 / 36
p0 2690 ± 3.219
3100
3000
2900
2800
2700
2600
2500
2400
5967. 0
5967. 1
5967. 2
5967. 3
5967. 4
5967. 5
5967. 6
5968. 0
5968. 1
5968. 2
5968. 3
5968. 4
5968. 5
5968. 6
5968. 7
5969. 0
5969. 1
5969. 2
5969. 3
5969. 4
5969. 5
5969. 6
5969. 7
5969. 8
5969. 9
5970. 0
5970. 1
5970. 2
5970. 3
5971. 0
5971. 1
5971. 2
5971. 3
5971. 4
5971. 5
5971. 6
5972. 0

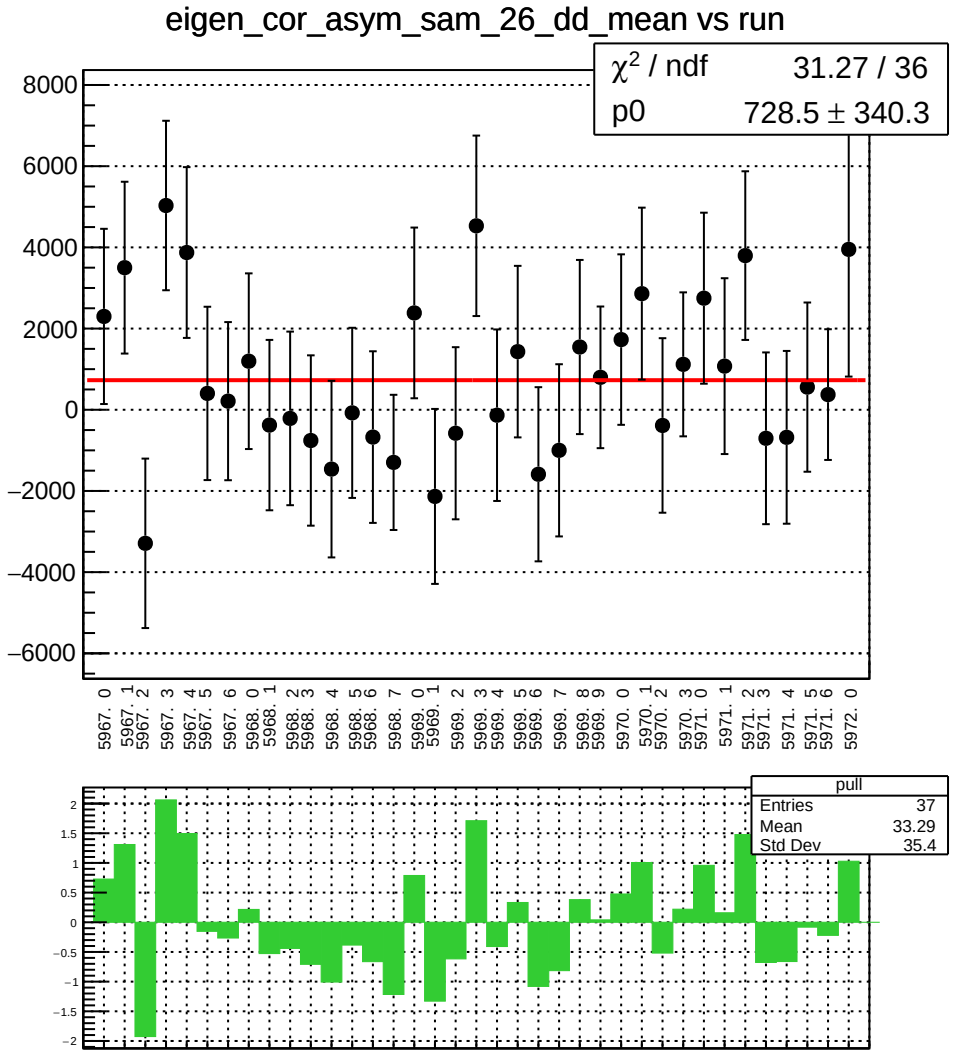
eigen_cor_asym_sam_26_dd_mean vs run
χ² / ndf 31.27 / 36
p0 728.5 ± 340.3
8000
6000
4000
2000
0
−2000
−4000
−6000
5967. 0
5967. 1
5967. 2
5967. 3
5967. 4
5967. 5
5967. 6
5968. 0
5968. 1
5968. 2
5968. 3
5968. 4
5968. 5
5968. 6
5968. 7
5969. 0
5969. 1
5969. 2
5969. 3
5969. 4
5969. 5
5969. 6
5969. 7
5969. 8
5969. 9
5970. 0
5970. 1
5970. 2
5970. 3
5971. 0
5971. 1
5971. 2
5971. 3
5971. 4
5971. 5
5971. 6
5972. 0
pull
Entries 37
Mean 33.29
Std Dev 35.4
2
1.5
1
0.5
0
−0.5
−1
−1.5
−2
pull1D
Entries 37
Mean 0.01876
Std Dev 0.9191
9
8
7
6
5
4
3
2
1
0
−8
−6
−4
−2
0
2
4
6
8

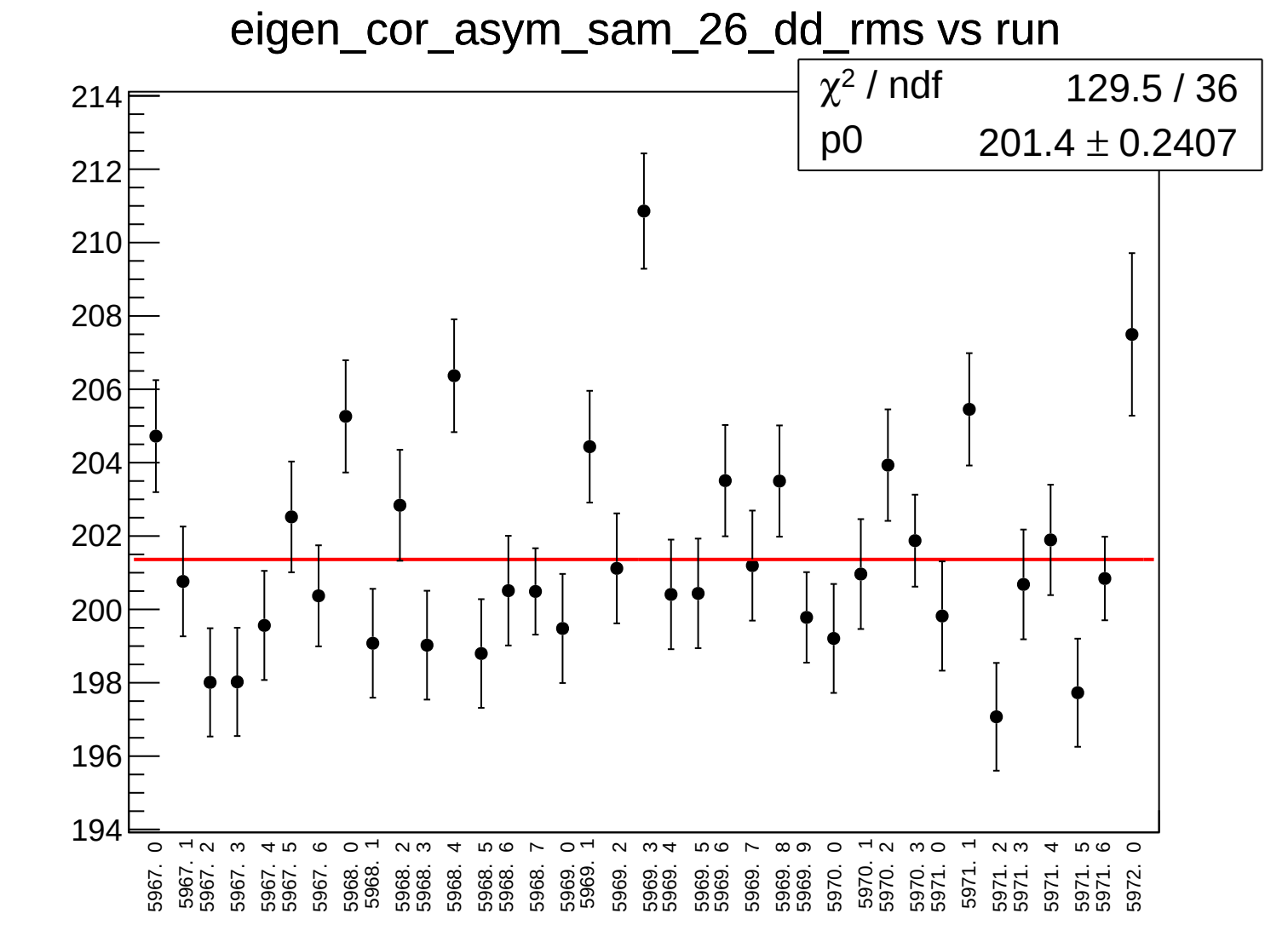
eigen_cor_asym_sam_26_dd_rms vs run
χ² / ndf 129.5 / 36
p0 201.4 ± 0.2407
214
212
210
208
206
204
202
200
198
196
194
5967. 0
5967. 1
5967. 2
5967. 3
5967. 4
5967. 5
5967. 6
5968. 0
5968. 1
5968. 2
5968. 3
5968. 4
5968. 5
5968. 6
5968. 7
5969. 0
5969. 1
5969. 2
5969. 3
5969. 4
5969. 5
5969. 6
5969. 7
5969. 8
5969. 9
5970. 0
5970. 1
5970. 2
5970. 3
5971. 0
5971. 1
5971. 2
5971. 3
5971. 4
5971. 5
5971. 6
5972. 0

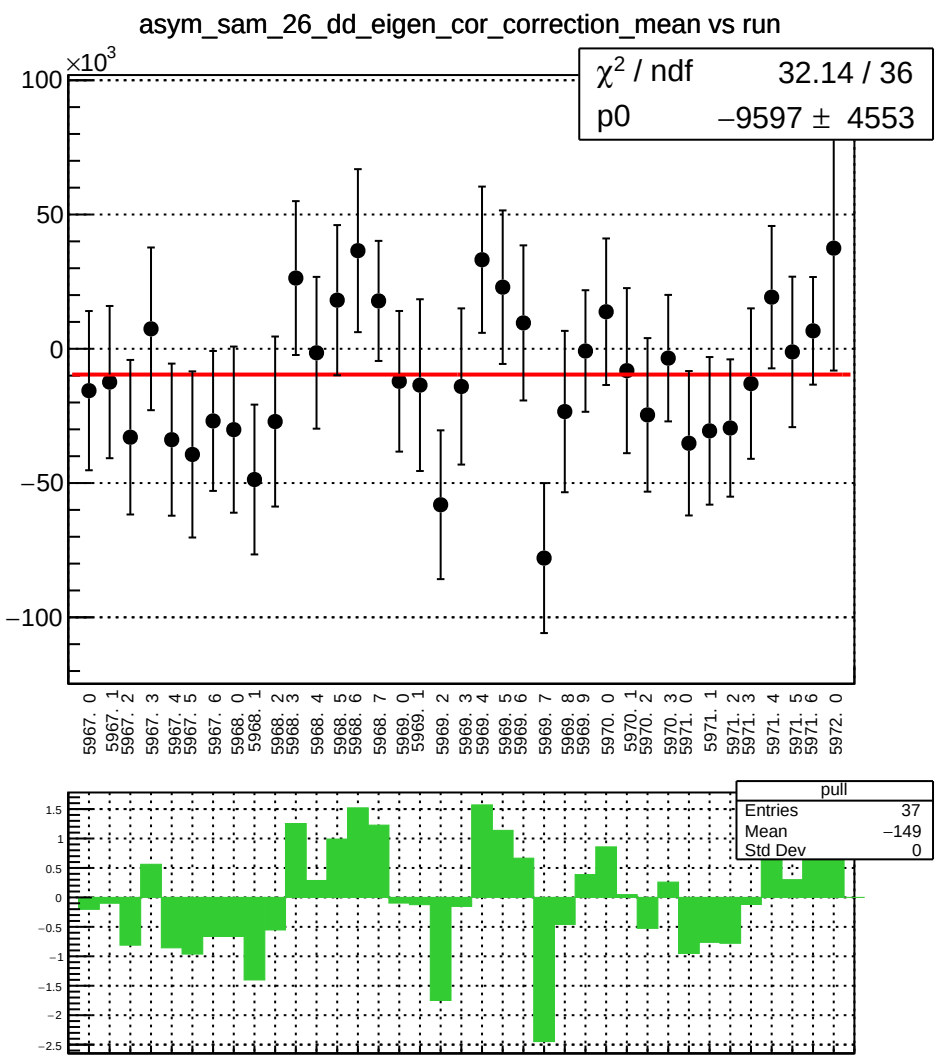
asym_sam_26_dd_eigen_cor_correction_mean vs run
×10^3
100
50
0
−50
−100
χ² / ndf 32.14 / 36
p0 −9597 ± 4553
5967. 0
5967. 1
5967. 2
5967. 3
5967. 4
5967. 5
5967. 6
5968. 0
5968. 1
5968. 2
5968. 3
5968. 4
5968. 5
5968. 6
5968. 7
5969. 0
5969. 1
5969. 2
5969. 3
5969. 4
5969. 5
5969. 6
5969. 7
5969. 8
5969. 9
5970. 0
5970. 1
5970. 2
5970. 3
5971. 0
5971. 1
5971. 2
5971. 3
5971. 4
5971. 5
5971. 6
5972. 0
pull
Entries 37
Mean −149
Std Dev 0
1.5
1
0.5
0
−0.5
−1
−1.5
−2
−2.5

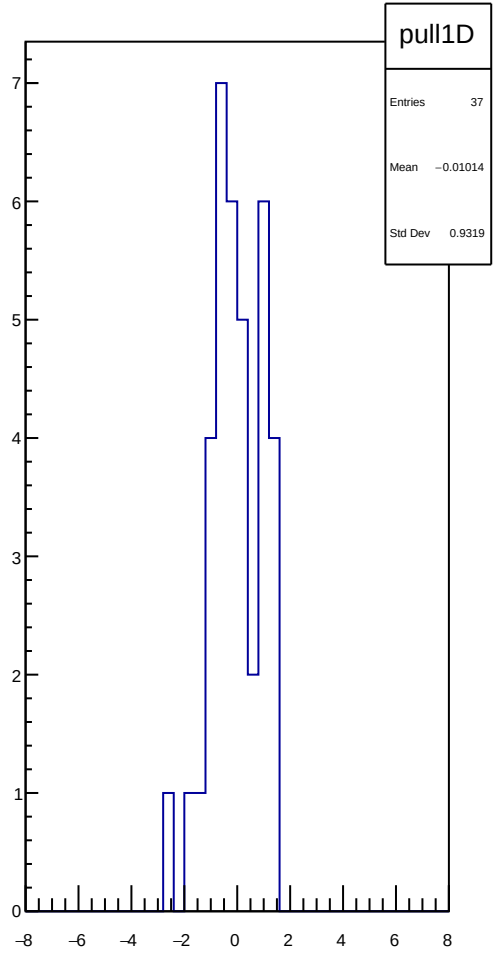
pull1D
Entries 37
Mean −0.01014
Std Dev 0.9319
7
6
5
4
3
2
1
0
−8
−6
−4
−2
0
2
4
6
8

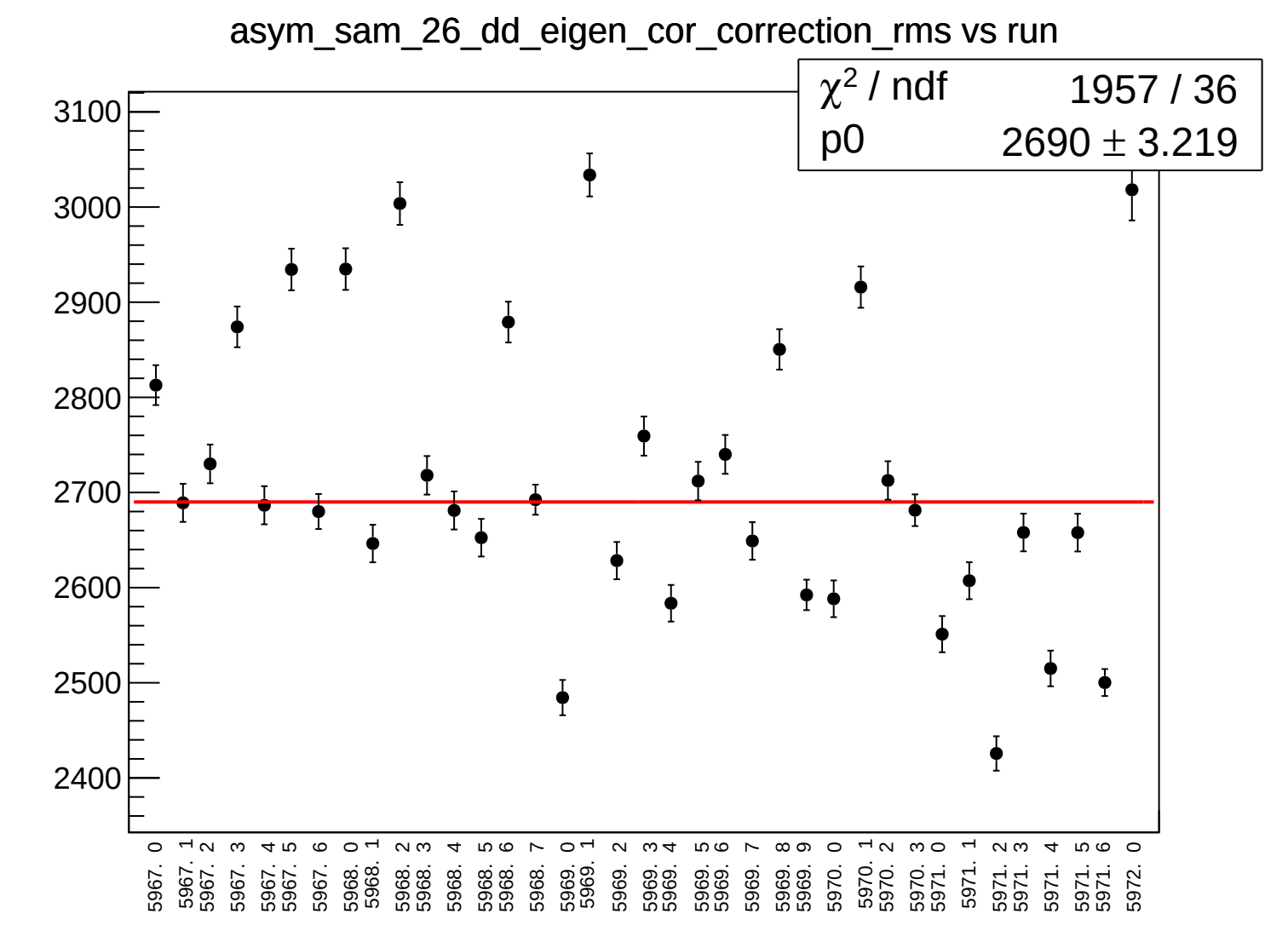
asym_sam_26_dd_eigen_cor_correction_rms vs run
χ² / ndf 1957 / 36
p0 2690 ± 3.219
3100
3000
2900
2800
2700
2600
2500
2400
5967. 0
5967. 1
5967. 2
5967. 3
5967. 4
5967. 5
5967. 6
5968. 0
5968. 1
5968. 2
5968. 3
5968. 4
5968. 5
5968. 6
5968. 7
5969. 0
5969. 1
5969. 2
5969. 3
5969. 4
5969. 5
5969. 6
5969. 7
5969. 8
5969. 9
5970. 0
5970. 1
5970. 2
5970. 3
5971. 0
5971. 1
5971. 2
5971. 3
5971. 4
5971. 5
5971. 6
5972. 0

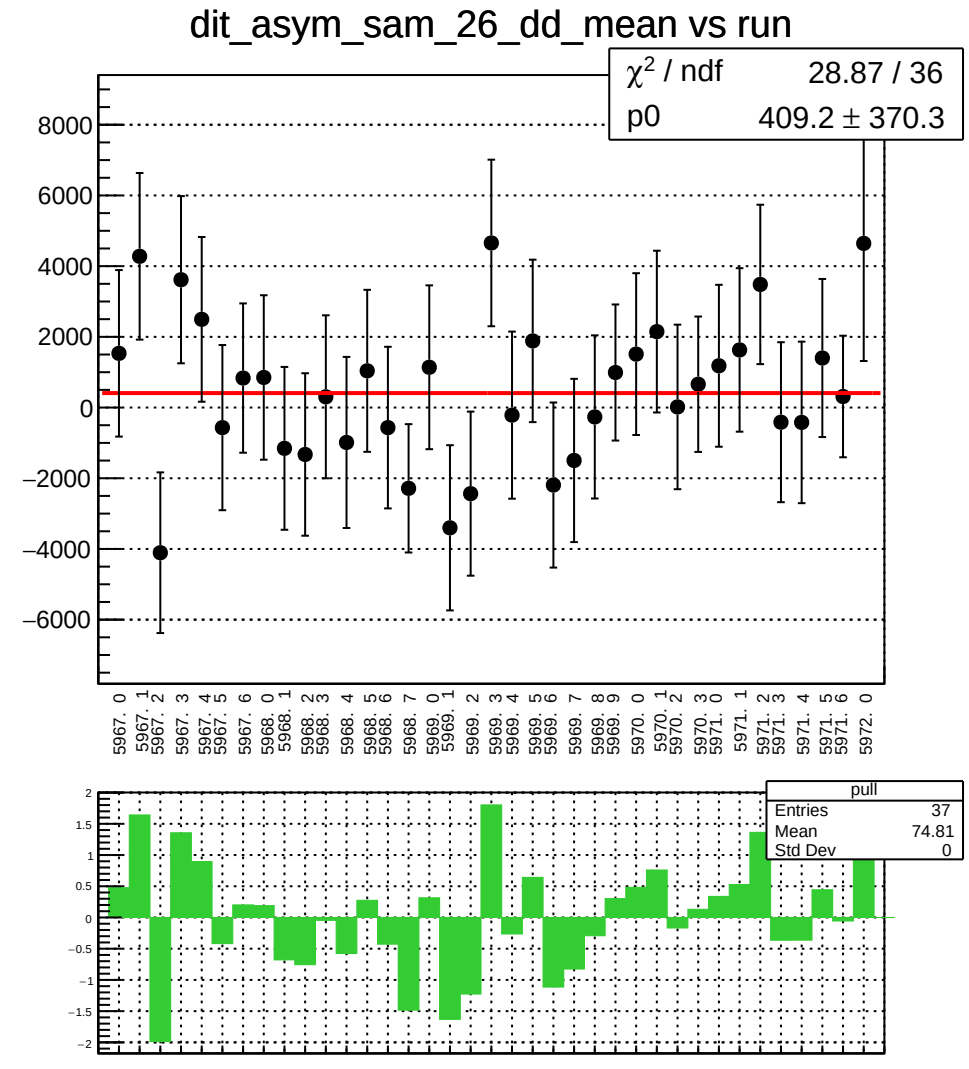
dit_asym_sam_26_dd_mean vs run
χ² / ndf 28.87 / 36
p0 409.2 ± 370.3
8000
6000
4000
2000
0
−2000
−4000
−6000
5967. 0
5967. 1
5967. 2
5967. 3
5967. 4
5967. 5
5967. 6
5968. 0
5968. 1
5968. 2
5968. 3
5968. 4
5968. 5
5968. 6
5968. 7
5969. 0
5969. 1
5969. 2
5969. 3
5969. 4
5969. 5
5969. 6
5969. 7
5969. 8
5969. 9
5970. 0
5970. 1
5970. 2
5970. 3
5971. 0
5971. 1
5971. 2
5971. 3
5971. 4
5971. 5
5971. 6
5972. 0
pull
Entries 37
Mean 74.81
Std Dev 0
2
1.5
1
0.5
0
−0.5
−1
−1.5
−2
pull1D
Entries 37
Mean 0.01995
Std Dev 0.8832
7
6
5
4
3
2
1
0
−8
−6
−4
−2
0
2
4
6
8

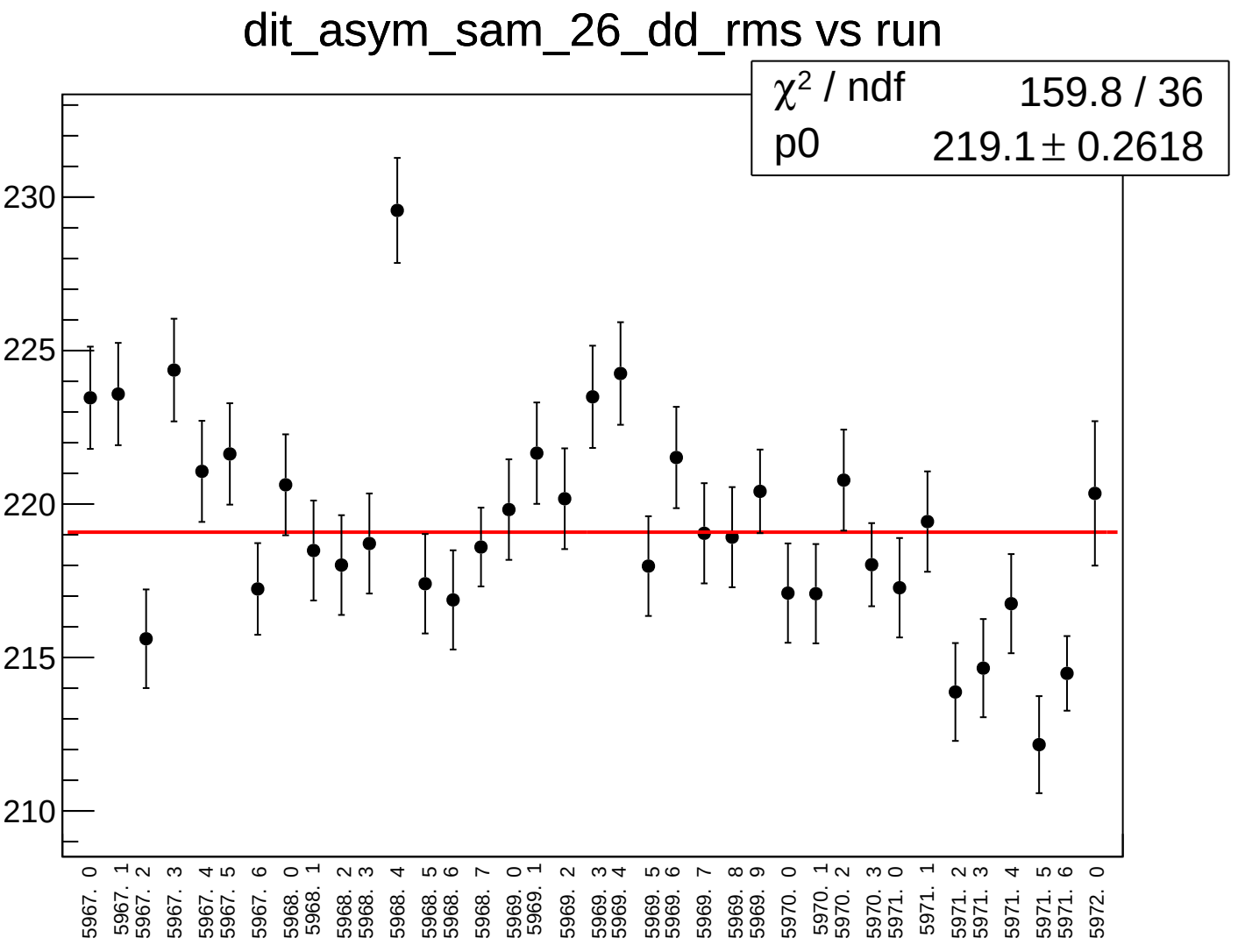
dit_asym_sam_26_dd_rms vs run
χ² / ndf 159.8 / 36
p0 219.1 ± 0.2618
230
225
220
215
210
5967. 0
5967. 1
5967. 2
5967. 3
5967. 4
5967. 5
5967. 6
5968. 0
5968. 1
5968. 2
5968. 3
5968. 4
5968. 5
5968. 6
5968. 7
5969. 0
5969. 1
5969. 2
5969. 3
5969. 4
5969. 5
5969. 6
5969. 7
5969. 8
5969. 9
5970. 0
5970. 1
5970. 2
5970. 3
5971. 0
5971. 1
5971. 2
5971. 3
5971. 4
5971. 5
5971. 6
5972. 0

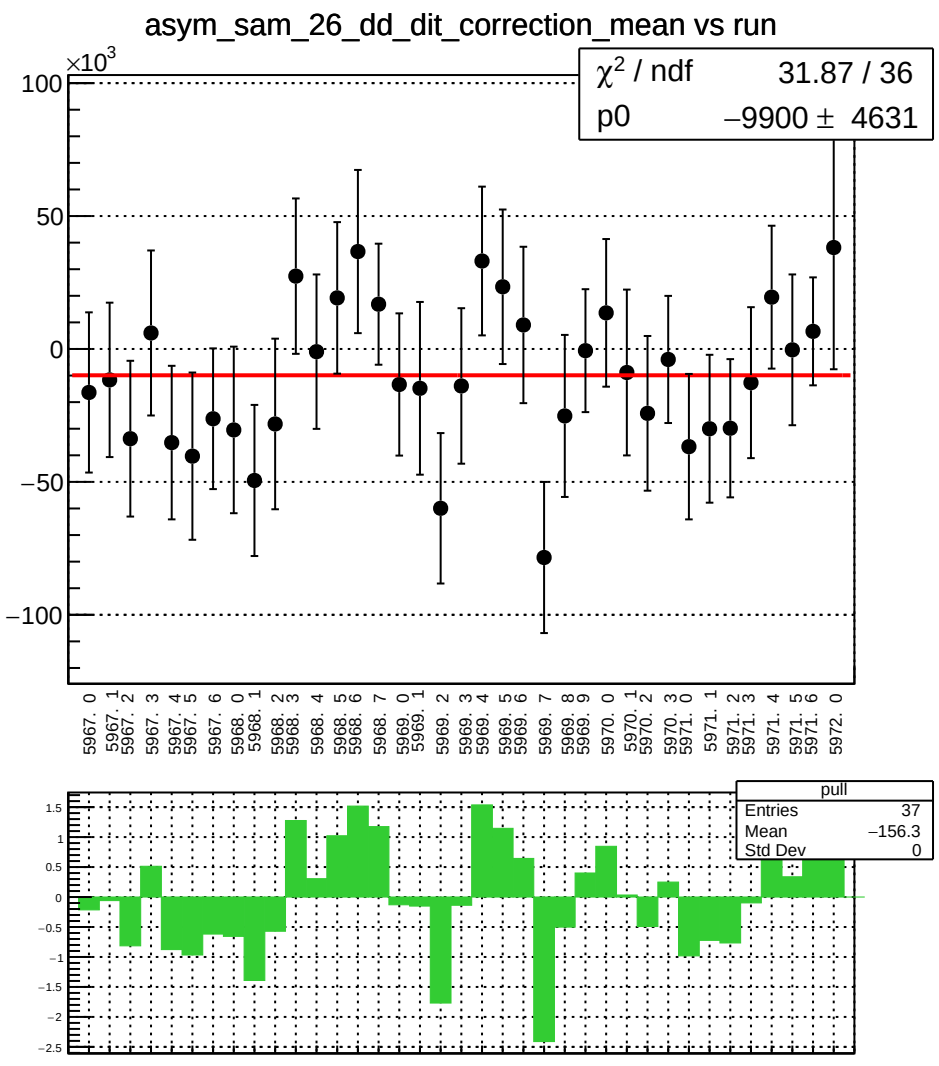
asym_sam_26_dd_dit_correction_mean vs run
×10^3
χ² / ndf 31.87 / 36
p0 −9900 ± 4631
100
50
0
−50
−100
5967. 0
5967. 1
5967. 2
5967. 3
5967. 4
5967. 5
5967. 6
5968. 0
5968. 1
5968. 2
5968. 3
5968. 4
5968. 5
5968. 6
5968. 7
5969. 0
5969. 1
5969. 2
5969. 3
5969. 4
5969. 5
5969. 6
5969. 7
5969. 8
5969. 9
5970. 0
5970. 1
5970. 2
5970. 3
5971. 0
5971. 1
5971. 2
5971. 3
5971. 4
5971. 5
5971. 6
5972. 0
pull
Entries 37
Mean −156.3
Std Dev 0
1.5
1
0.5
0
−0.5
−1
−1.5
−2
−2.5
pull1D
Entries 37
Mean −0.009959
Std Dev 0.9281
7
6
5
4
3
2
1
0
−8
−6
−4
−2
0
2
4
6
8

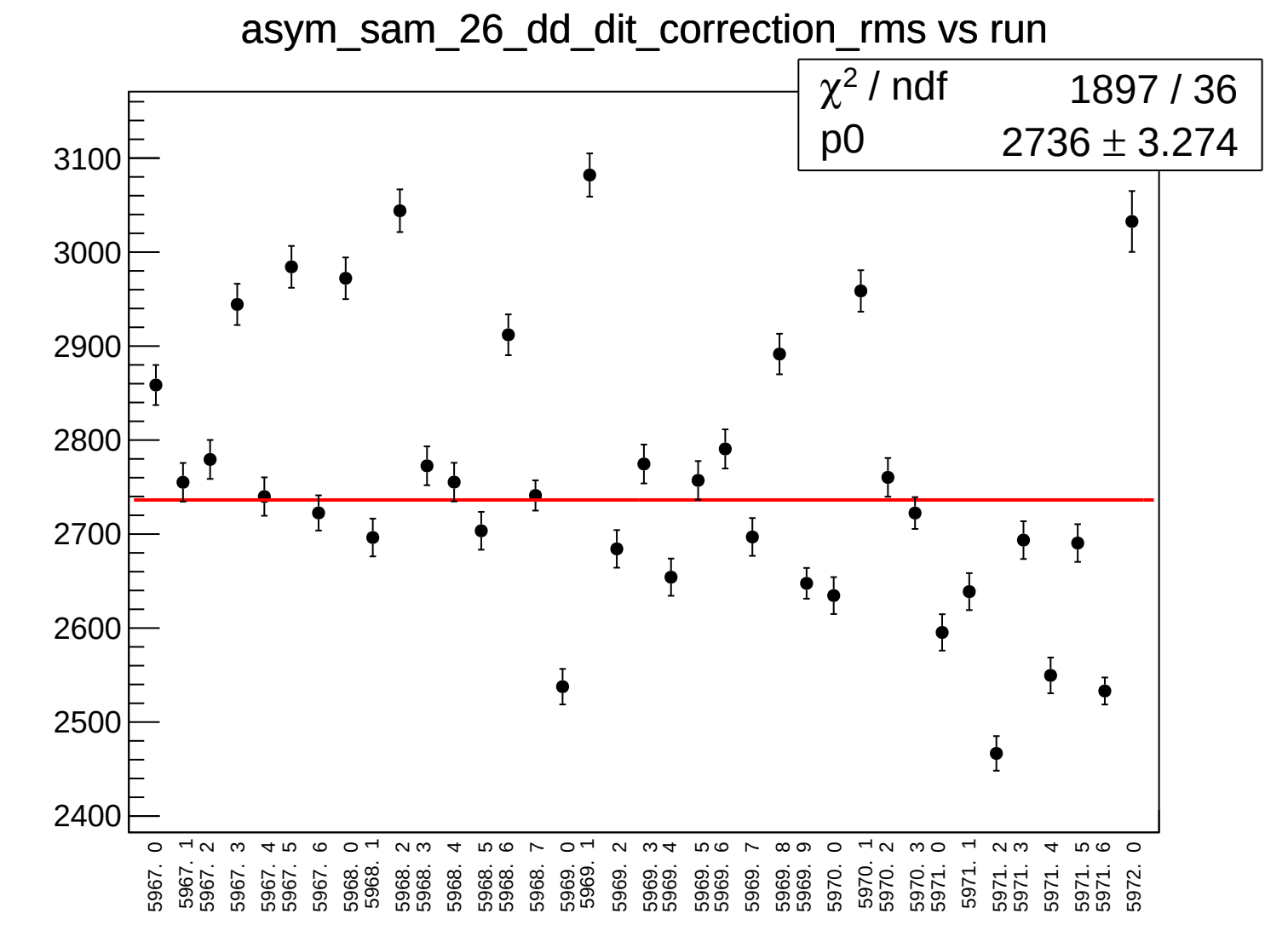
asym_sam_26_dd_dit_correction_rms vs run
χ² / ndf 1897 / 36
p0 2736 ± 3.274
3100
3000
2900
2800
2700
2600
2500
2400
5967. 0
5967. 1
5967. 2
5967. 3
5967. 4
5967. 5
5967. 6
5968. 0
5968. 1
5968. 2
5968. 3
5968. 4
5968. 5
5968. 6
5968. 7
5969. 0
5969. 1
5969. 2
5969. 3
5969. 4
5969. 5
5969. 6
5969. 7
5969. 8
5969. 9
5970. 0
5970. 1
5970. 2
5970. 3
5971. 0
5971. 1
5971. 2
5971. 3
5971. 4
5971. 5
5971. 6
5972. 0

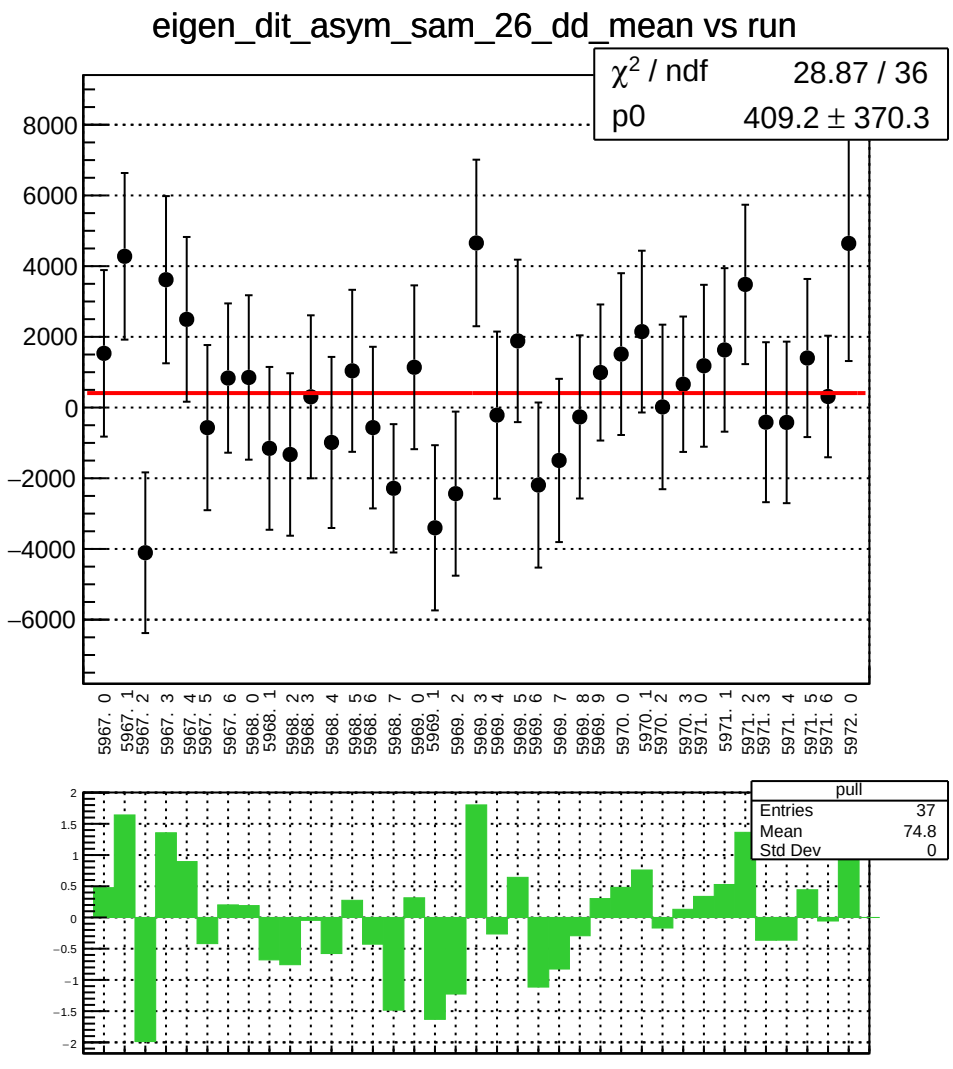
eigen_dit_asym_sam_26_dd_mean vs run
χ² / ndf 28.87 / 36
p0 409.2 ± 370.3
8000
6000
4000
2000
0
−2000
−4000
−6000
5967. 0
5967. 1
5967. 2
5967. 3
5967. 4
5967. 5
5967. 6
5968. 0
5968. 1
5968. 2
5968. 3
5968. 4
5968. 5
5968. 6
5968. 7
5969. 0
5969. 1
5969. 2
5969. 3
5969. 4
5969. 5
5969. 6
5969. 7
5969. 8
5969. 9
5970. 0
5970. 1
5970. 2
5970. 3
5971. 0
5971. 1
5971. 2
5971. 3
5971. 4
5971. 5
5971. 6
5972. 0
pull
Entries 37
Mean 74.8
Std Dev 0
2
1.5
1
0.5
0
−0.5
−1
−1.5
−2
pull1D
Entries 37
Mean 0.01995
Std Dev 0.8832
7
6
5
4
3
2
1
0
−8
−6
−4
−2
0
2
4
6
8

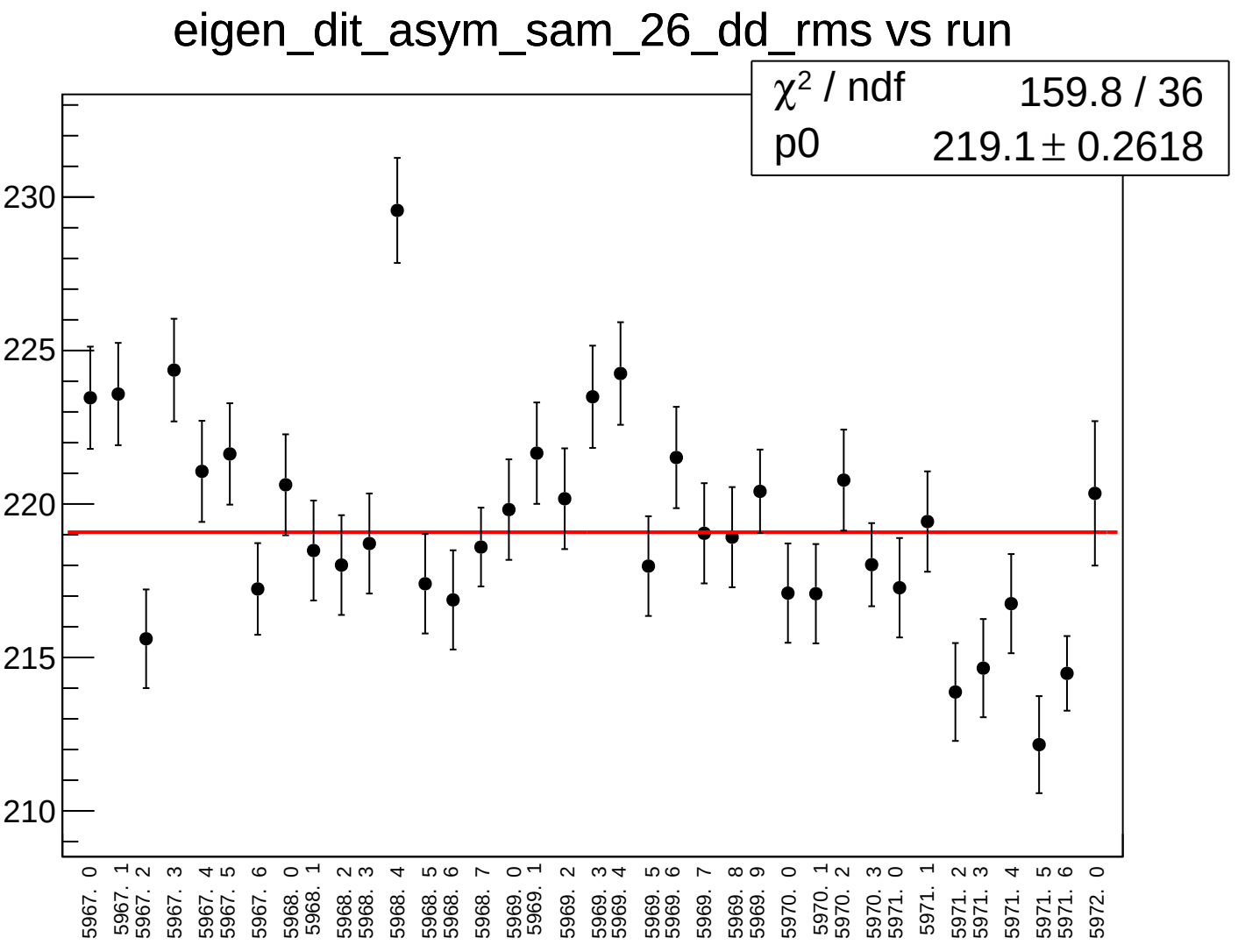
eigen_dit_asym_sam_26_dd_rms vs run
χ² / ndf 159.8 / 36
p0 219.1 ± 0.2618
230
225
220
215
210
5967. 0
5967. 1
5967. 2
5967. 3
5967. 4
5967. 5
5967. 6
5968. 0
5968. 1
5968. 2
5968. 3
5968. 4
5968. 5
5968. 6
5968. 7
5969. 0
5969. 1
5969. 2
5969. 3
5969. 4
5969. 5
5969. 6
5969. 7
5969. 8
5969. 9
5970. 0
5970. 1
5970. 2
5970. 3
5971. 0
5971. 1
5971. 2
5971. 3
5971. 4
5971. 5
5971. 6
5972. 0

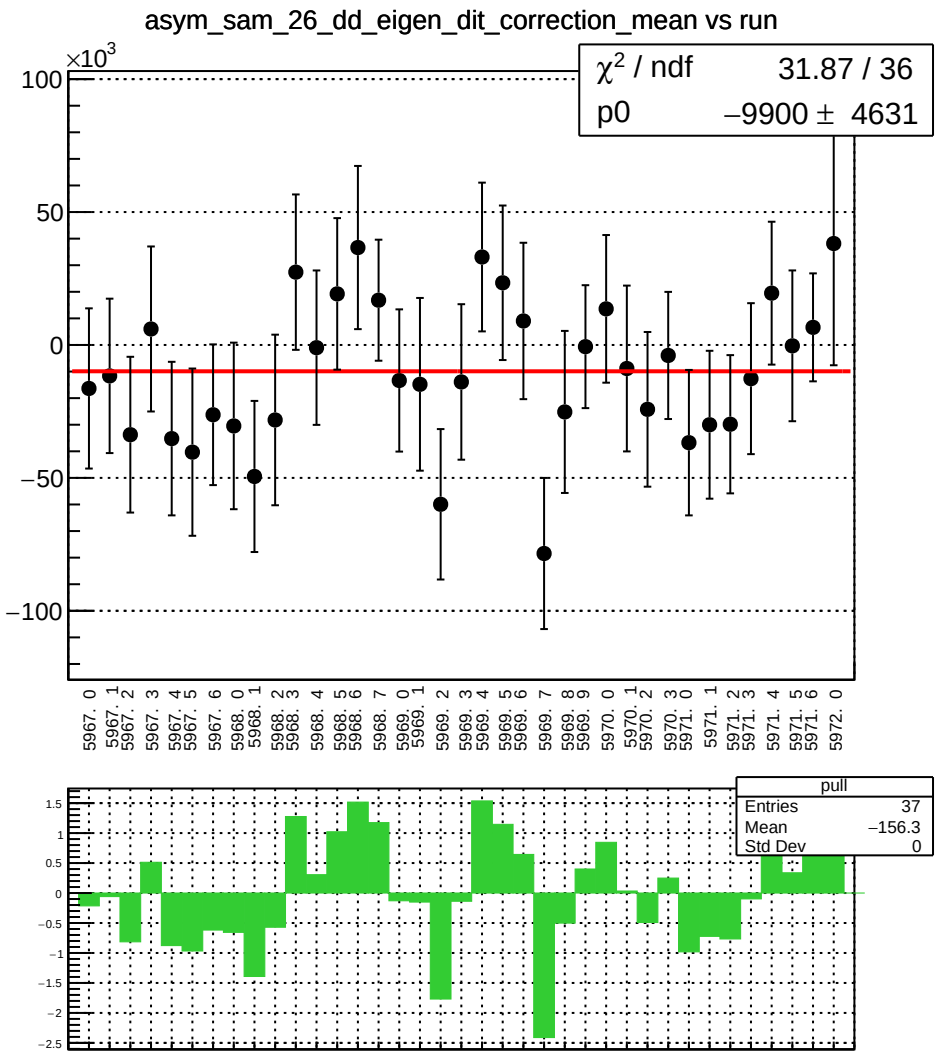
asym_sam_26_dd_eigen_dit_correction_mean vs run
×10^3
χ² / ndf 31.87 / 36
p0 −9900 ± 4631
100
50
0
−50
−100
5967. 0
5967. 1
5967. 2
5967. 3
5967. 4
5967. 5
5967. 6
5968. 0
5968. 1
5968. 2
5968. 3
5968. 4
5968. 5
5968. 6
5968. 7
5969. 0
5969. 1
5969. 2
5969. 3
5969. 4
5969. 5
5969. 6
5969. 7
5969. 8
5969. 9
5970. 0
5970. 1
5970. 2
5970. 3
5971. 0
5971. 1
5971. 2
5971. 3
5971. 4
5971. 5
5971. 6
5972. 0
pull
Entries 37
Mean −156.3
Std Dev 0
1.5
1
0.5
0
−0.5
−1
−1.5
−2
−2.5
pull1D
Entries 37
Mean −0.009959
Std Dev 0.9281
7
6
5
4
3
2
1
0
−8
−6
−4
−2
0
2
4
6
8

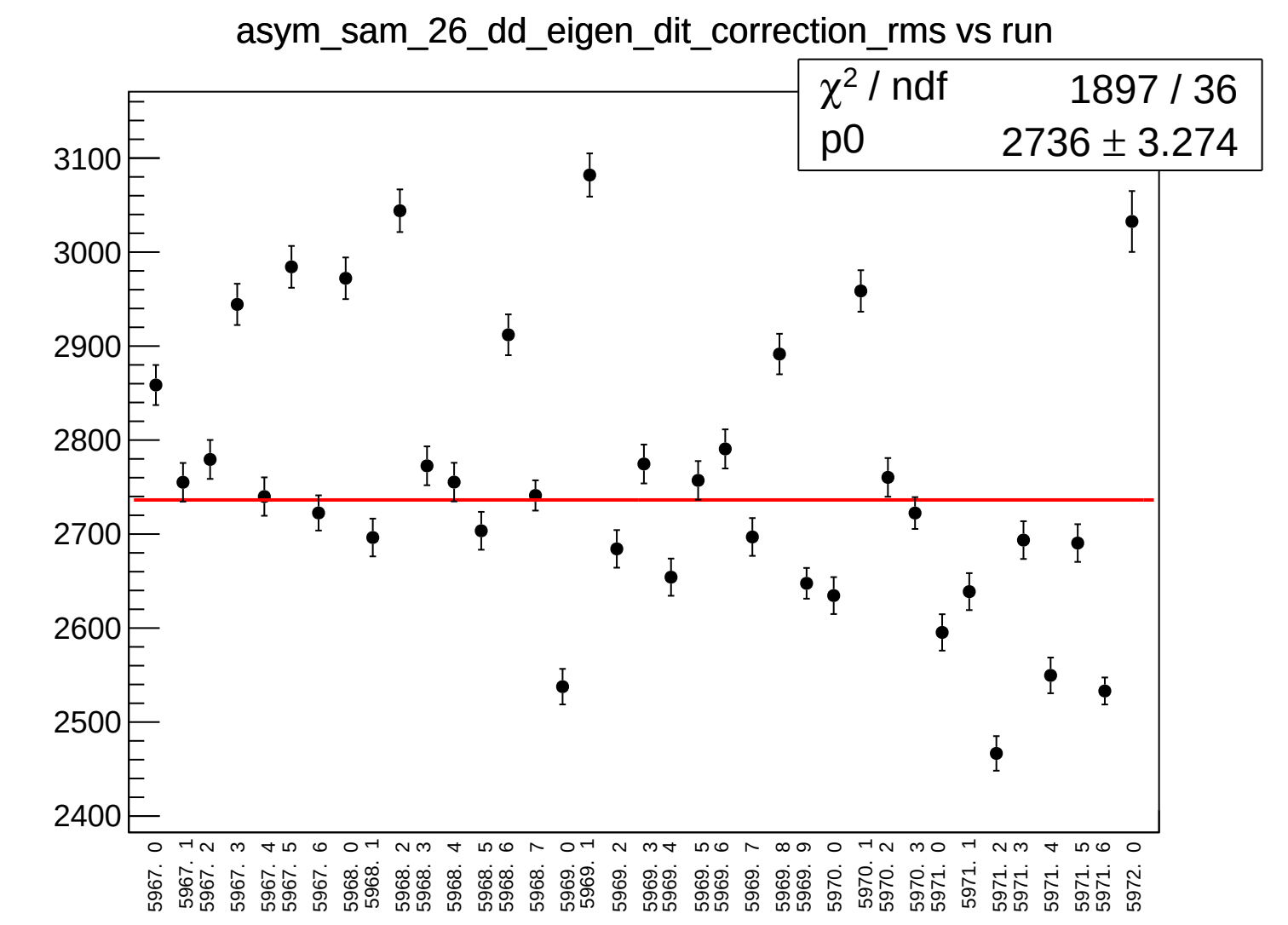
asym_sam_26_dd_eigen_dit_correction_rms vs run
χ² / ndf 1897 / 36
p0 2736 ± 3.274
3100
3000
2900
2800
2700
2600
2500
2400
5967. 0
5967. 1
5967. 2
5967. 3
5967. 4
5967. 5
5967. 6
5968. 0
5968. 1
5968. 2
5968. 3
5968. 4
5968. 5
5968. 6
5968. 7
5969. 0
5969. 1
5969. 2
5969. 3
5969. 4
5969. 5
5969. 6
5969. 7
5969. 8
5969. 9
5970. 0
5970. 1
5970. 2
5970. 3
5971. 0
5971. 1
5971. 2
5971. 3
5971. 4
5971. 5
5971. 6
5972. 0

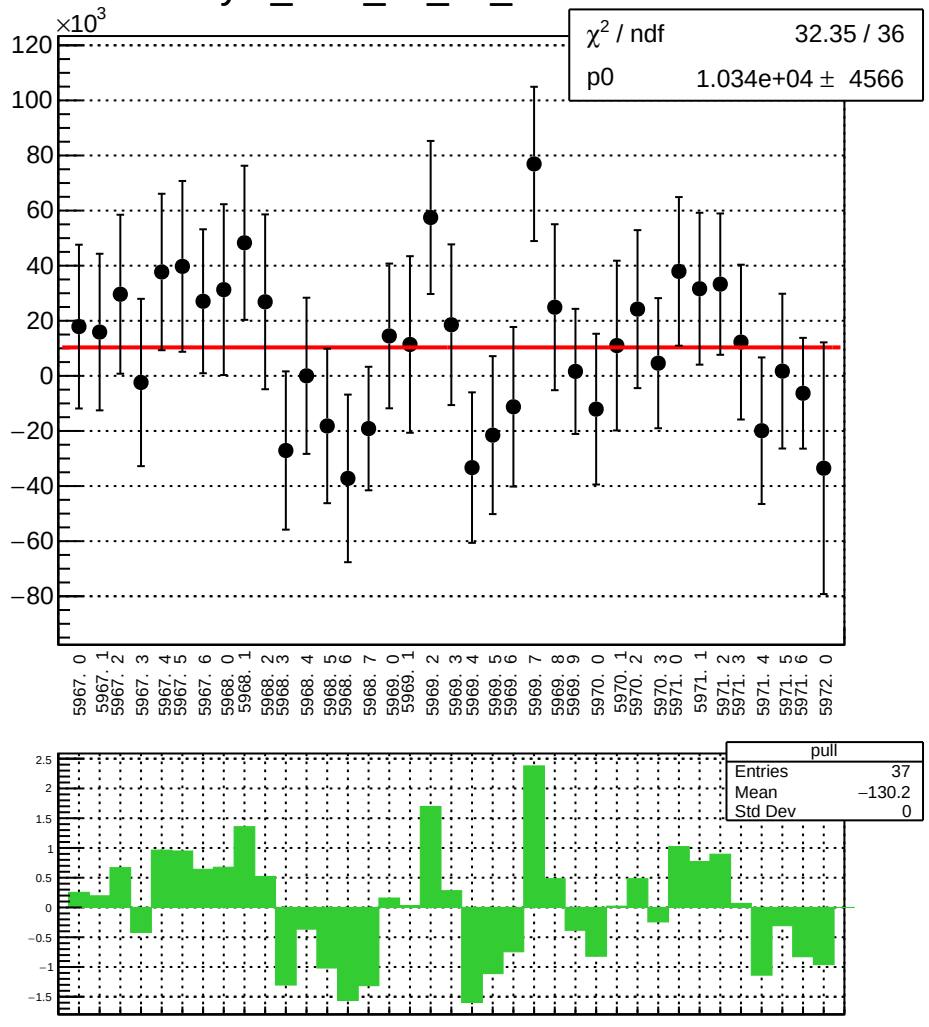
asym_sam_26_dd_mean vs run
×10^3
χ² / ndf 32.35 / 36
p0 1.034e+04 ± 4566
pull
Entries 37
Mean −130.2
Std Dev 0

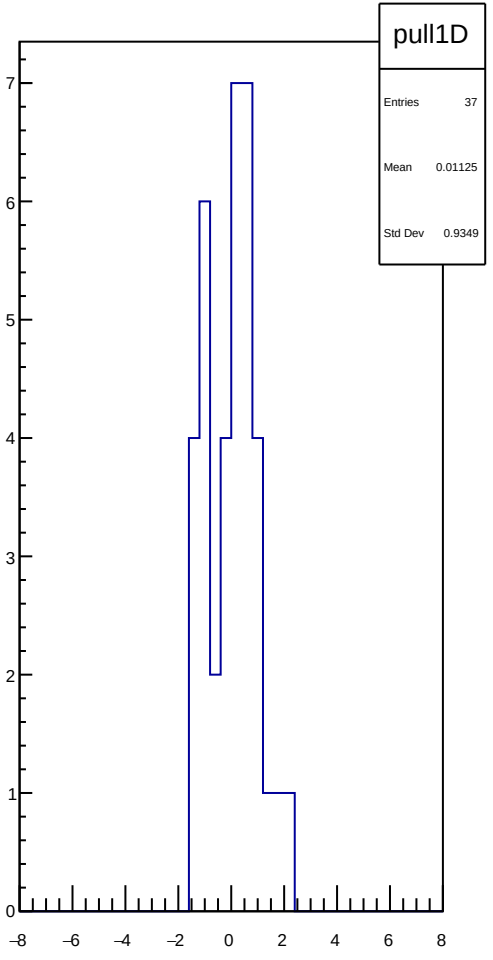
pull1D
Entries 37
Mean 0.01125
Std Dev 0.9349

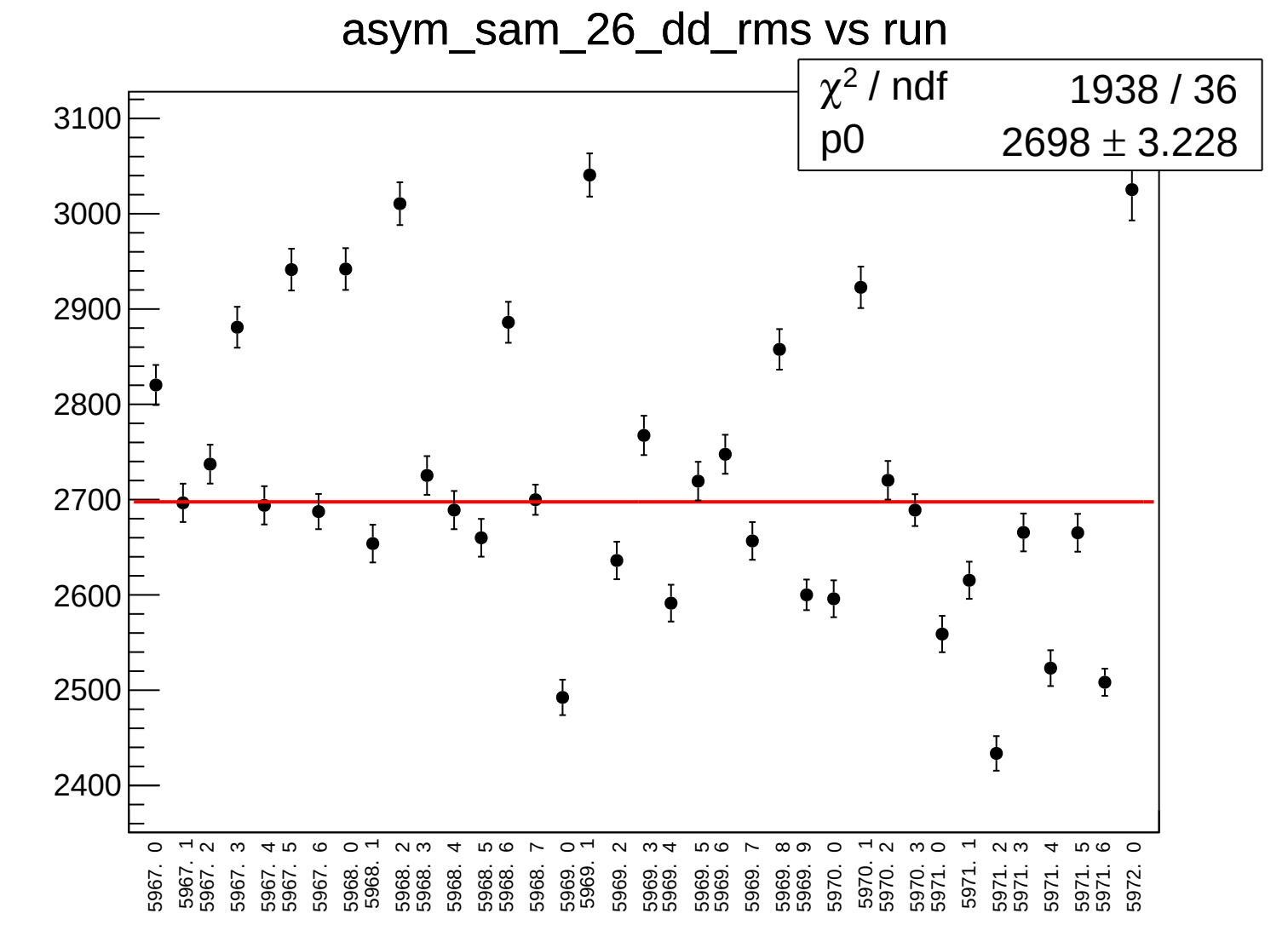
asym_sam_26_dd_rms vs run
χ² / ndf 1938 / 36
p0 2698 ± 3.228
3100
3000
2900
2800
2700
2600
2500
2400
5967. 0
5967. 1
5967. 2
5967. 3
5967. 4
5967. 5
5967. 6
5968. 0
5968. 1
5968. 2
5968. 3
5968. 4
5968. 5
5968. 6
5968. 7
5969. 0
5969. 1
5969. 2
5969. 3
5969. 4
5969. 5
5969. 6
5969. 7
5969. 8
5969. 9
5970. 0
5970. 1
5970. 2
5970. 3
5971. 0
5971. 1
5971. 2
5971. 3
5971. 4
5971. 5
5971. 6
5972. 0

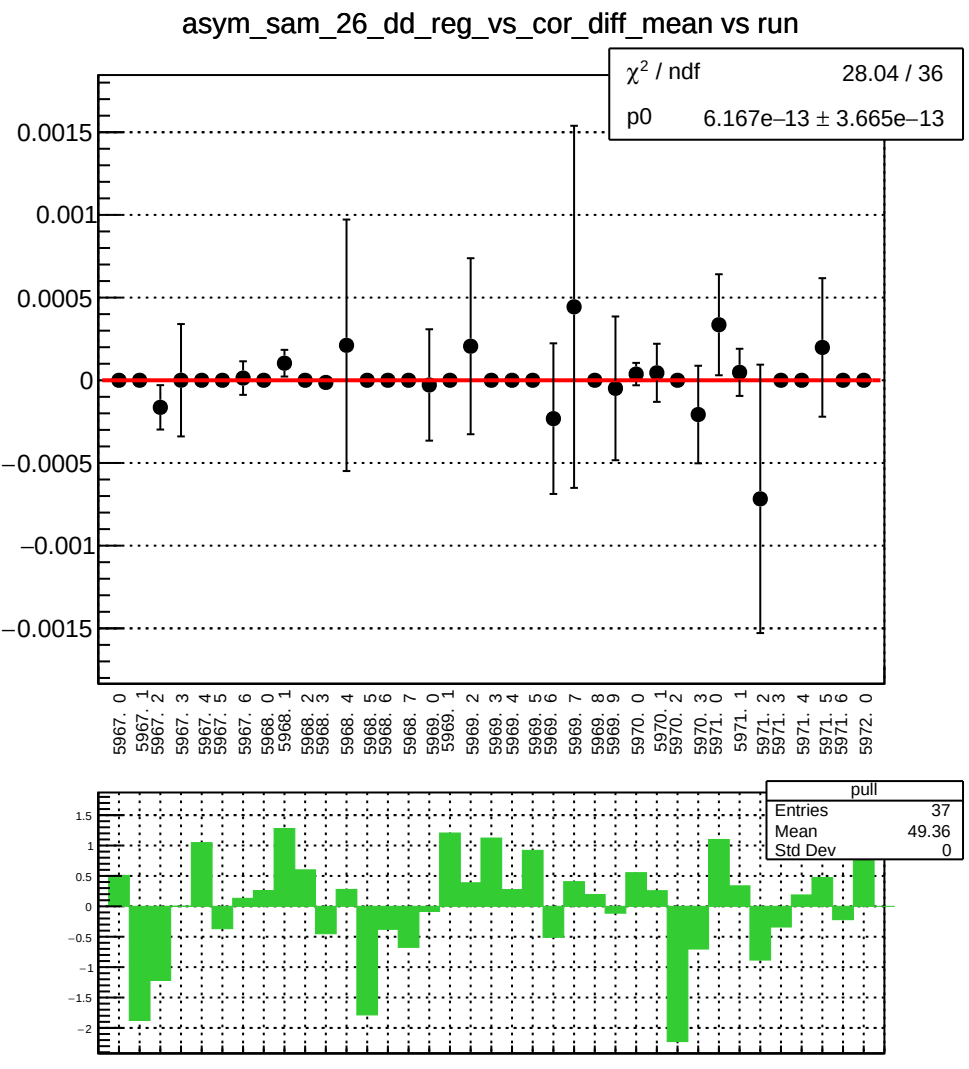
asym_sam_26_dd_reg_vs_cor_diff_mean vs run
χ² / ndf 28.04 / 36
p0 6.167e−13 ± 3.665e−13
0.0015
0.001
0.0005
0
−0.0005
−0.001
−0.0015
5967. 0
5967. 1
5967. 2
5967. 3
5967. 4
5967. 5
5967. 6
5968. 0
5968. 1
5968. 2
5968. 3
5968. 4
5968. 5
5968. 6
5968. 7
5969. 0
5969. 1
5969. 2
5969. 3
5969. 4
5969. 5
5969. 6
5969. 7
5969. 8
5969. 9
5970. 0
5970. 1
5970. 2
5970. 3
5971. 0
5971. 1
5971. 2
5971. 3
5971. 4
5971. 5
5971. 6
5972. 0
pull
Entries 37
Mean 49.36
Std Dev 0
1.5
1
0.5
0
−0.5
−1
−1.5
−2

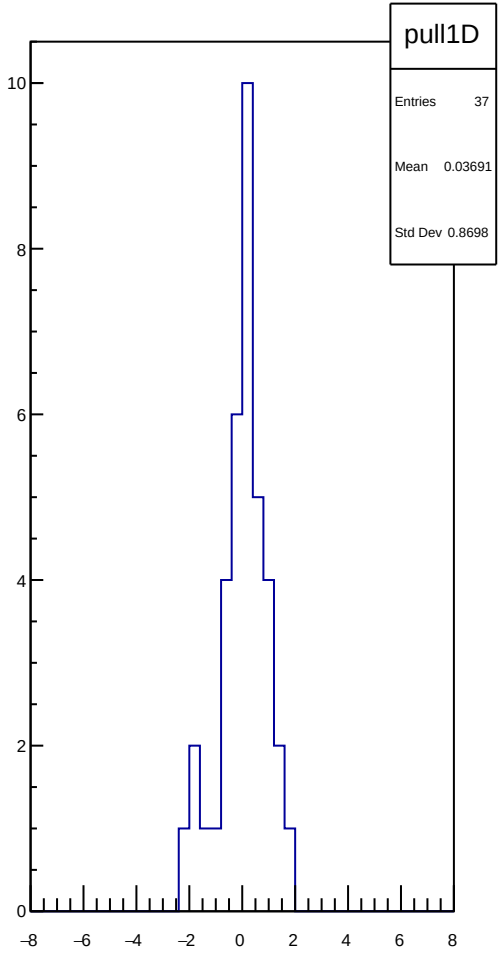
pull1D
Entries 37
Mean 0.03691
Std Dev 0.8698
10
8
6
4
2
0
−8
−6
−4
−2
0
2
4
6
8

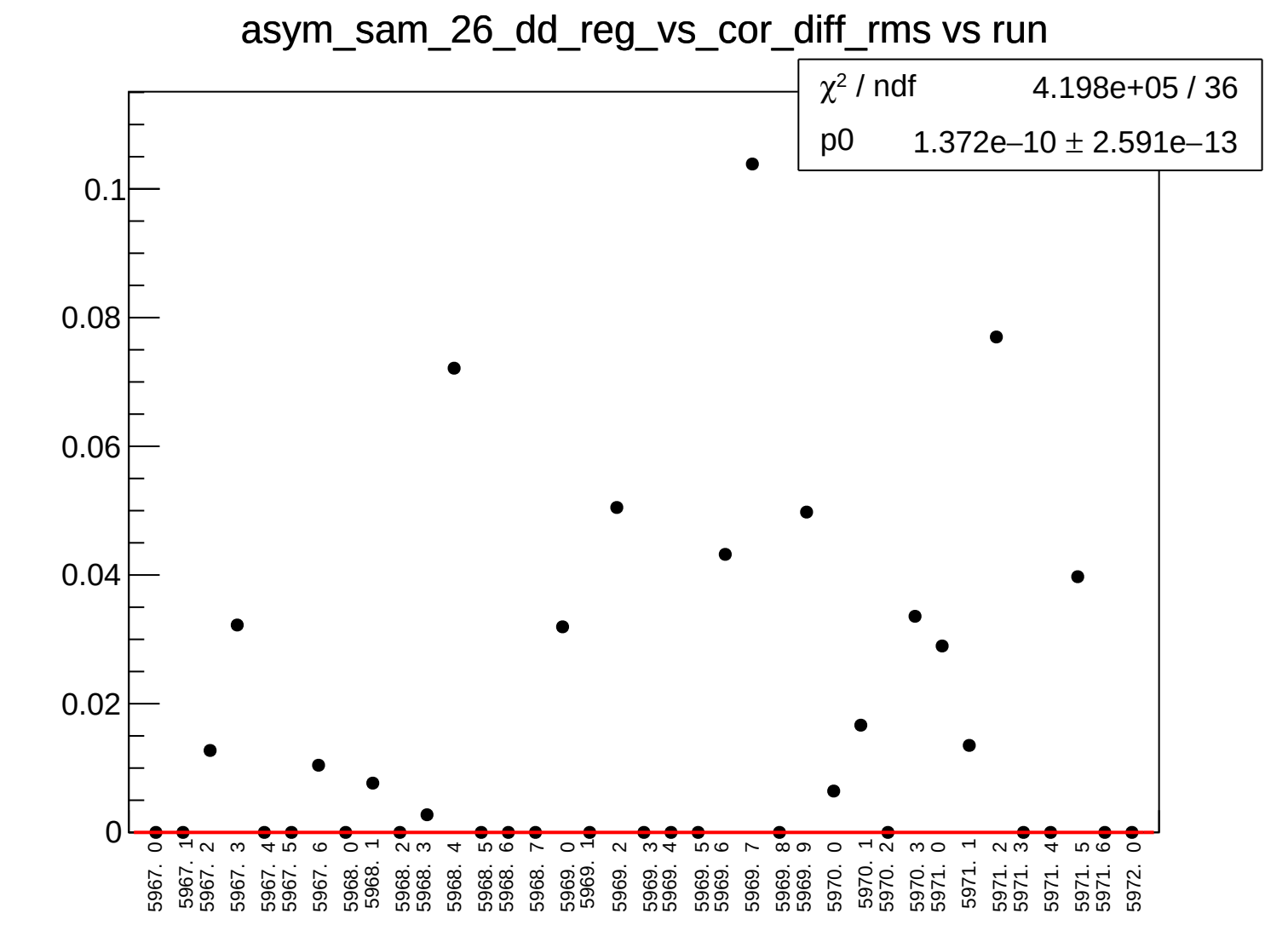
asym_sam_26_dd_reg_vs_cor_diff_rms vs run
χ² / ndf 4.198e+05 / 36
p0 1.372e−10 ± 2.591e−13
0.1
0.08
0.06
0.04
0.02
0
5967. 0
5967. 1
5967. 2
5967. 3
5967. 4
5967. 5
5967. 6
5968. 0
5968. 1
5968. 2
5968. 3
5968. 4
5968. 5
5968. 6
5968. 7
5969. 0
5969. 1
5969. 2
5969. 3
5969. 4
5969. 5
5969. 6
5969. 7
5969. 8
5969. 9
5970. 0
5970. 1
5970. 2
5970. 3
5971. 0
5971. 1
5971. 2
5971. 3
5971. 4
5971. 5
5971. 6
5972. 0

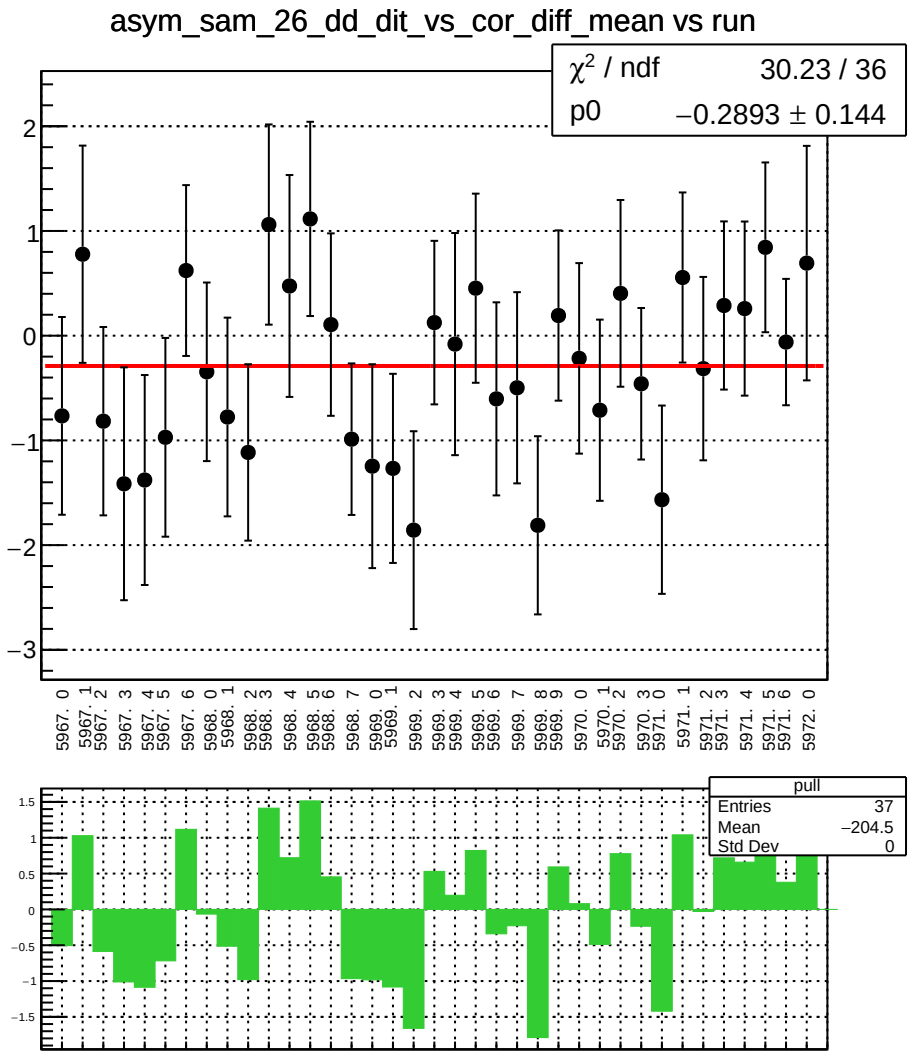
asym_sam_26_dd_dit_vs_cor_diff_mean vs run
χ² / ndf 30.23 / 36
p0 −0.2893 ± 0.144
pull
Entries 37
Mean −204.5
Std Dev 0

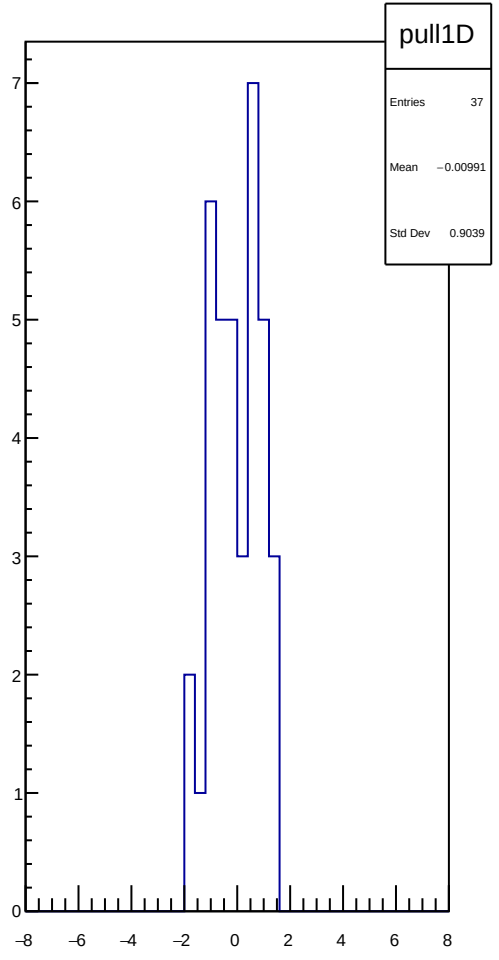
pull1D
Entries 37
Mean −0.00991
Std Dev 0.9039

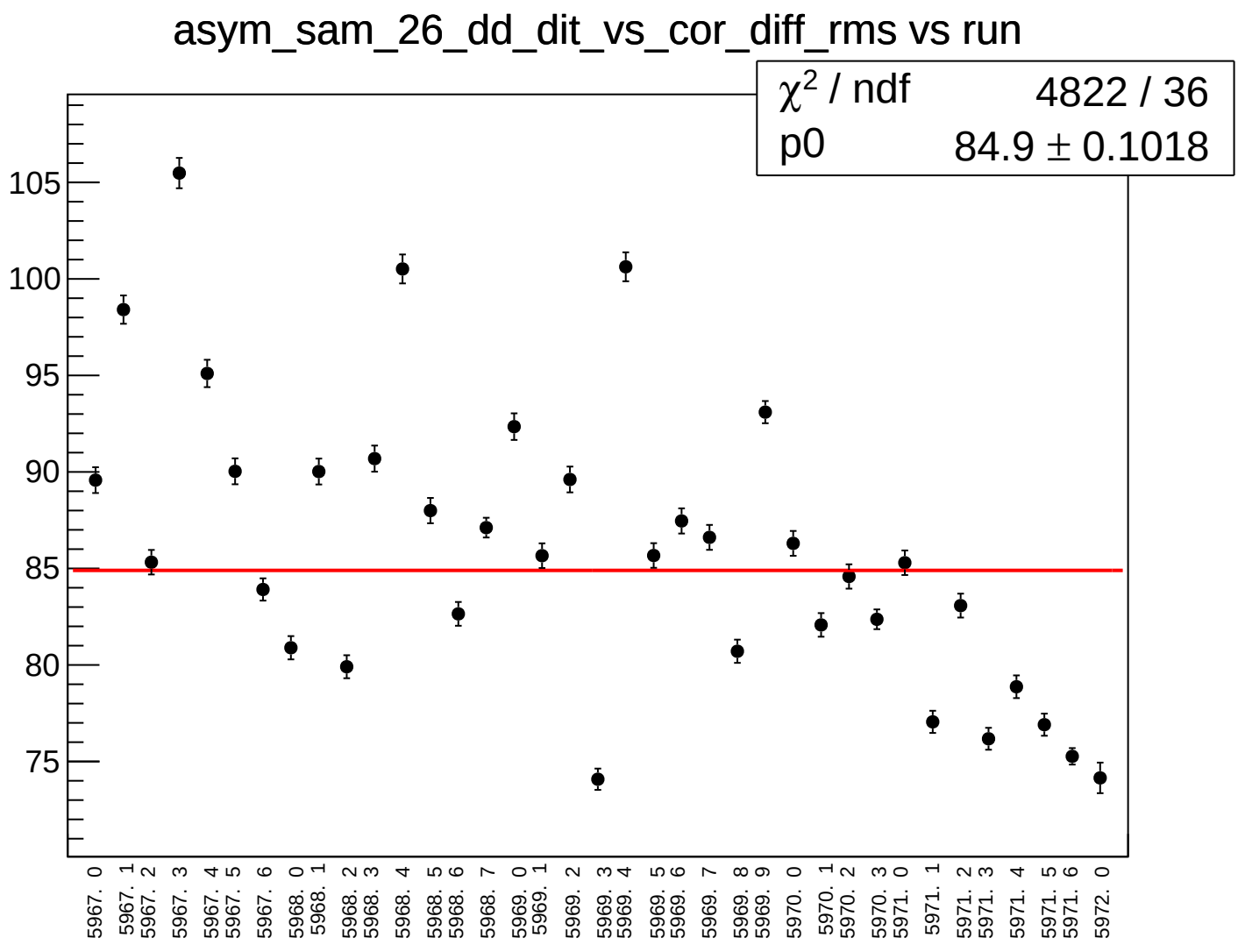
asym_sam_26_dd_dit_vs_cor_diff_rms vs run
χ² / ndf 4822 / 36
p0 84.9 ± 0.1018
105
100
95
90
85
80
75
5967. 0
5967. 1
5967. 2
5967. 3
5967. 4
5967. 5
5967. 6
5968. 0
5968. 1
5968. 2
5968. 3
5968. 4
5968. 5
5968. 6
5968. 7
5969. 0
5969. 1
5969. 2
5969. 3
5969. 4
5969. 5
5969. 6
5969. 7
5969. 8
5969. 9
5970. 0
5970. 1
5970. 2
5970. 3
5971. 0
5971. 1
5971. 2
5971. 3
5971. 4
5971. 5
5971. 6
5972. 0

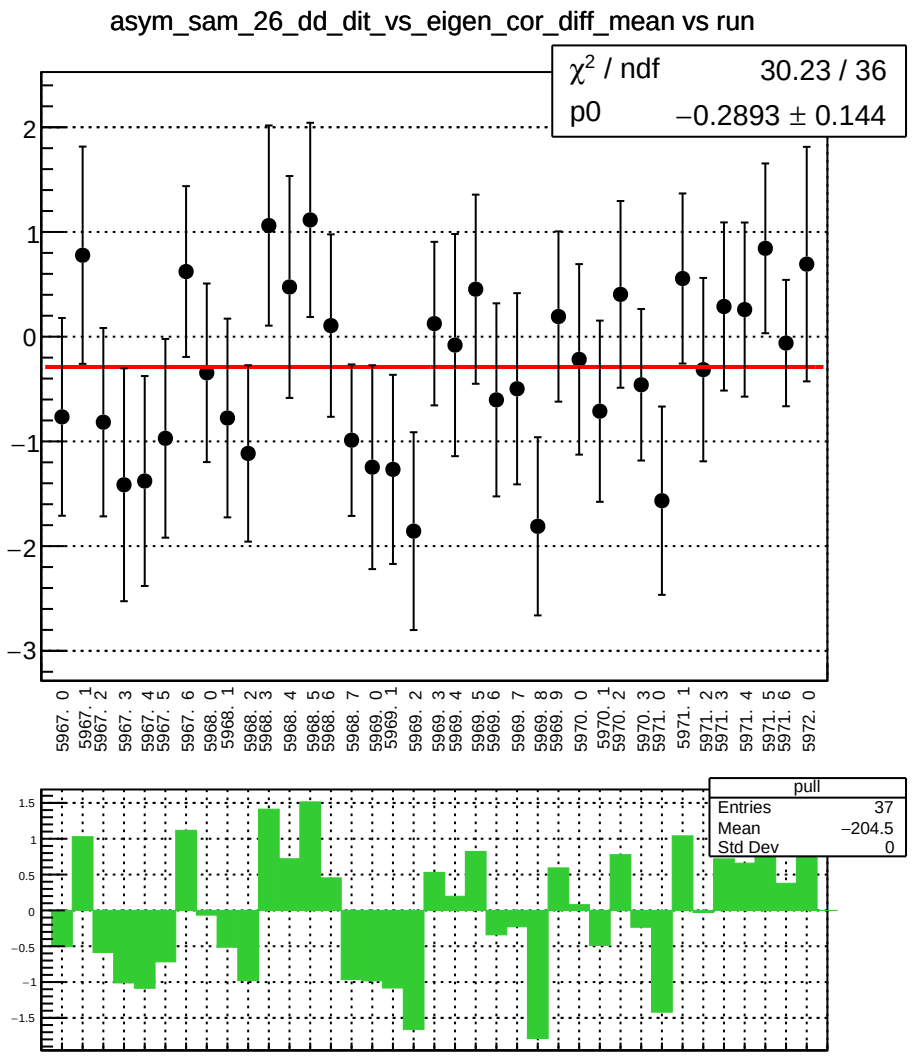
asym_sam_26_dd_dit_vs_eigen_cor_diff_mean vs run
χ² / ndf 30.23 / 36
p0 −0.2893 ± 0.144
pull
Entries 37
Mean −204.5
Std Dev 0

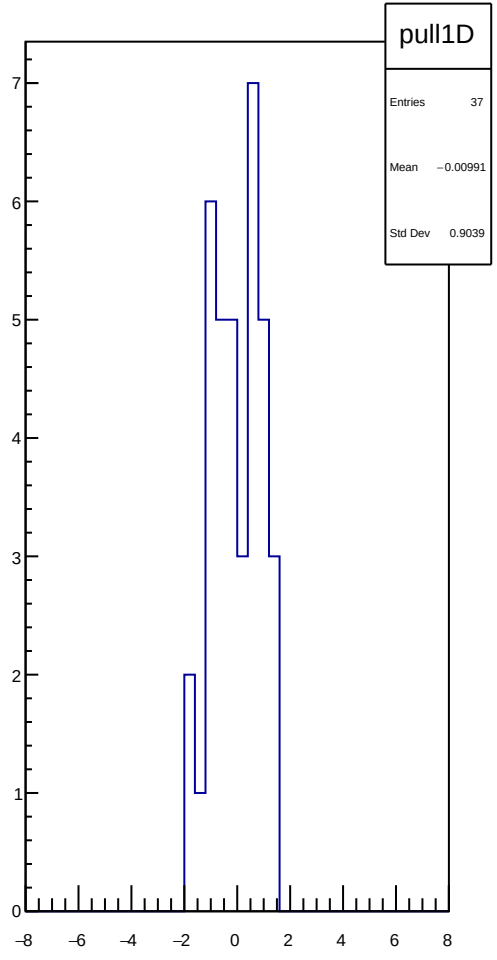
pull1D
Entries 37
Mean −0.00991
Std Dev 0.9039

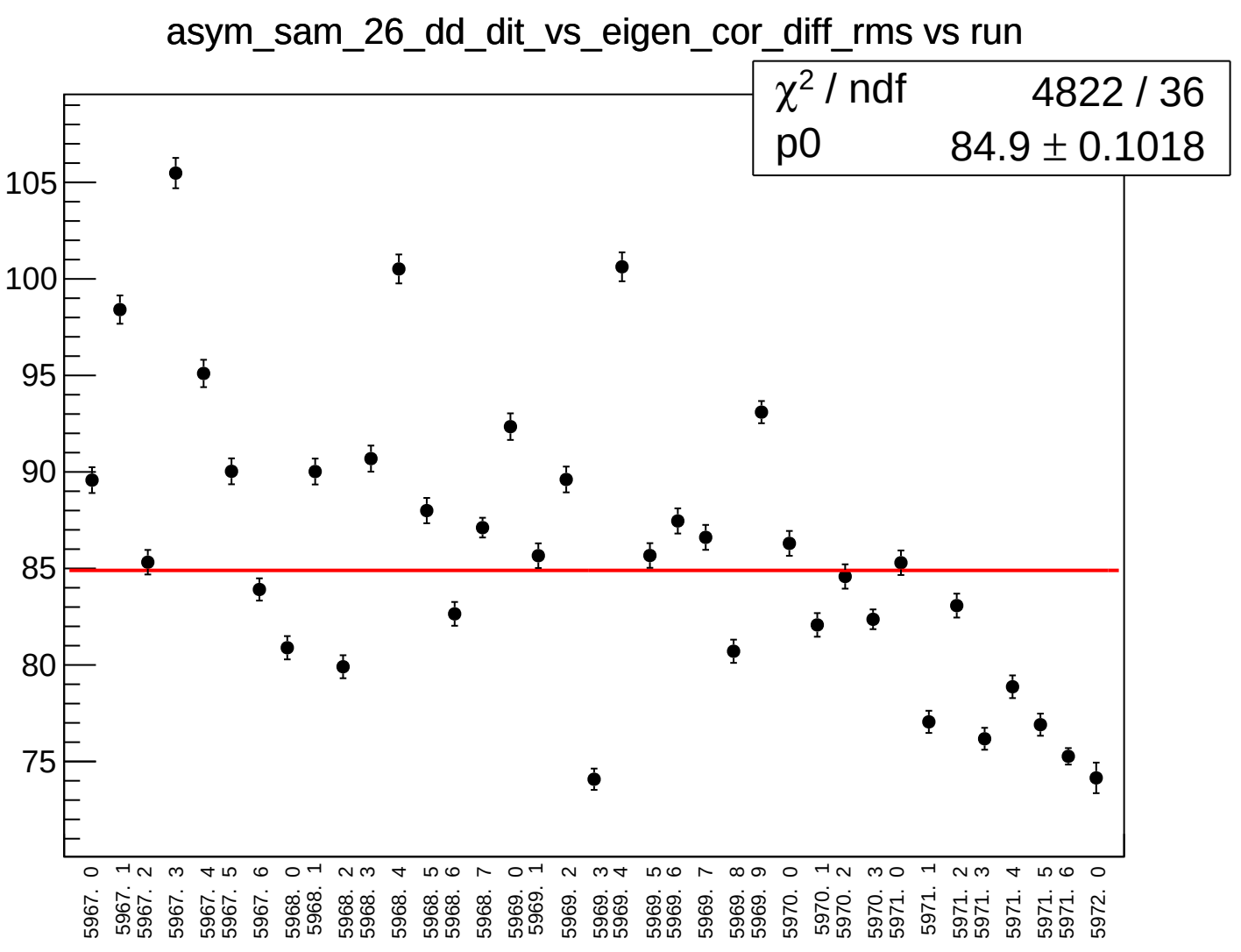
asym_sam_26_dd_dit_vs_eigen_cor_diff_rms vs run
χ² / ndf 4822 / 36
p0 84.9 ± 0.1018
105
100
95
90
85
80
75
5967. 0
5967. 1
5967. 2
5967. 3
5967. 4
5967. 5
5967. 6
5968. 0
5968. 1
5968. 2
5968. 3
5968. 4
5968. 5
5968. 6
5968. 7
5969. 0
5969. 1
5969. 2
5969. 3
5969. 4
5969. 5
5969. 6
5969. 7
5969. 8
5969. 9
5970. 0
5970. 1
5970. 2
5970. 3
5971. 0
5971. 1
5971. 2
5971. 3
5971. 4
5971. 5
5971. 6
5972. 0

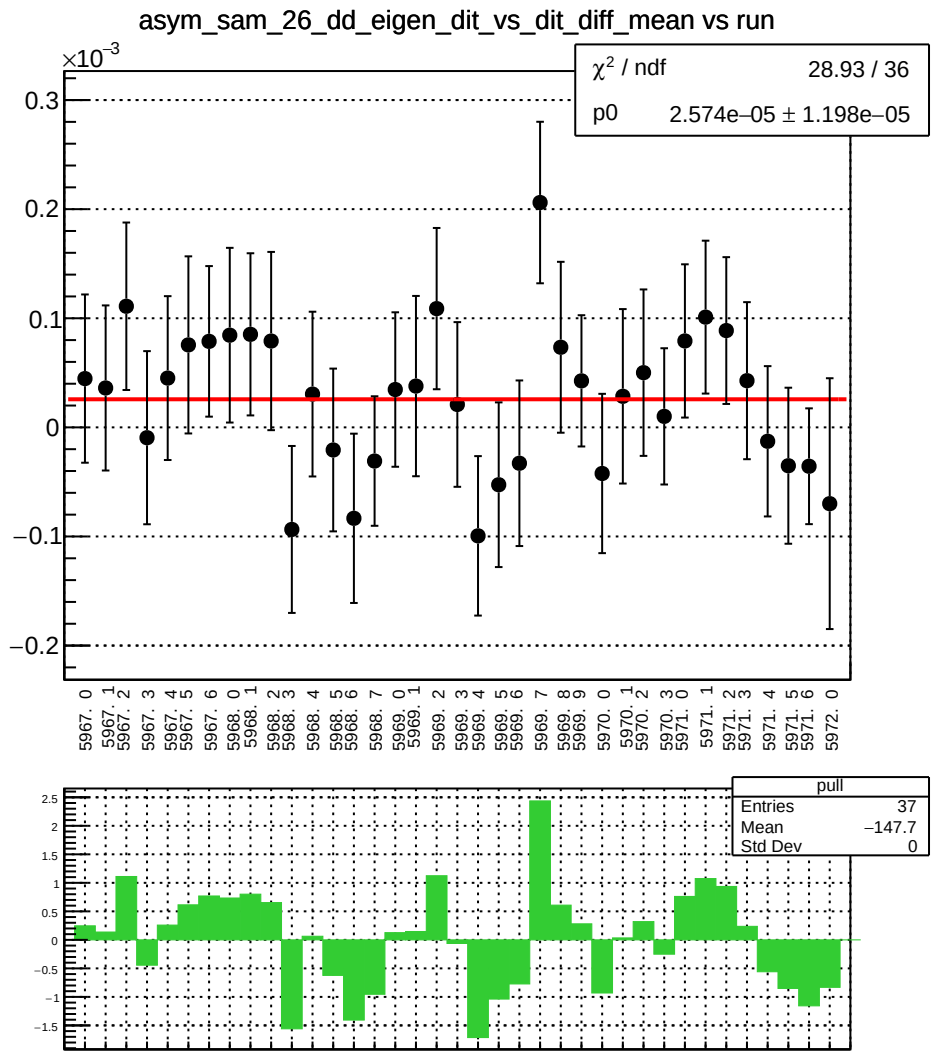
asym_sam_26_dd_eigen_dit_vs_dit_diff_mean vs run
×10⁻³
χ² / ndf 28.93 / 36
p0 2.574e−05 ± 1.198e−05
0.3
0.2
0.1
0
−0.1
−0.2
5967. 0
5967. 1
5967. 2
5967. 3
5967. 4
5967. 5
5967. 6
5968. 0
5968. 1
5968. 2
5968. 3
5968. 4
5968. 5
5968. 6
5968. 7
5969. 0
5969. 1
5969. 2
5969. 3
5969. 4
5969. 5
5969. 6
5969. 7
5969. 8
5969. 9
5970. 0
5970. 1
5970. 2
5970. 3
5971. 0
5971. 1
5971. 2
5971. 3
5971. 4
5971. 5
5971. 6
5972. 0
pull
Entries 37
Mean −147.7
Std Dev 0
2.5
2
1.5
1
0.5
0
−0.5
−1
−1.5

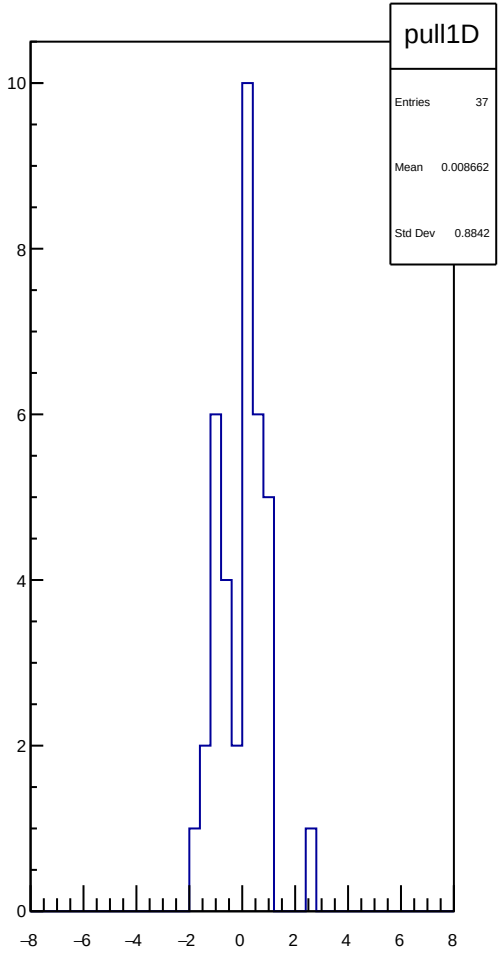
pull1D
Entries 37
Mean 0.008662
Std Dev 0.8842
10
8
6
4
2
0
−8
−6
−4
−2
0
2
4
6
8

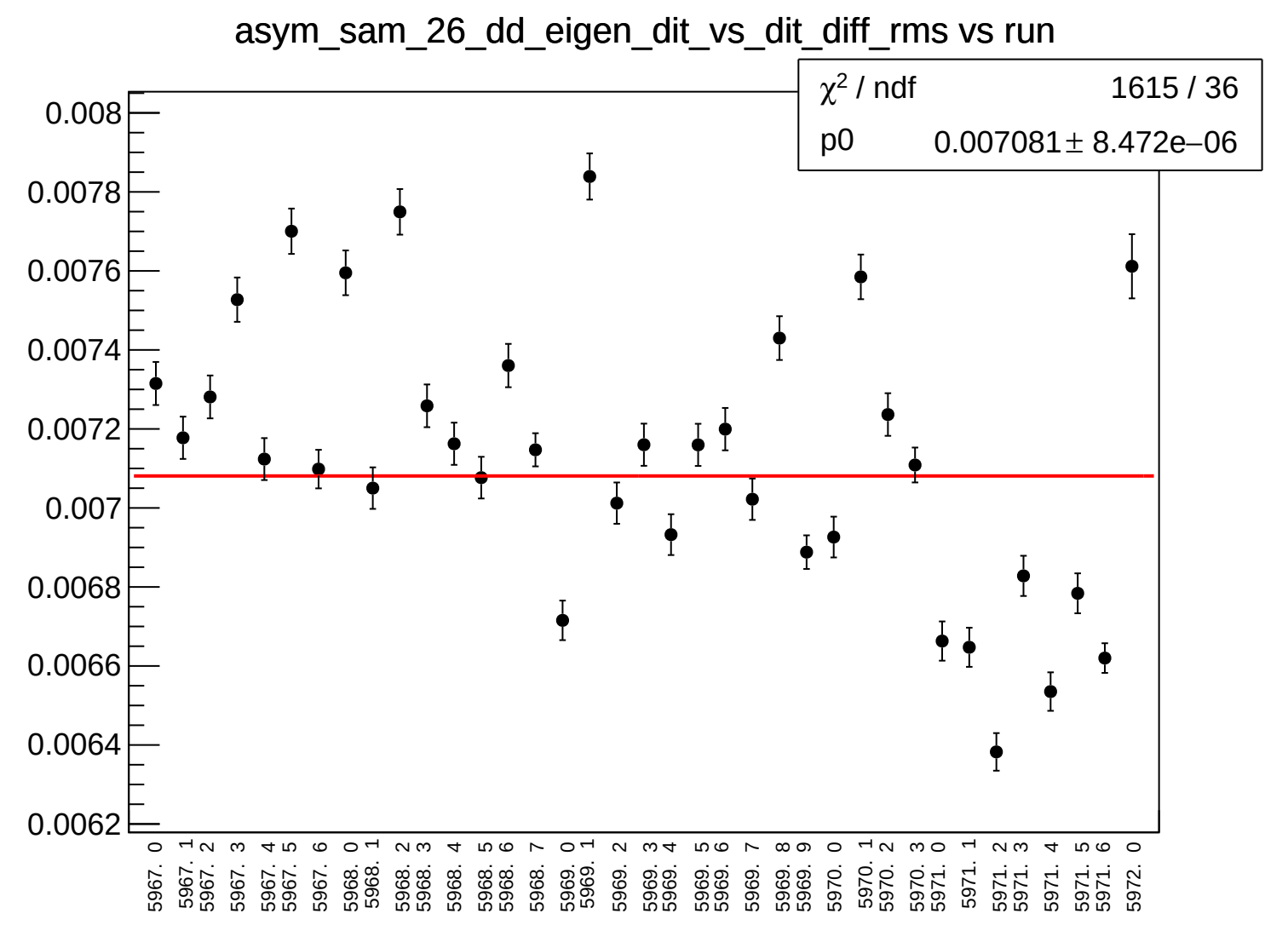
asym_sam_26_dd_eigen_dit_vs_dit_diff_rms vs run
χ² / ndf 1615 / 36
p0 0.007081 ± 8.472e−06
0.008
0.0078
0.0076
0.0074
0.0072
0.007
0.0068
0.0066
0.0064
0.0062
5967. 0
5967. 1
5967. 2
5967. 3
5967. 4
5967. 5
5967. 6
5968. 0
5968. 1
5968. 2
5968. 3
5968. 4
5968. 5
5968. 6
5968. 7
5969. 0
5969. 1
5969. 2
5969. 3
5969. 4
5969. 5
5969. 6
5969. 7
5969. 8
5969. 9
5970. 0
5970. 1
5970. 2
5970. 3
5971. 0
5971. 1
5971. 2
5971. 3
5971. 4
5971. 5
5971. 6
5972. 0

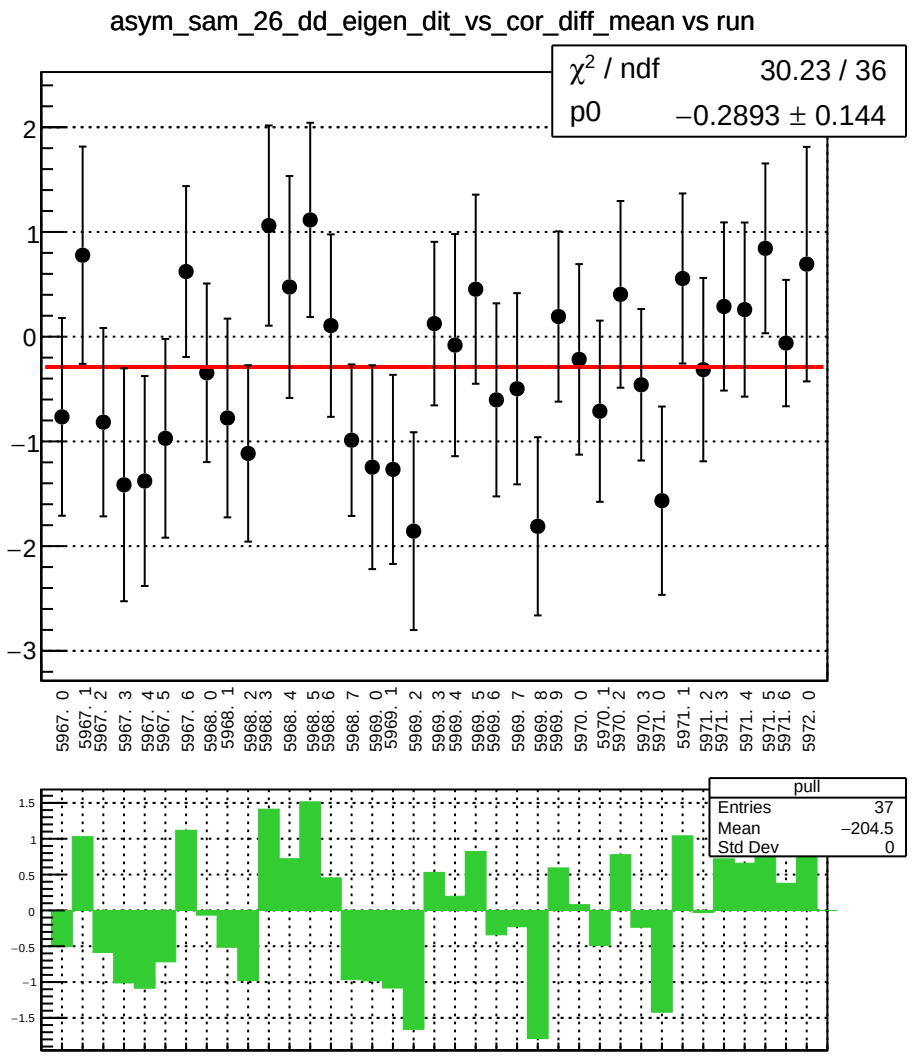
asym_sam_26_dd_eigen_dit_vs_cor_diff_mean vs run
χ² / ndf 30.23 / 36
p0 −0.2893 ± 0.144
pull
Entries 37
Mean −204.5
Std Dev 0

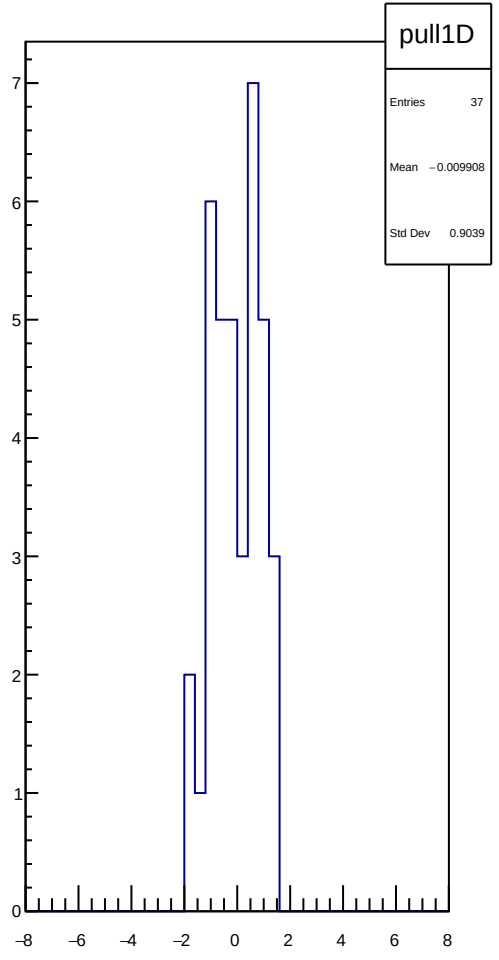
pull1D
Entries 37
Mean −0.009908
Std Dev 0.9039

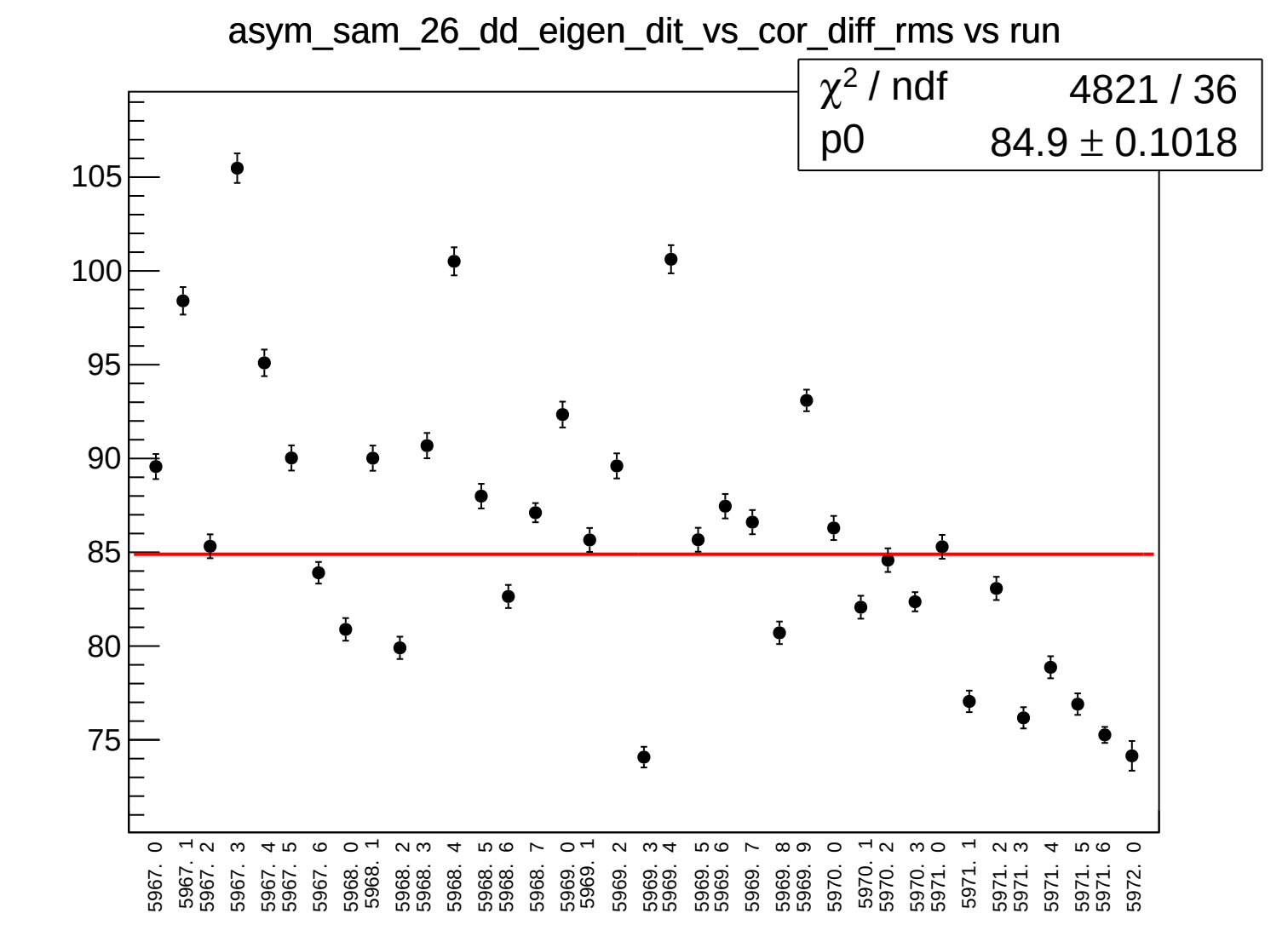
asym_sam_26_dd_eigen_dit_vs_cor_diff_rms vs run
χ² / ndf 4821 / 36
p0 84.9 ± 0.1018
105
100
95
90
85
80
75
5967. 0
5967. 1
5967. 2
5967. 3
5967. 4
5967. 5
5967. 6
5968. 0
5968. 1
5968. 2
5968. 3
5968. 4
5968. 5
5968. 6
5968. 7
5969. 0
5969. 1
5969. 2
5969. 3
5969. 4
5969. 5
5969. 6
5969. 7
5969. 8
5969. 9
5970. 0
5970. 1
5970. 2
5970. 3
5971. 0
5971. 1
5971. 2
5971. 3
5971. 4
5971. 5
5971. 6
5972. 0

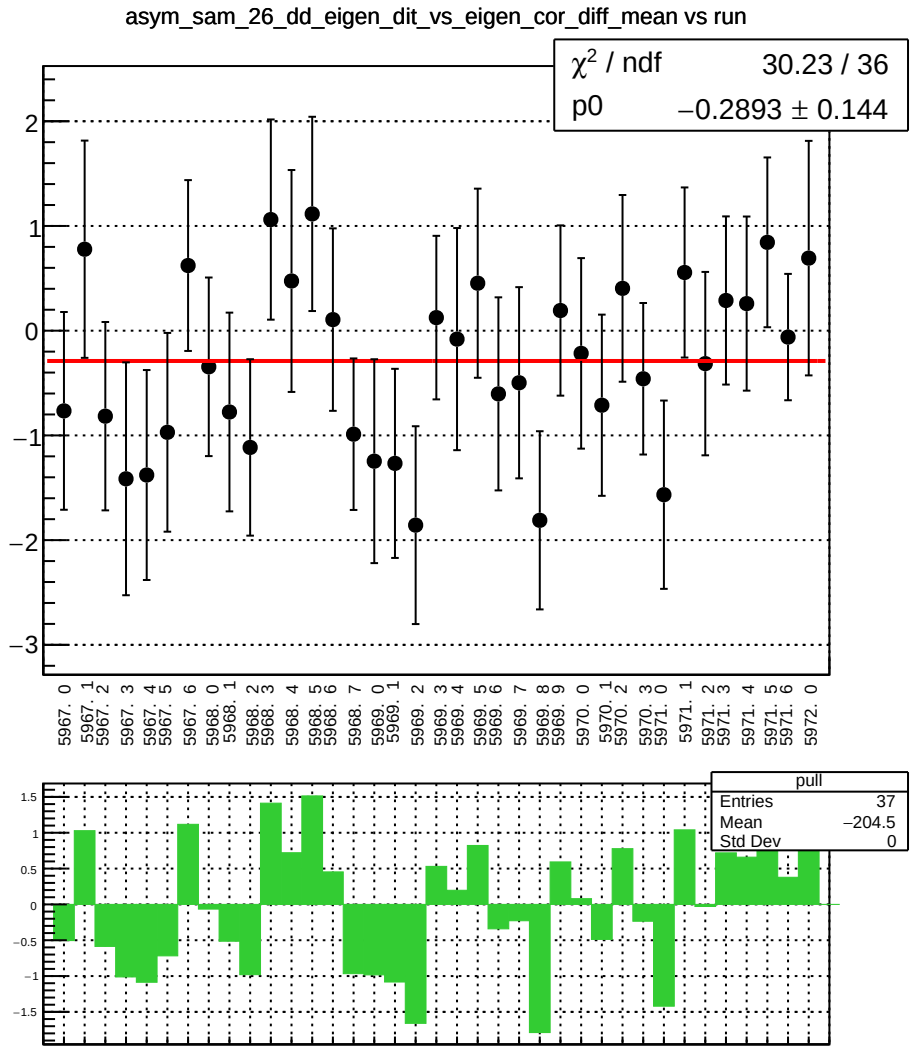
asym_sam_26_dd_eigen_dit_vs_eigen_cor_diff_mean vs run
χ² / ndf 30.23 / 36
p0 −0.2893 ± 0.144
pull
Entries 37
Mean −204.5
Std Dev 0

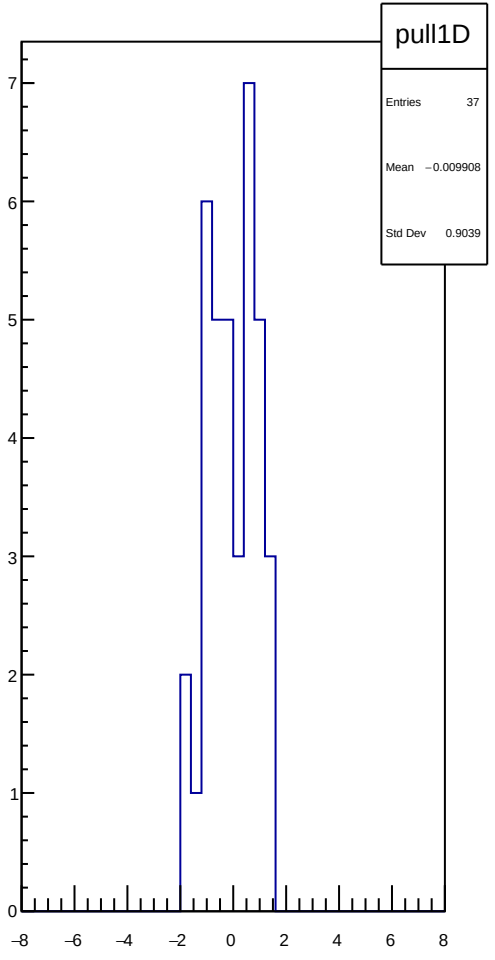
pull1D
Entries 37
Mean −0.009908
Std Dev 0.9039

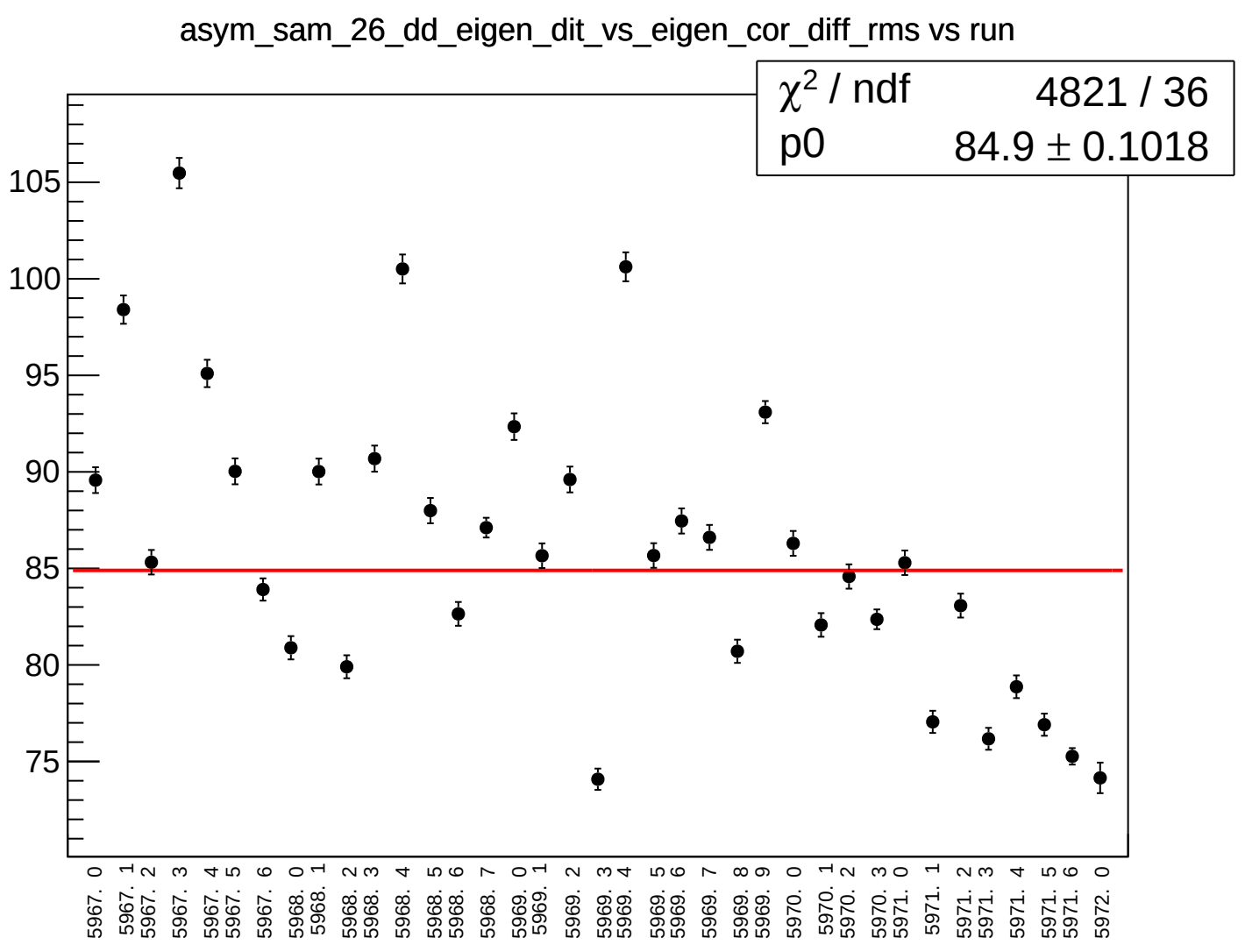
asym_sam_26_dd_eigen_dit_vs_eigen_cor_diff_rms vs run
χ² / ndf 4821 / 36
p0 84.9 ± 0.1018
105
100
95
90
85
80
75
5967. 0
5967. 1
5967. 2
5967. 3
5967. 4
5967. 5
5967. 6
5968. 0
5968. 1
5968. 2
5968. 3
5968. 4
5968. 5
5968. 6
5968. 7
5969. 0
5969. 1
5969. 2
5969. 3
5969. 4
5969. 5
5969. 6
5969. 7
5969. 8
5969. 9
5970. 0
5970. 1
5970. 2
5970. 3
5971. 0
5971. 1
5971. 2
5971. 3
5971. 4
5971. 5
5971. 6
5972. 0

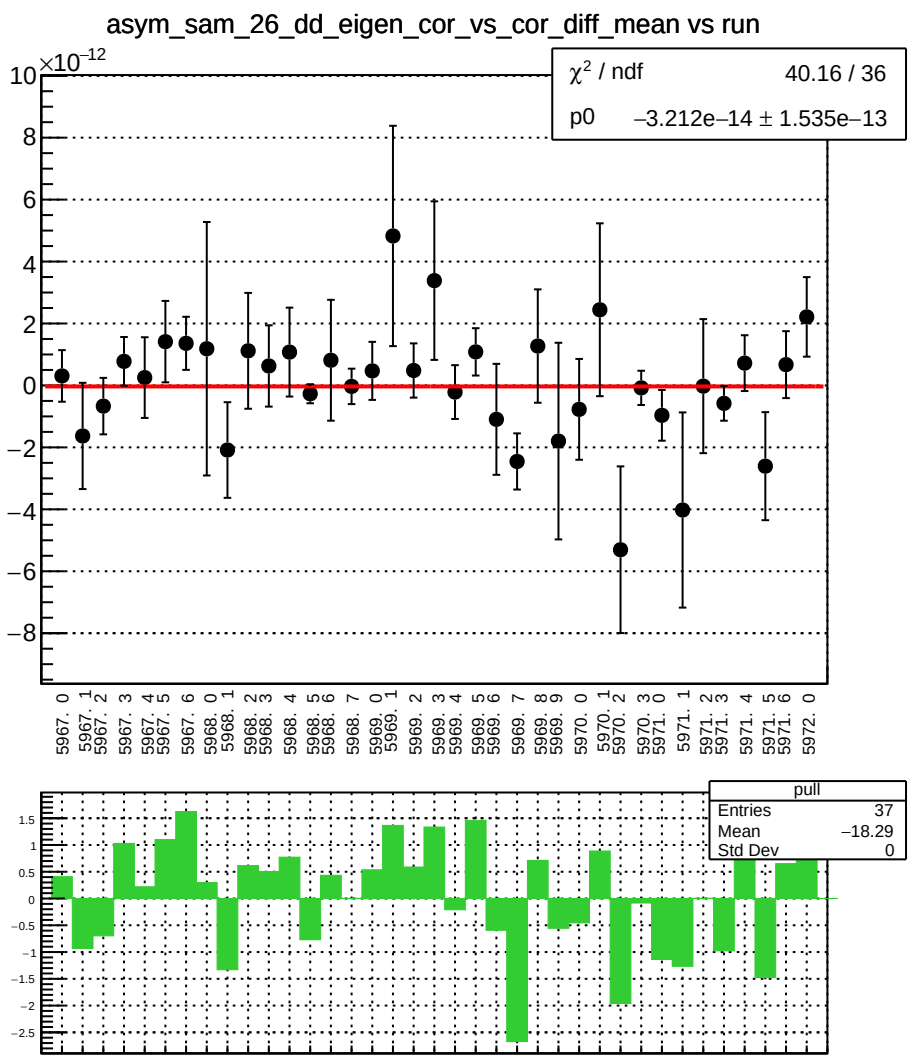
asym_sam_26_dd_eigen_cor_vs_cor_diff_mean vs run
×10⁻¹²
χ² / ndf 40.16 / 36
p0 −3.212e−14 ± 1.535e−13
pull
Entries 37
Mean −18.29
Std Dev 0

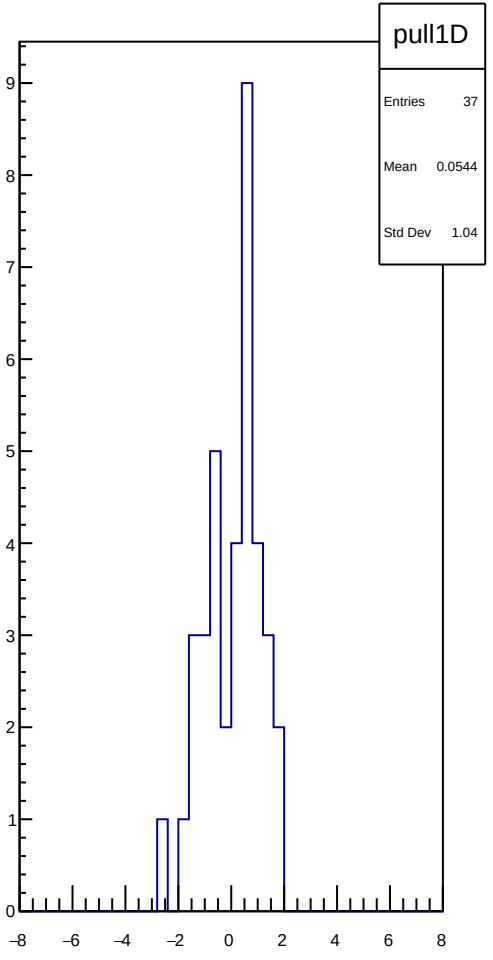
pull1D
Entries 37
Mean 0.0544
Std Dev 1.04

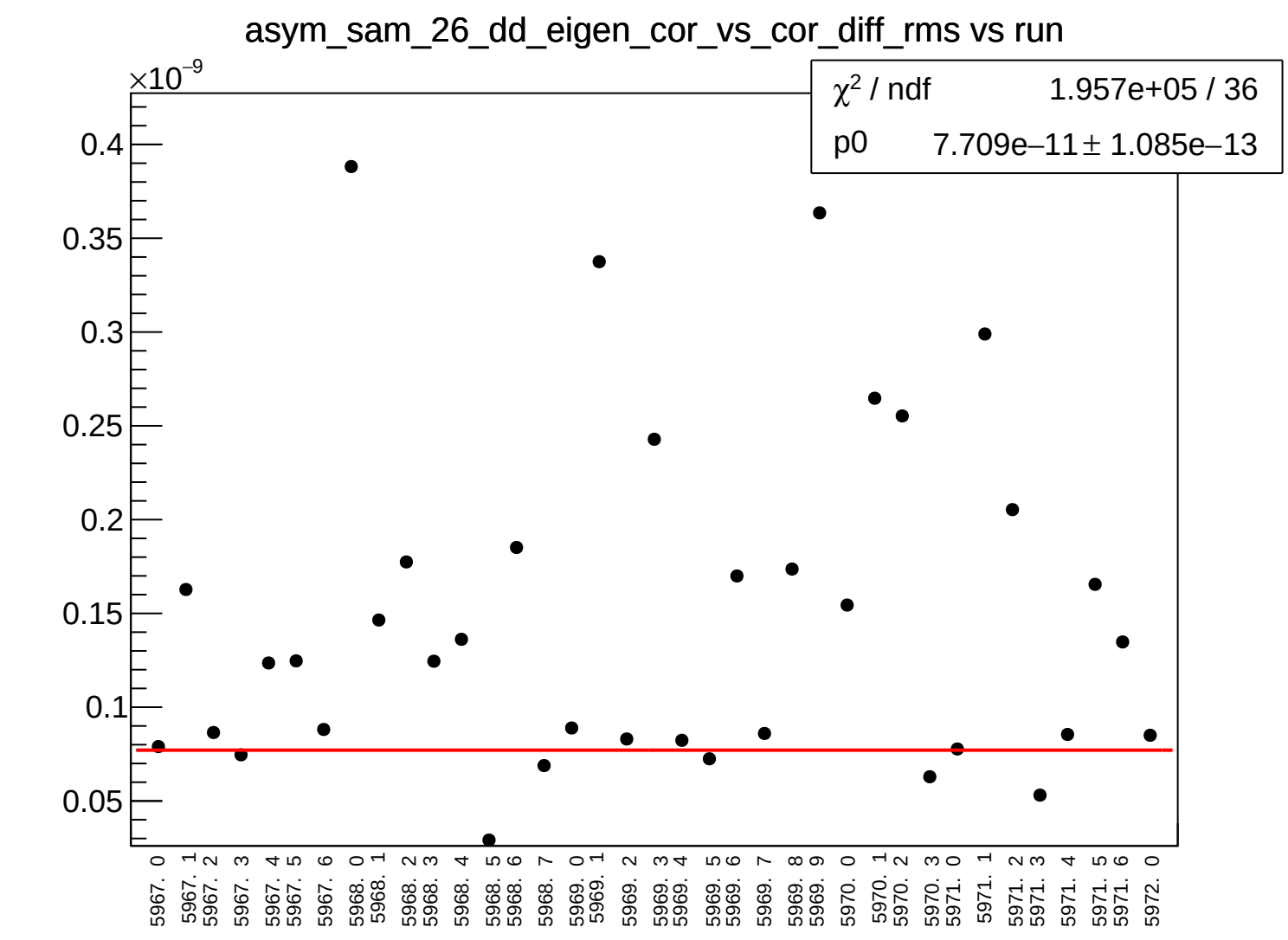
asym_sam_26_dd_eigen_cor_vs_cor_diff_rms vs run
×10⁻⁹
χ² / ndf 1.957e+05 / 36
p0 7.709e−11 ± 1.085e−13
0.4
0.35
0.3
0.25
0.2
0.15
0.1
0.05
5967. 0
5967. 1
5967. 2
5967. 3
5967. 4
5967. 5
5967. 6
5968. 0
5968. 1
5968. 2
5968. 3
5968. 4
5968. 5
5968. 6
5968. 7
5969. 0
5969. 1
5969. 2
5969. 3
5969. 4
5969. 5
5969. 6
5969. 7
5969. 8
5969. 9
5970. 0
5970. 1
5970. 2
5970. 3
5971. 0
5971. 1
5971. 2
5971. 3
5971. 4
5971. 5
5971. 6
5972. 0

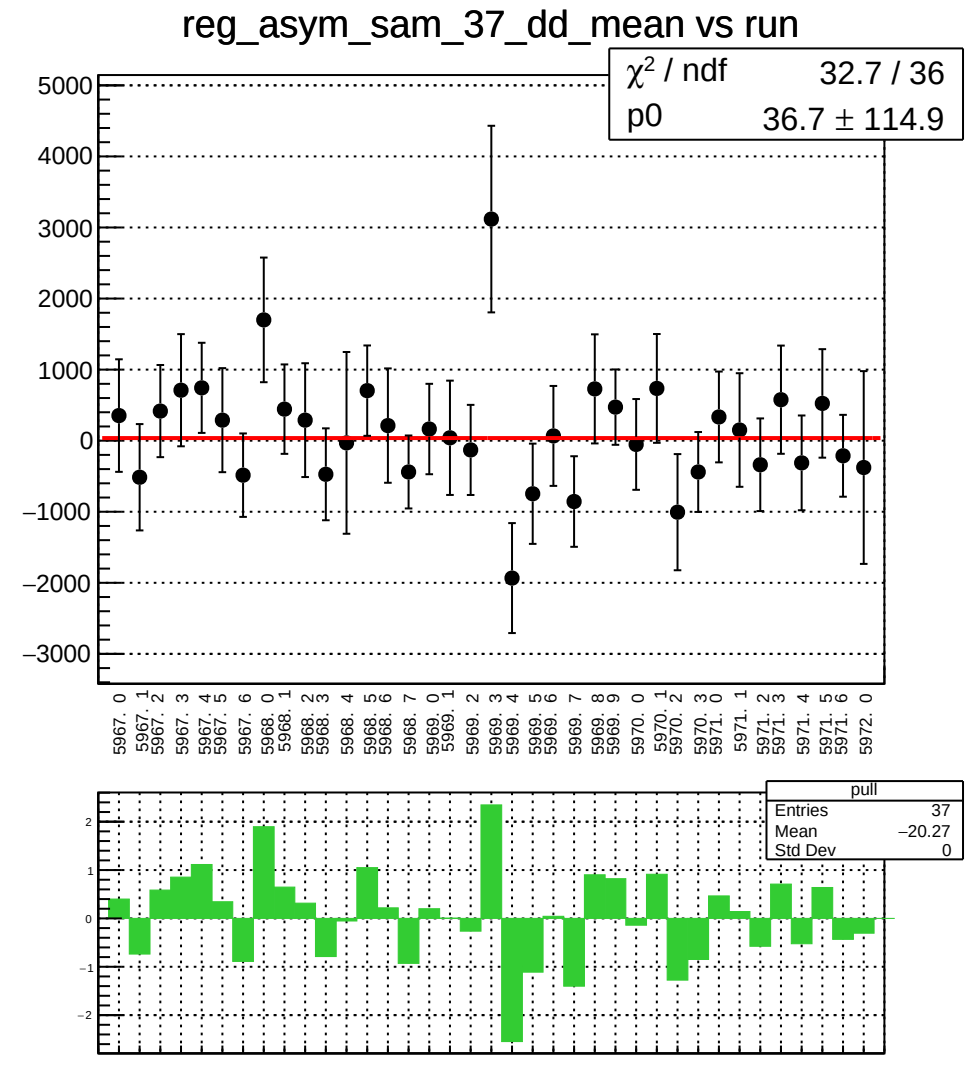
reg_asym_sam_37_dd_mean vs run
χ² / ndf 32.7 / 36
p0 36.7 ± 114.9
5000
4000
3000
2000
1000
0
−1000
−2000
−3000
5967. 0
5967. 1
5967. 2
5967. 3
5967. 4
5967. 5
5967. 6
5968. 0
5968. 1
5968. 2
5968. 3
5968. 4
5968. 5
5968. 6
5968. 7
5969. 0
5969. 1
5969. 2
5969. 3
5969. 4
5969. 5
5969. 6
5969. 7
5969. 8
5969. 9
5970. 0
5970. 1
5970. 2
5970. 3
5971. 0
5971. 1
5971. 2
5971. 3
5971. 4
5971. 5
5971. 6
5972. 0
pull
Entries 37
Mean −20.27
Std Dev 0
2
1
0
−1
−2
pull1D
Entries 37
Mean 0.04841
Std Dev 0.9389
8
7
6
5
4
3
2
1
0
−8
−6
−4
−2
0
2
4
6
8

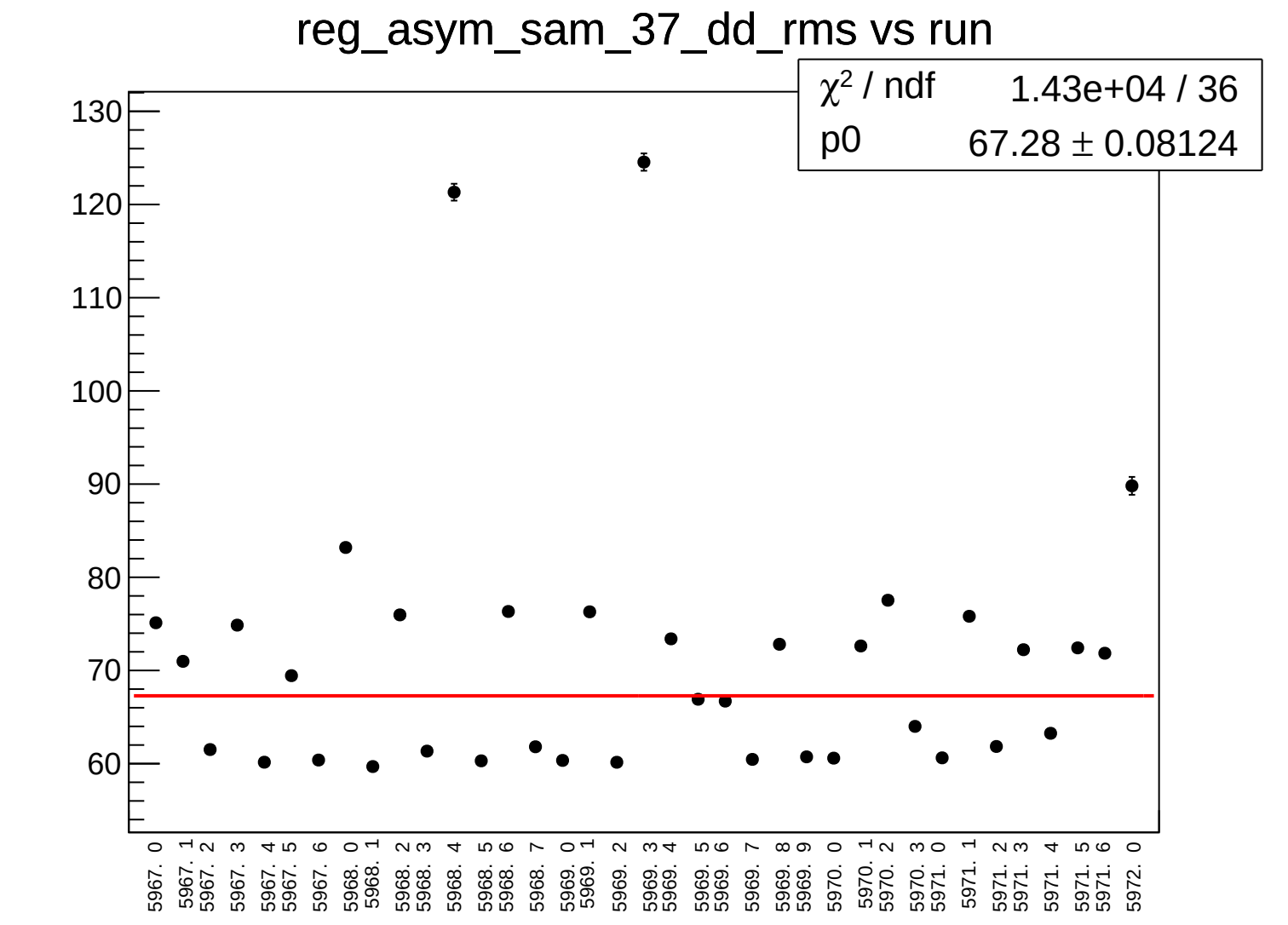
reg_asym_sam_37_dd_rms vs run
χ² / ndf 1.43e+04 / 36
p0 67.28 ± 0.08124
130
120
110
100
90
80
70
60
5967. 0
5967. 1
5967. 2
5967. 3
5967. 4
5967. 5
5967. 6
5968. 0
5968. 1
5968. 2
5968. 3
5968. 4
5968. 5
5968. 6
5968. 7
5969. 0
5969. 1
5969. 2
5969. 3
5969. 4
5969. 5
5969. 6
5969. 7
5969. 8
5969. 9
5970. 0
5970. 1
5970. 2
5970. 3
5971. 0
5971. 1
5971. 2
5971. 3
5971. 4
5971. 5
5971. 6
5972. 0

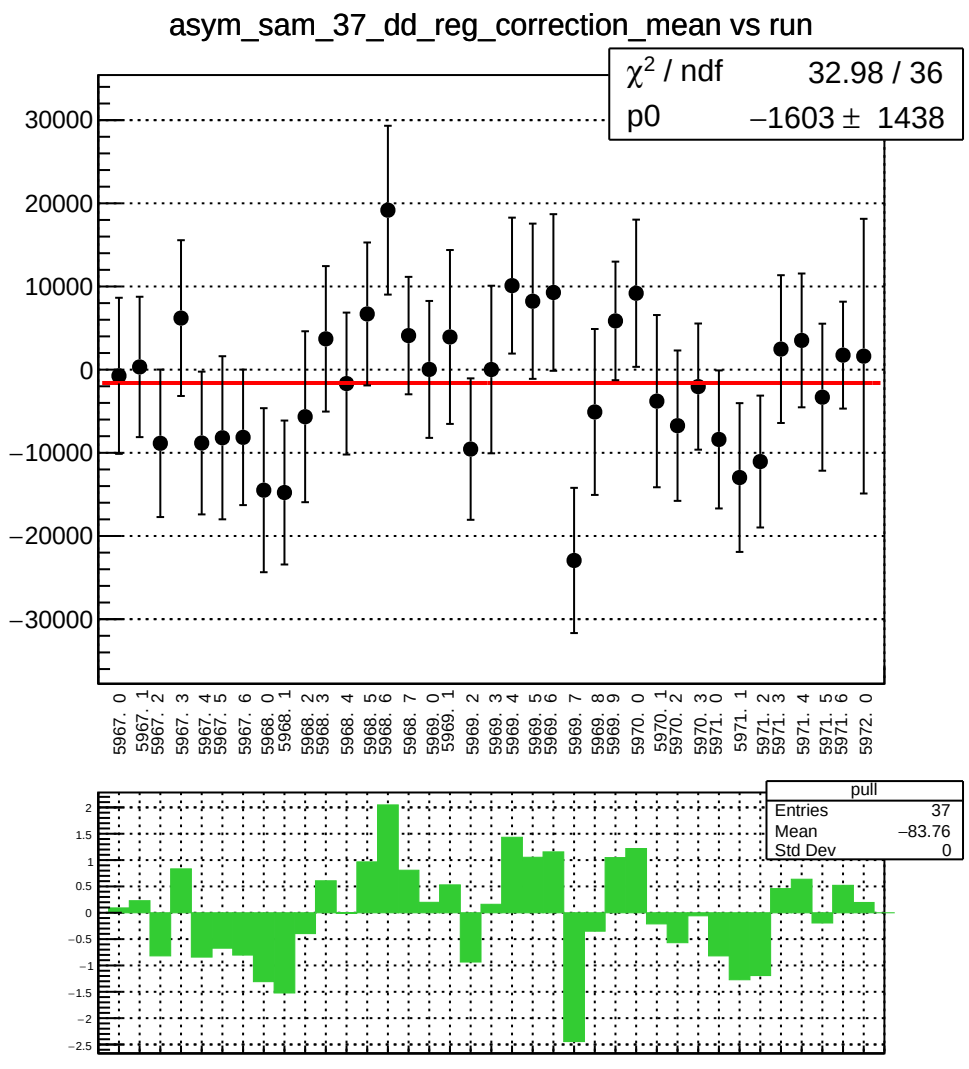
asym_sam_37_dd_reg_correction_mean vs run
χ² / ndf 32.98 / 36
p0 −1603 ± 1438
30000
20000
10000
0
−10000
−20000
−30000
5967. 0
5967. 1
5967. 2
5967. 3
5967. 4
5967. 5
5967. 6
5968. 0
5968. 1
5968. 2
5968. 3
5968. 4
5968. 5
5968. 6
5968. 7
5969. 0
5969. 1
5969. 2
5969. 3
5969. 4
5969. 5
5969. 6
5969. 7
5969. 8
5969. 9
5970. 0
5970. 1
5970. 2
5970. 3
5971. 0
5971. 1
5971. 2
5971. 3
5971. 4
5971. 5
5971. 6
5972. 0
pull
Entries 37
Mean −83.76
Std Dev 0
2
1.5
1
0.5
0
−0.5
−1
−1.5
−2
−2.5
pull1D
Entries 37
Mean −0.005813
Std Dev 0.9441
6
5
4
3
2
1
0
−8
−6
−4
−2
0
2
4
6
8

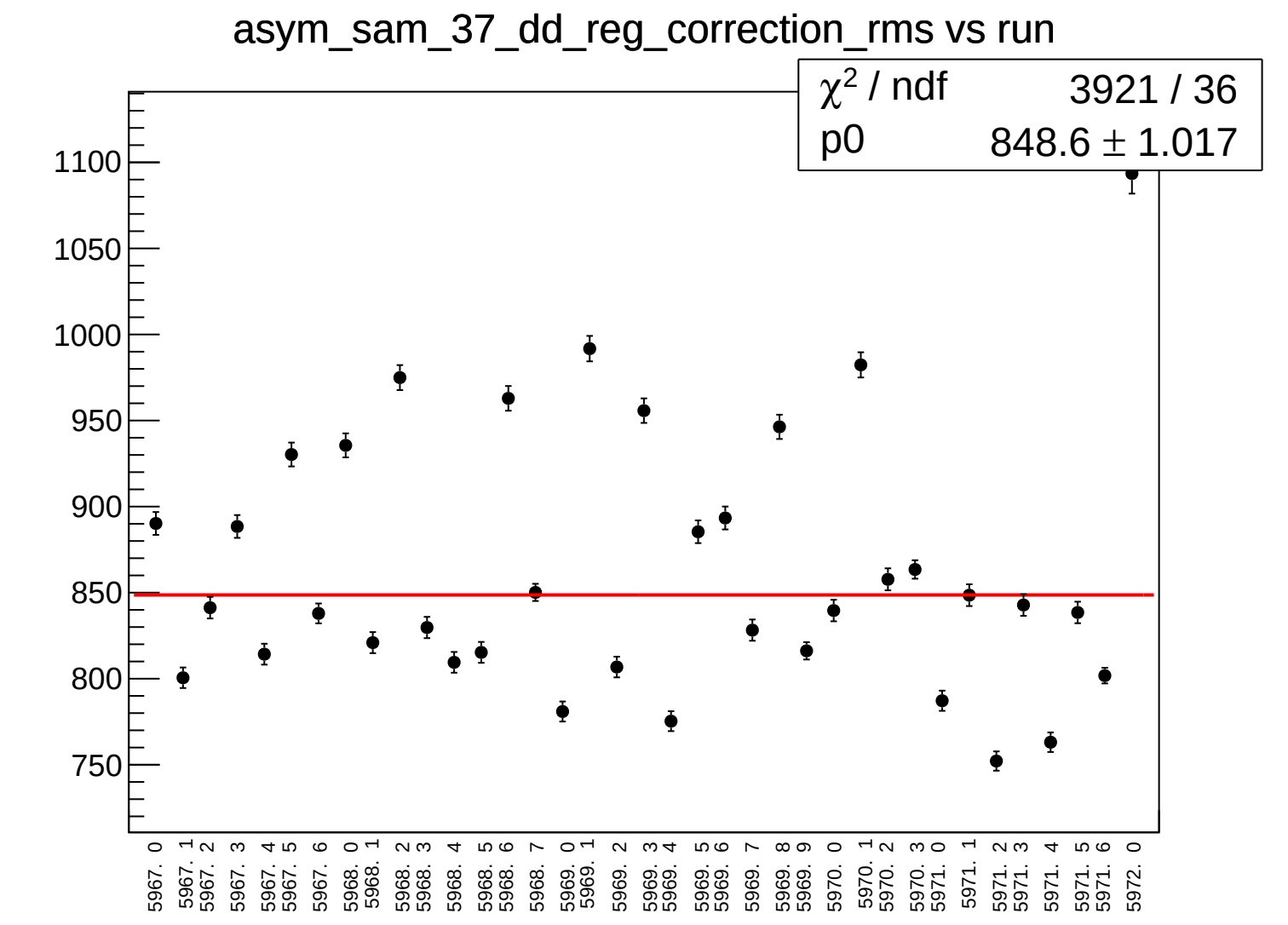
asym_sam_37_dd_reg_correction_rms vs run
χ² / ndf 3921 / 36
p0 848.6 ± 1.017
1100
1050
1000
950
900
850
800
750
5967. 0
5967. 1
5967. 2
5967. 3
5967. 4
5967. 5
5967. 6
5968. 0
5968. 1
5968. 2
5968. 3
5968. 4
5968. 5
5968. 6
5968. 7
5969. 0
5969. 1
5969. 2
5969. 3
5969. 4
5969. 5
5969. 6
5969. 7
5969. 8
5969. 9
5970. 0
5970. 1
5970. 2
5970. 3
5971. 0
5971. 1
5971. 2
5971. 3
5971. 4
5971. 5
5971. 6
5972. 0

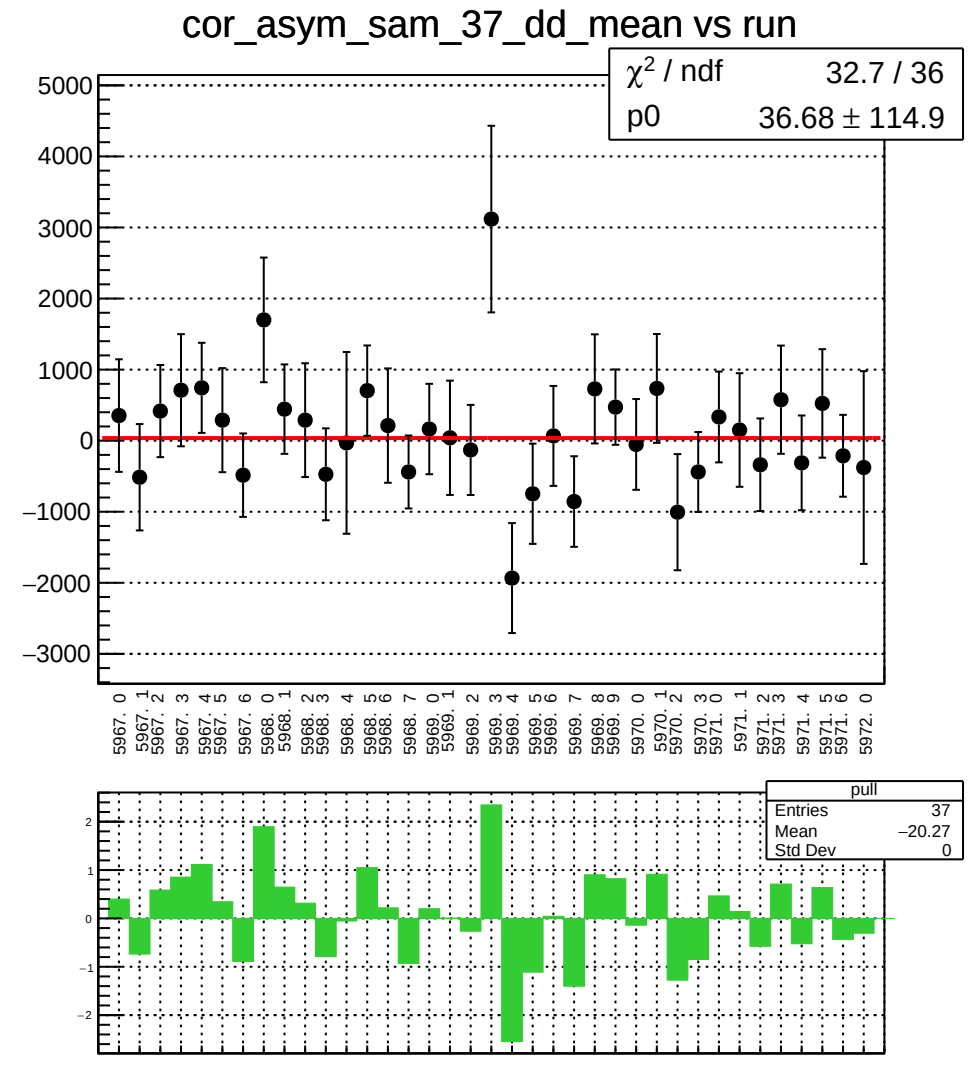
cor_asym_sam_37_dd_mean vs run
χ² / ndf 32.7 / 36
p0 36.68 ± 114.9
pull
Entries 37
Mean −20.27
Std Dev 0
pull1D
Entries 37
Mean 0.04841
Std Dev 0.9389

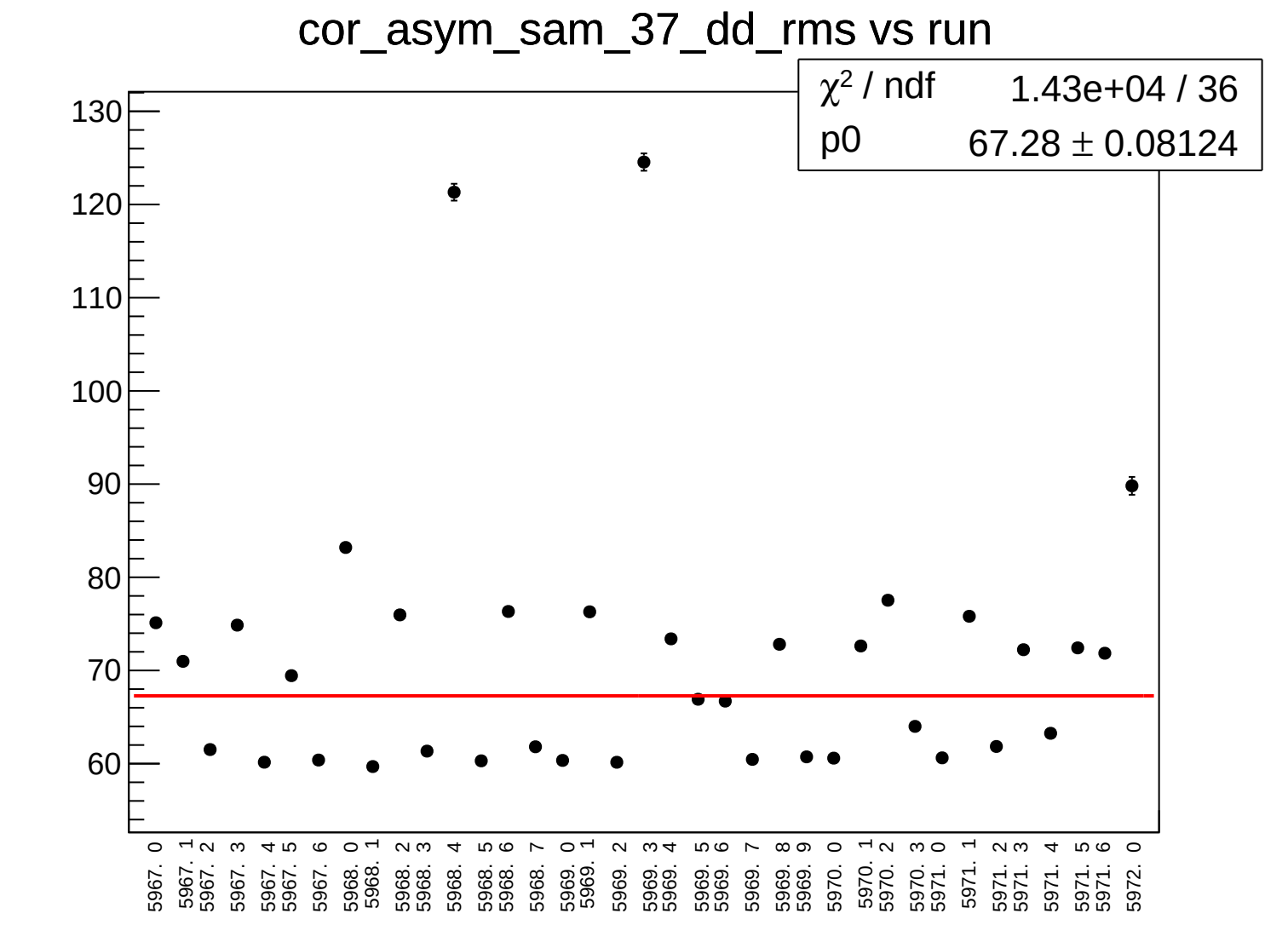
cor_asym_sam_37_dd_rms vs run
χ^2 / ndf 1.43e+04 / 36
p0 67.28 ± 0.08124
130
120
110
100
90
80
70
60
5967. 0
5967. 1
5967. 2
5967. 3
5967. 4
5967. 5
5967. 6
5968. 0
5968. 1
5968. 2
5968. 3
5968. 4
5968. 5
5968. 6
5968. 7
5969. 0
5969. 1
5969. 2
5969. 3
5969. 4
5969. 5
5969. 6
5969. 7
5969. 8
5969. 9
5970. 0
5970. 1
5970. 2
5970. 3
5971. 0
5971. 1
5971. 2
5971. 3
5971. 4
5971. 5
5971. 6
5972. 0

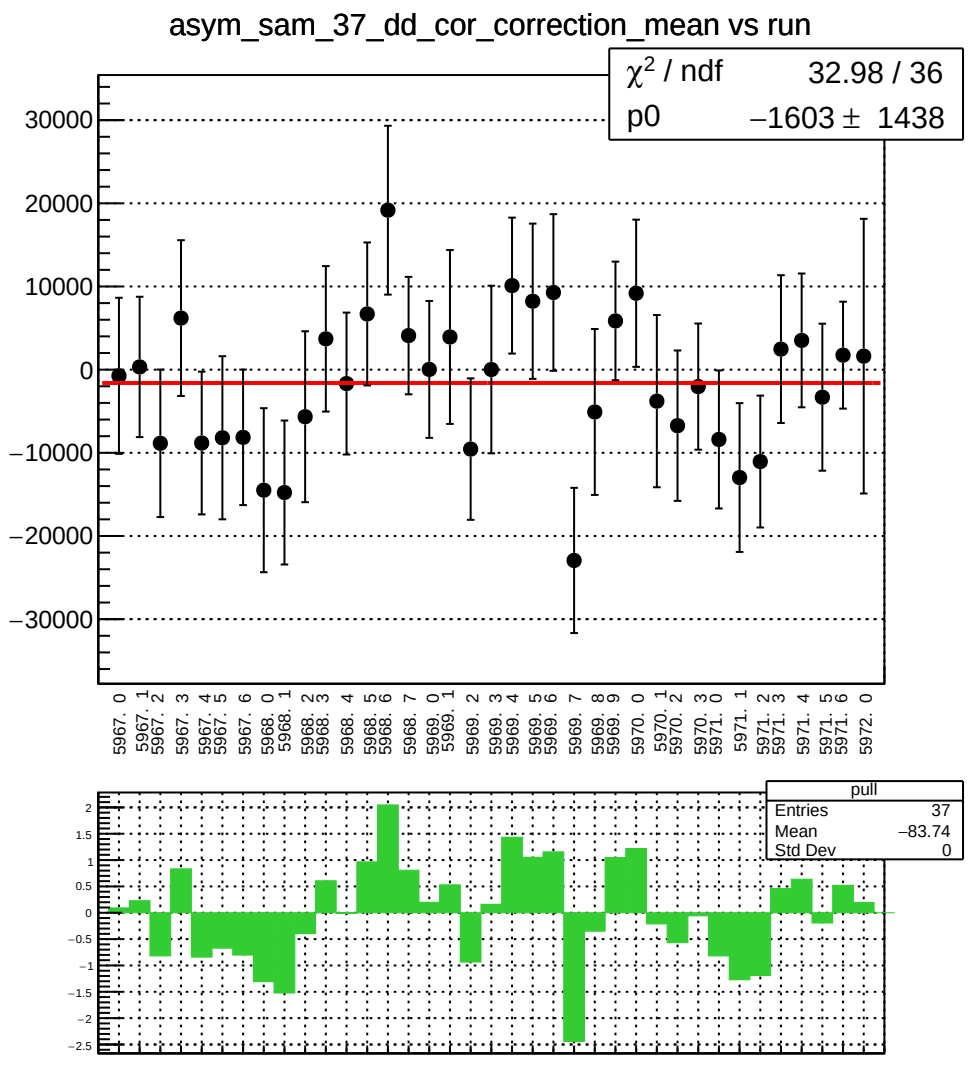
asym_sam_37_dd_cor_correction_mean vs run
χ² / ndf 32.98 / 36
p0 −1603 ± 1438
30000
20000
10000
0
−10000
−20000
−30000
5967. 0
5967. 1
5967. 2
5967. 3
5967. 4
5967. 5
5967. 6
5968. 0
5968. 1
5968. 2
5968. 3
5968. 4
5968. 5
5968. 6
5968. 7
5969. 0
5969. 1
5969. 2
5969. 3
5969. 4
5969. 5
5969. 6
5969. 7
5969. 8
5969. 9
5970. 0
5970. 1
5970. 2
5970. 3
5971. 0
5971. 1
5971. 2
5971. 3
5971. 4
5971. 5
5971. 6
5972. 0
pull
Entries 37
Mean −83.74
Std Dev 0
2
1.5
1
0.5
0
−0.5
−1
−1.5
−2
−2.5
pull1D
Entries 37
Mean −0.005814
Std Dev 0.9441
6
5
4
3
2
1
0
−8
−6
−4
−2
0
2
4
6
8

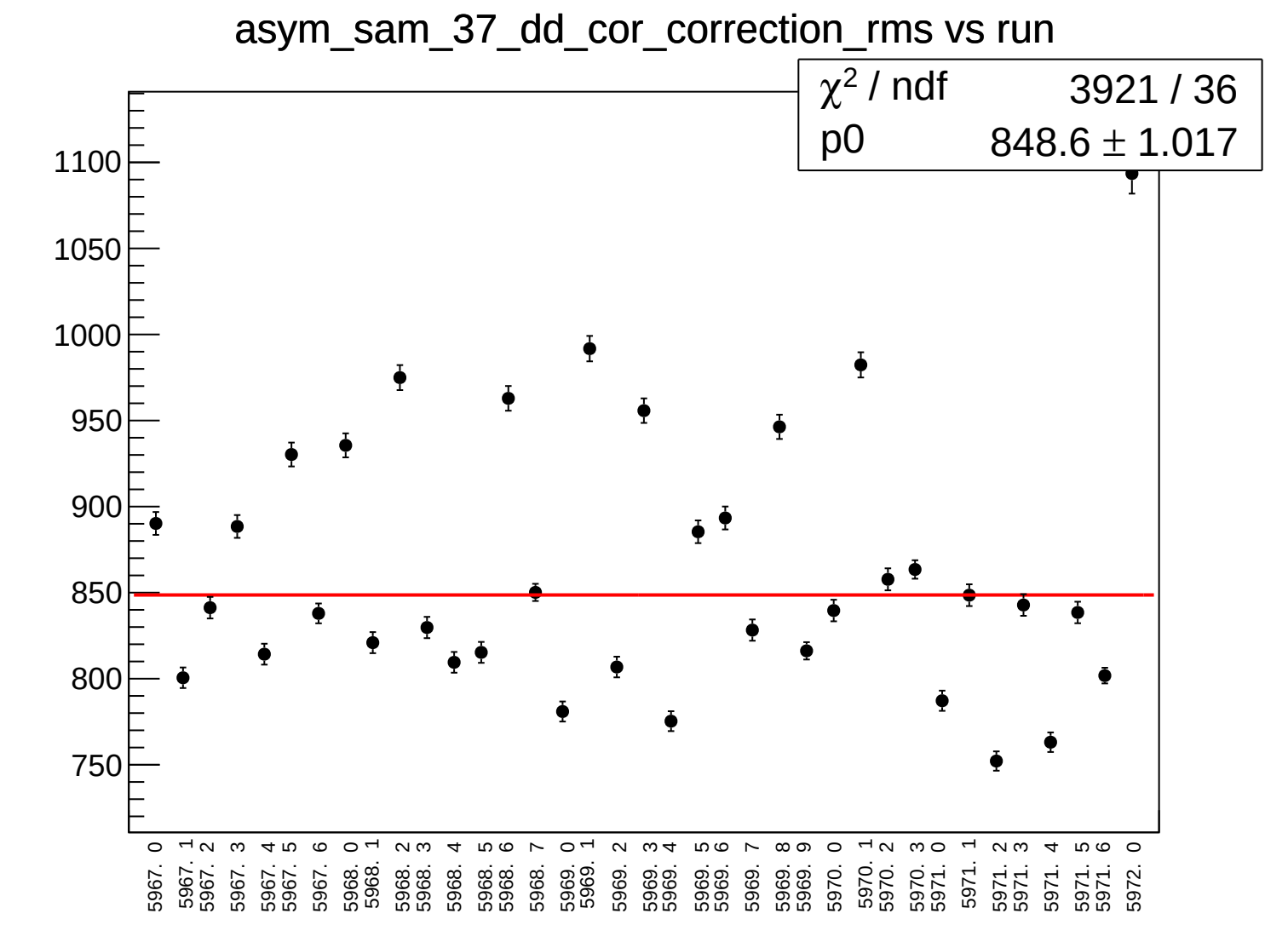
asym_sam_37_dd_cor_correction_rms vs run
χ² / ndf 3921 / 36
p0 848.6 ± 1.017
1100
1050
1000
950
900
850
800
750
5967. 0
5967. 1
5967. 2
5967. 3
5967. 4
5967. 5
5967. 6
5968. 0
5968. 1
5968. 2
5968. 3
5968. 4
5968. 5
5968. 6
5968. 7
5969. 0
5969. 1
5969. 2
5969. 3
5969. 4
5969. 5
5969. 6
5969. 7
5969. 8
5969. 9
5970. 0
5970. 1
5970. 2
5970. 3
5971. 0
5971. 1
5971. 2
5971. 3
5971. 4
5971. 5
5971. 6
5972. 0

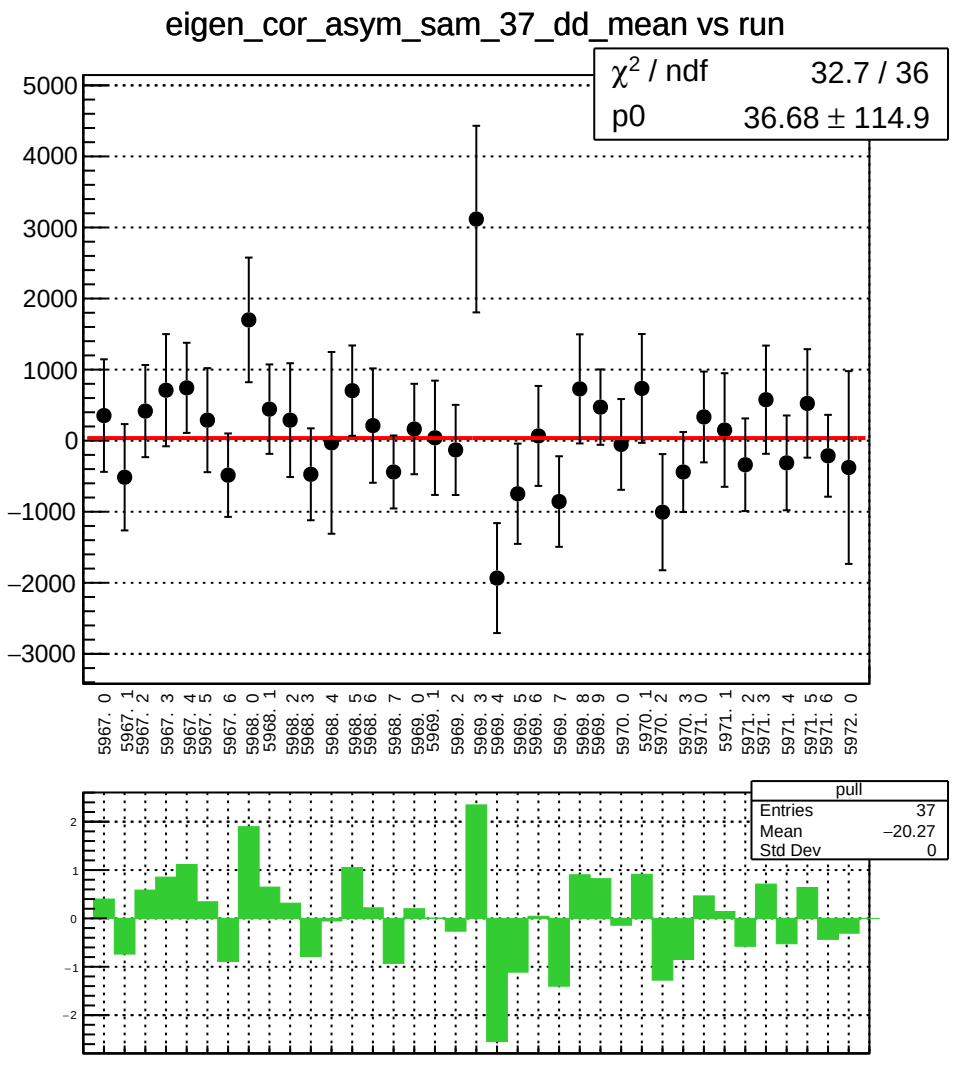
eigen_cor_asym_sam_37_dd_mean vs run
χ² / ndf 32.7 / 36
p0 36.68 ± 114.9
pull
Entries 37
Mean −20.27
Std Dev 0

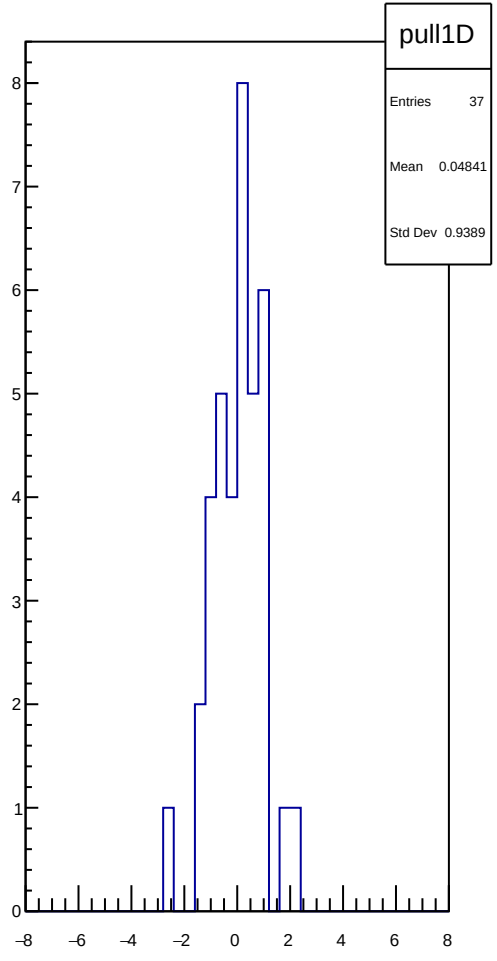
pull1D
Entries 37
Mean 0.04841
Std Dev 0.9389

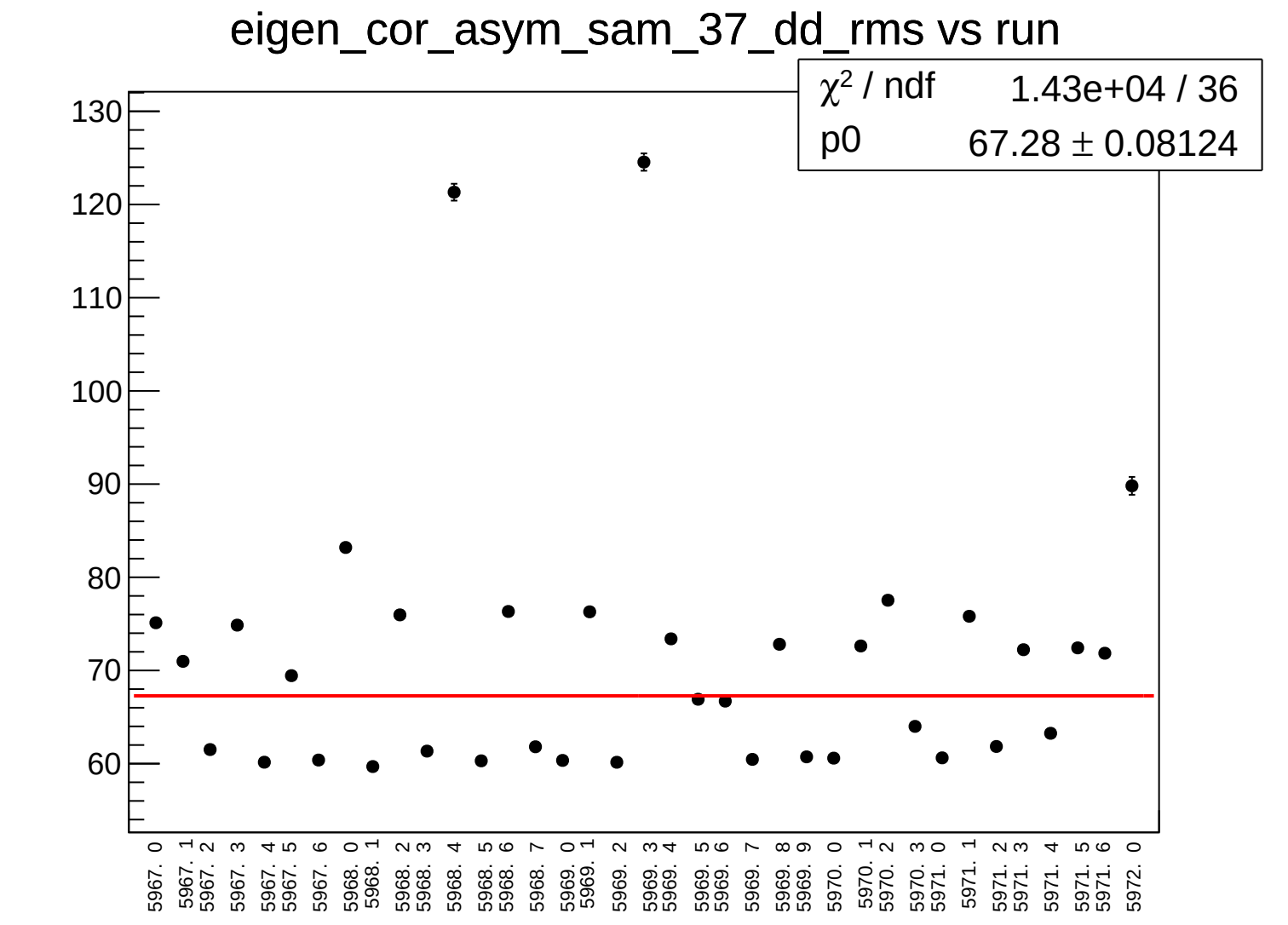
eigen_cor_asym_sam_37_dd_rms vs run
χ² / ndf 1.43e+04 / 36
p0 67.28 ± 0.08124
130
120
110
100
90
80
70
60
5967. 0
5967. 1
5967. 2
5967. 3
5967. 4
5967. 5
5967. 6
5968. 0
5968. 1
5968. 2
5968. 3
5968. 4
5968. 5
5968. 6
5968. 7
5969. 0
5969. 1
5969. 2
5969. 3
5969. 4
5969. 5
5969. 6
5969. 7
5969. 8
5969. 9
5970. 0
5970. 1
5970. 2
5970. 3
5971. 0
5971. 1
5971. 2
5971. 3
5971. 4
5971. 5
5971. 6
5972. 0

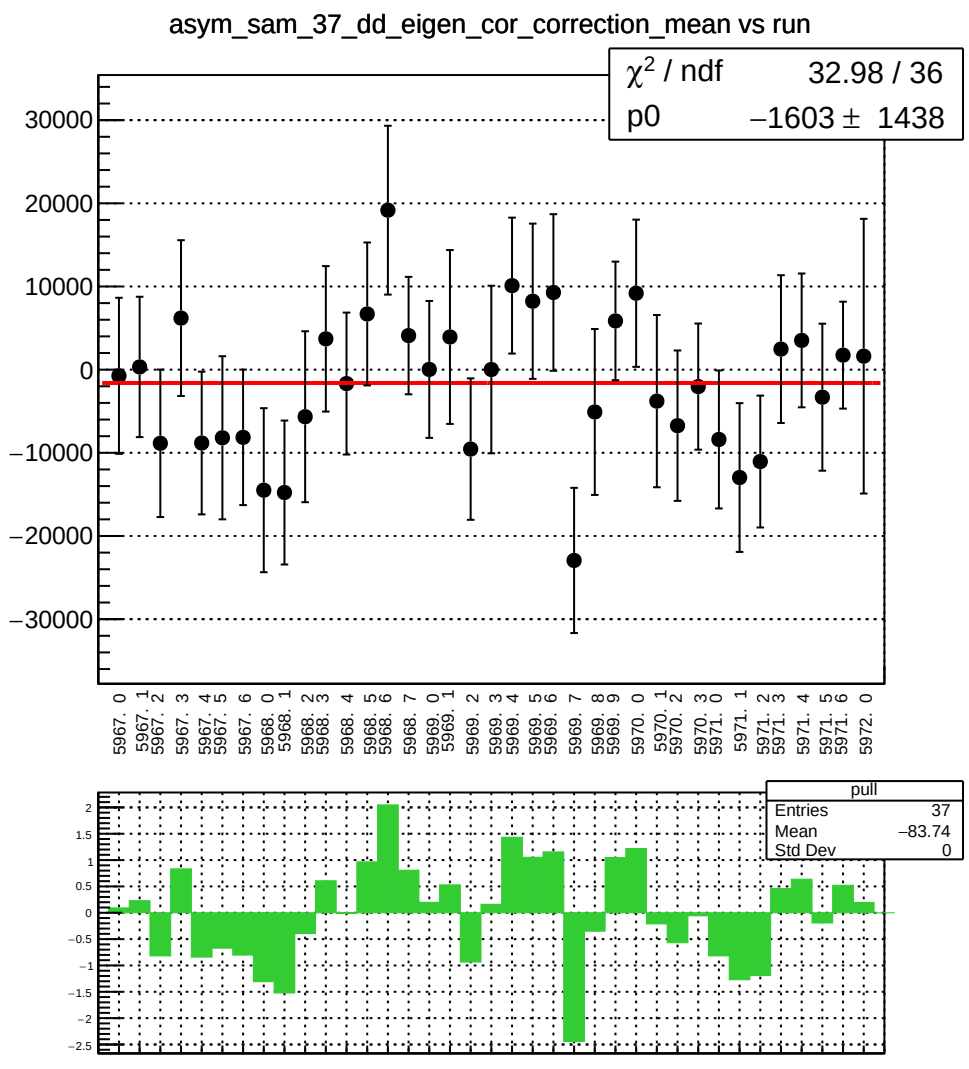
asym_sam_37_dd_eigen_cor_correction_mean vs run
χ² / ndf 32.98 / 36
p0 −1603 ± 1438
30000
20000
10000
0
−10000
−20000
−30000
5967. 0
5967. 1
5967. 2
5967. 3
5967. 4
5967. 5
5967. 6
5968. 0
5968. 1
5968. 2
5968. 3
5968. 4
5968. 5
5968. 6
5968. 7
5969. 0
5969. 1
5969. 2
5969. 3
5969. 4
5969. 5
5969. 6
5969. 7
5969. 8
5969. 9
5970. 0
5970. 1
5970. 2
5970. 3
5971. 0
5971. 1
5971. 2
5971. 3
5971. 4
5971. 5
5971. 6
5972. 0
pull
Entries 37
Mean −83.74
Std Dev 0
2
1.5
1
0.5
0
−0.5
−1
−1.5
−2
−2.5

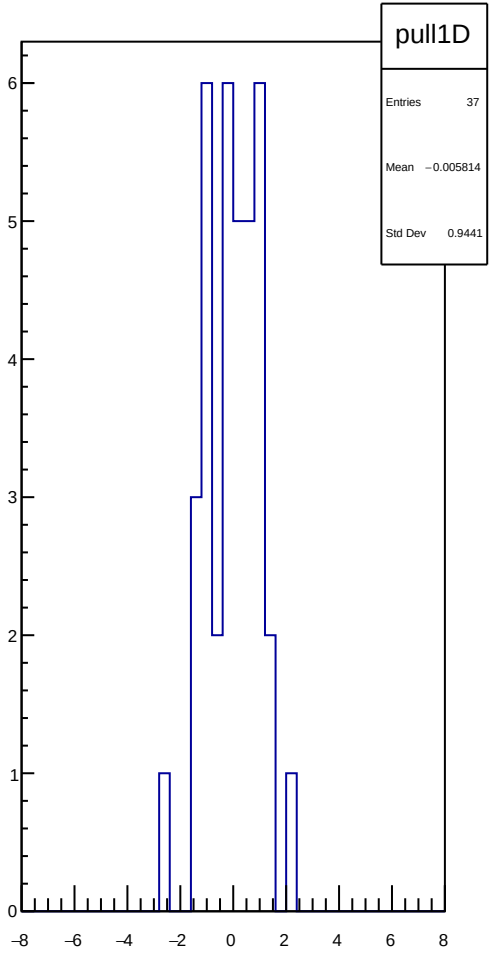
pull1D
Entries 37
Mean −0.005814
Std Dev 0.9441
6
5
4
3
2
1
0
−8
−6
−4
−2
0
2
4
6
8

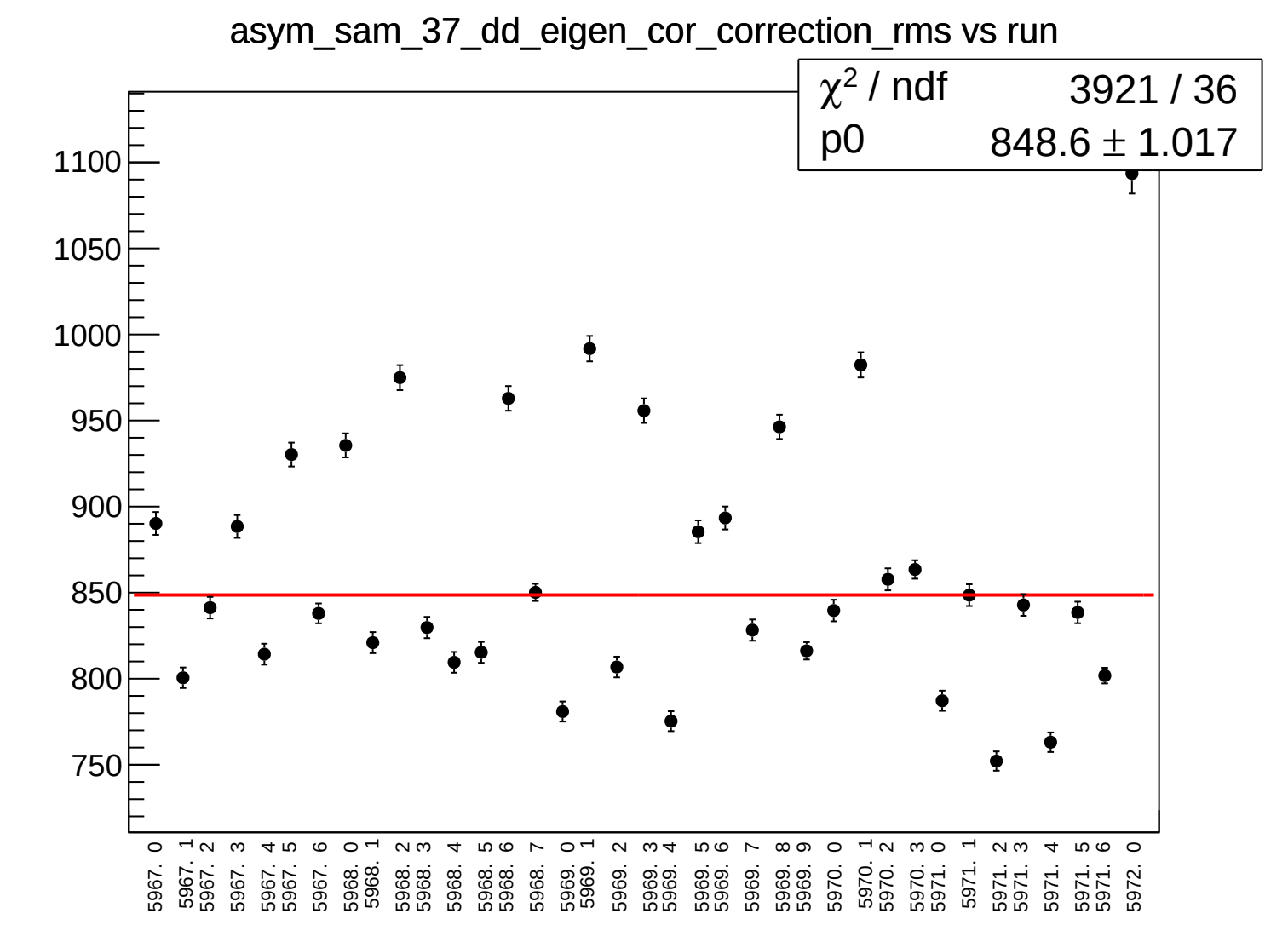
asym_sam_37_dd_eigen_cor_correction_rms vs run
χ² / ndf 3921 / 36
p0 848.6 ± 1.017
1100
1050
1000
950
900
850
800
750
5967. 0
5967. 1
5967. 2
5967. 3
5967. 4
5967. 5
5967. 6
5968. 0
5968. 1
5968. 2
5968. 3
5968. 4
5968. 5
5968. 6
5968. 7
5969. 0
5969. 1
5969. 2
5969. 3
5969. 4
5969. 5
5969. 6
5969. 7
5969. 8
5969. 9
5970. 0
5970. 1
5970. 2
5970. 3
5971. 0
5971. 1
5971. 2
5971. 3
5971. 4
5971. 5
5971. 6
5972. 0

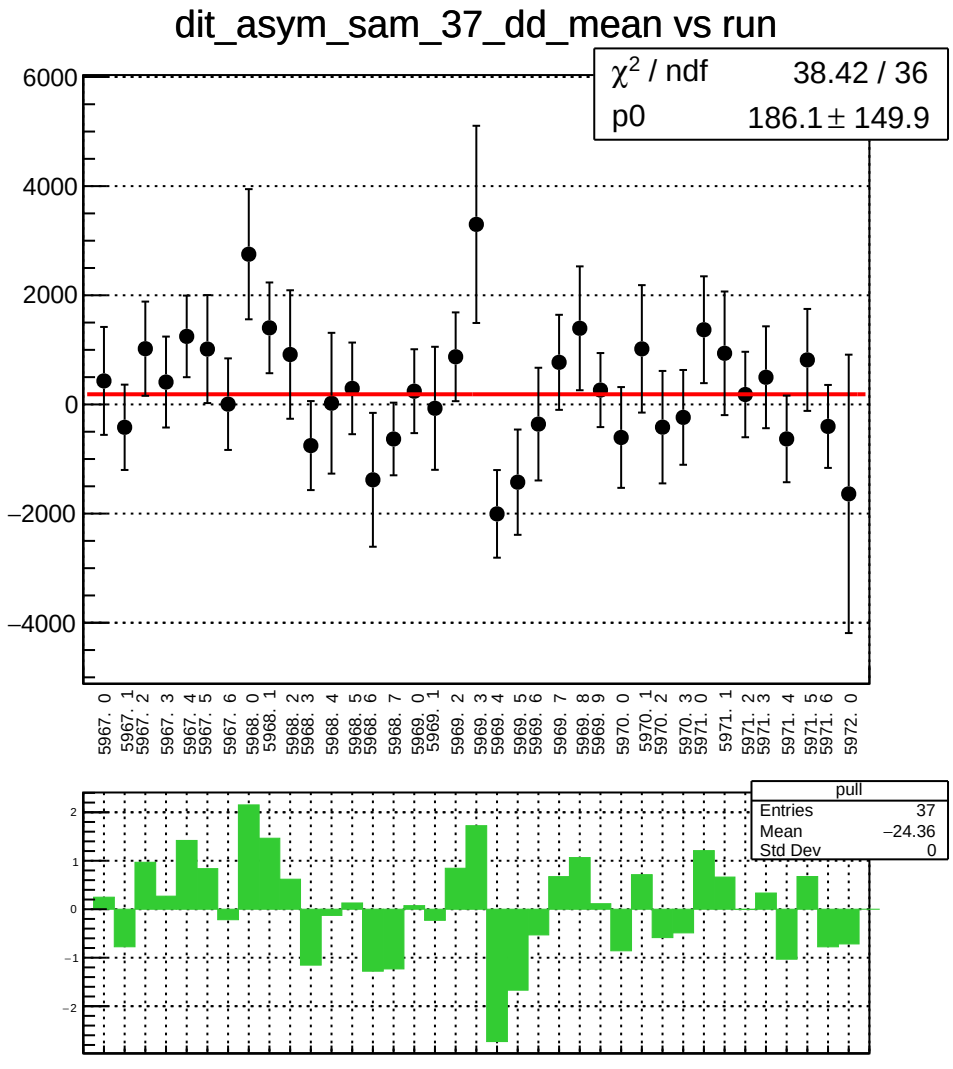
dit_asym_sam_37_dd_mean vs run
χ² / ndf 38.42 / 36
p0 186.1 ± 149.9
pull
Entries 37
Mean −24.36
Std Dev 0

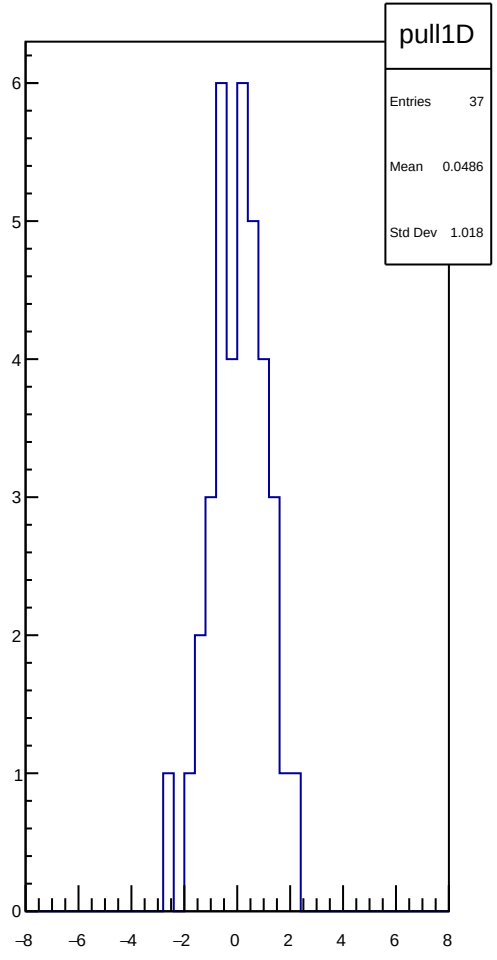
pull1D
Entries 37
Mean 0.0486
Std Dev 1.018

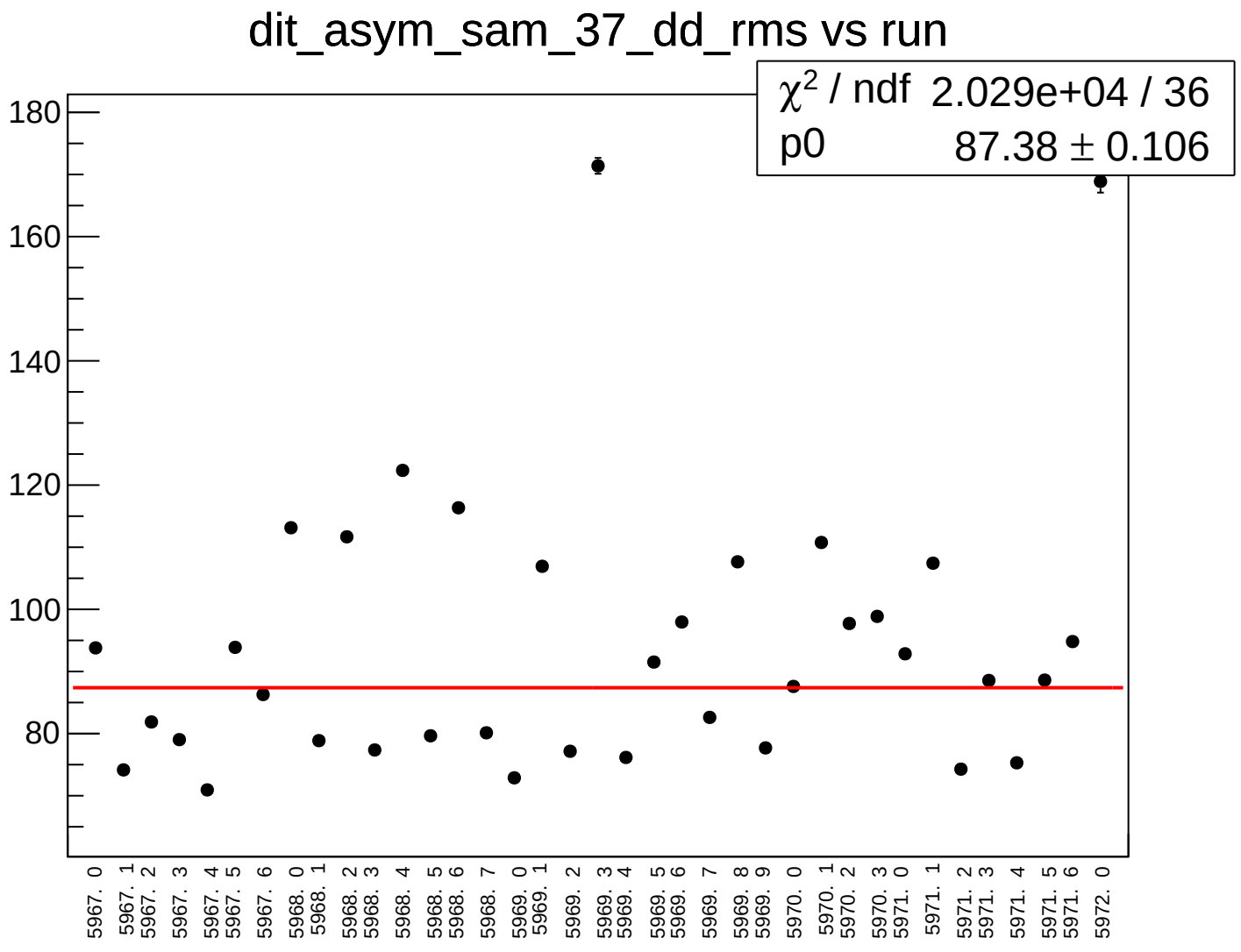
dit_asym_sam_37_dd_rms vs run
χ² / ndf 2.029e+04 / 36
p0 87.38 ± 0.106
180
160
140
120
100
80
5967. 0
5967. 1
5967. 2
5967. 3
5967. 4
5967. 5
5967. 6
5968. 0
5968. 1
5968. 2
5968. 3
5968. 4
5968. 5
5968. 6
5968. 7
5969. 0
5969. 1
5969. 2
5969. 3
5969. 4
5969. 5
5969. 6
5969. 7
5969. 8
5969. 9
5970. 0
5970. 1
5970. 2
5970. 3
5971. 0
5971. 1
5971. 2
5971. 3
5971. 4
5971. 5
5971. 6
5972. 0

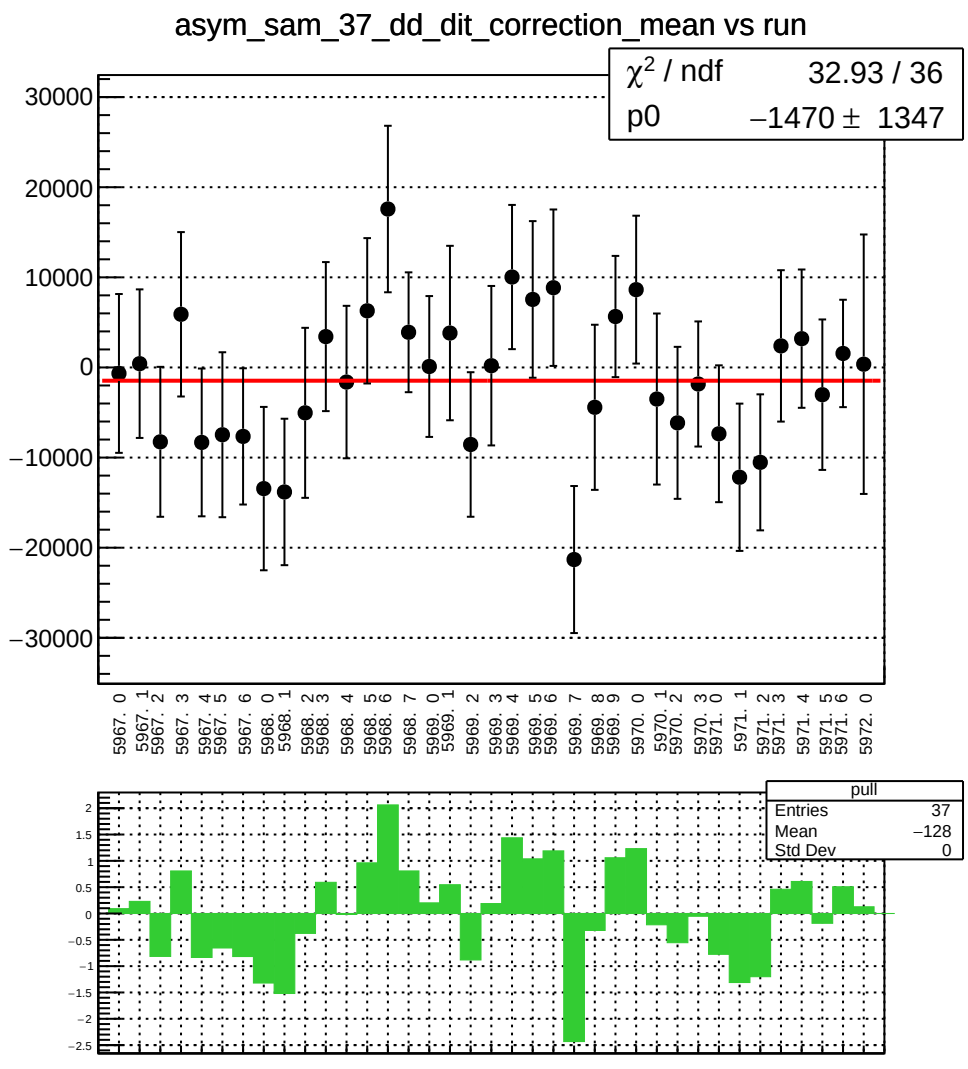
asym_sam_37_dd_dit_correction_mean vs run
χ² / ndf 32.93 / 36
p0 −1470 ± 1347
30000
20000
10000
0
−10000
−20000
−30000
5967. 0
5967. 1
5967. 2
5967. 3
5967. 4
5967. 5
5967. 6
5968. 0
5968. 1
5968. 2
5968. 3
5968. 4
5968. 5
5968. 6
5968. 7
5969. 0
5969. 1
5969. 2
5969. 3
5969. 4
5969. 5
5969. 6
5969. 7
5969. 8
5969. 9
5970. 0
5970. 1
5970. 2
5970. 3
5971. 0
5971. 1
5971. 2
5971. 3
5971. 4
5971. 5
5971. 6
5972. 0
pull
Entries 37
Mean −128
Std Dev 0
2
1.5
1
0.5
0
−0.5
−1
−1.5
−2
−2.5
pull1D
Entries 37
Mean −0.003855
Std Dev 0.9433
6
5
4
3
2
1
0
−8
−6
−4
−2
0
2
4
6
8

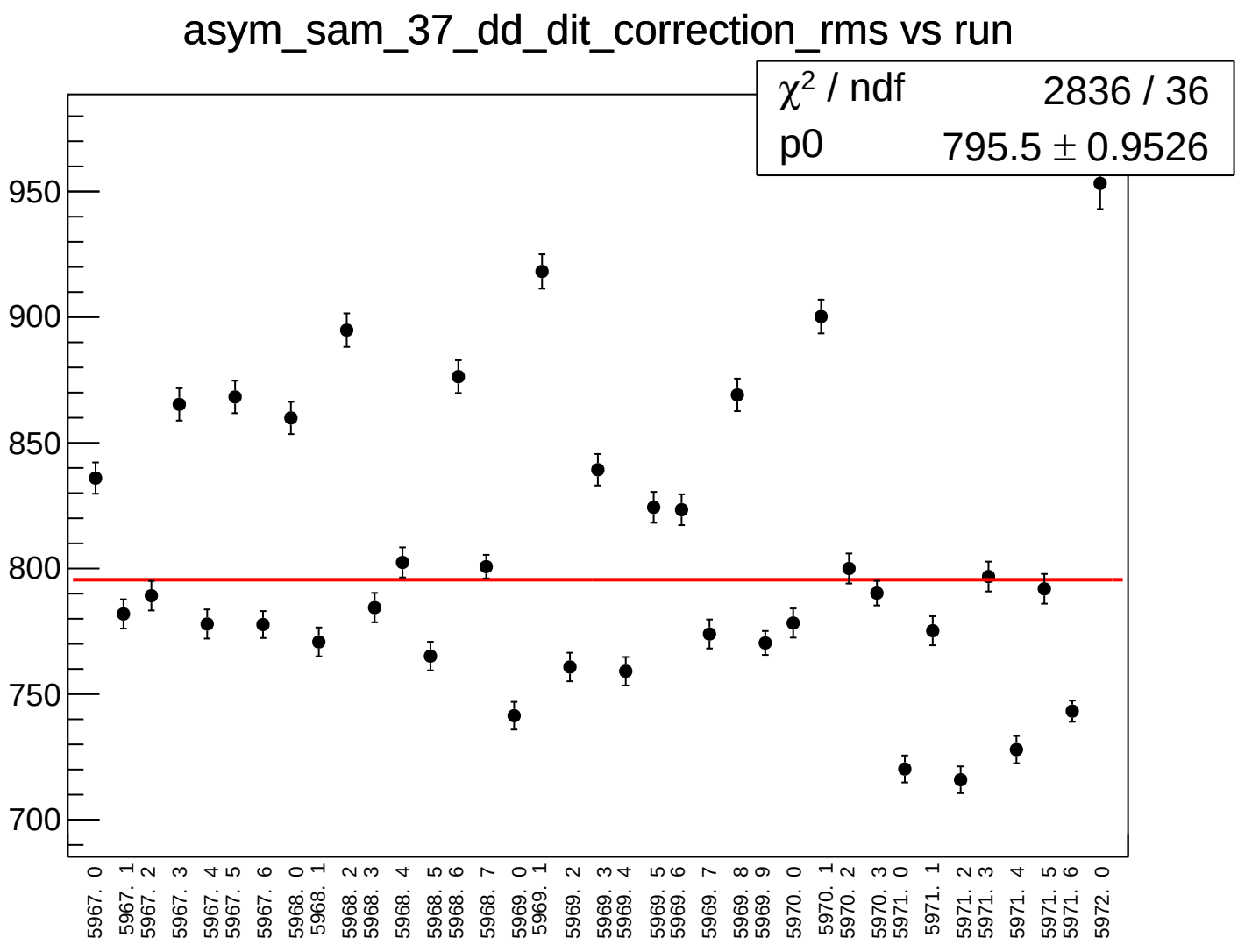
asym_sam_37_dd_dit_correction_rms vs run
χ² / ndf 2836 / 36
p0 795.5 ± 0.9526
950
900
850
800
750
700
5967. 0
5967. 1
5967. 2
5967. 3
5967. 4
5967. 5
5967. 6
5968. 0
5968. 1
5968. 2
5968. 3
5968. 4
5968. 5
5968. 6
5968. 7
5969. 0
5969. 1
5969. 2
5969. 3
5969. 4
5969. 5
5969. 6
5969. 7
5969. 8
5969. 9
5970. 0
5970. 1
5970. 2
5970. 3
5971. 0
5971. 1
5971. 2
5971. 3
5971. 4
5971. 5
5971. 6
5972. 0

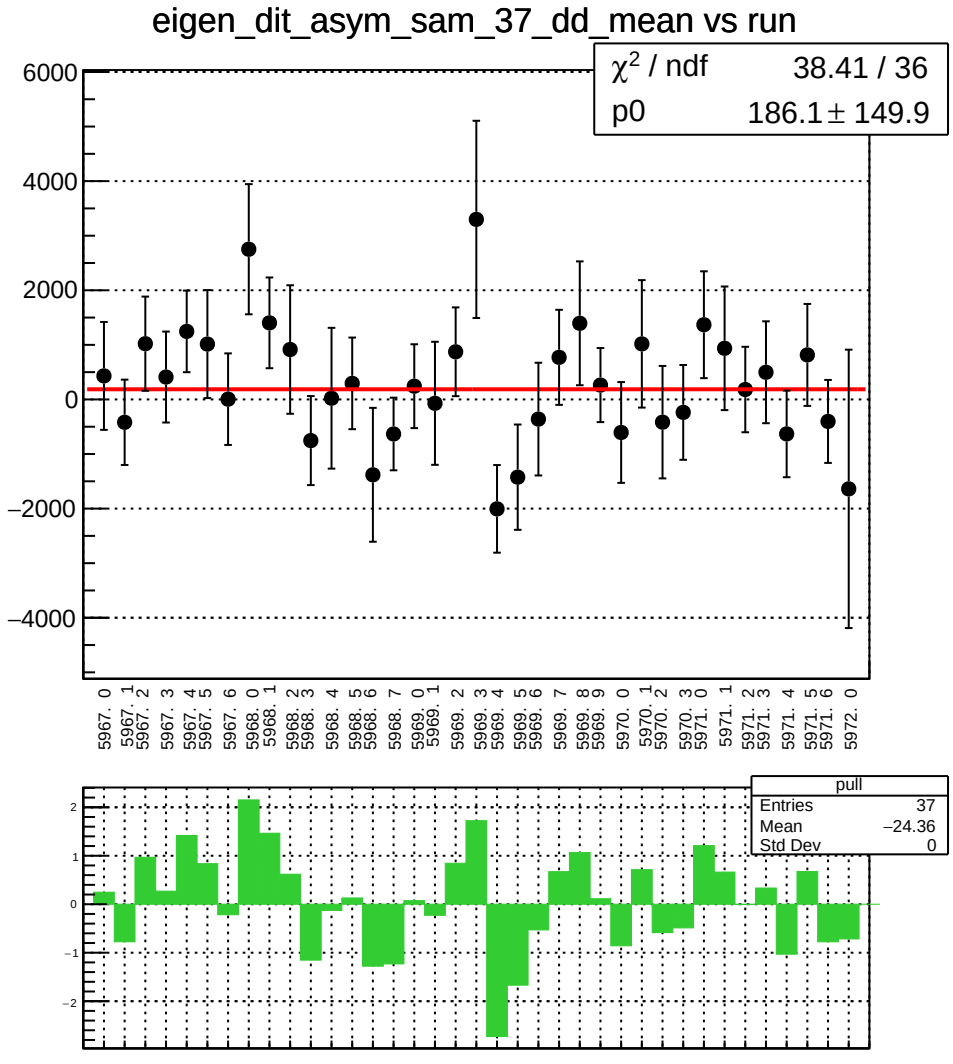
eigen_dit_asym_sam_37_dd_mean vs run
χ² / ndf 38.41 / 36
p0 186.1 ± 149.9
6000
4000
2000
0
−2000
−4000
5967. 0
5967. 1
5967. 2
5967. 3
5967. 4
5967. 5
5967. 6
5968. 0
5968. 1
5968. 2
5968. 3
5968. 4
5968. 5
5968. 6
5968. 7
5969. 0
5969. 1
5969. 2
5969. 3
5969. 4
5969. 5
5969. 6
5969. 7
5969. 8
5969. 9
5970. 0
5970. 1
5970. 2
5970. 3
5971. 0
5971. 1
5971. 2
5971. 3
5971. 4
5971. 5
5971. 6
5972. 0
pull
Entries 37
Mean −24.36
Std Dev 0
2
1
0
−1
−2
pull1D
Entries 37
Mean 0.0486
Std Dev 1.018
6
5
4
3
2
1
0
−8
−6
−4
−2
0
2
4
6
8

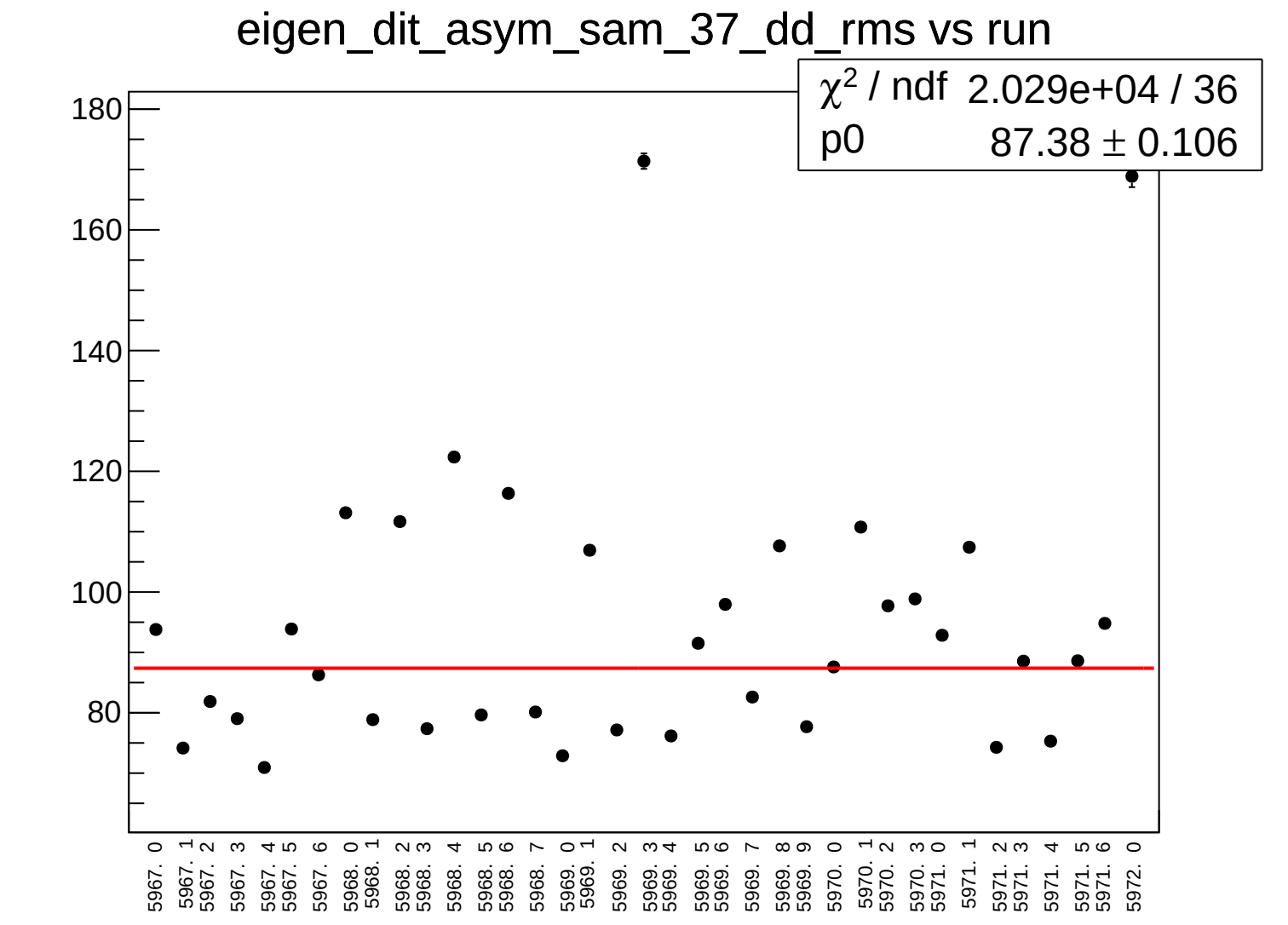
eigen_dit_asym_sam_37_dd_rms vs run
χ² / ndf 2.029e+04 / 36
p0 87.38 ± 0.106
180
160
140
120
100
80
5967. 0
5967. 1
5967. 2
5967. 3
5967. 4
5967. 5
5967. 6
5968. 0
5968. 1
5968. 2
5968. 3
5968. 4
5968. 5
5968. 6
5968. 7
5969. 0
5969. 1
5969. 2
5969. 3
5969. 4
5969. 5
5969. 6
5969. 7
5969. 8
5969. 9
5970. 0
5970. 1
5970. 2
5970. 3
5971. 0
5971. 1
5971. 2
5971. 3
5971. 4
5971. 5
5971. 6
5972. 0

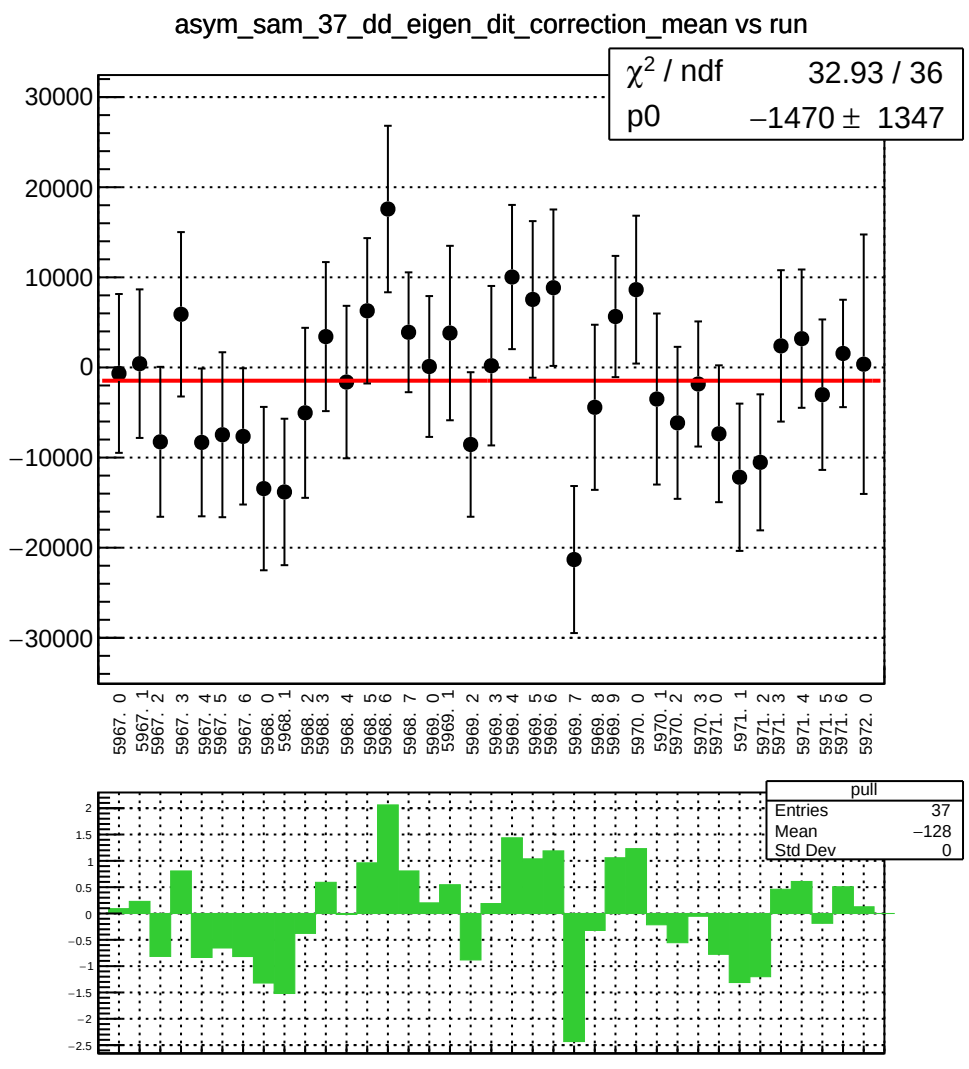
asym_sam_37_dd_eigen_dit_correction_mean vs run
χ² / ndf 32.93 / 36
p0 −1470 ± 1347
30000
20000
10000
0
−10000
−20000
−30000
5967. 0
5967. 1
5967. 2
5967. 3
5967. 4
5967. 5
5967. 6
5968. 0
5968. 1
5968. 2
5968. 3
5968. 4
5968. 5
5968. 6
5968. 7
5969. 0
5969. 1
5969. 2
5969. 3
5969. 4
5969. 5
5969. 6
5969. 7
5969. 8
5969. 9
5970. 0
5970. 1
5970. 2
5970. 3
5971. 0
5971. 1
5971. 2
5971. 3
5971. 4
5971. 5
5971. 6
5972. 0
pull
Entries 37
Mean −128
Std Dev 0
2
1.5
1
0.5
0
−0.5
−1
−1.5
−2
−2.5
pull1D
Entries 37
Mean −0.003855
Std Dev 0.9433
6
5
4
3
2
1
0
−8
−6
−4
−2
0
2
4
6
8

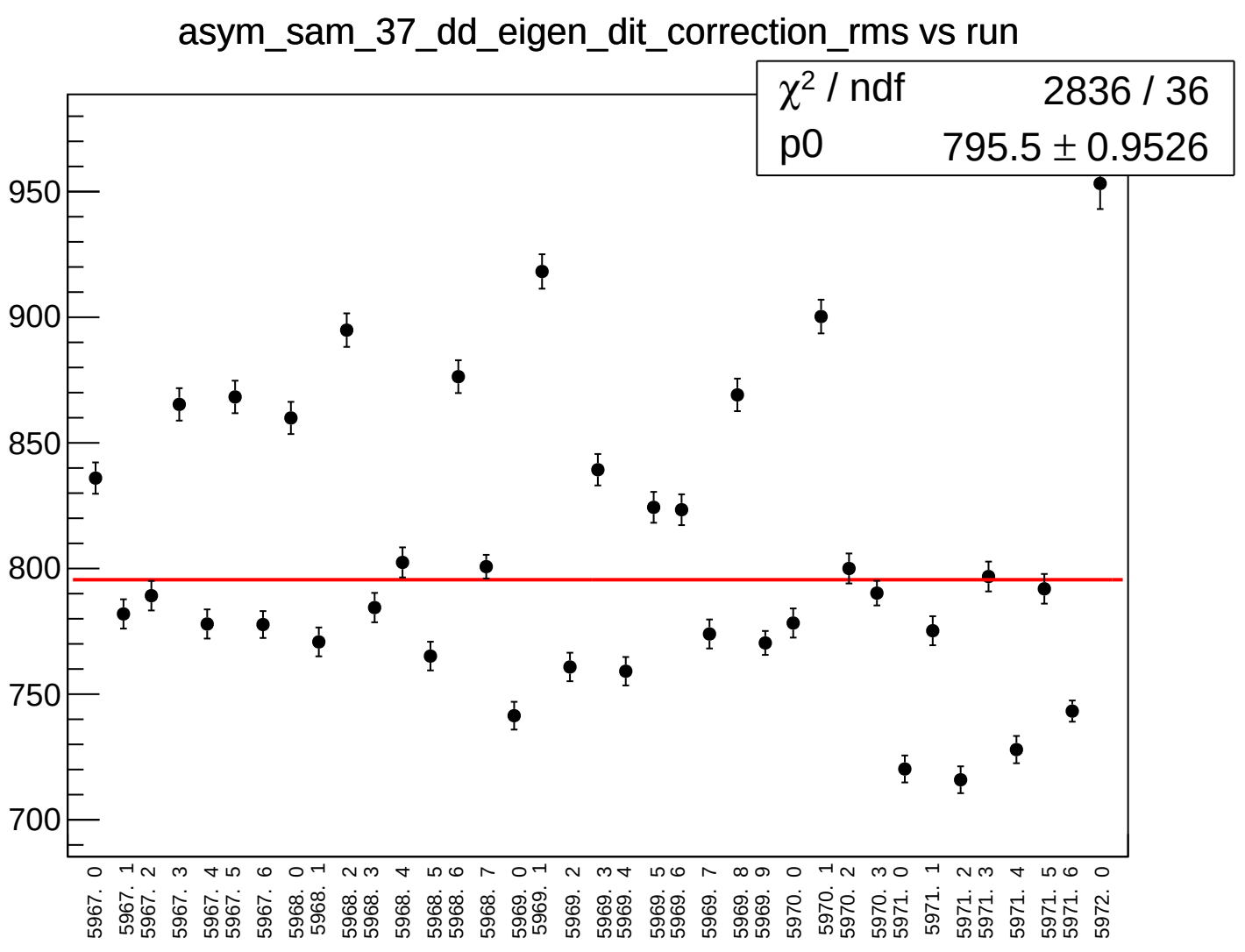
asym_sam_37_dd_eigen_dit_correction_rms vs run
χ² / ndf 2836 / 36
p0 795.5 ± 0.9526
950
900
850
800
750
700
5967. 0
5967. 1
5967. 2
5967. 3
5967. 4
5967. 5
5967. 6
5968. 0
5968. 1
5968. 2
5968. 3
5968. 4
5968. 5
5968. 6
5968. 7
5969. 0
5969. 1
5969. 2
5969. 3
5969. 4
5969. 5
5969. 6
5969. 7
5969. 8
5969. 9
5970. 0
5970. 1
5970. 2
5970. 3
5971. 0
5971. 1
5971. 2
5971. 3
5971. 4
5971. 5
5971. 6
5972. 0

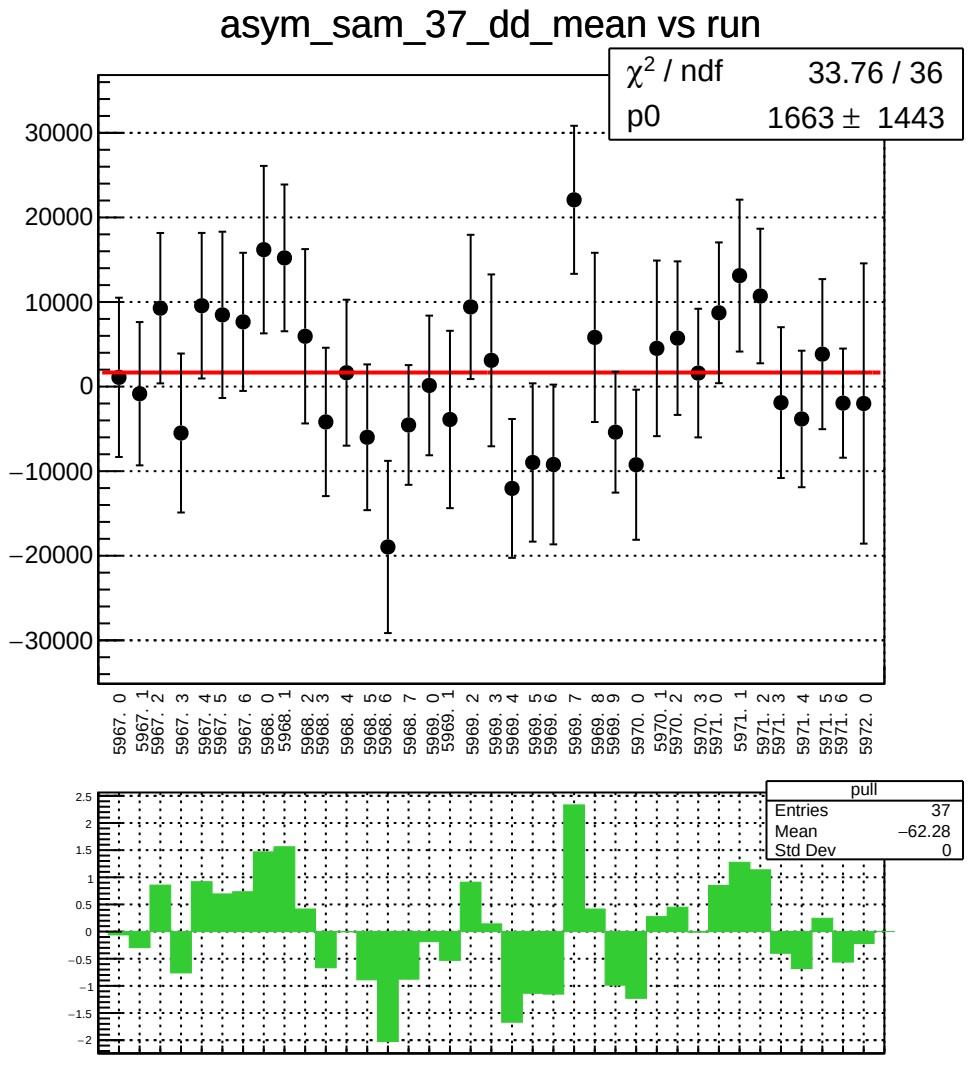
asym_sam_37_dd_mean vs run
χ² / ndf 33.76 / 36
p0 1663 ± 1443
30000
20000
10000
0
−10000
−20000
−30000
5967. 0
5967. 1
5967. 2
5967. 3
5967. 4
5967. 5
5967. 6
5968. 0
5968. 1
5968. 2
5968. 3
5968. 4
5968. 5
5968. 6
5968. 7
5969. 0
5969. 1
5969. 2
5969. 3
5969. 4
5969. 5
5969. 6
5969. 7
5969. 8
5969. 9
5970. 0
5970. 1
5970. 2
5970. 3
5971. 0
5971. 1
5971. 2
5971. 3
5971. 4
5971. 5
5971. 6
5972. 0
pull
Entries 37
Mean −62.28
Std Dev 0
2.5
2
1.5
1
0.5
0
−0.5
−1
−1.5
−2
pull1D
Entries 37
Mean 0.00925
Std Dev 0.9552
7
6
5
4
3
2
1
0
−8
−6
−4
−2
0
2
4
6
8

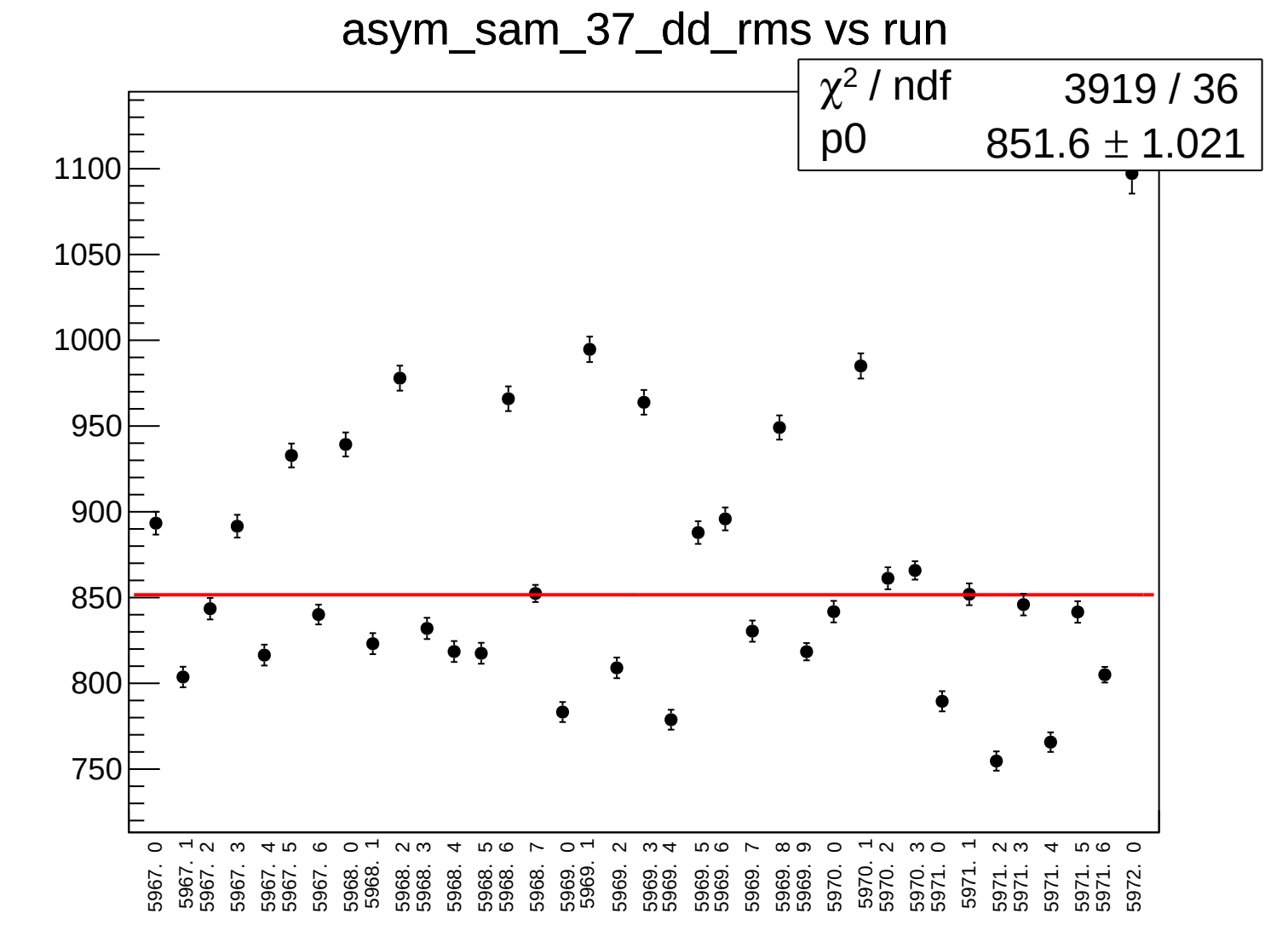
asym_sam_37_dd_rms vs run
χ² / ndf 3919 / 36
p0 851.6 ± 1.021
1100
1050
1000
950
900
850
800
750
5967. 0
5967. 1
5967. 2
5967. 3
5967. 4
5967. 5
5967. 6
5968. 0
5968. 1
5968. 2
5968. 3
5968. 4
5968. 5
5968. 6
5968. 7
5969. 0
5969. 1
5969. 2
5969. 3
5969. 4
5969. 5
5969. 6
5969. 7
5969. 8
5969. 9
5970. 0
5970. 1
5970. 2
5970. 3
5971. 0
5971. 1
5971. 2
5971. 3
5971. 4
5971. 5
5971. 6
5972. 0

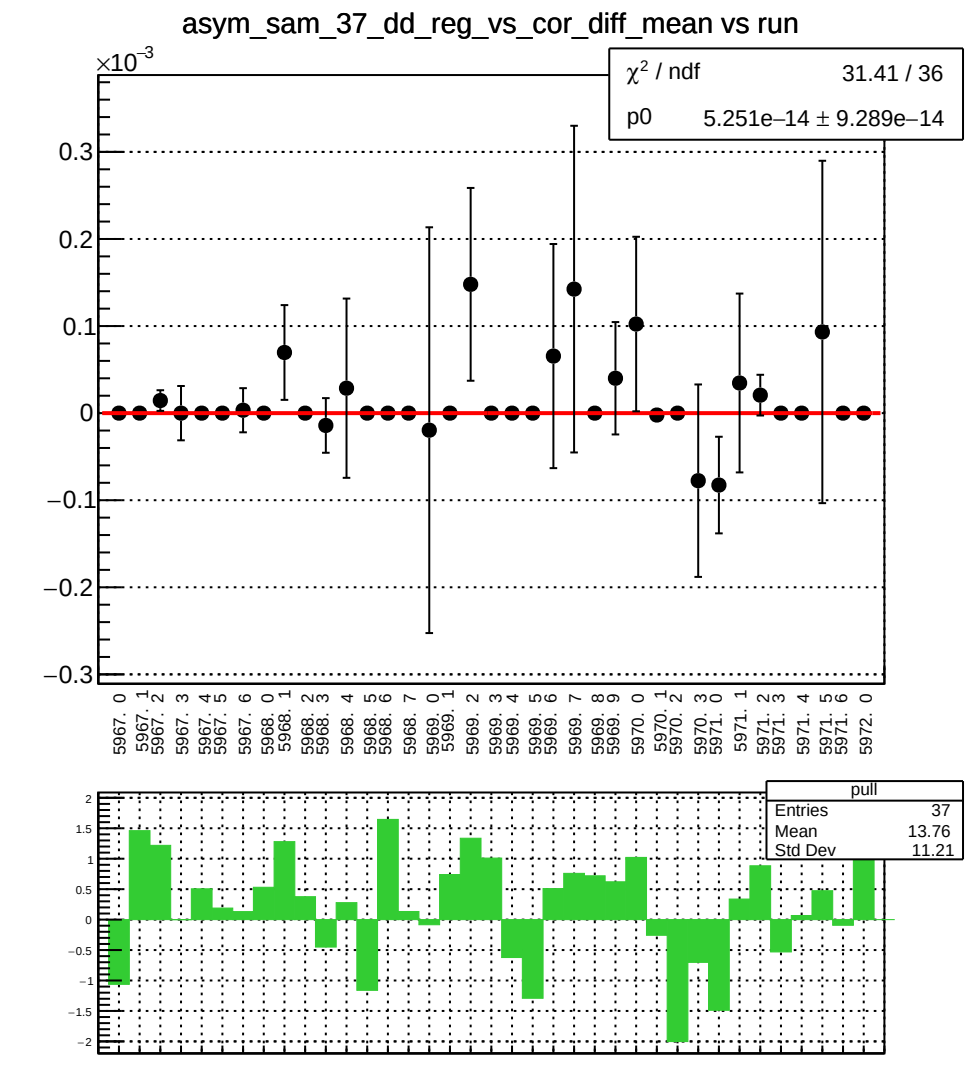
asym_sam_37_dd_reg_vs_cor_diff_mean vs run
×10⁻³
χ² / ndf 31.41 / 36
p0 5.251e−14 ± 9.289e−14
0.3
0.2
0.1
0
−0.1
−0.2
−0.3
5967. 0
5967. 1
5967. 2
5967. 3
5967. 4
5967. 5
5967. 6
5968. 0
5968. 1
5968. 2
5968. 3
5968. 4
5968. 5
5968. 6
5968. 7
5969. 0
5969. 1
5969. 2
5969. 3
5969. 4
5969. 5
5969. 6
5969. 7
5969. 8
5969. 9
5970. 0
5970. 1
5970. 2
5970. 3
5971. 0
5971. 1
5971. 2
5971. 3
5971. 4
5971. 5
5971. 6
5972. 0
pull
Entries 37
Mean 13.76
Std Dev 11.21
2
1.5
1
0.5
0
−0.5
−1
−1.5
−2

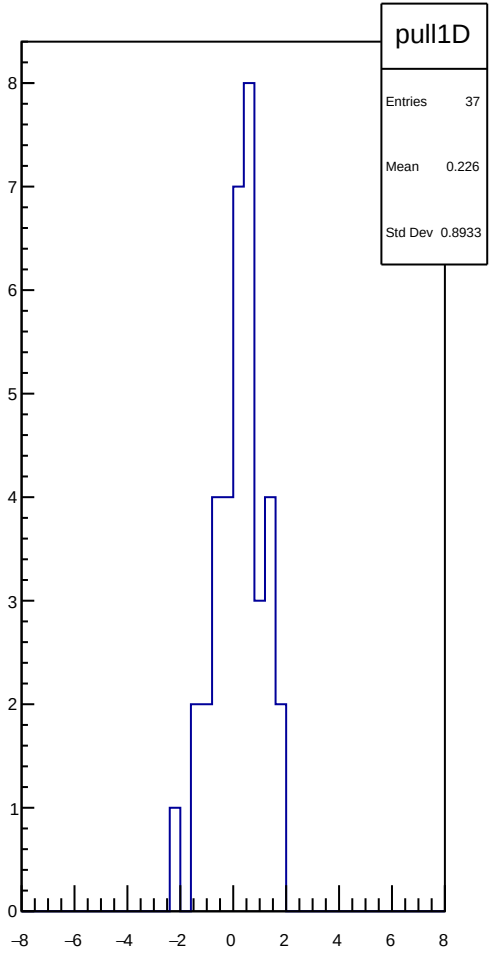
pull1D
Entries 37
Mean 0.226
Std Dev 0.8933
8
7
6
5
4
3
2
1
0
−8
−6
−4
−2
0
2
4
6
8

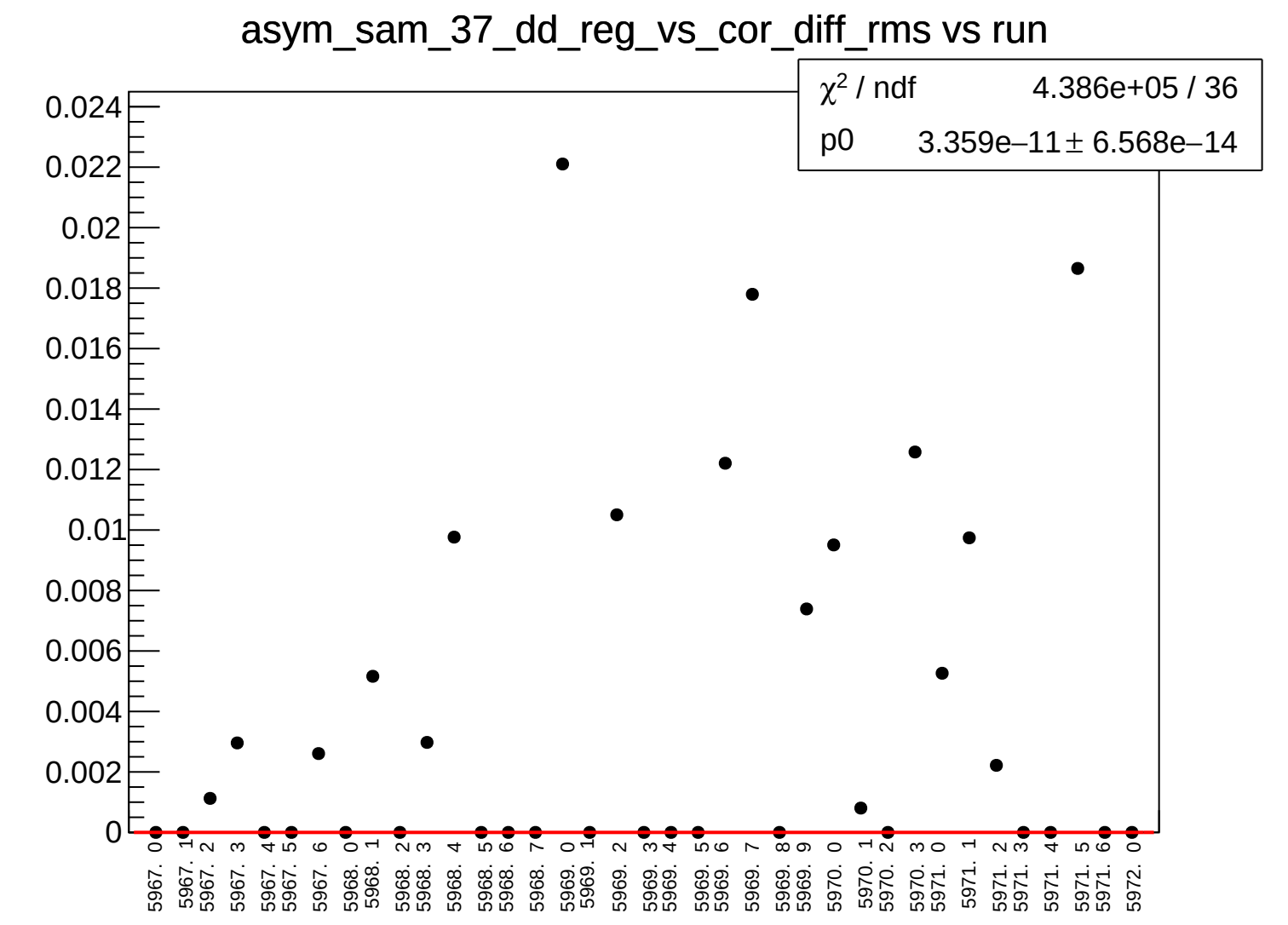
asym_sam_37_dd_reg_vs_cor_diff_rms vs run
χ² / ndf 4.386e+05 / 36
p0 3.359e−11 ± 6.568e−14
0.024
0.022
0.02
0.018
0.016
0.014
0.012
0.01
0.008
0.006
0.004
0.002
0
5967. 0
5967. 1
5967. 2
5967. 3
5967. 4
5967. 5
5967. 6
5968. 0
5968. 1
5968. 2
5968. 3
5968. 4
5968. 5
5968. 6
5968. 7
5969. 0
5969. 1
5969. 2
5969. 3
5969. 4
5969. 5
5969. 6
5969. 7
5969. 8
5969. 9
5970. 0
5970. 1
5970. 2
5970. 3
5971. 0
5971. 1
5971. 2
5971. 3
5971. 4
5971. 5
5971. 6
5972. 0

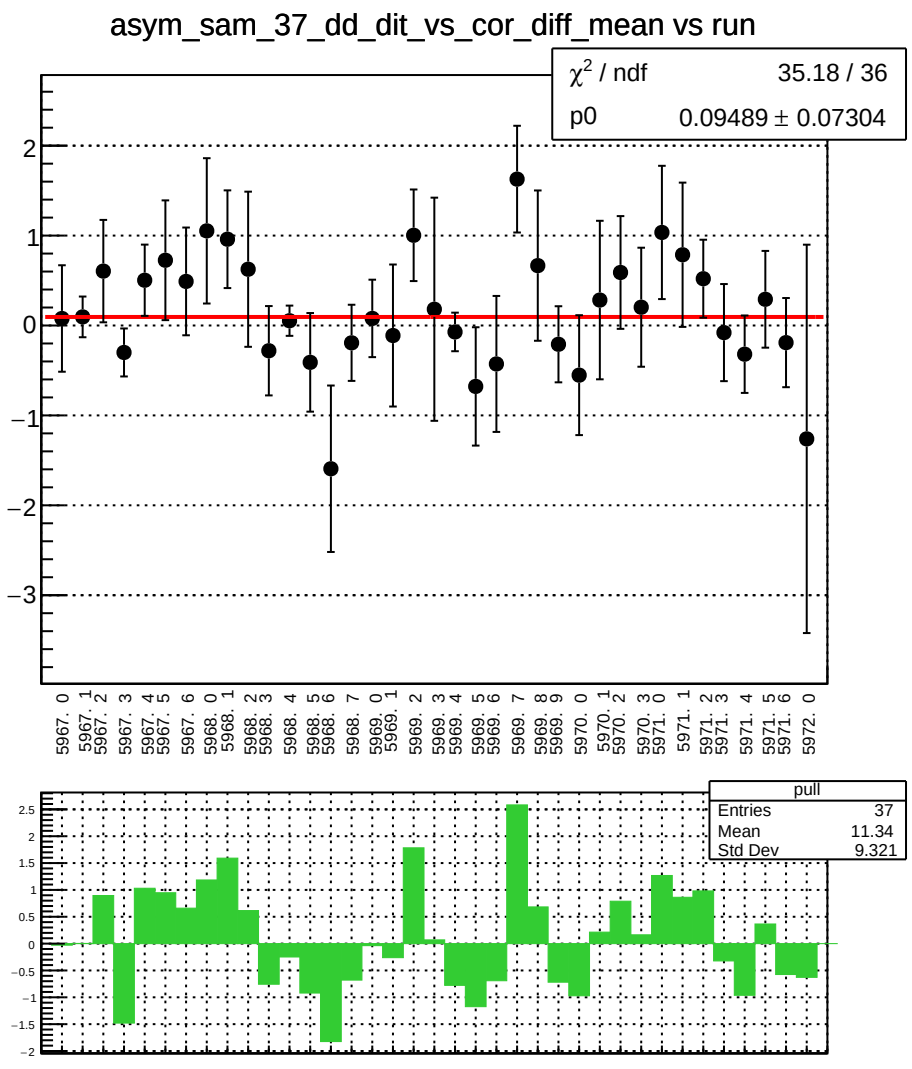
asym_sam_37_dd_dit_vs_cor_diff_mean vs run
χ² / ndf 35.18 / 36
p0 0.09489 ± 0.07304
pull
Entries 37
Mean 11.34
Std Dev 9.321

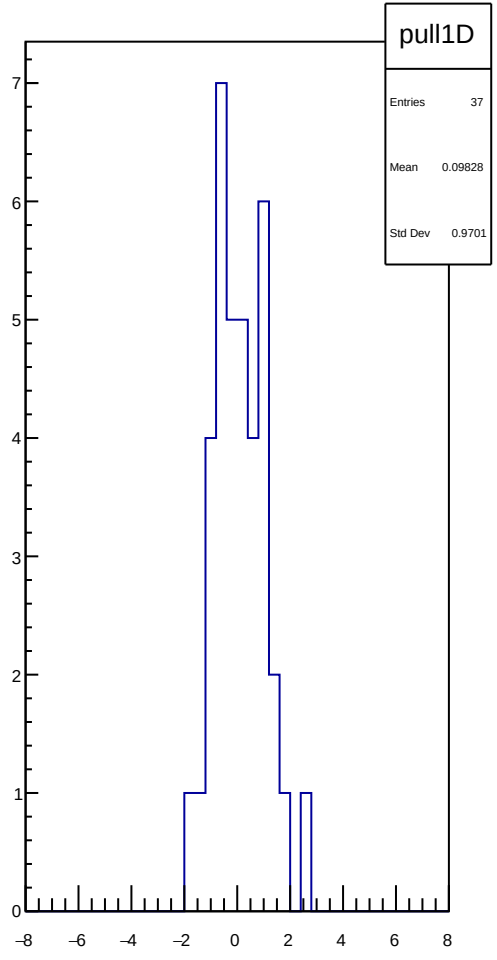
pull1D
Entries 37
Mean 0.09828
Std Dev 0.9701

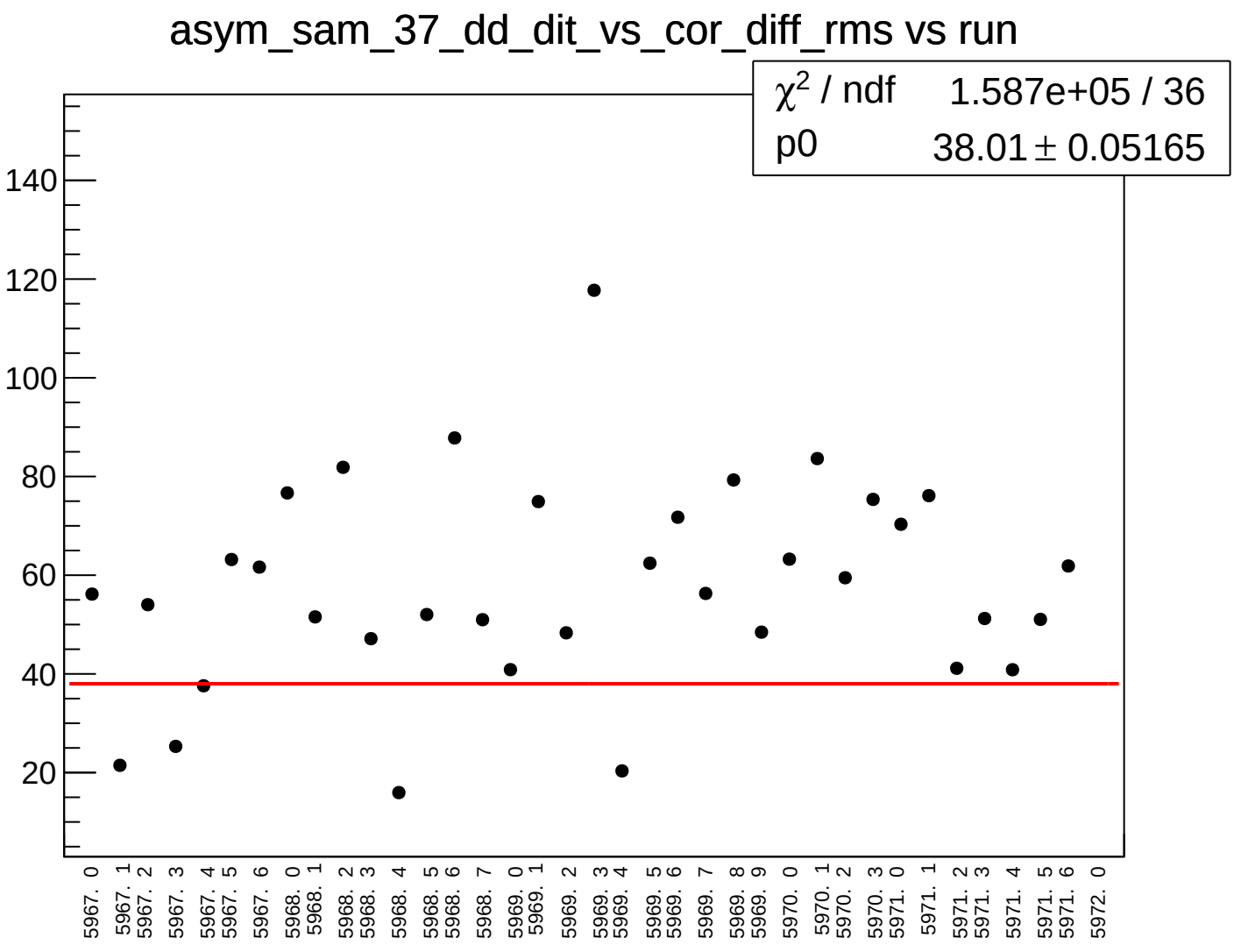
asym_sam_37_dd_dit_vs_cor_diff_rms vs run
χ² / ndf 1.587e+05 / 36
p0 38.01 ± 0.05165
140
120
100
80
60
40
20
5967. 0
5967. 1
5967. 2
5967. 3
5967. 4
5967. 5
5967. 6
5968. 0
5968. 1
5968. 2
5968. 3
5968. 4
5968. 5
5968. 6
5968. 7
5969. 0
5969. 1
5969. 2
5969. 3
5969. 4
5969. 5
5969. 6
5969. 7
5969. 8
5969. 9
5970. 0
5970. 1
5970. 2
5970. 3
5971. 0
5971. 1
5971. 2
5971. 3
5971. 4
5971. 5
5971. 6
5972. 0

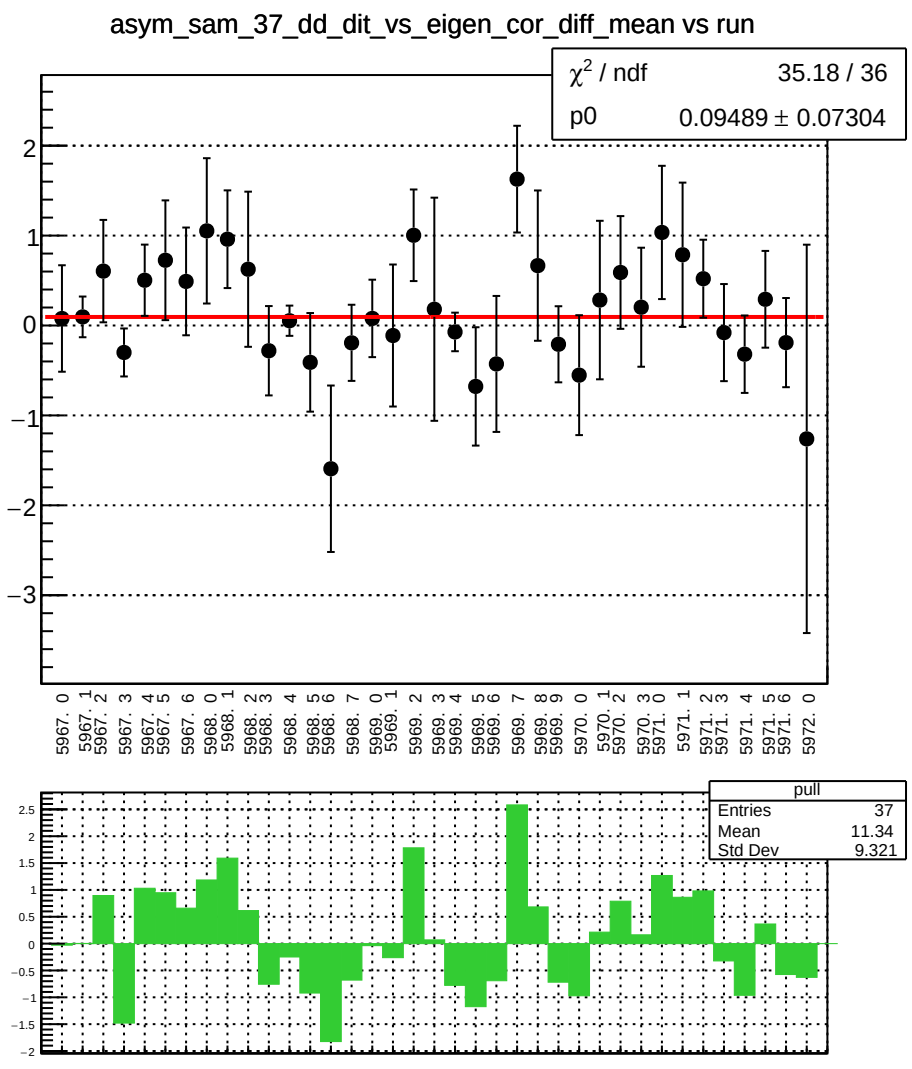
asym_sam_37_dd_dit_vs_eigen_cor_diff_mean vs run
χ² / ndf 35.18 / 36
p0 0.09489 ± 0.07304
pull
Entries 37
Mean 11.34
Std Dev 9.321

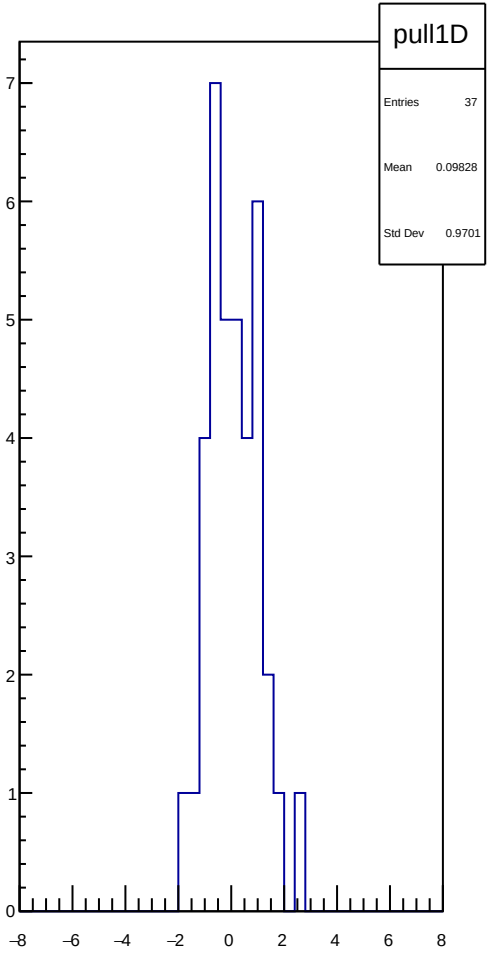
pull1D
Entries 37
Mean 0.09828
Std Dev 0.9701

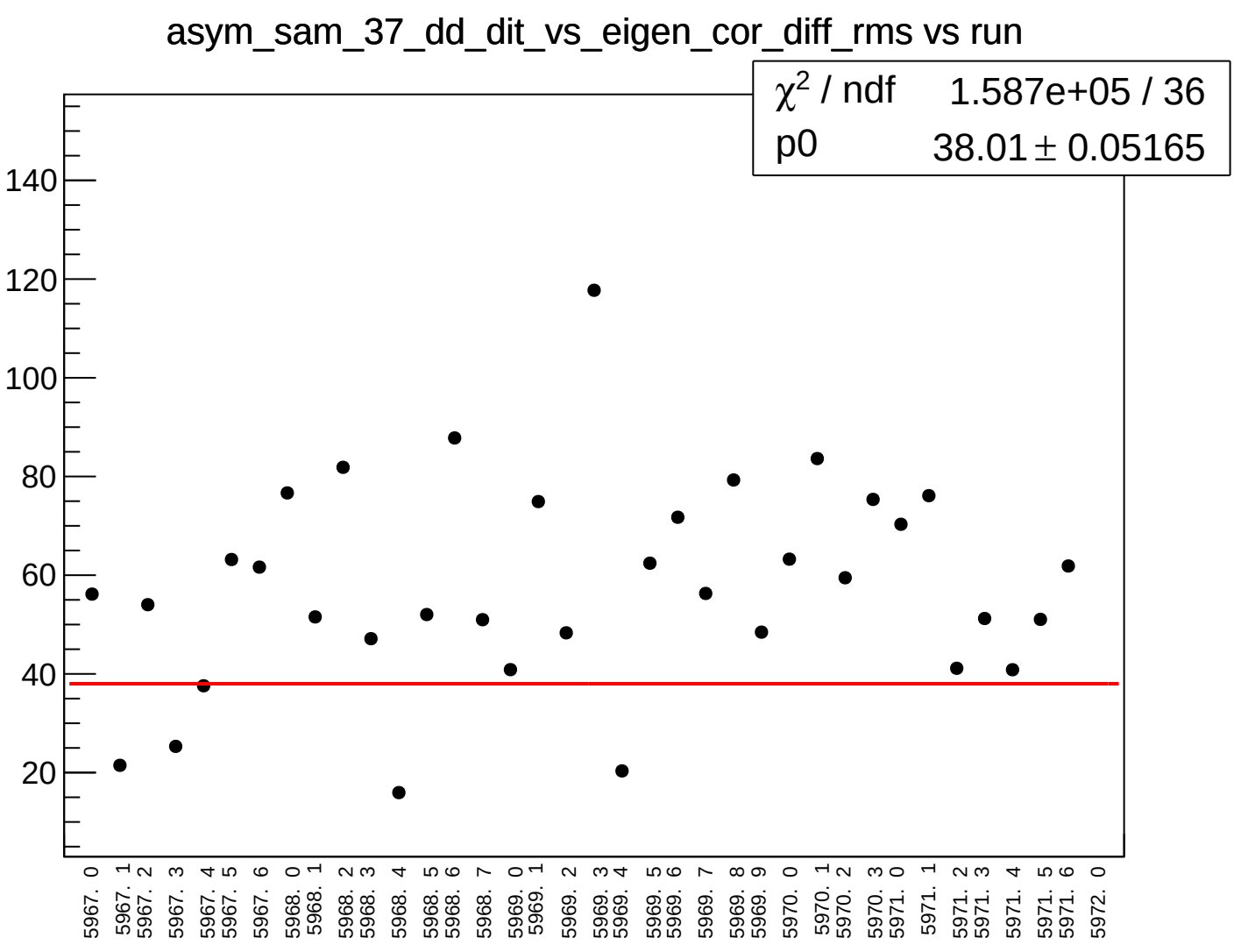
asym_sam_37_dd_dit_vs_eigen_cor_diff_rms vs run
χ² / ndf 1.587e+05 / 36
p0 38.01 ± 0.05165
140
120
100
80
60
40
20
5967. 0
5967. 1
5967. 2
5967. 3
5967. 4
5967. 5
5967. 6
5968. 0
5968. 1
5968. 2
5968. 3
5968. 4
5968. 5
5968. 6
5968. 7
5969. 0
5969. 1
5969. 2
5969. 3
5969. 4
5969. 5
5969. 6
5969. 7
5969. 8
5969. 9
5970. 0
5970. 1
5970. 2
5970. 3
5971. 0
5971. 1
5971. 2
5971. 3
5971. 4
5971. 5
5971. 6
5972. 0

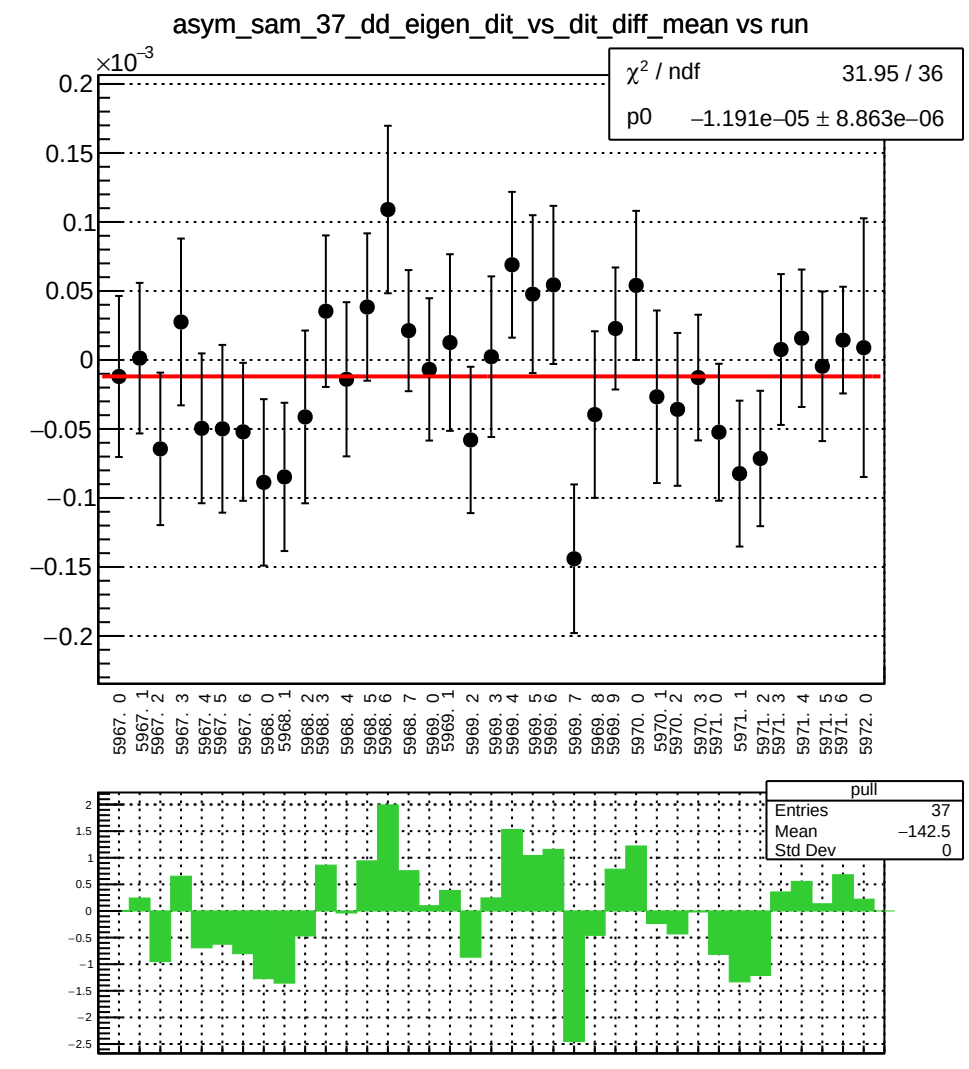
asym_sam_37_dd_eigen_dit_vs_dit_diff_mean vs run
×10⁻³
χ² / ndf 31.95 / 36
p0 −1.191e−05 ± 8.863e−06
pull
Entries 37
Mean −142.5
Std Dev 0

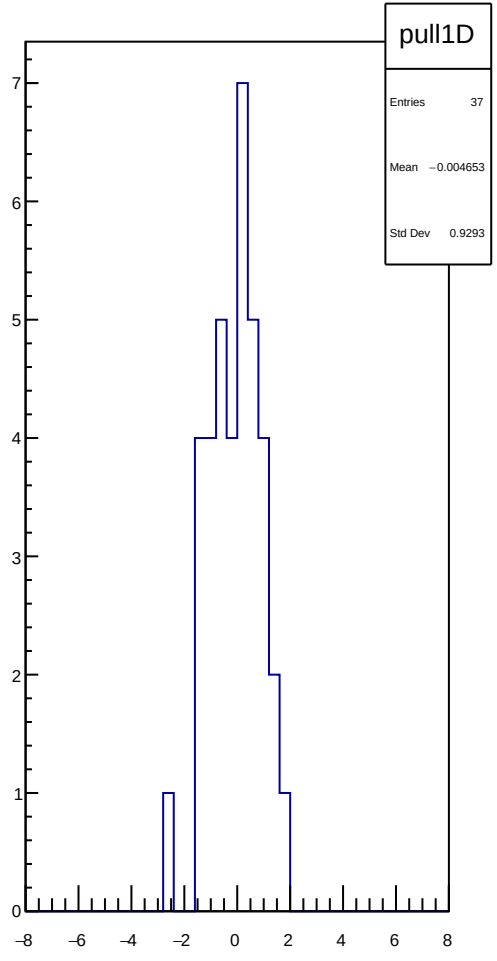
pull1D
Entries 37
Mean −0.004653
Std Dev 0.9293

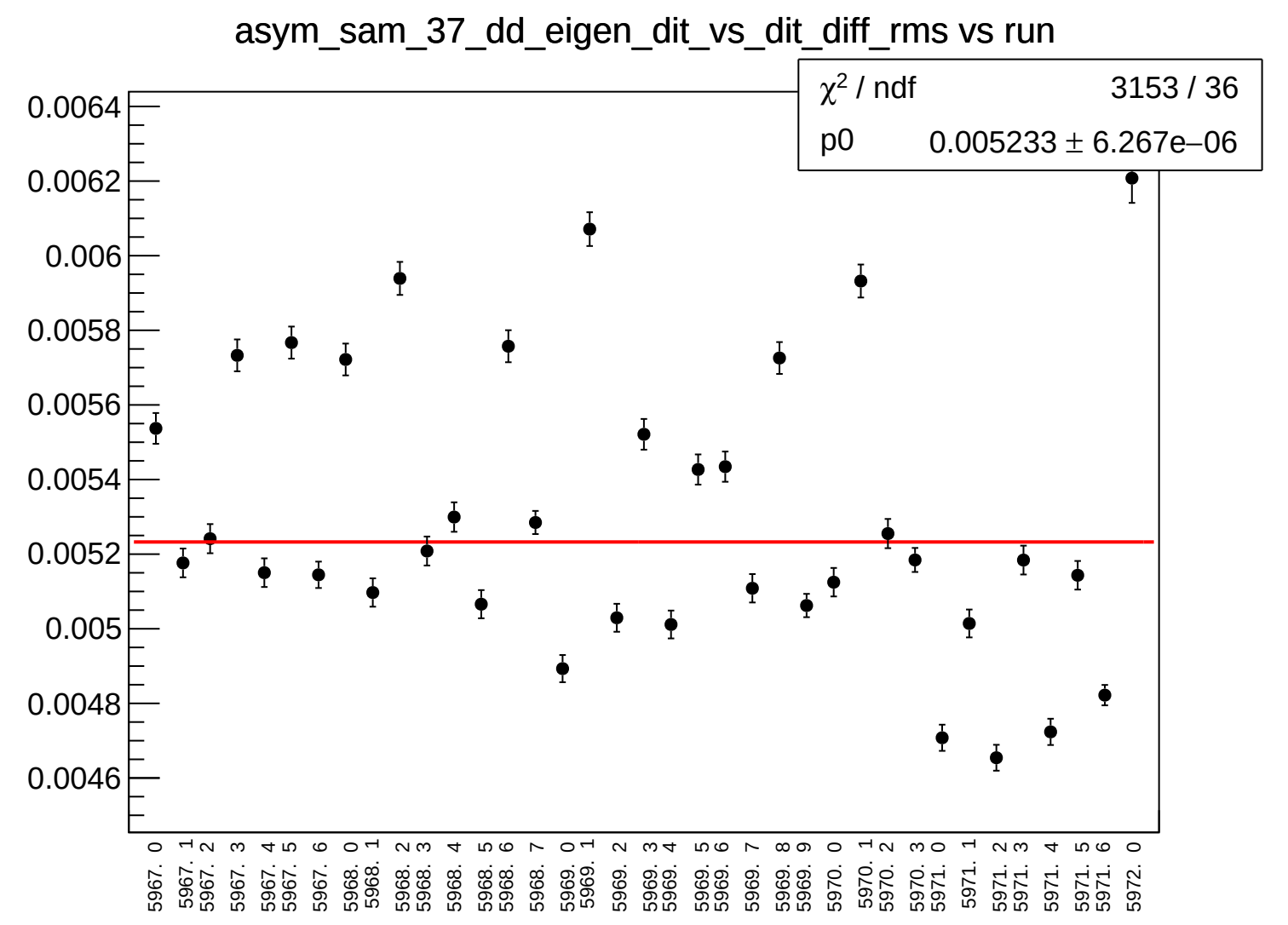
asym_sam_37_dd_eigen_dit_vs_dit_diff_rms vs run
χ² / ndf 3153 / 36
p0 0.005233 ± 6.267e−06
0.0064
0.0062
0.006
0.0058
0.0056
0.0054
0.0052
0.005
0.0048
0.0046
5967. 0
5967. 1
5967. 2
5967. 3
5967. 4
5967. 5
5967. 6
5968. 0
5968. 1
5968. 2
5968. 3
5968. 4
5968. 5
5968. 6
5968. 7
5969. 0
5969. 1
5969. 2
5969. 3
5969. 4
5969. 5
5969. 6
5969. 7
5969. 8
5969. 9
5970. 0
5970. 1
5970. 2
5970. 3
5971. 0
5971. 1
5971. 2
5971. 3
5971. 4
5971. 5
5971. 6
5972. 0

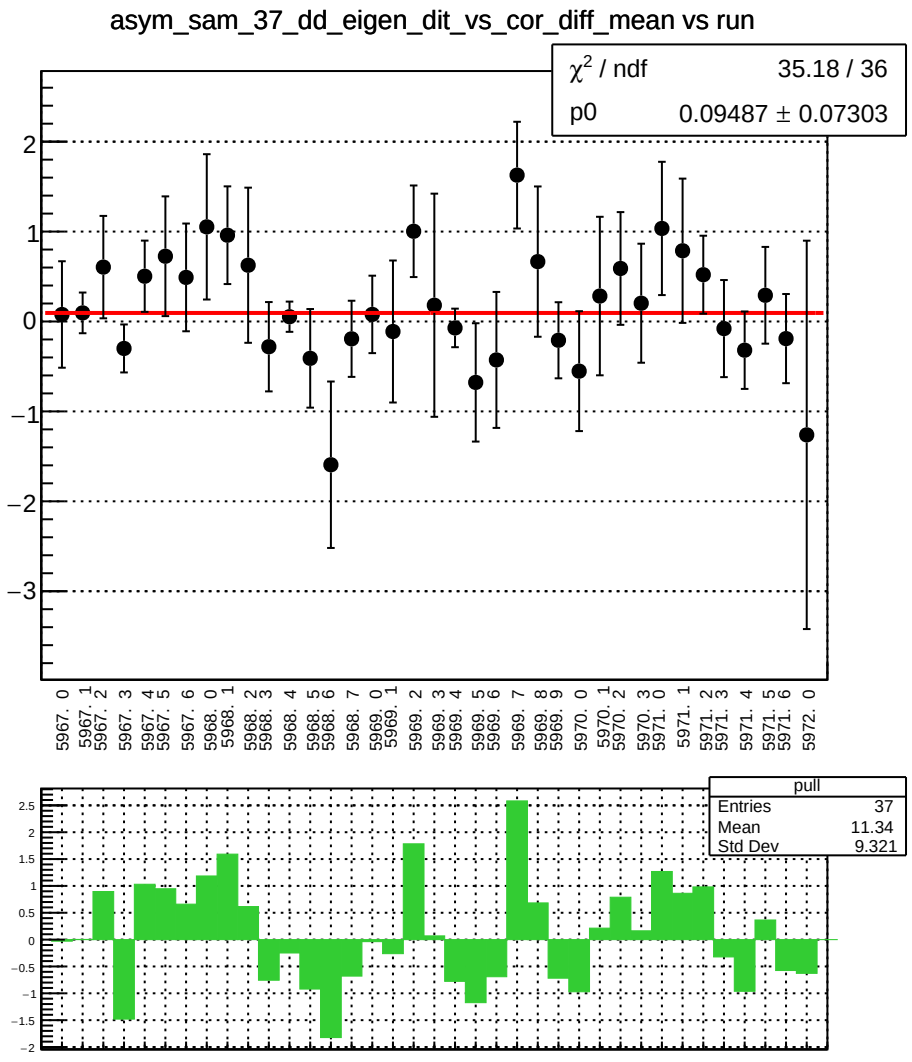
asym_sam_37_dd_eigen_dit_vs_cor_diff_mean vs run
χ² / ndf 35.18 / 36
p0 0.09487 ± 0.07303
pull
Entries 37
Mean 11.34
Std Dev 9.321

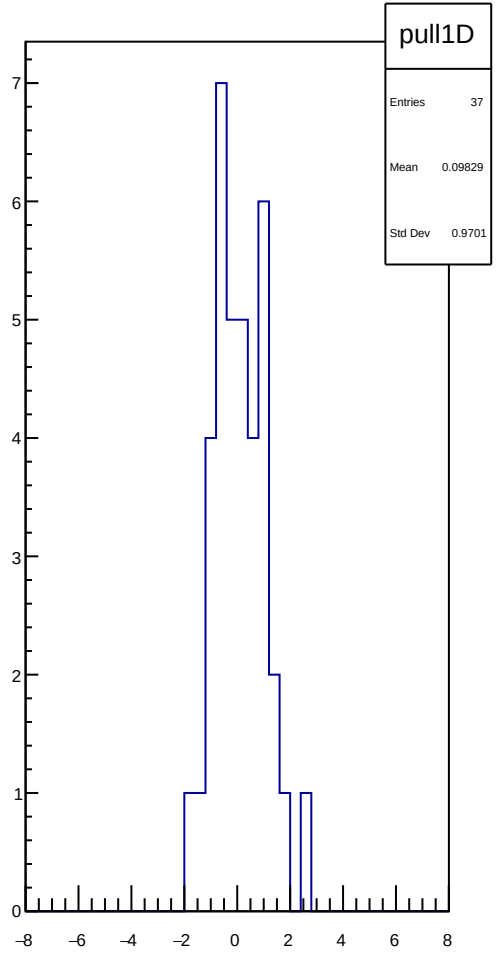
pull1D
Entries 37
Mean 0.09829
Std Dev 0.9701

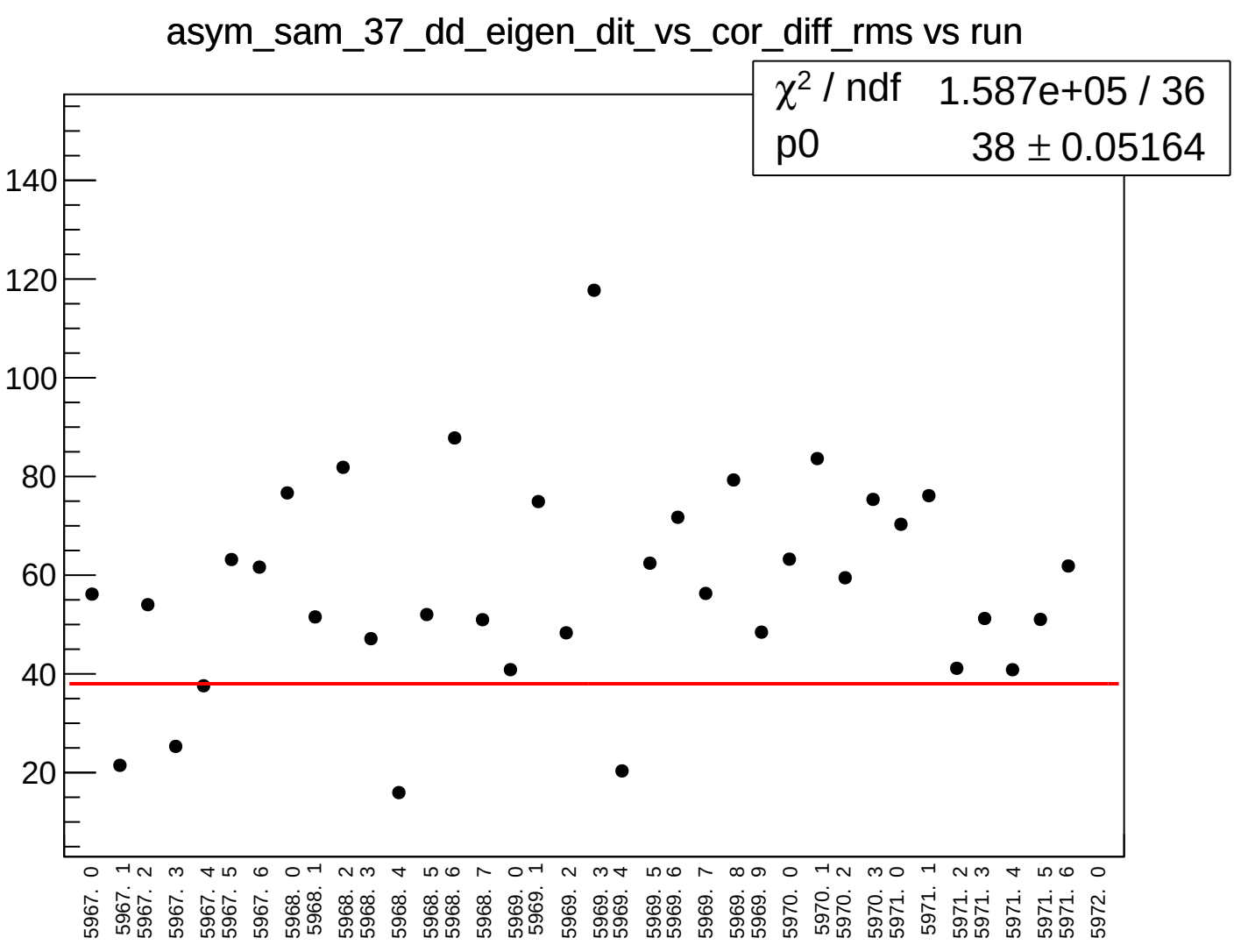
asym_sam_37_dd_eigen_dit_vs_cor_diff_rms vs run
χ² / ndf 1.587e+05 / 36
p0 38 ± 0.05164
140
120
100
80
60
40
20
5967. 0
5967. 1
5967. 2
5967. 3
5967. 4
5967. 5
5967. 6
5968. 0
5968. 1
5968. 2
5968. 3
5968. 4
5968. 5
5968. 6
5968. 7
5969. 0
5969. 1
5969. 2
5969. 3
5969. 4
5969. 5
5969. 6
5969. 7
5969. 8
5969. 9
5970. 0
5970. 1
5970. 2
5970. 3
5971. 0
5971. 1
5971. 2
5971. 3
5971. 4
5971. 5
5971. 6
5972. 0

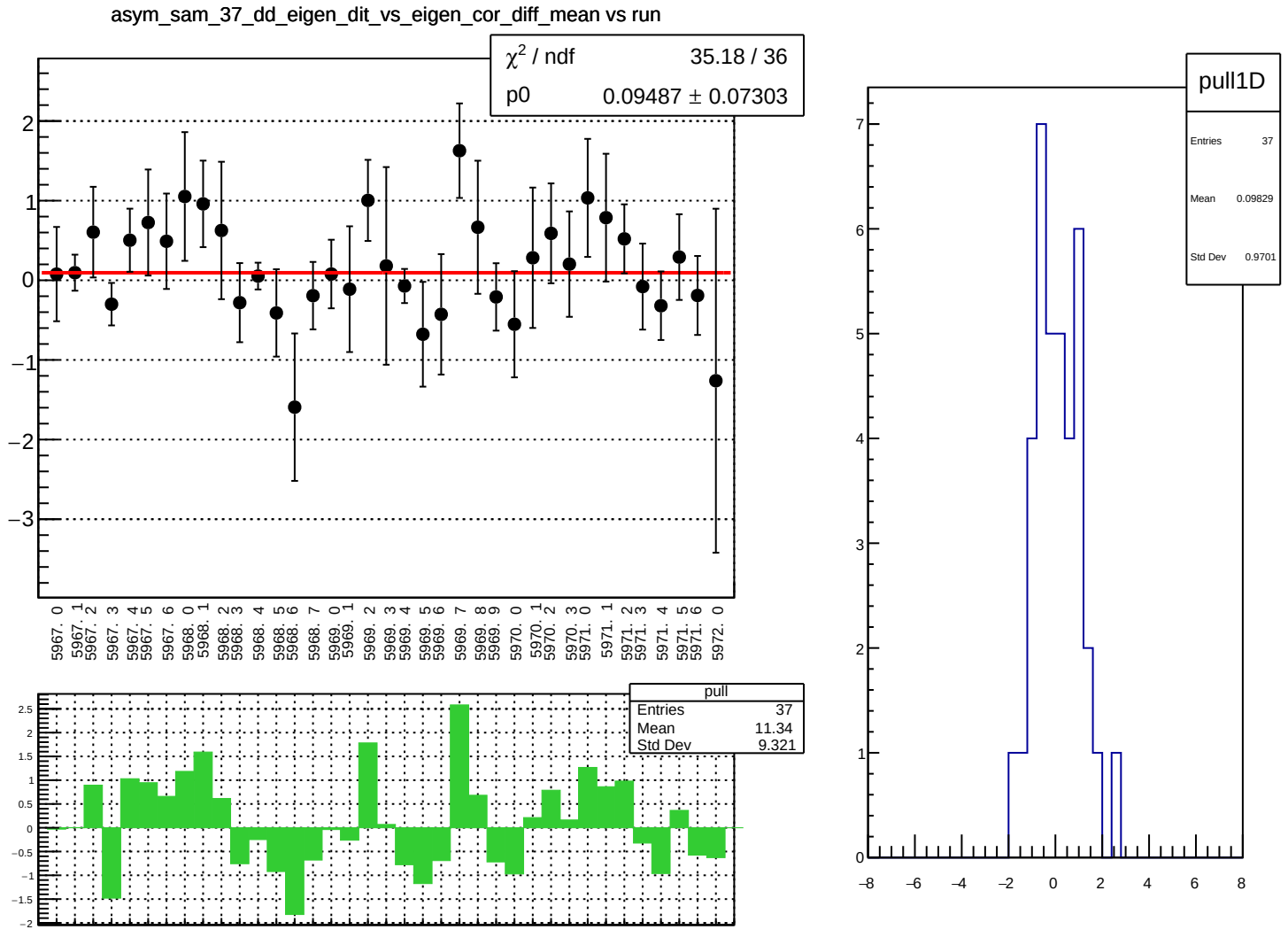
asym_sam_37_dd_eigen_dit_vs_eigen_cor_diff_mean vs run
χ² / ndf 35.18 / 36
p0 0.09487 ± 0.07303
pull
Entries 37
Mean 11.34
Std Dev 9.321
pull1D
Entries 37
Mean 0.09829
Std Dev 0.9701

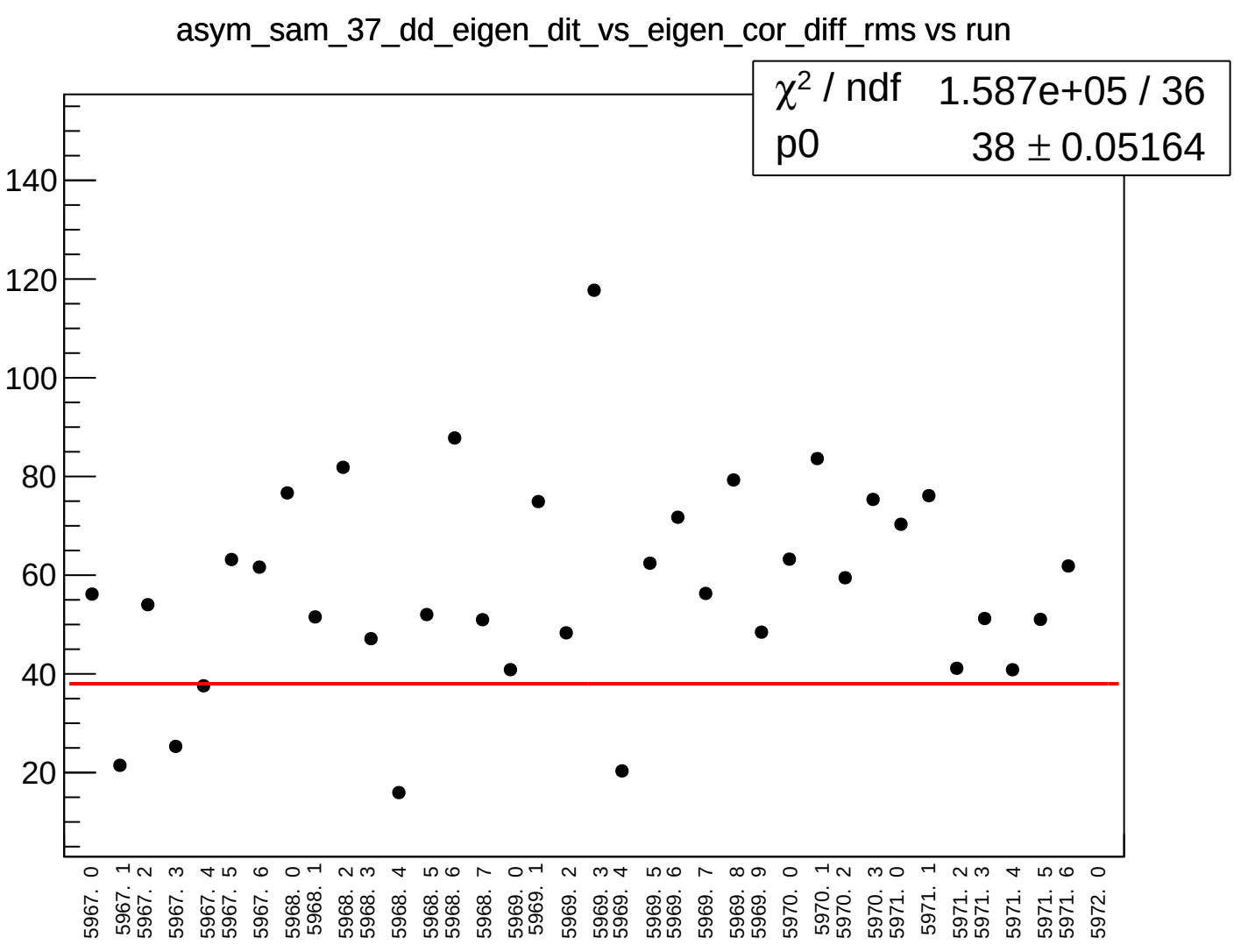
asym_sam_37_dd_eigen_dit_vs_eigen_cor_diff_rms vs run
χ² / ndf 1.587e+05 / 36
p0 38 ± 0.05164
140
120
100
80
60
40
20
5967. 0
5967. 1
5967. 2
5967. 3
5967. 4
5967. 5
5967. 6
5968. 0
5968. 1
5968. 2
5968. 3
5968. 4
5968. 5
5968. 6
5968. 7
5969. 0
5969. 1
5969. 2
5969. 3
5969. 4
5969. 5
5969. 6
5969. 7
5969. 8
5969. 9
5970. 0
5970. 1
5970. 2
5970. 3
5971. 0
5971. 1
5971. 2
5971. 3
5971. 4
5971. 5
5971. 6
5972. 0

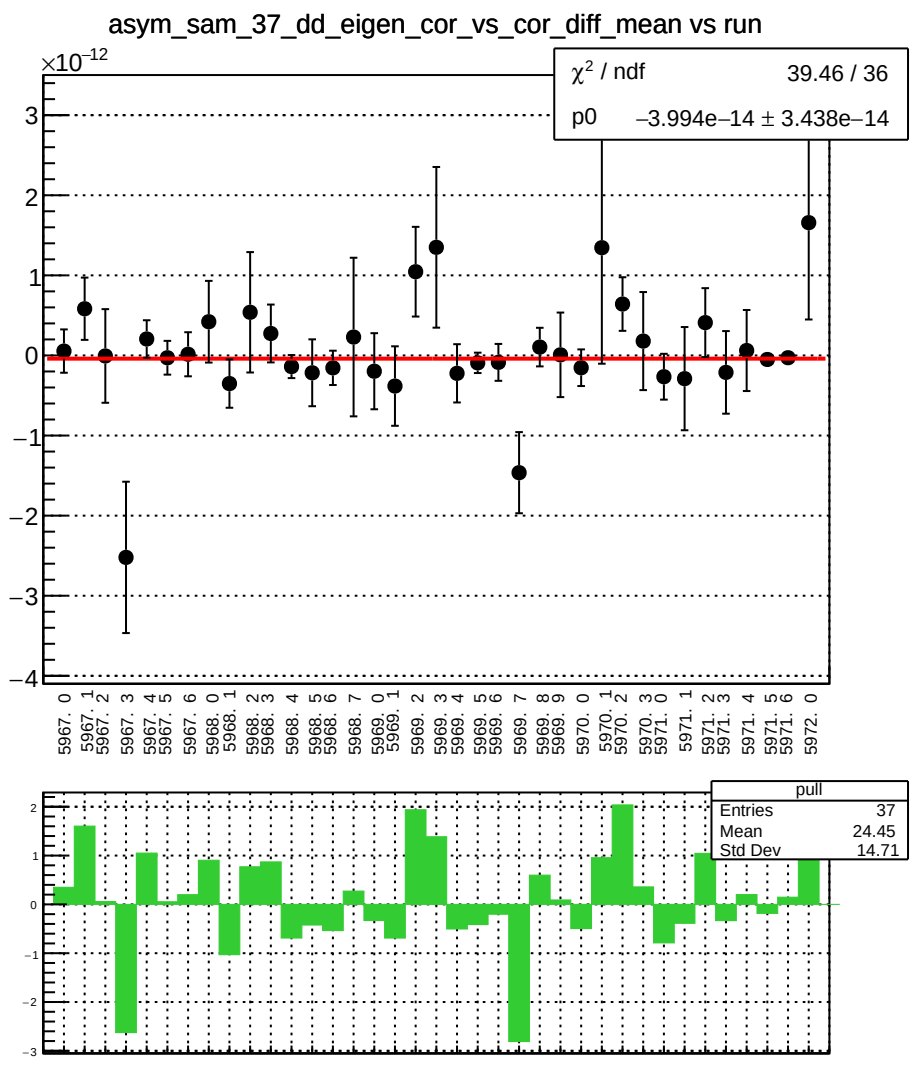
asym_sam_37_dd_eigen_cor_vs_cor_diff_mean vs run
×10⁻¹²
χ² / ndf 39.46 / 36
p0 −3.994e−14 ± 3.438e−14
pull
Entries 37
Mean 24.45
Std Dev 14.71

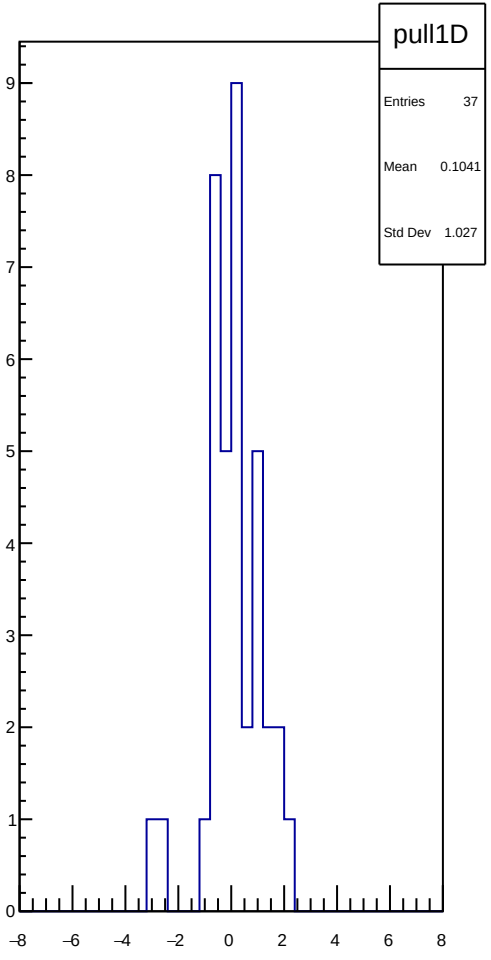
pull1D
Entries 37
Mean 0.1041
Std Dev 1.027

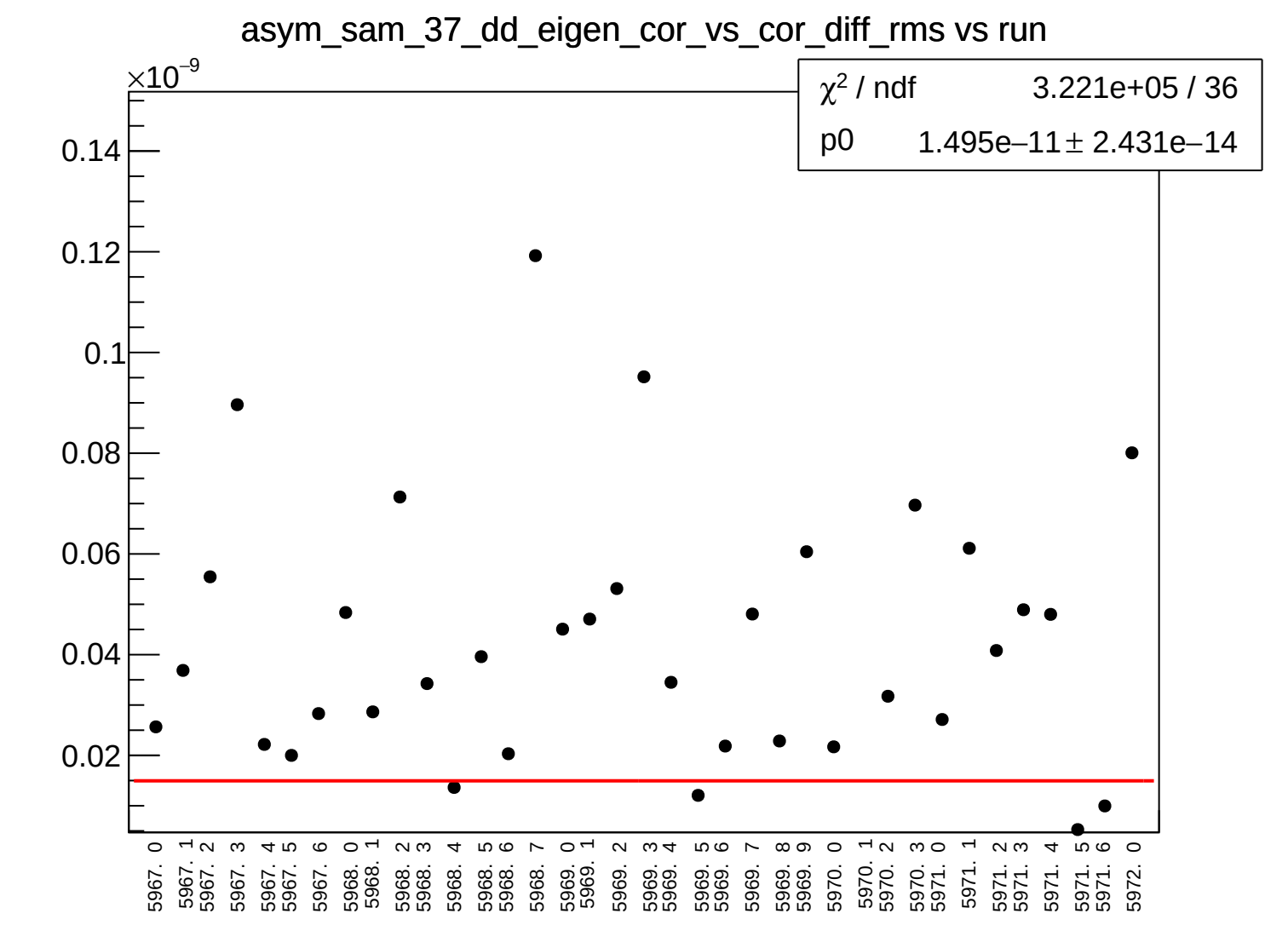
asym_sam_37_dd_eigen_cor_vs_cor_diff_rms vs run
×10⁻⁹
χ² / ndf 3.221e+05 / 36
p0 1.495e−11 ± 2.431e−14
0.14
0.12
0.1
0.08
0.06
0.04
0.02
5967. 0
5967. 1
5967. 2
5967. 3
5967. 4
5967. 5
5967. 6
5968. 0
5968. 1
5968. 2
5968. 3
5968. 4
5968. 5
5968. 6
5968. 7
5969. 0
5969. 1
5969. 2
5969. 3
5969. 4
5969. 5
5969. 6
5969. 7
5969. 8
5969. 9
5970. 0
5970. 1
5970. 2
5970. 3
5971. 0
5971. 1
5971. 2
5971. 3
5971. 4
5971. 5
5971. 6
5972. 0

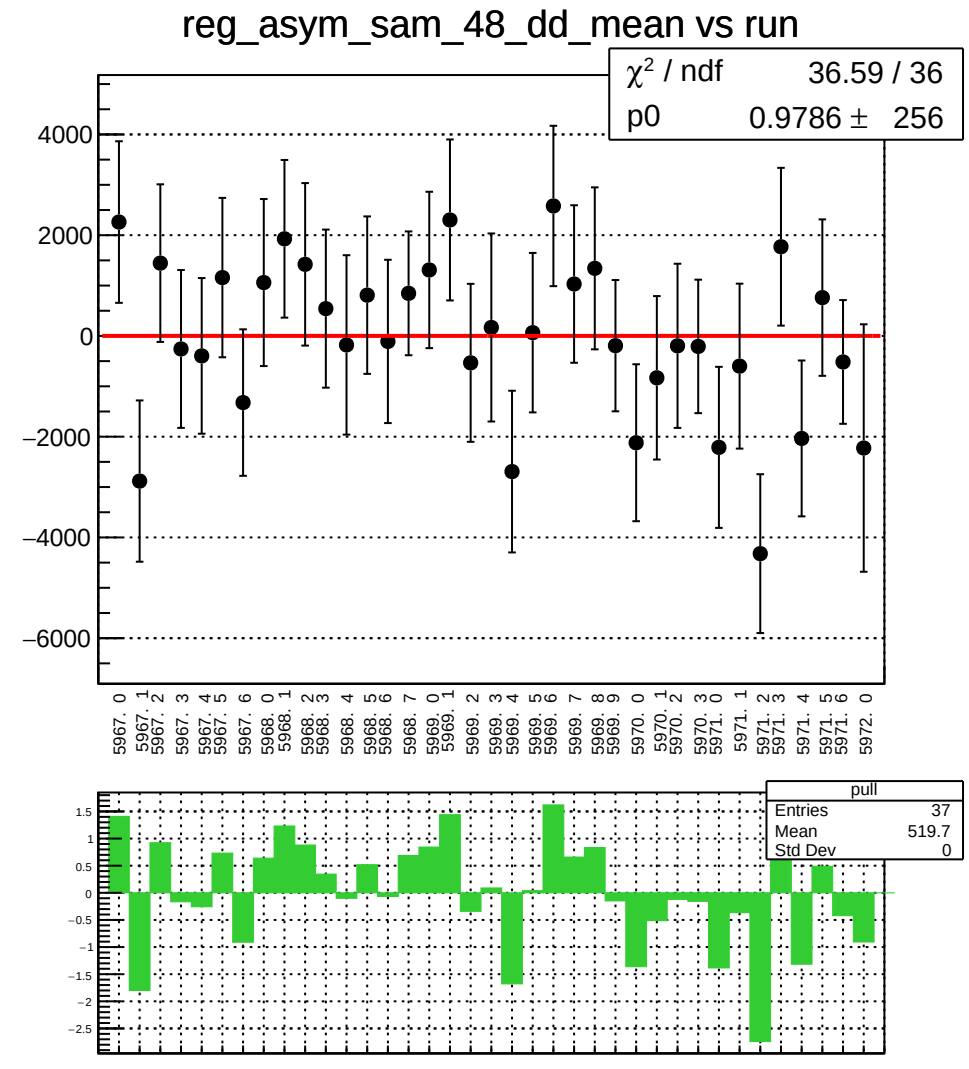
reg_asym_sam_48_dd_mean vs run
χ² / ndf 36.59 / 36
p0 0.9786 ± 256
4000
2000
0
−2000
−4000
−6000
5967. 0
5967. 1
5967. 2
5967. 3
5967. 4
5967. 5
5967. 6
5968. 0
5968. 1
5968. 2
5968. 3
5968. 4
5968. 5
5968. 6
5968. 7
5969. 0
5969. 1
5969. 2
5969. 3
5969. 4
5969. 5
5969. 6
5969. 7
5969. 8
5969. 9
5970. 0
5970. 1
5970. 2
5970. 3
5971. 0
5971. 1
5971. 2
5971. 3
5971. 4
5971. 5
5971. 6
5972. 0
pull
Entries 37
Mean 519.7
Std Dev 0
1.5
1
0.5
0
−0.5
−1
−1.5
−2
−2.5
pull1D
Entries 37
Mean −0.006681
Std Dev 0.9944
9
8
7
6
5
4
3
2
1
0
−8
−6
−4
−2
0
2
4
6
8

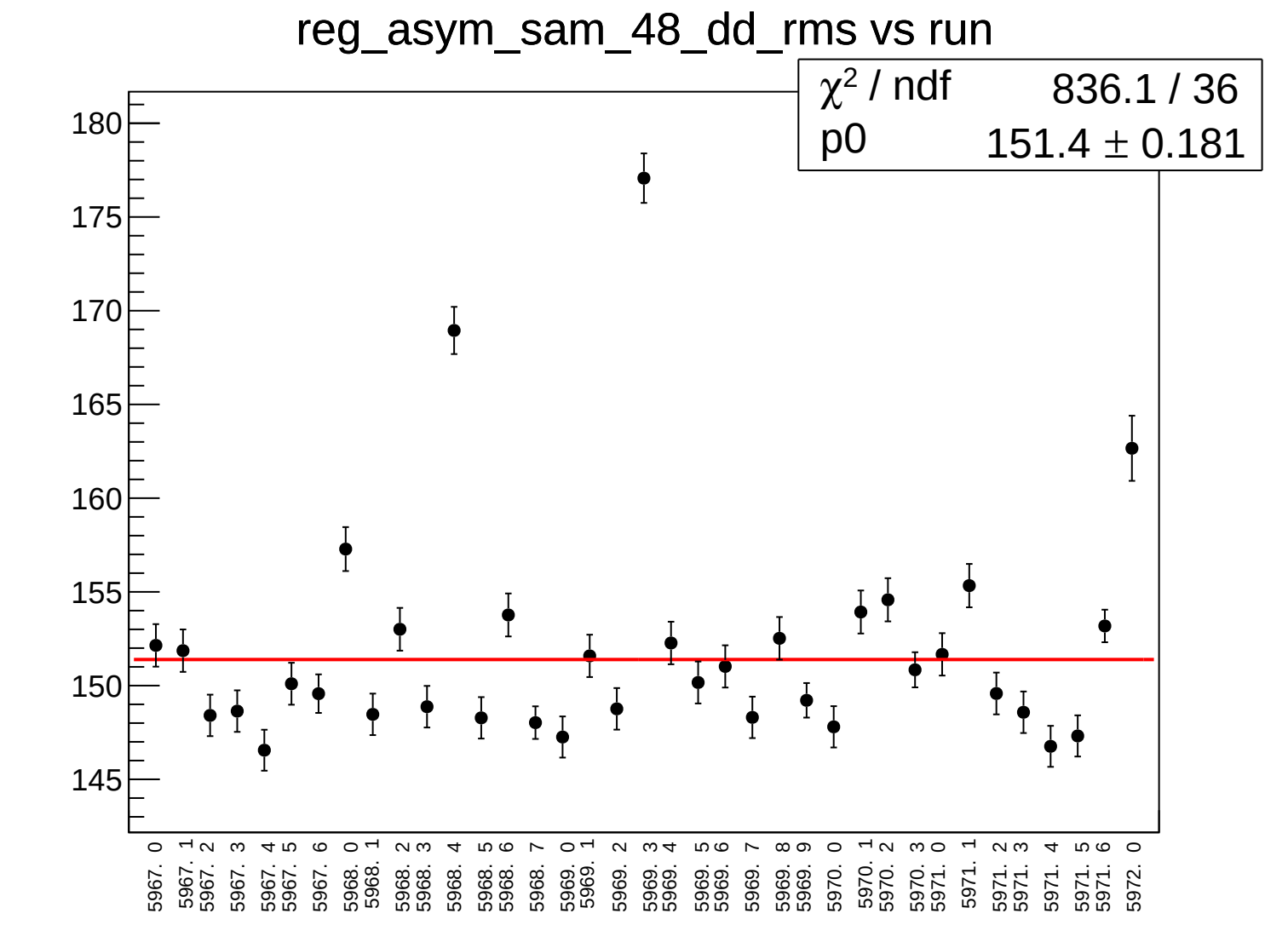
reg_asym_sam_48_dd_rms vs run
χ² / ndf 836.1 / 36
p0 151.4 ± 0.181
180
175
170
165
160
155
150
145
5967. 0
5967. 1
5967. 2
5967. 3
5967. 4
5967. 5
5967. 6
5968. 0
5968. 1
5968. 2
5968. 3
5968. 4
5968. 5
5968. 6
5968. 7
5969. 0
5969. 1
5969. 2
5969. 3
5969. 4
5969. 5
5969. 6
5969. 7
5969. 8
5969. 9
5970. 0
5970. 1
5970. 2
5970. 3
5971. 0
5971. 1
5971. 2
5971. 3
5971. 4
5971. 5
5971. 6
5972. 0

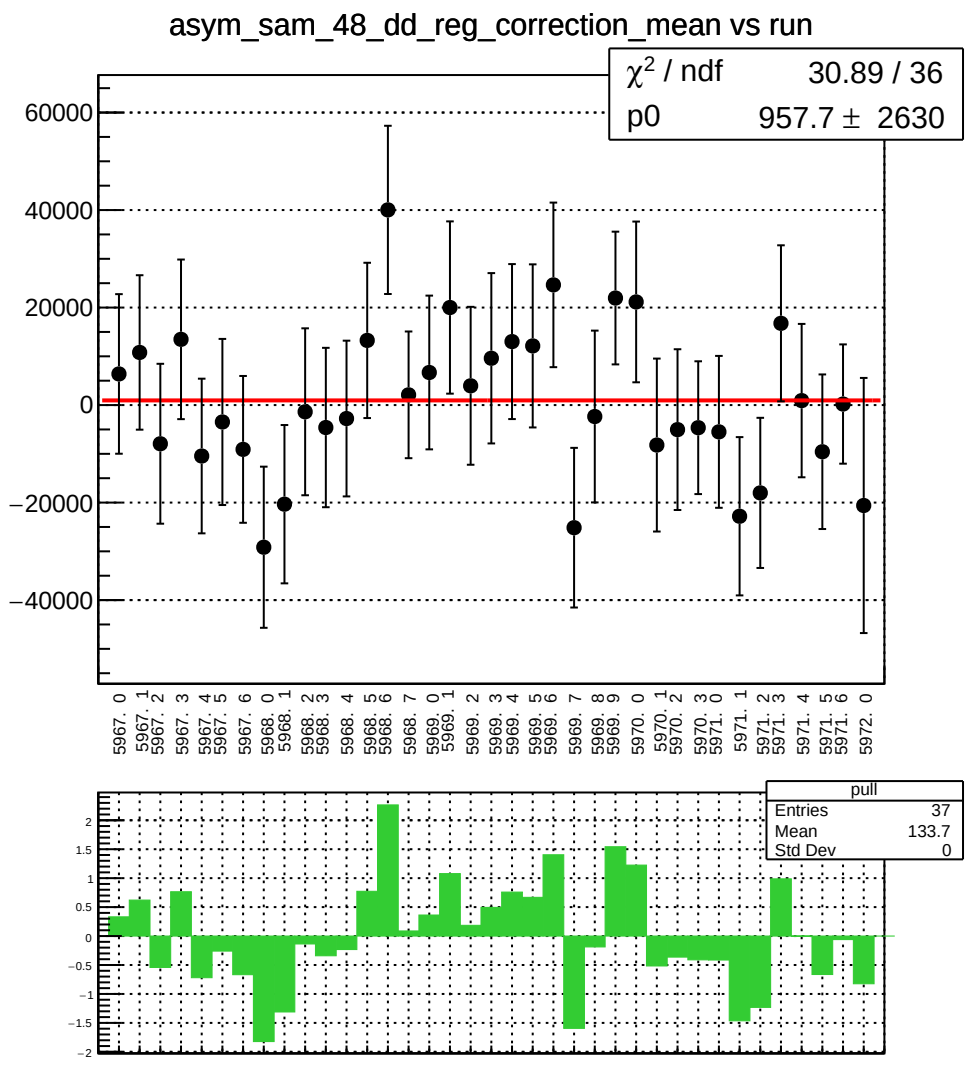
asym_sam_48_dd_reg_correction_mean vs run
χ² / ndf 30.89 / 36
p0 957.7 ± 2630
60000
40000
20000
0
−20000
−40000
5967. 0
5967. 1
5967. 2
5967. 3
5967. 4
5967. 5
5967. 6
5968. 0
5968. 1
5968. 2
5968. 3
5968. 4
5968. 5
5968. 6
5968. 7
5969. 0
5969. 1
5969. 2
5969. 3
5969. 4
5969. 5
5969. 6
5969. 7
5969. 8
5969. 9
5970. 0
5970. 1
5970. 2
5970. 3
5971. 0
5971. 1
5971. 2
5971. 3
5971. 4
5971. 5
5971. 6
5972. 0
pull
Entries 37
Mean 133.7
Std Dev 0
2
1.5
1
0.5
0
−0.5
−1
−1.5
−2
pull1D
Entries 37
Mean −0.005729
Std Dev 0.9137
8
7
6
5
4
3
2
1
0
−8
−6
−4
−2
0
2
4
6
8

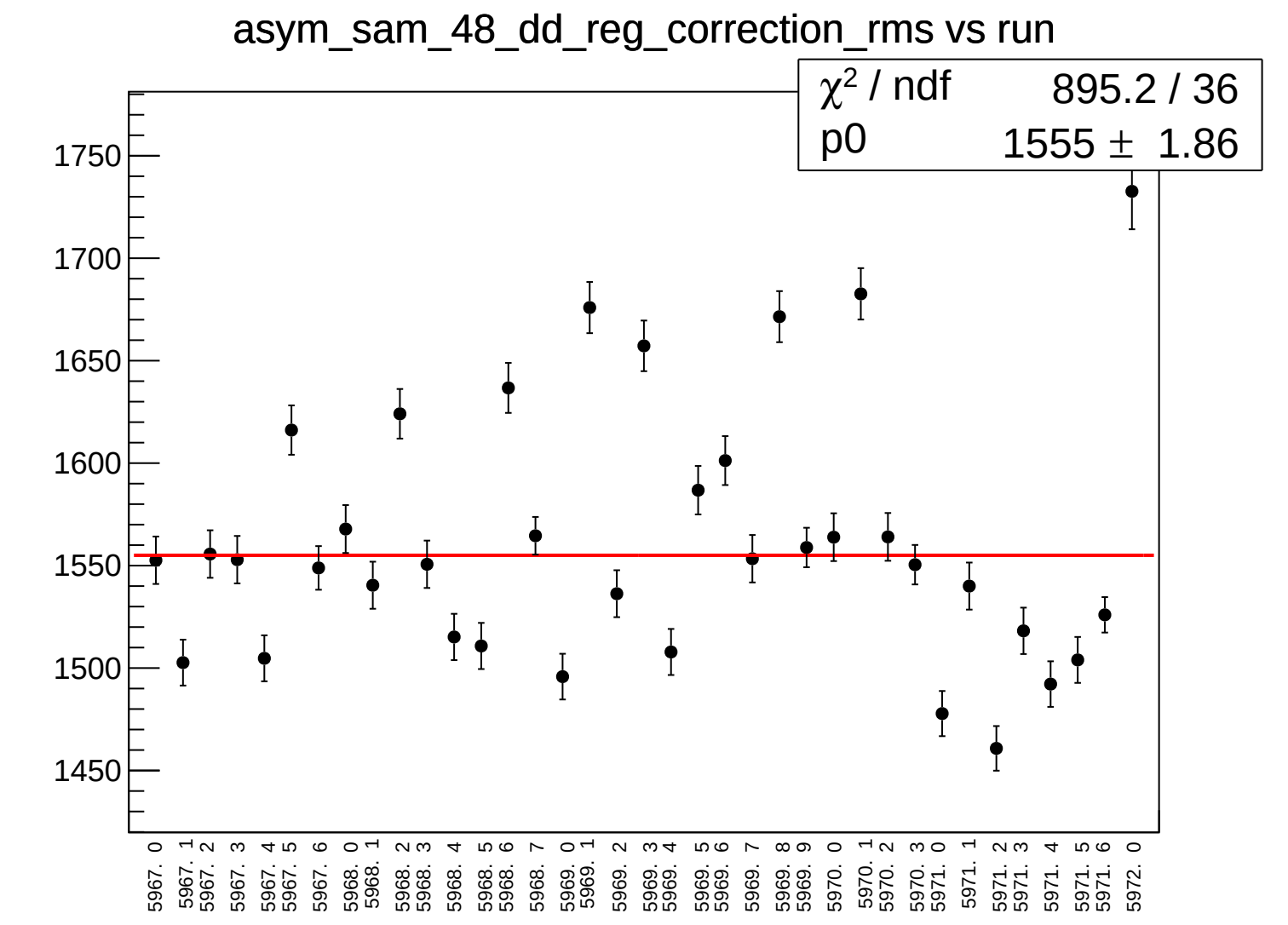
asym_sam_48_dd_reg_correction_rms vs run
χ² / ndf 895.2 / 36
p0 1555 ± 1.86
1750
1700
1650
1600
1550
1500
1450
5967. 0
5967. 1
5967. 2
5967. 3
5967. 4
5967. 5
5967. 6
5968. 0
5968. 1
5968. 2
5968. 3
5968. 4
5968. 5
5968. 6
5968. 7
5969. 0
5969. 1
5969. 2
5969. 3
5969. 4
5969. 5
5969. 6
5969. 7
5969. 8
5969. 9
5970. 0
5970. 1
5970. 2
5970. 3
5971. 0
5971. 1
5971. 2
5971. 3
5971. 4
5971. 5
5971. 6
5972. 0

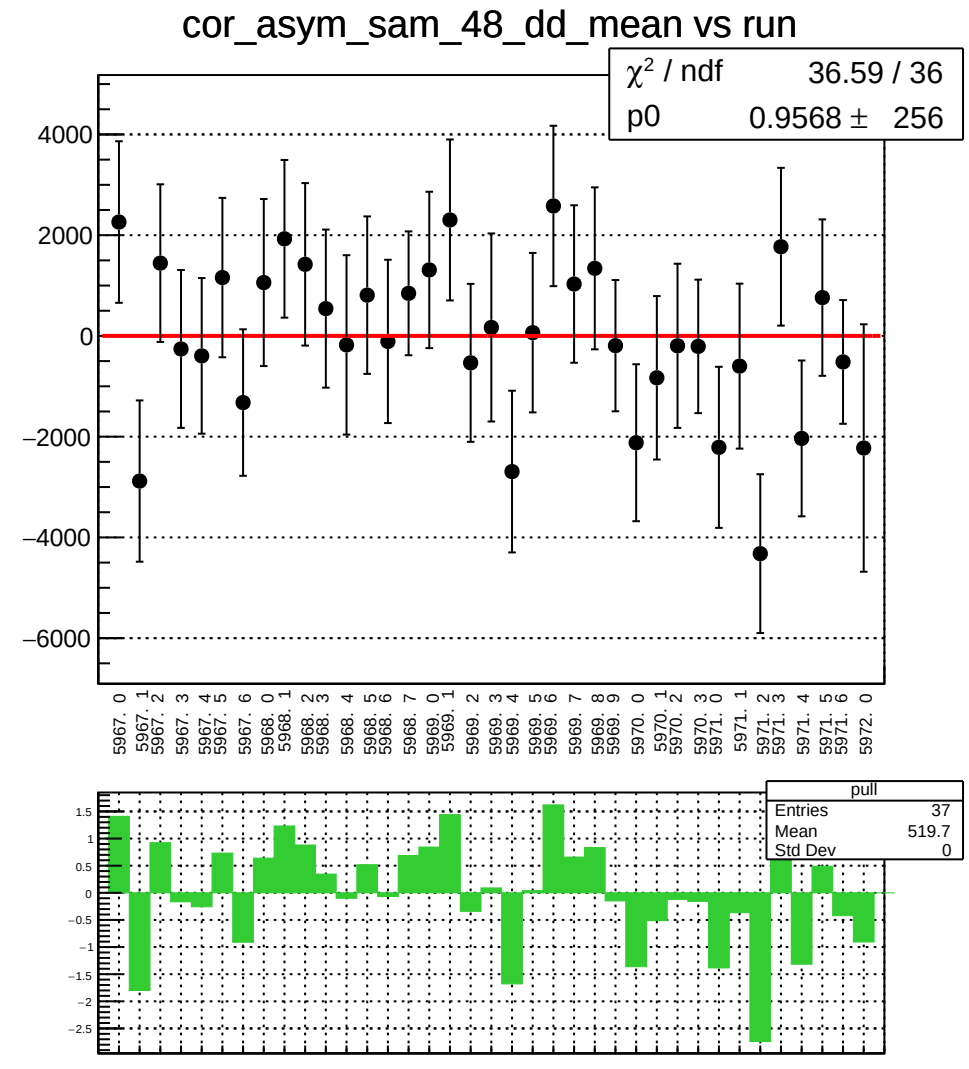
cor_asym_sam_48_dd_mean vs run
χ² / ndf 36.59 / 36
p0 0.9568 ± 256
4000
2000
0
−2000
−4000
−6000
5967. 0
5967. 1
5967. 2
5967. 3
5967. 4
5967. 5
5967. 6
5968. 0
5968. 1
5968. 2
5968. 3
5968. 4
5968. 5
5968. 6
5968. 7
5969. 0
5969. 1
5969. 2
5969. 3
5969. 4
5969. 5
5969. 6
5969. 7
5969. 8
5969. 9
5970. 0
5970. 1
5970. 2
5970. 3
5971. 0
5971. 1
5971. 2
5971. 3
5971. 4
5971. 5
5971. 6
5972. 0
pull
Entries 37
Mean 519.7
Std Dev 0
1.5
1
0.5
0
−0.5
−1
−1.5
−2
−2.5

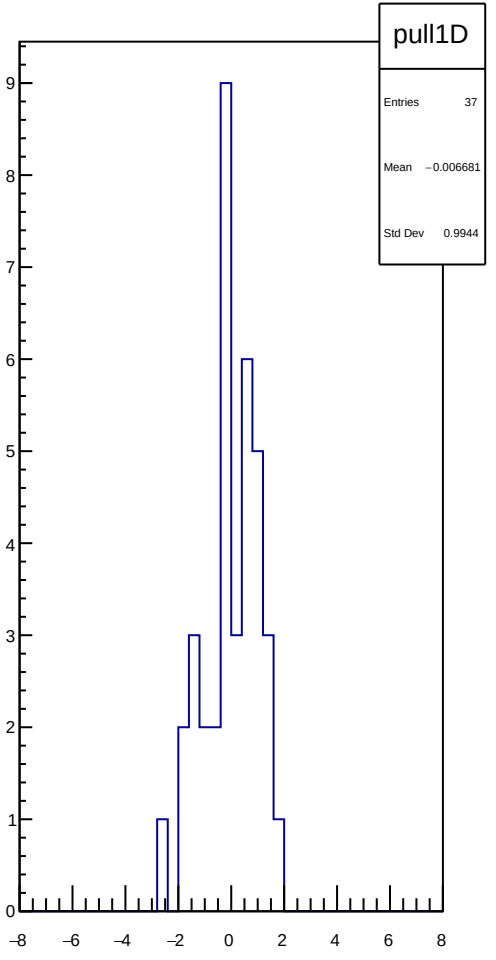
pull1D
Entries 37
Mean −0.006681
Std Dev 0.9944
9
8
7
6
5
4
3
2
1
0
−8
−6
−4
−2
0
2
4
6
8

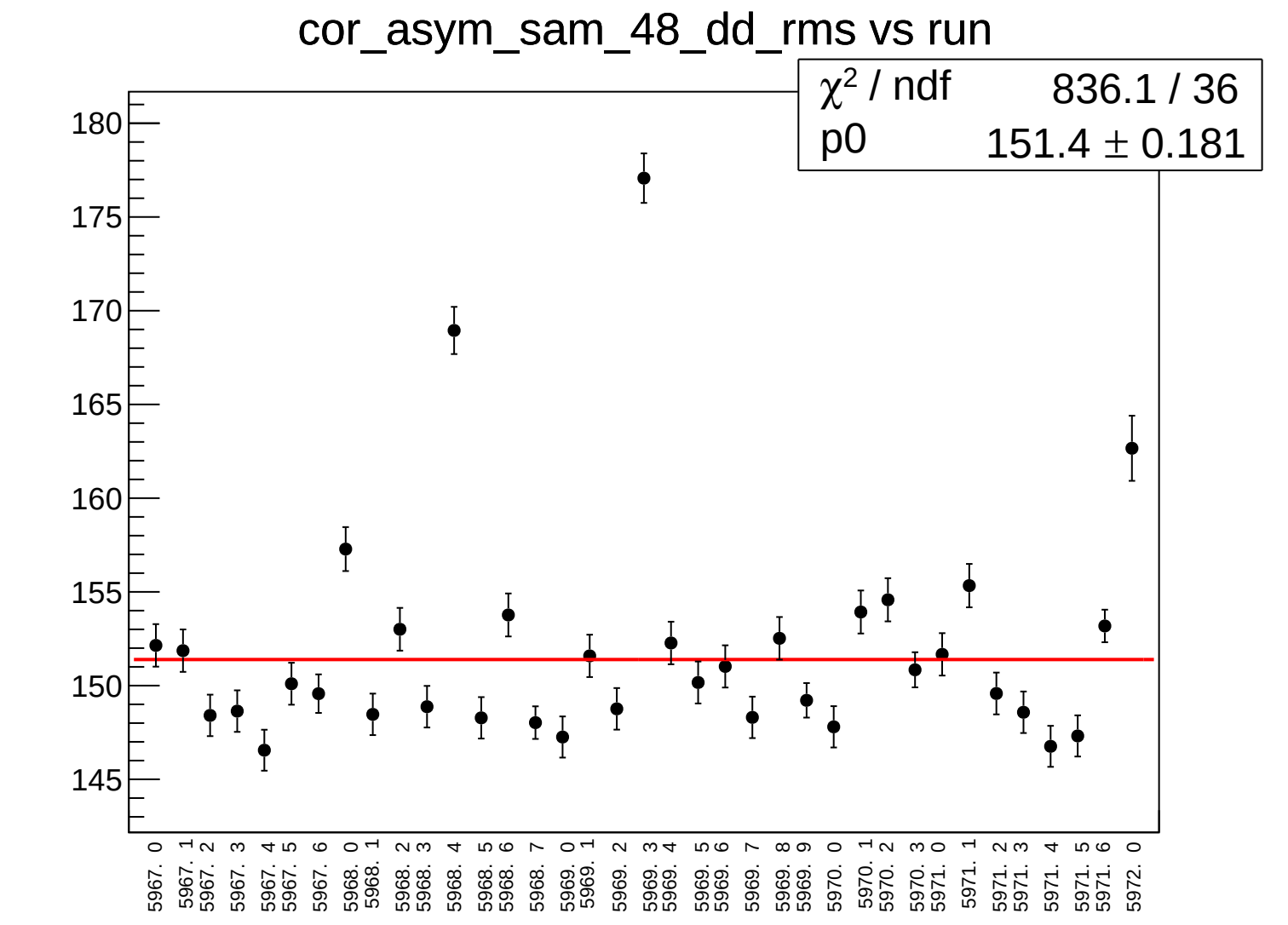
cor_asym_sam_48_dd_rms vs run
χ² / ndf 836.1 / 36
p0 151.4 ± 0.181
180
175
170
165
160
155
150
145
5967. 0
5967. 1
5967. 2
5967. 3
5967. 4
5967. 5
5967. 6
5968. 0
5968. 1
5968. 2
5968. 3
5968. 4
5968. 5
5968. 6
5968. 7
5969. 0
5969. 1
5969. 2
5969. 3
5969. 4
5969. 5
5969. 6
5969. 7
5969. 8
5969. 9
5970. 0
5970. 1
5970. 2
5970. 3
5971. 0
5971. 1
5971. 2
5971. 3
5971. 4
5971. 5
5971. 6
5972. 0

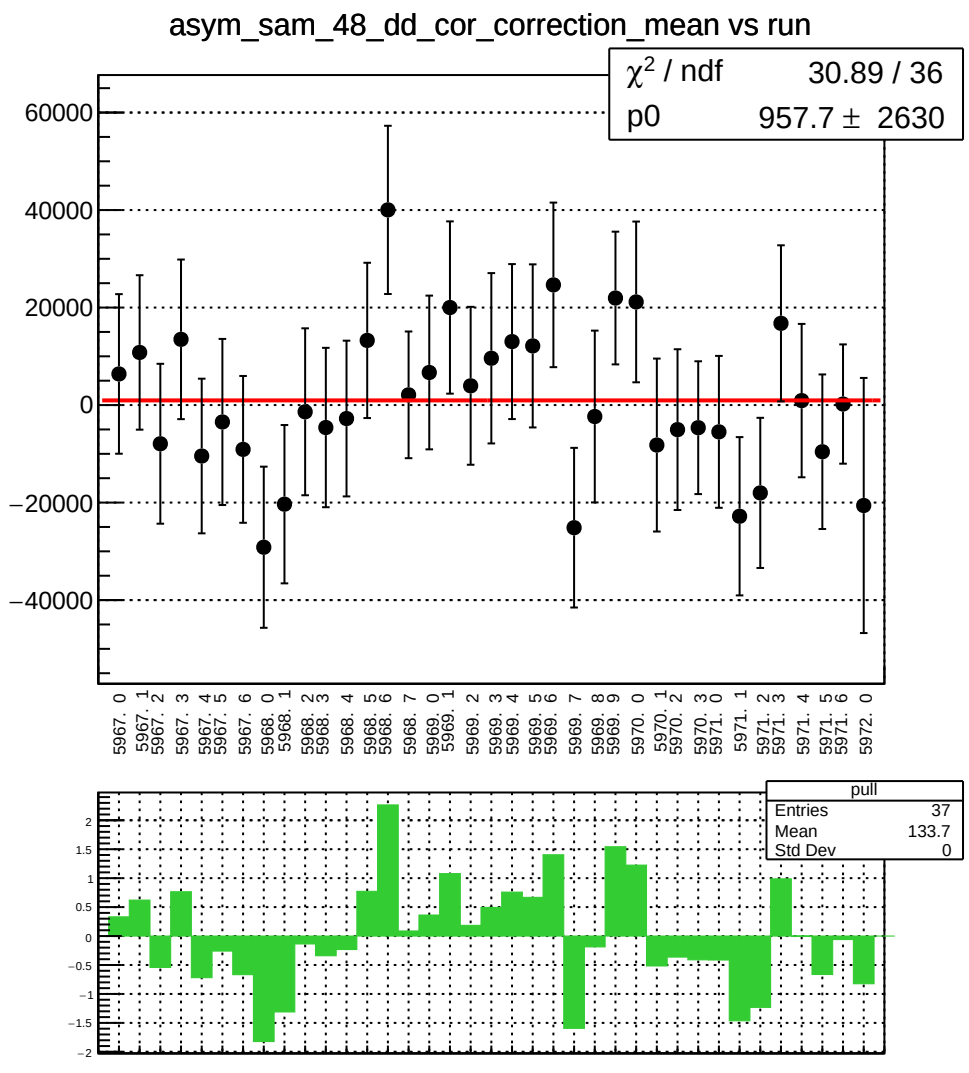
asym_sam_48_dd_cor_correction_mean vs run
χ² / ndf 30.89 / 36
p0 957.7 ± 2630
60000
40000
20000
0
−20000
−40000
5967. 0
5967. 1
5967. 2
5967. 3
5967. 4
5967. 5
5967. 6
5968. 0
5968. 1
5968. 2
5968. 3
5968. 4
5968. 5
5968. 6
5968. 7
5969. 0
5969. 1
5969. 2
5969. 3
5969. 4
5969. 5
5969. 6
5969. 7
5969. 8
5969. 9
5970. 0
5970. 1
5970. 2
5970. 3
5971. 0
5971. 1
5971. 2
5971. 3
5971. 4
5971. 5
5971. 6
5972. 0
pull
Entries 37
Mean 133.7
Std Dev 0
2
1.5
1
0.5
0
−0.5
−1
−1.5
−2
pull1D
Entries 37
Mean −0.005729
Std Dev 0.9137
8
7
6
5
4
3
2
1
0
−8
−6
−4
−2
0
2
4
6
8

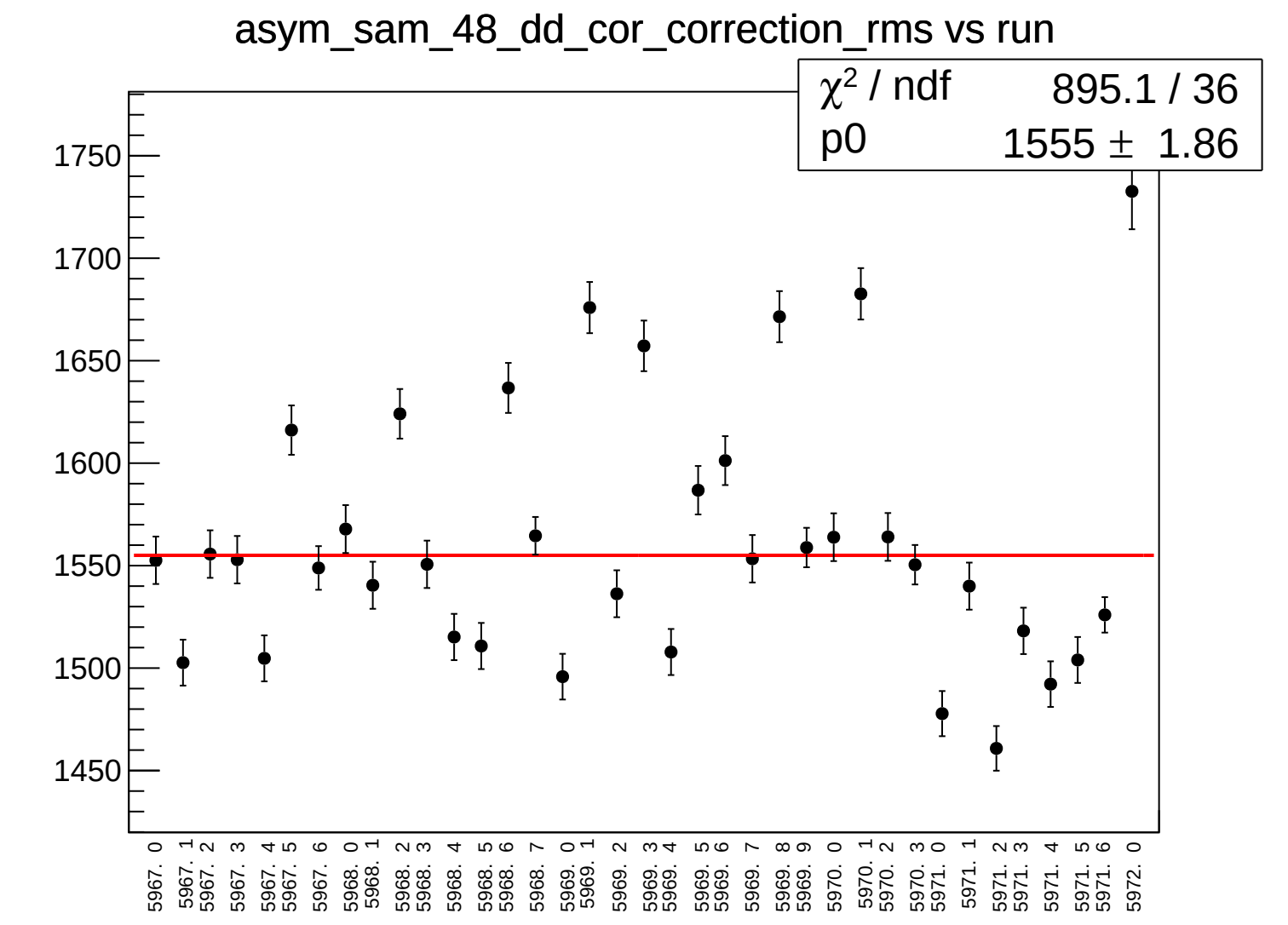
asym_sam_48_dd_cor_correction_rms vs run
χ² / ndf 895.1 / 36
p0 1555 ± 1.86
1750
1700
1650
1600
1550
1500
1450
5967. 0
5967. 1
5967. 2
5967. 3
5967. 4
5967. 5
5967. 6
5968. 0
5968. 1
5968. 2
5968. 3
5968. 4
5968. 5
5968. 6
5968. 7
5969. 0
5969. 1
5969. 2
5969. 3
5969. 4
5969. 5
5969. 6
5969. 7
5969. 8
5969. 9
5970. 0
5970. 1
5970. 2
5970. 3
5971. 0
5971. 1
5971. 2
5971. 3
5971. 4
5971. 5
5971. 6
5972. 0

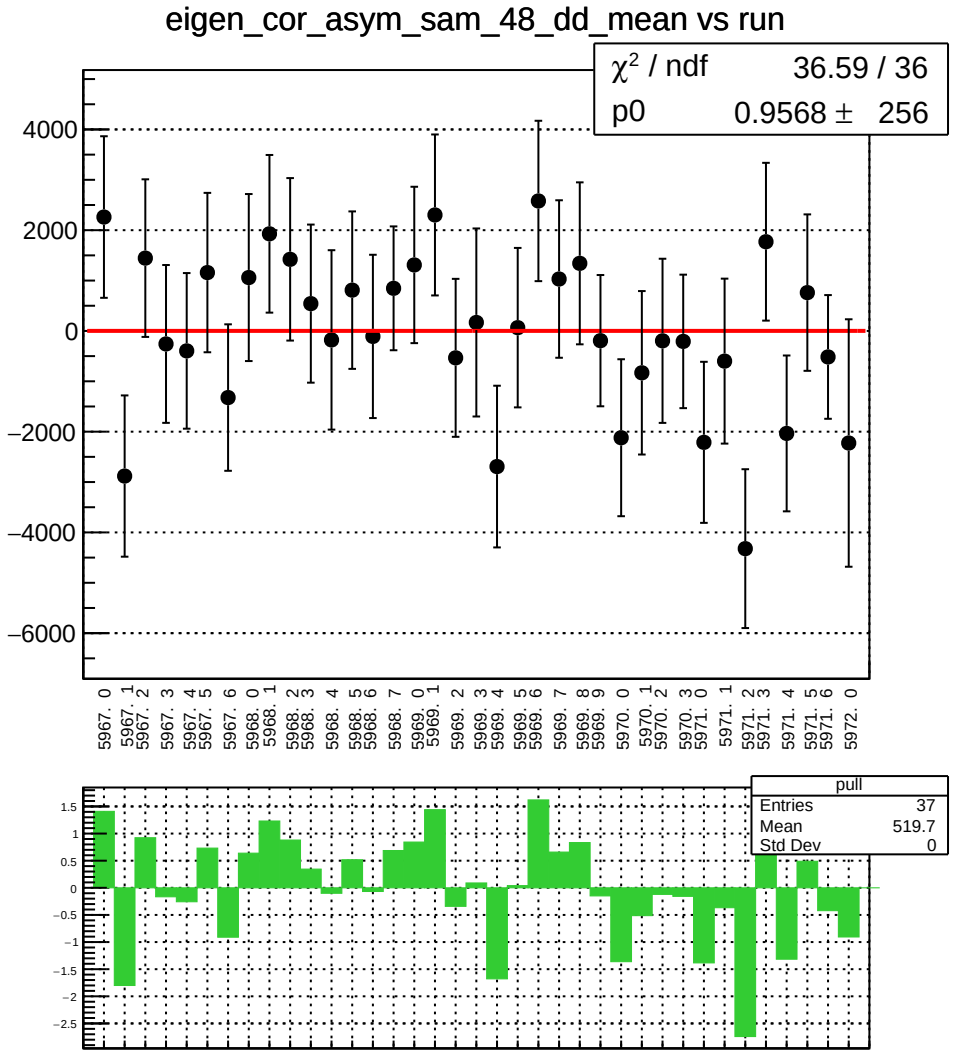
eigen_cor_asym_sam_48_dd_mean vs run
χ² / ndf 36.59 / 36
p0 0.9568 ± 256
4000
2000
0
−2000
−4000
−6000
5967. 0
5967. 1
5967. 2
5967. 3
5967. 4
5967. 5
5967. 6
5968. 0
5968. 1
5968. 2
5968. 3
5968. 4
5968. 5
5968. 6
5968. 7
5969. 0
5969. 1
5969. 2
5969. 3
5969. 4
5969. 5
5969. 6
5969. 7
5969. 8
5969. 9
5970. 0
5970. 1
5970. 2
5970. 3
5971. 0
5971. 1
5971. 2
5971. 3
5971. 4
5971. 5
5971. 6
5972. 0
pull
Entries 37
Mean 519.7
Std Dev 0
1.5
1
0.5
0
−0.5
−1
−1.5
−2
−2.5
pull1D
Entries 37
Mean −0.006681
Std Dev 0.9944
9
8
7
6
5
4
3
2
1
0
−8
−6
−4
−2
0
2
4
6
8

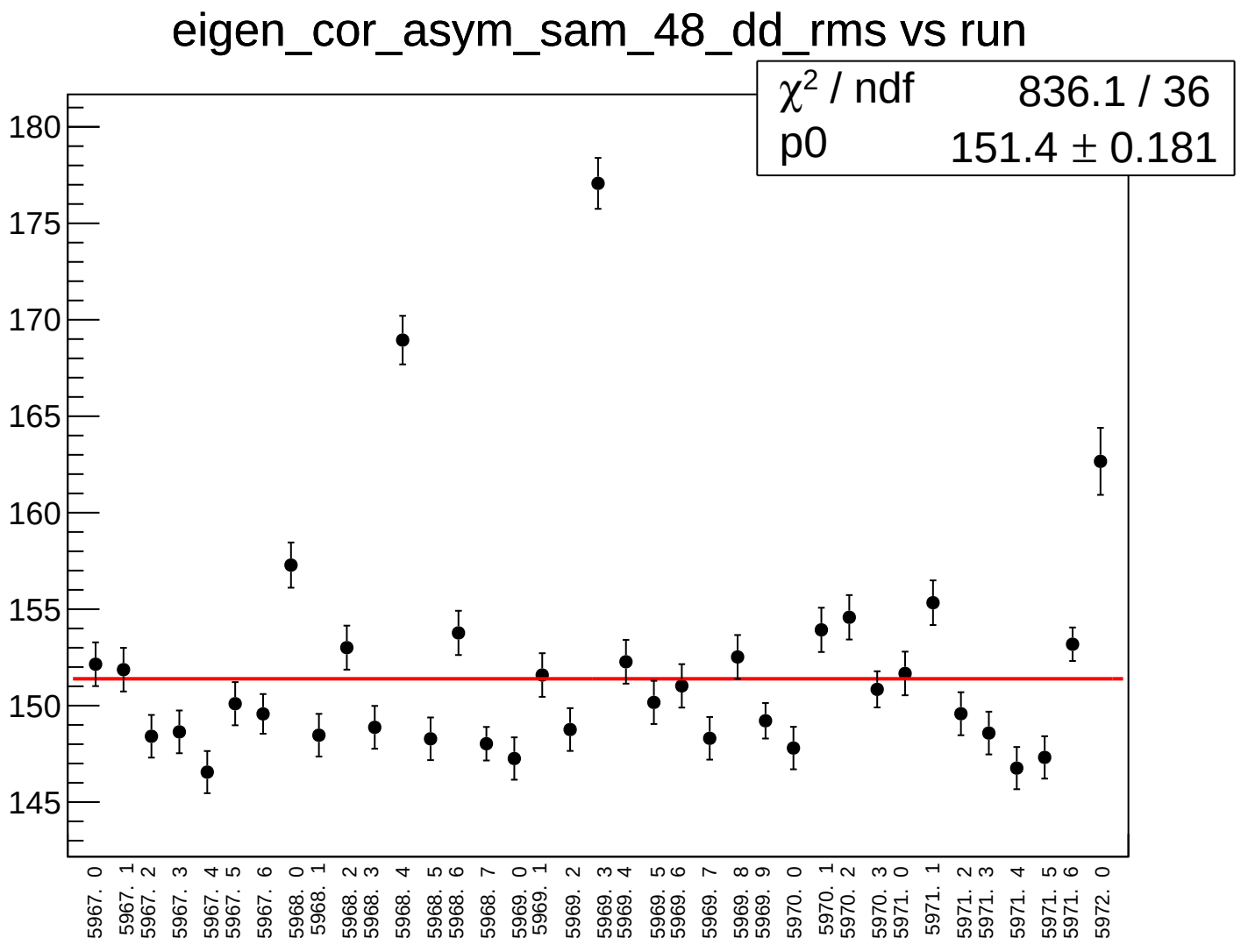
eigen_cor_asym_sam_48_dd_rms vs run
χ² / ndf 836.1 / 36
p0 151.4 ± 0.181
180
175
170
165
160
155
150
145
5967. 0
5967. 1
5967. 2
5967. 3
5967. 4
5967. 5
5967. 6
5968. 0
5968. 1
5968. 2
5968. 3
5968. 4
5968. 5
5968. 6
5968. 7
5969. 0
5969. 1
5969. 2
5969. 3
5969. 4
5969. 5
5969. 6
5969. 7
5969. 8
5969. 9
5970. 0
5970. 1
5970. 2
5970. 3
5971. 0
5971. 1
5971. 2
5971. 3
5971. 4
5971. 5
5971. 6
5972. 0

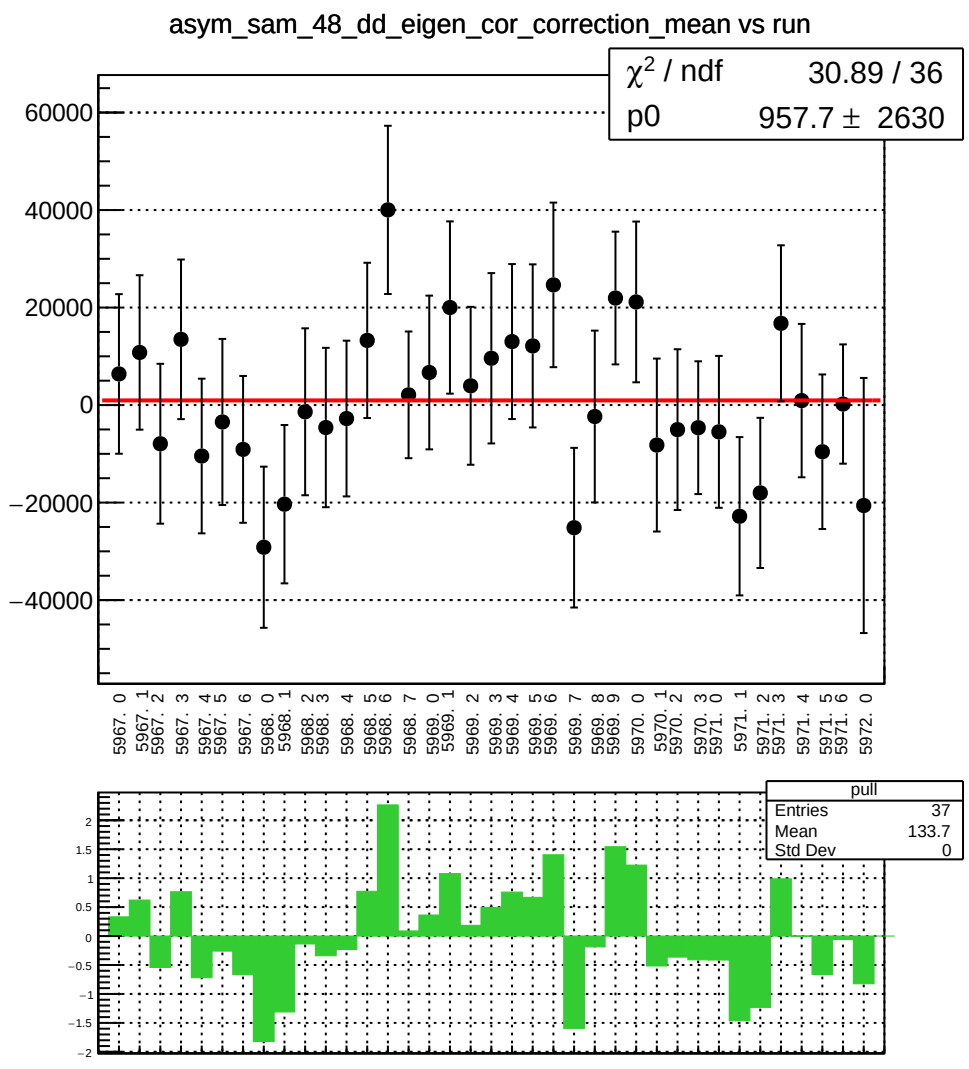
asym_sam_48_dd_eigen_cor_correction_mean vs run
χ² / ndf 30.89 / 36
p0 957.7 ± 2630
60000
40000
20000
0
−20000
−40000
5967. 0
5967. 1
5967. 2
5967. 3
5967. 4
5967. 5
5967. 6
5968. 0
5968. 1
5968. 2
5968. 3
5968. 4
5968. 5
5968. 6
5968. 7
5969. 0
5969. 1
5969. 2
5969. 3
5969. 4
5969. 5
5969. 6
5969. 7
5969. 8
5969. 9
5970. 0
5970. 1
5970. 2
5970. 3
5971. 0
5971. 1
5971. 2
5971. 3
5971. 4
5971. 5
5971. 6
5972. 0
pull
Entries 37
Mean 133.7
Std Dev 0
2
1.5
1
0.5
0
−0.5
−1
−1.5
−2
pull1D
Entries 37
Mean −0.005729
Std Dev 0.9137
8
7
6
5
4
3
2
1
0
−8
−6
−4
−2
0
2
4
6
8

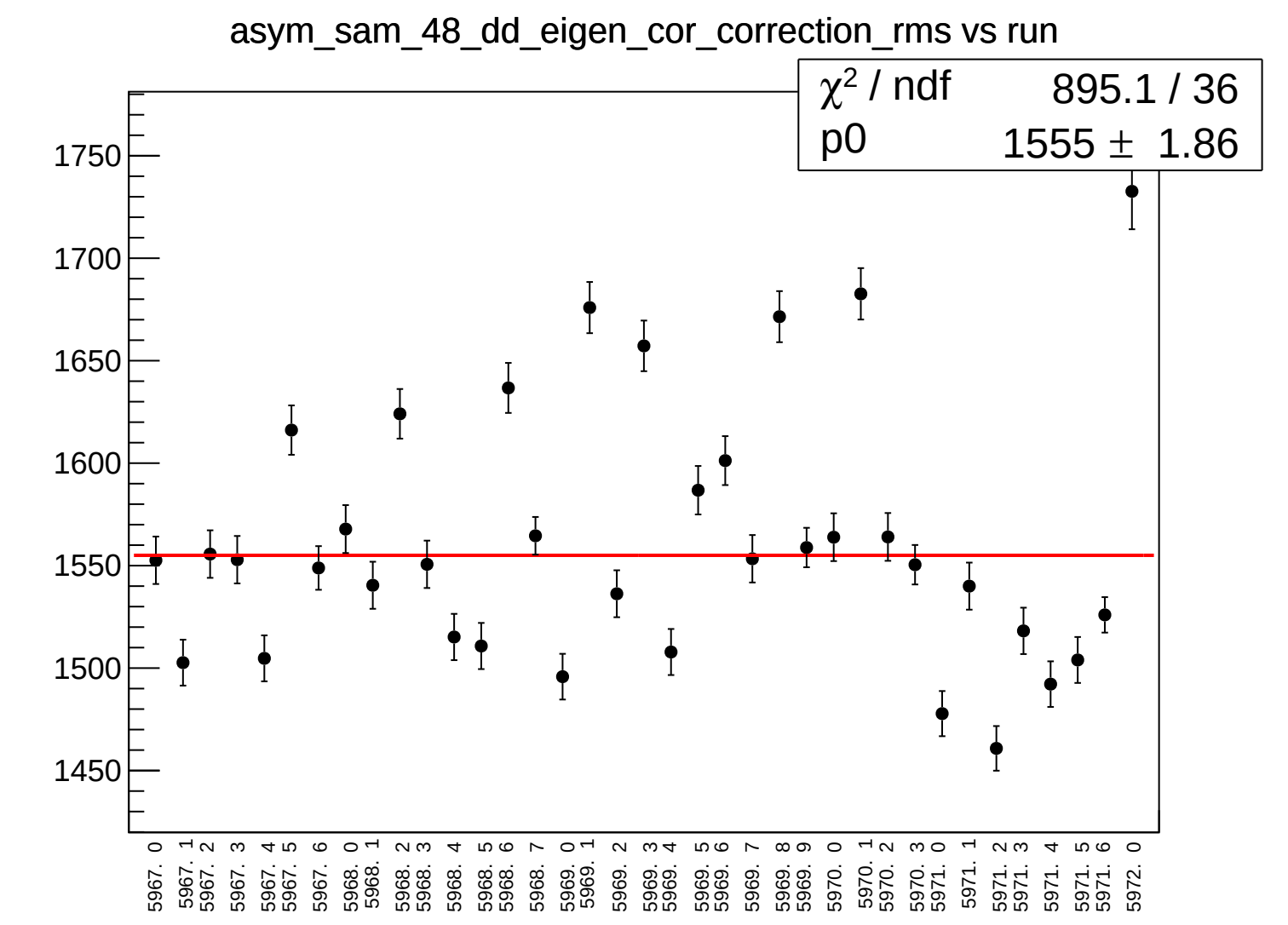
asym_sam_48_dd_eigen_cor_correction_rms vs run
χ^2 / ndf 895.1 / 36
p0 1555 ± 1.86
1750
1700
1650
1600
1550
1500
1450
5967. 0
5967. 1
5967. 2
5967. 3
5967. 4
5967. 5
5967. 6
5968. 0
5968. 1
5968. 2
5968. 3
5968. 4
5968. 5
5968. 6
5968. 7
5969. 0
5969. 1
5969. 2
5969. 3
5969. 4
5969. 5
5969. 6
5969. 7
5969. 8
5969. 9
5970. 0
5970. 1
5970. 2
5970. 3
5971. 0
5971. 1
5971. 2
5971. 3
5971. 4
5971. 5
5971. 6
5972. 0

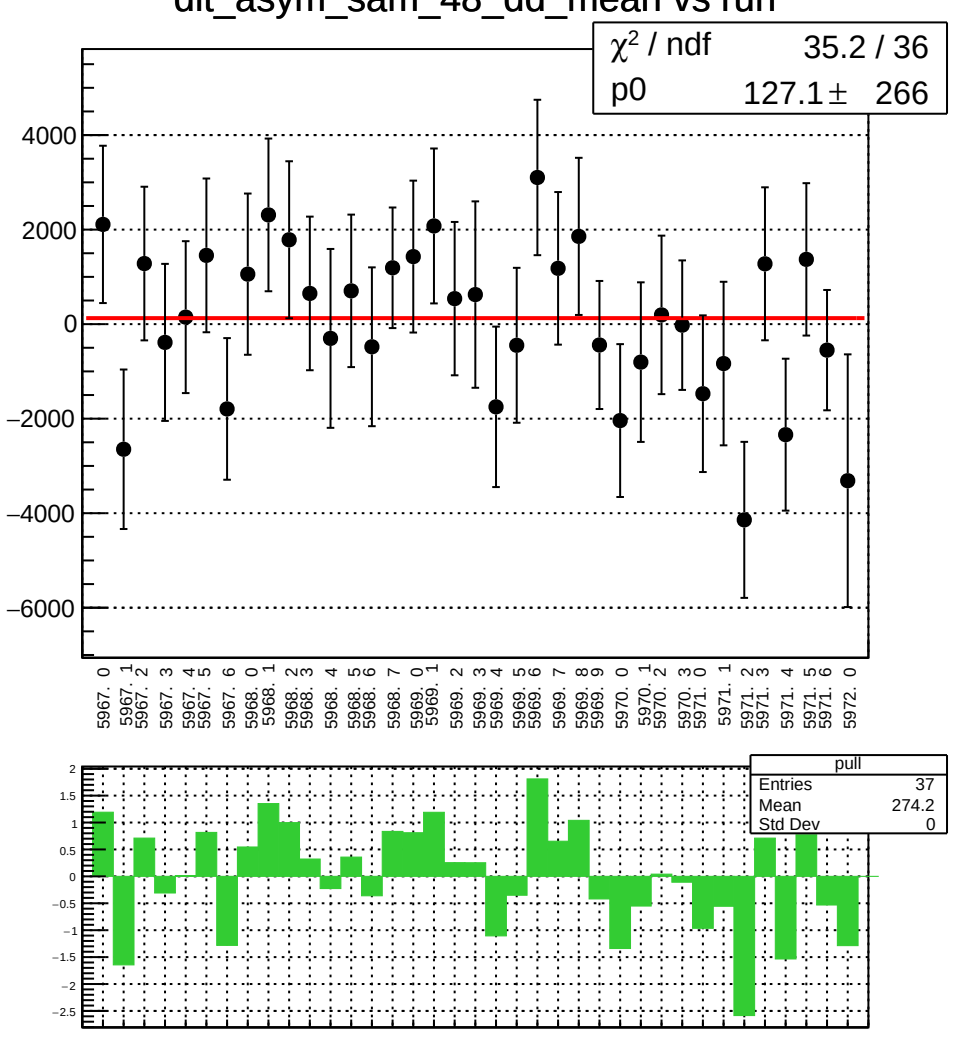
dit_asym_sam_48_dd_mean vs run
χ² / ndf 35.2 / 36
p0 127.1 ± 266
4000
2000
0
−2000
−4000
−6000
5967. 0
5967. 1
5967. 2
5967. 3
5967. 4
5967. 5
5967. 6
5968. 0
5968. 1
5968. 2
5968. 3
5968. 4
5968. 5
5968. 6
5968. 7
5969. 0
5969. 1
5969. 2
5969. 3
5969. 4
5969. 5
5969. 6
5969. 7
5969. 8
5969. 9
5970. 0
5970. 1
5970. 2
5970. 3
5971. 0
5971. 1
5971. 2
5971. 3
5971. 4
5971. 5
5971. 6
5972. 0
pull
Entries 37
Mean 274.2
Std Dev 0
2
1.5
1
0.5
0
−0.5
−1
−1.5
−2
−2.5

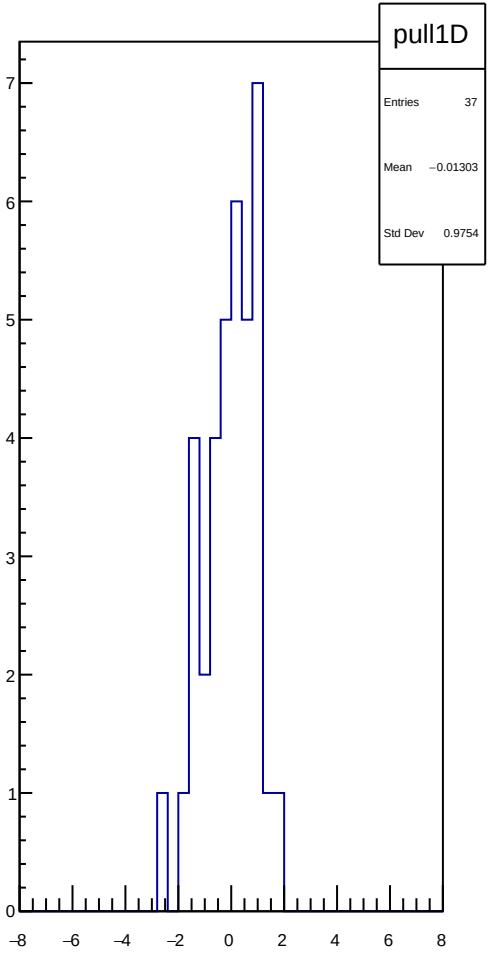
pull1D
Entries 37
Mean −0.01303
Std Dev 0.9754
7
6
5
4
3
2
1
0
−8
−6
−4
−2
0
2
4
6
8

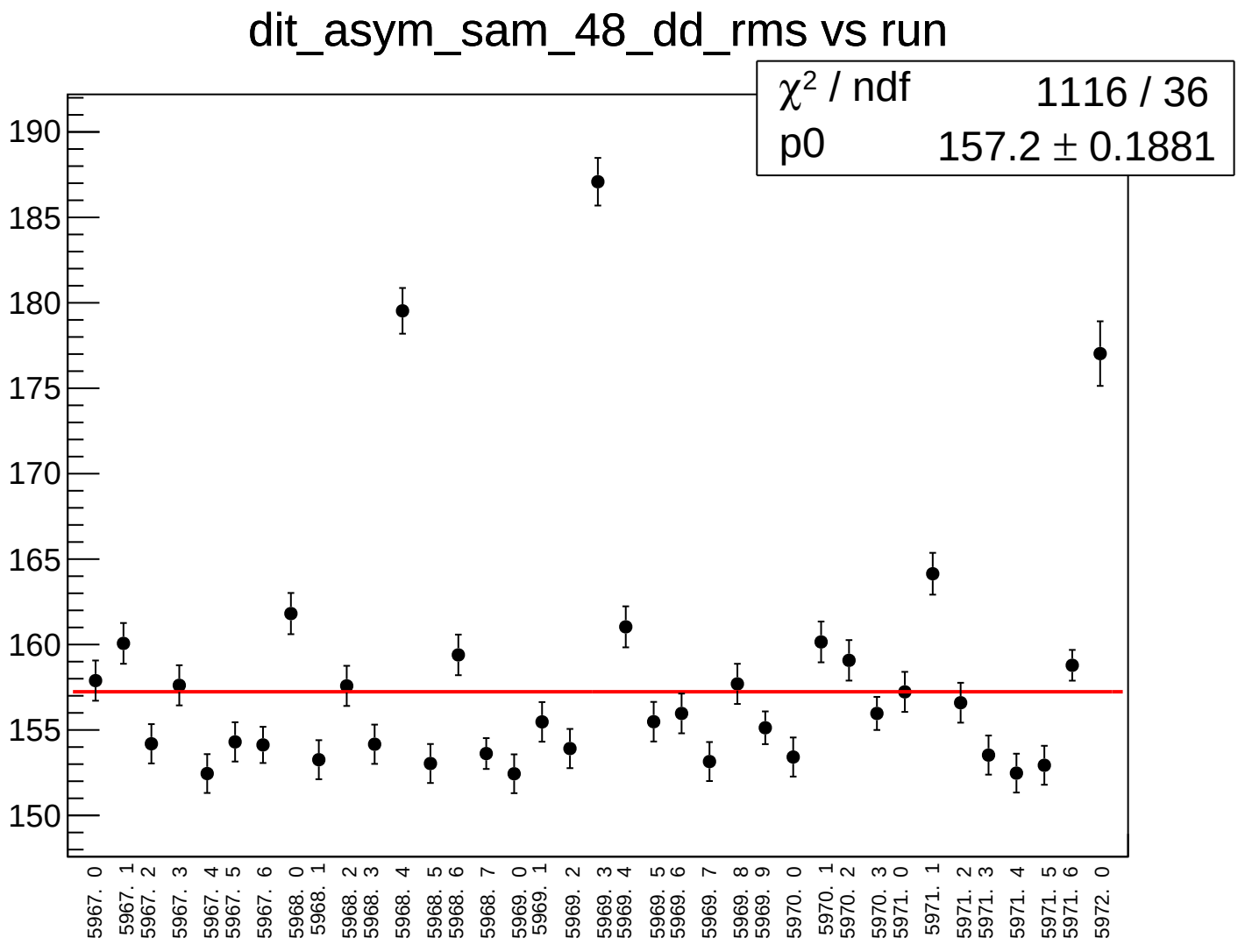
dit_asym_sam_48_dd_rms vs run
χ² / ndf 1116 / 36
p0 157.2 ± 0.1881
190
185
180
175
170
165
160
155
150
5967. 0
5967. 1
5967. 2
5967. 3
5967. 4
5967. 5
5967. 6
5968. 0
5968. 1
5968. 2
5968. 3
5968. 4
5968. 5
5968. 6
5968. 7
5969. 0
5969. 1
5969. 2
5969. 3
5969. 4
5969. 5
5969. 6
5969. 7
5969. 8
5969. 9
5970. 0
5970. 1
5970. 2
5970. 3
5971. 0
5971. 1
5971. 2
5971. 3
5971. 4
5971. 5
5971. 6
5972. 0

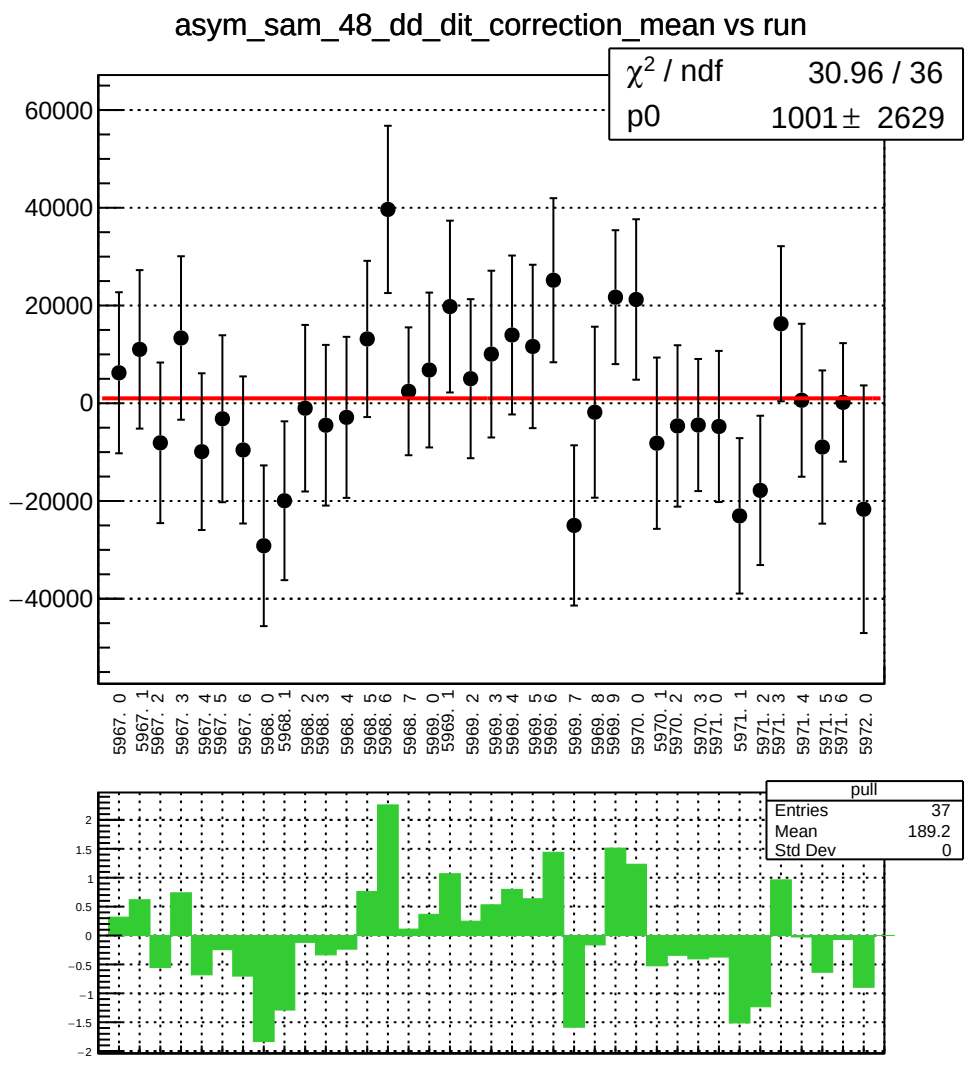
asym_sam_48_dd_dit_correction_mean vs run
χ² / ndf 30.96 / 36
p0 1001 ± 2629
60000
40000
20000
0
−20000
−40000
5967. 0
5967. 1
5967. 2
5967. 3
5967. 4
5967. 5
5967. 6
5968. 0
5968. 1
5968. 2
5968. 3
5968. 4
5968. 5
5968. 6
5968. 7
5969. 0
5969. 1
5969. 2
5969. 3
5969. 4
5969. 5
5969. 6
5969. 7
5969. 8
5969. 9
5970. 0
5970. 1
5970. 2
5970. 3
5971. 0
5971. 1
5971. 2
5971. 3
5971. 4
5971. 5
5971. 6
5972. 0
pull
Entries 37
Mean 189.2
Std Dev 0
2
1.5
1
0.5
0
−0.5
−1
−1.5
−2
pull1D
Entries 37
Mean −0.004058
Std Dev 0.9147
9
8
7
6
5
4
3
2
1
0
−8
−6
−4
−2
0
2
4
6
8

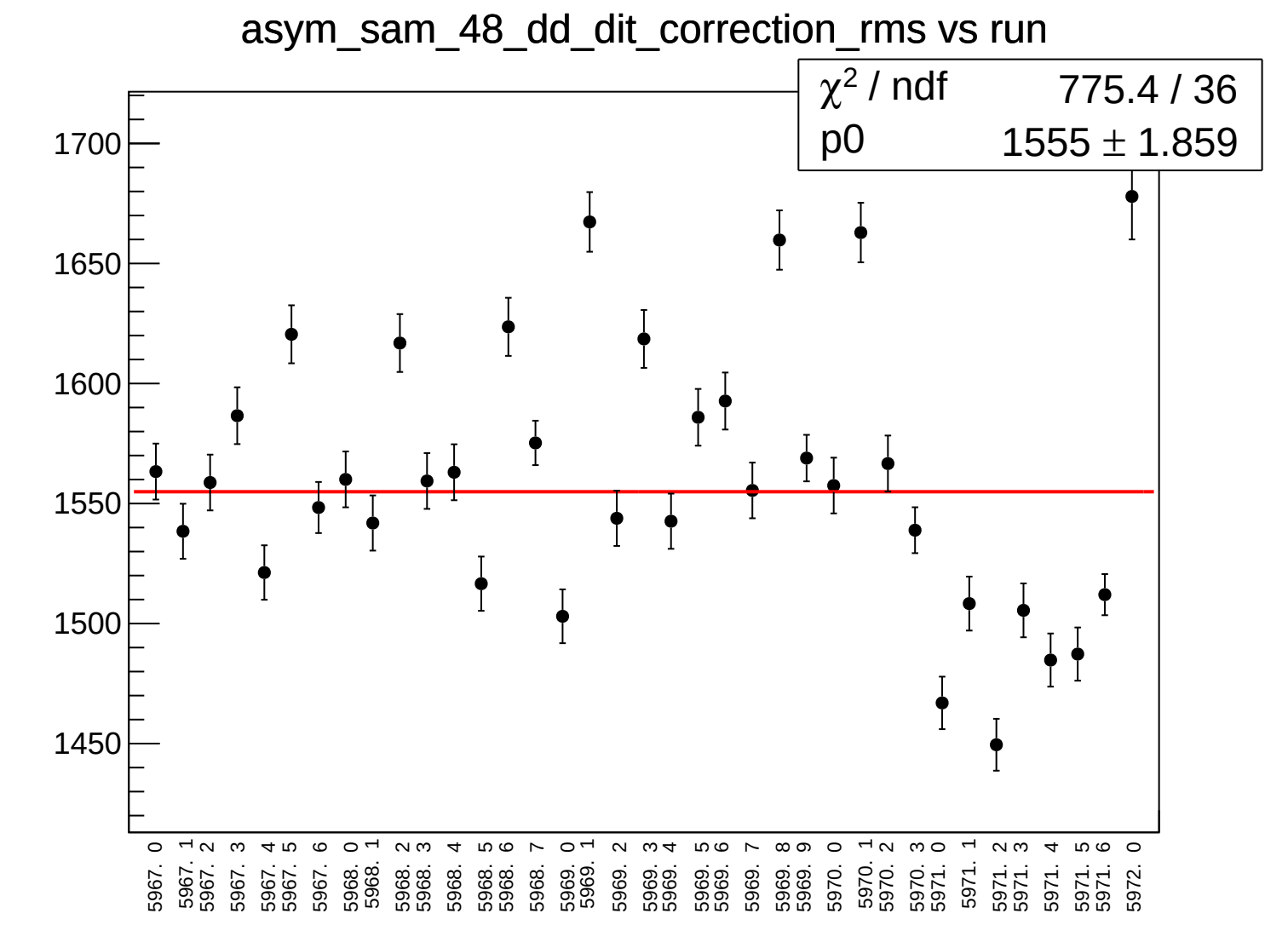
asym_sam_48_dd_dit_correction_rms vs run
χ² / ndf 775.4 / 36
p0 1555 ± 1.859
1700
1650
1600
1550
1500
1450
5967. 0
5967. 1
5967. 2
5967. 3
5967. 4
5967. 5
5967. 6
5968. 0
5968. 1
5968. 2
5968. 3
5968. 4
5968. 5
5968. 6
5968. 7
5969. 0
5969. 1
5969. 2
5969. 3
5969. 4
5969. 5
5969. 6
5969. 7
5969. 8
5969. 9
5970. 0
5970. 1
5970. 2
5970. 3
5971. 0
5971. 1
5971. 2
5971. 3
5971. 4
5971. 5
5971. 6
5972. 0

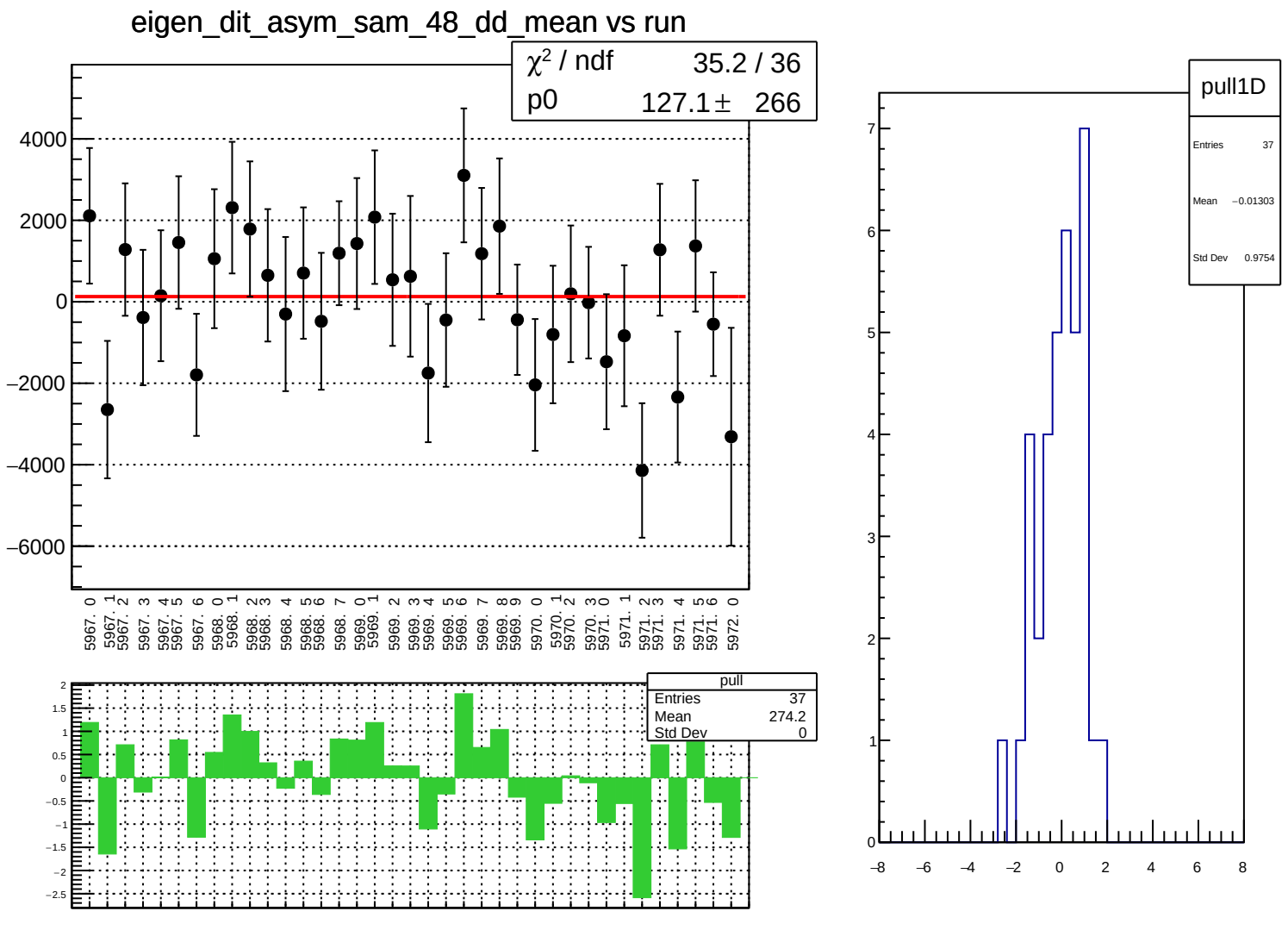
eigen_dit_asym_sam_48_dd_mean vs run
χ² / ndf 35.2 / 36
p0 127.1 ± 266
4000
2000
0
−2000
−4000
−6000
5967. 0
5967. 1
5967. 2
5967. 3
5967. 4
5967. 5
5967. 6
5968. 0
5968. 1
5968. 2
5968. 3
5968. 4
5968. 5
5968. 6
5968. 7
5969. 0
5969. 1
5969. 2
5969. 3
5969. 4
5969. 5
5969. 6
5969. 7
5969. 8
5969. 9
5970. 0
5970. 1
5970. 2
5970. 3
5971. 0
5971. 1
5971. 2
5971. 3
5971. 4
5971. 5
5971. 6
5972. 0
pull
Entries 37
Mean 274.2
Std Dev 0
2
1.5
1
0.5
0
−0.5
−1
−1.5
−2
−2.5
pull1D
Entries 37
Mean −0.01303
Std Dev 0.9754
7
6
5
4
3
2
1
0
−8
−6
−4
−2
0
2
4
6
8

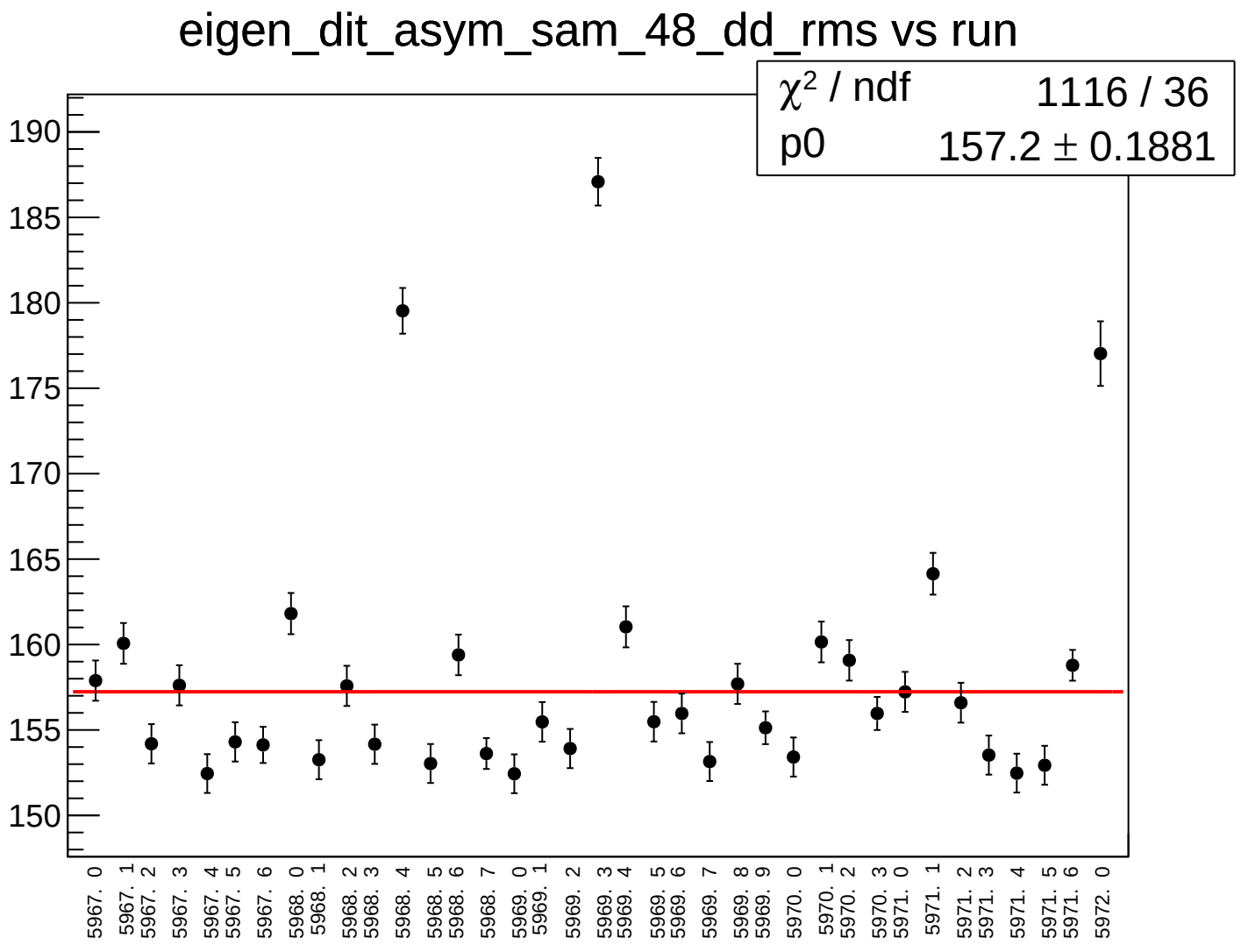
eigen_dit_asym_sam_48_dd_rms vs run
χ² / ndf 1116 / 36
p0 157.2 ± 0.1881
190
185
180
175
170
165
160
155
150
5967. 0
5967. 1
5967. 2
5967. 3
5967. 4
5967. 5
5967. 6
5968. 0
5968. 1
5968. 2
5968. 3
5968. 4
5968. 5
5968. 6
5968. 7
5969. 0
5969. 1
5969. 2
5969. 3
5969. 4
5969. 5
5969. 6
5969. 7
5969. 8
5969. 9
5970. 0
5970. 1
5970. 2
5970. 3
5971. 0
5971. 1
5971. 2
5971. 3
5971. 4
5971. 5
5971. 6
5972. 0

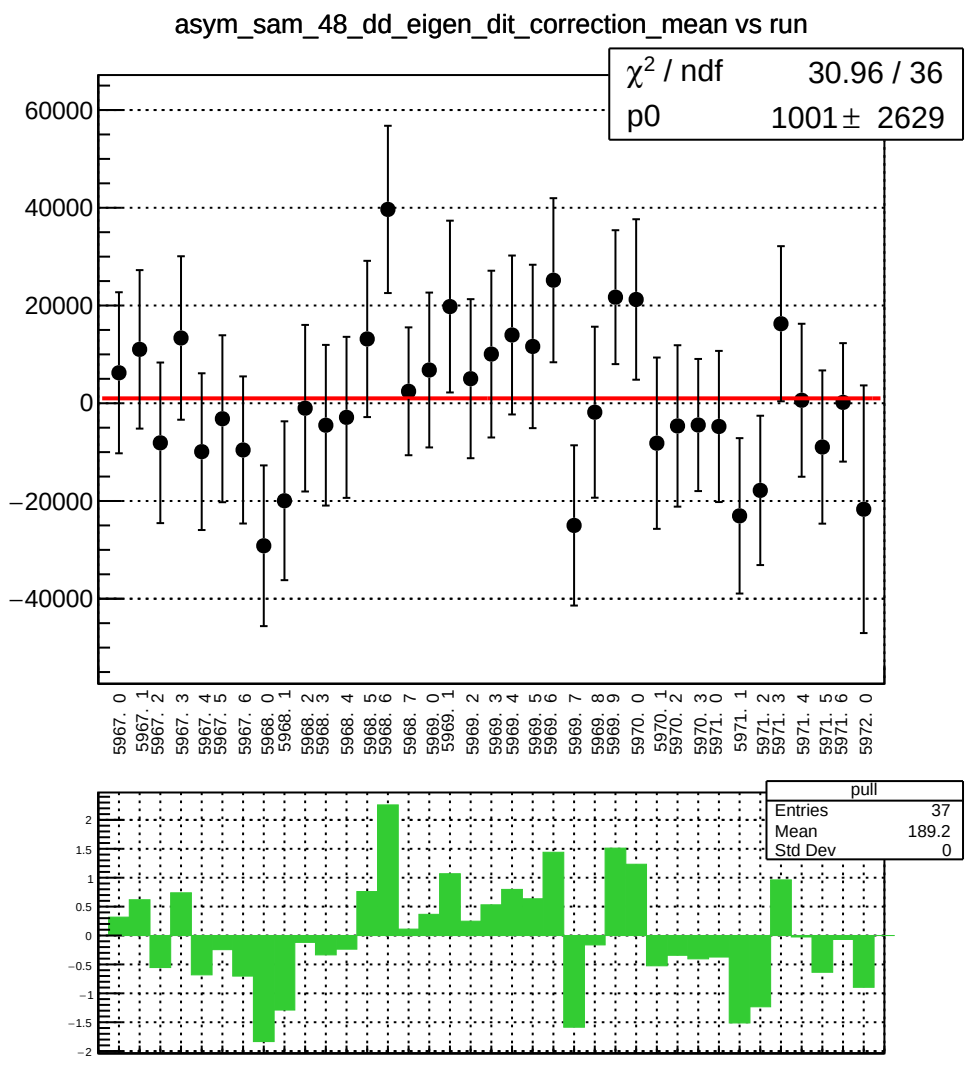
asym_sam_48_dd_eigen_dit_correction_mean vs run
χ² / ndf 30.96 / 36
p0 1001 ± 2629
60000
40000
20000
0
−20000
−40000
5967. 0
5967. 1
5967. 2
5967. 3
5967. 4
5967. 5
5967. 6
5968. 0
5968. 1
5968. 2
5968. 3
5968. 4
5968. 5
5968. 6
5968. 7
5969. 0
5969. 1
5969. 2
5969. 3
5969. 4
5969. 5
5969. 6
5969. 7
5969. 8
5969. 9
5970. 0
5970. 1
5970. 2
5970. 3
5971. 0
5971. 1
5971. 2
5971. 3
5971. 4
5971. 5
5971. 6
5972. 0
pull
Entries 37
Mean 189.2
Std Dev 0
2
1.5
1
0.5
0
−0.5
−1
−1.5
−2
pull1D
Entries 37
Mean −0.004058
Std Dev 0.9147
9
8
7
6
5
4
3
2
1
0
−8
−6
−4
−2
0
2
4
6
8

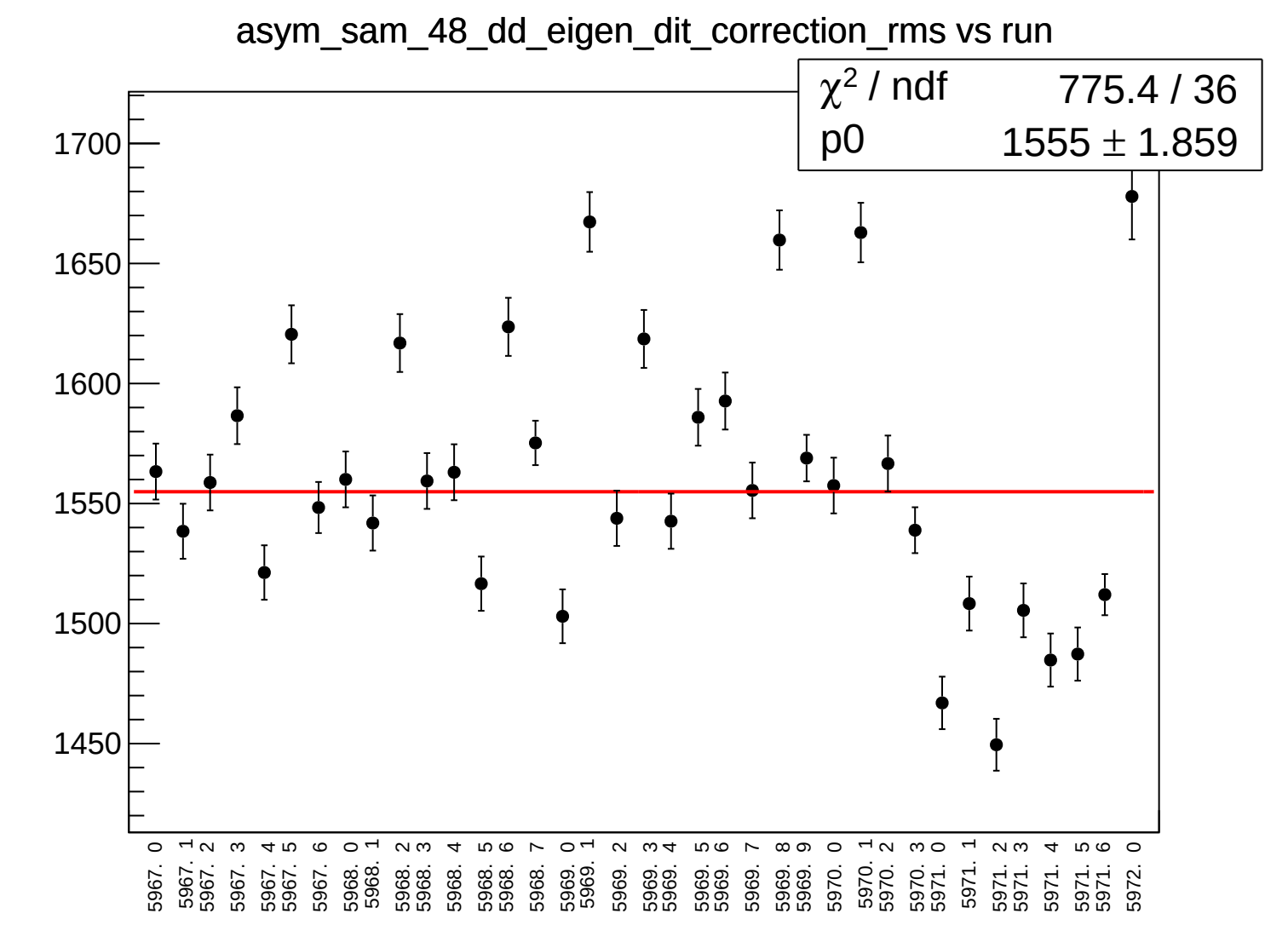
asym_sam_48_dd_eigen_dit_correction_rms vs run
χ² / ndf 775.4 / 36
p0 1555 ± 1.859
1700
1650
1600
1550
1500
1450
5967. 0
5967. 1
5967. 2
5967. 3
5967. 4
5967. 5
5967. 6
5968. 0
5968. 1
5968. 2
5968. 3
5968. 4
5968. 5
5968. 6
5968. 7
5969. 0
5969. 1
5969. 2
5969. 3
5969. 4
5969. 5
5969. 6
5969. 7
5969. 8
5969. 9
5970. 0
5970. 1
5970. 2
5970. 3
5971. 0
5971. 1
5971. 2
5971. 3
5971. 4
5971. 5
5971. 6
5972. 0

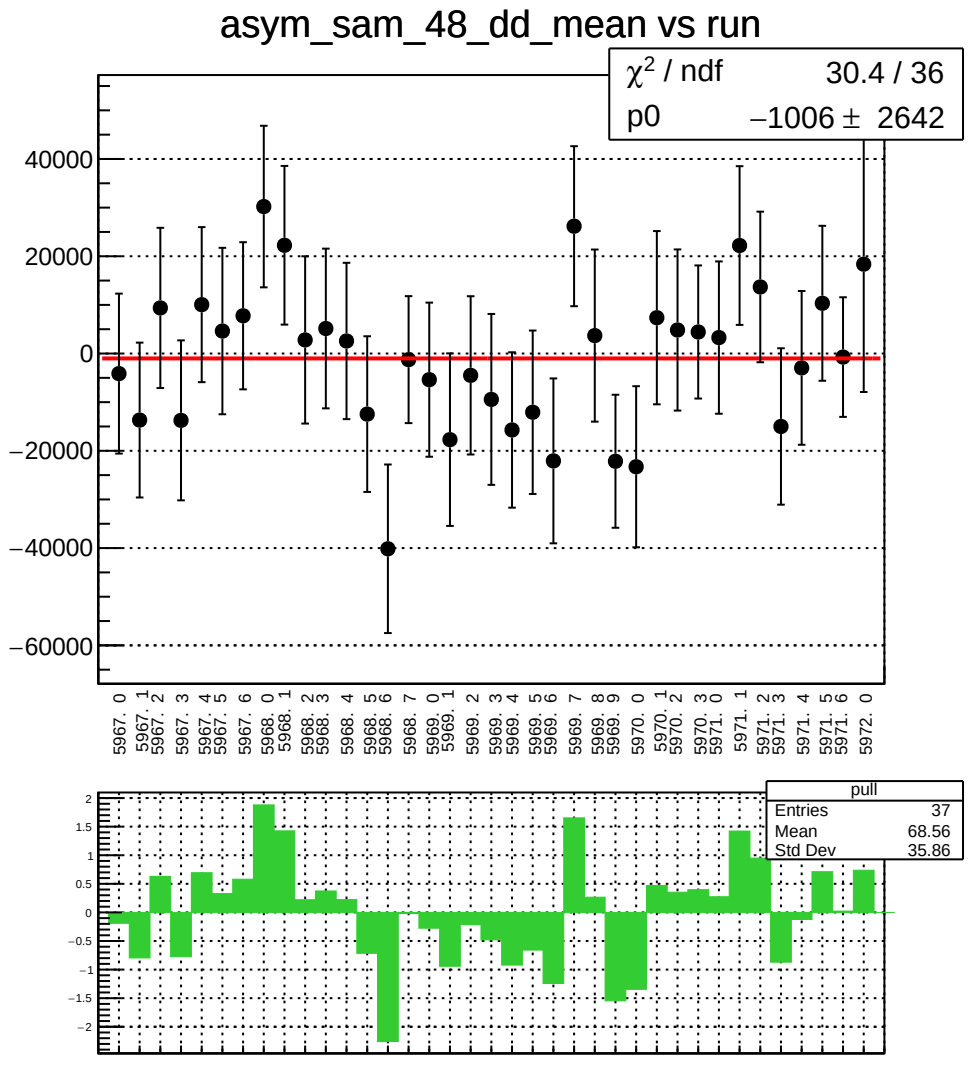
asym_sam_48_dd_mean vs run
χ² / ndf 30.4 / 36
p0 −1006 ± 2642
40000
20000
0
−20000
−40000
−60000
5967. 0
5967. 1
5967. 2
5967. 3
5967. 4
5967. 5
5967. 6
5968. 0
5968. 1
5968. 2
5968. 3
5968. 4
5968. 5
5968. 6
5968. 7
5969. 0
5969. 1
5969. 2
5969. 3
5969. 4
5969. 5
5969. 6
5969. 7
5969. 8
5969. 9
5970. 0
5970. 1
5970. 2
5970. 3
5971. 0
5971. 1
5971. 2
5971. 3
5971. 4
5971. 5
5971. 6
5972. 0
pull
Entries 37
Mean 68.56
Std Dev 35.86
2
1.5
1
0.5
0
−0.5
−1
−1.5
−2
pull1D
Entries 37
Mean 0.006613
Std Dev 0.9065
9
8
7
6
5
4
3
2
1
0
−8
−6
−4
−2
0
2
4
6
8

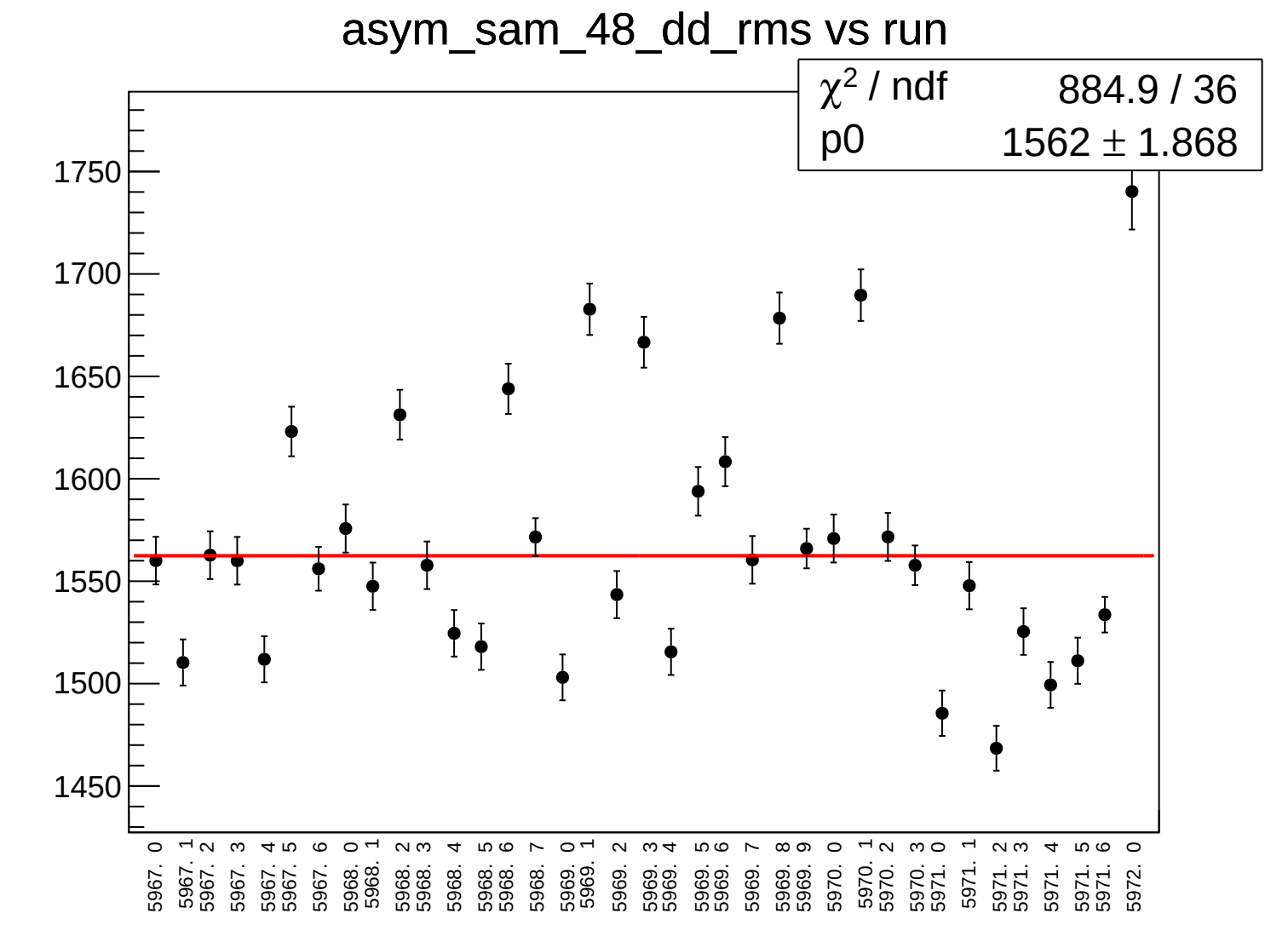
asym_sam_48_dd_rms vs run
χ^2 / ndf 884.9 / 36
p0 1562 ± 1.868
1750
1700
1650
1600
1550
1500
1450
5967. 0
5967. 1
5967. 2
5967. 3
5967. 4
5967. 5
5967. 6
5968. 0
5968. 1
5968. 2
5968. 3
5968. 4
5968. 5
5968. 6
5968. 7
5969. 0
5969. 1
5969. 2
5969. 3
5969. 4
5969. 5
5969. 6
5969. 7
5969. 8
5969. 9
5970. 0
5970. 1
5970. 2
5970. 3
5971. 0
5971. 1
5971. 2
5971. 3
5971. 4
5971. 5
5971. 6
5972. 0

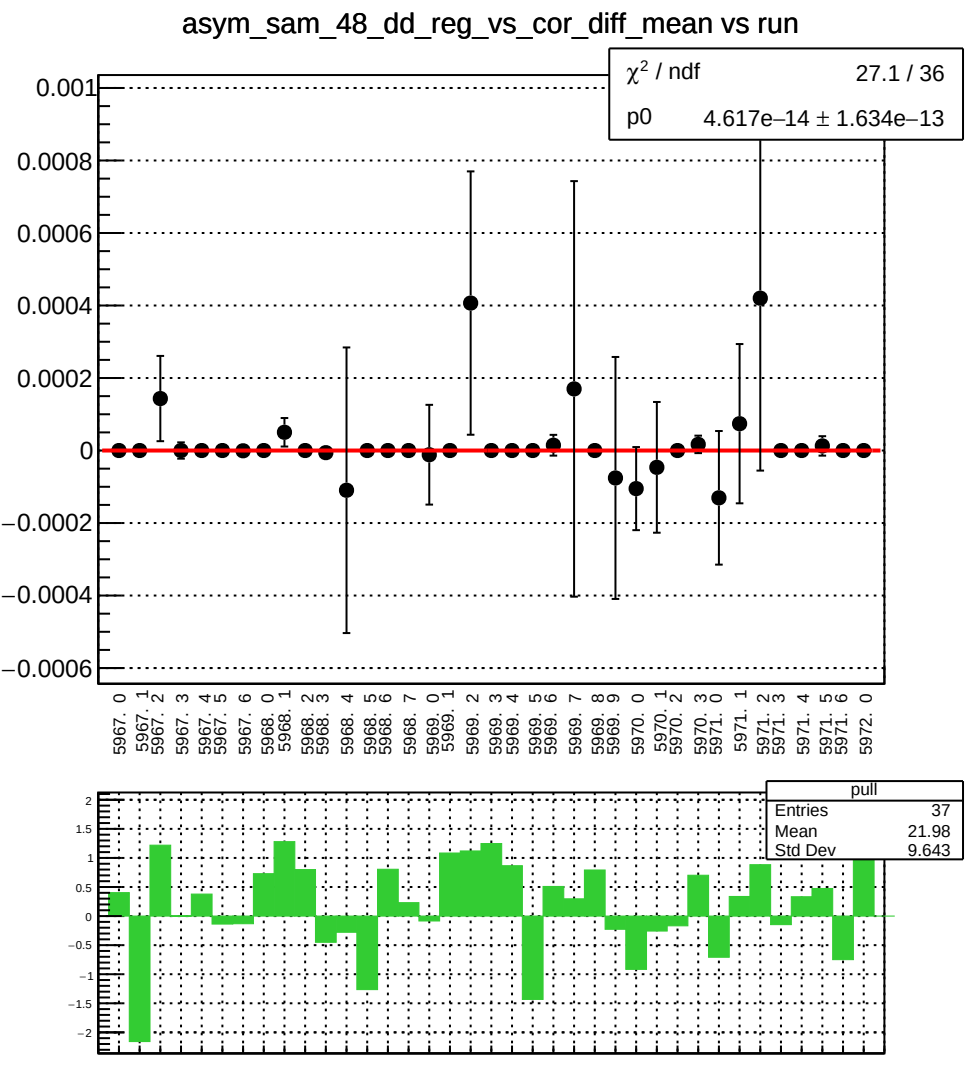
asym_sam_48_dd_reg_vs_cor_diff_mean vs run
χ² / ndf 27.1 / 36
p0 4.617e−14 ± 1.634e−13
0.001
0.0008
0.0006
0.0004
0.0002
0
−0.0002
−0.0004
−0.0006
5967. 0
5967. 1
5967. 2
5967. 3
5967. 4
5967. 5
5967. 6
5968. 0
5968. 1
5968. 2
5968. 3
5968. 4
5968. 5
5968. 6
5968. 7
5969. 0
5969. 1
5969. 2
5969. 3
5969. 4
5969. 5
5969. 6
5969. 7
5969. 8
5969. 9
5970. 0
5970. 1
5970. 2
5970. 3
5971. 0
5971. 1
5971. 2
5971. 3
5971. 4
5971. 5
5971. 6
5972. 0
pull
Entries 37
Mean 21.98
Std Dev 9.643
2
1.5
1
0.5
0
−0.5
−1
−1.5
−2
pull1D
Entries 37
Mean 0.1971
Std Dev 0.8327
8
7
6
5
4
3
2
1
0
−8
−6
−4
−2
0
2
4
6
8

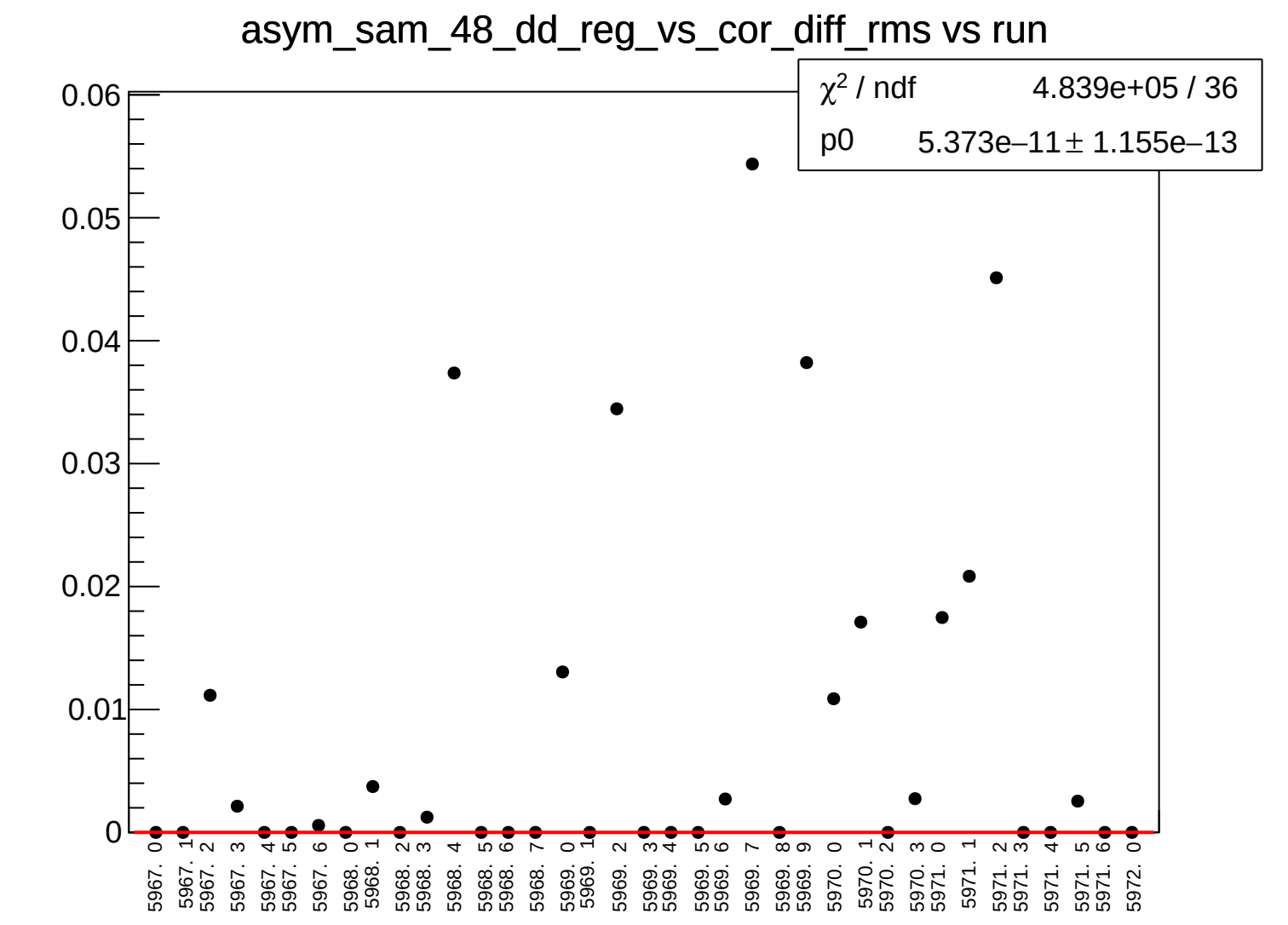
asym_sam_48_dd_reg_vs_cor_diff_rms vs run
χ² / ndf 4.839e+05 / 36
p0 5.373e−11 ± 1.155e−13
0.06
0.05
0.04
0.03
0.02
0.01
0
5967. 0
5967. 1
5967. 2
5967. 3
5967. 4
5967. 5
5967. 6
5968. 0
5968. 1
5968. 2
5968. 3
5968. 4
5968. 5
5968. 6
5968. 7
5969. 0
5969. 1
5969. 2
5969. 3
5969. 4
5969. 5
5969. 6
5969. 7
5969. 8
5969. 9
5970. 0
5970. 1
5970. 2
5970. 3
5971. 0
5971. 1
5971. 2
5971. 3
5971. 4
5971. 5
5971. 6
5972. 0

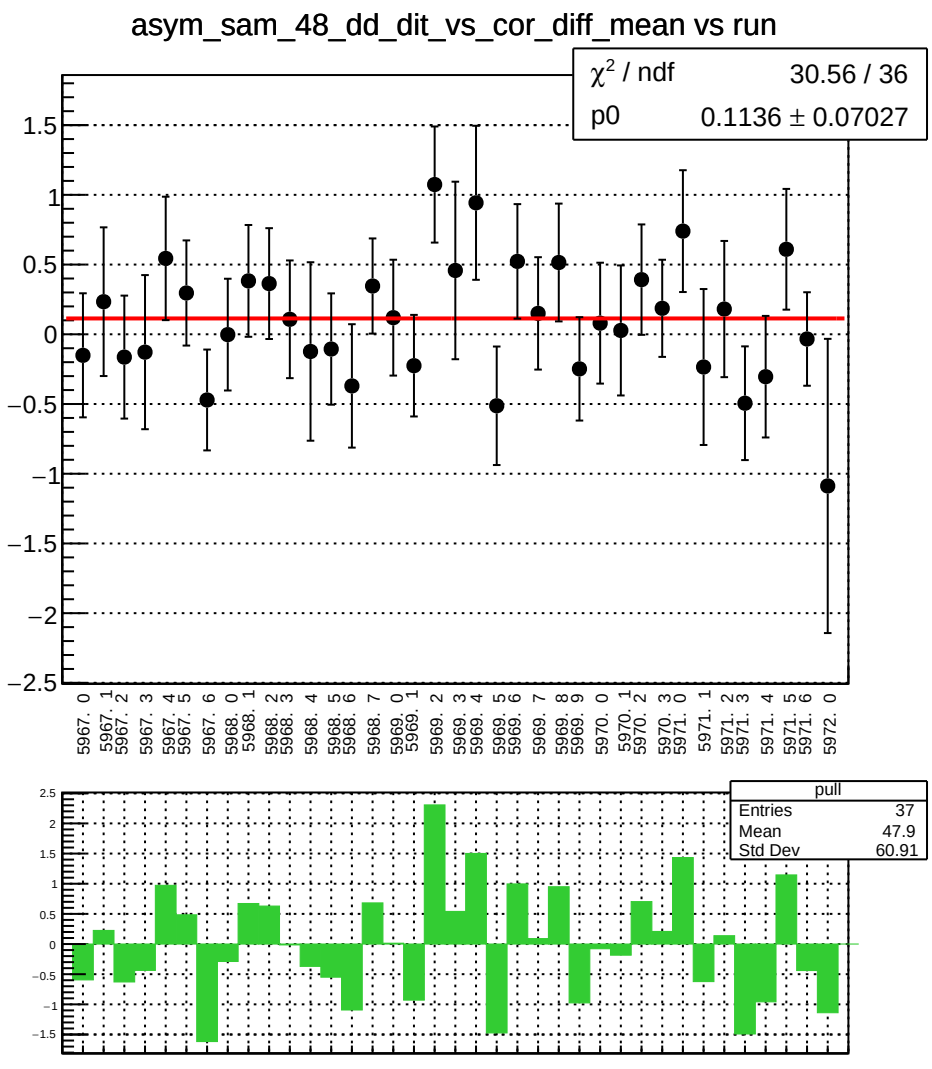
asym_sam_48_dd_dit_vs_cor_diff_mean vs run
χ² / ndf 30.56 / 36
p0 0.1136 ± 0.07027
pull
Entries 37
Mean 47.9
Std Dev 60.91

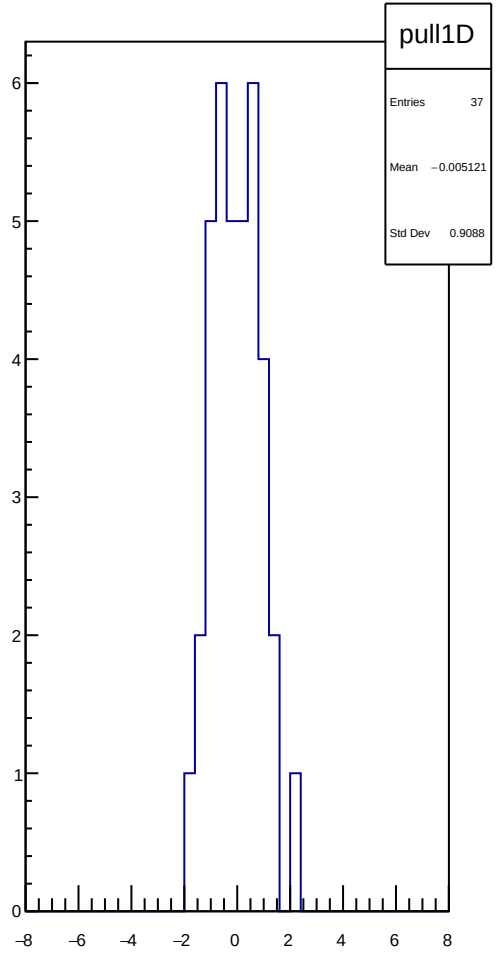
pull1D
Entries 37
Mean −0.005121
Std Dev 0.9088

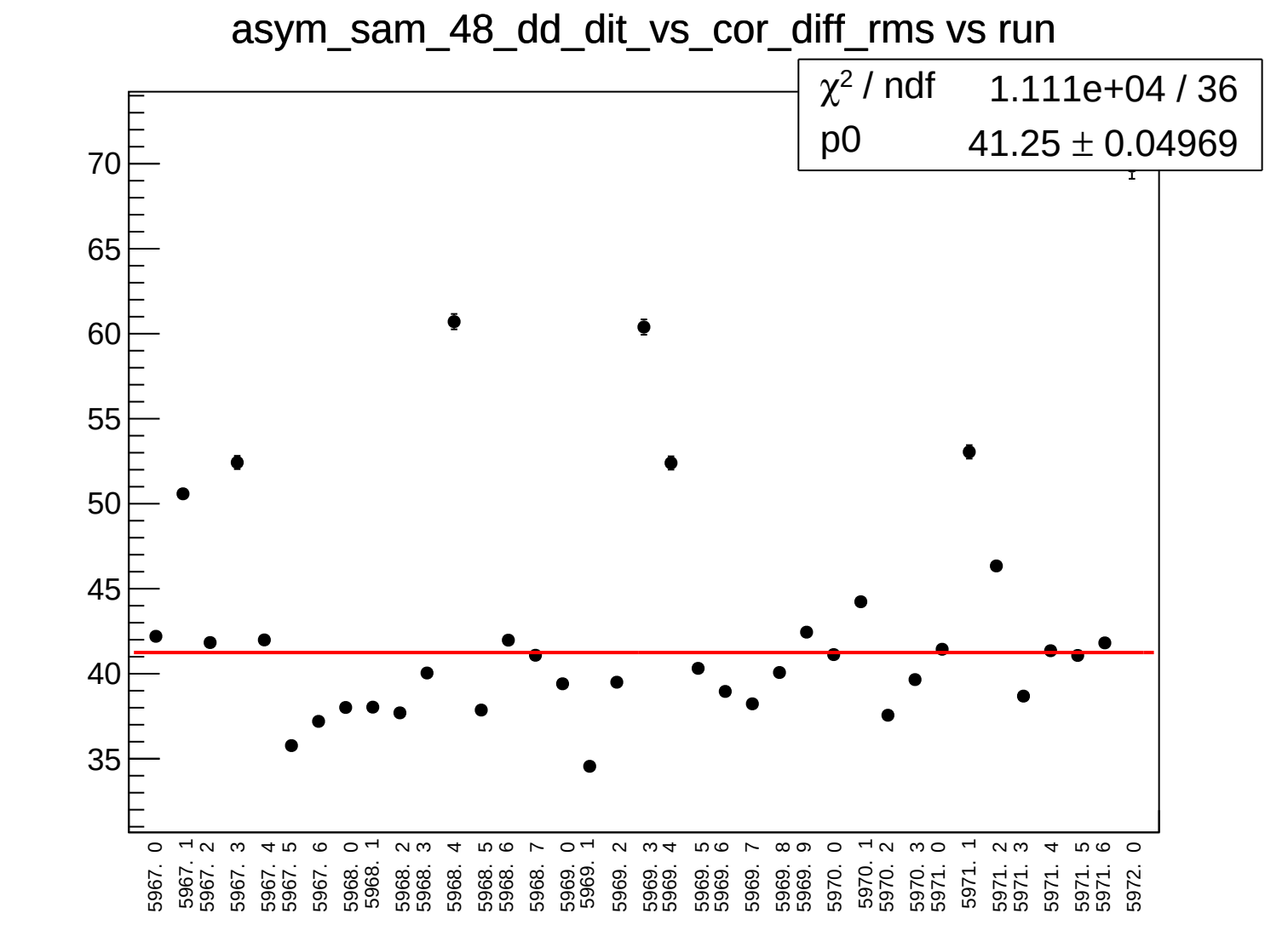
asym_sam_48_dd_dit_vs_cor_diff_rms vs run
χ² / ndf 1.111e+04 / 36
p0 41.25 ± 0.04969
70
65
60
55
50
45
40
35
5967. 0
5967. 1
5967. 2
5967. 3
5967. 4
5967. 5
5967. 6
5968. 0
5968. 1
5968. 2
5968. 3
5968. 4
5968. 5
5968. 6
5968. 7
5969. 0
5969. 1
5969. 2
5969. 3
5969. 4
5969. 5
5969. 6
5969. 7
5969. 8
5969. 9
5970. 0
5970. 1
5970. 2
5970. 3
5971. 0
5971. 1
5971. 2
5971. 3
5971. 4
5971. 5
5971. 6
5972. 0

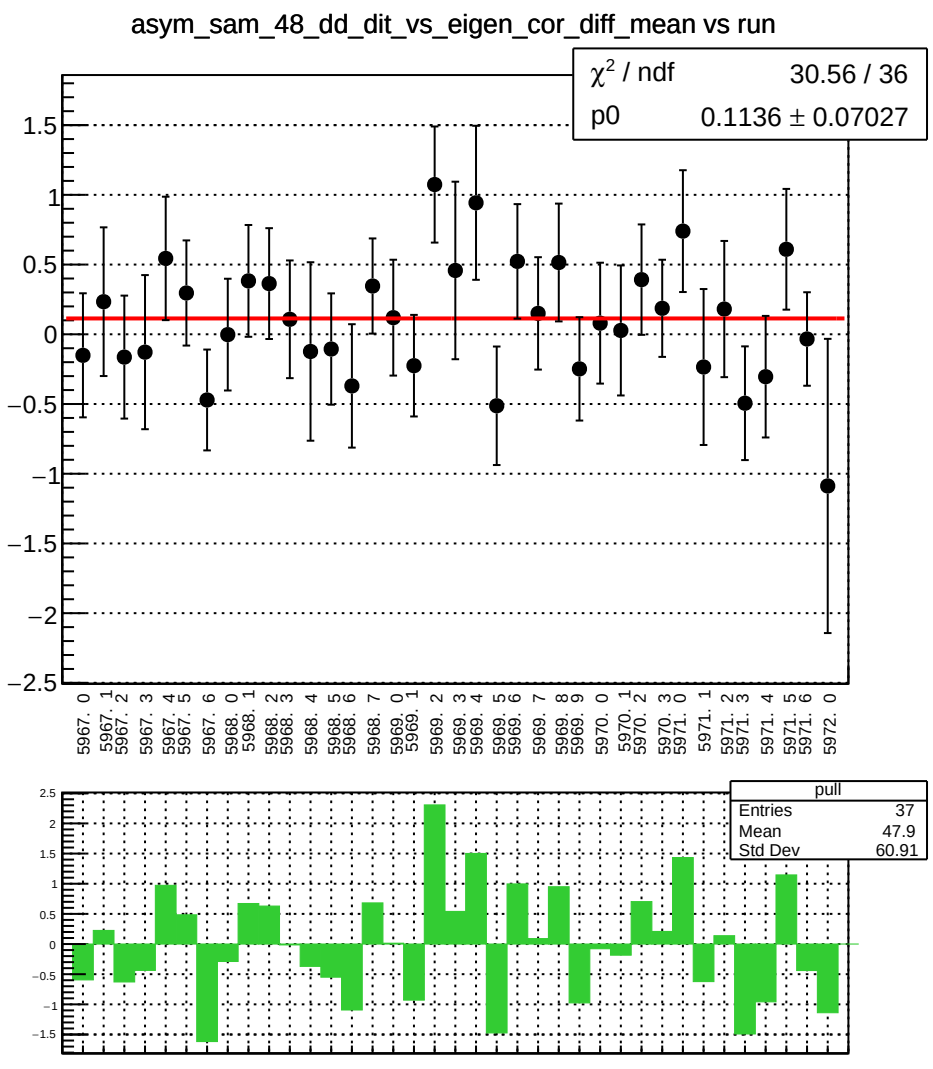
asym_sam_48_dd_dit_vs_eigen_cor_diff_mean vs run
χ² / ndf 30.56 / 36
p0 0.1136 ± 0.07027
pull
Entries 37
Mean 47.9
Std Dev 60.91

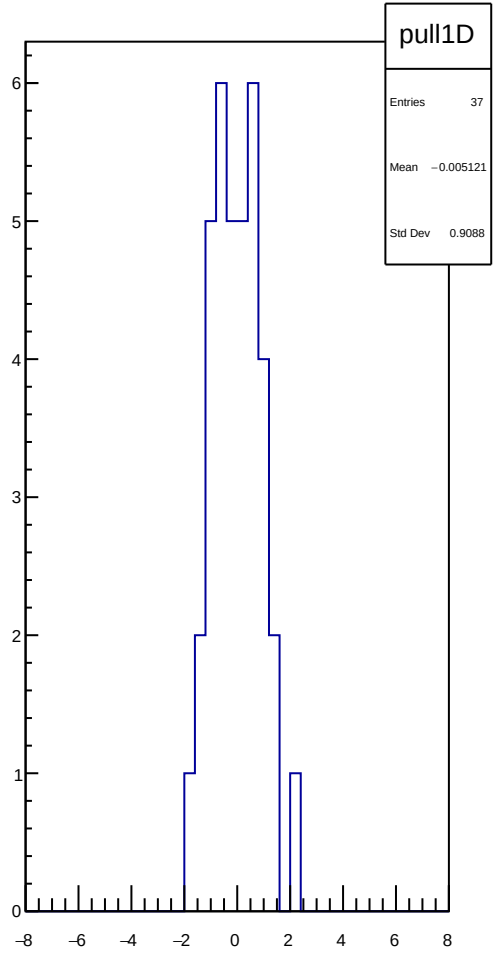
pull1D
Entries 37
Mean −0.005121
Std Dev 0.9088

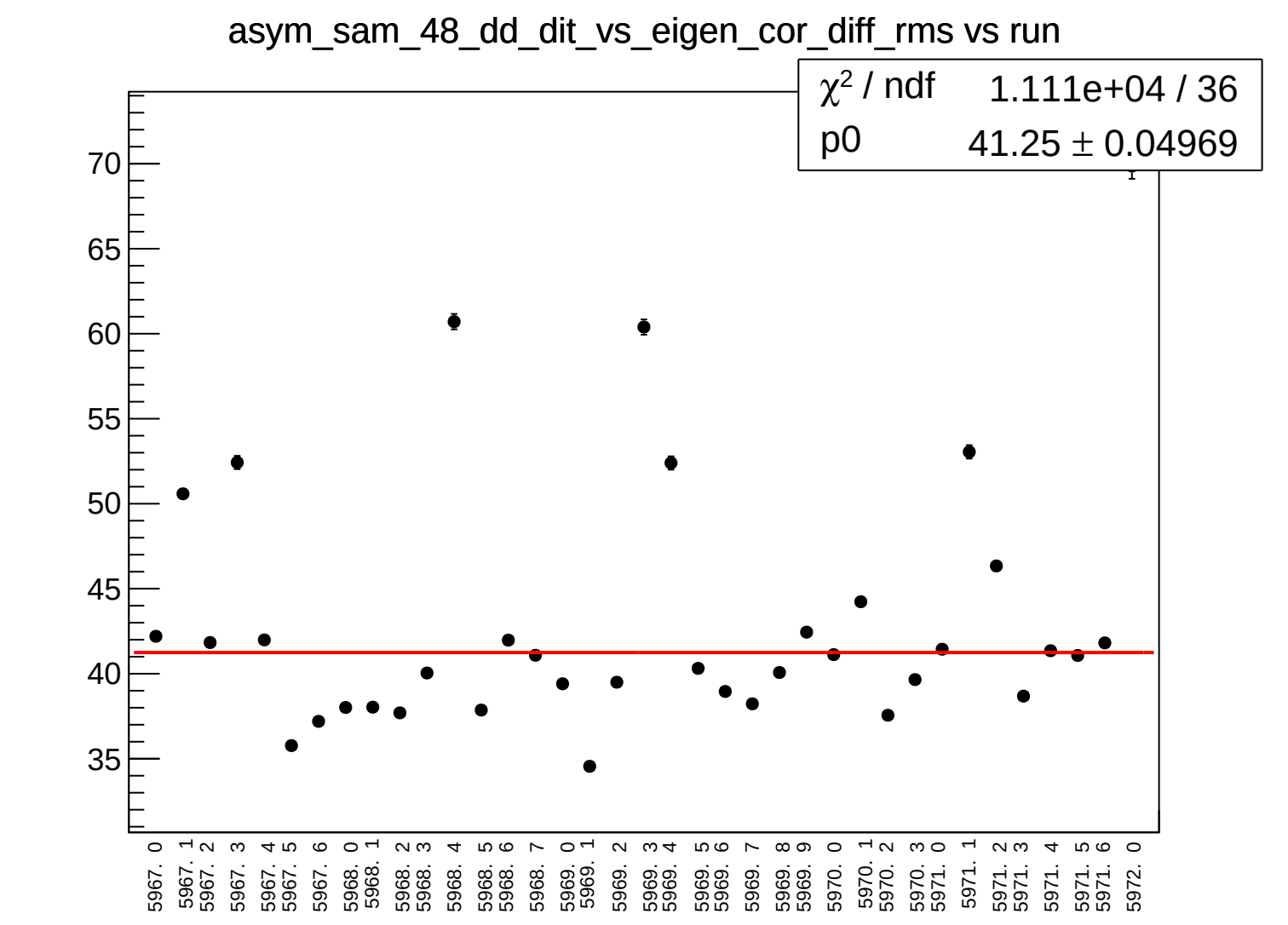
asym_sam_48_dd_dit_vs_eigen_cor_diff_rms vs run
χ² / ndf 1.111e+04 / 36
p0 41.25 ± 0.04969
70
65
60
55
50
45
40
35
5967. 0
5967. 1
5967. 2
5967. 3
5967. 4
5967. 5
5967. 6
5968. 0
5968. 1
5968. 2
5968. 3
5968. 4
5968. 5
5968. 6
5968. 7
5969. 0
5969. 1
5969. 2
5969. 3
5969. 4
5969. 5
5969. 6
5969. 7
5969. 8
5969. 9
5970. 0
5970. 1
5970. 2
5970. 3
5971. 0
5971. 1
5971. 2
5971. 3
5971. 4
5971. 5
5971. 6
5972. 0

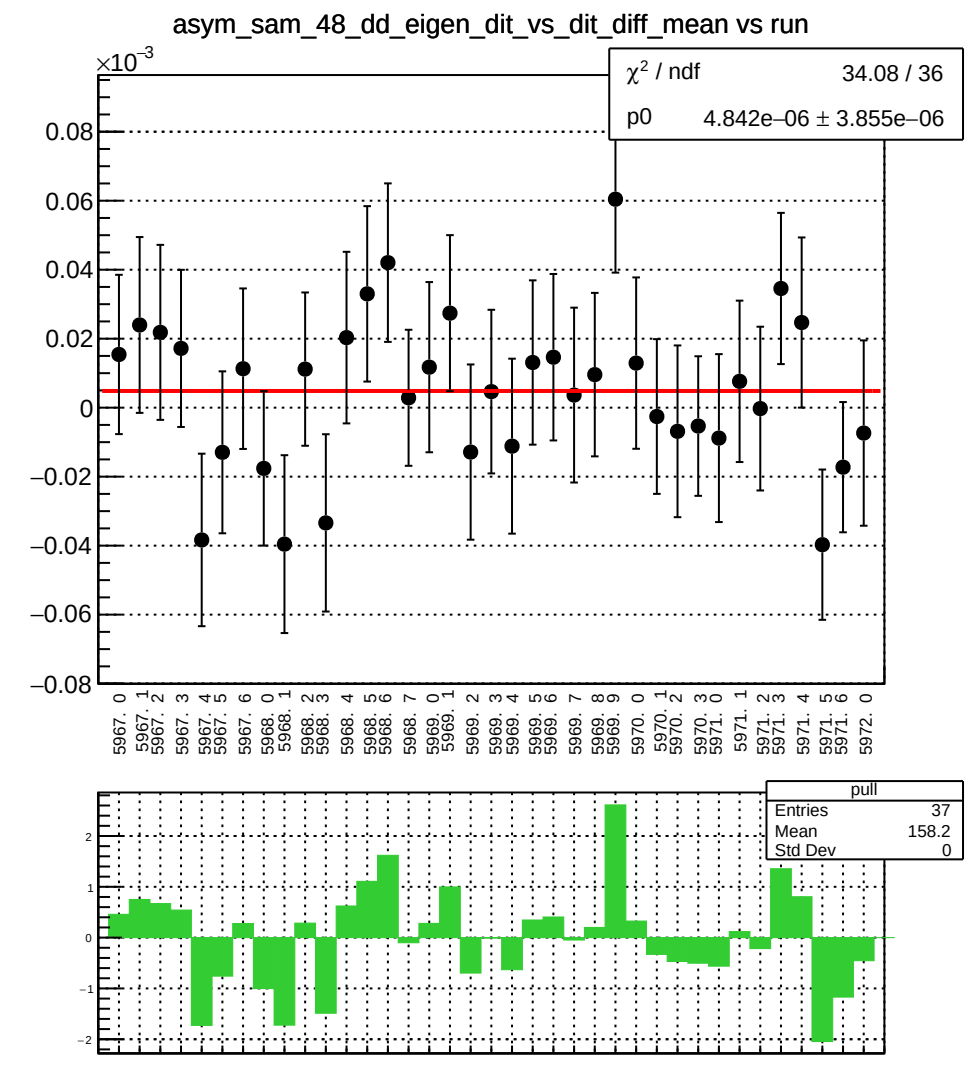
asym_sam_48_dd_eigen_dit_vs_dit_diff_mean vs run
×10⁻³
χ² / ndf 34.08 / 36
p0 4.842e−06 ± 3.855e−06
0.08
0.06
0.04
0.02
0
−0.02
−0.04
−0.06
−0.08
5967. 0
5967. 1
5967. 2
5967. 3
5967. 4
5967. 5
5967. 6
5968. 0
5968. 1
5968. 2
5968. 3
5968. 4
5968. 5
5968. 6
5968. 7
5969. 0
5969. 1
5969. 2
5969. 3
5969. 4
5969. 5
5969. 6
5969. 7
5969. 8
5969. 9
5970. 0
5970. 1
5970. 2
5970. 3
5971. 0
5971. 1
5971. 2
5971. 3
5971. 4
5971. 5
5971. 6
5972. 0
pull
Entries 37
Mean 158.2
Std Dev 0
2
1
0
−1
−2

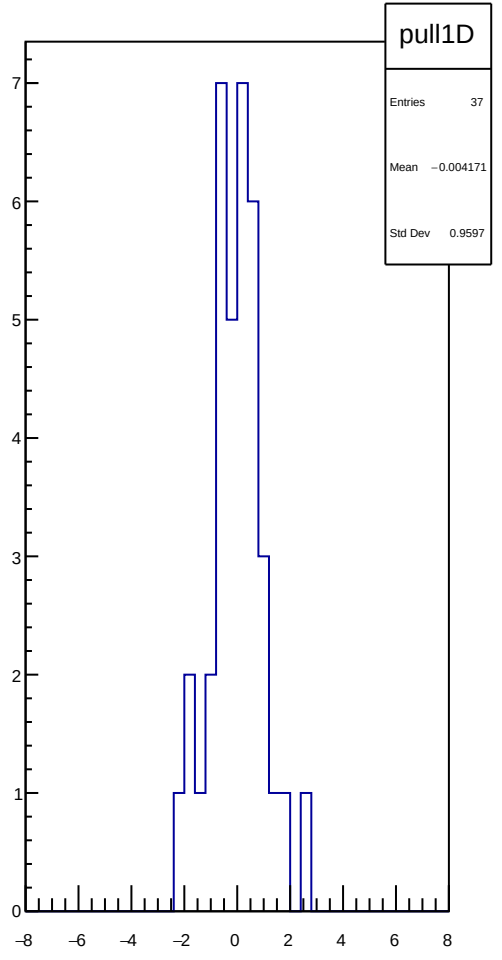
pull1D
Entries 37
Mean −0.004171
Std Dev 0.9597
7
6
5
4
3
2
1
0
−8
−6
−4
−2
0
2
4
6
8

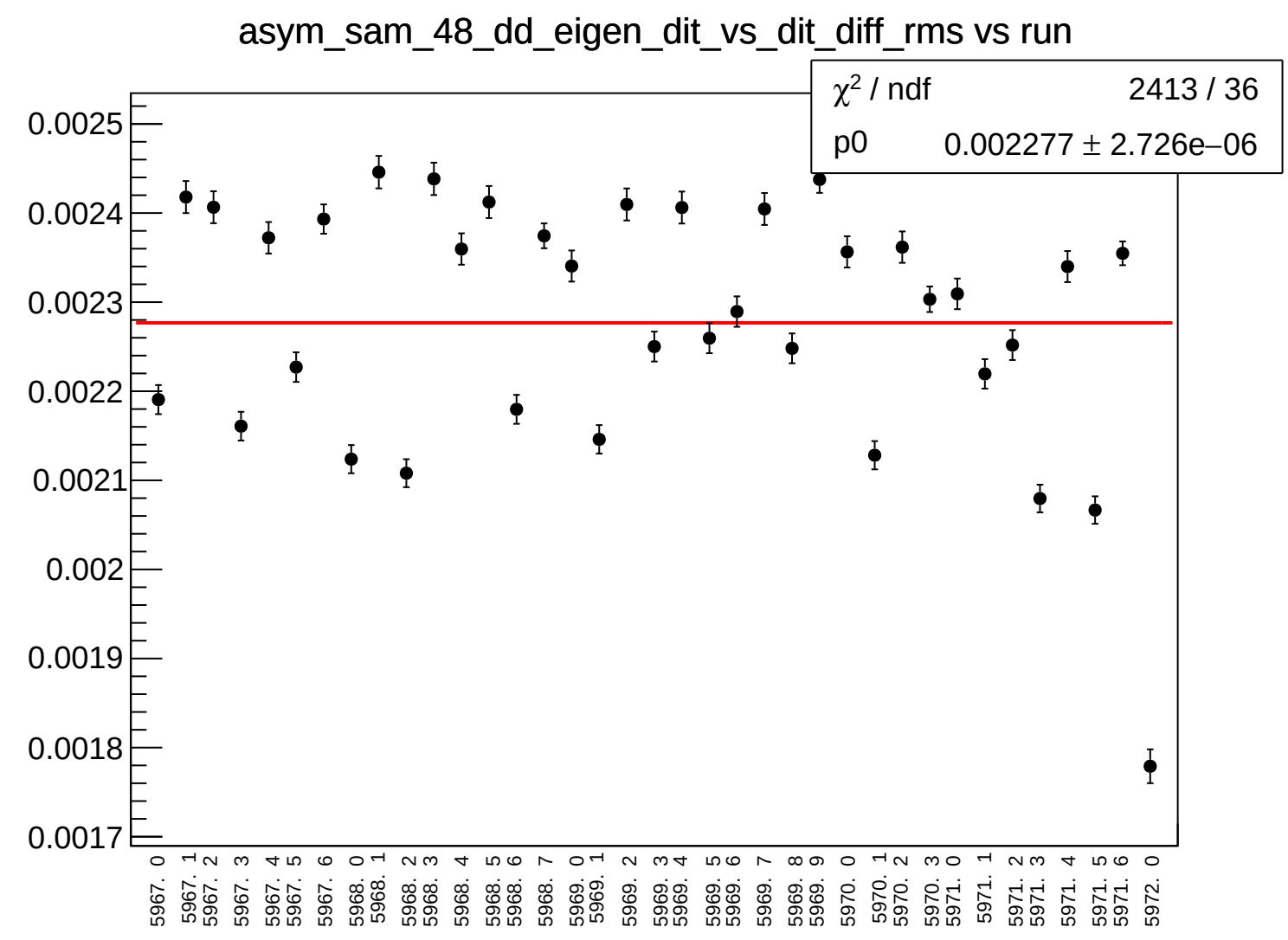
asym_sam_48_dd_eigen_dit_vs_dit_diff_rms vs run
χ² / ndf 2413 / 36
p0 0.002277 ± 2.726e−06
0.0025
0.0024
0.0023
0.0022
0.0021
0.002
0.0019
0.0018
0.0017
5967. 0
5967. 1
5967. 2
5967. 3
5967. 4
5967. 5
5967. 6
5968. 0
5968. 1
5968. 2
5968. 3
5968. 4
5968. 5
5968. 6
5968. 7
5969. 0
5969. 1
5969. 2
5969. 3
5969. 4
5969. 5
5969. 6
5969. 7
5969. 8
5969. 9
5970. 0
5970. 1
5970. 2
5970. 3
5971. 0
5971. 1
5971. 2
5971. 3
5971. 4
5971. 5
5971. 6
5972. 0

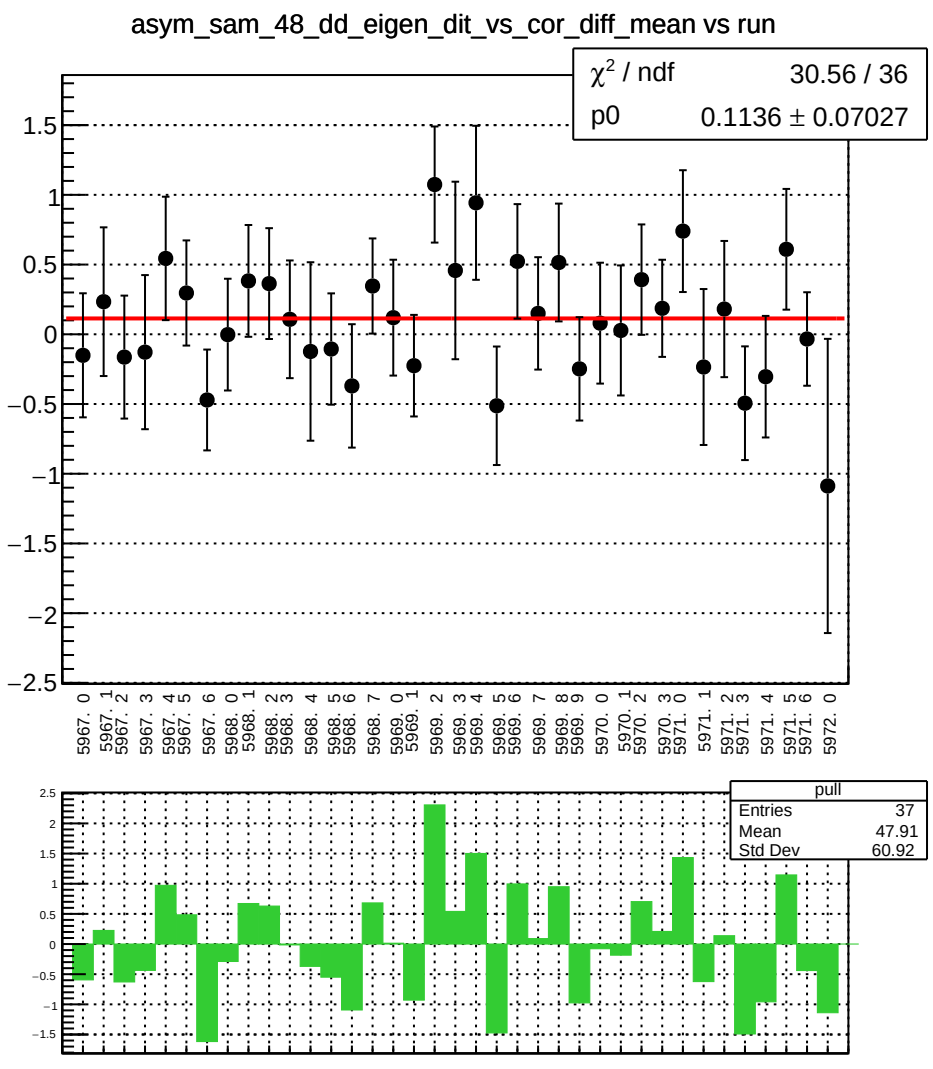
asym_sam_48_dd_eigen_dit_vs_cor_diff_mean vs run
χ² / ndf 30.56 / 36
p0 0.1136 ± 0.07027
pull
Entries 37
Mean 47.91
Std Dev 60.92

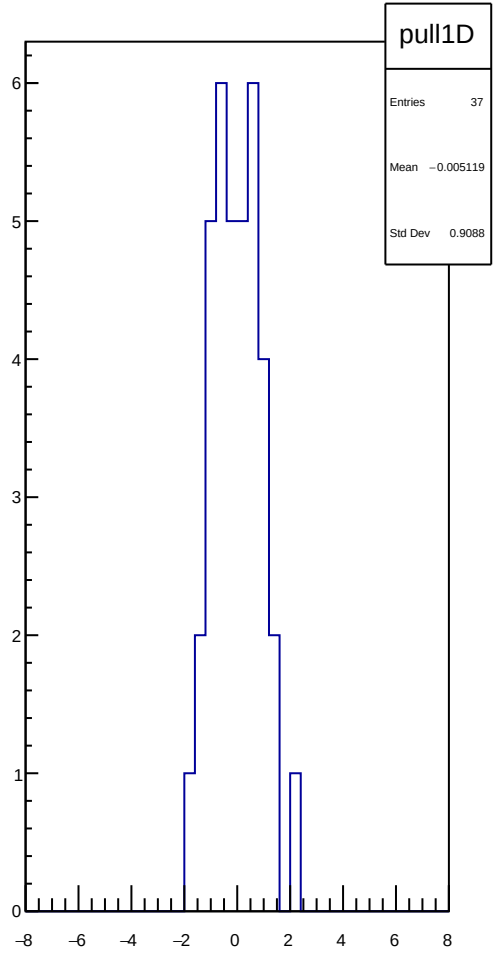
pull1D
Entries 37
Mean −0.005119
Std Dev 0.9088

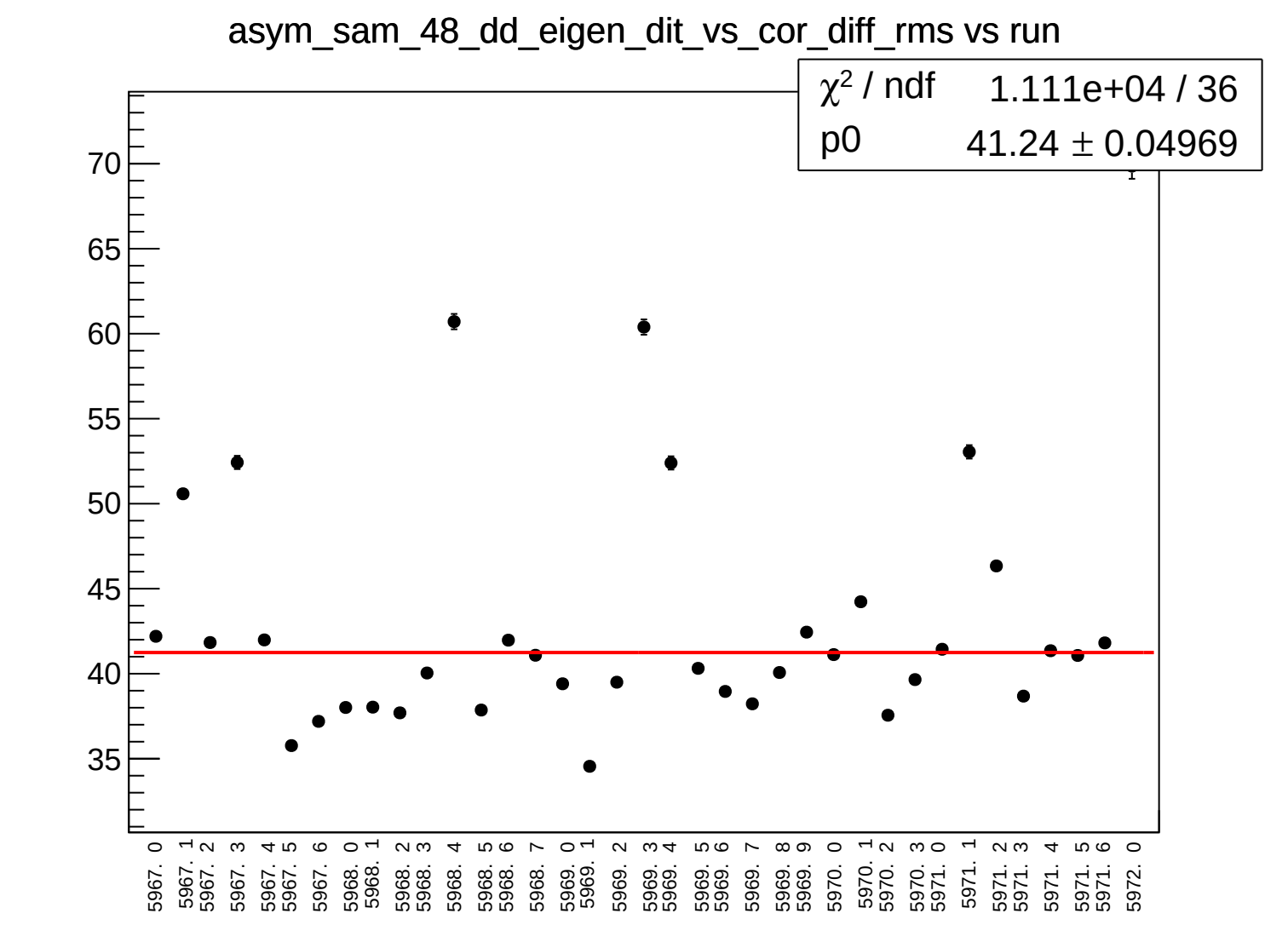
asym_sam_48_dd_eigen_dit_vs_cor_diff_rms vs run
χ² / ndf 1.111e+04 / 36
p0 41.24 ± 0.04969
70
65
60
55
50
45
40
35
5967. 0
5967. 1
5967. 2
5967. 3
5967. 4
5967. 5
5967. 6
5968. 0
5968. 1
5968. 2
5968. 3
5968. 4
5968. 5
5968. 6
5968. 7
5969. 0
5969. 1
5969. 2
5969. 3
5969. 4
5969. 5
5969. 6
5969. 7
5969. 8
5969. 9
5970. 0
5970. 1
5970. 2
5970. 3
5971. 0
5971. 1
5971. 2
5971. 3
5971. 4
5971. 5
5971. 6
5972. 0

asym_sam_48_dd_eigen_dit_vs_eigen_cor_diff_mean vs run

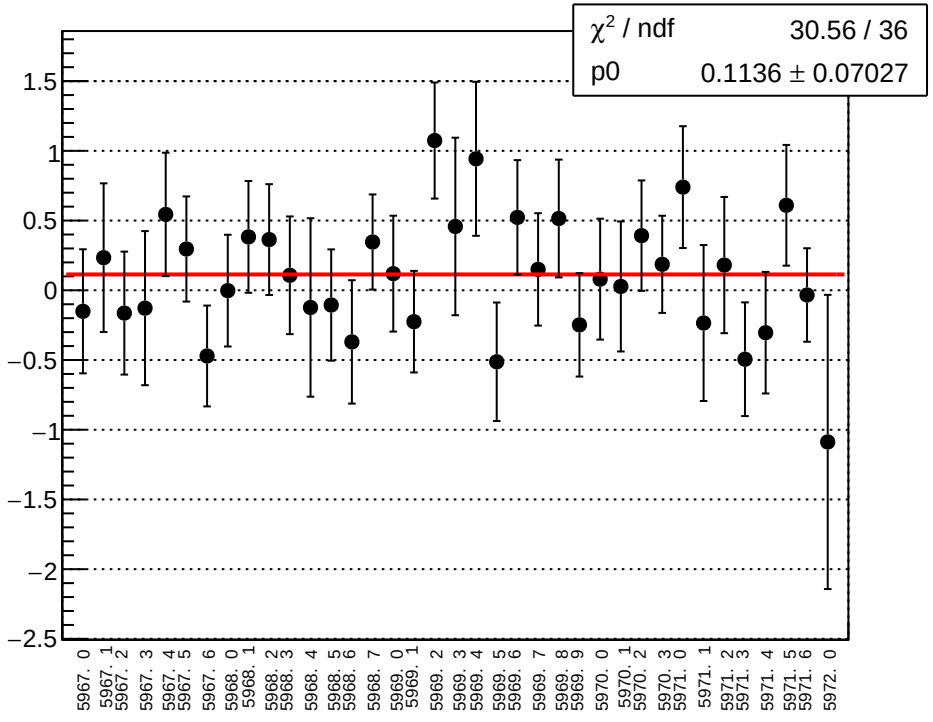

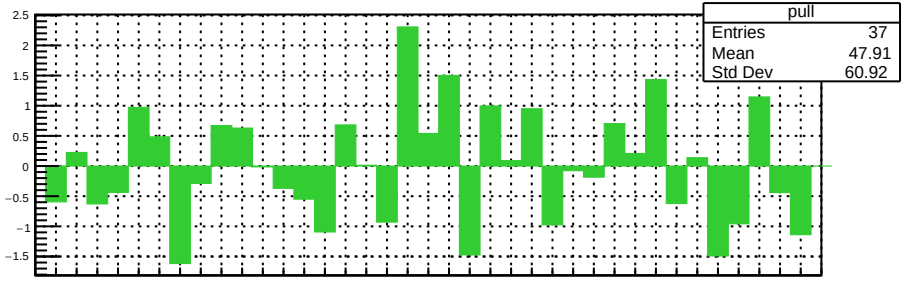

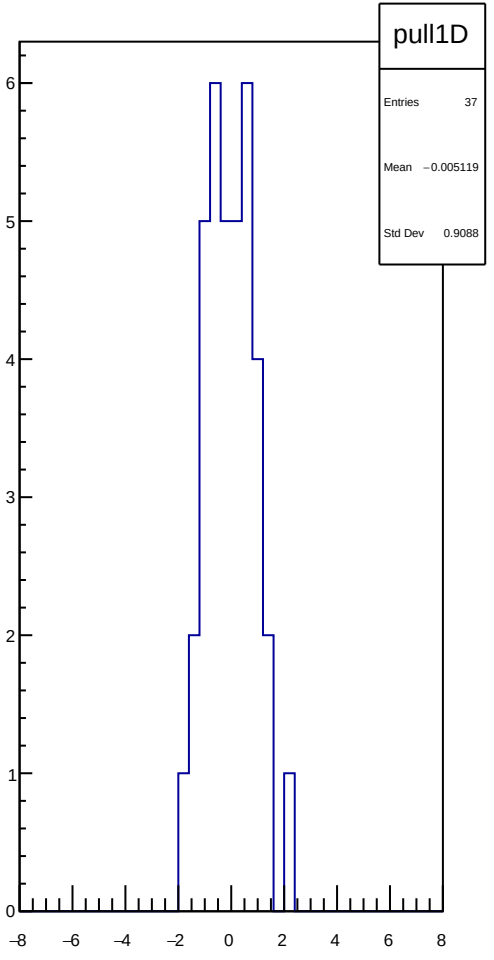

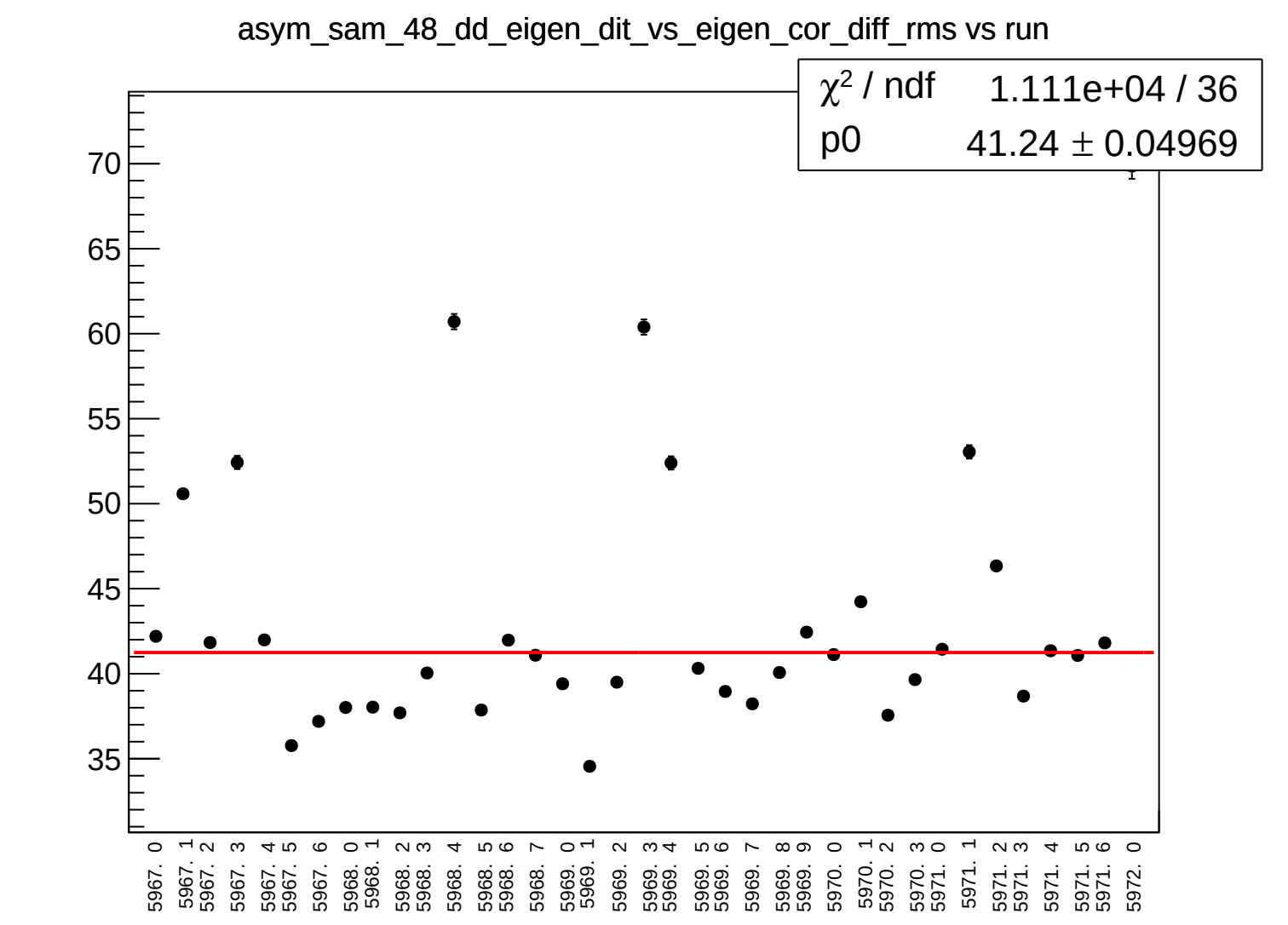
asym_sam_48_dd_eigen_dit_vs_eigen_cor_diff_rms vs run
χ² / ndf 1.111e+04 / 36
p0 41.24 ± 0.04969
70
65
60
55
50
45
40
35
5967. 0
5967. 1
5967. 2
5967. 3
5967. 4
5967. 5
5967. 6
5968. 0
5968. 1
5968. 2
5968. 3
5968. 4
5968. 5
5968. 6
5968. 7
5969. 0
5969. 1
5969. 2
5969. 3
5969. 4
5969. 5
5969. 6
5969. 7
5969. 8
5969. 9
5970. 0
5970. 1
5970. 2
5970. 3
5971. 0
5971. 1
5971. 2
5971. 3
5971. 4
5971. 5
5971. 6
5972. 0

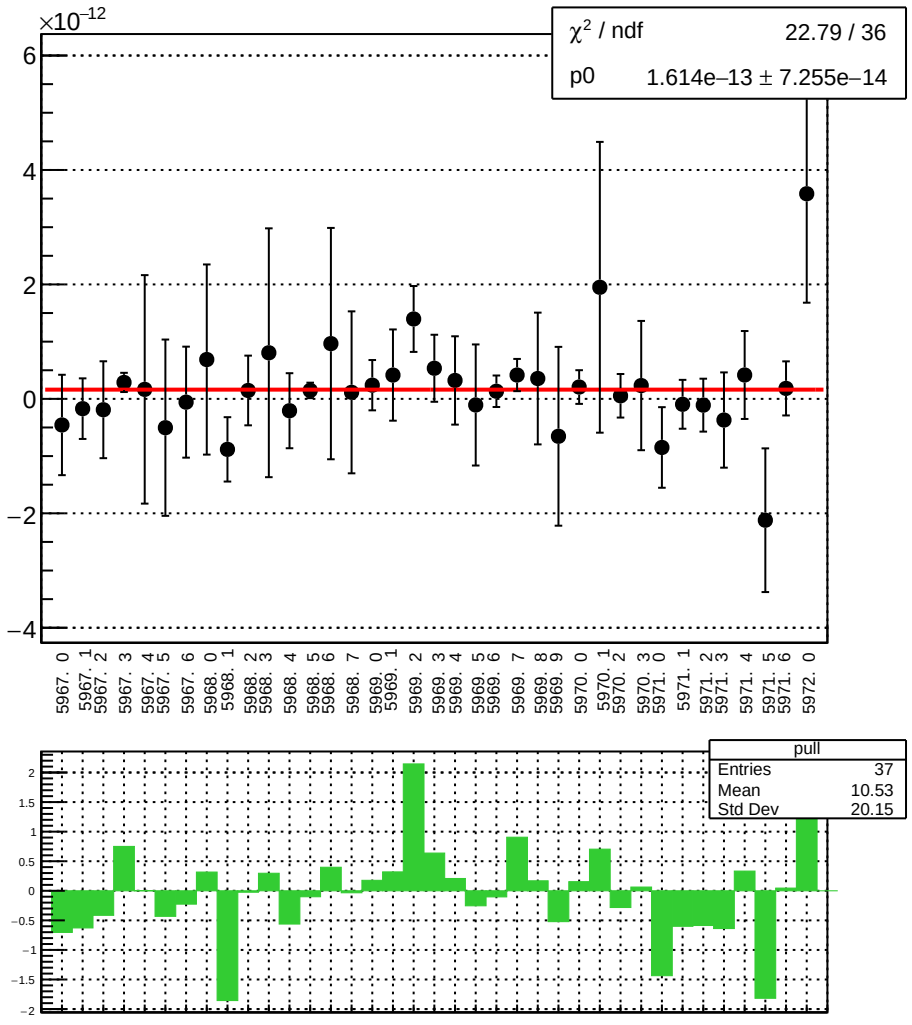
asym_sam_48_dd_eigen_cor_vs_cor_diff_mean vs run
×10⁻¹²
χ² / ndf 22.79 / 36
p0 1.614e−13 ± 7.255e−14
pull
Entries 37
Mean 10.53
Std Dev 20.15

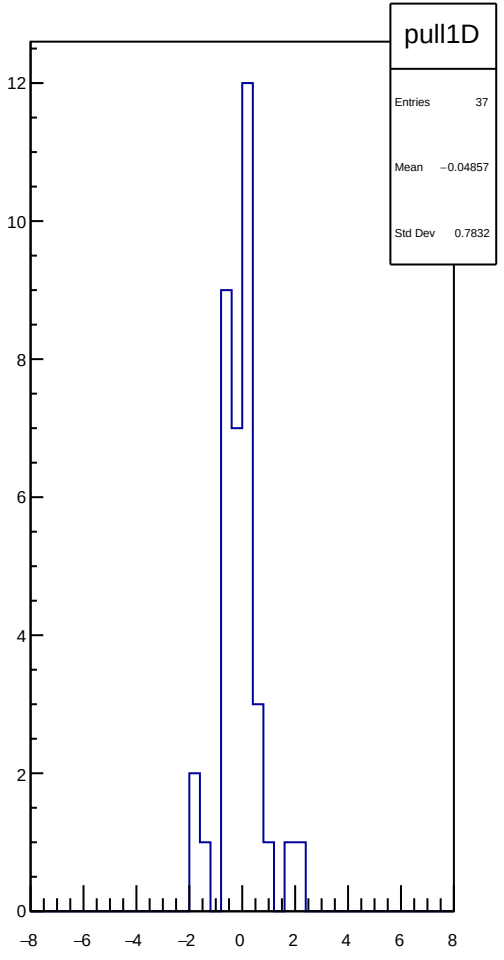
pull1D
Entries 37
Mean −0.04857
Std Dev 0.7832

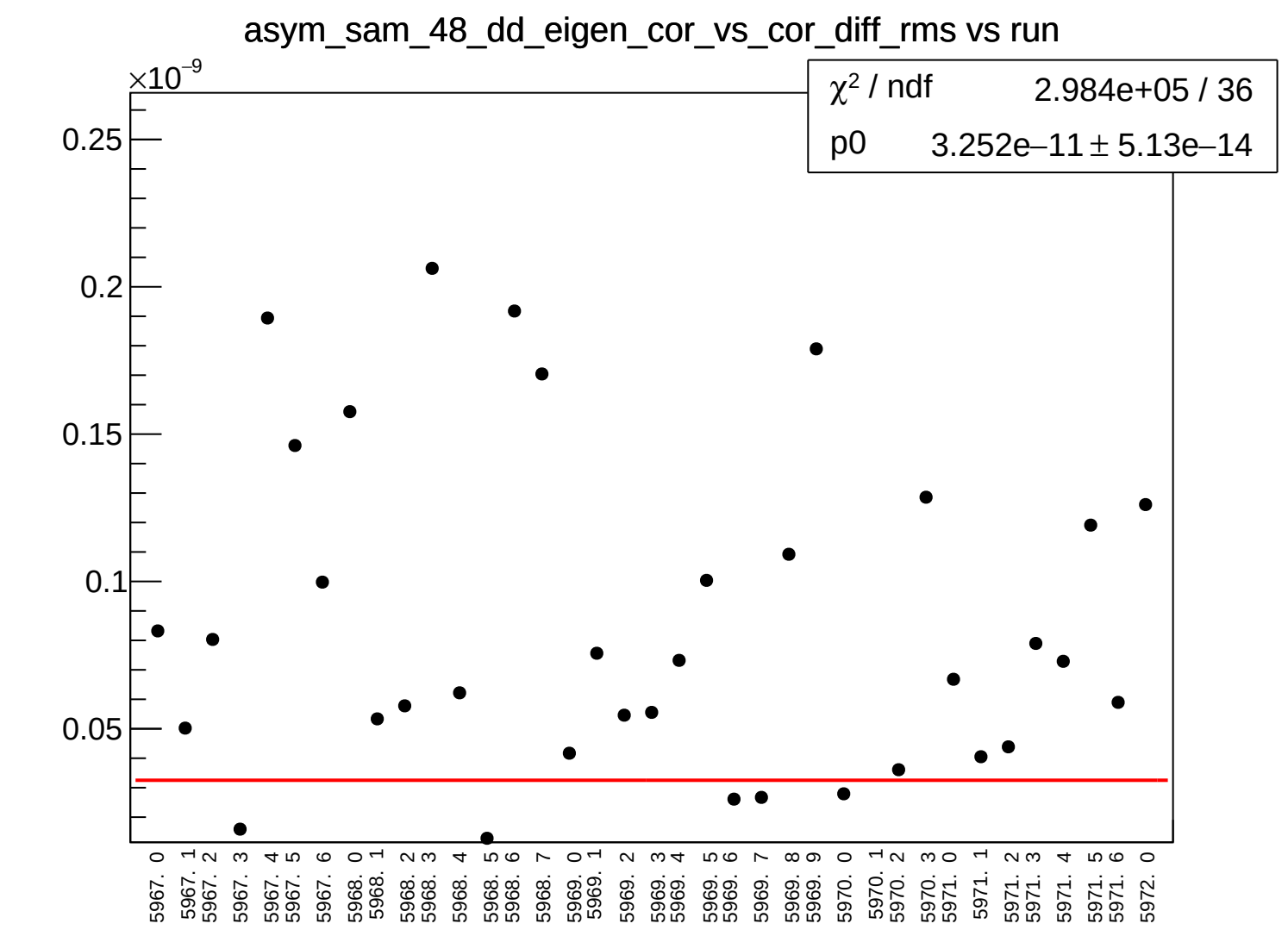
asym_sam_48_dd_eigen_cor_vs_cor_diff_rms vs run
×10⁻⁹
χ² / ndf 2.984e+05 / 36
p0 3.252e−11 ± 5.13e−14
0.25
0.2
0.15
0.1
0.05
5967. 0
5967. 1
5967. 2
5967. 3
5967. 4
5967. 5
5967. 6
5968. 0
5968. 1
5968. 2
5968. 3
5968. 4
5968. 5
5968. 6
5968. 7
5969. 0
5969. 1
5969. 2
5969. 3
5969. 4
5969. 5
5969. 6
5969. 7
5969. 8
5969. 9
5970. 0
5970. 1
5970. 2
5970. 3
5971. 0
5971. 1
5971. 2
5971. 3
5971. 4
5971. 5
5971. 6
5972. 0

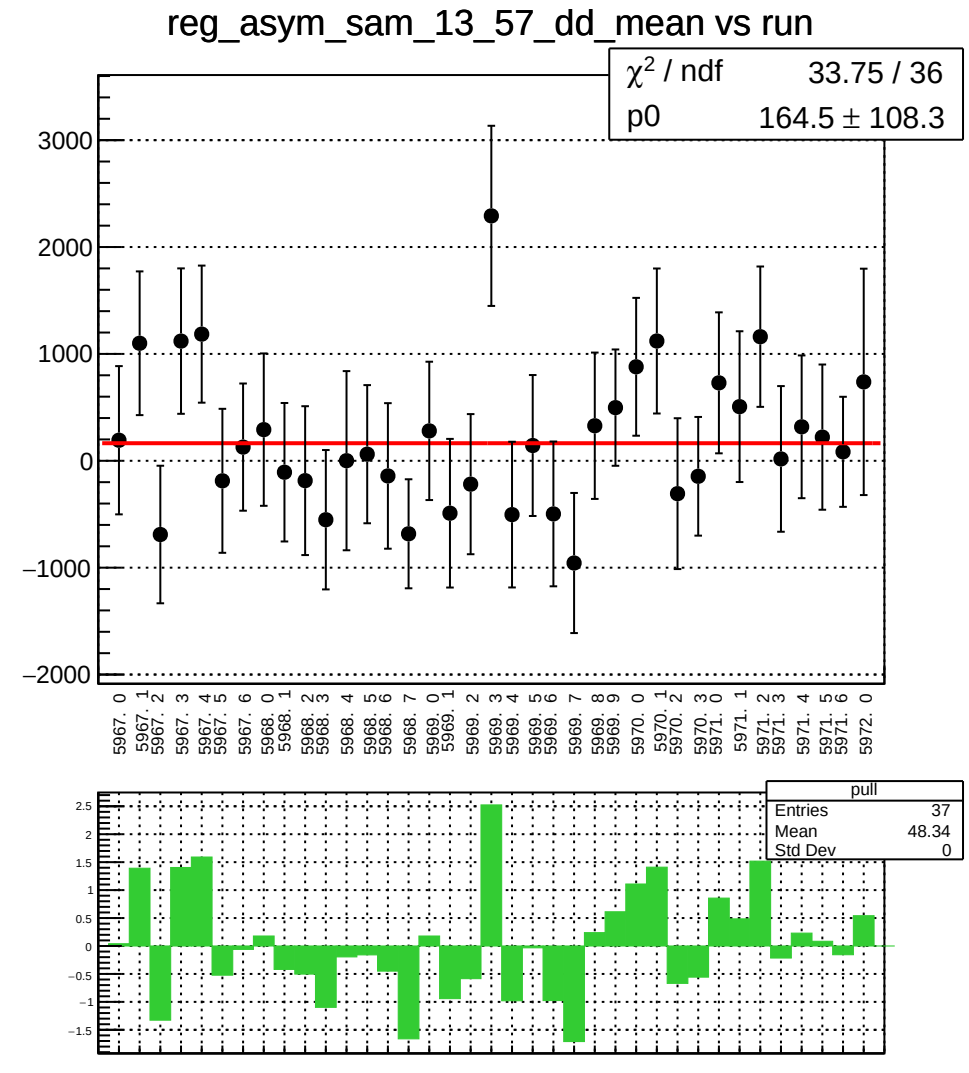
reg_asym_sam_13_57_dd_mean vs run
χ² / ndf 33.75 / 36
p0 164.5 ± 108.3
pull
Entries 37
Mean 48.34
Std Dev 0

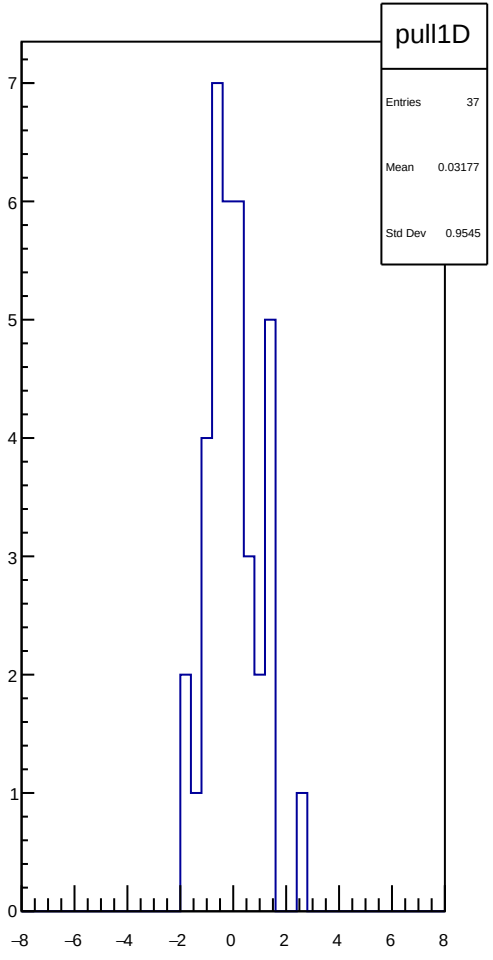
pull1D
Entries 37
Mean 0.03177
Std Dev 0.9545

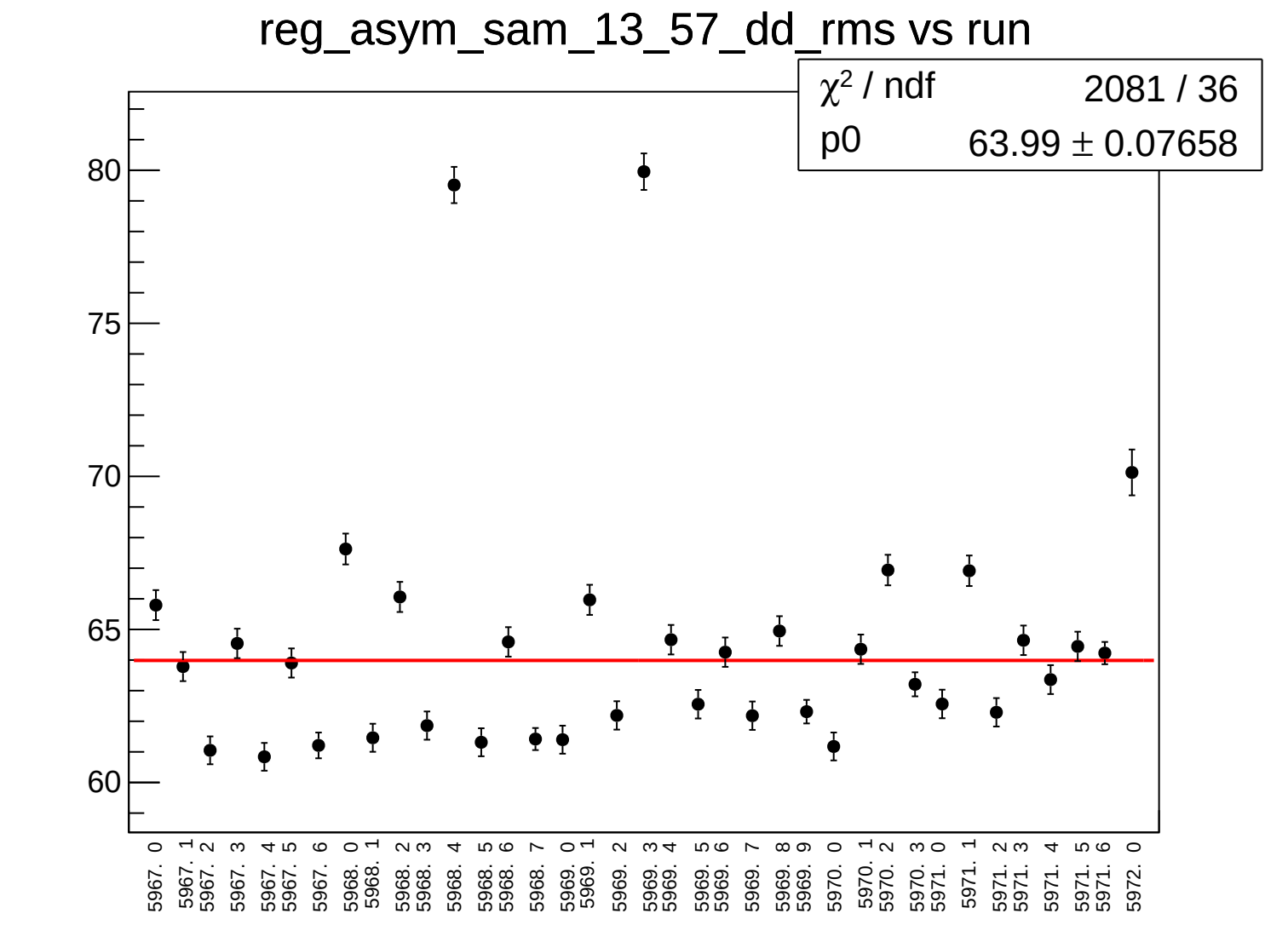
reg_asym_sam_13_57_dd_rms vs run
χ² / ndf 2081 / 36
p0 63.99 ± 0.07658
80
75
70
65
60
5967. 0
5967. 1
5967. 2
5967. 3
5967. 4
5967. 5
5967. 6
5968. 0
5968. 1
5968. 2
5968. 3
5968. 4
5968. 5
5968. 6
5968. 7
5969. 0
5969. 1
5969. 2
5969. 3
5969. 4
5969. 5
5969. 6
5969. 7
5969. 8
5969. 9
5970. 0
5970. 1
5970. 2
5970. 3
5971. 0
5971. 1
5971. 2
5971. 3
5971. 4
5971. 5
5971. 6
5972. 0

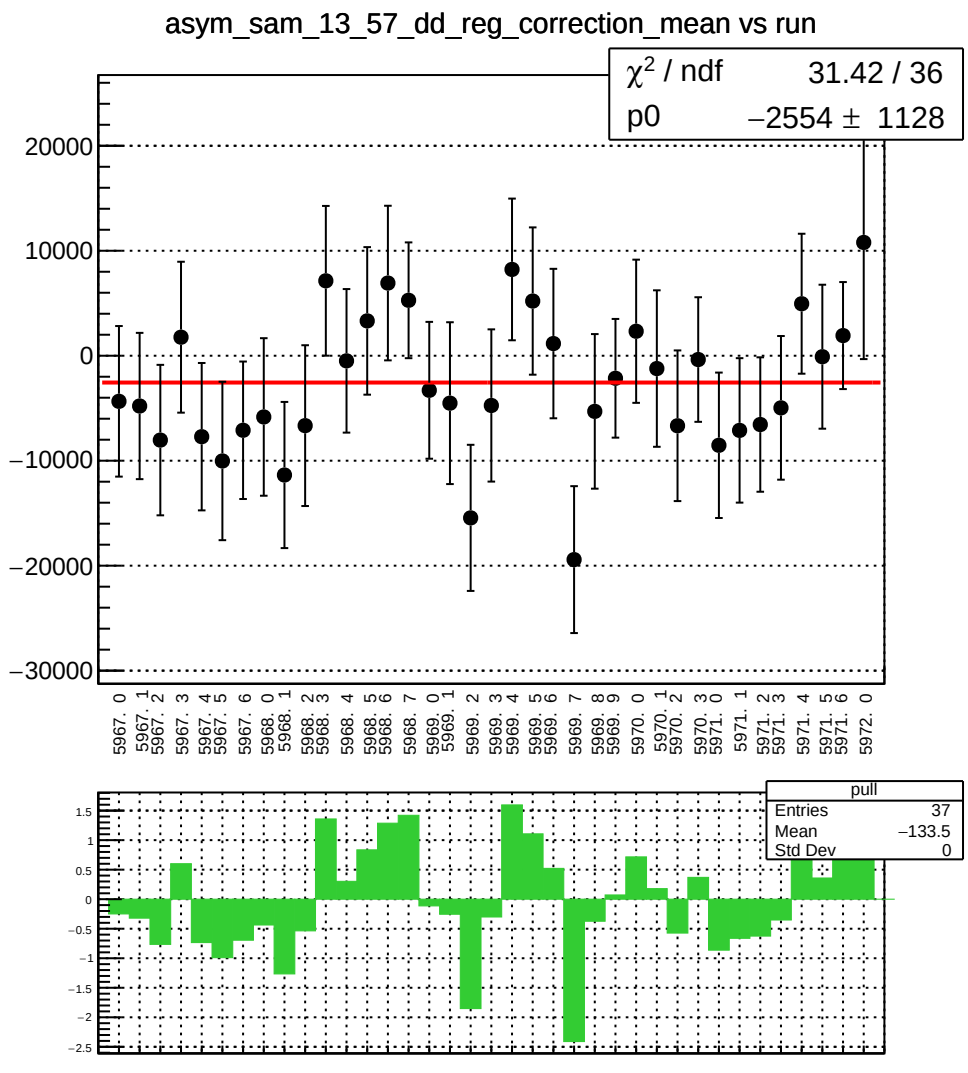
asym_sam_13_57_dd_reg_correction_mean vs run
χ² / ndf 31.42 / 36
p0 −2554 ± 1128
20000
10000
0
−10000
−20000
−30000
5967. 0
5967. 1
5967. 2
5967. 3
5967. 4
5967. 5
5967. 6
5968. 0
5968. 1
5968. 2
5968. 3
5968. 4
5968. 5
5968. 6
5968. 7
5969. 0
5969. 1
5969. 2
5969. 3
5969. 4
5969. 5
5969. 6
5969. 7
5969. 8
5969. 9
5970. 0
5970. 1
5970. 2
5970. 3
5971. 0
5971. 1
5971. 2
5971. 3
5971. 4
5971. 5
5971. 6
5972. 0
pull
Entries 37
Mean −133.5
Std Dev 0
1.5
1
0.5
0
−0.5
−1
−1.5
−2
−2.5

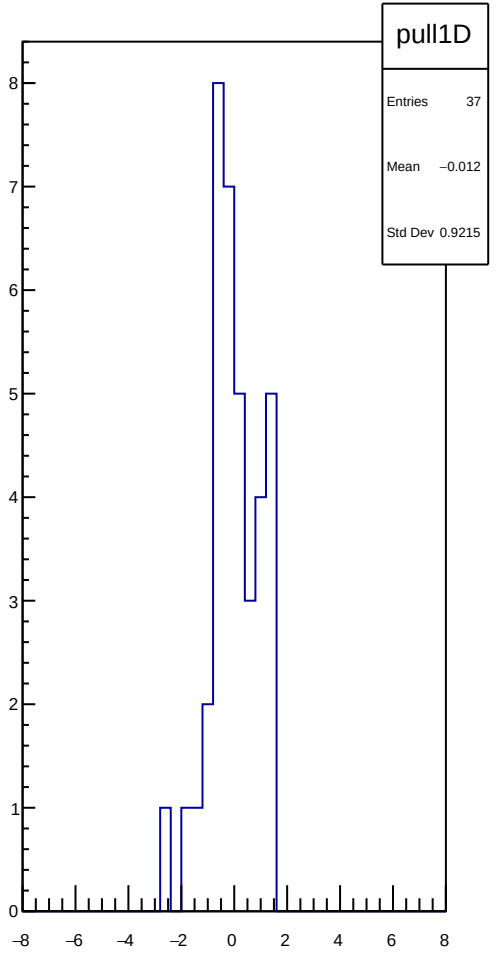
pull1D
Entries 37
Mean −0.012
Std Dev 0.9215
8
7
6
5
4
3
2
1
0
−8
−6
−4
−2
0
2
4
6
8

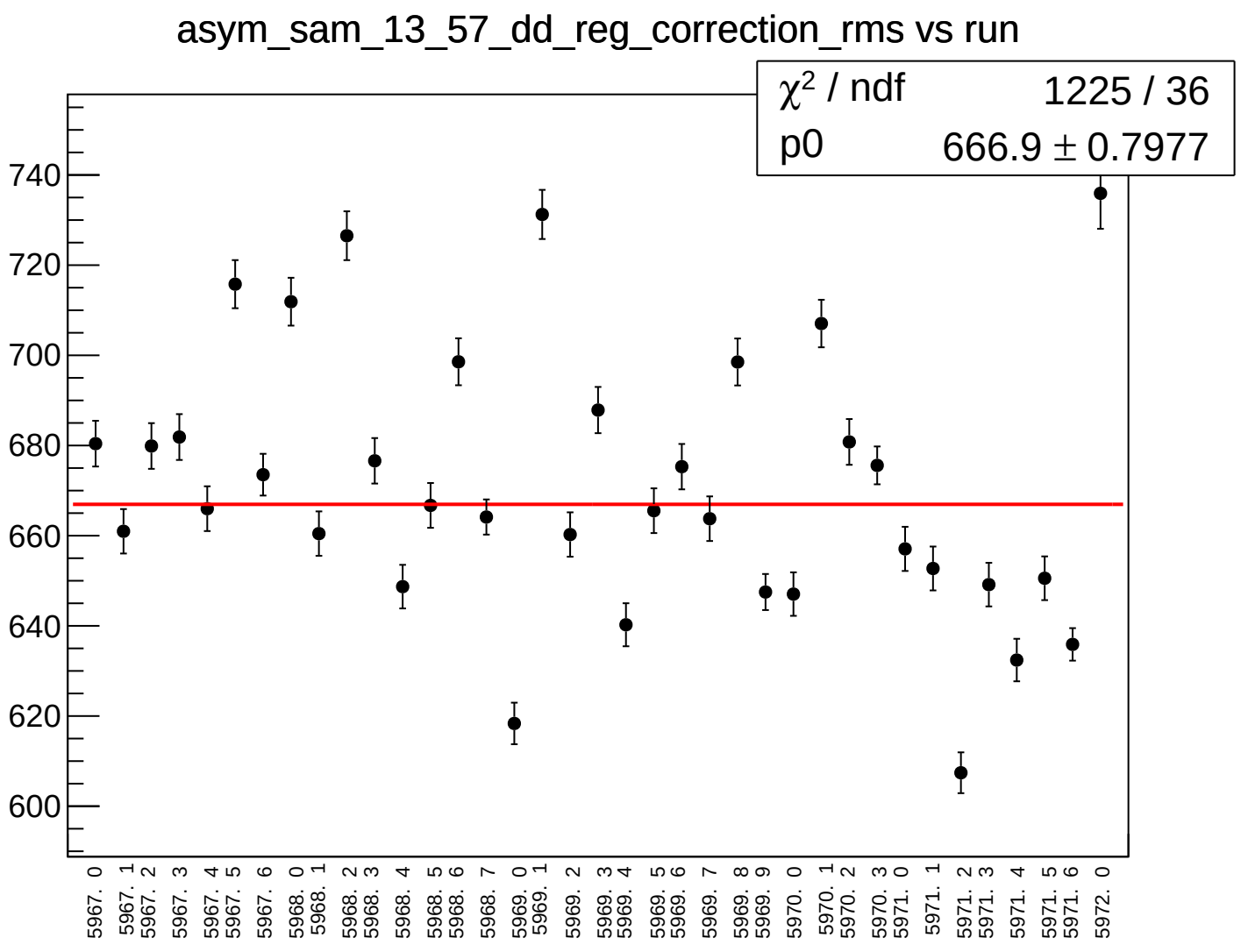
asym_sam_13_57_dd_reg_correction_rms vs run
χ² / ndf 1225 / 36
p0 666.9 ± 0.7977
740
720
700
680
660
640
620
600
5967. 0
5967. 1
5967. 2
5967. 3
5967. 4
5967. 5
5967. 6
5968. 0
5968. 1
5968. 2
5968. 3
5968. 4
5968. 5
5968. 6
5968. 7
5969. 0
5969. 1
5969. 2
5969. 3
5969. 4
5969. 5
5969. 6
5969. 7
5969. 8
5969. 9
5970. 0
5970. 1
5970. 2
5970. 3
5971. 0
5971. 1
5971. 2
5971. 3
5971. 4
5971. 5
5971. 6
5972. 0

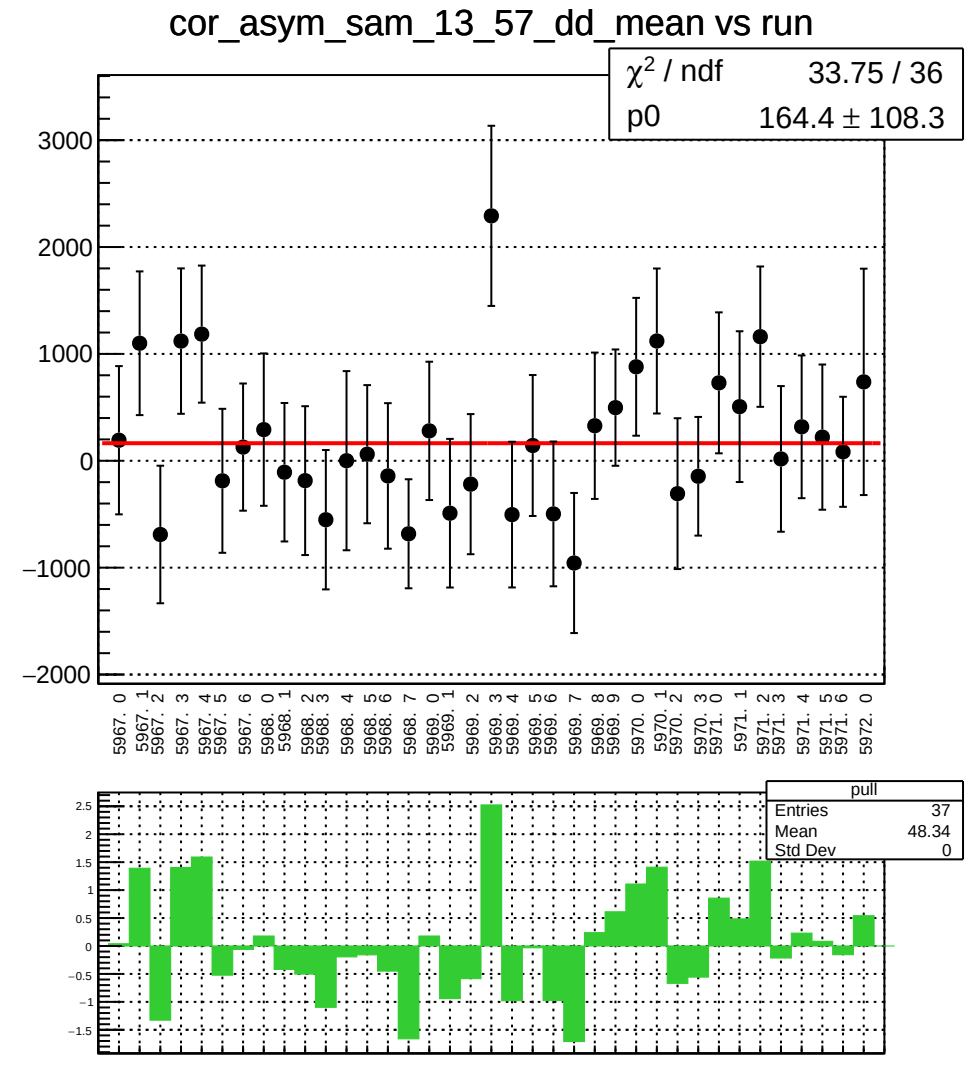
cor_asym_sam_13_57_dd_mean vs run
χ² / ndf 33.75 / 36
p0 164.4 ± 108.3
3000
2000
1000
0
−1000
−2000
5967. 0
5967. 1
5967. 2
5967. 3
5967. 4
5967. 5
5967. 6
5968. 0
5968. 1
5968. 2
5968. 3
5968. 4
5968. 5
5968. 6
5968. 7
5969. 0
5969. 1
5969. 2
5969. 3
5969. 4
5969. 5
5969. 6
5969. 7
5969. 8
5969. 9
5970. 0
5970. 1
5970. 2
5970. 3
5971. 0
5971. 1
5971. 2
5971. 3
5971. 4
5971. 5
5971. 6
5972. 0
pull
Entries 37
Mean 48.34
Std Dev 0
2.5
2
1.5
1
0.5
0
−0.5
−1
−1.5

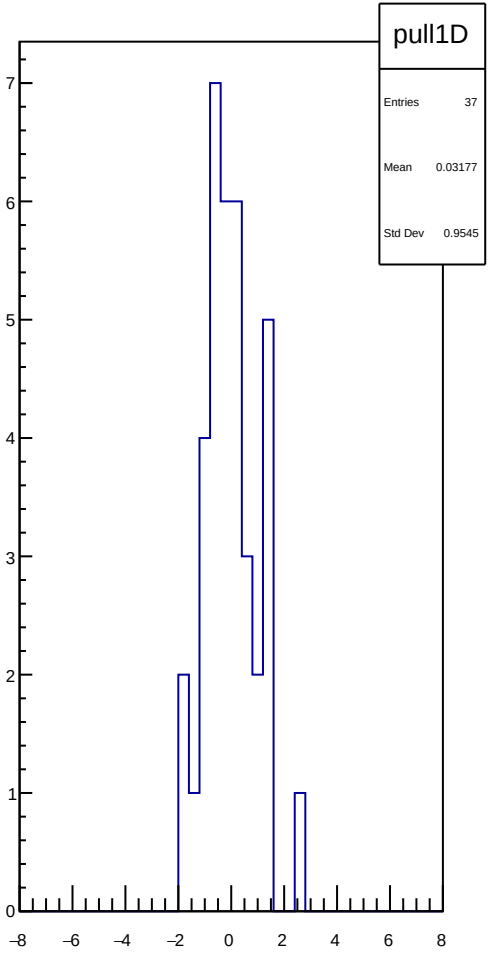
pull1D
Entries 37
Mean 0.03177
Std Dev 0.9545
7
6
5
4
3
2
1
0
−8
−6
−4
−2
0
2
4
6
8

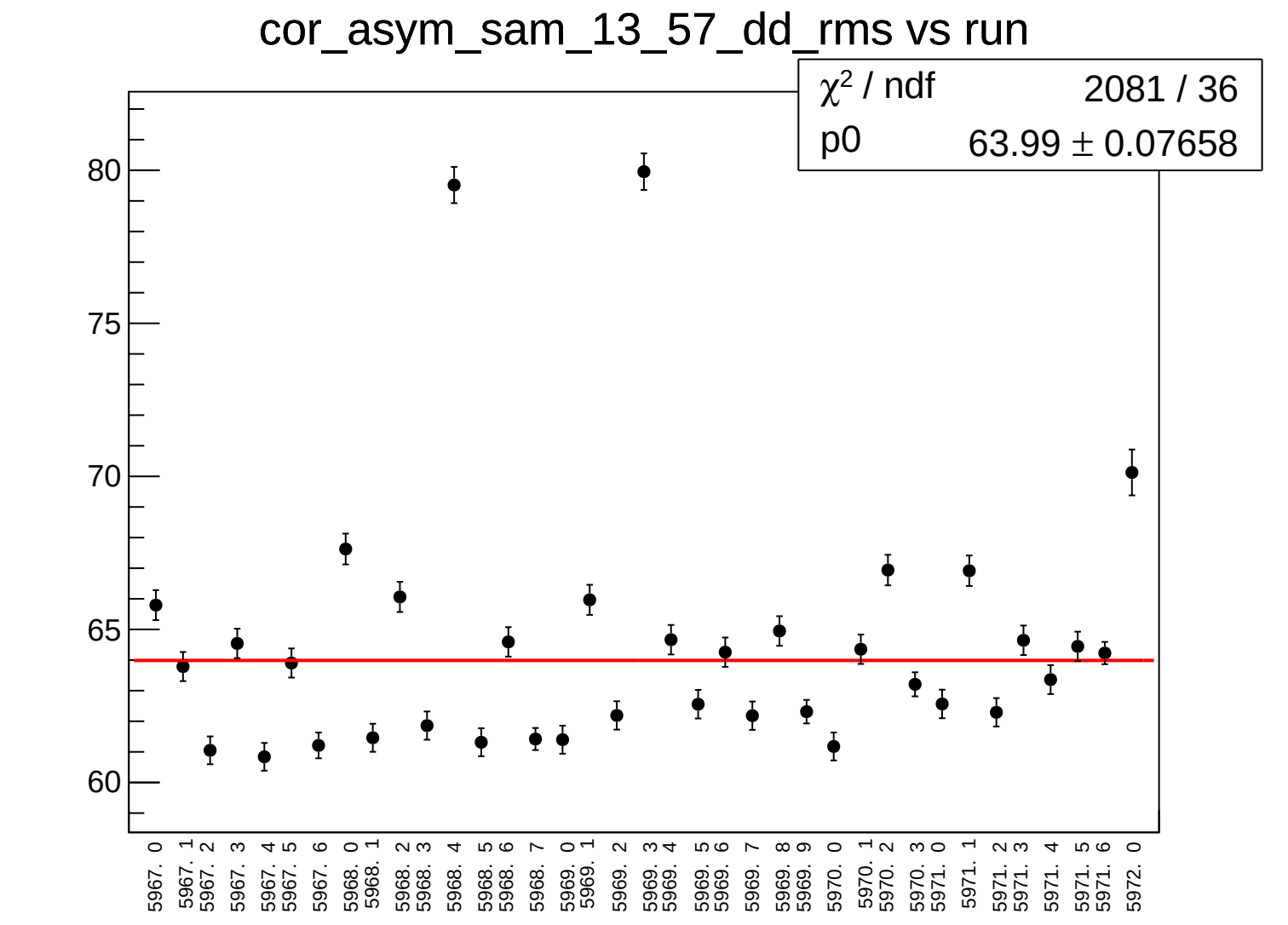
cor_asym_sam_13_57_dd_rms vs run
χ² / ndf 2081 / 36
p0 63.99 ± 0.07658
80
75
70
65
60
5967. 0
5967. 1
5967. 2
5967. 3
5967. 4
5967. 5
5967. 6
5968. 0
5968. 1
5968. 2
5968. 3
5968. 4
5968. 5
5968. 6
5968. 7
5969. 0
5969. 1
5969. 2
5969. 3
5969. 4
5969. 5
5969. 6
5969. 7
5969. 8
5969. 9
5970. 0
5970. 1
5970. 2
5970. 3
5971. 0
5971. 1
5971. 2
5971. 3
5971. 4
5971. 5
5971. 6
5972. 0

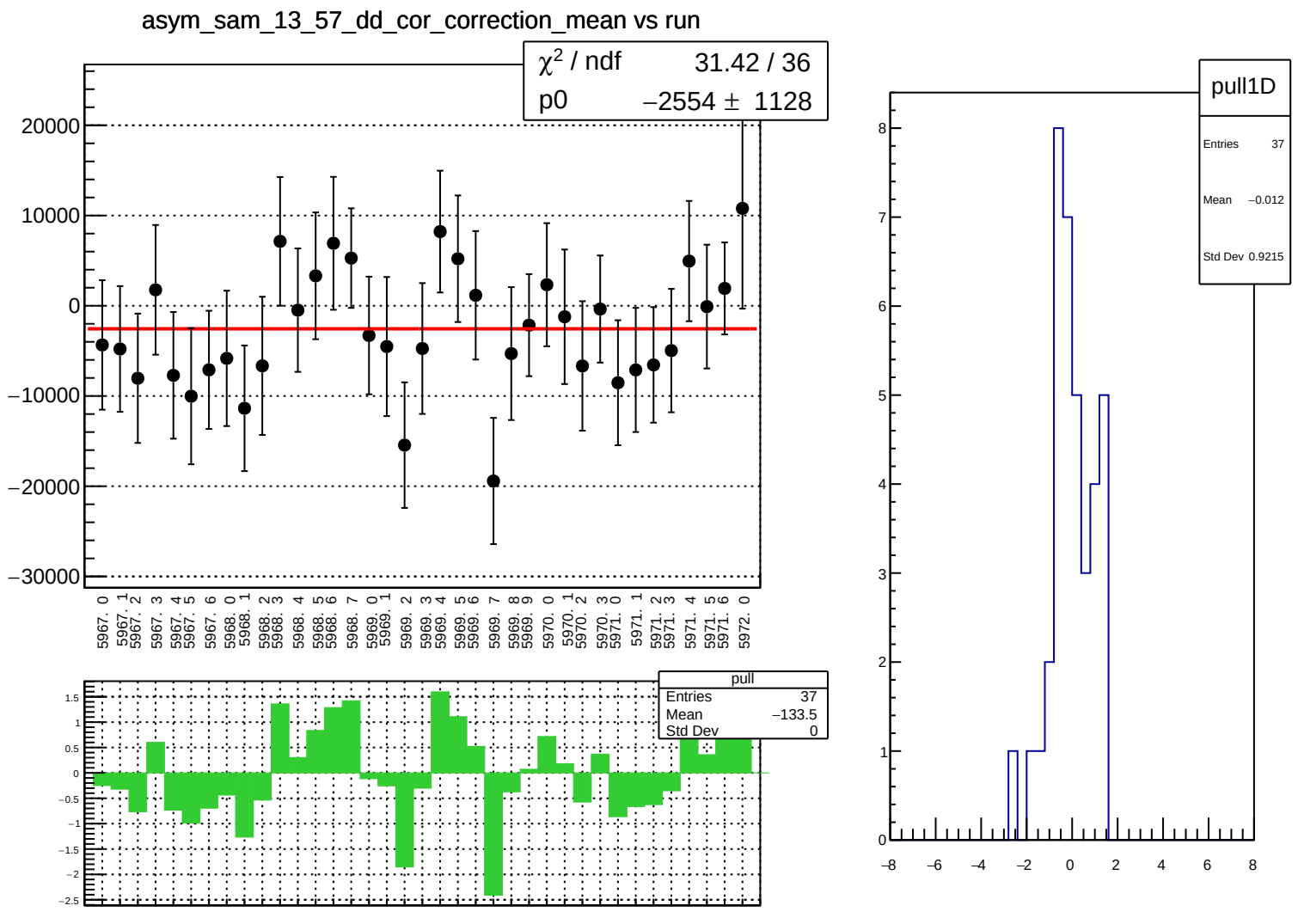
asym_sam_13_57_dd_cor_correction_mean vs run
χ² / ndf 31.42 / 36
p0 −2554 ± 1128
20000
10000
0
−10000
−20000
−30000
5967. 0
5967. 1
5967. 2
5967. 3
5967. 4
5967. 5
5967. 6
5968. 0
5968. 1
5968. 2
5968. 3
5968. 4
5968. 5
5968. 6
5968. 7
5969. 0
5969. 1
5969. 2
5969. 3
5969. 4
5969. 5
5969. 6
5969. 7
5969. 8
5969. 9
5970. 0
5970. 1
5970. 2
5970. 3
5971. 0
5971. 1
5971. 2
5971. 3
5971. 4
5971. 5
5971. 6
5972. 0
pull
Entries 37
Mean −133.5
Std Dev 0
1.5
1
0.5
0
−0.5
−1
−1.5
−2
−2.5
pull1D
Entries 37
Mean −0.012
Std Dev 0.9215
8
7
6
5
4
3
2
1
0
−8
−6
−4
−2
0
2
4
6
8

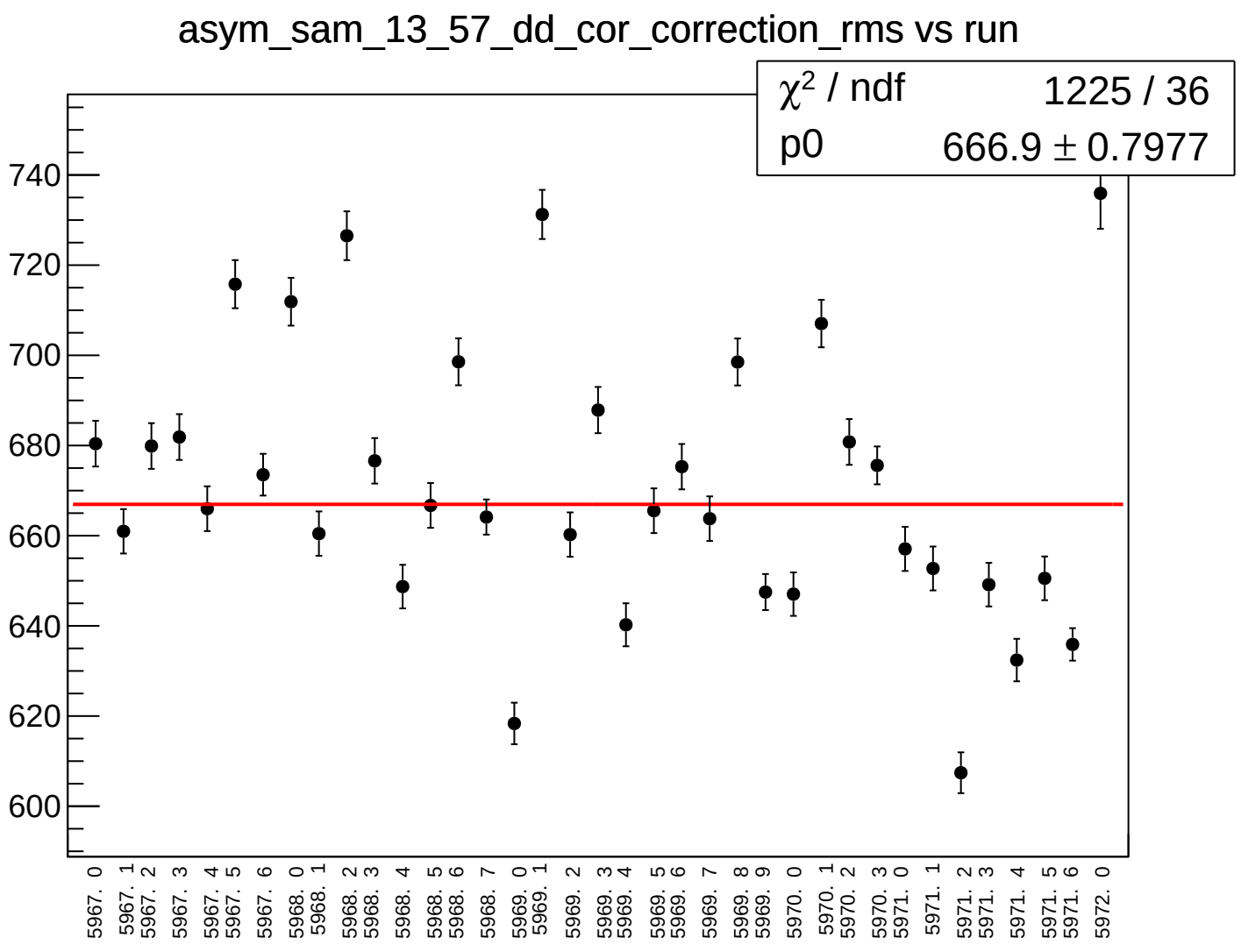
asym_sam_13_57_dd_cor_correction_rms vs run
χ² / ndf 1225 / 36
p0 666.9 ± 0.7977
740
720
700
680
660
640
620
600
5967. 0
5967. 1
5967. 2
5967. 3
5967. 4
5967. 5
5967. 6
5968. 0
5968. 1
5968. 2
5968. 3
5968. 4
5968. 5
5968. 6
5968. 7
5969. 0
5969. 1
5969. 2
5969. 3
5969. 4
5969. 5
5969. 6
5969. 7
5969. 8
5969. 9
5970. 0
5970. 1
5970. 2
5970. 3
5971. 0
5971. 1
5971. 2
5971. 3
5971. 4
5971. 5
5971. 6
5972. 0

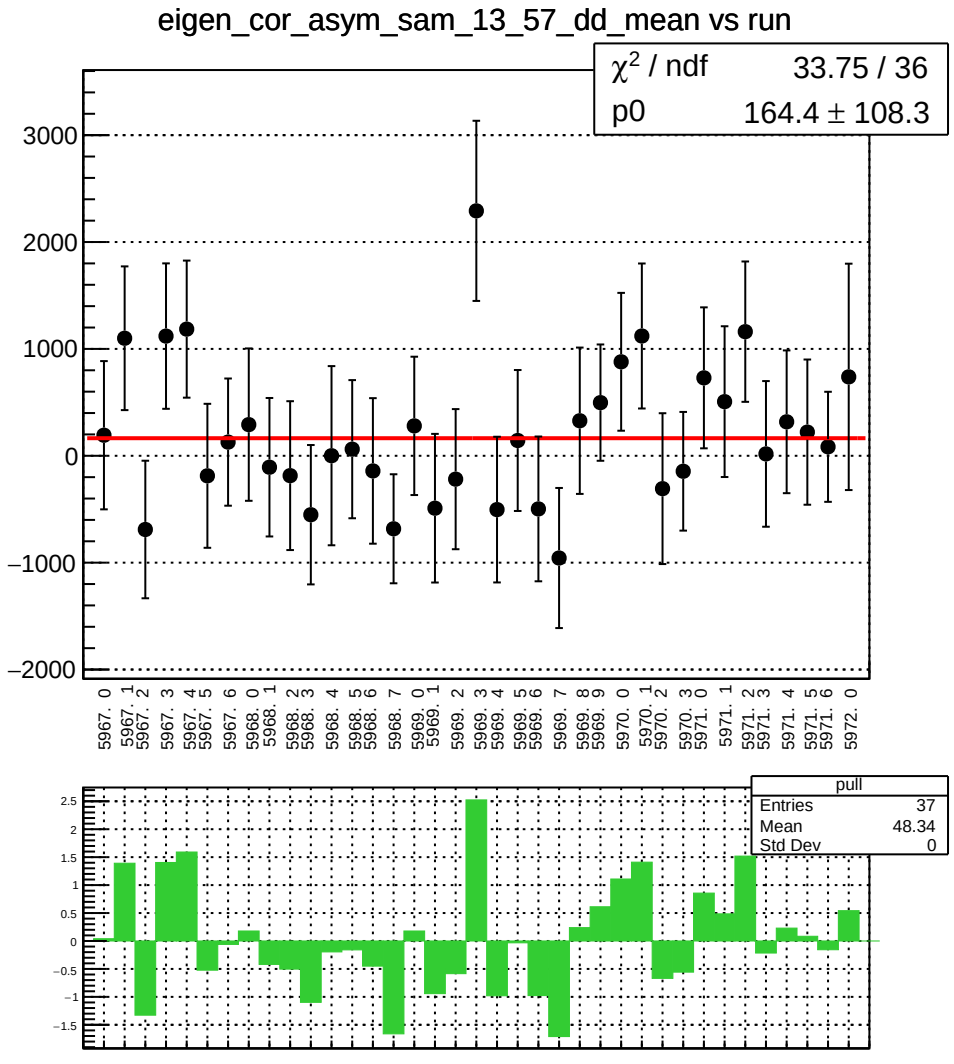
eigen_cor_asym_sam_13_57_dd_mean vs run
χ² / ndf 33.75 / 36
p0 164.4 ± 108.3
pull
Entries 37
Mean 48.34
Std Dev 0

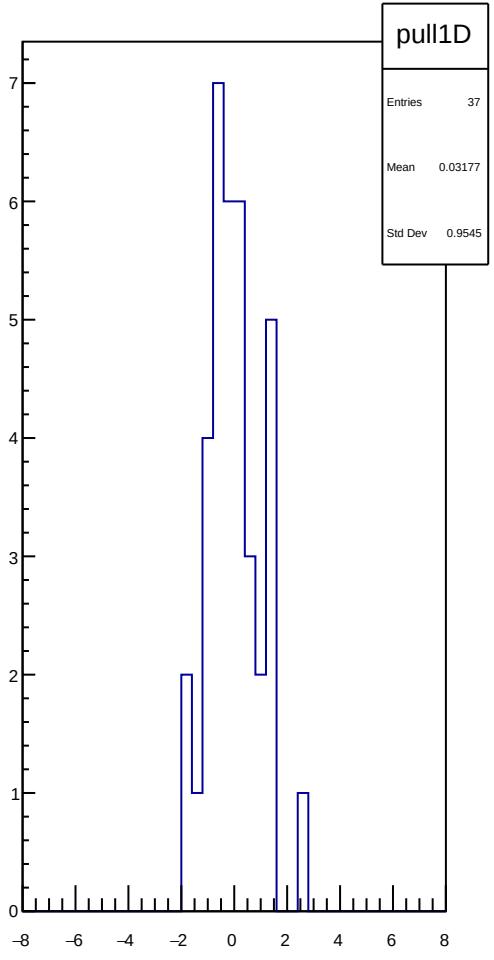
pull1D
Entries 37
Mean 0.03177
Std Dev 0.9545

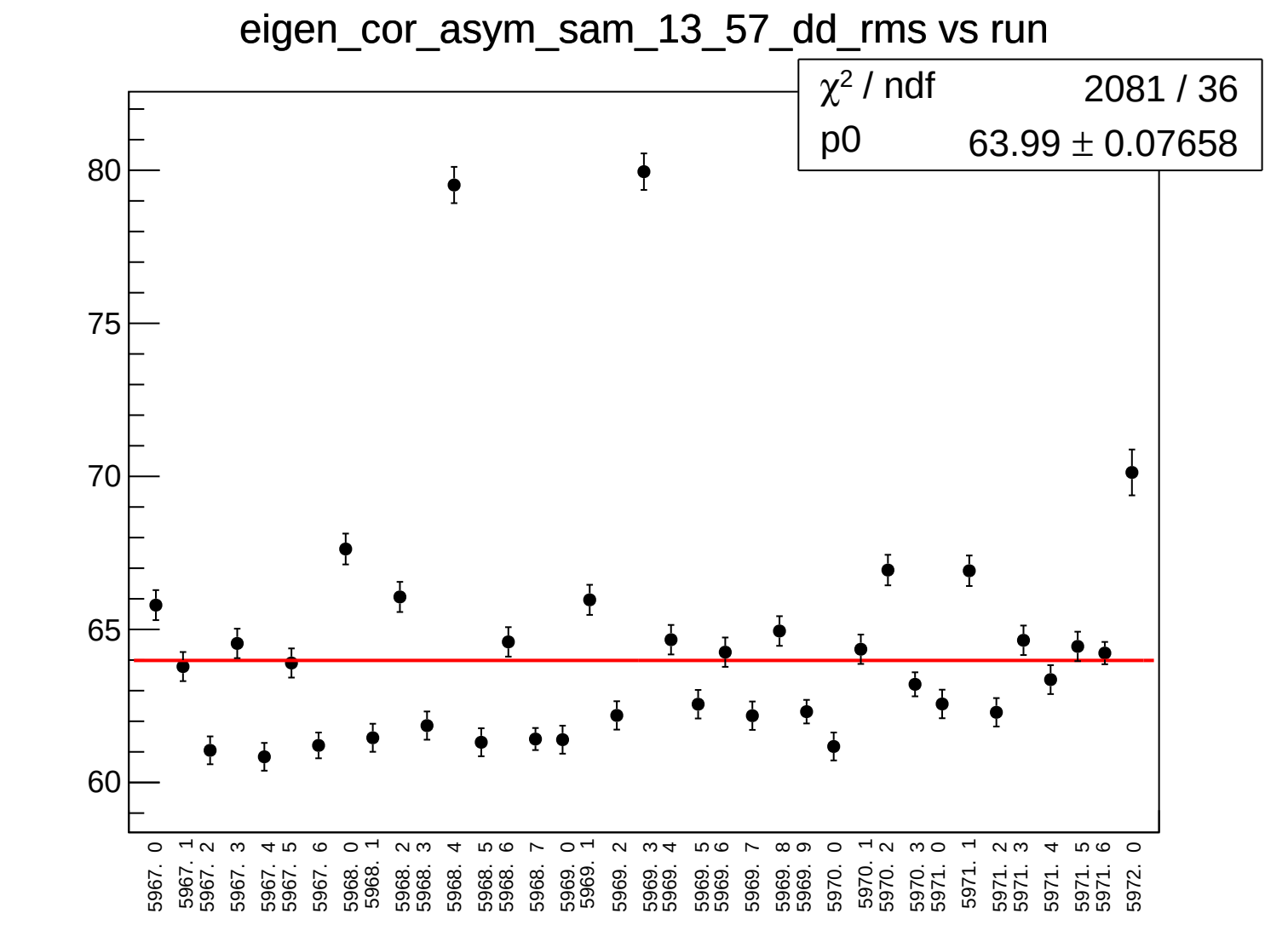
eigen_cor_asym_sam_13_57_dd_rms vs run
χ² / ndf 2081 / 36
p0 63.99 ± 0.07658
80
75
70
65
60
5967. 0
5967. 1
5967. 2
5967. 3
5967. 4
5967. 5
5967. 6
5968. 0
5968. 1
5968. 2
5968. 3
5968. 4
5968. 5
5968. 6
5968. 7
5969. 0
5969. 1
5969. 2
5969. 3
5969. 4
5969. 5
5969. 6
5969. 7
5969. 8
5969. 9
5970. 0
5970. 1
5970. 2
5970. 3
5971. 0
5971. 1
5971. 2
5971. 3
5971. 4
5971. 5
5971. 6
5972. 0

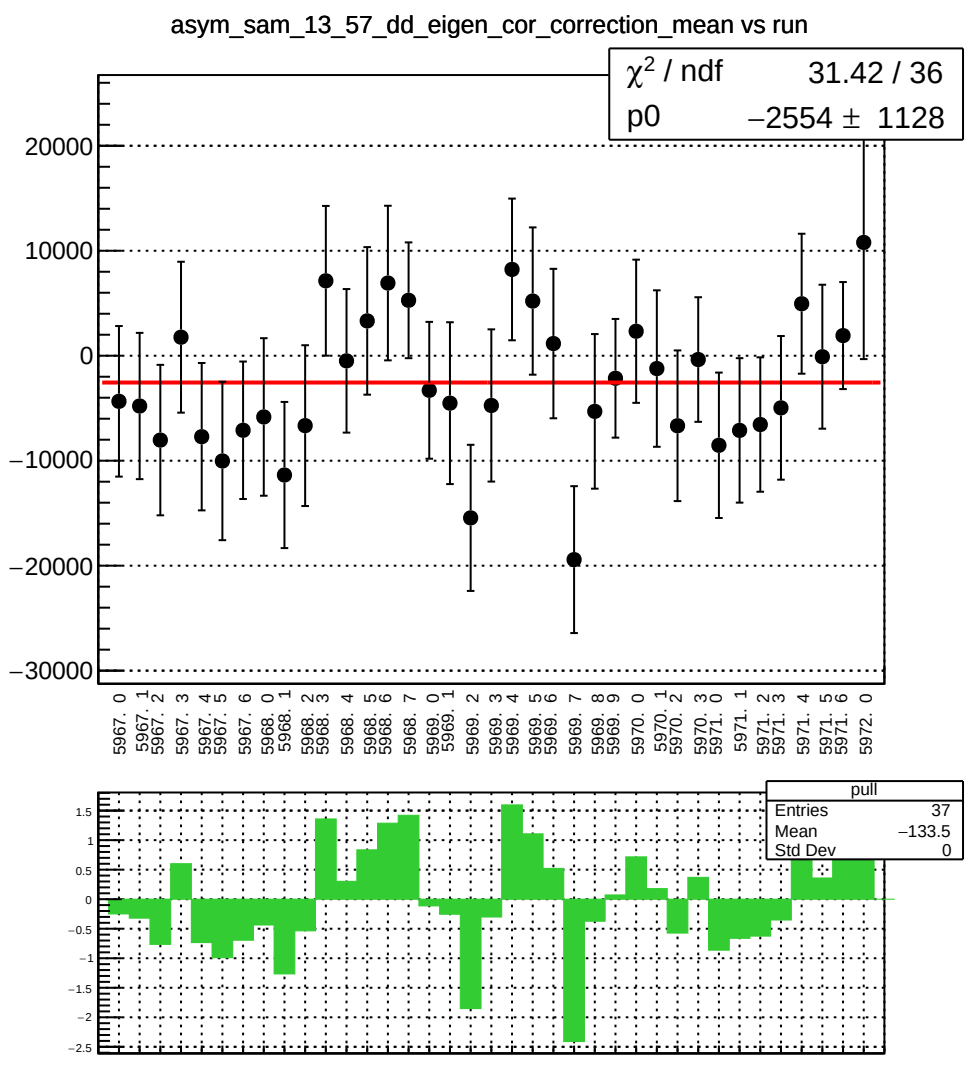
asym_sam_13_57_dd_eigen_cor_correction_mean vs run
χ² / ndf 31.42 / 36
p0 −2554 ± 1128
20000
10000
0
−10000
−20000
−30000
5967. 0
5967. 1
5967. 2
5967. 3
5967. 4
5967. 5
5967. 6
5968. 0
5968. 1
5968. 2
5968. 3
5968. 4
5968. 5
5968. 6
5968. 7
5969. 0
5969. 1
5969. 2
5969. 3
5969. 4
5969. 5
5969. 6
5969. 7
5969. 8
5969. 9
5970. 0
5970. 1
5970. 2
5970. 3
5971. 0
5971. 1
5971. 2
5971. 3
5971. 4
5971. 5
5971. 6
5972. 0
pull
Entries 37
Mean −133.5
Std Dev 0
1.5
1
0.5
0
−0.5
−1
−1.5
−2
−2.5

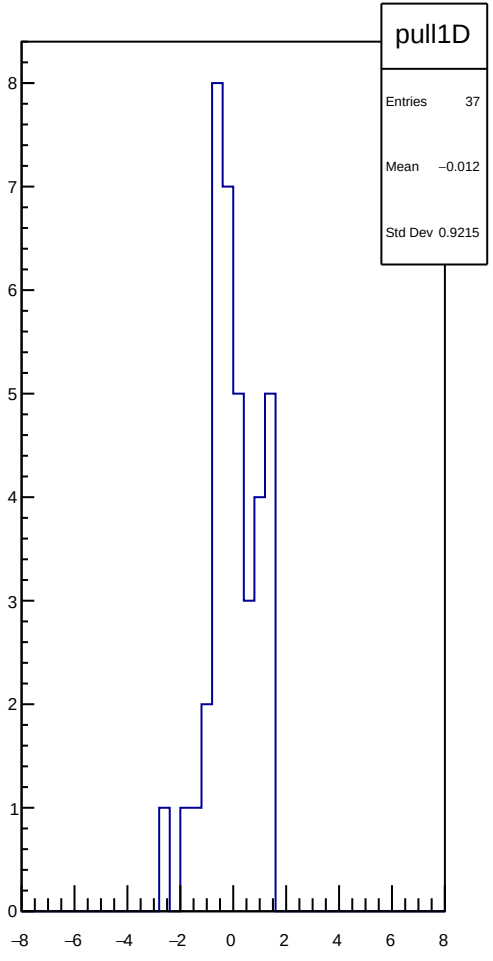
pull1D
Entries 37
Mean −0.012
Std Dev 0.9215
8
7
6
5
4
3
2
1
0
−8
−6
−4
−2
0
2
4
6
8

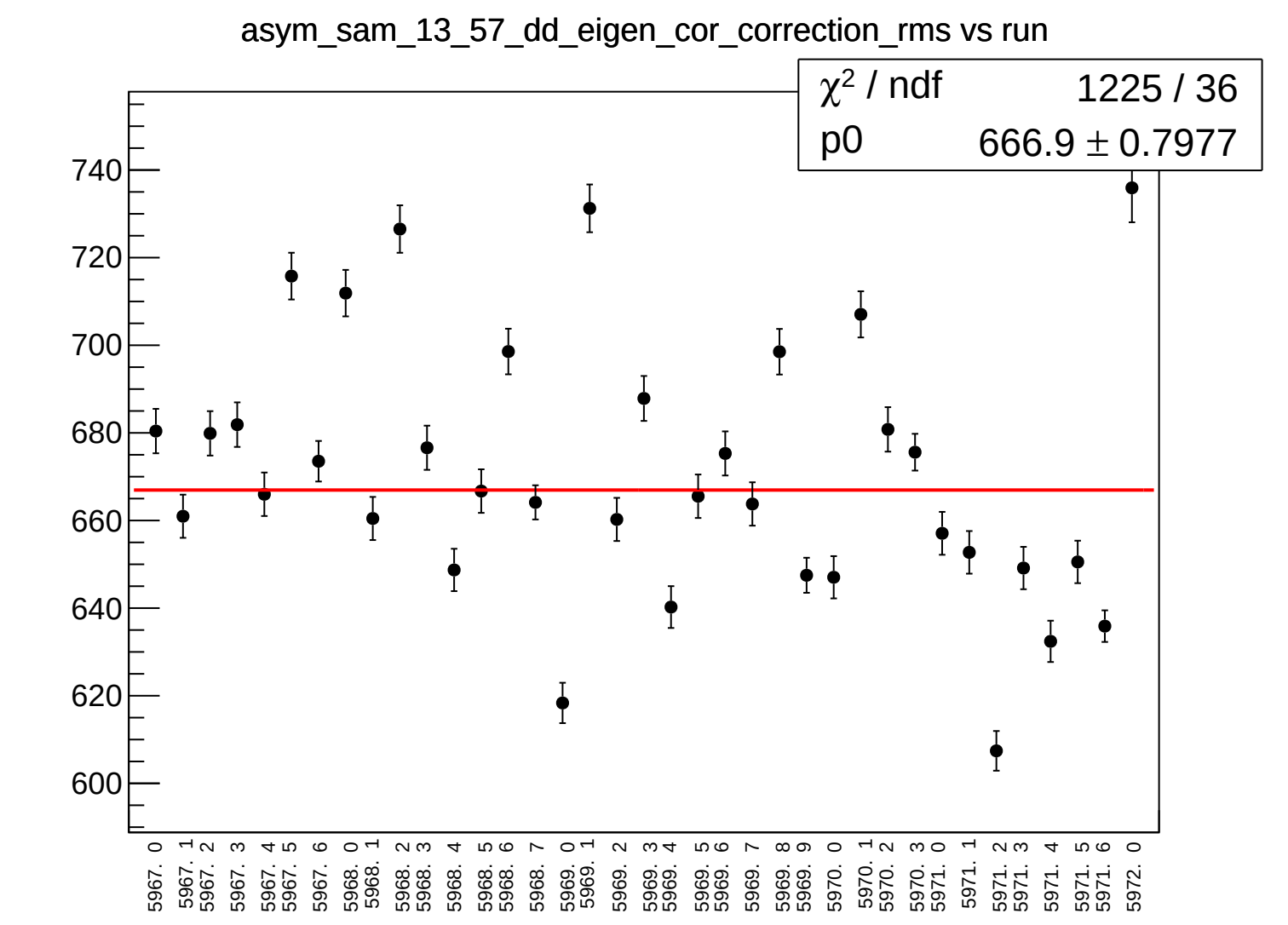
asym_sam_13_57_dd_eigen_cor_correction_rms vs run
χ² / ndf 1225 / 36
p0 666.9 ± 0.7977
740
720
700
680
660
640
620
600
5967. 0
5967. 1
5967. 2
5967. 3
5967. 4
5967. 5
5967. 6
5968. 0
5968. 1
5968. 2
5968. 3
5968. 4
5968. 5
5968. 6
5968. 7
5969. 0
5969. 1
5969. 2
5969. 3
5969. 4
5969. 5
5969. 6
5969. 7
5969. 8
5969. 9
5970. 0
5970. 1
5970. 2
5970. 3
5971. 0
5971. 1
5971. 2
5971. 3
5971. 4
5971. 5
5971. 6
5972. 0

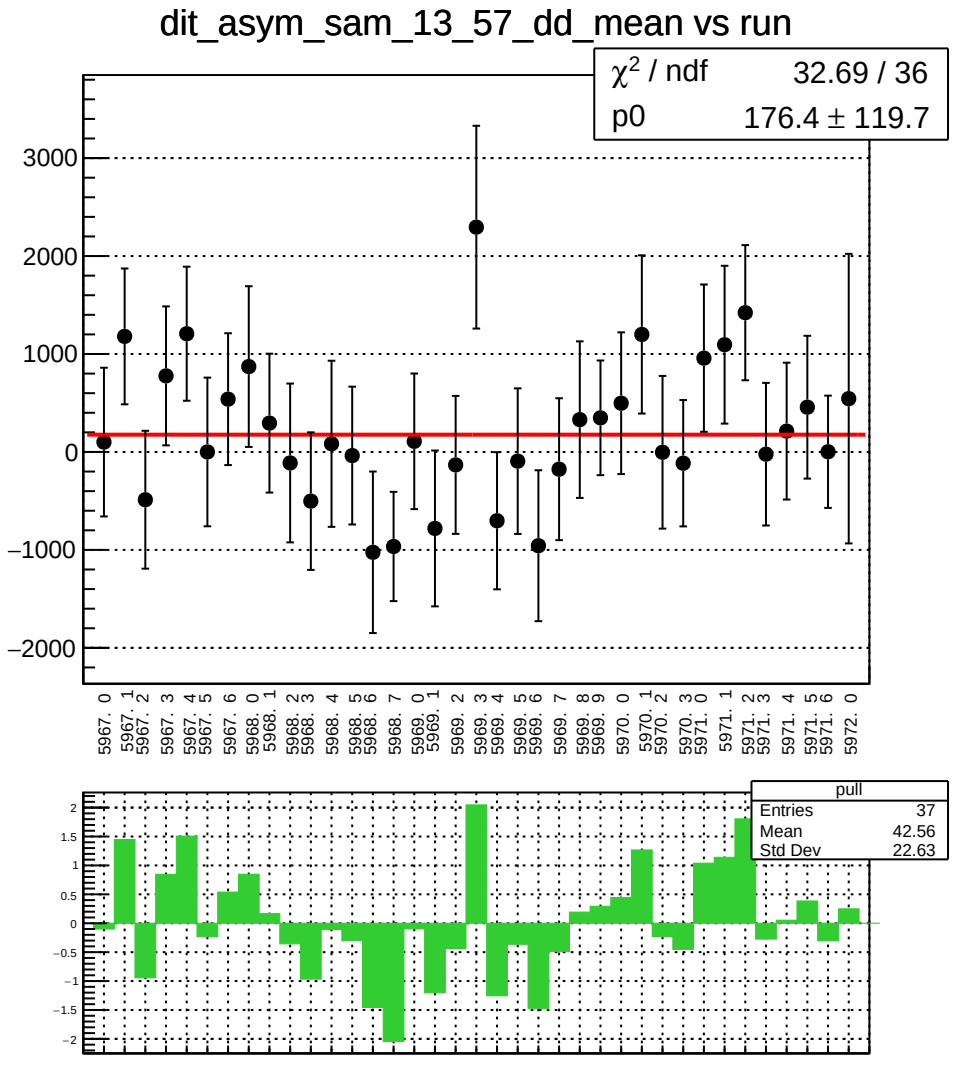
dit_asym_sam_13_57_dd_mean vs run
χ² / ndf 32.69 / 36
p0 176.4 ± 119.7
3000
2000
1000
0
−1000
−2000
5967. 0
5967. 1
5967. 2
5967. 3
5967. 4
5967. 5
5967. 6
5968. 0
5968. 1
5968. 2
5968. 3
5968. 4
5968. 5
5968. 6
5968. 7
5969. 0
5969. 1
5969. 2
5969. 3
5969. 4
5969. 5
5969. 6
5969. 7
5969. 8
5969. 9
5970. 0
5970. 1
5970. 2
5970. 3
5971. 0
5971. 1
5971. 2
5971. 3
5971. 4
5971. 5
5971. 6
5972. 0
pull
Entries 37
Mean 42.56
Std Dev 22.63
2
1.5
1
0.5
0
−0.5
−1
−1.5
−2

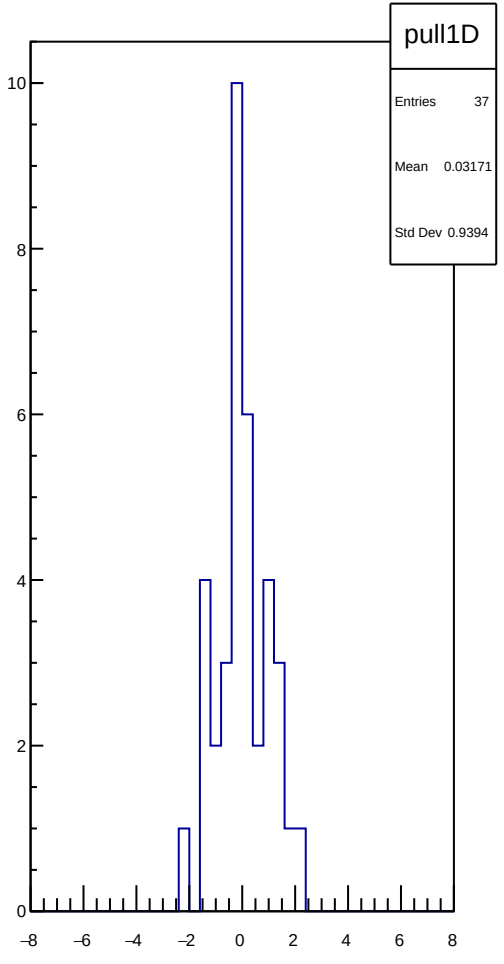
pull1D
Entries 37
Mean 0.03171
Std Dev 0.9394
10
8
6
4
2
0
−8
−6
−4
−2
0
2
4
6
8

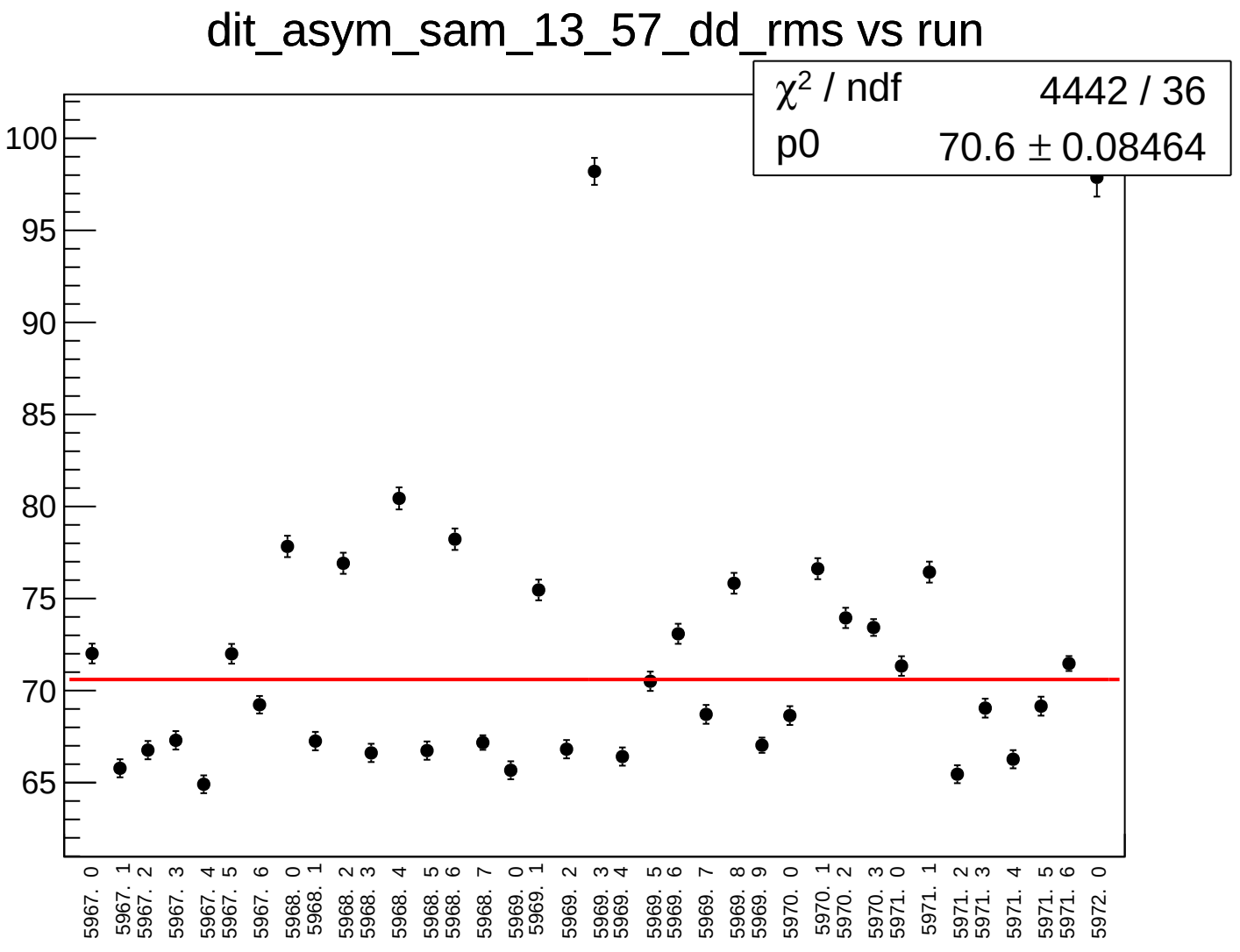
dit_asym_sam_13_57_dd_rms vs run
χ² / ndf 4442 / 36
p0 70.6 ± 0.08464
100
95
90
85
80
75
70
65
5967. 0
5967. 1
5967. 2
5967. 3
5967. 4
5967. 5
5967. 6
5968. 0
5968. 1
5968. 2
5968. 3
5968. 4
5968. 5
5968. 6
5968. 7
5969. 0
5969. 1
5969. 2
5969. 3
5969. 4
5969. 5
5969. 6
5969. 7
5969. 8
5969. 9
5970. 0
5970. 1
5970. 2
5970. 3
5971. 0
5971. 1
5971. 2
5971. 3
5971. 4
5971. 5
5971. 6
5972. 0

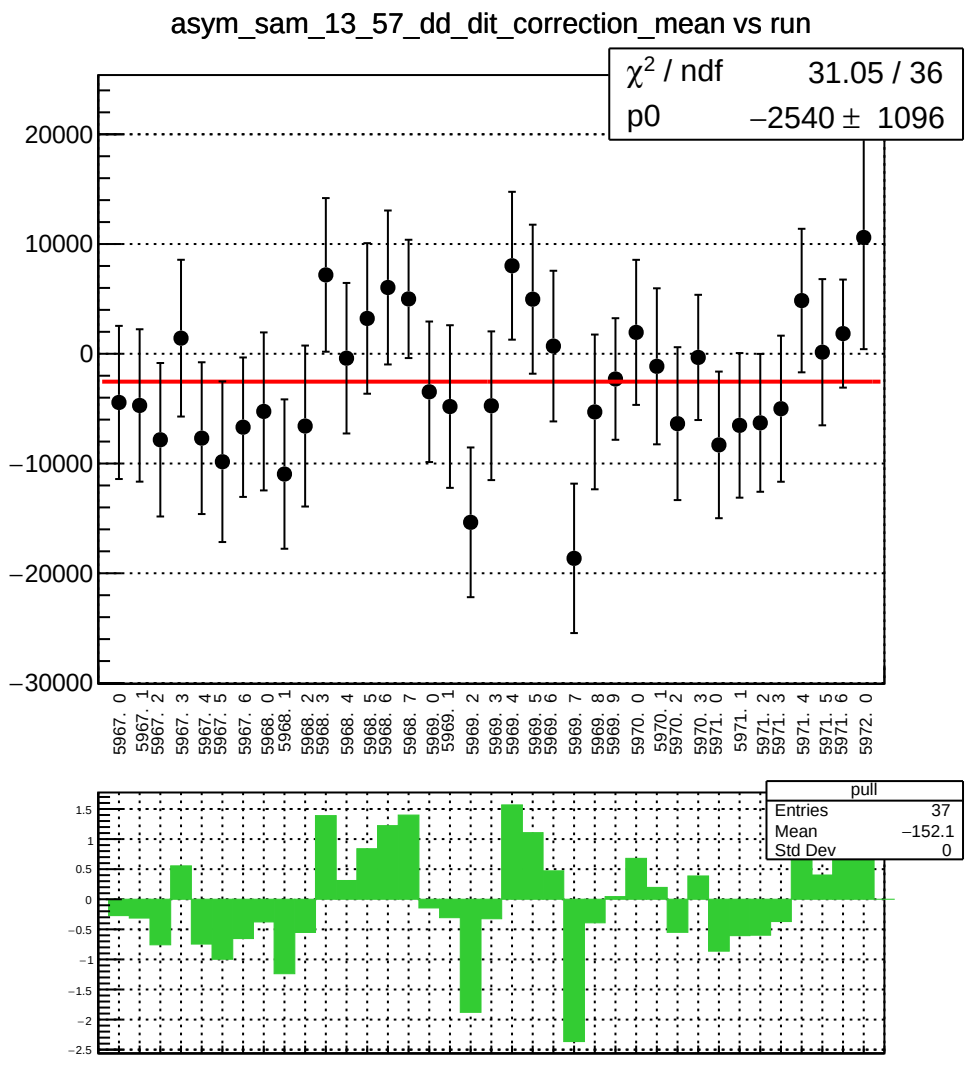
asym_sam_13_57_dd_dit_correction_mean vs run
χ² / ndf 31.05 / 36
p0 −2540 ± 1096
20000
10000
0
−10000
−20000
−30000
5967. 0
5967. 1
5967. 2
5967. 3
5967. 4
5967. 5
5967. 6
5968. 0
5968. 1
5968. 2
5968. 3
5968. 4
5968. 5
5968. 6
5968. 7
5969. 0
5969. 1
5969. 2
5969. 3
5969. 4
5969. 5
5969. 6
5969. 7
5969. 8
5969. 9
5970. 0
5970. 1
5970. 2
5970. 3
5971. 0
5971. 1
5971. 2
5971. 3
5971. 4
5971. 5
5971. 6
5972. 0
pull
Entries 37
Mean −152.1
Std Dev 0
1.5
1
0.5
0
−0.5
−1
−1.5
−2
−2.5

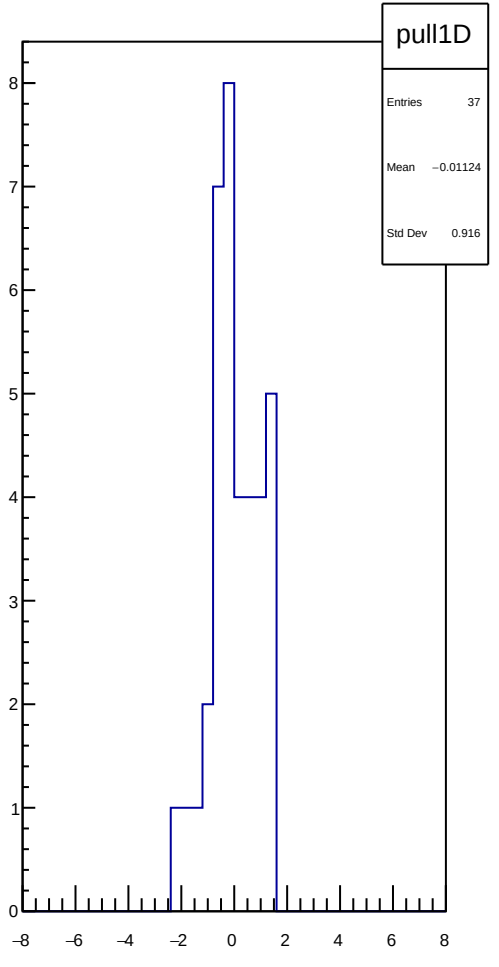
pull1D
Entries 37
Mean −0.01124
Std Dev 0.916
8
7
6
5
4
3
2
1
0
−8
−6
−4
−2
0
2
4
6
8

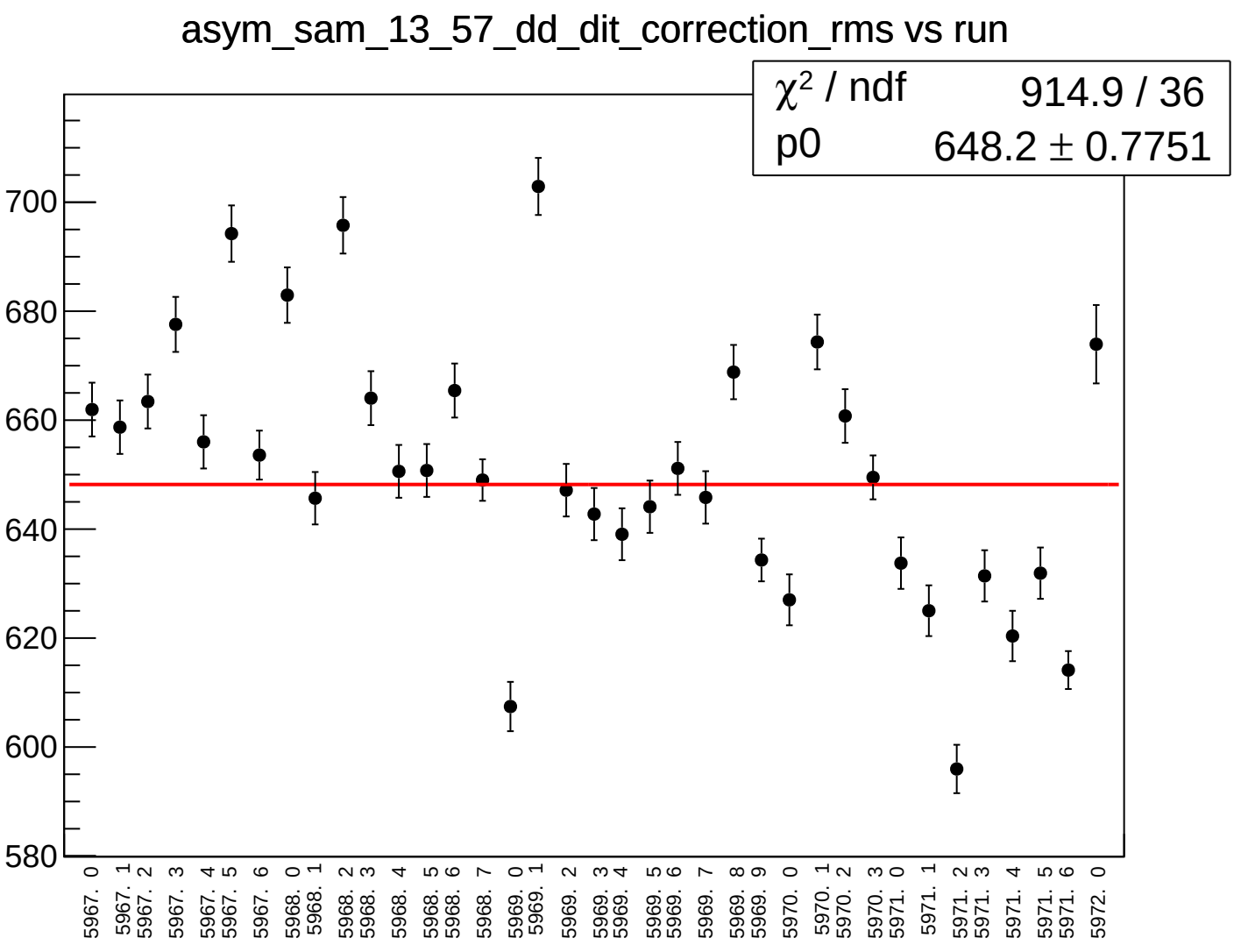
asym_sam_13_57_dd_dit_correction_rms vs run
χ² / ndf 914.9 / 36
p0 648.2 ± 0.7751
700
680
660
640
620
600
580
5967. 0
5967. 1
5967. 2
5967. 3
5967. 4
5967. 5
5967. 6
5968. 0
5968. 1
5968. 2
5968. 3
5968. 4
5968. 5
5968. 6
5968. 7
5969. 0
5969. 1
5969. 2
5969. 3
5969. 4
5969. 5
5969. 6
5969. 7
5969. 8
5969. 9
5970. 0
5970. 1
5970. 2
5970. 3
5971. 0
5971. 1
5971. 2
5971. 3
5971. 4
5971. 5
5971. 6
5972. 0

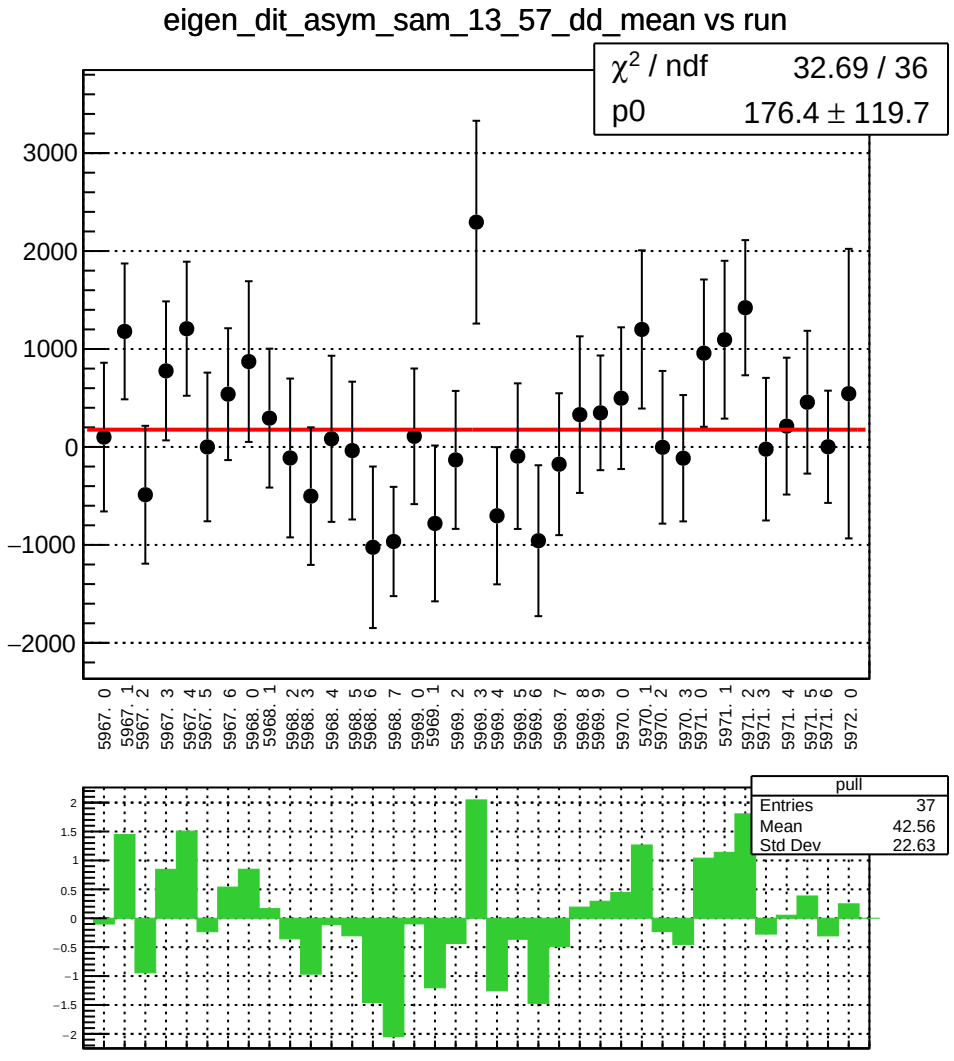
eigen_dit_asym_sam_13_57_dd_mean vs run
χ² / ndf 32.69 / 36
p0 176.4 ± 119.7
3000
2000
1000
0
−1000
−2000
5967. 0
5967. 1
5967. 2
5967. 3
5967. 4
5967. 5
5967. 6
5968. 0
5968. 1
5968. 2
5968. 3
5968. 4
5968. 5
5968. 6
5968. 7
5969. 0
5969. 1
5969. 2
5969. 3
5969. 4
5969. 5
5969. 6
5969. 7
5969. 8
5969. 9
5970. 0
5970. 1
5970. 2
5970. 3
5971. 0
5971. 1
5971. 2
5971. 3
5971. 4
5971. 5
5971. 6
5972. 0
pull
Entries 37
Mean 42.56
Std Dev 22.63
2
1.5
1
0.5
0
−0.5
−1
−1.5
−2
pull1D
Entries 37
Mean 0.03171
Std Dev 0.9394
10
8
6
4
2
0
−8
−6
−4
−2
0
2
4
6
8

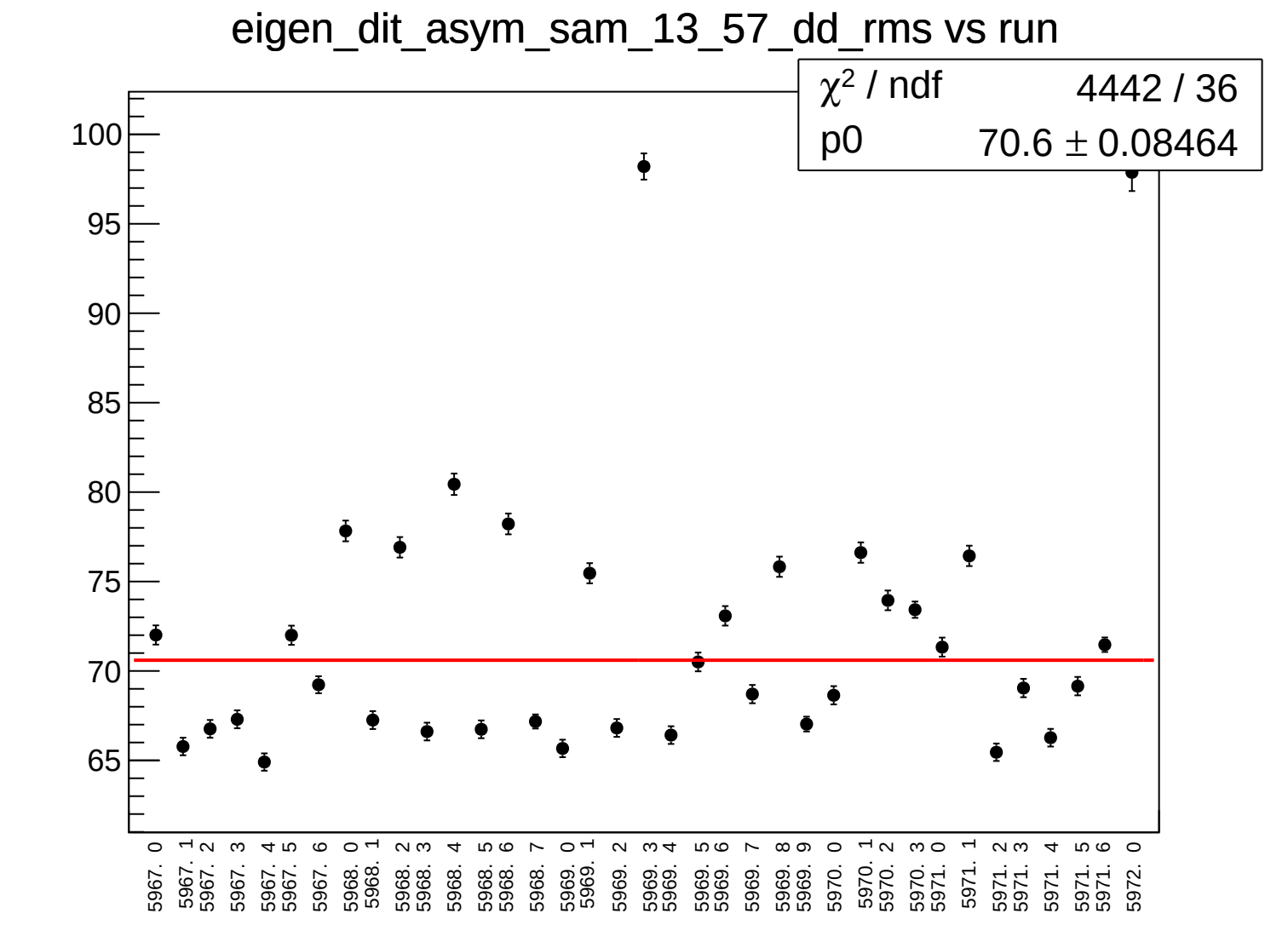
eigen_dit_asym_sam_13_57_dd_rms vs run
χ² / ndf 4442 / 36
p0 70.6 ± 0.08464
100
95
90
85
80
75
70
65
5967. 0
5967. 1
5967. 2
5967. 3
5967. 4
5967. 5
5967. 6
5968. 0
5968. 1
5968. 2
5968. 3
5968. 4
5968. 5
5968. 6
5968. 7
5969. 0
5969. 1
5969. 2
5969. 3
5969. 4
5969. 5
5969. 6
5969. 7
5969. 8
5969. 9
5970. 0
5970. 1
5970. 2
5970. 3
5971. 0
5971. 1
5971. 2
5971. 3
5971. 4
5971. 5
5971. 6
5972. 0

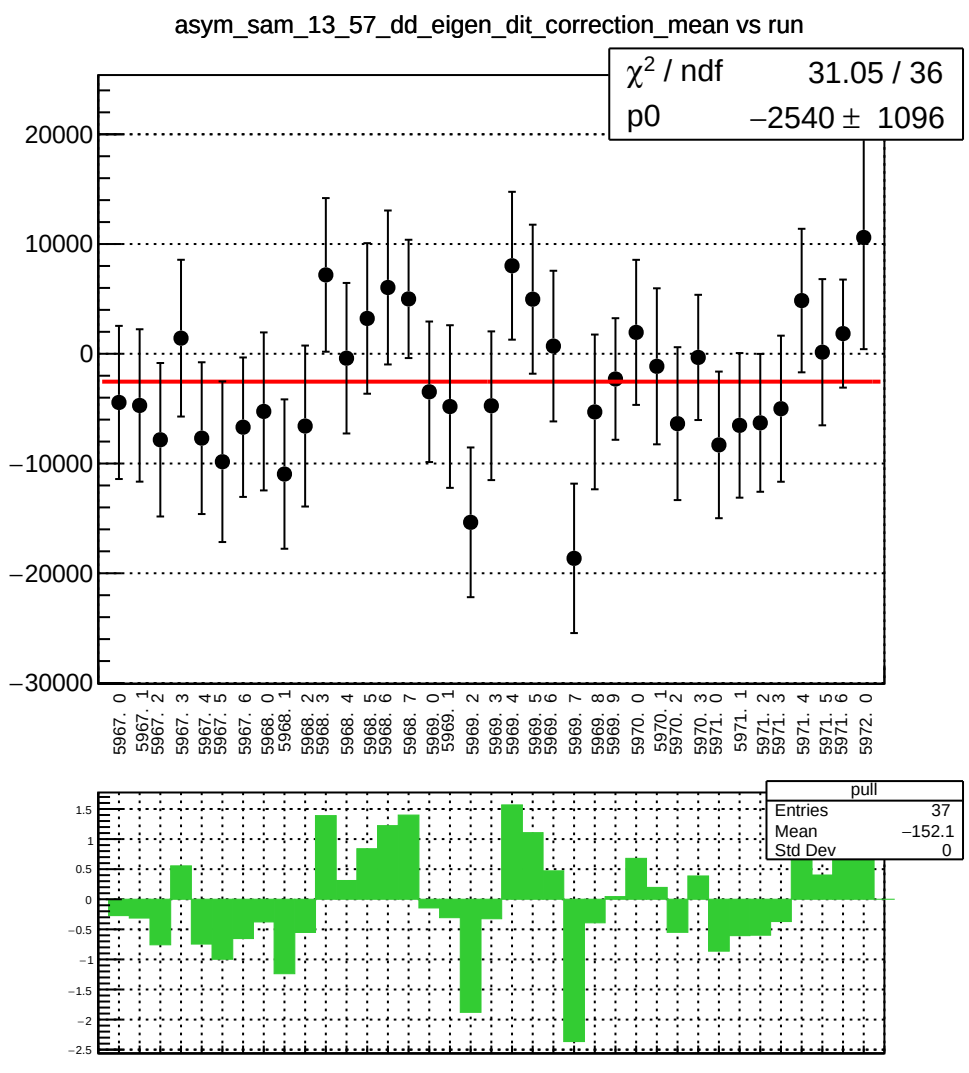
asym_sam_13_57_dd_eigen_dit_correction_mean vs run
χ² / ndf 31.05 / 36
p0 −2540 ± 1096
20000
10000
0
−10000
−20000
−30000
5967. 0
5967. 1
5967. 2
5967. 3
5967. 4
5967. 5
5967. 6
5968. 0
5968. 1
5968. 2
5968. 3
5968. 4
5968. 5
5968. 6
5968. 7
5969. 0
5969. 1
5969. 2
5969. 3
5969. 4
5969. 5
5969. 6
5969. 7
5969. 8
5969. 9
5970. 0
5970. 1
5970. 2
5970. 3
5971. 0
5971. 1
5971. 2
5971. 3
5971. 4
5971. 5
5971. 6
5972. 0
pull
Entries 37
Mean −152.1
Std Dev 0
1.5
1
0.5
0
−0.5
−1
−1.5
−2
−2.5

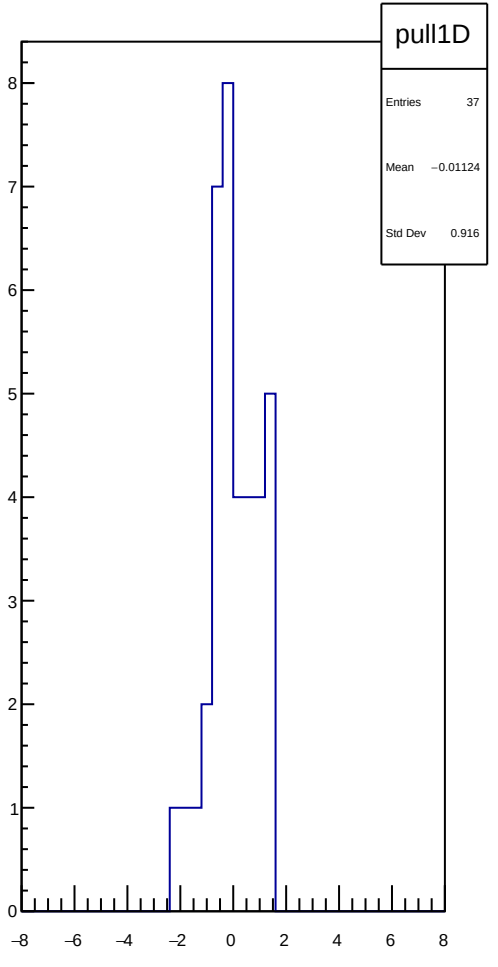
pull1D
Entries 37
Mean −0.01124
Std Dev 0.916
8
7
6
5
4
3
2
1
0
−8
−6
−4
−2
0
2
4
6
8

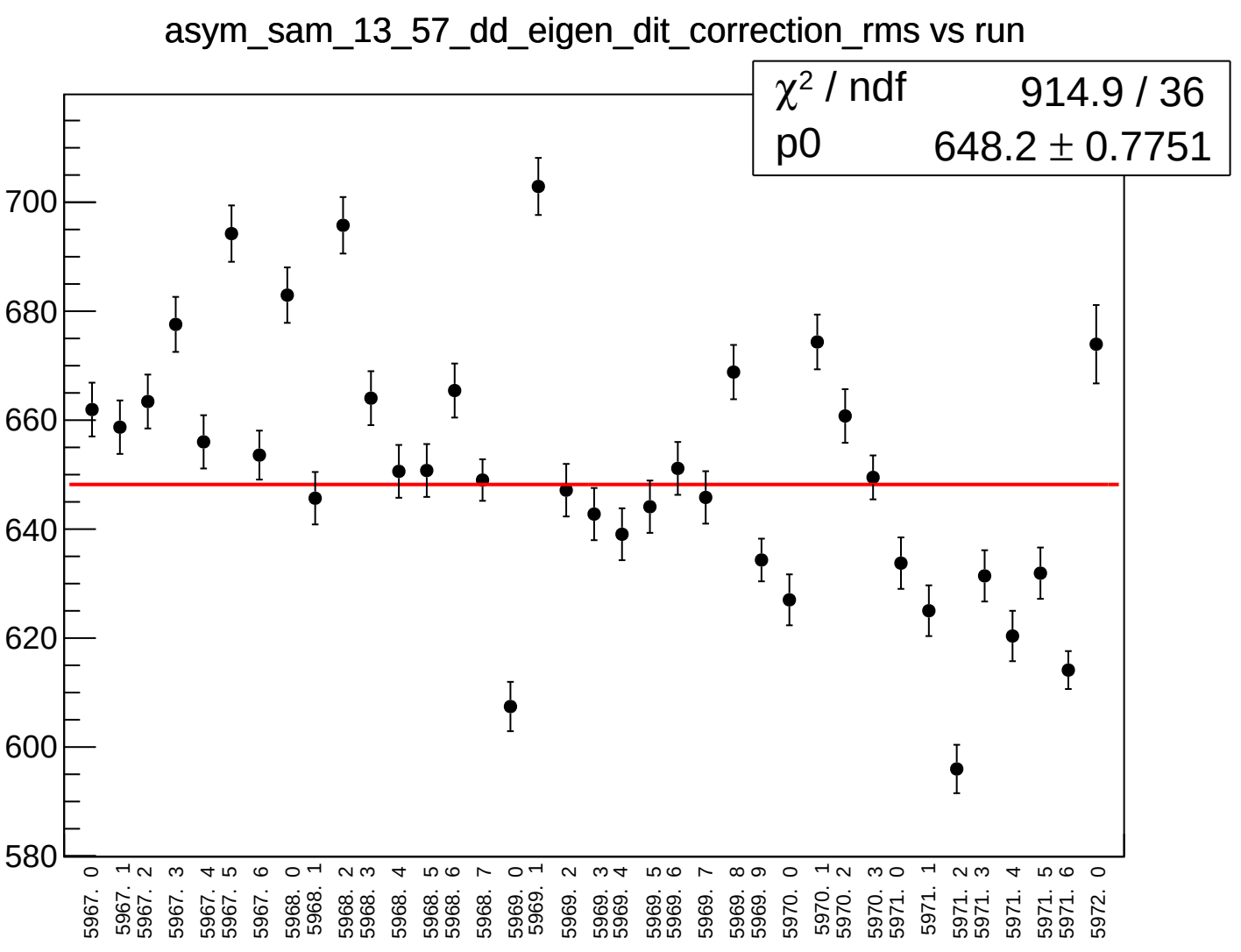
asym_sam_13_57_dd_eigen_dit_correction_rms vs run
χ² / ndf 914.9 / 36
p0 648.2 ± 0.7751
700
680
660
640
620
600
580
5967. 0
5967. 1
5967. 2
5967. 3
5967. 4
5967. 5
5967. 6
5968. 0
5968. 1
5968. 2
5968. 3
5968. 4
5968. 5
5968. 6
5968. 7
5969. 0
5969. 1
5969. 2
5969. 3
5969. 4
5969. 5
5969. 6
5969. 7
5969. 8
5969. 9
5970. 0
5970. 1
5970. 2
5970. 3
5971. 0
5971. 1
5971. 2
5971. 3
5971. 4
5971. 5
5971. 6
5972. 0

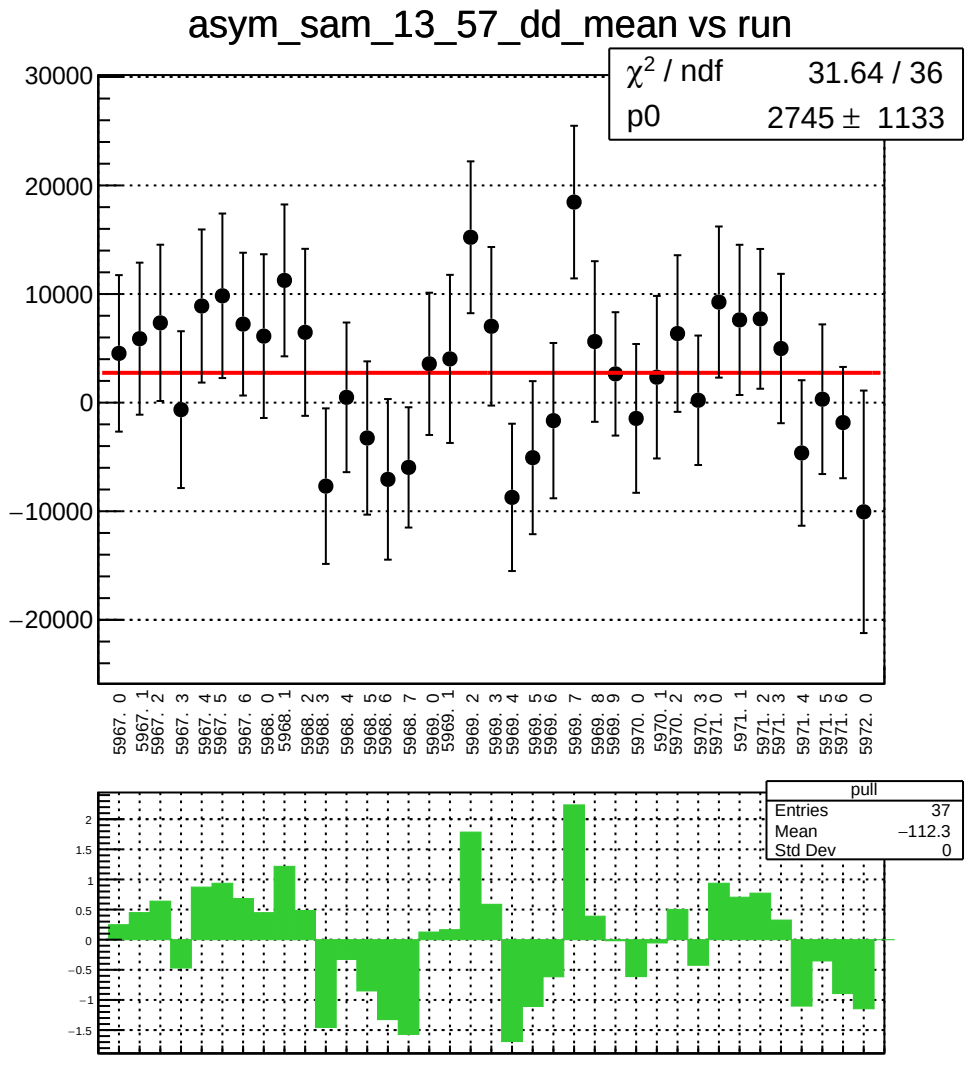
asym_sam_13_57_dd_mean vs run
χ² / ndf 31.64 / 36
p0 2745 ± 1133
30000
20000
10000
0
−10000
−20000
5967. 0
5967. 1
5967. 2
5967. 3
5967. 4
5967. 5
5967. 6
5968. 0
5968. 1
5968. 2
5968. 3
5968. 4
5968. 5
5968. 6
5968. 7
5969. 0
5969. 1
5969. 2
5969. 3
5969. 4
5969. 5
5969. 6
5969. 7
5969. 8
5969. 9
5970. 0
5970. 1
5970. 2
5970. 3
5971. 0
5971. 1
5971. 2
5971. 3
5971. 4
5971. 5
5971. 6
5972. 0
pull
Entries 37
Mean −112.3
Std Dev 0
2
1.5
1
0.5
0
−0.5
−1
−1.5
pull1D
Entries 37
Mean 0.0132
Std Dev 0.9246
9
8
7
6
5
4
3
2
1
0
−8
−6
−4
−2
0
2
4
6
8

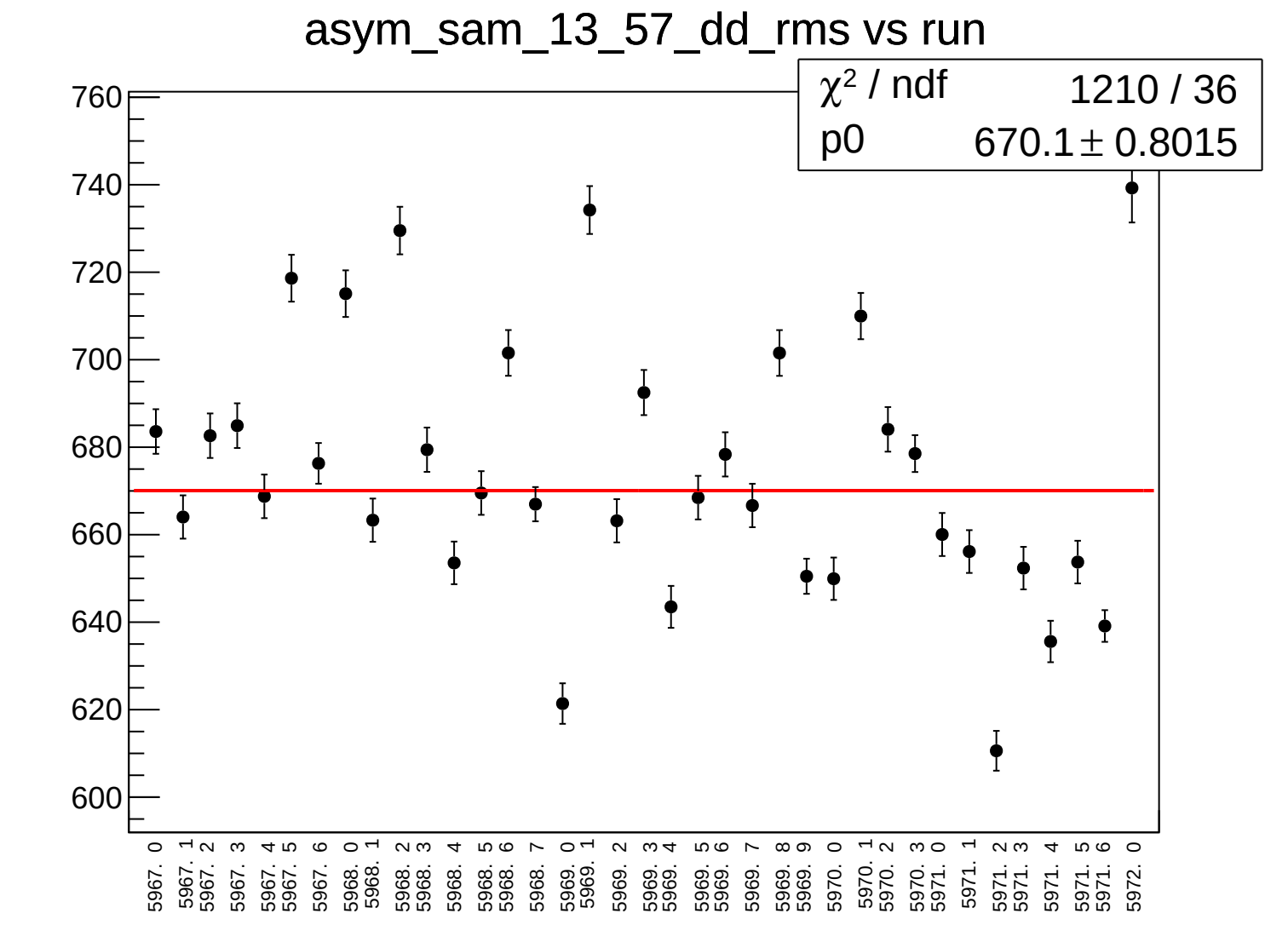
asym_sam_13_57_dd_rms vs run
χ² / ndf 1210 / 36
p0 670.1 ± 0.8015
760
740
720
700
680
660
640
620
600
5967. 0
5967. 1
5967. 2
5967. 3
5967. 4
5967. 5
5967. 6
5968. 0
5968. 1
5968. 2
5968. 3
5968. 4
5968. 5
5968. 6
5968. 7
5969. 0
5969. 1
5969. 2
5969. 3
5969. 4
5969. 5
5969. 6
5969. 7
5969. 8
5969. 9
5970. 0
5970. 1
5970. 2
5970. 3
5971. 0
5971. 1
5971. 2
5971. 3
5971. 4
5971. 5
5971. 6
5972. 0

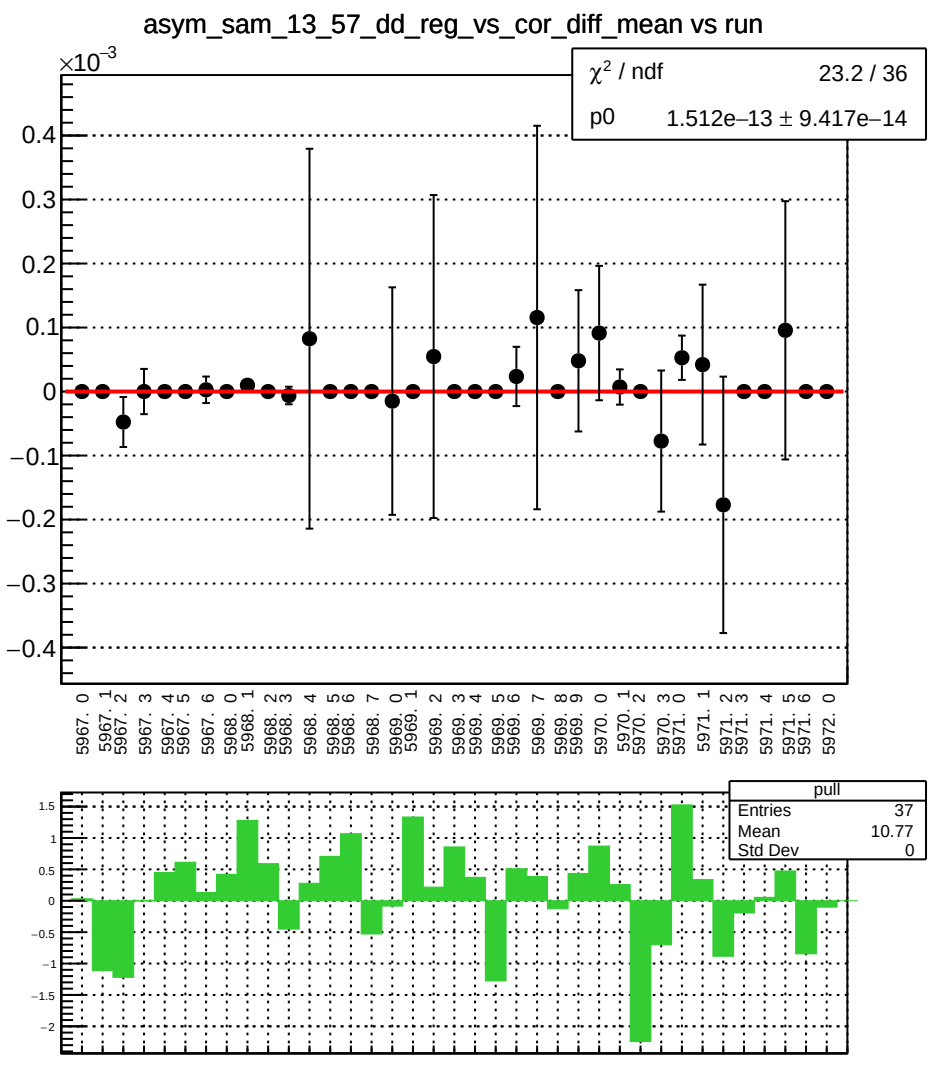
asym_sam_13_57_dd_reg_vs_cor_diff_mean vs run
×10^−3
χ² / ndf 23.2 / 36
p0 1.512e−13 ± 9.417e−14
0.4
0.3
0.2
0.1
0
−0.1
−0.2
−0.3
−0.4
5967. 0
5967. 1
5967. 2
5967. 3
5967. 4
5967. 5
5967. 6
5968. 0
5968. 1
5968. 2
5968. 3
5968. 4
5968. 5
5968. 6
5968. 7
5969. 0
5969. 1
5969. 2
5969. 3
5969. 4
5969. 5
5969. 6
5969. 7
5969. 8
5969. 9
5970. 0
5970. 1
5970. 2
5970. 3
5971. 0
5971. 1
5971. 2
5971. 3
5971. 4
5971. 5
5971. 6
5972. 0
pull
Entries 37
Mean 10.77
Std Dev 0
1.5
1
0.5
0
−0.5
−1
−1.5
−2

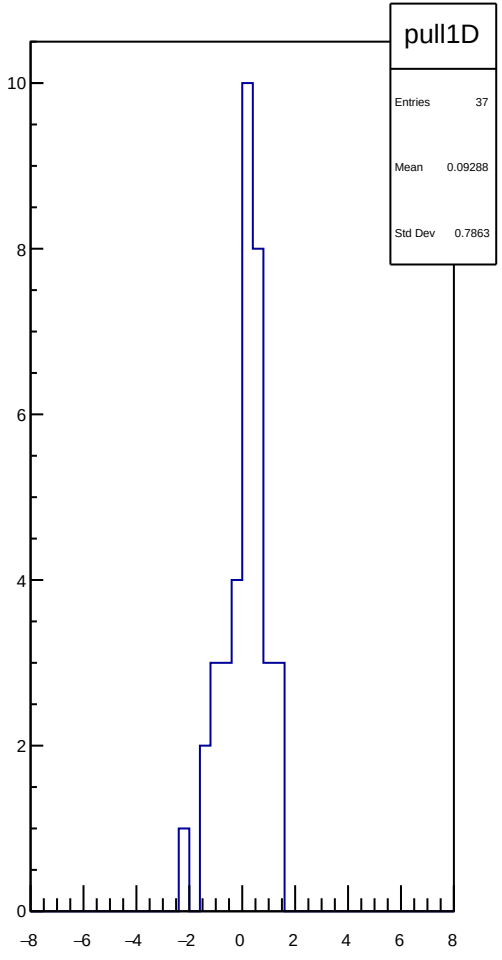
pull1D
Entries 37
Mean 0.09288
Std Dev 0.7863
10
8
6
4
2
0
−8
−6
−4
−2
0
2
4
6
8

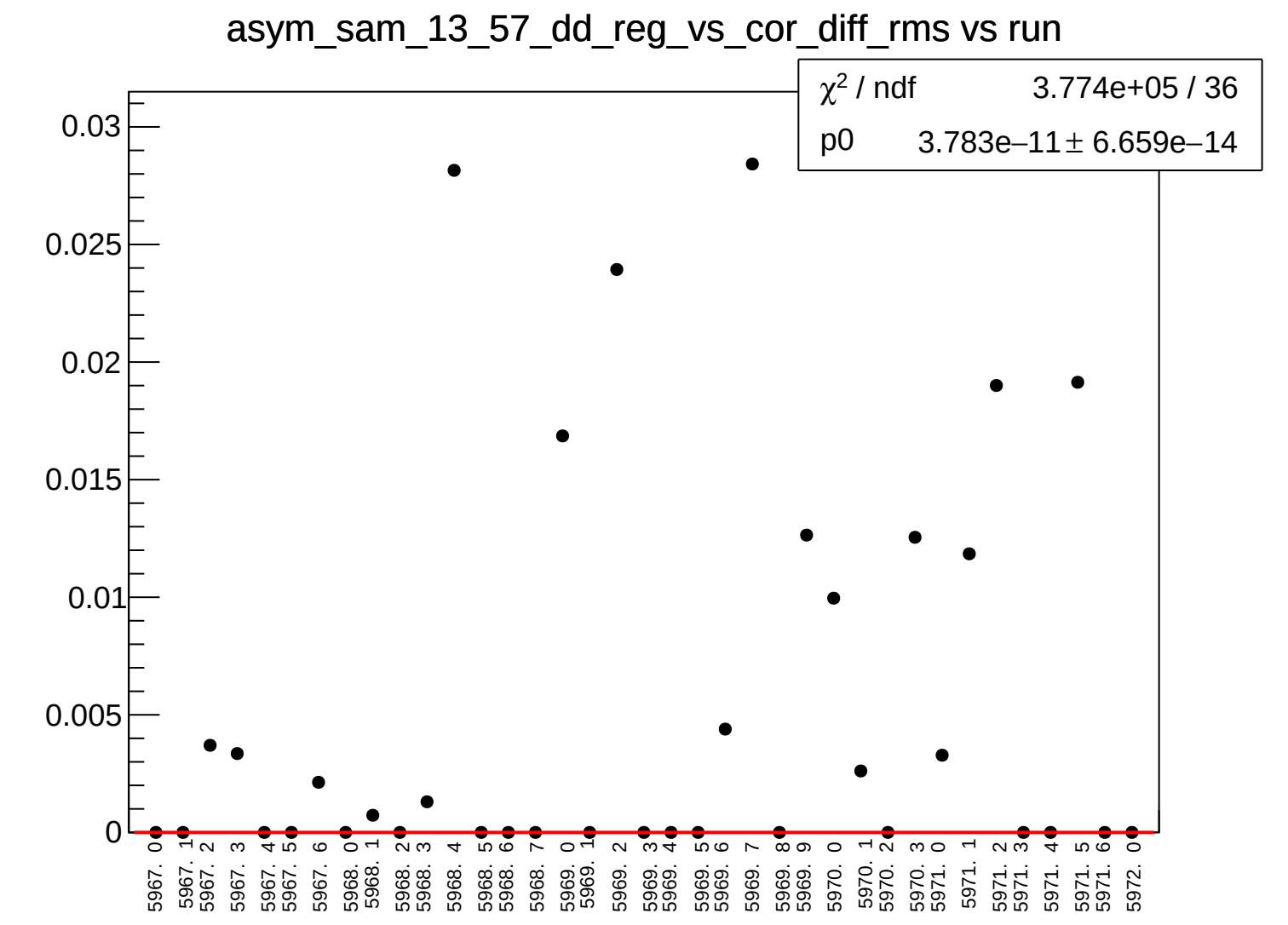
asym_sam_13_57_dd_reg_vs_cor_diff_rms vs run
χ² / ndf 3.774e+05 / 36
p0 3.783e−11 ± 6.659e−14
0.03
0.025
0.02
0.015
0.01
0.005
0
5967. 0
5967. 1
5967. 2
5967. 3
5967. 4
5967. 5
5967. 6
5968. 0
5968. 1
5968. 2
5968. 3
5968. 4
5968. 5
5968. 6
5968. 7
5969. 0
5969. 1
5969. 2
5969. 3
5969. 4
5969. 5
5969. 6
5969. 7
5969. 8
5969. 9
5970. 0
5970. 1
5970. 2
5970. 3
5971. 0
5971. 1
5971. 2
5971. 3
5971. 4
5971. 5
5971. 6
5972. 0

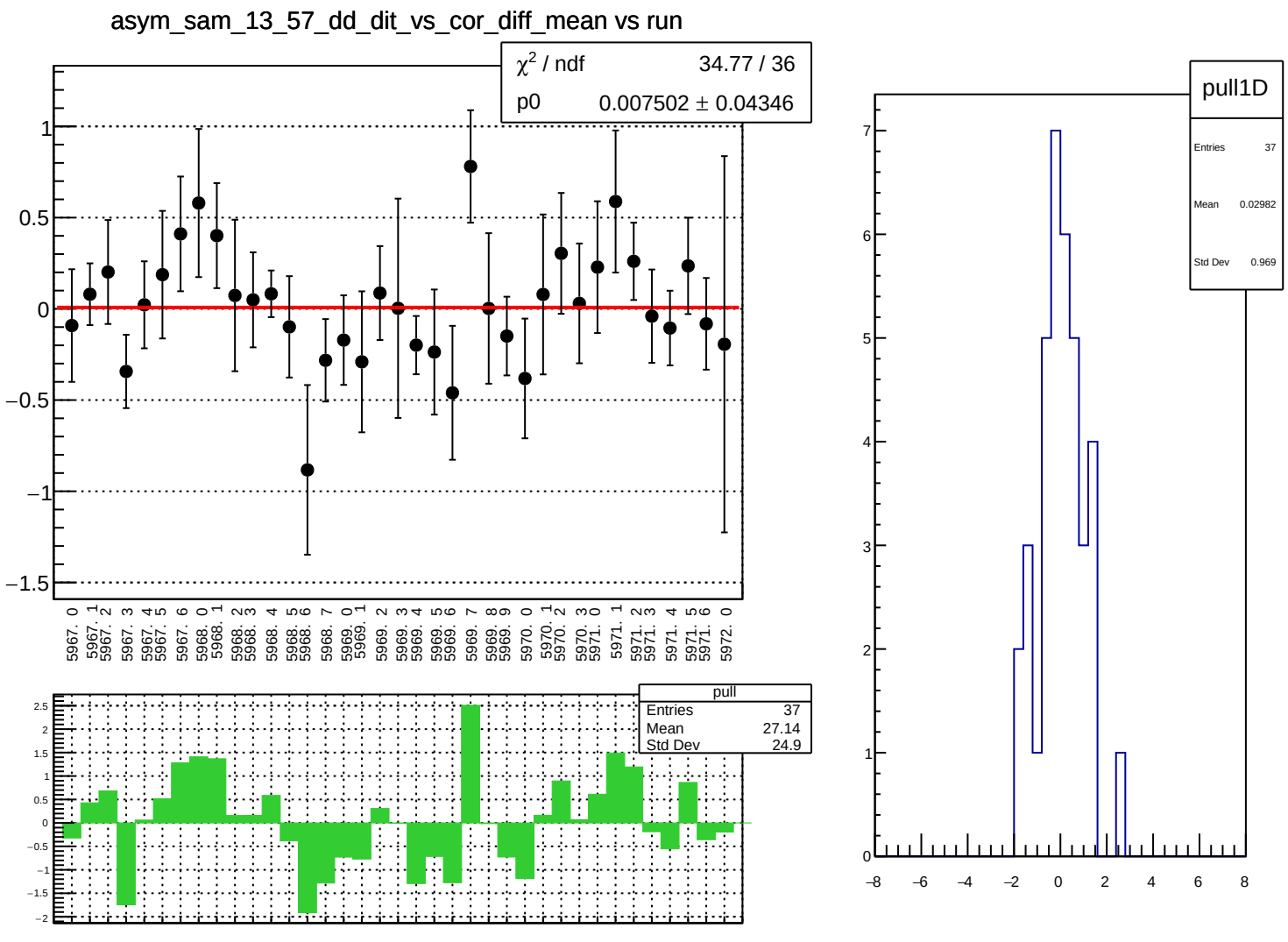
asym_sam_13_57_dd_dit_vs_cor_diff_mean vs run
χ² / ndf 34.77 / 36
p0 0.007502 ± 0.04346
pull
Entries 37
Mean 27.14
Std Dev 24.9
pull1D
Entries 37
Mean 0.02982
Std Dev 0.969

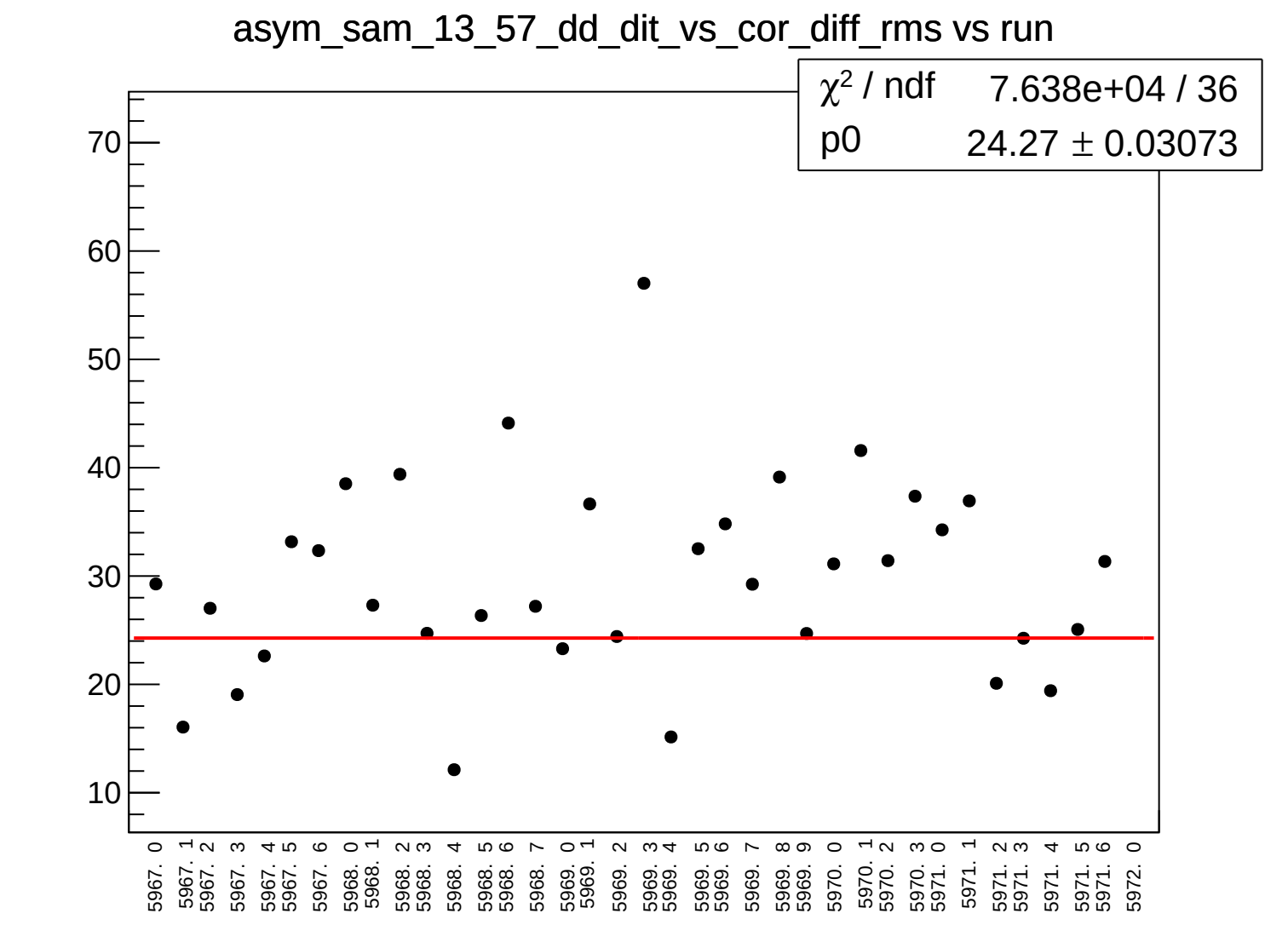
asym_sam_13_57_dd_dit_vs_cor_diff_rms vs run
χ² / ndf 7.638e+04 / 36
p0 24.27 ± 0.03073
70
60
50
40
30
20
10
5967. 0
5967. 1
5967. 2
5967. 3
5967. 4
5967. 5
5967. 6
5968. 0
5968. 1
5968. 2
5968. 3
5968. 4
5968. 5
5968. 6
5968. 7
5969. 0
5969. 1
5969. 2
5969. 3
5969. 4
5969. 5
5969. 6
5969. 7
5969. 8
5969. 9
5970. 0
5970. 1
5970. 2
5970. 3
5971. 0
5971. 1
5971. 2
5971. 3
5971. 4
5971. 5
5971. 6
5972. 0

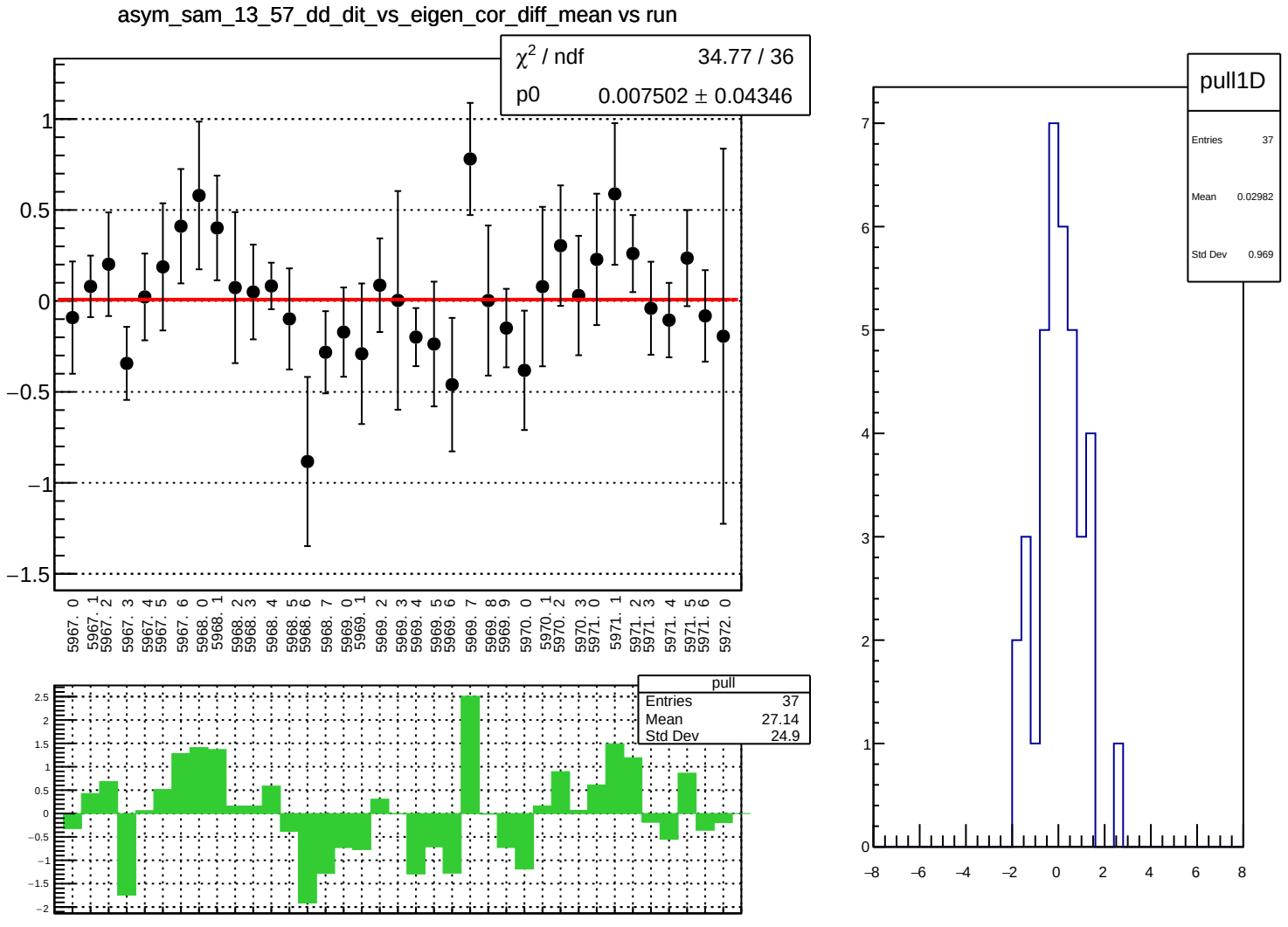
asym_sam_13_57_dd_dit_vs_eigen_cor_diff_mean vs run
χ² / ndf 34.77 / 36
p0 0.007502 ± 0.04346
pull
Entries 37
Mean 27.14
Std Dev 24.9
pull1D
Entries 37
Mean 0.02982
Std Dev 0.969

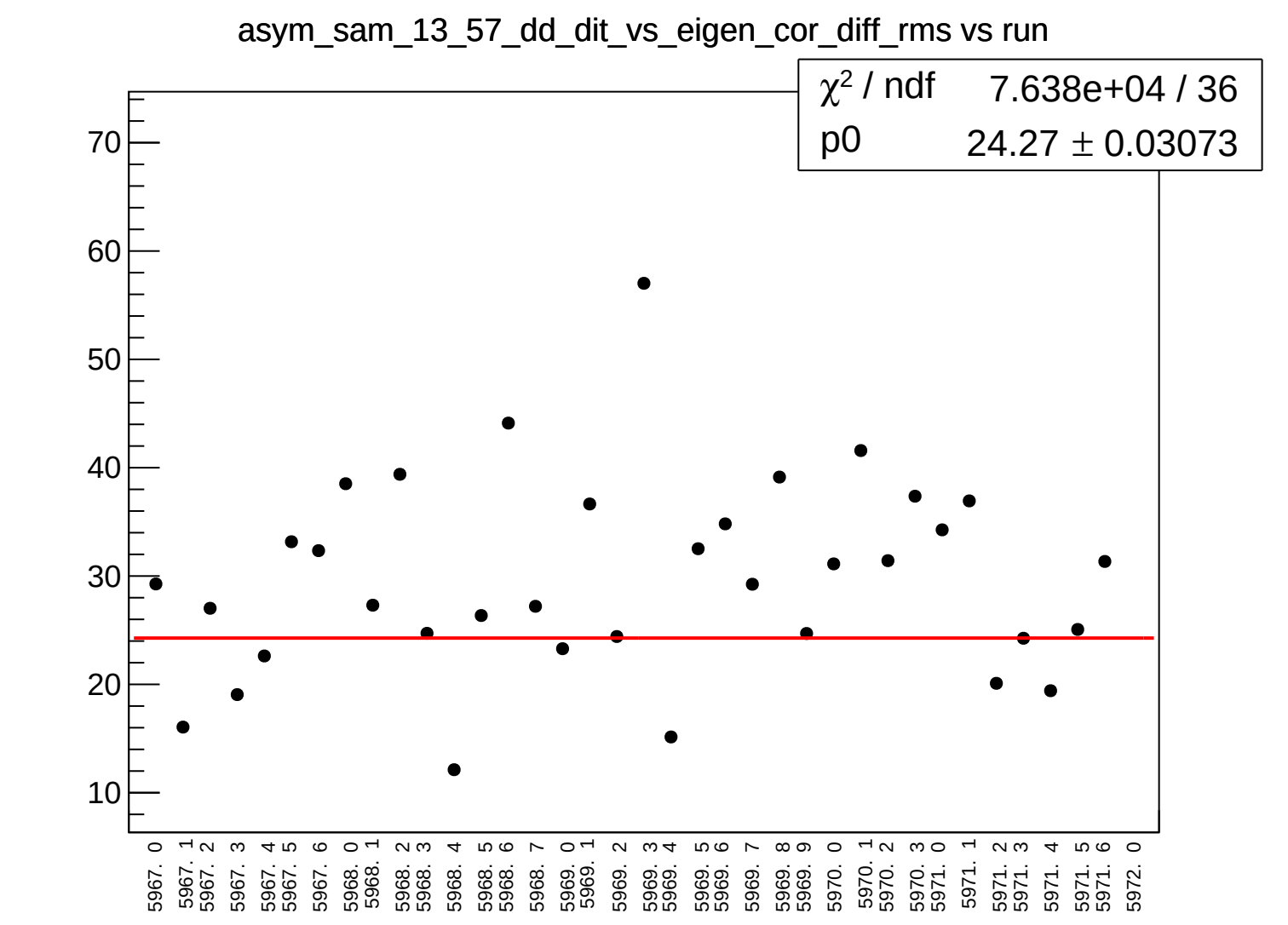
asym_sam_13_57_dd_dit_vs_eigen_cor_diff_rms vs run
χ² / ndf 7.638e+04 / 36
p0 24.27 ± 0.03073
70
60
50
40
30
20
10
5967. 0
5967. 1
5967. 2
5967. 3
5967. 4
5967. 5
5967. 6
5968. 0
5968. 1
5968. 2
5968. 3
5968. 4
5968. 5
5968. 6
5968. 7
5969. 0
5969. 1
5969. 2
5969. 3
5969. 4
5969. 5
5969. 6
5969. 7
5969. 8
5969. 9
5970. 0
5970. 1
5970. 2
5970. 3
5971. 0
5971. 1
5971. 2
5971. 3
5971. 4
5971. 5
5971. 6
5972. 0

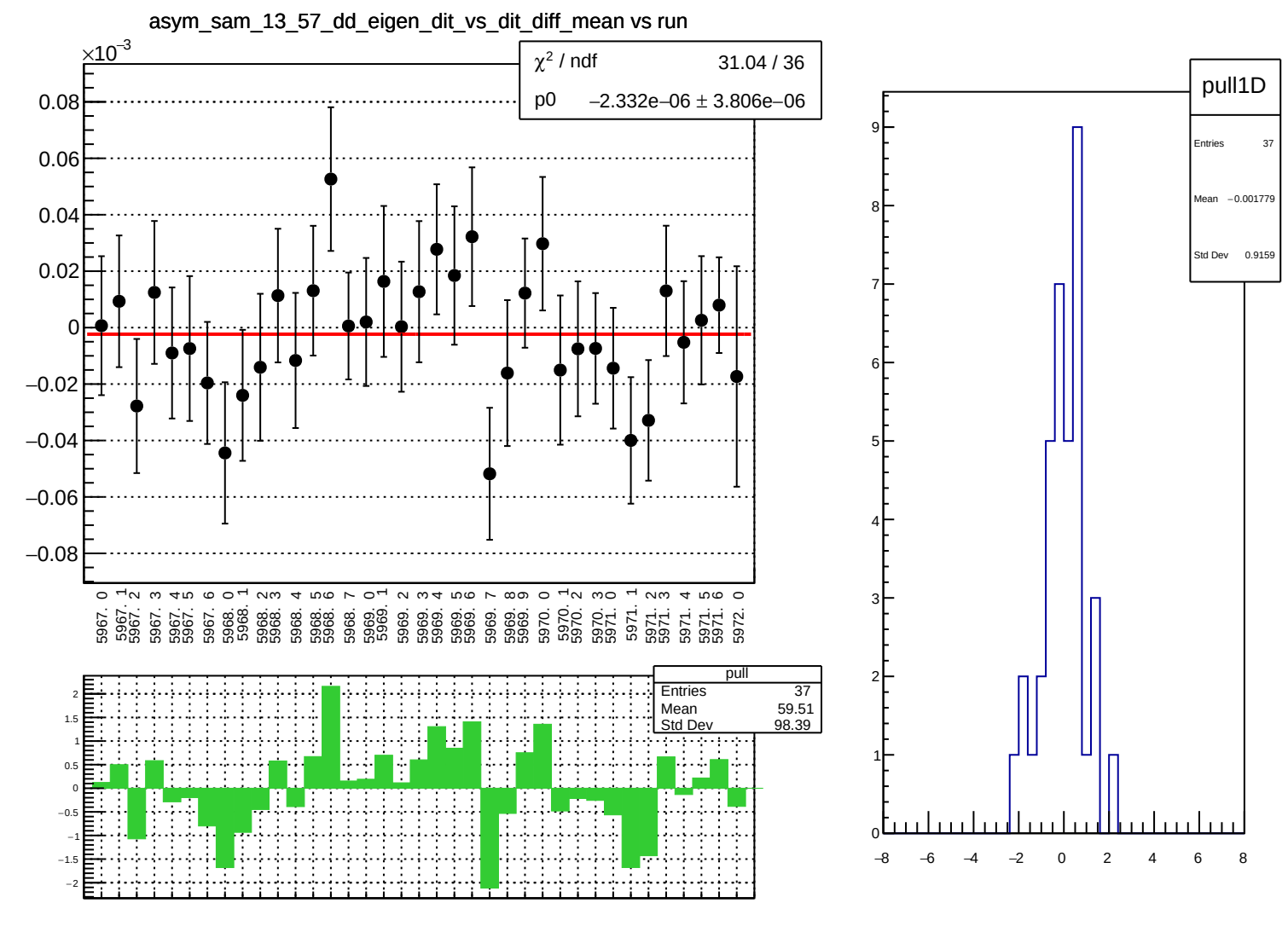
asym_sam_13_57_dd_eigen_dit_vs_dit_diff_mean vs run
×10⁻³
χ² / ndf 31.04 / 36
p0 −2.332e−06 ± 3.806e−06
0.08
0.06
0.04
0.02
0
−0.02
−0.04
−0.06
−0.08
5967. 0
5967. 1
5967. 2
5967. 3
5967. 4
5967. 5
5967. 6
5968. 0
5968. 1
5968. 2
5968. 3
5968. 4
5968. 5
5968. 6
5968. 7
5969. 0
5969. 1
5969. 2
5969. 3
5969. 4
5969. 5
5969. 6
5969. 7
5969. 8
5969. 9
5970. 0
5970. 1
5970. 2
5970. 3
5971. 0
5971. 1
5971. 2
5971. 3
5971. 4
5971. 5
5971. 6
5972. 0
pull
Entries 37
Mean 59.51
Std Dev 98.39
2
1.5
1
0.5
0
−0.5
−1
−1.5
−2
pull1D
Entries 37
Mean −0.001779
Std Dev 0.9159
9
8
7
6
5
4
3
2
1
0
−8
−6
−4
−2
0
2
4
6
8

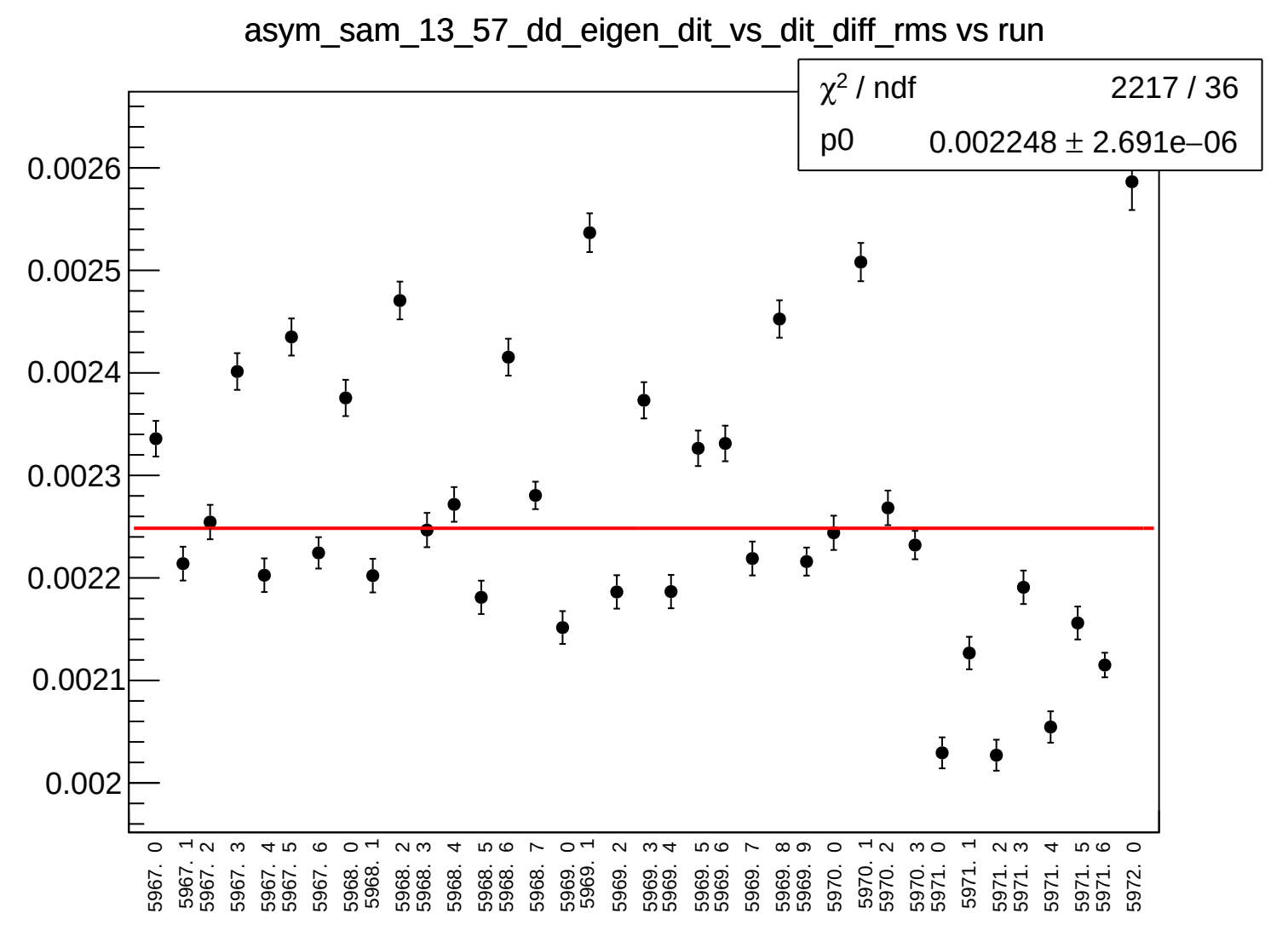
asym_sam_13_57_dd_eigen_dit_vs_dit_diff_rms vs run
χ² / ndf 2217 / 36
p0 0.002248 ± 2.691e−06
0.0026
0.0025
0.0024
0.0023
0.0022
0.0021
0.002
5967. 0
5967. 1
5967. 2
5967. 3
5967. 4
5967. 5
5967. 6
5968. 0
5968. 1
5968. 2
5968. 3
5968. 4
5968. 5
5968. 6
5968. 7
5969. 0
5969. 1
5969. 2
5969. 3
5969. 4
5969. 5
5969. 6
5969. 7
5969. 8
5969. 9
5970. 0
5970. 1
5970. 2
5970. 3
5971. 0
5971. 1
5971. 2
5971. 3
5971. 4
5971. 5
5971. 6
5972. 0

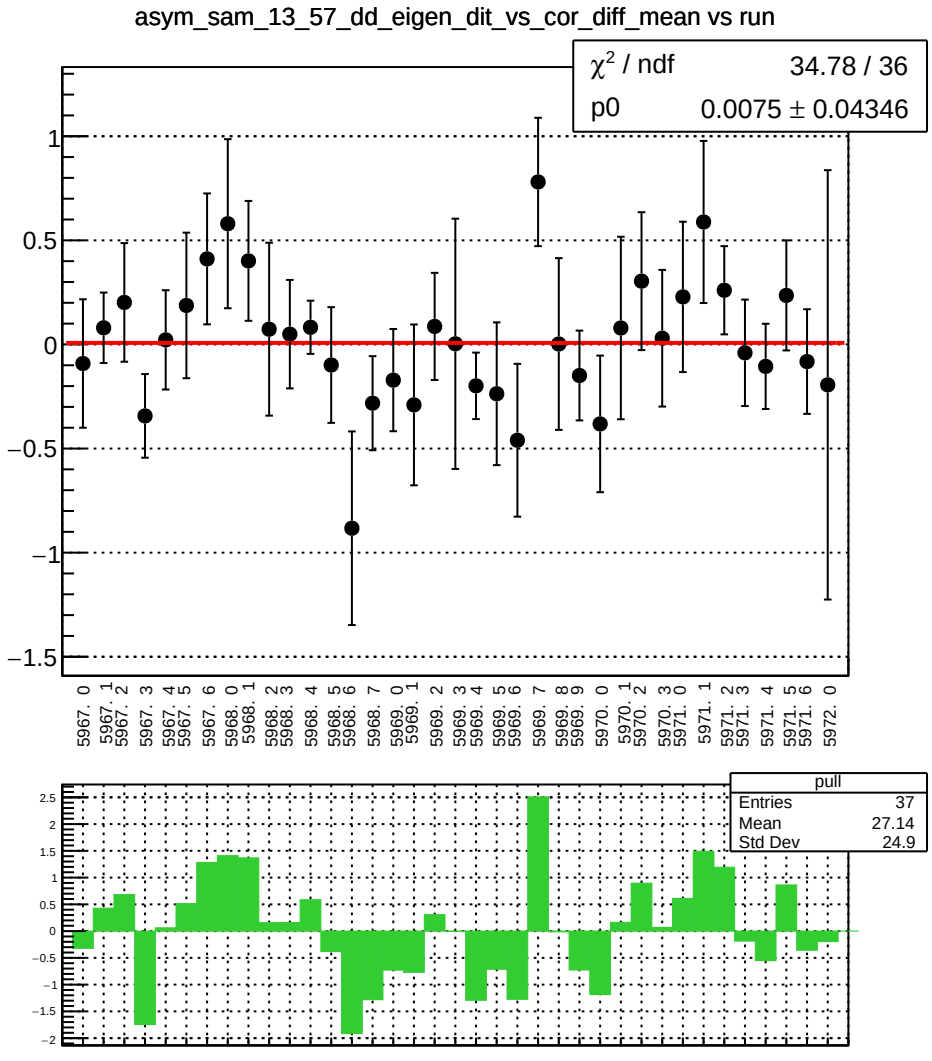
asym_sam_13_57_dd_eigen_dit_vs_cor_diff_mean vs run
χ² / ndf 34.78 / 36
p0 0.0075 ± 0.04346
pull
Entries 37
Mean 27.14
Std Dev 24.9
pull1D
Entries 37
Mean 0.02982
Std Dev 0.969

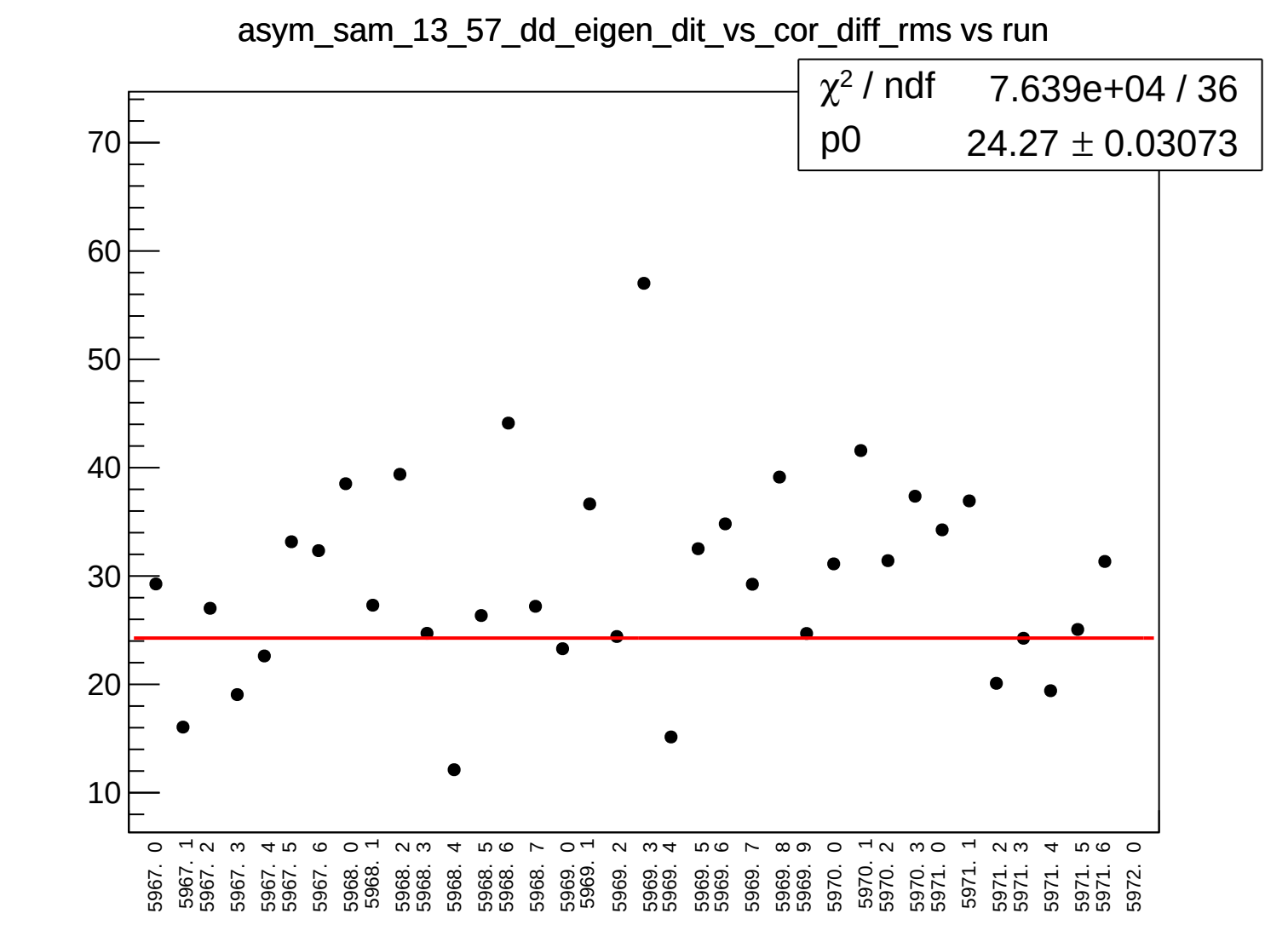
asym_sam_13_57_dd_eigen_dit_vs_cor_diff_rms vs run
χ² / ndf 7.639e+04 / 36
p0 24.27 ± 0.03073
70
60
50
40
30
20
10
5967. 0
5967. 1
5967. 2
5967. 3
5967. 4
5967. 5
5967. 6
5968. 0
5968. 1
5968. 2
5968. 3
5968. 4
5968. 5
5968. 6
5968. 7
5969. 0
5969. 1
5969. 2
5969. 3
5969. 4
5969. 5
5969. 6
5969. 7
5969. 8
5969. 9
5970. 0
5970. 1
5970. 2
5970. 3
5971. 0
5971. 1
5971. 2
5971. 3
5971. 4
5971. 5
5971. 6
5972. 0

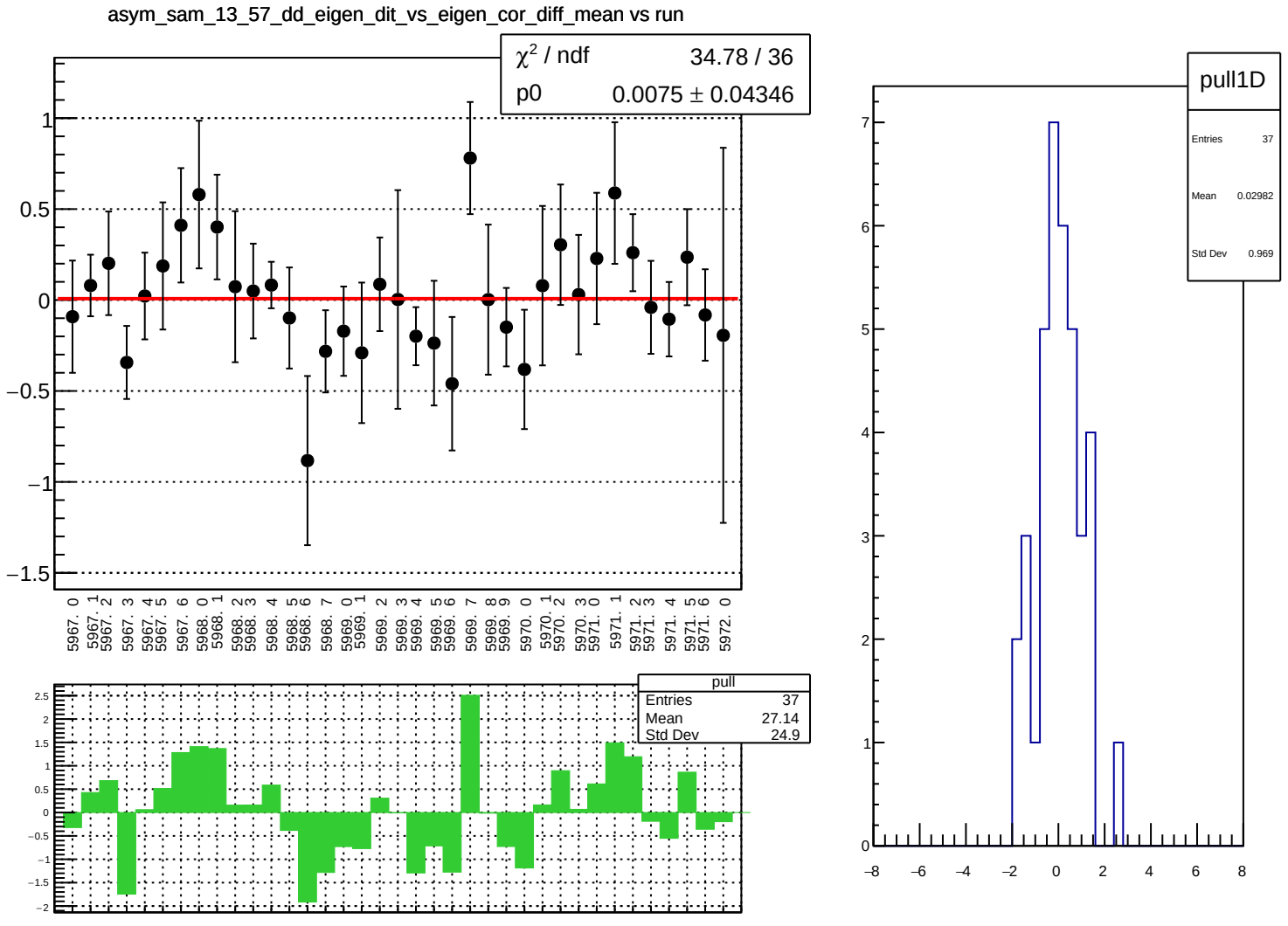
asym_sam_13_57_dd_eigen_dit_vs_eigen_cor_diff_mean vs run
χ² / ndf 34.78 / 36
p0 0.0075 ± 0.04346
pull
Entries 37
Mean 27.14
Std Dev 24.9
pull1D
Entries 37
Mean 0.02982
Std Dev 0.969

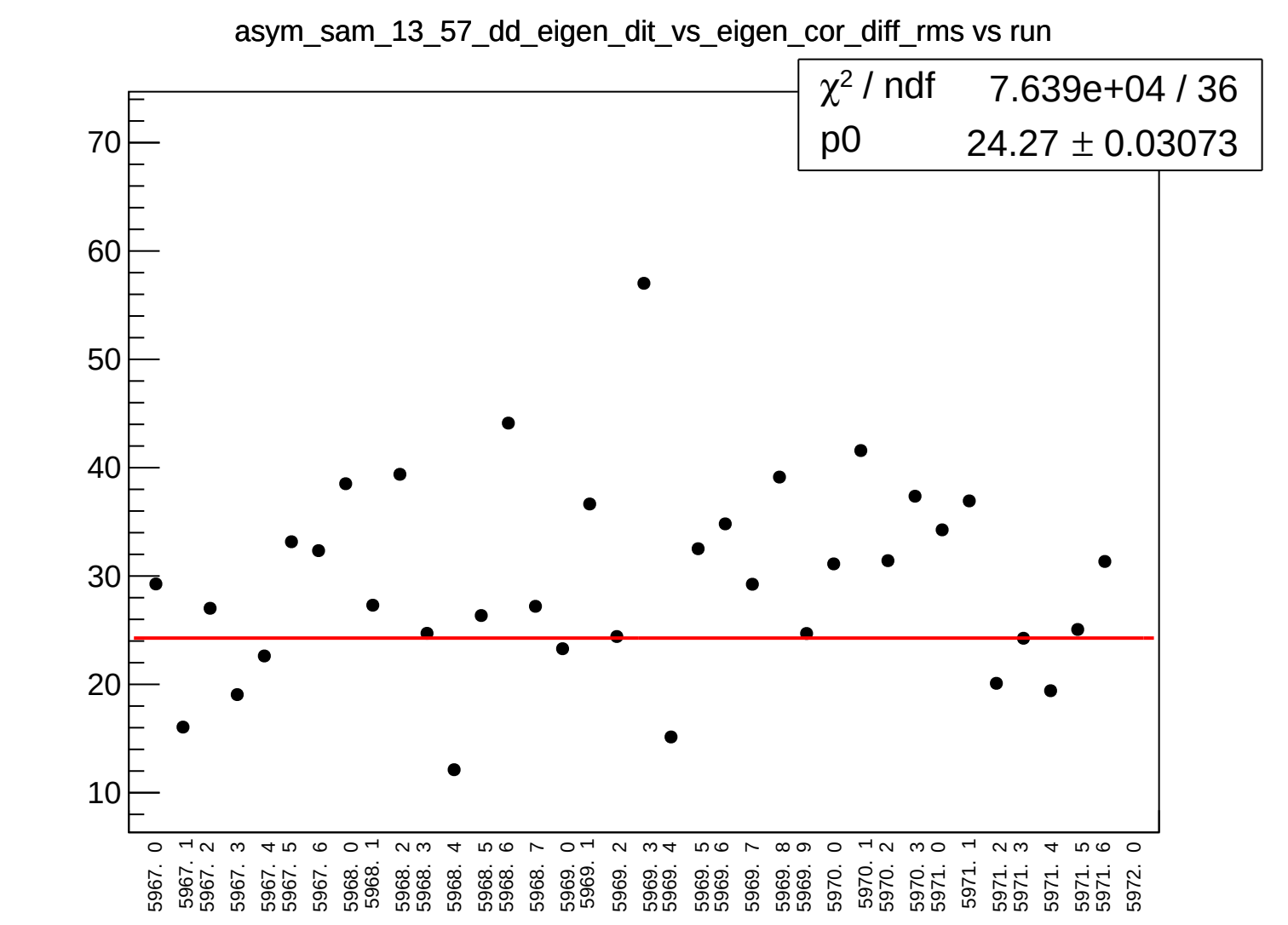
asym_sam_13_57_dd_eigen_dit_vs_eigen_cor_diff_rms vs run
χ² / ndf 7.639e+04 / 36
p0 24.27 ± 0.03073
70
60
50
40
30
20
10
5967. 0
5967. 1
5967. 2
5967. 3
5967. 4
5967. 5
5967. 6
5968. 0
5968. 1
5968. 2
5968. 3
5968. 4
5968. 5
5968. 6
5968. 7
5969. 0
5969. 1
5969. 2
5969. 3
5969. 4
5969. 5
5969. 6
5969. 7
5969. 8
5969. 9
5970. 0
5970. 1
5970. 2
5970. 3
5971. 0
5971. 1
5971. 2
5971. 3
5971. 4
5971. 5
5971. 6
5972. 0

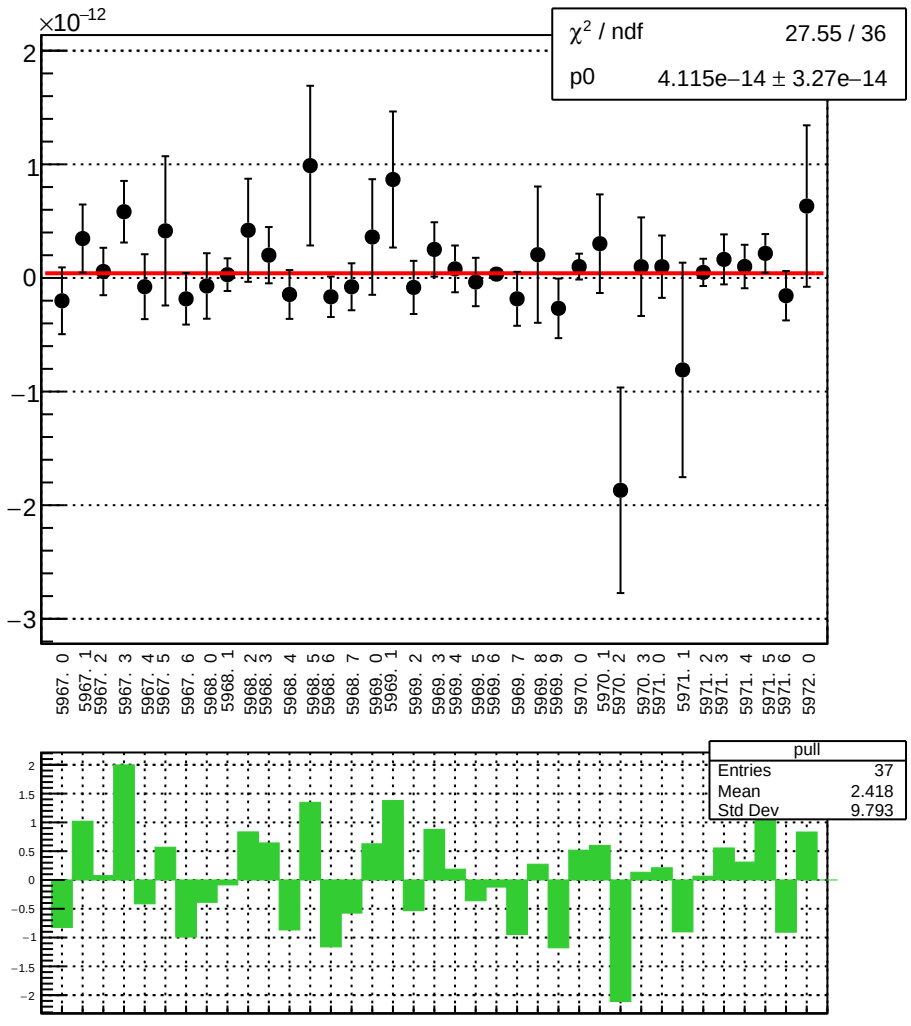
asym_sam_13_57_dd_eigen_cor_vs_cor_diff_mean vs run
×10⁻¹²
χ² / ndf 27.55 / 36
p0 4.115e−14 ± 3.27e−14
pull
Entries 37
Mean 2.418
Std Dev 9.793

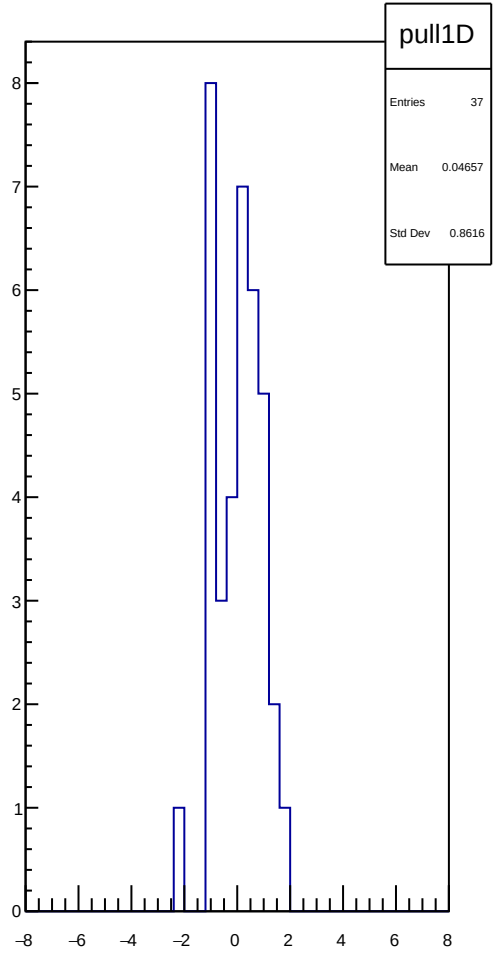
pull1D
Entries 37
Mean 0.04657
Std Dev 0.8616

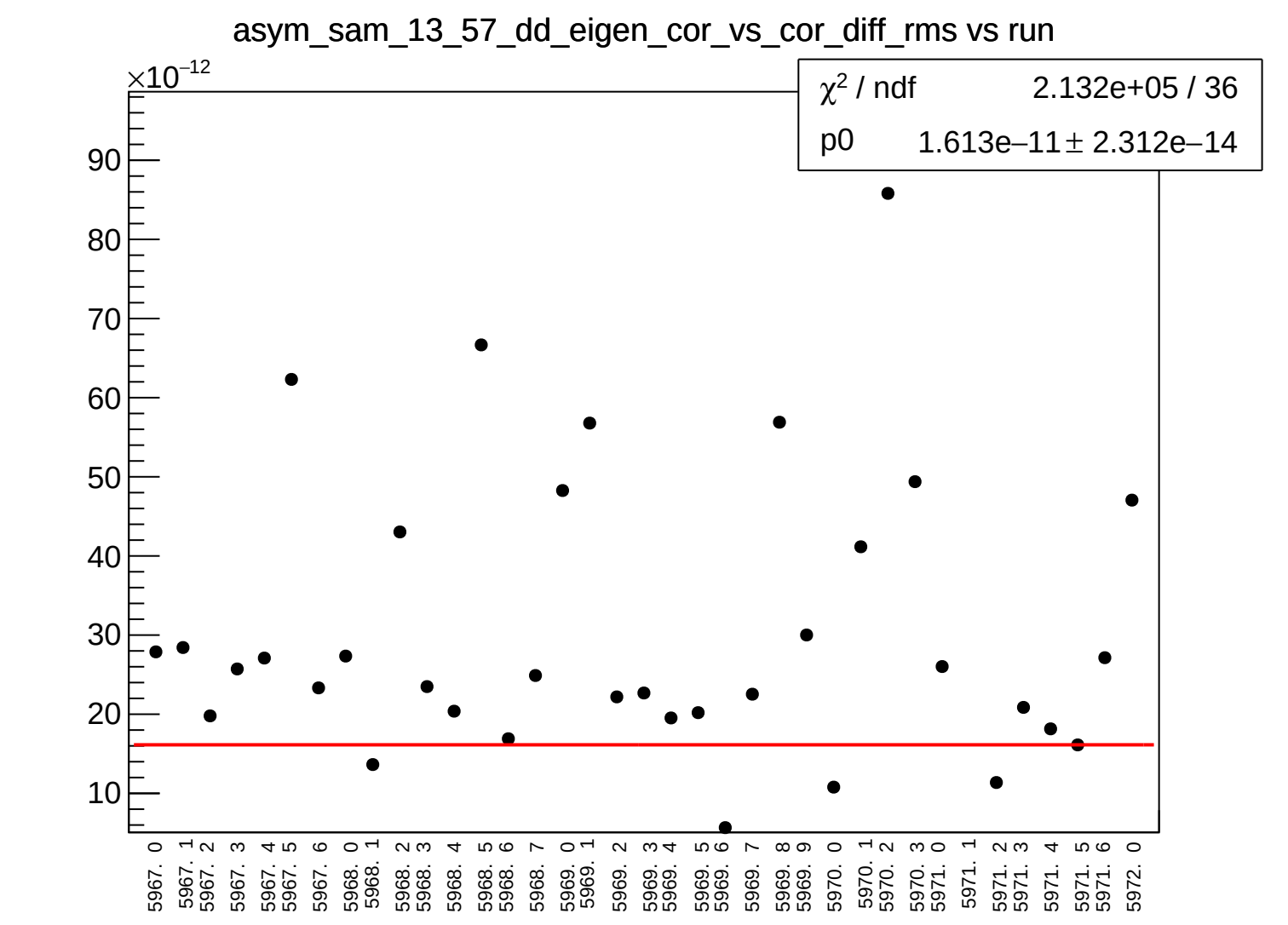
asym_sam_13_57_dd_eigen_cor_vs_cor_diff_rms vs run
×10⁻¹²
χ² / ndf 2.132e+05 / 36
p0 1.613e−11 ± 2.312e−14
90
80
70
60
50
40
30
20
10
5967. 0
5967. 1
5967. 2
5967. 3
5967. 4
5967. 5
5967. 6
5968. 0
5968. 1
5968. 2
5968. 3
5968. 4
5968. 5
5968. 6
5968. 7
5969. 0
5969. 1
5969. 2
5969. 3
5969. 4
5969. 5
5969. 6
5969. 7
5969. 8
5969. 9
5970. 0
5970. 1
5970. 2
5970. 3
5971. 0
5971. 1
5971. 2
5971. 3
5971. 4
5971. 5
5971. 6
5972. 0

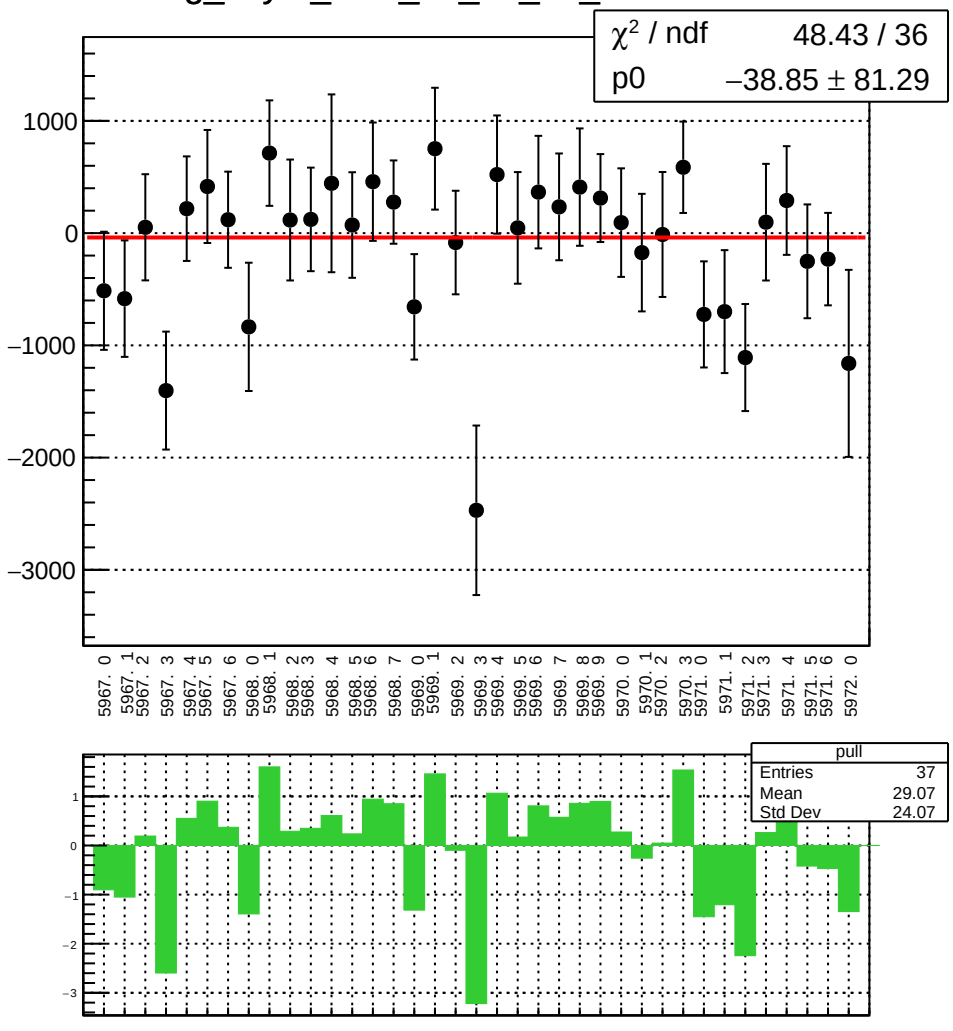
reg_asym_sam_15_37_dd_mean vs run
χ² / ndf 48.43 / 36
p0 −38.85 ± 81.29
1000
0
−1000
−2000
−3000
5967. 0
5967. 1
5967. 2
5967. 3
5967. 4
5967. 5
5967. 6
5968. 0
5968. 1
5968. 2
5968. 3
5968. 4
5968. 5
5968. 6
5968. 7
5969. 0
5969. 1
5969. 2
5969. 3
5969. 4
5969. 5
5969. 6
5969. 7
5969. 8
5969. 9
5970. 0
5970. 1
5970. 2
5970. 3
5971. 0
5971. 1
5971. 2
5971. 3
5971. 4
5971. 5
5971. 6
5972. 0
pull
Entries 37
Mean 29.07
Std Dev 24.07
1
0
−1
−2
−3
pull1D
Entries 37
Mean −0.0659
Std Dev 1.142
9
8
7
6
5
4
3
2
1
0
−8
−6
−4
−2
0
2
4
6
8

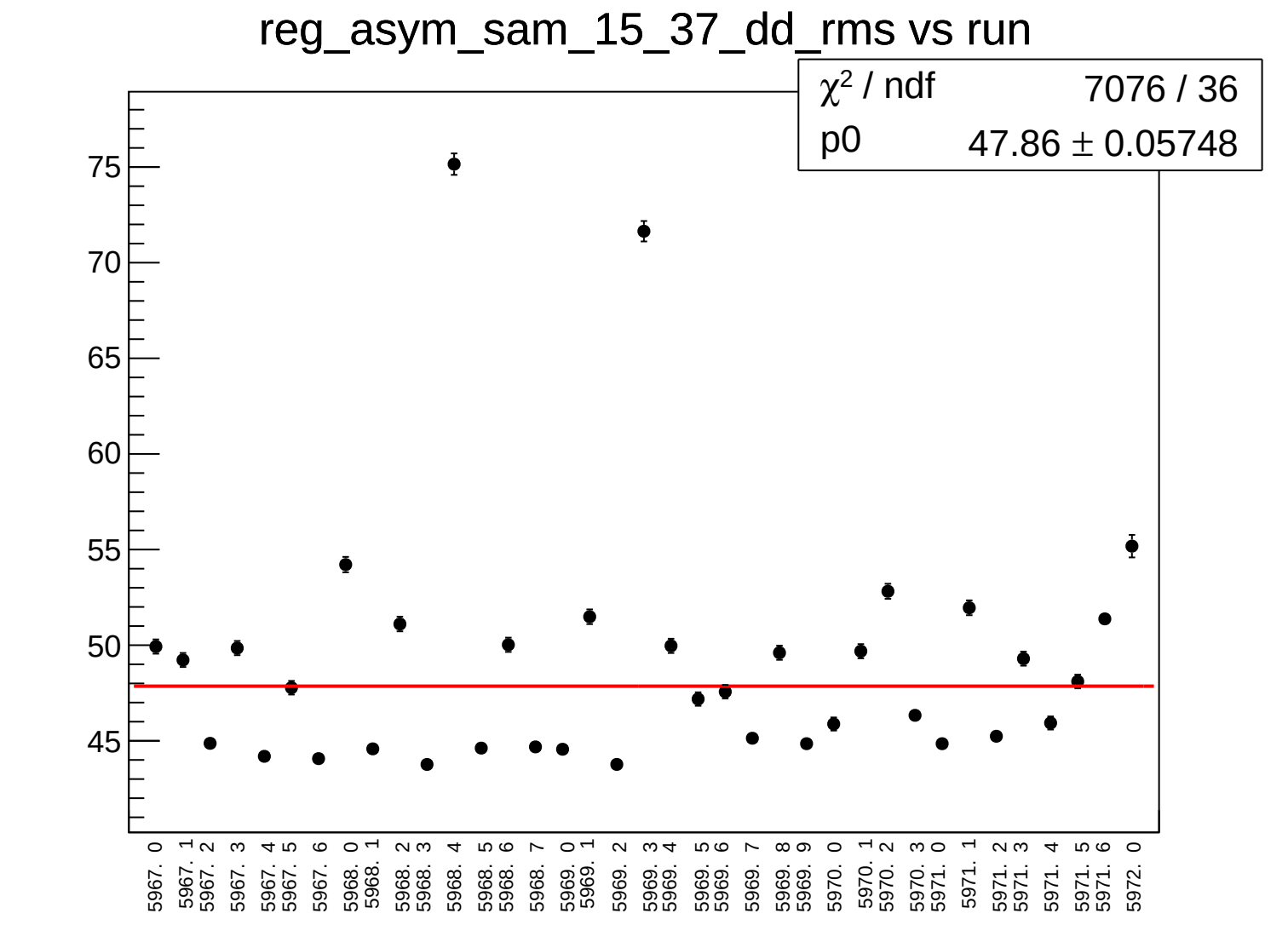
reg_asym_sam_15_37_dd_rms vs run
χ² / ndf 7076 / 36
p0 47.86 ± 0.05748
75
70
65
60
55
50
45
5967. 0
5967. 1
5967. 2
5967. 3
5967. 4
5967. 5
5967. 6
5968. 0
5968. 1
5968. 2
5968. 3
5968. 4
5968. 5
5968. 6
5968. 7
5969. 0
5969. 1
5969. 2
5969. 3
5969. 4
5969. 5
5969. 6
5969. 7
5969. 8
5969. 9
5970. 0
5970. 1
5970. 2
5970. 3
5971. 0
5971. 1
5971. 2
5971. 3
5971. 4
5971. 5
5971. 6
5972. 0

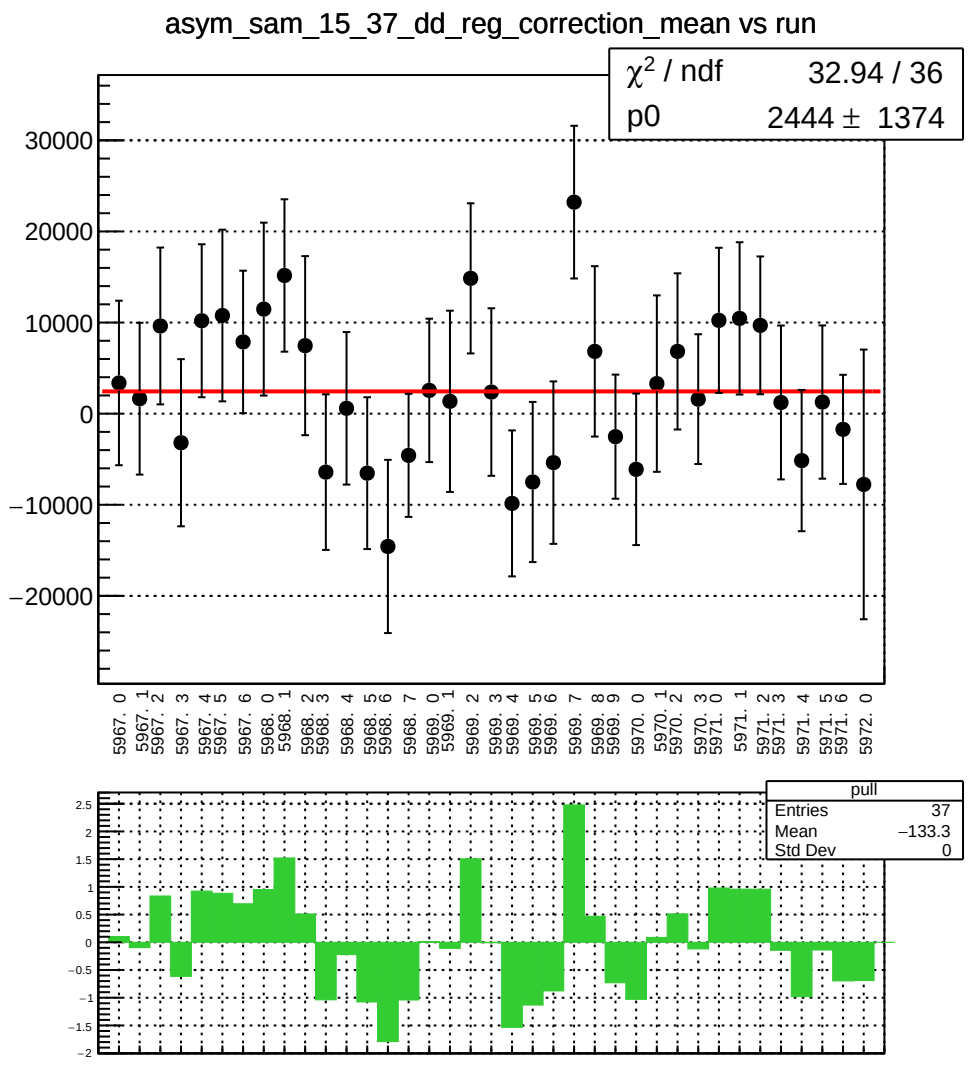
asym_sam_15_37_dd_reg_correction_mean vs run
χ² / ndf 32.94 / 36
p0 2444 ± 1374
30000
20000
10000
0
−10000
−20000
5967. 0
5967. 1
5967. 2
5967. 3
5967. 4
5967. 5
5967. 6
5968. 0
5968. 1
5968. 2
5968. 3
5968. 4
5968. 5
5968. 6
5968. 7
5969. 0
5969. 1
5969. 2
5969. 3
5969. 4
5969. 5
5969. 6
5969. 7
5969. 8
5969. 9
5970. 0
5970. 1
5970. 2
5970. 3
5971. 0
5971. 1
5971. 2
5971. 3
5971. 4
5971. 5
5971. 6
5972. 0
pull
Entries 37
Mean −133.3
Std Dev 0
2.5
2
1.5
1
0.5
0
−0.5
−1
−1.5
−2
pull1D
Entries 37
Mean 0.008785
Std Dev 0.9435
7
6
5
4
3
2
1
0
−8
−6
−4
−2
0
2
4
6
8

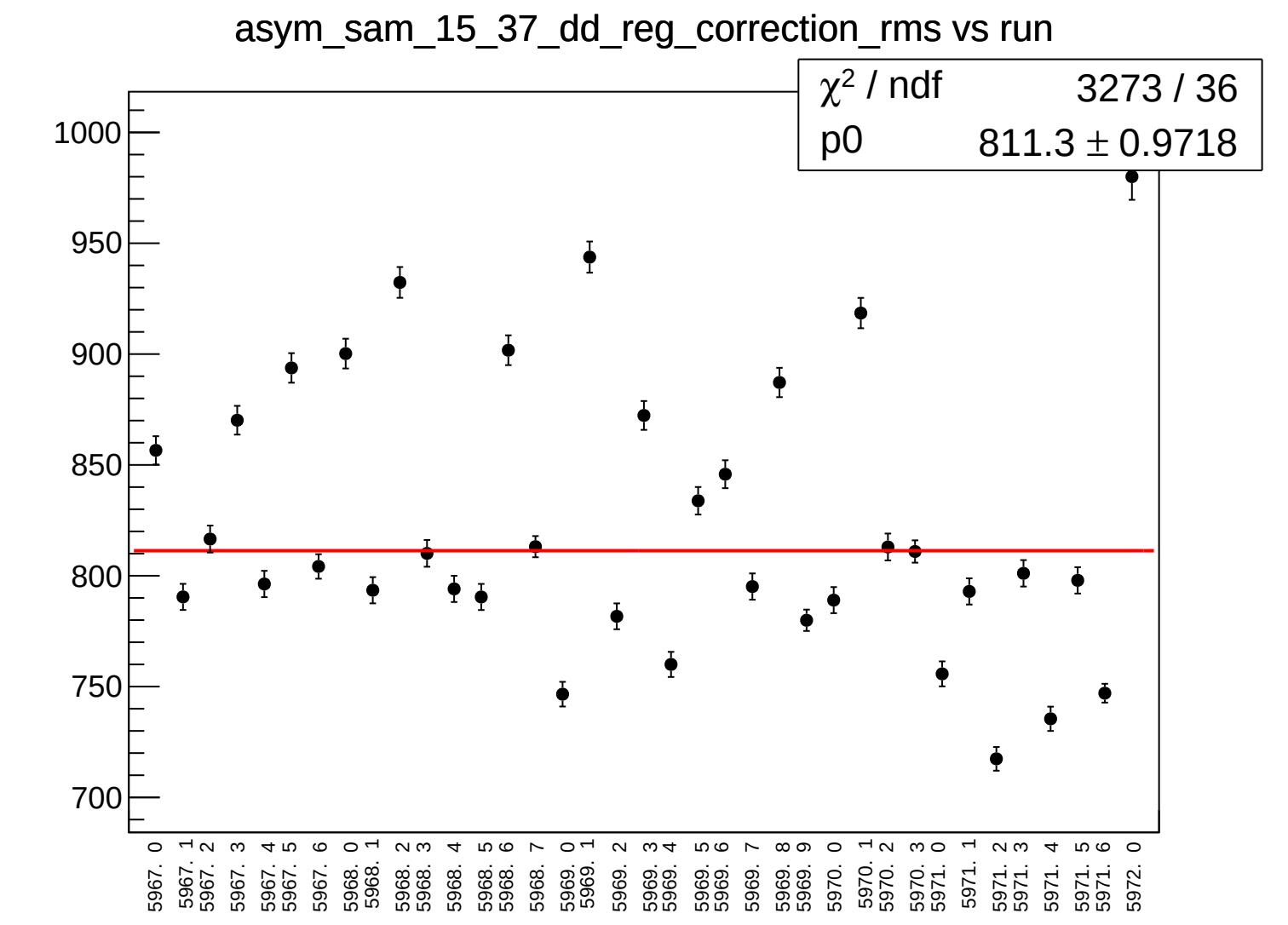
asym_sam_15_37_dd_reg_correction_rms vs run
χ² / ndf 3273 / 36
p0 811.3 ± 0.9718
1000
950
900
850
800
750
700
5967. 0
5967. 1
5967. 2
5967. 3
5967. 4
5967. 5
5967. 6
5968. 0
5968. 1
5968. 2
5968. 3
5968. 4
5968. 5
5968. 6
5968. 7
5969. 0
5969. 1
5969. 2
5969. 3
5969. 4
5969. 5
5969. 6
5969. 7
5969. 8
5969. 9
5970. 0
5970. 1
5970. 2
5970. 3
5971. 0
5971. 1
5971. 2
5971. 3
5971. 4
5971. 5
5971. 6
5972. 0

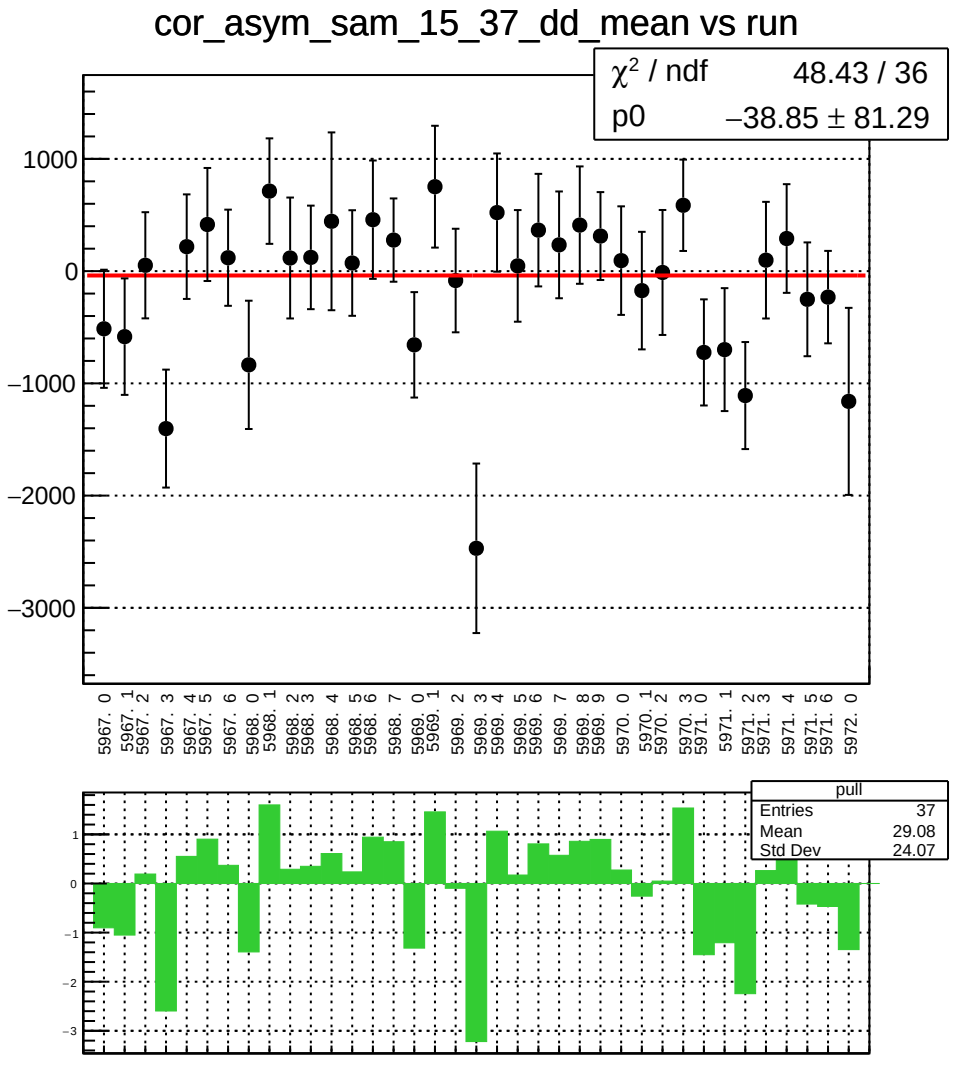
cor_asym_sam_15_37_dd_mean vs run
χ² / ndf 48.43 / 36
p0 −38.85 ± 81.29
1000
0
−1000
−2000
−3000
5967. 0
5967. 1
5967. 2
5967. 3
5967. 4
5967. 5
5967. 6
5968. 0
5968. 1
5968. 2
5968. 3
5968. 4
5968. 5
5968. 6
5968. 7
5969. 0
5969. 1
5969. 2
5969. 3
5969. 4
5969. 5
5969. 6
5969. 7
5969. 8
5969. 9
5970. 0
5970. 1
5970. 2
5970. 3
5971. 0
5971. 1
5971. 2
5971. 3
5971. 4
5971. 5
5971. 6
5972. 0
pull
Entries 37
Mean 29.08
Std Dev 24.07
1
0
−1
−2
−3
pull1D
Entries 37
Mean −0.0659
Std Dev 1.142
9
8
7
6
5
4
3
2
1
0
−8
−6
−4
−2
0
2
4
6
8

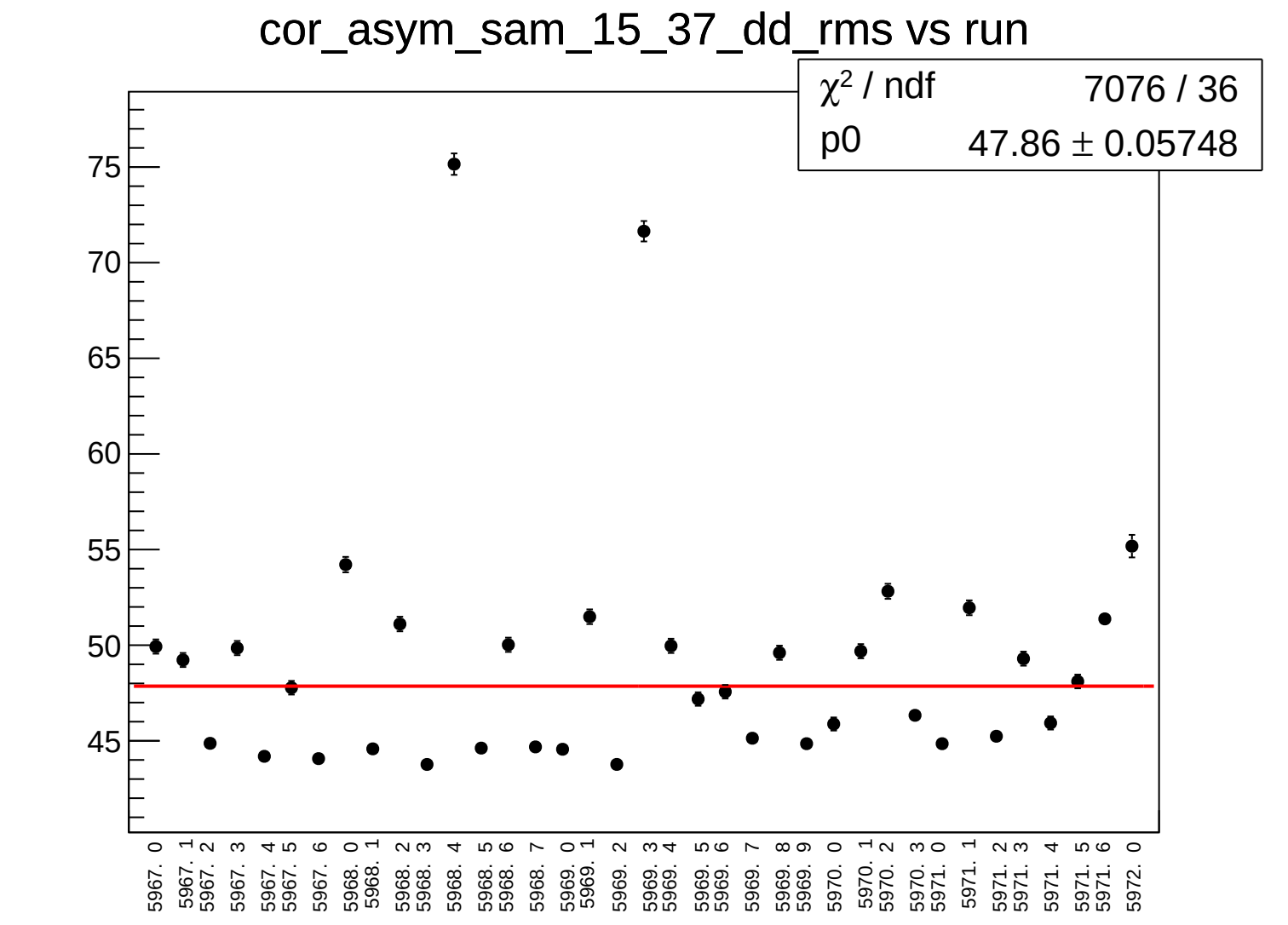
cor_asym_sam_15_37_dd_rms vs run
χ² / ndf 7076 / 36
p0 47.86 ± 0.05748
75
70
65
60
55
50
45
5967. 0
5967. 1
5967. 2
5967. 3
5967. 4
5967. 5
5967. 6
5968. 0
5968. 1
5968. 2
5968. 3
5968. 4
5968. 5
5968. 6
5968. 7
5969. 0
5969. 1
5969. 2
5969. 3
5969. 4
5969. 5
5969. 6
5969. 7
5969. 8
5969. 9
5970. 0
5970. 1
5970. 2
5970. 3
5971. 0
5971. 1
5971. 2
5971. 3
5971. 4
5971. 5
5971. 6
5972. 0

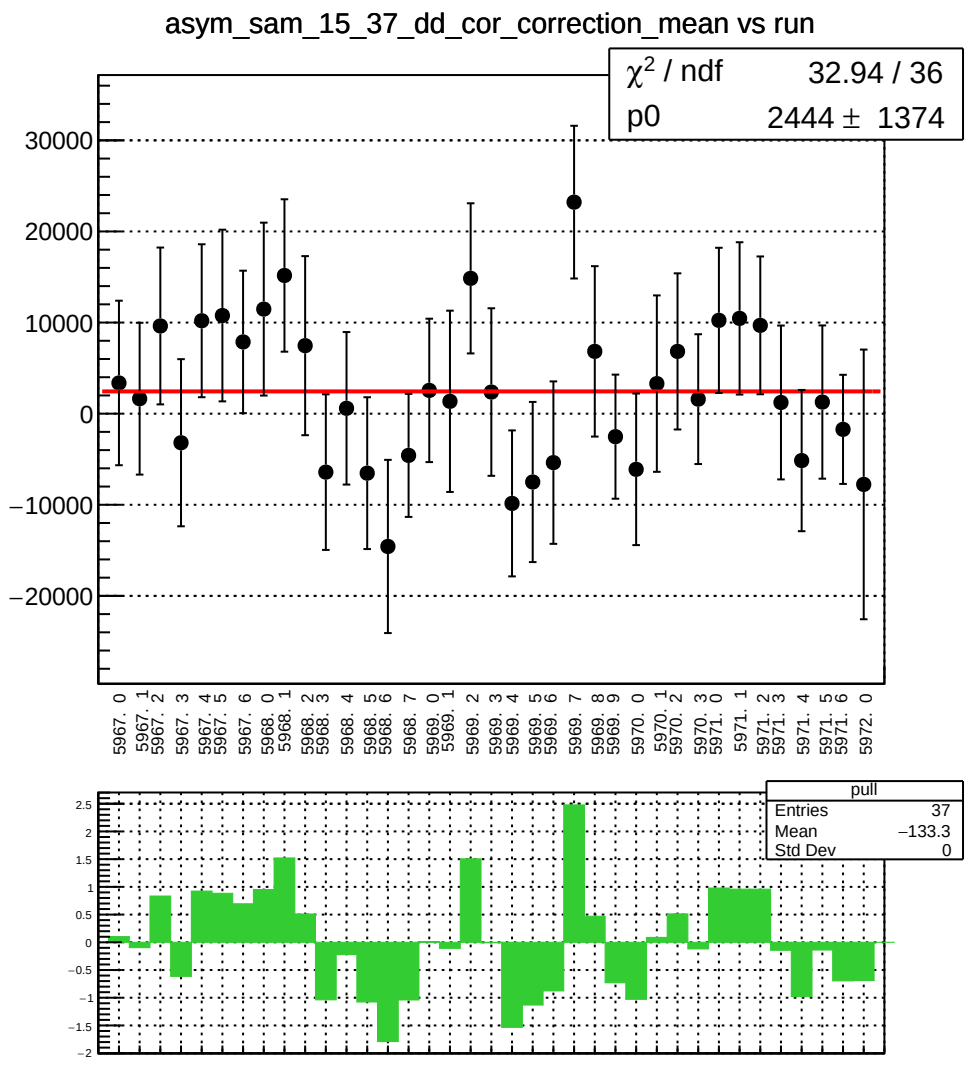
asym_sam_15_37_dd_cor_correction_mean vs run
χ² / ndf 32.94 / 36
p0 2444 ± 1374
30000
20000
10000
0
−10000
−20000
5967. 0
5967. 1
5967. 2
5967. 3
5967. 4
5967. 5
5967. 6
5968. 0
5968. 1
5968. 2
5968. 3
5968. 4
5968. 5
5968. 6
5968. 7
5969. 0
5969. 1
5969. 2
5969. 3
5969. 4
5969. 5
5969. 6
5969. 7
5969. 8
5969. 9
5970. 0
5970. 1
5970. 2
5970. 3
5971. 0
5971. 1
5971. 2
5971. 3
5971. 4
5971. 5
5971. 6
5972. 0
pull
Entries 37
Mean −133.3
Std Dev 0
2.5
2
1.5
1
0.5
0
−0.5
−1
−1.5
−2
pull1D
Entries 37
Mean 0.008786
Std Dev 0.9435
7
6
5
4
3
2
1
0
−8
−6
−4
−2
0
2
4
6
8

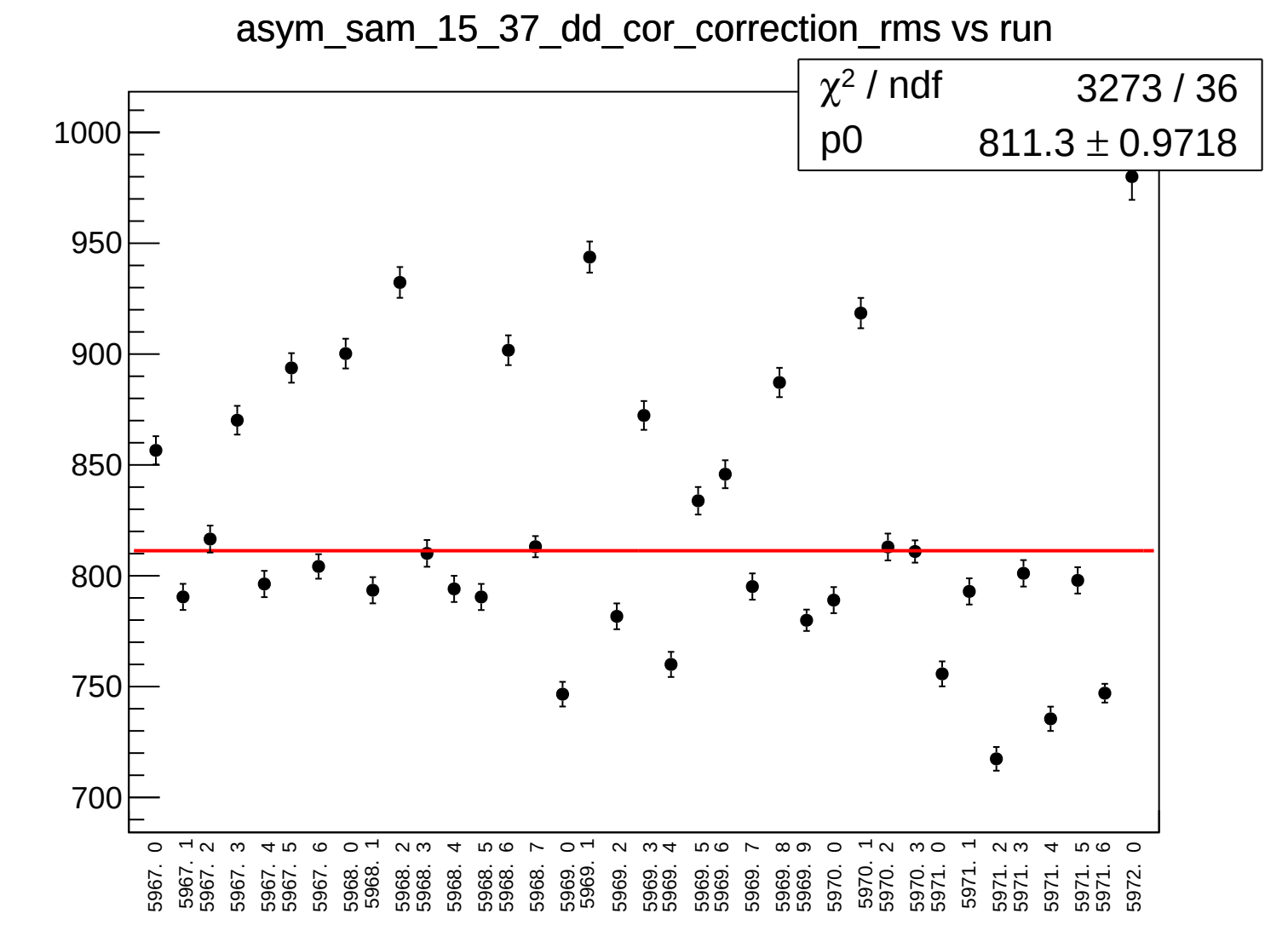
asym_sam_15_37_dd_cor_correction_rms vs run
χ² / ndf 3273 / 36
p0 811.3 ± 0.9718
1000
950
900
850
800
750
700
5967. 0
5967. 1
5967. 2
5967. 3
5967. 4
5967. 5
5967. 6
5968. 0
5968. 1
5968. 2
5968. 3
5968. 4
5968. 5
5968. 6
5968. 7
5969. 0
5969. 1
5969. 2
5969. 3
5969. 4
5969. 5
5969. 6
5969. 7
5969. 8
5969. 9
5970. 0
5970. 1
5970. 2
5970. 3
5971. 0
5971. 1
5971. 2
5971. 3
5971. 4
5971. 5
5971. 6
5972. 0

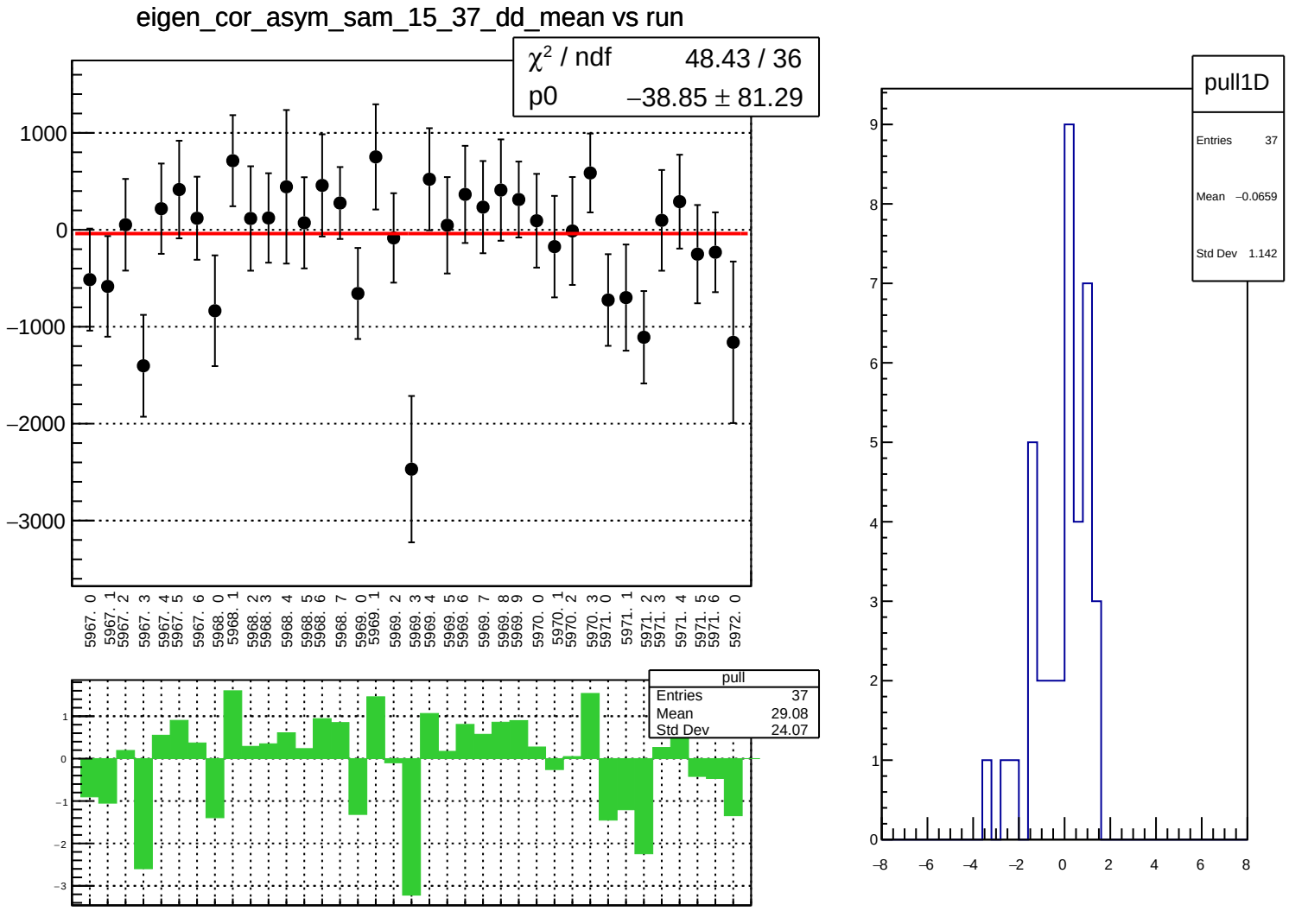
eigen_cor_asym_sam_15_37_dd_mean vs run
χ² / ndf 48.43 / 36
p0 −38.85 ± 81.29
1000
0
−1000
−2000
−3000
5967. 0
5967. 1
5967. 2
5967. 3
5967. 4
5967. 5
5967. 6
5968. 0
5968. 1
5968. 2
5968. 3
5968. 4
5968. 5
5968. 6
5968. 7
5969. 0
5969. 1
5969. 2
5969. 3
5969. 4
5969. 5
5969. 6
5969. 7
5969. 8
5969. 9
5970. 0
5970. 1
5970. 2
5970. 3
5971. 0
5971. 1
5971. 2
5971. 3
5971. 4
5971. 5
5971. 6
5972. 0
pull
Entries 37
Mean 29.08
Std Dev 24.07
1
0
−1
−2
−3
pull1D
Entries 37
Mean −0.0659
Std Dev 1.142
9
8
7
6
5
4
3
2
1
0
−8
−6
−4
−2
0
2
4
6
8

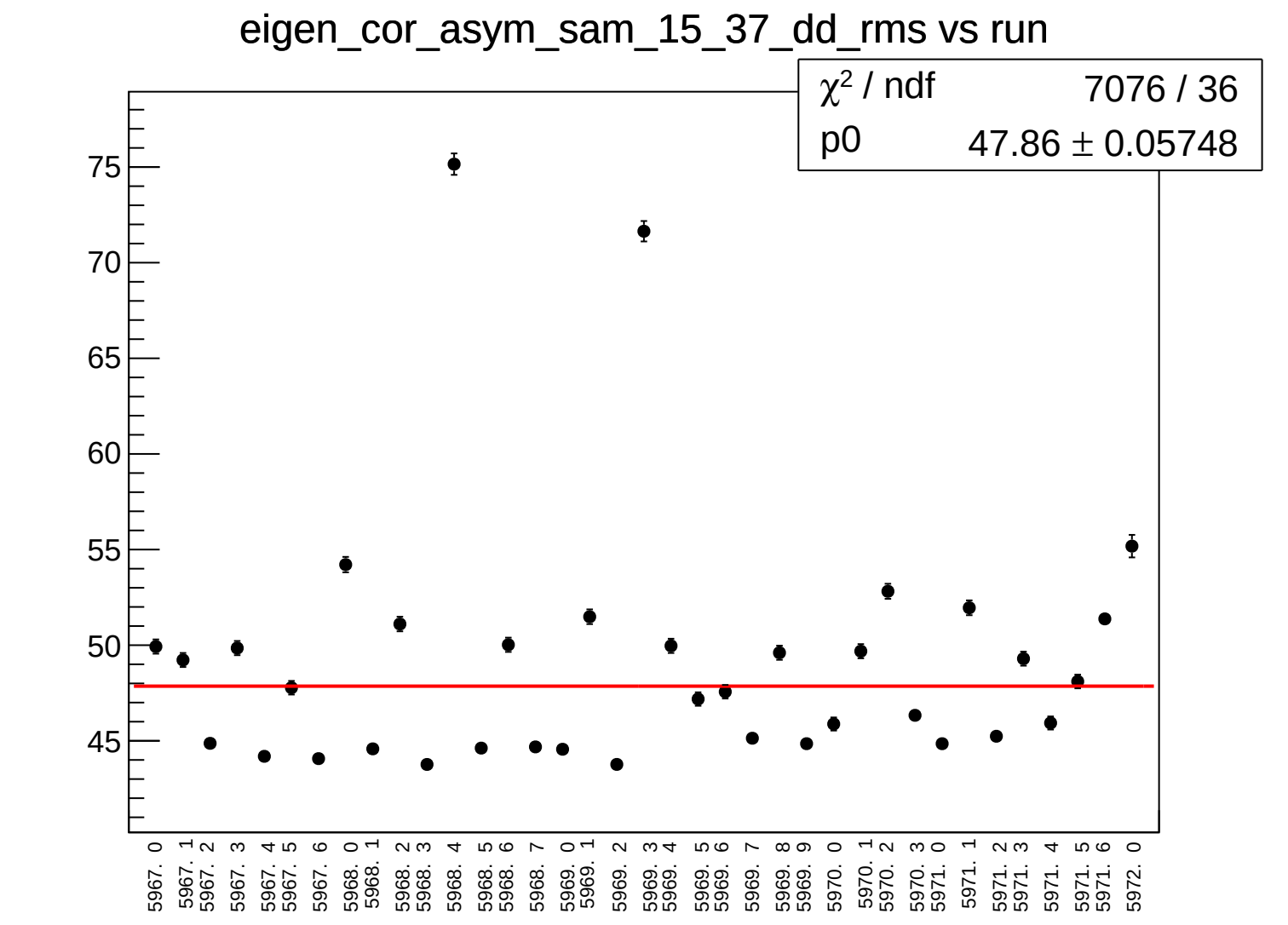
eigen_cor_asym_sam_15_37_dd_rms vs run
χ² / ndf 7076 / 36
p0 47.86 ± 0.05748
75
70
65
60
55
50
45
5967. 0
5967. 1
5967. 2
5967. 3
5967. 4
5967. 5
5967. 6
5968. 0
5968. 1
5968. 2
5968. 3
5968. 4
5968. 5
5968. 6
5968. 7
5969. 0
5969. 1
5969. 2
5969. 3
5969. 4
5969. 5
5969. 6
5969. 7
5969. 8
5969. 9
5970. 0
5970. 1
5970. 2
5970. 3
5971. 0
5971. 1
5971. 2
5971. 3
5971. 4
5971. 5
5971. 6
5972. 0

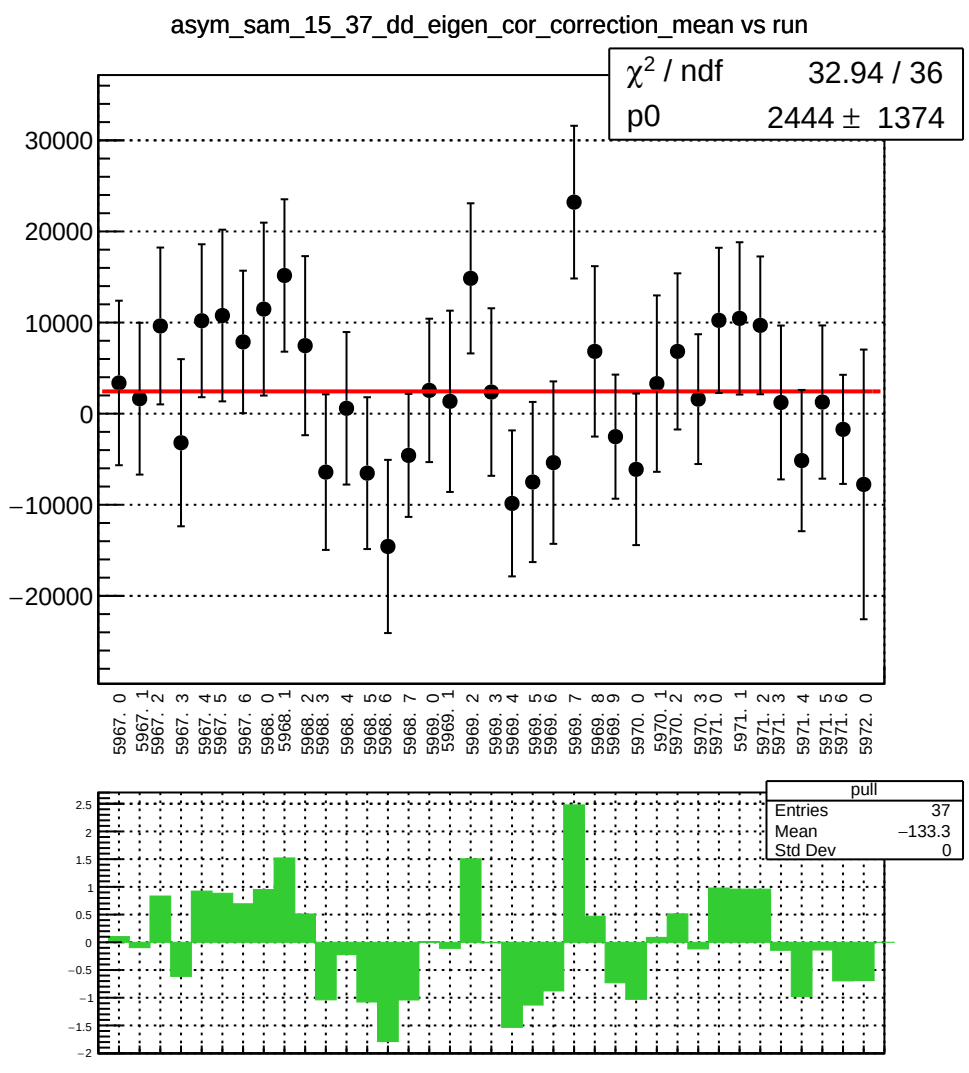
asym_sam_15_37_dd_eigen_cor_correction_mean vs run
χ² / ndf 32.94 / 36
p0 2444 ± 1374
30000
20000
10000
0
−10000
−20000
5967. 0
5967. 1
5967. 2
5967. 3
5967. 4
5967. 5
5967. 6
5968. 0
5968. 1
5968. 2
5968. 3
5968. 4
5968. 5
5968. 6
5968. 7
5969. 0
5969. 1
5969. 2
5969. 3
5969. 4
5969. 5
5969. 6
5969. 7
5969. 8
5969. 9
5970. 0
5970. 1
5970. 2
5970. 3
5971. 0
5971. 1
5971. 2
5971. 3
5971. 4
5971. 5
5971. 6
5972. 0
pull
Entries 37
Mean −133.3
Std Dev 0
2.5
2
1.5
1
0.5
0
−0.5
−1
−1.5
−2
pull1D
Entries 37
Mean 0.008786
Std Dev 0.9435
7
6
5
4
3
2
1
0
−8
−6
−4
−2
0
2
4
6
8

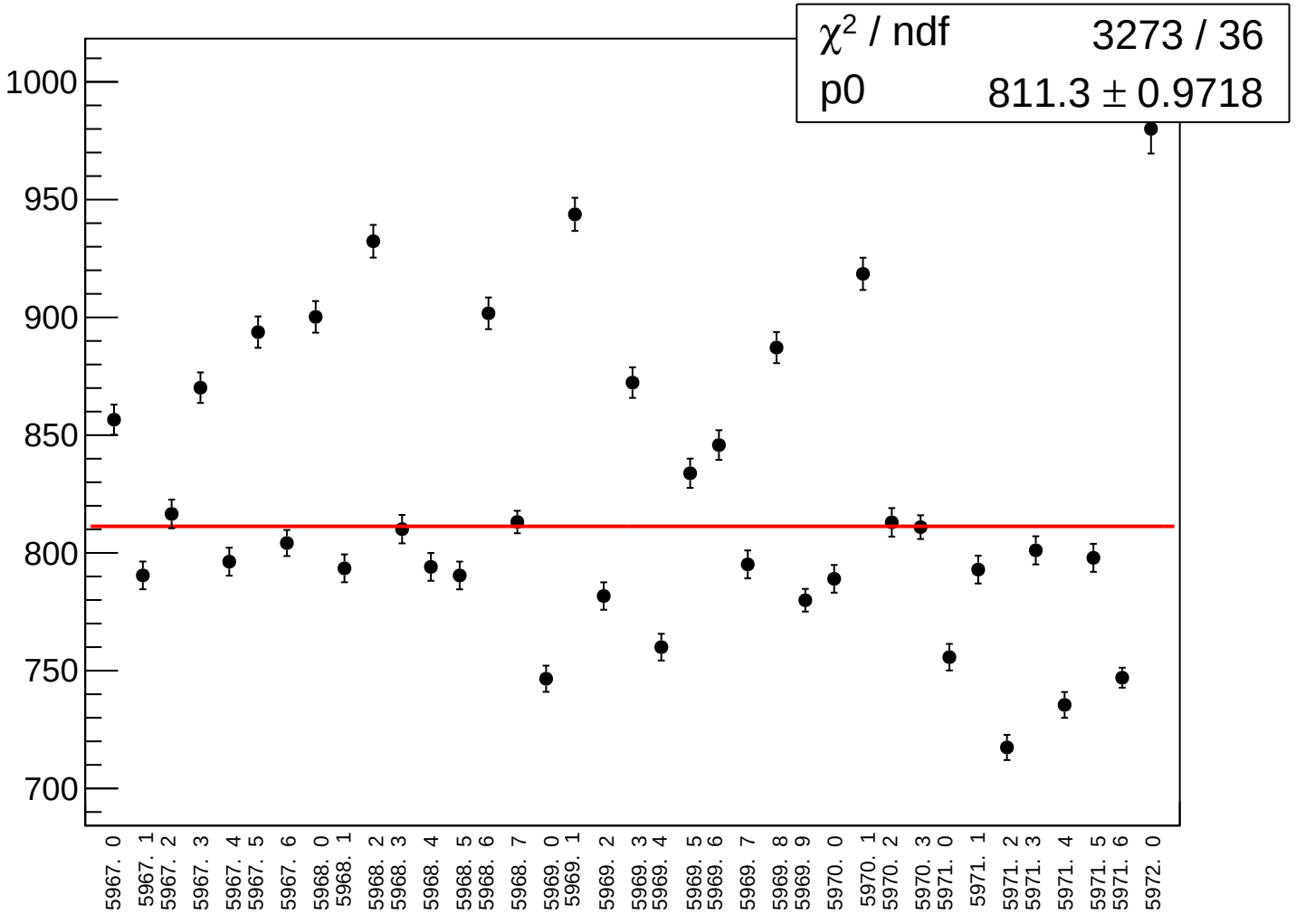
asym_sam_15_37_dd_eigen_cor_correction_rms vs run
χ² / ndf 3273 / 36
p0 811.3 ± 0.9718
1000
950
900
850
800
750
700
5967. 0
5967. 1
5967. 2
5967. 3
5967. 4
5967. 5
5967. 6
5968. 0
5968. 1
5968. 2
5968. 3
5968. 4
5968. 5
5968. 6
5968. 7
5969. 0
5969. 1
5969. 2
5969. 3
5969. 4
5969. 5
5969. 6
5969. 7
5969. 8
5969. 9
5970. 0
5970. 1
5970. 2
5970. 3
5971. 0
5971. 1
5971. 2
5971. 3
5971. 4
5971. 5
5971. 6
5972. 0

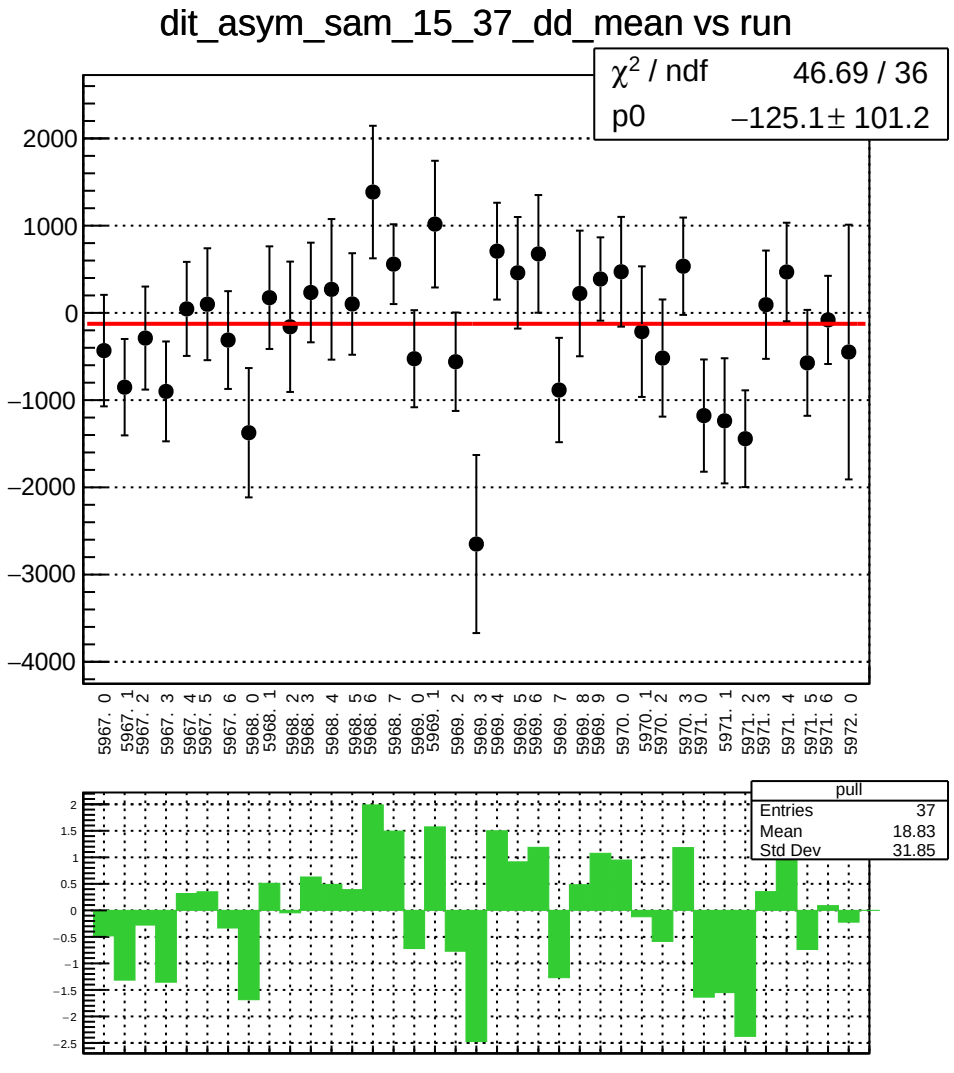
dit_asym_sam_15_37_dd_mean vs run
χ² / ndf 46.69 / 36
p0 −125.1± 101.2
2000
1000
0
−1000
−2000
−3000
−4000
5967. 0
5967. 1
5967. 2
5967. 3
5967. 4
5967. 5
5967. 6
5968. 0
5968. 1
5968. 2
5968. 3
5968. 4
5968. 5
5968. 6
5968. 7
5969. 0
5969. 1
5969. 2
5969. 3
5969. 4
5969. 5
5969. 6
5969. 7
5969. 8
5969. 9
5970. 0
5970. 1
5970. 2
5970. 3
5971. 0
5971. 1
5971. 2
5971. 3
5971. 4
5971. 5
5971. 6
5972. 0
pull
Entries 37
Mean 18.83
Std Dev 31.85
2
1.5
1
0.5
0
−0.5
−1
−1.5
−2
−2.5

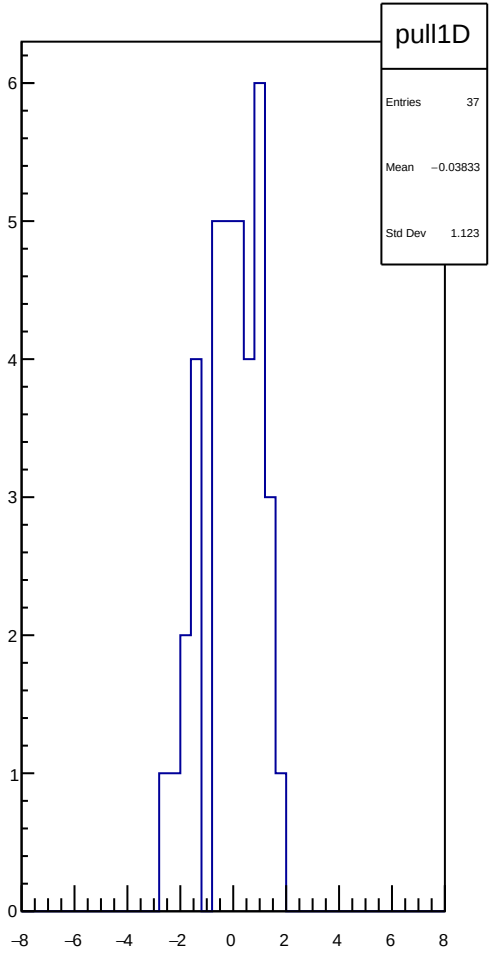
pull1D
Entries 37
Mean −0.03833
Std Dev 1.123
6
5
4
3
2
1
0
−8
−6
−4
−2
0
2
4
6
8

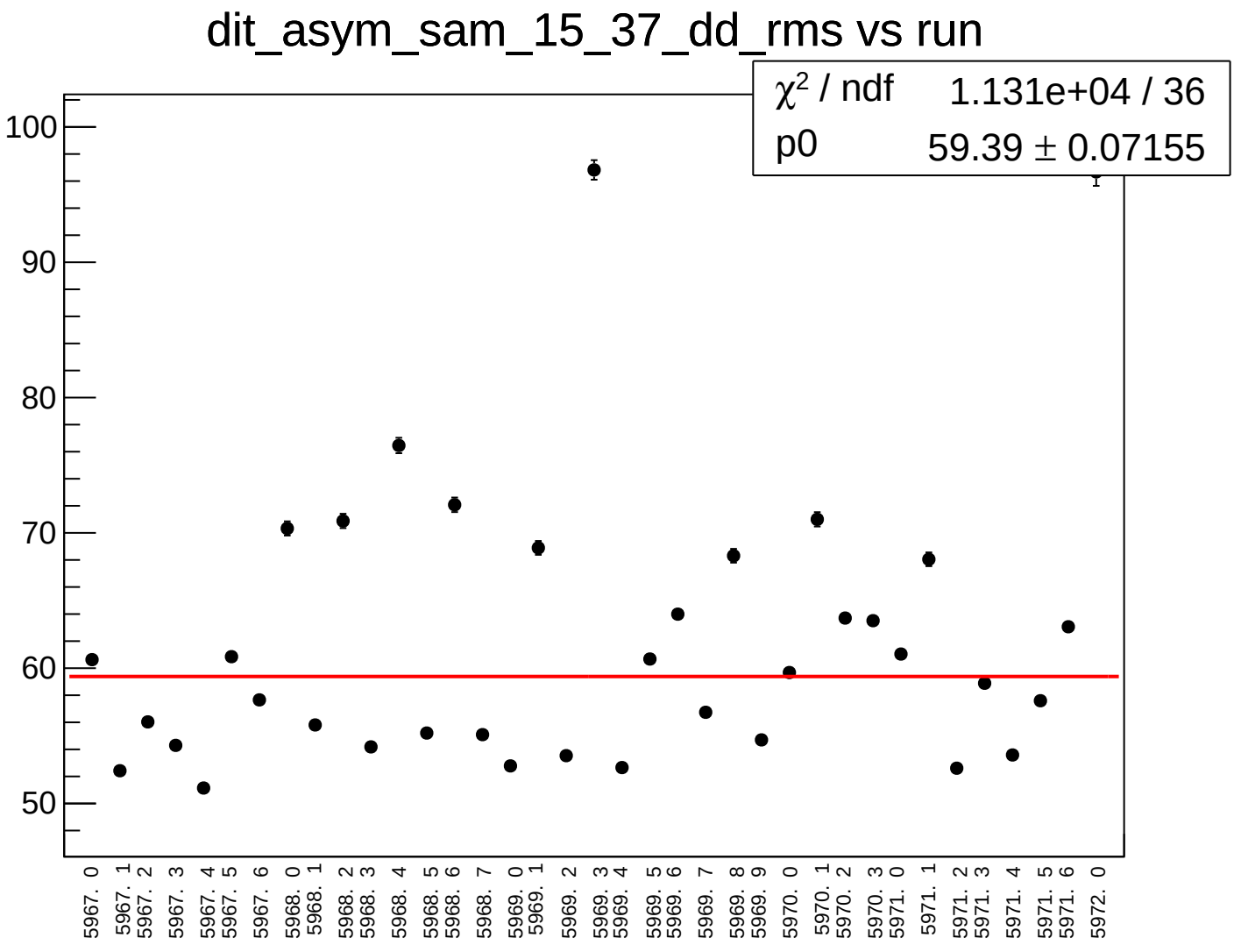
dit_asym_sam_15_37_dd_rms vs run
χ² / ndf 1.131e+04 / 36
p0 59.39 ± 0.07155
100
90
80
70
60
50
5967. 0
5967. 1
5967. 2
5967. 3
5967. 4
5967. 5
5967. 6
5968. 0
5968. 1
5968. 2
5968. 3
5968. 4
5968. 5
5968. 6
5968. 7
5969. 0
5969. 1
5969. 2
5969. 3
5969. 4
5969. 5
5969. 6
5969. 7
5969. 8
5969. 9
5970. 0
5970. 1
5970. 2
5970. 3
5971. 0
5971. 1
5971. 2
5971. 3
5971. 4
5971. 5
5971. 6
5972. 0

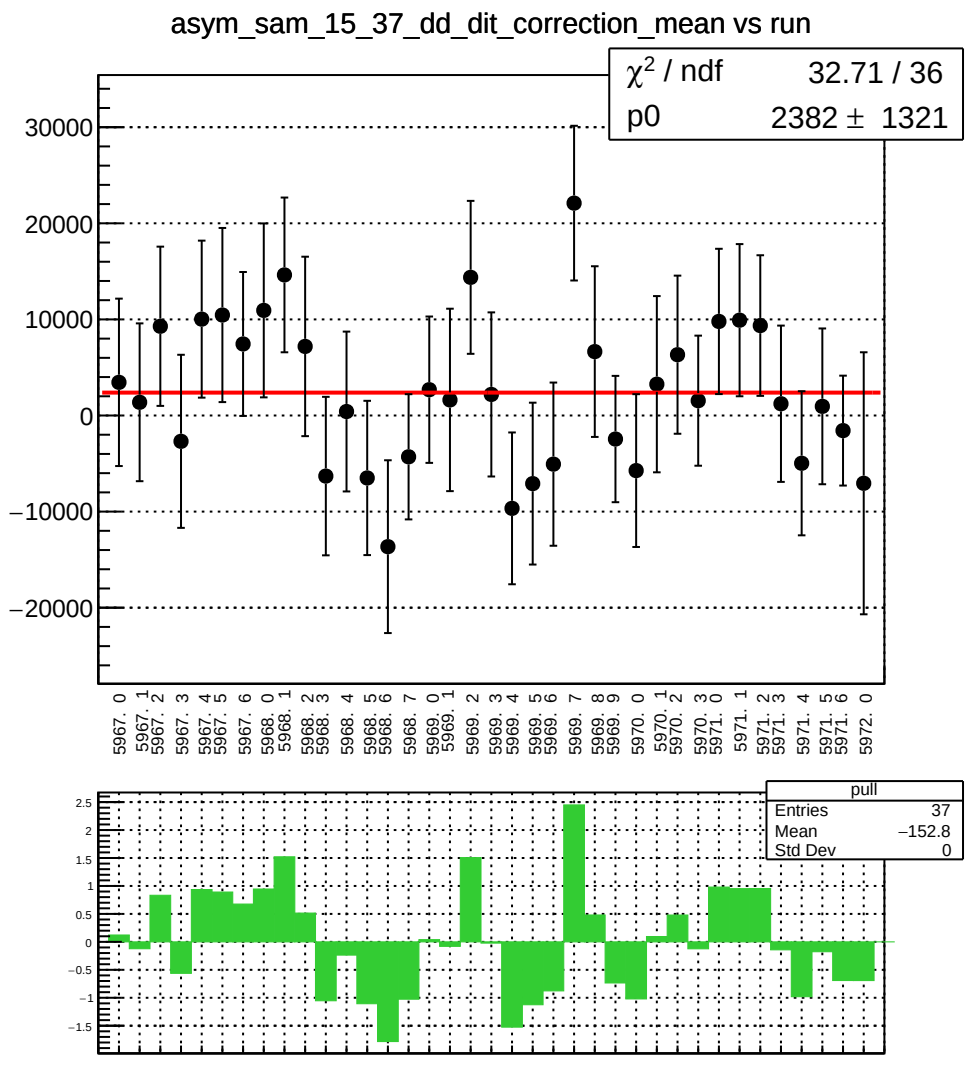
asym_sam_15_37_dd_dit_correction_mean vs run
χ² / ndf 32.71 / 36
p0 2382 ± 1321
30000
20000
10000
0
−10000
−20000
5967. 0
5967. 1
5967. 2
5967. 3
5967. 4
5967. 5
5967. 6
5968. 0
5968. 1
5968. 2
5968. 3
5968. 4
5968. 5
5968. 6
5968. 7
5969. 0
5969. 1
5969. 2
5969. 3
5969. 4
5969. 5
5969. 6
5969. 7
5969. 8
5969. 9
5970. 0
5970. 1
5970. 2
5970. 3
5971. 0
5971. 1
5971. 2
5971. 3
5971. 4
5971. 5
5971. 6
5972. 0
pull
Entries 37
Mean −152.8
Std Dev 0
2.5
2
1.5
1
0.5
0
−0.5
−1
−1.5
pull1D
Entries 37
Mean 0.008023
Std Dev 0.9402
7
6
5
4
3
2
1
0
−8
−6
−4
−2
0
2
4
6
8

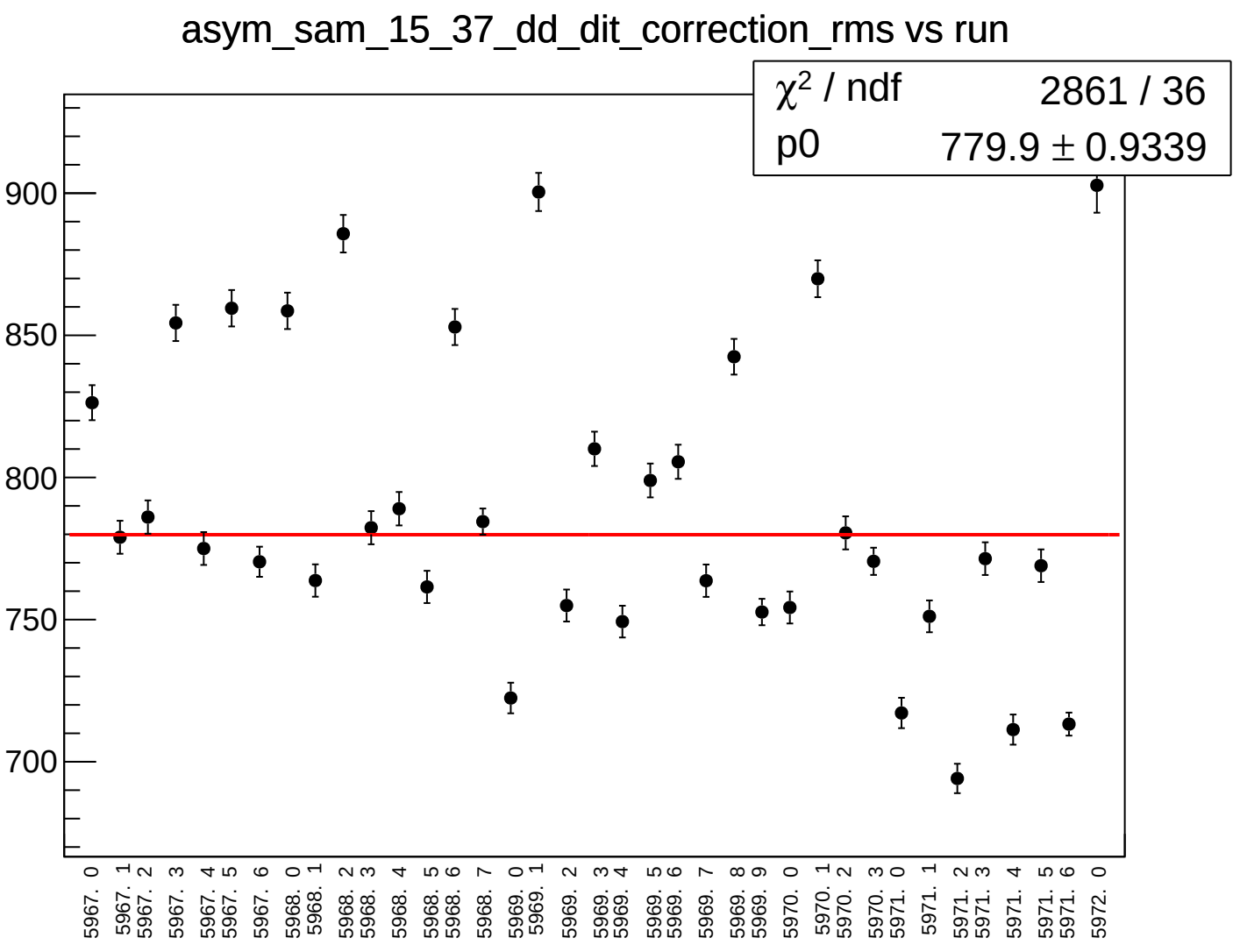
asym_sam_15_37_dd_dit_correction_rms vs run
χ² / ndf 2861 / 36
p0 779.9 ± 0.9339
900
850
800
750
700
5967. 0
5967. 1
5967. 2
5967. 3
5967. 4
5967. 5
5967. 6
5968. 0
5968. 1
5968. 2
5968. 3
5968. 4
5968. 5
5968. 6
5968. 7
5969. 0
5969. 1
5969. 2
5969. 3
5969. 4
5969. 5
5969. 6
5969. 7
5969. 8
5969. 9
5970. 0
5970. 1
5970. 2
5970. 3
5971. 0
5971. 1
5971. 2
5971. 3
5971. 4
5971. 5
5971. 6
5972. 0

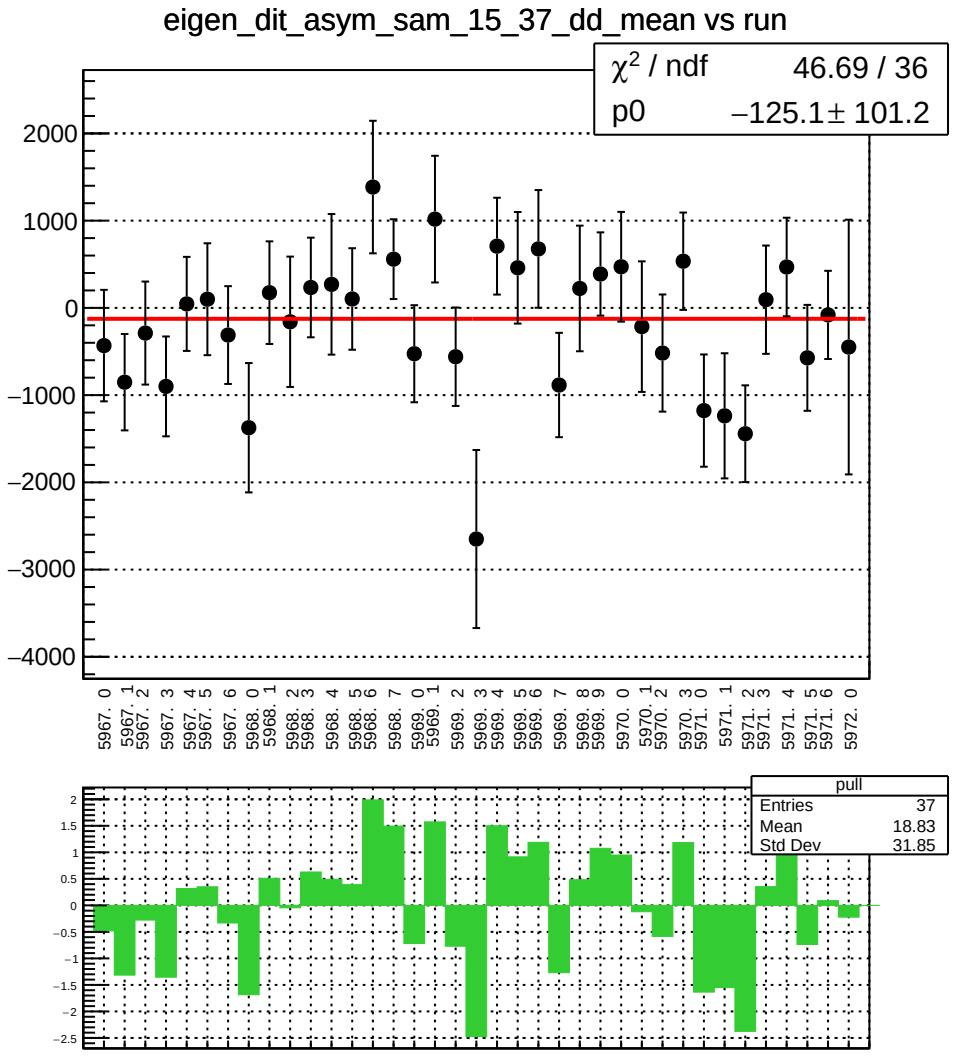
eigen_dit_asym_sam_15_37_dd_mean vs run
χ² / ndf 46.69 / 36
p0 −125.1± 101.2
2000
1000
0
−1000
−2000
−3000
−4000
5967. 0
5967. 1
5967. 2
5967. 3
5967. 4
5967. 5
5967. 6
5968. 0
5968. 1
5968. 2
5968. 3
5968. 4
5968. 5
5968. 6
5968. 7
5969. 0
5969. 1
5969. 2
5969. 3
5969. 4
5969. 5
5969. 6
5969. 7
5969. 8
5969. 9
5970. 0
5970. 1
5970. 2
5970. 3
5971. 0
5971. 1
5971. 2
5971. 3
5971. 4
5971. 5
5971. 6
5972. 0
pull
Entries 37
Mean 18.83
Std Dev 31.85
2
1.5
1
0.5
0
−0.5
−1
−1.5
−2
−2.5
pull1D
Entries 37
Mean −0.03833
Std Dev 1.123
6
5
4
3
2
1
0
−8
−6
−4
−2
0
2
4
6
8

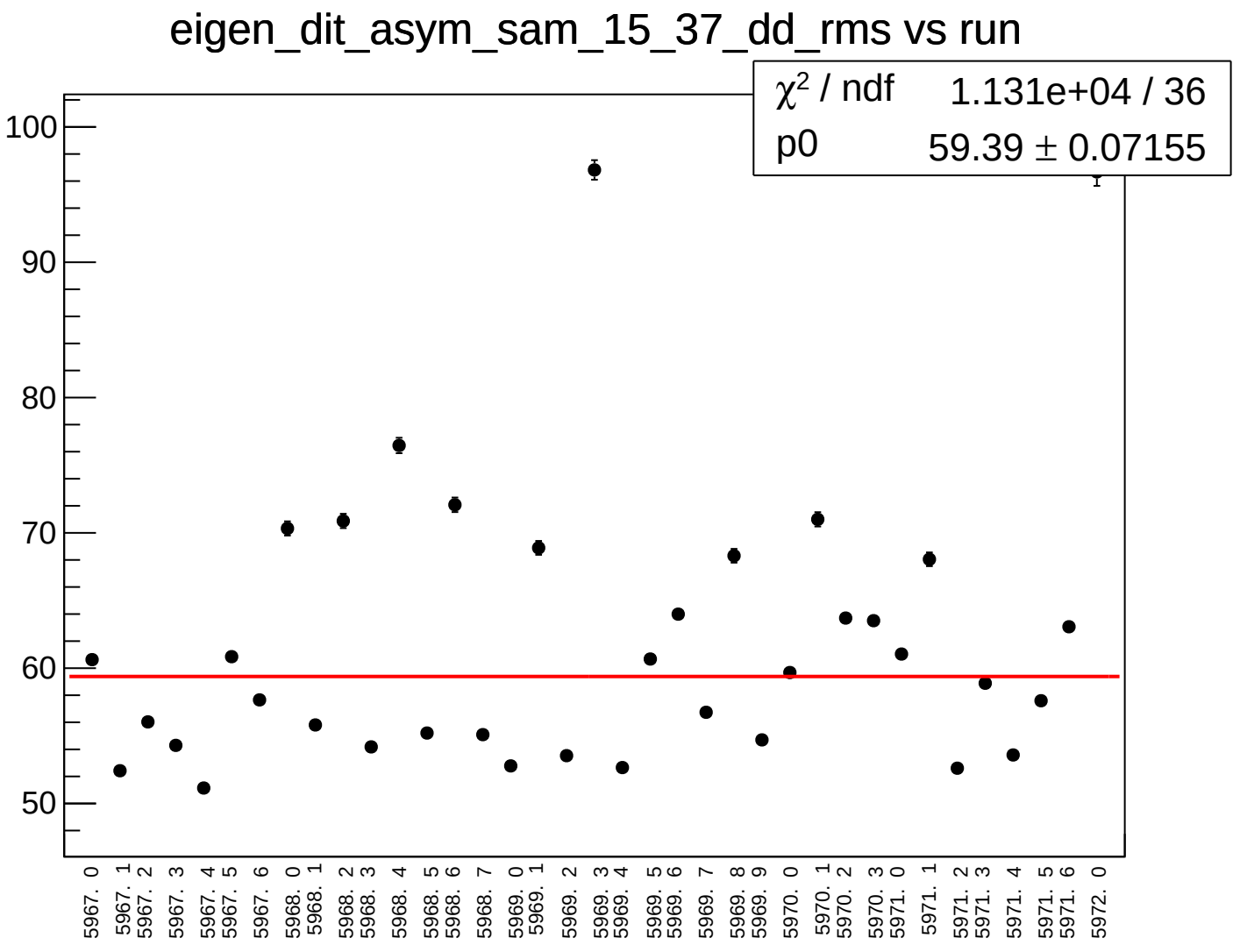
eigen_dit_asym_sam_15_37_dd_rms vs run
χ² / ndf 1.131e+04 / 36
p0 59.39 ± 0.07155
100
90
80
70
60
50
5967. 0
5967. 1
5967. 2
5967. 3
5967. 4
5967. 5
5967. 6
5968. 0
5968. 1
5968. 2
5968. 3
5968. 4
5968. 5
5968. 6
5968. 7
5969. 0
5969. 1
5969. 2
5969. 3
5969. 4
5969. 5
5969. 6
5969. 7
5969. 8
5969. 9
5970. 0
5970. 1
5970. 2
5970. 3
5971. 0
5971. 1
5971. 2
5971. 3
5971. 4
5971. 5
5971. 6
5972. 0

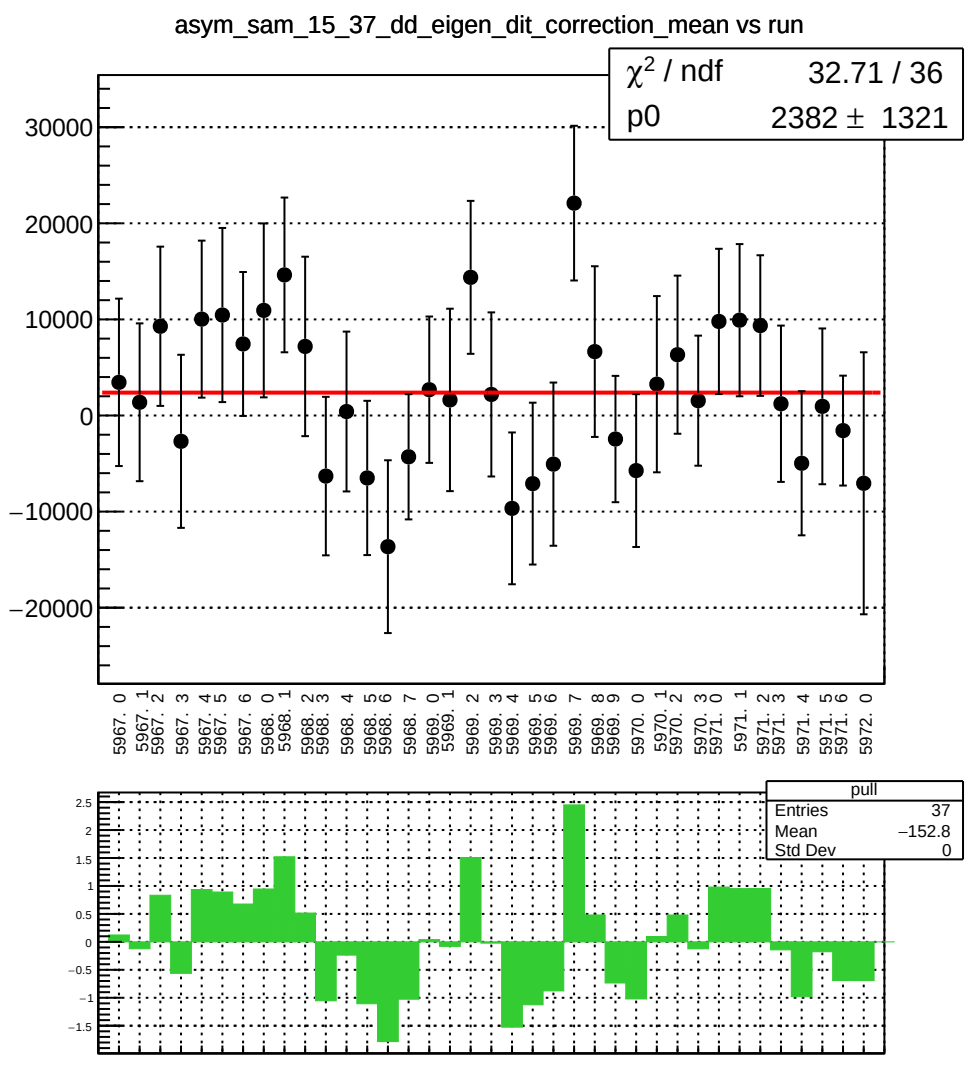
asym_sam_15_37_dd_eigen_dit_correction_mean vs run
χ² / ndf 32.71 / 36
p0 2382 ± 1321
30000
20000
10000
0
−10000
−20000
5967. 0
5967. 1
5967. 2
5967. 3
5967. 4
5967. 5
5967. 6
5968. 0
5968. 1
5968. 2
5968. 3
5968. 4
5968. 5
5968. 6
5968. 7
5969. 0
5969. 1
5969. 2
5969. 3
5969. 4
5969. 5
5969. 6
5969. 7
5969. 8
5969. 9
5970. 0
5970. 1
5970. 2
5970. 3
5971. 0
5971. 1
5971. 2
5971. 3
5971. 4
5971. 5
5971. 6
5972. 0
pull
Entries 37
Mean −152.8
Std Dev 0
2.5
2
1.5
1
0.5
0
−0.5
−1
−1.5

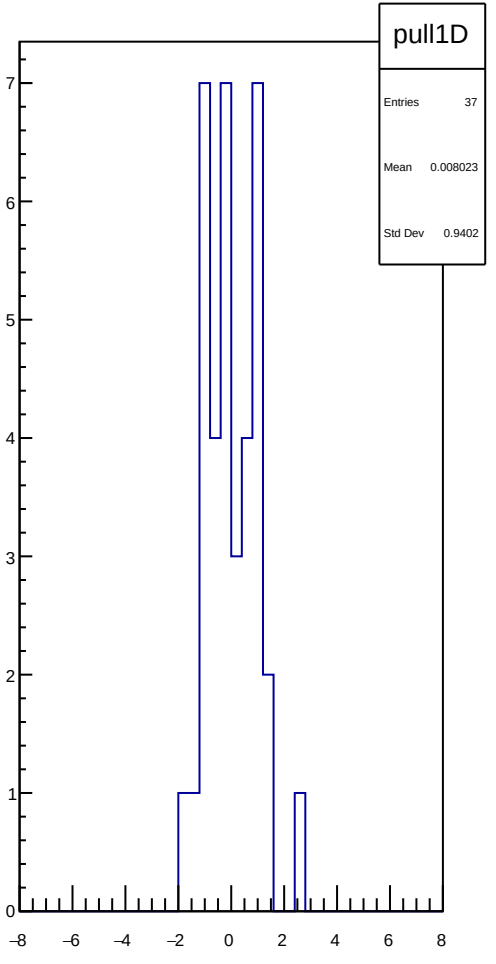
pull1D
Entries 37
Mean 0.008023
Std Dev 0.9402
7
6
5
4
3
2
1
0
−8
−6
−4
−2
0
2
4
6
8

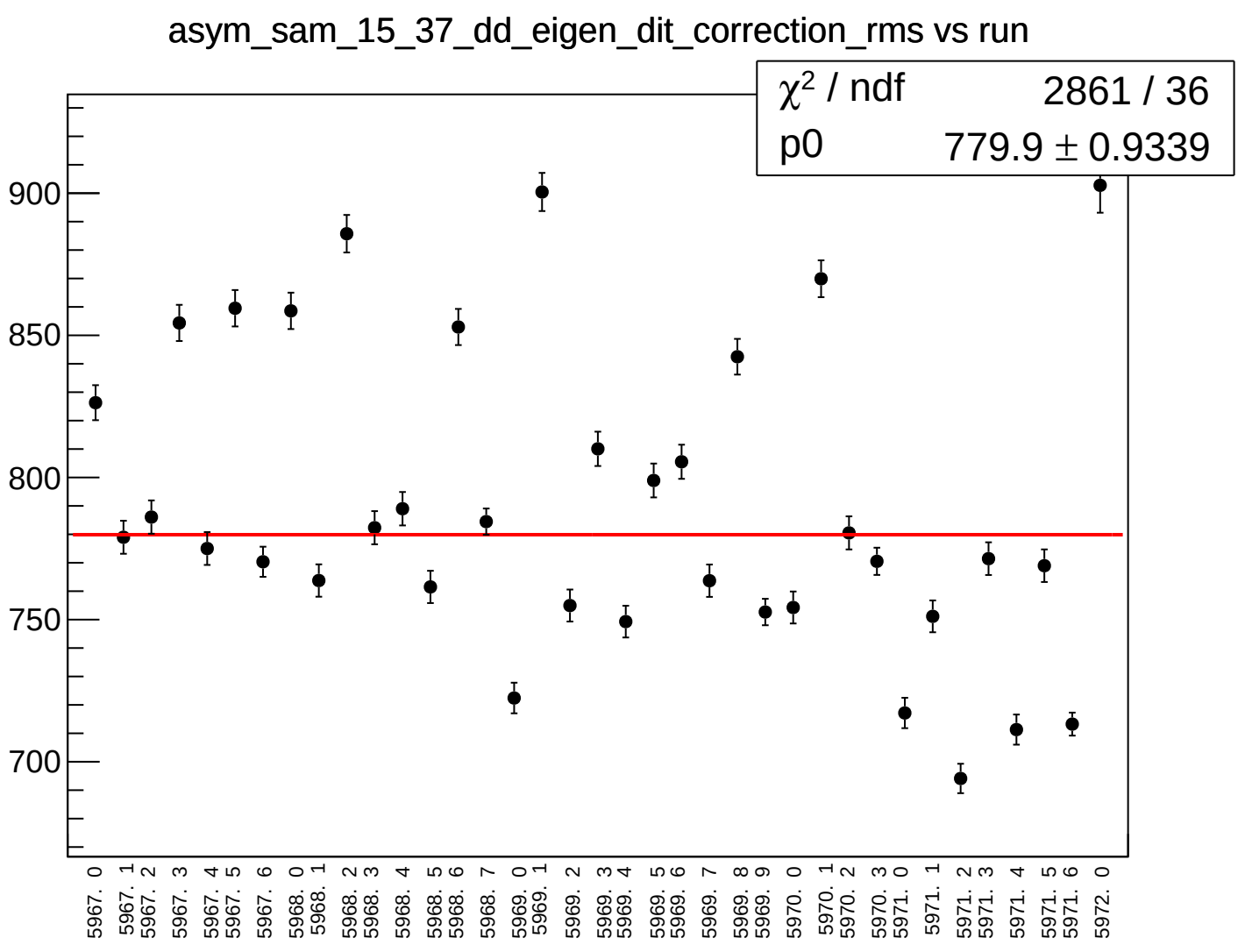
asym_sam_15_37_dd_eigen_dit_correction_rms vs run
χ² / ndf 2861 / 36
p0 779.9 ± 0.9339
900
850
800
750
700
5967. 0
5967. 1
5967. 2
5967. 3
5967. 4
5967. 5
5967. 6
5968. 0
5968. 1
5968. 2
5968. 3
5968. 4
5968. 5
5968. 6
5968. 7
5969. 0
5969. 1
5969. 2
5969. 3
5969. 4
5969. 5
5969. 6
5969. 7
5969. 8
5969. 9
5970. 0
5970. 1
5970. 2
5970. 3
5971. 0
5971. 1
5971. 2
5971. 3
5971. 4
5971. 5
5971. 6
5972. 0

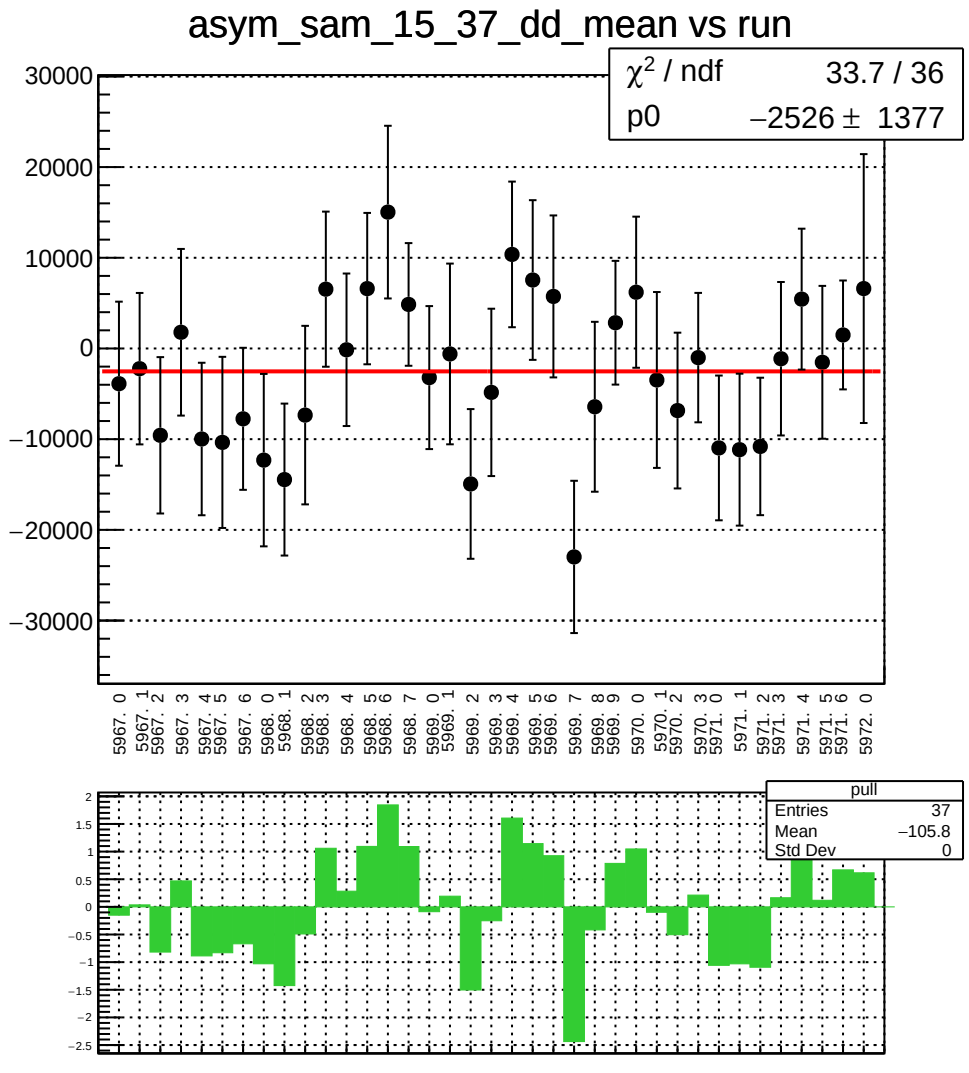
asym_sam_15_37_dd_mean vs run
χ² / ndf 33.7 / 36
p0 −2526 ± 1377
30000
20000
10000
0
−10000
−20000
−30000
5967. 0
5967. 1
5967. 2
5967. 3
5967. 4
5967. 5
5967. 6
5968. 0
5968. 1
5968. 2
5968. 3
5968. 4
5968. 5
5968. 6
5968. 7
5969. 0
5969. 1
5969. 2
5969. 3
5969. 4
5969. 5
5969. 6
5969. 7
5969. 8
5969. 9
5970. 0
5970. 1
5970. 2
5970. 3
5971. 0
5971. 1
5971. 2
5971. 3
5971. 4
5971. 5
5971. 6
5972. 0
pull
Entries 37
Mean −105.8
Std Dev 0
2
1.5
1
0.5
0
−0.5
−1
−1.5
−2
−2.5

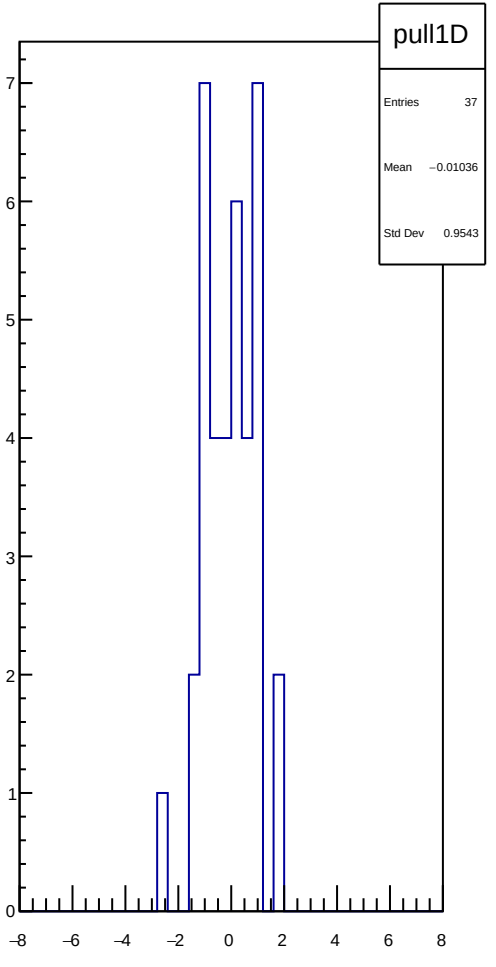
pull1D
Entries 37
Mean −0.01036
Std Dev 0.9543
7
6
5
4
3
2
1
0
−8
−6
−4
−2
0
2
4
6
8

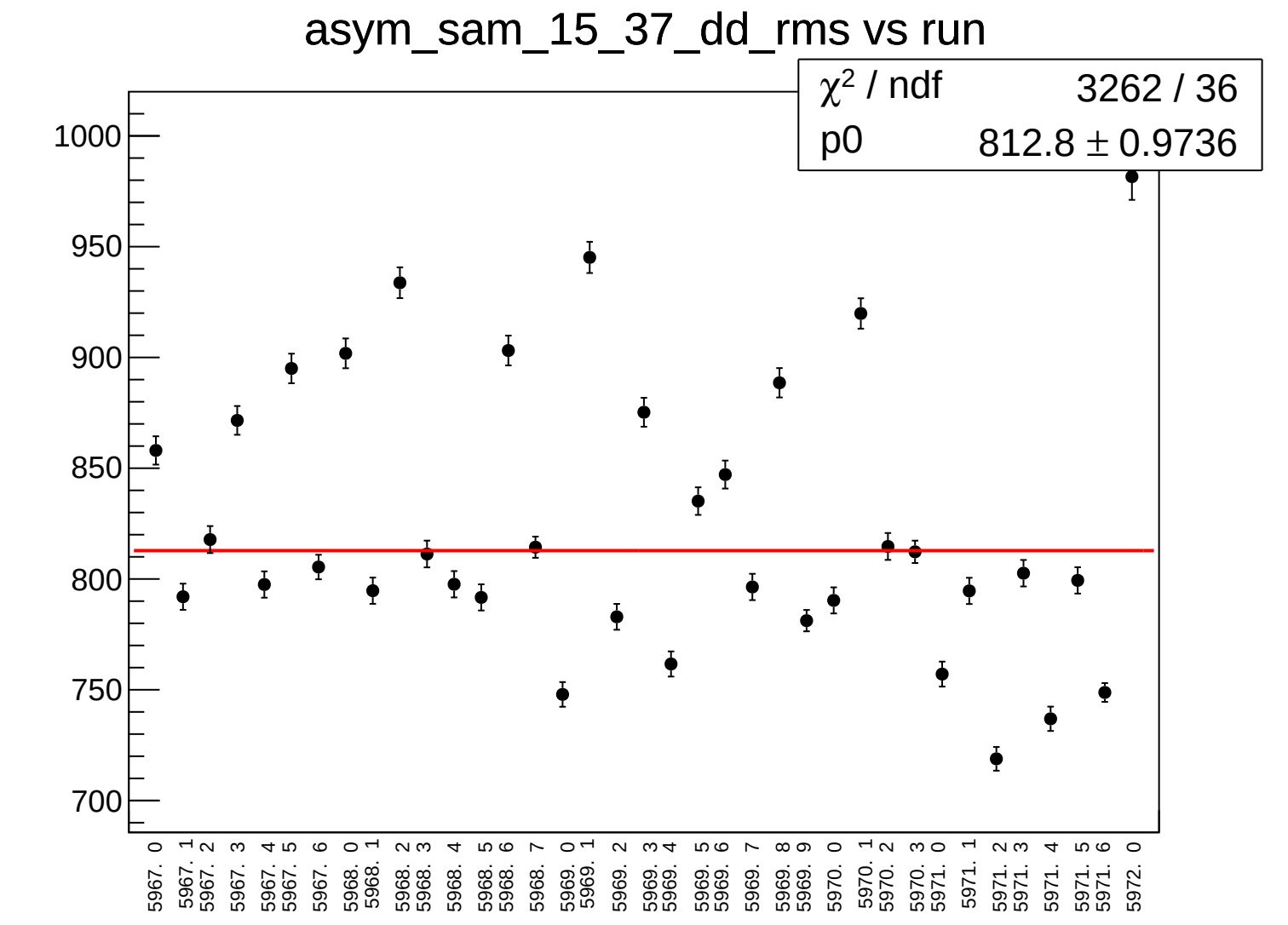
asym_sam_15_37_dd_rms vs run
χ² / ndf 3262 / 36
p0 812.8 ± 0.9736
1000
950
900
850
800
750
700
5967. 0
5967. 1
5967. 2
5967. 3
5967. 4
5967. 5
5967. 6
5968. 0
5968. 1
5968. 2
5968. 3
5968. 4
5968. 5
5968. 6
5968. 7
5969. 0
5969. 1
5969. 2
5969. 3
5969. 4
5969. 5
5969. 6
5969. 7
5969. 8
5969. 9
5970. 0
5970. 1
5970. 2
5970. 3
5971. 0
5971. 1
5971. 2
5971. 3
5971. 4
5971. 5
5971. 6
5972. 0

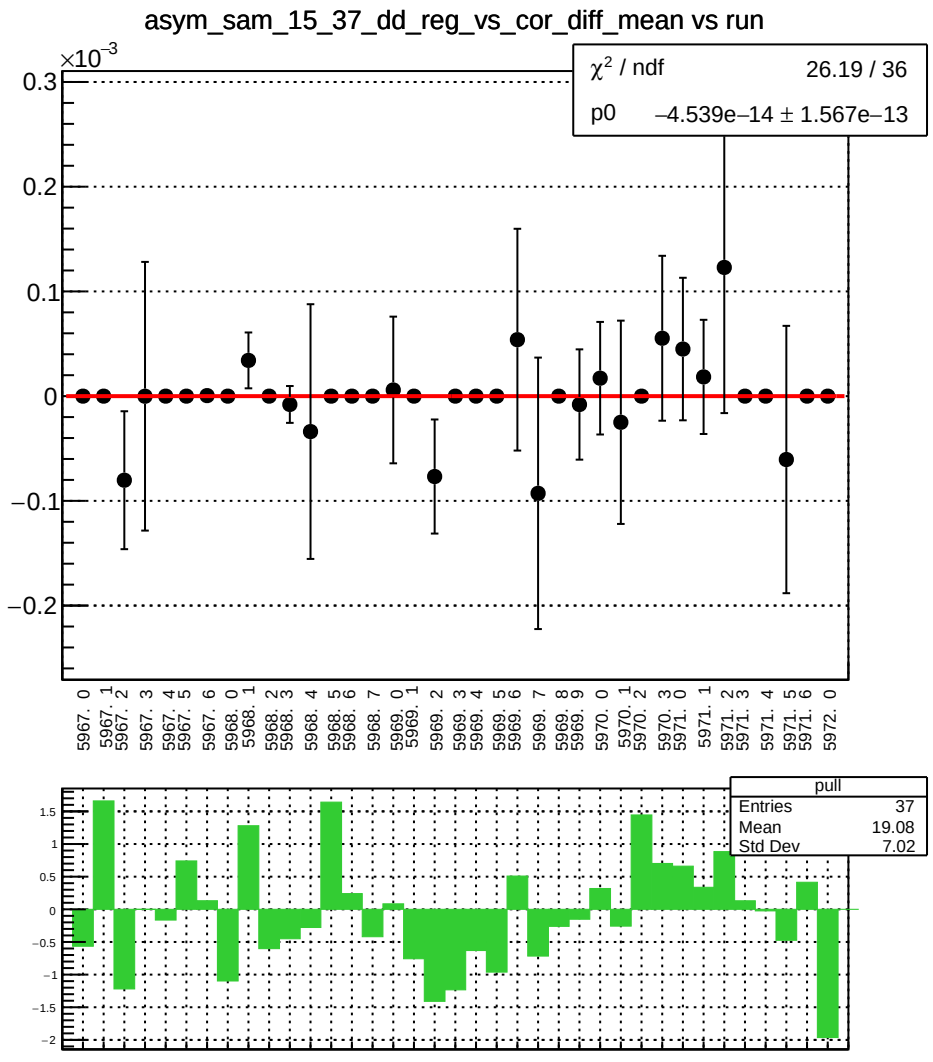
asym_sam_15_37_dd_reg_vs_cor_diff_mean vs run
×10^−3
χ² / ndf 26.19 / 36
p0 −4.539e−14 ± 1.567e−13
pull
Entries 37
Mean 19.08
Std Dev 7.02

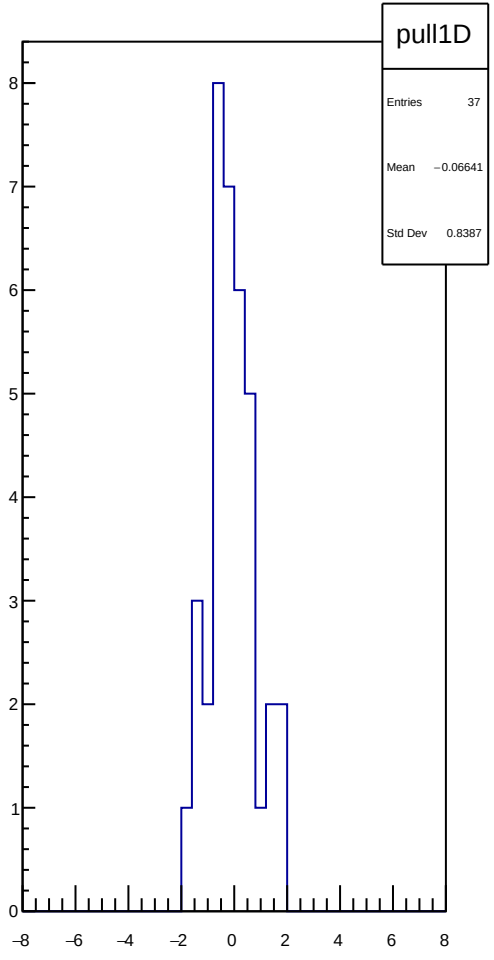
pull1D
Entries 37
Mean −0.06641
Std Dev 0.8387

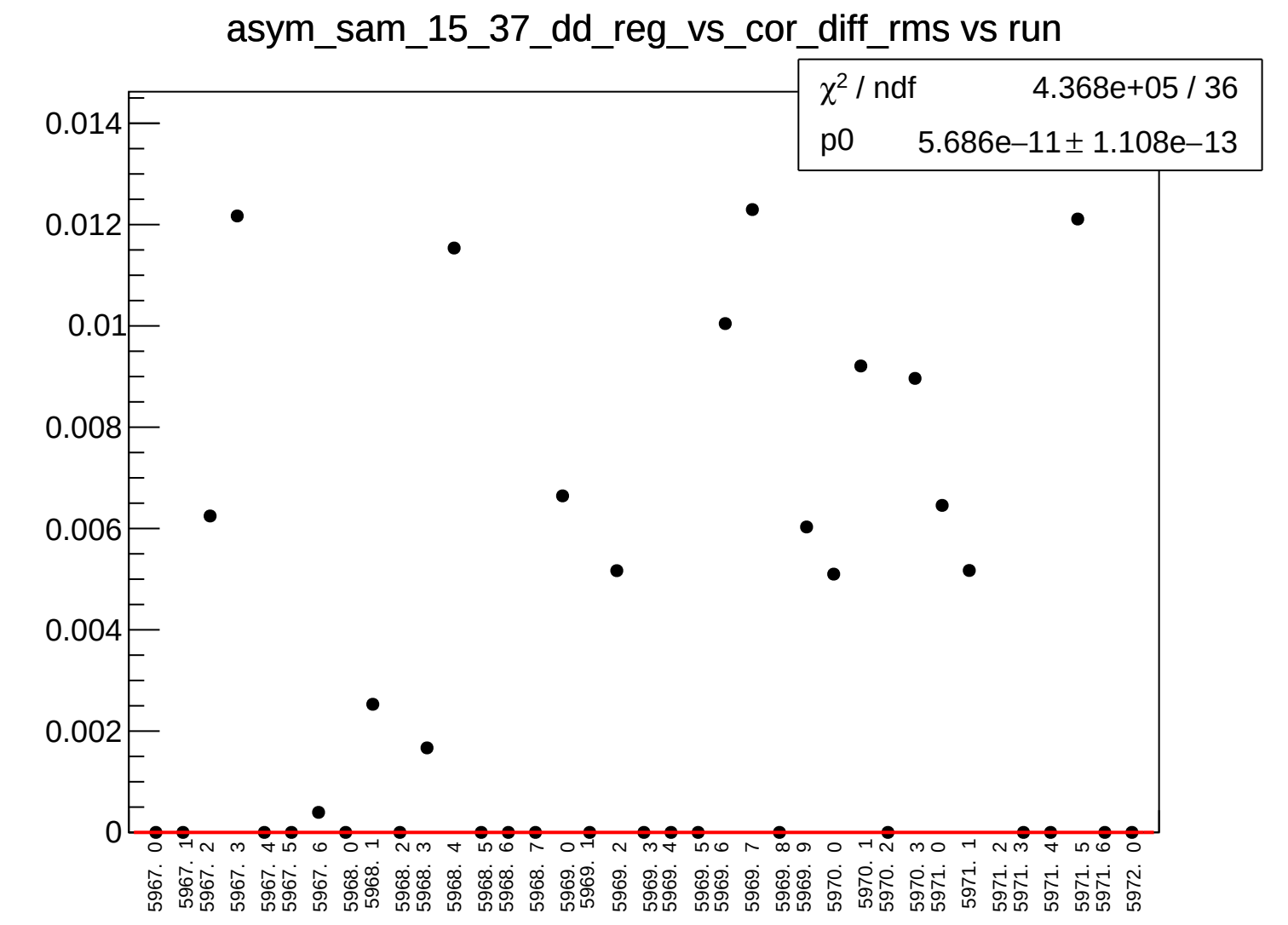
asym_sam_15_37_dd_reg_vs_cor_diff_rms vs run
χ² / ndf 4.368e+05 / 36
p0 5.686e−11 ± 1.108e−13
0.014
0.012
0.01
0.008
0.006
0.004
0.002
0
5967. 0
5967. 1
5967. 2
5967. 3
5967. 4
5967. 5
5967. 6
5968. 0
5968. 1
5968. 2
5968. 3
5968. 4
5968. 5
5968. 6
5968. 7
5969. 0
5969. 1
5969. 2
5969. 3
5969. 4
5969. 5
5969. 6
5969. 7
5969. 8
5969. 9
5970. 0
5970. 1
5970. 2
5970. 3
5971. 0
5971. 1
5971. 2
5971. 3
5971. 4
5971. 5
5971. 6
5972. 0

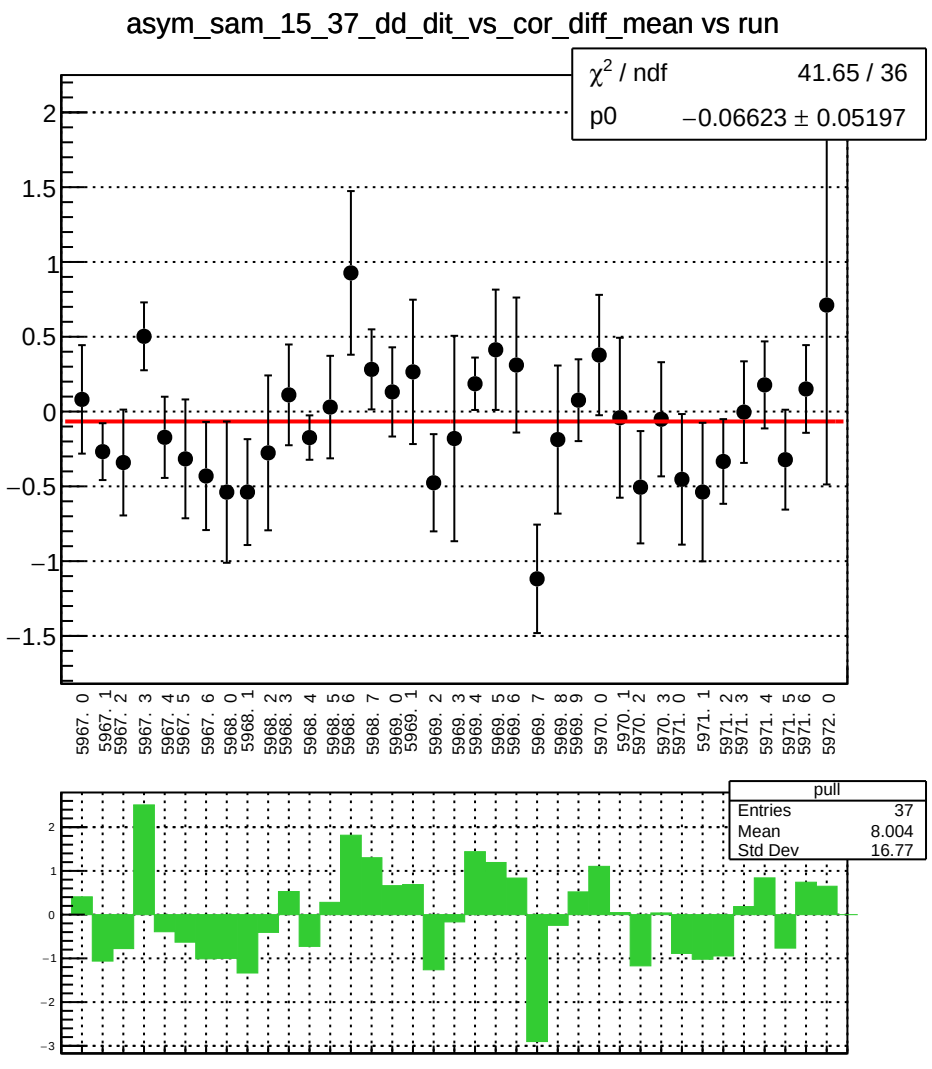
asym_sam_15_37_dd_dit_vs_cor_diff_mean vs run
χ² / ndf 41.65 / 36
p0 −0.06623 ± 0.05197
pull
Entries 37
Mean 8.004
Std Dev 16.77

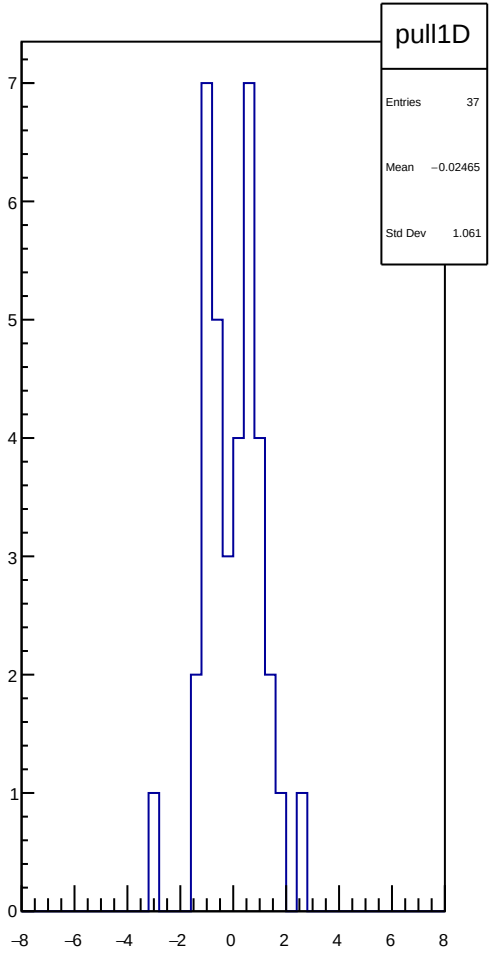
pull1D
Entries 37
Mean −0.02465
Std Dev 1.061

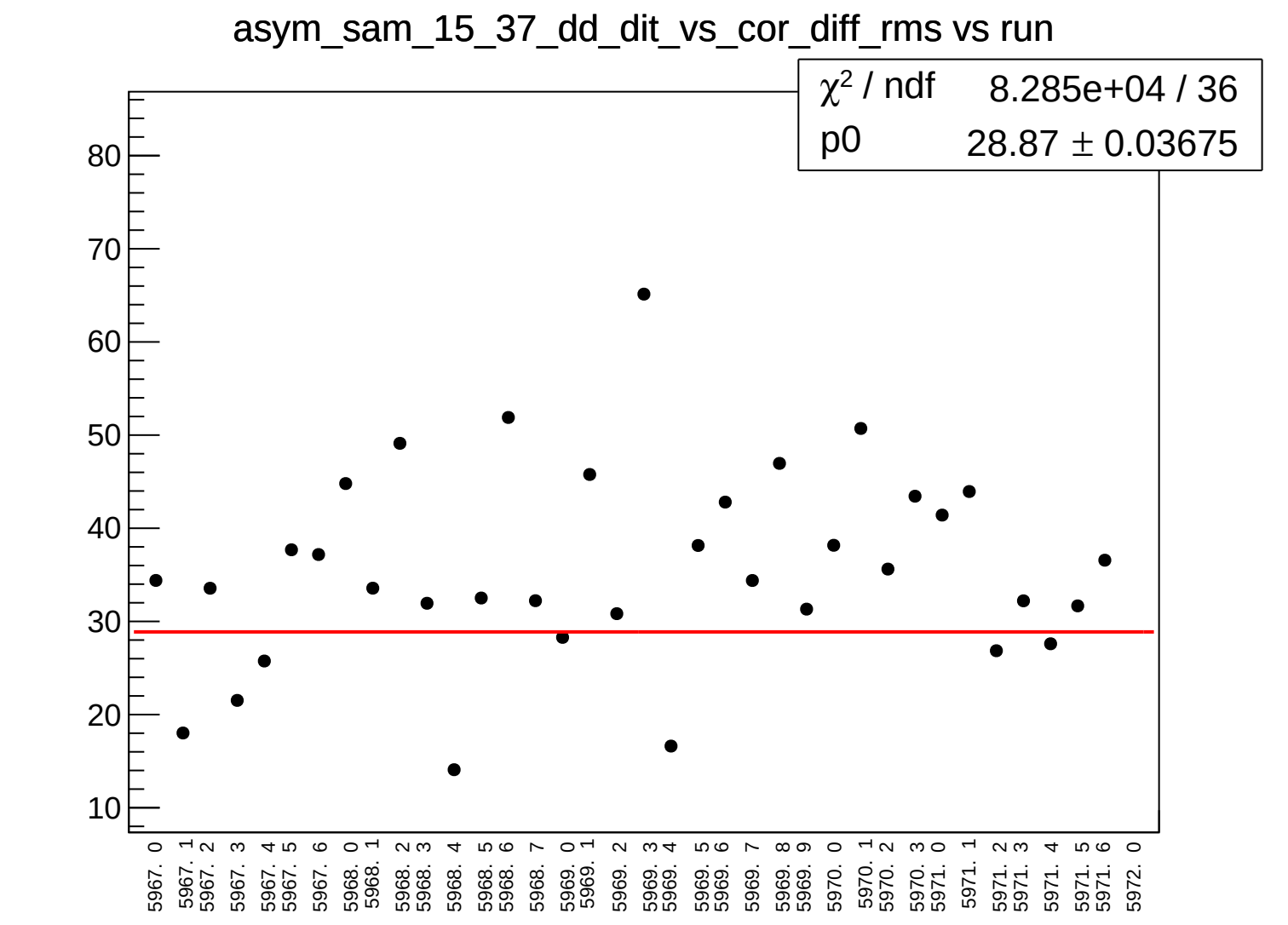
asym_sam_15_37_dd_dit_vs_cor_diff_rms vs run
χ² / ndf 8.285e+04 / 36
p0 28.87 ± 0.03675
80
70
60
50
40
30
20
10
5967. 0
5967. 1
5967. 2
5967. 3
5967. 4
5967. 5
5967. 6
5968. 0
5968. 1
5968. 2
5968. 3
5968. 4
5968. 5
5968. 6
5968. 7
5969. 0
5969. 1
5969. 2
5969. 3
5969. 4
5969. 5
5969. 6
5969. 7
5969. 8
5969. 9
5970. 0
5970. 1
5970. 2
5970. 3
5971. 0
5971. 1
5971. 2
5971. 3
5971. 4
5971. 5
5971. 6
5972. 0

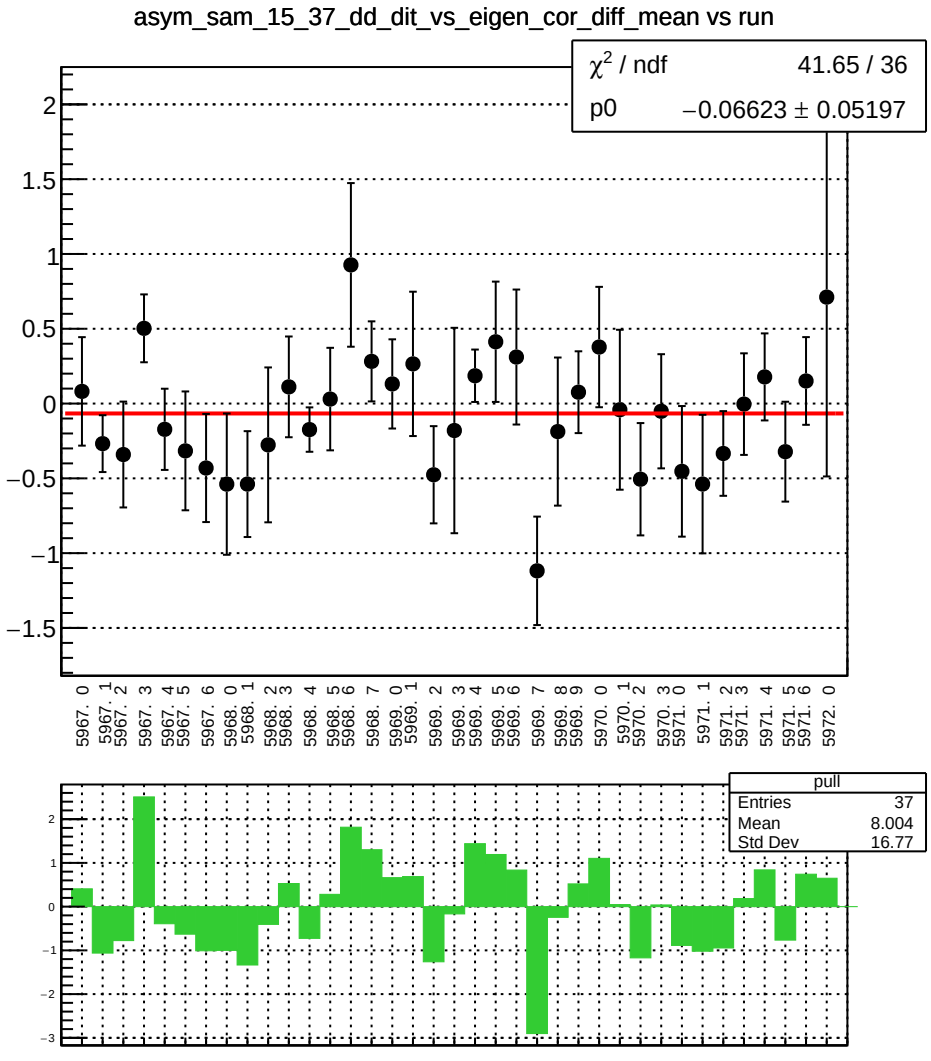
asym_sam_15_37_dd_dit_vs_eigen_cor_diff_mean vs run
χ² / ndf 41.65 / 36
p0 −0.06623 ± 0.05197
pull
Entries 37
Mean 8.004
Std Dev 16.77

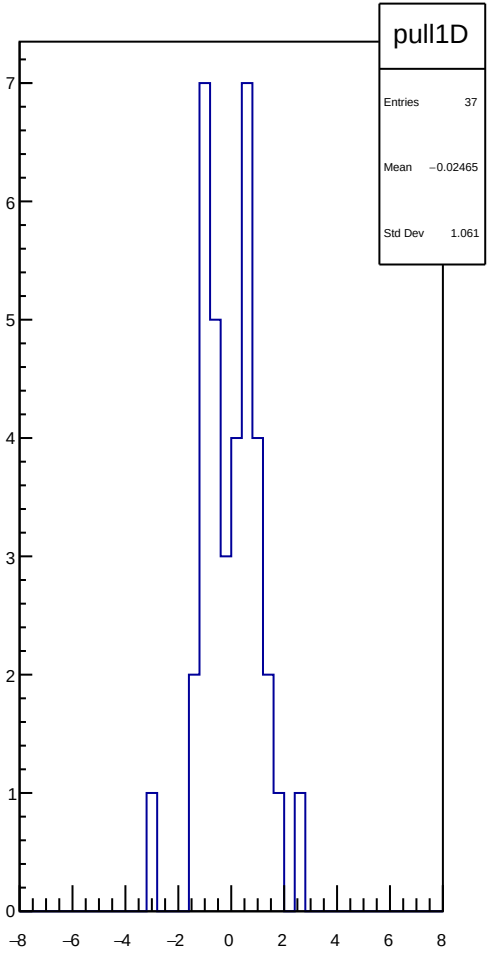
pull1D
Entries 37
Mean −0.02465
Std Dev 1.061

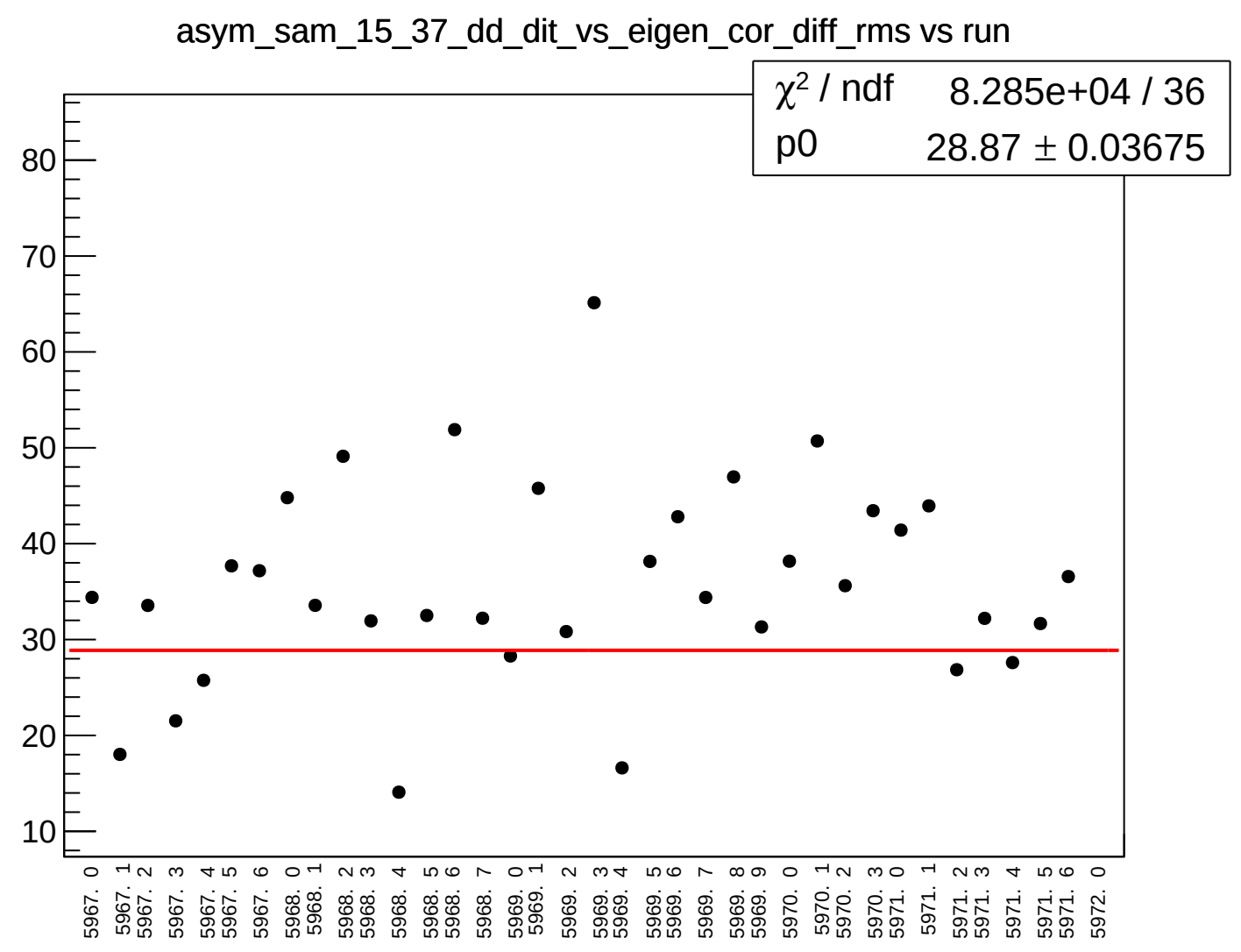
asym_sam_15_37_dd_dit_vs_eigen_cor_diff_rms vs run
χ² / ndf 8.285e+04 / 36
p0 28.87 ± 0.03675
80
70
60
50
40
30
20
10
5967. 0
5967. 1
5967. 2
5967. 3
5967. 4
5967. 5
5967. 6
5968. 0
5968. 1
5968. 2
5968. 3
5968. 4
5968. 5
5968. 6
5968. 7
5969. 0
5969. 1
5969. 2
5969. 3
5969. 4
5969. 5
5969. 6
5969. 7
5969. 8
5969. 9
5970. 0
5970. 1
5970. 2
5970. 3
5971. 0
5971. 1
5971. 2
5971. 3
5971. 4
5971. 5
5971. 6
5972. 0

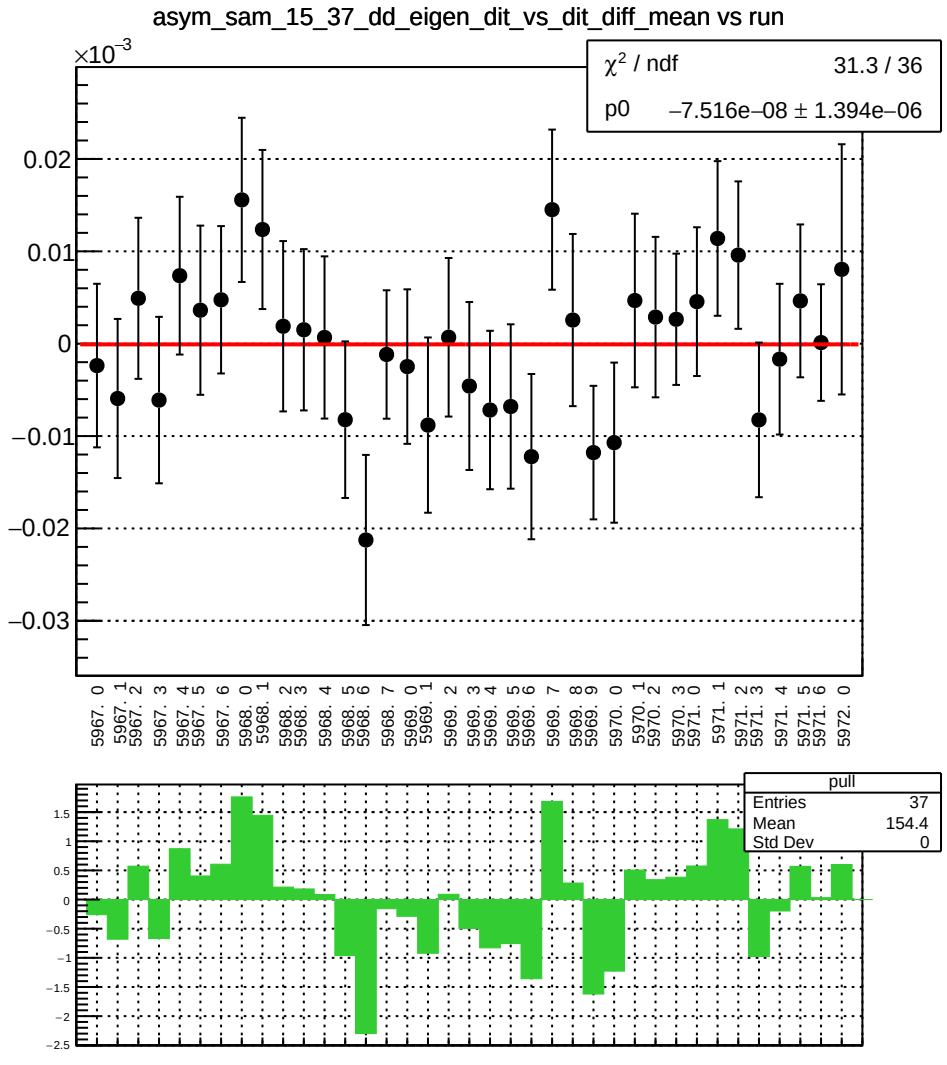
asym_sam_15_37_dd_eigen_dit_vs_dit_diff_mean vs run
×10^−3
χ² / ndf 31.3 / 36
p0 −7.516e−08 ± 1.394e−06
0.02
0.01
0
−0.01
−0.02
−0.03
5967. 0
5967. 1
5967. 2
5967. 3
5967. 4
5967. 5
5967. 6
5968. 0
5968. 1
5968. 2
5968. 3
5968. 4
5968. 5
5968. 6
5968. 7
5969. 0
5969. 1
5969. 2
5969. 3
5969. 4
5969. 5
5969. 6
5969. 7
5969. 8
5969. 9
5970. 0
5970. 1
5970. 2
5970. 3
5971. 0
5971. 1
5971. 2
5971. 3
5971. 4
5971. 5
5971. 6
5972. 0
pull
Entries 37
Mean 154.4
Std Dev 0
1.5
1
0.5
0
−0.5
−1
−1.5
−2
−2.5

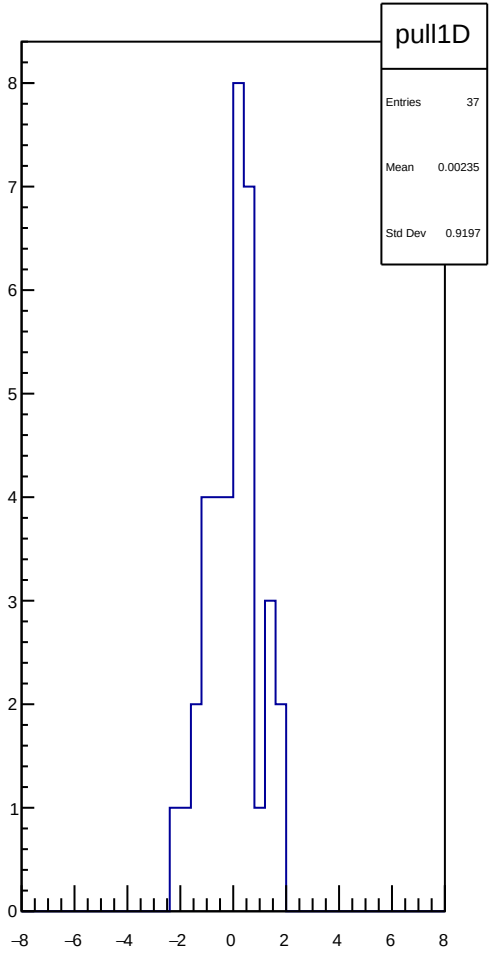
pull1D
Entries 37
Mean 0.00235
Std Dev 0.9197
8
7
6
5
4
3
2
1
0
−8
−6
−4
−2
0
2
4
6
8

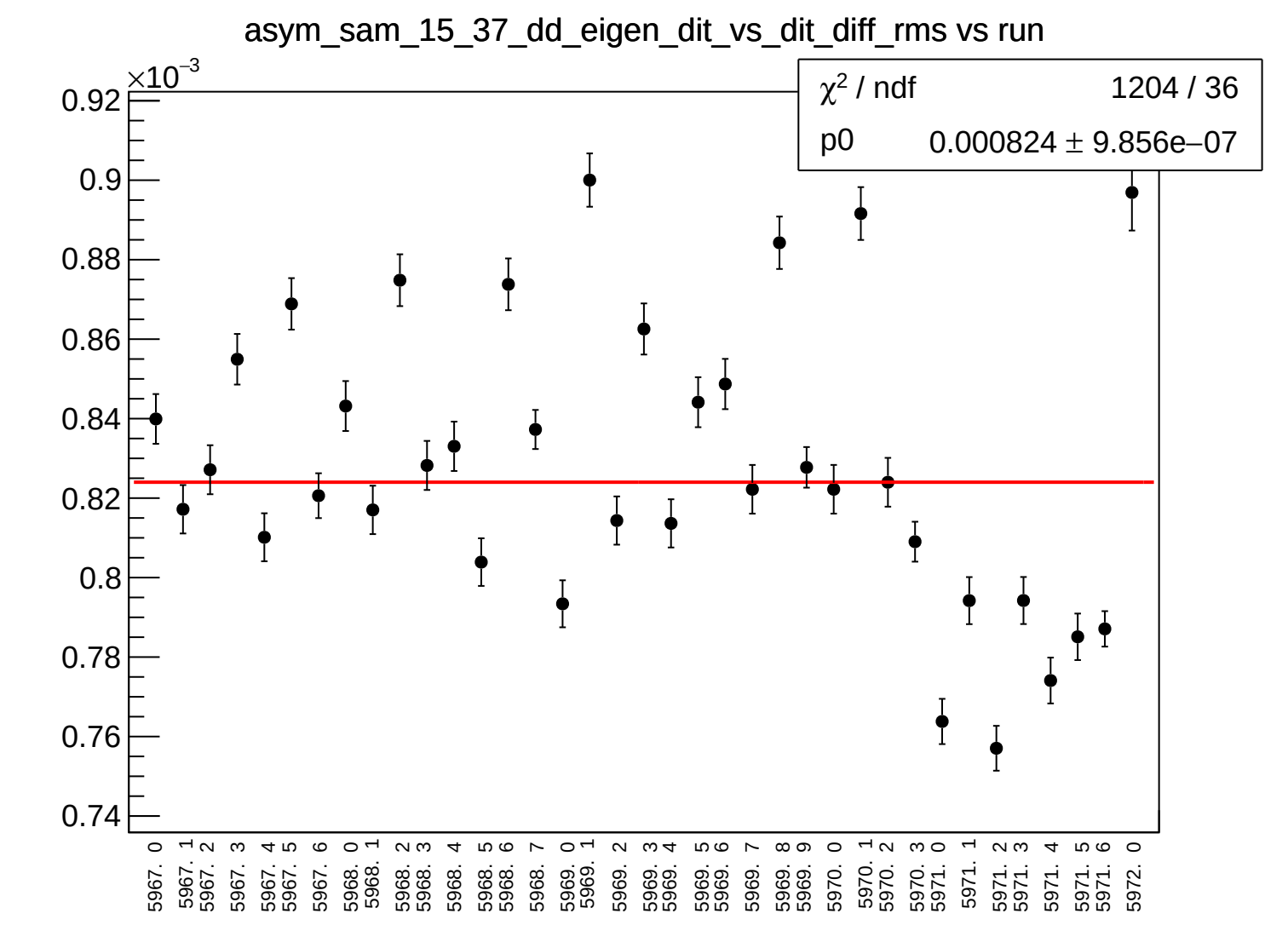
asym_sam_15_37_dd_eigen_dit_vs_dit_diff_rms vs run
×10⁻³
χ² / ndf 1204 / 36
p0 0.000824 ± 9.856e−07
0.92
0.9
0.88
0.86
0.84
0.82
0.8
0.78
0.76
0.74
5967. 0
5967. 1
5967. 2
5967. 3
5967. 4
5967. 5
5967. 6
5968. 0
5968. 1
5968. 2
5968. 3
5968. 4
5968. 5
5968. 6
5968. 7
5969. 0
5969. 1
5969. 2
5969. 3
5969. 4
5969. 5
5969. 6
5969. 7
5969. 8
5969. 9
5970. 0
5970. 1
5970. 2
5970. 3
5971. 0
5971. 1
5971. 2
5971. 3
5971. 4
5971. 5
5971. 6
5972. 0

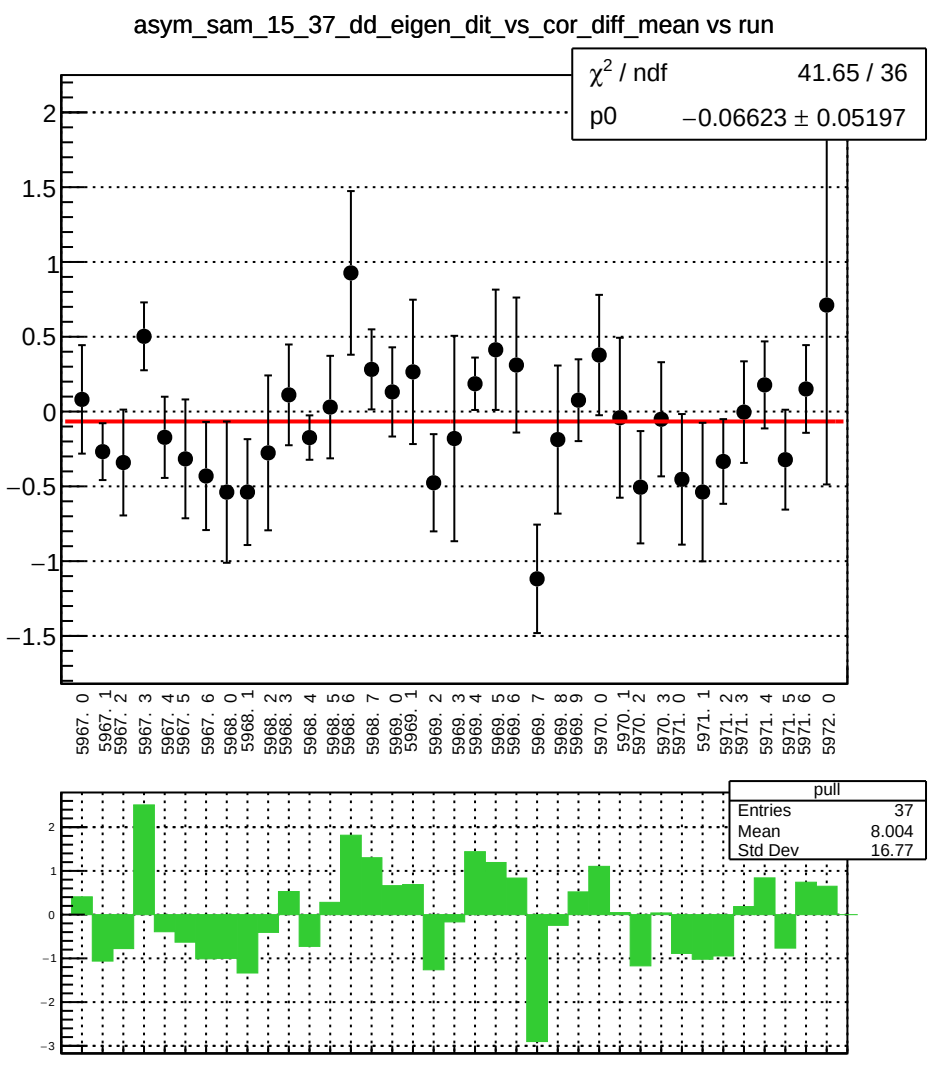
asym_sam_15_37_dd_eigen_dit_vs_cor_diff_mean vs run
χ² / ndf 41.65 / 36
p0 −0.06623 ± 0.05197
pull
Entries 37
Mean 8.004
Std Dev 16.77

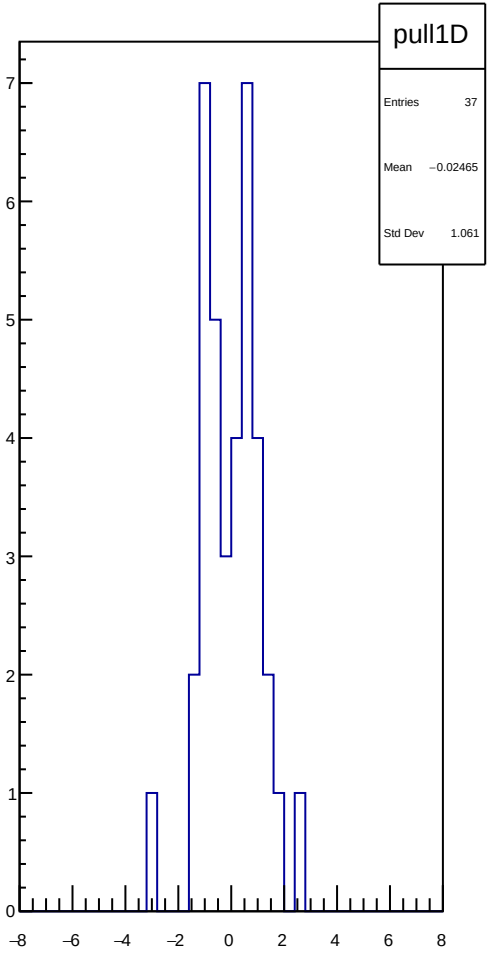
pull1D
Entries 37
Mean −0.02465
Std Dev 1.061

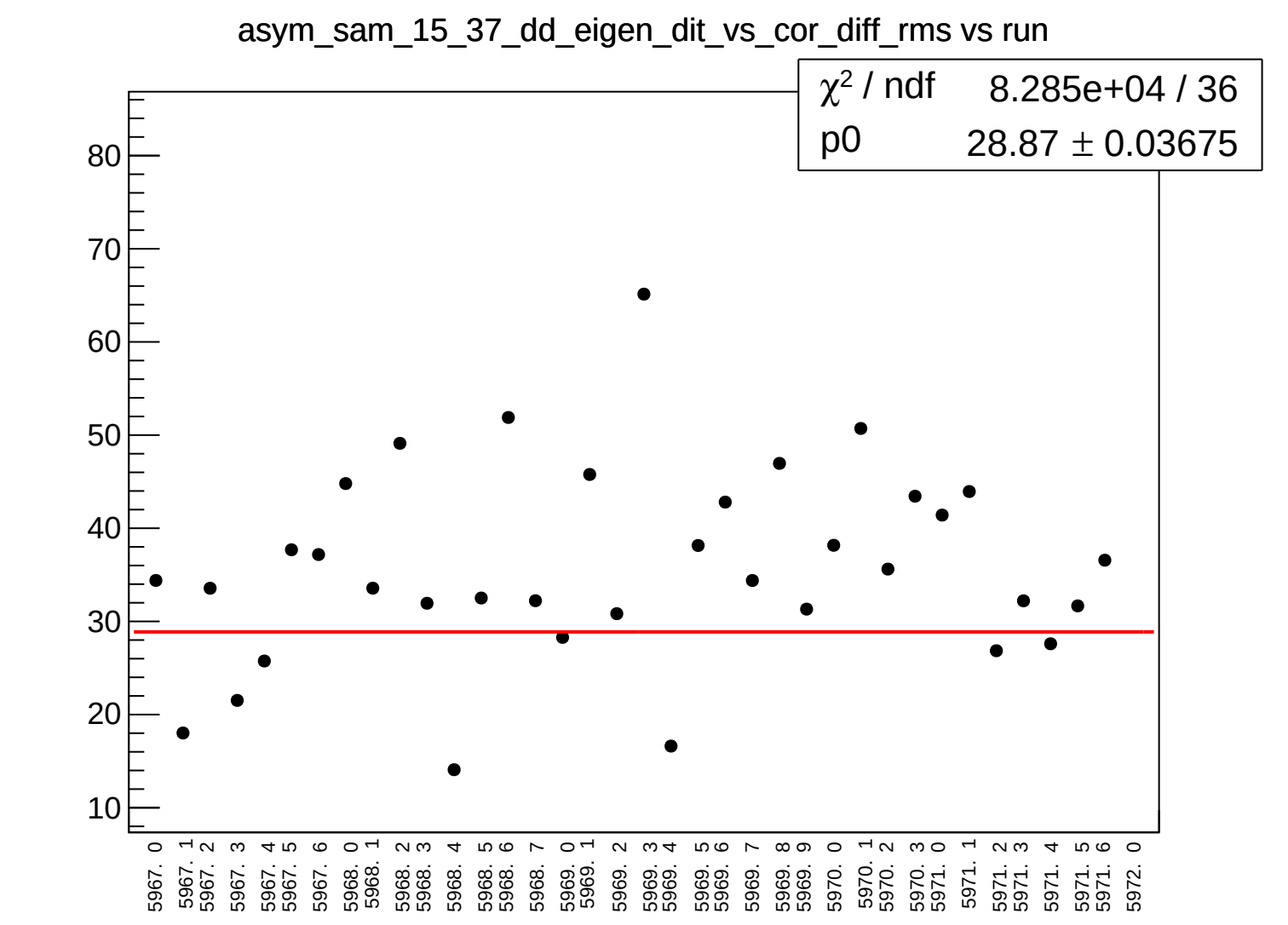
asym_sam_15_37_dd_eigen_dit_vs_cor_diff_rms vs run
χ² / ndf 8.285e+04 / 36
p0 28.87 ± 0.03675
80
70
60
50
40
30
20
10
5967. 0
5967. 1
5967. 2
5967. 3
5967. 4
5967. 5
5967. 6
5968. 0
5968. 1
5968. 2
5968. 3
5968. 4
5968. 5
5968. 6
5968. 7
5969. 0
5969. 1
5969. 2
5969. 3
5969. 4
5969. 5
5969. 6
5969. 7
5969. 8
5969. 9
5970. 0
5970. 1
5970. 2
5970. 3
5971. 0
5971. 1
5971. 2
5971. 3
5971. 4
5971. 5
5971. 6
5972. 0

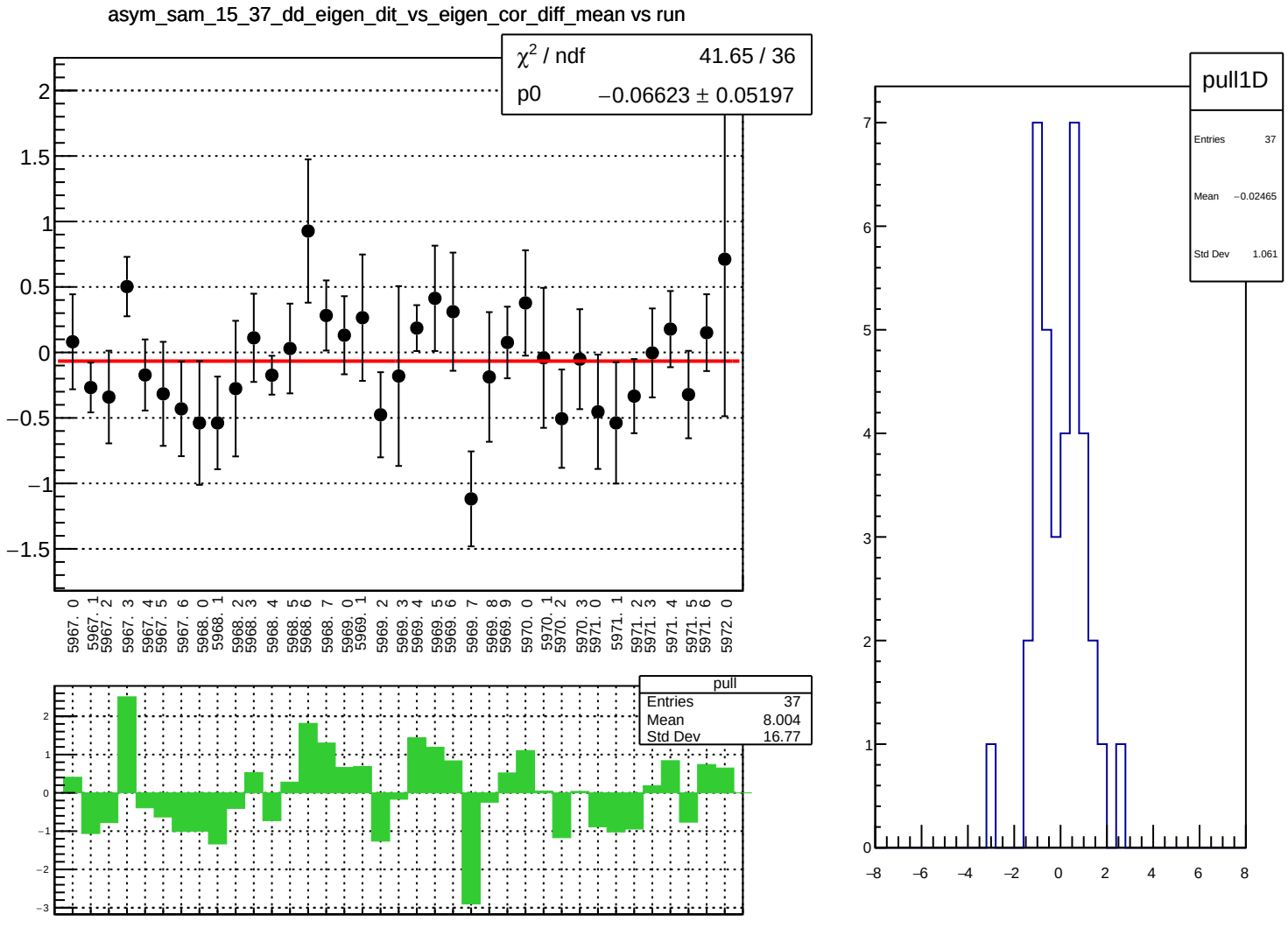
asym_sam_15_37_dd_eigen_dit_vs_eigen_cor_diff_mean vs run
χ² / ndf 41.65 / 36
p0 −0.06623 ± 0.05197
pull
Entries 37
Mean 8.004
Std Dev 16.77
pull1D
Entries 37
Mean −0.02465
Std Dev 1.061

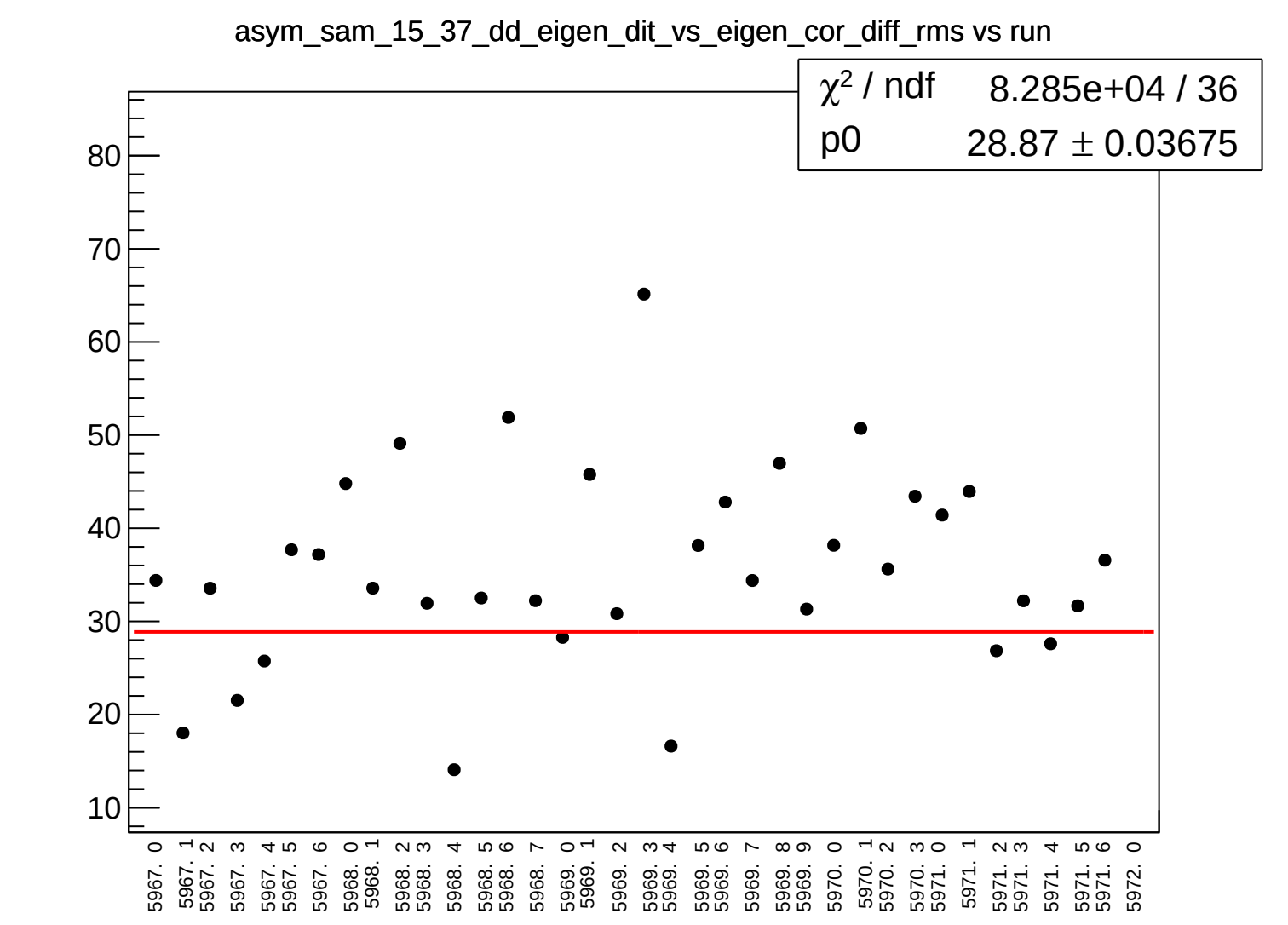
asym_sam_15_37_dd_eigen_dit_vs_eigen_cor_diff_rms vs run
χ² / ndf 8.285e+04 / 36
p0 28.87 ± 0.03675
80
70
60
50
40
30
20
10
5967. 0
5967. 1
5967. 2
5967. 3
5967. 4
5967. 5
5967. 6
5968. 0
5968. 1
5968. 2
5968. 3
5968. 4
5968. 5
5968. 6
5968. 7
5969. 0
5969. 1
5969. 2
5969. 3
5969. 4
5969. 5
5969. 6
5969. 7
5969. 8
5969. 9
5970. 0
5970. 1
5970. 2
5970. 3
5971. 0
5971. 1
5971. 2
5971. 3
5971. 4
5971. 5
5971. 6
5972. 0

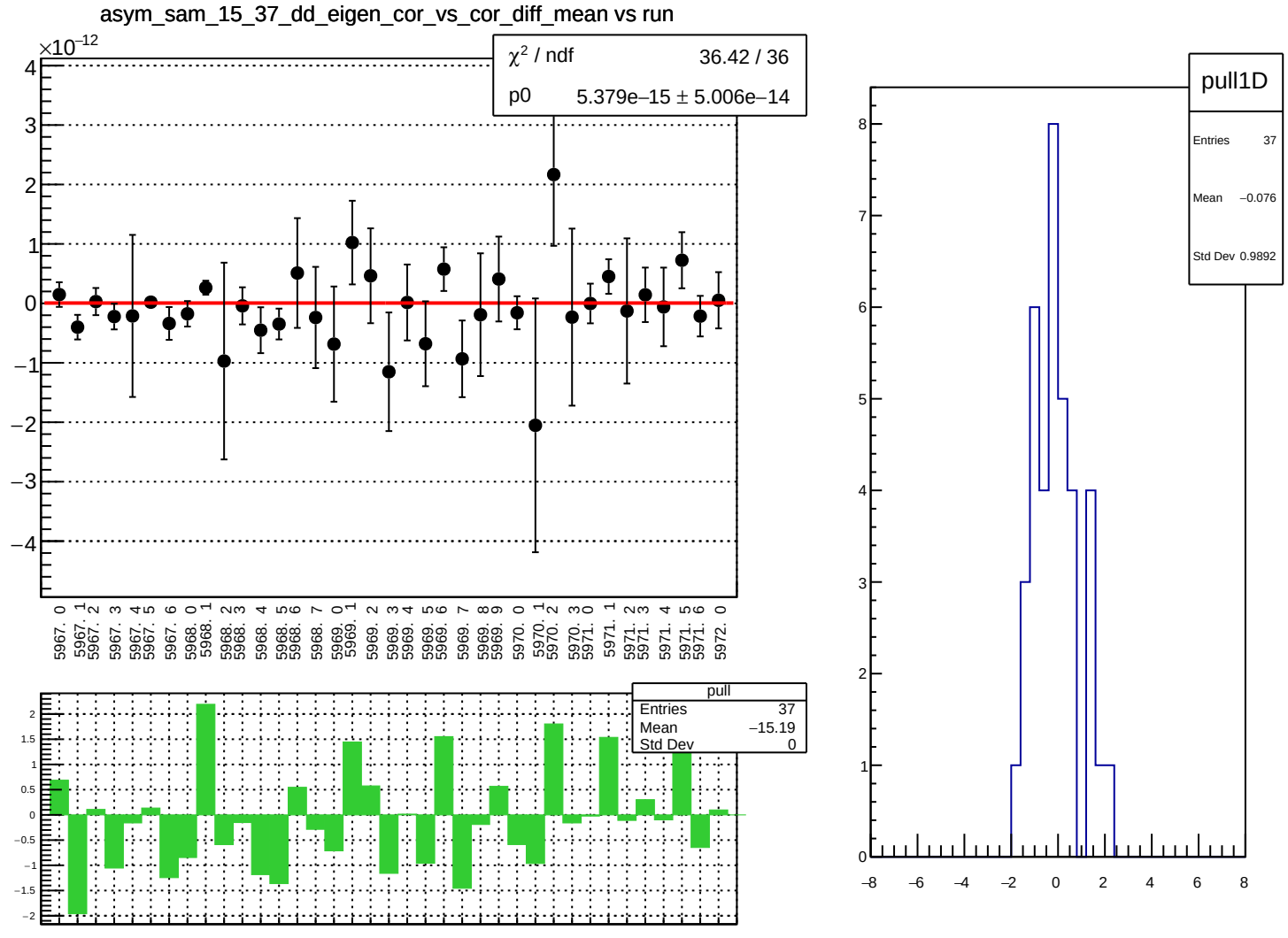
asym_sam_15_37_dd_eigen_cor_vs_cor_diff_mean vs run
×10⁻¹²
χ² / ndf 36.42 / 36
p0 5.379e−15 ± 5.006e−14
pull
Entries 37
Mean −15.19
Std Dev 0
pull1D
Entries 37
Mean −0.076
Std Dev 0.9892

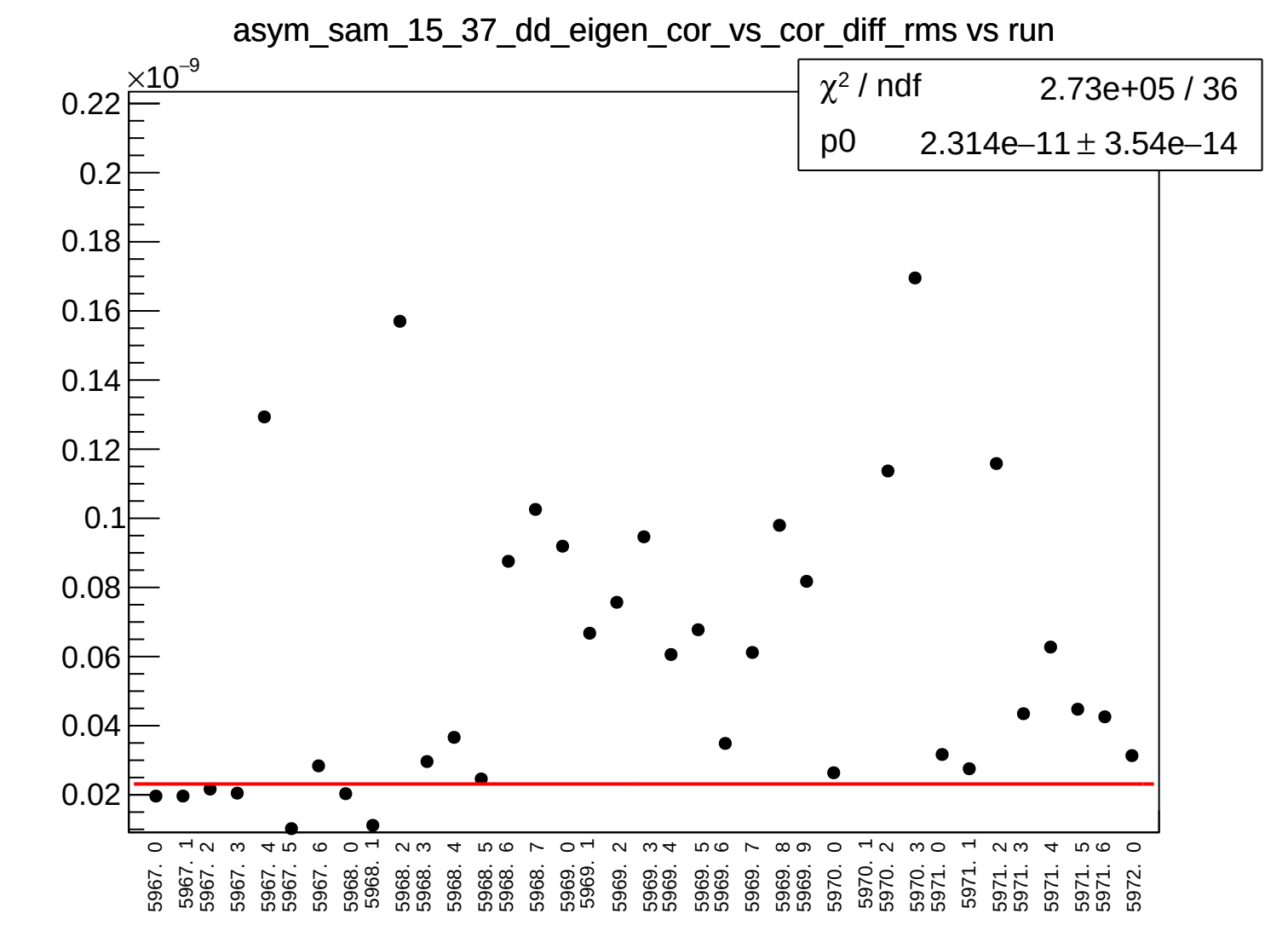
asym_sam_15_37_dd_eigen_cor_vs_cor_diff_rms vs run
×10⁻⁹
χ² / ndf 2.73e+05 / 36
p0 2.314e−11 ± 3.54e−14
0.22
0.2
0.18
0.16
0.14
0.12
0.1
0.08
0.06
0.04
0.02
5967. 0
5967. 1
5967. 2
5967. 3
5967. 4
5967. 5
5967. 6
5968. 0
5968. 1
5968. 2
5968. 3
5968. 4
5968. 5
5968. 6
5968. 7
5969. 0
5969. 1
5969. 2
5969. 3
5969. 4
5969. 5
5969. 6
5969. 7
5969. 8
5969. 9
5970. 0
5970. 1
5970. 2
5970. 3
5971. 0
5971. 1
5971. 2
5971. 3
5971. 4
5971. 5
5971. 6
5972. 0

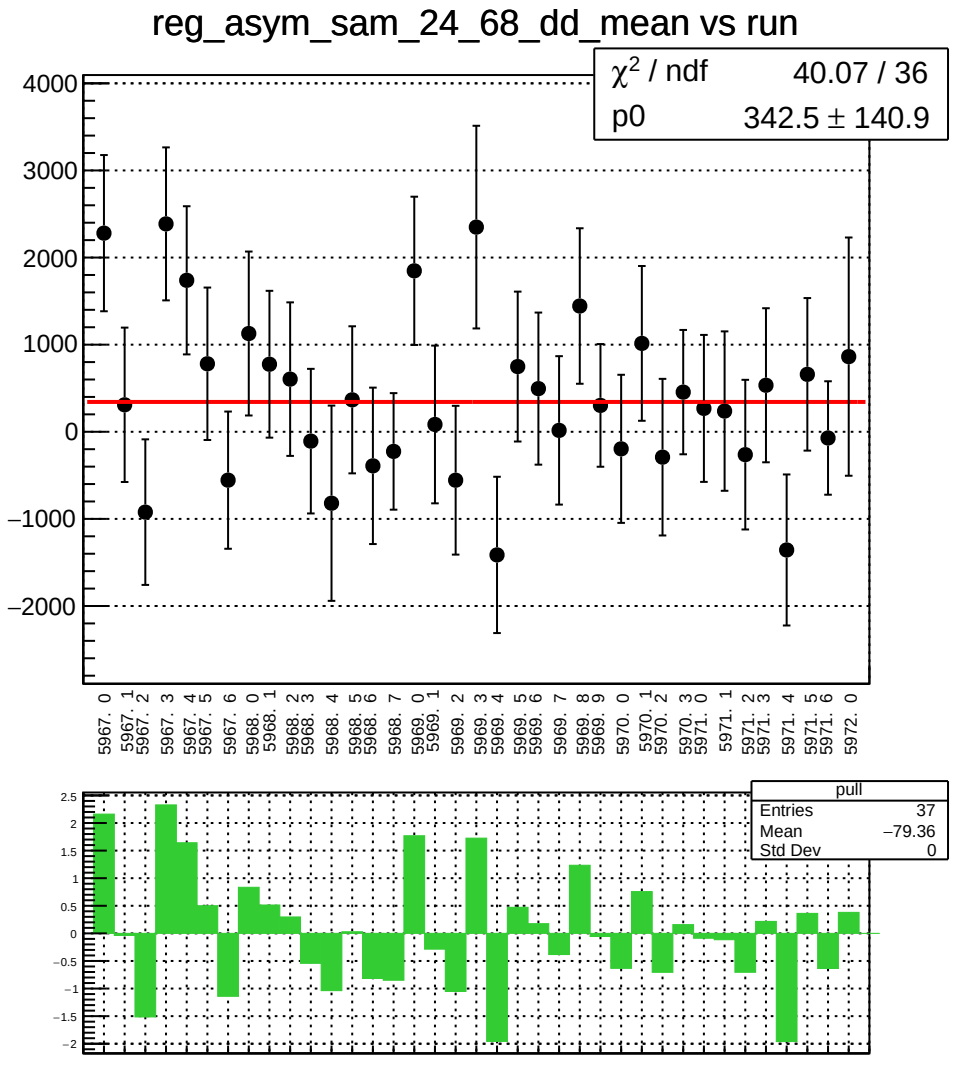
reg_asym_sam_24_68_dd_mean vs run
χ² / ndf 40.07 / 36
p0 342.5 ± 140.9
4000
3000
2000
1000
0
−1000
−2000
5967. 0
5967. 1
5967. 2
5967. 3
5967. 4
5967. 5
5967. 6
5968. 0
5968. 1
5968. 2
5968. 3
5968. 4
5968. 5
5968. 6
5968. 7
5969. 0
5969. 1
5969. 2
5969. 3
5969. 4
5969. 5
5969. 6
5969. 7
5969. 8
5969. 9
5970. 0
5970. 1
5970. 2
5970. 3
5971. 0
5971. 1
5971. 2
5971. 3
5971. 4
5971. 5
5971. 6
5972. 0
pull
Entries 37
Mean −79.36
Std Dev 0
2.5
2
1.5
1
0.5
0
−0.5
−1
−1.5
−2

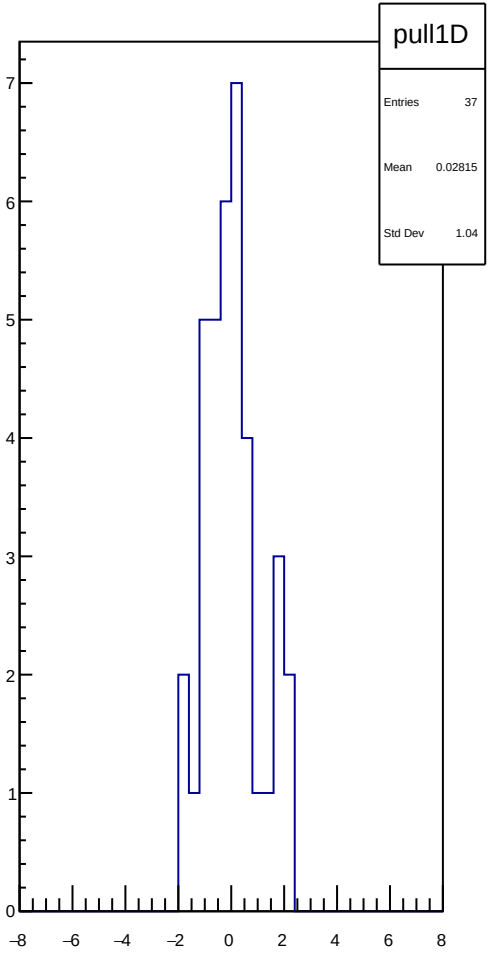
pull1D
Entries 37
Mean 0.02815
Std Dev 1.04
7
6
5
4
3
2
1
0
−8
−6
−4
−2
0
2
4
6
8

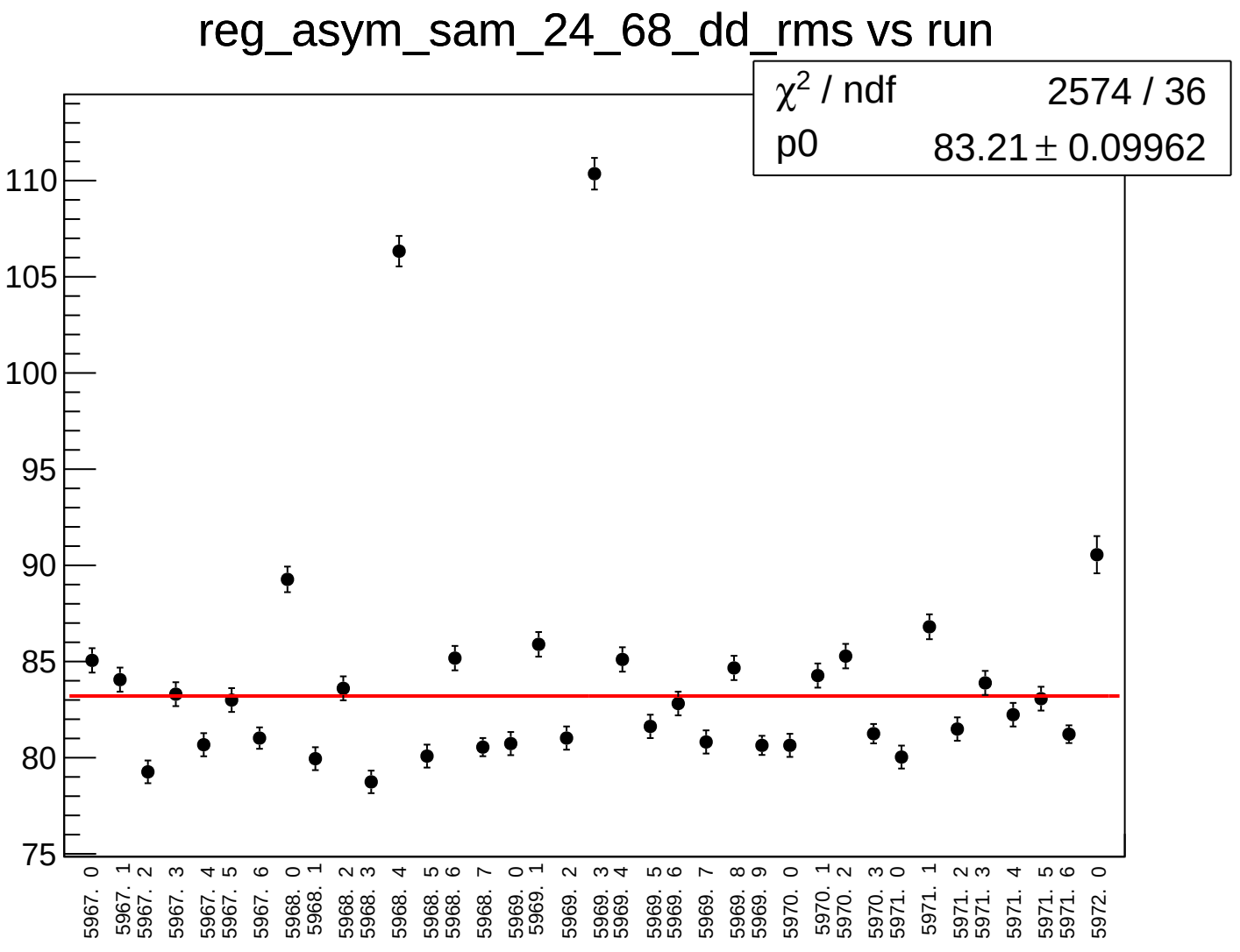
reg_asym_sam_24_68_dd_rms vs run
χ² / ndf 2574 / 36
p0 83.21 ± 0.09962
110
105
100
95
90
85
80
75
5967. 0
5967. 1
5967. 2
5967. 3
5967. 4
5967. 5
5967. 6
5968. 0
5968. 1
5968. 2
5968. 3
5968. 4
5968. 5
5968. 6
5968. 7
5969. 0
5969. 1
5969. 2
5969. 3
5969. 4
5969. 5
5969. 6
5969. 7
5969. 8
5969. 9
5970. 0
5970. 1
5970. 2
5970. 3
5971. 0
5971. 1
5971. 2
5971. 3
5971. 4
5971. 5
5971. 6
5972. 0

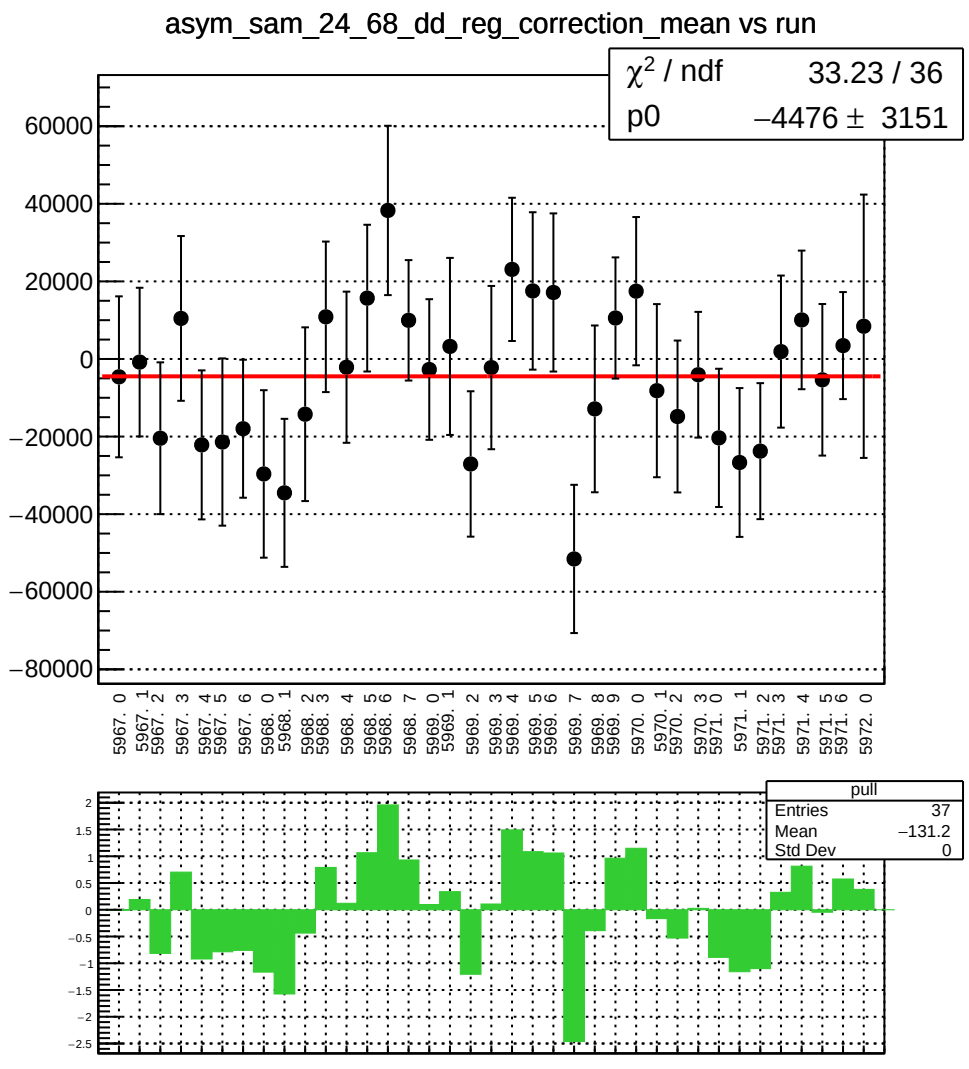
asym_sam_24_68_dd_reg_correction_mean vs run
χ² / ndf 33.23 / 36
p0 −4476 ± 3151
60000
40000
20000
0
−20000
−40000
−60000
−80000
5967. 0
5967. 1
5967. 2
5967. 3
5967. 4
5967. 5
5967. 6
5968. 0
5968. 1
5968. 2
5968. 3
5968. 4
5968. 5
5968. 6
5968. 7
5969. 0
5969. 1
5969. 2
5969. 3
5969. 4
5969. 5
5969. 6
5969. 7
5969. 8
5969. 9
5970. 0
5970. 1
5970. 2
5970. 3
5971. 0
5971. 1
5971. 2
5971. 3
5971. 4
5971. 5
5971. 6
5972. 0
pull
Entries 37
Mean −131.2
Std Dev 0
2
1.5
1
0.5
0
−0.5
−1
−1.5
−2
−2.5

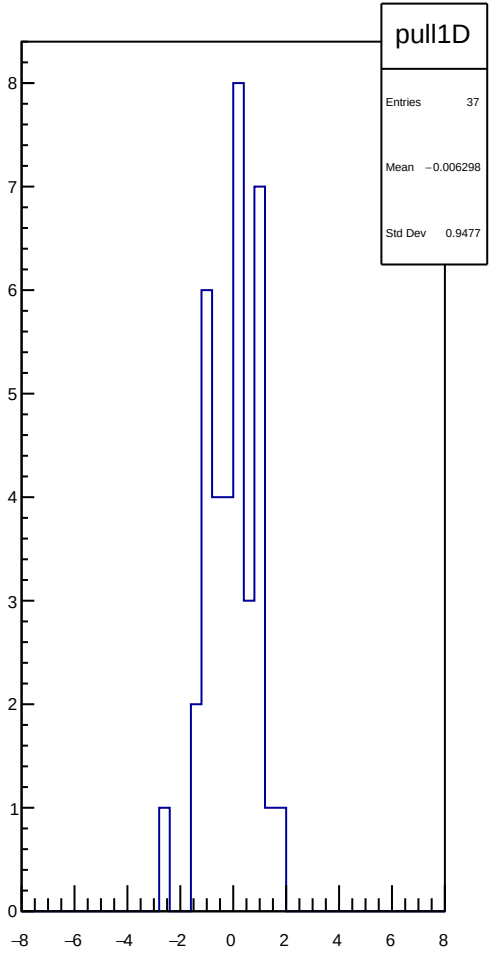
pull1D
Entries 37
Mean −0.006298
Std Dev 0.9477
8
7
6
5
4
3
2
1
0
−8
−6
−4
−2
0
2
4
6
8

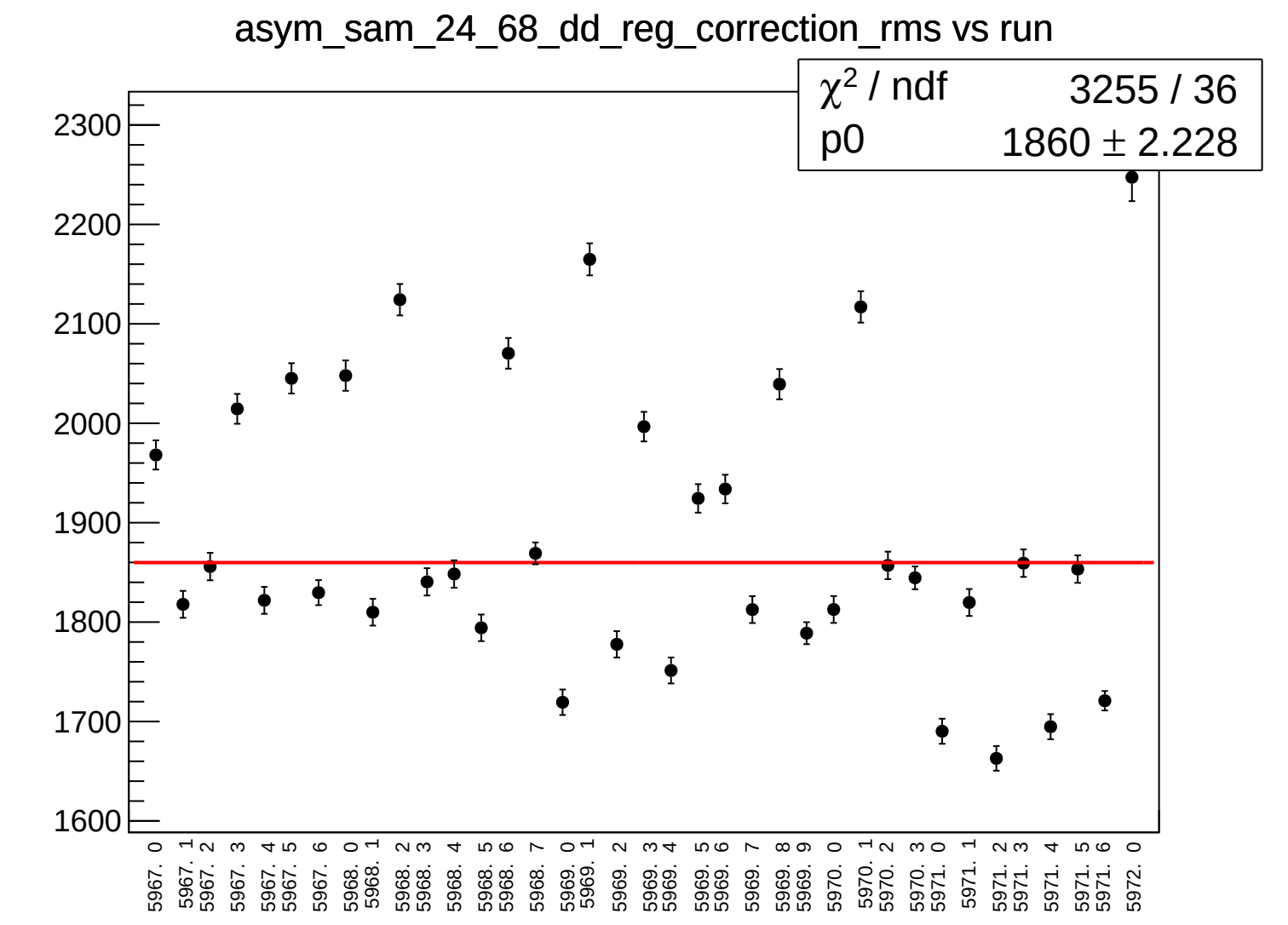
asym_sam_24_68_dd_reg_correction_rms vs run
χ² / ndf 3255 / 36
p0 1860 ± 2.228
2300
2200
2100
2000
1900
1800
1700
1600
5967. 0
5967. 1
5967. 2
5967. 3
5967. 4
5967. 5
5967. 6
5968. 0
5968. 1
5968. 2
5968. 3
5968. 4
5968. 5
5968. 6
5968. 7
5969. 0
5969. 1
5969. 2
5969. 3
5969. 4
5969. 5
5969. 6
5969. 7
5969. 8
5969. 9
5970. 0
5970. 1
5970. 2
5970. 3
5971. 0
5971. 1
5971. 2
5971. 3
5971. 4
5971. 5
5971. 6
5972. 0

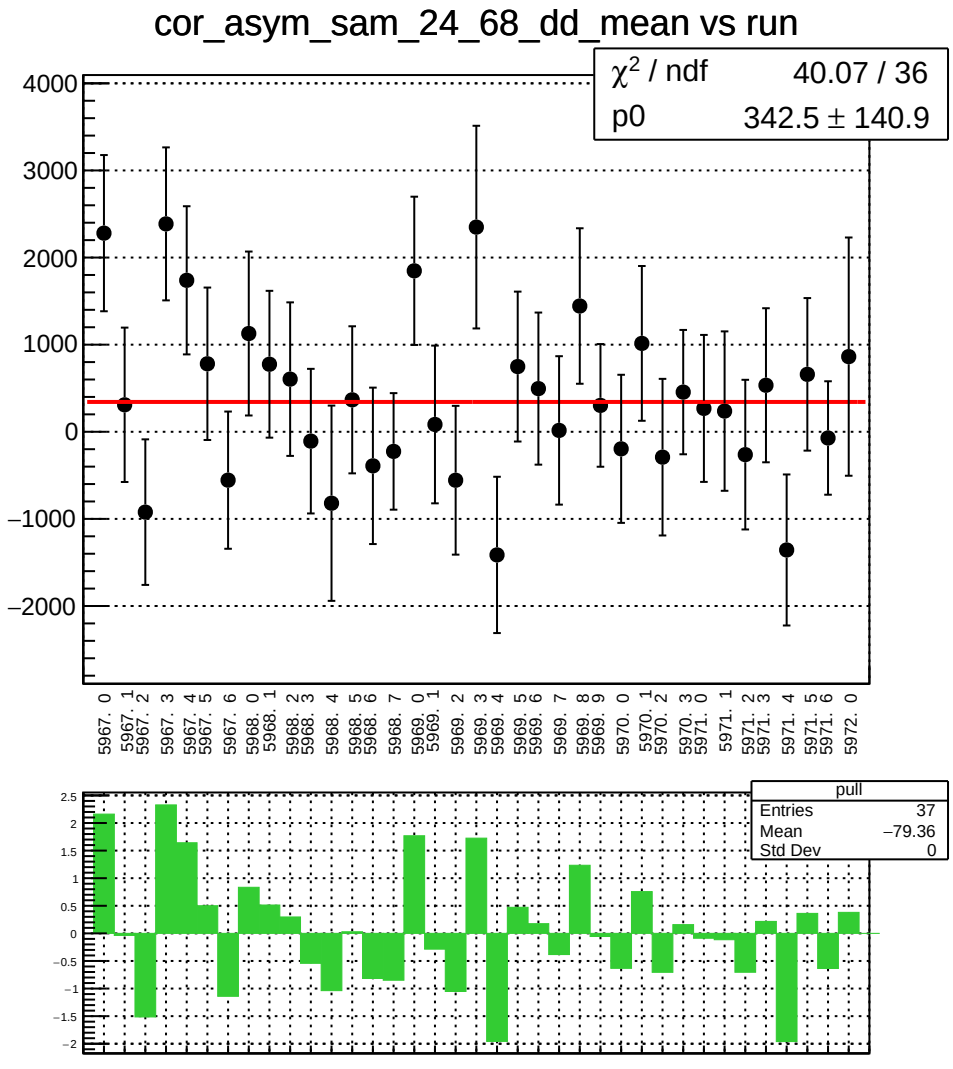
cor_asym_sam_24_68_dd_mean vs run
χ² / ndf 40.07 / 36
p0 342.5 ± 140.9
4000
3000
2000
1000
0
−1000
−2000
5967. 0
5967. 1
5967. 2
5967. 3
5967. 4
5967. 5
5967. 6
5968. 0
5968. 1
5968. 2
5968. 3
5968. 4
5968. 5
5968. 6
5968. 7
5969. 0
5969. 1
5969. 2
5969. 3
5969. 4
5969. 5
5969. 6
5969. 7
5969. 8
5969. 9
5970. 0
5970. 1
5970. 2
5970. 3
5971. 0
5971. 1
5971. 2
5971. 3
5971. 4
5971. 5
5971. 6
5972. 0
pull
Entries 37
Mean −79.36
Std Dev 0
2.5
2
1.5
1
0.5
0
−0.5
−1
−1.5
−2

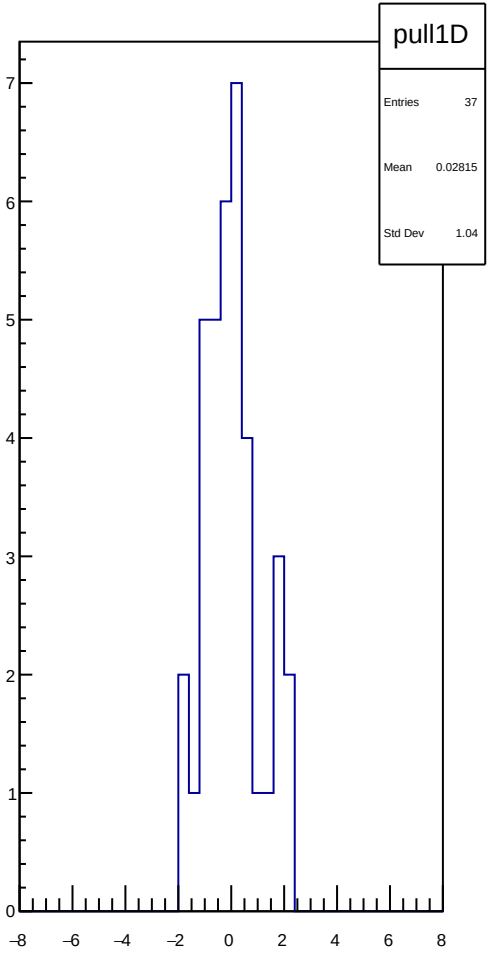
pull1D
Entries 37
Mean 0.02815
Std Dev 1.04
7
6
5
4
3
2
1
0
−8
−6
−4
−2
0
2
4
6
8

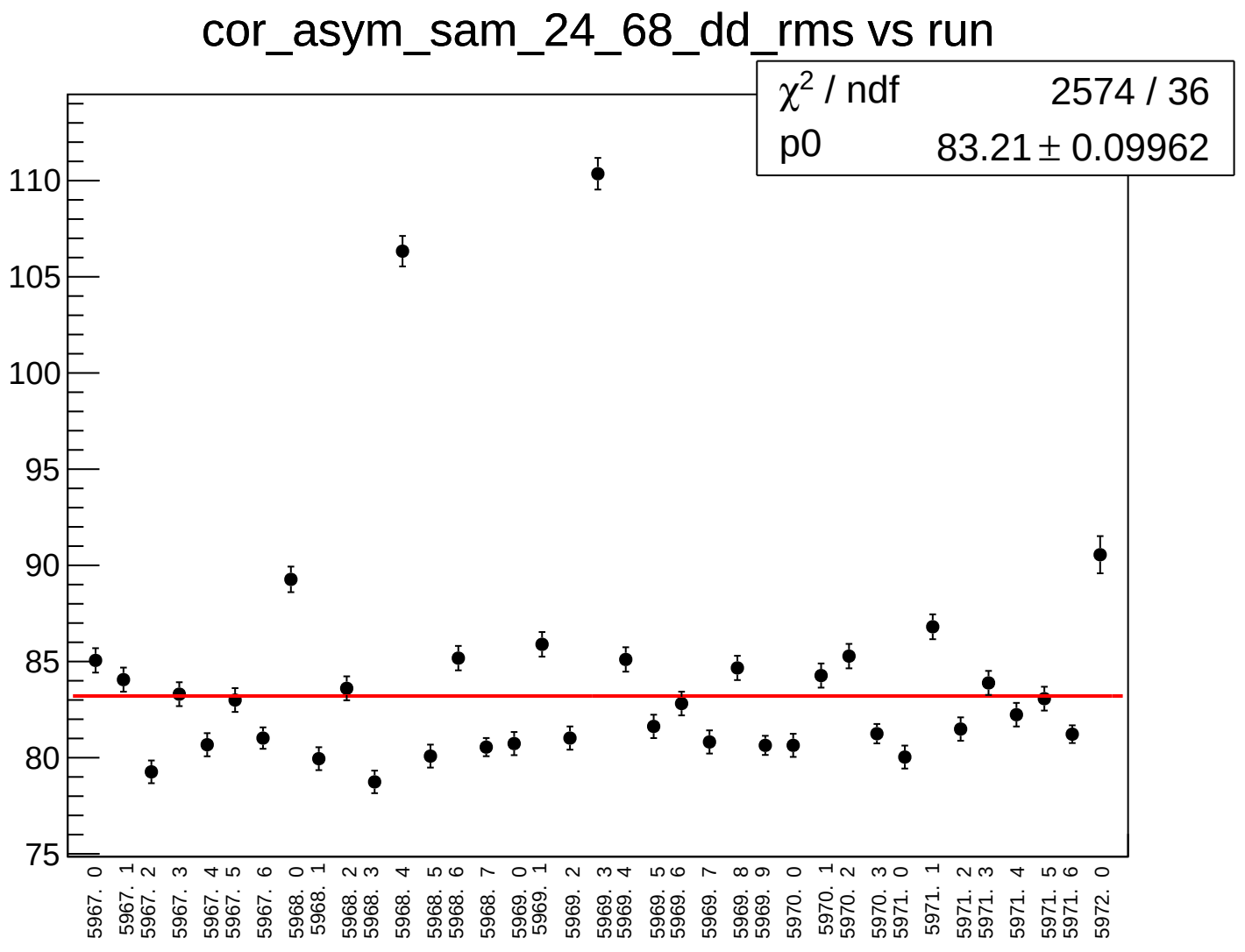
cor_asym_sam_24_68_dd_rms vs run
χ² / ndf 2574 / 36
p0 83.21 ± 0.09962
110
105
100
95
90
85
80
75
5967. 0
5967. 1
5967. 2
5967. 3
5967. 4
5967. 5
5967. 6
5968. 0
5968. 1
5968. 2
5968. 3
5968. 4
5968. 5
5968. 6
5968. 7
5969. 0
5969. 1
5969. 2
5969. 3
5969. 4
5969. 5
5969. 6
5969. 7
5969. 8
5969. 9
5970. 0
5970. 1
5970. 2
5970. 3
5971. 0
5971. 1
5971. 2
5971. 3
5971. 4
5971. 5
5971. 6
5972. 0

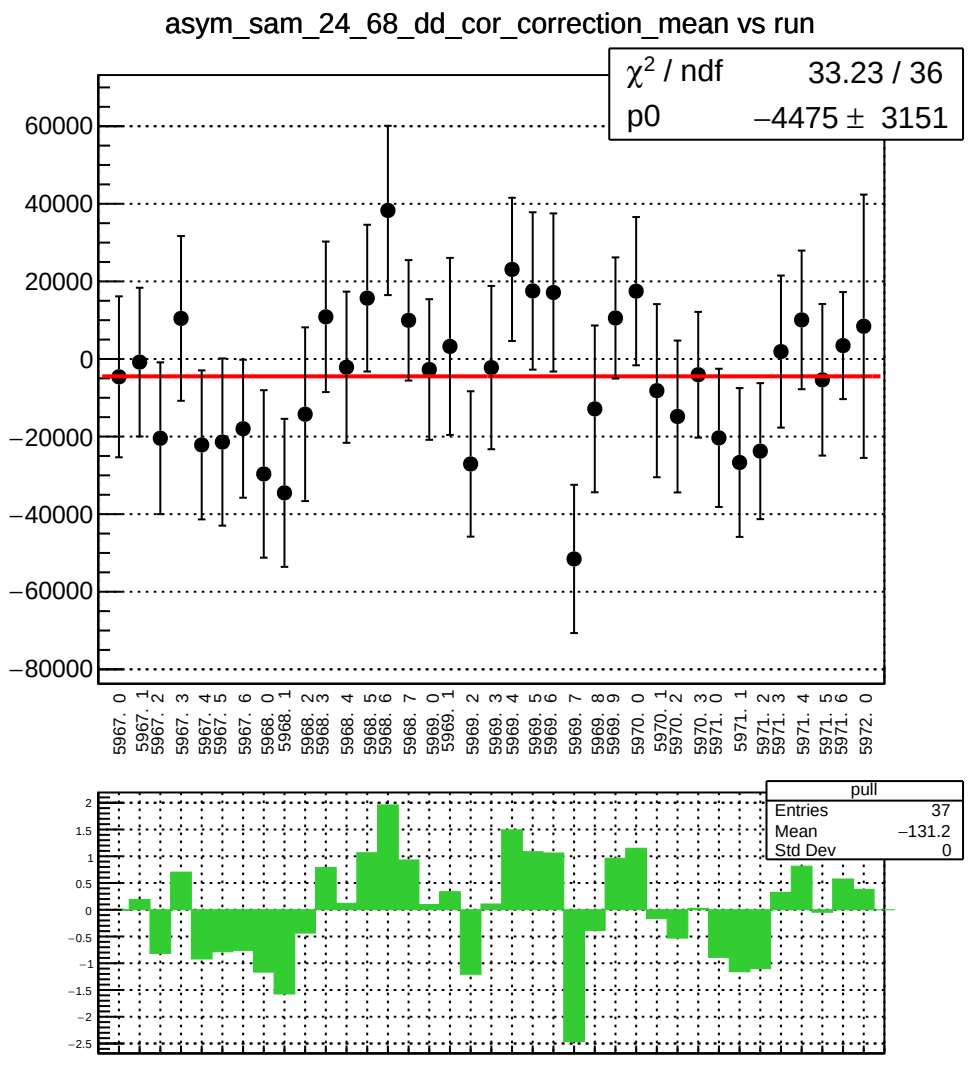
asym_sam_24_68_dd_cor_correction_mean vs run
χ² / ndf 33.23 / 36
p0 −4475 ± 3151
60000
40000
20000
0
−20000
−40000
−60000
−80000
5967. 0
5967. 1
5967. 2
5967. 3
5967. 4
5967. 5
5967. 6
5968. 0
5968. 1
5968. 2
5968. 3
5968. 4
5968. 5
5968. 6
5968. 7
5969. 0
5969. 1
5969. 2
5969. 3
5969. 4
5969. 5
5969. 6
5969. 7
5969. 8
5969. 9
5970. 0
5970. 1
5970. 2
5970. 3
5971. 0
5971. 1
5971. 2
5971. 3
5971. 4
5971. 5
5971. 6
5972. 0
pull
Entries 37
Mean −131.2
Std Dev 0
2
1.5
1
0.5
0
−0.5
−1
−1.5
−2
−2.5

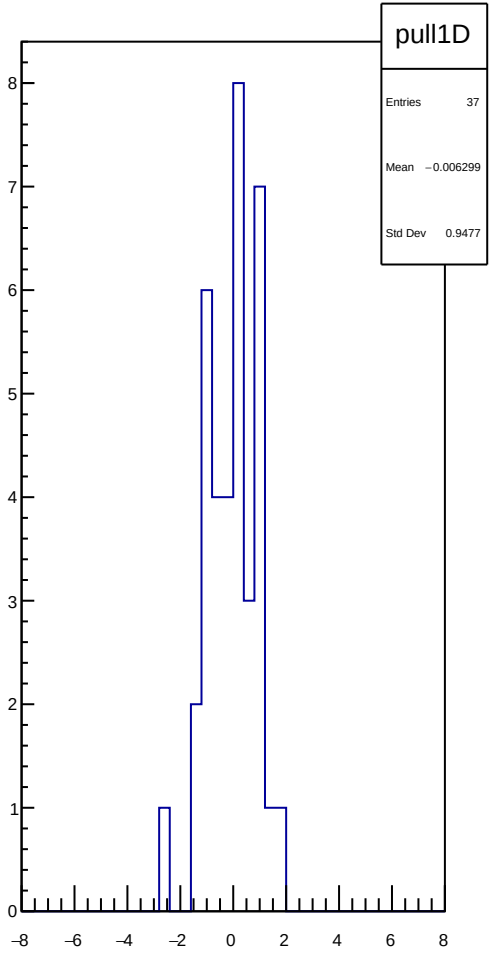
pull1D
Entries 37
Mean −0.006299
Std Dev 0.9477
8
7
6
5
4
3
2
1
0
−8
−6
−4
−2
0
2
4
6
8

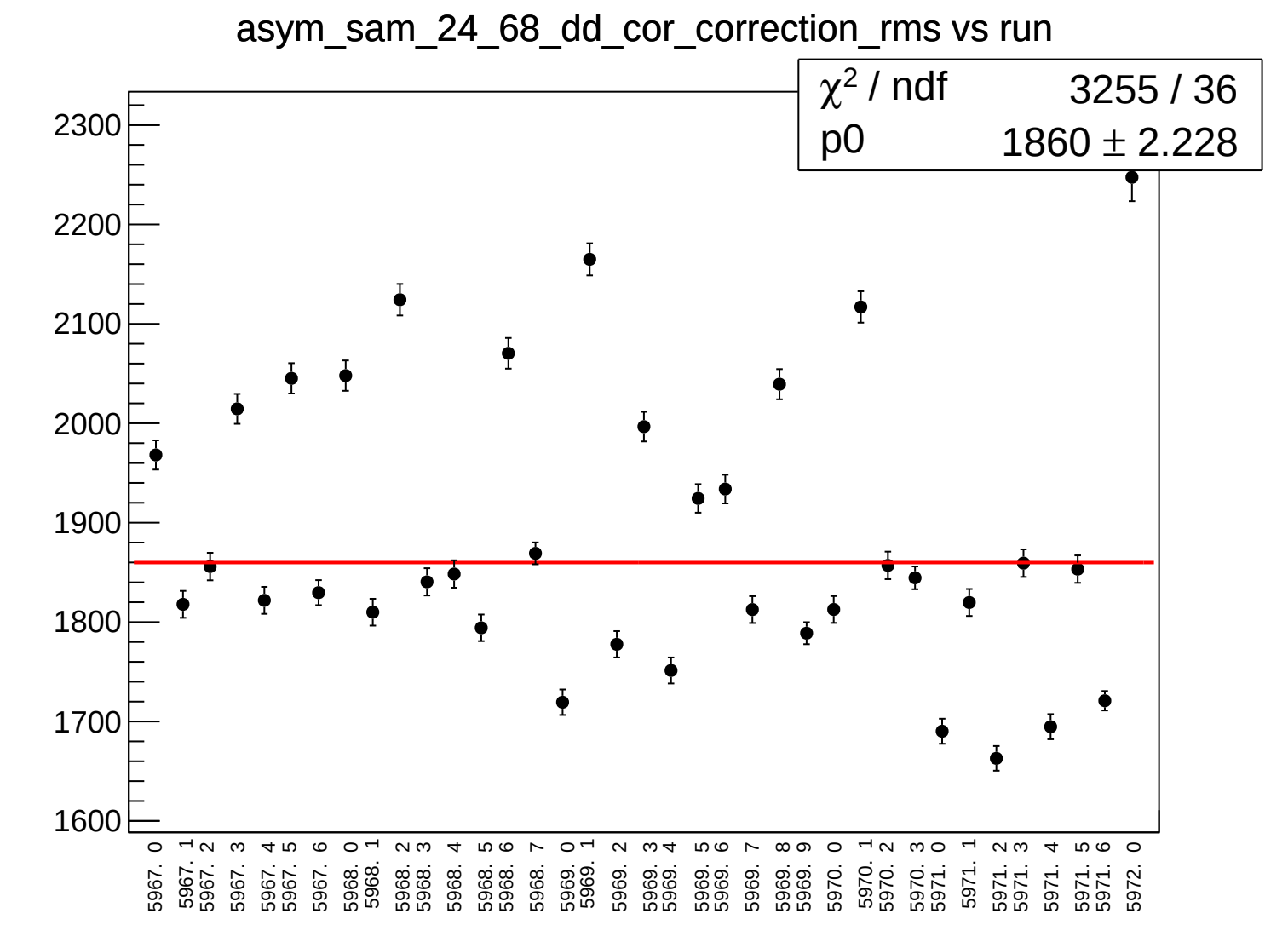
asym_sam_24_68_dd_cor_correction_rms vs run
χ² / ndf 3255 / 36
p0 1860 ± 2.228
2300
2200
2100
2000
1900
1800
1700
1600
5967. 0
5967. 1
5967. 2
5967. 3
5967. 4
5967. 5
5967. 6
5968. 0
5968. 1
5968. 2
5968. 3
5968. 4
5968. 5
5968. 6
5968. 7
5969. 0
5969. 1
5969. 2
5969. 3
5969. 4
5969. 5
5969. 6
5969. 7
5969. 8
5969. 9
5970. 0
5970. 1
5970. 2
5970. 3
5971. 0
5971. 1
5971. 2
5971. 3
5971. 4
5971. 5
5971. 6
5972. 0

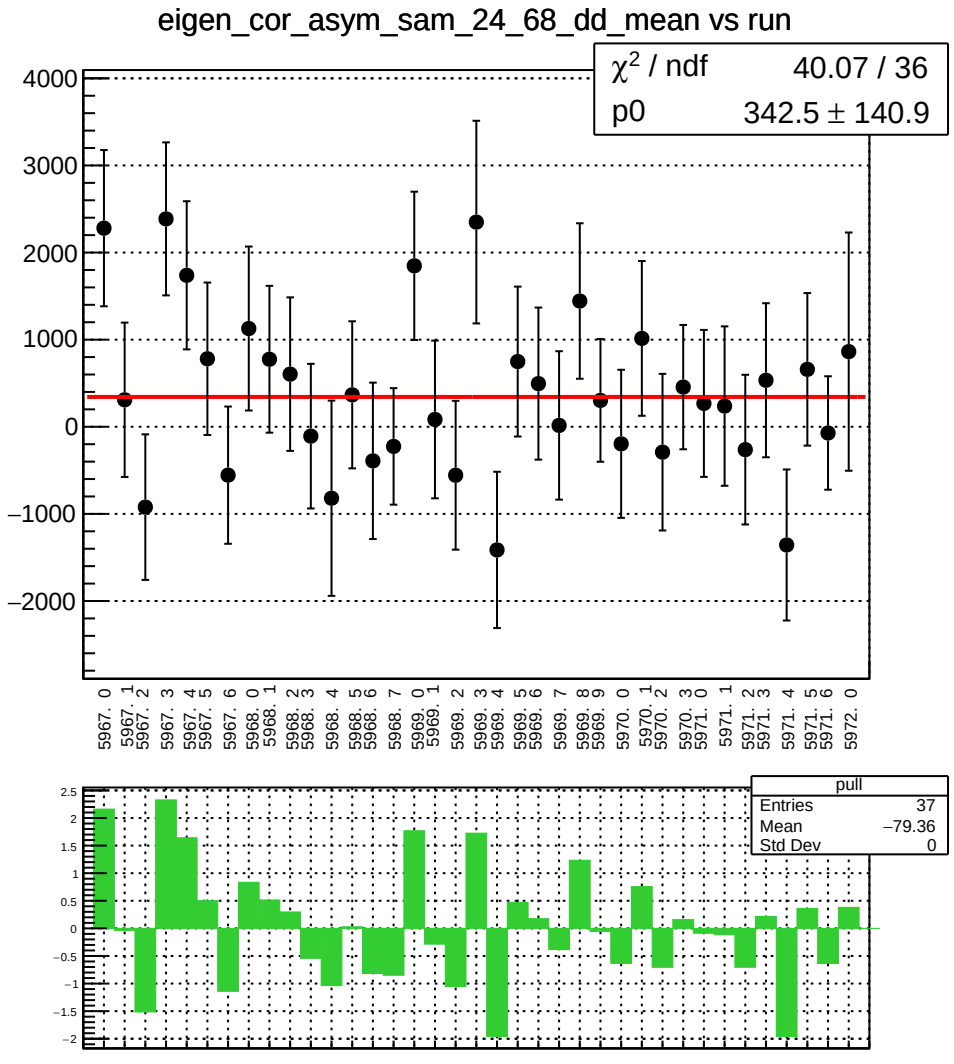
eigen_cor_asym_sam_24_68_dd_mean vs run
χ² / ndf 40.07 / 36
p0 342.5 ± 140.9
4000
3000
2000
1000
0
−1000
−2000
5967. 0
5967. 1
5967. 2
5967. 3
5967. 4
5967. 5
5967. 6
5968. 0
5968. 1
5968. 2
5968. 3
5968. 4
5968. 5
5968. 6
5968. 7
5969. 0
5969. 1
5969. 2
5969. 3
5969. 4
5969. 5
5969. 6
5969. 7
5969. 8
5969. 9
5970. 0
5970. 1
5970. 2
5970. 3
5971. 0
5971. 1
5971. 2
5971. 3
5971. 4
5971. 5
5971. 6
5972. 0
pull
Entries 37
Mean −79.36
Std Dev 0
2.5
2
1.5
1
0.5
0
−0.5
−1
−1.5
−2

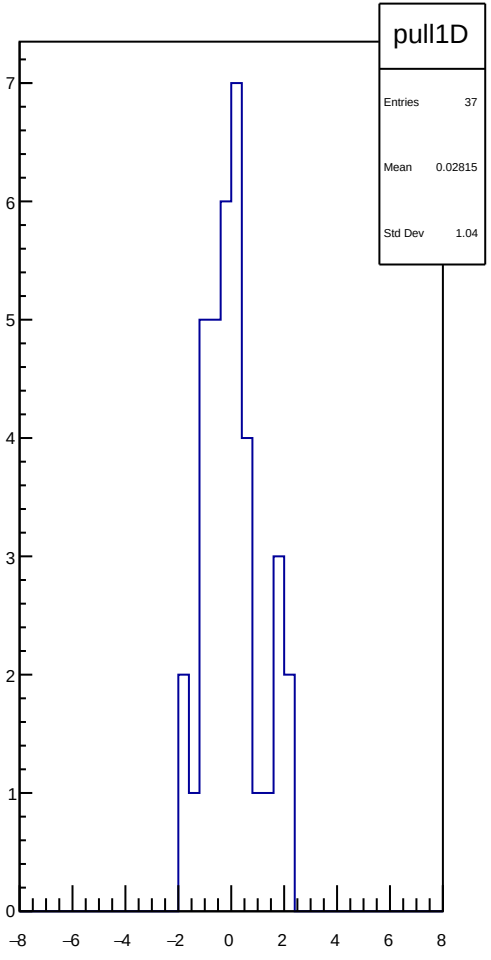
pull1D
Entries 37
Mean 0.02815
Std Dev 1.04
7
6
5
4
3
2
1
0
−8
−6
−4
−2
0
2
4
6
8

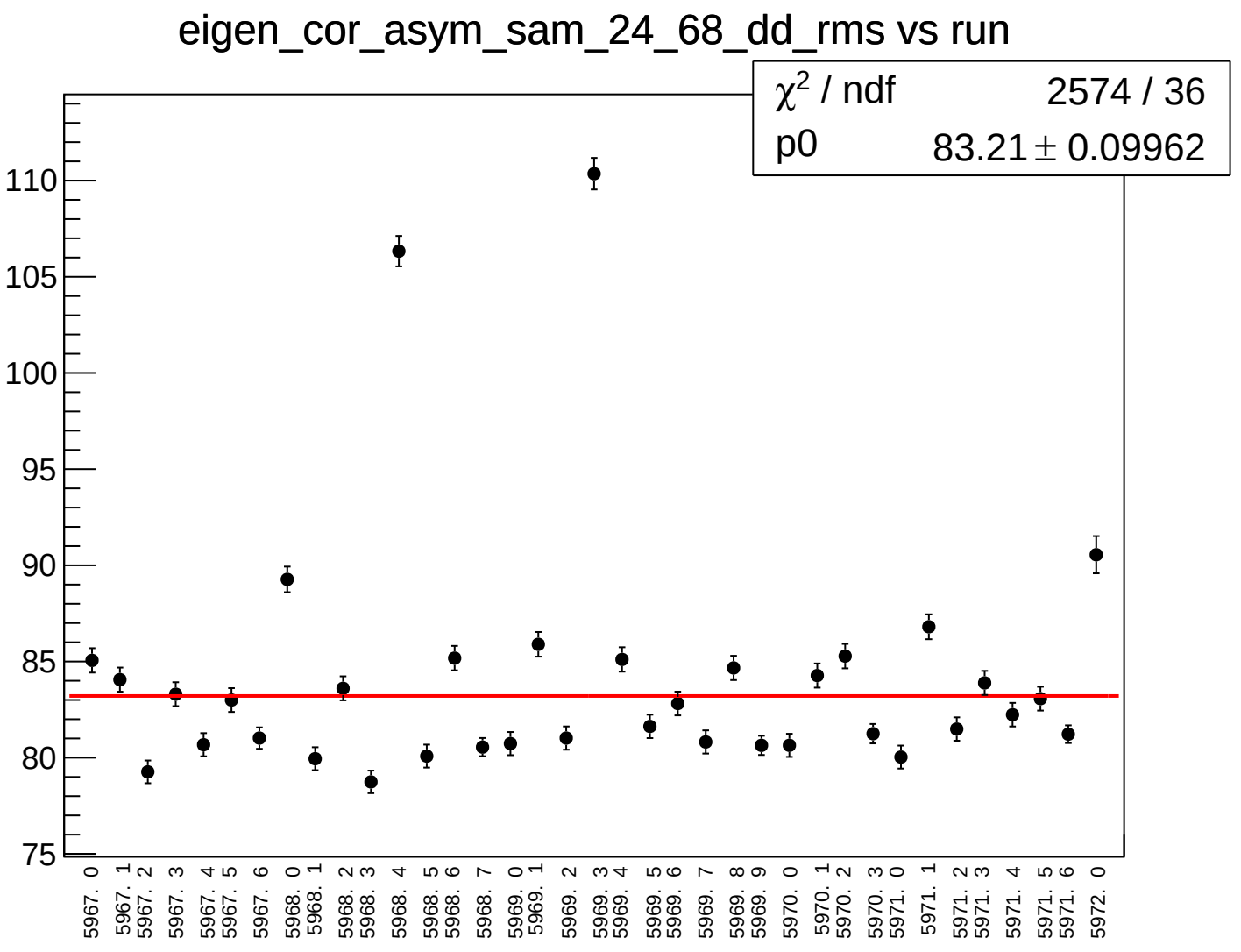
eigen_cor_asym_sam_24_68_dd_rms vs run
χ² / ndf 2574 / 36
p0 83.21 ± 0.09962
110
105
100
95
90
85
80
75
5967. 0
5967. 1
5967. 2
5967. 3
5967. 4
5967. 5
5967. 6
5968. 0
5968. 1
5968. 2
5968. 3
5968. 4
5968. 5
5968. 6
5968. 7
5969. 0
5969. 1
5969. 2
5969. 3
5969. 4
5969. 5
5969. 6
5969. 7
5969. 8
5969. 9
5970. 0
5970. 1
5970. 2
5970. 3
5971. 0
5971. 1
5971. 2
5971. 3
5971. 4
5971. 5
5971. 6
5972. 0

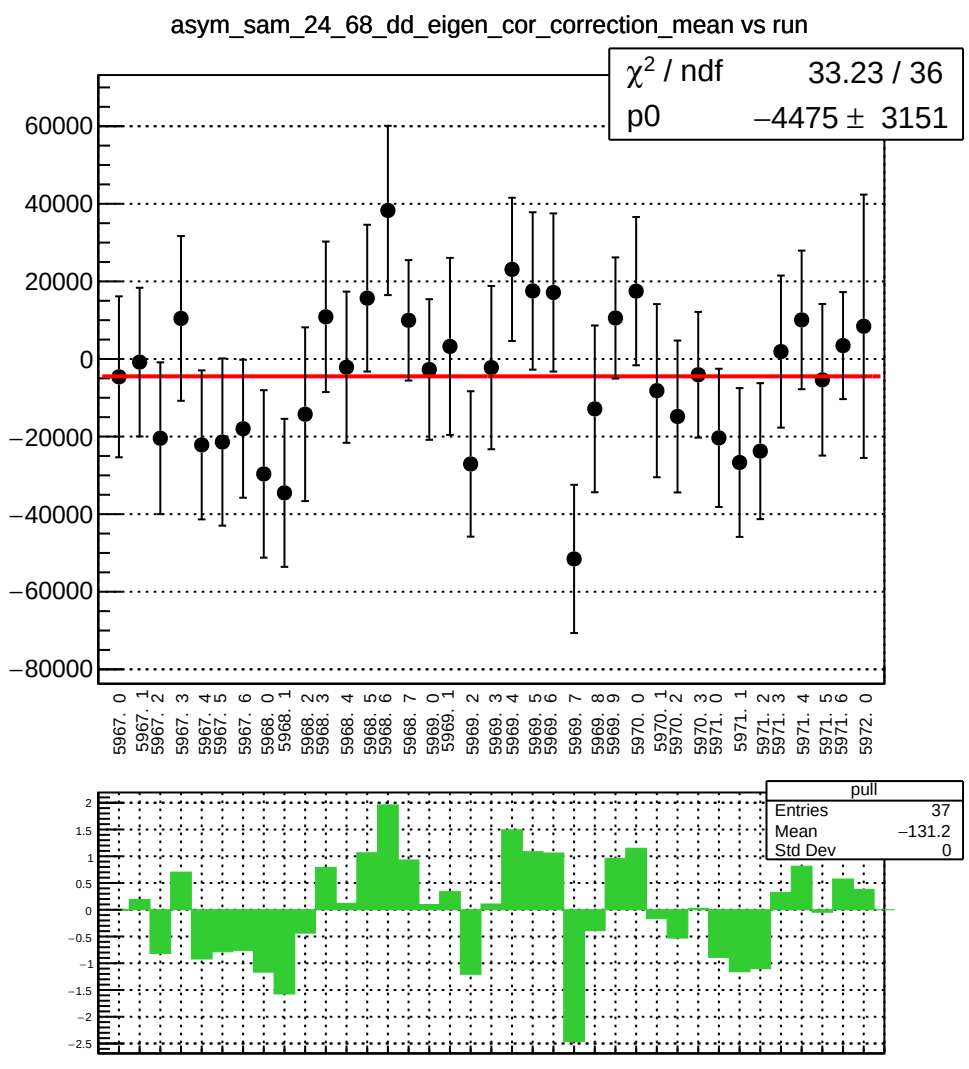
asym_sam_24_68_dd_eigen_cor_correction_mean vs run
χ² / ndf 33.23 / 36
p0 −4475 ± 3151
60000
40000
20000
0
−20000
−40000
−60000
−80000
5967. 0
5967. 1
5967. 2
5967. 3
5967. 4
5967. 5
5967. 6
5968. 0
5968. 1
5968. 2
5968. 3
5968. 4
5968. 5
5968. 6
5968. 7
5969. 0
5969. 1
5969. 2
5969. 3
5969. 4
5969. 5
5969. 6
5969. 7
5969. 8
5969. 9
5970. 0
5970. 1
5970. 2
5970. 3
5971. 0
5971. 1
5971. 2
5971. 3
5971. 4
5971. 5
5971. 6
5972. 0
pull
Entries 37
Mean −131.2
Std Dev 0
2
1.5
1
0.5
0
−0.5
−1
−1.5
−2
−2.5
pull1D
Entries 37
Mean −0.006299
Std Dev 0.9477
8
7
6
5
4
3
2
1
0
−8
−6
−4
−2
0
2
4
6
8

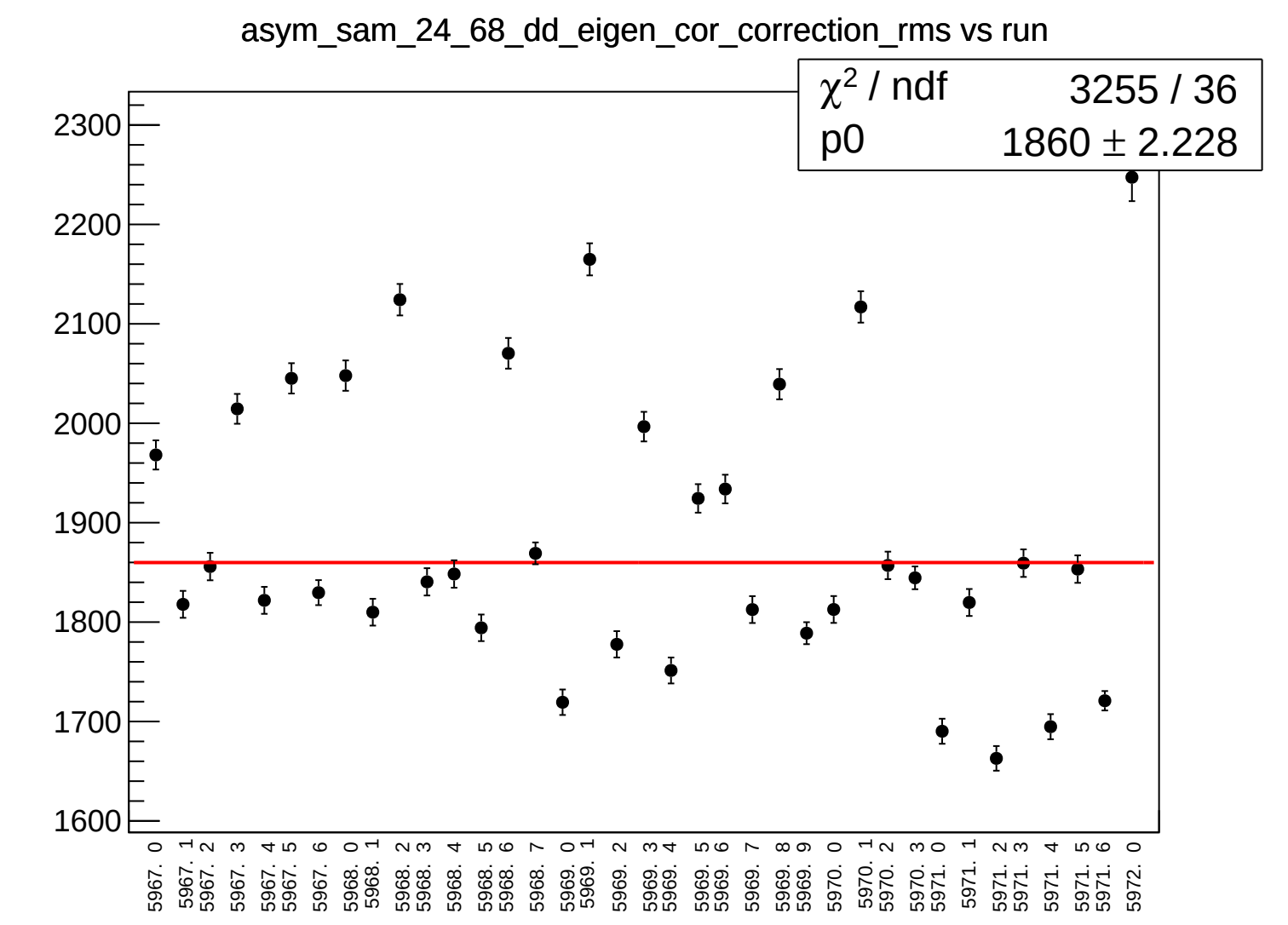
asym_sam_24_68_dd_eigen_cor_correction_rms vs run
χ² / ndf 3255 / 36
p0 1860 ± 2.228
2300
2200
2100
2000
1900
1800
1700
1600
5967. 0
5967. 1
5967. 2
5967. 3
5967. 4
5967. 5
5967. 6
5968. 0
5968. 1
5968. 2
5968. 3
5968. 4
5968. 5
5968. 6
5968. 7
5969. 0
5969. 1
5969. 2
5969. 3
5969. 4
5969. 5
5969. 6
5969. 7
5969. 8
5969. 9
5970. 0
5970. 1
5970. 2
5970. 3
5971. 0
5971. 1
5971. 2
5971. 3
5971. 4
5971. 5
5971. 6
5972. 0

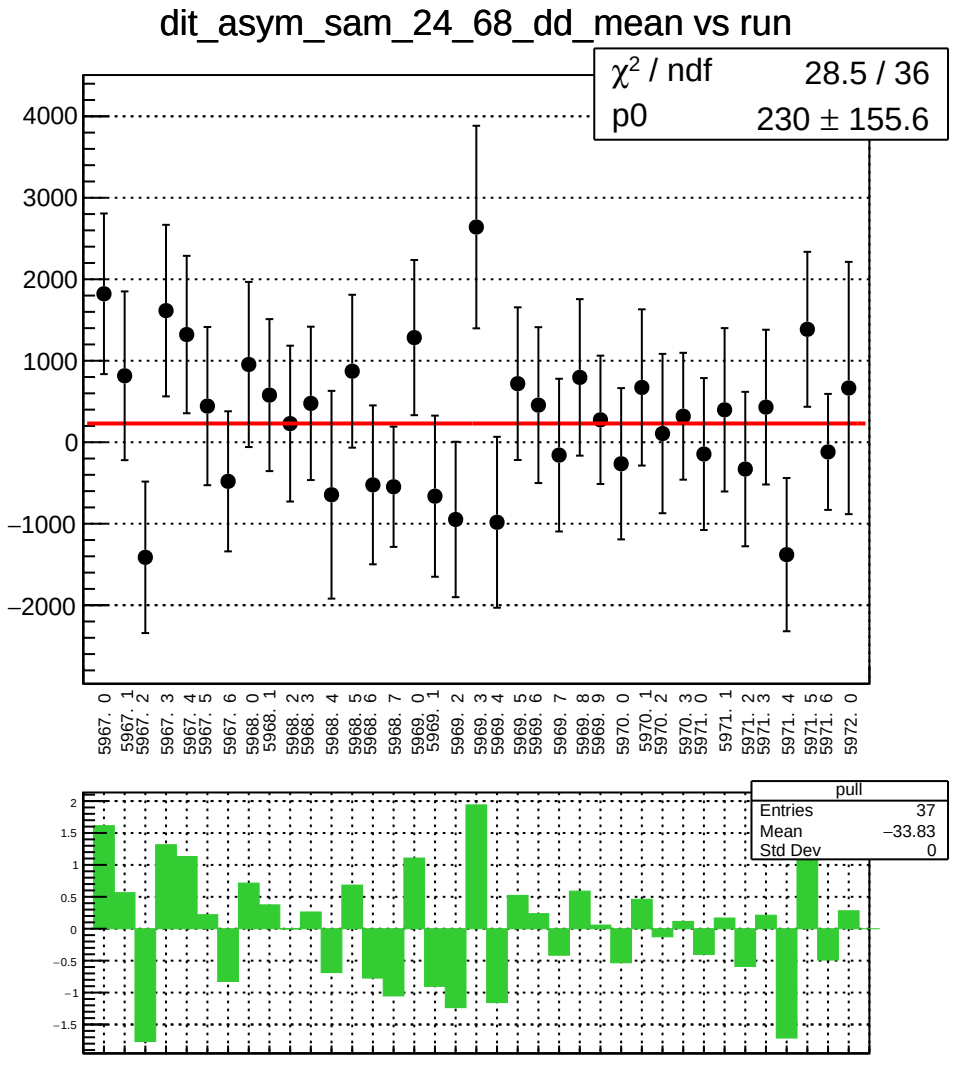
dit_asym_sam_24_68_dd_mean vs run
χ² / ndf 28.5 / 36
p0 230 ± 155.6
4000
3000
2000
1000
0
−1000
−2000
5967. 0
5967. 1
5967. 2
5967. 3
5967. 4
5967. 5
5967. 6
5968. 0
5968. 1
5968. 2
5968. 3
5968. 4
5968. 5
5968. 6
5968. 7
5969. 0
5969. 1
5969. 2
5969. 3
5969. 4
5969. 5
5969. 6
5969. 7
5969. 8
5969. 9
5970. 0
5970. 1
5970. 2
5970. 3
5971. 0
5971. 1
5971. 2
5971. 3
5971. 4
5971. 5
5971. 6
5972. 0
pull
Entries 37
Mean −33.83
Std Dev 0
2
1.5
1
0.5
0
−0.5
−1
−1.5

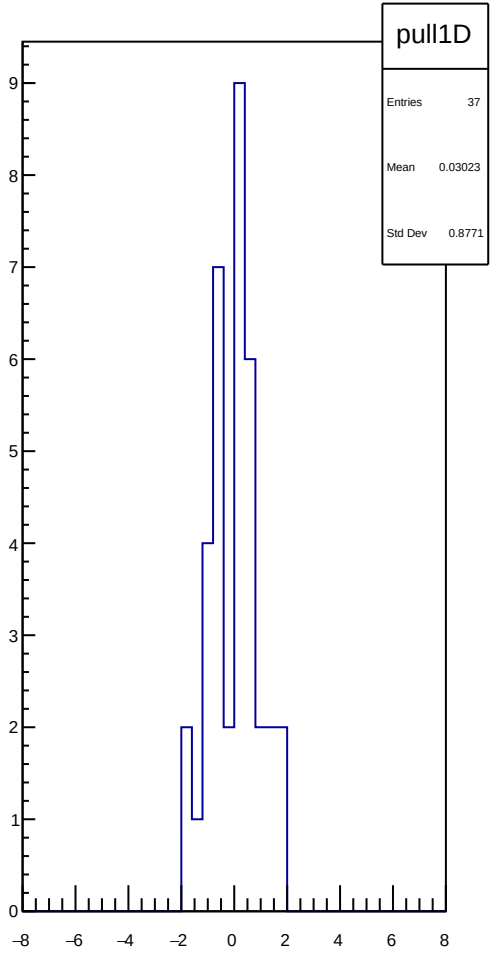
pull1D
Entries 37
Mean 0.03023
Std Dev 0.8771
9
8
7
6
5
4
3
2
1
0
−8
−6
−4
−2
0
2
4
6
8

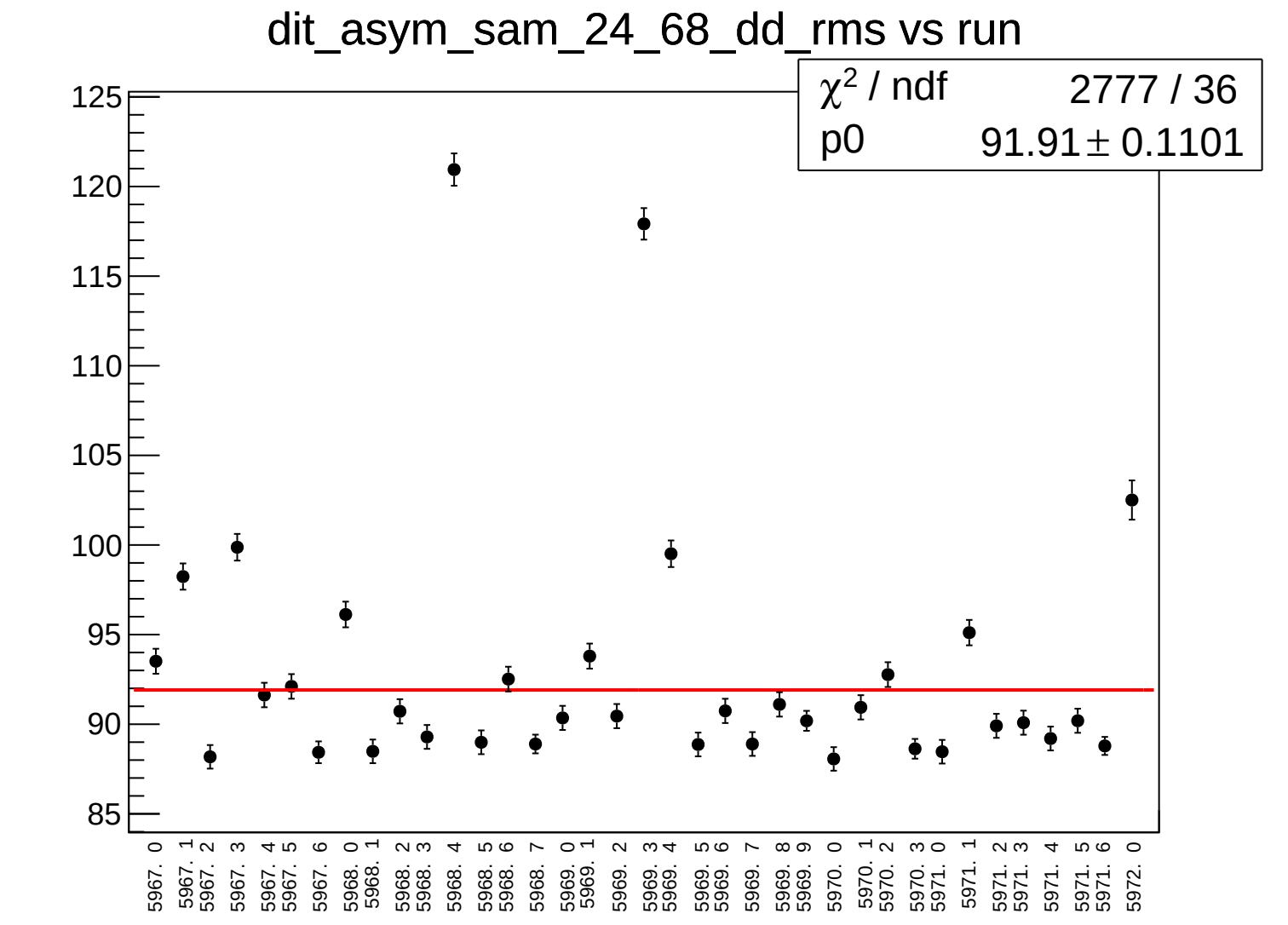
dit_asym_sam_24_68_dd_rms vs run
χ² / ndf 2777 / 36
p0 91.91 ± 0.1101
125
120
115
110
105
100
95
90
85
5967. 0
5967. 1
5967. 2
5967. 3
5967. 4
5967. 5
5967. 6
5968. 0
5968. 1
5968. 2
5968. 3
5968. 4
5968. 5
5968. 6
5968. 7
5969. 0
5969. 1
5969. 2
5969. 3
5969. 4
5969. 5
5969. 6
5969. 7
5969. 8
5969. 9
5970. 0
5970. 1
5970. 2
5970. 3
5971. 0
5971. 1
5971. 2
5971. 3
5971. 4
5971. 5
5971. 6
5972. 0

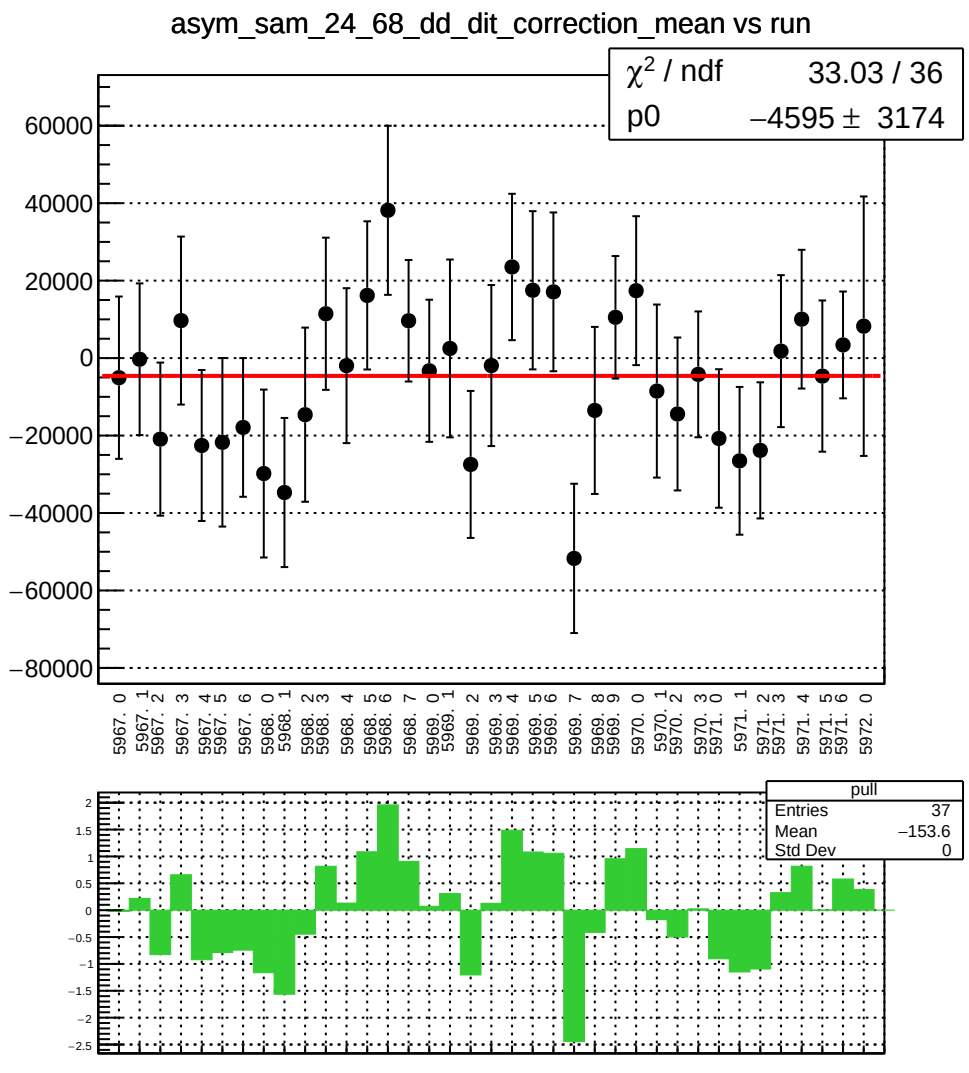
asym_sam_24_68_dd_dit_correction_mean vs run
χ² / ndf 33.03 / 36
p0 −4595 ± 3174
60000
40000
20000
0
−20000
−40000
−60000
−80000
5967. 0
5967. 1
5967. 2
5967. 3
5967. 4
5967. 5
5967. 6
5968. 0
5968. 1
5968. 2
5968. 3
5968. 4
5968. 5
5968. 6
5968. 7
5969. 0
5969. 1
5969. 2
5969. 3
5969. 4
5969. 5
5969. 6
5969. 7
5969. 8
5969. 9
5970. 0
5970. 1
5970. 2
5970. 3
5971. 0
5971. 1
5971. 2
5971. 3
5971. 4
5971. 5
5971. 6
5972. 0
pull
Entries 37
Mean −153.6
Std Dev 0
2
1.5
1
0.5
0
−0.5
−1
−1.5
−2
−2.5

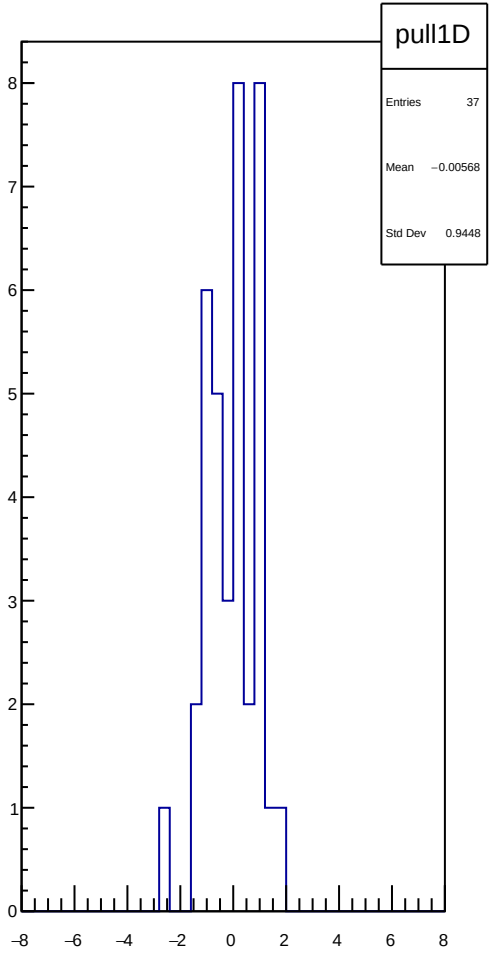
pull1D
Entries 37
Mean −0.00568
Std Dev 0.9448
8
7
6
5
4
3
2
1
0
−8
−6
−4
−2
0
2
4
6
8

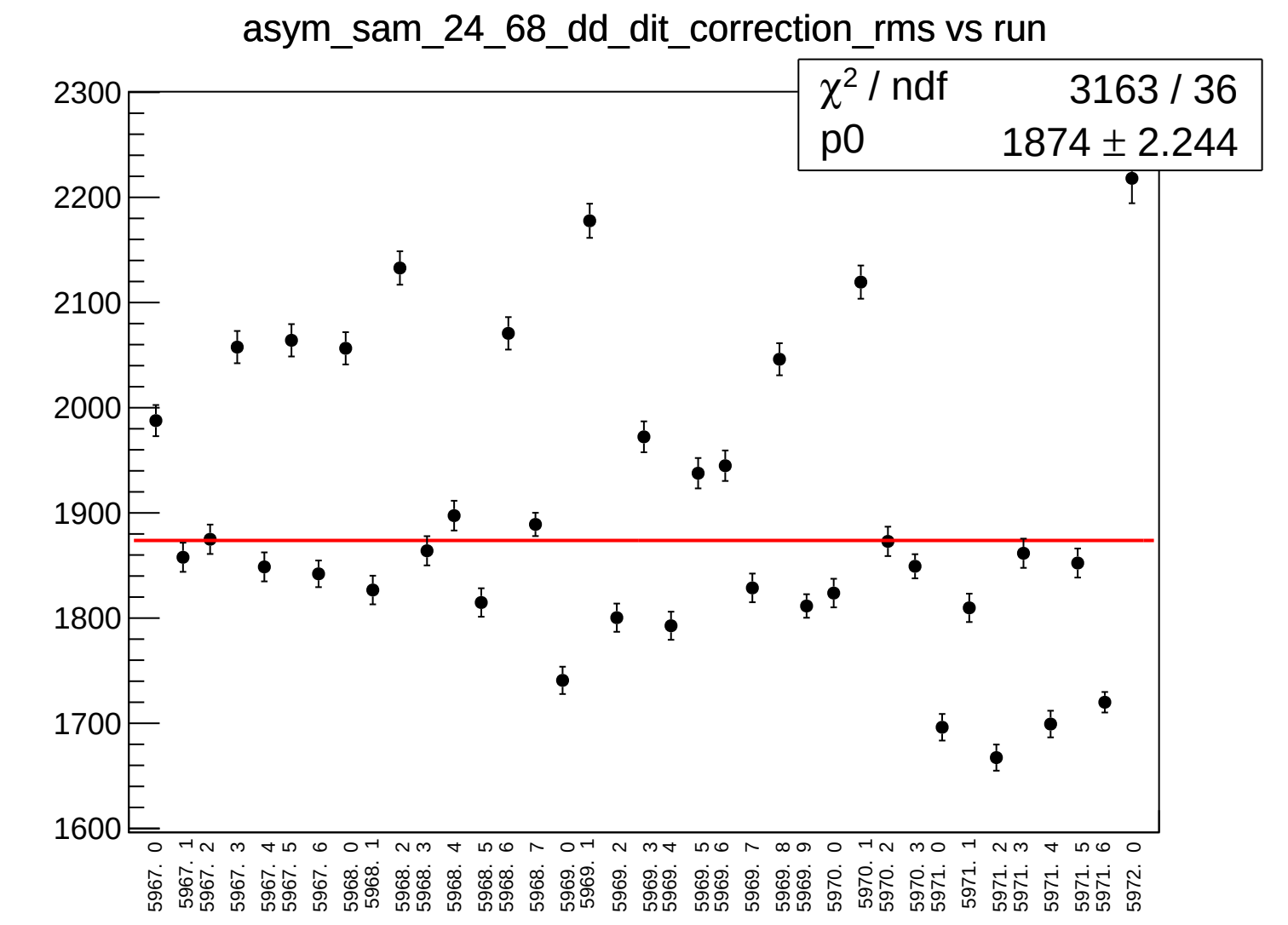
asym_sam_24_68_dd_dit_correction_rms vs run
χ² / ndf 3163 / 36
p0 1874 ± 2.244
2300
2200
2100
2000
1900
1800
1700
1600
5967. 0
5967. 1
5967. 2
5967. 3
5967. 4
5967. 5
5967. 6
5968. 0
5968. 1
5968. 2
5968. 3
5968. 4
5968. 5
5968. 6
5968. 7
5969. 0
5969. 1
5969. 2
5969. 3
5969. 4
5969. 5
5969. 6
5969. 7
5969. 8
5969. 9
5970. 0
5970. 1
5970. 2
5970. 3
5971. 0
5971. 1
5971. 2
5971. 3
5971. 4
5971. 5
5971. 6
5972. 0

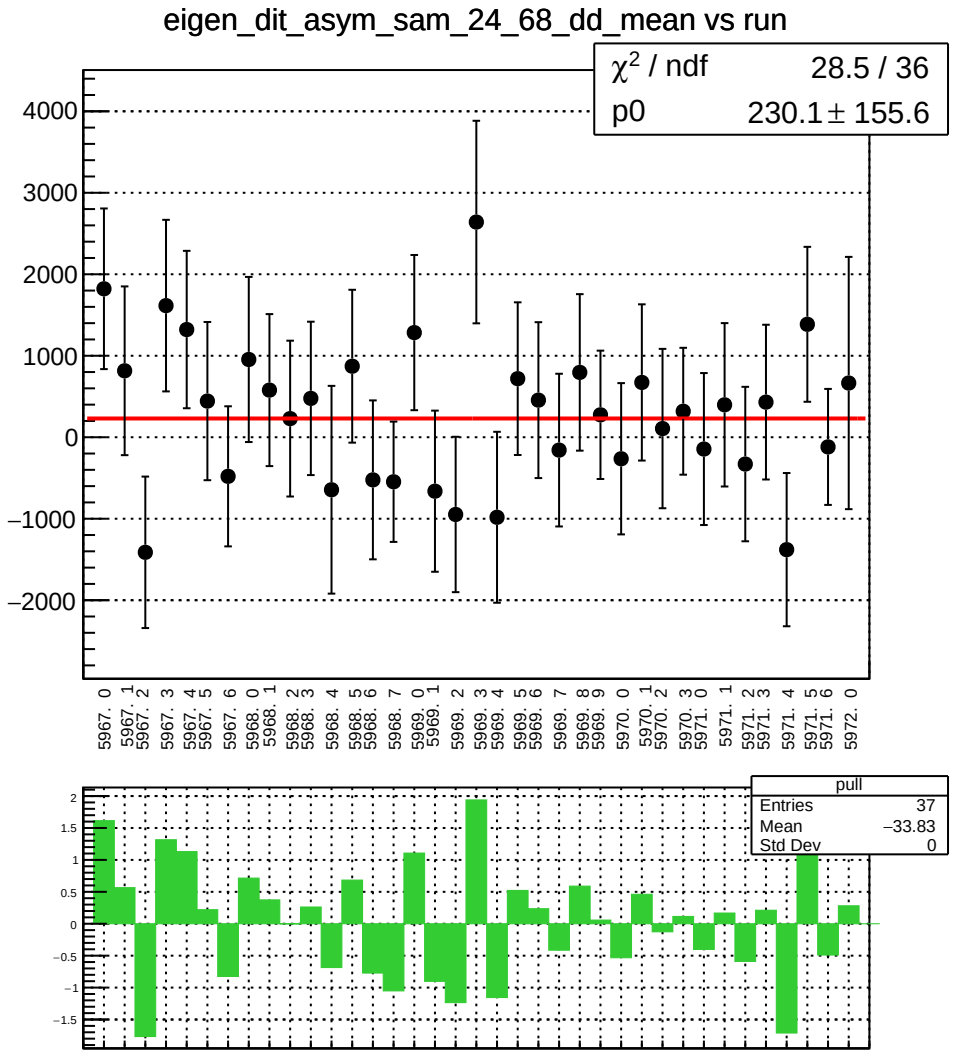
eigen_dit_asym_sam_24_68_dd_mean vs run
χ² / ndf 28.5 / 36
p0 230.1 ± 155.6
4000
3000
2000
1000
0
−1000
−2000
5967. 0
5967. 1
5967. 2
5967. 3
5967. 4
5967. 5
5967. 6
5968. 0
5968. 1
5968. 2
5968. 3
5968. 4
5968. 5
5968. 6
5968. 7
5969. 0
5969. 1
5969. 2
5969. 3
5969. 4
5969. 5
5969. 6
5969. 7
5969. 8
5969. 9
5970. 0
5970. 1
5970. 2
5970. 3
5971. 0
5971. 1
5971. 2
5971. 3
5971. 4
5971. 5
5971. 6
5972. 0
pull
Entries 37
Mean −33.83
Std Dev 0
2
1.5
1
0.5
0
−0.5
−1
−1.5
pull1D
Entries 37
Mean 0.03023
Std Dev 0.8771
9
8
7
6
5
4
3
2
1
0
−8
−6
−4
−2
0
2
4
6
8

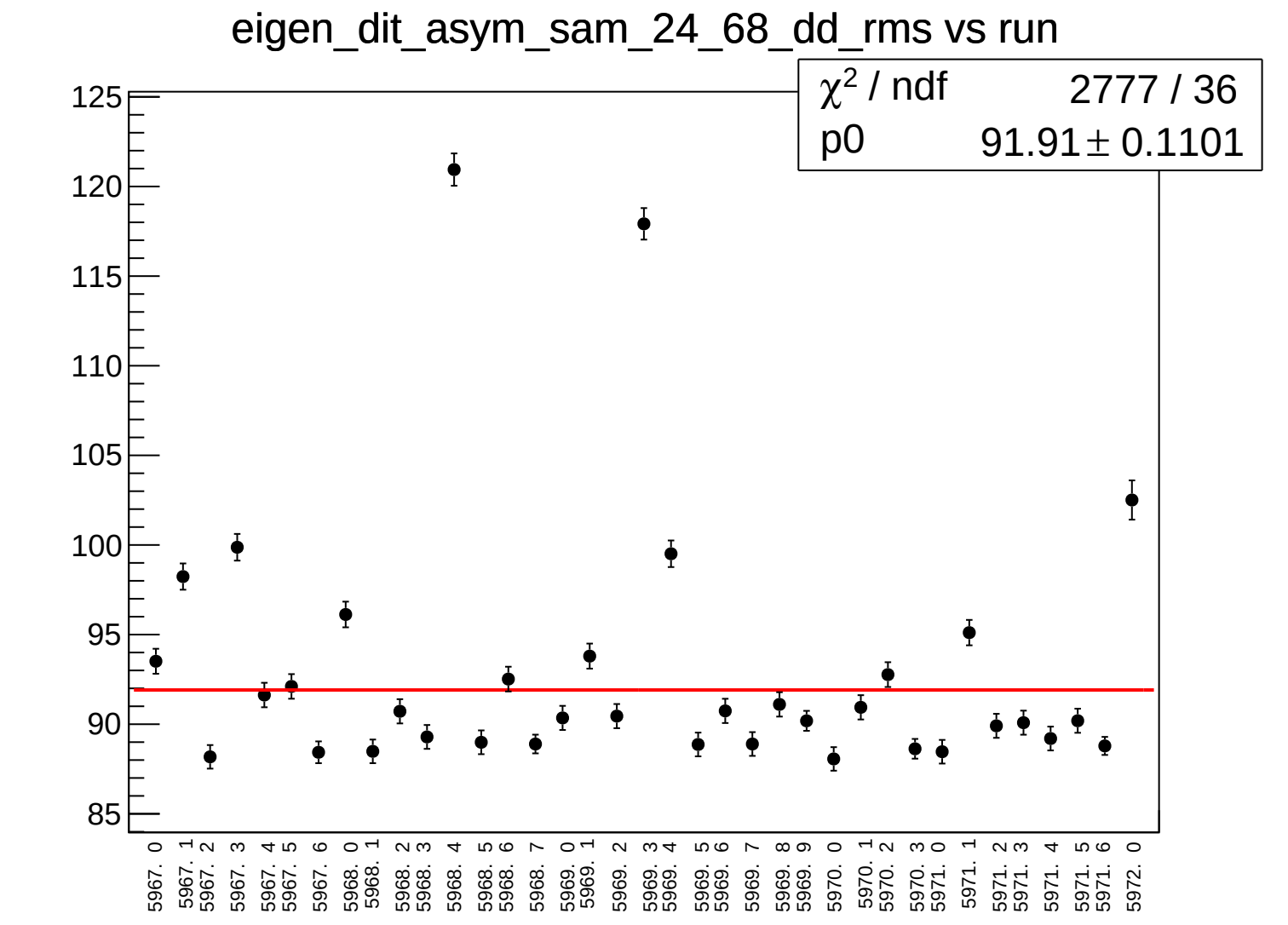
eigen_dit_asym_sam_24_68_dd_rms vs run
χ² / ndf 2777 / 36
p0 91.91 ± 0.1101
125
120
115
110
105
100
95
90
85
5967. 0
5967. 1
5967. 2
5967. 3
5967. 4
5967. 5
5967. 6
5968. 0
5968. 1
5968. 2
5968. 3
5968. 4
5968. 5
5968. 6
5968. 7
5969. 0
5969. 1
5969. 2
5969. 3
5969. 4
5969. 5
5969. 6
5969. 7
5969. 8
5969. 9
5970. 0
5970. 1
5970. 2
5970. 3
5971. 0
5971. 1
5971. 2
5971. 3
5971. 4
5971. 5
5971. 6
5972. 0

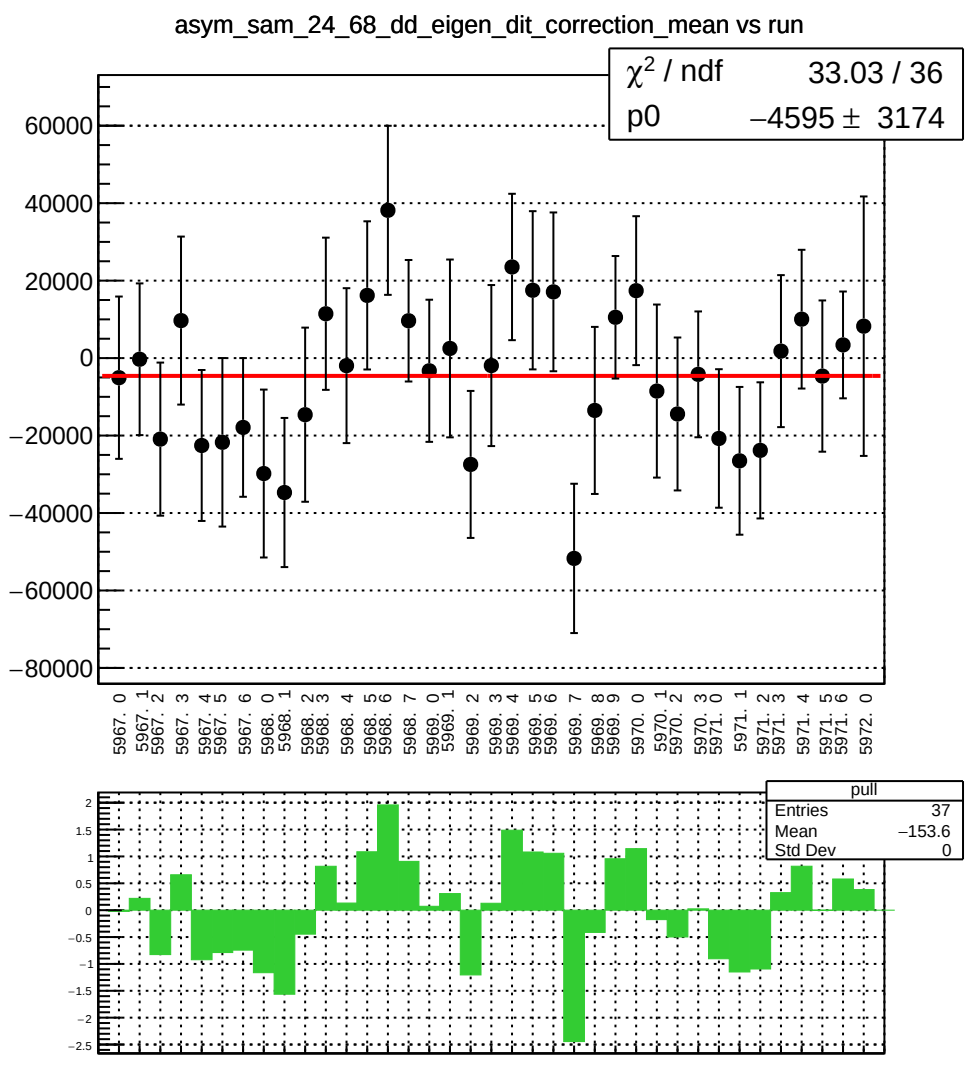
asym_sam_24_68_dd_eigen_dit_correction_mean vs run
χ² / ndf 33.03 / 36
p0 −4595 ± 3174
60000
40000
20000
0
−20000
−40000
−60000
−80000
5967. 0
5967. 1
5967. 2
5967. 3
5967. 4
5967. 5
5967. 6
5968. 0
5968. 1
5968. 2
5968. 3
5968. 4
5968. 5
5968. 6
5968. 7
5969. 0
5969. 1
5969. 2
5969. 3
5969. 4
5969. 5
5969. 6
5969. 7
5969. 8
5969. 9
5970. 0
5970. 1
5970. 2
5970. 3
5971. 0
5971. 1
5971. 2
5971. 3
5971. 4
5971. 5
5971. 6
5972. 0
pull
Entries 37
Mean −153.6
Std Dev 0
2
1.5
1
0.5
0
−0.5
−1
−1.5
−2
−2.5

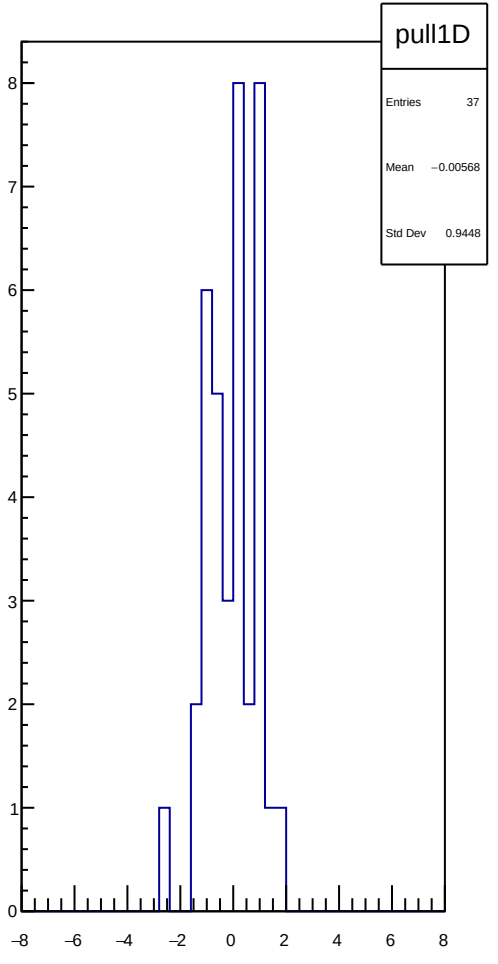
pull1D
Entries 37
Mean −0.00568
Std Dev 0.9448
8
7
6
5
4
3
2
1
0
−8
−6
−4
−2
0
2
4
6
8

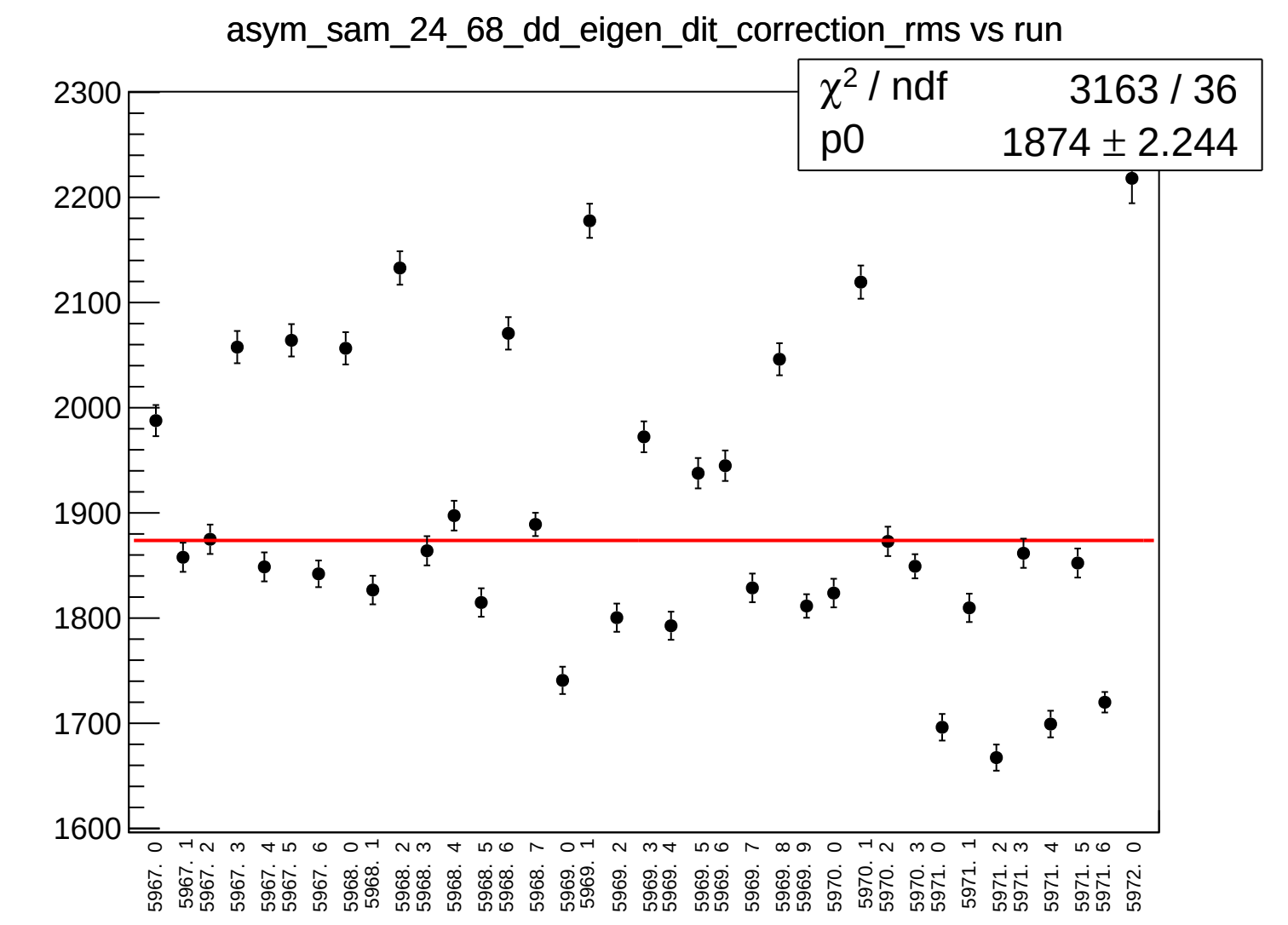
asym_sam_24_68_dd_eigen_dit_correction_rms vs run
χ² / ndf 3163 / 36
p0 1874 ± 2.244
2300
2200
2100
2000
1900
1800
1700
1600
5967. 0
5967. 1
5967. 2
5967. 3
5967. 4
5967. 5
5967. 6
5968. 0
5968. 1
5968. 2
5968. 3
5968. 4
5968. 5
5968. 6
5968. 7
5969. 0
5969. 1
5969. 2
5969. 3
5969. 4
5969. 5
5969. 6
5969. 7
5969. 8
5969. 9
5970. 0
5970. 1
5970. 2
5970. 3
5971. 0
5971. 1
5971. 2
5971. 3
5971. 4
5971. 5
5971. 6
5972. 0

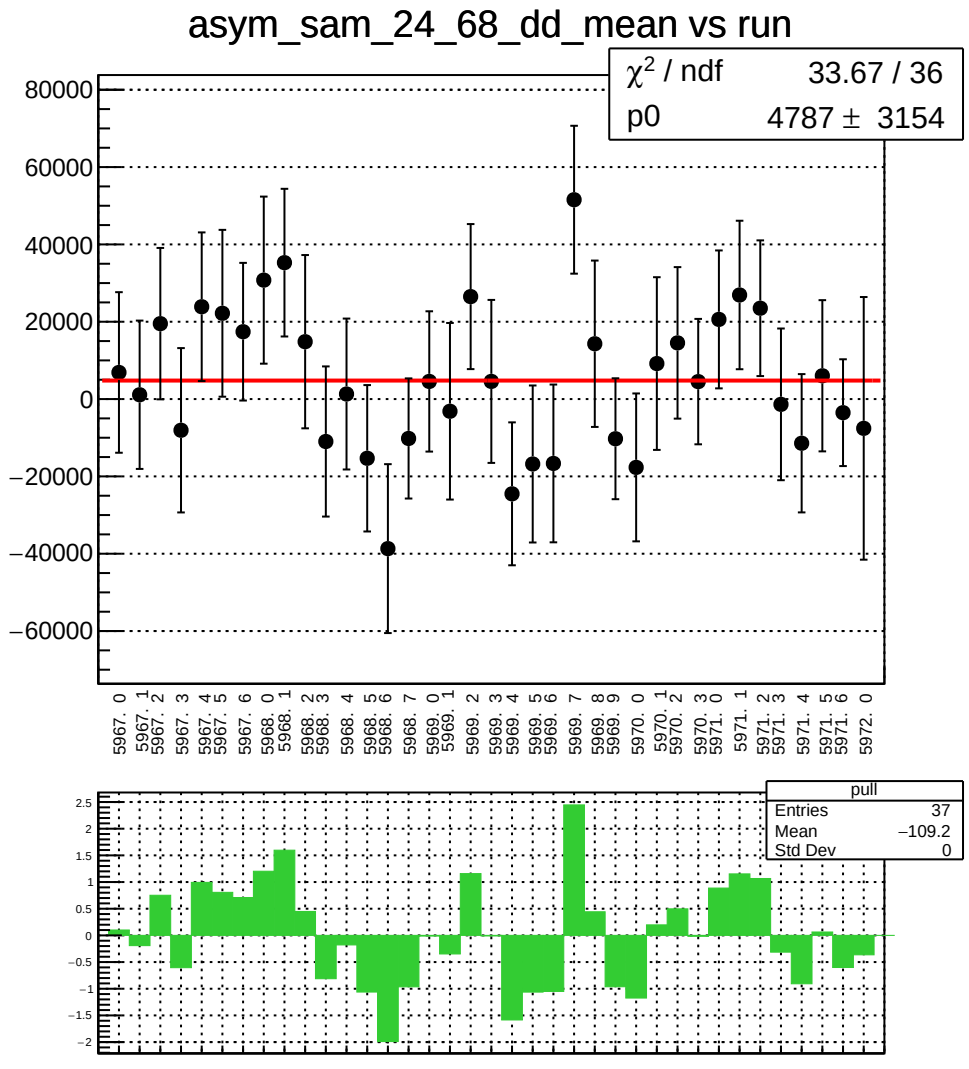
asym_sam_24_68_dd_mean vs run
χ² / ndf 33.67 / 36
p0 4787 ± 3154
80000
60000
40000
20000
0
−20000
−40000
−60000
5967. 0
5967. 1
5967. 2
5967. 3
5967. 4
5967. 5
5967. 6
5968. 0
5968. 1
5968. 2
5968. 3
5968. 4
5968. 5
5968. 6
5968. 7
5969. 0
5969. 1
5969. 2
5969. 3
5969. 4
5969. 5
5969. 6
5969. 7
5969. 8
5969. 9
5970. 0
5970. 1
5970. 2
5970. 3
5971. 0
5971. 1
5971. 2
5971. 3
5971. 4
5971. 5
5971. 6
5972. 0
pull
Entries 37
Mean −109.2
Std Dev 0
2.5
2
1.5
1
0.5
0
−0.5
−1
−1.5
−2

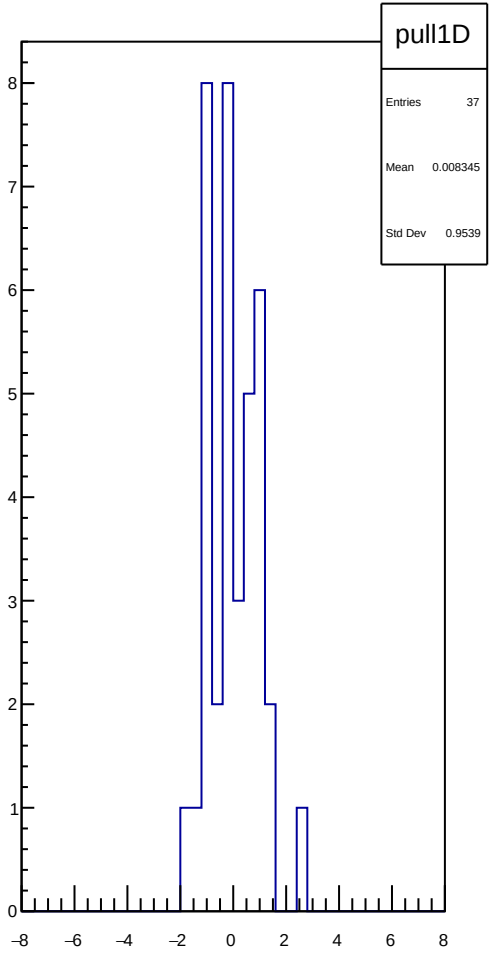
pull1D
Entries 37
Mean 0.008345
Std Dev 0.9539
8
7
6
5
4
3
2
1
0
−8
−6
−4
−2
0
2
4
6
8

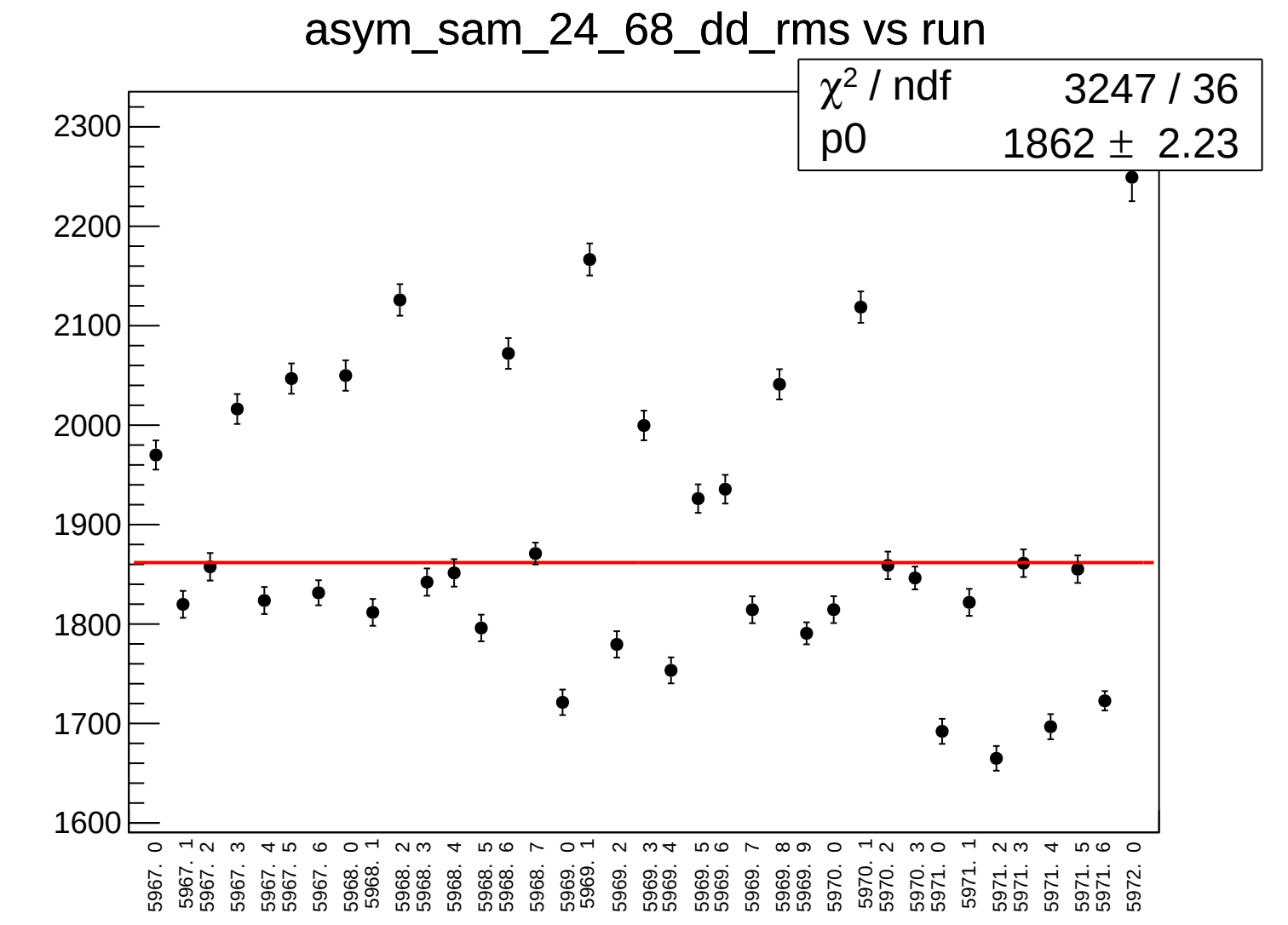
asym_sam_24_68_dd_rms vs run
χ² / ndf 3247 / 36
p0 1862 ± 2.23
2300
2200
2100
2000
1900
1800
1700
1600
5967. 0
5967. 1
5967. 2
5967. 3
5967. 4
5967. 5
5967. 6
5968. 0
5968. 1
5968. 2
5968. 3
5968. 4
5968. 5
5968. 6
5968. 7
5969. 0
5969. 1
5969. 2
5969. 3
5969. 4
5969. 5
5969. 6
5969. 7
5969. 8
5969. 9
5970. 0
5970. 1
5970. 2
5970. 3
5971. 0
5971. 1
5971. 2
5971. 3
5971. 4
5971. 5
5971. 6
5972. 0

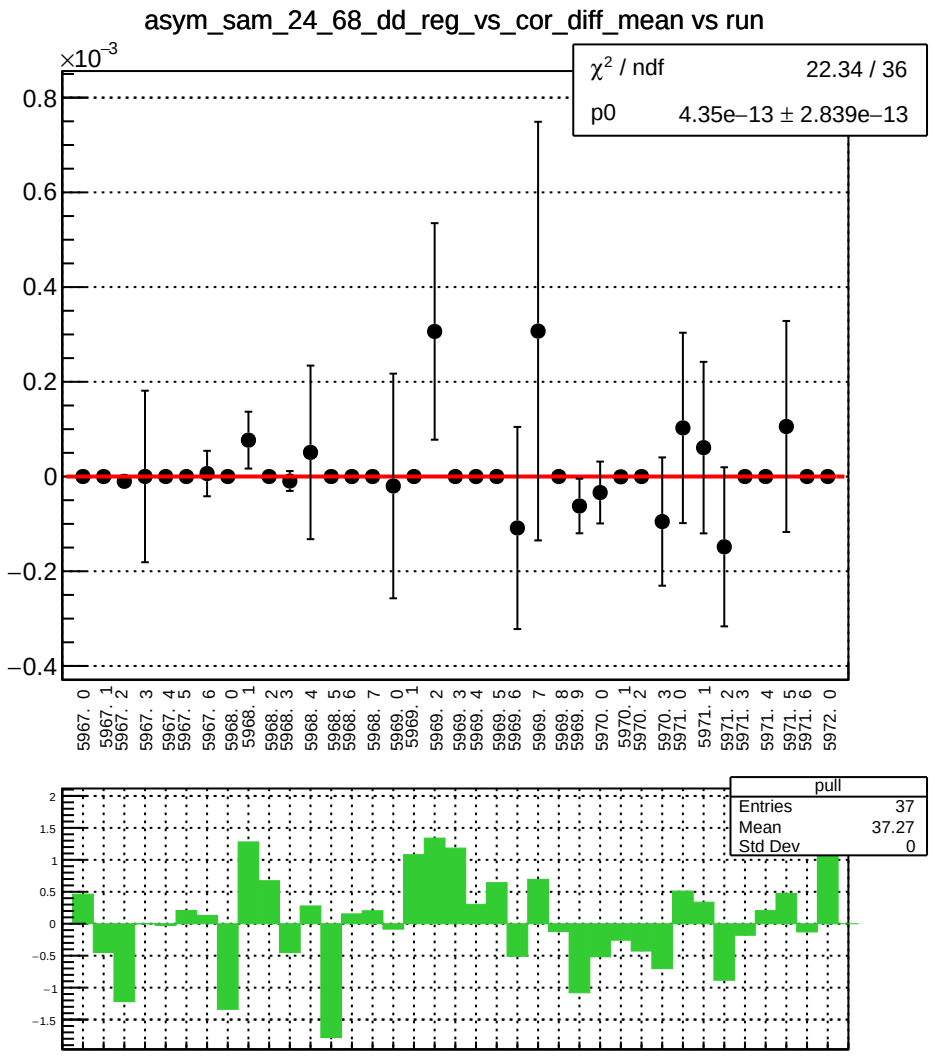
asym_sam_24_68_dd_reg_vs_cor_diff_mean vs run
×10⁻³
χ² / ndf 22.34 / 36
p0 4.35e−13 ± 2.839e−13
pull
Entries 37
Mean 37.27
Std Dev 0

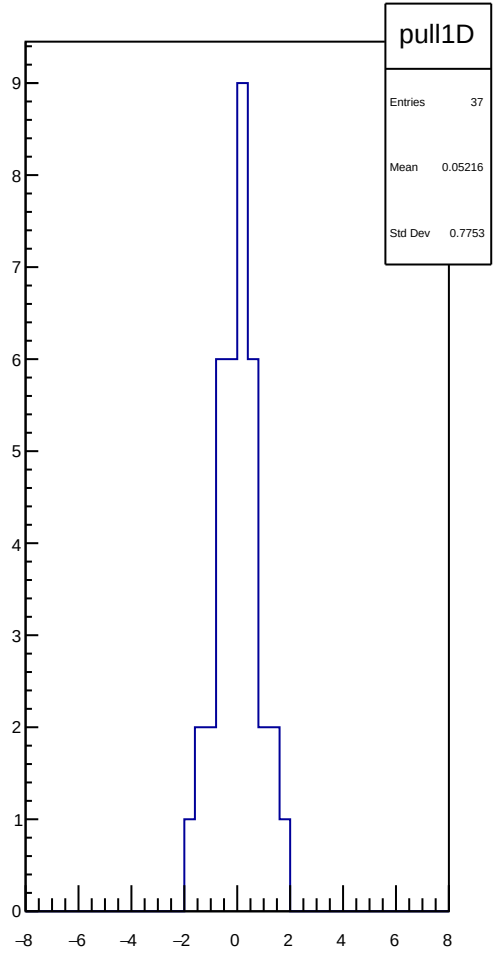
pull1D
Entries 37
Mean 0.05216
Std Dev 0.7753

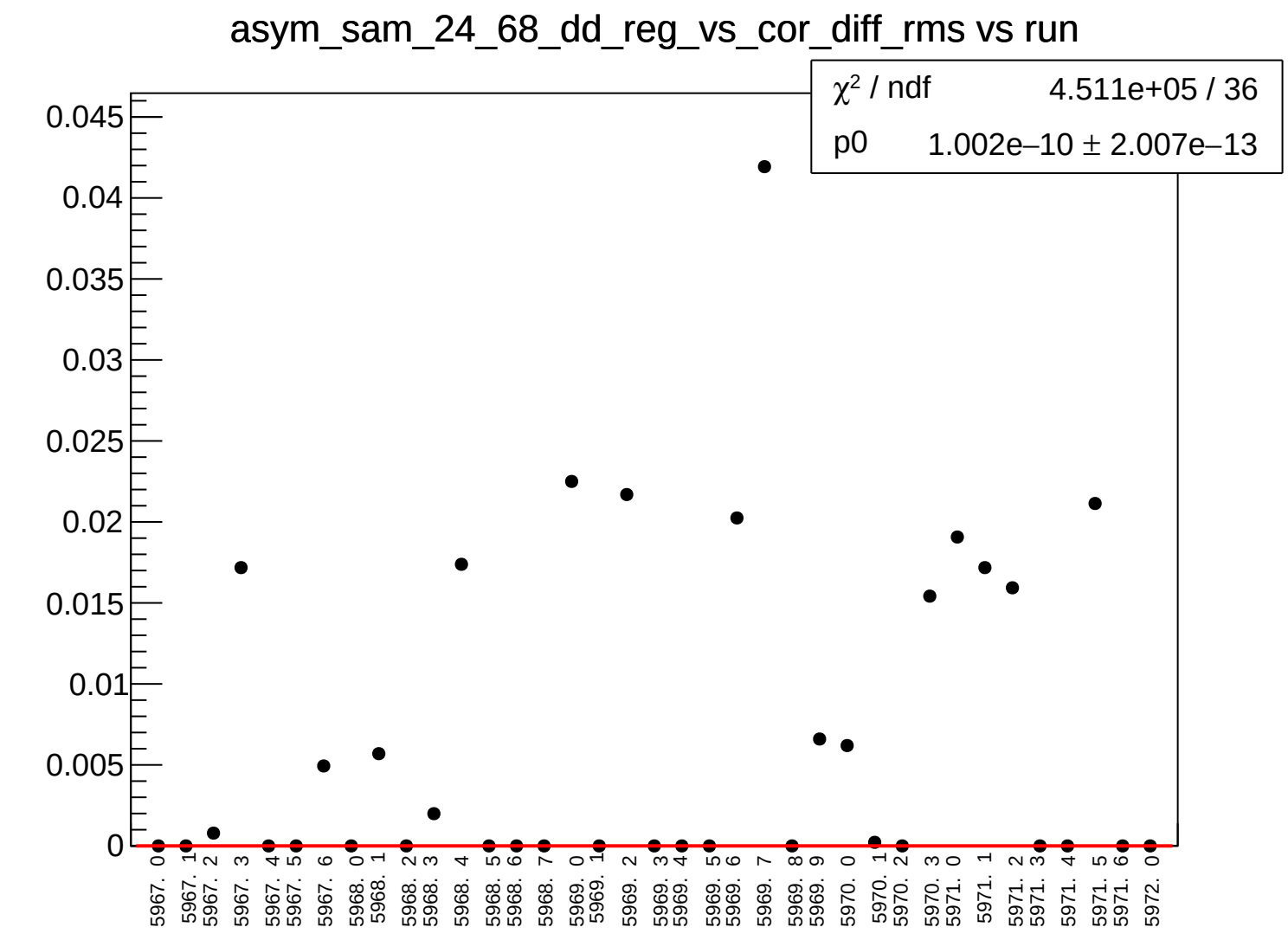
asym_sam_24_68_dd_reg_vs_cor_diff_rms vs run
χ² / ndf 4.511e+05 / 36
p0 1.002e−10 ± 2.007e−13
0.045
0.04
0.035
0.03
0.025
0.02
0.015
0.01
0.005
0
5967. 0
5967. 1
5967. 2
5967. 3
5967. 4
5967. 5
5967. 6
5968. 0
5968. 1
5968. 2
5968. 3
5968. 4
5968. 5
5968. 6
5968. 7
5969. 0
5969. 1
5969. 2
5969. 3
5969. 4
5969. 5
5969. 6
5969. 7
5969. 8
5969. 9
5970. 0
5970. 1
5970. 2
5970. 3
5971. 0
5971. 1
5971. 2
5971. 3
5971. 4
5971. 5
5971. 6
5972. 0

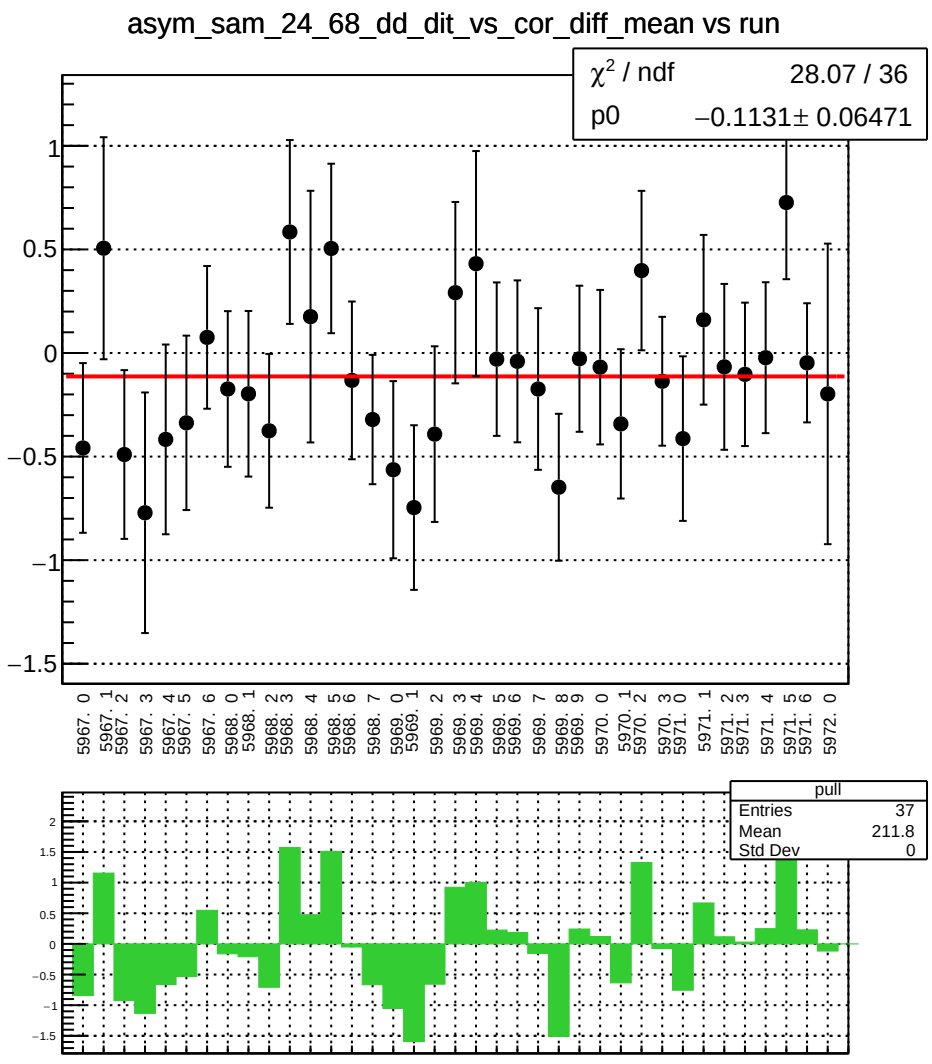
asym_sam_24_68_dd_dit_vs_cor_diff_mean vs run
χ² / ndf 28.07 / 36
p0 −0.1131± 0.06471
pull
Entries 37
Mean 211.8
Std Dev 0

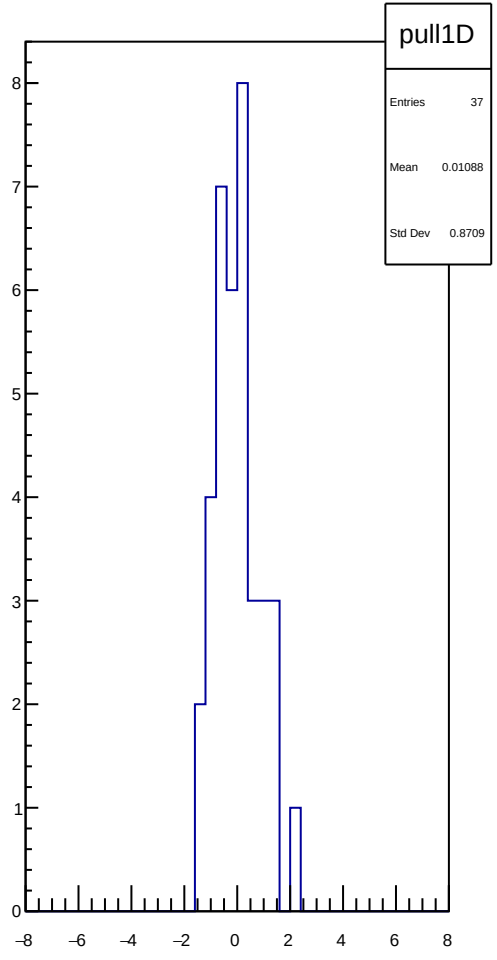
pull1D
Entries 37
Mean 0.01088
Std Dev 0.8709

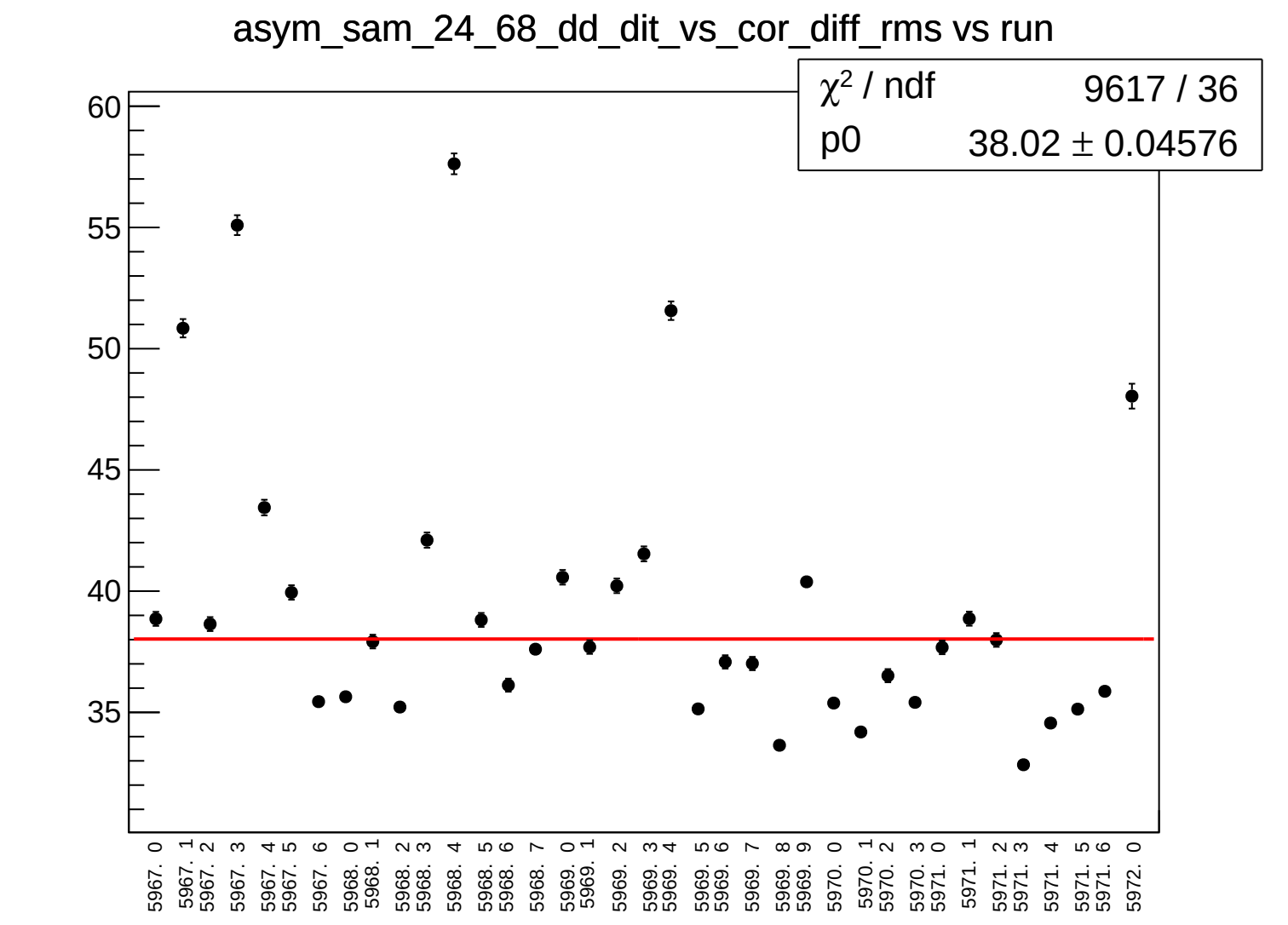
asym_sam_24_68_dd_dit_vs_cor_diff_rms vs run
χ² / ndf 9617 / 36
p0 38.02 ± 0.04576
60
55
50
45
40
35
5967. 0
5967. 1
5967. 2
5967. 3
5967. 4
5967. 5
5967. 6
5968. 0
5968. 1
5968. 2
5968. 3
5968. 4
5968. 5
5968. 6
5968. 7
5969. 0
5969. 1
5969. 2
5969. 3
5969. 4
5969. 5
5969. 6
5969. 7
5969. 8
5969. 9
5970. 0
5970. 1
5970. 2
5970. 3
5971. 0
5971. 1
5971. 2
5971. 3
5971. 4
5971. 5
5971. 6
5972. 0

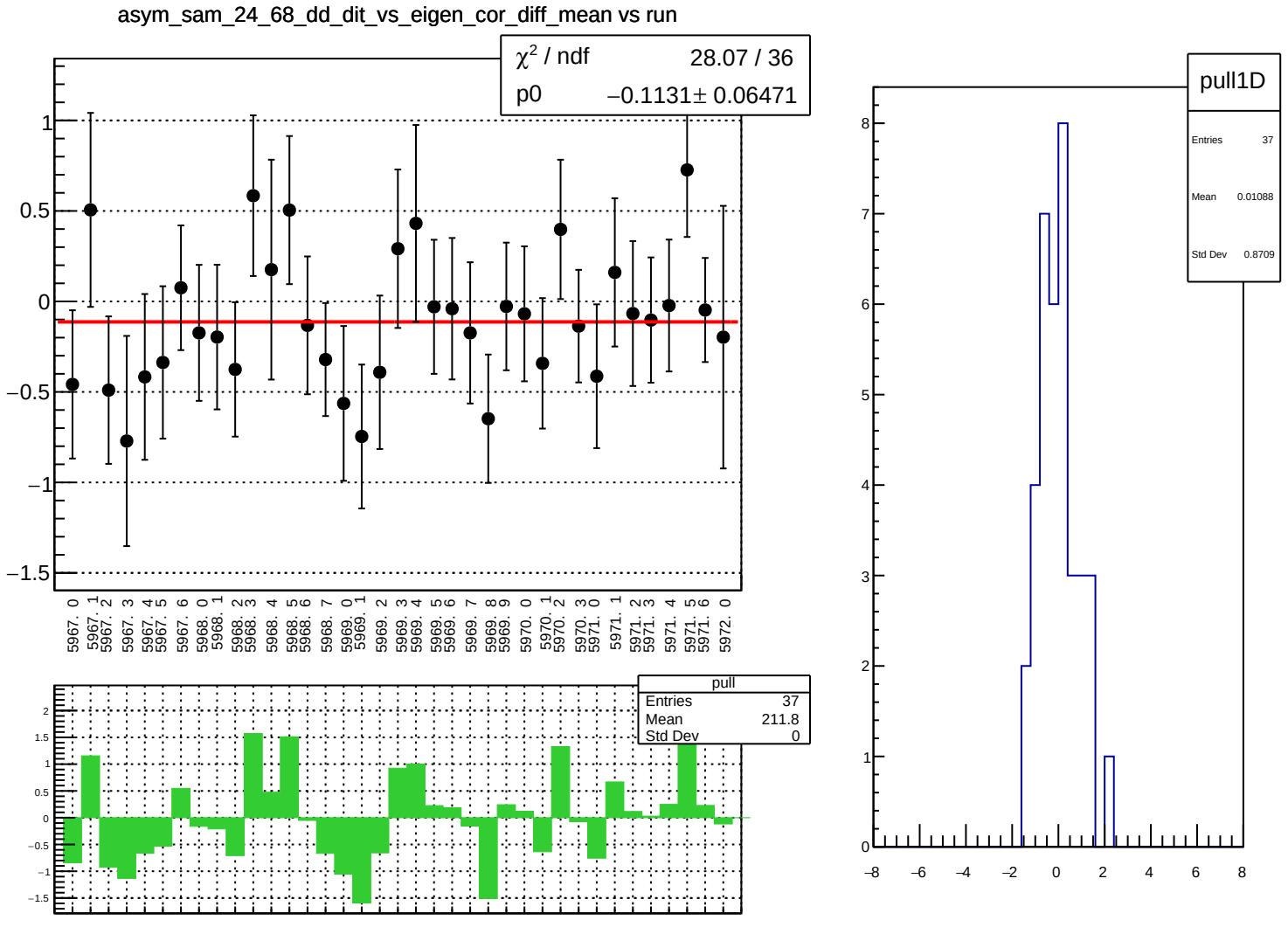
asym_sam_24_68_dd_dit_vs_eigen_cor_diff_mean vs run
χ² / ndf 28.07 / 36
p0 −0.1131± 0.06471
pull
Entries 37
Mean 211.8
Std Dev 0
pull1D
Entries 37
Mean 0.01088
Std Dev 0.8709

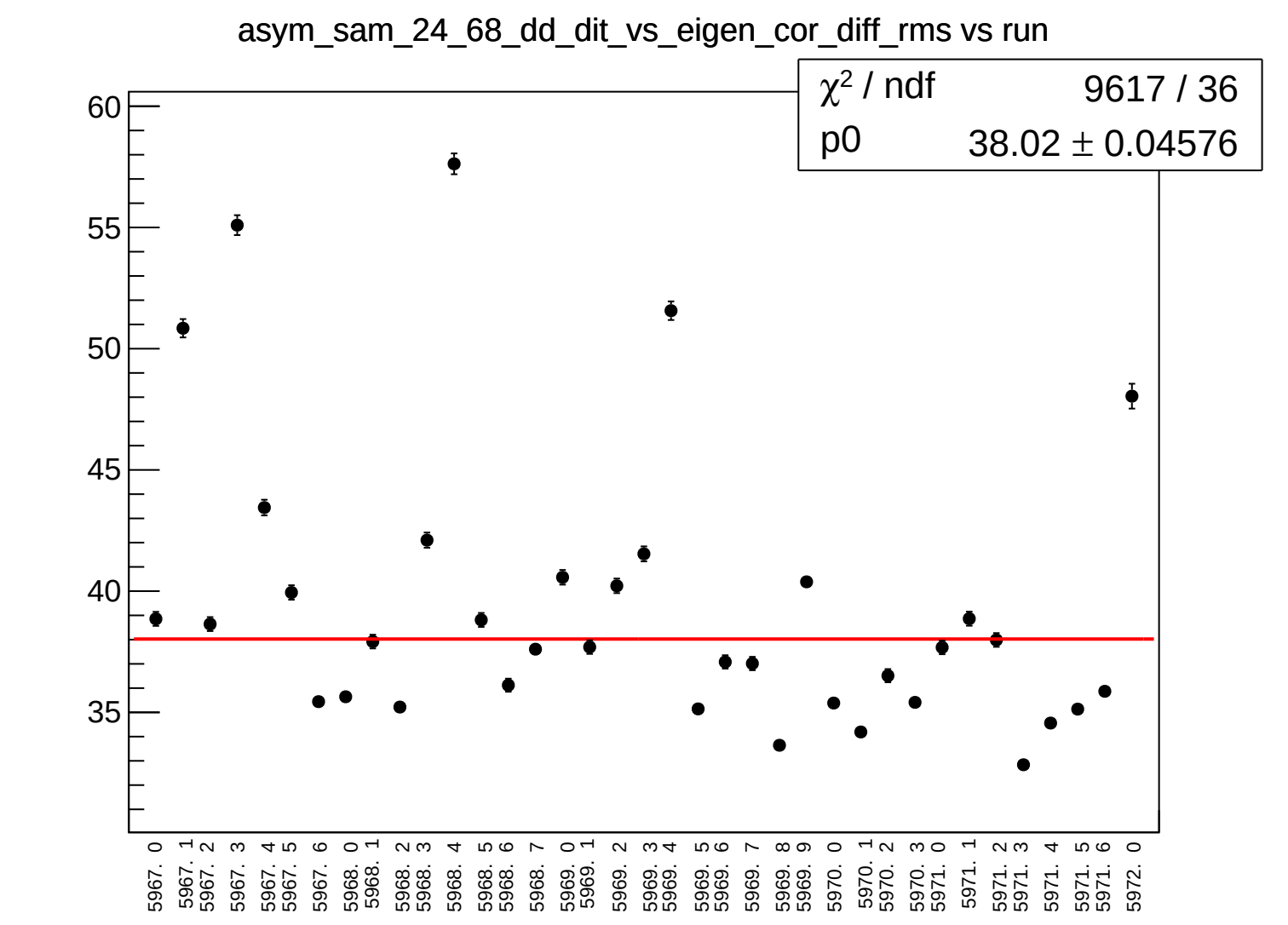
asym_sam_24_68_dd_dit_vs_eigen_cor_diff_rms vs run
χ² / ndf 9617 / 36
p0 38.02 ± 0.04576
60
55
50
45
40
35
5967. 0
5967. 1
5967. 2
5967. 3
5967. 4
5967. 5
5967. 6
5968. 0
5968. 1
5968. 2
5968. 3
5968. 4
5968. 5
5968. 6
5968. 7
5969. 0
5969. 1
5969. 2
5969. 3
5969. 4
5969. 5
5969. 6
5969. 7
5969. 8
5969. 9
5970. 0
5970. 1
5970. 2
5970. 3
5971. 0
5971. 1
5971. 2
5971. 3
5971. 4
5971. 5
5971. 6
5972. 0

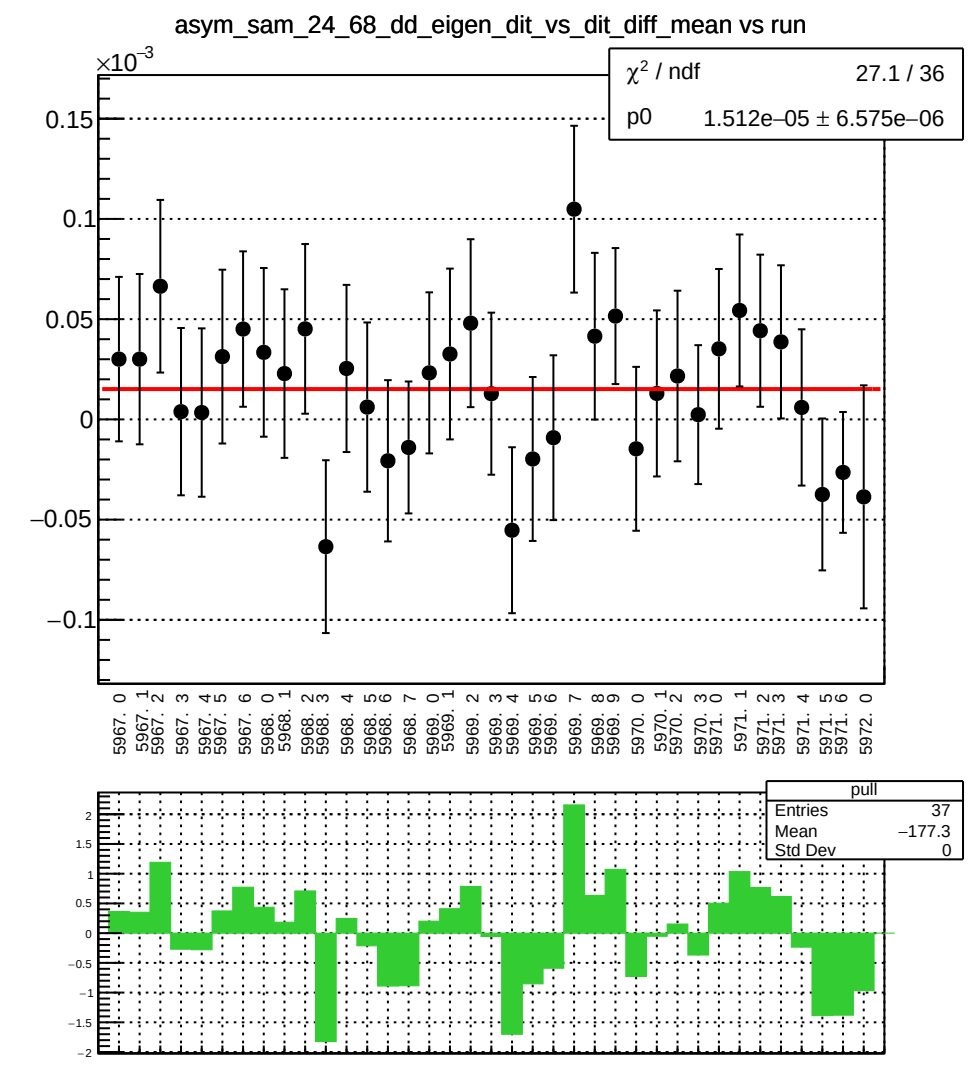
asym_sam_24_68_dd_eigen_dit_vs_dit_diff_mean vs run
×10⁻³
χ² / ndf 27.1 / 36
p0 1.512e−05 ± 6.575e−06
0.15
0.1
0.05
0
−0.05
−0.1
5967. 0
5967. 1
5967. 2
5967. 3
5967. 4
5967. 5
5967. 6
5968. 0
5968. 1
5968. 2
5968. 3
5968. 4
5968. 5
5968. 6
5968. 7
5969. 0
5969. 1
5969. 2
5969. 3
5969. 4
5969. 5
5969. 6
5969. 7
5969. 8
5969. 9
5970. 0
5970. 1
5970. 2
5970. 3
5971. 0
5971. 1
5971. 2
5971. 3
5971. 4
5971. 5
5971. 6
5972. 0
pull
Entries 37
Mean −177.3
Std Dev 0
2
1.5
1
0.5
0
−0.5
−1
−1.5
−2
pull1D
Entries 37
Mean 0.007678
Std Dev 0.8558
9
8
7
6
5
4
3
2
1
0
−8
−6
−4
−2
0
2
4
6
8

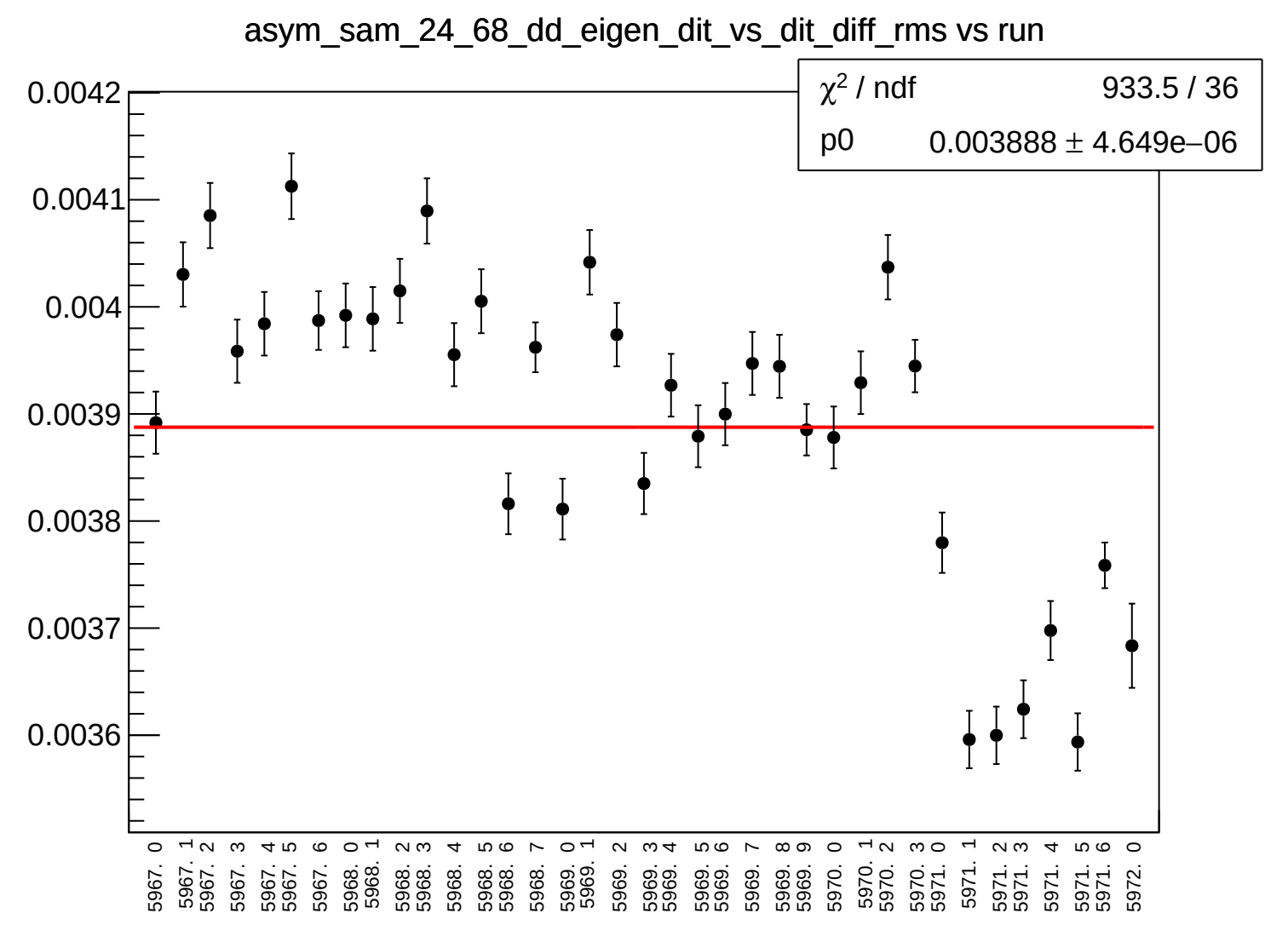
asym_sam_24_68_dd_eigen_dit_vs_dit_diff_rms vs run
χ² / ndf 933.5 / 36
p0 0.003888 ± 4.649e−06
0.0042
0.0041
0.004
0.0039
0.0038
0.0037
0.0036
5967. 0
5967. 1
5967. 2
5967. 3
5967. 4
5967. 5
5967. 6
5968. 0
5968. 1
5968. 2
5968. 3
5968. 4
5968. 5
5968. 6
5968. 7
5969. 0
5969. 1
5969. 2
5969. 3
5969. 4
5969. 5
5969. 6
5969. 7
5969. 8
5969. 9
5970. 0
5970. 1
5970. 2
5970. 3
5971. 0
5971. 1
5971. 2
5971. 3
5971. 4
5971. 5
5971. 6
5972. 0

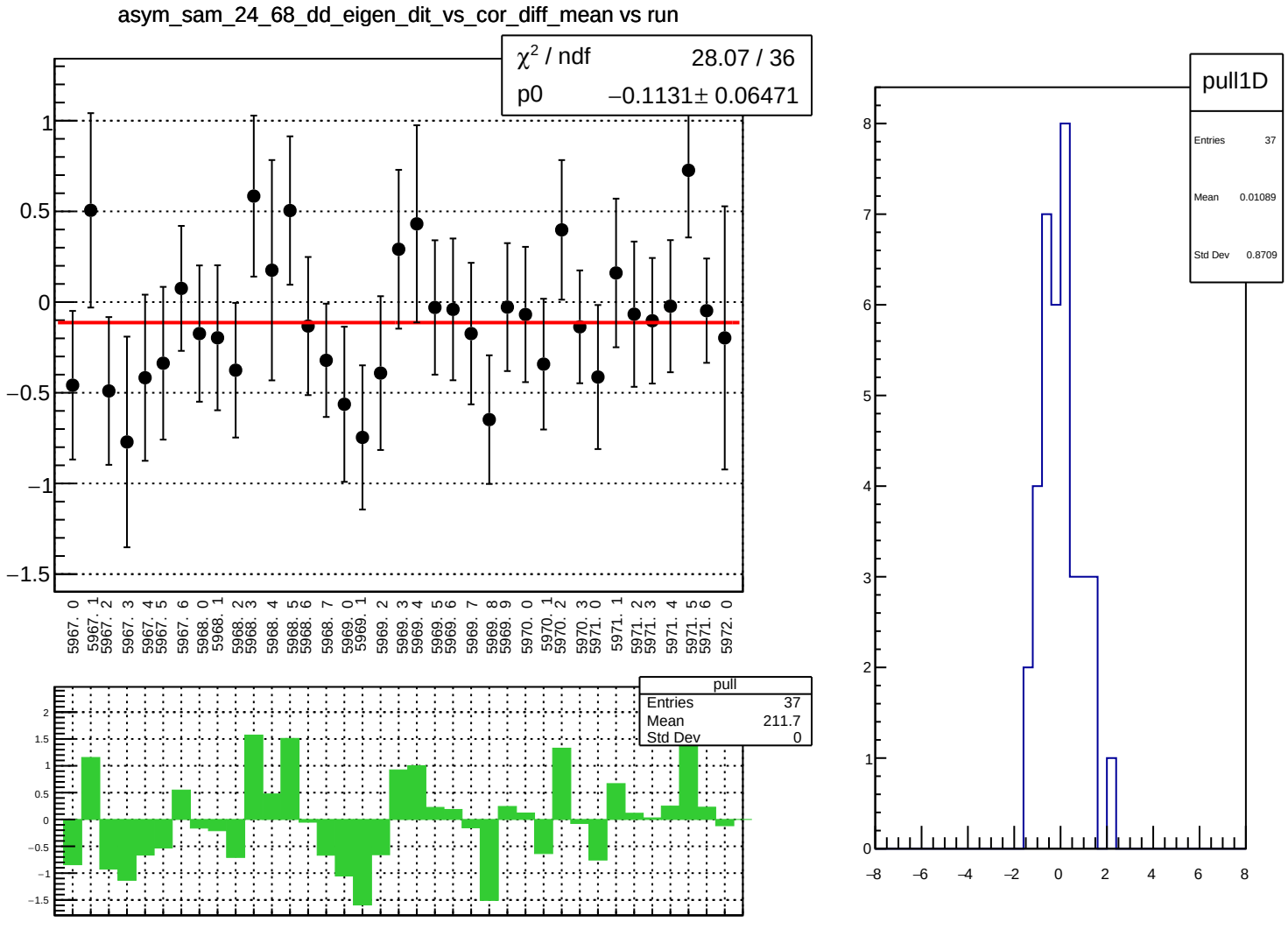
asym_sam_24_68_dd_eigen_dit_vs_cor_diff_mean vs run
χ² / ndf 28.07 / 36
p0 −0.1131± 0.06471
pull
Entries 37
Mean 211.7
Std Dev 0
pull1D
Entries 37
Mean 0.01089
Std Dev 0.8709

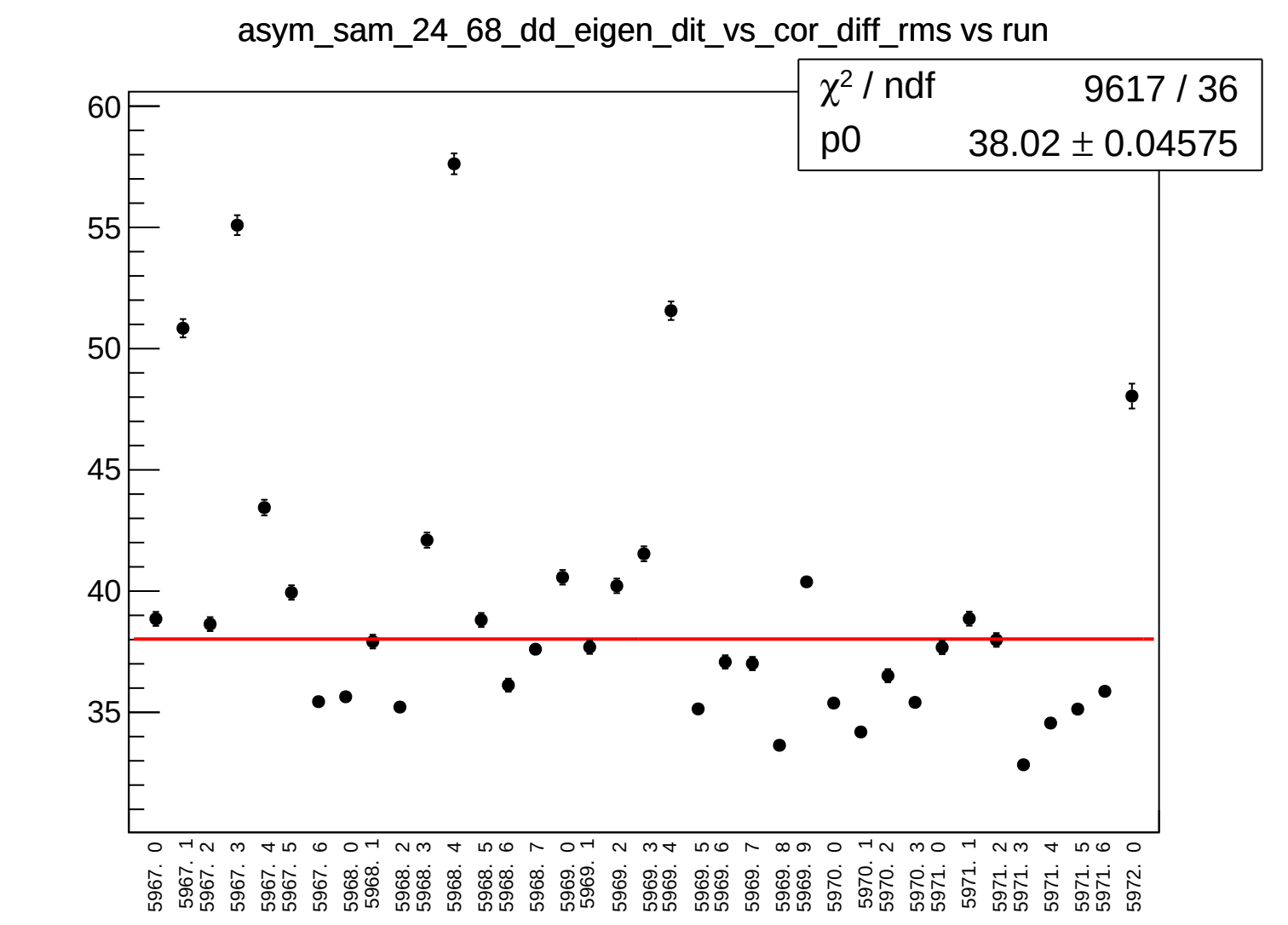
asym_sam_24_68_dd_eigen_dit_vs_cor_diff_rms vs run
χ² / ndf 9617 / 36
p0 38.02 ± 0.04575
60
55
50
45
40
35
5967. 0
5967. 1
5967. 2
5967. 3
5967. 4
5967. 5
5967. 6
5968. 0
5968. 1
5968. 2
5968. 3
5968. 4
5968. 5
5968. 6
5968. 7
5969. 0
5969. 1
5969. 2
5969. 3
5969. 4
5969. 5
5969. 6
5969. 7
5969. 8
5969. 9
5970. 0
5970. 1
5970. 2
5970. 3
5971. 0
5971. 1
5971. 2
5971. 3
5971. 4
5971. 5
5971. 6
5972. 0

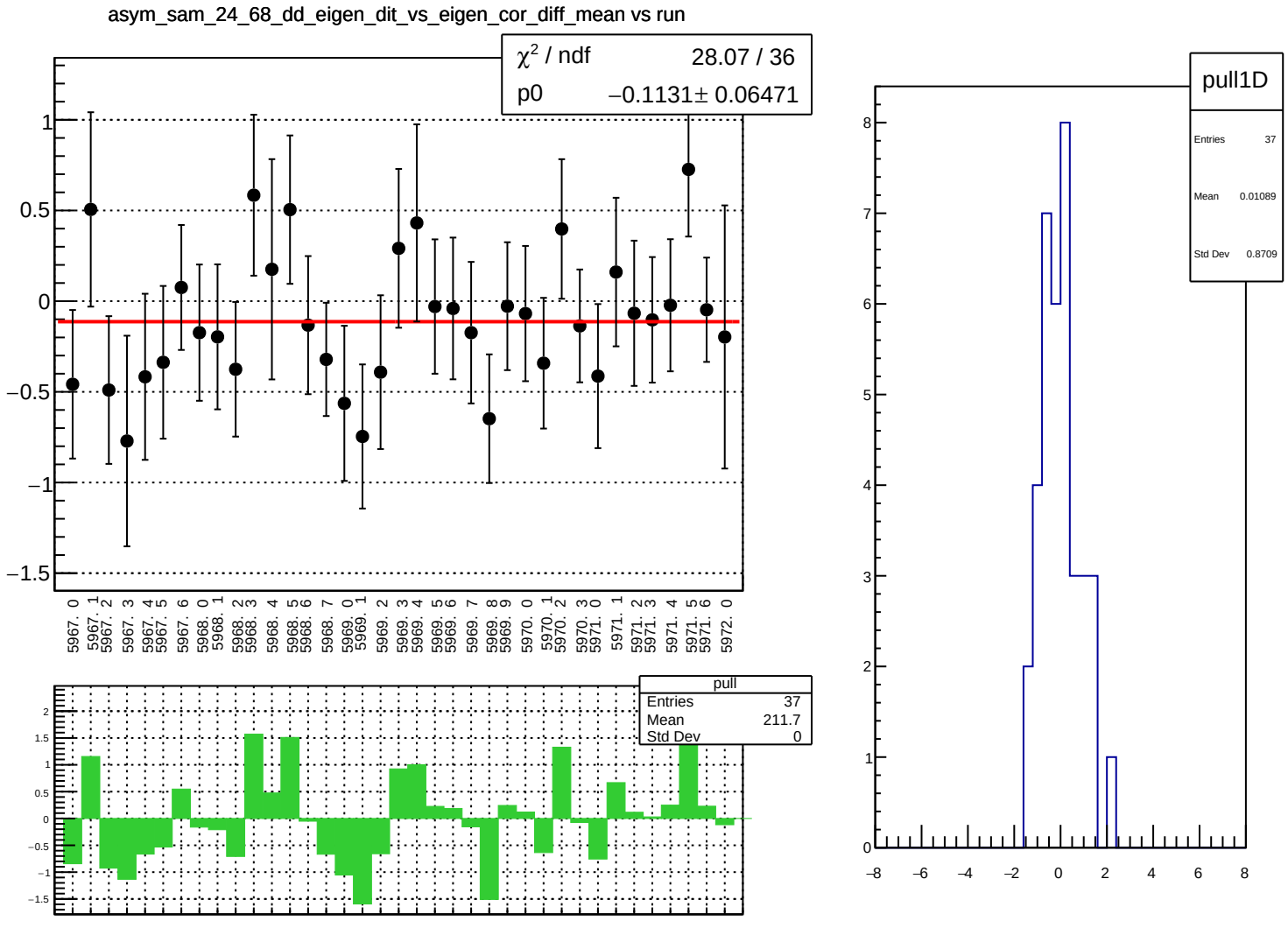
asym_sam_24_68_dd_eigen_dit_vs_eigen_cor_diff_mean vs run
χ² / ndf 28.07 / 36
p0 −0.1131± 0.06471
pull
Entries 37
Mean 211.7
Std Dev 0
pull1D
Entries 37
Mean 0.01089
Std Dev 0.8709

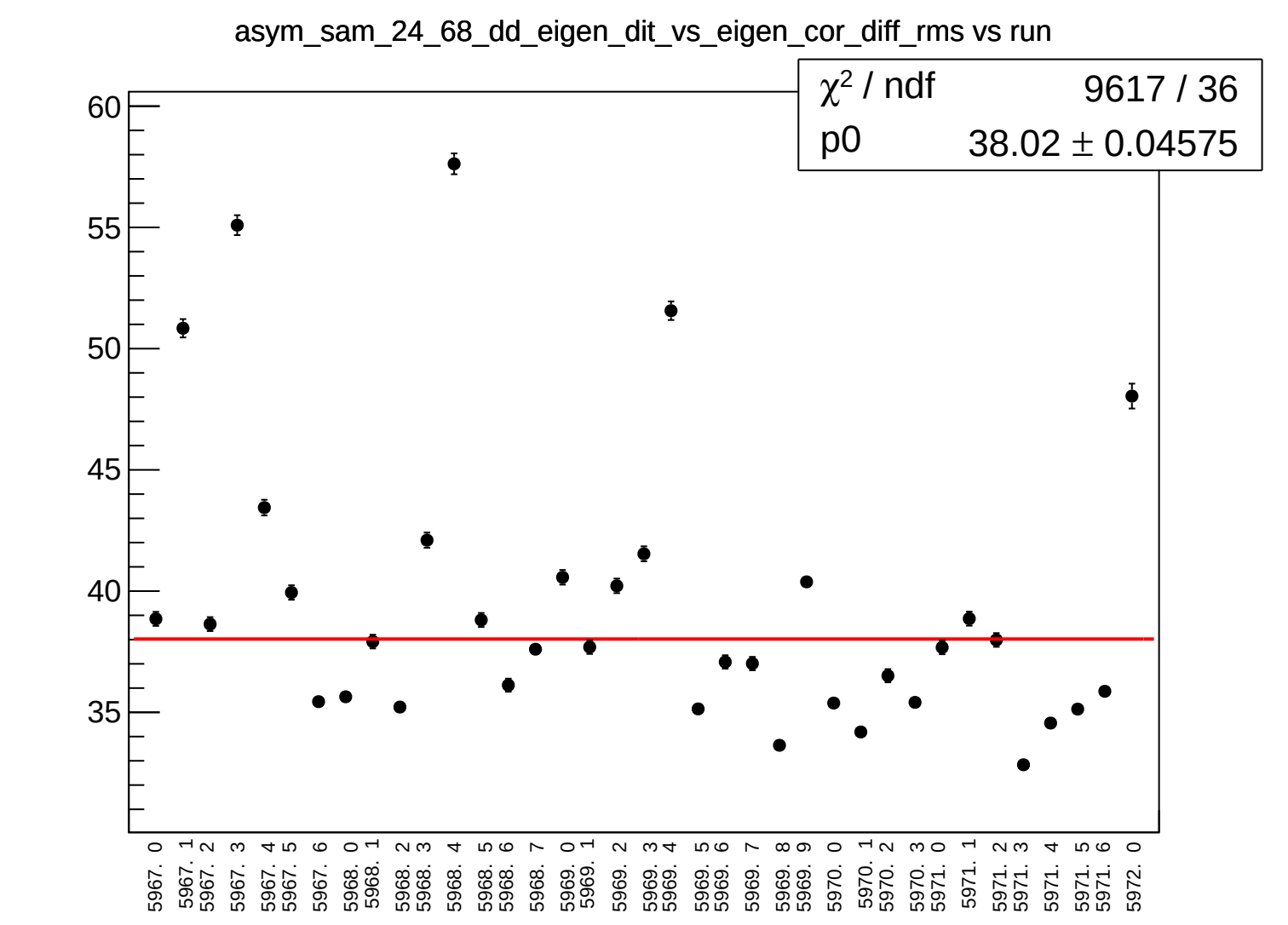
asym_sam_24_68_dd_eigen_dit_vs_eigen_cor_diff_rms vs run
χ² / ndf 9617 / 36
p0 38.02 ± 0.04575
60
55
50
45
40
35
5967. 0
5967. 1
5967. 2
5967. 3
5967. 4
5967. 5
5967. 6
5968. 0
5968. 1
5968. 2
5968. 3
5968. 4
5968. 5
5968. 6
5968. 7
5969. 0
5969. 1
5969. 2
5969. 3
5969. 4
5969. 5
5969. 6
5969. 7
5969. 8
5969. 9
5970. 0
5970. 1
5970. 2
5970. 3
5971. 0
5971. 1
5971. 2
5971. 3
5971. 4
5971. 5
5971. 6
5972. 0

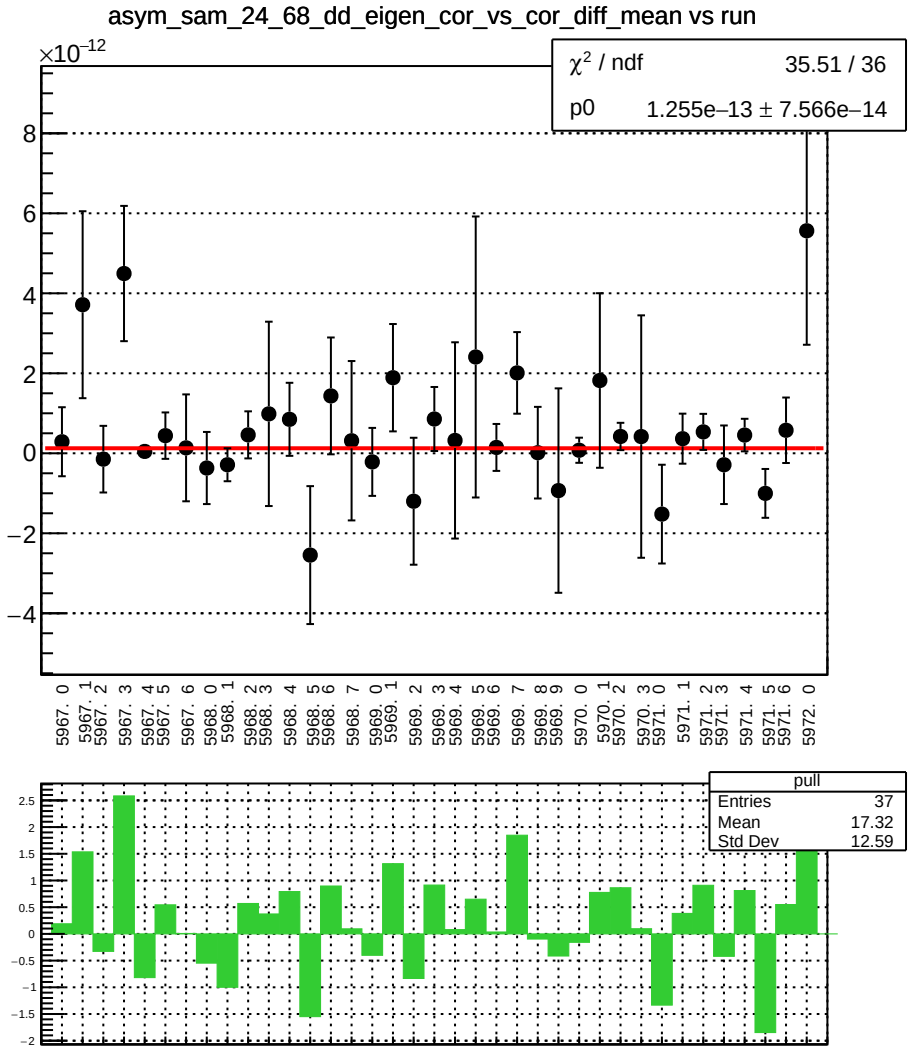
asym_sam_24_68_dd_eigen_cor_vs_cor_diff_mean vs run
×10⁻¹²
χ² / ndf 35.51 / 36
p0 1.255e−13 ± 7.566e−14
pull
Entries 37
Mean 17.32
Std Dev 12.59

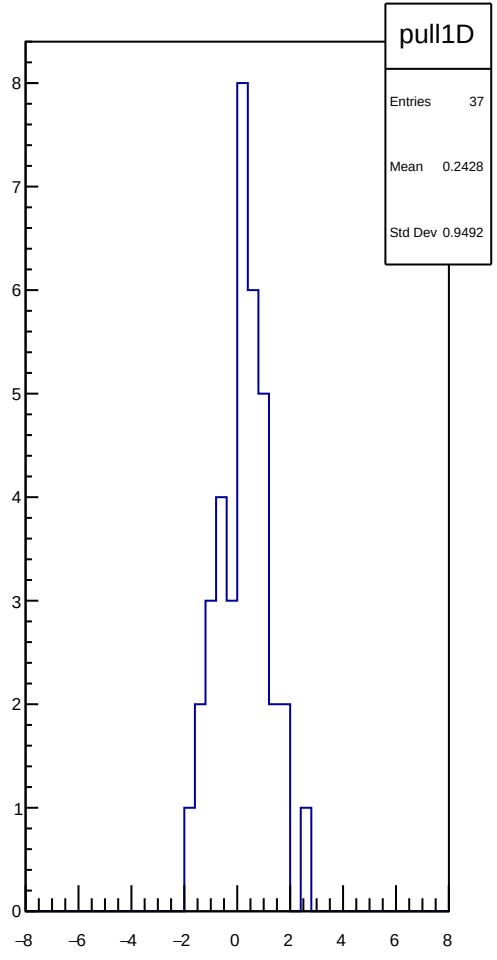
pull1D
Entries 37
Mean 0.2428
Std Dev 0.9492

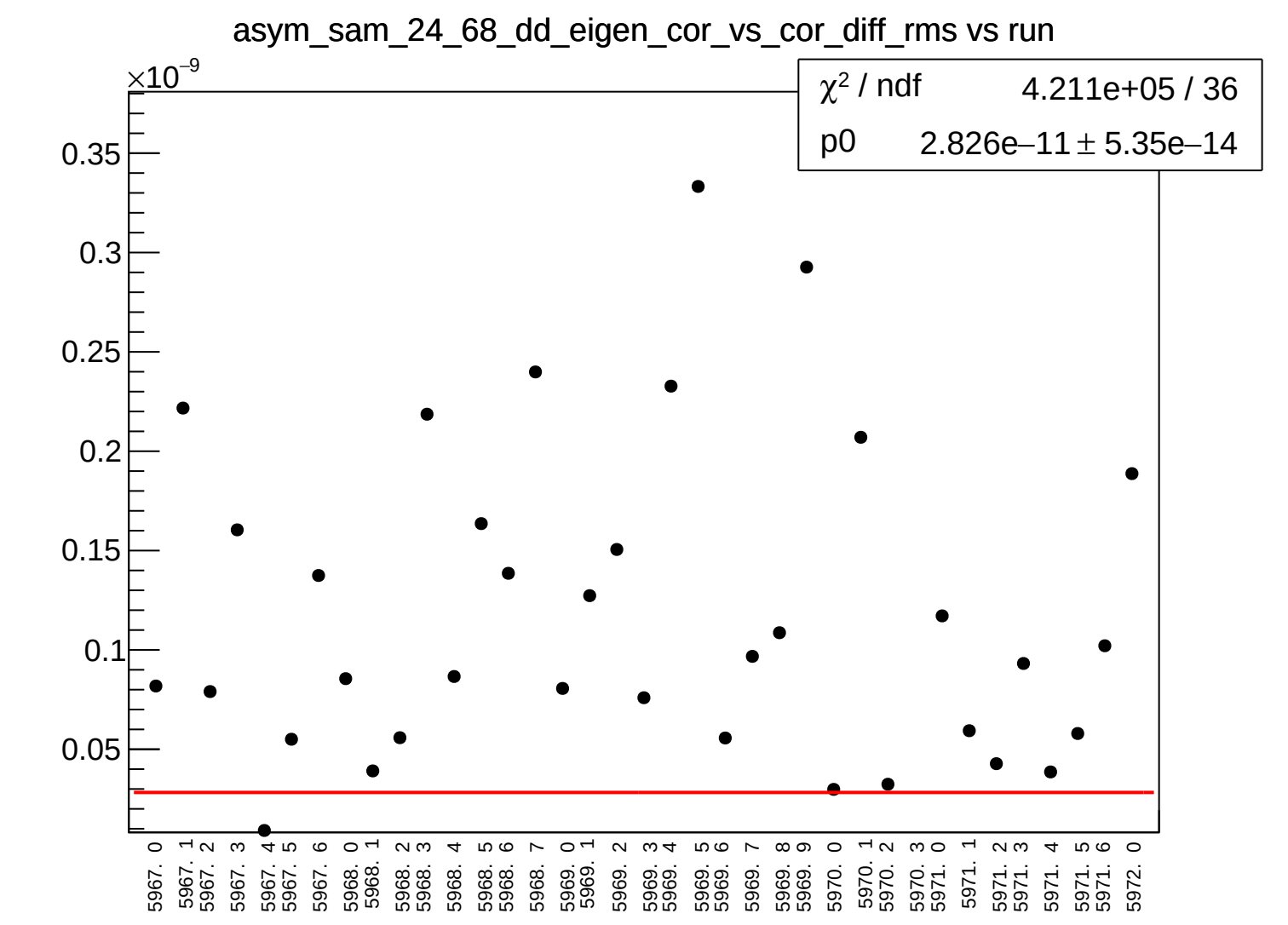
asym_sam_24_68_dd_eigen_cor_vs_cor_diff_rms vs run
×10⁻⁹
χ² / ndf 4.211e+05 / 36
p0 2.826e−11 ± 5.35e−14
0.35
0.3
0.25
0.2
0.15
0.1
0.05
5967. 0
5967. 1
5967. 2
5967. 3
5967. 4
5967. 5
5967. 6
5968. 0
5968. 1
5968. 2
5968. 3
5968. 4
5968. 5
5968. 6
5968. 7
5969. 0
5969. 1
5969. 2
5969. 3
5969. 4
5969. 5
5969. 6
5969. 7
5969. 8
5969. 9
5970. 0
5970. 1
5970. 2
5970. 3
5971. 0
5971. 1
5971. 2
5971. 3
5971. 4
5971. 5
5971. 6
5972. 0

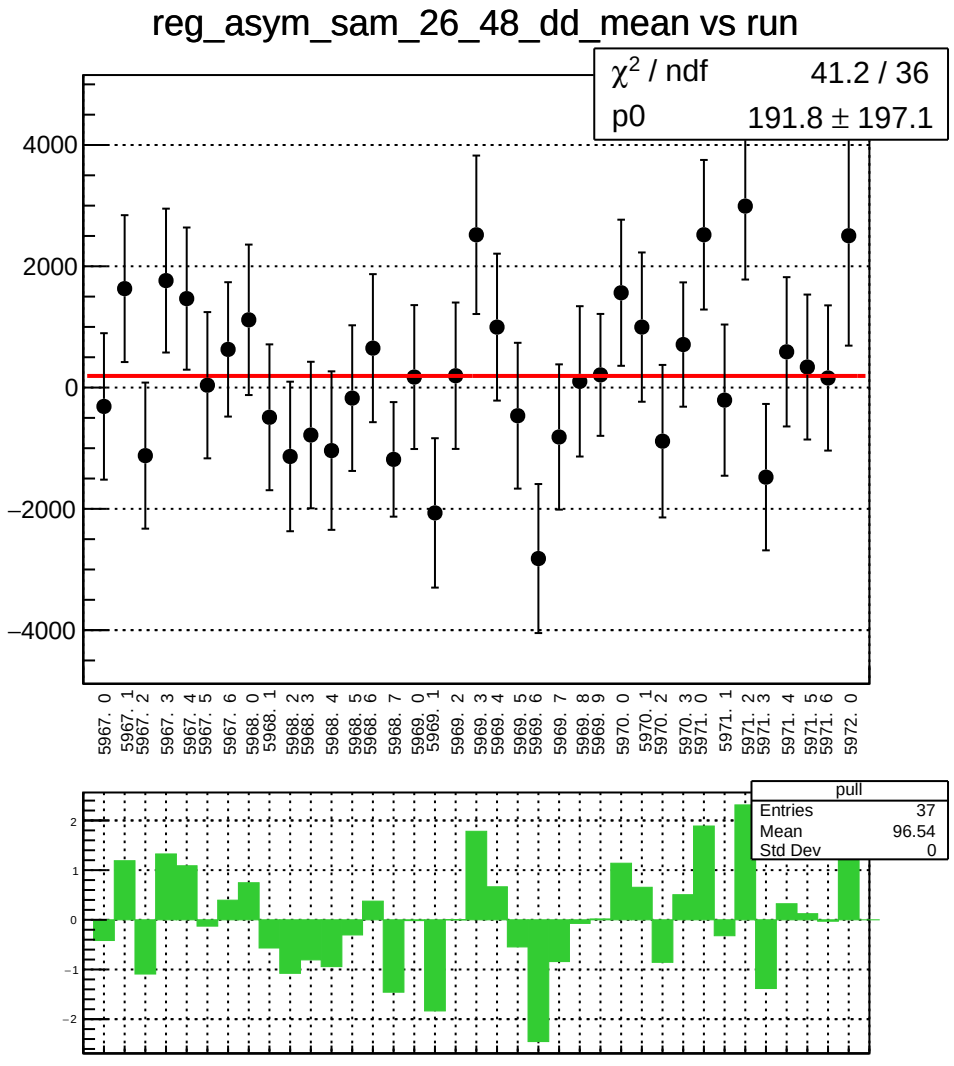
reg_asym_sam_26_48_dd_mean vs run
χ² / ndf 41.2 / 36
p0 191.8 ± 197.1
4000
2000
0
−2000
−4000
5967. 0
5967. 1
5967. 2
5967. 3
5967. 4
5967. 5
5967. 6
5968. 0
5968. 1
5968. 2
5968. 3
5968. 4
5968. 5
5968. 6
5968. 7
5969. 0
5969. 1
5969. 2
5969. 3
5969. 4
5969. 5
5969. 6
5969. 7
5969. 8
5969. 9
5970. 0
5970. 1
5970. 2
5970. 3
5971. 0
5971. 1
5971. 2
5971. 3
5971. 4
5971. 5
5971. 6
5972. 0
pull
Entries 37
Mean 96.54
Std Dev 0
2
1
0
−1
−2

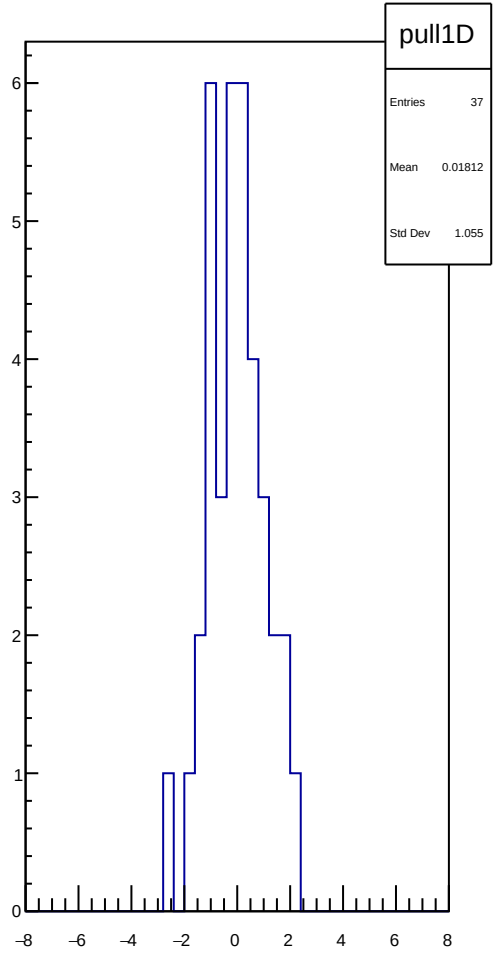
pull1D
Entries 37
Mean 0.01812
Std Dev 1.055
6
5
4
3
2
1
0
−8
−6
−4
−2
0
2
4
6
8

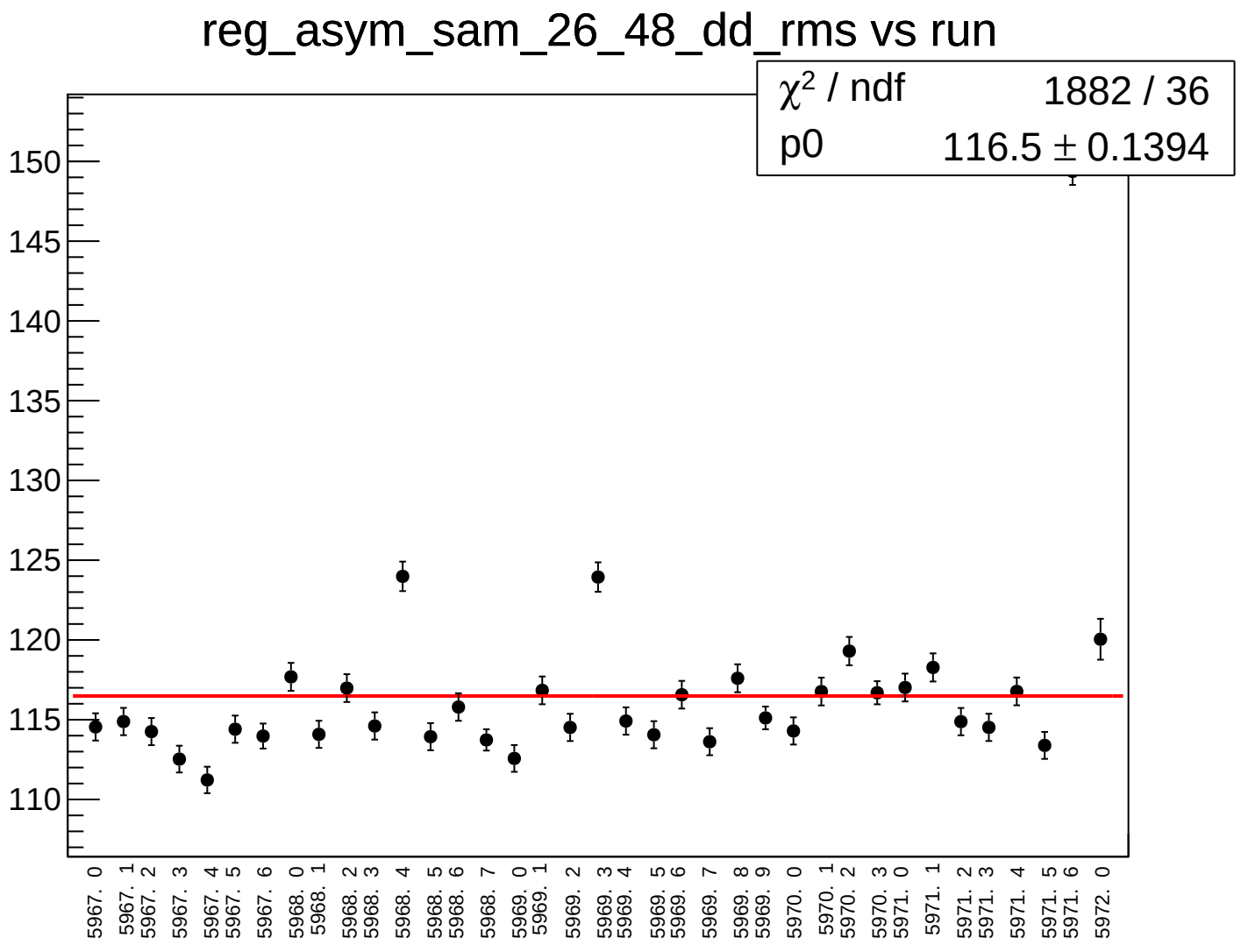
reg_asym_sam_26_48_dd_rms vs run
χ² / ndf 1882 / 36
p0 116.5 ± 0.1394
150
145
140
135
130
125
120
115
110
5967. 0
5967. 1
5967. 2
5967. 3
5967. 4
5967. 5
5967. 6
5968. 0
5968. 1
5968. 2
5968. 3
5968. 4
5968. 5
5968. 6
5968. 7
5969. 0
5969. 1
5969. 2
5969. 3
5969. 4
5969. 5
5969. 6
5969. 7
5969. 8
5969. 9
5970. 0
5970. 1
5970. 2
5970. 3
5971. 0
5971. 1
5971. 2
5971. 3
5971. 4
5971. 5
5971. 6
5972. 0

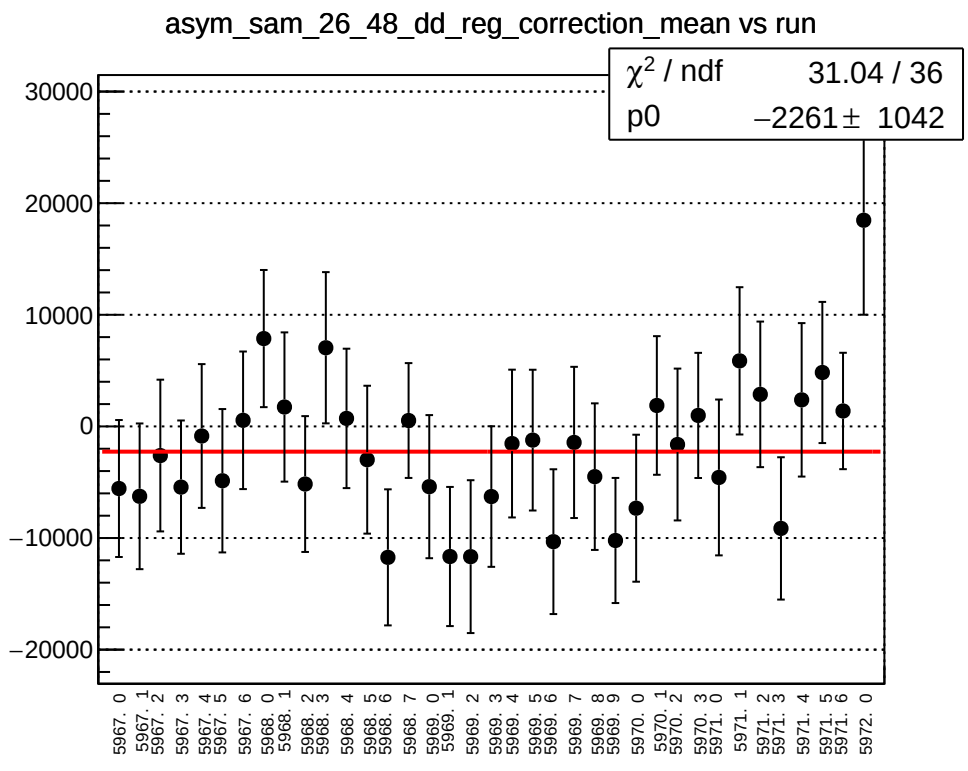
asym_sam_26_48_dd_reg_correction_mean vs run
χ² / ndf 31.04 / 36
p0 −2261 ± 1042
30000
20000
10000
0
−10000
−20000
5967. 0
5967. 1
5967. 2
5967. 3
5967. 4
5967. 5
5967. 6
5968. 0
5968. 1
5968. 2
5968. 3
5968. 4
5968. 5
5968. 6
5968. 7
5969. 0
5969. 1
5969. 2
5969. 3
5969. 4
5969. 5
5969. 6
5969. 7
5969. 8
5969. 9
5970. 0
5970. 1
5970. 2
5970. 3
5971. 0
5971. 1
5971. 2
5971. 3
5971. 4
5971. 5
5971. 6
5972. 0

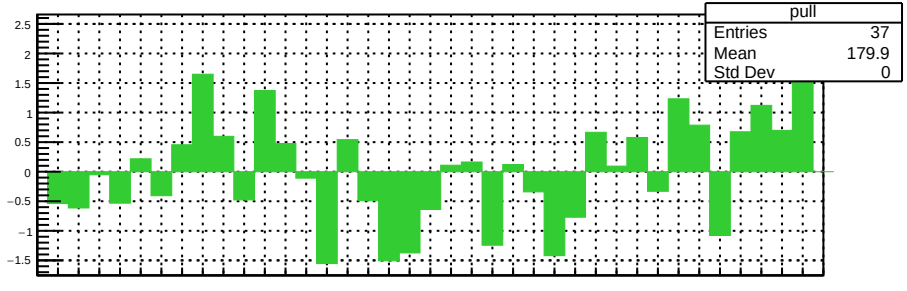
pull
Entries 37
Mean 179.9
Std Dev 0
2.5
2
1.5
1
0.5
0
−0.5
−1
−1.5

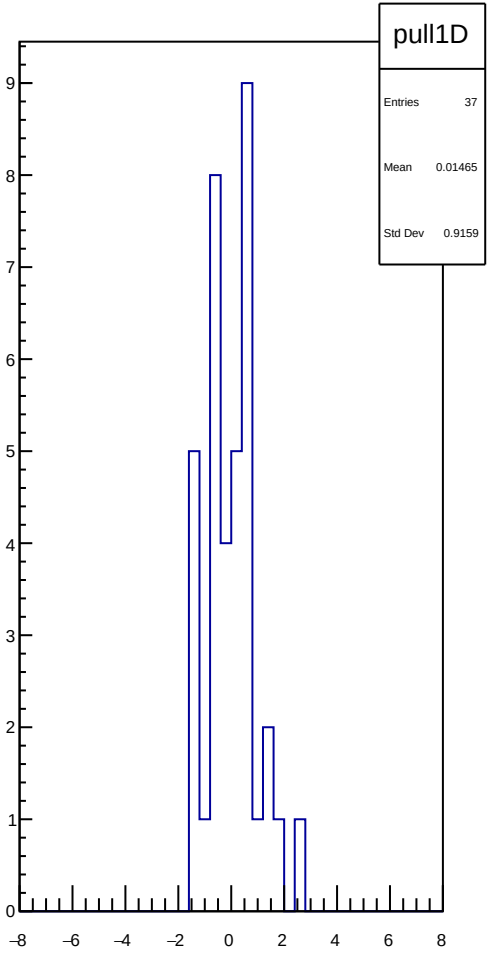
pull1D
Entries 37
Mean 0.01465
Std Dev 0.9159
9
8
7
6
5
4
3
2
1
0
−8
−6
−4
−2
0
2
4
6
8

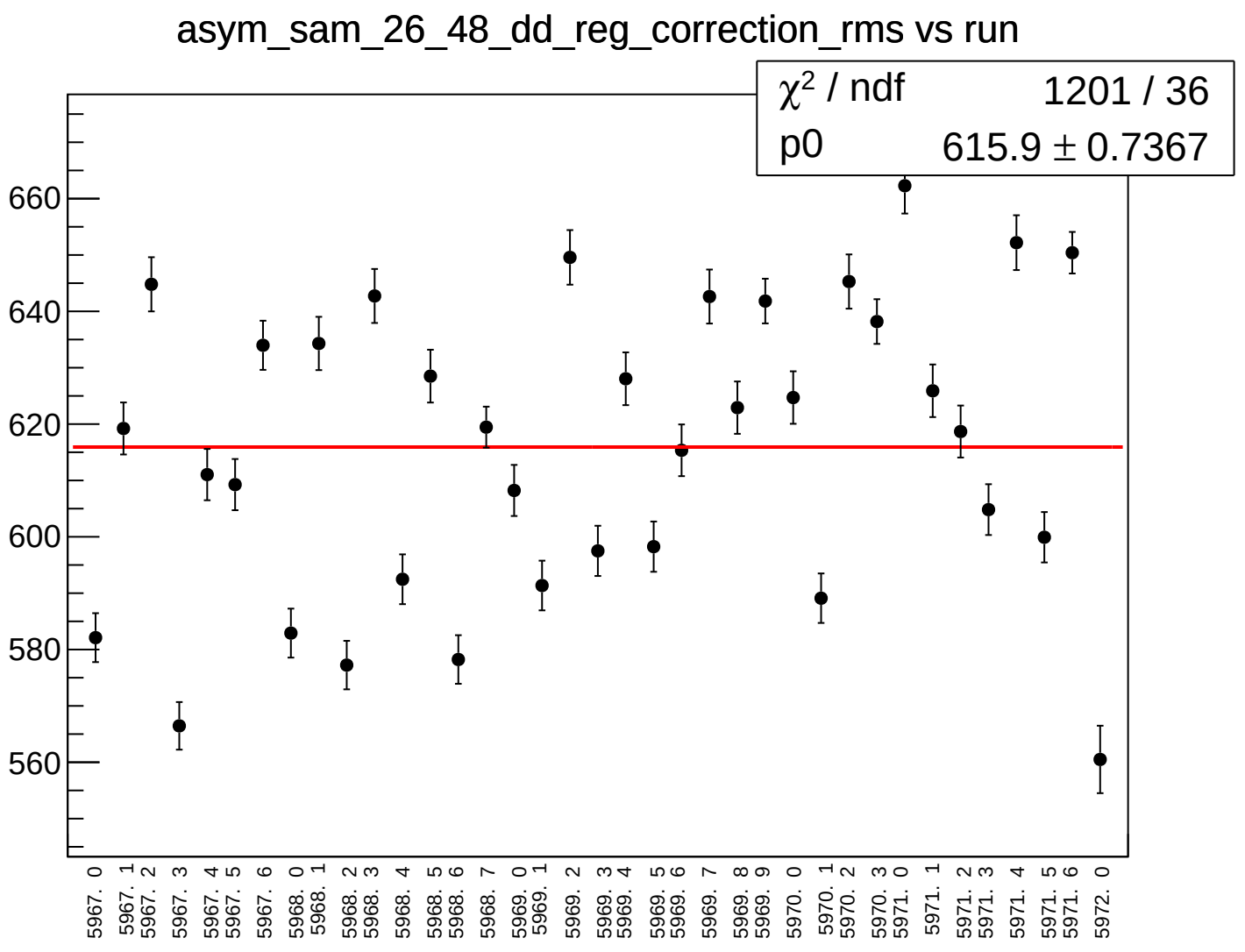
asym_sam_26_48_dd_reg_correction_rms vs run
χ² / ndf 1201 / 36
p0 615.9 ± 0.7367
660
640
620
600
580
560
5967. 0
5967. 1
5967. 2
5967. 3
5967. 4
5967. 5
5967. 6
5968. 0
5968. 1
5968. 2
5968. 3
5968. 4
5968. 5
5968. 6
5968. 7
5969. 0
5969. 1
5969. 2
5969. 3
5969. 4
5969. 5
5969. 6
5969. 7
5969. 8
5969. 9
5970. 0
5970. 1
5970. 2
5970. 3
5971. 0
5971. 1
5971. 2
5971. 3
5971. 4
5971. 5
5971. 6
5972. 0

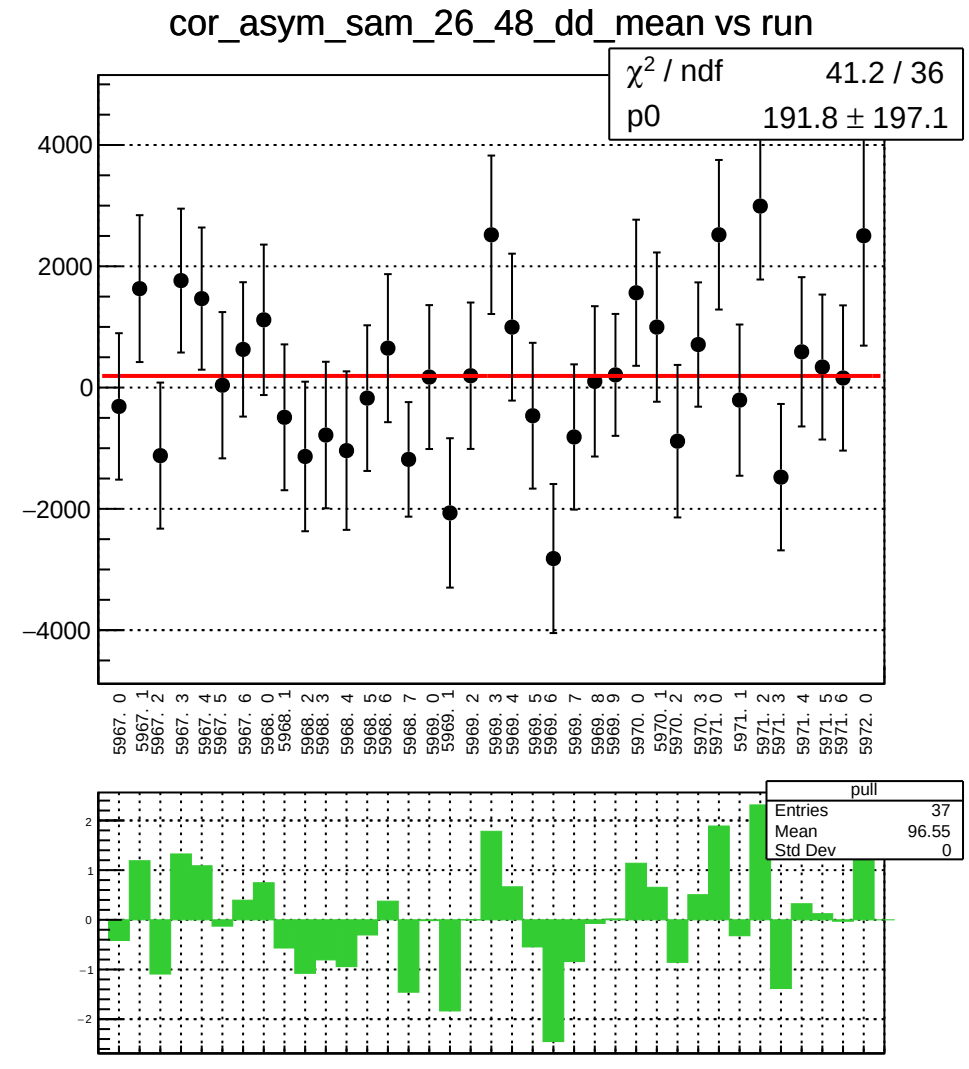
cor_asym_sam_26_48_dd_mean vs run
χ² / ndf 41.2 / 36
p0 191.8 ± 197.1
4000
2000
0
−2000
−4000
5967. 0
5967. 1
5967. 2
5967. 3
5967. 4
5967. 5
5967. 6
5968. 0
5968. 1
5968. 2
5968. 3
5968. 4
5968. 5
5968. 6
5968. 7
5969. 0
5969. 1
5969. 2
5969. 3
5969. 4
5969. 5
5969. 6
5969. 7
5969. 8
5969. 9
5970. 0
5970. 1
5970. 2
5970. 3
5971. 0
5971. 1
5971. 2
5971. 3
5971. 4
5971. 5
5971. 6
5972. 0
pull
Entries 37
Mean 96.55
Std Dev 0
2
1
0
−1
−2

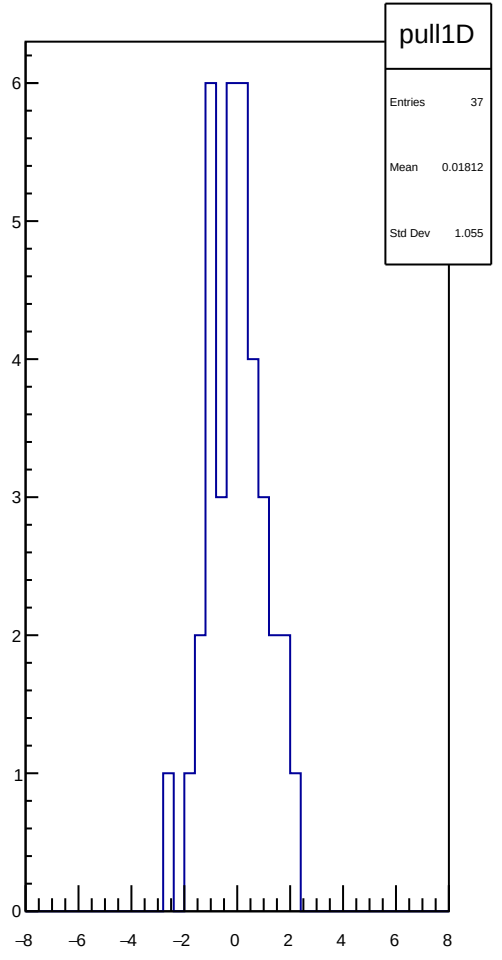
pull1D
Entries 37
Mean 0.01812
Std Dev 1.055
6
5
4
3
2
1
0
−8
−6
−4
−2
0
2
4
6
8

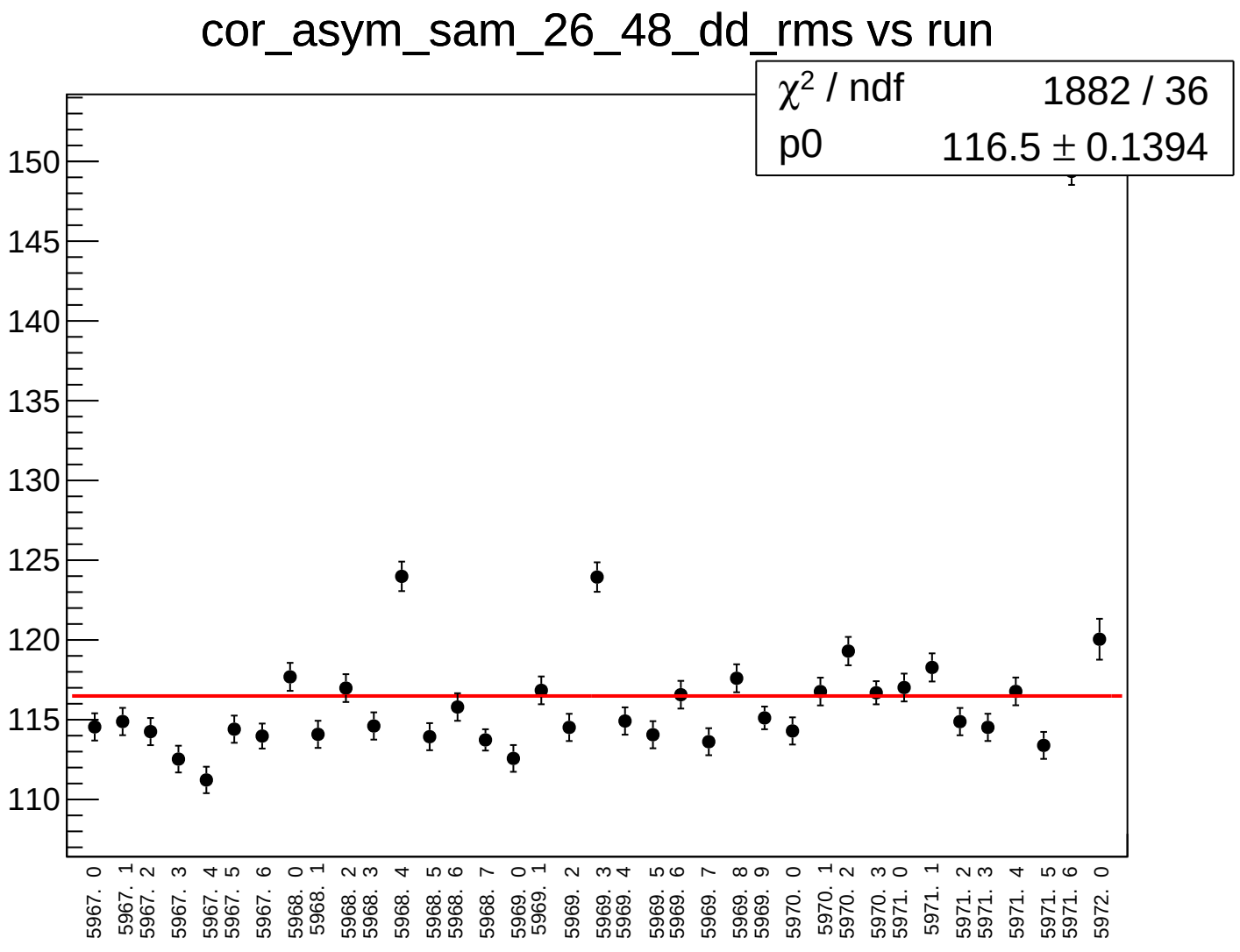
cor_asym_sam_26_48_dd_rms vs run
χ² / ndf 1882 / 36
p0 116.5 ± 0.1394
150
145
140
135
130
125
120
115
110
5967. 0
5967. 1
5967. 2
5967. 3
5967. 4
5967. 5
5967. 6
5968. 0
5968. 1
5968. 2
5968. 3
5968. 4
5968. 5
5968. 6
5968. 7
5969. 0
5969. 1
5969. 2
5969. 3
5969. 4
5969. 5
5969. 6
5969. 7
5969. 8
5969. 9
5970. 0
5970. 1
5970. 2
5970. 3
5971. 0
5971. 1
5971. 2
5971. 3
5971. 4
5971. 5
5971. 6
5972. 0

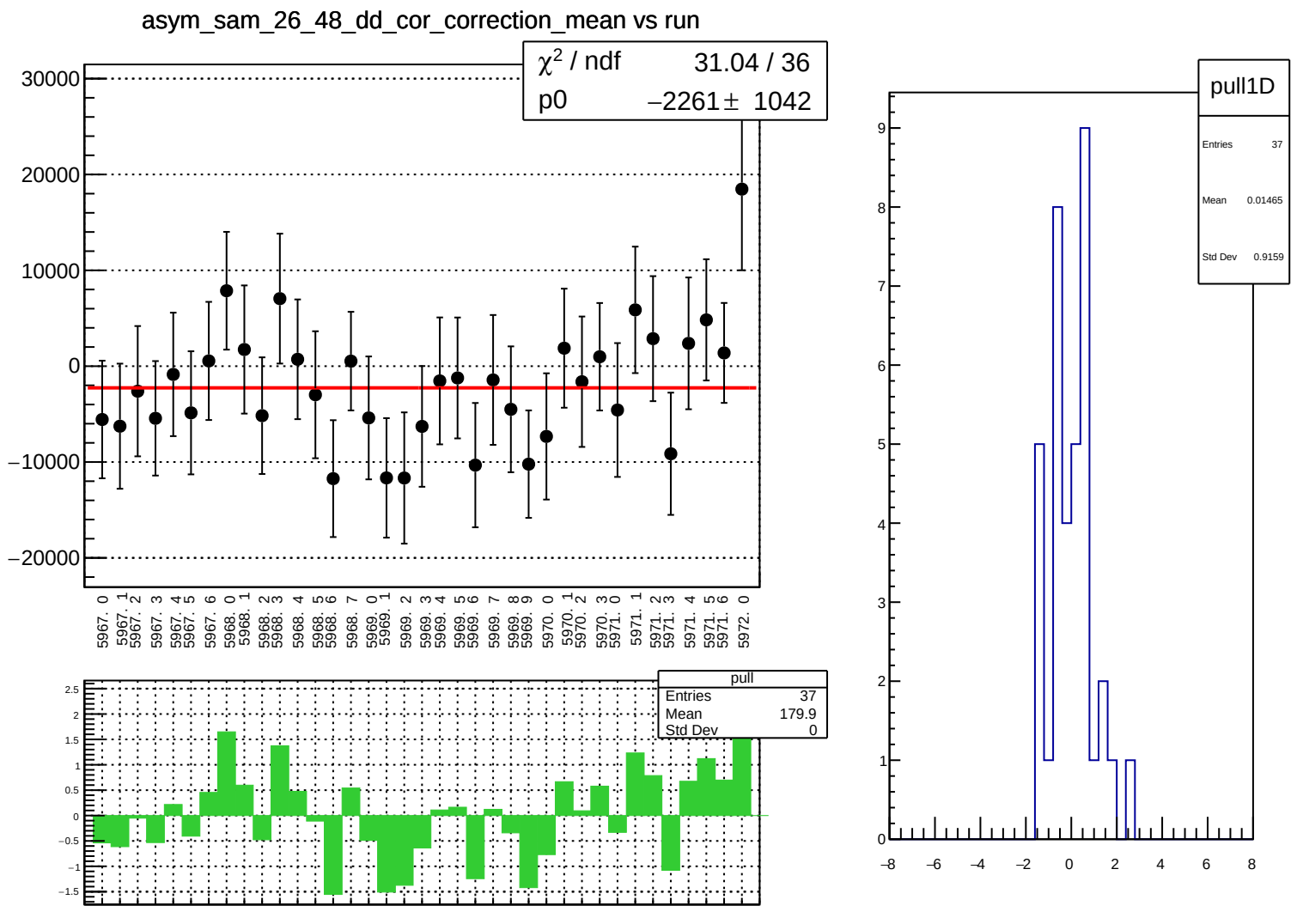
asym_sam_26_48_dd_cor_correction_mean vs run
χ² / ndf 31.04 / 36
p0 −2261 ± 1042
30000
20000
10000
0
−10000
−20000
5967. 0
5967. 1
5967. 2
5967. 3
5967. 4
5967. 5
5967. 6
5968. 0
5968. 1
5968. 2
5968. 3
5968. 4
5968. 5
5968. 6
5968. 7
5969. 0
5969. 1
5969. 2
5969. 3
5969. 4
5969. 5
5969. 6
5969. 7
5969. 8
5969. 9
5970. 0
5970. 1
5970. 2
5970. 3
5971. 0
5971. 1
5971. 2
5971. 3
5971. 4
5971. 5
5971. 6
5972. 0
pull
Entries 37
Mean 179.9
Std Dev 0
2.5
2
1.5
1
0.5
0
−0.5
−1
−1.5
pull1D
Entries 37
Mean 0.01465
Std Dev 0.9159
9
8
7
6
5
4
3
2
1
0
−8
−6
−4
−2
0
2
4
6
8

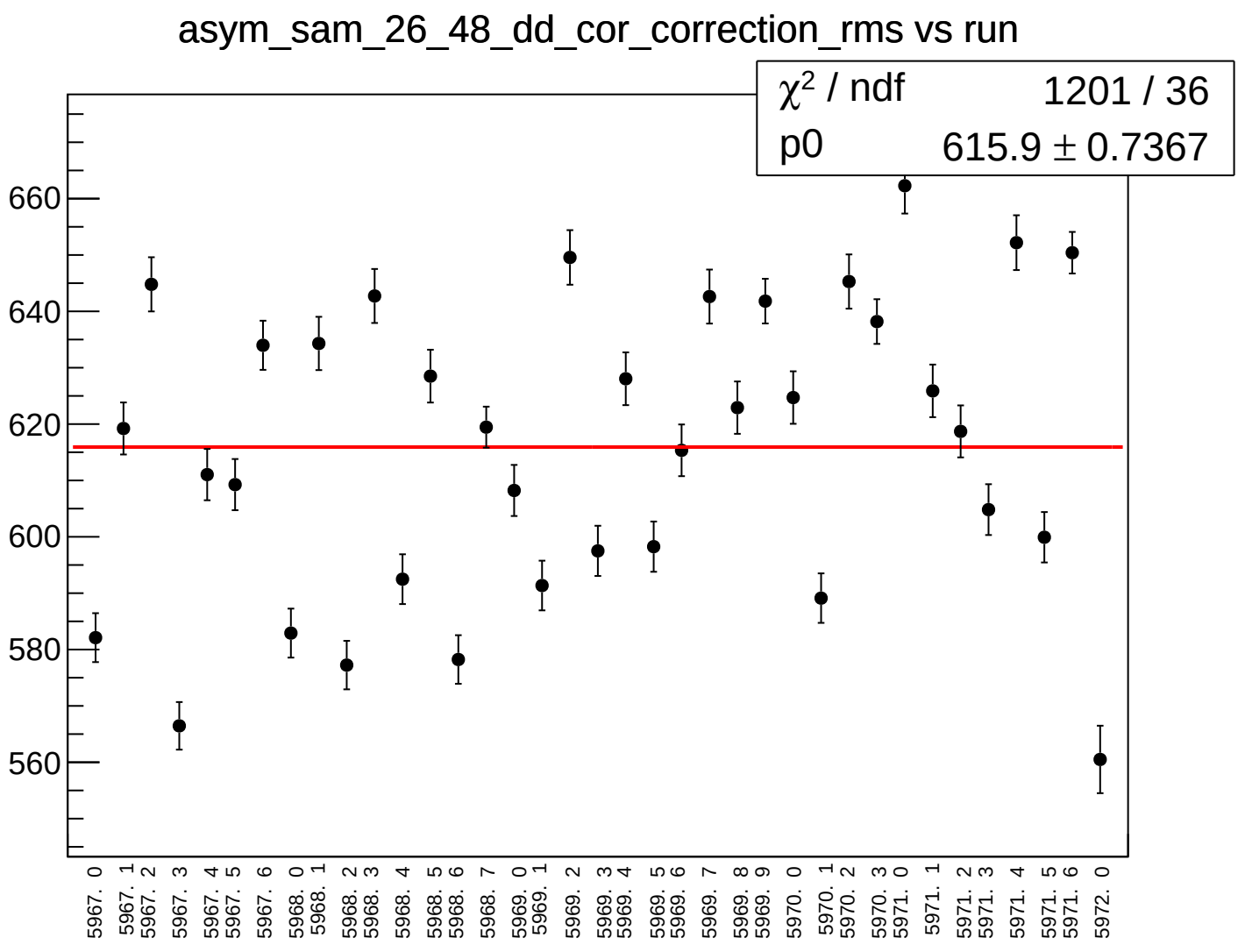
asym_sam_26_48_dd_cor_correction_rms vs run
χ² / ndf 1201 / 36
p0 615.9 ± 0.7367
660
640
620
600
580
560
5967. 0
5967. 1
5967. 2
5967. 3
5967. 4
5967. 5
5967. 6
5968. 0
5968. 1
5968. 2
5968. 3
5968. 4
5968. 5
5968. 6
5968. 7
5969. 0
5969. 1
5969. 2
5969. 3
5969. 4
5969. 5
5969. 6
5969. 7
5969. 8
5969. 9
5970. 0
5970. 1
5970. 2
5970. 3
5971. 0
5971. 1
5971. 2
5971. 3
5971. 4
5971. 5
5971. 6
5972. 0

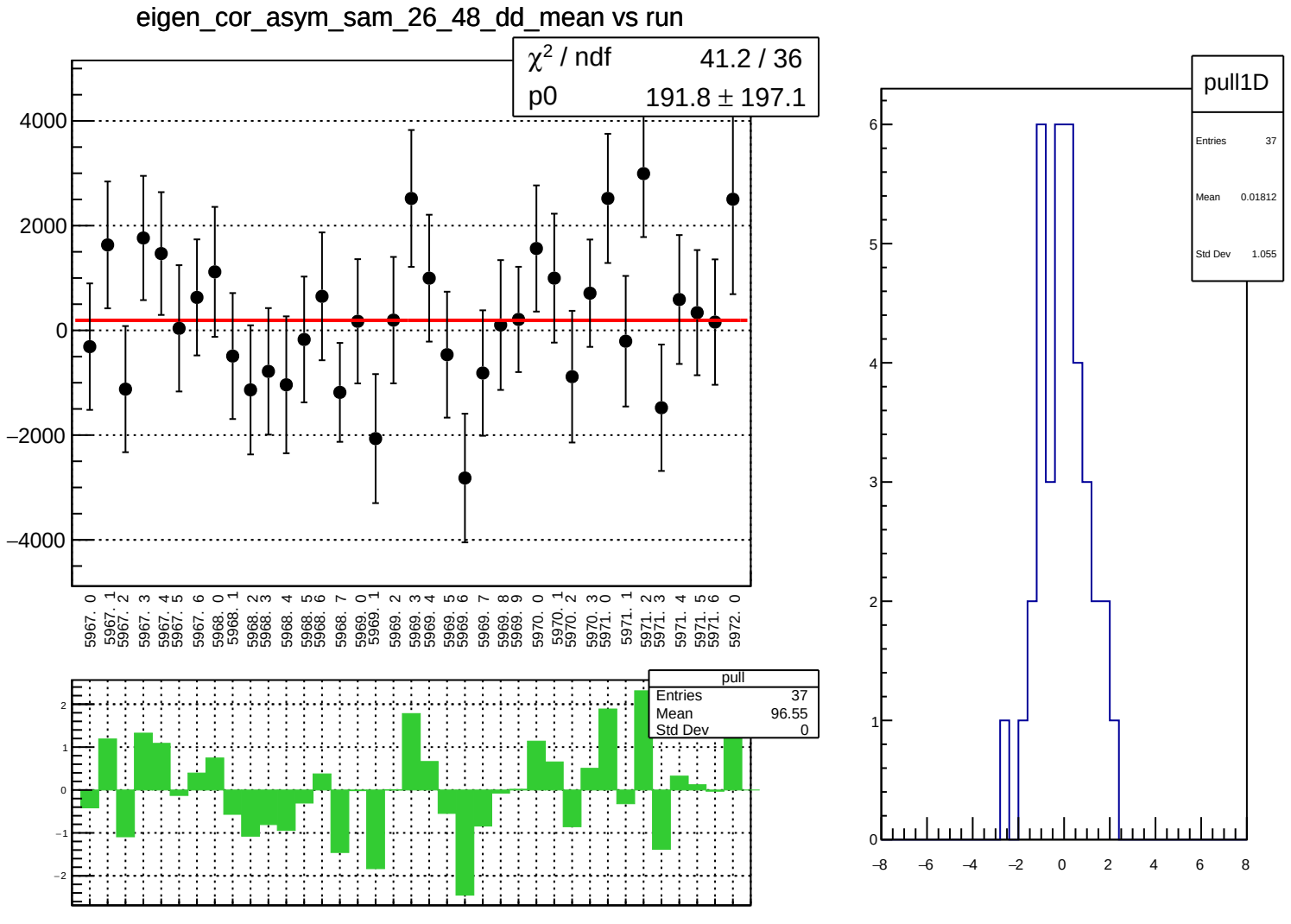
eigen_cor_asym_sam_26_48_dd_mean vs run
χ² / ndf 41.2 / 36
p0 191.8 ± 197.1
4000
2000
0
−2000
−4000
5967. 0
5967. 1
5967. 2
5967. 3
5967. 4
5967. 5
5967. 6
5968. 0
5968. 1
5968. 2
5968. 3
5968. 4
5968. 5
5968. 6
5968. 7
5969. 0
5969. 1
5969. 2
5969. 3
5969. 4
5969. 5
5969. 6
5969. 7
5969. 8
5969. 9
5970. 0
5970. 1
5970. 2
5970. 3
5971. 0
5971. 1
5971. 2
5971. 3
5971. 4
5971. 5
5971. 6
5972. 0
pull
Entries 37
Mean 96.55
Std Dev 0
2
1
0
−1
−2
pull1D
Entries 37
Mean 0.01812
Std Dev 1.055
6
5
4
3
2
1
0
−8
−6
−4
−2
0
2
4
6
8

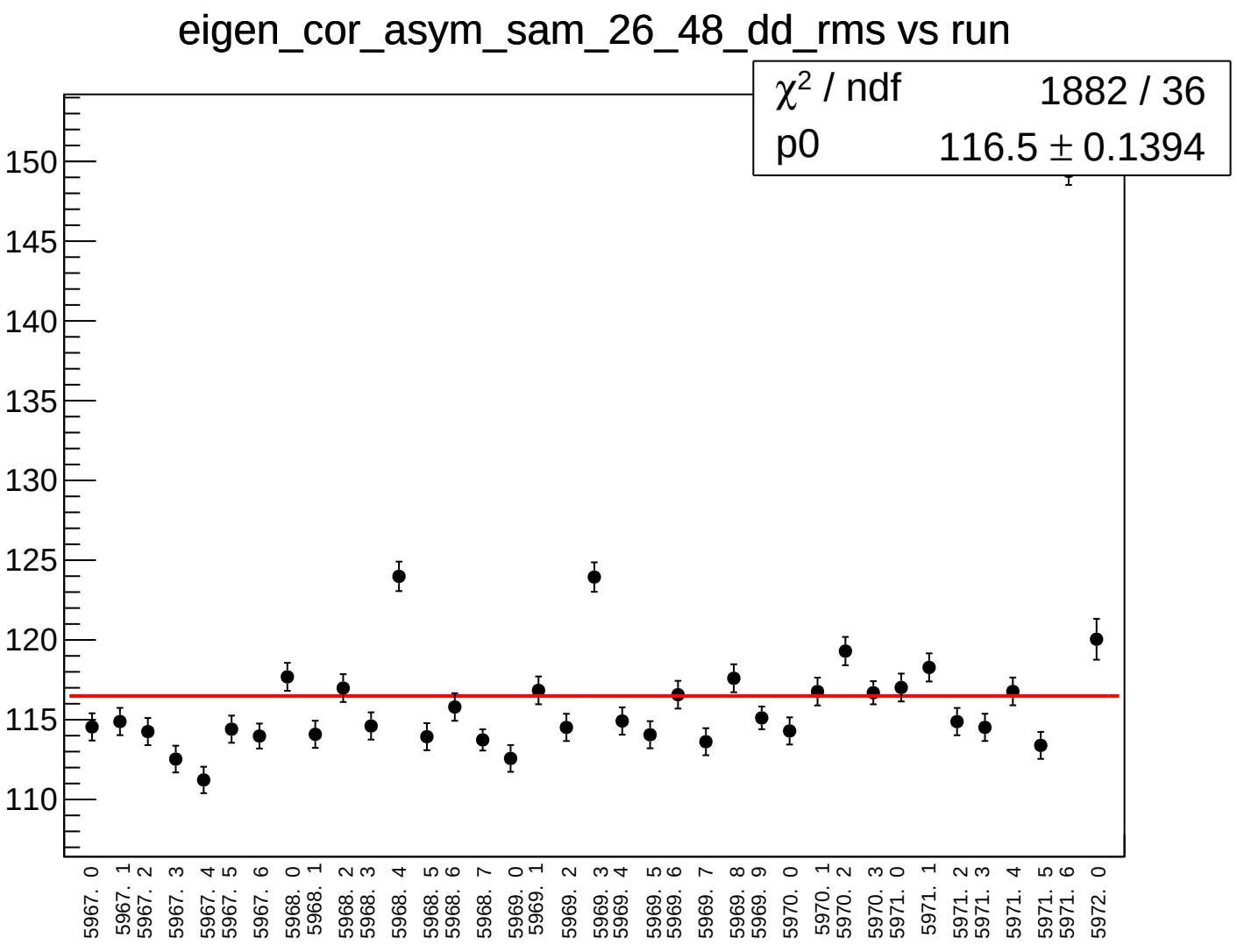
eigen_cor_asym_sam_26_48_dd_rms vs run
χ² / ndf 1882 / 36
p0 116.5 ± 0.1394
150
145
140
135
130
125
120
115
110
5967. 0
5967. 1
5967. 2
5967. 3
5967. 4
5967. 5
5967. 6
5968. 0
5968. 1
5968. 2
5968. 3
5968. 4
5968. 5
5968. 6
5968. 7
5969. 0
5969. 1
5969. 2
5969. 3
5969. 4
5969. 5
5969. 6
5969. 7
5969. 8
5969. 9
5970. 0
5970. 1
5970. 2
5970. 3
5971. 0
5971. 1
5971. 2
5971. 3
5971. 4
5971. 5
5971. 6
5972. 0

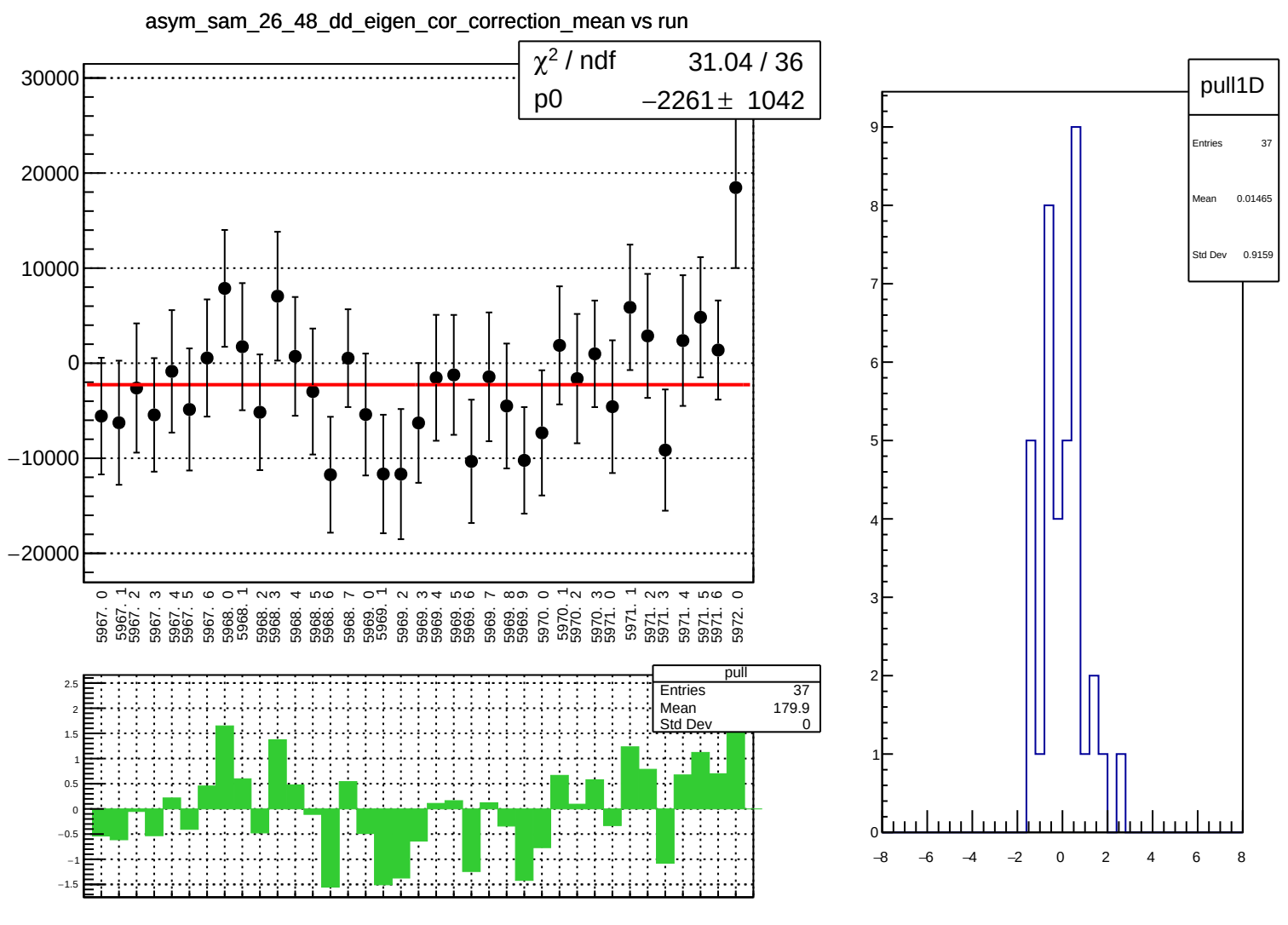
asym_sam_26_48_dd_eigen_cor_correction_mean vs run
χ² / ndf 31.04 / 36
p0 −2261 ± 1042
30000
20000
10000
0
−10000
−20000
5967. 0
5967. 1
5967. 2
5967. 3
5967. 4
5967. 5
5967. 6
5968. 0
5968. 1
5968. 2
5968. 3
5968. 4
5968. 5
5968. 6
5968. 7
5969. 0
5969. 1
5969. 2
5969. 3
5969. 4
5969. 5
5969. 6
5969. 7
5969. 8
5969. 9
5970. 0
5970. 1
5970. 2
5970. 3
5971. 0
5971. 1
5971. 2
5971. 3
5971. 4
5971. 5
5971. 6
5972. 0
pull
Entries 37
Mean 179.9
Std Dev 0
2.5
2
1.5
1
0.5
0
−0.5
−1
−1.5
pull1D
Entries 37
Mean 0.01465
Std Dev 0.9159
9
8
7
6
5
4
3
2
1
0
−8
−6
−4
−2
0
2
4
6
8

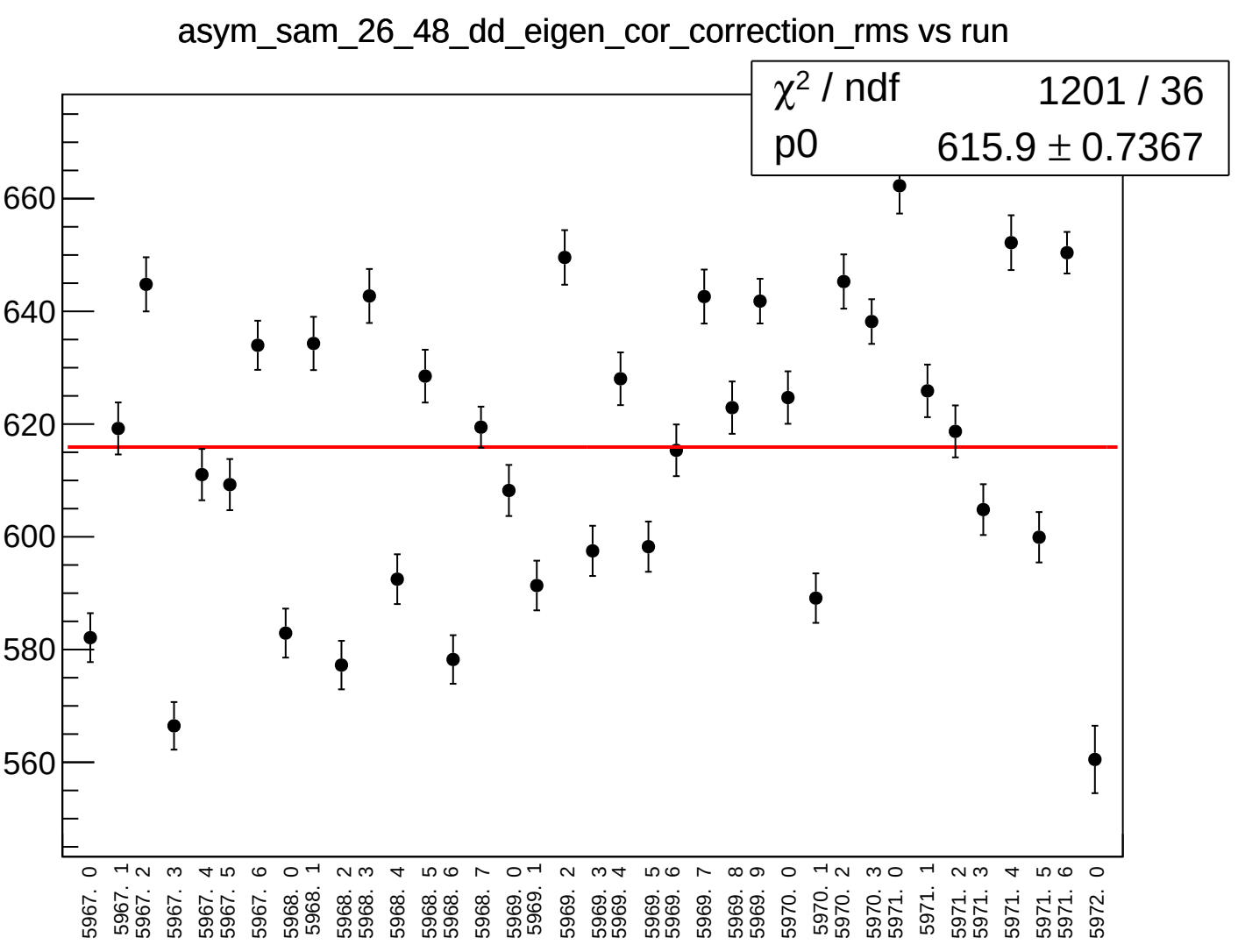
asym_sam_26_48_dd_eigen_cor_correction_rms vs run
χ² / ndf 1201 / 36
p0 615.9 ± 0.7367
660
640
620
600
580
560
5967. 0
5967. 1
5967. 2
5967. 3
5967. 4
5967. 5
5967. 6
5968. 0
5968. 1
5968. 2
5968. 3
5968. 4
5968. 5
5968. 6
5968. 7
5969. 0
5969. 1
5969. 2
5969. 3
5969. 4
5969. 5
5969. 6
5969. 7
5969. 8
5969. 9
5970. 0
5970. 1
5970. 2
5970. 3
5971. 0
5971. 1
5971. 2
5971. 3
5971. 4
5971. 5
5971. 6
5972. 0

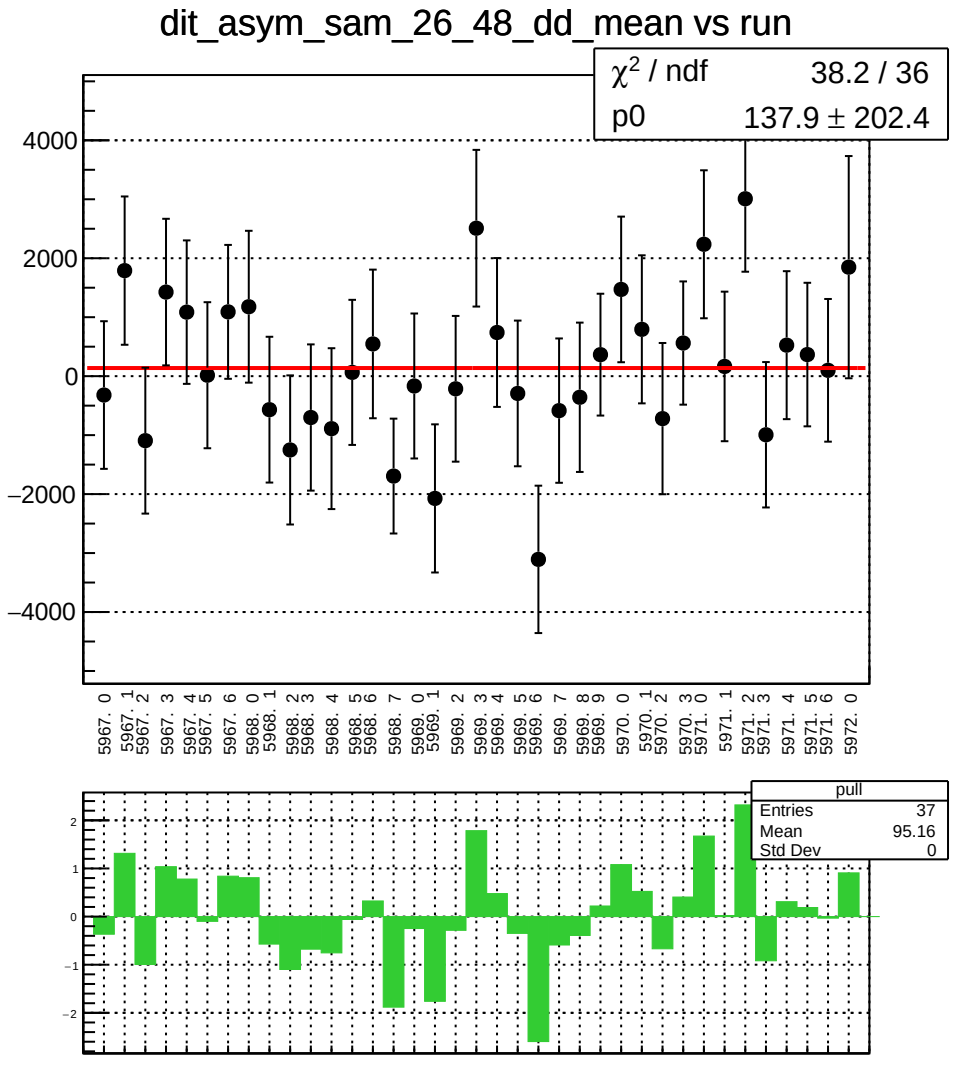
dit_asym_sam_26_48_dd_mean vs run
χ² / ndf 38.2 / 36
p0 137.9 ± 202.4
4000
2000
0
−2000
−4000
5967. 0
5967. 1
5967. 2
5967. 3
5967. 4
5967. 5
5967. 6
5968. 0
5968. 1
5968. 2
5968. 3
5968. 4
5968. 5
5968. 6
5968. 7
5969. 0
5969. 1
5969. 2
5969. 3
5969. 4
5969. 5
5969. 6
5969. 7
5969. 8
5969. 9
5970. 0
5970. 1
5970. 2
5970. 3
5971. 0
5971. 1
5971. 2
5971. 3
5971. 4
5971. 5
5971. 6
5972. 0
pull
Entries 37
Mean 95.16
Std Dev 0
2
1
0
−1
−2

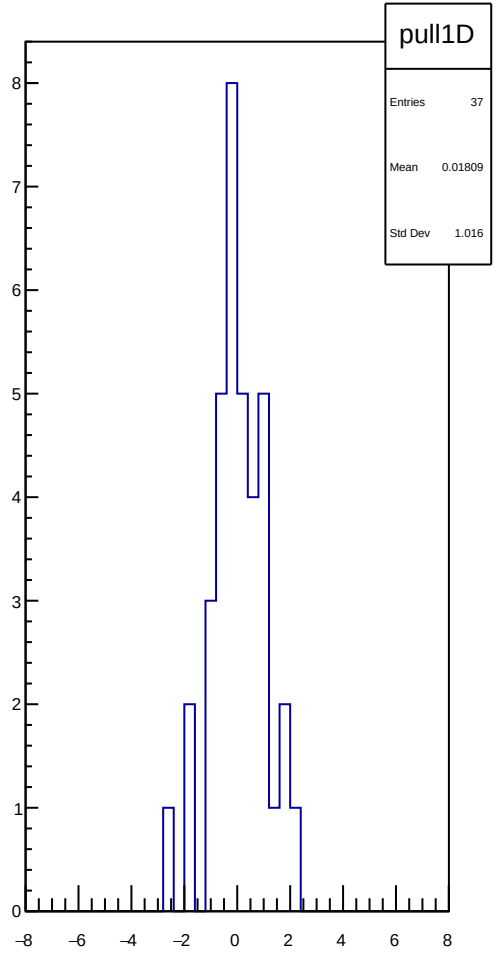
pull1D
Entries 37
Mean 0.01809
Std Dev 1.016
8
7
6
5
4
3
2
1
0
−8
−6
−4
−2
0
2
4
6
8

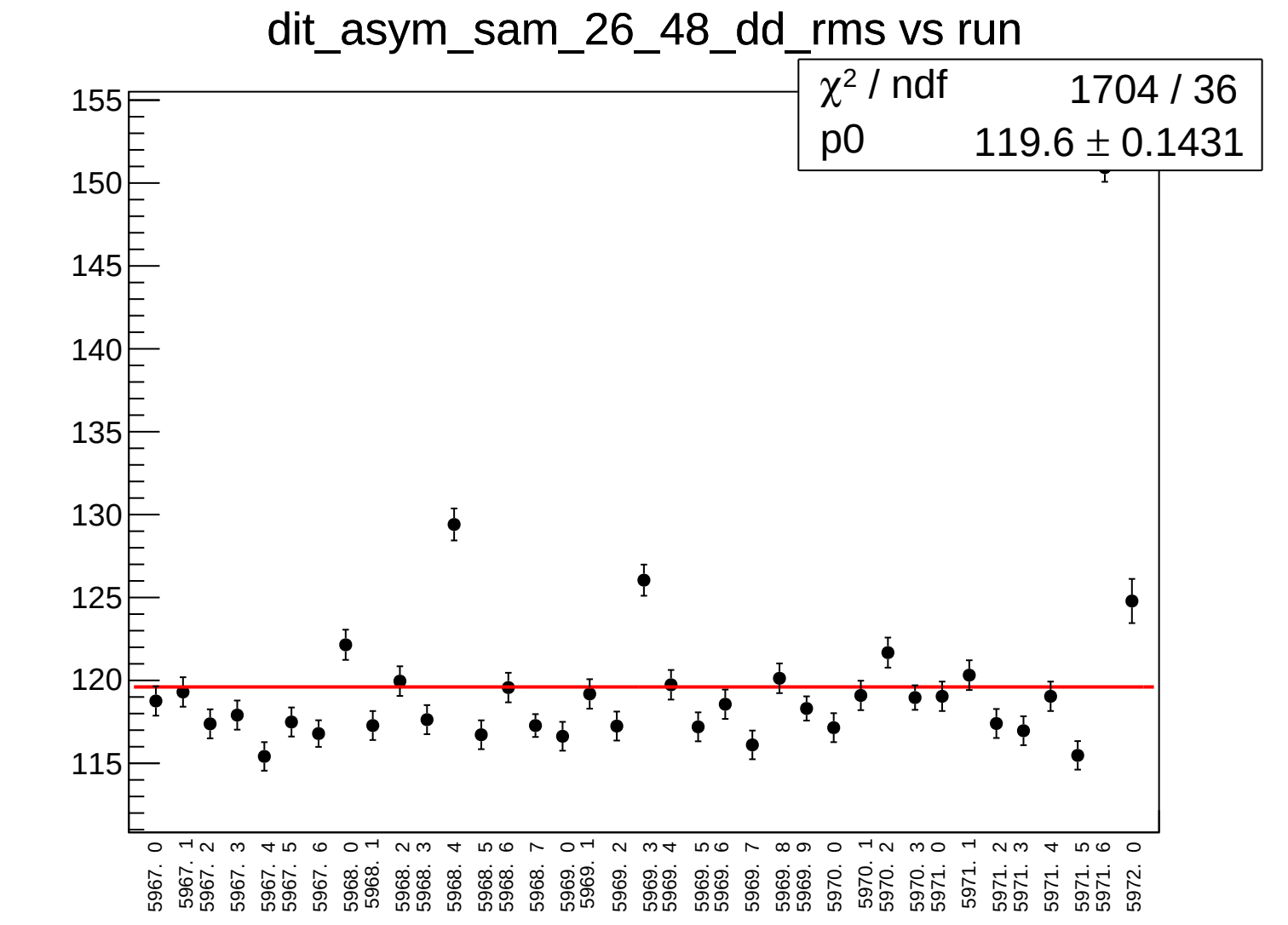
dit_asym_sam_26_48_dd_rms vs run
χ² / ndf 1704 / 36
p0 119.6 ± 0.1431
155
150
145
140
135
130
125
120
115
5967. 0
5967. 1
5967. 2
5967. 3
5967. 4
5967. 5
5967. 6
5968. 0
5968. 1
5968. 2
5968. 3
5968. 4
5968. 5
5968. 6
5968. 7
5969. 0
5969. 1
5969. 2
5969. 3
5969. 4
5969. 5
5969. 6
5969. 7
5969. 8
5969. 9
5970. 0
5970. 1
5970. 2
5970. 3
5971. 0
5971. 1
5971. 2
5971. 3
5971. 4
5971. 5
5971. 6
5972. 0

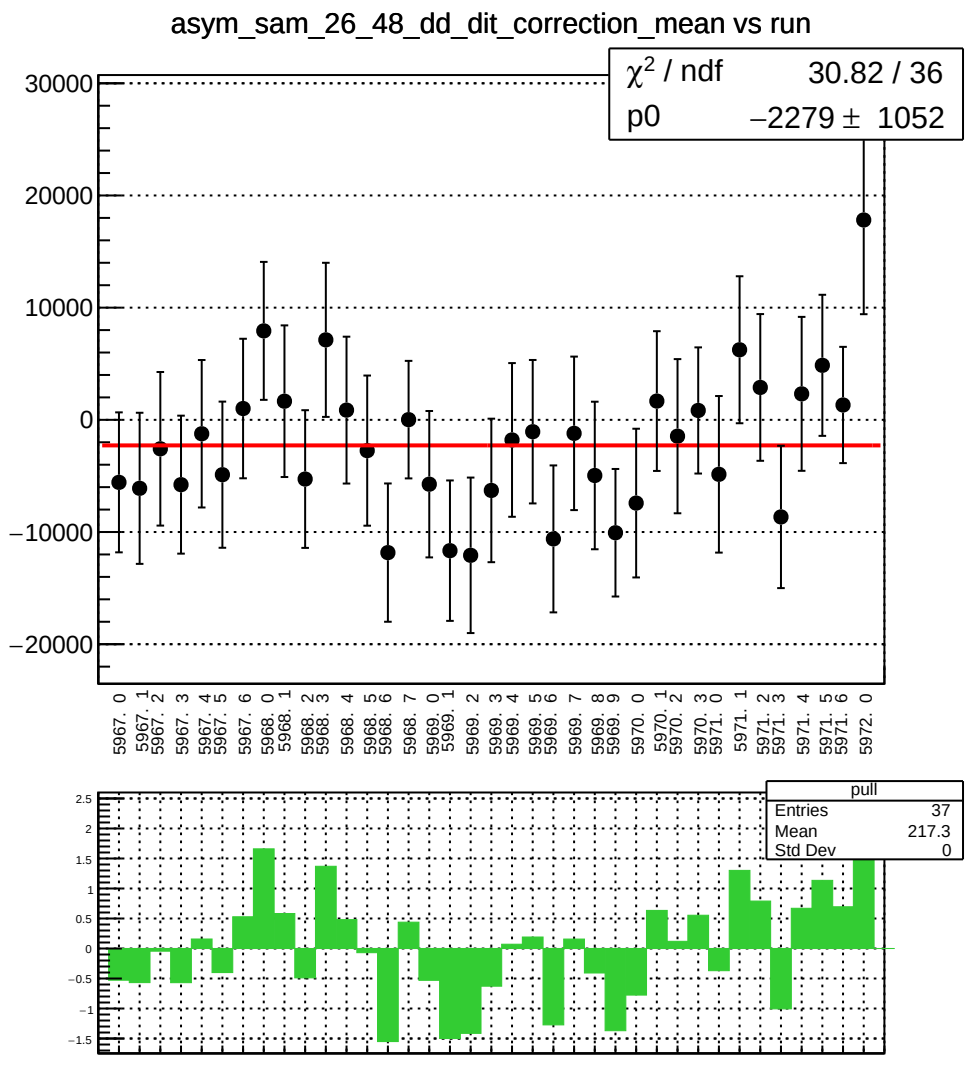
asym_sam_26_48_dd_dit_correction_mean vs run
χ² / ndf 30.82 / 36
p0 −2279 ± 1052
30000
20000
10000
0
−10000
−20000
5967. 0
5967. 1
5967. 2
5967. 3
5967. 4
5967. 5
5967. 6
5968. 0
5968. 1
5968. 2
5968. 3
5968. 4
5968. 5
5968. 6
5968. 7
5969. 0
5969. 1
5969. 2
5969. 3
5969. 4
5969. 5
5969. 6
5969. 7
5969. 8
5969. 9
5970. 0
5970. 1
5970. 2
5970. 3
5971. 0
5971. 1
5971. 2
5971. 3
5971. 4
5971. 5
5971. 6
5972. 0
pull
Entries 37
Mean 217.3
Std Dev 0
2.5
2
1.5
1
0.5
0
−0.5
−1
−1.5
pull1D
Entries 37
Mean 0.01191
Std Dev 0.9126
9
8
7
6
5
4
3
2
1
0
−8
−6
−4
−2
0
2
4
6
8

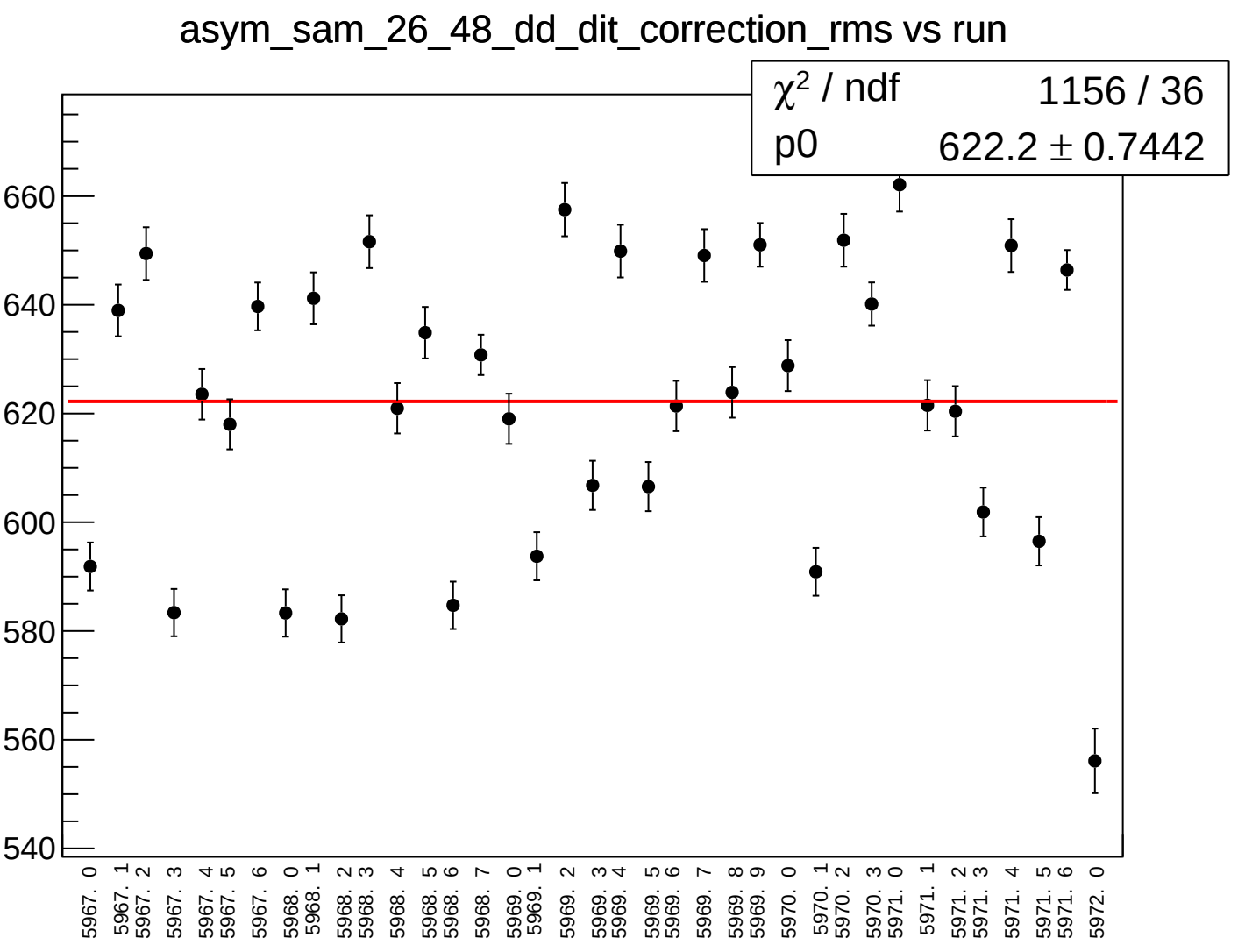
asym_sam_26_48_dd_dit_correction_rms vs run
χ² / ndf 1156 / 36
p0 622.2 ± 0.7442
660
640
620
600
580
560
540
5967. 0
5967. 1
5967. 2
5967. 3
5967. 4
5967. 5
5967. 6
5968. 0
5968. 1
5968. 2
5968. 3
5968. 4
5968. 5
5968. 6
5968. 7
5969. 0
5969. 1
5969. 2
5969. 3
5969. 4
5969. 5
5969. 6
5969. 7
5969. 8
5969. 9
5970. 0
5970. 1
5970. 2
5970. 3
5971. 0
5971. 1
5971. 2
5971. 3
5971. 4
5971. 5
5971. 6
5972. 0

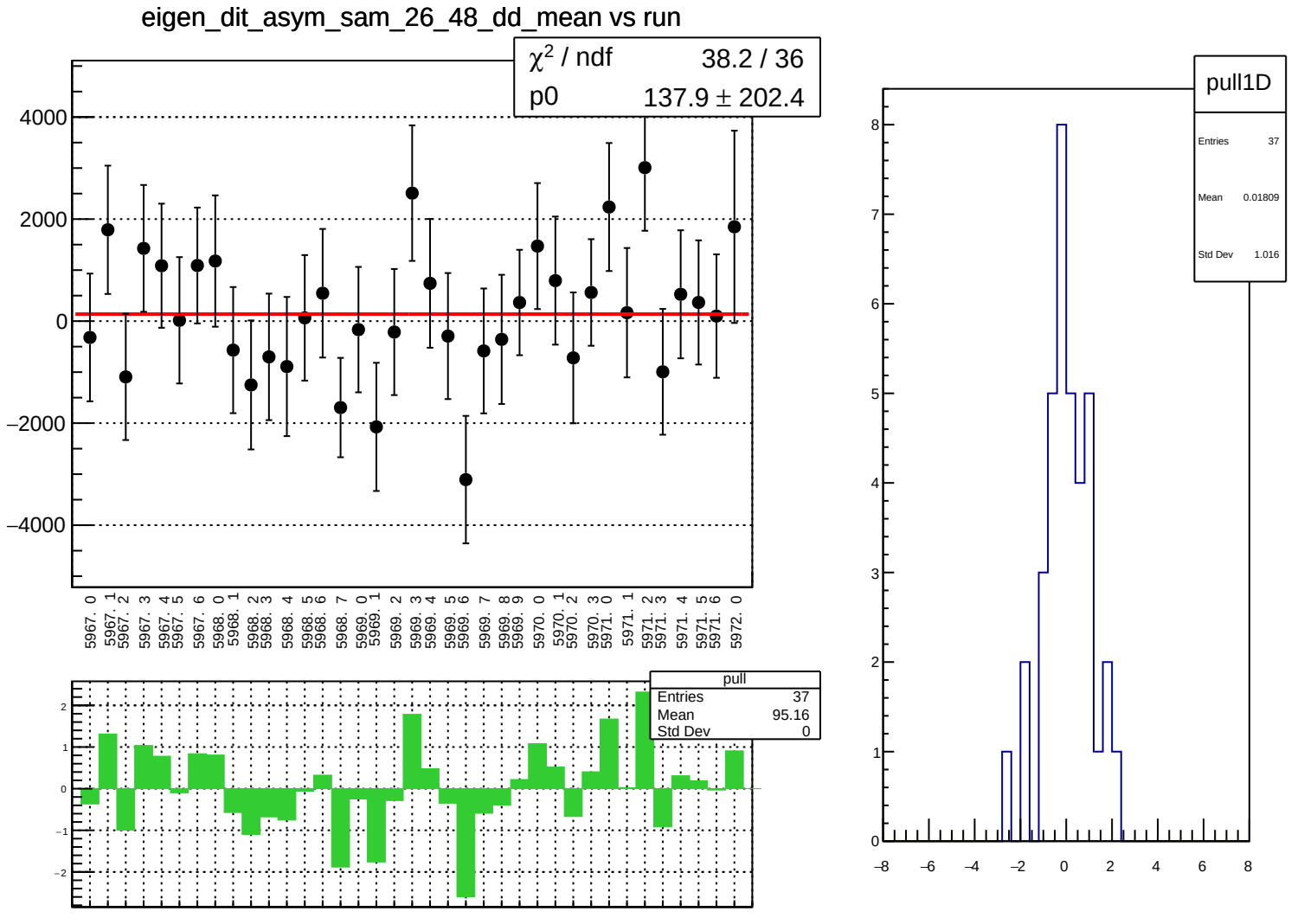
eigen_dit_asym_sam_26_48_dd_mean vs run
χ² / ndf 38.2 / 36
p0 137.9 ± 202.4
4000
2000
0
−2000
−4000
5967. 0
5967. 1
5967. 2
5967. 3
5967. 4
5967. 5
5967. 6
5968. 0
5968. 1
5968. 2
5968. 3
5968. 4
5968. 5
5968. 6
5968. 7
5969. 0
5969. 1
5969. 2
5969. 3
5969. 4
5969. 5
5969. 6
5969. 7
5969. 8
5969. 9
5970. 0
5970. 1
5970. 2
5970. 3
5971. 0
5971. 1
5971. 2
5971. 3
5971. 4
5971. 5
5971. 6
5972. 0
pull
Entries 37
Mean 95.16
Std Dev 0
2
1
0
−1
−2
pull1D
Entries 37
Mean 0.01809
Std Dev 1.016
8
7
6
5
4
3
2
1
0
−8
−6
−4
−2
0
2
4
6
8

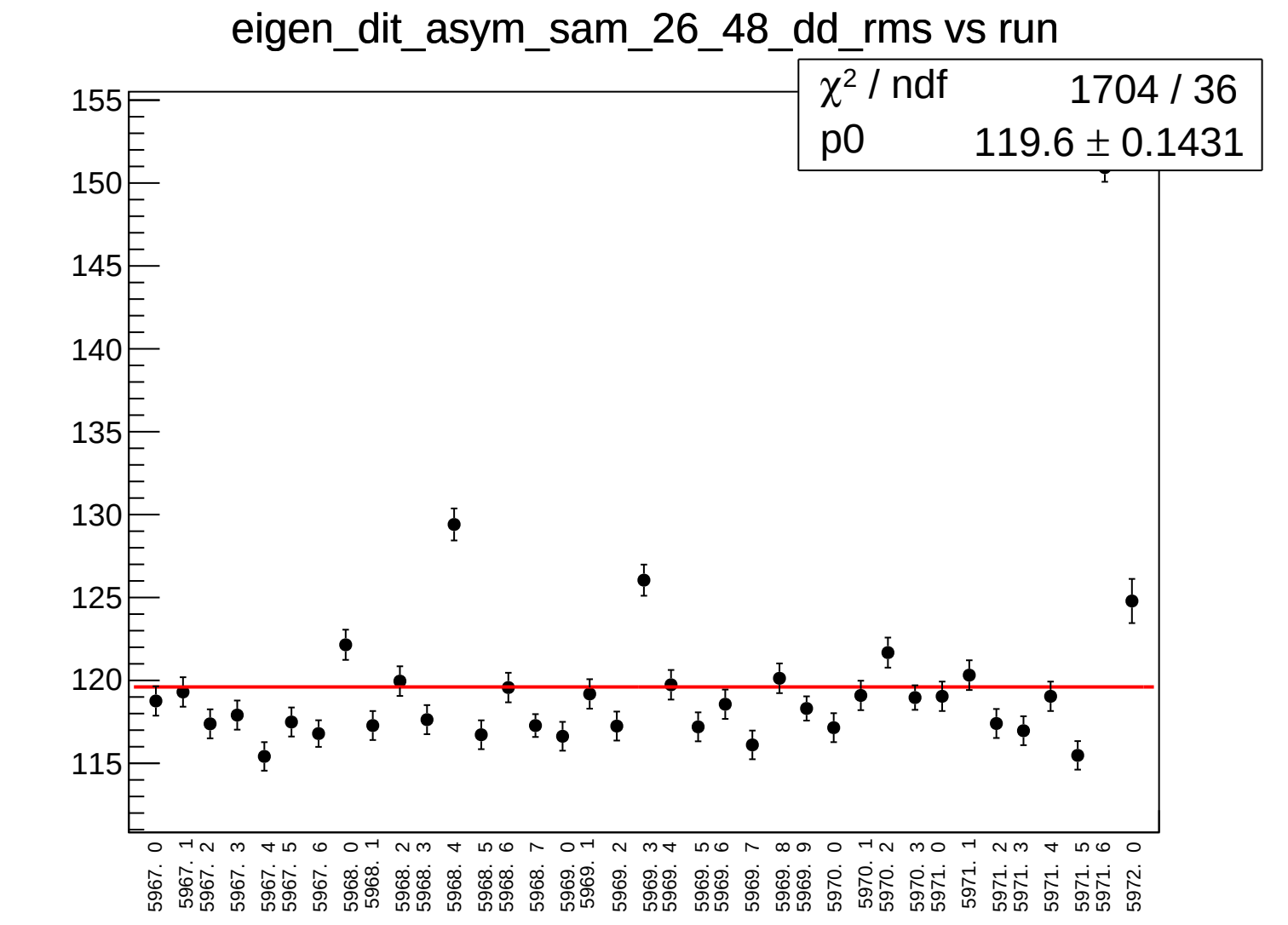
eigen_dit_asym_sam_26_48_dd_rms vs run
χ² / ndf 1704 / 36
p0 119.6 ± 0.1431
155
150
145
140
135
130
125
120
115
5967. 0
5967. 1
5967. 2
5967. 3
5967. 4
5967. 5
5967. 6
5968. 0
5968. 1
5968. 2
5968. 3
5968. 4
5968. 5
5968. 6
5968. 7
5969. 0
5969. 1
5969. 2
5969. 3
5969. 4
5969. 5
5969. 6
5969. 7
5969. 8
5969. 9
5970. 0
5970. 1
5970. 2
5970. 3
5971. 0
5971. 1
5971. 2
5971. 3
5971. 4
5971. 5
5971. 6
5972. 0

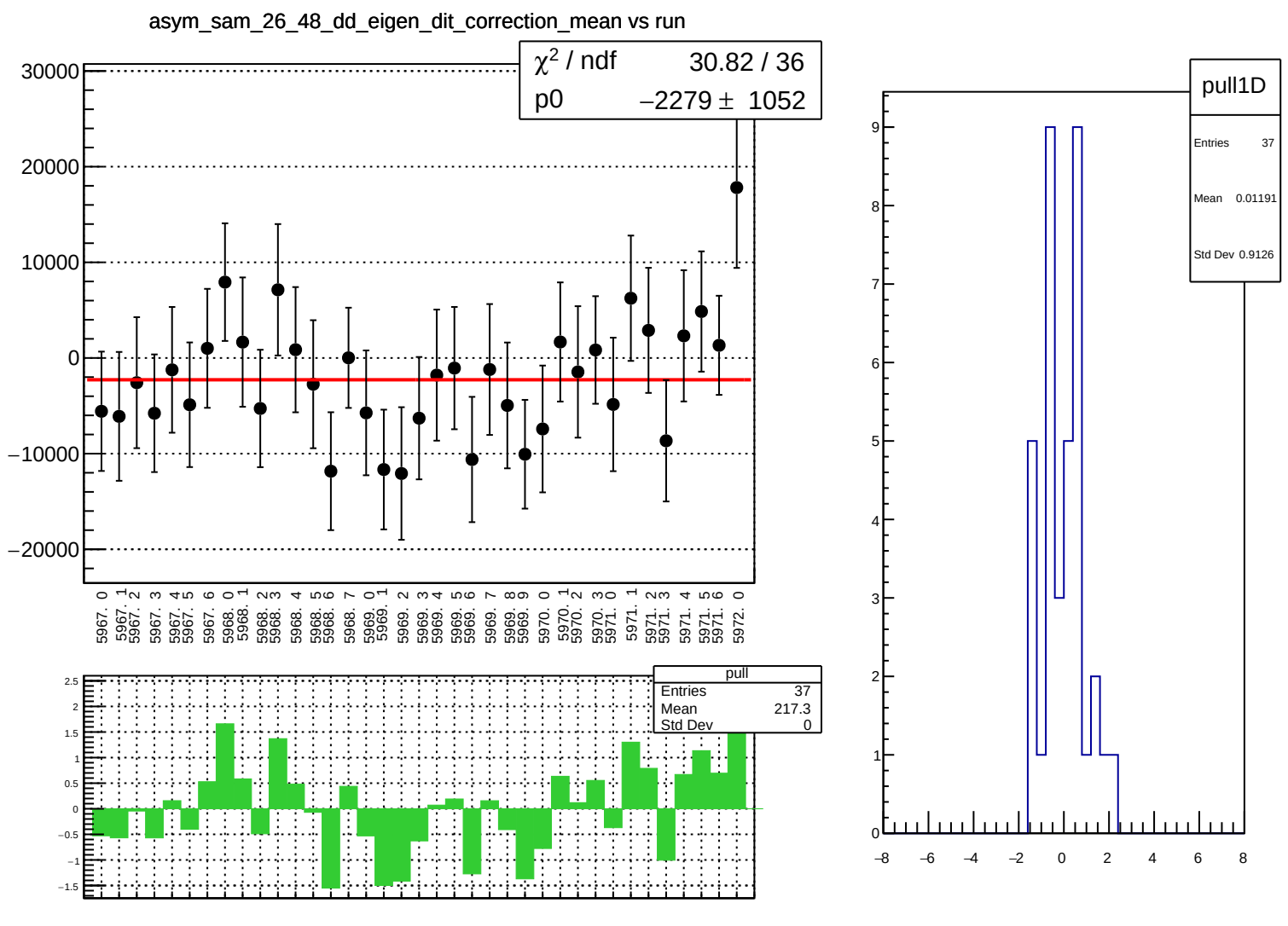
asym_sam_26_48_dd_eigen_dit_correction_mean vs run
χ² / ndf 30.82 / 36
p0 −2279 ± 1052
30000
20000
10000
0
−10000
−20000
5967. 0
5967. 1
5967. 2
5967. 3
5967. 4
5967. 5
5967. 6
5968. 0
5968. 1
5968. 2
5968. 3
5968. 4
5968. 5
5968. 6
5968. 7
5969. 0
5969. 1
5969. 2
5969. 3
5969. 4
5969. 5
5969. 6
5969. 7
5969. 8
5969. 9
5970. 0
5970. 1
5970. 2
5970. 3
5971. 0
5971. 1
5971. 2
5971. 3
5971. 4
5971. 5
5971. 6
5972. 0
pull
Entries 37
Mean 217.3
Std Dev 0
2.5
2
1.5
1
0.5
0
−0.5
−1
−1.5
pull1D
Entries 37
Mean 0.01191
Std Dev 0.9126
9
8
7
6
5
4
3
2
1
0
−8
−6
−4
−2
0
2
4
6
8

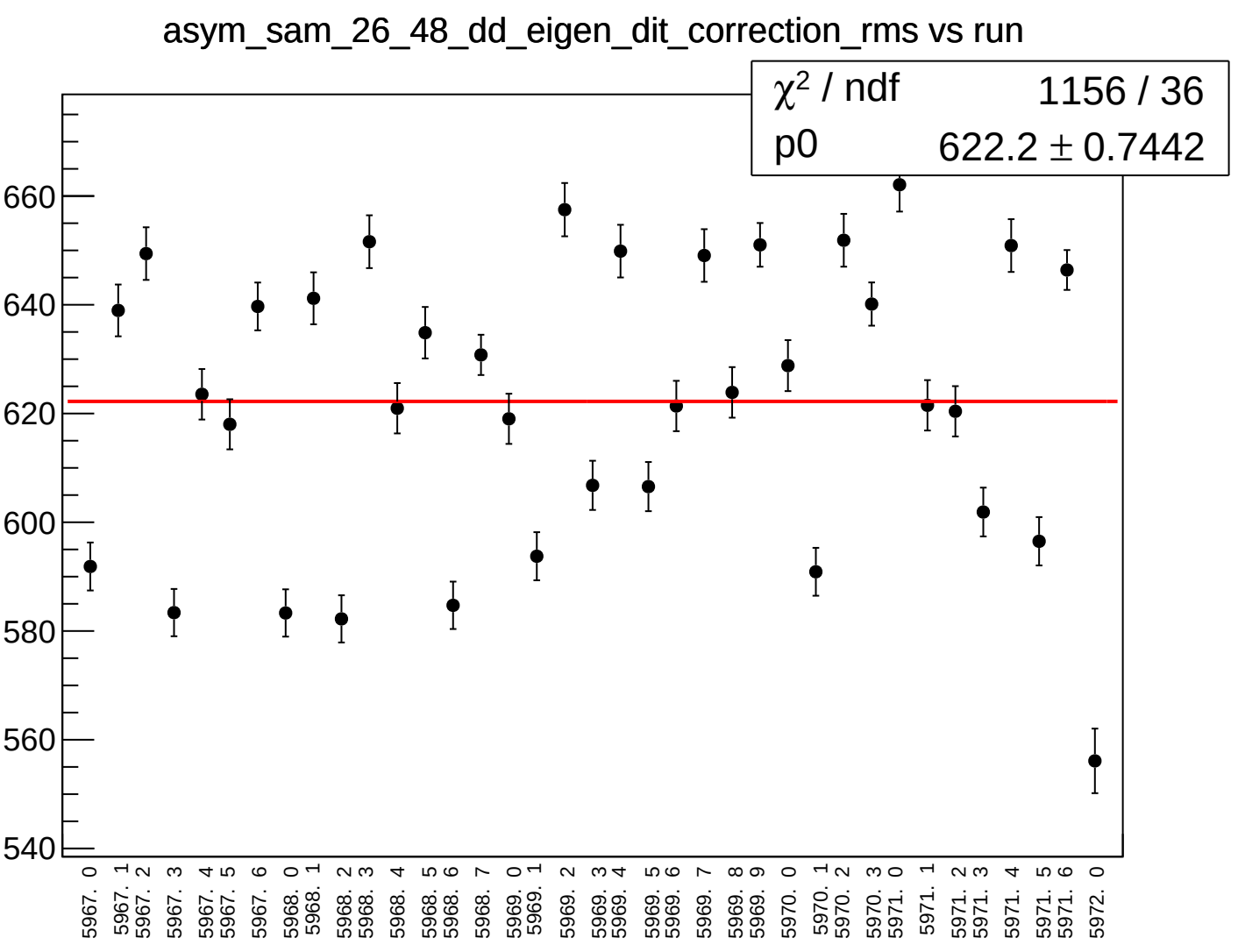
asym_sam_26_48_dd_eigen_dit_correction_rms vs run
χ² / ndf 1156 / 36
p0 622.2 ± 0.7442
660
640
620
600
580
560
540
5967. 0
5967. 1
5967. 2
5967. 3
5967. 4
5967. 5
5967. 6
5968. 0
5968. 1
5968. 2
5968. 3
5968. 4
5968. 5
5968. 6
5968. 7
5969. 0
5969. 1
5969. 2
5969. 3
5969. 4
5969. 5
5969. 6
5969. 7
5969. 8
5969. 9
5970. 0
5970. 1
5970. 2
5970. 3
5971. 0
5971. 1
5971. 2
5971. 3
5971. 4
5971. 5
5971. 6
5972. 0

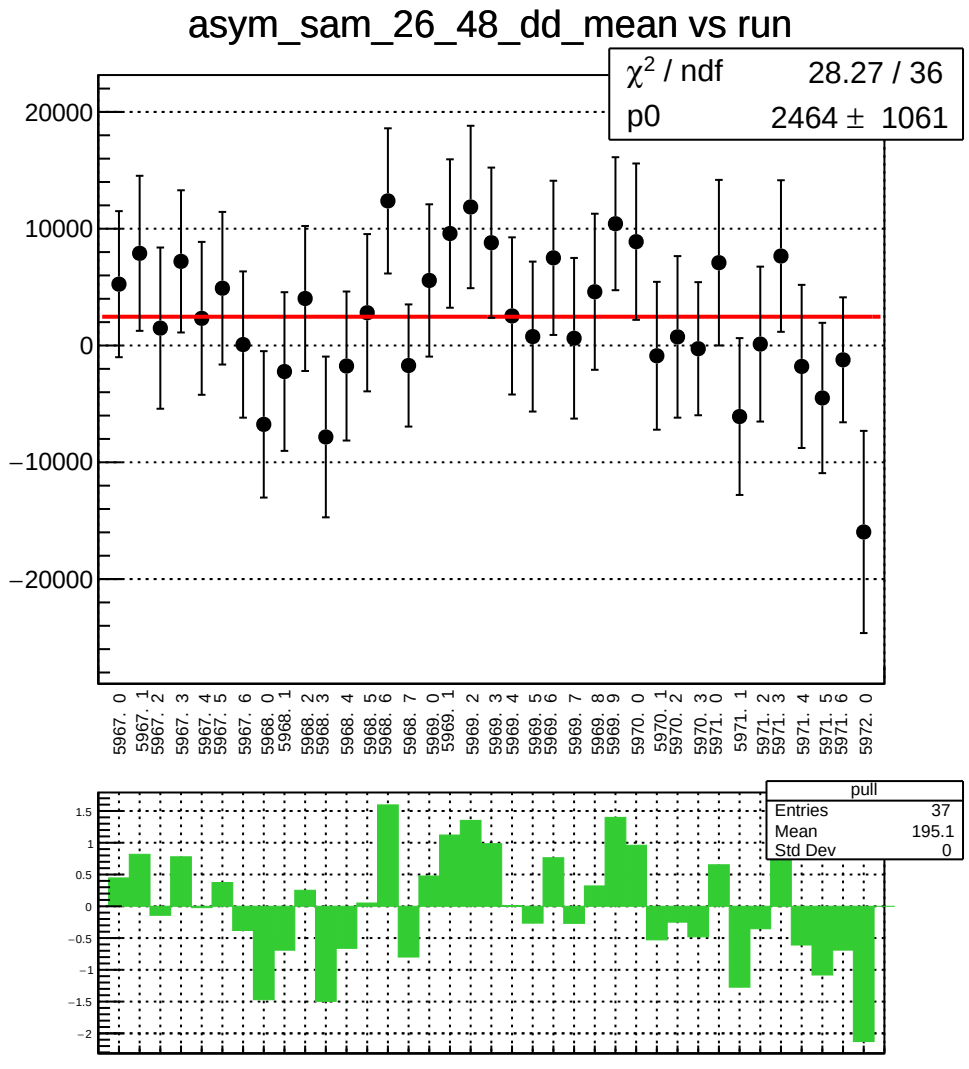
asym_sam_26_48_dd_mean vs run
χ² / ndf 28.27 / 36
p0 2464 ± 1061
20000
10000
0
−10000
−20000
5967. 0
5967. 1
5967. 2
5967. 3
5967. 4
5967. 5
5967. 6
5968. 0
5968. 1
5968. 2
5968. 3
5968. 4
5968. 5
5968. 6
5968. 7
5969. 0
5969. 1
5969. 2
5969. 3
5969. 4
5969. 5
5969. 6
5969. 7
5969. 8
5969. 9
5970. 0
5970. 1
5970. 2
5970. 3
5971. 0
5971. 1
5971. 2
5971. 3
5971. 4
5971. 5
5971. 6
5972. 0
pull
Entries 37
Mean 195.1
Std Dev 0
1.5
1
0.5
0
−0.5
−1
−1.5
−2

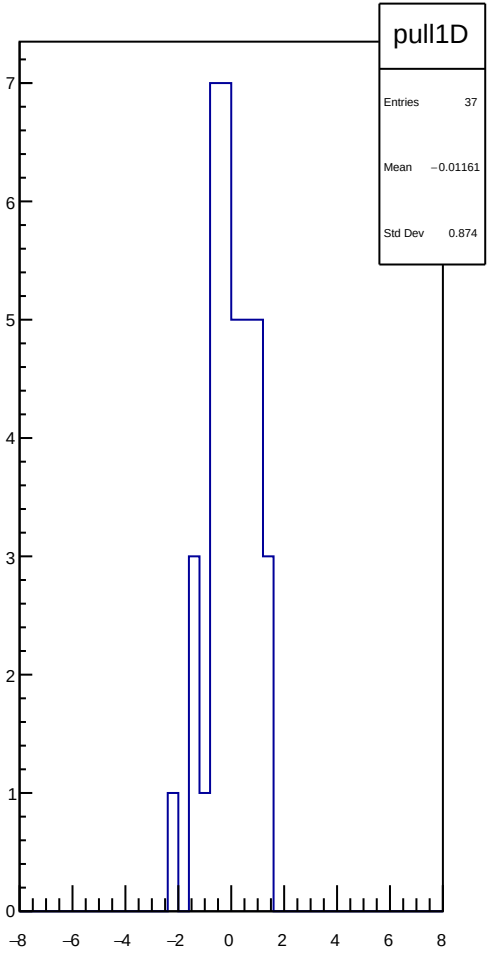
pull1D
Entries 37
Mean −0.01161
Std Dev 0.874
7
6
5
4
3
2
1
0
−8
−6
−4
−2
0
2
4
6
8

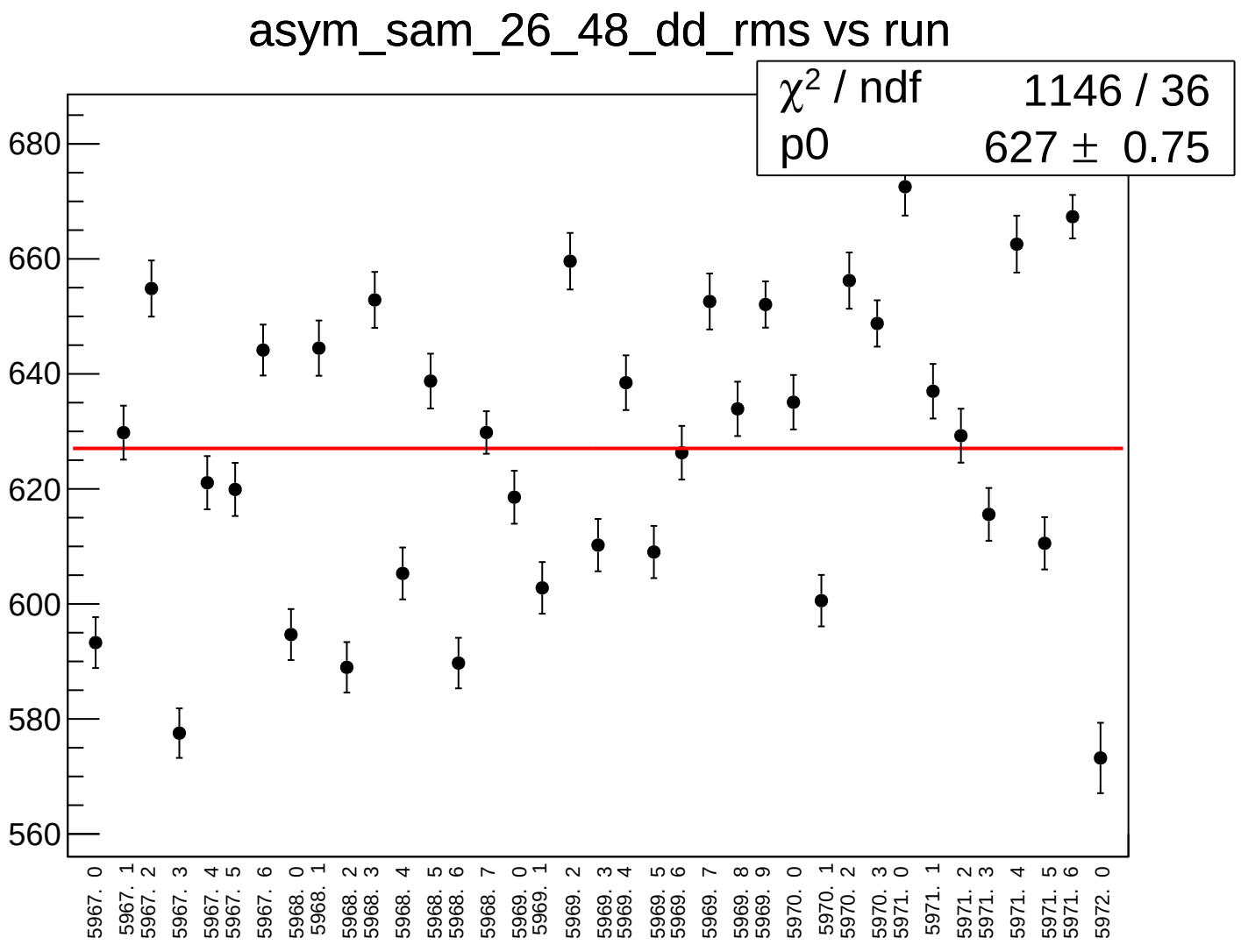
asym_sam_26_48_dd_rms vs run
χ² / ndf 1146 / 36
p0 627 ± 0.75
680
660
640
620
600
580
560
5967. 0
5967. 1
5967. 2
5967. 3
5967. 4
5967. 5
5967. 6
5968. 0
5968. 1
5968. 2
5968. 3
5968. 4
5968. 5
5968. 6
5968. 7
5969. 0
5969. 1
5969. 2
5969. 3
5969. 4
5969. 5
5969. 6
5969. 7
5969. 8
5969. 9
5970. 0
5970. 1
5970. 2
5970. 3
5971. 0
5971. 1
5971. 2
5971. 3
5971. 4
5971. 5
5971. 6
5972. 0

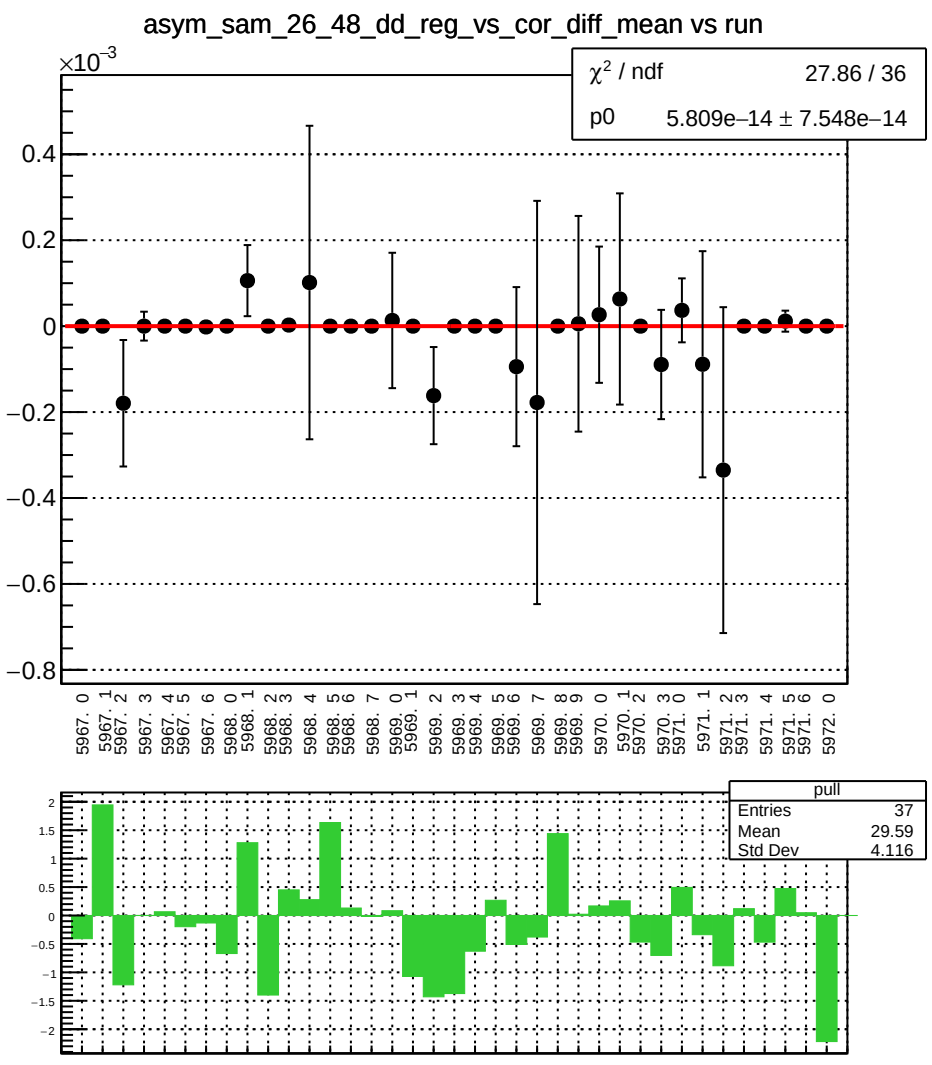
asym_sam_26_48_dd_reg_vs_cor_diff_mean vs run
×10⁻³
χ² / ndf 27.86 / 36
p0 5.809e−14 ± 7.548e−14
0.4
0.2
0
−0.2
−0.4
−0.6
−0.8
5967. 0
5967. 1
5967. 2
5967. 3
5967. 4
5967. 5
5967. 6
5968. 0
5968. 1
5968. 2
5968. 3
5968. 4
5968. 5
5968. 6
5968. 7
5969. 0
5969. 1
5969. 2
5969. 3
5969. 4
5969. 5
5969. 6
5969. 7
5969. 8
5969. 9
5970. 0
5970. 1
5970. 2
5970. 3
5971. 0
5971. 1
5971. 2
5971. 3
5971. 4
5971. 5
5971. 6
5972. 0
pull
Entries 37
Mean 29.59
Std Dev 4.116
2
1.5
1
0.5
0
−0.5
−1
−1.5
−2

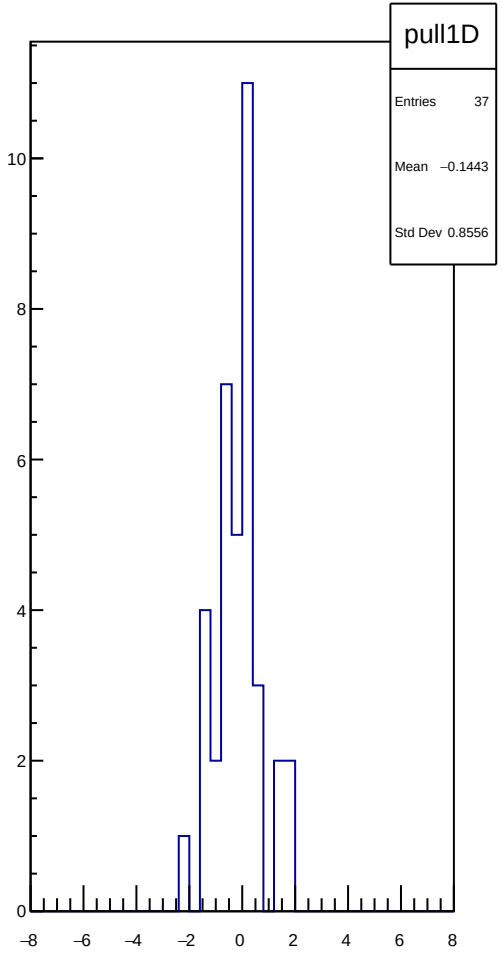
pull1D
Entries 37
Mean −0.1443
Std Dev 0.8556
10
8
6
4
2
0
−8
−6
−4
−2
0
2
4
6
8

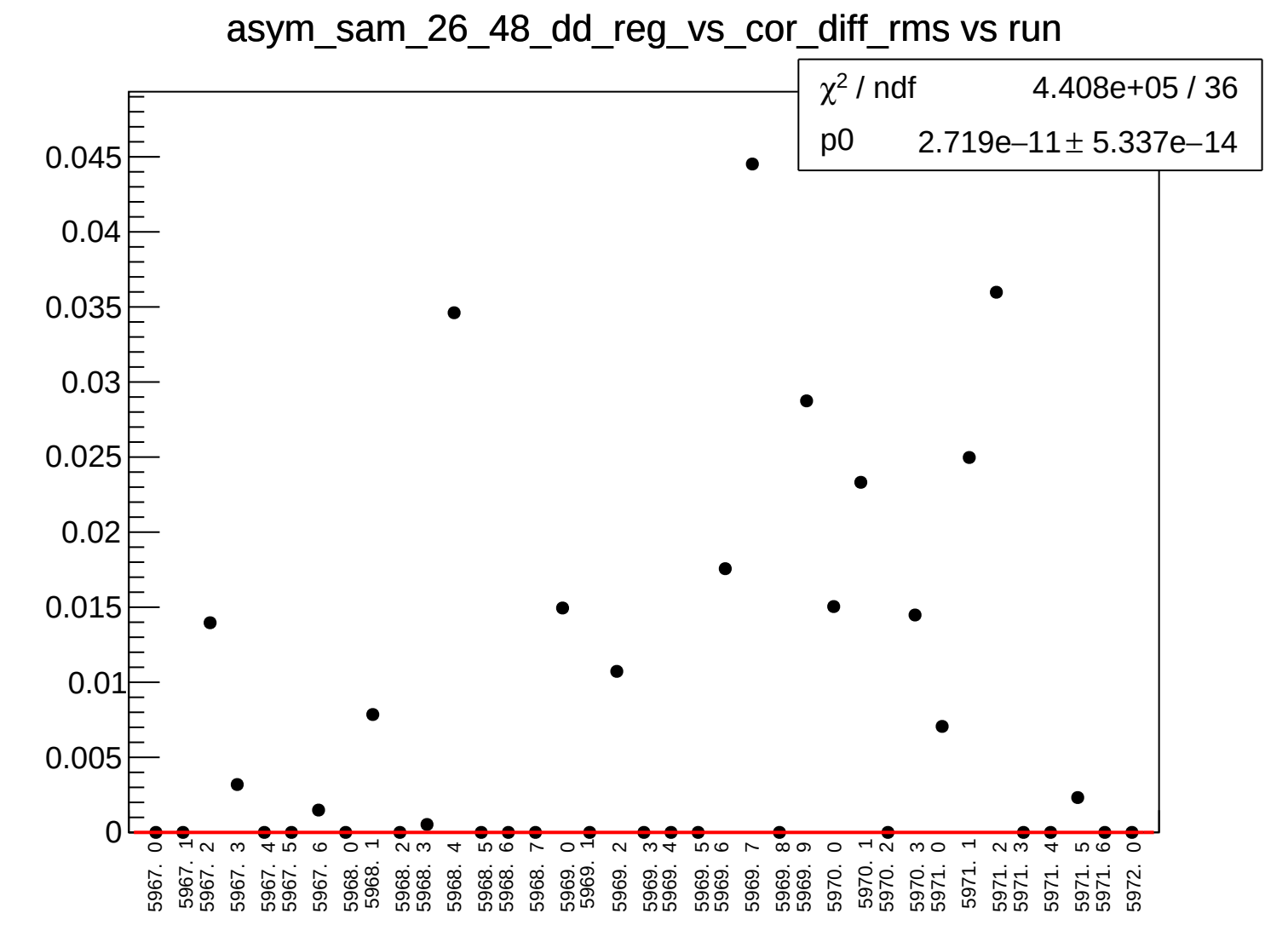
asym_sam_26_48_dd_reg_vs_cor_diff_rms vs run
χ² / ndf 4.408e+05 / 36
p0 2.719e−11 ± 5.337e−14
0.045
0.04
0.035
0.03
0.025
0.02
0.015
0.01
0.005
0
5967. 0
5967. 1
5967. 2
5967. 3
5967. 4
5967. 5
5967. 6
5968. 0
5968. 1
5968. 2
5968. 3
5968. 4
5968. 5
5968. 6
5968. 7
5969. 0
5969. 1
5969. 2
5969. 3
5969. 4
5969. 5
5969. 6
5969. 7
5969. 8
5969. 9
5970. 0
5970. 1
5970. 2
5970. 3
5971. 0
5971. 1
5971. 2
5971. 3
5971. 4
5971. 5
5971. 6
5972. 0

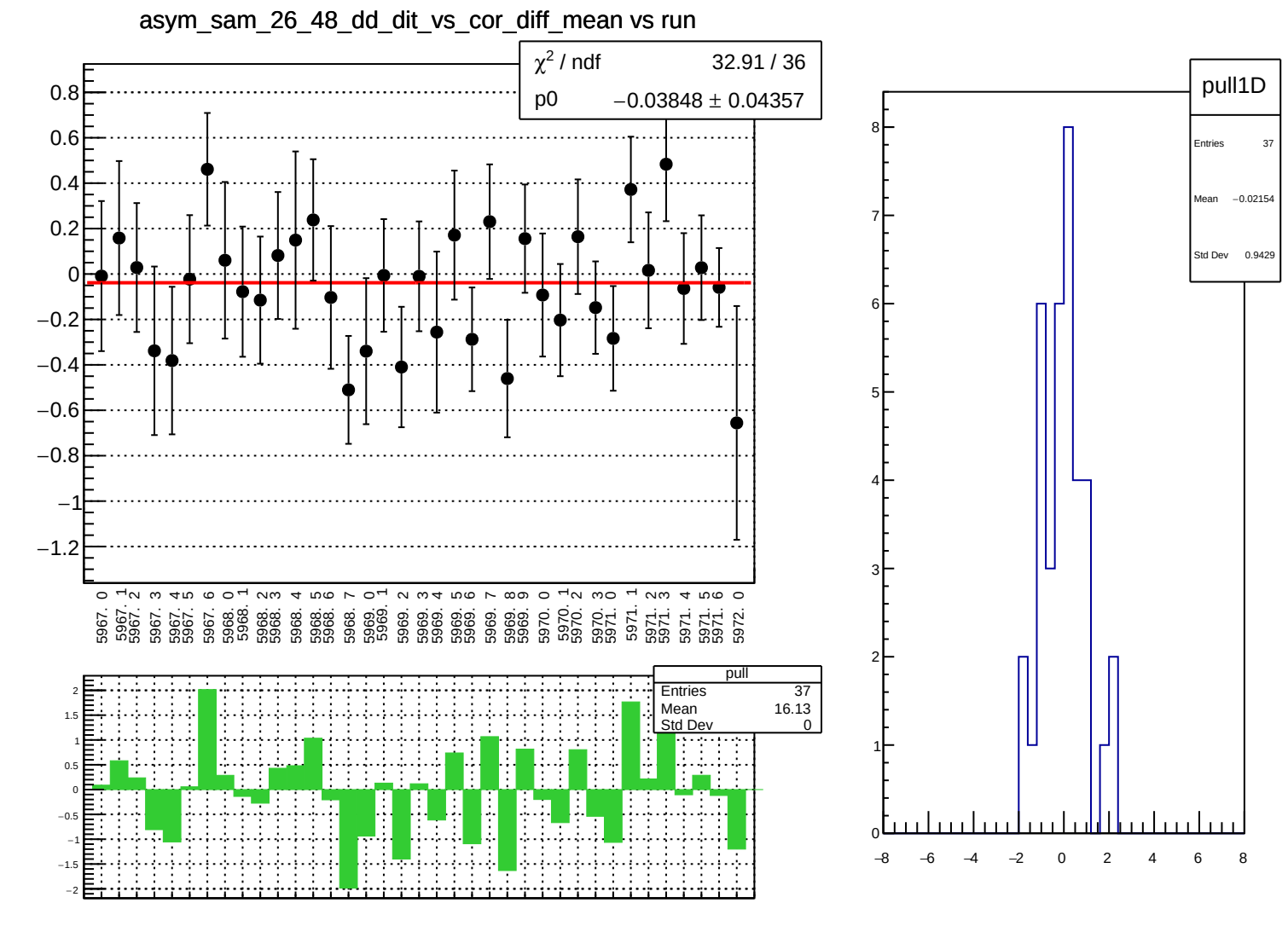
asym_sam_26_48_dd_dit_vs_cor_diff_mean vs run
χ² / ndf 32.91 / 36
p0 −0.03848 ± 0.04357
pull
Entries 37
Mean 16.13
Std Dev 0
pull1D
Entries 37
Mean −0.02154
Std Dev 0.9429

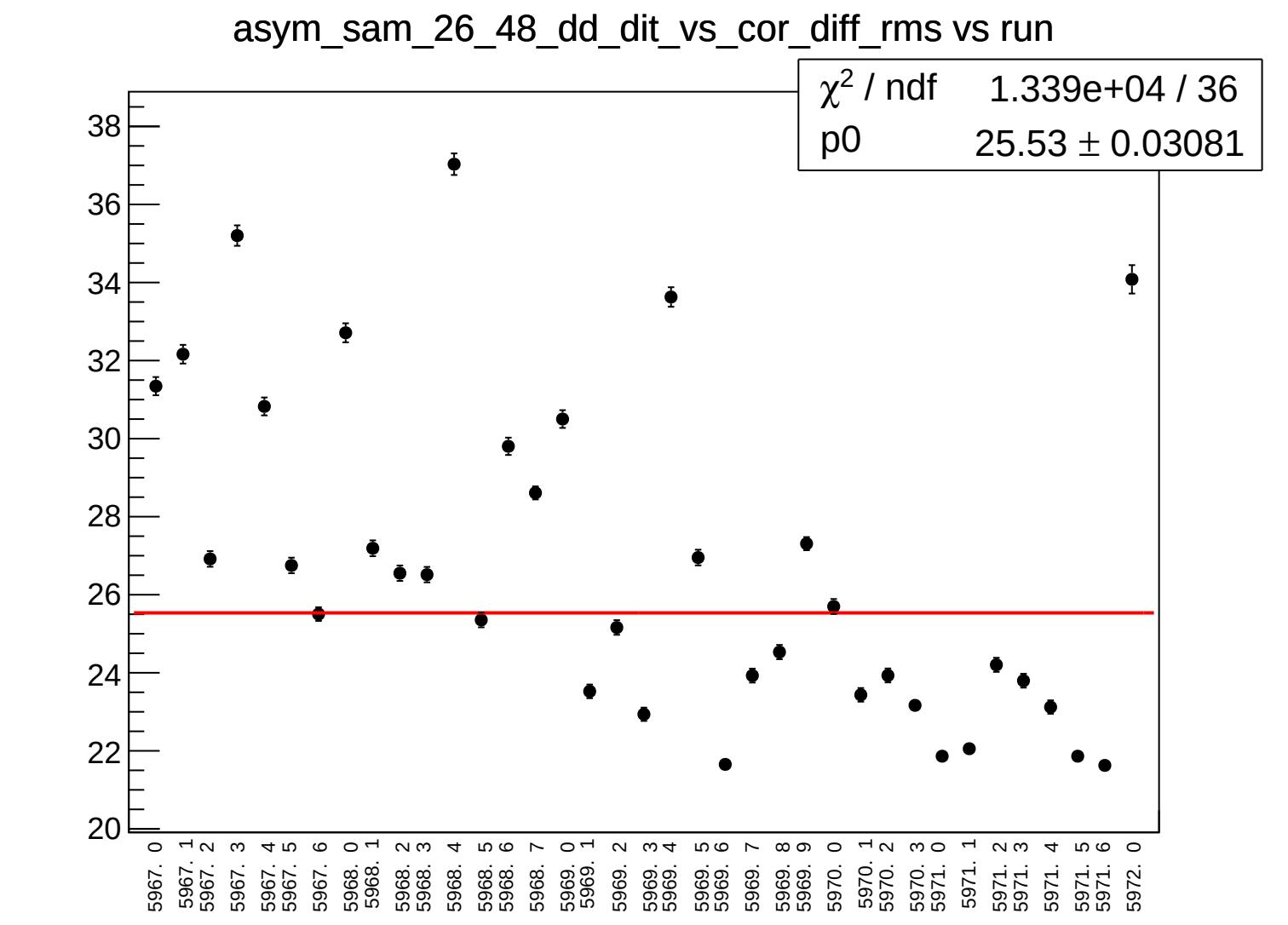
asym_sam_26_48_dd_dit_vs_cor_diff_rms vs run
χ² / ndf 1.339e+04 / 36
p0 25.53 ± 0.03081
38
36
34
32
30
28
26
24
22
20
5967. 0
5967. 1
5967. 2
5967. 3
5967. 4
5967. 5
5967. 6
5968. 0
5968. 1
5968. 2
5968. 3
5968. 4
5968. 5
5968. 6
5968. 7
5969. 0
5969. 1
5969. 2
5969. 3
5969. 4
5969. 5
5969. 6
5969. 7
5969. 8
5969. 9
5970. 0
5970. 1
5970. 2
5970. 3
5971. 0
5971. 1
5971. 2
5971. 3
5971. 4
5971. 5
5971. 6
5972. 0

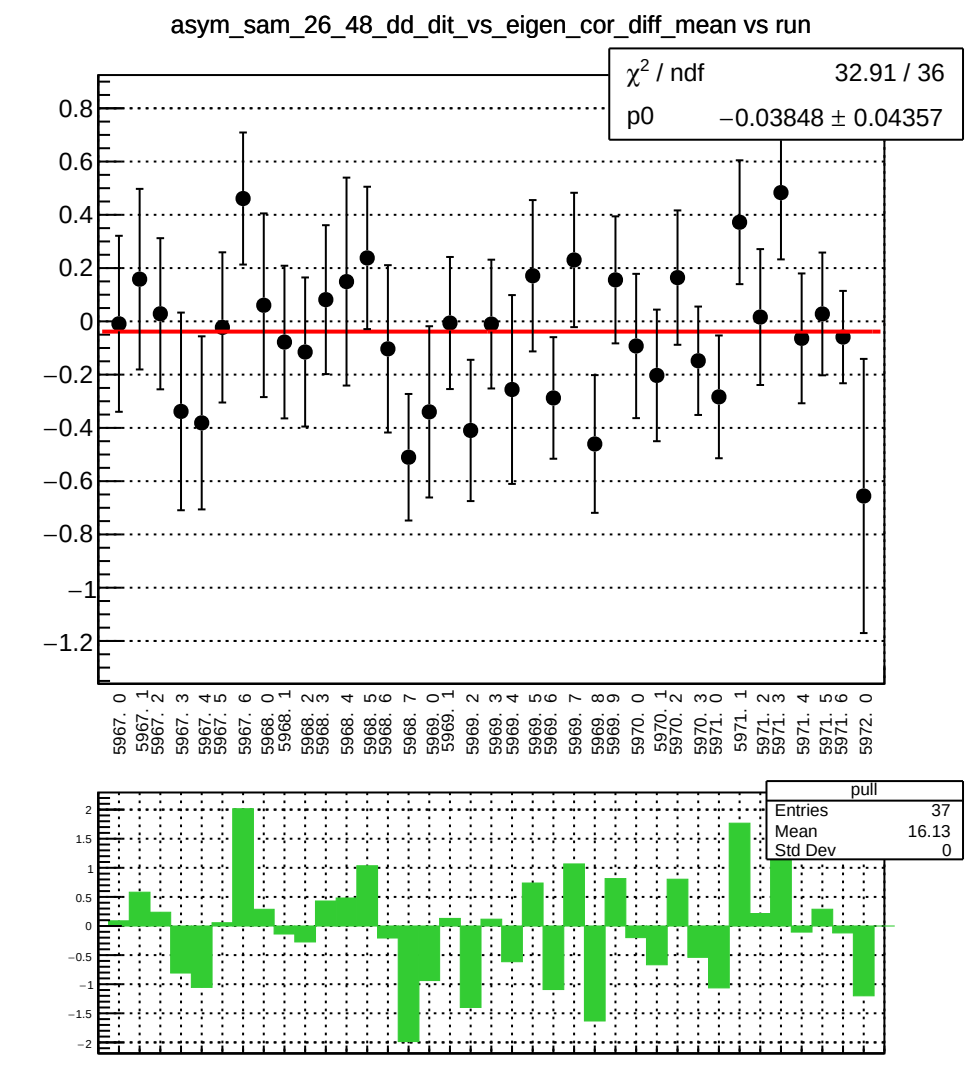
asym_sam_26_48_dd_dit_vs_eigen_cor_diff_mean vs run
χ² / ndf 32.91 / 36
p0 −0.03848 ± 0.04357
pull
Entries 37
Mean 16.13
Std Dev 0

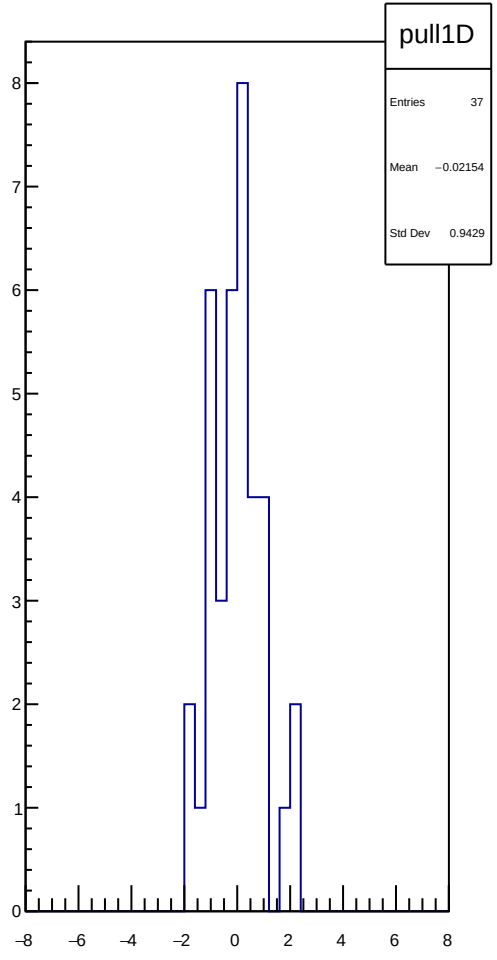
pull1D
Entries 37
Mean −0.02154
Std Dev 0.9429

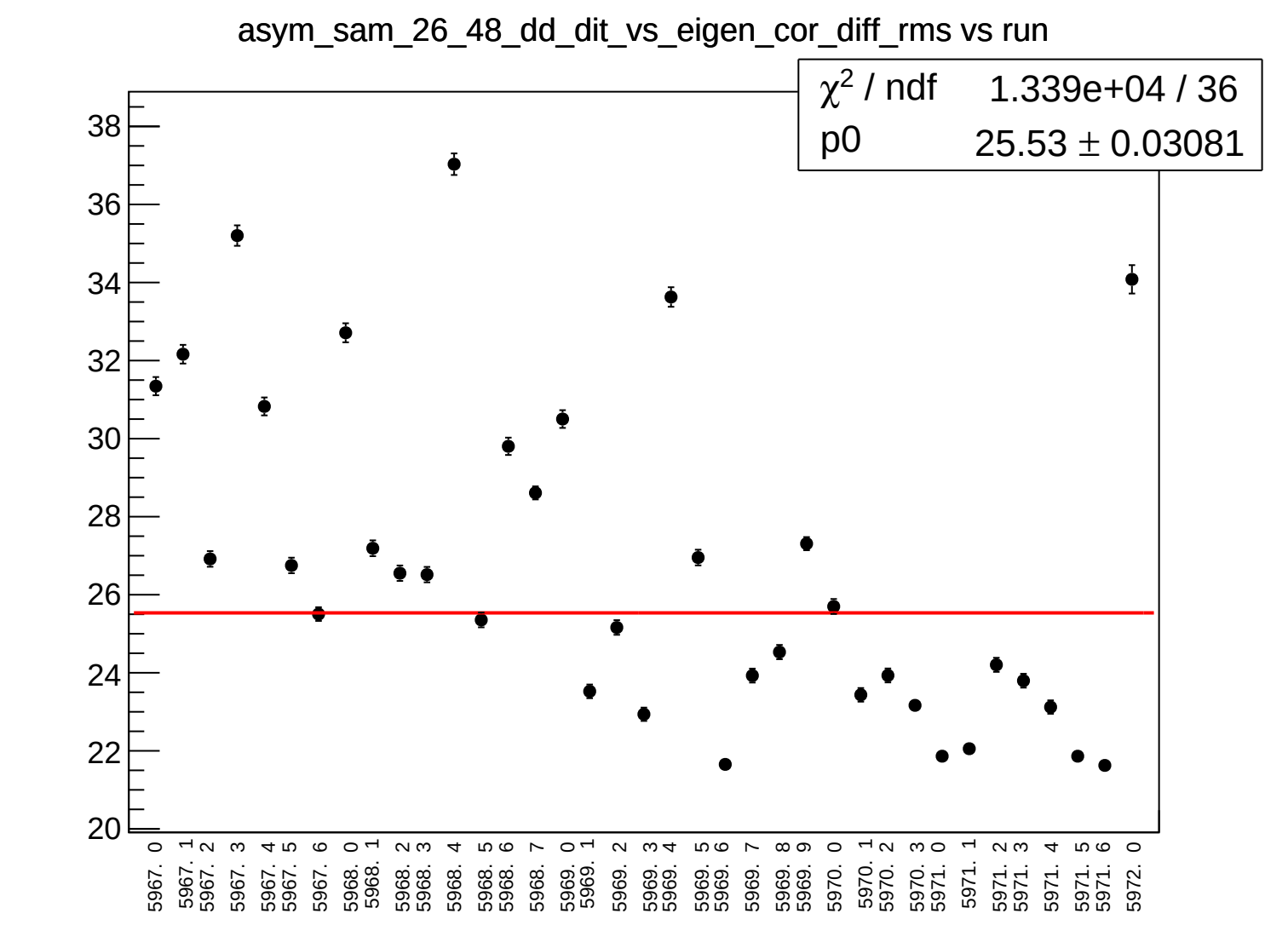
asym_sam_26_48_dd_dit_vs_eigen_cor_diff_rms vs run
χ² / ndf 1.339e+04 / 36
p0 25.53 ± 0.03081
38
36
34
32
30
28
26
24
22
20
5967. 0
5967. 1
5967. 2
5967. 3
5967. 4
5967. 5
5967. 6
5968. 0
5968. 1
5968. 2
5968. 3
5968. 4
5968. 5
5968. 6
5968. 7
5969. 0
5969. 1
5969. 2
5969. 3
5969. 4
5969. 5
5969. 6
5969. 7
5969. 8
5969. 9
5970. 0
5970. 1
5970. 2
5970. 3
5971. 0
5971. 1
5971. 2
5971. 3
5971. 4
5971. 5
5971. 6
5972. 0

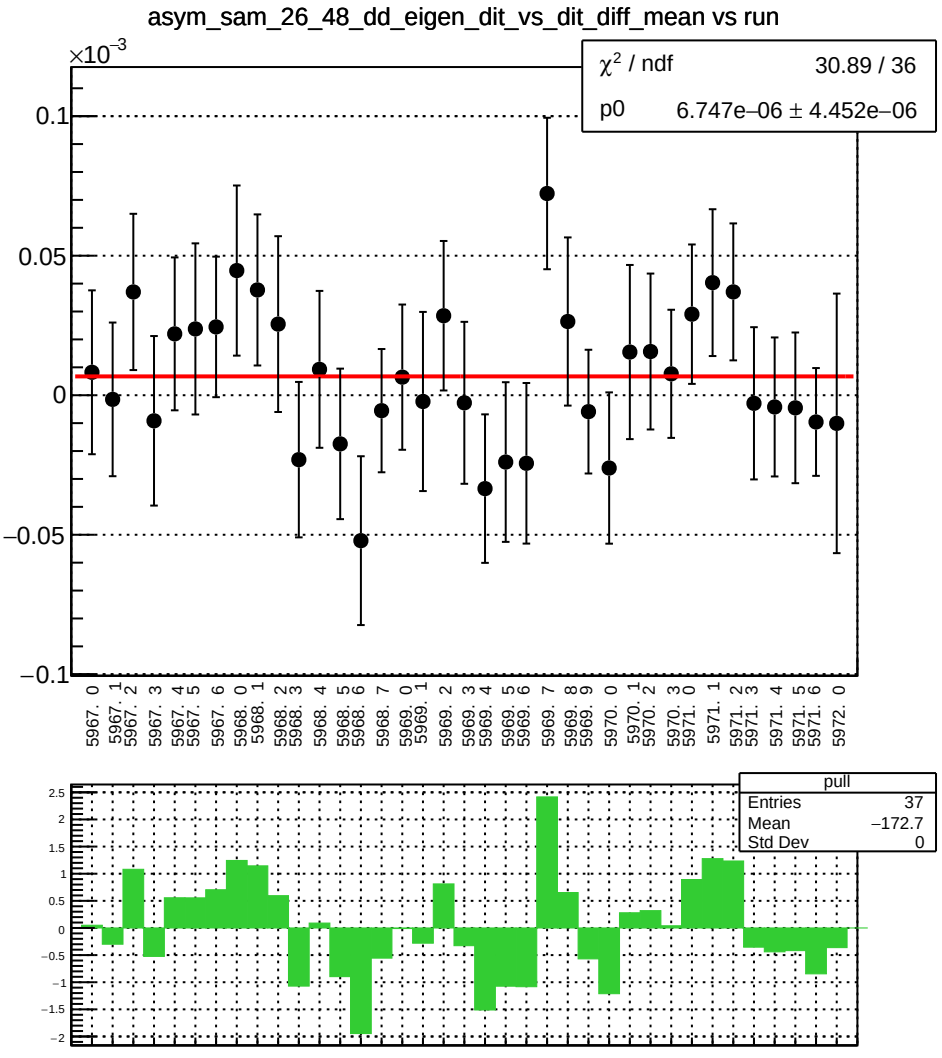
asym_sam_26_48_dd_eigen_dit_vs_dit_diff_mean vs run
×10⁻³
χ² / ndf 30.89 / 36
p0 6.747e−06 ± 4.452e−06
0.1
0.05
0
−0.05
−0.1
5967. 0
5967. 1
5967. 2
5967. 3
5967. 4
5967. 5
5967. 6
5968. 0
5968. 1
5968. 2
5968. 3
5968. 4
5968. 5
5968. 6
5968. 7
5969. 0
5969. 1
5969. 2
5969. 3
5969. 4
5969. 5
5969. 6
5969. 7
5969. 8
5969. 9
5970. 0
5970. 1
5970. 2
5970. 3
5971. 0
5971. 1
5971. 2
5971. 3
5971. 4
5971. 5
5971. 6
5972. 0
pull
Entries 37
Mean −172.7
Std Dev 0
2.5
2
1.5
1
0.5
0
−0.5
−1
−1.5
−2

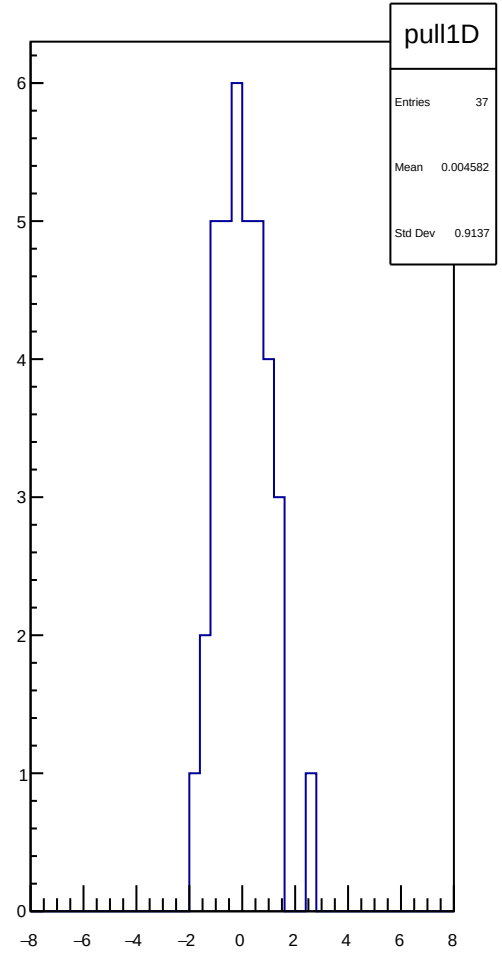
pull1D
Entries 37
Mean 0.004582
Std Dev 0.9137
6
5
4
3
2
1
0
−8
−6
−4
−2
0
2
4
6
8

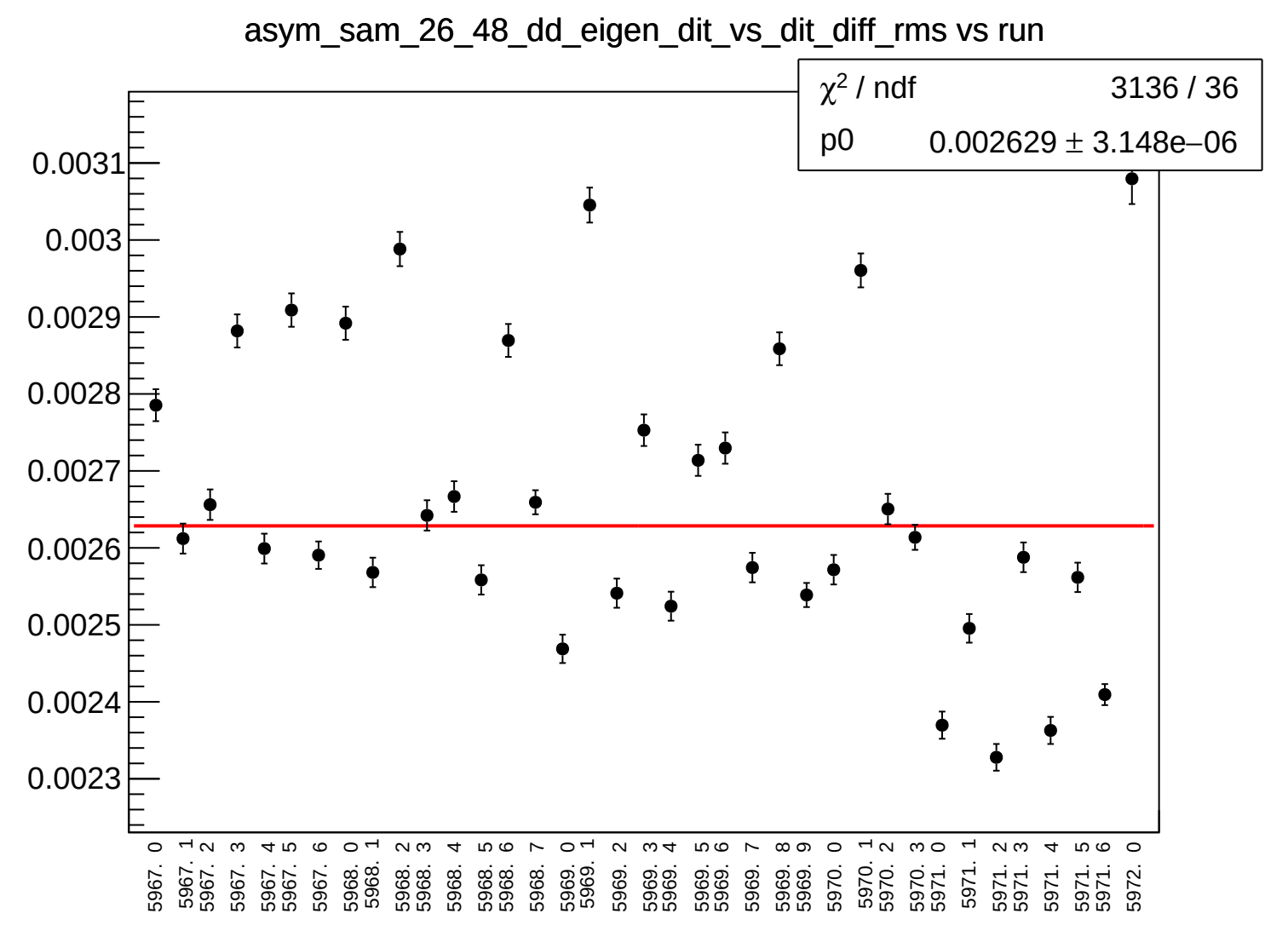
asym_sam_26_48_dd_eigen_dit_vs_dit_diff_rms vs run
χ² / ndf 3136 / 36
p0 0.002629 ± 3.148e−06
0.0031
0.003
0.0029
0.0028
0.0027
0.0026
0.0025
0.0024
0.0023
5967. 0
5967. 1
5967. 2
5967. 3
5967. 4
5967. 5
5967. 6
5968. 0
5968. 1
5968. 2
5968. 3
5968. 4
5968. 5
5968. 6
5968. 7
5969. 0
5969. 1
5969. 2
5969. 3
5969. 4
5969. 5
5969. 6
5969. 7
5969. 8
5969. 9
5970. 0
5970. 1
5970. 2
5970. 3
5971. 0
5971. 1
5971. 2
5971. 3
5971. 4
5971. 5
5971. 6
5972. 0

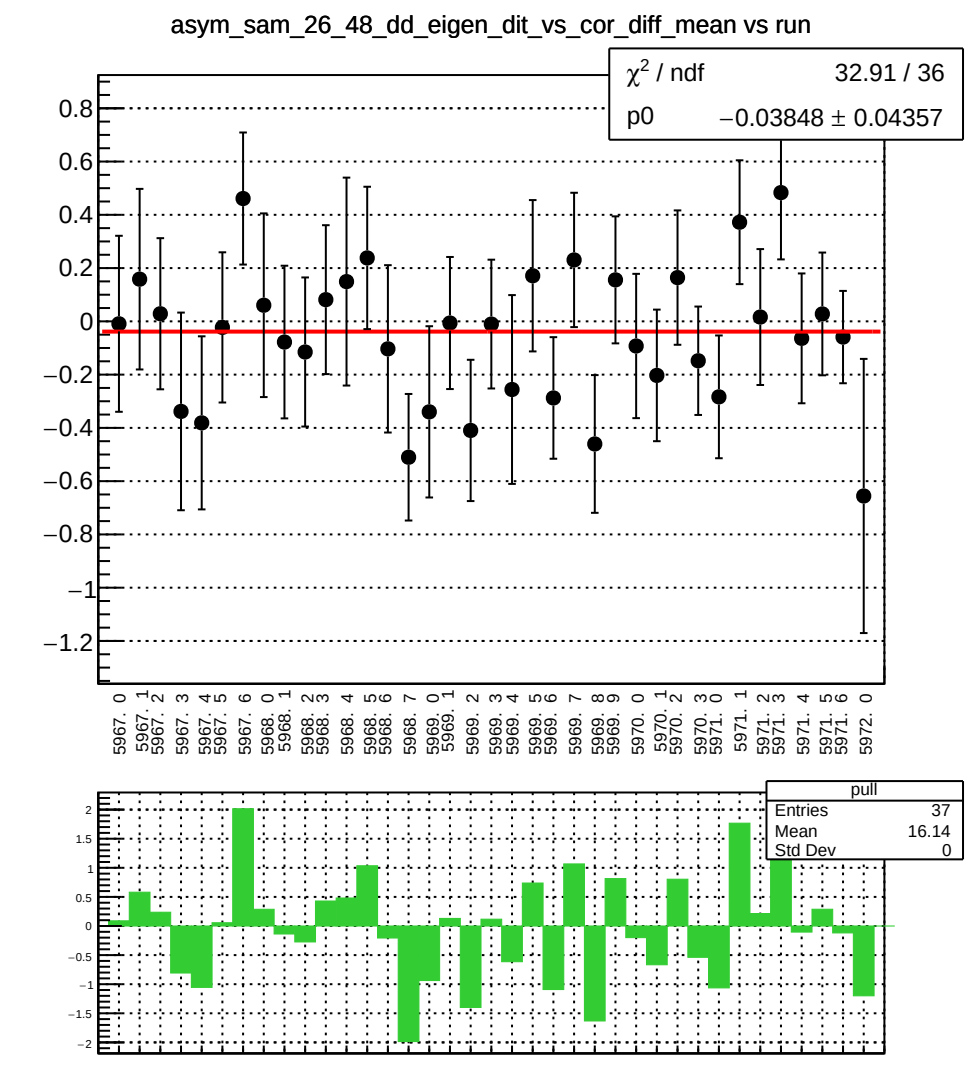
asym_sam_26_48_dd_eigen_dit_vs_cor_diff_mean vs run
χ² / ndf 32.91 / 36
p0 −0.03848 ± 0.04357
pull
Entries 37
Mean 16.14
Std Dev 0

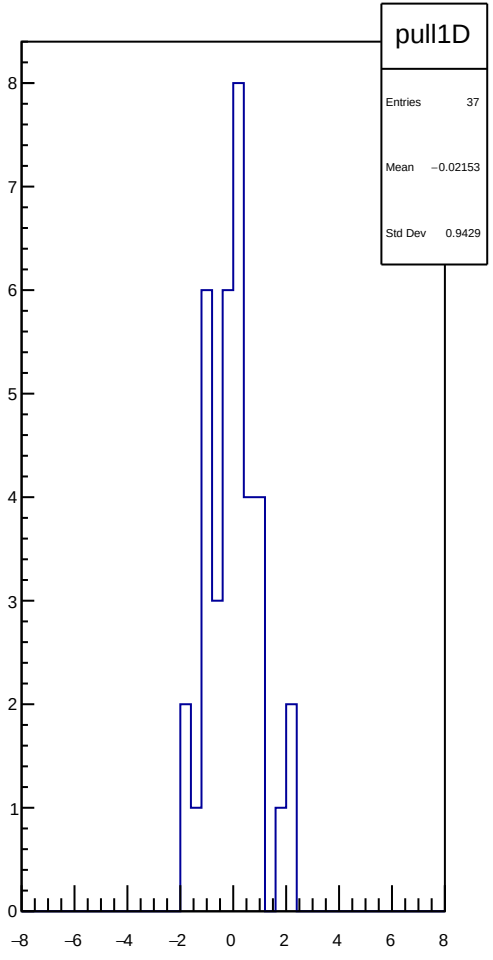
pull1D
Entries 37
Mean −0.02153
Std Dev 0.9429

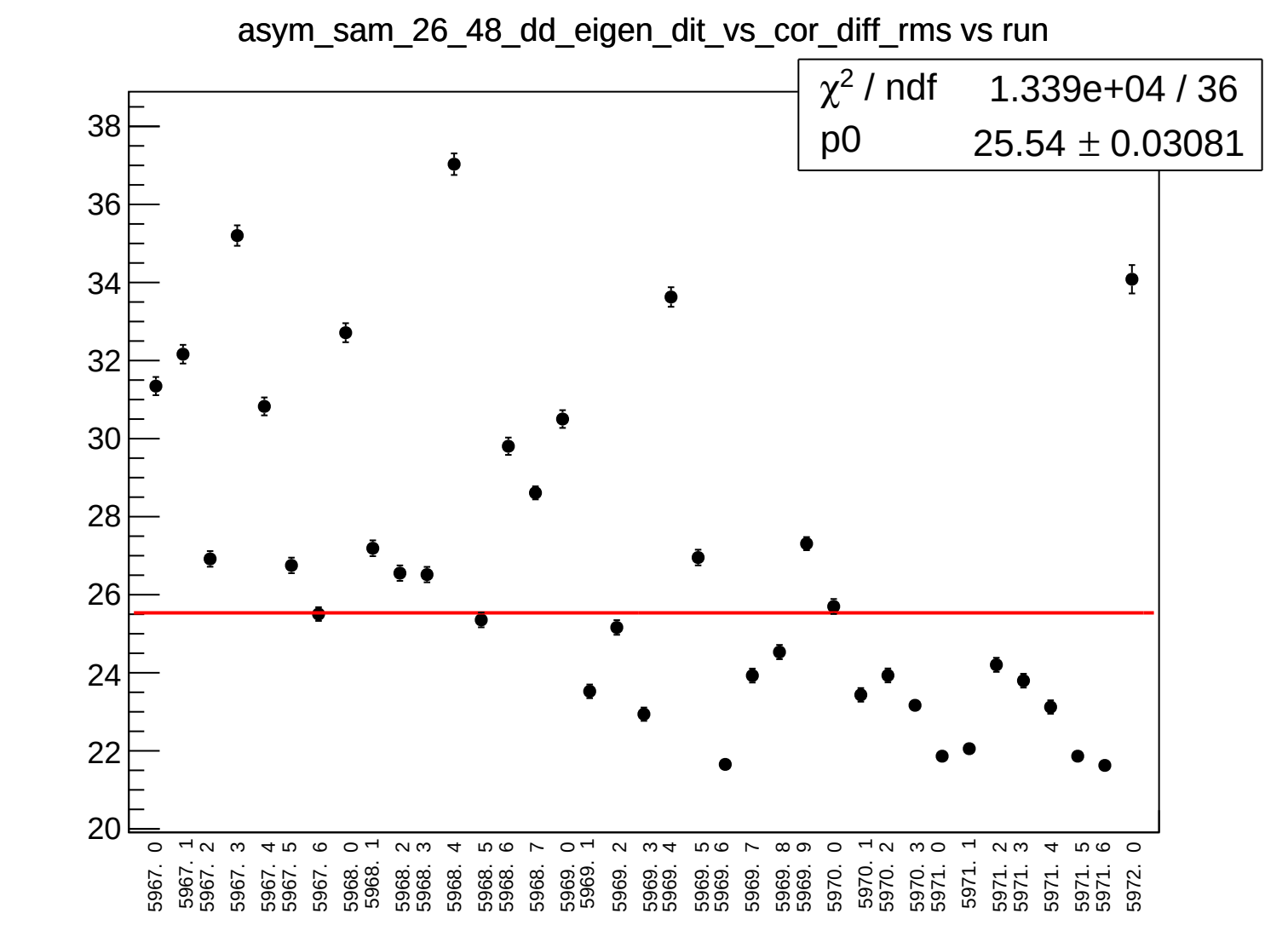
asym_sam_26_48_dd_eigen_dit_vs_cor_diff_rms vs run
χ2 / ndf 1.339e+04 / 36
p0 25.54 ± 0.03081
38
36
34
32
30
28
26
24
22
20
5967. 0
5967. 1
5967. 2
5967. 3
5967. 4
5967. 5
5967. 6
5968. 0
5968. 1
5968. 2
5968. 3
5968. 4
5968. 5
5968. 6
5968. 7
5969. 0
5969. 1
5969. 2
5969. 3
5969. 4
5969. 5
5969. 6
5969. 7
5969. 8
5969. 9
5970. 0
5970. 1
5970. 2
5970. 3
5971. 0
5971. 1
5971. 2
5971. 3
5971. 4
5971. 5
5971. 6
5972. 0

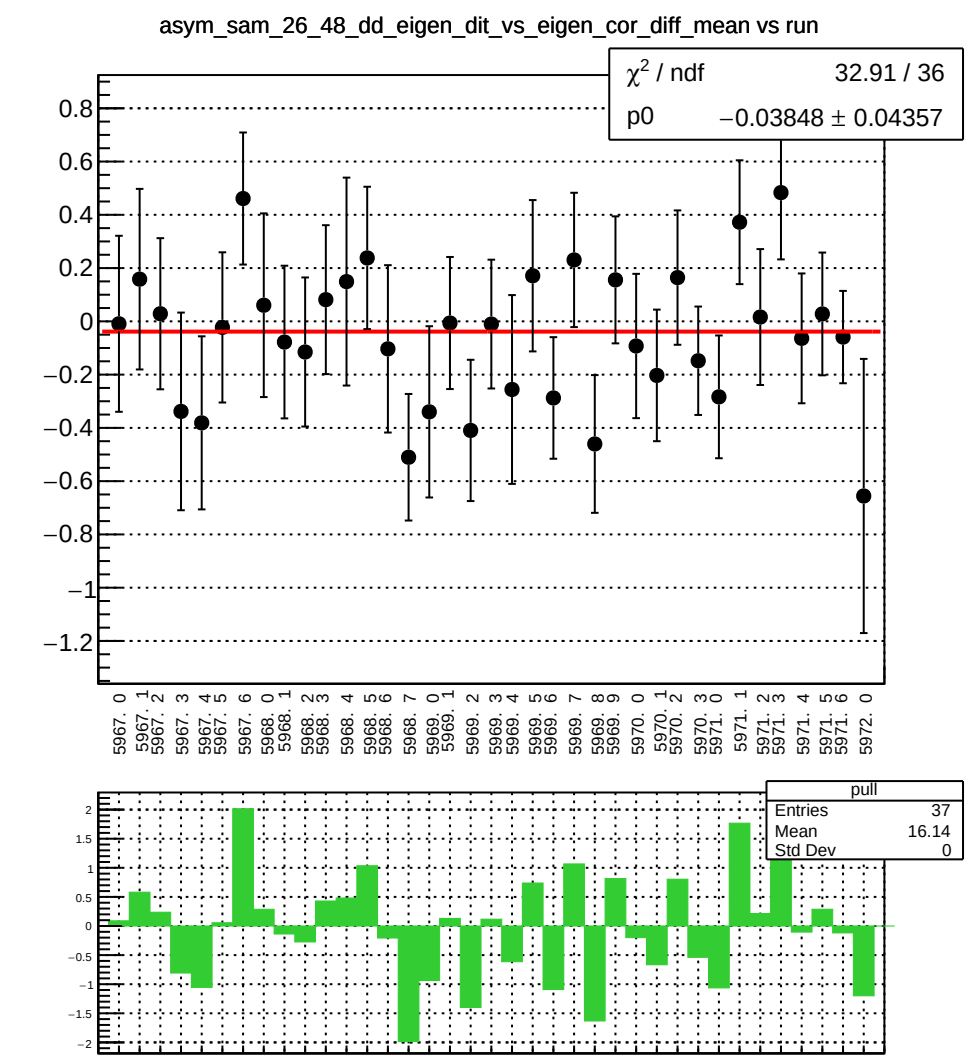
asym_sam_26_48_dd_eigen_dit_vs_eigen_cor_diff_mean vs run
χ² / ndf 32.91 / 36
p0 −0.03848 ± 0.04357
pull
Entries 37
Mean 16.14
Std Dev 0
pull1D
Entries 37
Mean −0.02153
Std Dev 0.9429

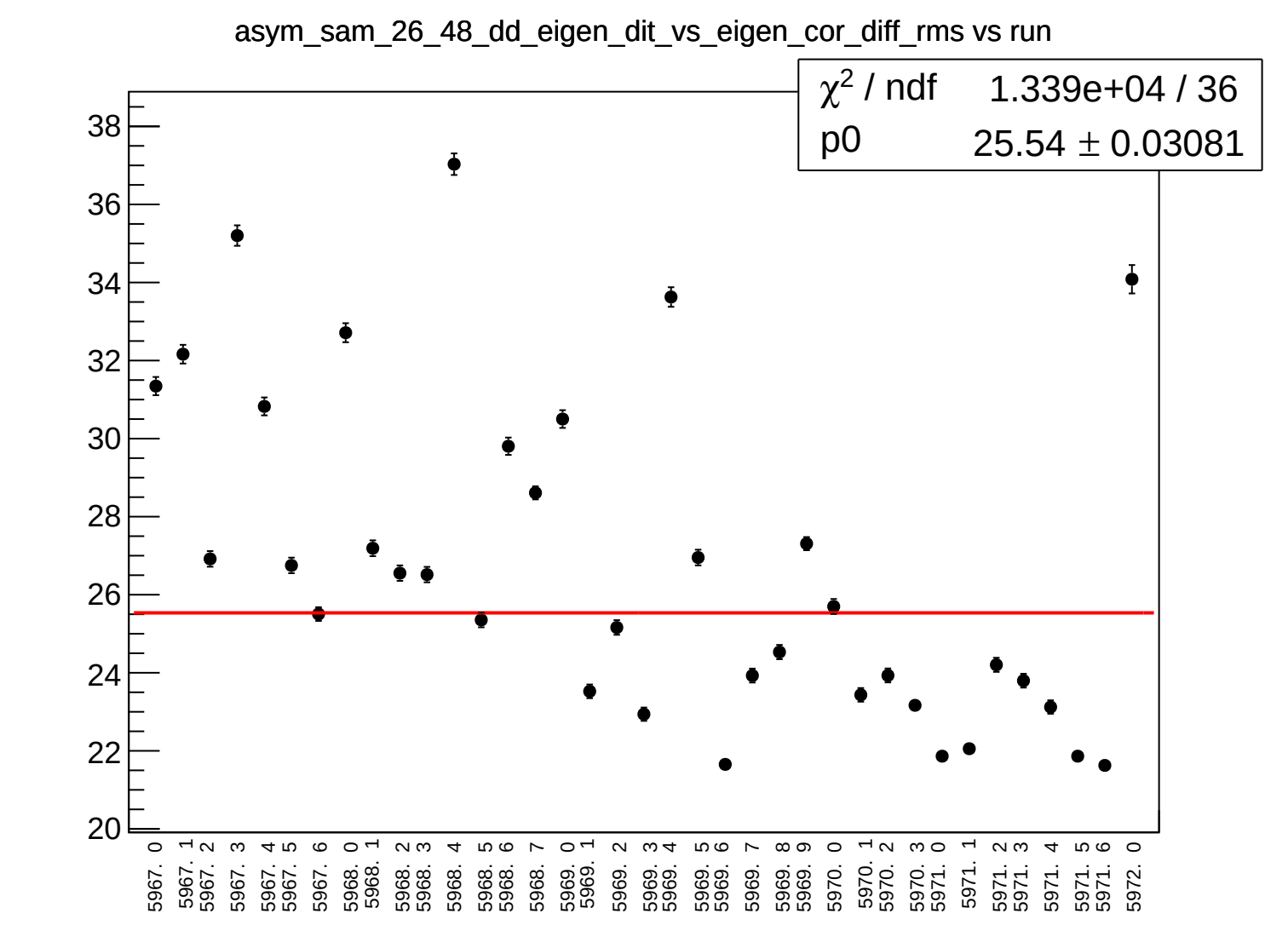
asym_sam_26_48_dd_eigen_dit_vs_eigen_cor_diff_rms vs run
χ² / ndf 1.339e+04 / 36
p0 25.54 ± 0.03081
38
36
34
32
30
28
26
24
22
20
5967. 0
5967. 1
5967. 2
5967. 3
5967. 4
5967. 5
5967. 6
5968. 0
5968. 1
5968. 2
5968. 3
5968. 4
5968. 5
5968. 6
5968. 7
5969. 0
5969. 1
5969. 2
5969. 3
5969. 4
5969. 5
5969. 6
5969. 7
5969. 8
5969. 9
5970. 0
5970. 1
5970. 2
5970. 3
5971. 0
5971. 1
5971. 2
5971. 3
5971. 4
5971. 5
5971. 6
5972. 0

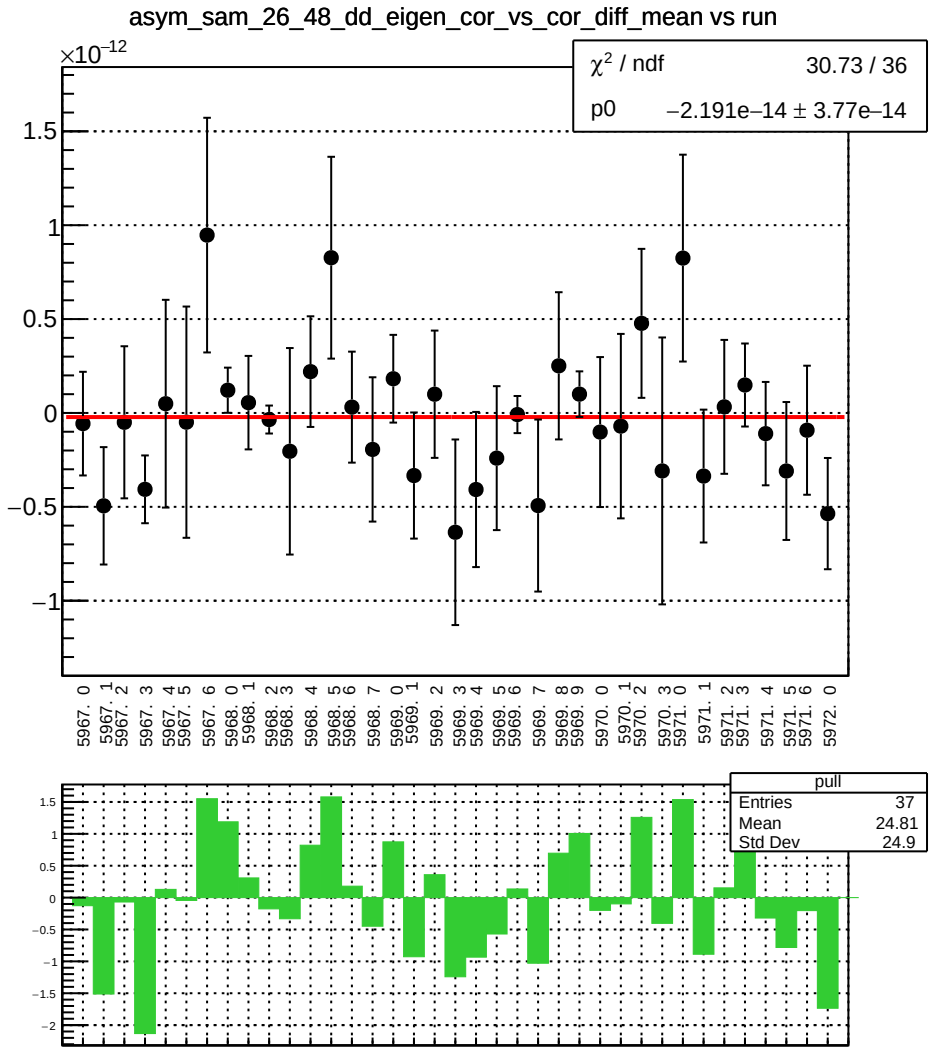
asym_sam_26_48_dd_eigen_cor_vs_cor_diff_mean vs run
×10⁻¹²
χ² / ndf 30.73 / 36
p0 −2.191e−14 ± 3.77e−14
pull
Entries 37
Mean 24.81
Std Dev 24.9

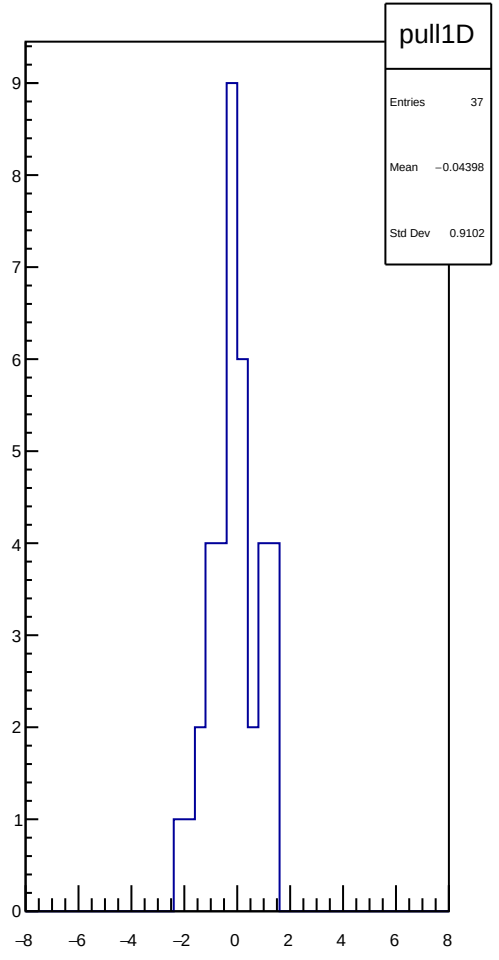
pull1D
Entries 37
Mean −0.04398
Std Dev 0.9102

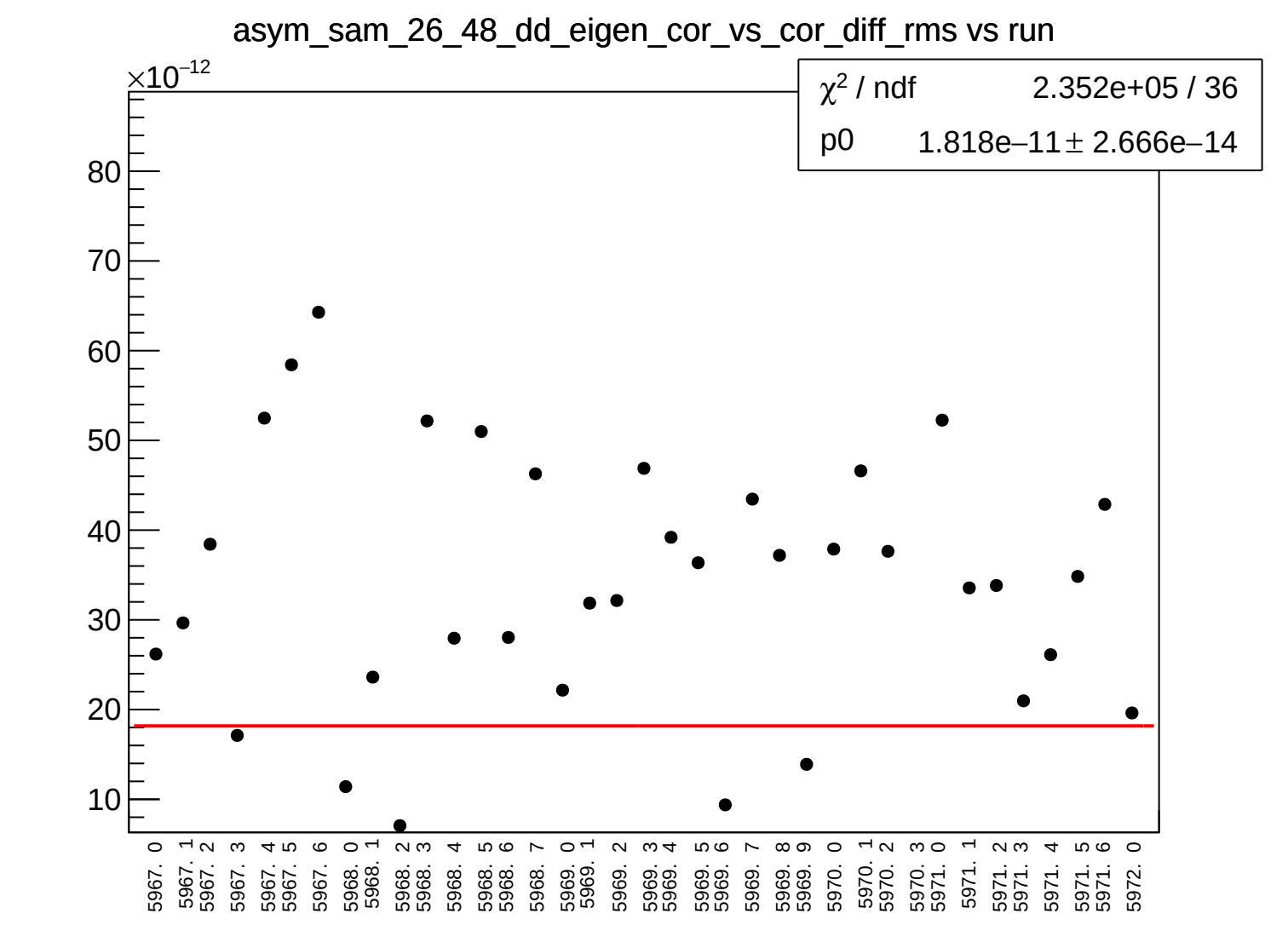
asym_sam_26_48_dd_eigen_cor_vs_cor_diff_rms vs run
×10⁻¹²
χ² / ndf 2.352e+05 / 36
p0 1.818e−11 ± 2.666e−14
80
70
60
50
40
30
20
10
5967. 0
5967. 1
5967. 2
5967. 3
5967. 4
5967. 5
5967. 6
5968. 0
5968. 1
5968. 2
5968. 3
5968. 4
5968. 5
5968. 6
5968. 7
5969. 0
5969. 1
5969. 2
5969. 3
5969. 4
5969. 5
5969. 6
5969. 7
5969. 8
5969. 9
5970. 0
5970. 1
5970. 2
5970. 3
5971. 0
5971. 1
5971. 2
5971. 3
5971. 4
5971. 5
5971. 6
5972. 0

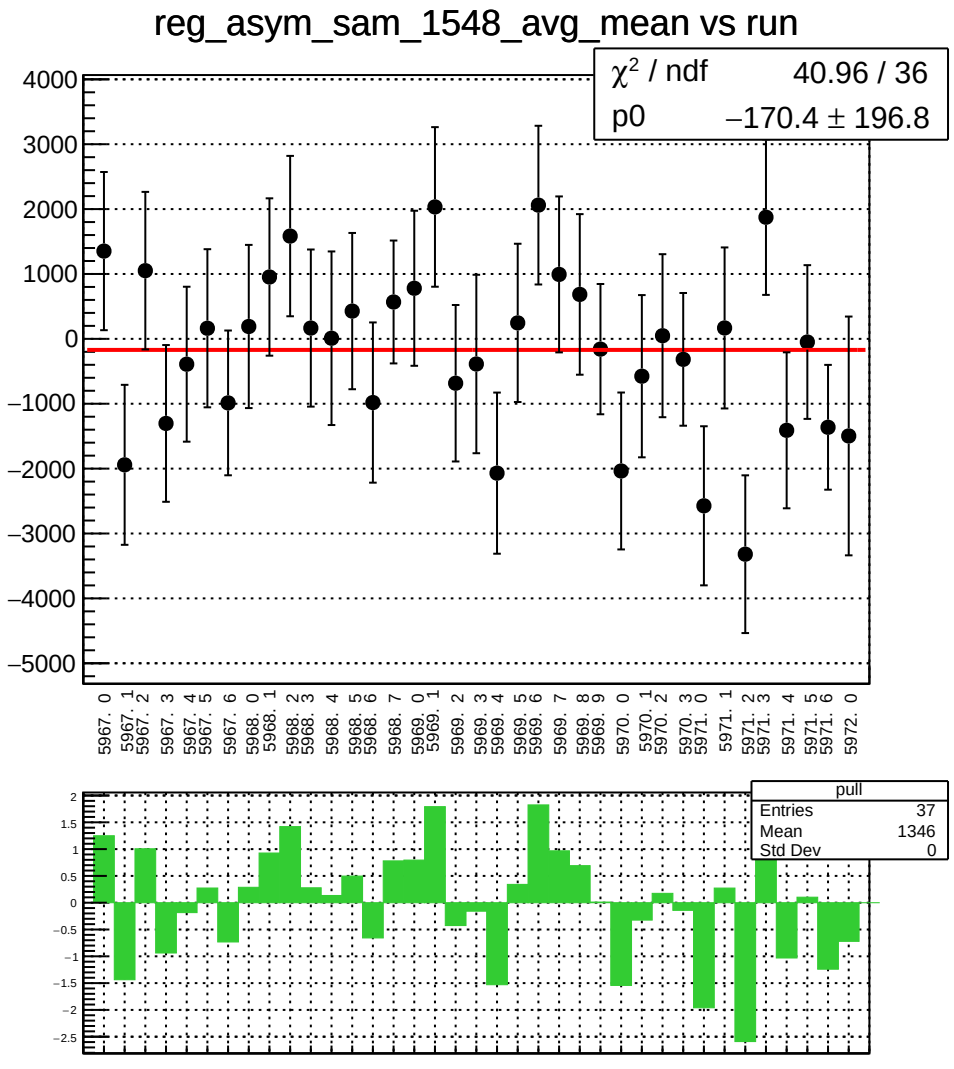
reg_asym_sam_1548_avg_mean vs run
χ² / ndf 40.96 / 36
p0 −170.4 ± 196.8
pull
Entries 37
Mean 1346
Std Dev 0

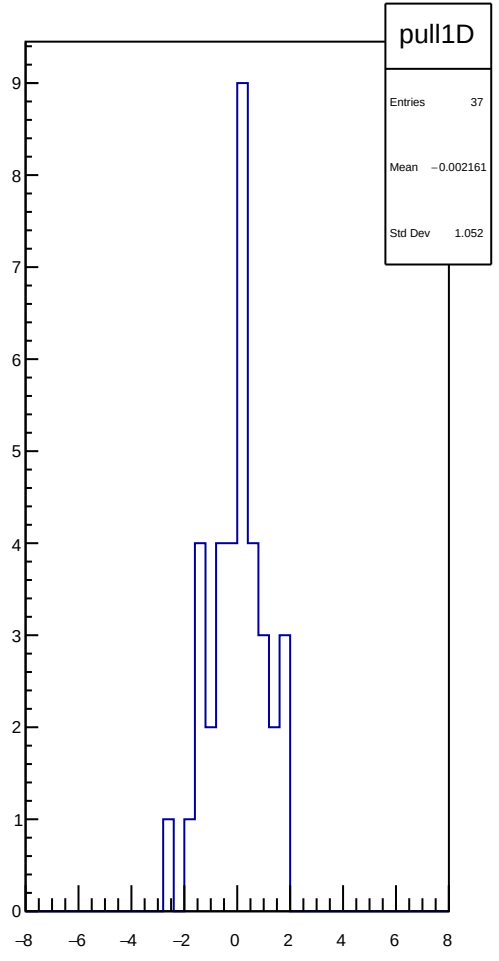
pull1D
Entries 37
Mean −0.002161
Std Dev 1.052

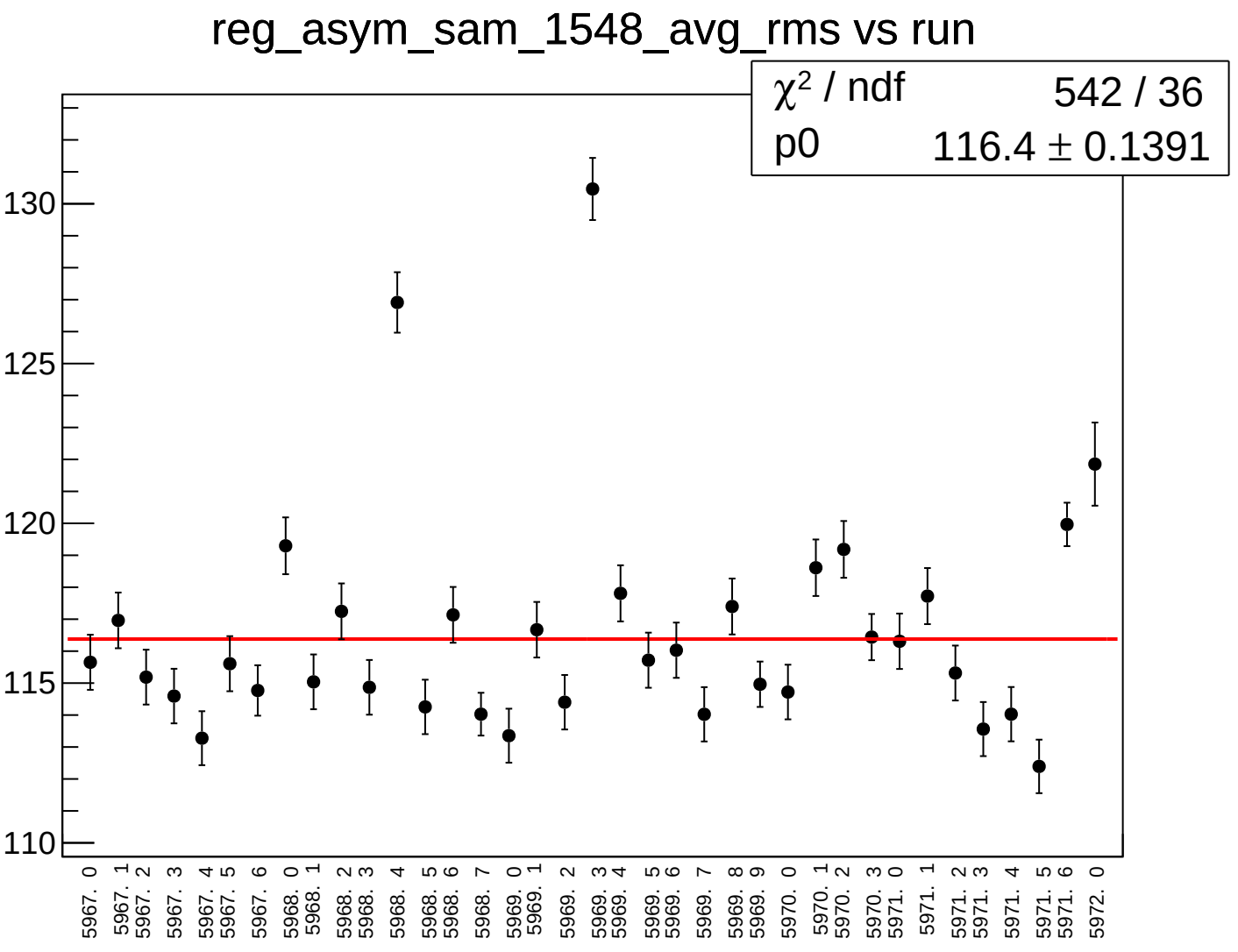
reg_asym_sam_1548_avg_rms vs run
χ² / ndf 542 / 36
p0 116.4 ± 0.1391
130
125
120
115
110
5967. 0
5967. 1
5967. 2
5967. 3
5967. 4
5967. 5
5967. 6
5968. 0
5968. 1
5968. 2
5968. 3
5968. 4
5968. 5
5968. 6
5968. 7
5969. 0
5969. 1
5969. 2
5969. 3
5969. 4
5969. 5
5969. 6
5969. 7
5969. 8
5969. 9
5970. 0
5970. 1
5970. 2
5970. 3
5971. 0
5971. 1
5971. 2
5971. 3
5971. 4
5971. 5
5971. 6
5972. 0

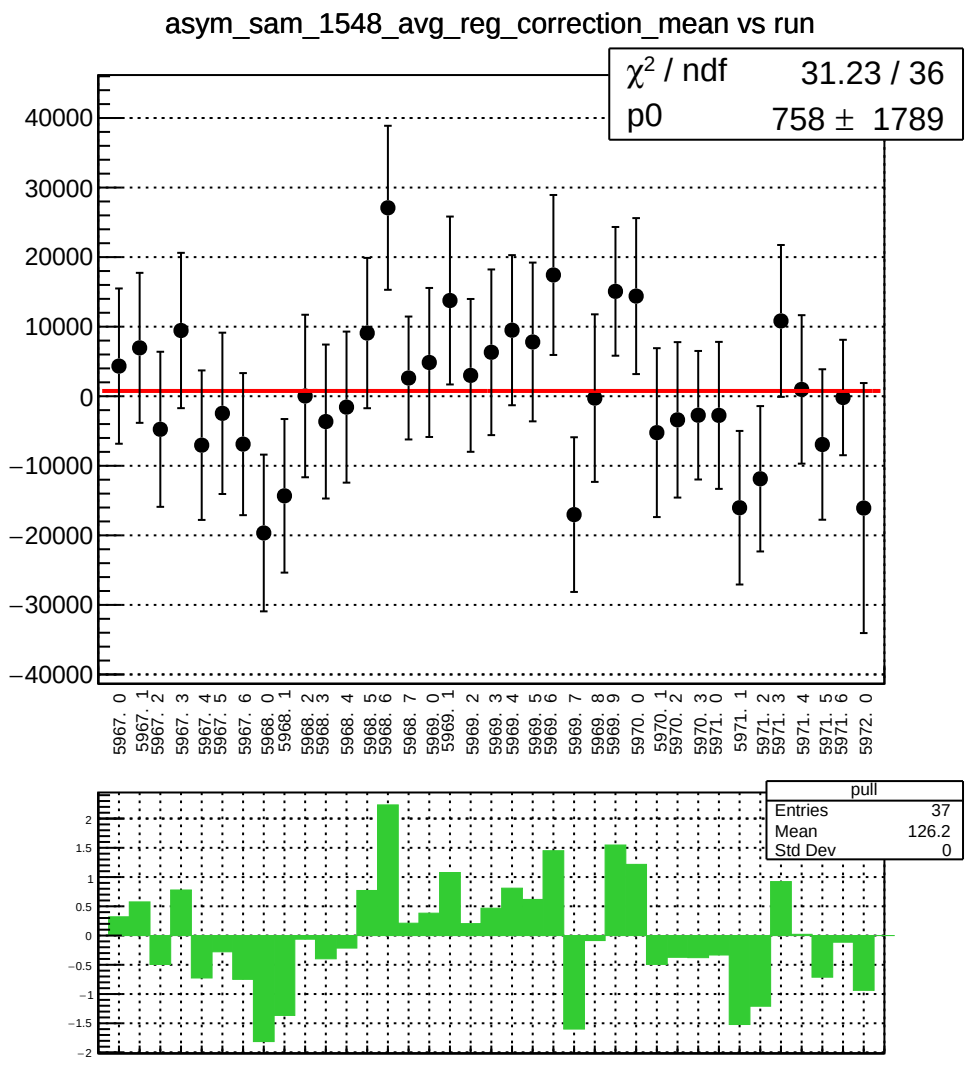
asym_sam_1548_avg_reg_correction_mean vs run
χ² / ndf 31.23 / 36
p0 758 ± 1789
pull
Entries 37
Mean 126.2
Std Dev 0
pull1D
Entries 37
Mean −0.006553
Std Dev 0.9187

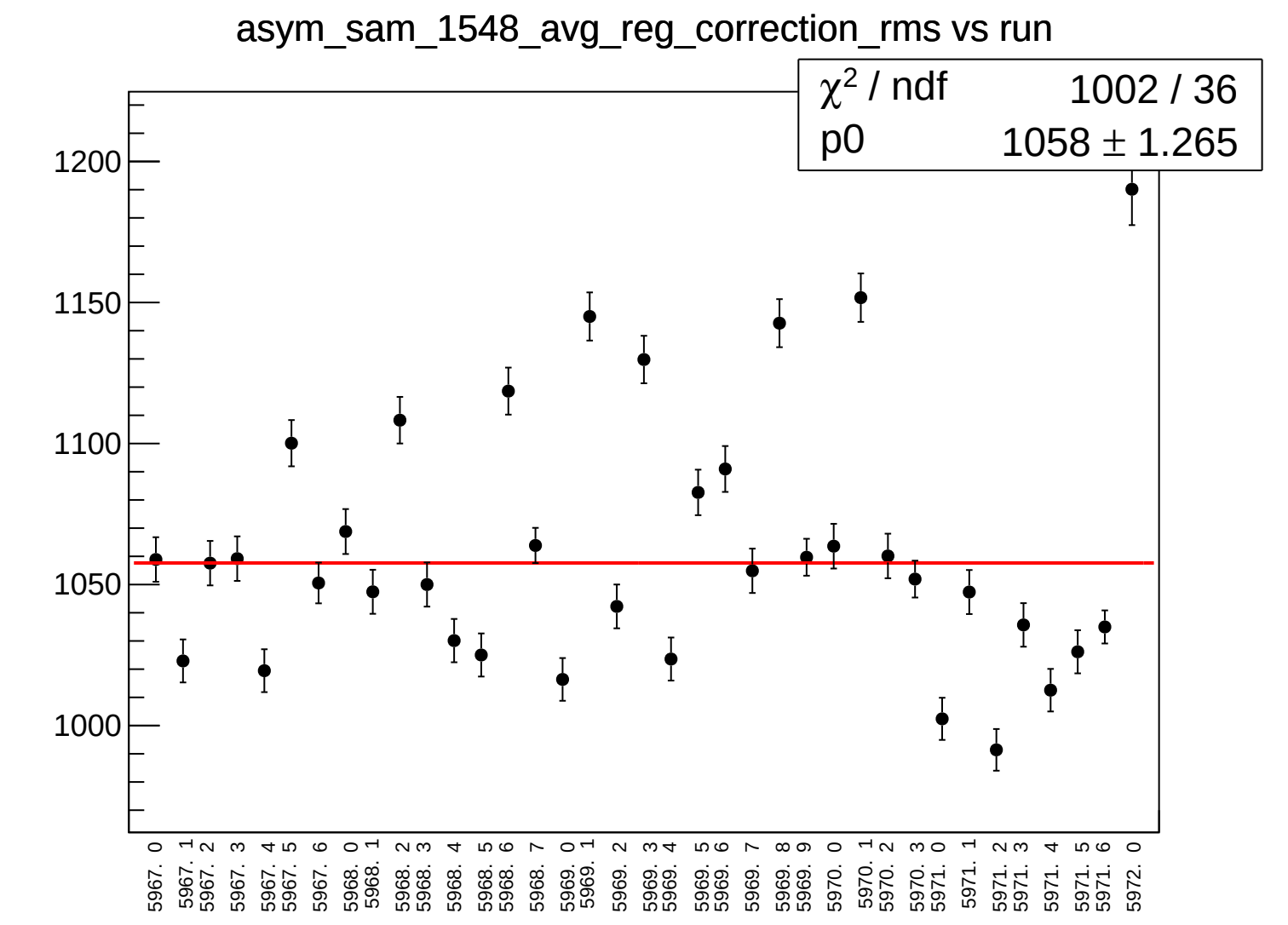
asym_sam_1548_avg_reg_correction_rms vs run
χ² / ndf 1002 / 36
p0 1058 ± 1.265
1200
1150
1100
1050
1000
5967. 0
5967. 1
5967. 2
5967. 3
5967. 4
5967. 5
5967. 6
5968. 0
5968. 1
5968. 2
5968. 3
5968. 4
5968. 5
5968. 6
5968. 7
5969. 0
5969. 1
5969. 2
5969. 3
5969. 4
5969. 5
5969. 6
5969. 7
5969. 8
5969. 9
5970. 0
5970. 1
5970. 2
5970. 3
5971. 0
5971. 1
5971. 2
5971. 3
5971. 4
5971. 5
5971. 6
5972. 0

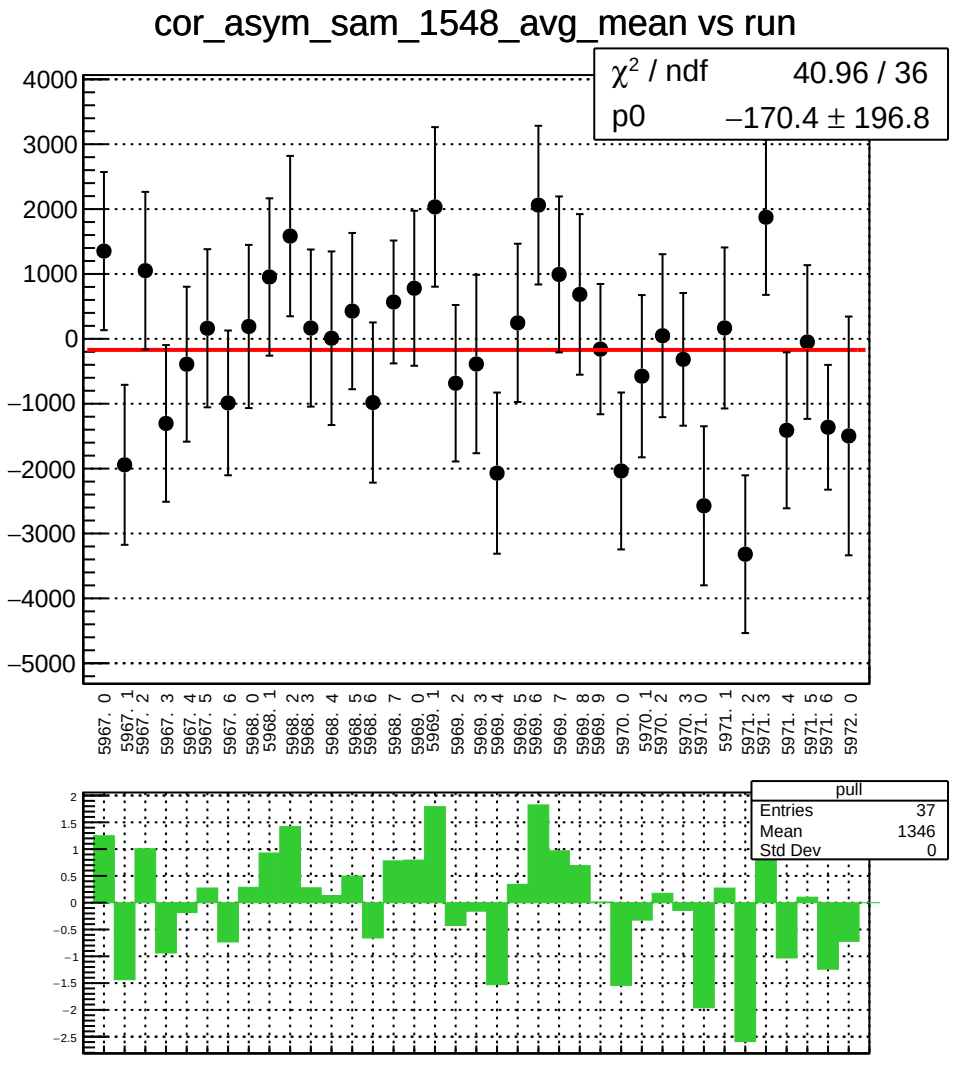
cor_asym_sam_1548_avg_mean vs run
χ² / ndf 40.96 / 36
p0 −170.4 ± 196.8
4000
3000
2000
1000
0
−1000
−2000
−3000
−4000
−5000
5967. 0
5967. 1
5967. 2
5967. 3
5967. 4
5967. 5
5967. 6
5968. 0
5968. 1
5968. 2
5968. 3
5968. 4
5968. 5
5968. 6
5968. 7
5969. 0
5969. 1
5969. 2
5969. 3
5969. 4
5969. 5
5969. 6
5969. 7
5969. 8
5969. 9
5970. 0
5970. 1
5970. 2
5970. 3
5971. 0
5971. 1
5971. 2
5971. 3
5971. 4
5971. 5
5971. 6
5972. 0
pull
Entries 37
Mean 1346
Std Dev 0
2
1.5
1
0.5
0
−0.5
−1
−1.5
−2
−2.5

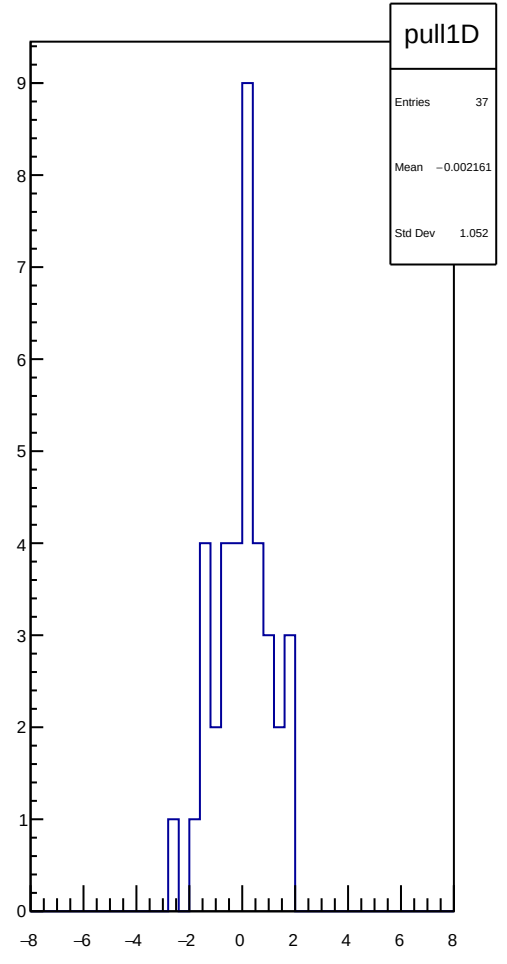
pull1D
Entries 37
Mean −0.002161
Std Dev 1.052
9
8
7
6
5
4
3
2
1
0
−8
−6
−4
−2
0
2
4
6
8

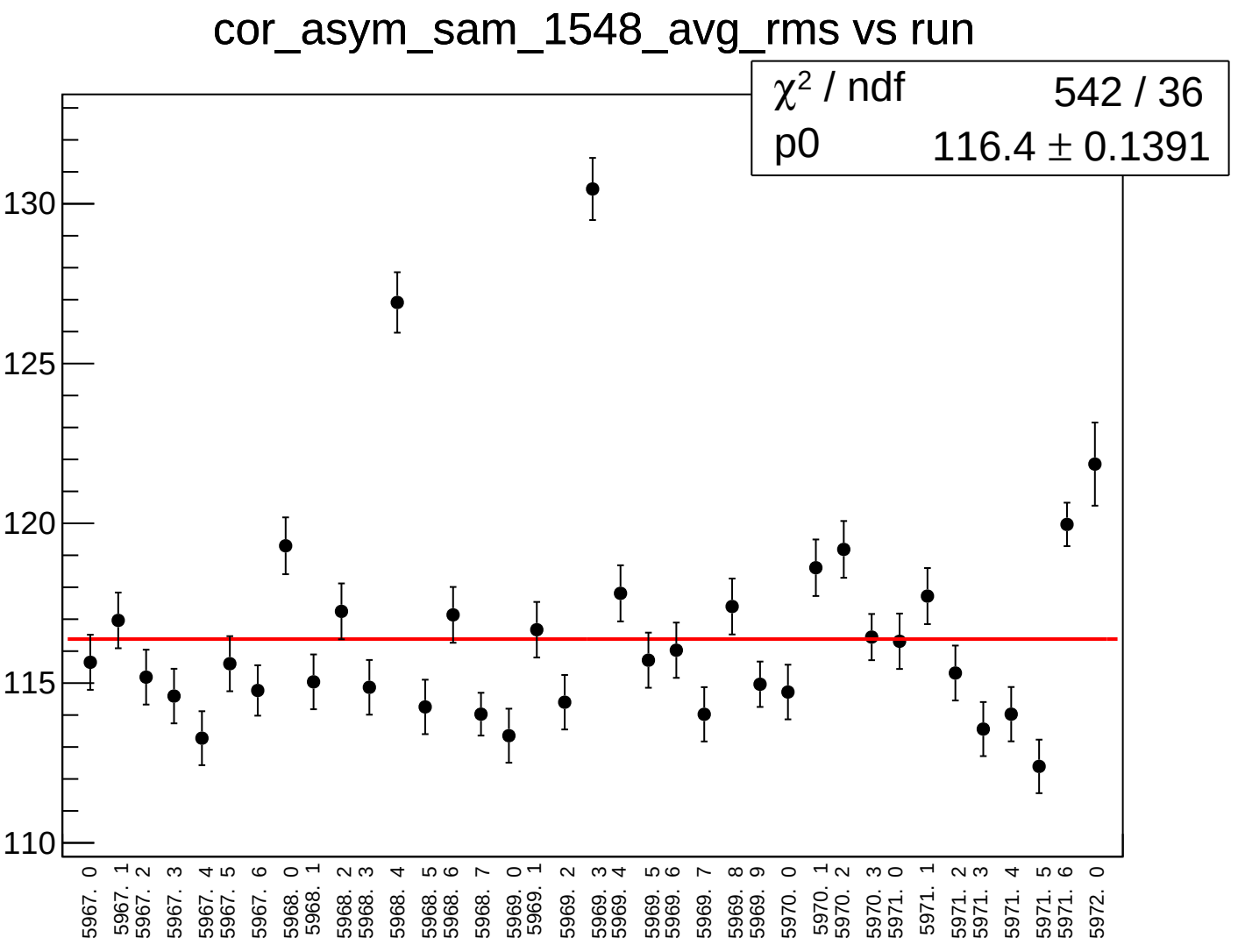
cor_asym_sam_1548_avg_rms vs run
χ² / ndf 542 / 36
p0 116.4 ± 0.1391
130
125
120
115
110
5967. 0
5967. 1
5967. 2
5967. 3
5967. 4
5967. 5
5967. 6
5968. 0
5968. 1
5968. 2
5968. 3
5968. 4
5968. 5
5968. 6
5968. 7
5969. 0
5969. 1
5969. 2
5969. 3
5969. 4
5969. 5
5969. 6
5969. 7
5969. 8
5969. 9
5970. 0
5970. 1
5970. 2
5970. 3
5971. 0
5971. 1
5971. 2
5971. 3
5971. 4
5971. 5
5971. 6
5972. 0

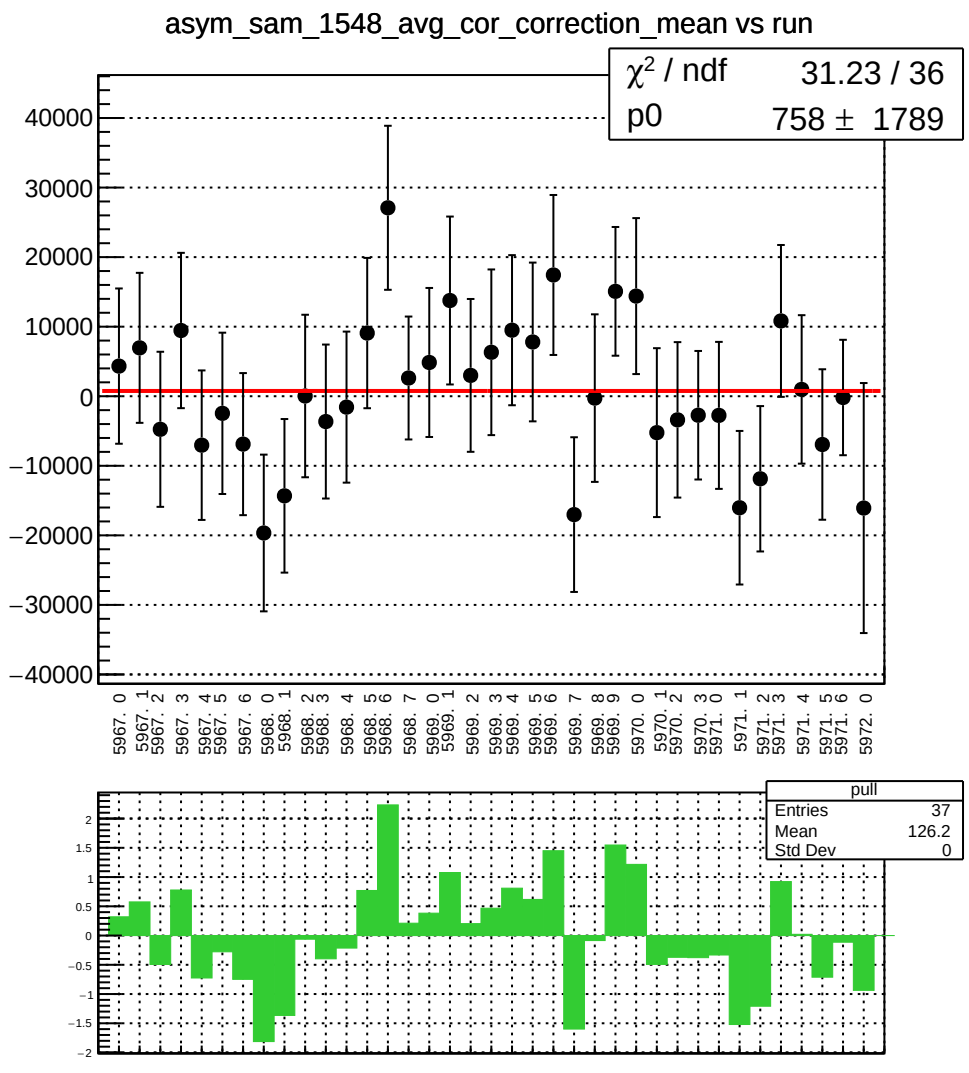
asym_sam_1548_avg_cor_correction_mean vs run
χ² / ndf 31.23 / 36
p0 758 ± 1789
pull
Entries 37
Mean 126.2
Std Dev 0
pull1D
Entries 37
Mean −0.006554
Std Dev 0.9187

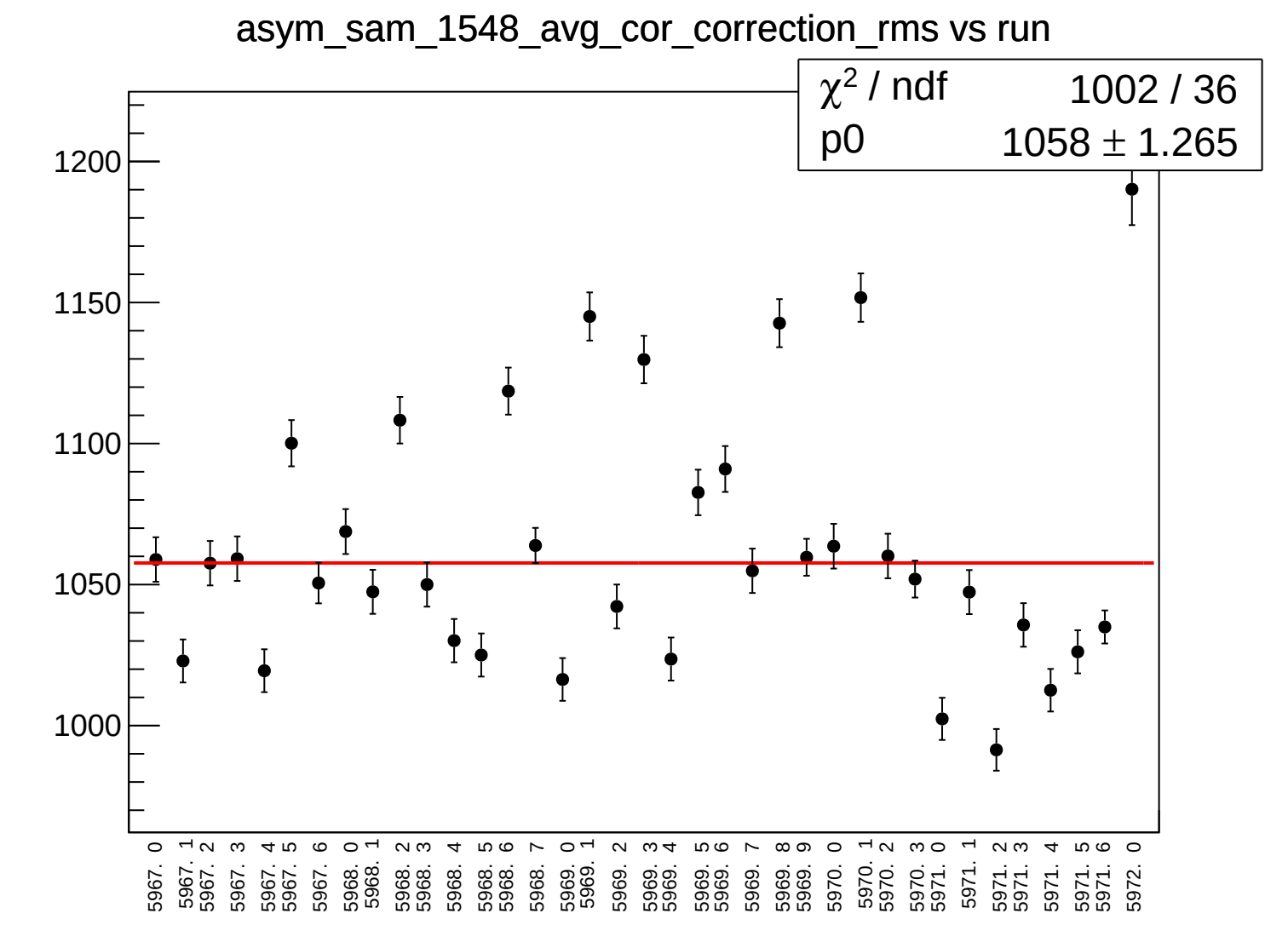
asym_sam_1548_avg_cor_correction_rms vs run
χ² / ndf 1002 / 36
p0 1058 ± 1.265
1200
1150
1100
1050
1000
5967. 0
5967. 1
5967. 2
5967. 3
5967. 4
5967. 5
5967. 6
5968. 0
5968. 1
5968. 2
5968. 3
5968. 4
5968. 5
5968. 6
5968. 7
5969. 0
5969. 1
5969. 2
5969. 3
5969. 4
5969. 5
5969. 6
5969. 7
5969. 8
5969. 9
5970. 0
5970. 1
5970. 2
5970. 3
5971. 0
5971. 1
5971. 2
5971. 3
5971. 4
5971. 5
5971. 6
5972. 0

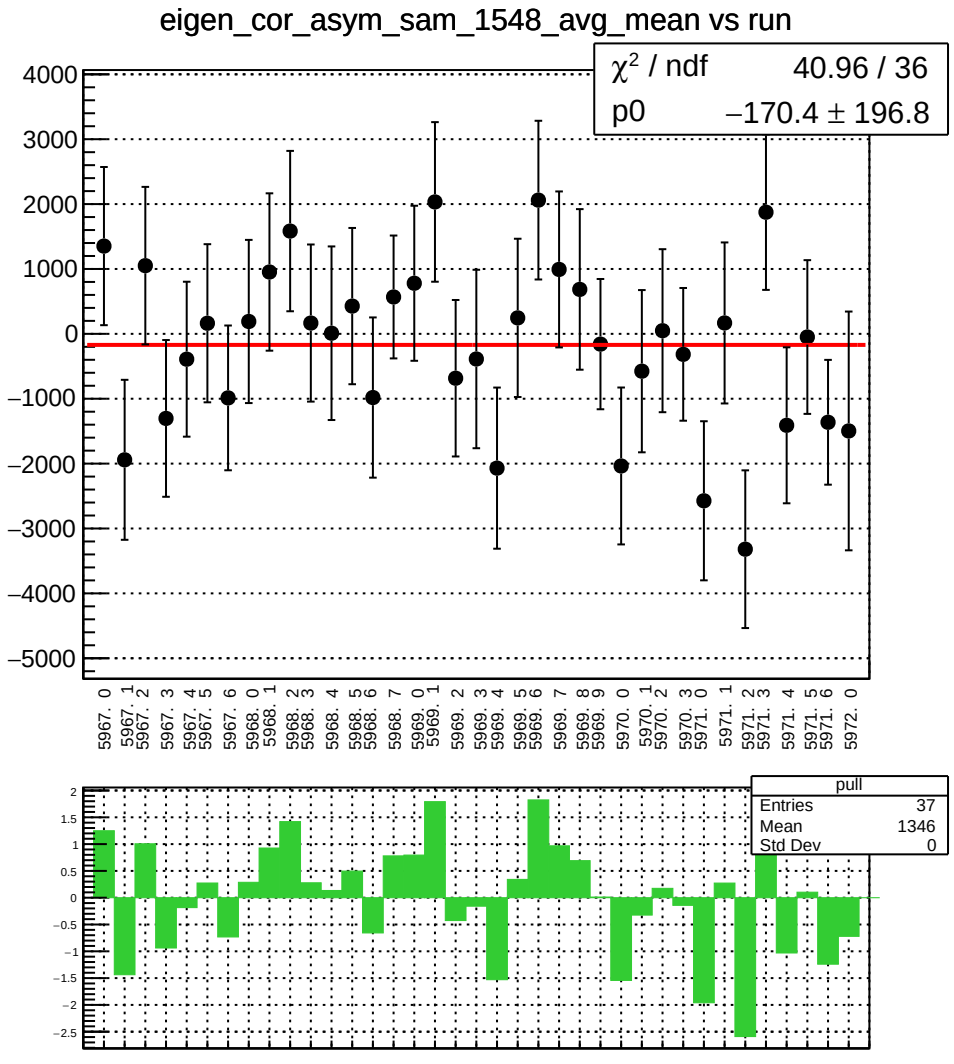
eigen_cor_asym_sam_1548_avg_mean vs run
χ² / ndf 40.96 / 36
p0 −170.4 ± 196.8
pull
Entries 37
Mean 1346
Std Dev 0

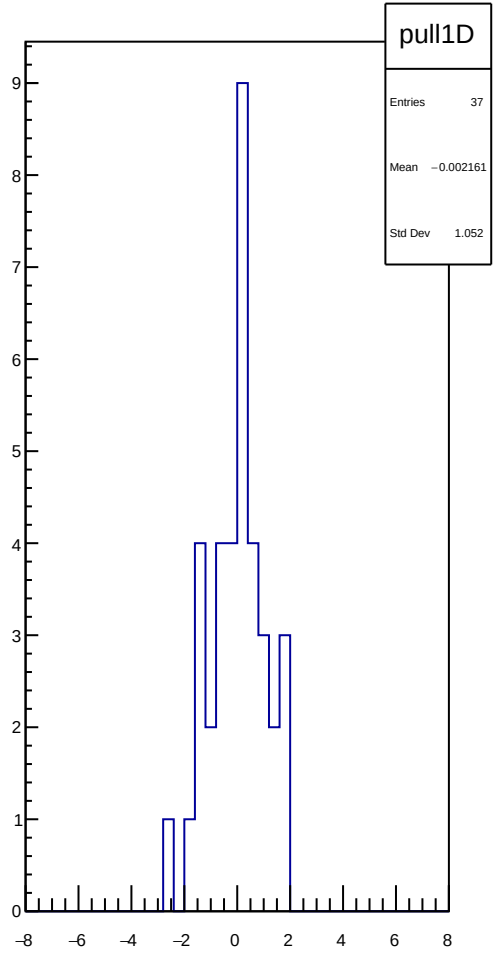
pull1D
Entries 37
Mean −0.002161
Std Dev 1.052

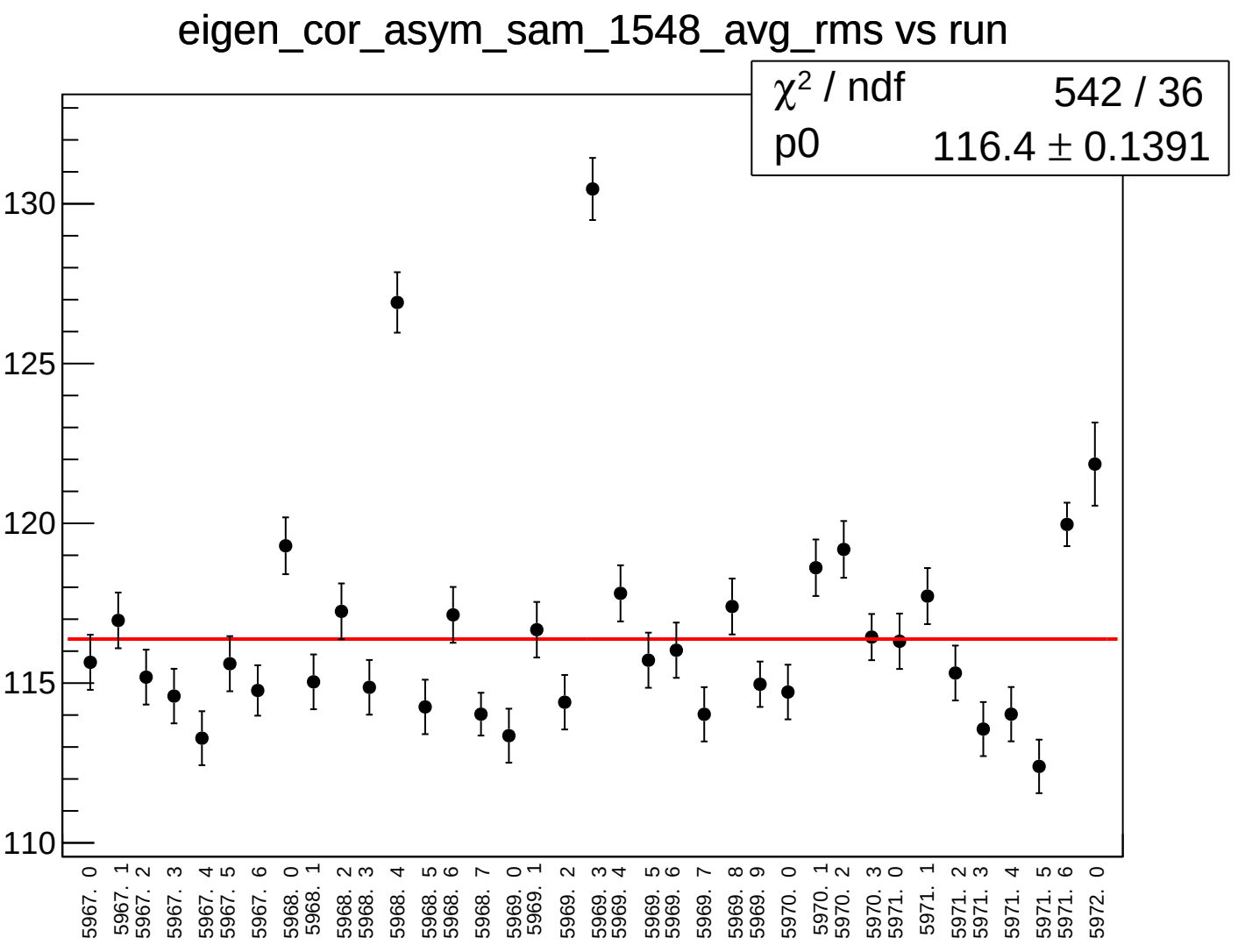
eigen_cor_asym_sam_1548_avg_rms vs run
χ² / ndf 542 / 36
p0 116.4 ± 0.1391
130
125
120
115
110
5967. 0
5967. 1
5967. 2
5967. 3
5967. 4
5967. 5
5967. 6
5968. 0
5968. 1
5968. 2
5968. 3
5968. 4
5968. 5
5968. 6
5968. 7
5969. 0
5969. 1
5969. 2
5969. 3
5969. 4
5969. 5
5969. 6
5969. 7
5969. 8
5969. 9
5970. 0
5970. 1
5970. 2
5970. 3
5971. 0
5971. 1
5971. 2
5971. 3
5971. 4
5971. 5
5971. 6
5972. 0

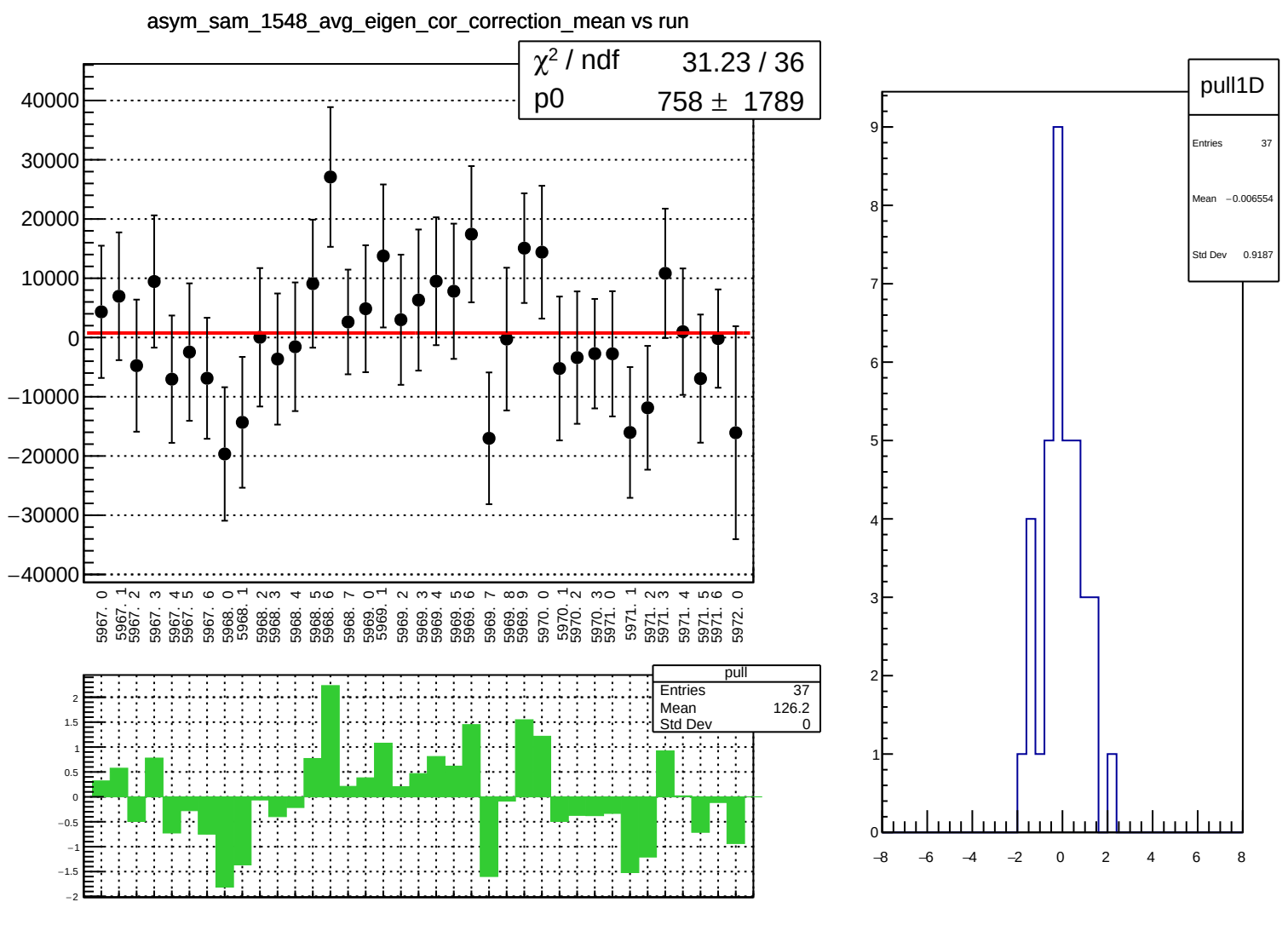
asym_sam_1548_avg_eigen_cor_correction_mean vs run
χ² / ndf 31.23 / 36
p0 758 ± 1789
pull
Entries 37
Mean 126.2
Std Dev 0
pull1D
Entries 37
Mean −0.006554
Std Dev 0.9187

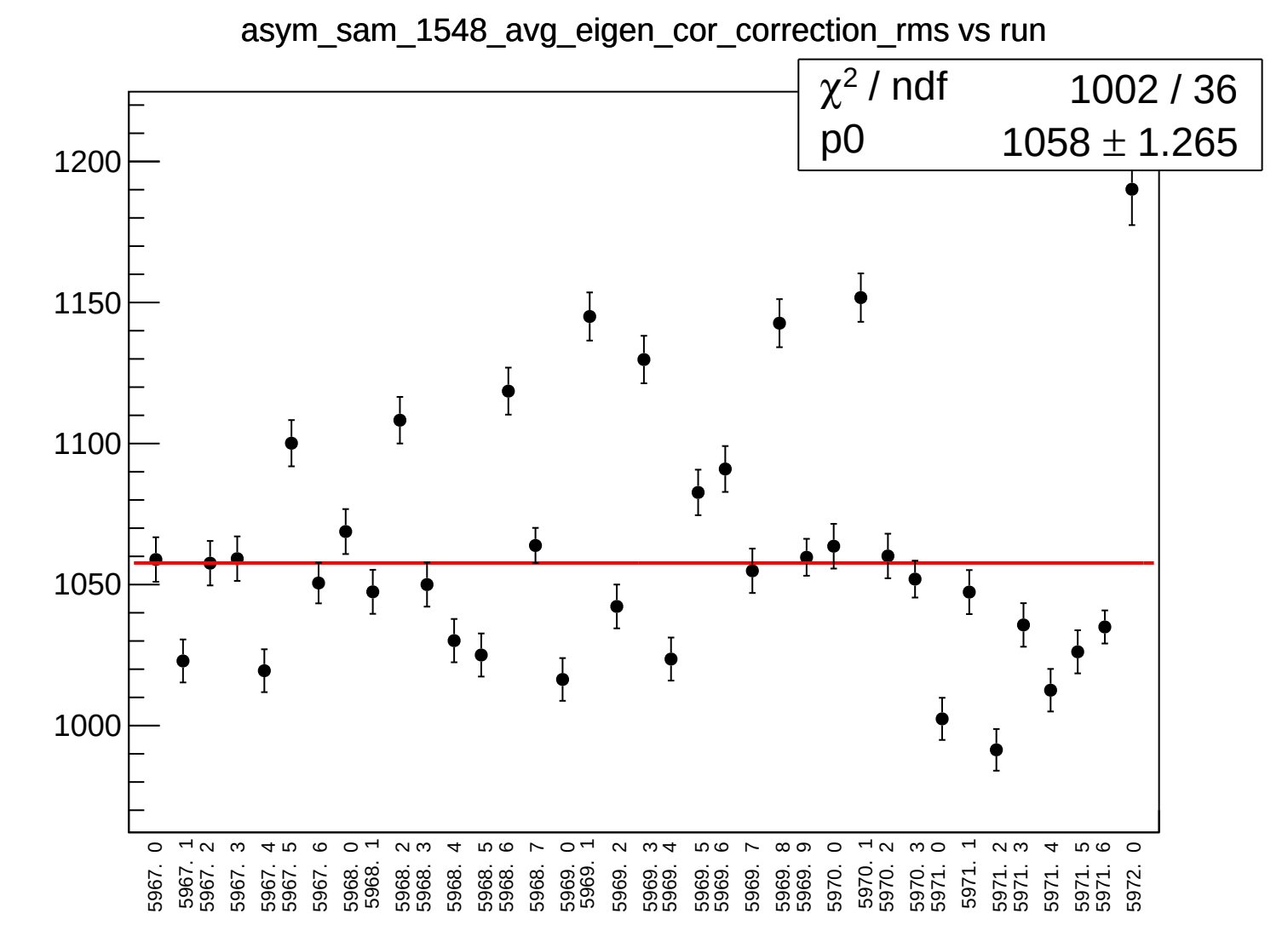
asym_sam_1548_avg_eigen_cor_correction_rms vs run
χ² / ndf 1002 / 36
p0 1058 ± 1.265
1200
1150
1100
1050
1000
5967. 0
5967. 1
5967. 2
5967. 3
5967. 4
5967. 5
5967. 6
5968. 0
5968. 1
5968. 2
5968. 3
5968. 4
5968. 5
5968. 6
5968. 7
5969. 0
5969. 1
5969. 2
5969. 3
5969. 4
5969. 5
5969. 6
5969. 7
5969. 8
5969. 9
5970. 0
5970. 1
5970. 2
5970. 3
5971. 0
5971. 1
5971. 2
5971. 3
5971. 4
5971. 5
5971. 6
5972. 0

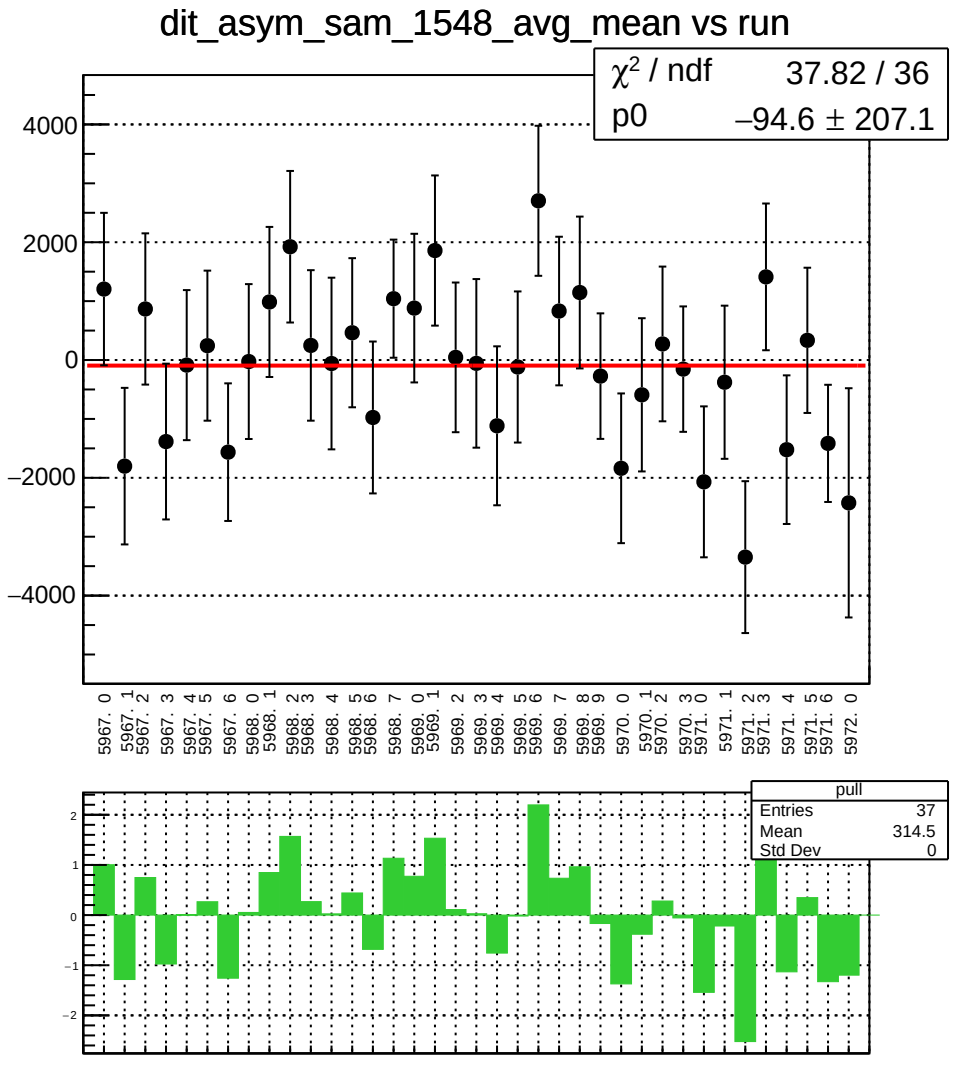
dit_asym_sam_1548_avg_mean vs run
χ² / ndf 37.82 / 36
p0 −94.6 ± 207.1
4000
2000
0
−2000
−4000
5967. 0
5967. 1
5967. 2
5967. 3
5967. 4
5967. 5
5967. 6
5968. 0
5968. 1
5968. 2
5968. 3
5968. 4
5968. 5
5968. 6
5968. 7
5969. 0
5969. 1
5969. 2
5969. 3
5969. 4
5969. 5
5969. 6
5969. 7
5969. 8
5969. 9
5970. 0
5970. 1
5970. 2
5970. 3
5971. 0
5971. 1
5971. 2
5971. 3
5971. 4
5971. 5
5971. 6
5972. 0
pull
Entries 37
Mean 314.5
Std Dev 0
2
1
0
−1
−2

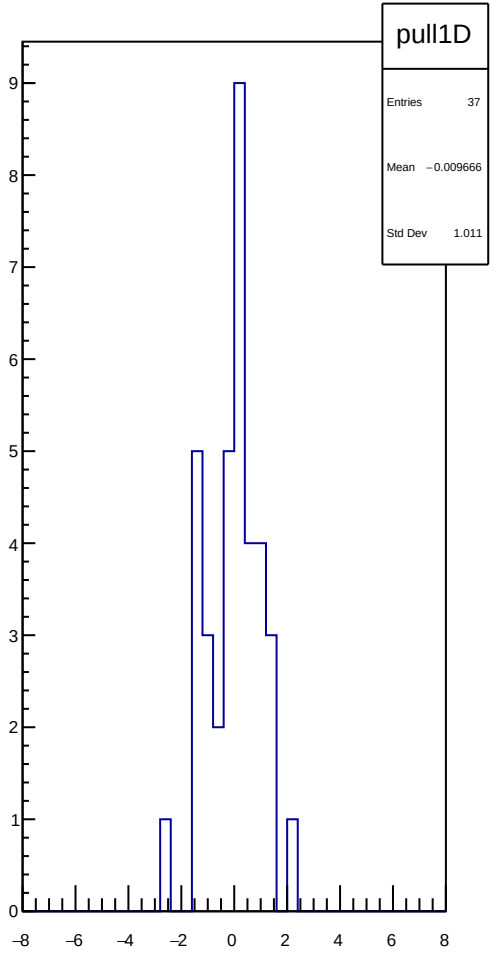
pull1D
Entries 37
Mean −0.009666
Std Dev 1.011
9
8
7
6
5
4
3
2
1
0
−8
−6
−4
−2
0
2
4
6
8

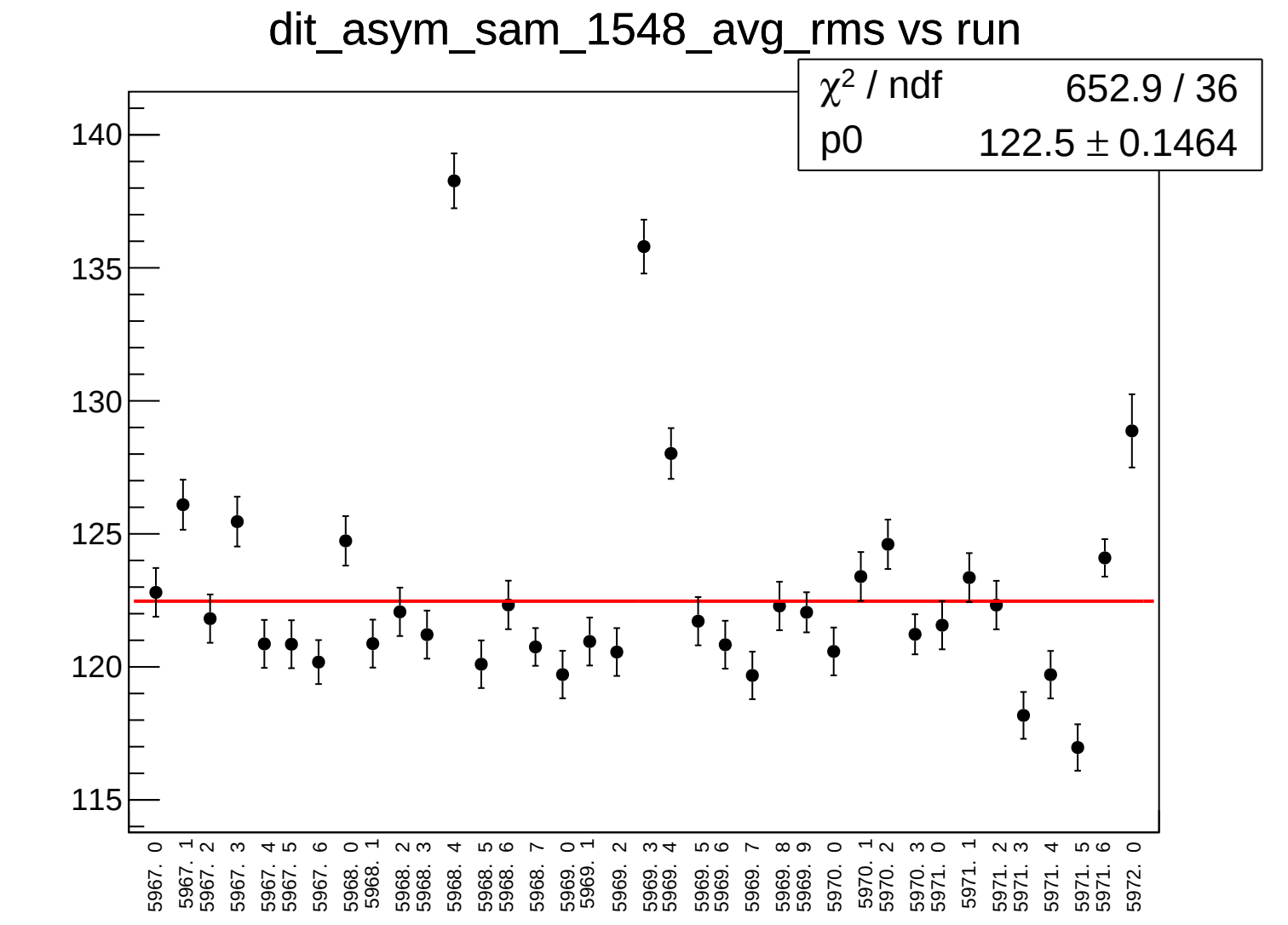
dit_asym_sam_1548_avg_rms vs run
χ² / ndf 652.9 / 36
p0 122.5 ± 0.1464
140
135
130
125
120
115
5967. 0
5967. 1
5967. 2
5967. 3
5967. 4
5967. 5
5967. 6
5968. 0
5968. 1
5968. 2
5968. 3
5968. 4
5968. 5
5968. 6
5968. 7
5969. 0
5969. 1
5969. 2
5969. 3
5969. 4
5969. 5
5969. 6
5969. 7
5969. 8
5969. 9
5970. 0
5970. 1
5970. 2
5970. 3
5971. 0
5971. 1
5971. 2
5971. 3
5971. 4
5971. 5
5971. 6
5972. 0

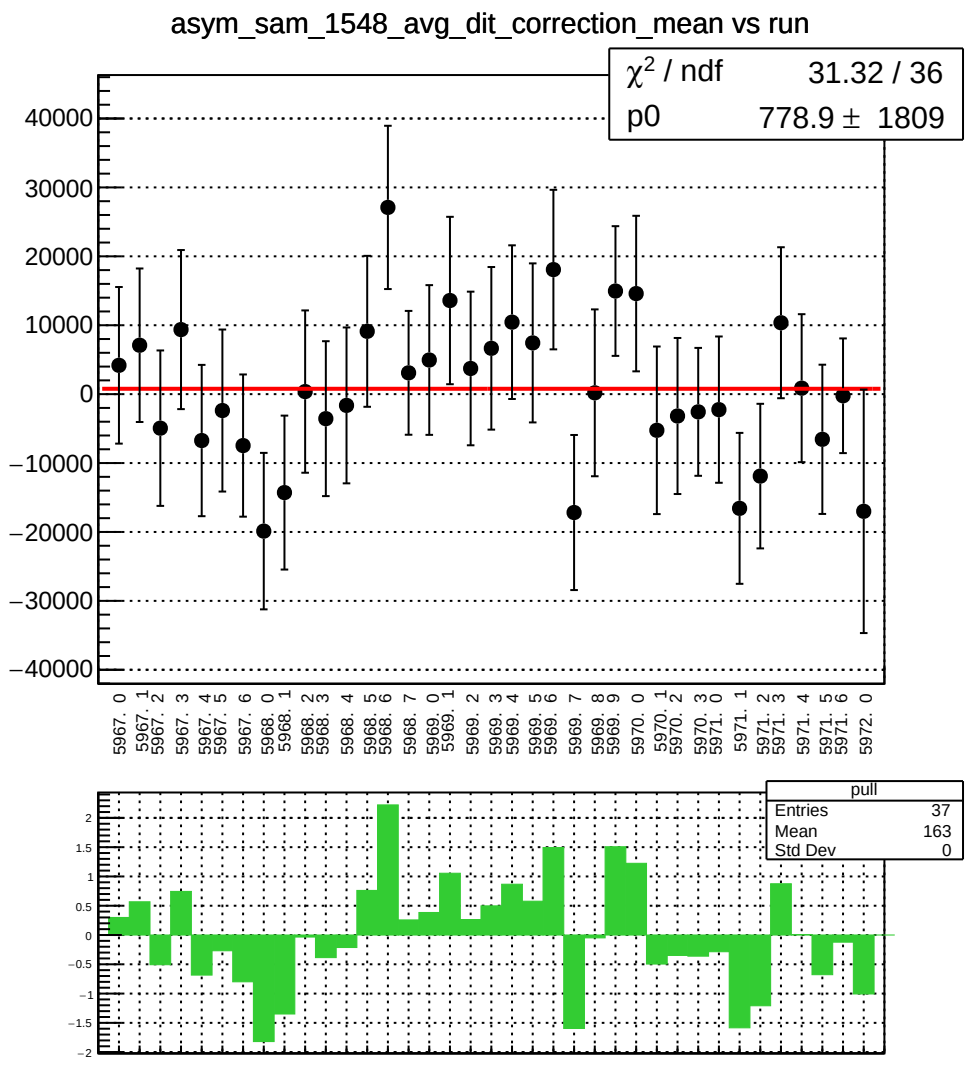
asym_sam_1548_avg_dit_correction_mean vs run
χ² / ndf 31.32 / 36
p0 778.9 ± 1809
pull
Entries 37
Mean 163
Std Dev 0

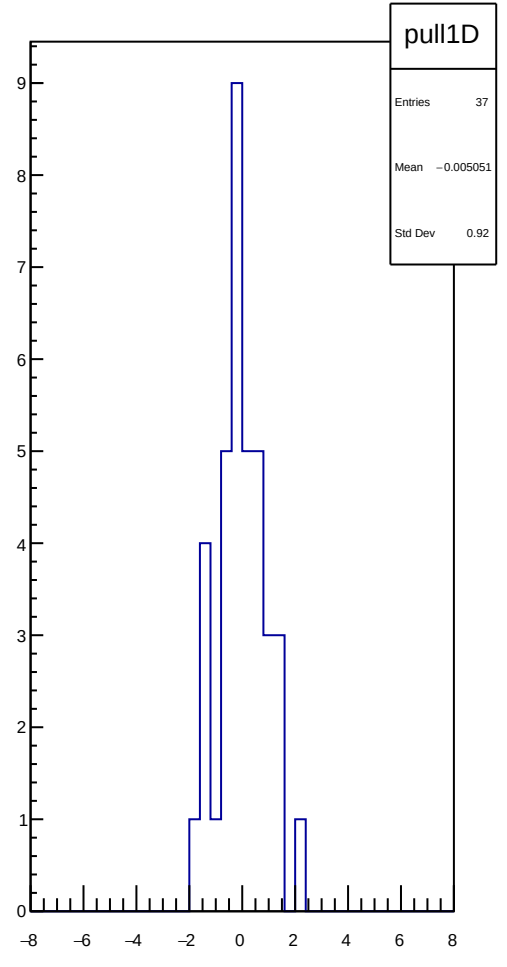
pull1D
Entries 37
Mean −0.005051
Std Dev 0.92

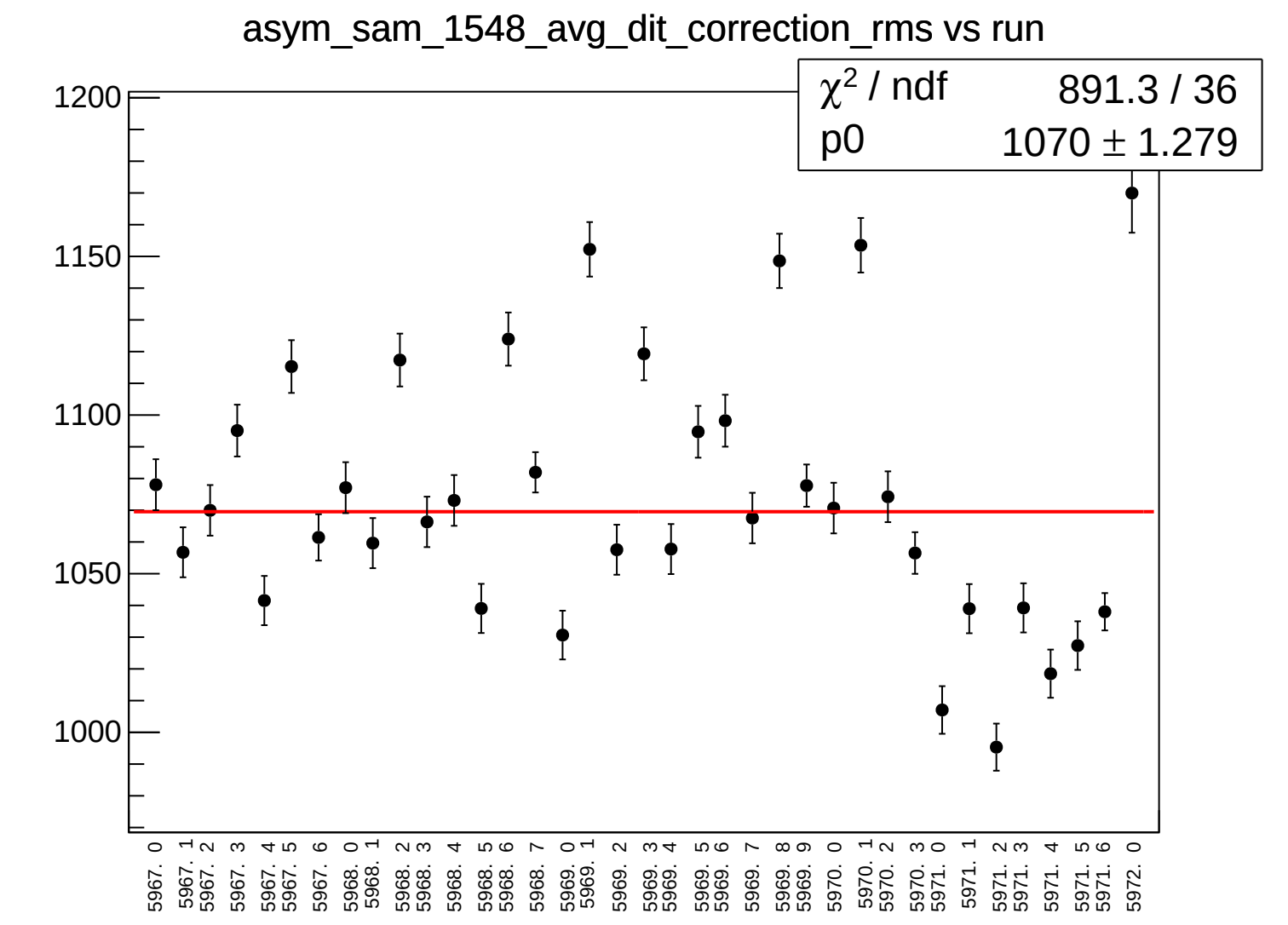
asym_sam_1548_avg_dit_correction_rms vs run
χ² / ndf 891.3 / 36
p0 1070 ± 1.279
1200
1150
1100
1050
1000
5967. 0
5967. 1
5967. 2
5967. 3
5967. 4
5967. 5
5967. 6
5968. 0
5968. 1
5968. 2
5968. 3
5968. 4
5968. 5
5968. 6
5968. 7
5969. 0
5969. 1
5969. 2
5969. 3
5969. 4
5969. 5
5969. 6
5969. 7
5969. 8
5969. 9
5970. 0
5970. 1
5970. 2
5970. 3
5971. 0
5971. 1
5971. 2
5971. 3
5971. 4
5971. 5
5971. 6
5972. 0

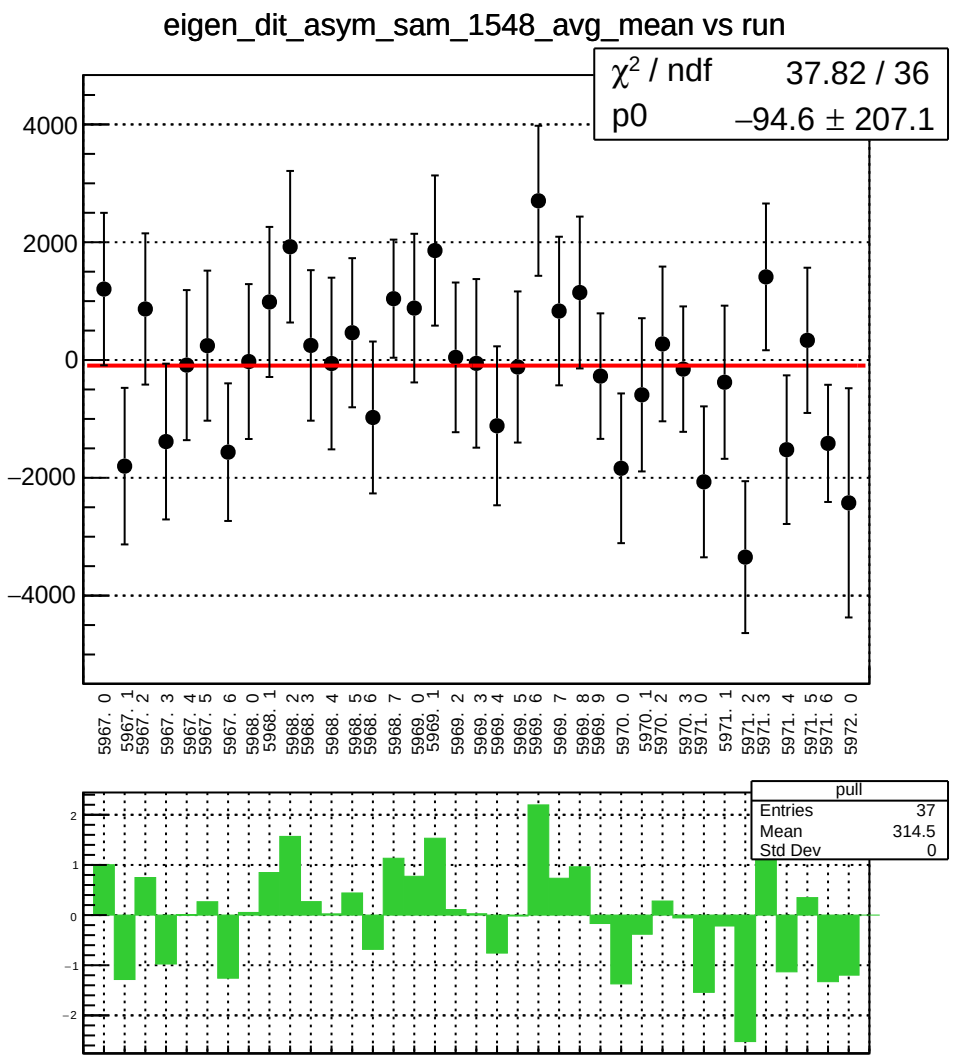
eigen_dit_asym_sam_1548_avg_mean vs run
χ² / ndf 37.82 / 36
p0 −94.6 ± 207.1
4000
2000
0
−2000
−4000
5967. 0
5967. 1
5967. 2
5967. 3
5967. 4
5967. 5
5967. 6
5968. 0
5968. 1
5968. 2
5968. 3
5968. 4
5968. 5
5968. 6
5968. 7
5969. 0
5969. 1
5969. 2
5969. 3
5969. 4
5969. 5
5969. 6
5969. 7
5969. 8
5969. 9
5970. 0
5970. 1
5970. 2
5970. 3
5971. 0
5971. 1
5971. 2
5971. 3
5971. 4
5971. 5
5971. 6
5972. 0
pull
Entries 37
Mean 314.5
Std Dev 0
2
1
0
−1
−2
pull1D
Entries 37
Mean −0.009666
Std Dev 1.011
9
8
7
6
5
4
3
2
1
0
−8
−6
−4
−2
0
2
4
6
8

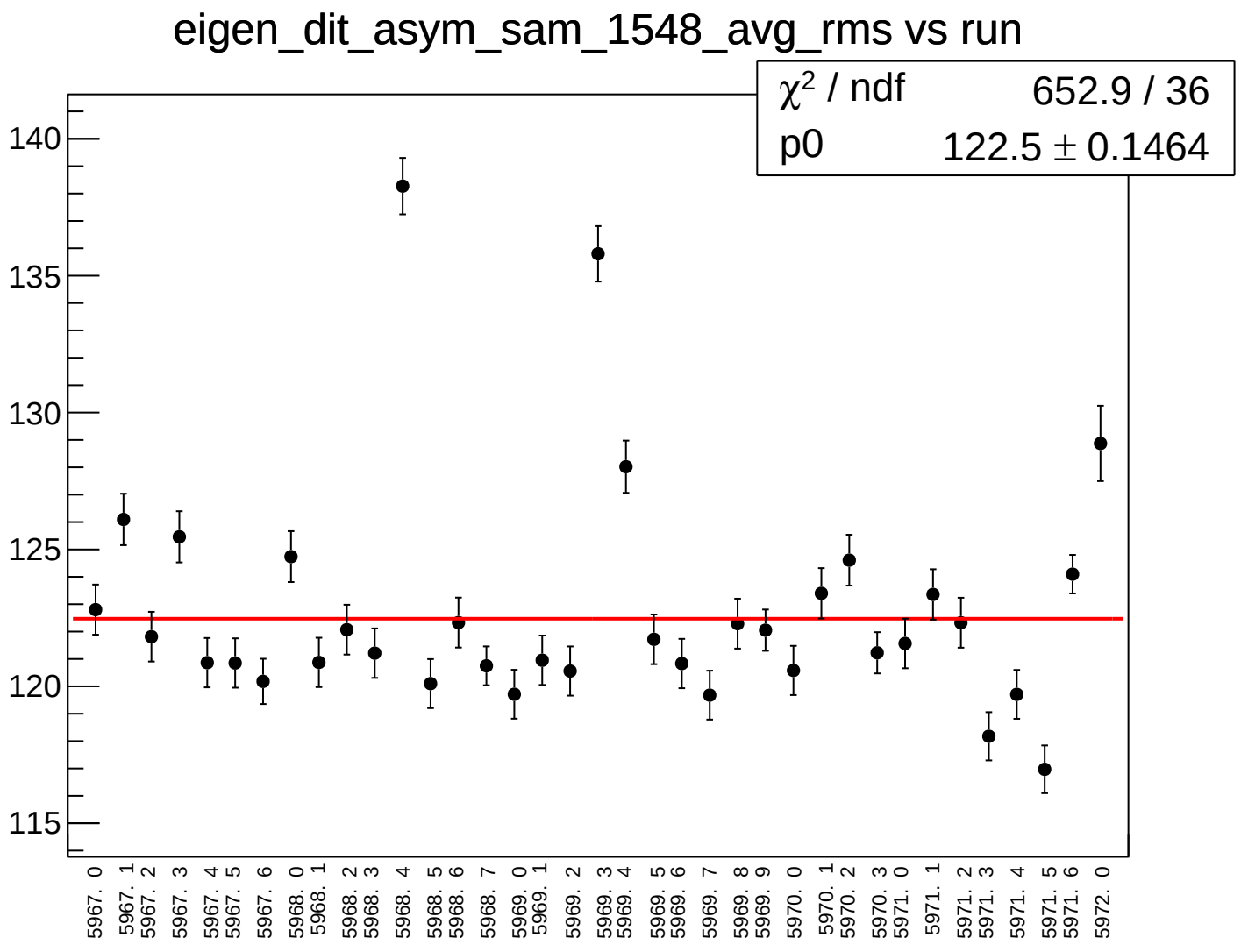
eigen_dit_asym_sam_1548_avg_rms vs run
χ² / ndf 652.9 / 36
p0 122.5 ± 0.1464
140
135
130
125
120
115
5967. 0
5967. 1
5967. 2
5967. 3
5967. 4
5967. 5
5967. 6
5968. 0
5968. 1
5968. 2
5968. 3
5968. 4
5968. 5
5968. 6
5968. 7
5969. 0
5969. 1
5969. 2
5969. 3
5969. 4
5969. 5
5969. 6
5969. 7
5969. 8
5969. 9
5970. 0
5970. 1
5970. 2
5970. 3
5971. 0
5971. 1
5971. 2
5971. 3
5971. 4
5971. 5
5971. 6
5972. 0

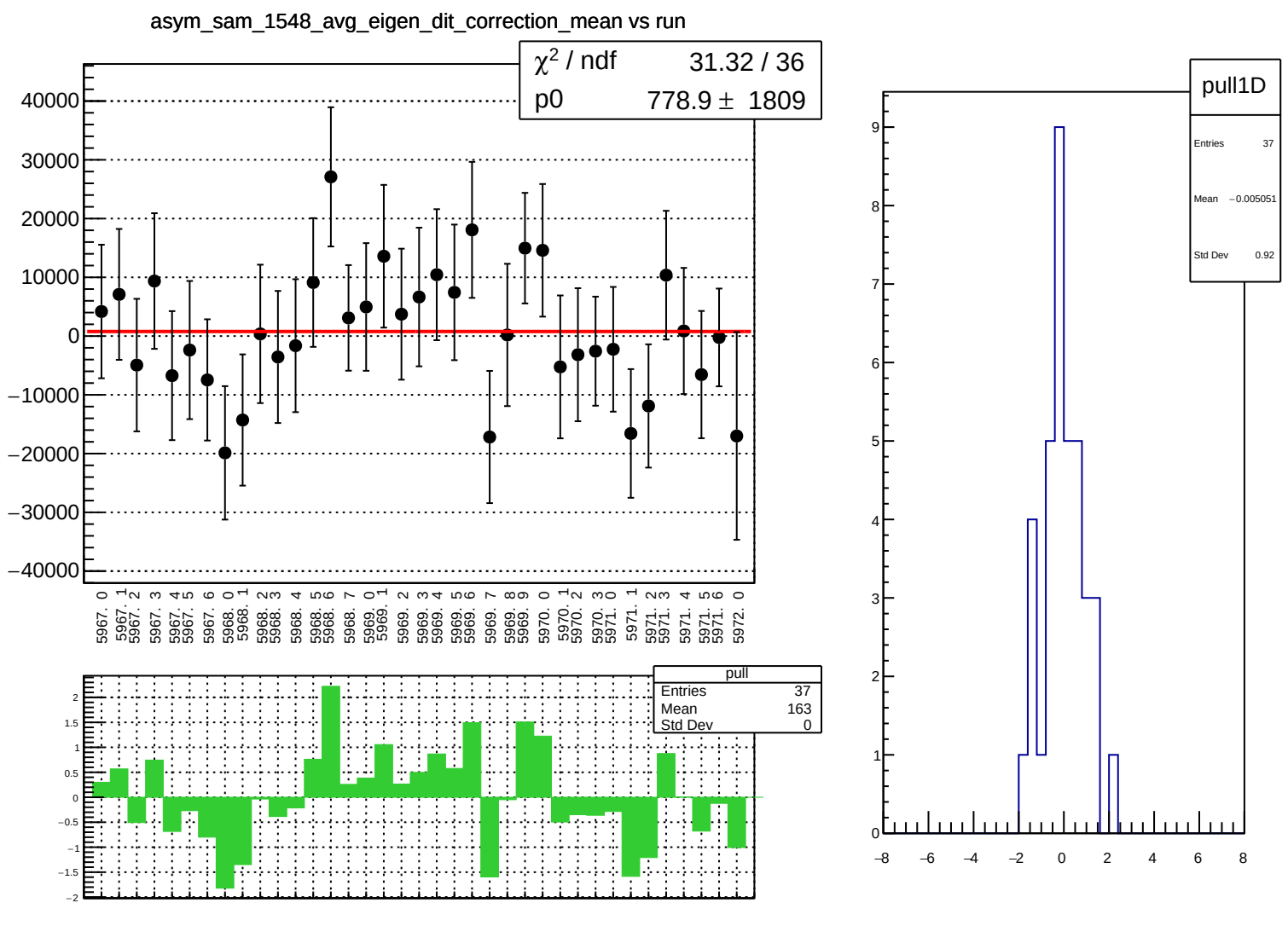
asym_sam_1548_avg_eigen_dit_correction_mean vs run
χ² / ndf 31.32 / 36
p0 778.9 ± 1809
pull
Entries 37
Mean 163
Std Dev 0
pull1D
Entries 37
Mean −0.005051
Std Dev 0.92

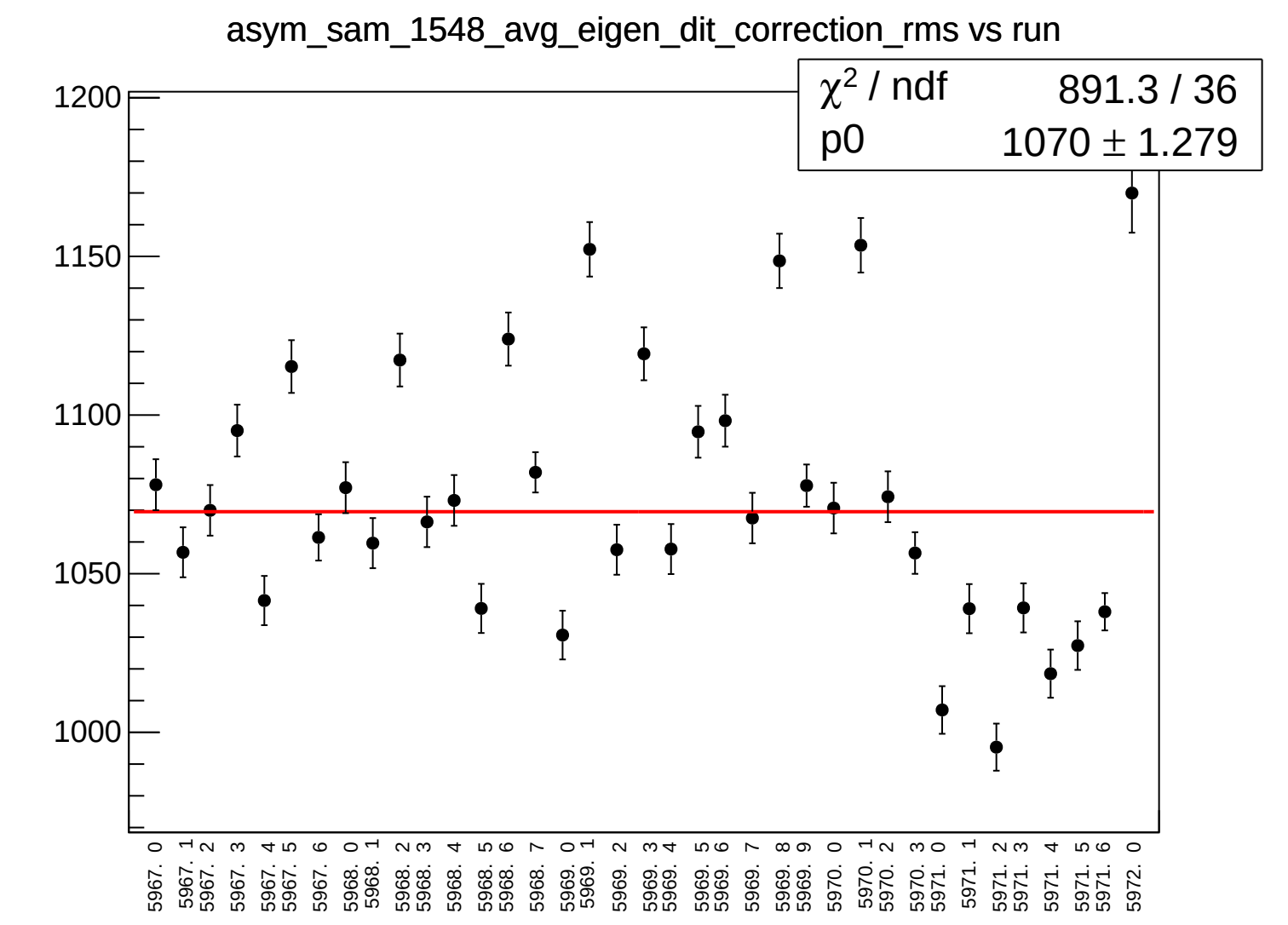
asym_sam_1548_avg_eigen_dit_correction_rms vs run
χ² / ndf 891.3 / 36
p0 1070 ± 1.279
1200
1150
1100
1050
1000
5967. 0
5967. 1
5967. 2
5967. 3
5967. 4
5967. 5
5967. 6
5968. 0
5968. 1
5968. 2
5968. 3
5968. 4
5968. 5
5968. 6
5968. 7
5969. 0
5969. 1
5969. 2
5969. 3
5969. 4
5969. 5
5969. 6
5969. 7
5969. 8
5969. 9
5970. 0
5970. 1
5970. 2
5970. 3
5971. 0
5971. 1
5971. 2
5971. 3
5971. 4
5971. 5
5971. 6
5972. 0

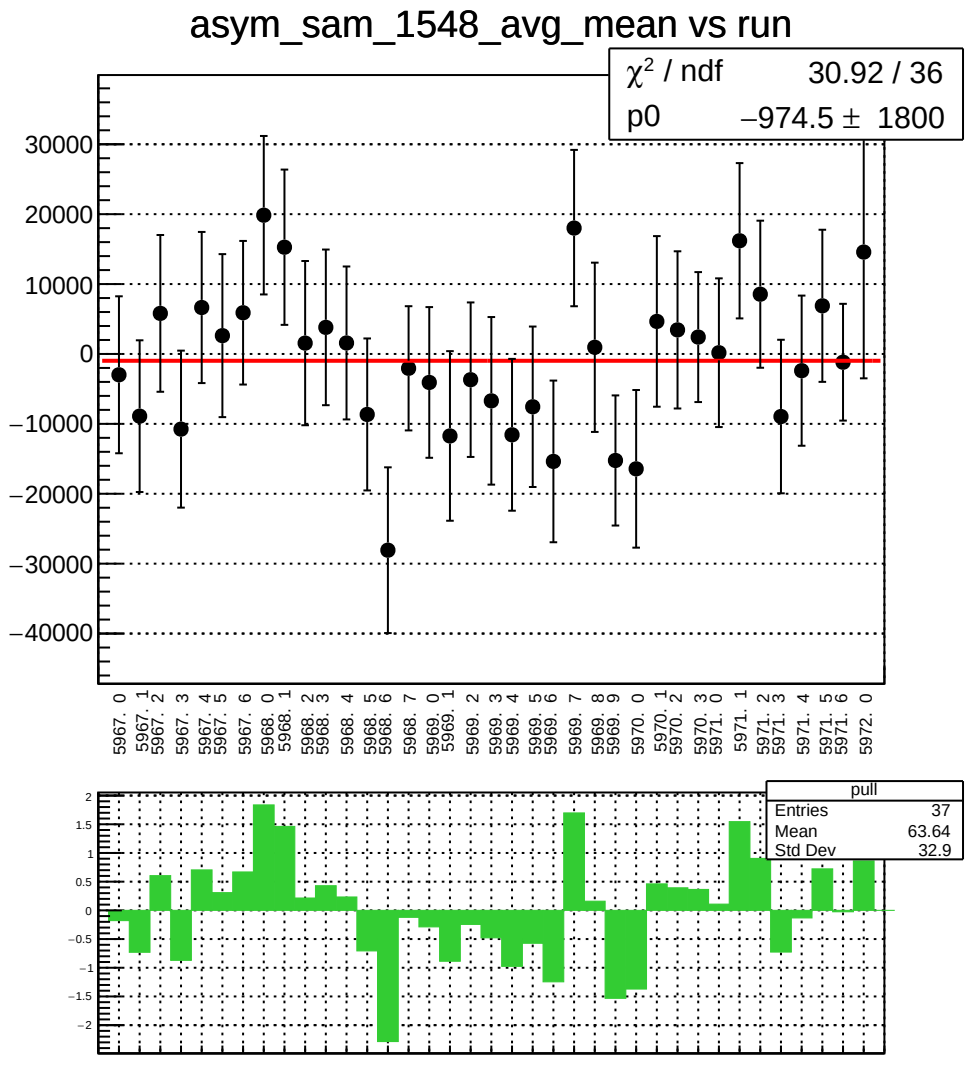
asym_sam_1548_avg_mean vs run
χ² / ndf 30.92 / 36
p0 −974.5 ± 1800
30000
20000
10000
0
−10000
−20000
−30000
−40000
5967. 0
5967. 1
5967. 2
5967. 3
5967. 4
5967. 5
5967. 6
5968. 0
5968. 1
5968. 2
5968. 3
5968. 4
5968. 5
5968. 6
5968. 7
5969. 0
5969. 1
5969. 2
5969. 3
5969. 4
5969. 5
5969. 6
5969. 7
5969. 8
5969. 9
5970. 0
5970. 1
5970. 2
5970. 3
5971. 0
5971. 1
5971. 2
5971. 3
5971. 4
5971. 5
5971. 6
5972. 0
pull
Entries 37
Mean 63.64
Std Dev 32.9
2
1.5
1
0.5
0
−0.5
−1
−1.5
−2

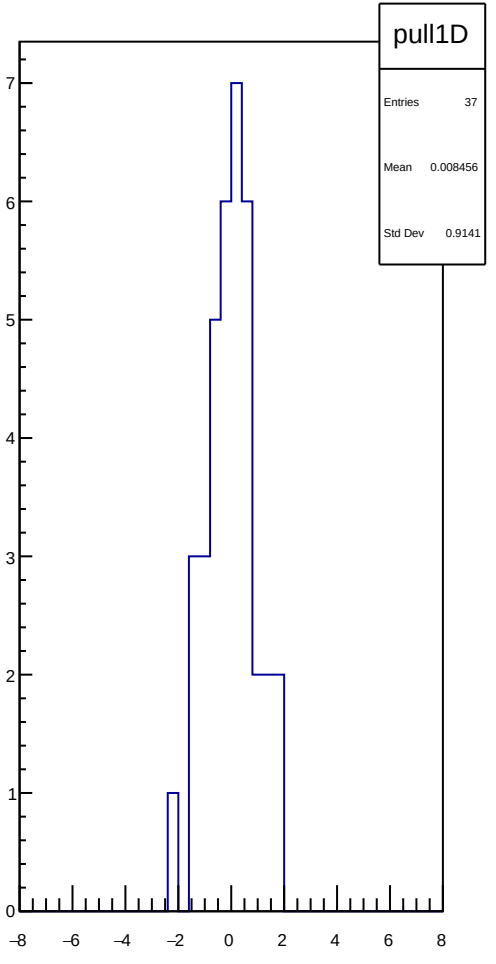
pull1D
Entries 37
Mean 0.008456
Std Dev 0.9141
7
6
5
4
3
2
1
0
−8
−6
−4
−2
0
2
4
6
8

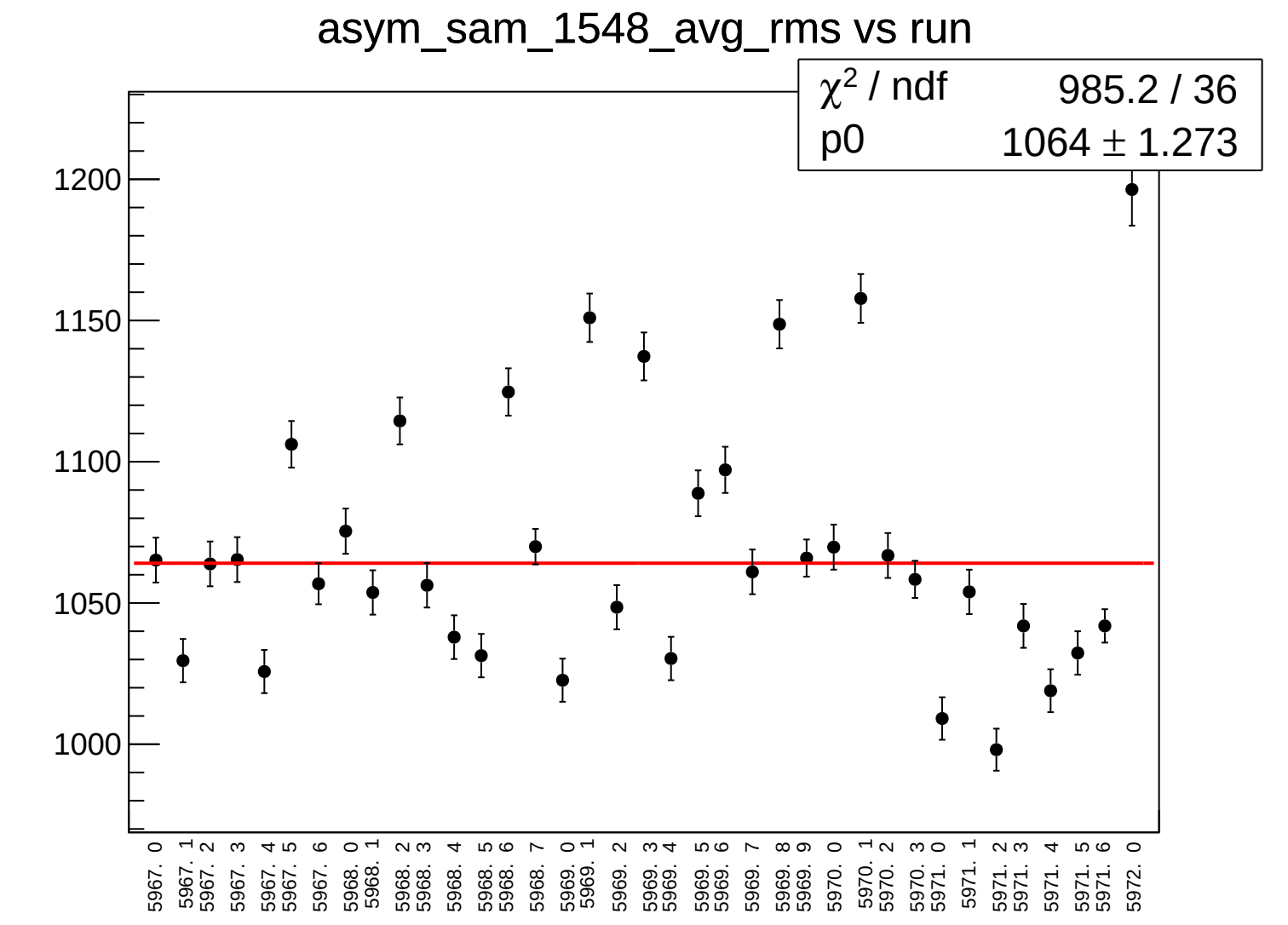
asym_sam_1548_avg_rms vs run
χ² / ndf 985.2 / 36
p0 1064 ± 1.273
1200
1150
1100
1050
1000
5967. 0
5967. 1
5967. 2
5967. 3
5967. 4
5967. 5
5967. 6
5968. 0
5968. 1
5968. 2
5968. 3
5968. 4
5968. 5
5968. 6
5968. 7
5969. 0
5969. 1
5969. 2
5969. 3
5969. 4
5969. 5
5969. 6
5969. 7
5969. 8
5969. 9
5970. 0
5970. 1
5970. 2
5970. 3
5971. 0
5971. 1
5971. 2
5971. 3
5971. 4
5971. 5
5971. 6
5972. 0

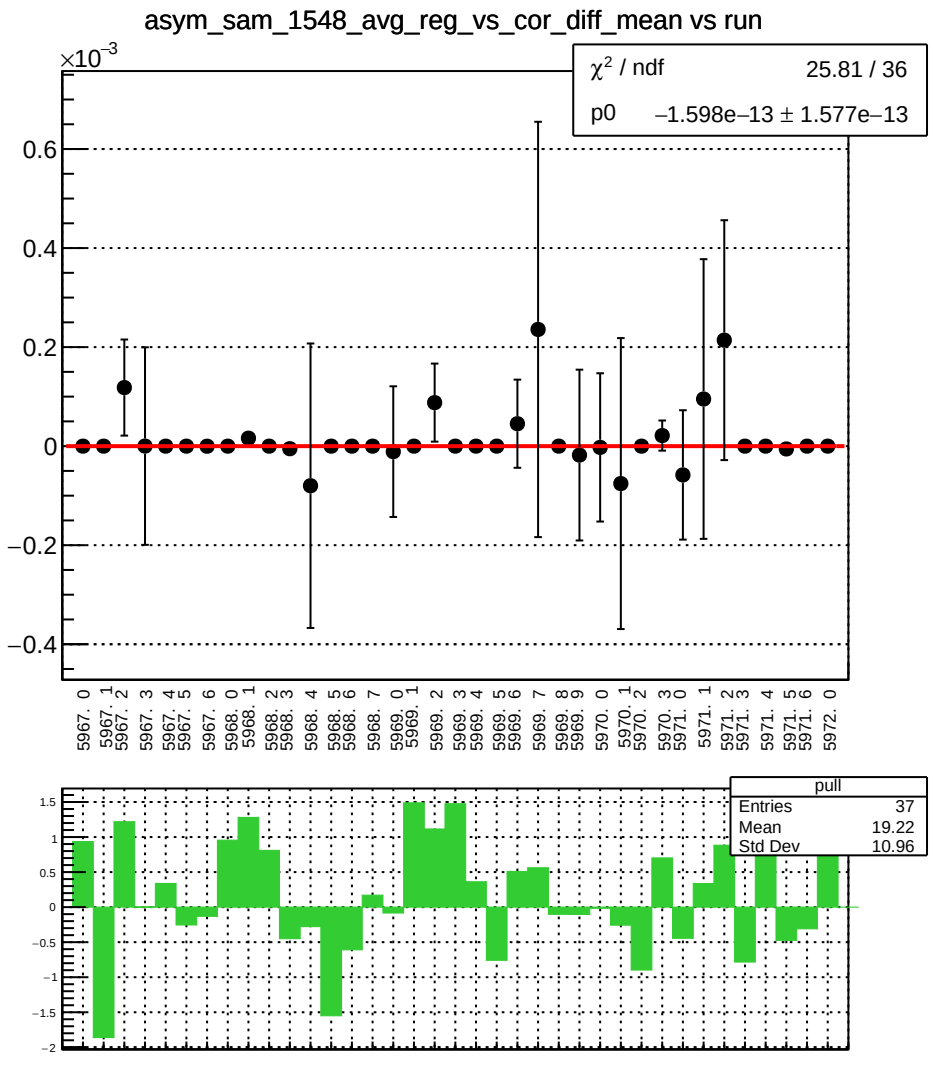
asym_sam_1548_avg_reg_vs_cor_diff_mean vs run
×10⁻³
χ² / ndf 25.81 / 36
p0 −1.598e−13 ± 1.577e−13
pull
Entries 37
Mean 19.22
Std Dev 10.96

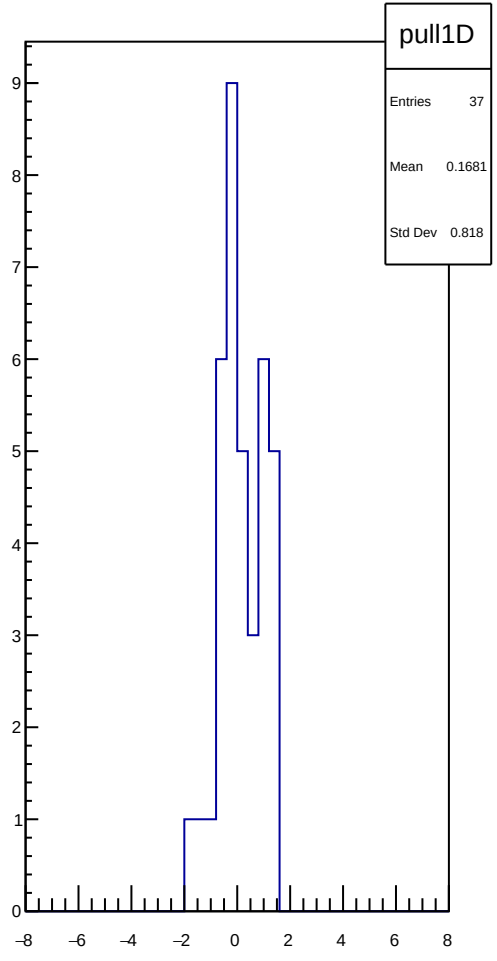
pull1D
Entries 37
Mean 0.1681
Std Dev 0.818

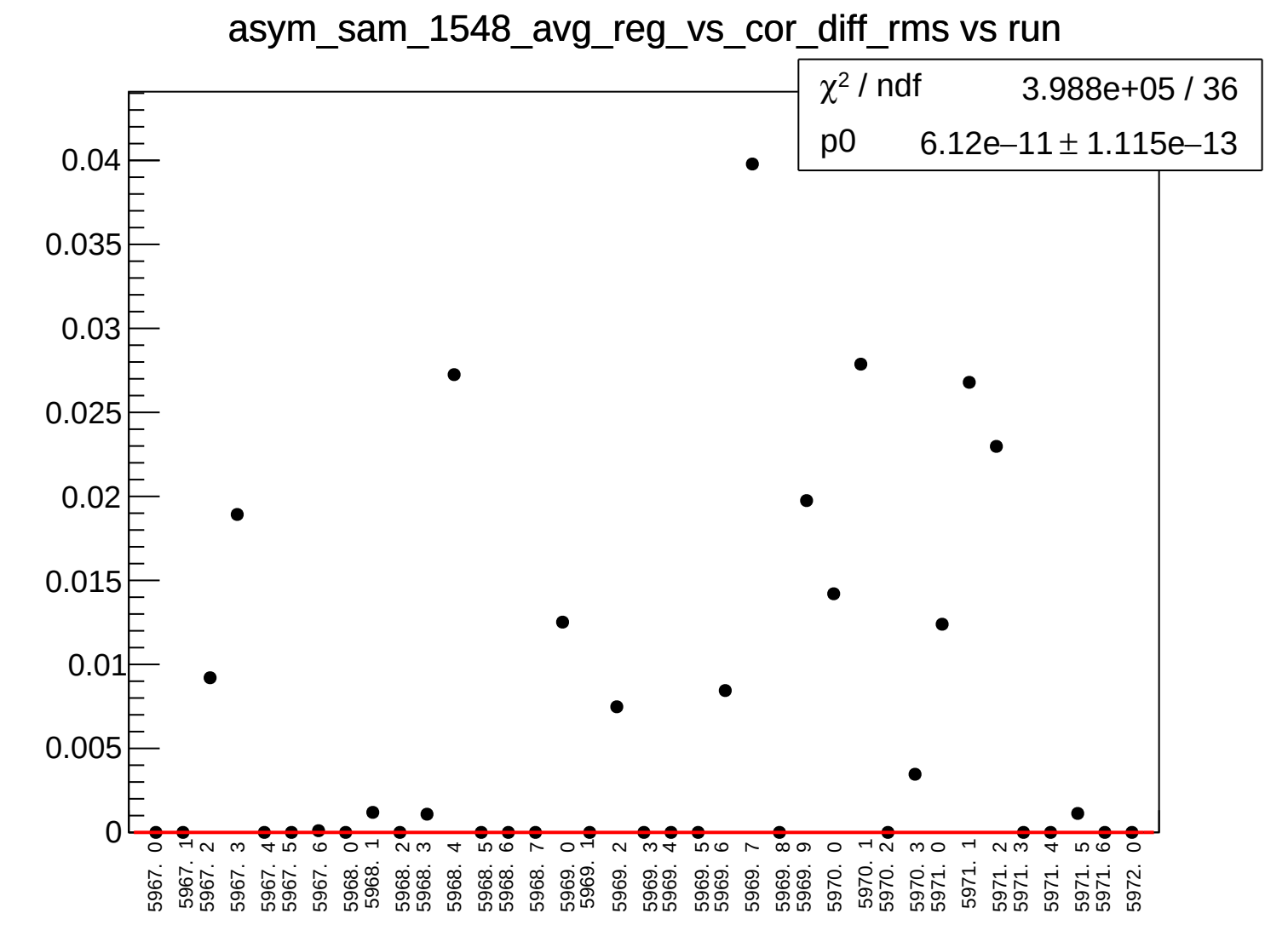
asym_sam_1548_avg_reg_vs_cor_diff_rms vs run
χ² / ndf 3.988e+05 / 36
p0 6.12e−11 ± 1.115e−13
0.04
0.035
0.03
0.025
0.02
0.015
0.01
0.005
0
5967. 0
5967. 1
5967. 2
5967. 3
5967. 4
5967. 5
5967. 6
5968. 0
5968. 1
5968. 2
5968. 3
5968. 4
5968. 5
5968. 6
5968. 7
5969. 0
5969. 1
5969. 2
5969. 3
5969. 4
5969. 5
5969. 6
5969. 7
5969. 8
5969. 9
5970. 0
5970. 1
5970. 2
5970. 3
5971. 0
5971. 1
5971. 2
5971. 3
5971. 4
5971. 5
5971. 6
5972. 0

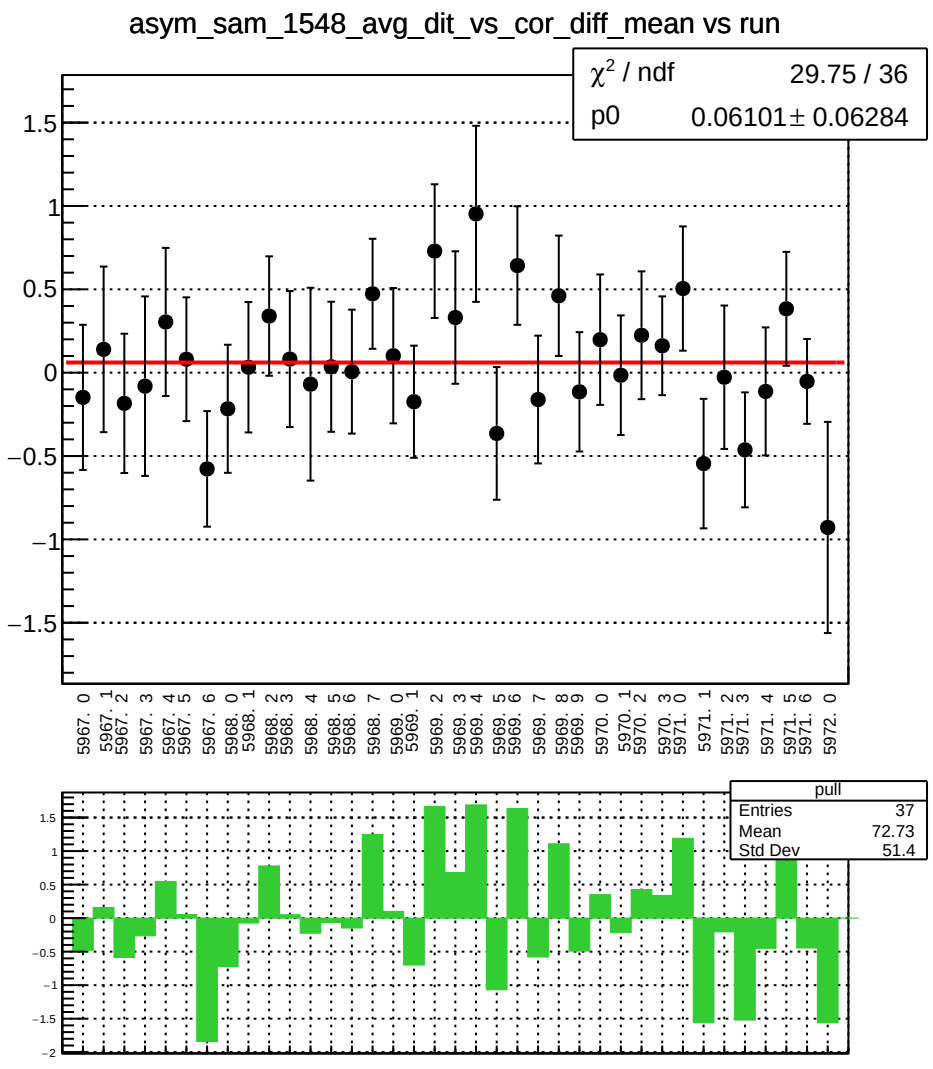
asym_sam_1548_avg_dit_vs_cor_diff_mean vs run
χ² / ndf 29.75 / 36
p0 0.06101 ± 0.06284
pull
Entries 37
Mean 72.73
Std Dev 51.4

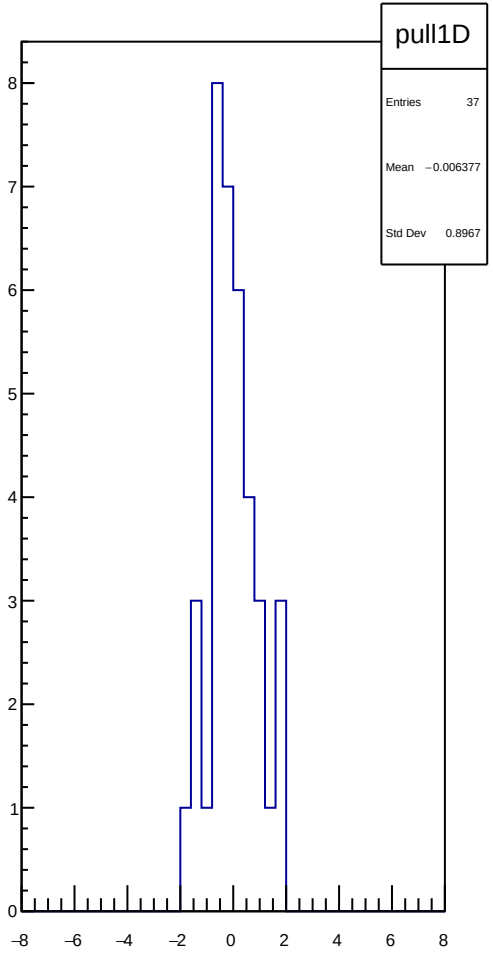
pull1D
Entries 37
Mean −0.006377
Std Dev 0.8967

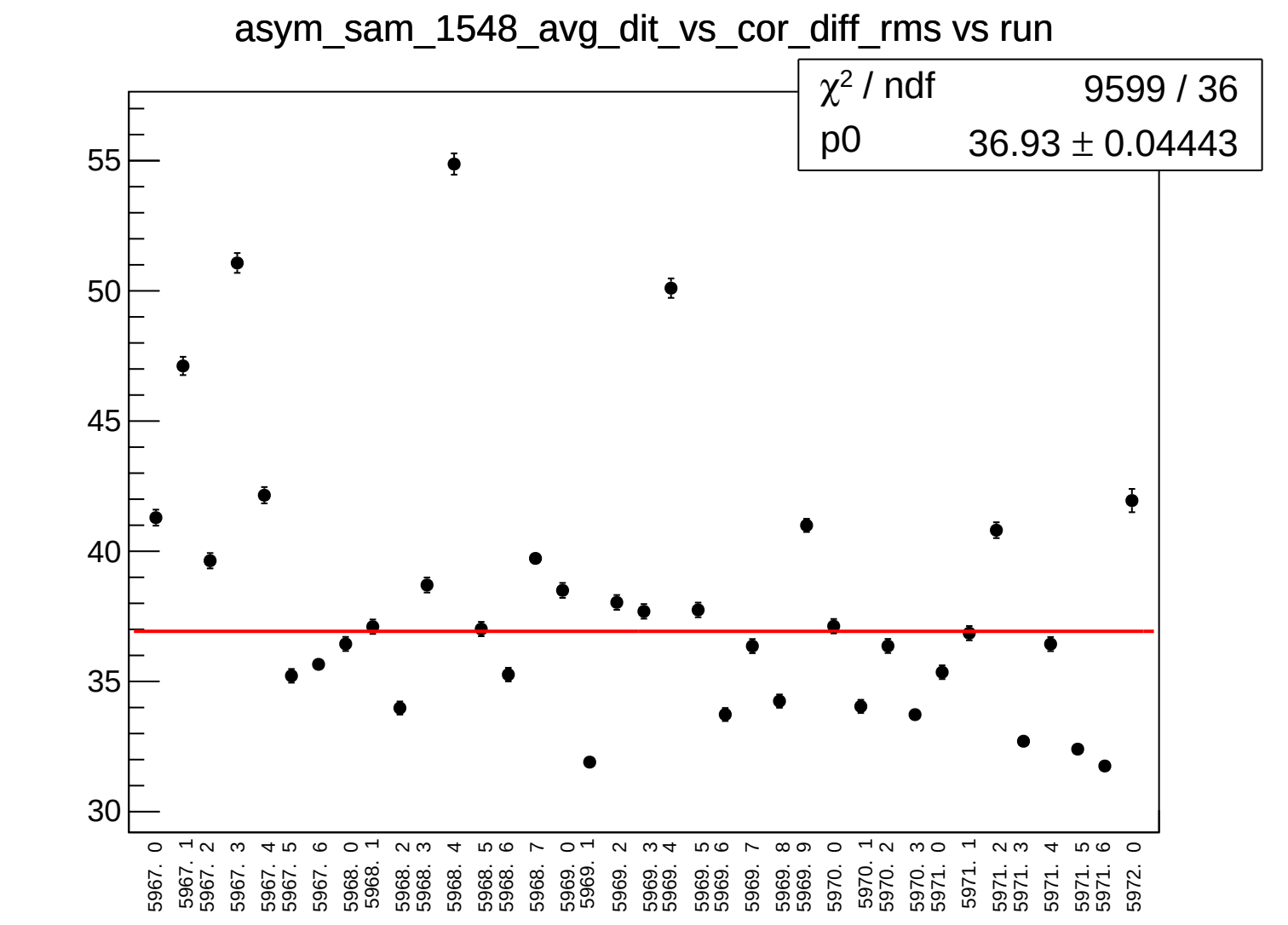
asym_sam_1548_avg_dit_vs_cor_diff_rms vs run
χ² / ndf 9599 / 36
p0 36.93 ± 0.04443
55
50
45
40
35
30
5967. 0
5967. 1
5967. 2
5967. 3
5967. 4
5967. 5
5967. 6
5968. 0
5968. 1
5968. 2
5968. 3
5968. 4
5968. 5
5968. 6
5968. 7
5969. 0
5969. 1
5969. 2
5969. 3
5969. 4
5969. 5
5969. 6
5969. 7
5969. 8
5969. 9
5970. 0
5970. 1
5970. 2
5970. 3
5971. 0
5971. 1
5971. 2
5971. 3
5971. 4
5971. 5
5971. 6
5972. 0

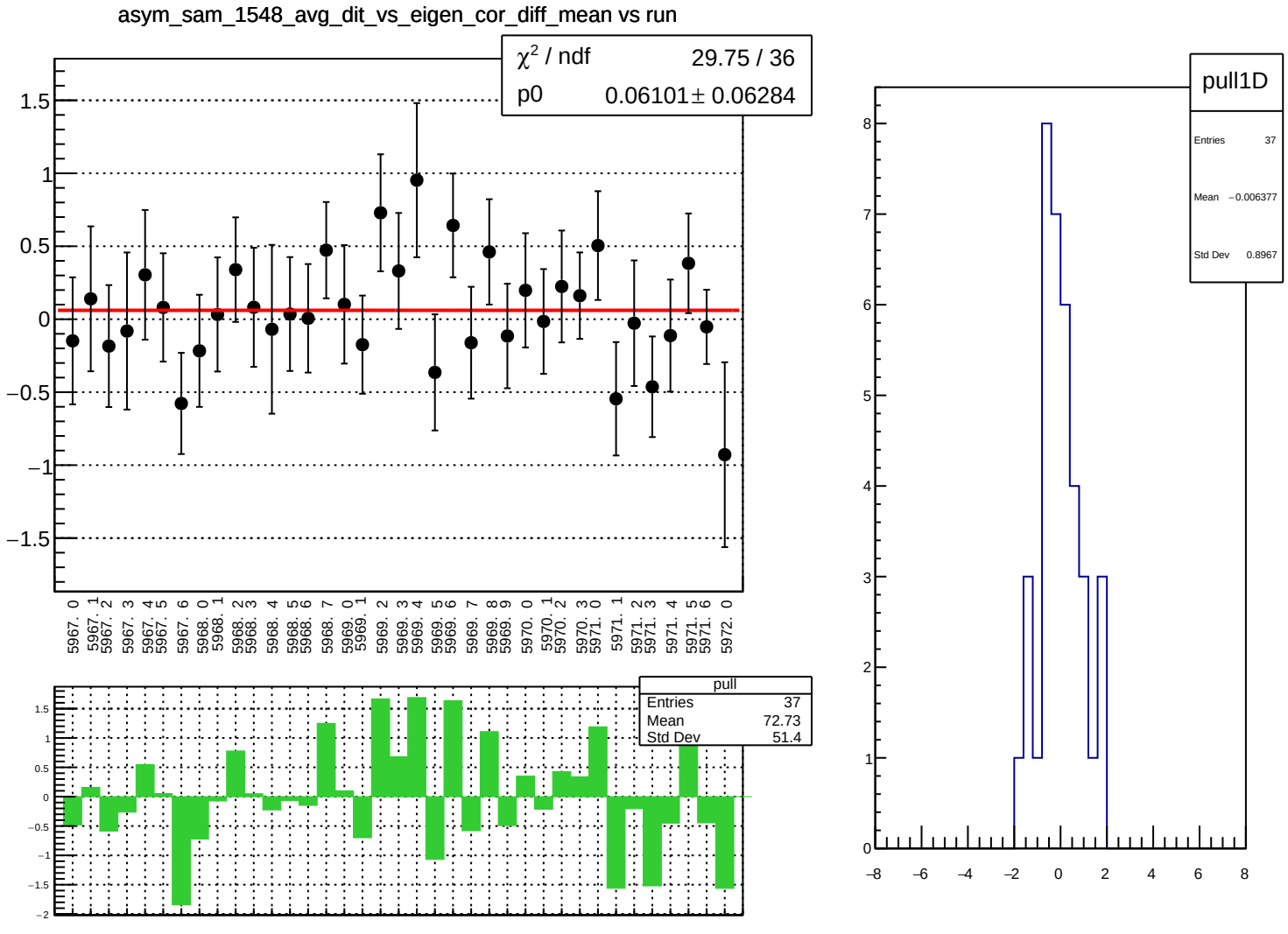
asym_sam_1548_avg_dit_vs_eigen_cor_diff_mean vs run
χ² / ndf 29.75 / 36
p0 0.06101 ± 0.06284
1.5
1
0.5
0
−0.5
−1
−1.5
5967. 0
5967. 1
5967. 2
5967. 3
5967. 4
5967. 5
5967. 6
5968. 0
5968. 1
5968. 2
5968. 3
5968. 4
5968. 5
5968. 6
5968. 7
5969. 0
5969. 1
5969. 2
5969. 3
5969. 4
5969. 5
5969. 6
5969. 7
5969. 8
5969. 9
5970. 0
5970. 1
5970. 2
5970. 3
5971. 0
5971. 1
5971. 2
5971. 3
5971. 4
5971. 5
5971. 6
5972. 0
pull
Entries 37
Mean 72.73
Std Dev 51.4
pull1D
Entries 37
Mean −0.006377
Std Dev 0.8967
8
7
6
5
4
3
2
1
0
−8
−6
−4
−2
0
2
4
6
8

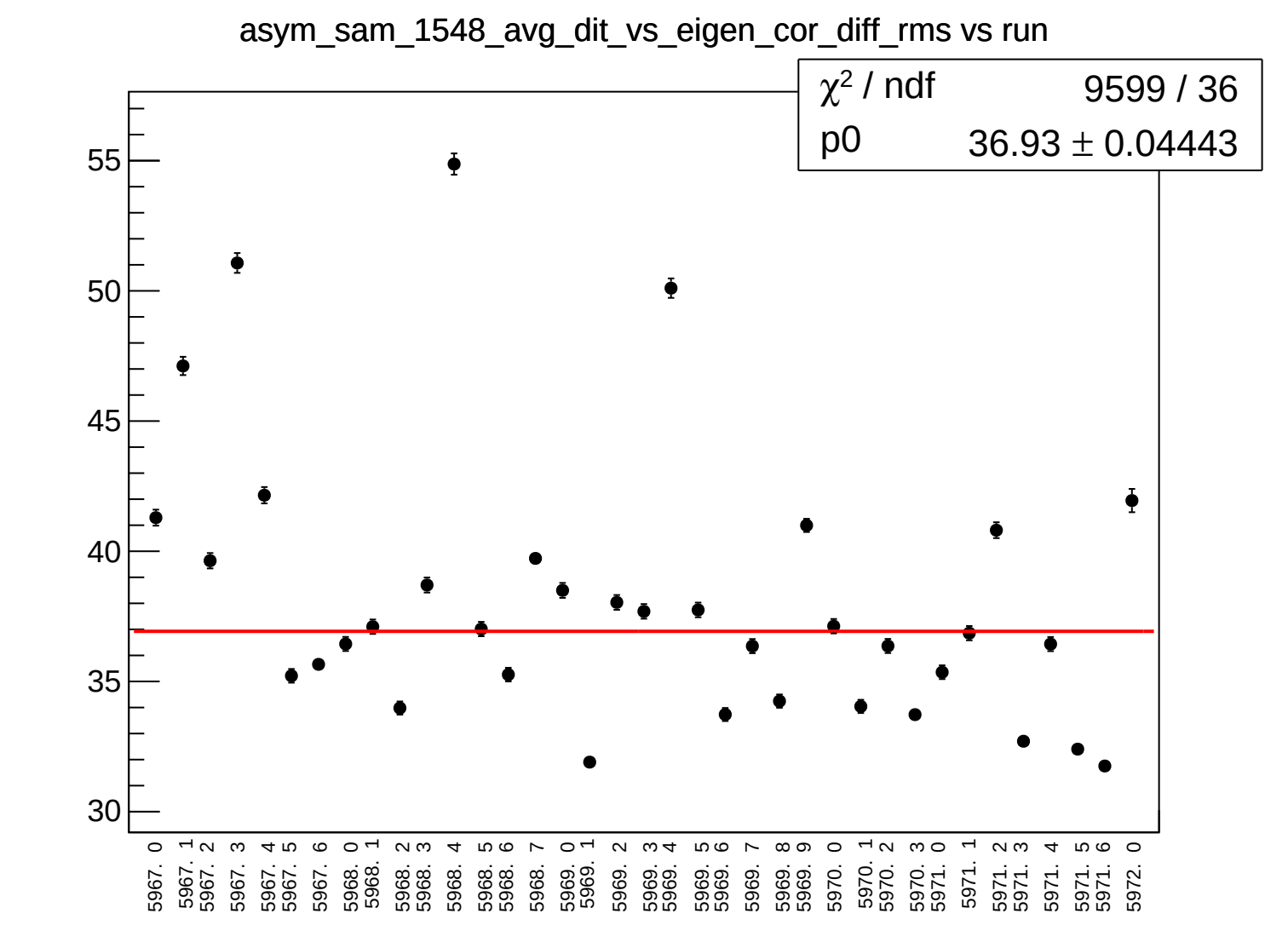
asym_sam_1548_avg_dit_vs_eigen_cor_diff_rms vs run
χ² / ndf 9599 / 36
p0 36.93 ± 0.04443
55
50
45
40
35
30
5967. 0
5967. 1
5967. 2
5967. 3
5967. 4
5967. 5
5967. 6
5968. 0
5968. 1
5968. 2
5968. 3
5968. 4
5968. 5
5968. 6
5968. 7
5969. 0
5969. 1
5969. 2
5969. 3
5969. 4
5969. 5
5969. 6
5969. 7
5969. 8
5969. 9
5970. 0
5970. 1
5970. 2
5970. 3
5971. 0
5971. 1
5971. 2
5971. 3
5971. 4
5971. 5
5971. 6
5972. 0

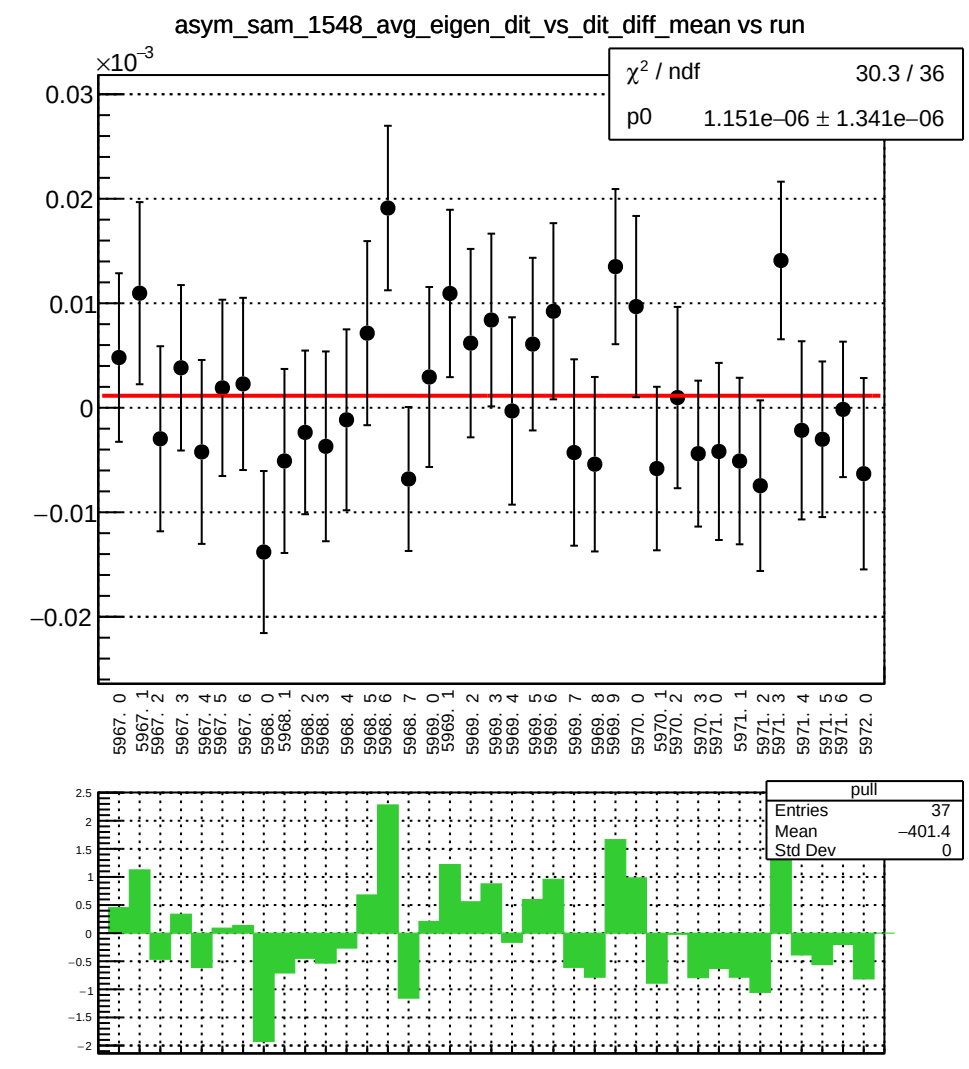
asym_sam_1548_avg_eigen_dit_vs_dit_diff_mean vs run
×10⁻³
χ² / ndf 30.3 / 36
p0 1.151e−06 ± 1.341e−06
0.03
0.02
0.01
0
−0.01
−0.02
5967. 0
5967. 1
5967. 2
5967. 3
5967. 4
5967. 5
5967. 6
5968. 0
5968. 1
5968. 2
5968. 3
5968. 4
5968. 5
5968. 6
5968. 7
5969. 0
5969. 1
5969. 2
5969. 3
5969. 4
5969. 5
5969. 6
5969. 7
5969. 8
5969. 9
5970. 0
5970. 1
5970. 2
5970. 3
5971. 0
5971. 1
5971. 2
5971. 3
5971. 4
5971. 5
5971. 6
5972. 0
pull
Entries 37
Mean −401.4
Std Dev 0
2.5
2
1.5
1
0.5
0
−0.5
−1
−1.5
−2

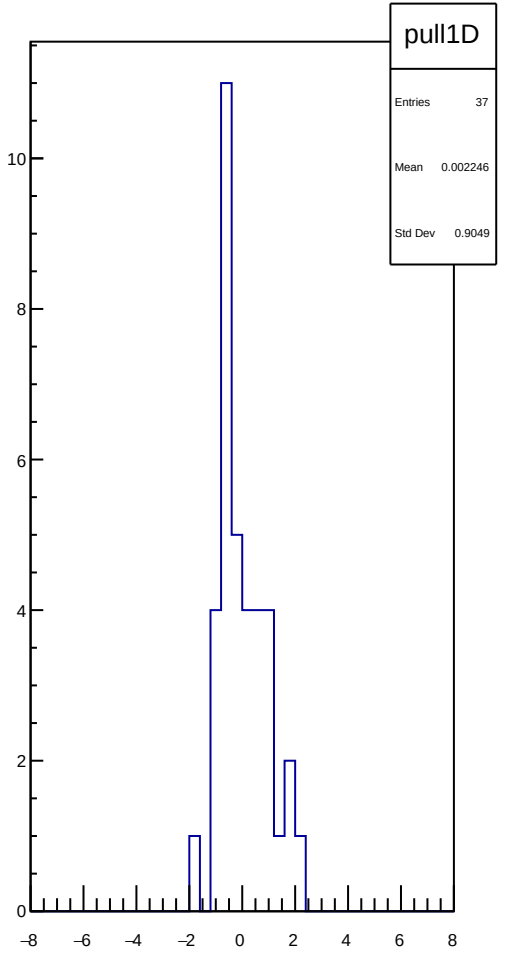
pull1D
Entries 37
Mean 0.002246
Std Dev 0.9049
10
8
6
4
2
0
−8
−6
−4
−2
0
2
4
6
8

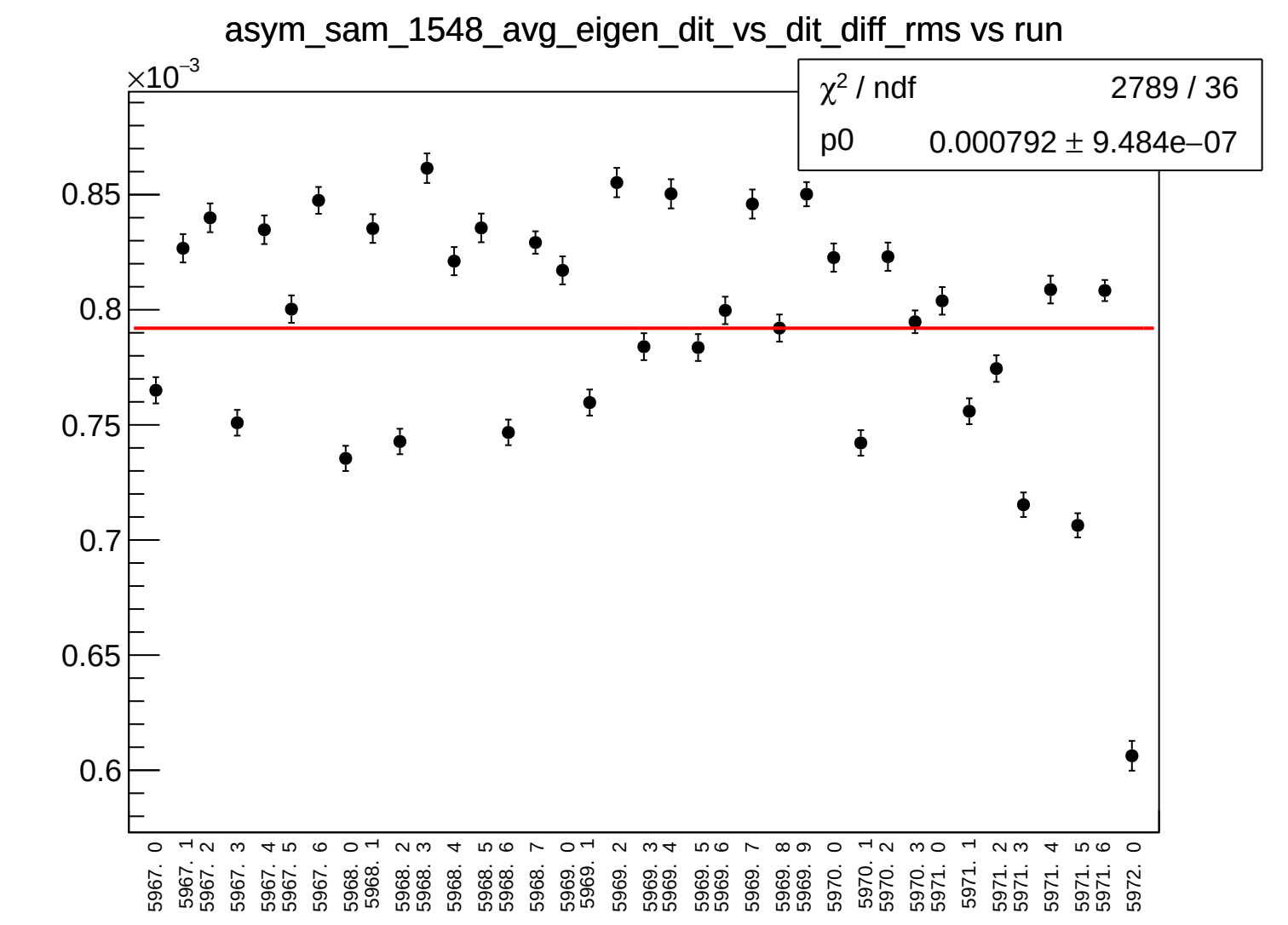
asym_sam_1548_avg_eigen_dit_vs_dit_diff_rms vs run
×10⁻³
χ² / ndf 2789 / 36
p0 0.000792 ± 9.484e−07
0.85
0.8
0.75
0.7
0.65
0.6
5967. 0
5967. 1
5967. 2
5967. 3
5967. 4
5967. 5
5967. 6
5968. 0
5968. 1
5968. 2
5968. 3
5968. 4
5968. 5
5968. 6
5968. 7
5969. 0
5969. 1
5969. 2
5969. 3
5969. 4
5969. 5
5969. 6
5969. 7
5969. 8
5969. 9
5970. 0
5970. 1
5970. 2
5970. 3
5971. 0
5971. 1
5971. 2
5971. 3
5971. 4
5971. 5
5971. 6
5972. 0

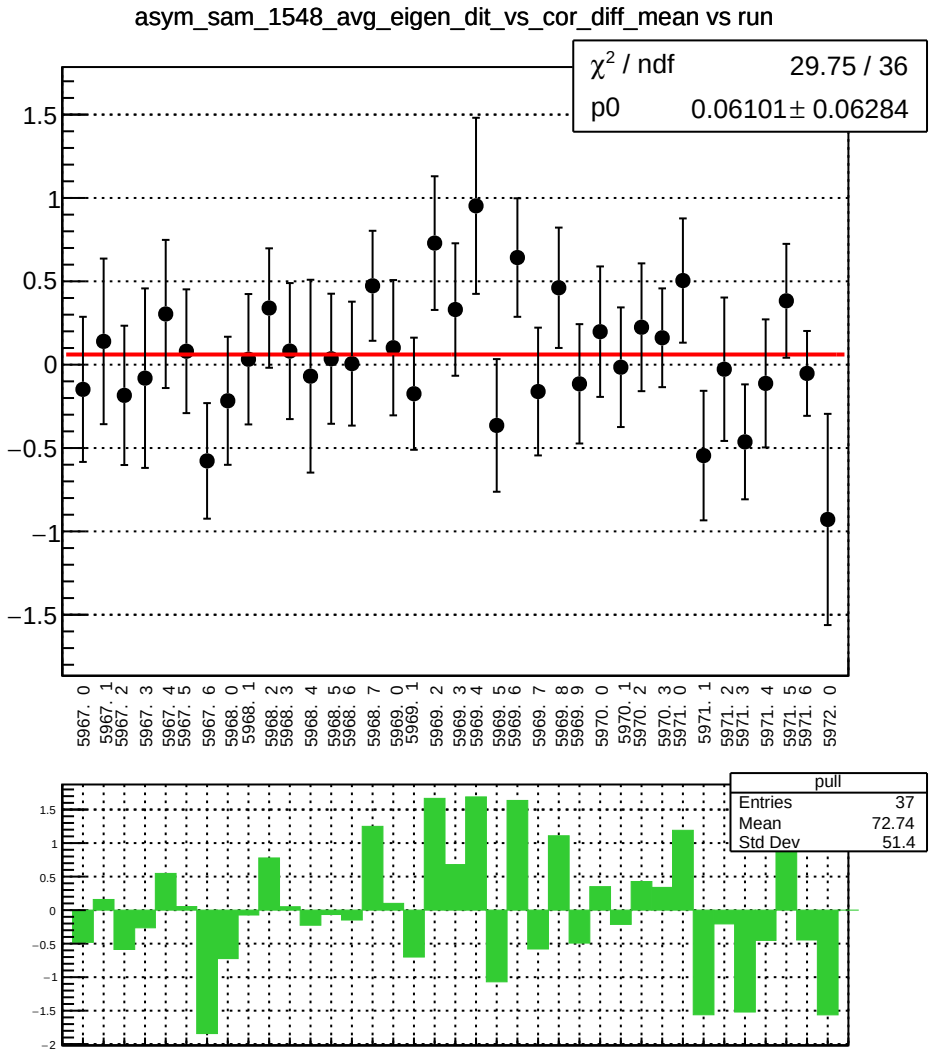
asym_sam_1548_avg_eigen_dit_vs_cor_diff_mean vs run
χ² / ndf 29.75 / 36
p0 0.06101 ± 0.06284
pull
Entries 37
Mean 72.74
Std Dev 51.4

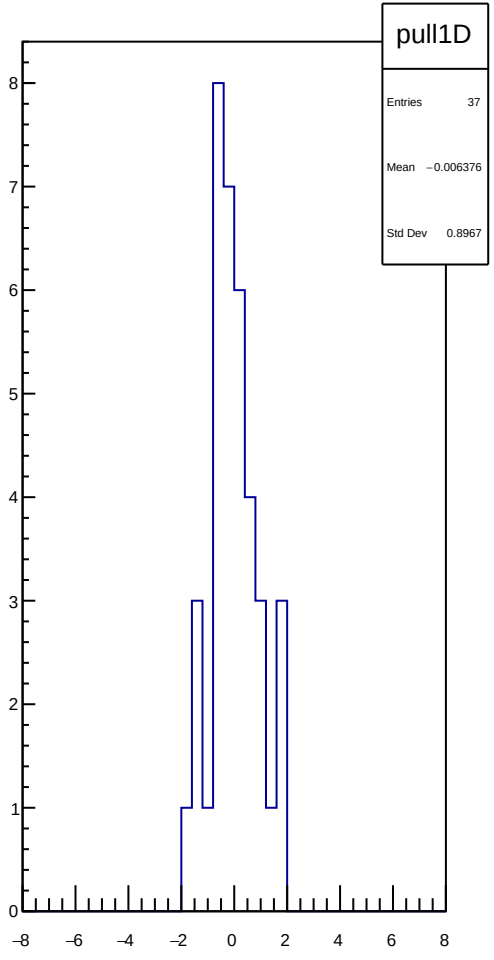
pull1D
Entries 37
Mean −0.006376
Std Dev 0.8967

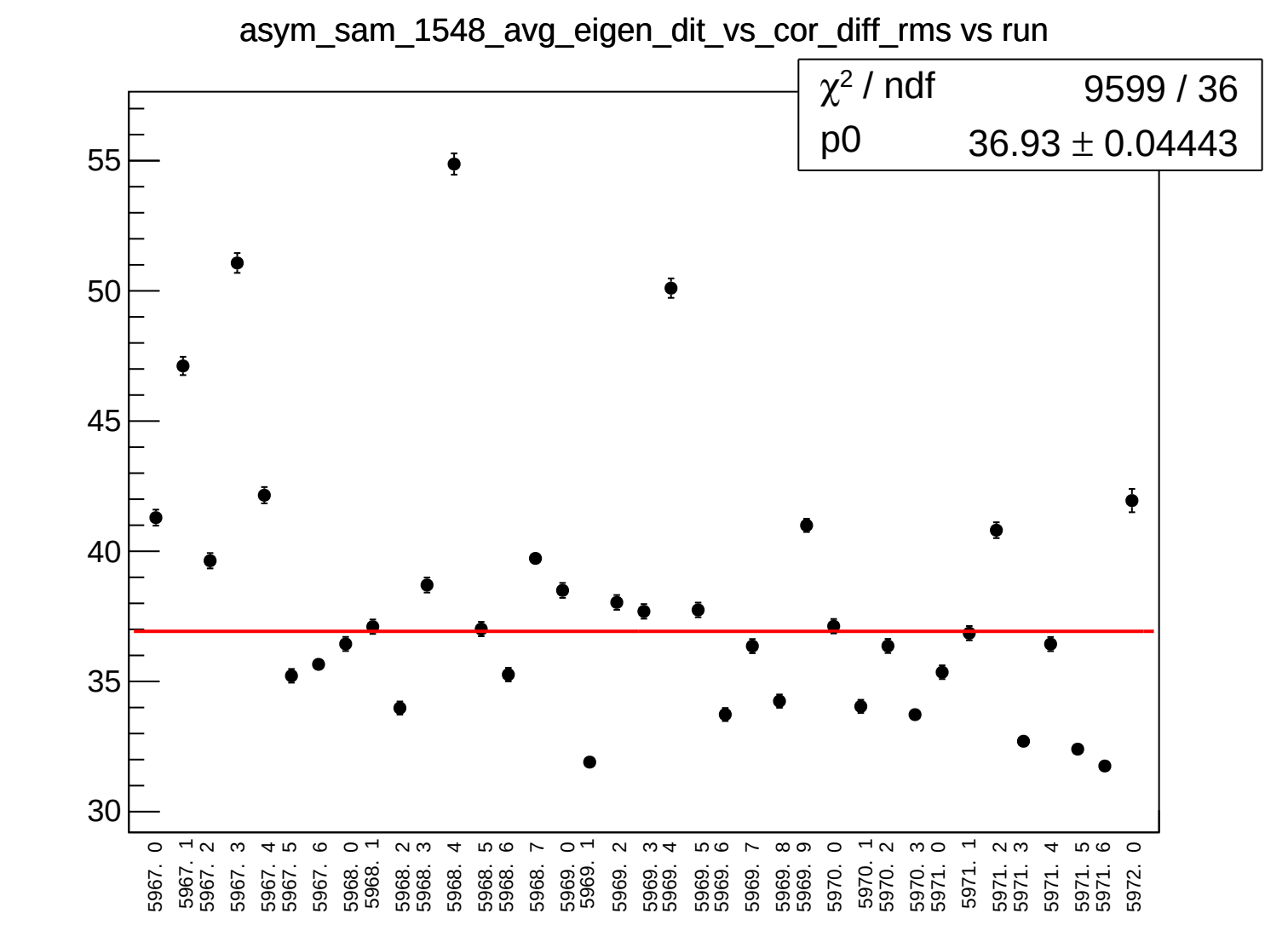
asym_sam_1548_avg_eigen_dit_vs_cor_diff_rms vs run
χ² / ndf 9599 / 36
p0 36.93 ± 0.04443
55
50
45
40
35
30
5967. 0
5967. 1
5967. 2
5967. 3
5967. 4
5967. 5
5967. 6
5968. 0
5968. 1
5968. 2
5968. 3
5968. 4
5968. 5
5968. 6
5968. 7
5969. 0
5969. 1
5969. 2
5969. 3
5969. 4
5969. 5
5969. 6
5969. 7
5969. 8
5969. 9
5970. 0
5970. 1
5970. 2
5970. 3
5971. 0
5971. 1
5971. 2
5971. 3
5971. 4
5971. 5
5971. 6
5972. 0

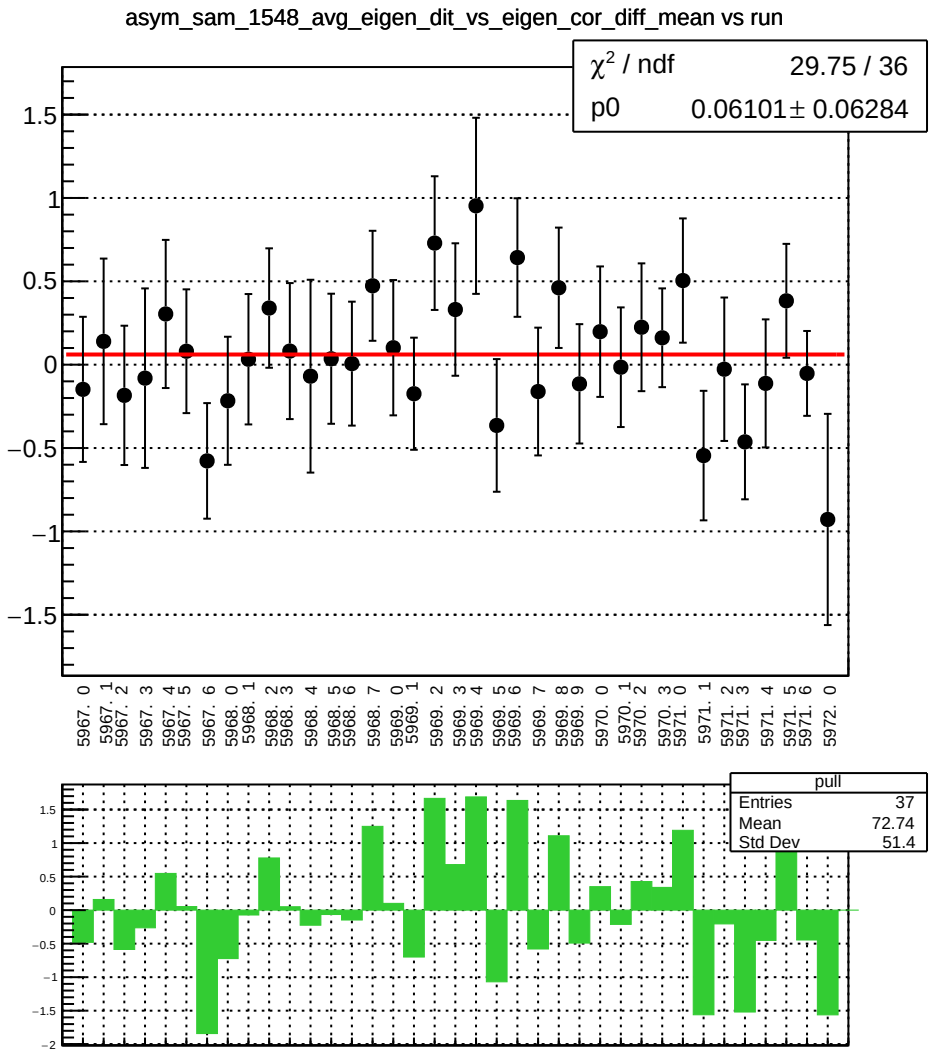
asym_sam_1548_avg_eigen_dit_vs_eigen_cor_diff_mean vs run
χ² / ndf 29.75 / 36
p0 0.06101 ± 0.06284
1.5
1
0.5
0
−0.5
−1
−1.5
5967. 0
5967. 1
5967. 2
5967. 3
5967. 4
5967. 5
5967. 6
5968. 0
5968. 1
5968. 2
5968. 3
5968. 4
5968. 5
5968. 6
5968. 7
5969. 0
5969. 1
5969. 2
5969. 3
5969. 4
5969. 5
5969. 6
5969. 7
5969. 8
5969. 9
5970. 0
5970. 1
5970. 2
5970. 3
5971. 0
5971. 1
5971. 2
5971. 3
5971. 4
5971. 5
5971. 6
5972. 0
pull
Entries 37
Mean 72.74
Std Dev 51.4
1.5
1
0.5
0
−0.5
−1
−1.5
−2

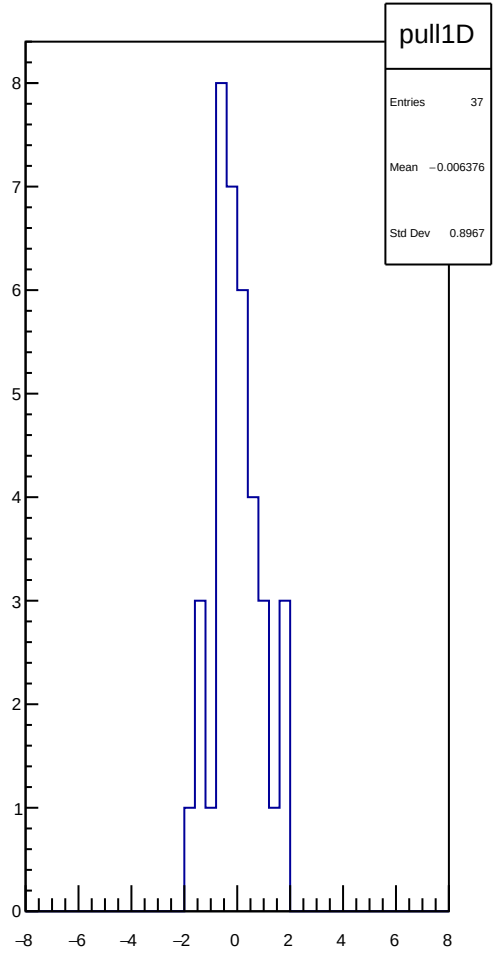
pull1D
Entries 37
Mean −0.006376
Std Dev 0.8967
8
7
6
5
4
3
2
1
0
−8
−6
−4
−2
0
2
4
6
8

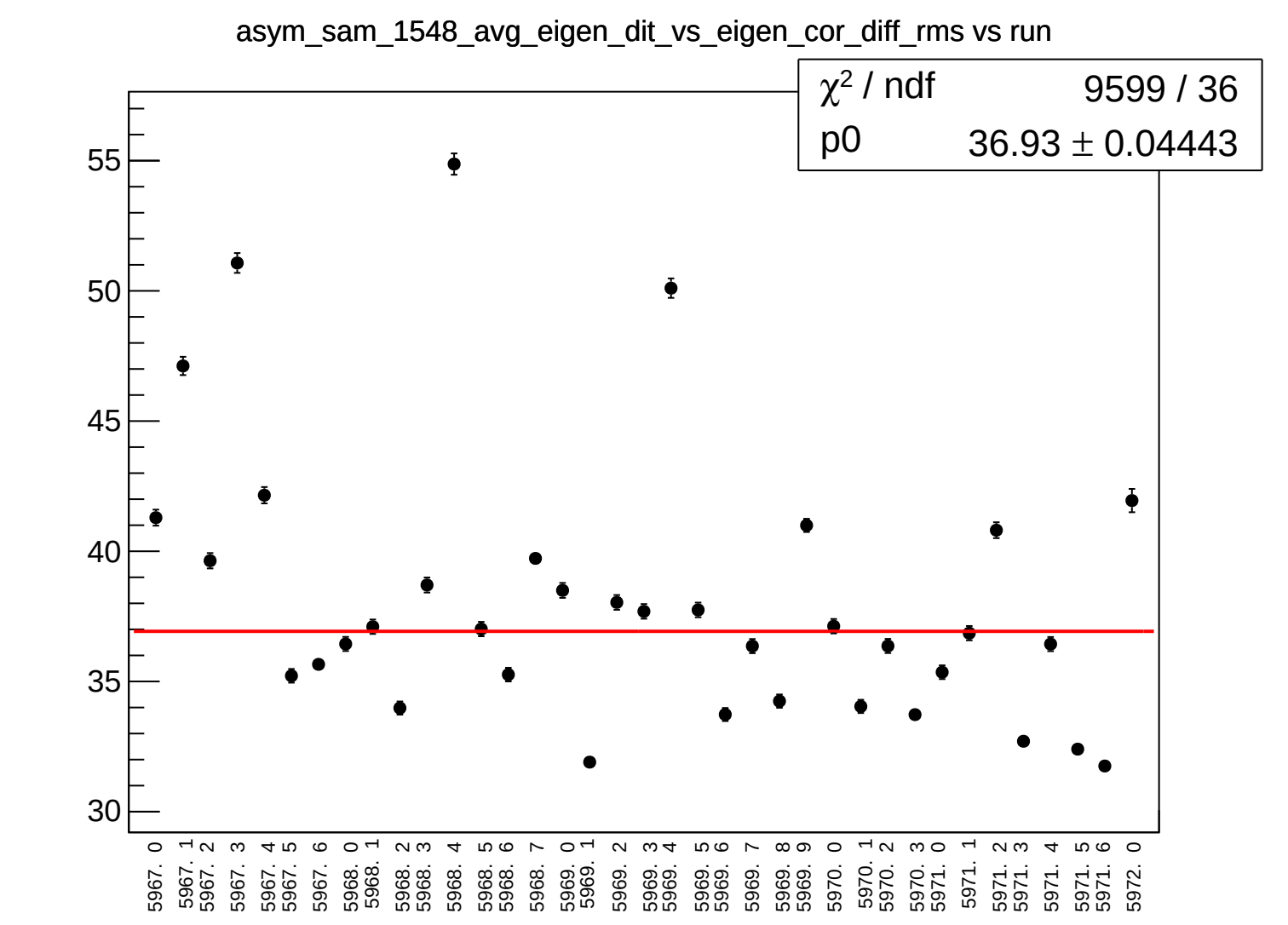
asym_sam_1548_avg_eigen_dit_vs_eigen_cor_diff_rms vs run
χ² / ndf 9599 / 36
p0 36.93 ± 0.04443
55
50
45
40
35
30
5967. 0
5967. 1
5967. 2
5967. 3
5967. 4
5967. 5
5967. 6
5968. 0
5968. 1
5968. 2
5968. 3
5968. 4
5968. 5
5968. 6
5968. 7
5969. 0
5969. 1
5969. 2
5969. 3
5969. 4
5969. 5
5969. 6
5969. 7
5969. 8
5969. 9
5970. 0
5970. 1
5970. 2
5970. 3
5971. 0
5971. 1
5971. 2
5971. 3
5971. 4
5971. 5
5971. 6
5972. 0

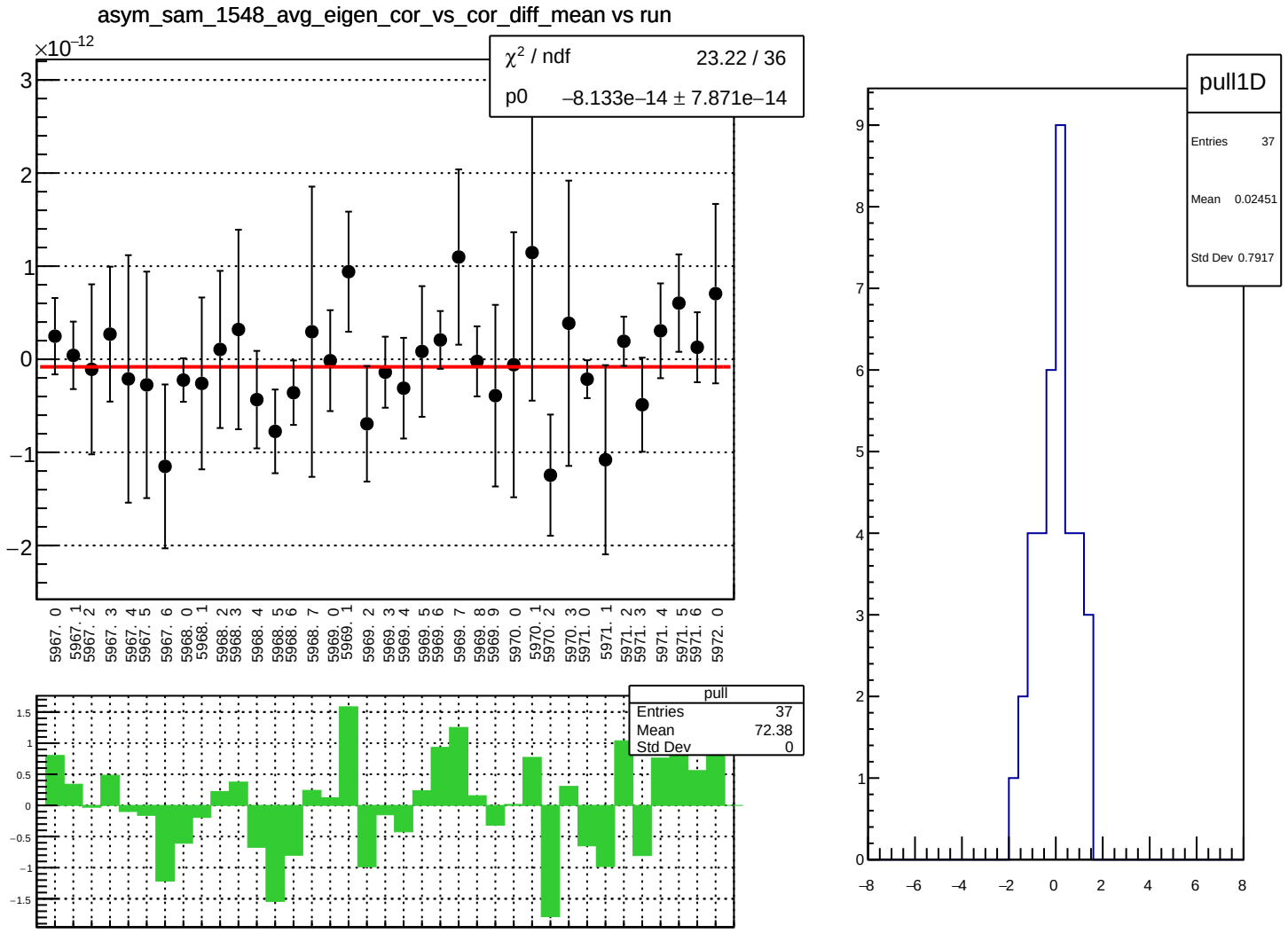
asym_sam_1548_avg_eigen_cor_vs_cor_diff_mean vs run
×10⁻¹²
χ² / ndf 23.22 / 36
p0 −8.133e−14 ± 7.871e−14
pull
Entries 37
Mean 72.38
Std Dev 0
pull1D
Entries 37
Mean 0.02451
Std Dev 0.7917

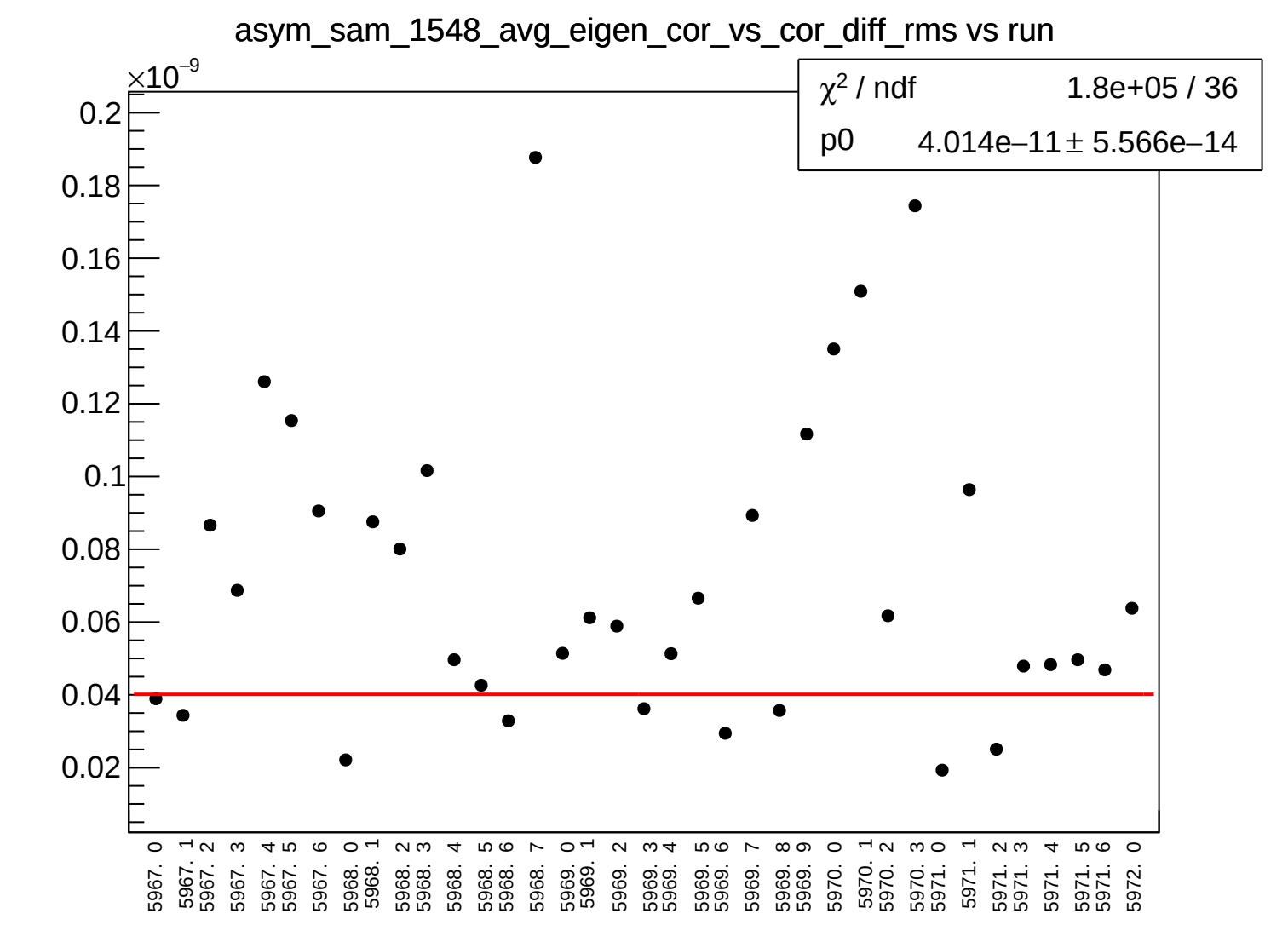
asym_sam_1548_avg_eigen_cor_vs_cor_diff_rms vs run
×10⁻⁹
χ² / ndf 1.8e+05 / 36
p0 4.014e−11 ± 5.566e−14
0.2
0.18
0.16
0.14
0.12
0.1
0.08
0.06
0.04
0.02
5967. 0
5967. 1
5967. 2
5967. 3
5967. 4
5967. 5
5967. 6
5968. 0
5968. 1
5968. 2
5968. 3
5968. 4
5968. 5
5968. 6
5968. 7
5969. 0
5969. 1
5969. 2
5969. 3
5969. 4
5969. 5
5969. 6
5969. 7
5969. 8
5969. 9
5970. 0
5970. 1
5970. 2
5970. 3
5971. 0
5971. 1
5971. 2
5971. 3
5971. 4
5971. 5
5971. 6
5972. 0

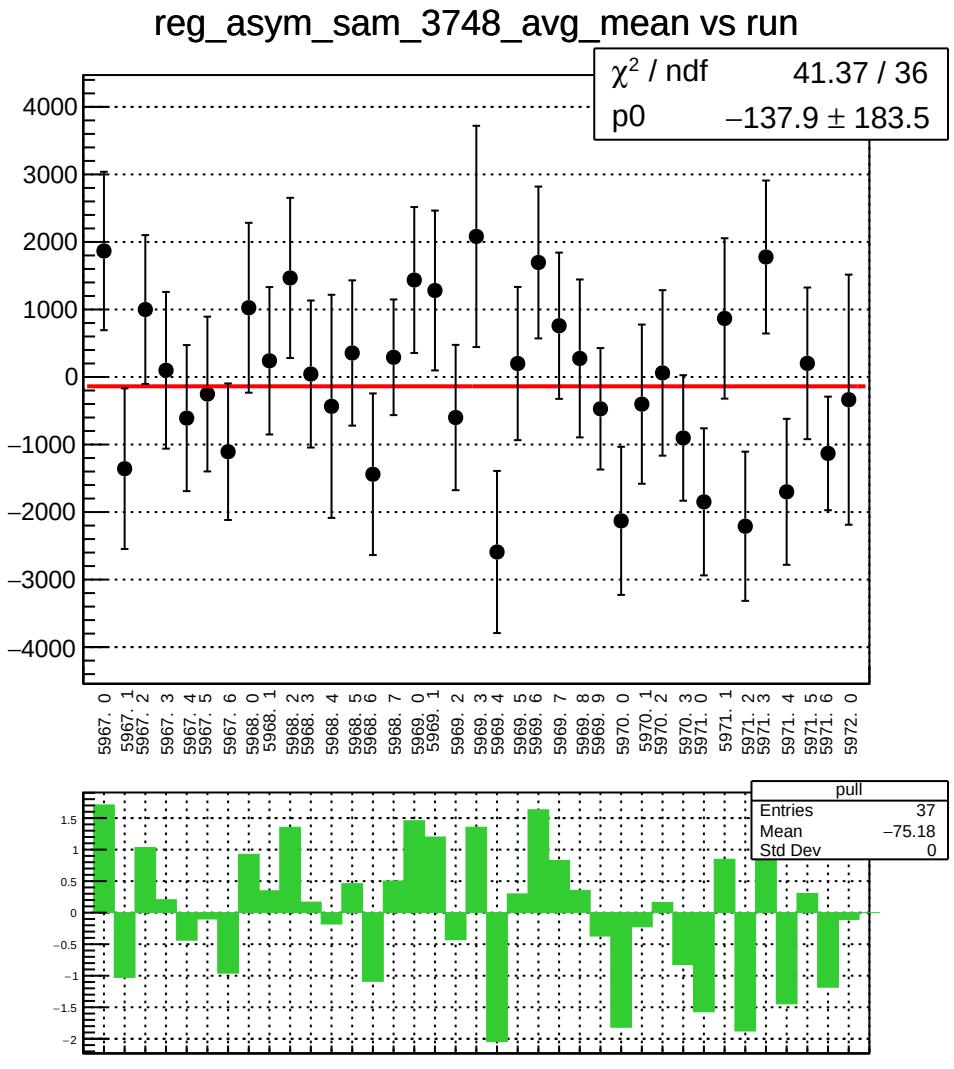
reg_asym_sam_3748_avg_mean vs run
χ² / ndf 41.37 / 36
p0 −137.9 ± 183.5
4000
3000
2000
1000
0
−1000
−2000
−3000
−4000
5967. 0
5967. 1
5967. 2
5967. 3
5967. 4
5967. 5
5967. 6
5968. 0
5968. 1
5968. 2
5968. 3
5968. 4
5968. 5
5968. 6
5968. 7
5969. 0
5969. 1
5969. 2
5969. 3
5969. 4
5969. 5
5969. 6
5969. 7
5969. 8
5969. 9
5970. 0
5970. 1
5970. 2
5970. 3
5971. 0
5971. 1
5971. 2
5971. 3
5971. 4
5971. 5
5971. 6
5972. 0
pull
Entries 37
Mean −75.18
Std Dev 0
1.5
1
0.5
0
−0.5
−1
−1.5
−2

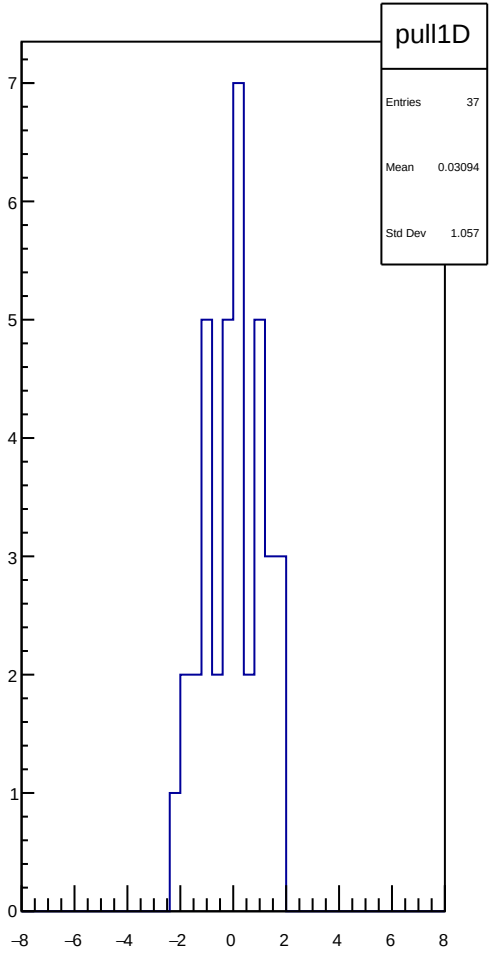
pull1D
Entries 37
Mean 0.03094
Std Dev 1.057
7
6
5
4
3
2
1
0
−8
−6
−4
−2
0
2
4
6
8

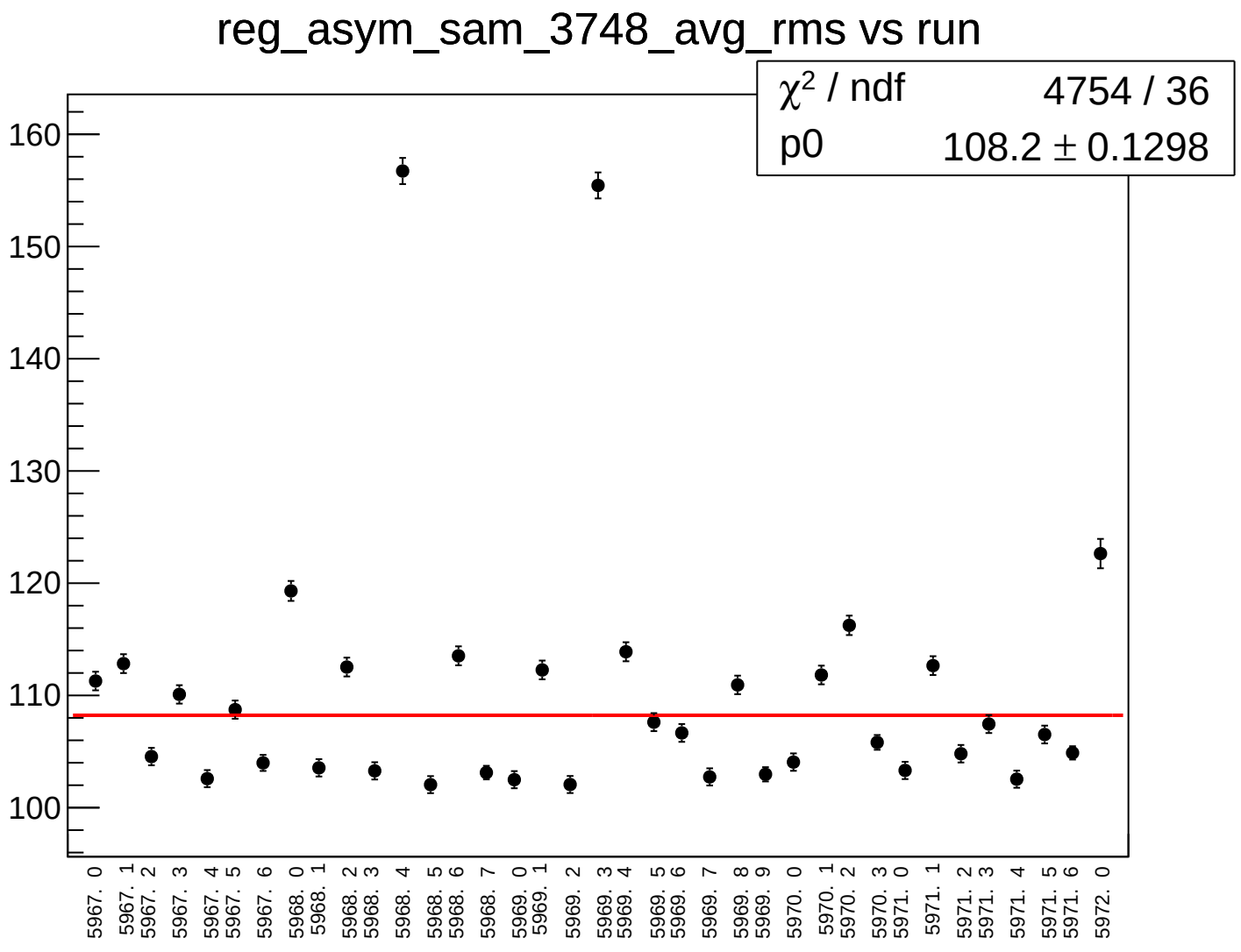
reg_asym_sam_3748_avg_rms vs run
χ² / ndf 4754 / 36
p0 108.2 ± 0.1298
160
150
140
130
120
110
100
5967. 0
5967. 1
5967. 2
5967. 3
5967. 4
5967. 5
5967. 6
5968. 0
5968. 1
5968. 2
5968. 3
5968. 4
5968. 5
5968. 6
5968. 7
5969. 0
5969. 1
5969. 2
5969. 3
5969. 4
5969. 5
5969. 6
5969. 7
5969. 8
5969. 9
5970. 0
5970. 1
5970. 2
5970. 3
5971. 0
5971. 1
5971. 2
5971. 3
5971. 4
5971. 5
5971. 6
5972. 0

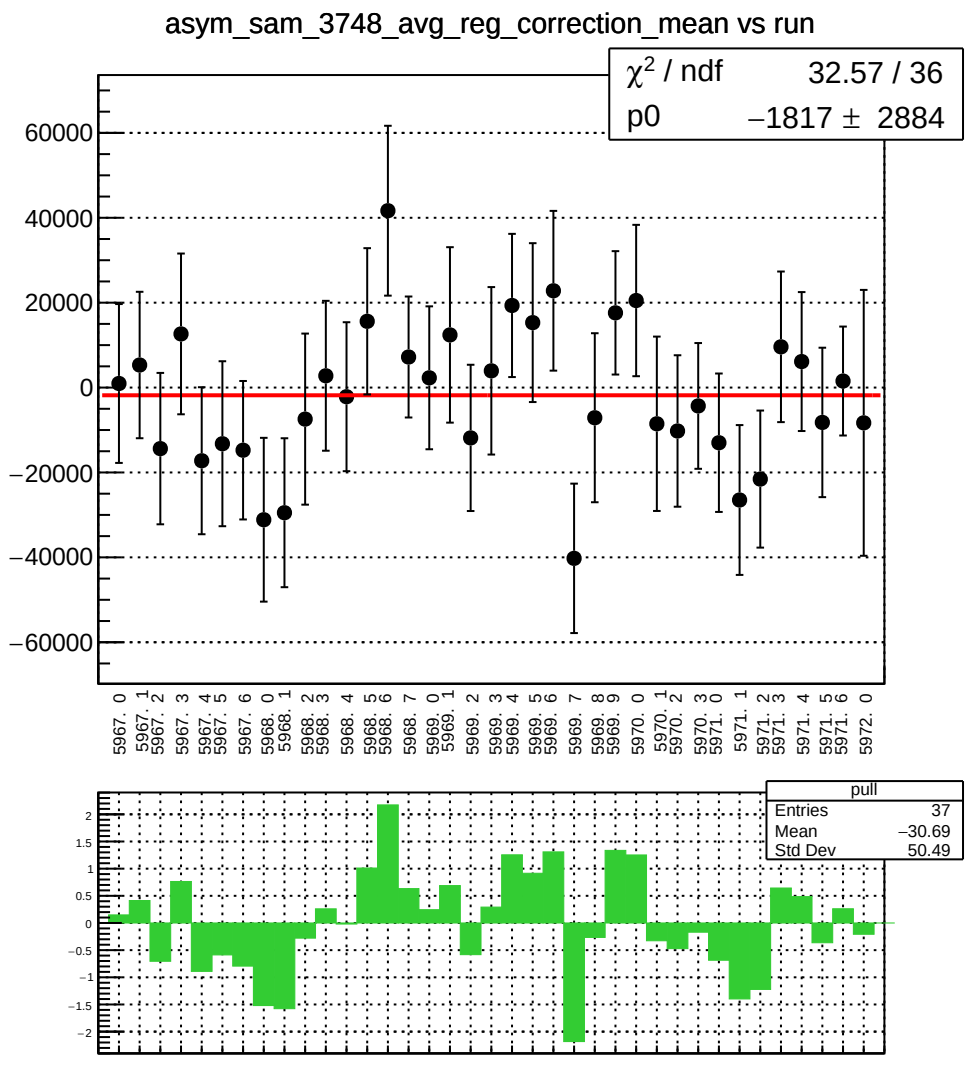
asym_sam_3748_avg_reg_correction_mean vs run
χ² / ndf 32.57 / 36
p0 −1817 ± 2884
60000
40000
20000
0
−20000
−40000
−60000
5967. 0
5967. 1
5967. 2
5967. 3
5967. 4
5967. 5
5967. 6
5968. 0
5968. 1
5968. 2
5968. 3
5968. 4
5968. 5
5968. 6
5968. 7
5969. 0
5969. 1
5969. 2
5969. 3
5969. 4
5969. 5
5969. 6
5969. 7
5969. 8
5969. 9
5970. 0
5970. 1
5970. 2
5970. 3
5971. 0
5971. 1
5971. 2
5971. 3
5971. 4
5971. 5
5971. 6
5972. 0
pull
Entries 37
Mean −30.69
Std Dev 50.49
2
1.5
1
0.5
0
−0.5
−1
−1.5
−2

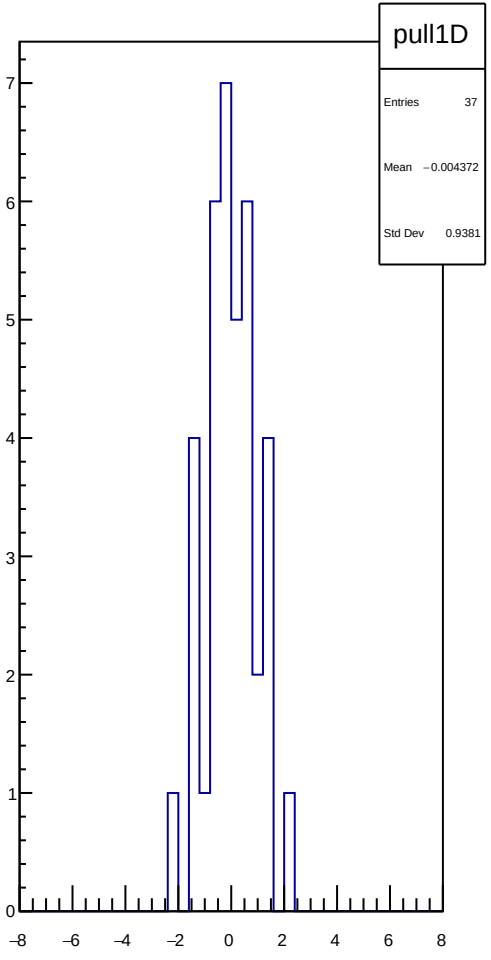
pull1D
Entries 37
Mean −0.004372
Std Dev 0.9381
7
6
5
4
3
2
1
0
−8
−6
−4
−2
0
2
4
6
8

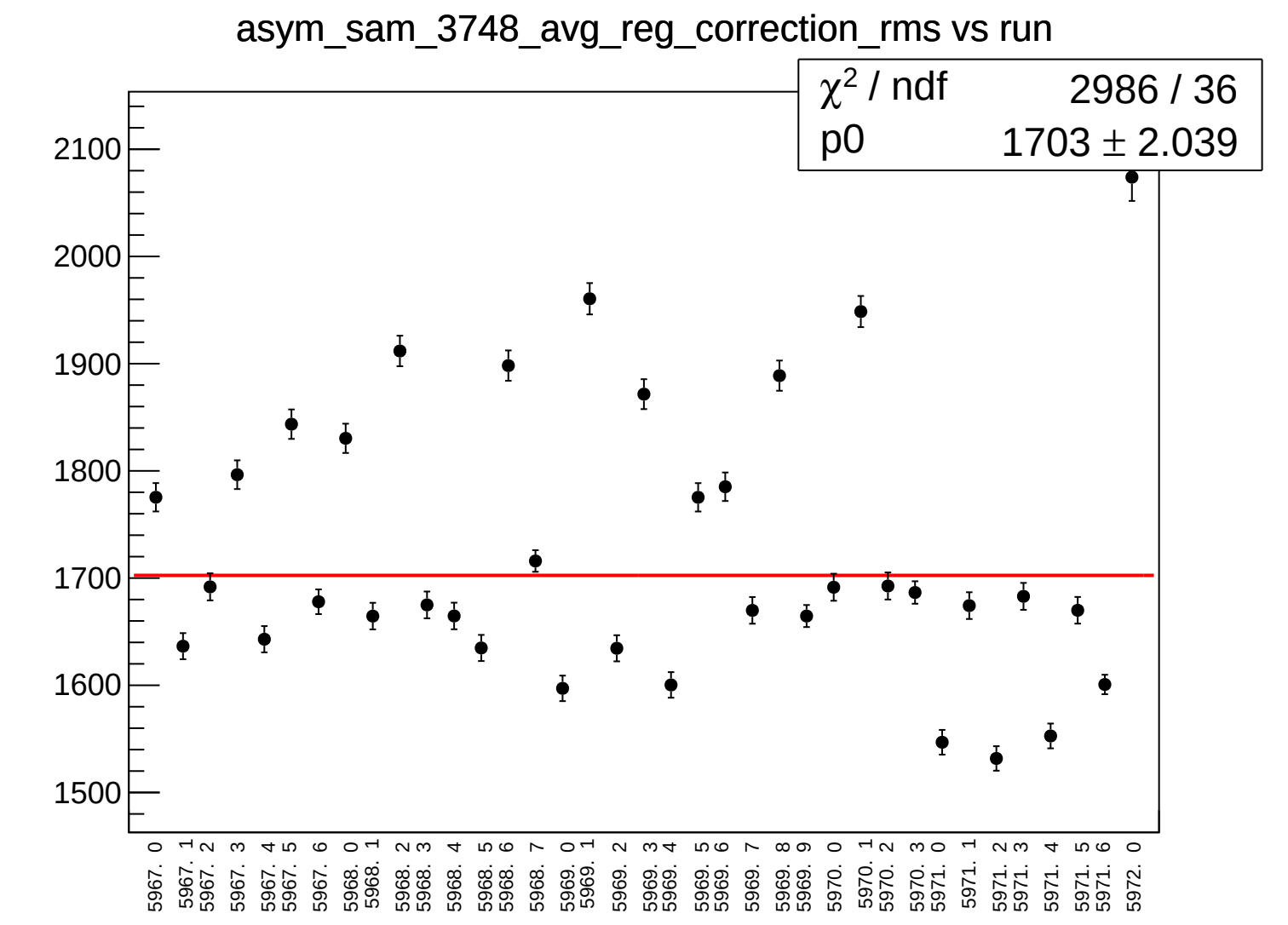
asym_sam_3748_avg_reg_correction_rms vs run
χ² / ndf 2986 / 36
p0 1703 ± 2.039
2100
2000
1900
1800
1700
1600
1500
5967. 0
5967. 1
5967. 2
5967. 3
5967. 4
5967. 5
5967. 6
5968. 0
5968. 1
5968. 2
5968. 3
5968. 4
5968. 5
5968. 6
5968. 7
5969. 0
5969. 1
5969. 2
5969. 3
5969. 4
5969. 5
5969. 6
5969. 7
5969. 8
5969. 9
5970. 0
5970. 1
5970. 2
5970. 3
5971. 0
5971. 1
5971. 2
5971. 3
5971. 4
5971. 5
5971. 6
5972. 0

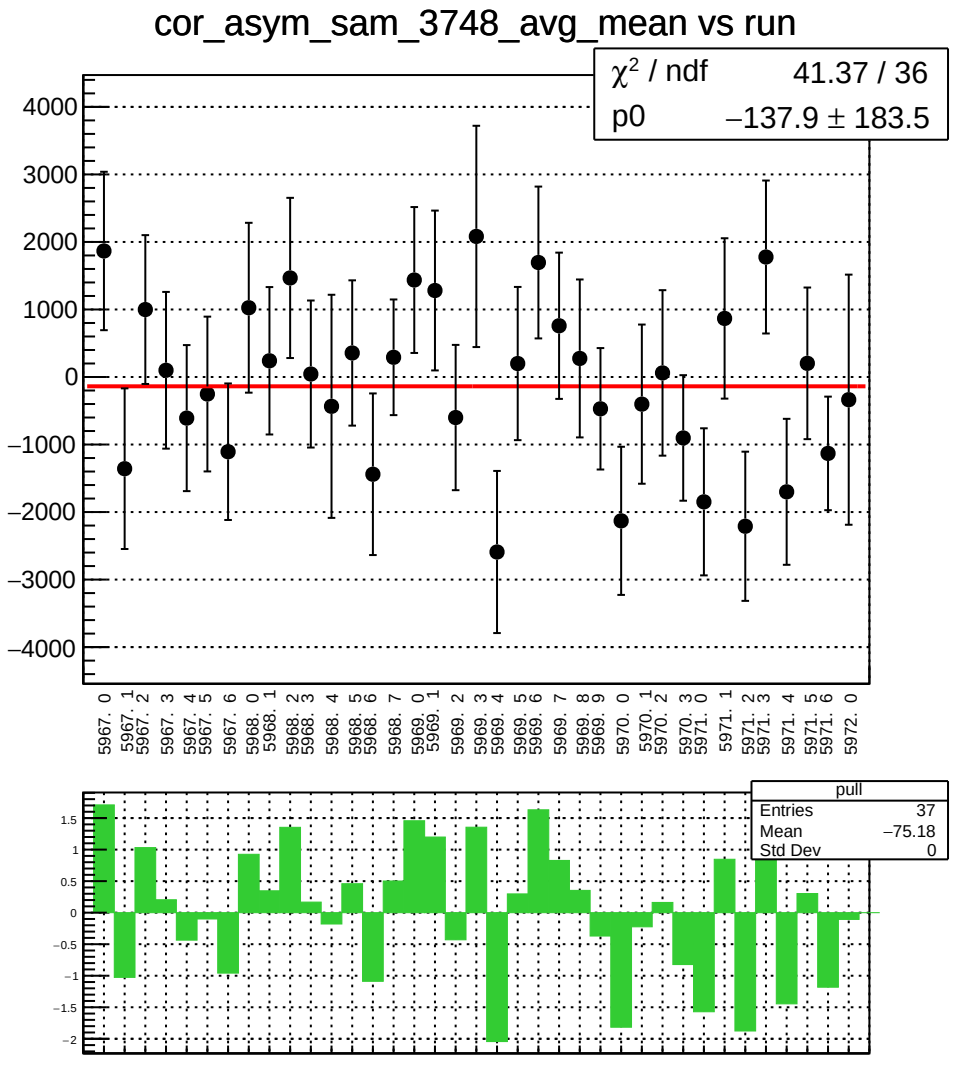
cor_asym_sam_3748_avg_mean vs run
χ² / ndf 41.37 / 36
p0 −137.9 ± 183.5
4000
3000
2000
1000
0
−1000
−2000
−3000
−4000
5967. 0
5967. 1
5967. 2
5967. 3
5967. 4
5967. 5
5967. 6
5968. 0
5968. 1
5968. 2
5968. 3
5968. 4
5968. 5
5968. 6
5968. 7
5969. 0
5969. 1
5969. 2
5969. 3
5969. 4
5969. 5
5969. 6
5969. 7
5969. 8
5969. 9
5970. 0
5970. 1
5970. 2
5970. 3
5971. 0
5971. 1
5971. 2
5971. 3
5971. 4
5971. 5
5971. 6
5972. 0
pull
Entries 37
Mean −75.18
Std Dev 0
1.5
1
0.5
0
−0.5
−1
−1.5
−2

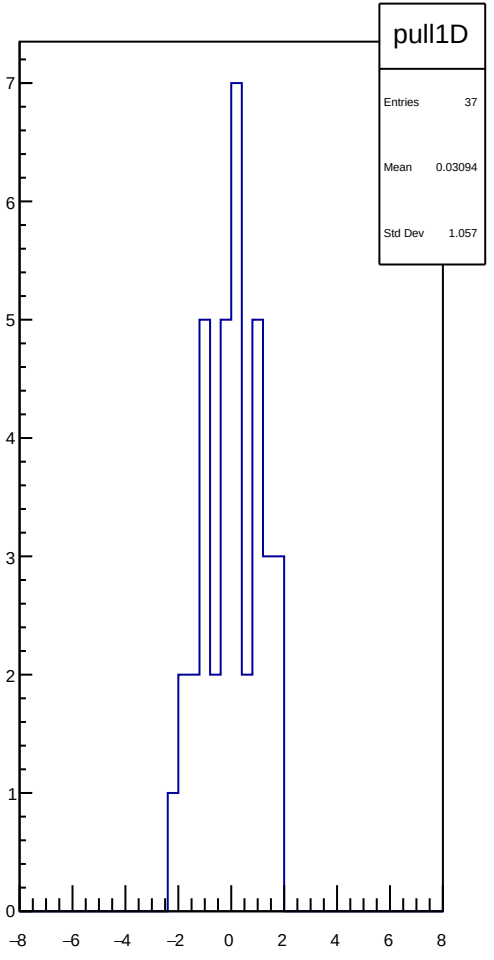
pull1D
Entries 37
Mean 0.03094
Std Dev 1.057
7
6
5
4
3
2
1
0
−8
−6
−4
−2
0
2
4
6
8

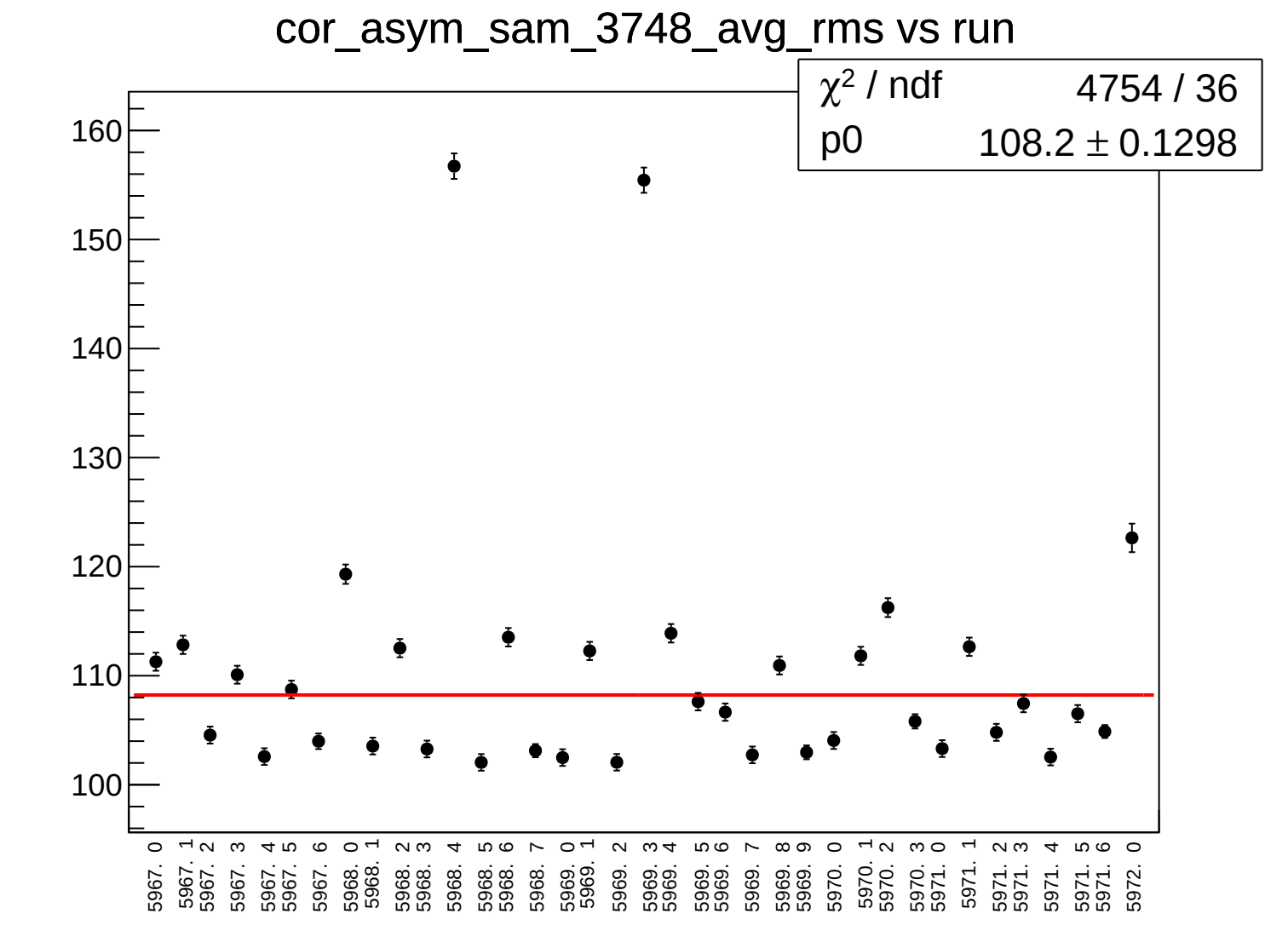
cor_asym_sam_3748_avg_rms vs run
χ² / ndf 4754 / 36
p0 108.2 ± 0.1298
160
150
140
130
120
110
100
5967. 0
5967. 1
5967. 2
5967. 3
5967. 4
5967. 5
5967. 6
5968. 0
5968. 1
5968. 2
5968. 3
5968. 4
5968. 5
5968. 6
5968. 7
5969. 0
5969. 1
5969. 2
5969. 3
5969. 4
5969. 5
5969. 6
5969. 7
5969. 8
5969. 9
5970. 0
5970. 1
5970. 2
5970. 3
5971. 0
5971. 1
5971. 2
5971. 3
5971. 4
5971. 5
5971. 6
5972. 0

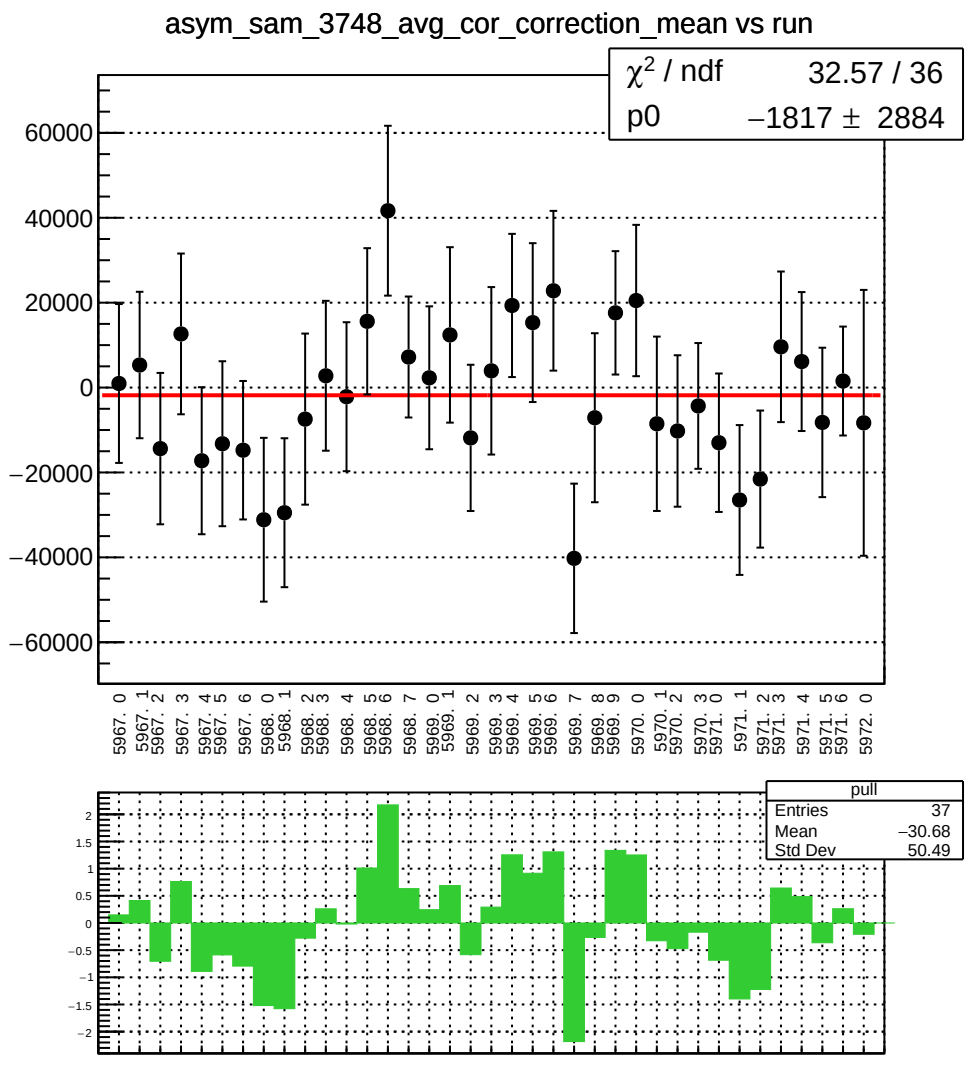
asym_sam_3748_avg_cor_correction_mean vs run
χ² / ndf 32.57 / 36
p0 −1817 ± 2884
60000
40000
20000
0
−20000
−40000
−60000
5967. 0
5967. 1
5967. 2
5967. 3
5967. 4
5967. 5
5967. 6
5968. 0
5968. 1
5968. 2
5968. 3
5968. 4
5968. 5
5968. 6
5968. 7
5969. 0
5969. 1
5969. 2
5969. 3
5969. 4
5969. 5
5969. 6
5969. 7
5969. 8
5969. 9
5970. 0
5970. 1
5970. 2
5970. 3
5971. 0
5971. 1
5971. 2
5971. 3
5971. 4
5971. 5
5971. 6
5972. 0
pull
Entries 37
Mean −30.68
Std Dev 50.49
2
1.5
1
0.5
0
−0.5
−1
−1.5
−2
pull1D
Entries 37
Mean −0.004373
Std Dev 0.9381
7
6
5
4
3
2
1
0
−8
−6
−4
−2
0
2
4
6
8

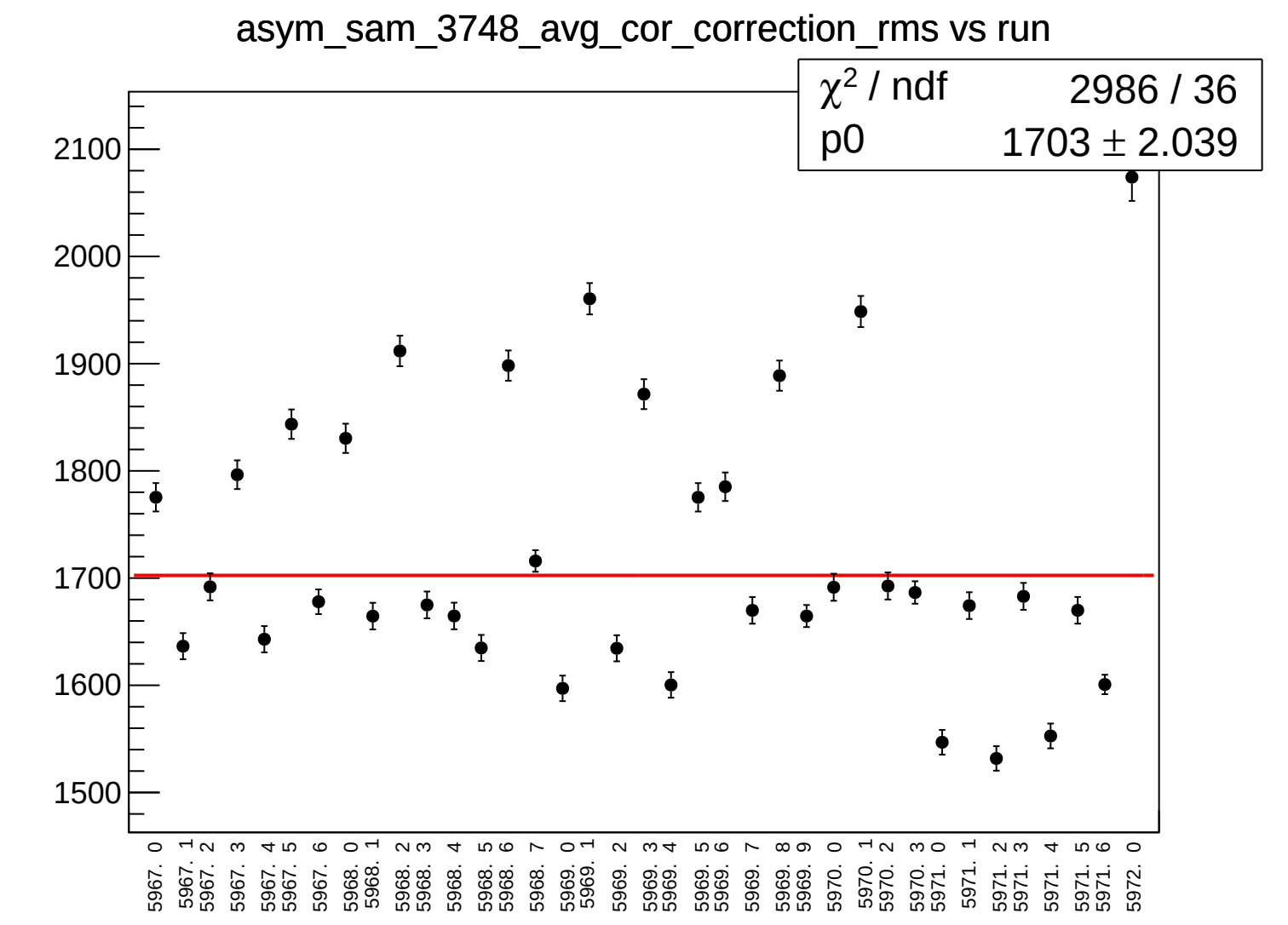
asym_sam_3748_avg_cor_correction_rms vs run
χ² / ndf 2986 / 36
p0 1703 ± 2.039
2100
2000
1900
1800
1700
1600
1500
5967. 0
5967. 1
5967. 2
5967. 3
5967. 4
5967. 5
5967. 6
5968. 0
5968. 1
5968. 2
5968. 3
5968. 4
5968. 5
5968. 6
5968. 7
5969. 0
5969. 1
5969. 2
5969. 3
5969. 4
5969. 5
5969. 6
5969. 7
5969. 8
5969. 9
5970. 0
5970. 1
5970. 2
5970. 3
5971. 0
5971. 1
5971. 2
5971. 3
5971. 4
5971. 5
5971. 6
5972. 0

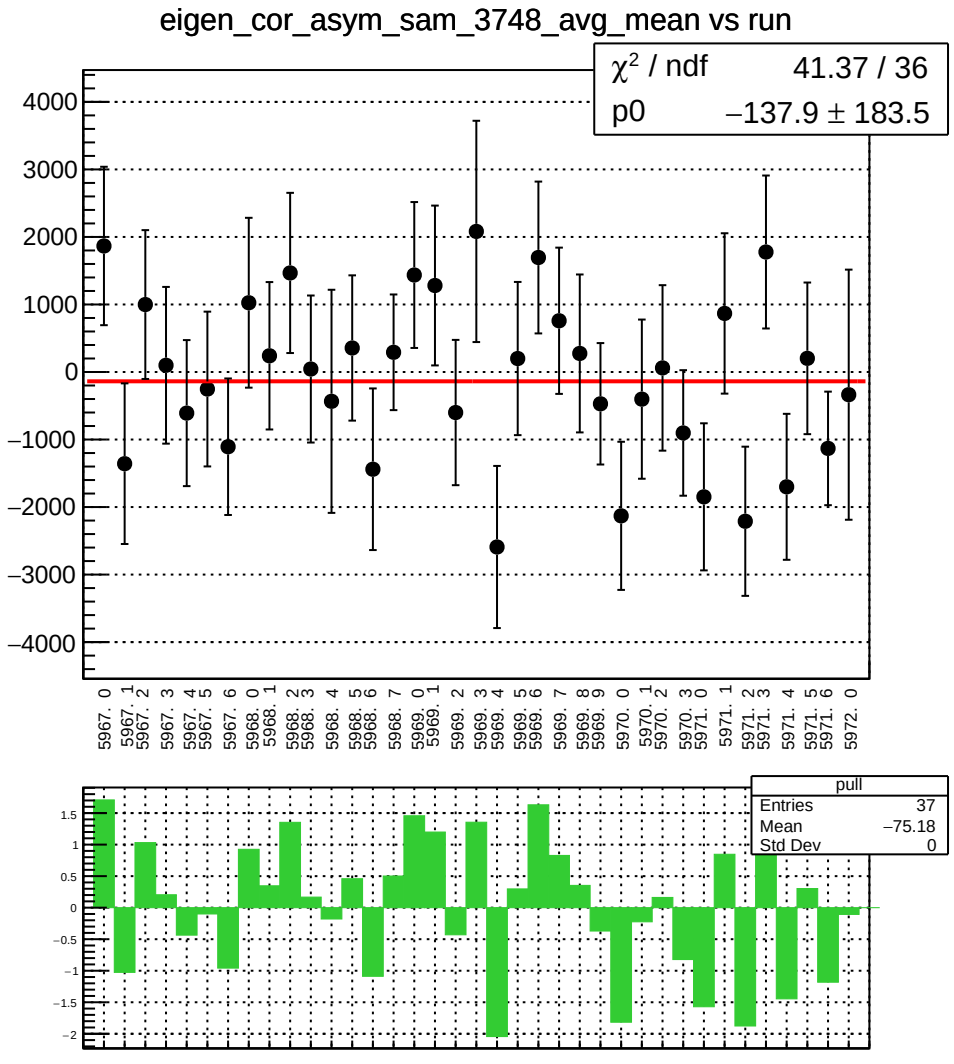
eigen_cor_asym_sam_3748_avg_mean vs run
χ² / ndf 41.37 / 36
p0 −137.9 ± 183.5
4000
3000
2000
1000
0
−1000
−2000
−3000
−4000
5967. 0
5967. 1
5967. 2
5967. 3
5967. 4
5967. 5
5967. 6
5968. 0
5968. 1
5968. 2
5968. 3
5968. 4
5968. 5
5968. 6
5968. 7
5969. 0
5969. 1
5969. 2
5969. 3
5969. 4
5969. 5
5969. 6
5969. 7
5969. 8
5969. 9
5970. 0
5970. 1
5970. 2
5970. 3
5971. 0
5971. 1
5971. 2
5971. 3
5971. 4
5971. 5
5971. 6
5972. 0
pull
Entries 37
Mean −75.18
Std Dev 0
1.5
1
0.5
0
−0.5
−1
−1.5
−2

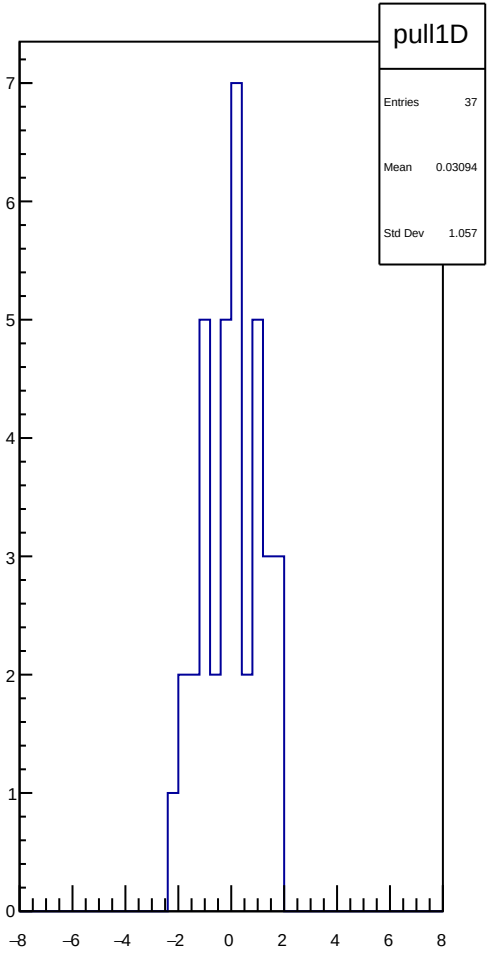
pull1D
Entries 37
Mean 0.03094
Std Dev 1.057
7
6
5
4
3
2
1
0
−8
−6
−4
−2
0
2
4
6
8

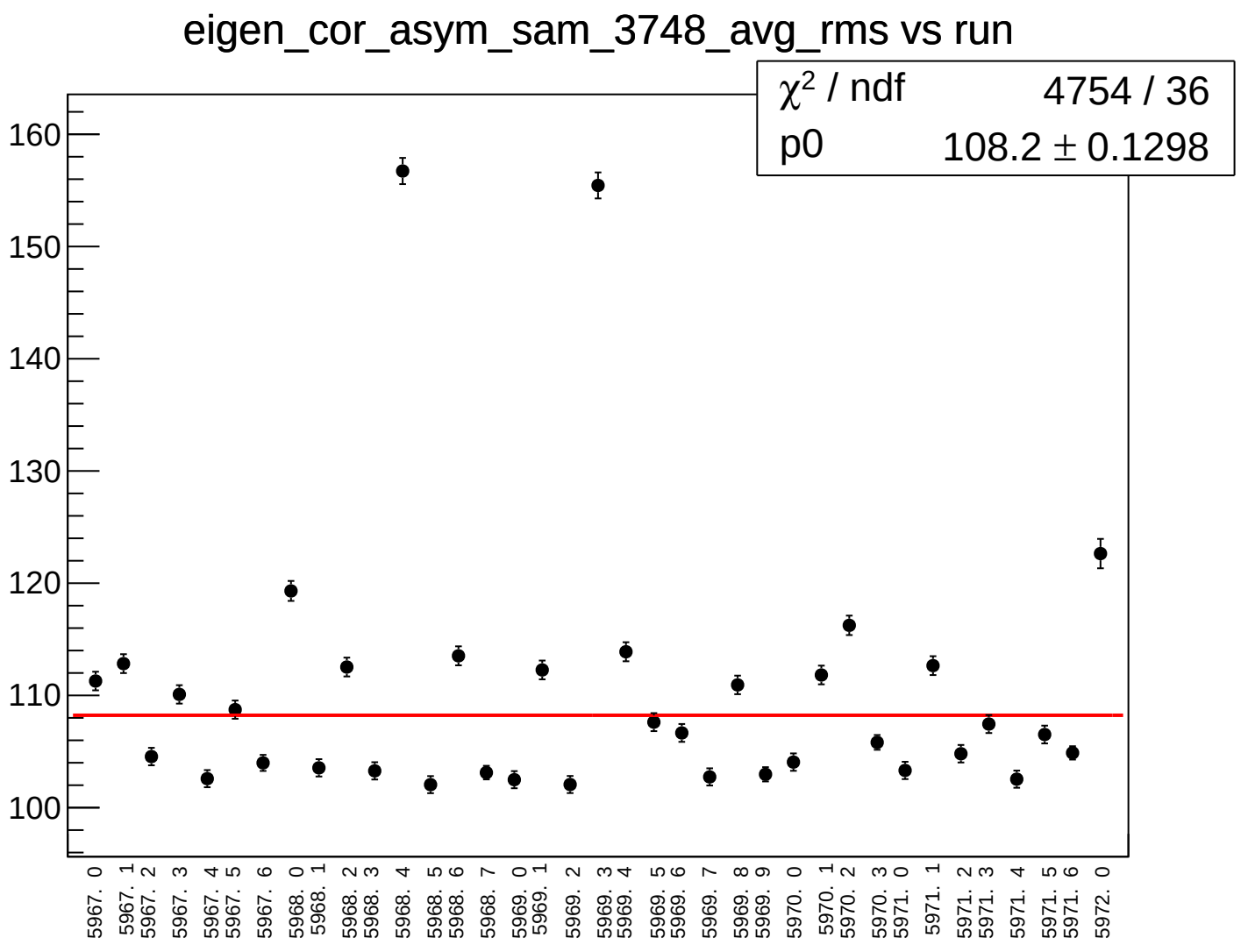
eigen_cor_asym_sam_3748_avg_rms vs run
χ² / ndf 4754 / 36
p0 108.2 ± 0.1298
160
150
140
130
120
110
100
5967. 0
5967. 1
5967. 2
5967. 3
5967. 4
5967. 5
5967. 6
5968. 0
5968. 1
5968. 2
5968. 3
5968. 4
5968. 5
5968. 6
5968. 7
5969. 0
5969. 1
5969. 2
5969. 3
5969. 4
5969. 5
5969. 6
5969. 7
5969. 8
5969. 9
5970. 0
5970. 1
5970. 2
5970. 3
5971. 0
5971. 1
5971. 2
5971. 3
5971. 4
5971. 5
5971. 6
5972. 0

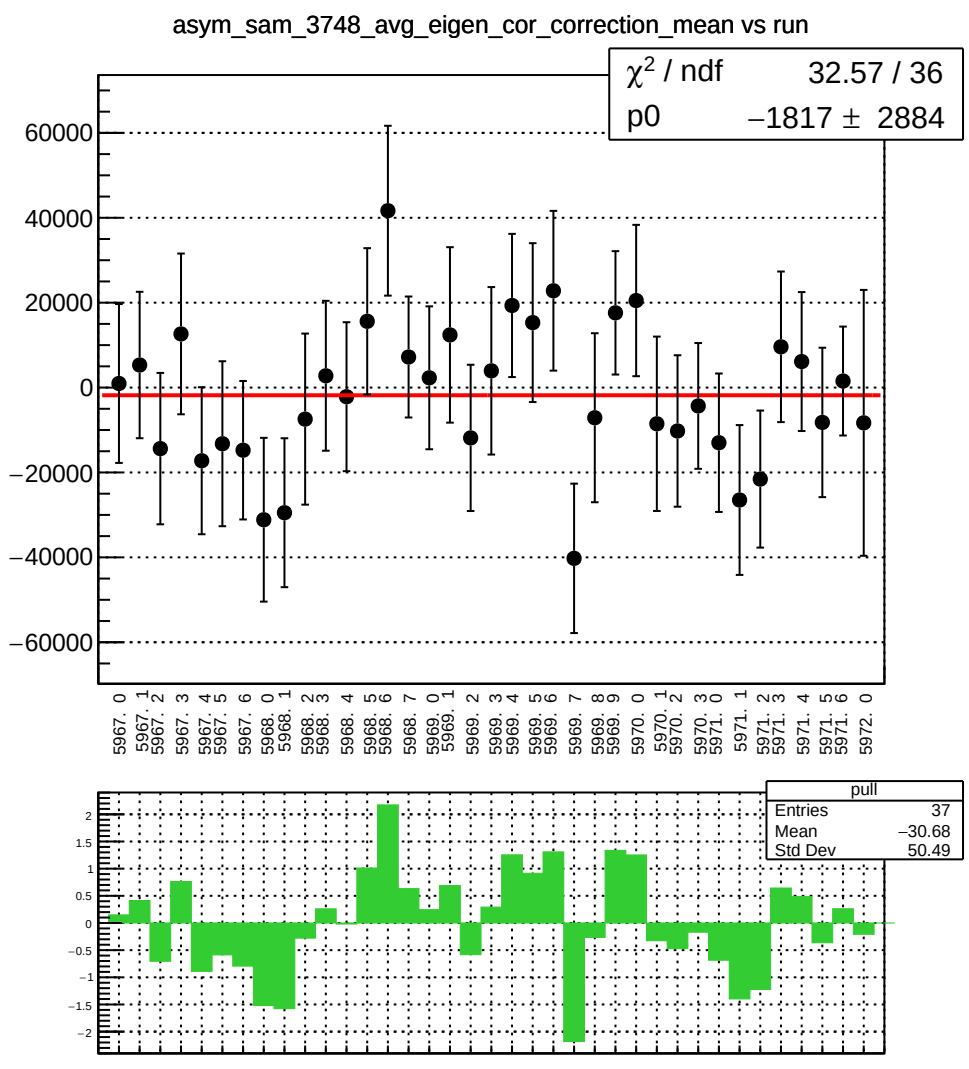
asym_sam_3748_avg_eigen_cor_correction_mean vs run
χ² / ndf 32.57 / 36
p0 −1817 ± 2884
60000
40000
20000
0
−20000
−40000
−60000
5967. 0
5967. 1
5967. 2
5967. 3
5967. 4
5967. 5
5967. 6
5968. 0
5968. 1
5968. 2
5968. 3
5968. 4
5968. 5
5968. 6
5968. 7
5969. 0
5969. 1
5969. 2
5969. 3
5969. 4
5969. 5
5969. 6
5969. 7
5969. 8
5969. 9
5970. 0
5970. 1
5970. 2
5970. 3
5971. 0
5971. 1
5971. 2
5971. 3
5971. 4
5971. 5
5971. 6
5972. 0
pull
Entries 37
Mean −30.68
Std Dev 50.49
2
1.5
1
0.5
0
−0.5
−1
−1.5
−2
pull1D
Entries 37
Mean −0.004373
Std Dev 0.9381
7
6
5
4
3
2
1
0
−8
−6
−4
−2
0
2
4
6
8

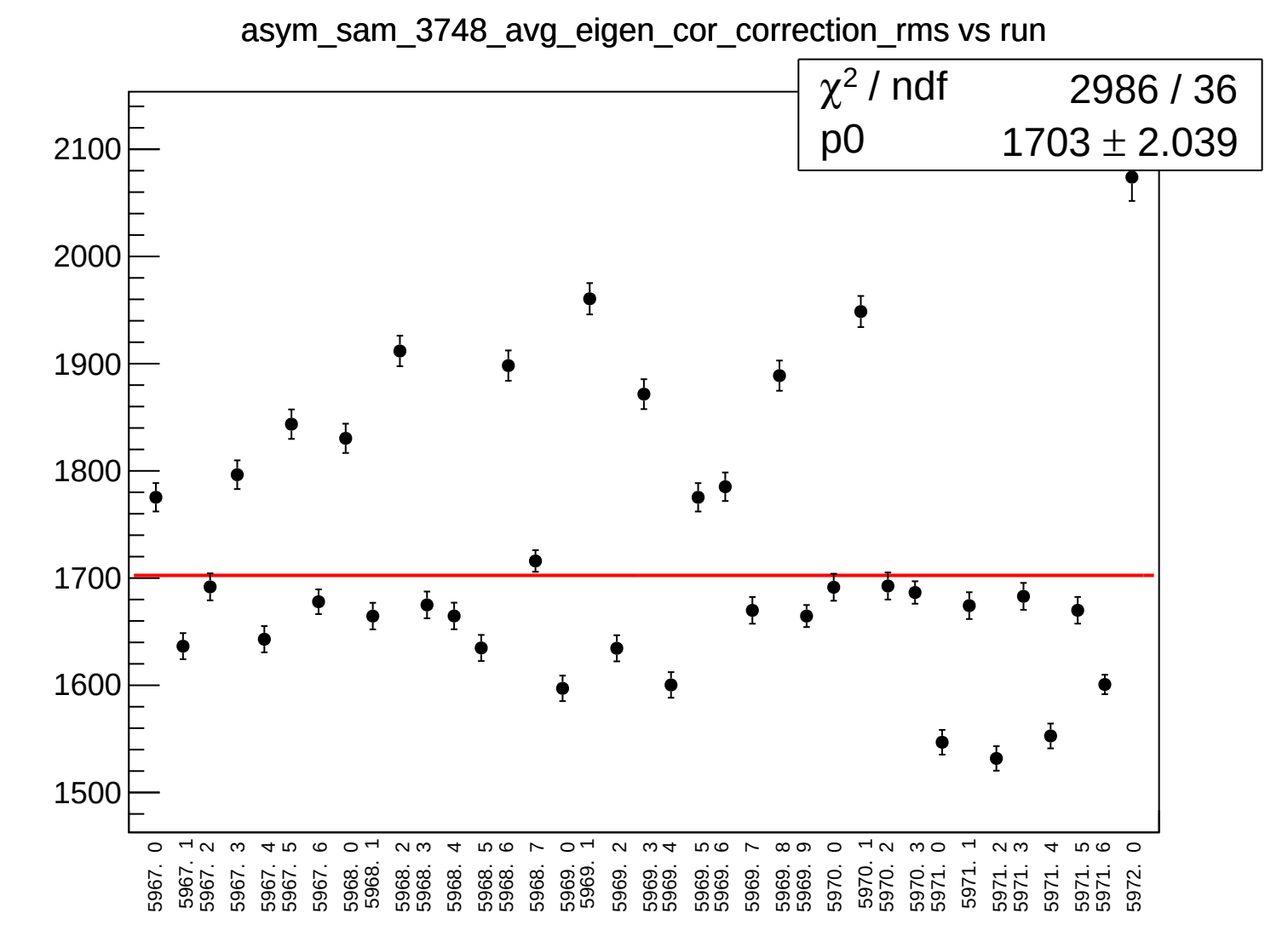
asym_sam_3748_avg_eigen_cor_correction_rms vs run
χ² / ndf 2986 / 36
p0 1703 ± 2.039
2100
2000
1900
1800
1700
1600
1500
5967. 0
5967. 1
5967. 2
5967. 3
5967. 4
5967. 5
5967. 6
5968. 0
5968. 1
5968. 2
5968. 3
5968. 4
5968. 5
5968. 6
5968. 7
5969. 0
5969. 1
5969. 2
5969. 3
5969. 4
5969. 5
5969. 6
5969. 7
5969. 8
5969. 9
5970. 0
5970. 1
5970. 2
5970. 3
5971. 0
5971. 1
5971. 2
5971. 3
5971. 4
5971. 5
5971. 6
5972. 0

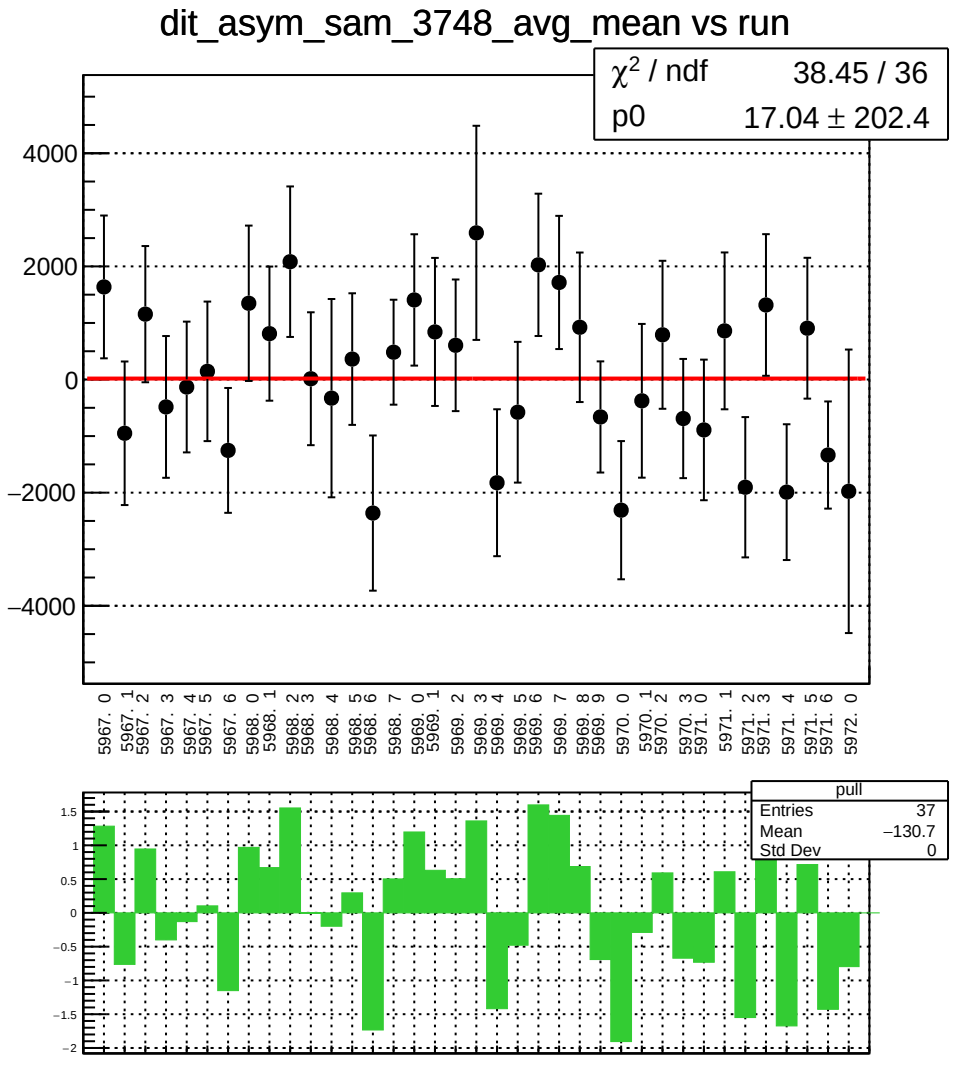
dit_asym_sam_3748_avg_mean vs run
χ² / ndf 38.45 / 36
p0 17.04 ± 202.4
4000
2000
0
−2000
−4000
5967. 0
5967. 1
5967. 2
5967. 3
5967. 4
5967. 5
5967. 6
5968. 0
5968. 1
5968. 2
5968. 3
5968. 4
5968. 5
5968. 6
5968. 7
5969. 0
5969. 1
5969. 2
5969. 3
5969. 4
5969. 5
5969. 6
5969. 7
5969. 8
5969. 9
5970. 0
5970. 1
5970. 2
5970. 3
5971. 0
5971. 1
5971. 2
5971. 3
5971. 4
5971. 5
5971. 6
5972. 0
pull
Entries 37
Mean −130.7
Std Dev 0
1.5
1
0.5
0
−0.5
−1
−1.5
−2

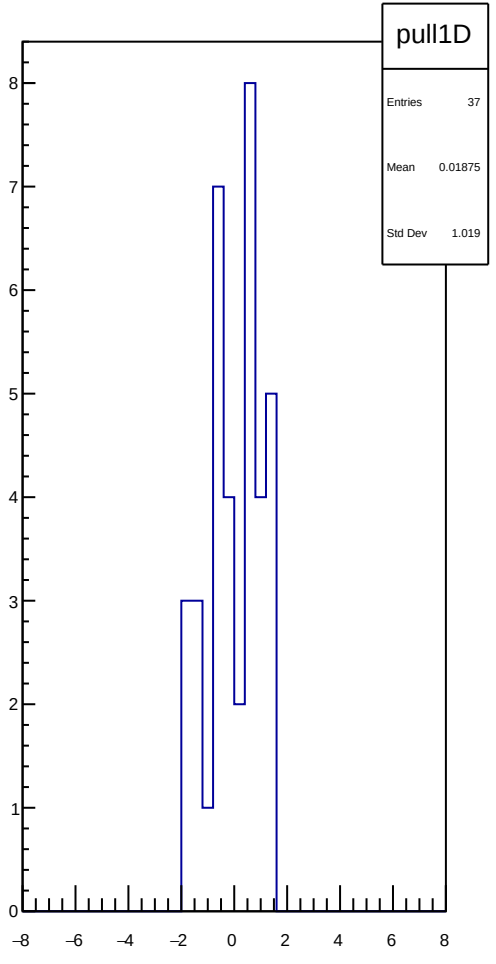
pull1D
Entries 37
Mean 0.01875
Std Dev 1.019
8
7
6
5
4
3
2
1
0
−8
−6
−4
−2
0
2
4
6
8

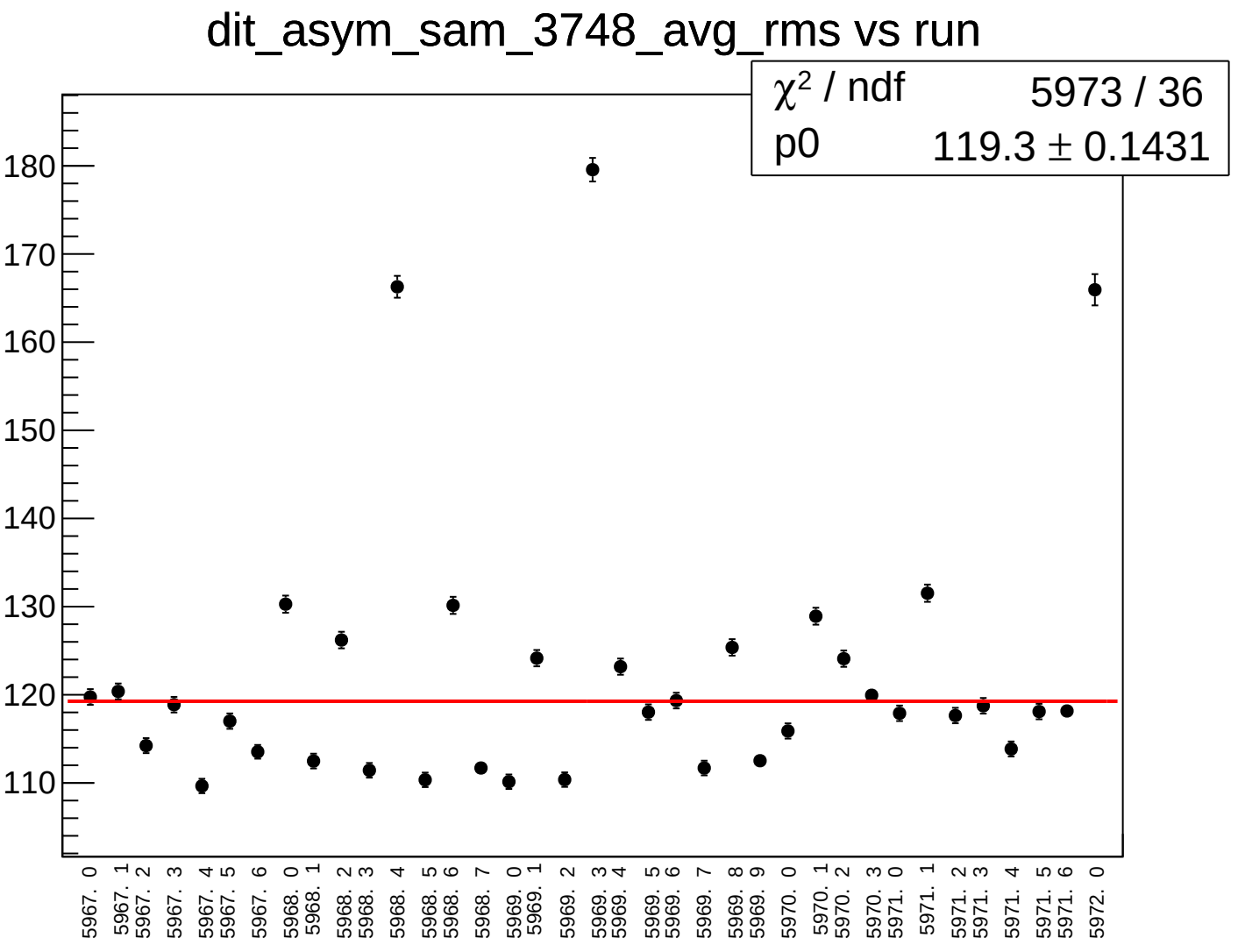
dit_asym_sam_3748_avg_rms vs run
χ² / ndf 5973 / 36
p0 119.3 ± 0.1431
180
170
160
150
140
130
120
110
5967. 0
5967. 1
5967. 2
5967. 3
5967. 4
5967. 5
5967. 6
5968. 0
5968. 1
5968. 2
5968. 3
5968. 4
5968. 5
5968. 6
5968. 7
5969. 0
5969. 1
5969. 2
5969. 3
5969. 4
5969. 5
5969. 6
5969. 7
5969. 8
5969. 9
5970. 0
5970. 1
5970. 2
5970. 3
5971. 0
5971. 1
5971. 2
5971. 3
5971. 4
5971. 5
5971. 6
5972. 0

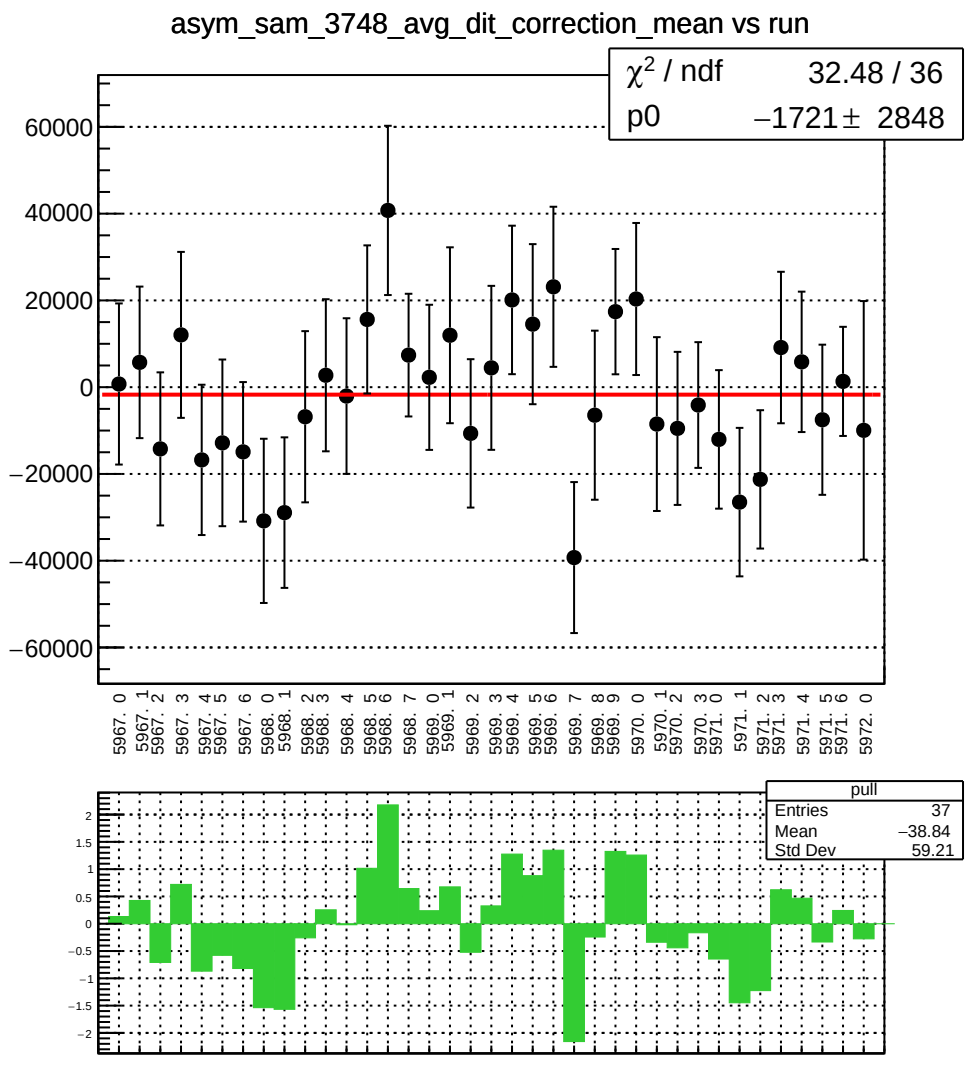
asym_sam_3748_avg_dit_correction_mean vs run
χ² / ndf 32.48 / 36
p0 −1721 ± 2848
60000
40000
20000
0
−20000
−40000
−60000
5967. 0
5967. 1
5967. 2
5967. 3
5967. 4
5967. 5
5967. 6
5968. 0
5968. 1
5968. 2
5968. 3
5968. 4
5968. 5
5968. 6
5968. 7
5969. 0
5969. 1
5969. 2
5969. 3
5969. 4
5969. 5
5969. 6
5969. 7
5969. 8
5969. 9
5970. 0
5970. 1
5970. 2
5970. 3
5971. 0
5971. 1
5971. 2
5971. 3
5971. 4
5971. 5
5971. 6
5972. 0
pull
Entries 37
Mean −38.84
Std Dev 59.21
2
1.5
1
0.5
0
−0.5
−1
−1.5
−2

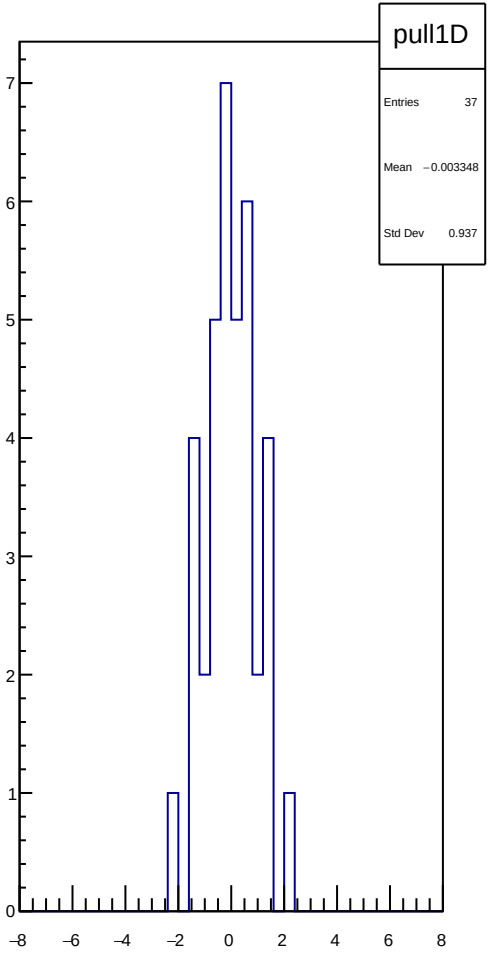
pull1D
Entries 37
Mean −0.003348
Std Dev 0.937
7
6
5
4
3
2
1
0
−8
−6
−4
−2
0
2
4
6
8

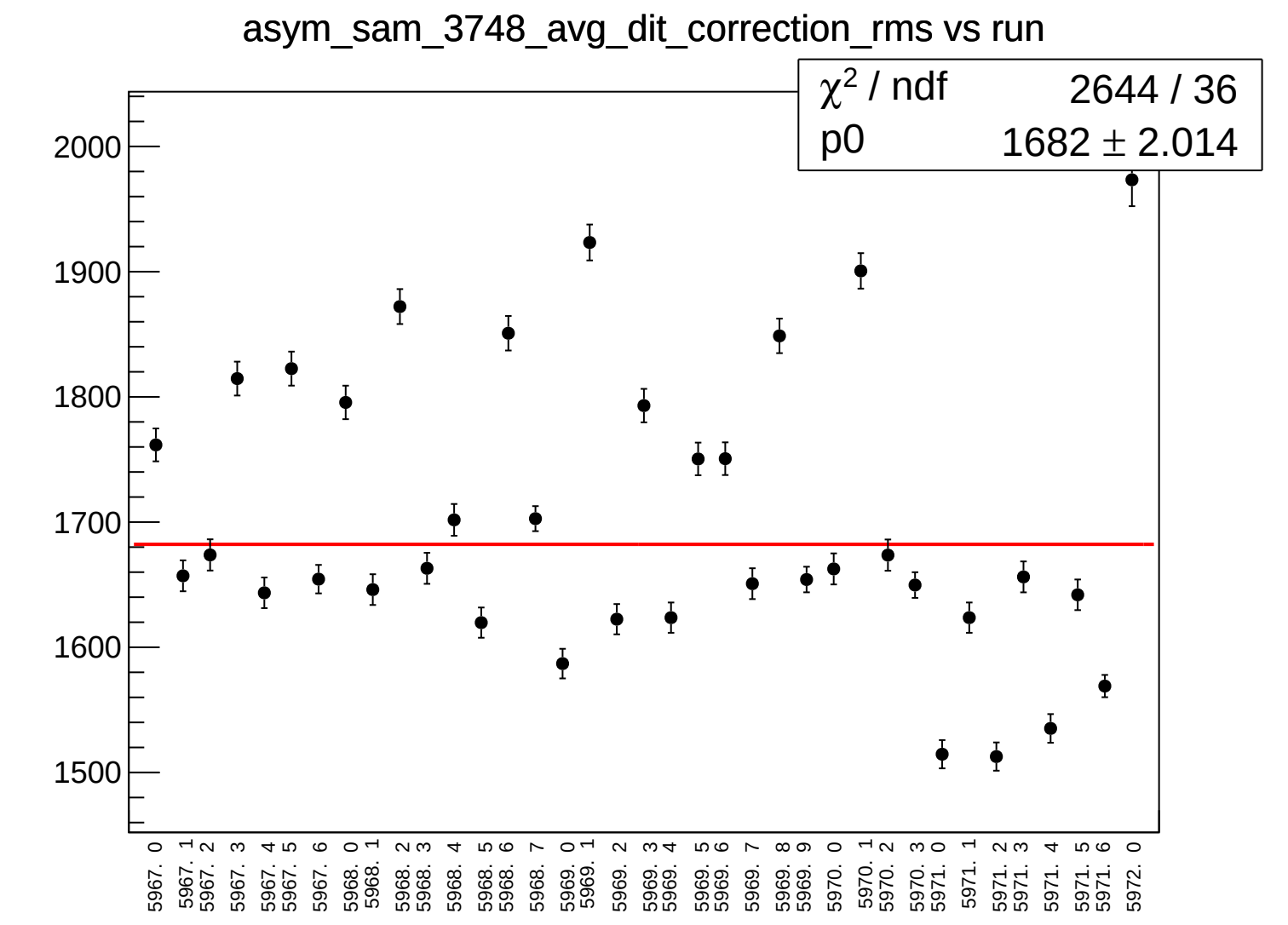
asym_sam_3748_avg_dit_correction_rms vs run
χ^2 / ndf 2644 / 36
p0 1682 ± 2.014
2000
1900
1800
1700
1600
1500
5967. 0
5967. 1
5967. 2
5967. 3
5967. 4
5967. 5
5967. 6
5968. 0
5968. 1
5968. 2
5968. 3
5968. 4
5968. 5
5968. 6
5968. 7
5969. 0
5969. 1
5969. 2
5969. 3
5969. 4
5969. 5
5969. 6
5969. 7
5969. 8
5969. 9
5970. 0
5970. 1
5970. 2
5970. 3
5971. 0
5971. 1
5971. 2
5971. 3
5971. 4
5971. 5
5971. 6
5972. 0

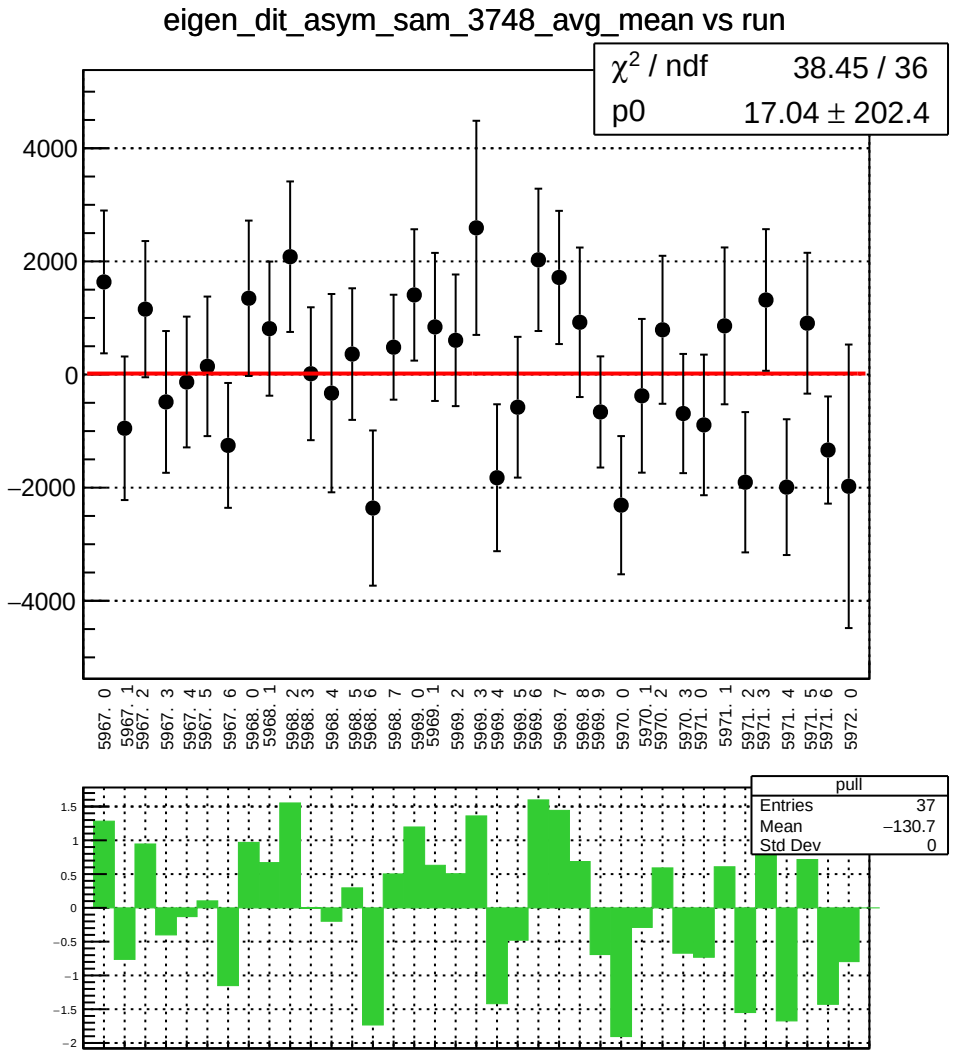
eigen_dit_asym_sam_3748_avg_mean vs run
χ² / ndf 38.45 / 36
p0 17.04 ± 202.4
4000
2000
0
−2000
−4000
5967. 0
5967. 1
5967. 2
5967. 3
5967. 4
5967. 5
5967. 6
5968. 0
5968. 1
5968. 2
5968. 3
5968. 4
5968. 5
5968. 6
5968. 7
5969. 0
5969. 1
5969. 2
5969. 3
5969. 4
5969. 5
5969. 6
5969. 7
5969. 8
5969. 9
5970. 0
5970. 1
5970. 2
5970. 3
5971. 0
5971. 1
5971. 2
5971. 3
5971. 4
5971. 5
5971. 6
5972. 0
pull
Entries 37
Mean −130.7
Std Dev 0
1.5
1
0.5
0
−0.5
−1
−1.5
−2

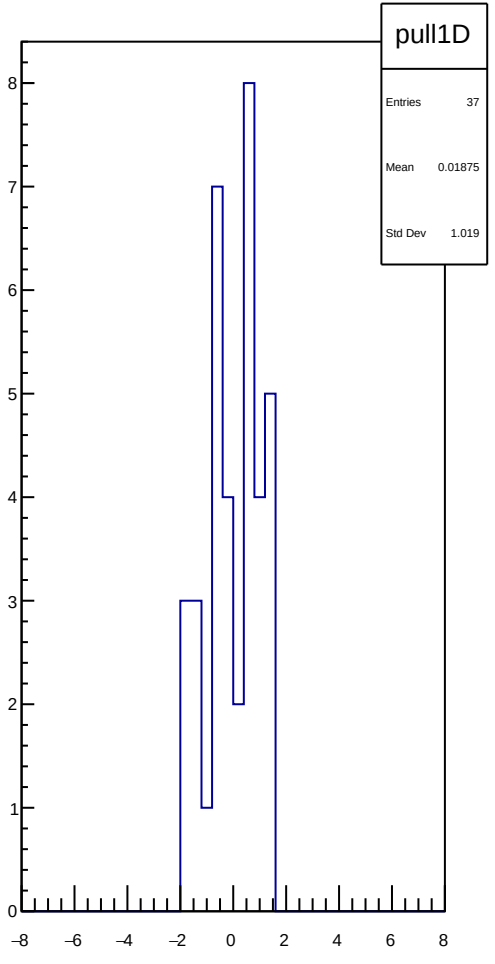
pull1D
Entries 37
Mean 0.01875
Std Dev 1.019
8
7
6
5
4
3
2
1
0
−8
−6
−4
−2
0
2
4
6
8

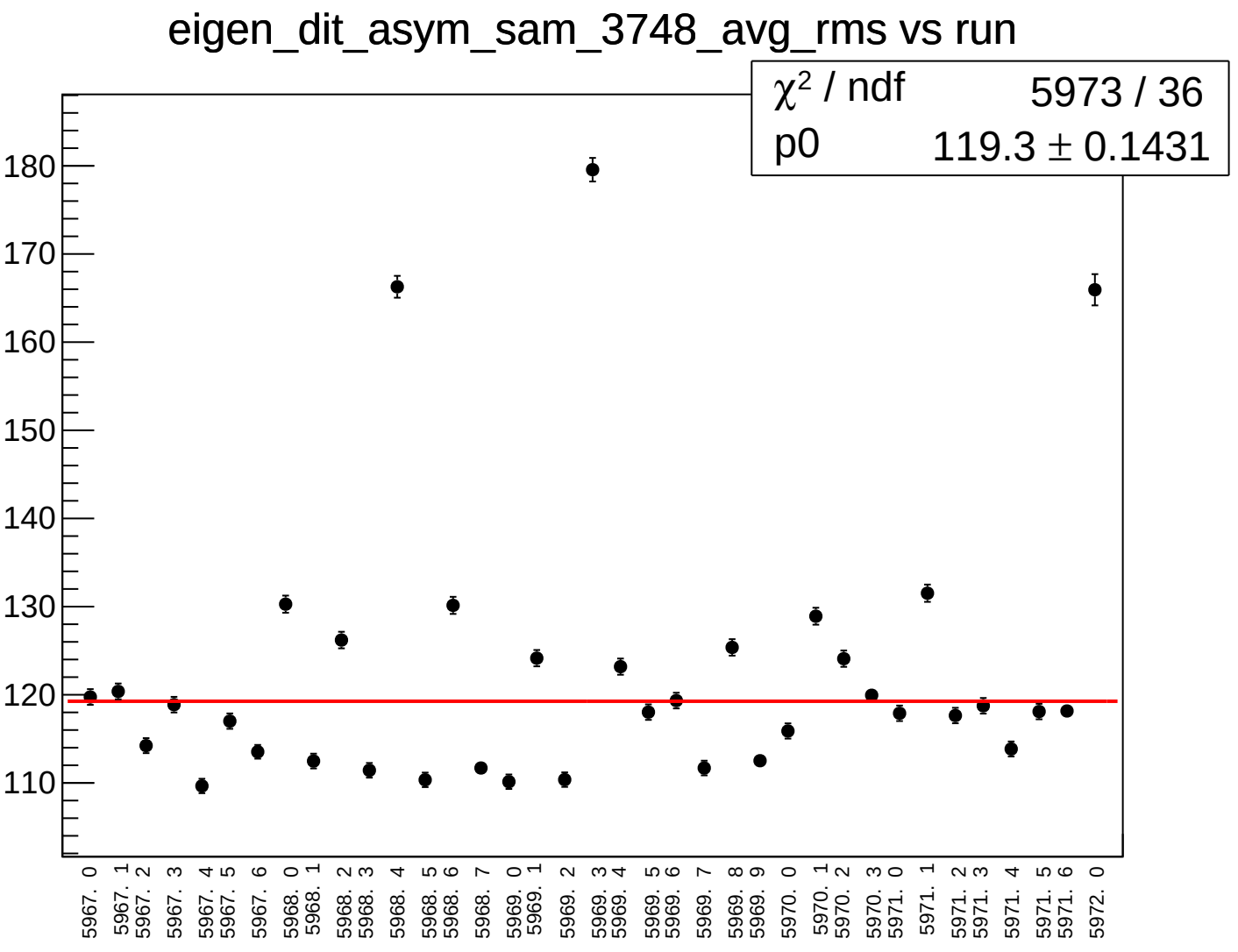
eigen_dit_asym_sam_3748_avg_rms vs run
χ² / ndf 5973 / 36
p0 119.3 ± 0.1431
180
170
160
150
140
130
120
110
5967. 0
5967. 1
5967. 2
5967. 3
5967. 4
5967. 5
5967. 6
5968. 0
5968. 1
5968. 2
5968. 3
5968. 4
5968. 5
5968. 6
5968. 7
5969. 0
5969. 1
5969. 2
5969. 3
5969. 4
5969. 5
5969. 6
5969. 7
5969. 8
5969. 9
5970. 0
5970. 1
5970. 2
5970. 3
5971. 0
5971. 1
5971. 2
5971. 3
5971. 4
5971. 5
5971. 6
5972. 0

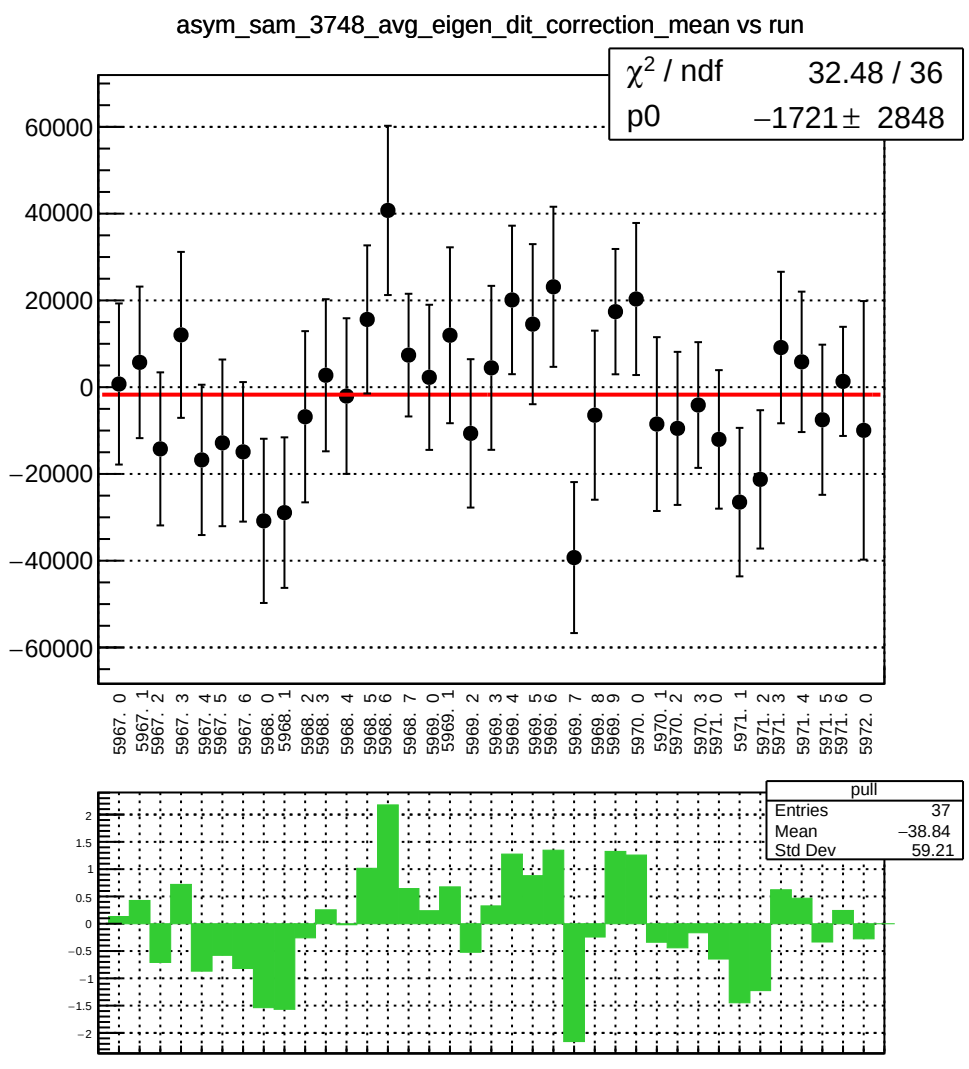
asym_sam_3748_avg_eigen_dit_correction_mean vs run
χ² / ndf 32.48 / 36
p0 −1721 ± 2848
60000
40000
20000
0
−20000
−40000
−60000
5967. 0
5967. 1
5967. 2
5967. 3
5967. 4
5967. 5
5967. 6
5968. 0
5968. 1
5968. 2
5968. 3
5968. 4
5968. 5
5968. 6
5968. 7
5969. 0
5969. 1
5969. 2
5969. 3
5969. 4
5969. 5
5969. 6
5969. 7
5969. 8
5969. 9
5970. 0
5970. 1
5970. 2
5970. 3
5971. 0
5971. 1
5971. 2
5971. 3
5971. 4
5971. 5
5971. 6
5972. 0
pull
Entries 37
Mean −38.84
Std Dev 59.21
2
1.5
1
0.5
0
−0.5
−1
−1.5
−2

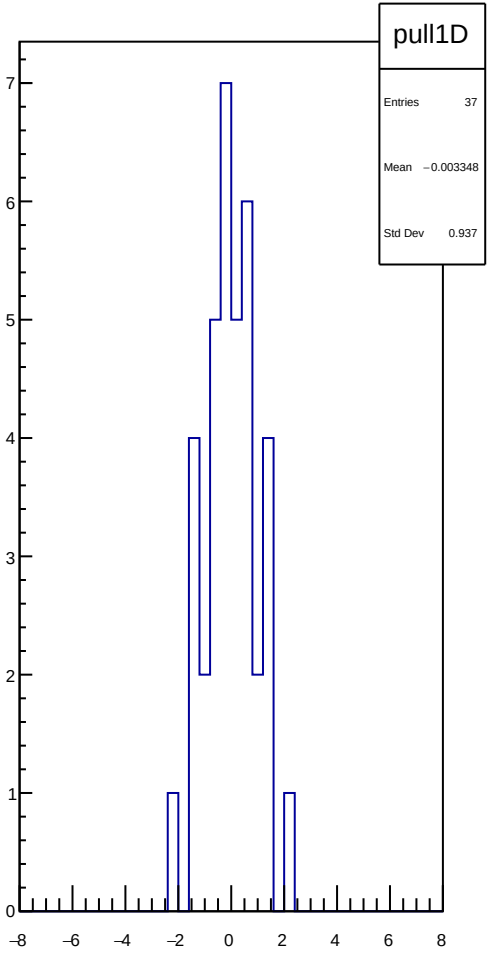
pull1D
Entries 37
Mean −0.003348
Std Dev 0.937
7
6
5
4
3
2
1
0
−8
−6
−4
−2
0
2
4
6
8

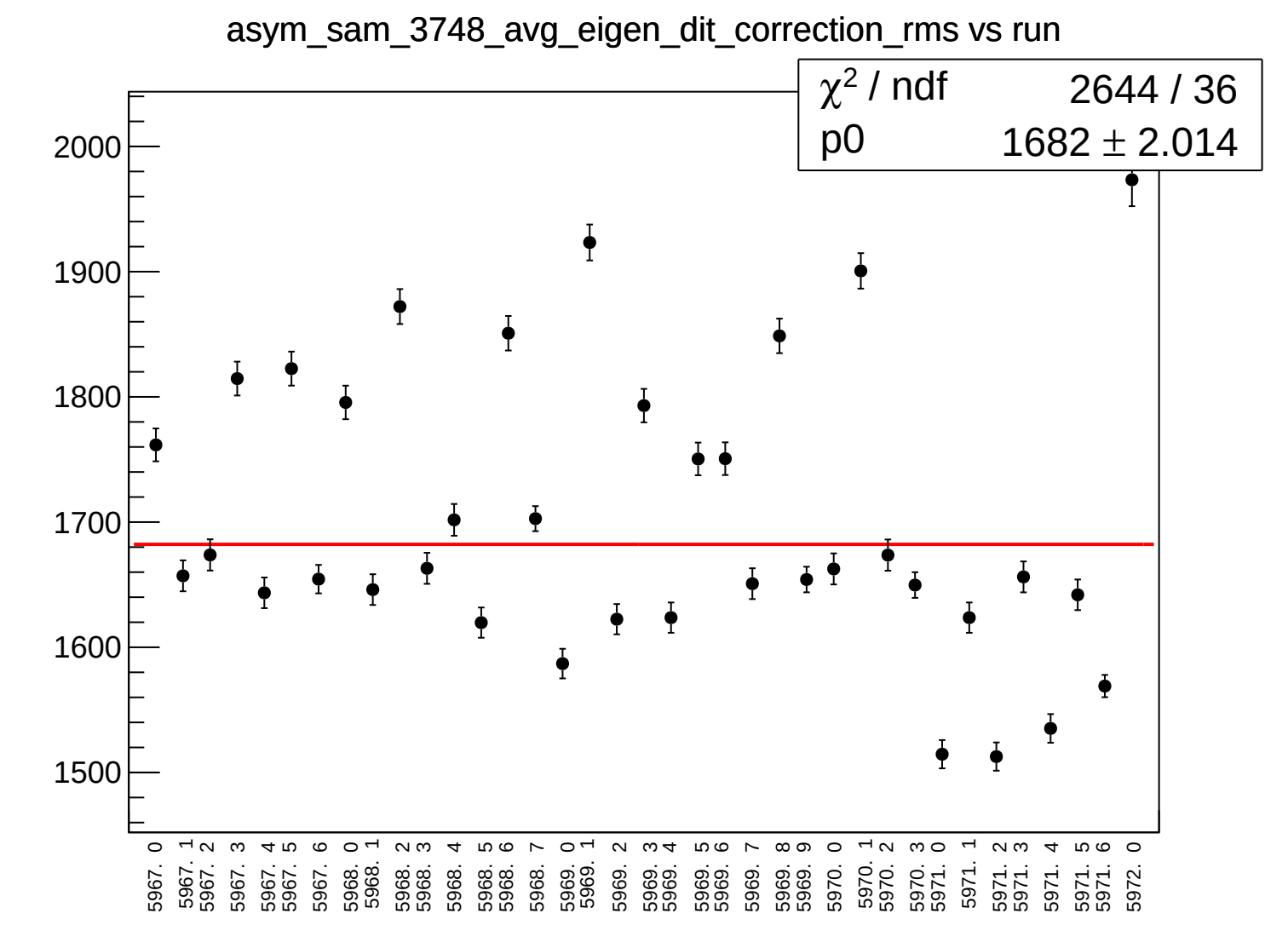
asym_sam_3748_avg_eigen_dit_correction_rms vs run
χ² / ndf 2644 / 36
p0 1682 ± 2.014
2000
1900
1800
1700
1600
1500
5967. 0
5967. 1
5967. 2
5967. 3
5967. 4
5967. 5
5967. 6
5968. 0
5968. 1
5968. 2
5968. 3
5968. 4
5968. 5
5968. 6
5968. 7
5969. 0
5969. 1
5969. 2
5969. 3
5969. 4
5969. 5
5969. 6
5969. 7
5969. 8
5969. 9
5970. 0
5970. 1
5970. 2
5970. 3
5971. 0
5971. 1
5971. 2
5971. 3
5971. 4
5971. 5
5971. 6
5972. 0

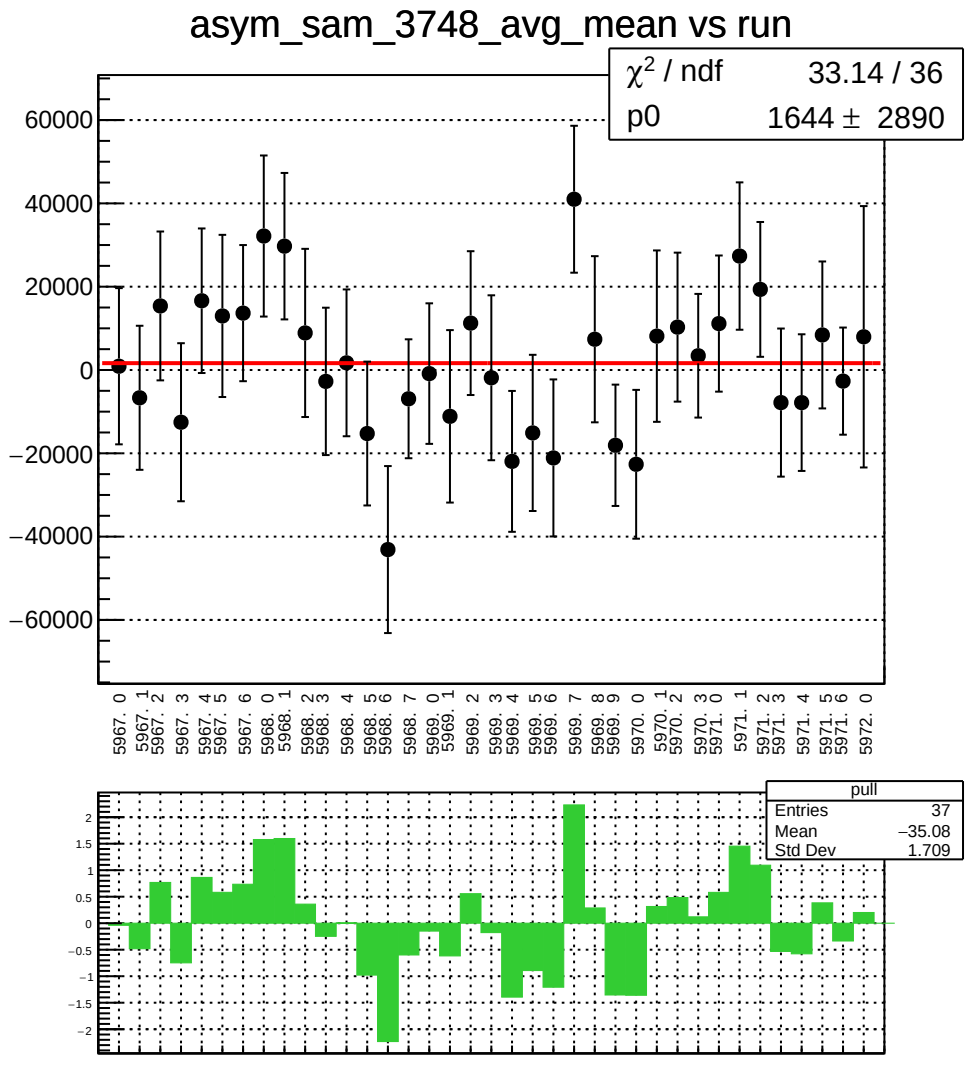
asym_sam_3748_avg_mean vs run
χ² / ndf 33.14 / 36
p0 1644 ± 2890
60000
40000
20000
0
−20000
−40000
−60000
5967. 0
5967. 1
5967. 2
5967. 3
5967. 4
5967. 5
5967. 6
5968. 0
5968. 1
5968. 2
5968. 3
5968. 4
5968. 5
5968. 6
5968. 7
5969. 0
5969. 1
5969. 2
5969. 3
5969. 4
5969. 5
5969. 6
5969. 7
5969. 8
5969. 9
5970. 0
5970. 1
5970. 2
5970. 3
5971. 0
5971. 1
5971. 2
5971. 3
5971. 4
5971. 5
5971. 6
5972. 0
pull
Entries 37
Mean −35.08
Std Dev 1.709
2
1.5
1
0.5
0
−0.5
−1
−1.5
−2
pull1D
Entries 37
Mean 0.007434
Std Dev 0.9464
7
6
5
4
3
2
1
0
−8
−6
−4
−2
0
2
4
6
8

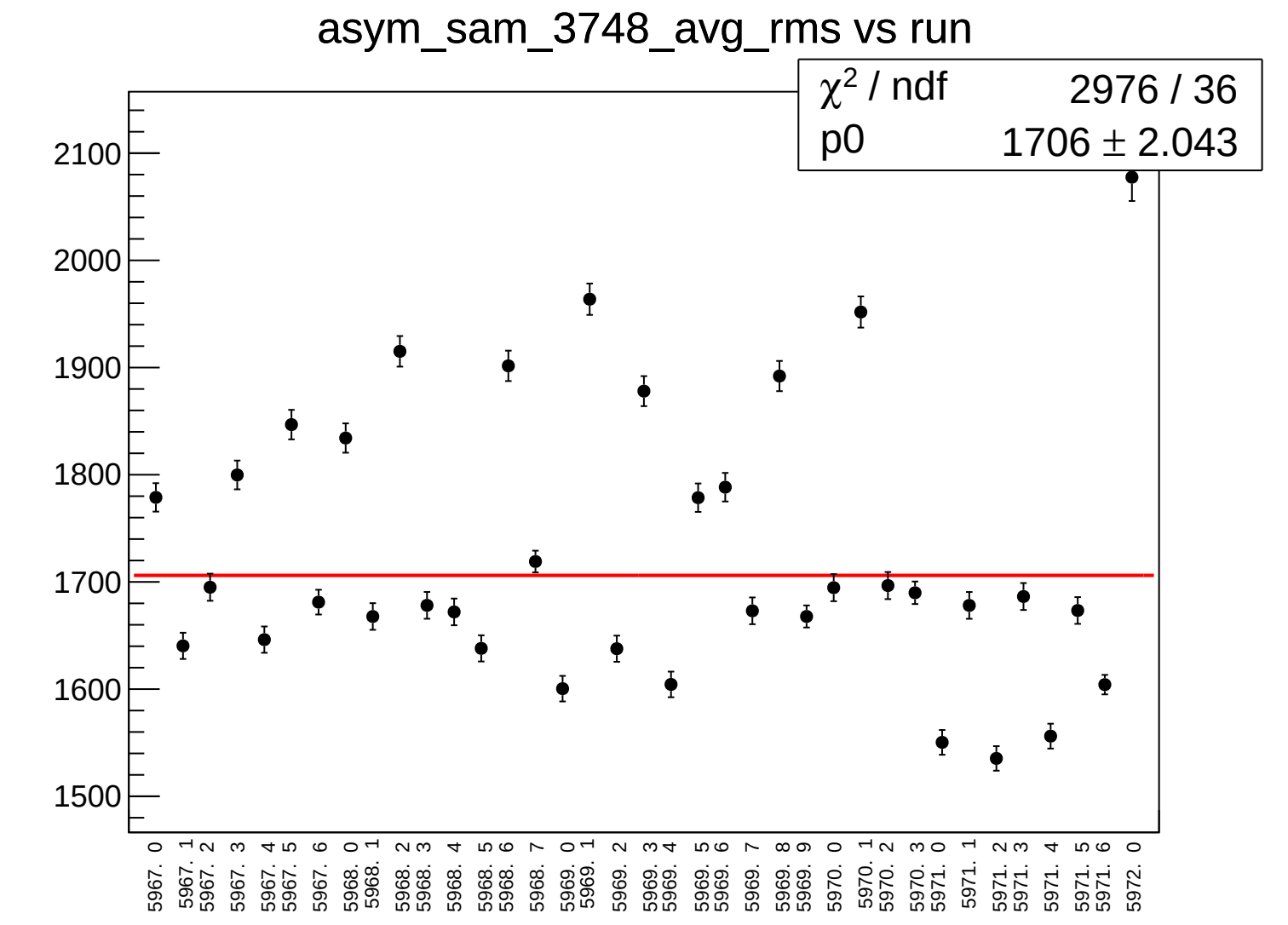
asym_sam_3748_avg_rms vs run
χ^2 / ndf 2976 / 36
p0 1706 ± 2.043
2100
2000
1900
1800
1700
1600
1500
5967. 0
5967. 1
5967. 2
5967. 3
5967. 4
5967. 5
5967. 6
5968. 0
5968. 1
5968. 2
5968. 3
5968. 4
5968. 5
5968. 6
5968. 7
5969. 0
5969. 1
5969. 2
5969. 3
5969. 4
5969. 5
5969. 6
5969. 7
5969. 8
5969. 9
5970. 0
5970. 1
5970. 2
5970. 3
5971. 0
5971. 1
5971. 2
5971. 3
5971. 4
5971. 5
5971. 6
5972. 0

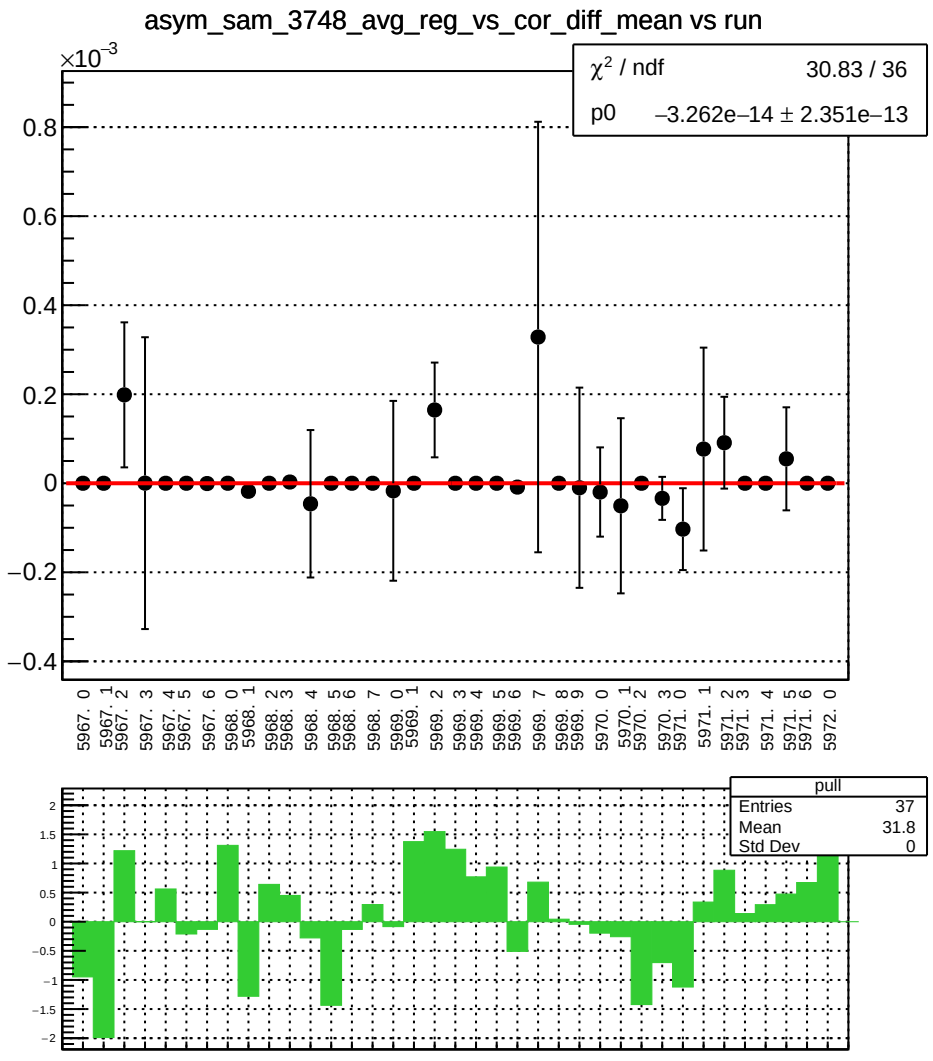
asym_sam_3748_avg_reg_vs_cor_diff_mean vs run
×10⁻³
χ² / ndf 30.83 / 36
p0 −3.262e−14 ± 2.351e−13
0.8
0.6
0.4
0.2
0
−0.2
−0.4
5967. 0
5967. 1
5967. 2
5967. 3
5967. 4
5967. 5
5967. 6
5968. 0
5968. 1
5968. 2
5968. 3
5968. 4
5968. 5
5968. 6
5968. 7
5969. 0
5969. 1
5969. 2
5969. 3
5969. 4
5969. 5
5969. 6
5969. 7
5969. 8
5969. 9
5970. 0
5970. 1
5970. 2
5970. 3
5971. 0
5971. 1
5971. 2
5971. 3
5971. 4
5971. 5
5971. 6
5972. 0
pull
Entries 37
Mean 31.8
Std Dev 0
2
1.5
1
0.5
0
−0.5
−1
−1.5
−2

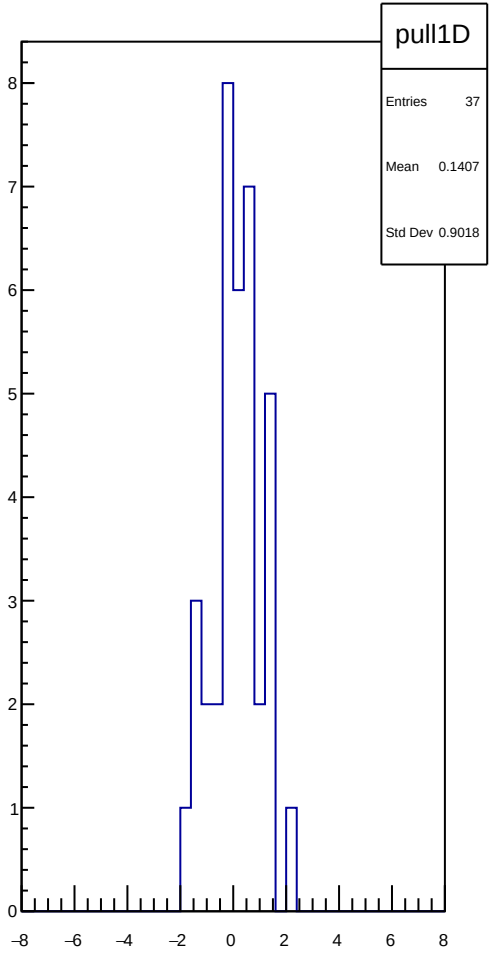
pull1D
Entries 37
Mean 0.1407
Std Dev 0.9018
8
7
6
5
4
3
2
1
0
−8
−6
−4
−2
0
2
4
6
8

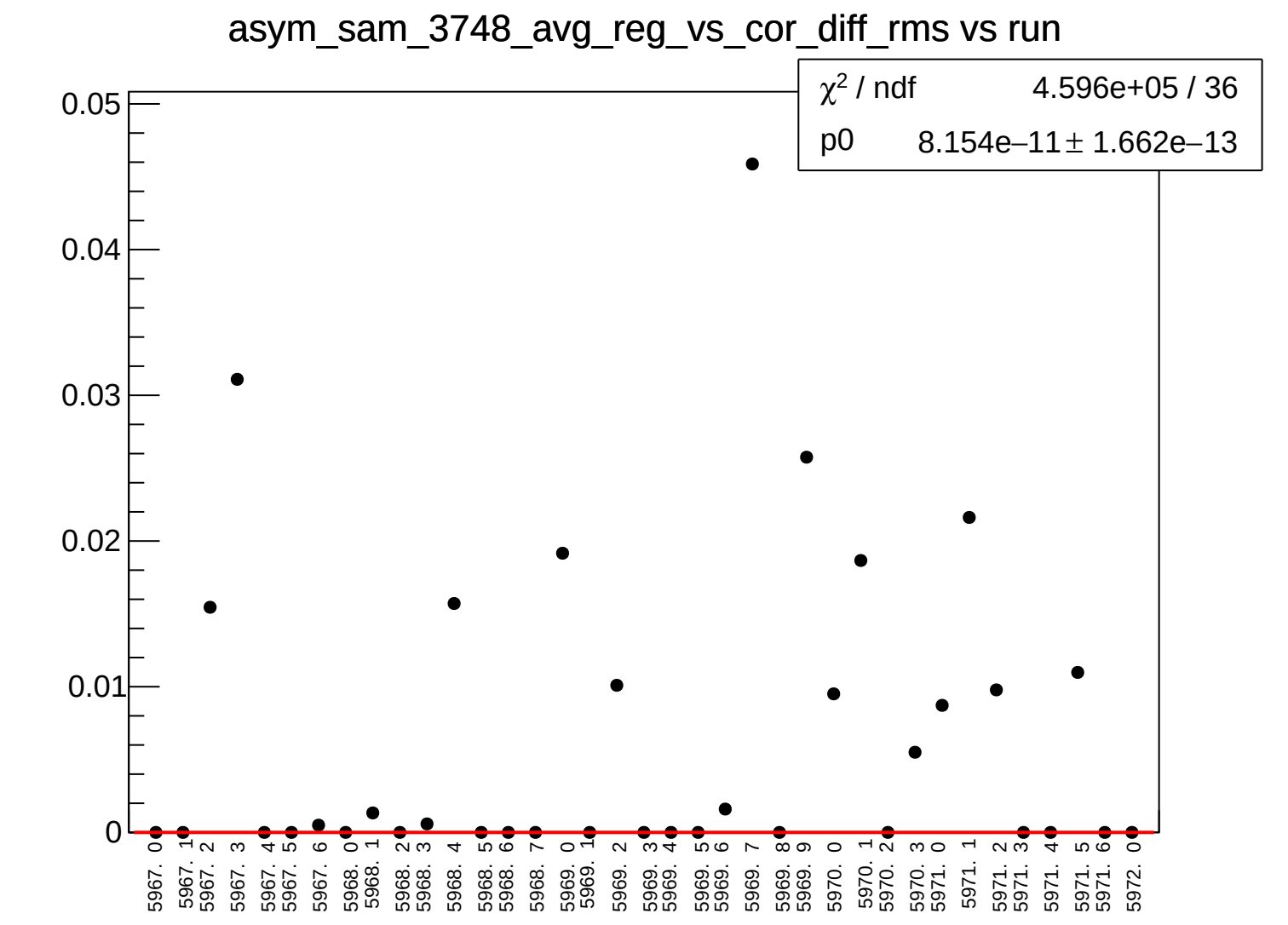
asym_sam_3748_avg_reg_vs_cor_diff_rms vs run
χ² / ndf 4.596e+05 / 36
p0 8.154e−11 ± 1.662e−13
0.05
0.04
0.03
0.02
0.01
0
5967. 0
5967. 1
5967. 2
5967. 3
5967. 4
5967. 5
5967. 6
5968. 0
5968. 1
5968. 2
5968. 3
5968. 4
5968. 5
5968. 6
5968. 7
5969. 0
5969. 1
5969. 2
5969. 3
5969. 4
5969. 5
5969. 6
5969. 7
5969. 8
5969. 9
5970. 0
5970. 1
5970. 2
5970. 3
5971. 0
5971. 1
5971. 2
5971. 3
5971. 4
5971. 5
5971. 6
5972. 0

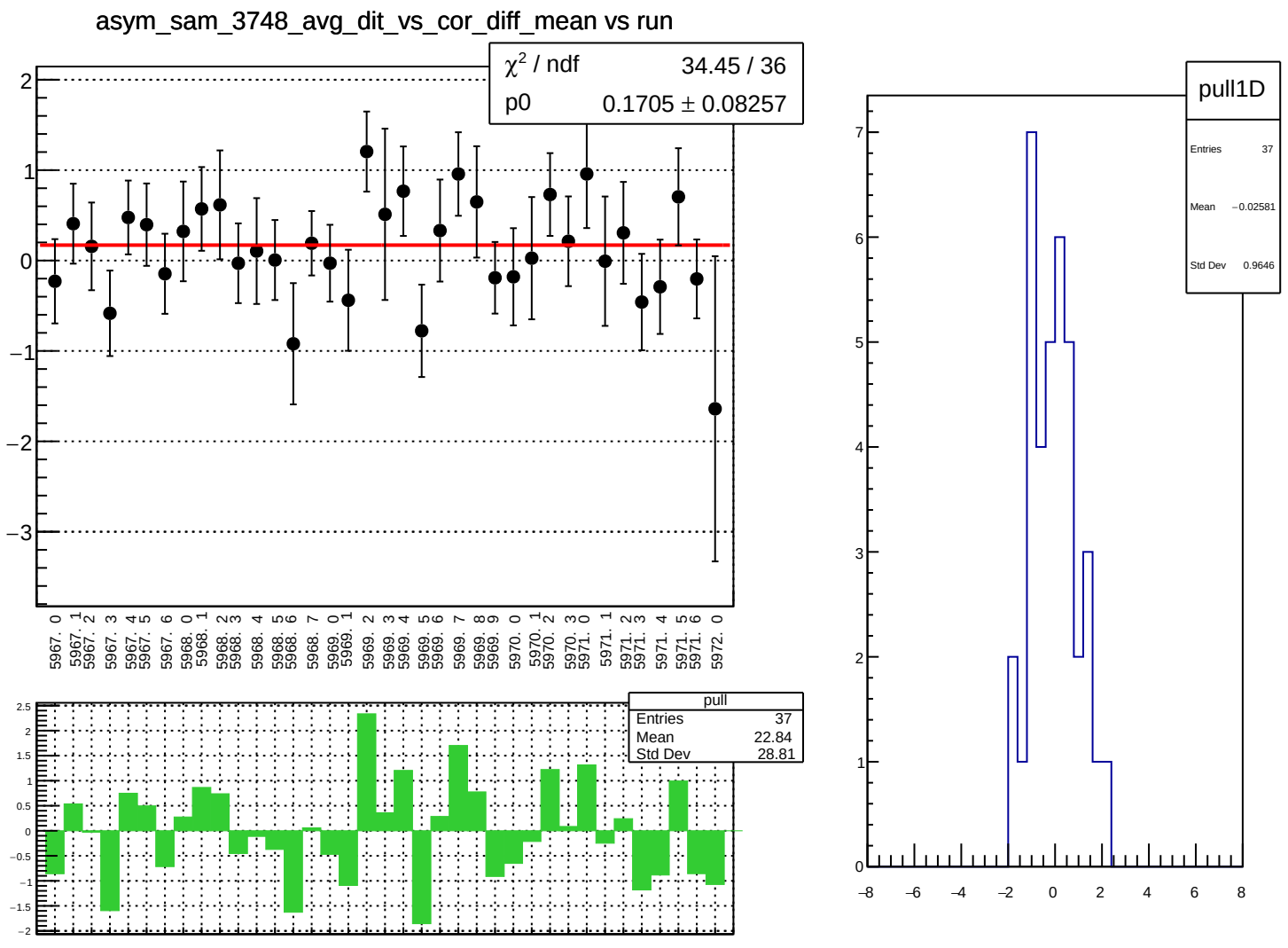
asym_sam_3748_avg_dit_vs_cor_diff_mean vs run
χ² / ndf 34.45 / 36
p0 0.1705 ± 0.08257
pull
Entries 37
Mean 22.84
Std Dev 28.81
pull1D
Entries 37
Mean −0.02581
Std Dev 0.9646

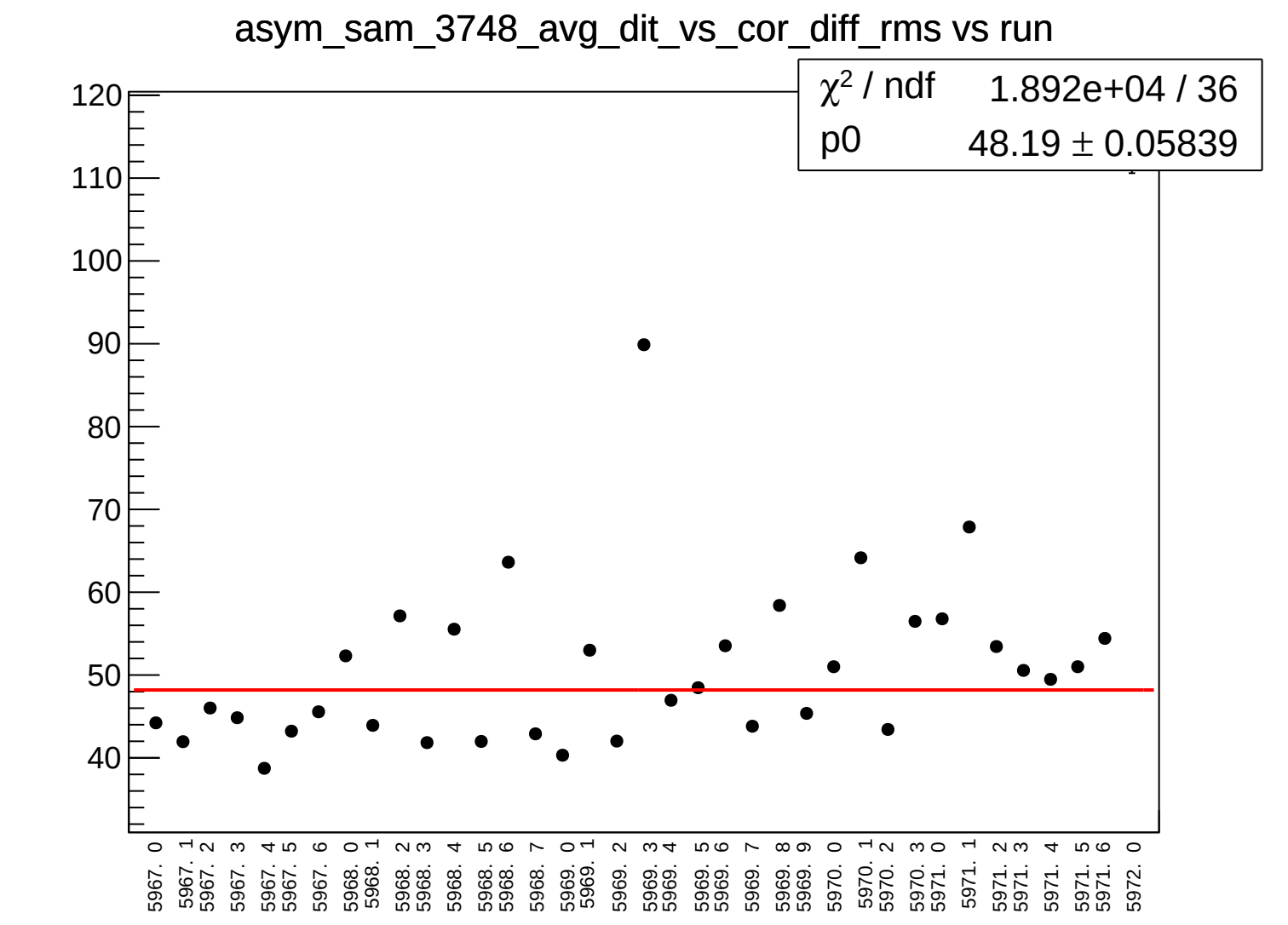
asym_sam_3748_avg_dit_vs_cor_diff_rms vs run
χ² / ndf 1.892e+04 / 36
p0 48.19 ± 0.05839
120
110
100
90
80
70
60
50
40
5967. 0
5967. 1
5967. 2
5967. 3
5967. 4
5967. 5
5967. 6
5968. 0
5968. 1
5968. 2
5968. 3
5968. 4
5968. 5
5968. 6
5968. 7
5969. 0
5969. 1
5969. 2
5969. 3
5969. 4
5969. 5
5969. 6
5969. 7
5969. 8
5969. 9
5970. 0
5970. 1
5970. 2
5970. 3
5971. 0
5971. 1
5971. 2
5971. 3
5971. 4
5971. 5
5971. 6
5972. 0

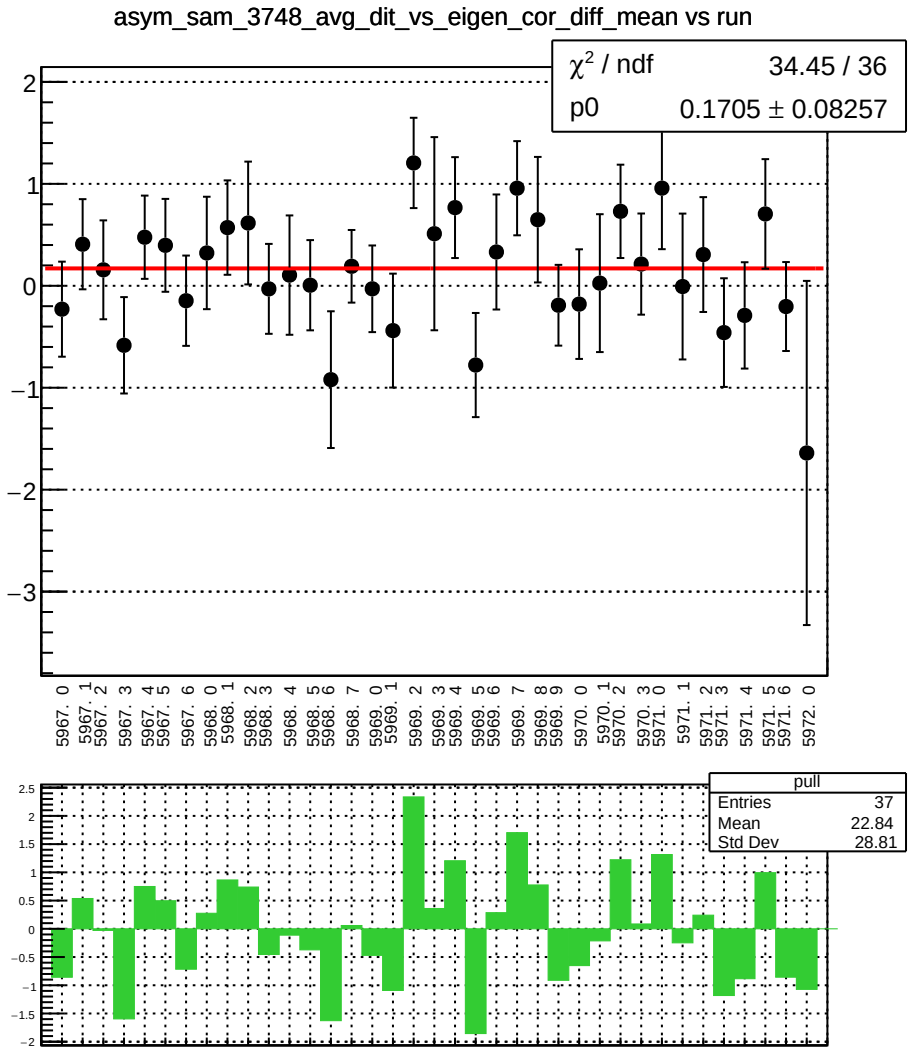
asym_sam_3748_avg_dit_vs_eigen_cor_diff_mean vs run
χ² / ndf 34.45 / 36
p0 0.1705 ± 0.08257
pull
Entries 37
Mean 22.84
Std Dev 28.81

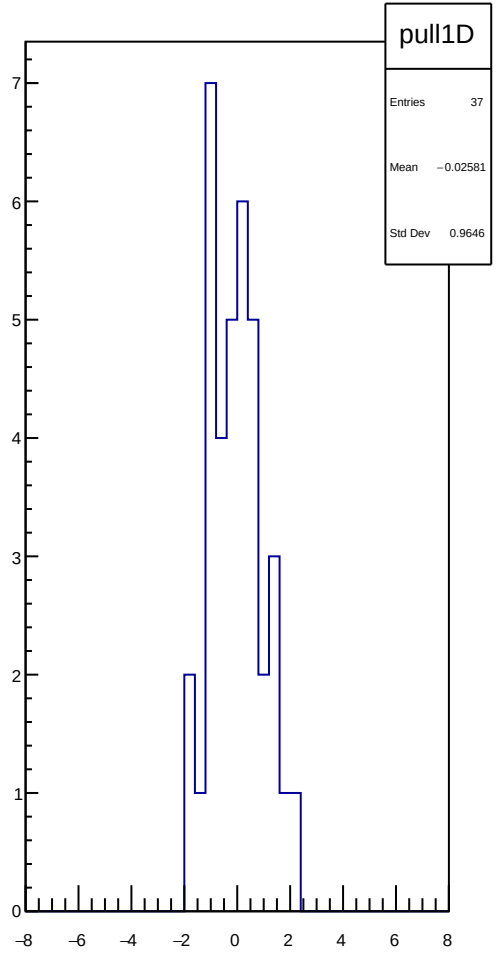
pull1D
Entries 37
Mean −0.02581
Std Dev 0.9646

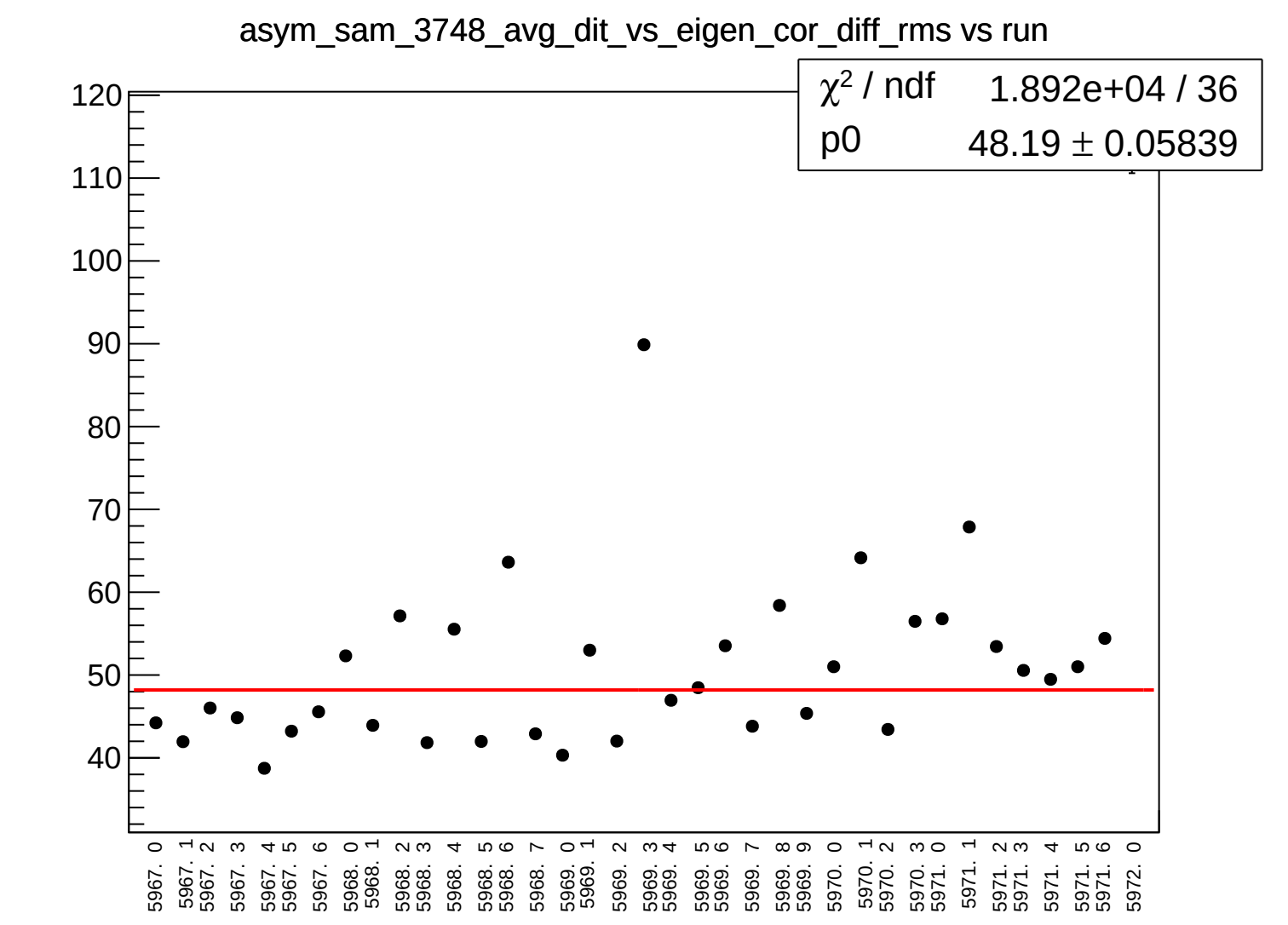
asym_sam_3748_avg_dit_vs_eigen_cor_diff_rms vs run
χ² / ndf 1.892e+04 / 36
p0 48.19 ± 0.05839
120
110
100
90
80
70
60
50
40
5967. 0
5967. 1
5967. 2
5967. 3
5967. 4
5967. 5
5967. 6
5968. 0
5968. 1
5968. 2
5968. 3
5968. 4
5968. 5
5968. 6
5968. 7
5969. 0
5969. 1
5969. 2
5969. 3
5969. 4
5969. 5
5969. 6
5969. 7
5969. 8
5969. 9
5970. 0
5970. 1
5970. 2
5970. 3
5971. 0
5971. 1
5971. 2
5971. 3
5971. 4
5971. 5
5971. 6
5972. 0

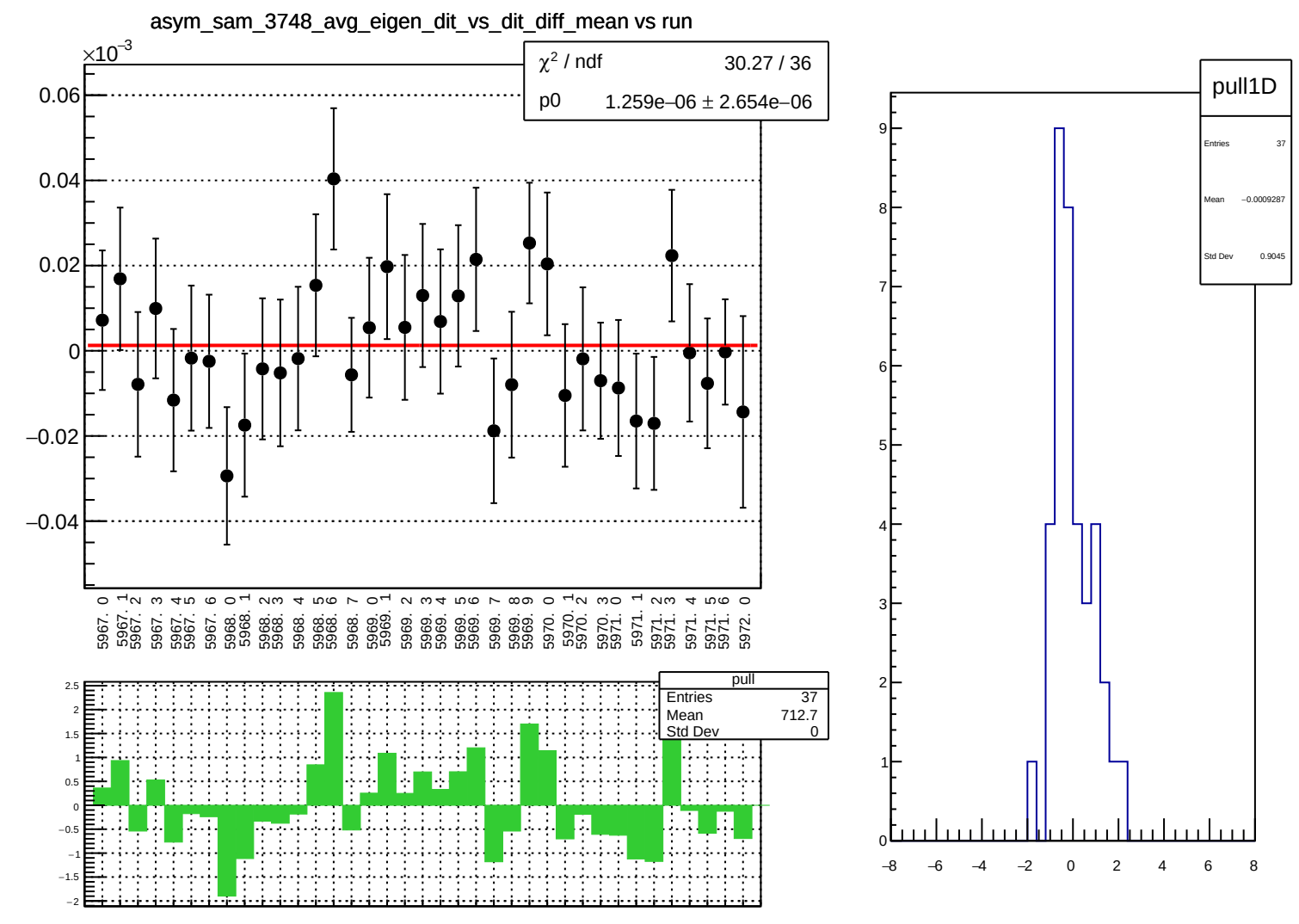
asym_sam_3748_avg_eigen_dit_vs_dit_diff_mean vs run
×10⁻³
χ² / ndf 30.27 / 36
p0 1.259e−06 ± 2.654e−06
0.06
0.04
0.02
0
−0.02
−0.04
5967. 0
5967. 1
5967. 2
5967. 3
5967. 4
5967. 5
5967. 6
5968. 0
5968. 1
5968. 2
5968. 3
5968. 4
5968. 5
5968. 6
5968. 7
5969. 0
5969. 1
5969. 2
5969. 3
5969. 4
5969. 5
5969. 6
5969. 7
5969. 8
5969. 9
5970. 0
5970. 1
5970. 2
5970. 3
5971. 0
5971. 1
5971. 2
5971. 3
5971. 4
5971. 5
5971. 6
5972. 0
pull
Entries 37
Mean 712.7
Std Dev 0
2.5
2
1.5
1
0.5
0
−0.5
−1
−1.5
−2
pull1D
Entries 37
Mean −0.0009287
Std Dev 0.9045
9
8
7
6
5
4
3
2
1
0
−8
−6
−4
−2
0
2
4
6
8

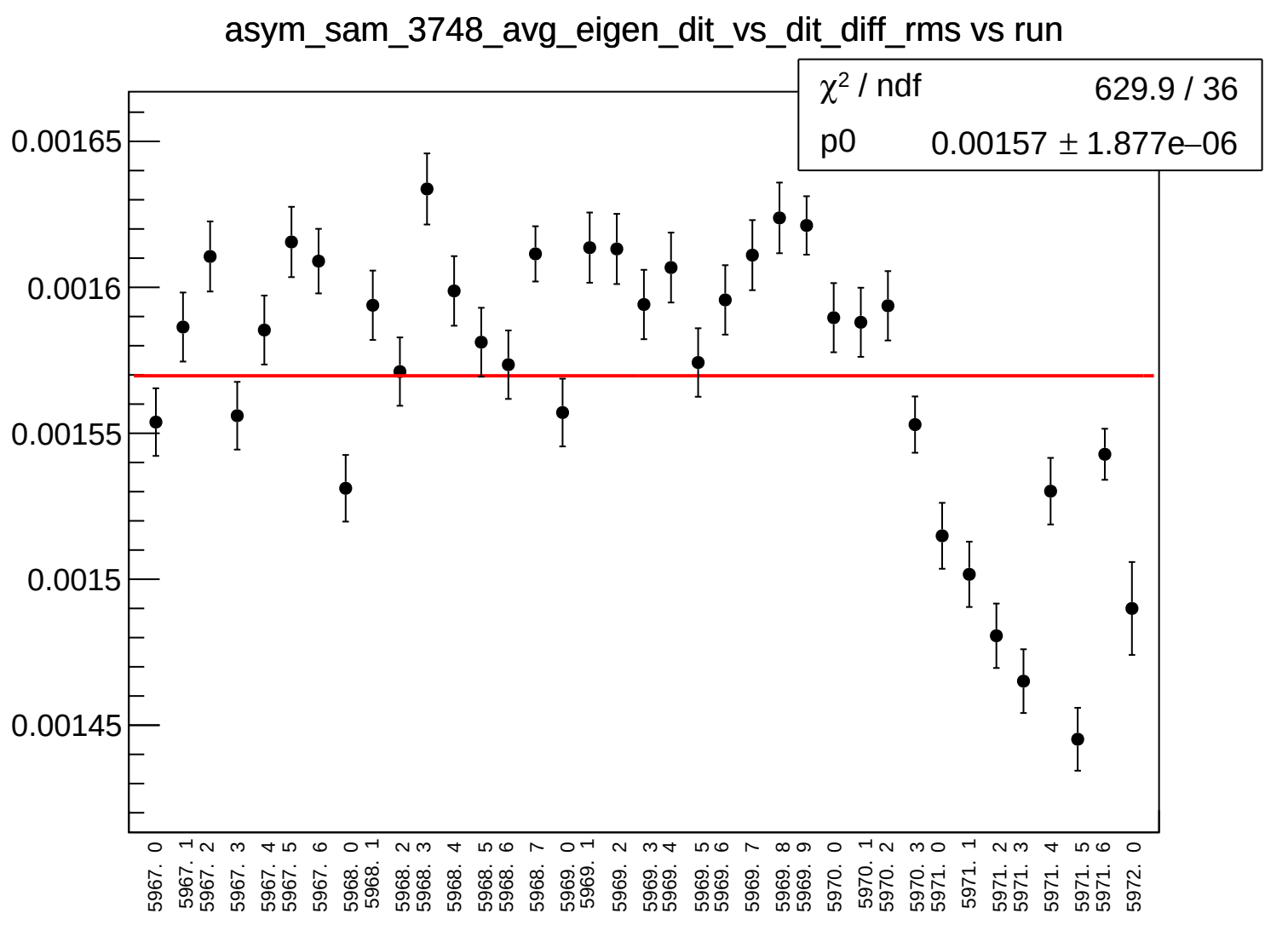
asym_sam_3748_avg_eigen_dit_vs_dit_diff_rms vs run
χ² / ndf 629.9 / 36
p0 0.00157 ± 1.877e–06
0.00165
0.0016
0.00155
0.0015
0.00145
5967. 0
5967. 1
5967. 2
5967. 3
5967. 4
5967. 5
5967. 6
5968. 0
5968. 1
5968. 2
5968. 3
5968. 4
5968. 5
5968. 6
5968. 7
5969. 0
5969. 1
5969. 2
5969. 3
5969. 4
5969. 5
5969. 6
5969. 7
5969. 8
5969. 9
5970. 0
5970. 1
5970. 2
5970. 3
5971. 0
5971. 1
5971. 2
5971. 3
5971. 4
5971. 5
5971. 6
5972. 0

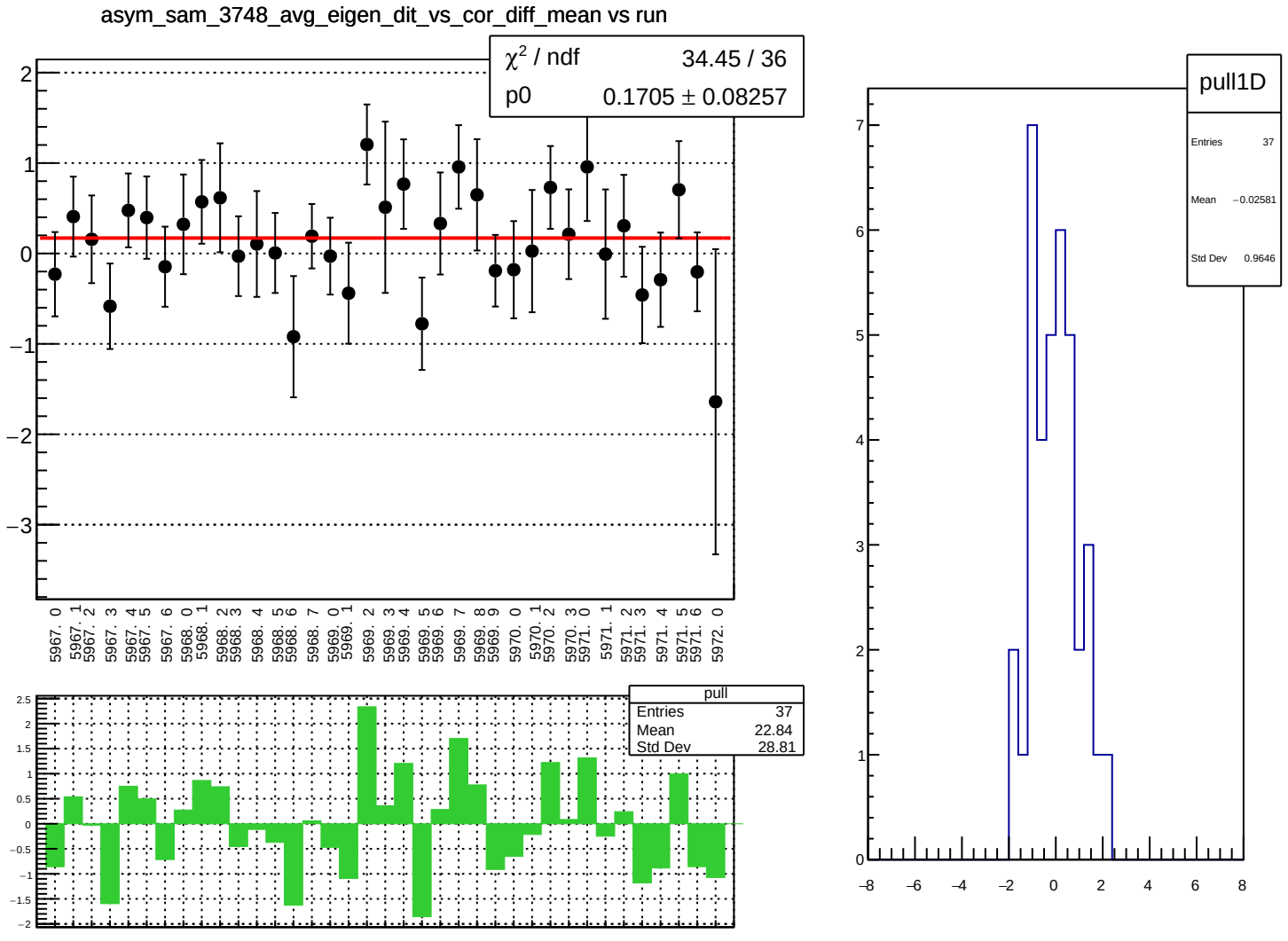
asym_sam_3748_avg_eigen_dit_vs_cor_diff_mean vs run
χ² / ndf 34.45 / 36
p0 0.1705 ± 0.08257
pull
Entries 37
Mean 22.84
Std Dev 28.81
pull1D
Entries 37
Mean −0.02581
Std Dev 0.9646

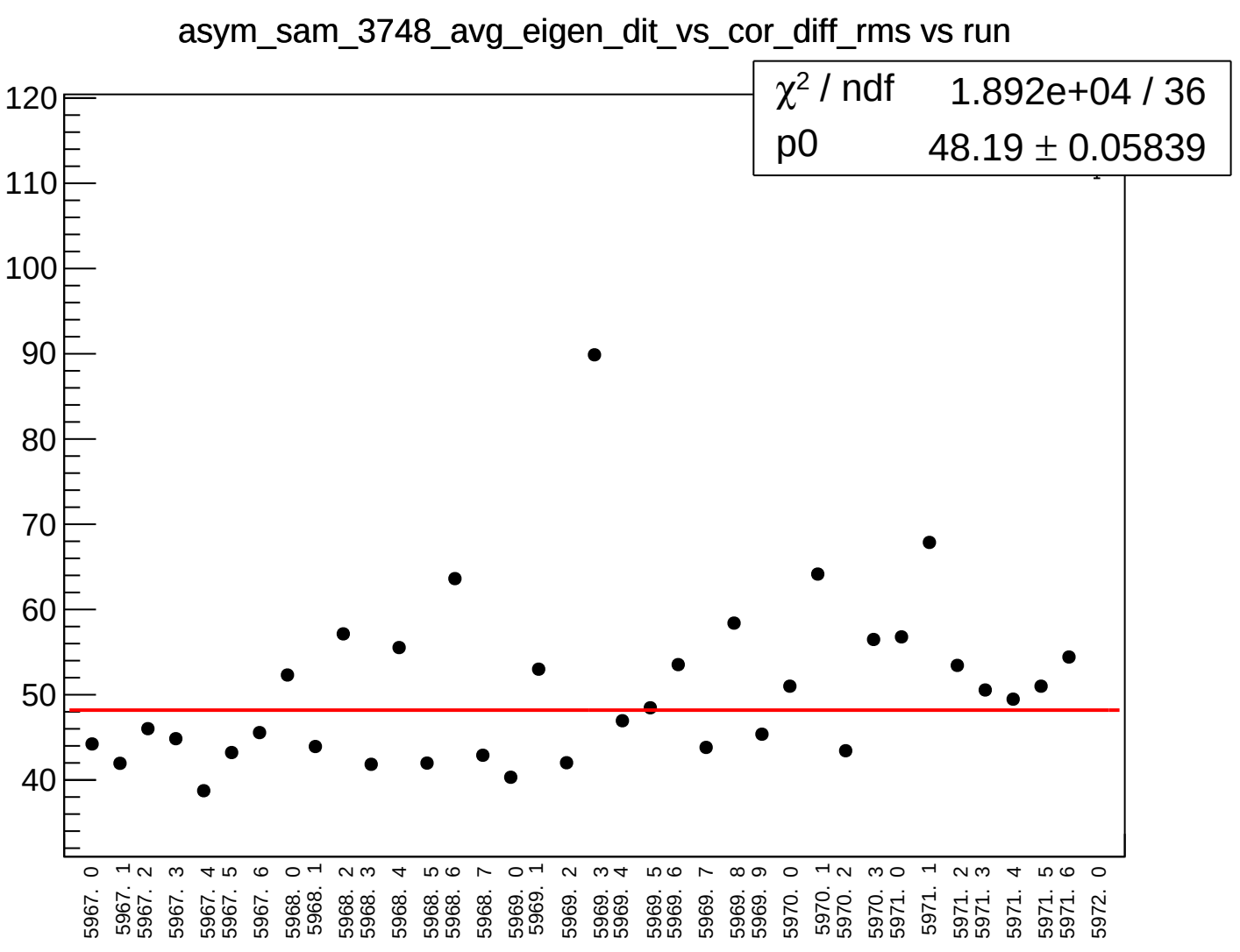
asym_sam_3748_avg_eigen_dit_vs_cor_diff_rms vs run
χ² / ndf 1.892e+04 / 36
p0 48.19 ± 0.05839
120
110
100
90
80
70
60
50
40
5967. 0
5967. 1
5967. 2
5967. 3
5967. 4
5967. 5
5967. 6
5968. 0
5968. 1
5968. 2
5968. 3
5968. 4
5968. 5
5968. 6
5968. 7
5969. 0
5969. 1
5969. 2
5969. 3
5969. 4
5969. 5
5969. 6
5969. 7
5969. 8
5969. 9
5970. 0
5970. 1
5970. 2
5970. 3
5971. 0
5971. 1
5971. 2
5971. 3
5971. 4
5971. 5
5971. 6
5972. 0

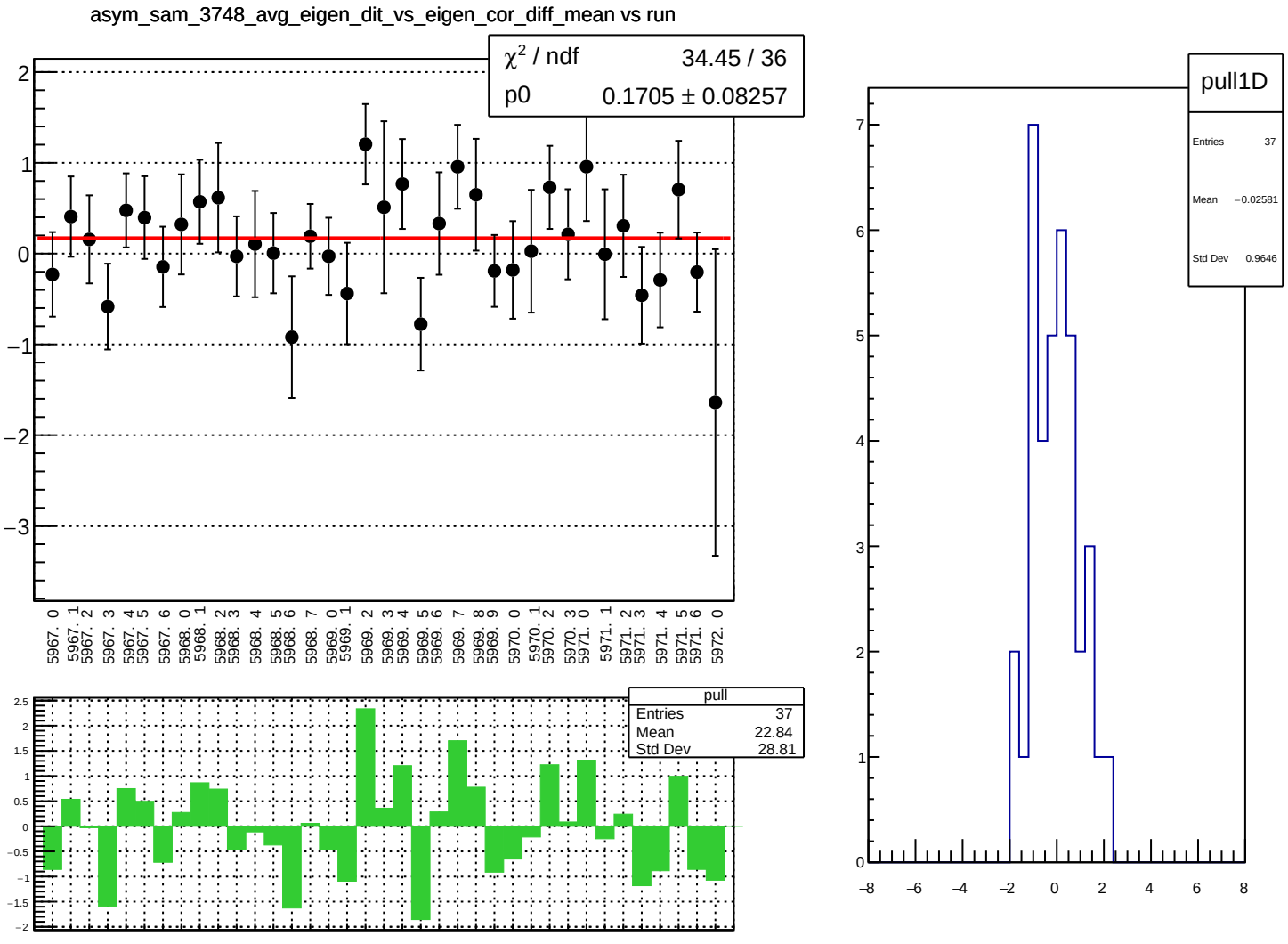
asym_sam_3748_avg_eigen_dit_vs_eigen_cor_diff_mean vs run
χ² / ndf 34.45 / 36
p0 0.1705 ± 0.08257
pull
Entries 37
Mean 22.84
Std Dev 28.81
pull1D
Entries 37
Mean −0.02581
Std Dev 0.9646

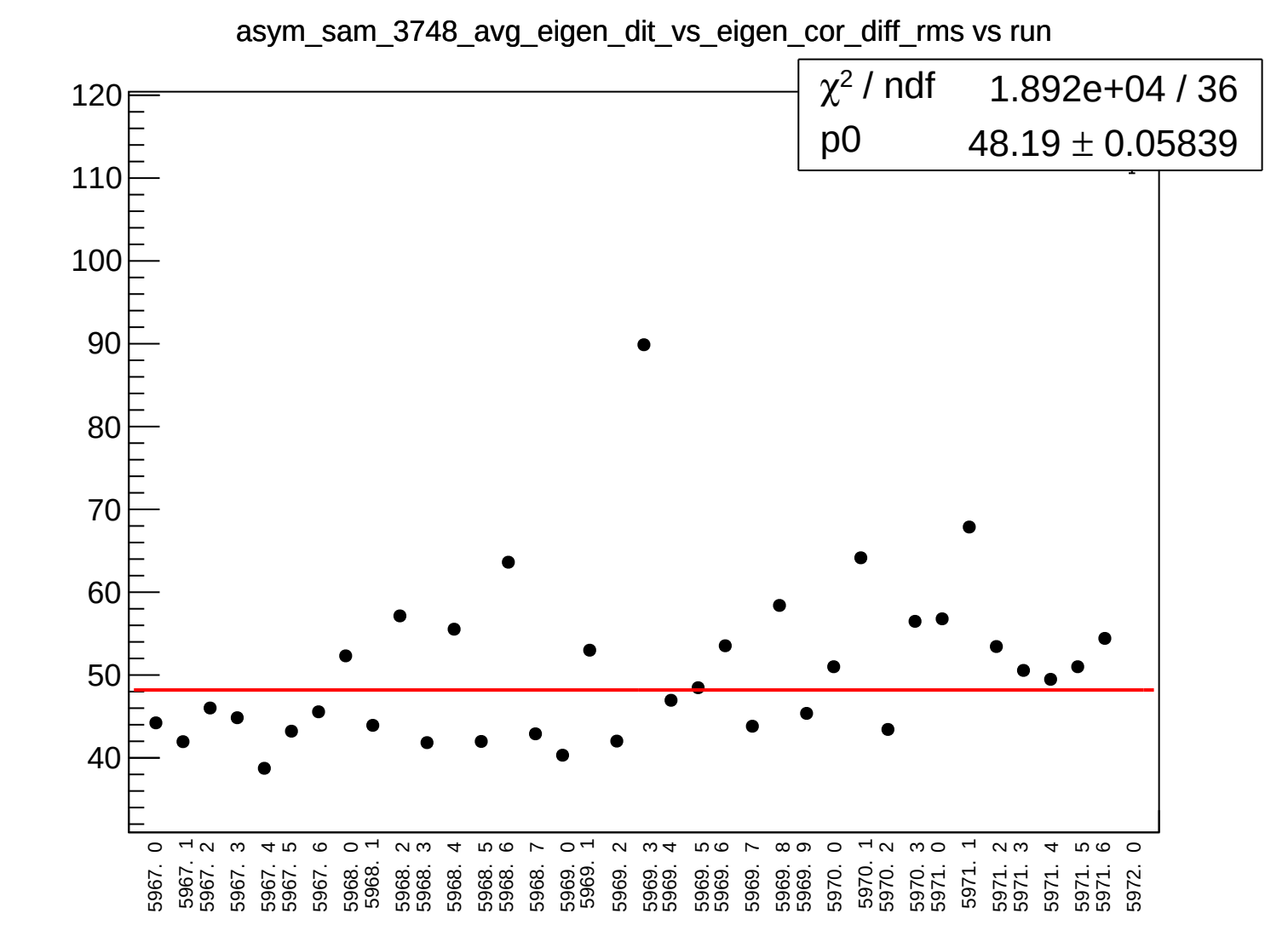
asym_sam_3748_avg_eigen_dit_vs_eigen_cor_diff_rms vs run
χ² / ndf 1.892e+04 / 36
p0 48.19 ± 0.05839
120
110
100
90
80
70
60
50
40
5967. 0
5967. 1
5967. 2
5967. 3
5967. 4
5967. 5
5967. 6
5968. 0
5968. 1
5968. 2
5968. 3
5968. 4
5968. 5
5968. 6
5968. 7
5969. 0
5969. 1
5969. 2
5969. 3
5969. 4
5969. 5
5969. 6
5969. 7
5969. 8
5969. 9
5970. 0
5970. 1
5970. 2
5970. 3
5971. 0
5971. 1
5971. 2
5971. 3
5971. 4
5971. 5
5971. 6
5972. 0

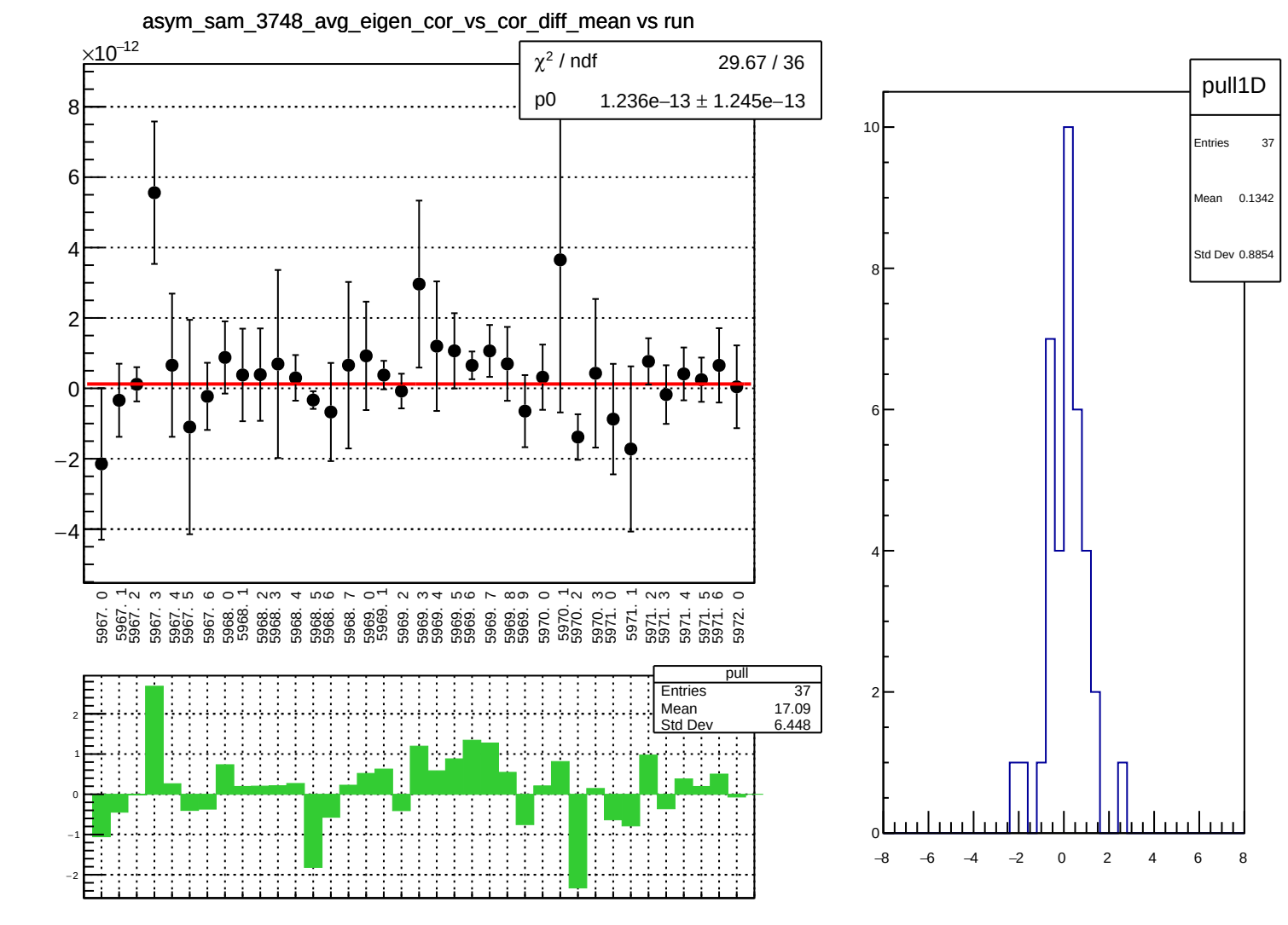
asym_sam_3748_avg_eigen_cor_vs_cor_diff_mean vs run
×10⁻¹²
χ² / ndf 29.67 / 36
p0 1.236e−13 ± 1.245e−13
8
6
4
2
0
−2
−4
5967. 0
5967. 1
5967. 2
5967. 3
5967. 4
5967. 5
5967. 6
5968. 0
5968. 1
5968. 2
5968. 3
5968. 4
5968. 5
5968. 6
5968. 7
5969. 0
5969. 1
5969. 2
5969. 3
5969. 4
5969. 5
5969. 6
5969. 7
5969. 8
5969. 9
5970. 0
5970. 1
5970. 2
5970. 3
5971. 0
5971. 1
5971. 2
5971. 3
5971. 4
5971. 5
5971. 6
5972. 0
pull
Entries 37
Mean 17.09
Std Dev 6.448
2
1
0
−1
−2
pull1D
Entries 37
Mean 0.1342
Std Dev 0.8854
10
8
6
4
2
0
−8
−6
−4
−2
0
2
4
6
8

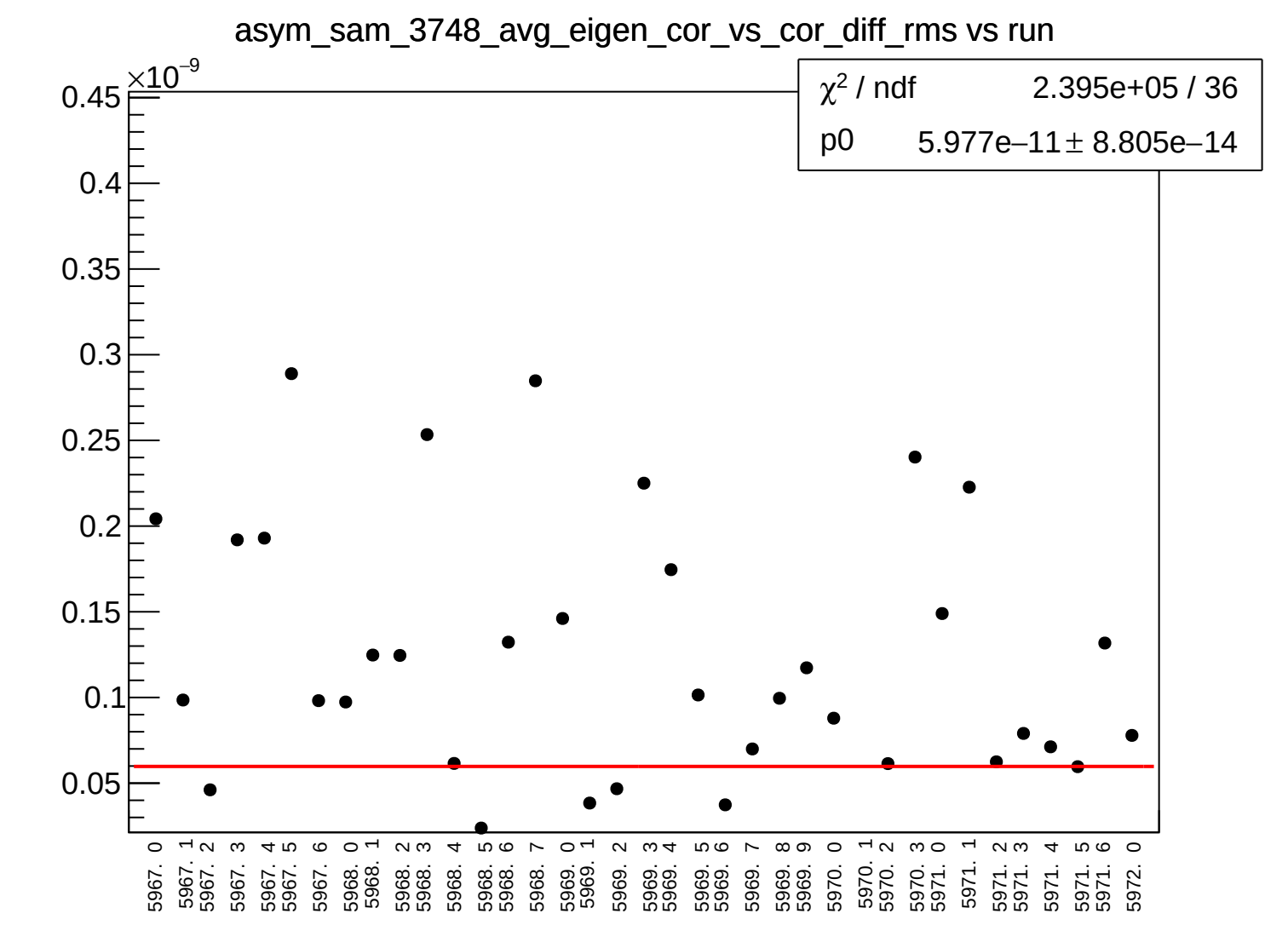
asym_sam_3748_avg_eigen_cor_vs_cor_diff_rms vs run
×10⁻⁹
χ² / ndf 2.395e+05 / 36
p0 5.977e−11 ± 8.805e−14
0.45
0.4
0.35
0.3
0.25
0.2
0.15
0.1
0.05
5967. 0
5967. 1
5967. 2
5967. 3
5967. 4
5967. 5
5967. 6
5968. 0
5968. 1
5968. 2
5968. 3
5968. 4
5968. 5
5968. 6
5968. 7
5969. 0
5969. 1
5969. 2
5969. 3
5969. 4
5969. 5
5969. 6
5969. 7
5969. 8
5969. 9
5970. 0
5970. 1
5970. 2
5970. 3
5971. 0
5971. 1
5971. 2
5971. 3
5971. 4
5971. 5
5971. 6
5972. 0

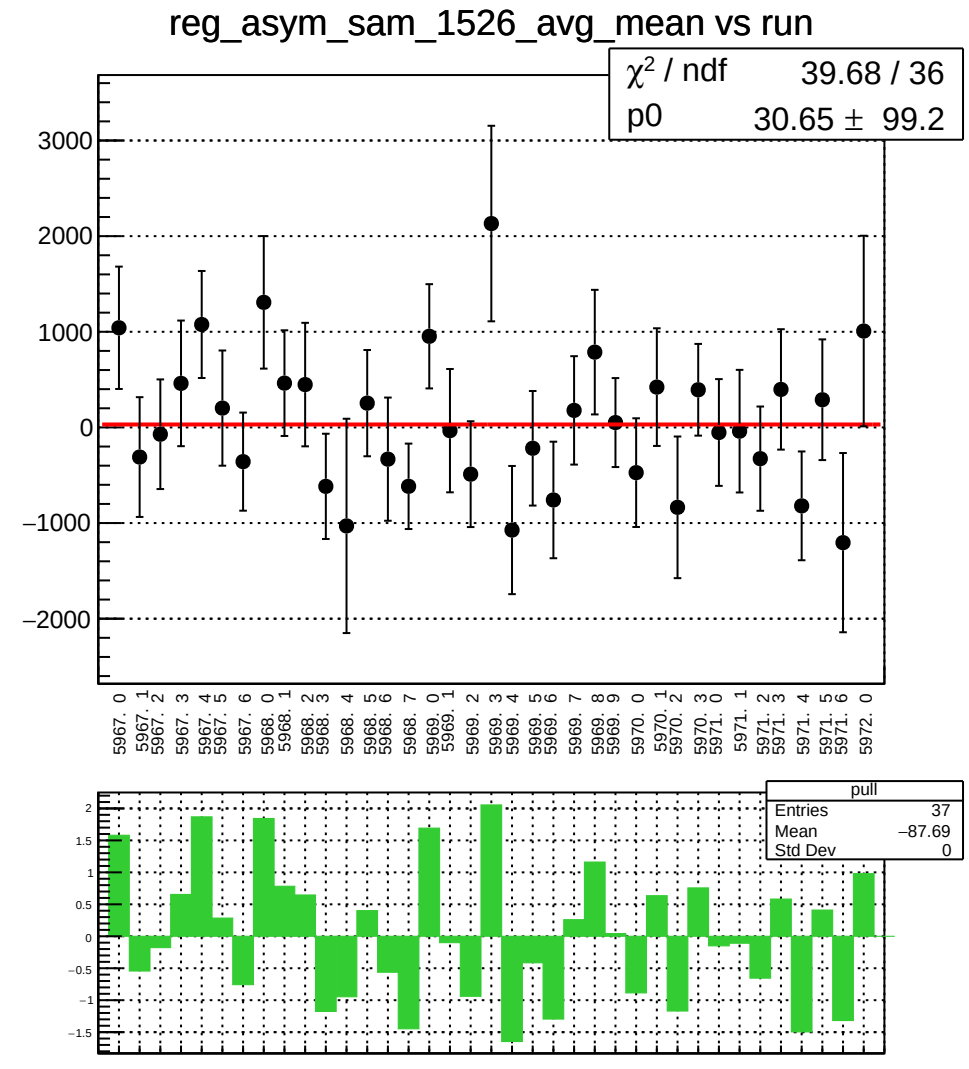
reg_asym_sam_1526_avg_mean vs run
χ² / ndf 39.68 / 36
p0 30.65 ± 99.2
3000
2000
1000
0
−1000
−2000
5967. 0
5967. 1
5967. 2
5967. 3
5967. 4
5967. 5
5967. 6
5968. 0
5968. 1
5968. 2
5968. 3
5968. 4
5968. 5
5968. 6
5968. 7
5969. 0
5969. 1
5969. 2
5969. 3
5969. 4
5969. 5
5969. 6
5969. 7
5969. 8
5969. 9
5970. 0
5970. 1
5970. 2
5970. 3
5971. 0
5971. 1
5971. 2
5971. 3
5971. 4
5971. 5
5971. 6
5972. 0
pull
Entries 37
Mean −87.69
Std Dev 0
2
1.5
1
0.5
0
−0.5
−1
−1.5

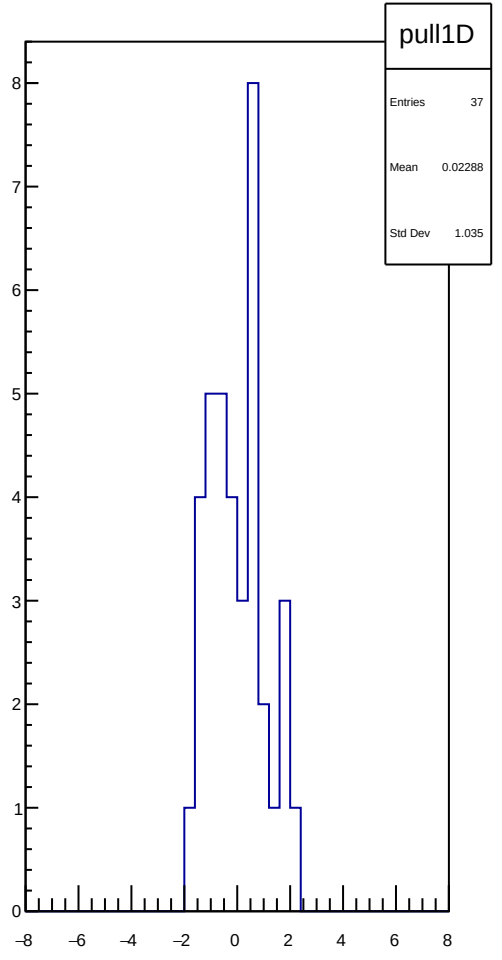
pull1D
Entries 37
Mean 0.02288
Std Dev 1.035
8
7
6
5
4
3
2
1
0
−8
−6
−4
−2
0
2
4
6
8

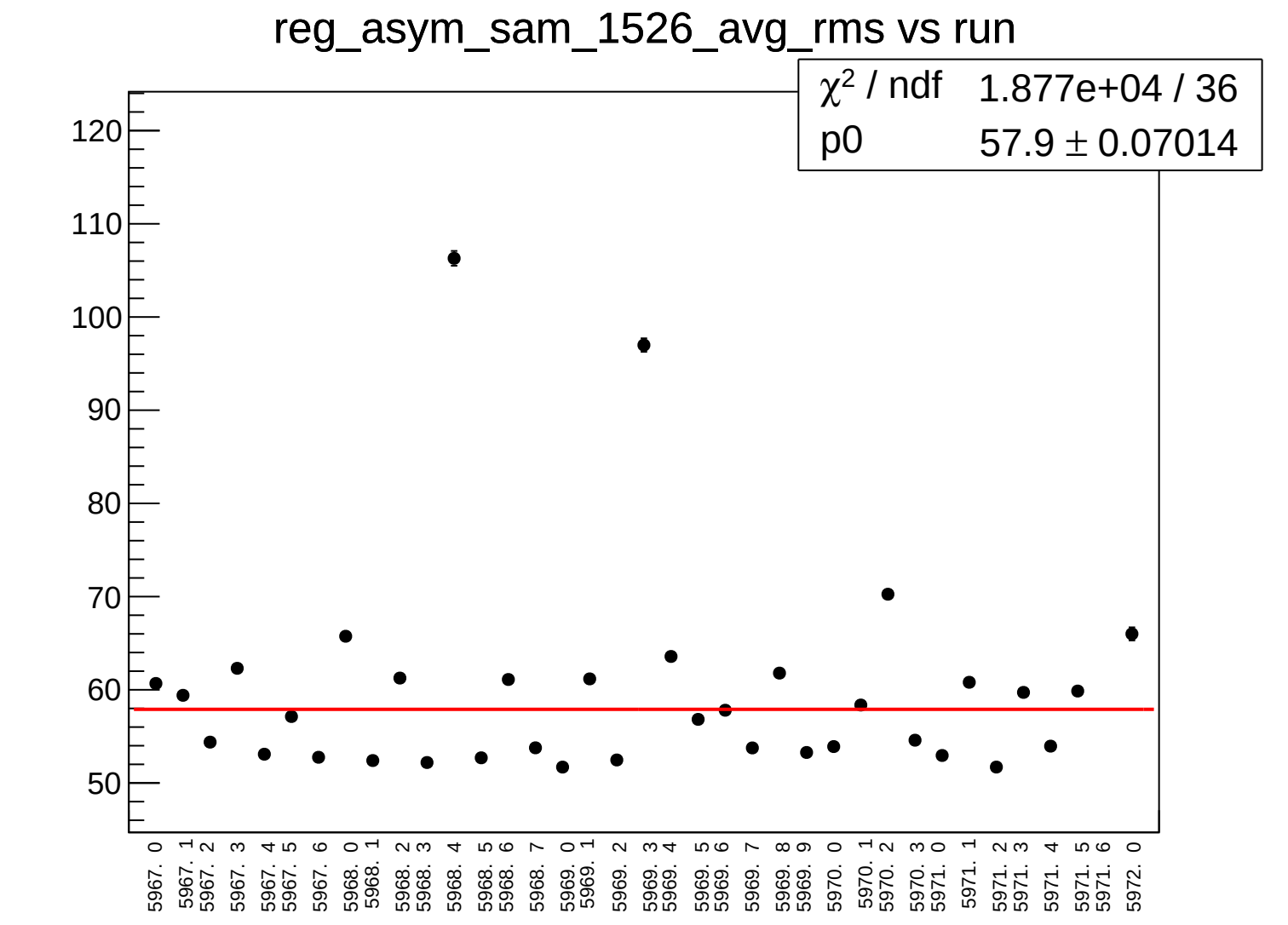
reg_asym_sam_1526_avg_rms vs run
χ² / ndf 1.877e+04 / 36
p0 57.9 ± 0.07014
120
110
100
90
80
70
60
50
5967. 0
5967. 1
5967. 2
5967. 3
5967. 4
5967. 5
5967. 6
5968. 0
5968. 1
5968. 2
5968. 3
5968. 4
5968. 5
5968. 6
5968. 7
5969. 0
5969. 1
5969. 2
5969. 3
5969. 4
5969. 5
5969. 6
5969. 7
5969. 8
5969. 9
5970. 0
5970. 1
5970. 2
5970. 3
5971. 0
5971. 1
5971. 2
5971. 3
5971. 4
5971. 5
5971. 6
5972. 0

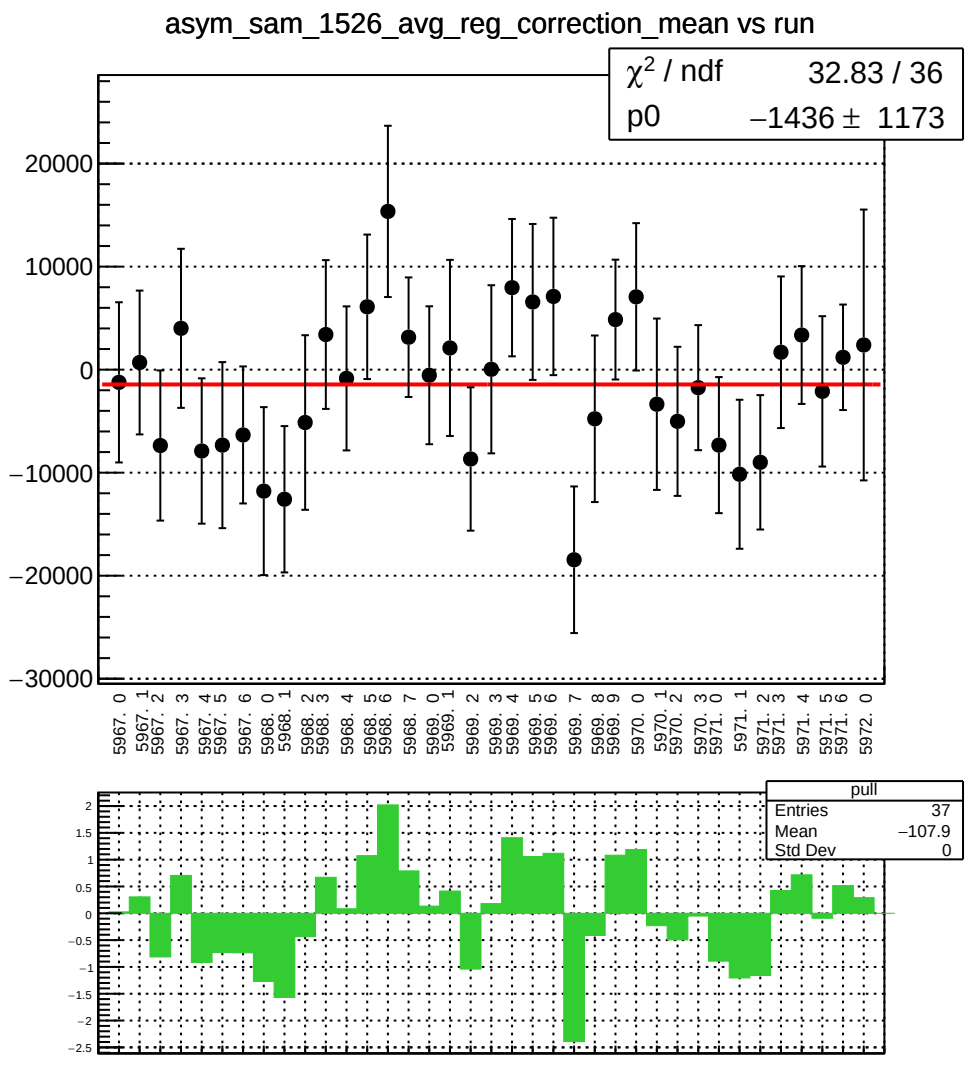
asym_sam_1526_avg_reg_correction_mean vs run
χ² / ndf 32.83 / 36
p0 −1436 ± 1173
20000
10000
0
−10000
−20000
−30000
5967. 0
5967. 1
5967. 2
5967. 3
5967. 4
5967. 5
5967. 6
5968. 0
5968. 1
5968. 2
5968. 3
5968. 4
5968. 5
5968. 6
5968. 7
5969. 0
5969. 1
5969. 2
5969. 3
5969. 4
5969. 5
5969. 6
5969. 7
5969. 8
5969. 9
5970. 0
5970. 1
5970. 2
5970. 3
5971. 0
5971. 1
5971. 2
5971. 3
5971. 4
5971. 5
5971. 6
5972. 0
pull
Entries 37
Mean −107.9
Std Dev 0
2
1.5
1
0.5
0
−0.5
−1
−1.5
−2
−2.5
pull1D
Entries 37
Mean −0.006161
Std Dev 0.942
7
6
5
4
3
2
1
0
−8
−6
−4
−2
0
2
4
6
8

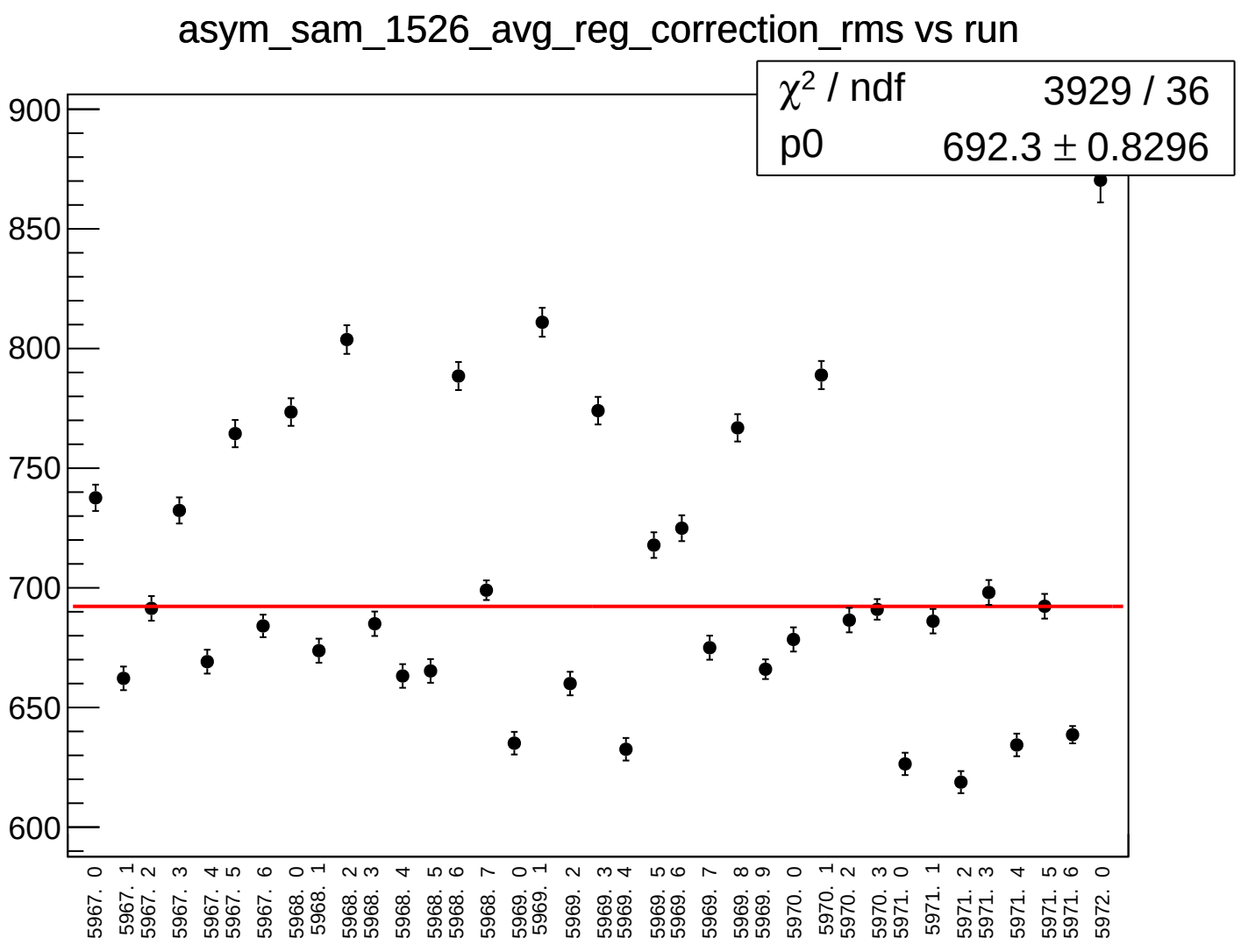
asym_sam_1526_avg_reg_correction_rms vs run
χ² / ndf 3929 / 36
p0 692.3 ± 0.8296
900
850
800
750
700
650
600
5967. 0
5967. 1
5967. 2
5967. 3
5967. 4
5967. 5
5967. 6
5968. 0
5968. 1
5968. 2
5968. 3
5968. 4
5968. 5
5968. 6
5968. 7
5969. 0
5969. 1
5969. 2
5969. 3
5969. 4
5969. 5
5969. 6
5969. 7
5969. 8
5969. 9
5970. 0
5970. 1
5970. 2
5970. 3
5971. 0
5971. 1
5971. 2
5971. 3
5971. 4
5971. 5
5971. 6
5972. 0

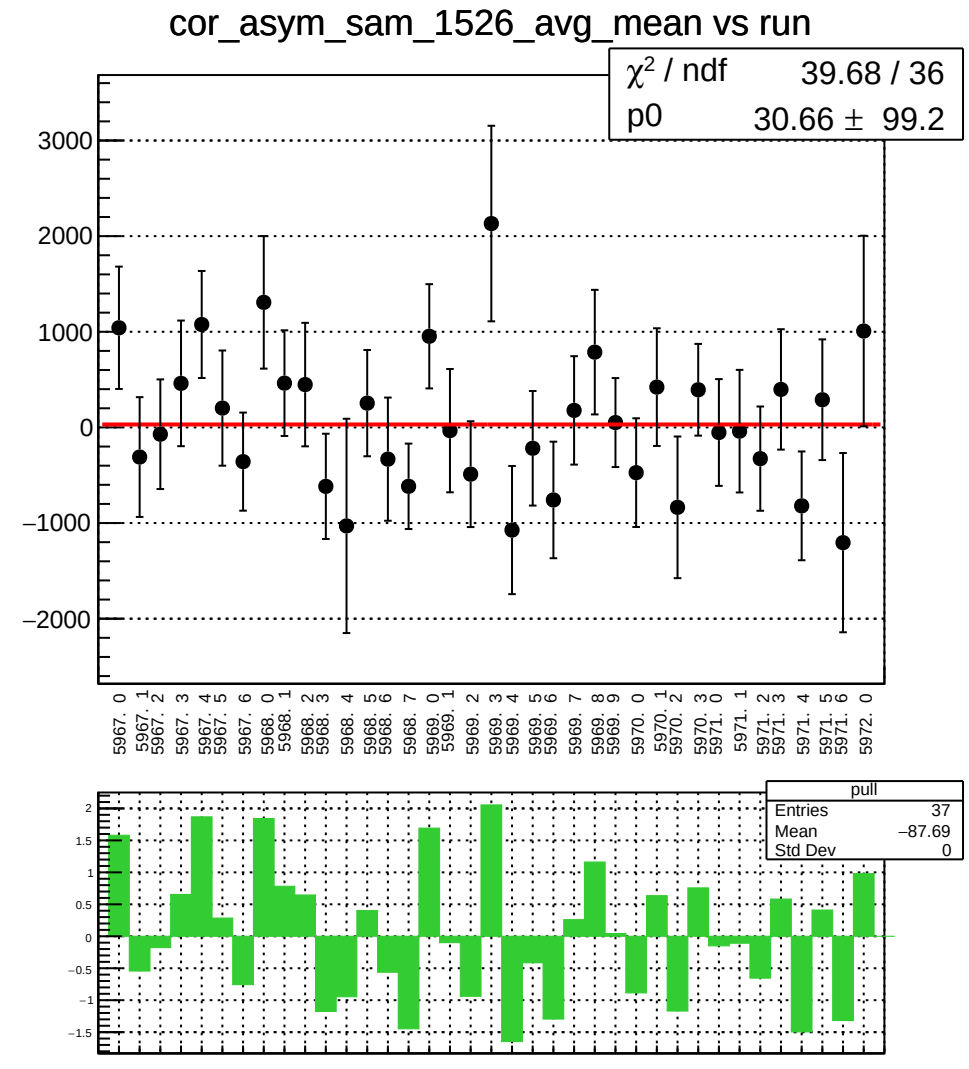
cor_asym_sam_1526_avg_mean vs run
χ² / ndf 39.68 / 36
p0 30.66 ± 99.2
3000
2000
1000
0
−1000
−2000
5967. 0
5967. 1
5967. 2
5967. 3
5967. 4
5967. 5
5967. 6
5968. 0
5968. 1
5968. 2
5968. 3
5968. 4
5968. 5
5968. 6
5968. 7
5969. 0
5969. 1
5969. 2
5969. 3
5969. 4
5969. 5
5969. 6
5969. 7
5969. 8
5969. 9
5970. 0
5970. 1
5970. 2
5970. 3
5971. 0
5971. 1
5971. 2
5971. 3
5971. 4
5971. 5
5971. 6
5972. 0
pull
Entries 37
Mean −87.69
Std Dev 0
2
1.5
1
0.5
0
−0.5
−1
−1.5
pull1D
Entries 37
Mean 0.02288
Std Dev 1.035
8
7
6
5
4
3
2
1
0
−8
−6
−4
−2
0
2
4
6
8

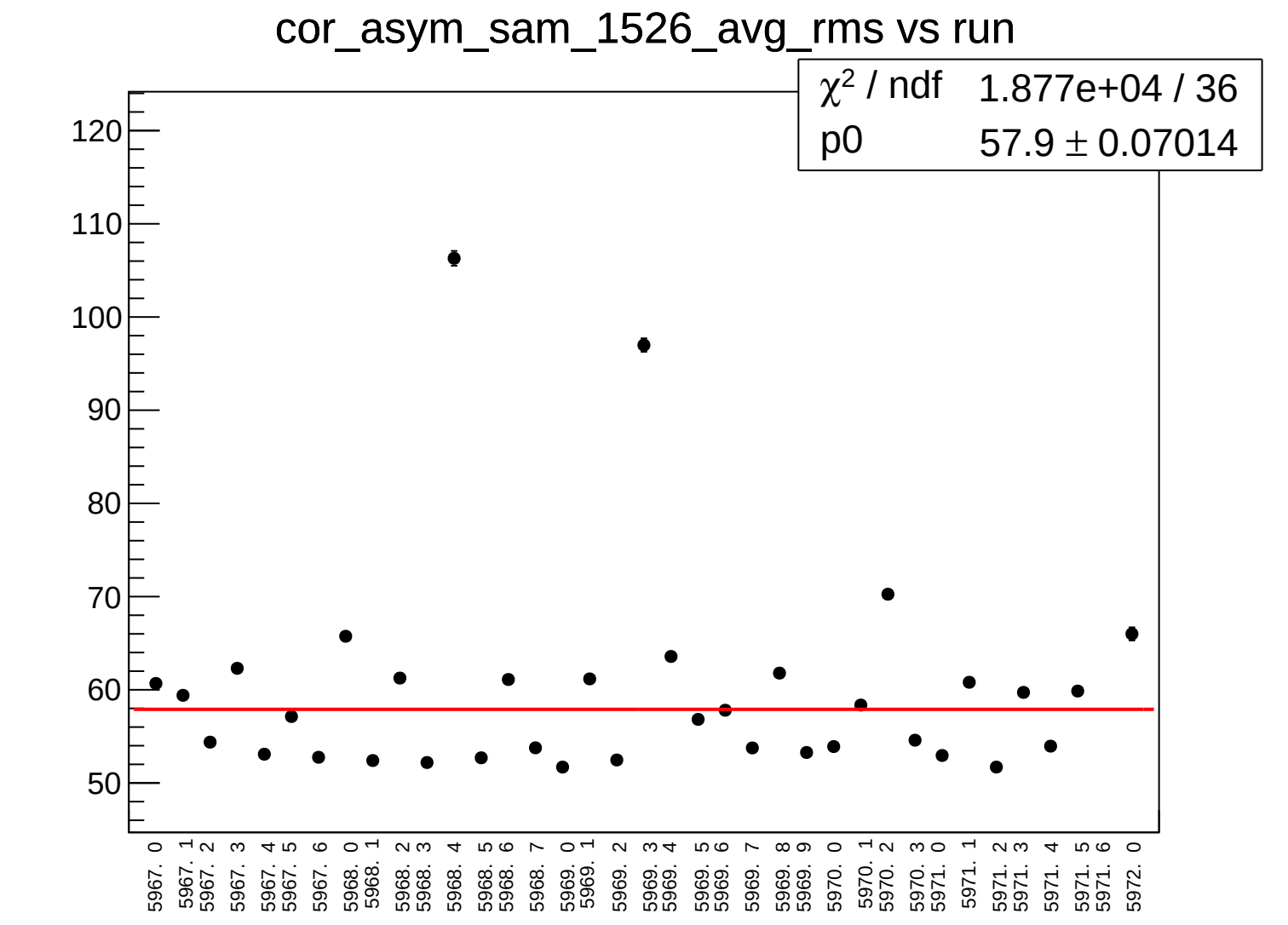
cor_asym_sam_1526_avg_rms vs run
χ² / ndf 1.877e+04 / 36
p0 57.9 ± 0.07014
120
110
100
90
80
70
60
50
5967. 0
5967. 1
5967. 2
5967. 3
5967. 4
5967. 5
5967. 6
5968. 0
5968. 1
5968. 2
5968. 3
5968. 4
5968. 5
5968. 6
5968. 7
5969. 0
5969. 1
5969. 2
5969. 3
5969. 4
5969. 5
5969. 6
5969. 7
5969. 8
5969. 9
5970. 0
5970. 1
5970. 2
5970. 3
5971. 0
5971. 1
5971. 2
5971. 3
5971. 4
5971. 5
5971. 6
5972. 0

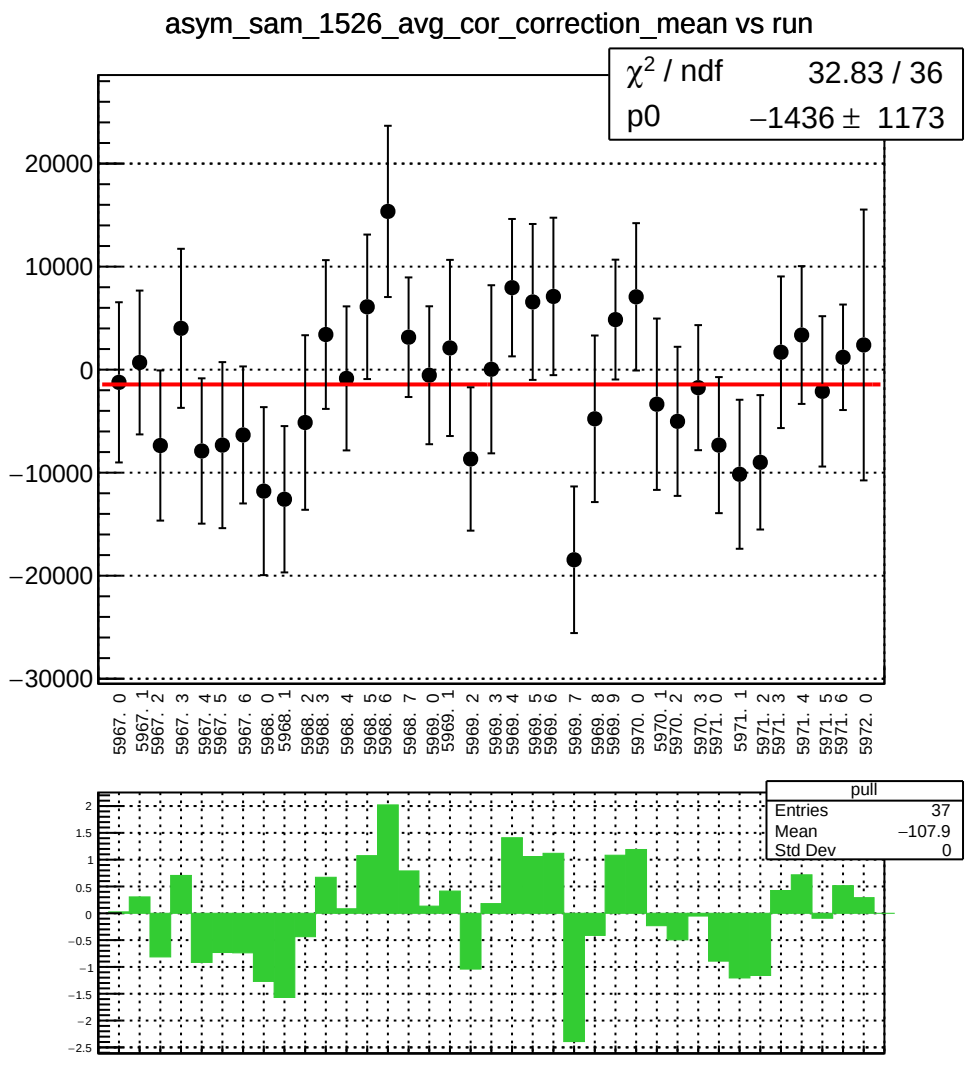
asym_sam_1526_avg_cor_correction_mean vs run
χ² / ndf 32.83 / 36
p0 −1436 ± 1173
20000
10000
0
−10000
−20000
−30000
5967. 0
5967. 1
5967. 2
5967. 3
5967. 4
5967. 5
5967. 6
5968. 0
5968. 1
5968. 2
5968. 3
5968. 4
5968. 5
5968. 6
5968. 7
5969. 0
5969. 1
5969. 2
5969. 3
5969. 4
5969. 5
5969. 6
5969. 7
5969. 8
5969. 9
5970. 0
5970. 1
5970. 2
5970. 3
5971. 0
5971. 1
5971. 2
5971. 3
5971. 4
5971. 5
5971. 6
5972. 0
pull
Entries 37
Mean −107.9
Std Dev 0
2
1.5
1
0.5
0
−0.5
−1
−1.5
−2
−2.5
pull1D
Entries 37
Mean −0.006162
Std Dev 0.942
7
6
5
4
3
2
1
0
−8
−6
−4
−2
0
2
4
6
8

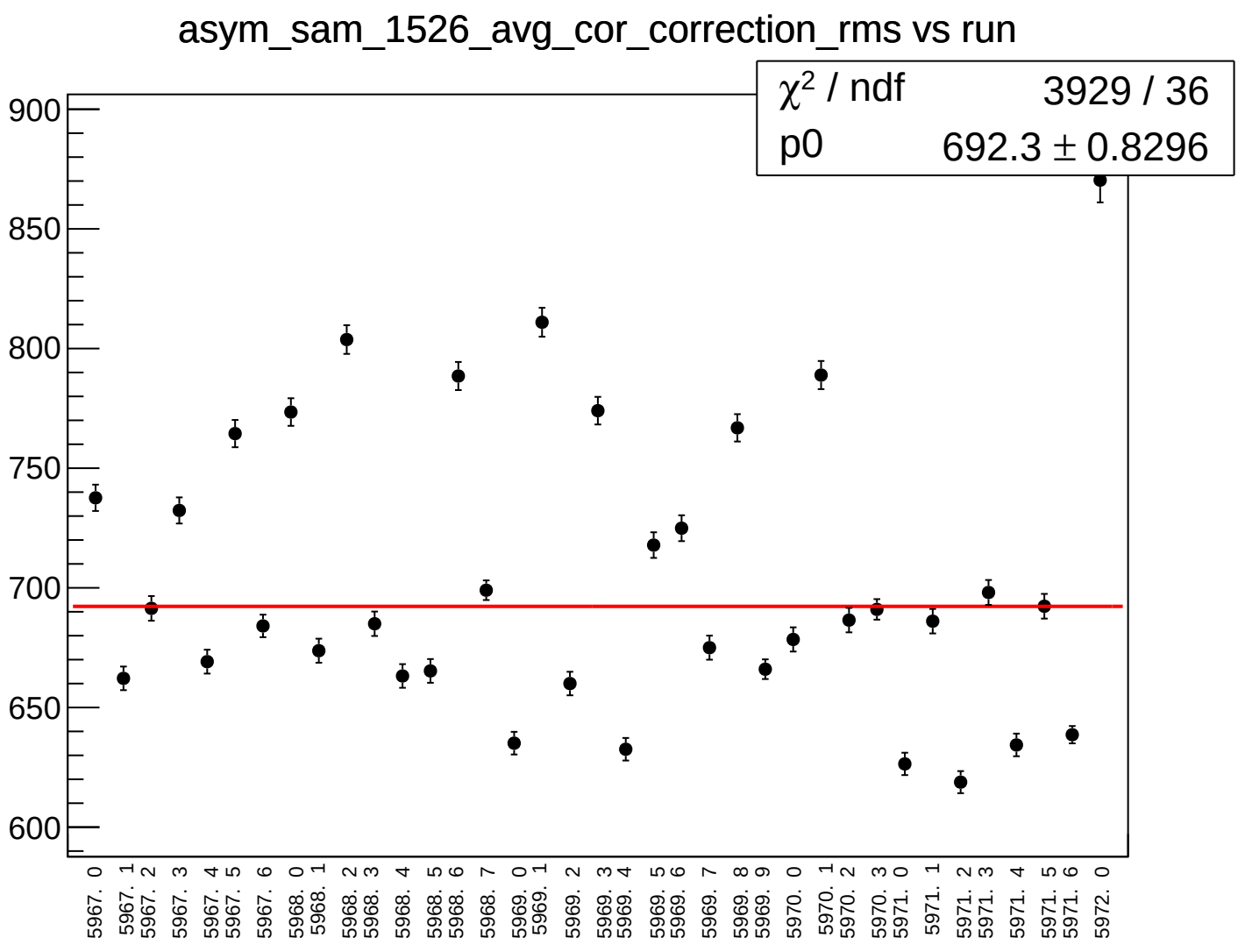
asym_sam_1526_avg_cor_correction_rms vs run
χ² / ndf 3929 / 36
p0 692.3 ± 0.8296
900
850
800
750
700
650
600
5967. 0
5967. 1
5967. 2
5967. 3
5967. 4
5967. 5
5967. 6
5968. 0
5968. 1
5968. 2
5968. 3
5968. 4
5968. 5
5968. 6
5968. 7
5969. 0
5969. 1
5969. 2
5969. 3
5969. 4
5969. 5
5969. 6
5969. 7
5969. 8
5969. 9
5970. 0
5970. 1
5970. 2
5970. 3
5971. 0
5971. 1
5971. 2
5971. 3
5971. 4
5971. 5
5971. 6
5972. 0

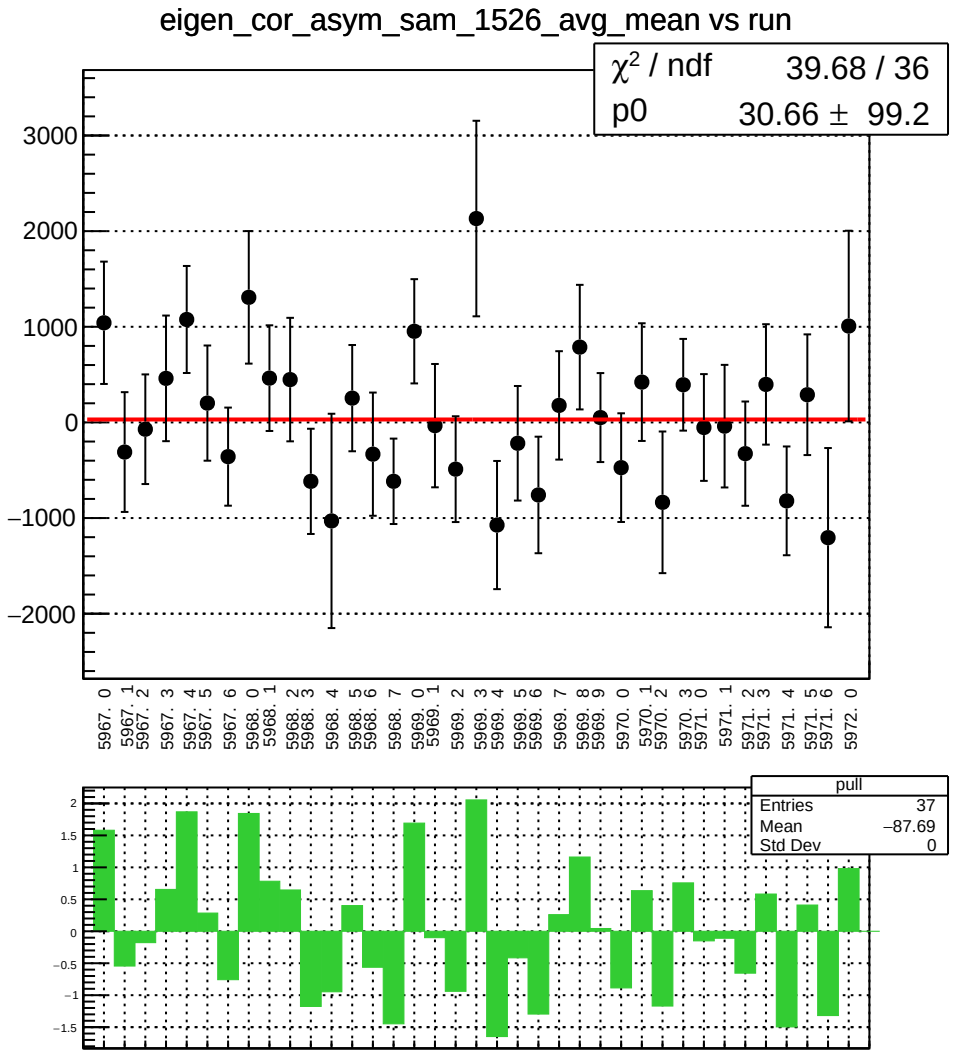
eigen_cor_asym_sam_1526_avg_mean vs run
χ² / ndf 39.68 / 36
p0 30.66 ± 99.2
3000
2000
1000
0
−1000
−2000
5967. 0
5967. 1
5967. 2
5967. 3
5967. 4
5967. 5
5967. 6
5968. 0
5968. 1
5968. 2
5968. 3
5968. 4
5968. 5
5968. 6
5968. 7
5969. 0
5969. 1
5969. 2
5969. 3
5969. 4
5969. 5
5969. 6
5969. 7
5969. 8
5969. 9
5970. 0
5970. 1
5970. 2
5970. 3
5971. 0
5971. 1
5971. 2
5971. 3
5971. 4
5971. 5
5971. 6
5972. 0
pull
Entries 37
Mean −87.69
Std Dev 0
2
1.5
1
0.5
0
−0.5
−1
−1.5
pull1D
Entries 37
Mean 0.02288
Std Dev 1.035
8
7
6
5
4
3
2
1
0
−8
−6
−4
−2
0
2
4
6
8

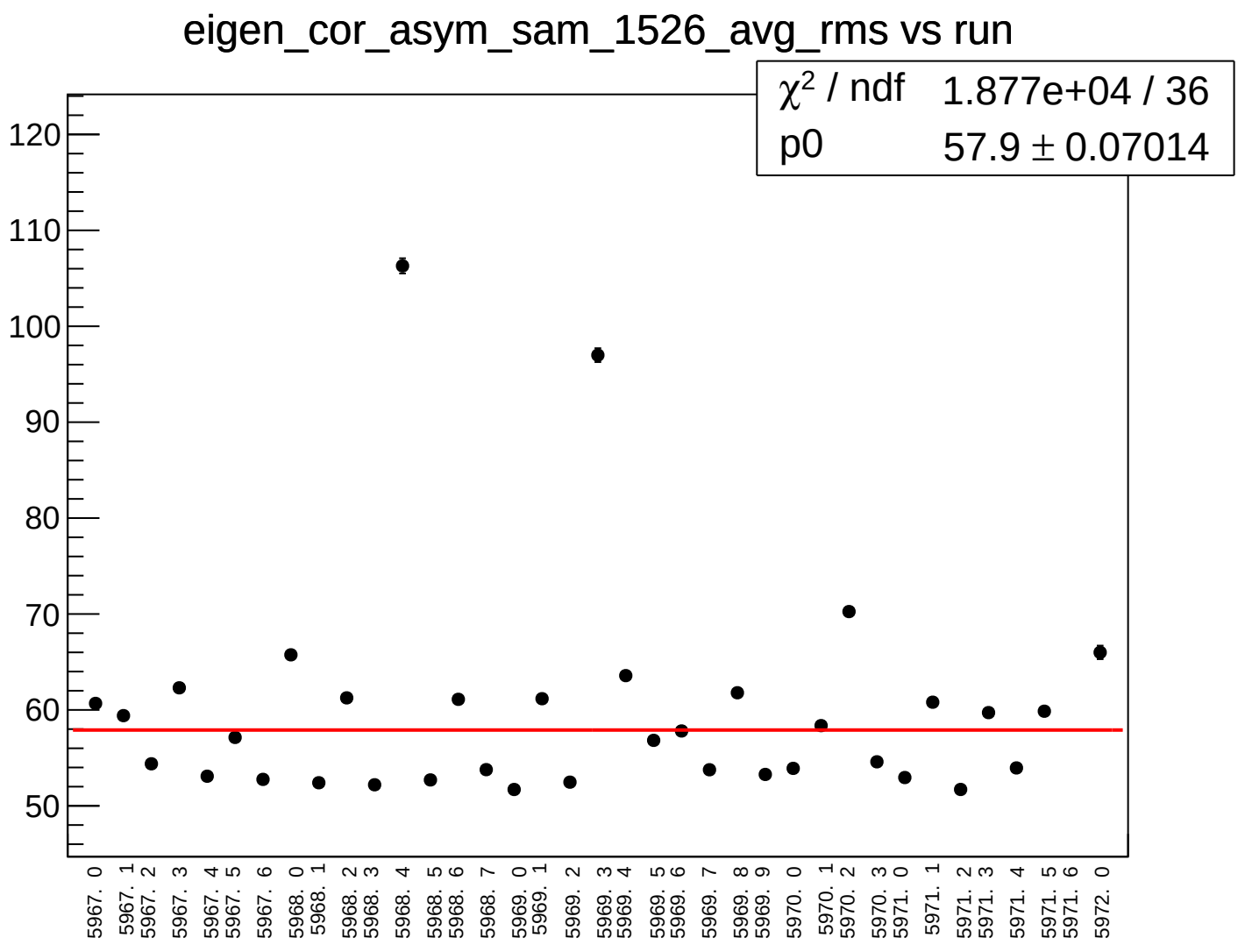
eigen_cor_asym_sam_1526_avg_rms vs run
χ² / ndf 1.877e+04 / 36
p0 57.9 ± 0.07014
120
110
100
90
80
70
60
50
5967. 0
5967. 1
5967. 2
5967. 3
5967. 4
5967. 5
5967. 6
5968. 0
5968. 1
5968. 2
5968. 3
5968. 4
5968. 5
5968. 6
5968. 7
5969. 0
5969. 1
5969. 2
5969. 3
5969. 4
5969. 5
5969. 6
5969. 7
5969. 8
5969. 9
5970. 0
5970. 1
5970. 2
5970. 3
5971. 0
5971. 1
5971. 2
5971. 3
5971. 4
5971. 5
5971. 6
5972. 0

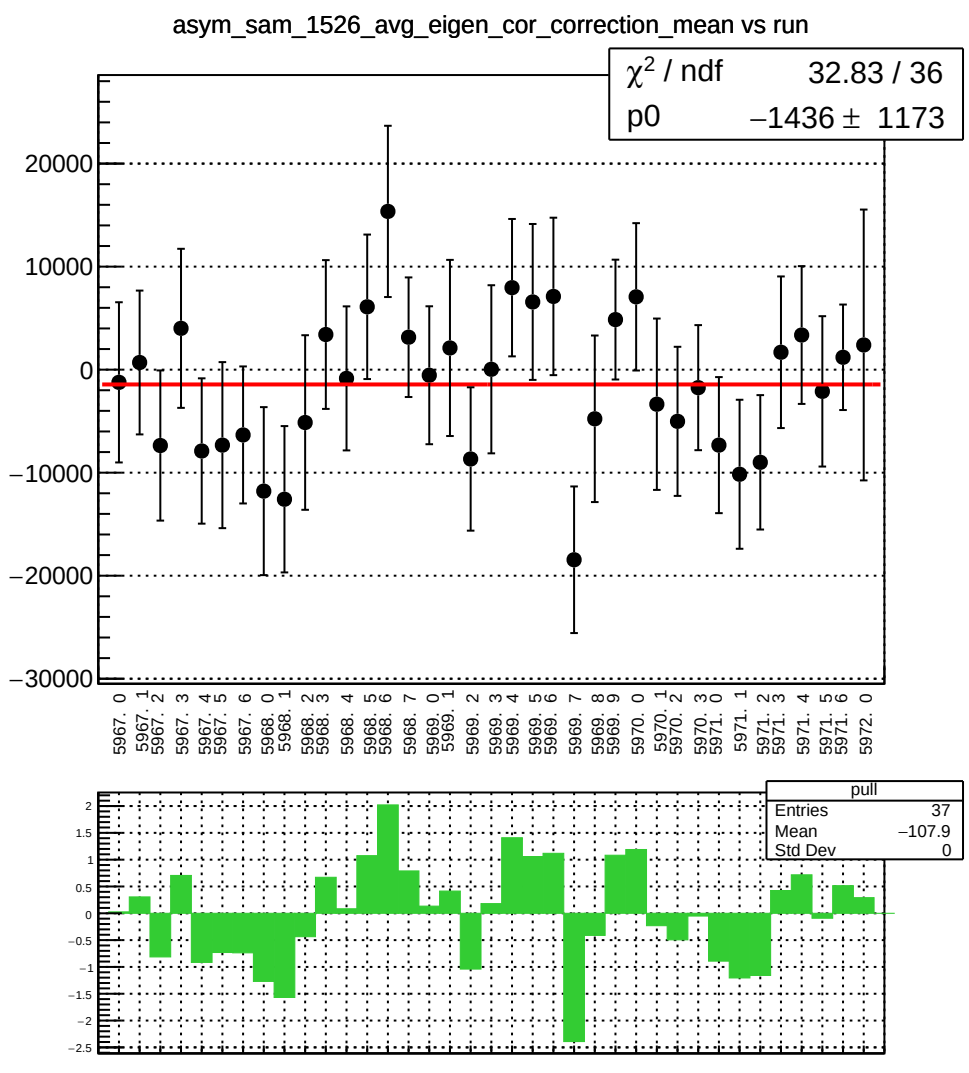
asym_sam_1526_avg_eigen_cor_correction_mean vs run
χ² / ndf 32.83 / 36
p0 −1436 ± 1173
20000
10000
0
−10000
−20000
−30000
5967. 0
5967. 1
5967. 2
5967. 3
5967. 4
5967. 5
5967. 6
5968. 0
5968. 1
5968. 2
5968. 3
5968. 4
5968. 5
5968. 6
5968. 7
5969. 0
5969. 1
5969. 2
5969. 3
5969. 4
5969. 5
5969. 6
5969. 7
5969. 8
5969. 9
5970. 0
5970. 1
5970. 2
5970. 3
5971. 0
5971. 1
5971. 2
5971. 3
5971. 4
5971. 5
5971. 6
5972. 0
pull
Entries 37
Mean −107.9
Std Dev 0
2
1.5
1
0.5
0
−0.5
−1
−1.5
−2
−2.5
pull1D
Entries 37
Mean −0.006162
Std Dev 0.942
7
6
5
4
3
2
1
0
−8
−6
−4
−2
0
2
4
6
8

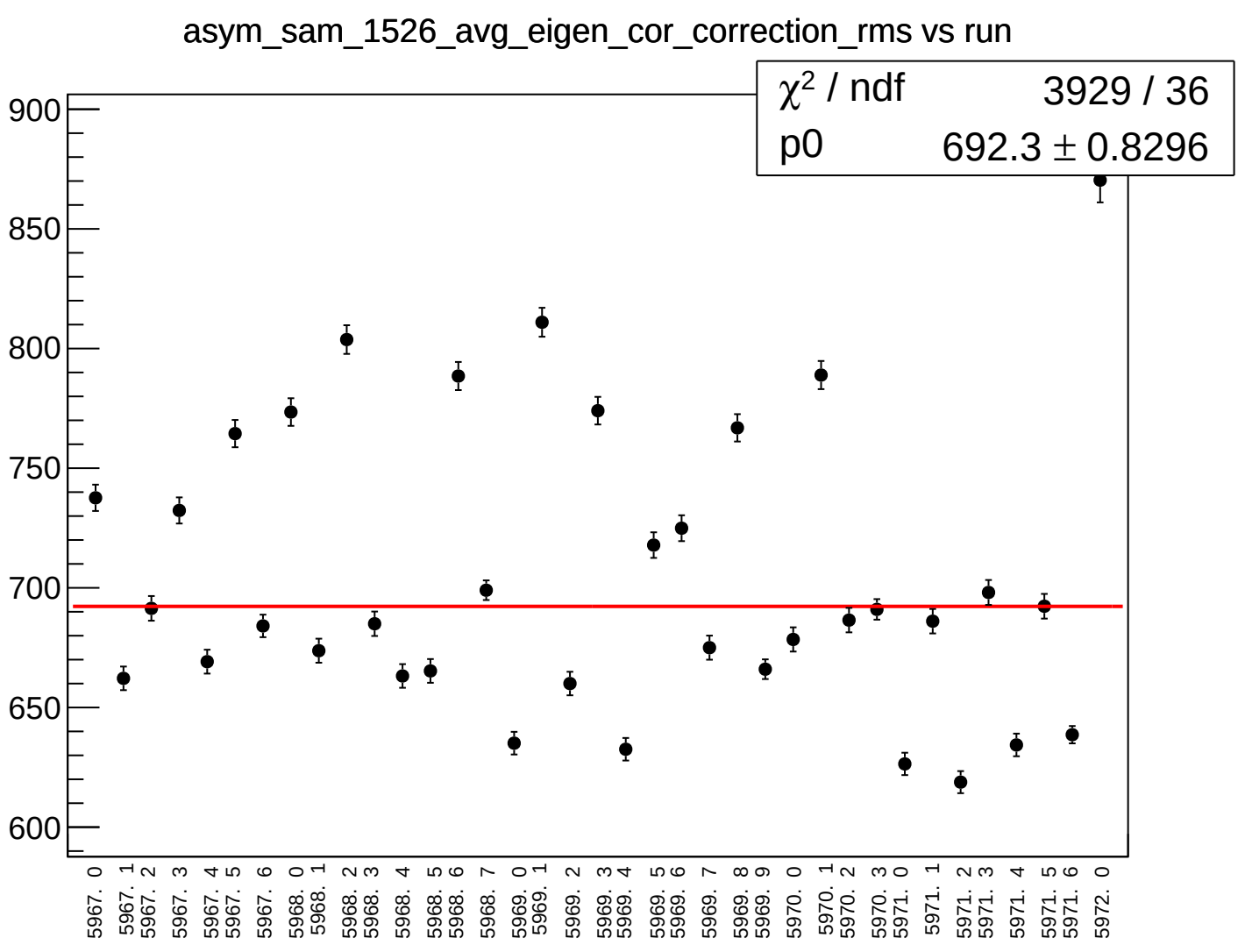
asym_sam_1526_avg_eigen_cor_correction_rms vs run
χ² / ndf 3929 / 36
p0 692.3 ± 0.8296
900
850
800
750
700
650
600
5967. 0
5967. 1
5967. 2
5967. 3
5967. 4
5967. 5
5967. 6
5968. 0
5968. 1
5968. 2
5968. 3
5968. 4
5968. 5
5968. 6
5968. 7
5969. 0
5969. 1
5969. 2
5969. 3
5969. 4
5969. 5
5969. 6
5969. 7
5969. 8
5969. 9
5970. 0
5970. 1
5970. 2
5970. 3
5971. 0
5971. 1
5971. 2
5971. 3
5971. 4
5971. 5
5971. 6
5972. 0

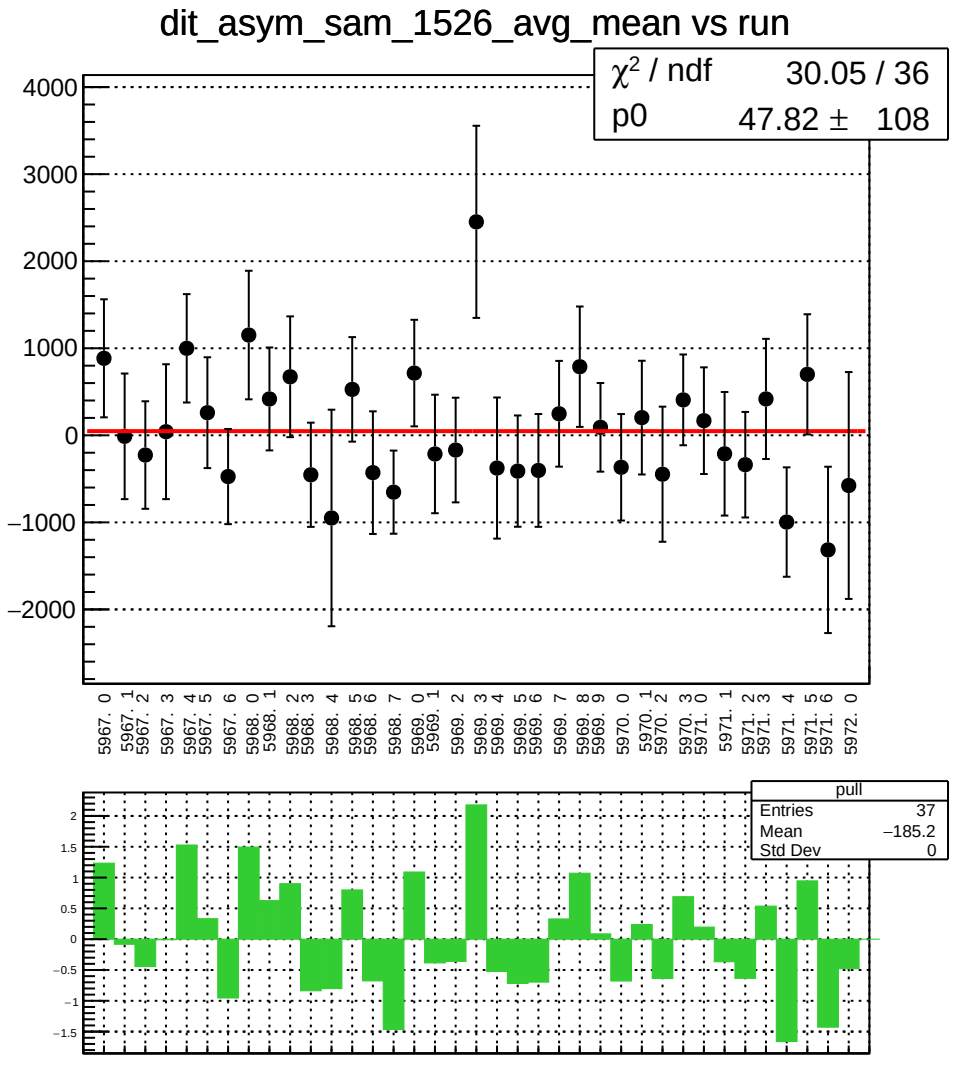
dit_asym_sam_1526_avg_mean vs run
χ² / ndf 30.05 / 36
p0 47.82 ± 108
4000
3000
2000
1000
0
−1000
−2000
5967. 0
5967. 1
5967. 2
5967. 3
5967. 4
5967. 5
5967. 6
5968. 0
5968. 1
5968. 2
5968. 3
5968. 4
5968. 5
5968. 6
5968. 7
5969. 0
5969. 1
5969. 2
5969. 3
5969. 4
5969. 5
5969. 6
5969. 7
5969. 8
5969. 9
5970. 0
5970. 1
5970. 2
5970. 3
5971. 0
5971. 1
5971. 2
5971. 3
5971. 4
5971. 5
5971. 6
5972. 0
pull
Entries 37
Mean −185.2
Std Dev 0
2
1.5
1
0.5
0
−0.5
−1
−1.5

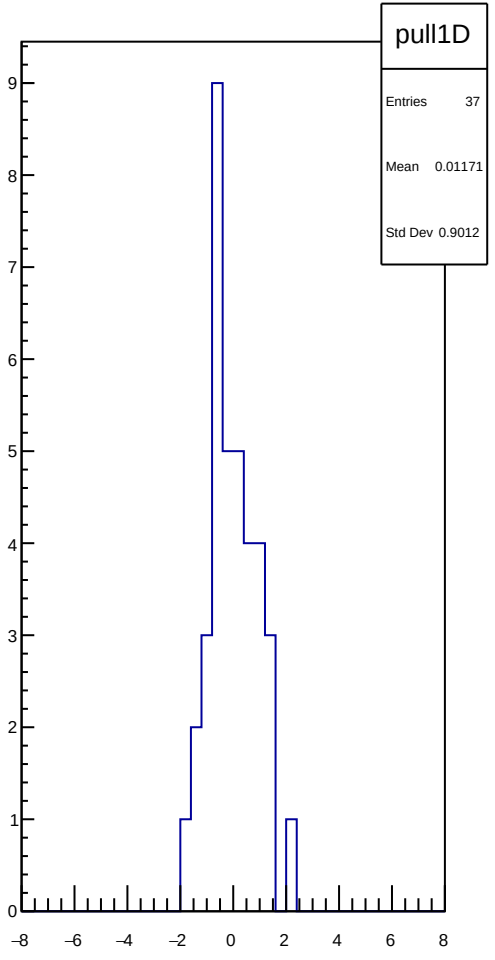
pull1D
Entries 37
Mean 0.01171
Std Dev 0.9012
9
8
7
6
5
4
3
2
1
0
−8
−6
−4
−2
0
2
4
6
8

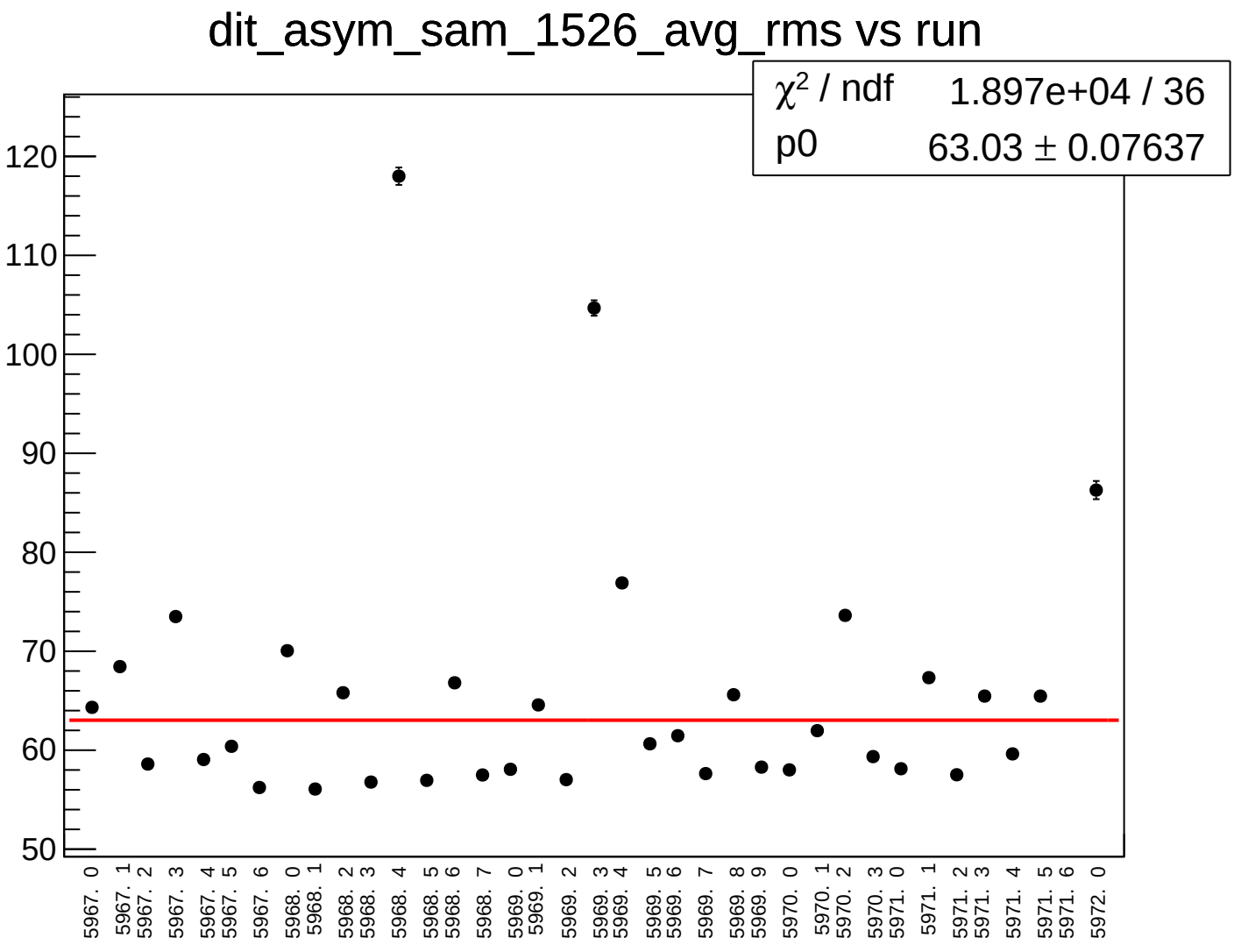
dit_asym_sam_1526_avg_rms vs run
χ² / ndf 1.897e+04 / 36
p0 63.03 ± 0.07637
120
110
100
90
80
70
60
50
5967. 0
5967. 1
5967. 2
5967. 3
5967. 4
5967. 5
5967. 6
5968. 0
5968. 1
5968. 2
5968. 3
5968. 4
5968. 5
5968. 6
5968. 7
5969. 0
5969. 1
5969. 2
5969. 3
5969. 4
5969. 5
5969. 6
5969. 7
5969. 8
5969. 9
5970. 0
5970. 1
5970. 2
5970. 3
5971. 0
5971. 1
5971. 2
5971. 3
5971. 4
5971. 5
5971. 6
5972. 0

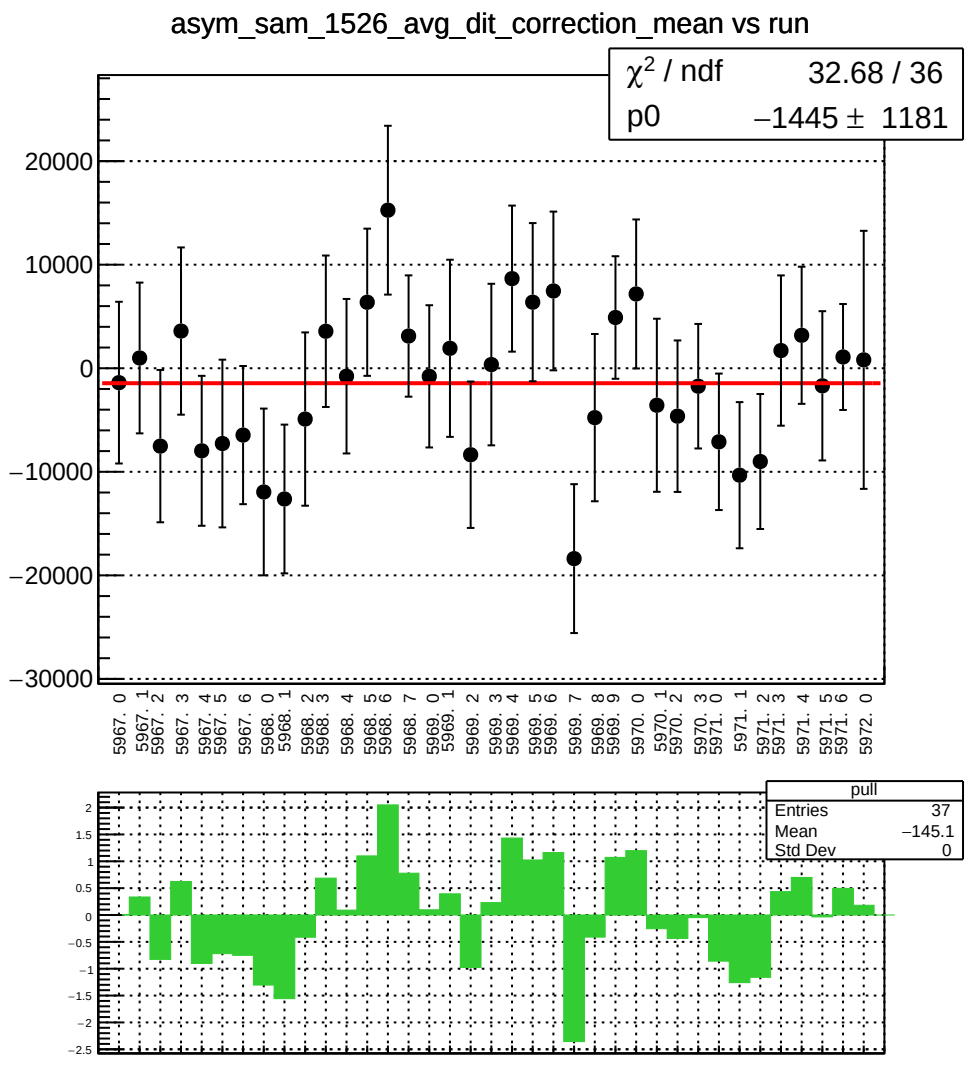
asym_sam_1526_avg_dit_correction_mean vs run
χ² / ndf 32.68 / 36
p0 −1445 ± 1181
20000
10000
0
−10000
−20000
−30000
5967. 0
5967. 1
5967. 2
5967. 3
5967. 4
5967. 5
5967. 6
5968. 0
5968. 1
5968. 2
5968. 3
5968. 4
5968. 5
5968. 6
5968. 7
5969. 0
5969. 1
5969. 2
5969. 3
5969. 4
5969. 5
5969. 6
5969. 7
5969. 8
5969. 9
5970. 0
5970. 1
5970. 2
5970. 3
5971. 0
5971. 1
5971. 2
5971. 3
5971. 4
5971. 5
5971. 6
5972. 0
pull
Entries 37
Mean −145.1
Std Dev 0
2
1.5
1
0.5
0
−0.5
−1
−1.5
−2
−2.5

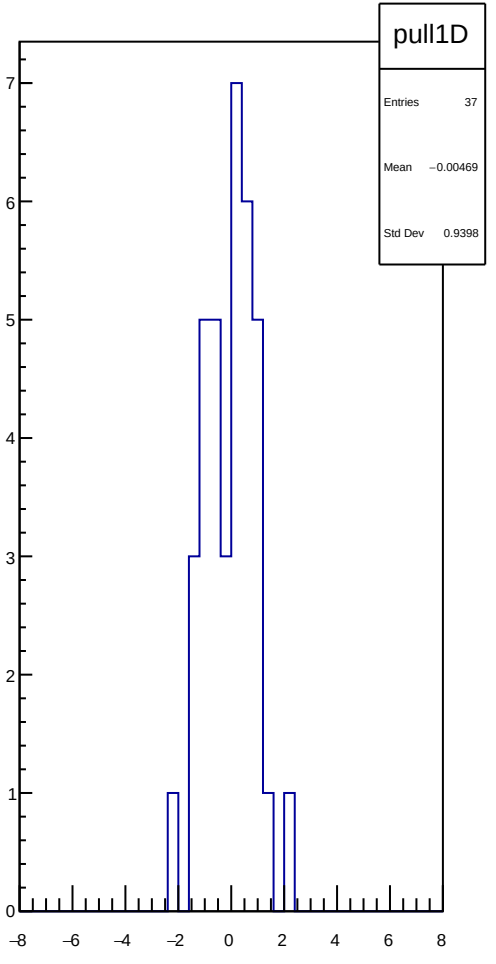
pull1D
Entries 37
Mean −0.00469
Std Dev 0.9398
7
6
5
4
3
2
1
0
−8
−6
−4
−2
0
2
4
6
8

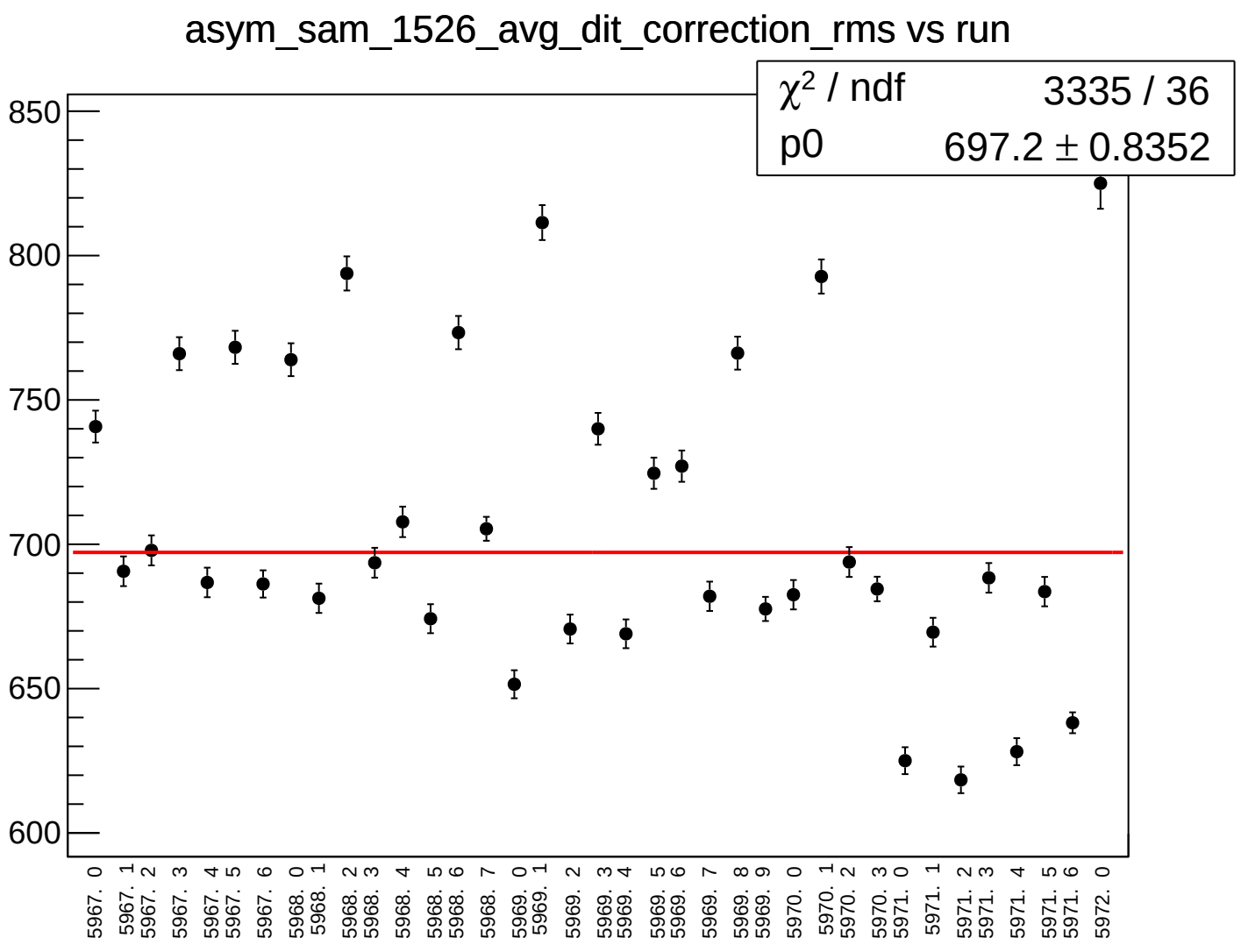
asym_sam_1526_avg_dit_correction_rms vs run
χ² / ndf 3335 / 36
p0 697.2 ± 0.8352
850
800
750
700
650
600
5967. 0
5967. 1
5967. 2
5967. 3
5967. 4
5967. 5
5967. 6
5968. 0
5968. 1
5968. 2
5968. 3
5968. 4
5968. 5
5968. 6
5968. 7
5969. 0
5969. 1
5969. 2
5969. 3
5969. 4
5969. 5
5969. 6
5969. 7
5969. 8
5969. 9
5970. 0
5970. 1
5970. 2
5970. 3
5971. 0
5971. 1
5971. 2
5971. 3
5971. 4
5971. 5
5971. 6
5972. 0

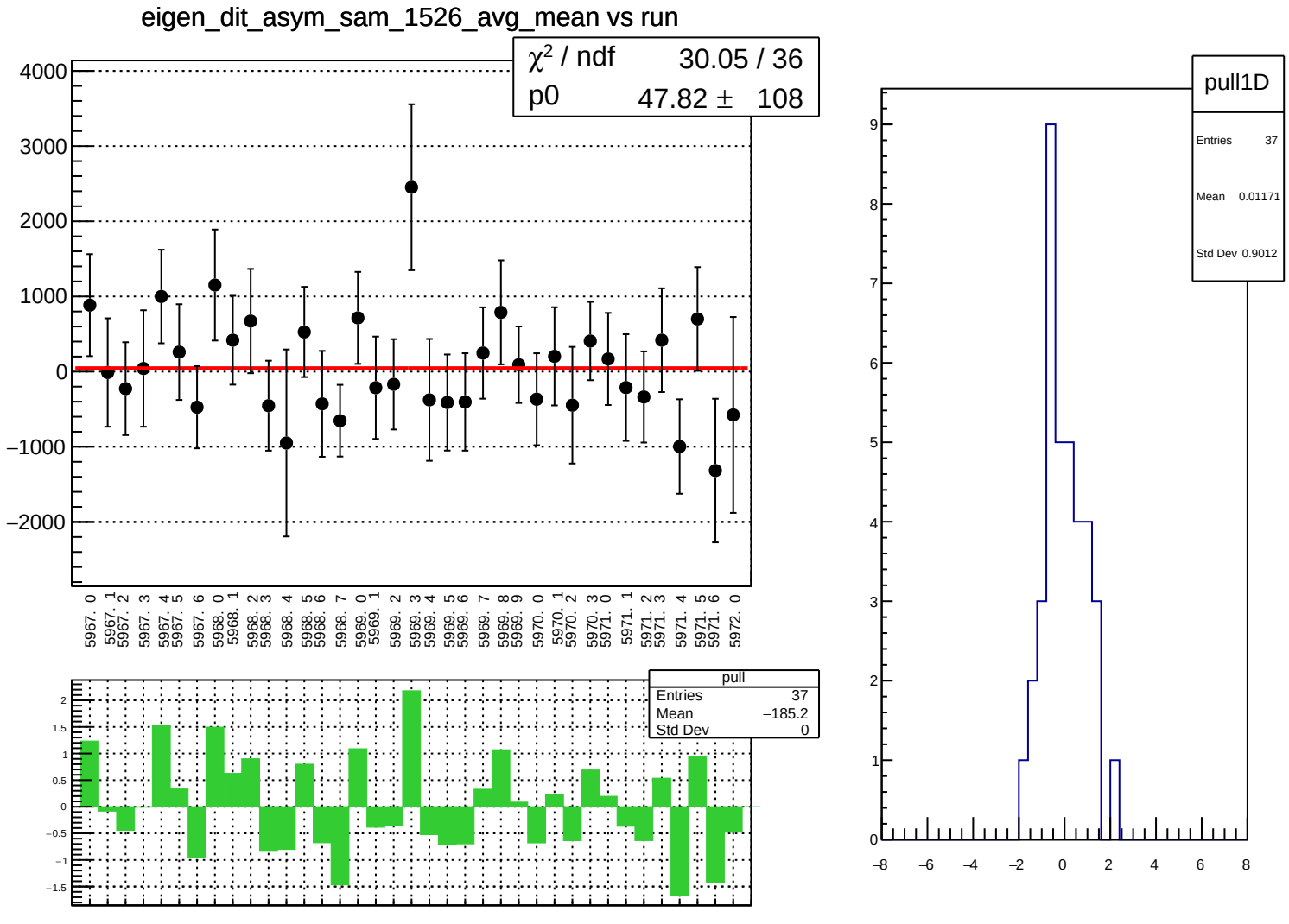
eigen_dit_asym_sam_1526_avg_mean vs run
χ² / ndf 30.05 / 36
p0 47.82 ± 108
4000
3000
2000
1000
0
−1000
−2000
5967. 0
5967. 1
5967. 2
5967. 3
5967. 4
5967. 5
5967. 6
5968. 0
5968. 1
5968. 2
5968. 3
5968. 4
5968. 5
5968. 6
5968. 7
5969. 0
5969. 1
5969. 2
5969. 3
5969. 4
5969. 5
5969. 6
5969. 7
5969. 8
5969. 9
5970. 0
5970. 1
5970. 2
5970. 3
5971. 0
5971. 1
5971. 2
5971. 3
5971. 4
5971. 5
5971. 6
5972. 0
pull
Entries 37
Mean −185.2
Std Dev 0
2
1.5
1
0.5
0
−0.5
−1
−1.5
pull1D
Entries 37
Mean 0.01171
Std Dev 0.9012
9
8
7
6
5
4
3
2
1
0
−8
−6
−4
−2
0
2
4
6
8

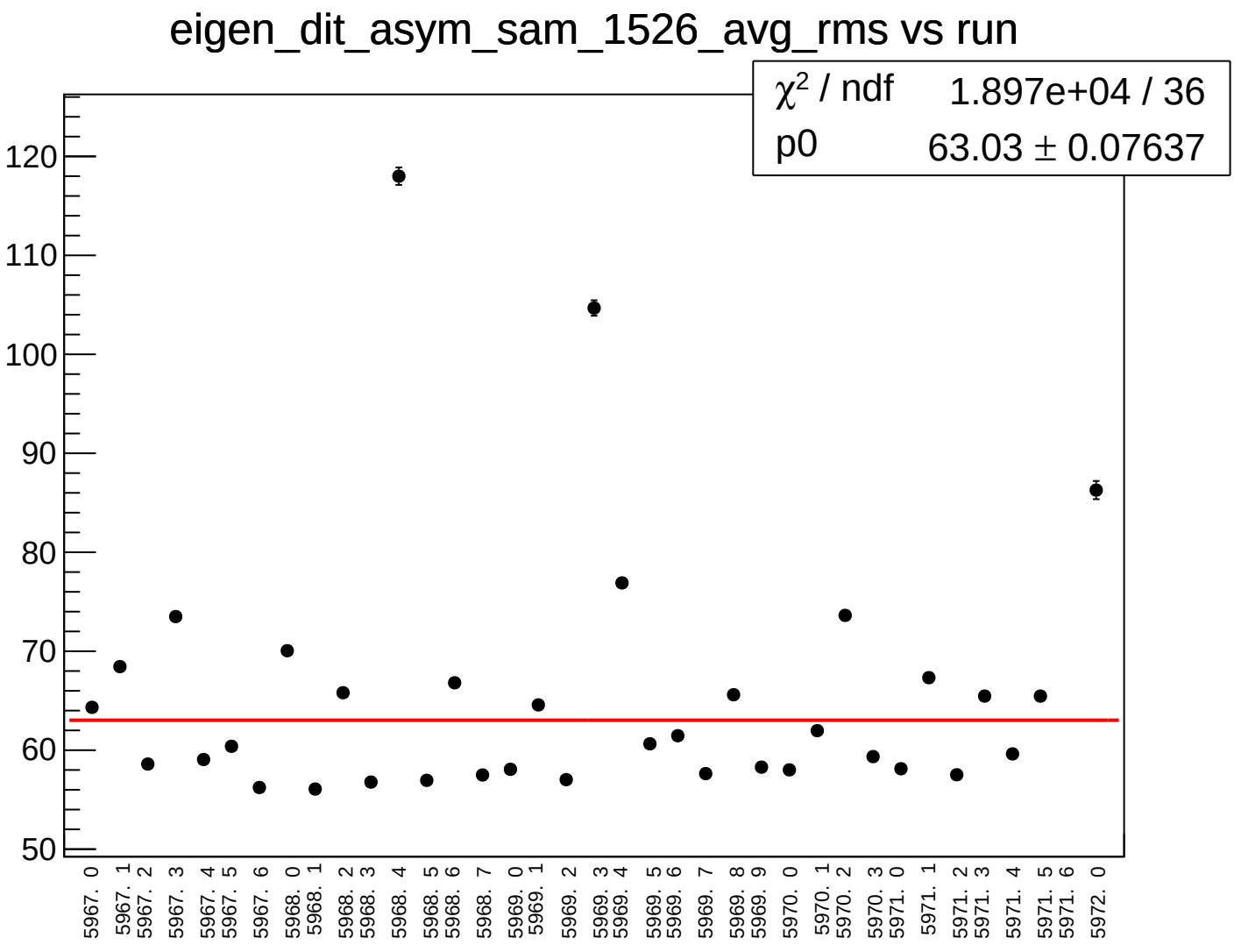
eigen_dit_asym_sam_1526_avg_rms vs run
χ² / ndf 1.897e+04 / 36
p0 63.03 ± 0.07637
120
110
100
90
80
70
60
50
5967. 0
5967. 1
5967. 2
5967. 3
5967. 4
5967. 5
5967. 6
5968. 0
5968. 1
5968. 2
5968. 3
5968. 4
5968. 5
5968. 6
5968. 7
5969. 0
5969. 1
5969. 2
5969. 3
5969. 4
5969. 5
5969. 6
5969. 7
5969. 8
5969. 9
5970. 0
5970. 1
5970. 2
5970. 3
5971. 0
5971. 1
5971. 2
5971. 3
5971. 4
5971. 5
5971. 6
5972. 0

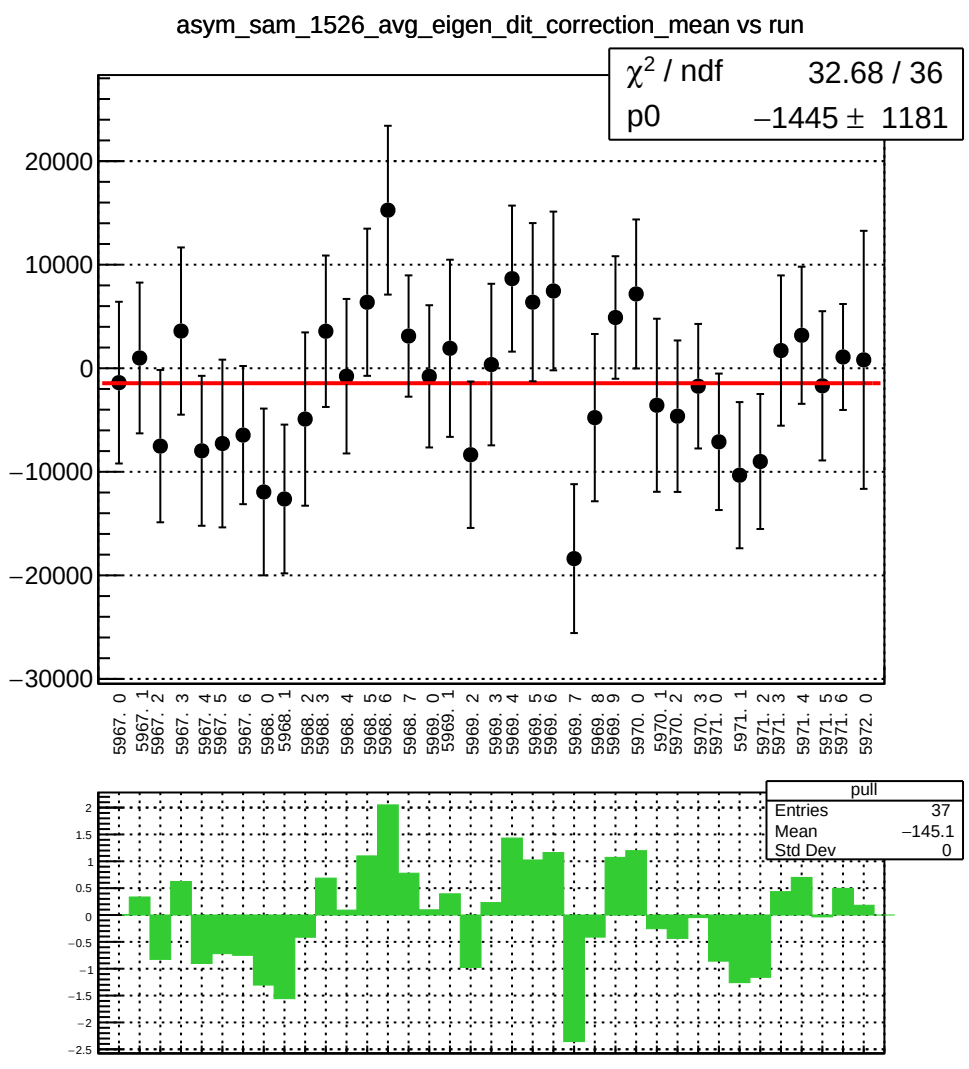
asym_sam_1526_avg_eigen_dit_correction_mean vs run
χ² / ndf 32.68 / 36
p0 −1445 ± 1181
20000
10000
0
−10000
−20000
−30000
5967. 0
5967. 1
5967. 2
5967. 3
5967. 4
5967. 5
5967. 6
5968. 0
5968. 1
5968. 2
5968. 3
5968. 4
5968. 5
5968. 6
5968. 7
5969. 0
5969. 1
5969. 2
5969. 3
5969. 4
5969. 5
5969. 6
5969. 7
5969. 8
5969. 9
5970. 0
5970. 1
5970. 2
5970. 3
5971. 0
5971. 1
5971. 2
5971. 3
5971. 4
5971. 5
5971. 6
5972. 0
pull
Entries 37
Mean −145.1
Std Dev 0
2
1.5
1
0.5
0
−0.5
−1
−1.5
−2
−2.5
pull1D
Entries 37
Mean −0.00469
Std Dev 0.9398
7
6
5
4
3
2
1
0
−8
−6
−4
−2
0
2
4
6
8

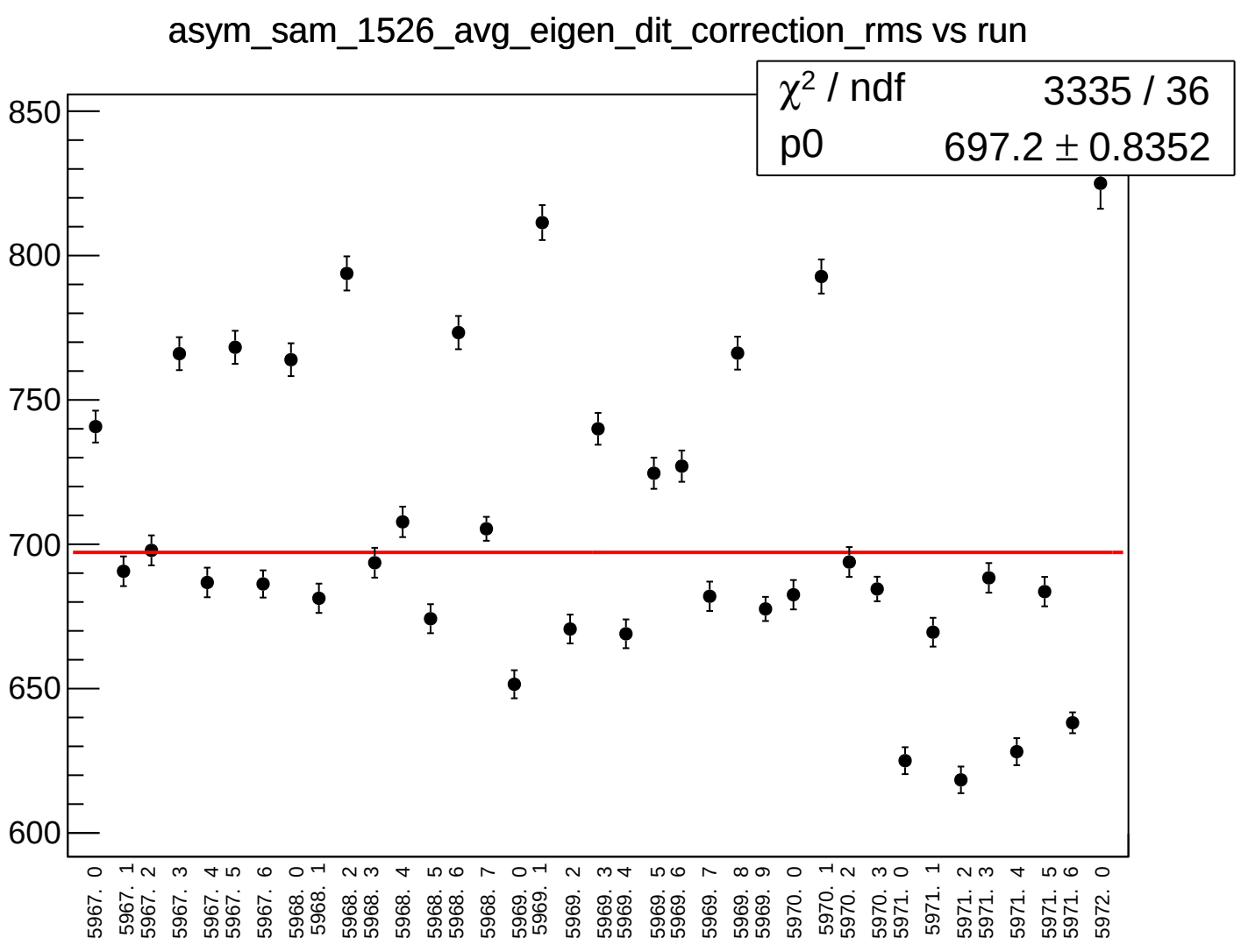
asym_sam_1526_avg_eigen_dit_correction_rms vs run
χ² / ndf 3335 / 36
p0 697.2 ± 0.8352
850
800
750
700
650
600
5967. 0
5967. 1
5967. 2
5967. 3
5967. 4
5967. 5
5967. 6
5968. 0
5968. 1
5968. 2
5968. 3
5968. 4
5968. 5
5968. 6
5968. 7
5969. 0
5969. 1
5969. 2
5969. 3
5969. 4
5969. 5
5969. 6
5969. 7
5969. 8
5969. 9
5970. 0
5970. 1
5970. 2
5970. 3
5971. 0
5971. 1
5971. 2
5971. 3
5971. 4
5971. 5
5971. 6
5972. 0

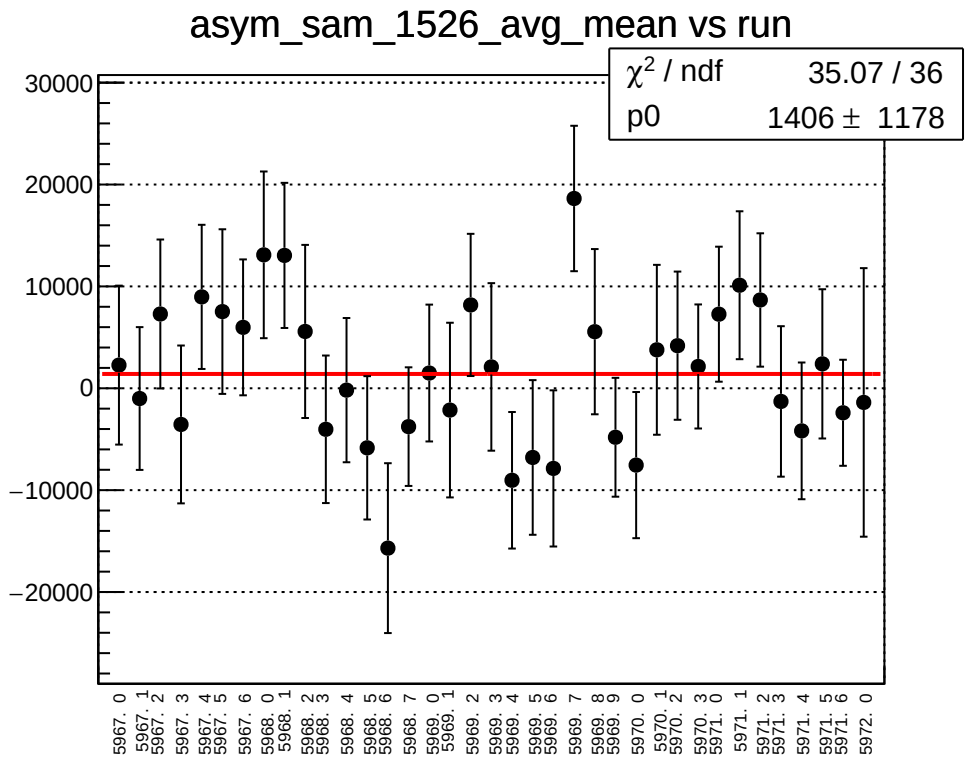
asym_sam_1526_avg_mean vs run
χ² / ndf 35.07 / 36
p0 1406 ± 1178
30000
20000
10000
0
−10000
−20000
5967. 0
5967. 1
5967. 2
5967. 3
5967. 4
5967. 5
5967. 6
5968. 0
5968. 1
5968. 2
5968. 3
5968. 4
5968. 5
5968. 6
5968. 7
5969. 0
5969. 1
5969. 2
5969. 3
5969. 4
5969. 5
5969. 6
5969. 7
5969. 8
5969. 9
5970. 0
5970. 1
5970. 2
5970. 3
5971. 0
5971. 1
5971. 2
5971. 3
5971. 4
5971. 5
5971. 6
5972. 0

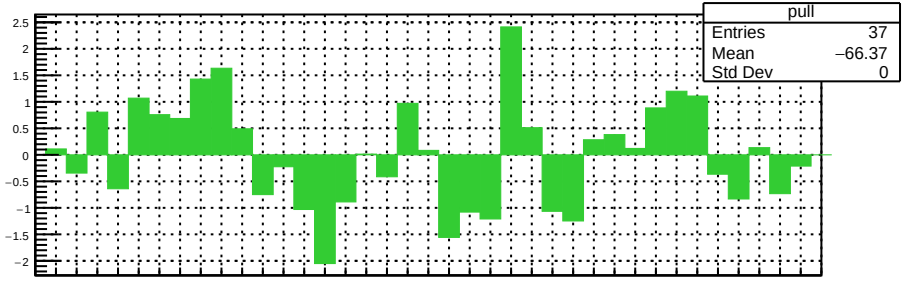
pull
Entries 37
Mean −66.37
Std Dev 0
2.5
2
1.5
1
0.5
0
−0.5
−1
−1.5
−2

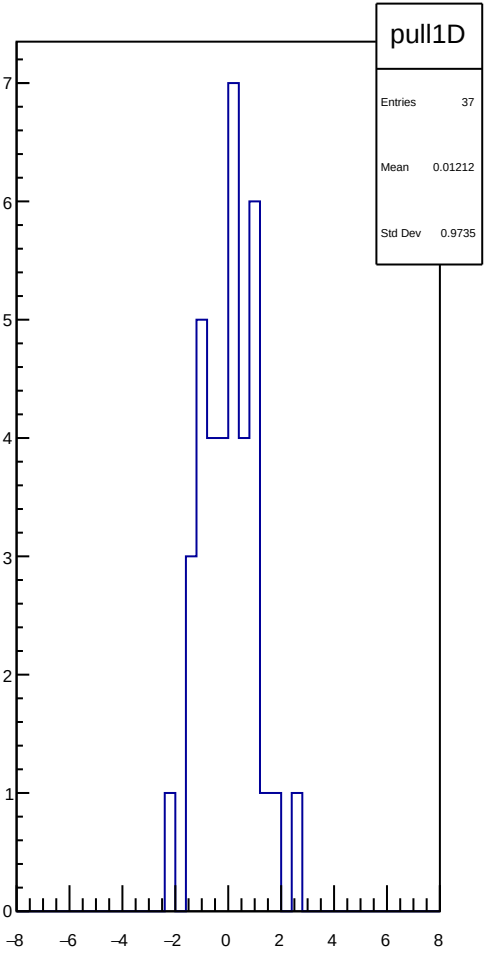
pull1D
Entries 37
Mean 0.01212
Std Dev 0.9735
7
6
5
4
3
2
1
0
−8
−6
−4
−2
0
2
4
6
8

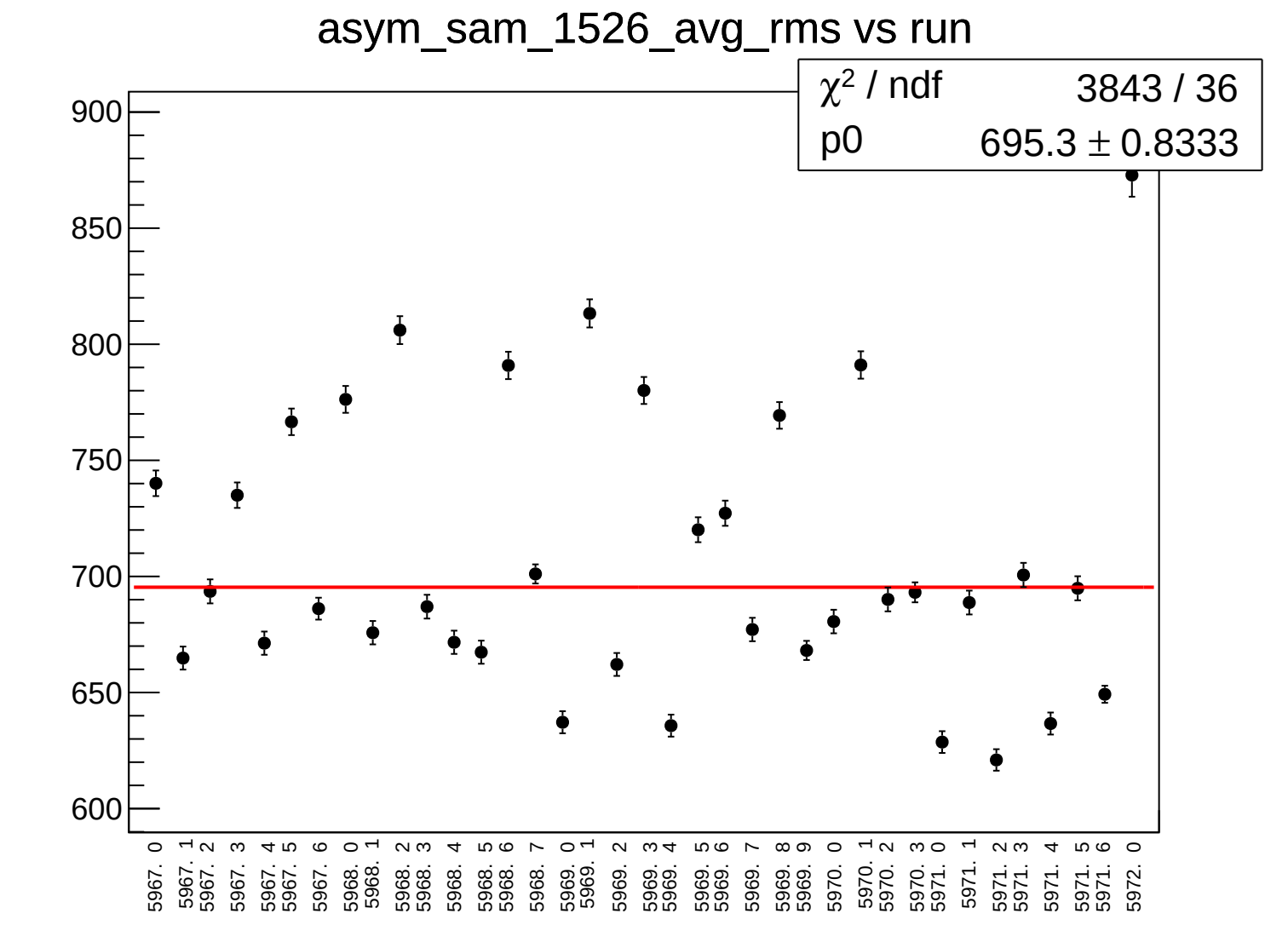
asym_sam_1526_avg_rms vs run
χ² / ndf 3843 / 36
p0 695.3 ± 0.8333
900
850
800
750
700
650
600
5967. 0
5967. 1
5967. 2
5967. 3
5967. 4
5967. 5
5967. 6
5968. 0
5968. 1
5968. 2
5968. 3
5968. 4
5968. 5
5968. 6
5968. 7
5969. 0
5969. 1
5969. 2
5969. 3
5969. 4
5969. 5
5969. 6
5969. 7
5969. 8
5969. 9
5970. 0
5970. 1
5970. 2
5970. 3
5971. 0
5971. 1
5971. 2
5971. 3
5971. 4
5971. 5
5971. 6
5972. 0

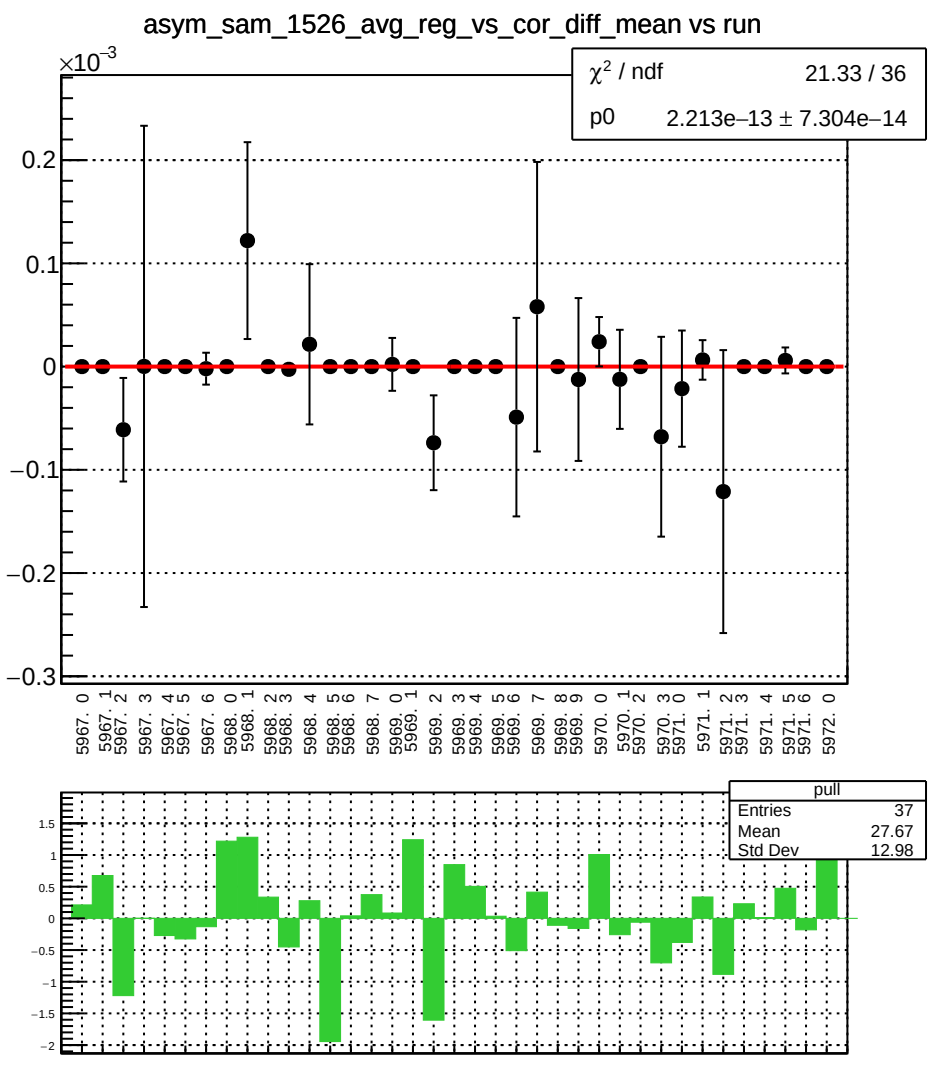
asym_sam_1526_avg_reg_vs_cor_diff_mean vs run
×10⁻³
χ² / ndf 21.33 / 36
p0 2.213e−13 ± 7.304e−14
0.2
0.1
0
−0.1
−0.2
−0.3
5967. 0
5967. 1
5967. 2
5967. 3
5967. 4
5967. 5
5967. 6
5968. 0
5968. 1
5968. 2
5968. 3
5968. 4
5968. 5
5968. 6
5968. 7
5969. 0
5969. 1
5969. 2
5969. 3
5969. 4
5969. 5
5969. 6
5969. 7
5969. 8
5969. 9
5970. 0
5970. 1
5970. 2
5970. 3
5971. 0
5971. 1
5971. 2
5971. 3
5971. 4
5971. 5
5971. 6
5972. 0
pull
Entries 37
Mean 27.67
Std Dev 12.98
1.5
1
0.5
0
−0.5
−1
−1.5
−2

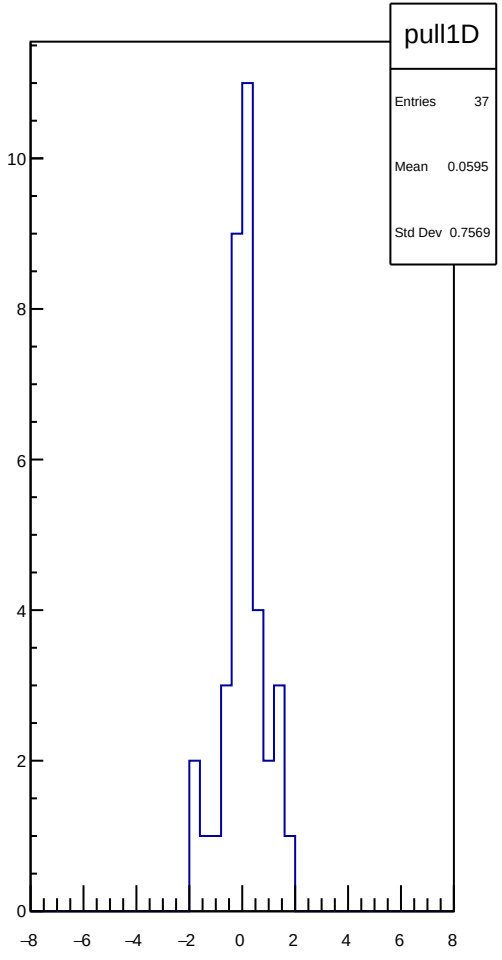
pull1D
Entries 37
Mean 0.0595
Std Dev 0.7569
10
8
6
4
2
0
−8
−6
−4
−2
0
2
4
6
8

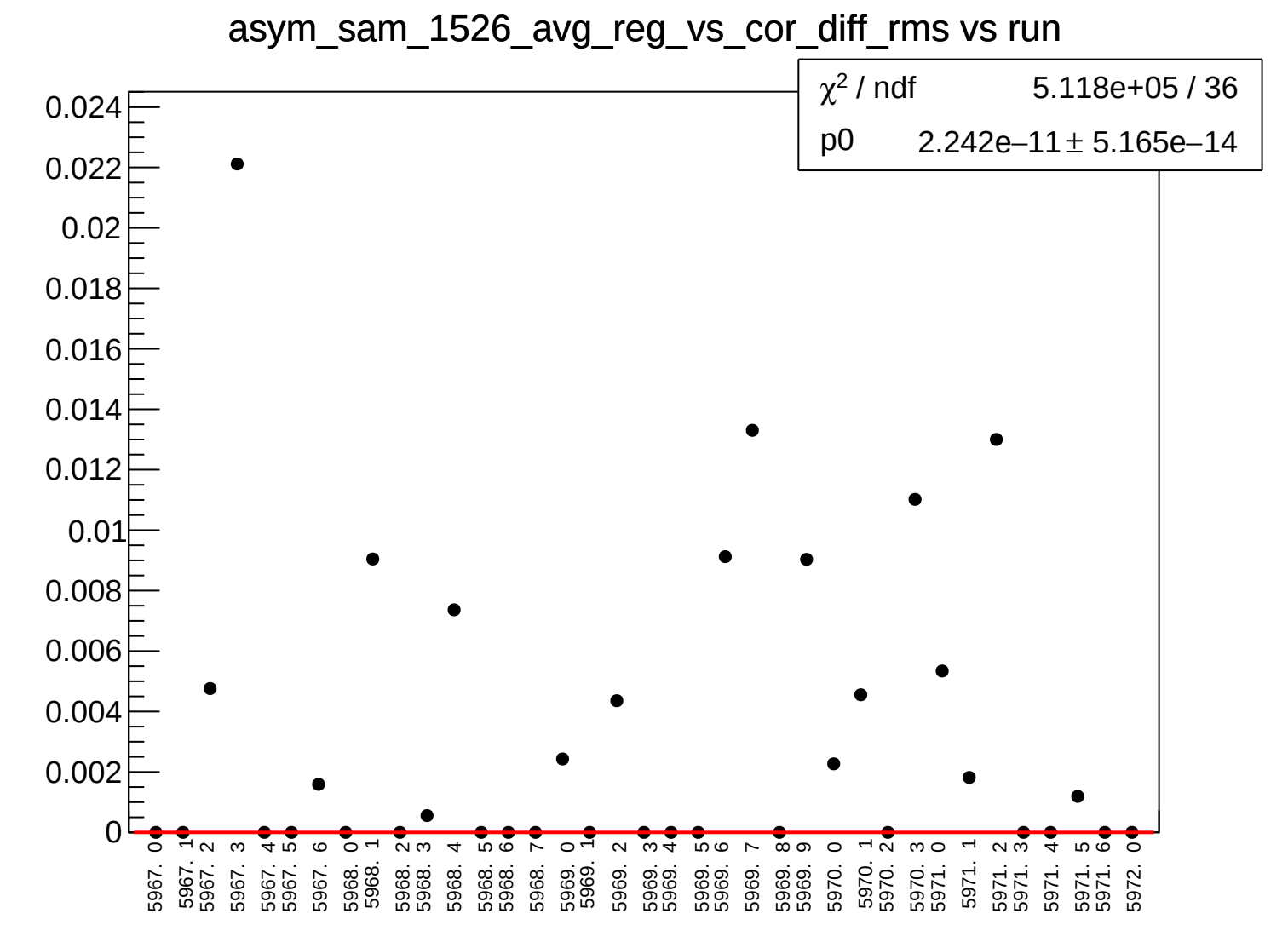
asym_sam_1526_avg_reg_vs_cor_diff_rms vs run
χ² / ndf 5.118e+05 / 36
p0 2.242e−11 ± 5.165e−14
0.024
0.022
0.02
0.018
0.016
0.014
0.012
0.01
0.008
0.006
0.004
0.002
0
5967. 0
5967. 1
5967. 2
5967. 3
5967. 4
5967. 5
5967. 6
5968. 0
5968. 1
5968. 2
5968. 3
5968. 4
5968. 5
5968. 6
5968. 7
5969. 0
5969. 1
5969. 2
5969. 3
5969. 4
5969. 5
5969. 6
5969. 7
5969. 8
5969. 9
5970. 0
5970. 1
5970. 2
5970. 3
5971. 0
5971. 1
5971. 2
5971. 3
5971. 4
5971. 5
5971. 6
5972. 0

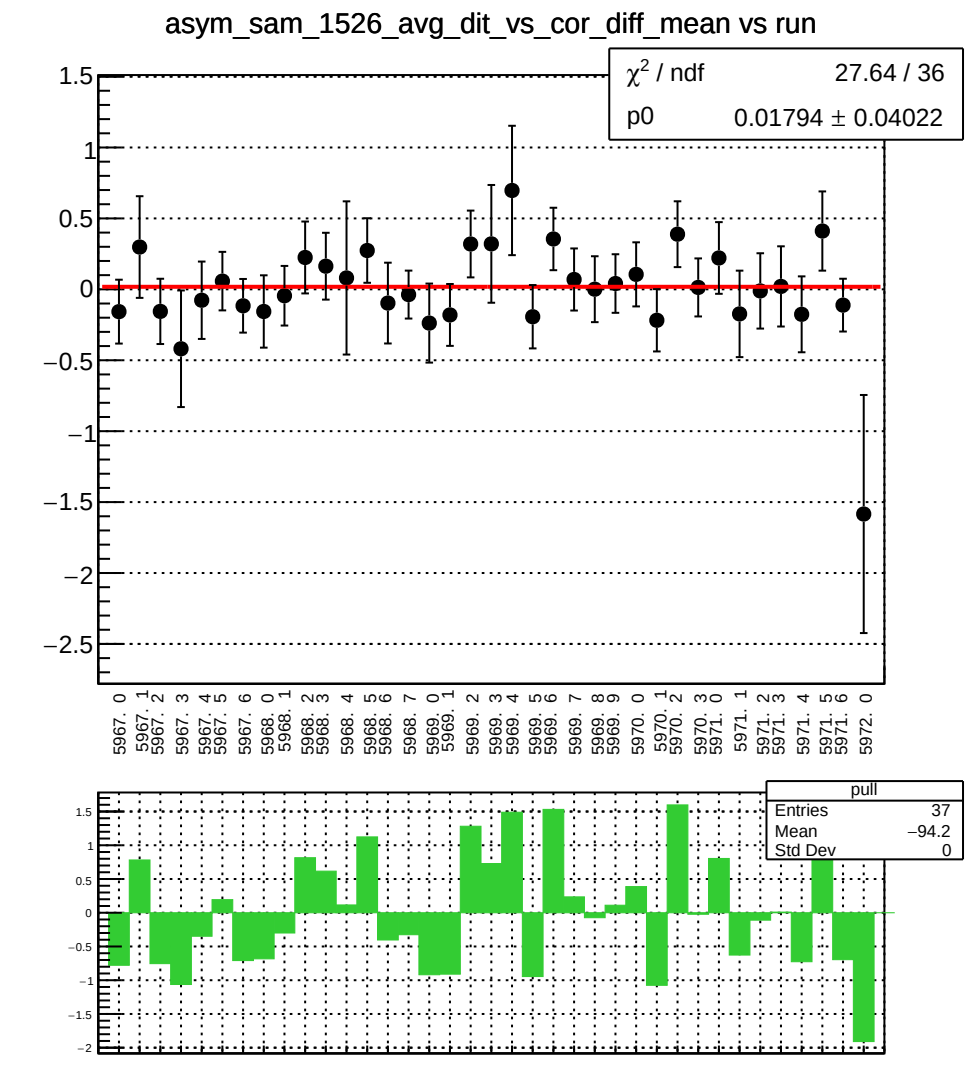
asym_sam_1526_avg_dit_vs_cor_diff_mean vs run
χ² / ndf 27.64 / 36
p0 0.01794 ± 0.04022
pull
Entries 37
Mean −94.2
Std Dev 0

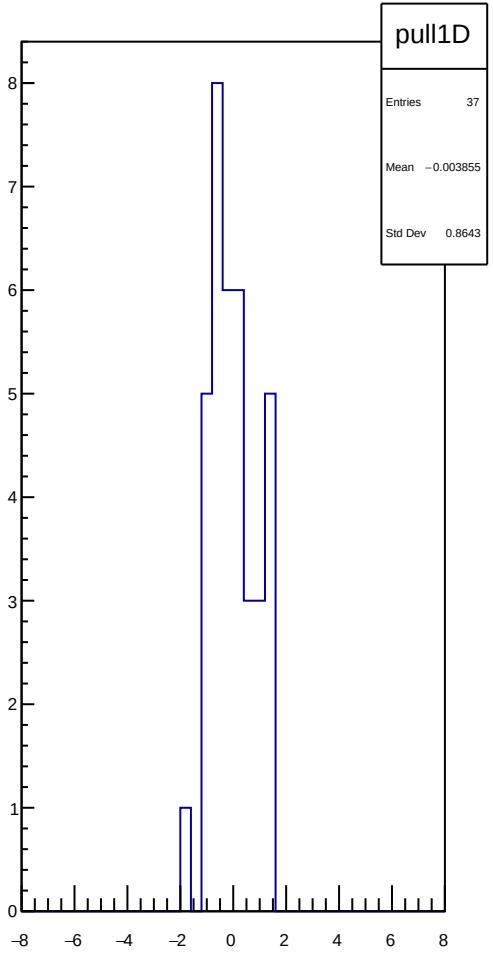
pull1D
Entries 37
Mean −0.003855
Std Dev 0.8643

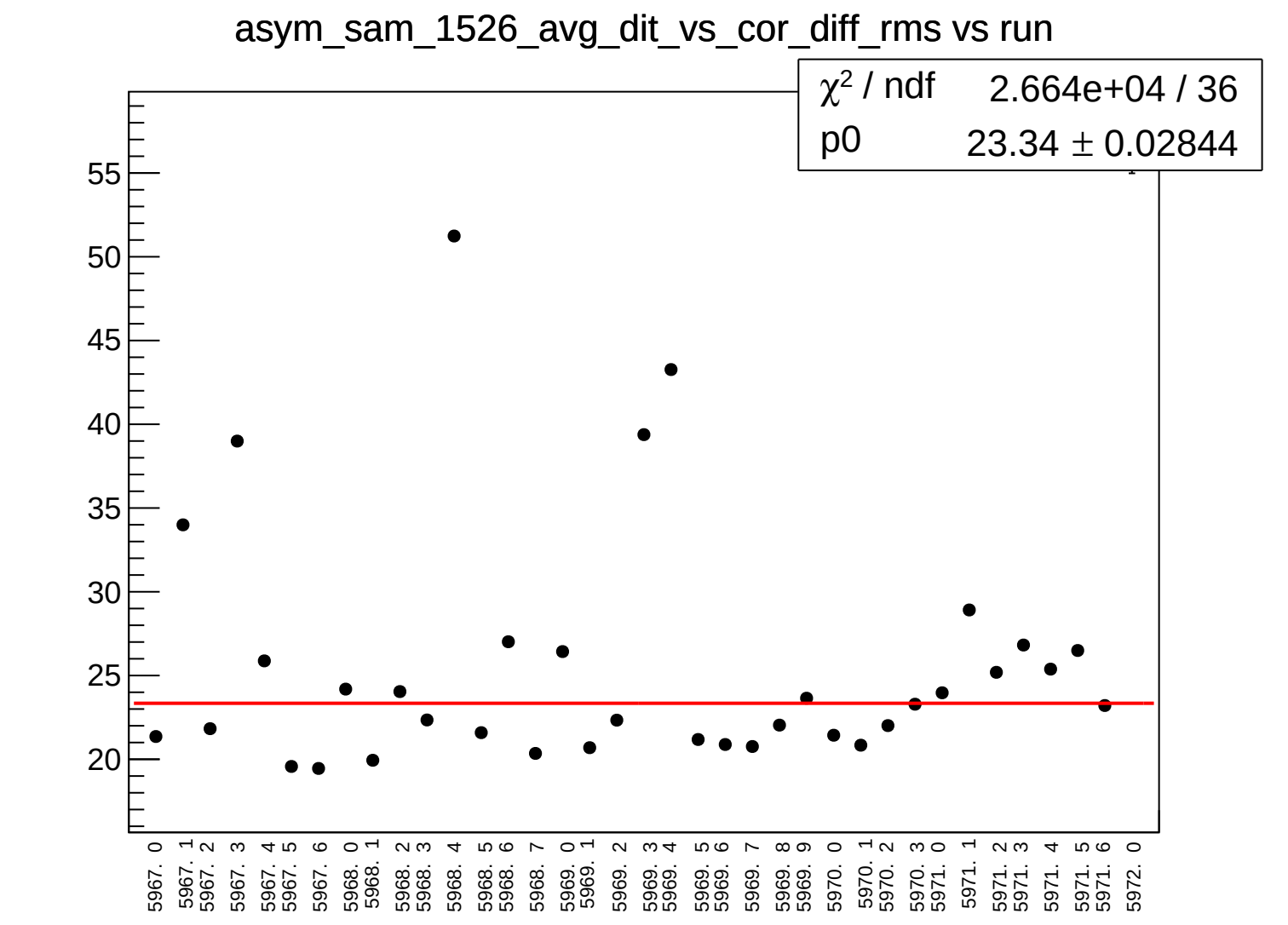
asym_sam_1526_avg_dit_vs_cor_diff_rms vs run
χ² / ndf 2.664e+04 / 36
p0 23.34 ± 0.02844
55
50
45
40
35
30
25
20
5967. 0
5967. 1
5967. 2
5967. 3
5967. 4
5967. 5
5967. 6
5968. 0
5968. 1
5968. 2
5968. 3
5968. 4
5968. 5
5968. 6
5968. 7
5969. 0
5969. 1
5969. 2
5969. 3
5969. 4
5969. 5
5969. 6
5969. 7
5969. 8
5969. 9
5970. 0
5970. 1
5970. 2
5970. 3
5971. 0
5971. 1
5971. 2
5971. 3
5971. 4
5971. 5
5971. 6
5972. 0

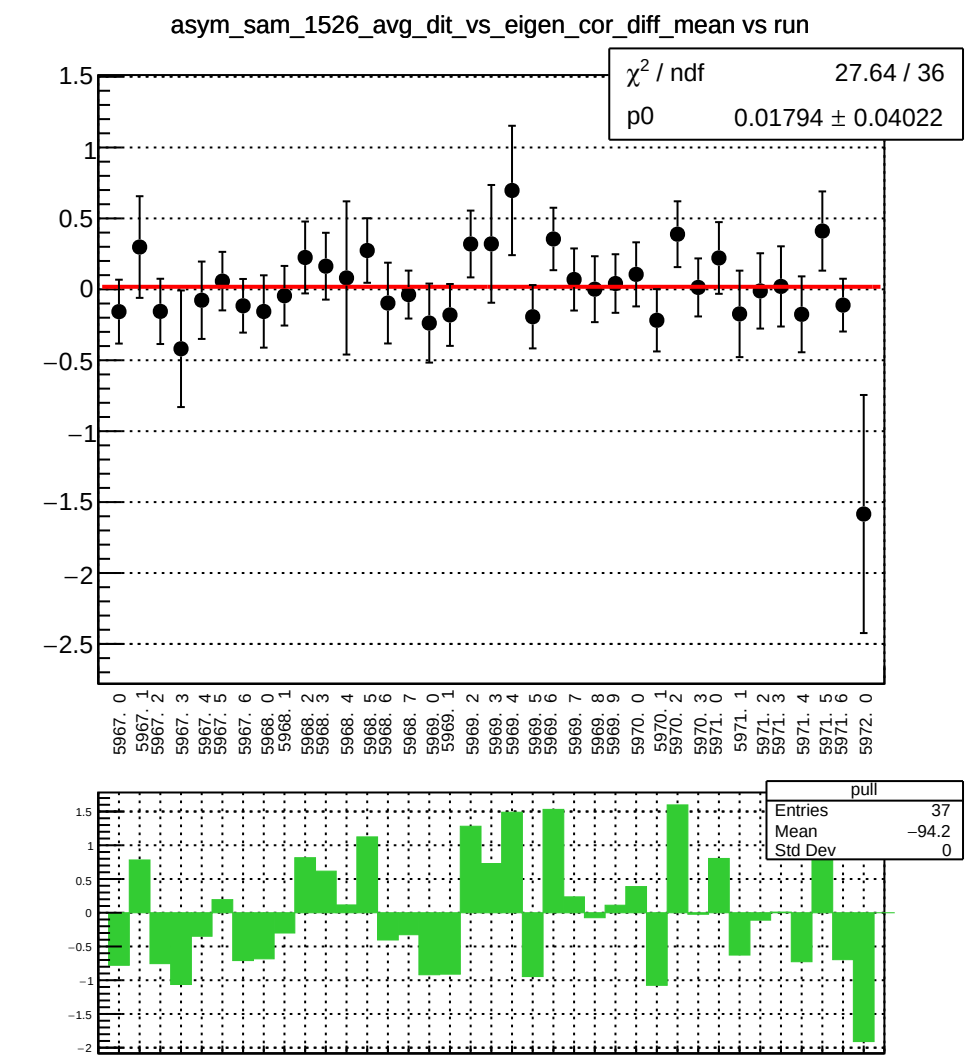
asym_sam_1526_avg_dit_vs_eigen_cor_diff_mean vs run
χ² / ndf 27.64 / 36
p0 0.01794 ± 0.04022
pull
Entries 37
Mean −94.2
Std Dev 0

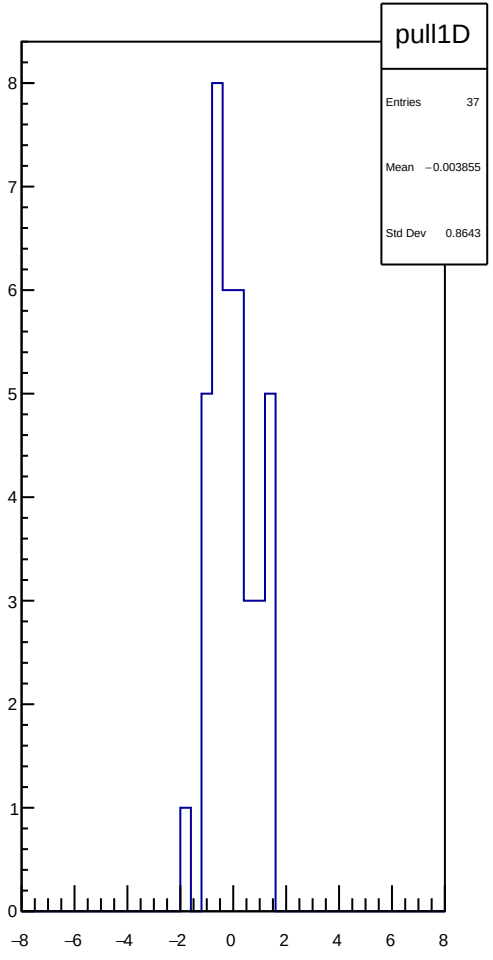
pull1D
Entries 37
Mean −0.003855
Std Dev 0.8643

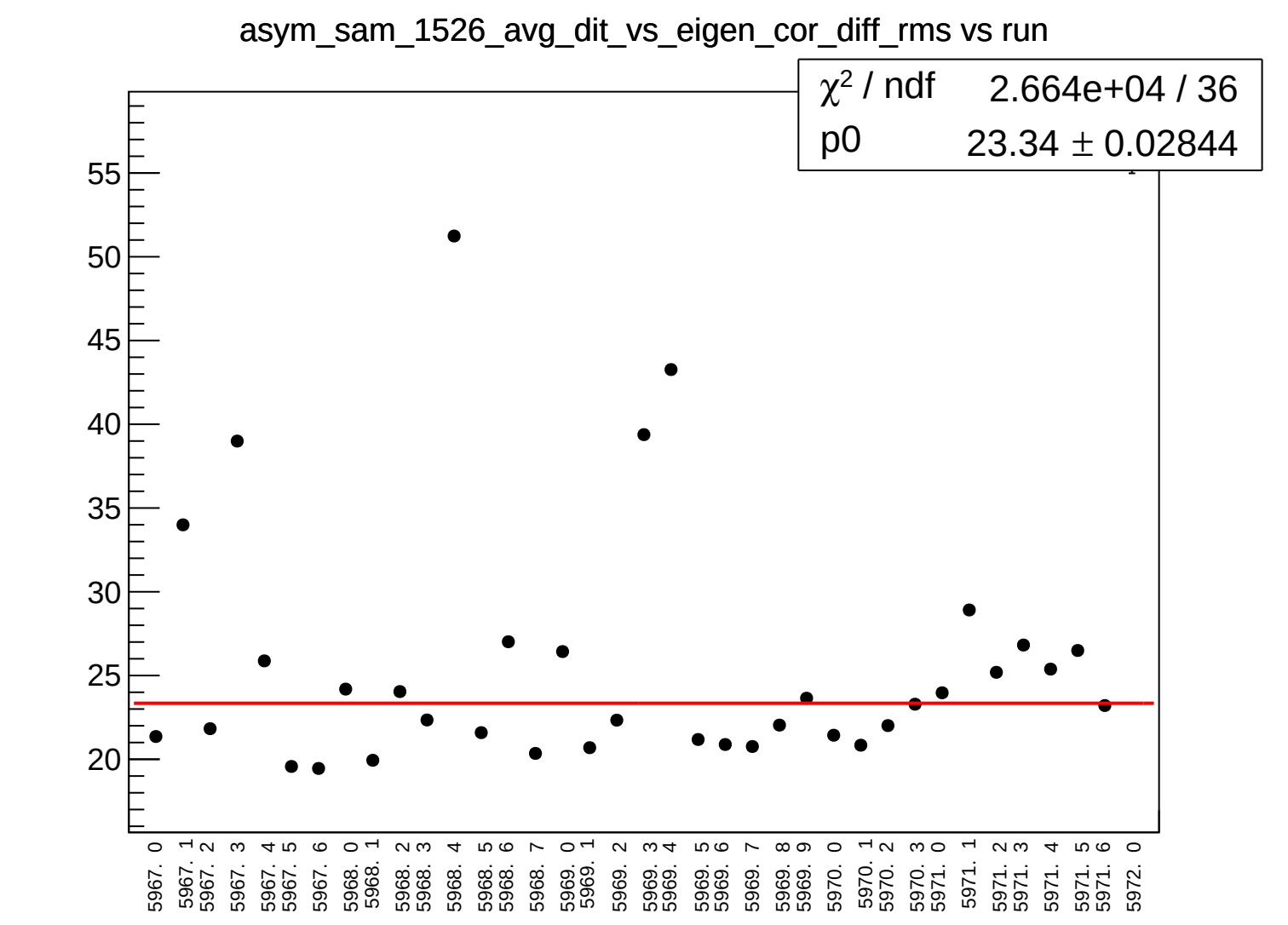
asym_sam_1526_avg_dit_vs_eigen_cor_diff_rms vs run
χ² / ndf 2.664e+04 / 36
p0 23.34 ± 0.02844
55
50
45
40
35
30
25
20
5967. 0
5967. 1
5967. 2
5967. 3
5967. 4
5967. 5
5967. 6
5968. 0
5968. 1
5968. 2
5968. 3
5968. 4
5968. 5
5968. 6
5968. 7
5969. 0
5969. 1
5969. 2
5969. 3
5969. 4
5969. 5
5969. 6
5969. 7
5969. 8
5969. 9
5970. 0
5970. 1
5970. 2
5970. 3
5971. 0
5971. 1
5971. 2
5971. 3
5971. 4
5971. 5
5971. 6
5972. 0

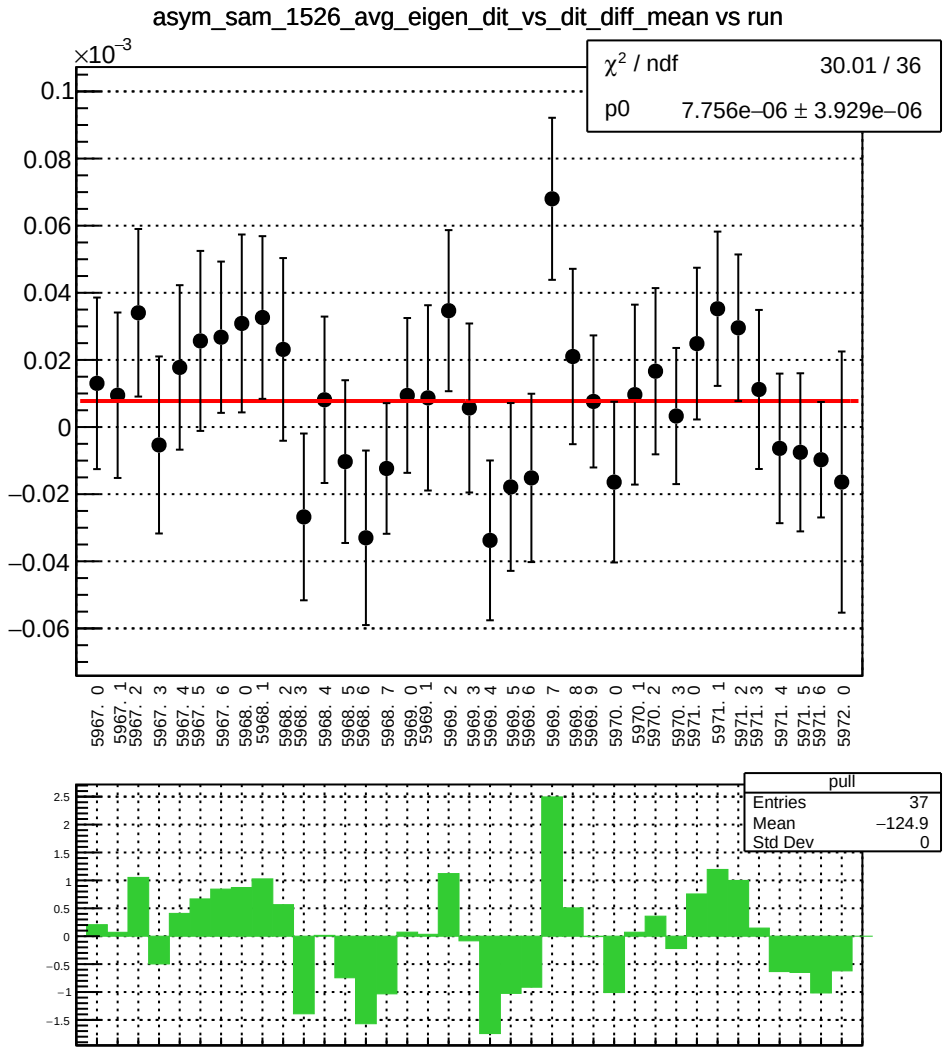
asym_sam_1526_avg_eigen_dit_vs_dit_diff_mean vs run
×10⁻³
χ² / ndf 30.01 / 36
p0 7.756e−06 ± 3.929e−06
0.1
0.08
0.06
0.04
0.02
0
−0.02
−0.04
−0.06
5967. 0
5967. 1
5967. 2
5967. 3
5967. 4
5967. 5
5967. 6
5968. 0
5968. 1
5968. 2
5968. 3
5968. 4
5968. 5
5968. 6
5968. 7
5969. 0
5969. 1
5969. 2
5969. 3
5969. 4
5969. 5
5969. 6
5969. 7
5969. 8
5969. 9
5970. 0
5970. 1
5970. 2
5970. 3
5971. 0
5971. 1
5971. 2
5971. 3
5971. 4
5971. 5
5971. 6
5972. 0
pull
Entries 37
Mean −124.9
Std Dev 0
2.5
2
1.5
1
0.5
0
−0.5
−1
−1.5

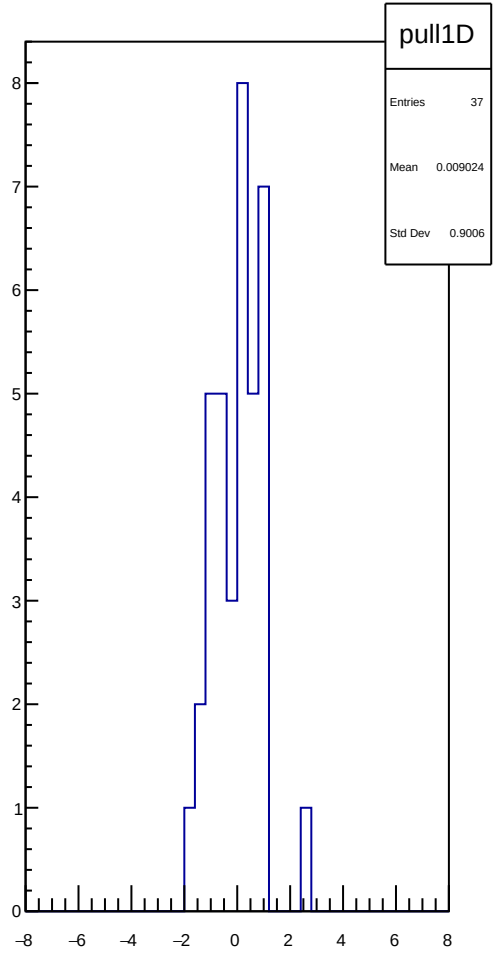
pull1D
Entries 37
Mean 0.009024
Std Dev 0.9006
8
7
6
5
4
3
2
1
0
−8
−6
−4
−2
0
2
4
6
8

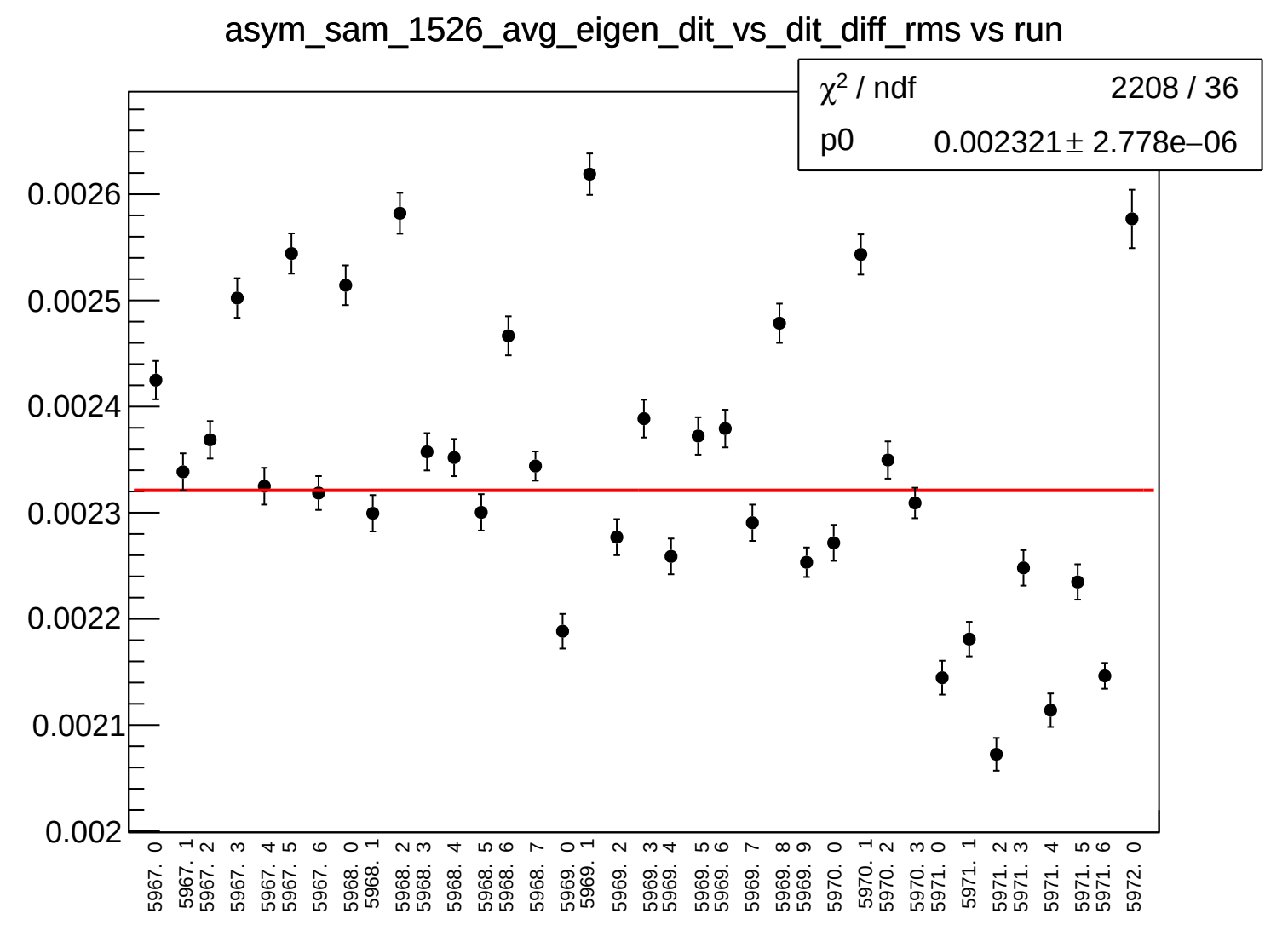
asym_sam_1526_avg_eigen_dit_vs_dit_diff_rms vs run
χ² / ndf 2208 / 36
p0 0.002321 ± 2.778e−06
0.0026
0.0025
0.0024
0.0023
0.0022
0.0021
0.002
5967. 0
5967. 1
5967. 2
5967. 3
5967. 4
5967. 5
5967. 6
5968. 0
5968. 1
5968. 2
5968. 3
5968. 4
5968. 5
5968. 6
5968. 7
5969. 0
5969. 1
5969. 2
5969. 3
5969. 4
5969. 5
5969. 6
5969. 7
5969. 8
5969. 9
5970. 0
5970. 1
5970. 2
5970. 3
5971. 0
5971. 1
5971. 2
5971. 3
5971. 4
5971. 5
5971. 6
5972. 0

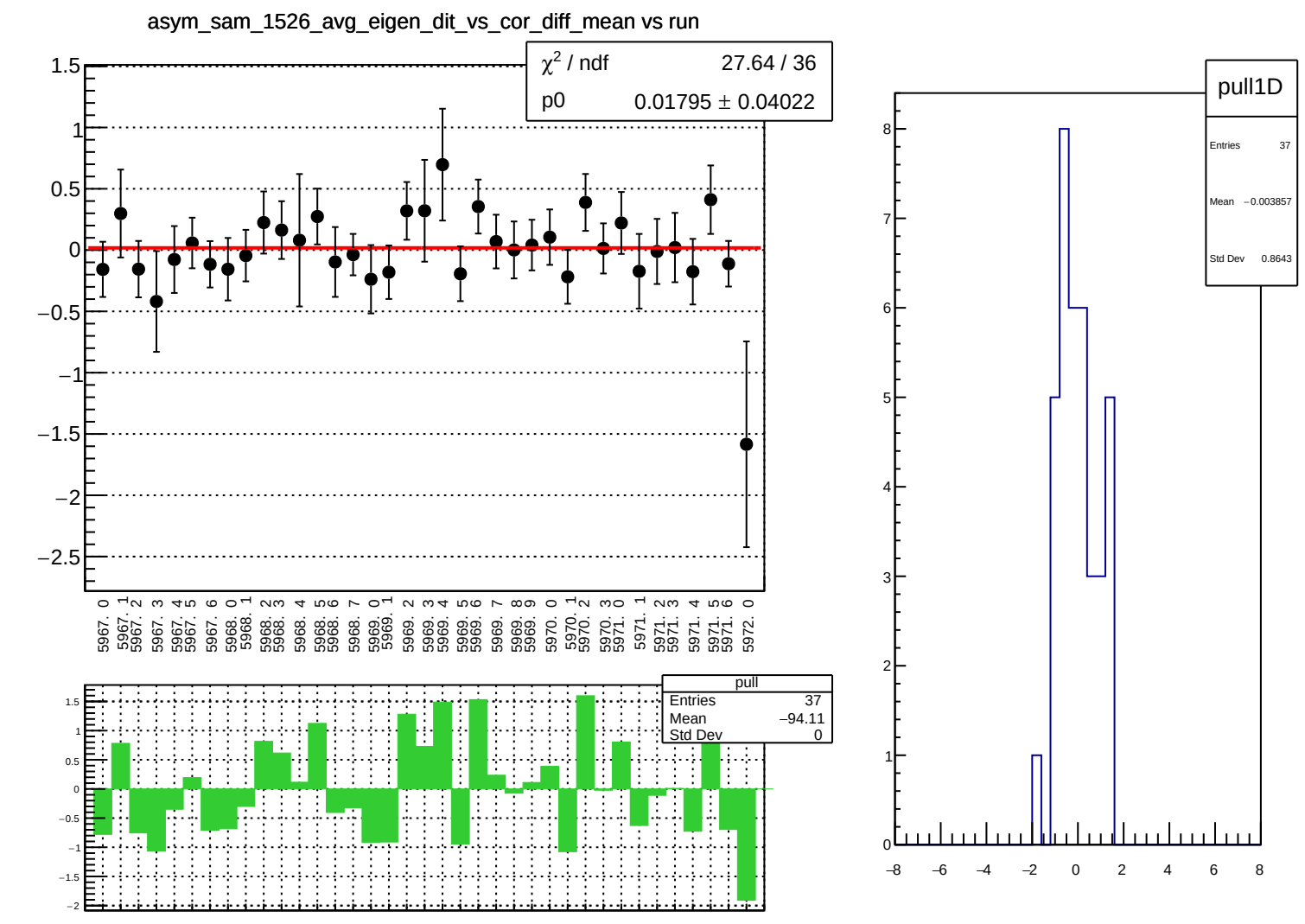
asym_sam_1526_avg_eigen_dit_vs_cor_diff_mean vs run
χ² / ndf 27.64 / 36
p0 0.01795 ± 0.04022
pull
Entries 37
Mean −94.11
Std Dev 0
pull1D
Entries 37
Mean −0.003857
Std Dev 0.8643

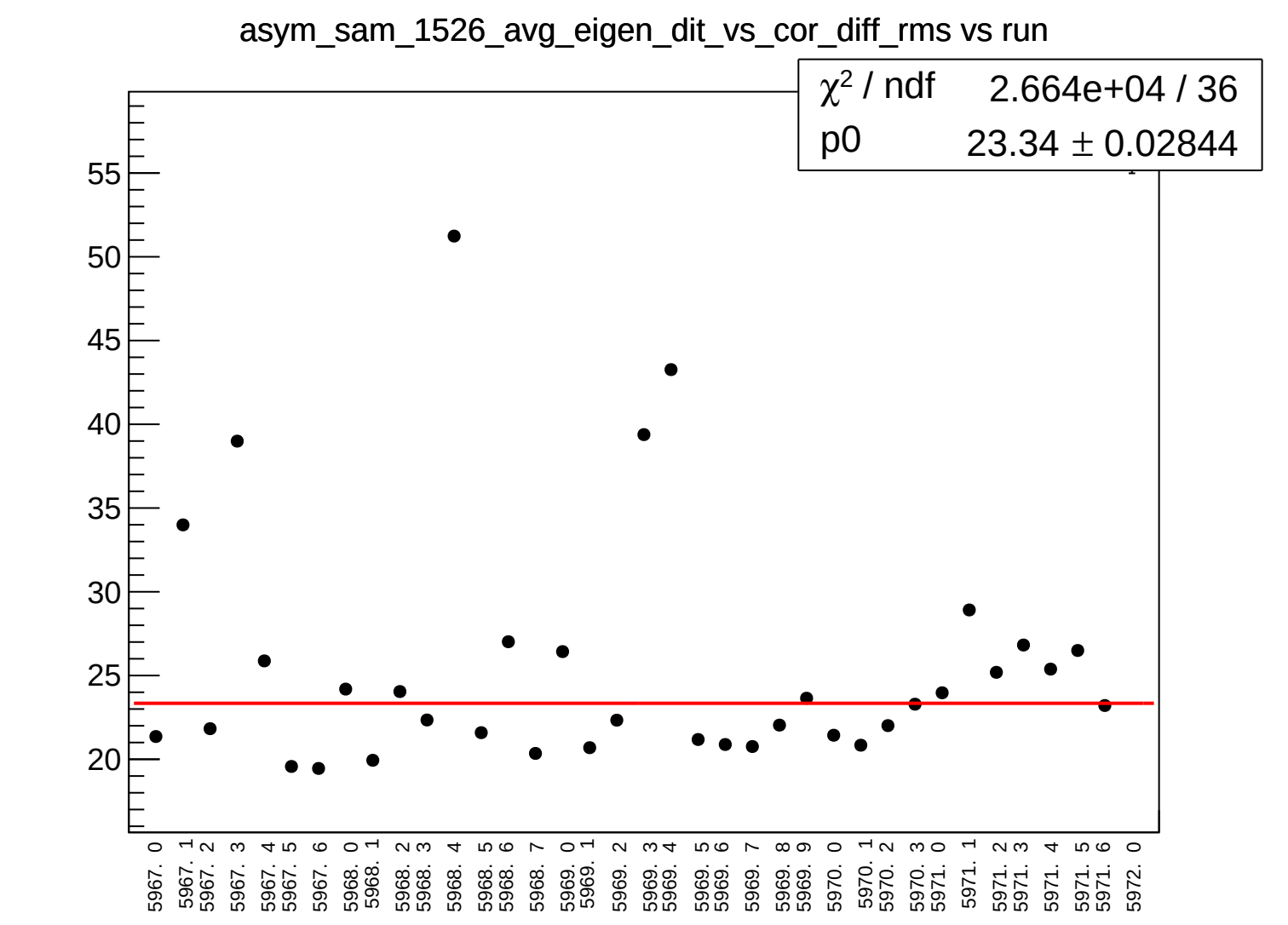
asym_sam_1526_avg_eigen_dit_vs_cor_diff_rms vs run
χ² / ndf 2.664e+04 / 36
p0 23.34 ± 0.02844
55
50
45
40
35
30
25
20
5967. 0
5967. 1
5967. 2
5967. 3
5967. 4
5967. 5
5967. 6
5968. 0
5968. 1
5968. 2
5968. 3
5968. 4
5968. 5
5968. 6
5968. 7
5969. 0
5969. 1
5969. 2
5969. 3
5969. 4
5969. 5
5969. 6
5969. 7
5969. 8
5969. 9
5970. 0
5970. 1
5970. 2
5970. 3
5971. 0
5971. 1
5971. 2
5971. 3
5971. 4
5971. 5
5971. 6
5972. 0

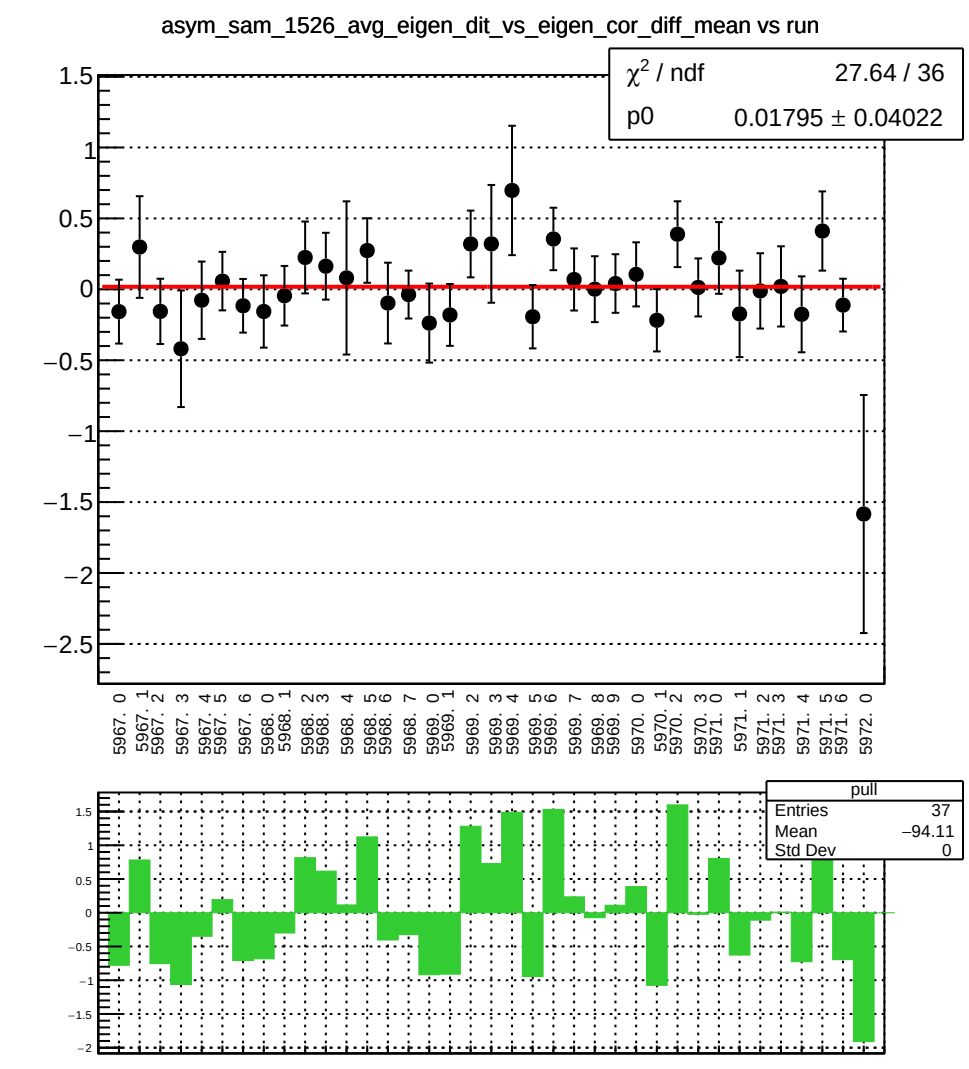
asym_sam_1526_avg_eigen_dit_vs_eigen_cor_diff_mean vs run
χ² / ndf 27.64 / 36
p0 0.01795 ± 0.04022
pull
Entries 37
Mean −94.11
Std Dev 0

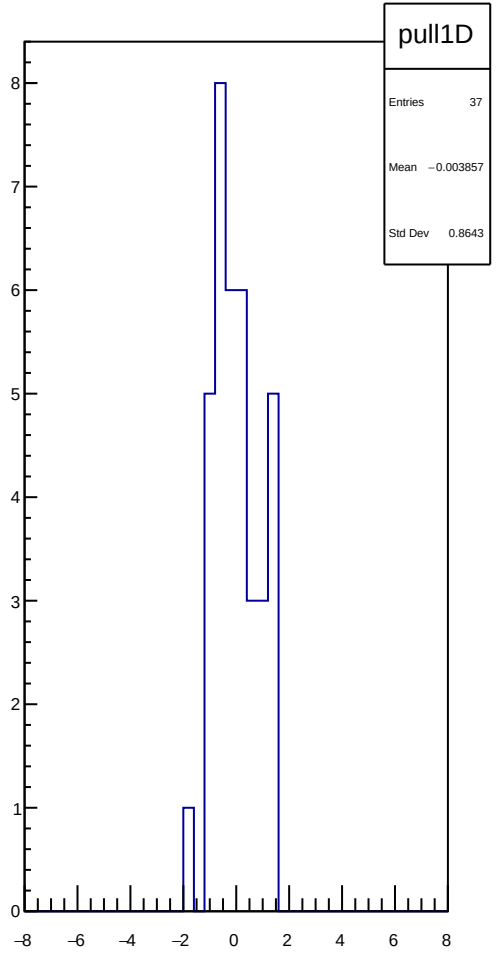
pull1D
Entries 37
Mean −0.003857
Std Dev 0.8643

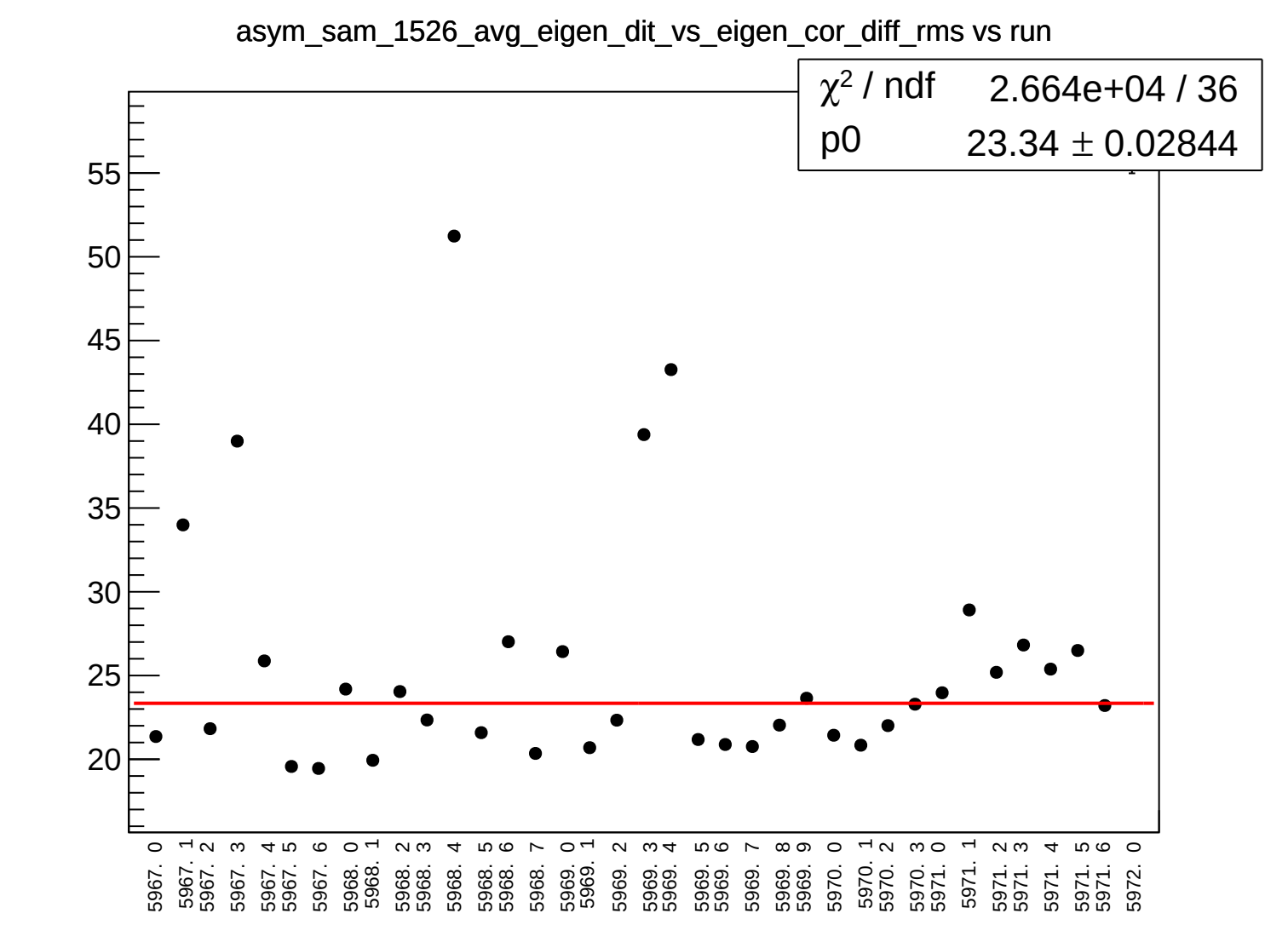
asym_sam_1526_avg_eigen_dit_vs_eigen_cor_diff_rms vs run
χ² / ndf 2.664e+04 / 36
p0 23.34 ± 0.02844
55
50
45
40
35
30
25
20
5967. 0
5967. 1
5967. 2
5967. 3
5967. 4
5967. 5
5967. 6
5968. 0
5968. 1
5968. 2
5968. 3
5968. 4
5968. 5
5968. 6
5968. 7
5969. 0
5969. 1
5969. 2
5969. 3
5969. 4
5969. 5
5969. 6
5969. 7
5969. 8
5969. 9
5970. 0
5970. 1
5970. 2
5970. 3
5971. 0
5971. 1
5971. 2
5971. 3
5971. 4
5971. 5
5971. 6
5972. 0

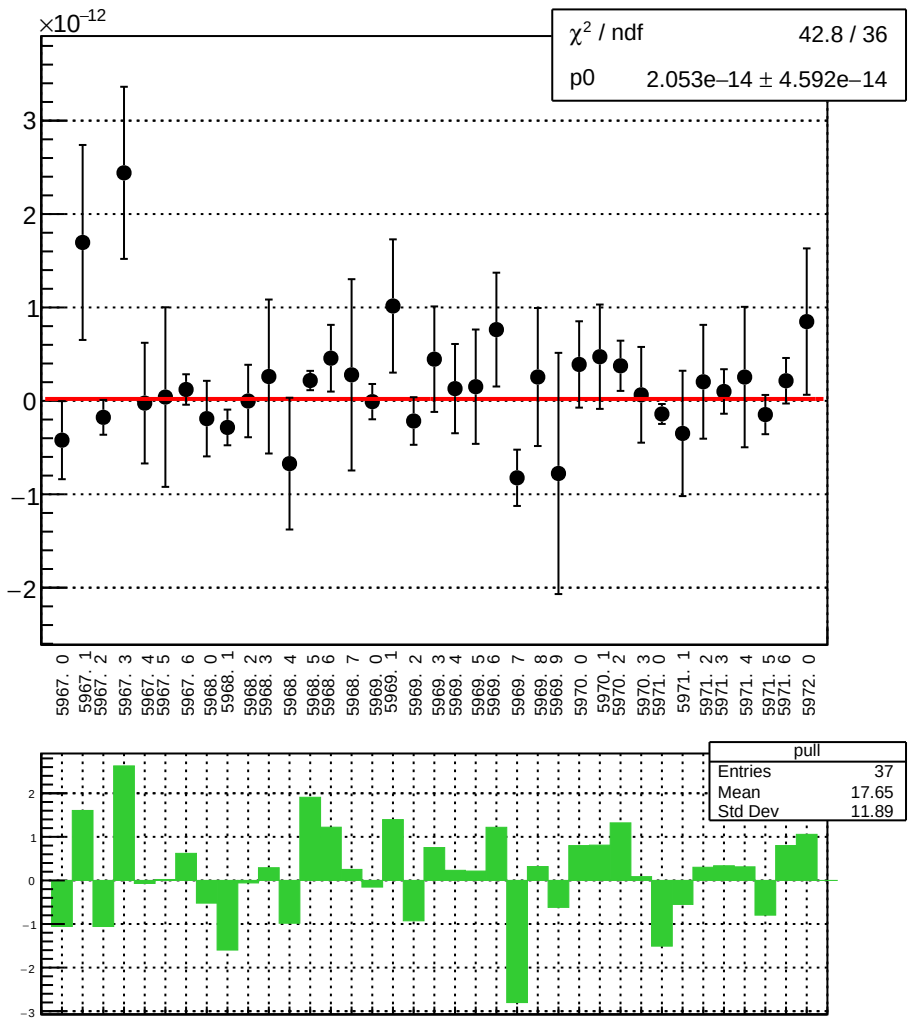
asym_sam_1526_avg_eigen_cor_vs_cor_diff_mean vs run
×10⁻¹²
χ² / ndf 42.8 / 36
p0 2.053e−14 ± 4.592e−14
pull
Entries 37
Mean 17.65
Std Dev 11.89

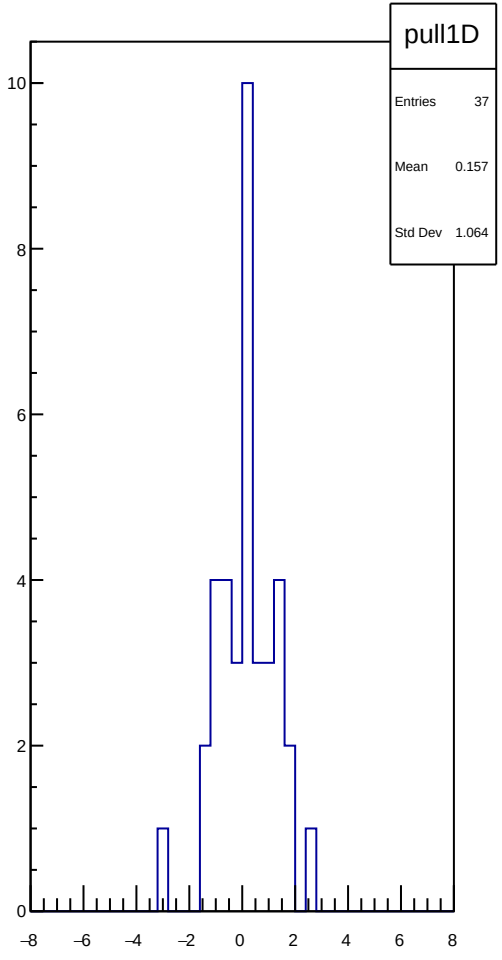
pull1D
Entries 37
Mean 0.157
Std Dev 1.064

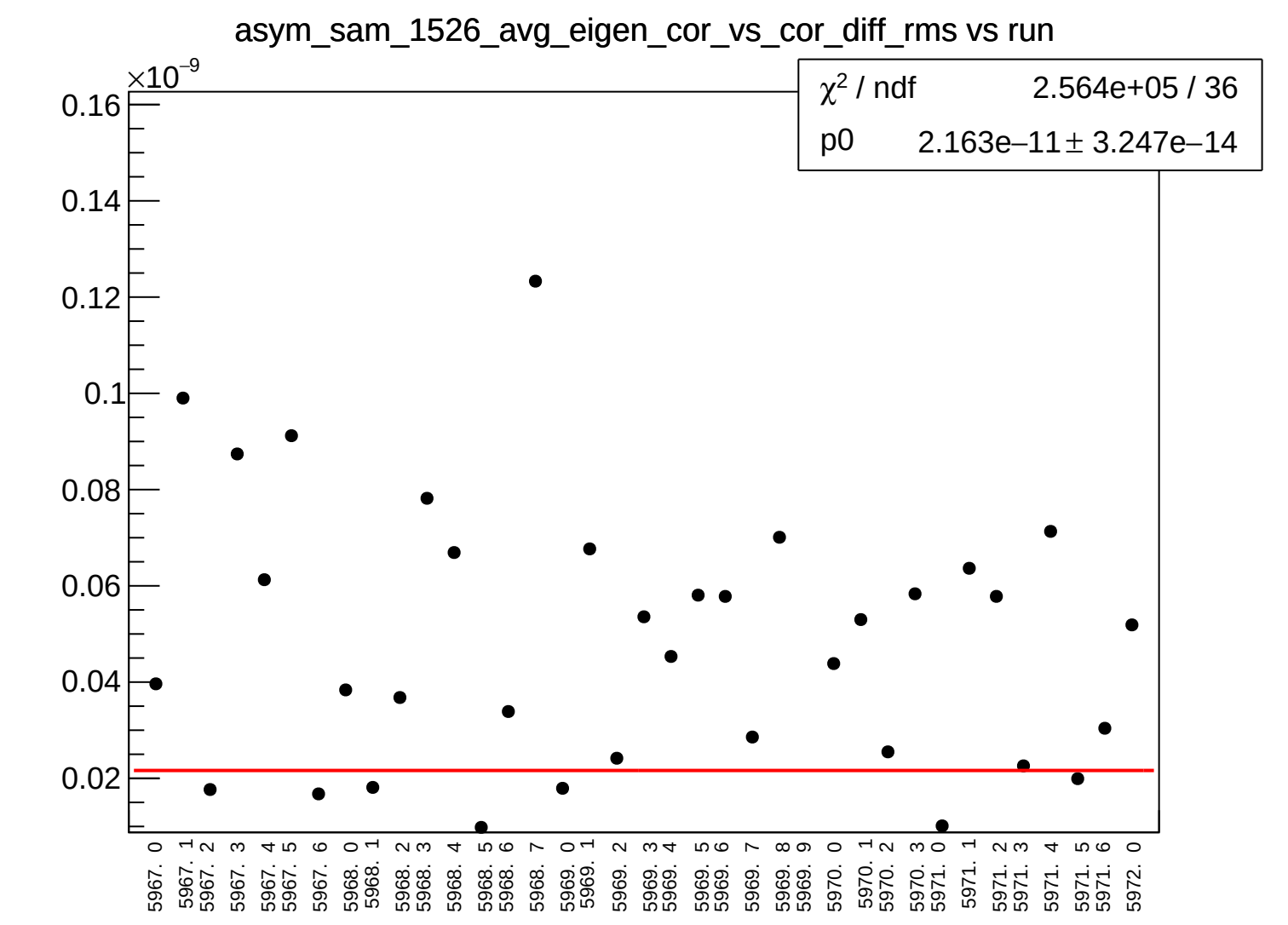
asym_sam_1526_avg_eigen_cor_vs_cor_diff_rms vs run
×10⁻⁹
χ² / ndf 2.564e+05 / 36
p0 2.163e−11 ± 3.247e−14
0.16
0.14
0.12
0.1
0.08
0.06
0.04
0.02
5967. 0
5967. 1
5967. 2
5967. 3
5967. 4
5967. 5
5967. 6
5968. 0
5968. 1
5968. 2
5968. 3
5968. 4
5968. 5
5968. 6
5968. 7
5969. 0
5969. 1
5969. 2
5969. 3
5969. 4
5969. 5
5969. 6
5969. 7
5969. 8
5969. 9
5970. 0
5970. 1
5970. 2
5970. 3
5971. 0
5971. 1
5971. 2
5971. 3
5971. 4
5971. 5
5971. 6
5972. 0

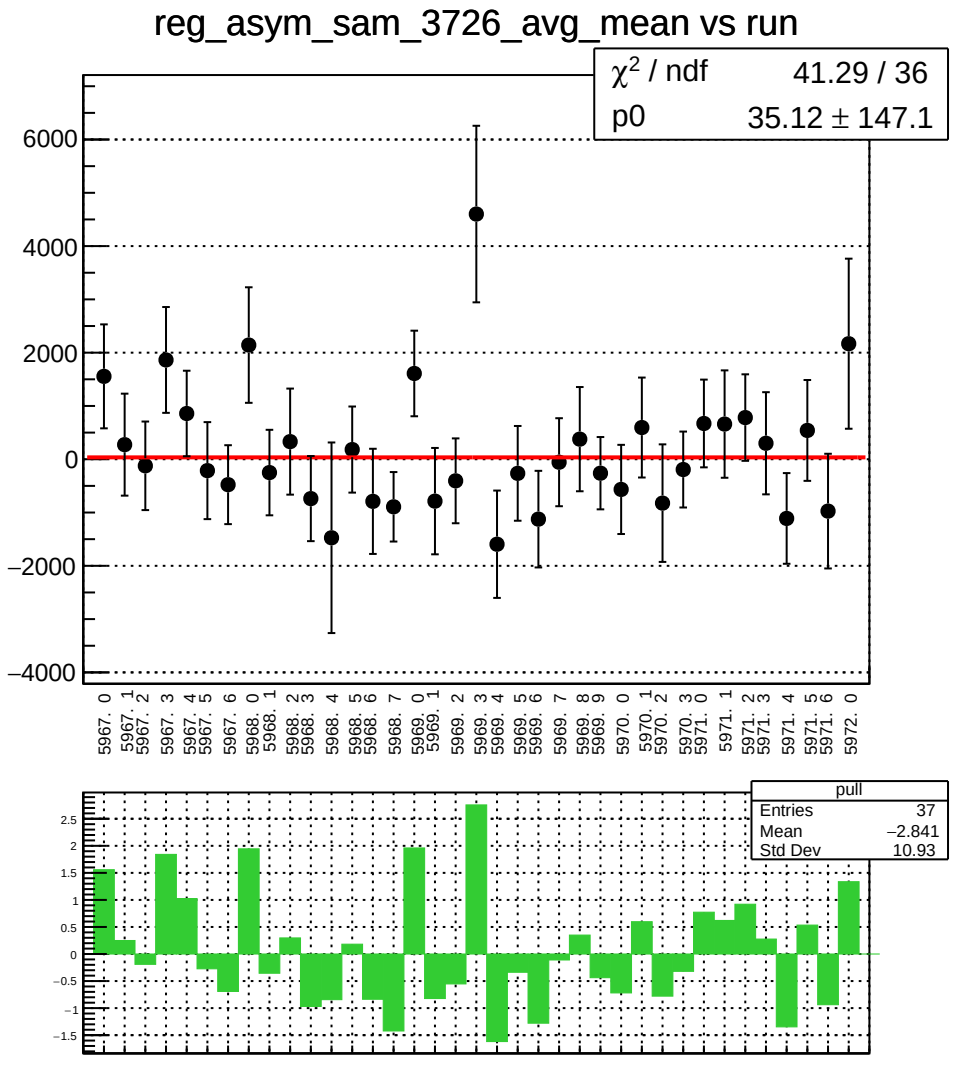
reg_asym_sam_3726_avg_mean vs run
χ² / ndf 41.29 / 36
p0 35.12 ± 147.1
6000
4000
2000
0
−2000
−4000
5967. 0
5967. 1
5967. 2
5967. 3
5967. 4
5967. 5
5967. 6
5968. 0
5968. 1
5968. 2
5968. 3
5968. 4
5968. 5
5968. 6
5968. 7
5969. 0
5969. 1
5969. 2
5969. 3
5969. 4
5969. 5
5969. 6
5969. 7
5969. 8
5969. 9
5970. 0
5970. 1
5970. 2
5970. 3
5971. 0
5971. 1
5971. 2
5971. 3
5971. 4
5971. 5
5971. 6
5972. 0
pull
Entries 37
Mean −2.841
Std Dev 10.93
2.5
2
1.5
1
0.5
0
−0.5
−1
−1.5

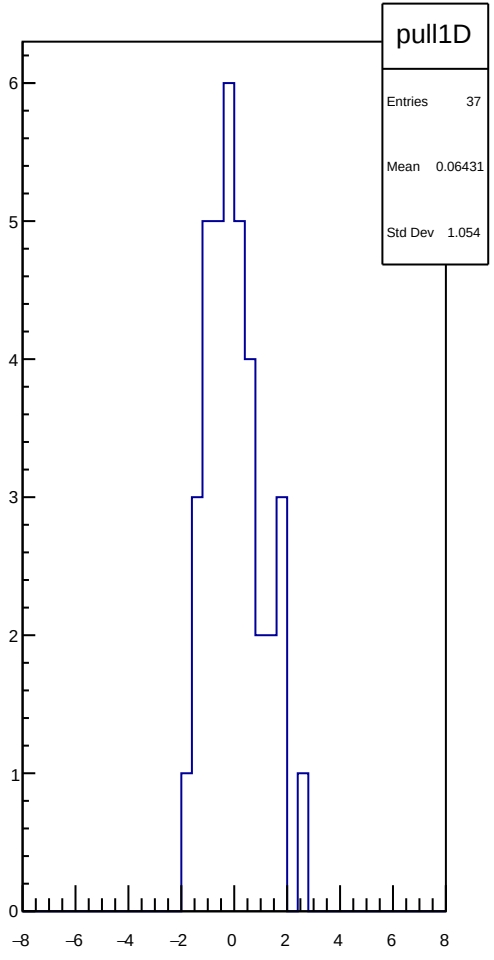
pull1D
Entries 37
Mean 0.06431
Std Dev 1.054
6
5
4
3
2
1
0
−8
−6
−4
−2
0
2
4
6
8

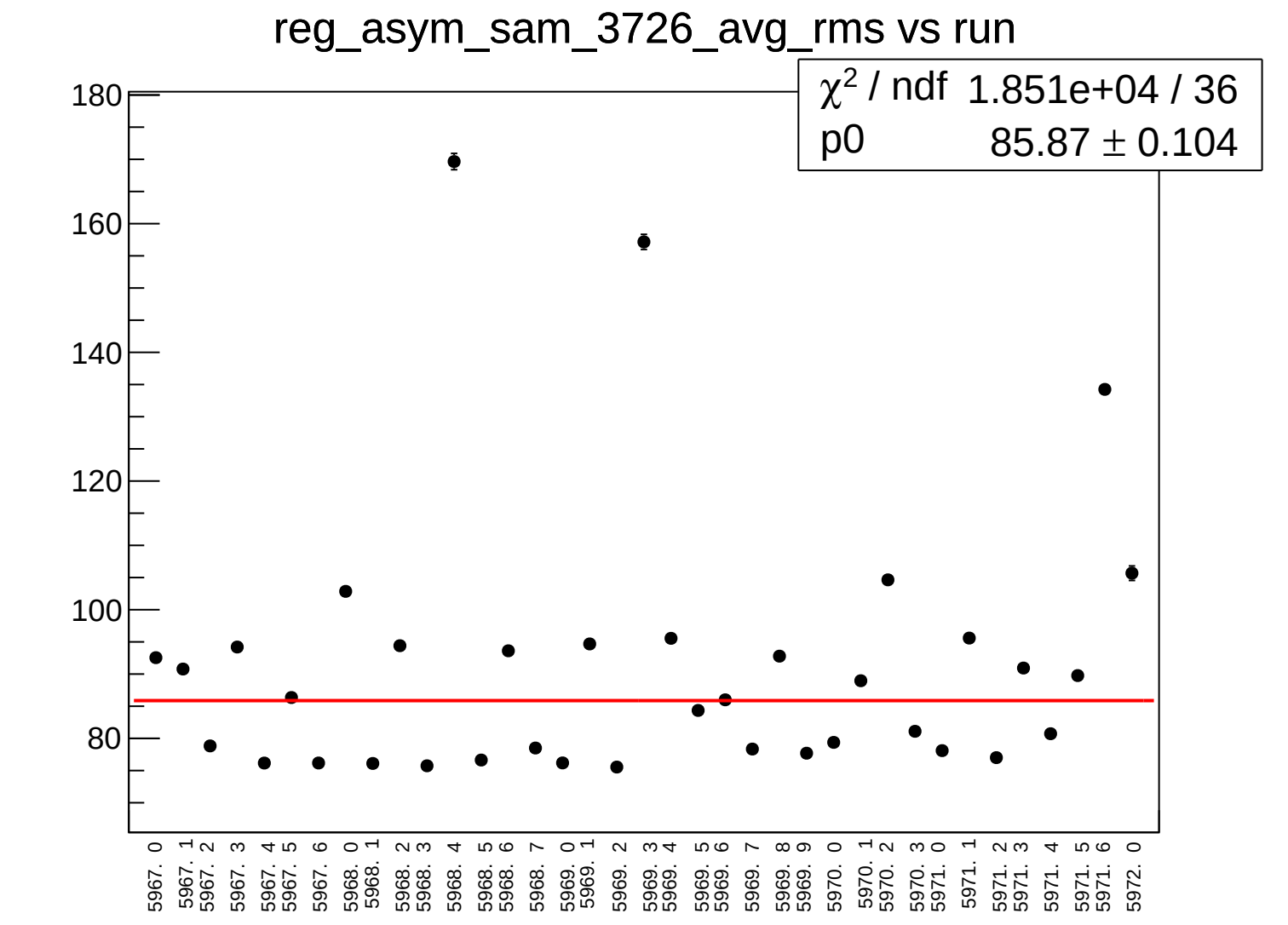
reg_asym_sam_3726_avg_rms vs run
χ² / ndf 1.851e+04 / 36
p0 85.87 ± 0.104
180
160
140
120
100
80
5967. 0
5967. 1
5967. 2
5967. 3
5967. 4
5967. 5
5967. 6
5968. 0
5968. 1
5968. 2
5968. 3
5968. 4
5968. 5
5968. 6
5968. 7
5969. 0
5969. 1
5969. 2
5969. 3
5969. 4
5969. 5
5969. 6
5969. 7
5969. 8
5969. 9
5970. 0
5970. 1
5970. 2
5970. 3
5971. 0
5971. 1
5971. 2
5971. 3
5971. 4
5971. 5
5971. 6
5972. 0

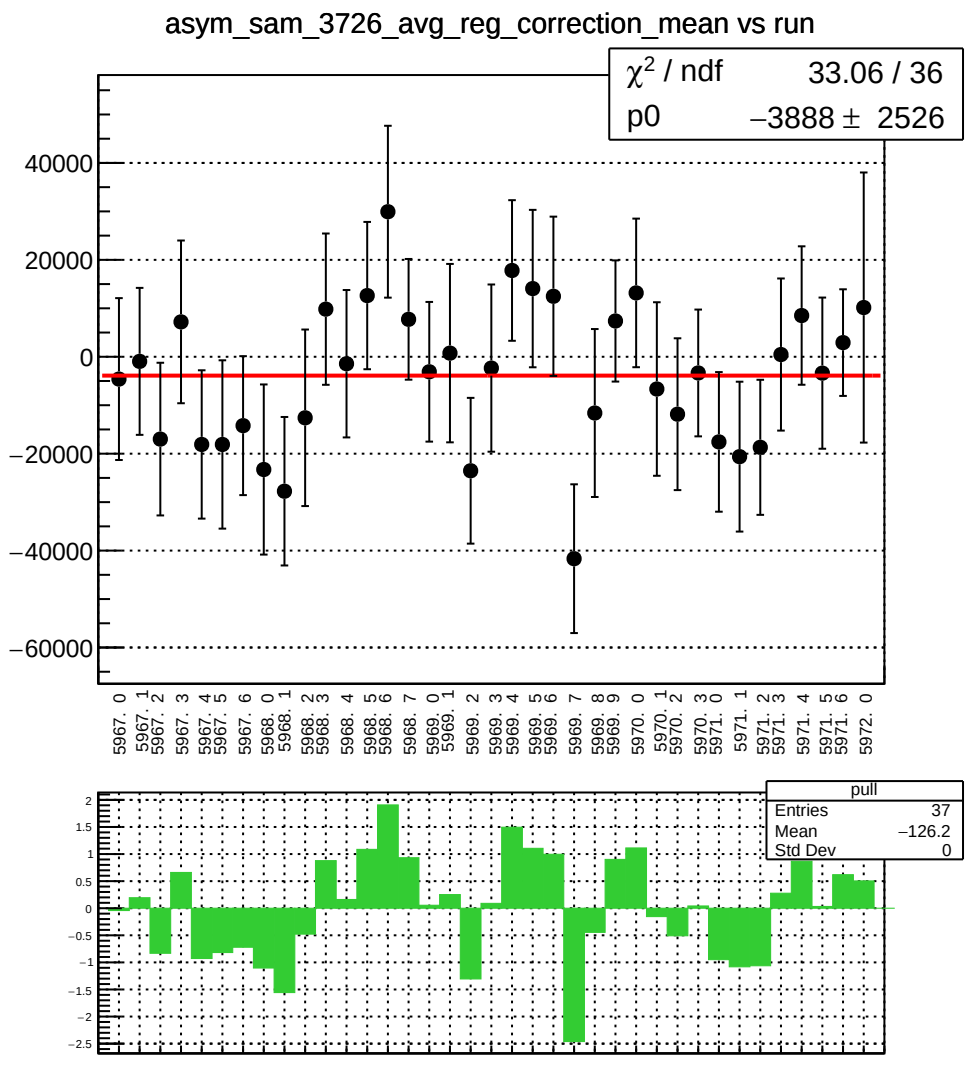
asym_sam_3726_avg_reg_correction_mean vs run
χ² / ndf 33.06 / 36
p0 −3888 ± 2526
40000
20000
0
−20000
−40000
−60000
5967. 0
5967. 1
5967. 2
5967. 3
5967. 4
5967. 5
5967. 6
5968. 0
5968. 1
5968. 2
5968. 3
5968. 4
5968. 5
5968. 6
5968. 7
5969. 0
5969. 1
5969. 2
5969. 3
5969. 4
5969. 5
5969. 6
5969. 7
5969. 8
5969. 9
5970. 0
5970. 1
5970. 2
5970. 3
5971. 0
5971. 1
5971. 2
5971. 3
5971. 4
5971. 5
5971. 6
5972. 0
pull
Entries 37
Mean −126.2
Std Dev 0
2
1.5
1
0.5
0
−0.5
−1
−1.5
−2
−2.5

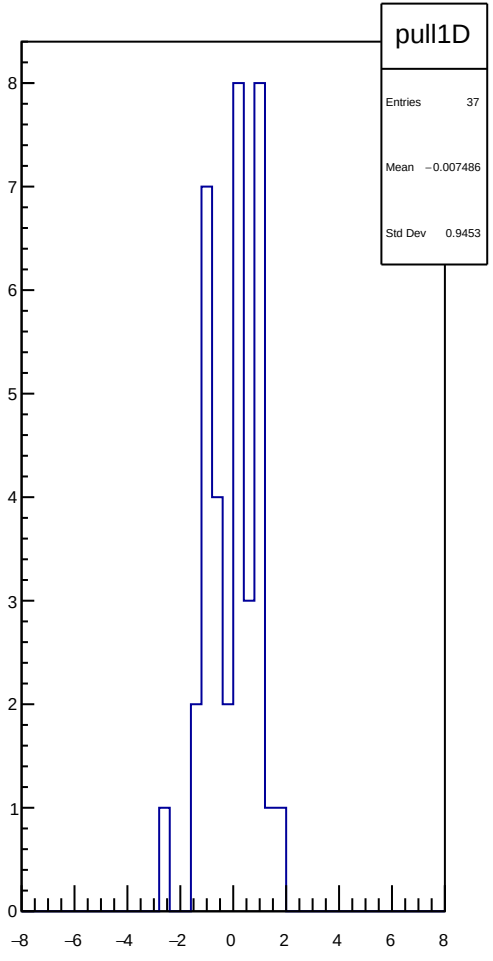
pull1D
Entries 37
Mean −0.007486
Std Dev 0.9453
8
7
6
5
4
3
2
1
0
−8
−6
−4
−2
0
2
4
6
8

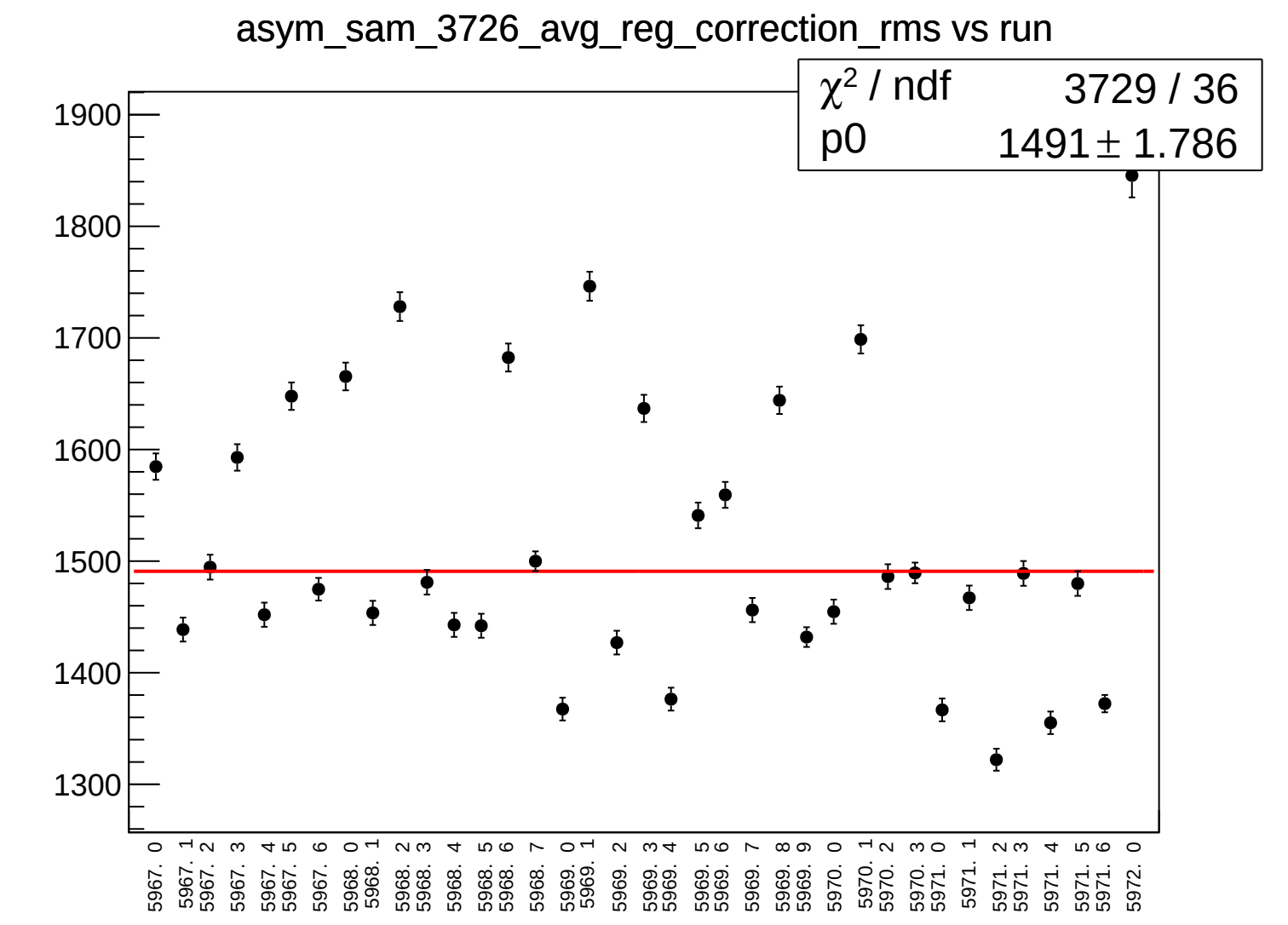
asym_sam_3726_avg_reg_correction_rms vs run
χ² / ndf 3729 / 36
p0 1491 ± 1.786
1900
1800
1700
1600
1500
1400
1300
5967. 0
5967. 1
5967. 2
5967. 3
5967. 4
5967. 5
5967. 6
5968. 0
5968. 1
5968. 2
5968. 3
5968. 4
5968. 5
5968. 6
5968. 7
5969. 0
5969. 1
5969. 2
5969. 3
5969. 4
5969. 5
5969. 6
5969. 7
5969. 8
5969. 9
5970. 0
5970. 1
5970. 2
5970. 3
5971. 0
5971. 1
5971. 2
5971. 3
5971. 4
5971. 5
5971. 6
5972. 0

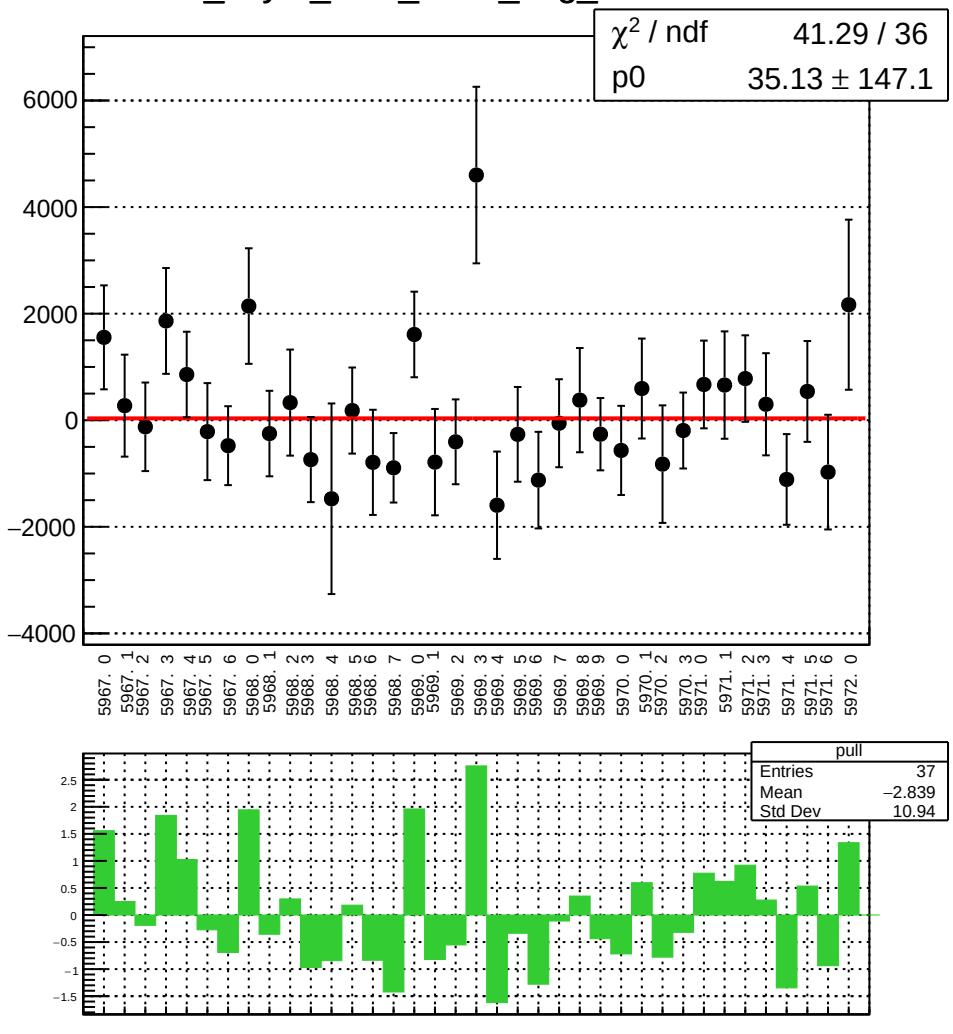
cor_asym_sam_3726_avg_mean vs run
χ² / ndf 41.29 / 36
p0 35.13 ± 147.1
6000
4000
2000
0
−2000
−4000
5967. 0
5967. 1
5967. 2
5967. 3
5967. 4
5967. 5
5967. 6
5968. 0
5968. 1
5968. 2
5968. 3
5968. 4
5968. 5
5968. 6
5968. 7
5969. 0
5969. 1
5969. 2
5969. 3
5969. 4
5969. 5
5969. 6
5969. 7
5969. 8
5969. 9
5970. 0
5970. 1
5970. 2
5970. 3
5971. 0
5971. 1
5971. 2
5971. 3
5971. 4
5971. 5
5971. 6
5972. 0
pull
Entries 37
Mean −2.839
Std Dev 10.94
2.5
2
1.5
1
0.5
0
−0.5
−1
−1.5

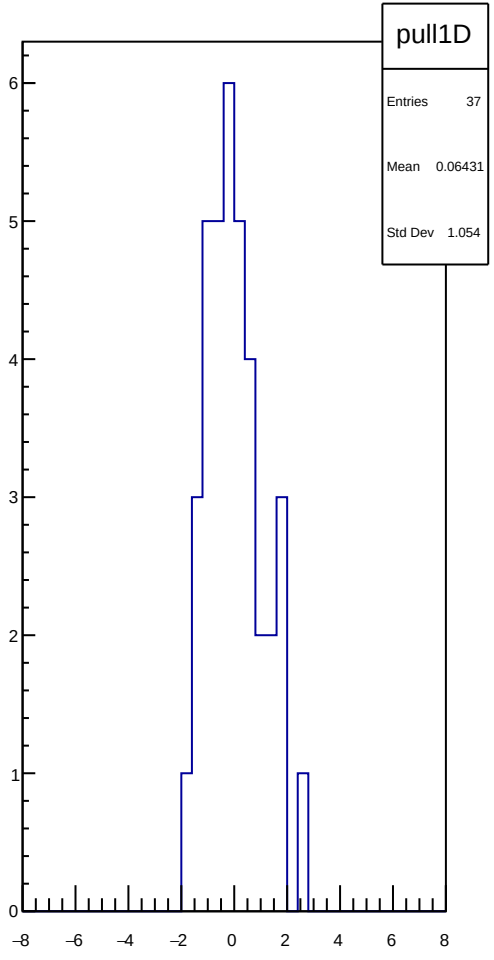
pull1D
Entries 37
Mean 0.06431
Std Dev 1.054
6
5
4
3
2
1
0
−8
−6
−4
−2
0
2
4
6
8

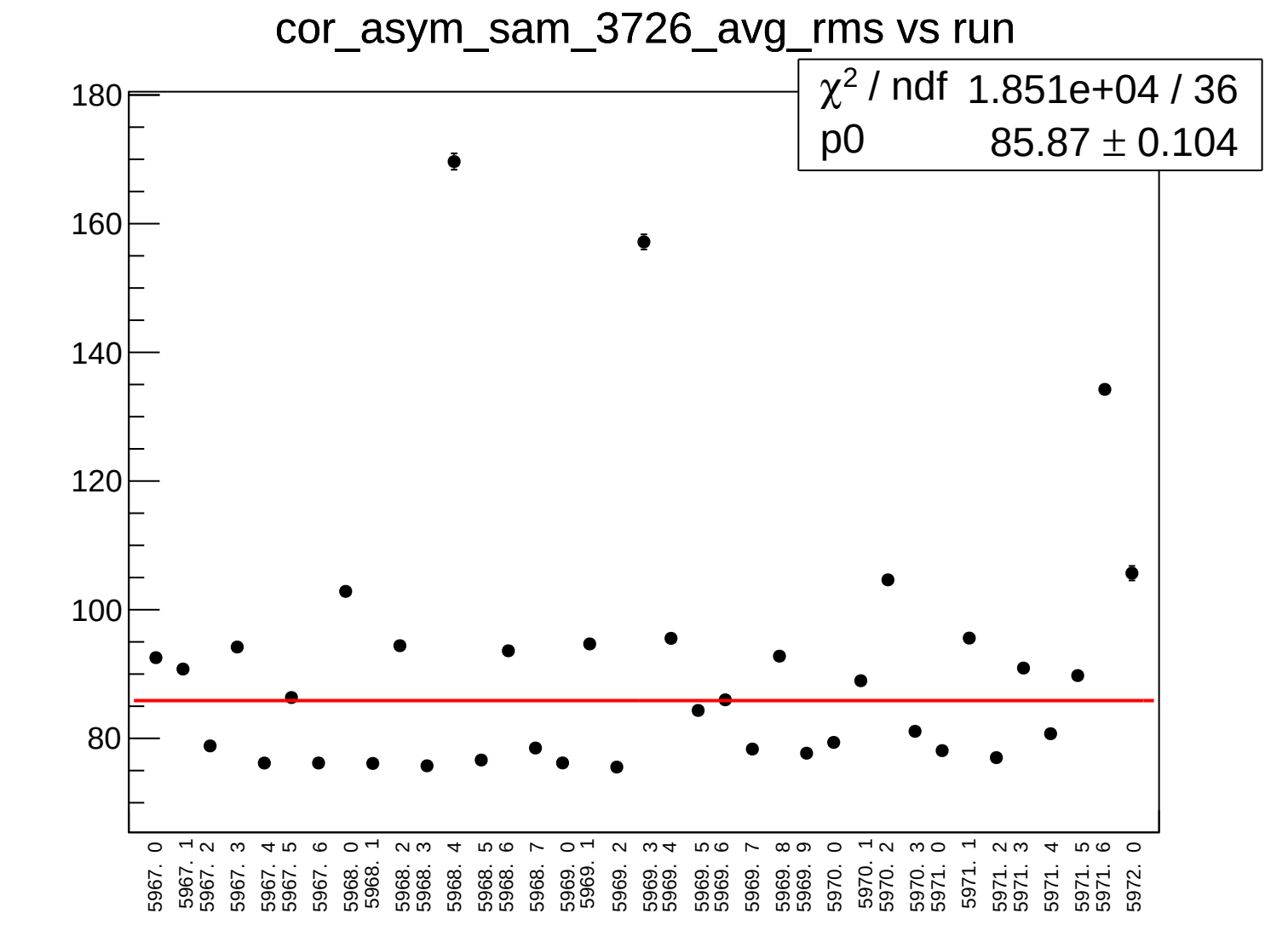
cor_asym_sam_3726_avg_rms vs run
χ² / ndf 1.851e+04 / 36
p0 85.87 ± 0.104
180
160
140
120
100
80
5967. 0
5967. 1
5967. 2
5967. 3
5967. 4
5967. 5
5967. 6
5968. 0
5968. 1
5968. 2
5968. 3
5968. 4
5968. 5
5968. 6
5968. 7
5969. 0
5969. 1
5969. 2
5969. 3
5969. 4
5969. 5
5969. 6
5969. 7
5969. 8
5969. 9
5970. 0
5970. 1
5970. 2
5970. 3
5971. 0
5971. 1
5971. 2
5971. 3
5971. 4
5971. 5
5971. 6
5972. 0

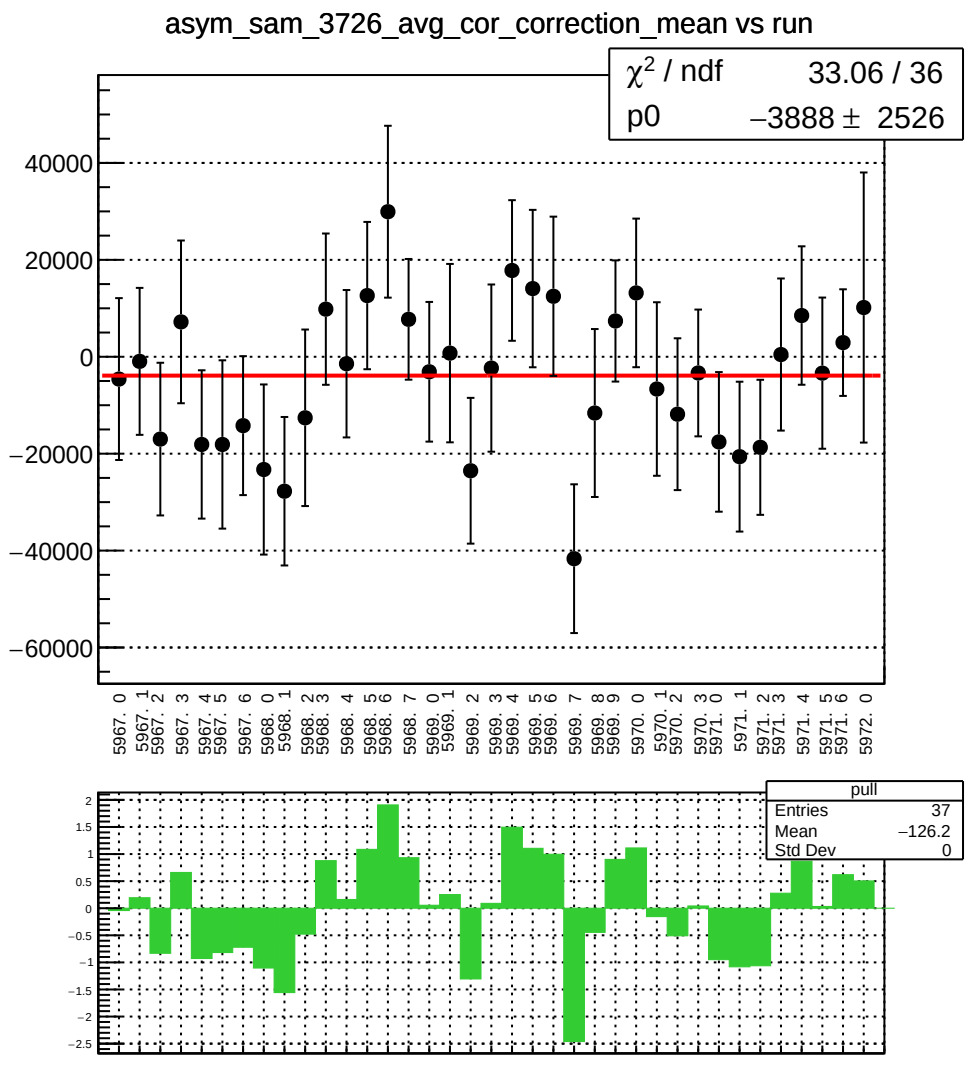
asym_sam_3726_avg_cor_correction_mean vs run
χ² / ndf 33.06 / 36
p0 −3888 ± 2526
40000
20000
0
−20000
−40000
−60000
5967. 0
5967. 1
5967. 2
5967. 3
5967. 4
5967. 5
5967. 6
5968. 0
5968. 1
5968. 2
5968. 3
5968. 4
5968. 5
5968. 6
5968. 7
5969. 0
5969. 1
5969. 2
5969. 3
5969. 4
5969. 5
5969. 6
5969. 7
5969. 8
5969. 9
5970. 0
5970. 1
5970. 2
5970. 3
5971. 0
5971. 1
5971. 2
5971. 3
5971. 4
5971. 5
5971. 6
5972. 0
pull
Entries 37
Mean −126.2
Std Dev 0
2
1.5
1
0.5
0
−0.5
−1
−1.5
−2
−2.5

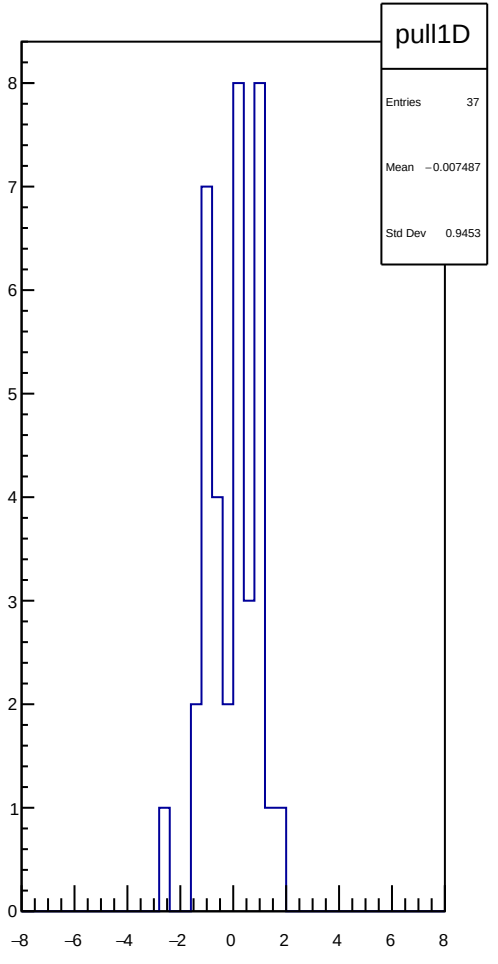
pull1D
Entries 37
Mean −0.007487
Std Dev 0.9453
8
7
6
5
4
3
2
1
0
−8
−6
−4
−2
0
2
4
6
8

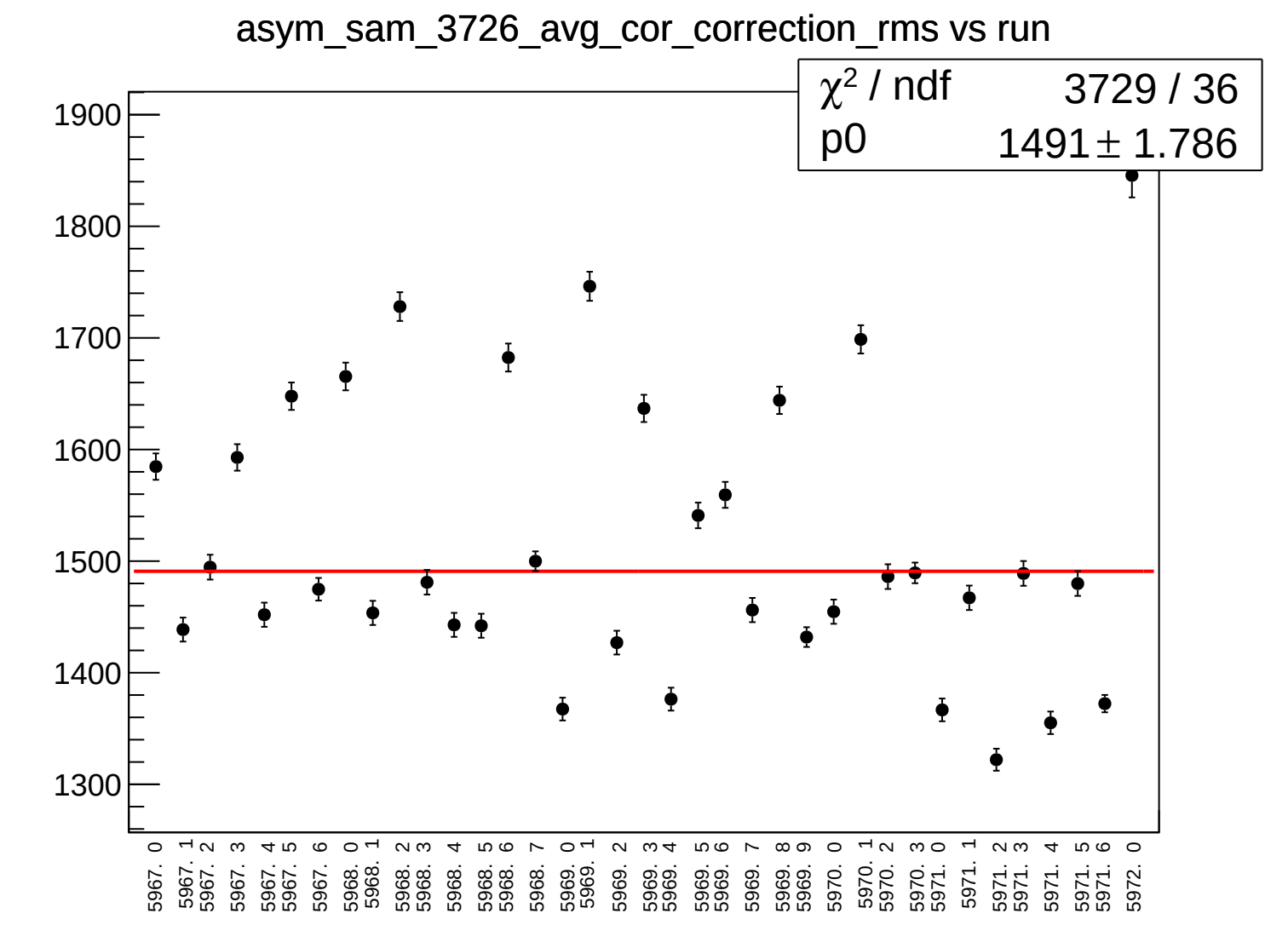
asym_sam_3726_avg_cor_correction_rms vs run
χ² / ndf 3729 / 36
p0 1491 ± 1.786
1900
1800
1700
1600
1500
1400
1300
5967. 0
5967. 1
5967. 2
5967. 3
5967. 4
5967. 5
5967. 6
5968. 0
5968. 1
5968. 2
5968. 3
5968. 4
5968. 5
5968. 6
5968. 7
5969. 0
5969. 1
5969. 2
5969. 3
5969. 4
5969. 5
5969. 6
5969. 7
5969. 8
5969. 9
5970. 0
5970. 1
5970. 2
5970. 3
5971. 0
5971. 1
5971. 2
5971. 3
5971. 4
5971. 5
5971. 6
5972. 0

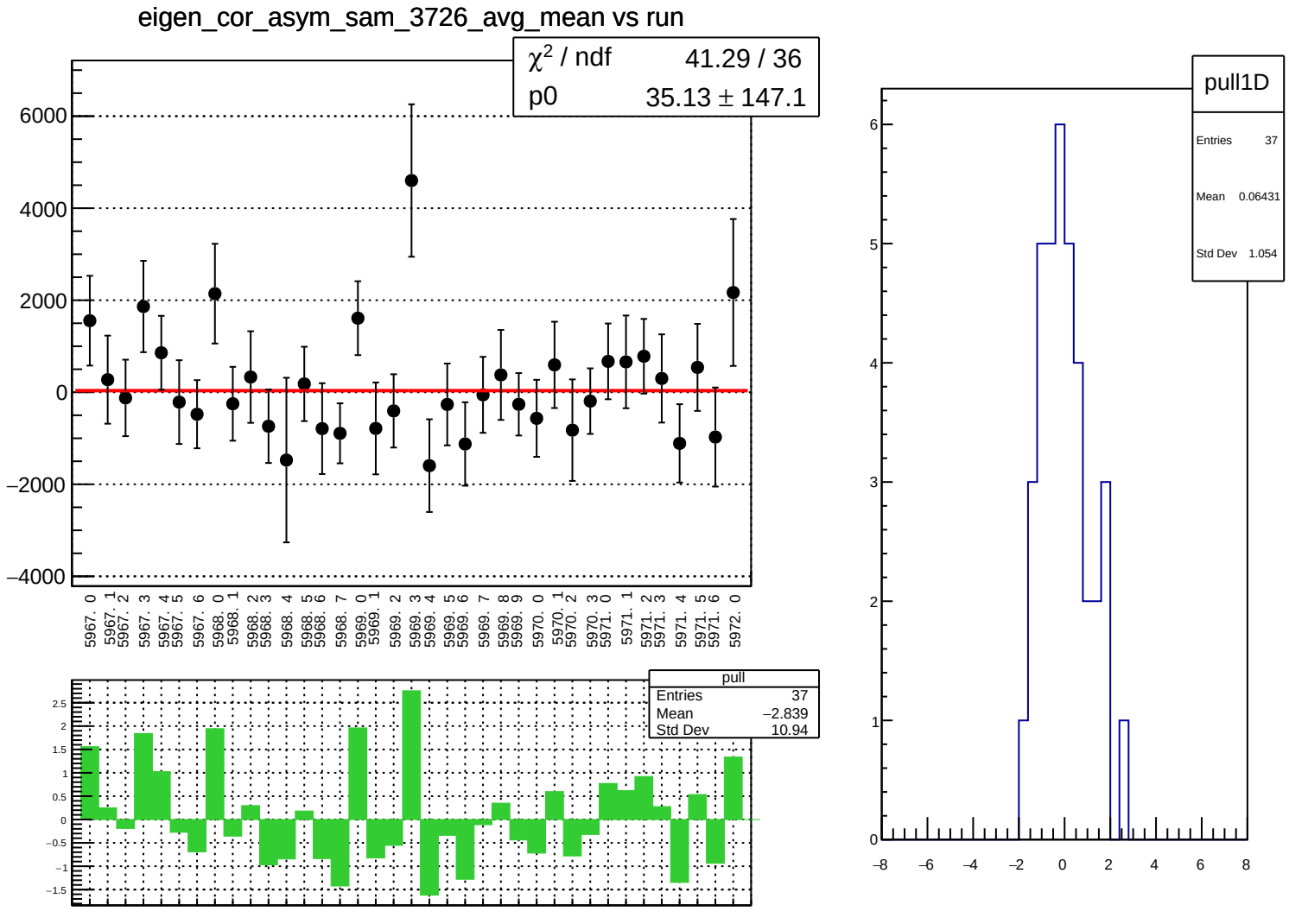
eigen_cor_asym_sam_3726_avg_mean vs run
χ² / ndf 41.29 / 36
p0 35.13 ± 147.1
6000
4000
2000
0
−2000
−4000
5967. 0
5967. 1
5967. 2
5967. 3
5967. 4
5967. 5
5967. 6
5968. 0
5968. 1
5968. 2
5968. 3
5968. 4
5968. 5
5968. 6
5968. 7
5969. 0
5969. 1
5969. 2
5969. 3
5969. 4
5969. 5
5969. 6
5969. 7
5969. 8
5969. 9
5970. 0
5970. 1
5970. 2
5970. 3
5971. 0
5971. 1
5971. 2
5971. 3
5971. 4
5971. 5
5971. 6
5972. 0
pull
Entries 37
Mean −2.839
Std Dev 10.94
2.5
2
1.5
1
0.5
0
−0.5
−1
−1.5
pull1D
Entries 37
Mean 0.06431
Std Dev 1.054
6
5
4
3
2
1
0
−8
−6
−4
−2
0
2
4
6
8

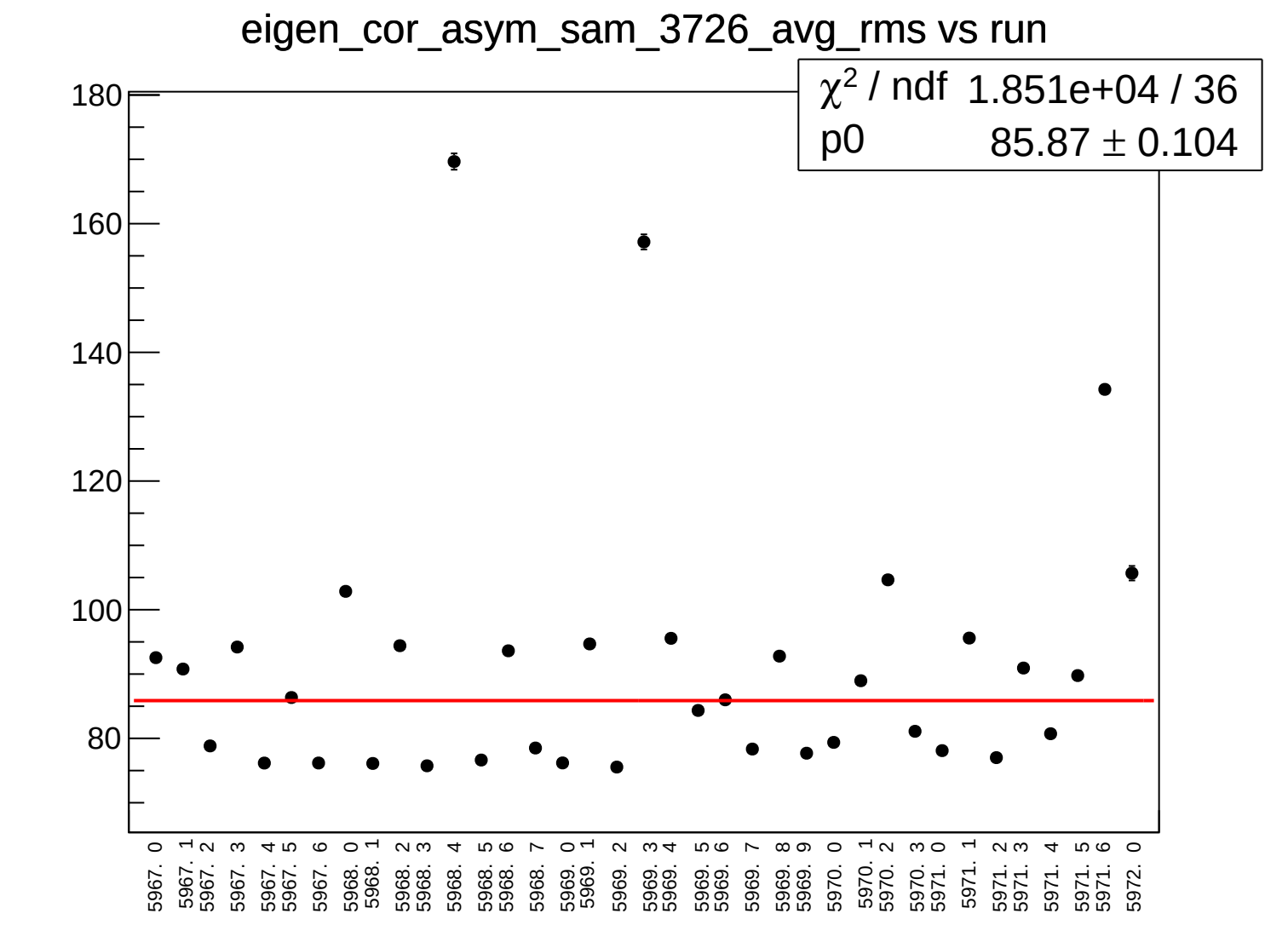
eigen_cor_asym_sam_3726_avg_rms vs run
χ² / ndf 1.851e+04 / 36
p0 85.87 ± 0.104
180
160
140
120
100
80
5967. 0
5967. 1
5967. 2
5967. 3
5967. 4
5967. 5
5967. 6
5968. 0
5968. 1
5968. 2
5968. 3
5968. 4
5968. 5
5968. 6
5968. 7
5969. 0
5969. 1
5969. 2
5969. 3
5969. 4
5969. 5
5969. 6
5969. 7
5969. 8
5969. 9
5970. 0
5970. 1
5970. 2
5970. 3
5971. 0
5971. 1
5971. 2
5971. 3
5971. 4
5971. 5
5971. 6
5972. 0

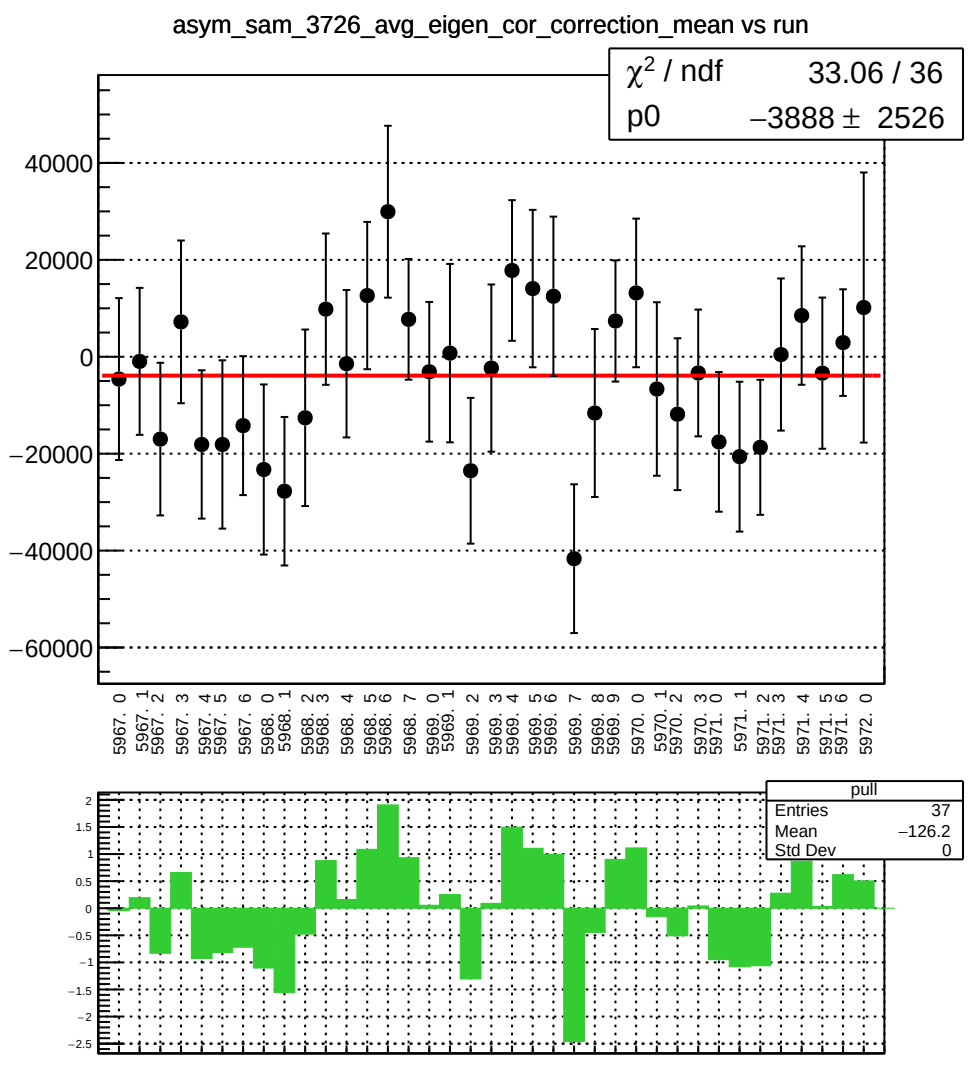
asym_sam_3726_avg_eigen_cor_correction_mean vs run
χ² / ndf 33.06 / 36
p0 −3888 ± 2526
40000
20000
0
−20000
−40000
−60000
5967. 0
5967. 1
5967. 2
5967. 3
5967. 4
5967. 5
5967. 6
5968. 0
5968. 1
5968. 2
5968. 3
5968. 4
5968. 5
5968. 6
5968. 7
5969. 0
5969. 1
5969. 2
5969. 3
5969. 4
5969. 5
5969. 6
5969. 7
5969. 8
5969. 9
5970. 0
5970. 1
5970. 2
5970. 3
5971. 0
5971. 1
5971. 2
5971. 3
5971. 4
5971. 5
5971. 6
5972. 0
pull
Entries 37
Mean −126.2
Std Dev 0
2
1.5
1
0.5
0
−0.5
−1
−1.5
−2
−2.5

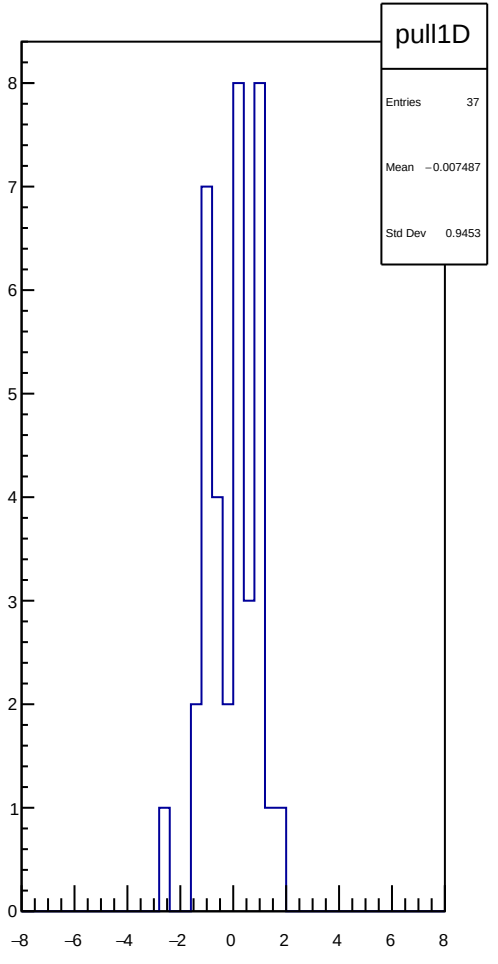
pull1D
Entries 37
Mean −0.007487
Std Dev 0.9453
8
7
6
5
4
3
2
1
0
−8
−6
−4
−2
0
2
4
6
8

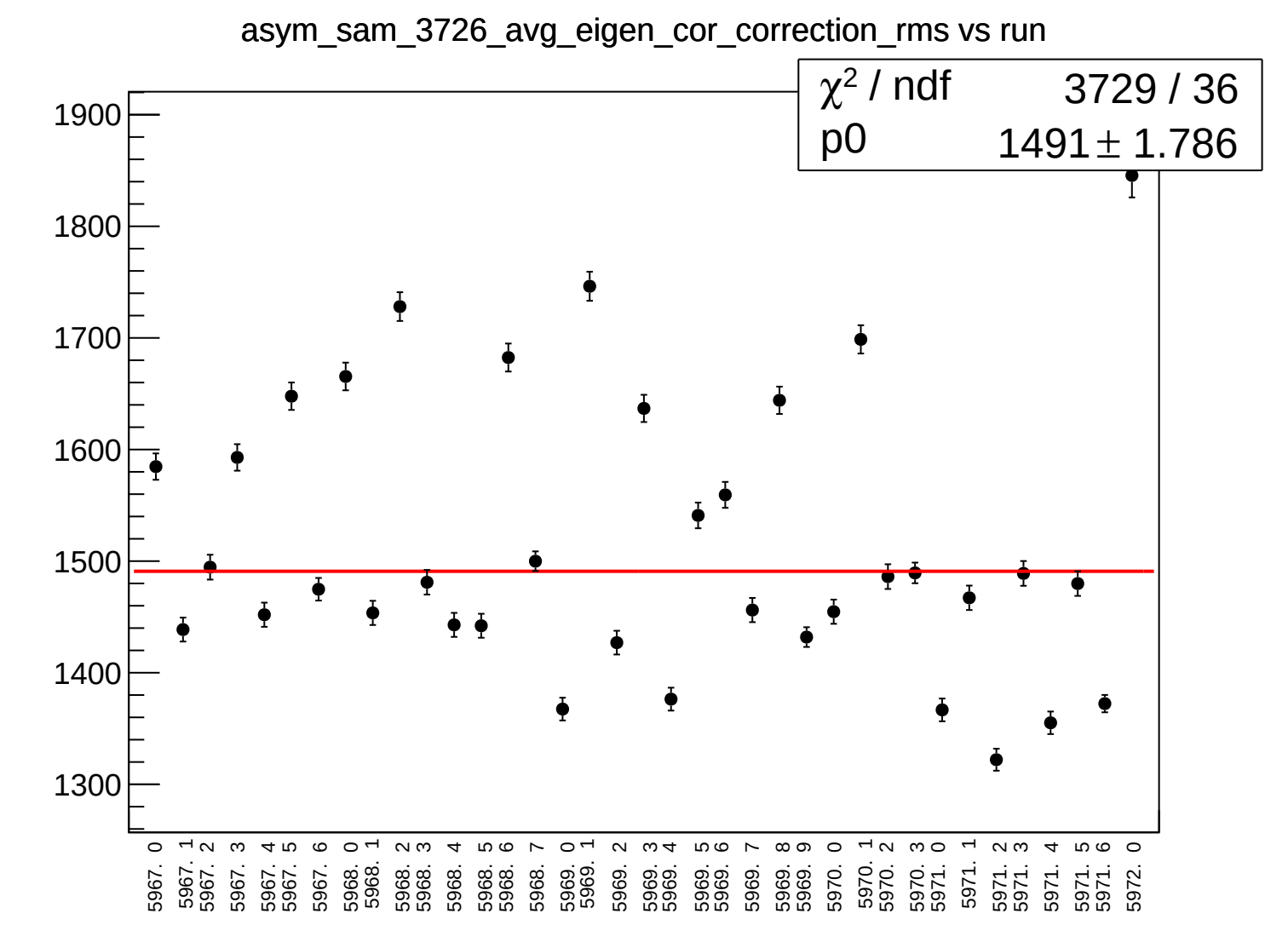
asym_sam_3726_avg_eigen_cor_correction_rms vs run
χ² / ndf 3729 / 36
p0 1491 ± 1.786
1900
1800
1700
1600
1500
1400
1300
5967. 0
5967. 1
5967. 2
5967. 3
5967. 4
5967. 5
5967. 6
5968. 0
5968. 1
5968. 2
5968. 3
5968. 4
5968. 5
5968. 6
5968. 7
5969. 0
5969. 1
5969. 2
5969. 3
5969. 4
5969. 5
5969. 6
5969. 7
5969. 8
5969. 9
5970. 0
5970. 1
5970. 2
5970. 3
5971. 0
5971. 1
5971. 2
5971. 3
5971. 4
5971. 5
5971. 6
5972. 0

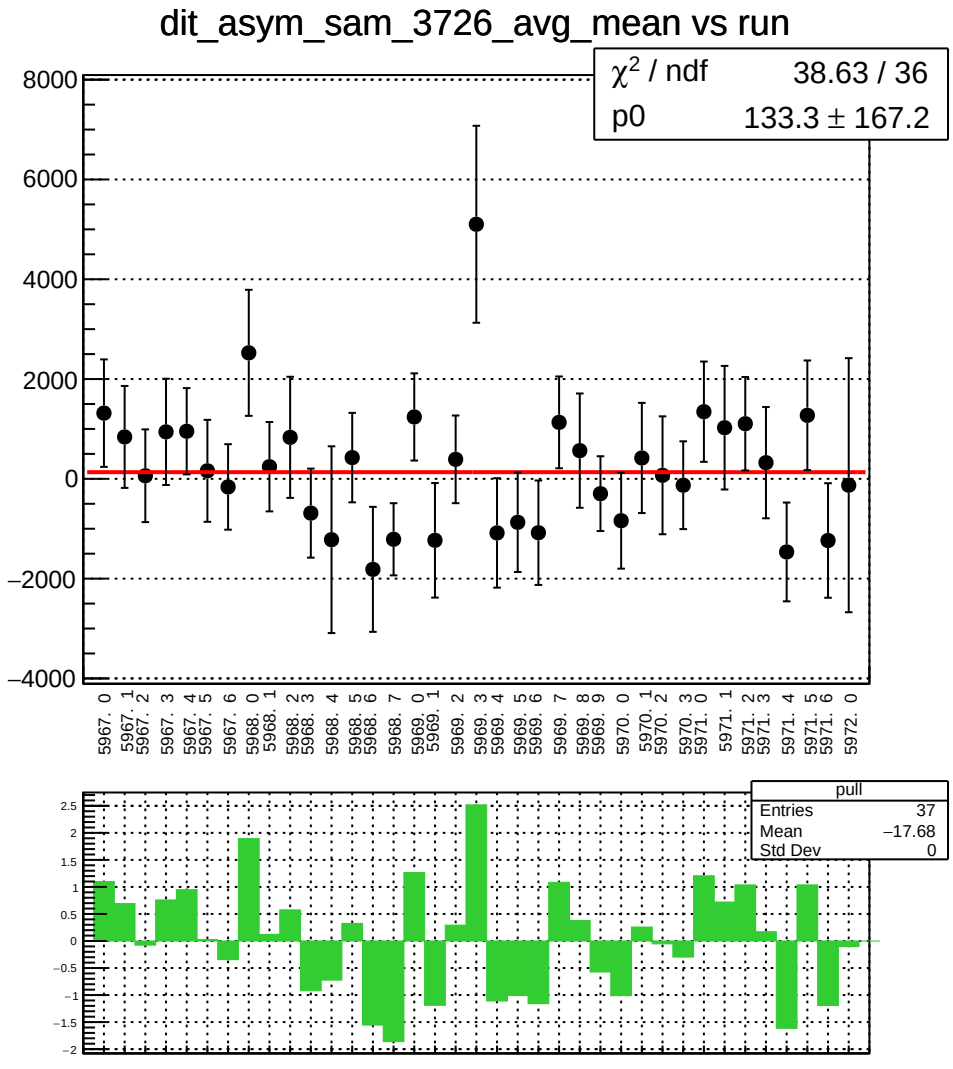
dit_asym_sam_3726_avg_mean vs run
χ² / ndf 38.63 / 36
p0 133.3 ± 167.2
8000
6000
4000
2000
0
−2000
−4000
5967. 0
5967. 1
5967. 2
5967. 3
5967. 4
5967. 5
5967. 6
5968. 0
5968. 1
5968. 2
5968. 3
5968. 4
5968. 5
5968. 6
5968. 7
5969. 0
5969. 1
5969. 2
5969. 3
5969. 4
5969. 5
5969. 6
5969. 7
5969. 8
5969. 9
5970. 0
5970. 1
5970. 2
5970. 3
5971. 0
5971. 1
5971. 2
5971. 3
5971. 4
5971. 5
5971. 6
5972. 0
pull
Entries 37
Mean −17.68
Std Dev 0
2.5
2
1.5
1
0.5
0
−0.5
−1
−1.5
−2

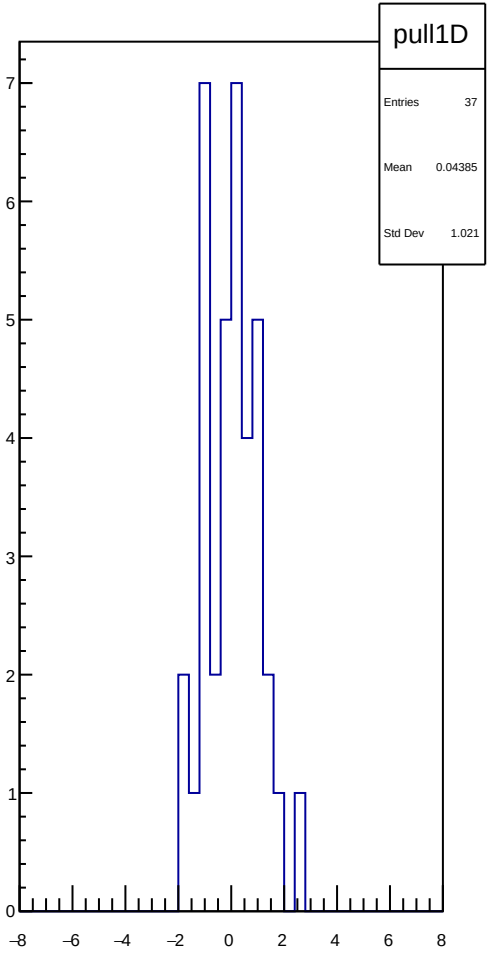
pull1D
Entries 37
Mean 0.04385
Std Dev 1.021
7
6
5
4
3
2
1
0
−8
−6
−4
−2
0
2
4
6
8

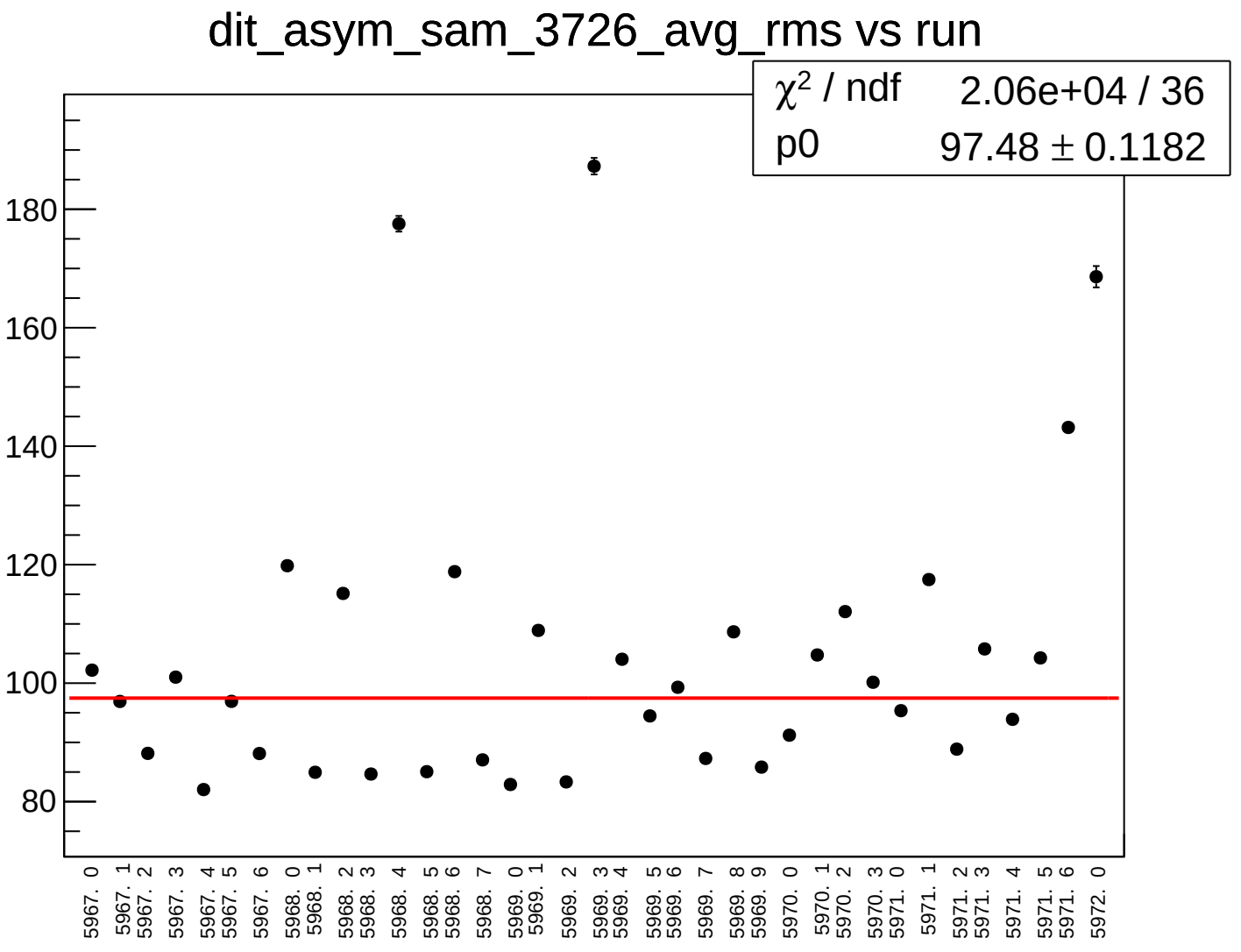
dit_asym_sam_3726_avg_rms vs run
χ² / ndf 2.06e+04 / 36
p0 97.48 ± 0.1182
180
160
140
120
100
80
5967. 0
5967. 1
5967. 2
5967. 3
5967. 4
5967. 5
5967. 6
5968. 0
5968. 1
5968. 2
5968. 3
5968. 4
5968. 5
5968. 6
5968. 7
5969. 0
5969. 1
5969. 2
5969. 3
5969. 4
5969. 5
5969. 6
5969. 7
5969. 8
5969. 9
5970. 0
5970. 1
5970. 2
5970. 3
5971. 0
5971. 1
5971. 2
5971. 3
5971. 4
5971. 5
5971. 6
5972. 0

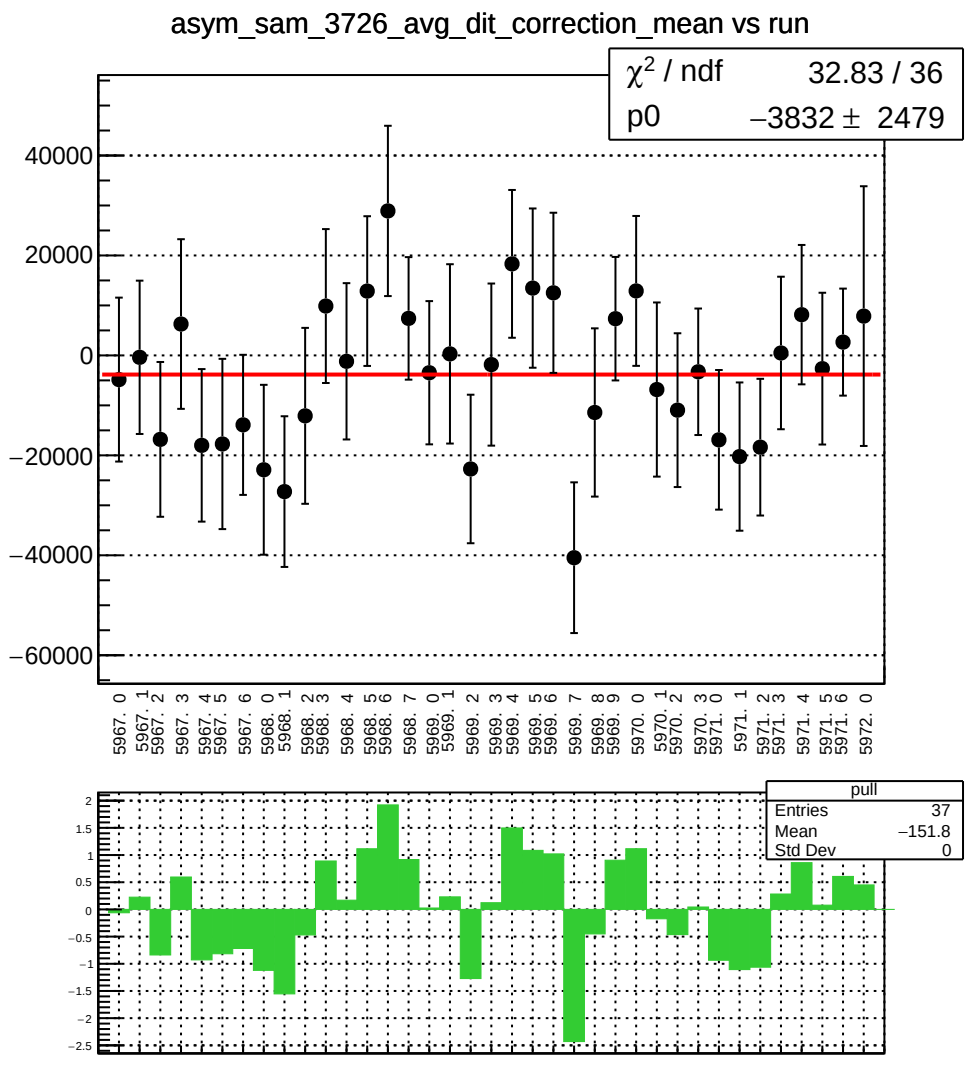
asym_sam_3726_avg_dit_correction_mean vs run
χ² / ndf 32.83 / 36
p0 −3832 ± 2479
40000
20000
0
−20000
−40000
−60000
5967. 0
5967. 1
5967. 2
5967. 3
5967. 4
5967. 5
5967. 6
5968. 0
5968. 1
5968. 2
5968. 3
5968. 4
5968. 5
5968. 6
5968. 7
5969. 0
5969. 1
5969. 2
5969. 3
5969. 4
5969. 5
5969. 6
5969. 7
5969. 8
5969. 9
5970. 0
5970. 1
5970. 2
5970. 3
5971. 0
5971. 1
5971. 2
5971. 3
5971. 4
5971. 5
5971. 6
5972. 0
pull
Entries 37
Mean −151.8
Std Dev 0
2
1.5
1
0.5
0
−0.5
−1
−1.5
−2
−2.5
pull1D
Entries 37
Mean −0.006433
Std Dev 0.942
8
7
6
5
4
3
2
1
0
−8
−6
−4
−2
0
2
4
6
8

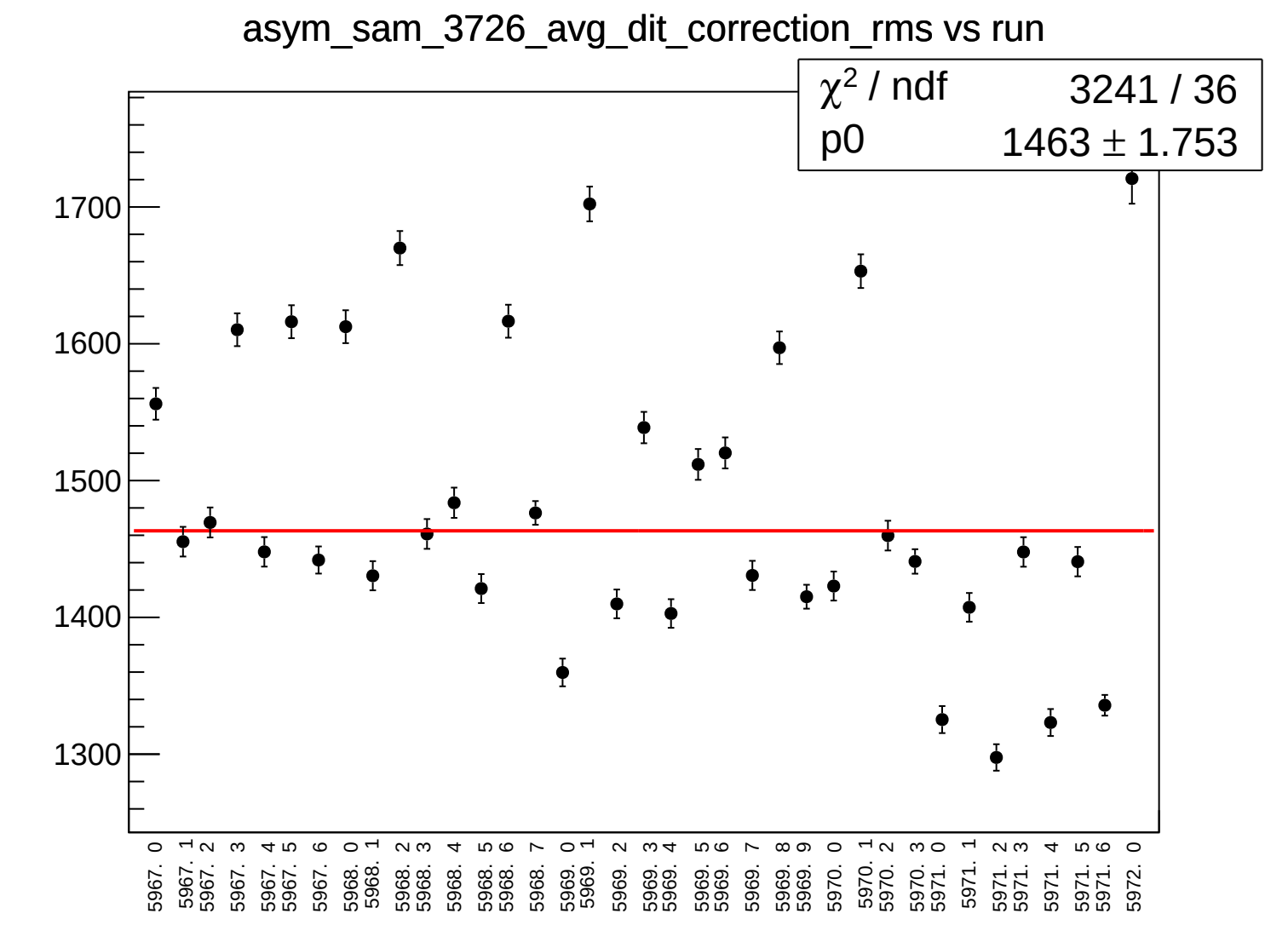
asym_sam_3726_avg_dit_correction_rms vs run
χ² / ndf 3241 / 36
p0 1463 ± 1.753
1700
1600
1500
1400
1300
5967. 0
5967. 1
5967. 2
5967. 3
5967. 4
5967. 5
5967. 6
5968. 0
5968. 1
5968. 2
5968. 3
5968. 4
5968. 5
5968. 6
5968. 7
5969. 0
5969. 1
5969. 2
5969. 3
5969. 4
5969. 5
5969. 6
5969. 7
5969. 8
5969. 9
5970. 0
5970. 1
5970. 2
5970. 3
5971. 0
5971. 1
5971. 2
5971. 3
5971. 4
5971. 5
5971. 6
5972. 0

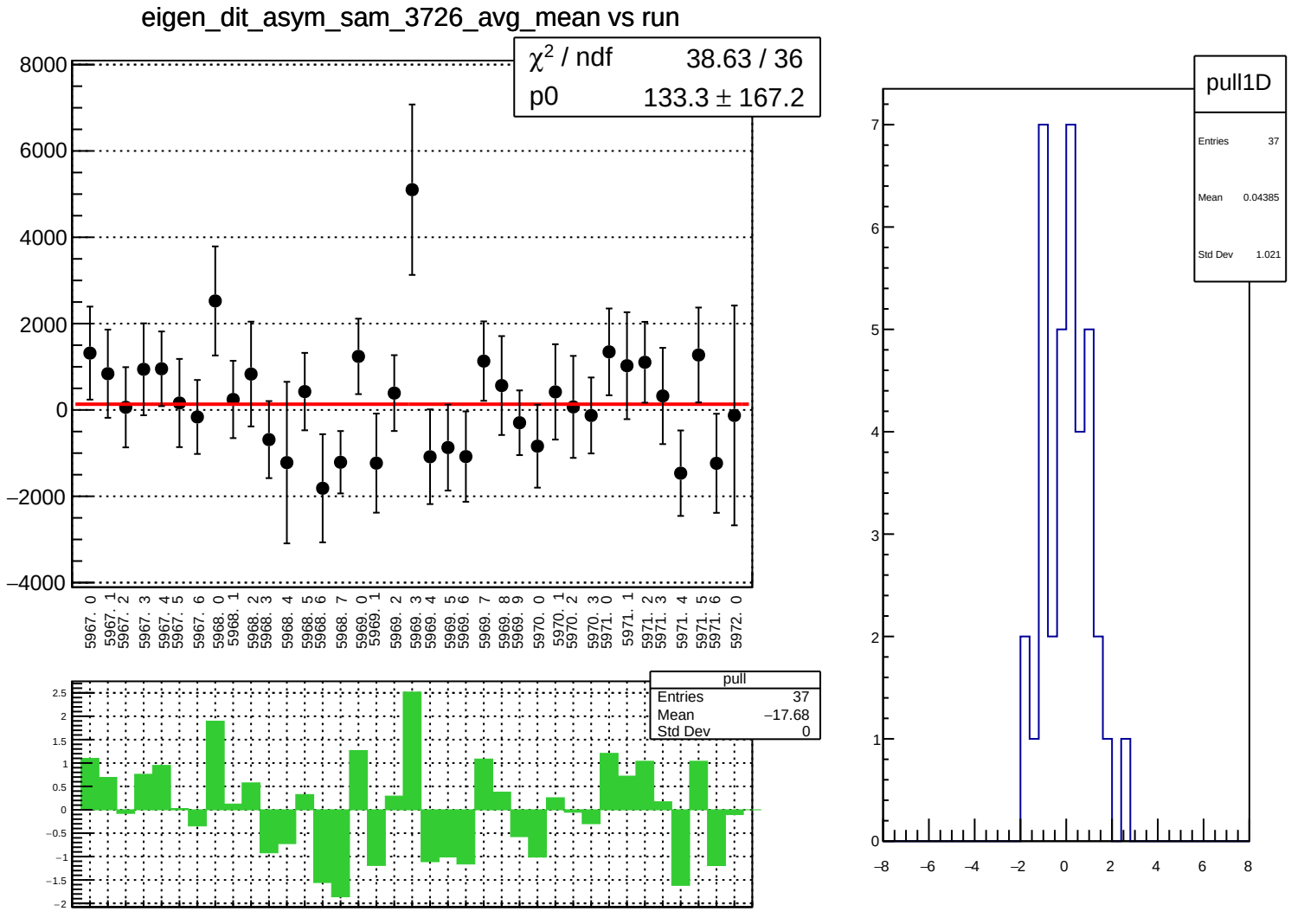
eigen_dit_asym_sam_3726_avg_mean vs run
χ² / ndf 38.63 / 36
p0 133.3 ± 167.2
8000
6000
4000
2000
0
−2000
−4000
5967. 0
5967. 1
5967. 2
5967. 3
5967. 4
5967. 5
5967. 6
5968. 0
5968. 1
5968. 2
5968. 3
5968. 4
5968. 5
5968. 6
5968. 7
5969. 0
5969. 1
5969. 2
5969. 3
5969. 4
5969. 5
5969. 6
5969. 7
5969. 8
5969. 9
5970. 0
5970. 1
5970. 2
5970. 3
5971. 0
5971. 1
5971. 2
5971. 3
5971. 4
5971. 5
5971. 6
5972. 0
pull
Entries 37
Mean −17.68
Std Dev 0
2.5
2
1.5
1
0.5
0
−0.5
−1
−1.5
−2
pull1D
Entries 37
Mean 0.04385
Std Dev 1.021
7
6
5
4
3
2
1
0
−8
−6
−4
−2
0
2
4
6
8

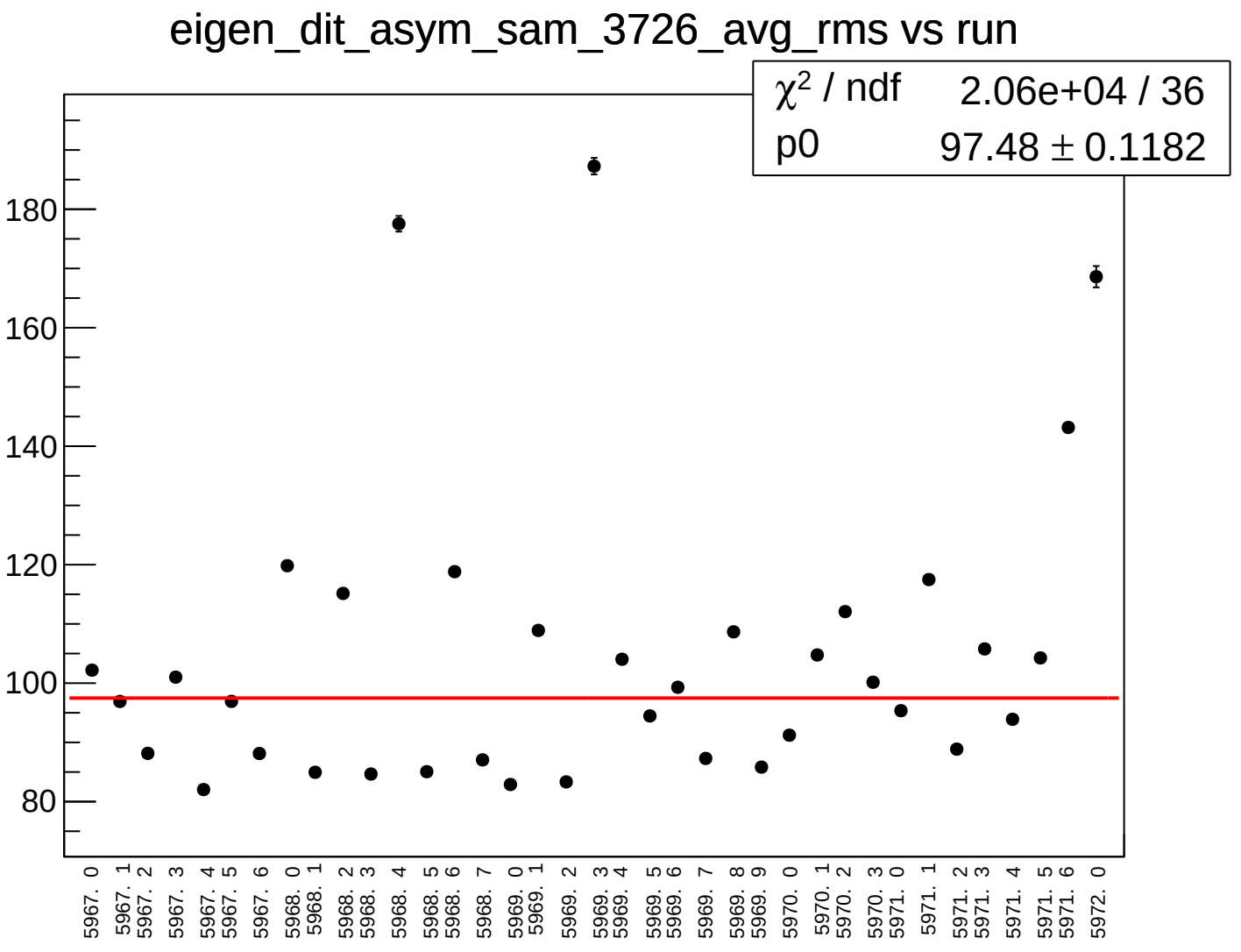
eigen_dit_asym_sam_3726_avg_rms vs run
χ² / ndf 2.06e+04 / 36
p0 97.48 ± 0.1182
180
160
140
120
100
80
5967. 0
5967. 1
5967. 2
5967. 3
5967. 4
5967. 5
5967. 6
5968. 0
5968. 1
5968. 2
5968. 3
5968. 4
5968. 5
5968. 6
5968. 7
5969. 0
5969. 1
5969. 2
5969. 3
5969. 4
5969. 5
5969. 6
5969. 7
5969. 8
5969. 9
5970. 0
5970. 1
5970. 2
5970. 3
5971. 0
5971. 1
5971. 2
5971. 3
5971. 4
5971. 5
5971. 6
5972. 0

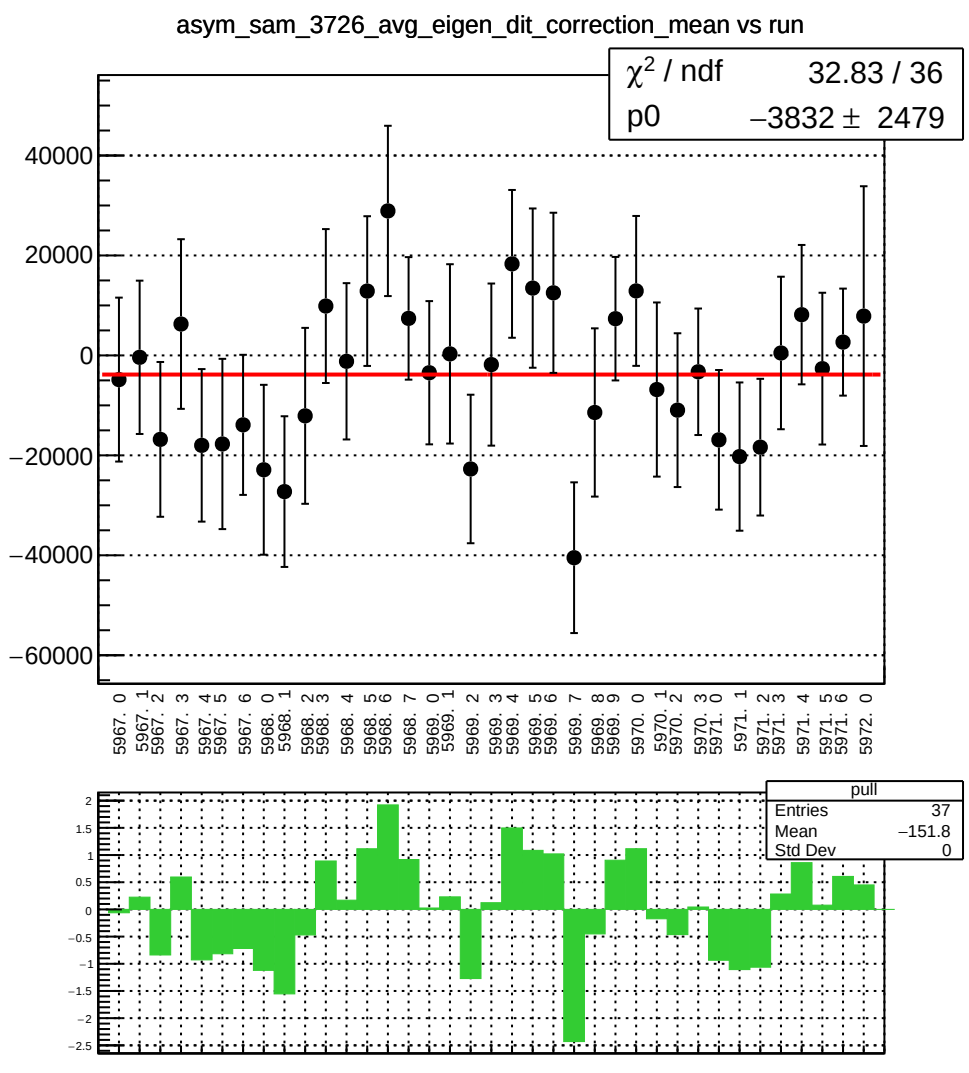
asym_sam_3726_avg_eigen_dit_correction_mean vs run
χ² / ndf 32.83 / 36
p0 −3832 ± 2479
40000
20000
0
−20000
−40000
−60000
5967. 0
5967. 1
5967. 2
5967. 3
5967. 4
5967. 5
5967. 6
5968. 0
5968. 1
5968. 2
5968. 3
5968. 4
5968. 5
5968. 6
5968. 7
5969. 0
5969. 1
5969. 2
5969. 3
5969. 4
5969. 5
5969. 6
5969. 7
5969. 8
5969. 9
5970. 0
5970. 1
5970. 2
5970. 3
5971. 0
5971. 1
5971. 2
5971. 3
5971. 4
5971. 5
5971. 6
5972. 0
pull
Entries 37
Mean −151.8
Std Dev 0
2
1.5
1
0.5
0
−0.5
−1
−1.5
−2
−2.5
pull1D
Entries 37
Mean −0.006433
Std Dev 0.942
8
7
6
5
4
3
2
1
0
−8
−6
−4
−2
0
2
4
6
8

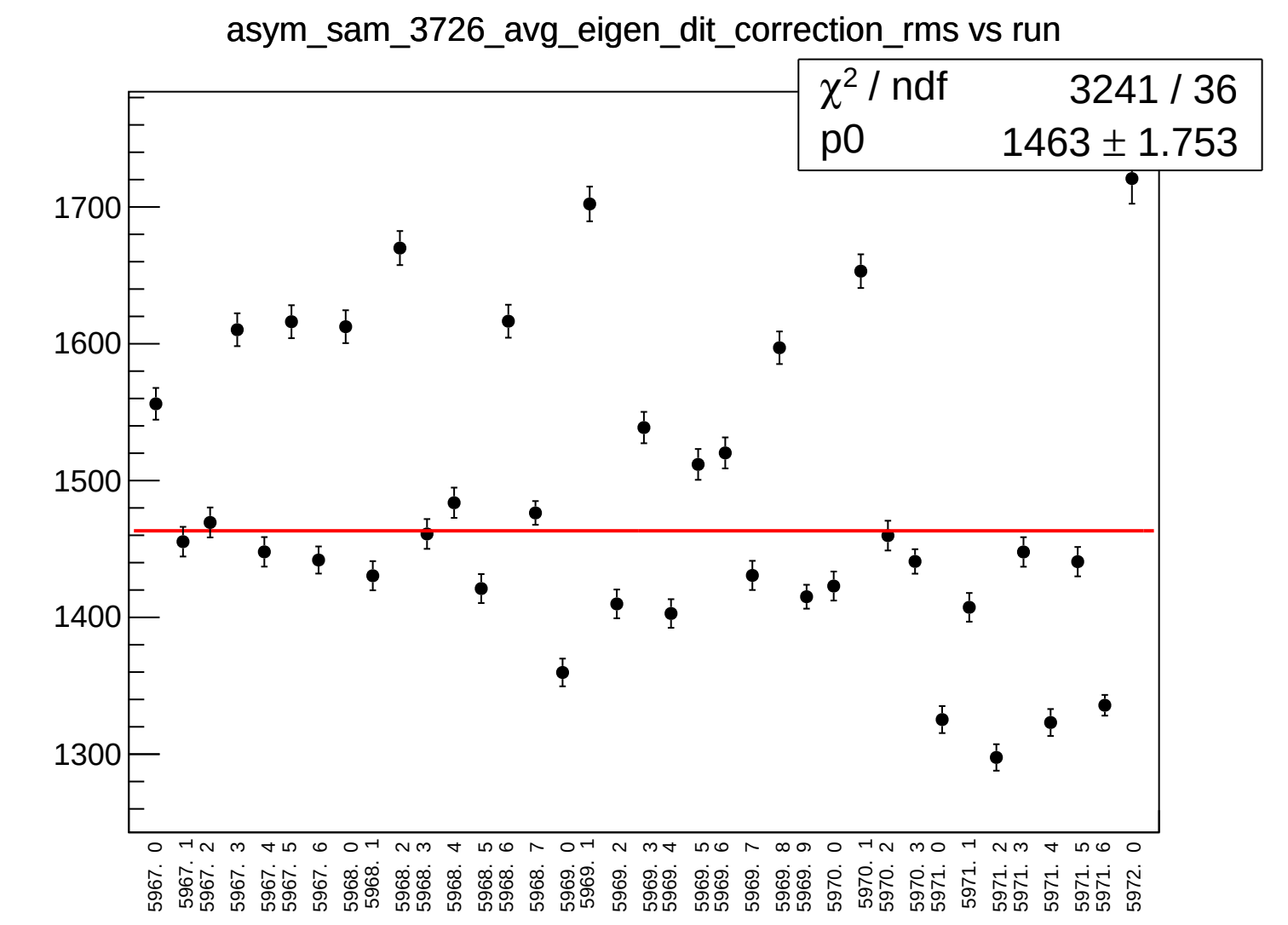
asym_sam_3726_avg_eigen_dit_correction_rms vs run
χ² / ndf 3241 / 36
p0 1463 ± 1.753
1700
1600
1500
1400
1300
5967. 0
5967. 1
5967. 2
5967. 3
5967. 4
5967. 5
5967. 6
5968. 0
5968. 1
5968. 2
5968. 3
5968. 4
5968. 5
5968. 6
5968. 7
5969. 0
5969. 1
5969. 2
5969. 3
5969. 4
5969. 5
5969. 6
5969. 7
5969. 8
5969. 9
5970. 0
5970. 1
5970. 2
5970. 3
5971. 0
5971. 1
5971. 2
5971. 3
5971. 4
5971. 5
5971. 6
5972. 0

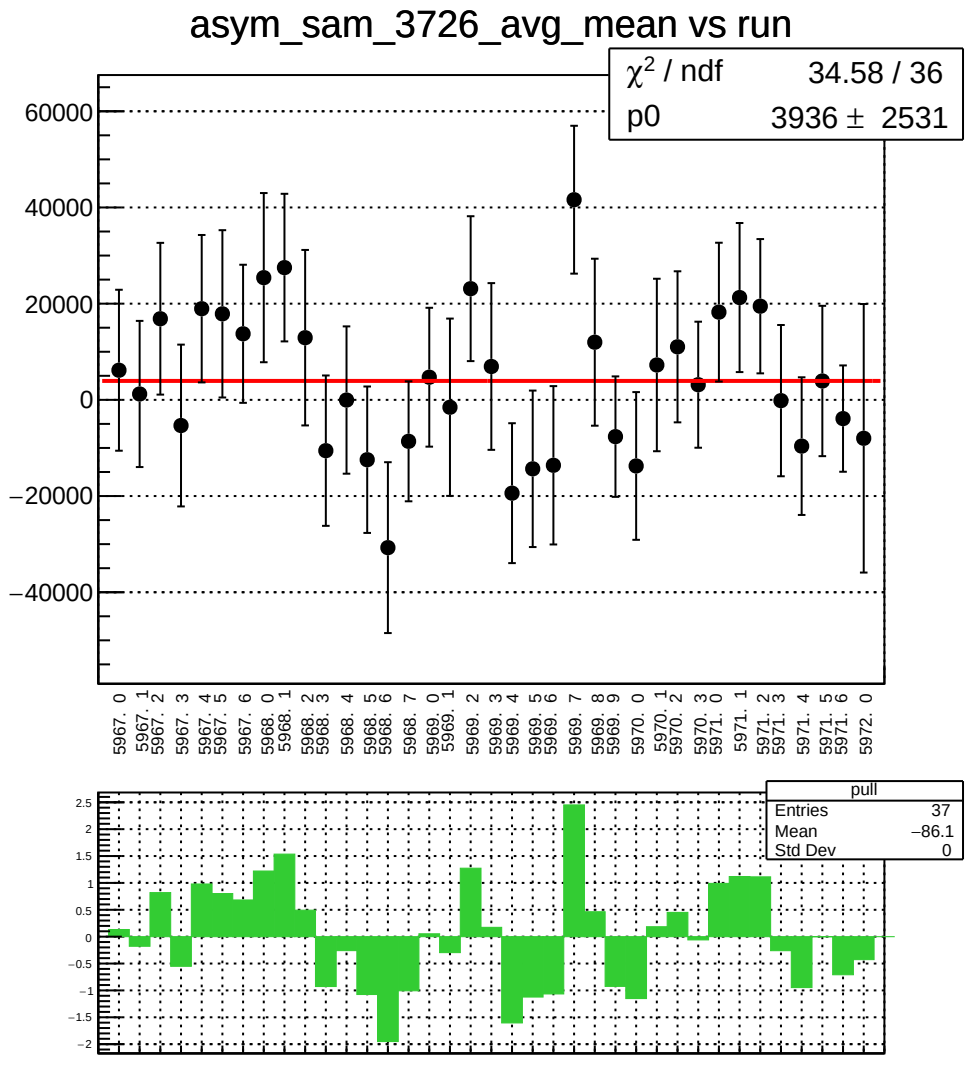
asym_sam_3726_avg_mean vs run
χ² / ndf 34.58 / 36
p0 3936 ± 2531
60000
40000
20000
0
−20000
−40000
5967. 0
5967. 1
5967. 2
5967. 3
5967. 4
5967. 5
5967. 6
5968. 0
5968. 1
5968. 2
5968. 3
5968. 4
5968. 5
5968. 6
5968. 7
5969. 0
5969. 1
5969. 2
5969. 3
5969. 4
5969. 5
5969. 6
5969. 7
5969. 8
5969. 9
5970. 0
5970. 1
5970. 2
5970. 3
5971. 0
5971. 1
5971. 2
5971. 3
5971. 4
5971. 5
5971. 6
5972. 0
pull
Entries 37
Mean −86.1
Std Dev 0
2.5
2
1.5
1
0.5
0
−0.5
−1
−1.5
−2

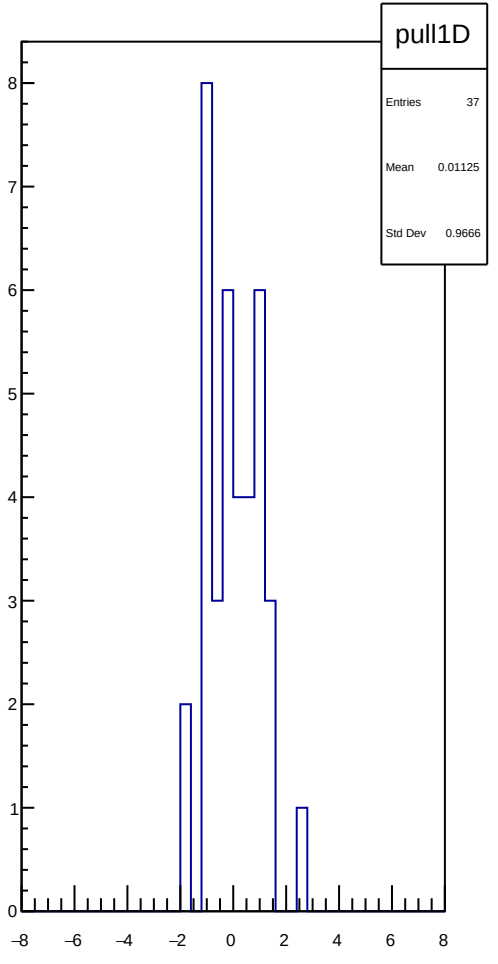
pull1D
Entries 37
Mean 0.01125
Std Dev 0.9666
8
7
6
5
4
3
2
1
0
−8
−6
−4
−2
0
2
4
6
8

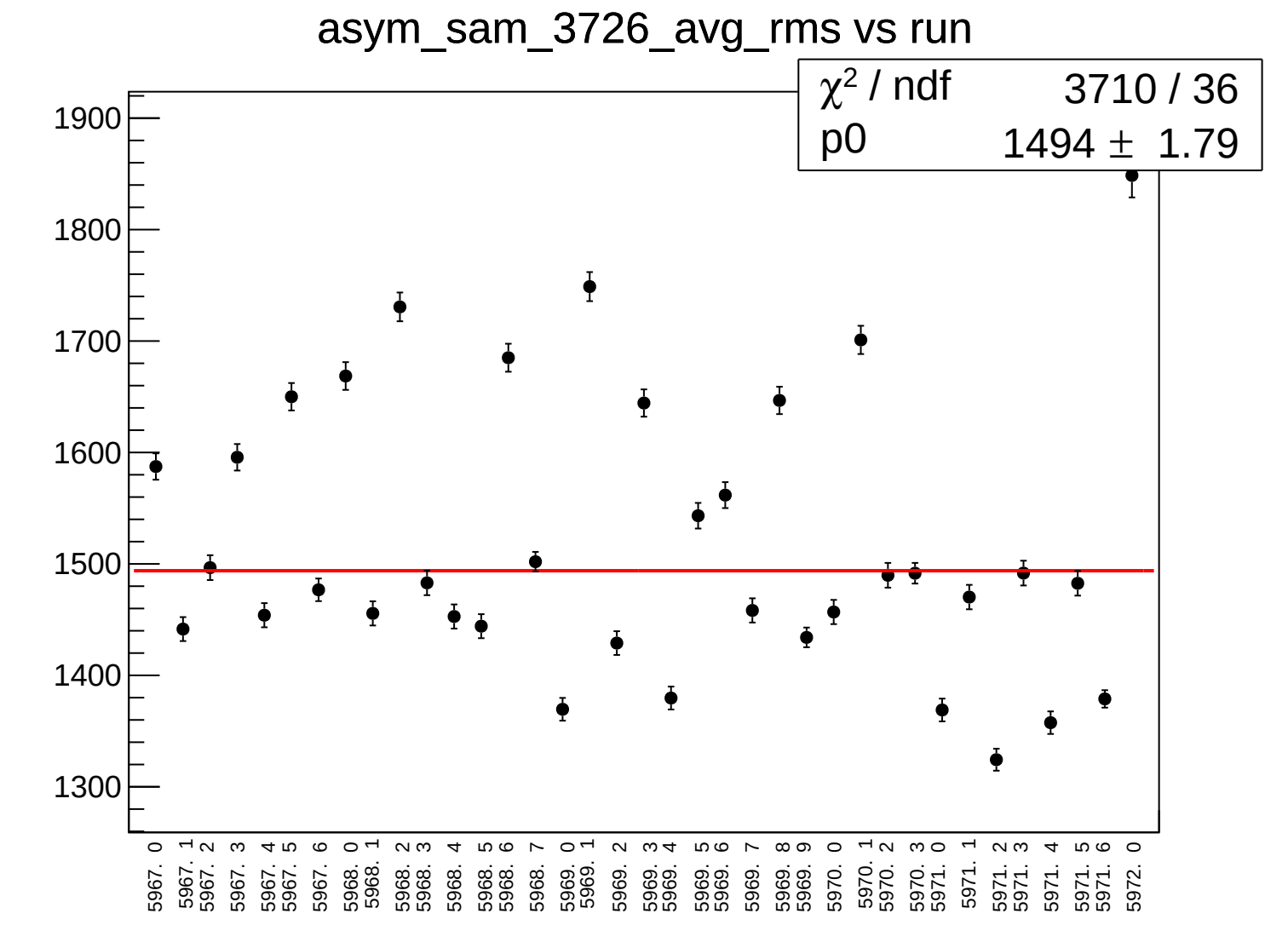
asym_sam_3726_avg_rms vs run
χ² / ndf 3710 / 36
p0 1494 ± 1.79
1900
1800
1700
1600
1500
1400
1300
5967. 0
5967. 1
5967. 2
5967. 3
5967. 4
5967. 5
5967. 6
5968. 0
5968. 1
5968. 2
5968. 3
5968. 4
5968. 5
5968. 6
5968. 7
5969. 0
5969. 1
5969. 2
5969. 3
5969. 4
5969. 5
5969. 6
5969. 7
5969. 8
5969. 9
5970. 0
5970. 1
5970. 2
5970. 3
5971. 0
5971. 1
5971. 2
5971. 3
5971. 4
5971. 5
5971. 6
5972. 0

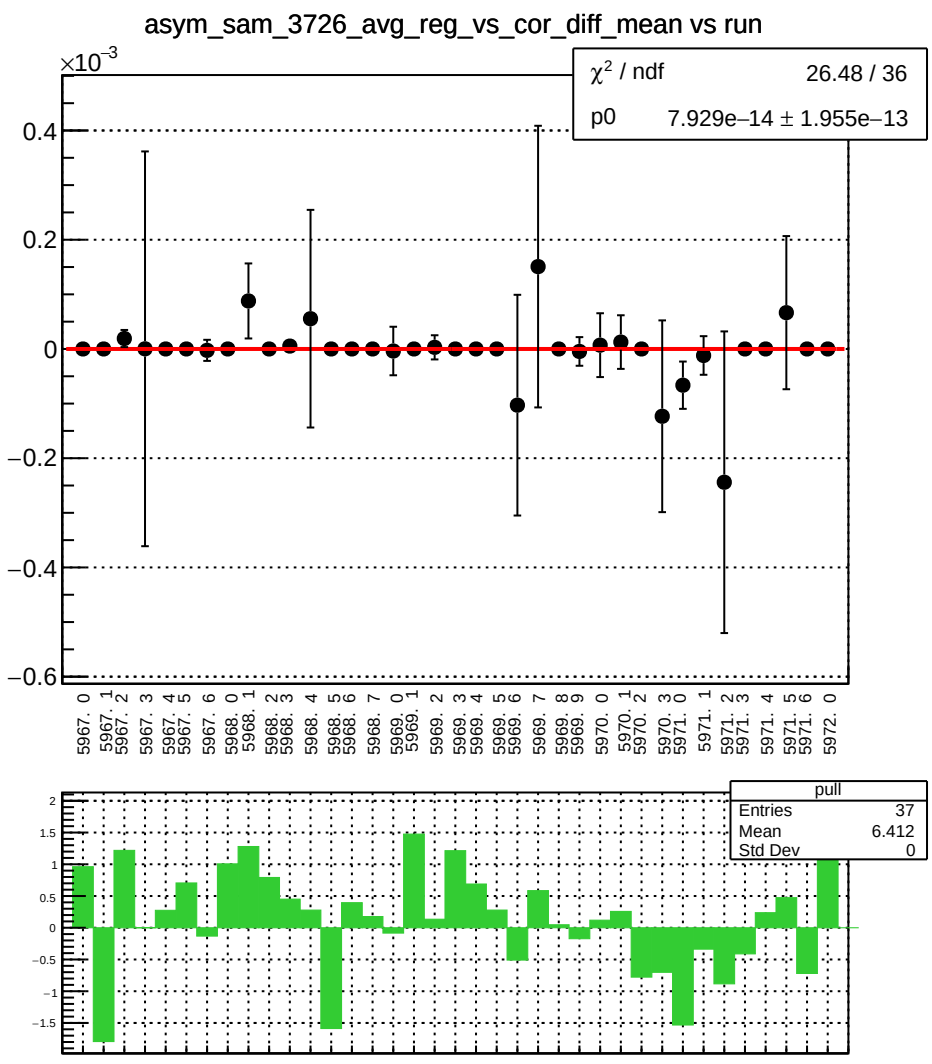
asym_sam_3726_avg_reg_vs_cor_diff_mean vs run
×10⁻³
χ² / ndf 26.48 / 36
p0 7.929e−14 ± 1.955e−13
0.4
0.2
0
−0.2
−0.4
−0.6
5967. 0
5967. 1
5967. 2
5967. 3
5967. 4
5967. 5
5967. 6
5968. 0
5968. 1
5968. 2
5968. 3
5968. 4
5968. 5
5968. 6
5968. 7
5969. 0
5969. 1
5969. 2
5969. 3
5969. 4
5969. 5
5969. 6
5969. 7
5969. 8
5969. 9
5970. 0
5970. 1
5970. 2
5970. 3
5971. 0
5971. 1
5971. 2
5971. 3
5971. 4
5971. 5
5971. 6
5972. 0
pull
Entries 37
Mean 6.412
Std Dev 0
2
1.5
1
0.5
0
−0.5
−1
−1.5

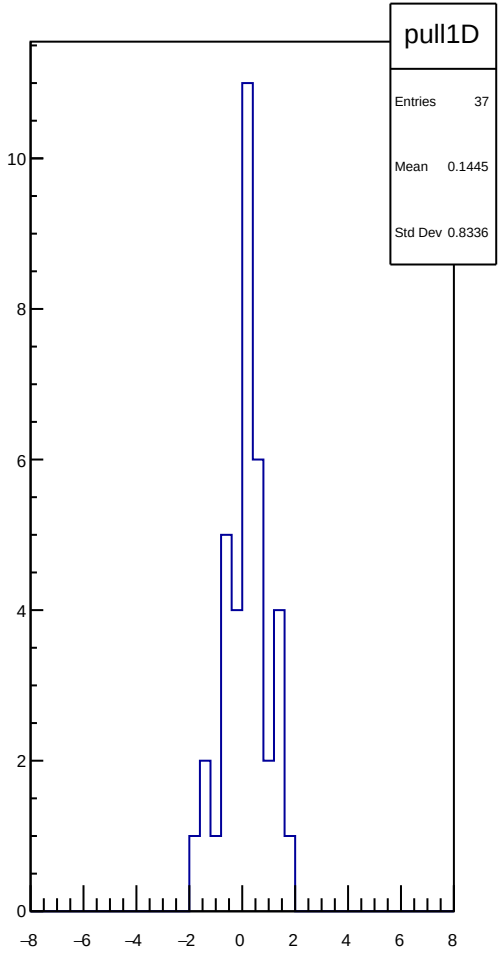
pull1D
Entries 37
Mean 0.1445
Std Dev 0.8336
10
8
6
4
2
0
−8
−6
−4
−2
0
2
4
6
8

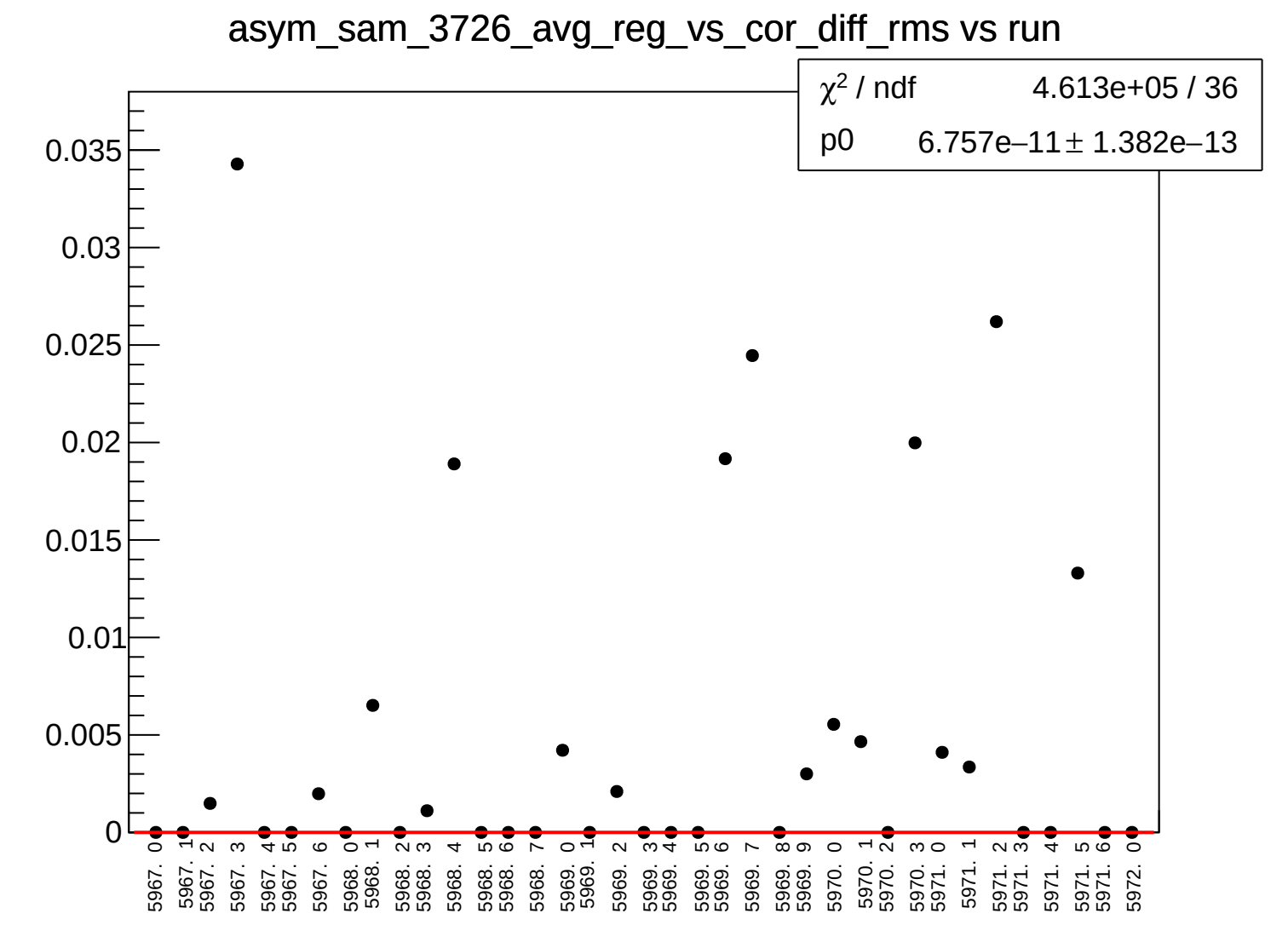
asym_sam_3726_avg_reg_vs_cor_diff_rms vs run
χ² / ndf 4.613e+05 / 36
p0 6.757e−11 ± 1.382e−13
0.035
0.03
0.025
0.02
0.015
0.01
0.005
0
5967. 0
5967. 1
5967. 2
5967. 3
5967. 4
5967. 5
5967. 6
5968. 0
5968. 1
5968. 2
5968. 3
5968. 4
5968. 5
5968. 6
5968. 7
5969. 0
5969. 1
5969. 2
5969. 3
5969. 4
5969. 5
5969. 6
5969. 7
5969. 8
5969. 9
5970. 0
5970. 1
5970. 2
5970. 3
5971. 0
5971. 1
5971. 2
5971. 3
5971. 4
5971. 5
5971. 6
5972. 0

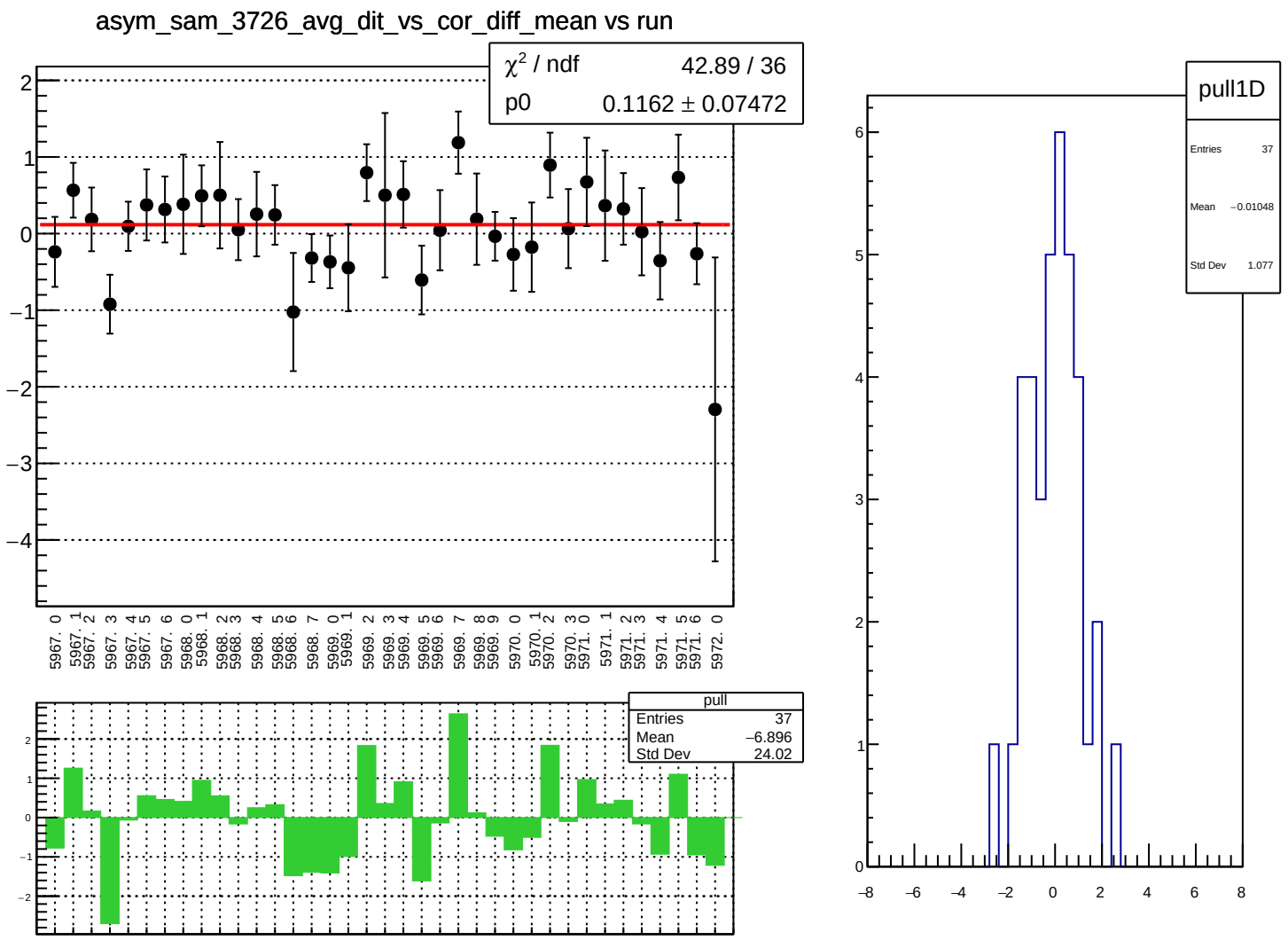
asym_sam_3726_avg_dit_vs_cor_diff_mean vs run
χ² / ndf 42.89 / 36
p0 0.1162 ± 0.07472
pull
Entries 37
Mean −6.896
Std Dev 24.02
pull1D
Entries 37
Mean −0.01048
Std Dev 1.077

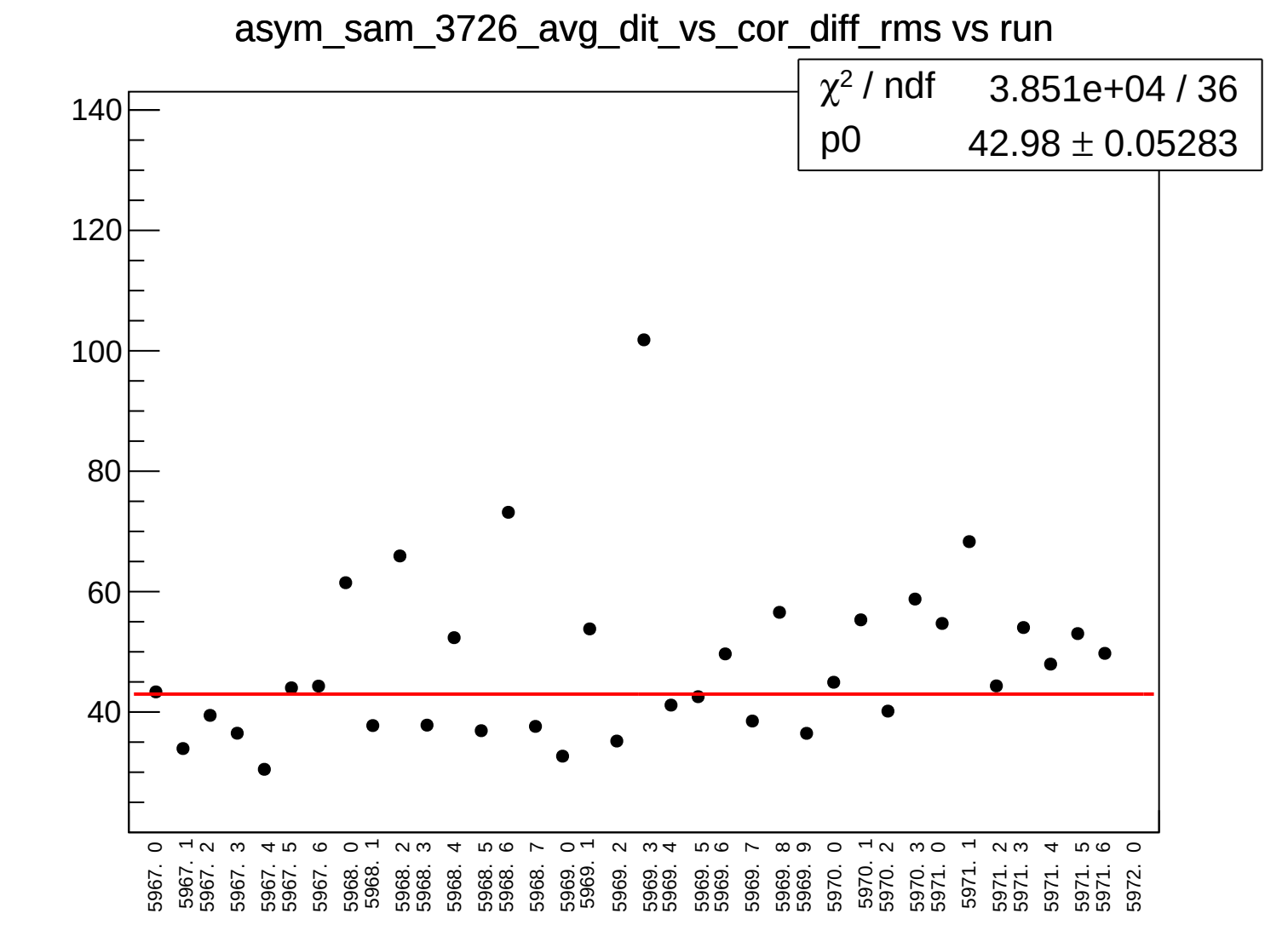
asym_sam_3726_avg_dit_vs_cor_diff_rms vs run
χ² / ndf 3.851e+04 / 36
p0 42.98 ± 0.05283
140
120
100
80
60
40
5967. 0
5967. 1
5967. 2
5967. 3
5967. 4
5967. 5
5967. 6
5968. 0
5968. 1
5968. 2
5968. 3
5968. 4
5968. 5
5968. 6
5968. 7
5969. 0
5969. 1
5969. 2
5969. 3
5969. 4
5969. 5
5969. 6
5969. 7
5969. 8
5969. 9
5970. 0
5970. 1
5970. 2
5970. 3
5971. 0
5971. 1
5971. 2
5971. 3
5971. 4
5971. 5
5971. 6
5972. 0

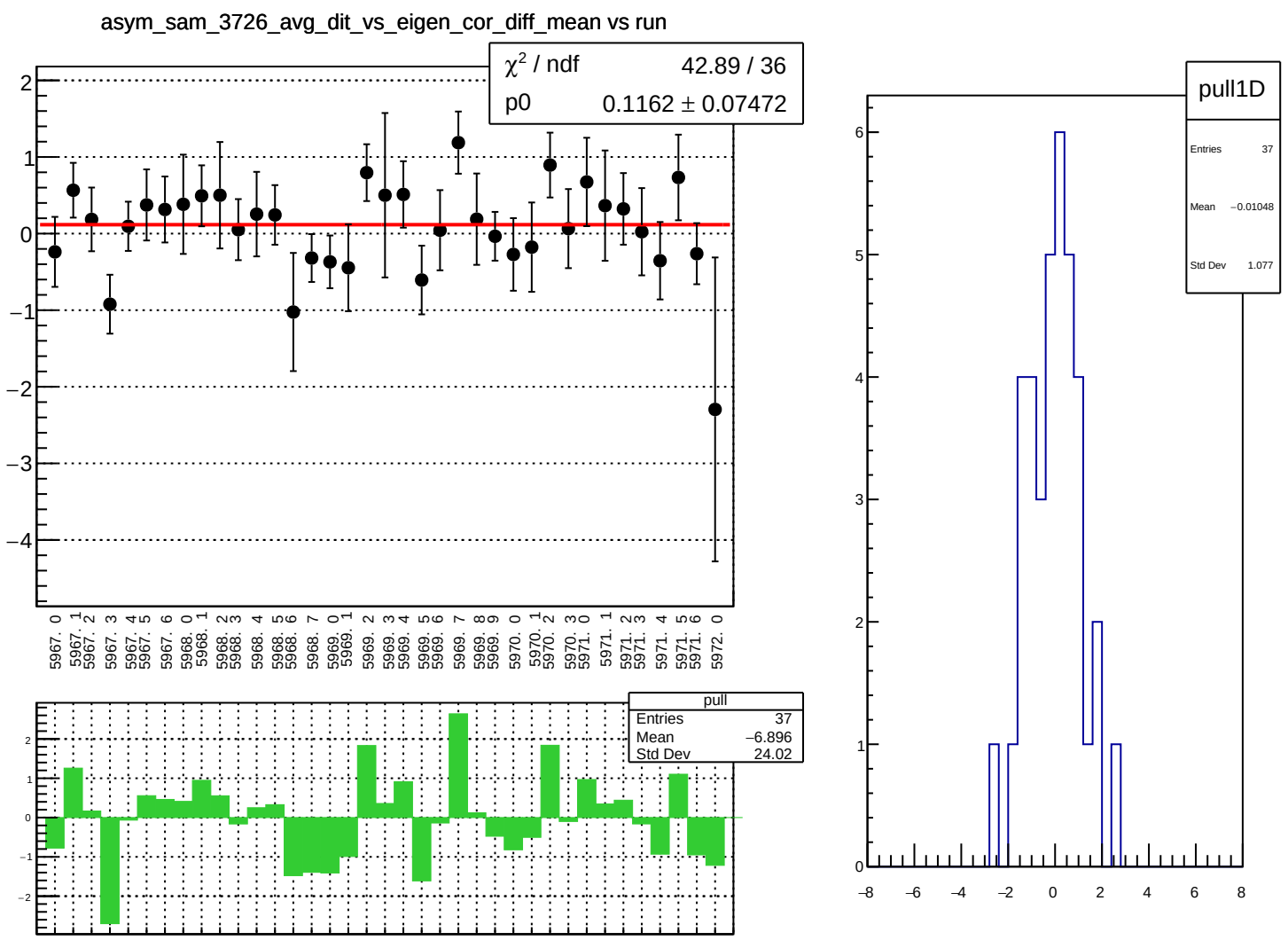
asym_sam_3726_avg_dit_vs_eigen_cor_diff_mean vs run
χ² / ndf 42.89 / 36
p0 0.1162 ± 0.07472
pull
Entries 37
Mean −6.896
Std Dev 24.02
pull1D
Entries 37
Mean −0.01048
Std Dev 1.077

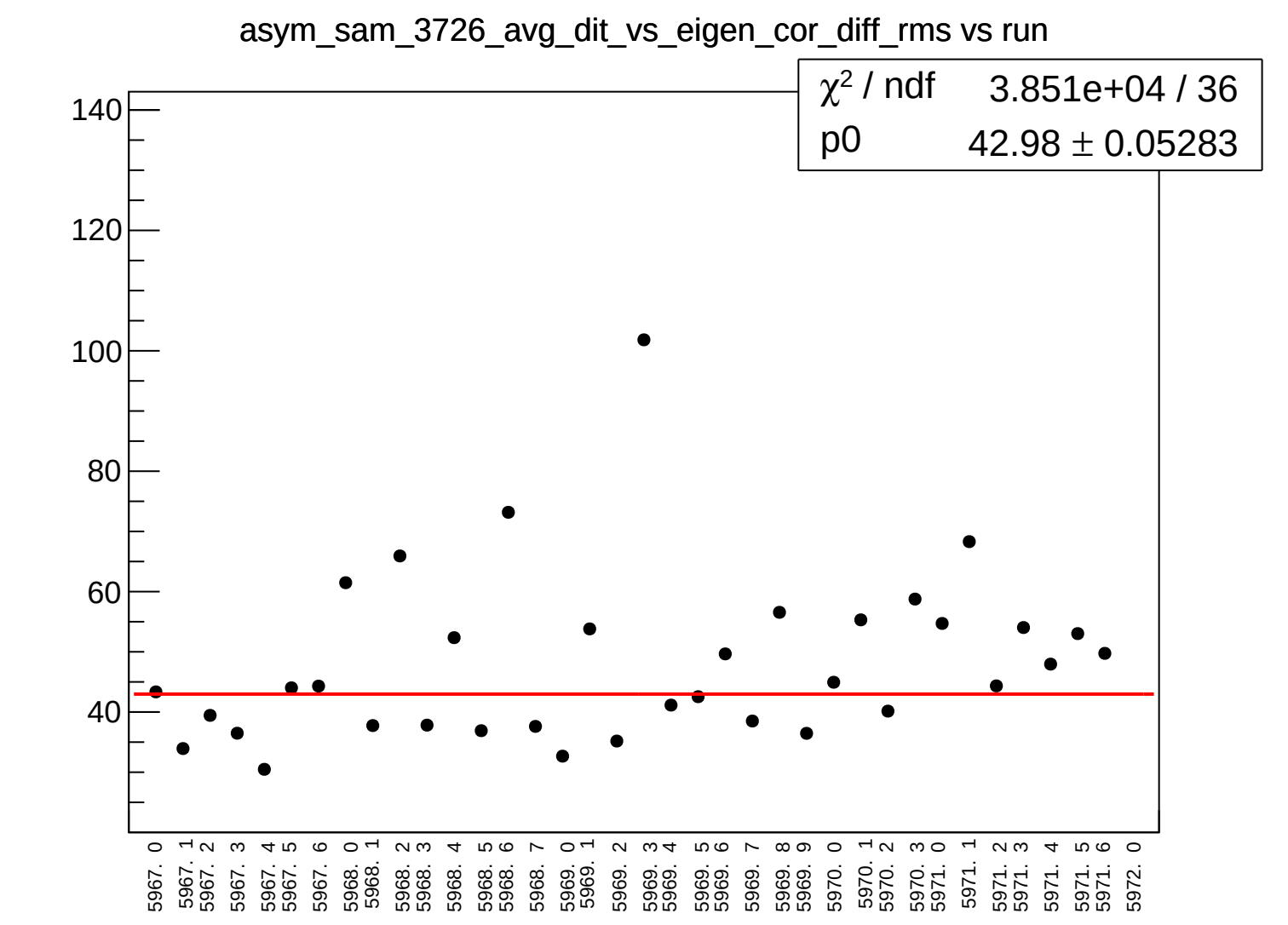
asym_sam_3726_avg_dit_vs_eigen_cor_diff_rms vs run
χ² / ndf 3.851e+04 / 36
p0 42.98 ± 0.05283
140
120
100
80
60
40
5967. 0
5967. 1
5967. 2
5967. 3
5967. 4
5967. 5
5967. 6
5968. 0
5968. 1
5968. 2
5968. 3
5968. 4
5968. 5
5968. 6
5968. 7
5969. 0
5969. 1
5969. 2
5969. 3
5969. 4
5969. 5
5969. 6
5969. 7
5969. 8
5969. 9
5970. 0
5970. 1
5970. 2
5970. 3
5971. 0
5971. 1
5971. 2
5971. 3
5971. 4
5971. 5
5971. 6
5972. 0

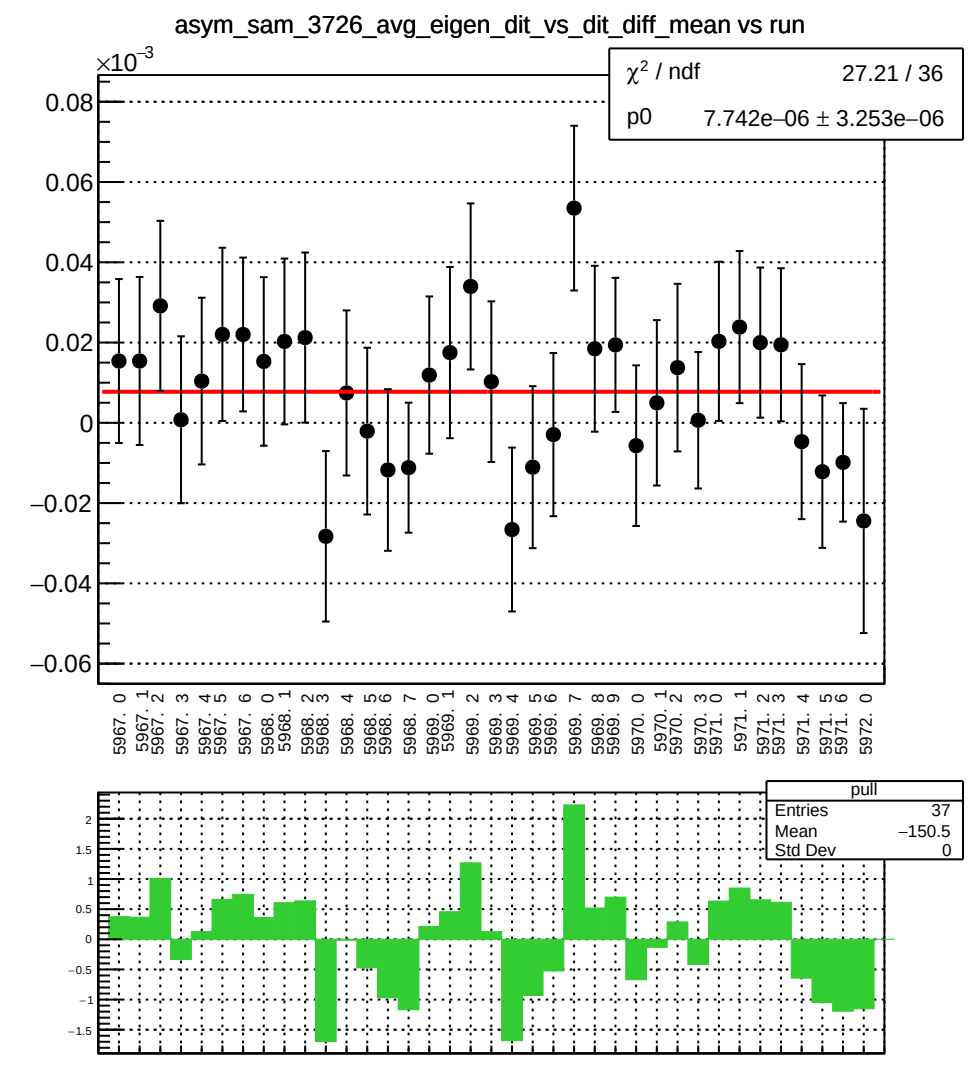
asym_sam_3726_avg_eigen_dit_vs_dit_diff_mean vs run
×10⁻³
χ² / ndf 27.21 / 36
p0 7.742e−06 ± 3.253e−06
0.08
0.06
0.04
0.02
0
−0.02
−0.04
−0.06
5967. 0
5967. 1
5967. 2
5967. 3
5967. 4
5967. 5
5967. 6
5968. 0
5968. 1
5968. 2
5968. 3
5968. 4
5968. 5
5968. 6
5968. 7
5969. 0
5969. 1
5969. 2
5969. 3
5969. 4
5969. 5
5969. 6
5969. 7
5969. 8
5969. 9
5970. 0
5970. 1
5970. 2
5970. 3
5971. 0
5971. 1
5971. 2
5971. 3
5971. 4
5971. 5
5971. 6
5972. 0
pull
Entries 37
Mean −150.5
Std Dev 0
2
1.5
1
0.5
0
−0.5
−1
−1.5

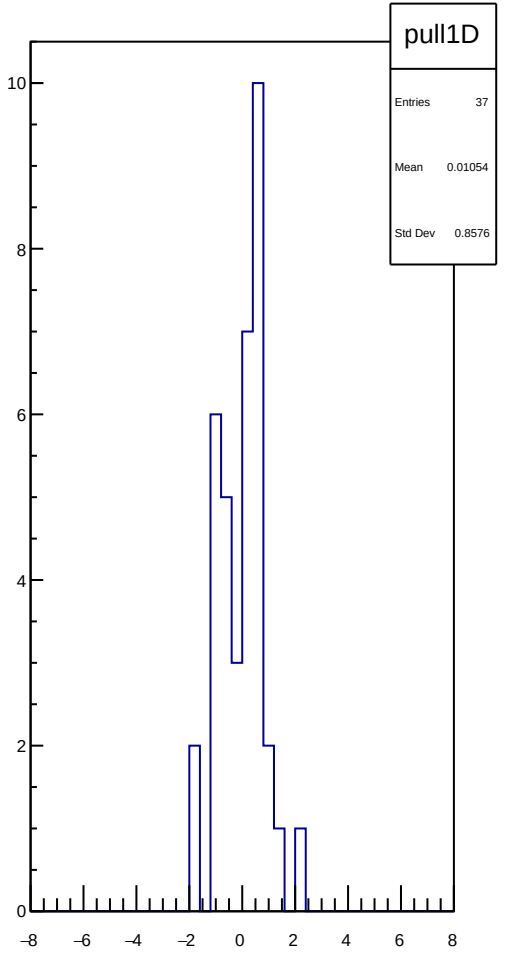
pull1D
Entries 37
Mean 0.01054
Std Dev 0.8576
10
8
6
4
2
0
−8
−6
−4
−2
0
2
4
6
8

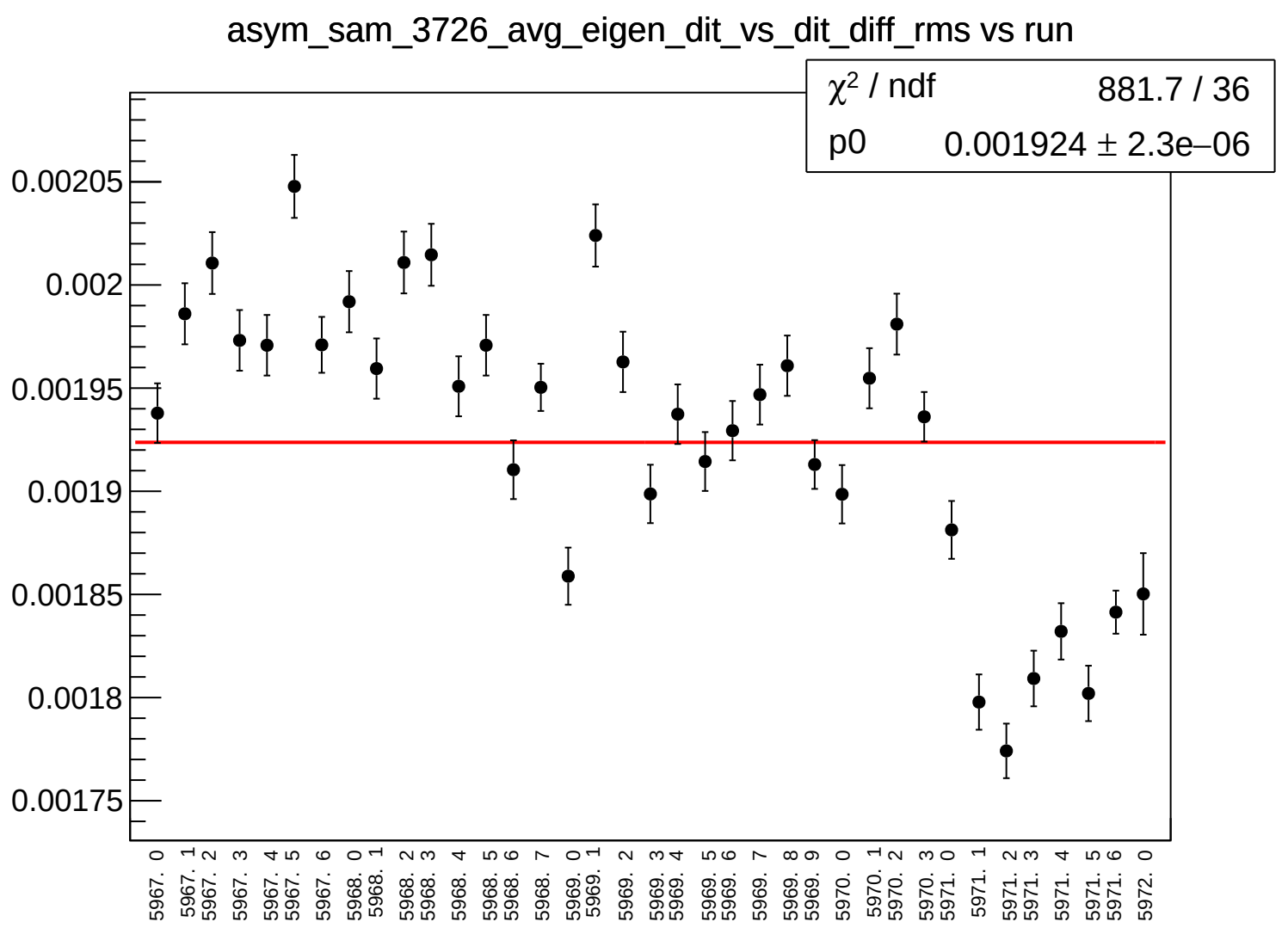
asym_sam_3726_avg_eigen_dit_vs_dit_diff_rms vs run
χ² / ndf 881.7 / 36
p0 0.001924 ± 2.3e−06
0.00205
0.002
0.00195
0.0019
0.00185
0.0018
0.00175
5967. 0
5967. 1
5967. 2
5967. 3
5967. 4
5967. 5
5967. 6
5968. 0
5968. 1
5968. 2
5968. 3
5968. 4
5968. 5
5968. 6
5968. 7
5969. 0
5969. 1
5969. 2
5969. 3
5969. 4
5969. 5
5969. 6
5969. 7
5969. 8
5969. 9
5970. 0
5970. 1
5970. 2
5970. 3
5971. 0
5971. 1
5971. 2
5971. 3
5971. 4
5971. 5
5971. 6
5972. 0

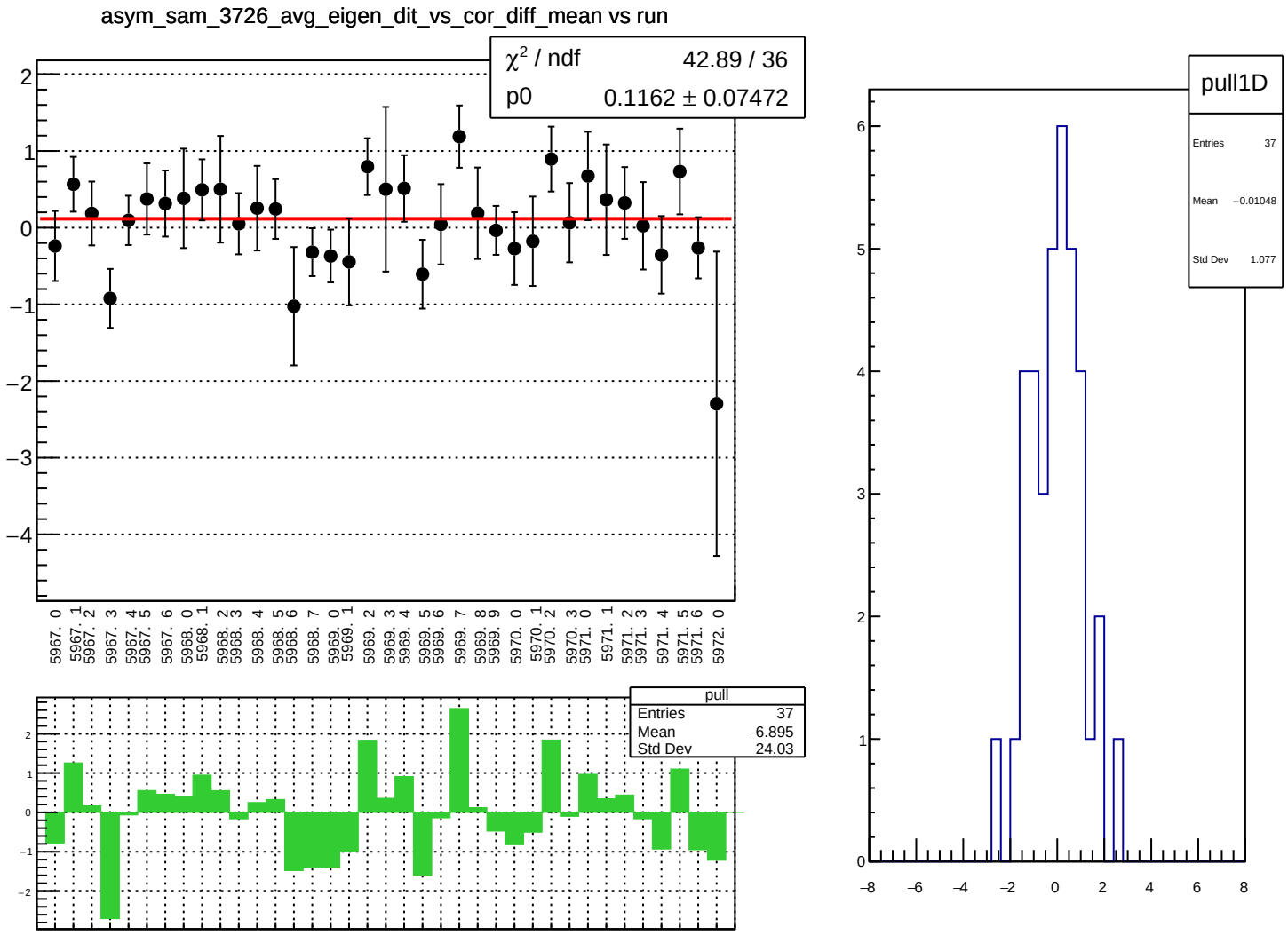
asym_sam_3726_avg_eigen_dit_vs_cor_diff_mean vs run
χ² / ndf 42.89 / 36
p0 0.1162 ± 0.07472
pull
Entries 37
Mean −6.895
Std Dev 24.03
pull1D
Entries 37
Mean −0.01048
Std Dev 1.077

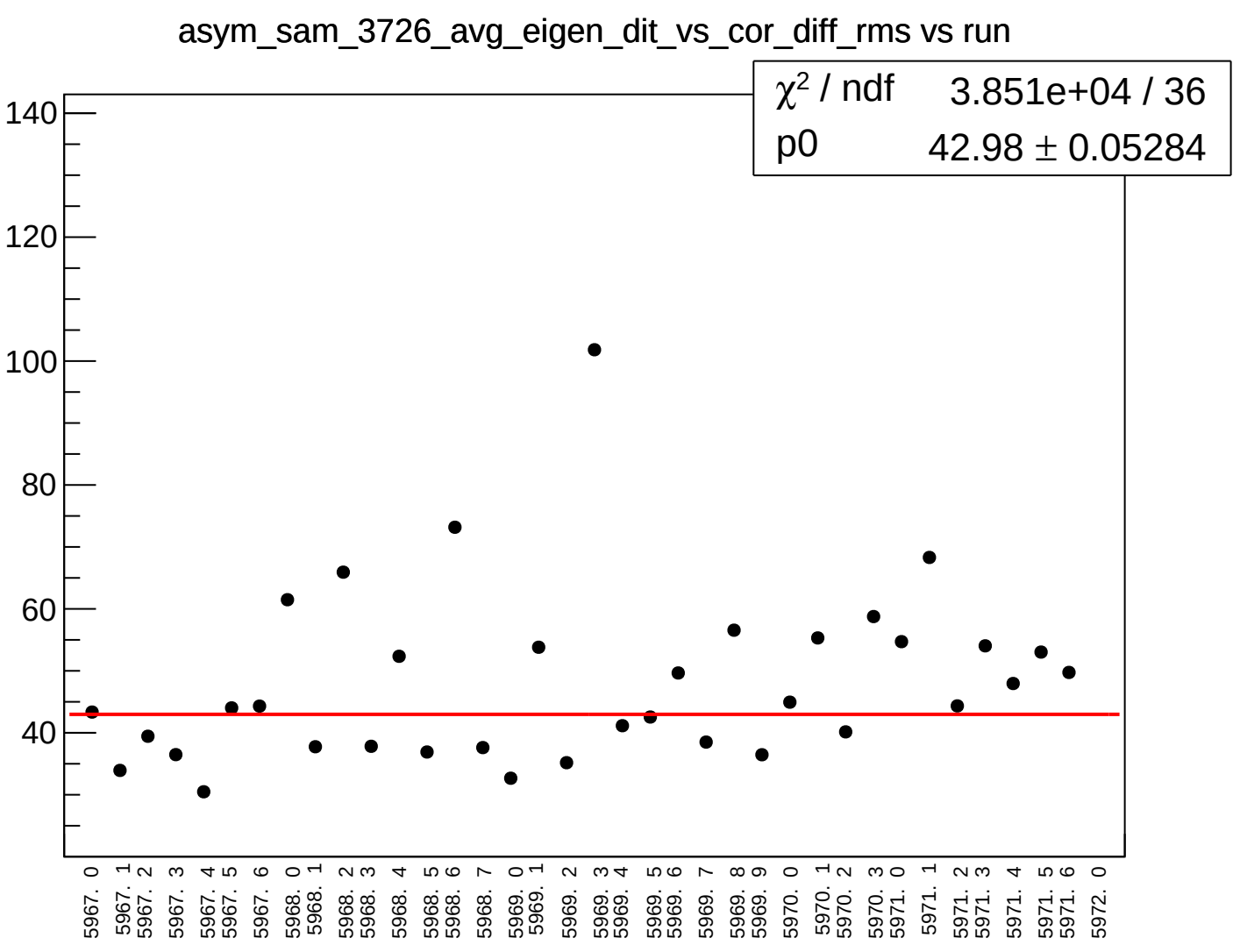
asym_sam_3726_avg_eigen_dit_vs_cor_diff_rms vs run
χ² / ndf 3.851e+04 / 36
p0 42.98 ± 0.05284
140
120
100
80
60
40
5967. 0
5967. 1
5967. 2
5967. 3
5967. 4
5967. 5
5967. 6
5968. 0
5968. 1
5968. 2
5968. 3
5968. 4
5968. 5
5968. 6
5968. 7
5969. 0
5969. 1
5969. 2
5969. 3
5969. 4
5969. 5
5969. 6
5969. 7
5969. 8
5969. 9
5970. 0
5970. 1
5970. 2
5970. 3
5971. 0
5971. 1
5971. 2
5971. 3
5971. 4
5971. 5
5971. 6
5972. 0

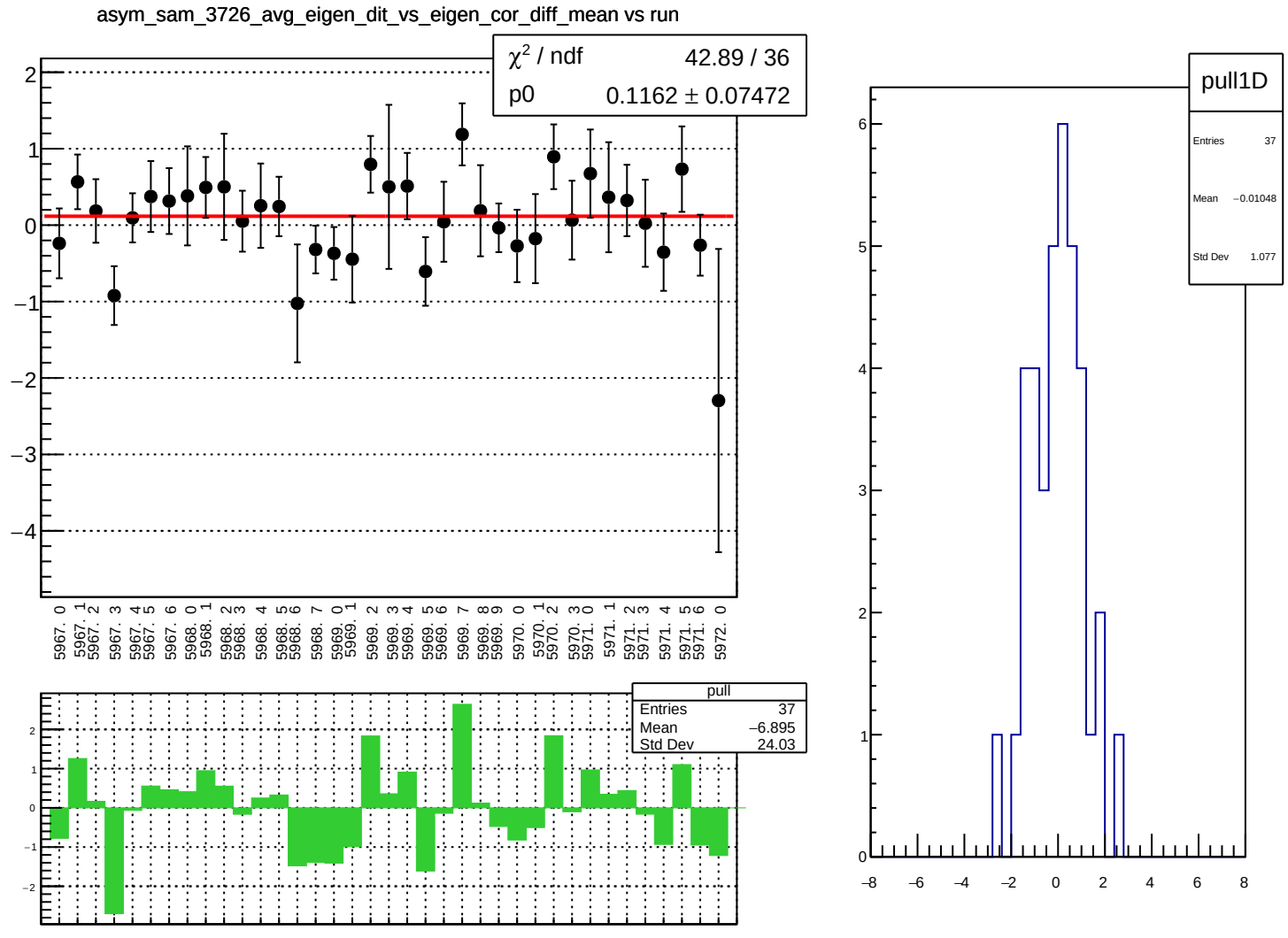
asym_sam_3726_avg_eigen_dit_vs_eigen_cor_diff_mean vs run
χ² / ndf 42.89 / 36
p0 0.1162 ± 0.07472
pull
Entries 37
Mean −6.895
Std Dev 24.03
pull1D
Entries 37
Mean −0.01048
Std Dev 1.077

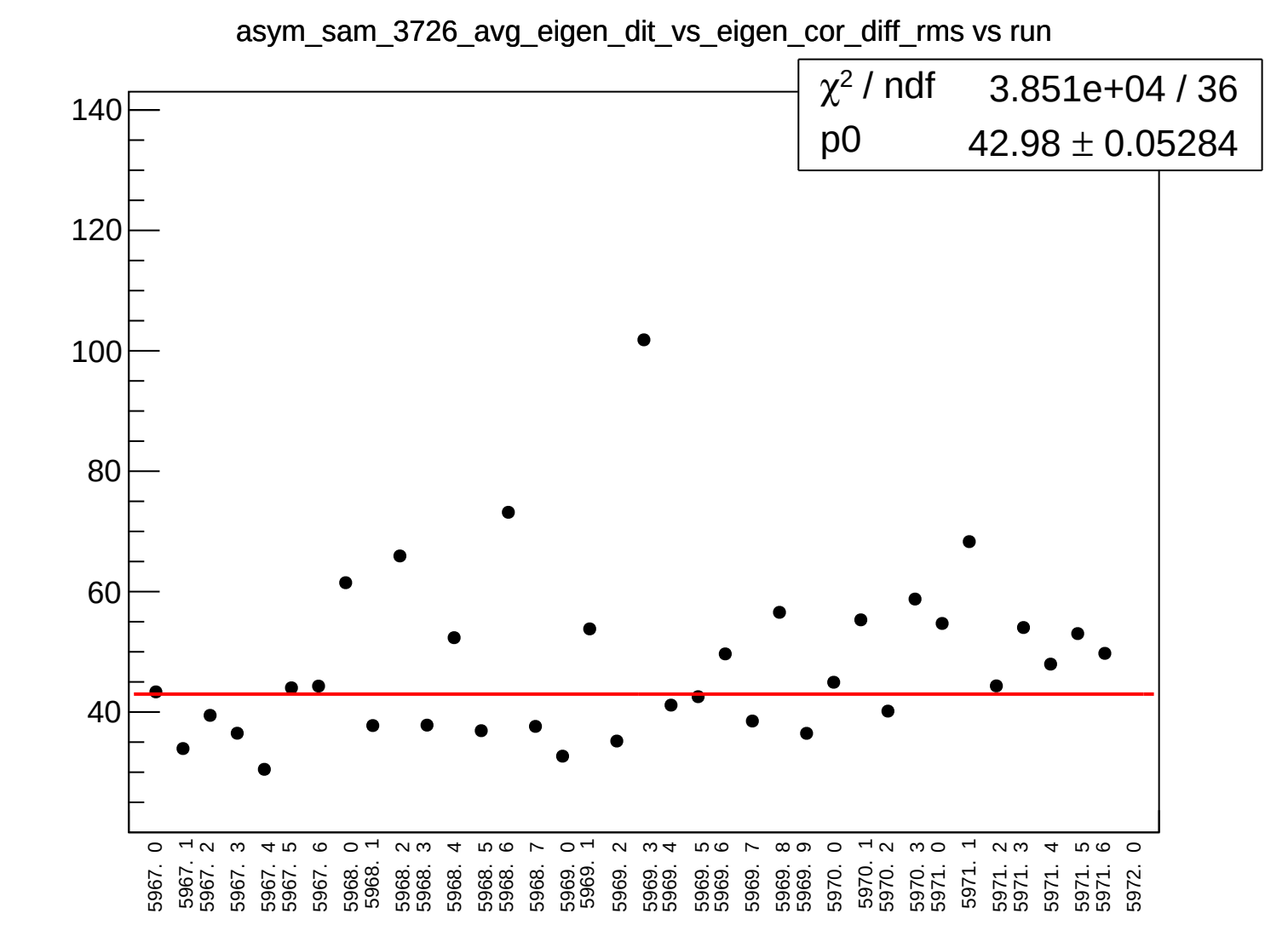
asym_sam_3726_avg_eigen_dit_vs_eigen_cor_diff_rms vs run
χ² / ndf 3.851e+04 / 36
p0 42.98 ± 0.05284
140
120
100
80
60
40
5967. 0
5967. 1
5967. 2
5967. 3
5967. 4
5967. 5
5967. 6
5968. 0
5968. 1
5968. 2
5968. 3
5968. 4
5968. 5
5968. 6
5968. 7
5969. 0
5969. 1
5969. 2
5969. 3
5969. 4
5969. 5
5969. 6
5969. 7
5969. 8
5969. 9
5970. 0
5970. 1
5970. 2
5970. 3
5971. 0
5971. 1
5971. 2
5971. 3
5971. 4
5971. 5
5971. 6
5972. 0

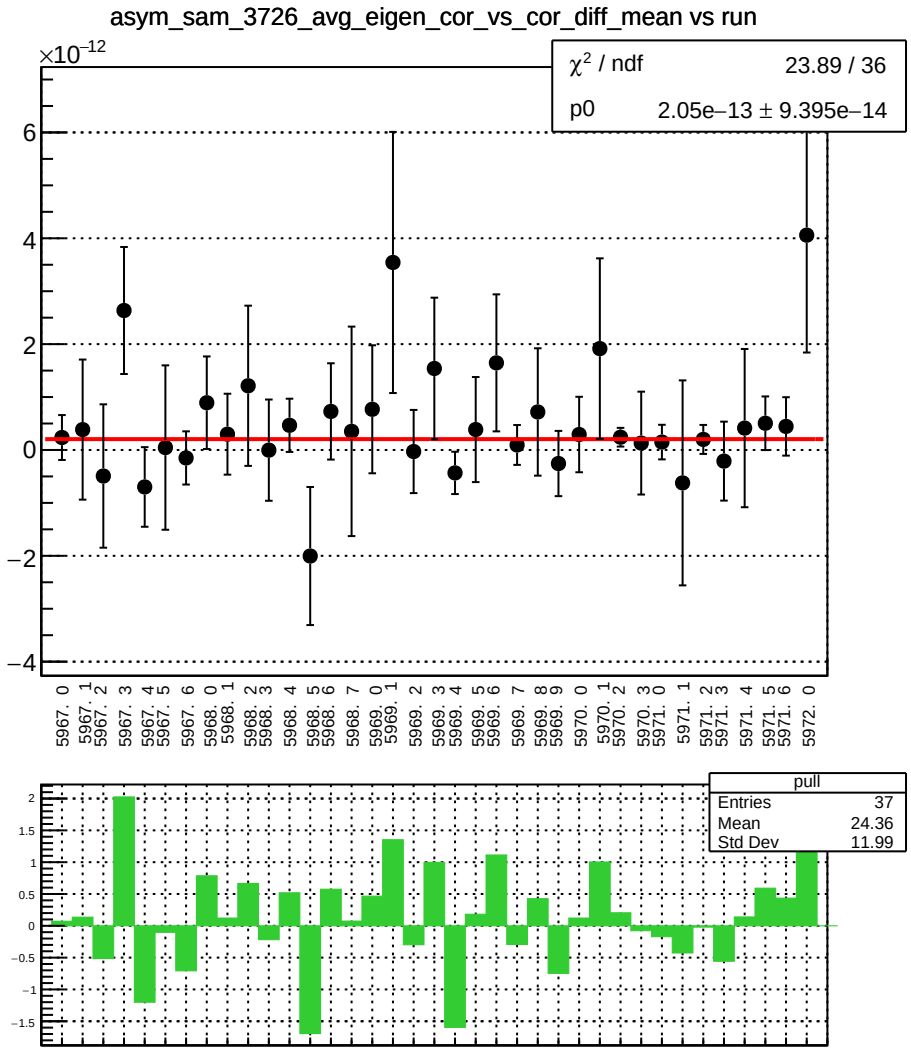
asym_sam_3726_avg_eigen_cor_vs_cor_diff_mean vs run
×10−12
χ2 / ndf 23.89 / 36
p0 2.05e−13 ± 9.395e−14
6
4
2
0
−2
−4
5967. 0
5967. 1
5967. 2
5967. 3
5967. 4
5967. 5
5967. 6
5968. 0
5968. 1
5968. 2
5968. 3
5968. 4
5968. 5
5968. 6
5968. 7
5969. 0
5969. 1
5969. 2
5969. 3
5969. 4
5969. 5
5969. 6
5969. 7
5969. 8
5969. 9
5970. 0
5970. 1
5970. 2
5970. 3
5971. 0
5971. 1
5971. 2
5971. 3
5971. 4
5971. 5
5971. 6
5972. 0
pull
Entries 37
Mean 24.36
Std Dev 11.99
2
1.5
1
0.5
0
−0.5
−1
−1.5

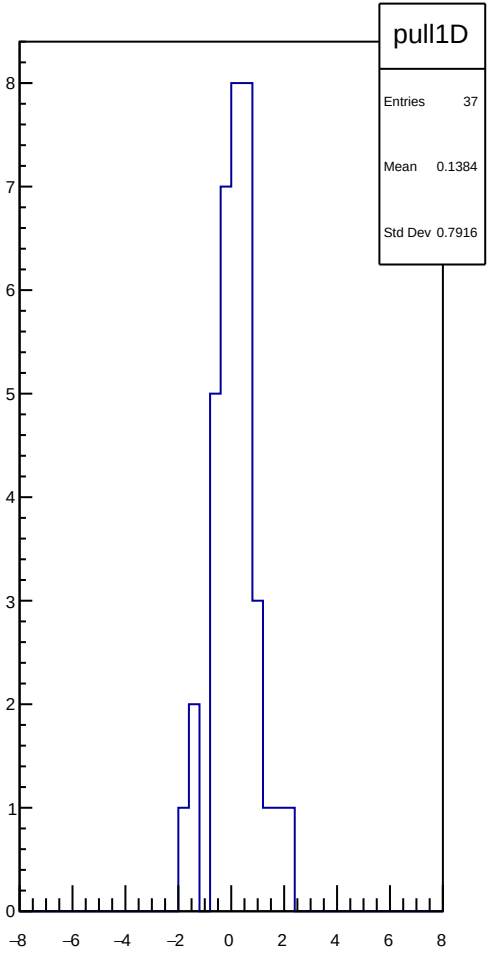
pull1D
Entries 37
Mean 0.1384
Std Dev 0.7916
8
7
6
5
4
3
2
1
0
−8
−6
−4
−2
0
2
4
6
8

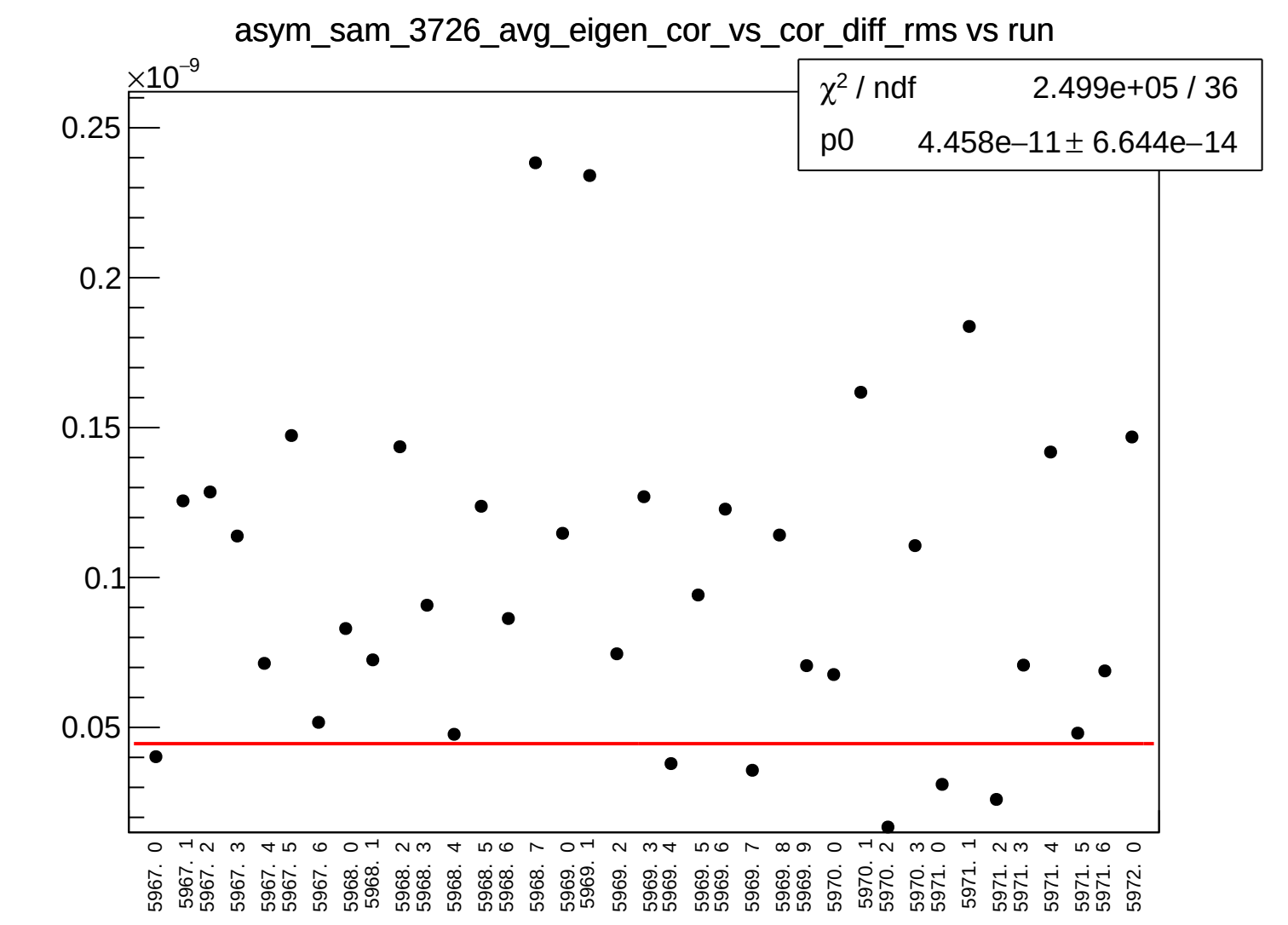
asym_sam_3726_avg_eigen_cor_vs_cor_diff_rms vs run
×10⁻⁹
χ² / ndf 2.499e+05 / 36
p0 4.458e−11 ± 6.644e−14
0.25
0.2
0.15
0.1
0.05
5967. 0
5967. 1
5967. 2
5967. 3
5967. 4
5967. 5
5967. 6
5968. 0
5968. 1
5968. 2
5968. 3
5968. 4
5968. 5
5968. 6
5968. 7
5969. 0
5969. 1
5969. 2
5969. 3
5969. 4
5969. 5
5969. 6
5969. 7
5969. 8
5969. 9
5970. 0
5970. 1
5970. 2
5970. 3
5971. 0
5971. 1
5971. 2
5971. 3
5971. 4
5971. 5
5971. 6
5972. 0

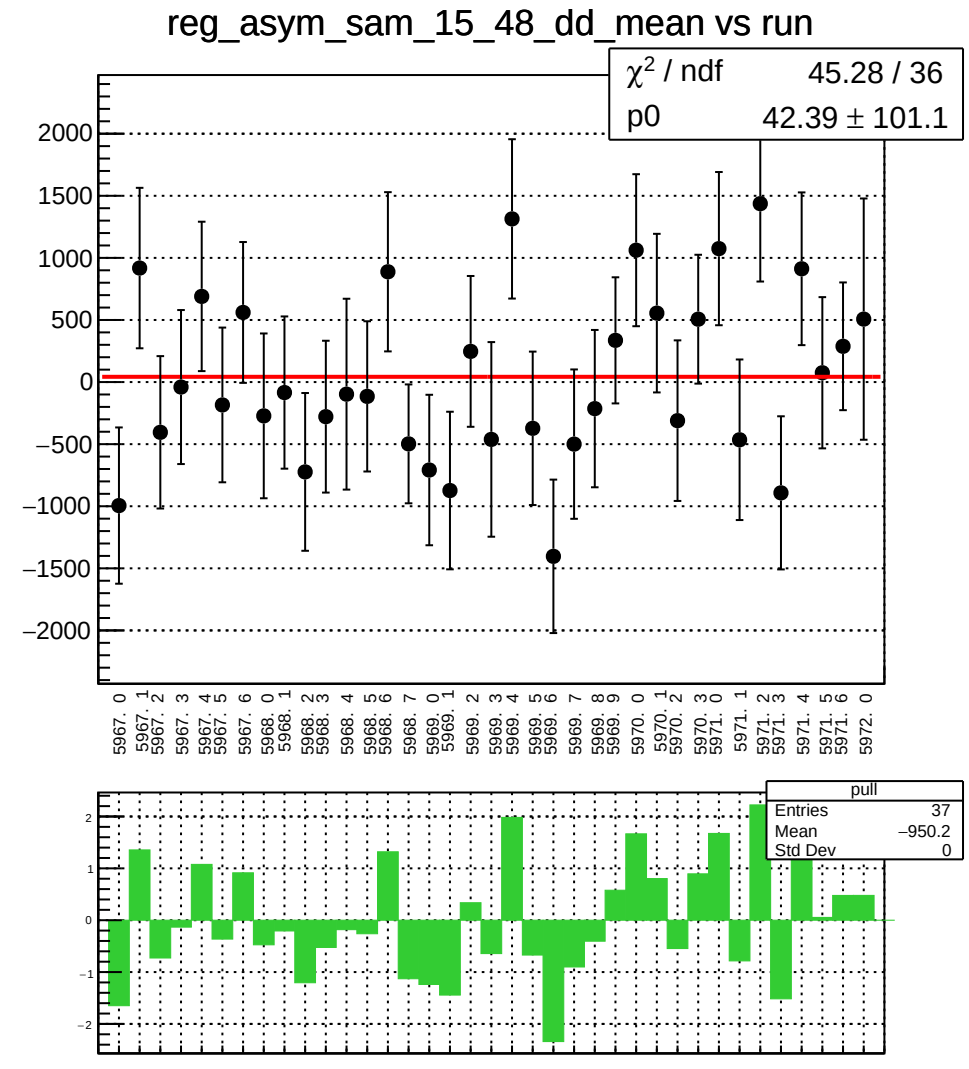
reg_asym_sam_15_48_dd_mean vs run
χ² / ndf 45.28 / 36
p0 42.39 ± 101.1
2000
1500
1000
500
0
−500
−1000
−1500
−2000
5967. 0
5967. 1
5967. 2
5967. 3
5967. 4
5967. 5
5967. 6
5968. 0
5968. 1
5968. 2
5968. 3
5968. 4
5968. 5
5968. 6
5968. 7
5969. 0
5969. 1
5969. 2
5969. 3
5969. 4
5969. 5
5969. 6
5969. 7
5969. 8
5969. 9
5970. 0
5970. 1
5970. 2
5970. 3
5971. 0
5971. 1
5971. 2
5971. 3
5971. 4
5971. 5
5971. 6
5972. 0
pull
Entries 37
Mean −950.2
Std Dev 0
2
1
0
−1
−2

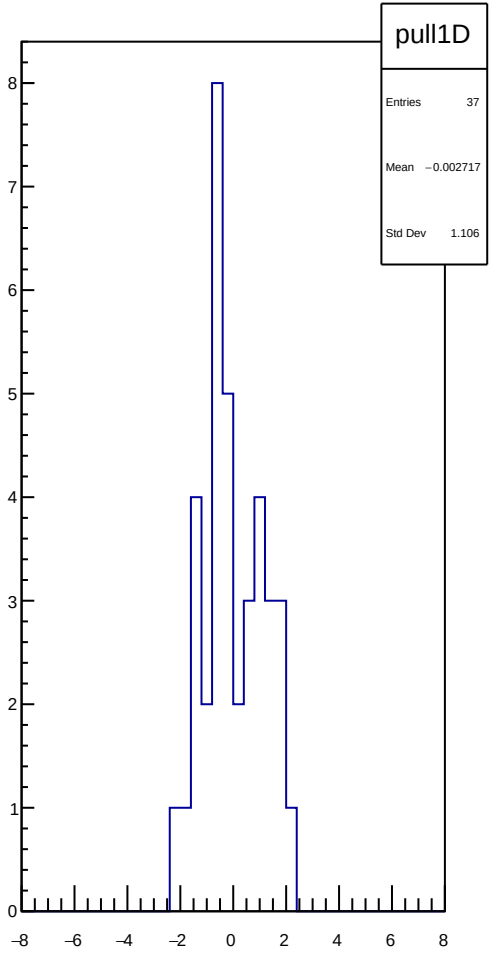
pull1D
Entries 37
Mean −0.002717
Std Dev 1.106
8
7
6
5
4
3
2
1
0
−8
−6
−4
−2
0
2
4
6
8

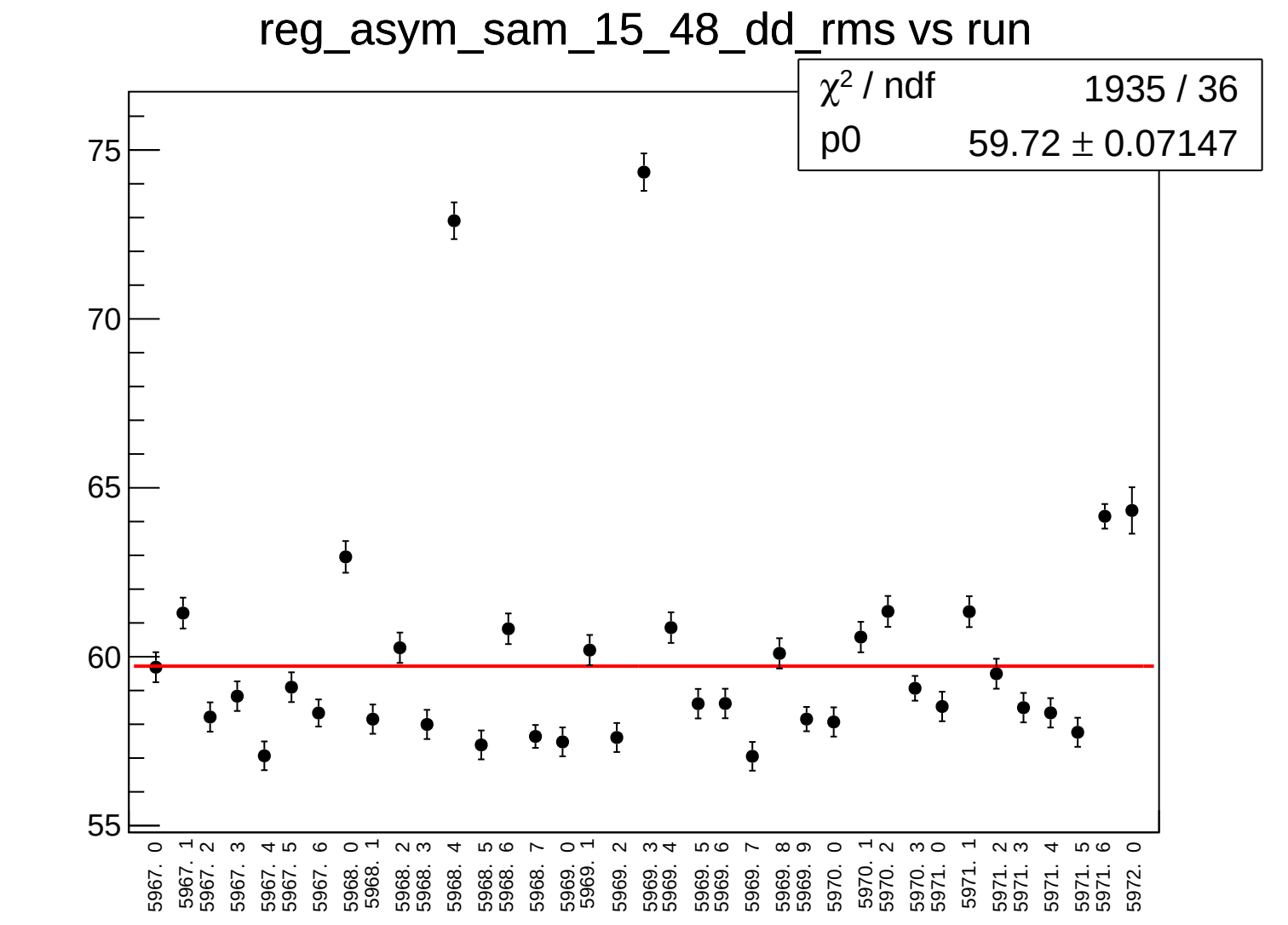
reg_asym_sam_15_48_dd_rms vs run
χ² / ndf 1935 / 36
p0 59.72 ± 0.07147
75
70
65
60
55
5967. 0
5967. 1
5967. 2
5967. 3
5967. 4
5967. 5
5967. 6
5968. 0
5968. 1
5968. 2
5968. 3
5968. 4
5968. 5
5968. 6
5968. 7
5969. 0
5969. 1
5969. 2
5969. 3
5969. 4
5969. 5
5969. 6
5969. 7
5969. 8
5969. 9
5970. 0
5970. 1
5970. 2
5970. 3
5971. 0
5971. 1
5971. 2
5971. 3
5971. 4
5971. 5
5971. 6
5972. 0

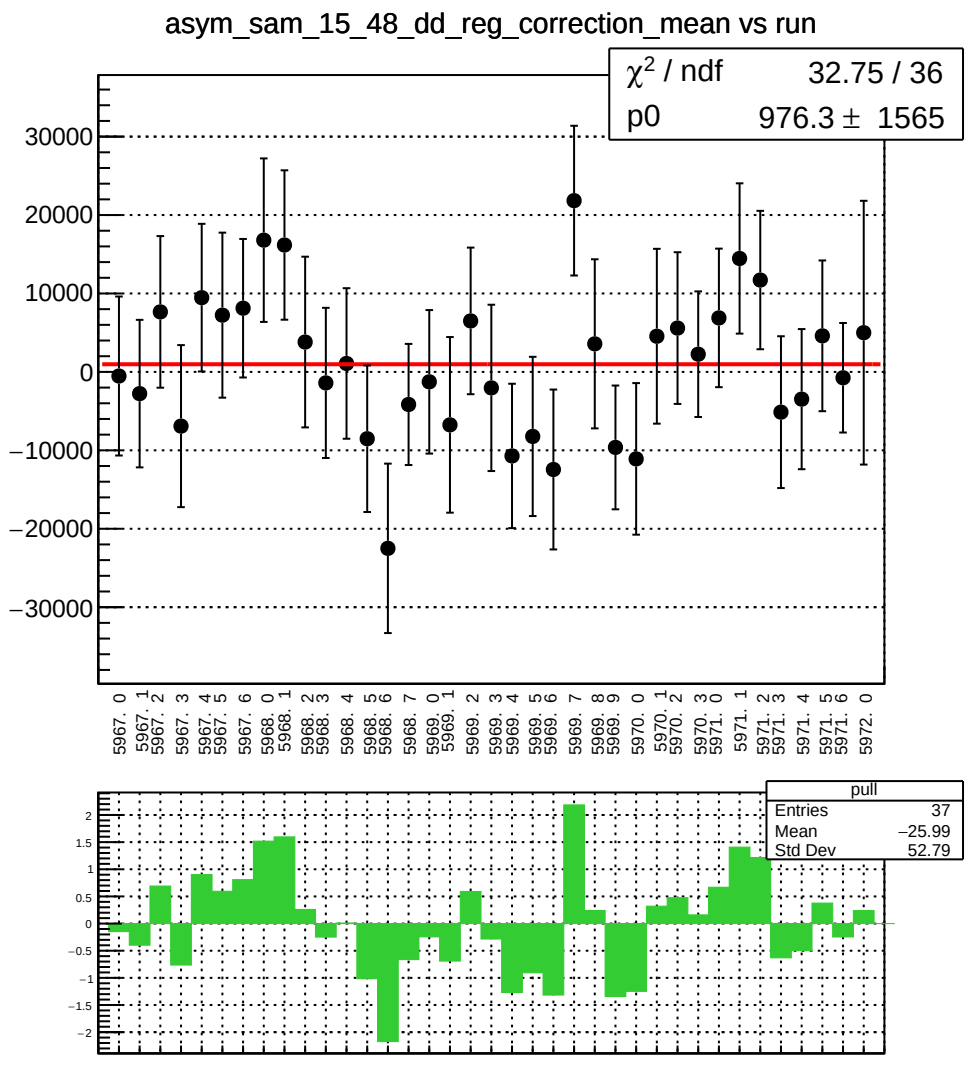
asym_sam_15_48_dd_reg_correction_mean vs run
χ² / ndf 32.75 / 36
p0 976.3 ± 1565
30000
20000
10000
0
−10000
−20000
−30000
5967. 0
5967. 1
5967. 2
5967. 3
5967. 4
5967. 5
5967. 6
5968. 0
5968. 1
5968. 2
5968. 3
5968. 4
5968. 5
5968. 6
5968. 7
5969. 0
5969. 1
5969. 2
5969. 3
5969. 4
5969. 5
5969. 6
5969. 7
5969. 8
5969. 9
5970. 0
5970. 1
5970. 2
5970. 3
5971. 0
5971. 1
5971. 2
5971. 3
5971. 4
5971. 5
5971. 6
5972. 0
pull
Entries 37
Mean −25.99
Std Dev 52.79
2
1.5
1
0.5
0
−0.5
−1
−1.5
−2
pull1D
Entries 37
Mean 0.004678
Std Dev 0.9408
7
6
5
4
3
2
1
0
−8
−6
−4
−2
0
2
4
6
8

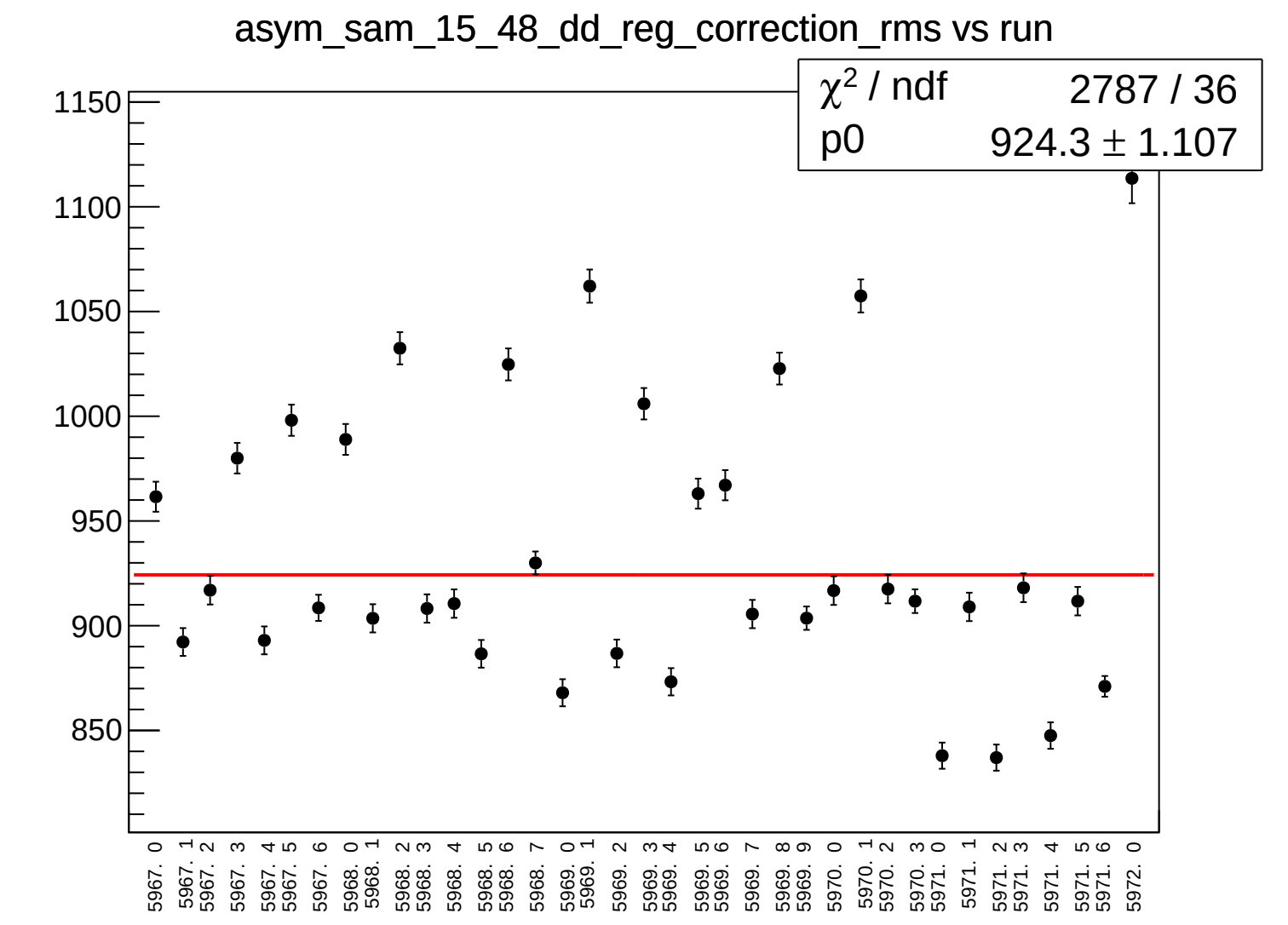
asym_sam_15_48_dd_reg_correction_rms vs run
χ² / ndf 2787 / 36
p0 924.3 ± 1.107
1150
1100
1050
1000
950
900
850
5967. 0
5967. 1
5967. 2
5967. 3
5967. 4
5967. 5
5967. 6
5968. 0
5968. 1
5968. 2
5968. 3
5968. 4
5968. 5
5968. 6
5968. 7
5969. 0
5969. 1
5969. 2
5969. 3
5969. 4
5969. 5
5969. 6
5969. 7
5969. 8
5969. 9
5970. 0
5970. 1
5970. 2
5970. 3
5971. 0
5971. 1
5971. 2
5971. 3
5971. 4
5971. 5
5971. 6
5972. 0

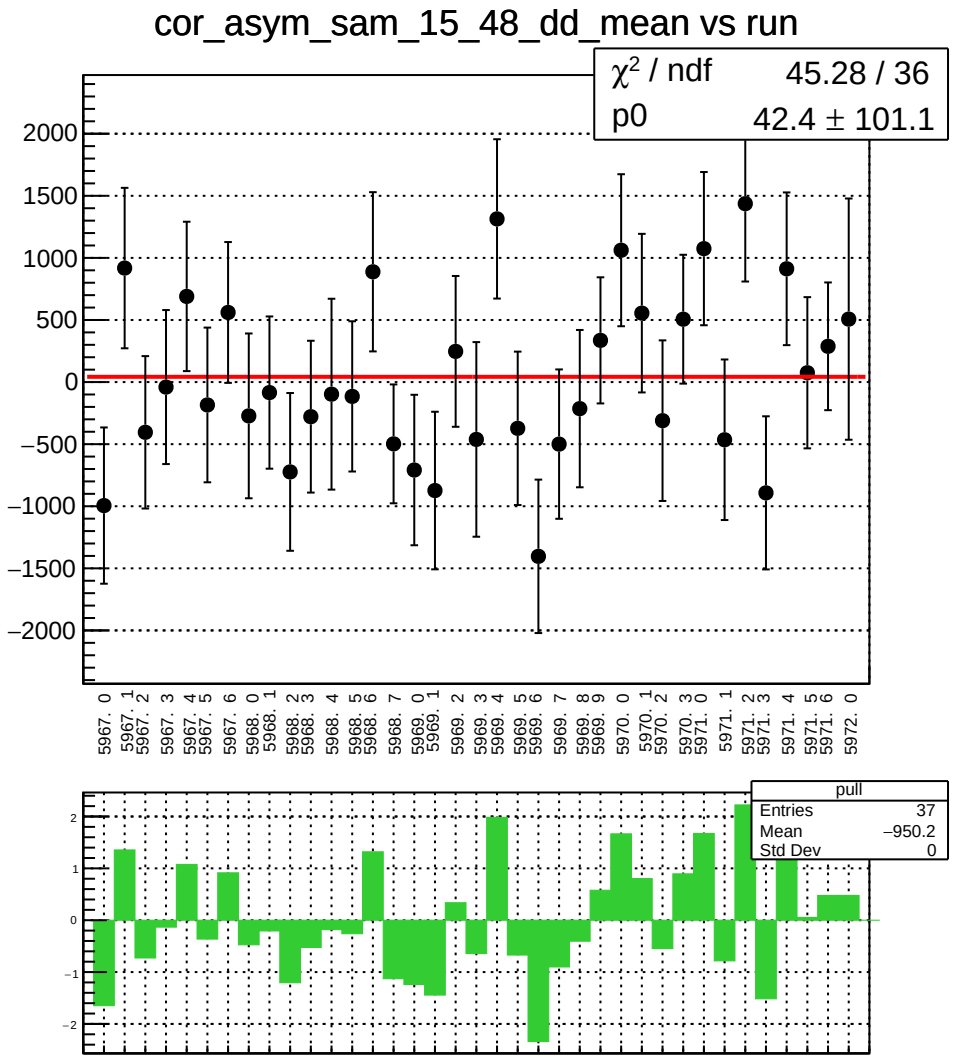
cor_asym_sam_15_48_dd_mean vs run
χ² / ndf 45.28 / 36
p0 42.4 ± 101.1
2000
1500
1000
500
0
−500
−1000
−1500
−2000
5967. 0
5967. 1
5967. 2
5967. 3
5967. 4
5967. 5
5967. 6
5968. 0
5968. 1
5968. 2
5968. 3
5968. 4
5968. 5
5968. 6
5968. 7
5969. 0
5969. 1
5969. 2
5969. 3
5969. 4
5969. 5
5969. 6
5969. 7
5969. 8
5969. 9
5970. 0
5970. 1
5970. 2
5970. 3
5971. 0
5971. 1
5971. 2
5971. 3
5971. 4
5971. 5
5971. 6
5972. 0
pull
Entries 37
Mean −950.2
Std Dev 0
2
1
0
−1
−2

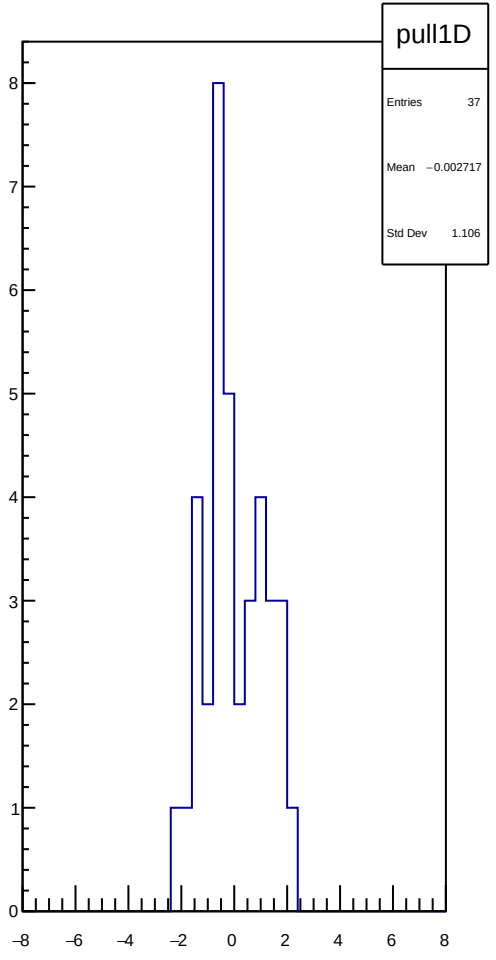
pull1D
Entries 37
Mean −0.002717
Std Dev 1.106
8
7
6
5
4
3
2
1
0
−8
−6
−4
−2
0
2
4
6
8

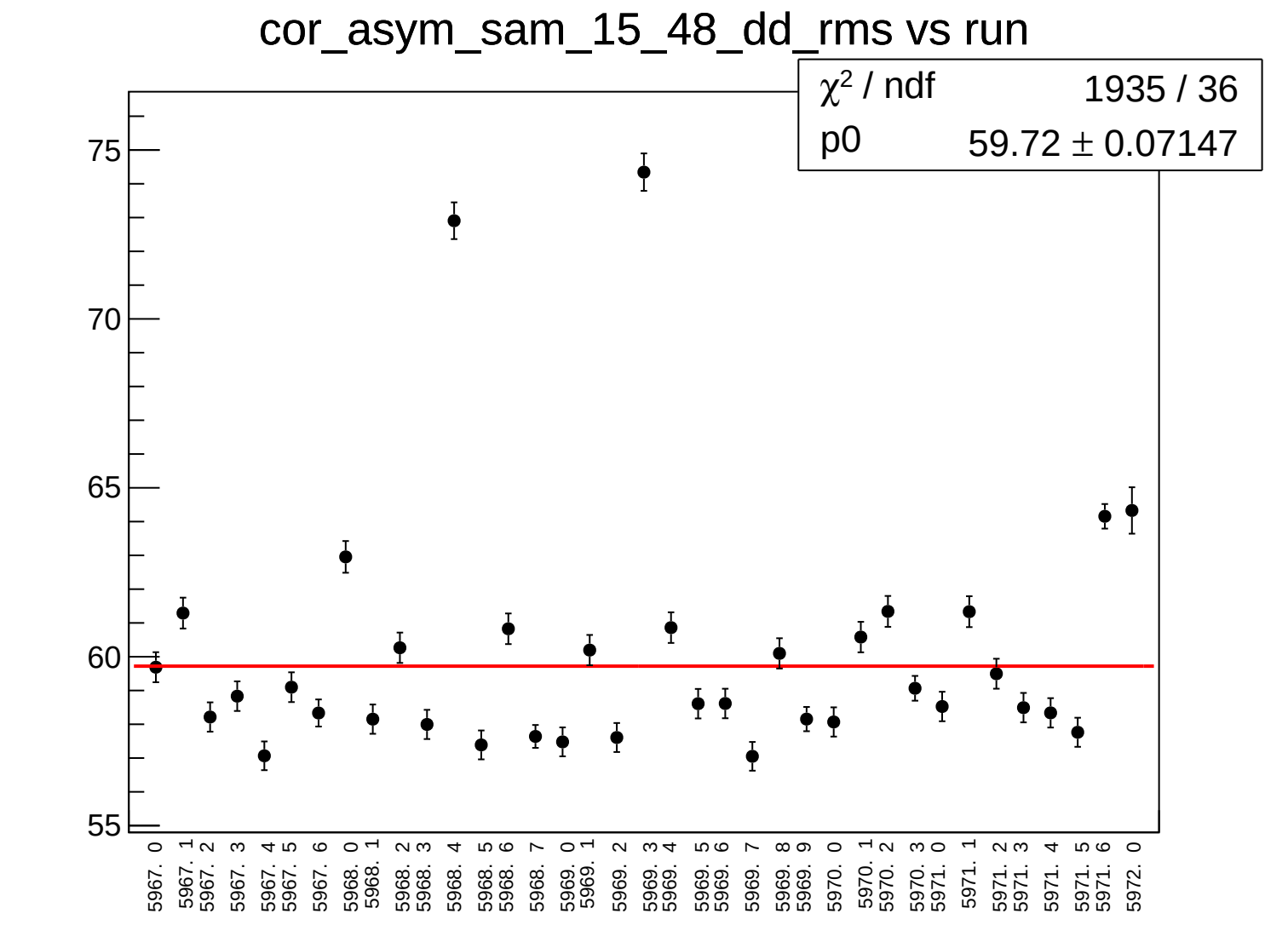
cor_asym_sam_15_48_dd_rms vs run
χ² / ndf 1935 / 36
p0 59.72 ± 0.07147
75
70
65
60
55
5967. 0
5967. 1
5967. 2
5967. 3
5967. 4
5967. 5
5967. 6
5968. 0
5968. 1
5968. 2
5968. 3
5968. 4
5968. 5
5968. 6
5968. 7
5969. 0
5969. 1
5969. 2
5969. 3
5969. 4
5969. 5
5969. 6
5969. 7
5969. 8
5969. 9
5970. 0
5970. 1
5970. 2
5970. 3
5971. 0
5971. 1
5971. 2
5971. 3
5971. 4
5971. 5
5971. 6
5972. 0

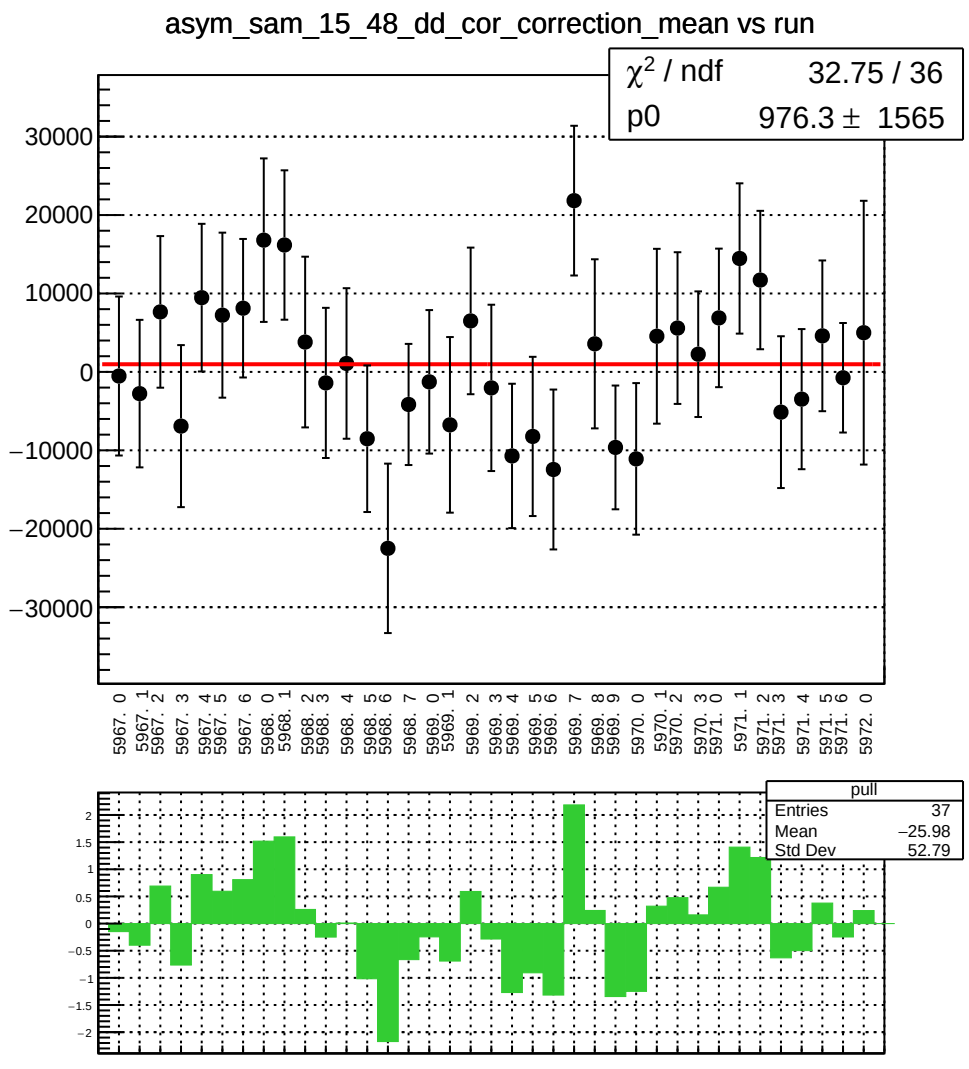
asym_sam_15_48_dd_cor_correction_mean vs run
χ² / ndf 32.75 / 36
p0 976.3 ± 1565
30000
20000
10000
0
−10000
−20000
−30000
5967. 0
5967. 1
5967. 2
5967. 3
5967. 4
5967. 5
5967. 6
5968. 0
5968. 1
5968. 2
5968. 3
5968. 4
5968. 5
5968. 6
5968. 7
5969. 0
5969. 1
5969. 2
5969. 3
5969. 4
5969. 5
5969. 6
5969. 7
5969. 8
5969. 9
5970. 0
5970. 1
5970. 2
5970. 3
5971. 0
5971. 1
5971. 2
5971. 3
5971. 4
5971. 5
5971. 6
5972. 0
pull
Entries 37
Mean −25.98
Std Dev 52.79
2
1.5
1
0.5
0
−0.5
−1
−1.5
−2
pull1D
Entries 37
Mean 0.004679
Std Dev 0.9408
7
6
5
4
3
2
1
0
−8
−6
−4
−2
0
2
4
6
8

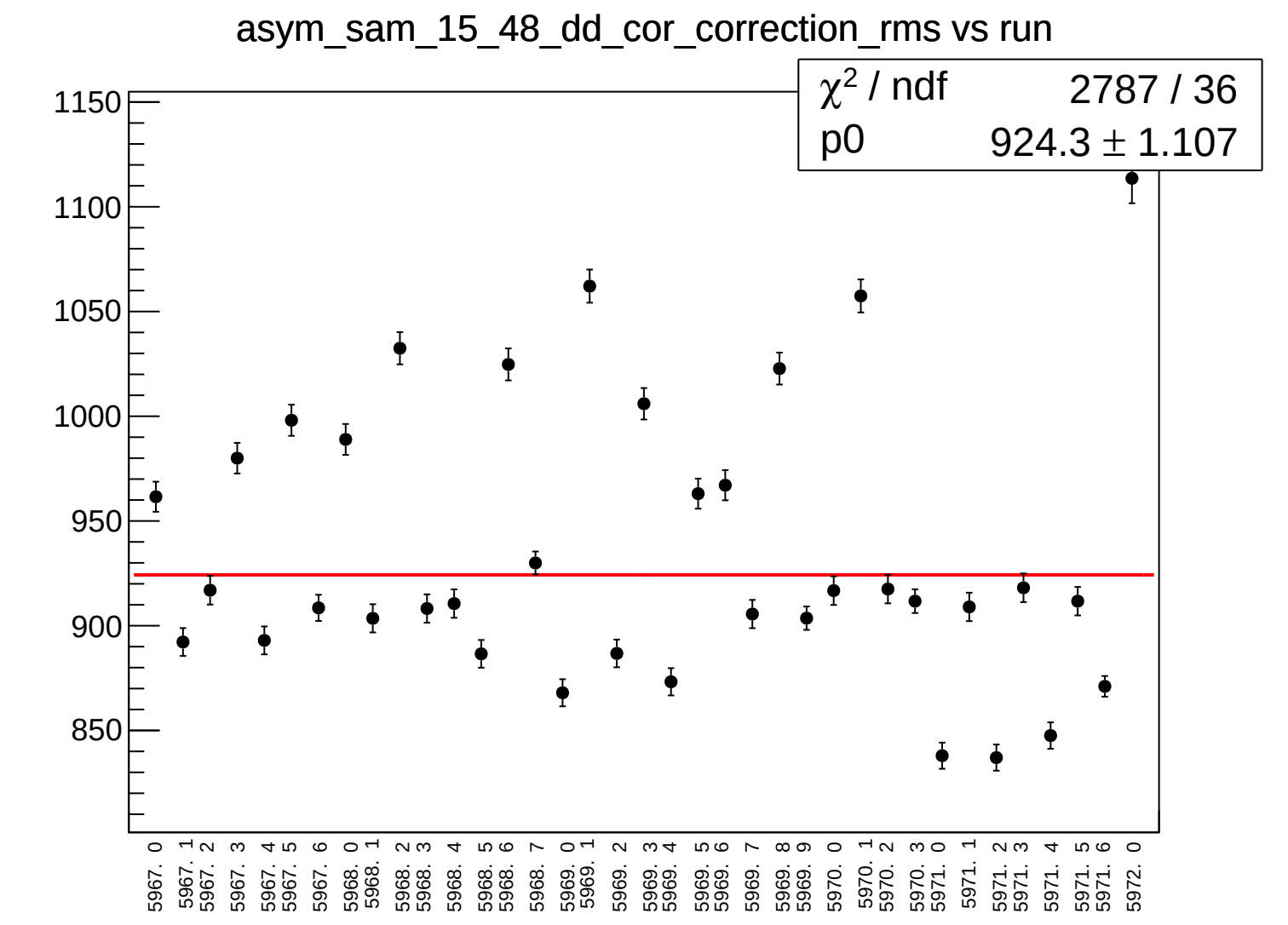
asym_sam_15_48_dd_cor_correction_rms vs run
χ² / ndf 2787 / 36
p0 924.3 ± 1.107
1150
1100
1050
1000
950
900
850
5967. 0
5967. 1
5967. 2
5967. 3
5967. 4
5967. 5
5967. 6
5968. 0
5968. 1
5968. 2
5968. 3
5968. 4
5968. 5
5968. 6
5968. 7
5969. 0
5969. 1
5969. 2
5969. 3
5969. 4
5969. 5
5969. 6
5969. 7
5969. 8
5969. 9
5970. 0
5970. 1
5970. 2
5970. 3
5971. 0
5971. 1
5971. 2
5971. 3
5971. 4
5971. 5
5971. 6
5972. 0

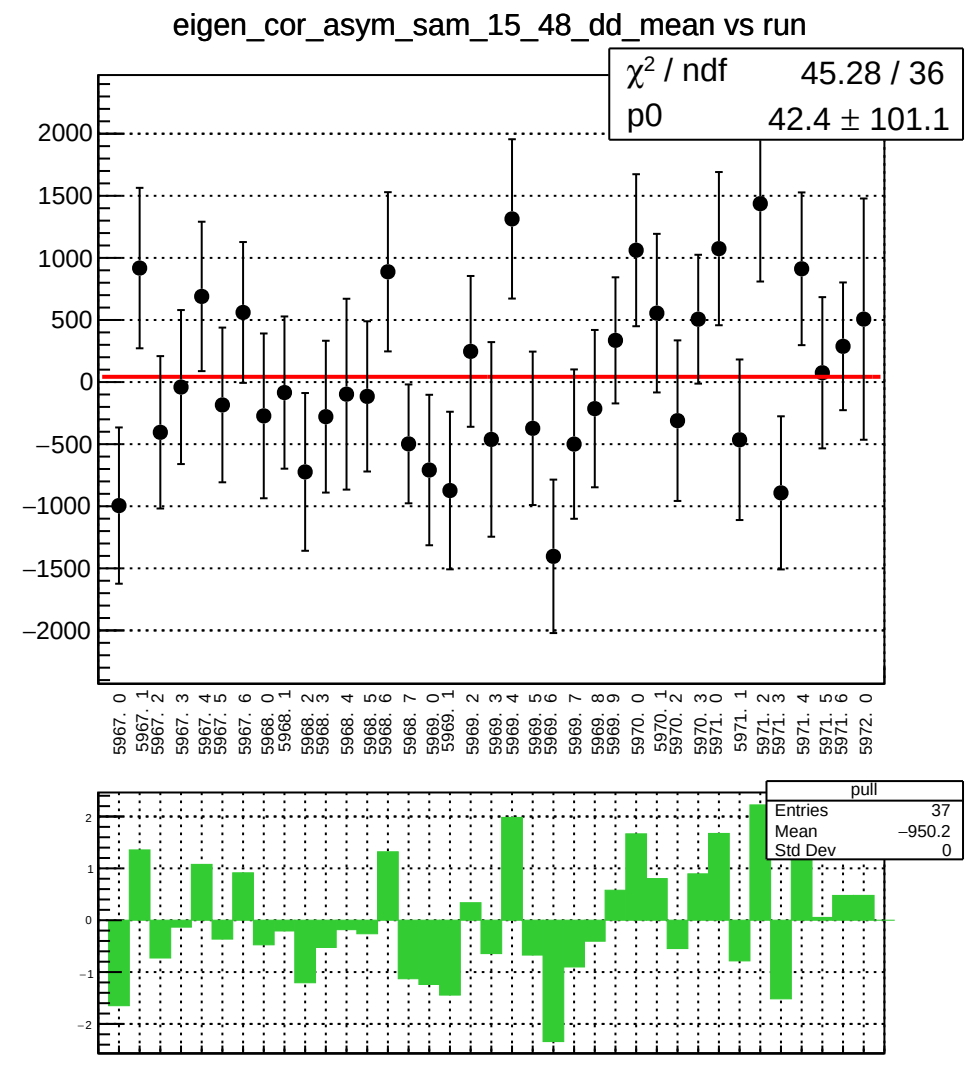
eigen_cor_asym_sam_15_48_dd_mean vs run
χ² / ndf 45.28 / 36
p0 42.4 ± 101.1
2000
1500
1000
500
0
−500
−1000
−1500
−2000
5967. 0
5967. 1
5967. 2
5967. 3
5967. 4
5967. 5
5967. 6
5968. 0
5968. 1
5968. 2
5968. 3
5968. 4
5968. 5
5968. 6
5968. 7
5969. 0
5969. 1
5969. 2
5969. 3
5969. 4
5969. 5
5969. 6
5969. 7
5969. 8
5969. 9
5970. 0
5970. 1
5970. 2
5970. 3
5971. 0
5971. 1
5971. 2
5971. 3
5971. 4
5971. 5
5971. 6
5972. 0
pull
Entries 37
Mean −950.2
Std Dev 0
2
1
0
−1
−2

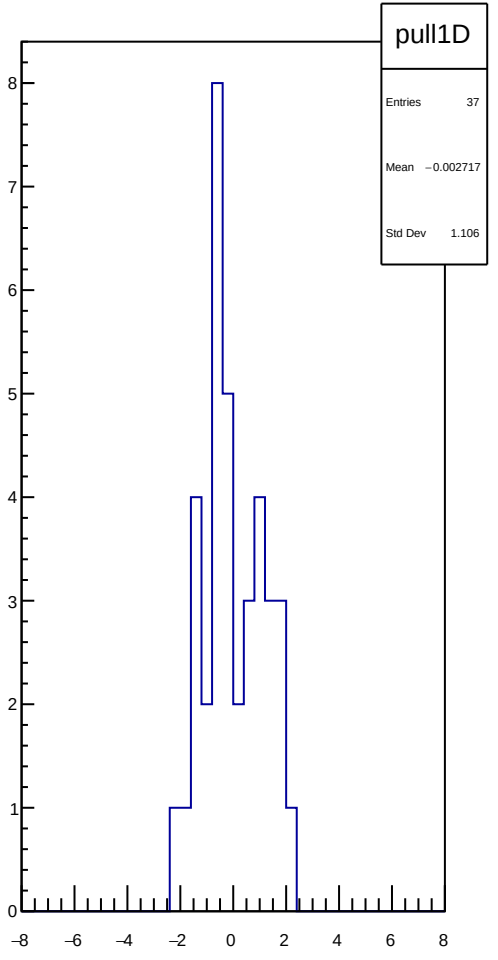
pull1D
Entries 37
Mean −0.002717
Std Dev 1.106
8
7
6
5
4
3
2
1
0
−8
−6
−4
−2
0
2
4
6
8

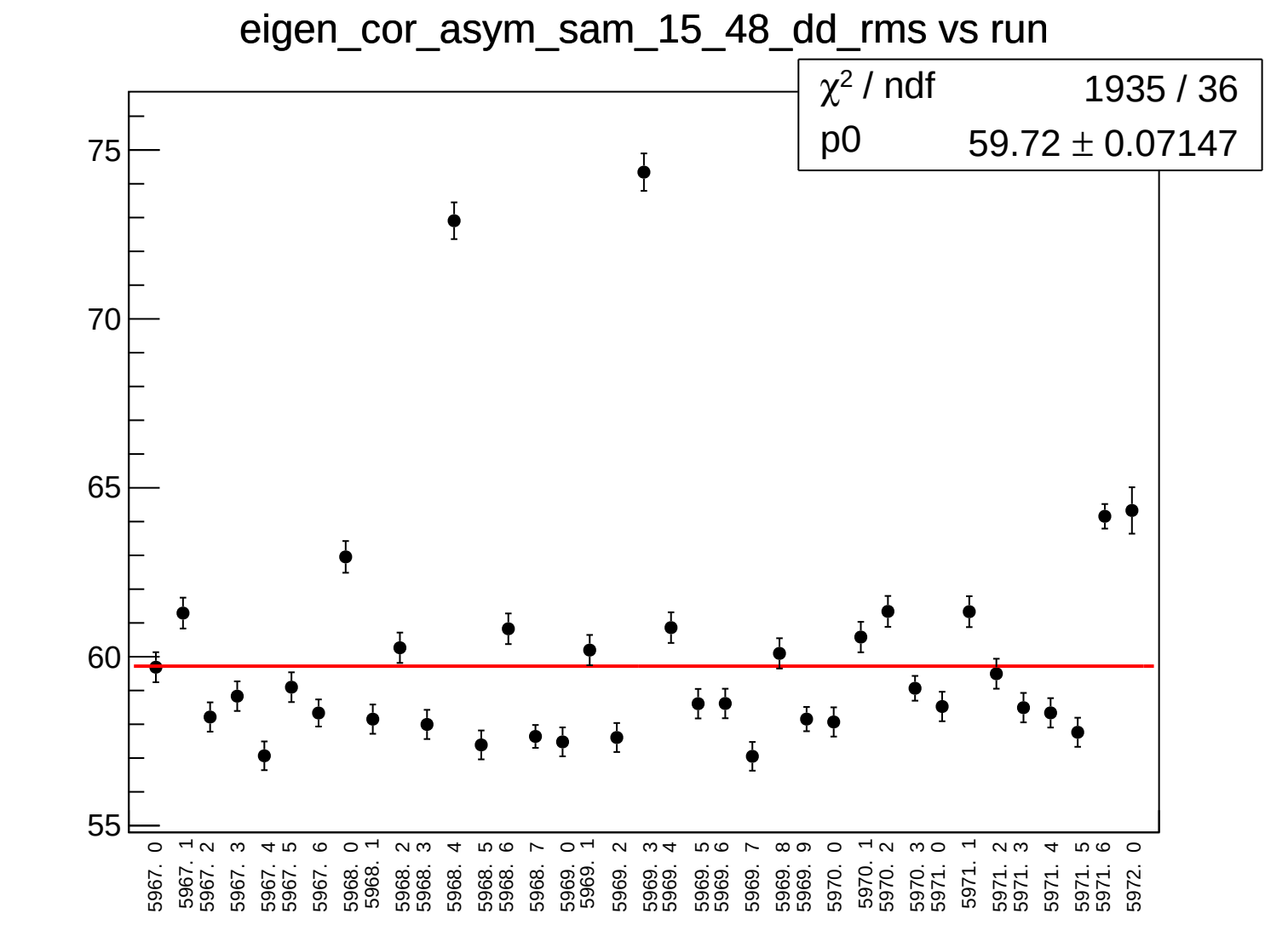
eigen_cor_asym_sam_15_48_dd_rms vs run
χ² / ndf 1935 / 36
p0 59.72 ± 0.07147
75
70
65
60
55
5967. 0
5967. 1
5967. 2
5967. 3
5967. 4
5967. 5
5967. 6
5968. 0
5968. 1
5968. 2
5968. 3
5968. 4
5968. 5
5968. 6
5968. 7
5969. 0
5969. 1
5969. 2
5969. 3
5969. 4
5969. 5
5969. 6
5969. 7
5969. 8
5969. 9
5970. 0
5970. 1
5970. 2
5970. 3
5971. 0
5971. 1
5971. 2
5971. 3
5971. 4
5971. 5
5971. 6
5972. 0

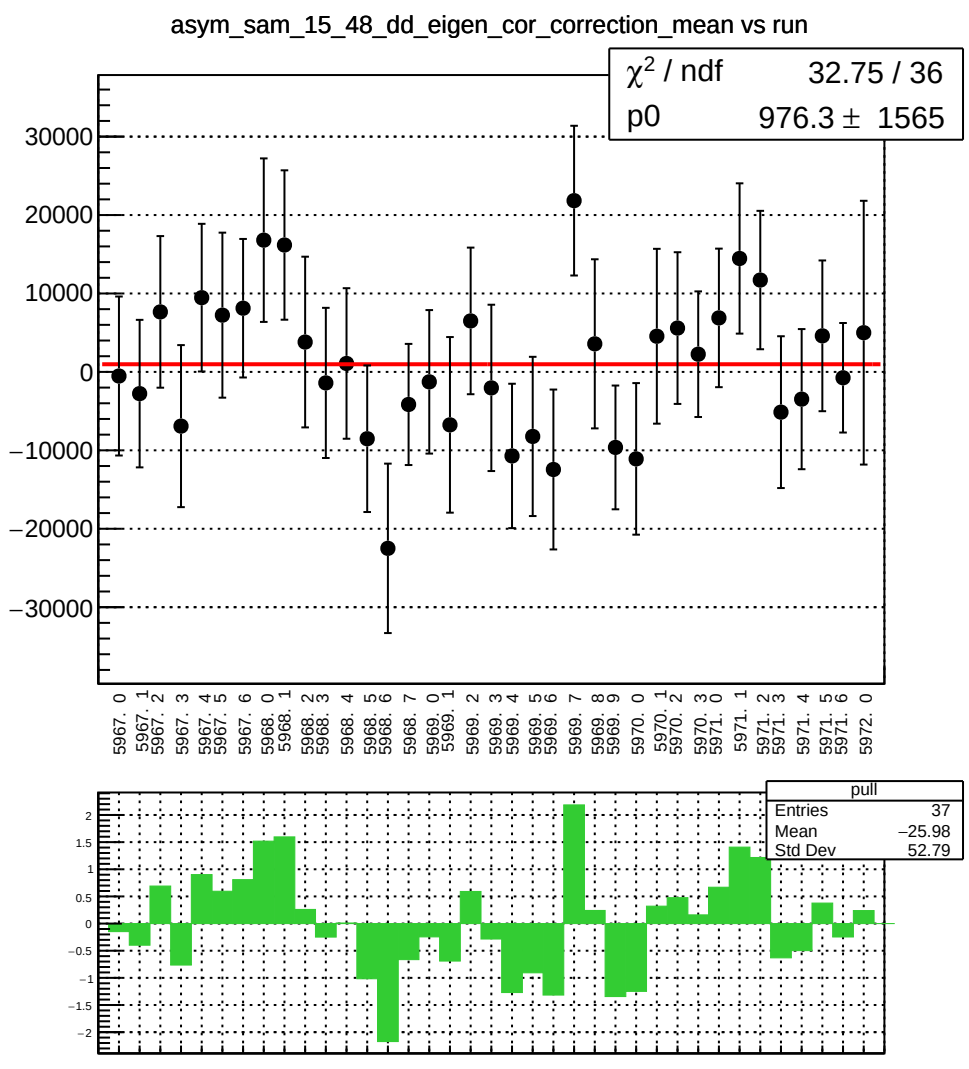
asym_sam_15_48_dd_eigen_cor_correction_mean vs run
χ² / ndf 32.75 / 36
p0 976.3 ± 1565
pull
Entries 37
Mean −25.98
Std Dev 52.79

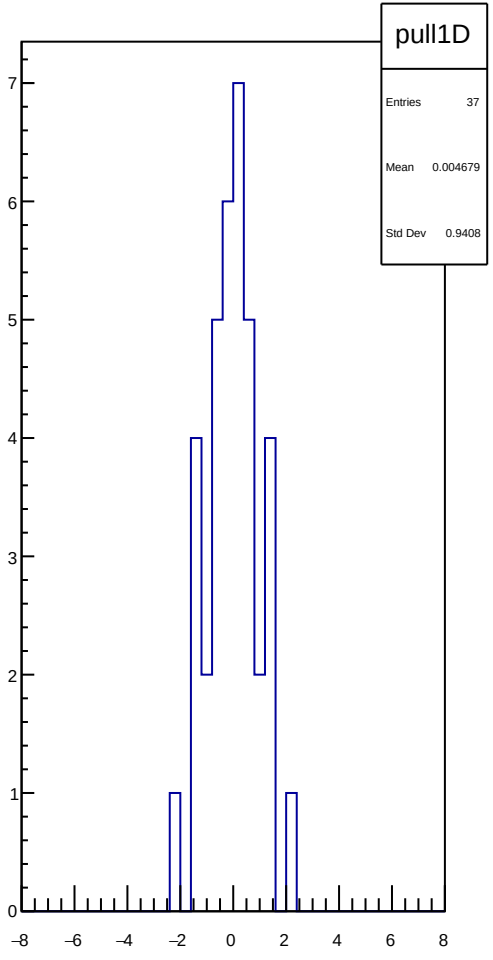
pull1D
Entries 37
Mean 0.004679
Std Dev 0.9408

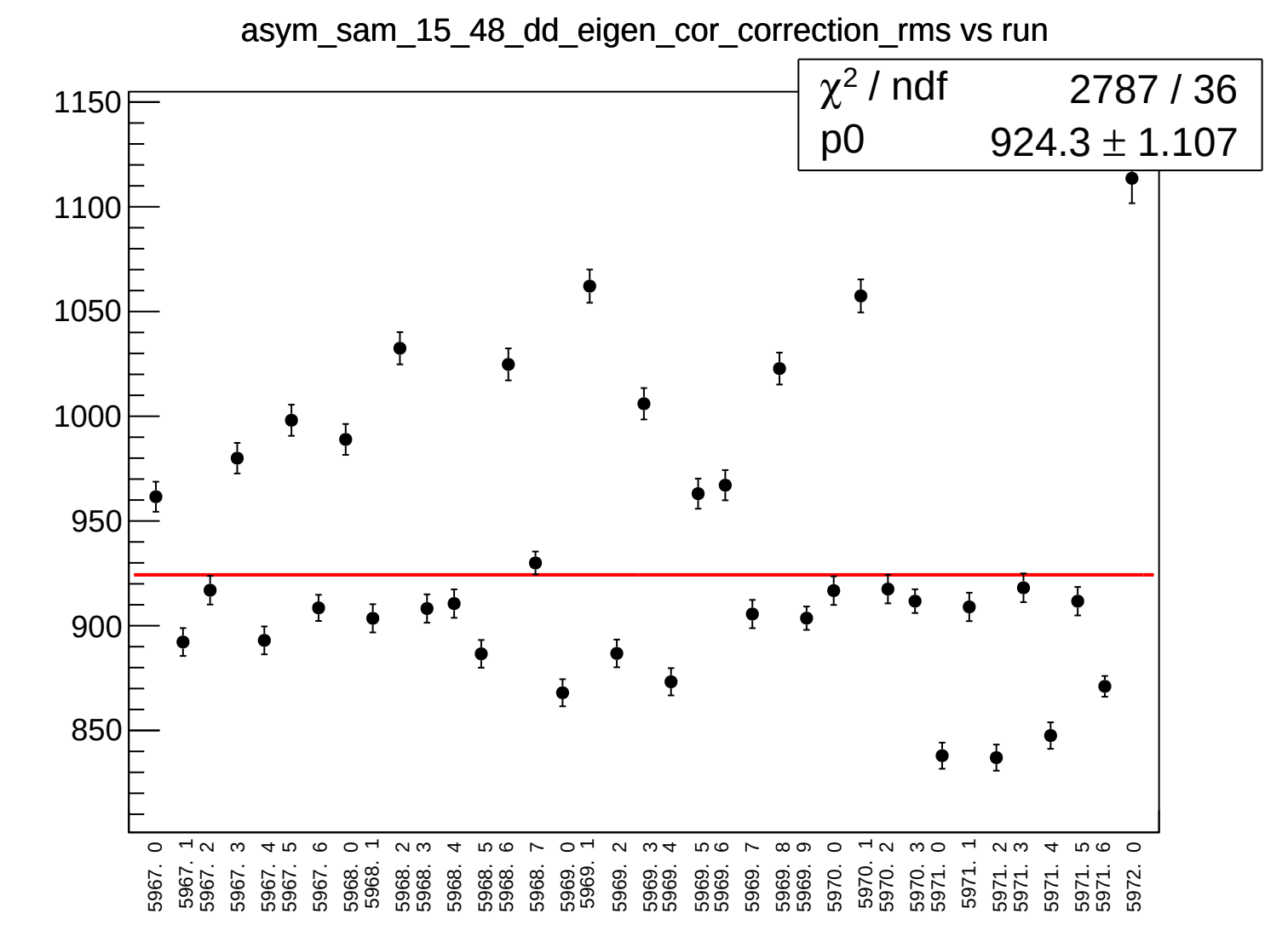
asym_sam_15_48_dd_eigen_cor_correction_rms vs run
χ² / ndf 2787 / 36
p0 924.3 ± 1.107
1150
1100
1050
1000
950
900
850
5967. 0
5967. 1
5967. 2
5967. 3
5967. 4
5967. 5
5967. 6
5968. 0
5968. 1
5968. 2
5968. 3
5968. 4
5968. 5
5968. 6
5968. 7
5969. 0
5969. 1
5969. 2
5969. 3
5969. 4
5969. 5
5969. 6
5969. 7
5969. 8
5969. 9
5970. 0
5970. 1
5970. 2
5970. 3
5971. 0
5971. 1
5971. 2
5971. 3
5971. 4
5971. 5
5971. 6
5972. 0

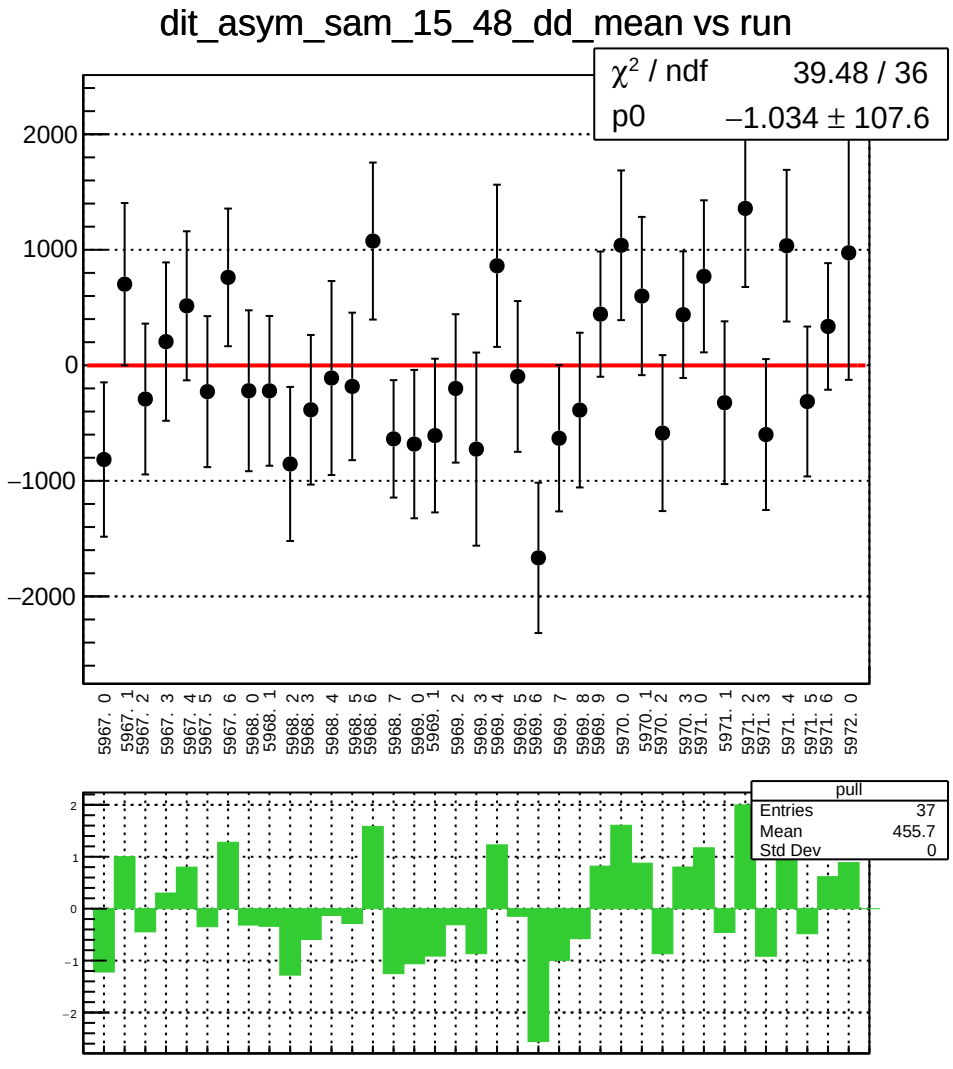
dit_asym_sam_15_48_dd_mean vs run
χ² / ndf 39.48 / 36
p0 −1.034 ± 107.6
2000
1000
0
−1000
−2000
5967. 0
5967. 1
5967. 2
5967. 3
5967. 4
5967. 5
5967. 6
5968. 0
5968. 1
5968. 2
5968. 3
5968. 4
5968. 5
5968. 6
5968. 7
5969. 0
5969. 1
5969. 2
5969. 3
5969. 4
5969. 5
5969. 6
5969. 7
5969. 8
5969. 9
5970. 0
5970. 1
5970. 2
5970. 3
5971. 0
5971. 1
5971. 2
5971. 3
5971. 4
5971. 5
5971. 6
5972. 0
pull
Entries 37
Mean 455.7
Std Dev 0
2
1
0
−1
−2

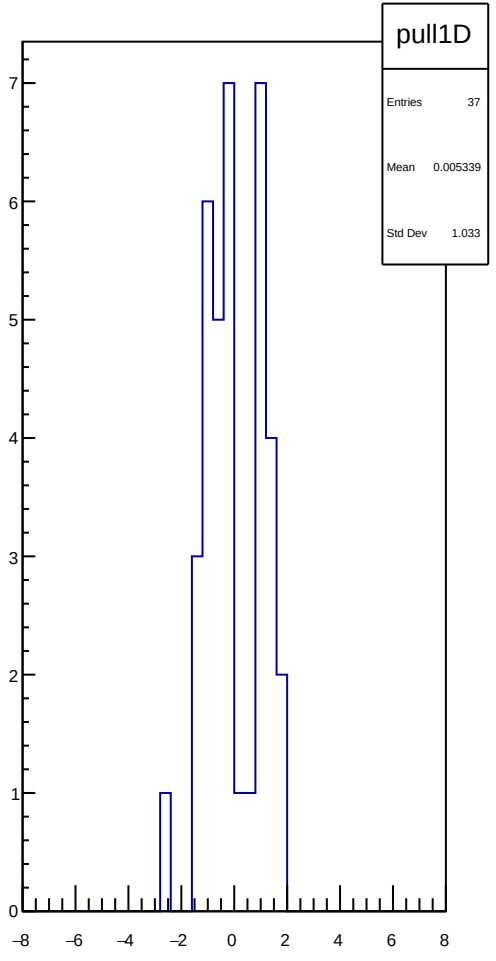
pull1D
Entries 37
Mean 0.005339
Std Dev 1.033
7
6
5
4
3
2
1
0
−8
−6
−4
−2
0
2
4
6
8

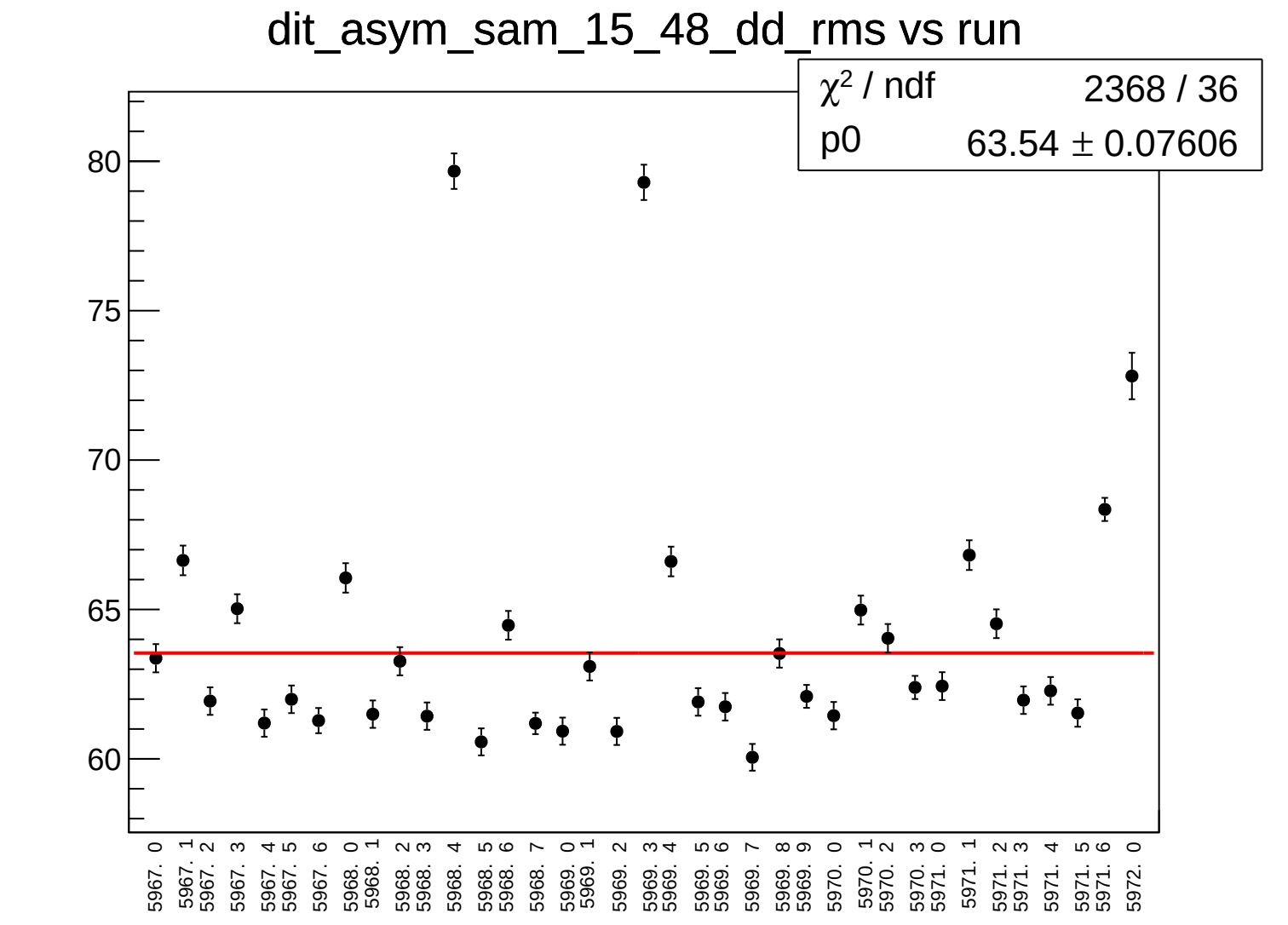
dit_asym_sam_15_48_dd_rms vs run
χ² / ndf 2368 / 36
p0 63.54 ± 0.07606
80
75
70
65
60
5967. 0
5967. 1
5967. 2
5967. 3
5967. 4
5967. 5
5967. 6
5968. 0
5968. 1
5968. 2
5968. 3
5968. 4
5968. 5
5968. 6
5968. 7
5969. 0
5969. 1
5969. 2
5969. 3
5969. 4
5969. 5
5969. 6
5969. 7
5969. 8
5969. 9
5970. 0
5970. 1
5970. 2
5970. 3
5971. 0
5971. 1
5971. 2
5971. 3
5971. 4
5971. 5
5971. 6
5972. 0

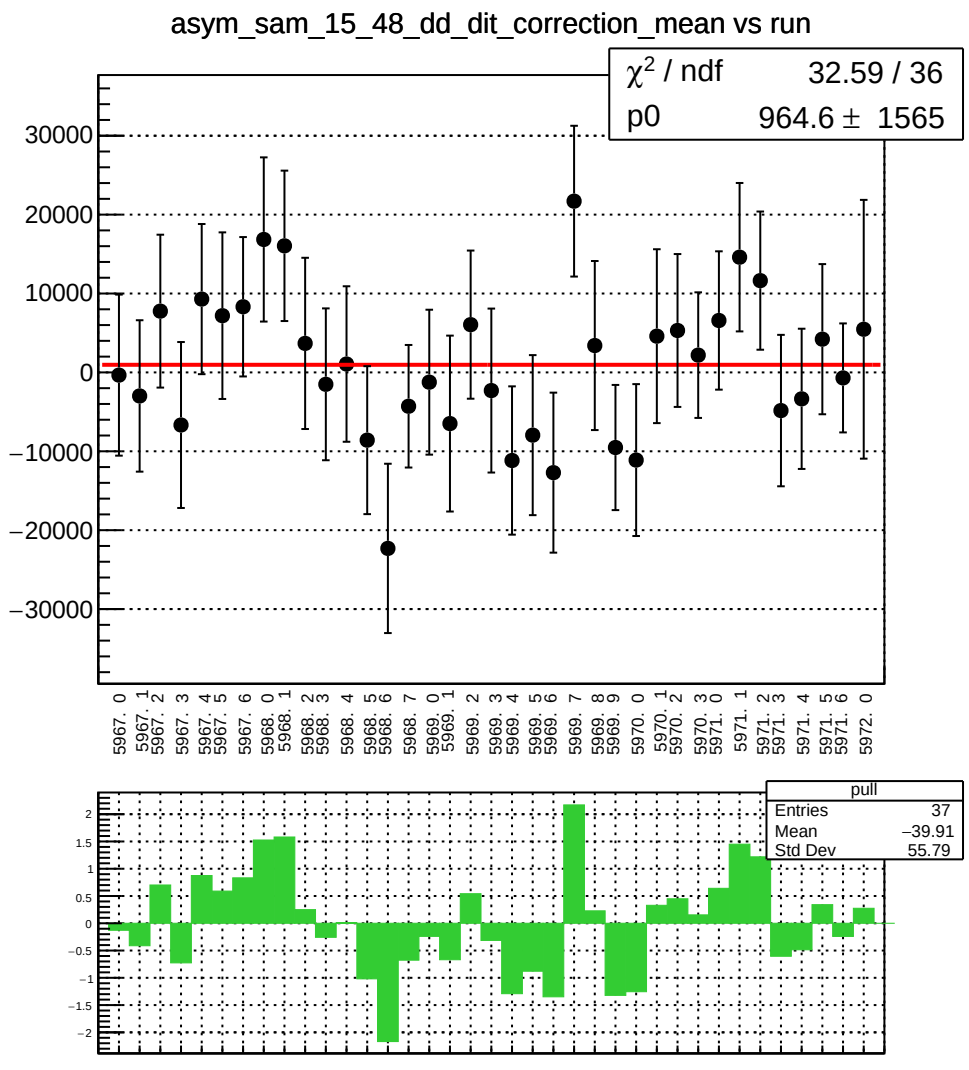
asym_sam_15_48_dd_dit_correction_mean vs run
χ² / ndf 32.59 / 36
p0 964.6 ± 1565
30000
20000
10000
0
−10000
−20000
−30000
5967. 0
5967. 1
5967. 2
5967. 3
5967. 4
5967. 5
5967. 6
5968. 0
5968. 1
5968. 2
5968. 3
5968. 4
5968. 5
5968. 6
5968. 7
5969. 0
5969. 1
5969. 2
5969. 3
5969. 4
5969. 5
5969. 6
5969. 7
5969. 8
5969. 9
5970. 0
5970. 1
5970. 2
5970. 3
5971. 0
5971. 1
5971. 2
5971. 3
5971. 4
5971. 5
5971. 6
5972. 0
pull
Entries 37
Mean −39.91
Std Dev 55.79
2
1.5
1
0.5
0
−0.5
−1
−1.5
−2

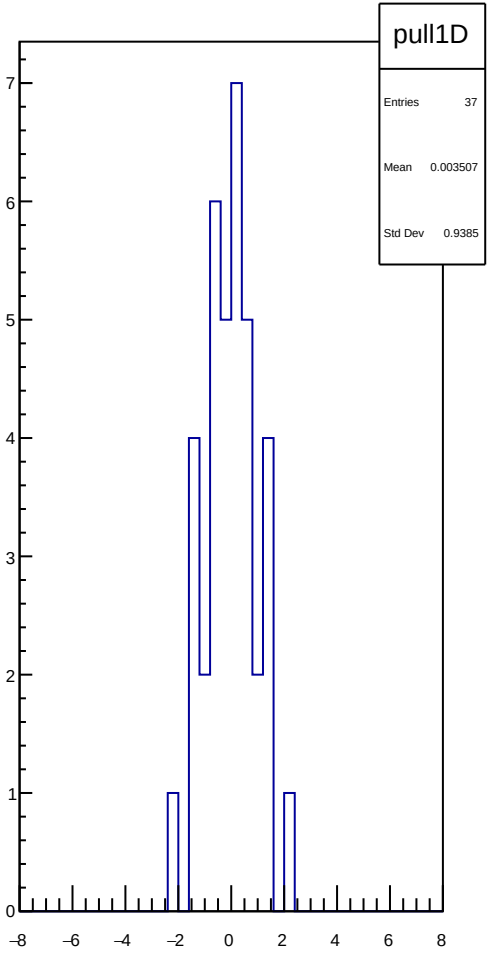
pull1D
Entries 37
Mean 0.003507
Std Dev 0.9385
7
6
5
4
3
2
1
0
−8
−6
−4
−2
0
2
4
6
8

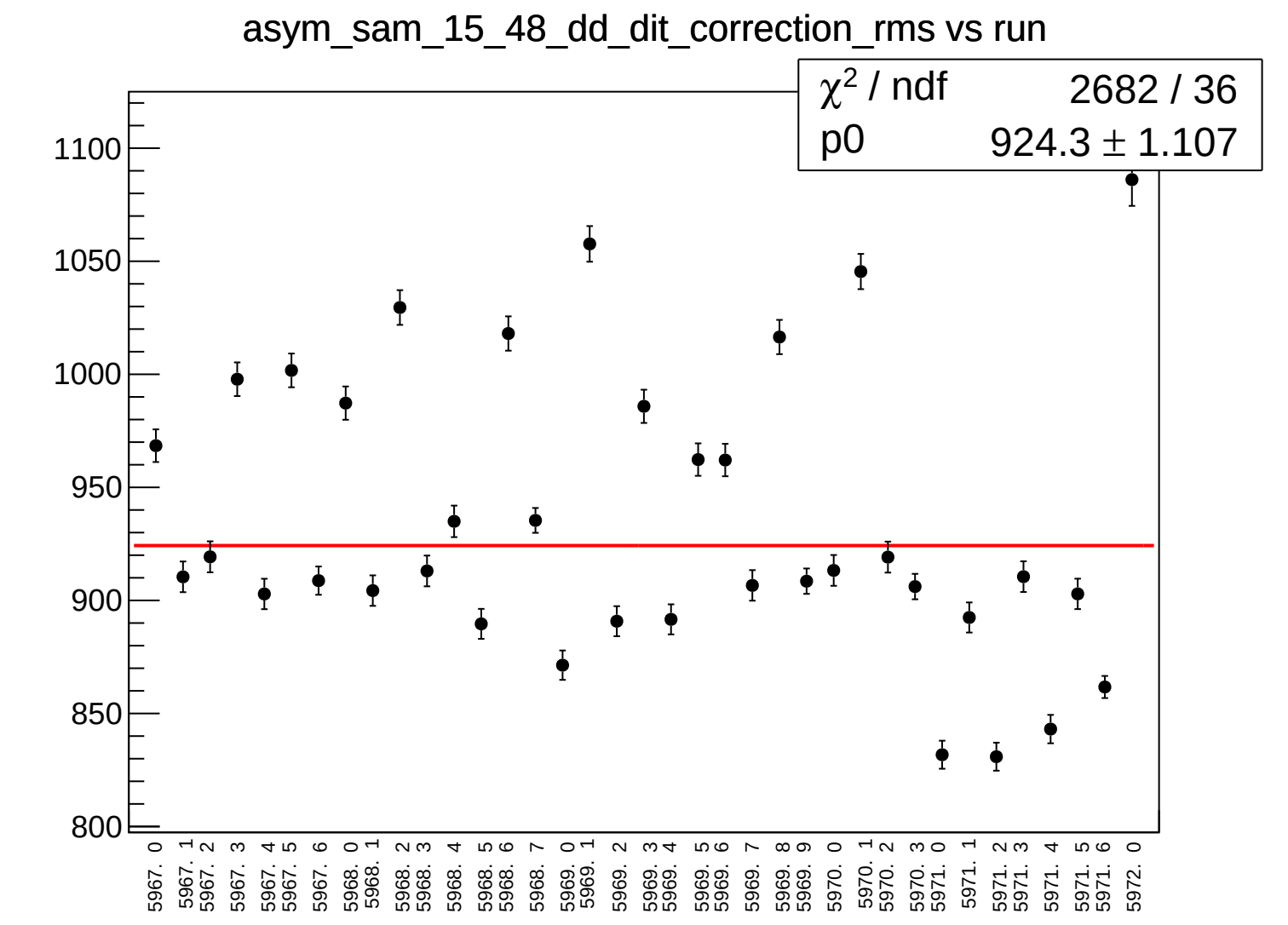
asym_sam_15_48_dd_dit_correction_rms vs run
χ² / ndf 2682 / 36
p0 924.3 ± 1.107
1100
1050
1000
950
900
850
800
5967. 0
5967. 1
5967. 2
5967. 3
5967. 4
5967. 5
5967. 6
5968. 0
5968. 1
5968. 2
5968. 3
5968. 4
5968. 5
5968. 6
5968. 7
5969. 0
5969. 1
5969. 2
5969. 3
5969. 4
5969. 5
5969. 6
5969. 7
5969. 8
5969. 9
5970. 0
5970. 1
5970. 2
5970. 3
5971. 0
5971. 1
5971. 2
5971. 3
5971. 4
5971. 5
5971. 6
5972. 0

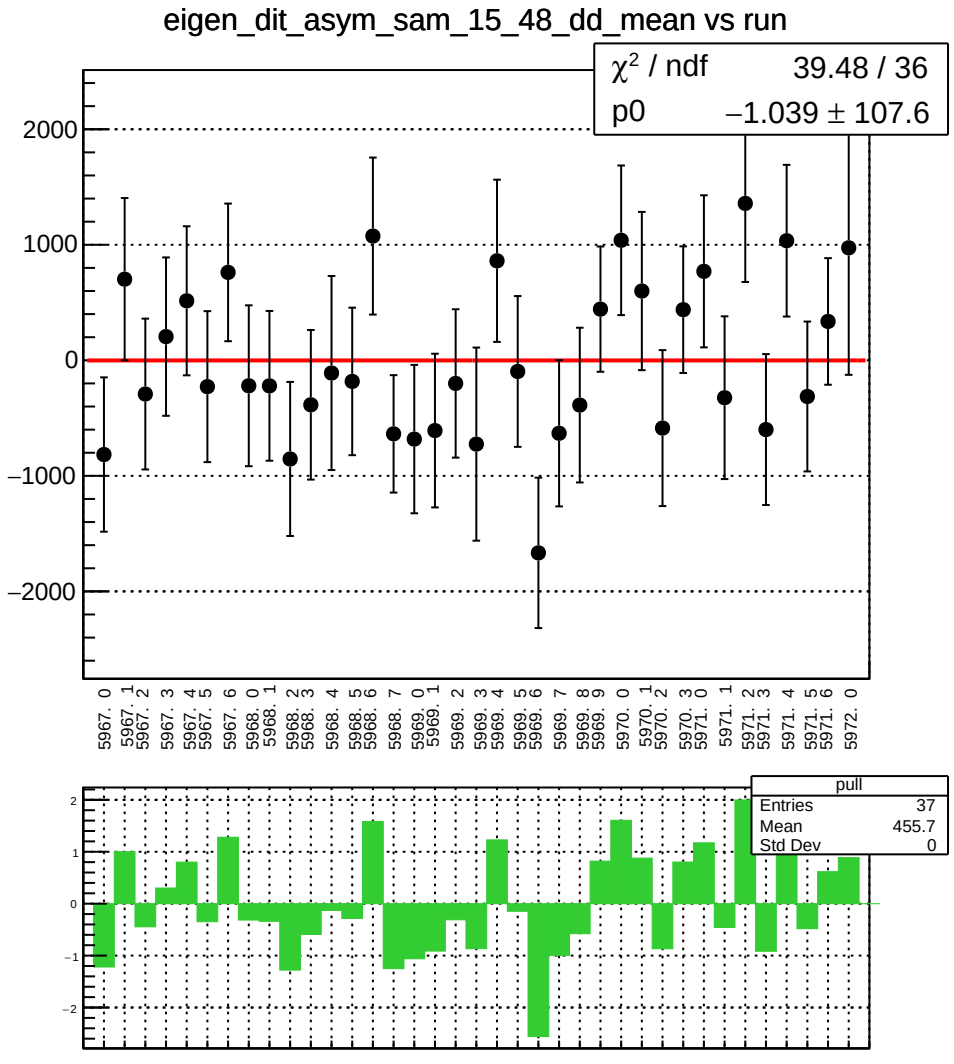
eigen_dit_asym_sam_15_48_dd_mean vs run
χ² / ndf 39.48 / 36
p0 −1.039 ± 107.6
2000
1000
0
−1000
−2000
5967. 0
5967. 1
5967. 2
5967. 3
5967. 4
5967. 5
5967. 6
5968. 0
5968. 1
5968. 2
5968. 3
5968. 4
5968. 5
5968. 6
5968. 7
5969. 0
5969. 1
5969. 2
5969. 3
5969. 4
5969. 5
5969. 6
5969. 7
5969. 8
5969. 9
5970. 0
5970. 1
5970. 2
5970. 3
5971. 0
5971. 1
5971. 2
5971. 3
5971. 4
5971. 5
5971. 6
5972. 0
pull
Entries 37
Mean 455.7
Std Dev 0
2
1
0
−1
−2

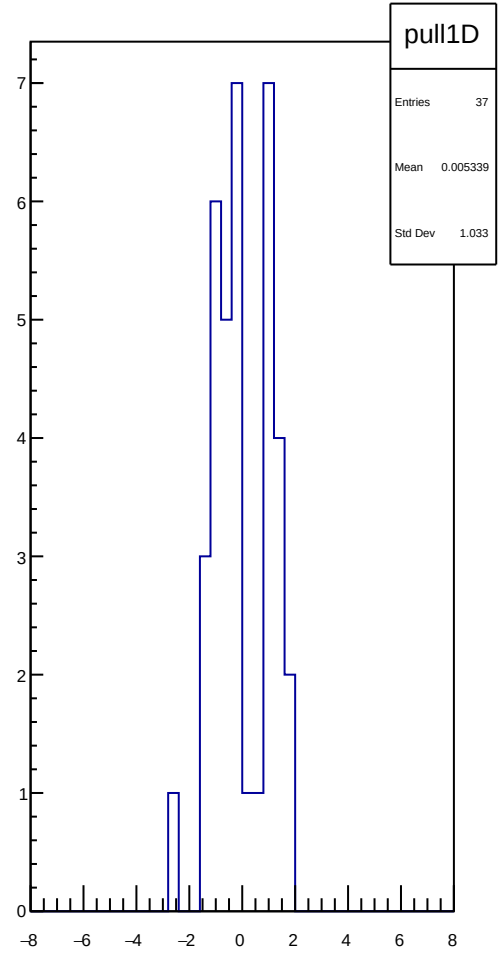
pull1D
Entries 37
Mean 0.005339
Std Dev 1.033
7
6
5
4
3
2
1
0
−8
−6
−4
−2
0
2
4
6
8

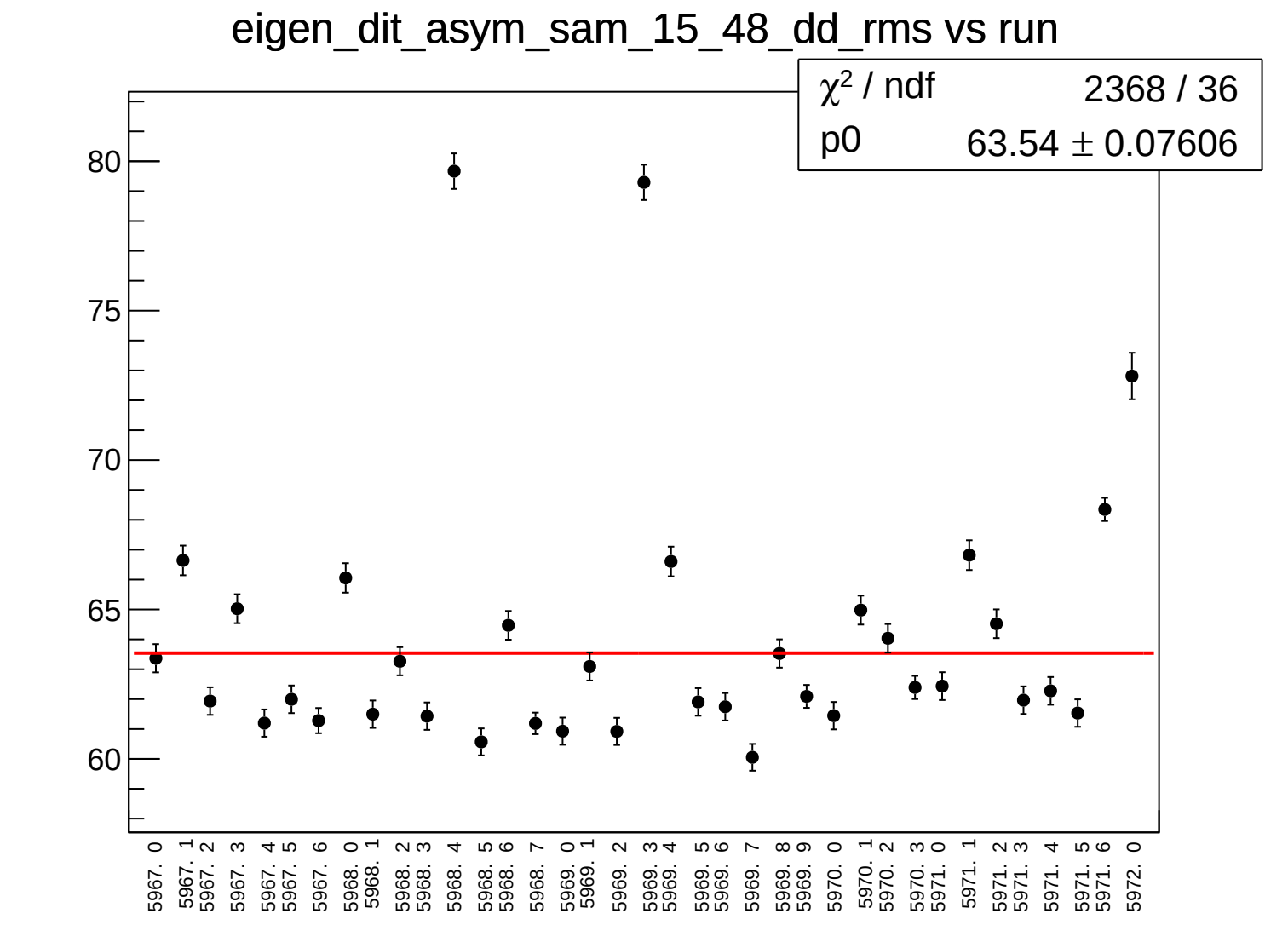
eigen_dit_asym_sam_15_48_dd_rms vs run
χ² / ndf 2368 / 36
p0 63.54 ± 0.07606
80
75
70
65
60
5967. 0
5967. 1
5967. 2
5967. 3
5967. 4
5967. 5
5967. 6
5968. 0
5968. 1
5968. 2
5968. 3
5968. 4
5968. 5
5968. 6
5968. 7
5969. 0
5969. 1
5969. 2
5969. 3
5969. 4
5969. 5
5969. 6
5969. 7
5969. 8
5969. 9
5970. 0
5970. 1
5970. 2
5970. 3
5971. 0
5971. 1
5971. 2
5971. 3
5971. 4
5971. 5
5971. 6
5972. 0

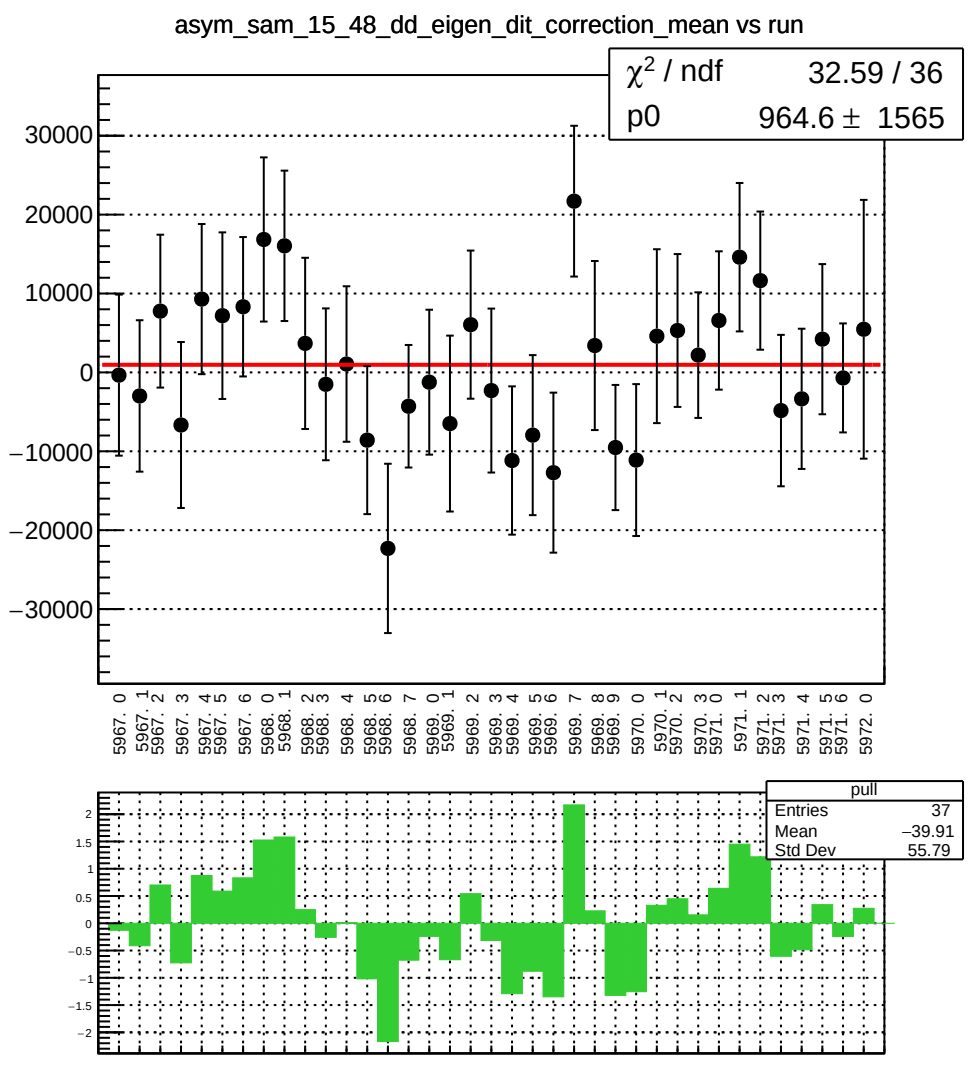
asym_sam_15_48_dd_eigen_dit_correction_mean vs run
χ² / ndf 32.59 / 36
p0 964.6 ± 1565
30000
20000
10000
0
−10000
−20000
−30000
5967. 0
5967. 1
5967. 2
5967. 3
5967. 4
5967. 5
5967. 6
5968. 0
5968. 1
5968. 2
5968. 3
5968. 4
5968. 5
5968. 6
5968. 7
5969. 0
5969. 1
5969. 2
5969. 3
5969. 4
5969. 5
5969. 6
5969. 7
5969. 8
5969. 9
5970. 0
5970. 1
5970. 2
5970. 3
5971. 0
5971. 1
5971. 2
5971. 3
5971. 4
5971. 5
5971. 6
5972. 0
pull
Entries 37
Mean −39.91
Std Dev 55.79
2
1.5
1
0.5
0
−0.5
−1
−1.5
−2
pull1D
Entries 37
Mean 0.003507
Std Dev 0.9385
7
6
5
4
3
2
1
0
−8
−6
−4
−2
0
2
4
6
8

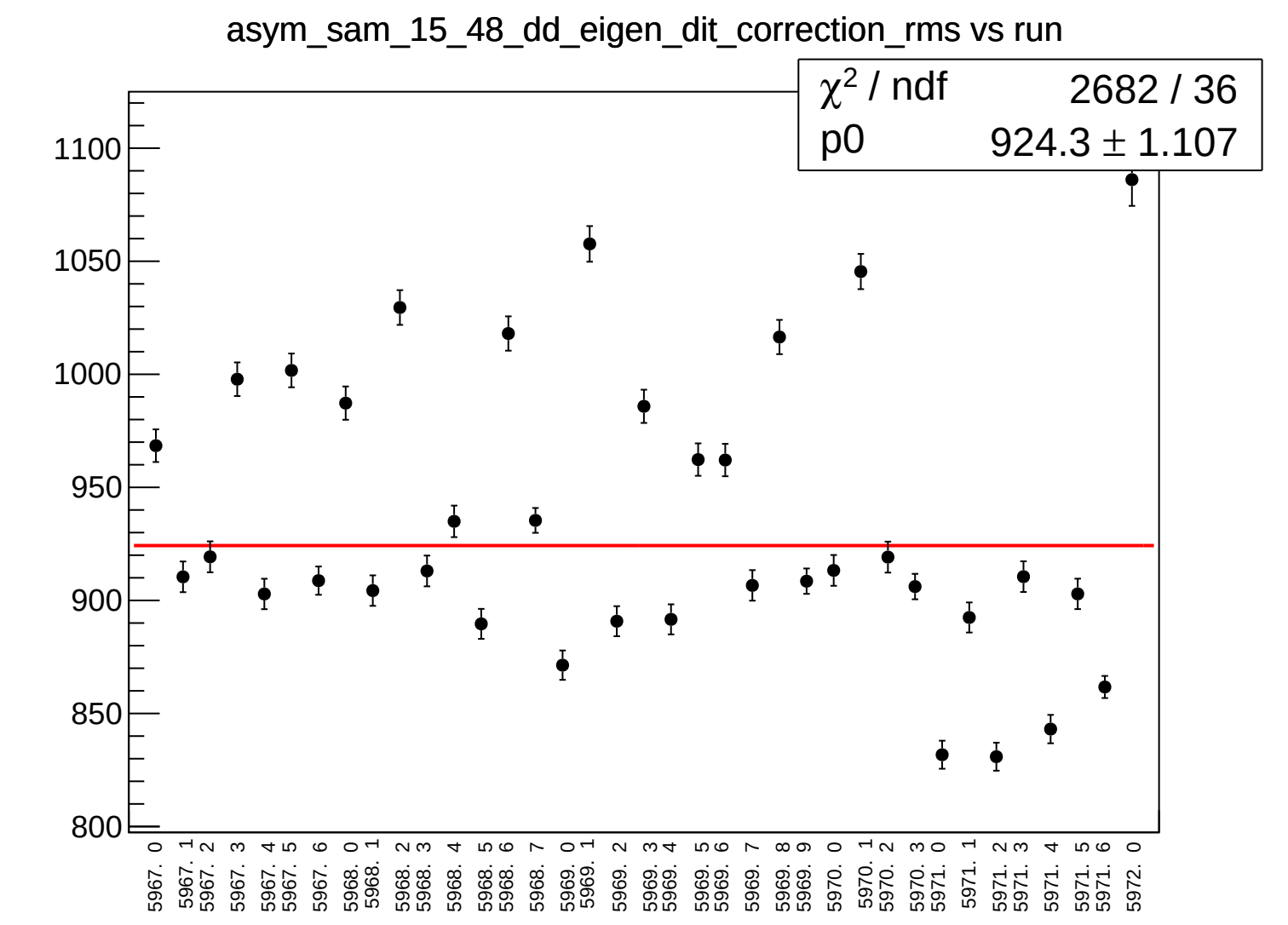
asym_sam_15_48_dd_eigen_dit_correction_rms vs run
χ² / ndf 2682 / 36
p0 924.3 ± 1.107
1100
1050
1000
950
900
850
800
5967. 0
5967. 1
5967. 2
5967. 3
5967. 4
5967. 5
5967. 6
5968. 0
5968. 1
5968. 2
5968. 3
5968. 4
5968. 5
5968. 6
5968. 7
5969. 0
5969. 1
5969. 2
5969. 3
5969. 4
5969. 5
5969. 6
5969. 7
5969. 8
5969. 9
5970. 0
5970. 1
5970. 2
5970. 3
5971. 0
5971. 1
5971. 2
5971. 3
5971. 4
5971. 5
5971. 6
5972. 0

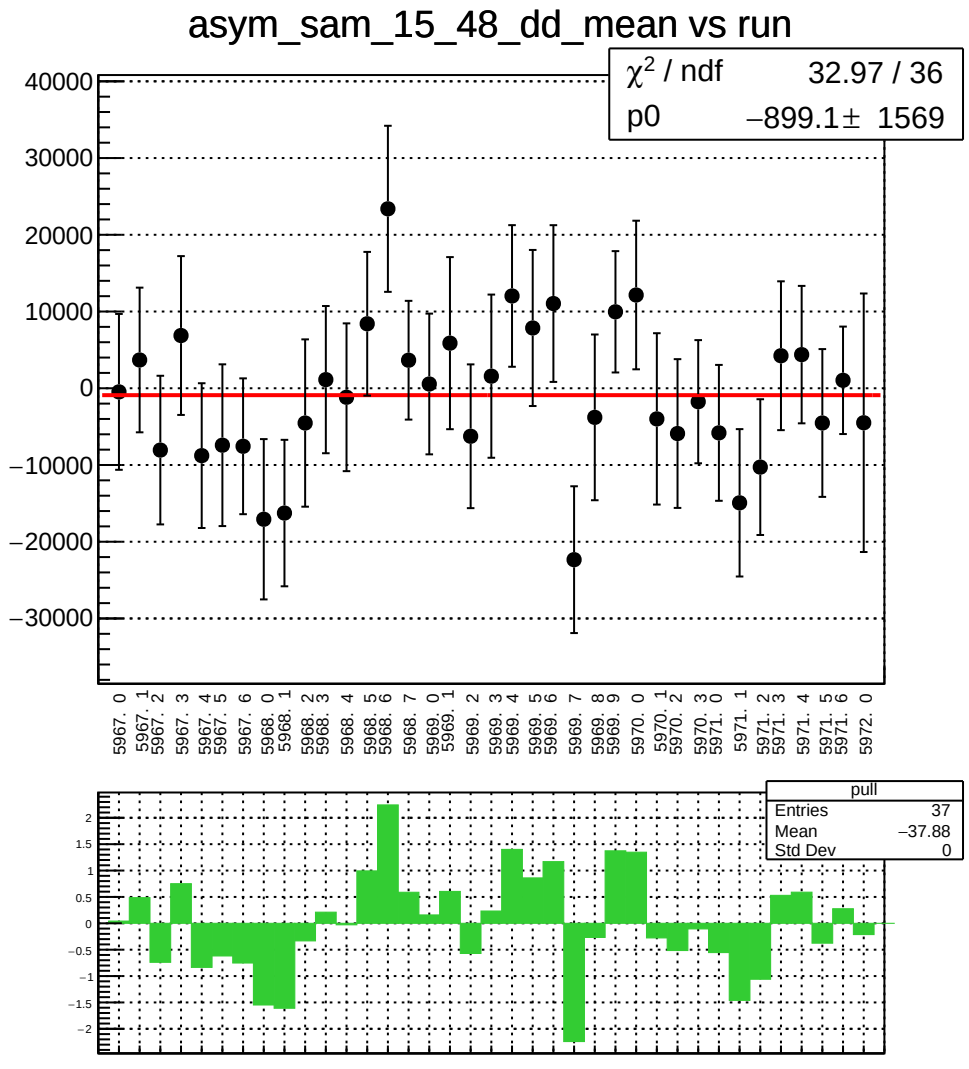
asym_sam_15_48_dd_mean vs run
χ² / ndf 32.97 / 36
p0 −899.1± 1569
40000
30000
20000
10000
0
−10000
−20000
−30000
5967. 0
5967. 1
5967. 2
5967. 3
5967. 4
5967. 5
5967. 6
5968. 0
5968. 1
5968. 2
5968. 3
5968. 4
5968. 5
5968. 6
5968. 7
5969. 0
5969. 1
5969. 2
5969. 3
5969. 4
5969. 5
5969. 6
5969. 7
5969. 8
5969. 9
5970. 0
5970. 1
5970. 2
5970. 3
5971. 0
5971. 1
5971. 2
5971. 3
5971. 4
5971. 5
5971. 6
5972. 0
pull
Entries 37
Mean −37.88
Std Dev 0
2
1.5
1
0.5
0
−0.5
−1
−1.5
−2
pull1D
Entries 37
Mean −0.00674
Std Dev 0.9439
7
6
5
4
3
2
1
0
−8
−6
−4
−2
0
2
4
6
8

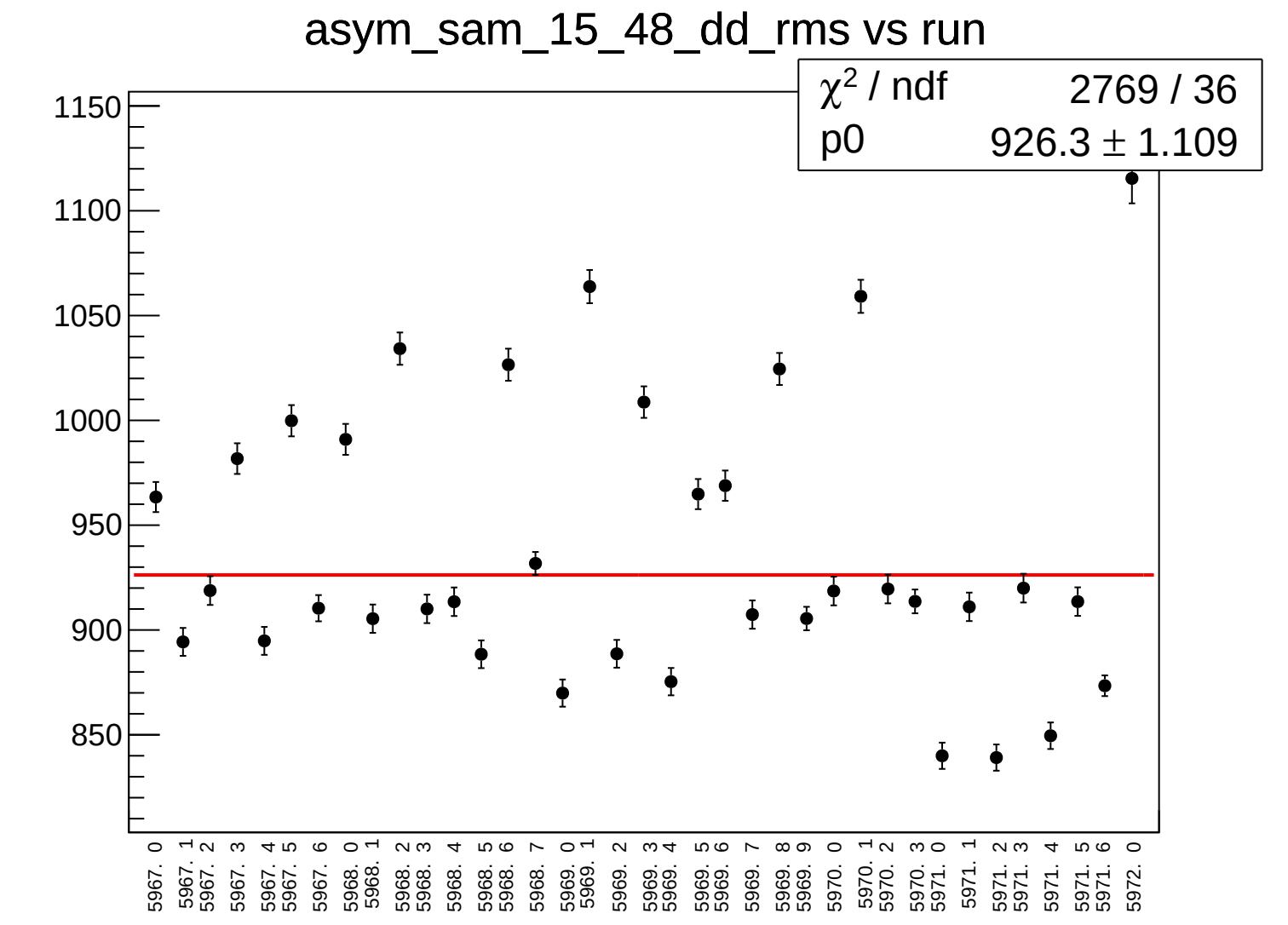
asym_sam_15_48_dd_rms vs run
χ² / ndf 2769 / 36
p0 926.3 ± 1.109
1150
1100
1050
1000
950
900
850
5967. 0
5967. 1
5967. 2
5967. 3
5967. 4
5967. 5
5967. 6
5968. 0
5968. 1
5968. 2
5968. 3
5968. 4
5968. 5
5968. 6
5968. 7
5969. 0
5969. 1
5969. 2
5969. 3
5969. 4
5969. 5
5969. 6
5969. 7
5969. 8
5969. 9
5970. 0
5970. 1
5970. 2
5970. 3
5971. 0
5971. 1
5971. 2
5971. 3
5971. 4
5971. 5
5971. 6
5972. 0

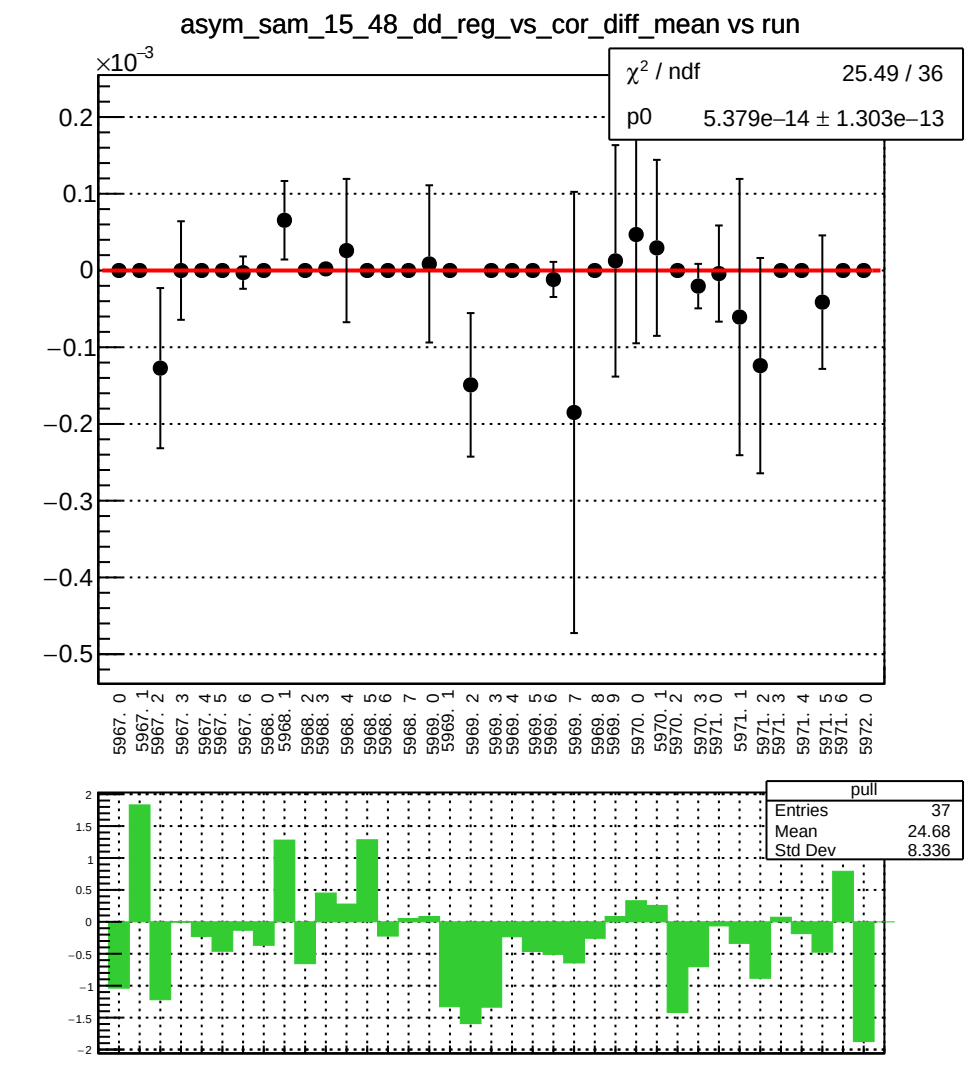
asym_sam_15_48_dd_reg_vs_cor_diff_mean vs run
×10^−3
χ² / ndf 25.49 / 36
p0 5.379e−14 ± 1.303e−13
pull
Entries 37
Mean 24.68
Std Dev 8.336

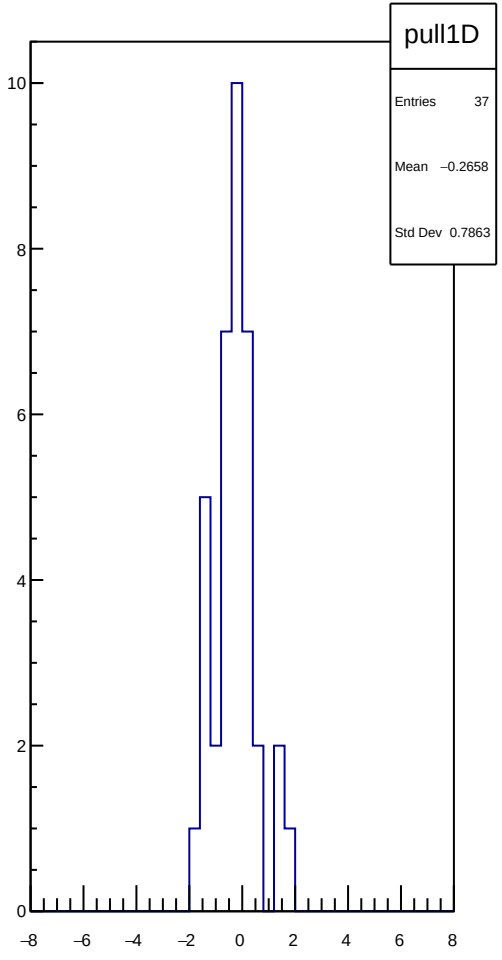
pull1D
Entries 37
Mean −0.2658
Std Dev 0.7863

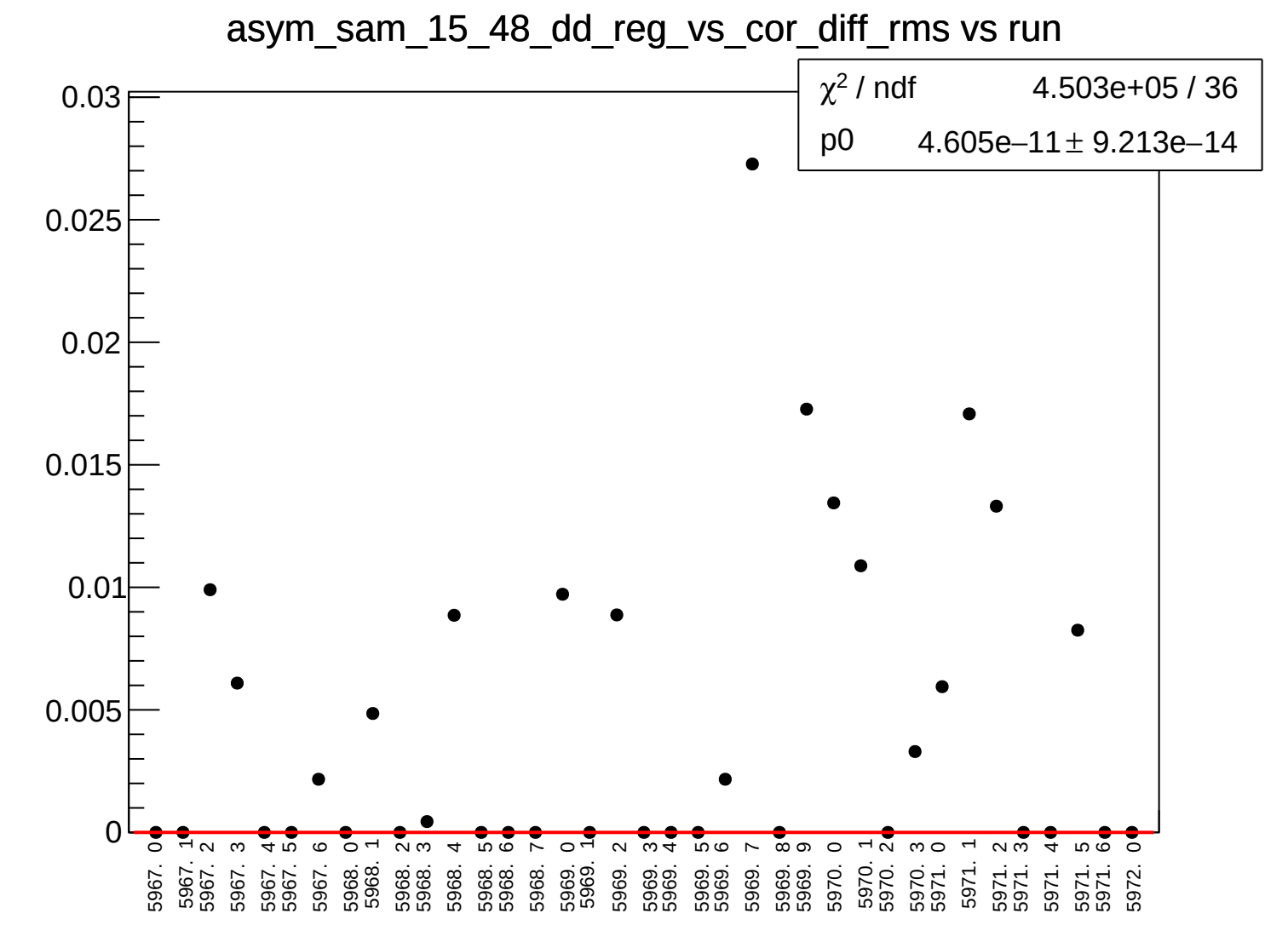
asym_sam_15_48_dd_reg_vs_cor_diff_rms vs run
χ² / ndf 4.503e+05 / 36
p0 4.605e−11 ± 9.213e−14
0.03
0.025
0.02
0.015
0.01
0.005
0
5967. 0
5967. 1
5967. 2
5967. 3
5967. 4
5967. 5
5967. 6
5968. 0
5968. 1
5968. 2
5968. 3
5968. 4
5968. 5
5968. 6
5968. 7
5969. 0
5969. 1
5969. 2
5969. 3
5969. 4
5969. 5
5969. 6
5969. 7
5969. 8
5969. 9
5970. 0
5970. 1
5970. 2
5970. 3
5971. 0
5971. 1
5971. 2
5971. 3
5971. 4
5971. 5
5971. 6
5972. 0

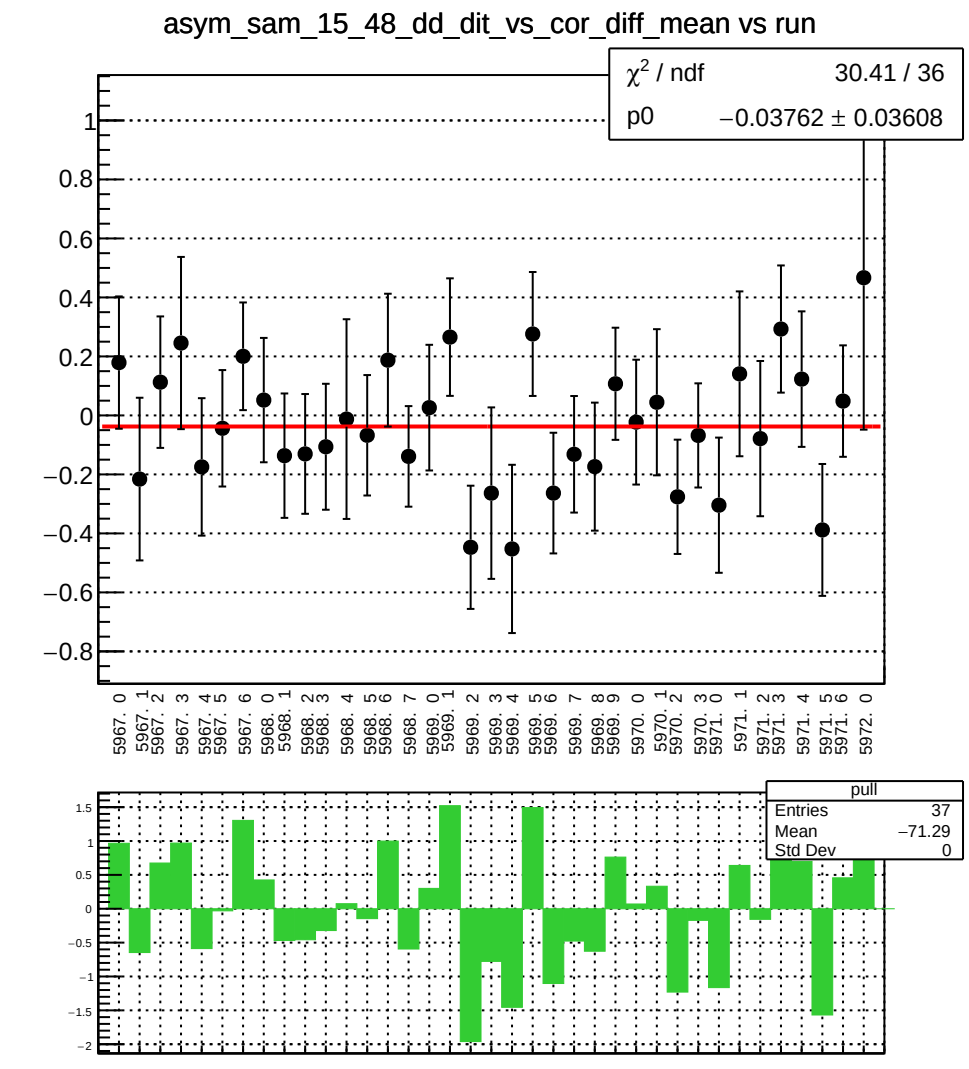
asym_sam_15_48_dd_dit_vs_cor_diff_mean vs run
χ² / ndf 30.41 / 36
p0 −0.03762 ± 0.03608
pull
Entries 37
Mean −71.29
Std Dev 0

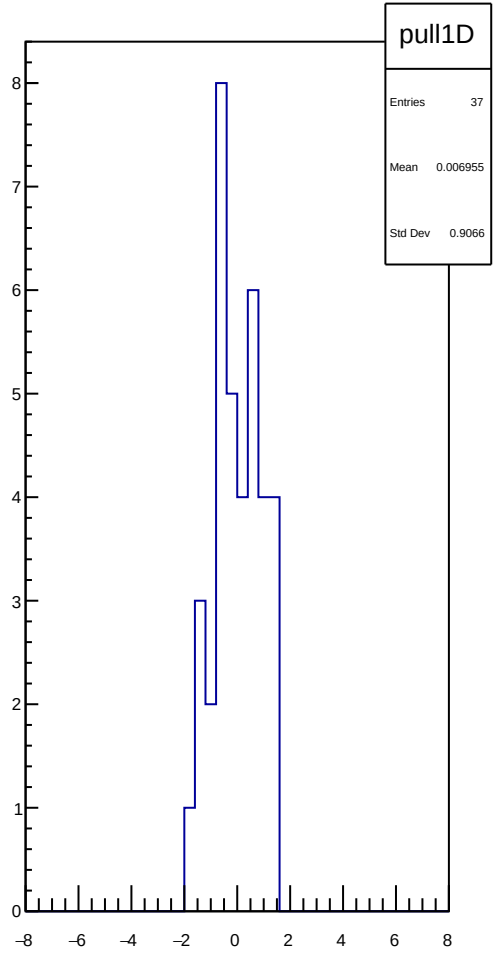
pull1D
Entries 37
Mean 0.006955
Std Dev 0.9066

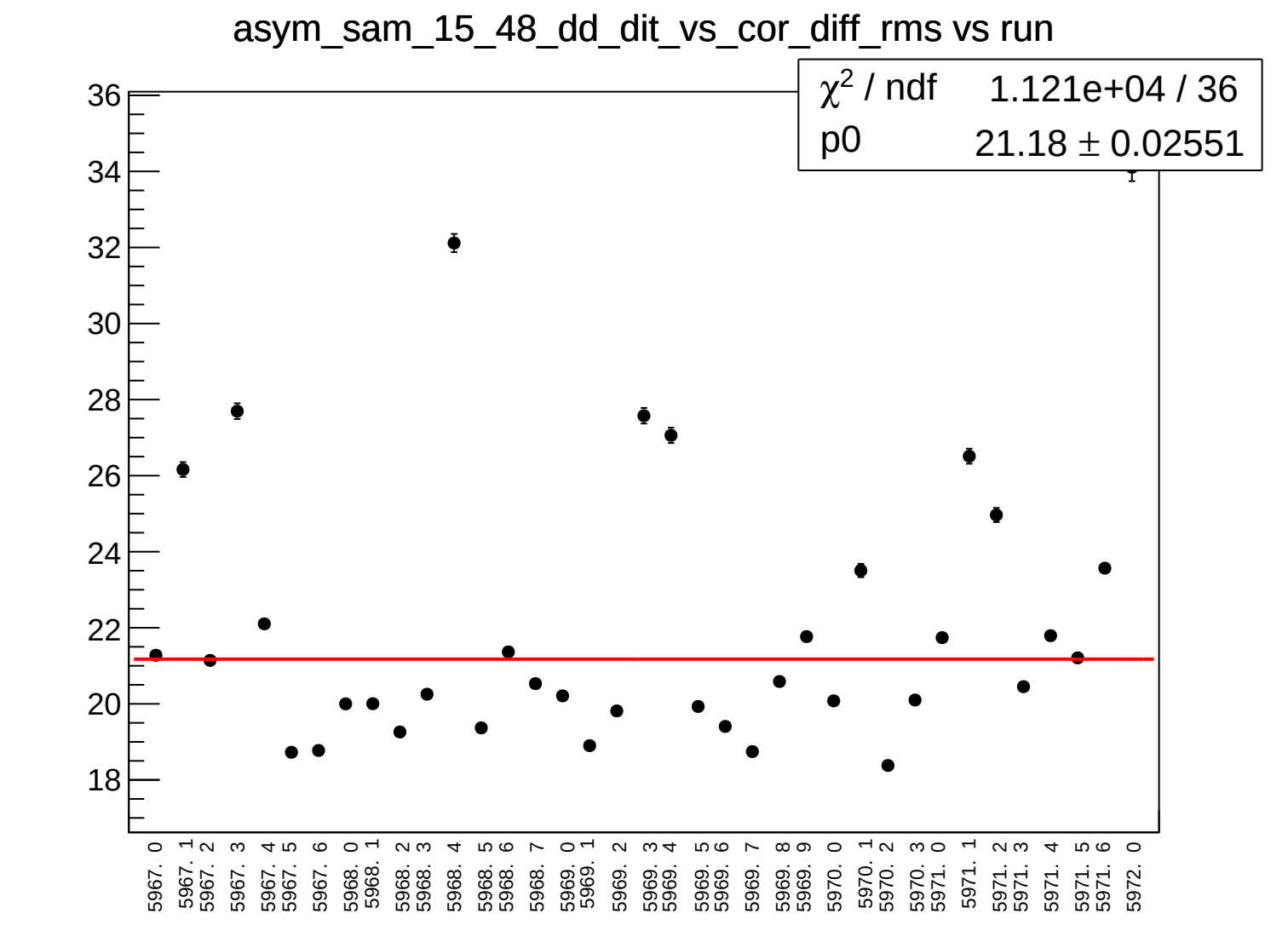
asym_sam_15_48_dd_dit_vs_cor_diff_rms vs run
χ² / ndf 1.121e+04 / 36
p0 21.18 ± 0.02551
36
34
32
30
28
26
24
22
20
18
5967. 0
5967. 1
5967. 2
5967. 3
5967. 4
5967. 5
5967. 6
5968. 0
5968. 1
5968. 2
5968. 3
5968. 4
5968. 5
5968. 6
5968. 7
5969. 0
5969. 1
5969. 2
5969. 3
5969. 4
5969. 5
5969. 6
5969. 7
5969. 8
5969. 9
5970. 0
5970. 1
5970. 2
5970. 3
5971. 0
5971. 1
5971. 2
5971. 3
5971. 4
5971. 5
5971. 6
5972. 0

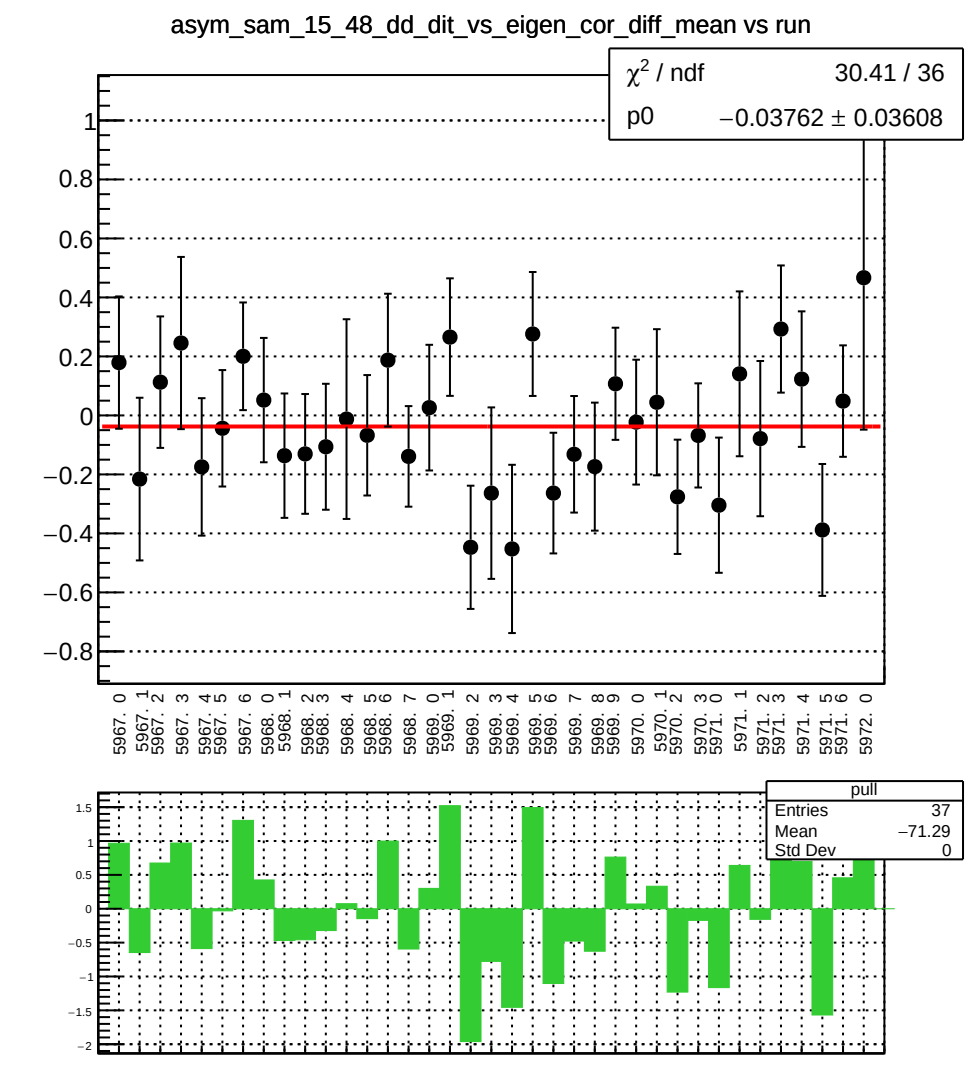
asym_sam_15_48_dd_dit_vs_eigen_cor_diff_mean vs run
χ² / ndf 30.41 / 36
p0 −0.03762 ± 0.03608
pull
Entries 37
Mean −71.29
Std Dev 0

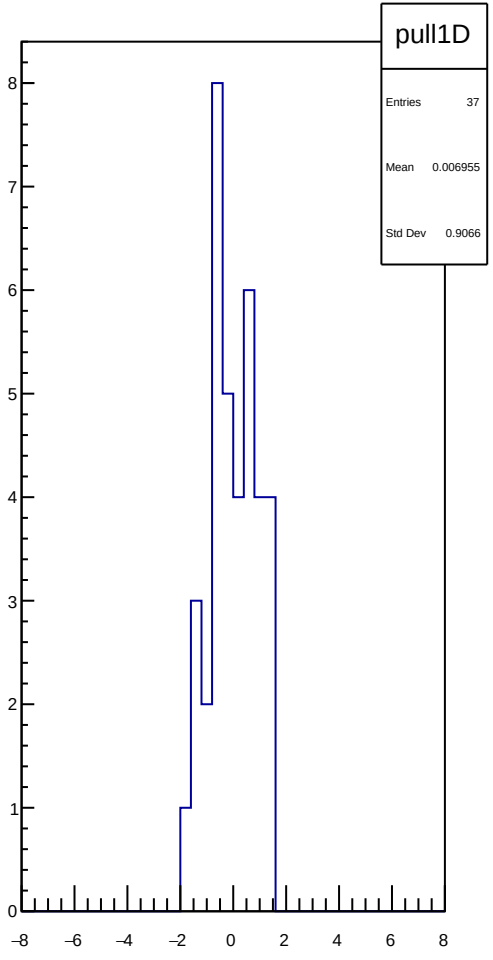
pull1D
Entries 37
Mean 0.006955
Std Dev 0.9066

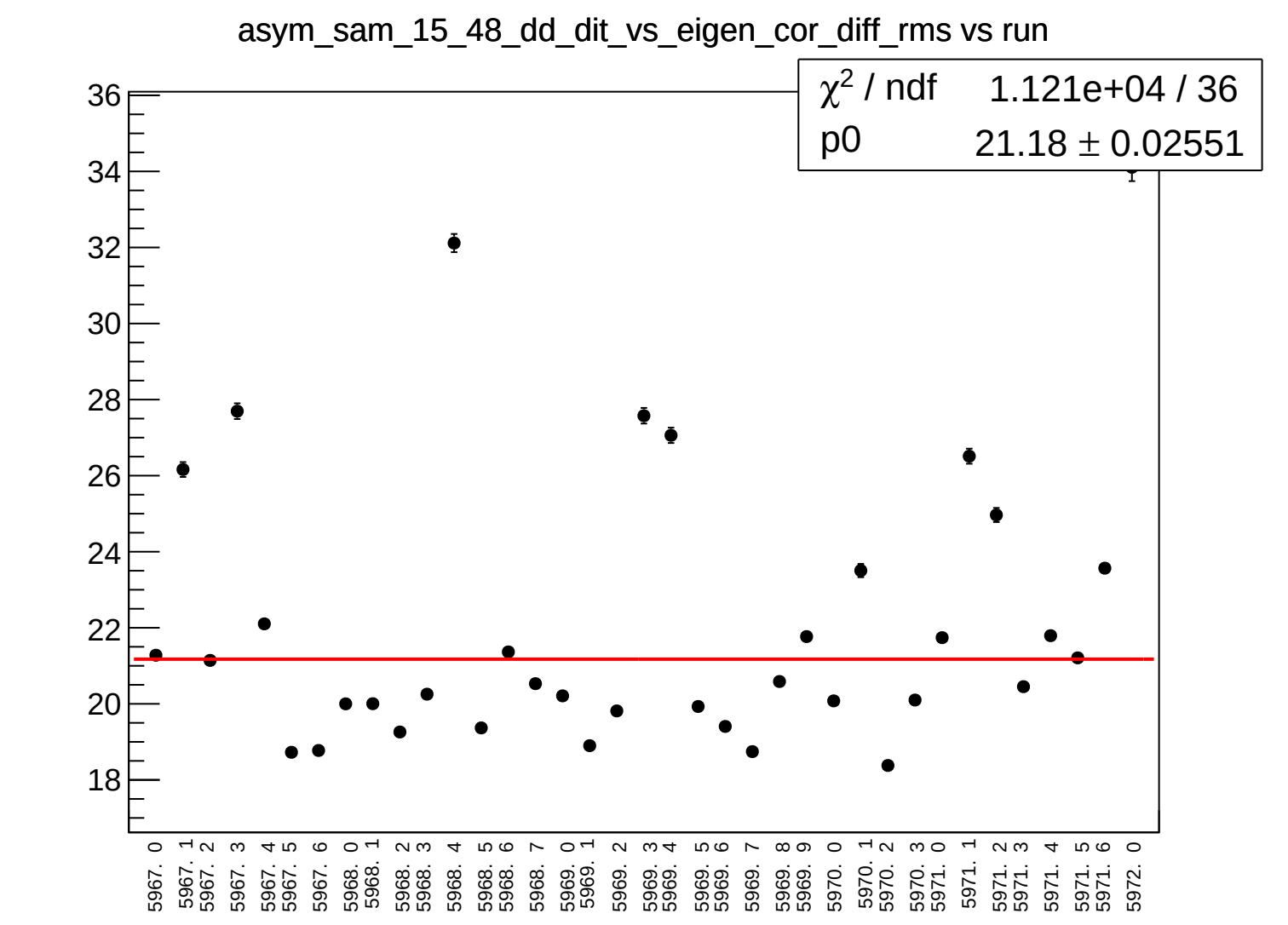
asym_sam_15_48_dd_dit_vs_eigen_cor_diff_rms vs run
χ² / ndf 1.121e+04 / 36
p0 21.18 ± 0.02551
36
34
32
30
28
26
24
22
20
18
5967. 0
5967. 1
5967. 2
5967. 3
5967. 4
5967. 5
5967. 6
5968. 0
5968. 1
5968. 2
5968. 3
5968. 4
5968. 5
5968. 6
5968. 7
5969. 0
5969. 1
5969. 2
5969. 3
5969. 4
5969. 5
5969. 6
5969. 7
5969. 8
5969. 9
5970. 0
5970. 1
5970. 2
5970. 3
5971. 0
5971. 1
5971. 2
5971. 3
5971. 4
5971. 5
5971. 6
5972. 0

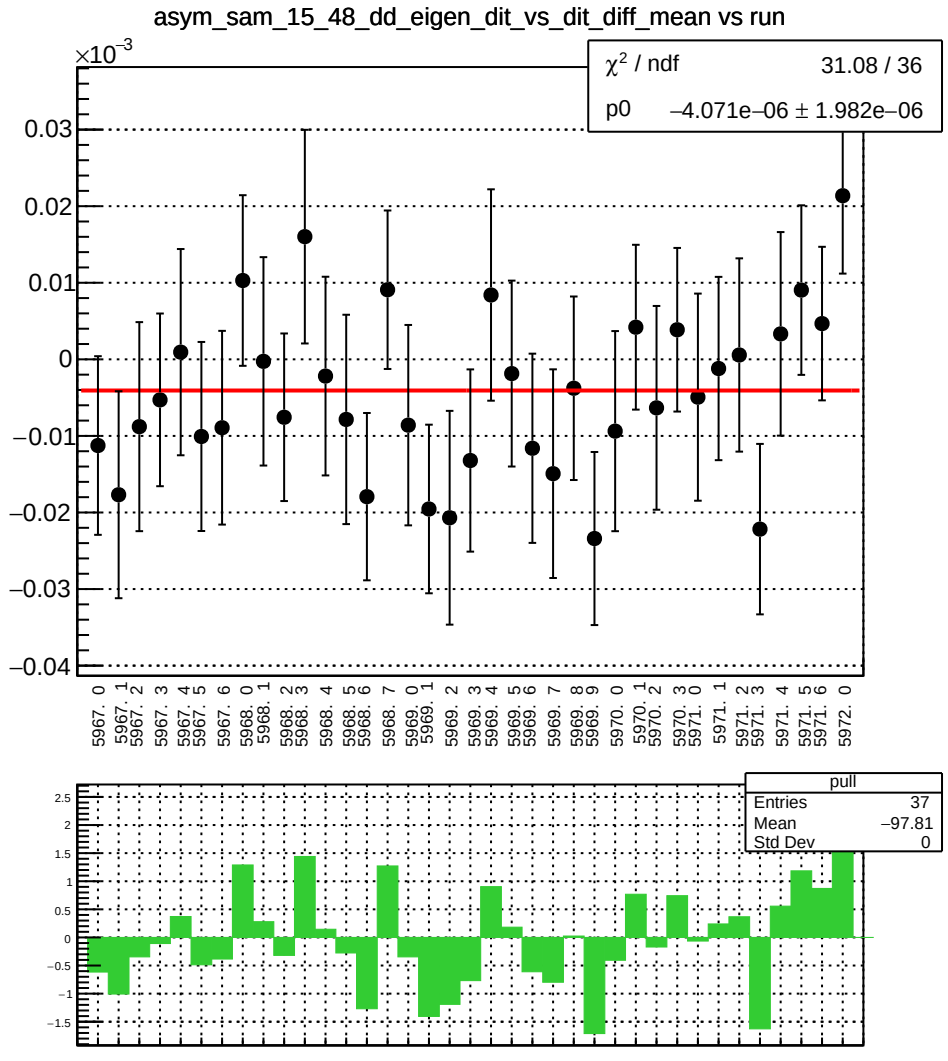
asym_sam_15_48_dd_eigen_dit_vs_dit_diff_mean vs run
×10⁻³
χ² / ndf 31.08 / 36
p0 −4.071e−06 ± 1.982e−06
0.03
0.02
0.01
0
−0.01
−0.02
−0.03
−0.04
5967. 0
5967. 1
5967. 2
5967. 3
5967. 4
5967. 5
5967. 6
5968. 0
5968. 1
5968. 2
5968. 3
5968. 4
5968. 5
5968. 6
5968. 7
5969. 0
5969. 1
5969. 2
5969. 3
5969. 4
5969. 5
5969. 6
5969. 7
5969. 8
5969. 9
5970. 0
5970. 1
5970. 2
5970. 3
5971. 0
5971. 1
5971. 2
5971. 3
5971. 4
5971. 5
5971. 6
5972. 0
pull
Entries 37
Mean −97.81
Std Dev 0
2.5
2
1.5
1
0.5
0
−0.5
−1
−1.5

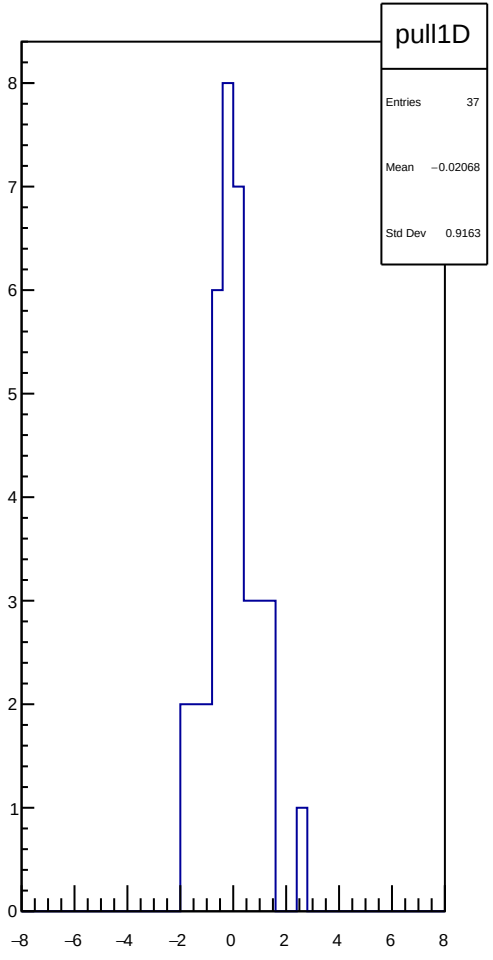
pull1D
Entries 37
Mean −0.02068
Std Dev 0.9163
8
7
6
5
4
3
2
1
0
−8
−6
−4
−2
0
2
4
6
8

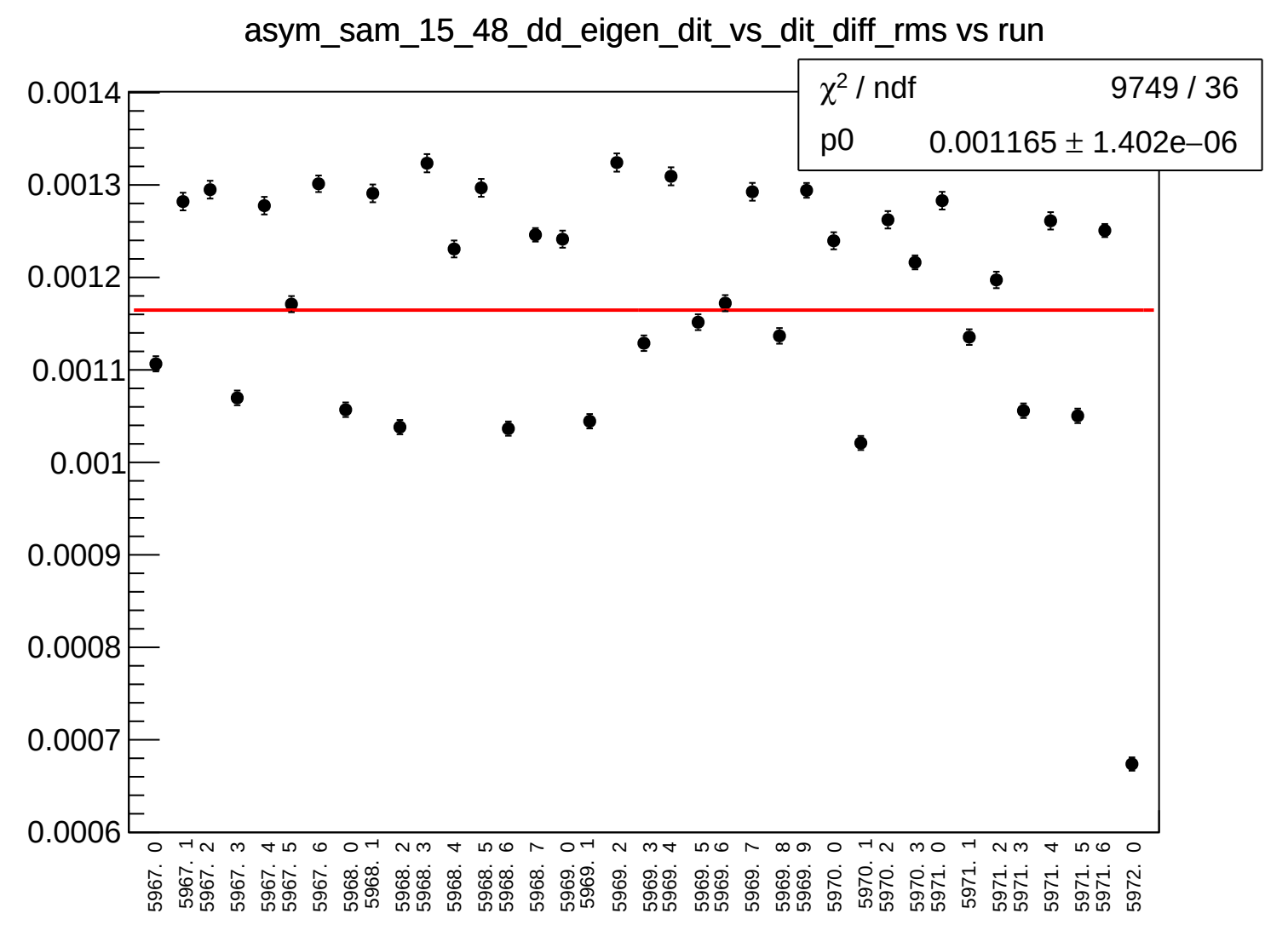
asym_sam_15_48_dd_eigen_dit_vs_dit_diff_rms vs run
χ² / ndf 9749 / 36
p0 0.001165 ± 1.402e−06
0.0014
0.0013
0.0012
0.0011
0.001
0.0009
0.0008
0.0007
0.0006
5967. 0
5967. 1
5967. 2
5967. 3
5967. 4
5967. 5
5967. 6
5968. 0
5968. 1
5968. 2
5968. 3
5968. 4
5968. 5
5968. 6
5968. 7
5969. 0
5969. 1
5969. 2
5969. 3
5969. 4
5969. 5
5969. 6
5969. 7
5969. 8
5969. 9
5970. 0
5970. 1
5970. 2
5970. 3
5971. 0
5971. 1
5971. 2
5971. 3
5971. 4
5971. 5
5971. 6
5972. 0

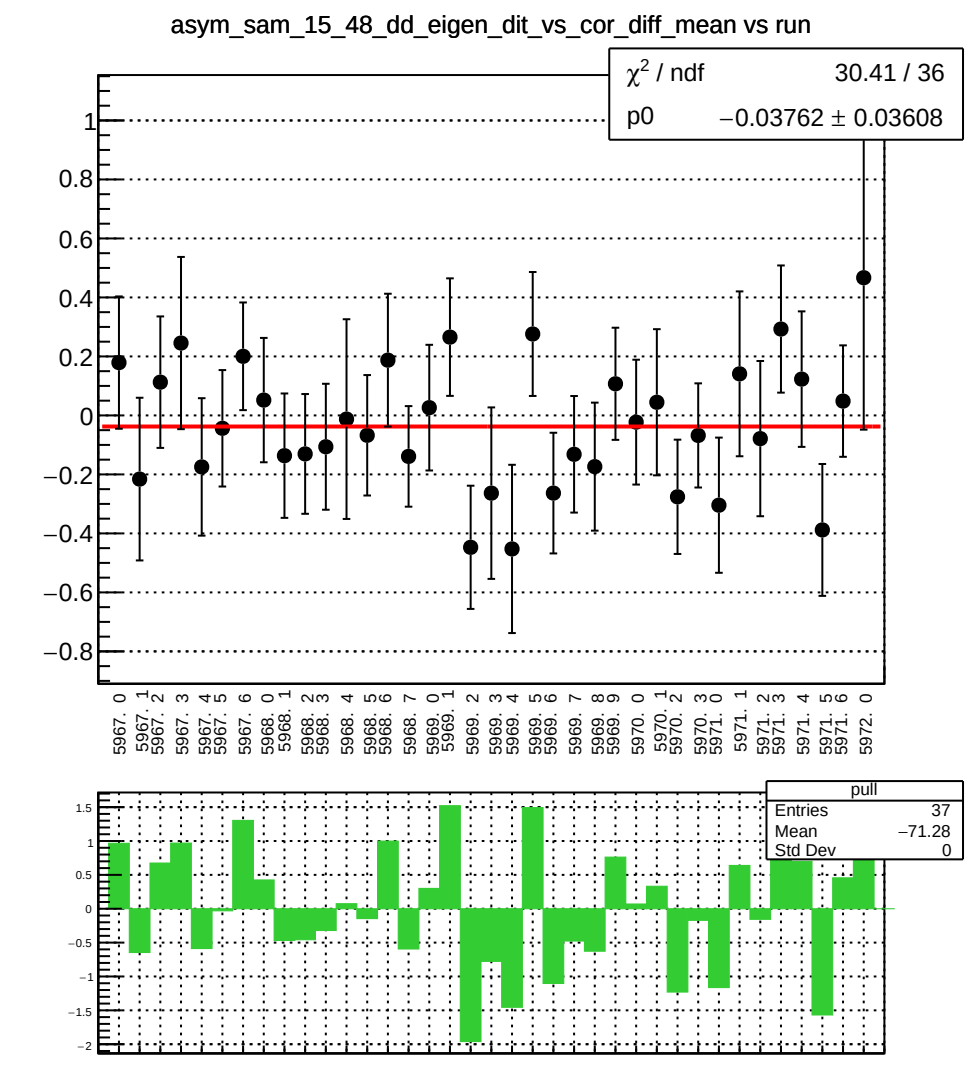
asym_sam_15_48_dd_eigen_dit_vs_cor_diff_mean vs run
χ² / ndf 30.41 / 36
p0 −0.03762 ± 0.03608
pull
Entries 37
Mean −71.28
Std Dev 0

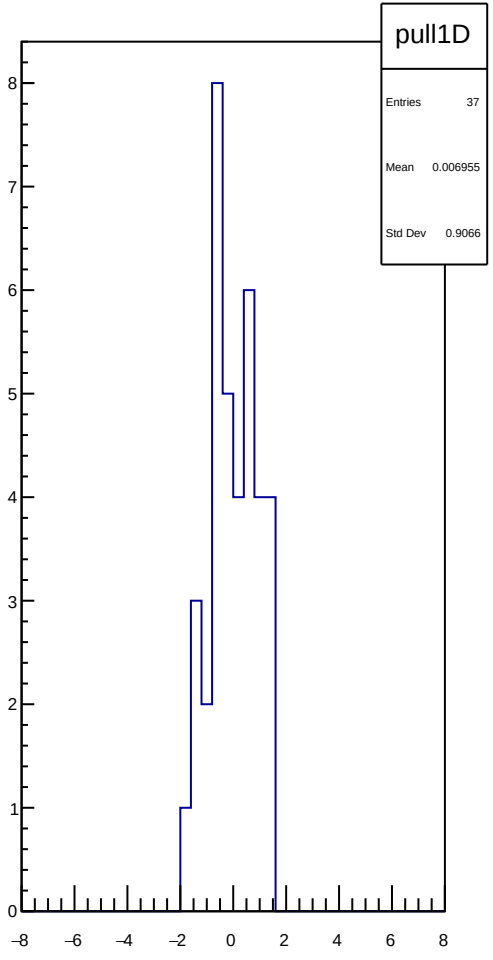
pull1D
Entries 37
Mean 0.006955
Std Dev 0.9066

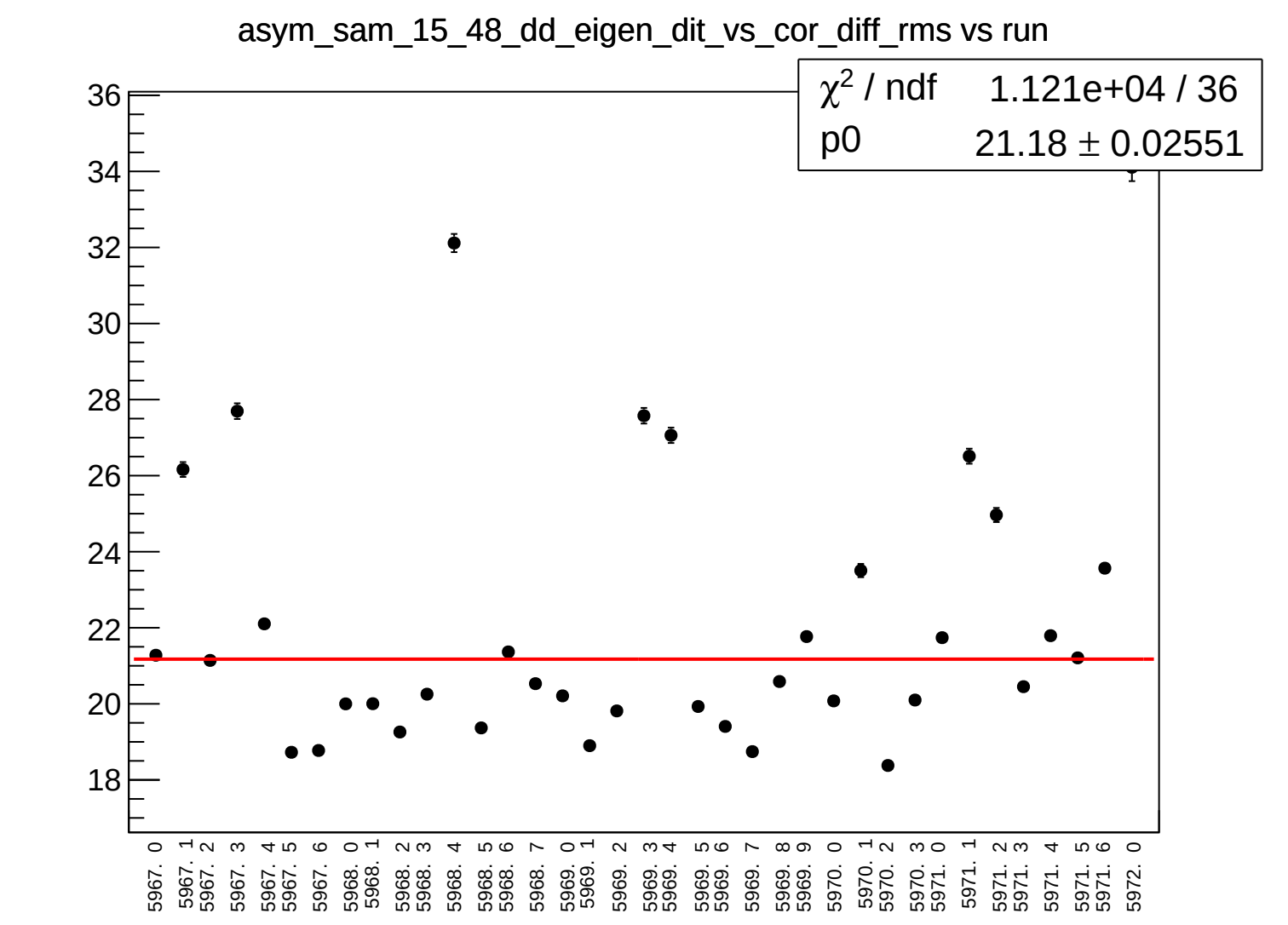
asym_sam_15_48_dd_eigen_dit_vs_cor_diff_rms vs run
χ² / ndf 1.121e+04 / 36
p0 21.18 ± 0.02551
36
34
32
30
28
26
24
22
20
18
5967. 0
5967. 1
5967. 2
5967. 3
5967. 4
5967. 5
5967. 6
5968. 0
5968. 1
5968. 2
5968. 3
5968. 4
5968. 5
5968. 6
5968. 7
5969. 0
5969. 1
5969. 2
5969. 3
5969. 4
5969. 5
5969. 6
5969. 7
5969. 8
5969. 9
5970. 0
5970. 1
5970. 2
5970. 3
5971. 0
5971. 1
5971. 2
5971. 3
5971. 4
5971. 5
5971. 6
5972. 0

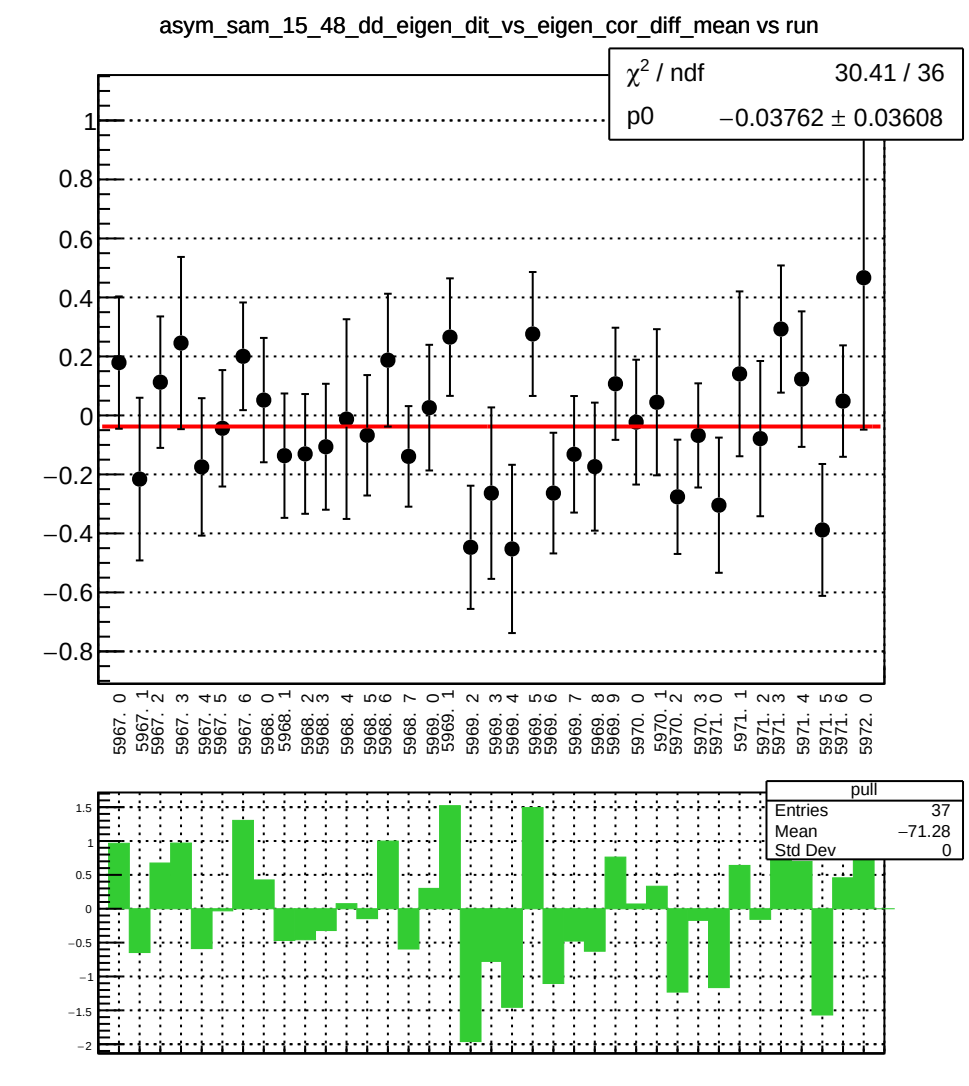
asym_sam_15_48_dd_eigen_dit_vs_eigen_cor_diff_mean vs run
χ² / ndf 30.41 / 36
p0 −0.03762 ± 0.03608
pull
Entries 37
Mean −71.28
Std Dev 0

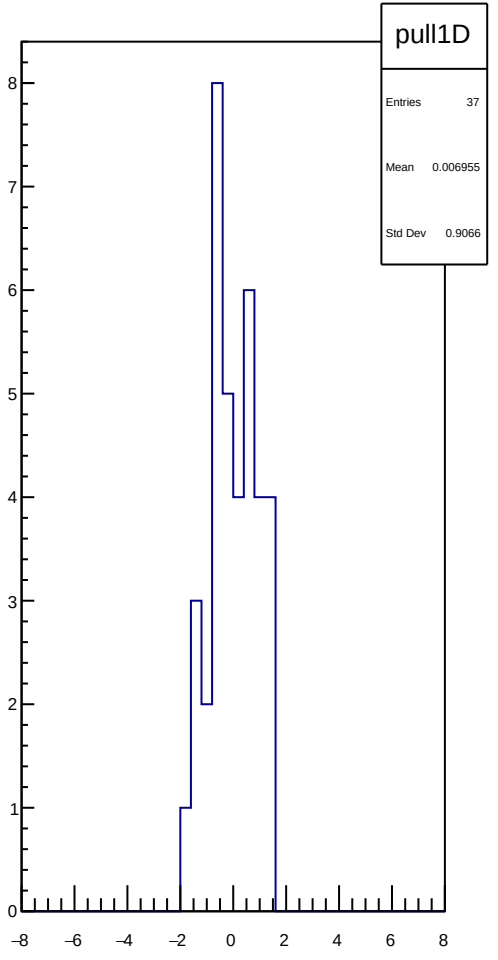
pull1D
Entries 37
Mean 0.006955
Std Dev 0.9066

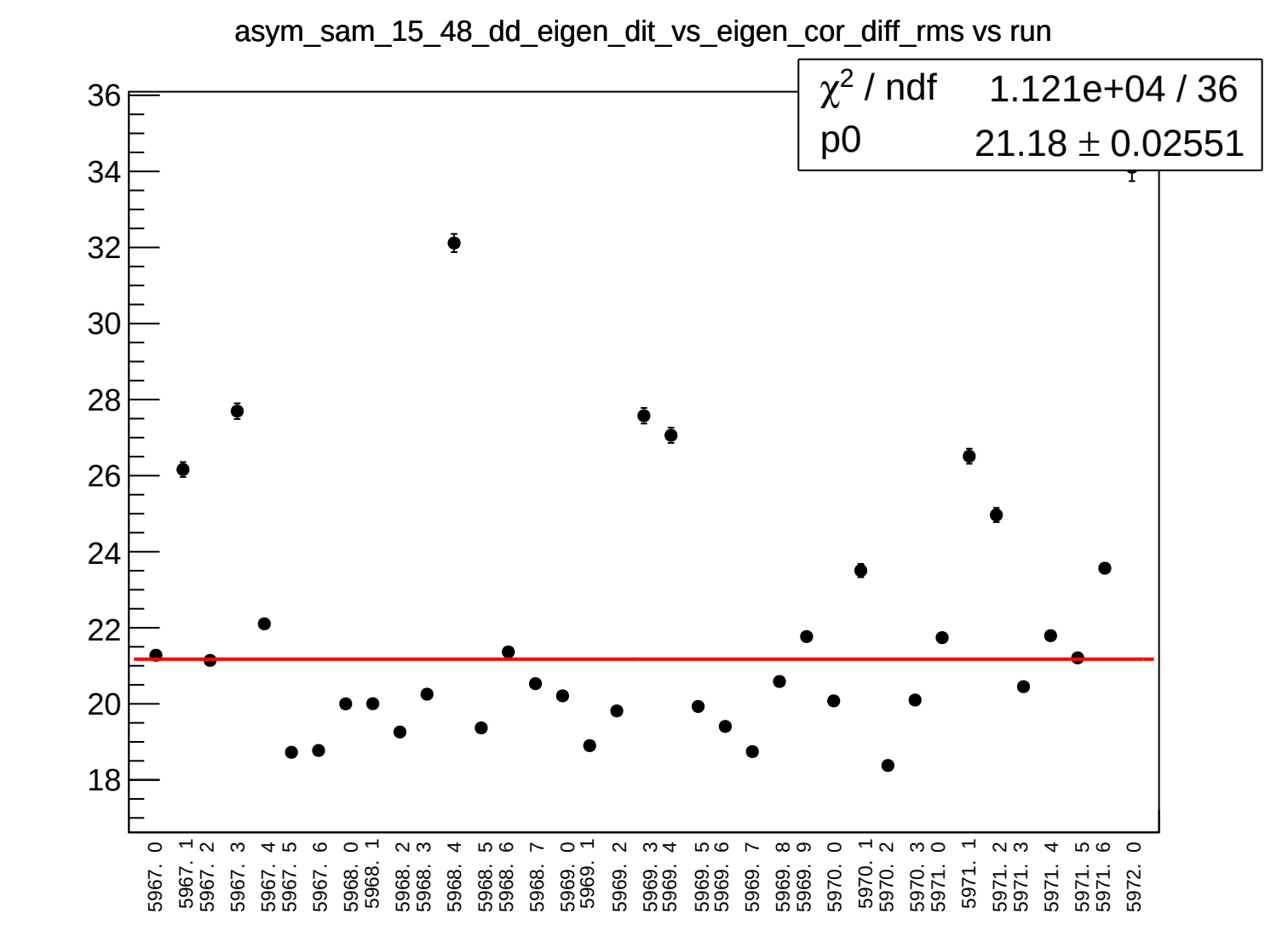
asym_sam_15_48_dd_eigen_dit_vs_eigen_cor_diff_rms vs run
χ² / ndf 1.121e+04 / 36
p0 21.18 ± 0.02551
36
34
32
30
28
26
24
22
20
18
5967. 0
5967. 1
5967. 2
5967. 3
5967. 4
5967. 5
5967. 6
5968. 0
5968. 1
5968. 2
5968. 3
5968. 4
5968. 5
5968. 6
5968. 7
5969. 0
5969. 1
5969. 2
5969. 3
5969. 4
5969. 5
5969. 6
5969. 7
5969. 8
5969. 9
5970. 0
5970. 1
5970. 2
5970. 3
5971. 0
5971. 1
5971. 2
5971. 3
5971. 4
5971. 5
5971. 6
5972. 0

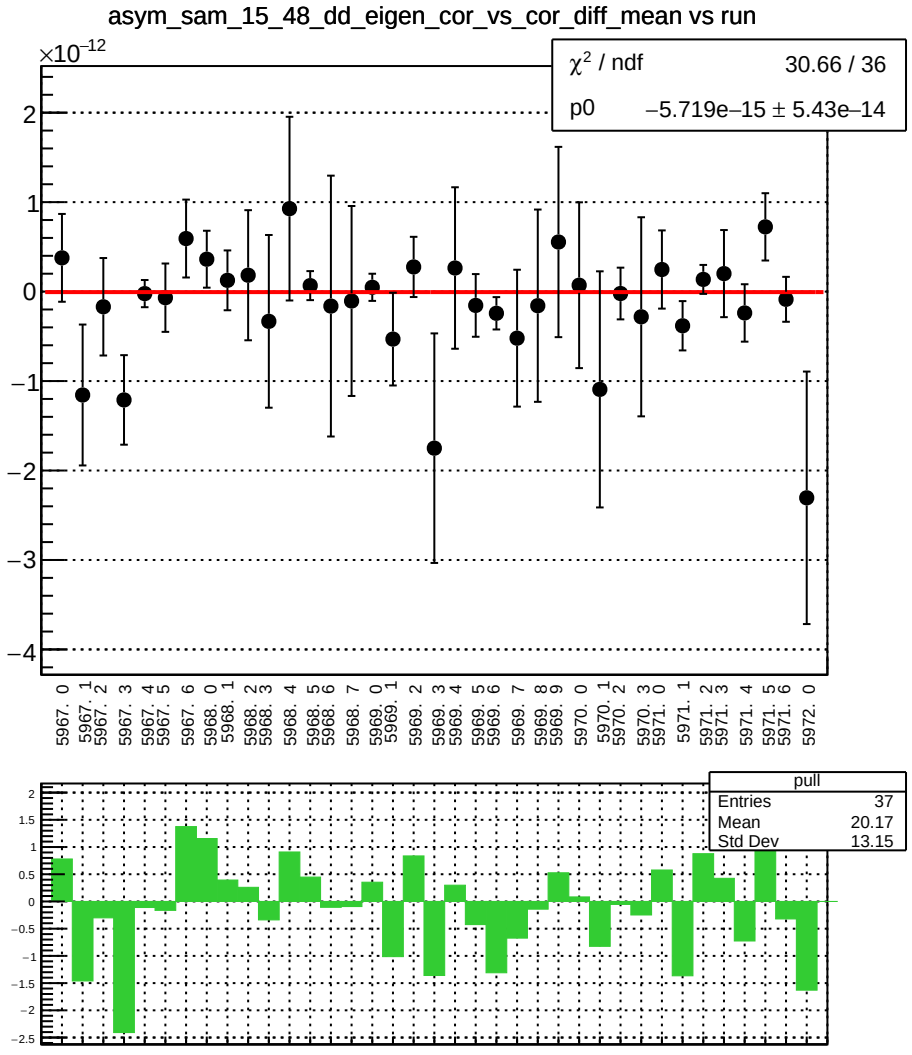
asym_sam_15_48_dd_eigen_cor_vs_cor_diff_mean vs run
×10⁻¹²
χ² / ndf 30.66 / 36
p0 −5.719e−15 ± 5.43e−14
pull
Entries 37
Mean 20.17
Std Dev 13.15

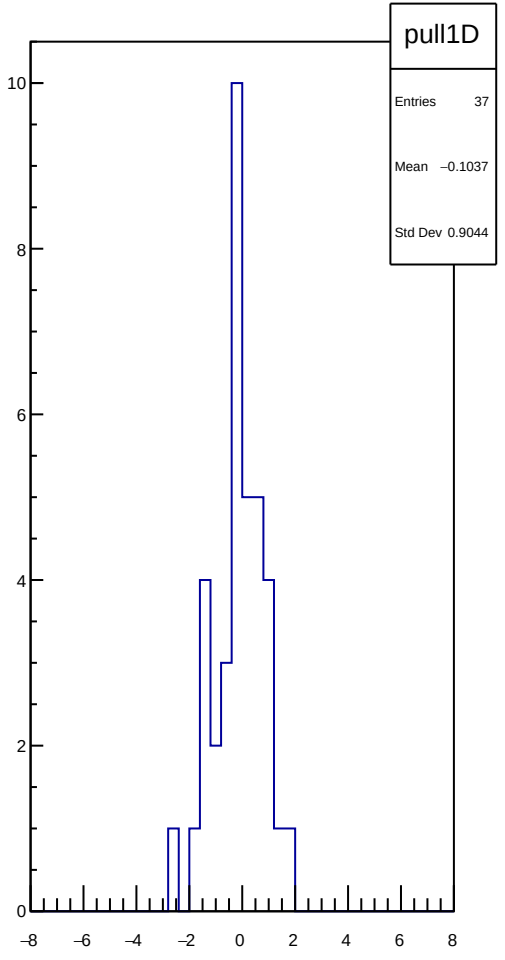
pull1D
Entries 37
Mean −0.1037
Std Dev 0.9044

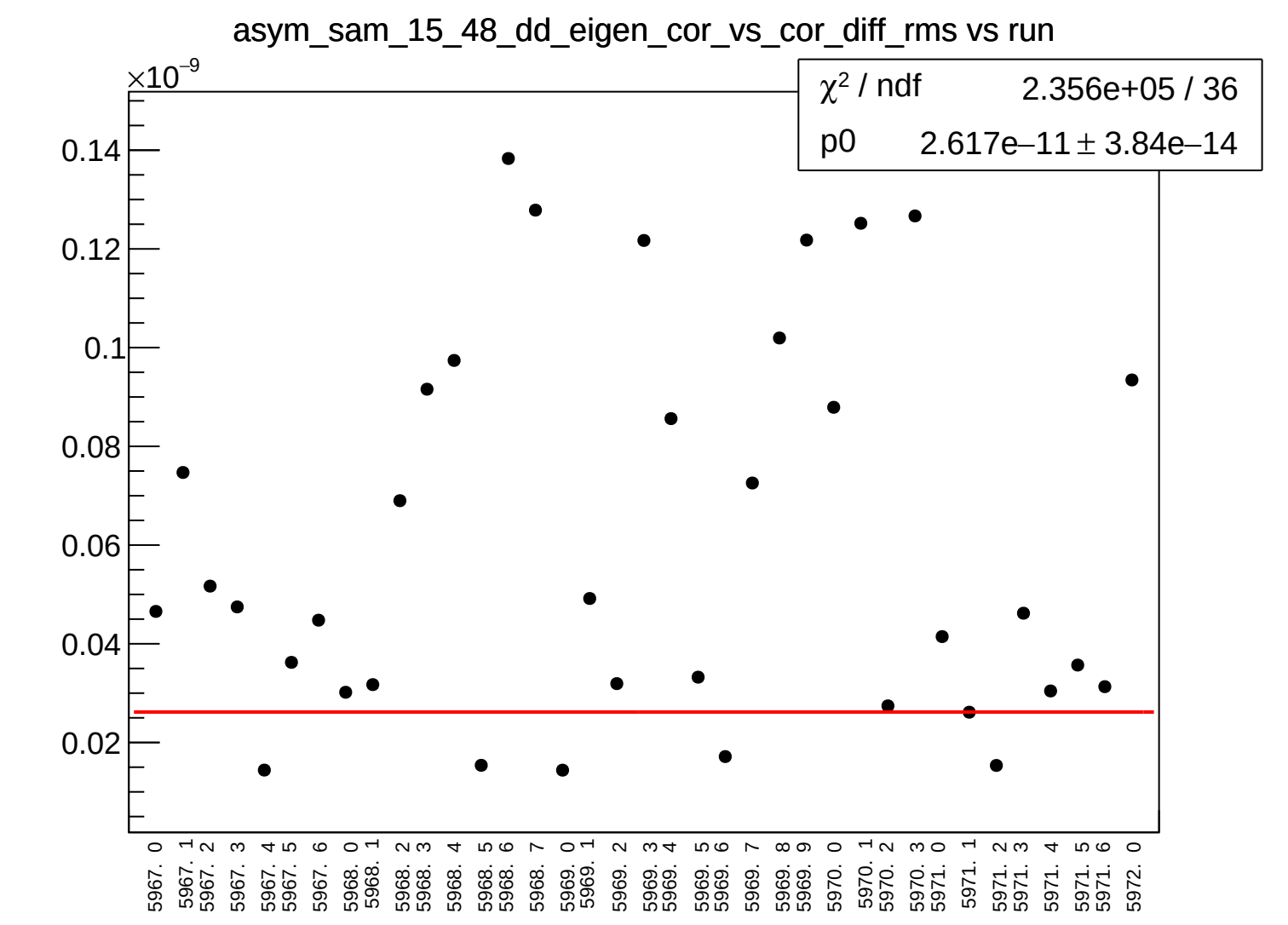
asym_sam_15_48_dd_eigen_cor_vs_cor_diff_rms vs run
×10⁻⁹
χ² / ndf 2.356e+05 / 36
p0 2.617e−11 ± 3.84e−14
0.14
0.12
0.1
0.08
0.06
0.04
0.02
5967. 0
5967. 1
5967. 2
5967. 3
5967. 4
5967. 5
5967. 6
5968. 0
5968. 1
5968. 2
5968. 3
5968. 4
5968. 5
5968. 6
5968. 7
5969. 0
5969. 1
5969. 2
5969. 3
5969. 4
5969. 5
5969. 6
5969. 7
5969. 8
5969. 9
5970. 0
5970. 1
5970. 2
5970. 3
5971. 0
5971. 1
5971. 2
5971. 3
5971. 4
5971. 5
5971. 6
5972. 0

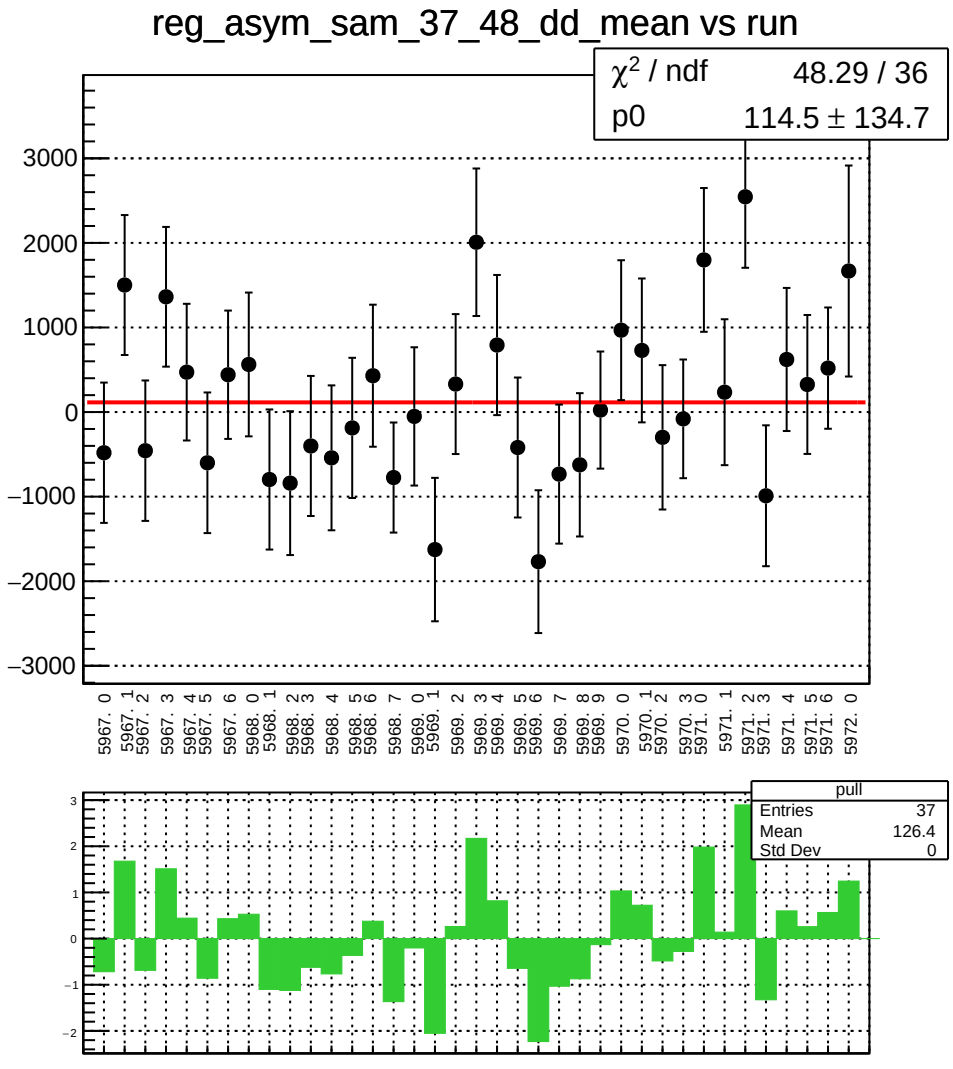
reg_asym_sam_37_48_dd_mean vs run
χ² / ndf 48.29 / 36
p0 114.5 ± 134.7
3000
2000
1000
0
−1000
−2000
−3000
5967. 0
5967. 1
5967. 2
5967. 3
5967. 4
5967. 5
5967. 6
5968. 0
5968. 1
5968. 2
5968. 3
5968. 4
5968. 5
5968. 6
5968. 7
5969. 0
5969. 1
5969. 2
5969. 3
5969. 4
5969. 5
5969. 6
5969. 7
5969. 8
5969. 9
5970. 0
5970. 1
5970. 2
5970. 3
5971. 0
5971. 1
5971. 2
5971. 3
5971. 4
5971. 5
5971. 6
5972. 0
pull
Entries 37
Mean 126.4
Std Dev 0
3
2
1
0
−1
−2
pull1D
Entries 37
Mean 0.02142
Std Dev 1.142
6
5
4
3
2
1
0
−8
−6
−4
−2
0
2
4
6
8

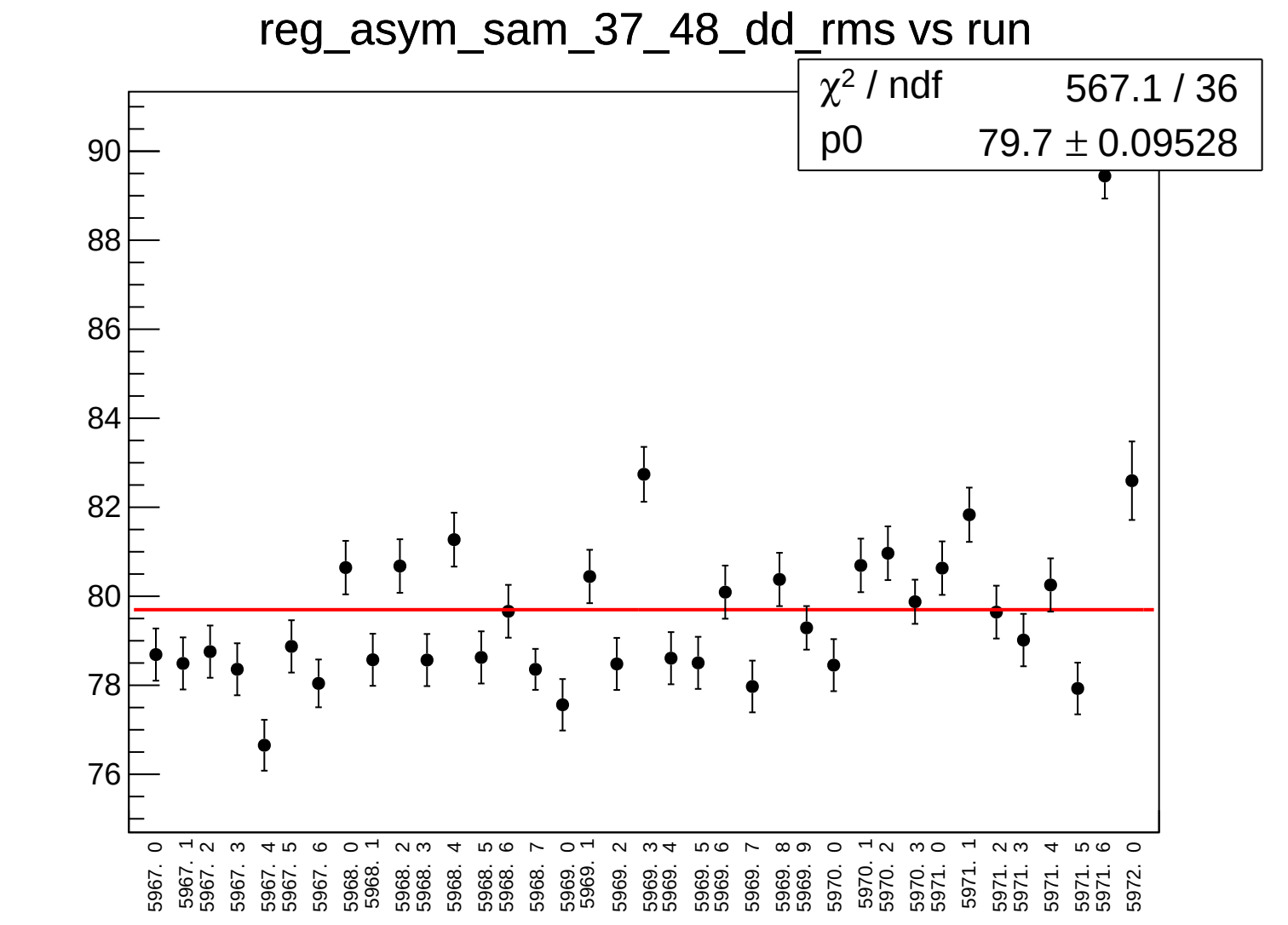
reg_asym_sam_37_48_dd_rms vs run
χ² / ndf 567.1 / 36
p0 79.7 ± 0.09528
90
88
86
84
82
80
78
76
5967. 0
5967. 1
5967. 2
5967. 3
5967. 4
5967. 5
5967. 6
5968. 0
5968. 1
5968. 2
5968. 3
5968. 4
5968. 5
5968. 6
5968. 7
5969. 0
5969. 1
5969. 2
5969. 3
5969. 4
5969. 5
5969. 6
5969. 7
5969. 8
5969. 9
5970. 0
5970. 1
5970. 2
5970. 3
5971. 0
5971. 1
5971. 2
5971. 3
5971. 4
5971. 5
5971. 6
5972. 0

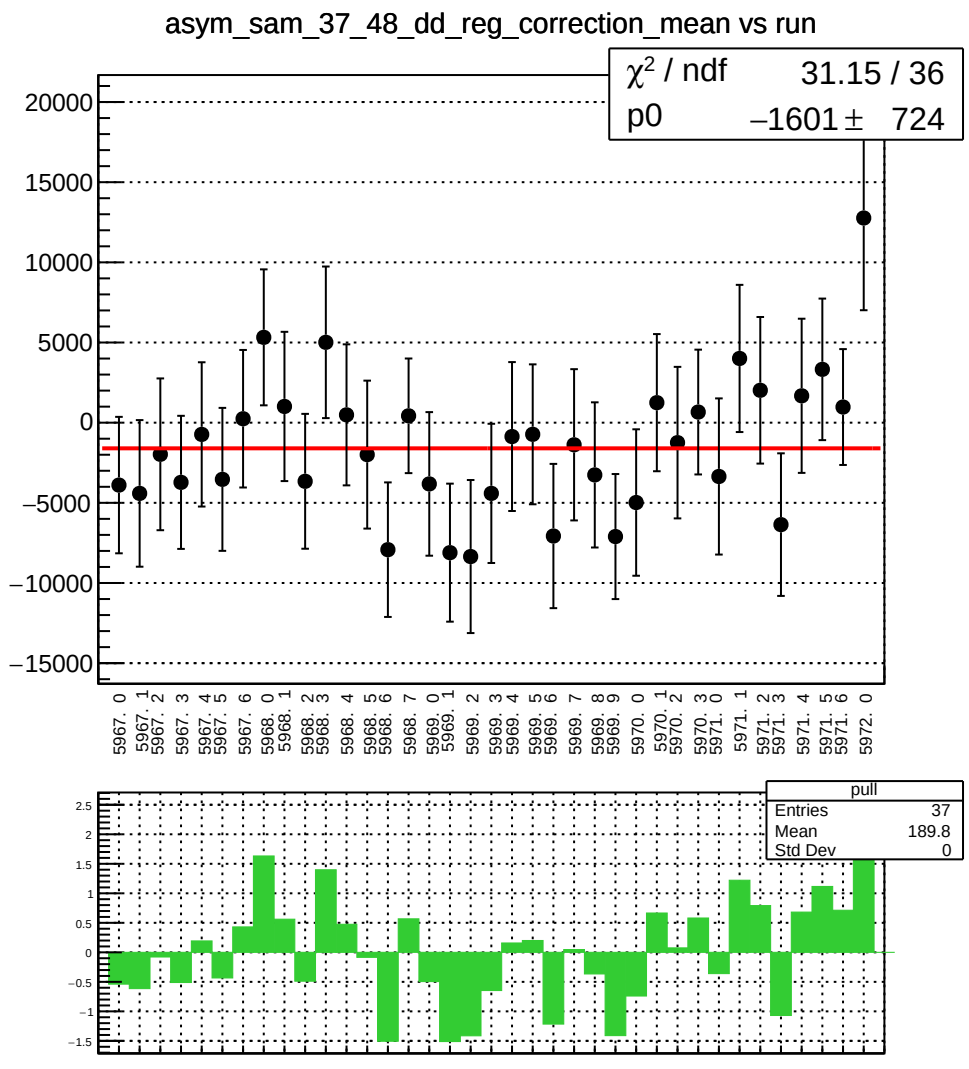
asym_sam_37_48_dd_reg_correction_mean vs run
χ² / ndf 31.15 / 36
p0 −1601 ± 724
20000
15000
10000
5000
0
−5000
−10000
−15000
5967. 0
5967. 1
5967. 2
5967. 3
5967. 4
5967. 5
5967. 6
5968. 0
5968. 1
5968. 2
5968. 3
5968. 4
5968. 5
5968. 6
5968. 7
5969. 0
5969. 1
5969. 2
5969. 3
5969. 4
5969. 5
5969. 6
5969. 7
5969. 8
5969. 9
5970. 0
5970. 1
5970. 2
5970. 3
5971. 0
5971. 1
5971. 2
5971. 3
5971. 4
5971. 5
5971. 6
5972. 0
pull
Entries 37
Mean 189.8
Std Dev 0
2.5
2
1.5
1
0.5
0
−0.5
−1
−1.5

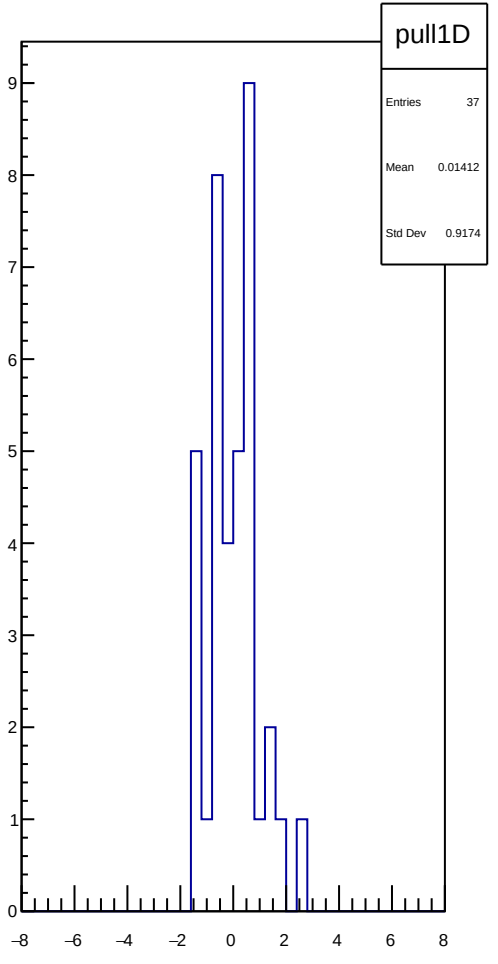
pull1D
Entries 37
Mean 0.01412
Std Dev 0.9174
9
8
7
6
5
4
3
2
1
0
−8
−6
−4
−2
0
2
4
6
8

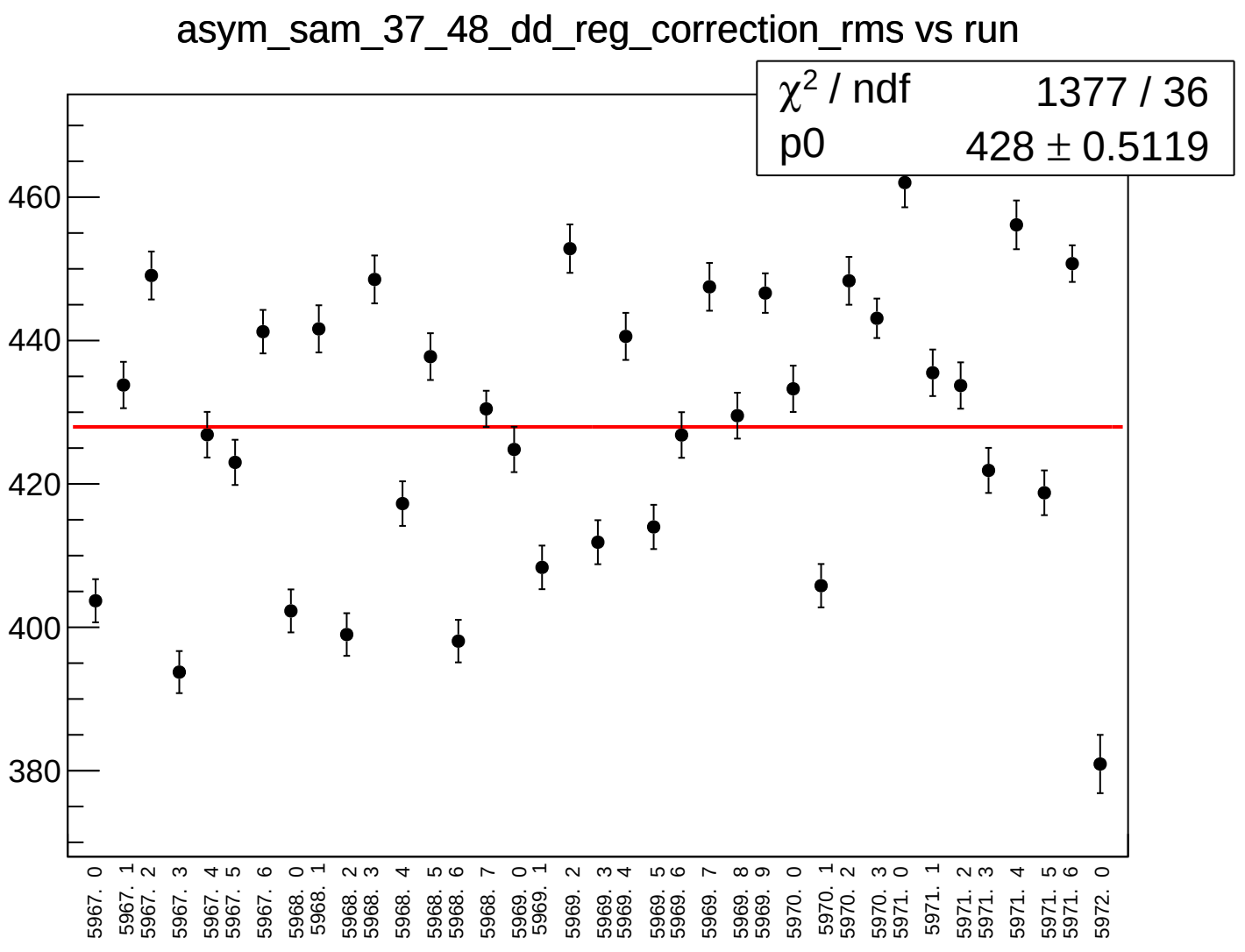
asym_sam_37_48_dd_reg_correction_rms vs run
χ² / ndf 1377 / 36
p0 428 ± 0.5119
460
440
420
400
380
5967. 0
5967. 1
5967. 2
5967. 3
5967. 4
5967. 5
5967. 6
5968. 0
5968. 1
5968. 2
5968. 3
5968. 4
5968. 5
5968. 6
5968. 7
5969. 0
5969. 1
5969. 2
5969. 3
5969. 4
5969. 5
5969. 6
5969. 7
5969. 8
5969. 9
5970. 0
5970. 1
5970. 2
5970. 3
5971. 0
5971. 1
5971. 2
5971. 3
5971. 4
5971. 5
5971. 6
5972. 0

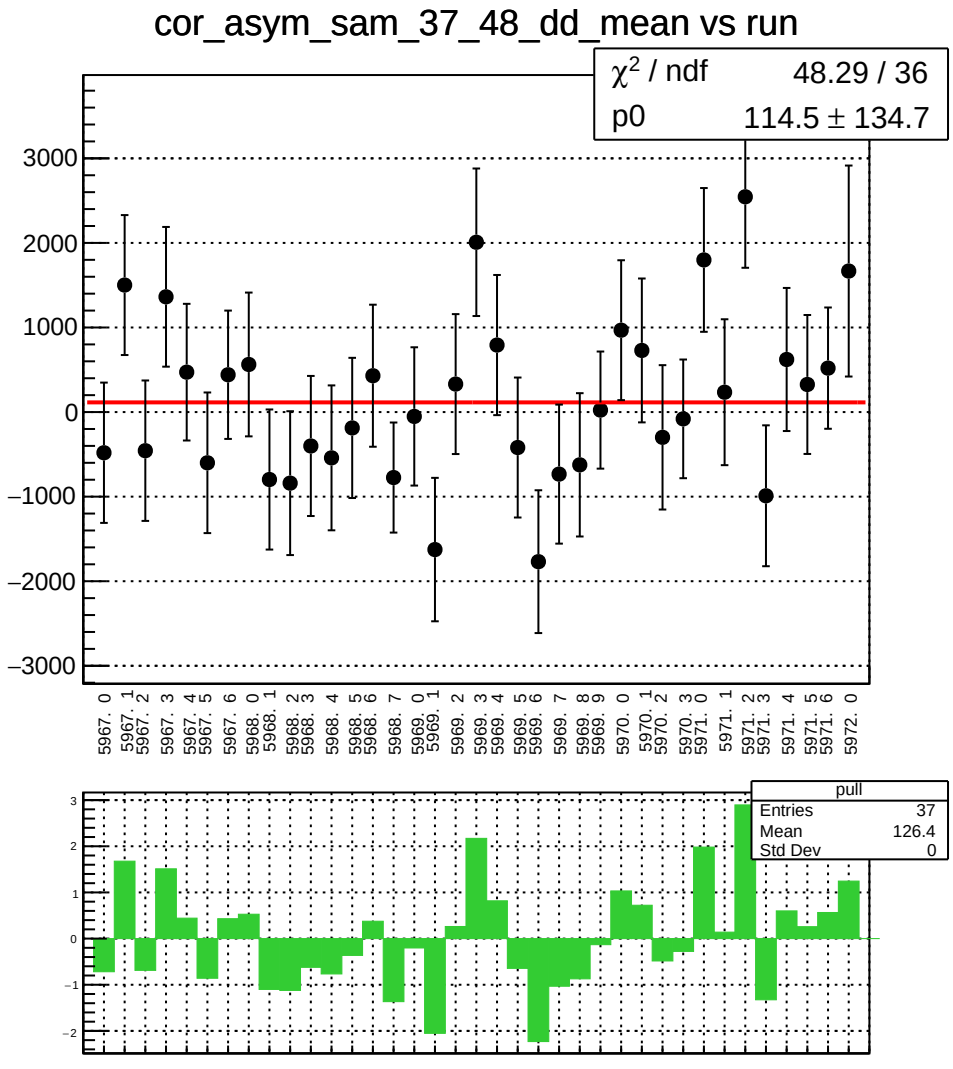
cor_asym_sam_37_48_dd_mean vs run
χ² / ndf 48.29 / 36
p0 114.5 ± 134.7
3000
2000
1000
0
−1000
−2000
−3000
5967. 0
5967. 1
5967. 2
5967. 3
5967. 4
5967. 5
5967. 6
5968. 0
5968. 1
5968. 2
5968. 3
5968. 4
5968. 5
5968. 6
5968. 7
5969. 0
5969. 1
5969. 2
5969. 3
5969. 4
5969. 5
5969. 6
5969. 7
5969. 8
5969. 9
5970. 0
5970. 1
5970. 2
5970. 3
5971. 0
5971. 1
5971. 2
5971. 3
5971. 4
5971. 5
5971. 6
5972. 0
pull
Entries 37
Mean 126.4
Std Dev 0
3
2
1
0
−1
−2
pull1D
Entries 37
Mean 0.02142
Std Dev 1.142
6
5
4
3
2
1
0
−8
−6
−4
−2
0
2
4
6
8

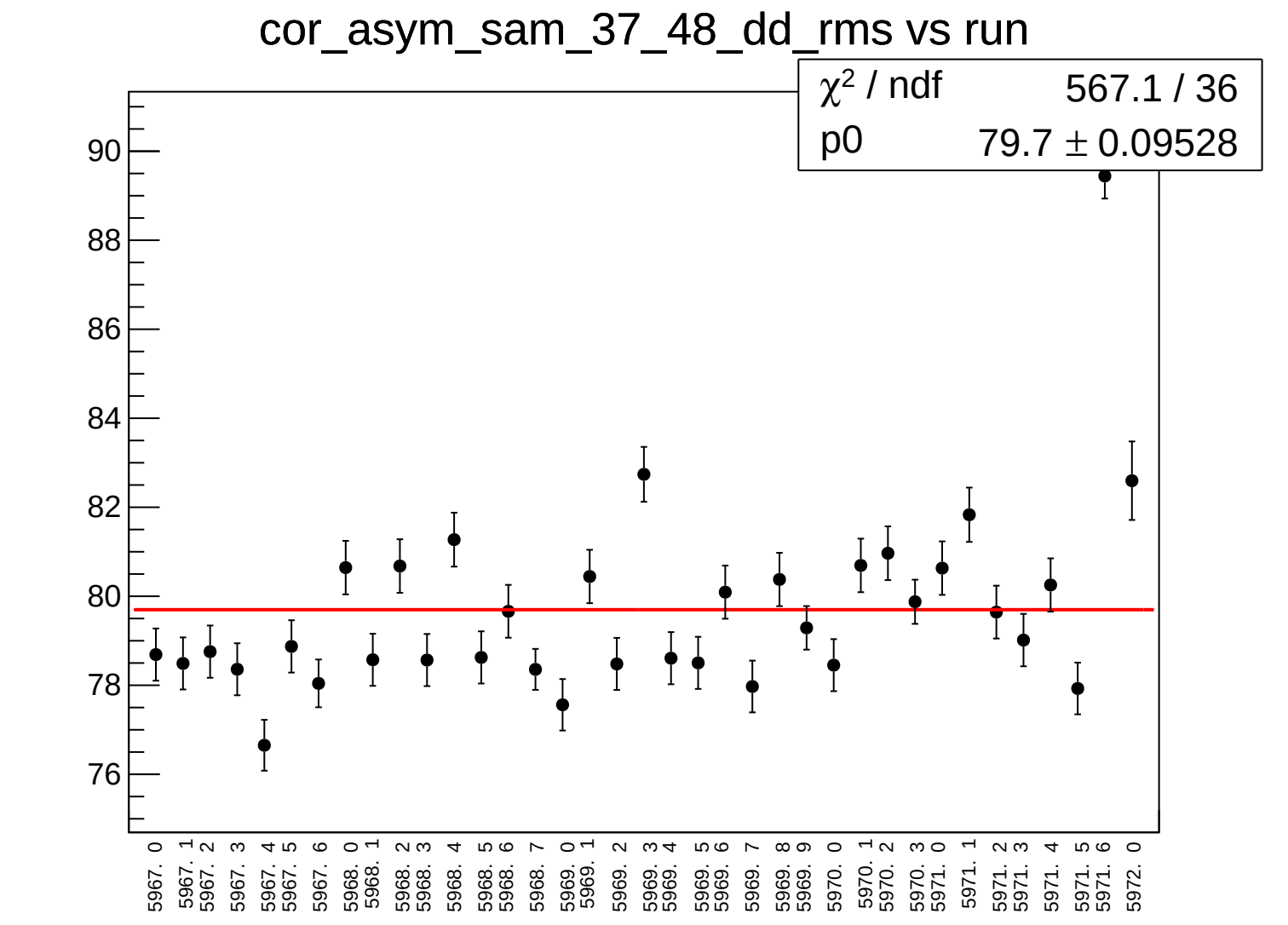
cor_asym_sam_37_48_dd_rms vs run
χ² / ndf 567.1 / 36
p0 79.7 ± 0.09528
90
88
86
84
82
80
78
76
5967. 0
5967. 1
5967. 2
5967. 3
5967. 4
5967. 5
5967. 6
5968. 0
5968. 1
5968. 2
5968. 3
5968. 4
5968. 5
5968. 6
5968. 7
5969. 0
5969. 1
5969. 2
5969. 3
5969. 4
5969. 5
5969. 6
5969. 7
5969. 8
5969. 9
5970. 0
5970. 1
5970. 2
5970. 3
5971. 0
5971. 1
5971. 2
5971. 3
5971. 4
5971. 5
5971. 6
5972. 0

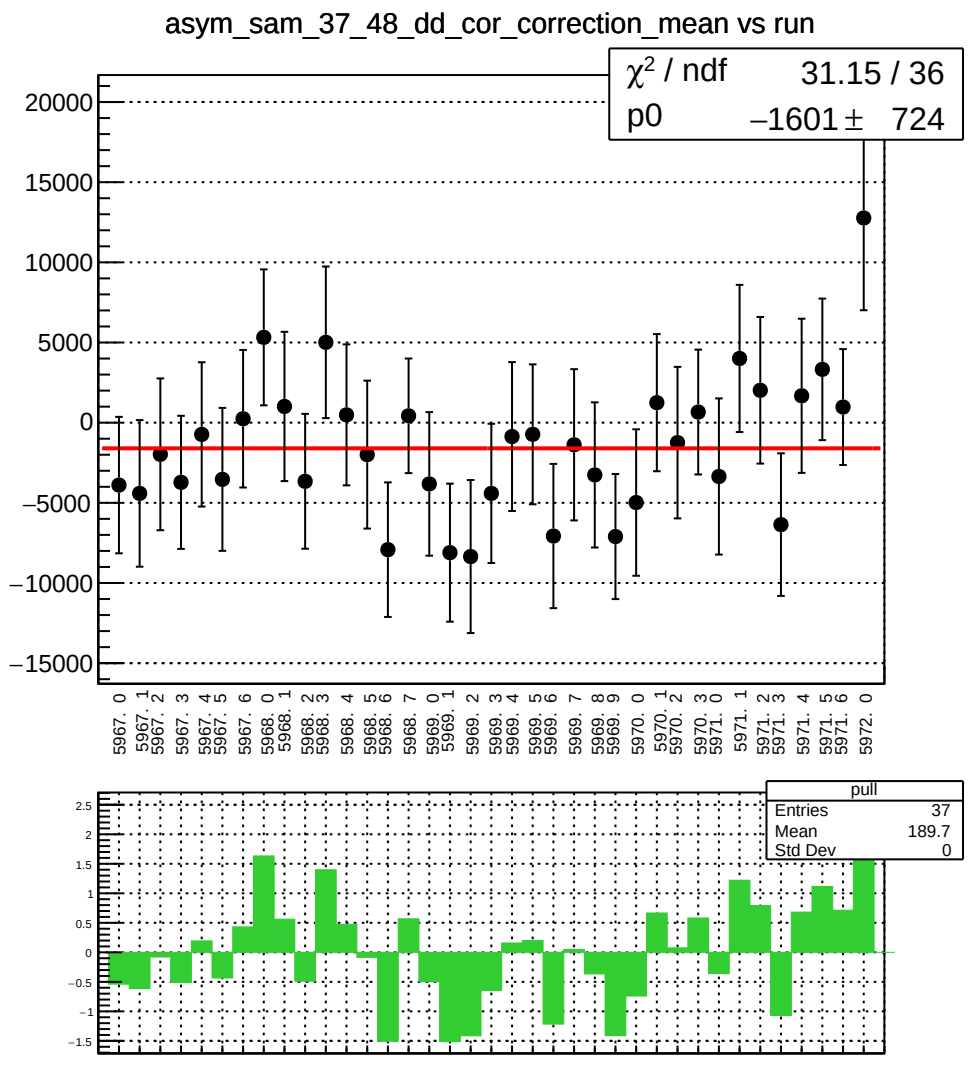
asym_sam_37_48_dd_cor_correction_mean vs run
χ² / ndf 31.15 / 36
p0 −1601 ± 724
pull
Entries 37
Mean 189.7
Std Dev 0

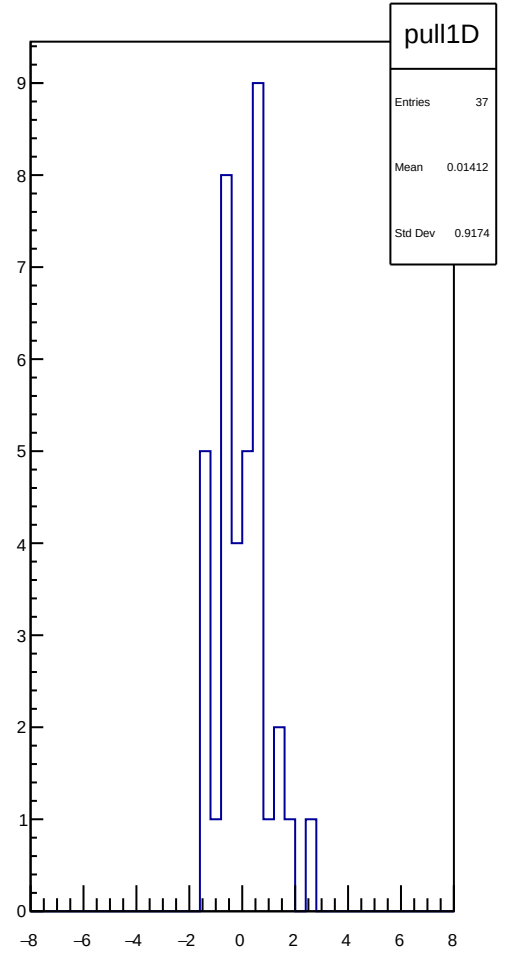
pull1D
Entries 37
Mean 0.01412
Std Dev 0.9174

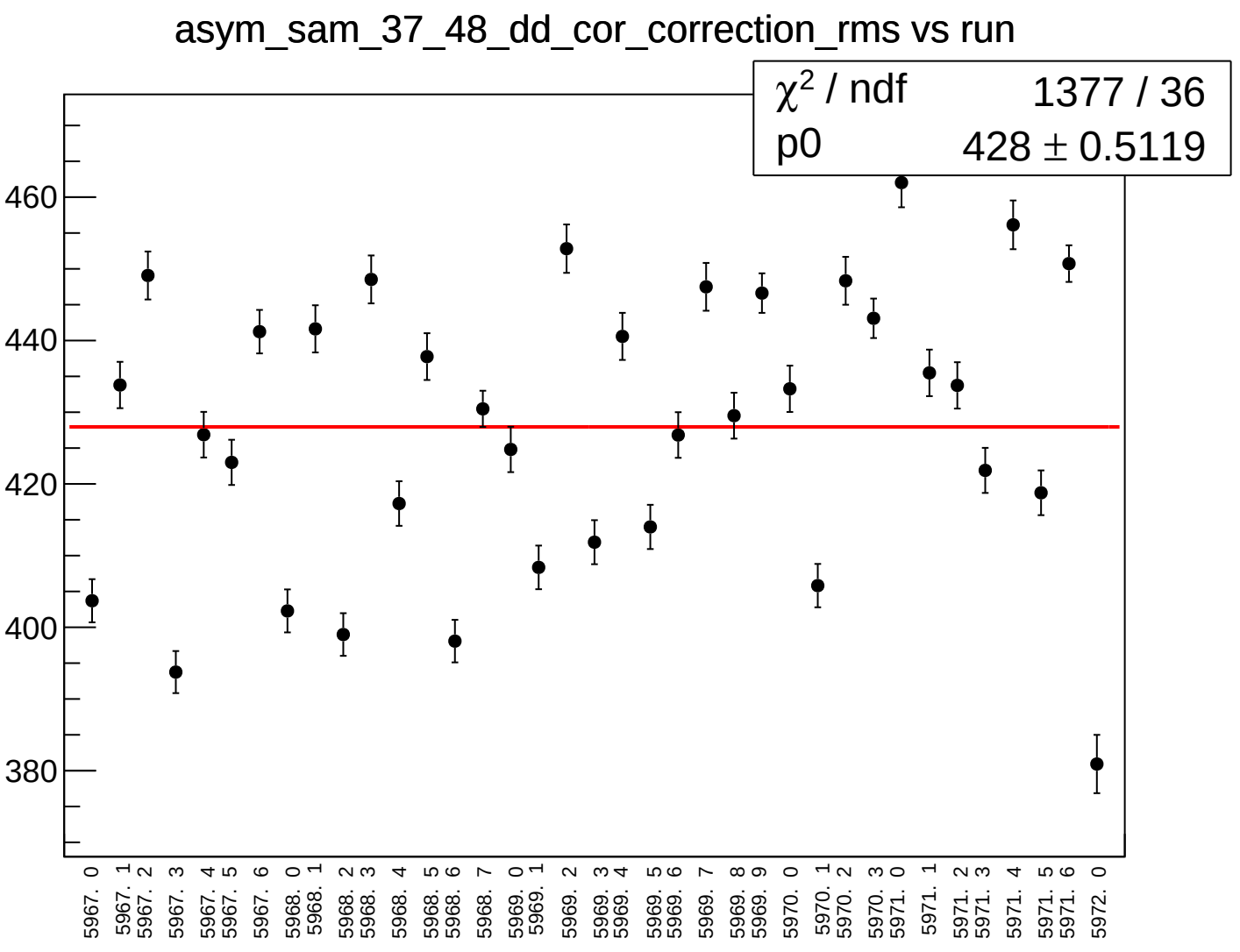
asym_sam_37_48_dd_cor_correction_rms vs run
χ² / ndf 1377 / 36
p0 428 ± 0.5119
460
440
420
400
380
5967. 0
5967. 1
5967. 2
5967. 3
5967. 4
5967. 5
5967. 6
5968. 0
5968. 1
5968. 2
5968. 3
5968. 4
5968. 5
5968. 6
5968. 7
5969. 0
5969. 1
5969. 2
5969. 3
5969. 4
5969. 5
5969. 6
5969. 7
5969. 8
5969. 9
5970. 0
5970. 1
5970. 2
5970. 3
5971. 0
5971. 1
5971. 2
5971. 3
5971. 4
5971. 5
5971. 6
5972. 0

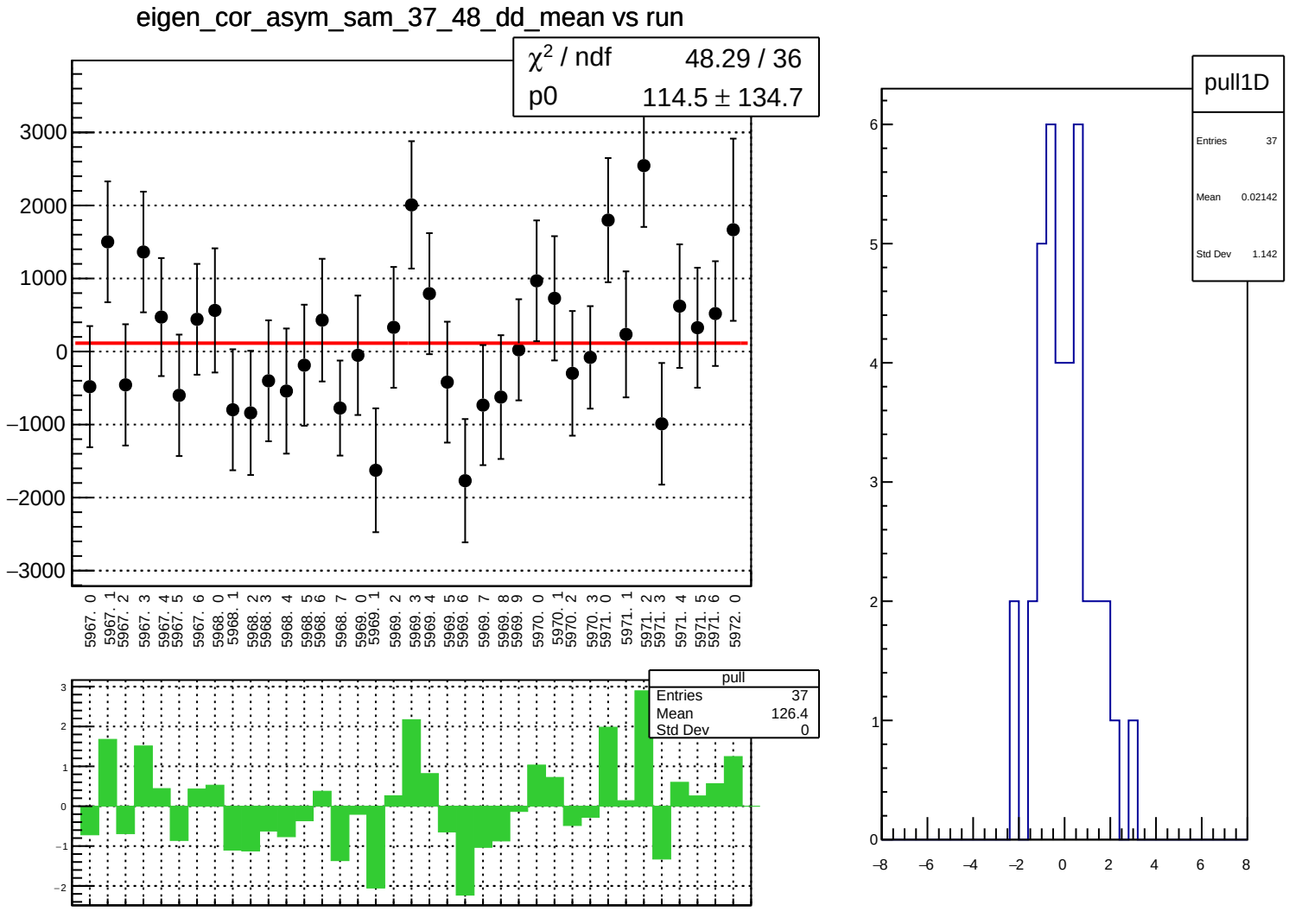
eigen_cor_asym_sam_37_48_dd_mean vs run
χ² / ndf 48.29 / 36
p0 114.5 ± 134.7
3000
2000
1000
0
−1000
−2000
−3000
5967. 0
5967. 1
5967. 2
5967. 3
5967. 4
5967. 5
5967. 6
5968. 0
5968. 1
5968. 2
5968. 3
5968. 4
5968. 5
5968. 6
5968. 7
5969. 0
5969. 1
5969. 2
5969. 3
5969. 4
5969. 5
5969. 6
5969. 7
5969. 8
5969. 9
5970. 0
5970. 1
5970. 2
5970. 3
5971. 0
5971. 1
5971. 2
5971. 3
5971. 4
5971. 5
5971. 6
5972. 0
pull
Entries 37
Mean 126.4
Std Dev 0
pull1D
Entries 37
Mean 0.02142
Std Dev 1.142

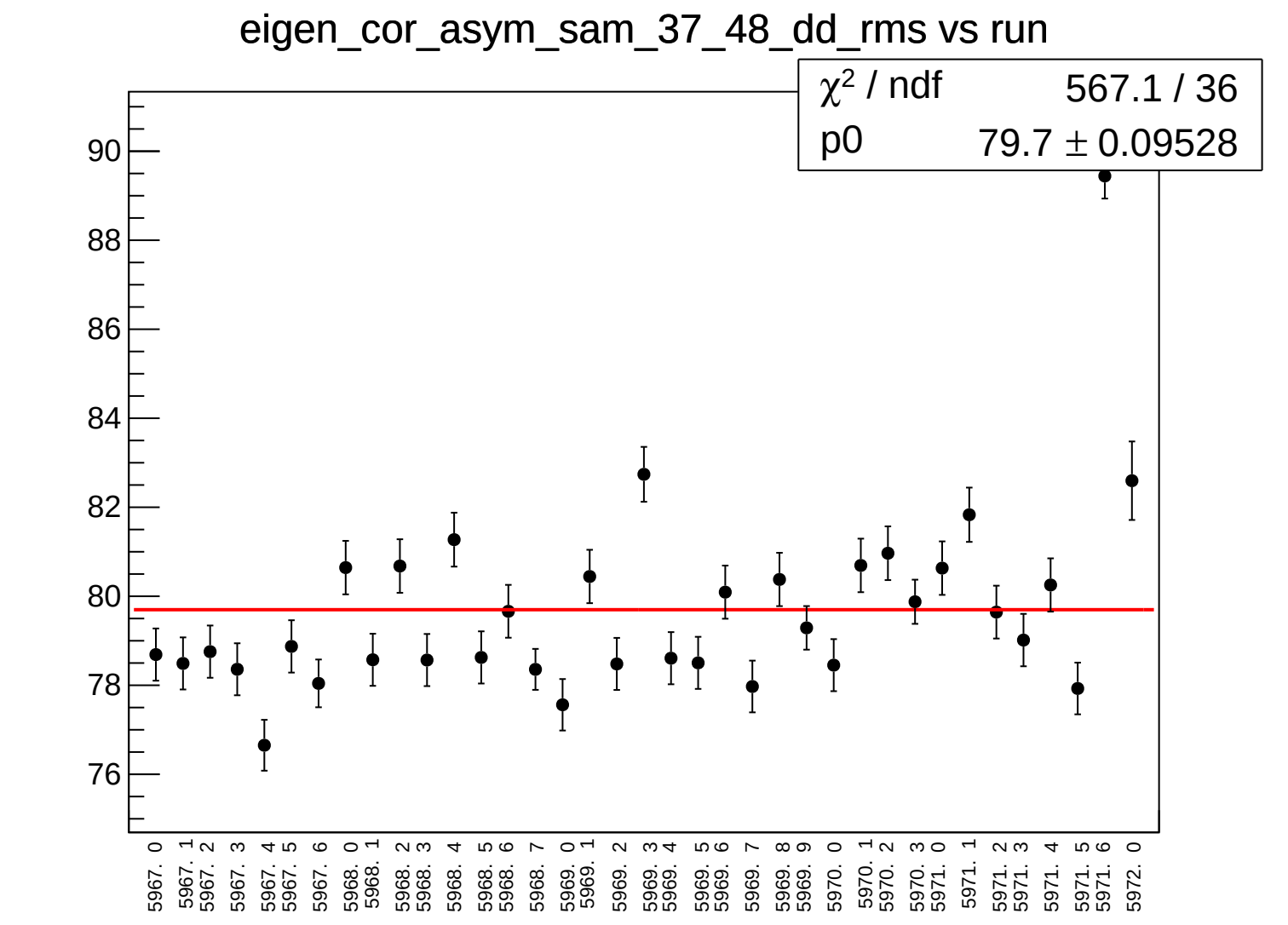
eigen_cor_asym_sam_37_48_dd_rms vs run
χ² / ndf 567.1 / 36
p0 79.7 ± 0.09528
90
88
86
84
82
80
78
76
5967. 0
5967. 1
5967. 2
5967. 3
5967. 4
5967. 5
5967. 6
5968. 0
5968. 1
5968. 2
5968. 3
5968. 4
5968. 5
5968. 6
5968. 7
5969. 0
5969. 1
5969. 2
5969. 3
5969. 4
5969. 5
5969. 6
5969. 7
5969. 8
5969. 9
5970. 0
5970. 1
5970. 2
5970. 3
5971. 0
5971. 1
5971. 2
5971. 3
5971. 4
5971. 5
5971. 6
5972. 0

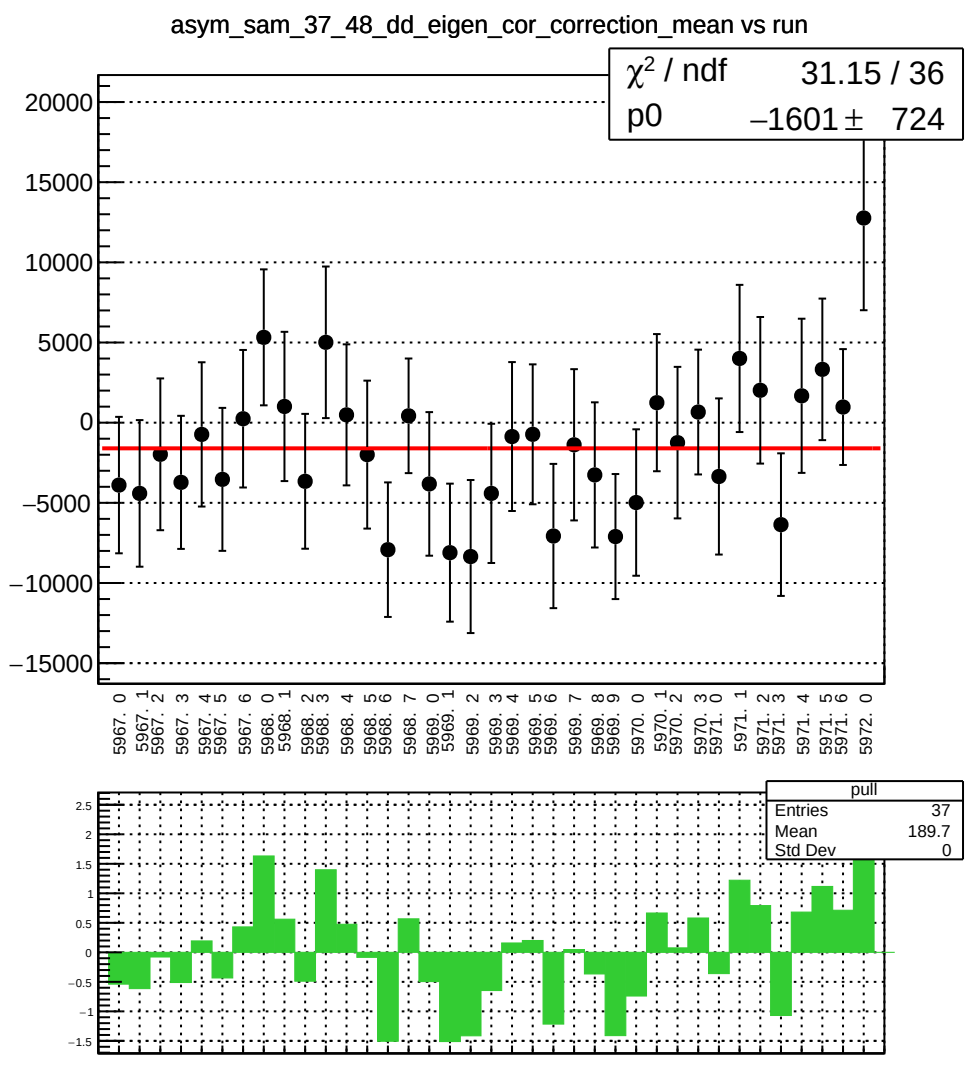
asym_sam_37_48_dd_eigen_cor_correction_mean vs run
χ² / ndf 31.15 / 36
p0 −1601 ± 724
20000
15000
10000
5000
0
−5000
−10000
−15000
5967. 0
5967. 1
5967. 2
5967. 3
5967. 4
5967. 5
5967. 6
5968. 0
5968. 1
5968. 2
5968. 3
5968. 4
5968. 5
5968. 6
5968. 7
5969. 0
5969. 1
5969. 2
5969. 3
5969. 4
5969. 5
5969. 6
5969. 7
5969. 8
5969. 9
5970. 0
5970. 1
5970. 2
5970. 3
5971. 0
5971. 1
5971. 2
5971. 3
5971. 4
5971. 5
5971. 6
5972. 0
pull
Entries 37
Mean 189.7
Std Dev 0
2.5
2
1.5
1
0.5
0
−0.5
−1
−1.5

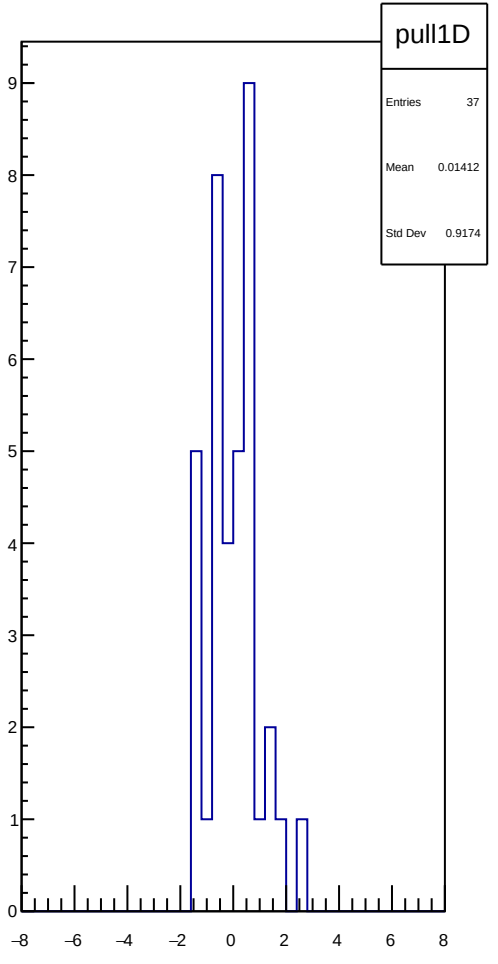
pull1D
Entries 37
Mean 0.01412
Std Dev 0.9174
9
8
7
6
5
4
3
2
1
0
−8
−6
−4
−2
0
2
4
6
8

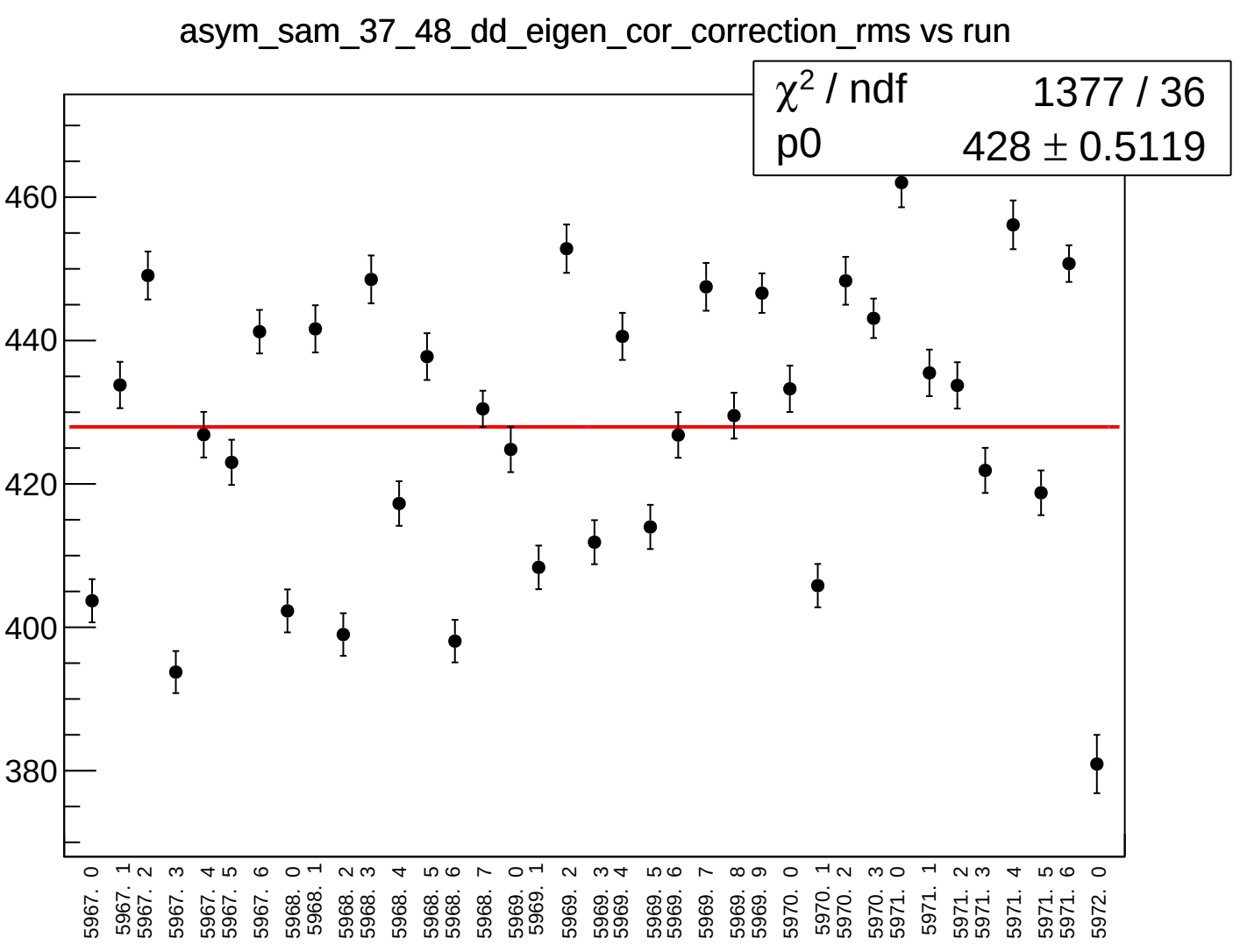
asym_sam_37_48_dd_eigen_cor_correction_rms vs run
χ² / ndf 1377 / 36
p0 428 ± 0.5119
460
440
420
400
380
5967. 0
5967. 1
5967. 2
5967. 3
5967. 4
5967. 5
5967. 6
5968. 0
5968. 1
5968. 2
5968. 3
5968. 4
5968. 5
5968. 6
5968. 7
5969. 0
5969. 1
5969. 2
5969. 3
5969. 4
5969. 5
5969. 6
5969. 7
5969. 8
5969. 9
5970. 0
5970. 1
5970. 2
5970. 3
5971. 0
5971. 1
5971. 2
5971. 3
5971. 4
5971. 5
5971. 6
5972. 0

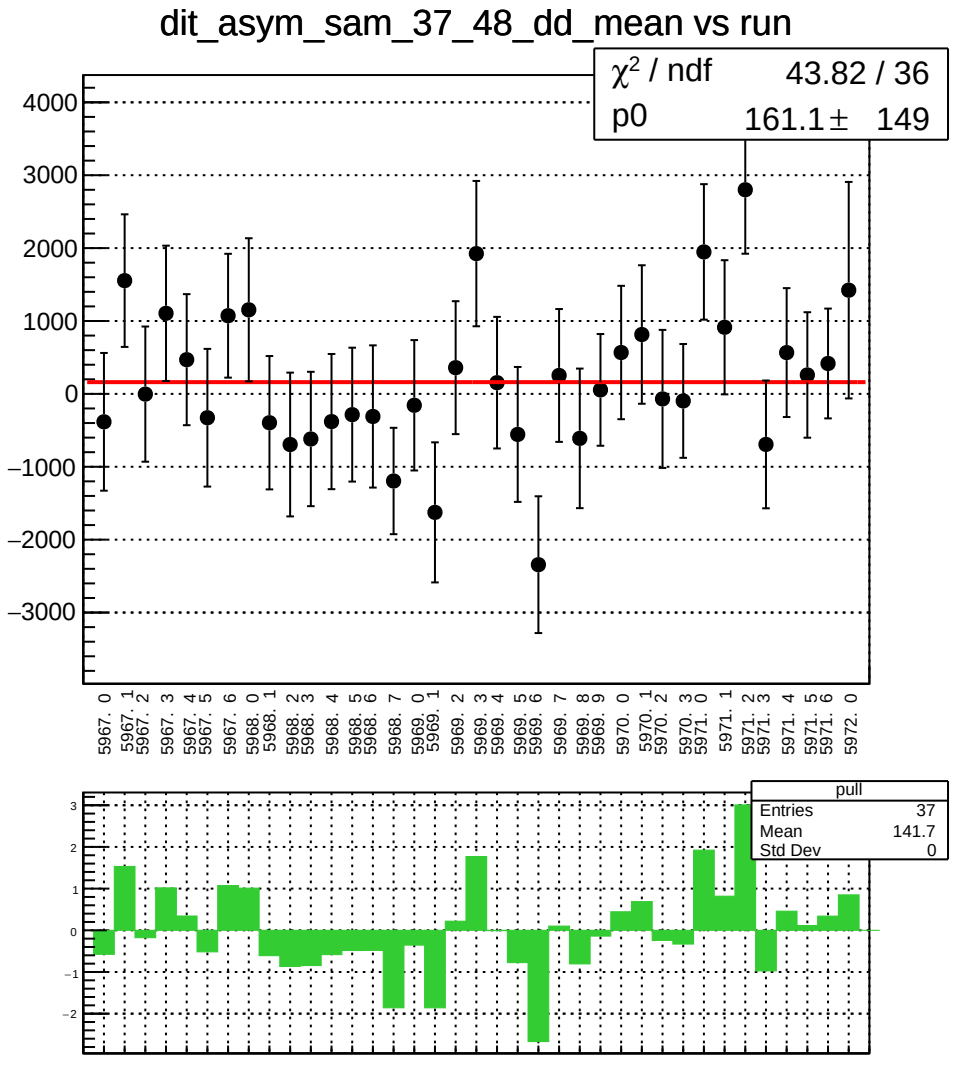
dit_asym_sam_37_48_dd_mean vs run
χ² / ndf 43.82 / 36
p0 161.1 ± 149
4000
3000
2000
1000
0
−1000
−2000
−3000
5967. 0
5967. 1
5967. 2
5967. 3
5967. 4
5967. 5
5967. 6
5968. 0
5968. 1
5968. 2
5968. 3
5968. 4
5968. 5
5968. 6
5968. 7
5969. 0
5969. 1
5969. 2
5969. 3
5969. 4
5969. 5
5969. 6
5969. 7
5969. 8
5969. 9
5970. 0
5970. 1
5970. 2
5970. 3
5971. 0
5971. 1
5971. 2
5971. 3
5971. 4
5971. 5
5971. 6
5972. 0
pull
Entries 37
Mean 141.7
Std Dev 0
3
2
1
0
−1
−2

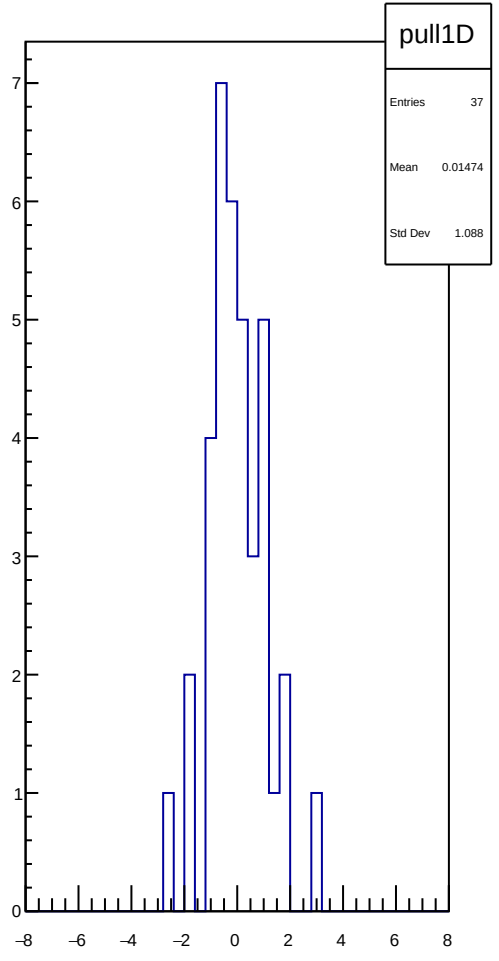
pull1D
Entries 37
Mean 0.01474
Std Dev 1.088
7
6
5
4
3
2
1
0
−8
−6
−4
−2
0
2
4
6
8

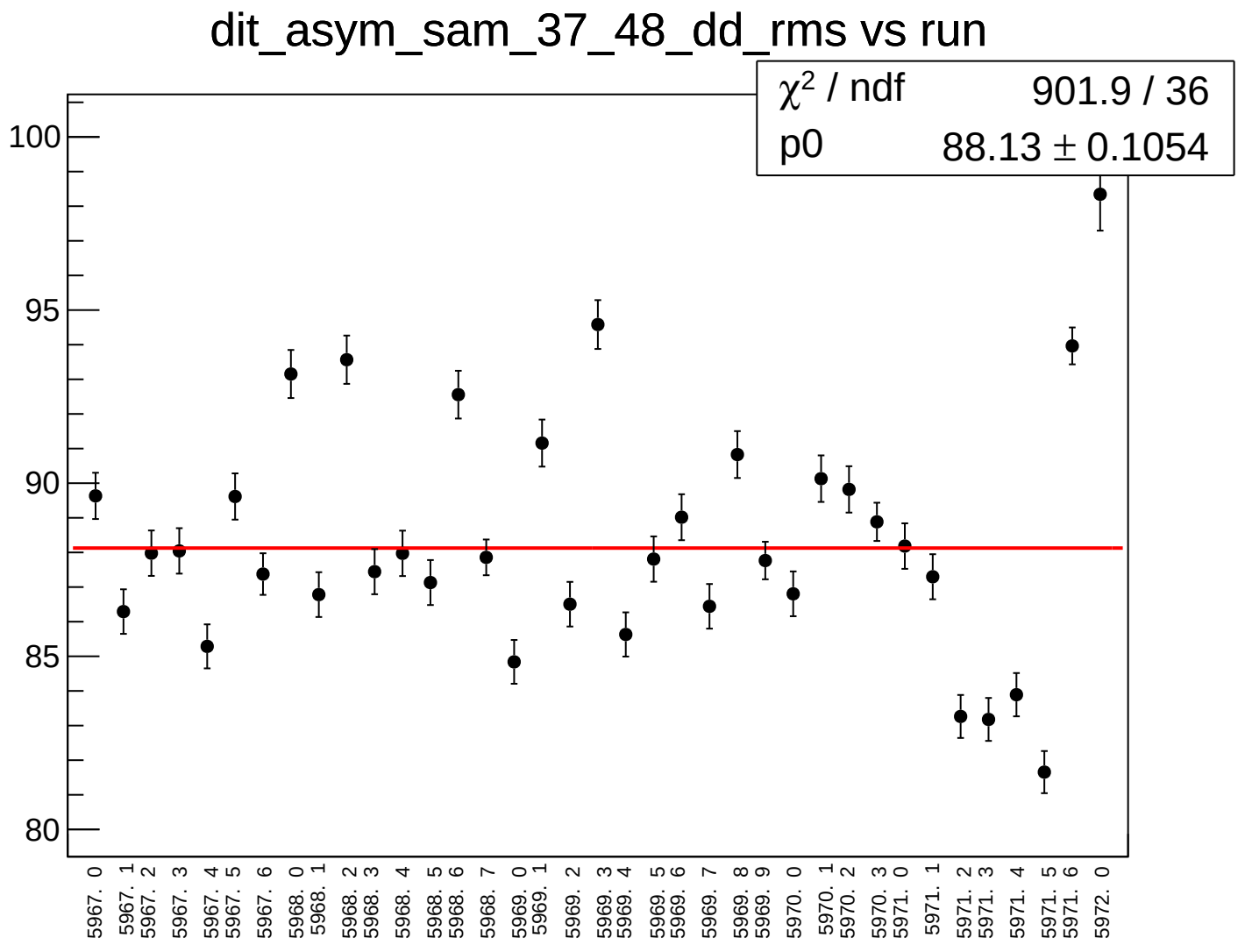
dit_asym_sam_37_48_dd_rms vs run
χ² / ndf 901.9 / 36
p0 88.13 ± 0.1054
100
95
90
85
80
5967. 0
5967. 1
5967. 2
5967. 3
5967. 4
5967. 5
5967. 6
5968. 0
5968. 1
5968. 2
5968. 3
5968. 4
5968. 5
5968. 6
5968. 7
5969. 0
5969. 1
5969. 2
5969. 3
5969. 4
5969. 5
5969. 6
5969. 7
5969. 8
5969. 9
5970. 0
5970. 1
5970. 2
5970. 3
5971. 0
5971. 1
5971. 2
5971. 3
5971. 4
5971. 5
5971. 6
5972. 0

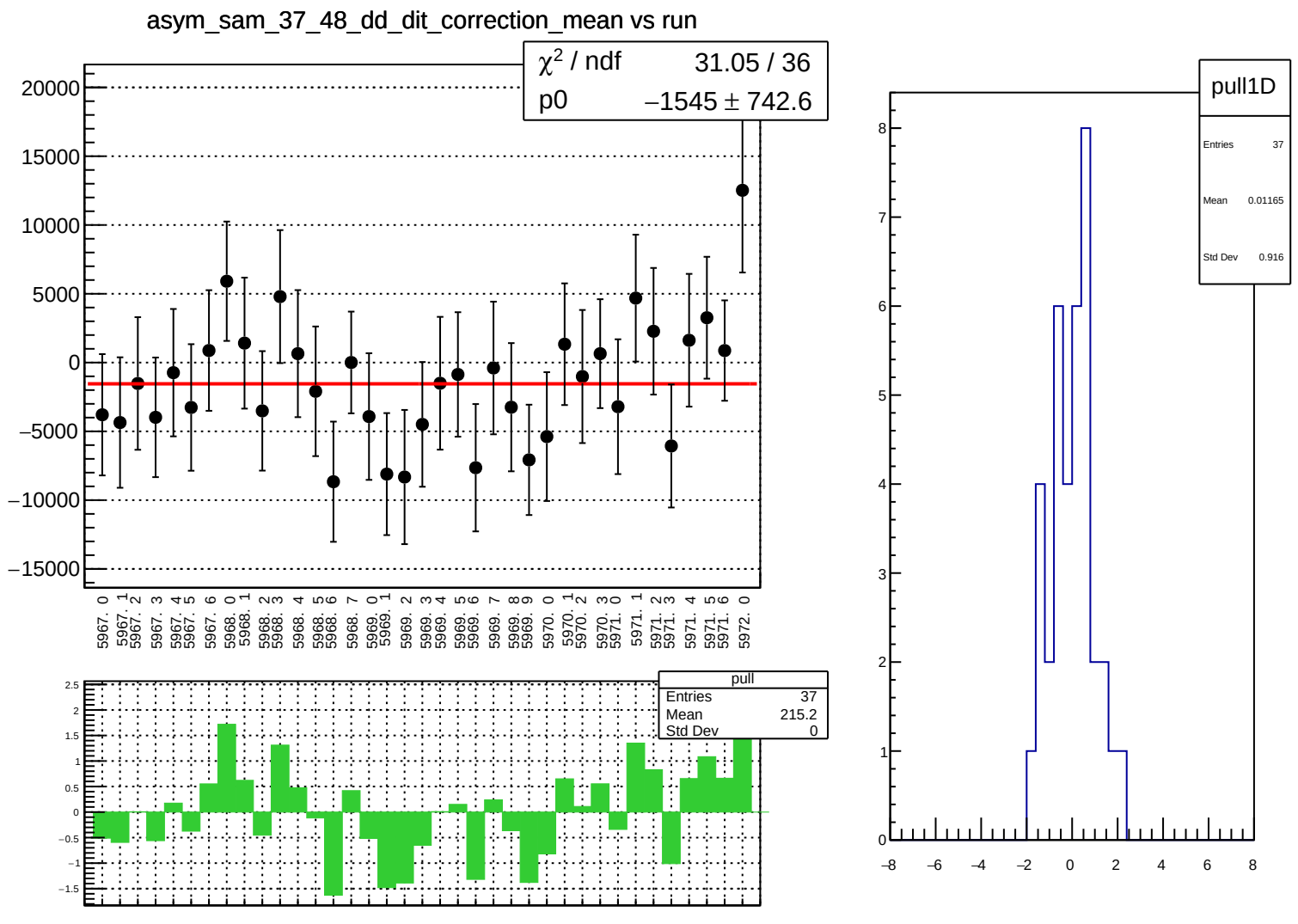
asym_sam_37_48_dd_dit_correction_mean vs run
χ² / ndf 31.05 / 36
p0 −1545 ± 742.6
20000
15000
10000
5000
0
−5000
−10000
−15000
5967. 0
5967. 1
5967. 2
5967. 3
5967. 4
5967. 5
5967. 6
5968. 0
5968. 1
5968. 2
5968. 3
5968. 4
5968. 5
5968. 6
5968. 7
5969. 0
5969. 1
5969. 2
5969. 3
5969. 4
5969. 5
5969. 6
5969. 7
5969. 8
5969. 9
5970. 0
5970. 1
5970. 2
5970. 3
5971. 0
5971. 1
5971. 2
5971. 3
5971. 4
5971. 5
5971. 6
5972. 0
pull
Entries 37
Mean 215.2
Std Dev 0
2.5
2
1.5
1
0.5
0
−0.5
−1
−1.5
pull1D
Entries 37
Mean 0.01165
Std Dev 0.916
8
7
6
5
4
3
2
1
0
−8
−6
−4
−2
0
2
4
6
8

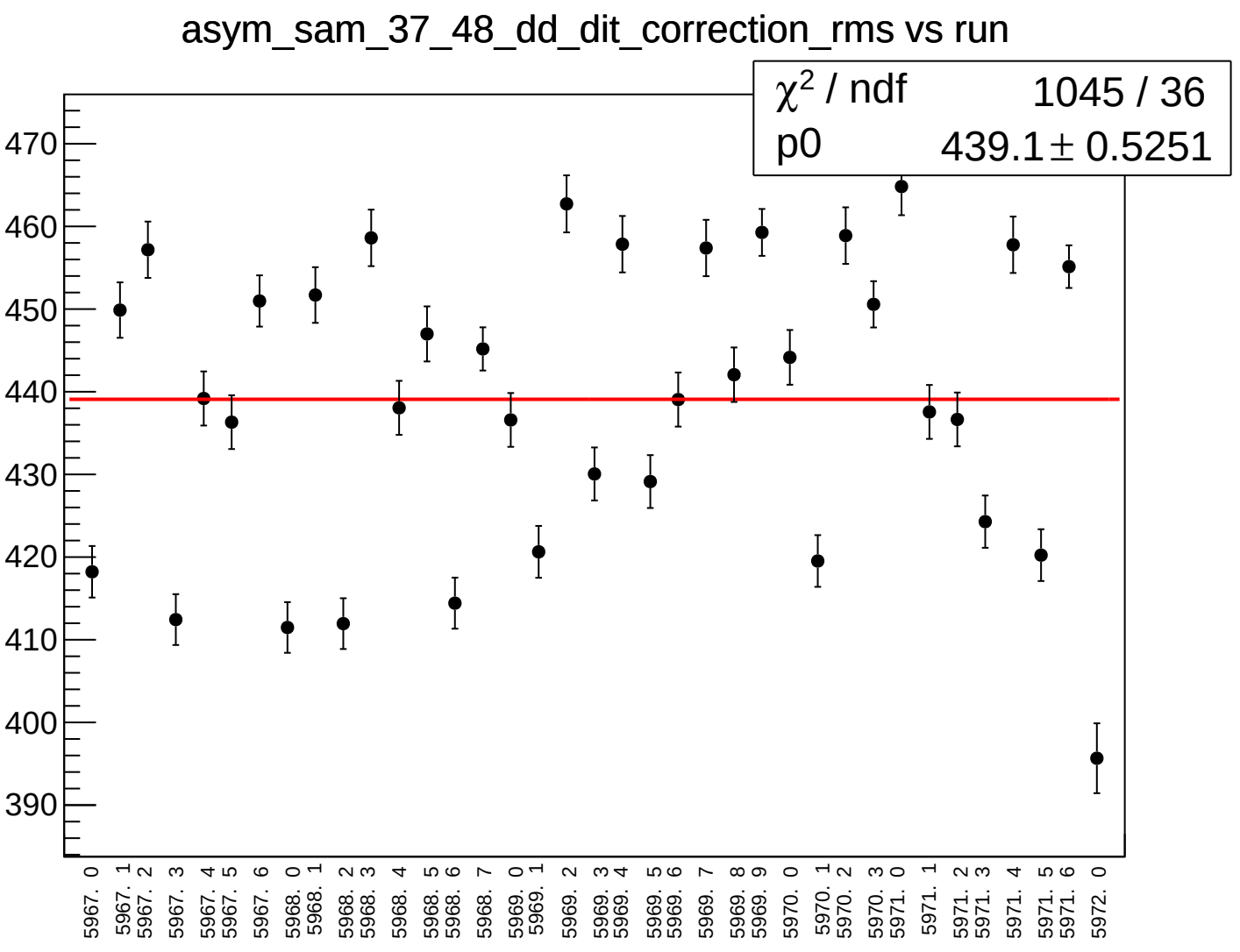
asym_sam_37_48_dd_dit_correction_rms vs run
χ² / ndf 1045 / 36
p0 439.1 ± 0.5251
470
460
450
440
430
420
410
400
390
5967. 0
5967. 1
5967. 2
5967. 3
5967. 4
5967. 5
5967. 6
5968. 0
5968. 1
5968. 2
5968. 3
5968. 4
5968. 5
5968. 6
5968. 7
5969. 0
5969. 1
5969. 2
5969. 3
5969. 4
5969. 5
5969. 6
5969. 7
5969. 8
5969. 9
5970. 0
5970. 1
5970. 2
5970. 3
5971. 0
5971. 1
5971. 2
5971. 3
5971. 4
5971. 5
5971. 6
5972. 0

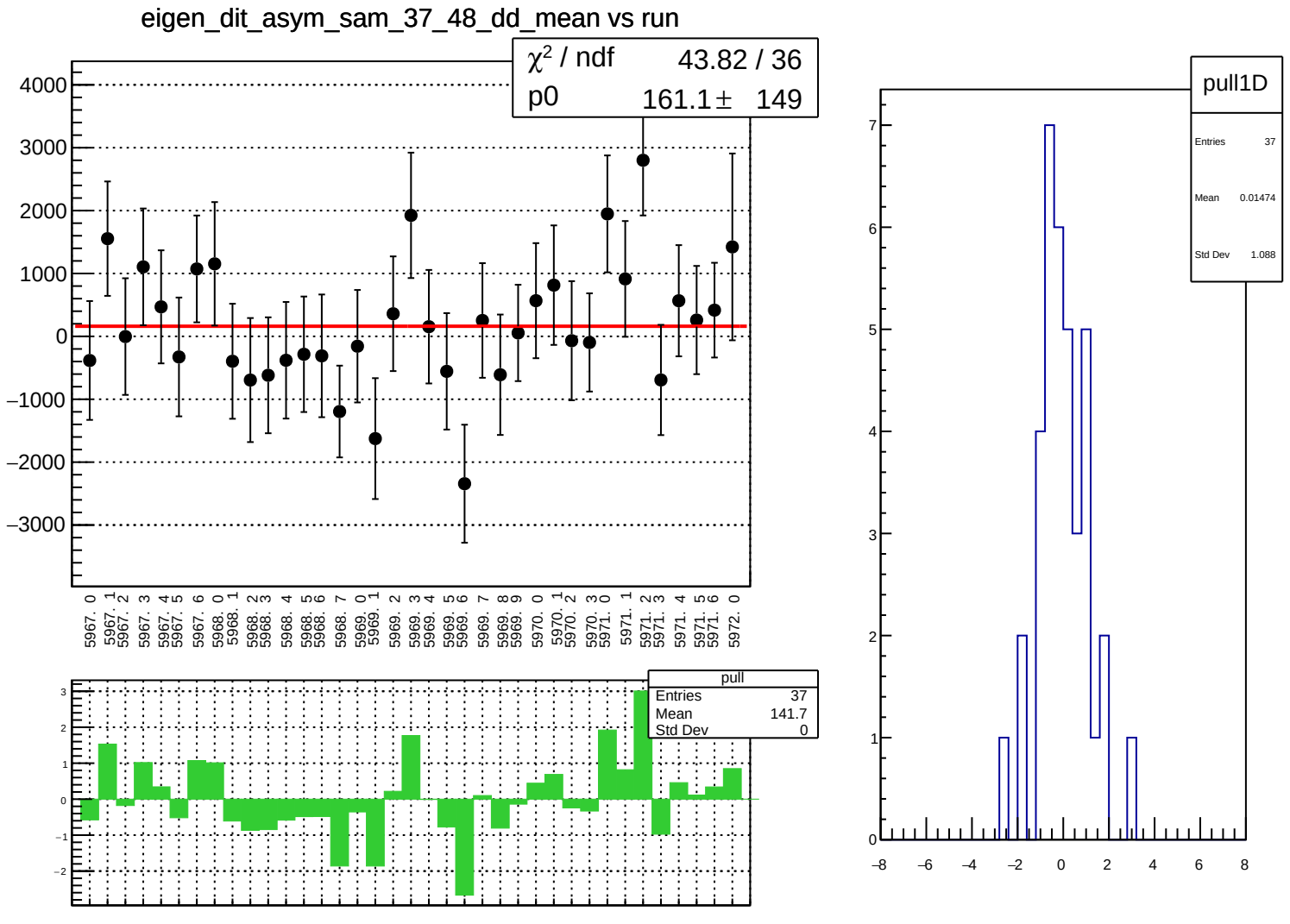
eigen_dit_asym_sam_37_48_dd_mean vs run
χ² / ndf 43.82 / 36
p0 161.1 ± 149
4000
3000
2000
1000
0
−1000
−2000
−3000
5967. 0
5967. 1
5967. 2
5967. 3
5967. 4
5967. 5
5967. 6
5968. 0
5968. 1
5968. 2
5968. 3
5968. 4
5968. 5
5968. 6
5968. 7
5969. 0
5969. 1
5969. 2
5969. 3
5969. 4
5969. 5
5969. 6
5969. 7
5969. 8
5969. 9
5970. 0
5970. 1
5970. 2
5970. 3
5971. 0
5971. 1
5971. 2
5971. 3
5971. 4
5971. 5
5971. 6
5972. 0
pull
Entries 37
Mean 141.7
Std Dev 0
3
2
1
0
−1
−2
pull1D
Entries 37
Mean 0.01474
Std Dev 1.088
7
6
5
4
3
2
1
0
−8
−6
−4
−2
0
2
4
6
8

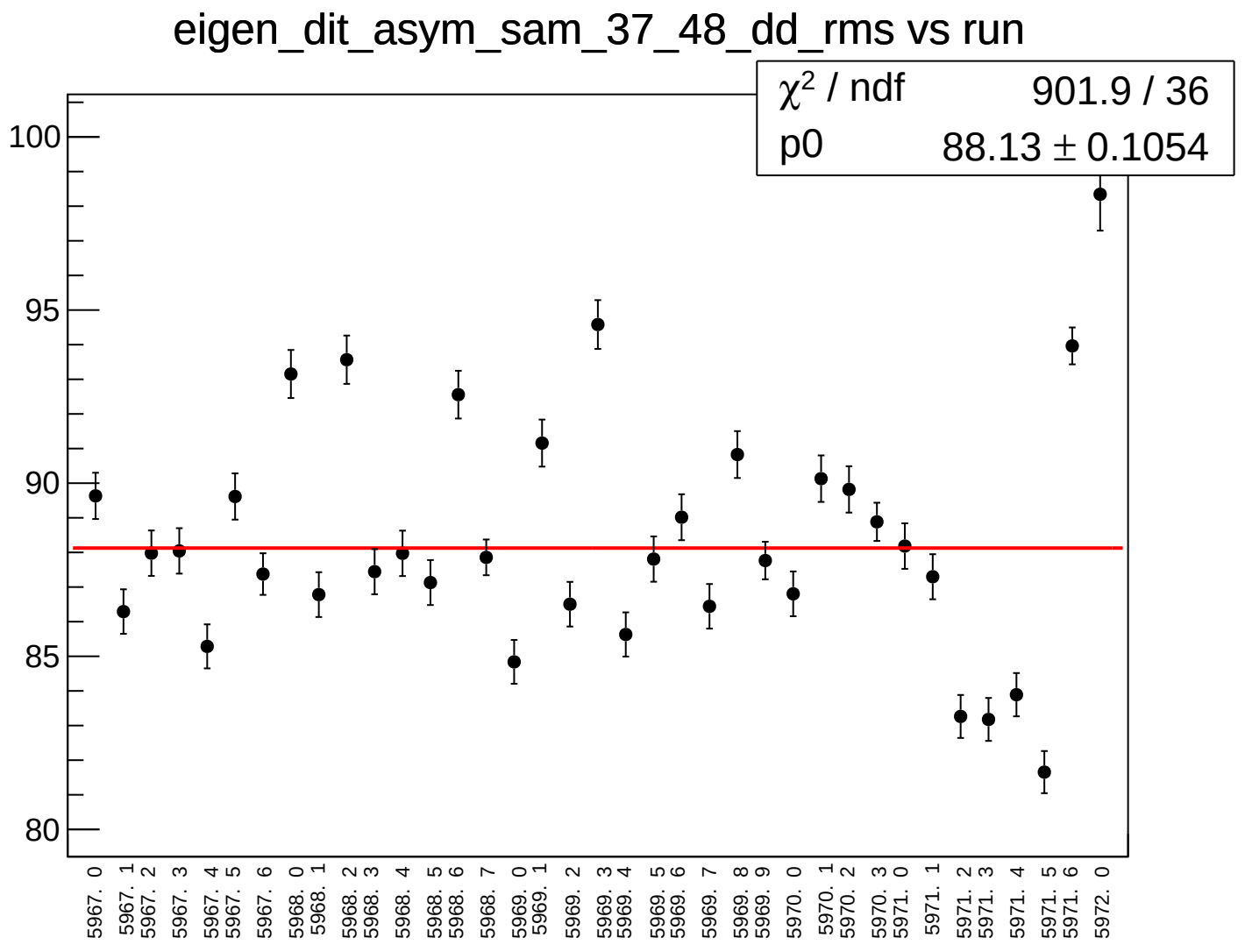
eigen_dit_asym_sam_37_48_dd_rms vs run
χ² / ndf 901.9 / 36
p0 88.13 ± 0.1054
100
95
90
85
80
5967. 0
5967. 1
5967. 2
5967. 3
5967. 4
5967. 5
5967. 6
5968. 0
5968. 1
5968. 2
5968. 3
5968. 4
5968. 5
5968. 6
5968. 7
5969. 0
5969. 1
5969. 2
5969. 3
5969. 4
5969. 5
5969. 6
5969. 7
5969. 8
5969. 9
5970. 0
5970. 1
5970. 2
5970. 3
5971. 0
5971. 1
5971. 2
5971. 3
5971. 4
5971. 5
5971. 6
5972. 0

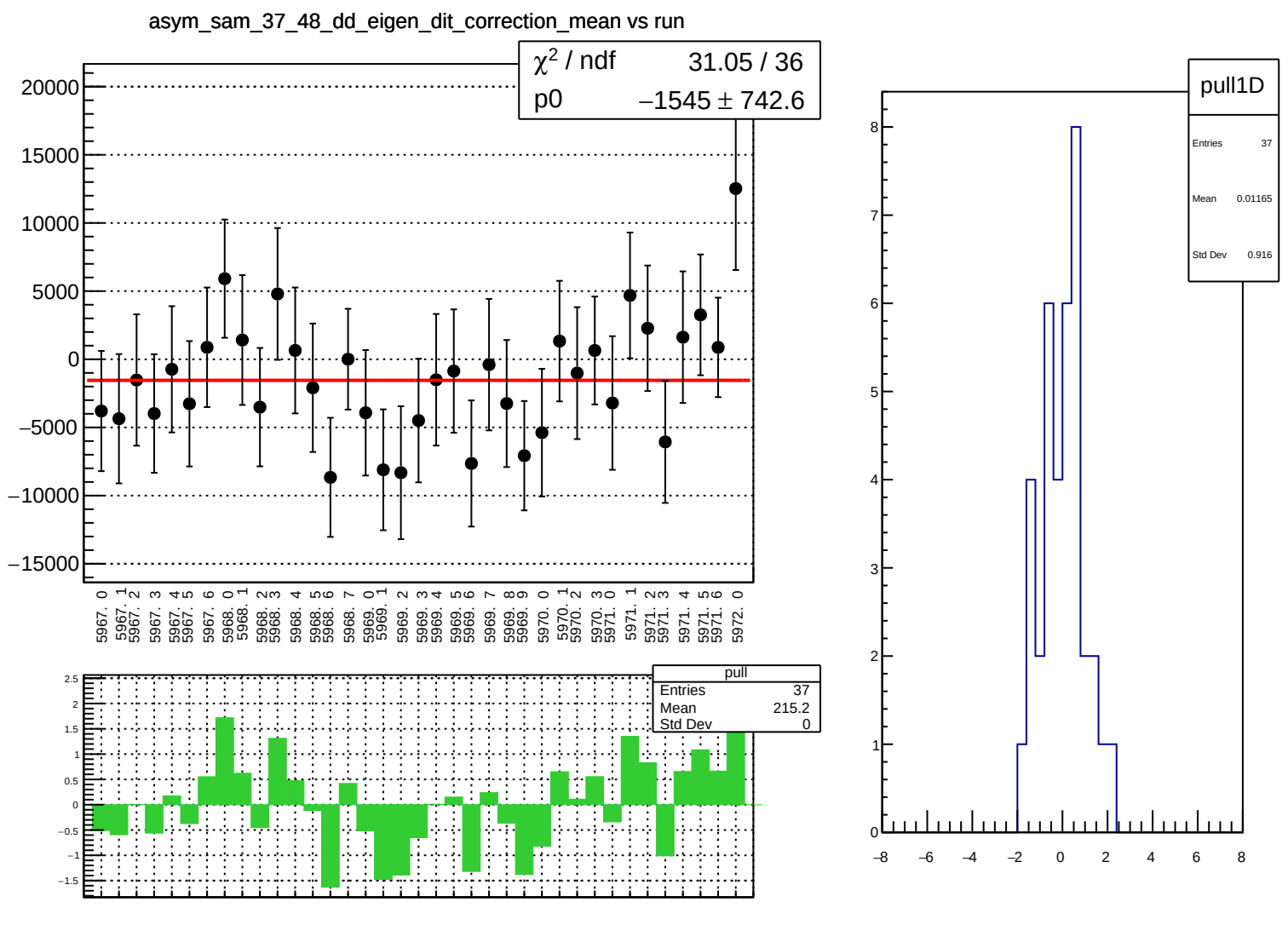
asym_sam_37_48_dd_eigen_dit_correction_mean vs run
χ² / ndf 31.05 / 36
p0 −1545 ± 742.6
20000
15000
10000
5000
0
−5000
−10000
−15000
5967. 0
5967. 1
5967. 2
5967. 3
5967. 4
5967. 5
5967. 6
5968. 0
5968. 1
5968. 2
5968. 3
5968. 4
5968. 5
5968. 6
5968. 7
5969. 0
5969. 1
5969. 2
5969. 3
5969. 4
5969. 5
5969. 6
5969. 7
5969. 8
5969. 9
5970. 0
5970. 1
5970. 2
5970. 3
5971. 0
5971. 1
5971. 2
5971. 3
5971. 4
5971. 5
5971. 6
5972. 0
pull
Entries 37
Mean 215.2
Std Dev 0
2.5
2
1.5
1
0.5
0
−0.5
−1
−1.5
pull1D
Entries 37
Mean 0.01165
Std Dev 0.916
8
7
6
5
4
3
2
1
0
−8
−6
−4
−2
0
2
4
6
8

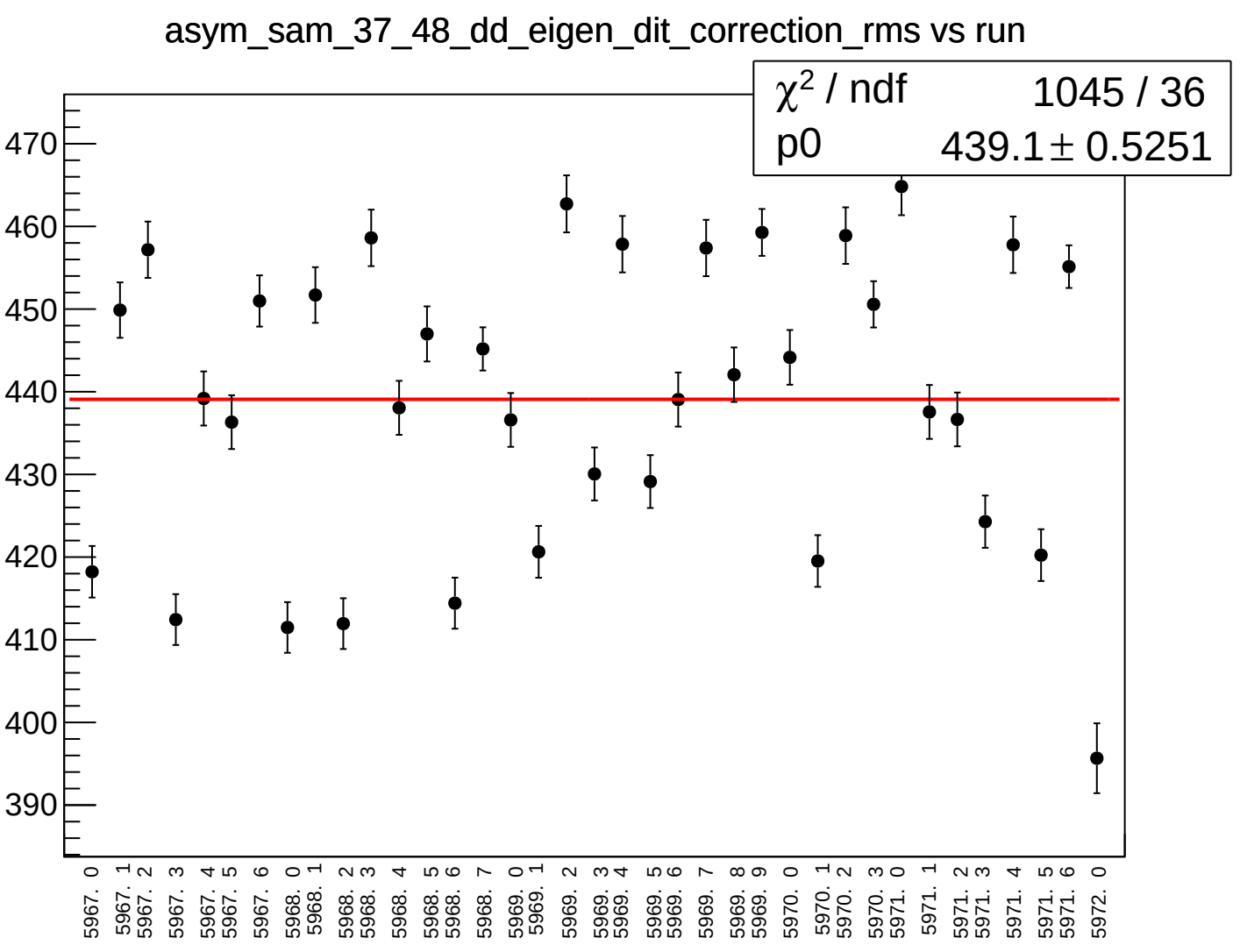
asym_sam_37_48_dd_eigen_dit_correction_rms vs run
χ² / ndf 1045 / 36
p0 439.1 ± 0.5251
470
460
450
440
430
420
410
400
390
5967. 0
5967. 1
5967. 2
5967. 3
5967. 4
5967. 5
5967. 6
5968. 0
5968. 1
5968. 2
5968. 3
5968. 4
5968. 5
5968. 6
5968. 7
5969. 0
5969. 1
5969. 2
5969. 3
5969. 4
5969. 5
5969. 6
5969. 7
5969. 8
5969. 9
5970. 0
5970. 1
5970. 2
5970. 3
5971. 0
5971. 1
5971. 2
5971. 3
5971. 4
5971. 5
5971. 6
5972. 0

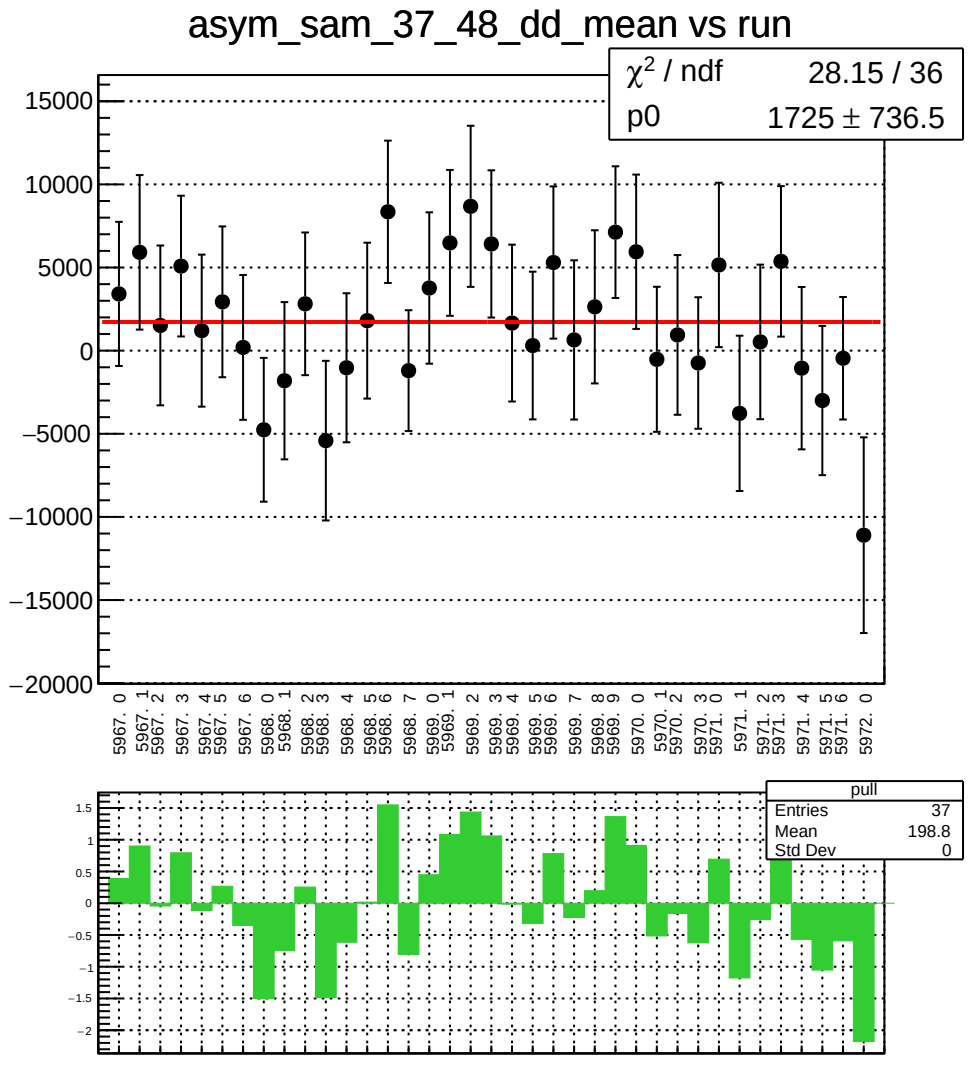
asym_sam_37_48_dd_mean vs run
χ² / ndf 28.15 / 36
p0 1725 ± 736.5
15000
10000
5000
0
−5000
−10000
−15000
−20000
5967. 0
5967. 1
5967. 2
5967. 3
5967. 4
5967. 5
5967. 6
5968. 0
5968. 1
5968. 2
5968. 3
5968. 4
5968. 5
5968. 6
5968. 7
5969. 0
5969. 1
5969. 2
5969. 3
5969. 4
5969. 5
5969. 6
5969. 7
5969. 8
5969. 9
5970. 0
5970. 1
5970. 2
5970. 3
5971. 0
5971. 1
5971. 2
5971. 3
5971. 4
5971. 5
5971. 6
5972. 0
pull
Entries 37
Mean 198.8
Std Dev 0
1.5
1
0.5
0
−0.5
−1
−1.5
−2

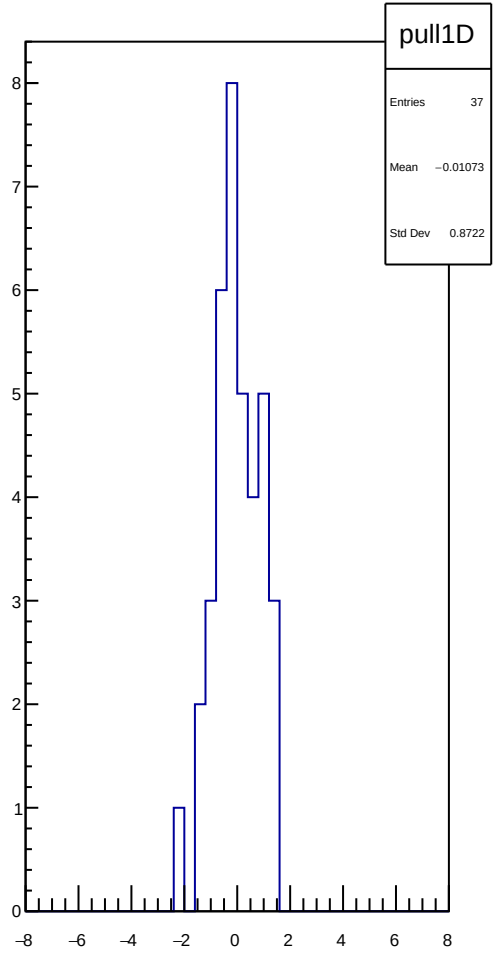
pull1D
Entries 37
Mean −0.01073
Std Dev 0.8722
8
7
6
5
4
3
2
1
0
−8
−6
−4
−2
0
2
4
6
8

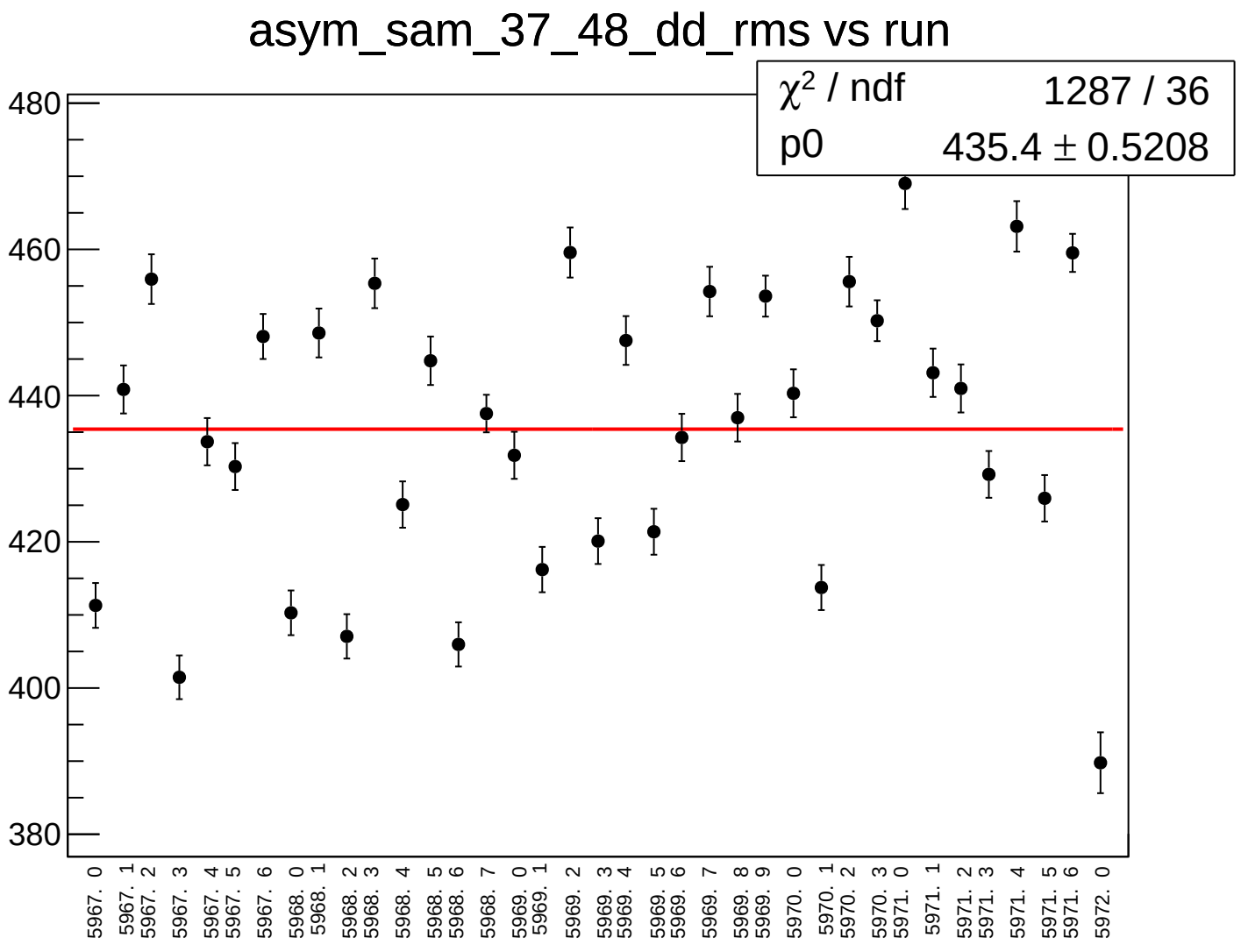
asym_sam_37_48_dd_rms vs run
χ² / ndf 1287 / 36
p0 435.4 ± 0.5208
480
460
440
420
400
380
5967. 0
5967. 1
5967. 2
5967. 3
5967. 4
5967. 5
5967. 6
5968. 0
5968. 1
5968. 2
5968. 3
5968. 4
5968. 5
5968. 6
5968. 7
5969. 0
5969. 1
5969. 2
5969. 3
5969. 4
5969. 5
5969. 6
5969. 7
5969. 8
5969. 9
5970. 0
5970. 1
5970. 2
5970. 3
5971. 0
5971. 1
5971. 2
5971. 3
5971. 4
5971. 5
5971. 6
5972. 0

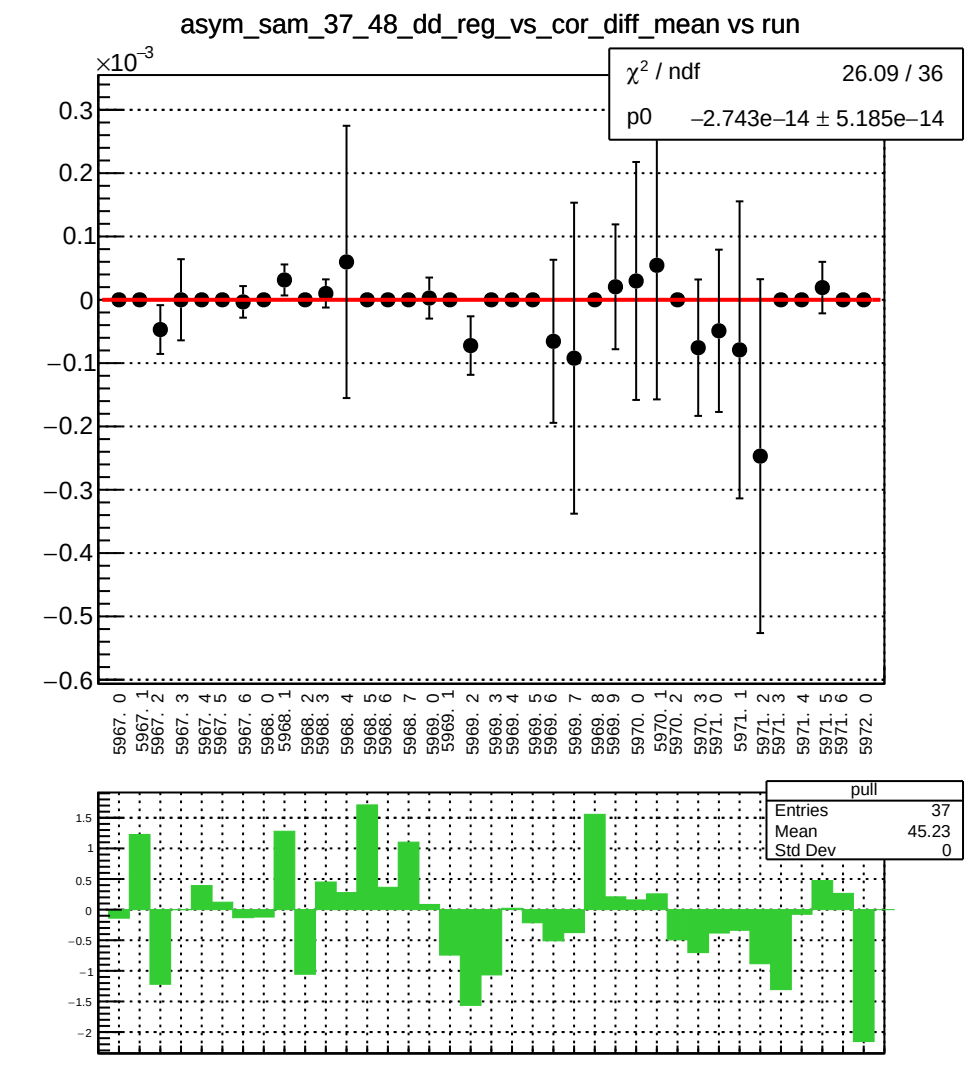
asym_sam_37_48_dd_reg_vs_cor_diff_mean vs run
×10^−3
χ² / ndf 26.09 / 36
p0 −2.743e−14 ± 5.185e−14
pull
Entries 37
Mean 45.23
Std Dev 0

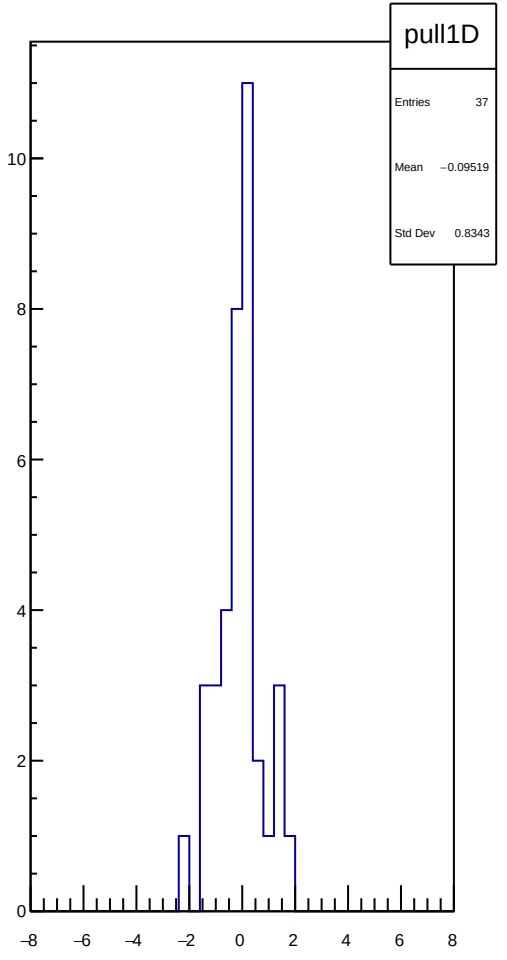
pull1D
Entries 37
Mean −0.09519
Std Dev 0.8343

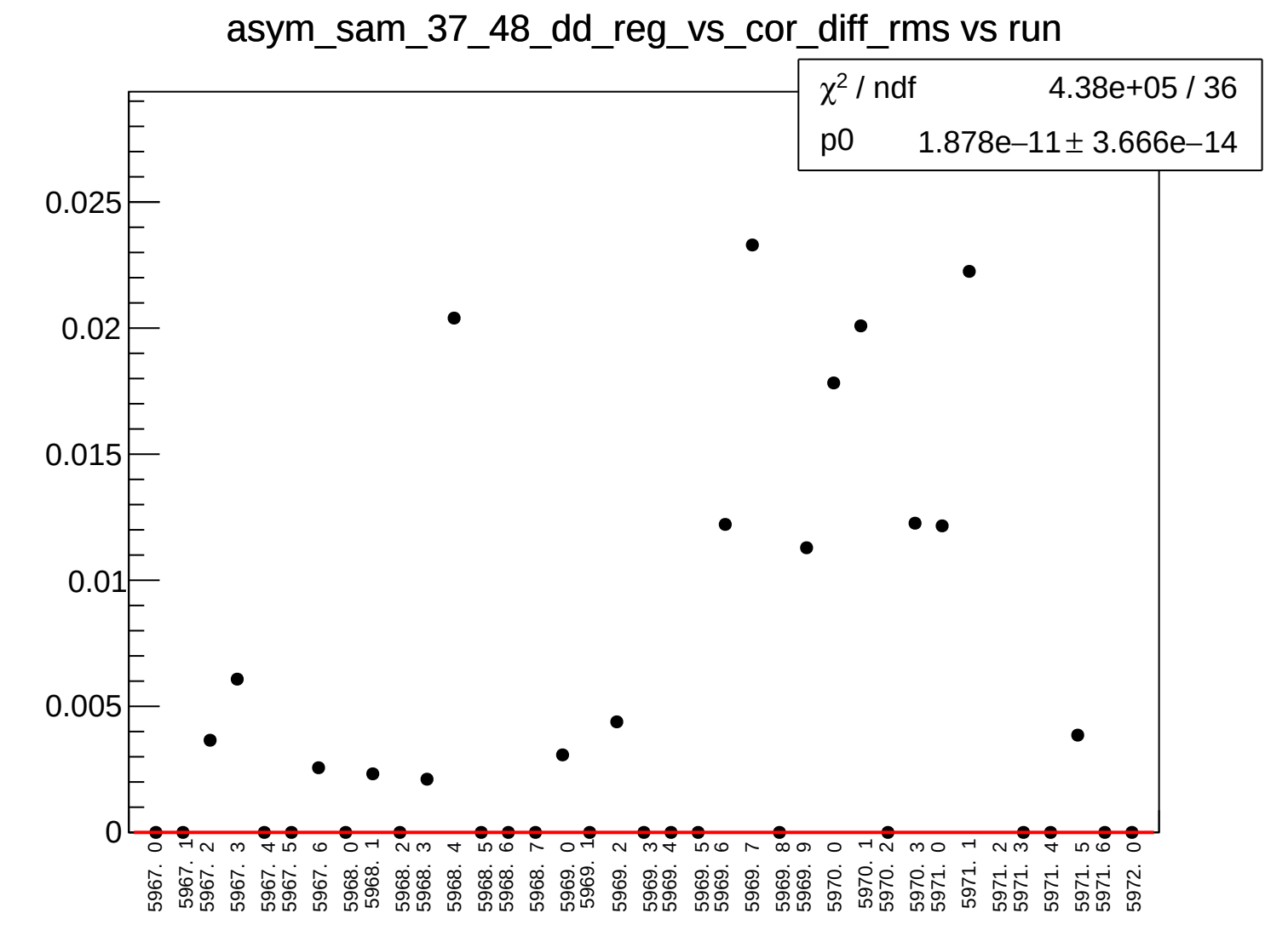
asym_sam_37_48_dd_reg_vs_cor_diff_rms vs run
χ² / ndf 4.38e+05 / 36
p0 1.878e−11 ± 3.666e−14
0.025
0.02
0.015
0.01
0.005
0
5967. 0
5967. 1
5967. 2
5967. 3
5967. 4
5967. 5
5967. 6
5968. 0
5968. 1
5968. 2
5968. 3
5968. 4
5968. 5
5968. 6
5968. 7
5969. 0
5969. 1
5969. 2
5969. 3
5969. 4
5969. 5
5969. 6
5969. 7
5969. 8
5969. 9
5970. 0
5970. 1
5970. 2
5970. 3
5971. 0
5971. 1
5971. 2
5971. 3
5971. 4
5971. 5
5971. 6
5972. 0

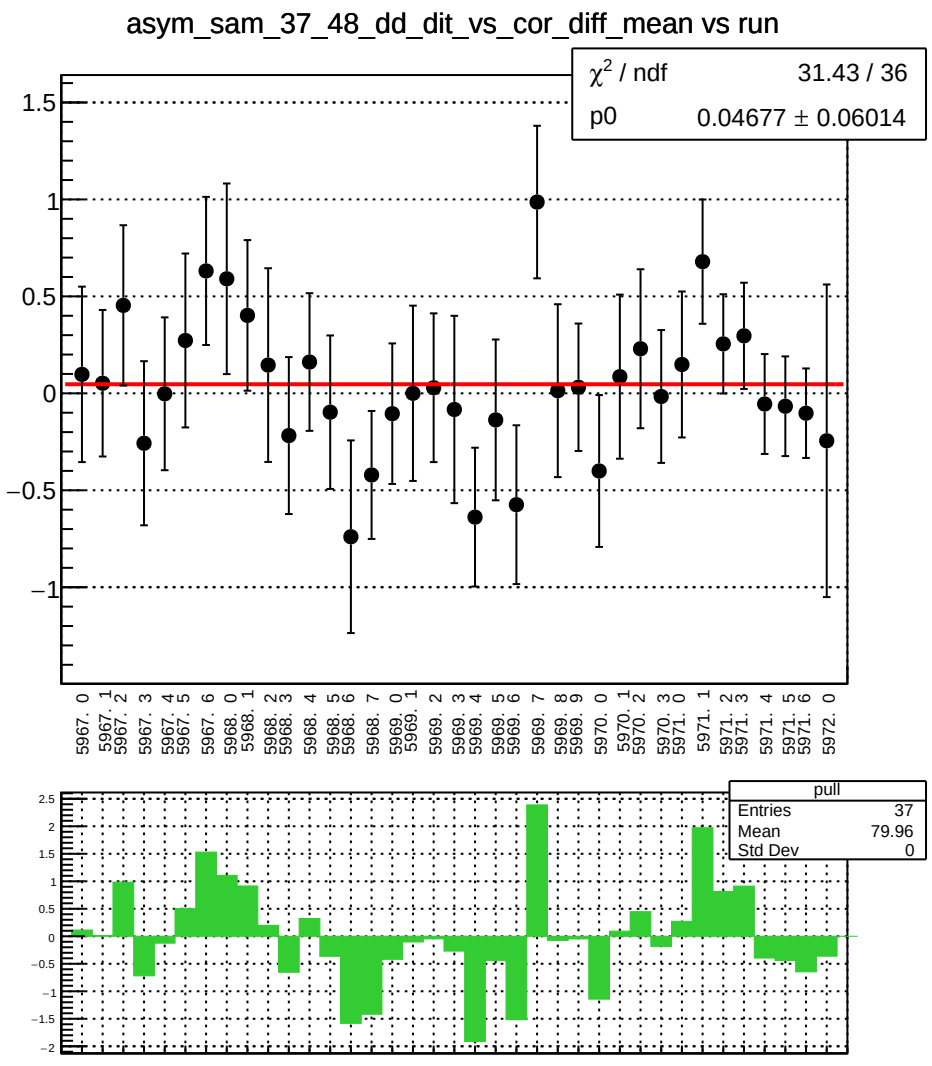
asym_sam_37_48_dd_dit_vs_cor_diff_mean vs run
χ² / ndf 31.43 / 36
p0 0.04677 ± 0.06014
pull
Entries 37
Mean 79.96
Std Dev 0

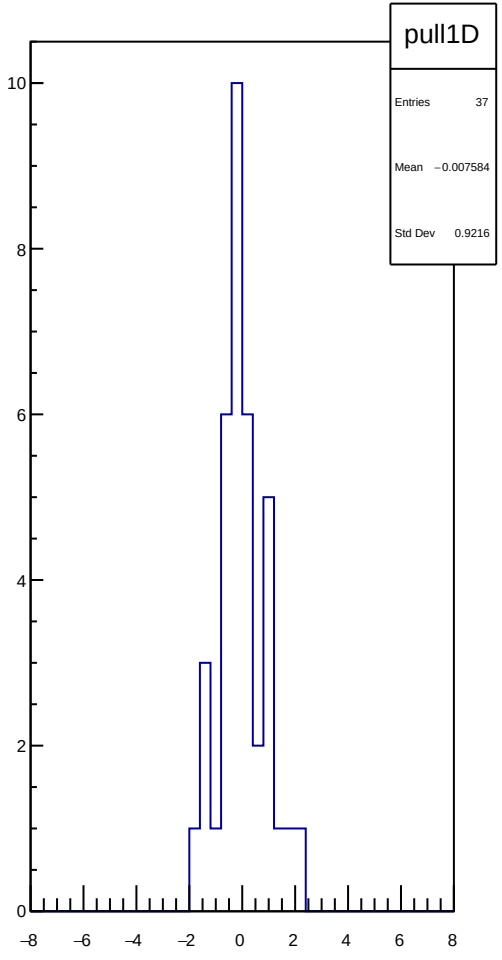
pull1D
Entries 37
Mean −0.007584
Std Dev 0.9216

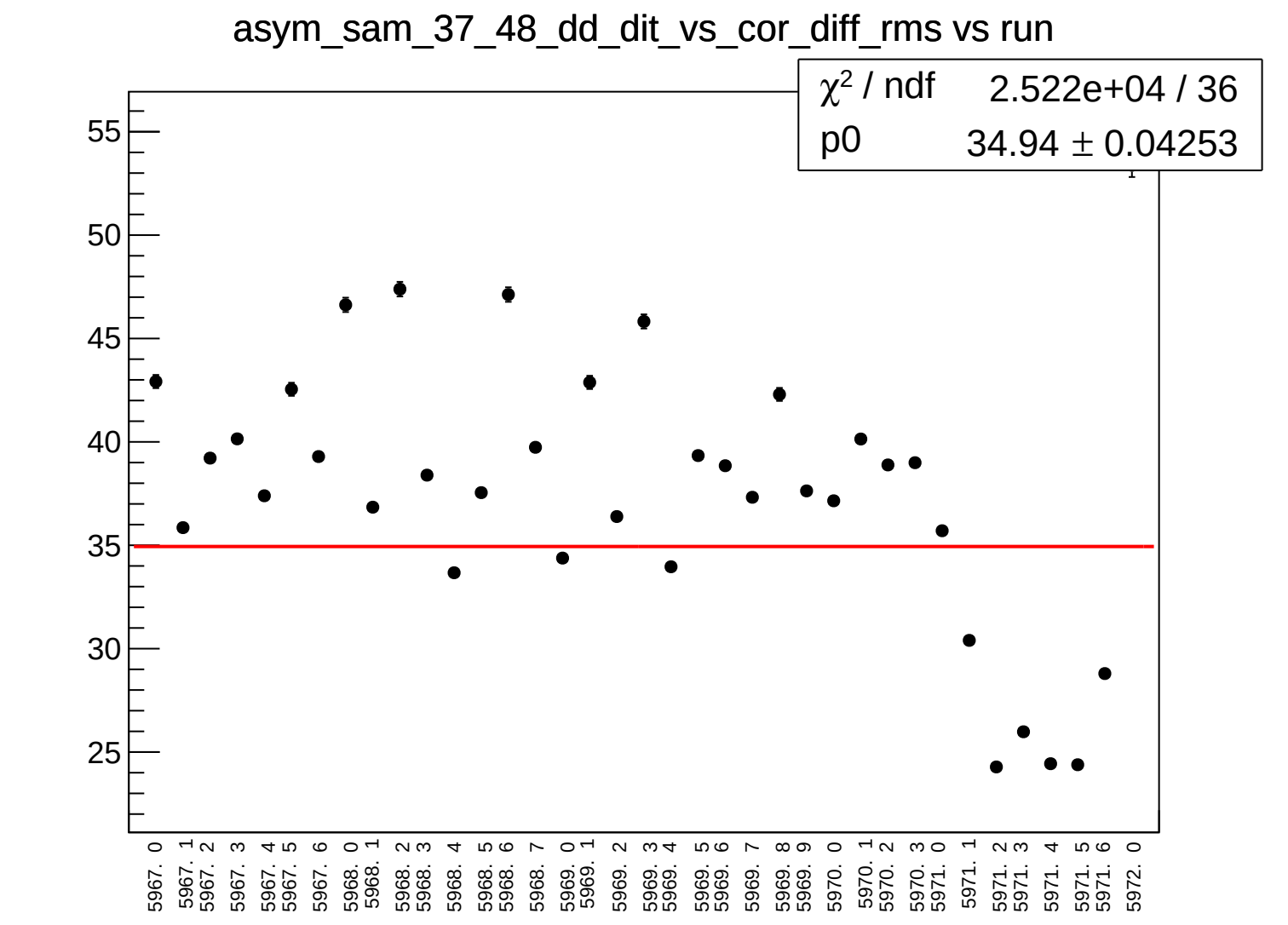
asym_sam_37_48_dd_dit_vs_cor_diff_rms vs run
χ² / ndf 2.522e+04 / 36
p0 34.94 ± 0.04253
55
50
45
40
35
30
25
5967. 0
5967. 1
5967. 2
5967. 3
5967. 4
5967. 5
5967. 6
5968. 0
5968. 1
5968. 2
5968. 3
5968. 4
5968. 5
5968. 6
5968. 7
5969. 0
5969. 1
5969. 2
5969. 3
5969. 4
5969. 5
5969. 6
5969. 7
5969. 8
5969. 9
5970. 0
5970. 1
5970. 2
5970. 3
5971. 0
5971. 1
5971. 2
5971. 3
5971. 4
5971. 5
5971. 6
5972. 0

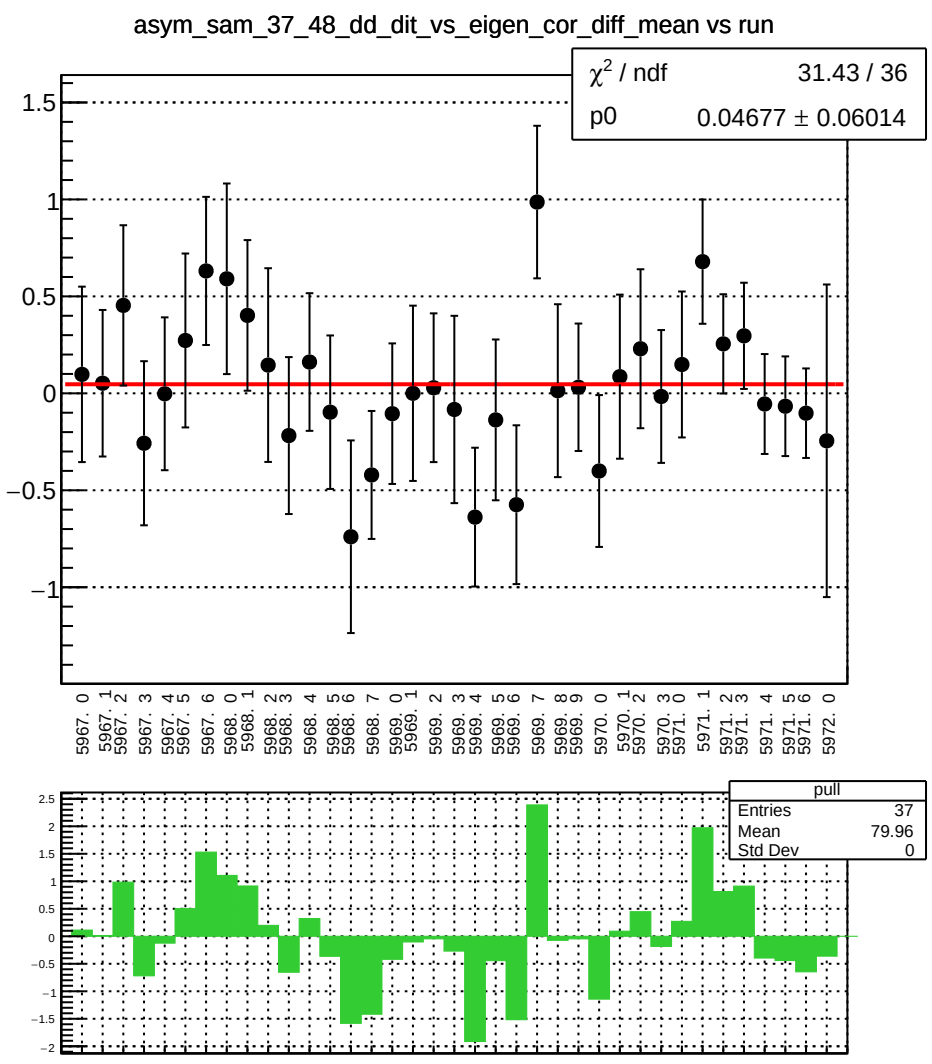
asym_sam_37_48_dd_dit_vs_eigen_cor_diff_mean vs run
χ² / ndf 31.43 / 36
p0 0.04677 ± 0.06014
pull
Entries 37
Mean 79.96
Std Dev 0

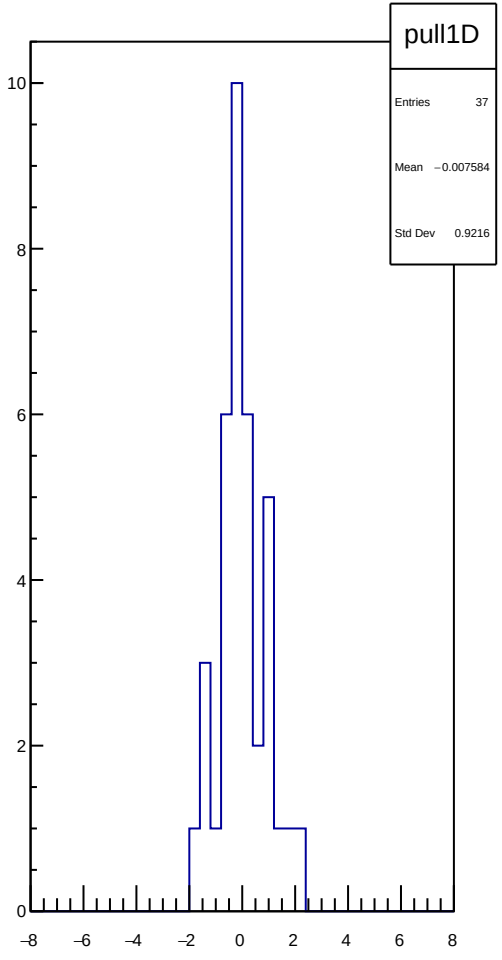
pull1D
Entries 37
Mean −0.007584
Std Dev 0.9216

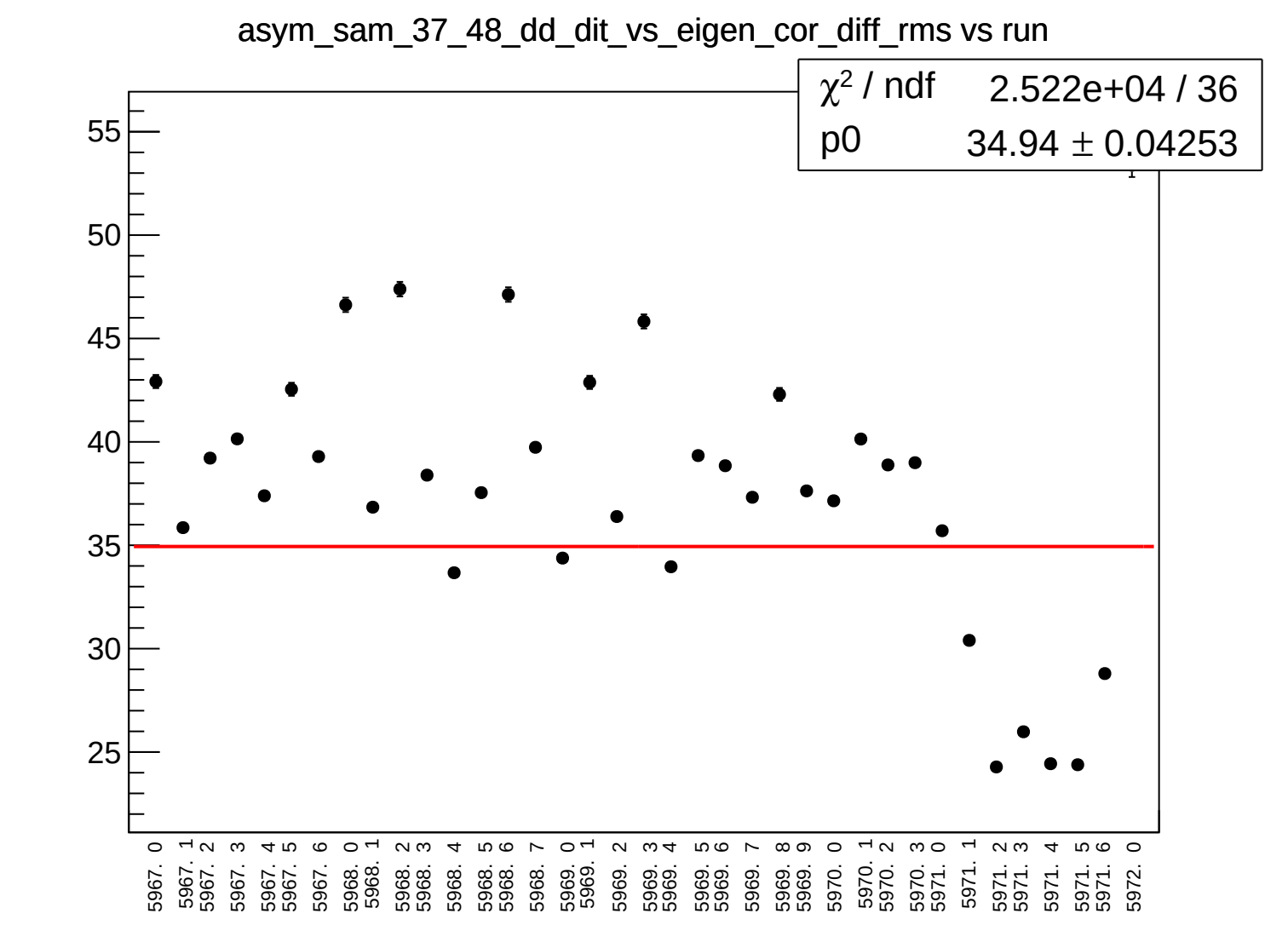
asym_sam_37_48_dd_dit_vs_eigen_cor_diff_rms vs run
χ² / ndf 2.522e+04 / 36
p0 34.94 ± 0.04253
55
50
45
40
35
30
25
5967. 0
5967. 1
5967. 2
5967. 3
5967. 4
5967. 5
5967. 6
5968. 0
5968. 1
5968. 2
5968. 3
5968. 4
5968. 5
5968. 6
5968. 7
5969. 0
5969. 1
5969. 2
5969. 3
5969. 4
5969. 5
5969. 6
5969. 7
5969. 8
5969. 9
5970. 0
5970. 1
5970. 2
5970. 3
5971. 0
5971. 1
5971. 2
5971. 3
5971. 4
5971. 5
5971. 6
5972. 0

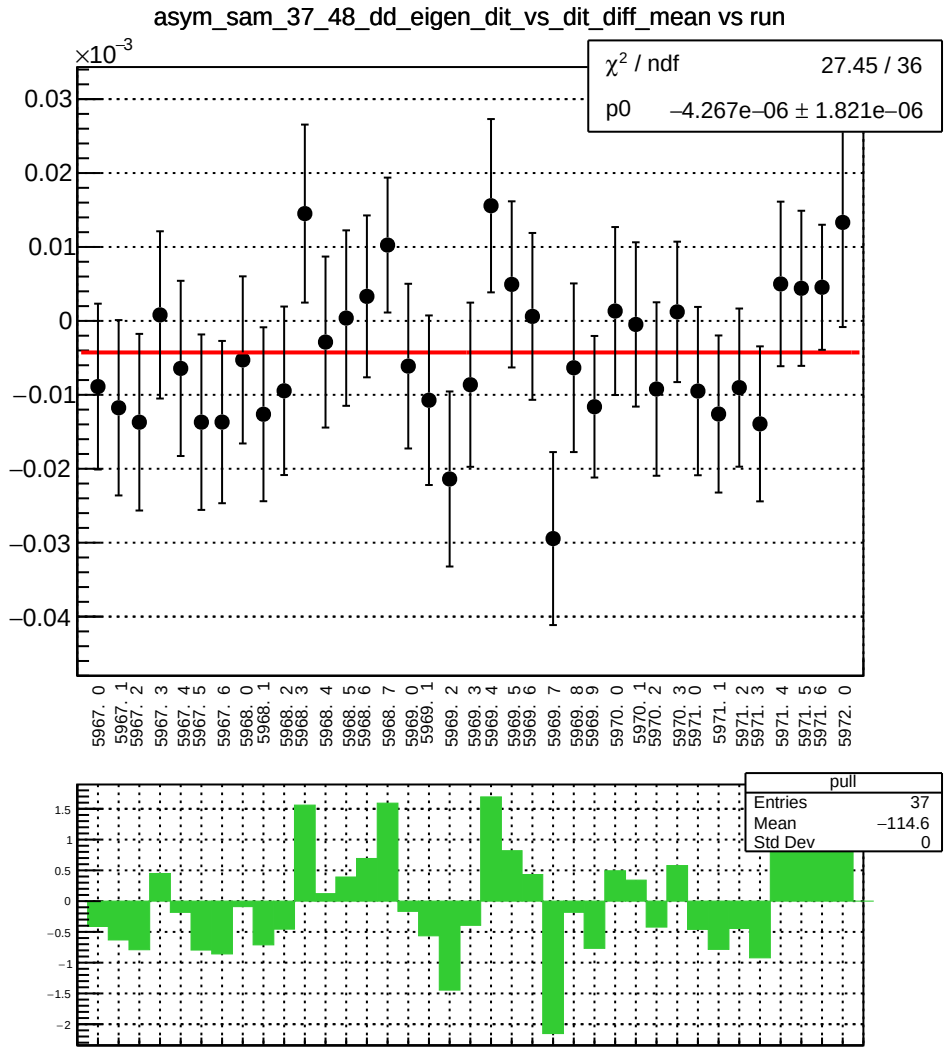
asym_sam_37_48_dd_eigen_dit_vs_dit_diff_mean vs run
×10⁻³
χ² / ndf 27.45 / 36
p0 −4.267e−06 ± 1.821e−06
0.03
0.02
0.01
0
−0.01
−0.02
−0.03
−0.04
5967. 0
5967. 1
5967. 2
5967. 3
5967. 4
5967. 5
5967. 6
5968. 0
5968. 1
5968. 2
5968. 3
5968. 4
5968. 5
5968. 6
5968. 7
5969. 0
5969. 1
5969. 2
5969. 3
5969. 4
5969. 5
5969. 6
5969. 7
5969. 8
5969. 9
5970. 0
5970. 1
5970. 2
5970. 3
5971. 0
5971. 1
5971. 2
5971. 3
5971. 4
5971. 5
5971. 6
5972. 0
pull
Entries 37
Mean −114.6
Std Dev 0
1.5
1
0.5
0
−0.5
−1
−1.5
−2

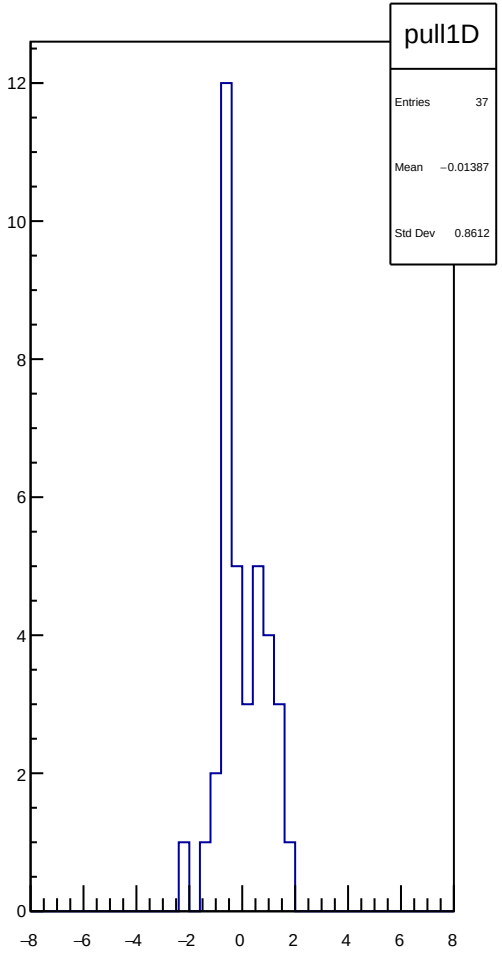
pull1D
Entries 37
Mean −0.01387
Std Dev 0.8612
12
10
8
6
4
2
0
−8
−6
−4
−2
0
2
4
6
8

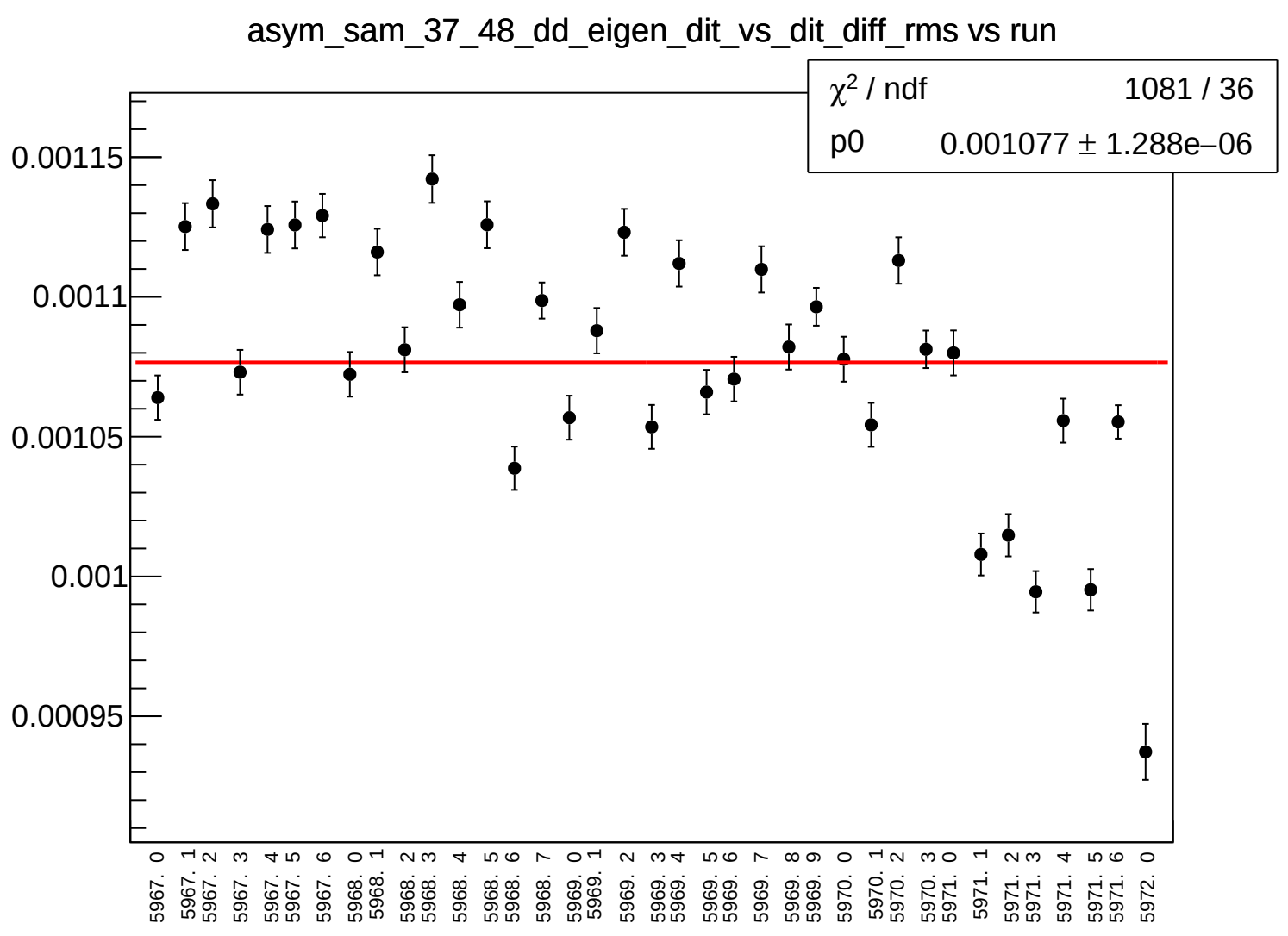
asym_sam_37_48_dd_eigen_dit_vs_dit_diff_rms vs run
χ² / ndf 1081 / 36
p0 0.001077 ± 1.288e−06
0.00115
0.0011
0.00105
0.001
0.00095
5967. 0
5967. 1
5967. 2
5967. 3
5967. 4
5967. 5
5967. 6
5968. 0
5968. 1
5968. 2
5968. 3
5968. 4
5968. 5
5968. 6
5968. 7
5969. 0
5969. 1
5969. 2
5969. 3
5969. 4
5969. 5
5969. 6
5969. 7
5969. 8
5969. 9
5970. 0
5970. 1
5970. 2
5970. 3
5971. 0
5971. 1
5971. 2
5971. 3
5971. 4
5971. 5
5971. 6
5972. 0

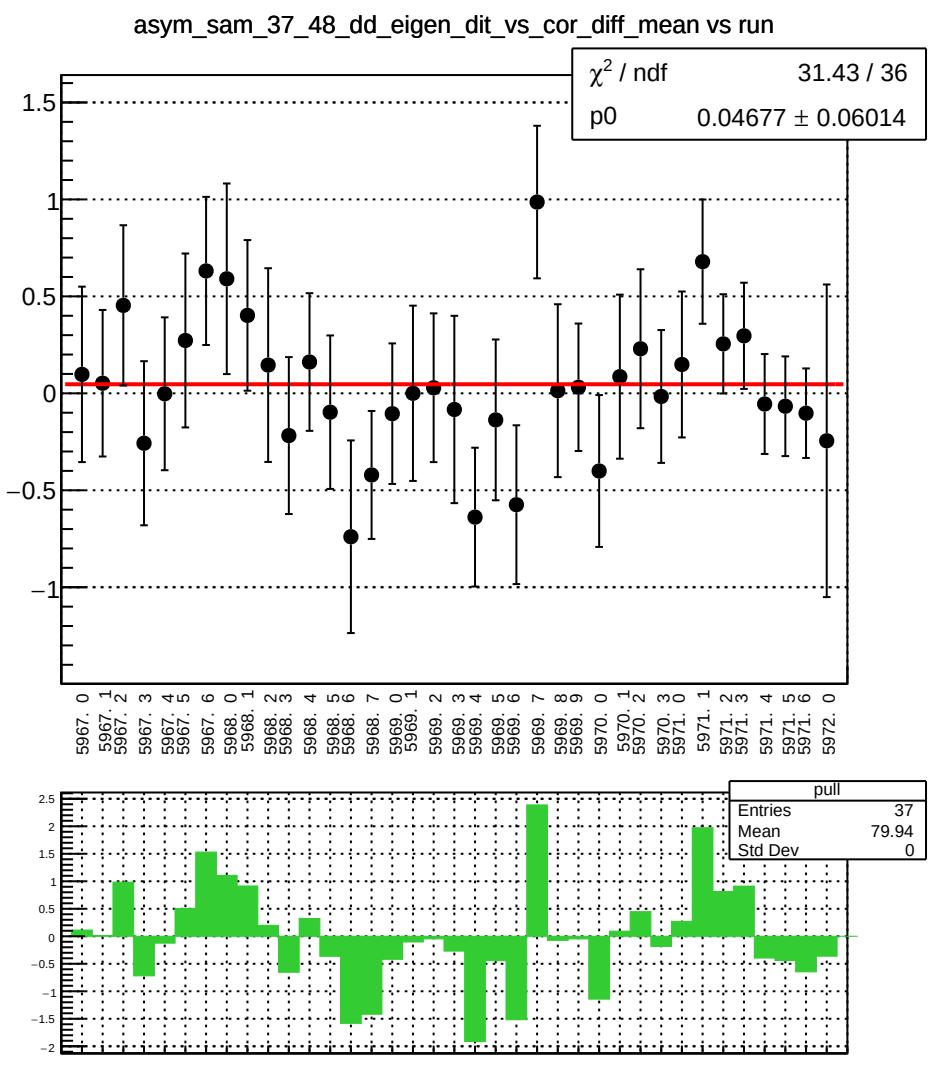
asym_sam_37_48_dd_eigen_dit_vs_cor_diff_mean vs run
χ² / ndf 31.43 / 36
p0 0.04677 ± 0.06014
pull
Entries 37
Mean 79.94
Std Dev 0
pull1D
Entries 37
Mean −0.007586
Std Dev 0.9216

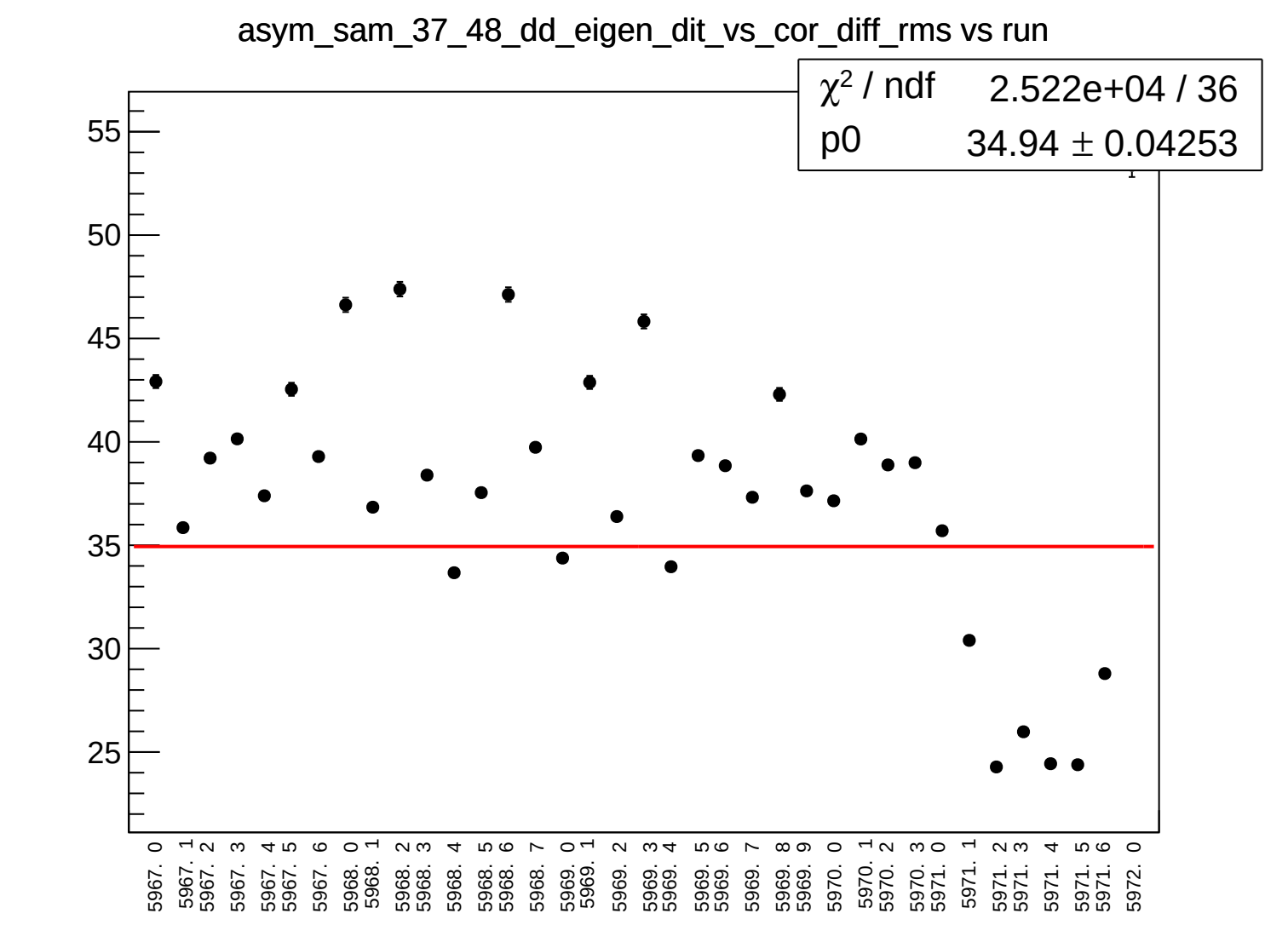
asym_sam_37_48_dd_eigen_dit_vs_cor_diff_rms vs run
χ² / ndf 2.522e+04 / 36
p0 34.94 ± 0.04253
55
50
45
40
35
30
25
5967. 0
5967. 1
5967. 2
5967. 3
5967. 4
5967. 5
5967. 6
5968. 0
5968. 1
5968. 2
5968. 3
5968. 4
5968. 5
5968. 6
5968. 7
5969. 0
5969. 1
5969. 2
5969. 3
5969. 4
5969. 5
5969. 6
5969. 7
5969. 8
5969. 9
5970. 0
5970. 1
5970. 2
5970. 3
5971. 0
5971. 1
5971. 2
5971. 3
5971. 4
5971. 5
5971. 6
5972. 0

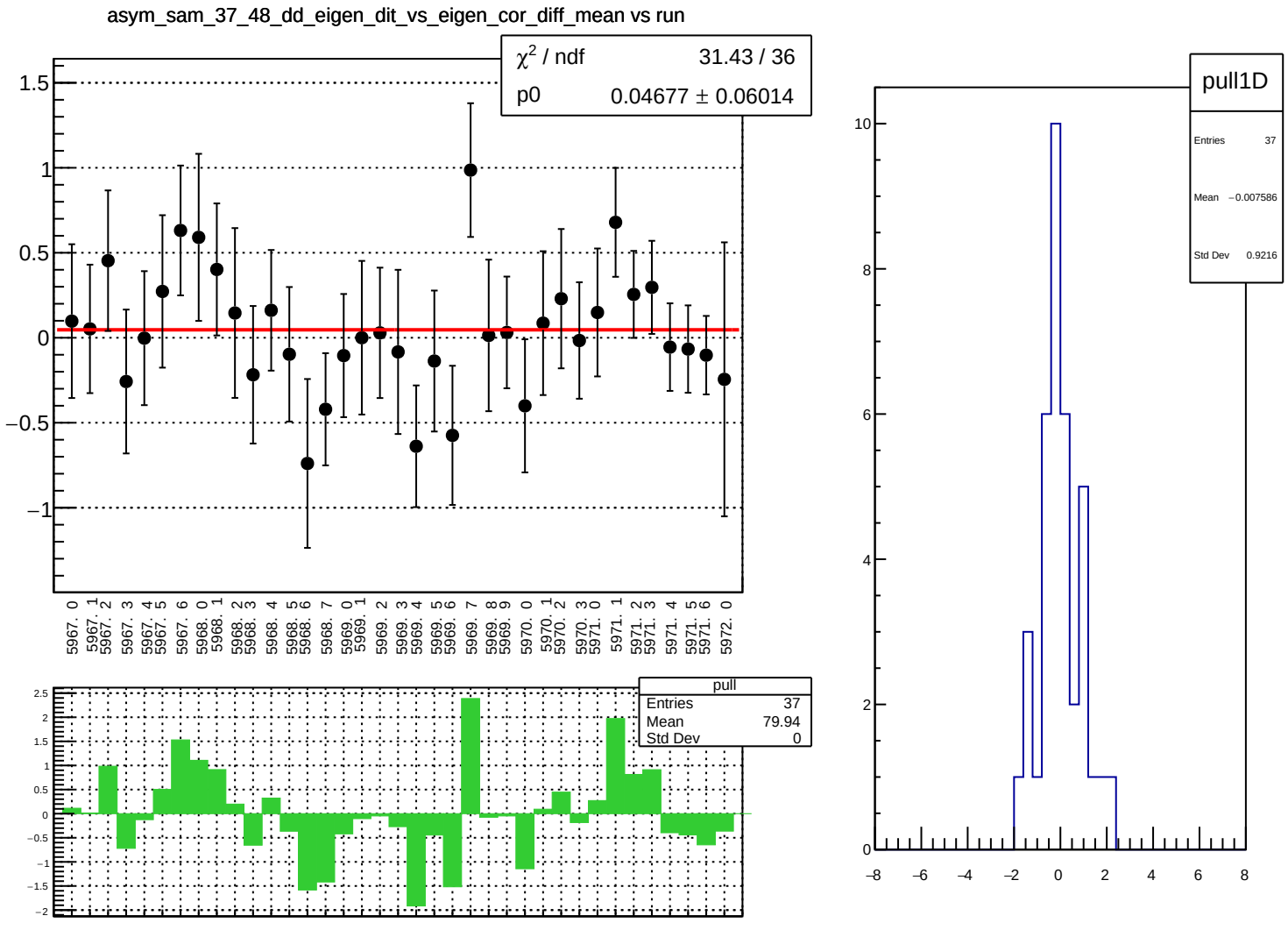
asym_sam_37_48_dd_eigen_dit_vs_eigen_cor_diff_mean vs run
χ² / ndf 31.43 / 36
p0 0.04677 ± 0.06014
1.5
1
0.5
0
−0.5
−1
5967. 0
5967. 1
5967. 2
5967. 3
5967. 4
5967. 5
5967. 6
5968. 0
5968. 1
5968. 2
5968. 3
5968. 4
5968. 5
5968. 6
5968. 7
5969. 0
5969. 1
5969. 2
5969. 3
5969. 4
5969. 5
5969. 6
5969. 7
5969. 8
5969. 9
5970. 0
5970. 1
5970. 2
5970. 3
5971. 0
5971. 1
5971. 2
5971. 3
5971. 4
5971. 5
5971. 6
5972. 0
pull
Entries 37
Mean 79.94
Std Dev 0
2.5
2
1.5
1
0.5
0
−0.5
−1
−1.5
−2
pull1D
Entries 37
Mean −0.007586
Std Dev 0.9216
10
8
6
4
2
0
−8
−6
−4
−2
0
2
4
6
8

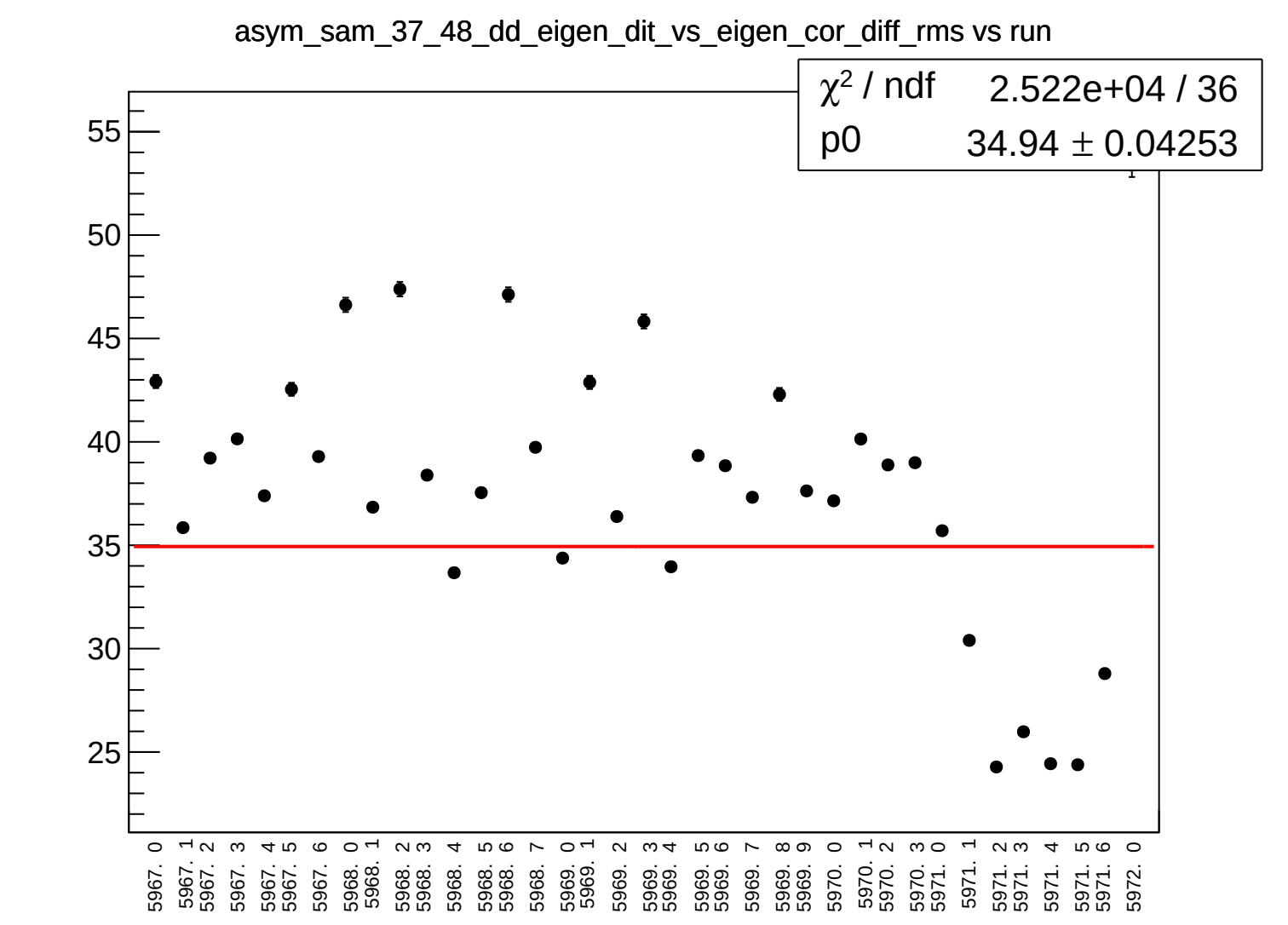
asym_sam_37_48_dd_eigen_dit_vs_eigen_cor_diff_rms vs run
χ² / ndf 2.522e+04 / 36
p0 34.94 ± 0.04253
55
50
45
40
35
30
25
5967. 0
5967. 1
5967. 2
5967. 3
5967. 4
5967. 5
5967. 6
5968. 0
5968. 1
5968. 2
5968. 3
5968. 4
5968. 5
5968. 6
5968. 7
5969. 0
5969. 1
5969. 2
5969. 3
5969. 4
5969. 5
5969. 6
5969. 7
5969. 8
5969. 9
5970. 0
5970. 1
5970. 2
5970. 3
5971. 0
5971. 1
5971. 2
5971. 3
5971. 4
5971. 5
5971. 6
5972. 0

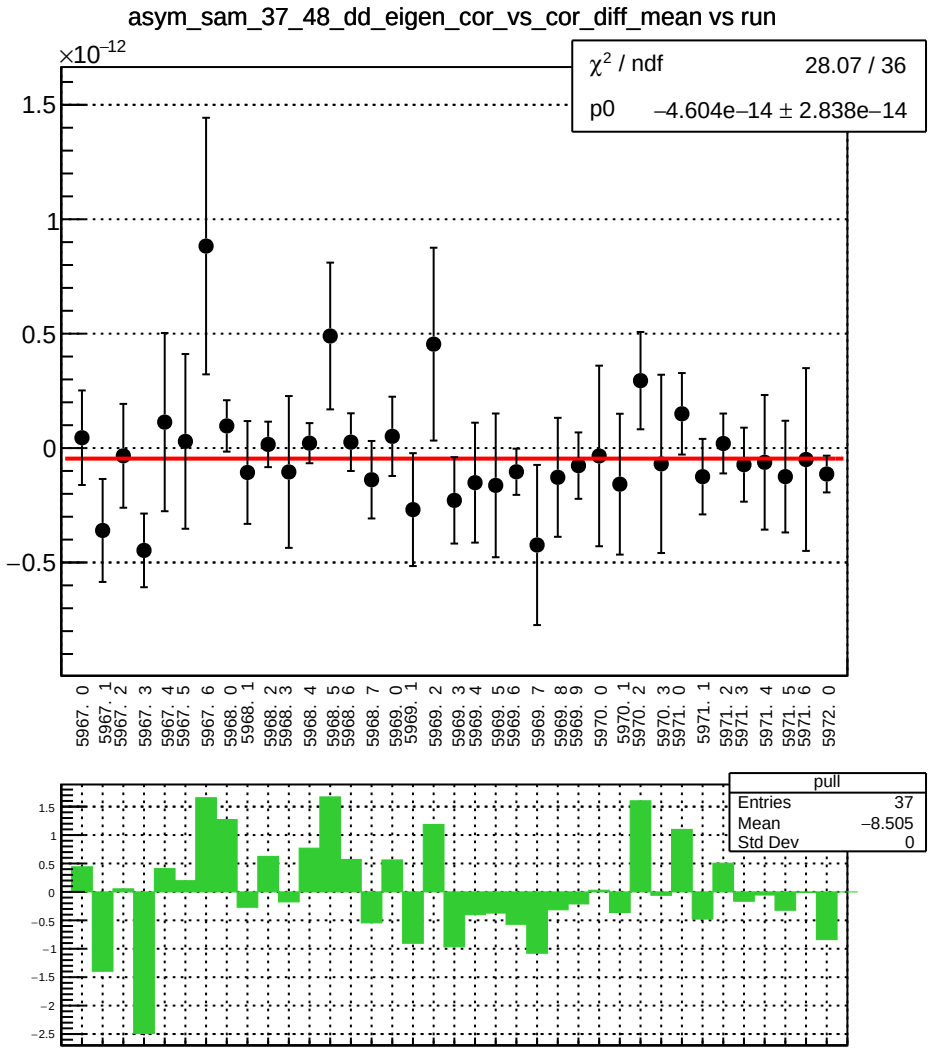
asym_sam_37_48_dd_eigen_cor_vs_cor_diff_mean vs run
×10⁻¹²
χ² / ndf 28.07 / 36
p0 −4.604e−14 ± 2.838e−14
1.5
1
0.5
0
−0.5
5967. 0
5967. 1
5967. 2
5967. 3
5967. 4
5967. 5
5967. 6
5968. 0
5968. 1
5968. 2
5968. 3
5968. 4
5968. 5
5968. 6
5968. 7
5969. 0
5969. 1
5969. 2
5969. 3
5969. 4
5969. 5
5969. 6
5969. 7
5969. 8
5969. 9
5970. 0
5970. 1
5970. 2
5970. 3
5971. 0
5971. 1
5971. 2
5971. 3
5971. 4
5971. 5
5971. 6
5972. 0
pull
Entries 37
Mean −8.505
Std Dev 0
1.5
1
0.5
0
−0.5
−1
−1.5
−2
−2.5

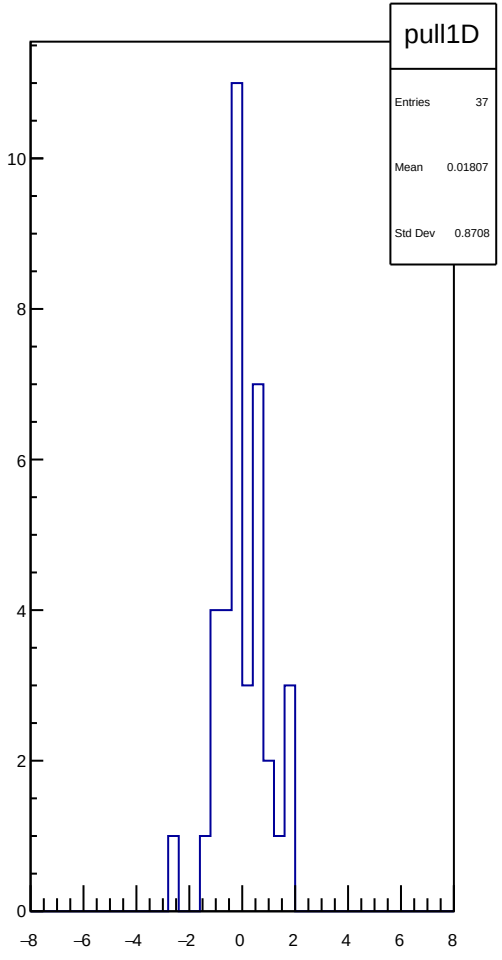
pull1D
Entries 37
Mean 0.01807
Std Dev 0.8708
10
8
6
4
2
0
−8
−6
−4
−2
0
2
4
6
8

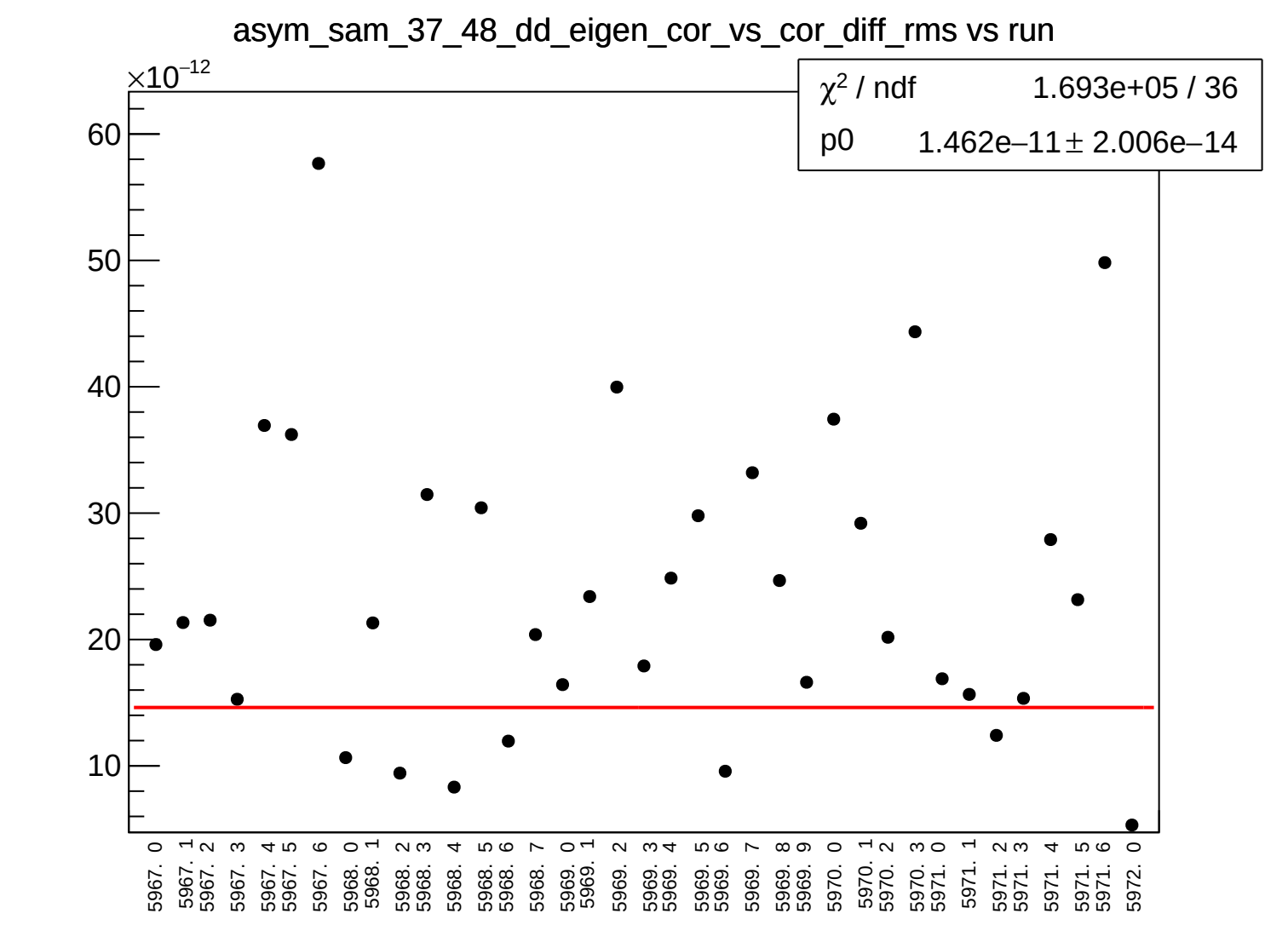
asym_sam_37_48_dd_eigen_cor_vs_cor_diff_rms vs run
×10^−12
χ² / ndf 1.693e+05 / 36
p0 1.462e−11 ± 2.006e−14
60
50
40
30
20
10
5967. 0
5967. 1
5967. 2
5967. 3
5967. 4
5967. 5
5967. 6
5968. 0
5968. 1
5968. 2
5968. 3
5968. 4
5968. 5
5968. 6
5968. 7
5969. 0
5969. 1
5969. 2
5969. 3
5969. 4
5969. 5
5969. 6
5969. 7
5969. 8
5969. 9
5970. 0
5970. 1
5970. 2
5970. 3
5971. 0
5971. 1
5971. 2
5971. 3
5971. 4
5971. 5
5971. 6
5972. 0

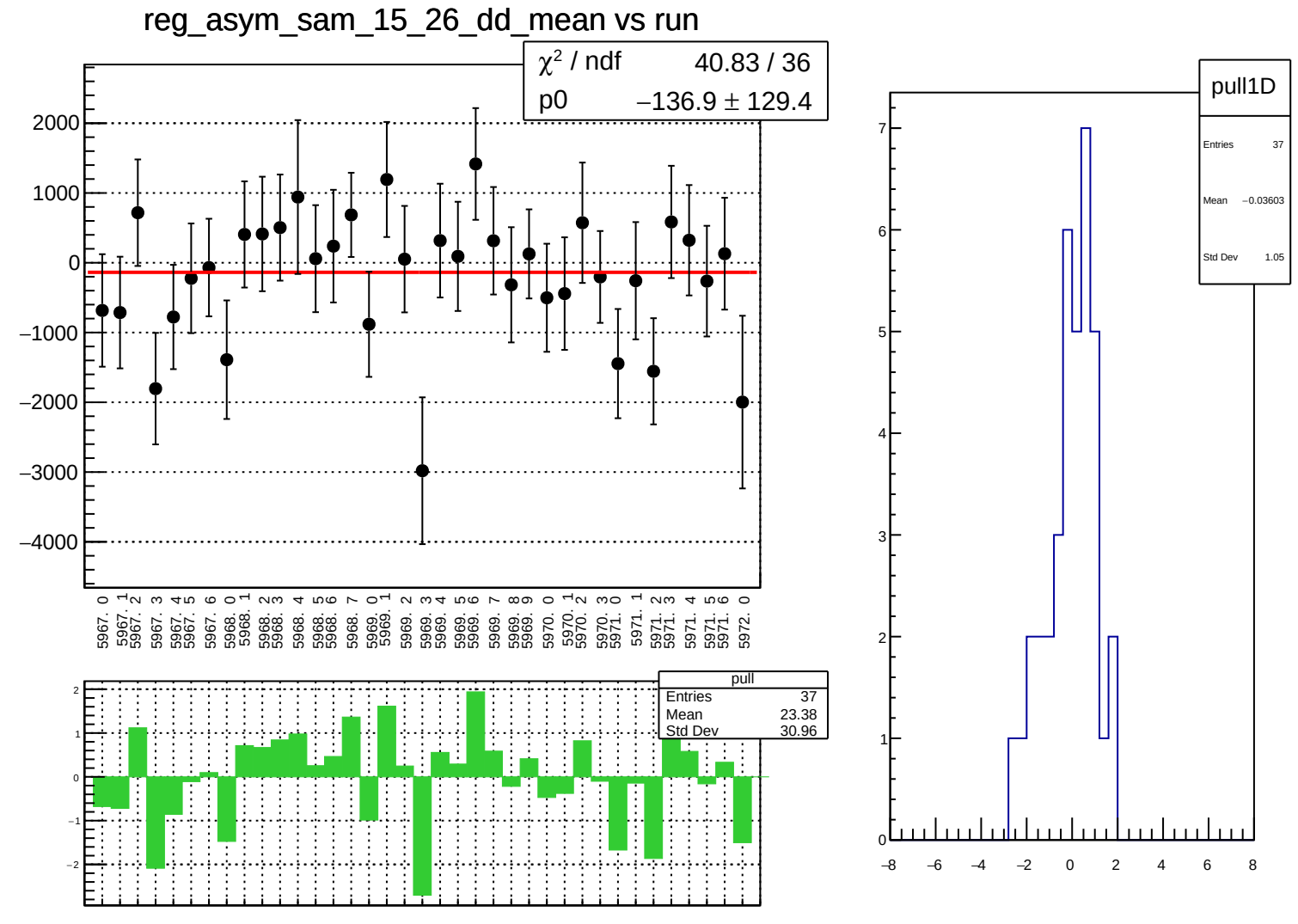
reg_asym_sam_15_26_dd_mean vs run
χ² / ndf 40.83 / 36
p0 −136.9 ± 129.4
2000
1000
0
−1000
−2000
−3000
−4000
5967. 0
5967. 1
5967. 2
5967. 3
5967. 4
5967. 5
5967. 6
5968. 0
5968. 1
5968. 2
5968. 3
5968. 4
5968. 5
5968. 6
5968. 7
5969. 0
5969. 1
5969. 2
5969. 3
5969. 4
5969. 5
5969. 6
5969. 7
5969. 8
5969. 9
5970. 0
5970. 1
5970. 2
5970. 3
5971. 0
5971. 1
5971. 2
5971. 3
5971. 4
5971. 5
5971. 6
5972. 0
pull
Entries 37
Mean 23.38
Std Dev 30.96
2
1
0
−1
−2
pull1D
Entries 37
Mean −0.03603
Std Dev 1.05
7
6
5
4
3
2
1
0
−8
−6
−4
−2
0
2
4
6
8

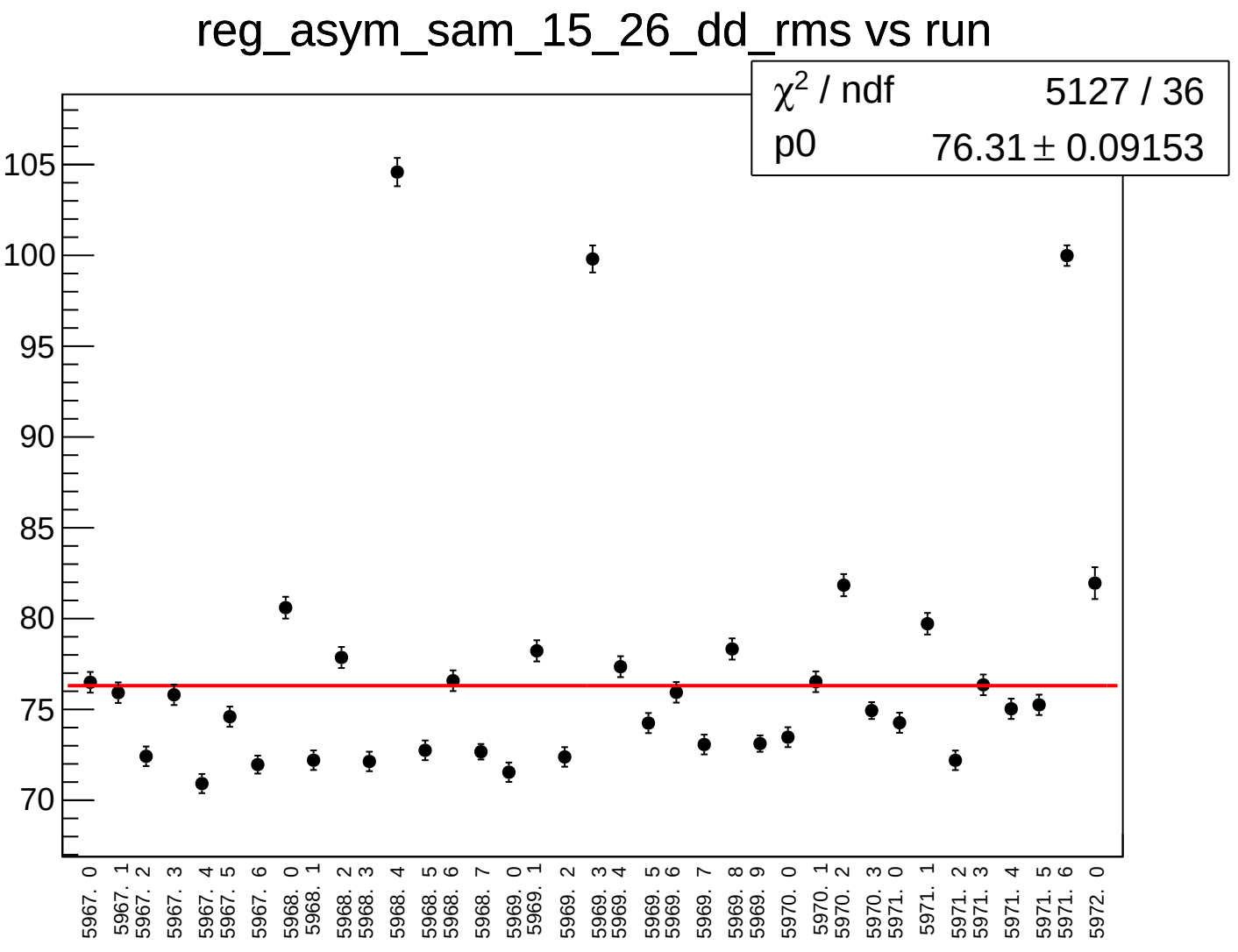
reg_asym_sam_15_26_dd_rms vs run
χ^2 / ndf 5127 / 36
p0 76.31 ± 0.09153
105
100
95
90
85
80
75
70
5967. 0
5967. 1
5967. 2
5967. 3
5967. 4
5967. 5
5967. 6
5968. 0
5968. 1
5968. 2
5968. 3
5968. 4
5968. 5
5968. 6
5968. 7
5969. 0
5969. 1
5969. 2
5969. 3
5969. 4
5969. 5
5969. 6
5969. 7
5969. 8
5969. 9
5970. 0
5970. 1
5970. 2
5970. 3
5971. 0
5971. 1
5971. 2
5971. 3
5971. 4
5971. 5
5971. 6
5972. 0

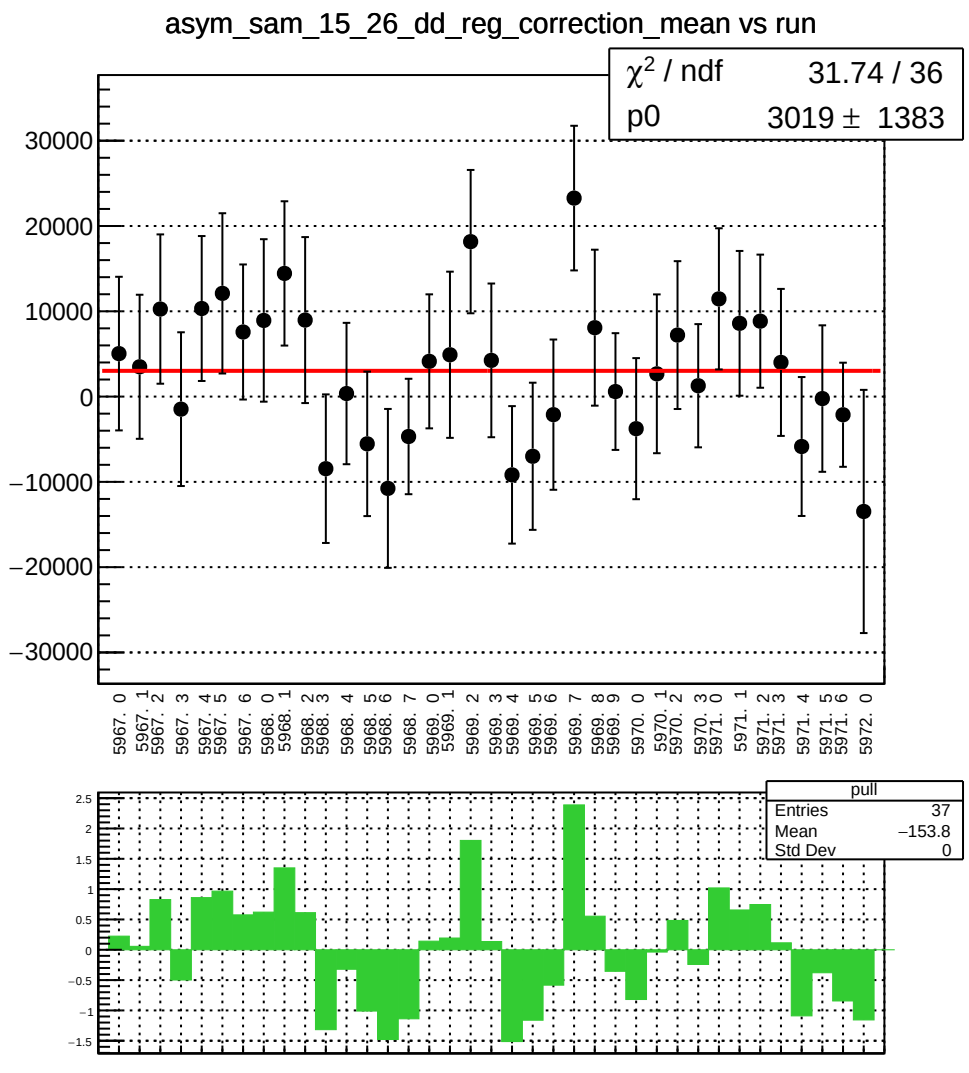
asym_sam_15_26_dd_reg_correction_mean vs run
χ² / ndf 31.74 / 36
p0 3019 ± 1383
30000
20000
10000
0
−10000
−20000
−30000
5967. 0
5967. 1
5967. 2
5967. 3
5967. 4
5967. 5
5967. 6
5968. 0
5968. 1
5968. 2
5968. 3
5968. 4
5968. 5
5968. 6
5968. 7
5969. 0
5969. 1
5969. 2
5969. 3
5969. 4
5969. 5
5969. 6
5969. 7
5969. 8
5969. 9
5970. 0
5970. 1
5970. 2
5970. 3
5971. 0
5971. 1
5971. 2
5971. 3
5971. 4
5971. 5
5971. 6
5972. 0
pull
Entries 37
Mean −153.8
Std Dev 0
2.5
2
1.5
1
0.5
0
−0.5
−1
−1.5
pull1D
Entries 37
Mean 0.01045
Std Dev 0.9262
7
6
5
4
3
2
1
0
−8
−6
−4
−2
0
2
4
6
8

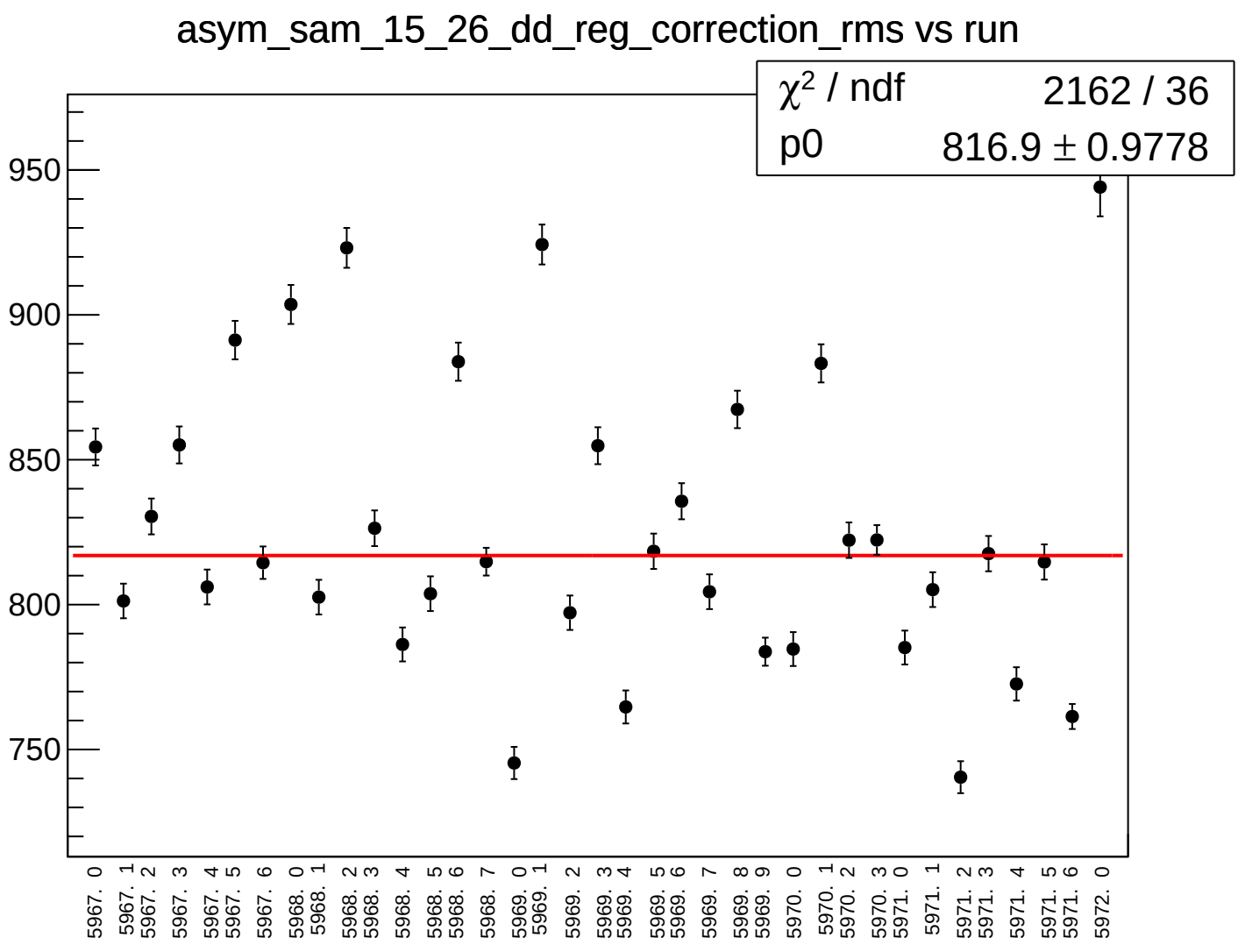
asym_sam_15_26_dd_reg_correction_rms vs run
χ² / ndf 2162 / 36
p0 816.9 ± 0.9778
950
900
850
800
750
5967. 0
5967. 1
5967. 2
5967. 3
5967. 4
5967. 5
5967. 6
5968. 0
5968. 1
5968. 2
5968. 3
5968. 4
5968. 5
5968. 6
5968. 7
5969. 0
5969. 1
5969. 2
5969. 3
5969. 4
5969. 5
5969. 6
5969. 7
5969. 8
5969. 9
5970. 0
5970. 1
5970. 2
5970. 3
5971. 0
5971. 1
5971. 2
5971. 3
5971. 4
5971. 5
5971. 6
5972. 0

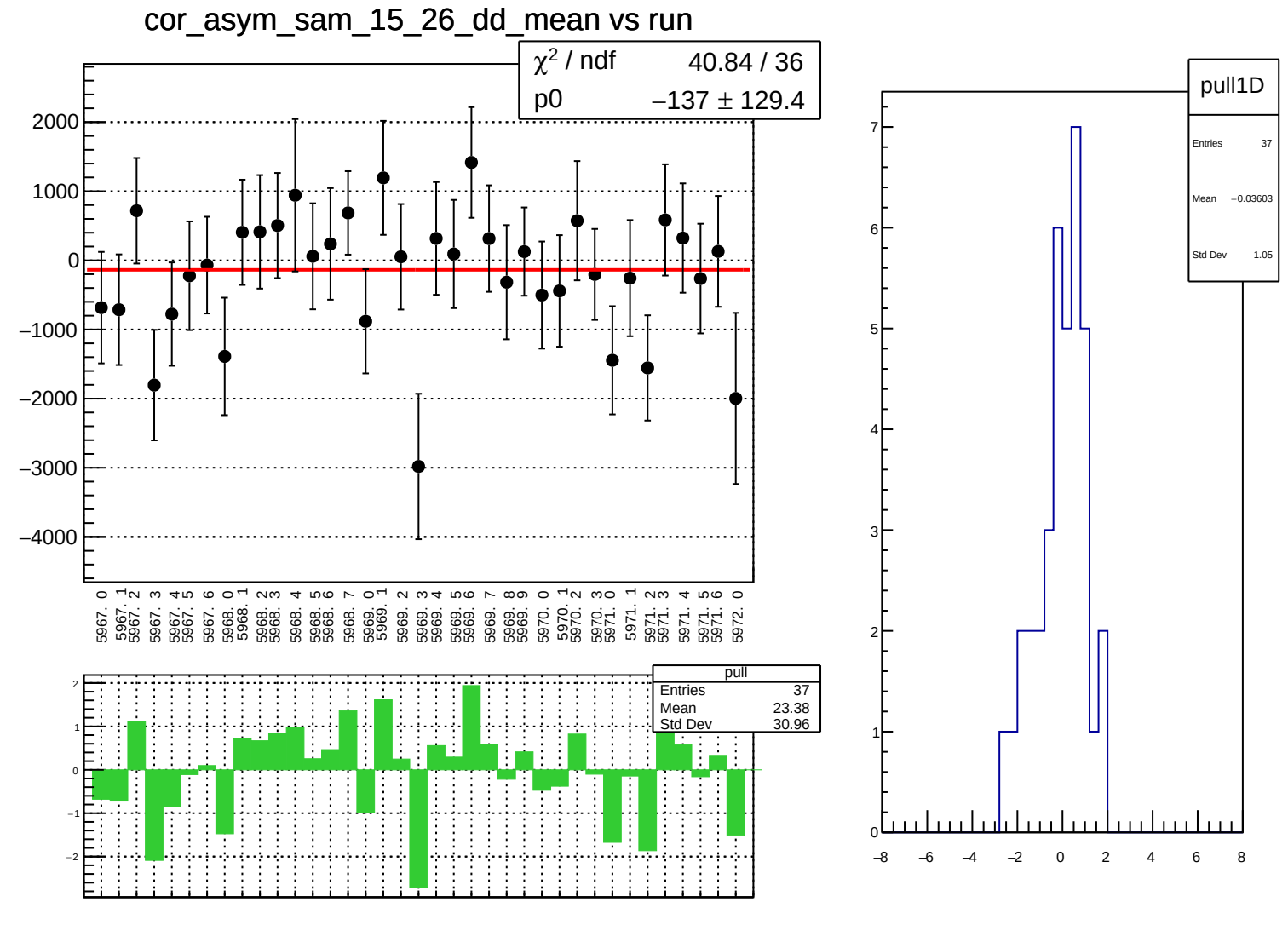
cor_asym_sam_15_26_dd_mean vs run
χ² / ndf 40.84 / 36
p0 −137 ± 129.4
2000
1000
0
−1000
−2000
−3000
−4000
5967. 0
5967. 1
5967. 2
5967. 3
5967. 4
5967. 5
5967. 6
5968. 0
5968. 1
5968. 2
5968. 3
5968. 4
5968. 5
5968. 6
5968. 7
5969. 0
5969. 1
5969. 2
5969. 3
5969. 4
5969. 5
5969. 6
5969. 7
5969. 8
5969. 9
5970. 0
5970. 1
5970. 2
5970. 3
5971. 0
5971. 1
5971. 2
5971. 3
5971. 4
5971. 5
5971. 6
5972. 0
pull
Entries 37
Mean 23.38
Std Dev 30.96
2
1
0
−1
−2
pull1D
Entries 37
Mean −0.03603
Std Dev 1.05
7
6
5
4
3
2
1
0
−8
−6
−4
−2
0
2
4
6
8

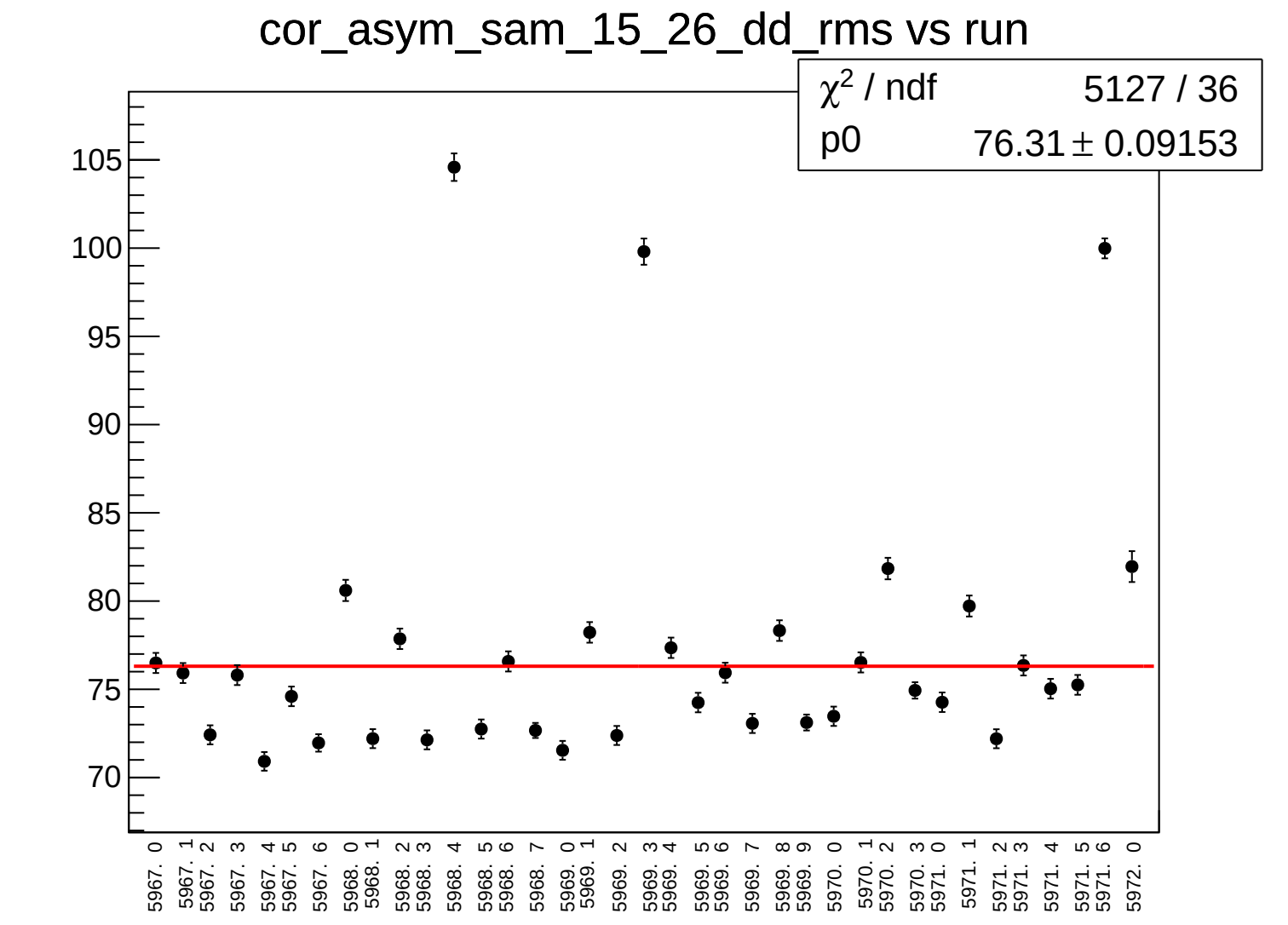
cor_asym_sam_15_26_dd_rms vs run
χ^2 / ndf 5127 / 36
p0 76.31 ± 0.09153
105
100
95
90
85
80
75
70
5967. 0
5967. 1
5967. 2
5967. 3
5967. 4
5967. 5
5967. 6
5968. 0
5968. 1
5968. 2
5968. 3
5968. 4
5968. 5
5968. 6
5968. 7
5969. 0
5969. 1
5969. 2
5969. 3
5969. 4
5969. 5
5969. 6
5969. 7
5969. 8
5969. 9
5970. 0
5970. 1
5970. 2
5970. 3
5971. 0
5971. 1
5971. 2
5971. 3
5971. 4
5971. 5
5971. 6
5972. 0

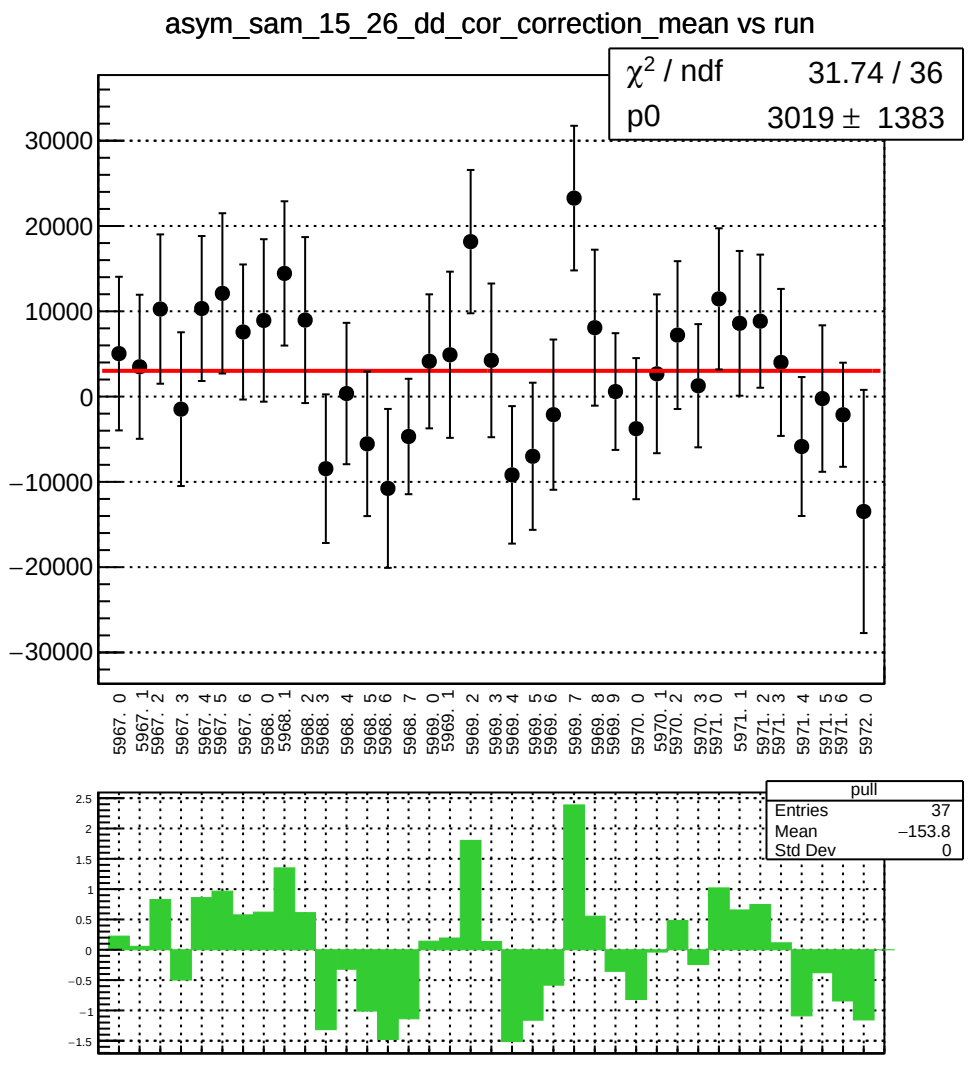
asym_sam_15_26_dd_cor_correction_mean vs run
χ² / ndf 31.74 / 36
p0 3019 ± 1383
30000
20000
10000
0
−10000
−20000
−30000
5967. 0
5967. 1
5967. 2
5967. 3
5967. 4
5967. 5
5967. 6
5968. 0
5968. 1
5968. 2
5968. 3
5968. 4
5968. 5
5968. 6
5968. 7
5969. 0
5969. 1
5969. 2
5969. 3
5969. 4
5969. 5
5969. 6
5969. 7
5969. 8
5969. 9
5970. 0
5970. 1
5970. 2
5970. 3
5971. 0
5971. 1
5971. 2
5971. 3
5971. 4
5971. 5
5971. 6
5972. 0
pull
Entries 37
Mean −153.8
Std Dev 0
2.5
2
1.5
1
0.5
0
−0.5
−1
−1.5
pull1D
Entries 37
Mean 0.01045
Std Dev 0.9262
7
6
5
4
3
2
1
0
−8
−6
−4
−2
0
2
4
6
8

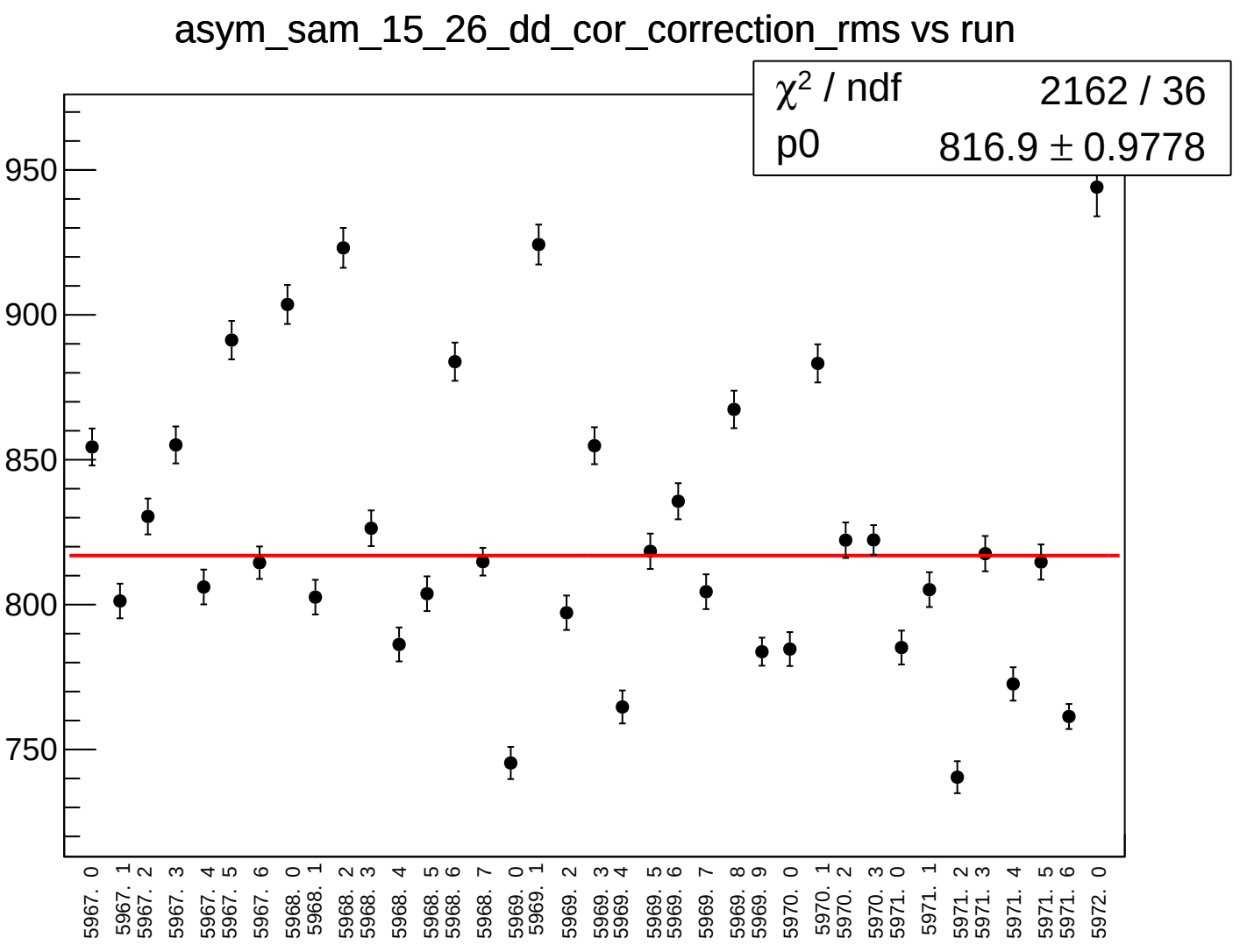
asym_sam_15_26_dd_cor_correction_rms vs run
χ² / ndf 2162 / 36
p0 816.9 ± 0.9778
950
900
850
800
750
5967. 0
5967. 1
5967. 2
5967. 3
5967. 4
5967. 5
5967. 6
5968. 0
5968. 1
5968. 2
5968. 3
5968. 4
5968. 5
5968. 6
5968. 7
5969. 0
5969. 1
5969. 2
5969. 3
5969. 4
5969. 5
5969. 6
5969. 7
5969. 8
5969. 9
5970. 0
5970. 1
5970. 2
5970. 3
5971. 0
5971. 1
5971. 2
5971. 3
5971. 4
5971. 5
5971. 6
5972. 0

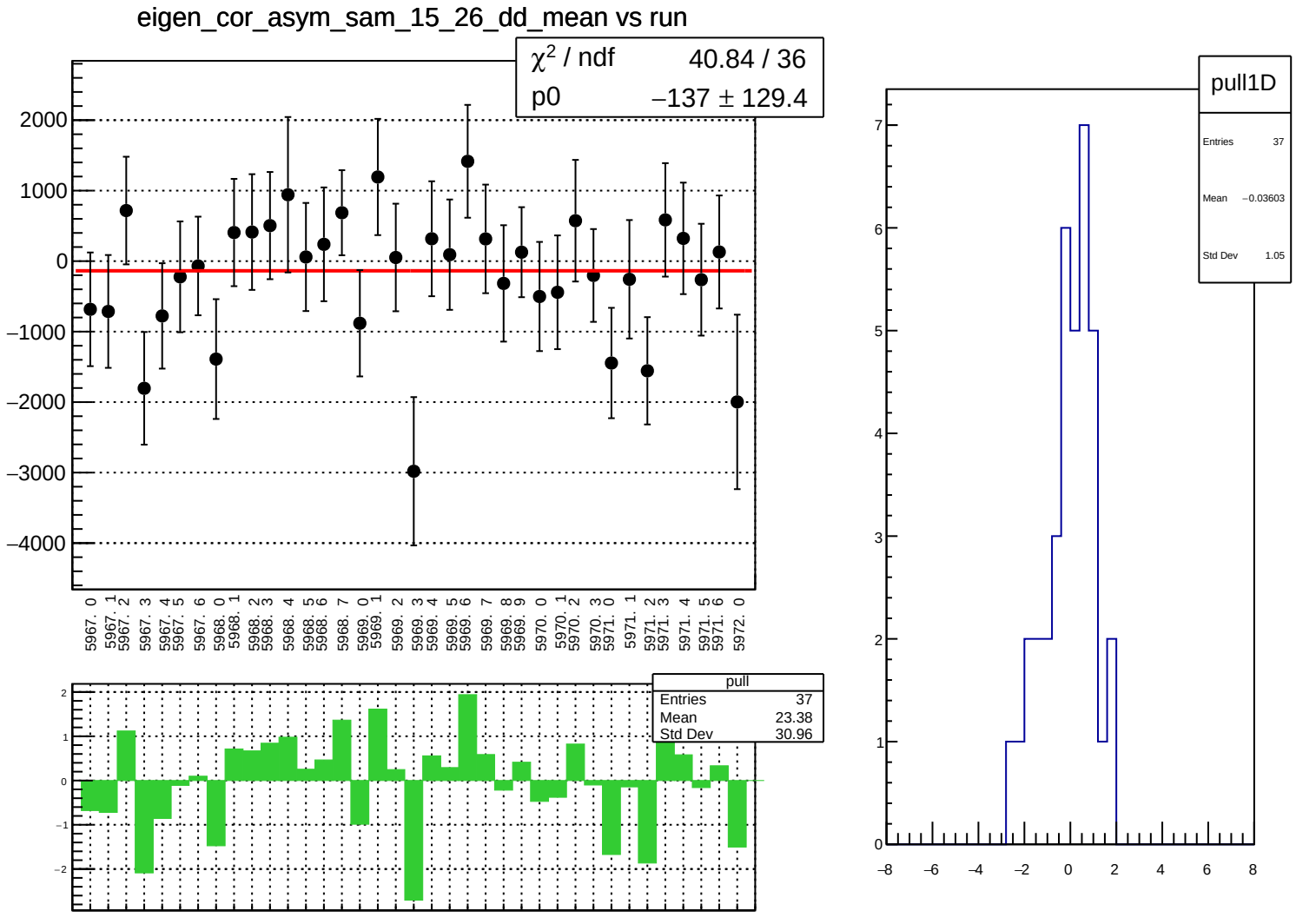
eigen_cor_asym_sam_15_26_dd_mean vs run
χ² / ndf 40.84 / 36
p0 −137 ± 129.4
2000
1000
0
−1000
−2000
−3000
−4000
5967. 0
5967. 1
5967. 2
5967. 3
5967. 4
5967. 5
5967. 6
5968. 0
5968. 1
5968. 2
5968. 3
5968. 4
5968. 5
5968. 6
5968. 7
5969. 0
5969. 1
5969. 2
5969. 3
5969. 4
5969. 5
5969. 6
5969. 7
5969. 8
5969. 9
5970. 0
5970. 1
5970. 2
5970. 3
5971. 0
5971. 1
5971. 2
5971. 3
5971. 4
5971. 5
5971. 6
5972. 0
pull
Entries 37
Mean 23.38
Std Dev 30.96
2
1
0
−1
−2
pull1D
Entries 37
Mean −0.03603
Std Dev 1.05
7
6
5
4
3
2
1
0
−8
−6
−4
−2
0
2
4
6
8

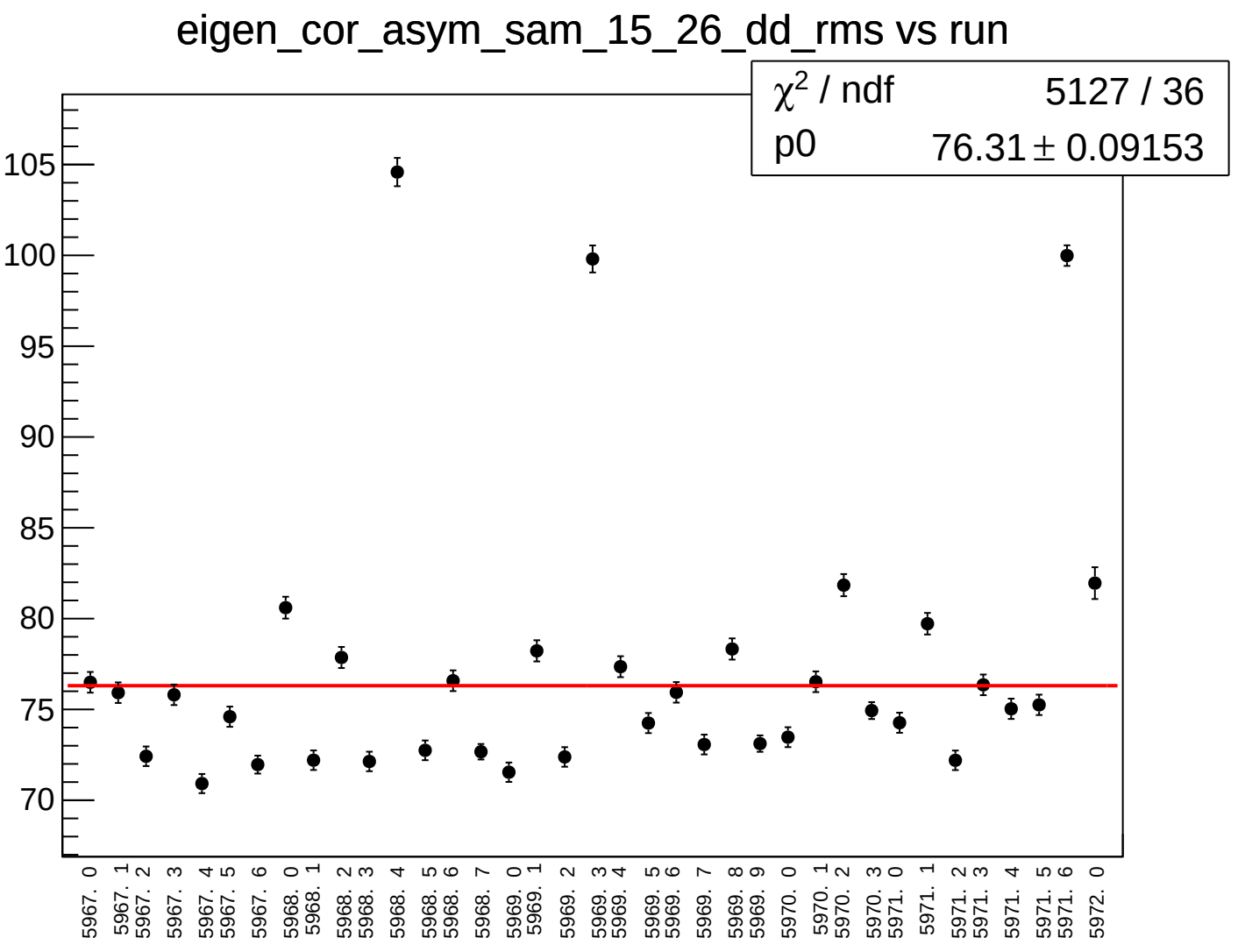
eigen_cor_asym_sam_15_26_dd_rms vs run
χ^2 / ndf 5127 / 36
p0 76.31 ± 0.09153
105
100
95
90
85
80
75
70
5967. 0
5967. 1
5967. 2
5967. 3
5967. 4
5967. 5
5967. 6
5968. 0
5968. 1
5968. 2
5968. 3
5968. 4
5968. 5
5968. 6
5968. 7
5969. 0
5969. 1
5969. 2
5969. 3
5969. 4
5969. 5
5969. 6
5969. 7
5969. 8
5969. 9
5970. 0
5970. 1
5970. 2
5970. 3
5971. 0
5971. 1
5971. 2
5971. 3
5971. 4
5971. 5
5971. 6
5972. 0

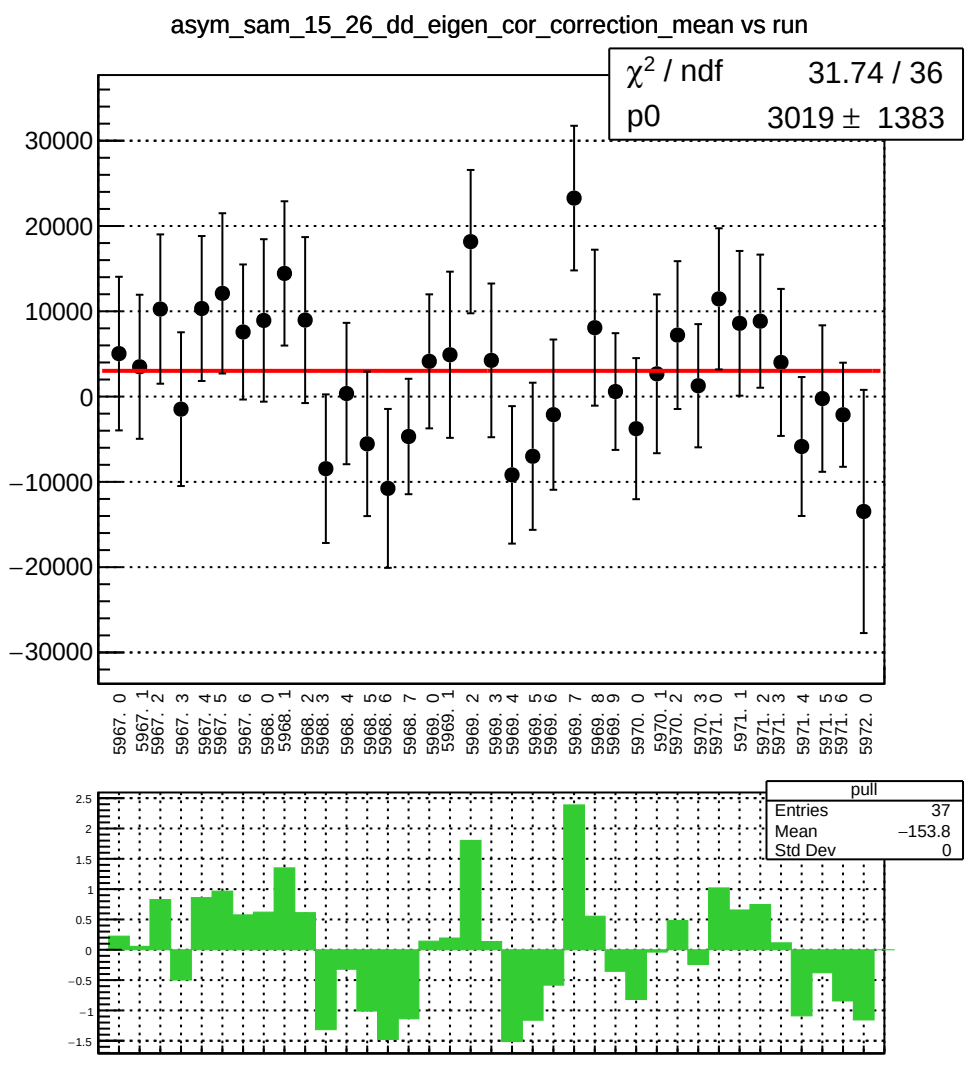
asym_sam_15_26_dd_eigen_cor_correction_mean vs run
χ² / ndf 31.74 / 36
p0 3019 ± 1383
30000
20000
10000
0
−10000
−20000
−30000
5967. 0
5967. 1
5967. 2
5967. 3
5967. 4
5967. 5
5967. 6
5968. 0
5968. 1
5968. 2
5968. 3
5968. 4
5968. 5
5968. 6
5968. 7
5969. 0
5969. 1
5969. 2
5969. 3
5969. 4
5969. 5
5969. 6
5969. 7
5969. 8
5969. 9
5970. 0
5970. 1
5970. 2
5970. 3
5971. 0
5971. 1
5971. 2
5971. 3
5971. 4
5971. 5
5971. 6
5972. 0
pull
Entries 37
Mean −153.8
Std Dev 0
2.5
2
1.5
1
0.5
0
−0.5
−1
−1.5
pull1D
Entries 37
Mean 0.01045
Std Dev 0.9262
7
6
5
4
3
2
1
0
−8
−6
−4
−2
0
2
4
6
8

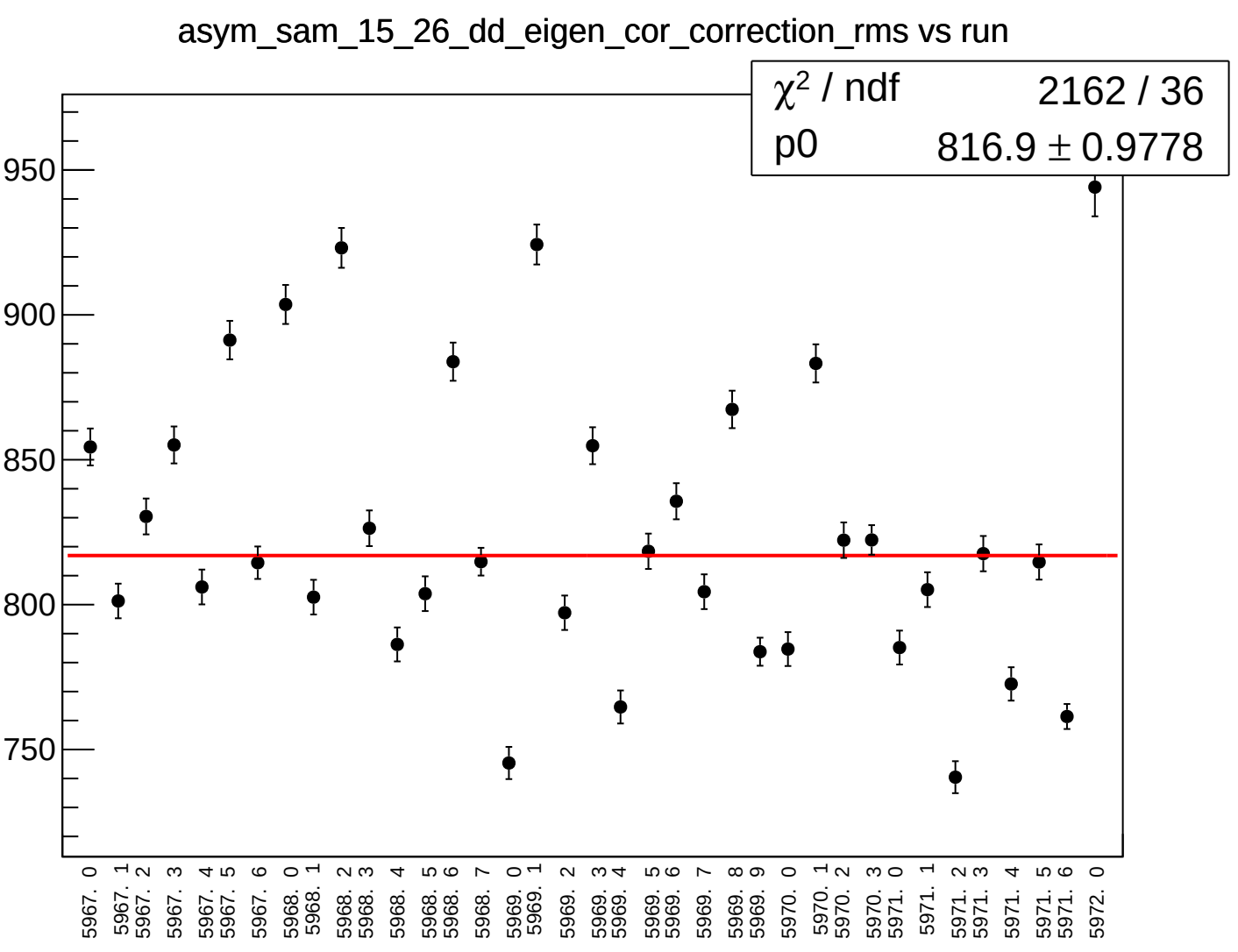
asym_sam_15_26_dd_eigen_cor_correction_rms vs run
χ² / ndf 2162 / 36
p0 816.9 ± 0.9778
950
900
850
800
750
5967. 0
5967. 1
5967. 2
5967. 3
5967. 4
5967. 5
5967. 6
5968. 0
5968. 1
5968. 2
5968. 3
5968. 4
5968. 5
5968. 6
5968. 7
5969. 0
5969. 1
5969. 2
5969. 3
5969. 4
5969. 5
5969. 6
5969. 7
5969. 8
5969. 9
5970. 0
5970. 1
5970. 2
5970. 3
5971. 0
5971. 1
5971. 2
5971. 3
5971. 4
5971. 5
5971. 6
5972. 0

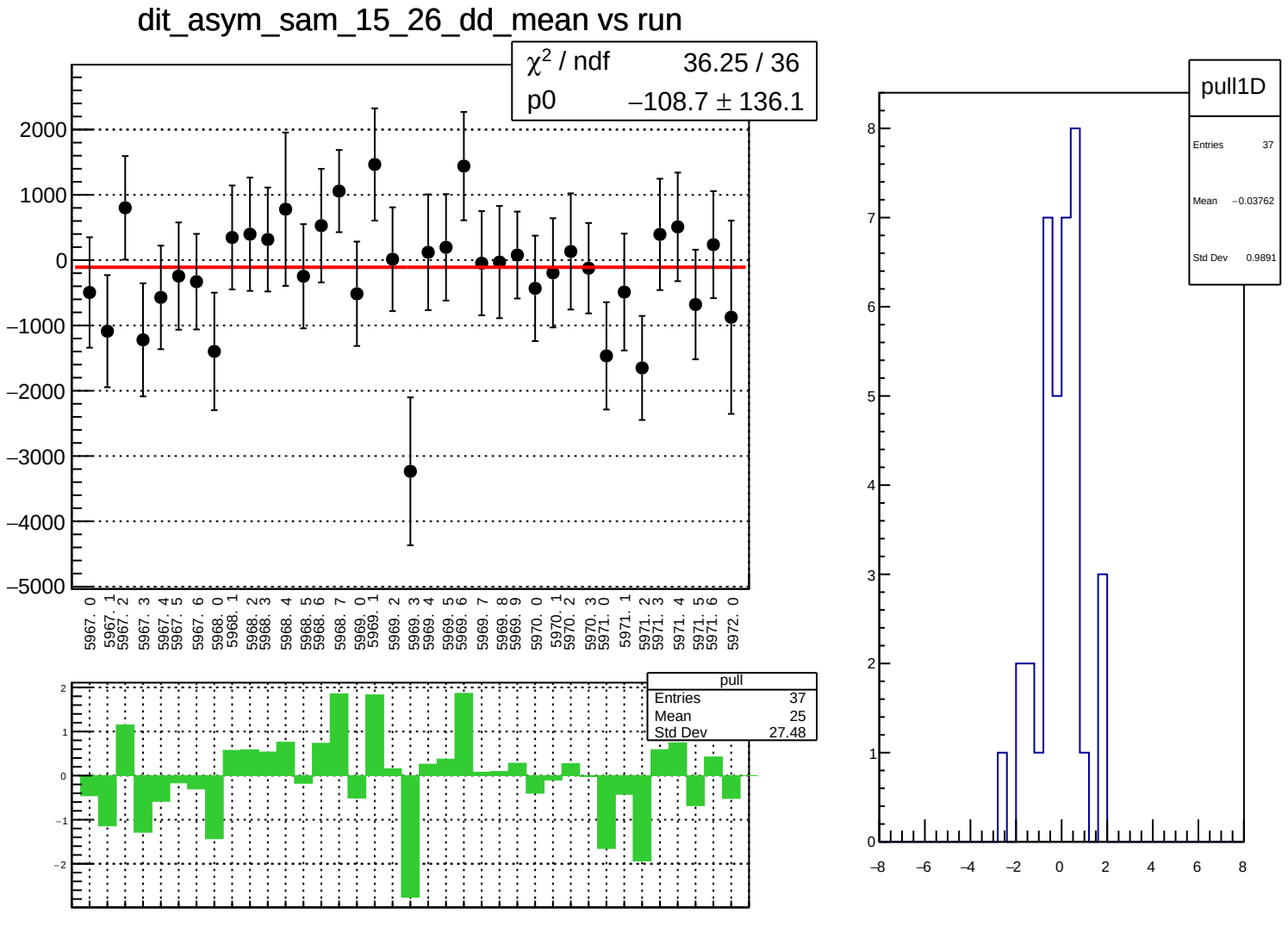
dit_asym_sam_15_26_dd_mean vs run
χ² / ndf 36.25 / 36
p0 −108.7 ± 136.1
2000
1000
0
−1000
−2000
−3000
−4000
−5000
5967. 0
5967. 1
5967. 2
5967. 3
5967. 4
5967. 5
5967. 6
5968. 0
5968. 1
5968. 2
5968. 3
5968. 4
5968. 5
5968. 6
5968. 7
5969. 0
5969. 1
5969. 2
5969. 3
5969. 4
5969. 5
5969. 6
5969. 7
5969. 8
5969. 9
5970. 0
5970. 1
5970. 2
5970. 3
5971. 0
5971. 1
5971. 2
5971. 3
5971. 4
5971. 5
5971. 6
5972. 0
pull
Entries 37
Mean 25
Std Dev 27.48
2
1
0
−1
−2
pull1D
Entries 37
Mean −0.03762
Std Dev 0.9891
8
7
6
5
4
3
2
1
0
−8
−6
−4
−2
0
2
4
6
8

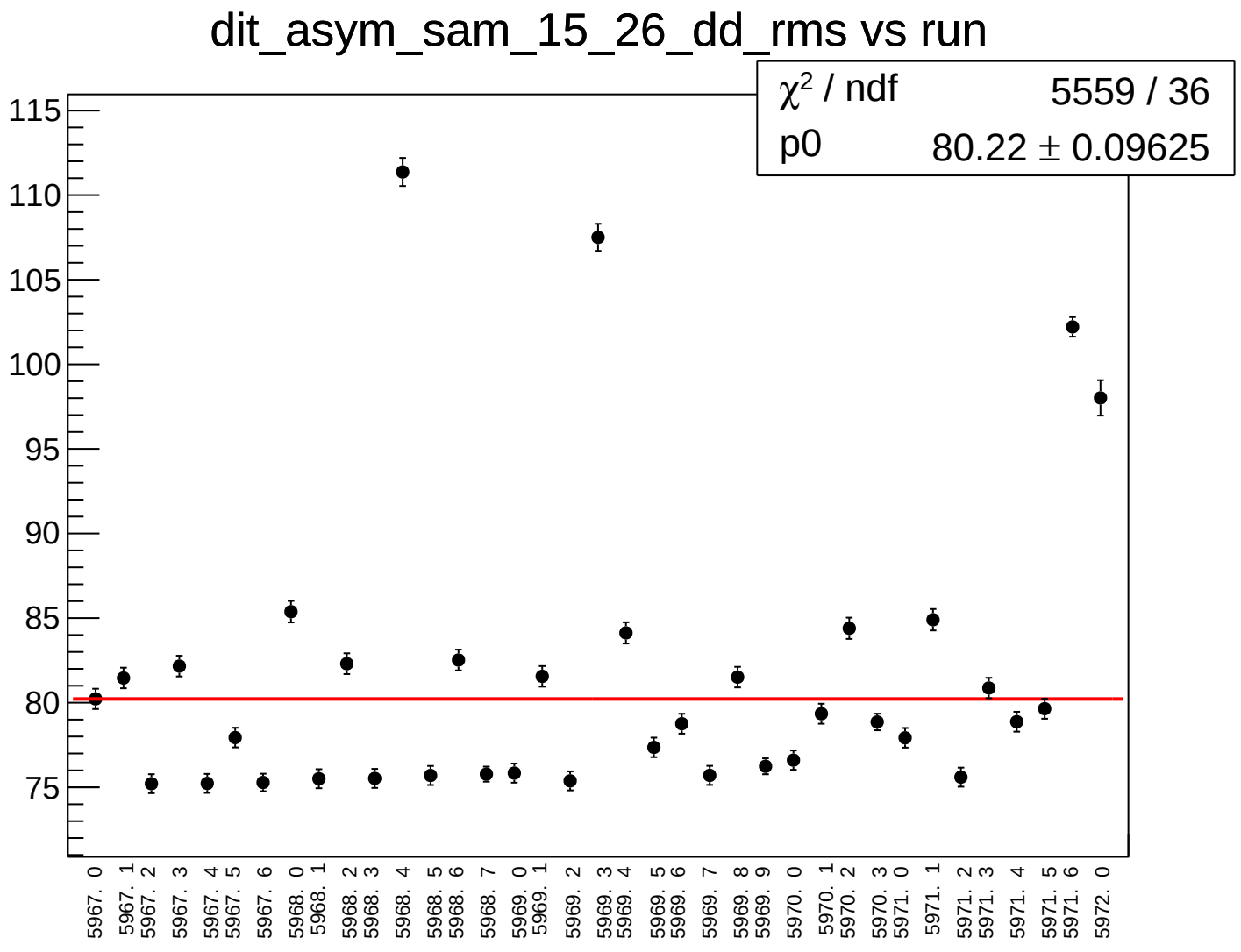
dit_asym_sam_15_26_dd_rms vs run
χ² / ndf 5559 / 36
p0 80.22 ± 0.09625
115
110
105
100
95
90
85
80
75
5967. 0
5967. 1
5967. 2
5967. 3
5967. 4
5967. 5
5967. 6
5968. 0
5968. 1
5968. 2
5968. 3
5968. 4
5968. 5
5968. 6
5968. 7
5969. 0
5969. 1
5969. 2
5969. 3
5969. 4
5969. 5
5969. 6
5969. 7
5969. 8
5969. 9
5970. 0
5970. 1
5970. 2
5970. 3
5971. 0
5971. 1
5971. 2
5971. 3
5971. 4
5971. 5
5971. 6
5972. 0

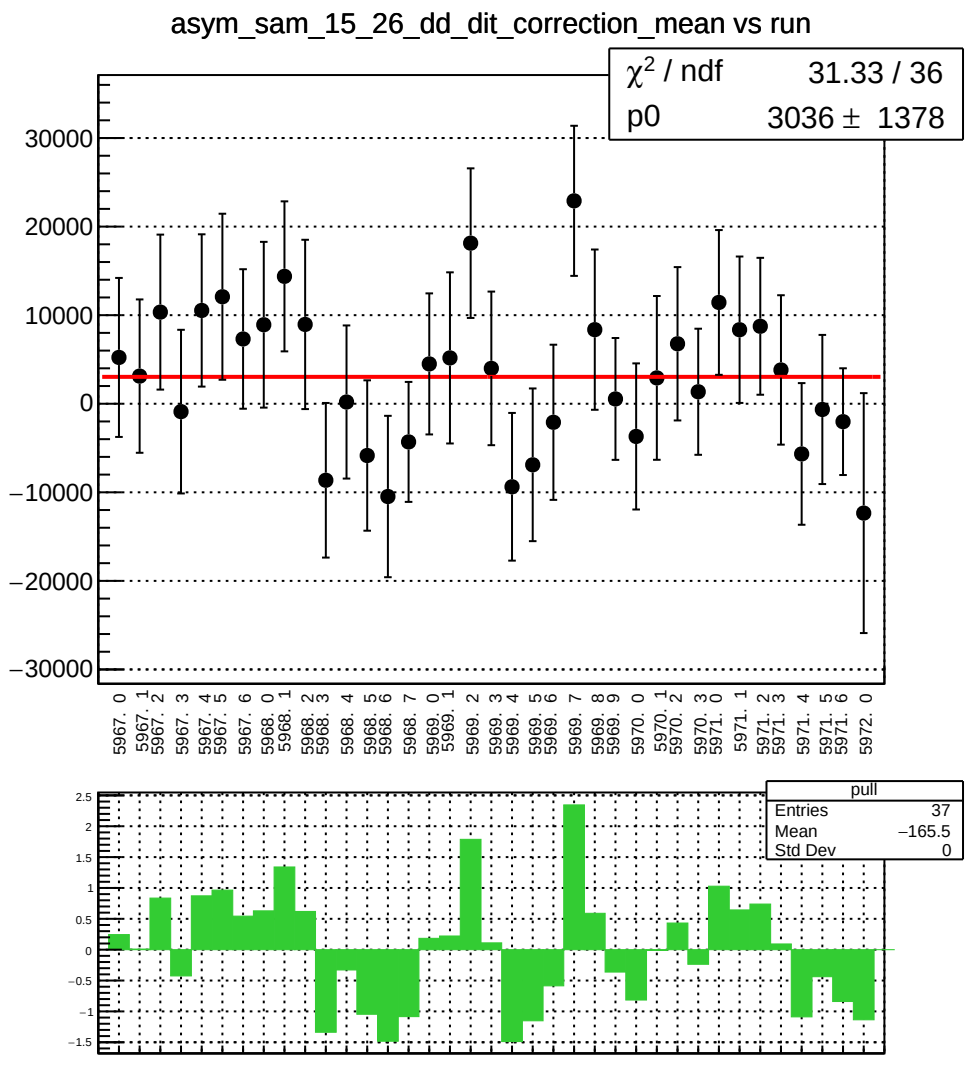
asym_sam_15_26_dd_dit_correction_mean vs run
χ² / ndf 31.33 / 36
p0 3036 ± 1378
30000
20000
10000
0
−10000
−20000
−30000
5967. 0
5967. 1
5967. 2
5967. 3
5967. 4
5967. 5
5967. 6
5968. 0
5968. 1
5968. 2
5968. 3
5968. 4
5968. 5
5968. 6
5968. 7
5969. 0
5969. 1
5969. 2
5969. 3
5969. 4
5969. 5
5969. 6
5969. 7
5969. 8
5969. 9
5970. 0
5970. 1
5970. 2
5970. 3
5971. 0
5971. 1
5971. 2
5971. 3
5971. 4
5971. 5
5971. 6
5972. 0
pull
Entries 37
Mean −165.5
Std Dev 0
2.5
2
1.5
1
0.5
0
−0.5
−1
−1.5

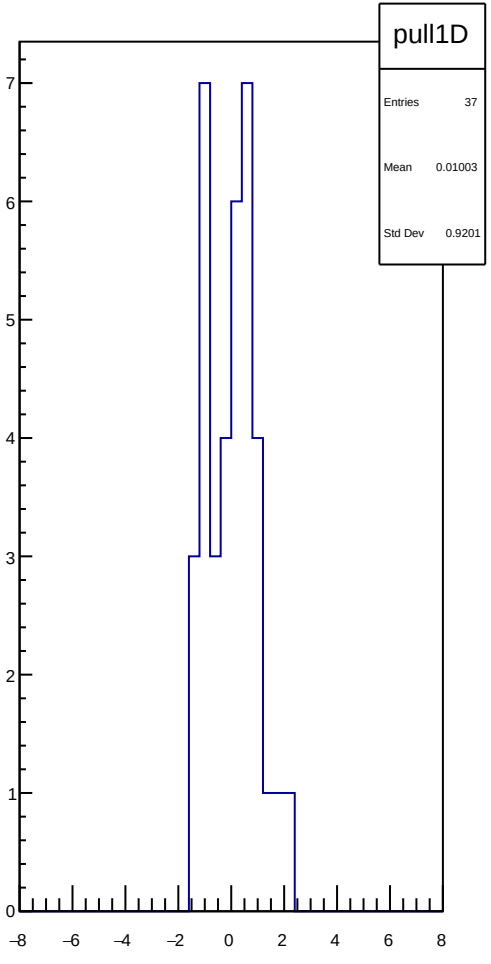
pull1D
Entries 37
Mean 0.01003
Std Dev 0.9201
7
6
5
4
3
2
1
0
−8
−6
−4
−2
0
2
4
6
8

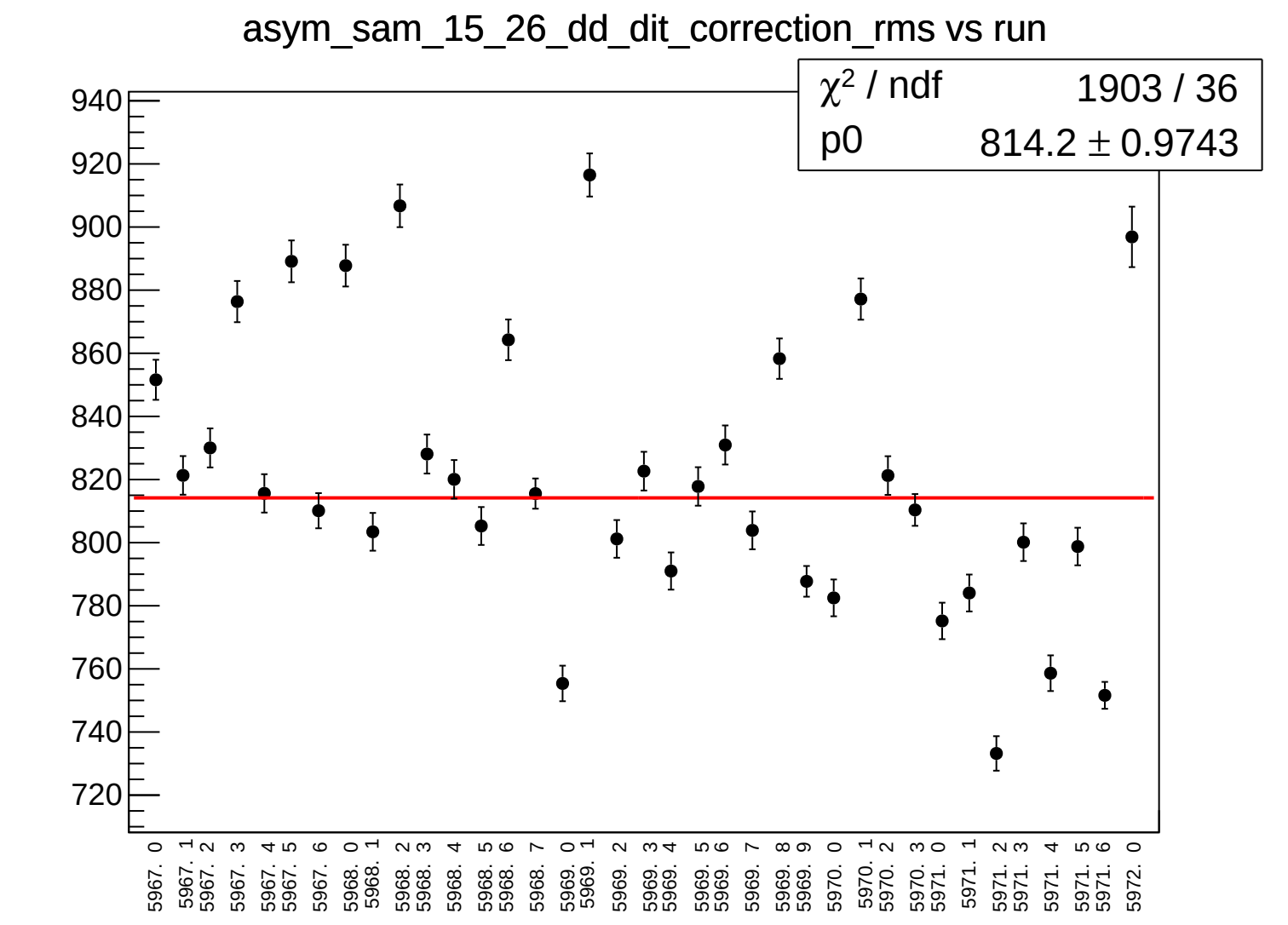
asym_sam_15_26_dd_dit_correction_rms vs run
χ² / ndf 1903 / 36
p0 814.2 ± 0.9743
940
920
900
880
860
840
820
800
780
760
740
720
5967. 0
5967. 1
5967. 2
5967. 3
5967. 4
5967. 5
5967. 6
5968. 0
5968. 1
5968. 2
5968. 3
5968. 4
5968. 5
5968. 6
5968. 7
5969. 0
5969. 1
5969. 2
5969. 3
5969. 4
5969. 5
5969. 6
5969. 7
5969. 8
5969. 9
5970. 0
5970. 1
5970. 2
5970. 3
5971. 0
5971. 1
5971. 2
5971. 3
5971. 4
5971. 5
5971. 6
5972. 0

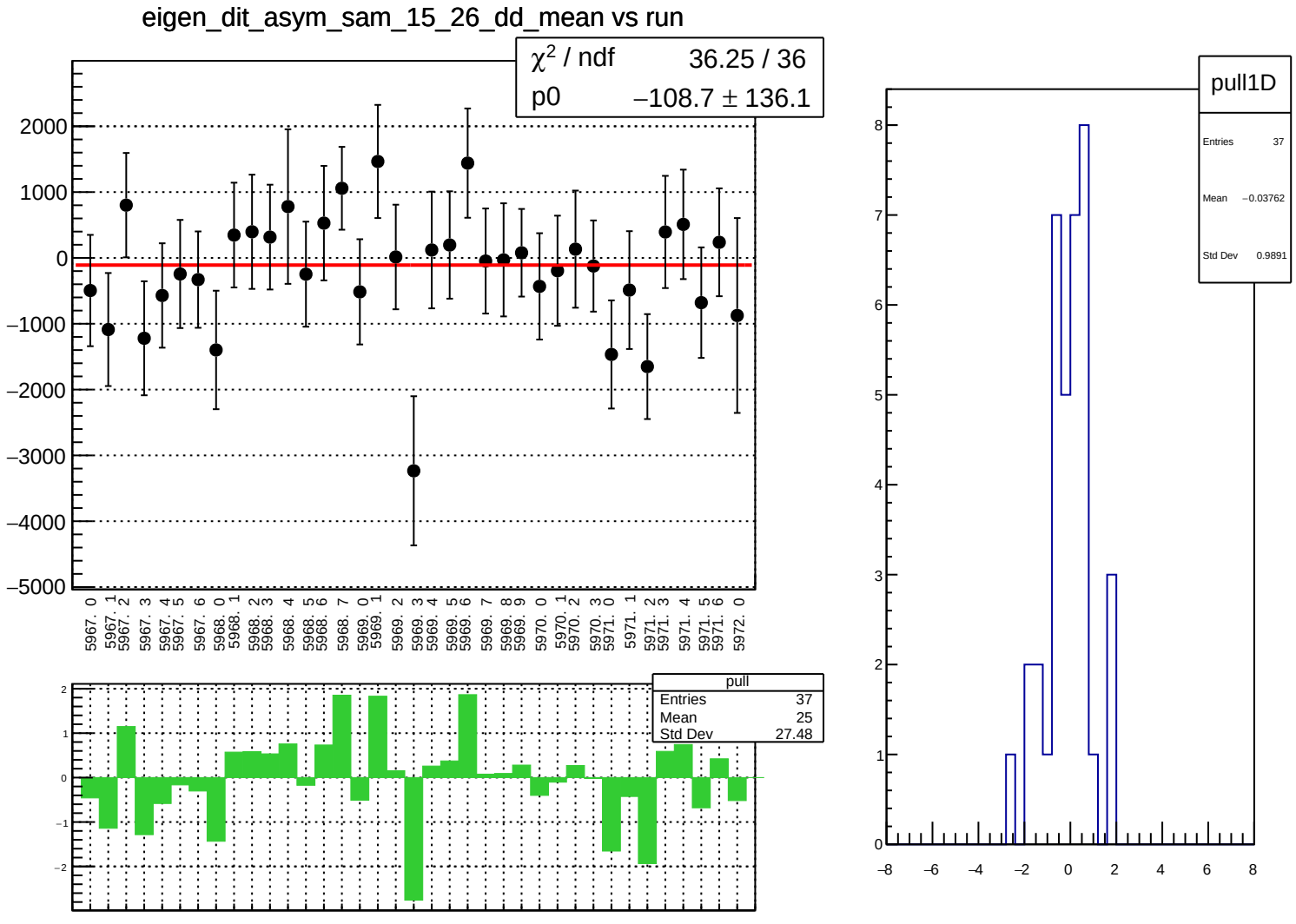
eigen_dit_asym_sam_15_26_dd_mean vs run
χ² / ndf 36.25 / 36
p0 −108.7 ± 136.1
2000
1000
0
−1000
−2000
−3000
−4000
−5000
5967. 0
5967. 1
5967. 2
5967. 3
5967. 4
5967. 5
5967. 6
5968. 0
5968. 1
5968. 2
5968. 3
5968. 4
5968. 5
5968. 6
5968. 7
5969. 0
5969. 1
5969. 2
5969. 3
5969. 4
5969. 5
5969. 6
5969. 7
5969. 8
5969. 9
5970. 0
5970. 1
5970. 2
5970. 3
5971. 0
5971. 1
5971. 2
5971. 3
5971. 4
5971. 5
5971. 6
5972. 0
pull
Entries 37
Mean 25
Std Dev 27.48
2
1
0
−1
−2
pull1D
Entries 37
Mean −0.03762
Std Dev 0.9891
8
7
6
5
4
3
2
1
0
−8
−6
−4
−2
0
2
4
6
8

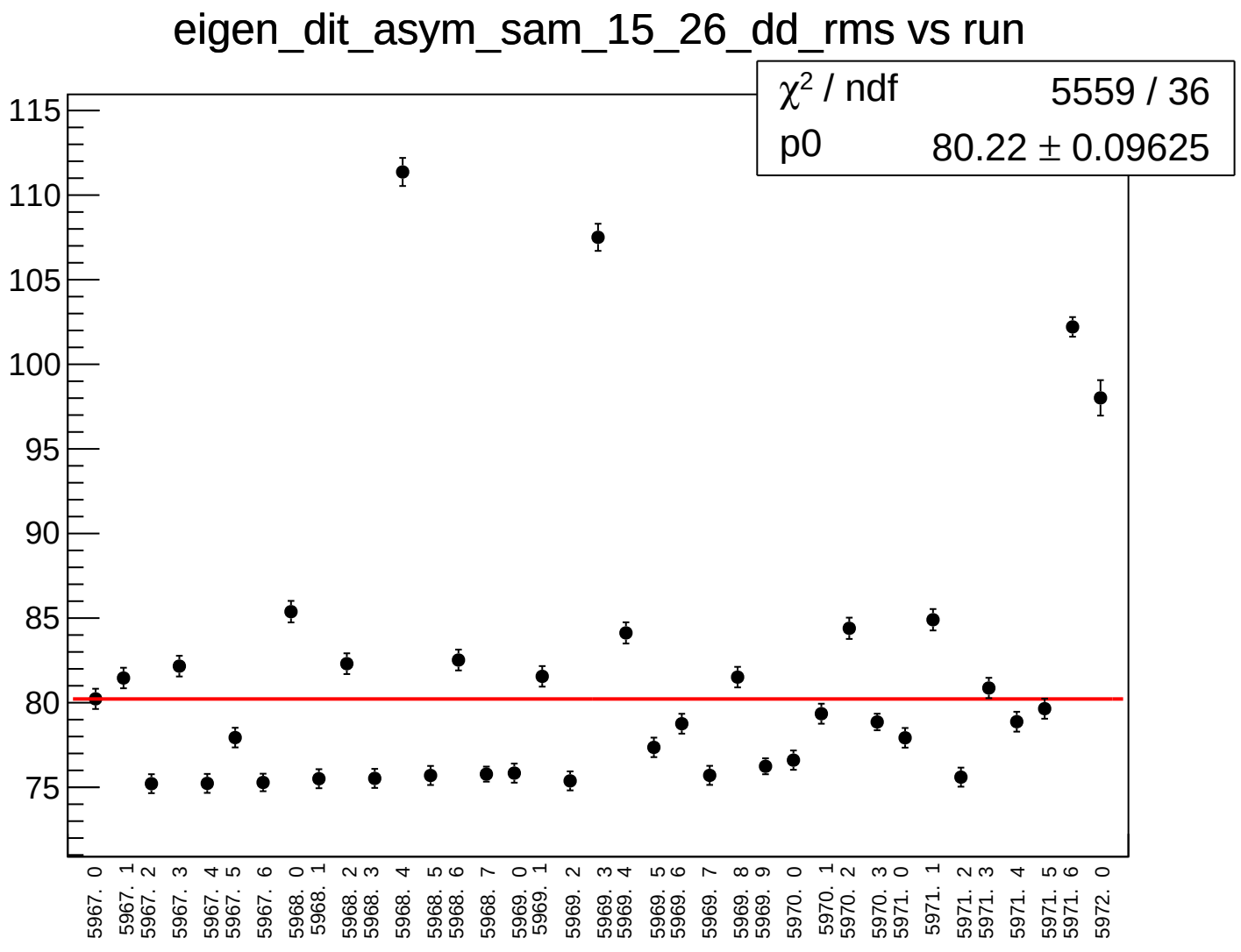
eigen_dit_asym_sam_15_26_dd_rms vs run
χ² / ndf 5559 / 36
p0 80.22 ± 0.09625
115
110
105
100
95
90
85
80
75
5967. 0
5967. 1
5967. 2
5967. 3
5967. 4
5967. 5
5967. 6
5968. 0
5968. 1
5968. 2
5968. 3
5968. 4
5968. 5
5968. 6
5968. 7
5969. 0
5969. 1
5969. 2
5969. 3
5969. 4
5969. 5
5969. 6
5969. 7
5969. 8
5969. 9
5970. 0
5970. 1
5970. 2
5970. 3
5971. 0
5971. 1
5971. 2
5971. 3
5971. 4
5971. 5
5971. 6
5972. 0

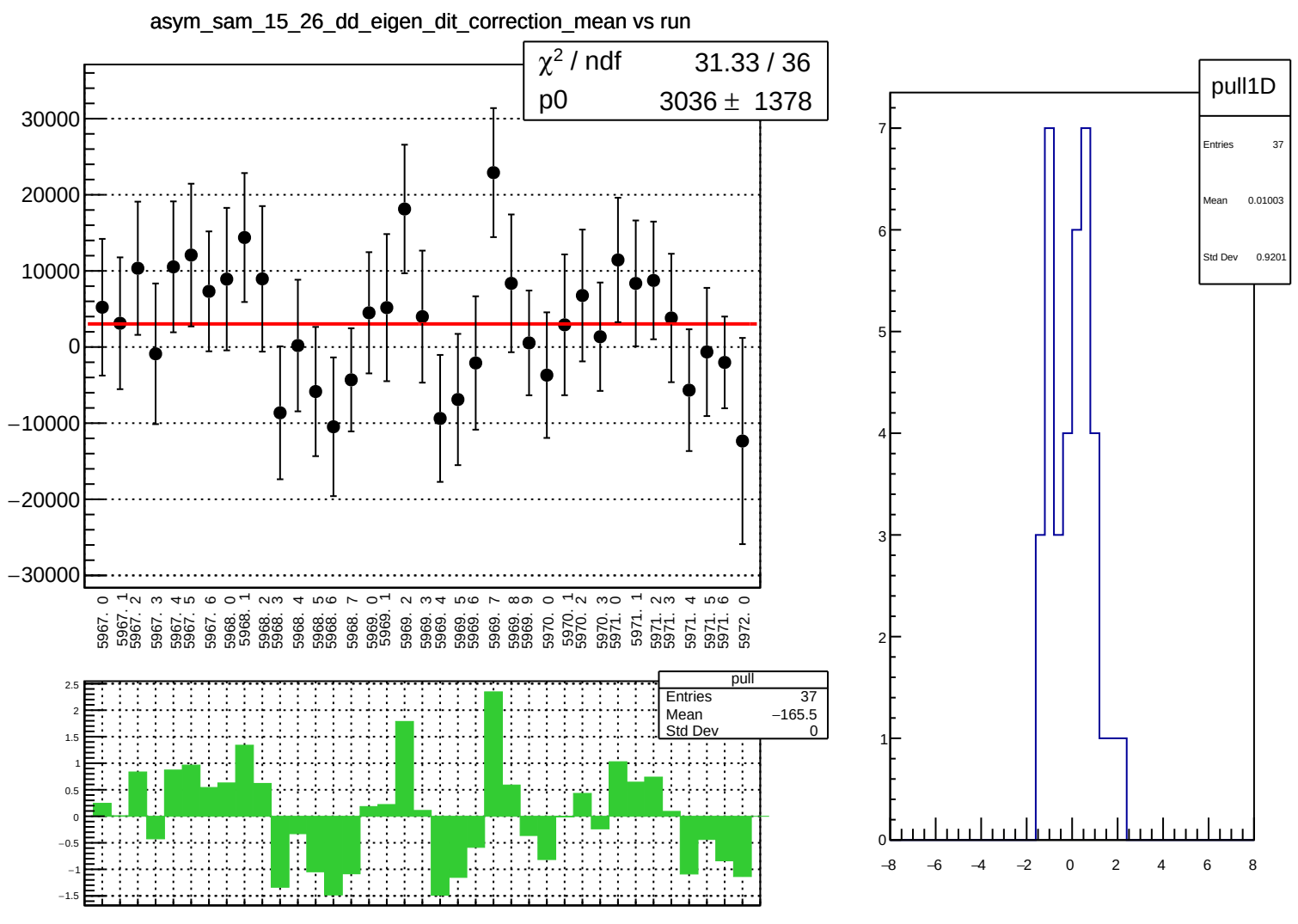
asym_sam_15_26_dd_eigen_dit_correction_mean vs run
χ² / ndf 31.33 / 36
p0 3036 ± 1378
30000
20000
10000
0
−10000
−20000
−30000
5967. 0
5967. 1
5967. 2
5967. 3
5967. 4
5967. 5
5967. 6
5968. 0
5968. 1
5968. 2
5968. 3
5968. 4
5968. 5
5968. 6
5968. 7
5969. 0
5969. 1
5969. 2
5969. 3
5969. 4
5969. 5
5969. 6
5969. 7
5969. 8
5969. 9
5970. 0
5970. 1
5970. 2
5970. 3
5971. 0
5971. 1
5971. 2
5971. 3
5971. 4
5971. 5
5971. 6
5972. 0
pull
Entries 37
Mean −165.5
Std Dev 0
2.5
2
1.5
1
0.5
0
−0.5
−1
−1.5
pull1D
Entries 37
Mean 0.01003
Std Dev 0.9201
7
6
5
4
3
2
1
0
−8
−6
−4
−2
0
2
4
6
8

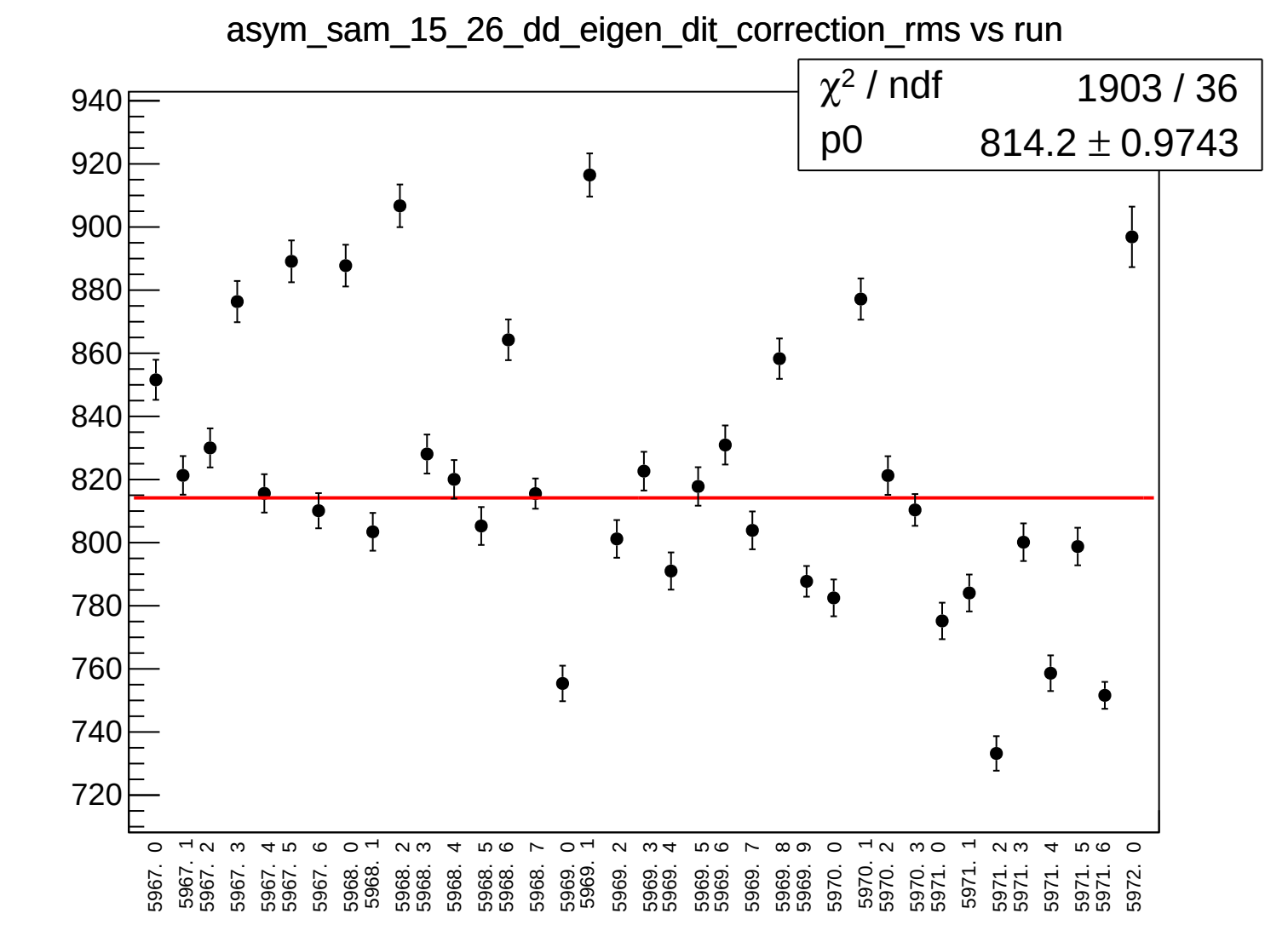
asym_sam_15_26_dd_eigen_dit_correction_rms vs run
χ² / ndf 1903 / 36
p0 814.2 ± 0.9743
940
920
900
880
860
840
820
800
780
760
740
720
5967. 0
5967. 1
5967. 2
5967. 3
5967. 4
5967. 5
5967. 6
5968. 0
5968. 1
5968. 2
5968. 3
5968. 4
5968. 5
5968. 6
5968. 7
5969. 0
5969. 1
5969. 2
5969. 3
5969. 4
5969. 5
5969. 6
5969. 7
5969. 8
5969. 9
5970. 0
5970. 1
5970. 2
5970. 3
5971. 0
5971. 1
5971. 2
5971. 3
5971. 4
5971. 5
5971. 6
5972. 0

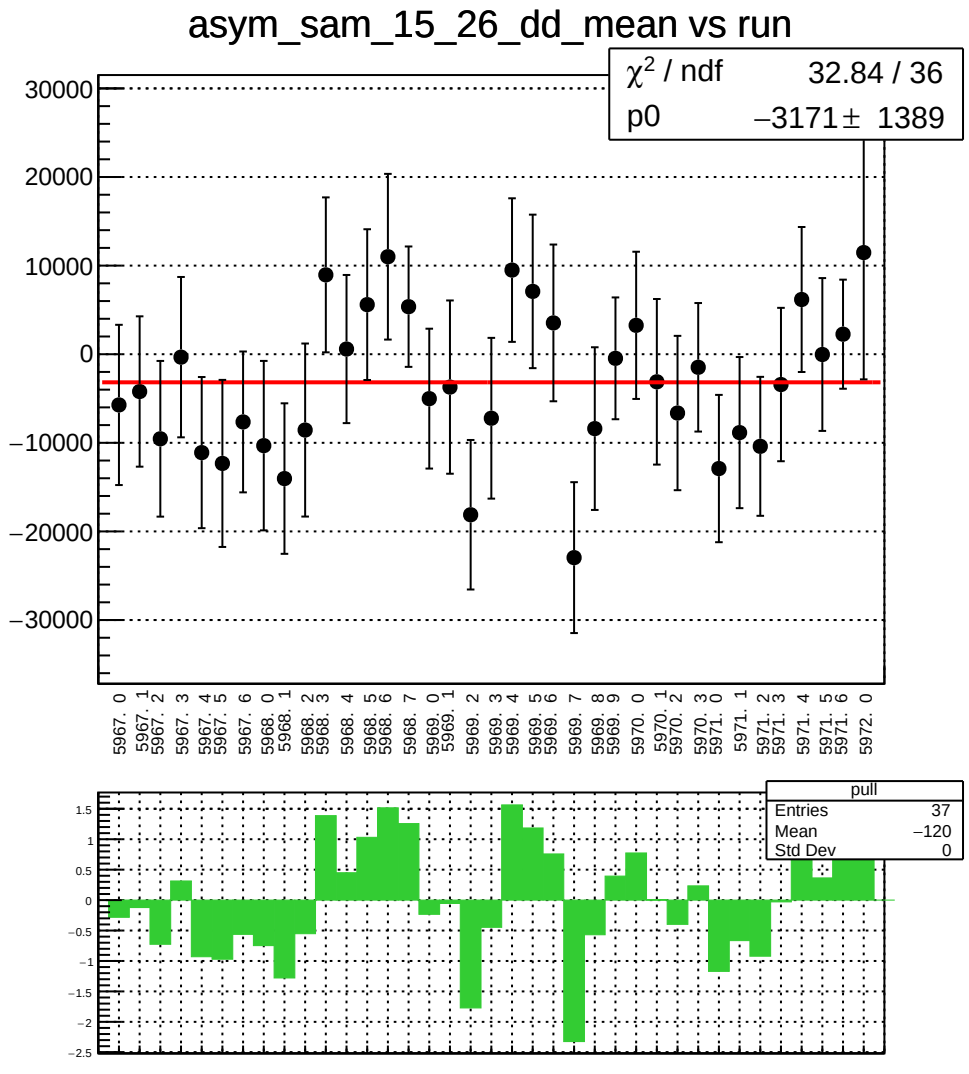
asym_sam_15_26_dd_mean vs run
χ² / ndf 32.84 / 36
p0 −3171 ± 1389
30000
20000
10000
0
−10000
−20000
−30000
5967. 0
5967. 1
5967. 2
5967. 3
5967. 4
5967. 5
5967. 6
5968. 0
5968. 1
5968. 2
5968. 3
5968. 4
5968. 5
5968. 6
5968. 7
5969. 0
5969. 1
5969. 2
5969. 3
5969. 4
5969. 5
5969. 6
5969. 7
5969. 8
5969. 9
5970. 0
5970. 1
5970. 2
5970. 3
5971. 0
5971. 1
5971. 2
5971. 3
5971. 4
5971. 5
5971. 6
5972. 0
pull
Entries 37
Mean −120
Std Dev 0
1.5
1
0.5
0
−0.5
−1
−1.5
−2
−2.5

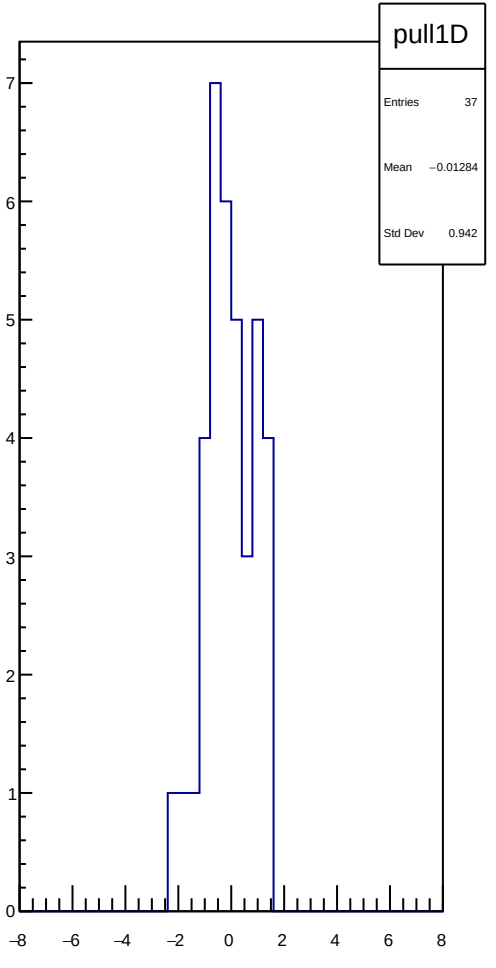
pull1D
Entries 37
Mean −0.01284
Std Dev 0.942
7
6
5
4
3
2
1
0
−8
−6
−4
−2
0
2
4
6
8

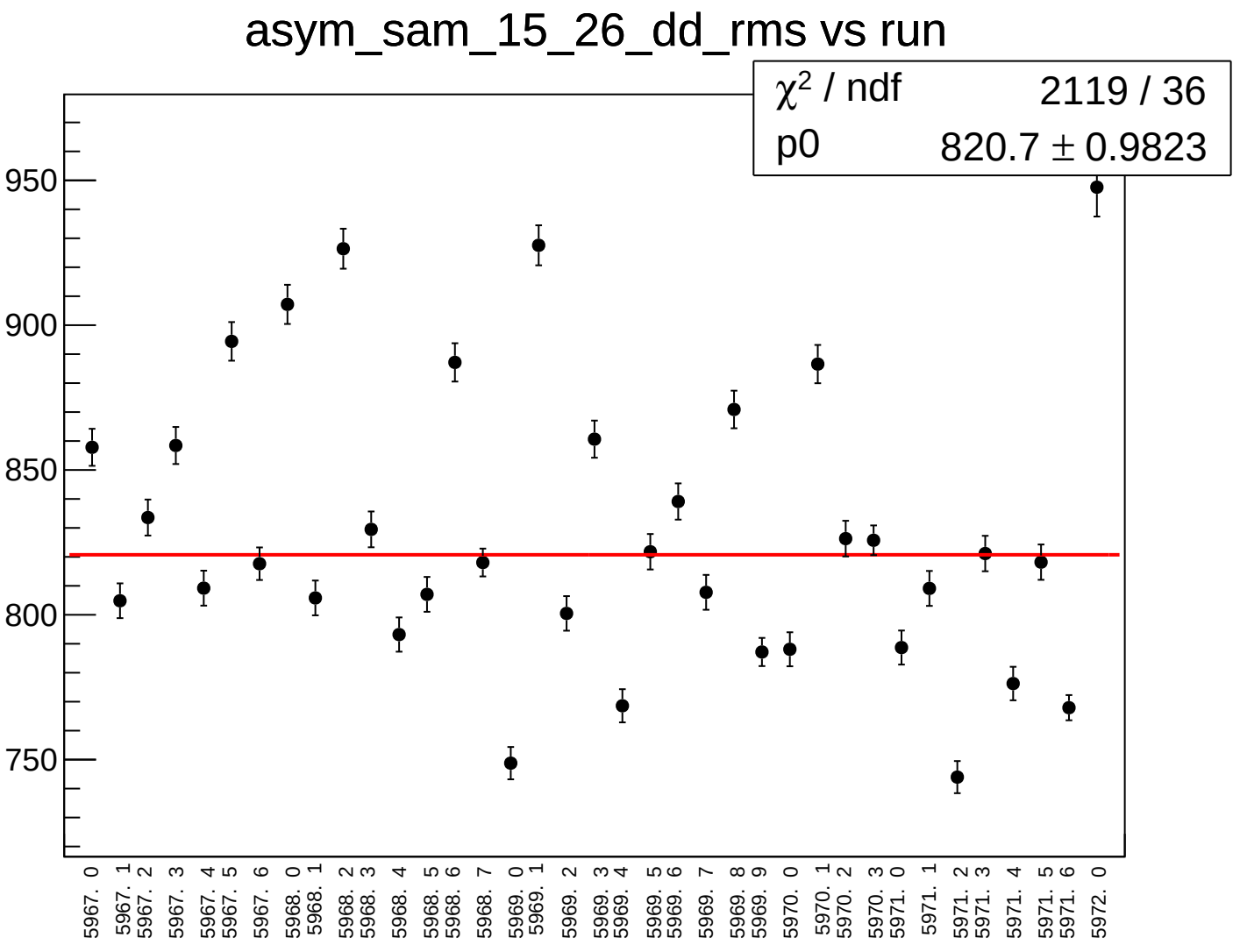
asym_sam_15_26_dd_rms vs run
χ² / ndf 2119 / 36
p0 820.7 ± 0.9823
950
900
850
800
750
5967. 0
5967. 1
5967. 2
5967. 3
5967. 4
5967. 5
5967. 6
5968. 0
5968. 1
5968. 2
5968. 3
5968. 4
5968. 5
5968. 6
5968. 7
5969. 0
5969. 1
5969. 2
5969. 3
5969. 4
5969. 5
5969. 6
5969. 7
5969. 8
5969. 9
5970. 0
5970. 1
5970. 2
5970. 3
5971. 0
5971. 1
5971. 2
5971. 3
5971. 4
5971. 5
5971. 6
5972. 0

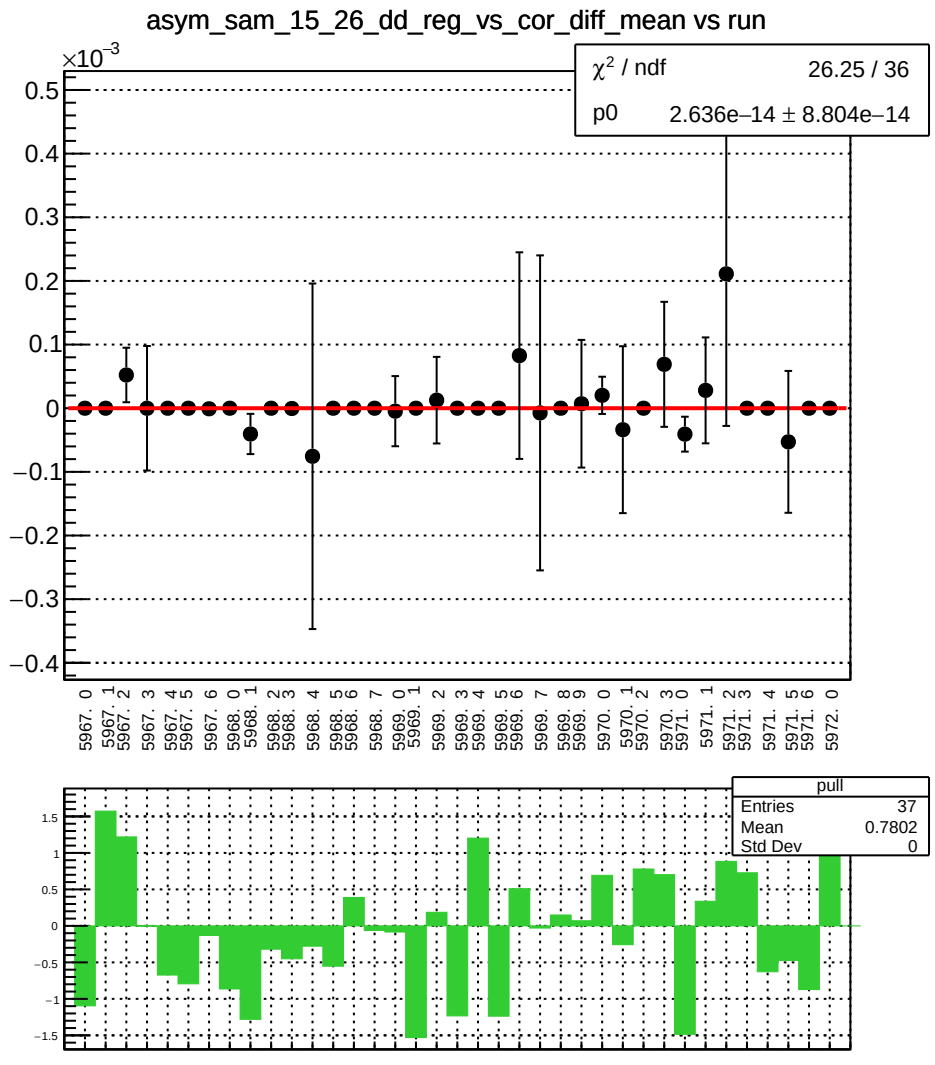
asym_sam_15_26_dd_reg_vs_cor_diff_mean vs run
×10⁻³
χ² / ndf 26.25 / 36
p0 2.636e−14 ± 8.804e−14
pull
Entries 37
Mean 0.7802
Std Dev 0

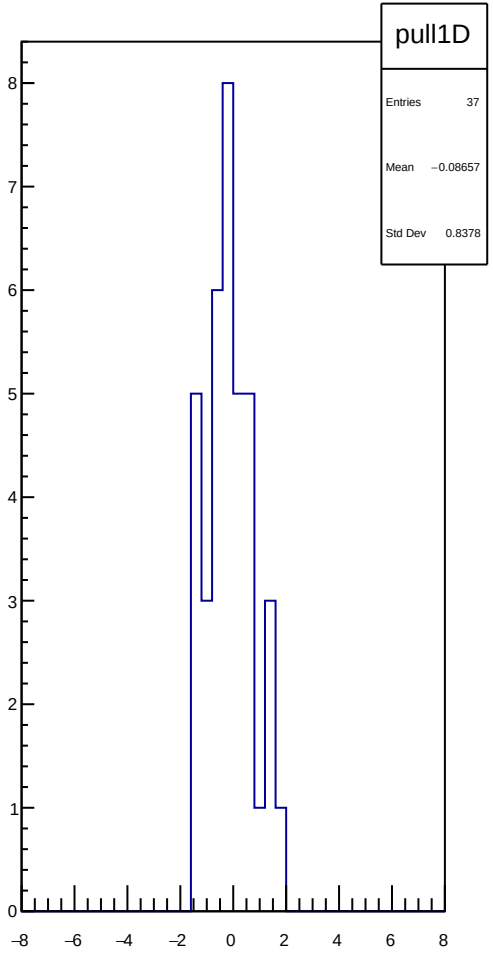
pull1D
Entries 37
Mean −0.08657
Std Dev 0.8378

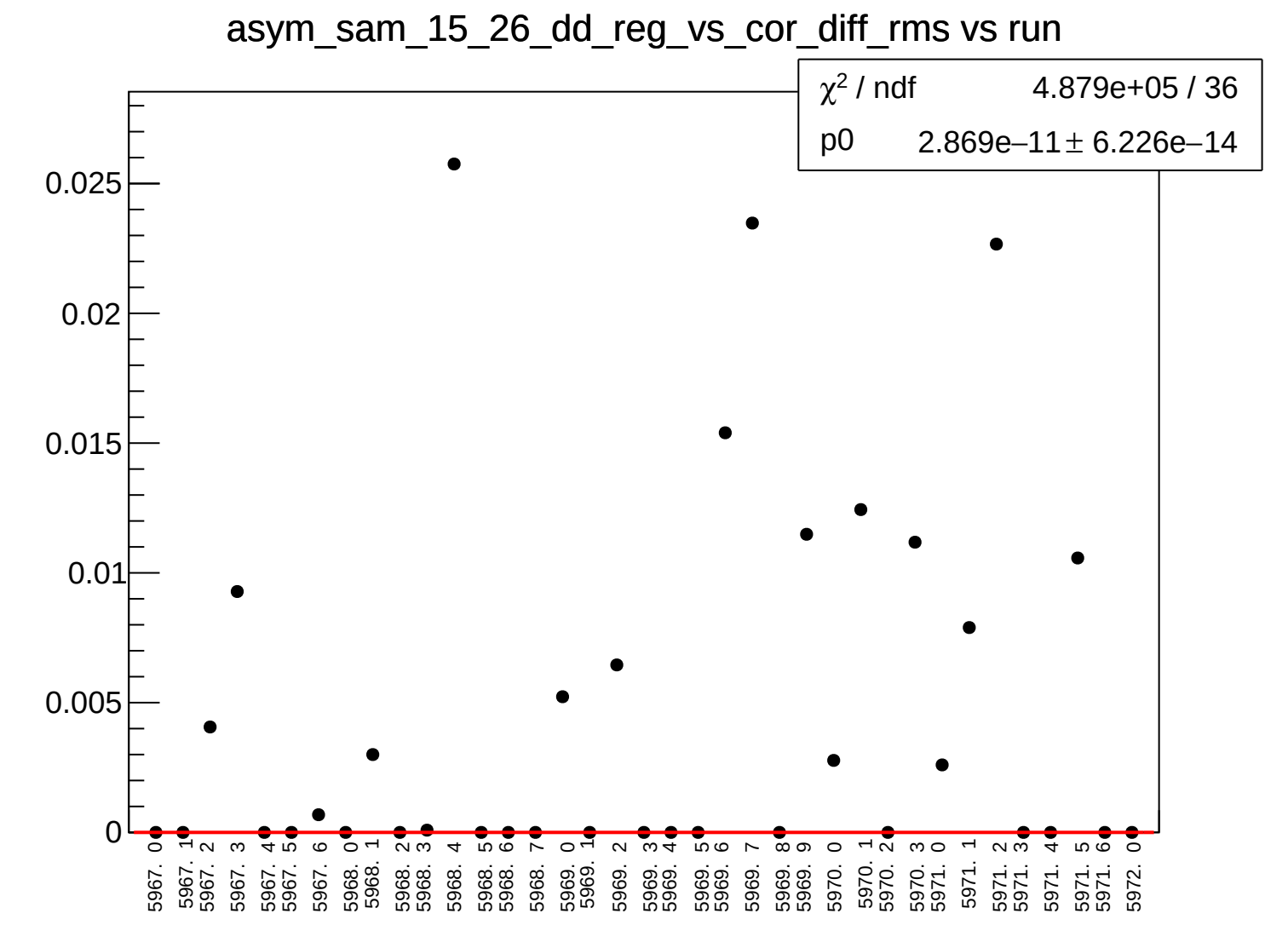
asym_sam_15_26_dd_reg_vs_cor_diff_rms vs run
χ² / ndf 4.879e+05 / 36
p0 2.869e−11 ± 6.226e−14
0.025
0.02
0.015
0.01
0.005
0
5967. 0
5967. 1
5967. 2
5967. 3
5967. 4
5967. 5
5967. 6
5968. 0
5968. 1
5968. 2
5968. 3
5968. 4
5968. 5
5968. 6
5968. 7
5969. 0
5969. 1
5969. 2
5969. 3
5969. 4
5969. 5
5969. 6
5969. 7
5969. 8
5969. 9
5970. 0
5970. 1
5970. 2
5970. 3
5971. 0
5971. 1
5971. 2
5971. 3
5971. 4
5971. 5
5971. 6
5972. 0

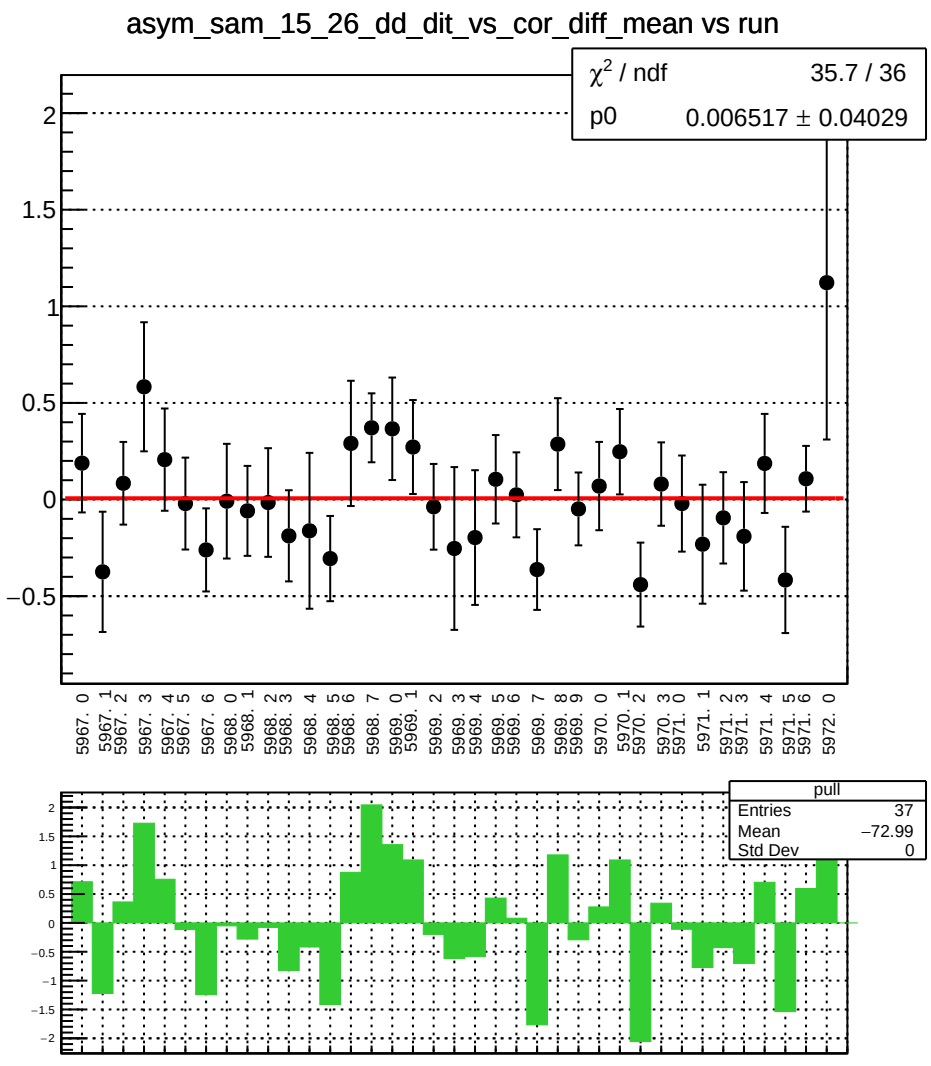
asym_sam_15_26_dd_dit_vs_cor_diff_mean vs run
χ² / ndf 35.7 / 36
p0 0.006517 ± 0.04029
pull
Entries 37
Mean −72.99
Std Dev 0

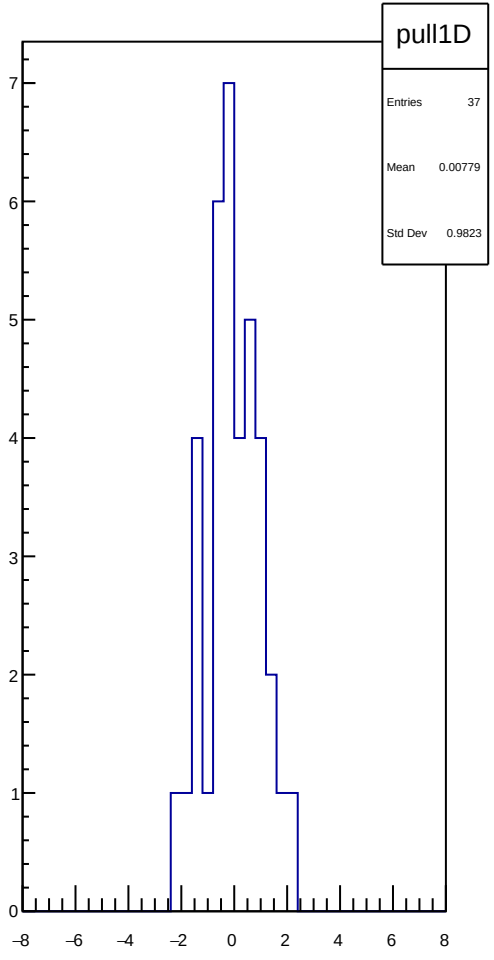
pull1D
Entries 37
Mean 0.00779
Std Dev 0.9823

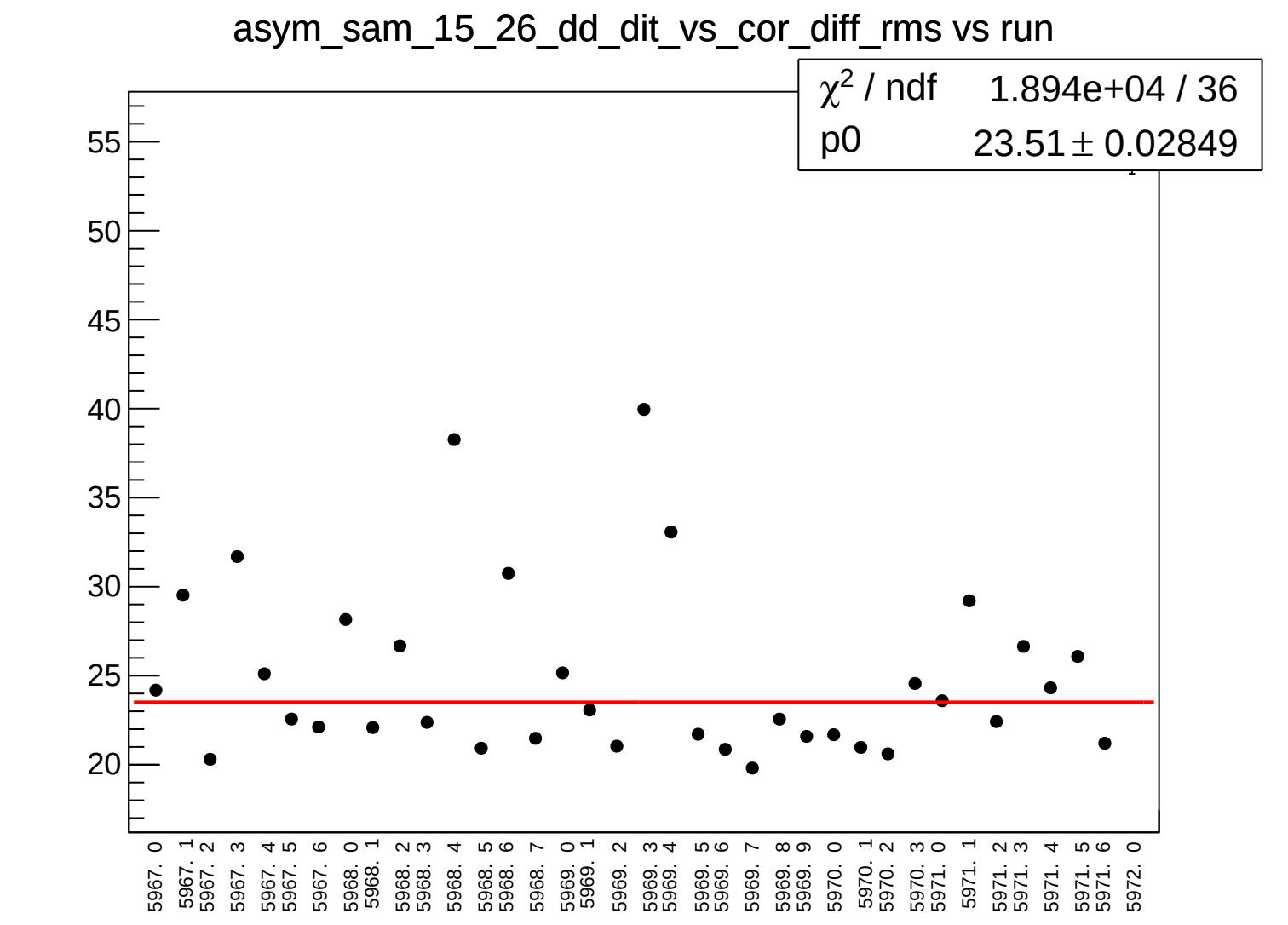
asym_sam_15_26_dd_dit_vs_cor_diff_rms vs run
χ² / ndf 1.894e+04 / 36
p0 23.51 ± 0.02849
55
50
45
40
35
30
25
20
5967. 0
5967. 1
5967. 2
5967. 3
5967. 4
5967. 5
5967. 6
5968. 0
5968. 1
5968. 2
5968. 3
5968. 4
5968. 5
5968. 6
5968. 7
5969. 0
5969. 1
5969. 2
5969. 3
5969. 4
5969. 5
5969. 6
5969. 7
5969. 8
5969. 9
5970. 0
5970. 1
5970. 2
5970. 3
5971. 0
5971. 1
5971. 2
5971. 3
5971. 4
5971. 5
5971. 6
5972. 0

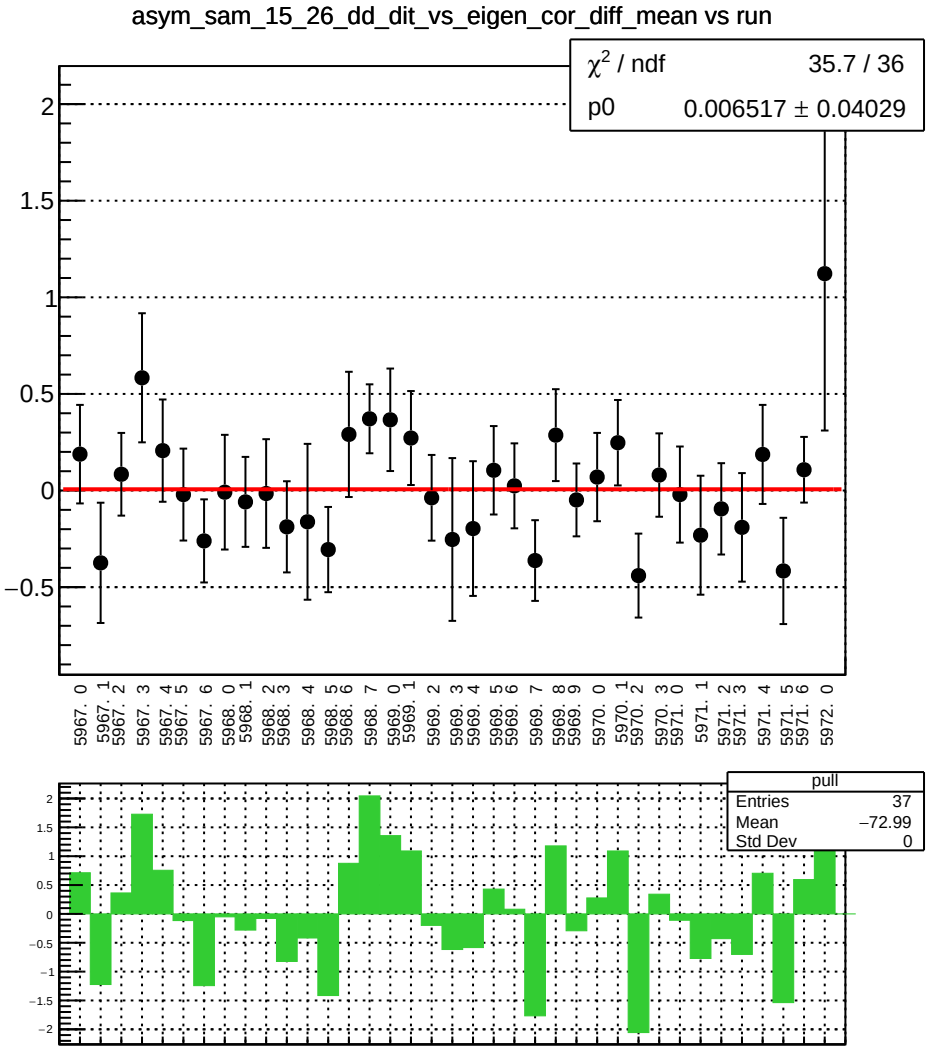
asym_sam_15_26_dd_dit_vs_eigen_cor_diff_mean vs run
χ² / ndf 35.7 / 36
p0 0.006517 ± 0.04029
pull
Entries 37
Mean −72.99
Std Dev 0
pull1D
Entries 37
Mean 0.00779
Std Dev 0.9823

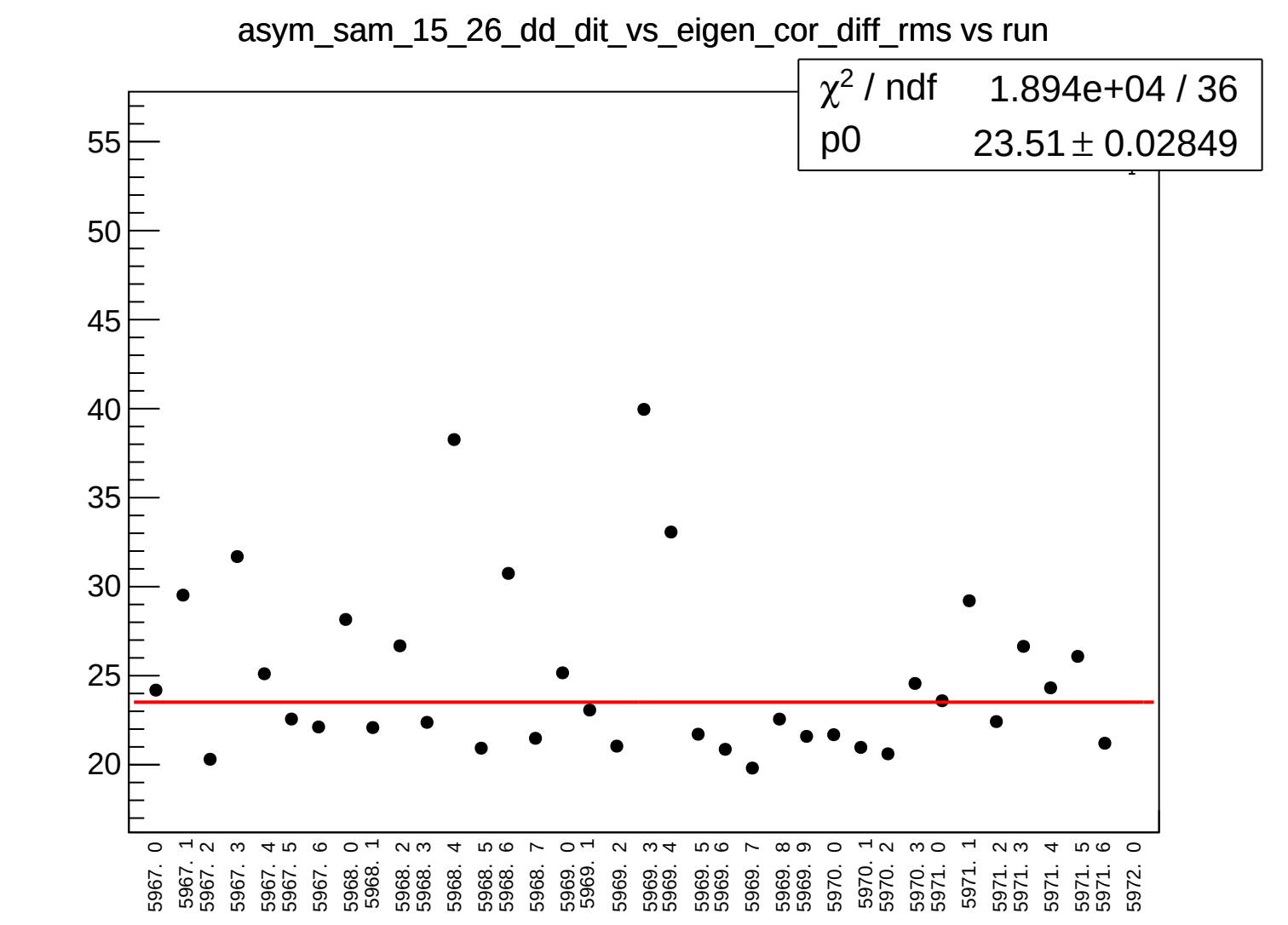
asym_sam_15_26_dd_dit_vs_eigen_cor_diff_rms vs run
χ² / ndf 1.894e+04 / 36
p0 23.51 ± 0.02849
55
50
45
40
35
30
25
20
5967. 0
5967. 1
5967. 2
5967. 3
5967. 4
5967. 5
5967. 6
5968. 0
5968. 1
5968. 2
5968. 3
5968. 4
5968. 5
5968. 6
5968. 7
5969. 0
5969. 1
5969. 2
5969. 3
5969. 4
5969. 5
5969. 6
5969. 7
5969. 8
5969. 9
5970. 0
5970. 1
5970. 2
5970. 3
5971. 0
5971. 1
5971. 2
5971. 3
5971. 4
5971. 5
5971. 6
5972. 0

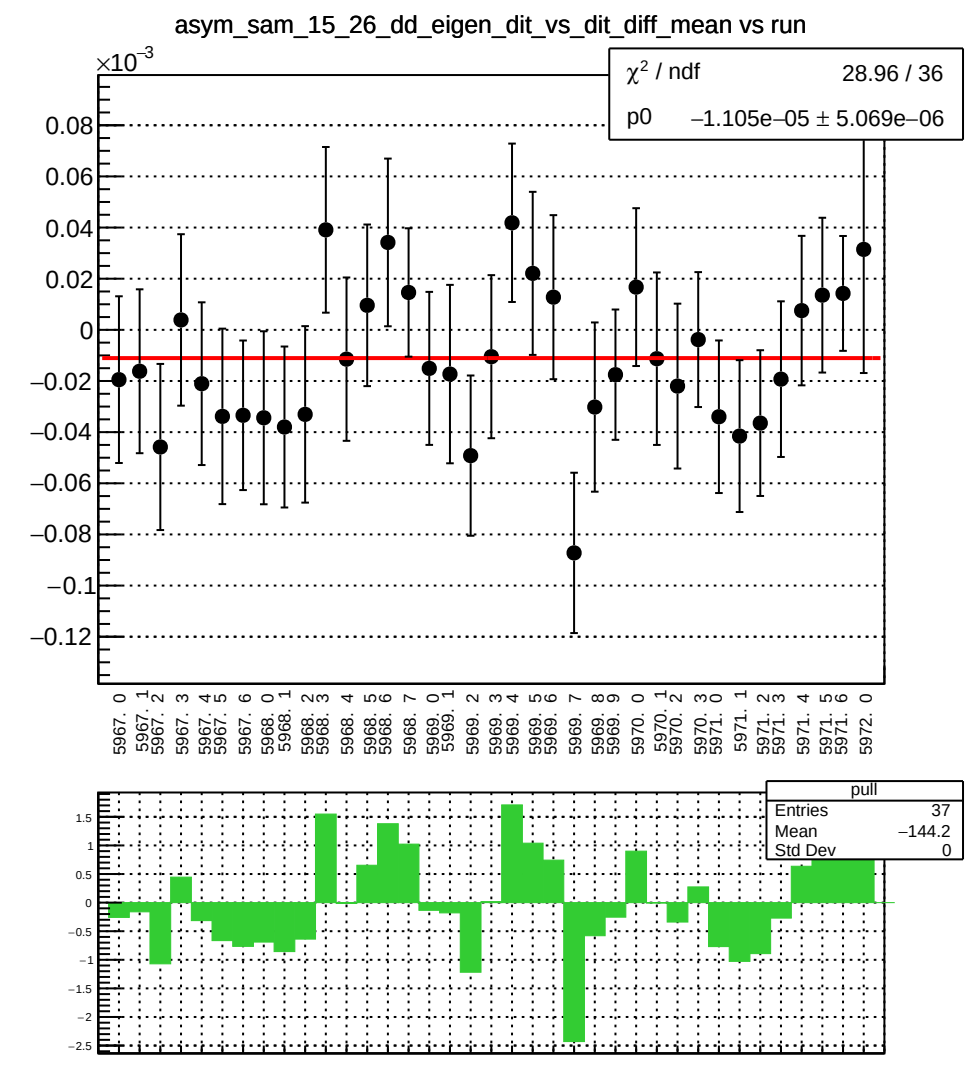
asym_sam_15_26_dd_eigen_dit_vs_dit_diff_mean vs run
×10^−3
χ² / ndf 28.96 / 36
p0 −1.105e−05 ± 5.069e−06
0.08
0.06
0.04
0.02
0
−0.02
−0.04
−0.06
−0.08
−0.1
−0.12
5967. 0
5967. 1
5967. 2
5967. 3
5967. 4
5967. 5
5967. 6
5968. 0
5968. 1
5968. 2
5968. 3
5968. 4
5968. 5
5968. 6
5968. 7
5969. 0
5969. 1
5969. 2
5969. 3
5969. 4
5969. 5
5969. 6
5969. 7
5969. 8
5969. 9
5970. 0
5970. 1
5970. 2
5970. 3
5971. 0
5971. 1
5971. 2
5971. 3
5971. 4
5971. 5
5971. 6
5972. 0
pull
Entries 37
Mean −144.2
Std Dev 0
1.5
1
0.5
0
−0.5
−1
−1.5
−2
−2.5

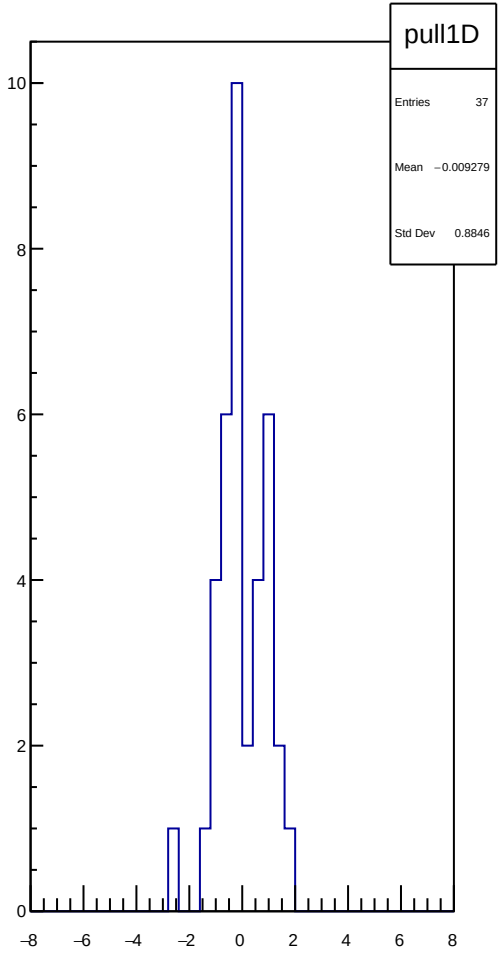
pull1D
Entries 37
Mean −0.009279
Std Dev 0.8846
10
8
6
4
2
0
−8
−6
−4
−2
0
2
4
6
8

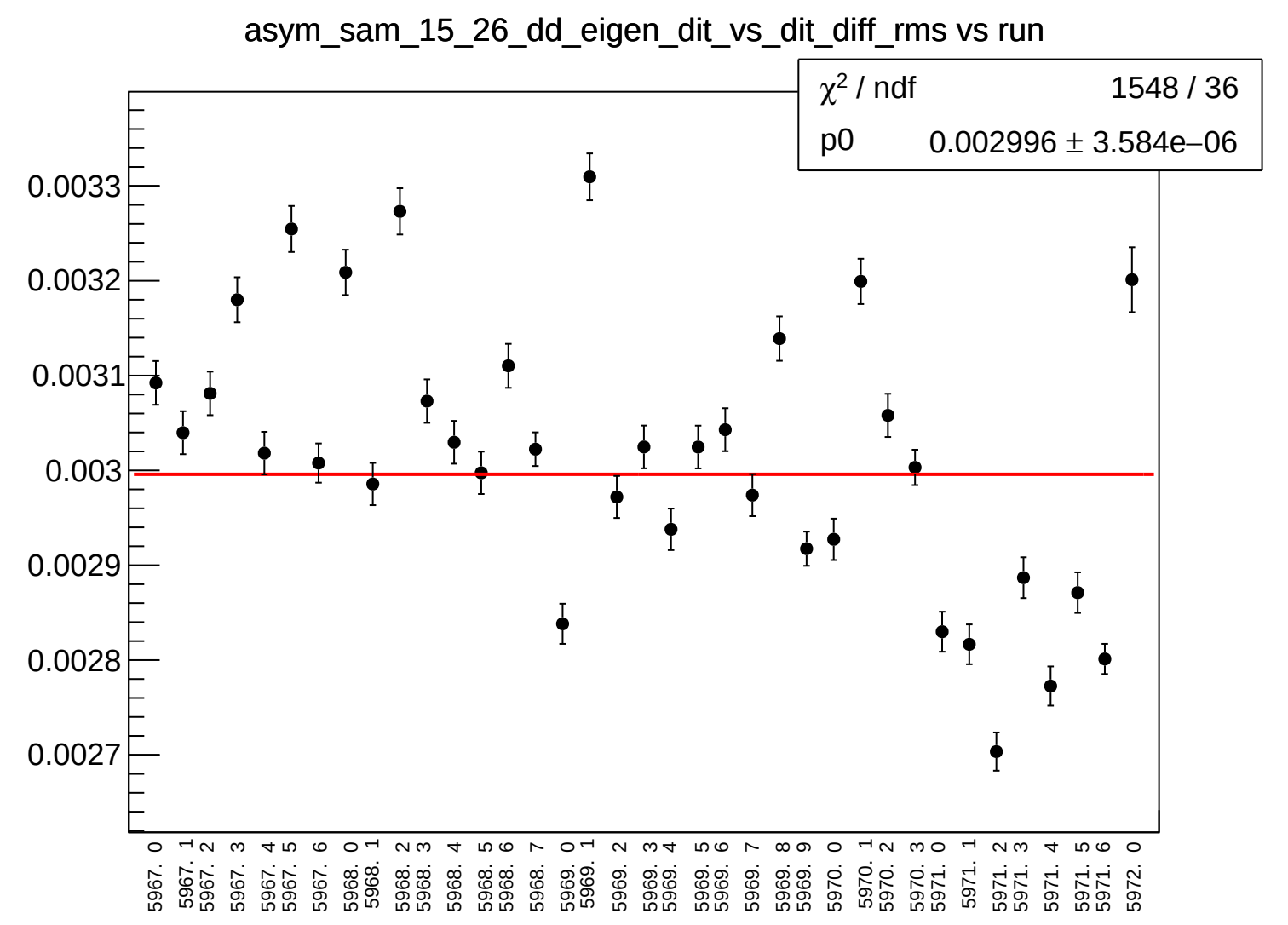
asym_sam_15_26_dd_eigen_dit_vs_dit_diff_rms vs run
χ² / ndf 1548 / 36
p0 0.002996 ± 3.584e−06
0.0033
0.0032
0.0031
0.003
0.0029
0.0028
0.0027
5967. 0
5967. 1
5967. 2
5967. 3
5967. 4
5967. 5
5967. 6
5968. 0
5968. 1
5968. 2
5968. 3
5968. 4
5968. 5
5968. 6
5968. 7
5969. 0
5969. 1
5969. 2
5969. 3
5969. 4
5969. 5
5969. 6
5969. 7
5969. 8
5969. 9
5970. 0
5970. 1
5970. 2
5970. 3
5971. 0
5971. 1
5971. 2
5971. 3
5971. 4
5971. 5
5971. 6
5972. 0

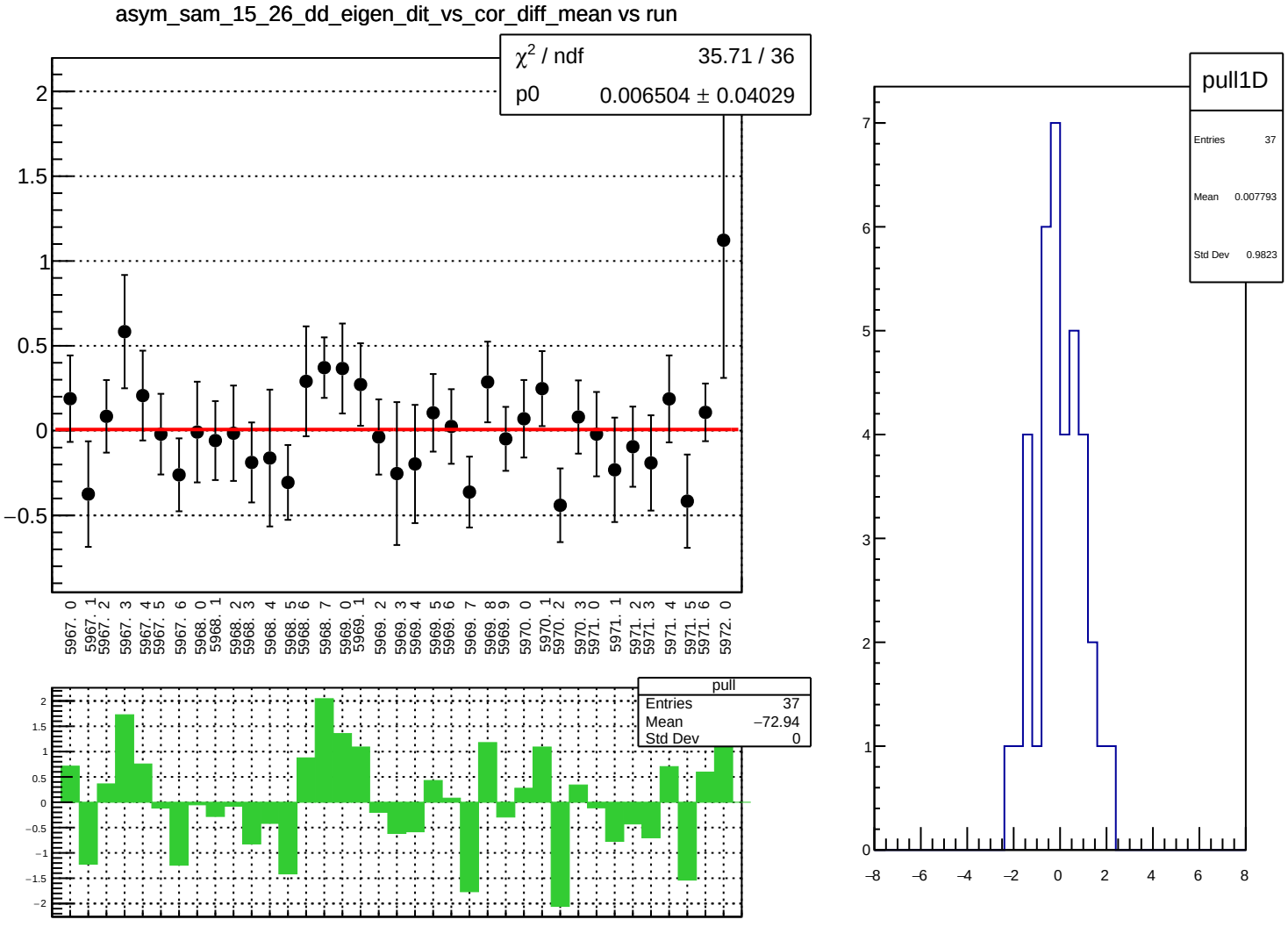
asym_sam_15_26_dd_eigen_dit_vs_cor_diff_mean vs run
χ² / ndf 35.71 / 36
p0 0.006504 ± 0.04029
pull
Entries 37
Mean −72.94
Std Dev 0
pull1D
Entries 37
Mean 0.007793
Std Dev 0.9823

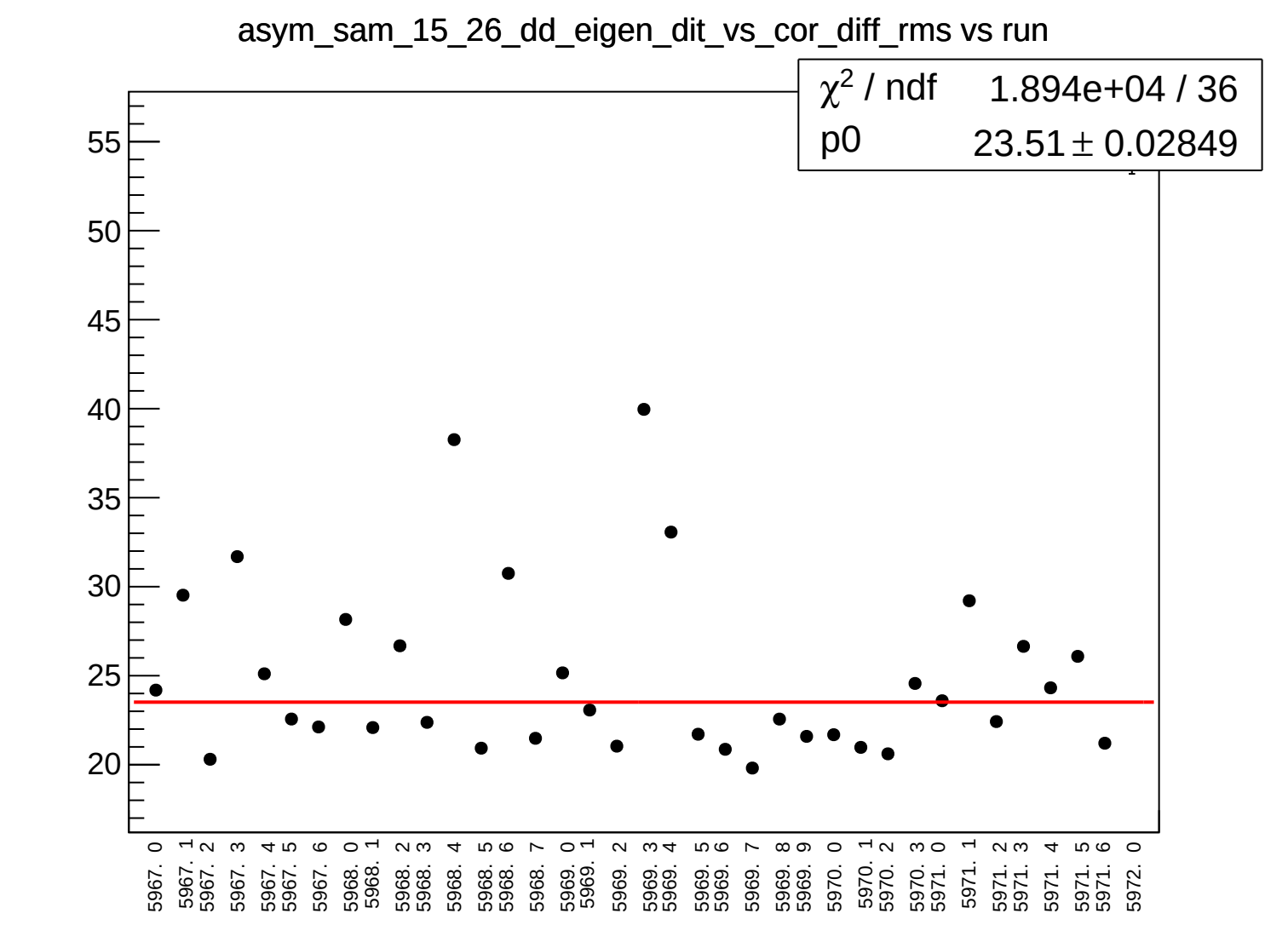
asym_sam_15_26_dd_eigen_dit_vs_cor_diff_rms vs run
χ² / ndf 1.894e+04 / 36
p0 23.51 ± 0.02849
55
50
45
40
35
30
25
20
5967. 0
5967. 1
5967. 2
5967. 3
5967. 4
5967. 5
5967. 6
5968. 0
5968. 1
5968. 2
5968. 3
5968. 4
5968. 5
5968. 6
5968. 7
5969. 0
5969. 1
5969. 2
5969. 3
5969. 4
5969. 5
5969. 6
5969. 7
5969. 8
5969. 9
5970. 0
5970. 1
5970. 2
5970. 3
5971. 0
5971. 1
5971. 2
5971. 3
5971. 4
5971. 5
5971. 6
5972. 0

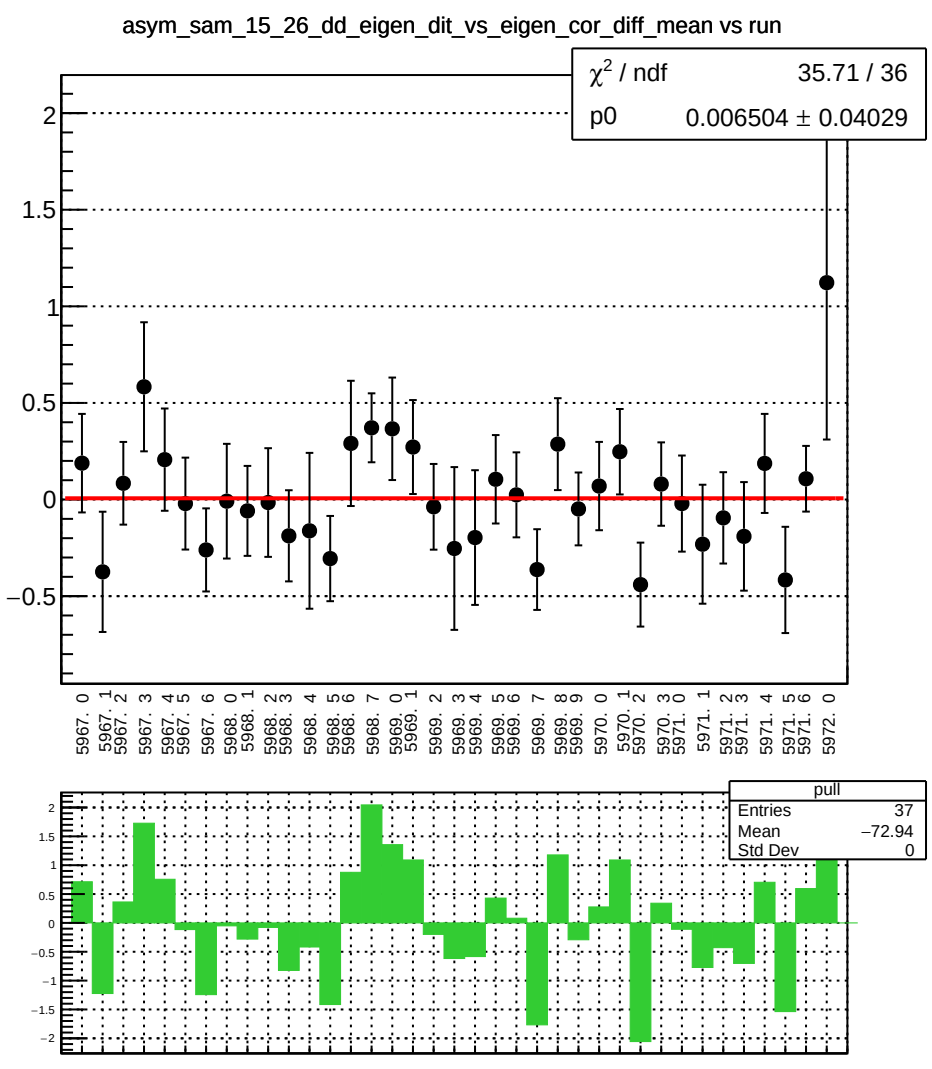
asym_sam_15_26_dd_eigen_dit_vs_eigen_cor_diff_mean vs run
χ² / ndf 35.71 / 36
p0 0.006504 ± 0.04029
pull
Entries 37
Mean −72.94
Std Dev 0

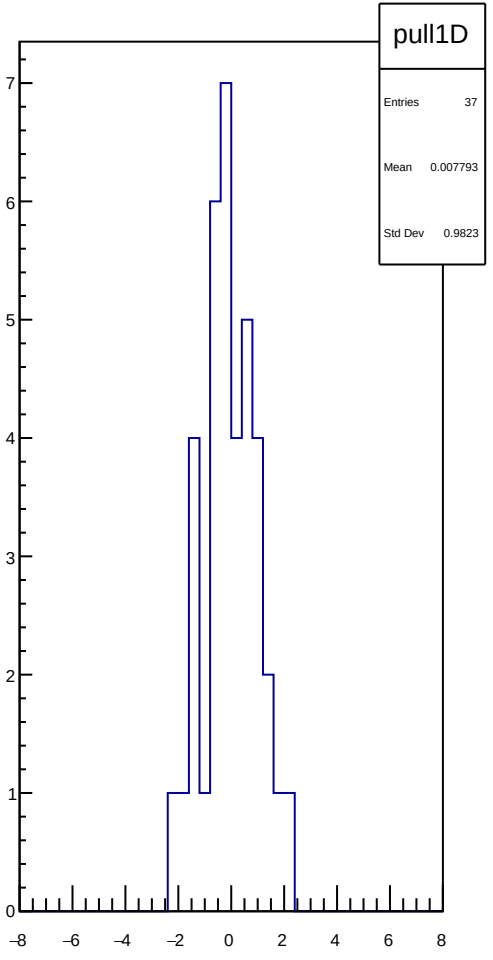
pull1D
Entries 37
Mean 0.007793
Std Dev 0.9823

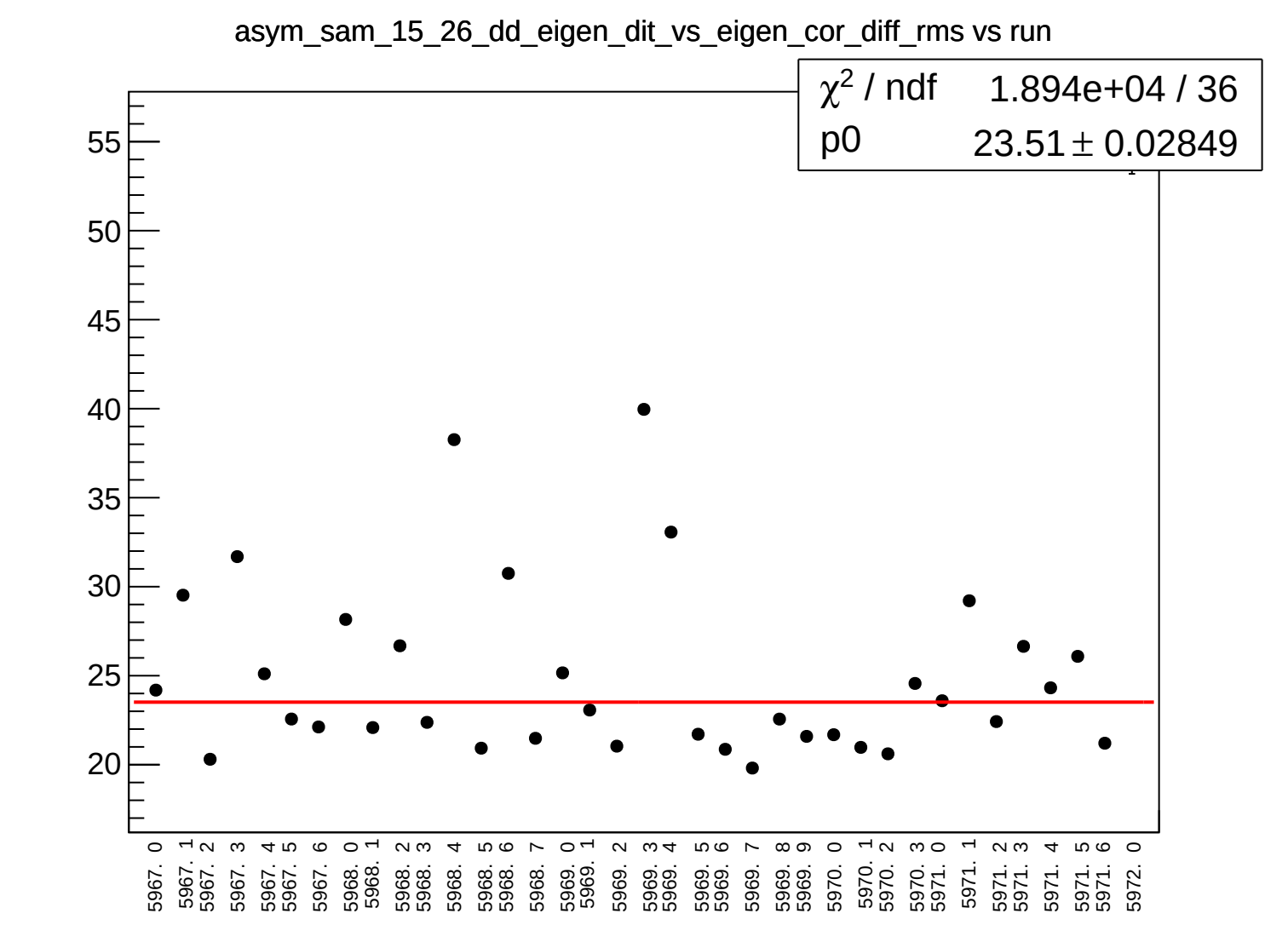
asym_sam_15_26_dd_eigen_dit_vs_eigen_cor_diff_rms vs run
χ² / ndf 1.894e+04 / 36
p0 23.51 ± 0.02849
55
50
45
40
35
30
25
20
5967. 0
5967. 1
5967. 2
5967. 3
5967. 4
5967. 5
5967. 6
5968. 0
5968. 1
5968. 2
5968. 3
5968. 4
5968. 5
5968. 6
5968. 7
5969. 0
5969. 1
5969. 2
5969. 3
5969. 4
5969. 5
5969. 6
5969. 7
5969. 8
5969. 9
5970. 0
5970. 1
5970. 2
5970. 3
5971. 0
5971. 1
5971. 2
5971. 3
5971. 4
5971. 5
5971. 6
5972. 0

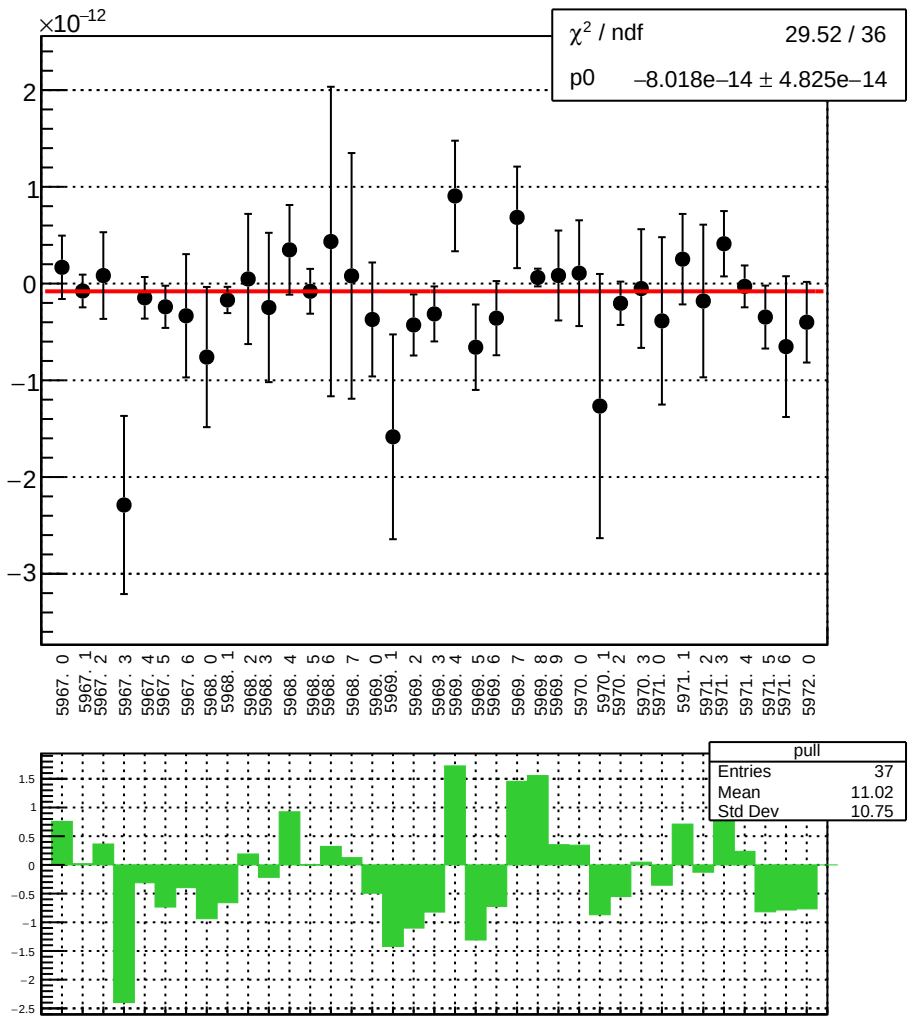
asym_sam_15_26_dd_eigen_cor_vs_cor_diff_mean vs run
×10⁻¹²
χ² / ndf 29.52 / 36
p0 −8.018e−14 ± 4.825e−14
pull
Entries 37
Mean 11.02
Std Dev 10.75

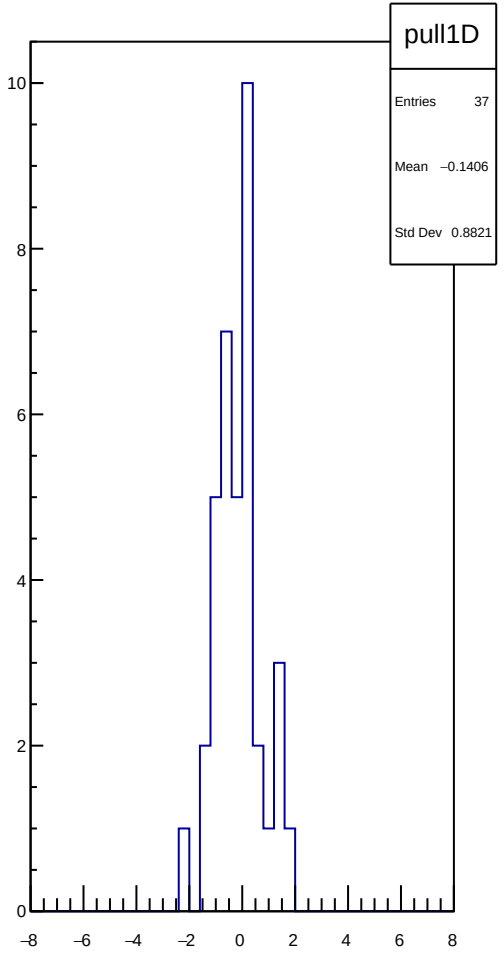
pull1D
Entries 37
Mean −0.1406
Std Dev 0.8821

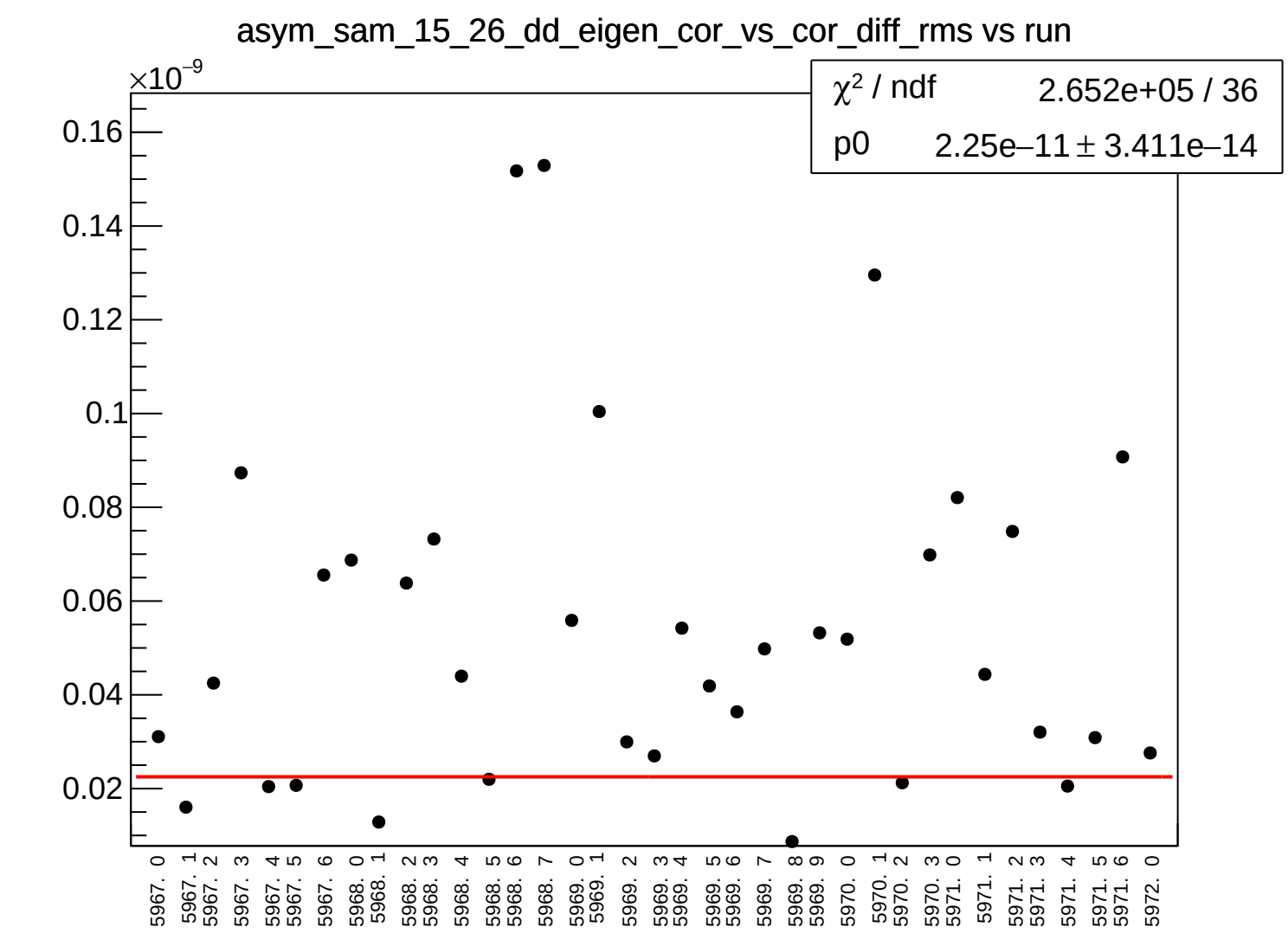
asym_sam_15_26_dd_eigen_cor_vs_cor_diff_rms vs run
×10⁻⁹
χ² / ndf 2.652e+05 / 36
p0 2.25e−11 ± 3.411e−14
0.16
0.14
0.12
0.1
0.08
0.06
0.04
0.02
5967. 0
5967. 1
5967. 2
5967. 3
5967. 4
5967. 5
5967. 6
5968. 0
5968. 1
5968. 2
5968. 3
5968. 4
5968. 5
5968. 6
5968. 7
5969. 0
5969. 1
5969. 2
5969. 3
5969. 4
5969. 5
5969. 6
5969. 7
5969. 8
5969. 9
5970. 0
5970. 1
5970. 2
5970. 3
5971. 0
5971. 1
5971. 2
5971. 3
5971. 4
5971. 5
5971. 6
5972. 0

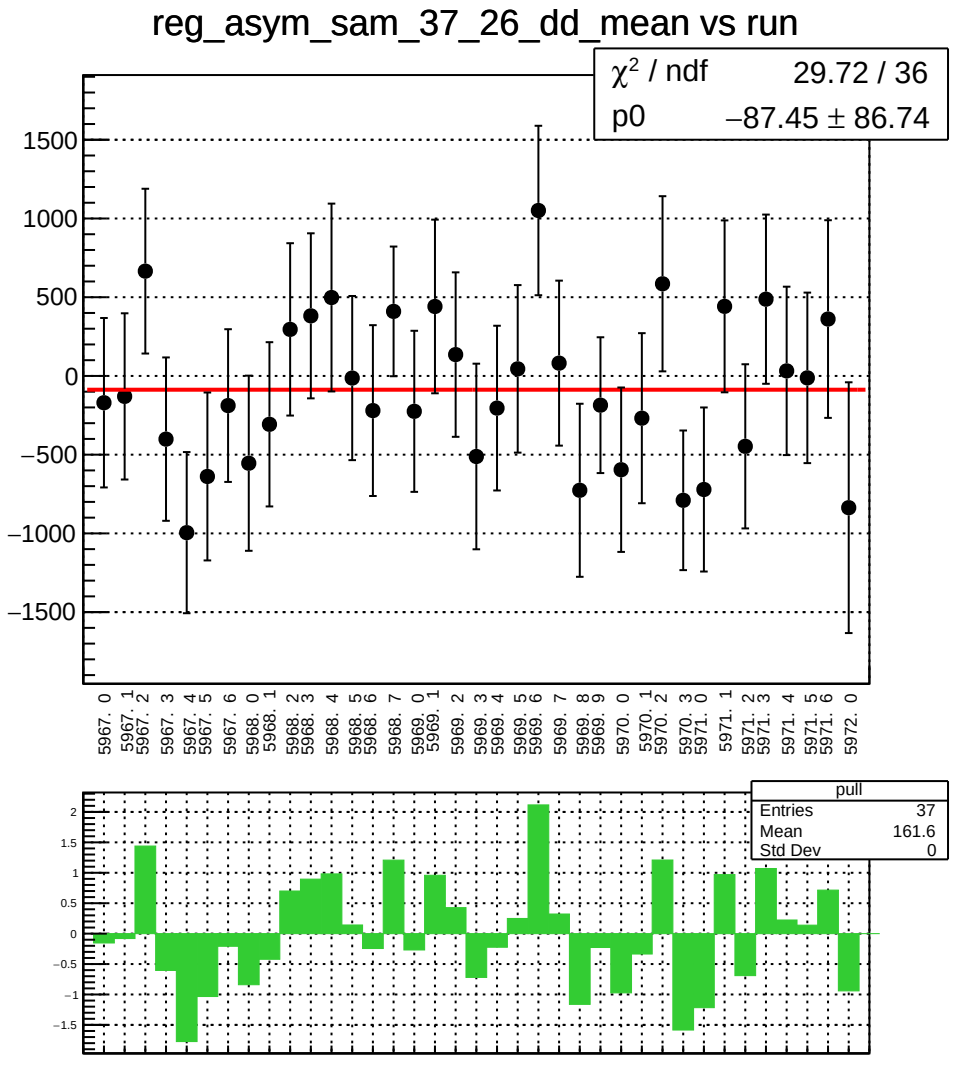
reg_asym_sam_37_26_dd_mean vs run
χ² / ndf 29.72 / 36
p0 −87.45 ± 86.74
1500
1000
500
0
−500
−1000
−1500
5967. 0
5967. 1
5967. 2
5967. 3
5967. 4
5967. 5
5967. 6
5968. 0
5968. 1
5968. 2
5968. 3
5968. 4
5968. 5
5968. 6
5968. 7
5969. 0
5969. 1
5969. 2
5969. 3
5969. 4
5969. 5
5969. 6
5969. 7
5969. 8
5969. 9
5970. 0
5970. 1
5970. 2
5970. 3
5971. 0
5971. 1
5971. 2
5971. 3
5971. 4
5971. 5
5971. 6
5972. 0
pull
Entries 37
Mean 161.6
Std Dev 0
2
1.5
1
0.5
0
−0.5
−1
−1.5
pull1D
Entries 37
Mean 0.001775
Std Dev 0.8963
8
7
6
5
4
3
2
1
0
−8
−6
−4
−2
0
2
4
6
8

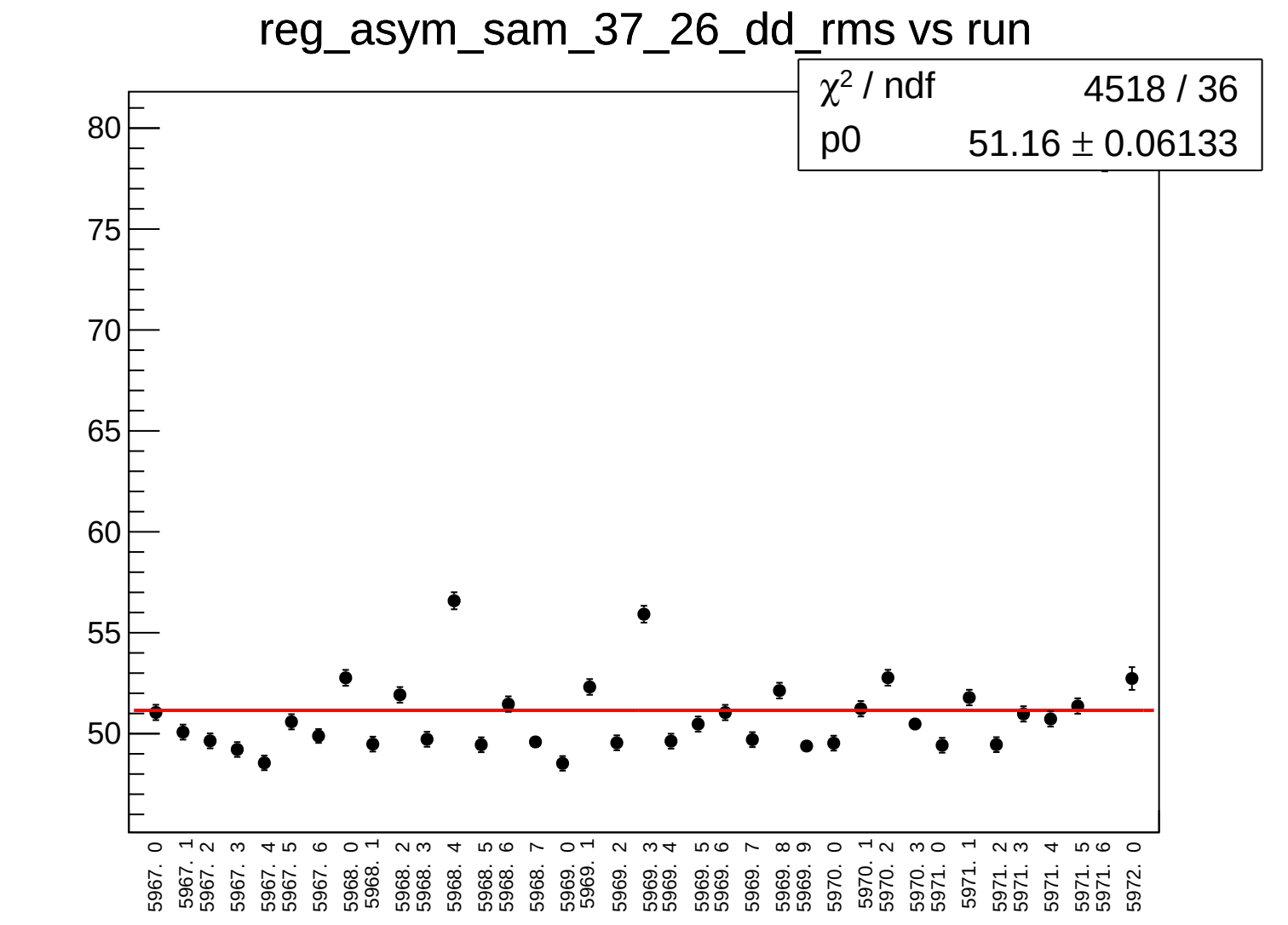
reg_asym_sam_37_26_dd_rms vs run
χ² / ndf 4518 / 36
p0 51.16 ± 0.06133
80
75
70
65
60
55
50
5967. 0
5967. 1
5967. 2
5967. 3
5967. 4
5967. 5
5967. 6
5968. 0
5968. 1
5968. 2
5968. 3
5968. 4
5968. 5
5968. 6
5968. 7
5969. 0
5969. 1
5969. 2
5969. 3
5969. 4
5969. 5
5969. 6
5969. 7
5969. 8
5969. 9
5970. 0
5970. 1
5970. 2
5970. 3
5971. 0
5971. 1
5971. 2
5971. 3
5971. 4
5971. 5
5971. 6
5972. 0

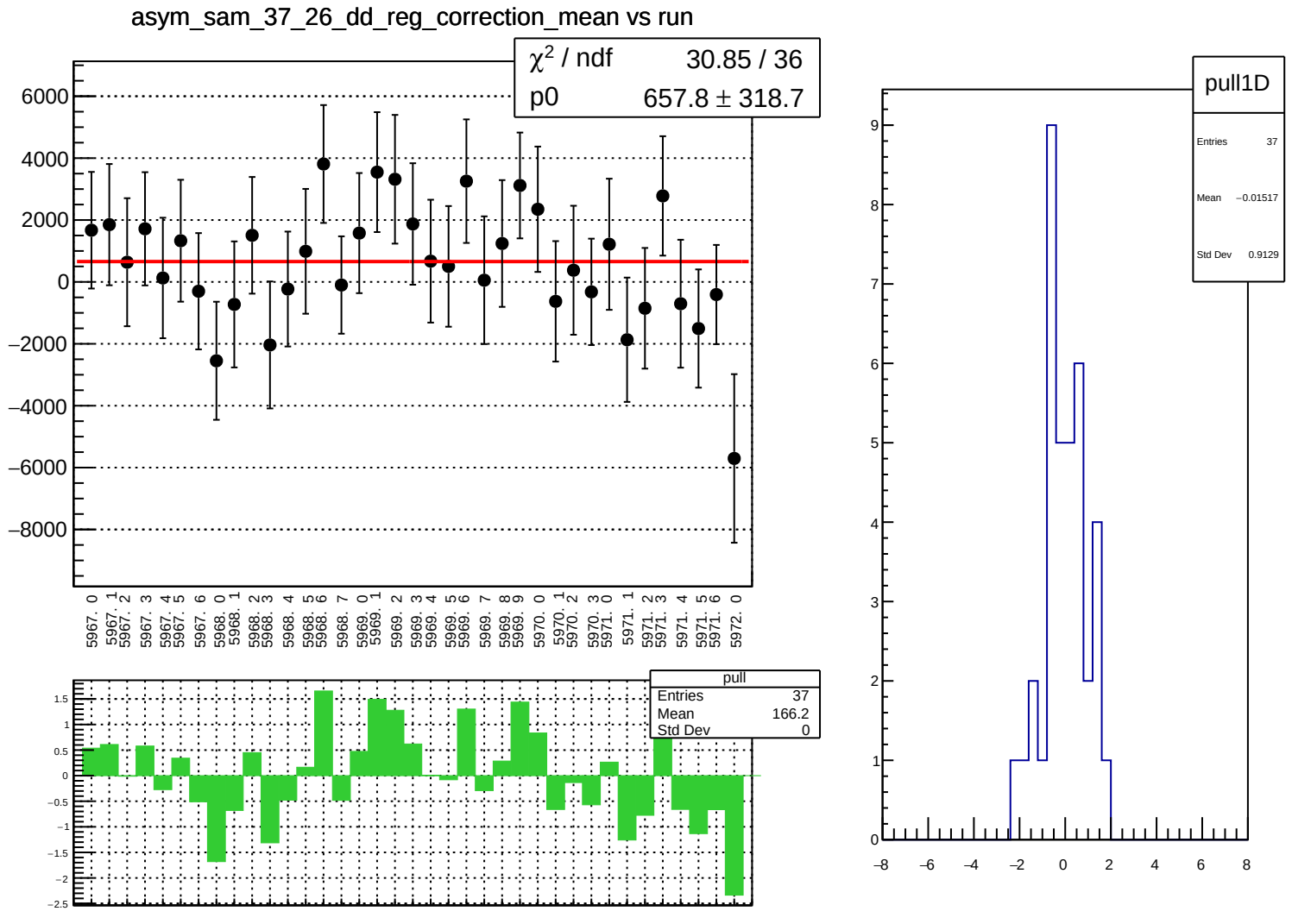
asym_sam_37_26_dd_reg_correction_mean vs run
χ² / ndf 30.85 / 36
p0 657.8 ± 318.7
6000
4000
2000
0
−2000
−4000
−6000
−8000
5967. 0
5967. 1
5967. 2
5967. 3
5967. 4
5967. 5
5967. 6
5968. 0
5968. 1
5968. 2
5968. 3
5968. 4
5968. 5
5968. 6
5968. 7
5969. 0
5969. 1
5969. 2
5969. 3
5969. 4
5969. 5
5969. 6
5969. 7
5969. 8
5969. 9
5970. 0
5970. 1
5970. 2
5970. 3
5971. 0
5971. 1
5971. 2
5971. 3
5971. 4
5971. 5
5971. 6
5972. 0
pull
Entries 37
Mean 166.2
Std Dev 0
1.5
1
0.5
0
−0.5
−1
−1.5
−2
−2.5
pull1D
Entries 37
Mean −0.01517
Std Dev 0.9129
9
8
7
6
5
4
3
2
1
0
−8
−6
−4
−2
0
2
4
6
8

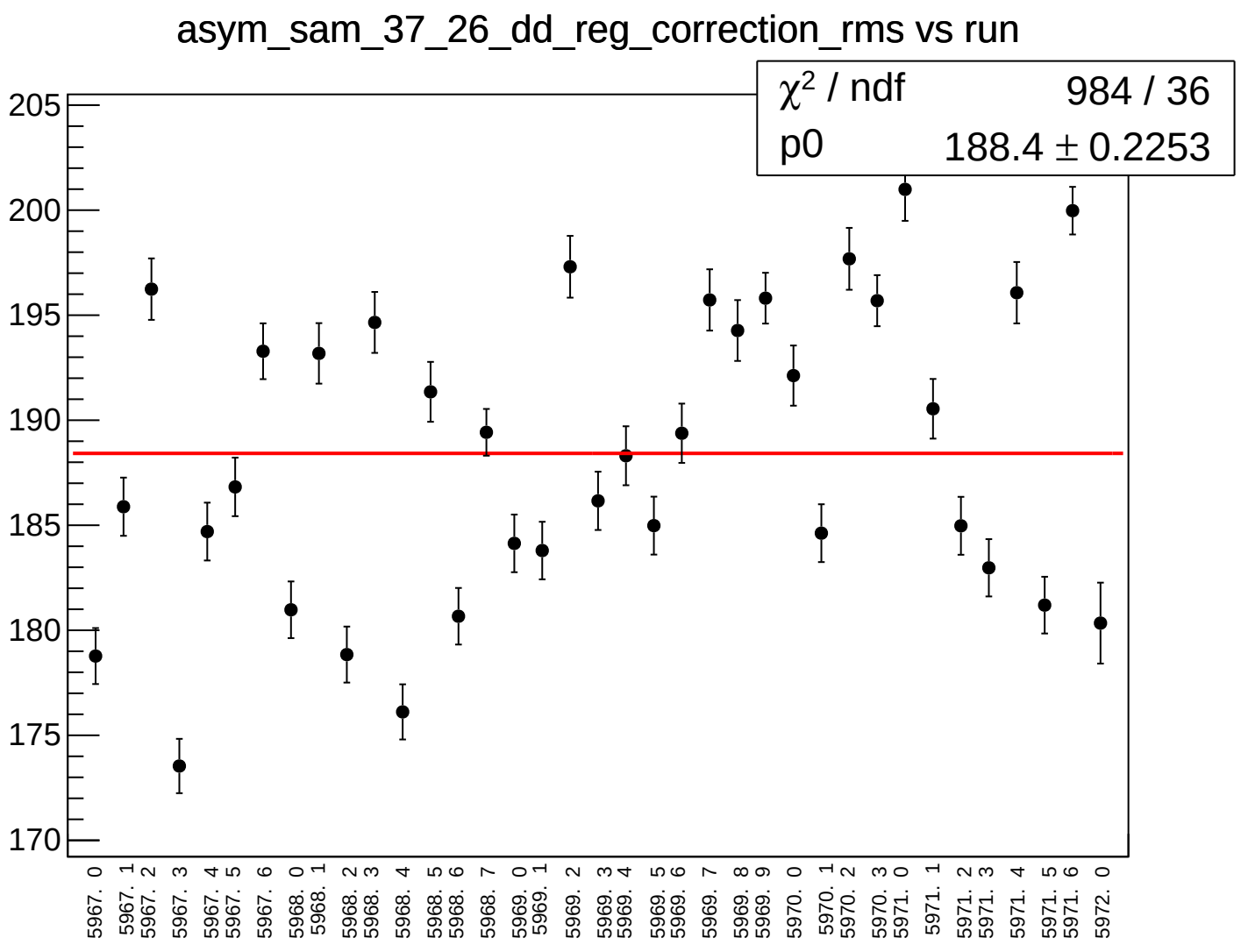
asym_sam_37_26_dd_reg_correction_rms vs run
χ² / ndf 984 / 36
p0 188.4 ± 0.2253
205
200
195
190
185
180
175
170
5967. 0
5967. 1
5967. 2
5967. 3
5967. 4
5967. 5
5967. 6
5968. 0
5968. 1
5968. 2
5968. 3
5968. 4
5968. 5
5968. 6
5968. 7
5969. 0
5969. 1
5969. 2
5969. 3
5969. 4
5969. 5
5969. 6
5969. 7
5969. 8
5969. 9
5970. 0
5970. 1
5970. 2
5970. 3
5971. 0
5971. 1
5971. 2
5971. 3
5971. 4
5971. 5
5971. 6
5972. 0

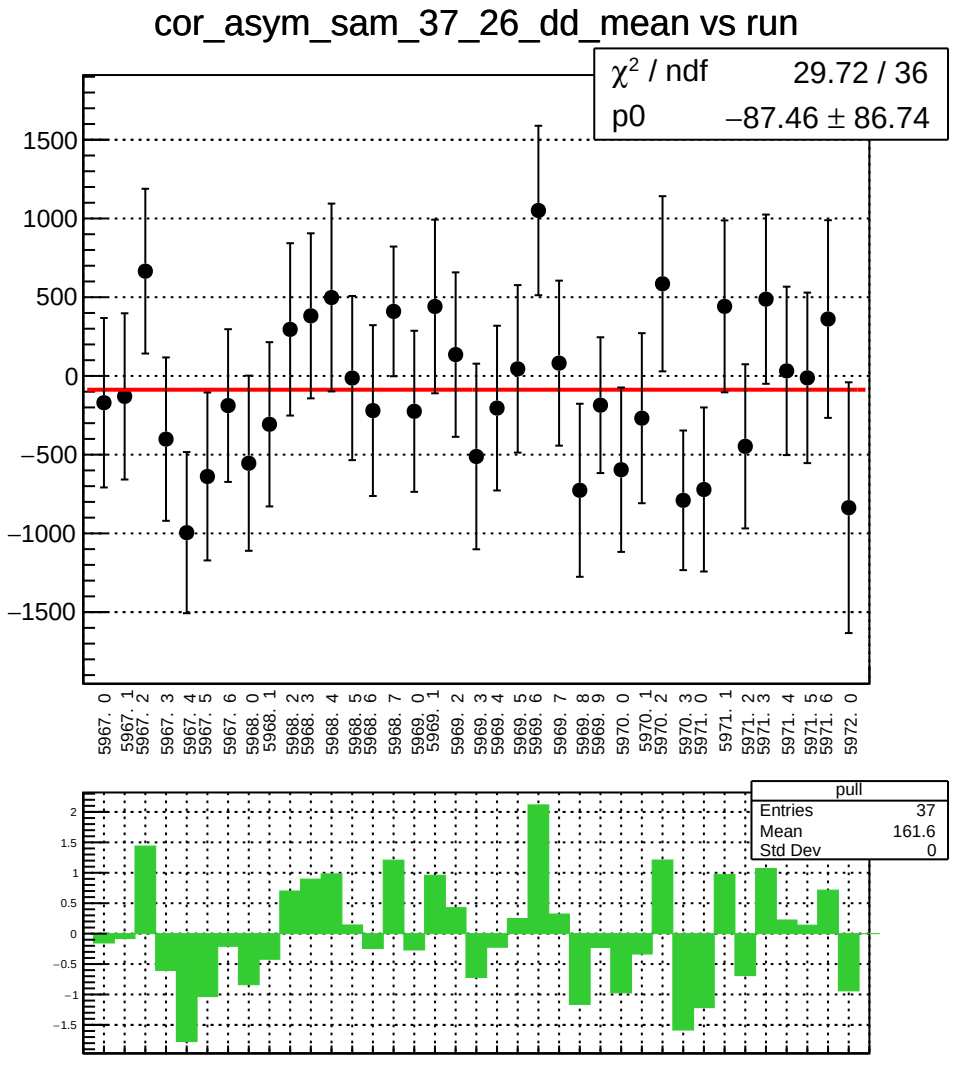
cor_asym_sam_37_26_dd_mean vs run
χ² / ndf 29.72 / 36
p0 −87.46 ± 86.74
1500
1000
500
0
−500
−1000
−1500
5967. 0
5967. 1
5967. 2
5967. 3
5967. 4
5967. 5
5967. 6
5968. 0
5968. 1
5968. 2
5968. 3
5968. 4
5968. 5
5968. 6
5968. 7
5969. 0
5969. 1
5969. 2
5969. 3
5969. 4
5969. 5
5969. 6
5969. 7
5969. 8
5969. 9
5970. 0
5970. 1
5970. 2
5970. 3
5971. 0
5971. 1
5971. 2
5971. 3
5971. 4
5971. 5
5971. 6
5972. 0
pull
Entries 37
Mean 161.6
Std Dev 0
2
1.5
1
0.5
0
−0.5
−1
−1.5
pull1D
Entries 37
Mean 0.001775
Std Dev 0.8963
8
7
6
5
4
3
2
1
0
−8
−6
−4
−2
0
2
4
6
8

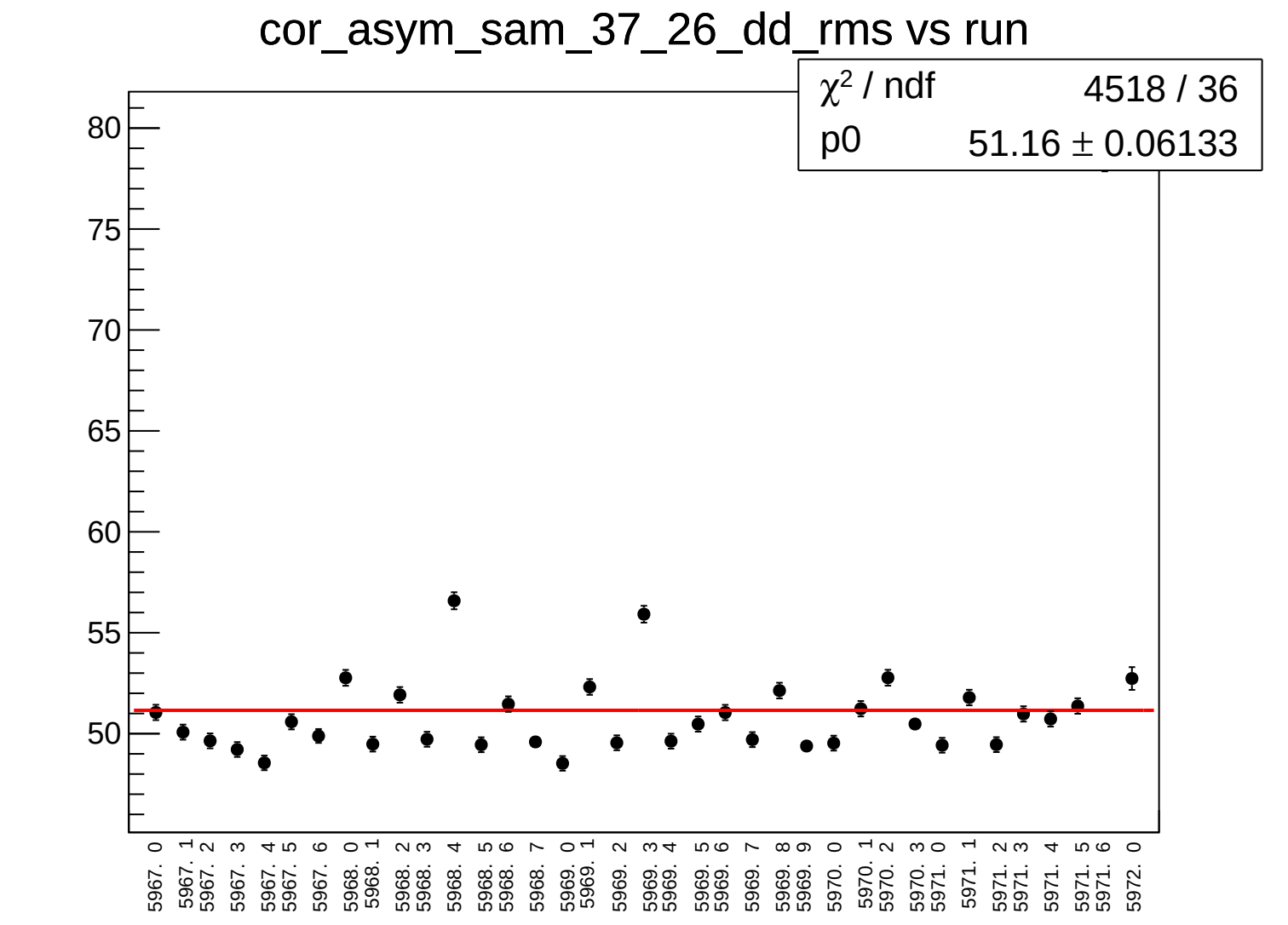
cor_asym_sam_37_26_dd_rms vs run
χ² / ndf 4518 / 36
p0 51.16 ± 0.06133
80
75
70
65
60
55
50
5967. 0
5967. 1
5967. 2
5967. 3
5967. 4
5967. 5
5967. 6
5968. 0
5968. 1
5968. 2
5968. 3
5968. 4
5968. 5
5968. 6
5968. 7
5969. 0
5969. 1
5969. 2
5969. 3
5969. 4
5969. 5
5969. 6
5969. 7
5969. 8
5969. 9
5970. 0
5970. 1
5970. 2
5970. 3
5971. 0
5971. 1
5971. 2
5971. 3
5971. 4
5971. 5
5971. 6
5972. 0

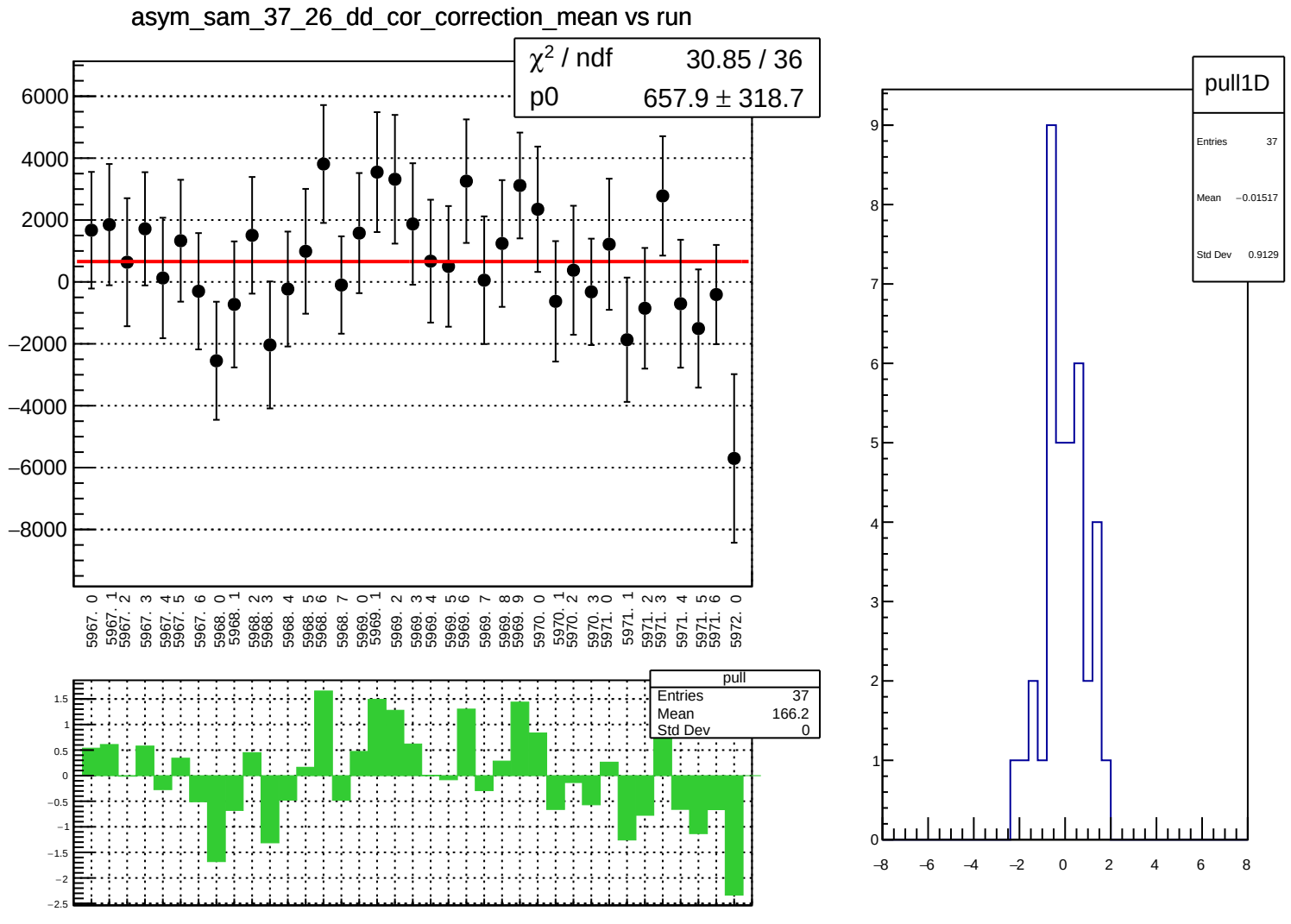
asym_sam_37_26_dd_cor_correction_mean vs run
χ² / ndf 30.85 / 36
p0 657.9 ± 318.7
6000
4000
2000
0
−2000
−4000
−6000
−8000
5967. 0
5967. 1
5967. 2
5967. 3
5967. 4
5967. 5
5967. 6
5968. 0
5968. 1
5968. 2
5968. 3
5968. 4
5968. 5
5968. 6
5968. 7
5969. 0
5969. 1
5969. 2
5969. 3
5969. 4
5969. 5
5969. 6
5969. 7
5969. 8
5969. 9
5970. 0
5970. 1
5970. 2
5970. 3
5971. 0
5971. 1
5971. 2
5971. 3
5971. 4
5971. 5
5971. 6
5972. 0
pull
Entries 37
Mean 166.2
Std Dev 0
1.5
1
0.5
0
−0.5
−1
−1.5
−2
−2.5
pull1D
Entries 37
Mean −0.01517
Std Dev 0.9129
9
8
7
6
5
4
3
2
1
0
−8
−6
−4
−2
0
2
4
6
8

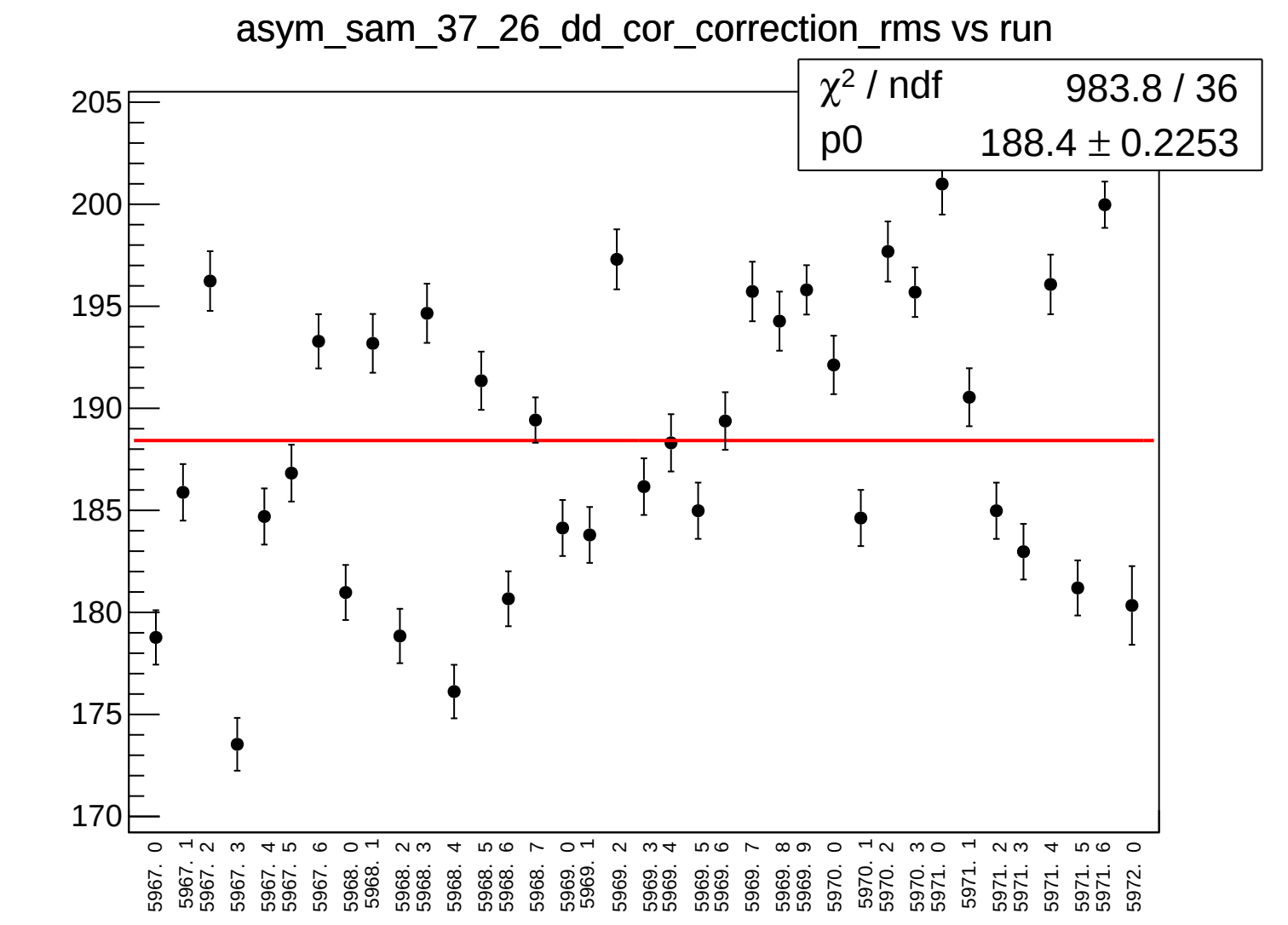
asym_sam_37_26_dd_cor_correction_rms vs run
χ² / ndf 983.8 / 36
p0 188.4 ± 0.2253
205
200
195
190
185
180
175
170
5967. 0
5967. 1
5967. 2
5967. 3
5967. 4
5967. 5
5967. 6
5968. 0
5968. 1
5968. 2
5968. 3
5968. 4
5968. 5
5968. 6
5968. 7
5969. 0
5969. 1
5969. 2
5969. 3
5969. 4
5969. 5
5969. 6
5969. 7
5969. 8
5969. 9
5970. 0
5970. 1
5970. 2
5970. 3
5971. 0
5971. 1
5971. 2
5971. 3
5971. 4
5971. 5
5971. 6
5972. 0

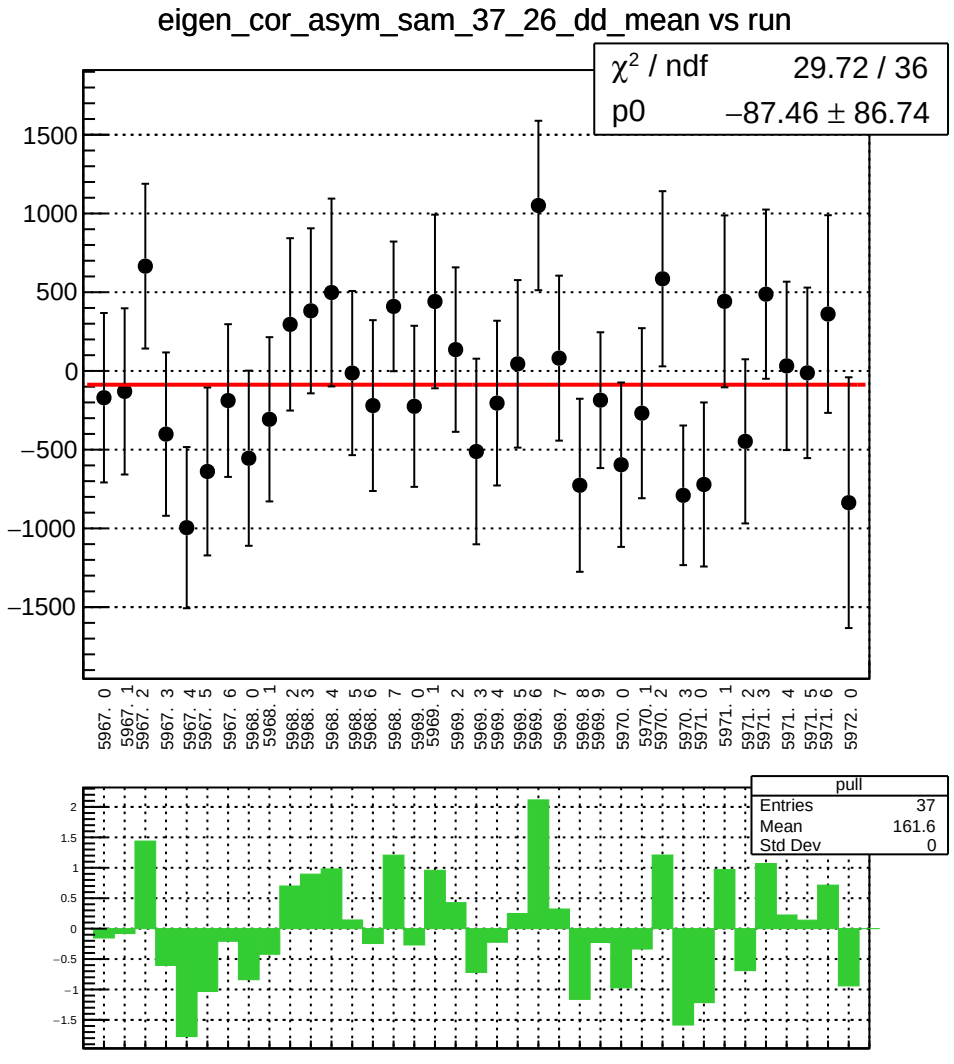
eigen_cor_asym_sam_37_26_dd_mean vs run
χ² / ndf 29.72 / 36
p0 −87.46 ± 86.74
1500
1000
500
0
−500
−1000
−1500
5967. 0
5967. 1
5967. 2
5967. 3
5967. 4
5967. 5
5967. 6
5968. 0
5968. 1
5968. 2
5968. 3
5968. 4
5968. 5
5968. 6
5968. 7
5969. 0
5969. 1
5969. 2
5969. 3
5969. 4
5969. 5
5969. 6
5969. 7
5969. 8
5969. 9
5970. 0
5970. 1
5970. 2
5970. 3
5971. 0
5971. 1
5971. 2
5971. 3
5971. 4
5971. 5
5971. 6
5972. 0
pull
Entries 37
Mean 161.6
Std Dev 0
2
1.5
1
0.5
0
−0.5
−1
−1.5
pull1D
Entries 37
Mean 0.001775
Std Dev 0.8963
8
7
6
5
4
3
2
1
0
−8
−6
−4
−2
0
2
4
6
8

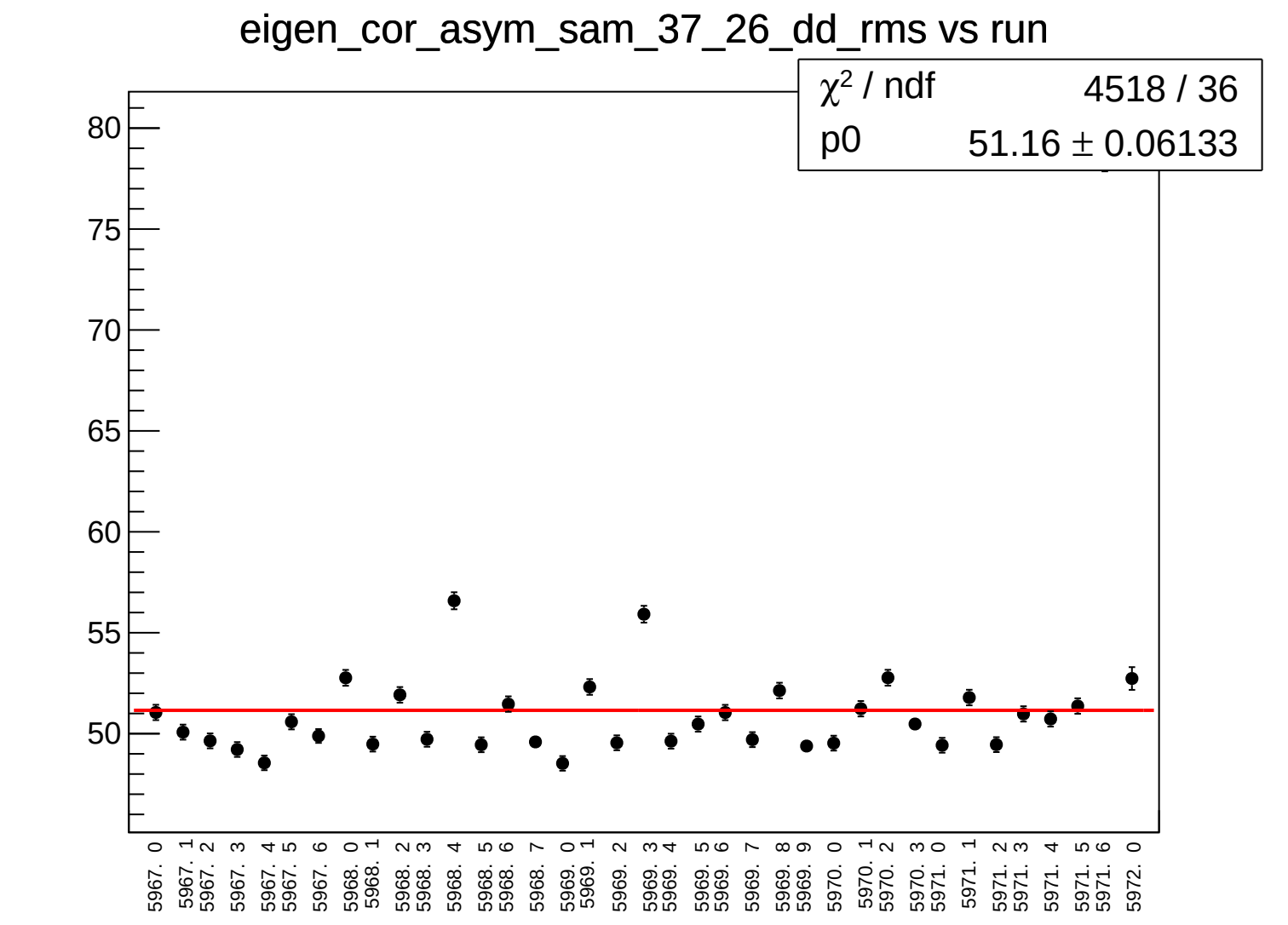
eigen_cor_asym_sam_37_26_dd_rms vs run
χ² / ndf 4518 / 36
p0 51.16 ± 0.06133
80
75
70
65
60
55
50
5967. 0
5967. 1
5967. 2
5967. 3
5967. 4
5967. 5
5967. 6
5968. 0
5968. 1
5968. 2
5968. 3
5968. 4
5968. 5
5968. 6
5968. 7
5969. 0
5969. 1
5969. 2
5969. 3
5969. 4
5969. 5
5969. 6
5969. 7
5969. 8
5969. 9
5970. 0
5970. 1
5970. 2
5970. 3
5971. 0
5971. 1
5971. 2
5971. 3
5971. 4
5971. 5
5971. 6
5972. 0

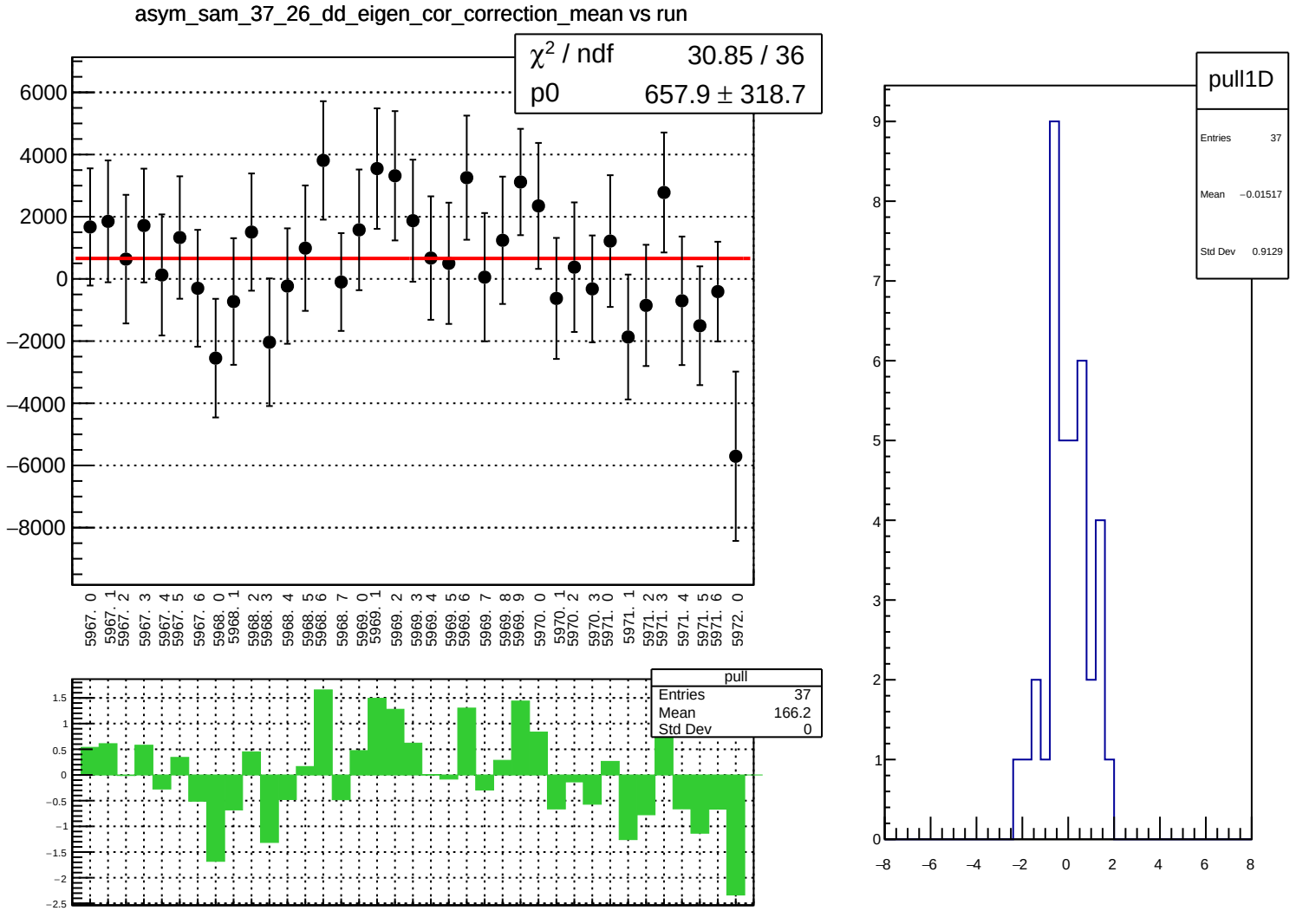
asym_sam_37_26_dd_eigen_cor_correction_mean vs run
χ² / ndf 30.85 / 36
p0 657.9 ± 318.7
6000
4000
2000
0
−2000
−4000
−6000
−8000
5967. 0
5967. 1
5967. 2
5967. 3
5967. 4
5967. 5
5967. 6
5968. 0
5968. 1
5968. 2
5968. 3
5968. 4
5968. 5
5968. 6
5968. 7
5969. 0
5969. 1
5969. 2
5969. 3
5969. 4
5969. 5
5969. 6
5969. 7
5969. 8
5969. 9
5970. 0
5970. 1
5970. 2
5970. 3
5971. 0
5971. 1
5971. 2
5971. 3
5971. 4
5971. 5
5971. 6
5972. 0
pull
Entries 37
Mean 166.2
Std Dev 0
1.5
1
0.5
0
−0.5
−1
−1.5
−2
−2.5
pull1D
Entries 37
Mean −0.01517
Std Dev 0.9129
9
8
7
6
5
4
3
2
1
0
−8
−6
−4
−2
0
2
4
6
8

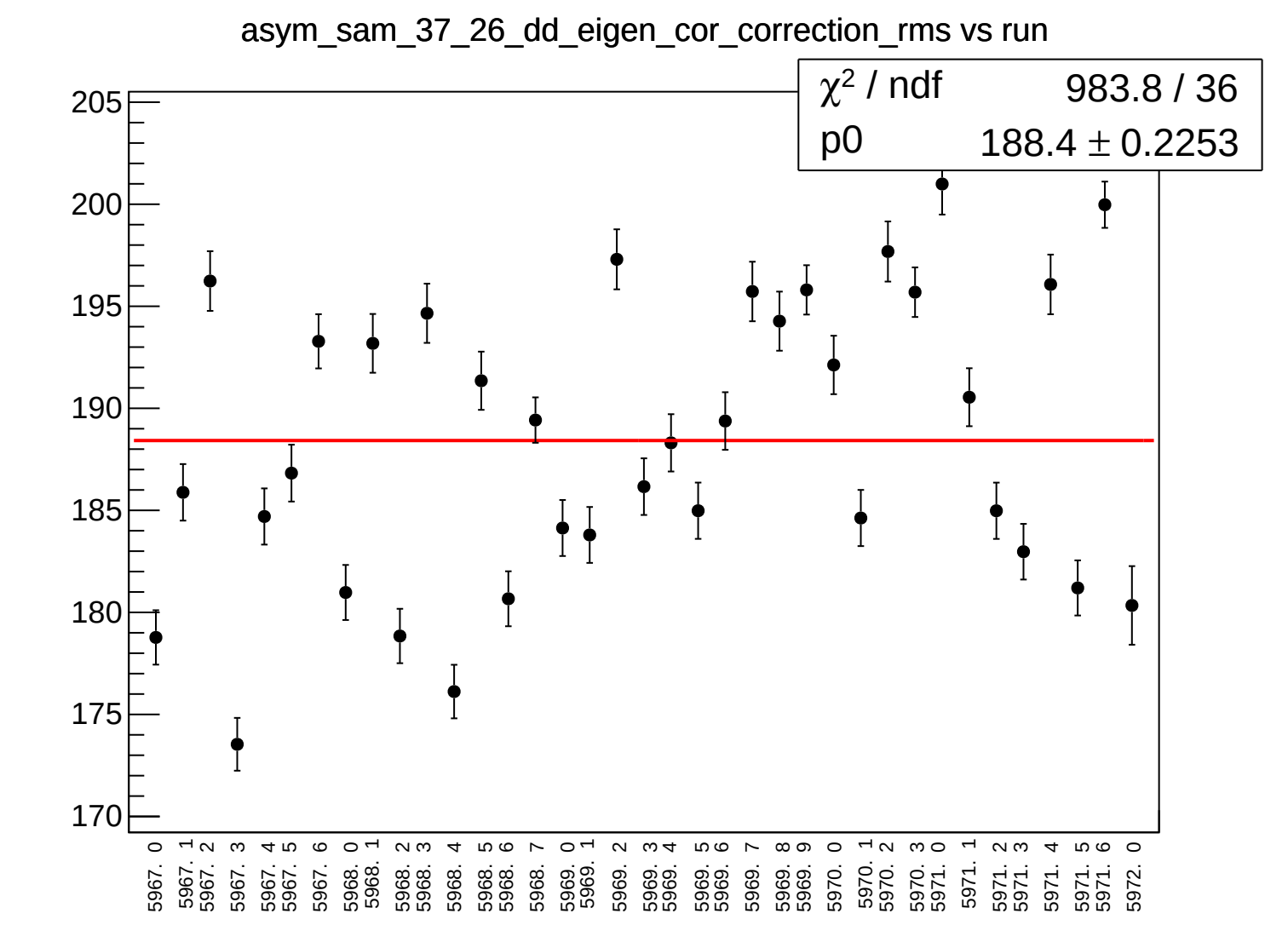
asym_sam_37_26_dd_eigen_cor_correction_rms vs run
χ² / ndf 983.8 / 36
p0 188.4 ± 0.2253
205
200
195
190
185
180
175
170
5967. 0
5967. 1
5967. 2
5967. 3
5967. 4
5967. 5
5967. 6
5968. 0
5968. 1
5968. 2
5968. 3
5968. 4
5968. 5
5968. 6
5968. 7
5969. 0
5969. 1
5969. 2
5969. 3
5969. 4
5969. 5
5969. 6
5969. 7
5969. 8
5969. 9
5970. 0
5970. 1
5970. 2
5970. 3
5971. 0
5971. 1
5971. 2
5971. 3
5971. 4
5971. 5
5971. 6
5972. 0

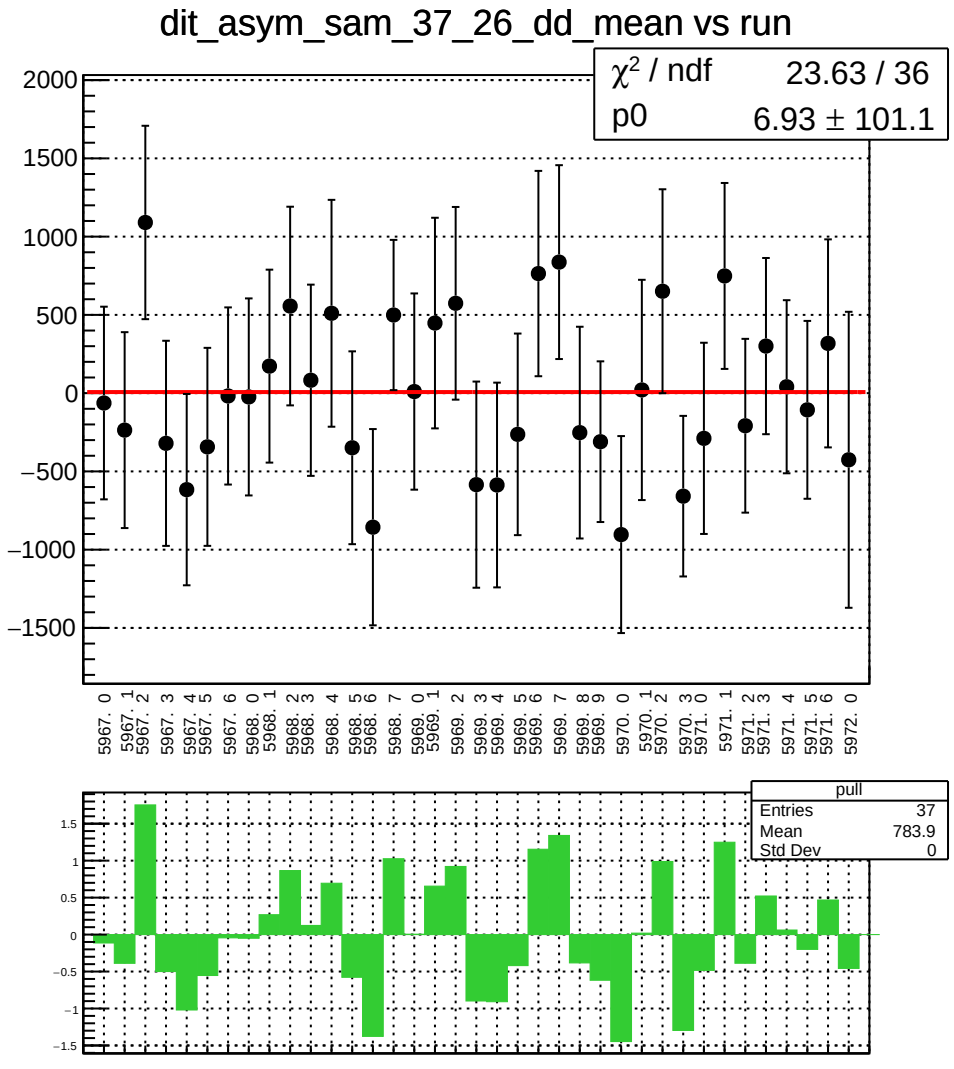
dit_asym_sam_37_26_dd_mean vs run
χ² / ndf 23.63 / 36
p0 6.93 ± 101.1
2000
1500
1000
500
0
−500
−1000
−1500
5967. 0
5967. 1
5967. 2
5967. 3
5967. 4
5967. 5
5967. 6
5968. 0
5968. 1
5968. 2
5968. 3
5968. 4
5968. 5
5968. 6
5968. 7
5969. 0
5969. 1
5969. 2
5969. 3
5969. 4
5969. 5
5969. 6
5969. 7
5969. 8
5969. 9
5970. 0
5970. 1
5970. 2
5970. 3
5971. 0
5971. 1
5971. 2
5971. 3
5971. 4
5971. 5
5971. 6
5972. 0
pull
Entries 37
Mean 783.9
Std Dev 0
1.5
1
0.5
0
−0.5
−1
−1.5
pull1D
Entries 37
Mean −0.0001734
Std Dev 0.7991
7
6
5
4
3
2
1
0
−8
−6
−4
−2
0
2
4
6
8

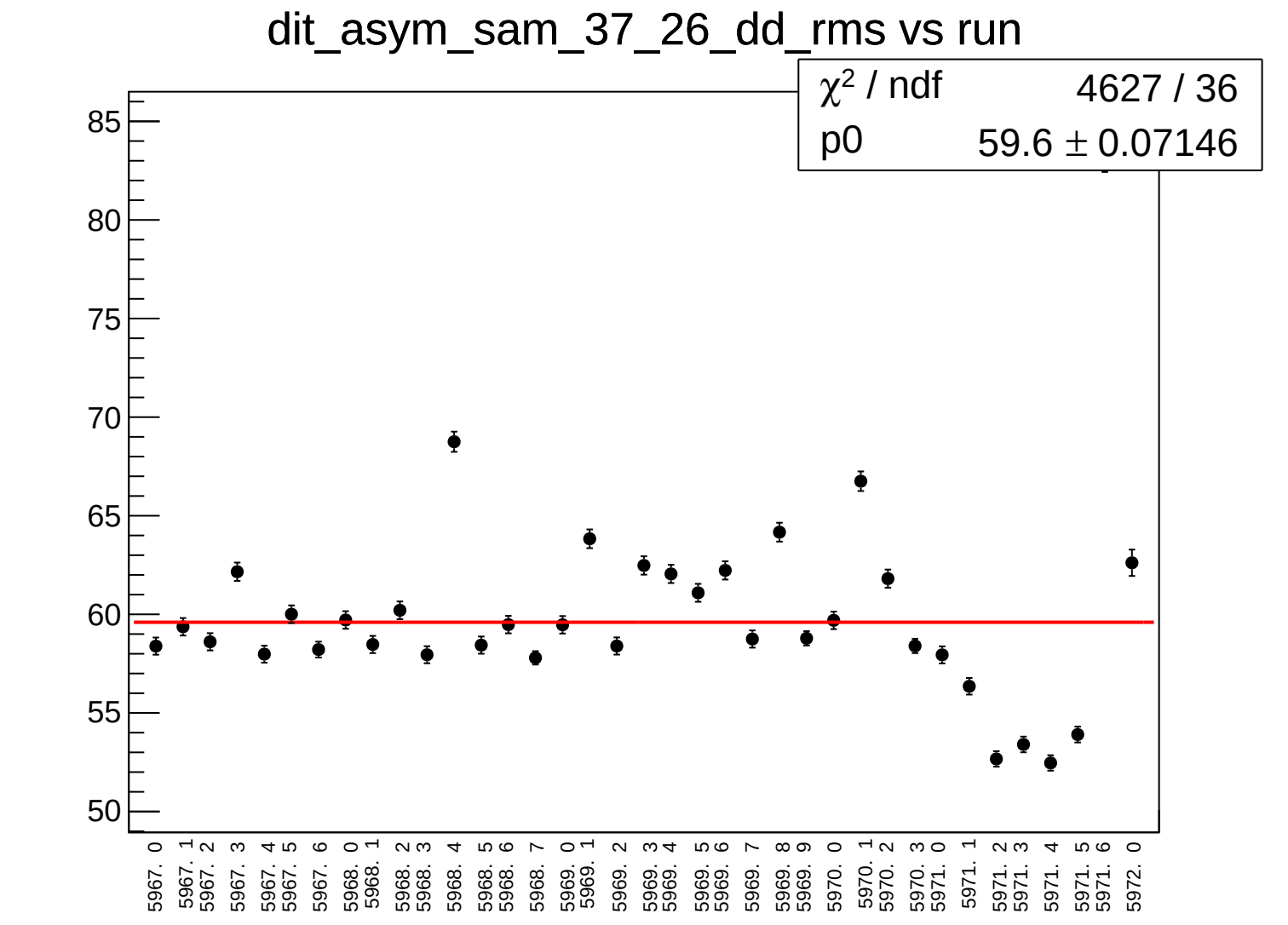
dit_asym_sam_37_26_dd_rms vs run
χ² / ndf 4627 / 36
p0 59.6 ± 0.07146
85
80
75
70
65
60
55
50
5967. 0
5967. 1
5967. 2
5967. 3
5967. 4
5967. 5
5967. 6
5968. 0
5968. 1
5968. 2
5968. 3
5968. 4
5968. 5
5968. 6
5968. 7
5969. 0
5969. 1
5969. 2
5969. 3
5969. 4
5969. 5
5969. 6
5969. 7
5969. 8
5969. 9
5970. 0
5970. 1
5970. 2
5970. 3
5971. 0
5971. 1
5971. 2
5971. 3
5971. 4
5971. 5
5971. 6
5972. 0

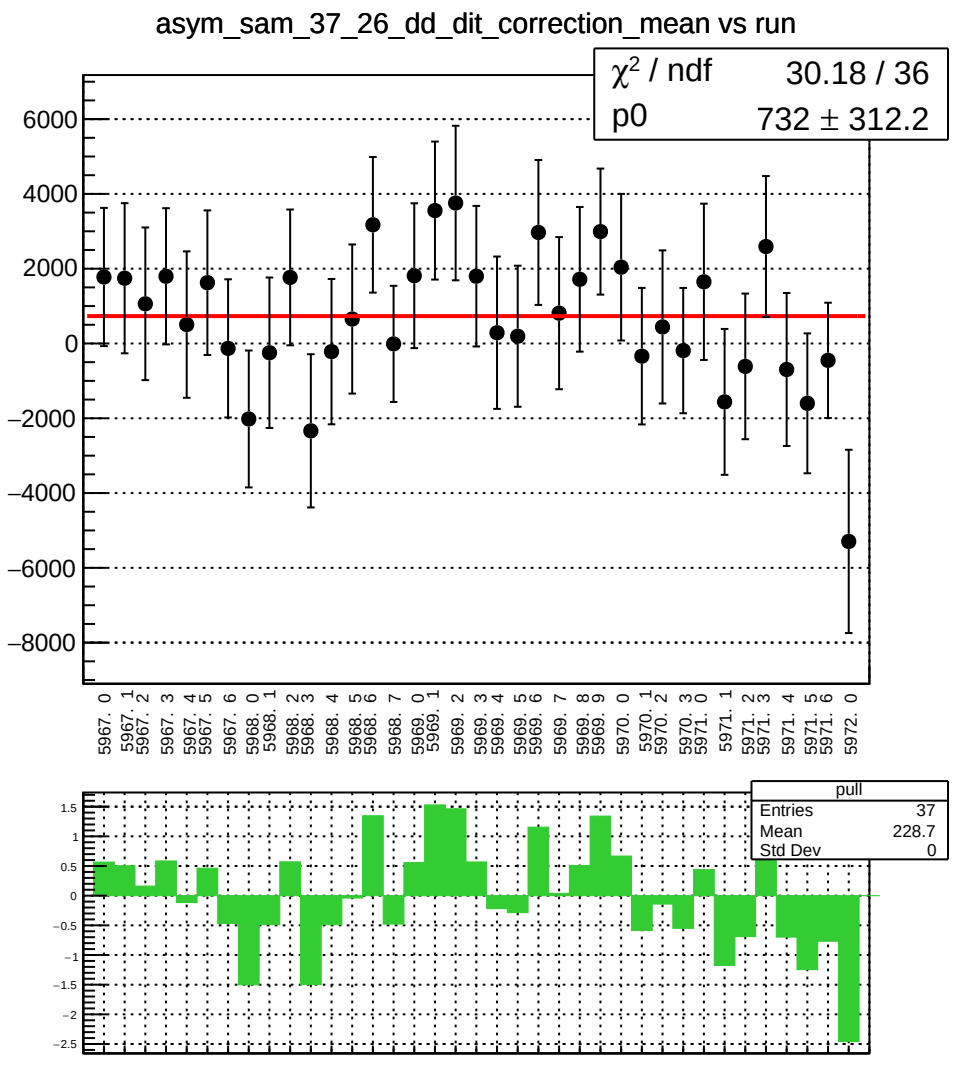
asym_sam_37_26_dd_dit_correction_mean vs run
χ² / ndf 30.18 / 36
p0 732 ± 312.2
6000
4000
2000
0
−2000
−4000
−6000
−8000
5967. 0
5967. 1
5967. 2
5967. 3
5967. 4
5967. 5
5967. 6
5968. 0
5968. 1
5968. 2
5968. 3
5968. 4
5968. 5
5968. 6
5968. 7
5969. 0
5969. 1
5969. 2
5969. 3
5969. 4
5969. 5
5969. 6
5969. 7
5969. 8
5969. 9
5970. 0
5970. 1
5970. 2
5970. 3
5971. 0
5971. 1
5971. 2
5971. 3
5971. 4
5971. 5
5971. 6
5972. 0
pull
Entries 37
Mean 228.7
Std Dev 0
1.5
1
0.5
0
−0.5
−1
−1.5
−2
−2.5

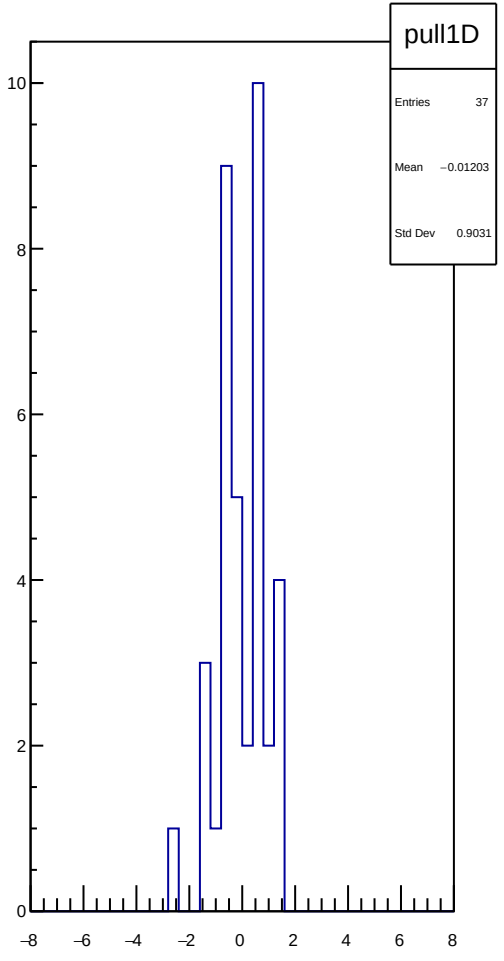
pull1D
Entries 37
Mean −0.01203
Std Dev 0.9031
10
8
6
4
2
0
−8
−6
−4
−2
0
2
4
6
8

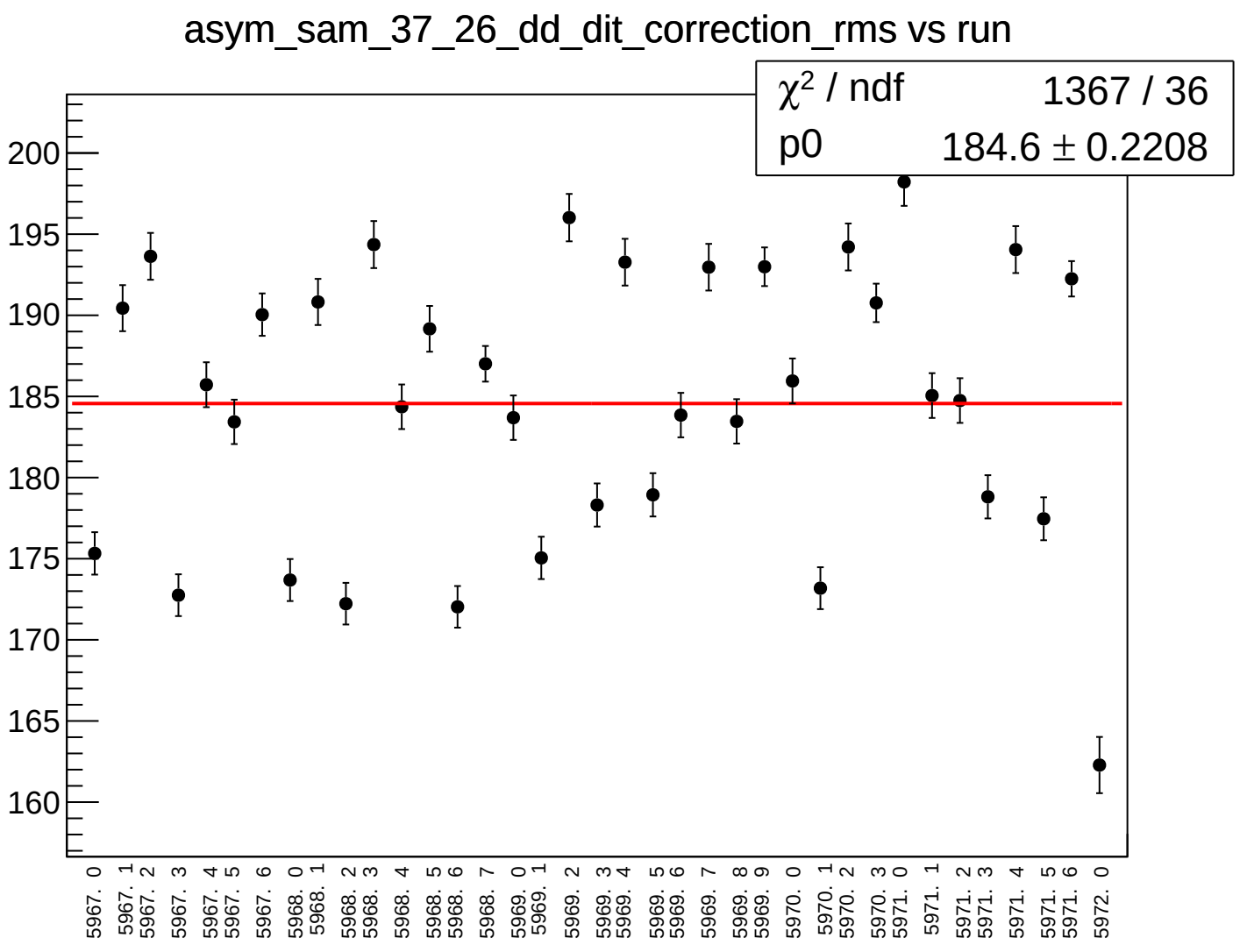
asym_sam_37_26_dd_dit_correction_rms vs run
χ² / ndf 1367 / 36
p0 184.6 ± 0.2208
200
195
190
185
180
175
170
165
160
5967. 0
5967. 1
5967. 2
5967. 3
5967. 4
5967. 5
5967. 6
5968. 0
5968. 1
5968. 2
5968. 3
5968. 4
5968. 5
5968. 6
5968. 7
5969. 0
5969. 1
5969. 2
5969. 3
5969. 4
5969. 5
5969. 6
5969. 7
5969. 8
5969. 9
5970. 0
5970. 1
5970. 2
5970. 3
5971. 0
5971. 1
5971. 2
5971. 3
5971. 4
5971. 5
5971. 6
5972. 0

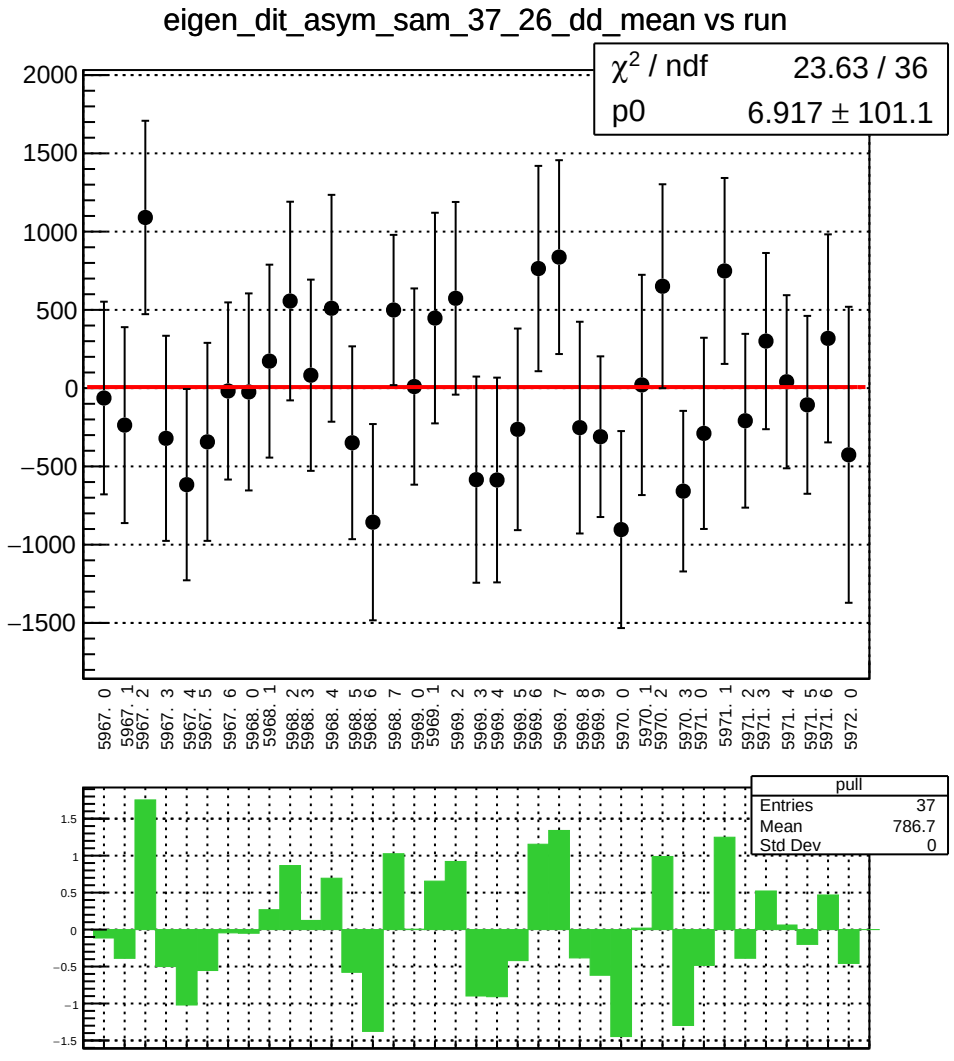
eigen_dit_asym_sam_37_26_dd_mean vs run
χ² / ndf 23.63 / 36
p0 6.917 ± 101.1
2000
1500
1000
500
0
−500
−1000
−1500
5967. 0
5967. 1
5967. 2
5967. 3
5967. 4
5967. 5
5967. 6
5968. 0
5968. 1
5968. 2
5968. 3
5968. 4
5968. 5
5968. 6
5968. 7
5969. 0
5969. 1
5969. 2
5969. 3
5969. 4
5969. 5
5969. 6
5969. 7
5969. 8
5969. 9
5970. 0
5970. 1
5970. 2
5970. 3
5971. 0
5971. 1
5971. 2
5971. 3
5971. 4
5971. 5
5971. 6
5972. 0
pull
Entries 37
Mean 786.7
Std Dev 0
1.5
1
0.5
0
−0.5
−1
−1.5

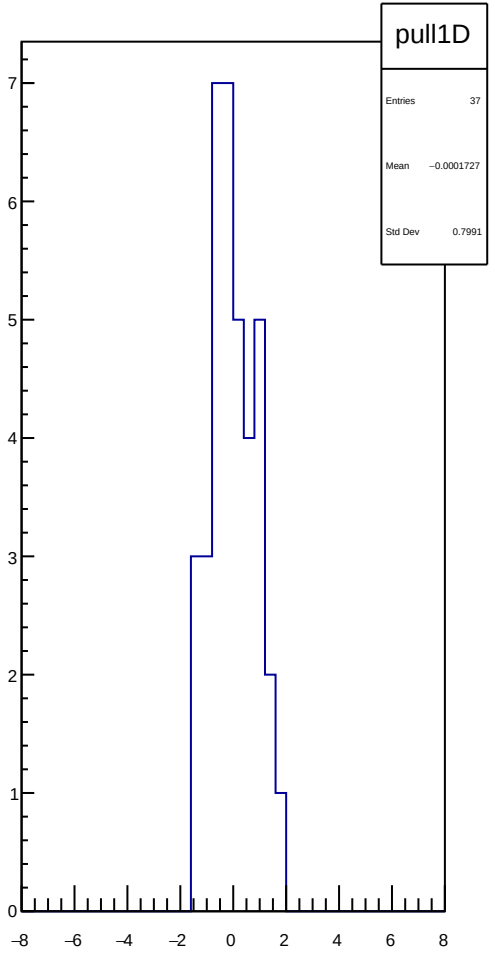
pull1D
Entries 37
Mean −0.0001727
Std Dev 0.7991
7
6
5
4
3
2
1
0
−8
−6
−4
−2
0
2
4
6
8

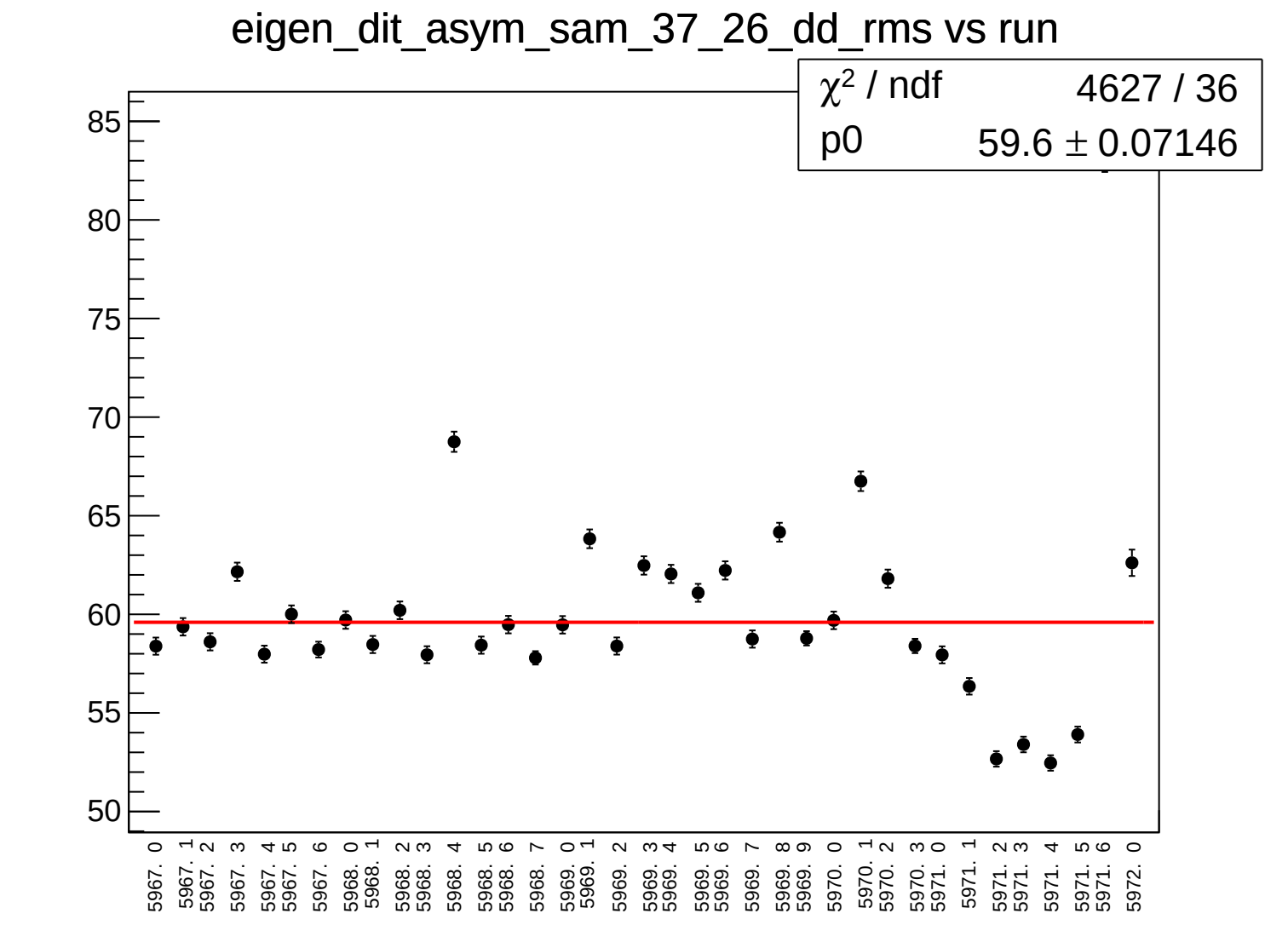
eigen_dit_asym_sam_37_26_dd_rms vs run
χ² / ndf 4627 / 36
p0 59.6 ± 0.07146
85
80
75
70
65
60
55
50
5967. 0
5967. 1
5967. 2
5967. 3
5967. 4
5967. 5
5967. 6
5968. 0
5968. 1
5968. 2
5968. 3
5968. 4
5968. 5
5968. 6
5968. 7
5969. 0
5969. 1
5969. 2
5969. 3
5969. 4
5969. 5
5969. 6
5969. 7
5969. 8
5969. 9
5970. 0
5970. 1
5970. 2
5970. 3
5971. 0
5971. 1
5971. 2
5971. 3
5971. 4
5971. 5
5971. 6
5972. 0

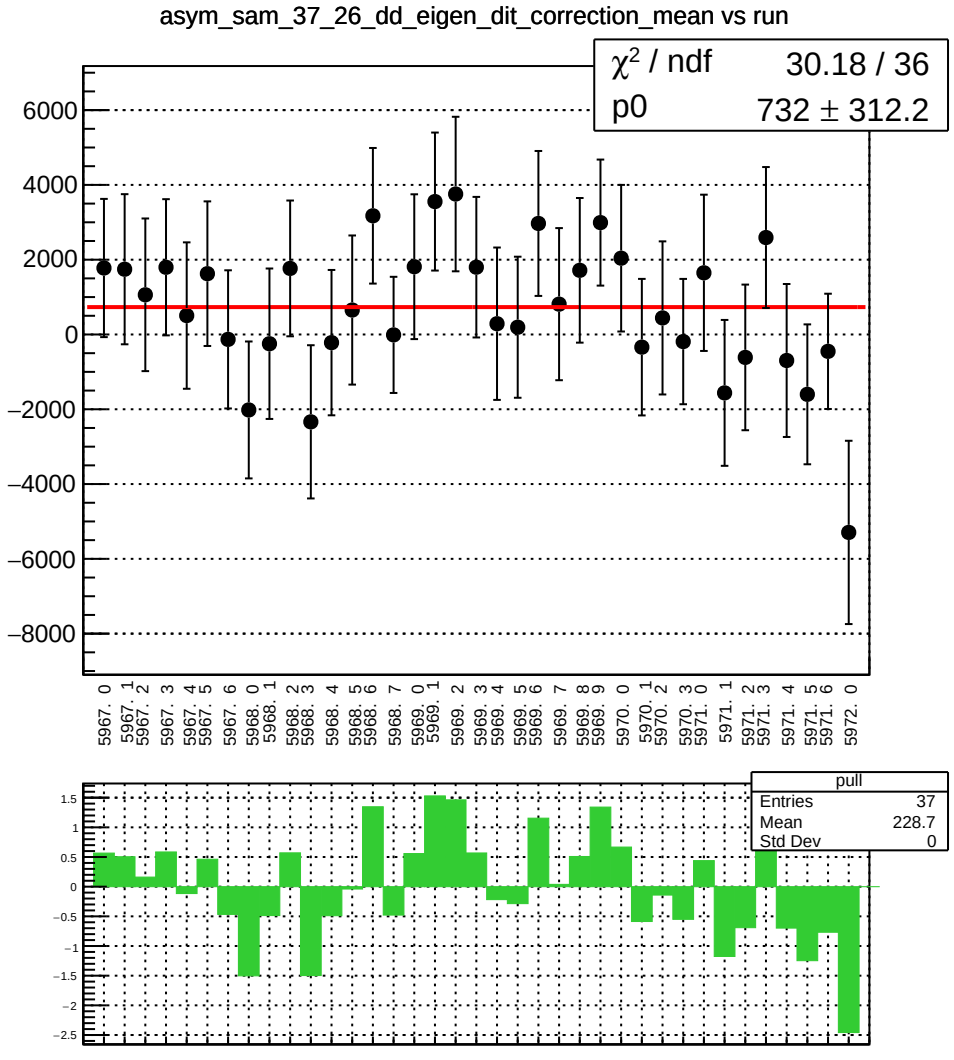
asym_sam_37_26_dd_eigen_dit_correction_mean vs run
χ² / ndf 30.18 / 36
p0 732 ± 312.2
6000
4000
2000
0
−2000
−4000
−6000
−8000
5967. 0
5967. 1
5967. 2
5967. 3
5967. 4
5967. 5
5967. 6
5968. 0
5968. 1
5968. 2
5968. 3
5968. 4
5968. 5
5968. 6
5968. 7
5969. 0
5969. 1
5969. 2
5969. 3
5969. 4
5969. 5
5969. 6
5969. 7
5969. 8
5969. 9
5970. 0
5970. 1
5970. 2
5970. 3
5971. 0
5971. 1
5971. 2
5971. 3
5971. 4
5971. 5
5971. 6
5972. 0
pull
Entries 37
Mean 228.7
Std Dev 0
1.5
1
0.5
0
−0.5
−1
−1.5
−2
−2.5

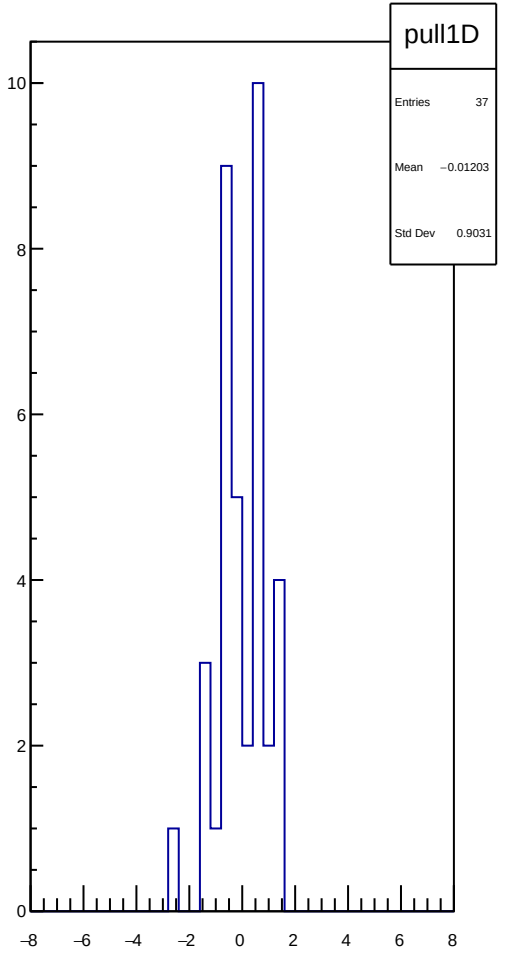
pull1D
Entries 37
Mean −0.01203
Std Dev 0.9031
10
8
6
4
2
0
−8
−6
−4
−2
0
2
4
6
8

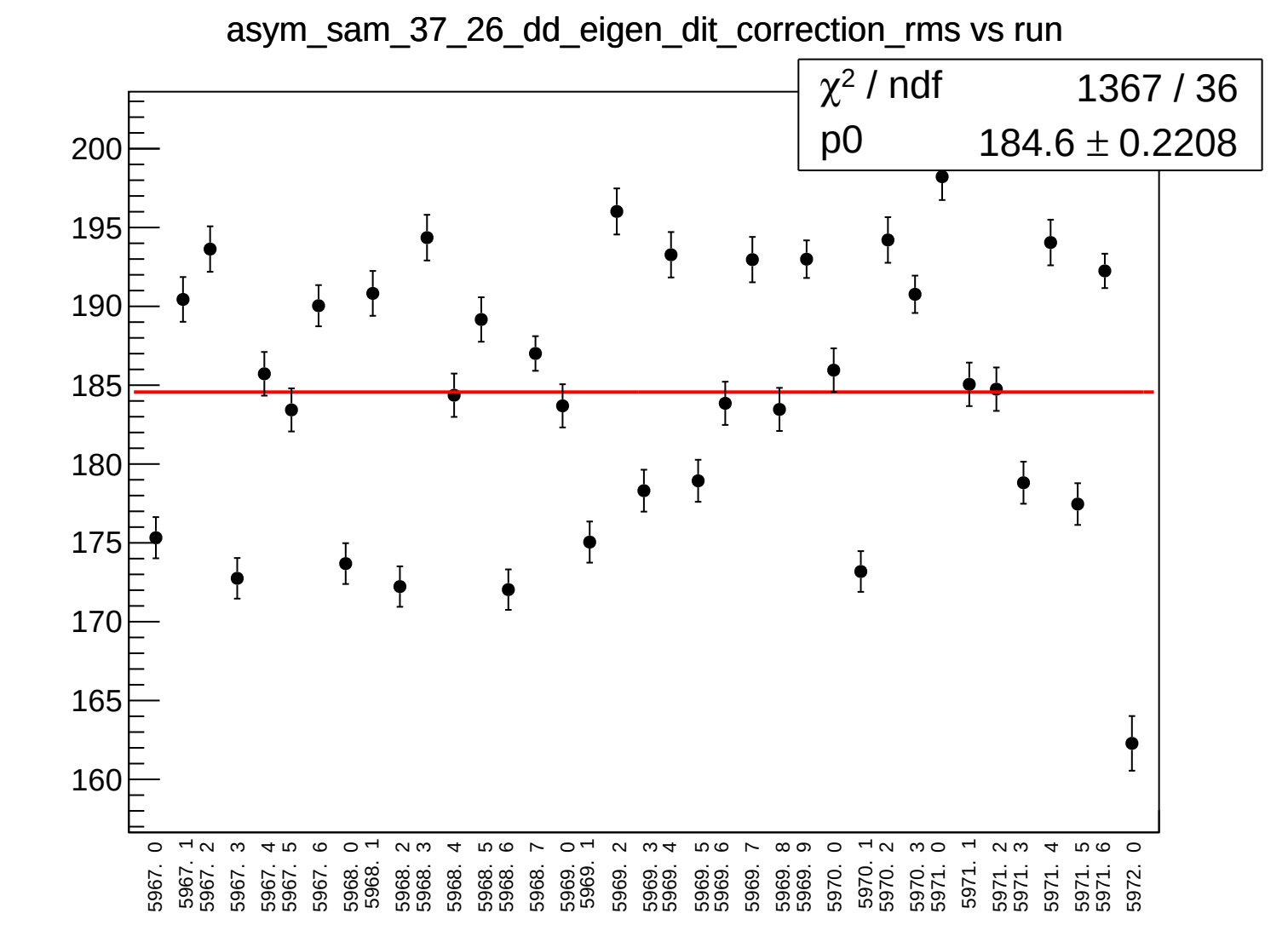
asym_sam_37_26_dd_eigen_dit_correction_rms vs run
χ² / ndf 1367 / 36
p0 184.6 ± 0.2208
200
195
190
185
180
175
170
165
160
5967. 0
5967. 1
5967. 2
5967. 3
5967. 4
5967. 5
5967. 6
5968. 0
5968. 1
5968. 2
5968. 3
5968. 4
5968. 5
5968. 6
5968. 7
5969. 0
5969. 1
5969. 2
5969. 3
5969. 4
5969. 5
5969. 6
5969. 7
5969. 8
5969. 9
5970. 0
5970. 1
5970. 2
5970. 3
5971. 0
5971. 1
5971. 2
5971. 3
5971. 4
5971. 5
5971. 6
5972. 0

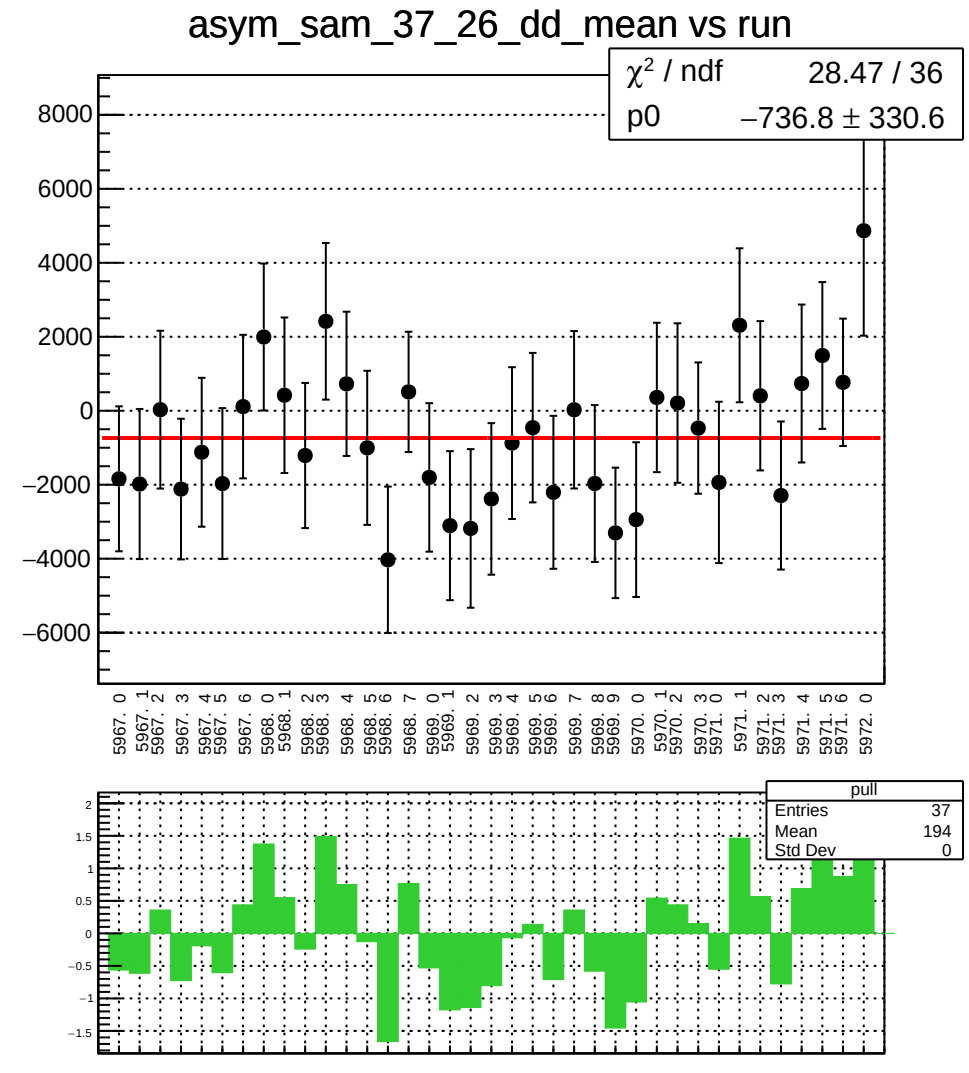
asym_sam_37_26_dd_mean vs run
χ² / ndf 28.47 / 36
p0 −736.8 ± 330.6
8000
6000
4000
2000
0
−2000
−4000
−6000
5967. 0
5967. 1
5967. 2
5967. 3
5967. 4
5967. 5
5967. 6
5968. 0
5968. 1
5968. 2
5968. 3
5968. 4
5968. 5
5968. 6
5968. 7
5969. 0
5969. 1
5969. 2
5969. 3
5969. 4
5969. 5
5969. 6
5969. 7
5969. 8
5969. 9
5970. 0
5970. 1
5970. 2
5970. 3
5971. 0
5971. 1
5971. 2
5971. 3
5971. 4
5971. 5
5971. 6
5972. 0
pull
Entries 37
Mean 194
Std Dev 0
2
1.5
1
0.5
0
−0.5
−1
−1.5

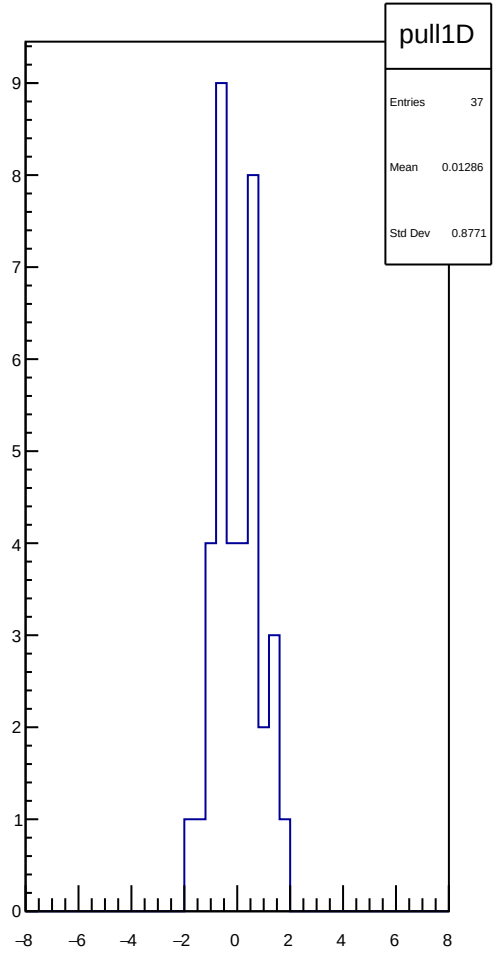
pull1D
Entries 37
Mean 0.01286
Std Dev 0.8771
9
8
7
6
5
4
3
2
1
0
−8
−6
−4
−2
0
2
4
6
8

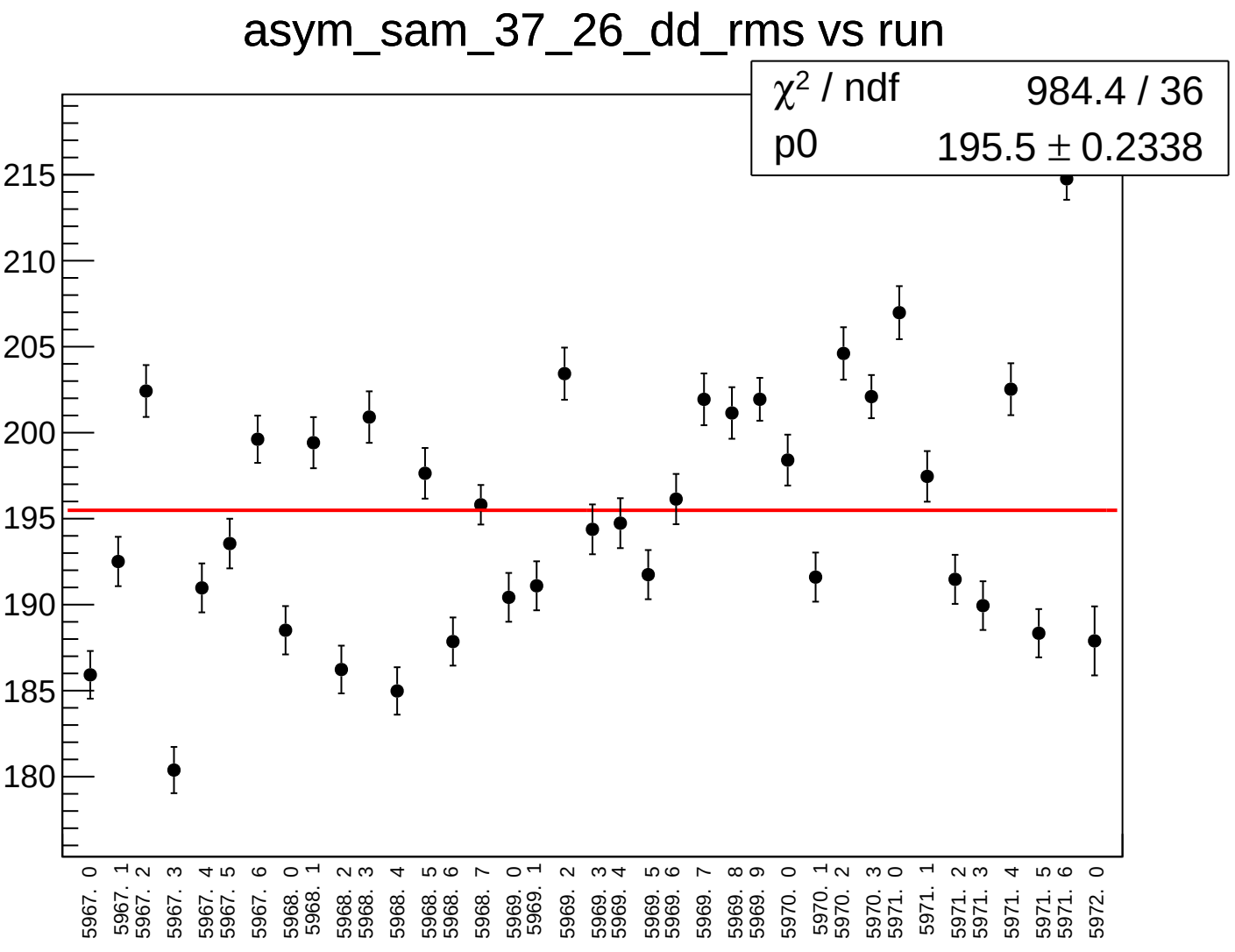
asym_sam_37_26_dd_rms vs run
χ^2 / ndf 984.4 / 36
p0 195.5 ± 0.2338
215
210
205
200
195
190
185
180
5967. 0
5967. 1
5967. 2
5967. 3
5967. 4
5967. 5
5967. 6
5968. 0
5968. 1
5968. 2
5968. 3
5968. 4
5968. 5
5968. 6
5968. 7
5969. 0
5969. 1
5969. 2
5969. 3
5969. 4
5969. 5
5969. 6
5969. 7
5969. 8
5969. 9
5970. 0
5970. 1
5970. 2
5970. 3
5971. 0
5971. 1
5971. 2
5971. 3
5971. 4
5971. 5
5971. 6
5972. 0

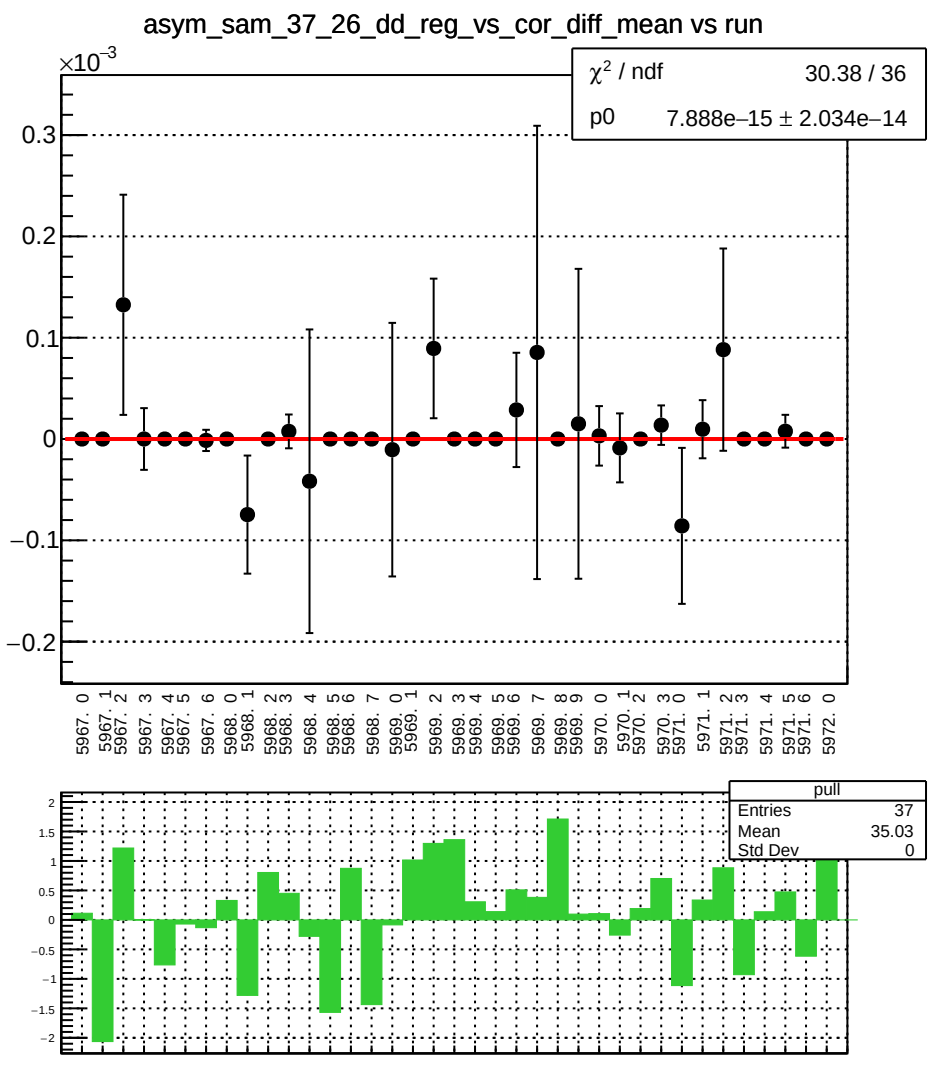
asym_sam_37_26_dd_reg_vs_cor_diff_mean vs run
×10⁻³
χ² / ndf 30.38 / 36
p0 7.888e−15 ± 2.034e−14
0.3
0.2
0.1
0
−0.1
−0.2
5967. 0
5967. 1
5967. 2
5967. 3
5967. 4
5967. 5
5967. 6
5968. 0
5968. 1
5968. 2
5968. 3
5968. 4
5968. 5
5968. 6
5968. 7
5969. 0
5969. 1
5969. 2
5969. 3
5969. 4
5969. 5
5969. 6
5969. 7
5969. 8
5969. 9
5970. 0
5970. 1
5970. 2
5970. 3
5971. 0
5971. 1
5971. 2
5971. 3
5971. 4
5971. 5
5971. 6
5972. 0
pull
Entries 37
Mean 35.03
Std Dev 0
2
1.5
1
0.5
0
−0.5
−1
−1.5
−2

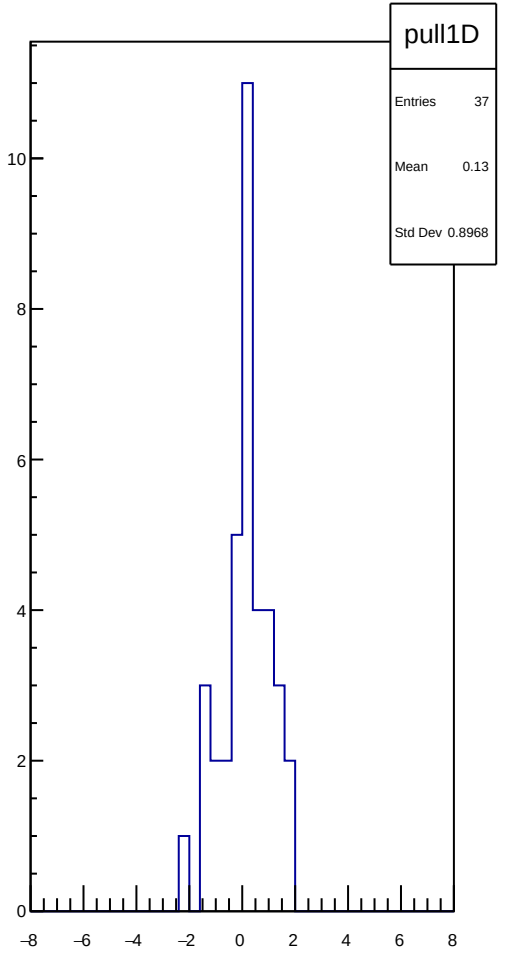
pull1D
Entries 37
Mean 0.13
Std Dev 0.8968
10
8
6
4
2
0
−8
−6
−4
−2
0
2
4
6
8

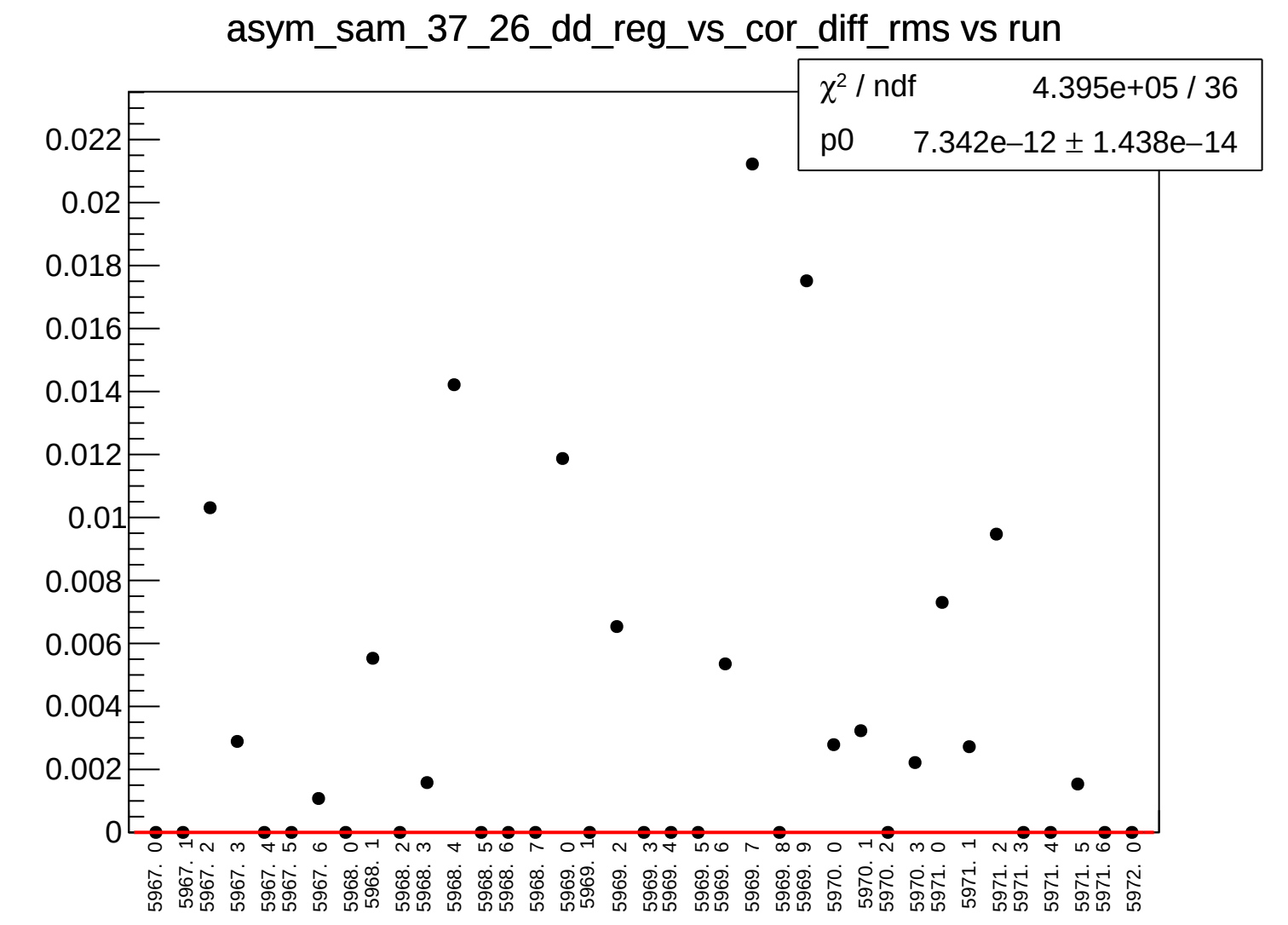
asym_sam_37_26_dd_reg_vs_cor_diff_rms vs run
χ² / ndf 4.395e+05 / 36
p0 7.342e−12 ± 1.438e−14
0.022
0.02
0.018
0.016
0.014
0.012
0.01
0.008
0.006
0.004
0.002
0
5967. 0
5967. 1
5967. 2
5967. 3
5967. 4
5967. 5
5967. 6
5968. 0
5968. 1
5968. 2
5968. 3
5968. 4
5968. 5
5968. 6
5968. 7
5969. 0
5969. 1
5969. 2
5969. 3
5969. 4
5969. 5
5969. 6
5969. 7
5969. 8
5969. 9
5970. 0
5970. 1
5970. 2
5970. 3
5971. 0
5971. 1
5971. 2
5971. 3
5971. 4
5971. 5
5971. 6
5972. 0

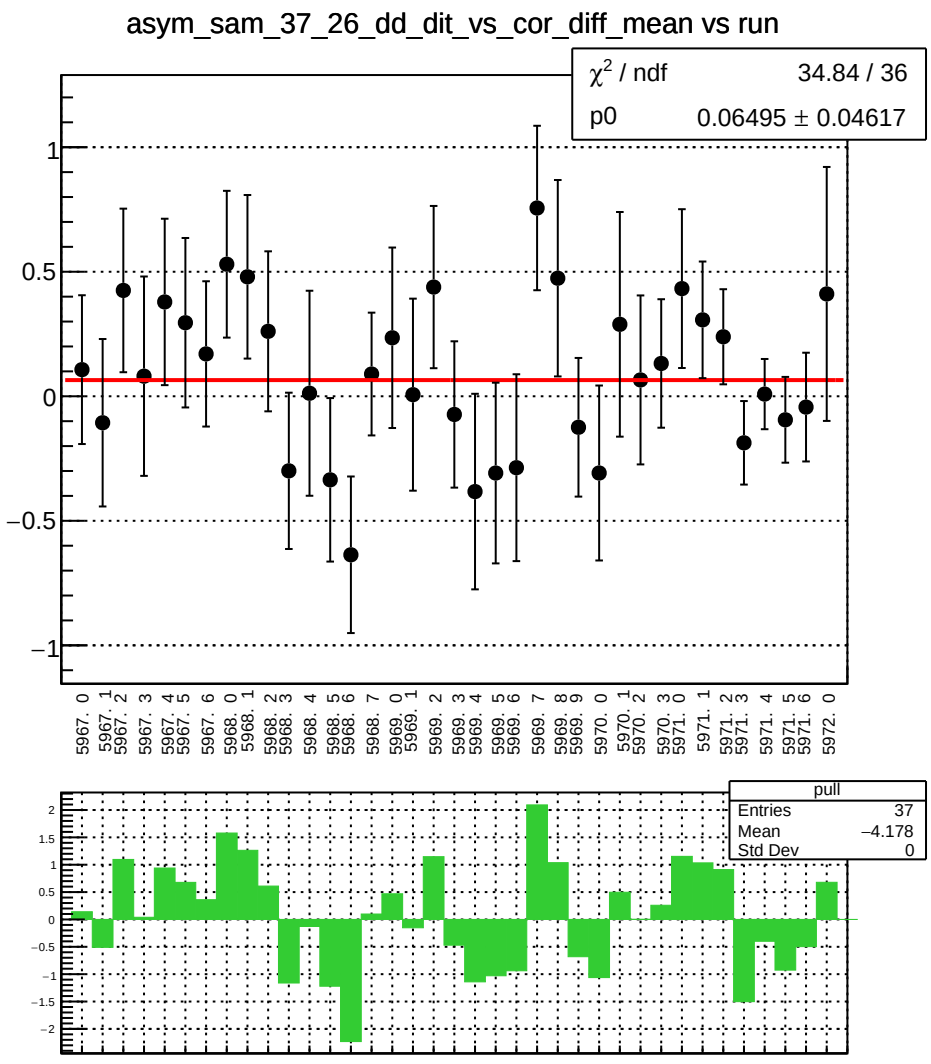
asym_sam_37_26_dd_dit_vs_cor_diff_mean vs run
χ² / ndf 34.84 / 36
p0 0.06495 ± 0.04617
pull
Entries 37
Mean −4.178
Std Dev 0

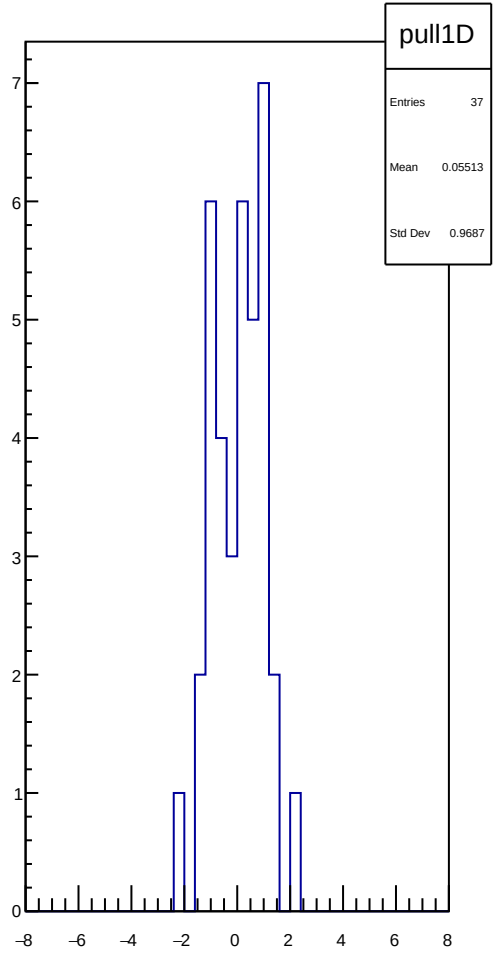
pull1D
Entries 37
Mean 0.05513
Std Dev 0.9687

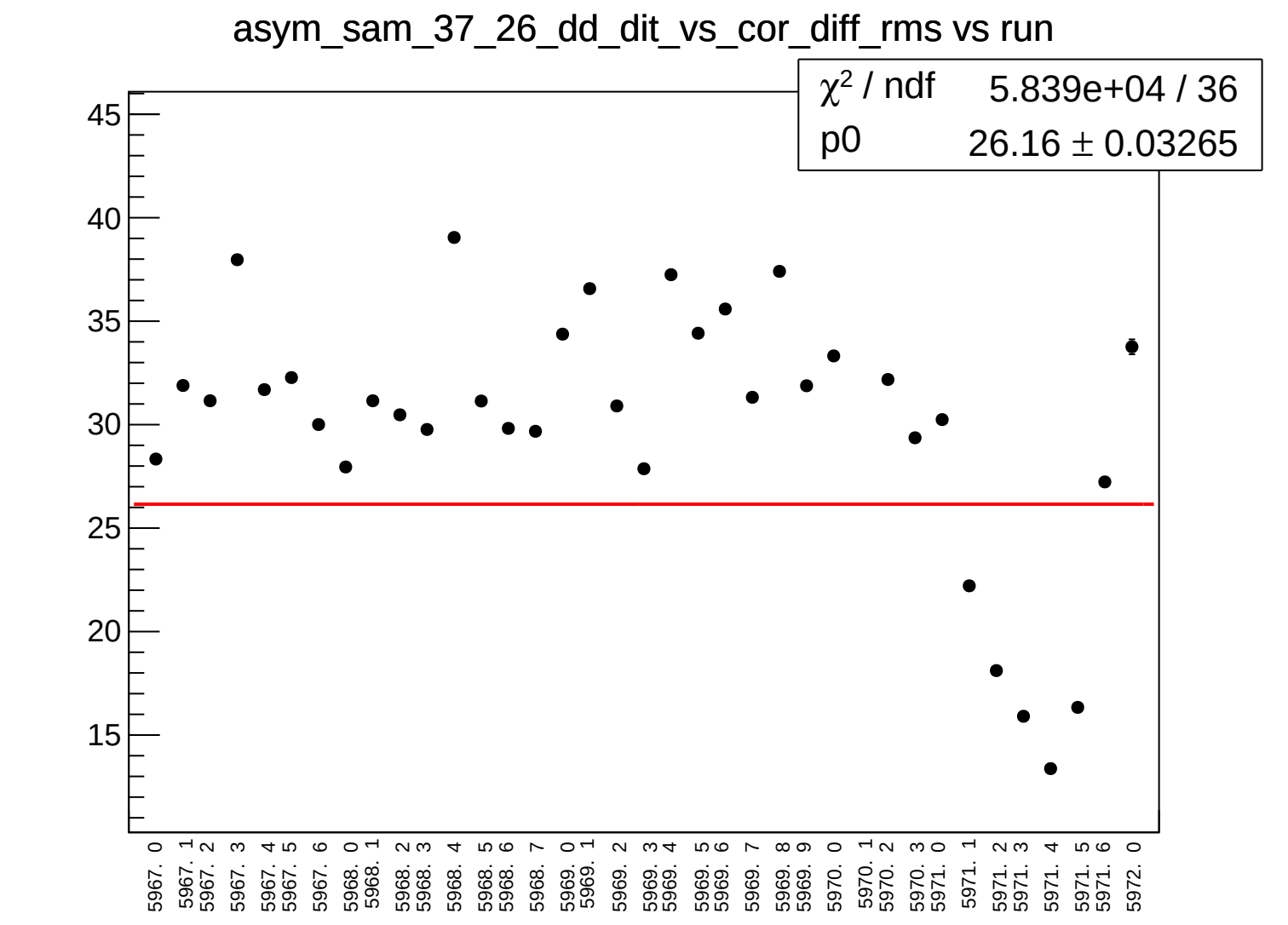
asym_sam_37_26_dd_dit_vs_cor_diff_rms vs run
χ² / ndf 5.839e+04 / 36
p0 26.16 ± 0.03265
45
40
35
30
25
20
15
5967. 0
5967. 1
5967. 2
5967. 3
5967. 4
5967. 5
5967. 6
5968. 0
5968. 1
5968. 2
5968. 3
5968. 4
5968. 5
5968. 6
5968. 7
5969. 0
5969. 1
5969. 2
5969. 3
5969. 4
5969. 5
5969. 6
5969. 7
5969. 8
5969. 9
5970. 0
5970. 1
5970. 2
5970. 3
5971. 0
5971. 1
5971. 2
5971. 3
5971. 4
5971. 5
5971. 6
5972. 0

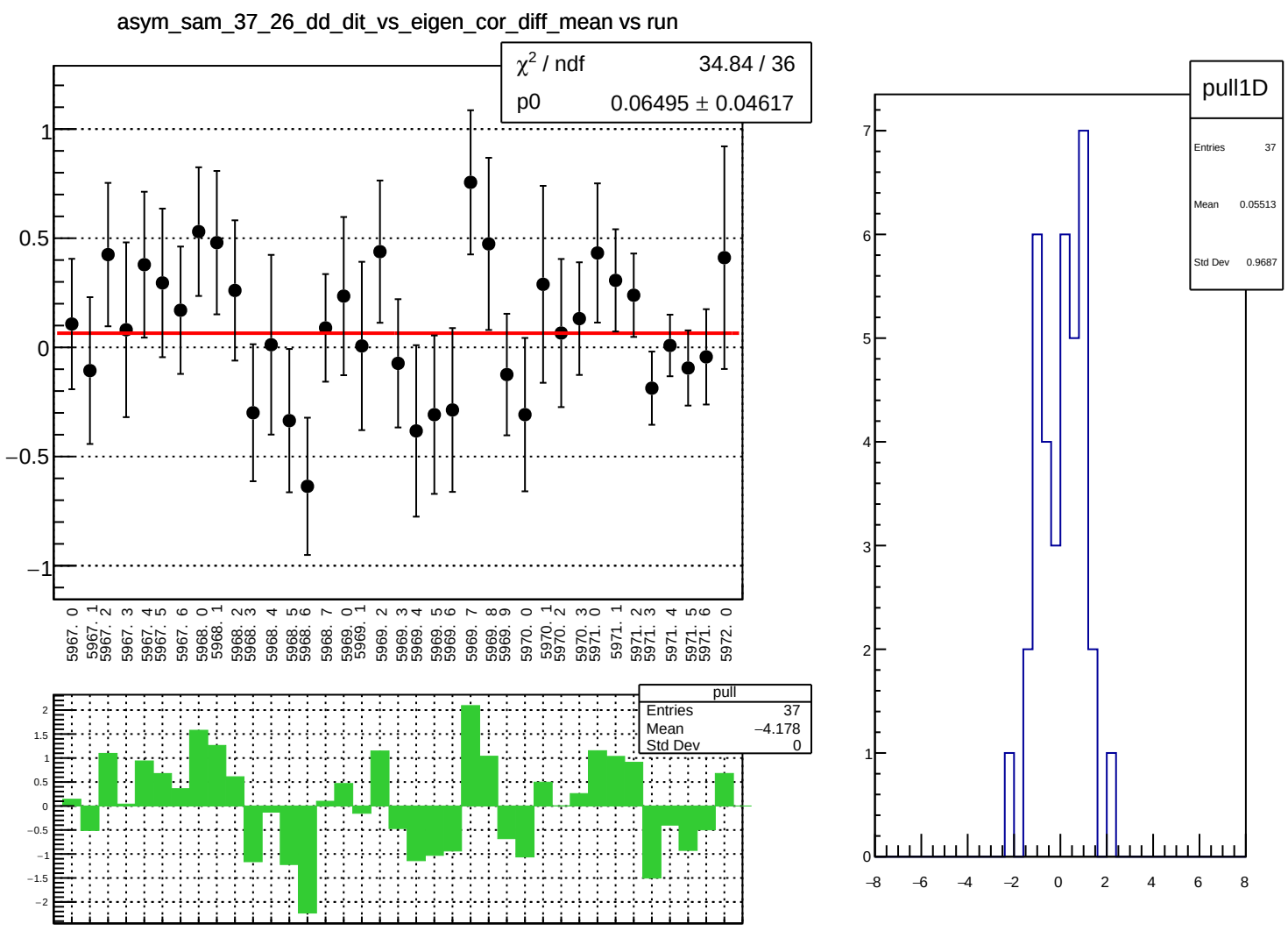
asym_sam_37_26_dd_dit_vs_eigen_cor_diff_mean vs run
χ² / ndf 34.84 / 36
p0 0.06495 ± 0.04617
pull
Entries 37
Mean −4.178
Std Dev 0
pull1D
Entries 37
Mean 0.05513
Std Dev 0.9687

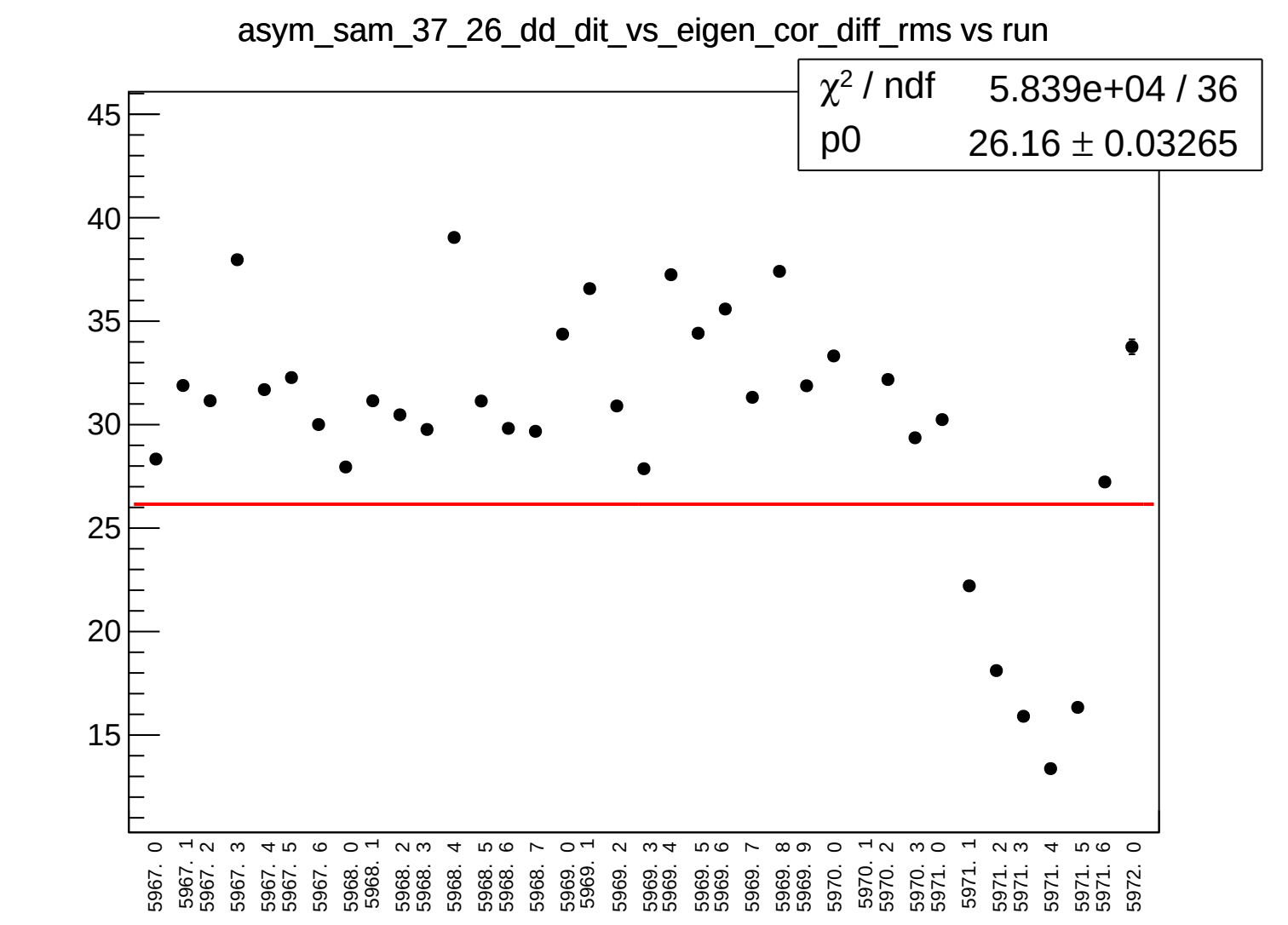
asym_sam_37_26_dd_dit_vs_eigen_cor_diff_rms vs run
χ² / ndf 5.839e+04 / 36
p0 26.16 ± 0.03265
45
40
35
30
25
20
15
5967. 0
5967. 1
5967. 2
5967. 3
5967. 4
5967. 5
5967. 6
5968. 0
5968. 1
5968. 2
5968. 3
5968. 4
5968. 5
5968. 6
5968. 7
5969. 0
5969. 1
5969. 2
5969. 3
5969. 4
5969. 5
5969. 6
5969. 7
5969. 8
5969. 9
5970. 0
5970. 1
5970. 2
5970. 3
5971. 0
5971. 1
5971. 2
5971. 3
5971. 4
5971. 5
5971. 6
5972. 0

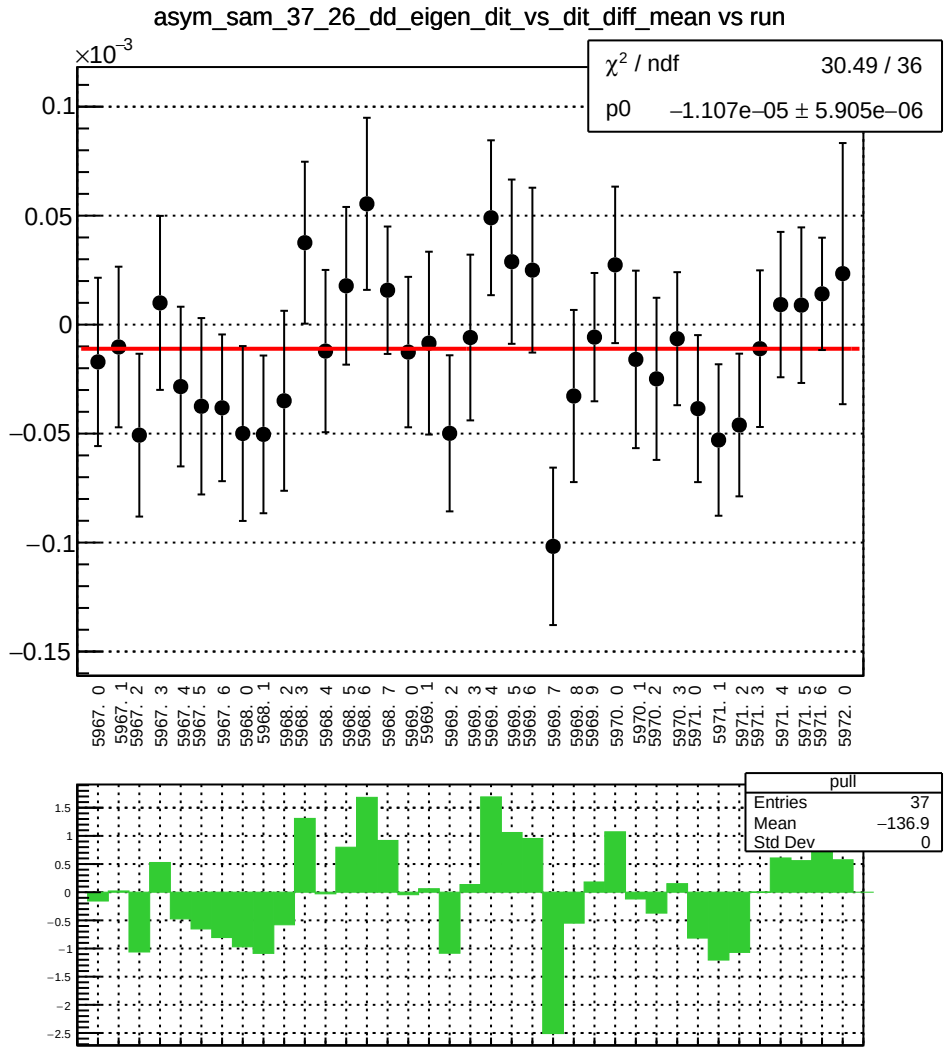
asym_sam_37_26_dd_eigen_dit_vs_dit_diff_mean vs run
×10^−3
χ² / ndf 30.49 / 36
p0 −1.107e−05 ± 5.905e−06
0.1
0.05
0
−0.05
−0.1
−0.15
5967. 0
5967. 1
5967. 2
5967. 3
5967. 4
5967. 5
5967. 6
5968. 0
5968. 1
5968. 2
5968. 3
5968. 4
5968. 5
5968. 6
5968. 7
5969. 0
5969. 1
5969. 2
5969. 3
5969. 4
5969. 5
5969. 6
5969. 7
5969. 8
5969. 9
5970. 0
5970. 1
5970. 2
5970. 3
5971. 0
5971. 1
5971. 2
5971. 3
5971. 4
5971. 5
5971. 6
5972. 0
pull
Entries 37
Mean −136.9
Std Dev 0
1.5
1
0.5
0
−0.5
−1
−1.5
−2
−2.5

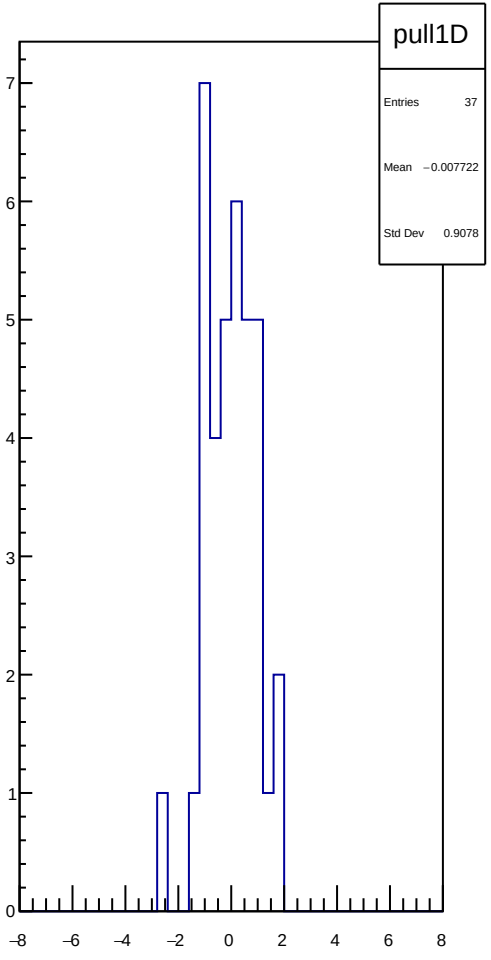
pull1D
Entries 37
Mean −0.007722
Std Dev 0.9078
7
6
5
4
3
2
1
0
−8
−6
−4
−2
0
2
4
6
8

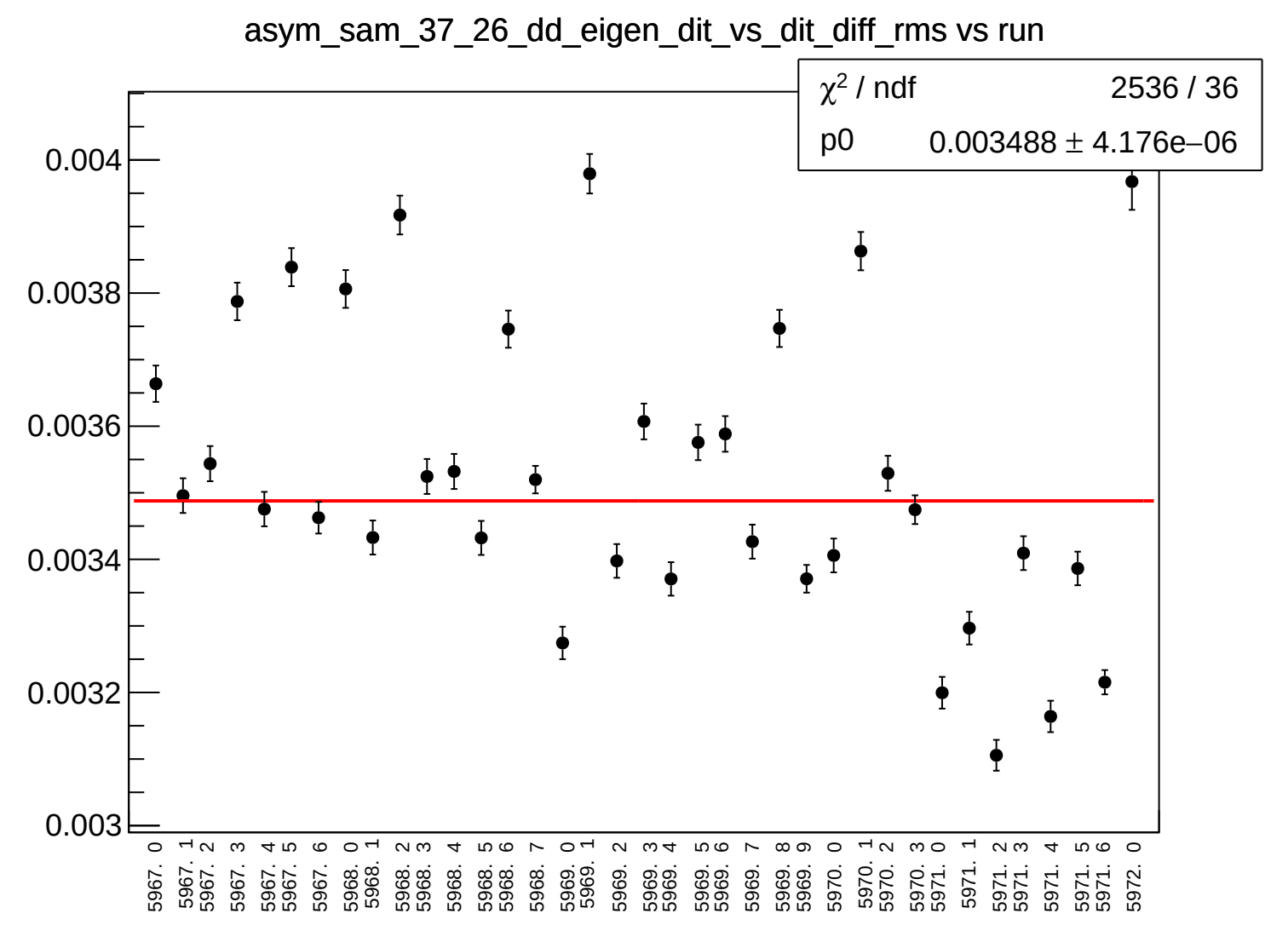
asym_sam_37_26_dd_eigen_dit_vs_dit_diff_rms vs run
χ² / ndf 2536 / 36
p0 0.003488 ± 4.176e−06
0.004
0.0038
0.0036
0.0034
0.0032
0.003
5967. 0
5967. 1
5967. 2
5967. 3
5967. 4
5967. 5
5967. 6
5968. 0
5968. 1
5968. 2
5968. 3
5968. 4
5968. 5
5968. 6
5968. 7
5969. 0
5969. 1
5969. 2
5969. 3
5969. 4
5969. 5
5969. 6
5969. 7
5969. 8
5969. 9
5970. 0
5970. 1
5970. 2
5970. 3
5971. 0
5971. 1
5971. 2
5971. 3
5971. 4
5971. 5
5971. 6
5972. 0

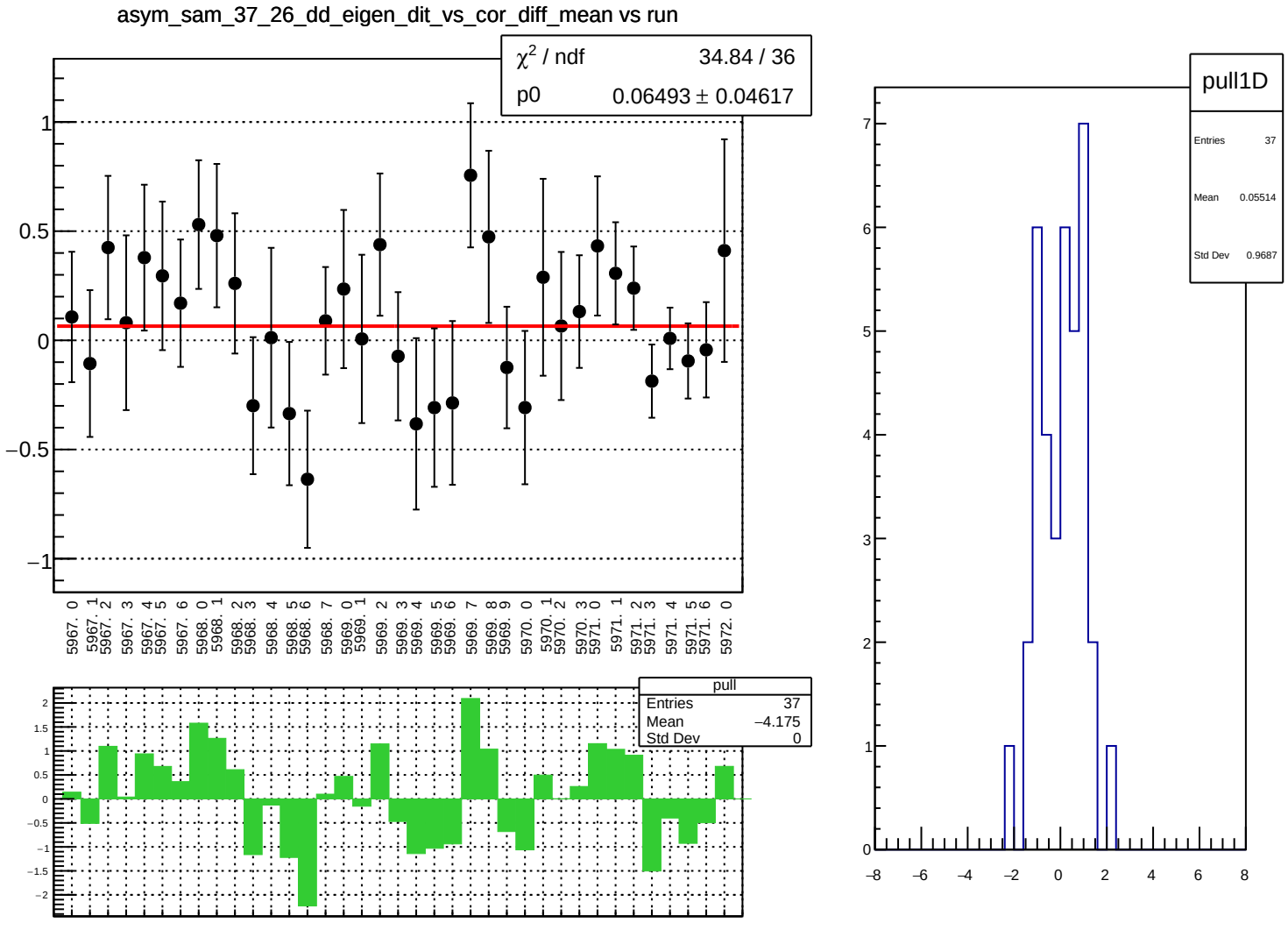
asym_sam_37_26_dd_eigen_dit_vs_cor_diff_mean vs run
χ² / ndf 34.84 / 36
p0 0.06493 ± 0.04617
pull
Entries 37
Mean −4.175
Std Dev 0
pull1D
Entries 37
Mean 0.05514
Std Dev 0.9687

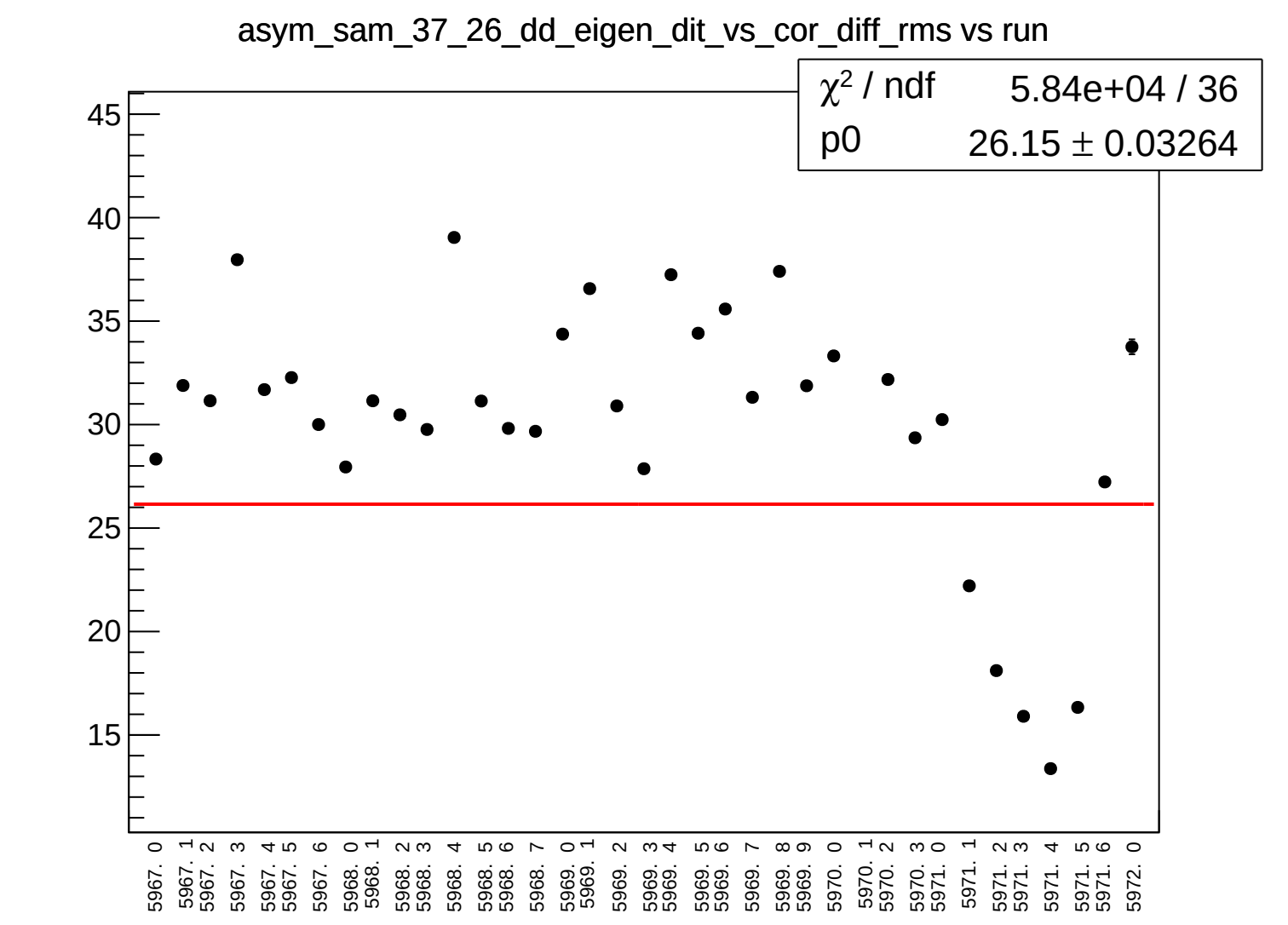
asym_sam_37_26_dd_eigen_dit_vs_cor_diff_rms vs run
χ² / ndf 5.84e+04 / 36
p0 26.15 ± 0.03264
45
40
35
30
25
20
15
5967. 0
5967. 1
5967. 2
5967. 3
5967. 4
5967. 5
5967. 6
5968. 0
5968. 1
5968. 2
5968. 3
5968. 4
5968. 5
5968. 6
5968. 7
5969. 0
5969. 1
5969. 2
5969. 3
5969. 4
5969. 5
5969. 6
5969. 7
5969. 8
5969. 9
5970. 0
5970. 1
5970. 2
5970. 3
5971. 0
5971. 1
5971. 2
5971. 3
5971. 4
5971. 5
5971. 6
5972. 0

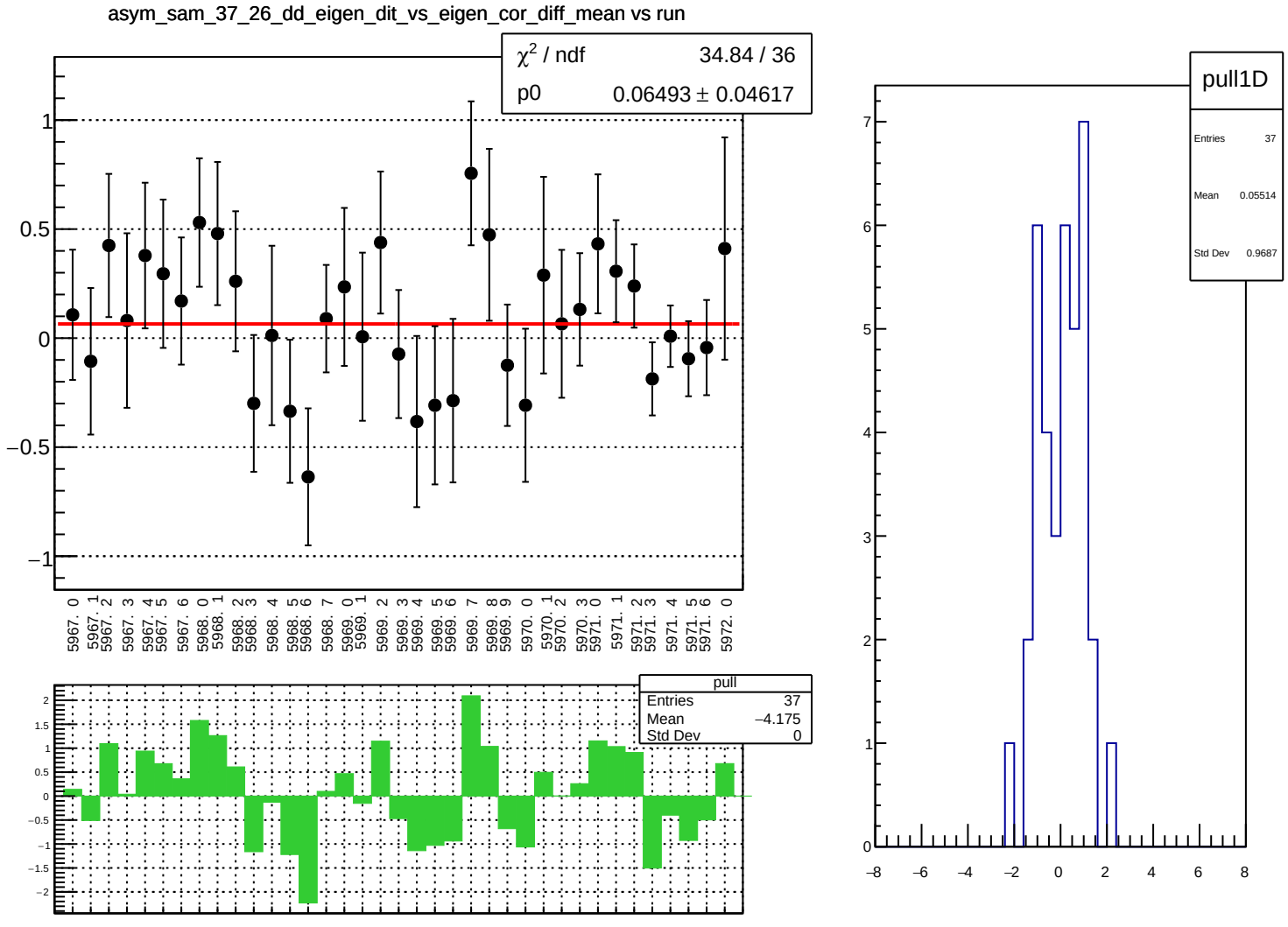
asym_sam_37_26_dd_eigen_dit_vs_eigen_cor_diff_mean vs run
χ² / ndf 34.84 / 36
p0 0.06493 ± 0.04617
1
0.5
0
−0.5
−1
5967. 0
5967. 1
5967. 2
5967. 3
5967. 4
5967. 5
5967. 6
5968. 0
5968. 1
5968. 2
5968. 3
5968. 4
5968. 5
5968. 6
5968. 7
5969. 0
5969. 1
5969. 2
5969. 3
5969. 4
5969. 5
5969. 6
5969. 7
5969. 8
5969. 9
5970. 0
5970. 1
5970. 2
5970. 3
5971. 0
5971. 1
5971. 2
5971. 3
5971. 4
5971. 5
5971. 6
5972. 0
pull
Entries 37
Mean −4.175
Std Dev 0
2
1.5
1
0.5
0
−0.5
−1
−1.5
−2
pull1D
Entries 37
Mean 0.05514
Std Dev 0.9687
7
6
5
4
3
2
1
0
−8
−6
−4
−2
0
2
4
6
8

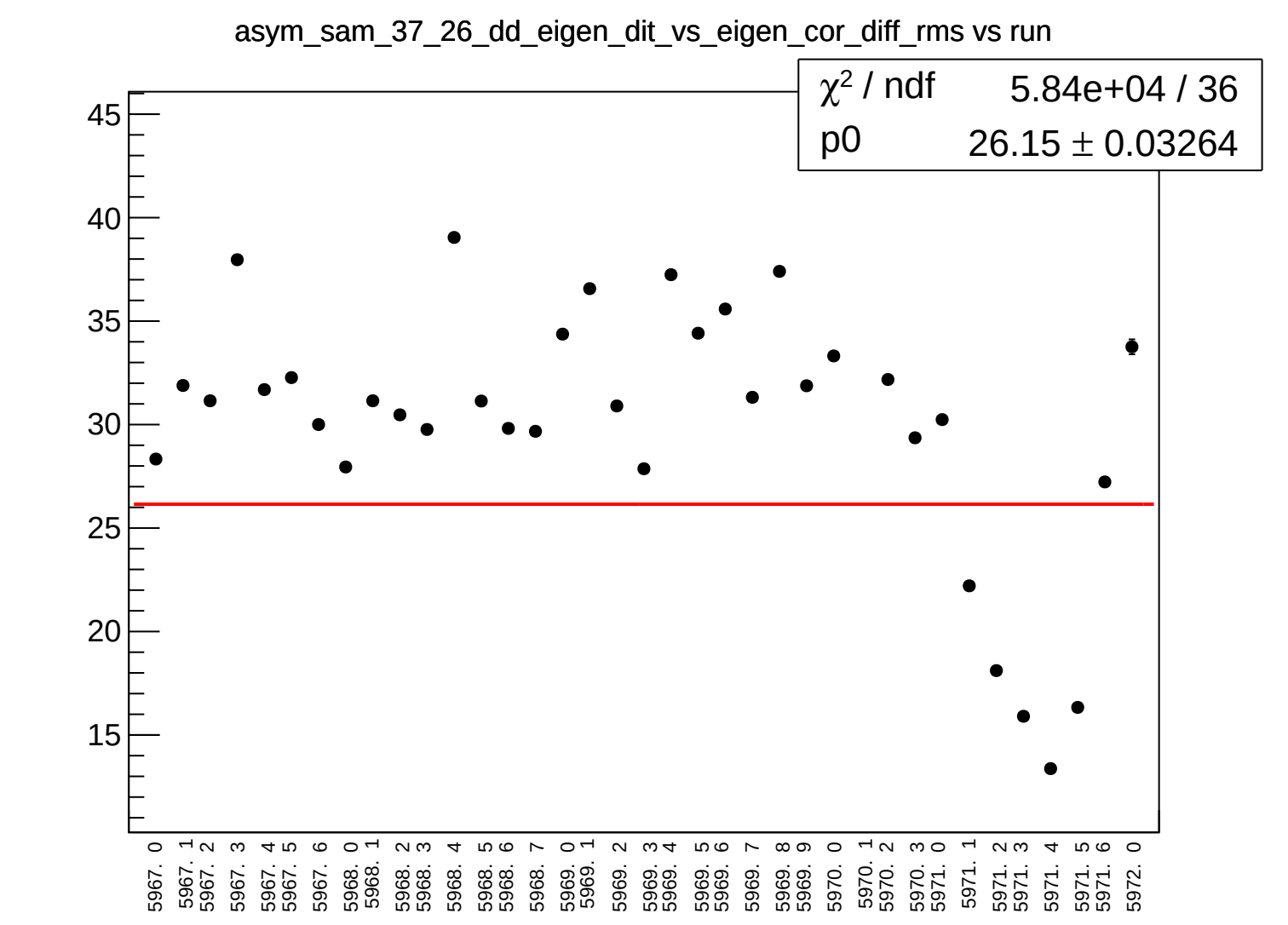
asym_sam_37_26_dd_eigen_dit_vs_eigen_cor_diff_rms vs run
χ² / ndf 5.84e+04 / 36
p0 26.15 ± 0.03264
45
40
35
30
25
20
15
5967. 0
5967. 1
5967. 2
5967. 3
5967. 4
5967. 5
5967. 6
5968. 0
5968. 1
5968. 2
5968. 3
5968. 4
5968. 5
5968. 6
5968. 7
5969. 0
5969. 1
5969. 2
5969. 3
5969. 4
5969. 5
5969. 6
5969. 7
5969. 8
5969. 9
5970. 0
5970. 1
5970. 2
5970. 3
5971. 0
5971. 1
5971. 2
5971. 3
5971. 4
5971. 5
5971. 6
5972. 0

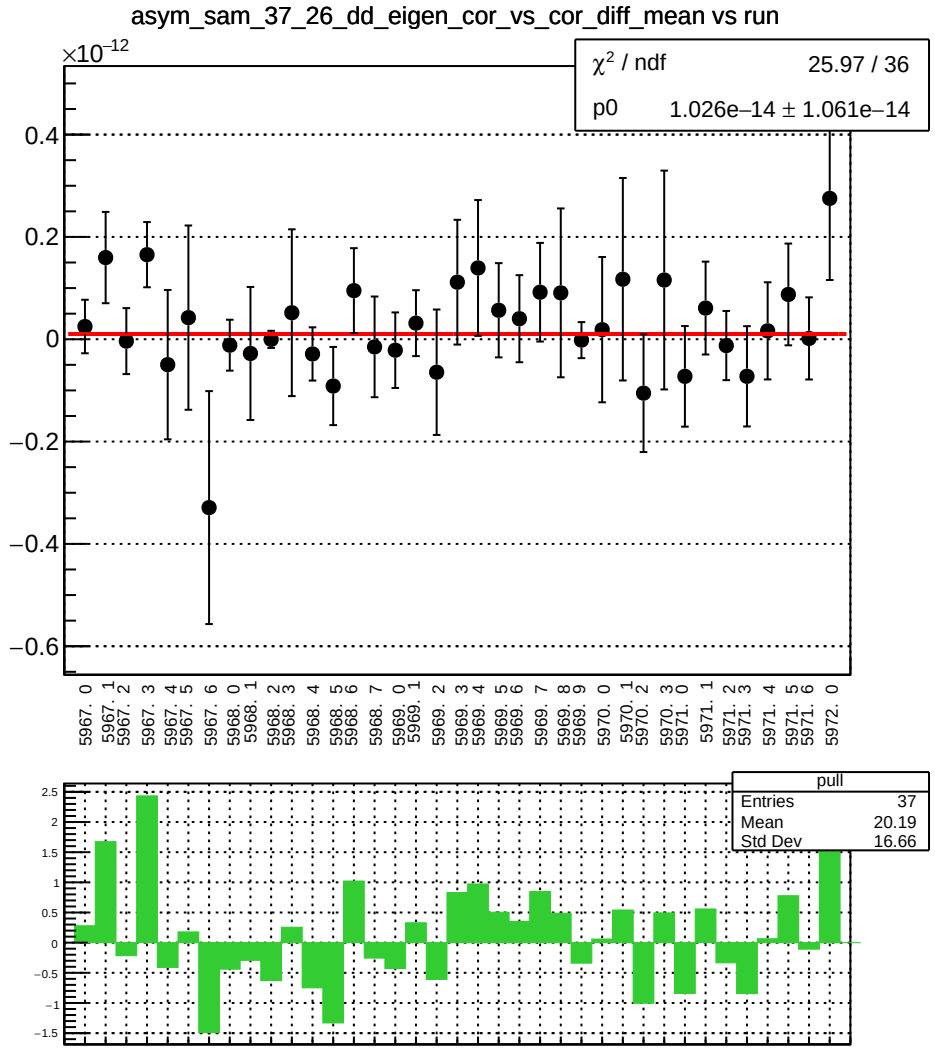
asym_sam_37_26_dd_eigen_cor_vs_cor_diff_mean vs run
×10⁻¹²
χ² / ndf 25.97 / 36
p0 1.026e−14 ± 1.061e−14
0.4
0.2
0
−0.2
−0.4
−0.6
5967. 0
5967. 1
5967. 2
5967. 3
5967. 4
5967. 5
5967. 6
5968. 0
5968. 1
5968. 2
5968. 3
5968. 4
5968. 5
5968. 6
5968. 7
5969. 0
5969. 1
5969. 2
5969. 3
5969. 4
5969. 5
5969. 6
5969. 7
5969. 8
5969. 9
5970. 0
5970. 1
5970. 2
5970. 3
5971. 0
5971. 1
5971. 2
5971. 3
5971. 4
5971. 5
5971. 6
5972. 0
pull
Entries 37
Mean 20.19
Std Dev 16.66
2.5
2
1.5
1
0.5
0
−0.5
−1
−1.5

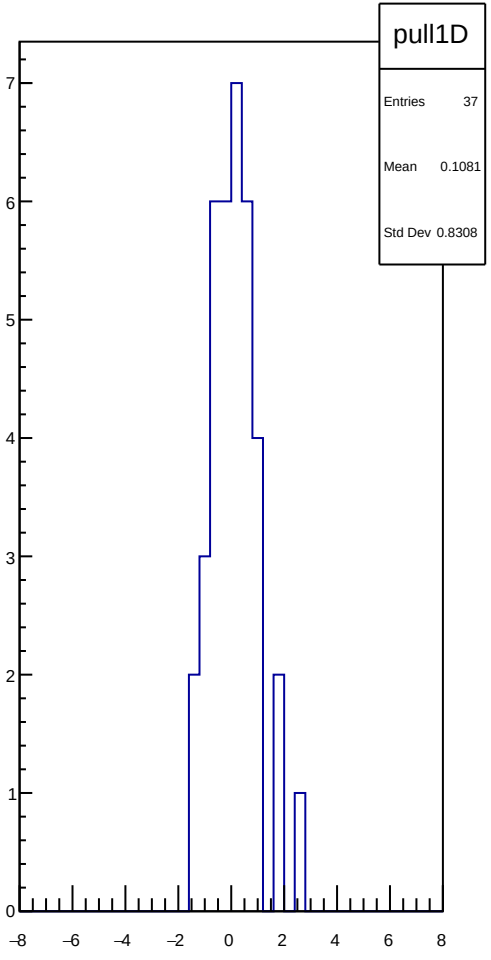
pull1D
Entries 37
Mean 0.1081
Std Dev 0.8308
7
6
5
4
3
2
1
0
−8
−6
−4
−2
0
2
4
6
8

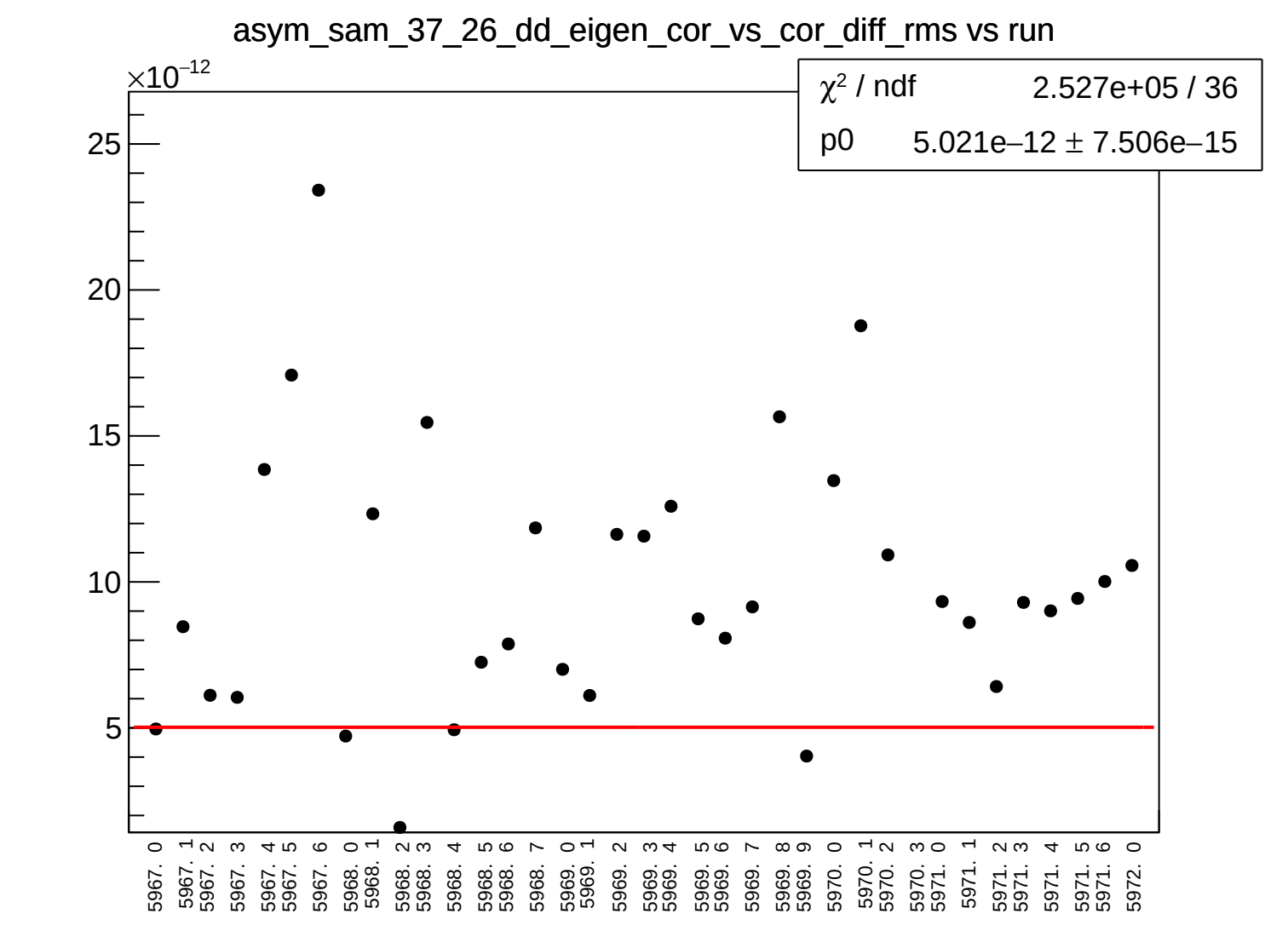
asym_sam_37_26_dd_eigen_cor_vs_cor_diff_rms vs run
×10⁻¹²
χ² / ndf 2.527e+05 / 36
p0 5.021e−12 ± 7.506e−15
25
20
15
10
5
5967. 0
5967. 1
5967. 2
5967. 3
5967. 4
5967. 5
5967. 6
5968. 0
5968. 1
5968. 2
5968. 3
5968. 4
5968. 5
5968. 6
5968. 7
5969. 0
5969. 1
5969. 2
5969. 3
5969. 4
5969. 5
5969. 6
5969. 7
5969. 8
5969. 9
5970. 0
5970. 1
5970. 2
5970. 3
5971. 0
5971. 1
5971. 2
5971. 3
5971. 4
5971. 5
5971. 6
5972. 0

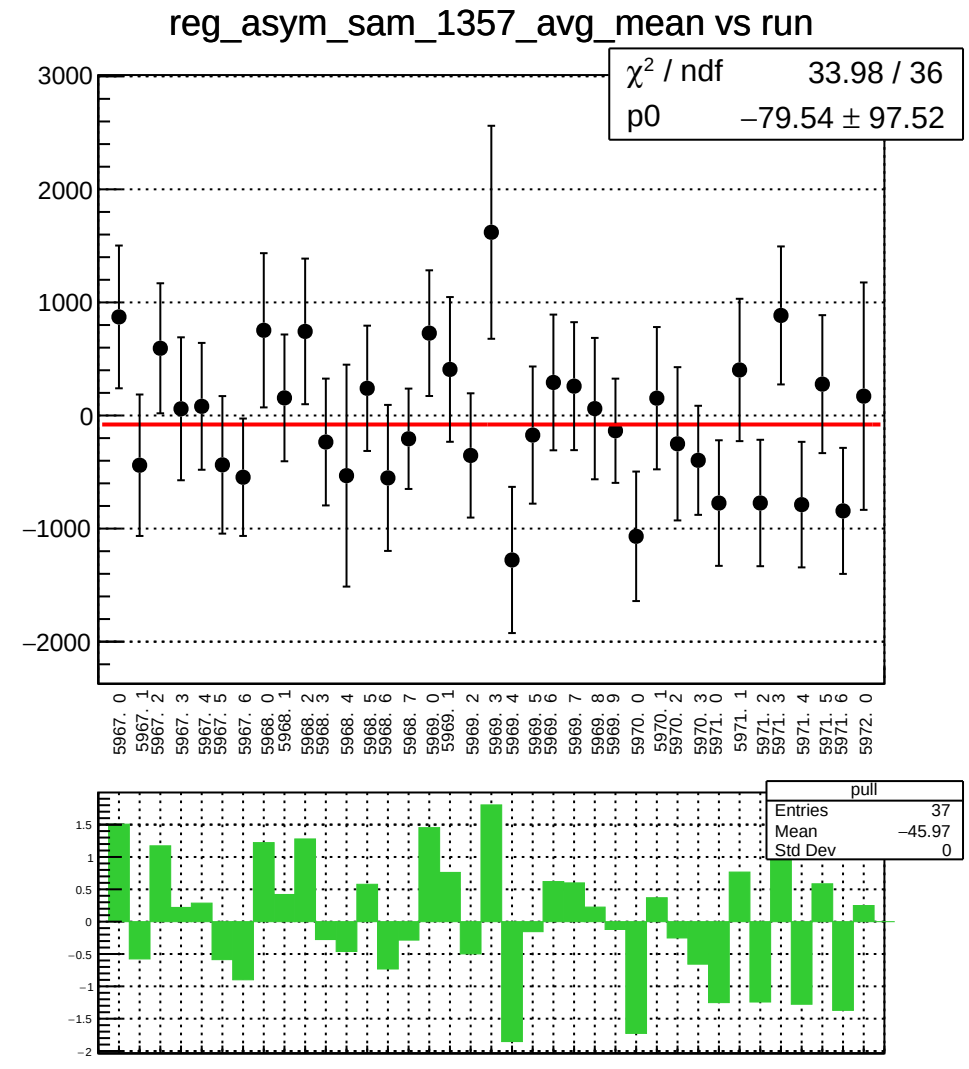
reg_asym_sam_1357_avg_mean vs run
χ² / ndf 33.98 / 36
p0 −79.54 ± 97.52
3000
2000
1000
0
−1000
−2000
5967. 0
5967. 1
5967. 2
5967. 3
5967. 4
5967. 5
5967. 6
5968. 0
5968. 1
5968. 2
5968. 3
5968. 4
5968. 5
5968. 6
5968. 7
5969. 0
5969. 1
5969. 2
5969. 3
5969. 4
5969. 5
5969. 6
5969. 7
5969. 8
5969. 9
5970. 0
5970. 1
5970. 2
5970. 3
5971. 0
5971. 1
5971. 2
5971. 3
5971. 4
5971. 5
5971. 6
5972. 0
pull
Entries 37
Mean −45.97
Std Dev 0
1.5
1
0.5
0
−0.5
−1
−1.5
−2

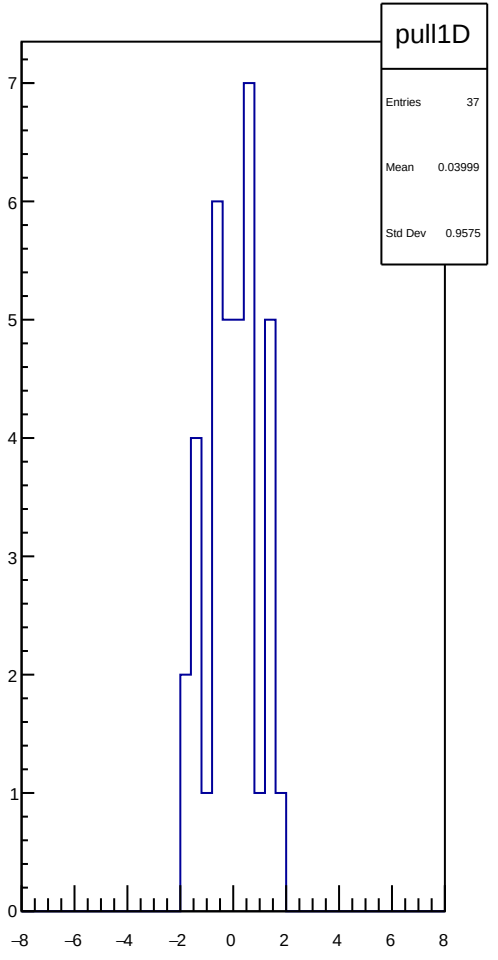
pull1D
Entries 37
Mean 0.03999
Std Dev 0.9575
7
6
5
4
3
2
1
0
−8
−6
−4
−2
0
2
4
6
8

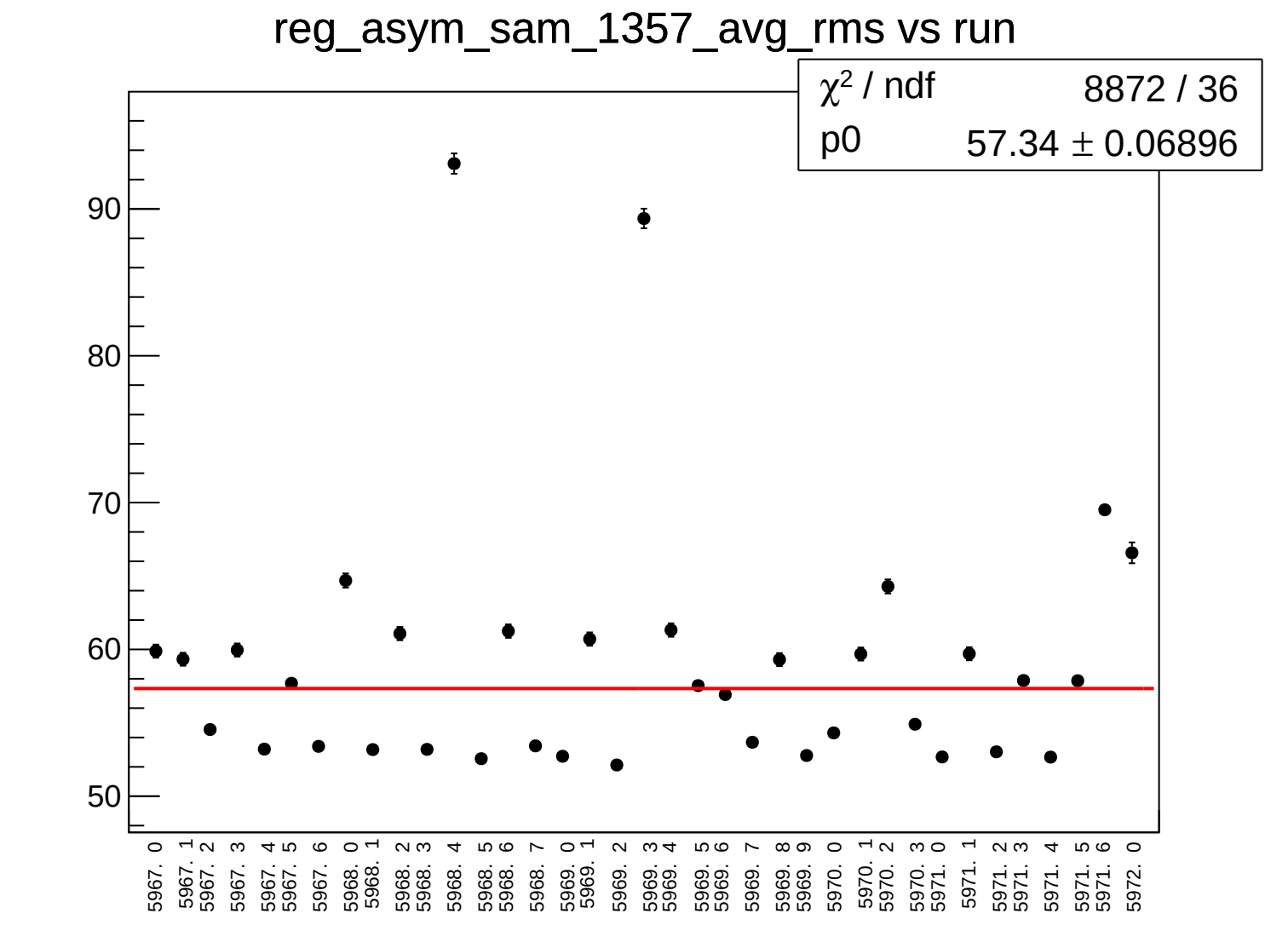
reg_asym_sam_1357_avg_rms vs run
χ² / ndf 8872 / 36
p0 57.34 ± 0.06896
90
80
70
60
50
5967. 0
5967. 1
5967. 2
5967. 3
5967. 4
5967. 5
5967. 6
5968. 0
5968. 1
5968. 2
5968. 3
5968. 4
5968. 5
5968. 6
5968. 7
5969. 0
5969. 1
5969. 2
5969. 3
5969. 4
5969. 5
5969. 6
5969. 7
5969. 8
5969. 9
5970. 0
5970. 1
5970. 2
5970. 3
5971. 0
5971. 1
5971. 2
5971. 3
5971. 4
5971. 5
5971. 6
5972. 0

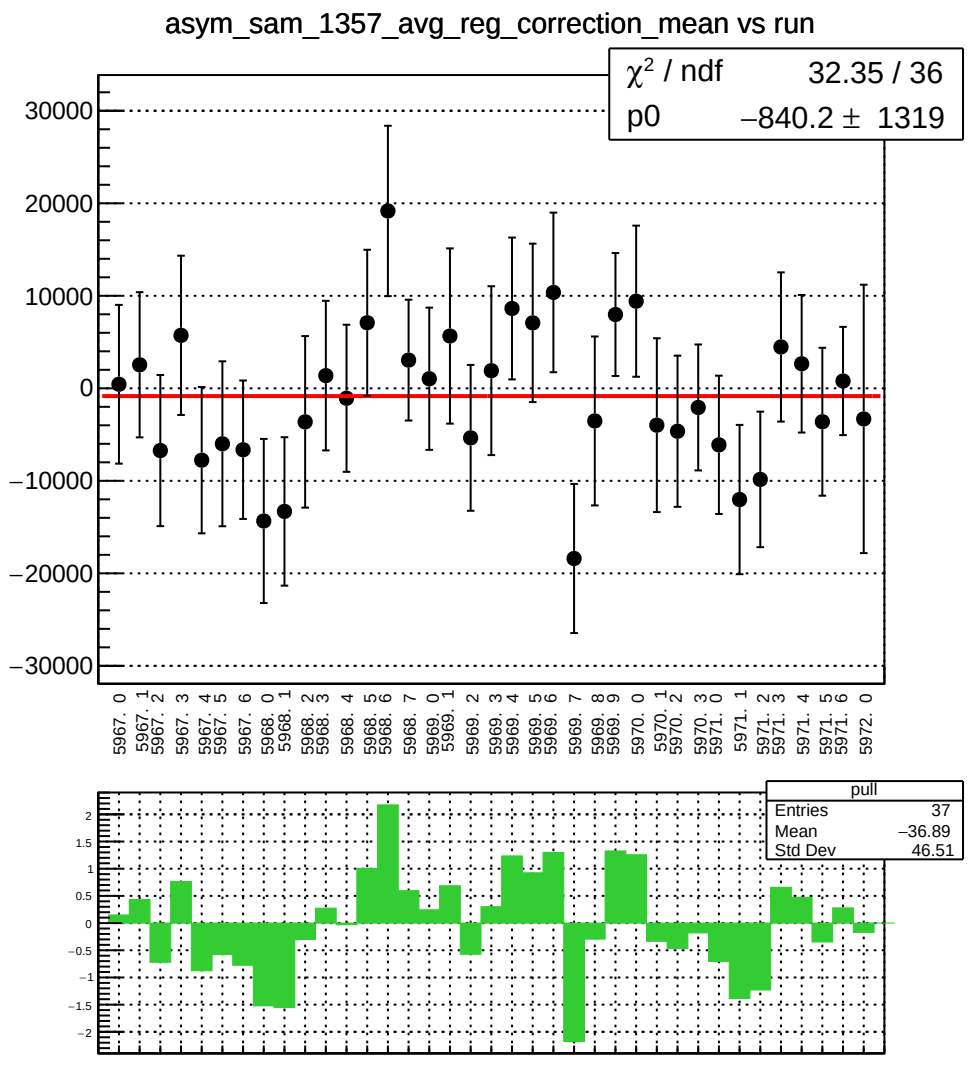
asym_sam_1357_avg_reg_correction_mean vs run
χ² / ndf 32.35 / 36
p0 −840.2 ± 1319
30000
20000
10000
0
−10000
−20000
−30000
5967. 0
5967. 1
5967. 2
5967. 3
5967. 4
5967. 5
5967. 6
5968. 0
5968. 1
5968. 2
5968. 3
5968. 4
5968. 5
5968. 6
5968. 7
5969. 0
5969. 1
5969. 2
5969. 3
5969. 4
5969. 5
5969. 6
5969. 7
5969. 8
5969. 9
5970. 0
5970. 1
5970. 2
5970. 3
5971. 0
5971. 1
5971. 2
5971. 3
5971. 4
5971. 5
5971. 6
5972. 0
pull
Entries 37
Mean −36.89
Std Dev 46.51
2
1.5
1
0.5
0
−0.5
−1
−1.5
−2

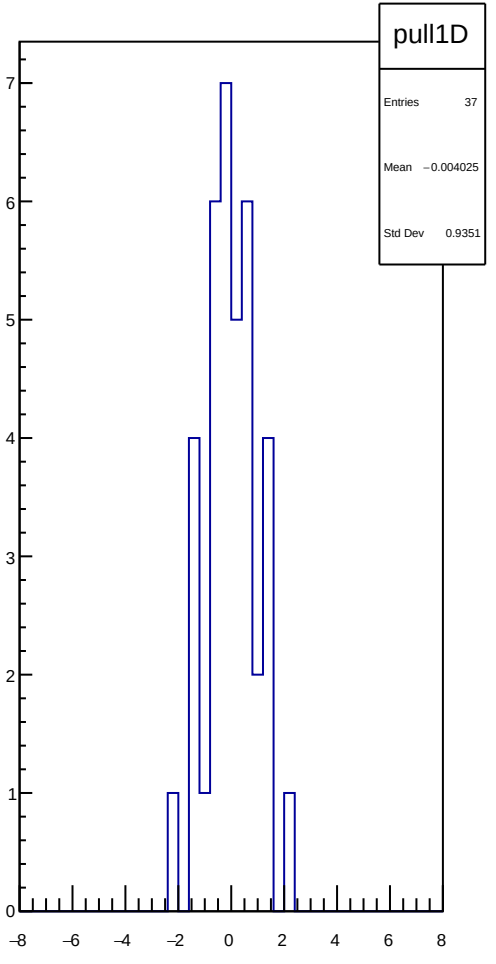
pull1D
Entries 37
Mean −0.004025
Std Dev 0.9351
7
6
5
4
3
2
1
0
−8
−6
−4
−2
0
2
4
6
8

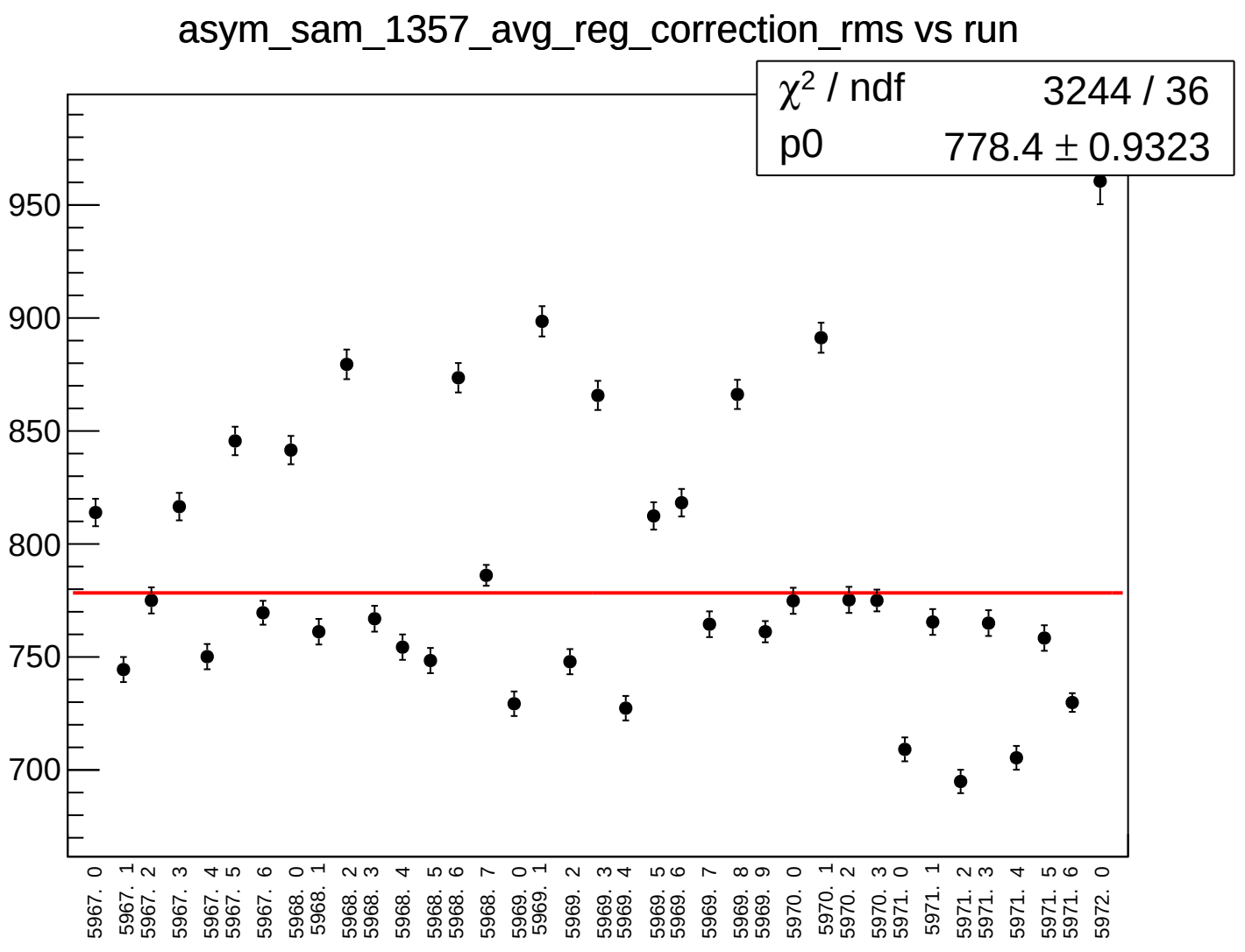
asym_sam_1357_avg_reg_correction_rms vs run
χ² / ndf 3244 / 36
p0 778.4 ± 0.9323
950
900
850
800
750
700
5967. 0
5967. 1
5967. 2
5967. 3
5967. 4
5967. 5
5967. 6
5968. 0
5968. 1
5968. 2
5968. 3
5968. 4
5968. 5
5968. 6
5968. 7
5969. 0
5969. 1
5969. 2
5969. 3
5969. 4
5969. 5
5969. 6
5969. 7
5969. 8
5969. 9
5970. 0
5970. 1
5970. 2
5970. 3
5971. 0
5971. 1
5971. 2
5971. 3
5971. 4
5971. 5
5971. 6
5972. 0

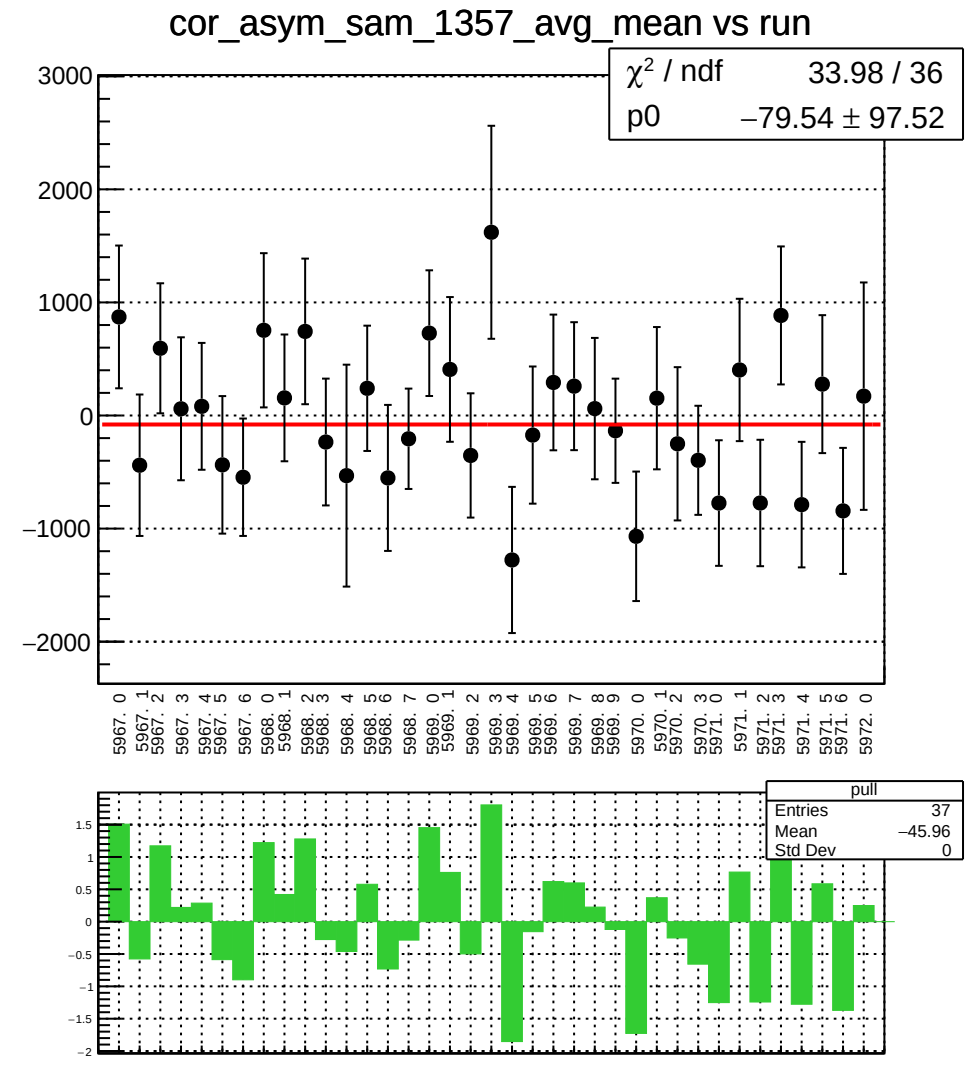
cor_asym_sam_1357_avg_mean vs run
χ² / ndf 33.98 / 36
p0 −79.54 ± 97.52
3000
2000
1000
0
−1000
−2000
5967. 0
5967. 1
5967. 2
5967. 3
5967. 4
5967. 5
5967. 6
5968. 0
5968. 1
5968. 2
5968. 3
5968. 4
5968. 5
5968. 6
5968. 7
5969. 0
5969. 1
5969. 2
5969. 3
5969. 4
5969. 5
5969. 6
5969. 7
5969. 8
5969. 9
5970. 0
5970. 1
5970. 2
5970. 3
5971. 0
5971. 1
5971. 2
5971. 3
5971. 4
5971. 5
5971. 6
5972. 0
pull
Entries 37
Mean −45.96
Std Dev 0
1.5
1
0.5
0
−0.5
−1
−1.5
−2

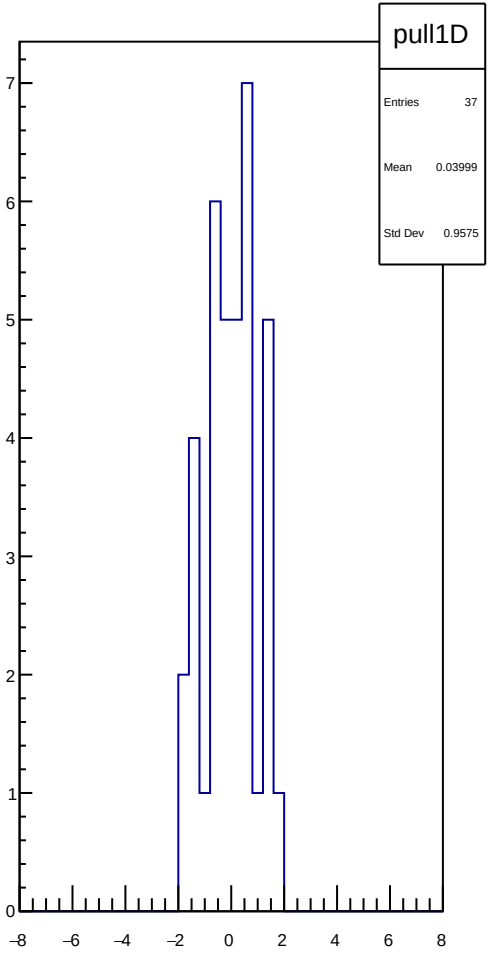
pull1D
Entries 37
Mean 0.03999
Std Dev 0.9575
7
6
5
4
3
2
1
0
−8
−6
−4
−2
0
2
4
6
8

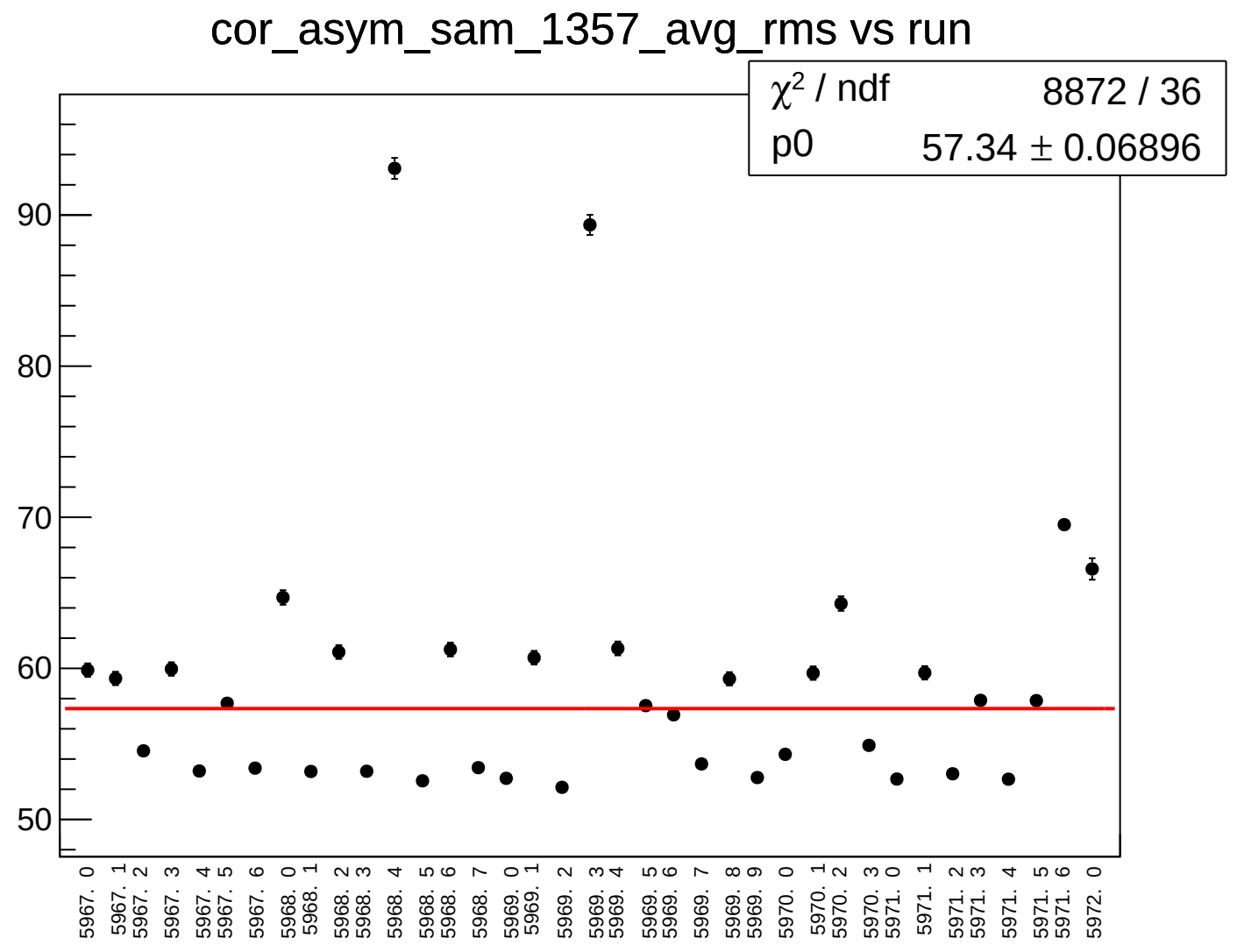
cor_asym_sam_1357_avg_rms vs run
χ² / ndf 8872 / 36
p0 57.34 ± 0.06896
90
80
70
60
50
5967. 0
5967. 1
5967. 2
5967. 3
5967. 4
5967. 5
5967. 6
5968. 0
5968. 1
5968. 2
5968. 3
5968. 4
5968. 5
5968. 6
5968. 7
5969. 0
5969. 1
5969. 2
5969. 3
5969. 4
5969. 5
5969. 6
5969. 7
5969. 8
5969. 9
5970. 0
5970. 1
5970. 2
5970. 3
5971. 0
5971. 1
5971. 2
5971. 3
5971. 4
5971. 5
5971. 6
5972. 0

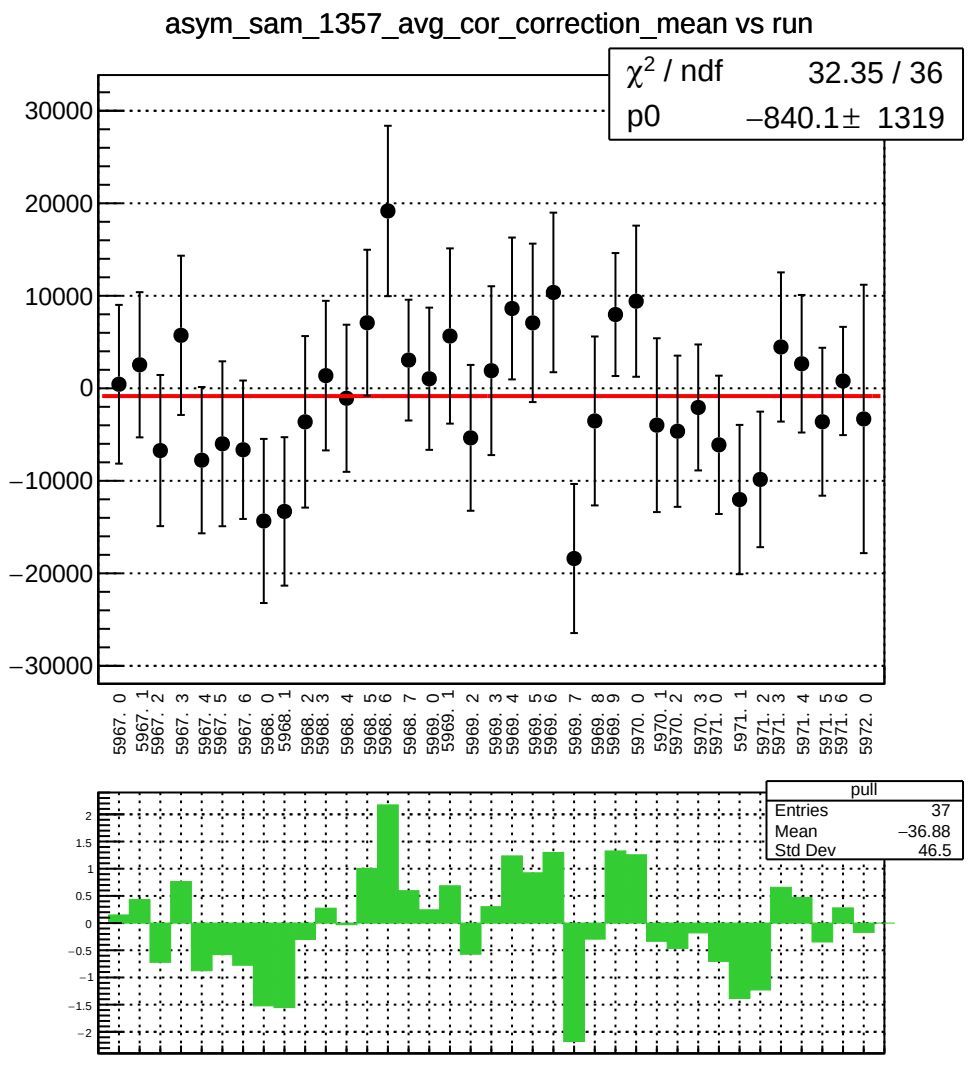
asym_sam_1357_avg_cor_correction_mean vs run
χ² / ndf 32.35 / 36
p0 −840.1± 1319
30000
20000
10000
0
−10000
−20000
−30000
5967. 0
5967. 1
5967. 2
5967. 3
5967. 4
5967. 5
5967. 6
5968. 0
5968. 1
5968. 2
5968. 3
5968. 4
5968. 5
5968. 6
5968. 7
5969. 0
5969. 1
5969. 2
5969. 3
5969. 4
5969. 5
5969. 6
5969. 7
5969. 8
5969. 9
5970. 0
5970. 1
5970. 2
5970. 3
5971. 0
5971. 1
5971. 2
5971. 3
5971. 4
5971. 5
5971. 6
5972. 0
pull
Entries 37
Mean −36.88
Std Dev 46.5
2
1.5
1
0.5
0
−0.5
−1
−1.5
−2

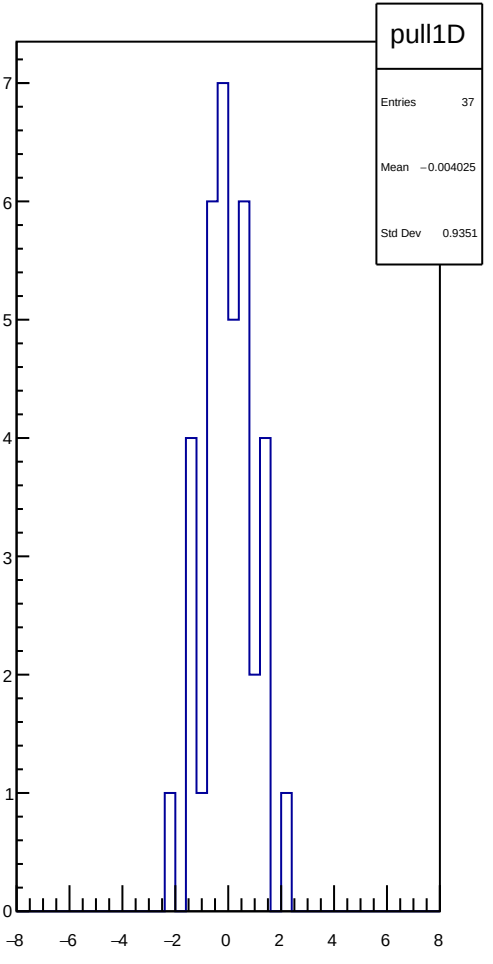
pull1D
Entries 37
Mean −0.004025
Std Dev 0.9351
7
6
5
4
3
2
1
0
−8
−6
−4
−2
0
2
4
6
8

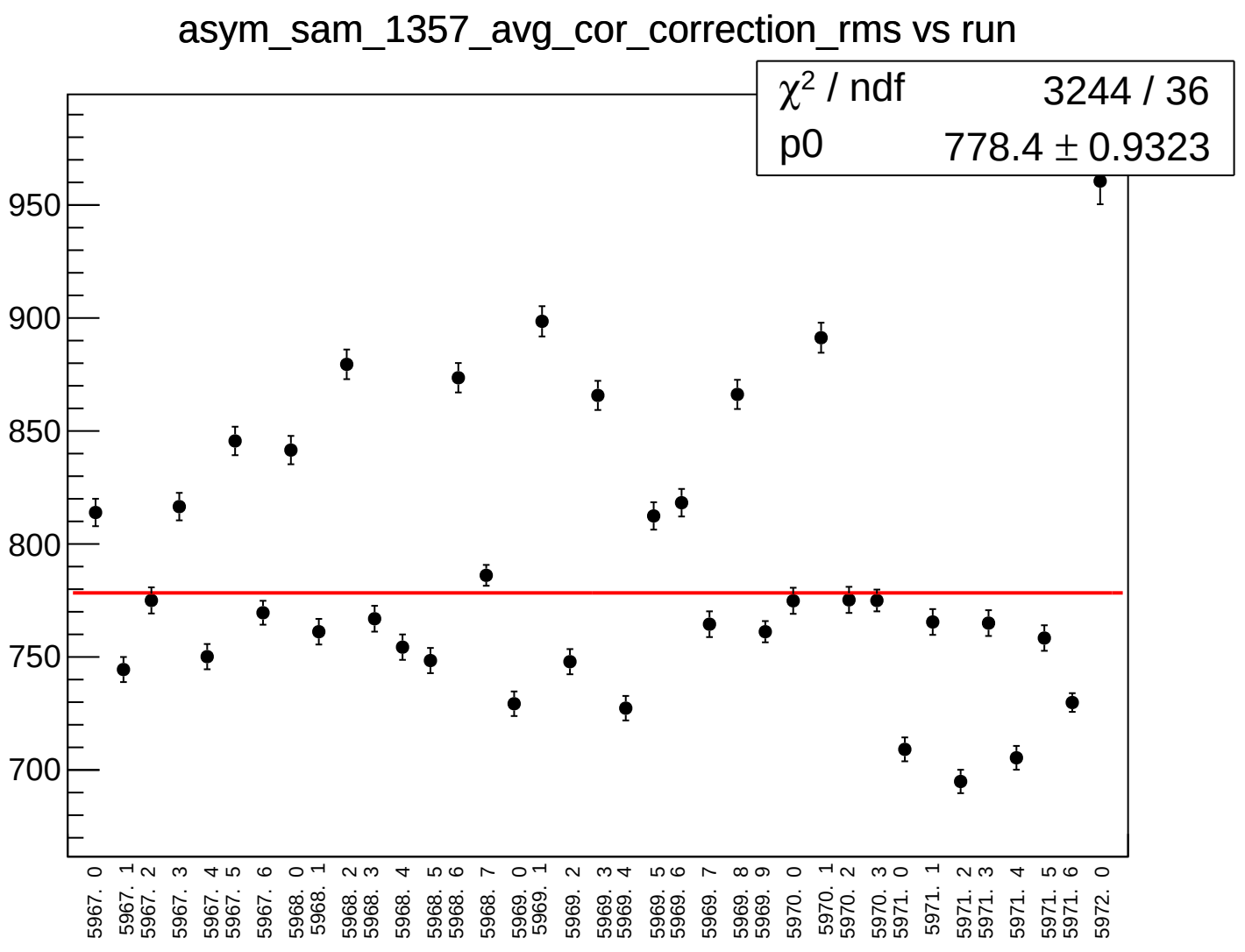
asym_sam_1357_avg_cor_correction_rms vs run
χ² / ndf 3244 / 36
p0 778.4 ± 0.9323
950
900
850
800
750
700
5967. 0
5967. 1
5967. 2
5967. 3
5967. 4
5967. 5
5967. 6
5968. 0
5968. 1
5968. 2
5968. 3
5968. 4
5968. 5
5968. 6
5968. 7
5969. 0
5969. 1
5969. 2
5969. 3
5969. 4
5969. 5
5969. 6
5969. 7
5969. 8
5969. 9
5970. 0
5970. 1
5970. 2
5970. 3
5971. 0
5971. 1
5971. 2
5971. 3
5971. 4
5971. 5
5971. 6
5972. 0

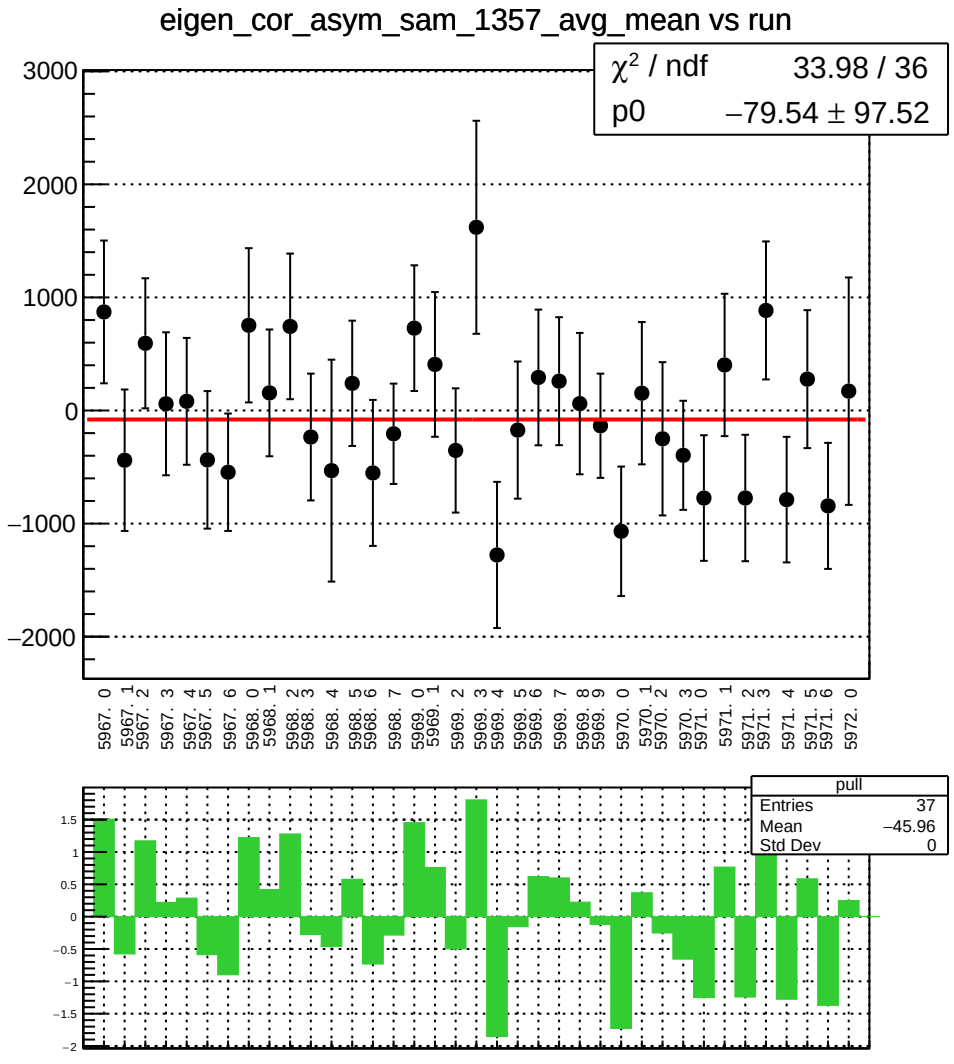
eigen_cor_asym_sam_1357_avg_mean vs run
χ² / ndf 33.98 / 36
p0 −79.54 ± 97.52
3000
2000
1000
0
−1000
−2000
5967. 0
5967. 1
5967. 2
5967. 3
5967. 4
5967. 5
5967. 6
5968. 0
5968. 1
5968. 2
5968. 3
5968. 4
5968. 5
5968. 6
5968. 7
5969. 0
5969. 1
5969. 2
5969. 3
5969. 4
5969. 5
5969. 6
5969. 7
5969. 8
5969. 9
5970. 0
5970. 1
5970. 2
5970. 3
5971. 0
5971. 1
5971. 2
5971. 3
5971. 4
5971. 5
5971. 6
5972. 0
pull
Entries 37
Mean −45.96
Std Dev 0
1.5
1
0.5
0
−0.5
−1
−1.5
−2

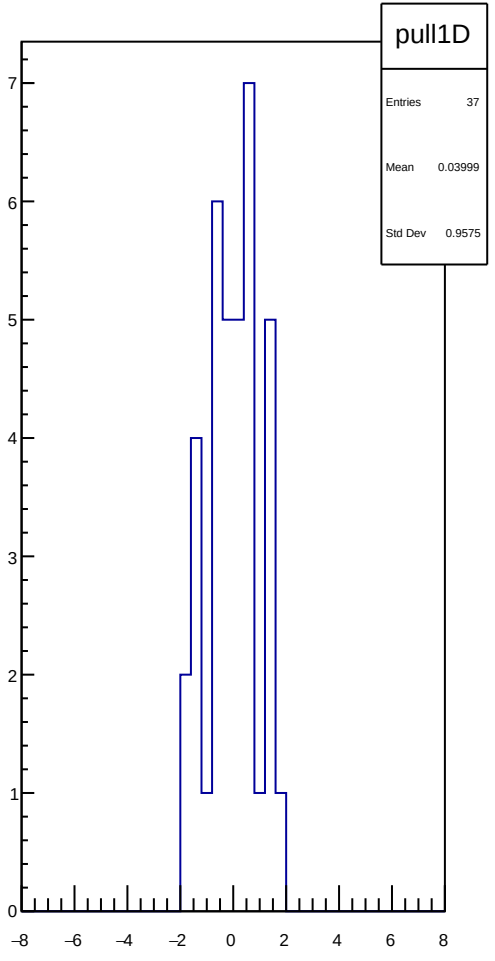
pull1D
Entries 37
Mean 0.03999
Std Dev 0.9575
7
6
5
4
3
2
1
0
−8
−6
−4
−2
0
2
4
6
8

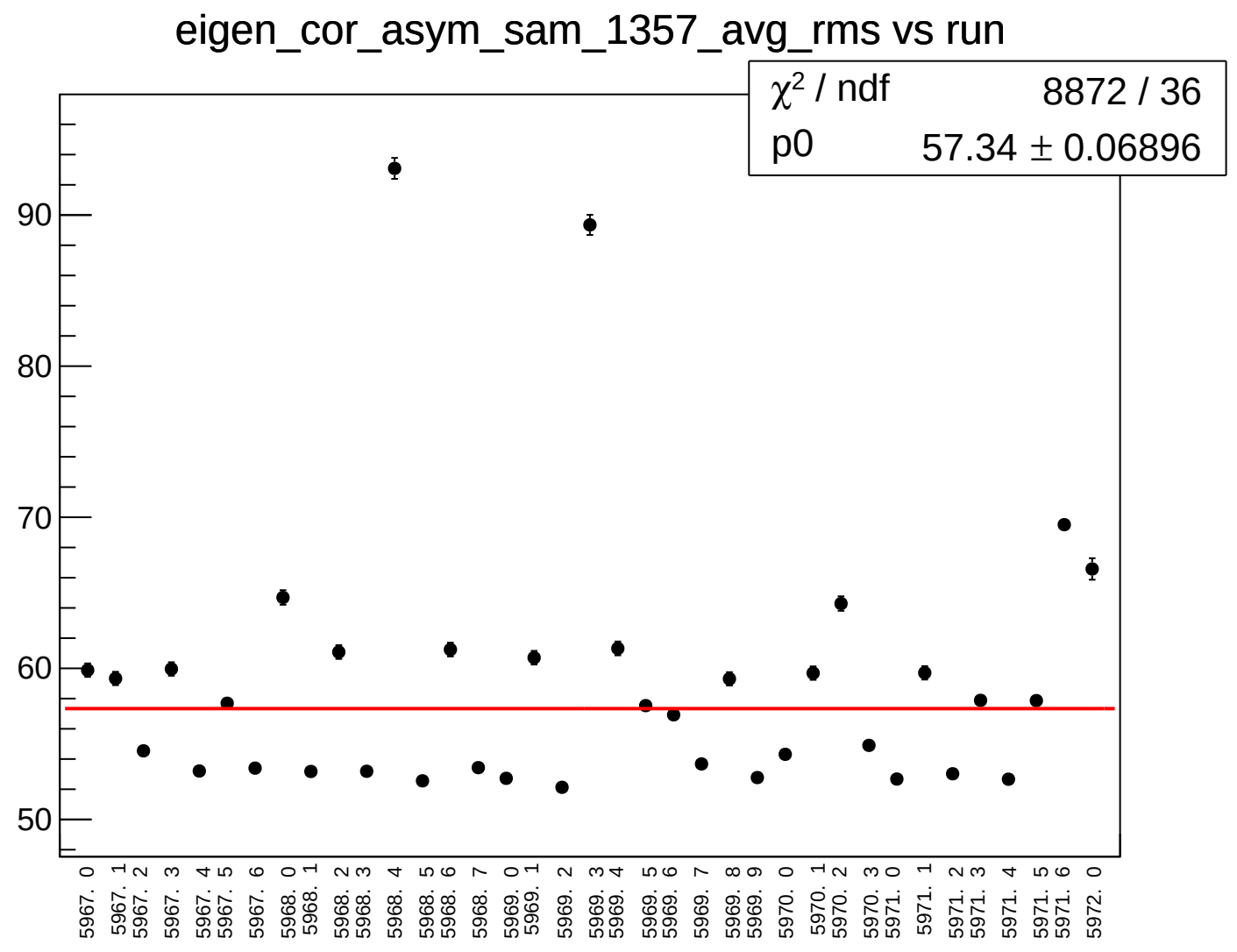
eigen_cor_asym_sam_1357_avg_rms vs run
χ² / ndf 8872 / 36
p0 57.34 ± 0.06896
90
80
70
60
50
5967. 0
5967. 1
5967. 2
5967. 3
5967. 4
5967. 5
5967. 6
5968. 0
5968. 1
5968. 2
5968. 3
5968. 4
5968. 5
5968. 6
5968. 7
5969. 0
5969. 1
5969. 2
5969. 3
5969. 4
5969. 5
5969. 6
5969. 7
5969. 8
5969. 9
5970. 0
5970. 1
5970. 2
5970. 3
5971. 0
5971. 1
5971. 2
5971. 3
5971. 4
5971. 5
5971. 6
5972. 0

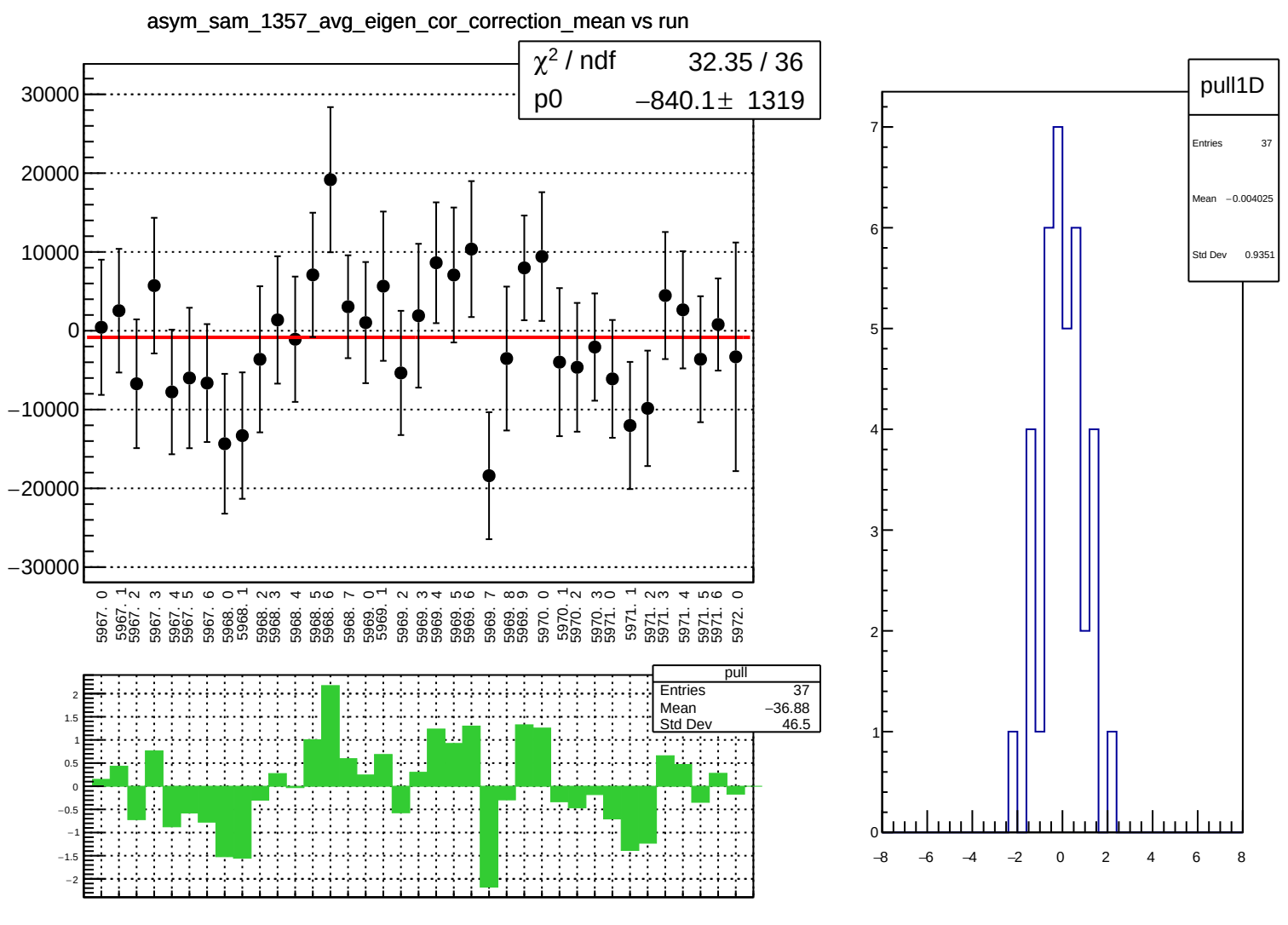
asym_sam_1357_avg_eigen_cor_correction_mean vs run
χ² / ndf 32.35 / 36
p0 −840.1± 1319
pull
Entries 37
Mean −36.88
Std Dev 46.5
pull1D
Entries 37
Mean −0.004025
Std Dev 0.9351

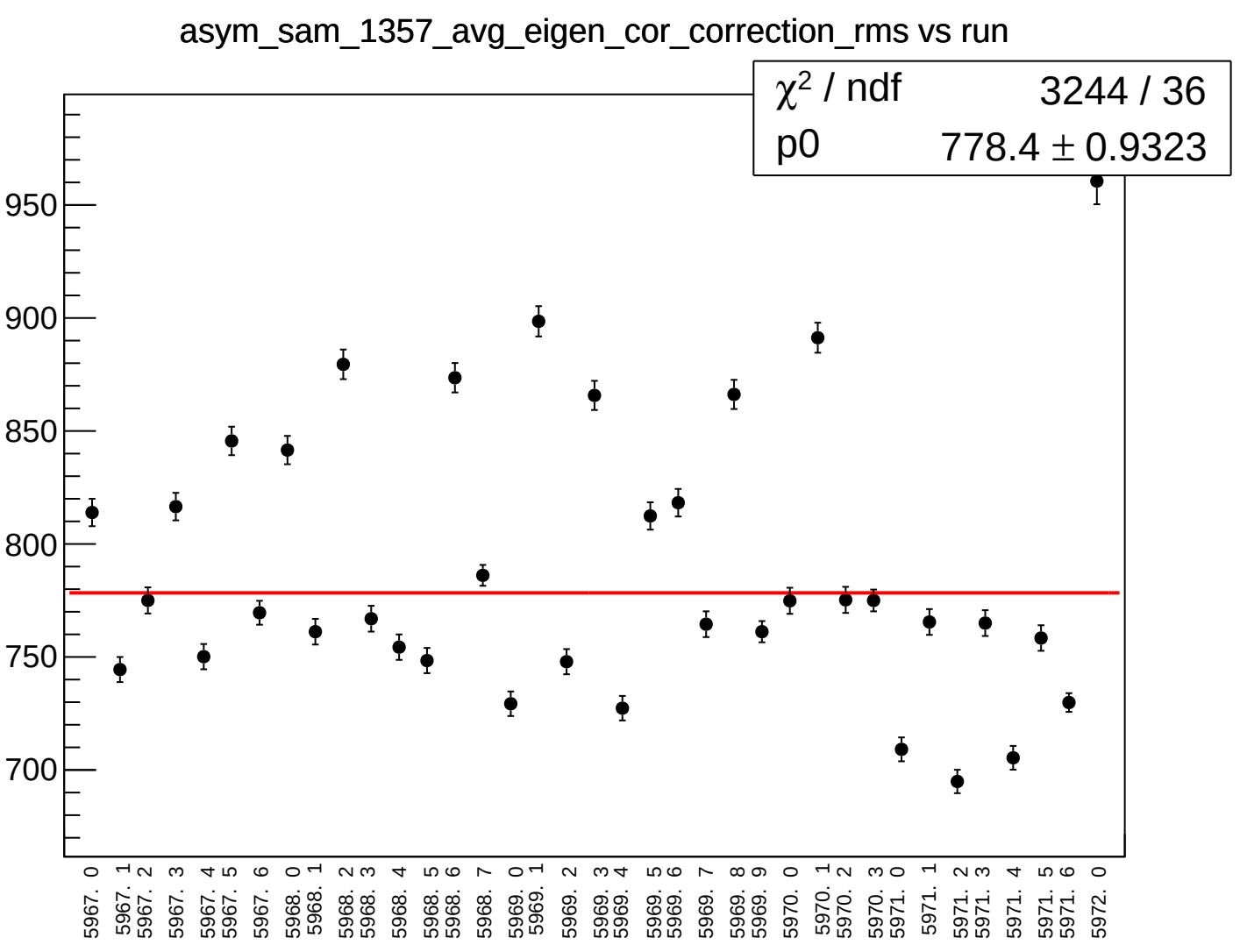
asym_sam_1357_avg_eigen_cor_correction_rms vs run
χ² / ndf 3244 / 36
p0 778.4 ± 0.9323
950
900
850
800
750
700
5967. 0
5967. 1
5967. 2
5967. 3
5967. 4
5967. 5
5967. 6
5968. 0
5968. 1
5968. 2
5968. 3
5968. 4
5968. 5
5968. 6
5968. 7
5969. 0
5969. 1
5969. 2
5969. 3
5969. 4
5969. 5
5969. 6
5969. 7
5969. 8
5969. 9
5970. 0
5970. 1
5970. 2
5970. 3
5971. 0
5971. 1
5971. 2
5971. 3
5971. 4
5971. 5
5971. 6
5972. 0

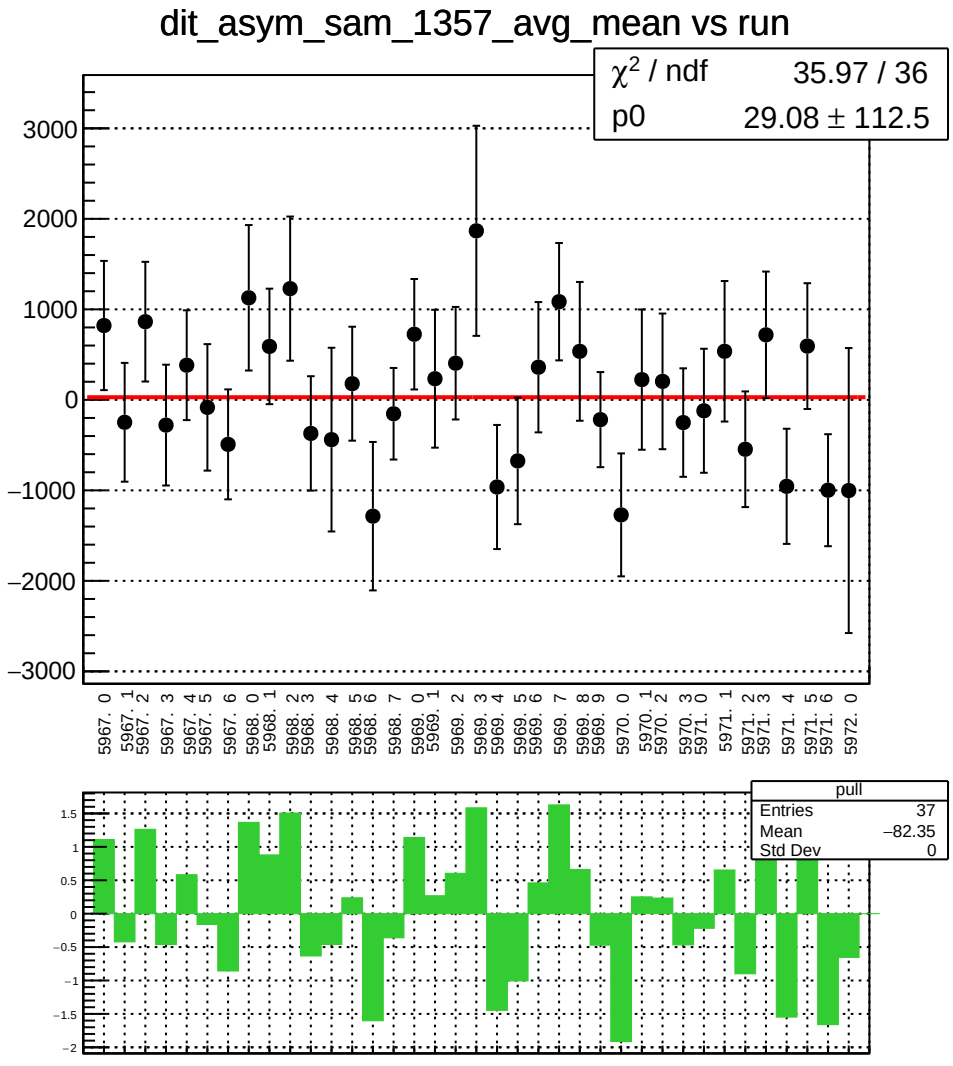
dit_asym_sam_1357_avg_mean vs run
χ² / ndf 35.97 / 36
p0 29.08 ± 112.5
3000
2000
1000
0
−1000
−2000
−3000
5967. 0
5967. 1
5967. 2
5967. 3
5967. 4
5967. 5
5967. 6
5968. 0
5968. 1
5968. 2
5968. 3
5968. 4
5968. 5
5968. 6
5968. 7
5969. 0
5969. 1
5969. 2
5969. 3
5969. 4
5969. 5
5969. 6
5969. 7
5969. 8
5969. 9
5970. 0
5970. 1
5970. 2
5970. 3
5971. 0
5971. 1
5971. 2
5971. 3
5971. 4
5971. 5
5971. 6
5972. 0
pull
Entries 37
Mean −82.35
Std Dev 0
1.5
1
0.5
0
−0.5
−1
−1.5
−2
pull1D
Entries 37
Mean 0.02659
Std Dev 0.9856
7
6
5
4
3
2
1
0
−8
−6
−4
−2
0
2
4
6
8

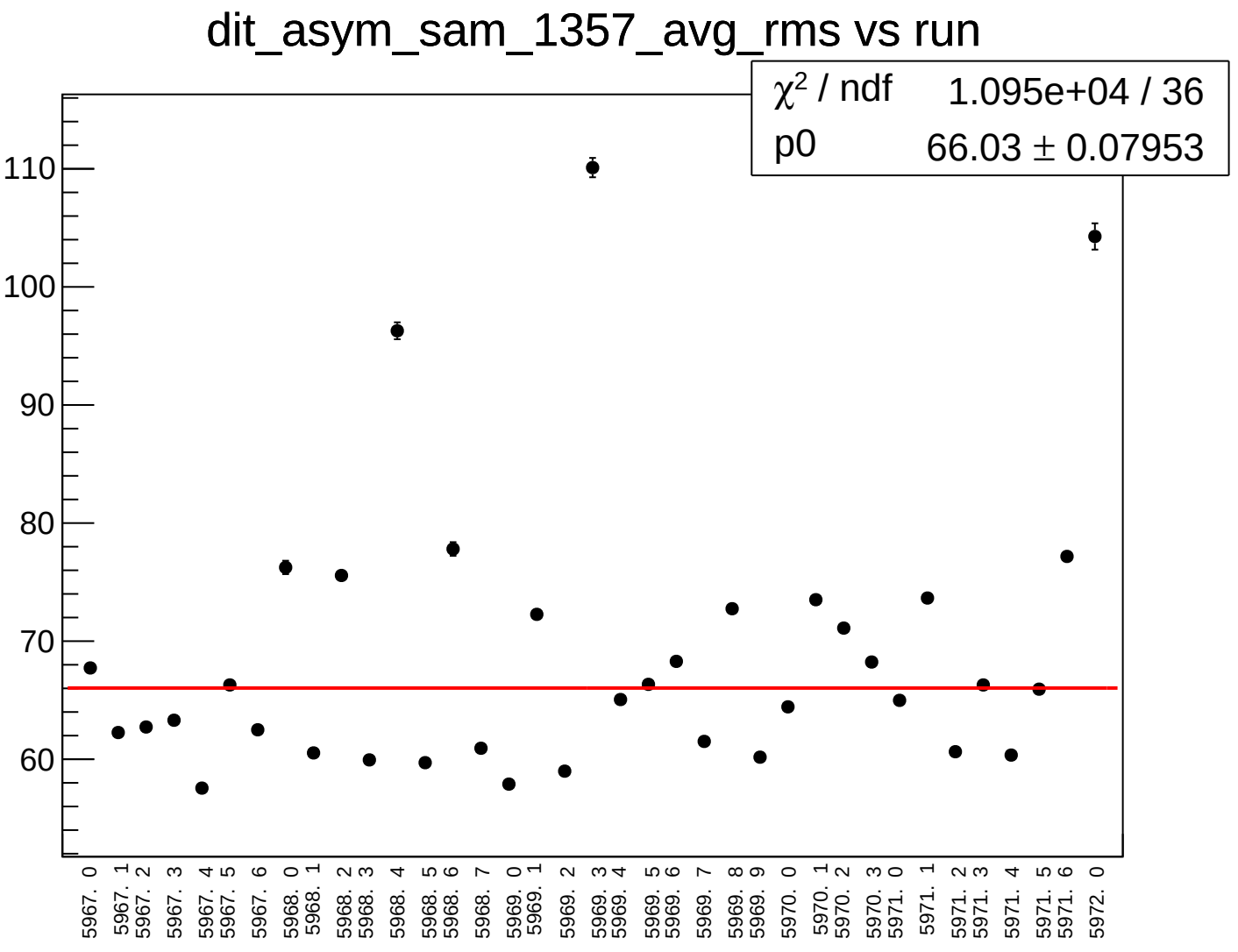
dit_asym_sam_1357_avg_rms vs run
χ² / ndf 1.095e+04 / 36
p0 66.03 ± 0.07953
110
100
90
80
70
60
5967. 0
5967. 1
5967. 2
5967. 3
5967. 4
5967. 5
5967. 6
5968. 0
5968. 1
5968. 2
5968. 3
5968. 4
5968. 5
5968. 6
5968. 7
5969. 0
5969. 1
5969. 2
5969. 3
5969. 4
5969. 5
5969. 6
5969. 7
5969. 8
5969. 9
5970. 0
5970. 1
5970. 2
5970. 3
5971. 0
5971. 1
5971. 2
5971. 3
5971. 4
5971. 5
5971. 6
5972. 0

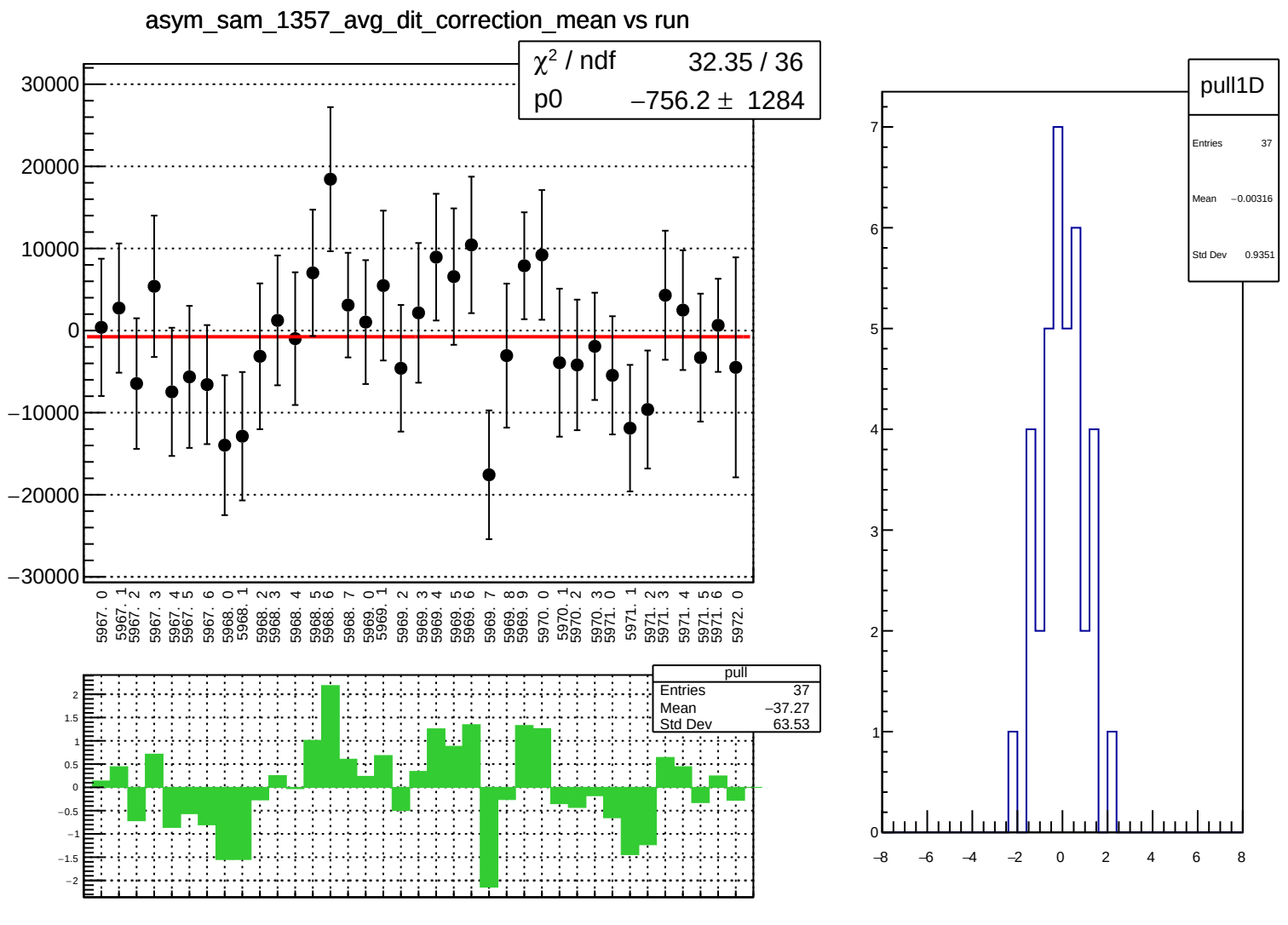
asym_sam_1357_avg_dit_correction_mean vs run
χ² / ndf 32.35 / 36
p0 −756.2 ± 1284
30000
20000
10000
0
−10000
−20000
−30000
5967. 0
5967. 1
5967. 2
5967. 3
5967. 4
5967. 5
5967. 6
5968. 0
5968. 1
5968. 2
5968. 3
5968. 4
5968. 5
5968. 6
5968. 7
5969. 0
5969. 1
5969. 2
5969. 3
5969. 4
5969. 5
5969. 6
5969. 7
5969. 8
5969. 9
5970. 0
5970. 1
5970. 2
5970. 3
5971. 0
5971. 1
5971. 2
5971. 3
5971. 4
5971. 5
5971. 6
5972. 0
pull
Entries 37
Mean −37.27
Std Dev 63.53
2
1.5
1
0.5
0
−0.5
−1
−1.5
−2
pull1D
Entries 37
Mean −0.00316
Std Dev 0.9351
7
6
5
4
3
2
1
0
−8
−6
−4
−2
0
2
4
6
8

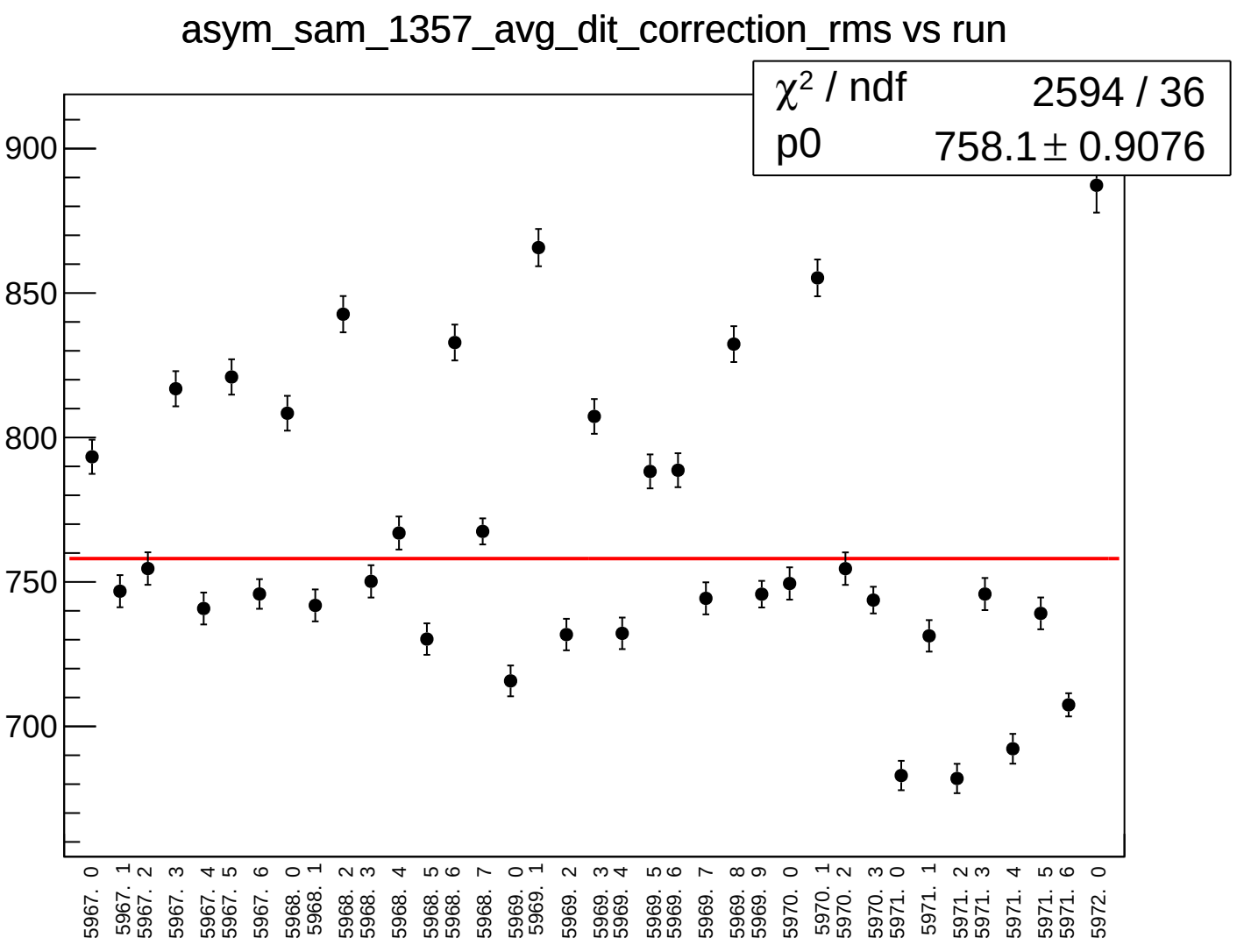
asym_sam_1357_avg_dit_correction_rms vs run
χ² / ndf 2594 / 36
p0 758.1 ± 0.9076
900
850
800
750
700
5967. 0
5967. 1
5967. 2
5967. 3
5967. 4
5967. 5
5967. 6
5968. 0
5968. 1
5968. 2
5968. 3
5968. 4
5968. 5
5968. 6
5968. 7
5969. 0
5969. 1
5969. 2
5969. 3
5969. 4
5969. 5
5969. 6
5969. 7
5969. 8
5969. 9
5970. 0
5970. 1
5970. 2
5970. 3
5971. 0
5971. 1
5971. 2
5971. 3
5971. 4
5971. 5
5971. 6
5972. 0

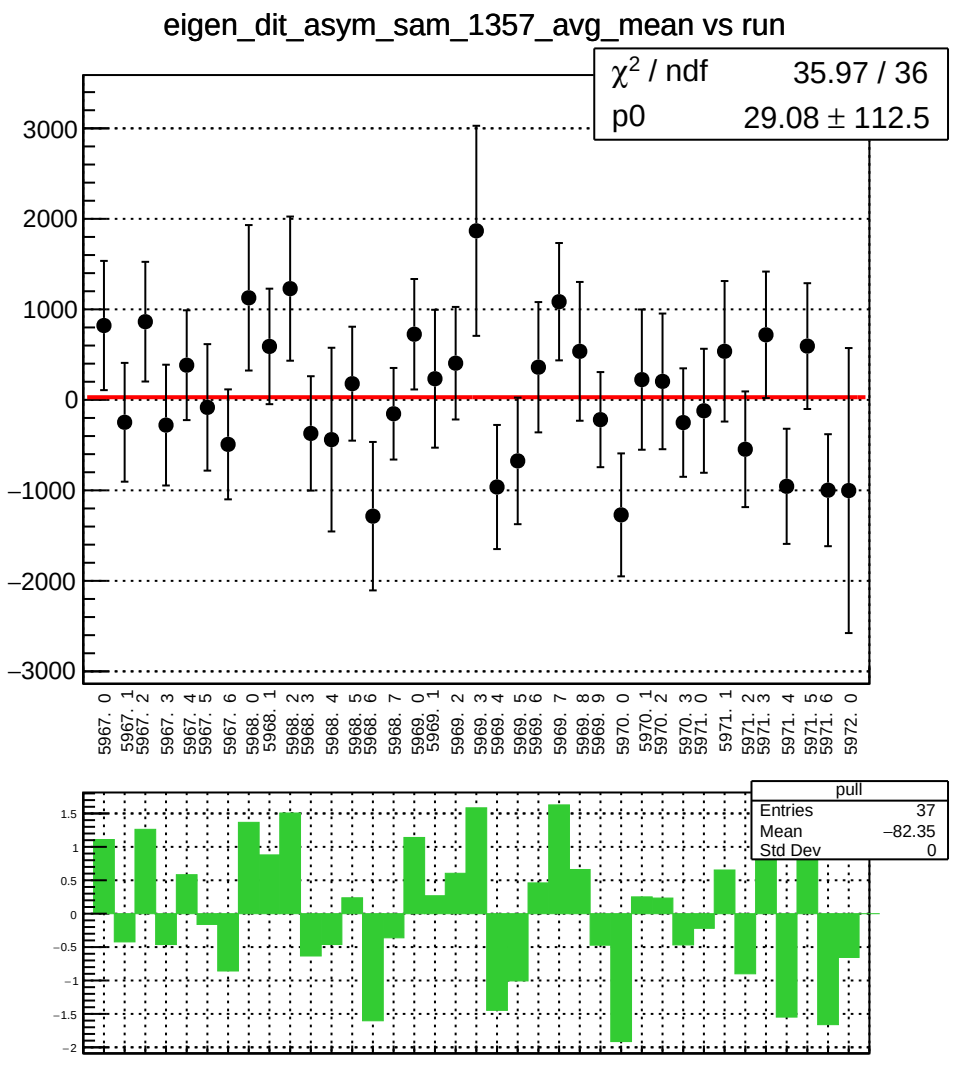
eigen_dit_asym_sam_1357_avg_mean vs run
χ² / ndf 35.97 / 36
p0 29.08 ± 112.5
3000
2000
1000
0
−1000
−2000
−3000
5967. 0
5967. 1
5967. 2
5967. 3
5967. 4
5967. 5
5967. 6
5968. 0
5968. 1
5968. 2
5968. 3
5968. 4
5968. 5
5968. 6
5968. 7
5969. 0
5969. 1
5969. 2
5969. 3
5969. 4
5969. 5
5969. 6
5969. 7
5969. 8
5969. 9
5970. 0
5970. 1
5970. 2
5970. 3
5971. 0
5971. 1
5971. 2
5971. 3
5971. 4
5971. 5
5971. 6
5972. 0
pull
Entries 37
Mean −82.35
Std Dev 0
1.5
1
0.5
0
−0.5
−1
−1.5
−2

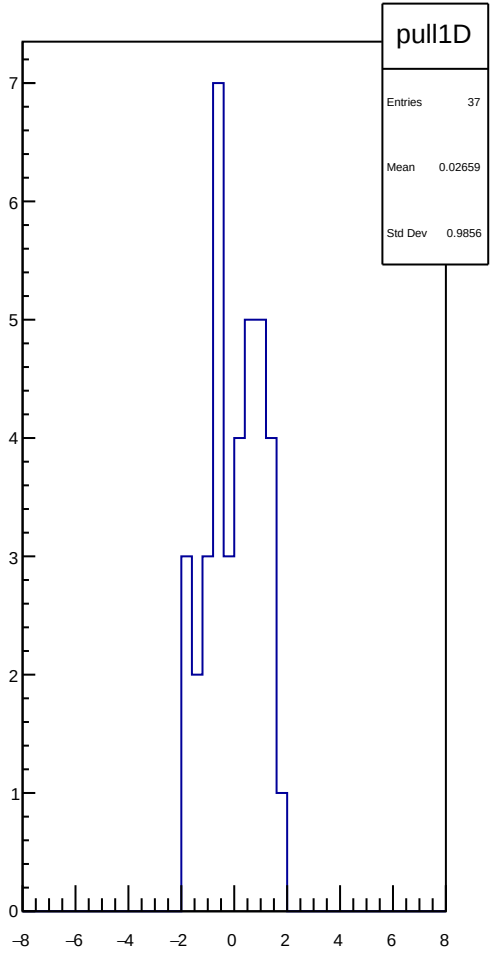
pull1D
Entries 37
Mean 0.02659
Std Dev 0.9856
7
6
5
4
3
2
1
0
−8
−6
−4
−2
0
2
4
6
8

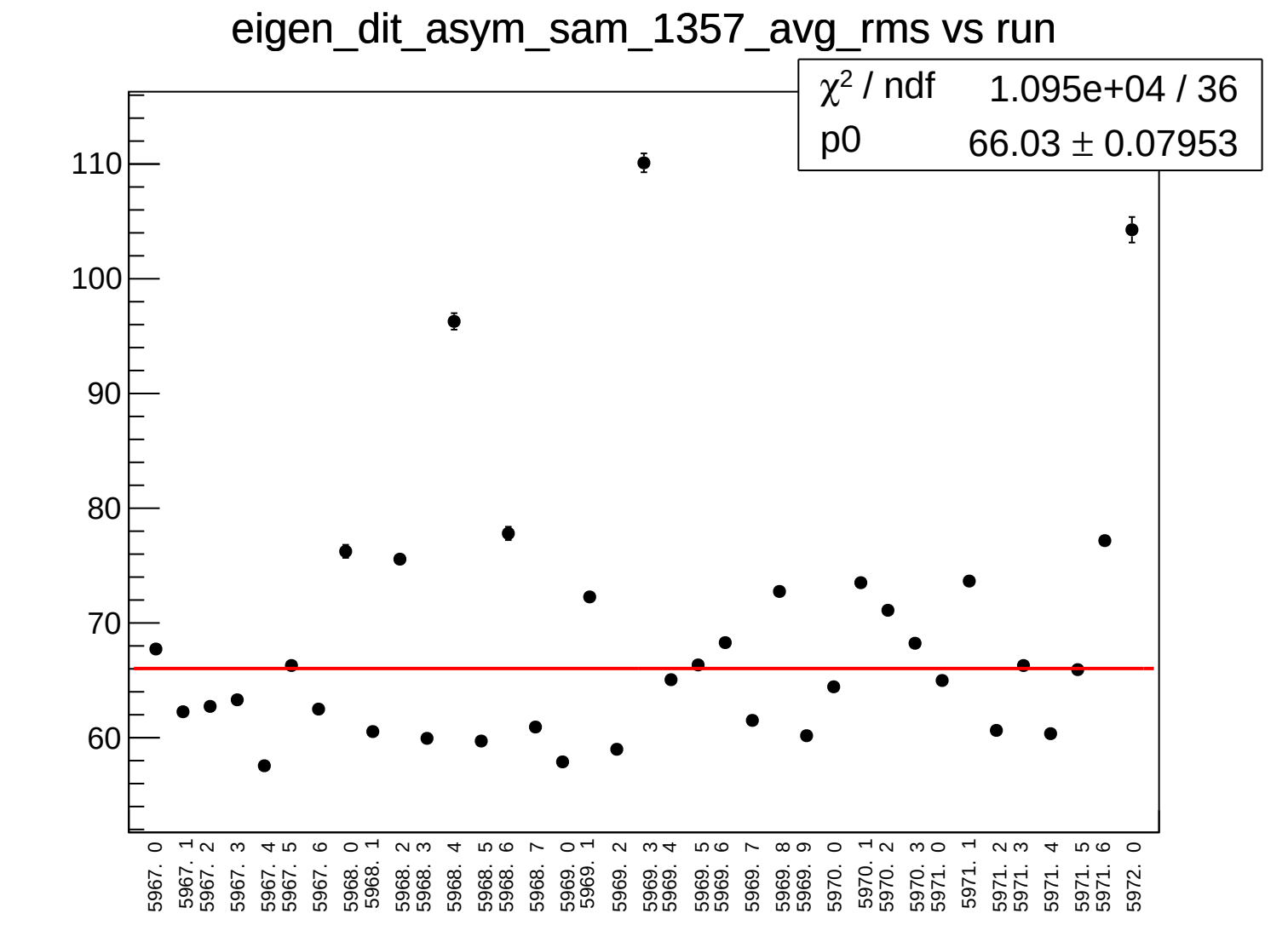
eigen_dit_asym_sam_1357_avg_rms vs run
χ² / ndf 1.095e+04 / 36
p0 66.03 ± 0.07953
110
100
90
80
70
60
5967. 0
5967. 1
5967. 2
5967. 3
5967. 4
5967. 5
5967. 6
5968. 0
5968. 1
5968. 2
5968. 3
5968. 4
5968. 5
5968. 6
5968. 7
5969. 0
5969. 1
5969. 2
5969. 3
5969. 4
5969. 5
5969. 6
5969. 7
5969. 8
5969. 9
5970. 0
5970. 1
5970. 2
5970. 3
5971. 0
5971. 1
5971. 2
5971. 3
5971. 4
5971. 5
5971. 6
5972. 0

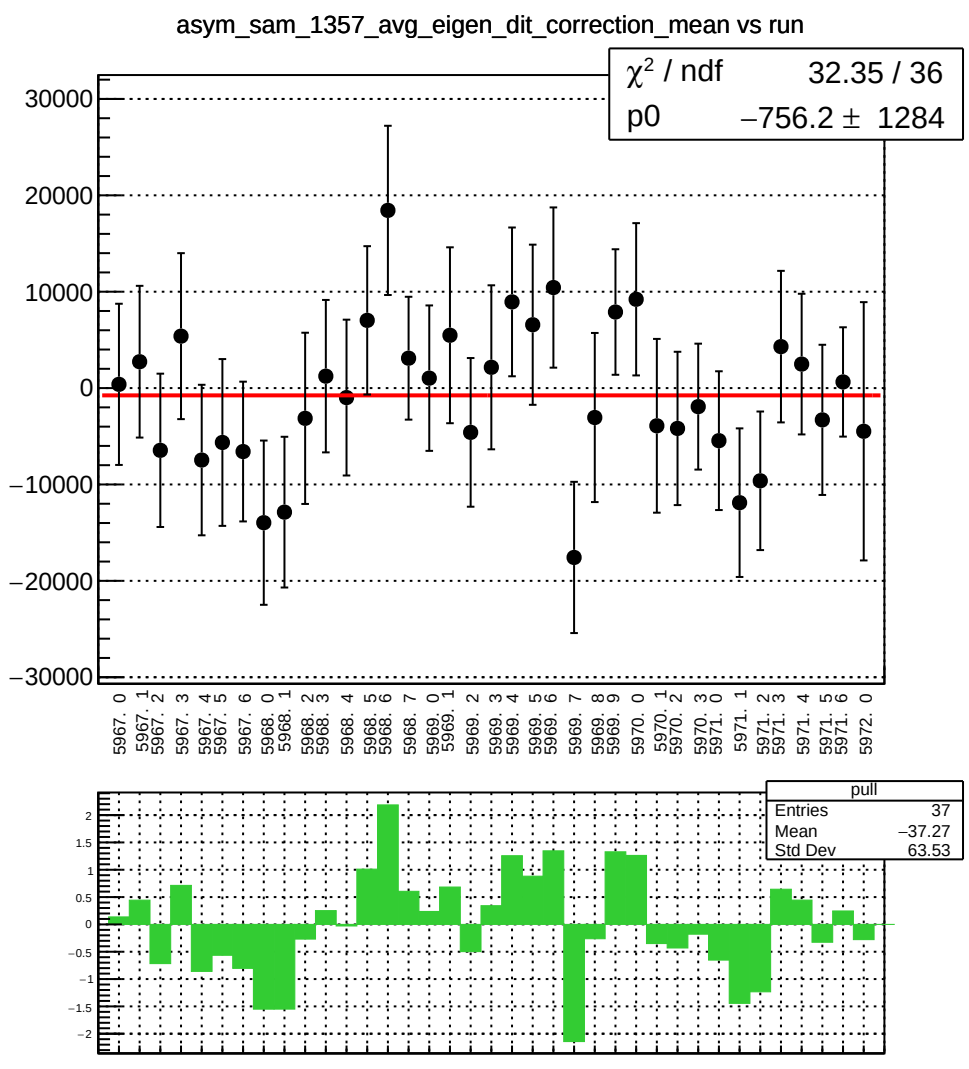
asym_sam_1357_avg_eigen_dit_correction_mean vs run
χ² / ndf 32.35 / 36
p0 −756.2 ± 1284
30000
20000
10000
0
−10000
−20000
−30000
5967. 0
5967. 1
5967. 2
5967. 3
5967. 4
5967. 5
5967. 6
5968. 0
5968. 1
5968. 2
5968. 3
5968. 4
5968. 5
5968. 6
5968. 7
5969. 0
5969. 1
5969. 2
5969. 3
5969. 4
5969. 5
5969. 6
5969. 7
5969. 8
5969. 9
5970. 0
5970. 1
5970. 2
5970. 3
5971. 0
5971. 1
5971. 2
5971. 3
5971. 4
5971. 5
5971. 6
5972. 0
pull
Entries 37
Mean −37.27
Std Dev 63.53
2
1.5
1
0.5
0
−0.5
−1
−1.5
−2
pull1D
Entries 37
Mean −0.00316
Std Dev 0.9351
7
6
5
4
3
2
1
0
−8
−6
−4
−2
0
2
4
6
8

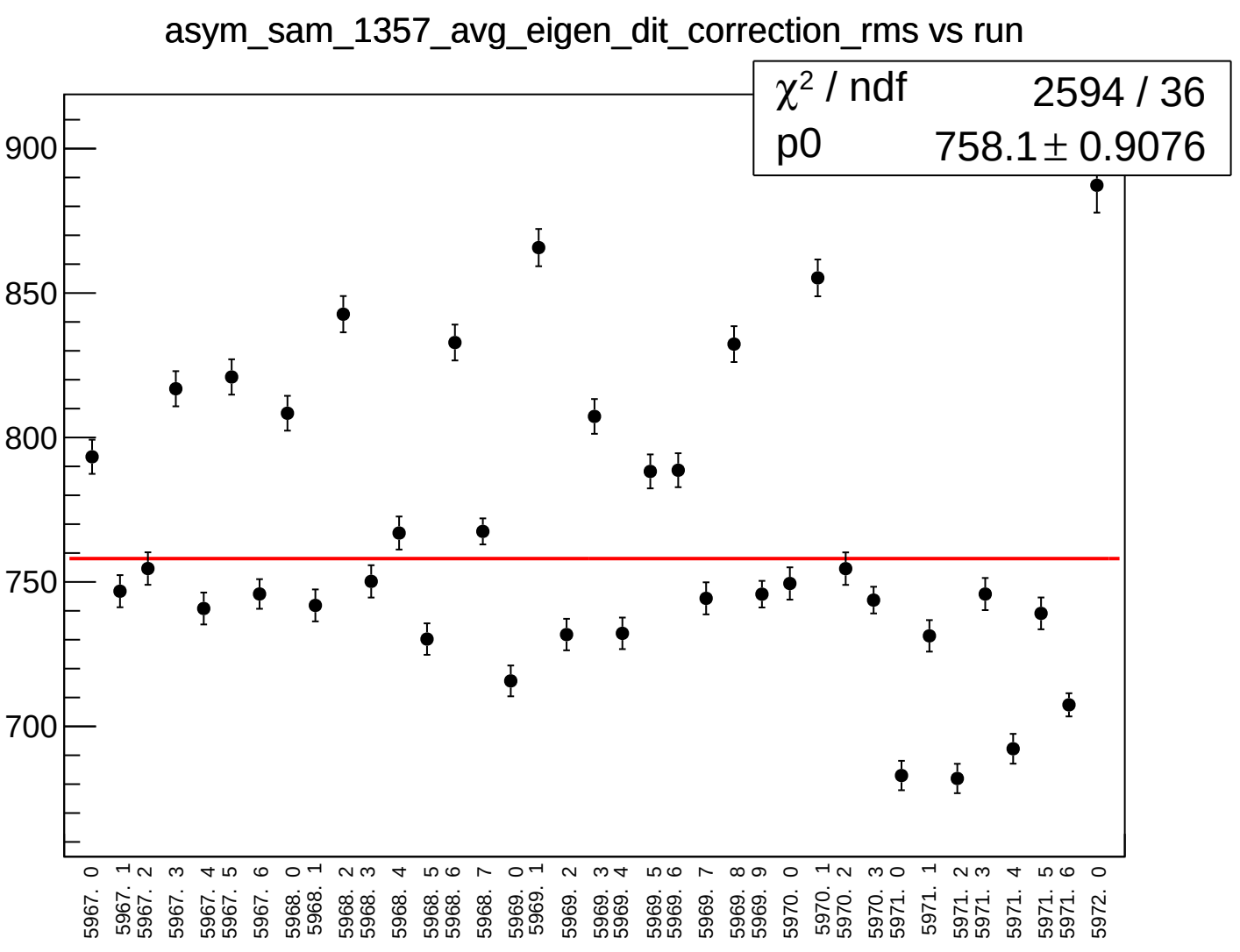
asym_sam_1357_avg_eigen_dit_correction_rms vs run
χ² / ndf 2594 / 36
p0 758.1 ± 0.9076
900
850
800
750
700
5967. 0
5967. 1
5967. 2
5967. 3
5967. 4
5967. 5
5967. 6
5968. 0
5968. 1
5968. 2
5968. 3
5968. 4
5968. 5
5968. 6
5968. 7
5969. 0
5969. 1
5969. 2
5969. 3
5969. 4
5969. 5
5969. 6
5969. 7
5969. 8
5969. 9
5970. 0
5970. 1
5970. 2
5970. 3
5971. 0
5971. 1
5971. 2
5971. 3
5971. 4
5971. 5
5971. 6
5972. 0

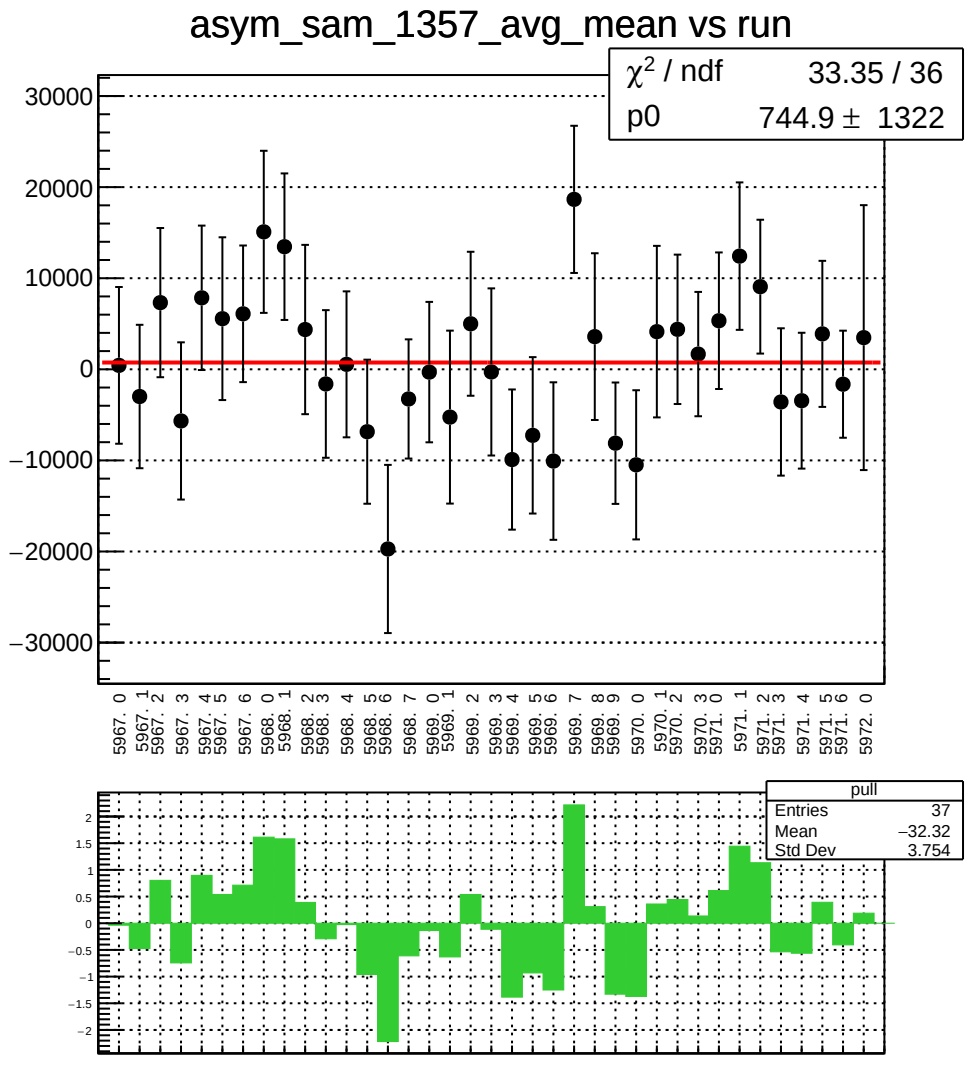
asym_sam_1357_avg_mean vs run
χ² / ndf 33.35 / 36
p0 744.9 ± 1322
30000
20000
10000
0
−10000
−20000
−30000
5967. 0
5967. 1
5967. 2
5967. 3
5967. 4
5967. 5
5967. 6
5968. 0
5968. 1
5968. 2
5968. 3
5968. 4
5968. 5
5968. 6
5968. 7
5969. 0
5969. 1
5969. 2
5969. 3
5969. 4
5969. 5
5969. 6
5969. 7
5969. 8
5969. 9
5970. 0
5970. 1
5970. 2
5970. 3
5971. 0
5971. 1
5971. 2
5971. 3
5971. 4
5971. 5
5971. 6
5972. 0
pull
Entries 37
Mean −32.32
Std Dev 3.754
2
1.5
1
0.5
0
−0.5
−1
−1.5
−2
pull1D
Entries 37
Mean 0.008245
Std Dev 0.9493
7
6
5
4
3
2
1
0
−8
−6
−4
−2
0
2
4
6
8

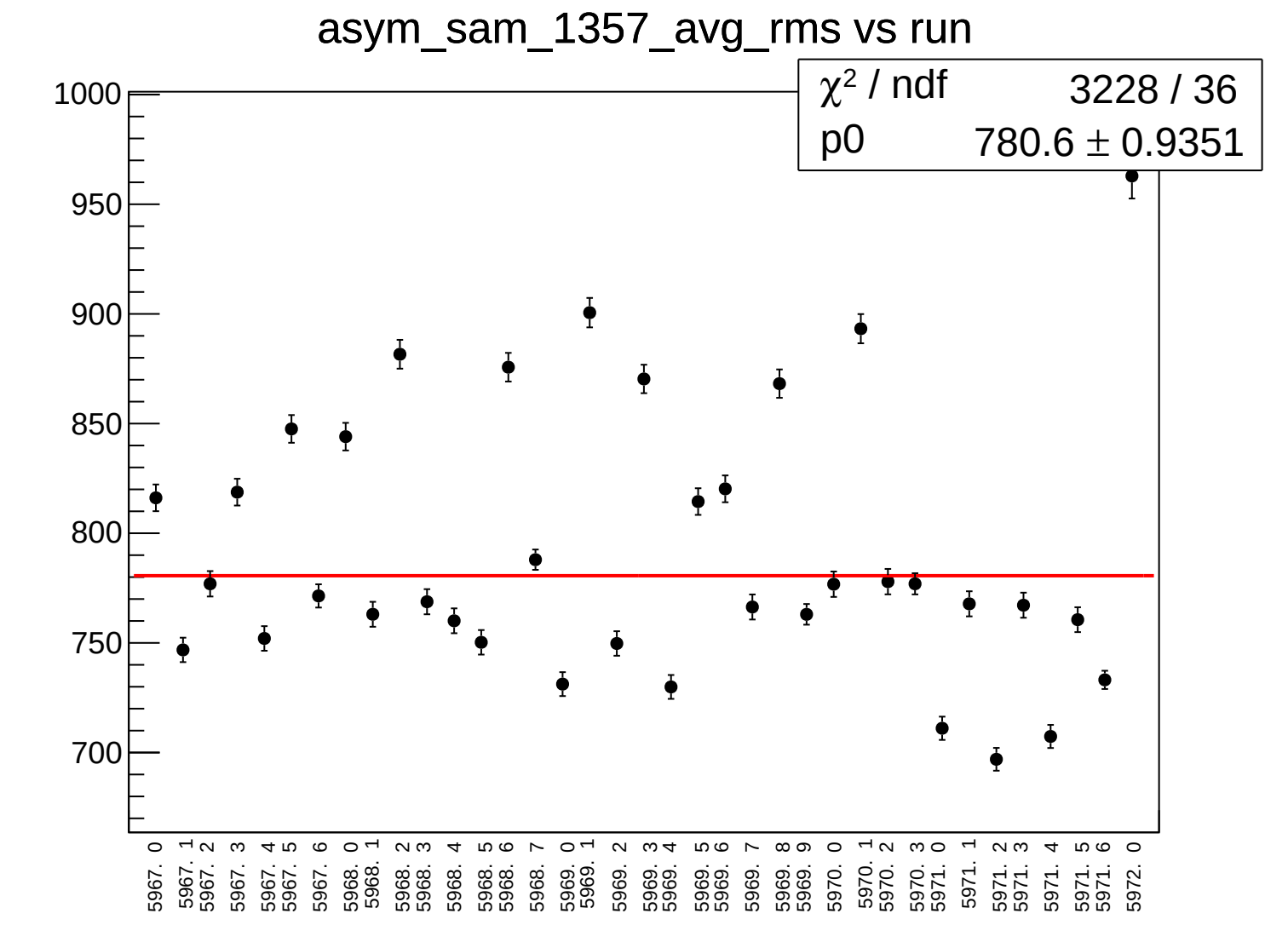
asym_sam_1357_avg_rms vs run
χ² / ndf 3228 / 36
p0 780.6 ± 0.9351
1000
950
900
850
800
750
700
5967. 0
5967. 1
5967. 2
5967. 3
5967. 4
5967. 5
5967. 6
5968. 0
5968. 1
5968. 2
5968. 3
5968. 4
5968. 5
5968. 6
5968. 7
5969. 0
5969. 1
5969. 2
5969. 3
5969. 4
5969. 5
5969. 6
5969. 7
5969. 8
5969. 9
5970. 0
5970. 1
5970. 2
5970. 3
5971. 0
5971. 1
5971. 2
5971. 3
5971. 4
5971. 5
5971. 6
5972. 0

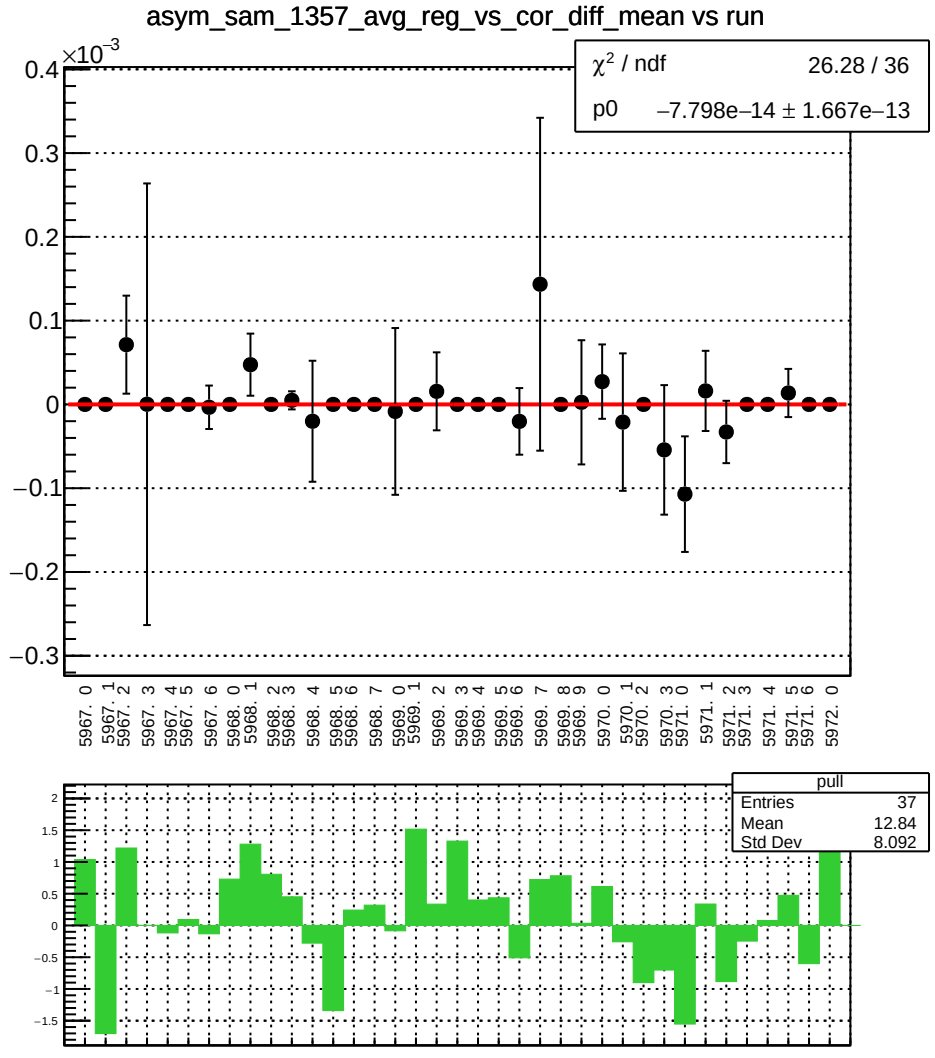
asym_sam_1357_avg_reg_vs_cor_diff_mean vs run
×10⁻³
χ² / ndf 26.28 / 36
p0 −7.798e−14 ± 1.667e−13
pull
Entries 37
Mean 12.84
Std Dev 8.092

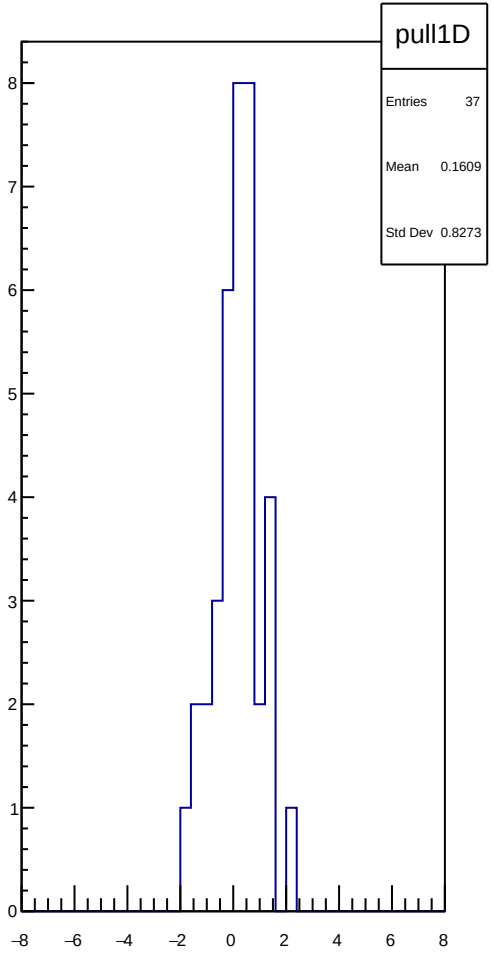
pull1D
Entries 37
Mean 0.1609
Std Dev 0.8273

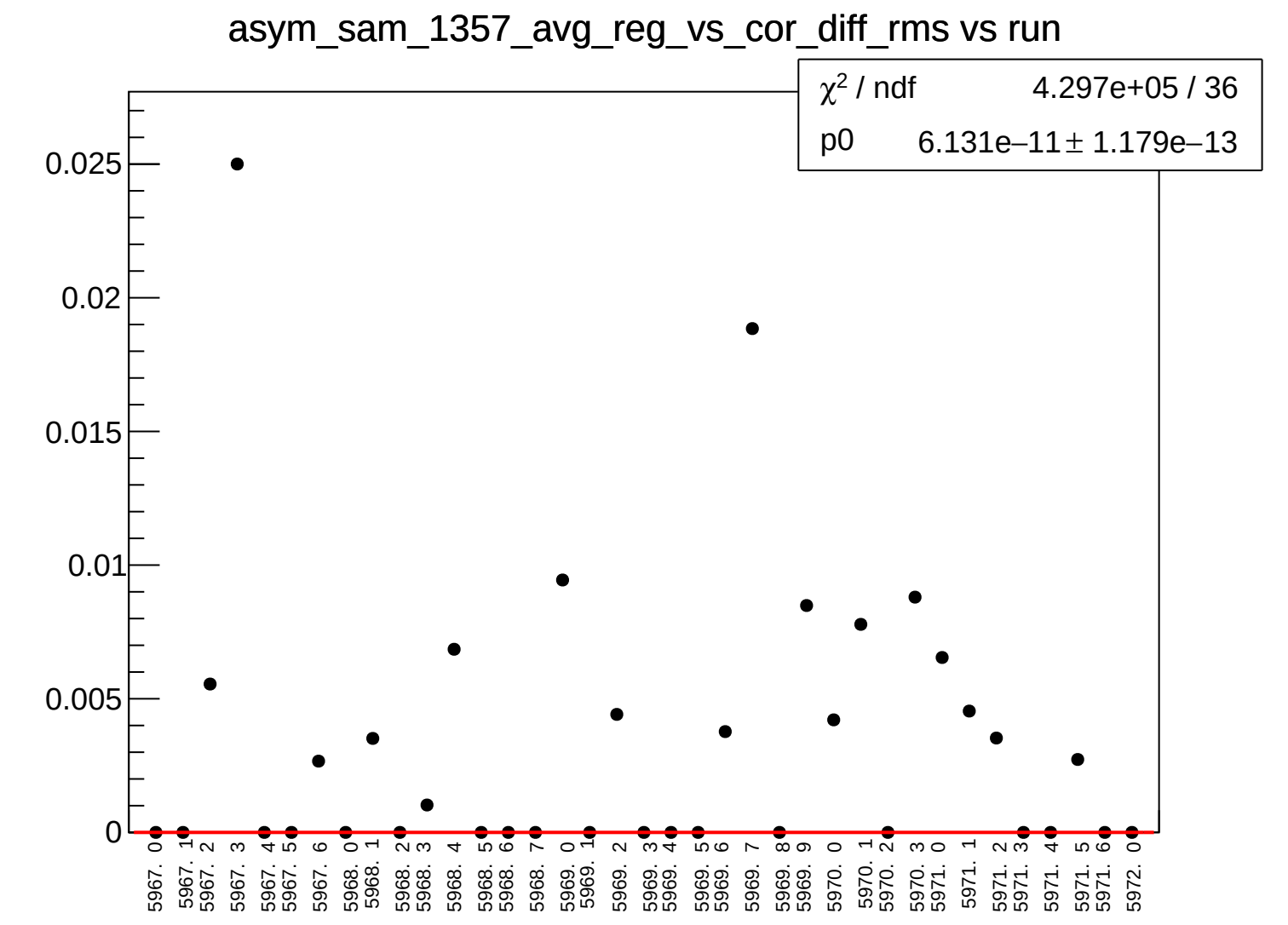
asym_sam_1357_avg_reg_vs_cor_diff_rms vs run
χ² / ndf 4.297e+05 / 36
p0 6.131e−11 ± 1.179e−13
0.025
0.02
0.015
0.01
0.005
0
5967. 0
5967. 1
5967. 2
5967. 3
5967. 4
5967. 5
5967. 6
5968. 0
5968. 1
5968. 2
5968. 3
5968. 4
5968. 5
5968. 6
5968. 7
5969. 0
5969. 1
5969. 2
5969. 3
5969. 4
5969. 5
5969. 6
5969. 7
5969. 8
5969. 9
5970. 0
5970. 1
5970. 2
5970. 3
5971. 0
5971. 1
5971. 2
5971. 3
5971. 4
5971. 5
5971. 6
5972. 0

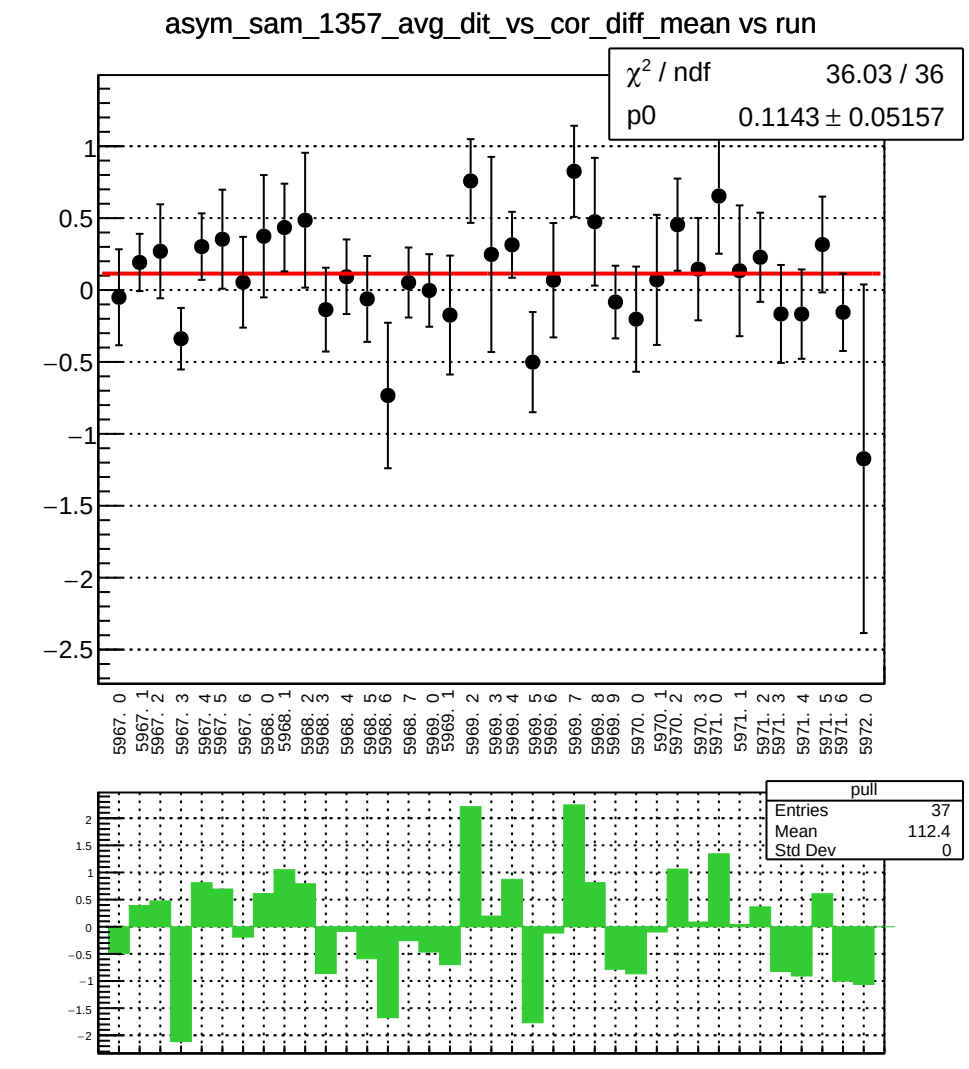
asym_sam_1357_avg_dit_vs_cor_diff_mean vs run
χ² / ndf 36.03 / 36
p0 0.1143 ± 0.05157
pull
Entries 37
Mean 112.4
Std Dev 0

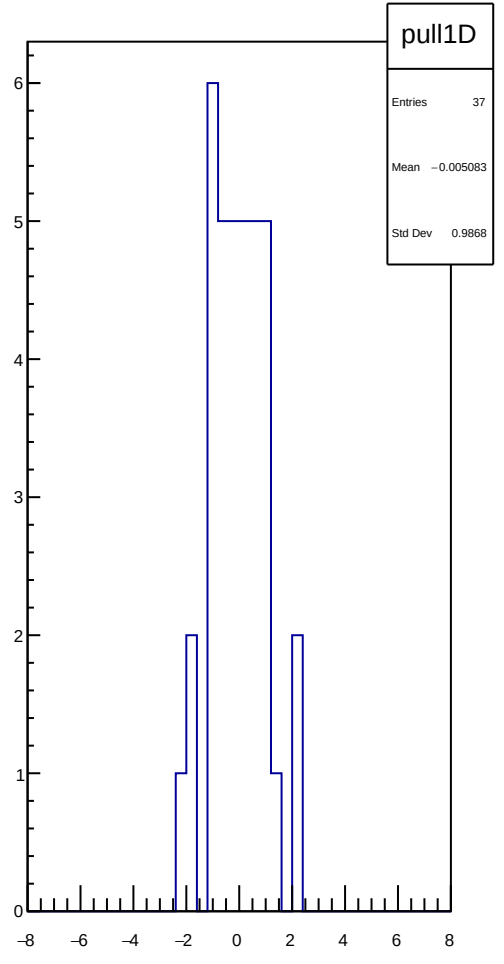
pull1D
Entries 37
Mean −0.005083
Std Dev 0.9868

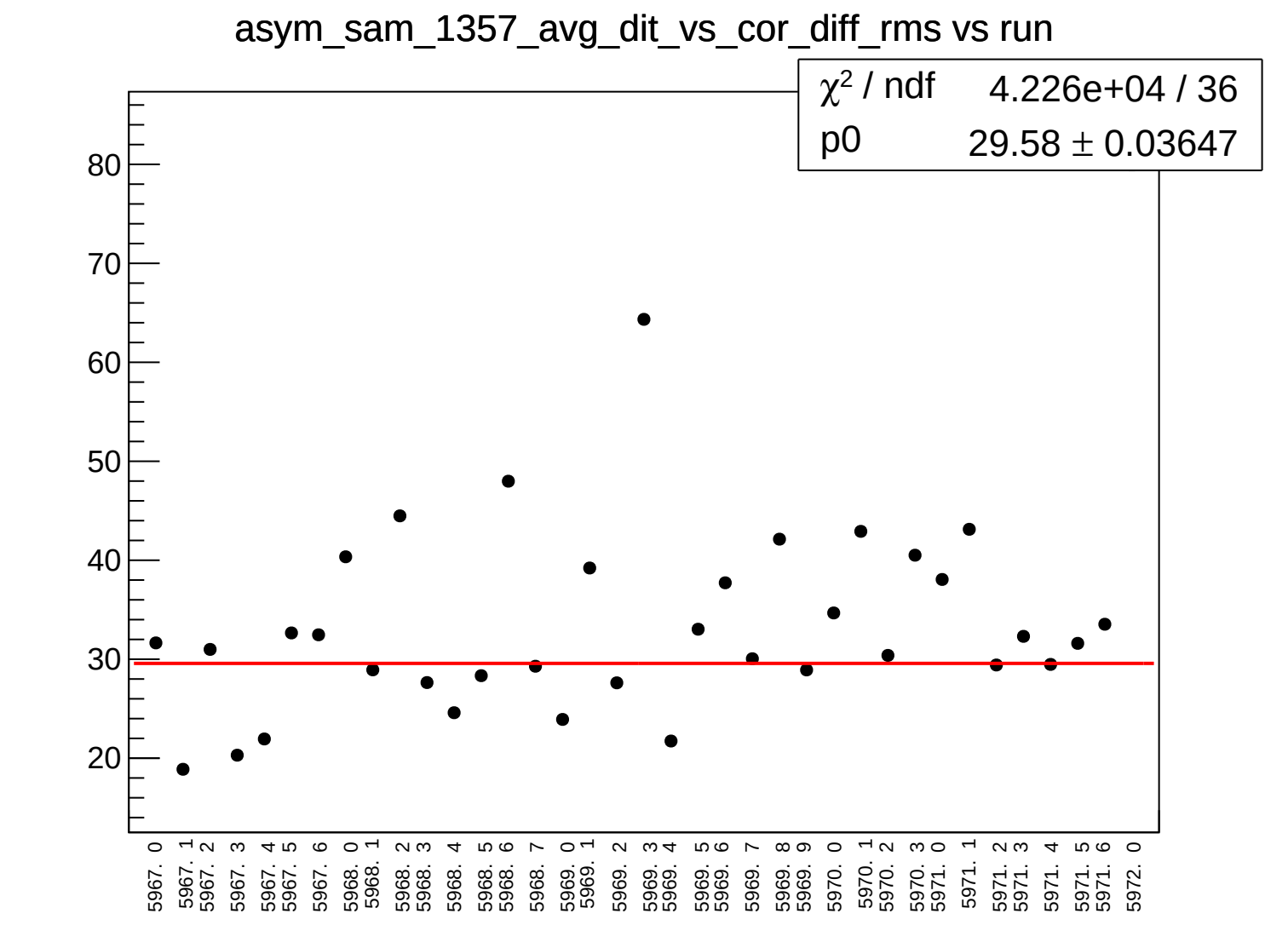
asym_sam_1357_avg_dit_vs_cor_diff_rms vs run
χ² / ndf 4.226e+04 / 36
p0 29.58 ± 0.03647
80
70
60
50
40
30
20
5967. 0
5967. 1
5967. 2
5967. 3
5967. 4
5967. 5
5967. 6
5968. 0
5968. 1
5968. 2
5968. 3
5968. 4
5968. 5
5968. 6
5968. 7
5969. 0
5969. 1
5969. 2
5969. 3
5969. 4
5969. 5
5969. 6
5969. 7
5969. 8
5969. 9
5970. 0
5970. 1
5970. 2
5970. 3
5971. 0
5971. 1
5971. 2
5971. 3
5971. 4
5971. 5
5971. 6
5972. 0

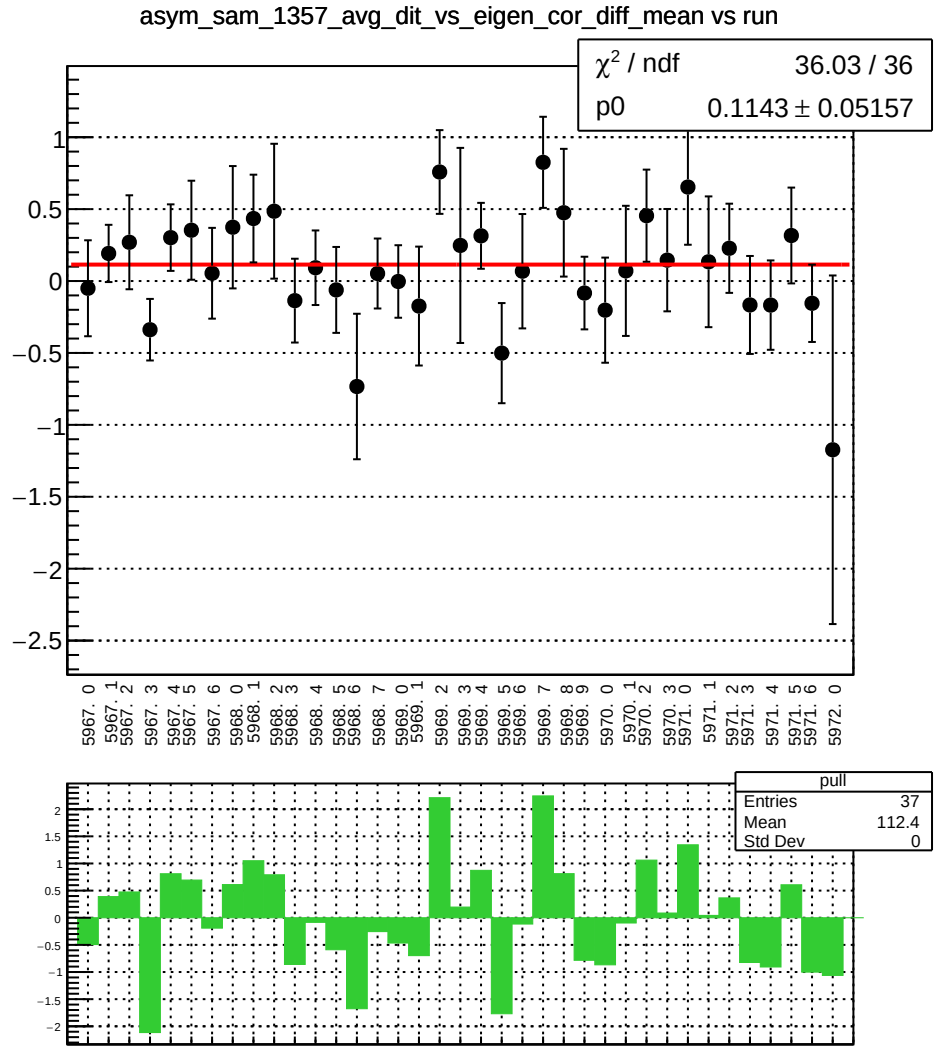
asym_sam_1357_avg_dit_vs_eigen_cor_diff_mean vs run
χ² / ndf 36.03 / 36
p0 0.1143 ± 0.05157
pull
Entries 37
Mean 112.4
Std Dev 0

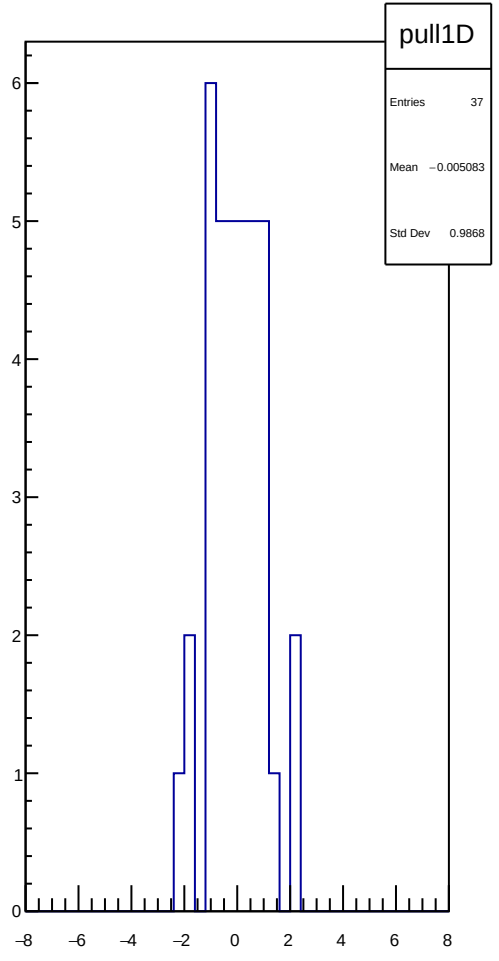
pull1D
Entries 37
Mean −0.005083
Std Dev 0.9868

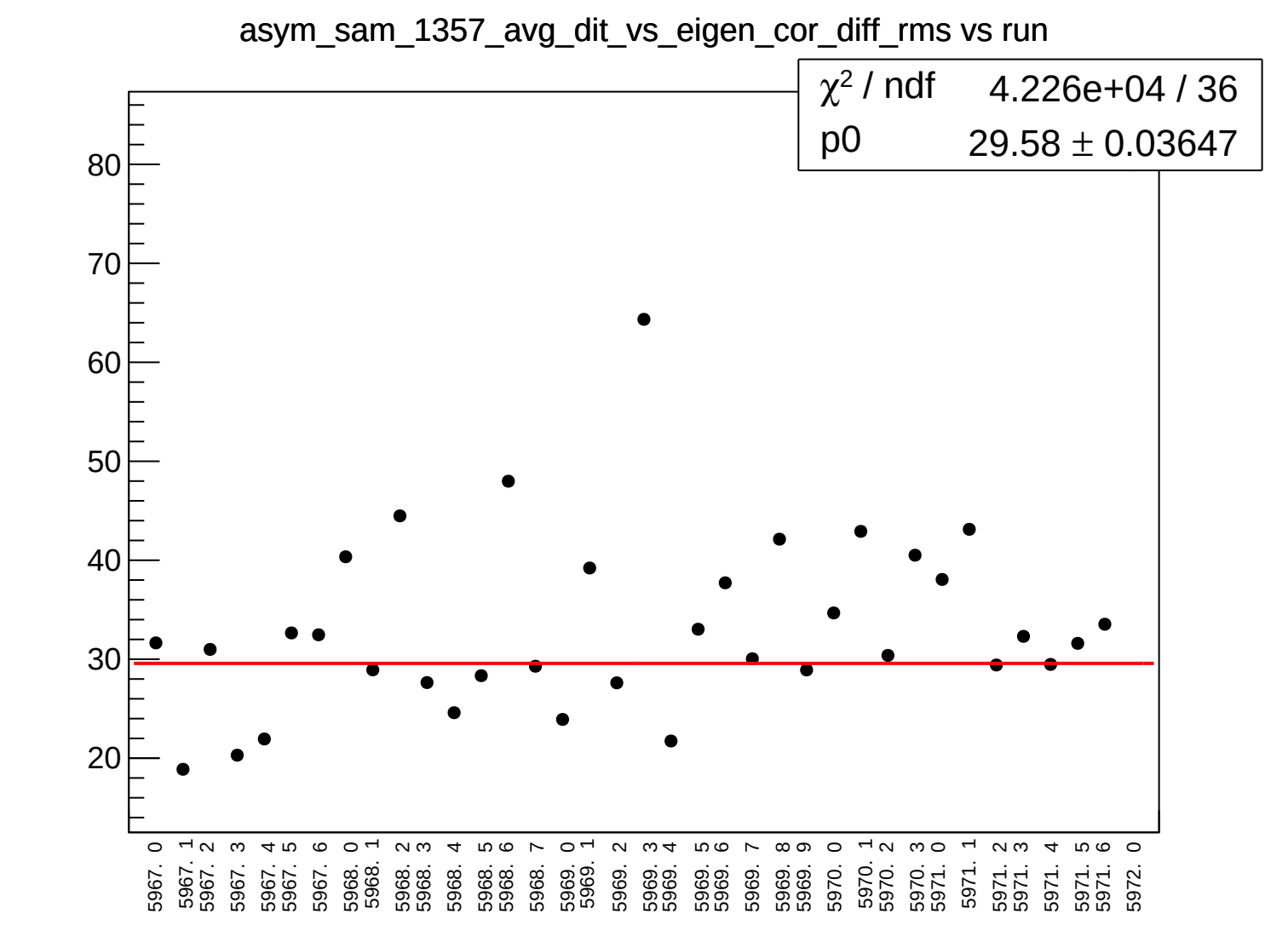
asym_sam_1357_avg_dit_vs_eigen_cor_diff_rms vs run
χ² / ndf 4.226e+04 / 36
p0 29.58 ± 0.03647
80
70
60
50
40
30
20
5967. 0
5967. 1
5967. 2
5967. 3
5967. 4
5967. 5
5967. 6
5968. 0
5968. 1
5968. 2
5968. 3
5968. 4
5968. 5
5968. 6
5968. 7
5969. 0
5969. 1
5969. 2
5969. 3
5969. 4
5969. 5
5969. 6
5969. 7
5969. 8
5969. 9
5970. 0
5970. 1
5970. 2
5970. 3
5971. 0
5971. 1
5971. 2
5971. 3
5971. 4
5971. 5
5971. 6
5972. 0

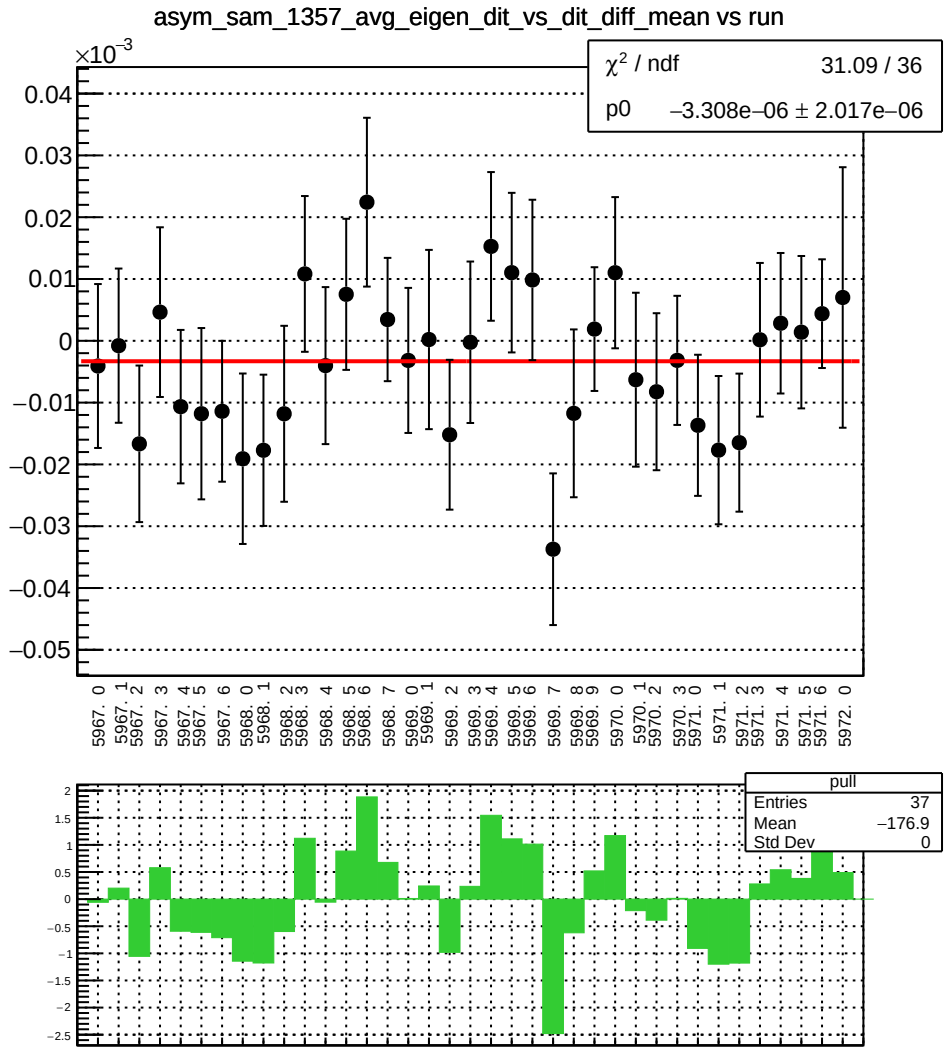
asym_sam_1357_avg_eigen_dit_vs_dit_diff_mean vs run
×10⁻³
χ² / ndf 31.09 / 36
p0 −3.308e−06 ± 2.017e−06
pull
Entries 37
Mean −176.9
Std Dev 0

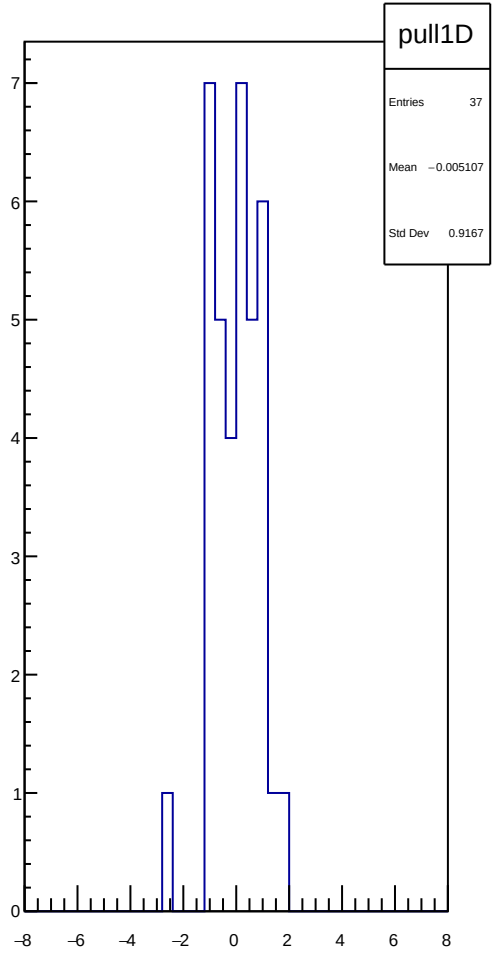
pull1D
Entries 37
Mean −0.005107
Std Dev 0.9167

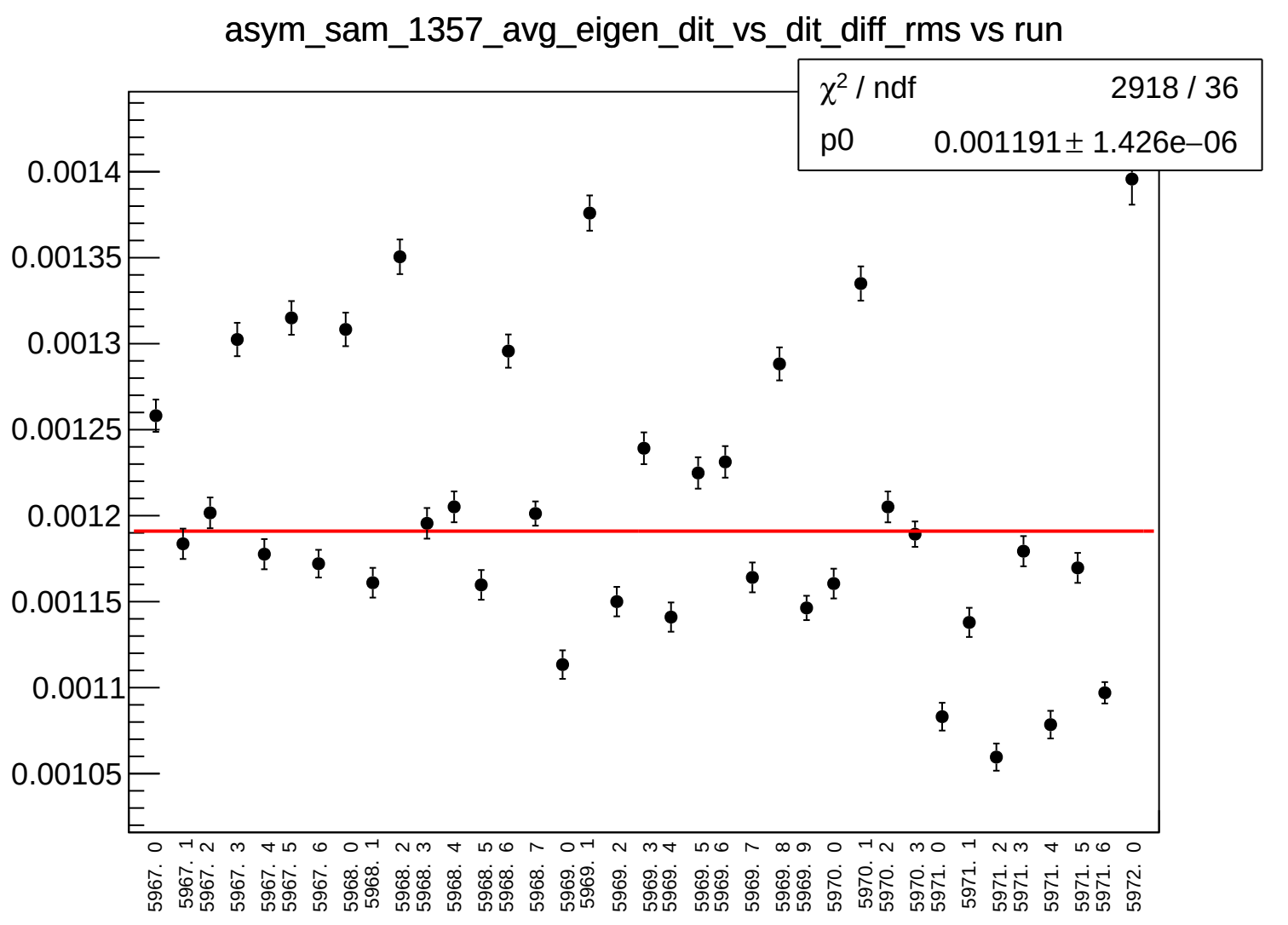
asym_sam_1357_avg_eigen_dit_vs_dit_diff_rms vs run
χ² / ndf 2918 / 36
p0 0.001191 ± 1.426e−06
0.0014
0.00135
0.0013
0.00125
0.0012
0.00115
0.0011
0.00105
5967. 0
5967. 1
5967. 2
5967. 3
5967. 4
5967. 5
5967. 6
5968. 0
5968. 1
5968. 2
5968. 3
5968. 4
5968. 5
5968. 6
5968. 7
5969. 0
5969. 1
5969. 2
5969. 3
5969. 4
5969. 5
5969. 6
5969. 7
5969. 8
5969. 9
5970. 0
5970. 1
5970. 2
5970. 3
5971. 0
5971. 1
5971. 2
5971. 3
5971. 4
5971. 5
5971. 6
5972. 0

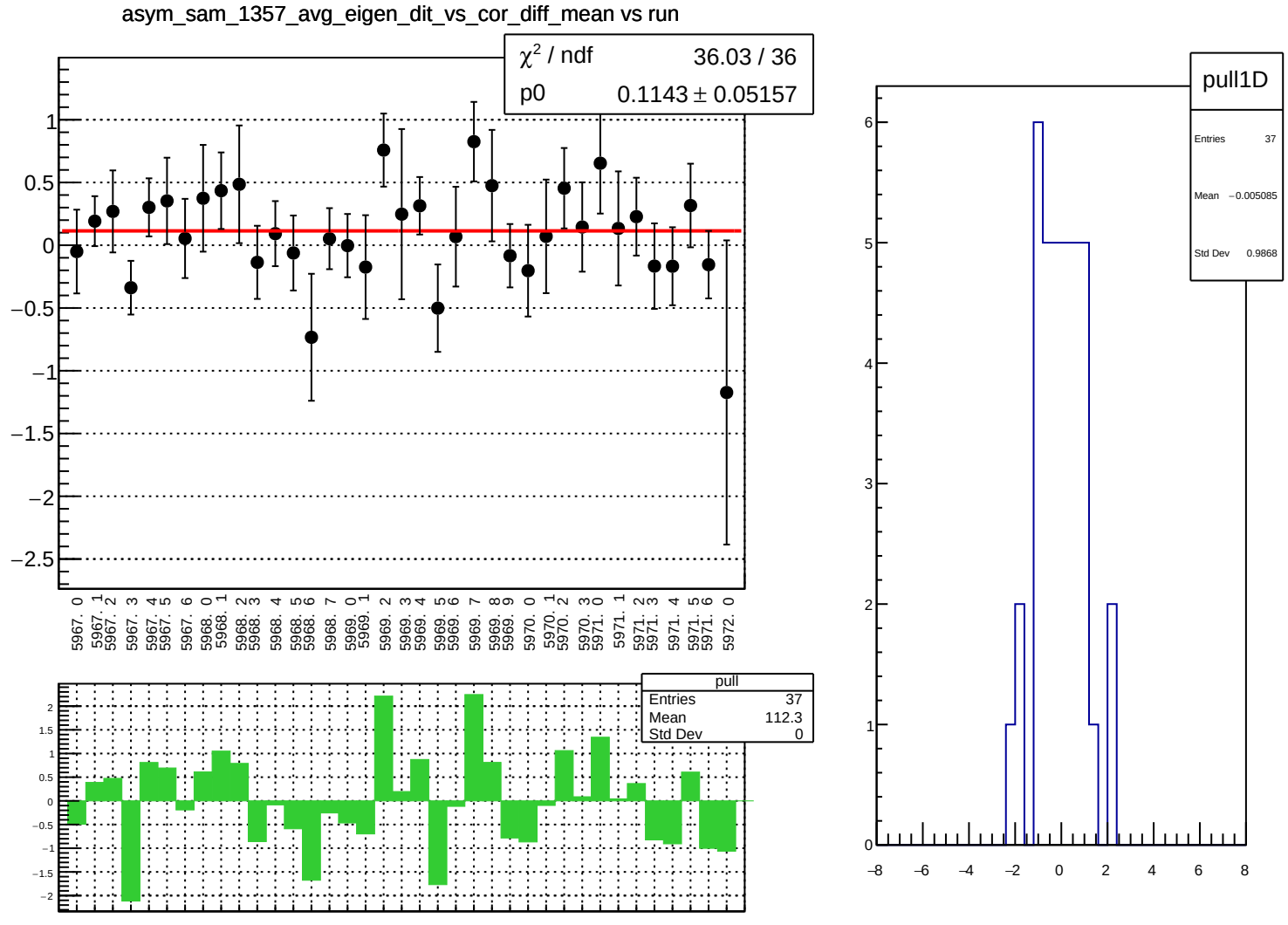
asym_sam_1357_avg_eigen_dit_vs_cor_diff_mean vs run
χ² / ndf 36.03 / 36
p0 0.1143 ± 0.05157
pull
Entries 37
Mean 112.3
Std Dev 0
pull1D
Entries 37
Mean −0.005085
Std Dev 0.9868

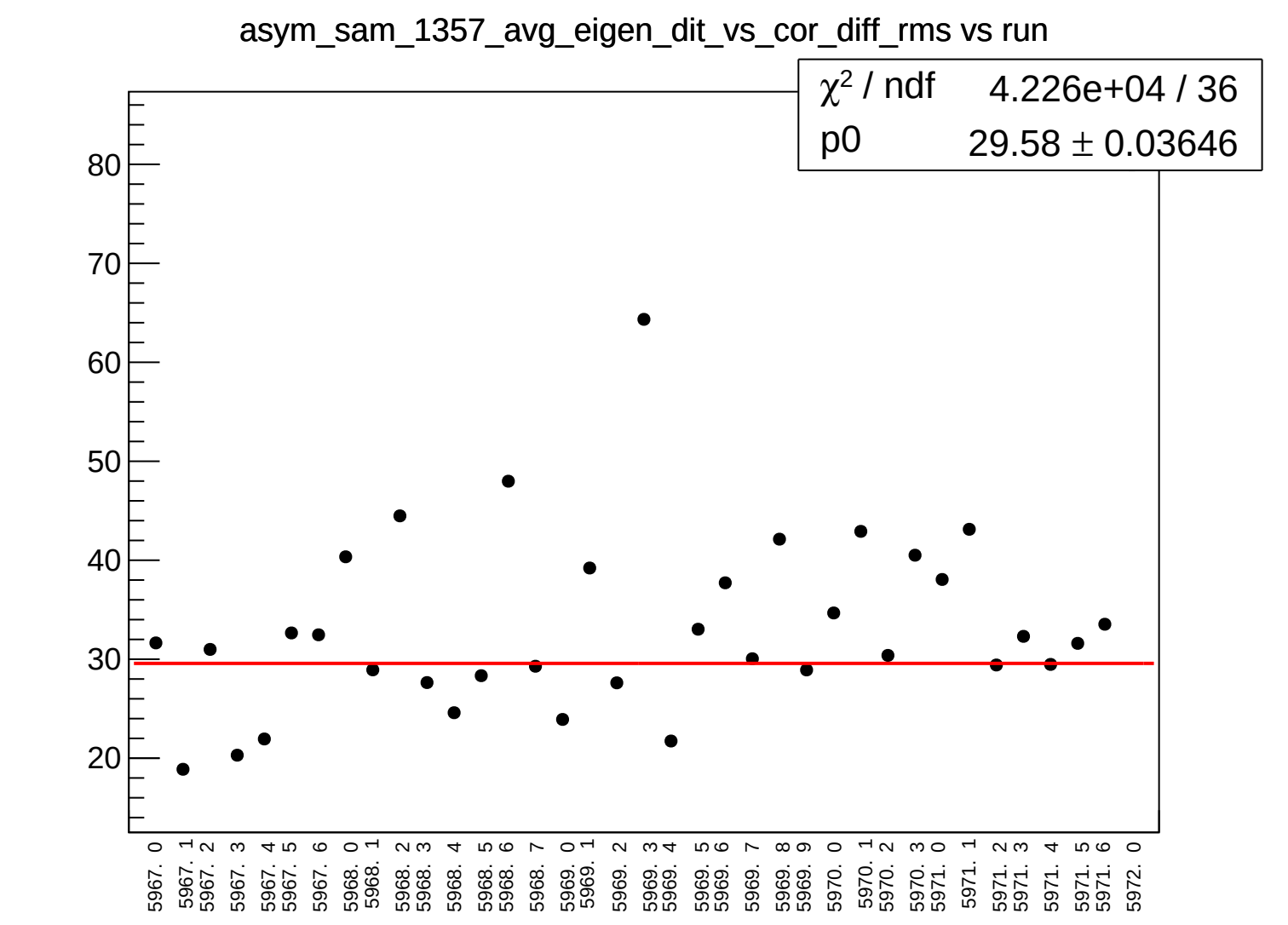
asym_sam_1357_avg_eigen_dit_vs_cor_diff_rms vs run
χ² / ndf 4.226e+04 / 36
p0 29.58 ± 0.03646
80
70
60
50
40
30
20
5967. 0
5967. 1
5967. 2
5967. 3
5967. 4
5967. 5
5967. 6
5968. 0
5968. 1
5968. 2
5968. 3
5968. 4
5968. 5
5968. 6
5968. 7
5969. 0
5969. 1
5969. 2
5969. 3
5969. 4
5969. 5
5969. 6
5969. 7
5969. 8
5969. 9
5970. 0
5970. 1
5970. 2
5970. 3
5971. 0
5971. 1
5971. 2
5971. 3
5971. 4
5971. 5
5971. 6
5972. 0

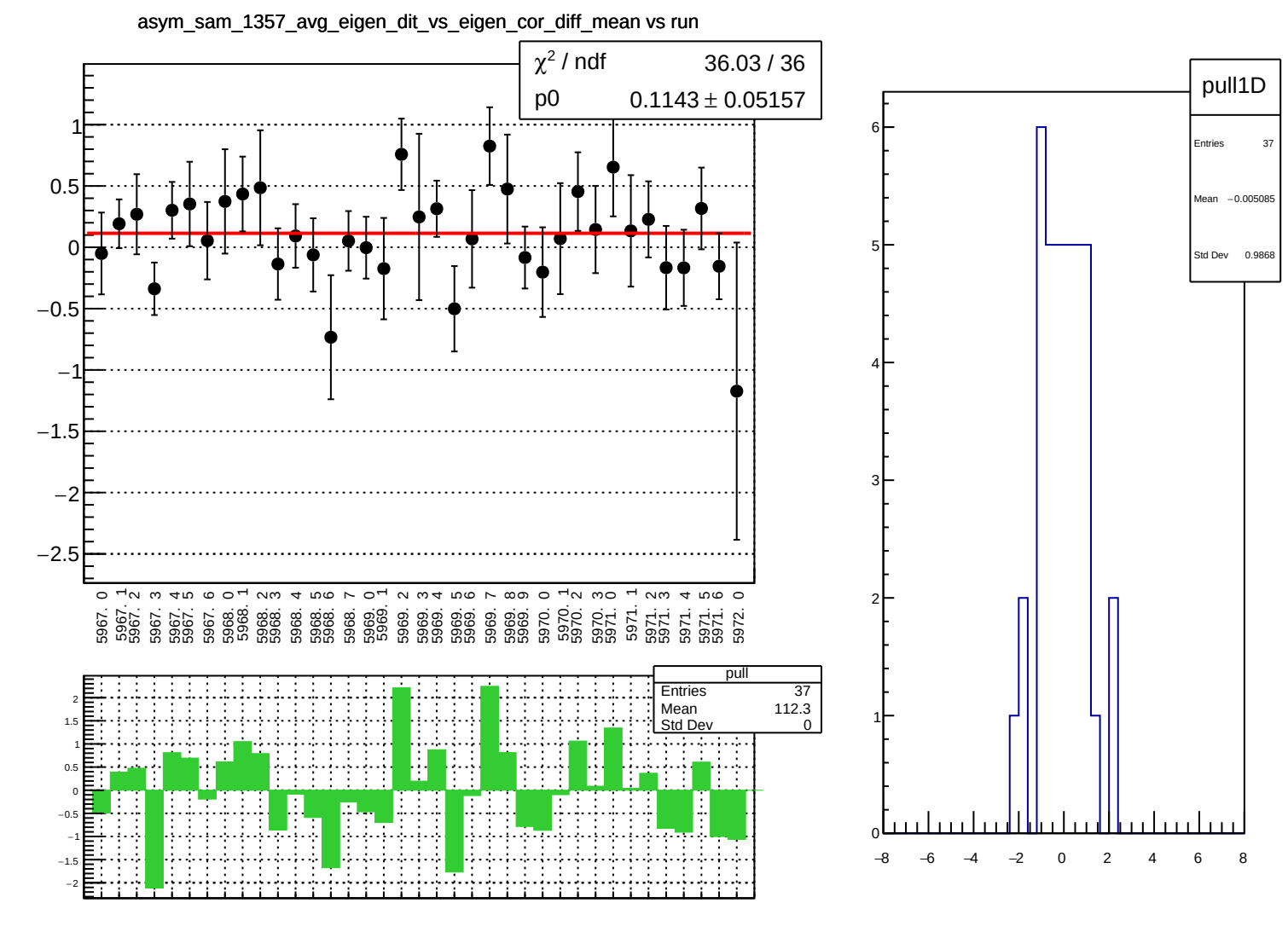
asym_sam_1357_avg_eigen_dit_vs_eigen_cor_diff_mean vs run
χ² / ndf 36.03 / 36
p0 0.1143 ± 0.05157
pull
Entries 37
Mean 112.3
Std Dev 0
pull1D
Entries 37
Mean −0.005085
Std Dev 0.9868

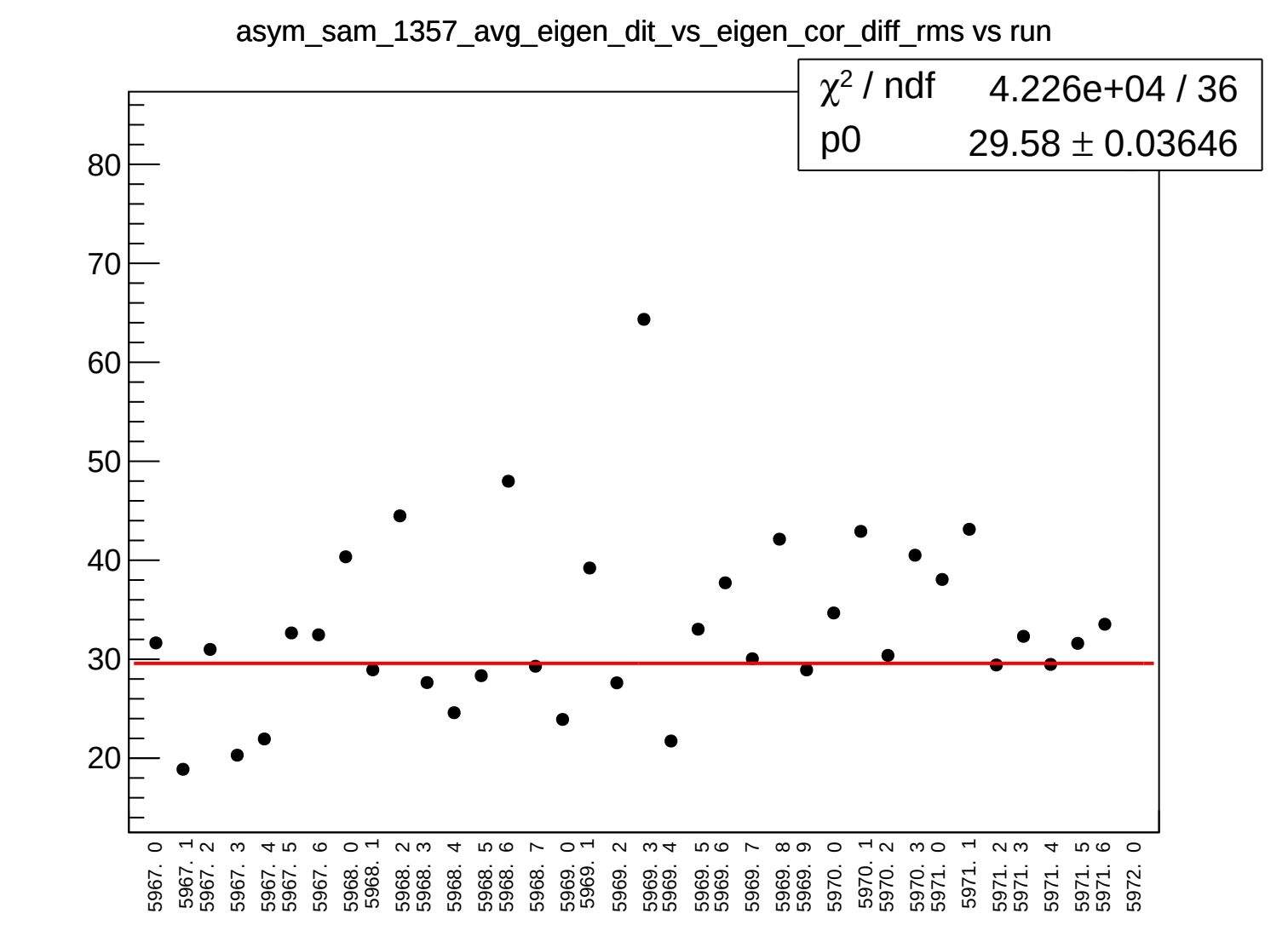
asym_sam_1357_avg_eigen_dit_vs_eigen_cor_diff_rms vs run
χ² / ndf 4.226e+04 / 36
p0 29.58 ± 0.03646
80
70
60
50
40
30
20
5967. 0
5967. 1
5967. 2
5967. 3
5967. 4
5967. 5
5967. 6
5968. 0
5968. 1
5968. 2
5968. 3
5968. 4
5968. 5
5968. 6
5968. 7
5969. 0
5969. 1
5969. 2
5969. 3
5969. 4
5969. 5
5969. 6
5969. 7
5969. 8
5969. 9
5970. 0
5970. 1
5970. 2
5970. 3
5971. 0
5971. 1
5971. 2
5971. 3
5971. 4
5971. 5
5971. 6
5972. 0

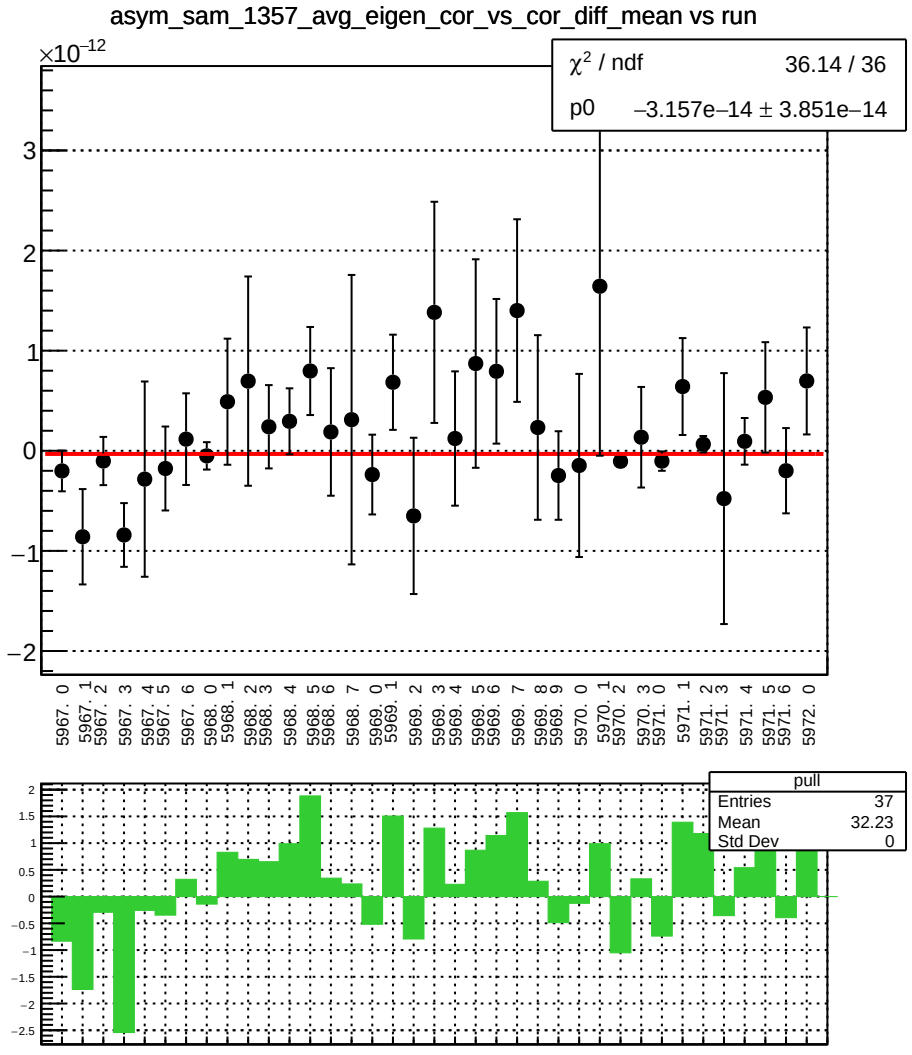
asym_sam_1357_avg_eigen_cor_vs_cor_diff_mean vs run
×10⁻¹²
χ² / ndf 36.14 / 36
p0 −3.157e−14 ± 3.851e−14
pull
Entries 37
Mean 32.23
Std Dev 0

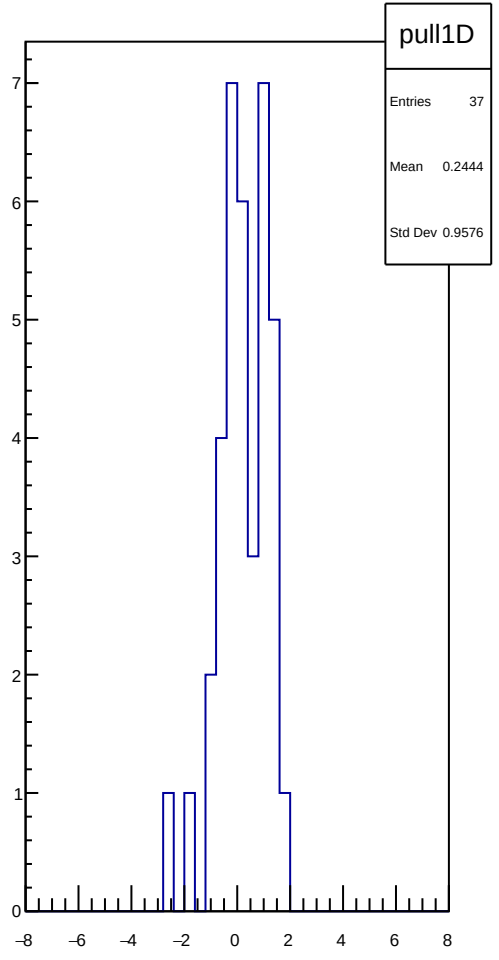
pull1D
Entries 37
Mean 0.2444
Std Dev 0.9576

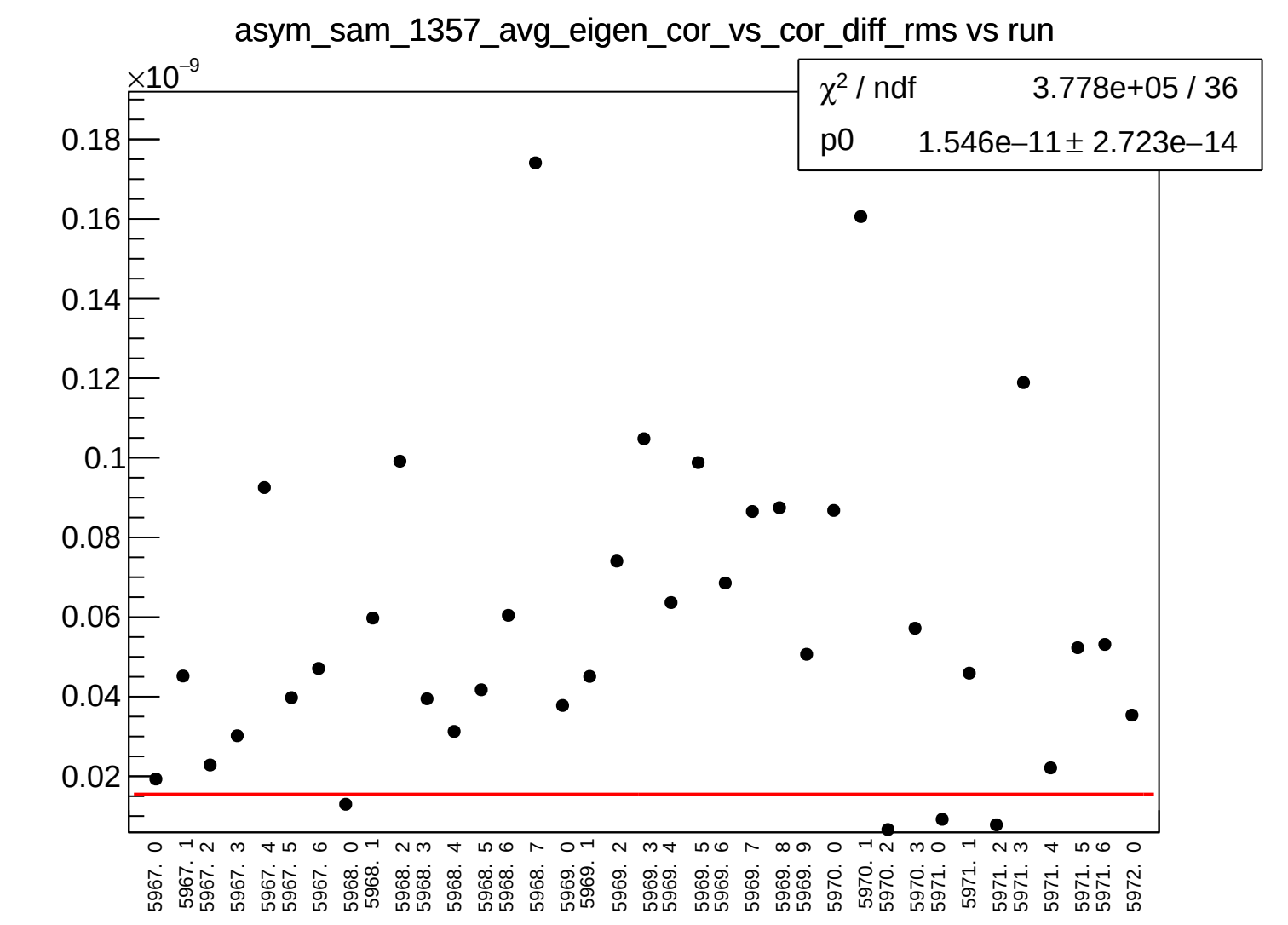
asym_sam_1357_avg_eigen_cor_vs_cor_diff_rms vs run
×10⁻⁹
χ² / ndf 3.778e+05 / 36
p0 1.546e−11 ± 2.723e−14
0.18
0.16
0.14
0.12
0.1
0.08
0.06
0.04
0.02
5967. 0
5967. 1
5967. 2
5967. 3
5967. 4
5967. 5
5967. 6
5968. 0
5968. 1
5968. 2
5968. 3
5968. 4
5968. 5
5968. 6
5968. 7
5969. 0
5969. 1
5969. 2
5969. 3
5969. 4
5969. 5
5969. 6
5969. 7
5969. 8
5969. 9
5970. 0
5970. 1
5970. 2
5970. 3
5971. 0
5971. 1
5971. 2
5971. 3
5971. 4
5971. 5
5971. 6
5972. 0

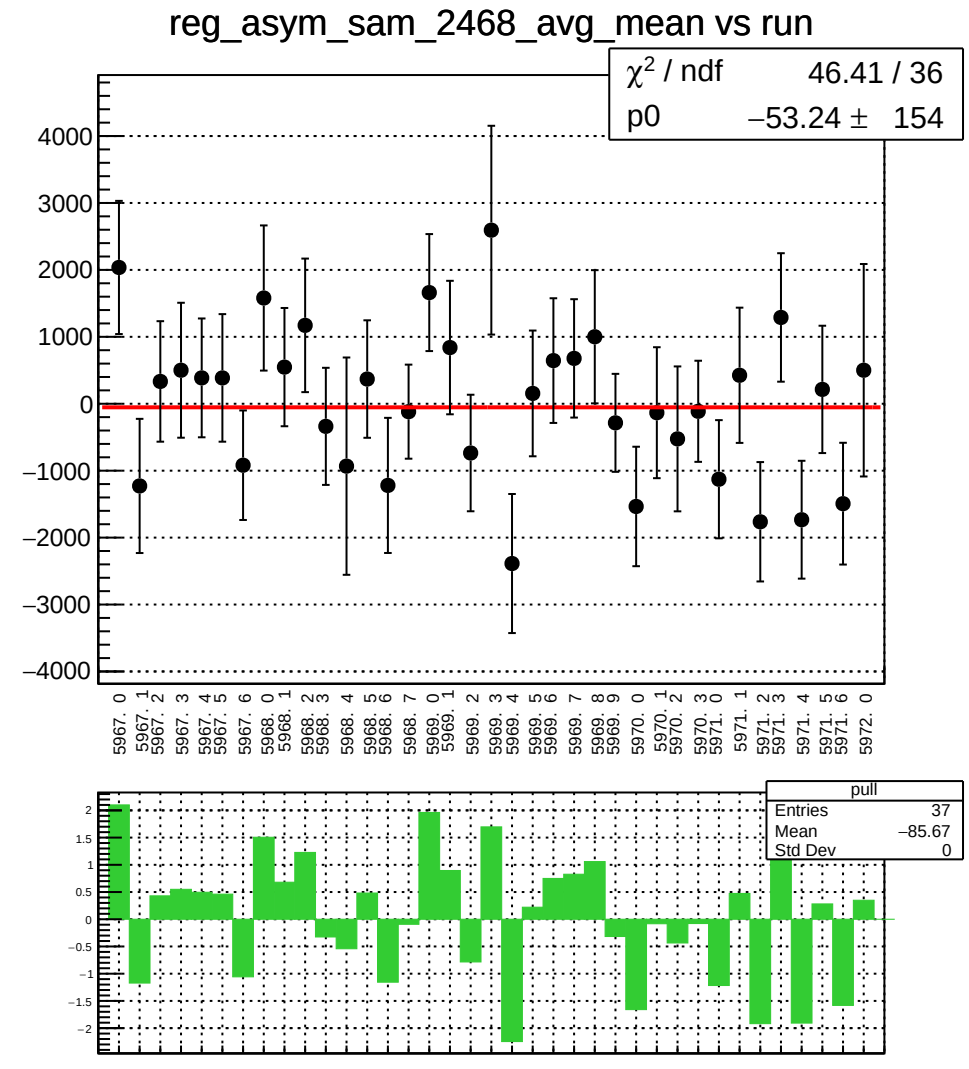
reg_asym_sam_2468_avg_mean vs run
χ² / ndf 46.41 / 36
p0 −53.24 ± 154
pull
Entries 37
Mean −85.67
Std Dev 0

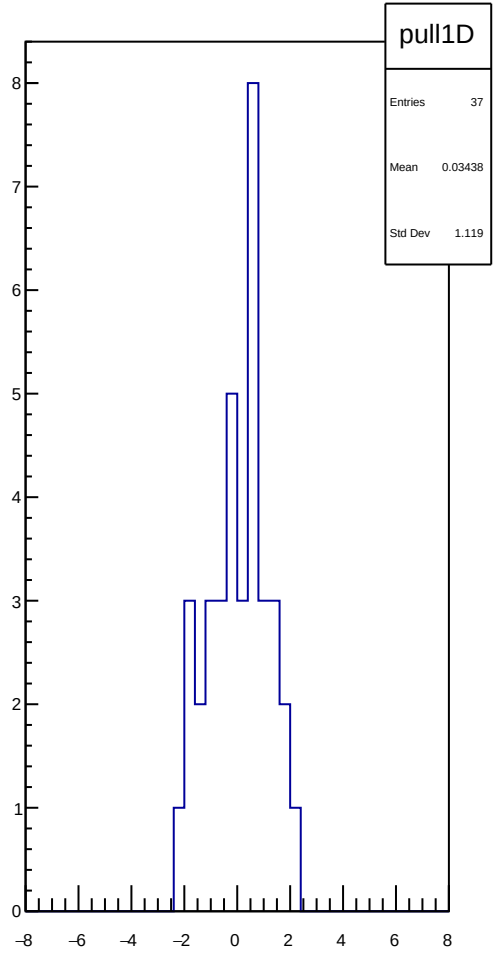
pull1D
Entries 37
Mean 0.03438
Std Dev 1.119

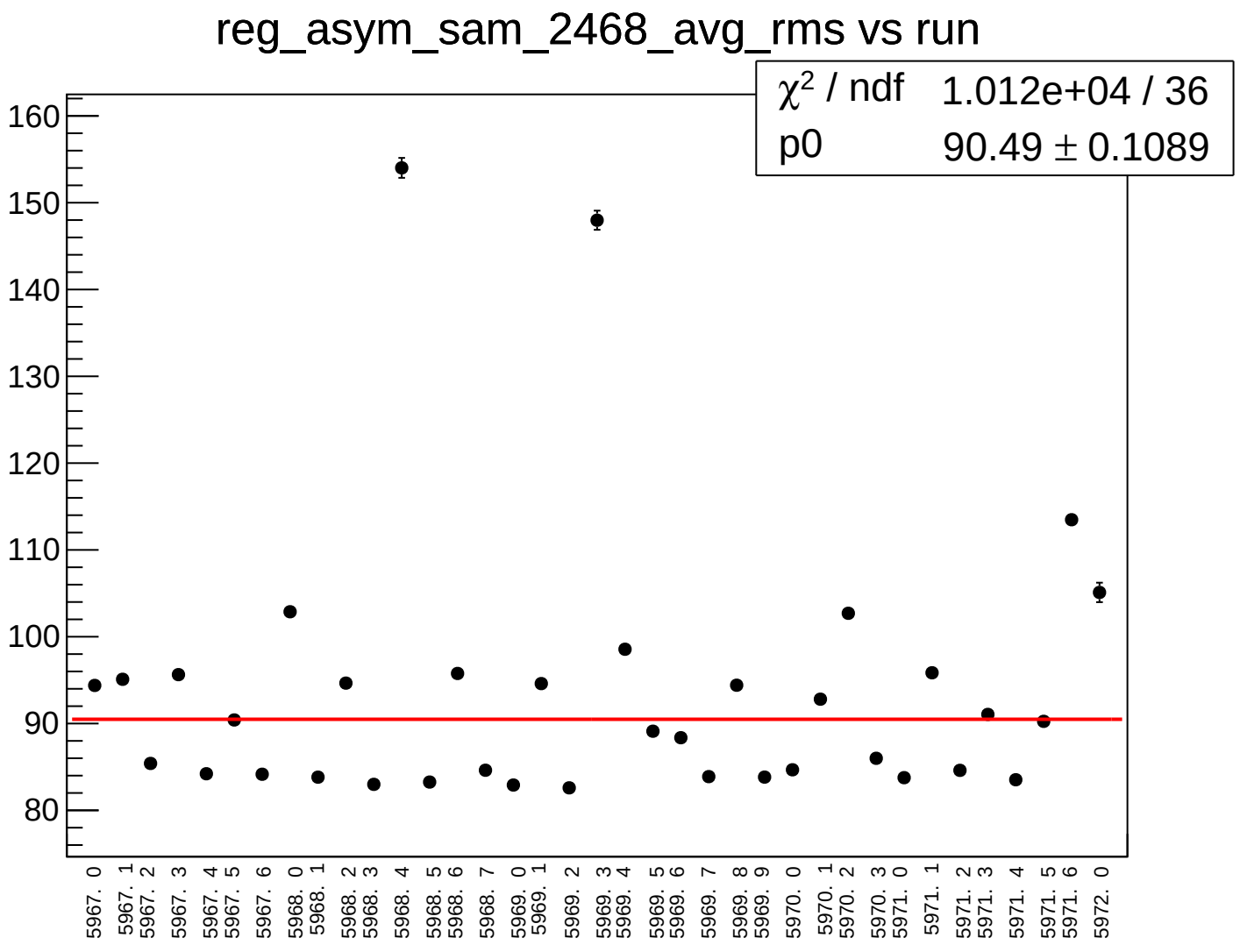
reg_asym_sam_2468_avg_rms vs run
χ² / ndf 1.012e+04 / 36
p0 90.49 ± 0.1089
160
150
140
130
120
110
100
90
80
5967. 0
5967. 1
5967. 2
5967. 3
5967. 4
5967. 5
5967. 6
5968. 0
5968. 1
5968. 2
5968. 3
5968. 4
5968. 5
5968. 6
5968. 7
5969. 0
5969. 1
5969. 2
5969. 3
5969. 4
5969. 5
5969. 6
5969. 7
5969. 8
5969. 9
5970. 0
5970. 1
5970. 2
5970. 3
5971. 0
5971. 1
5971. 2
5971. 3
5971. 4
5971. 5
5971. 6
5972. 0

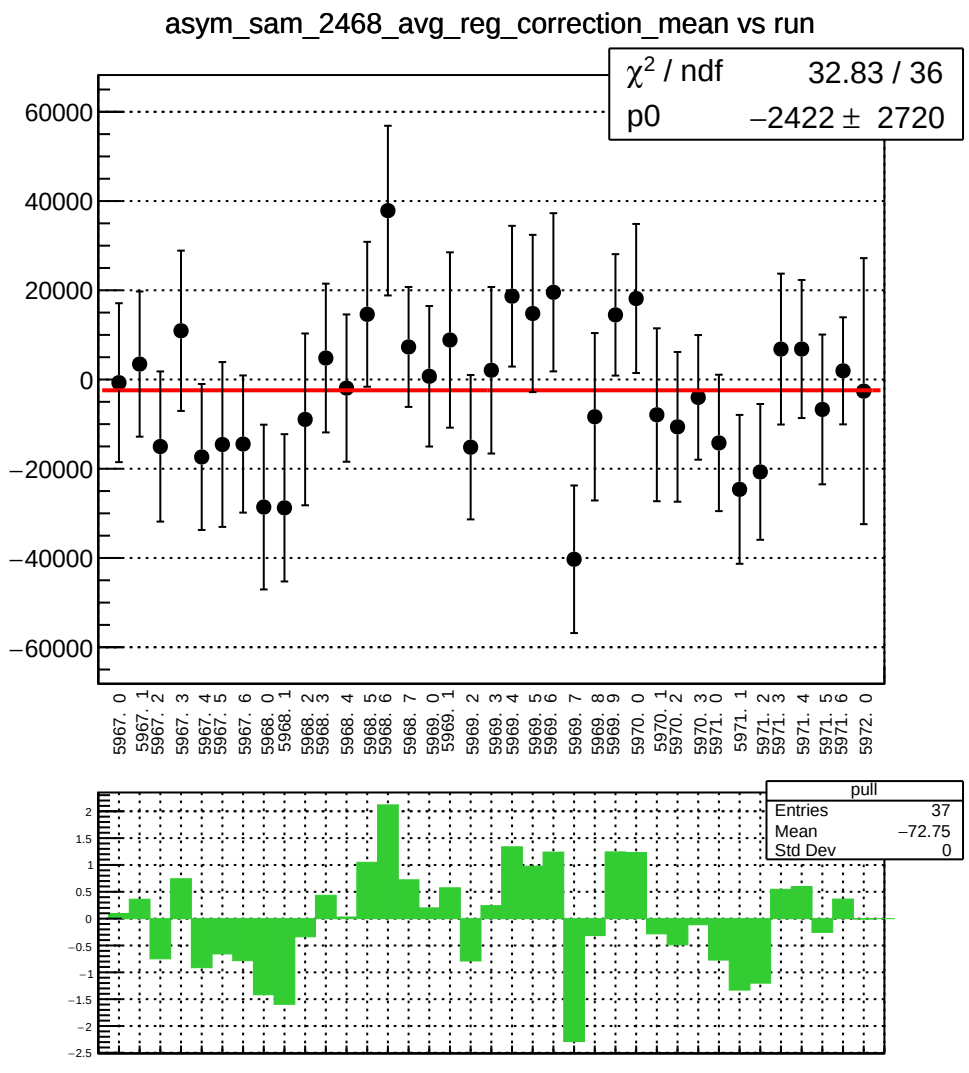
asym_sam_2468_avg_reg_correction_mean vs run
χ² / ndf 32.83 / 36
p0 −2422 ± 2720
60000
40000
20000
0
−20000
−40000
−60000
5967. 0
5967. 1
5967. 2
5967. 3
5967. 4
5967. 5
5967. 6
5968. 0
5968. 1
5968. 2
5968. 3
5968. 4
5968. 5
5968. 6
5968. 7
5969. 0
5969. 1
5969. 2
5969. 3
5969. 4
5969. 5
5969. 6
5969. 7
5969. 8
5969. 9
5970. 0
5970. 1
5970. 2
5970. 3
5971. 0
5971. 1
5971. 2
5971. 3
5971. 4
5971. 5
5971. 6
5972. 0
pull
Entries 37
Mean −72.75
Std Dev 0
2
1.5
1
0.5
0
−0.5
−1
−1.5
−2
−2.5

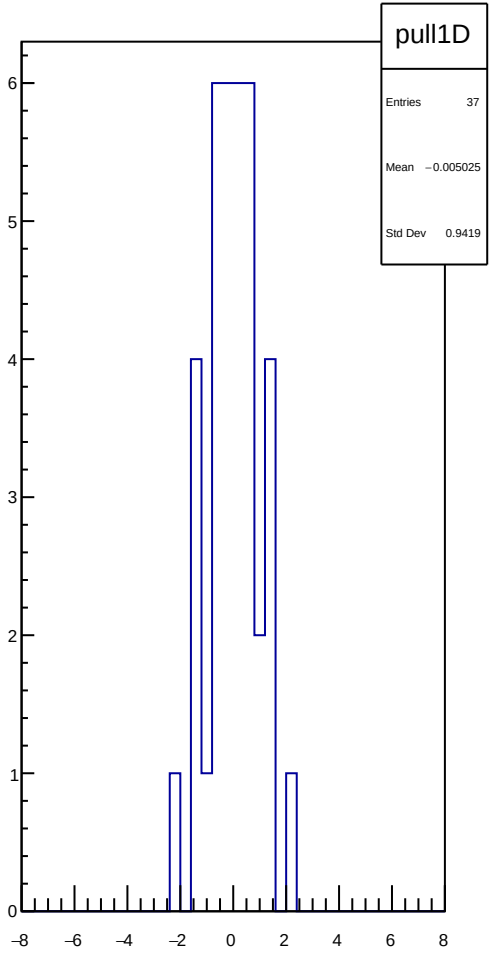
pull1D
Entries 37
Mean −0.005025
Std Dev 0.9419
6
5
4
3
2
1
0
−8
−6
−4
−2
0
2
4
6
8

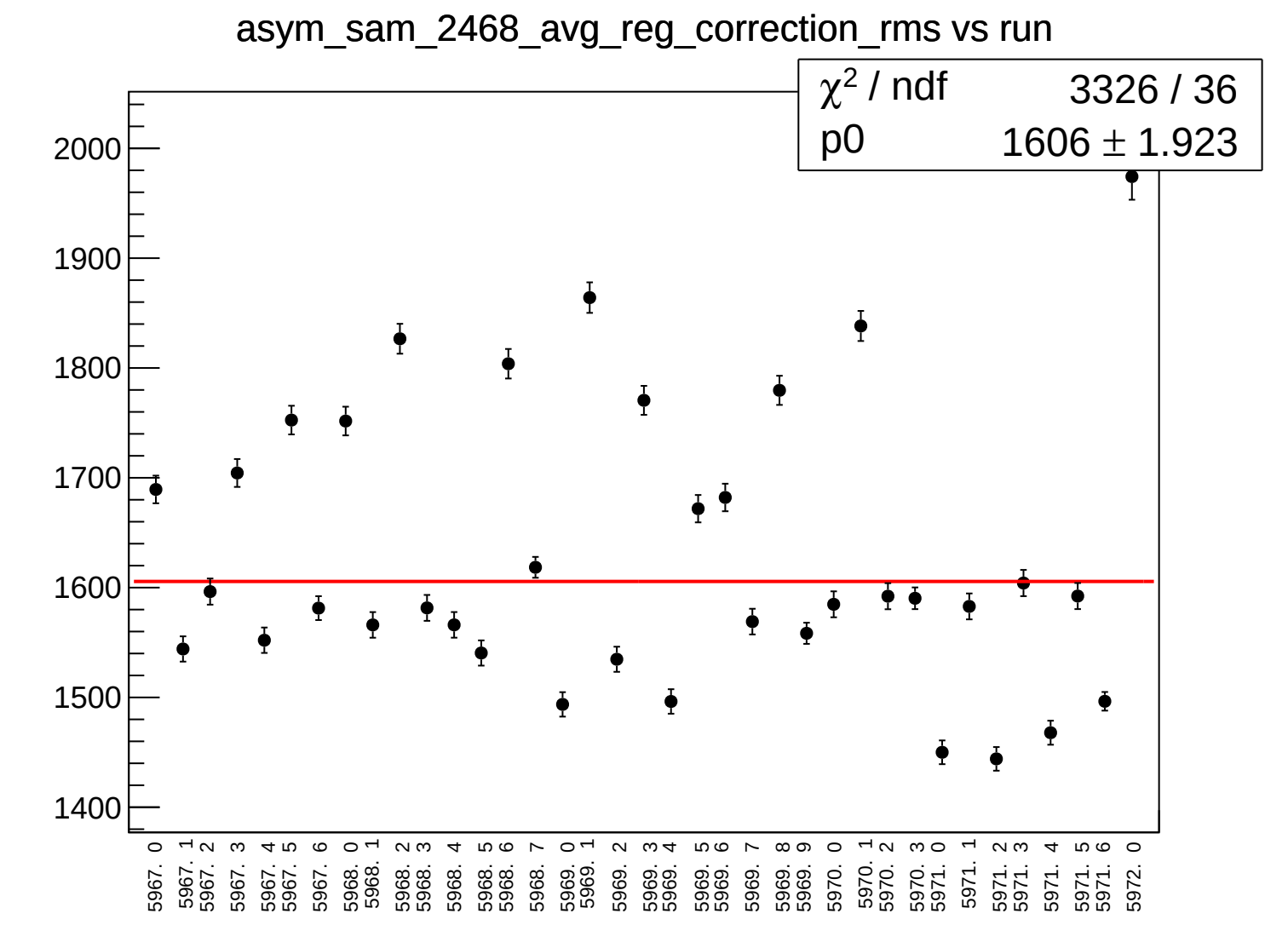
asym_sam_2468_avg_reg_correction_rms vs run
χ² / ndf 3326 / 36
p0 1606 ± 1.923
2000
1900
1800
1700
1600
1500
1400
5967. 0
5967. 1
5967. 2
5967. 3
5967. 4
5967. 5
5967. 6
5968. 0
5968. 1
5968. 2
5968. 3
5968. 4
5968. 5
5968. 6
5968. 7
5969. 0
5969. 1
5969. 2
5969. 3
5969. 4
5969. 5
5969. 6
5969. 7
5969. 8
5969. 9
5970. 0
5970. 1
5970. 2
5970. 3
5971. 0
5971. 1
5971. 2
5971. 3
5971. 4
5971. 5
5971. 6
5972. 0

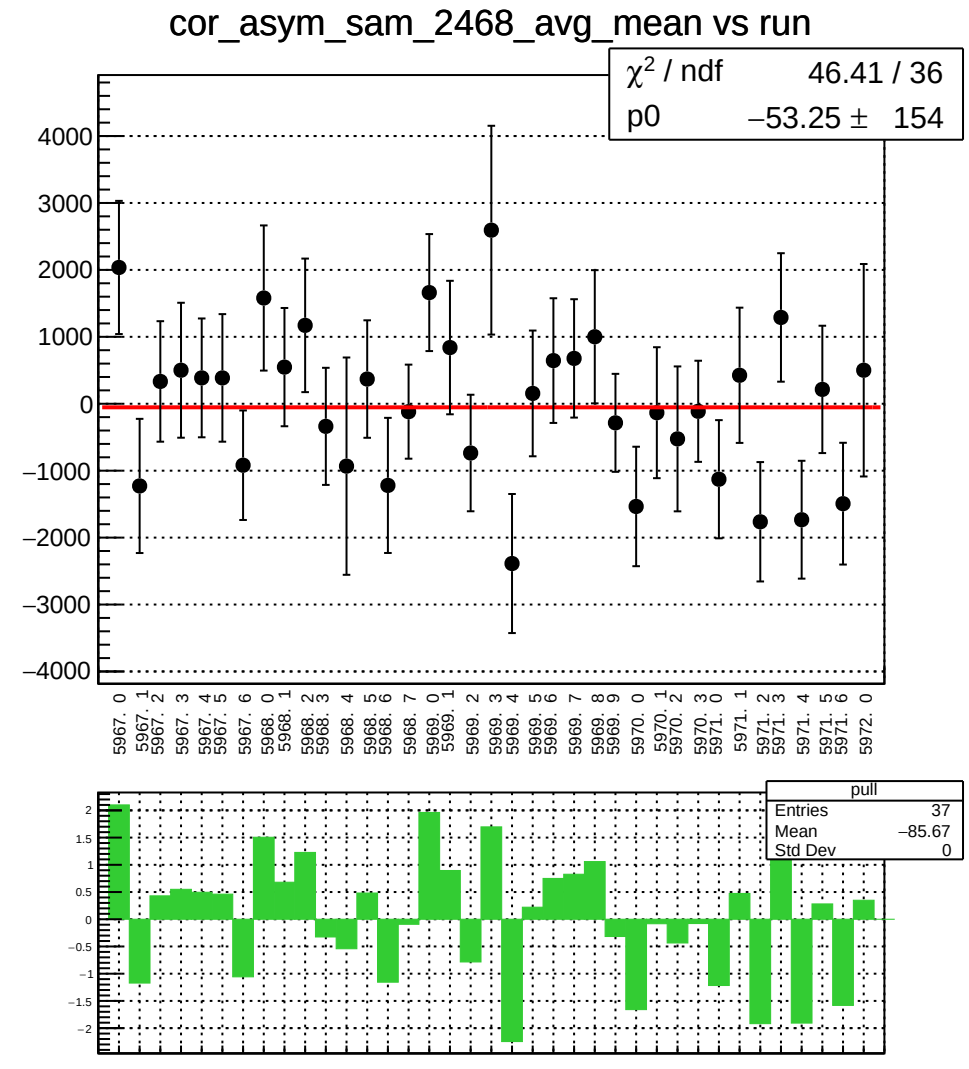
cor_asym_sam_2468_avg_mean vs run
χ² / ndf 46.41 / 36
p0 −53.25 ± 154
4000
3000
2000
1000
0
−1000
−2000
−3000
−4000
5967. 0
5967. 1
5967. 2
5967. 3
5967. 4
5967. 5
5967. 6
5968. 0
5968. 1
5968. 2
5968. 3
5968. 4
5968. 5
5968. 6
5968. 7
5969. 0
5969. 1
5969. 2
5969. 3
5969. 4
5969. 5
5969. 6
5969. 7
5969. 8
5969. 9
5970. 0
5970. 1
5970. 2
5970. 3
5971. 0
5971. 1
5971. 2
5971. 3
5971. 4
5971. 5
5971. 6
5972. 0
pull
Entries 37
Mean −85.67
Std Dev 0
2
1.5
1
0.5
0
−0.5
−1
−1.5
−2

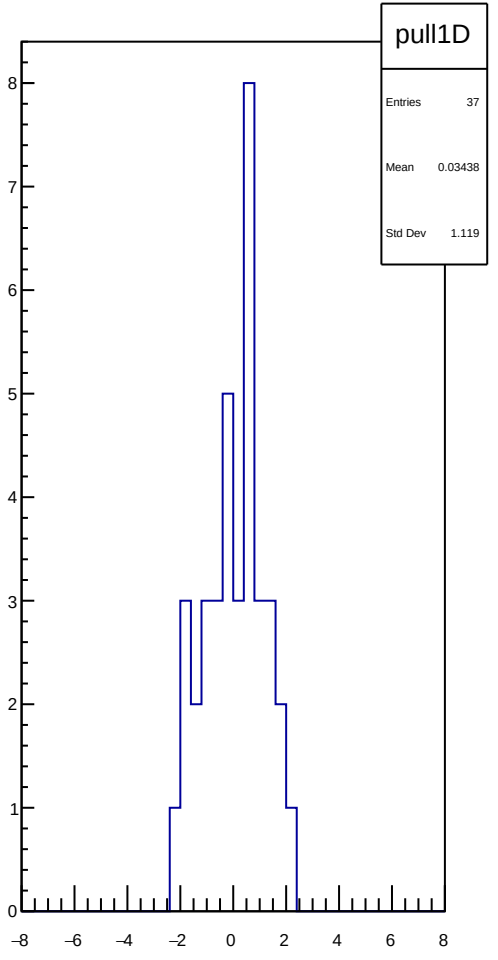
pull1D
Entries 37
Mean 0.03438
Std Dev 1.119
8
7
6
5
4
3
2
1
0
−8
−6
−4
−2
0
2
4
6
8

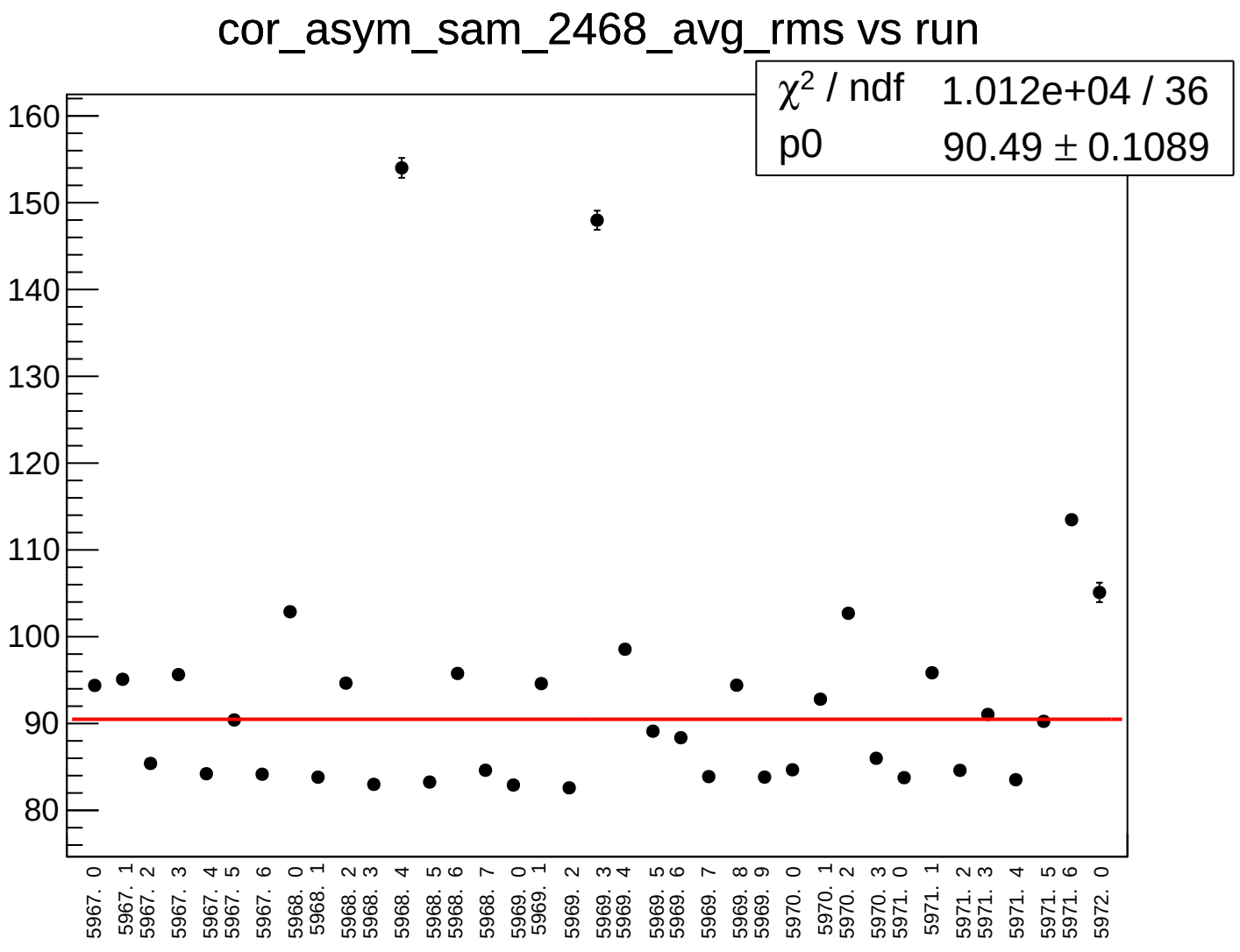
cor_asym_sam_2468_avg_rms vs run
χ² / ndf 1.012e+04 / 36
p0 90.49 ± 0.1089
160
150
140
130
120
110
100
90
80
5967. 0
5967. 1
5967. 2
5967. 3
5967. 4
5967. 5
5967. 6
5968. 0
5968. 1
5968. 2
5968. 3
5968. 4
5968. 5
5968. 6
5968. 7
5969. 0
5969. 1
5969. 2
5969. 3
5969. 4
5969. 5
5969. 6
5969. 7
5969. 8
5969. 9
5970. 0
5970. 1
5970. 2
5970. 3
5971. 0
5971. 1
5971. 2
5971. 3
5971. 4
5971. 5
5971. 6
5972. 0

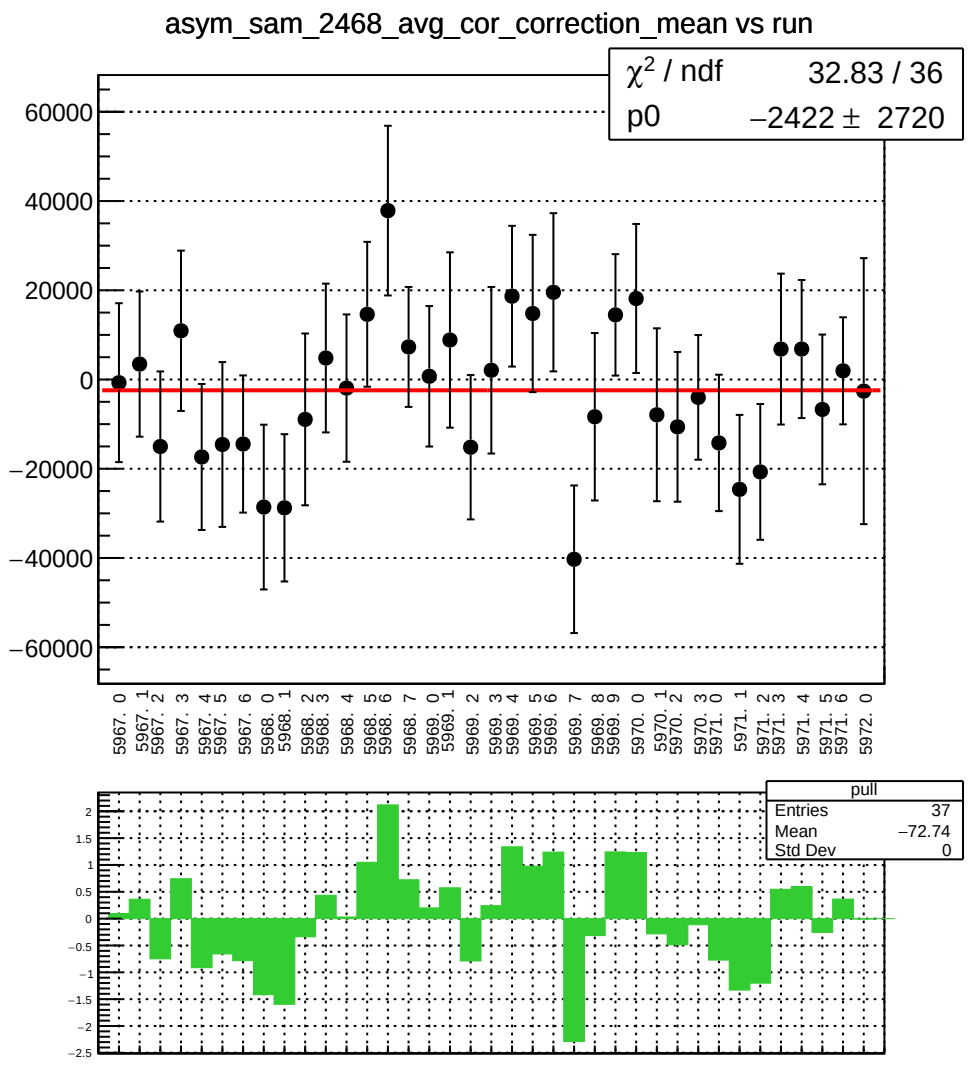
asym_sam_2468_avg_cor_correction_mean vs run
χ² / ndf 32.83 / 36
p0 −2422 ± 2720
60000
40000
20000
0
−20000
−40000
−60000
5967. 0
5967. 1
5967. 2
5967. 3
5967. 4
5967. 5
5967. 6
5968. 0
5968. 1
5968. 2
5968. 3
5968. 4
5968. 5
5968. 6
5968. 7
5969. 0
5969. 1
5969. 2
5969. 3
5969. 4
5969. 5
5969. 6
5969. 7
5969. 8
5969. 9
5970. 0
5970. 1
5970. 2
5970. 3
5971. 0
5971. 1
5971. 2
5971. 3
5971. 4
5971. 5
5971. 6
5972. 0
pull
Entries 37
Mean −72.74
Std Dev 0
2
1.5
1
0.5
0
−0.5
−1
−1.5
−2
−2.5

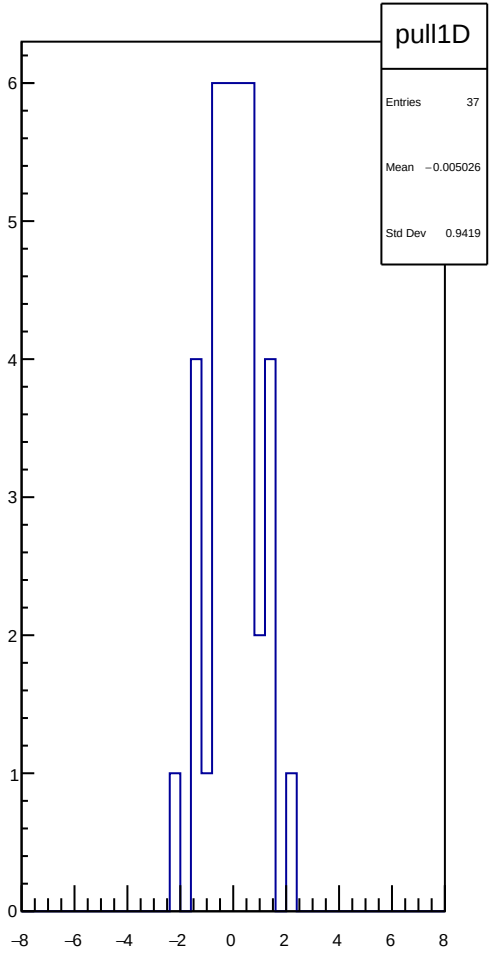
pull1D
Entries 37
Mean −0.005026
Std Dev 0.9419
6
5
4
3
2
1
0
−8
−6
−4
−2
0
2
4
6
8

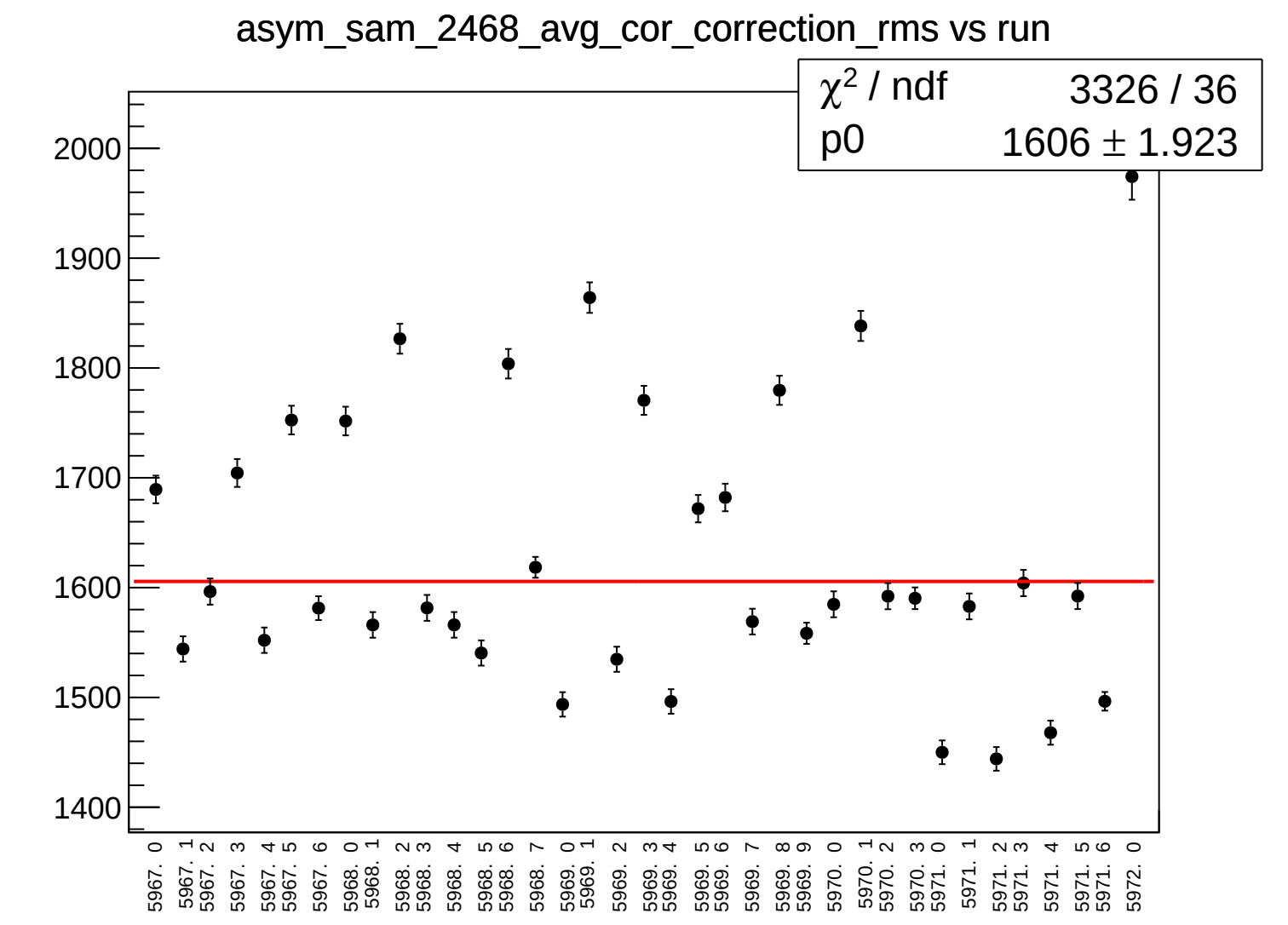
asym_sam_2468_avg_cor_correction_rms vs run
χ² / ndf 3326 / 36
p0 1606 ± 1.923
2000
1900
1800
1700
1600
1500
1400
5967. 0
5967. 1
5967. 2
5967. 3
5967. 4
5967. 5
5967. 6
5968. 0
5968. 1
5968. 2
5968. 3
5968. 4
5968. 5
5968. 6
5968. 7
5969. 0
5969. 1
5969. 2
5969. 3
5969. 4
5969. 5
5969. 6
5969. 7
5969. 8
5969. 9
5970. 0
5970. 1
5970. 2
5970. 3
5971. 0
5971. 1
5971. 2
5971. 3
5971. 4
5971. 5
5971. 6
5972. 0

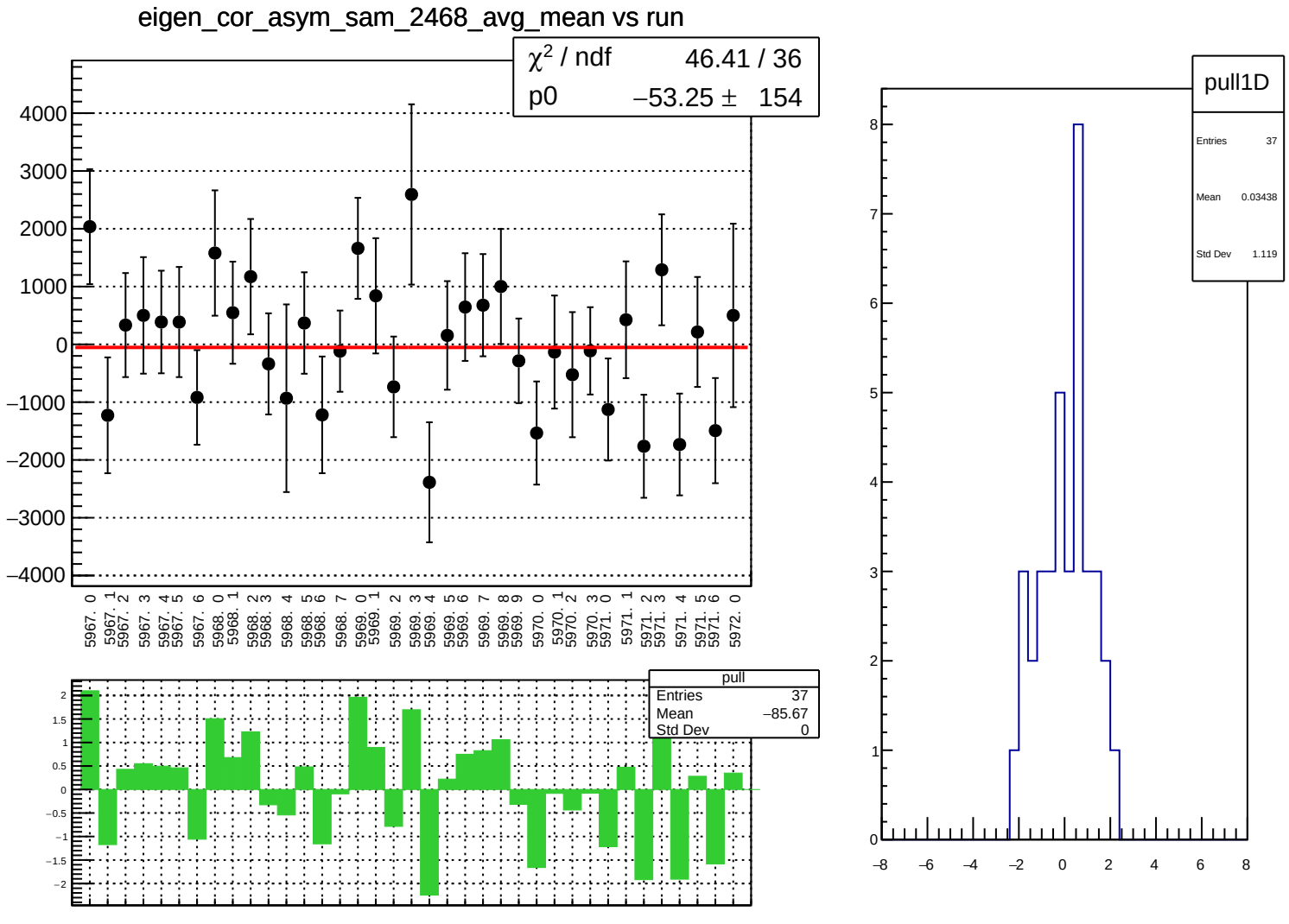
eigen_cor_asym_sam_2468_avg_mean vs run
χ² / ndf 46.41 / 36
p0 −53.25 ± 154
pull
Entries 37
Mean −85.67
Std Dev 0
pull1D
Entries 37
Mean 0.03438
Std Dev 1.119

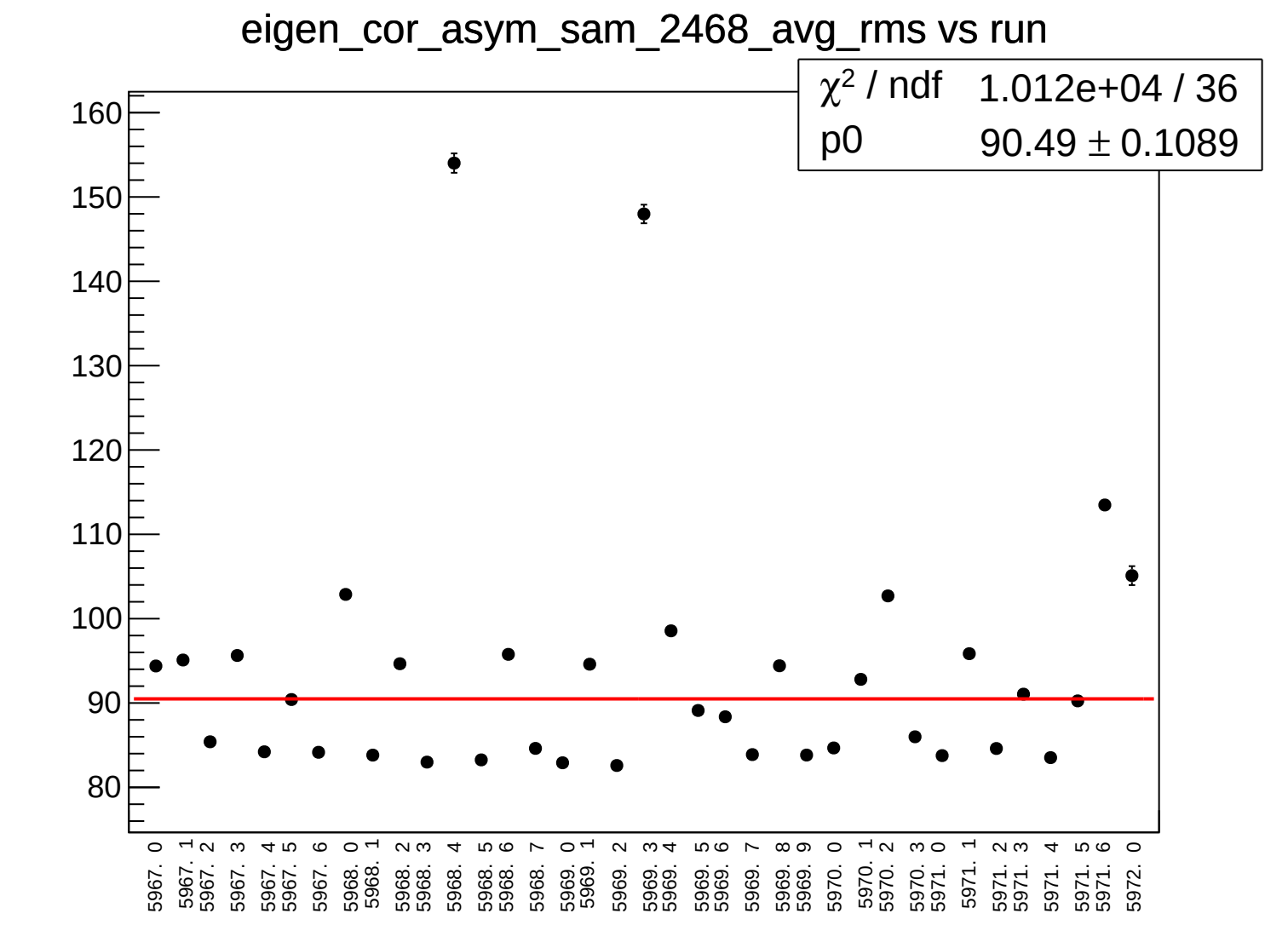
eigen_cor_asym_sam_2468_avg_rms vs run
χ² / ndf 1.012e+04 / 36
p0 90.49 ± 0.1089
160
150
140
130
120
110
100
90
80
5967. 0
5967. 1
5967. 2
5967. 3
5967. 4
5967. 5
5967. 6
5968. 0
5968. 1
5968. 2
5968. 3
5968. 4
5968. 5
5968. 6
5968. 7
5969. 0
5969. 1
5969. 2
5969. 3
5969. 4
5969. 5
5969. 6
5969. 7
5969. 8
5969. 9
5970. 0
5970. 1
5970. 2
5970. 3
5971. 0
5971. 1
5971. 2
5971. 3
5971. 4
5971. 5
5971. 6
5972. 0

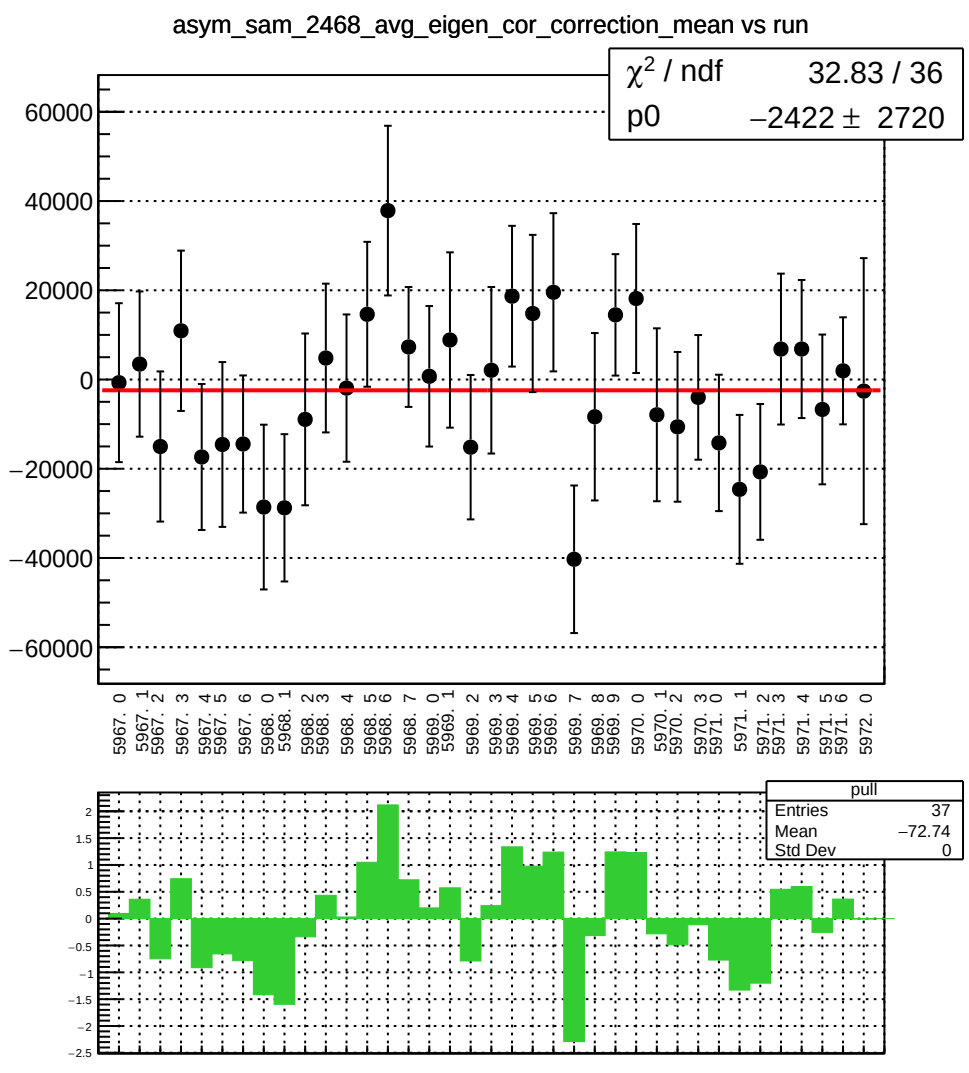
asym_sam_2468_avg_eigen_cor_correction_mean vs run
χ² / ndf 32.83 / 36
p0 −2422 ± 2720
60000
40000
20000
0
−20000
−40000
−60000
5967. 0
5967. 1
5967. 2
5967. 3
5967. 4
5967. 5
5967. 6
5968. 0
5968. 1
5968. 2
5968. 3
5968. 4
5968. 5
5968. 6
5968. 7
5969. 0
5969. 1
5969. 2
5969. 3
5969. 4
5969. 5
5969. 6
5969. 7
5969. 8
5969. 9
5970. 0
5970. 1
5970. 2
5970. 3
5971. 0
5971. 1
5971. 2
5971. 3
5971. 4
5971. 5
5971. 6
5972. 0
pull
Entries 37
Mean −72.74
Std Dev 0
2
1.5
1
0.5
0
−0.5
−1
−1.5
−2
−2.5

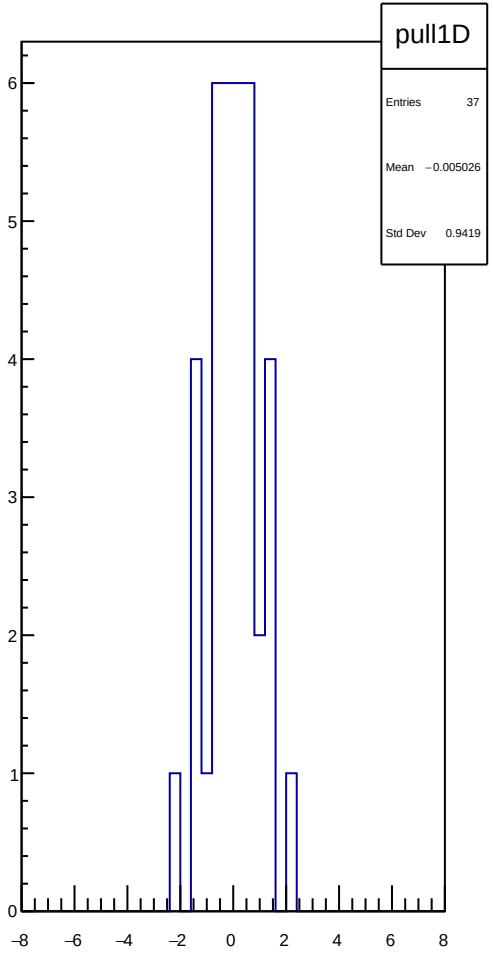
pull1D
Entries 37
Mean −0.005026
Std Dev 0.9419
6
5
4
3
2
1
0
−8
−6
−4
−2
0
2
4
6
8

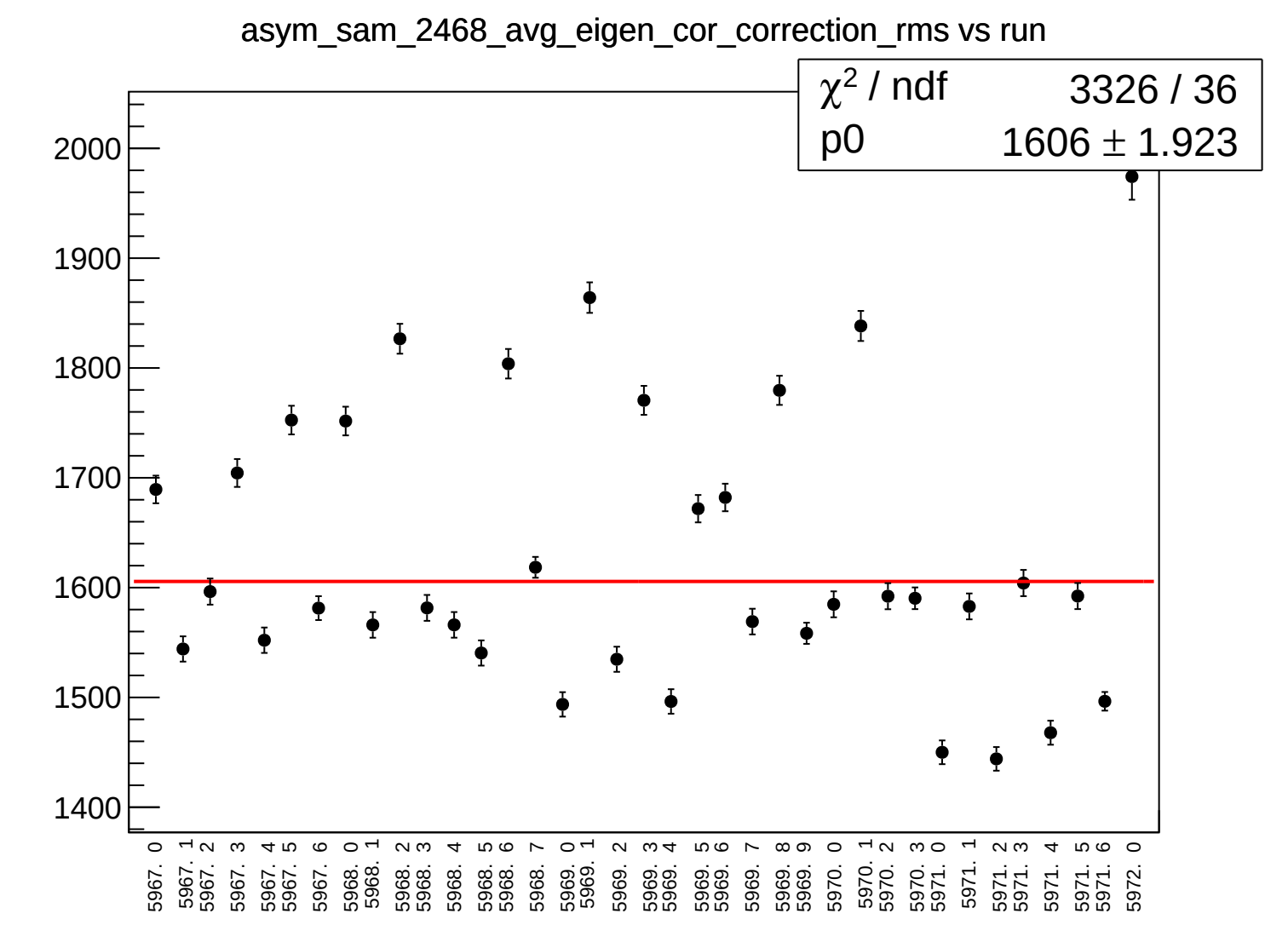
asym_sam_2468_avg_eigen_cor_correction_rms vs run
χ² / ndf 3326 / 36
p0 1606 ± 1.923
2000
1900
1800
1700
1600
1500
1400
5967. 0
5967. 1
5967. 2
5967. 3
5967. 4
5967. 5
5967. 6
5968. 0
5968. 1
5968. 2
5968. 3
5968. 4
5968. 5
5968. 6
5968. 7
5969. 0
5969. 1
5969. 2
5969. 3
5969. 4
5969. 5
5969. 6
5969. 7
5969. 8
5969. 9
5970. 0
5970. 1
5970. 2
5970. 3
5971. 0
5971. 1
5971. 2
5971. 3
5971. 4
5971. 5
5971. 6
5972. 0

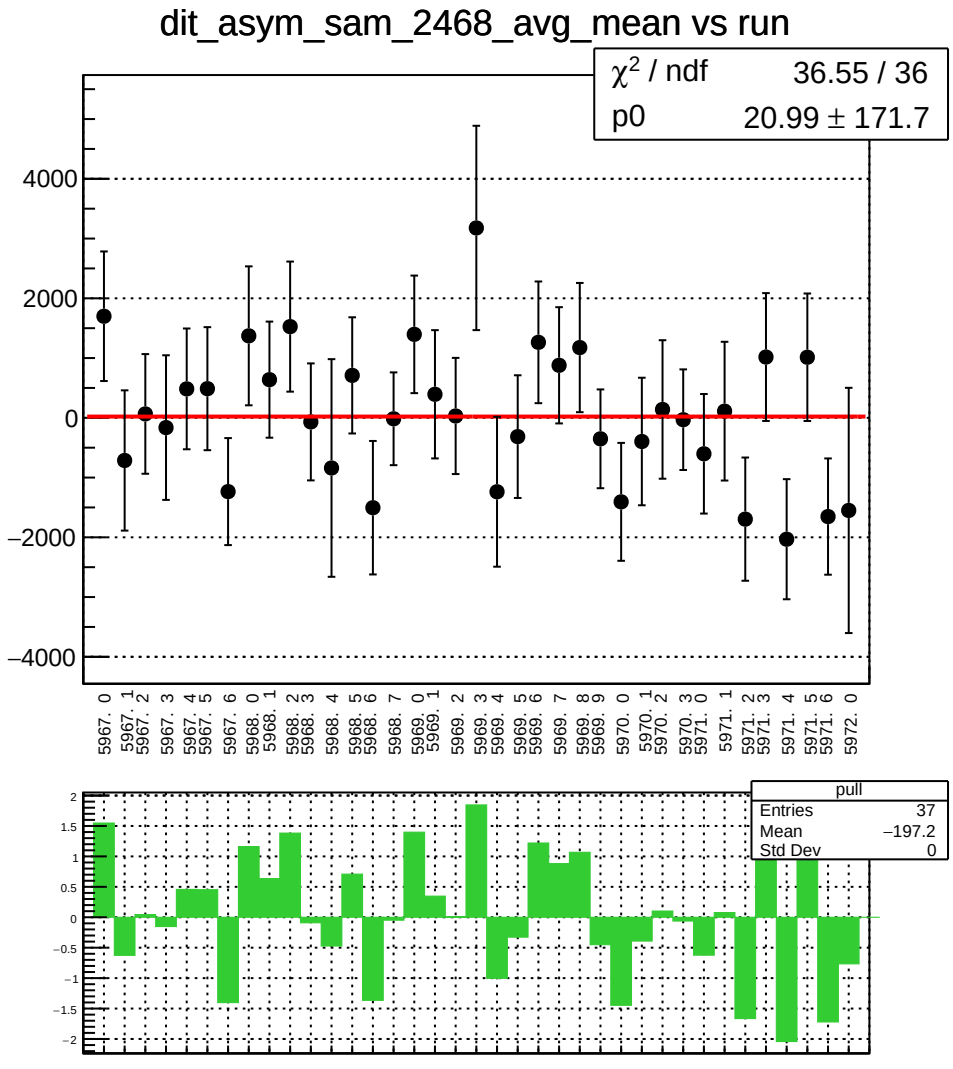
dit_asym_sam_2468_avg_mean vs run
χ² / ndf 36.55 / 36
p0 20.99 ± 171.7
4000
2000
0
−2000
−4000
5967. 0
5967. 1
5967. 2
5967. 3
5967. 4
5967. 5
5967. 6
5968. 0
5968. 1
5968. 2
5968. 3
5968. 4
5968. 5
5968. 6
5968. 7
5969. 0
5969. 1
5969. 2
5969. 3
5969. 4
5969. 5
5969. 6
5969. 7
5969. 8
5969. 9
5970. 0
5970. 1
5970. 2
5970. 3
5971. 0
5971. 1
5971. 2
5971. 3
5971. 4
5971. 5
5971. 6
5972. 0
pull
Entries 37
Mean −197.2
Std Dev 0
2
1.5
1
0.5
0
−0.5
−1
−1.5
−2
pull1D
Entries 37
Mean 0.0149
Std Dev 0.9938
6
5
4
3
2
1
0
−8
−6
−4
−2
0
2
4
6
8

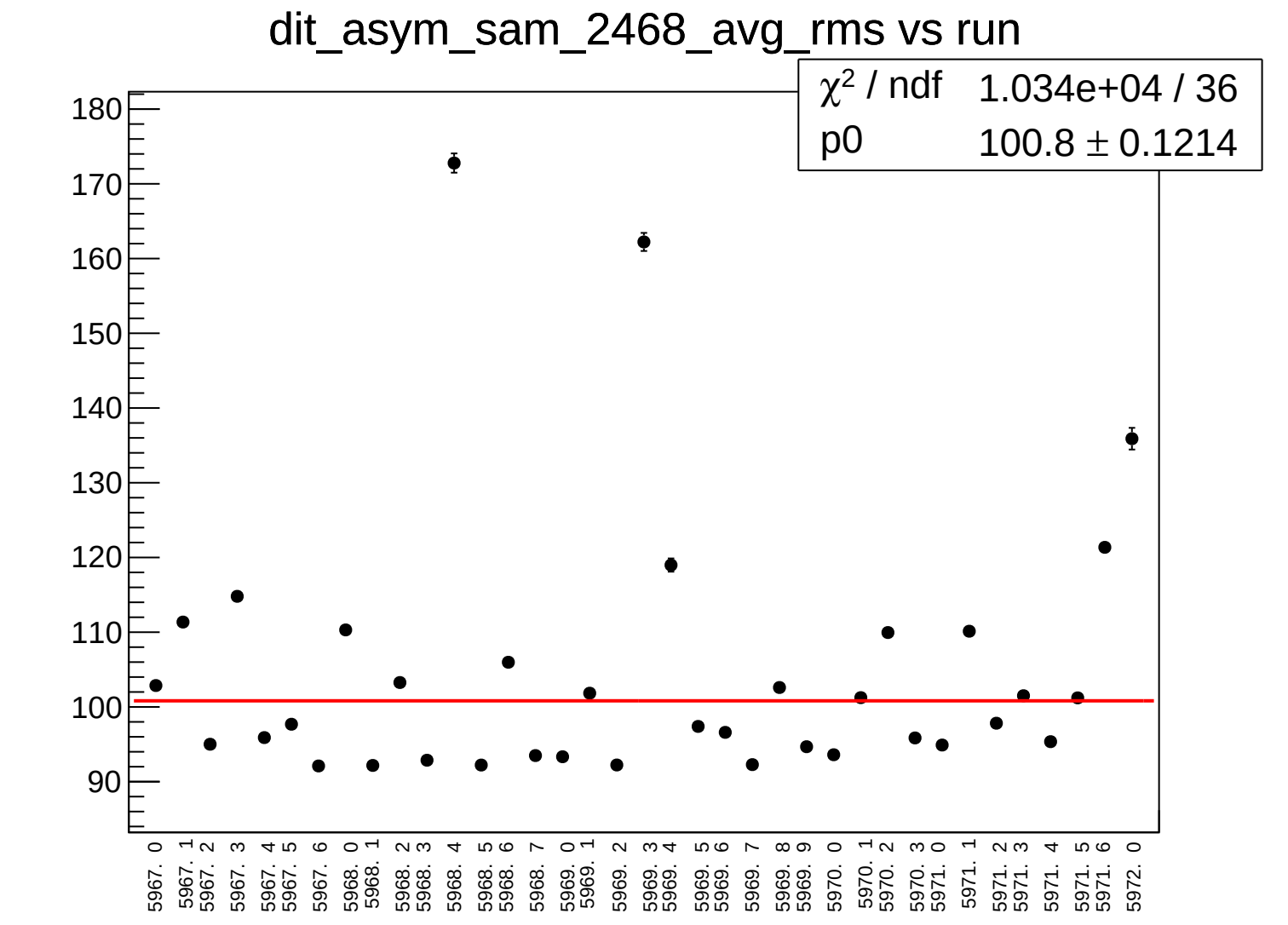
dit_asym_sam_2468_avg_rms vs run
χ² / ndf 1.034e+04 / 36
p0 100.8 ± 0.1214
180
170
160
150
140
130
120
110
100
90
5967. 0
5967. 1
5967. 2
5967. 3
5967. 4
5967. 5
5967. 6
5968. 0
5968. 1
5968. 2
5968. 3
5968. 4
5968. 5
5968. 6
5968. 7
5969. 0
5969. 1
5969. 2
5969. 3
5969. 4
5969. 5
5969. 6
5969. 7
5969. 8
5969. 9
5970. 0
5970. 1
5970. 2
5970. 3
5971. 0
5971. 1
5971. 2
5971. 3
5971. 4
5971. 5
5971. 6
5972. 0

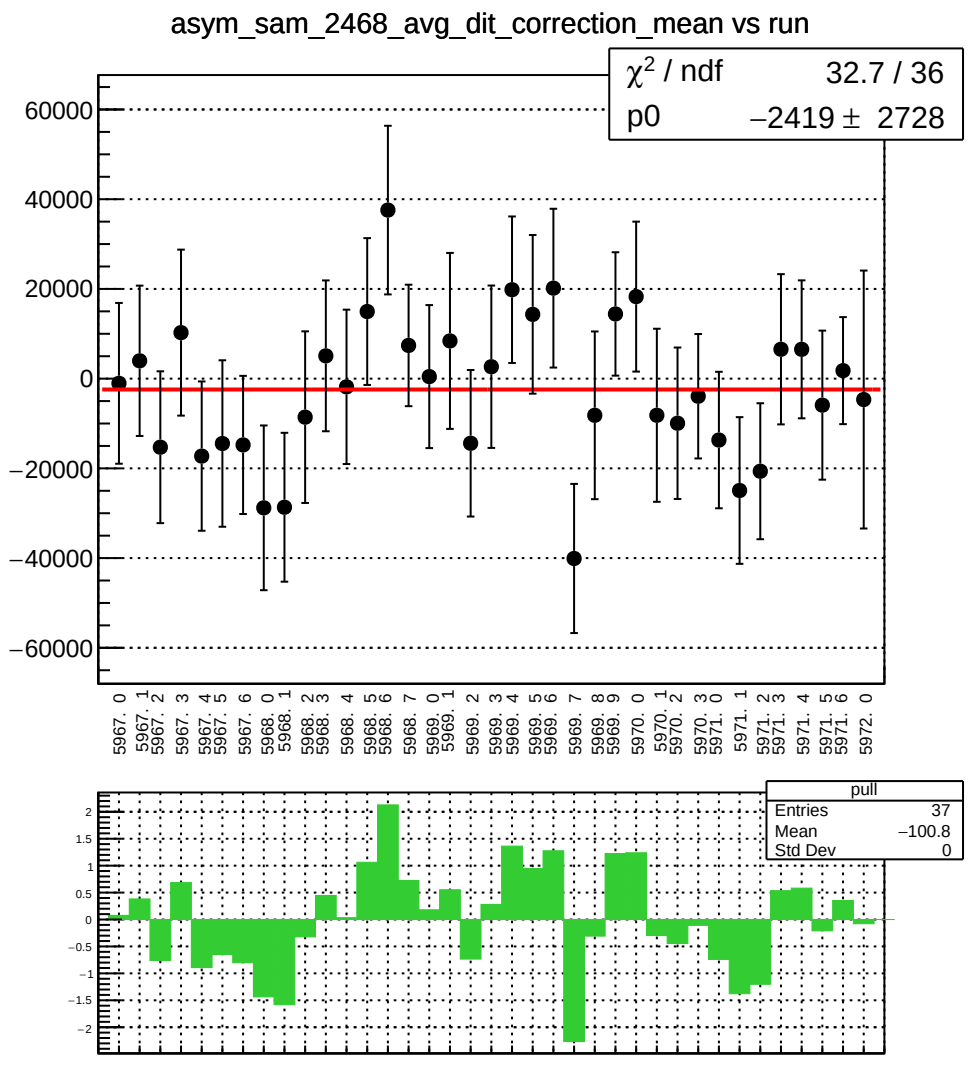
asym_sam_2468_avg_dit_correction_mean vs run
χ² / ndf 32.7 / 36
p0 −2419 ± 2728
60000
40000
20000
0
−20000
−40000
−60000
5967. 0
5967. 1
5967. 2
5967. 3
5967. 4
5967. 5
5967. 6
5968. 0
5968. 1
5968. 2
5968. 3
5968. 4
5968. 5
5968. 6
5968. 7
5969. 0
5969. 1
5969. 2
5969. 3
5969. 4
5969. 5
5969. 6
5969. 7
5969. 8
5969. 9
5970. 0
5970. 1
5970. 2
5970. 3
5971. 0
5971. 1
5971. 2
5971. 3
5971. 4
5971. 5
5971. 6
5972. 0
pull
Entries 37
Mean −100.8
Std Dev 0
2
1.5
1
0.5
0
−0.5
−1
−1.5
−2
pull1D
Entries 37
Mean −0.003771
Std Dev 0.9401
6
5
4
3
2
1
0
−8
−6
−4
−2
0
2
4
6
8

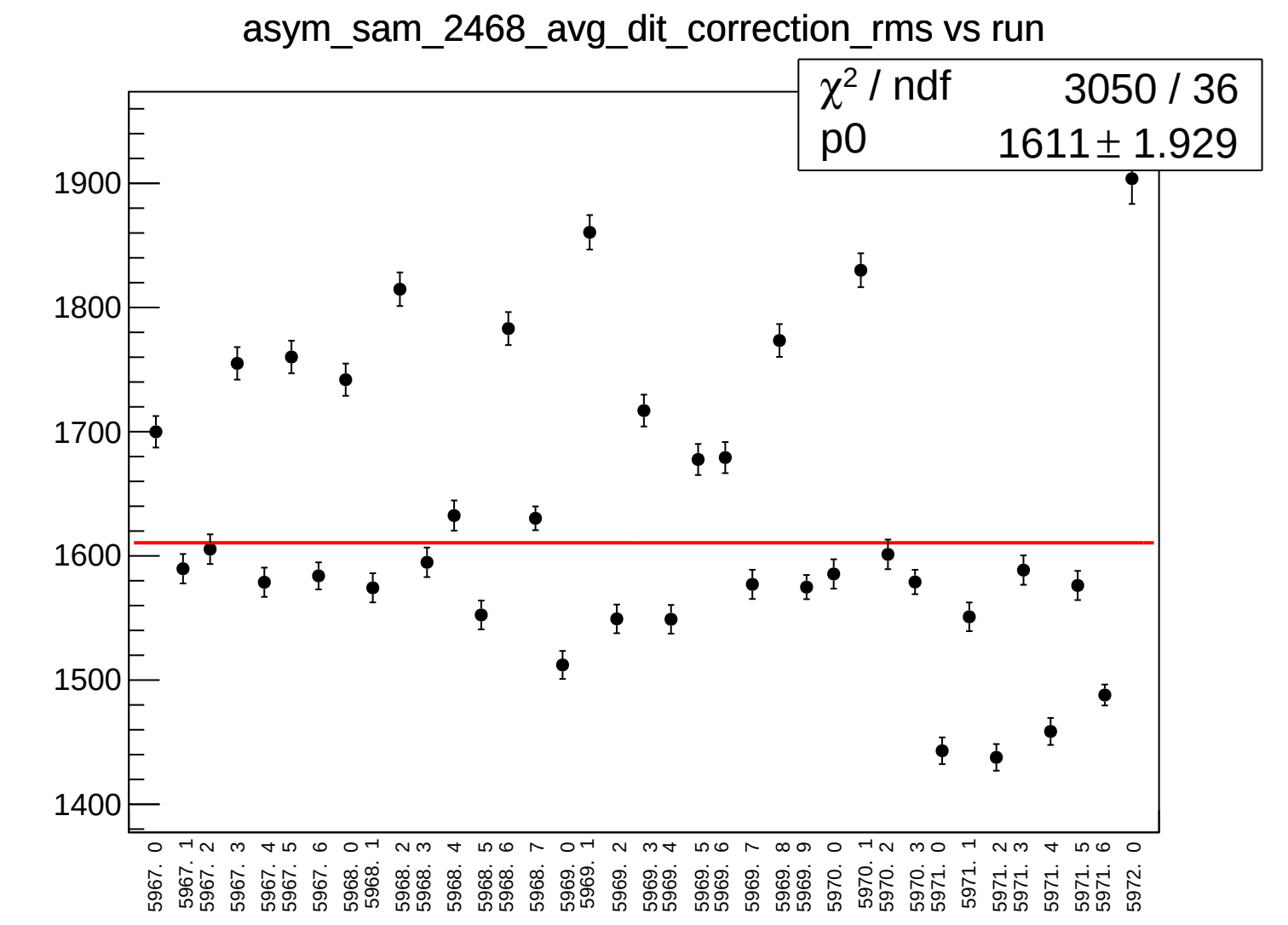
asym_sam_2468_avg_dit_correction_rms vs run
χ² / ndf 3050 / 36
p0 1611 ± 1.929
1900
1800
1700
1600
1500
1400
5967. 0
5967. 1
5967. 2
5967. 3
5967. 4
5967. 5
5967. 6
5968. 0
5968. 1
5968. 2
5968. 3
5968. 4
5968. 5
5968. 6
5968. 7
5969. 0
5969. 1
5969. 2
5969. 3
5969. 4
5969. 5
5969. 6
5969. 7
5969. 8
5969. 9
5970. 0
5970. 1
5970. 2
5970. 3
5971. 0
5971. 1
5971. 2
5971. 3
5971. 4
5971. 5
5971. 6
5972. 0

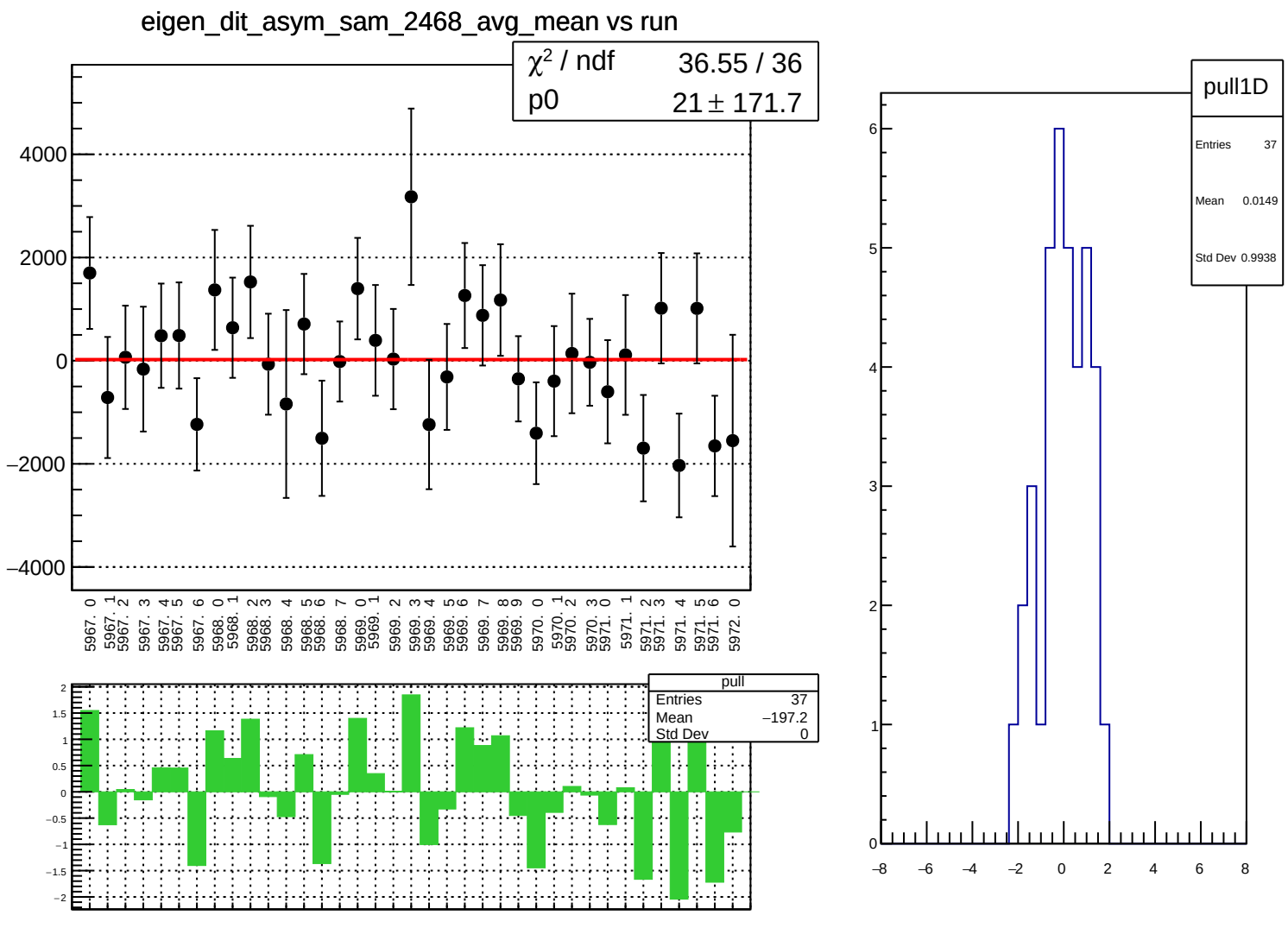
eigen_dit_asym_sam_2468_avg_mean vs run
χ² / ndf 36.55 / 36
p0 21 ± 171.7
4000
2000
0
−2000
−4000
5967. 0
5967. 1
5967. 2
5967. 3
5967. 4
5967. 5
5967. 6
5968. 0
5968. 1
5968. 2
5968. 3
5968. 4
5968. 5
5968. 6
5968. 7
5969. 0
5969. 1
5969. 2
5969. 3
5969. 4
5969. 5
5969. 6
5969. 7
5969. 8
5969. 9
5970. 0
5970. 1
5970. 2
5970. 3
5971. 0
5971. 1
5971. 2
5971. 3
5971. 4
5971. 5
5971. 6
5972. 0
pull
Entries 37
Mean −197.2
Std Dev 0
2
1.5
1
0.5
0
−0.5
−1
−1.5
−2
pull1D
Entries 37
Mean 0.0149
Std Dev 0.9938
6
5
4
3
2
1
0
−8
−6
−4
−2
0
2
4
6
8

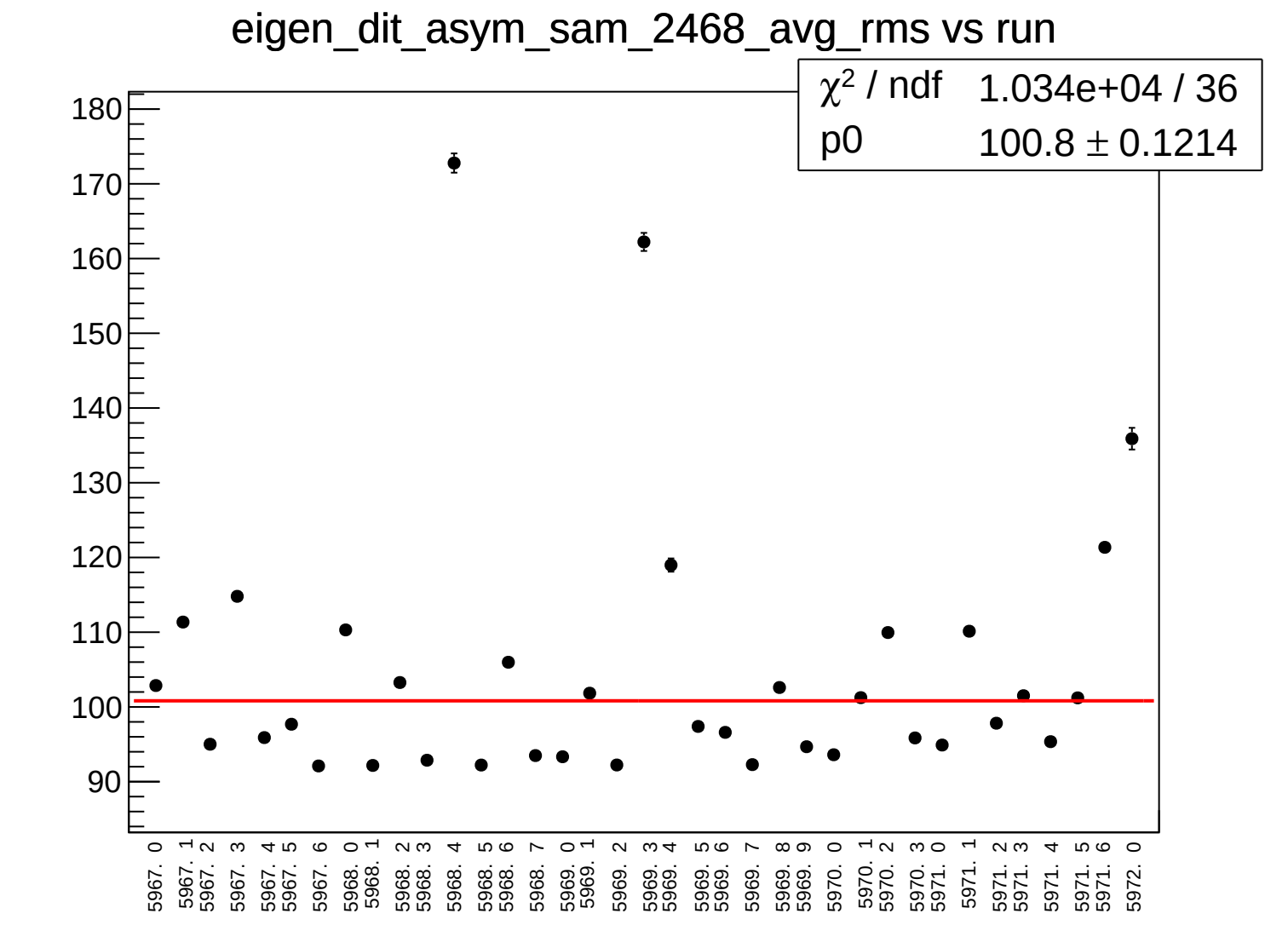
eigen_dit_asym_sam_2468_avg_rms vs run
χ² / ndf 1.034e+04 / 36
p0 100.8 ± 0.1214
180
170
160
150
140
130
120
110
100
90
5967. 0
5967. 1
5967. 2
5967. 3
5967. 4
5967. 5
5967. 6
5968. 0
5968. 1
5968. 2
5968. 3
5968. 4
5968. 5
5968. 6
5968. 7
5969. 0
5969. 1
5969. 2
5969. 3
5969. 4
5969. 5
5969. 6
5969. 7
5969. 8
5969. 9
5970. 0
5970. 1
5970. 2
5970. 3
5971. 0
5971. 1
5971. 2
5971. 3
5971. 4
5971. 5
5971. 6
5972. 0

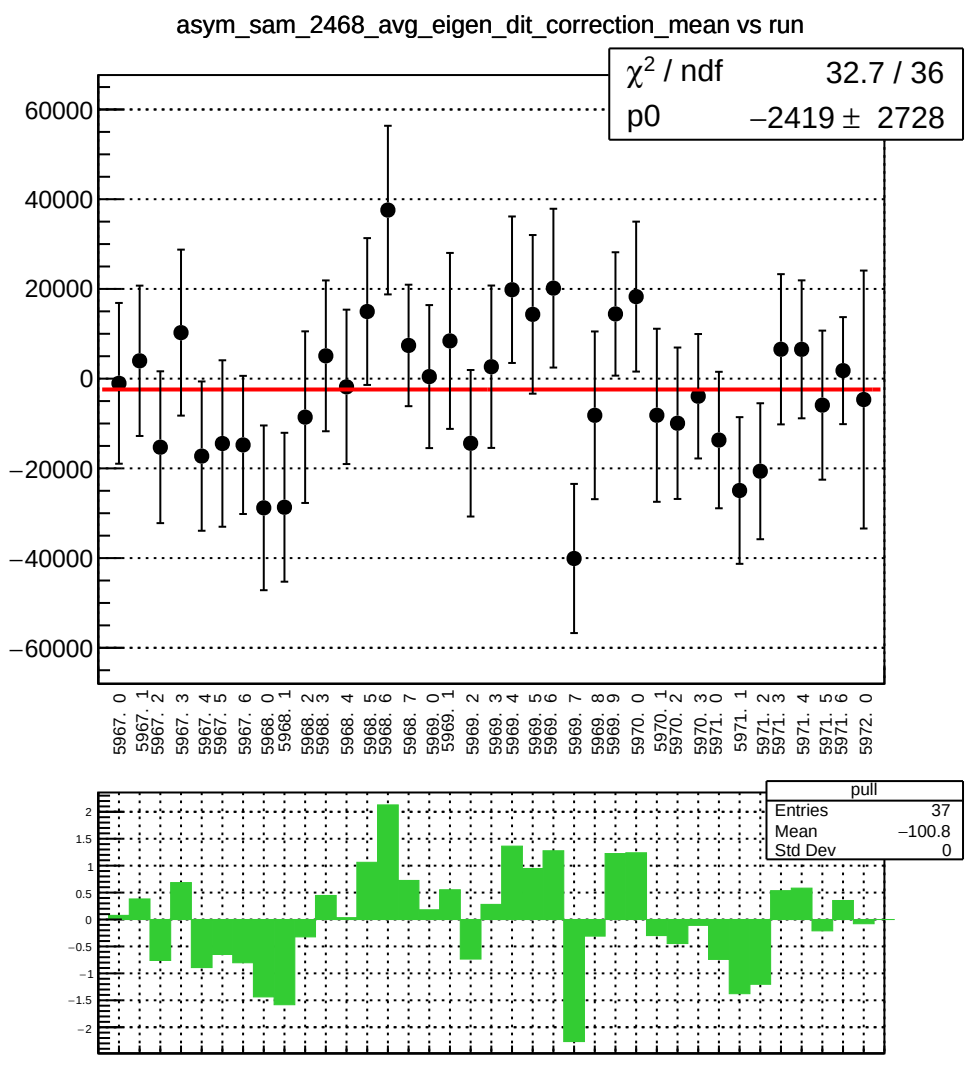
asym_sam_2468_avg_eigen_dit_correction_mean vs run
χ² / ndf 32.7 / 36
p0 −2419 ± 2728
60000
40000
20000
0
−20000
−40000
−60000
5967. 0
5967. 1
5967. 2
5967. 3
5967. 4
5967. 5
5967. 6
5968. 0
5968. 1
5968. 2
5968. 3
5968. 4
5968. 5
5968. 6
5968. 7
5969. 0
5969. 1
5969. 2
5969. 3
5969. 4
5969. 5
5969. 6
5969. 7
5969. 8
5969. 9
5970. 0
5970. 1
5970. 2
5970. 3
5971. 0
5971. 1
5971. 2
5971. 3
5971. 4
5971. 5
5971. 6
5972. 0
pull
Entries 37
Mean −100.8
Std Dev 0
2
1.5
1
0.5
0
−0.5
−1
−1.5
−2

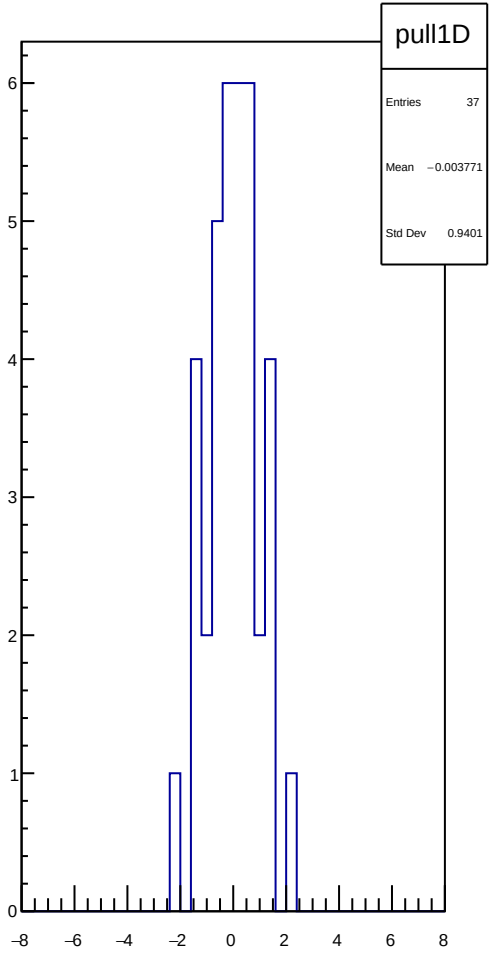
pull1D
Entries 37
Mean −0.003771
Std Dev 0.9401
6
5
4
3
2
1
0
−8
−6
−4
−2
0
2
4
6
8

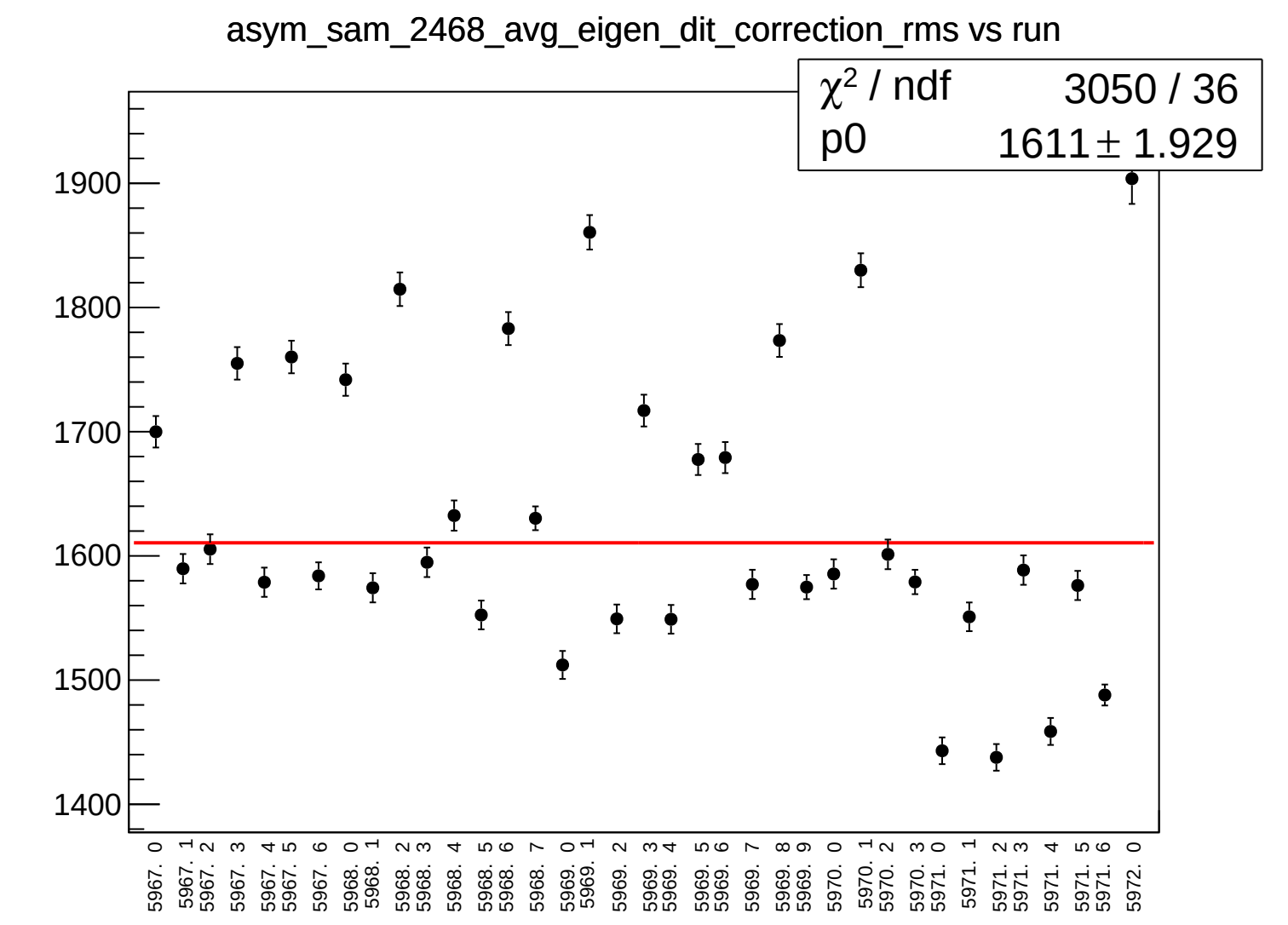
asym_sam_2468_avg_eigen_dit_correction_rms vs run
χ² / ndf 3050 / 36
p0 1611 ± 1.929
1900
1800
1700
1600
1500
1400
5967. 0
5967. 1
5967. 2
5967. 3
5967. 4
5967. 5
5967. 6
5968. 0
5968. 1
5968. 2
5968. 3
5968. 4
5968. 5
5968. 6
5968. 7
5969. 0
5969. 1
5969. 2
5969. 3
5969. 4
5969. 5
5969. 6
5969. 7
5969. 8
5969. 9
5970. 0
5970. 1
5970. 2
5970. 3
5971. 0
5971. 1
5971. 2
5971. 3
5971. 4
5971. 5
5971. 6
5972. 0

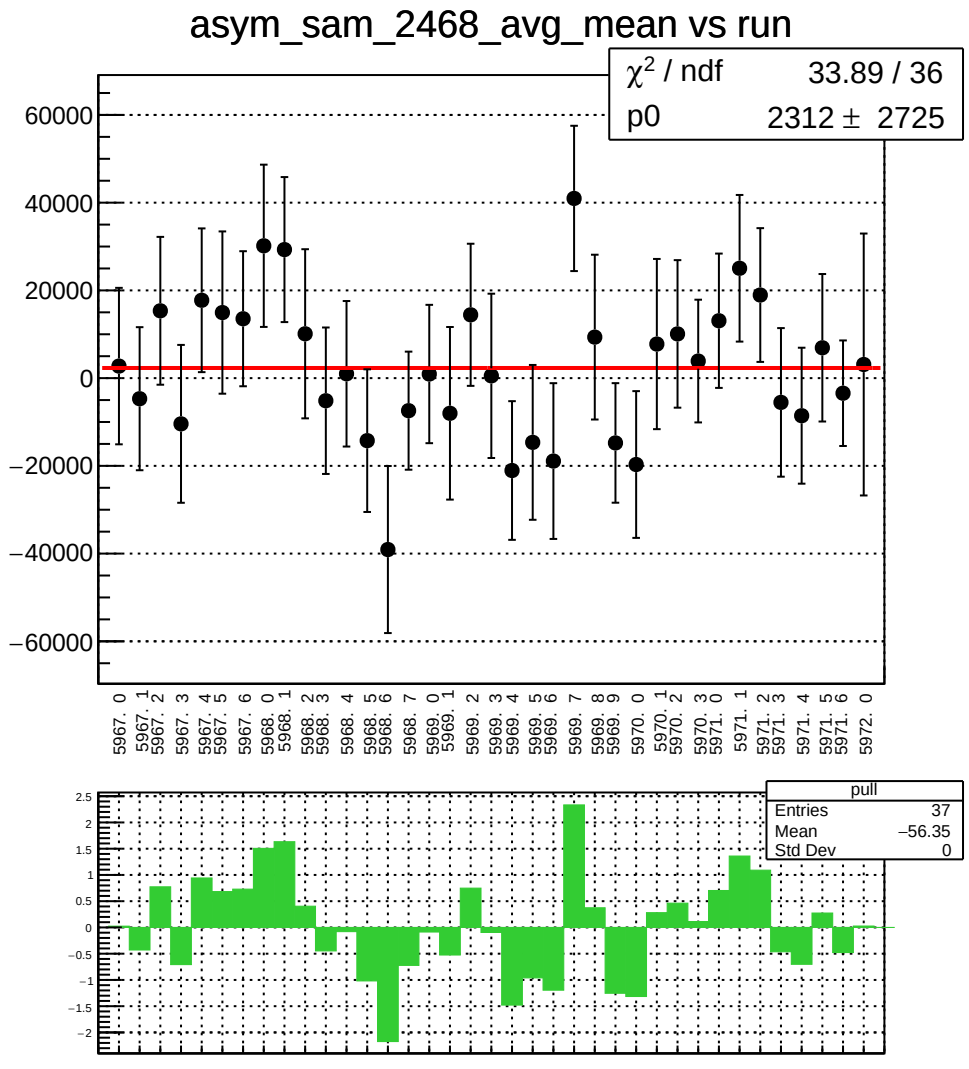
asym_sam_2468_avg_mean vs run
χ² / ndf 33.89 / 36
p0 2312 ± 2725
60000
40000
20000
0
−20000
−40000
−60000
5967. 0
5967. 1
5967. 2
5967. 3
5967. 4
5967. 5
5967. 6
5968. 0
5968. 1
5968. 2
5968. 3
5968. 4
5968. 5
5968. 6
5968. 7
5969. 0
5969. 1
5969. 2
5969. 3
5969. 4
5969. 5
5969. 6
5969. 7
5969. 8
5969. 9
5970. 0
5970. 1
5970. 2
5970. 3
5971. 0
5971. 1
5971. 2
5971. 3
5971. 4
5971. 5
5971. 6
5972. 0
pull
Entries 37
Mean −56.35
Std Dev 0
2.5
2
1.5
1
0.5
0
−0.5
−1
−1.5
−2

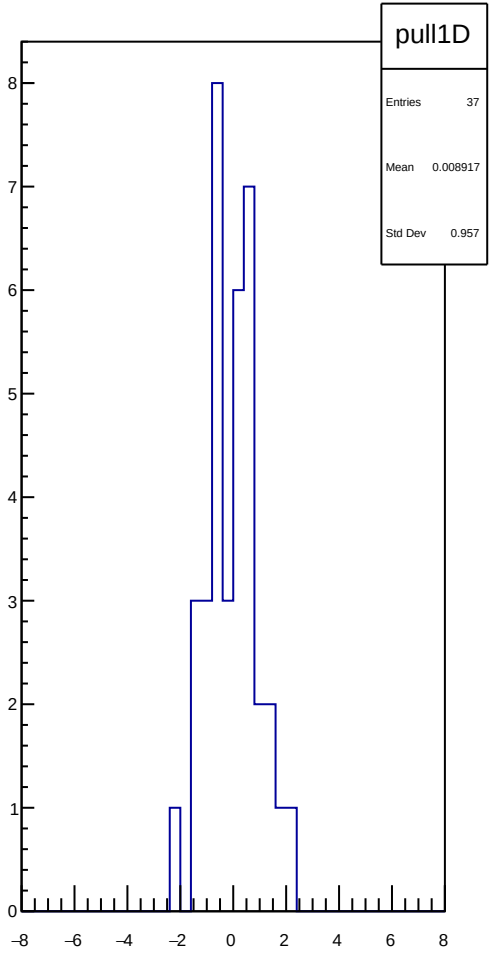
pull1D
Entries 37
Mean 0.008917
Std Dev 0.957
8
7
6
5
4
3
2
1
0
−8
−6
−4
−2
0
2
4
6
8

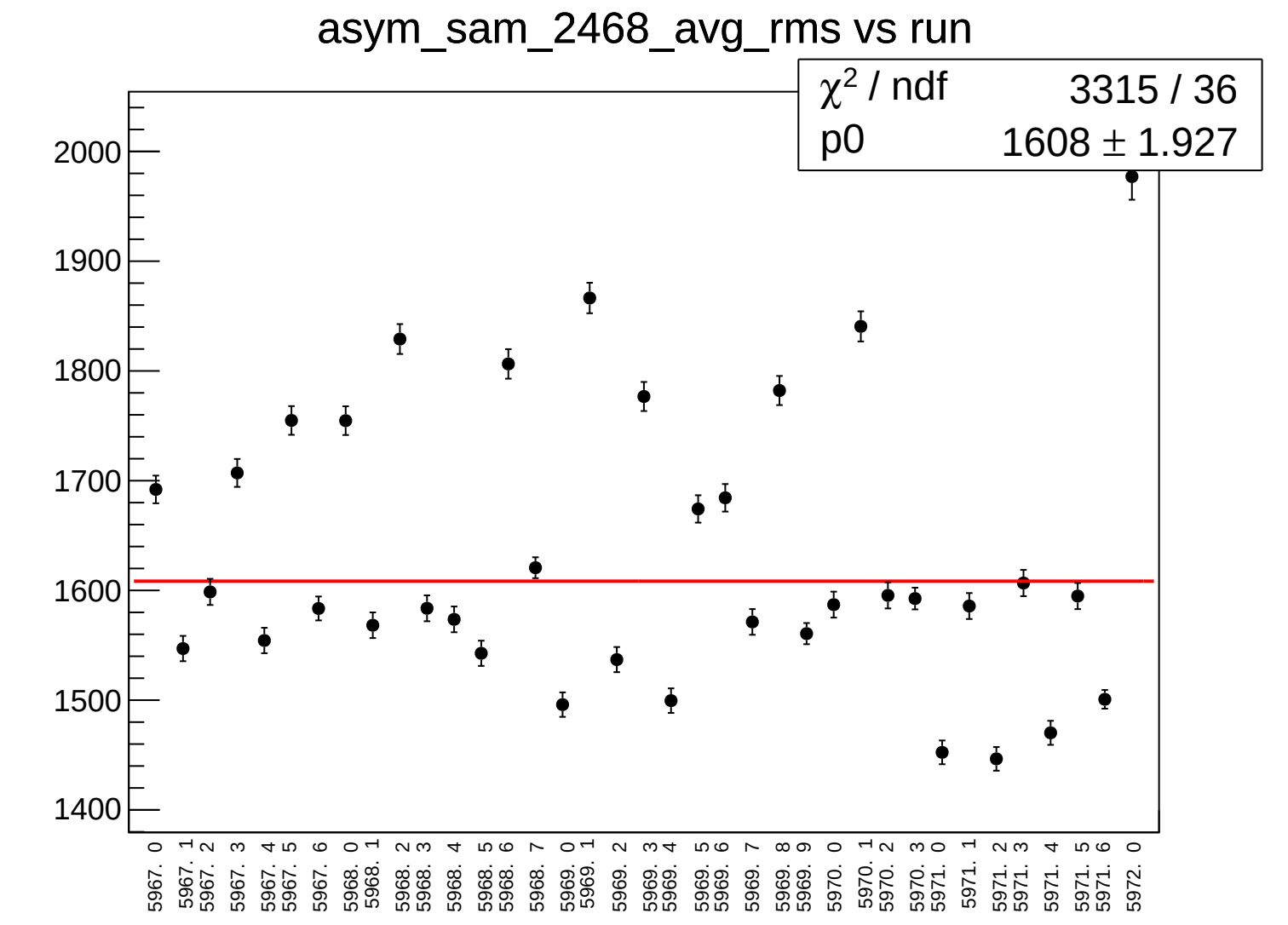
asym_sam_2468_avg_rms vs run
χ² / ndf 3315 / 36
p0 1608 ± 1.927
2000
1900
1800
1700
1600
1500
1400
5967. 0
5967. 1
5967. 2
5967. 3
5967. 4
5967. 5
5967. 6
5968. 0
5968. 1
5968. 2
5968. 3
5968. 4
5968. 5
5968. 6
5968. 7
5969. 0
5969. 1
5969. 2
5969. 3
5969. 4
5969. 5
5969. 6
5969. 7
5969. 8
5969. 9
5970. 0
5970. 1
5970. 2
5970. 3
5971. 0
5971. 1
5971. 2
5971. 3
5971. 4
5971. 5
5971. 6
5972. 0

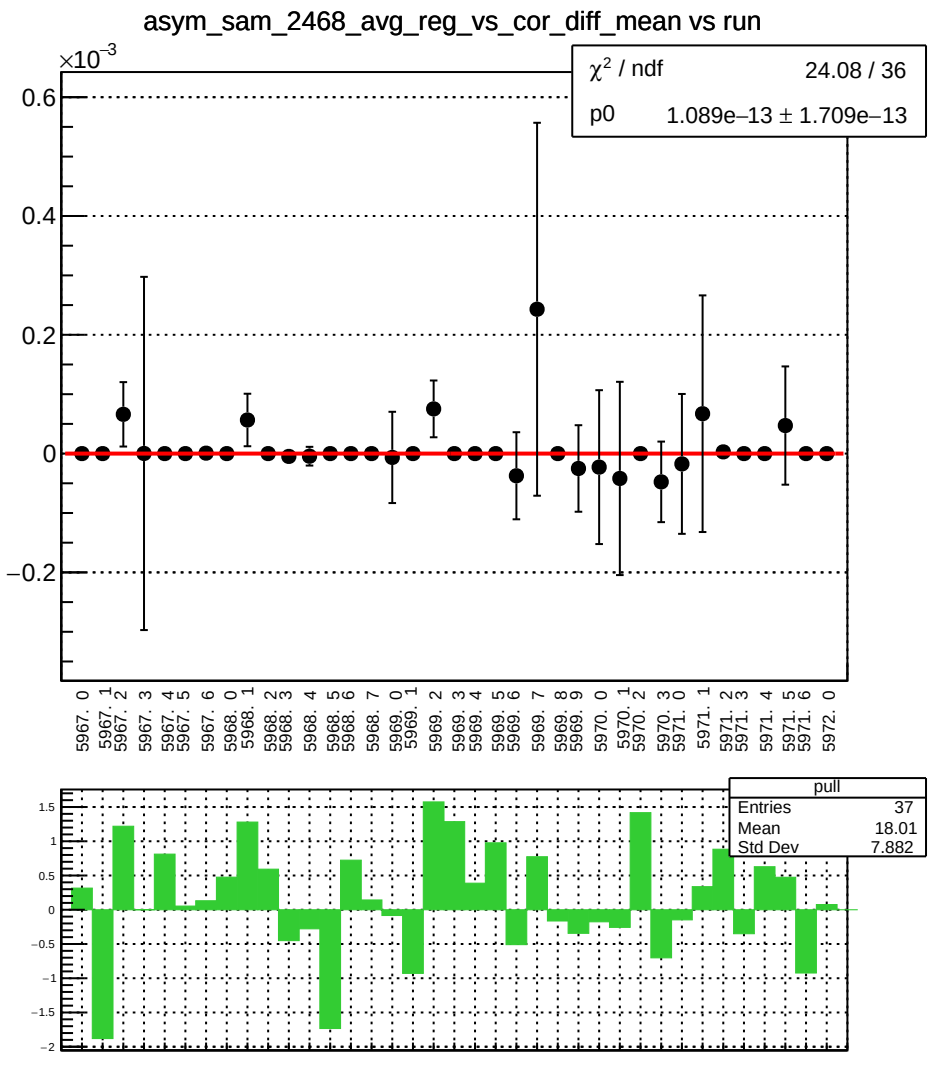
asym_sam_2468_avg_reg_vs_cor_diff_mean vs run
×10⁻³
χ² / ndf 24.08 / 36
p0 1.089e−13 ± 1.709e−13
0.6
0.4
0.2
0
−0.2
5967. 0
5967. 1
5967. 2
5967. 3
5967. 4
5967. 5
5967. 6
5968. 0
5968. 1
5968. 2
5968. 3
5968. 4
5968. 5
5968. 6
5968. 7
5969. 0
5969. 1
5969. 2
5969. 3
5969. 4
5969. 5
5969. 6
5969. 7
5969. 8
5969. 9
5970. 0
5970. 1
5970. 2
5970. 3
5971. 0
5971. 1
5971. 2
5971. 3
5971. 4
5971. 5
5971. 6
5972. 0
pull
Entries 37
Mean 18.01
Std Dev 7.882
1.5
1
0.5
0
−0.5
−1
−1.5
−2

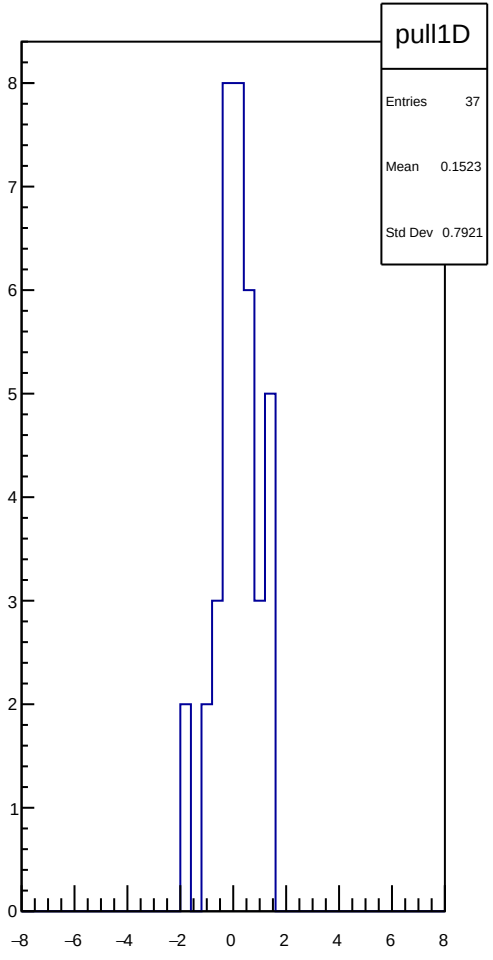
pull1D
Entries 37
Mean 0.1523
Std Dev 0.7921
8
7
6
5
4
3
2
1
0
−8
−6
−4
−2
0
2
4
6
8

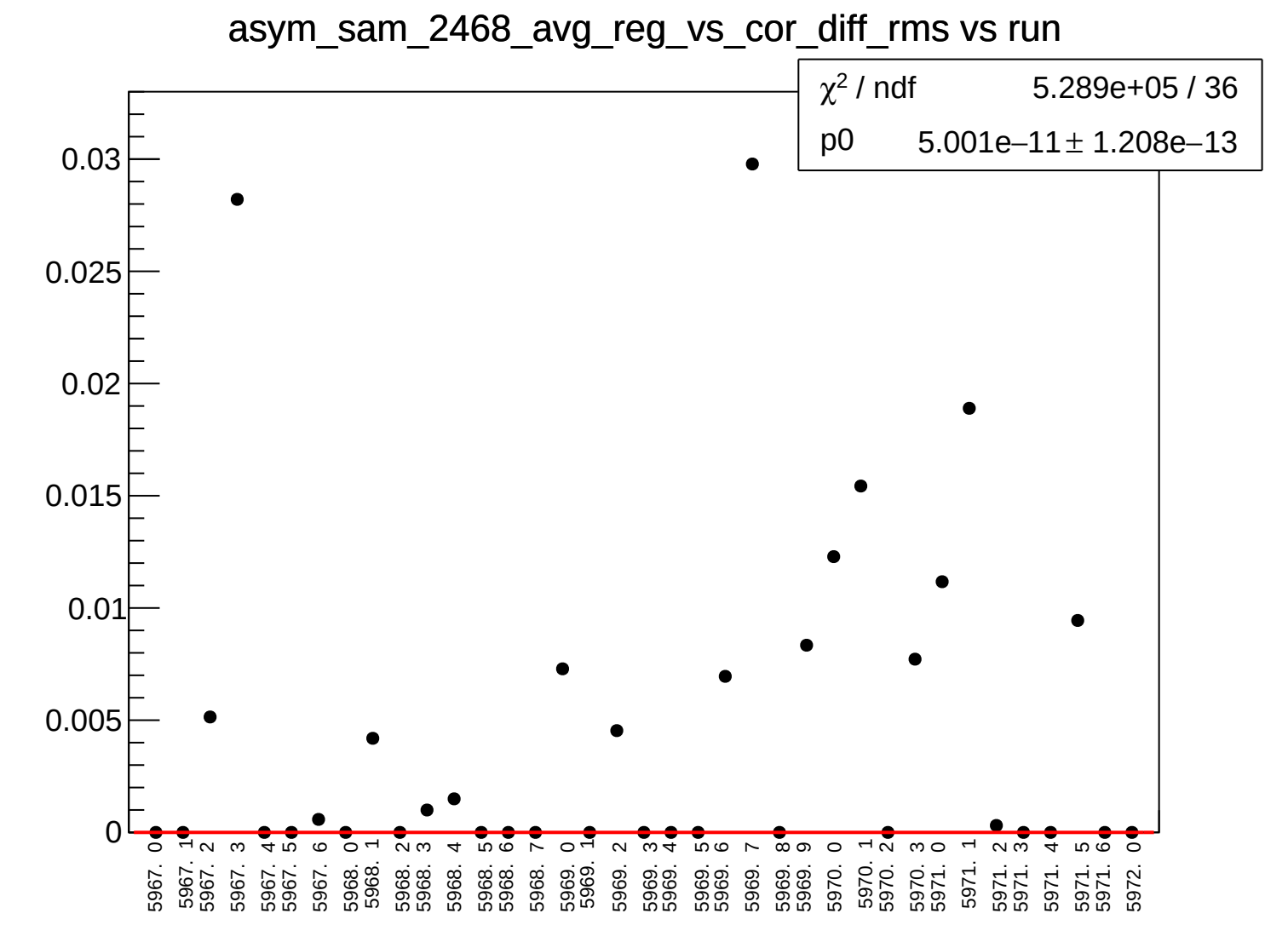
asym_sam_2468_avg_reg_vs_cor_diff_rms vs run
χ² / ndf 5.289e+05 / 36
p0 5.001e−11 ± 1.208e−13
0.03
0.025
0.02
0.015
0.01
0.005
0
5967. 0
5967. 1
5967. 2
5967. 3
5967. 4
5967. 5
5967. 6
5968. 0
5968. 1
5968. 2
5968. 3
5968. 4
5968. 5
5968. 6
5968. 7
5969. 0
5969. 1
5969. 2
5969. 3
5969. 4
5969. 5
5969. 6
5969. 7
5969. 8
5969. 9
5970. 0
5970. 1
5970. 2
5970. 3
5971. 0
5971. 1
5971. 2
5971. 3
5971. 4
5971. 5
5971. 6
5972. 0

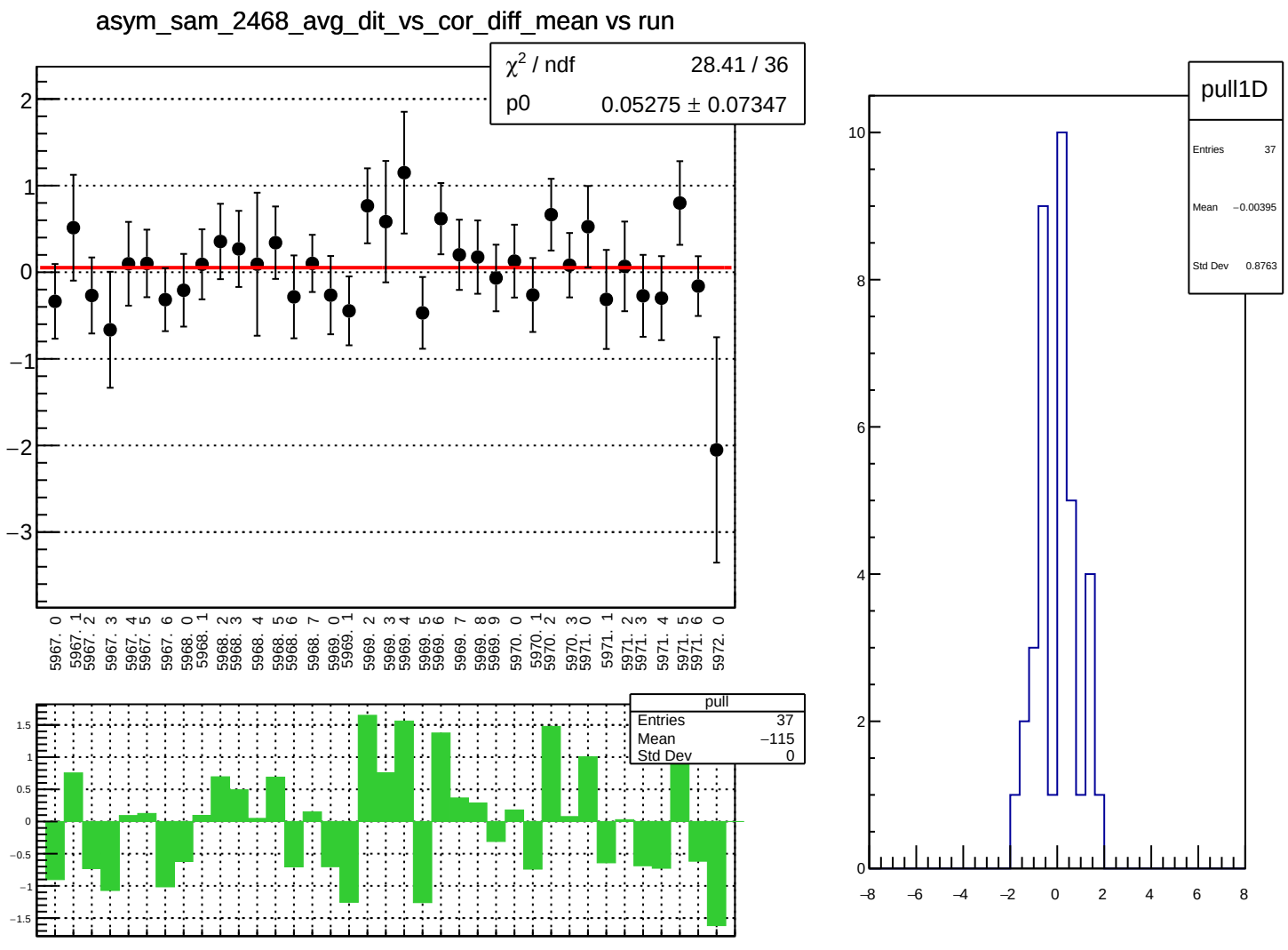
asym_sam_2468_avg_dit_vs_cor_diff_mean vs run
χ² / ndf 28.41 / 36
p0 0.05275 ± 0.07347
pull
Entries 37
Mean −115
Std Dev 0
pull1D
Entries 37
Mean −0.00395
Std Dev 0.8763

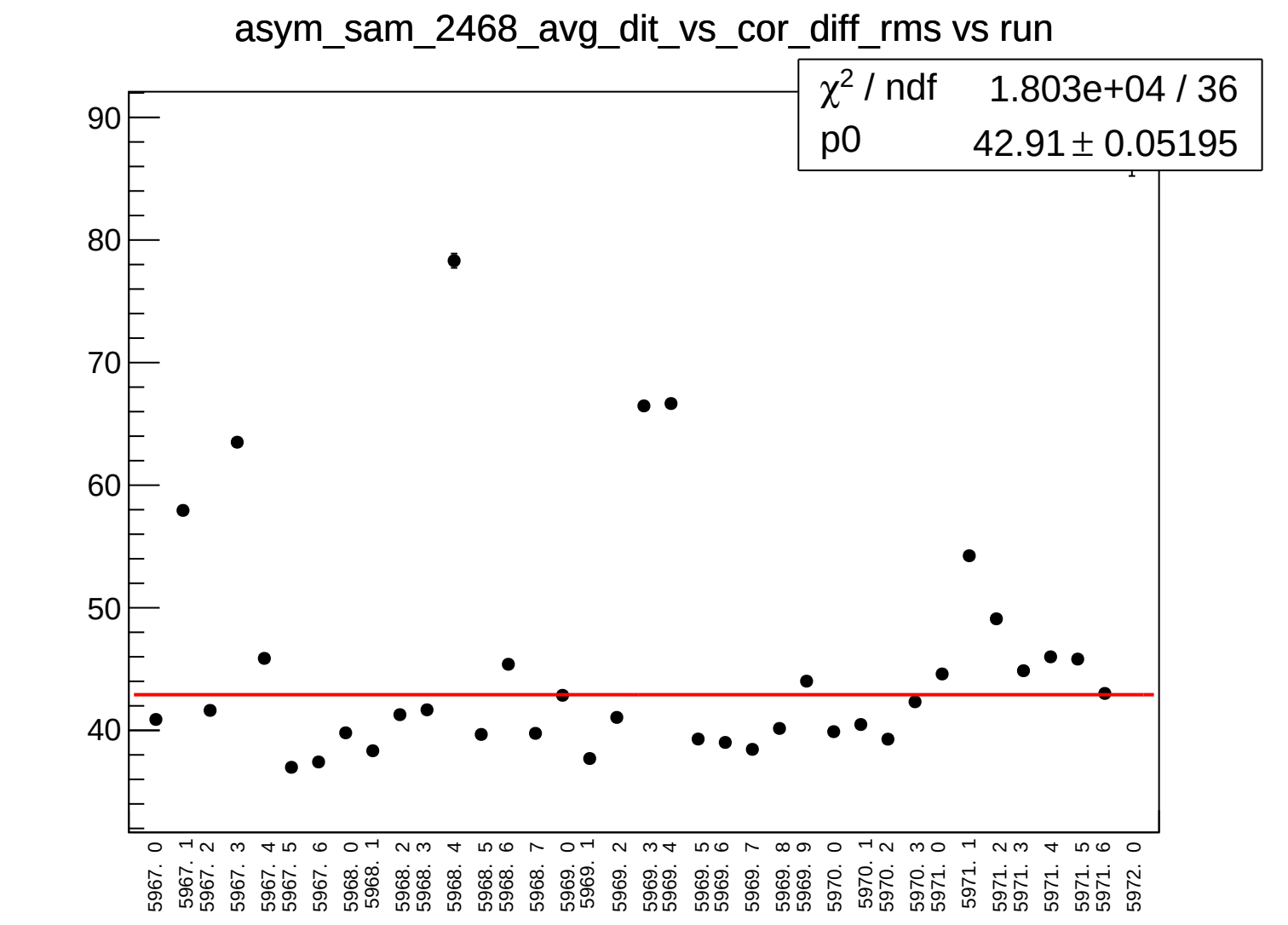
asym_sam_2468_avg_dit_vs_cor_diff_rms vs run
χ² / ndf 1.803e+04 / 36
p0 42.91 ± 0.05195
90
80
70
60
50
40
5967. 0
5967. 1
5967. 2
5967. 3
5967. 4
5967. 5
5967. 6
5968. 0
5968. 1
5968. 2
5968. 3
5968. 4
5968. 5
5968. 6
5968. 7
5969. 0
5969. 1
5969. 2
5969. 3
5969. 4
5969. 5
5969. 6
5969. 7
5969. 8
5969. 9
5970. 0
5970. 1
5970. 2
5970. 3
5971. 0
5971. 1
5971. 2
5971. 3
5971. 4
5971. 5
5971. 6
5972. 0

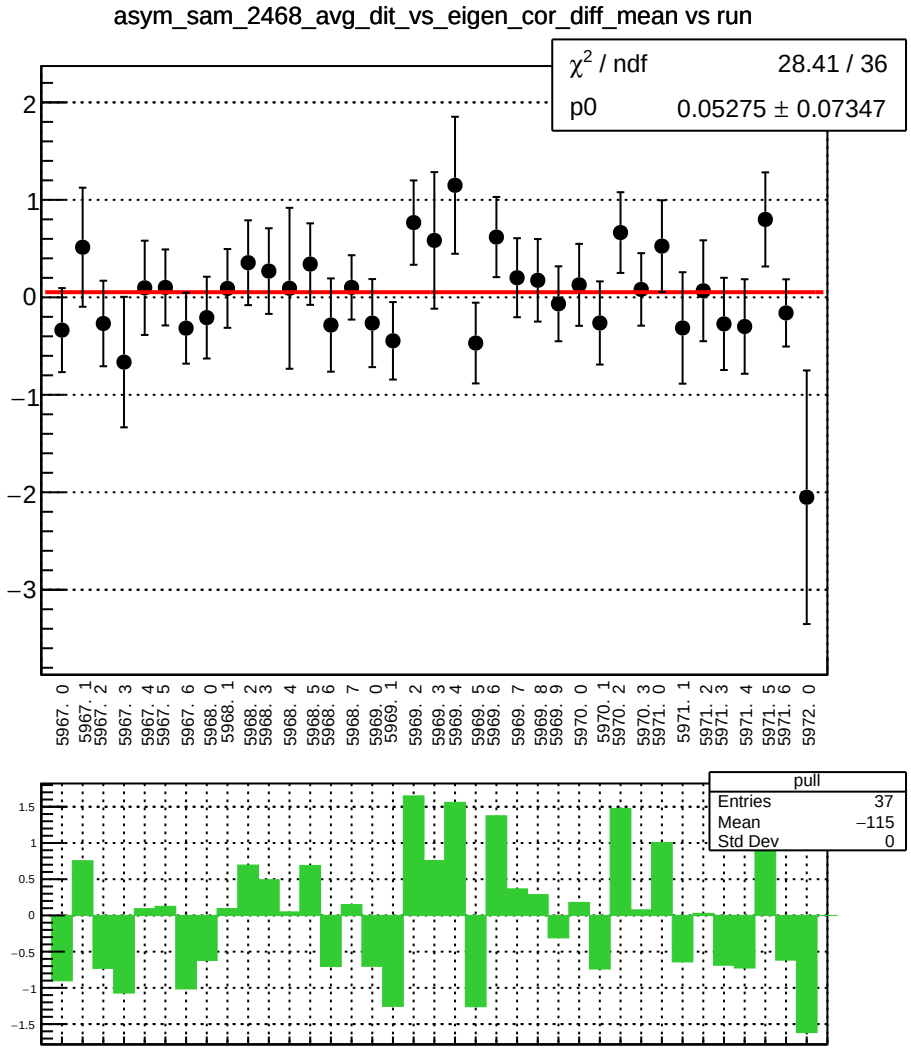
asym_sam_2468_avg_dit_vs_eigen_cor_diff_mean vs run
χ² / ndf 28.41 / 36
p0 0.05275 ± 0.07347
pull
Entries 37
Mean −115
Std Dev 0

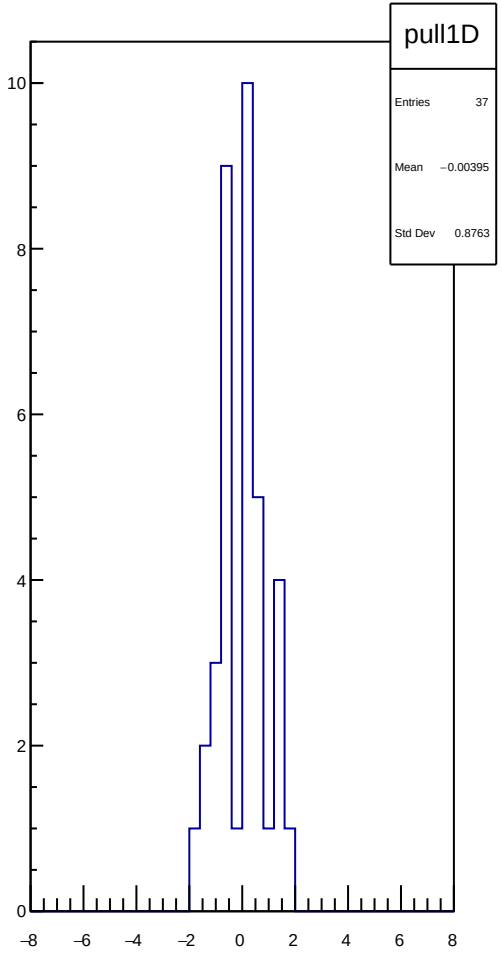
pull1D
Entries 37
Mean −0.00395
Std Dev 0.8763

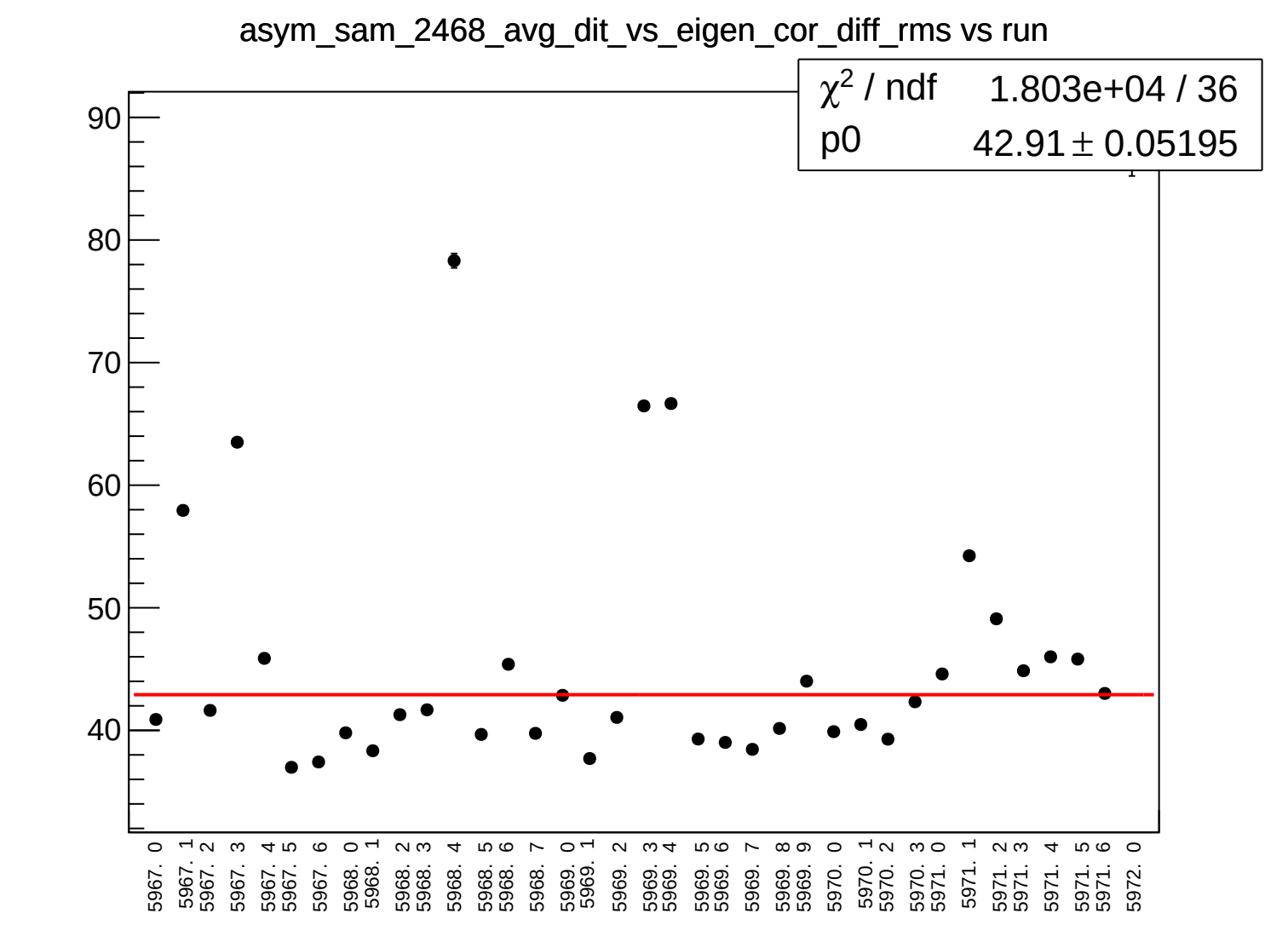
asym_sam_2468_avg_dit_vs_eigen_cor_diff_rms vs run
χ² / ndf 1.803e+04 / 36
p0 42.91 ± 0.05195
90
80
70
60
50
40
5967. 0
5967. 1
5967. 2
5967. 3
5967. 4
5967. 5
5967. 6
5968. 0
5968. 1
5968. 2
5968. 3
5968. 4
5968. 5
5968. 6
5968. 7
5969. 0
5969. 1
5969. 2
5969. 3
5969. 4
5969. 5
5969. 6
5969. 7
5969. 8
5969. 9
5970. 0
5970. 1
5970. 2
5970. 3
5971. 0
5971. 1
5971. 2
5971. 3
5971. 4
5971. 5
5971. 6
5972. 0

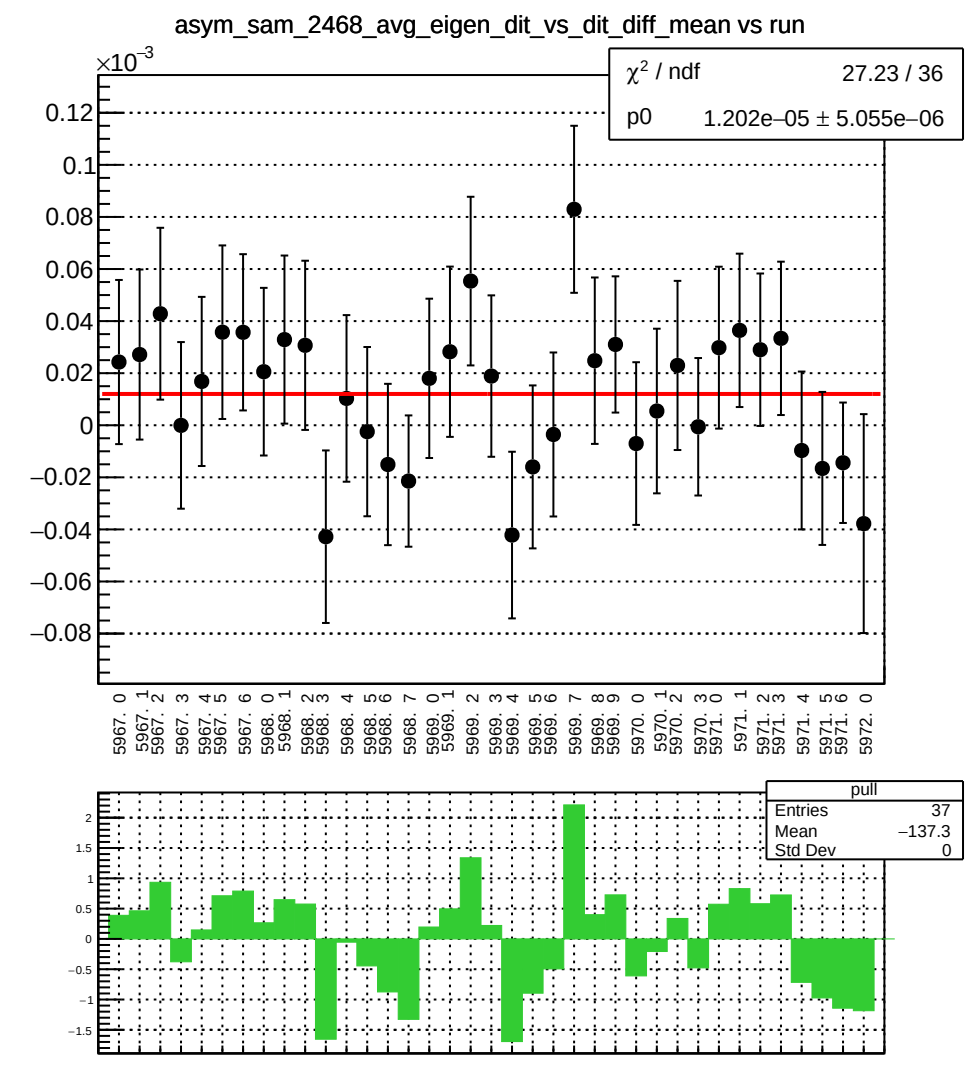
asym_sam_2468_avg_eigen_dit_vs_dit_diff_mean vs run
×10⁻³
χ² / ndf 27.23 / 36
p0 1.202e−05 ± 5.055e−06
0.12
0.1
0.08
0.06
0.04
0.02
0
−0.02
−0.04
−0.06
−0.08
5967. 0
5967. 1
5967. 2
5967. 3
5967. 4
5967. 5
5967. 6
5968. 0
5968. 1
5968. 2
5968. 3
5968. 4
5968. 5
5968. 6
5968. 7
5969. 0
5969. 1
5969. 2
5969. 3
5969. 4
5969. 5
5969. 6
5969. 7
5969. 8
5969. 9
5970. 0
5970. 1
5970. 2
5970. 3
5971. 0
5971. 1
5971. 2
5971. 3
5971. 4
5971. 5
5971. 6
5972. 0
pull
Entries 37
Mean −137.3
Std Dev 0
2
1.5
1
0.5
0
−0.5
−1
−1.5
pull1D
Entries 37
Mean 0.01163
Std Dev 0.8578
10
8
6
4
2
0
−8
−6
−4
−2
0
2
4
6
8

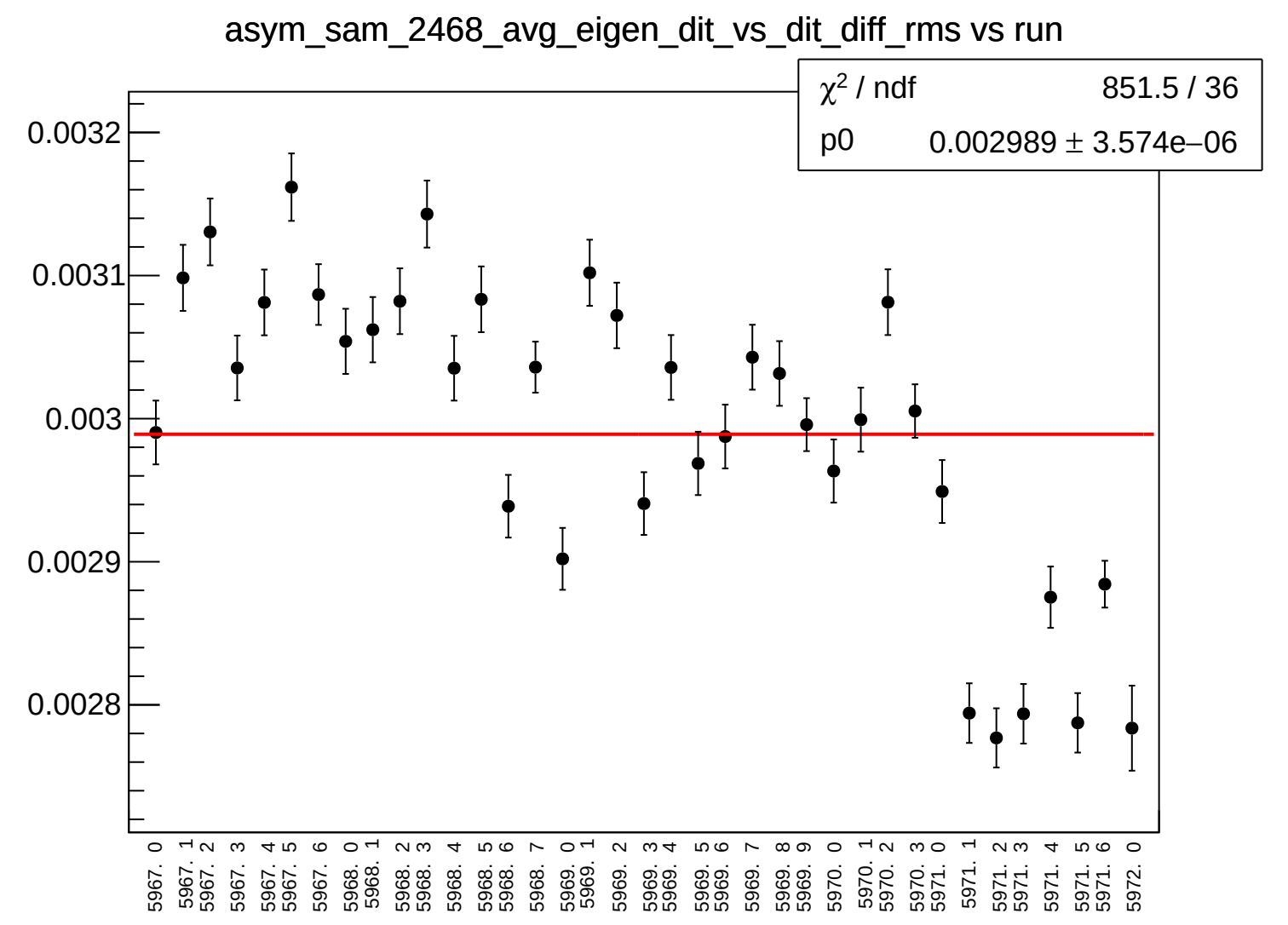
asym_sam_2468_avg_eigen_dit_vs_dit_diff_rms vs run
χ² / ndf 851.5 / 36
p0 0.002989 ± 3.574e−06
0.0032
0.0031
0.003
0.0029
0.0028
5967. 0
5967. 1
5967. 2
5967. 3
5967. 4
5967. 5
5967. 6
5968. 0
5968. 1
5968. 2
5968. 3
5968. 4
5968. 5
5968. 6
5968. 7
5969. 0
5969. 1
5969. 2
5969. 3
5969. 4
5969. 5
5969. 6
5969. 7
5969. 8
5969. 9
5970. 0
5970. 1
5970. 2
5970. 3
5971. 0
5971. 1
5971. 2
5971. 3
5971. 4
5971. 5
5971. 6
5972. 0

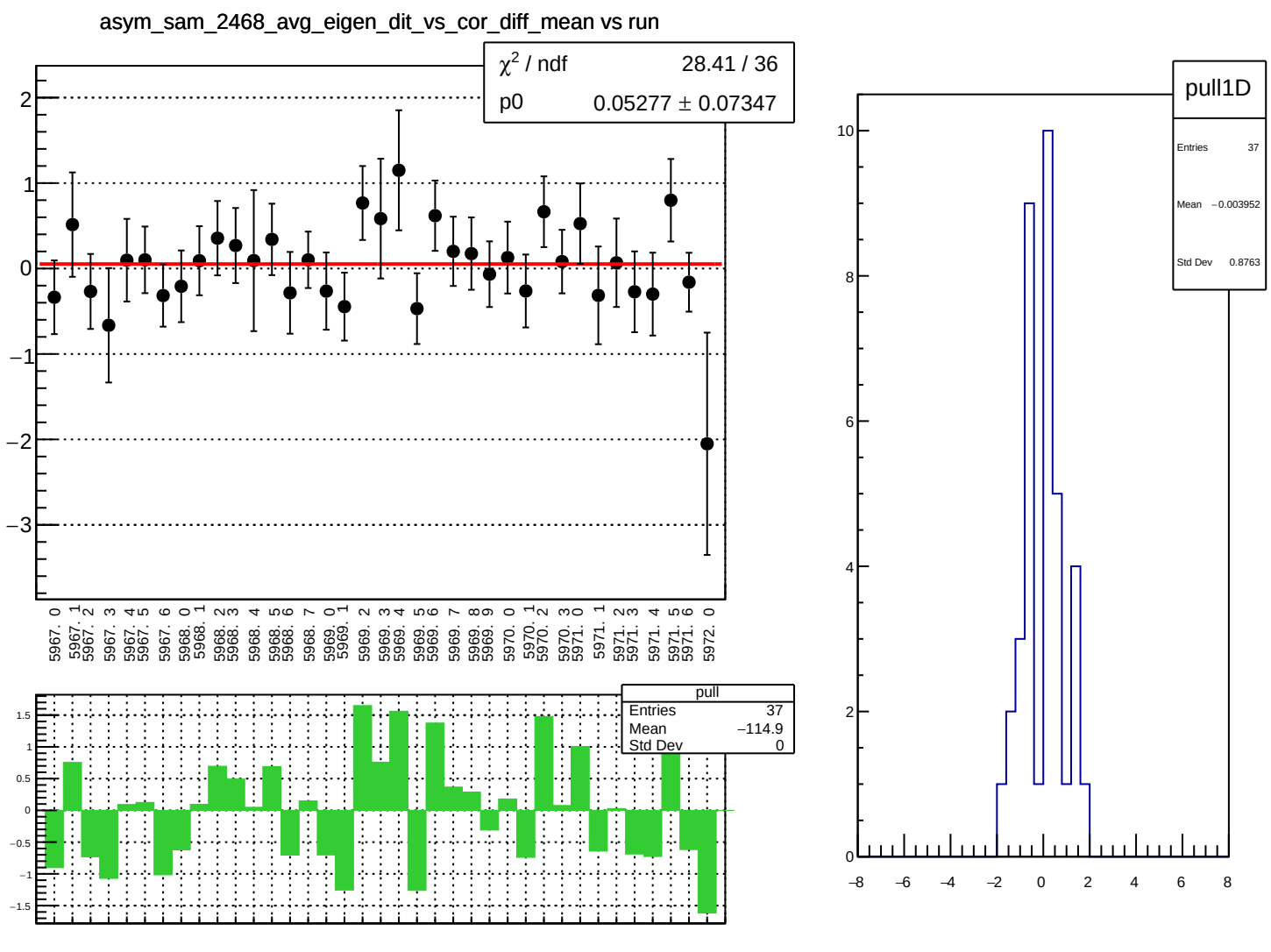
asym_sam_2468_avg_eigen_dit_vs_cor_diff_mean vs run
χ² / ndf 28.41 / 36
p0 0.05277 ± 0.07347
pull
Entries 37
Mean −114.9
Std Dev 0
pull1D
Entries 37
Mean −0.003952
Std Dev 0.8763

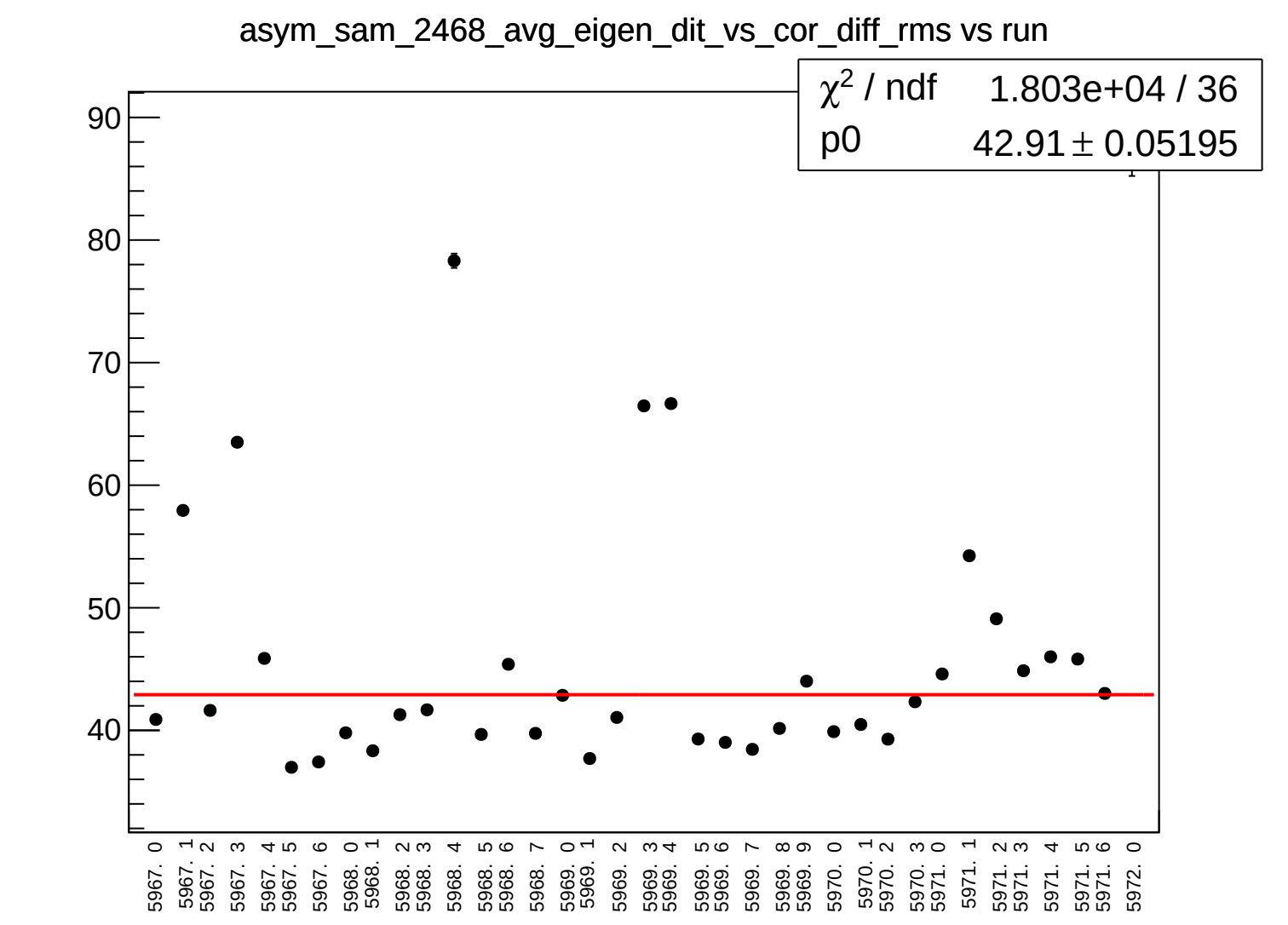
asym_sam_2468_avg_eigen_dit_vs_cor_diff_rms vs run
χ^2 / ndf 1.803e+04 / 36
p0 42.91 ± 0.05195
90
80
70
60
50
40
5967. 0
5967. 1
5967. 2
5967. 3
5967. 4
5967. 5
5967. 6
5968. 0
5968. 1
5968. 2
5968. 3
5968. 4
5968. 5
5968. 6
5968. 7
5969. 0
5969. 1
5969. 2
5969. 3
5969. 4
5969. 5
5969. 6
5969. 7
5969. 8
5969. 9
5970. 0
5970. 1
5970. 2
5970. 3
5971. 0
5971. 1
5971. 2
5971. 3
5971. 4
5971. 5
5971. 6
5972. 0

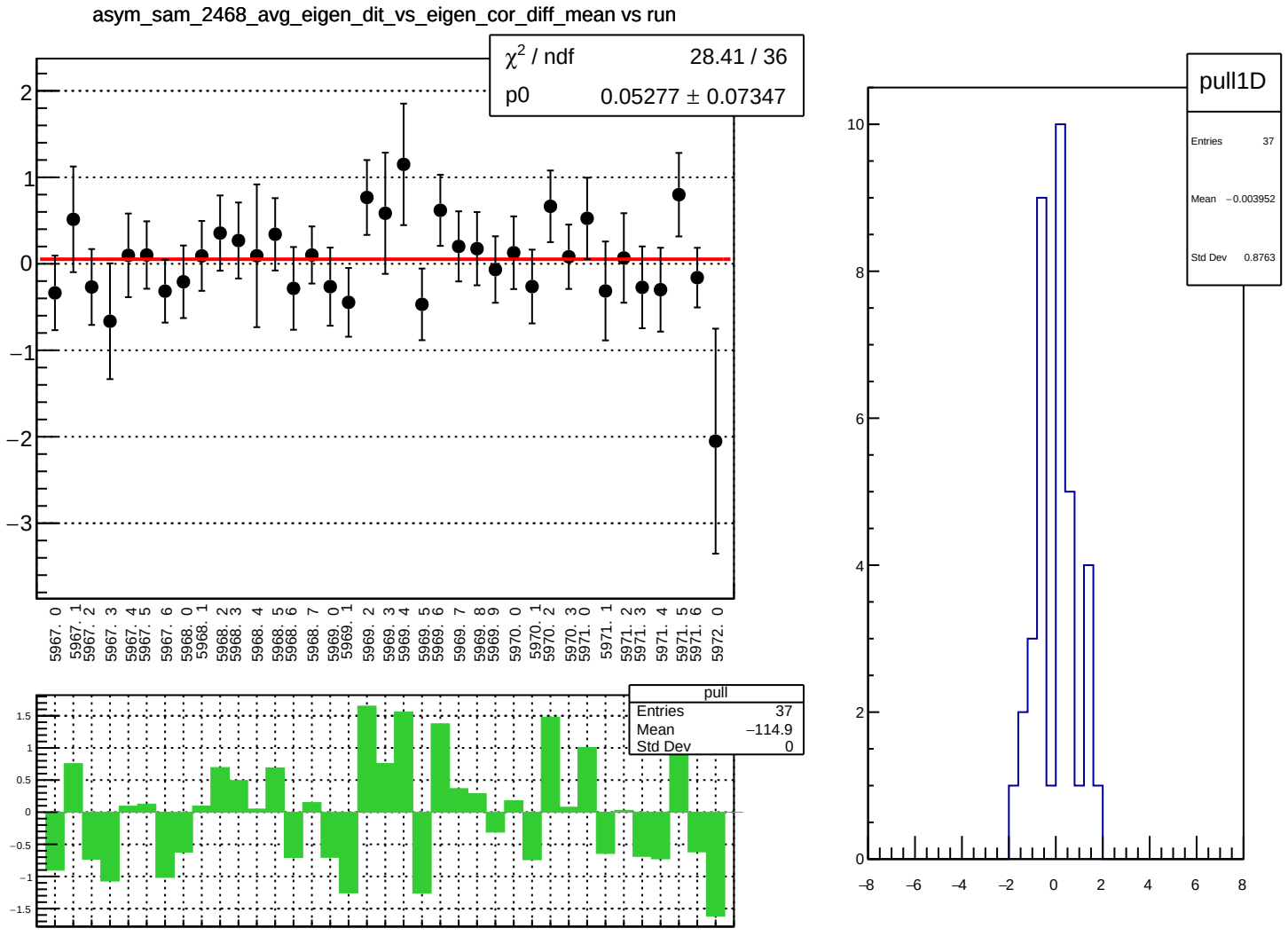
asym_sam_2468_avg_eigen_dit_vs_eigen_cor_diff_mean vs run
χ² / ndf 28.41 / 36
p0 0.05277 ± 0.07347
pull
Entries 37
Mean −114.9
Std Dev 0
pull1D
Entries 37
Mean −0.003952
Std Dev 0.8763

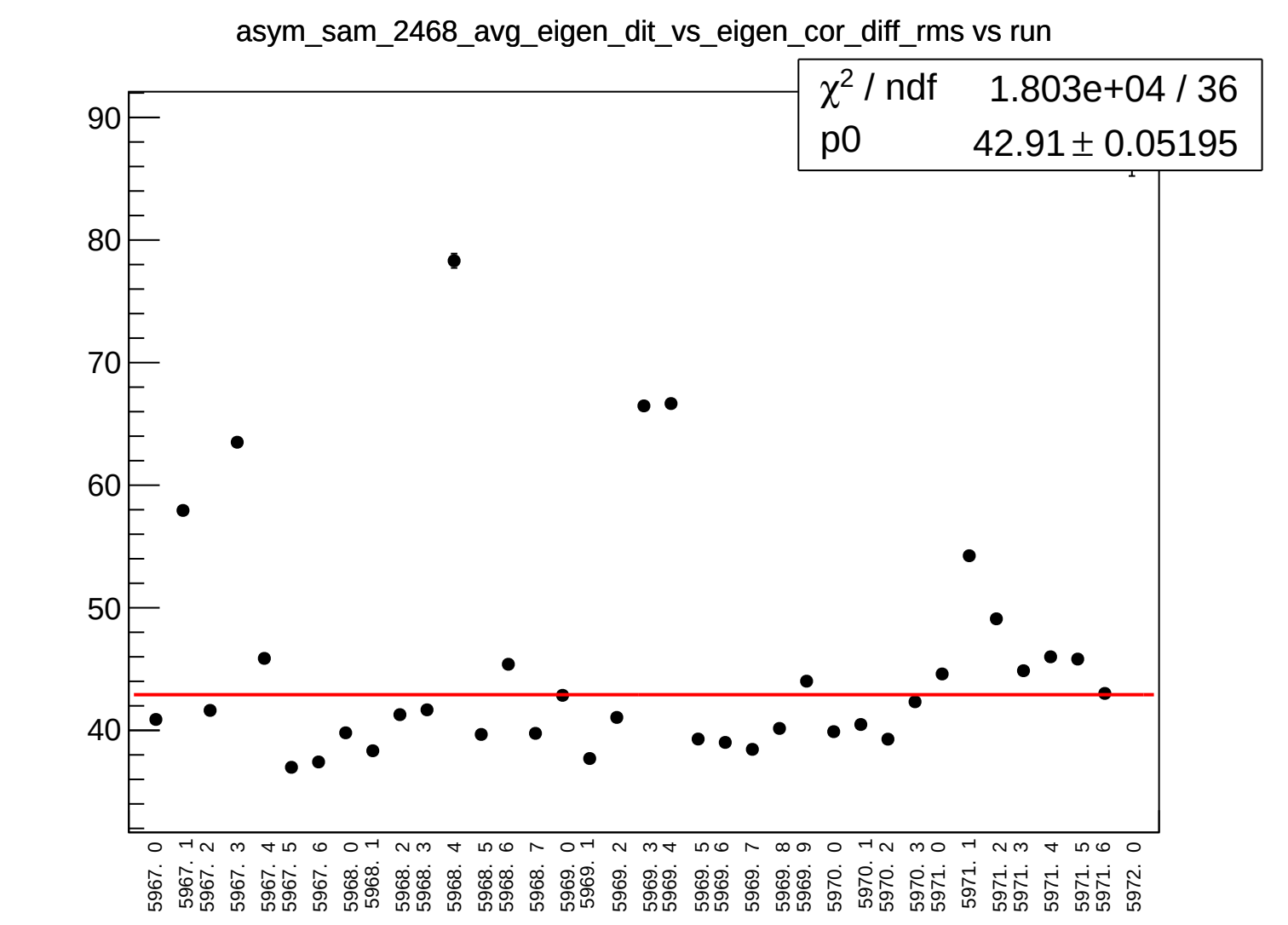
asym_sam_2468_avg_eigen_dit_vs_eigen_cor_diff_rms vs run
χ² / ndf 1.803e+04 / 36
p0 42.91 ± 0.05195
90
80
70
60
50
40
5967. 0
5967. 1
5967. 2
5967. 3
5967. 4
5967. 5
5967. 6
5968. 0
5968. 1
5968. 2
5968. 3
5968. 4
5968. 5
5968. 6
5968. 7
5969. 0
5969. 1
5969. 2
5969. 3
5969. 4
5969. 5
5969. 6
5969. 7
5969. 8
5969. 9
5970. 0
5970. 1
5970. 2
5970. 3
5971. 0
5971. 1
5971. 2
5971. 3
5971. 4
5971. 5
5971. 6
5972. 0

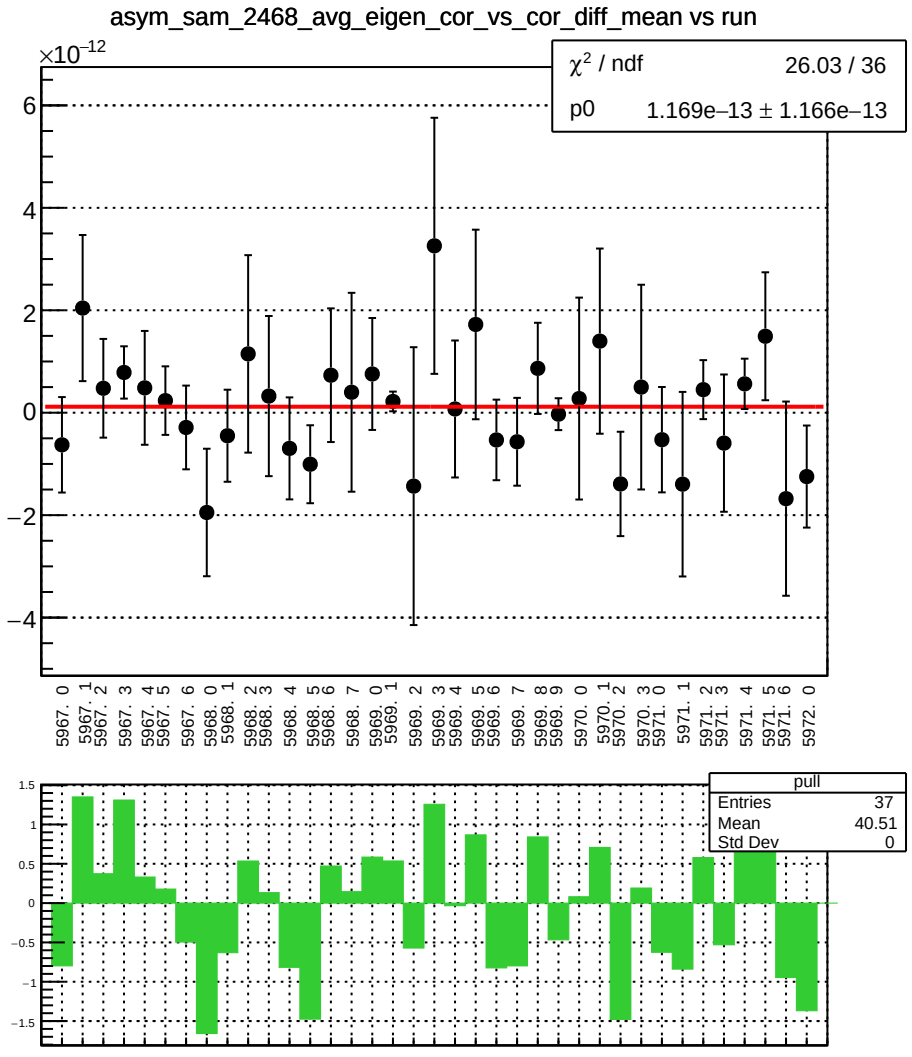
asym_sam_2468_avg_eigen_cor_vs_cor_diff_mean vs run
×10⁻¹²
χ² / ndf 26.03 / 36
p0 1.169e−13 ± 1.166e−13
6
4
2
0
−2
−4
5967. 0
5967. 1
5967. 2
5967. 3
5967. 4
5967. 5
5967. 6
5968. 0
5968. 1
5968. 2
5968. 3
5968. 4
5968. 5
5968. 6
5968. 7
5969. 0
5969. 1
5969. 2
5969. 3
5969. 4
5969. 5
5969. 6
5969. 7
5969. 8
5969. 9
5970. 0
5970. 1
5970. 2
5970. 3
5971. 0
5971. 1
5971. 2
5971. 3
5971. 4
5971. 5
5971. 6
5972. 0
pull
Entries 37
Mean 40.51
Std Dev 0
1.5
1
0.5
0
−0.5
−1
−1.5

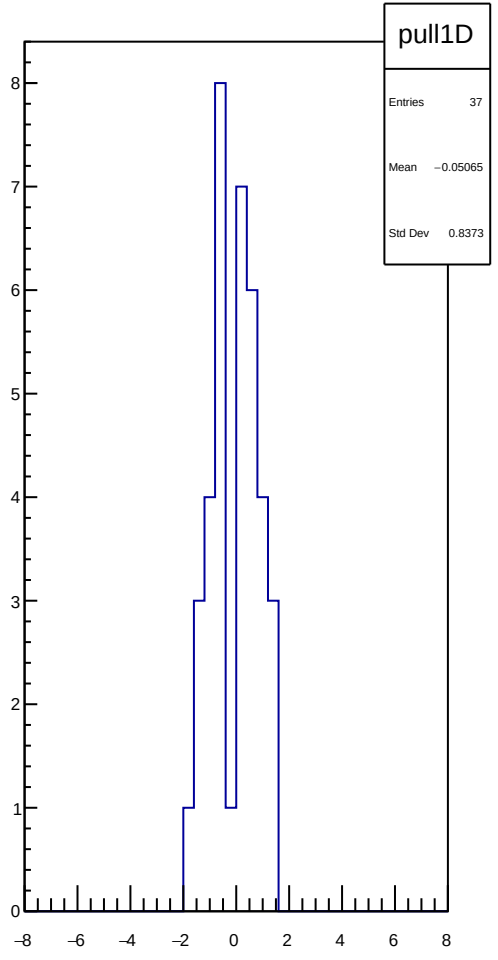
pull1D
Entries 37
Mean −0.05065
Std Dev 0.8373
8
7
6
5
4
3
2
1
0
−8
−6
−4
−2
0
2
4
6
8

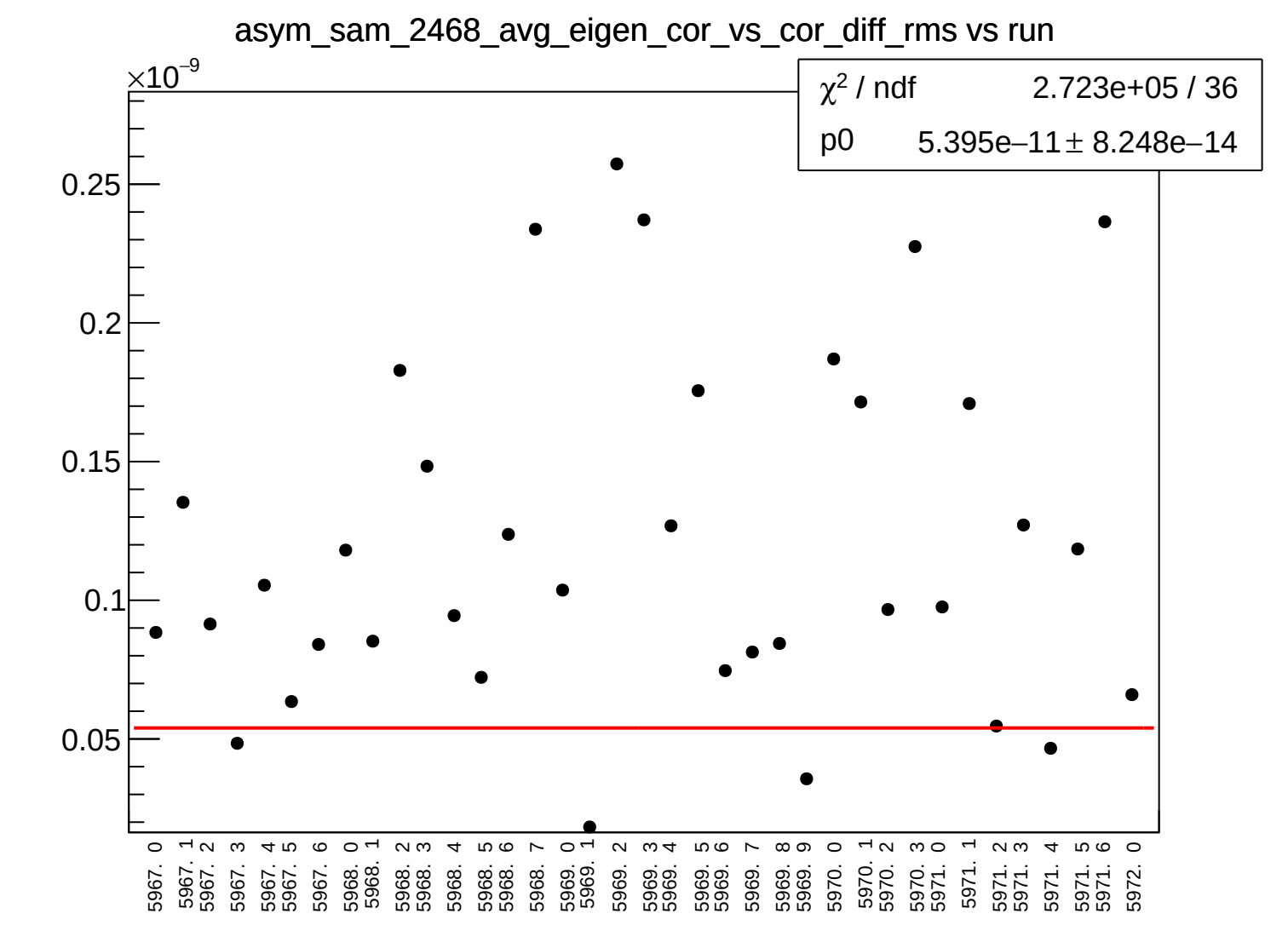
asym_sam_2468_avg_eigen_cor_vs_cor_diff_rms vs run
×10⁻⁹
χ² / ndf 2.723e+05 / 36
p0 5.395e−11 ± 8.248e−14
0.25
0.2
0.15
0.1
0.05
5967. 0
5967. 1
5967. 2
5967. 3
5967. 4
5967. 5
5967. 6
5968. 0
5968. 1
5968. 2
5968. 3
5968. 4
5968. 5
5968. 6
5968. 7
5969. 0
5969. 1
5969. 2
5969. 3
5969. 4
5969. 5
5969. 6
5969. 7
5969. 8
5969. 9
5970. 0
5970. 1
5970. 2
5970. 3
5971. 0
5971. 1
5971. 2
5971. 3
5971. 4
5971. 5
5971. 6
5972. 0

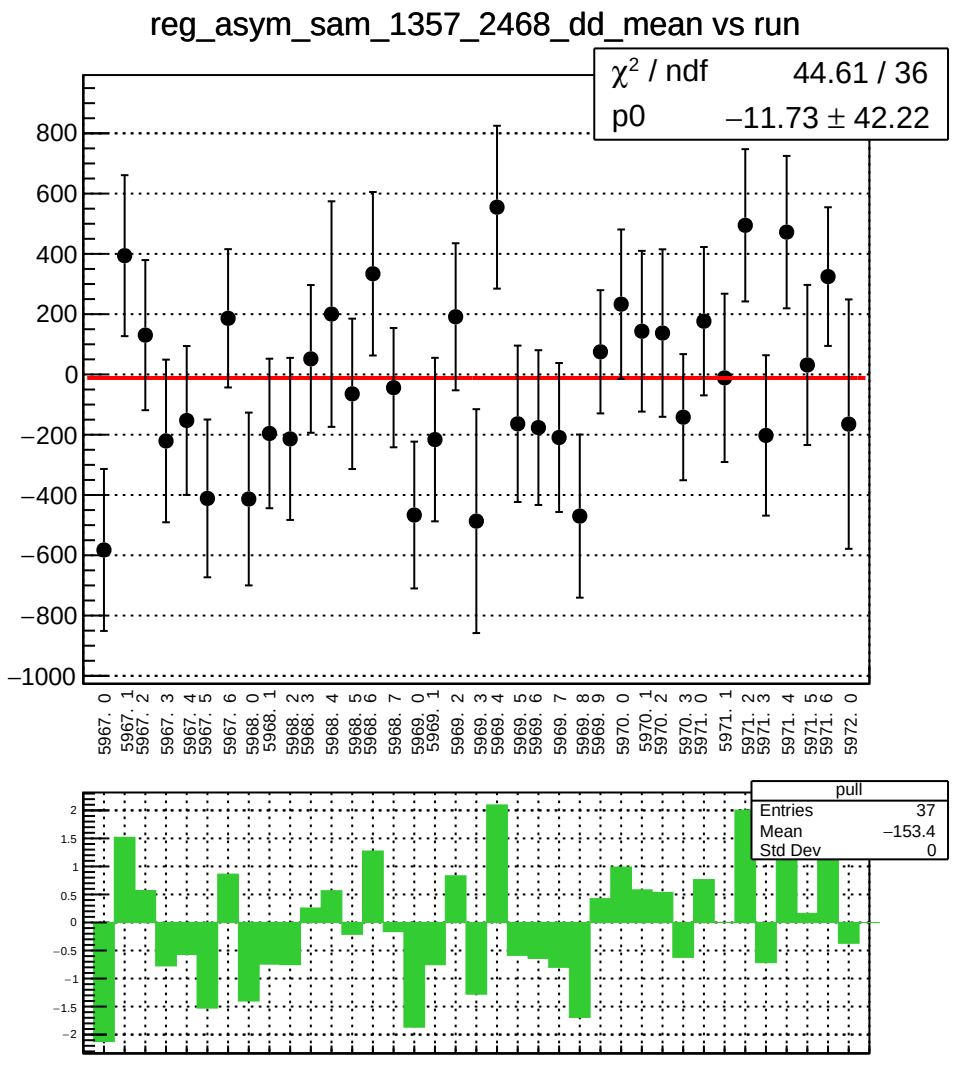
reg_asym_sam_1357_2468_dd_mean vs run
χ^2 / ndf 44.61 / 36
p0 −11.73 ± 42.22
800
600
400
200
0
−200
−400
−600
−800
−1000
5967. 0
5967. 1
5967. 2
5967. 3
5967. 4
5967. 5
5967. 6
5968. 0
5968. 1
5968. 2
5968. 3
5968. 4
5968. 5
5968. 6
5968. 7
5969. 0
5969. 1
5969. 2
5969. 3
5969. 4
5969. 5
5969. 6
5969. 7
5969. 8
5969. 9
5970. 0
5970. 1
5970. 2
5970. 3
5971. 0
5971. 1
5971. 2
5971. 3
5971. 4
5971. 5
5971. 6
5972. 0
pull
Entries 37
Mean −153.4
Std Dev 0
2
1.5
1
0.5
0
−0.5
−1
−1.5
−2

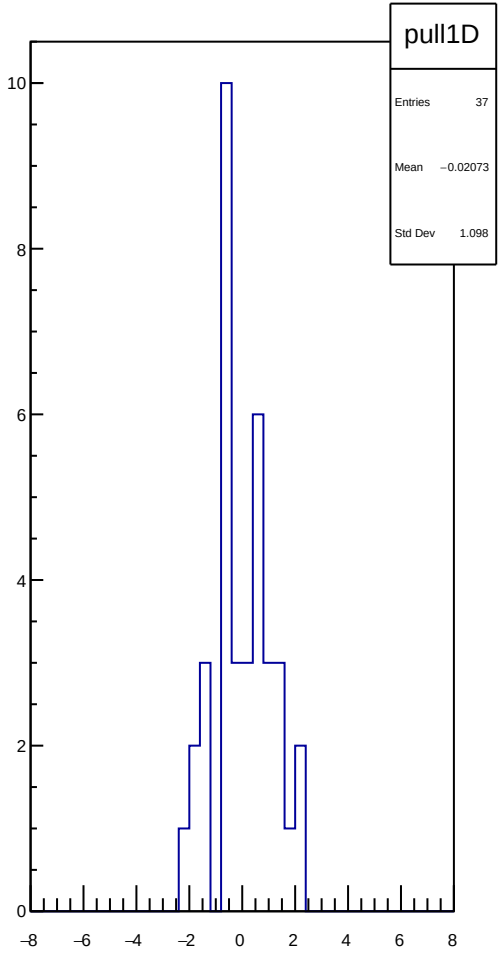
pull1D
Entries 37
Mean −0.02073
Std Dev 1.098
10
8
6
4
2
0
−8
−6
−4
−2
0
2
4
6
8

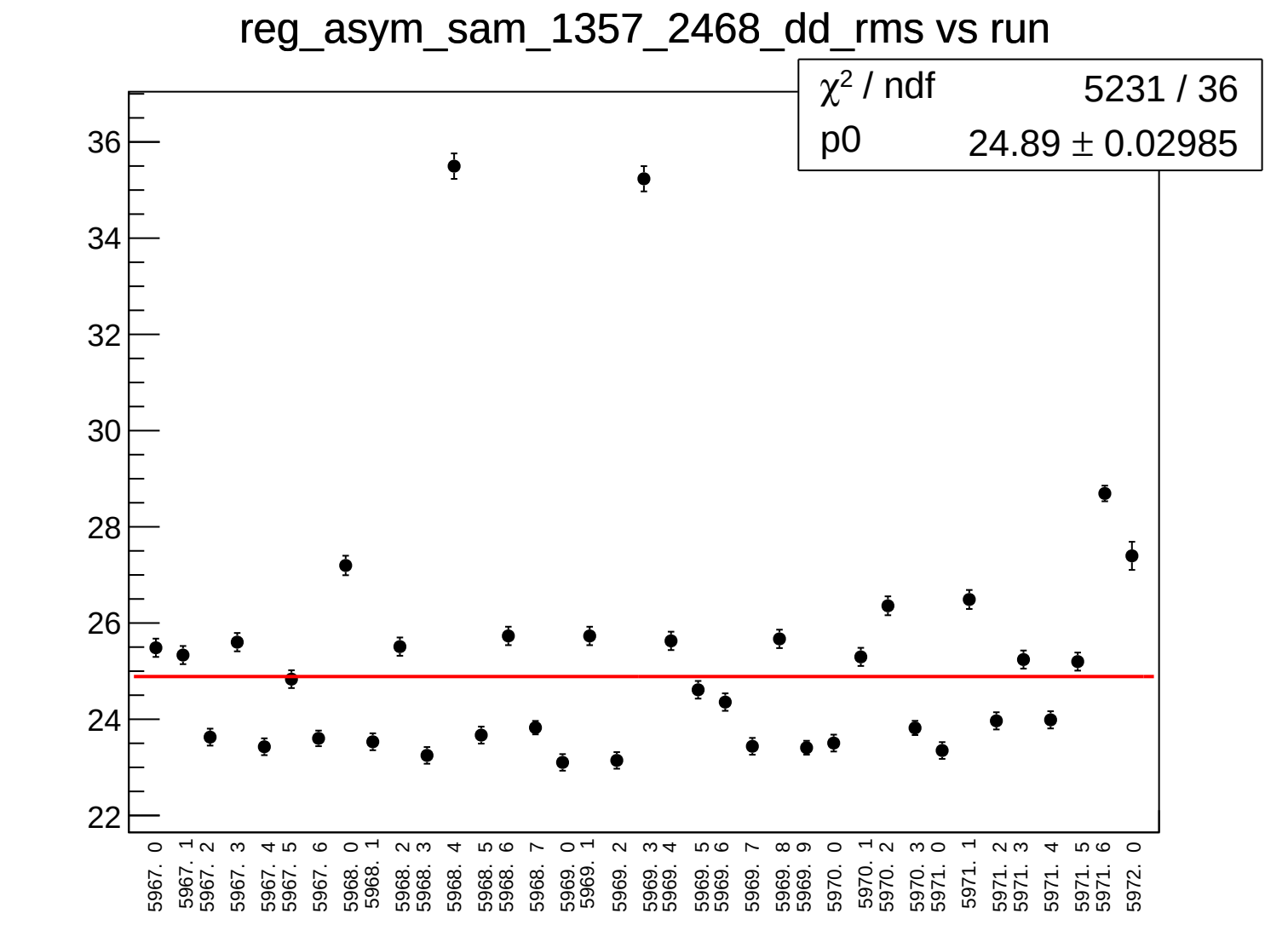
reg_asym_sam_1357_2468_dd_rms vs run
χ² / ndf 5231 / 36
p0 24.89 ± 0.02985
36
34
32
30
28
26
24
22
5967. 0
5967. 1
5967. 2
5967. 3
5967. 4
5967. 5
5967. 6
5968. 0
5968. 1
5968. 2
5968. 3
5968. 4
5968. 5
5968. 6
5968. 7
5969. 0
5969. 1
5969. 2
5969. 3
5969. 4
5969. 5
5969. 6
5969. 7
5969. 8
5969. 9
5970. 0
5970. 1
5970. 2
5970. 3
5971. 0
5971. 1
5971. 2
5971. 3
5971. 4
5971. 5
5971. 6
5972. 0

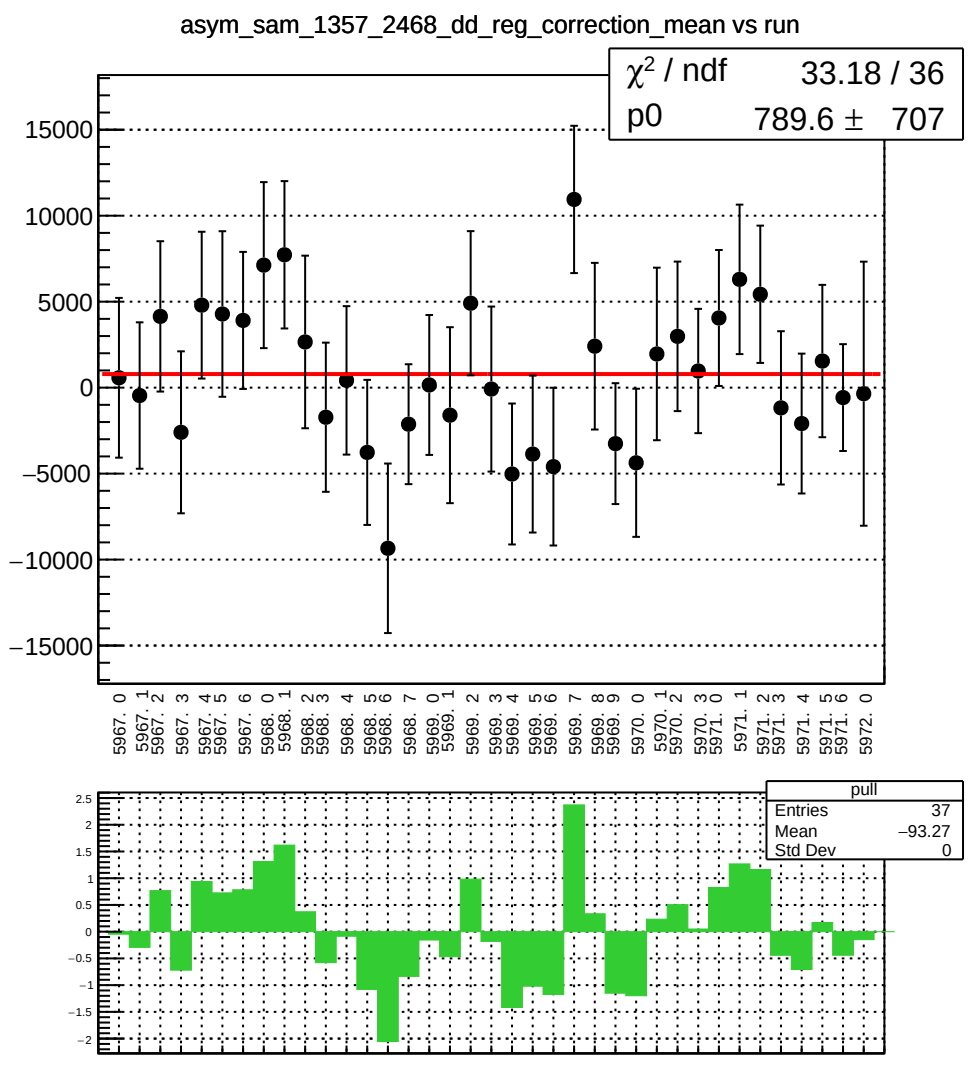
asym_sam_1357_2468_dd_reg_correction_mean vs run
χ² / ndf 33.18 / 36
p0 789.6 ± 707
15000
10000
5000
0
−5000
−10000
−15000
5967. 0
5967. 1
5967. 2
5967. 3
5967. 4
5967. 5
5967. 6
5968. 0
5968. 1
5968. 2
5968. 3
5968. 4
5968. 5
5968. 6
5968. 7
5969. 0
5969. 1
5969. 2
5969. 3
5969. 4
5969. 5
5969. 6
5969. 7
5969. 8
5969. 9
5970. 0
5970. 1
5970. 2
5970. 3
5971. 0
5971. 1
5971. 2
5971. 3
5971. 4
5971. 5
5971. 6
5972. 0
pull
Entries 37
Mean −93.27
Std Dev 0
2.5
2
1.5
1
0.5
0
−0.5
−1
−1.5
−2

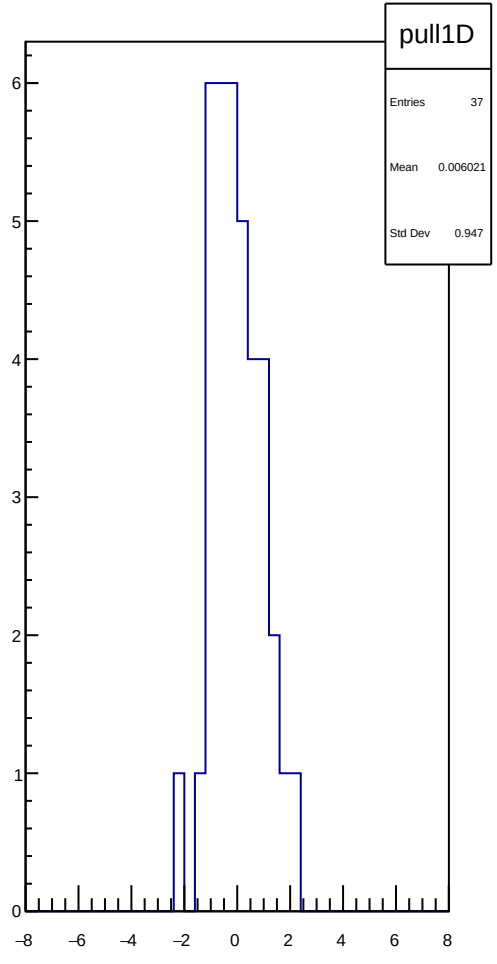
pull1D
Entries 37
Mean 0.006021
Std Dev 0.947
6
5
4
3
2
1
0
−8
−6
−4
−2
0
2
4
6
8

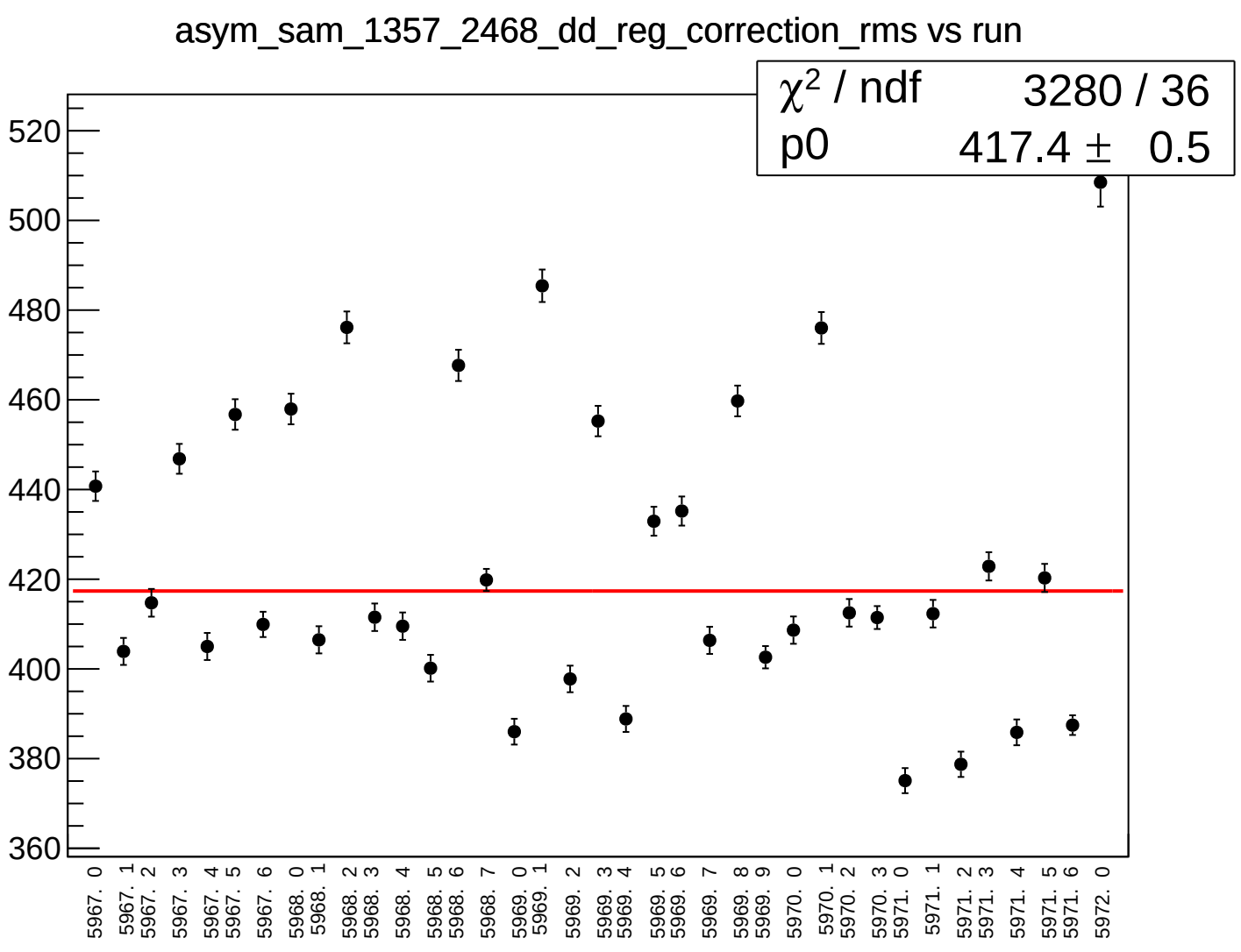
asym_sam_1357_2468_dd_reg_correction_rms vs run
χ² / ndf 3280 / 36
p0 417.4 ± 0.5
520
500
480
460
440
420
400
380
360
5967. 0
5967. 1
5967. 2
5967. 3
5967. 4
5967. 5
5967. 6
5968. 0
5968. 1
5968. 2
5968. 3
5968. 4
5968. 5
5968. 6
5968. 7
5969. 0
5969. 1
5969. 2
5969. 3
5969. 4
5969. 5
5969. 6
5969. 7
5969. 8
5969. 9
5970. 0
5970. 1
5970. 2
5970. 3
5971. 0
5971. 1
5971. 2
5971. 3
5971. 4
5971. 5
5971. 6
5972. 0

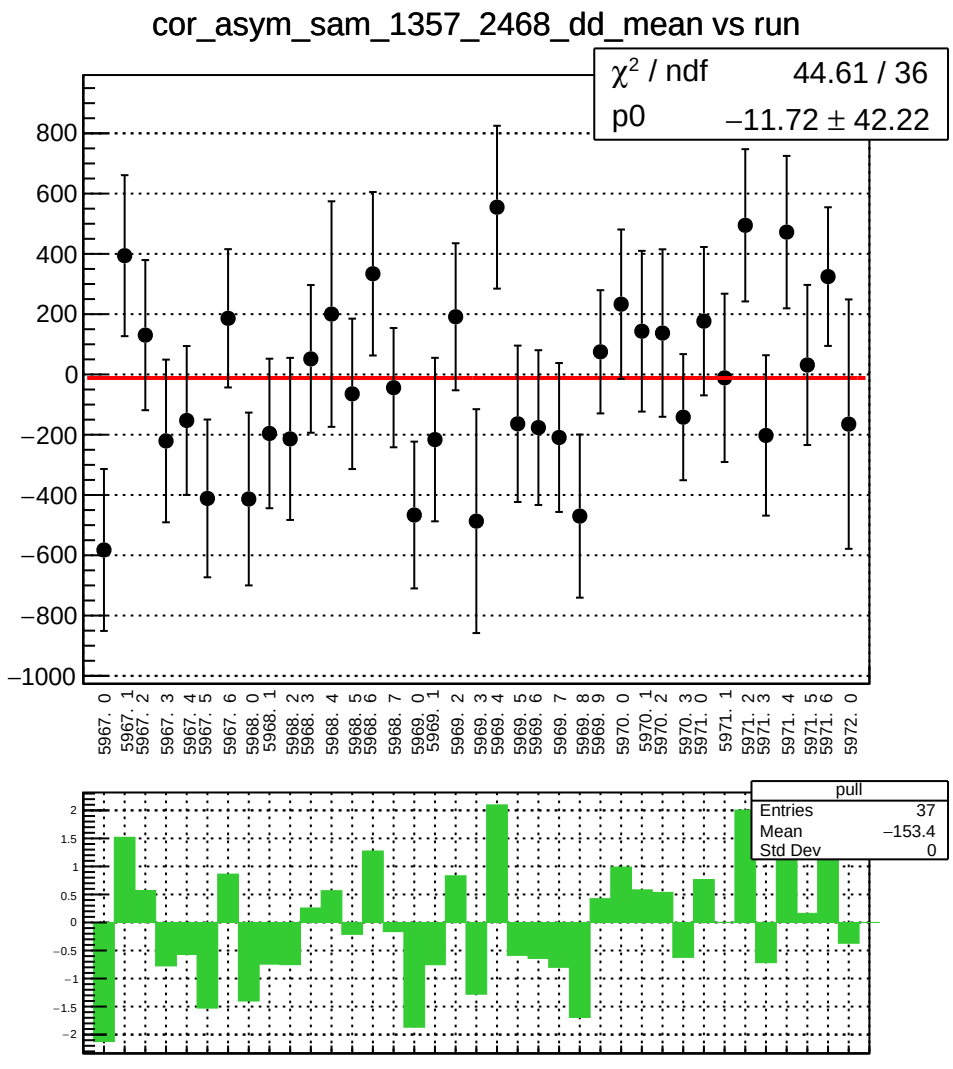
cor_asym_sam_1357_2468_dd_mean vs run
χ² / ndf 44.61 / 36
p0 −11.72 ± 42.22
pull
Entries 37
Mean −153.4
Std Dev 0

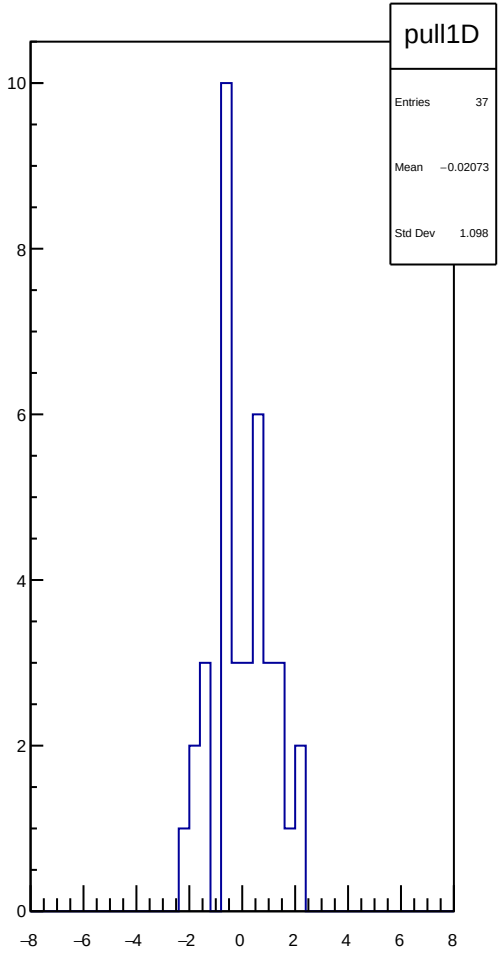
pull1D
Entries 37
Mean −0.02073
Std Dev 1.098

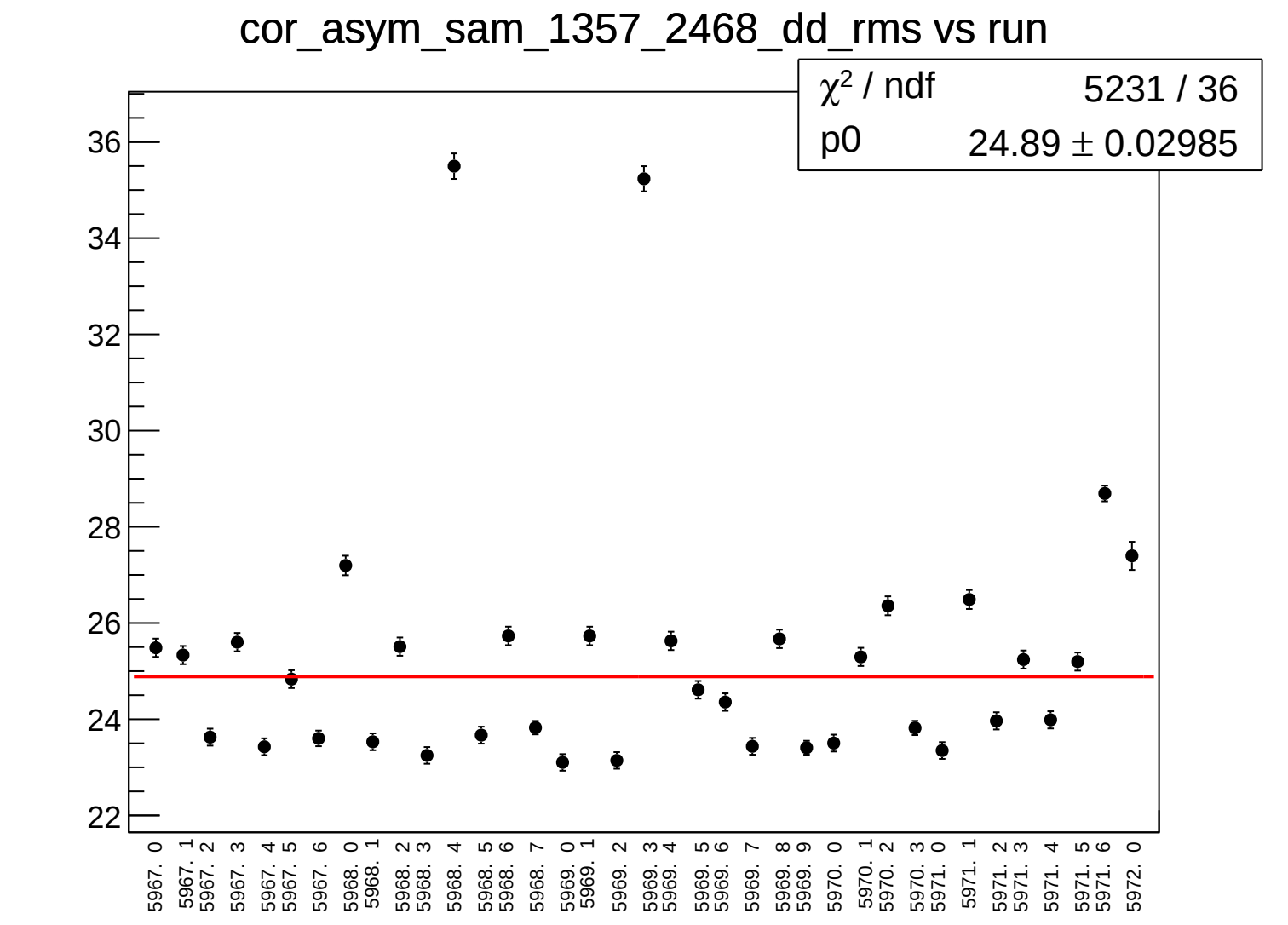
cor_asym_sam_1357_2468_dd_rms vs run
χ² / ndf 5231 / 36
p0 24.89 ± 0.02985
36
34
32
30
28
26
24
22
5967. 0
5967. 1
5967. 2
5967. 3
5967. 4
5967. 5
5967. 6
5968. 0
5968. 1
5968. 2
5968. 3
5968. 4
5968. 5
5968. 6
5968. 7
5969. 0
5969. 1
5969. 2
5969. 3
5969. 4
5969. 5
5969. 6
5969. 7
5969. 8
5969. 9
5970. 0
5970. 1
5970. 2
5970. 3
5971. 0
5971. 1
5971. 2
5971. 3
5971. 4
5971. 5
5971. 6
5972. 0

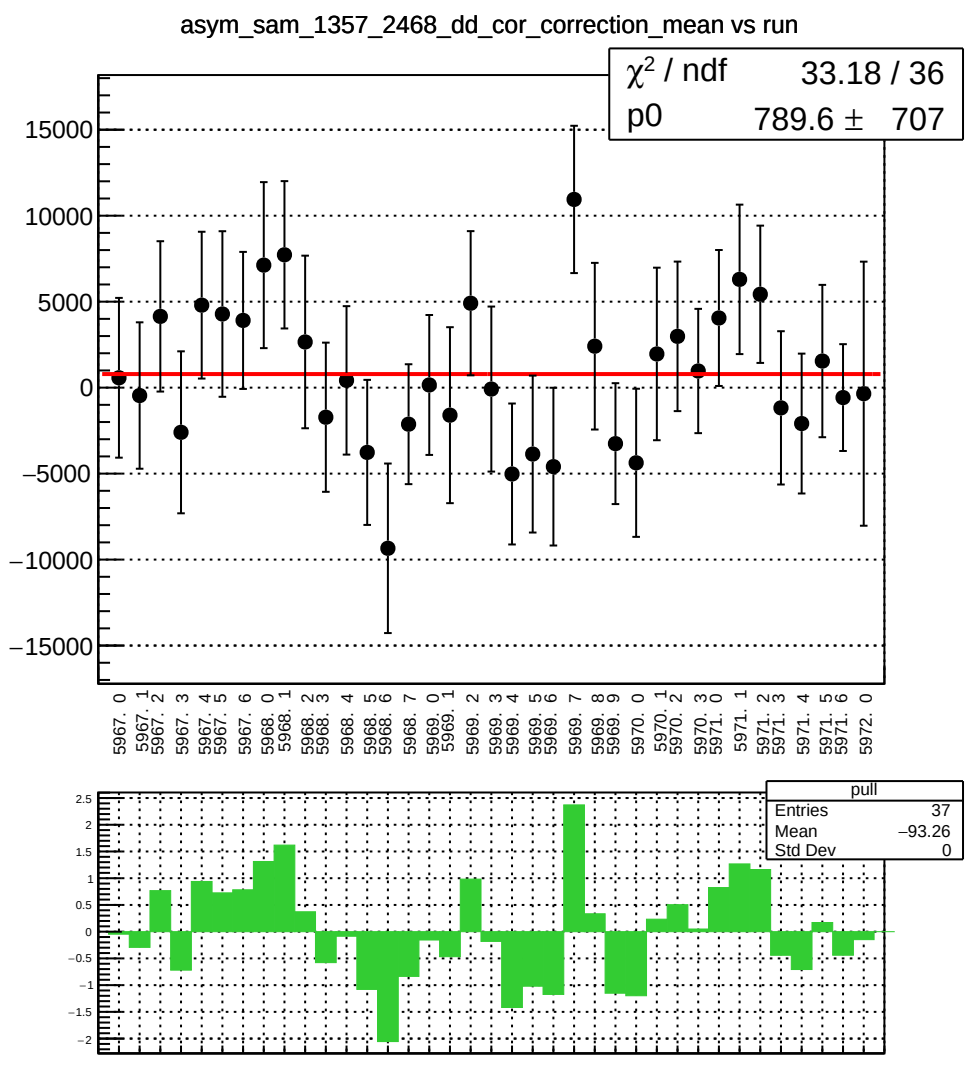
asym_sam_1357_2468_dd_cor_correction_mean vs run
χ² / ndf 33.18 / 36
p0 789.6 ± 707
15000
10000
5000
0
−5000
−10000
−15000
5967. 0
5967. 1
5967. 2
5967. 3
5967. 4
5967. 5
5967. 6
5968. 0
5968. 1
5968. 2
5968. 3
5968. 4
5968. 5
5968. 6
5968. 7
5969. 0
5969. 1
5969. 2
5969. 3
5969. 4
5969. 5
5969. 6
5969. 7
5969. 8
5969. 9
5970. 0
5970. 1
5970. 2
5970. 3
5971. 0
5971. 1
5971. 2
5971. 3
5971. 4
5971. 5
5971. 6
5972. 0
pull
Entries 37
Mean −93.26
Std Dev 0
2.5
2
1.5
1
0.5
0
−0.5
−1
−1.5
−2

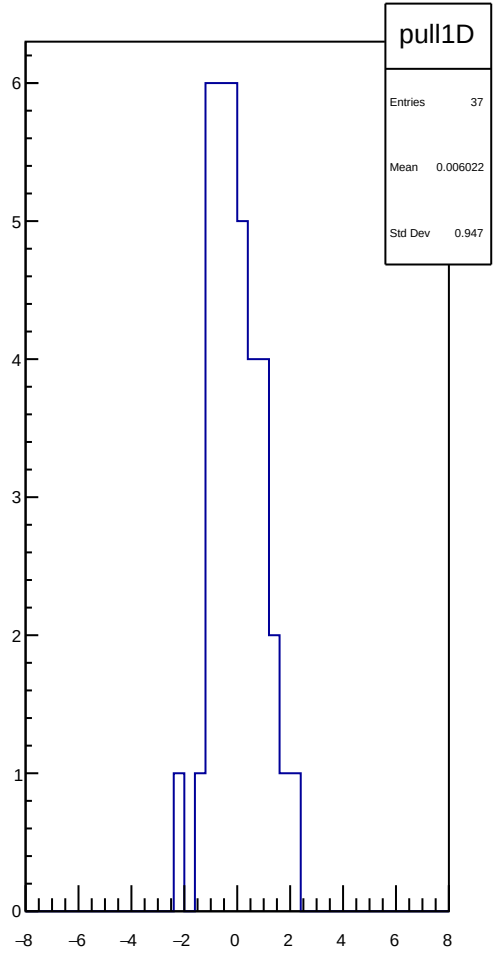
pull1D
Entries 37
Mean 0.006022
Std Dev 0.947
6
5
4
3
2
1
0
−8
−6
−4
−2
0
2
4
6
8

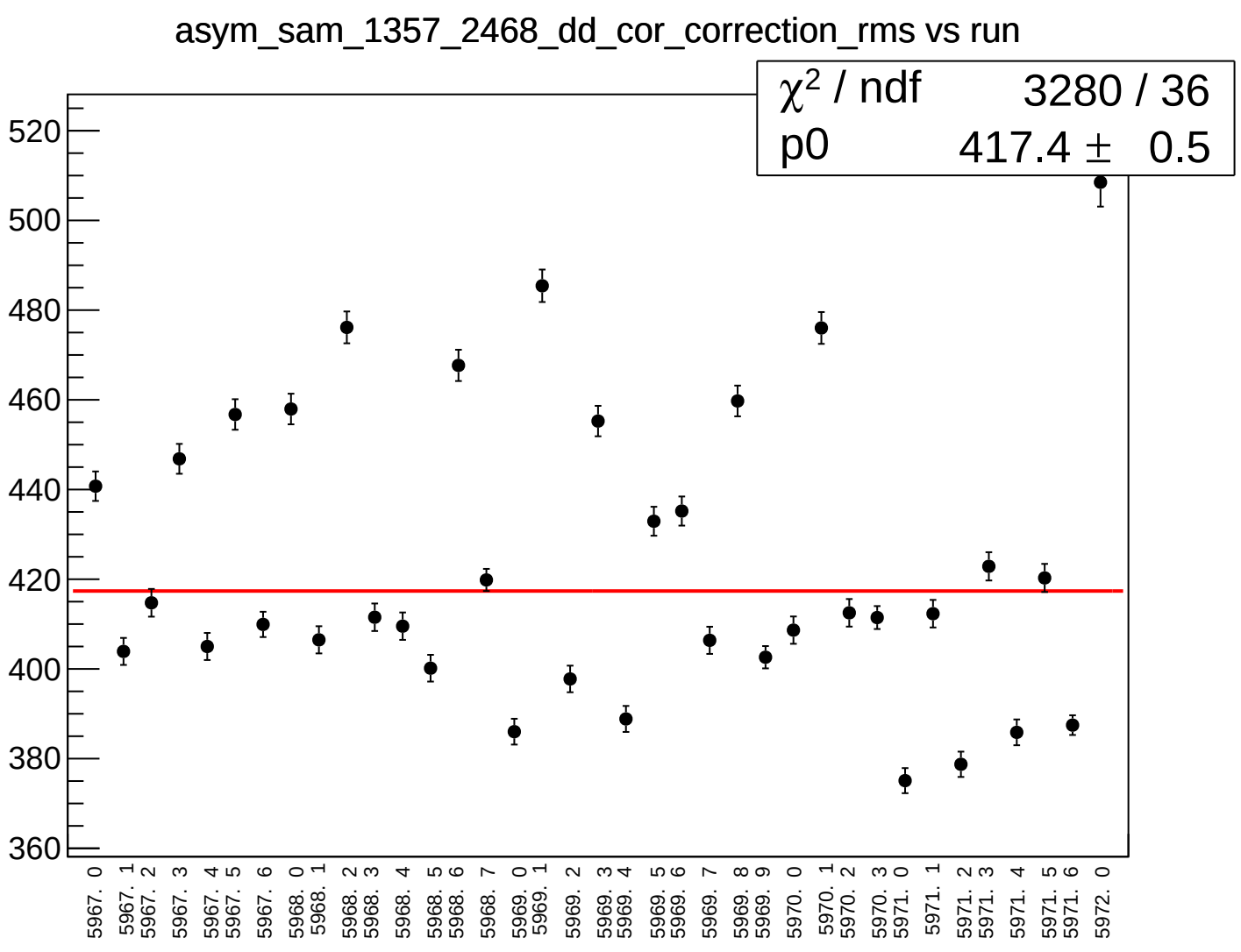
asym_sam_1357_2468_dd_cor_correction_rms vs run
χ² / ndf 3280 / 36
p0 417.4 ± 0.5
520
500
480
460
440
420
400
380
360
5967. 0
5967. 1
5967. 2
5967. 3
5967. 4
5967. 5
5967. 6
5968. 0
5968. 1
5968. 2
5968. 3
5968. 4
5968. 5
5968. 6
5968. 7
5969. 0
5969. 1
5969. 2
5969. 3
5969. 4
5969. 5
5969. 6
5969. 7
5969. 8
5969. 9
5970. 0
5970. 1
5970. 2
5970. 3
5971. 0
5971. 1
5971. 2
5971. 3
5971. 4
5971. 5
5971. 6
5972. 0

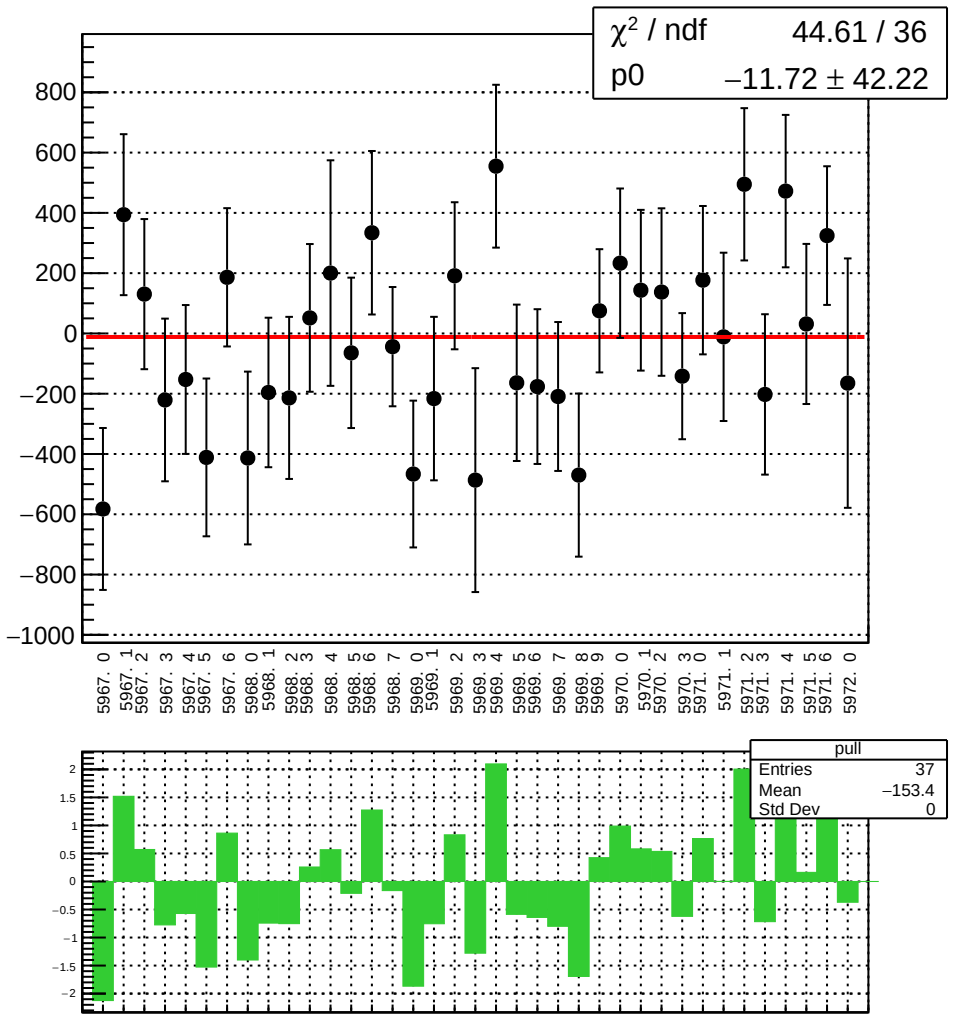
eigen_cor_asym_sam_1357_2468_dd_mean vs run
χ² / ndf 44.61 / 36
p0 −11.72 ± 42.22
pull
Entries 37
Mean −153.4
Std Dev 0

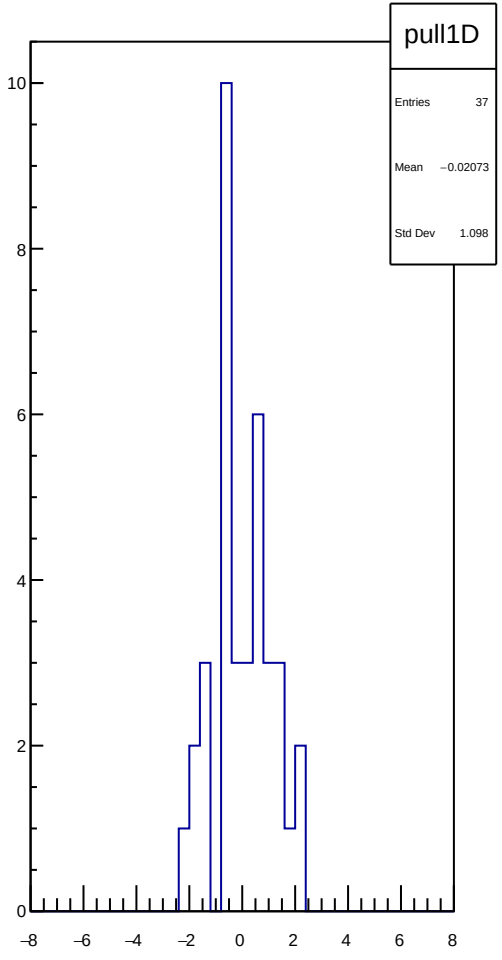
pull1D
Entries 37
Mean −0.02073
Std Dev 1.098

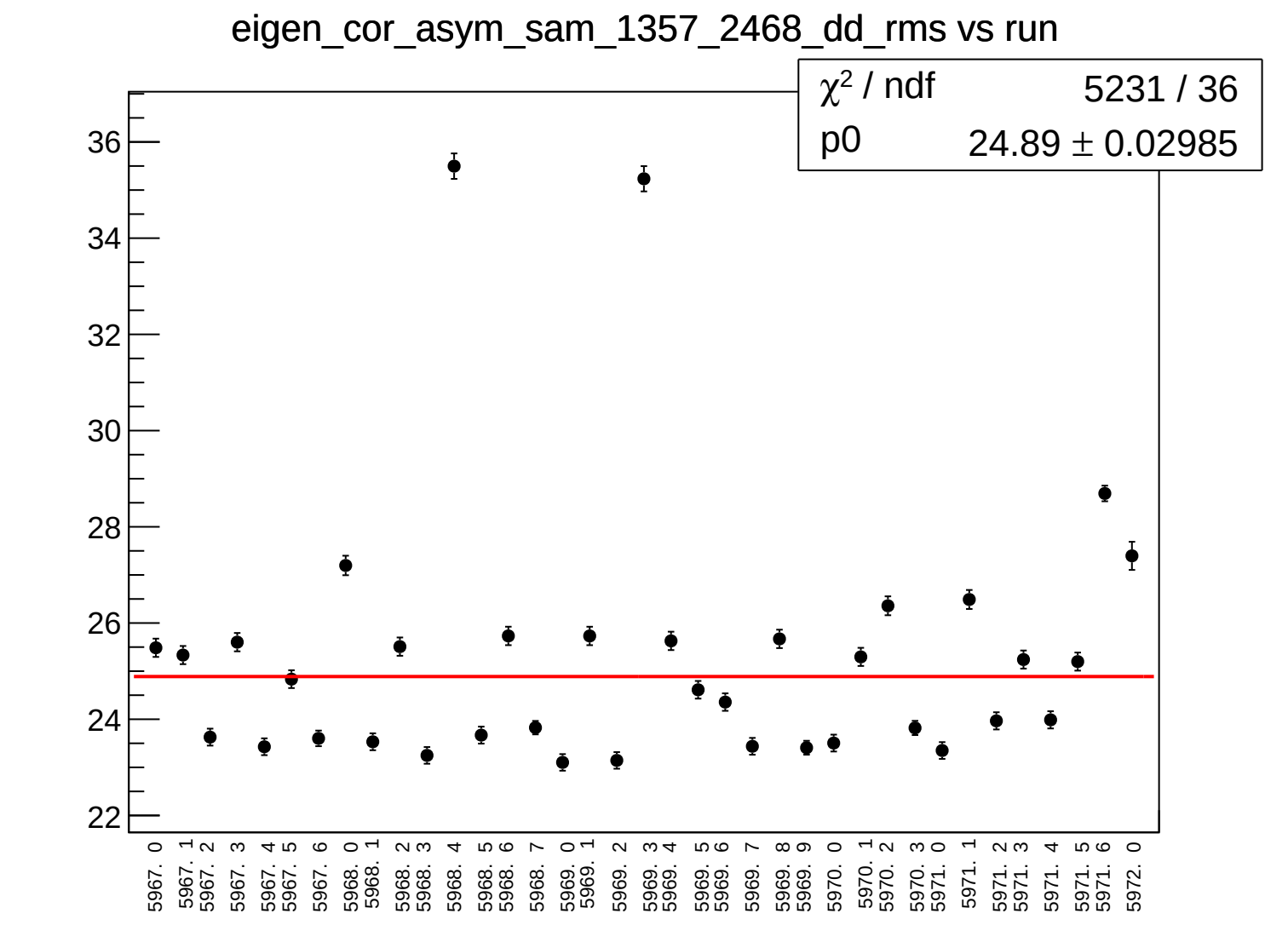
eigen_cor_asym_sam_1357_2468_dd_rms vs run
χ² / ndf 5231 / 36
p0 24.89 ± 0.02985
36
34
32
30
28
26
24
22
5967. 0
5967. 1
5967. 2
5967. 3
5967. 4
5967. 5
5967. 6
5968. 0
5968. 1
5968. 2
5968. 3
5968. 4
5968. 5
5968. 6
5968. 7
5969. 0
5969. 1
5969. 2
5969. 3
5969. 4
5969. 5
5969. 6
5969. 7
5969. 8
5969. 9
5970. 0
5970. 1
5970. 2
5970. 3
5971. 0
5971. 1
5971. 2
5971. 3
5971. 4
5971. 5
5971. 6
5972. 0

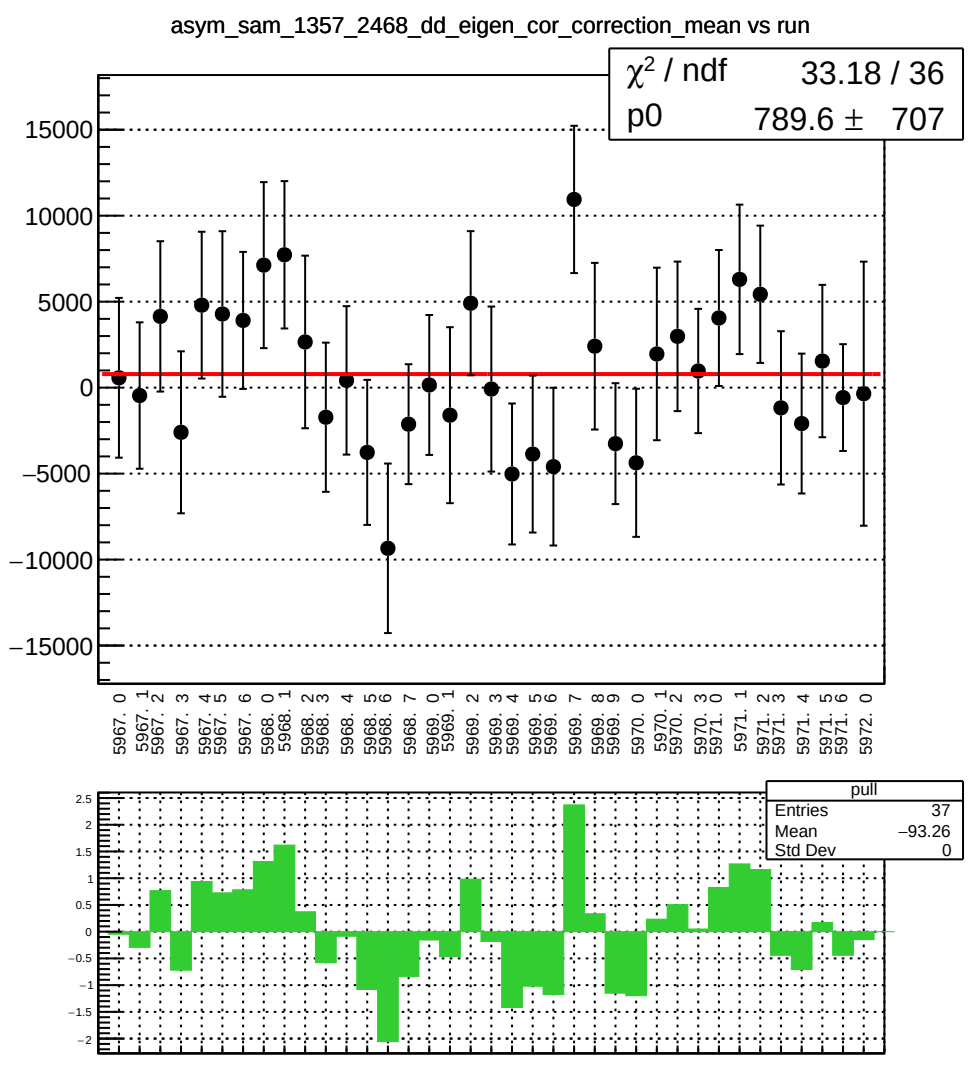
asym_sam_1357_2468_dd_eigen_cor_correction_mean vs run
χ² / ndf 33.18 / 36
p0 789.6 ± 707
15000
10000
5000
0
−5000
−10000
−15000
5967. 0
5967. 1
5967. 2
5967. 3
5967. 4
5967. 5
5967. 6
5968. 0
5968. 1
5968. 2
5968. 3
5968. 4
5968. 5
5968. 6
5968. 7
5969. 0
5969. 1
5969. 2
5969. 3
5969. 4
5969. 5
5969. 6
5969. 7
5969. 8
5969. 9
5970. 0
5970. 1
5970. 2
5970. 3
5971. 0
5971. 1
5971. 2
5971. 3
5971. 4
5971. 5
5971. 6
5972. 0
pull
Entries 37
Mean −93.26
Std Dev 0
2.5
2
1.5
1
0.5
0
−0.5
−1
−1.5
−2

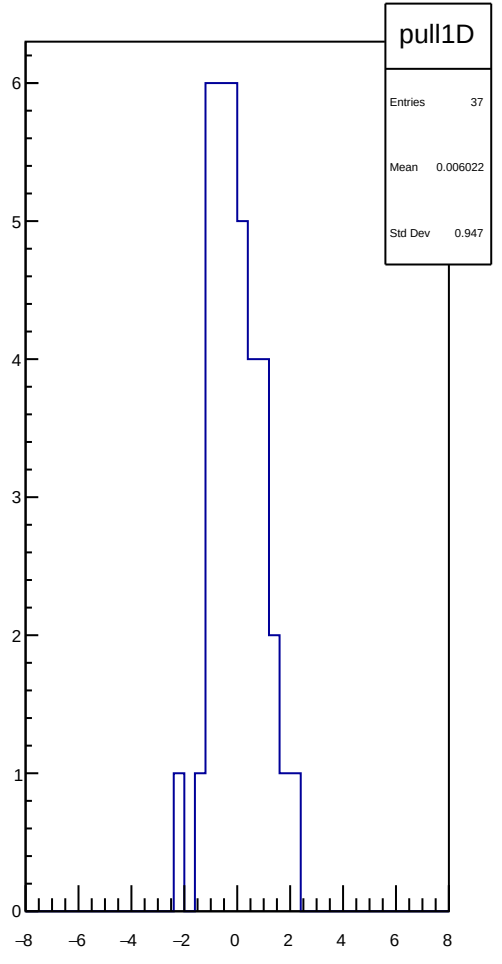
pull1D
Entries 37
Mean 0.006022
Std Dev 0.947
6
5
4
3
2
1
0
−8
−6
−4
−2
0
2
4
6
8

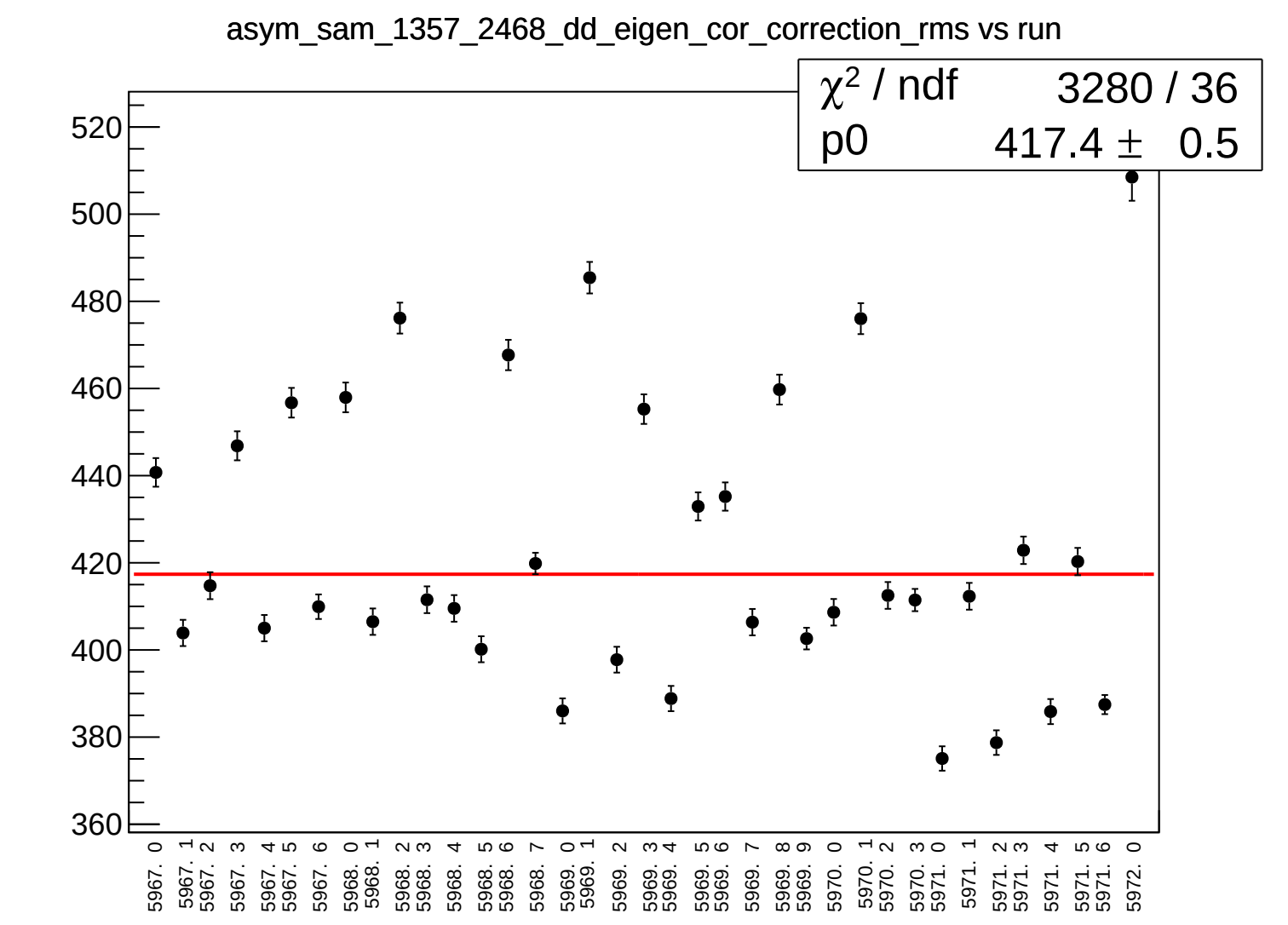
asym_sam_1357_2468_dd_eigen_cor_correction_rms vs run
χ² / ndf 3280 / 36
p0 417.4 ± 0.5
520
500
480
460
440
420
400
380
360
5967. 0
5967. 1
5967. 2
5967. 3
5967. 4
5967. 5
5967. 6
5968. 0
5968. 1
5968. 2
5968. 3
5968. 4
5968. 5
5968. 6
5968. 7
5969. 0
5969. 1
5969. 2
5969. 3
5969. 4
5969. 5
5969. 6
5969. 7
5969. 8
5969. 9
5970. 0
5970. 1
5970. 2
5970. 3
5971. 0
5971. 1
5971. 2
5971. 3
5971. 4
5971. 5
5971. 6
5972. 0

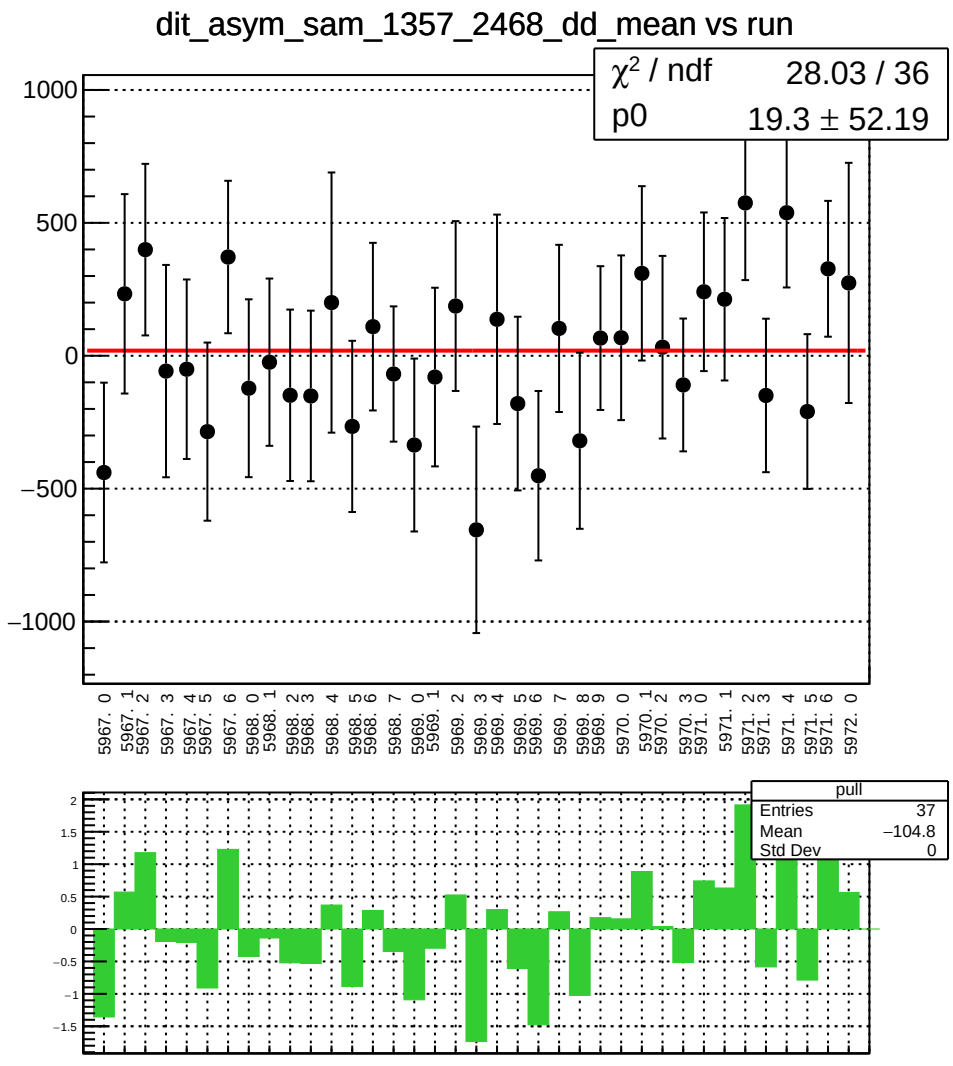
dit_asym_sam_1357_2468_dd_mean vs run
χ² / ndf 28.03 / 36
p0 19.3 ± 52.19
1000
500
0
−500
−1000
5967. 0
5967. 1
5967. 2
5967. 3
5967. 4
5967. 5
5967. 6
5968. 0
5968. 1
5968. 2
5968. 3
5968. 4
5968. 5
5968. 6
5968. 7
5969. 0
5969. 1
5969. 2
5969. 3
5969. 4
5969. 5
5969. 6
5969. 7
5969. 8
5969. 9
5970. 0
5970. 1
5970. 2
5970. 3
5971. 0
5971. 1
5971. 2
5971. 3
5971. 4
5971. 5
5971. 6
5972. 0
pull
Entries 37
Mean −104.8
Std Dev 0
2
1.5
1
0.5
0
−0.5
−1
−1.5

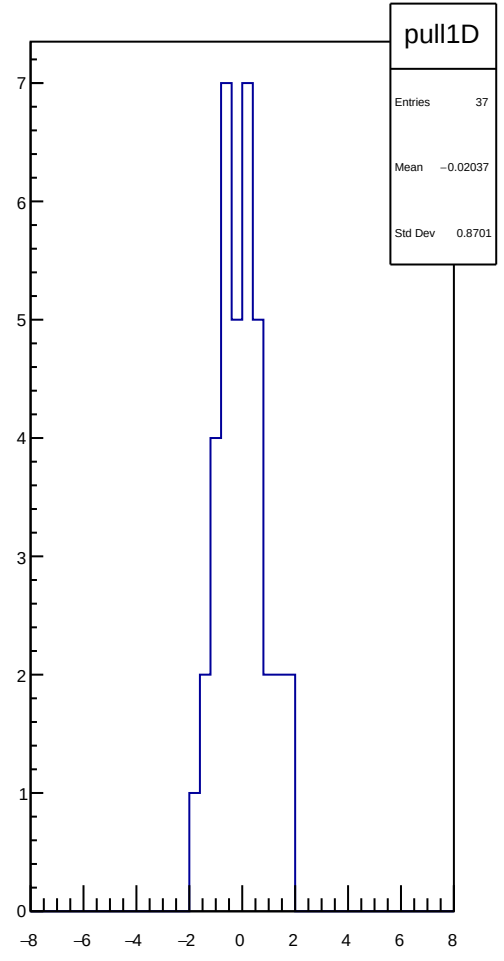
pull1D
Entries 37
Mean −0.02037
Std Dev 0.8701
7
6
5
4
3
2
1
0
−8
−6
−4
−2
0
2
4
6
8

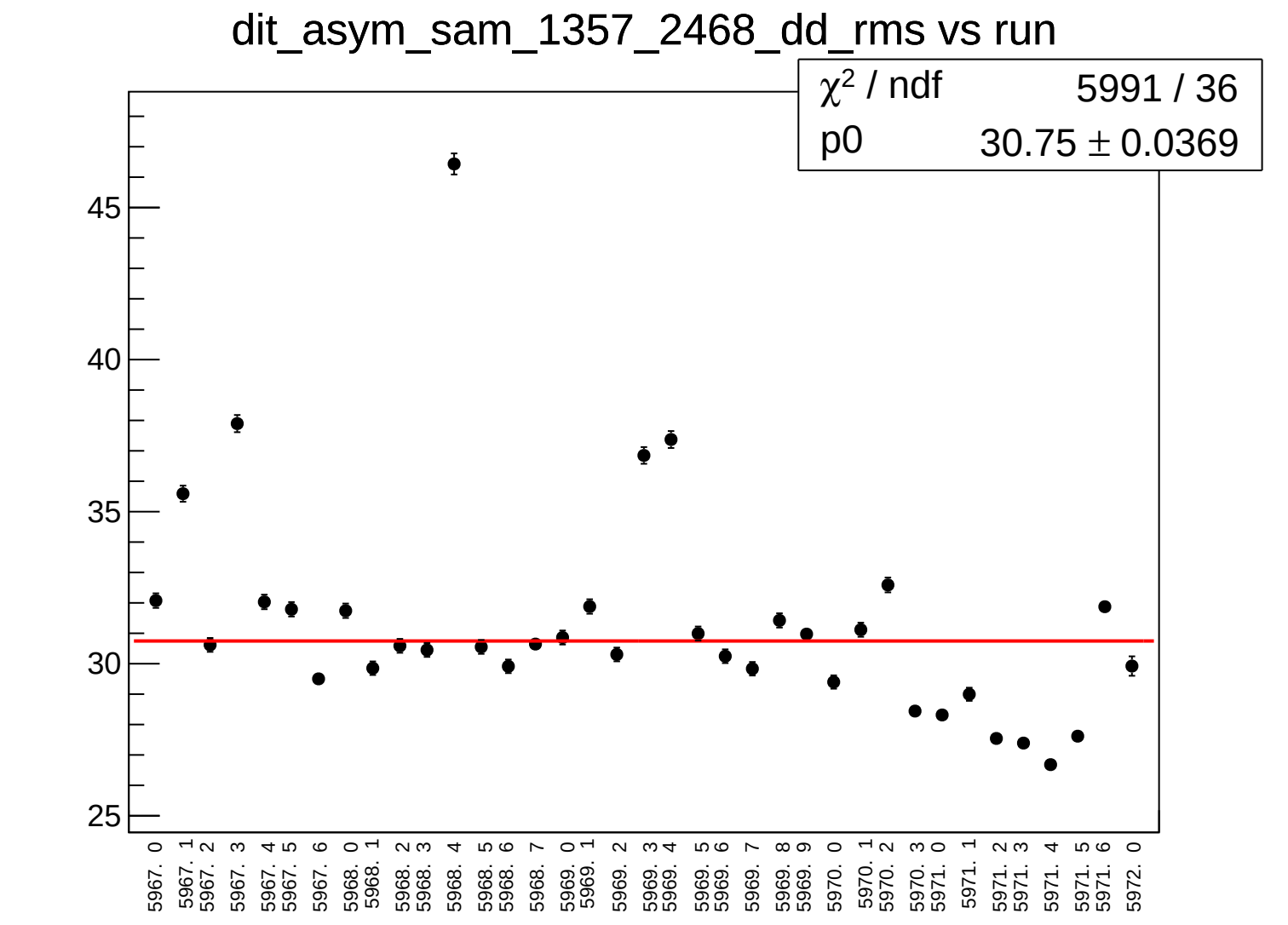
dit_asym_sam_1357_2468_dd_rms vs run
χ² / ndf 5991 / 36
p0 30.75 ± 0.0369
45
40
35
30
25
5967. 0
5967. 1
5967. 2
5967. 3
5967. 4
5967. 5
5967. 6
5968. 0
5968. 1
5968. 2
5968. 3
5968. 4
5968. 5
5968. 6
5968. 7
5969. 0
5969. 1
5969. 2
5969. 3
5969. 4
5969. 5
5969. 6
5969. 7
5969. 8
5969. 9
5970. 0
5970. 1
5970. 2
5970. 3
5971. 0
5971. 1
5971. 2
5971. 3
5971. 4
5971. 5
5971. 6
5972. 0

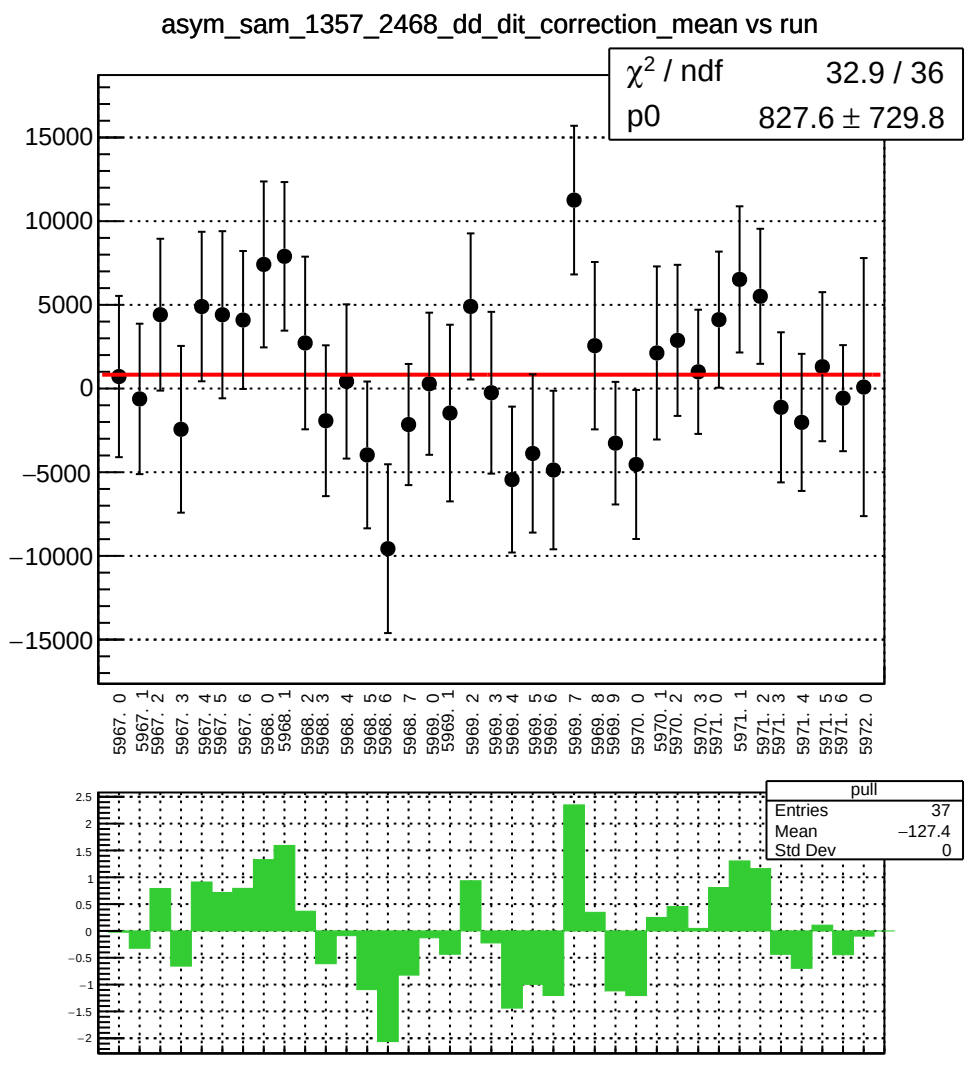
asym_sam_1357_2468_dd_dit_correction_mean vs run
χ² / ndf 32.9 / 36
p0 827.6 ± 729.8
15000
10000
5000
0
−5000
−10000
−15000
5967. 0
5967. 1
5967. 2
5967. 3
5967. 4
5967. 5
5967. 6
5968. 0
5968. 1
5968. 2
5968. 3
5968. 4
5968. 5
5968. 6
5968. 7
5969. 0
5969. 1
5969. 2
5969. 3
5969. 4
5969. 5
5969. 6
5969. 7
5969. 8
5969. 9
5970. 0
5970. 1
5970. 2
5970. 3
5971. 0
5971. 1
5971. 2
5971. 3
5971. 4
5971. 5
5971. 6
5972. 0
pull
Entries 37
Mean −127.4
Std Dev 0
2.5
2
1.5
1
0.5
0
−0.5
−1
−1.5
−2

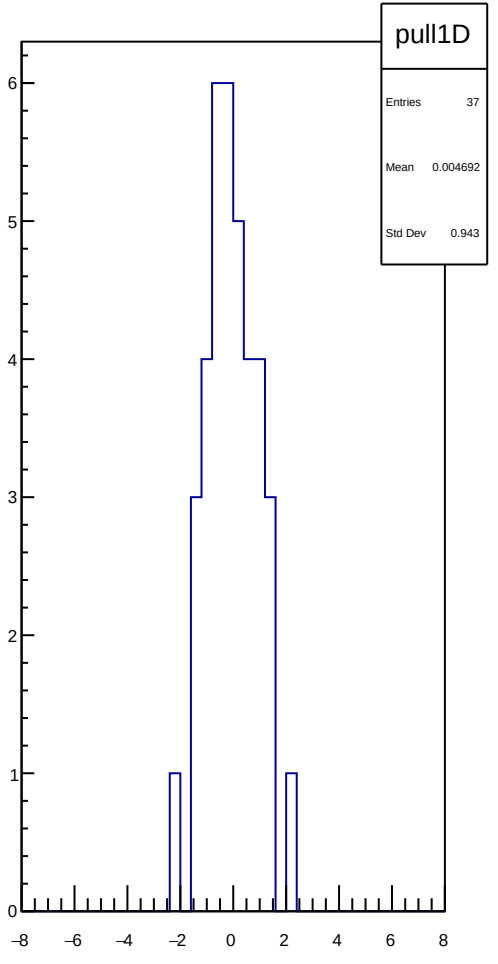
pull1D
Entries 37
Mean 0.004692
Std Dev 0.943
6
5
4
3
2
1
0
−8
−6
−4
−2
0
2
4
6
8

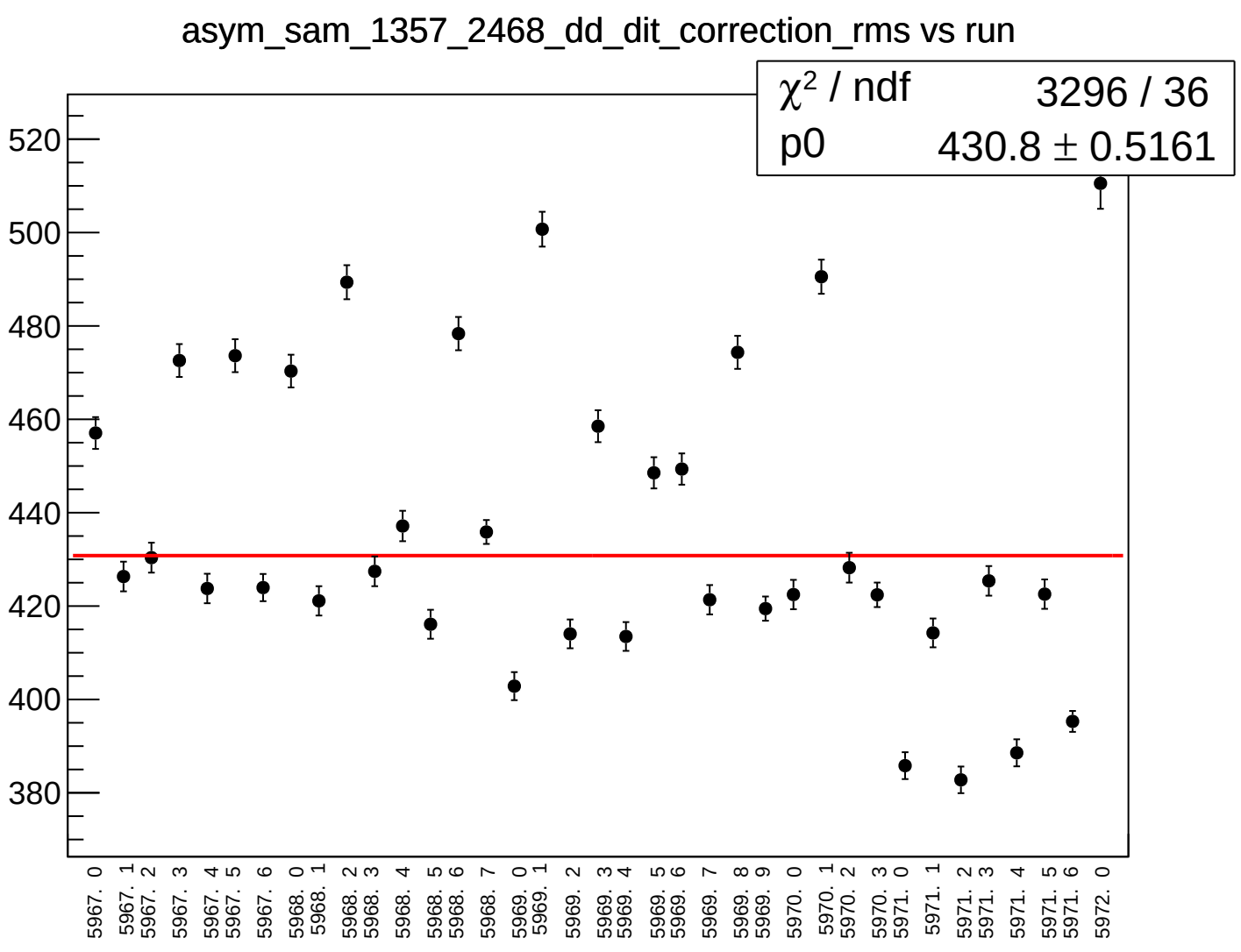
asym_sam_1357_2468_dd_dit_correction_rms vs run
χ² / ndf 3296 / 36
p0 430.8 ± 0.5161
520
500
480
460
440
420
400
380
5967. 0
5967. 1
5967. 2
5967. 3
5967. 4
5967. 5
5967. 6
5968. 0
5968. 1
5968. 2
5968. 3
5968. 4
5968. 5
5968. 6
5968. 7
5969. 0
5969. 1
5969. 2
5969. 3
5969. 4
5969. 5
5969. 6
5969. 7
5969. 8
5969. 9
5970. 0
5970. 1
5970. 2
5970. 3
5971. 0
5971. 1
5971. 2
5971. 3
5971. 4
5971. 5
5971. 6
5972. 0

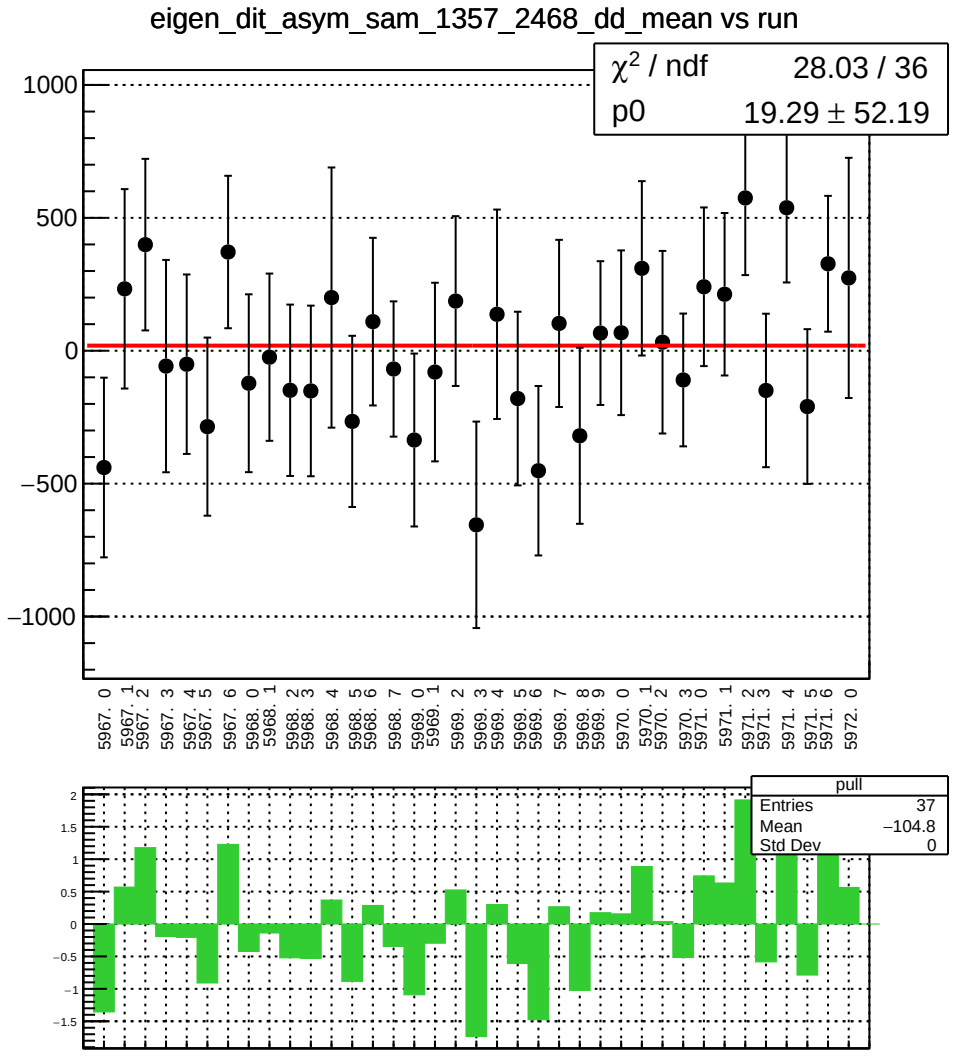
eigen_dit_asym_sam_1357_2468_dd_mean vs run
χ² / ndf 28.03 / 36
p0 19.29 ± 52.19
1000
500
0
−500
−1000
5967. 0
5967. 1
5967. 2
5967. 3
5967. 4
5967. 5
5967. 6
5968. 0
5968. 1
5968. 2
5968. 3
5968. 4
5968. 5
5968. 6
5968. 7
5969. 0
5969. 1
5969. 2
5969. 3
5969. 4
5969. 5
5969. 6
5969. 7
5969. 8
5969. 9
5970. 0
5970. 1
5970. 2
5970. 3
5971. 0
5971. 1
5971. 2
5971. 3
5971. 4
5971. 5
5971. 6
5972. 0
pull
Entries 37
Mean −104.8
Std Dev 0
2
1.5
1
0.5
0
−0.5
−1
−1.5
pull1D
Entries 37
Mean −0.02037
Std Dev 0.8701
7
6
5
4
3
2
1
0
−8
−6
−4
−2
0
2
4
6
8

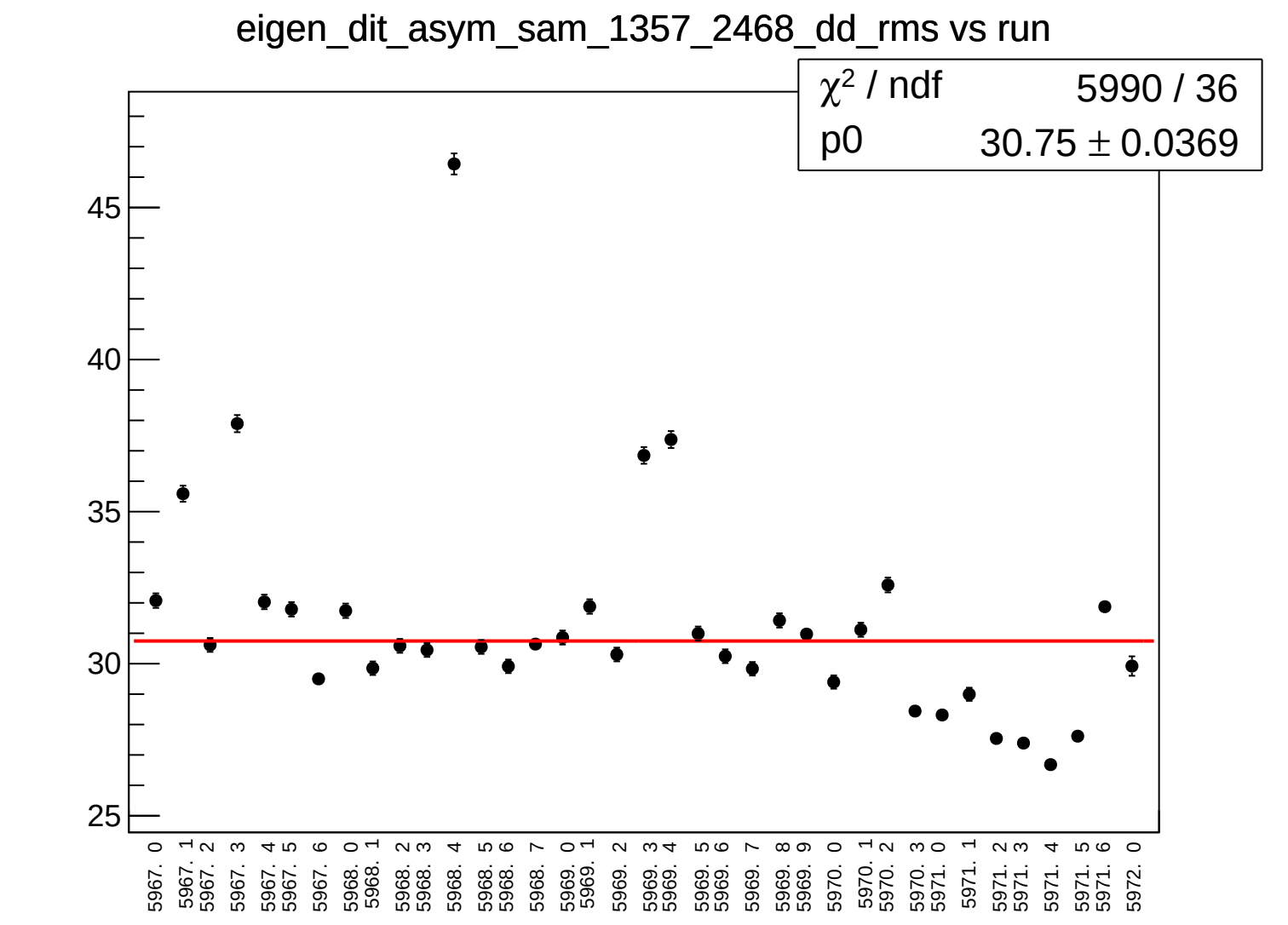
eigen_dit_asym_sam_1357_2468_dd_rms vs run
χ² / ndf 5990 / 36
p0 30.75 ± 0.0369
45
40
35
30
25
5967. 0
5967. 1
5967. 2
5967. 3
5967. 4
5967. 5
5967. 6
5968. 0
5968. 1
5968. 2
5968. 3
5968. 4
5968. 5
5968. 6
5968. 7
5969. 0
5969. 1
5969. 2
5969. 3
5969. 4
5969. 5
5969. 6
5969. 7
5969. 8
5969. 9
5970. 0
5970. 1
5970. 2
5970. 3
5971. 0
5971. 1
5971. 2
5971. 3
5971. 4
5971. 5
5971. 6
5972. 0

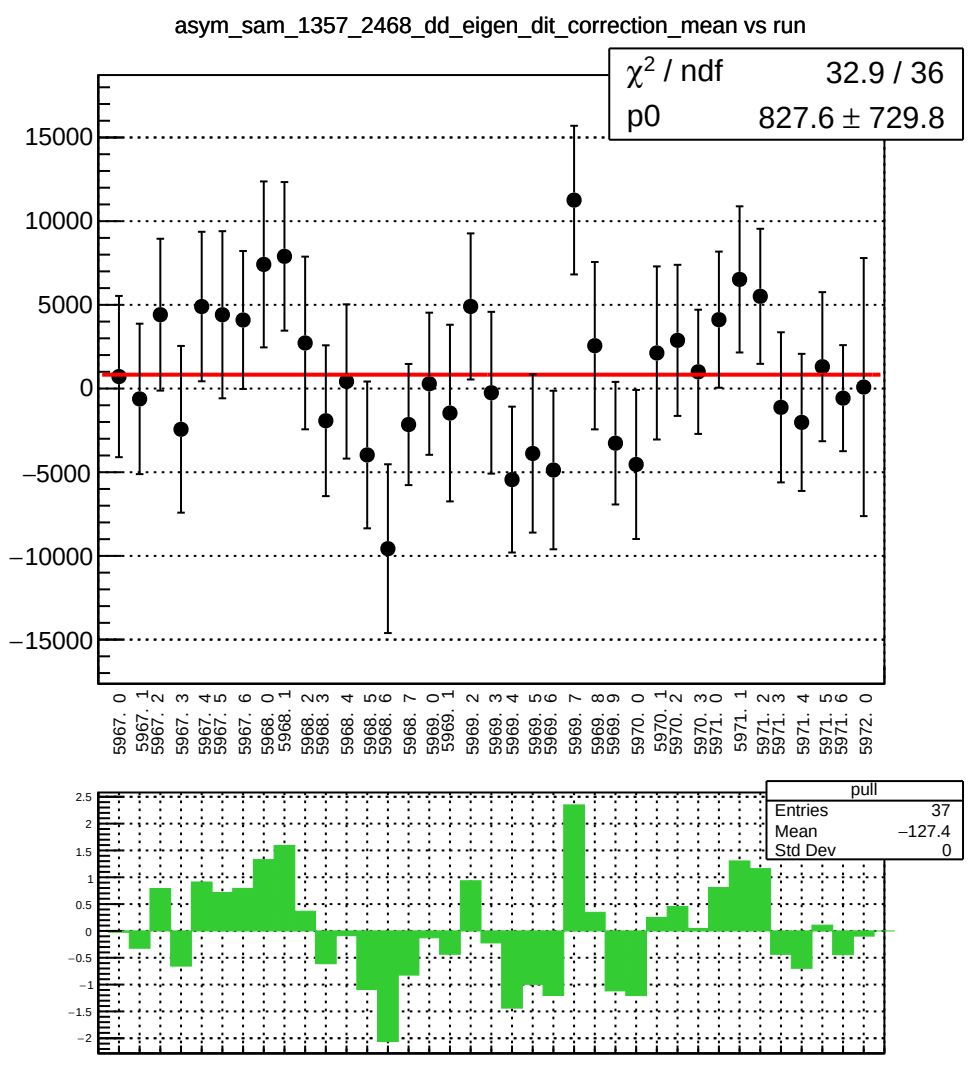
asym_sam_1357_2468_dd_eigen_dit_correction_mean vs run
χ² / ndf 32.9 / 36
p0 827.6 ± 729.8
15000
10000
5000
0
−5000
−10000
−15000
5967. 0
5967. 1
5967. 2
5967. 3
5967. 4
5967. 5
5967. 6
5968. 0
5968. 1
5968. 2
5968. 3
5968. 4
5968. 5
5968. 6
5968. 7
5969. 0
5969. 1
5969. 2
5969. 3
5969. 4
5969. 5
5969. 6
5969. 7
5969. 8
5969. 9
5970. 0
5970. 1
5970. 2
5970. 3
5971. 0
5971. 1
5971. 2
5971. 3
5971. 4
5971. 5
5971. 6
5972. 0
pull
Entries 37
Mean −127.4
Std Dev 0
2.5
2
1.5
1
0.5
0
−0.5
−1
−1.5
−2

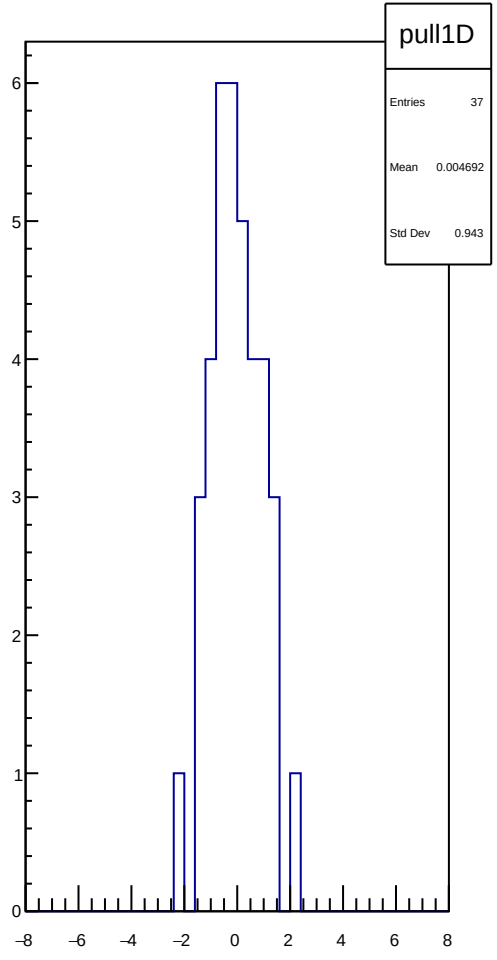
pull1D
Entries 37
Mean 0.004692
Std Dev 0.943
6
5
4
3
2
1
0
−8
−6
−4
−2
0
2
4
6
8

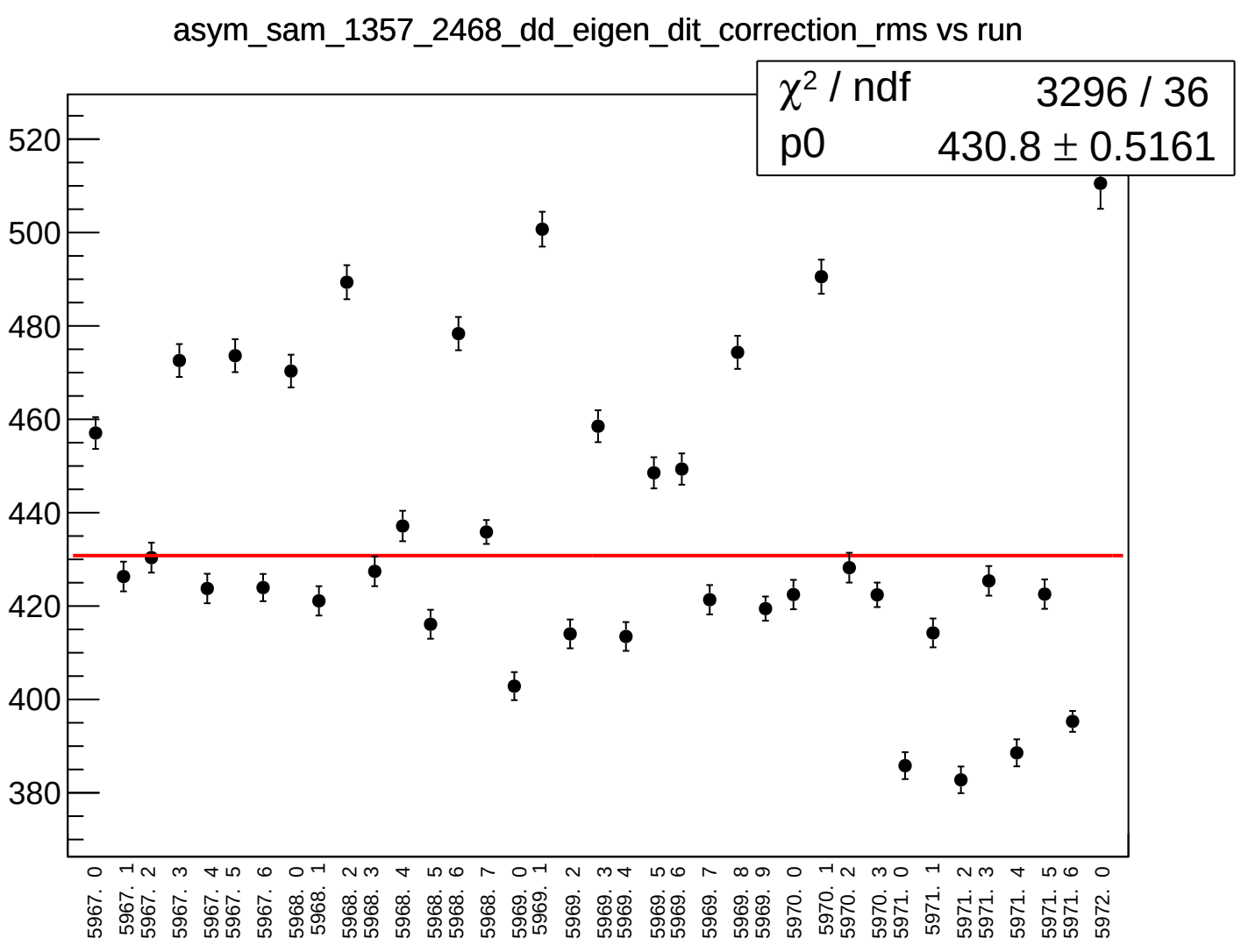
asym_sam_1357_2468_dd_eigen_dit_correction_rms vs run
χ² / ndf 3296 / 36
p0 430.8 ± 0.5161
520
500
480
460
440
420
400
380
5967. 0
5967. 1
5967. 2
5967. 3
5967. 4
5967. 5
5967. 6
5968. 0
5968. 1
5968. 2
5968. 3
5968. 4
5968. 5
5968. 6
5968. 7
5969. 0
5969. 1
5969. 2
5969. 3
5969. 4
5969. 5
5969. 6
5969. 7
5969. 8
5969. 9
5970. 0
5970. 1
5970. 2
5970. 3
5971. 0
5971. 1
5971. 2
5971. 3
5971. 4
5971. 5
5971. 6
5972. 0

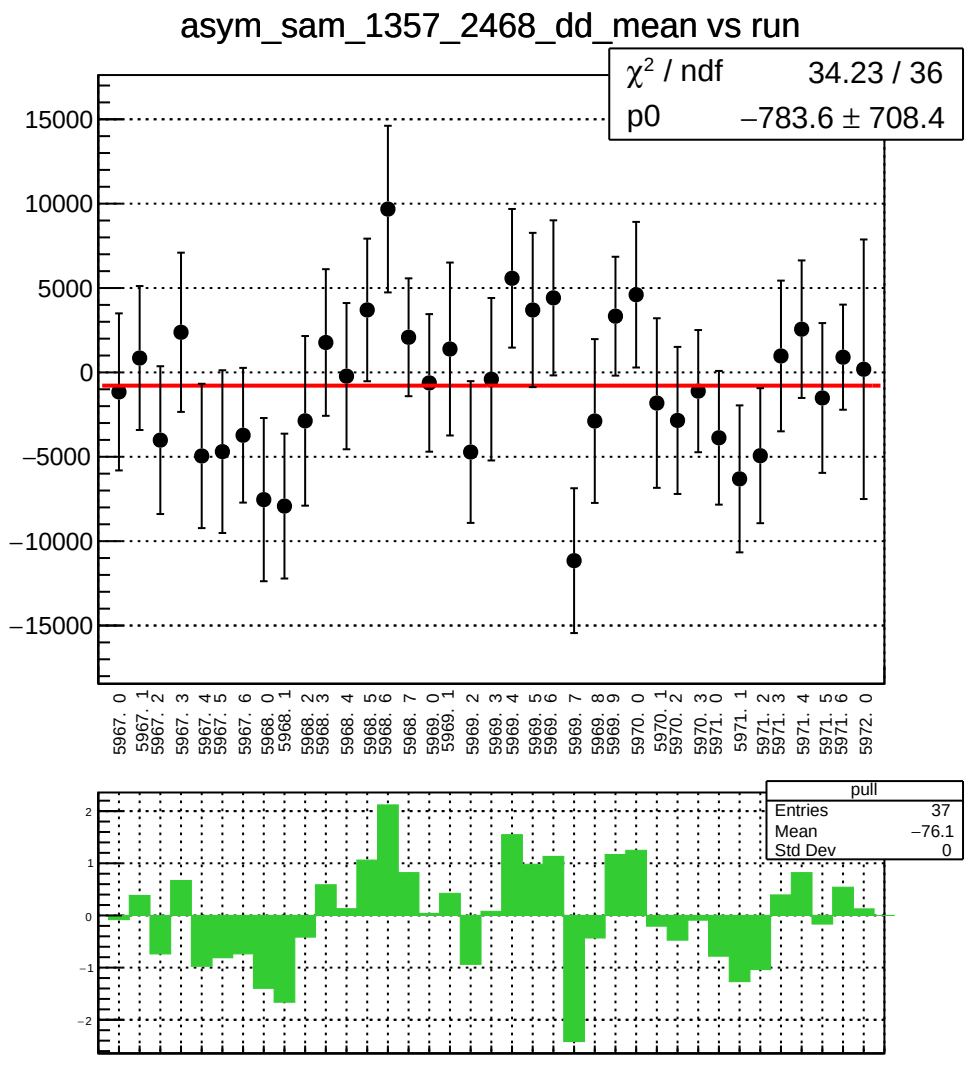
asym_sam_1357_2468_dd_mean vs run
χ² / ndf 34.23 / 36
p0 −783.6 ± 708.4
15000
10000
5000
0
−5000
−10000
−15000
5967. 0
5967. 1
5967. 2
5967. 3
5967. 4
5967. 5
5967. 6
5968. 0
5968. 1
5968. 2
5968. 3
5968. 4
5968. 5
5968. 6
5968. 7
5969. 0
5969. 1
5969. 2
5969. 3
5969. 4
5969. 5
5969. 6
5969. 7
5969. 8
5969. 9
5970. 0
5970. 1
5970. 2
5970. 3
5971. 0
5971. 1
5971. 2
5971. 3
5971. 4
5971. 5
5971. 6
5972. 0
pull
Entries 37
Mean −76.1
Std Dev 0
2
1
0
−1
−2

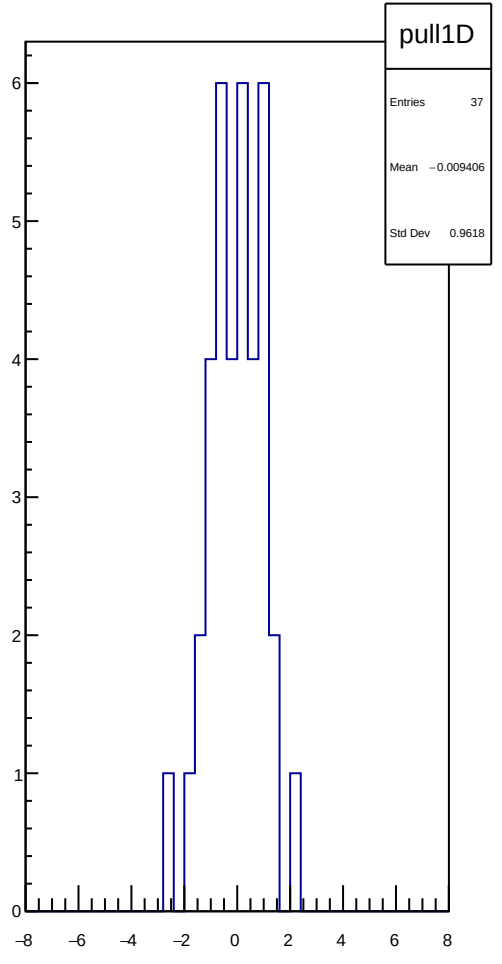
pull1D
Entries 37
Mean −0.009406
Std Dev 0.9618
6
5
4
3
2
1
0
−8
−6
−4
−2
0
2
4
6
8

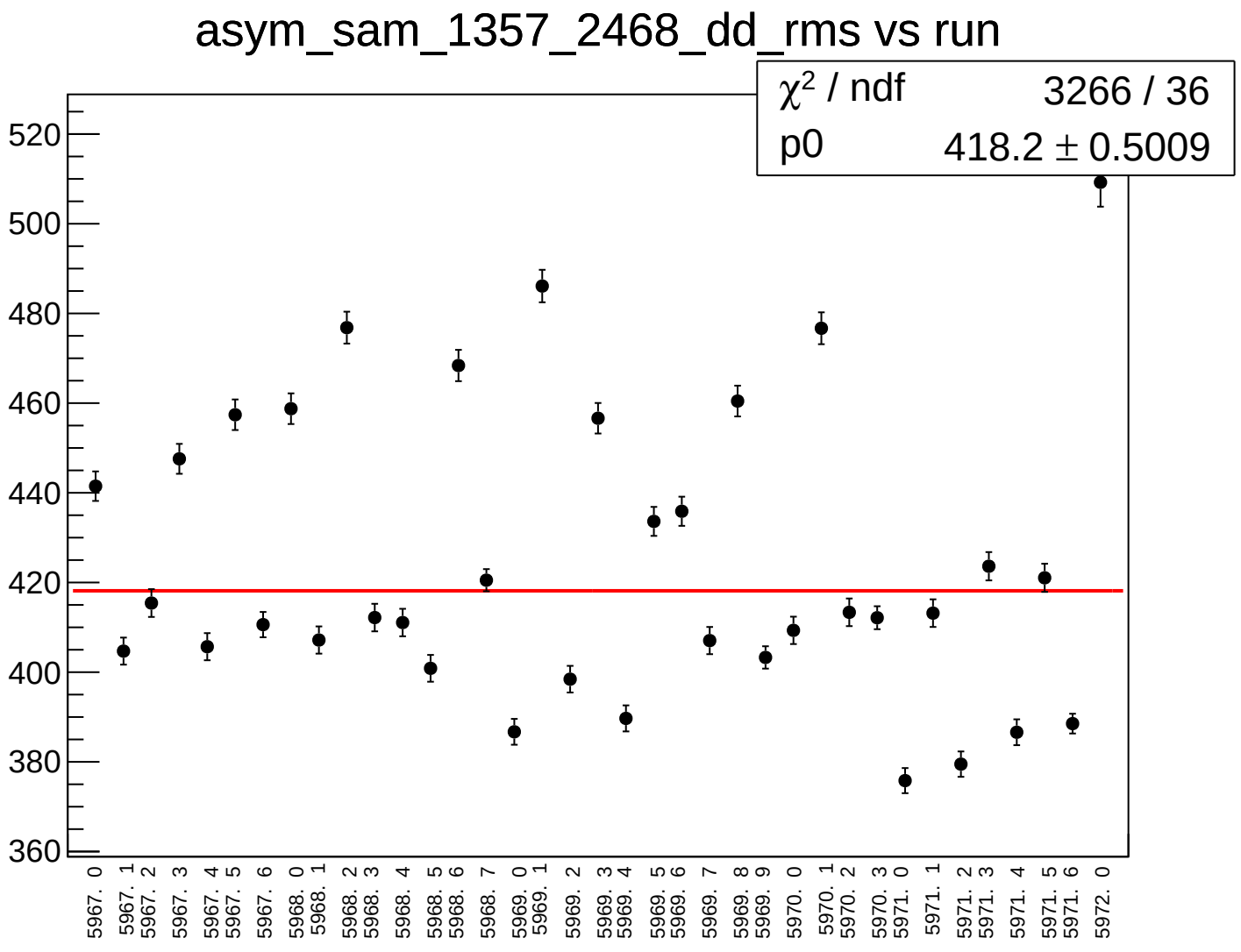
asym_sam_1357_2468_dd_rms vs run
χ² / ndf 3266 / 36
p0 418.2 ± 0.5009
520
500
480
460
440
420
400
380
360
5967. 0
5967. 1
5967. 2
5967. 3
5967. 4
5967. 5
5967. 6
5968. 0
5968. 1
5968. 2
5968. 3
5968. 4
5968. 5
5968. 6
5968. 7
5969. 0
5969. 1
5969. 2
5969. 3
5969. 4
5969. 5
5969. 6
5969. 7
5969. 8
5969. 9
5970. 0
5970. 1
5970. 2
5970. 3
5971. 0
5971. 1
5971. 2
5971. 3
5971. 4
5971. 5
5971. 6
5972. 0

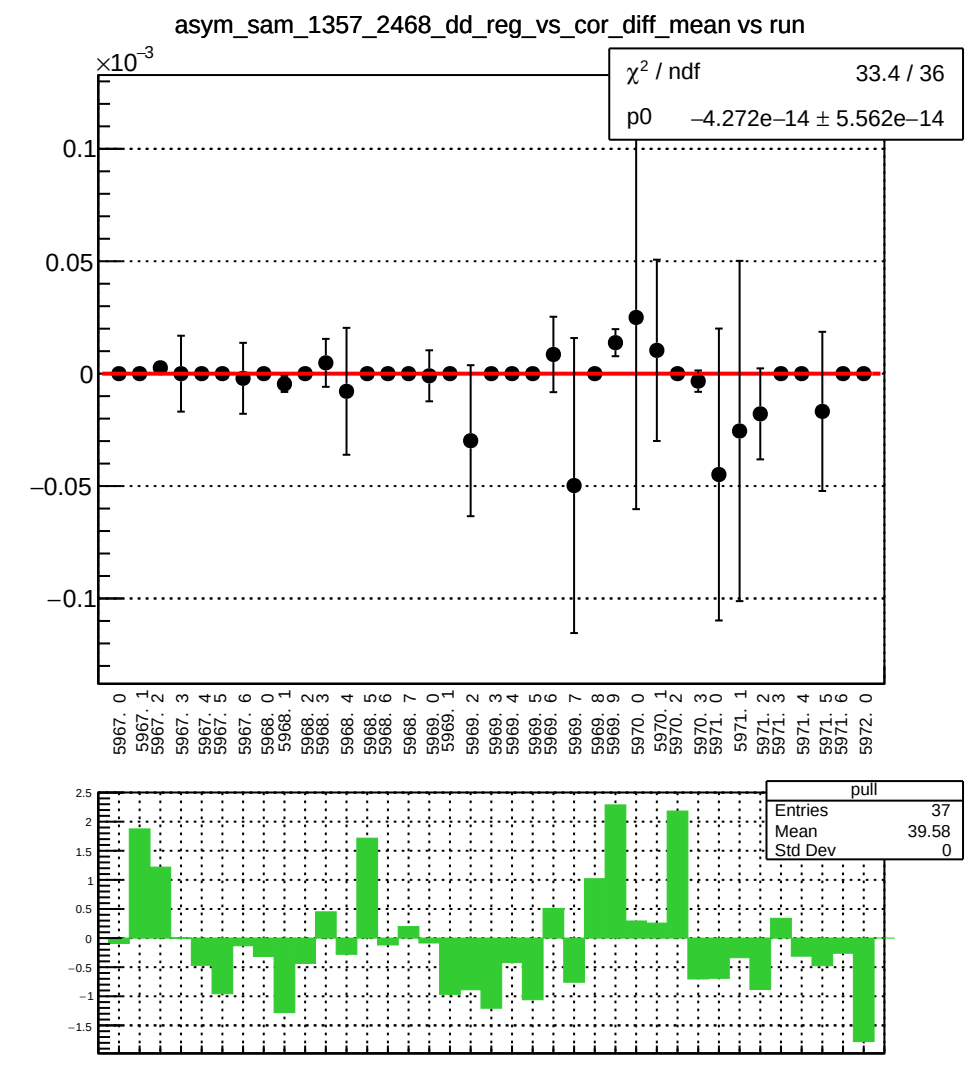
asym_sam_1357_2468_dd_reg_vs_cor_diff_mean vs run
×10^−3
χ² / ndf 33.4 / 36
p0 −4.272e−14 ± 5.562e−14
0.1
0.05
0
−0.05
−0.1
5967. 0
5967. 1
5967. 2
5967. 3
5967. 4
5967. 5
5967. 6
5968. 0
5968. 1
5968. 2
5968. 3
5968. 4
5968. 5
5968. 6
5968. 7
5969. 0
5969. 1
5969. 2
5969. 3
5969. 4
5969. 5
5969. 6
5969. 7
5969. 8
5969. 9
5970. 0
5970. 1
5970. 2
5970. 3
5971. 0
5971. 1
5971. 2
5971. 3
5971. 4
5971. 5
5971. 6
5972. 0
pull
Entries 37
Mean 39.58
Std Dev 0
2.5
2
1.5
1
0.5
0
−0.5
−1
−1.5

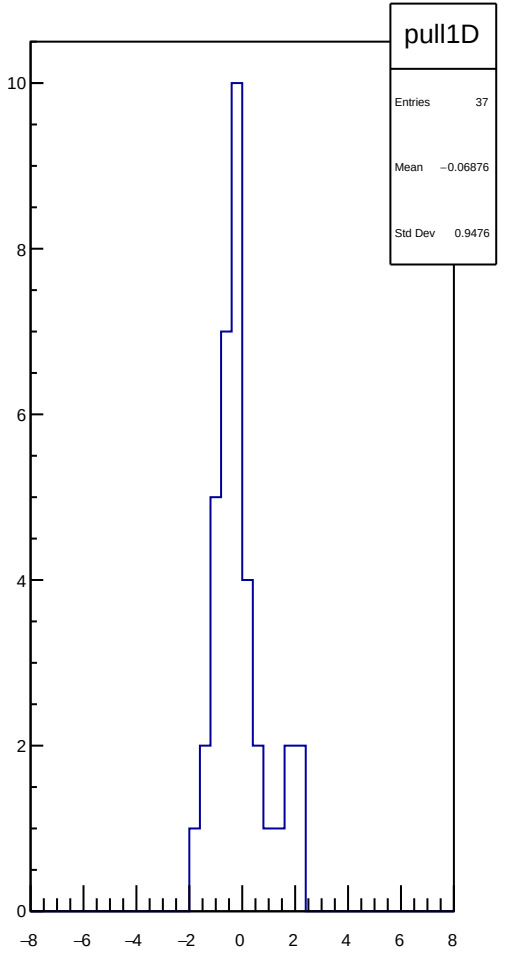
pull1D
Entries 37
Mean −0.06876
Std Dev 0.9476
10
8
6
4
2
0
−8
−6
−4
−2
0
2
4
6
8

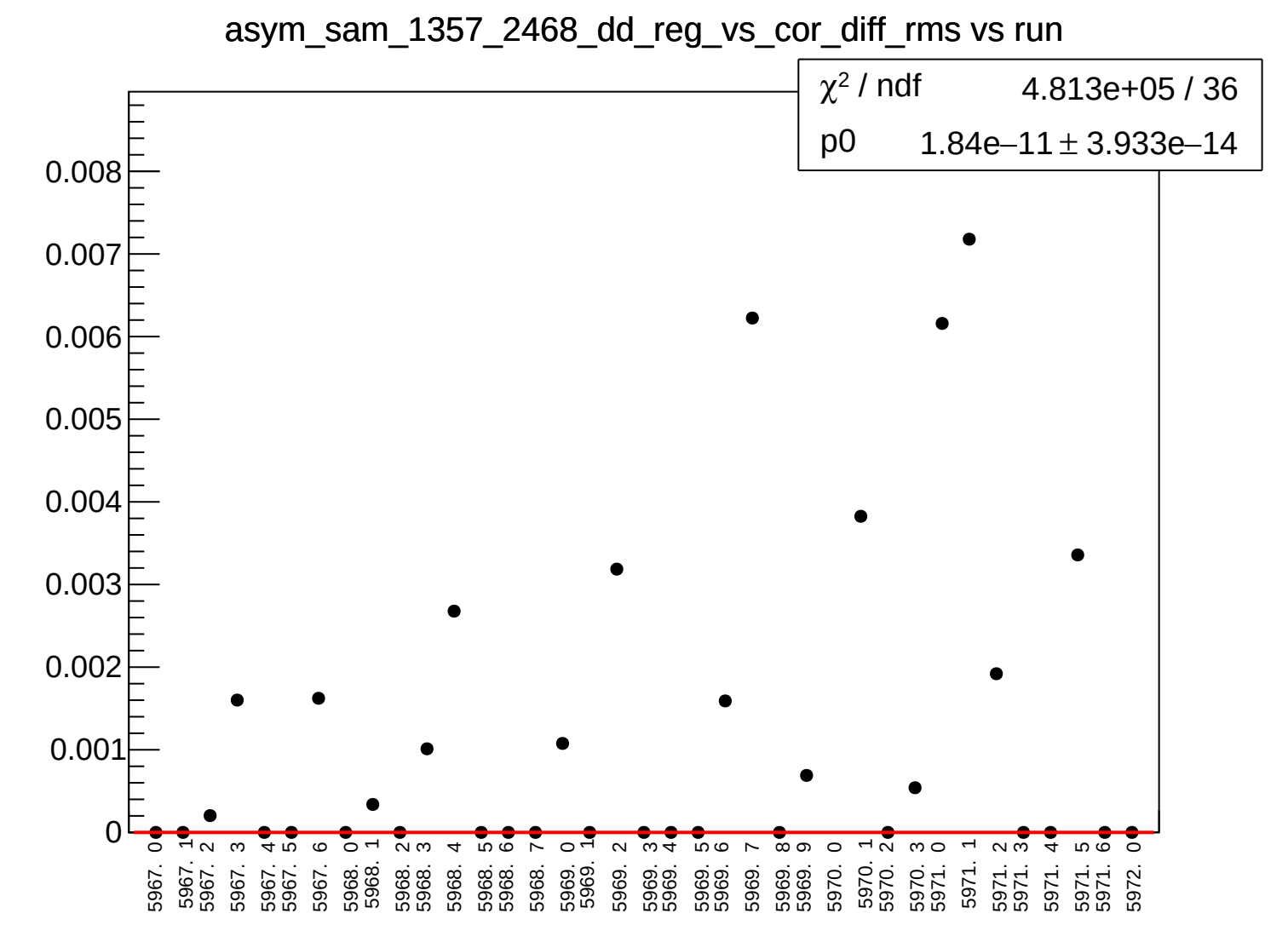
asym_sam_1357_2468_dd_reg_vs_cor_diff_rms vs run
χ² / ndf 4.813e+05 / 36
p0 1.84e−11 ± 3.933e−14
0.008
0.007
0.006
0.005
0.004
0.003
0.002
0.001
0
5967. 0
5967. 1
5967. 2
5967. 3
5967. 4
5967. 5
5967. 6
5968. 0
5968. 1
5968. 2
5968. 3
5968. 4
5968. 5
5968. 6
5968. 7
5969. 0
5969. 1
5969. 2
5969. 3
5969. 4
5969. 5
5969. 6
5969. 7
5969. 8
5969. 9
5970. 0
5970. 1
5970. 2
5970. 3
5971. 0
5971. 1
5971. 2
5971. 3
5971. 4
5971. 5
5971. 6
5972. 0

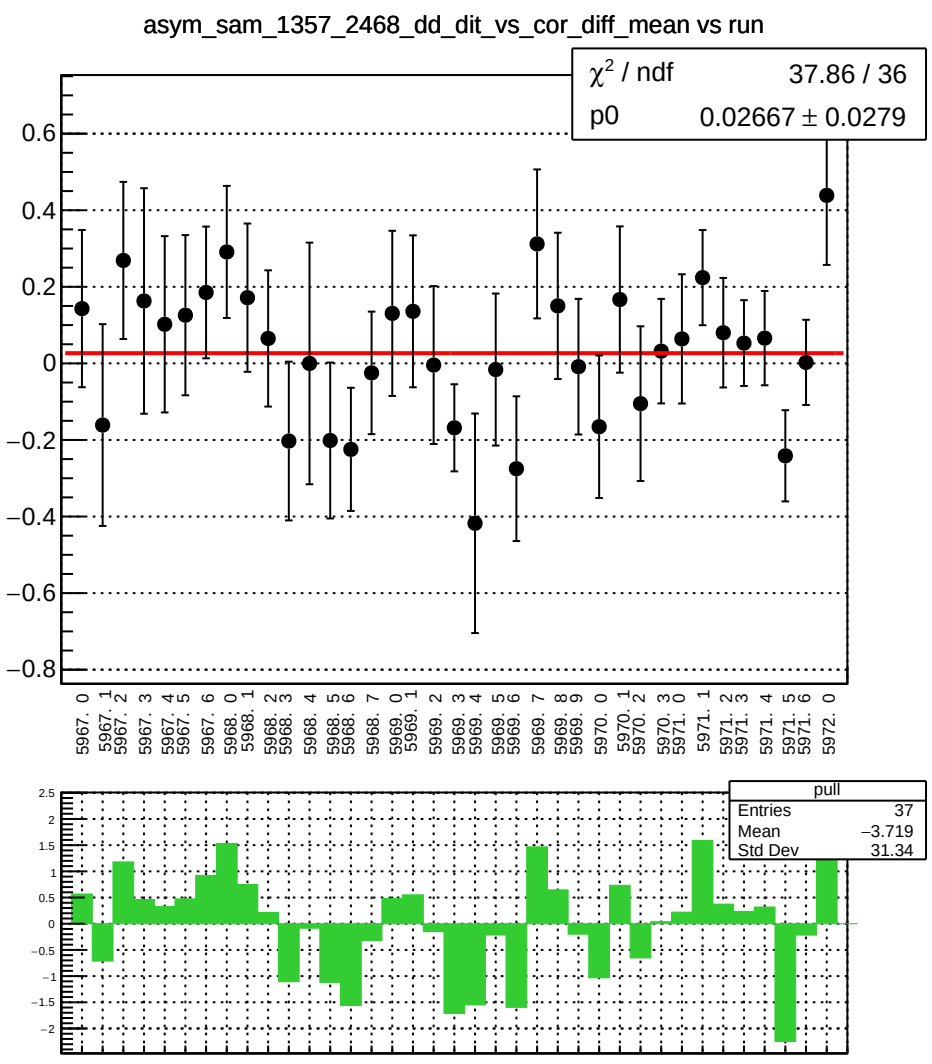
asym_sam_1357_2468_dd_dit_vs_cor_diff_mean vs run
χ² / ndf 37.86 / 36
p0 0.02667 ± 0.0279
pull
Entries 37
Mean −3.719
Std Dev 31.34

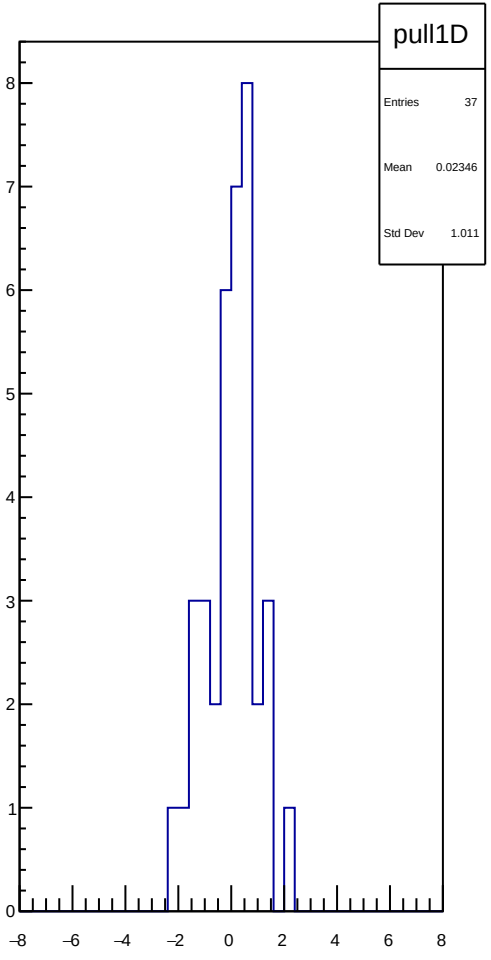
pull1D
Entries 37
Mean 0.02346
Std Dev 1.011

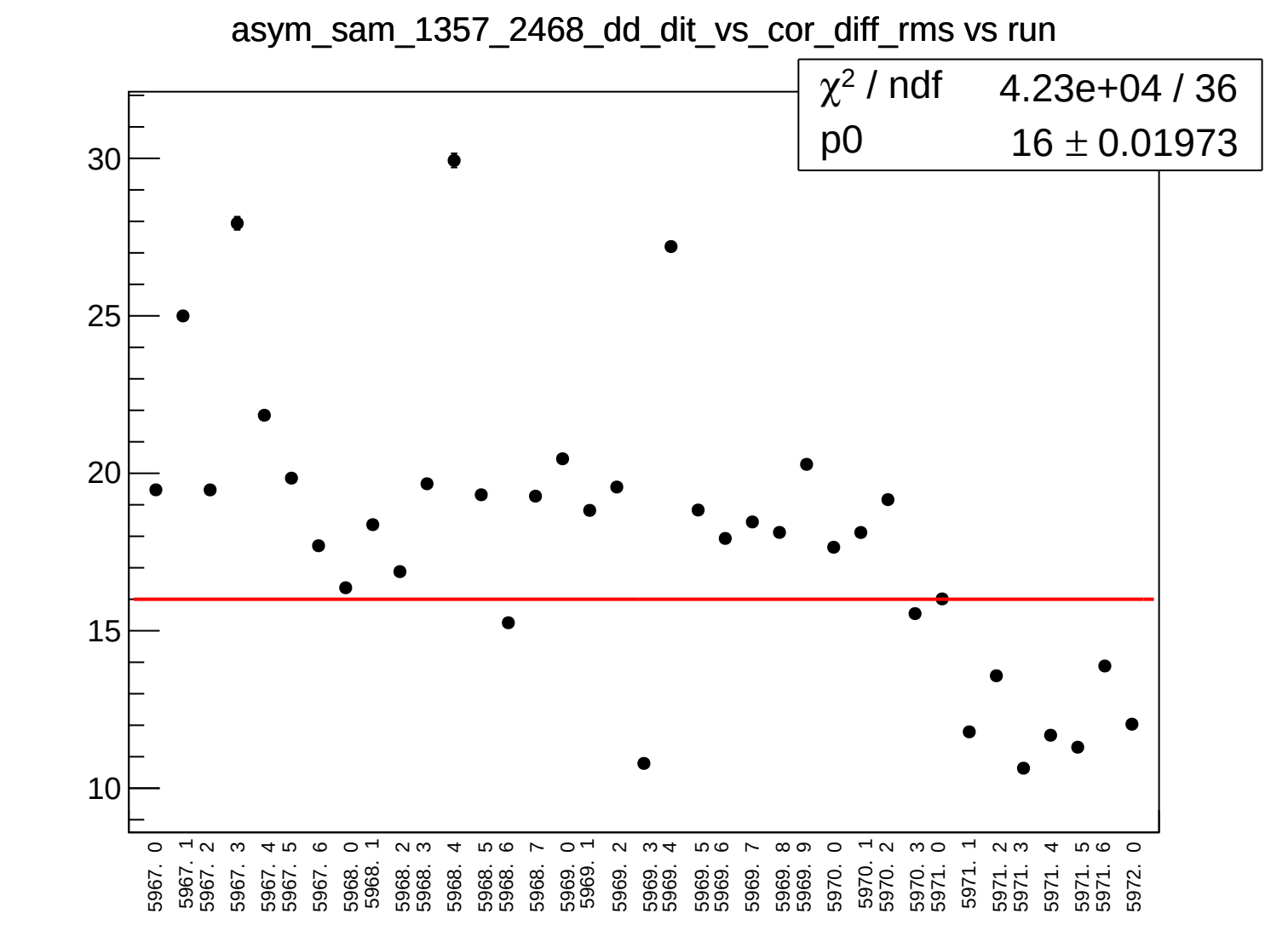
asym_sam_1357_2468_dd_dit_vs_cor_diff_rms vs run
χ² / ndf 4.23e+04 / 36
p0 16 ± 0.01973
30
25
20
15
10
5967. 0
5967. 1
5967. 2
5967. 3
5967. 4
5967. 5
5967. 6
5968. 0
5968. 1
5968. 2
5968. 3
5968. 4
5968. 5
5968. 6
5968. 7
5969. 0
5969. 1
5969. 2
5969. 3
5969. 4
5969. 5
5969. 6
5969. 7
5969. 8
5969. 9
5970. 0
5970. 1
5970. 2
5970. 3
5971. 0
5971. 1
5971. 2
5971. 3
5971. 4
5971. 5
5971. 6
5972. 0

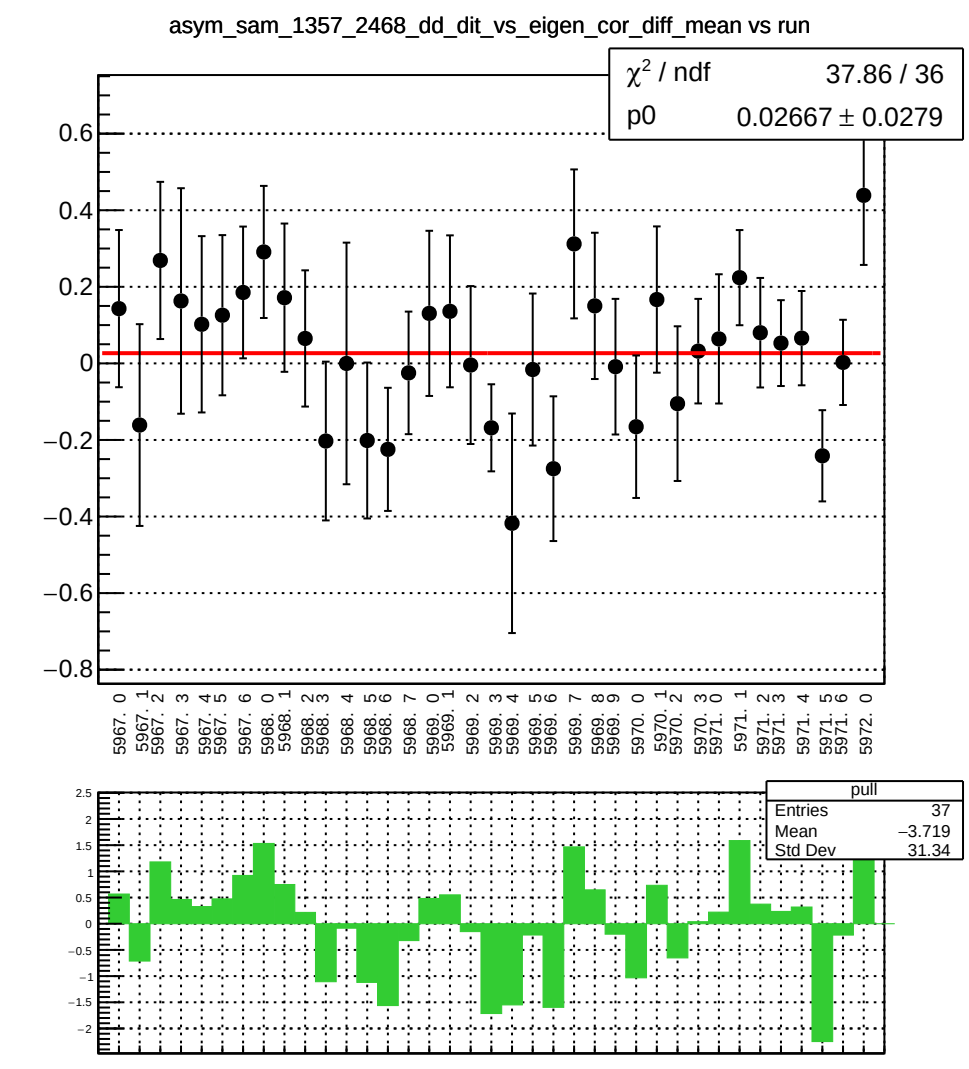
asym_sam_1357_2468_dd_dit_vs_eigen_cor_diff_mean vs run
χ² / ndf 37.86 / 36
p0 0.02667 ± 0.0279
pull
Entries 37
Mean −3.719
Std Dev 31.34

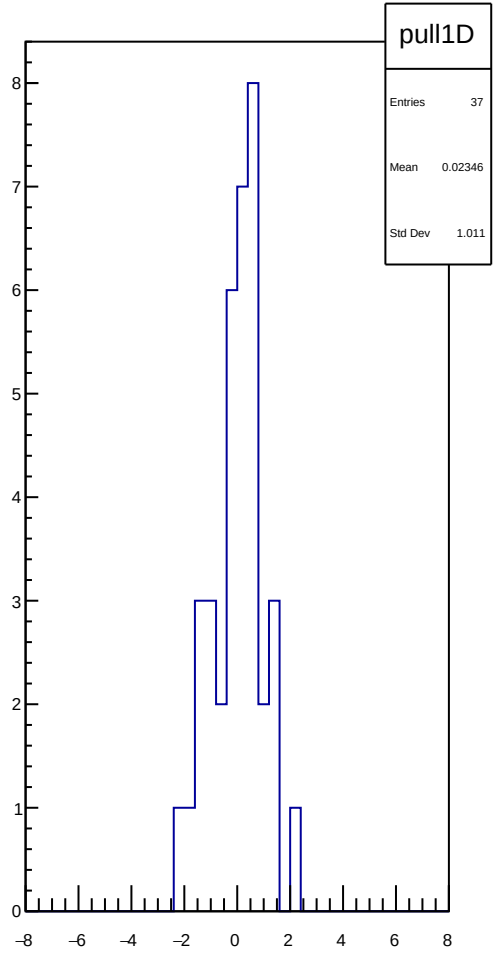
pull1D
Entries 37
Mean 0.02346
Std Dev 1.011

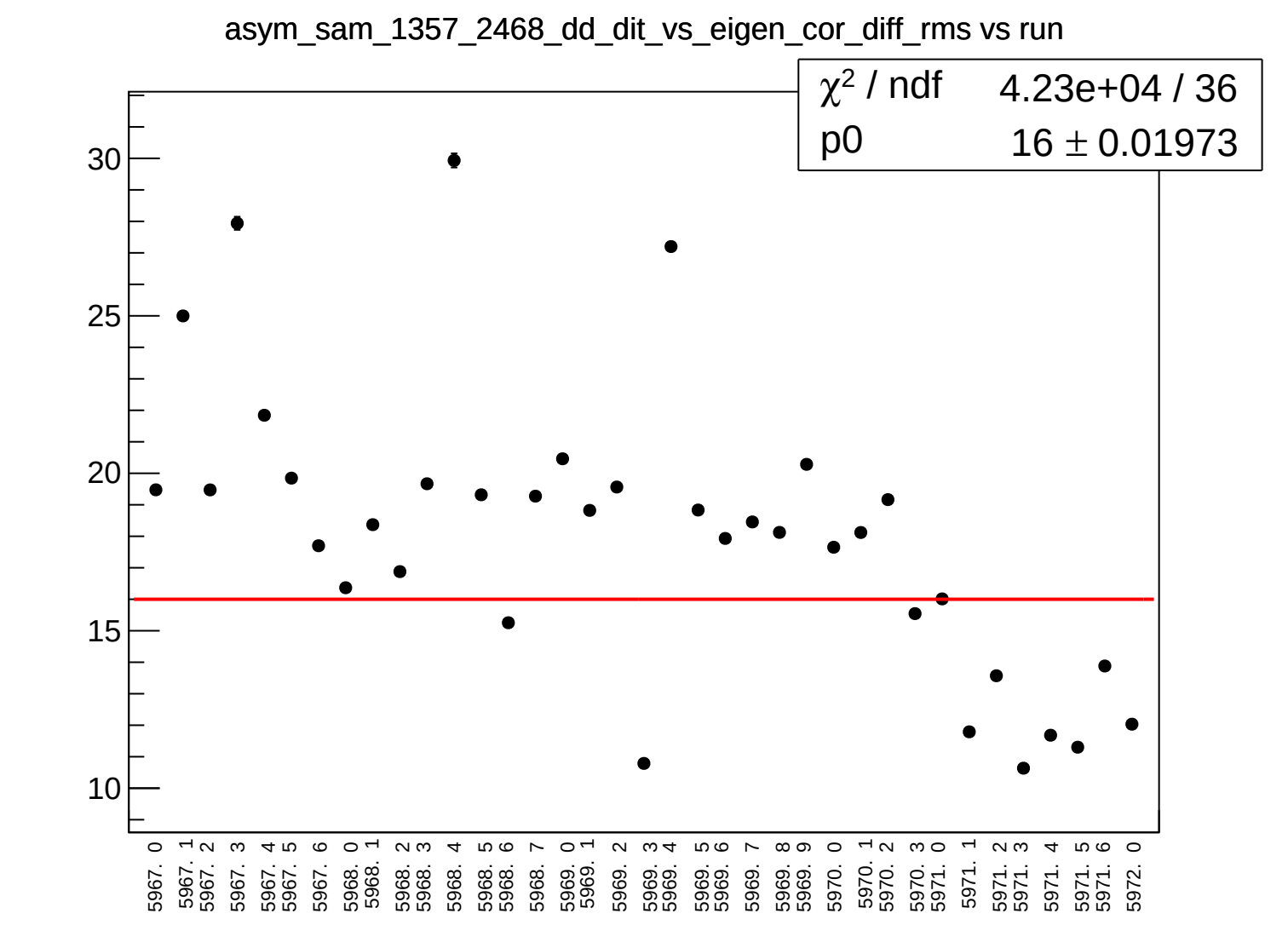
asym_sam_1357_2468_dd_dit_vs_eigen_cor_diff_rms vs run
χ² / ndf 4.23e+04 / 36
p0 16 ± 0.01973
30
25
20
15
10
5967. 0
5967. 1
5967. 2
5967. 3
5967. 4
5967. 5
5967. 6
5968. 0
5968. 1
5968. 2
5968. 3
5968. 4
5968. 5
5968. 6
5968. 7
5969. 0
5969. 1
5969. 2
5969. 3
5969. 4
5969. 5
5969. 6
5969. 7
5969. 8
5969. 9
5970. 0
5970. 1
5970. 2
5970. 3
5971. 0
5971. 1
5971. 2
5971. 3
5971. 4
5971. 5
5971. 6
5972. 0

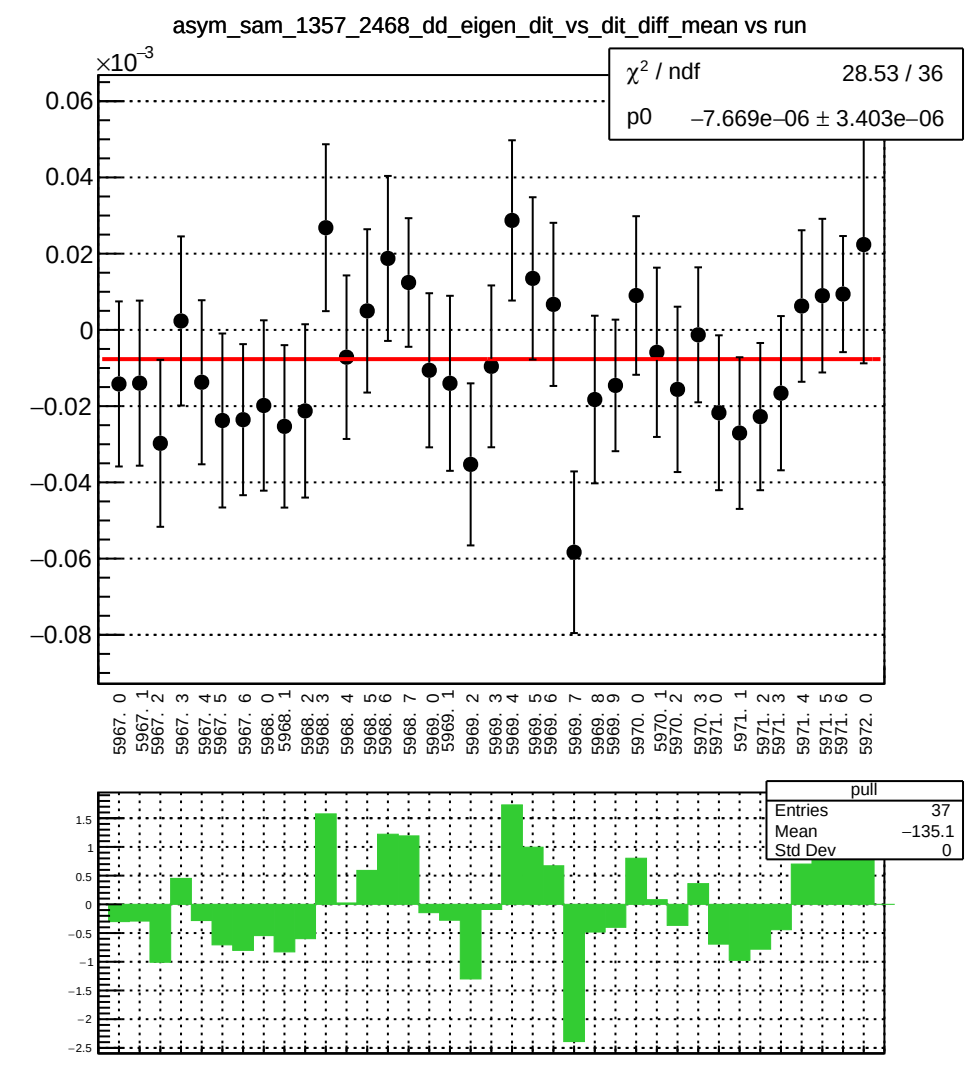
asym_sam_1357_2468_dd_eigen_dit_vs_dit_diff_mean vs run
×10⁻³
χ² / ndf 28.53 / 36
p0 −7.669e−06 ± 3.403e−06
0.06
0.04
0.02
0
−0.02
−0.04
−0.06
−0.08
5967. 0
5967. 1
5967. 2
5967. 3
5967. 4
5967. 5
5967. 6
5968. 0
5968. 1
5968. 2
5968. 3
5968. 4
5968. 5
5968. 6
5968. 7
5969. 0
5969. 1
5969. 2
5969. 3
5969. 4
5969. 5
5969. 6
5969. 7
5969. 8
5969. 9
5970. 0
5970. 1
5970. 2
5970. 3
5971. 0
5971. 1
5971. 2
5971. 3
5971. 4
5971. 5
5971. 6
5972. 0
pull
Entries 37
Mean −135.1
Std Dev 0
1.5
1
0.5
0
−0.5
−1
−1.5
−2
−2.5

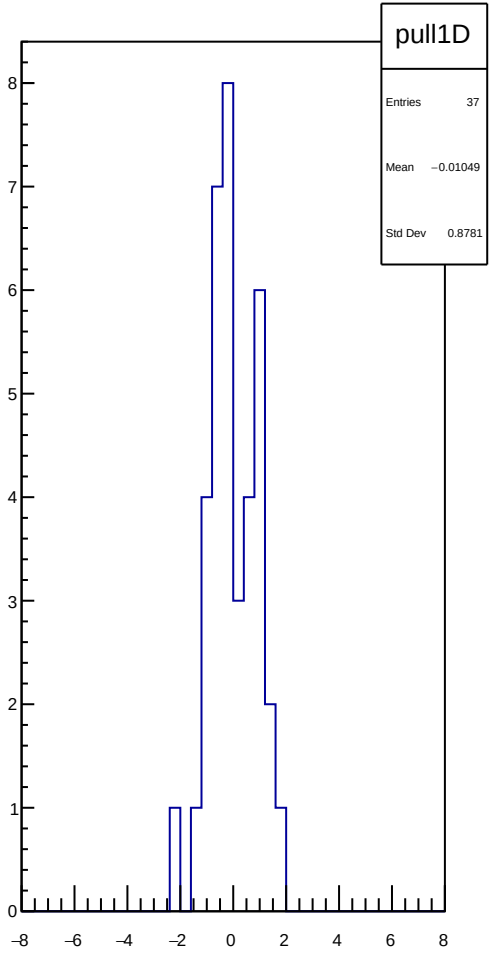
pull1D
Entries 37
Mean −0.01049
Std Dev 0.8781
8
7
6
5
4
3
2
1
0
−8
−6
−4
−2
0
2
4
6
8

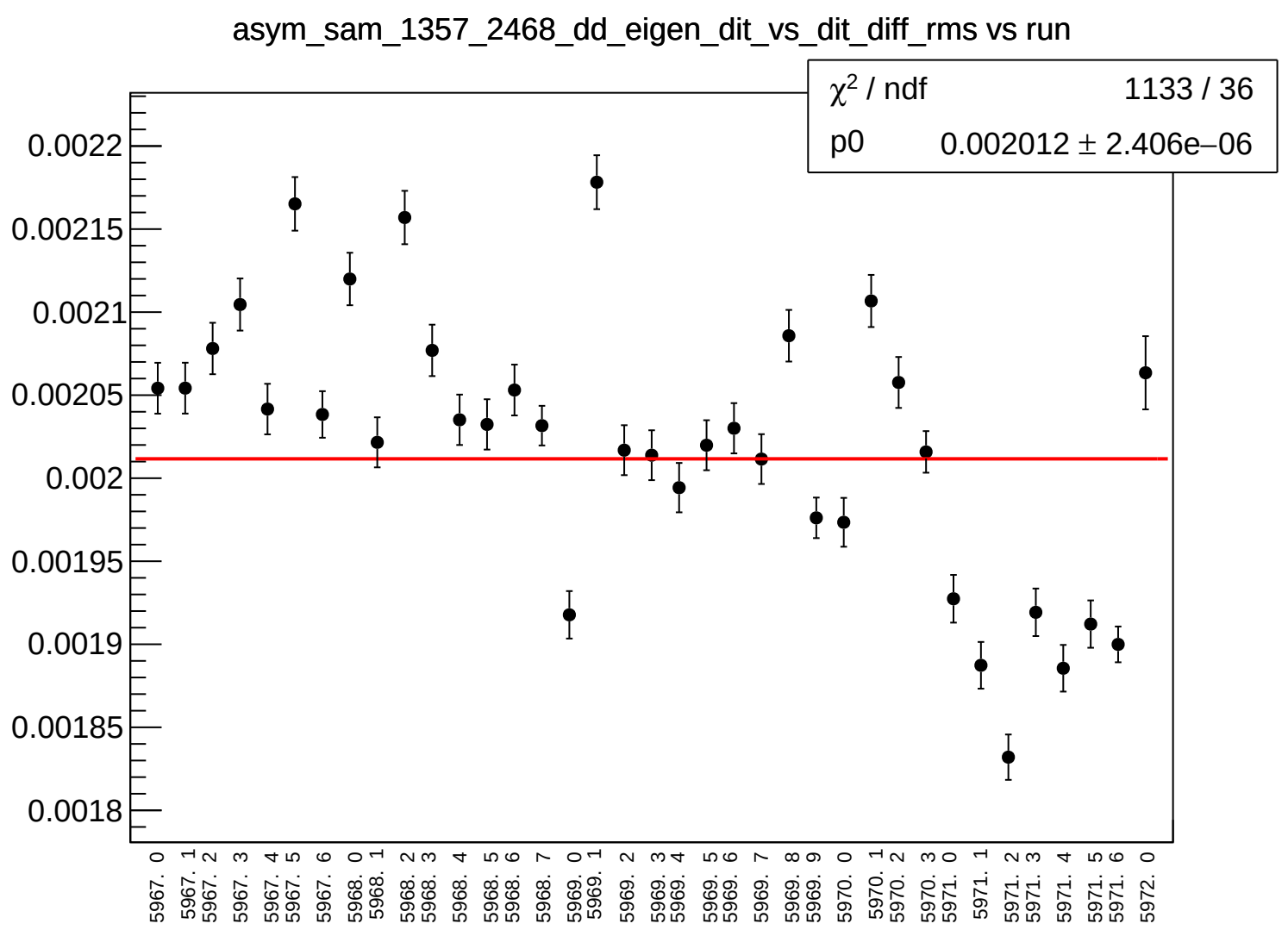
asym_sam_1357_2468_dd_eigen_dit_vs_dit_diff_rms vs run
χ² / ndf 1133 / 36
p0 0.002012 ± 2.406e−06
0.0022
0.00215
0.0021
0.00205
0.002
0.00195
0.0019
0.00185
0.0018
5967. 0
5967. 1
5967. 2
5967. 3
5967. 4
5967. 5
5967. 6
5968. 0
5968. 1
5968. 2
5968. 3
5968. 4
5968. 5
5968. 6
5968. 7
5969. 0
5969. 1
5969. 2
5969. 3
5969. 4
5969. 5
5969. 6
5969. 7
5969. 8
5969. 9
5970. 0
5970. 1
5970. 2
5970. 3
5971. 0
5971. 1
5971. 2
5971. 3
5971. 4
5971. 5
5971. 6
5972. 0

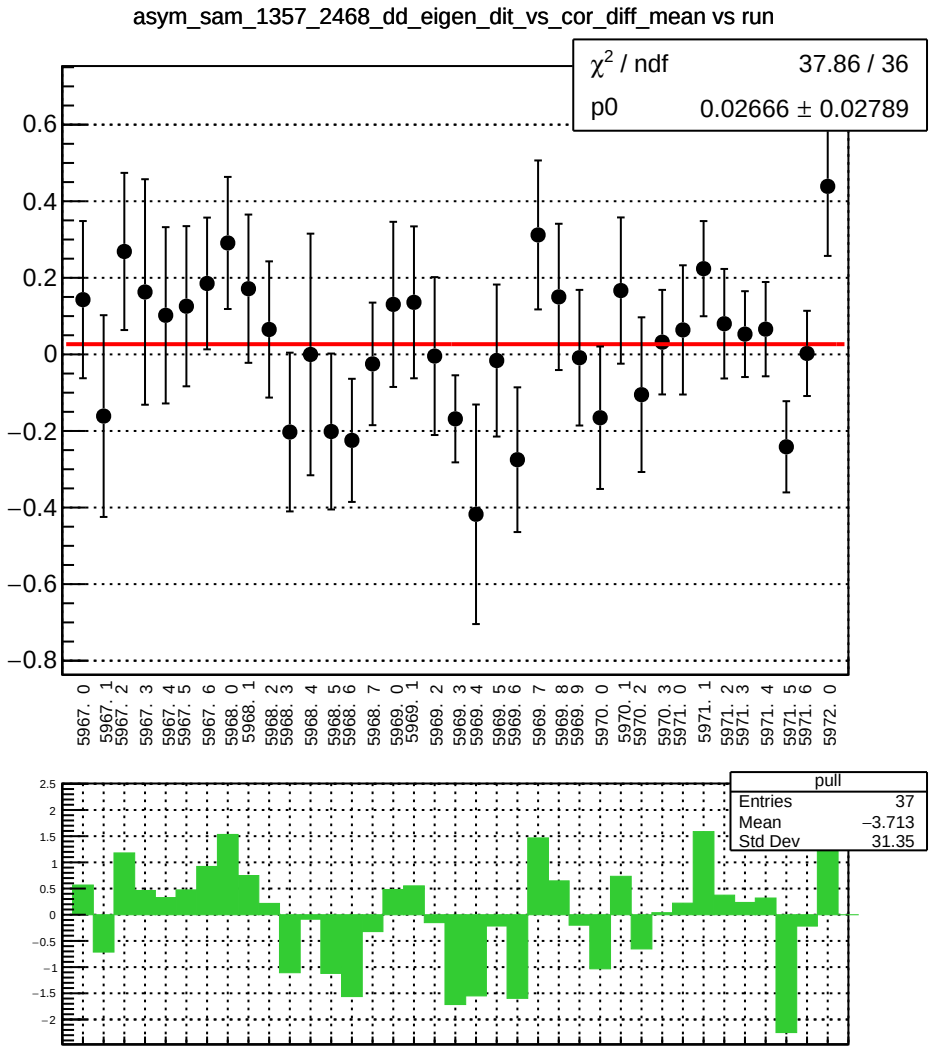
asym_sam_1357_2468_dd_eigen_dit_vs_cor_diff_mean vs run
χ² / ndf 37.86 / 36
p0 0.02666 ± 0.02789
pull
Entries 37
Mean −3.713
Std Dev 31.35
pull1D
Entries 37
Mean 0.02346
Std Dev 1.011

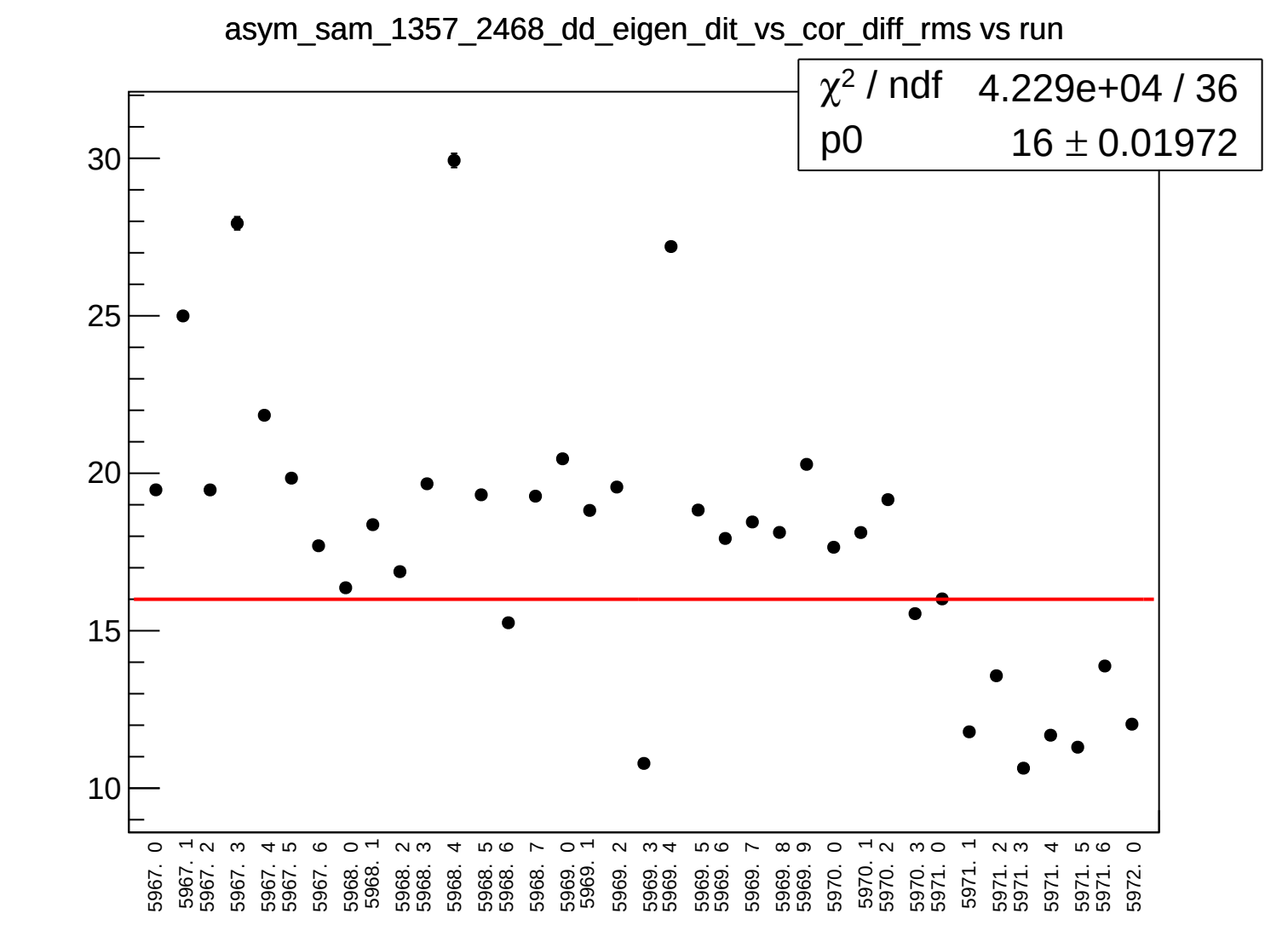
asym_sam_1357_2468_dd_eigen_dit_vs_cor_diff_rms vs run
χ² / ndf 4.229e+04 / 36
p0 16 ± 0.01972
30
25
20
15
10
5967. 0
5967. 1
5967. 2
5967. 3
5967. 4
5967. 5
5967. 6
5968. 0
5968. 1
5968. 2
5968. 3
5968. 4
5968. 5
5968. 6
5968. 7
5969. 0
5969. 1
5969. 2
5969. 3
5969. 4
5969. 5
5969. 6
5969. 7
5969. 8
5969. 9
5970. 0
5970. 1
5970. 2
5970. 3
5971. 0
5971. 1
5971. 2
5971. 3
5971. 4
5971. 5
5971. 6
5972. 0

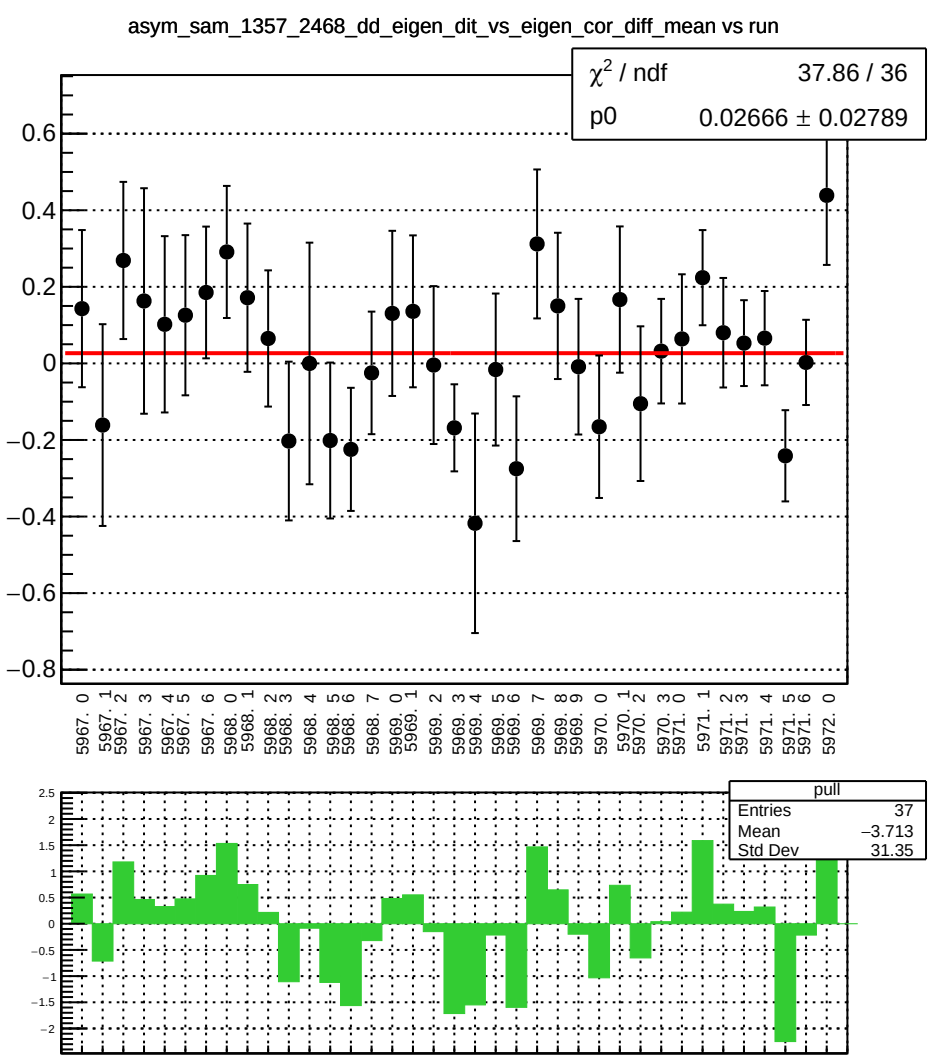
asym_sam_1357_2468_dd_eigen_dit_vs_eigen_cor_diff_mean vs run
χ² / ndf 37.86 / 36
p0 0.02666 ± 0.02789
pull
Entries 37
Mean −3.713
Std Dev 31.35

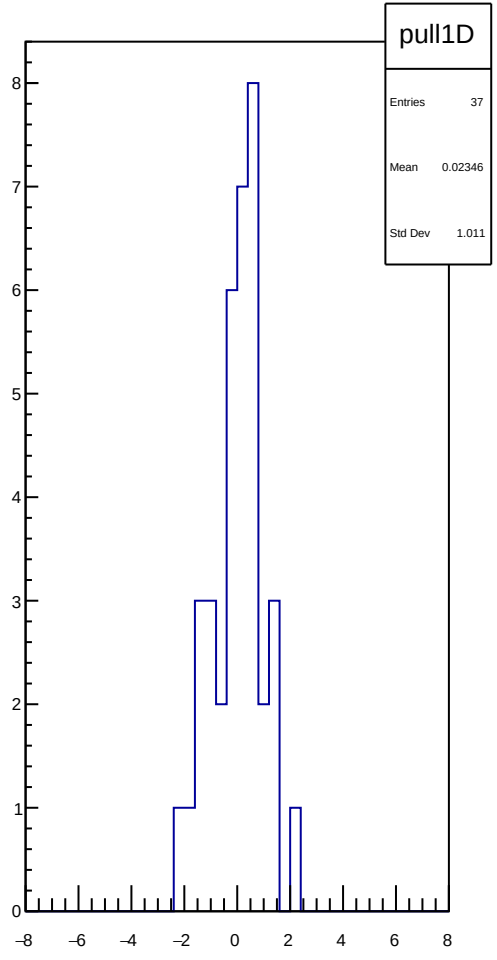
pull1D
Entries 37
Mean 0.02346
Std Dev 1.011

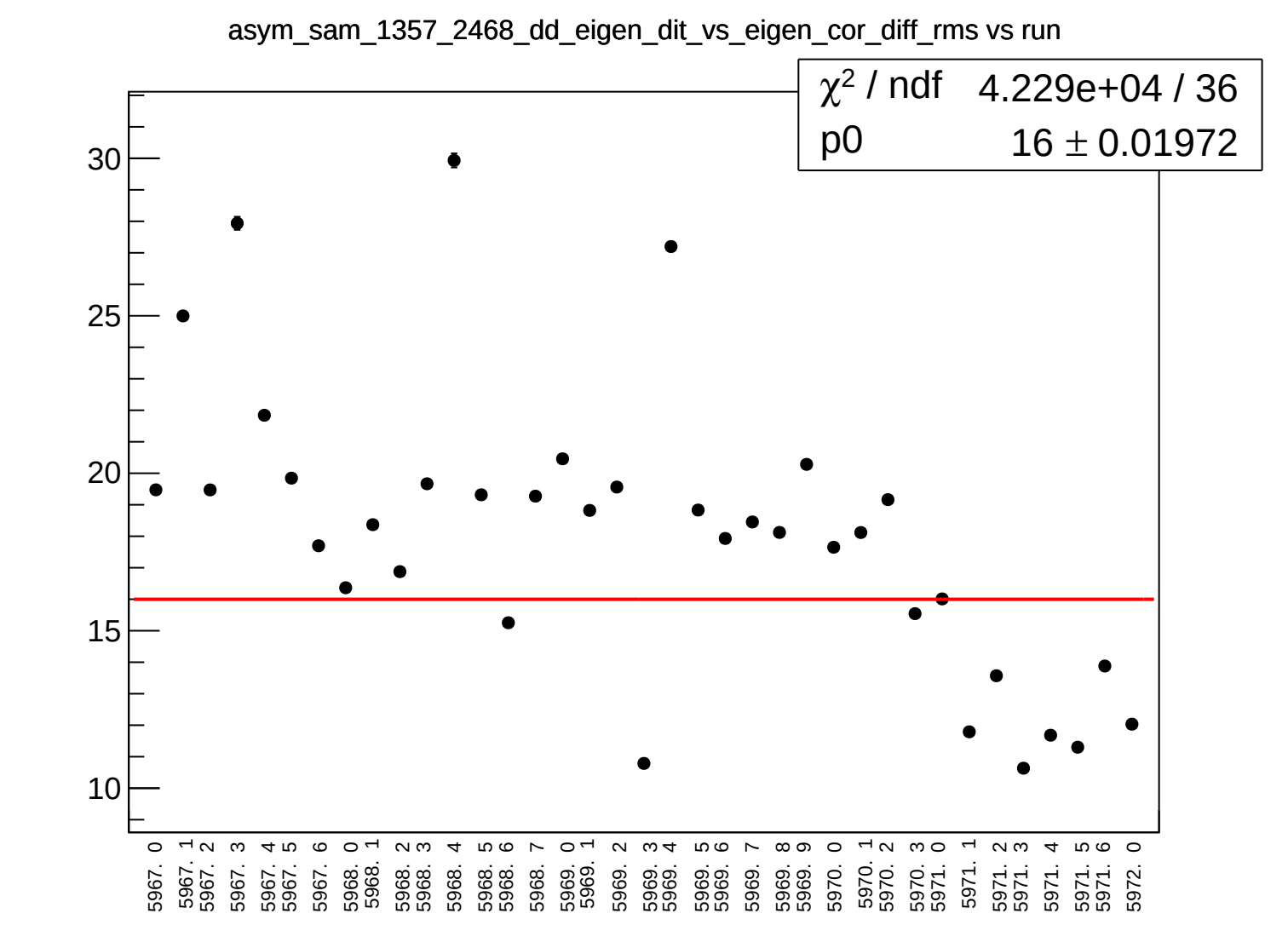
asym_sam_1357_2468_dd_eigen_dit_vs_eigen_cor_diff_rms vs run
χ² / ndf 4.229e+04 / 36
p0 16 ± 0.01972
30
25
20
15
10
5967. 0
5967. 1
5967. 2
5967. 3
5967. 4
5967. 5
5967. 6
5968. 0
5968. 1
5968. 2
5968. 3
5968. 4
5968. 5
5968. 6
5968. 7
5969. 0
5969. 1
5969. 2
5969. 3
5969. 4
5969. 5
5969. 6
5969. 7
5969. 8
5969. 9
5970. 0
5970. 1
5970. 2
5970. 3
5971. 0
5971. 1
5971. 2
5971. 3
5971. 4
5971. 5
5971. 6
5972. 0

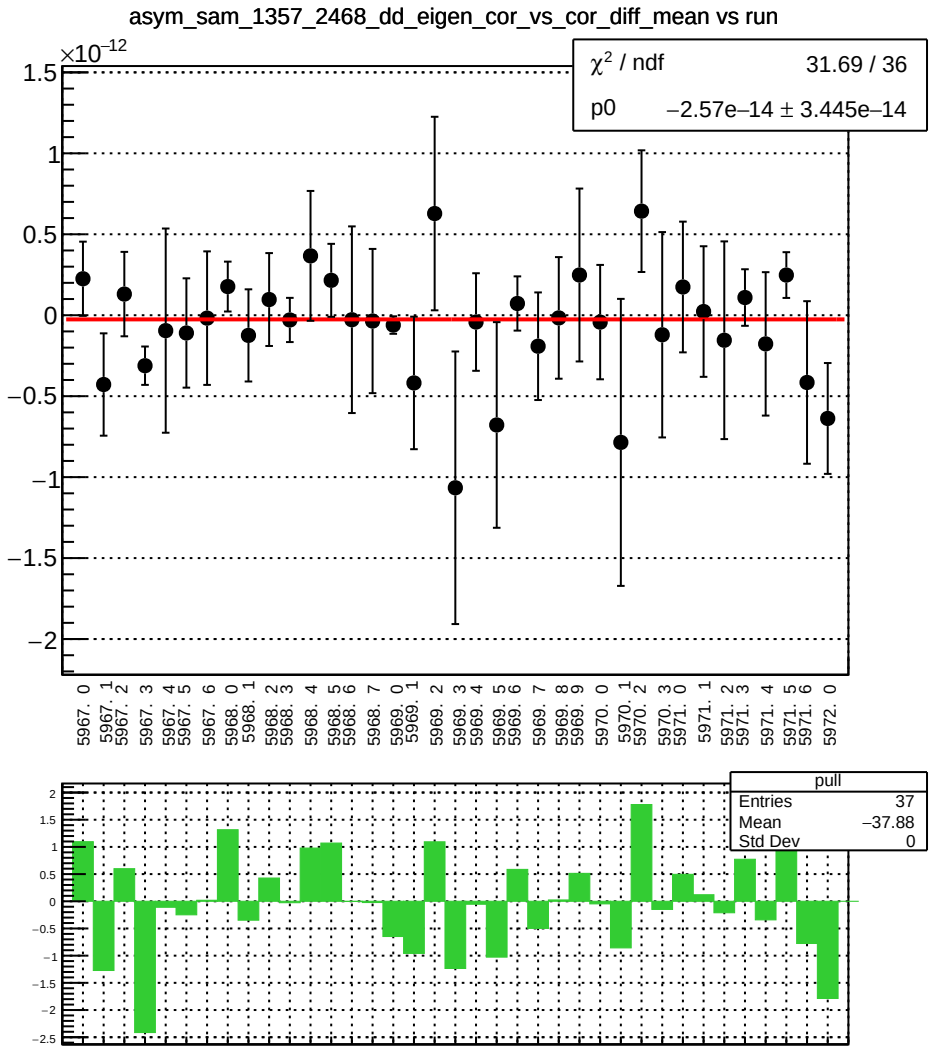
asym_sam_1357_2468_dd_eigen_cor_vs_cor_diff_mean vs run
×10⁻¹²
χ² / ndf 31.69 / 36
p0 −2.57e−14 ± 3.445e−14
pull
Entries 37
Mean −37.88
Std Dev 0

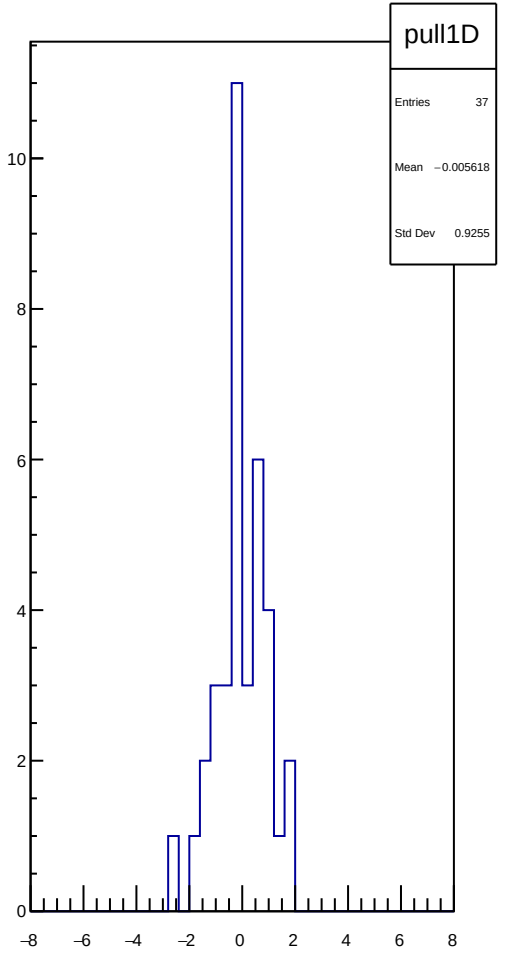
pull1D
Entries 37
Mean −0.005618
Std Dev 0.9255

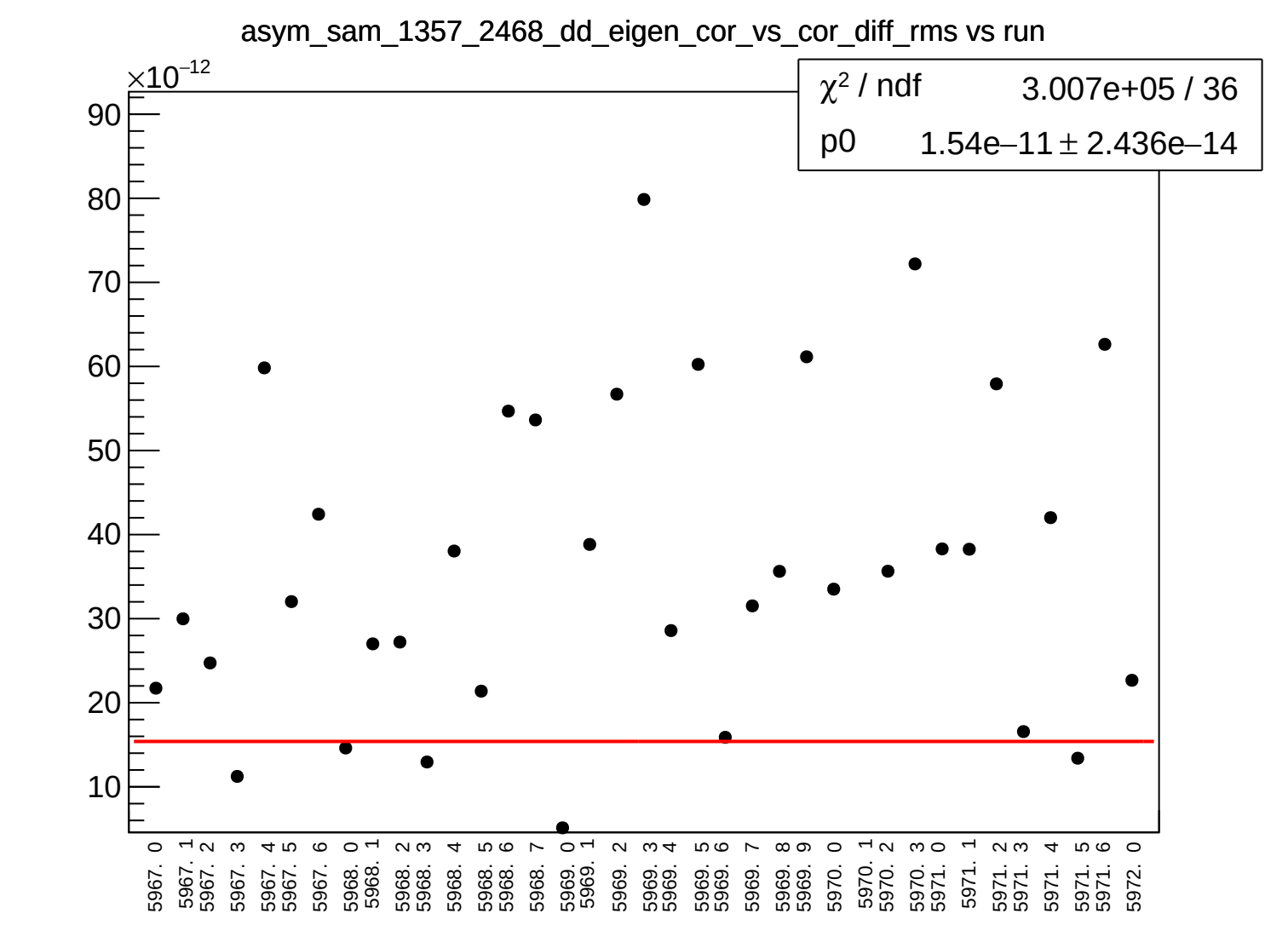
asym_sam_1357_2468_dd_eigen_cor_vs_cor_diff_rms vs run
×10⁻¹²
χ² / ndf 3.007e+05 / 36
p0 1.54e−11 ± 2.436e−14
90
80
70
60
50
40
30
20
10
5967. 0
5967. 1
5967. 2
5967. 3
5967. 4
5967. 5
5967. 6
5968. 0
5968. 1
5968. 2
5968. 3
5968. 4
5968. 5
5968. 6
5968. 7
5969. 0
5969. 1
5969. 2
5969. 3
5969. 4
5969. 5
5969. 6
5969. 7
5969. 8
5969. 9
5970. 0
5970. 1
5970. 2
5970. 3
5971. 0
5971. 1
5971. 2
5971. 3
5971. 4
5971. 5
5971. 6
5972. 0

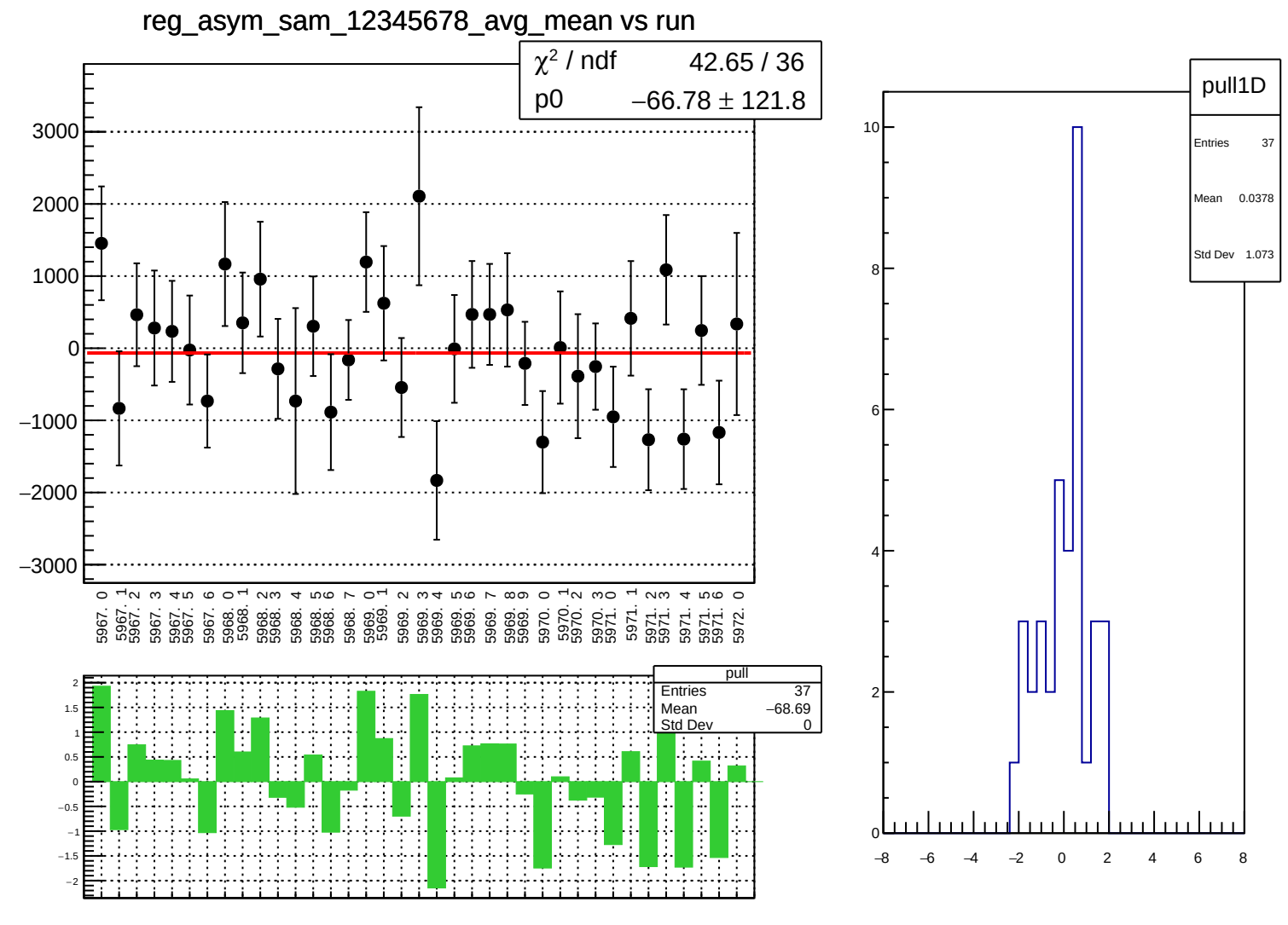
reg_asym_sam_12345678_avg_mean vs run
χ² / ndf 42.65 / 36
p0 −66.78 ± 121.8
3000
2000
1000
0
−1000
−2000
−3000
5967. 0
5967. 1
5967. 2
5967. 3
5967. 4
5967. 5
5967. 6
5968. 0
5968. 1
5968. 2
5968. 3
5968. 4
5968. 5
5968. 6
5968. 7
5969. 0
5969. 1
5969. 2
5969. 3
5969. 4
5969. 5
5969. 6
5969. 7
5969. 8
5969. 9
5970. 0
5970. 1
5970. 2
5970. 3
5971. 0
5971. 1
5971. 2
5971. 3
5971. 4
5971. 5
5971. 6
5972. 0
pull
Entries 37
Mean −68.69
Std Dev 0
2
1.5
1
0.5
0
−0.5
−1
−1.5
−2
pull1D
Entries 37
Mean 0.0378
Std Dev 1.073
10
8
6
4
2
0
−8
−6
−4
−2
0
2
4
6
8

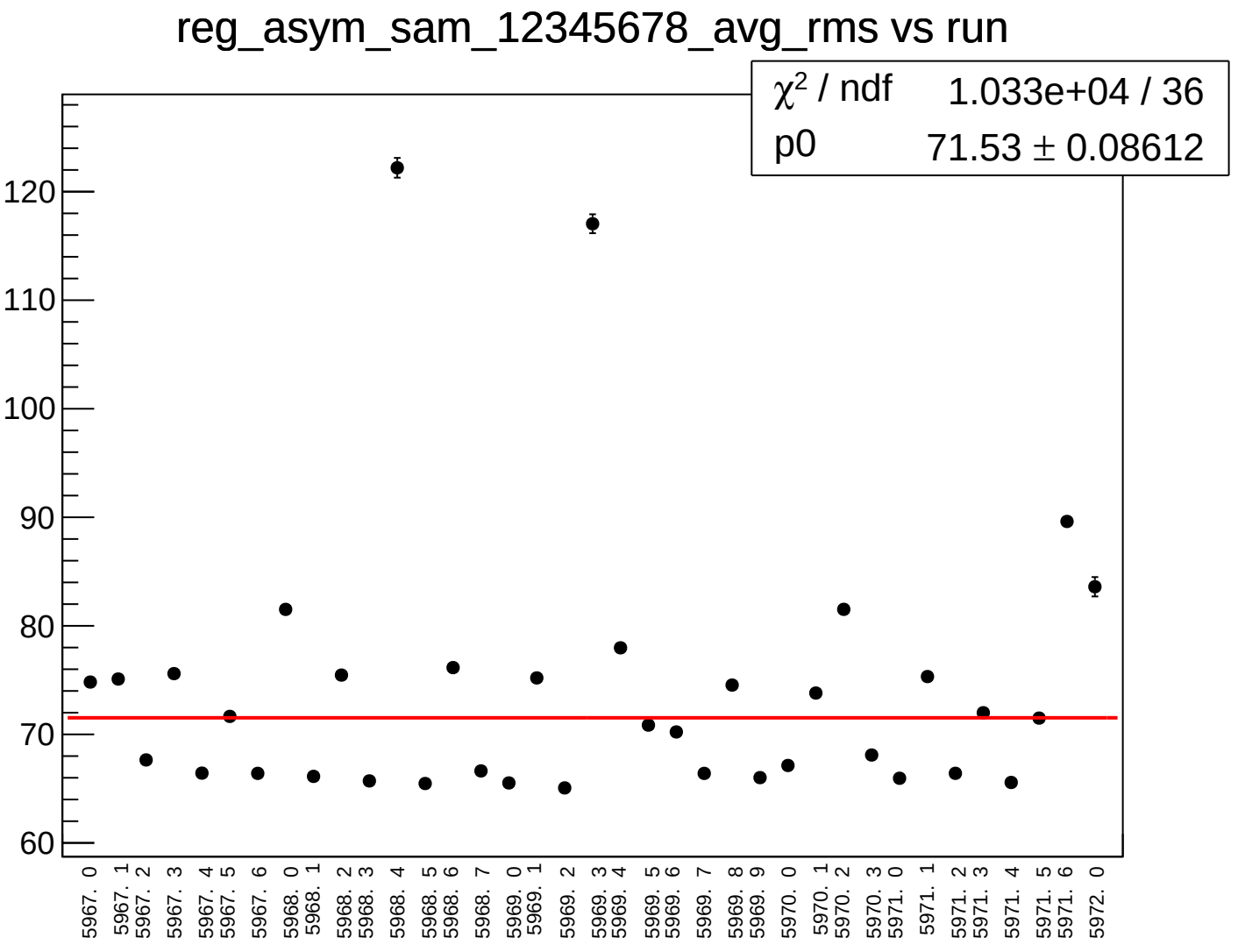
reg_asym_sam_12345678_avg_rms vs run
χ² / ndf 1.033e+04 / 36
p0 71.53 ± 0.08612
120
110
100
90
80
70
60
5967. 0
5967. 1
5967. 2
5967. 3
5967. 4
5967. 5
5967. 6
5968. 0
5968. 1
5968. 2
5968. 3
5968. 4
5968. 5
5968. 6
5968. 7
5969. 0
5969. 1
5969. 2
5969. 3
5969. 4
5969. 5
5969. 6
5969. 7
5969. 8
5969. 9
5970. 0
5970. 1
5970. 2
5970. 3
5971. 0
5971. 1
5971. 2
5971. 3
5971. 4
5971. 5
5971. 6
5972. 0

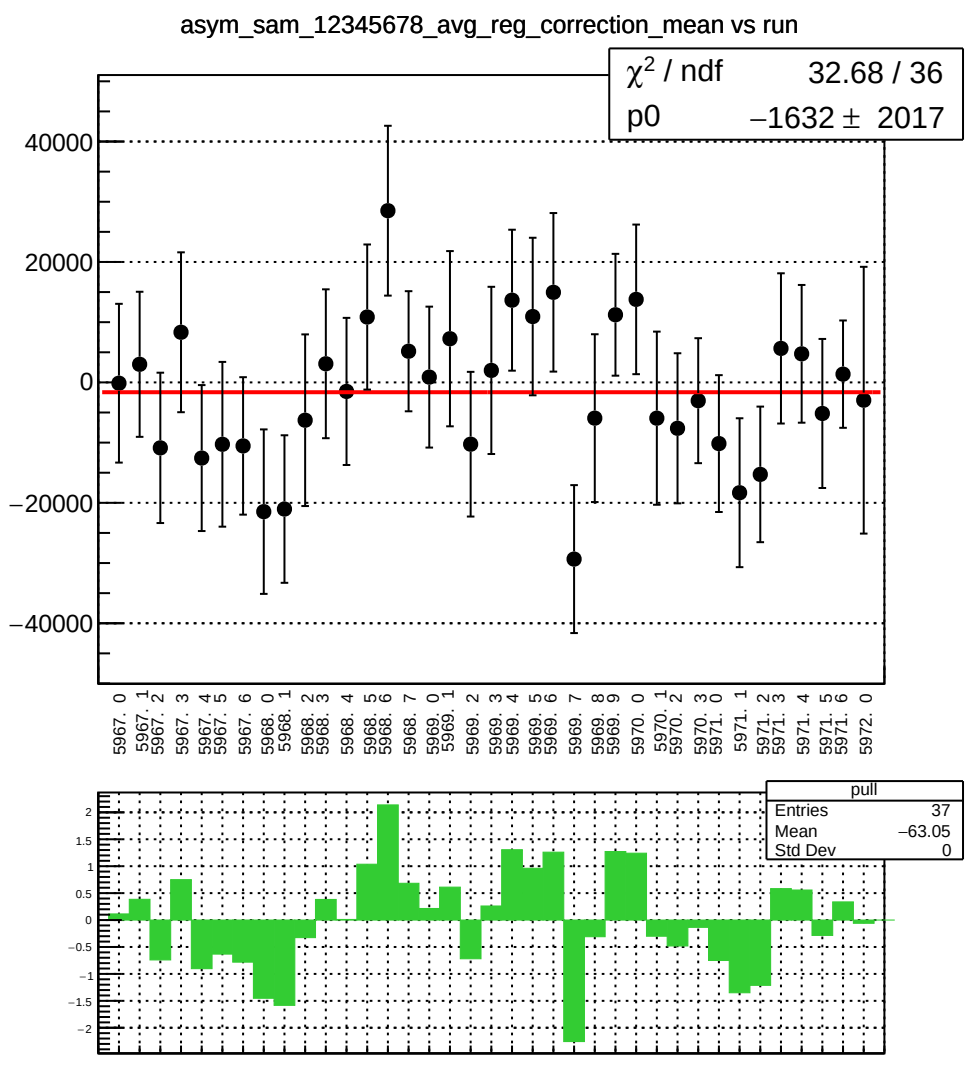
asym_sam_12345678_avg_reg_correction_mean vs run
χ² / ndf 32.68 / 36
p0 −1632 ± 2017
40000
20000
0
−20000
−40000
5967. 0
5967. 1
5967. 2
5967. 3
5967. 4
5967. 5
5967. 6
5968. 0
5968. 1
5968. 2
5968. 3
5968. 4
5968. 5
5968. 6
5968. 7
5969. 0
5969. 1
5969. 2
5969. 3
5969. 4
5969. 5
5969. 6
5969. 7
5969. 8
5969. 9
5970. 0
5970. 1
5970. 2
5970. 3
5971. 0
5971. 1
5971. 2
5971. 3
5971. 4
5971. 5
5971. 6
5972. 0
pull
Entries 37
Mean −63.05
Std Dev 0
2
1.5
1
0.5
0
−0.5
−1
−1.5
−2

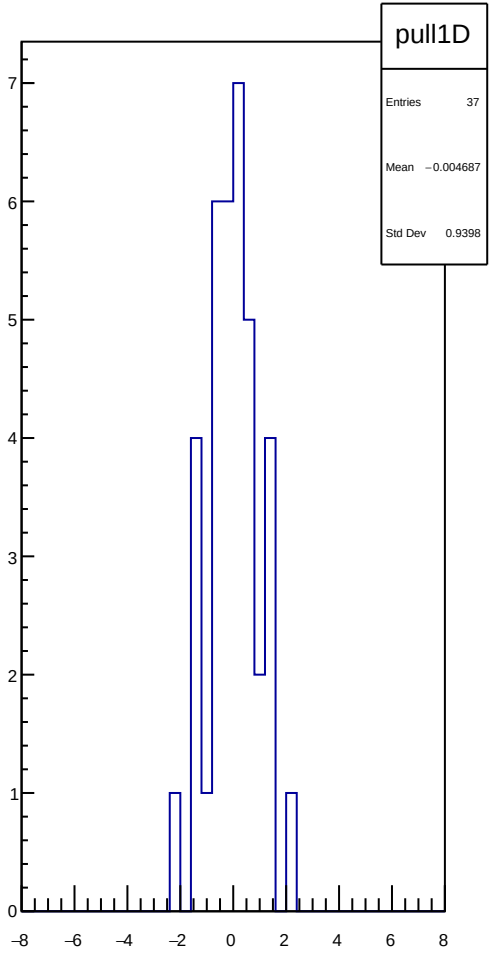
pull1D
Entries 37
Mean −0.004687
Std Dev 0.9398
7
6
5
4
3
2
1
0
−8
−6
−4
−2
0
2
4
6
8

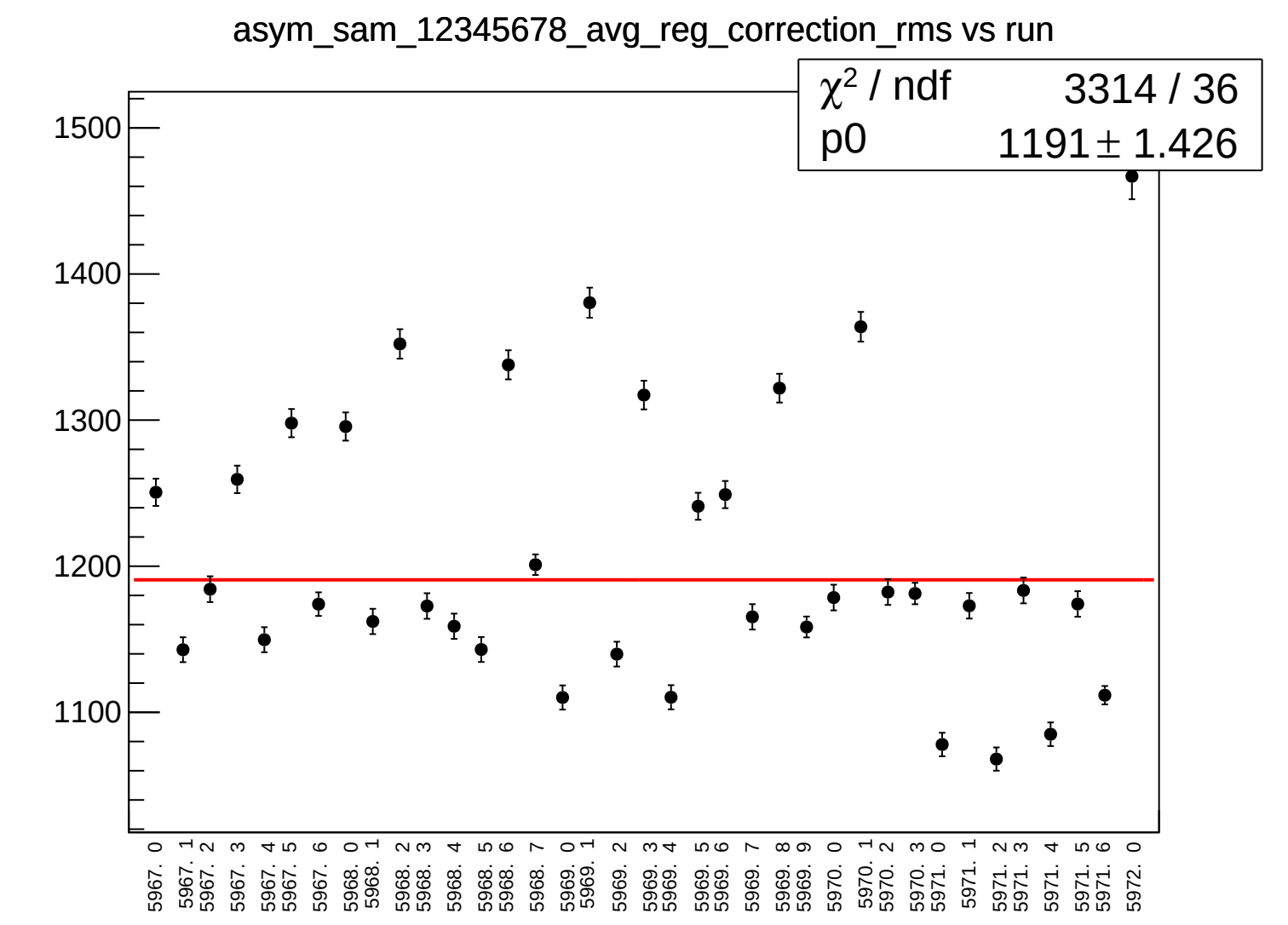
asym_sam_12345678_avg_reg_correction_rms vs run
χ² / ndf 3314 / 36
p0 1191 ± 1.426
1500
1400
1300
1200
1100
5967. 0
5967. 1
5967. 2
5967. 3
5967. 4
5967. 5
5967. 6
5968. 0
5968. 1
5968. 2
5968. 3
5968. 4
5968. 5
5968. 6
5968. 7
5969. 0
5969. 1
5969. 2
5969. 3
5969. 4
5969. 5
5969. 6
5969. 7
5969. 8
5969. 9
5970. 0
5970. 1
5970. 2
5970. 3
5971. 0
5971. 1
5971. 2
5971. 3
5971. 4
5971. 5
5971. 6
5972. 0

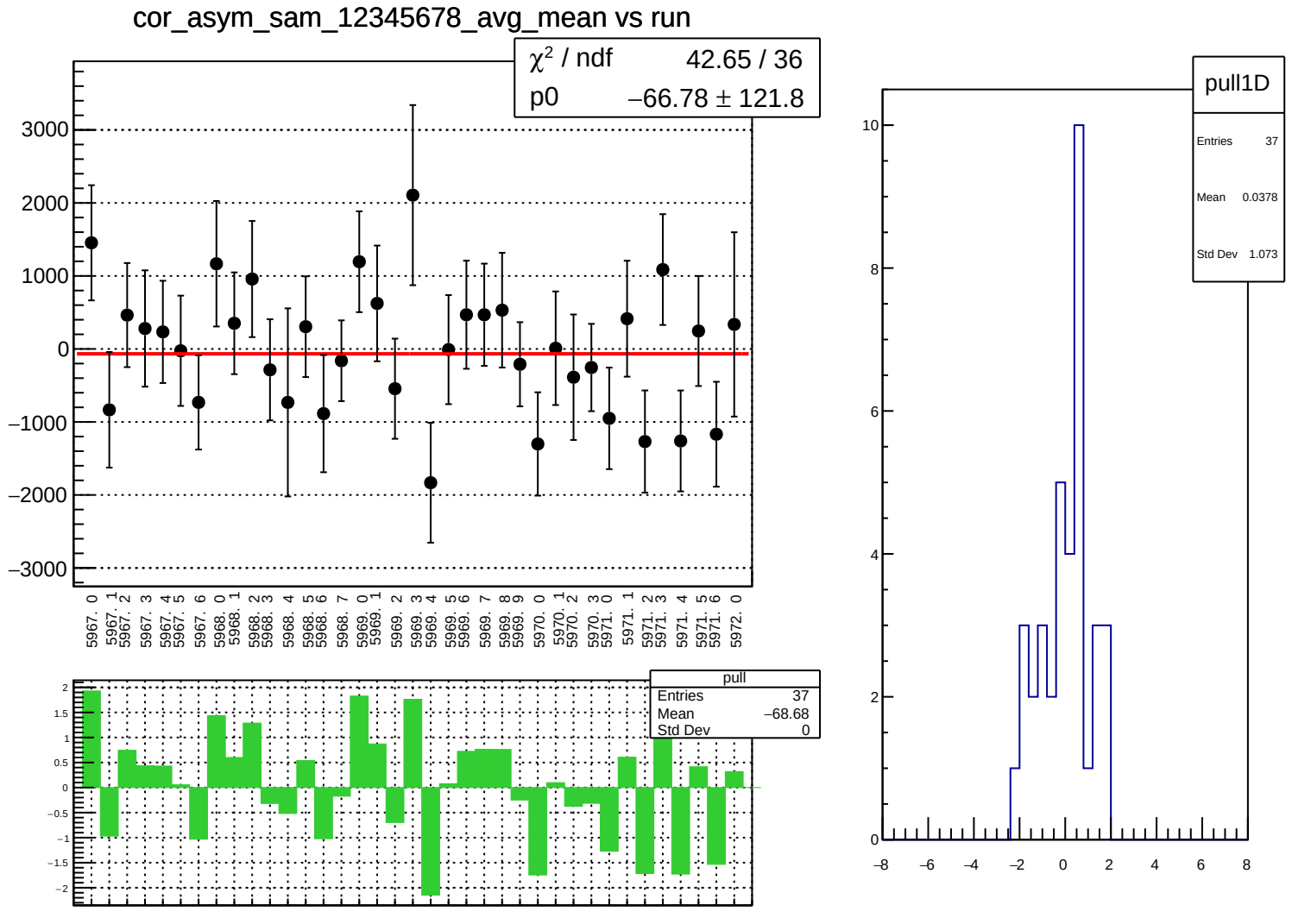
cor_asym_sam_12345678_avg_mean vs run
χ² / ndf 42.65 / 36
p0 −66.78 ± 121.8
3000
2000
1000
0
−1000
−2000
−3000
5967. 0
5967. 1
5967. 2
5967. 3
5967. 4
5967. 5
5967. 6
5968. 0
5968. 1
5968. 2
5968. 3
5968. 4
5968. 5
5968. 6
5968. 7
5969. 0
5969. 1
5969. 2
5969. 3
5969. 4
5969. 5
5969. 6
5969. 7
5969. 8
5969. 9
5970. 0
5970. 1
5970. 2
5970. 3
5971. 0
5971. 1
5971. 2
5971. 3
5971. 4
5971. 5
5971. 6
5972. 0
pull
Entries 37
Mean −68.68
Std Dev 0
2
1.5
1
0.5
0
−0.5
−1
−1.5
−2
pull1D
Entries 37
Mean 0.0378
Std Dev 1.073
10
8
6
4
2
0
−8
−6
−4
−2
0
2
4
6
8

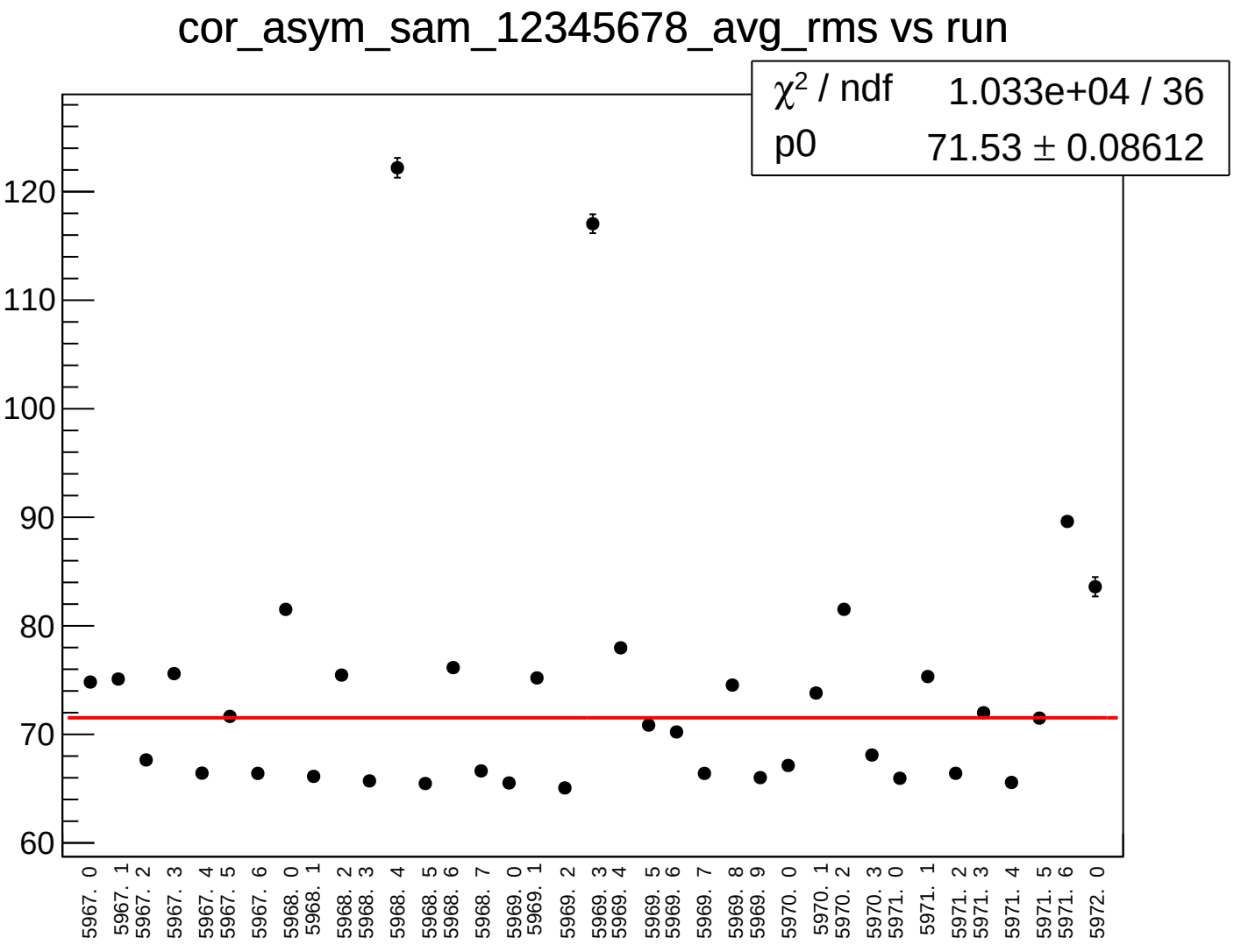
cor_asym_sam_12345678_avg_rms vs run
χ² / ndf 1.033e+04 / 36
p0 71.53 ± 0.08612
120
110
100
90
80
70
60
5967. 0
5967. 1
5967. 2
5967. 3
5967. 4
5967. 5
5967. 6
5968. 0
5968. 1
5968. 2
5968. 3
5968. 4
5968. 5
5968. 6
5968. 7
5969. 0
5969. 1
5969. 2
5969. 3
5969. 4
5969. 5
5969. 6
5969. 7
5969. 8
5969. 9
5970. 0
5970. 1
5970. 2
5970. 3
5971. 0
5971. 1
5971. 2
5971. 3
5971. 4
5971. 5
5971. 6
5972. 0

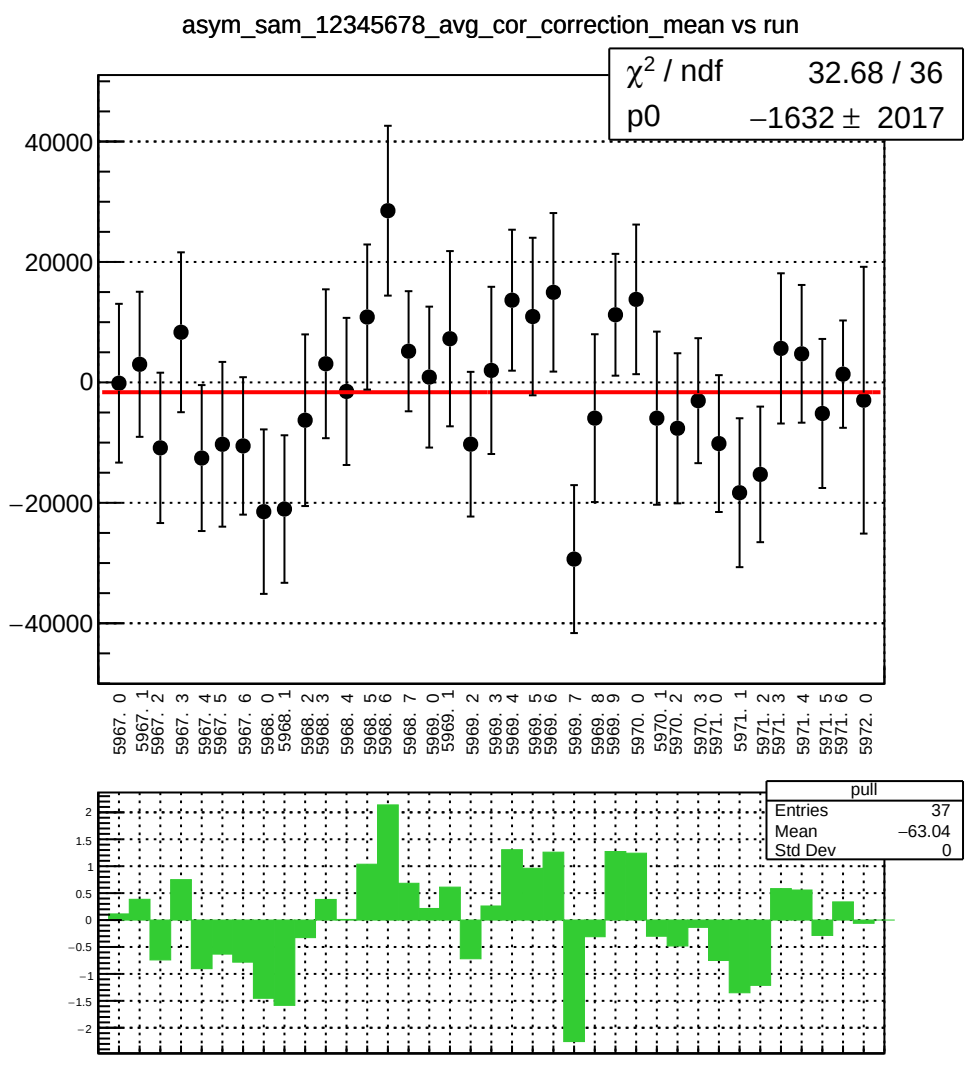
asym_sam_12345678_avg_cor_correction_mean vs run
χ² / ndf 32.68 / 36
p0 −1632 ± 2017
40000
20000
0
−20000
−40000
5967. 0
5967. 1
5967. 2
5967. 3
5967. 4
5967. 5
5967. 6
5968. 0
5968. 1
5968. 2
5968. 3
5968. 4
5968. 5
5968. 6
5968. 7
5969. 0
5969. 1
5969. 2
5969. 3
5969. 4
5969. 5
5969. 6
5969. 7
5969. 8
5969. 9
5970. 0
5970. 1
5970. 2
5970. 3
5971. 0
5971. 1
5971. 2
5971. 3
5971. 4
5971. 5
5971. 6
5972. 0
pull
Entries 37
Mean −63.04
Std Dev 0
2
1.5
1
0.5
0
−0.5
−1
−1.5
−2
pull1D
Entries 37
Mean −0.004688
Std Dev 0.9398
7
6
5
4
3
2
1
0
−8
−6
−4
−2
0
2
4
6
8

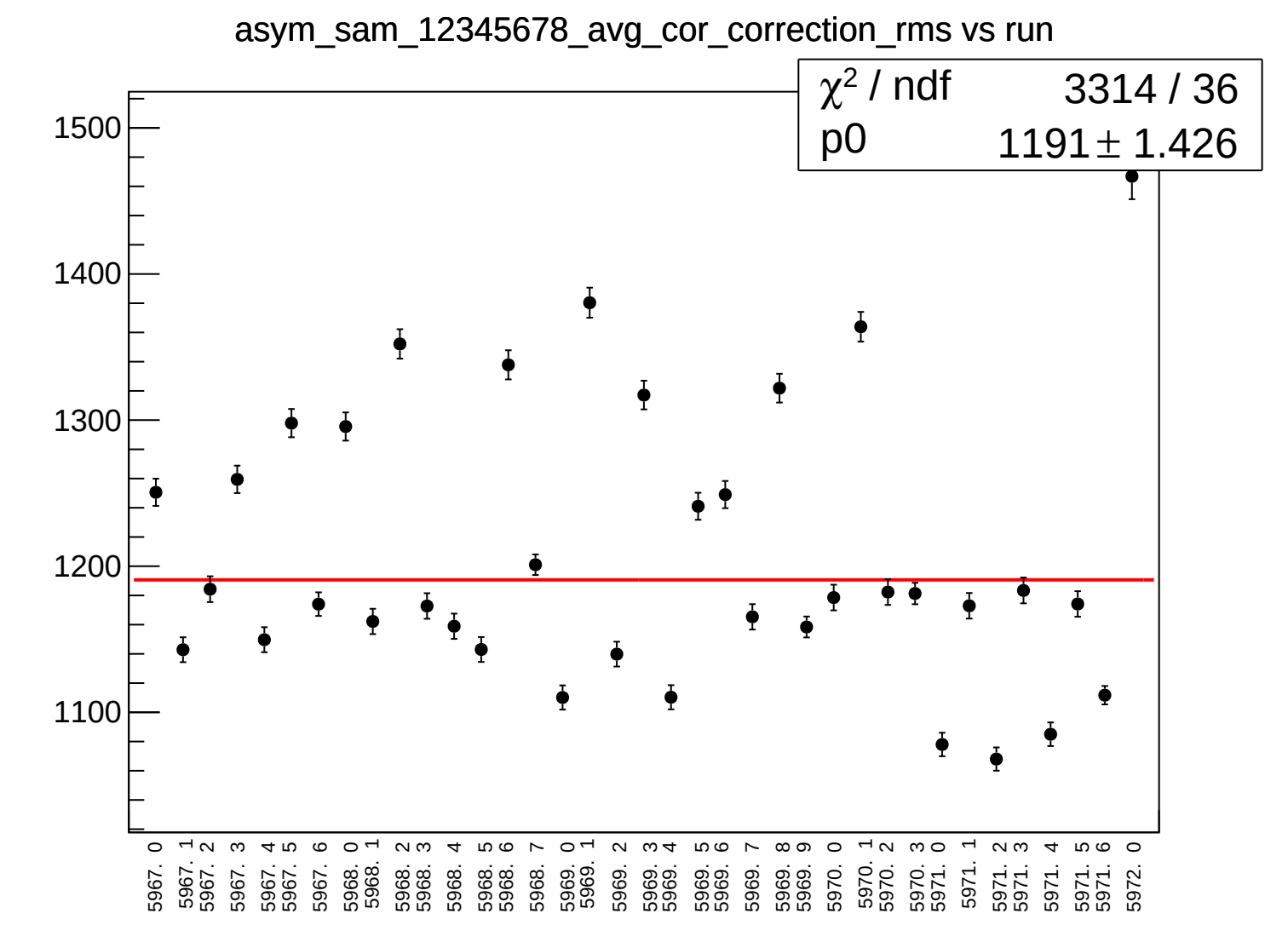
asym_sam_12345678_avg_cor_correction_rms vs run
χ² / ndf 3314 / 36
p0 1191 ± 1.426
1500
1400
1300
1200
1100
5967. 0
5967. 1
5967. 2
5967. 3
5967. 4
5967. 5
5967. 6
5968. 0
5968. 1
5968. 2
5968. 3
5968. 4
5968. 5
5968. 6
5968. 7
5969. 0
5969. 1
5969. 2
5969. 3
5969. 4
5969. 5
5969. 6
5969. 7
5969. 8
5969. 9
5970. 0
5970. 1
5970. 2
5970. 3
5971. 0
5971. 1
5971. 2
5971. 3
5971. 4
5971. 5
5971. 6
5972. 0

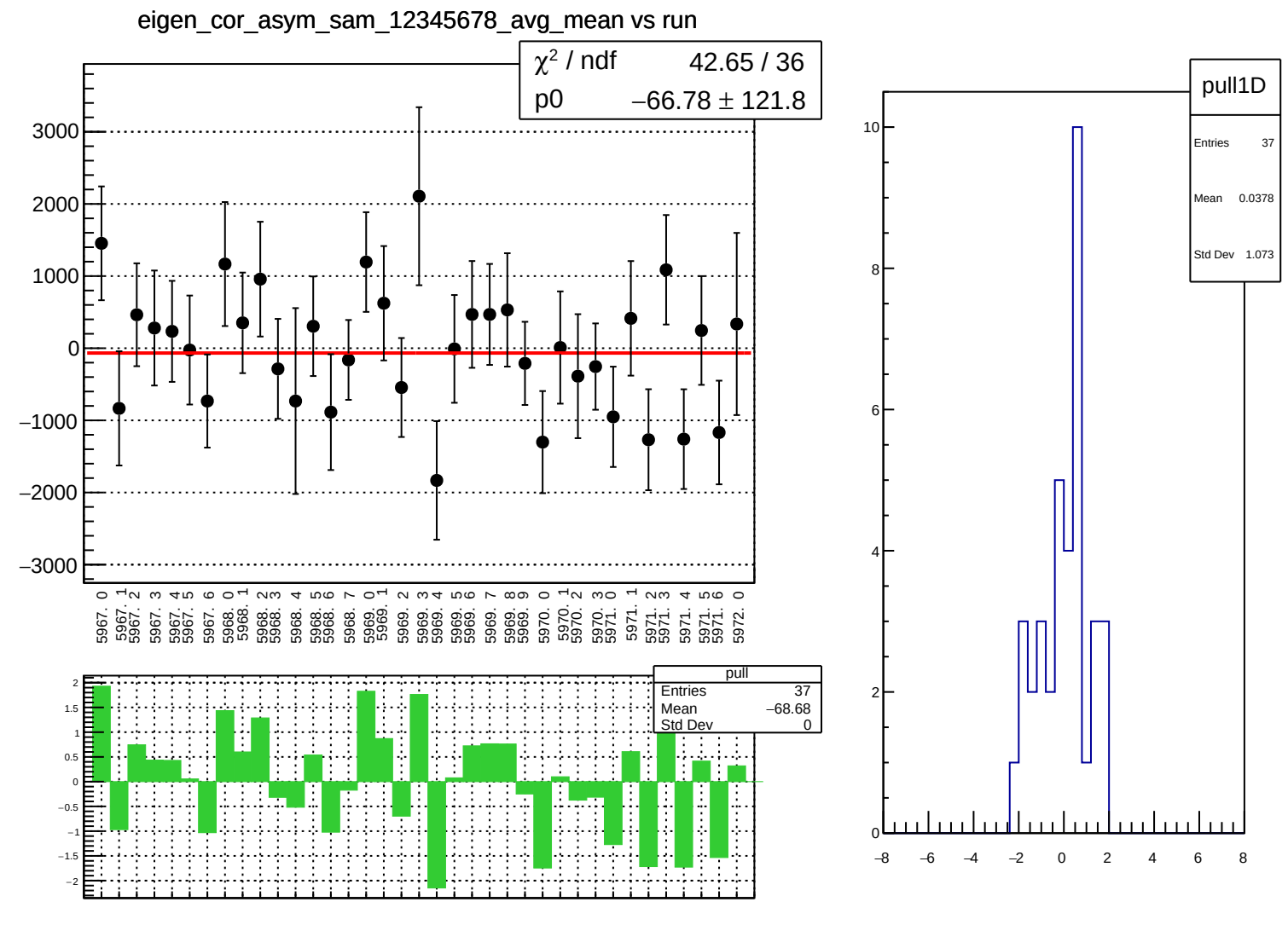
eigen_cor_asym_sam_12345678_avg_mean vs run
χ² / ndf 42.65 / 36
p0 −66.78 ± 121.8
3000
2000
1000
0
−1000
−2000
−3000
5967. 0
5967. 1
5967. 2
5967. 3
5967. 4
5967. 5
5967. 6
5968. 0
5968. 1
5968. 2
5968. 3
5968. 4
5968. 5
5968. 6
5968. 7
5969. 0
5969. 1
5969. 2
5969. 3
5969. 4
5969. 5
5969. 6
5969. 7
5969. 8
5969. 9
5970. 0
5970. 1
5970. 2
5970. 3
5971. 0
5971. 1
5971. 2
5971. 3
5971. 4
5971. 5
5971. 6
5972. 0
pull
Entries 37
Mean −68.68
Std Dev 0
2
1.5
1
0.5
0
−0.5
−1
−1.5
−2
pull1D
Entries 37
Mean 0.0378
Std Dev 1.073
10
8
6
4
2
0
−8
−6
−4
−2
0
2
4
6
8

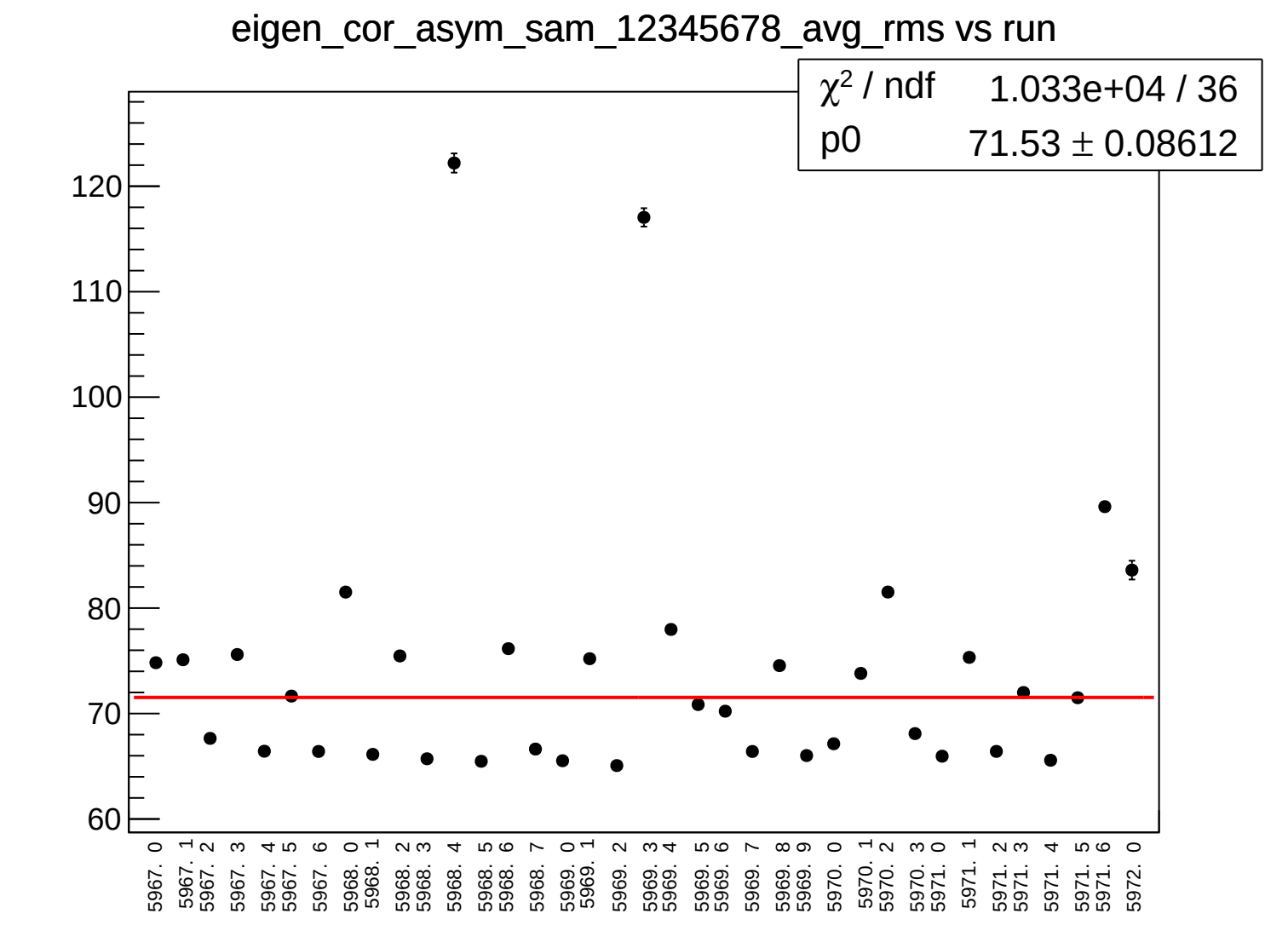
eigen_cor_asym_sam_12345678_avg_rms vs run
χ² / ndf 1.033e+04 / 36
p0 71.53 ± 0.08612
120
110
100
90
80
70
60
5967. 0
5967. 1
5967. 2
5967. 3
5967. 4
5967. 5
5967. 6
5968. 0
5968. 1
5968. 2
5968. 3
5968. 4
5968. 5
5968. 6
5968. 7
5969. 0
5969. 1
5969. 2
5969. 3
5969. 4
5969. 5
5969. 6
5969. 7
5969. 8
5969. 9
5970. 0
5970. 1
5970. 2
5970. 3
5971. 0
5971. 1
5971. 2
5971. 3
5971. 4
5971. 5
5971. 6
5972. 0

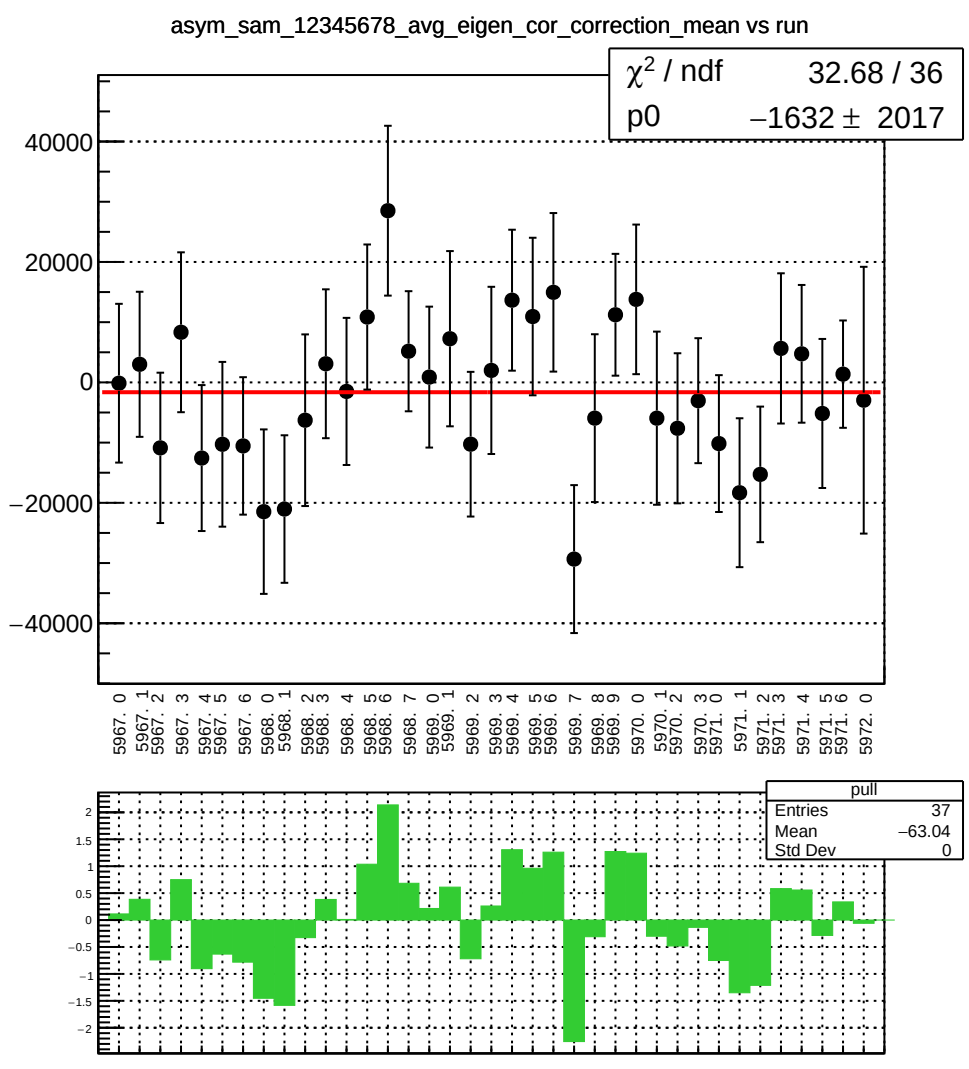
asym_sam_12345678_avg_eigen_cor_correction_mean vs run
χ² / ndf 32.68 / 36
p0 −1632 ± 2017
40000
20000
0
−20000
−40000
5967. 0
5967. 1
5967. 2
5967. 3
5967. 4
5967. 5
5967. 6
5968. 0
5968. 1
5968. 2
5968. 3
5968. 4
5968. 5
5968. 6
5968. 7
5969. 0
5969. 1
5969. 2
5969. 3
5969. 4
5969. 5
5969. 6
5969. 7
5969. 8
5969. 9
5970. 0
5970. 1
5970. 2
5970. 3
5971. 0
5971. 1
5971. 2
5971. 3
5971. 4
5971. 5
5971. 6
5972. 0
pull
Entries 37
Mean −63.04
Std Dev 0
2
1.5
1
0.5
0
−0.5
−1
−1.5
−2

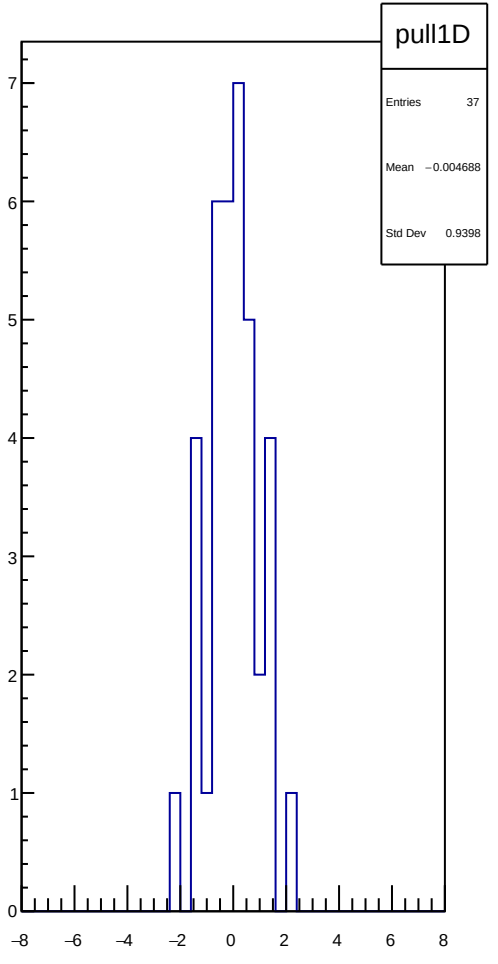
pull1D
Entries 37
Mean −0.004688
Std Dev 0.9398
7
6
5
4
3
2
1
0
−8
−6
−4
−2
0
2
4
6
8

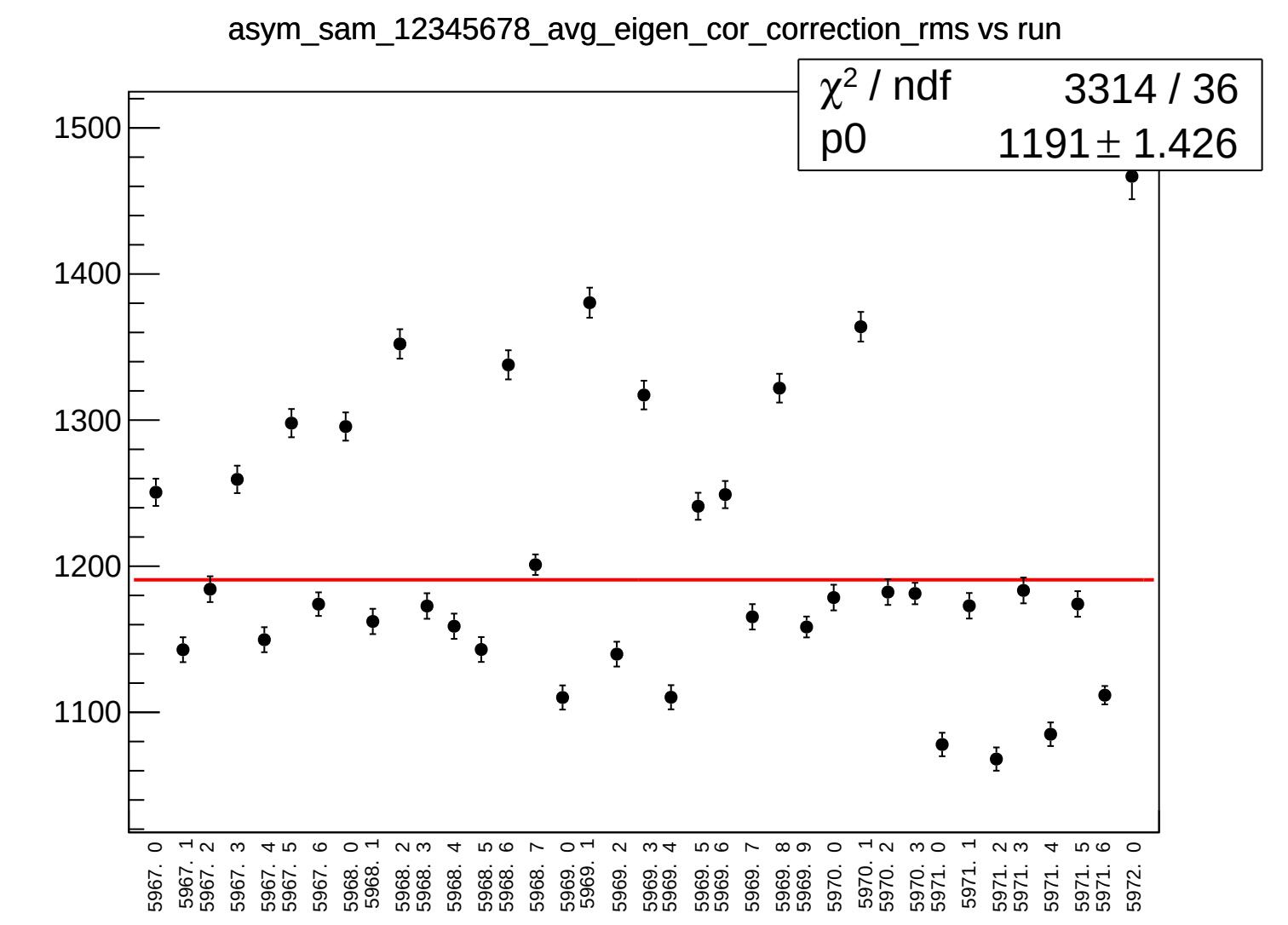
asym_sam_12345678_avg_eigen_cor_correction_rms vs run
χ² / ndf 3314 / 36
p0 1191 ± 1.426
1500
1400
1300
1200
1100
5967. 0
5967. 1
5967. 2
5967. 3
5967. 4
5967. 5
5967. 6
5968. 0
5968. 1
5968. 2
5968. 3
5968. 4
5968. 5
5968. 6
5968. 7
5969. 0
5969. 1
5969. 2
5969. 3
5969. 4
5969. 5
5969. 6
5969. 7
5969. 8
5969. 9
5970. 0
5970. 1
5970. 2
5970. 3
5971. 0
5971. 1
5971. 2
5971. 3
5971. 4
5971. 5
5971. 6
5972. 0

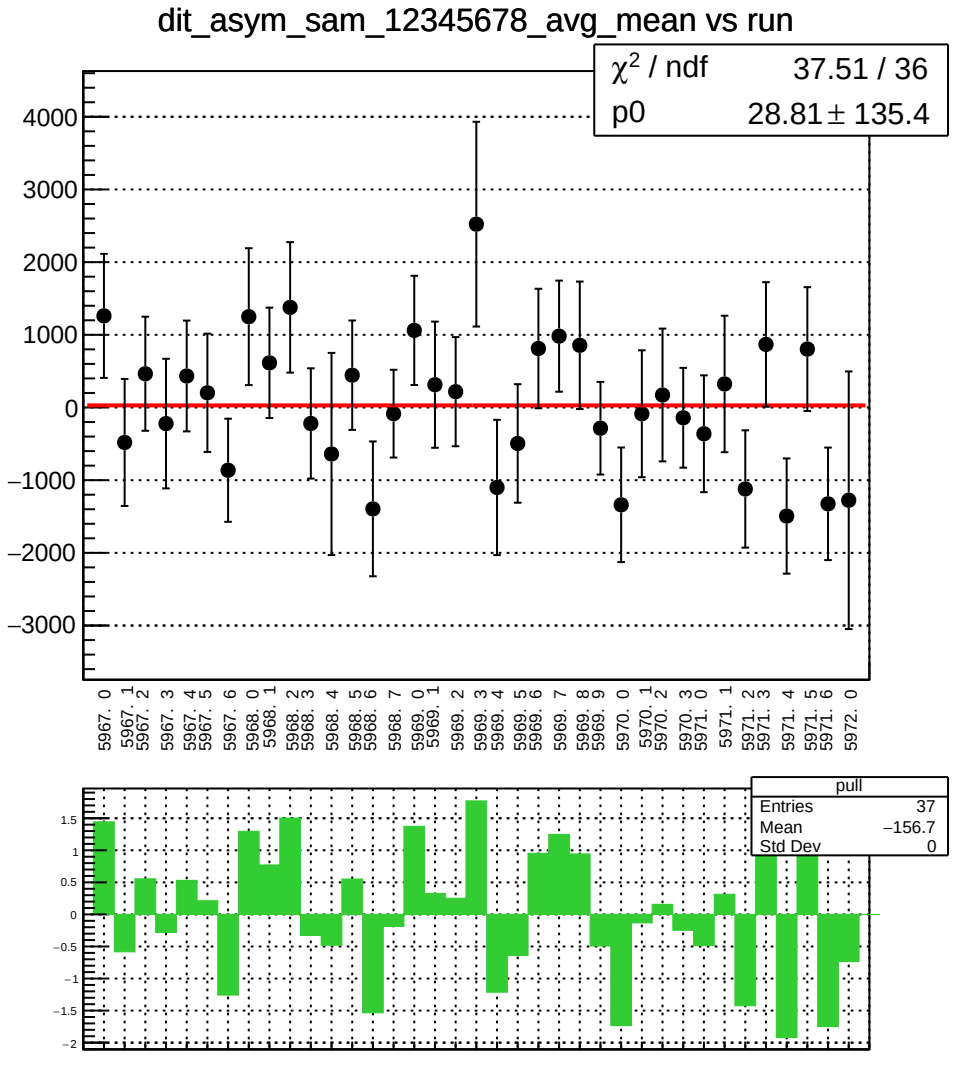
dit_asym_sam_12345678_avg_mean vs run
χ² / ndf 37.51 / 36
p0 28.81 ± 135.4
4000
3000
2000
1000
0
−1000
−2000
−3000
5967. 0
5967. 1
5967. 2
5967. 3
5967. 4
5967. 5
5967. 6
5968. 0
5968. 1
5968. 2
5968. 3
5968. 4
5968. 5
5968. 6
5968. 7
5969. 0
5969. 1
5969. 2
5969. 3
5969. 4
5969. 5
5969. 6
5969. 7
5969. 8
5969. 9
5970. 0
5970. 1
5970. 2
5970. 3
5971. 0
5971. 1
5971. 2
5971. 3
5971. 4
5971. 5
5971. 6
5972. 0
pull
Entries 37
Mean −156.7
Std Dev 0
1.5
1
0.5
0
−0.5
−1
−1.5
−2

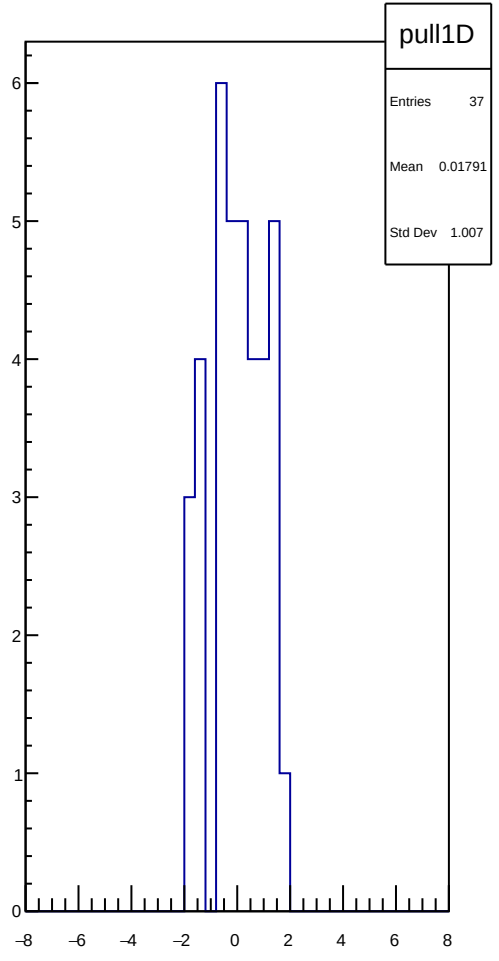
pull1D
Entries 37
Mean 0.01791
Std Dev 1.007
6
5
4
3
2
1
0
−8
−6
−4
−2
0
2
4
6
8

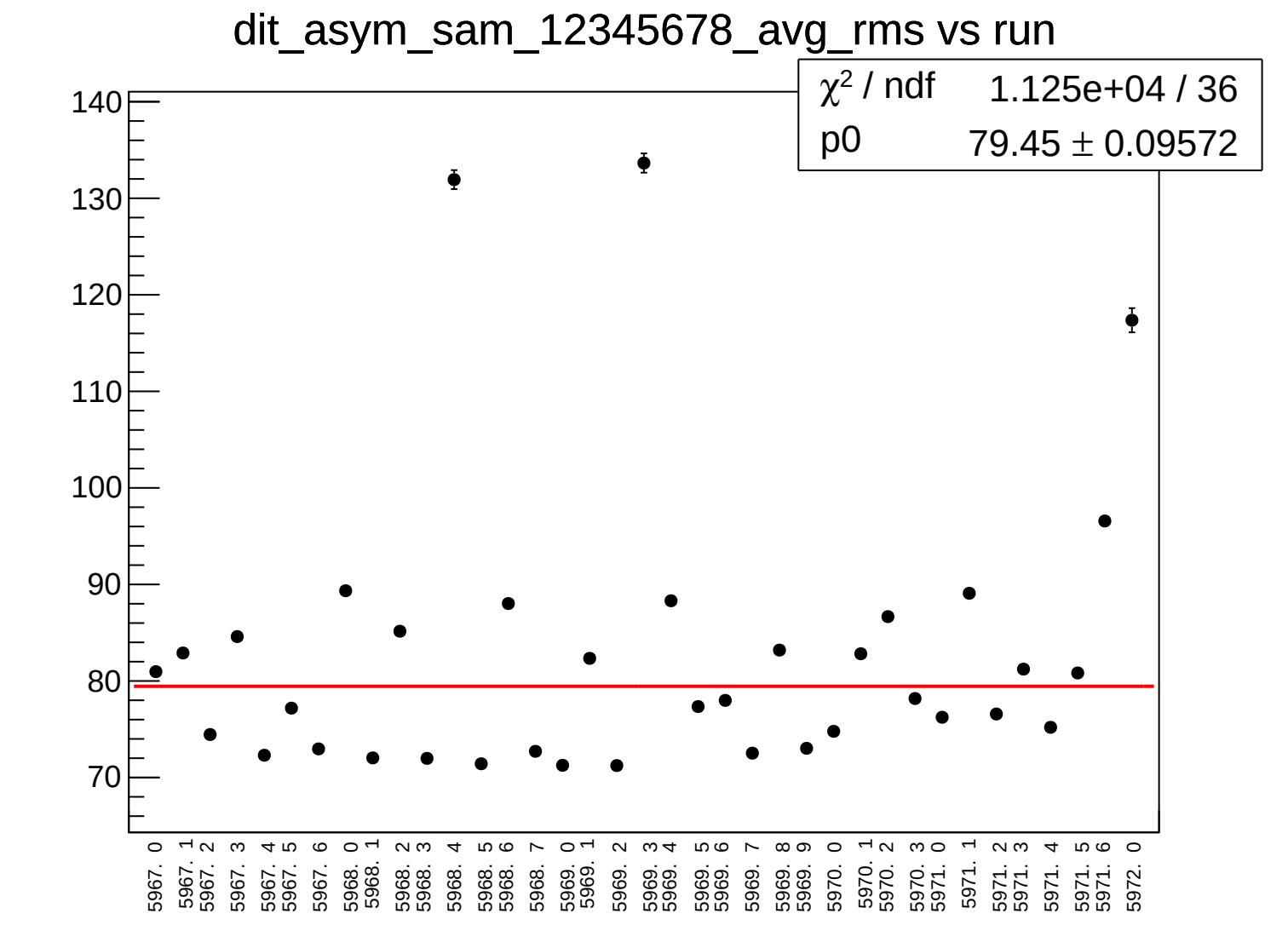
dit_asym_sam_12345678_avg_rms vs run
χ² / ndf 1.125e+04 / 36
p0 79.45 ± 0.09572
140
130
120
110
100
90
80
70
5967. 0
5967. 1
5967. 2
5967. 3
5967. 4
5967. 5
5967. 6
5968. 0
5968. 1
5968. 2
5968. 3
5968. 4
5968. 5
5968. 6
5968. 7
5969. 0
5969. 1
5969. 2
5969. 3
5969. 4
5969. 5
5969. 6
5969. 7
5969. 8
5969. 9
5970. 0
5970. 1
5970. 2
5970. 3
5971. 0
5971. 1
5971. 2
5971. 3
5971. 4
5971. 5
5971. 6
5972. 0

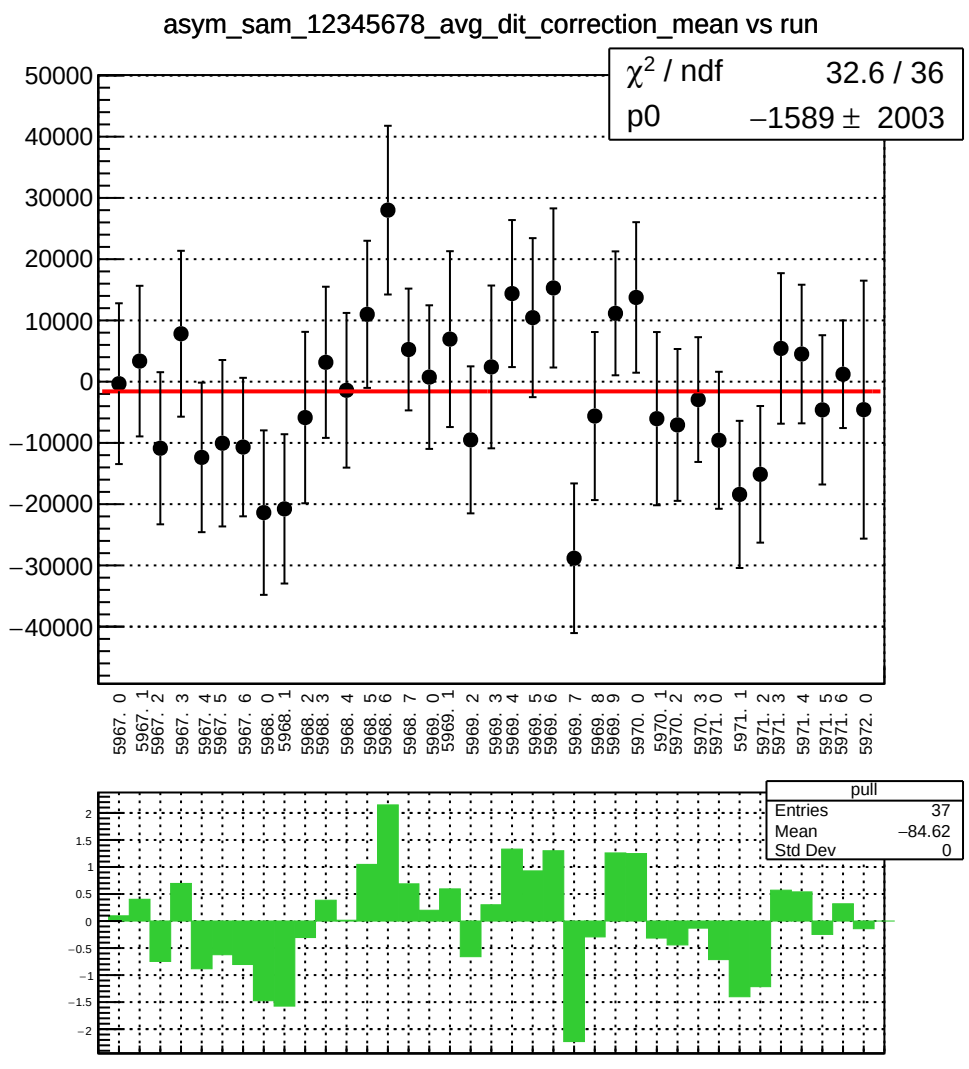
asym_sam_12345678_avg_dit_correction_mean vs run
χ² / ndf 32.6 / 36
p0 −1589 ± 2003
pull
Entries 37
Mean −84.62
Std Dev 0

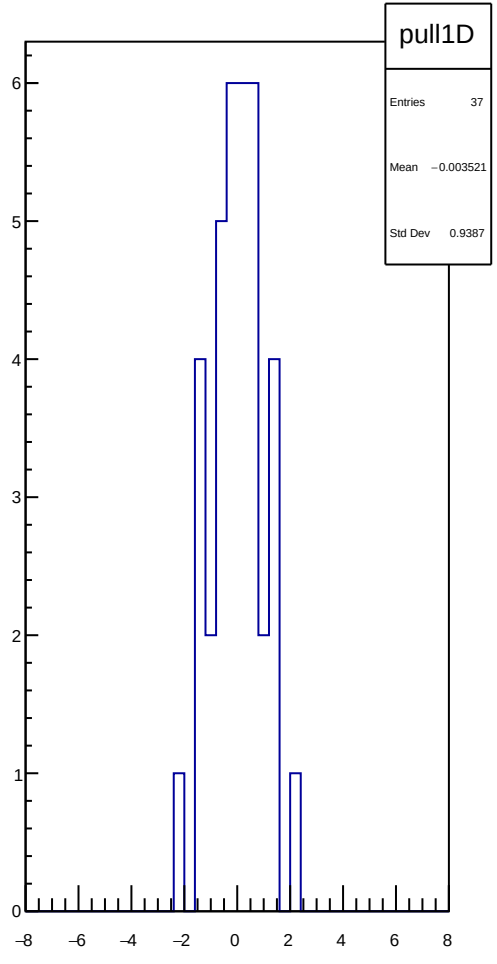
pull1D
Entries 37
Mean −0.003521
Std Dev 0.9387

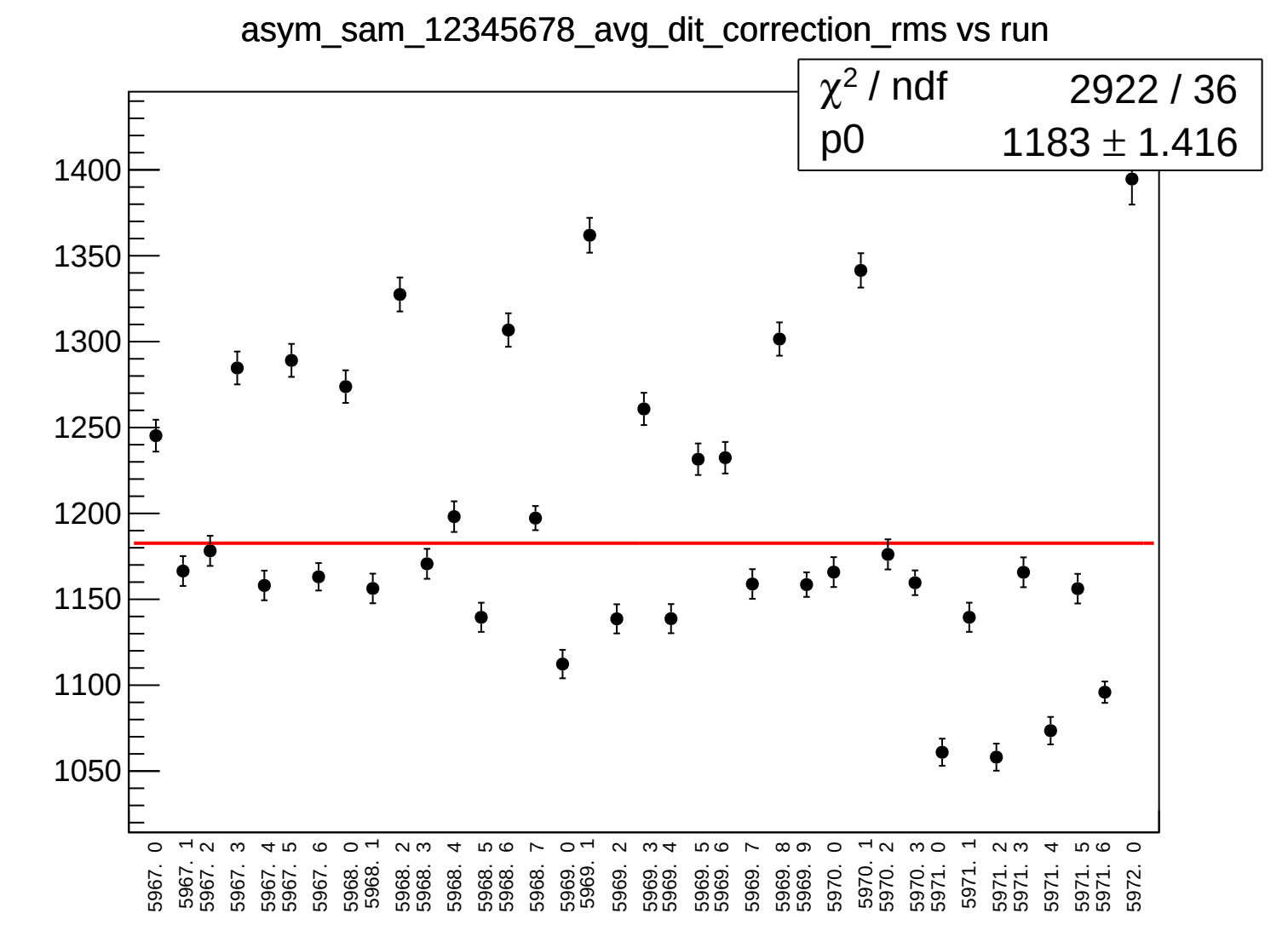
asym_sam_12345678_avg_dit_correction_rms vs run
χ² / ndf 2922 / 36
p0 1183 ± 1.416
1400
1350
1300
1250
1200
1150
1100
1050
5967. 0
5967. 1
5967. 2
5967. 3
5967. 4
5967. 5
5967. 6
5968. 0
5968. 1
5968. 2
5968. 3
5968. 4
5968. 5
5968. 6
5968. 7
5969. 0
5969. 1
5969. 2
5969. 3
5969. 4
5969. 5
5969. 6
5969. 7
5969. 8
5969. 9
5970. 0
5970. 1
5970. 2
5970. 3
5971. 0
5971. 1
5971. 2
5971. 3
5971. 4
5971. 5
5971. 6
5972. 0

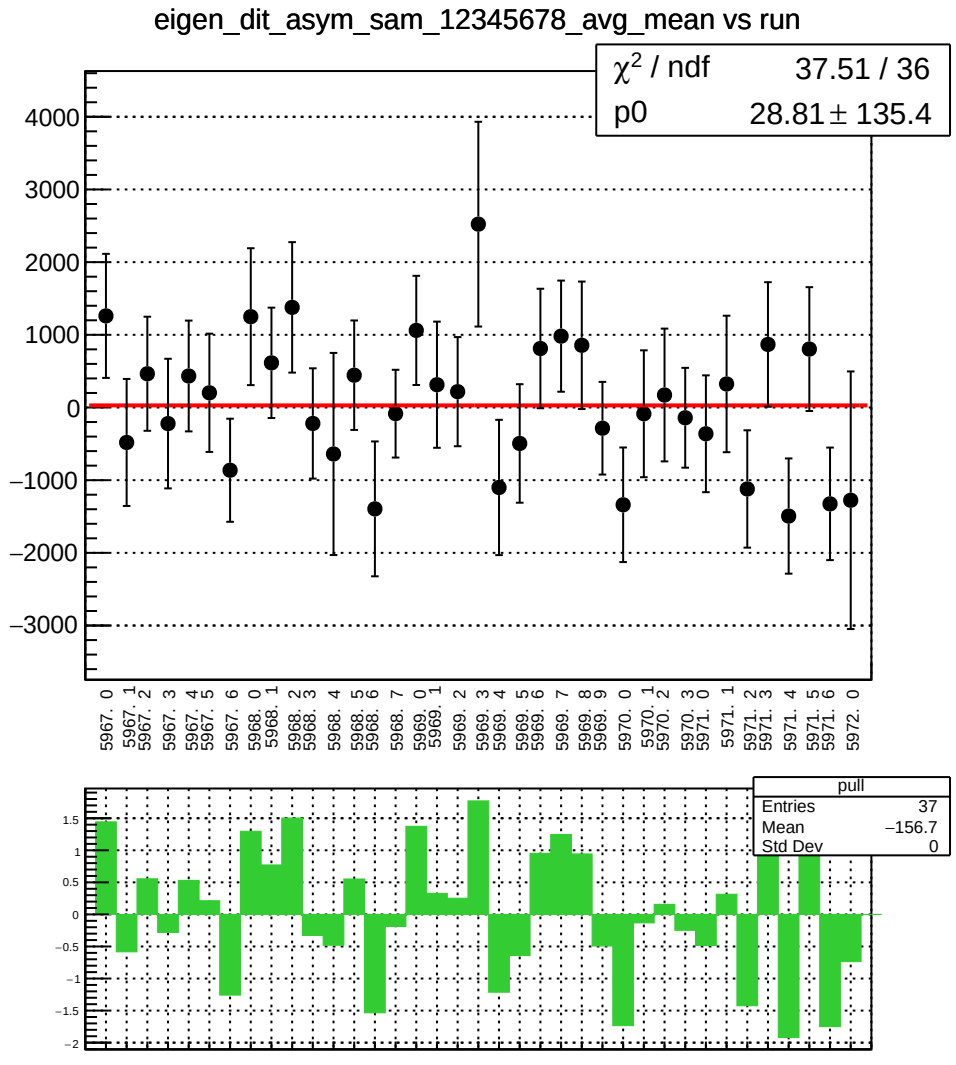
eigen_dit_asym_sam_12345678_avg_mean vs run
χ² / ndf 37.51 / 36
p0 28.81 ± 135.4
4000
3000
2000
1000
0
−1000
−2000
−3000
5967. 0
5967. 1
5967. 2
5967. 3
5967. 4
5967. 5
5967. 6
5968. 0
5968. 1
5968. 2
5968. 3
5968. 4
5968. 5
5968. 6
5968. 7
5969. 0
5969. 1
5969. 2
5969. 3
5969. 4
5969. 5
5969. 6
5969. 7
5969. 8
5969. 9
5970. 0
5970. 1
5970. 2
5970. 3
5971. 0
5971. 1
5971. 2
5971. 3
5971. 4
5971. 5
5971. 6
5972. 0
pull
Entries 37
Mean −156.7
Std Dev 0
1.5
1
0.5
0
−0.5
−1
−1.5
−2
pull1D
Entries 37
Mean 0.01791
Std Dev 1.007
6
5
4
3
2
1
0
−8
−6
−4
−2
0
2
4
6
8

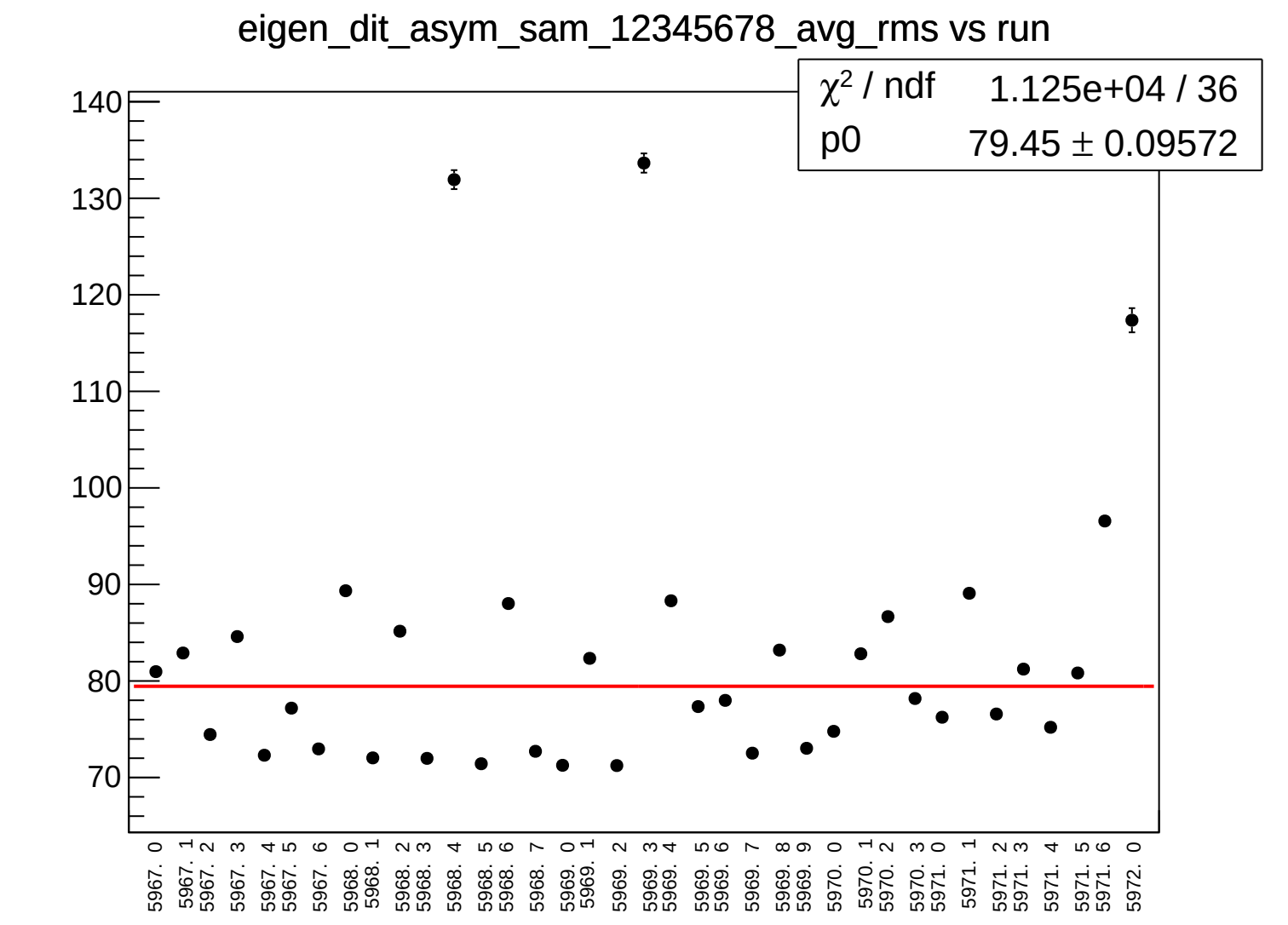
eigen_dit_asym_sam_12345678_avg_rms vs run
χ² / ndf 1.125e+04 / 36
p0 79.45 ± 0.09572
140
130
120
110
100
90
80
70
5967. 0
5967. 1
5967. 2
5967. 3
5967. 4
5967. 5
5967. 6
5968. 0
5968. 1
5968. 2
5968. 3
5968. 4
5968. 5
5968. 6
5968. 7
5969. 0
5969. 1
5969. 2
5969. 3
5969. 4
5969. 5
5969. 6
5969. 7
5969. 8
5969. 9
5970. 0
5970. 1
5970. 2
5970. 3
5971. 0
5971. 1
5971. 2
5971. 3
5971. 4
5971. 5
5971. 6
5972. 0

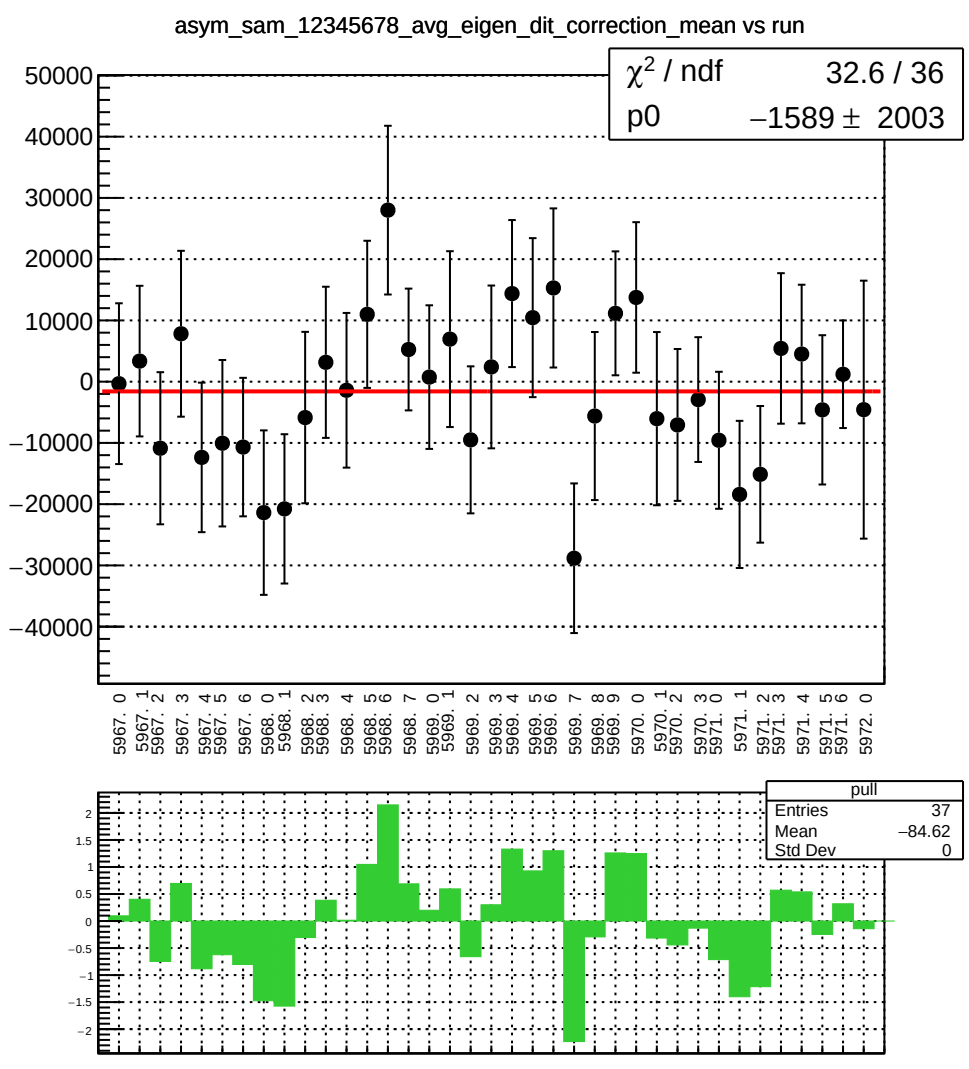
asym_sam_12345678_avg_eigen_dit_correction_mean vs run
χ² / ndf 32.6 / 36
p0 −1589 ± 2003
50000
40000
30000
20000
10000
0
−10000
−20000
−30000
−40000
5967. 0
5967. 1
5967. 2
5967. 3
5967. 4
5967. 5
5967. 6
5968. 0
5968. 1
5968. 2
5968. 3
5968. 4
5968. 5
5968. 6
5968. 7
5969. 0
5969. 1
5969. 2
5969. 3
5969. 4
5969. 5
5969. 6
5969. 7
5969. 8
5969. 9
5970. 0
5970. 1
5970. 2
5970. 3
5971. 0
5971. 1
5971. 2
5971. 3
5971. 4
5971. 5
5971. 6
5972. 0
pull
Entries 37
Mean −84.62
Std Dev 0
2
1.5
1
0.5
0
−0.5
−1
−1.5
−2

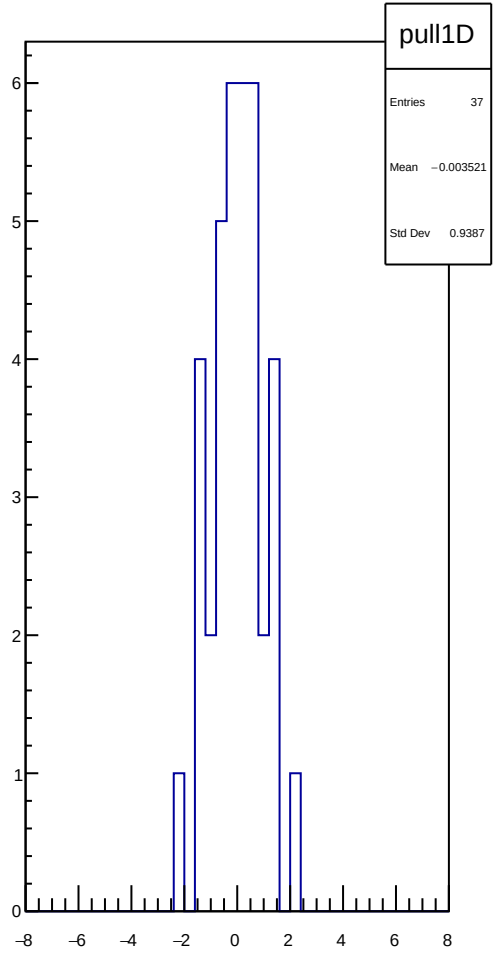
pull1D
Entries 37
Mean −0.003521
Std Dev 0.9387
6
5
4
3
2
1
0
−8
−6
−4
−2
0
2
4
6
8

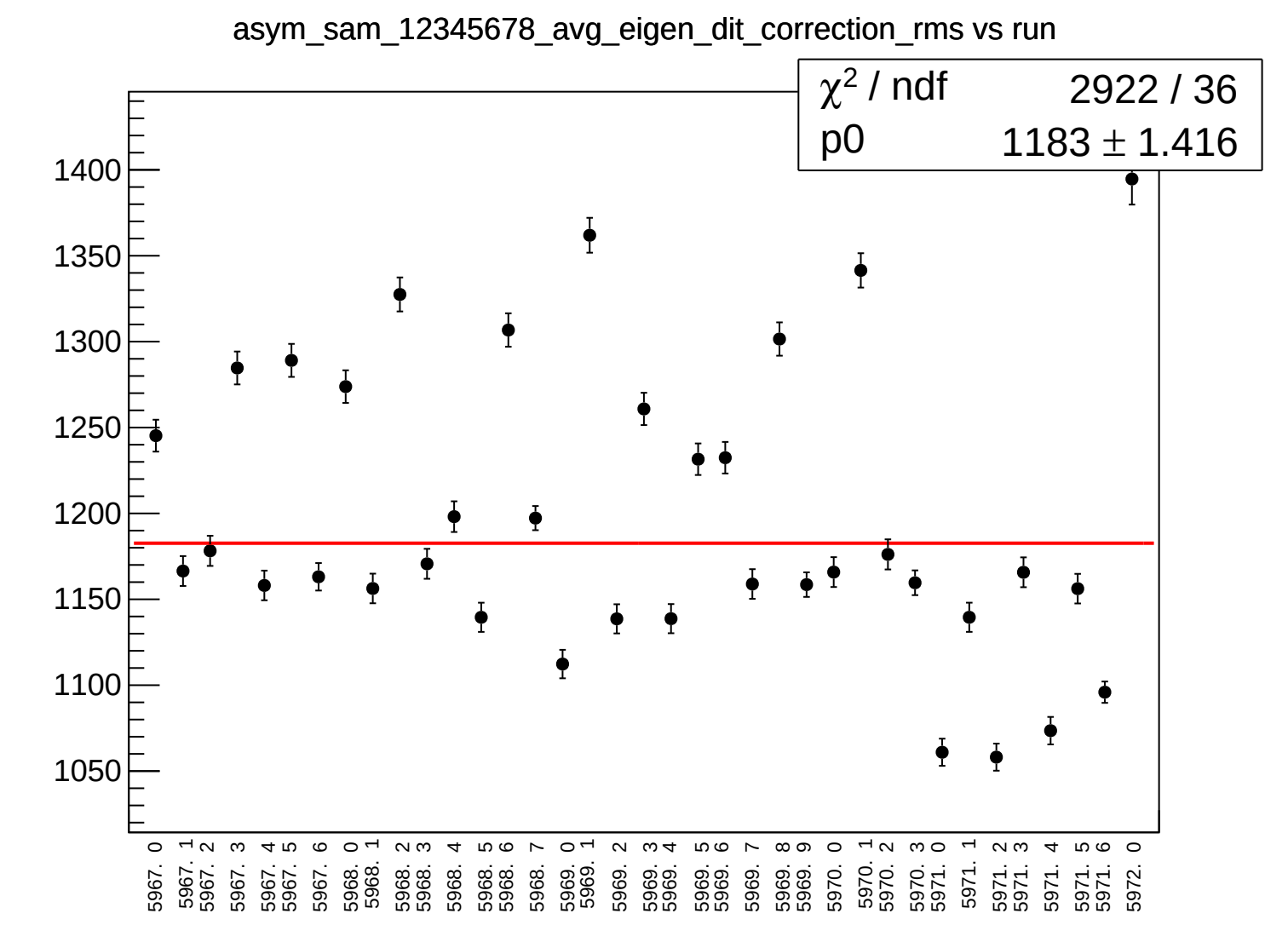
asym_sam_12345678_avg_eigen_dit_correction_rms vs run
χ² / ndf 2922 / 36
p0 1183 ± 1.416
1400
1350
1300
1250
1200
1150
1100
1050
5967. 0
5967. 1
5967. 2
5967. 3
5967. 4
5967. 5
5967. 6
5968. 0
5968. 1
5968. 2
5968. 3
5968. 4
5968. 5
5968. 6
5968. 7
5969. 0
5969. 1
5969. 2
5969. 3
5969. 4
5969. 5
5969. 6
5969. 7
5969. 8
5969. 9
5970. 0
5970. 1
5970. 2
5970. 3
5971. 0
5971. 1
5971. 2
5971. 3
5971. 4
5971. 5
5971. 6
5972. 0

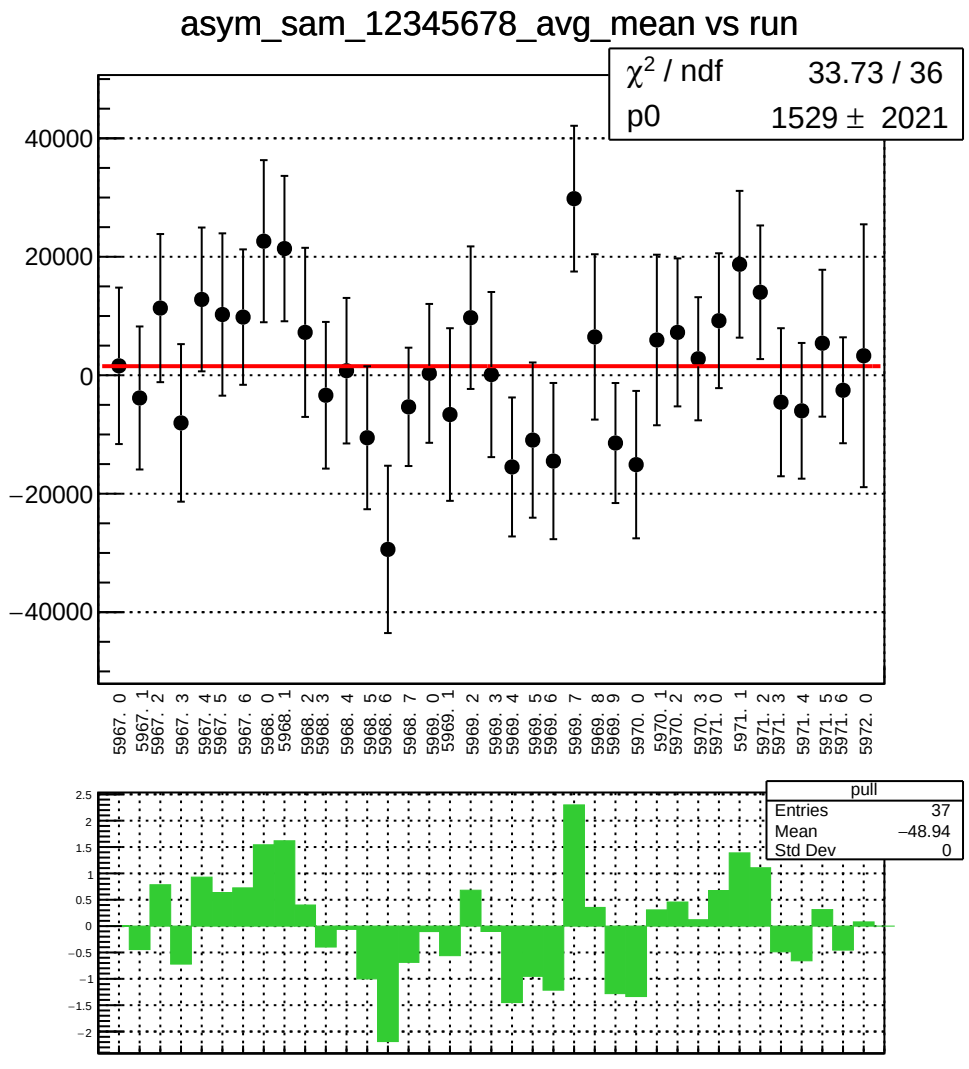
asym_sam_12345678_avg_mean vs run
χ² / ndf 33.73 / 36
p0 1529 ± 2021
40000
20000
0
−20000
−40000
5967. 0
5967. 1
5967. 2
5967. 3
5967. 4
5967. 5
5967. 6
5968. 0
5968. 1
5968. 2
5968. 3
5968. 4
5968. 5
5968. 6
5968. 7
5969. 0
5969. 1
5969. 2
5969. 3
5969. 4
5969. 5
5969. 6
5969. 7
5969. 8
5969. 9
5970. 0
5970. 1
5970. 2
5970. 3
5971. 0
5971. 1
5971. 2
5971. 3
5971. 4
5971. 5
5971. 6
5972. 0
pull
Entries 37
Mean −48.94
Std Dev 0
2.5
2
1.5
1
0.5
0
−0.5
−1
−1.5
−2

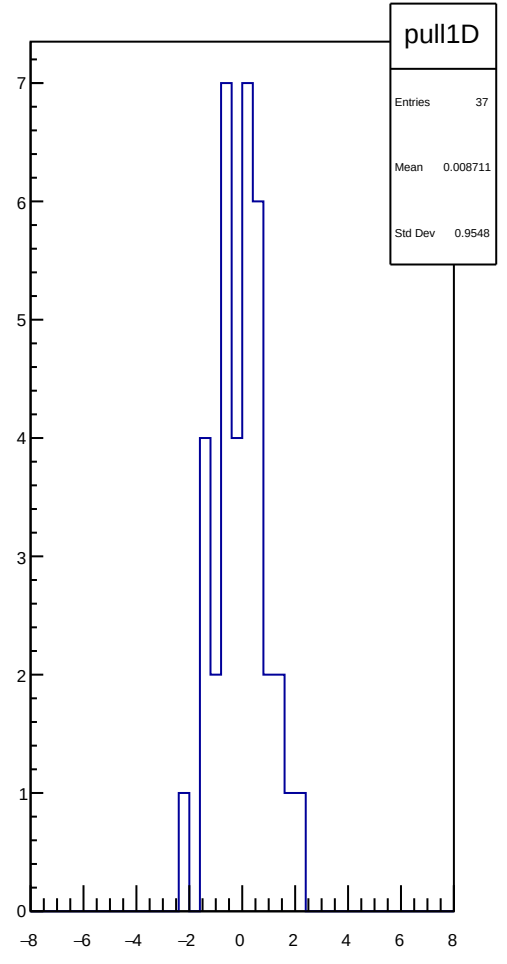
pull1D
Entries 37
Mean 0.008711
Std Dev 0.9548
7
6
5
4
3
2
1
0
−8
−6
−4
−2
0
2
4
6
8

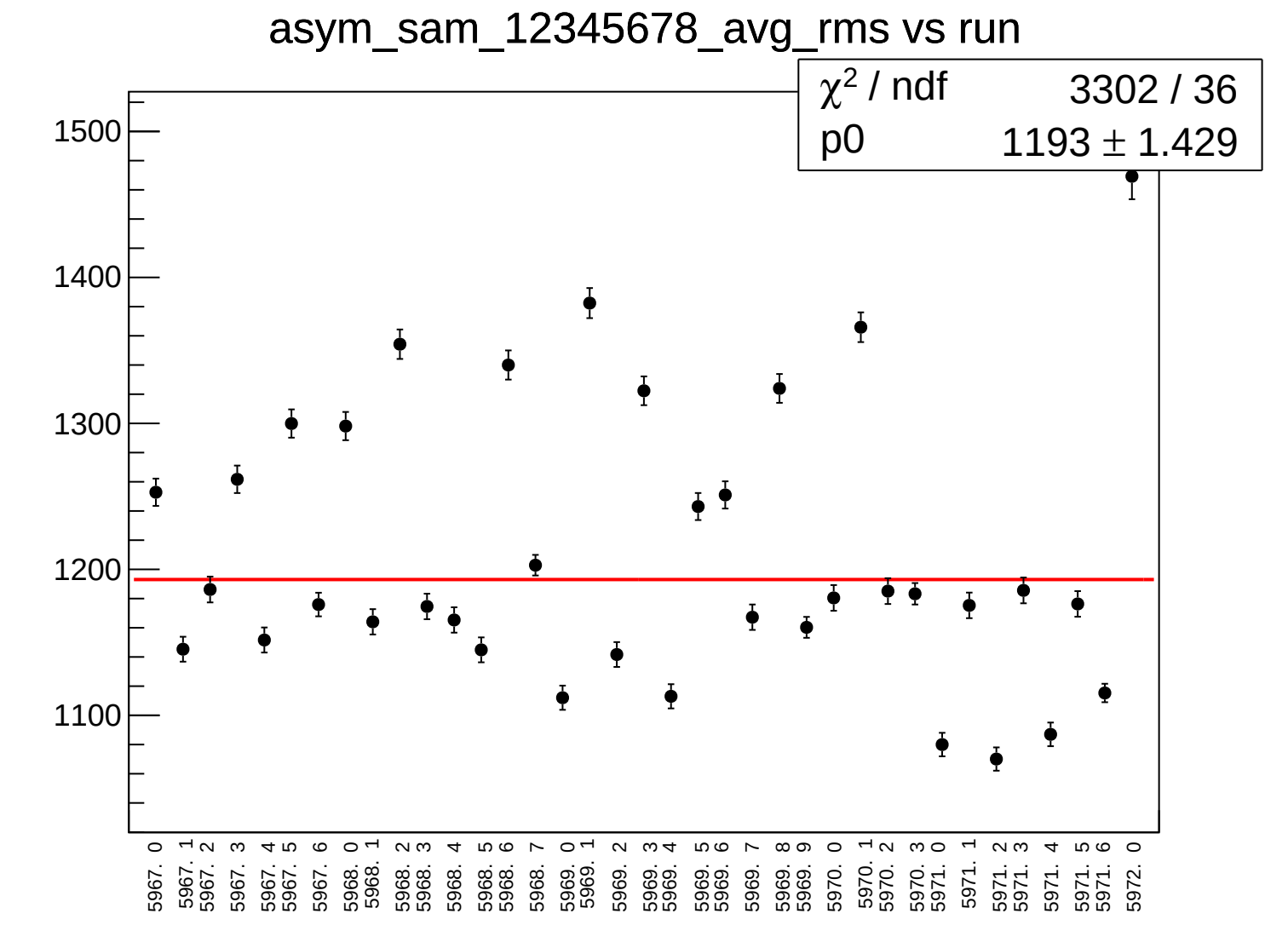
asym_sam_12345678_avg_rms vs run
χ² / ndf 3302 / 36
p0 1193 ± 1.429
1500
1400
1300
1200
1100
5967. 0
5967. 1
5967. 2
5967. 3
5967. 4
5967. 5
5967. 6
5968. 0
5968. 1
5968. 2
5968. 3
5968. 4
5968. 5
5968. 6
5968. 7
5969. 0
5969. 1
5969. 2
5969. 3
5969. 4
5969. 5
5969. 6
5969. 7
5969. 8
5969. 9
5970. 0
5970. 1
5970. 2
5970. 3
5971. 0
5971. 1
5971. 2
5971. 3
5971. 4
5971. 5
5971. 6
5972. 0

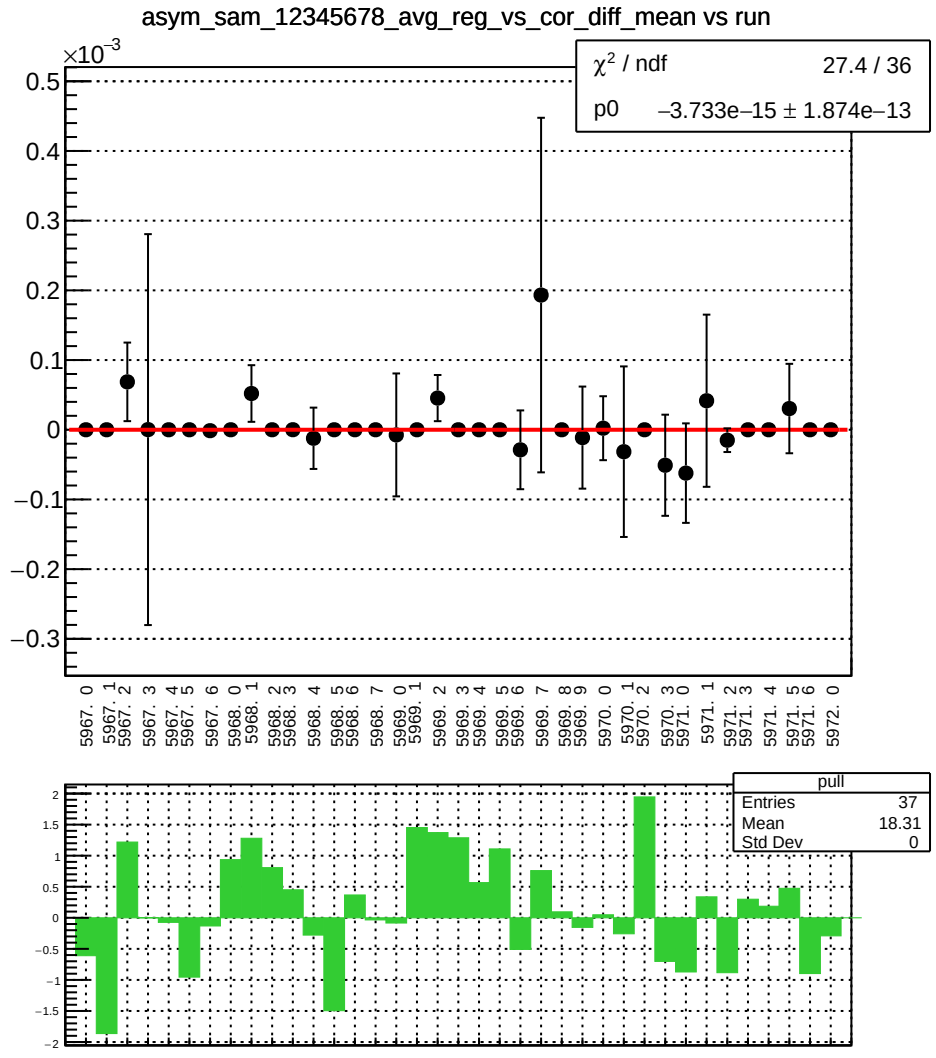
asym_sam_12345678_avg_reg_vs_cor_diff_mean vs run
×10⁻³
χ² / ndf 27.4 / 36
p0 −3.733e−15 ± 1.874e−13
pull
Entries 37
Mean 18.31
Std Dev 0

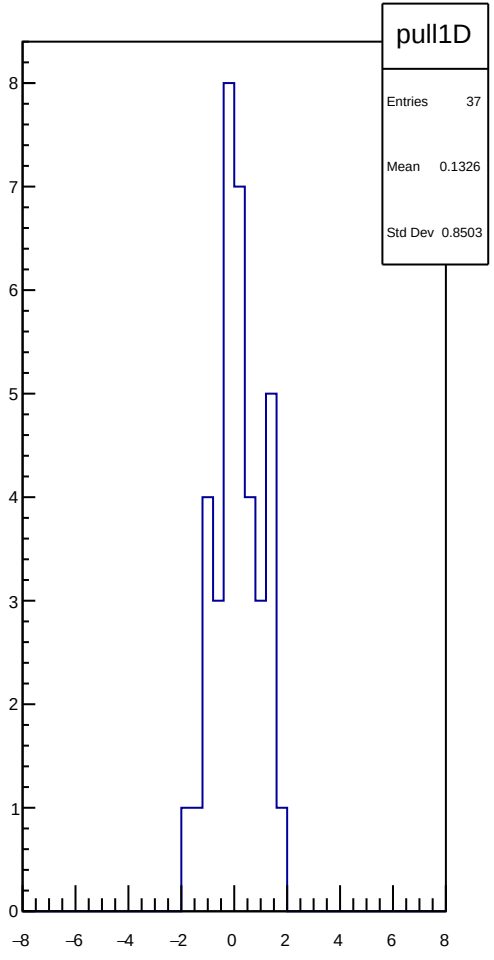
pull1D
Entries 37
Mean 0.1326
Std Dev 0.8503

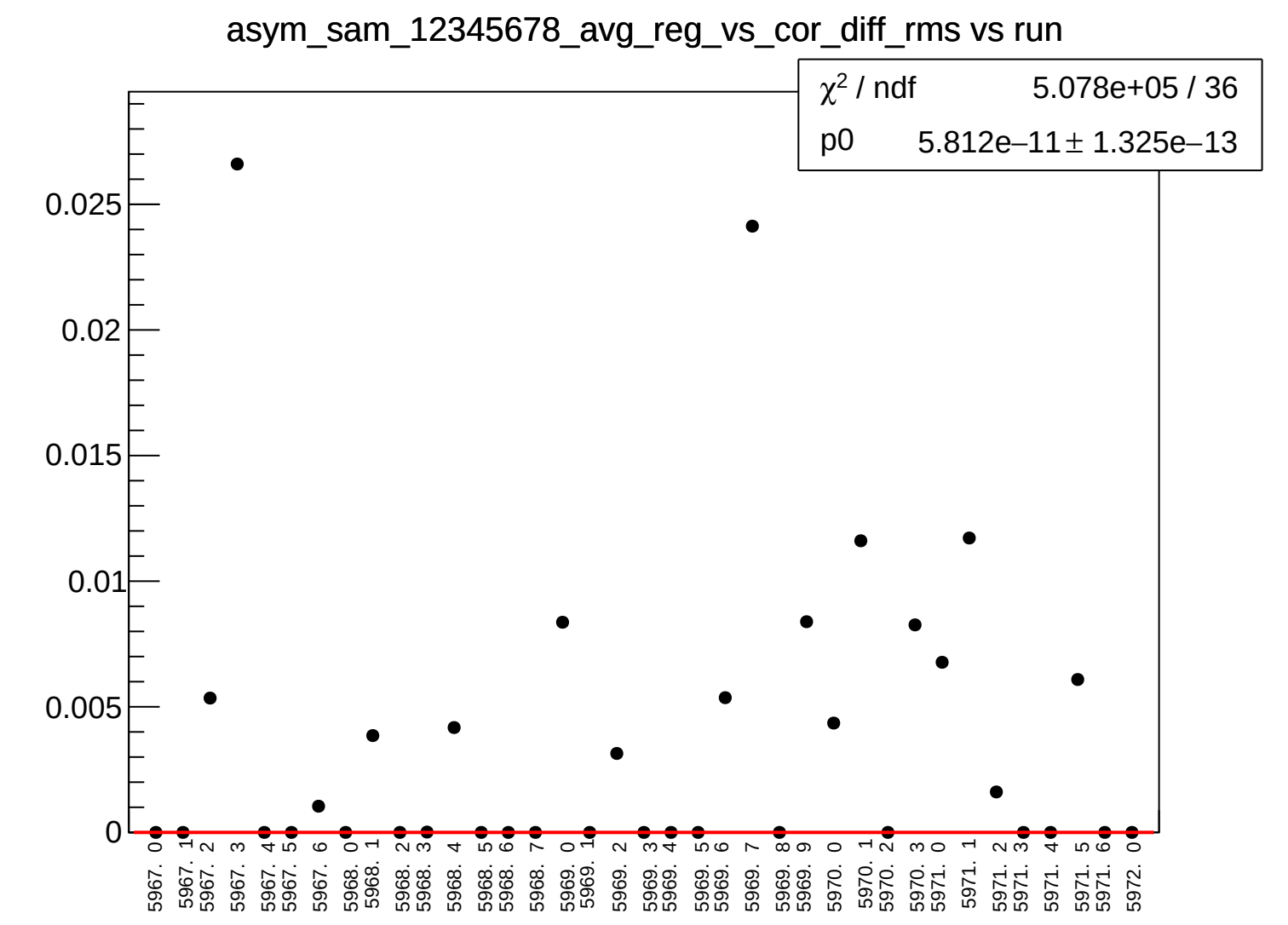
asym_sam_12345678_avg_reg_vs_cor_diff_rms vs run
χ² / ndf 5.078e+05 / 36
p0 5.812e−11 ± 1.325e−13
0.025
0.02
0.015
0.01
0.005
0
5967. 0
5967. 1
5967. 2
5967. 3
5967. 4
5967. 5
5967. 6
5968. 0
5968. 1
5968. 2
5968. 3
5968. 4
5968. 5
5968. 6
5968. 7
5969. 0
5969. 1
5969. 2
5969. 3
5969. 4
5969. 5
5969. 6
5969. 7
5969. 8
5969. 9
5970. 0
5970. 1
5970. 2
5970. 3
5971. 0
5971. 1
5971. 2
5971. 3
5971. 4
5971. 5
5971. 6
5972. 0

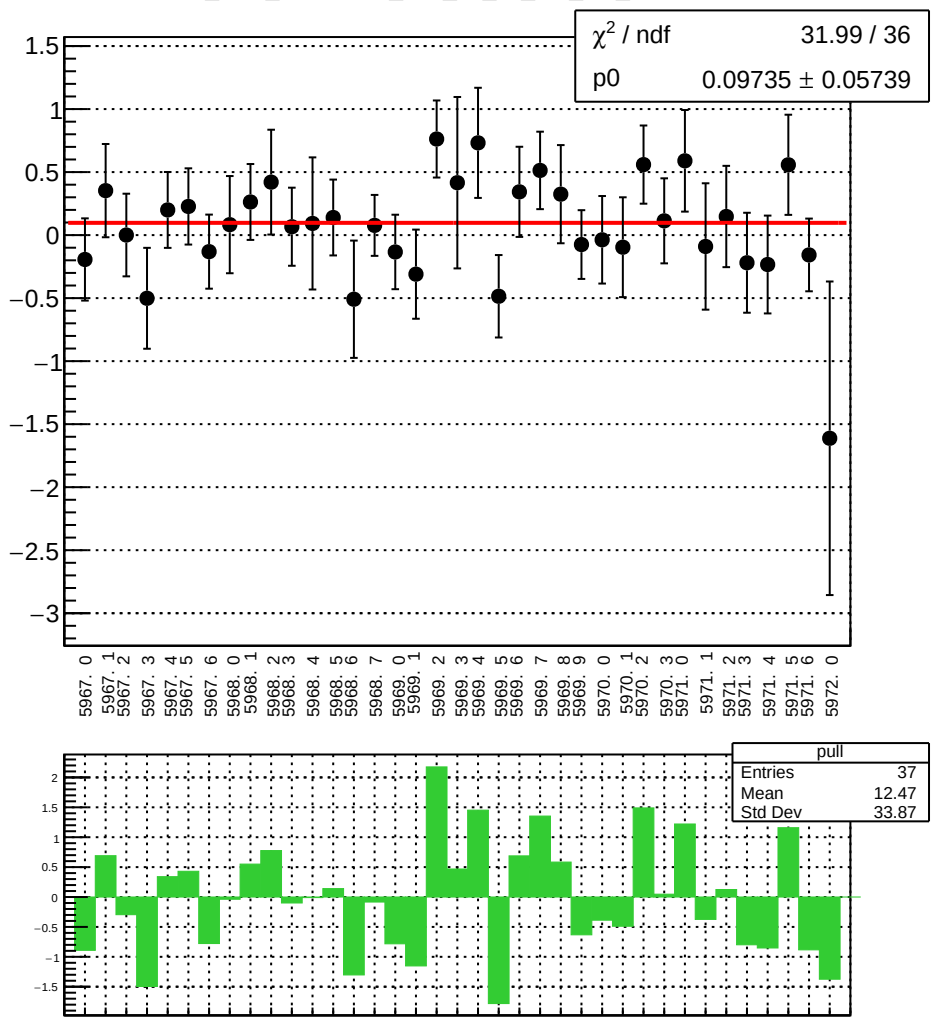
asym_sam_12345678_avg_dit_vs_cor_diff_mean vs run
χ² / ndf 31.99 / 36
p0 0.09735 ± 0.05739
pull
Entries 37
Mean 12.47
Std Dev 33.87

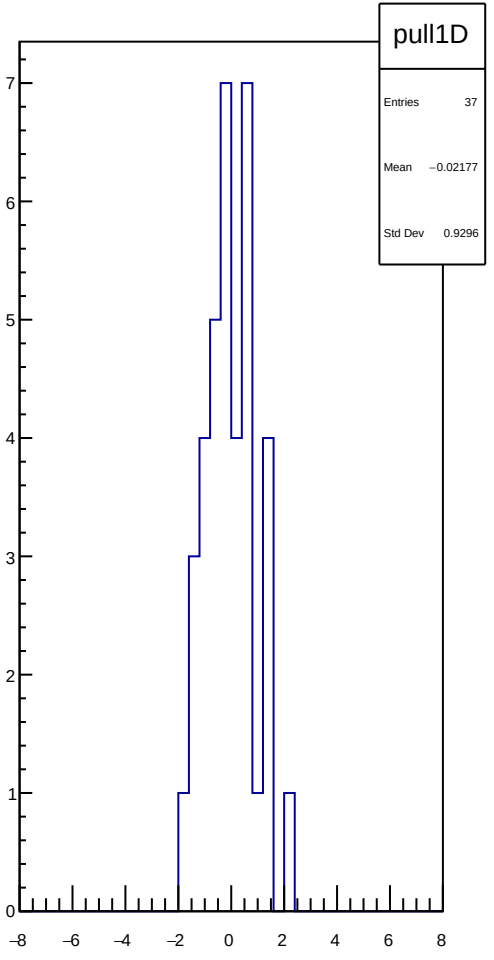
pull1D
Entries 37
Mean −0.02177
Std Dev 0.9296

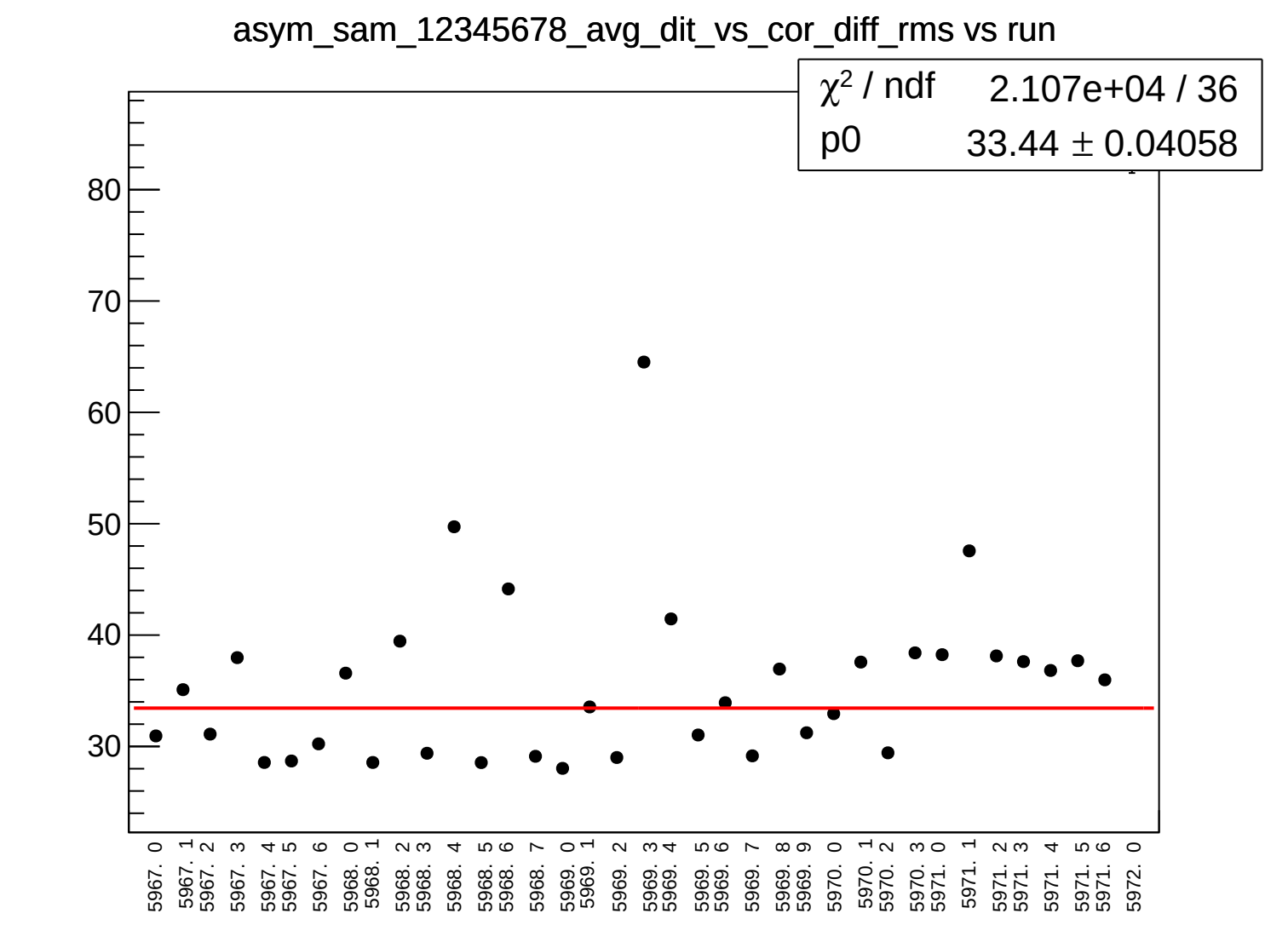
asym_sam_12345678_avg_dit_vs_cor_diff_rms vs run
χ² / ndf 2.107e+04 / 36
p0 33.44 ± 0.04058
80
70
60
50
40
30
5967. 0
5967. 1
5967. 2
5967. 3
5967. 4
5967. 5
5967. 6
5968. 0
5968. 1
5968. 2
5968. 3
5968. 4
5968. 5
5968. 6
5968. 7
5969. 0
5969. 1
5969. 2
5969. 3
5969. 4
5969. 5
5969. 6
5969. 7
5969. 8
5969. 9
5970. 0
5970. 1
5970. 2
5970. 3
5971. 0
5971. 1
5971. 2
5971. 3
5971. 4
5971. 5
5971. 6
5972. 0

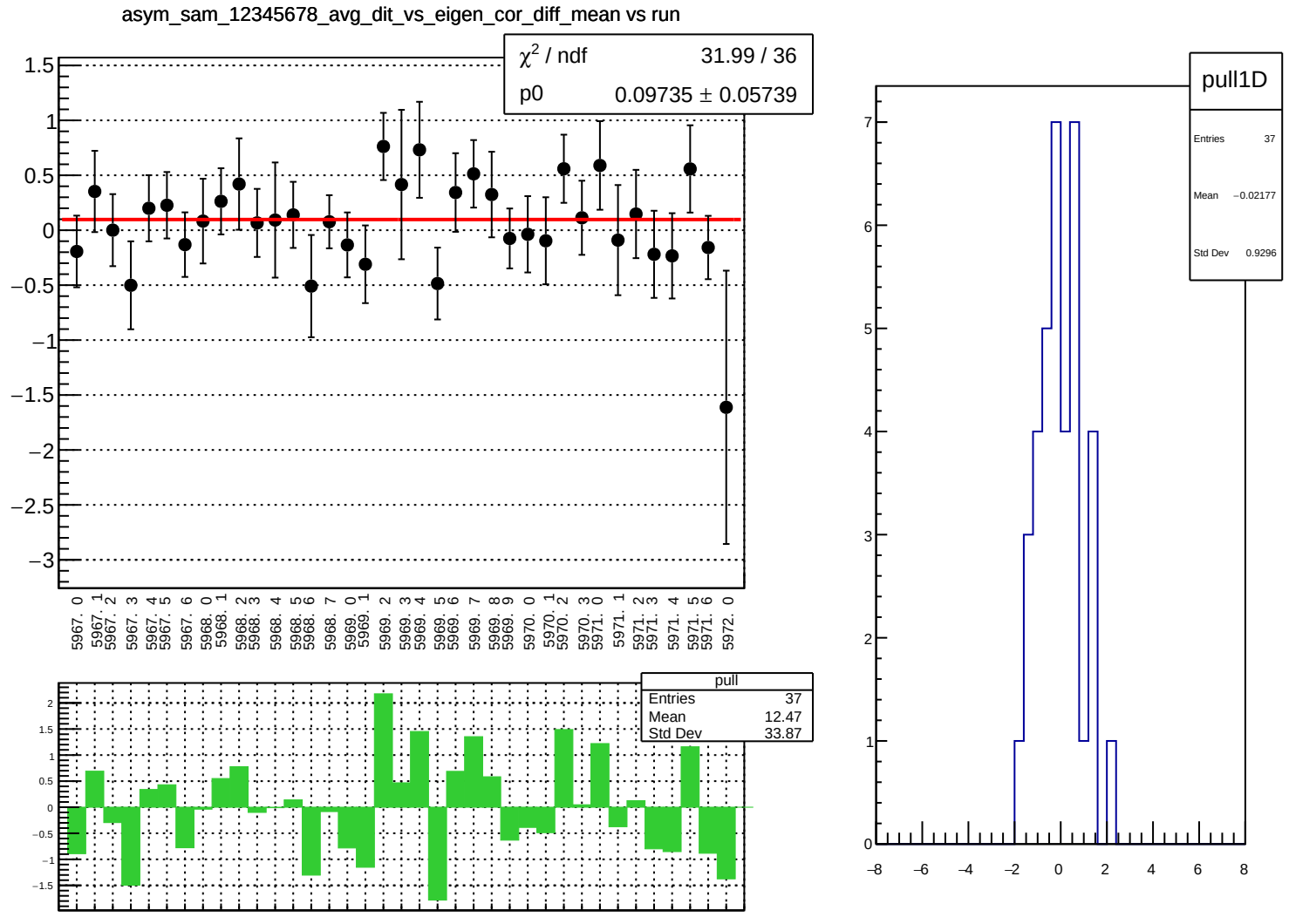
asym_sam_12345678_avg_dit_vs_eigen_cor_diff_mean vs run
χ² / ndf 31.99 / 36
p0 0.09735 ± 0.05739
pull
Entries 37
Mean 12.47
Std Dev 33.87
pull1D
Entries 37
Mean −0.02177
Std Dev 0.9296

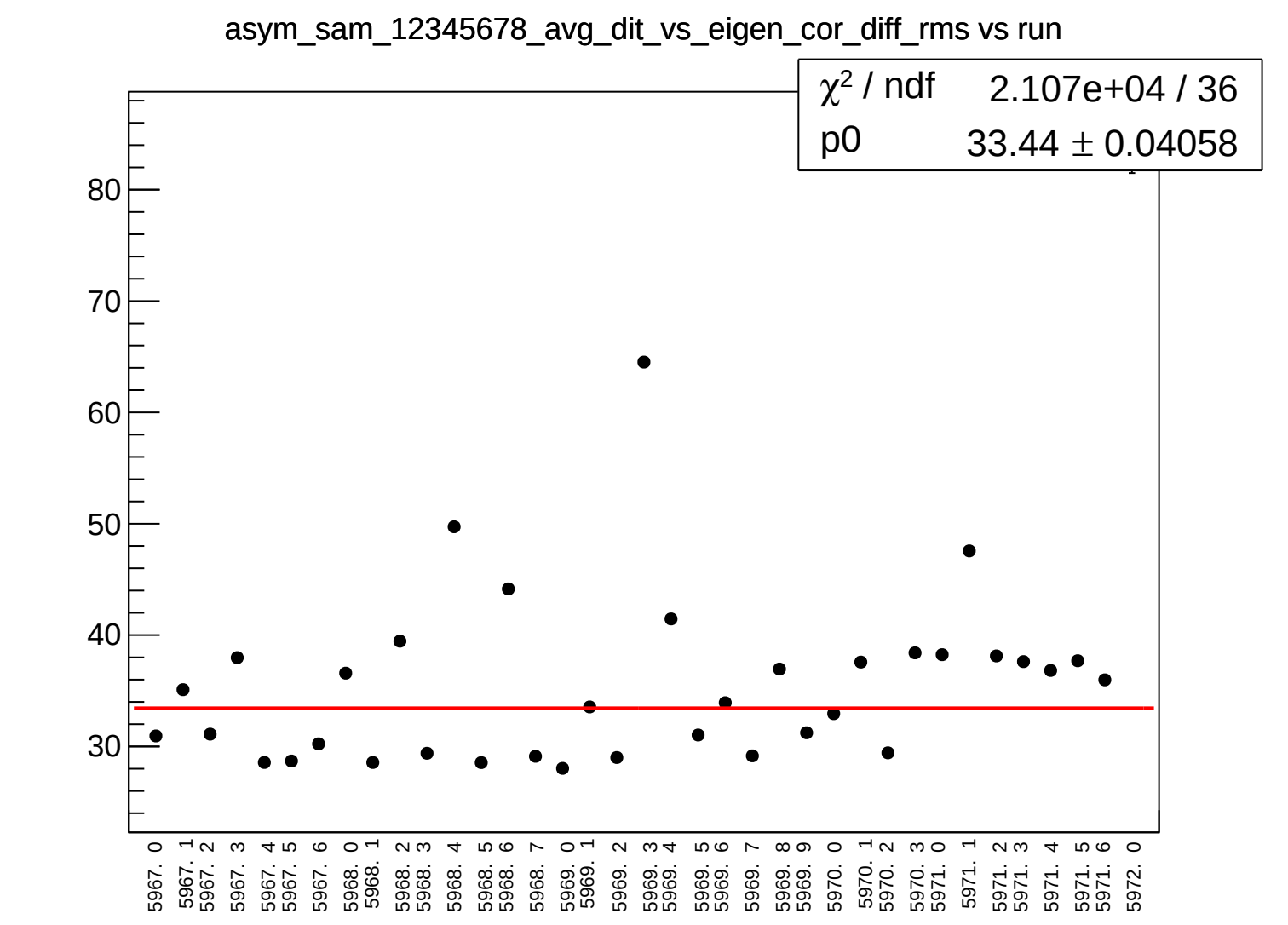
asym_sam_12345678_avg_dit_vs_eigen_cor_diff_rms vs run
χ² / ndf 2.107e+04 / 36
p0 33.44 ± 0.04058
80
70
60
50
40
30
5967. 0
5967. 1
5967. 2
5967. 3
5967. 4
5967. 5
5967. 6
5968. 0
5968. 1
5968. 2
5968. 3
5968. 4
5968. 5
5968. 6
5968. 7
5969. 0
5969. 1
5969. 2
5969. 3
5969. 4
5969. 5
5969. 6
5969. 7
5969. 8
5969. 9
5970. 0
5970. 1
5970. 2
5970. 3
5971. 0
5971. 1
5971. 2
5971. 3
5971. 4
5971. 5
5971. 6
5972. 0

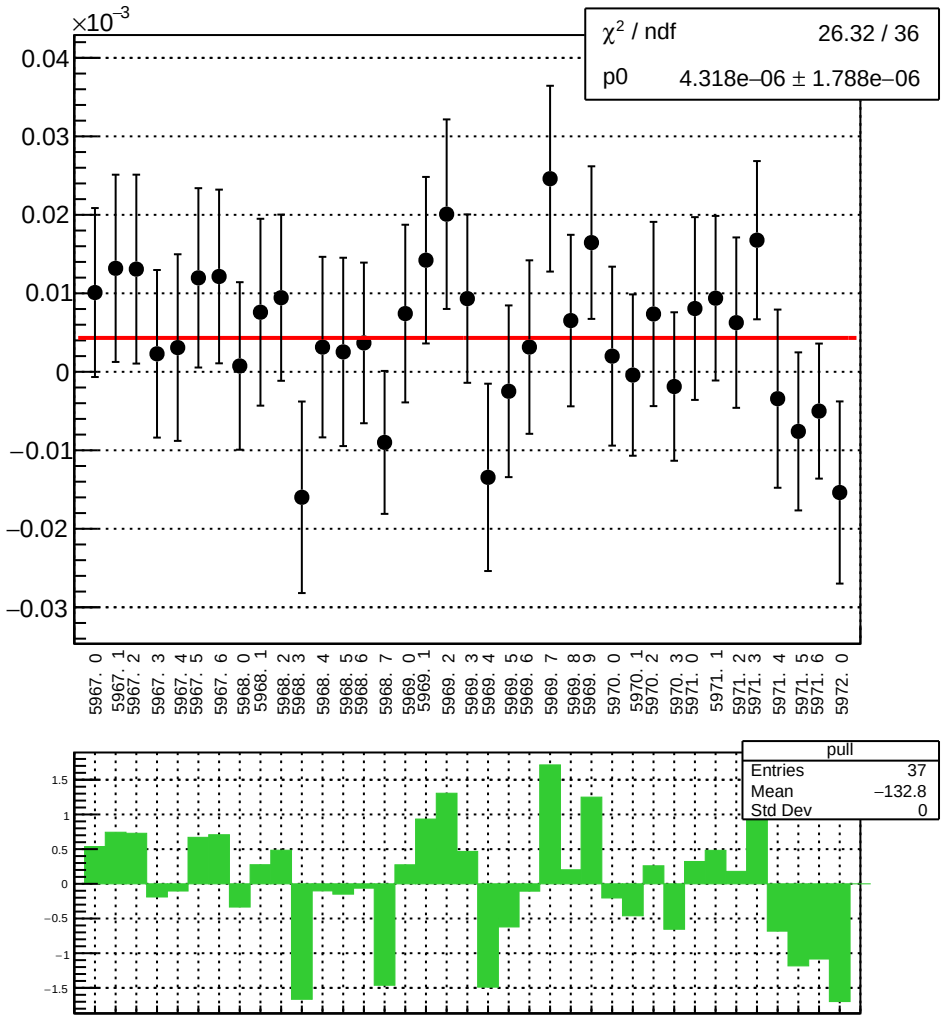
asym_sam_12345678_avg_eigen_dit_vs_dit_diff_mean vs run
×10⁻³
χ² / ndf 26.32 / 36
p0 4.318e−06 ± 1.788e−06
0.04
0.03
0.02
0.01
0
−0.01
−0.02
−0.03
5967. 0
5967. 1
5967. 2
5967. 3
5967. 4
5967. 5
5967. 6
5968. 0
5968. 1
5968. 2
5968. 3
5968. 4
5968. 5
5968. 6
5968. 7
5969. 0
5969. 1
5969. 2
5969. 3
5969. 4
5969. 5
5969. 6
5969. 7
5969. 8
5969. 9
5970. 0
5970. 1
5970. 2
5970. 3
5971. 0
5971. 1
5971. 2
5971. 3
5971. 4
5971. 5
5971. 6
5972. 0
pull
Entries 37
Mean −132.8
Std Dev 0
1.5
1
0.5
0
−0.5
−1
−1.5

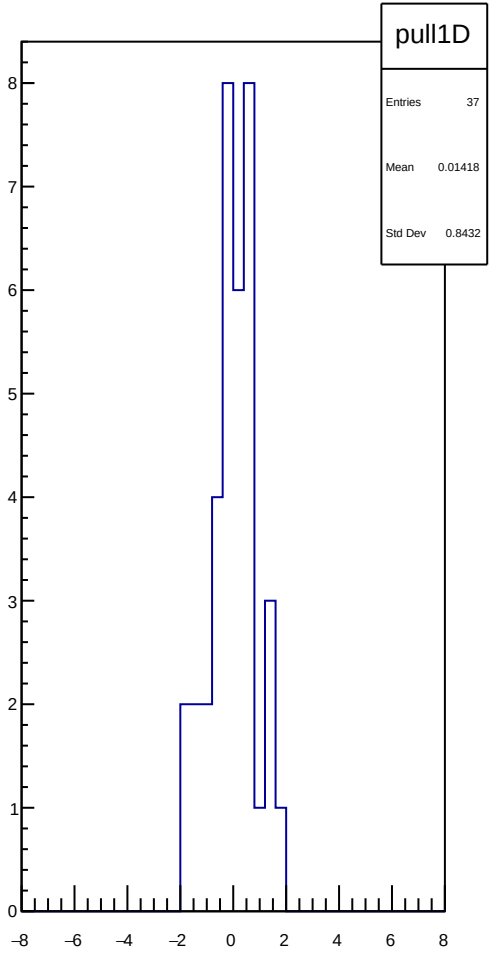
pull1D
Entries 37
Mean 0.01418
Std Dev 0.8432
8
7
6
5
4
3
2
1
0
−8
−6
−4
−2
0
2
4
6
8

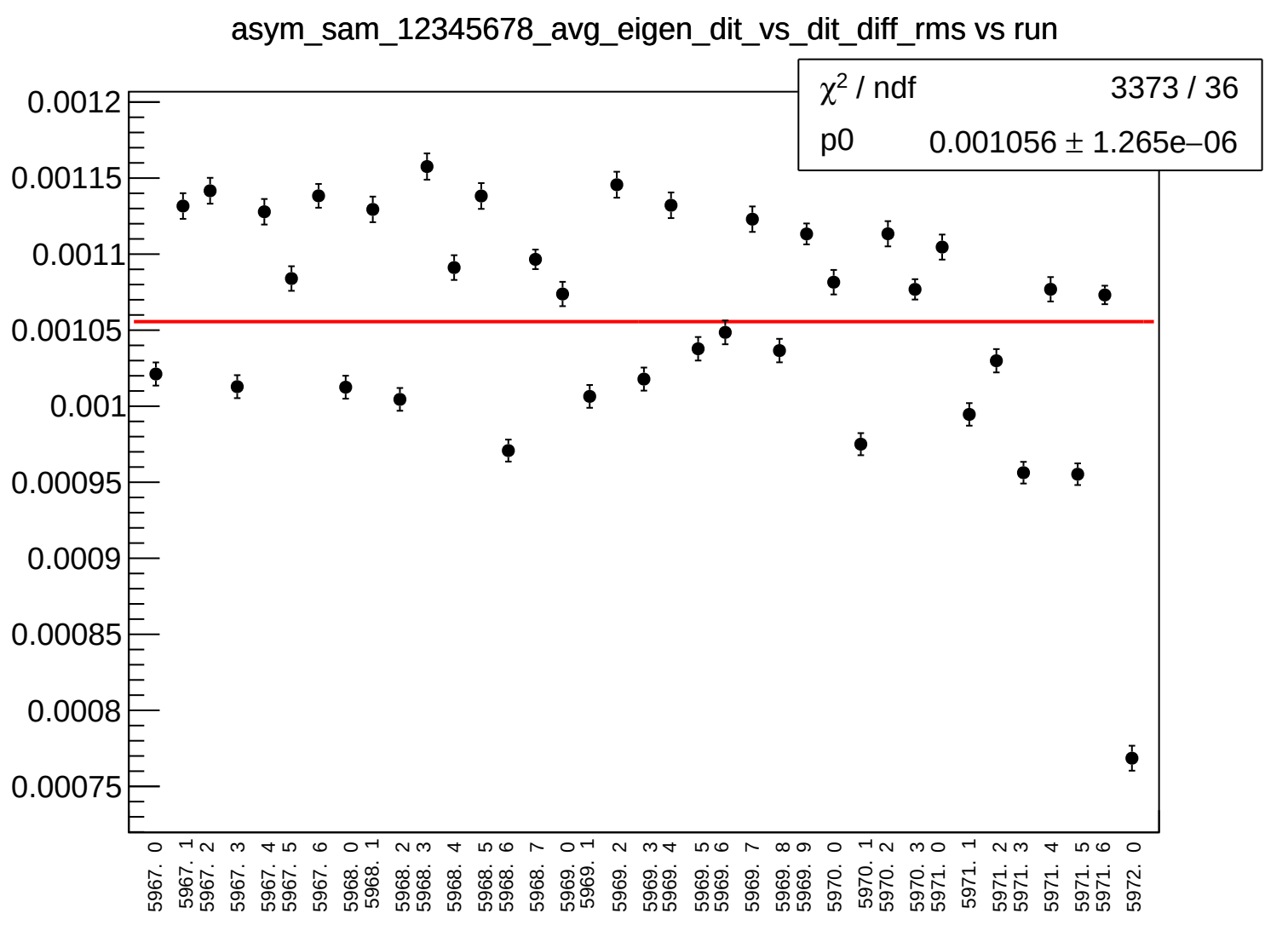
asym_sam_12345678_avg_eigen_dit_vs_dit_diff_rms vs run
χ² / ndf 3373 / 36
p0 0.001056 ± 1.265e−06
0.0012
0.00115
0.0011
0.00105
0.001
0.00095
0.0009
0.00085
0.0008
0.00075
5967. 0
5967. 1
5967. 2
5967. 3
5967. 4
5967. 5
5967. 6
5968. 0
5968. 1
5968. 2
5968. 3
5968. 4
5968. 5
5968. 6
5968. 7
5969. 0
5969. 1
5969. 2
5969. 3
5969. 4
5969. 5
5969. 6
5969. 7
5969. 8
5969. 9
5970. 0
5970. 1
5970. 2
5970. 3
5971. 0
5971. 1
5971. 2
5971. 3
5971. 4
5971. 5
5971. 6
5972. 0

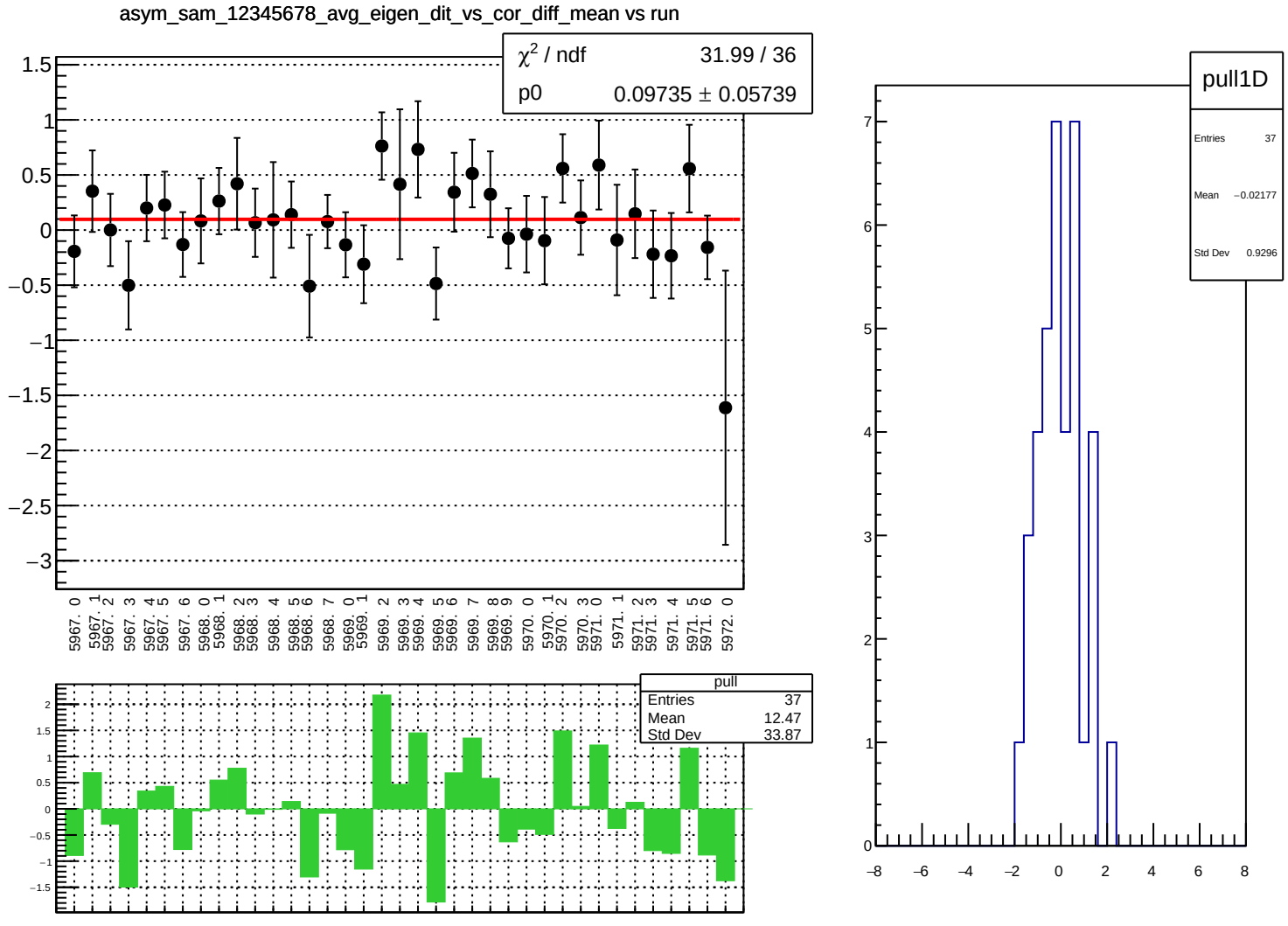
asym_sam_12345678_avg_eigen_dit_vs_cor_diff_mean vs run
χ² / ndf 31.99 / 36
p0 0.09735 ± 0.05739
pull
Entries 37
Mean 12.47
Std Dev 33.87
pull1D
Entries 37
Mean −0.02177
Std Dev 0.9296

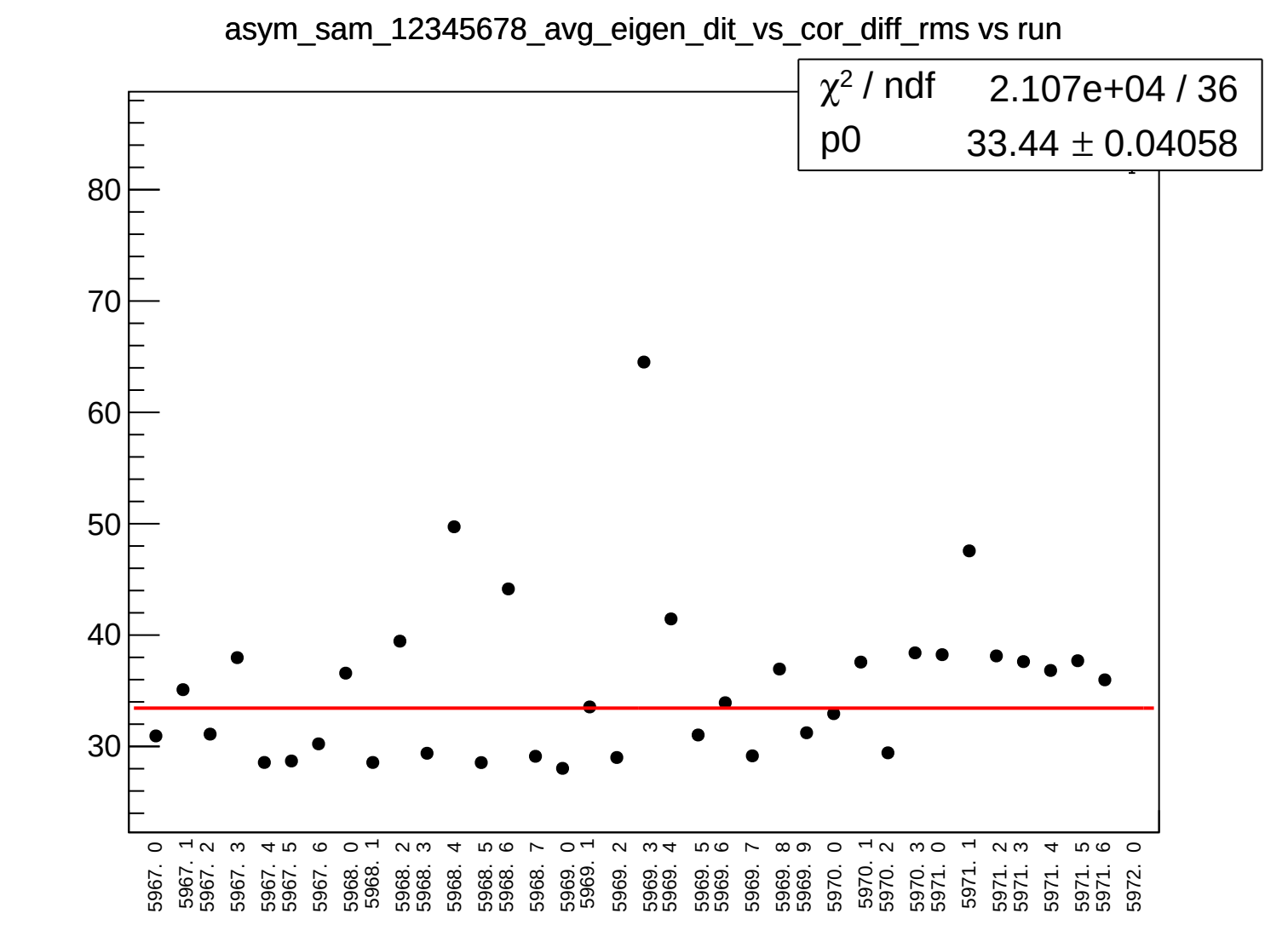
asym_sam_12345678_avg_eigen_dit_vs_cor_diff_rms vs run
χ² / ndf 2.107e+04 / 36
p0 33.44 ± 0.04058
80
70
60
50
40
30
5967. 0
5967. 1
5967. 2
5967. 3
5967. 4
5967. 5
5967. 6
5968. 0
5968. 1
5968. 2
5968. 3
5968. 4
5968. 5
5968. 6
5968. 7
5969. 0
5969. 1
5969. 2
5969. 3
5969. 4
5969. 5
5969. 6
5969. 7
5969. 8
5969. 9
5970. 0
5970. 1
5970. 2
5970. 3
5971. 0
5971. 1
5971. 2
5971. 3
5971. 4
5971. 5
5971. 6
5972. 0

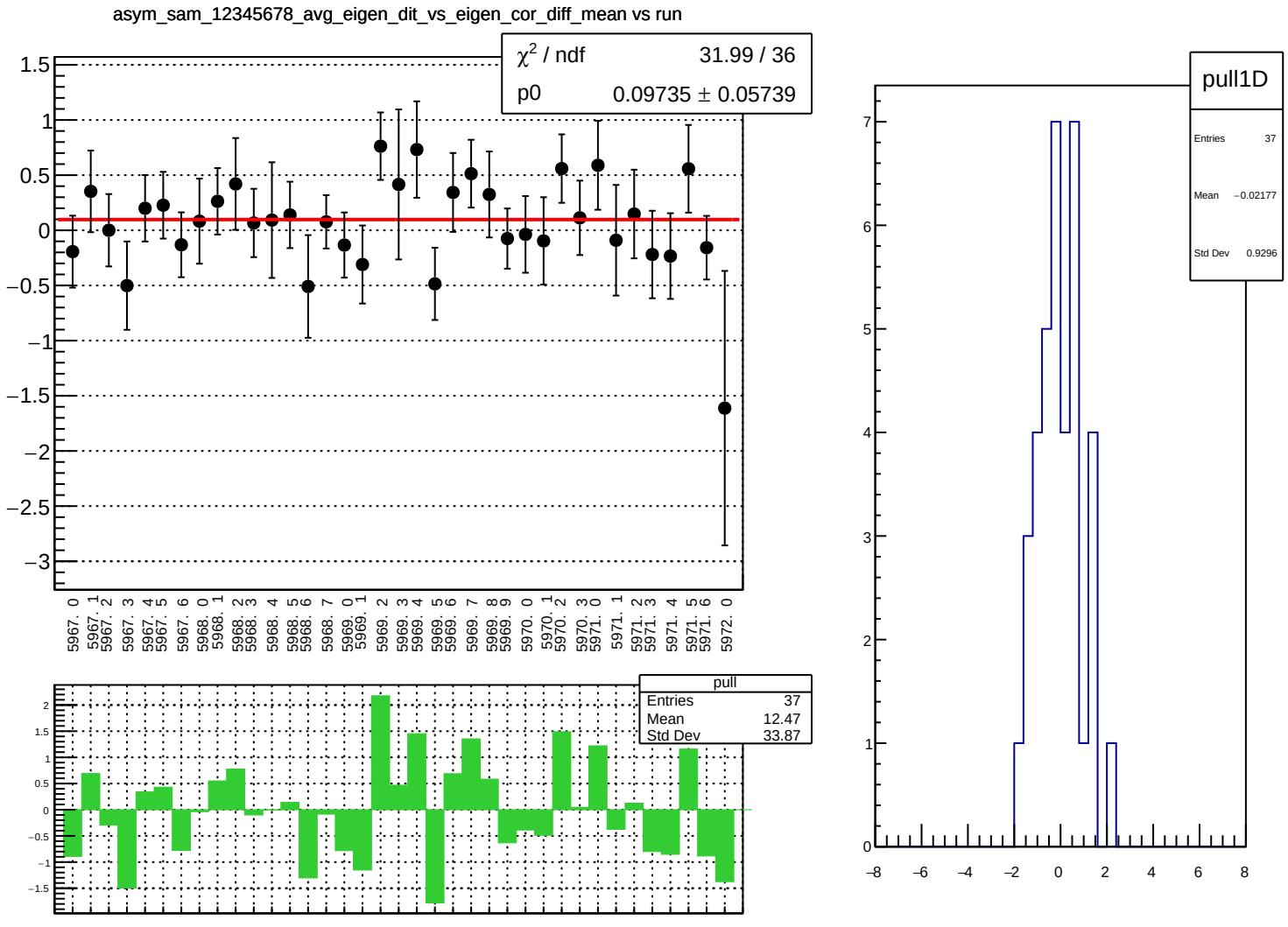
asym_sam_12345678_avg_eigen_dit_vs_eigen_cor_diff_mean vs run
χ² / ndf 31.99 / 36
p0 0.09735 ± 0.05739
pull
Entries 37
Mean 12.47
Std Dev 33.87
pull1D
Entries 37
Mean −0.02177
Std Dev 0.9296

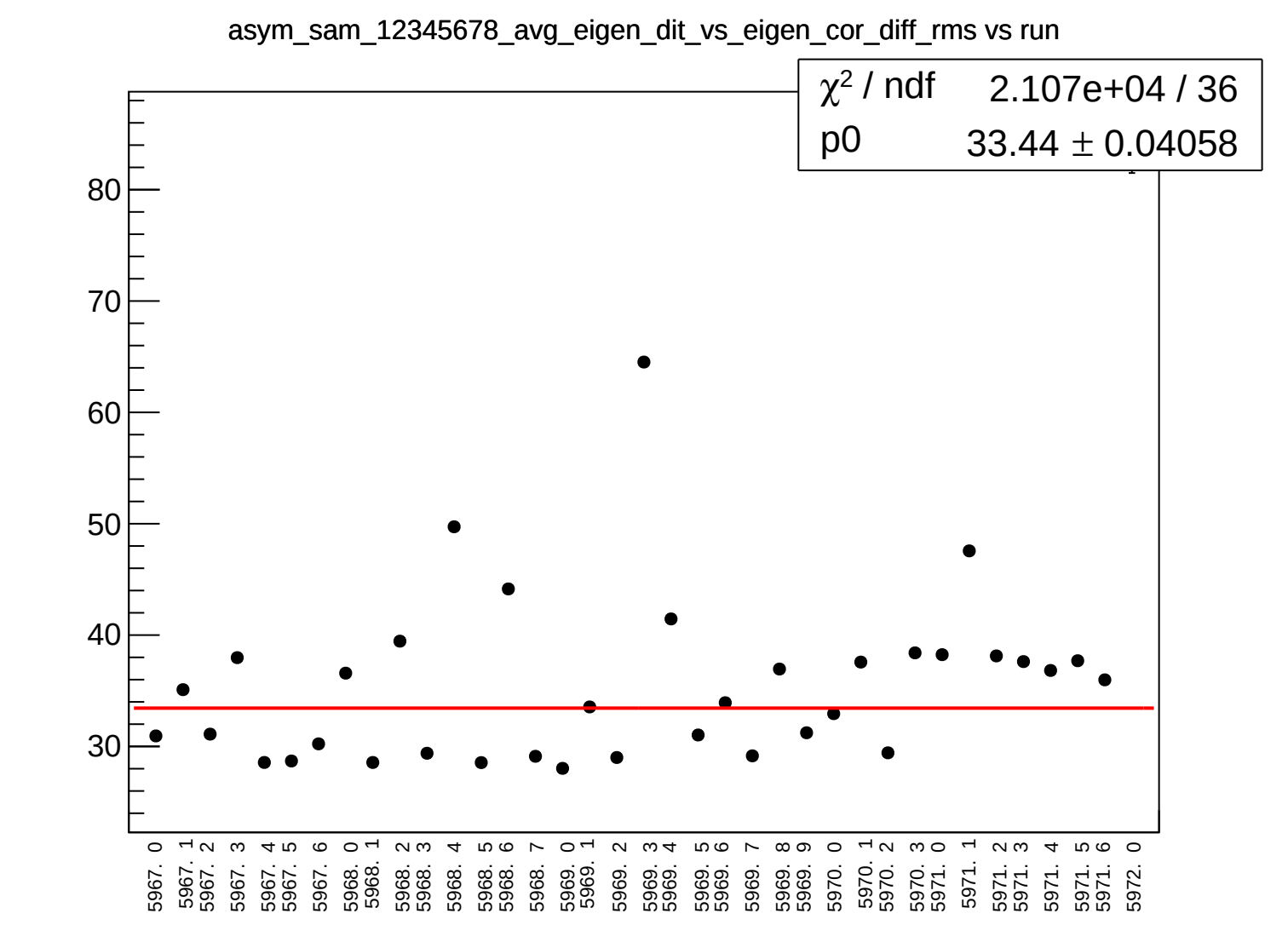
asym_sam_12345678_avg_eigen_dit_vs_eigen_cor_diff_rms vs run
χ² / ndf 2.107e+04 / 36
p0 33.44 ± 0.04058
80
70
60
50
40
30
5967. 0
5967. 1
5967. 2
5967. 3
5967. 4
5967. 5
5967. 6
5968. 0
5968. 1
5968. 2
5968. 3
5968. 4
5968. 5
5968. 6
5968. 7
5969. 0
5969. 1
5969. 2
5969. 3
5969. 4
5969. 5
5969. 6
5969. 7
5969. 8
5969. 9
5970. 0
5970. 1
5970. 2
5970. 3
5971. 0
5971. 1
5971. 2
5971. 3
5971. 4
5971. 5
5971. 6
5972. 0

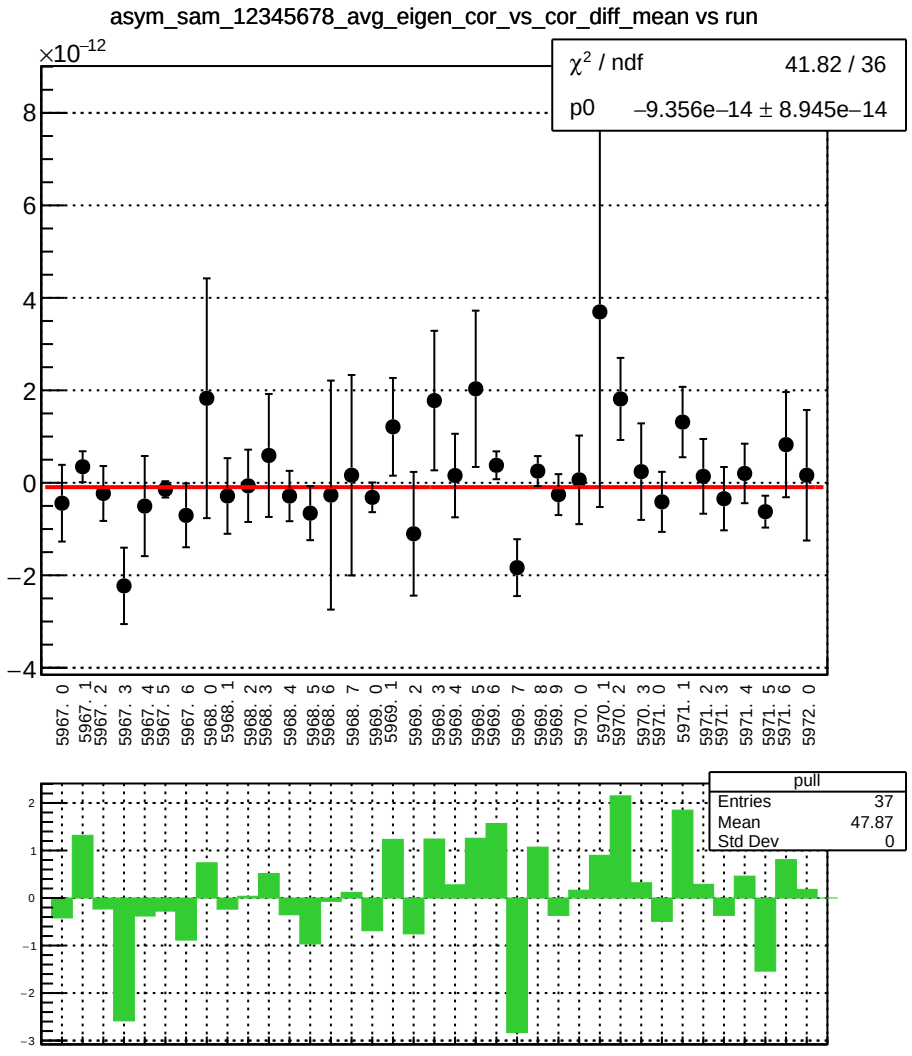
asym_sam_12345678_avg_eigen_cor_vs_cor_diff_mean vs run
×10⁻¹²
χ² / ndf 41.82 / 36
p0 −9.356e−14 ± 8.945e−14
pull
Entries 37
Mean 47.87
Std Dev 0

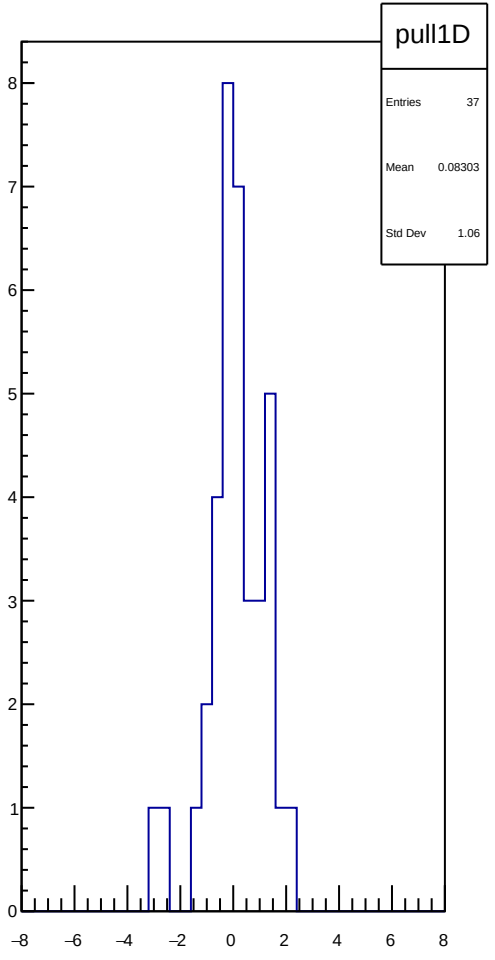
pull1D
Entries 37
Mean 0.08303
Std Dev 1.06

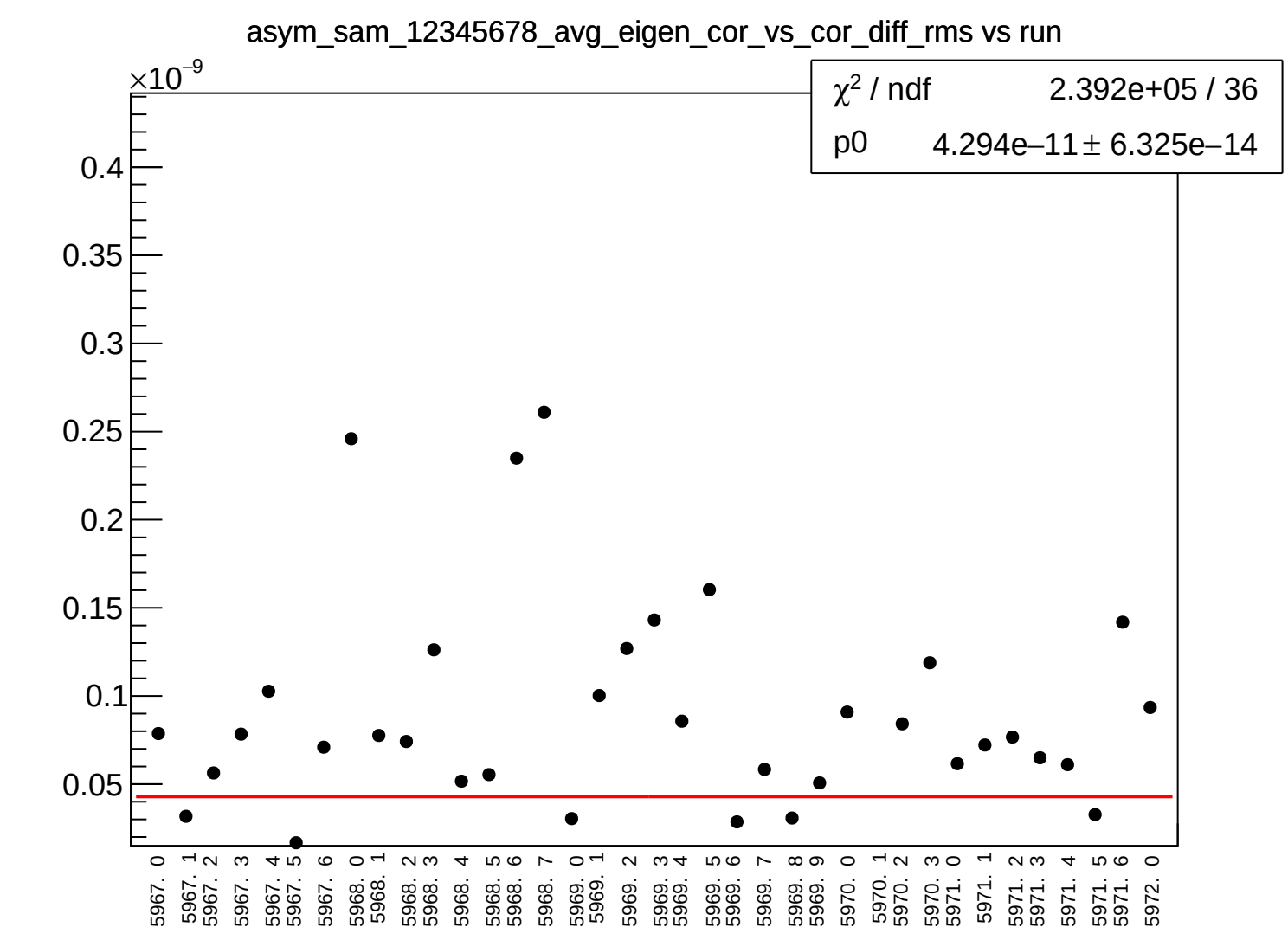
asym_sam_12345678_avg_eigen_cor_vs_cor_diff_rms vs run
×10⁻⁹
χ² / ndf 2.392e+05 / 36
p0 4.294e−11 ± 6.325e−14
0.4
0.35
0.3
0.25
0.2
0.15
0.1
0.05
5967. 0
5967. 1
5967. 2
5967. 3
5967. 4
5967. 5
5967. 6
5968. 0
5968. 1
5968. 2
5968. 3
5968. 4
5968. 5
5968. 6
5968. 7
5969. 0
5969. 1
5969. 2
5969. 3
5969. 4
5969. 5
5969. 6
5969. 7
5969. 8
5969. 9
5970. 0
5970. 1
5970. 2
5970. 3
5971. 0
5971. 1
5971. 2
5971. 3
5971. 4
5971. 5
5971. 6
5972. 0

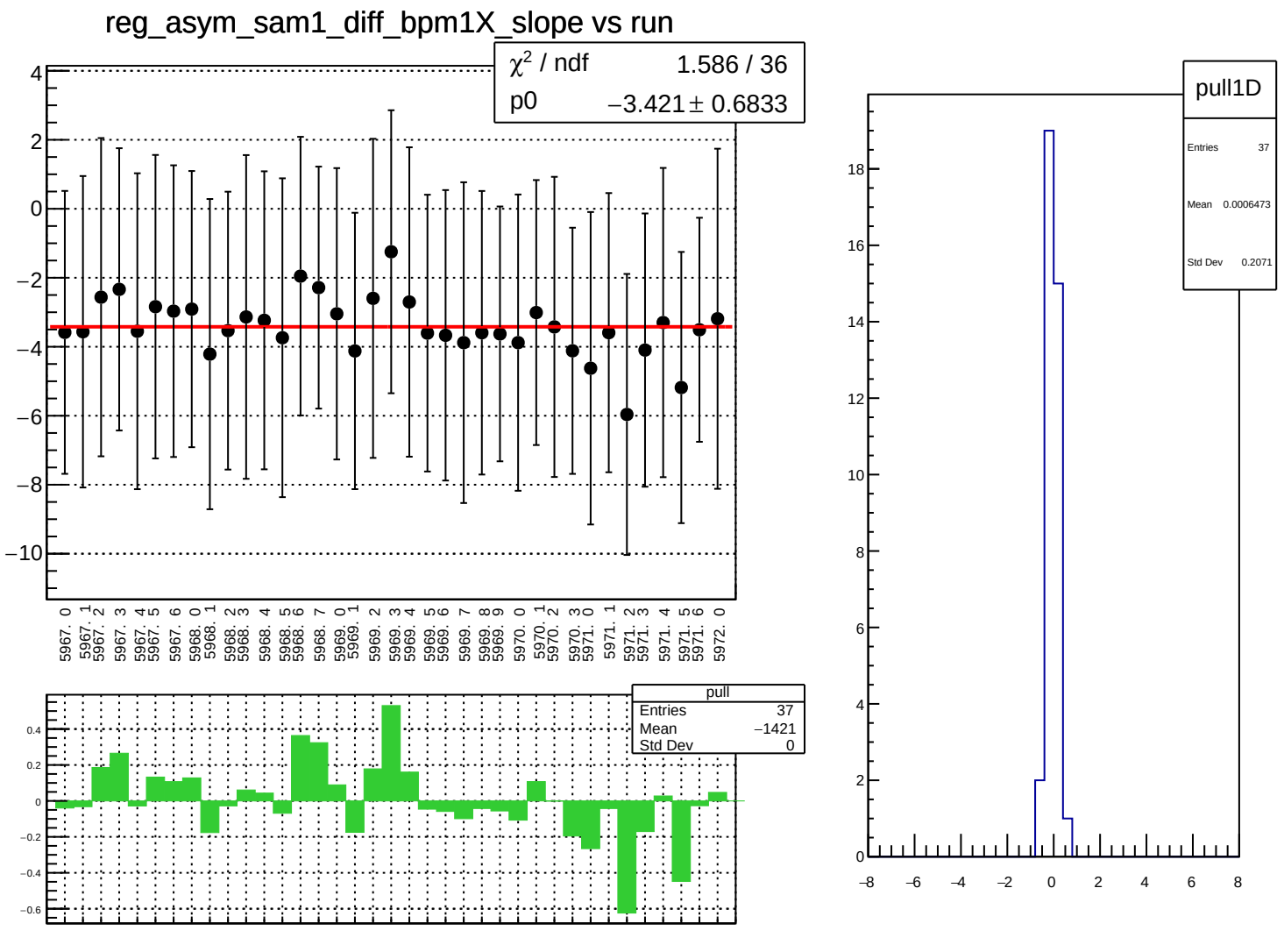
reg_asym_sam1_diff_bpm1X_slope vs run
χ² / ndf 1.586 / 36
p0 −3.421 ± 0.6833
pull
Entries 37
Mean −1421
Std Dev 0
pull1D
Entries 37
Mean 0.0006473
Std Dev 0.2071

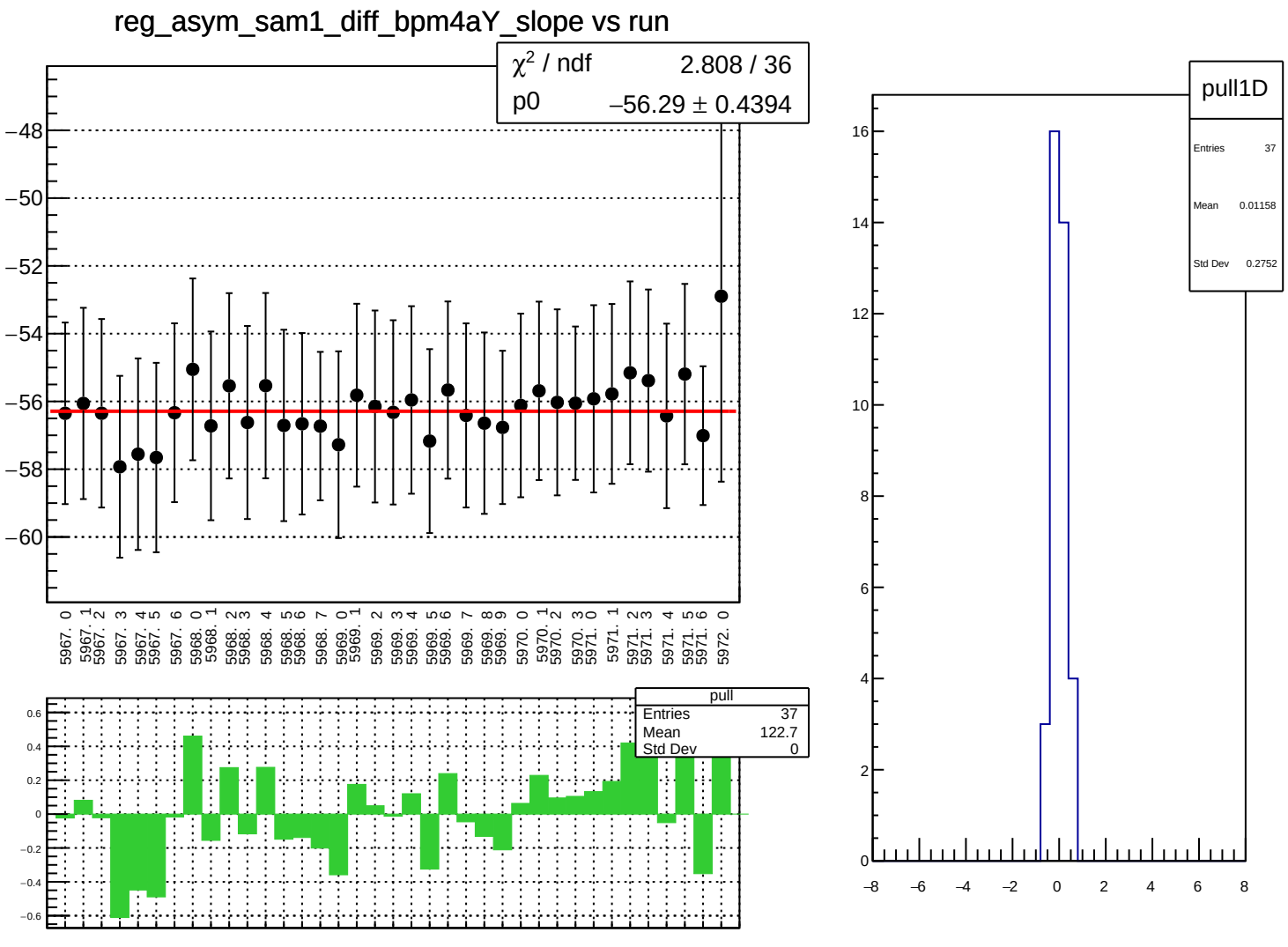
reg_asym_sam1_diff_bpm4aY_slope vs run
χ² / ndf 2.808 / 36
p0 −56.29 ± 0.4394
−48
−50
−52
−54
−56
−58
−60
5967. 0
5967. 1
5967. 2
5967. 3
5967. 4
5967. 5
5967. 6
5968. 0
5968. 1
5968. 2
5968. 3
5968. 4
5968. 5
5968. 6
5968. 7
5969. 0
5969. 1
5969. 2
5969. 3
5969. 4
5969. 5
5969. 6
5969. 7
5969. 8
5969. 9
5970. 0
5970. 1
5970. 2
5970. 3
5971. 0
5971. 1
5971. 2
5971. 3
5971. 4
5971. 5
5971. 6
5972. 0
pull
Entries 37
Mean 122.7
Std Dev 0
0.6
0.4
0.2
0
−0.2
−0.4
−0.6
pull1D
Entries 37
Mean 0.01158
Std Dev 0.2752
16
14
12
10
8
6
4
2
0
−8
−6
−4
−2
0
2
4
6
8

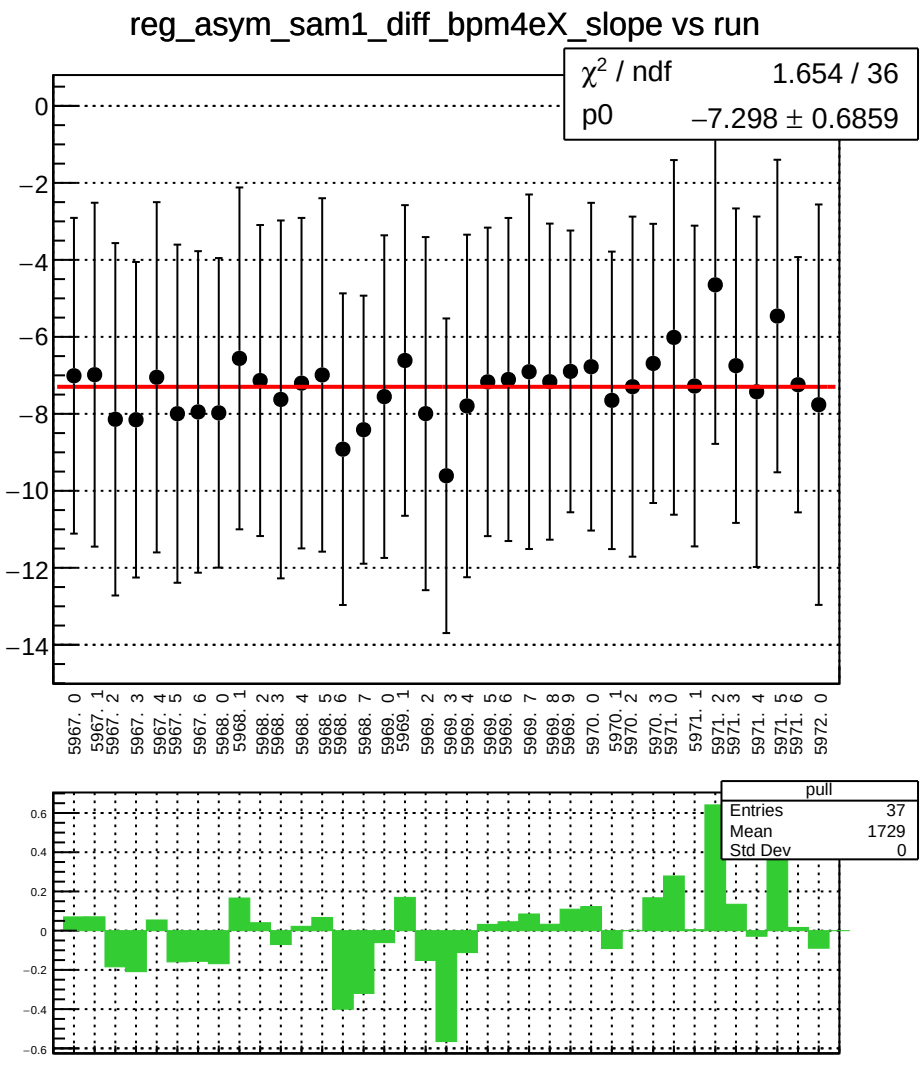
reg_asym_sam1_diff_bpm4eX_slope vs run
χ² / ndf 1.654 / 36
p0 −7.298 ± 0.6859
pull
Entries 37
Mean 1729
Std Dev 0

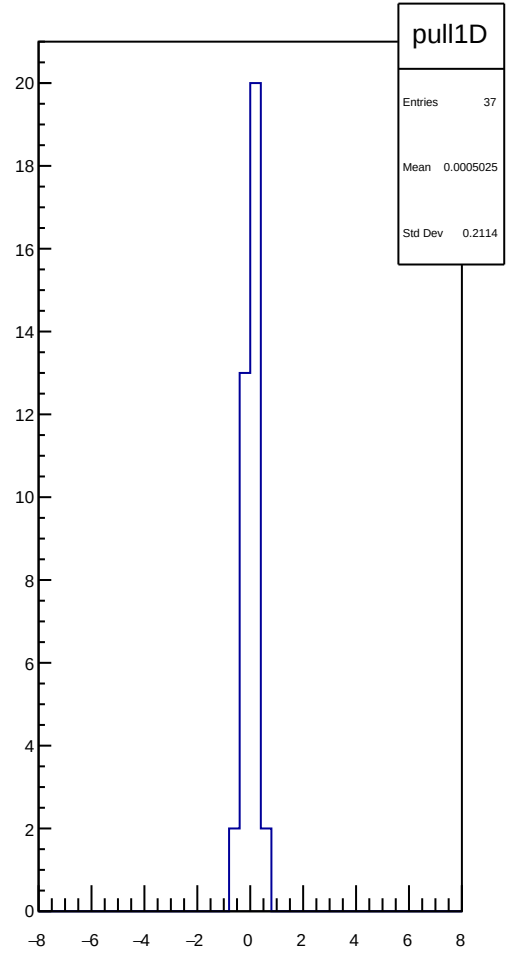
pull1D
Entries 37
Mean 0.0005025
Std Dev 0.2114

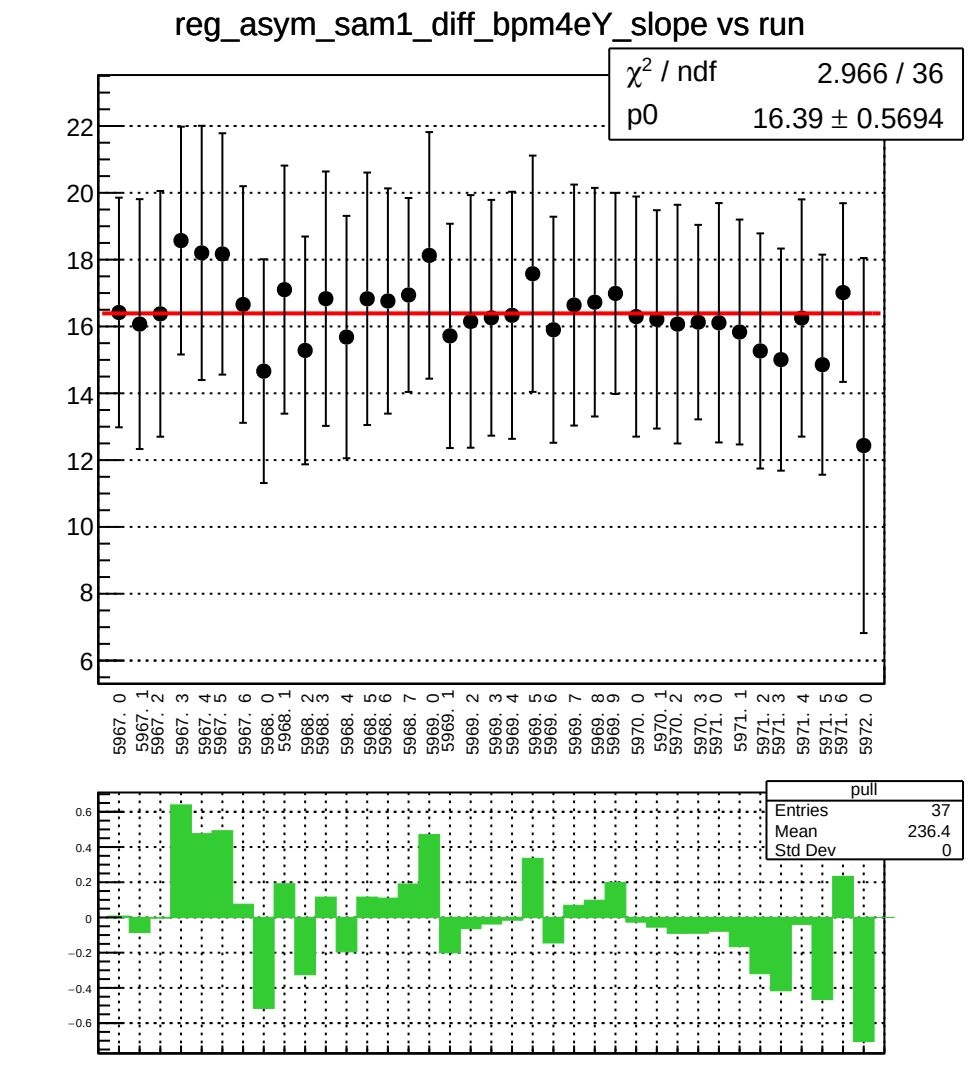
reg_asym_sam1_diff_bpm4eY_slope vs run
χ² / ndf 2.966 / 36
p0 16.39 ± 0.5694
pull
Entries 37
Mean 236.4
Std Dev 0

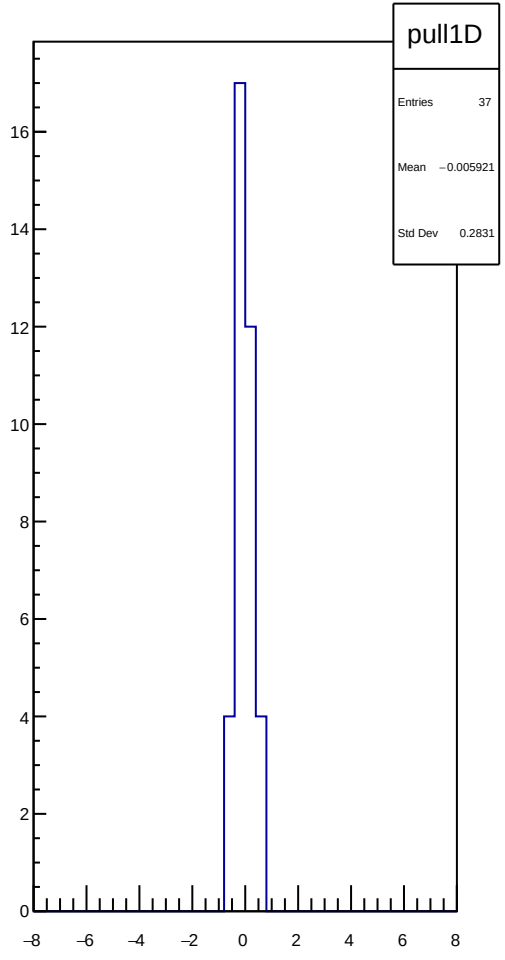
pull1D
Entries 37
Mean −0.005921
Std Dev 0.2831

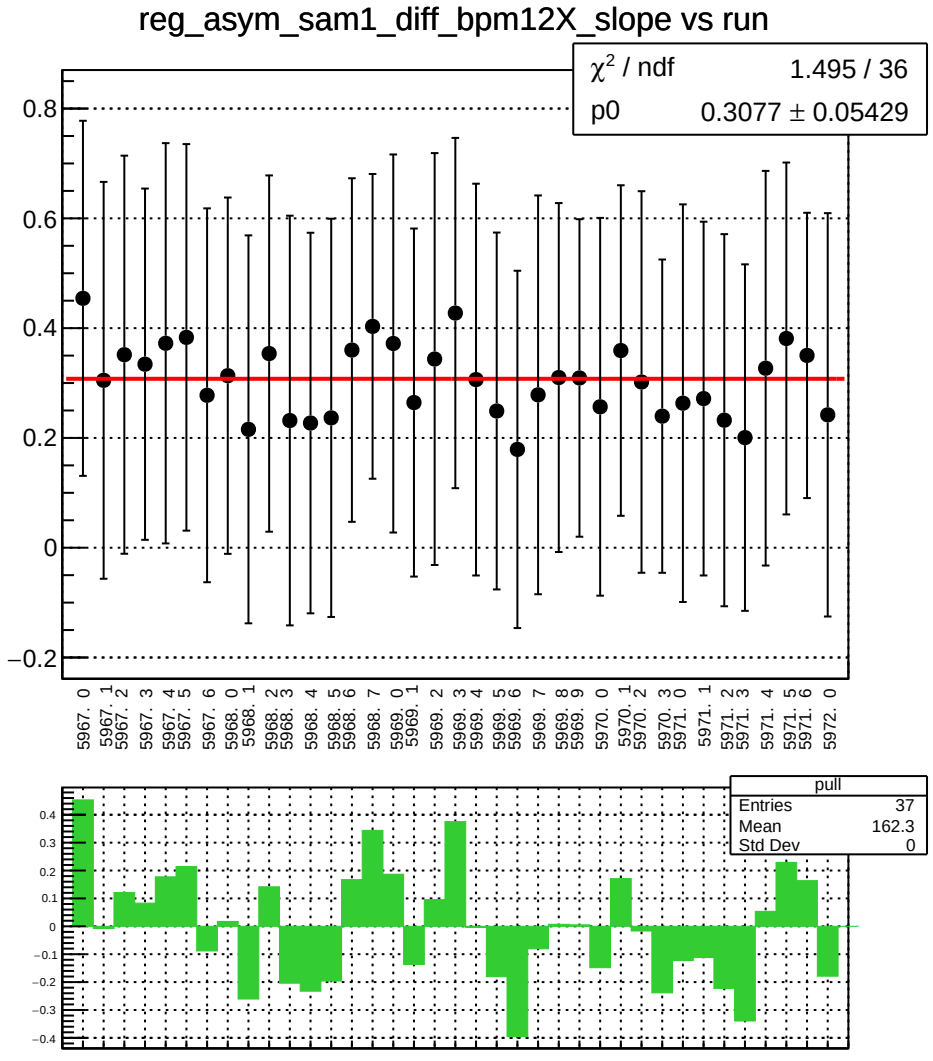
reg_asym_sam1_diff_bpm12X_slope vs run
χ² / ndf 1.495 / 36
p0 0.3077 ± 0.05429
pull
Entries 37
Mean 162.3
Std Dev 0
pull1D
Entries 37
Mean −0.004278
Std Dev 0.2009

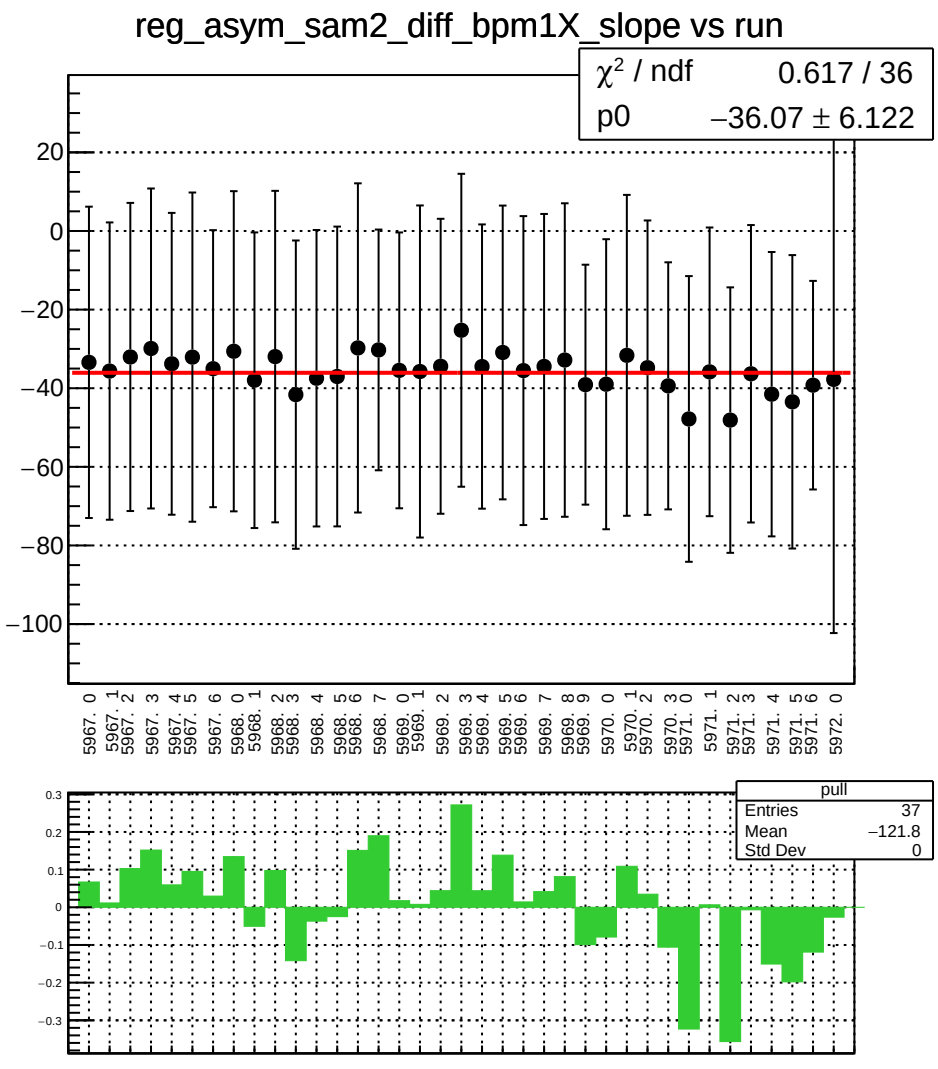
reg_asym_sam2_diff_bpm1X_slope vs run
χ² / ndf 0.617 / 36
p0 −36.07 ± 6.122
20
0
−20
−40
−60
−80
−100
5967. 0
5967. 1
5967. 2
5967. 3
5967. 4
5967. 5
5967. 6
5968. 0
5968. 1
5968. 2
5968. 3
5968. 4
5968. 5
5968. 6
5968. 7
5969. 0
5969. 1
5969. 2
5969. 3
5969. 4
5969. 5
5969. 6
5969. 7
5969. 8
5969. 9
5970. 0
5970. 1
5970. 2
5970. 3
5971. 0
5971. 1
5971. 2
5971. 3
5971. 4
5971. 5
5971. 6
5972. 0
pull
Entries 37
Mean −121.8
Std Dev 0
0.3
0.2
0.1
0
−0.1
−0.2
−0.3
pull1D
Entries 37
Mean 0.004989
Std Dev 0.129
24
22
20
18
16
14
12
10
8
6
4
2
0
−8
−6
−4
−2
0
2
4
6
8

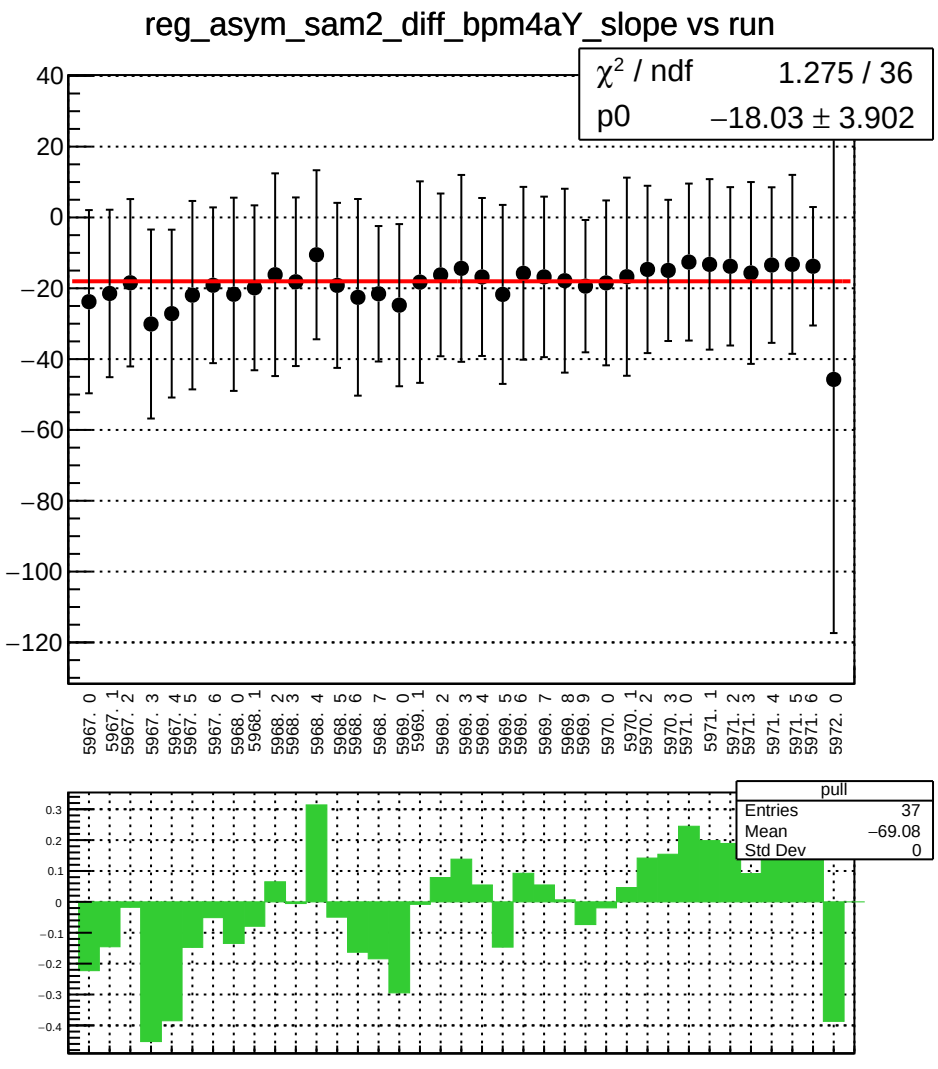
reg_asym_sam2_diff_bpm4aY_slope vs run
χ² / ndf 1.275 / 36
p0 −18.03 ± 3.902
pull
Entries 37
Mean −69.08
Std Dev 0

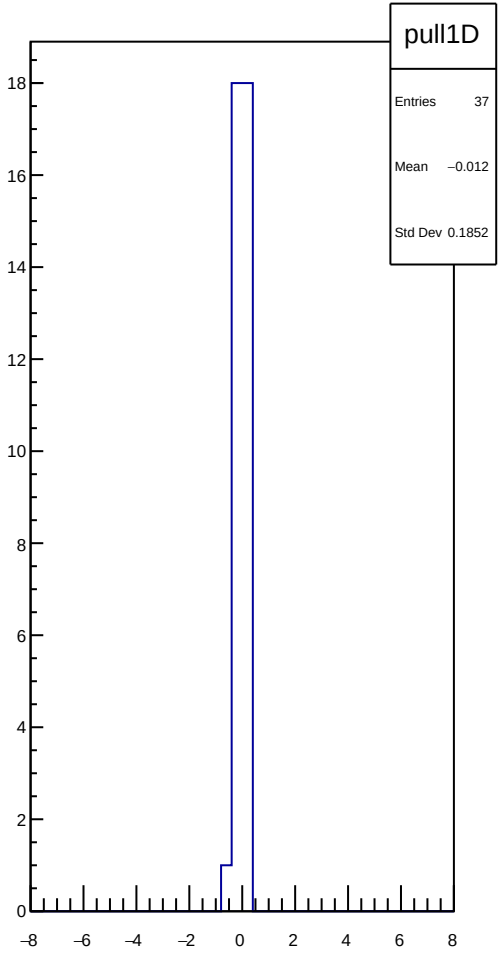
pull1D
Entries 37
Mean −0.012
Std Dev 0.1852

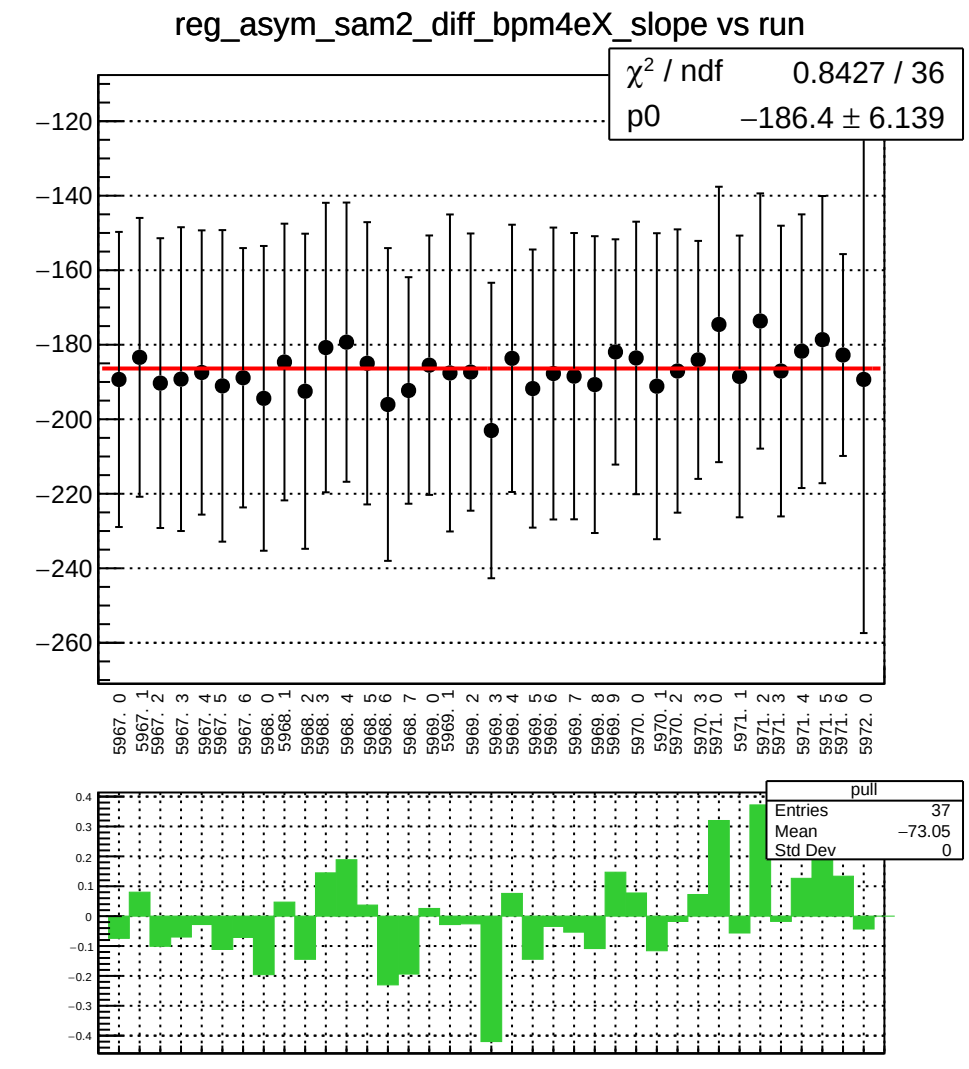
reg_asym_sam2_diff_bpm4eX_slope vs run
χ² / ndf 0.8427 / 36
p0 −186.4 ± 6.139
−120
−140
−160
−180
−200
−220
−240
−260
5967. 0
5967. 1
5967. 2
5967. 3
5967. 4
5967. 5
5967. 6
5968. 0
5968. 1
5968. 2
5968. 3
5968. 4
5968. 5
5968. 6
5968. 7
5969. 0
5969. 1
5969. 2
5969. 3
5969. 4
5969. 5
5969. 6
5969. 7
5969. 8
5969. 9
5970. 0
5970. 1
5970. 2
5970. 3
5971. 0
5971. 1
5971. 2
5971. 3
5971. 4
5971. 5
5971. 6
5972. 0
pull
Entries 37
Mean −73.05
Std Dev 0
0.4
0.3
0.2
0.1
0
−0.1
−0.2
−0.3
−0.4
pull1D
Entries 37
Mean −0.006373
Std Dev 0.1508
22
20
18
16
14
12
10
8
6
4
2
0
−8
−6
−4
−2
0
2
4
6
8

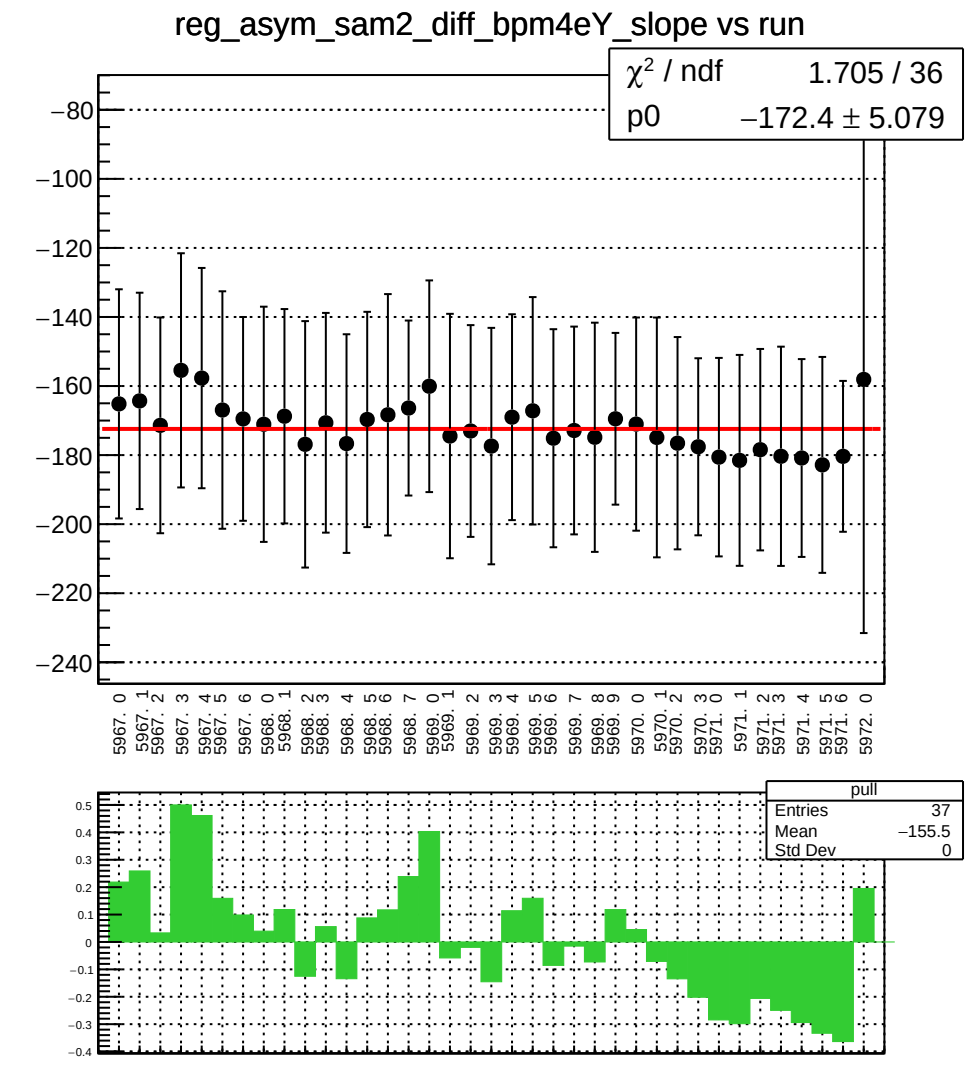
reg_asym_sam2_diff_bpm4eY_slope vs run
χ² / ndf 1.705 / 36
p0 −172.4 ± 5.079
pull
Entries 37
Mean −155.5
Std Dev 0

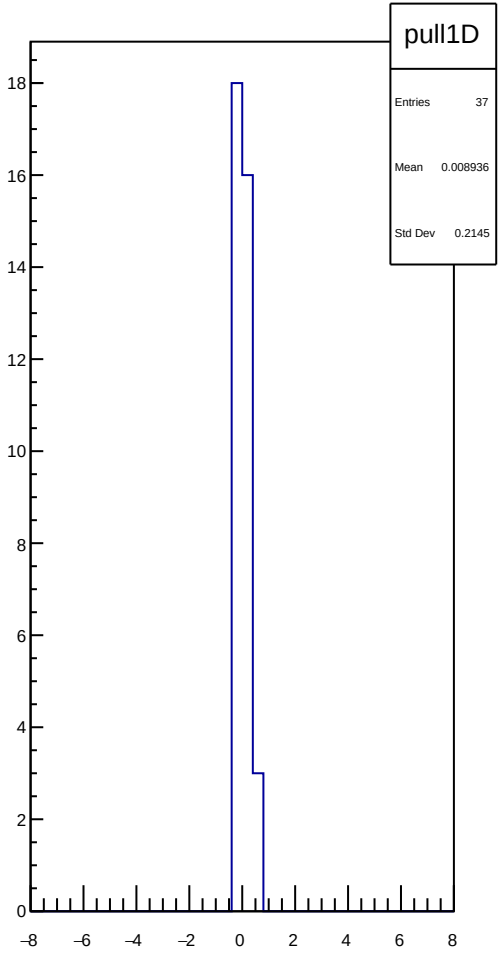
pull1D
Entries 37
Mean 0.008936
Std Dev 0.2145

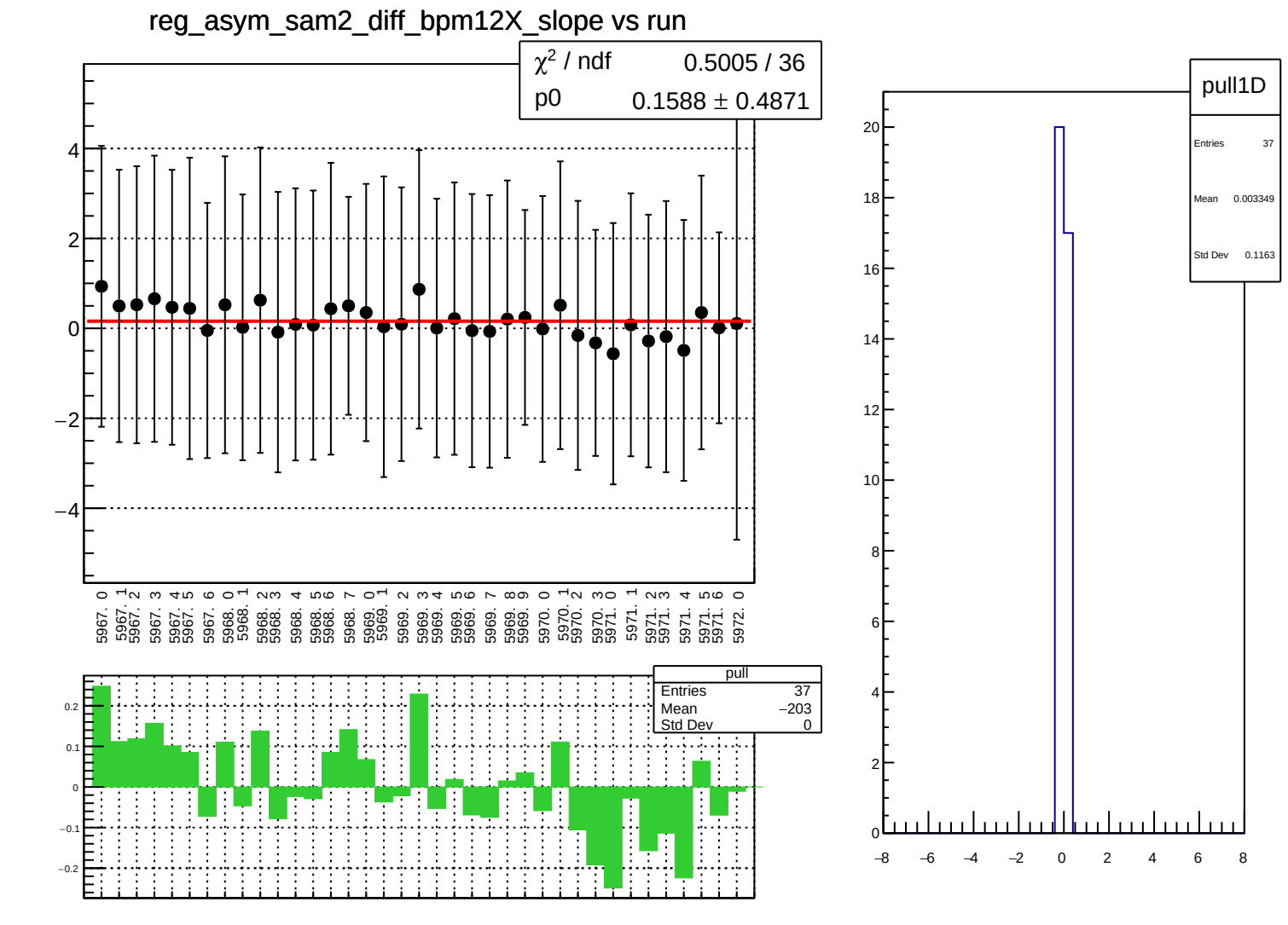
reg_asym_sam2_diff_bpm12X_slope vs run
χ² / ndf 0.5005 / 36
p0 0.1588 ± 0.4871
pull
Entries 37
Mean −203
Std Dev 0
pull1D
Entries 37
Mean 0.003349
Std Dev 0.1163

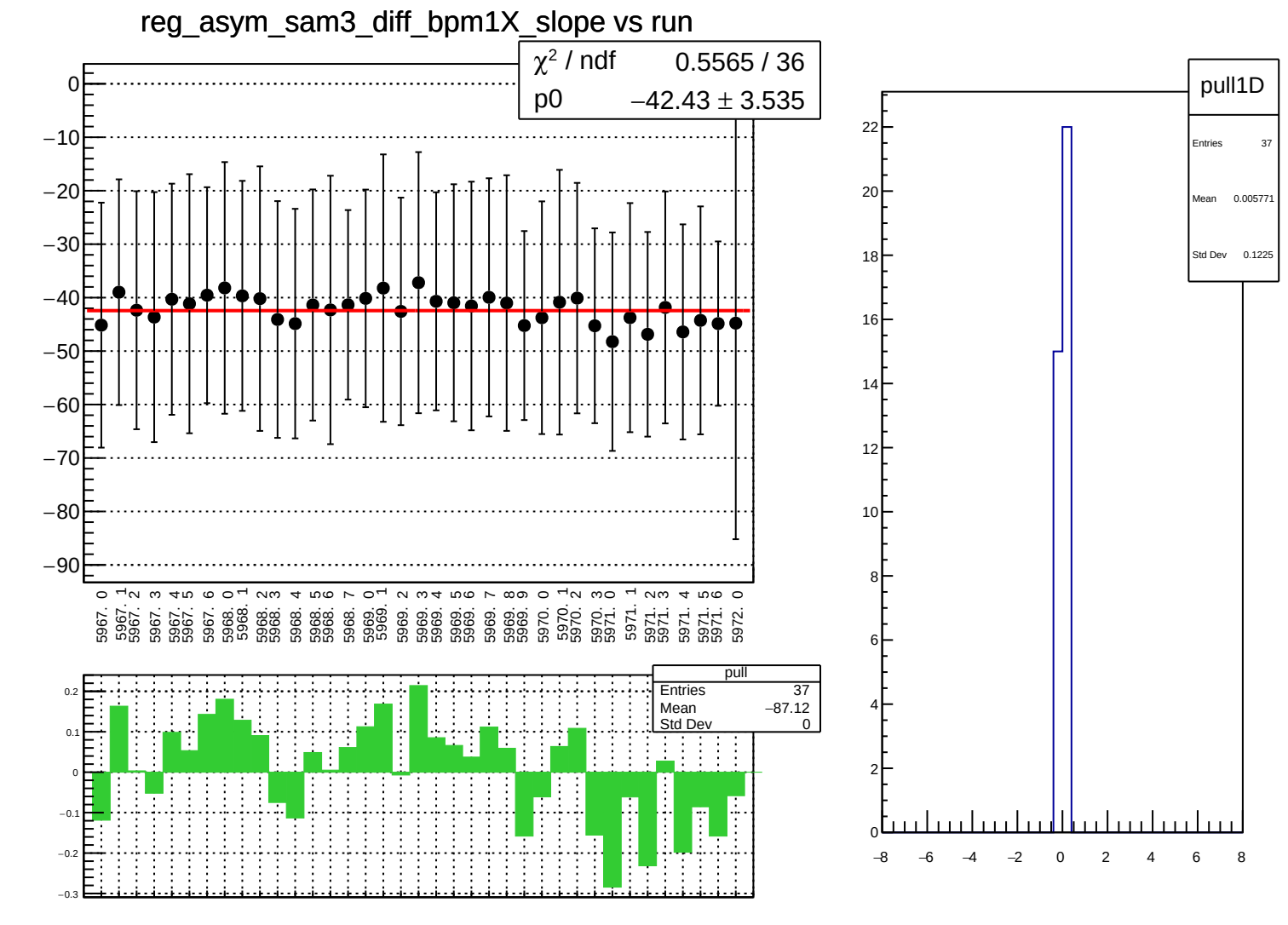
reg_asym_sam3_diff_bpm1X_slope vs run
χ² / ndf 0.5565 / 36
p0 −42.43 ± 3.535
pull
Entries 37
Mean −87.12
Std Dev 0
pull1D
Entries 37
Mean 0.005771
Std Dev 0.1225

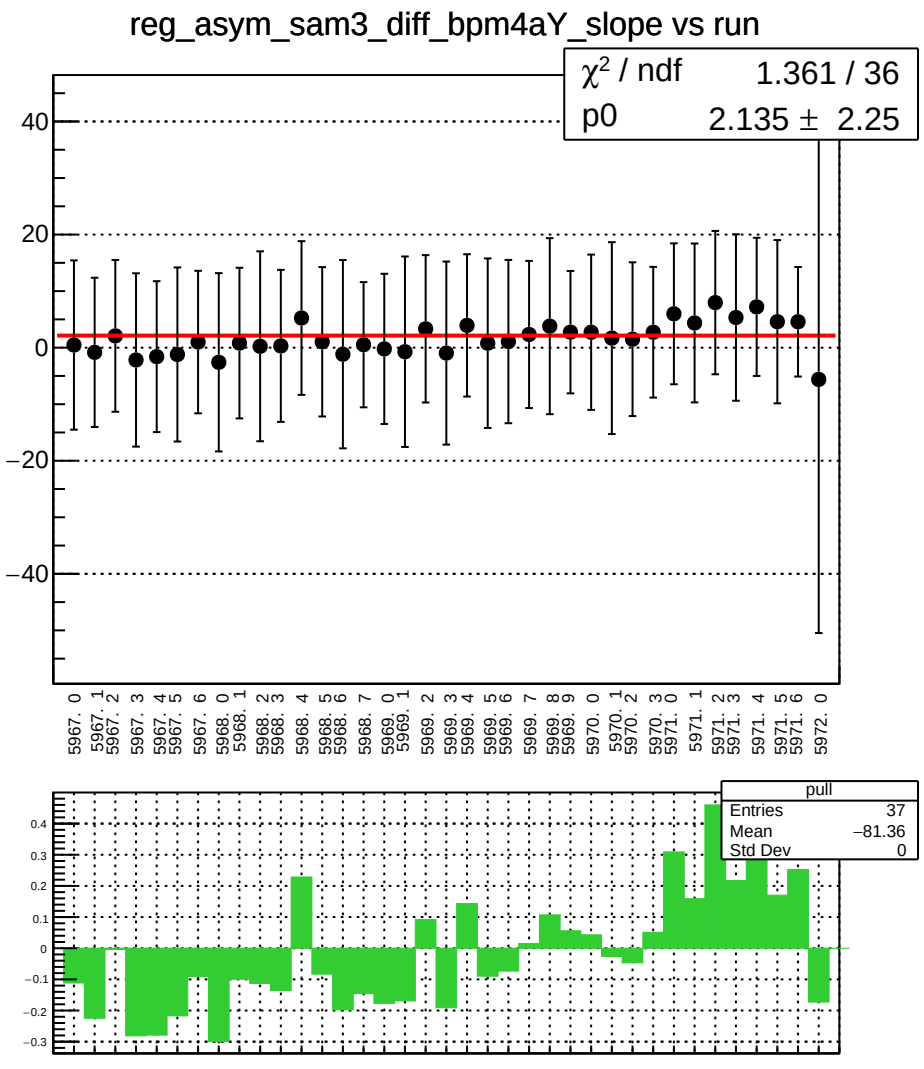
reg_asym_sam3_diff_bpm4aY_slope vs run
χ² / ndf 1.361 / 36
p0 2.135 ± 2.25
40
20
0
−20
−40
5967. 0
5967. 1
5967. 2
5967. 3
5967. 4
5967. 5
5967. 6
5968. 0
5968. 1
5968. 2
5968. 3
5968. 4
5968. 5
5968. 6
5968. 7
5969. 0
5969. 1
5969. 2
5969. 3
5969. 4
5969. 5
5969. 6
5969. 7
5969. 8
5969. 9
5970. 0
5970. 1
5970. 2
5970. 3
5971. 0
5971. 1
5971. 2
5971. 3
5971. 4
5971. 5
5971. 6
5972. 0
pull
Entries 37
Mean −81.36
Std Dev 0
0.4
0.3
0.2
0.1
0
−0.1
−0.2
−0.3

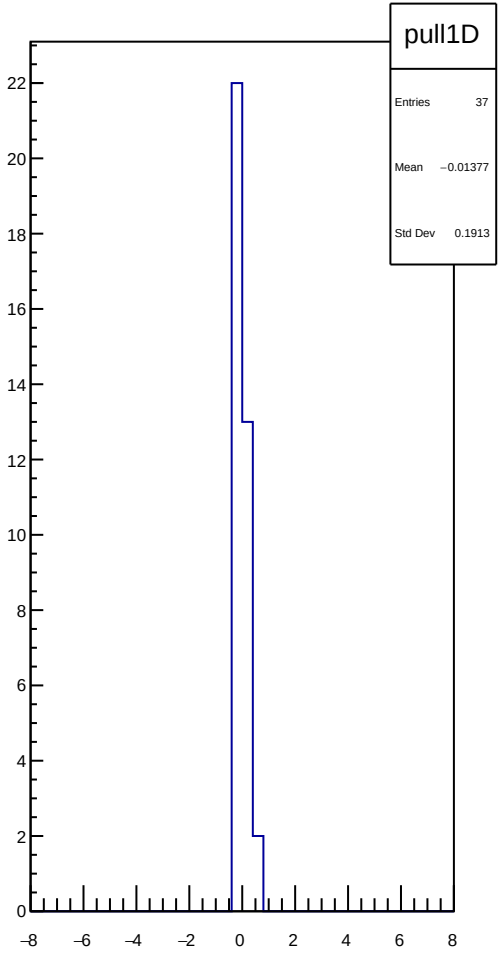
pull1D
Entries 37
Mean −0.01377
Std Dev 0.1913
22
20
18
16
14
12
10
8
6
4
2
0
−8
−6
−4
−2
0
2
4
6
8

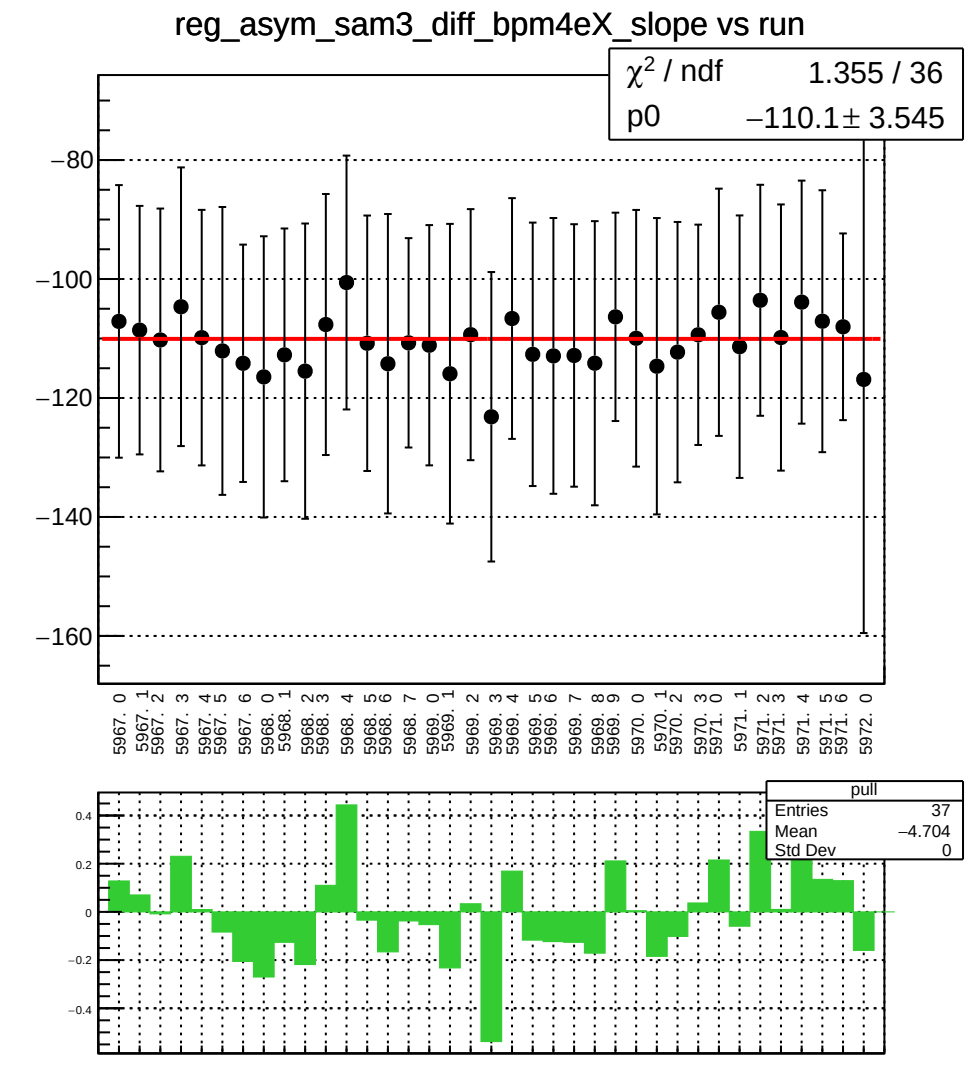
reg_asym_sam3_diff_bpm4eX_slope vs run
χ² / ndf 1.355 / 36
p0 −110.1± 3.545
−80
−100
−120
−140
−160
5967. 0
5967. 1
5967. 2
5967. 3
5967. 4
5967. 5
5967. 6
5968. 0
5968. 1
5968. 2
5968. 3
5968. 4
5968. 5
5968. 6
5968. 7
5969. 0
5969. 1
5969. 2
5969. 3
5969. 4
5969. 5
5969. 6
5969. 7
5969. 8
5969. 9
5970. 0
5970. 1
5970. 2
5970. 3
5971. 0
5971. 1
5971. 2
5971. 3
5971. 4
5971. 5
5971. 6
5972. 0
pull
Entries 37
Mean −4.704
Std Dev 0
0.4
0.2
0
−0.2
−0.4

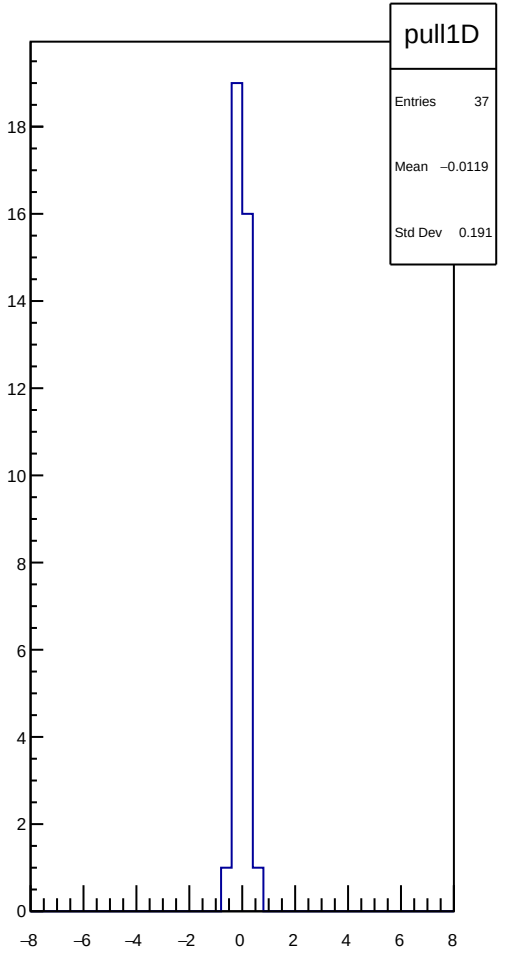
pull1D
Entries 37
Mean −0.0119
Std Dev 0.191
18
16
14
12
10
8
6
4
2
0
−8
−6
−4
−2
0
2
4
6
8

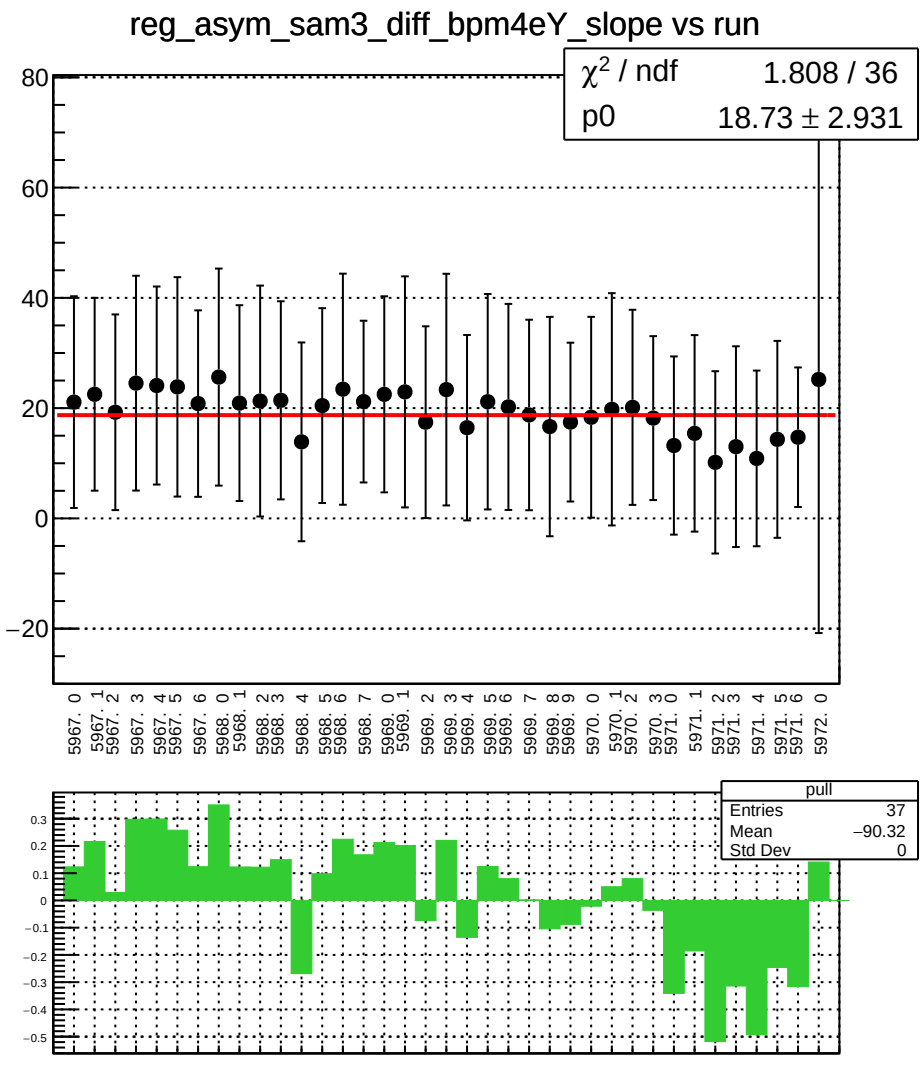
reg_asym_sam3_diff_bpm4eY_slope vs run
χ² / ndf 1.808 / 36
p0 18.73 ± 2.931
80
60
40
20
0
−20
5967. 0
5967. 1
5967. 2
5967. 3
5967. 4
5967. 5
5967. 6
5968. 0
5968. 1
5968. 2
5968. 3
5968. 4
5968. 5
5968. 6
5968. 7
5969. 0
5969. 1
5969. 2
5969. 3
5969. 4
5969. 5
5969. 6
5969. 7
5969. 8
5969. 9
5970. 0
5970. 1
5970. 2
5970. 3
5971. 0
5971. 1
5971. 2
5971. 3
5971. 4
5971. 5
5971. 6
5972. 0
pull
Entries 37
Mean −90.32
Std Dev 0
0.3
0.2
0.1
0
−0.1
−0.2
−0.3
−0.4
−0.5

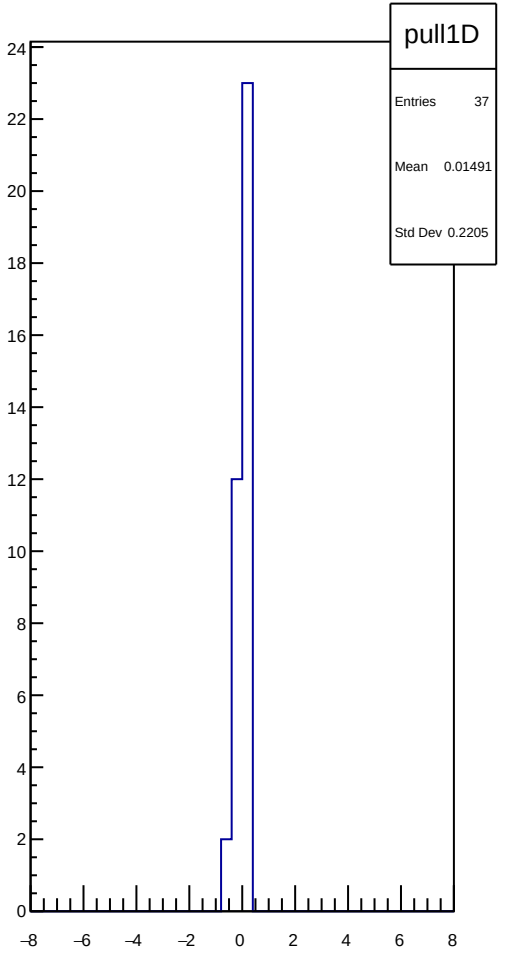
pull1D
Entries 37
Mean 0.01491
Std Dev 0.2205
24
22
20
18
16
14
12
10
8
6
4
2
0
−8
−6
−4
−2
0
2
4
6
8

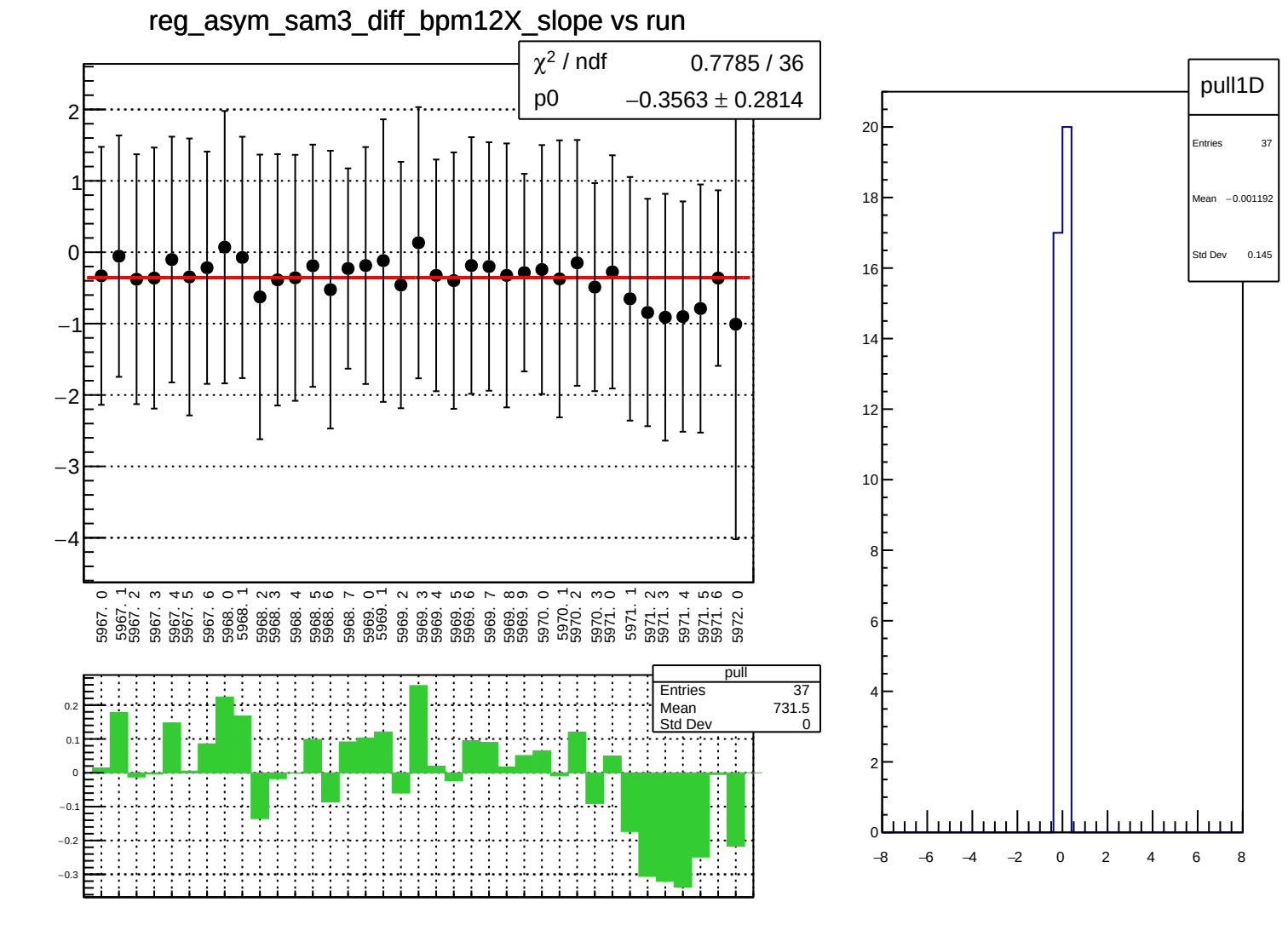
reg_asym_sam3_diff_bpm12X_slope vs run
χ² / ndf 0.7785 / 36
p0 −0.3563 ± 0.2814
pull
Entries 37
Mean 731.5
Std Dev 0
pull1D
Entries 37
Mean −0.001192
Std Dev 0.145

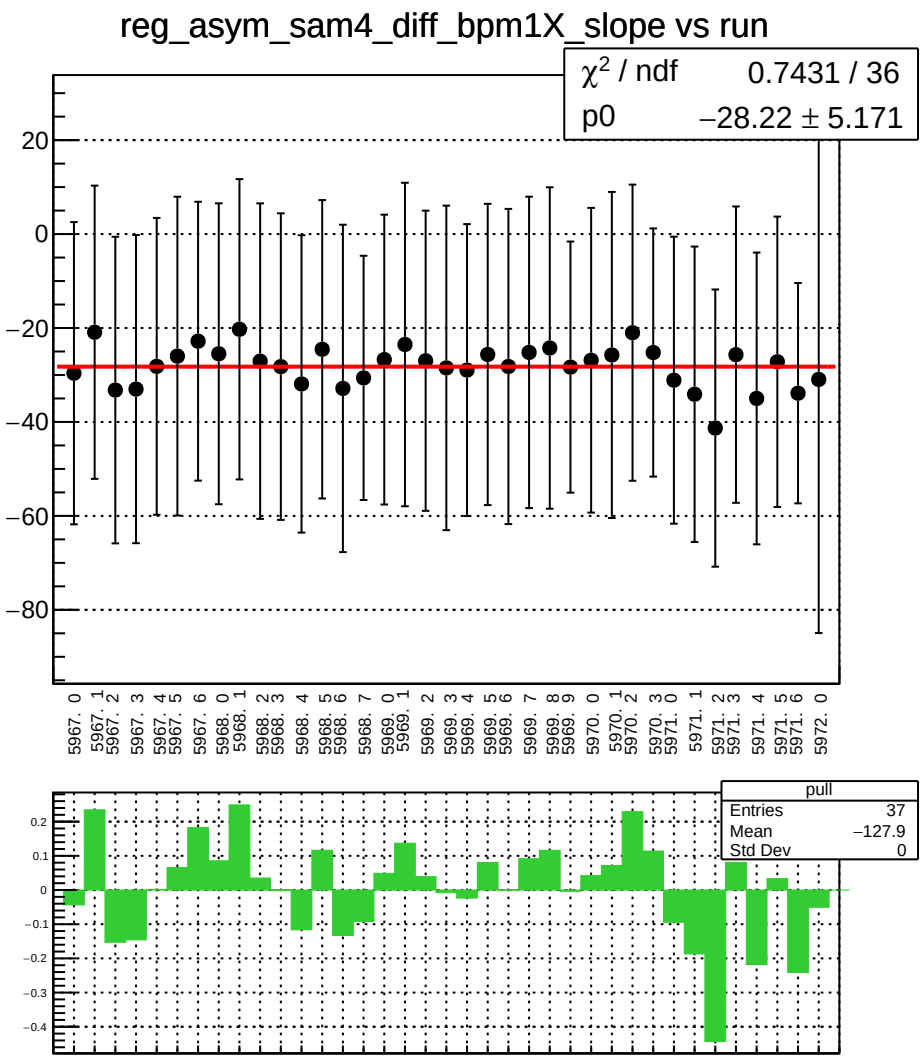
reg_asym_sam4_diff_bpm1X_slope vs run
χ² / ndf 0.7431 / 36
p0 −28.22 ± 5.171
20
0
−20
−40
−60
−80
5967. 0
5967. 1
5967. 2
5967. 3
5967. 4
5967. 5
5967. 6
5968. 0
5968. 1
5968. 2
5968. 3
5968. 4
5968. 5
5968. 6
5968. 7
5969. 0
5969. 1
5969. 2
5969. 3
5969. 4
5969. 5
5969. 6
5969. 7
5969. 8
5969. 9
5970. 0
5970. 1
5970. 2
5970. 3
5971. 0
5971. 1
5971. 2
5971. 3
5971. 4
5971. 5
5971. 6
5972. 0
pull
Entries 37
Mean −127.9
Std Dev 0
0.2
0.1
0
−0.1
−0.2
−0.3
−0.4
pull1D
Entries 37
Mean 0.00281
Std Dev 0.1417
22
20
18
16
14
12
10
8
6
4
2
0
−8
−6
−4
−2
0
2
4
6
8

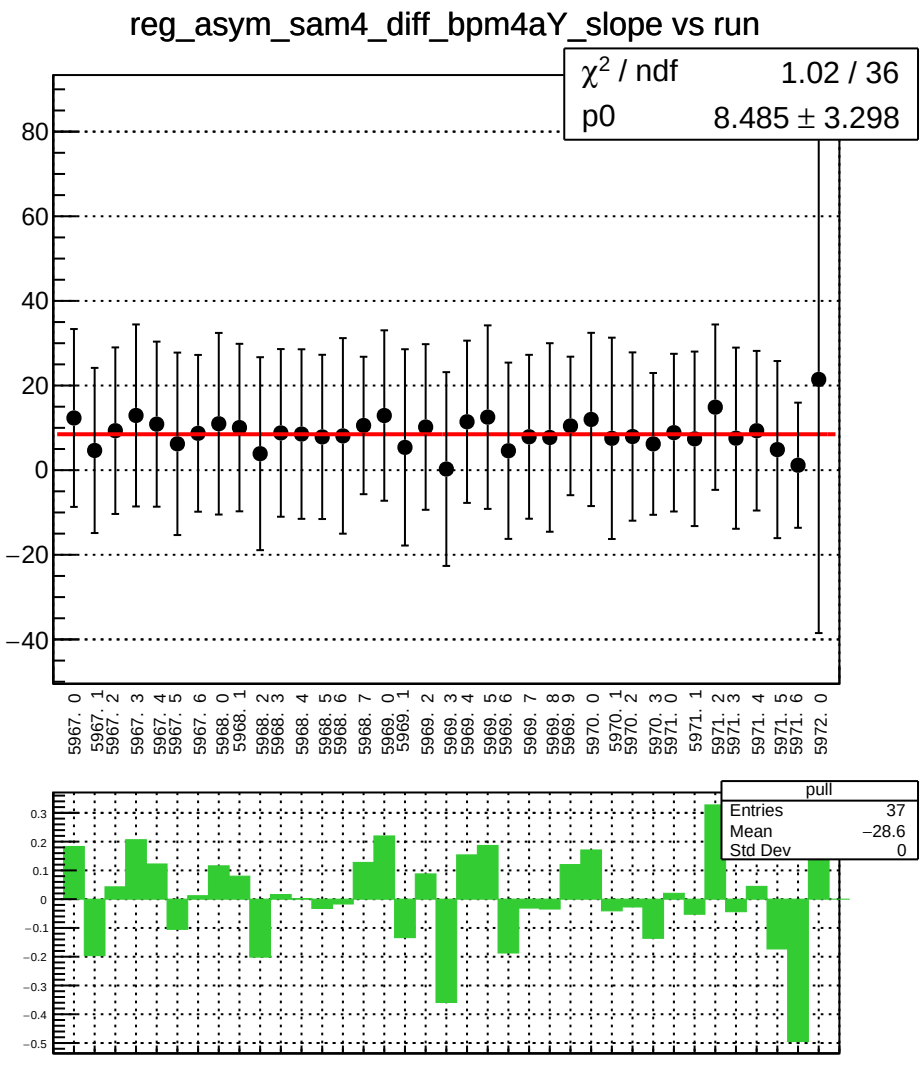
reg_asym_sam4_diff_bpm4aY_slope vs run
χ² / ndf 1.02 / 36
p0 8.485 ± 3.298
pull
Entries 37
Mean −28.6
Std Dev 0

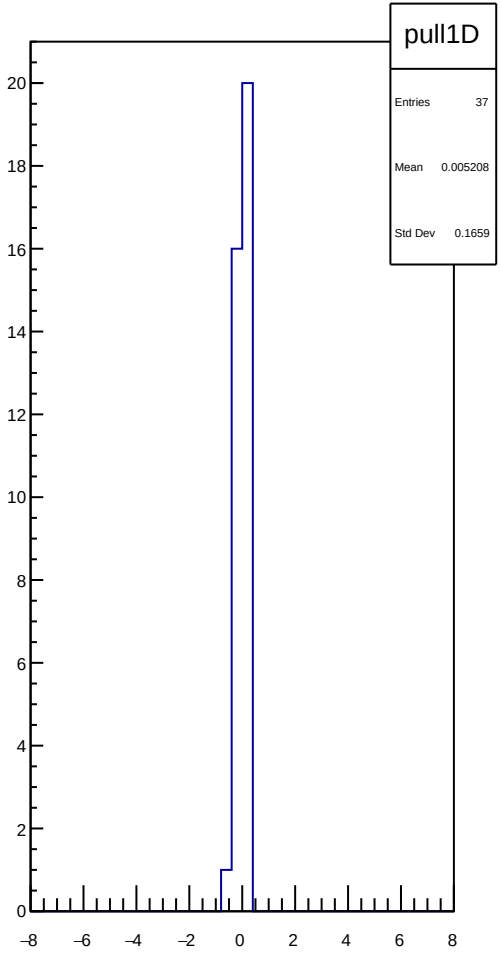
pull1D
Entries 37
Mean 0.005208
Std Dev 0.1659

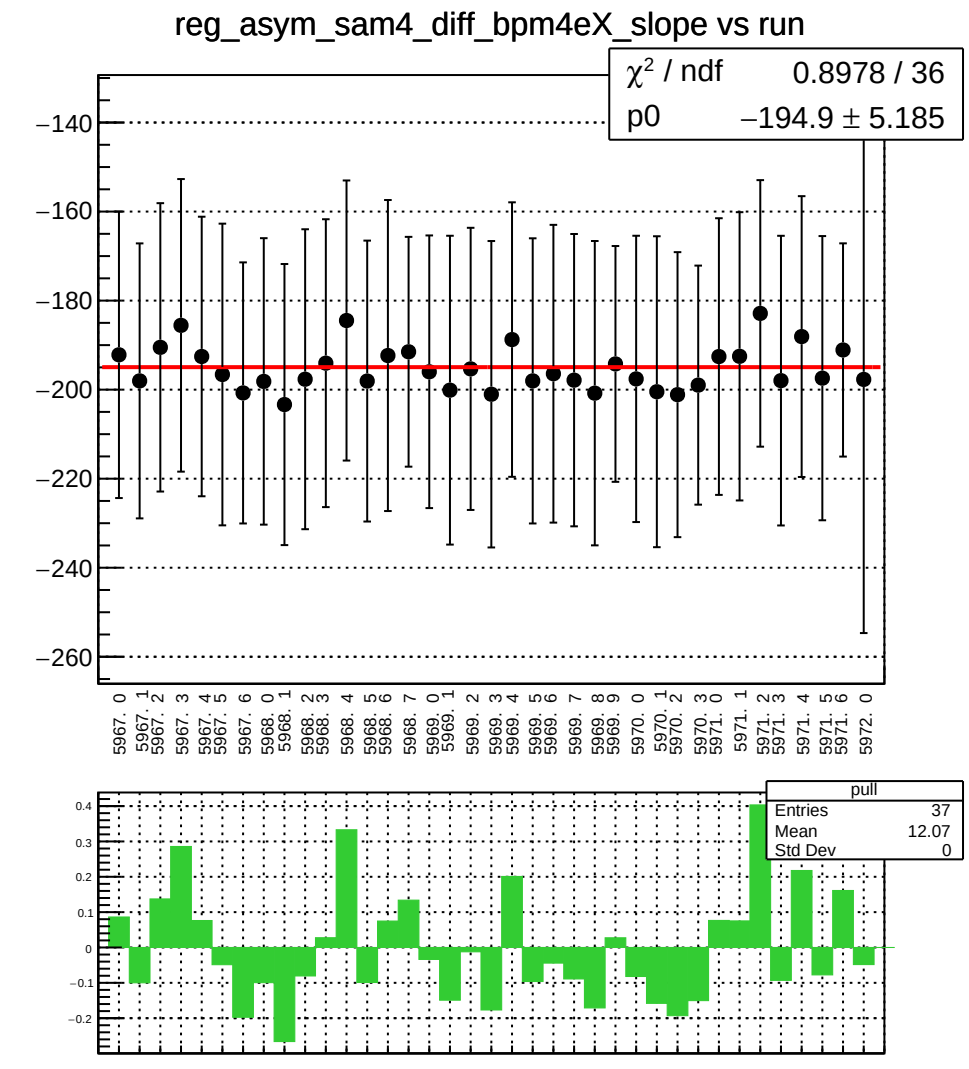
reg_asym_sam4_diff_bpm4eX_slope vs run
χ² / ndf 0.8978 / 36
p0 −194.9 ± 5.185
−140
−160
−180
−200
−220
−240
−260
5967. 0
5967. 1
5967. 2
5967. 3
5967. 4
5967. 5
5967. 6
5968. 0
5968. 1
5968. 2
5968. 3
5968. 4
5968. 5
5968. 6
5968. 7
5969. 0
5969. 1
5969. 2
5969. 3
5969. 4
5969. 5
5969. 6
5969. 7
5969. 8
5969. 9
5970. 0
5970. 1
5970. 2
5970. 3
5971. 0
5971. 1
5971. 2
5971. 3
5971. 4
5971. 5
5971. 6
5972. 0
pull
Entries 37
Mean 12.07
Std Dev 0
0.4
0.3
0.2
0.1
0
−0.1
−0.2
pull1D
Entries 37
Mean −0.004014
Std Dev 0.1557
22
20
18
16
14
12
10
8
6
4
2
0
−8
−6
−4
−2
0
2
4
6
8

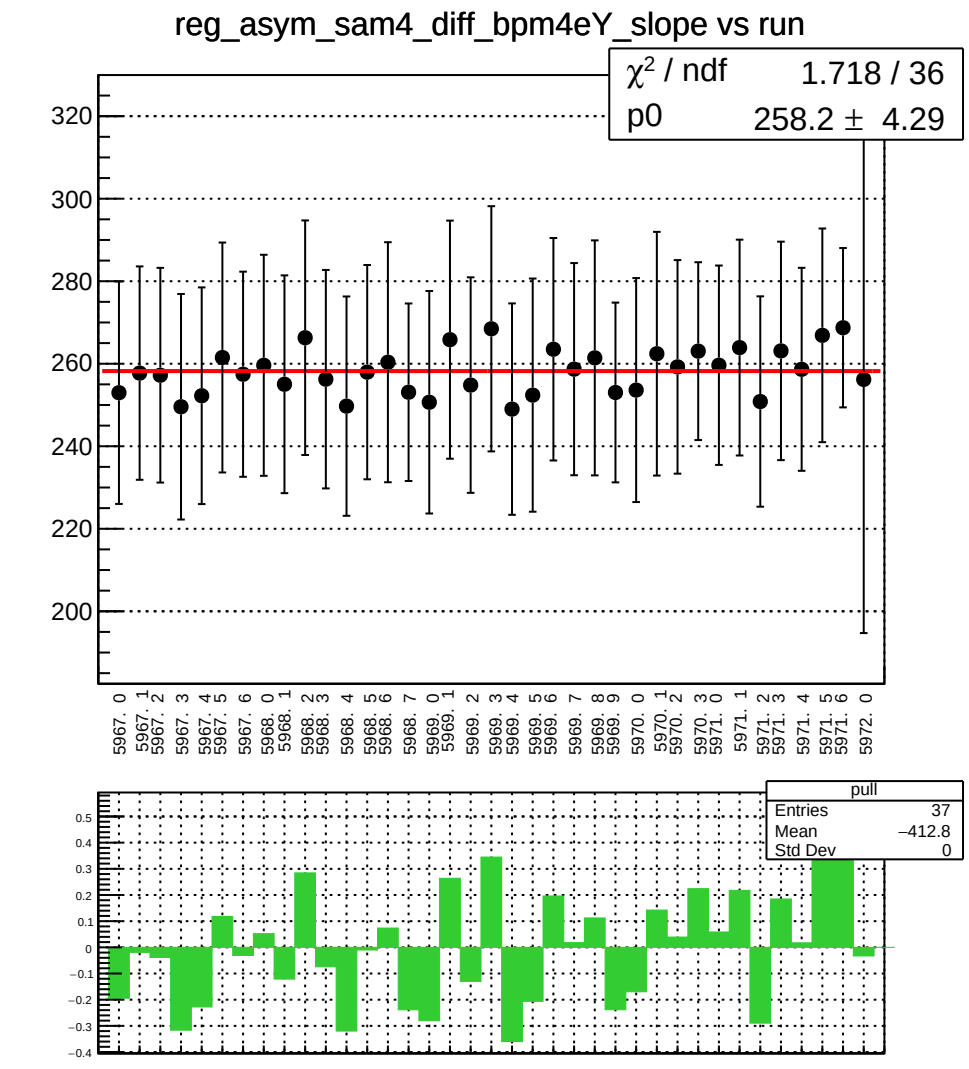
reg_asym_sam4_diff_bpm4eY_slope vs run
χ² / ndf 1.718 / 36
p0 258.2 ± 4.29
320
300
280
260
240
220
200
5967. 0
5967. 1
5967. 2
5967. 3
5967. 4
5967. 5
5967. 6
5968. 0
5968. 1
5968. 2
5968. 3
5968. 4
5968. 5
5968. 6
5968. 7
5969. 0
5969. 1
5969. 2
5969. 3
5969. 4
5969. 5
5969. 6
5969. 7
5969. 8
5969. 9
5970. 0
5970. 1
5970. 2
5970. 3
5971. 0
5971. 1
5971. 2
5971. 3
5971. 4
5971. 5
5971. 6
5972. 0
pull
Entries 37
Mean −412.8
Std Dev 0
0.5
0.4
0.3
0.2
0.1
0
−0.1
−0.2
−0.3
−0.4
pull1D
Entries 37
Mean −0.001951
Std Dev 0.2155
18
16
14
12
10
8
6
4
2
0
−8
−6
−4
−2
0
2
4
6
8

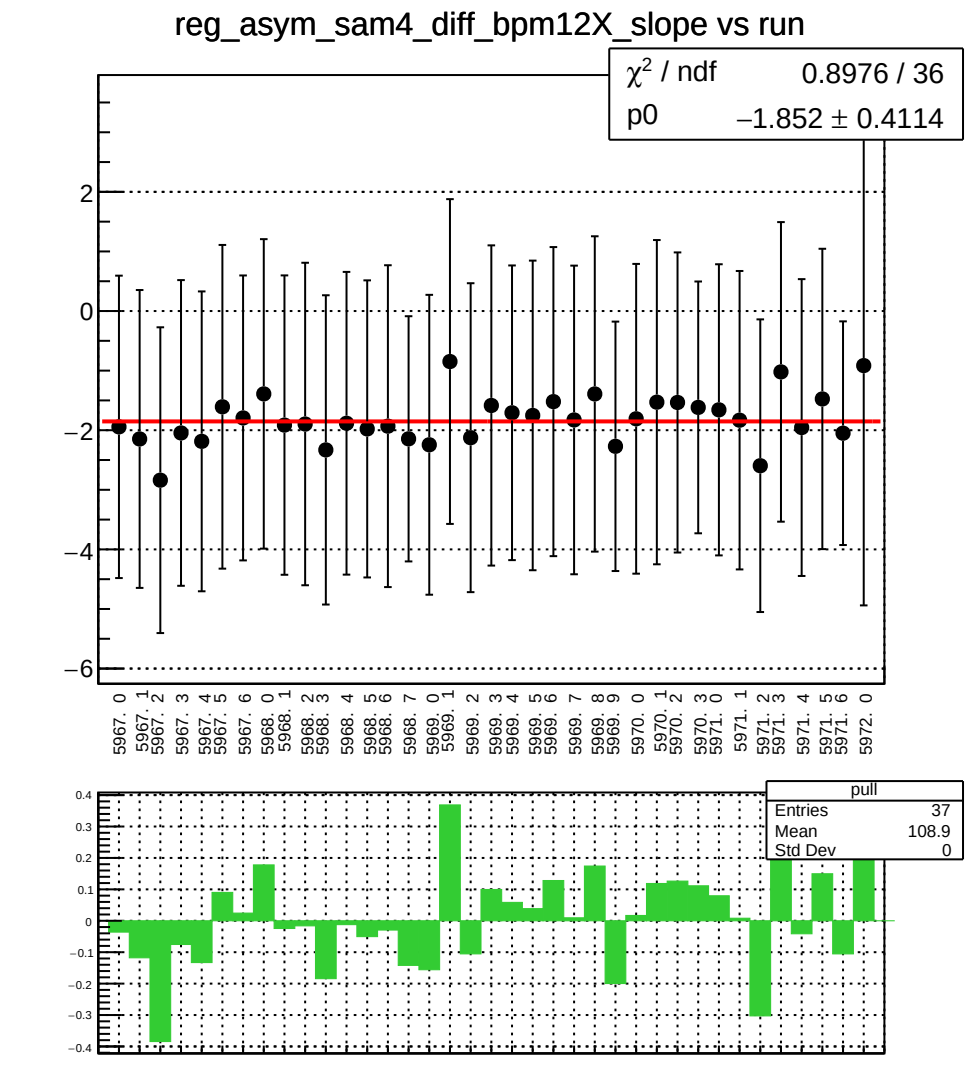
reg_asym_sam4_diff_bpm12X_slope vs run
χ² / ndf 0.8976 / 36
p0 −1.852 ± 0.4114
pull
Entries 37
Mean 108.9
Std Dev 0

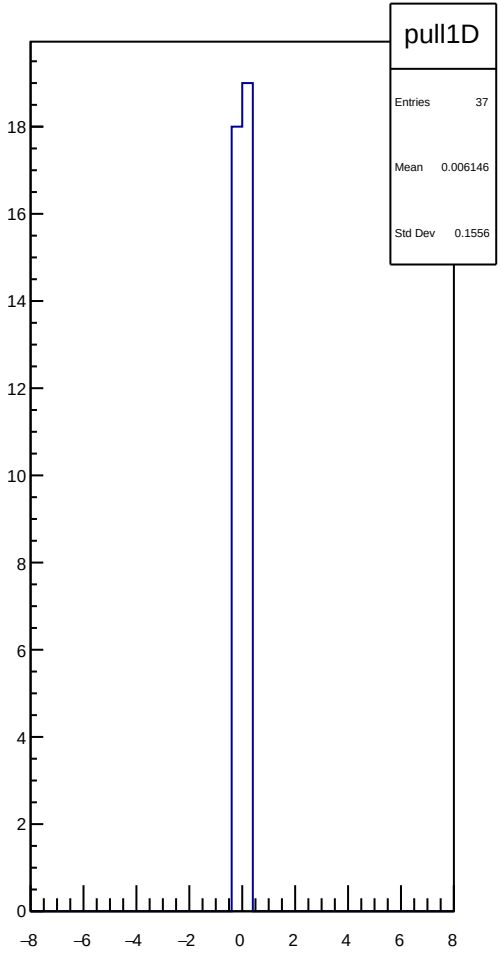
pull1D
Entries 37
Mean 0.006146
Std Dev 0.1556

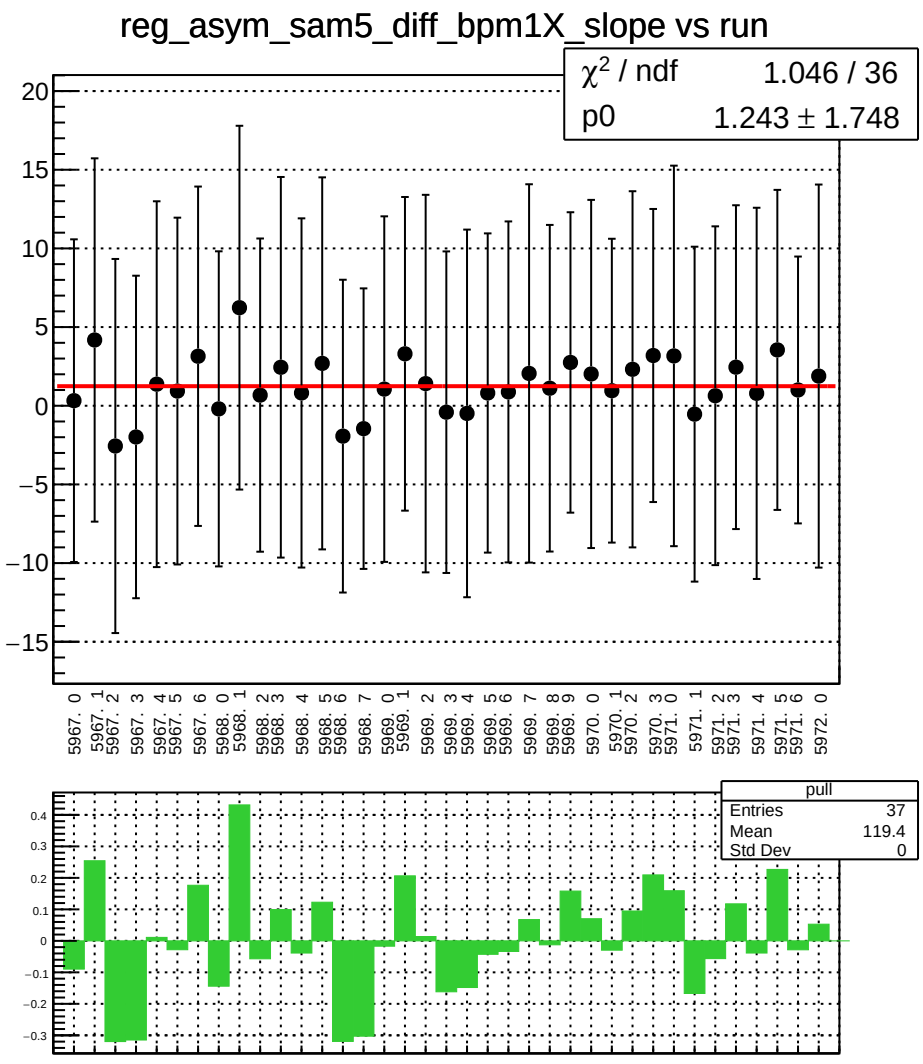
reg_asym_sam5_diff_bpm1X_slope vs run
χ² / ndf 1.046 / 36
p0 1.243 ± 1.748
pull
Entries 37
Mean 119.4
Std Dev 0

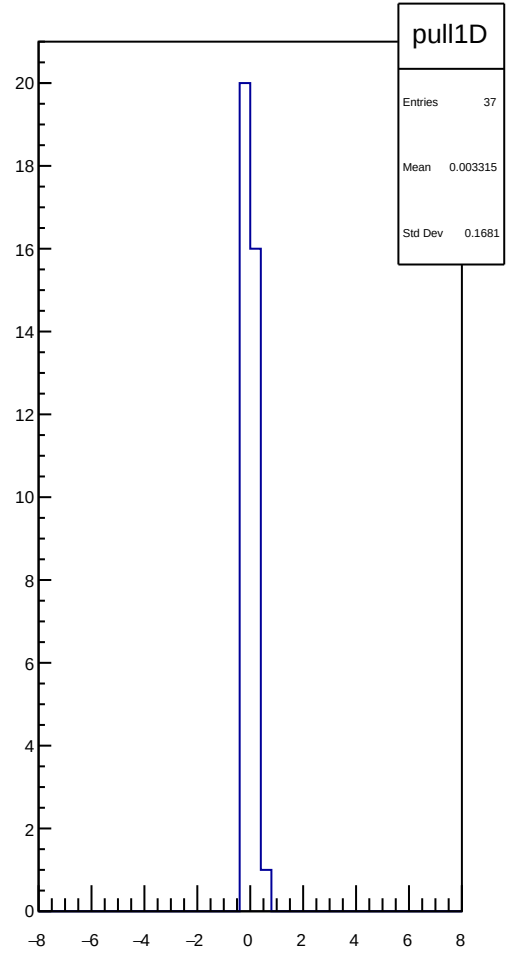
pull1D
Entries 37
Mean 0.003315
Std Dev 0.1681

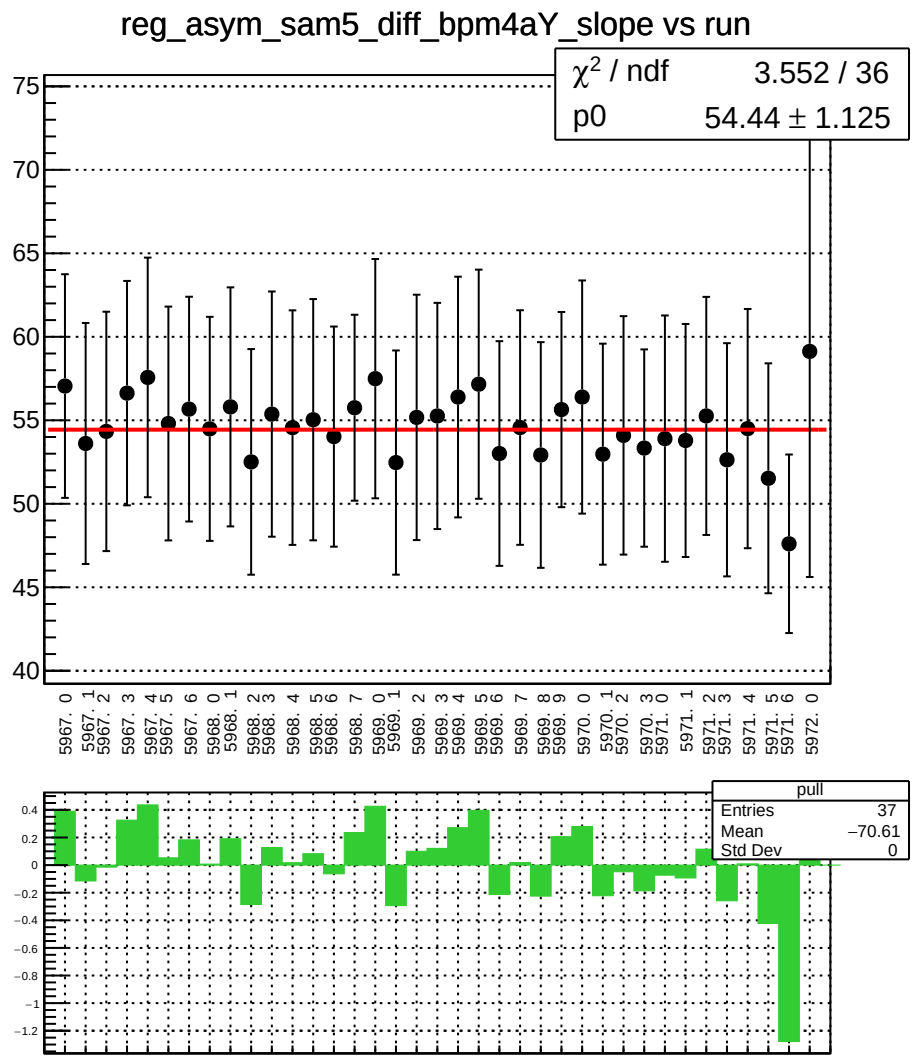
reg_asym_sam5_diff_bpm4aY_slope vs run
χ² / ndf 3.552 / 36
p0 54.44 ± 1.125
pull
Entries 37
Mean −70.61
Std Dev 0

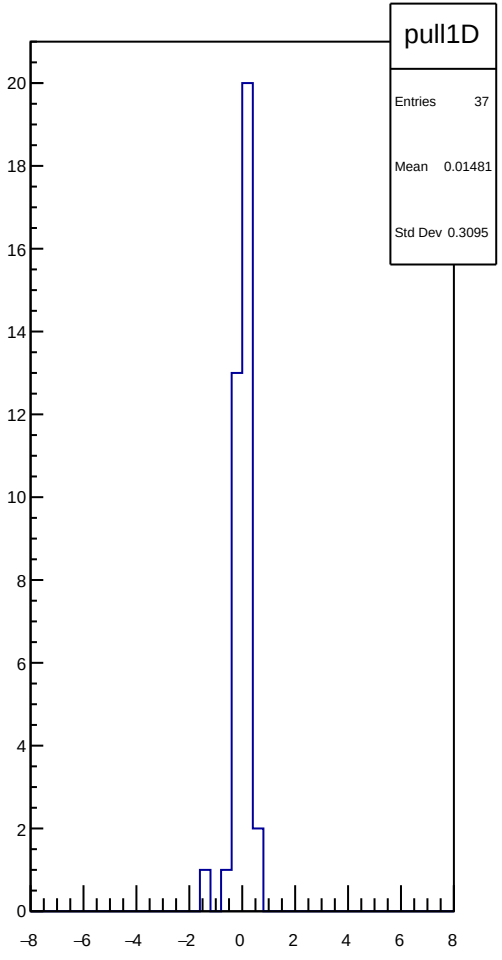
pull1D
Entries 37
Mean 0.01481
Std Dev 0.3095

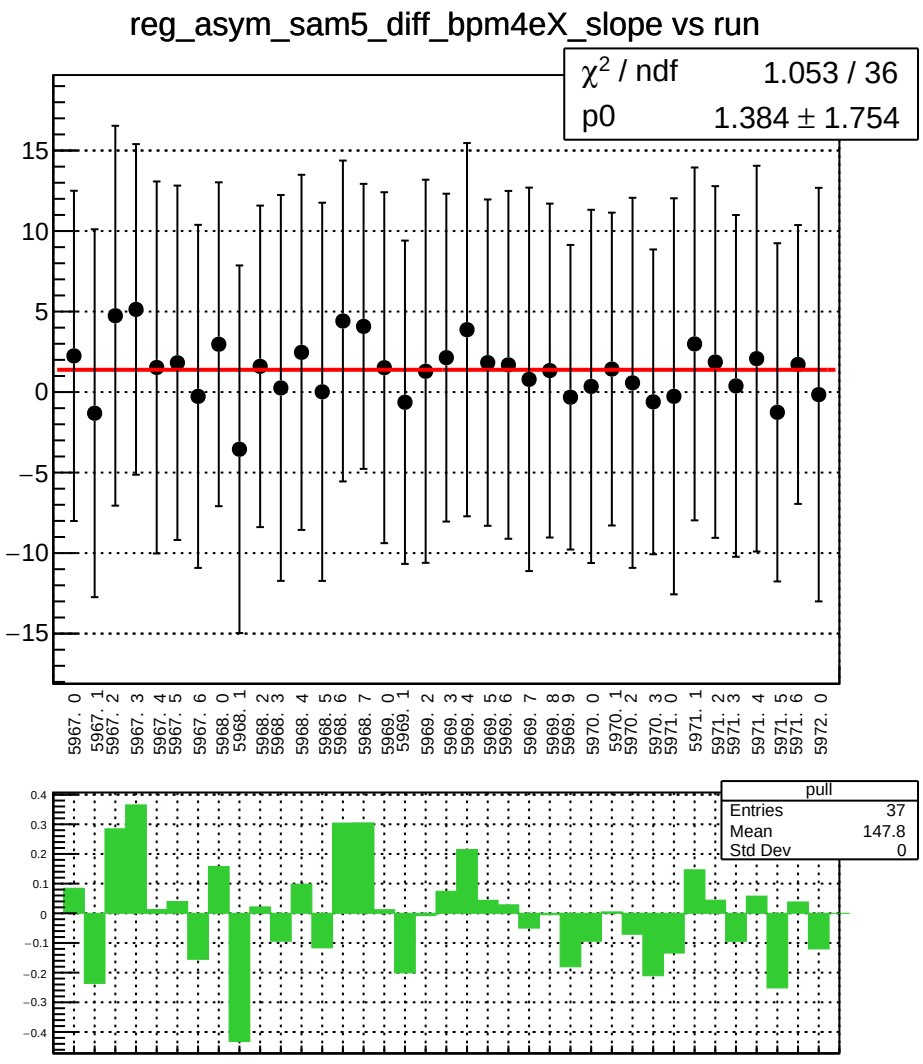
reg_asym_sam5_diff_bpm4eX_slope vs run
χ² / ndf 1.053 / 36
p0 1.384 ± 1.754
pull
Entries 37
Mean 147.8
Std Dev 0
pull1D
Entries 37
Mean −0.003131
Std Dev 0.1687

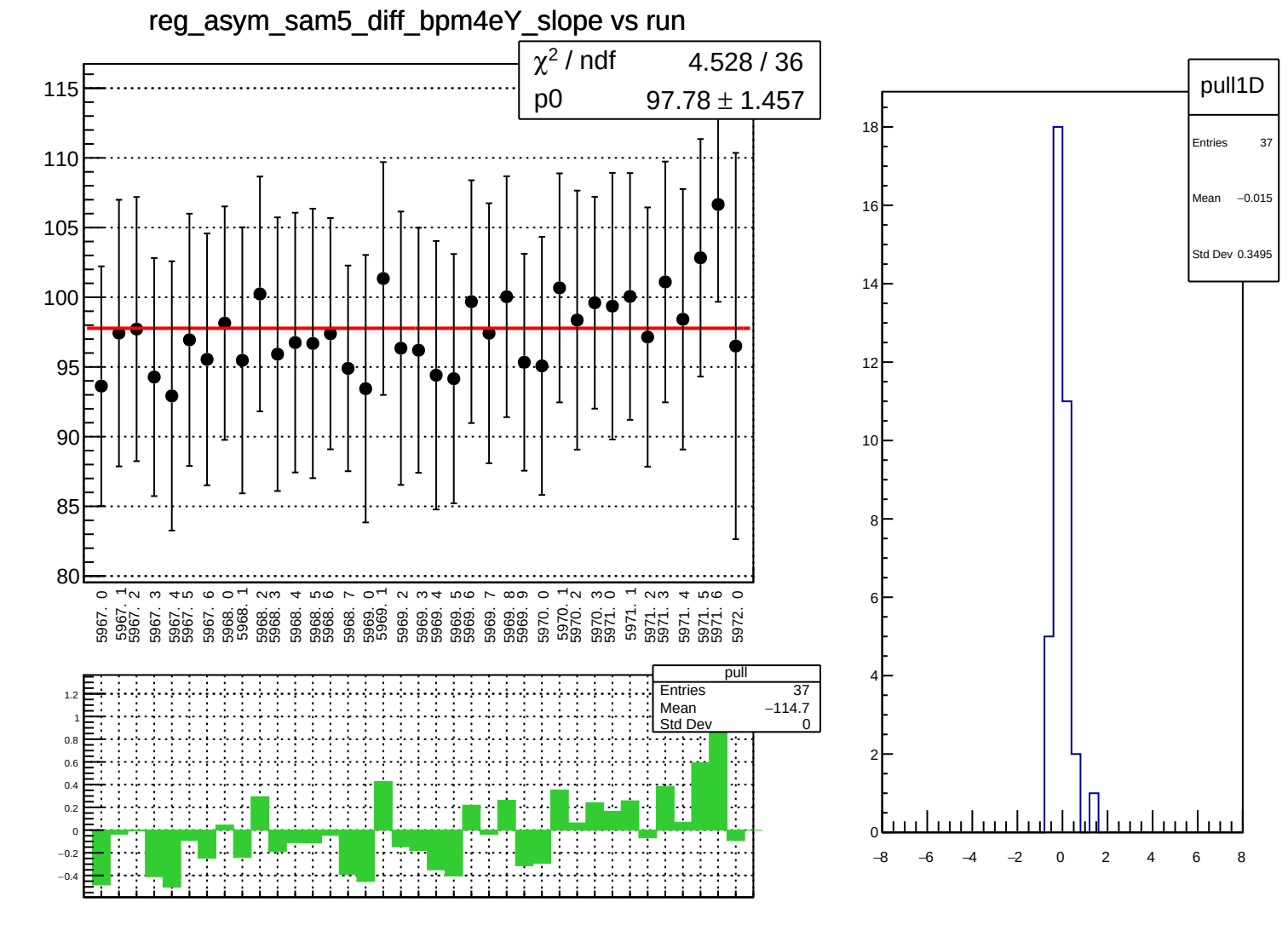
reg_asym_sam5_diff_bpm4eY_slope vs run
χ² / ndf 4.528 / 36
p0 97.78 ± 1.457
pull
Entries 37
Mean −114.7
Std Dev 0
pull1D
Entries 37
Mean −0.015
Std Dev 0.3495

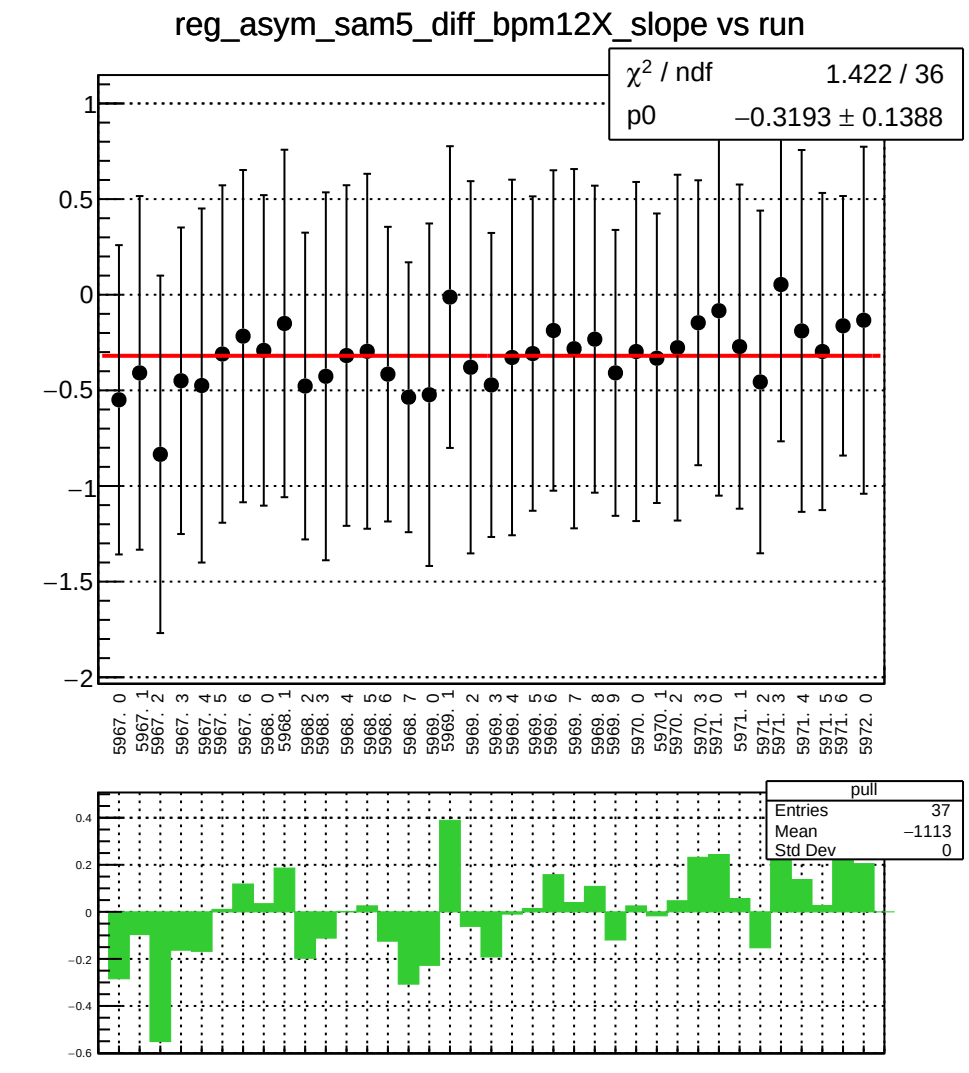
reg_asym_sam5_diff_bpm12X_slope vs run
χ² / ndf 1.422 / 36
p0 −0.3193 ± 0.1388
pull
Entries 37
Mean −1113
Std Dev 0
pull1D
Entries 37
Mean −0.001003
Std Dev 0.196

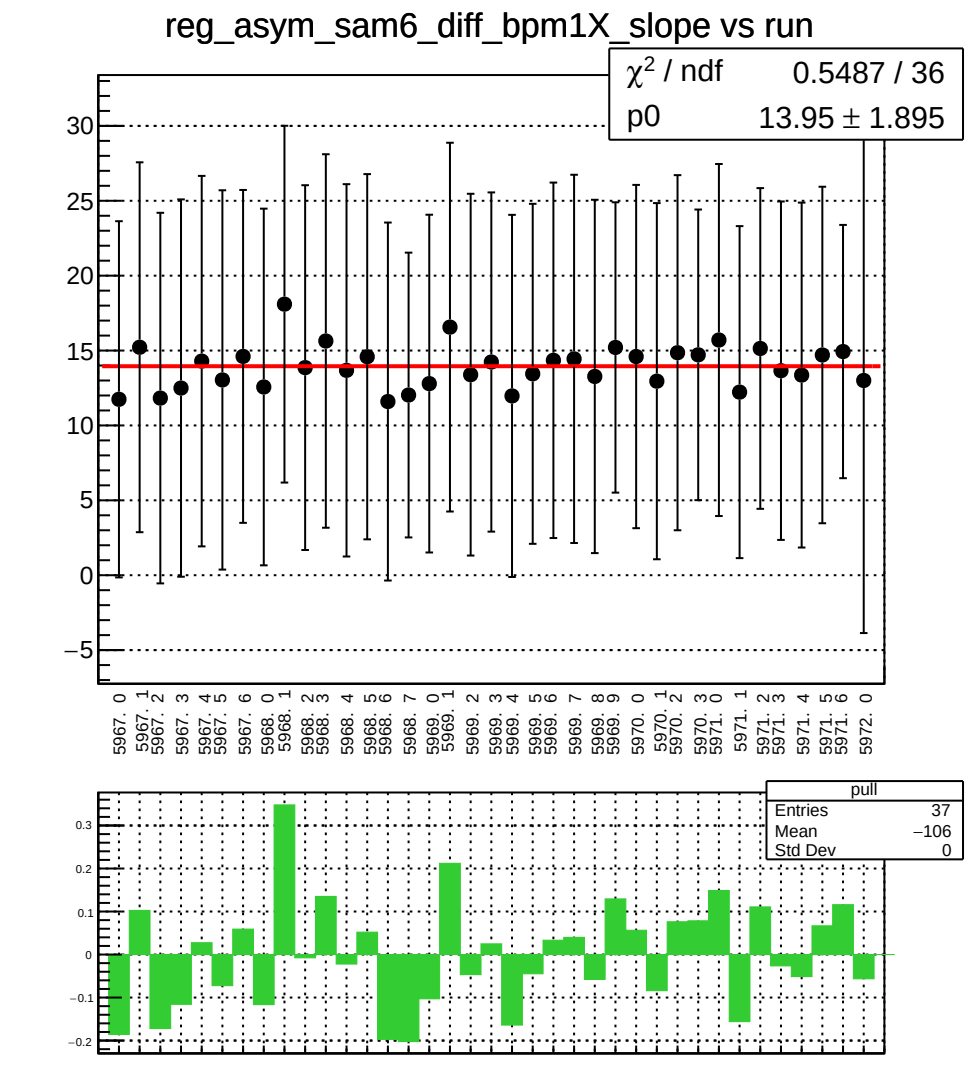
reg_asym_sam6_diff_bpm1X_slope vs run
χ^2 / ndf 0.5487 / 36
p0 13.95 ± 1.895
pull
Entries 37
Mean −106
Std Dev 0

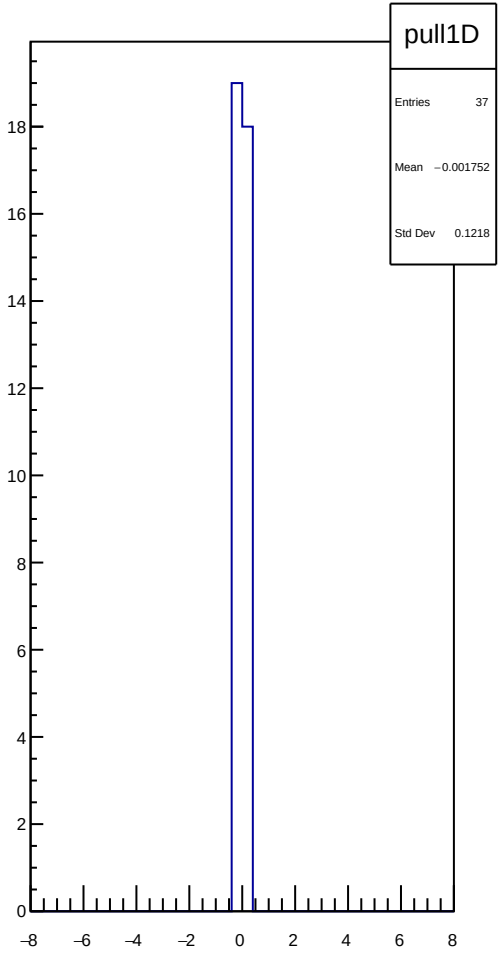
pull1D
Entries 37
Mean −0.001752
Std Dev 0.1218

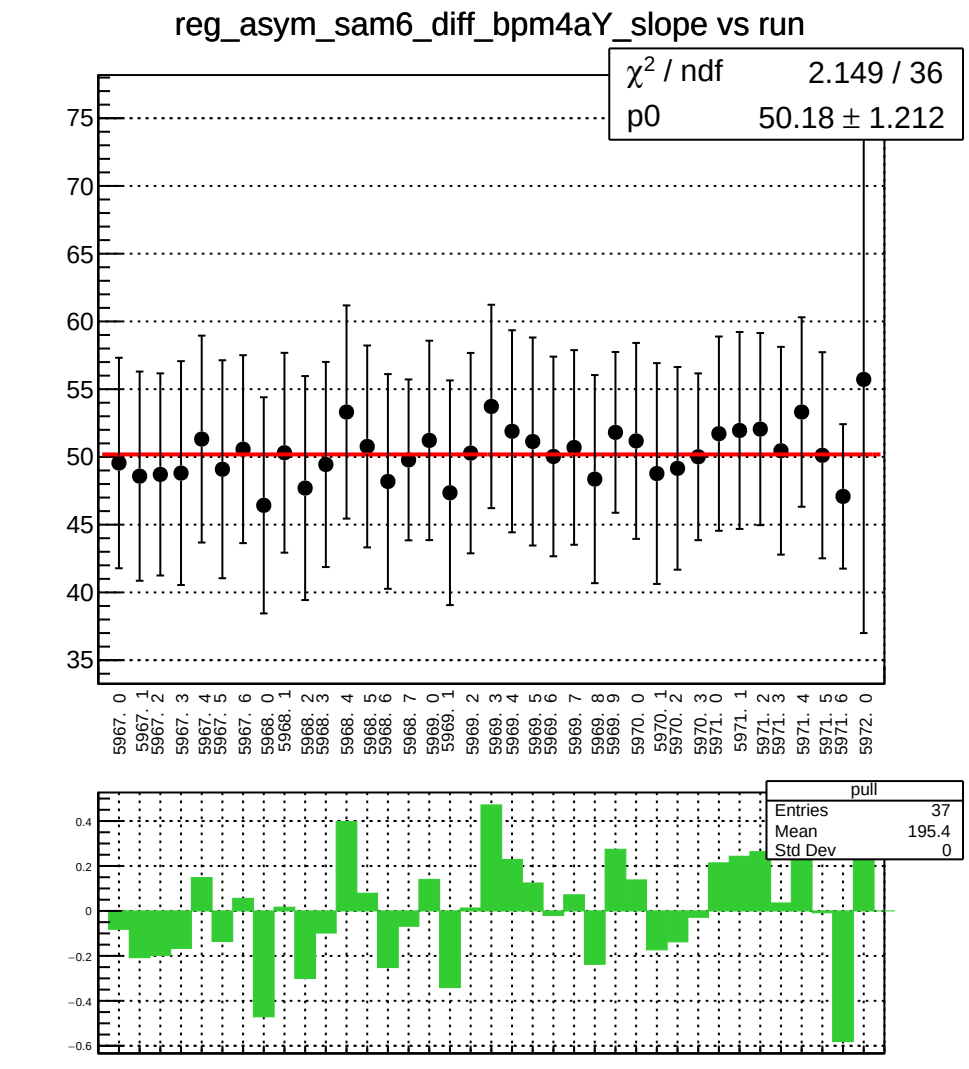
reg_asym_sam6_diff_bpm4aY_slope vs run
χ² / ndf 2.149 / 36
p0 50.18 ± 1.212
pull
Entries 37
Mean 195.4
Std Dev 0

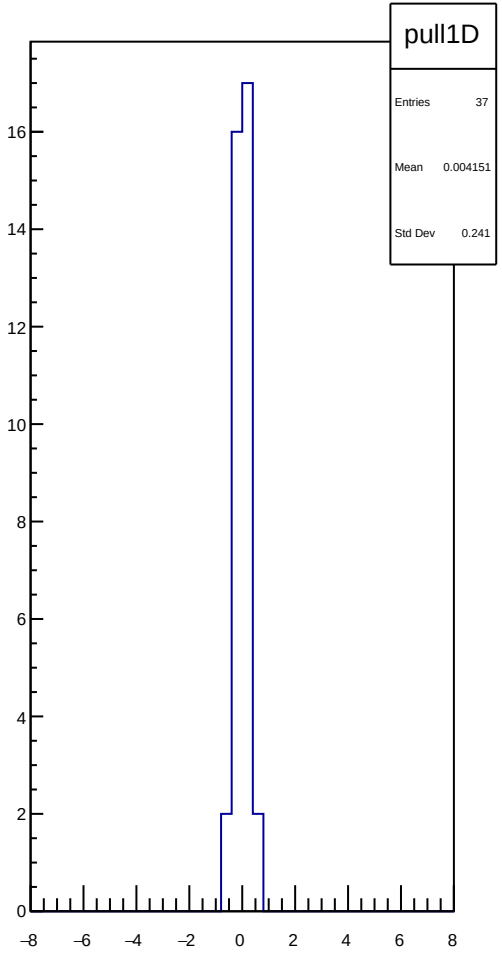
pull1D
Entries 37
Mean 0.004151
Std Dev 0.241

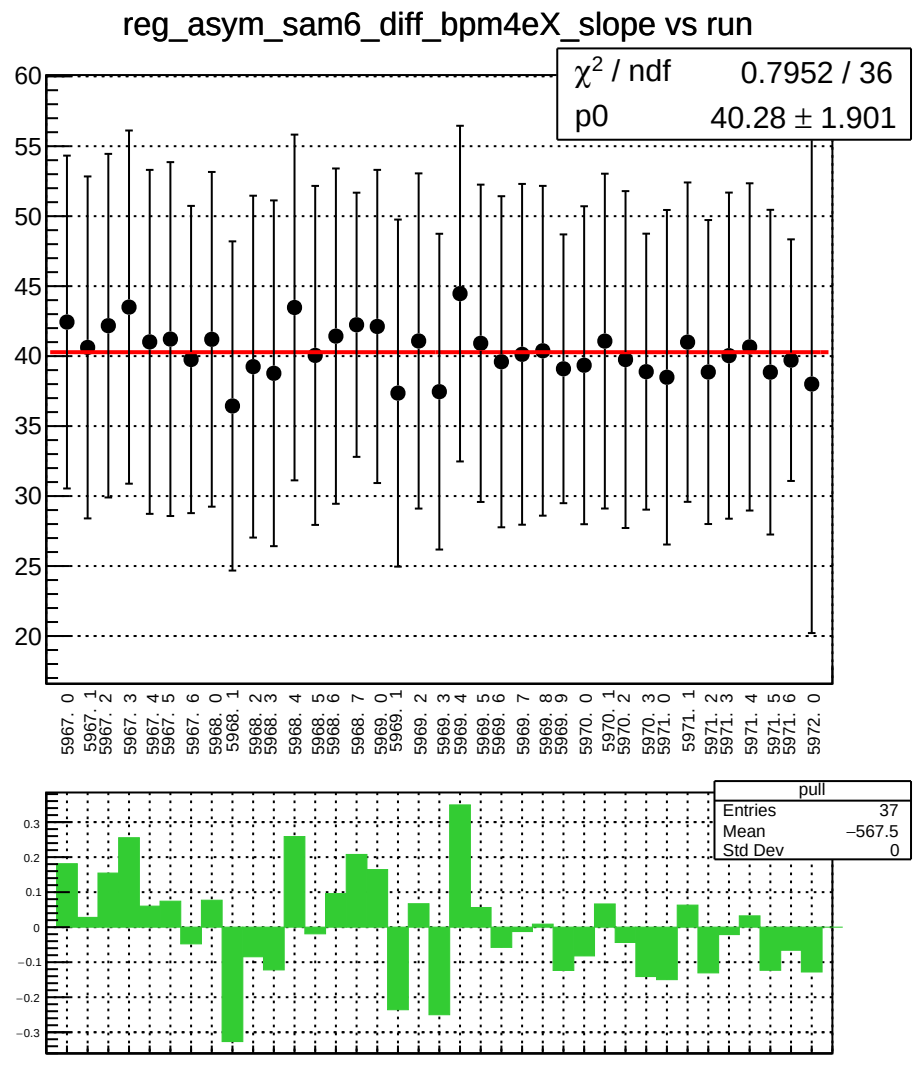
reg_asym_sam6_diff_bpm4eX_slope vs run
χ^2 / ndf 0.7952 / 36
p0 40.28 ± 1.901
pull
Entries 37
Mean −567.5
Std Dev 0

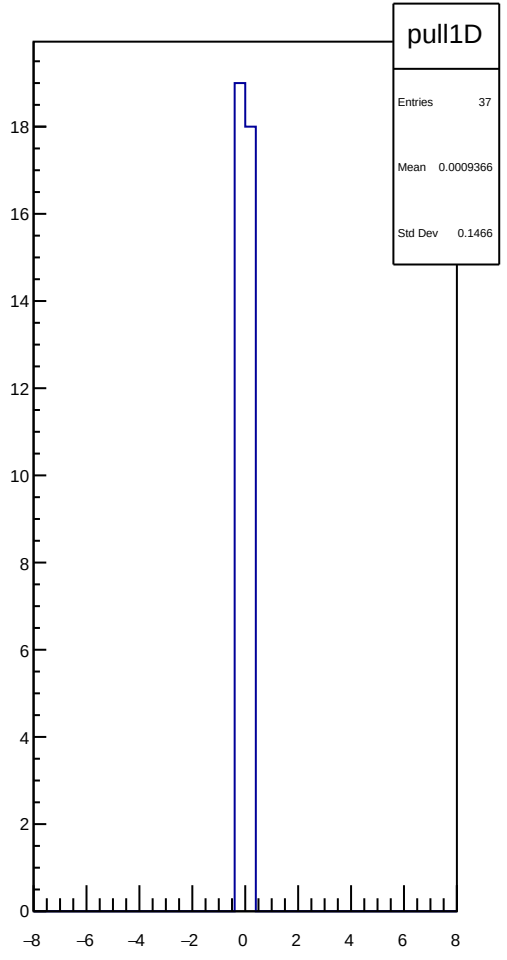
pull1D
Entries 37
Mean 0.0009366
Std Dev 0.1466

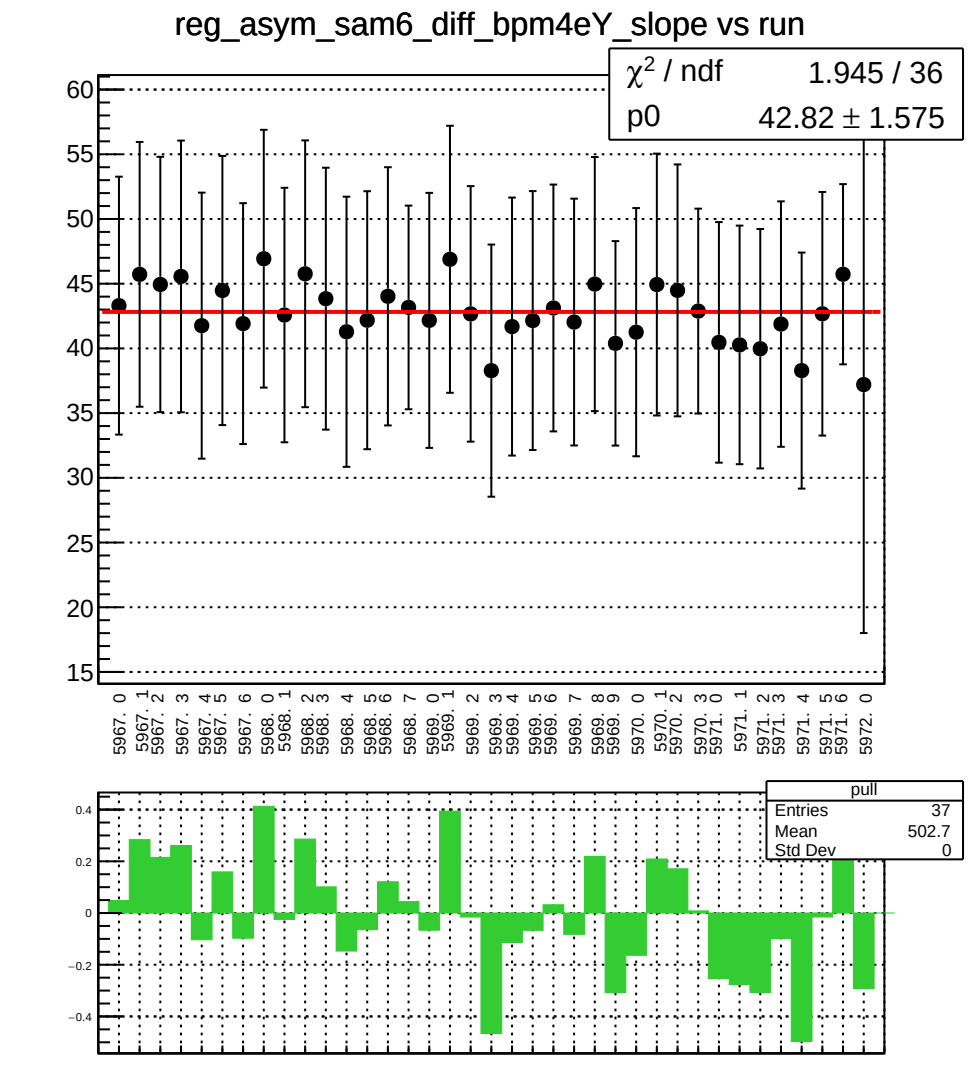
reg_asym_sam6_diff_bpm4eY_slope vs run
χ² / ndf 1.945 / 36
p0 42.82 ± 1.575
pull
Entries 37
Mean 502.7
Std Dev 0

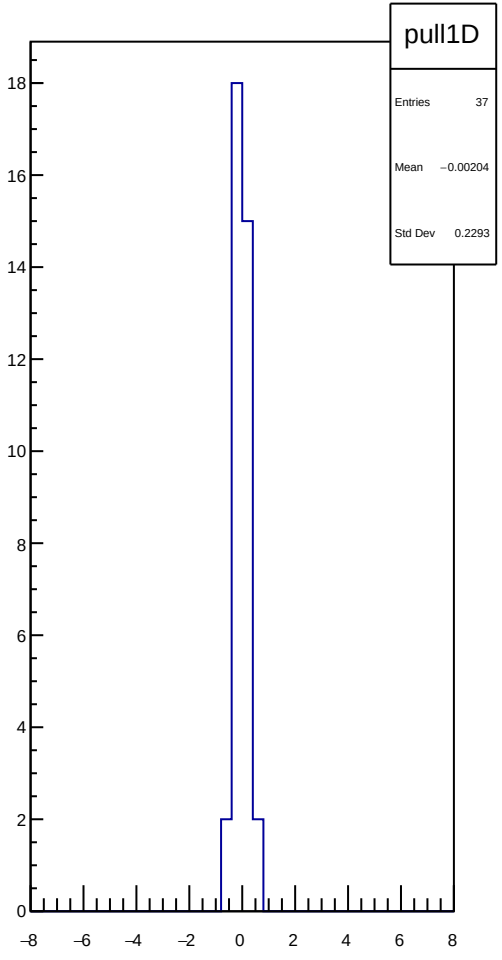
pull1D
Entries 37
Mean −0.00204
Std Dev 0.2293

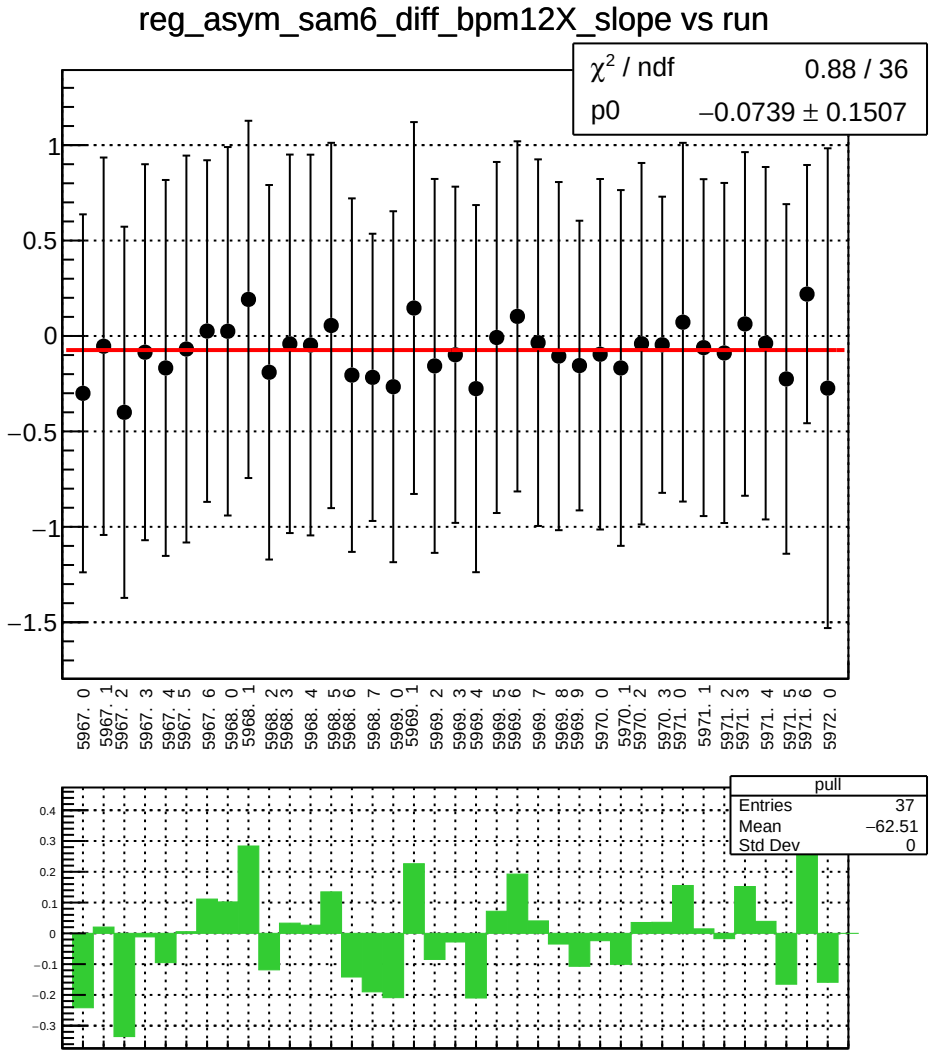
reg_asym_sam6_diff_bpm12X_slope vs run
χ² / ndf 0.88 / 36
p0 −0.0739 ± 0.1507
pull
Entries 37
Mean −62.51
Std Dev 0
pull1D
Entries 37
Mean −0.004286
Std Dev 0.1542

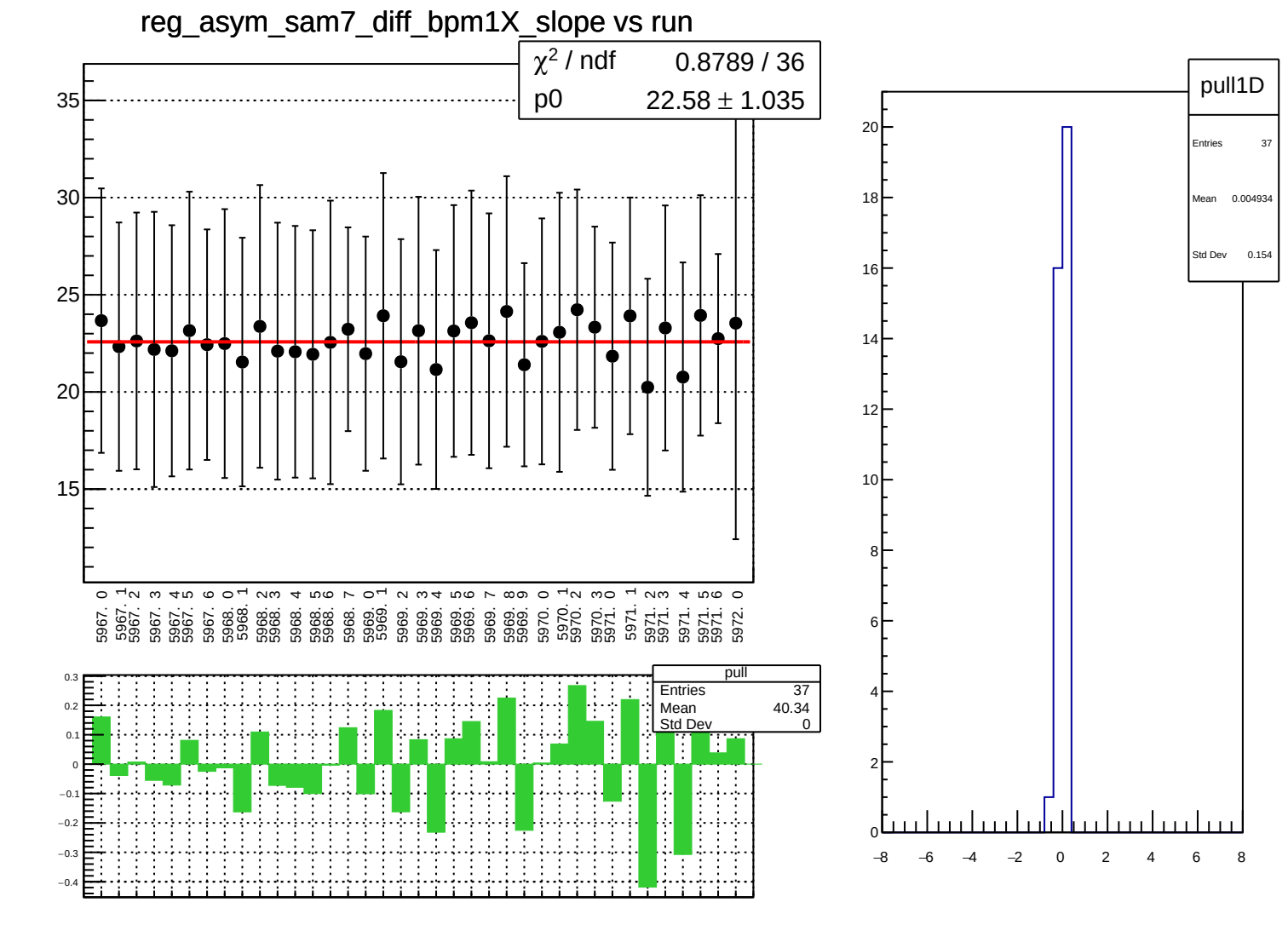
reg_asym_sam7_diff_bpm1X_slope vs run
χ² / ndf 0.8789 / 36
p0 22.58 ± 1.035
pull
Entries 37
Mean 40.34
Std Dev 0
pull1D
Entries 37
Mean 0.004934
Std Dev 0.154

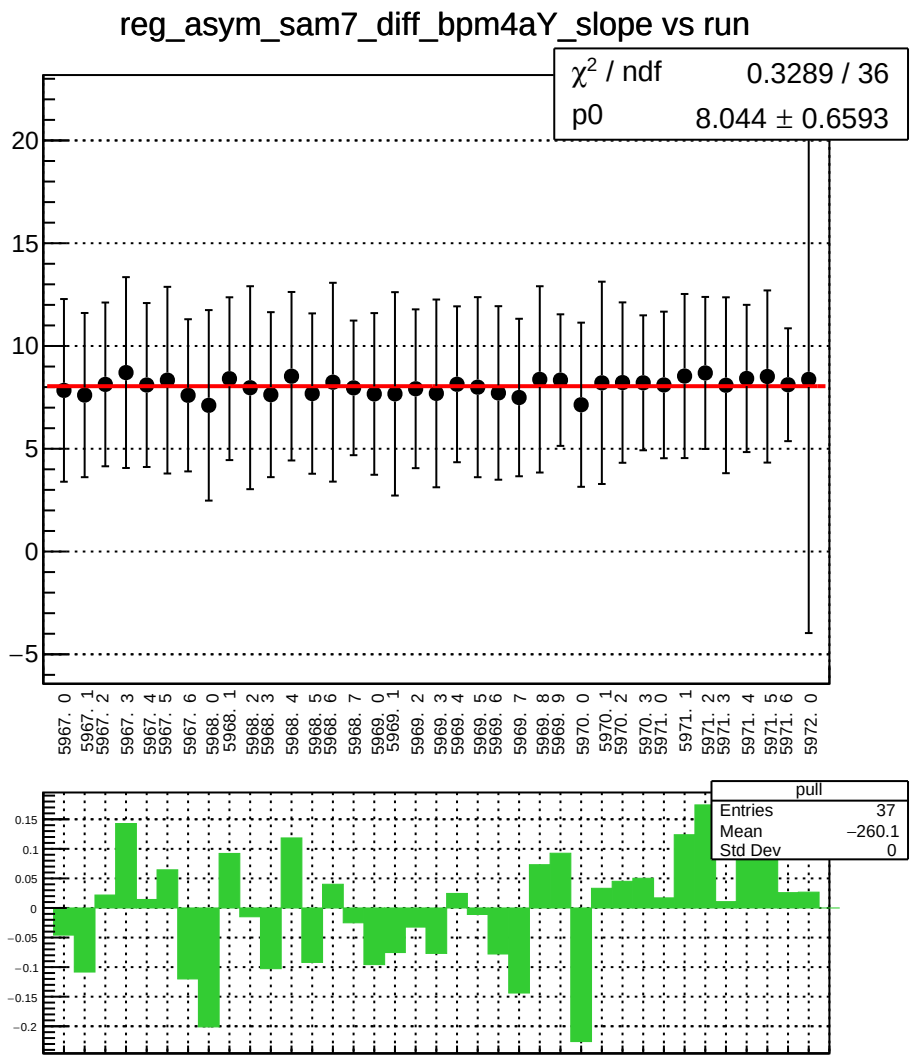
reg_asym_sam7_diff_bpm4aY_slope vs run
χ² / ndf 0.3289 / 36
p0 8.044 ± 0.6593
pull
Entries 37
Mean −260.1
Std Dev 0

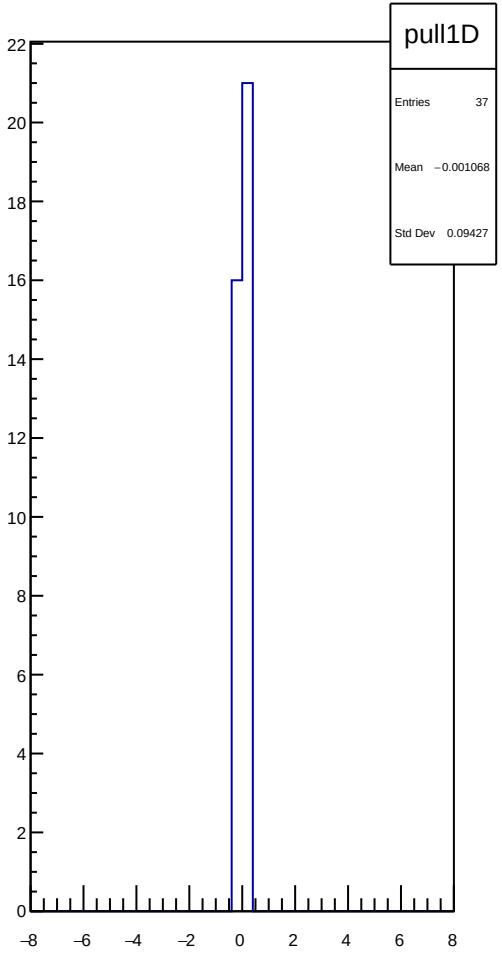
pull1D
Entries 37
Mean −0.001068
Std Dev 0.09427

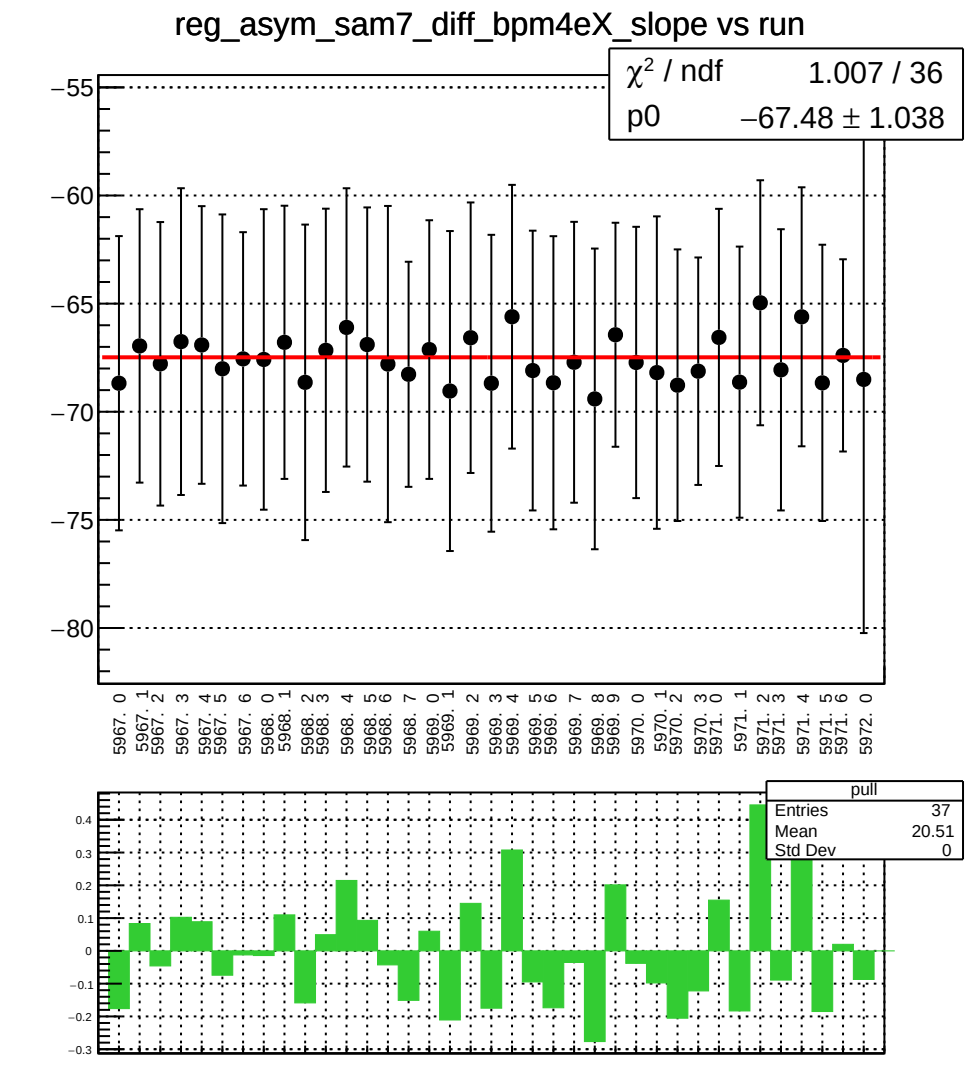
reg_asym_sam7_diff_bpm4eX_slope vs run
χ² / ndf 1.007 / 36
p0 −67.48 ± 1.038
pull
Entries 37
Mean 20.51
Std Dev 0
pull1D
Entries 37
Mean −0.007038
Std Dev 0.1648

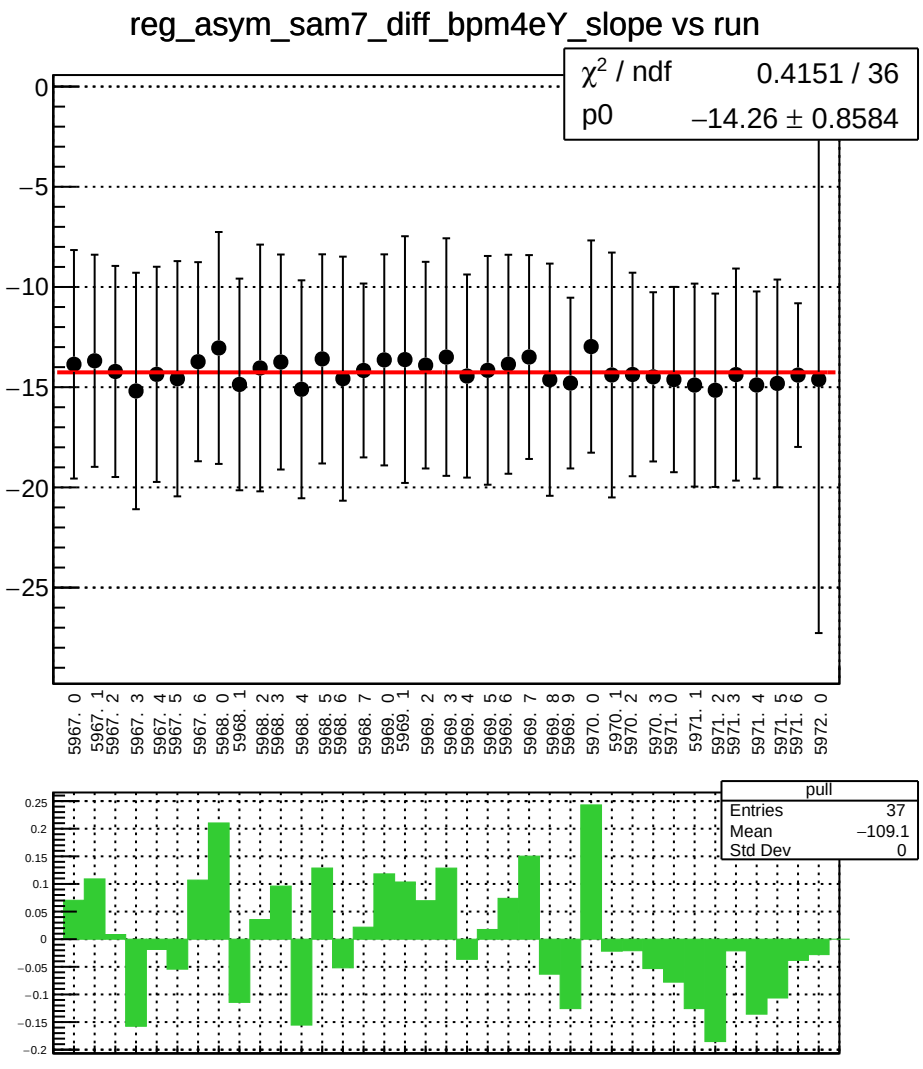
reg_asym_sam7_diff_bpm4eY_slope vs run
χ² / ndf 0.4151 / 36
p0 −14.26 ± 0.8584
pull
Entries 37
Mean −109.1
Std Dev 0

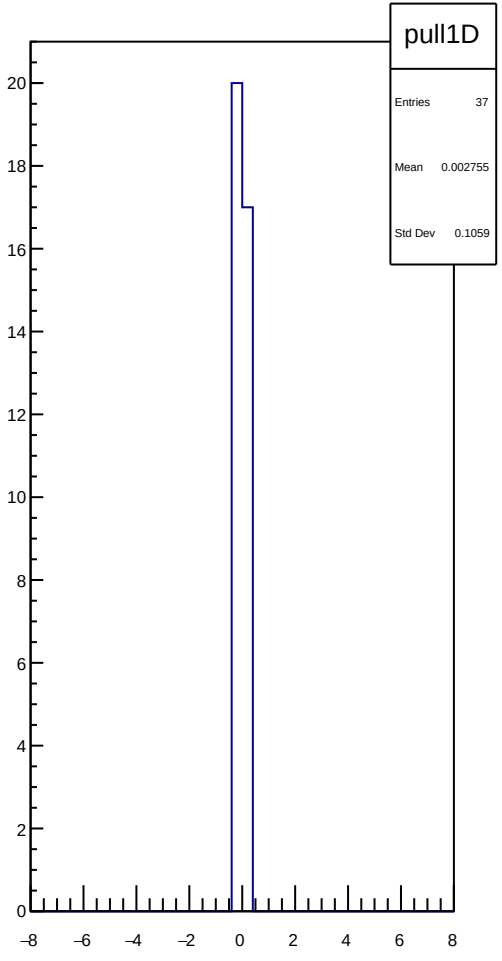
pull1D
Entries 37
Mean 0.002755
Std Dev 0.1059

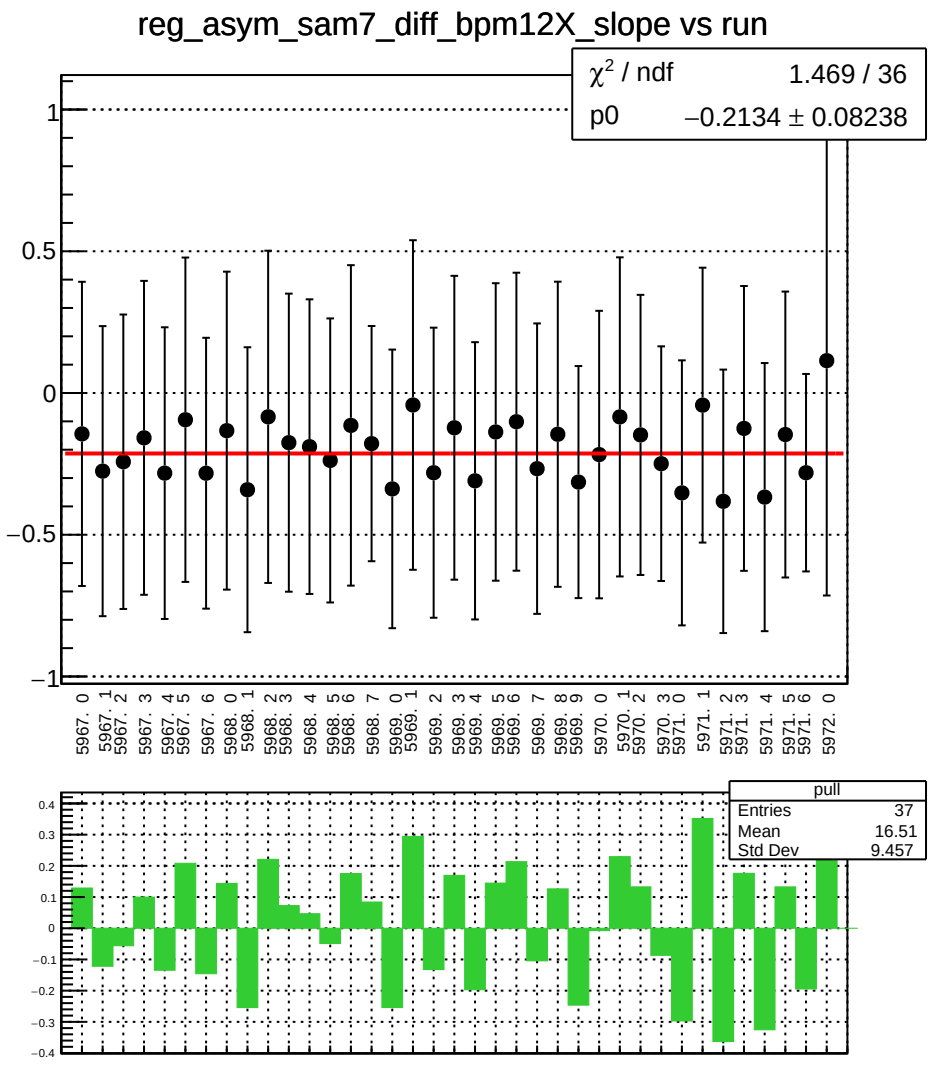
reg_asym_sam7_diff_bpm12X_slope vs run
χ² / ndf 1.469 / 36
p0 −0.2134 ± 0.08238
pull
Entries 37
Mean 16.51
Std Dev 9.457

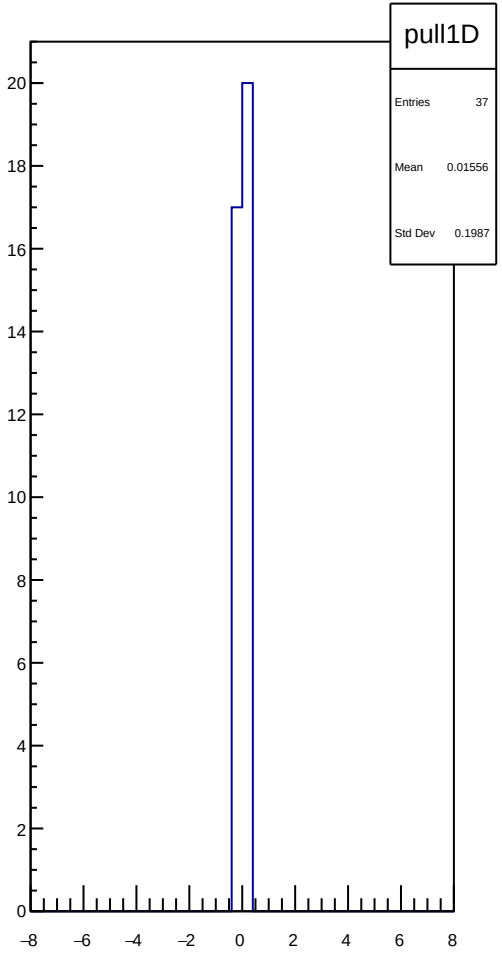
pull1D
Entries 37
Mean 0.01556
Std Dev 0.1987

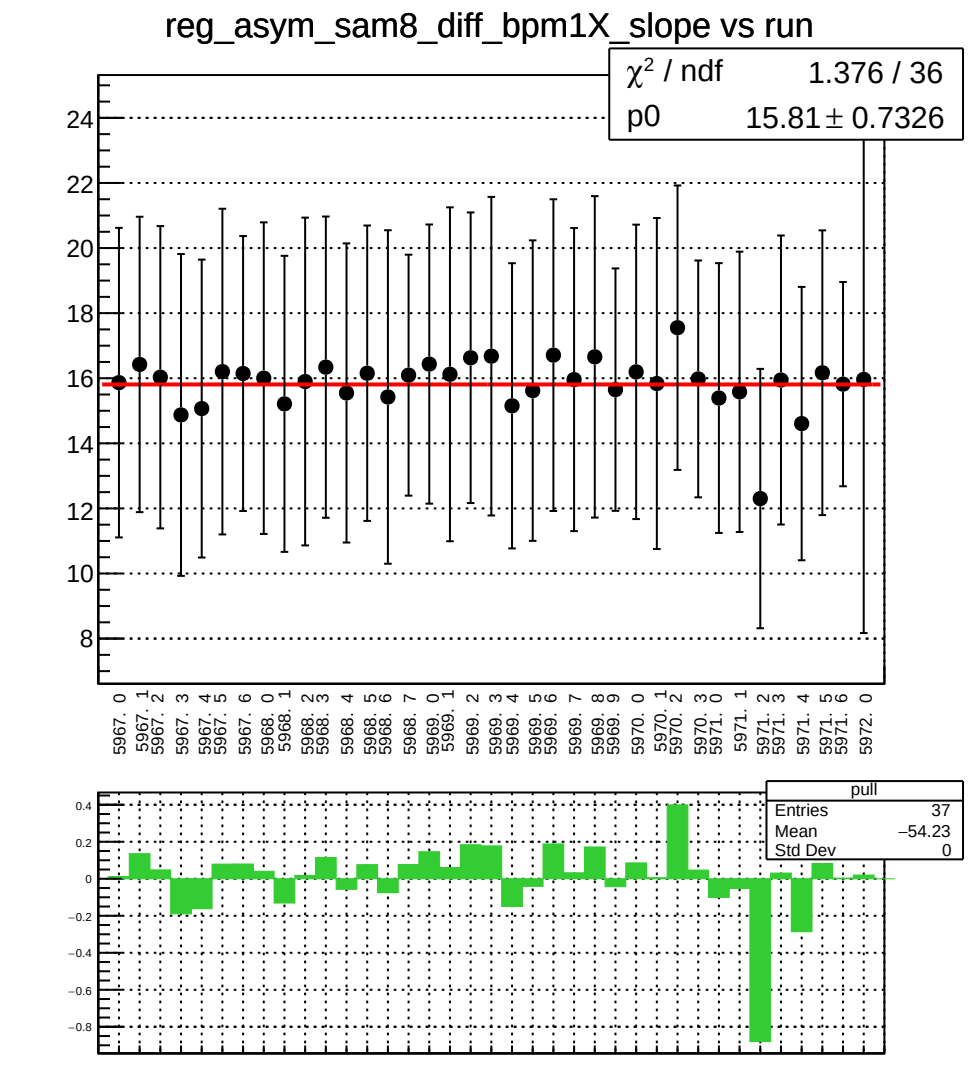
reg_asym_sam8_diff_bpm1X_slope vs run
χ² / ndf 1.376 / 36
p0 15.81 ± 0.7326
pull
Entries 37
Mean −54.23
Std Dev 0

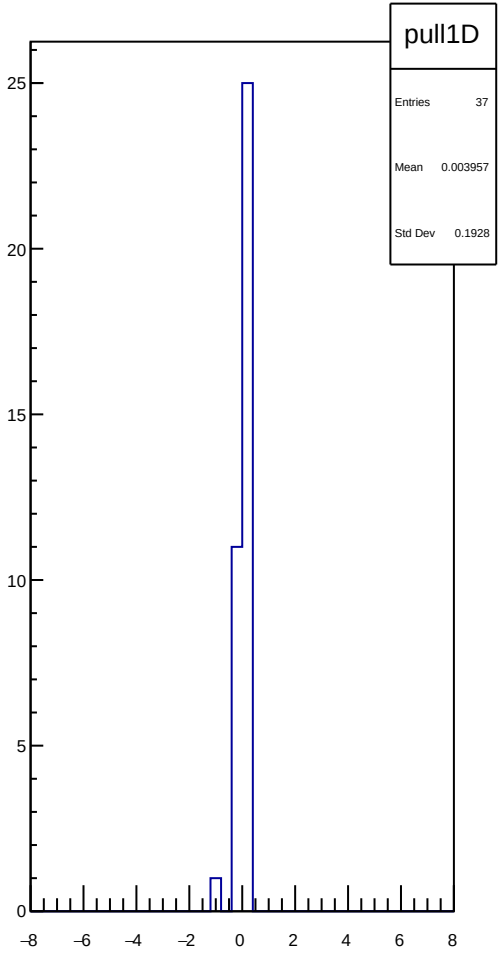
pull1D
Entries 37
Mean 0.003957
Std Dev 0.1928

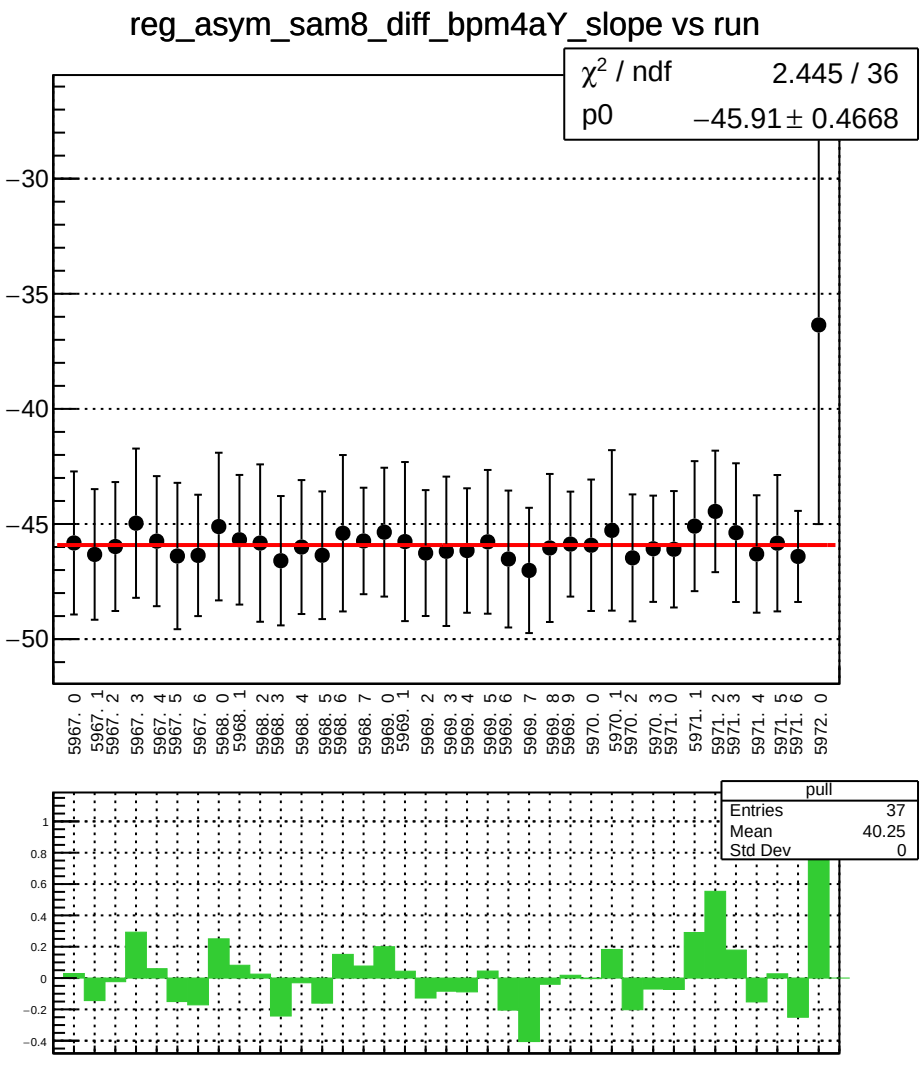
reg_asym_sam8_diff_bpm4aY_slope vs run
χ² / ndf 2.445 / 36
p0 −45.91 ± 0.4668
−30
−35
−40
−45
−50
5967. 0
5967. 1
5967. 2
5967. 3
5967. 4
5967. 5
5967. 6
5968. 0
5968. 1
5968. 2
5968. 3
5968. 4
5968. 5
5968. 6
5968. 7
5969. 0
5969. 1
5969. 2
5969. 3
5969. 4
5969. 5
5969. 6
5969. 7
5969. 8
5969. 9
5970. 0
5970. 1
5970. 2
5970. 3
5971. 0
5971. 1
5971. 2
5971. 3
5971. 4
5971. 5
5971. 6
5972. 0
pull
Entries 37
Mean 40.25
Std Dev 0
1
0.8
0.6
0.4
0.2
0
−0.2
−0.4
pull1D
Entries 37
Mean 0.02676
Std Dev 0.2556
18
16
14
12
10
8
6
4
2
0
−8
−6
−4
−2
0
2
4
6
8

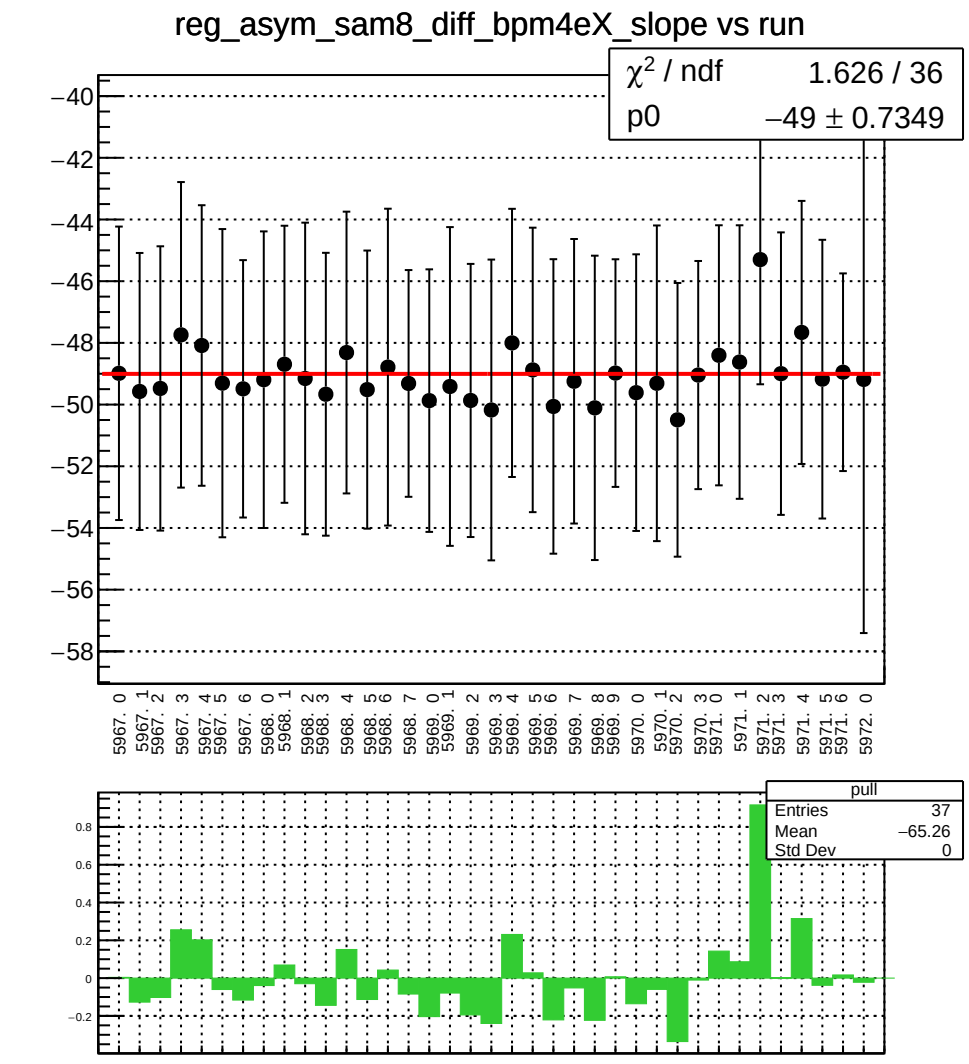
reg_asym_sam8_diff_bpm4eX_slope vs run
χ² / ndf 1.626 / 36
p0 −49 ± 0.7349
pull
Entries 37
Mean −65.26
Std Dev 0

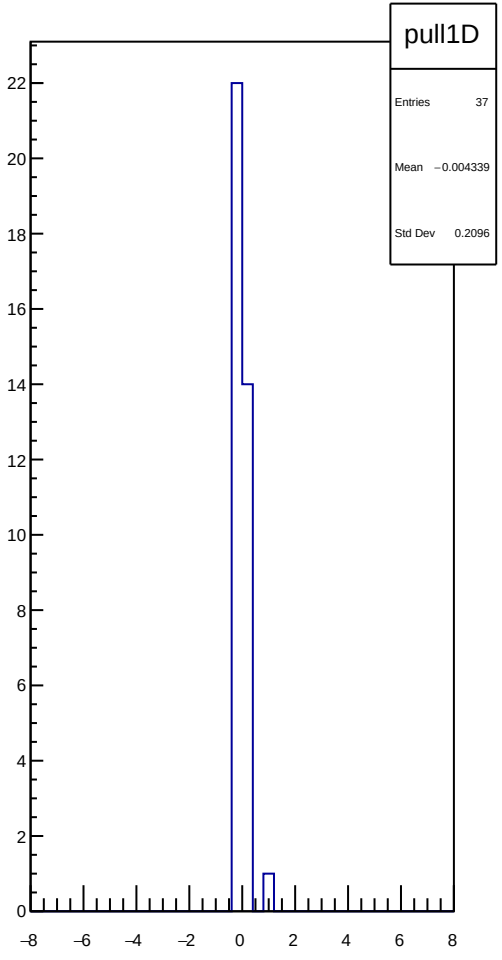
pull1D
Entries 37
Mean −0.004339
Std Dev 0.2096

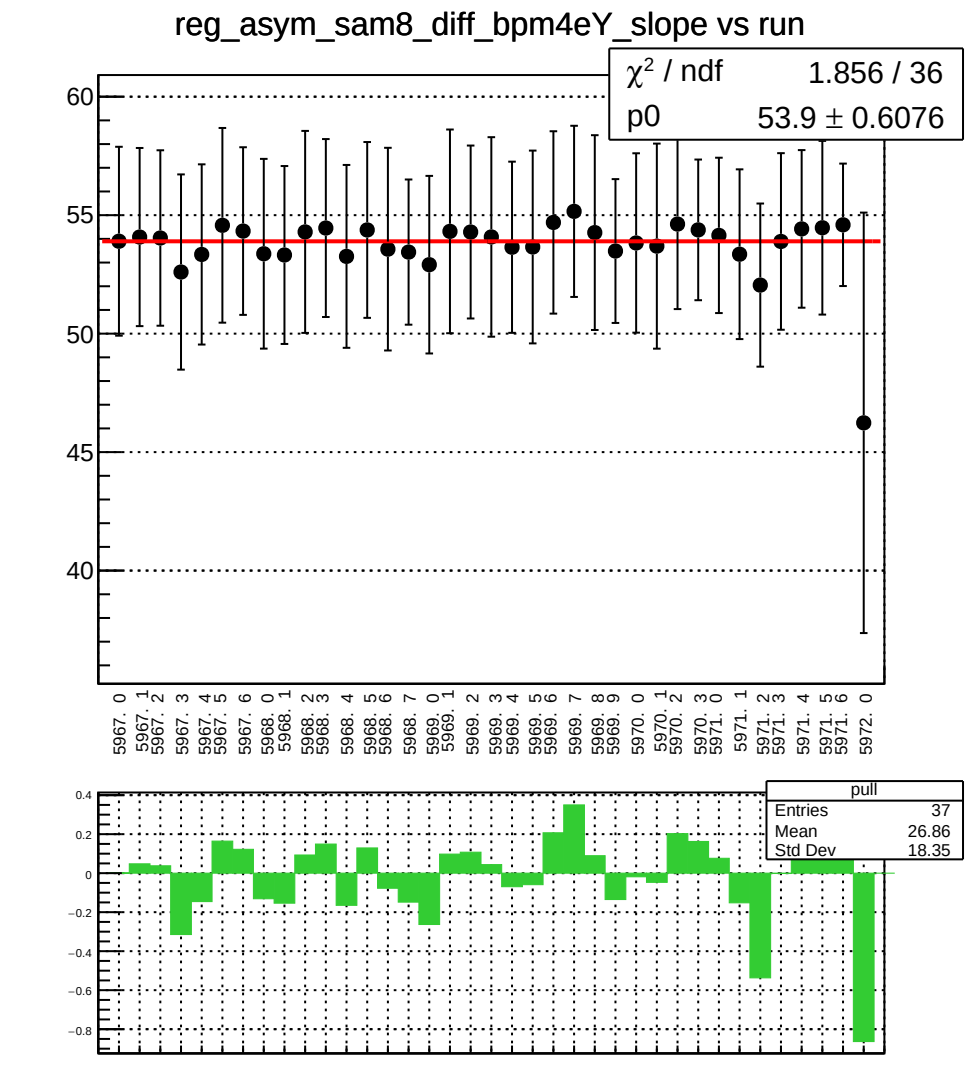
reg_asym_sam8_diff_bpm4eY_slope vs run
χ² / ndf 1.856 / 36
p0 53.9 ± 0.6076
60
55
50
45
40
5967. 0
5967. 1
5967. 2
5967. 3
5967. 4
5967. 5
5967. 6
5968. 0
5968. 1
5968. 2
5968. 3
5968. 4
5968. 5
5968. 6
5968. 7
5969. 0
5969. 1
5969. 2
5969. 3
5969. 4
5969. 5
5969. 6
5969. 7
5969. 8
5969. 9
5970. 0
5970. 1
5970. 2
5970. 3
5971. 0
5971. 1
5971. 2
5971. 3
5971. 4
5971. 5
5971. 6
5972. 0
pull
Entries 37
Mean 26.86
Std Dev 18.35
0.4
0.2
0
−0.2
−0.4
−0.6
−0.8

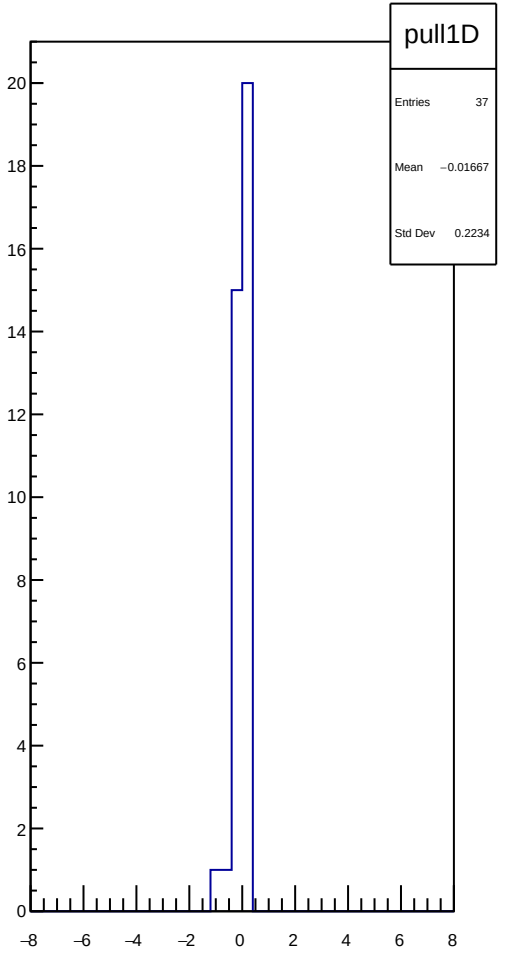
pull1D
Entries 37
Mean −0.01667
Std Dev 0.2234
20
18
16
14
12
10
8
6
4
2
0
−8
−6
−4
−2
0
2
4
6
8

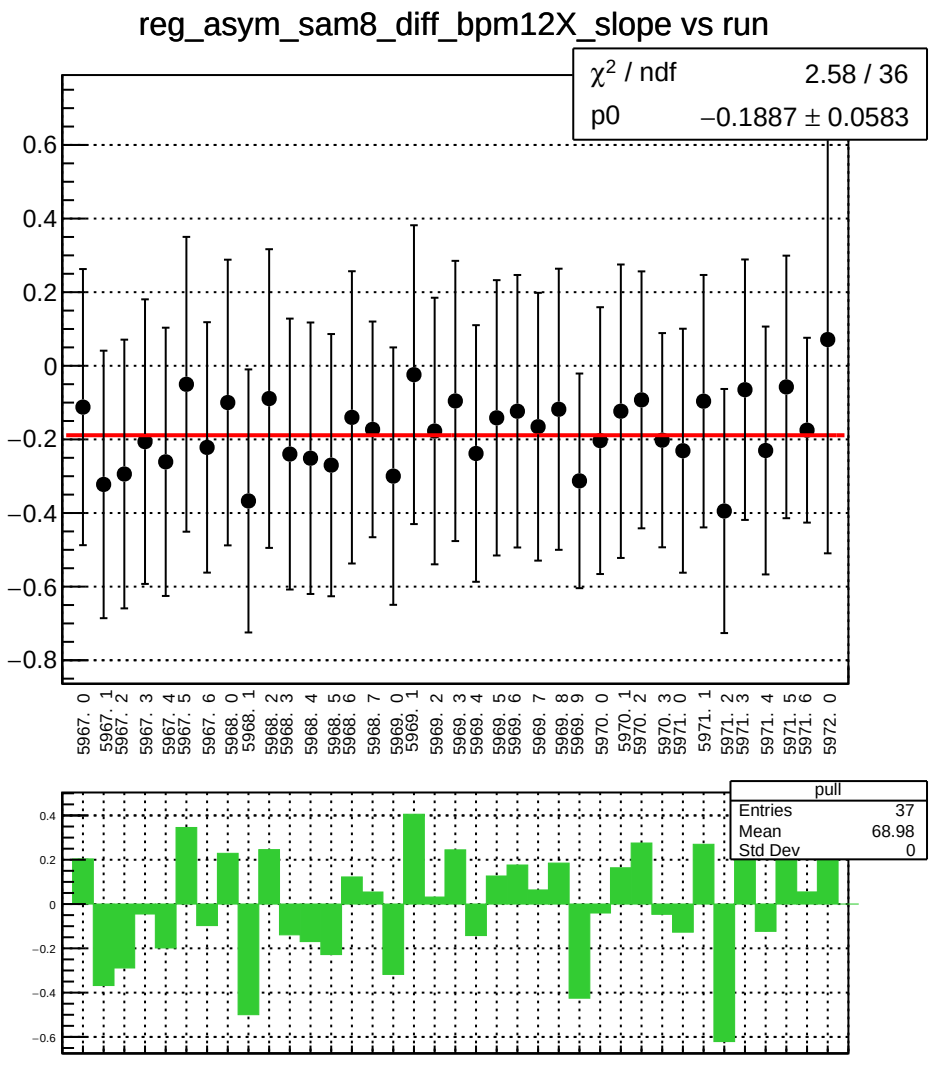
reg_asym_sam8_diff_bpm12X_slope vs run
χ² / ndf 2.58 / 36
p0 −0.1887 ± 0.0583
pull
Entries 37
Mean 68.98
Std Dev 0

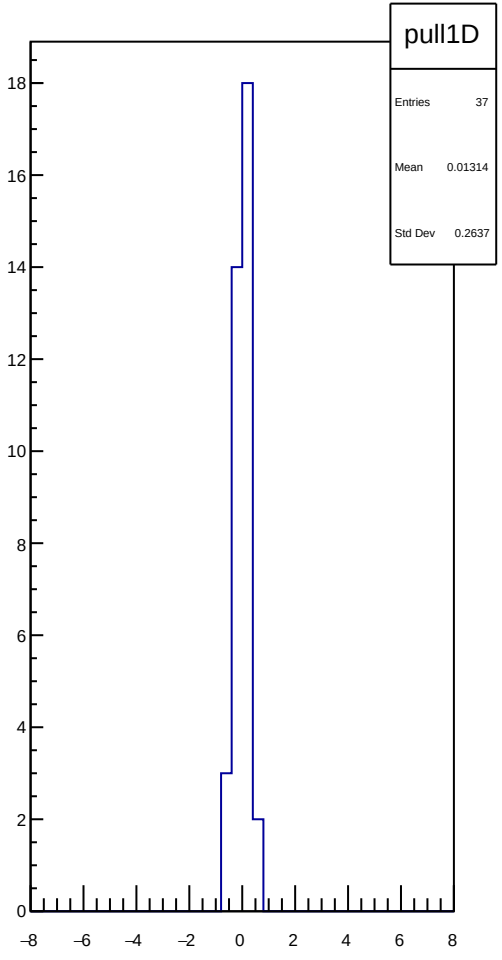
pull1D
Entries 37
Mean 0.01314
Std Dev 0.2637

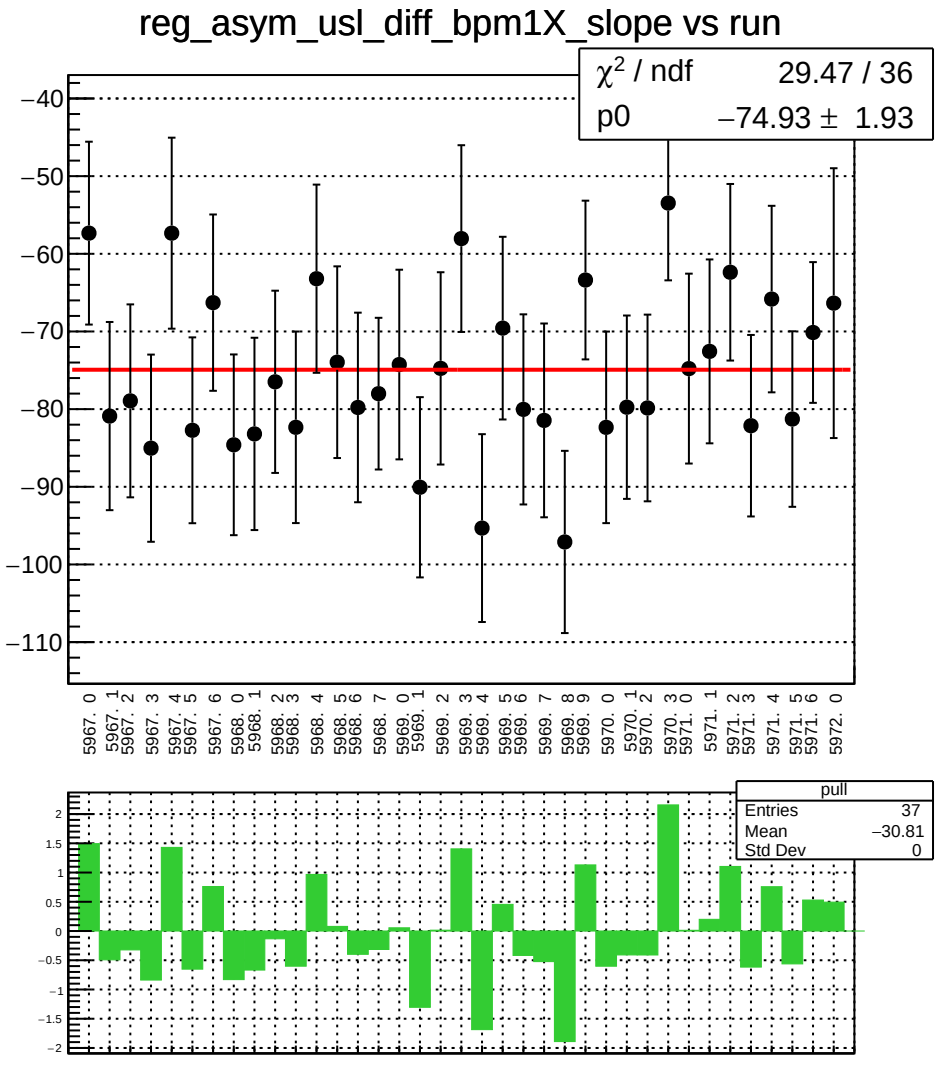
reg_asym_usl_diff_bpm1X_slope vs run
χ² / ndf 29.47 / 36
p0 −74.93 ± 1.93
−40
−50
−60
−70
−80
−90
−100
−110
5967. 0
5967. 1
5967. 2
5967. 3
5967. 4
5967. 5
5967. 6
5968. 0
5968. 1
5968. 2
5968. 3
5968. 4
5968. 5
5968. 6
5968. 7
5969. 0
5969. 1
5969. 2
5969. 3
5969. 4
5969. 5
5969. 6
5969. 7
5969. 8
5969. 9
5970. 0
5970. 1
5970. 2
5970. 3
5971. 0
5971. 1
5971. 2
5971. 3
5971. 4
5971. 5
5971. 6
5972. 0
pull
Entries 37
Mean −30.81
Std Dev 0
2
1.5
1
0.5
0
−0.5
−1
−1.5
−2
pull1D
Entries 37
Mean −0.01694
Std Dev 0.8923
10
8
6
4
2
0
−8
−6
−4
−2
0
2
4
6
8

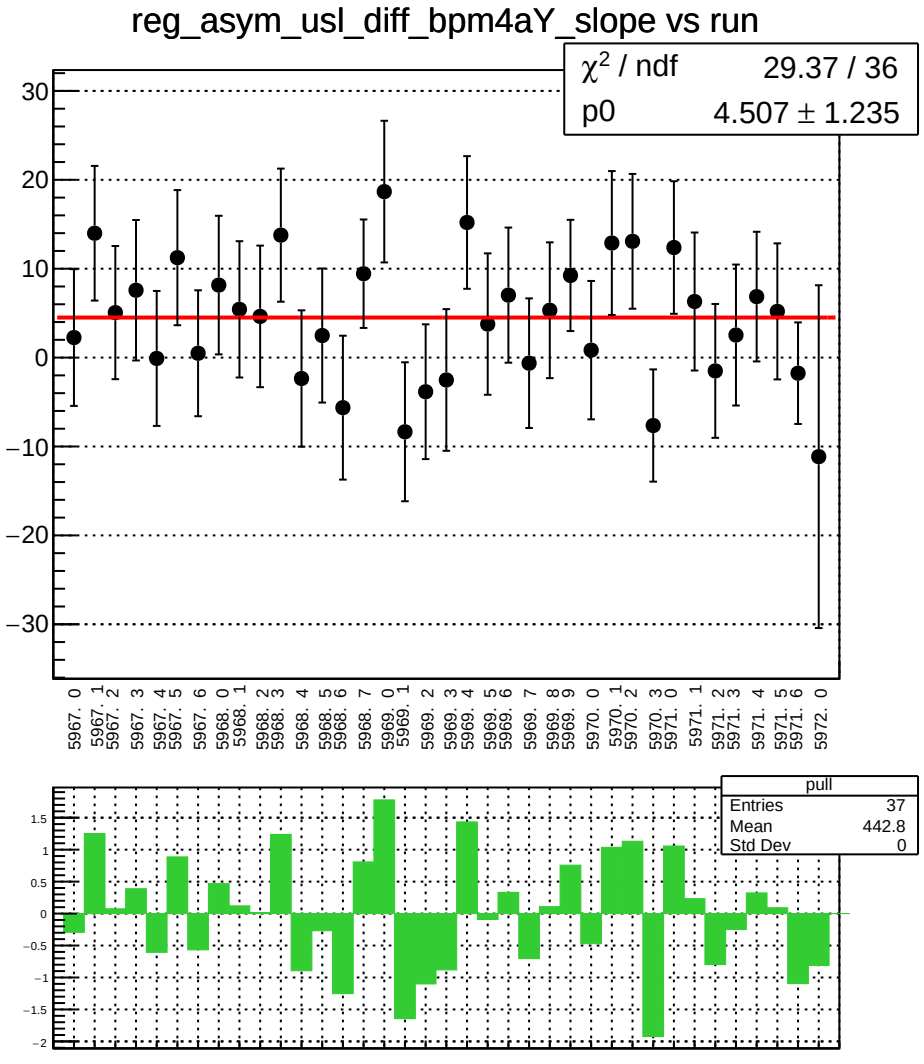
reg_asym_usl_diff_bpm4aY_slope vs run
χ² / ndf 29.37 / 36
p0 4.507 ± 1.235
pull
Entries 37
Mean 442.8
Std Dev 0

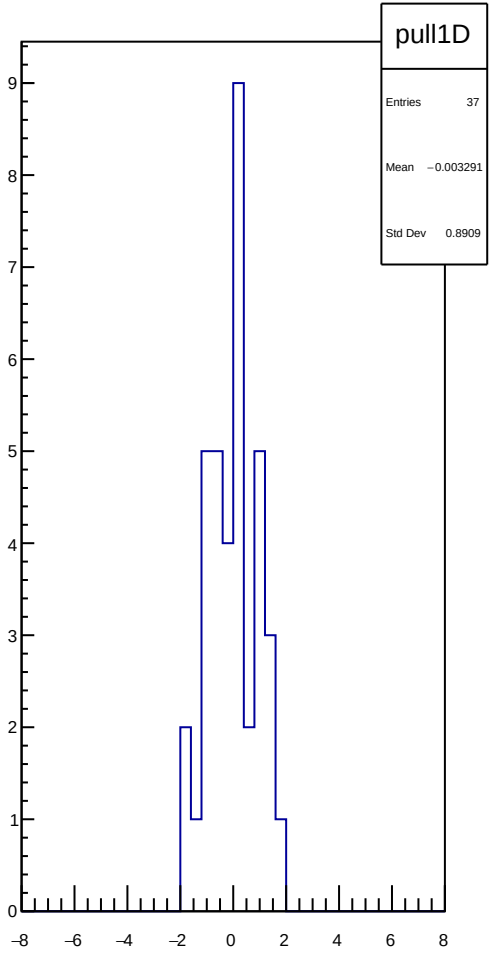
pull1D
Entries 37
Mean −0.003291
Std Dev 0.8909

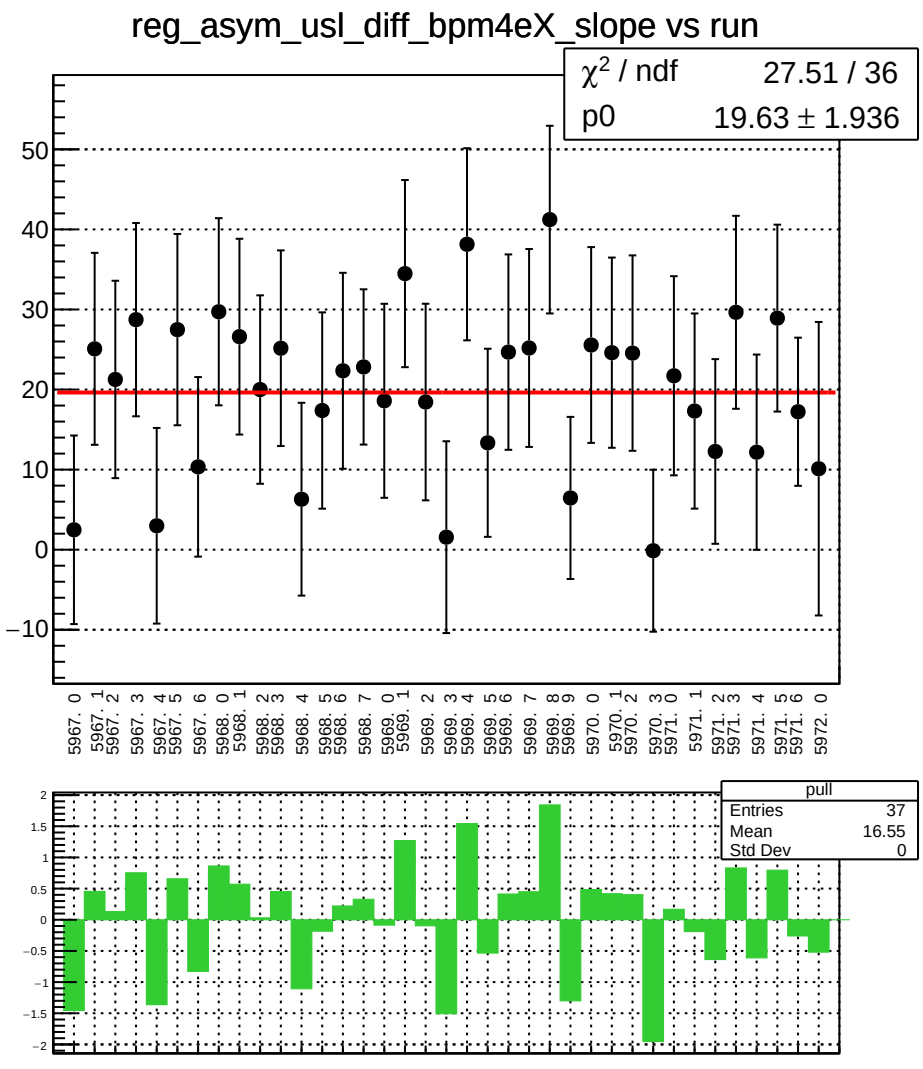
reg_asym_usl_diff_bpm4eX_slope vs run
χ² / ndf 27.51 / 36
p0 19.63 ± 1.936
pull
Entries 37
Mean 16.55
Std Dev 0

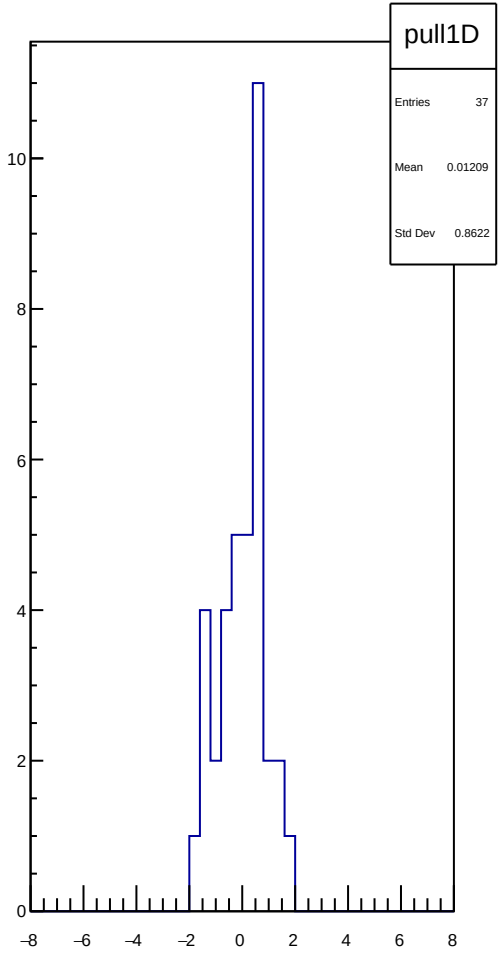
pull1D
Entries 37
Mean 0.01209
Std Dev 0.8622

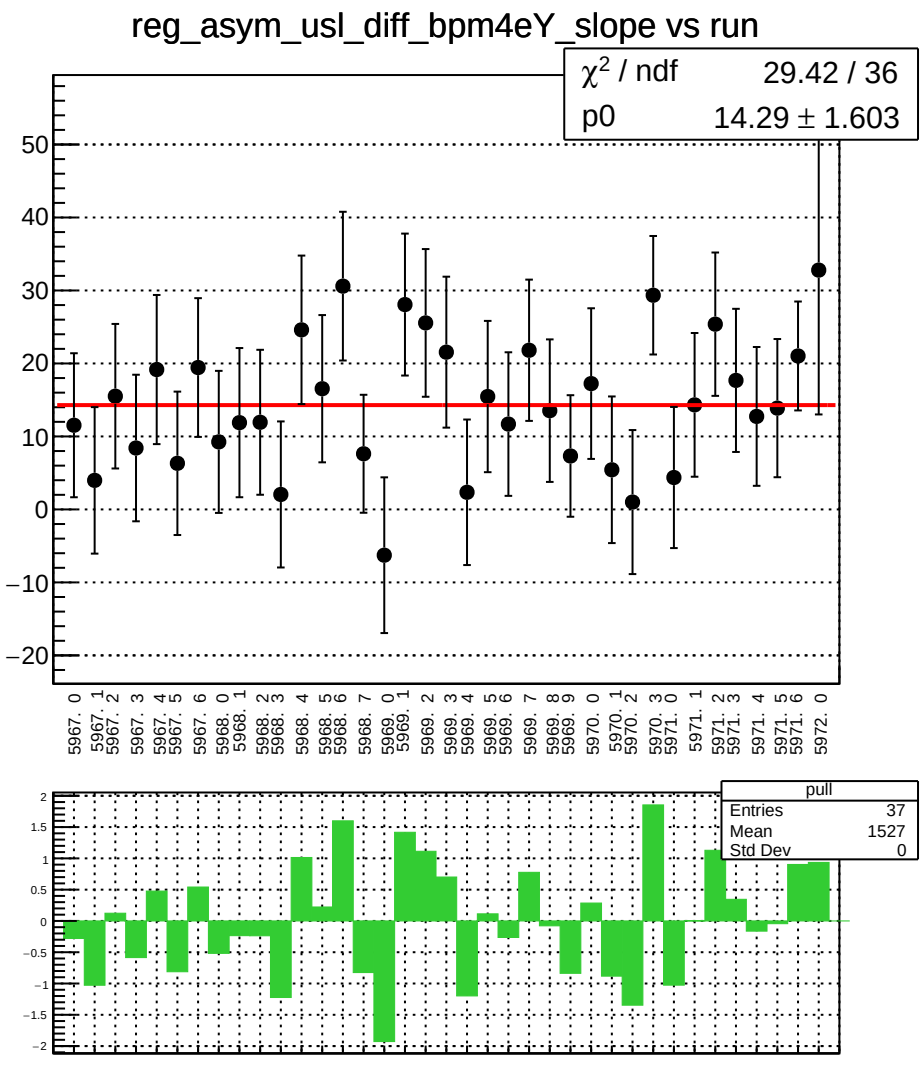
reg_asym_usl_diff_bpm4eY_slope vs run
χ² / ndf 29.42 / 36
p0 14.29 ± 1.603
pull
Entries 37
Mean 1527
Std Dev 0

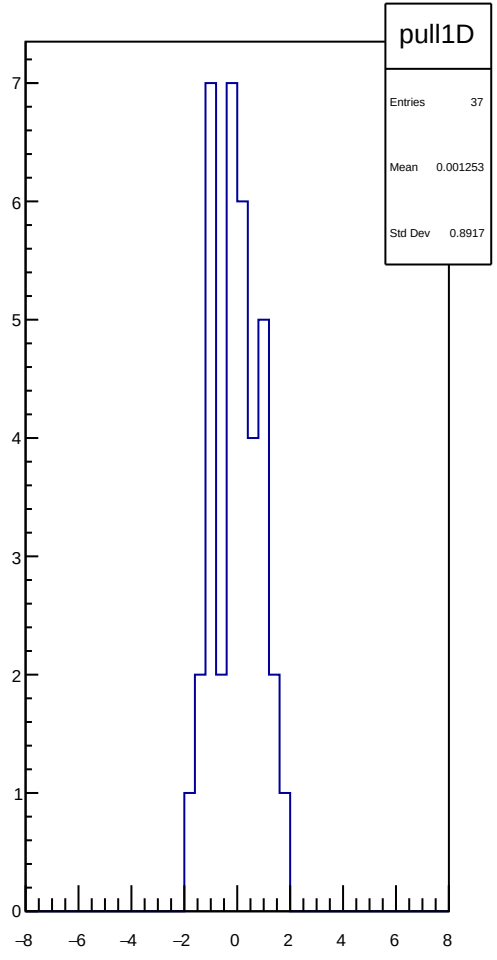
pull1D
Entries 37
Mean 0.001253
Std Dev 0.8917

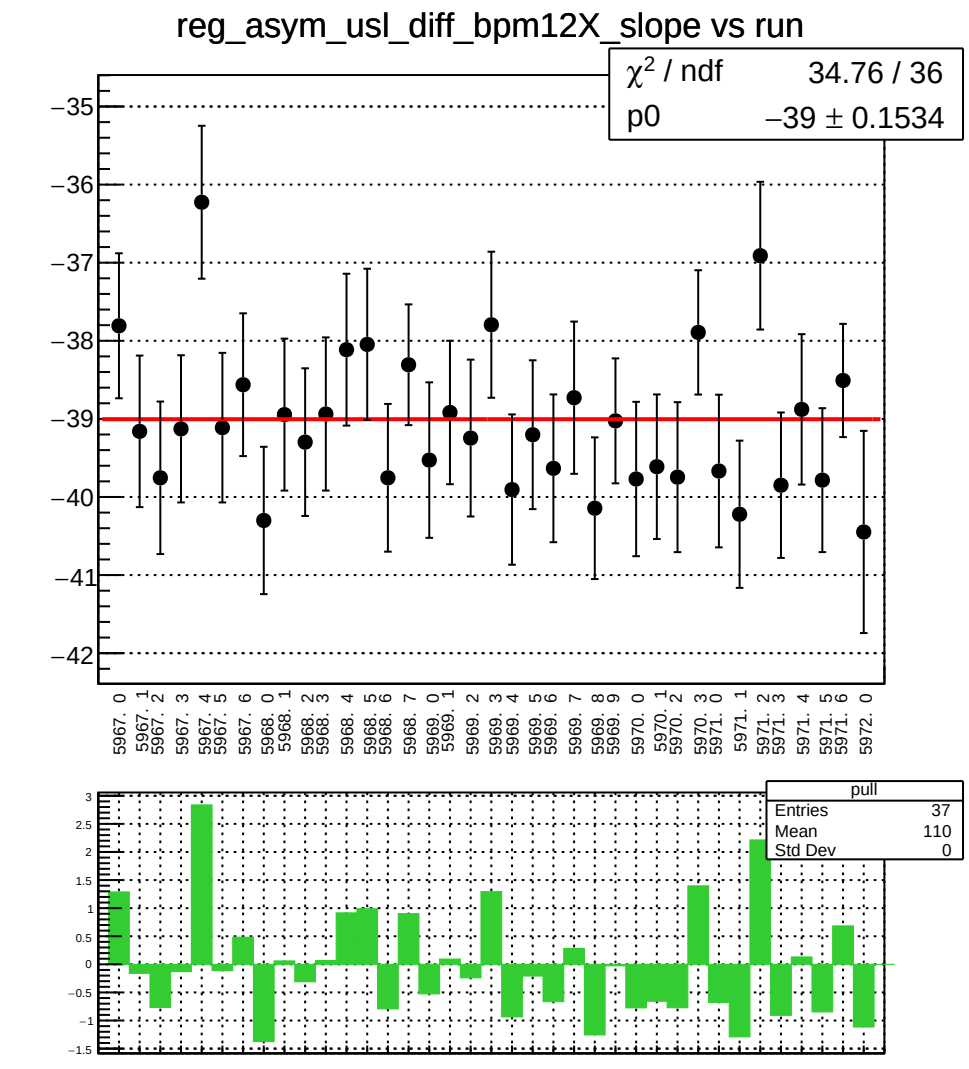
reg_asym_usl_diff_bpm12X_slope vs run
χ² / ndf 34.76 / 36
p0 −39 ± 0.1534
pull
Entries 37
Mean 110
Std Dev 0

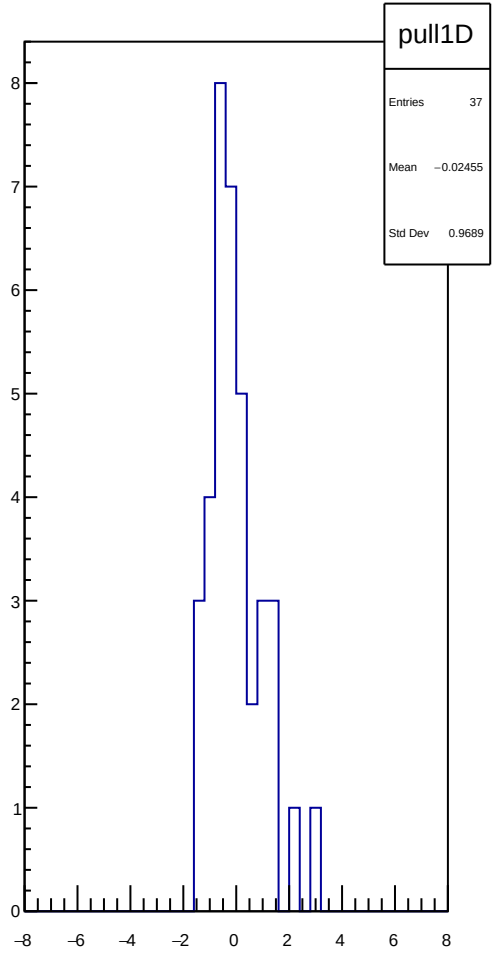
pull1D
Entries 37
Mean −0.02455
Std Dev 0.9689

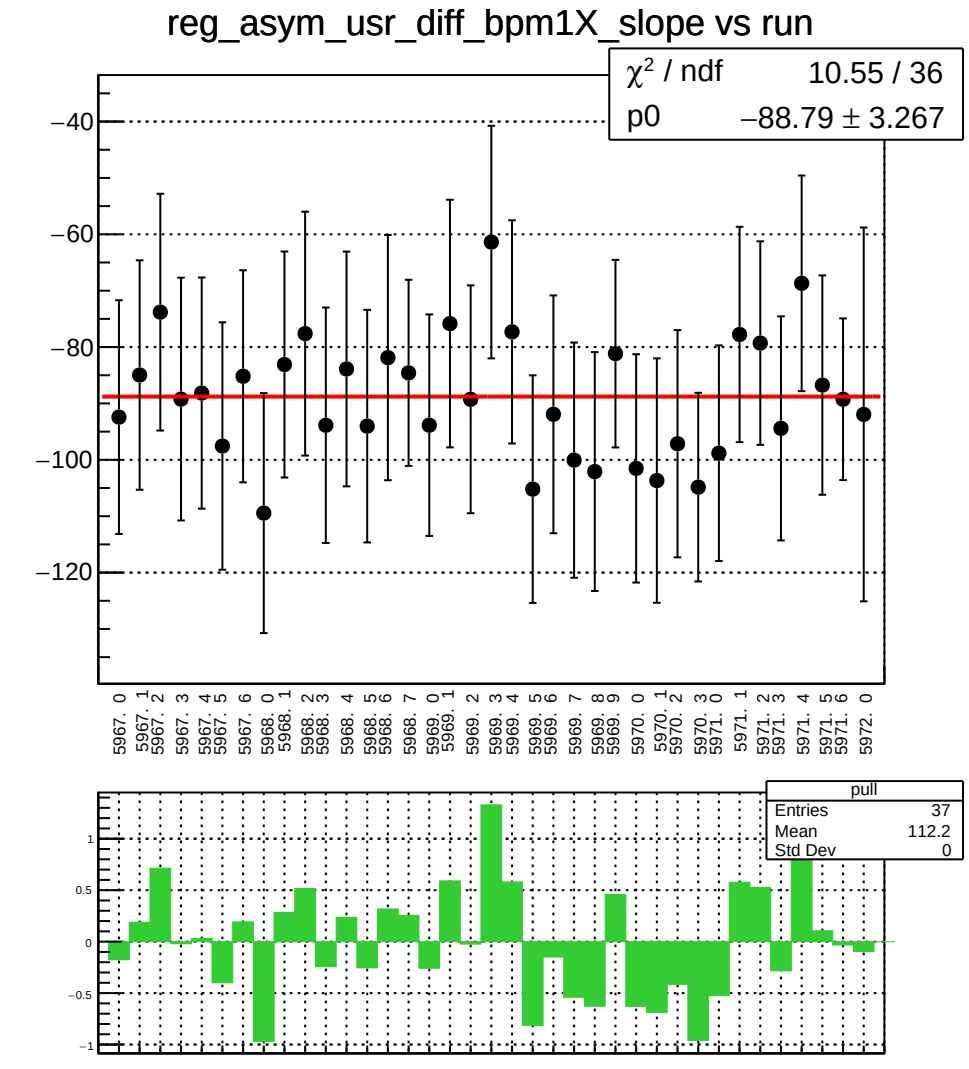
reg_asym_usr_diff_bpm1X_slope vs run
χ² / ndf 10.55 / 36
p0 −88.79 ± 3.267
−40
−60
−80
−100
−120
5967. 0
5967. 1
5967. 2
5967. 3
5967. 4
5967. 5
5967. 6
5968. 0
5968. 1
5968. 2
5968. 3
5968. 4
5968. 5
5968. 6
5968. 7
5969. 0
5969. 1
5969. 2
5969. 3
5969. 4
5969. 5
5969. 6
5969. 7
5969. 8
5969. 9
5970. 0
5970. 1
5970. 2
5970. 3
5971. 0
5971. 1
5971. 2
5971. 3
5971. 4
5971. 5
5971. 6
5972. 0
pull
Entries 37
Mean 112.2
Std Dev 0
1
0.5
0
−0.5
−1

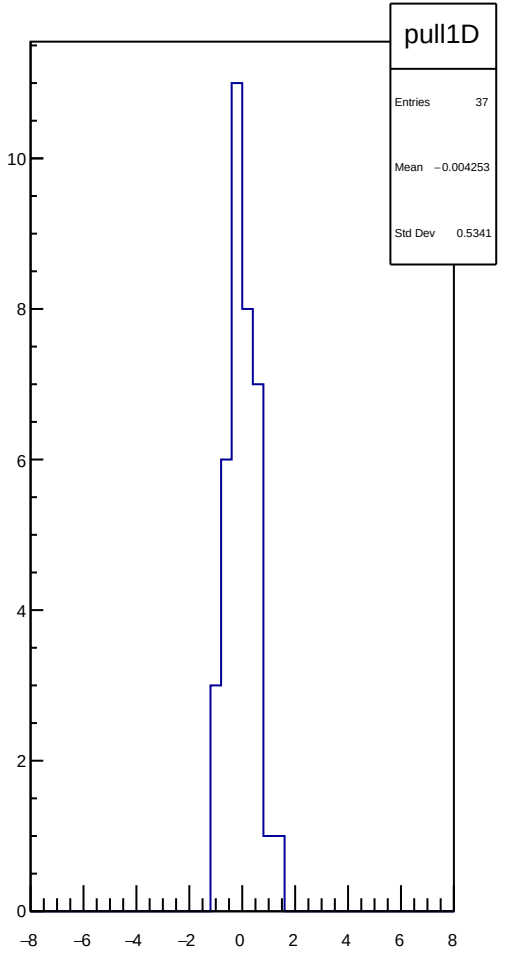
pull1D
Entries 37
Mean −0.004253
Std Dev 0.5341
10
8
6
4
2
0
−8
−6
−4
−2
0
2
4
6
8

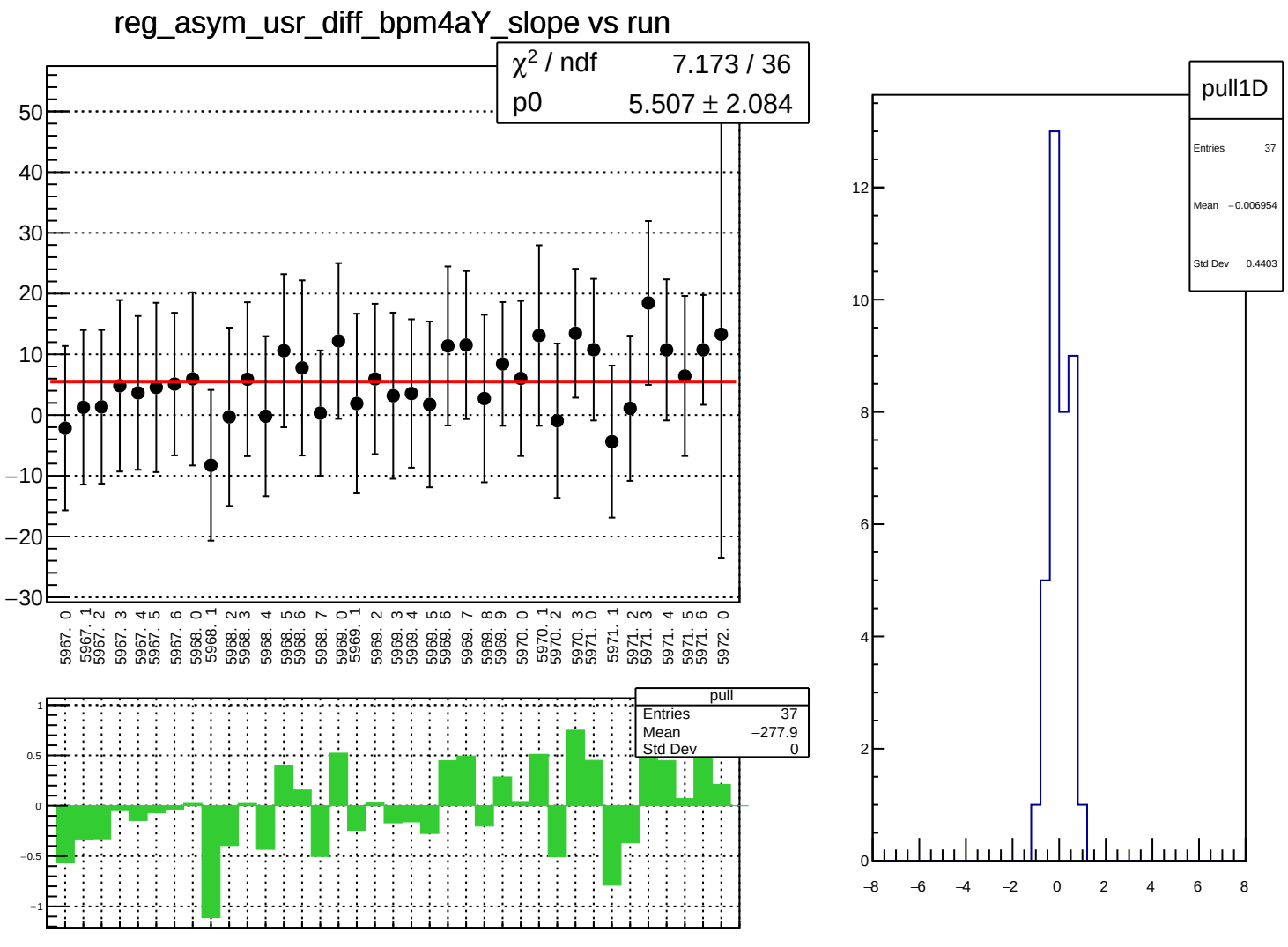
reg_asym_usr_diff_bpm4aY_slope vs run
χ² / ndf 7.173 / 36
p0 5.507 ± 2.084
pull
Entries 37
Mean −277.9
Std Dev 0
pull1D
Entries 37
Mean −0.006954
Std Dev 0.4403

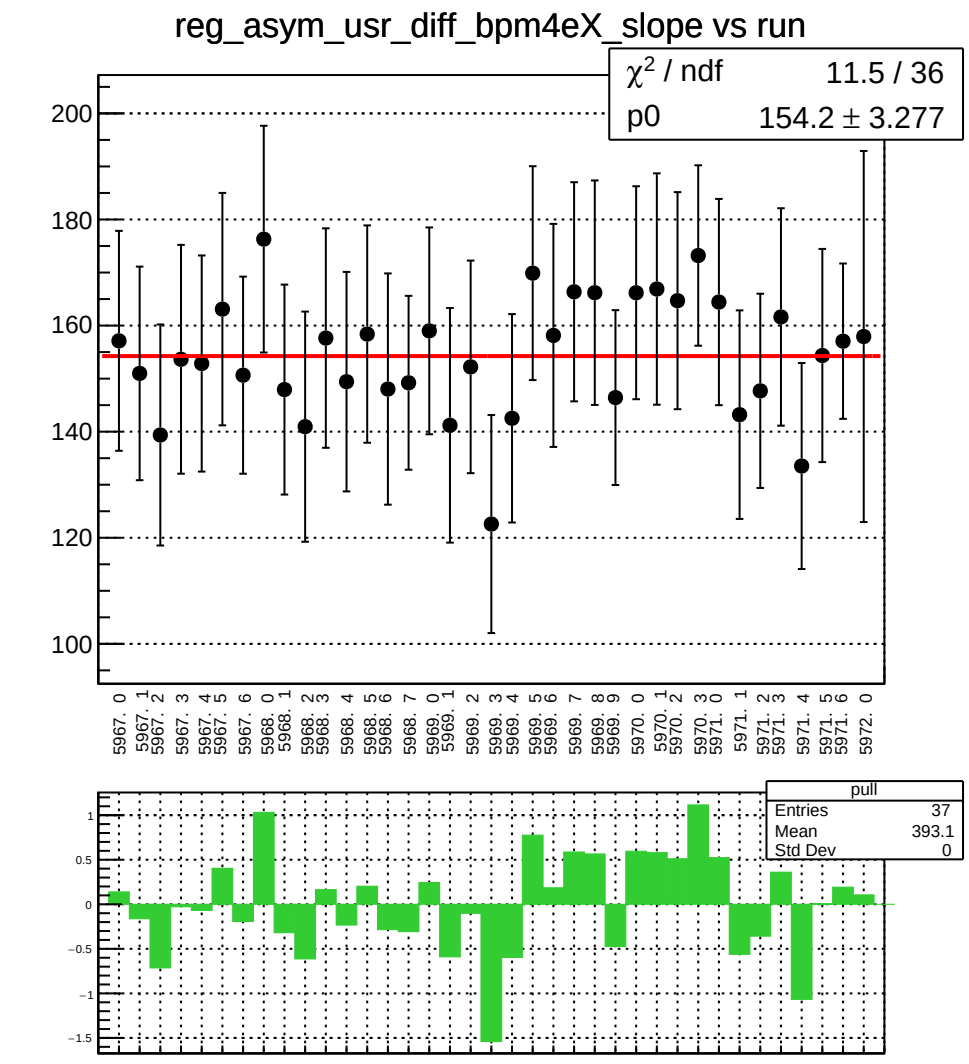
reg_asym_usr_diff_bpm4eX_slope vs run
χ² / ndf 11.5 / 36
p0 154.2 ± 3.277
200
180
160
140
120
100
5967. 0
5967. 1
5967. 2
5967. 3
5967. 4
5967. 5
5967. 6
5968. 0
5968. 1
5968. 2
5968. 3
5968. 4
5968. 5
5968. 6
5968. 7
5969. 0
5969. 1
5969. 2
5969. 3
5969. 4
5969. 5
5969. 6
5969. 7
5969. 8
5969. 9
5970. 0
5970. 1
5970. 2
5970. 3
5971. 0
5971. 1
5971. 2
5971. 3
5971. 4
5971. 5
5971. 6
5972. 0
pull
Entries 37
Mean 393.1
Std Dev 0
1
0.5
0
−0.5
−1
−1.5
pull1D
Entries 37
Mean 0.001937
Std Dev 0.5576
10
8
6
4
2
0
−8
−6
−4
−2
0
2
4
6
8

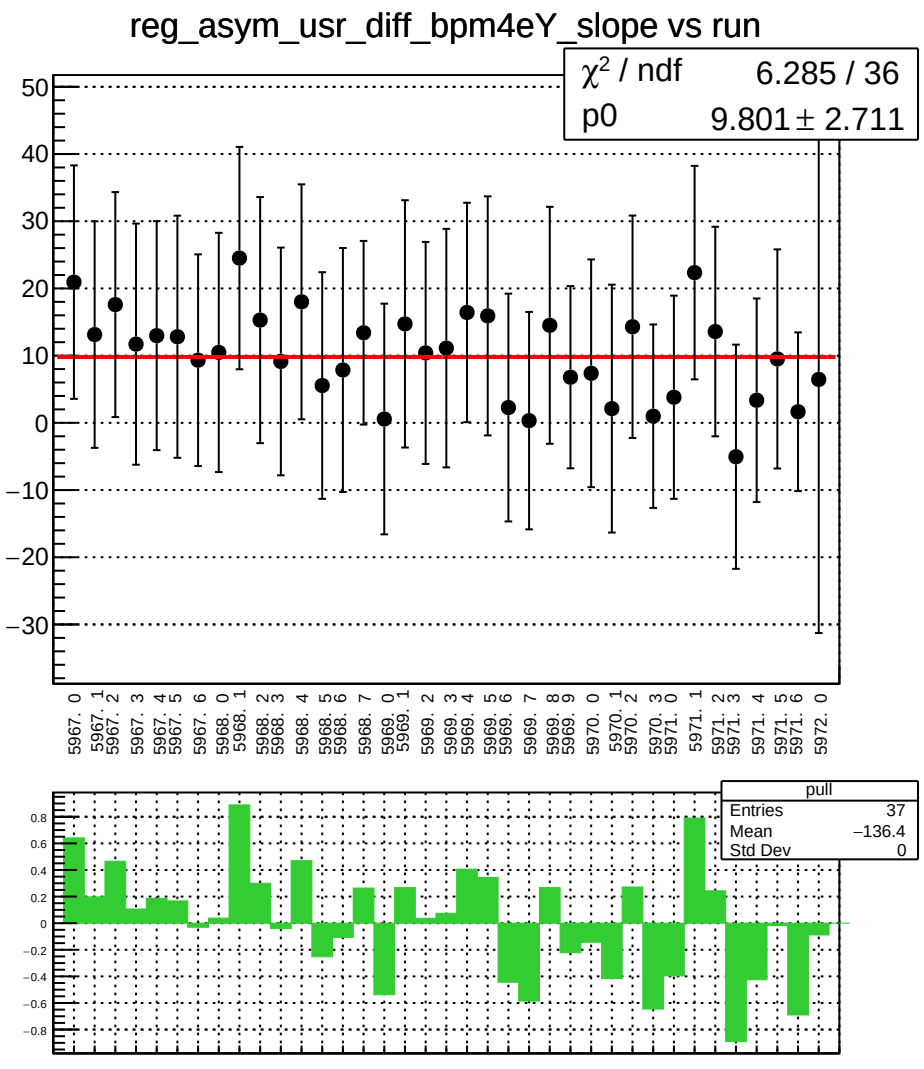
reg_asym_usr_diff_bpm4eY_slope vs run
χ² / ndf 6.285 / 36
p0 9.801 ± 2.711
pull
Entries 37
Mean −136.4
Std Dev 0

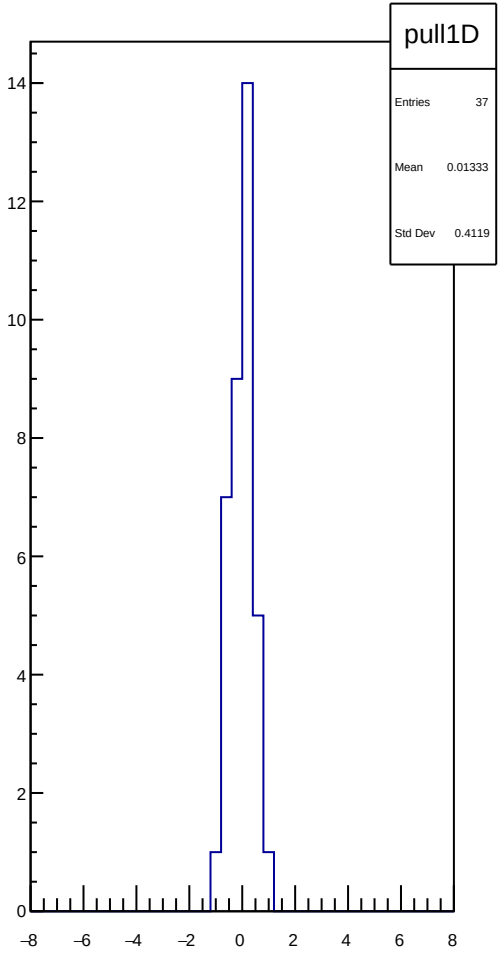
pull1D
Entries 37
Mean 0.01333
Std Dev 0.4119

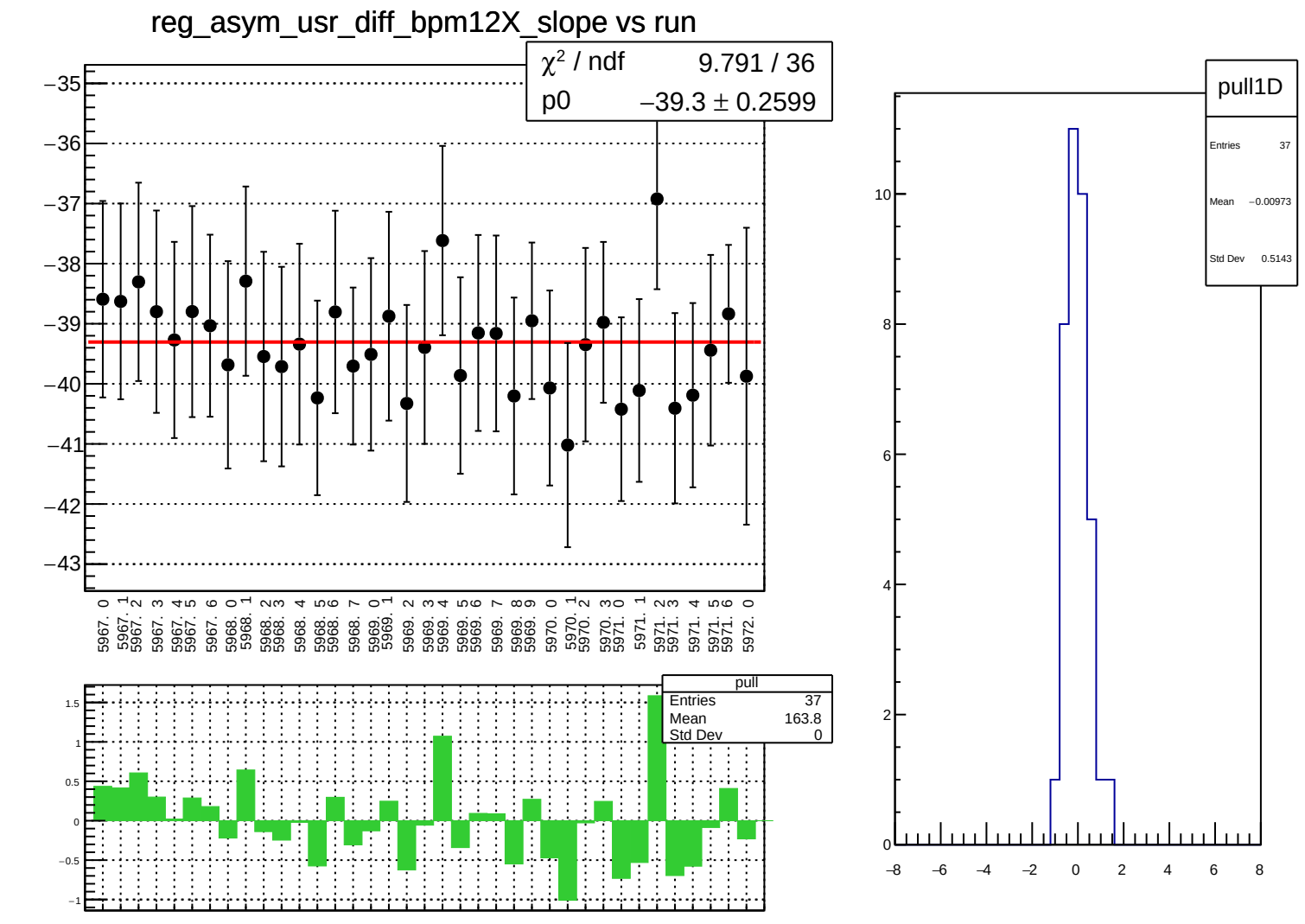
reg_asym_usr_diff_bpm12X_slope vs run
χ² / ndf 9.791 / 36
p0 −39.3 ± 0.2599
−35
−36
−37
−38
−39
−40
−41
−42
−43
5967. 0
5967. 1
5967. 2
5967. 3
5967. 4
5967. 5
5967. 6
5968. 0
5968. 1
5968. 2
5968. 3
5968. 4
5968. 5
5968. 6
5968. 7
5969. 0
5969. 1
5969. 2
5969. 3
5969. 4
5969. 5
5969. 6
5969. 7
5969. 8
5969. 9
5970. 0
5970. 1
5970. 2
5970. 3
5971. 0
5971. 1
5971. 2
5971. 3
5971. 4
5971. 5
5971. 6
5972. 0
pull
Entries 37
Mean 163.8
Std Dev 0
1.5
1
0.5
0
−0.5
−1
pull1D
Entries 37
Mean −0.00973
Std Dev 0.5143
10
8
6
4
2
0
−8
−6
−4
−2
0
2
4
6
8

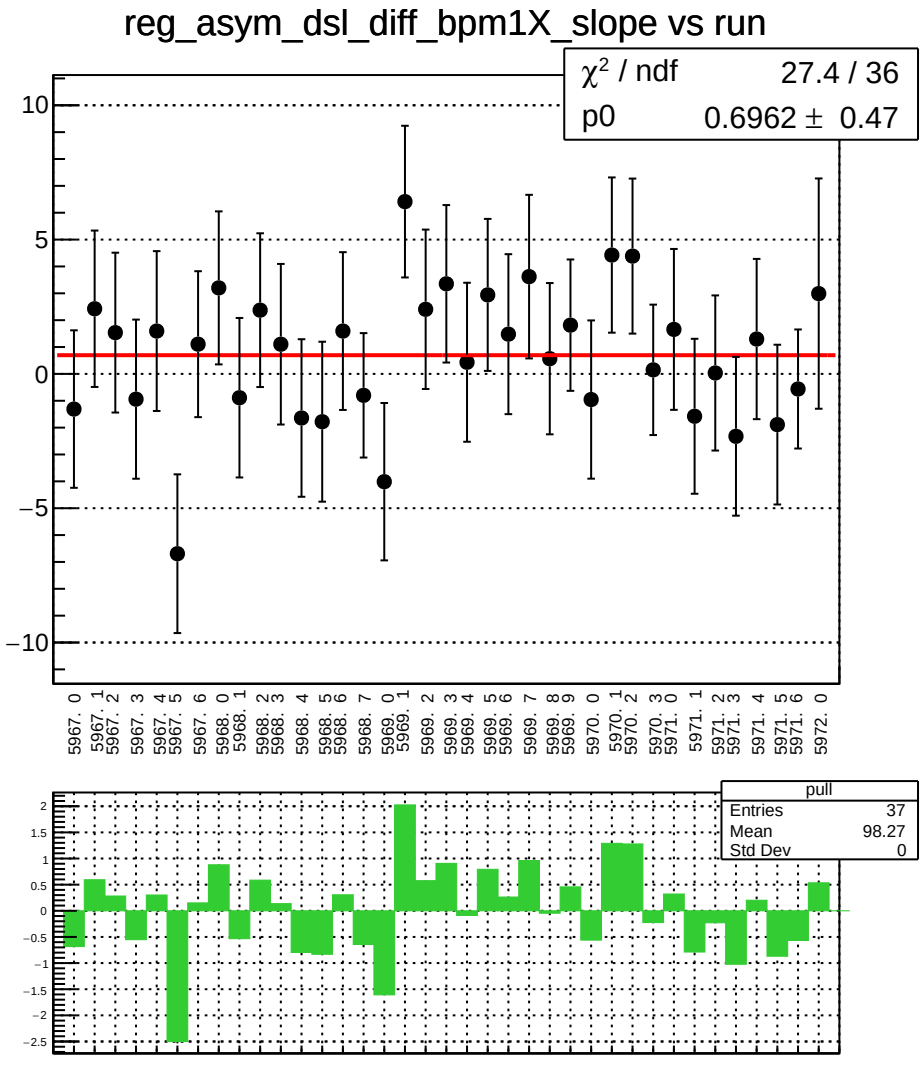
reg_asym_dsl_diff_bpm1X_slope vs run
χ² / ndf 27.4 / 36
p0 0.6962 ± 0.47
10
5
0
−5
−10
5967. 0
5967. 1
5967. 2
5967. 3
5967. 4
5967. 5
5967. 6
5968. 0
5968. 1
5968. 2
5968. 3
5968. 4
5968. 5
5968. 6
5968. 7
5969. 0
5969. 1
5969. 2
5969. 3
5969. 4
5969. 5
5969. 6
5969. 7
5969. 8
5969. 9
5970. 0
5970. 1
5970. 2
5970. 3
5971. 0
5971. 1
5971. 2
5971. 3
5971. 4
5971. 5
5971. 6
5972. 0
pull
Entries 37
Mean 98.27
Std Dev 0
2
1.5
1
0.5
0
−0.5
−1
−1.5
−2
−2.5
pull1D
Entries 37
Mean 0.008045
Std Dev 0.8605
8
7
6
5
4
3
2
1
0
−8
−6
−4
−2
0
2
4
6
8

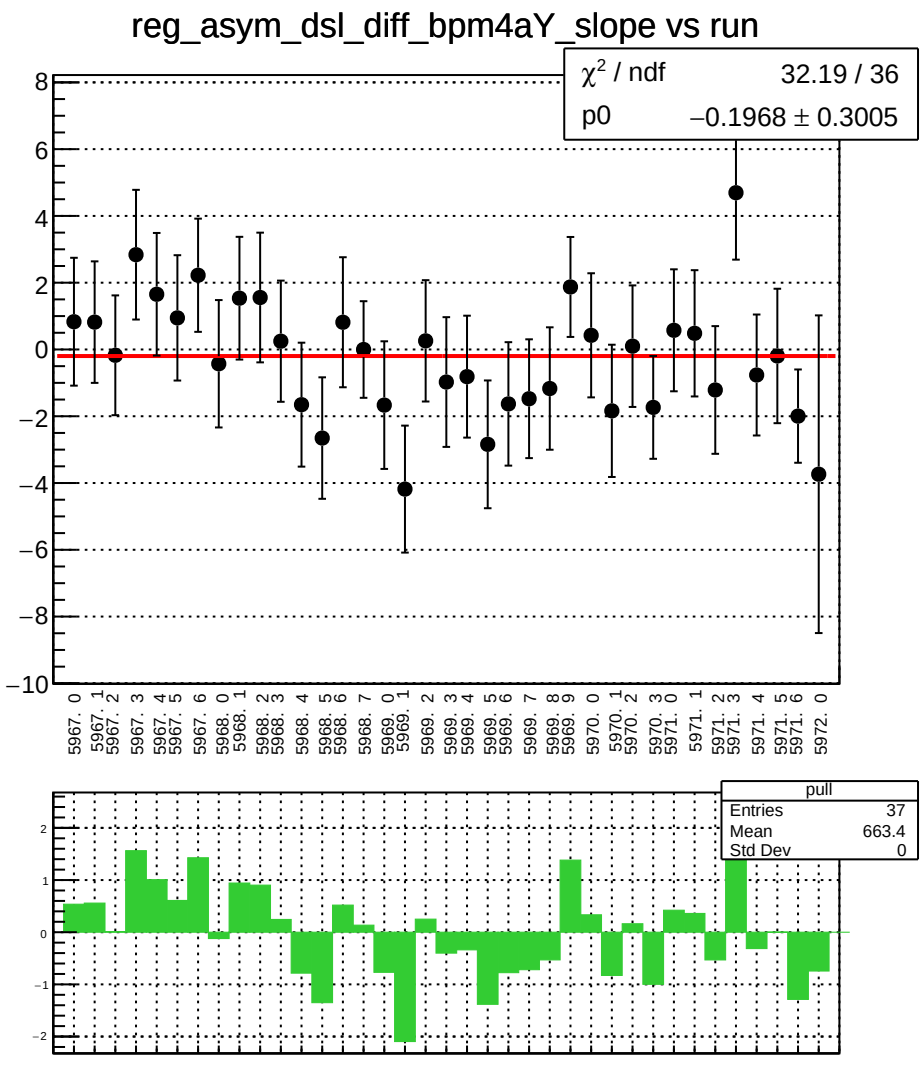
reg_asym_dsl_diff_bpm4aY_slope vs run
χ² / ndf 32.19 / 36
p0 −0.1968 ± 0.3005
pull
Entries 37
Mean 663.4
Std Dev 0

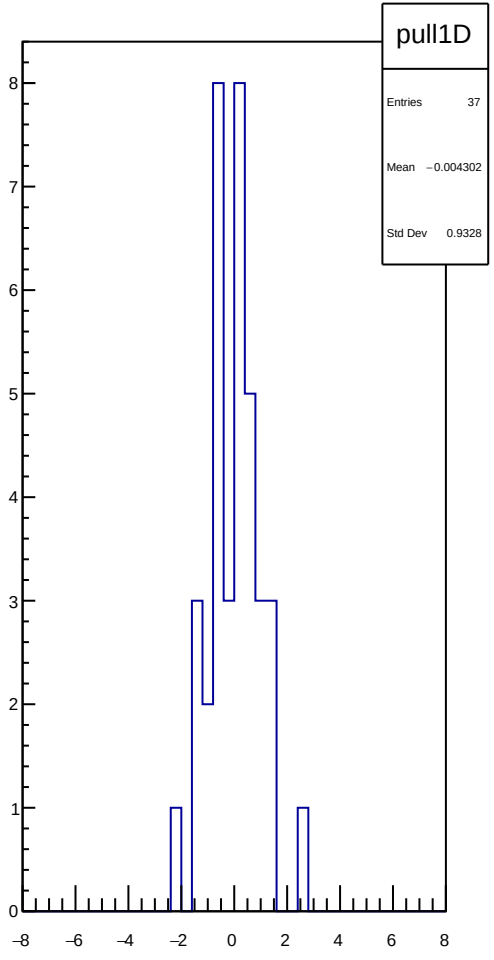
pull1D
Entries 37
Mean −0.004302
Std Dev 0.9328

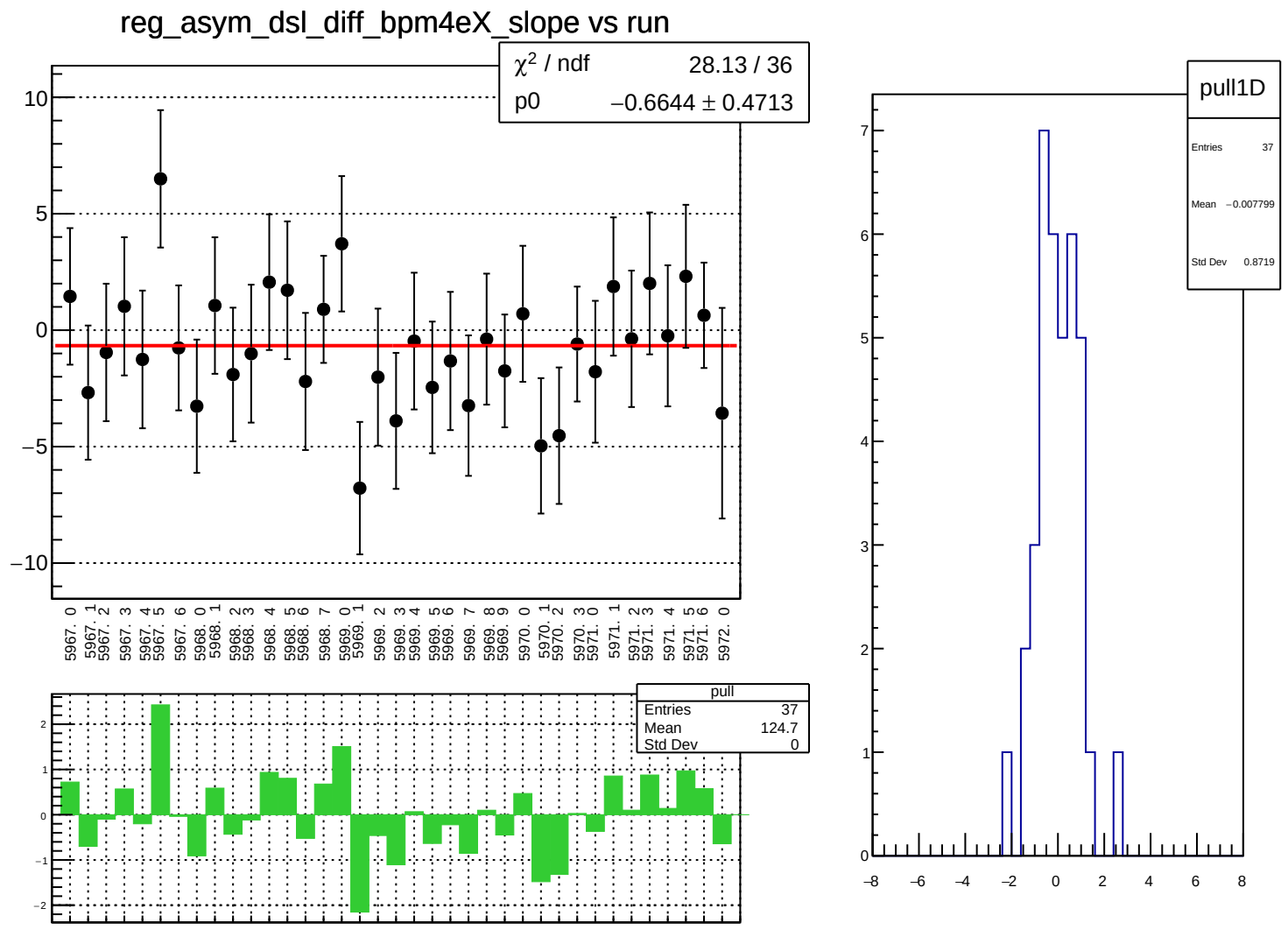
reg_asym_dsl_diff_bpm4eX_slope vs run
χ² / ndf 28.13 / 36
p0 −0.6644 ± 0.4713
pull
Entries 37
Mean 124.7
Std Dev 0
pull1D
Entries 37
Mean −0.007799
Std Dev 0.8719

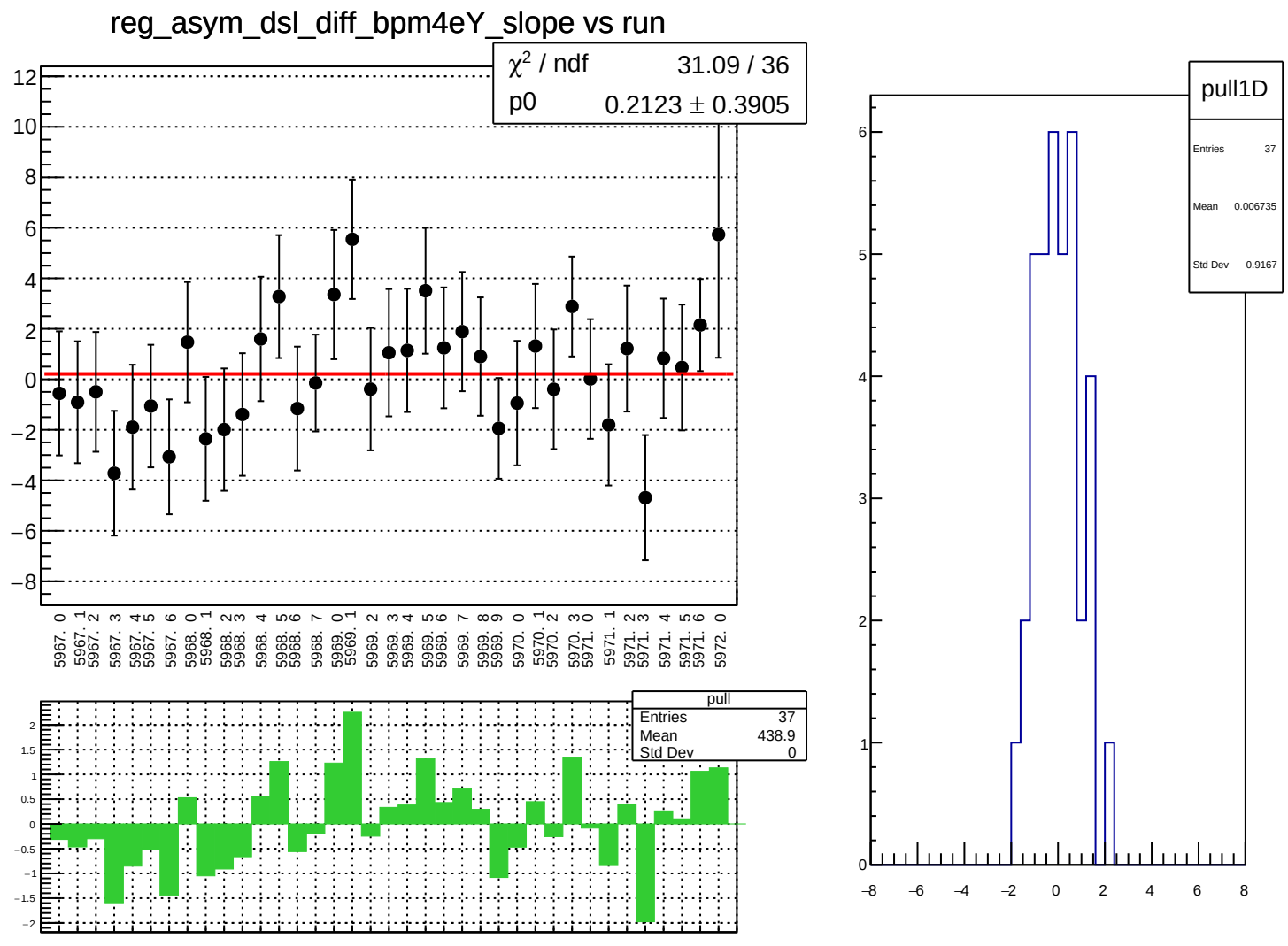
reg_asym_dsl_diff_bpm4eY_slope vs run
χ² / ndf 31.09 / 36
p0 0.2123 ± 0.3905
pull
Entries 37
Mean 438.9
Std Dev 0
pull1D
Entries 37
Mean 0.006735
Std Dev 0.9167

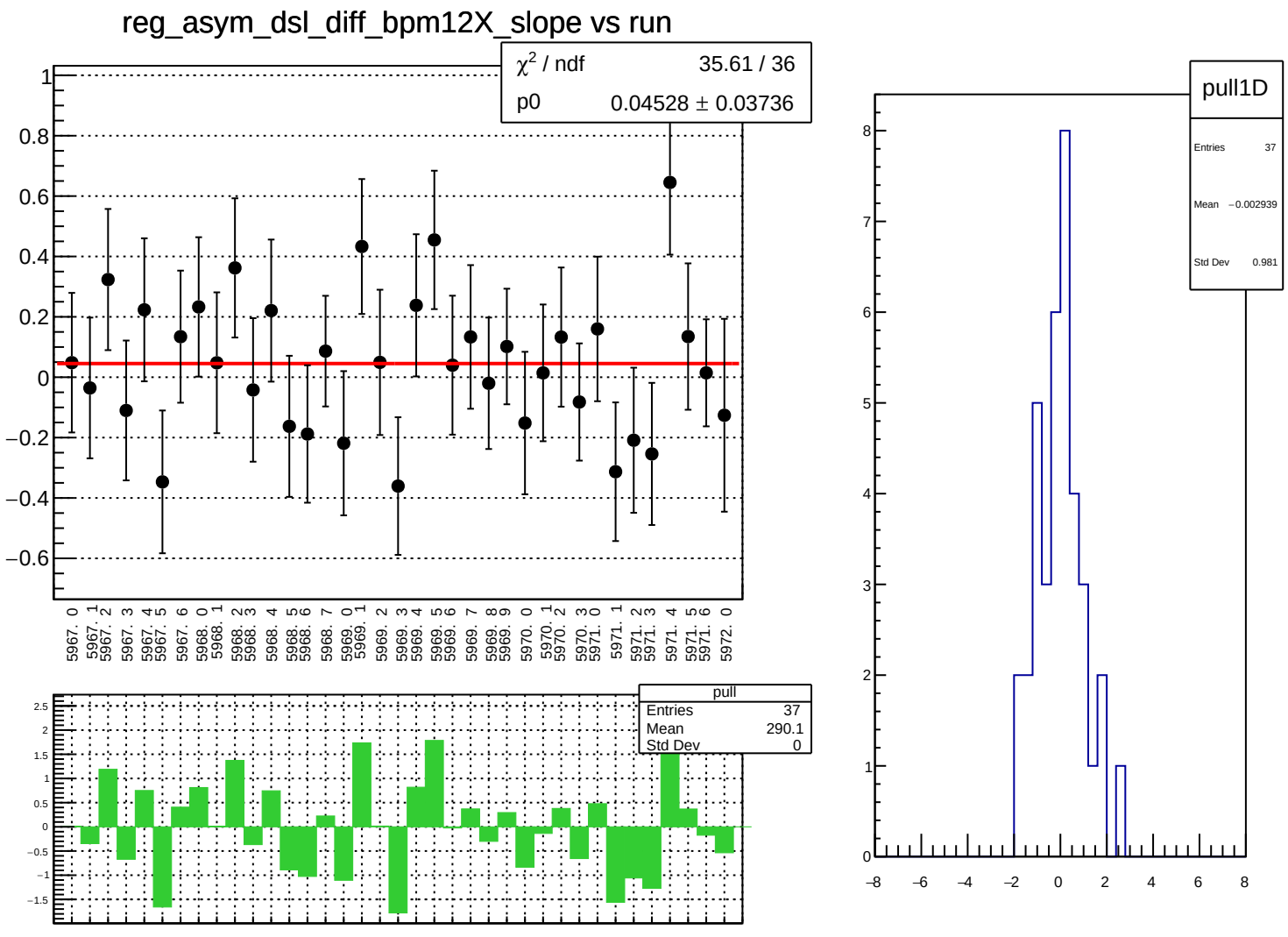
reg_asym_dsl_diff_bpm12X_slope vs run
χ² / ndf 35.61 / 36
p0 0.04528 ± 0.03736
pull
Entries 37
Mean 290.1
Std Dev 0
pull1D
Entries 37
Mean −0.002939
Std Dev 0.981

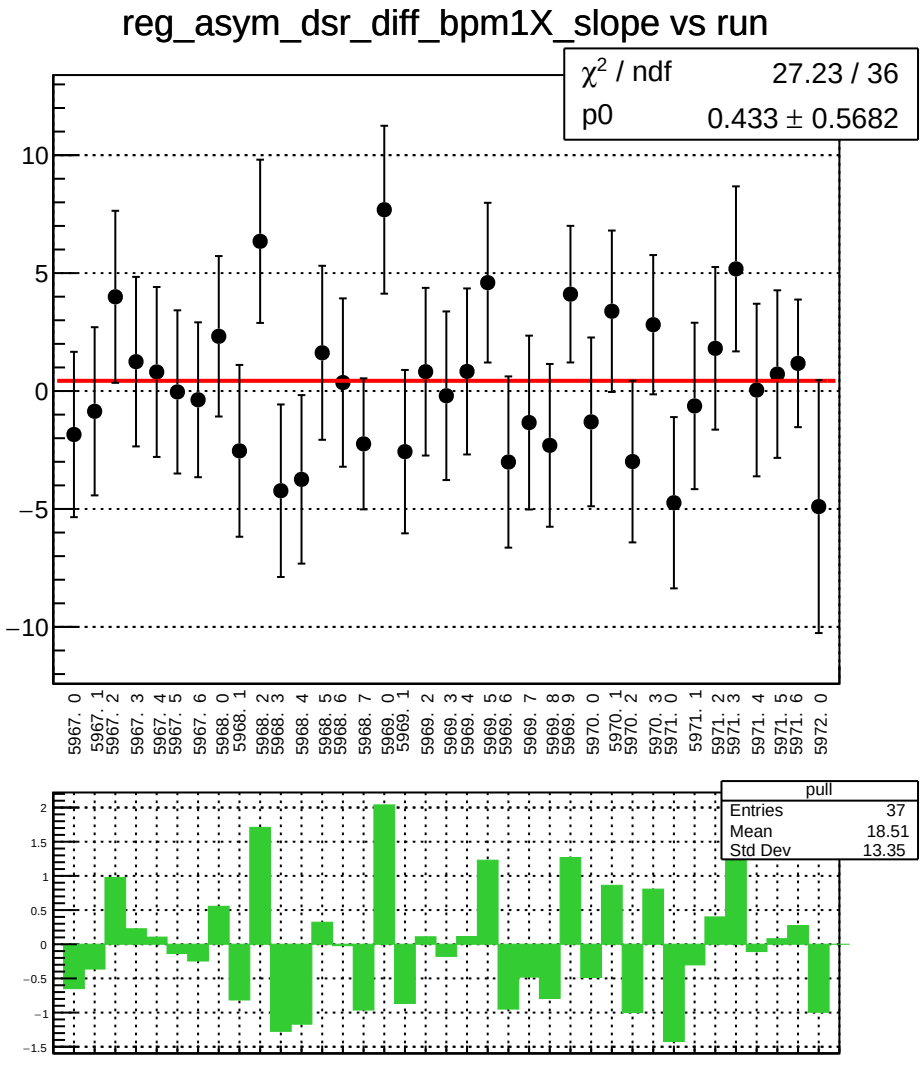
reg_asym_dsr_diff_bpm1X_slope vs run
χ² / ndf 27.23 / 36
p0 0.433 ± 0.5682
pull
Entries 37
Mean 18.51
Std Dev 13.35

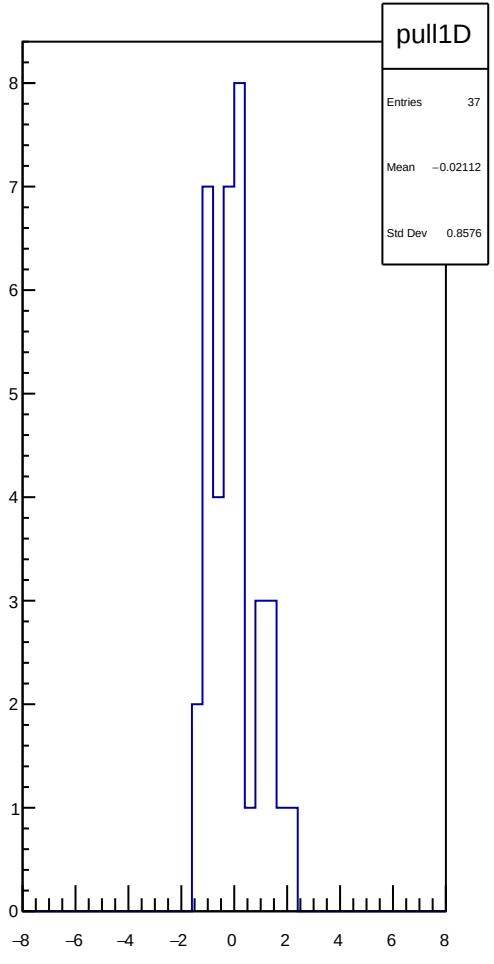
pull1D
Entries 37
Mean −0.02112
Std Dev 0.8576

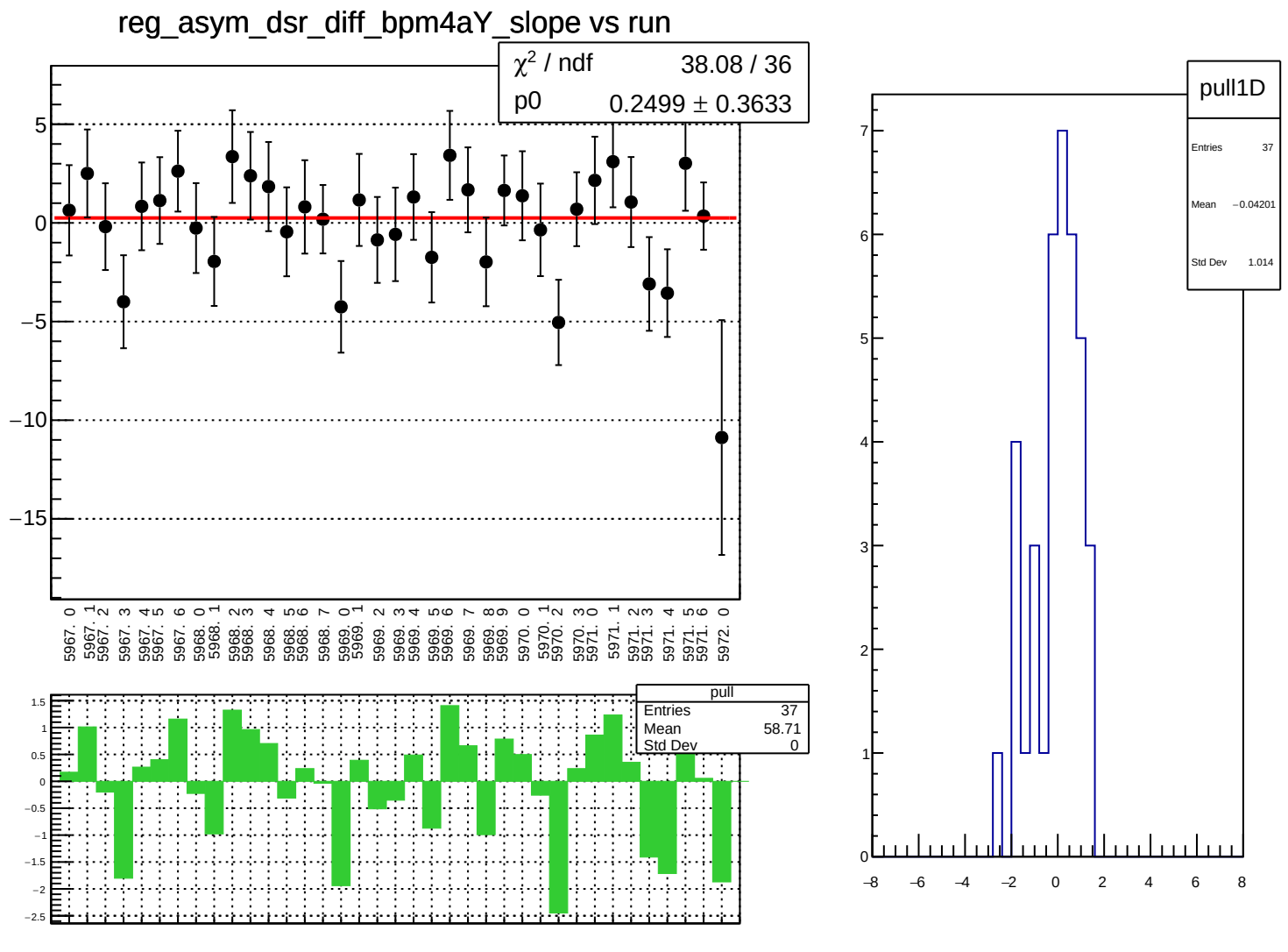
reg_asym_dsr_diff_bpm4aY_slope vs run
χ² / ndf 38.08 / 36
p0 0.2499 ± 0.3633
pull
Entries 37
Mean 58.71
Std Dev 0
pull1D
Entries 37
Mean −0.04201
Std Dev 1.014

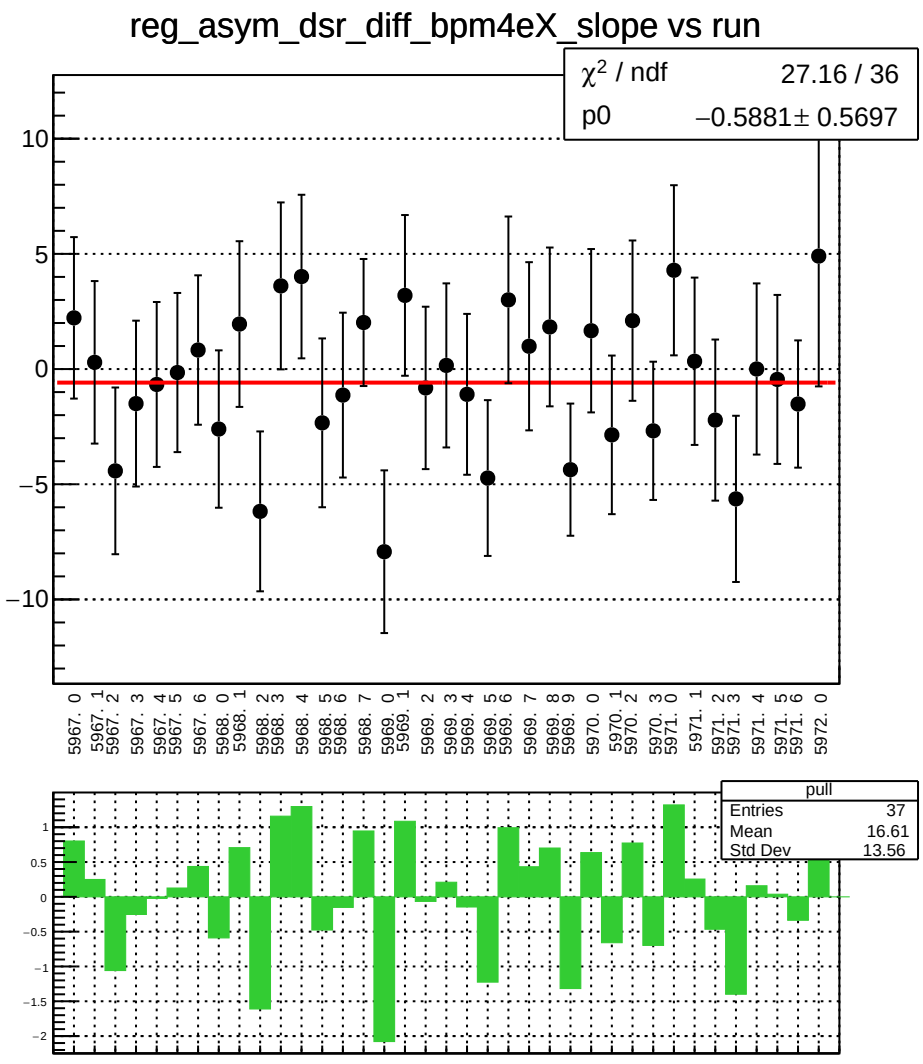
reg_asym_dsr_diff_bpm4eX_slope vs run
χ² / ndf 27.16 / 36
p0 −0.5881± 0.5697
10
5
0
−5
−10
5967. 0
5967. 1
5967. 2
5967. 3
5967. 4
5967. 5
5967. 6
5968. 0
5968. 1
5968. 2
5968. 3
5968. 4
5968. 5
5968. 6
5968. 7
5969. 0
5969. 1
5969. 2
5969. 3
5969. 4
5969. 5
5969. 6
5969. 7
5969. 8
5969. 9
5970. 0
5970. 1
5970. 2
5970. 3
5971. 0
5971. 1
5971. 2
5971. 3
5971. 4
5971. 5
5971. 6
5972. 0
pull
Entries 37
Mean 16.61
Std Dev 13.56
1
0.5
0
−0.5
−1
−1.5
−2

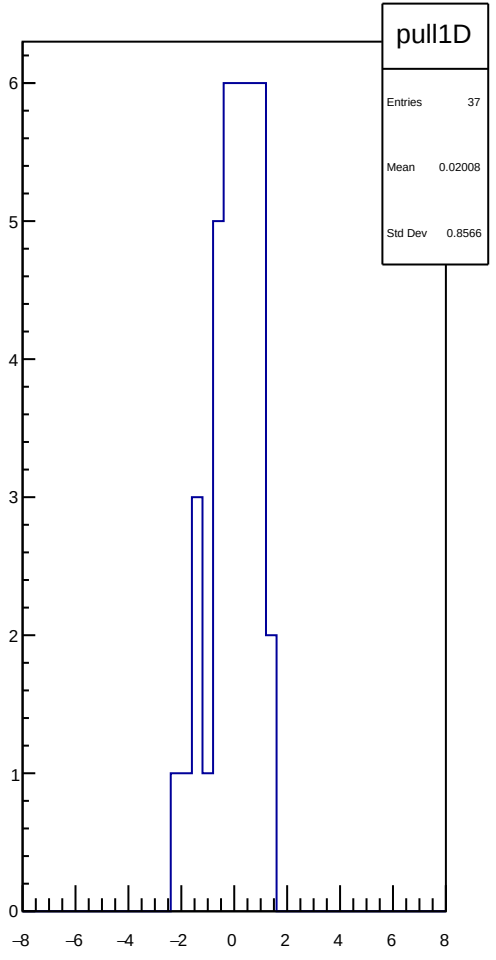
pull1D
Entries 37
Mean 0.02008
Std Dev 0.8566
6
5
4
3
2
1
0
−8
−6
−4
−2
0
2
4
6
8

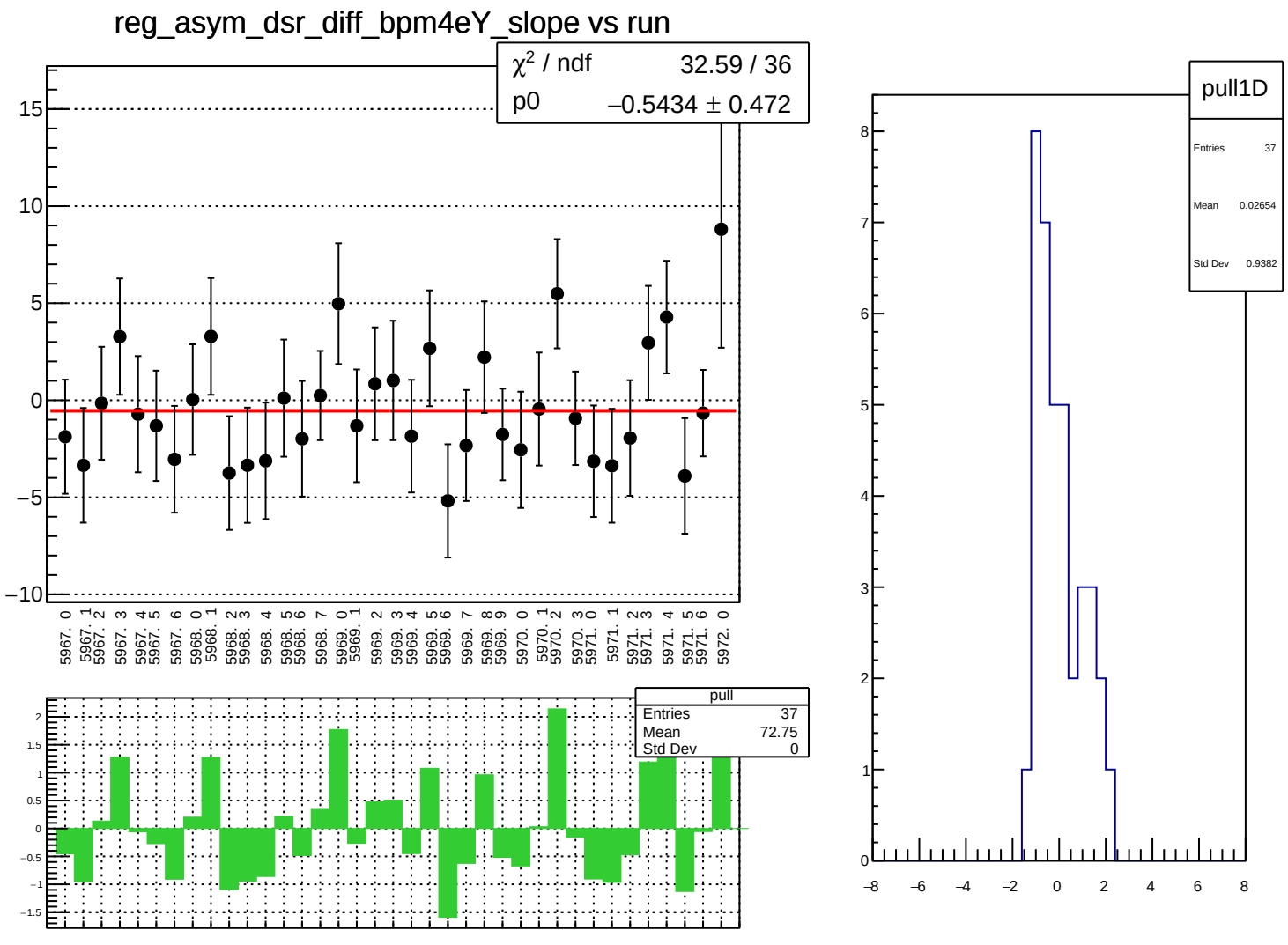
reg_asym_dsr_diff_bpm4eY_slope vs run
χ² / ndf 32.59 / 36
p0 −0.5434 ± 0.472
15
10
5
0
−5
−10
5967. 0
5967. 1
5967. 2
5967. 3
5967. 4
5967. 5
5967. 6
5968. 0
5968. 1
5968. 2
5968. 3
5968. 4
5968. 5
5968. 6
5968. 7
5969. 0
5969. 1
5969. 2
5969. 3
5969. 4
5969. 5
5969. 6
5969. 7
5969. 8
5969. 9
5970. 0
5970. 1
5970. 2
5970. 3
5971. 0
5971. 1
5971. 2
5971. 3
5971. 4
5971. 5
5971. 6
5972. 0
pull
Entries 37
Mean 72.75
Std Dev 0
2
1.5
1
0.5
0
−0.5
−1
−1.5
pull1D
Entries 37
Mean 0.02654
Std Dev 0.9382
8
7
6
5
4
3
2
1
0
−8
−6
−4
−2
0
2
4
6
8

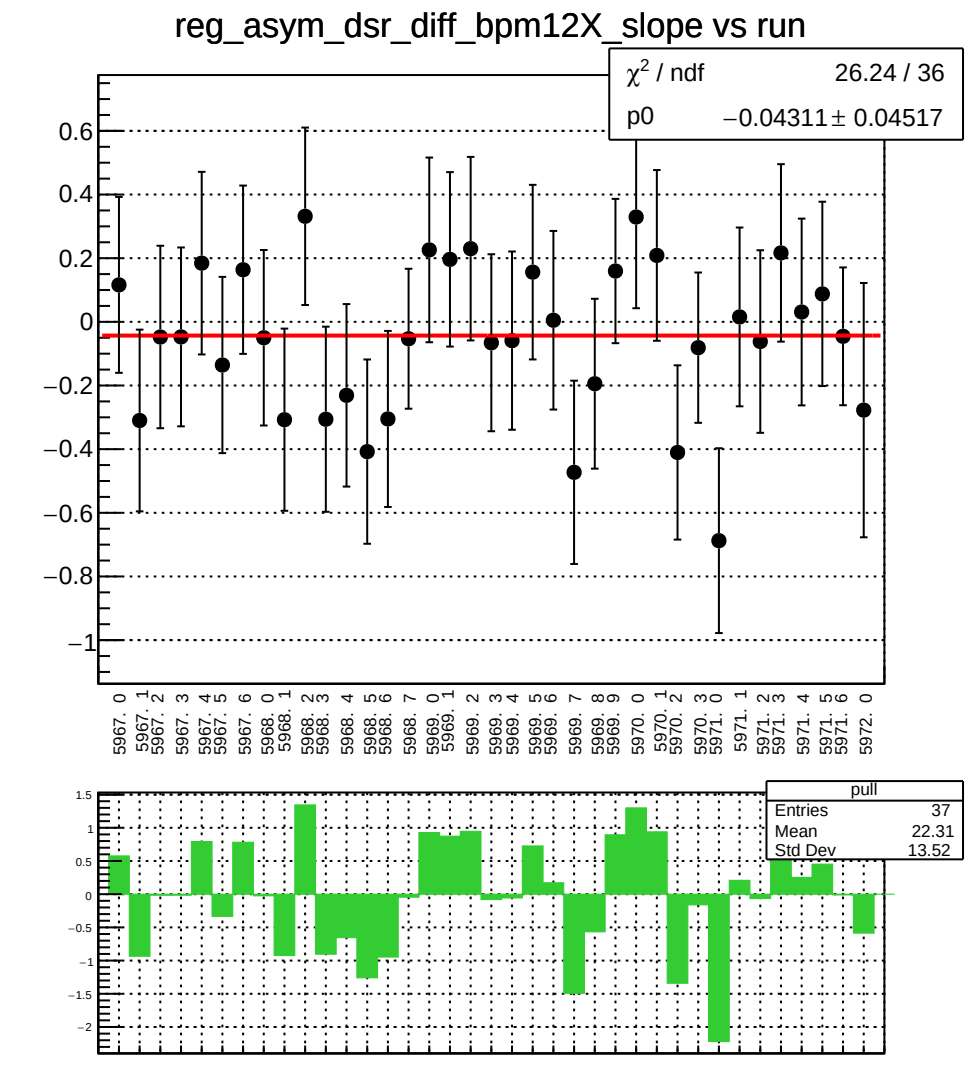
reg_asym_dsr_diff_bpm12X_slope vs run
χ² / ndf 26.24 / 36
p0 −0.04311 ± 0.04517
pull
Entries 37
Mean 22.31
Std Dev 13.52

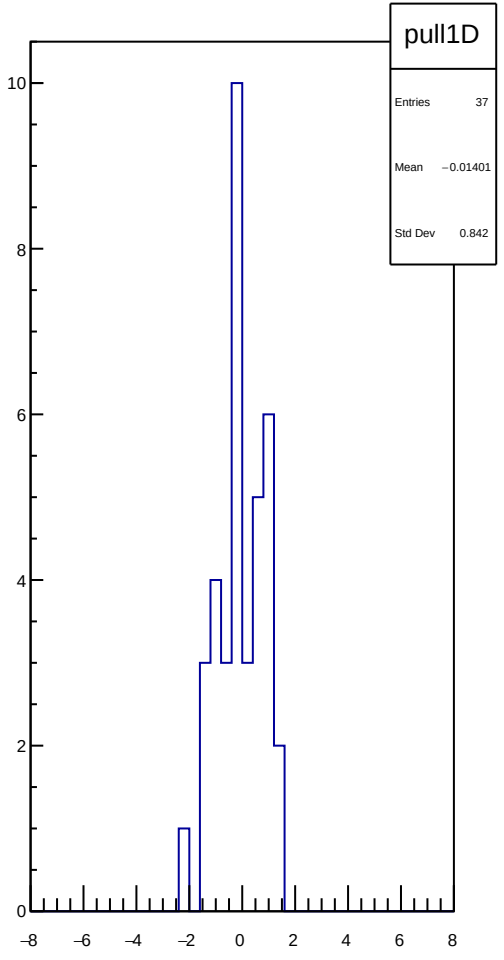
pull1D
Entries 37
Mean −0.01401
Std Dev 0.842

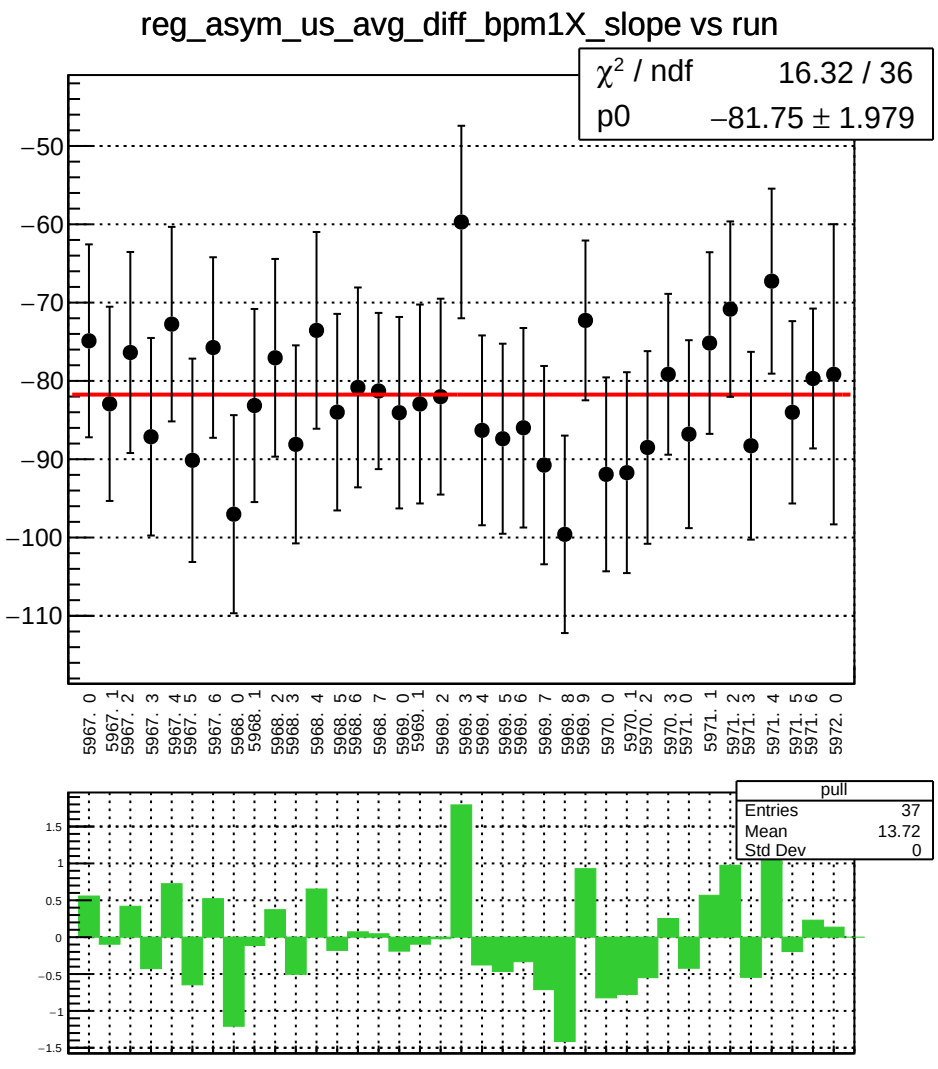
reg_asym_us_avg_diff_bpm1X_slope vs run
χ² / ndf 16.32 / 36
p0 −81.75 ± 1.979
pull
Entries 37
Mean 13.72
Std Dev 0

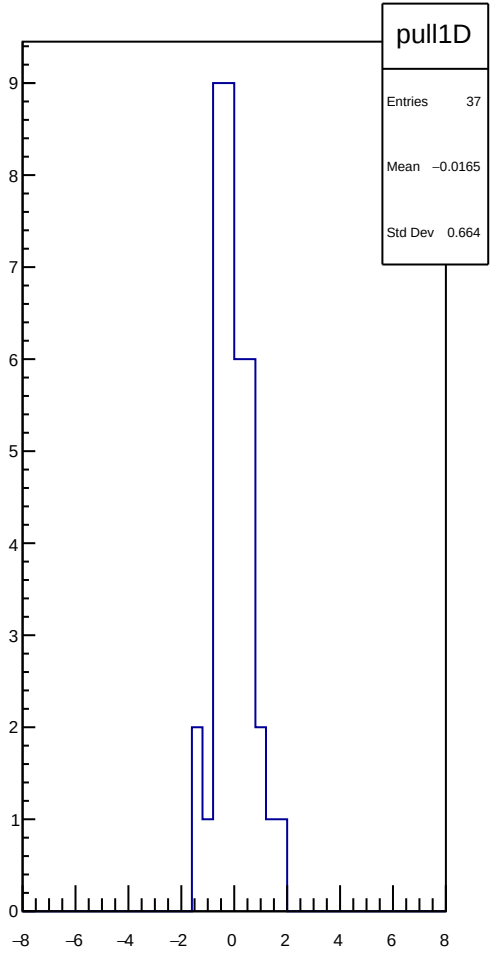
pull1D
Entries 37
Mean −0.0165
Std Dev 0.664

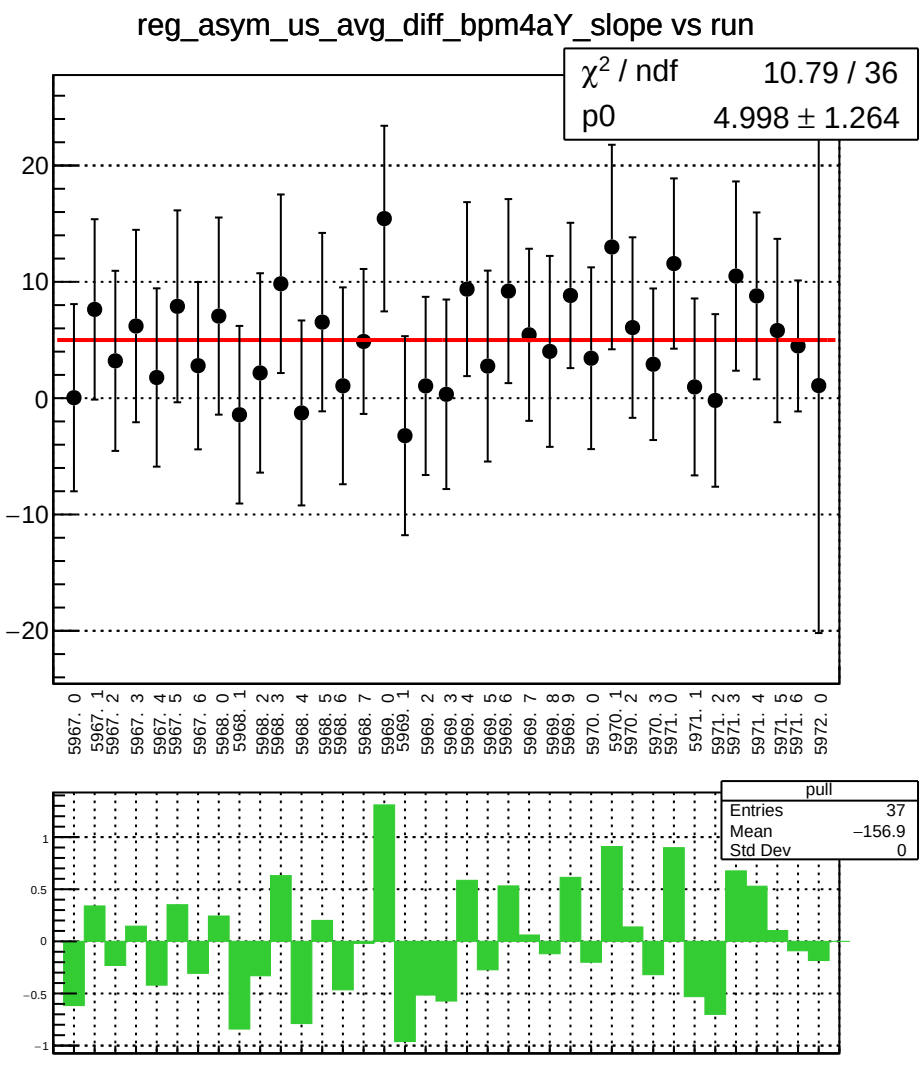
reg_asym_us_avg_diff_bpm4aY_slope vs run
χ² / ndf 10.79 / 36
p0 4.998 ± 1.264
20
10
0
−10
−20
5967. 0
5967. 1
5967. 2
5967. 3
5967. 4
5967. 5
5967. 6
5968. 0
5968. 1
5968. 2
5968. 3
5968. 4
5968. 5
5968. 6
5968. 7
5969. 0
5969. 1
5969. 2
5969. 3
5969. 4
5969. 5
5969. 6
5969. 7
5969. 8
5969. 9
5970. 0
5970. 1
5970. 2
5970. 3
5971. 0
5971. 1
5971. 2
5971. 3
5971. 4
5971. 5
5971. 6
5972. 0
pull
Entries 37
Mean −156.9
Std Dev 0
1
0.5
0
−0.5
−1

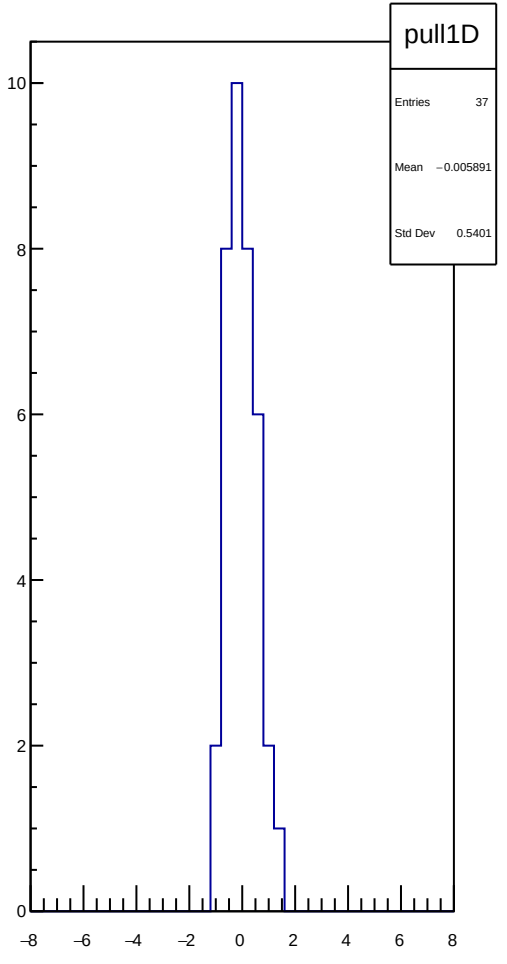
pull1D
Entries 37
Mean −0.005891
Std Dev 0.5401
10
8
6
4
2
0
−8
−6
−4
−2
0
2
4
6
8

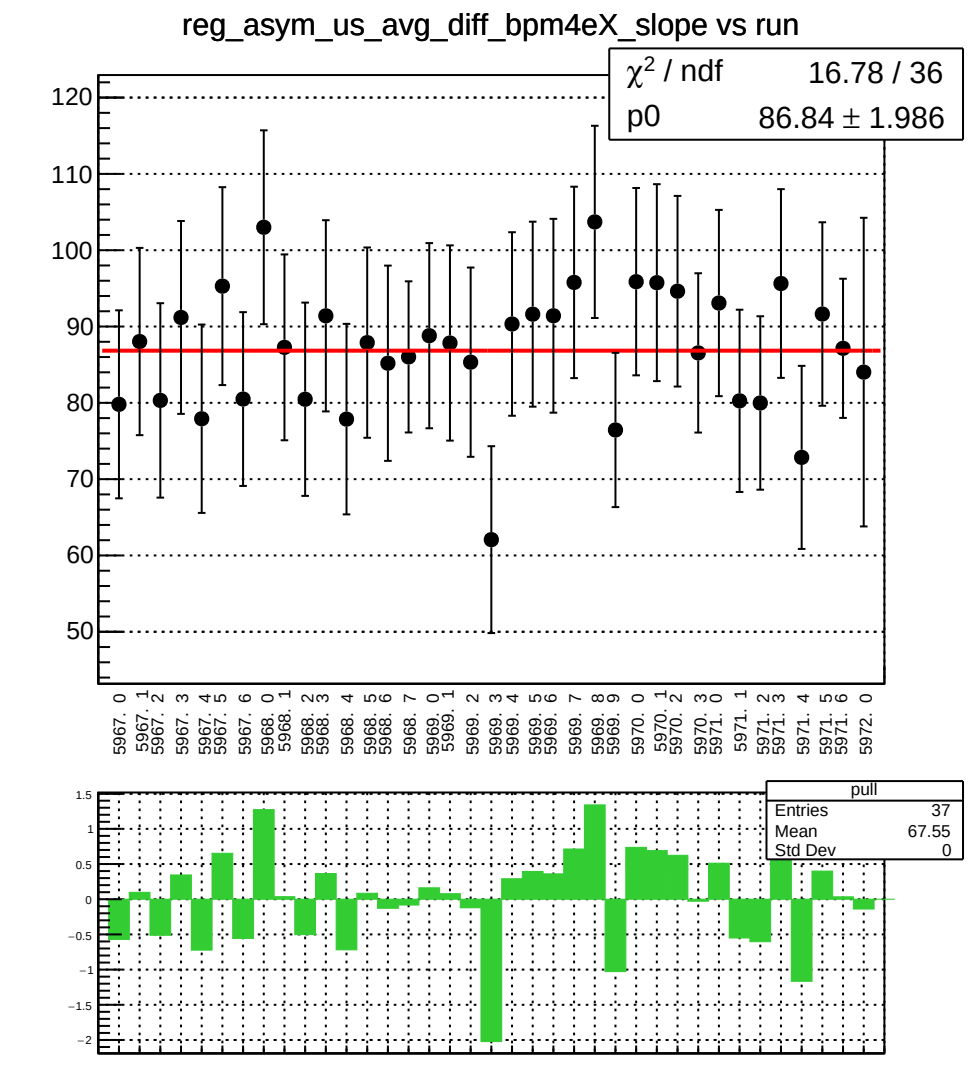
reg_asym_us_avg_diff_bpm4eX_slope vs run
χ² / ndf 16.78 / 36
p0 86.84 ± 1.986
pull
Entries 37
Mean 67.55
Std Dev 0

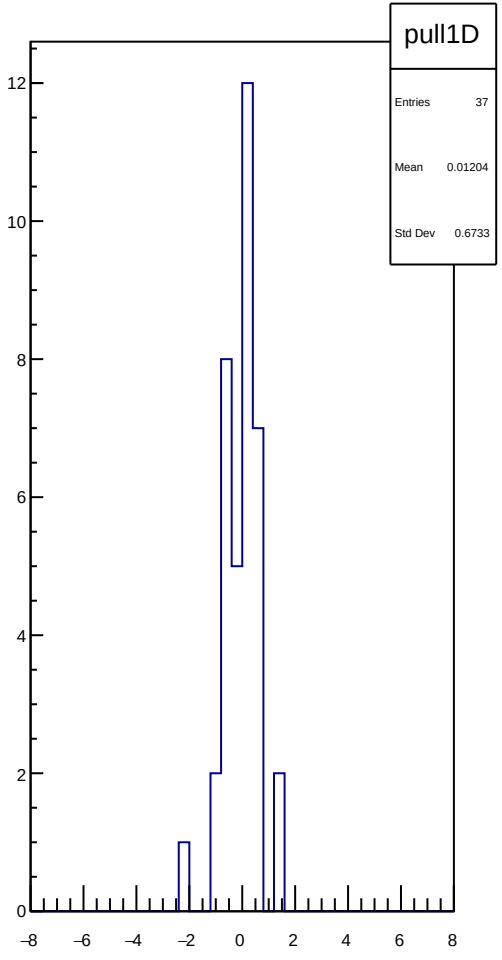
pull1D
Entries 37
Mean 0.01204
Std Dev 0.6733

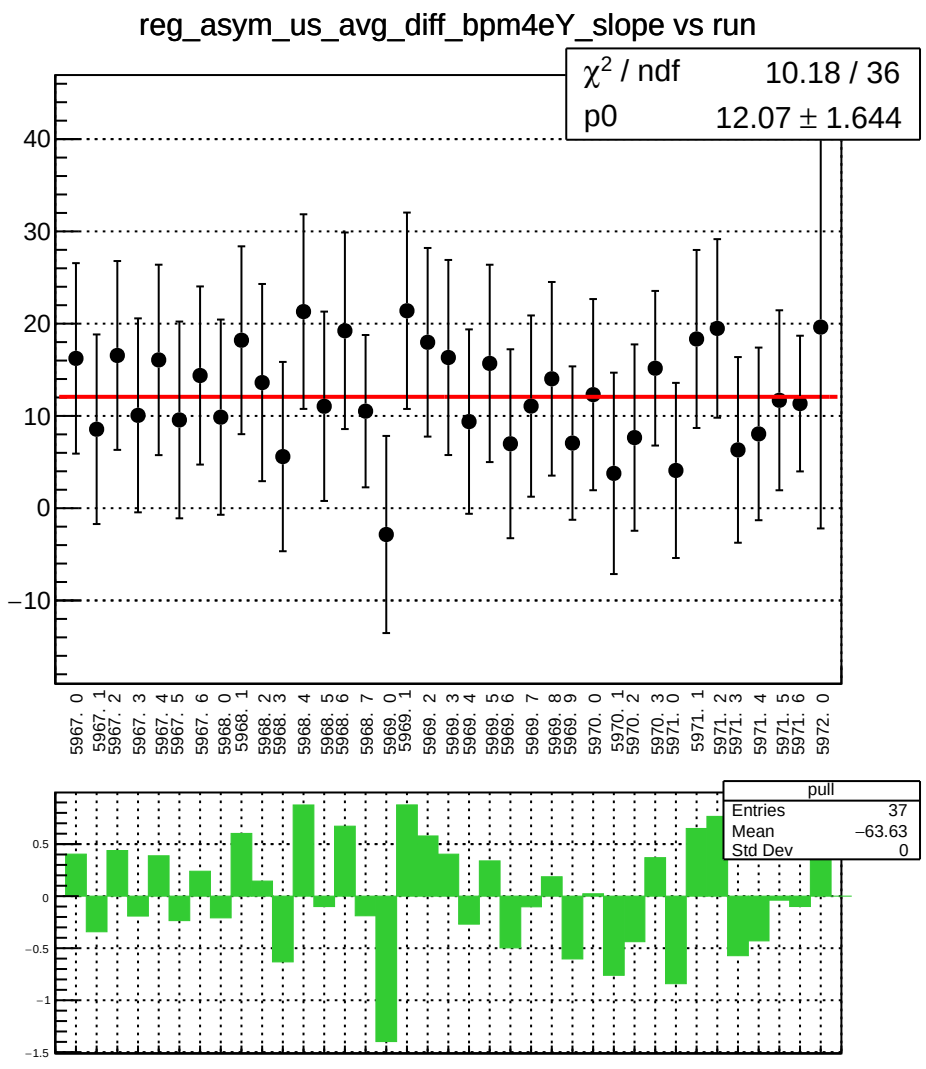
reg_asym_us_avg_diff_bpm4eY_slope vs run
χ² / ndf 10.18 / 36
p0 12.07 ± 1.644
40
30
20
10
0
−10
5967. 0
5967. 1
5967. 2
5967. 3
5967. 4
5967. 5
5967. 6
5968. 0
5968. 1
5968. 2
5968. 3
5968. 4
5968. 5
5968. 6
5968. 7
5969. 0
5969. 1
5969. 2
5969. 3
5969. 4
5969. 5
5969. 6
5969. 7
5969. 8
5969. 9
5970. 0
5970. 1
5970. 2
5970. 3
5971. 0
5971. 1
5971. 2
5971. 3
5971. 4
5971. 5
5971. 6
5972. 0
pull
Entries 37
Mean −63.63
Std Dev 0
0.5
0
−0.5
−1
−1.5

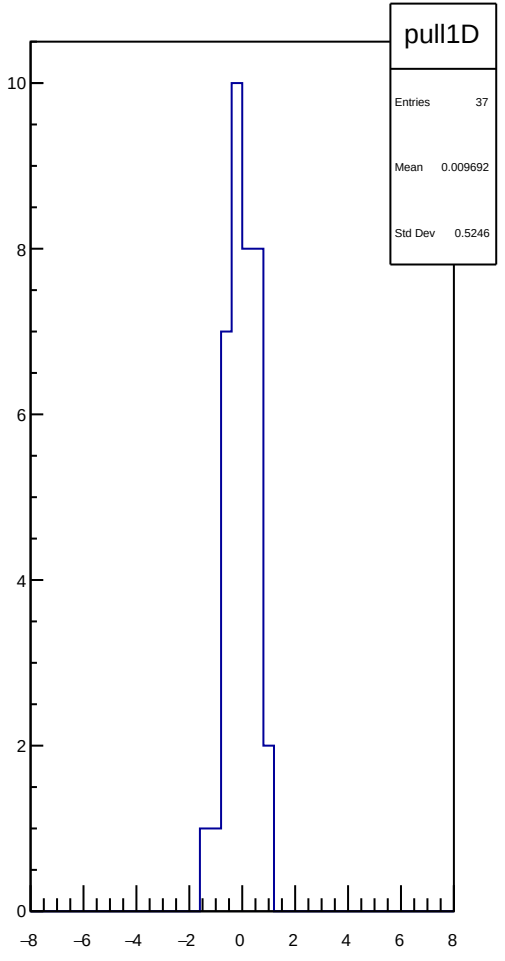
pull1D
Entries 37
Mean 0.009692
Std Dev 0.5246
10
8
6
4
2
0
−8
−6
−4
−2
0
2
4
6
8

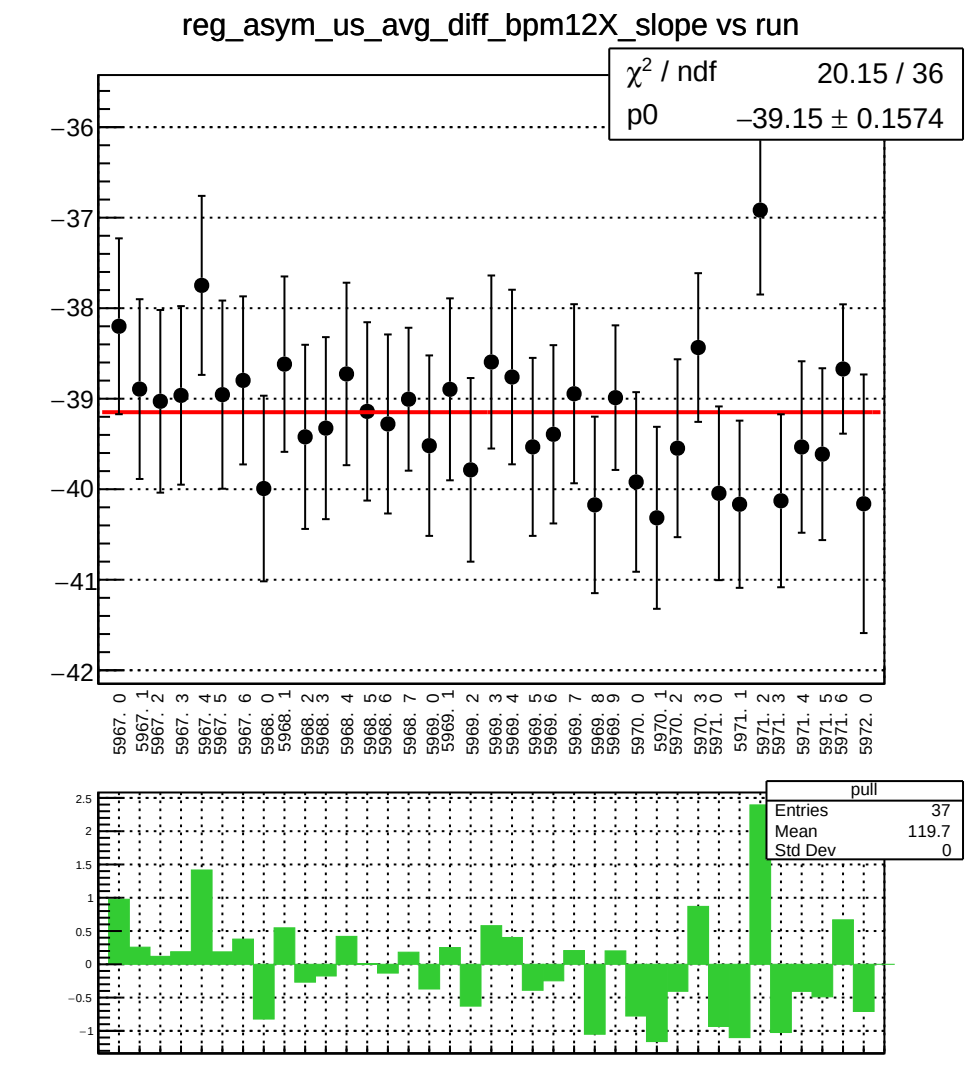
reg_asym_us_avg_diff_bpm12X_slope vs run
χ² / ndf 20.15 / 36
p0 −39.15 ± 0.1574
pull
Entries 37
Mean 119.7
Std Dev 0

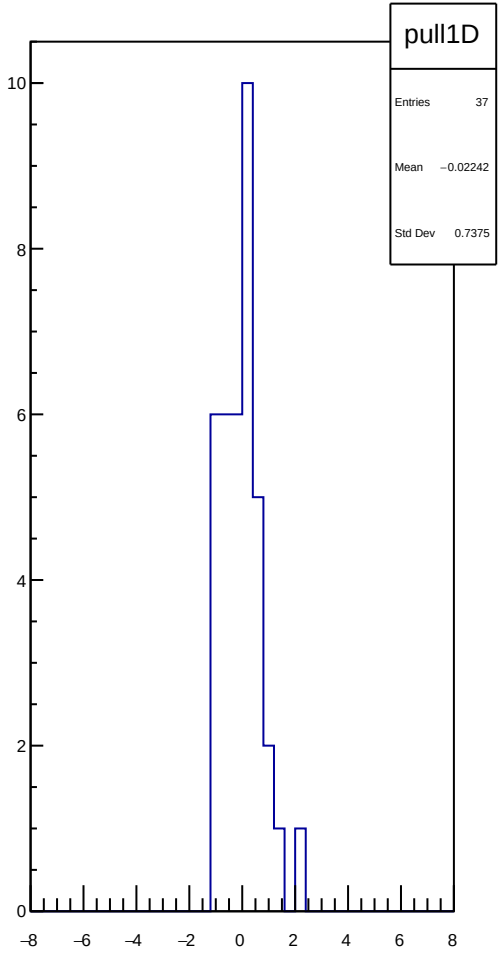
pull1D
Entries 37
Mean −0.02242
Std Dev 0.7375

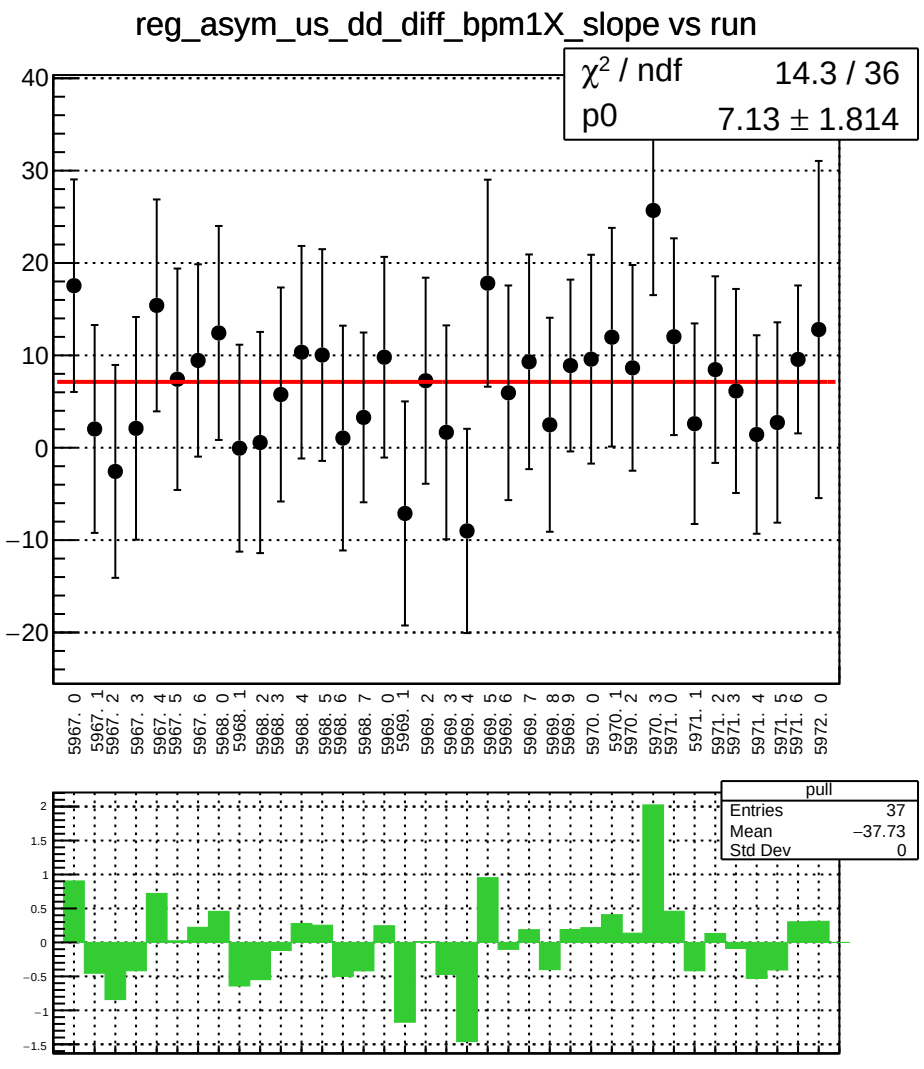
reg_asym_us_dd_diff_bpm1X_slope vs run
χ² / ndf 14.3 / 36
p0 7.13 ± 1.814
pull
Entries 37
Mean −37.73
Std Dev 0

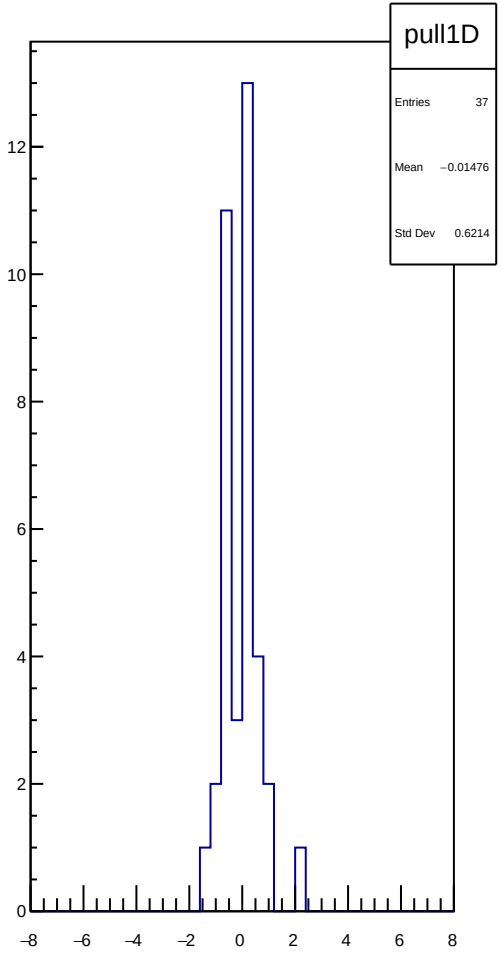
pull1D
Entries 37
Mean −0.01476
Std Dev 0.6214

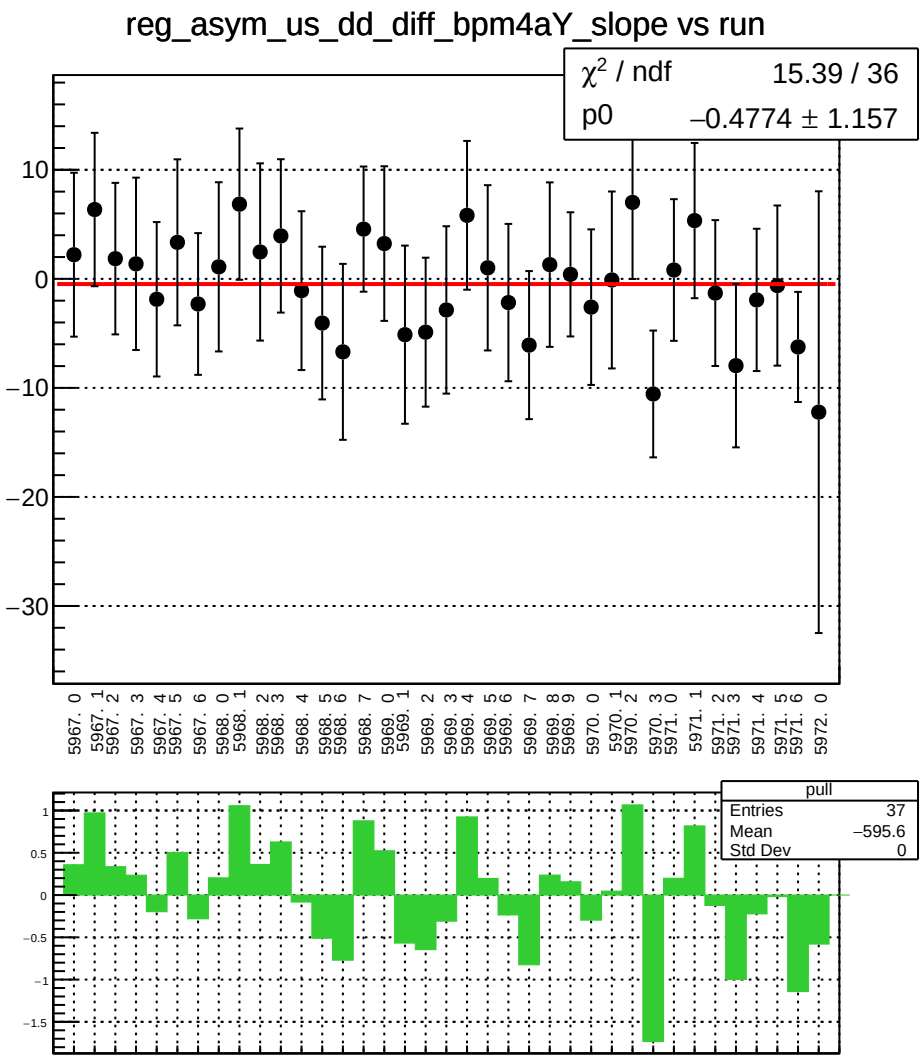
reg_asym_us_dd_diff_bpm4aY_slope vs run
χ² / ndf 15.39 / 36
p0 −0.4774 ± 1.157
10
0
−10
−20
−30
5967. 0
5967. 1
5967. 2
5967. 3
5967. 4
5967. 5
5967. 6
5968. 0
5968. 1
5968. 2
5968. 3
5968. 4
5968. 5
5968. 6
5968. 7
5969. 0
5969. 1
5969. 2
5969. 3
5969. 4
5969. 5
5969. 6
5969. 7
5969. 8
5969. 9
5970. 0
5970. 1
5970. 2
5970. 3
5971. 0
5971. 1
5971. 2
5971. 3
5971. 4
5971. 5
5971. 6
5972. 0
pull
Entries 37
Mean −595.6
Std Dev 0
1
0.5
0
−0.5
−1
−1.5

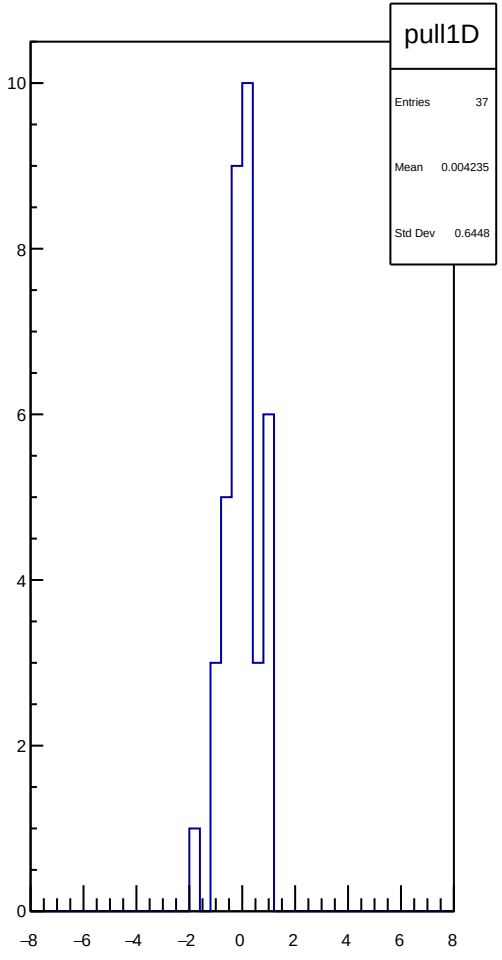
pull1D
Entries 37
Mean 0.004235
Std Dev 0.6448
10
8
6
4
2
0
−8
−6
−4
−2
0
2
4
6
8

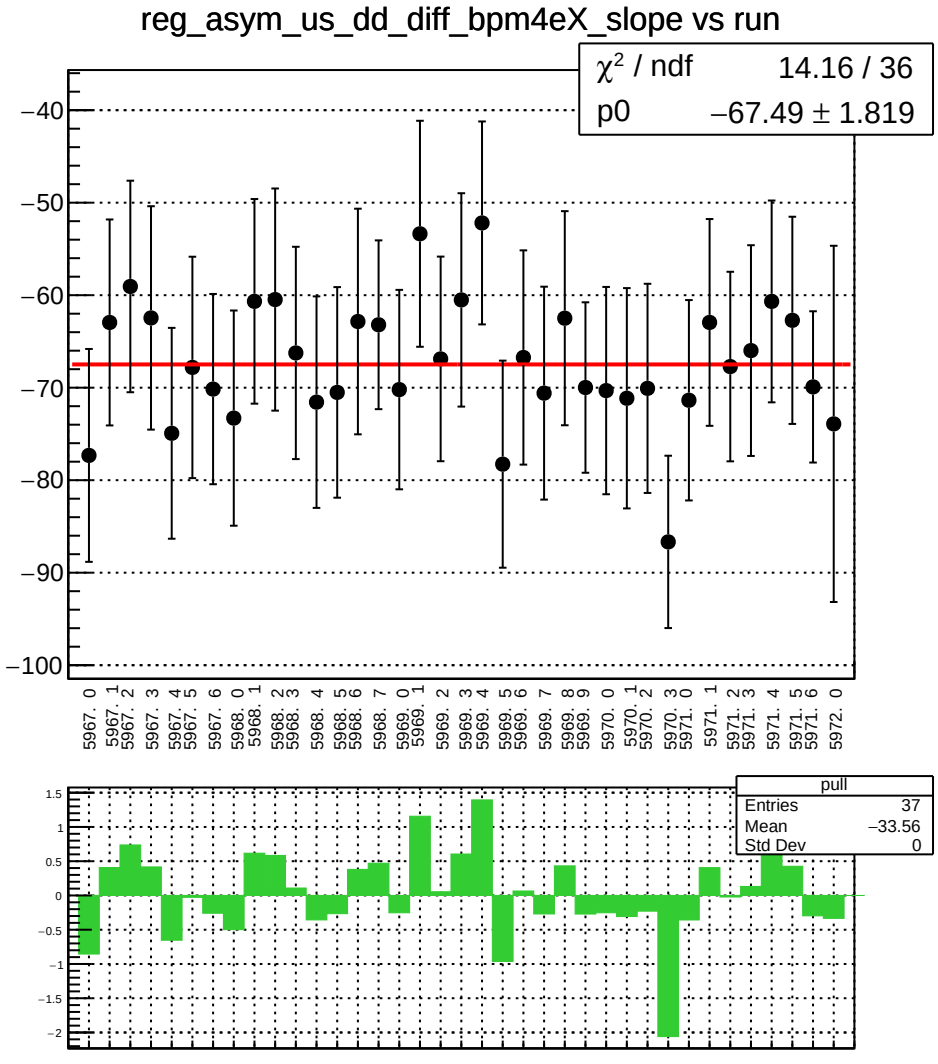
reg_asym_us_dd_diff_bpm4eX_slope vs run
χ² / ndf 14.16 / 36
p0 −67.49 ± 1.819
pull
Entries 37
Mean −33.56
Std Dev 0

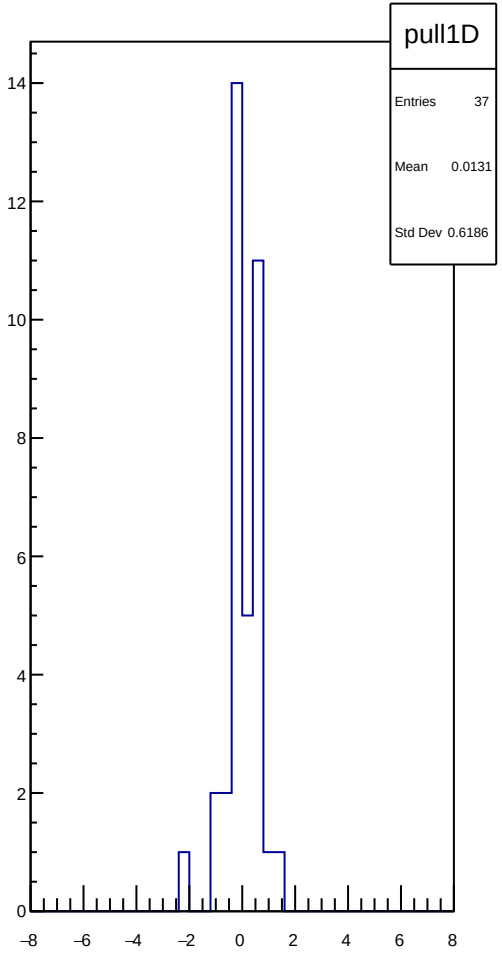
pull1D
Entries 37
Mean 0.0131
Std Dev 0.6186

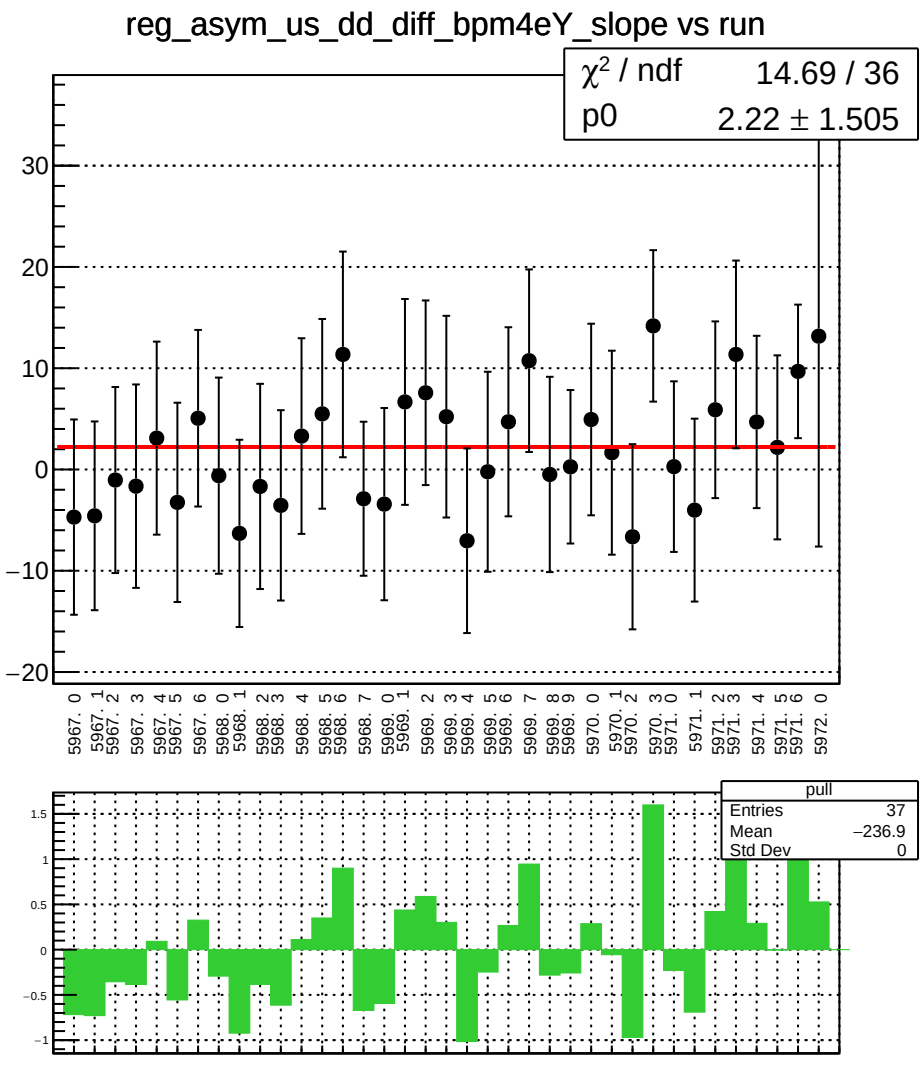
reg_asym_us_dd_diff_bpm4eY_slope vs run
χ² / ndf 14.69 / 36
p0 2.22 ± 1.505
30
20
10
0
−10
−20
5967. 0
5967. 1
5967. 2
5967. 3
5967. 4
5967. 5
5967. 6
5968. 0
5968. 1
5968. 2
5968. 3
5968. 4
5968. 5
5968. 6
5968. 7
5969. 0
5969. 1
5969. 2
5969. 3
5969. 4
5969. 5
5969. 6
5969. 7
5969. 8
5969. 9
5970. 0
5970. 1
5970. 2
5970. 3
5971. 0
5971. 1
5971. 2
5971. 3
5971. 4
5971. 5
5971. 6
5972. 0
pull
Entries 37
Mean −236.9
Std Dev 0
1.5
1
0.5
0
−0.5
−1

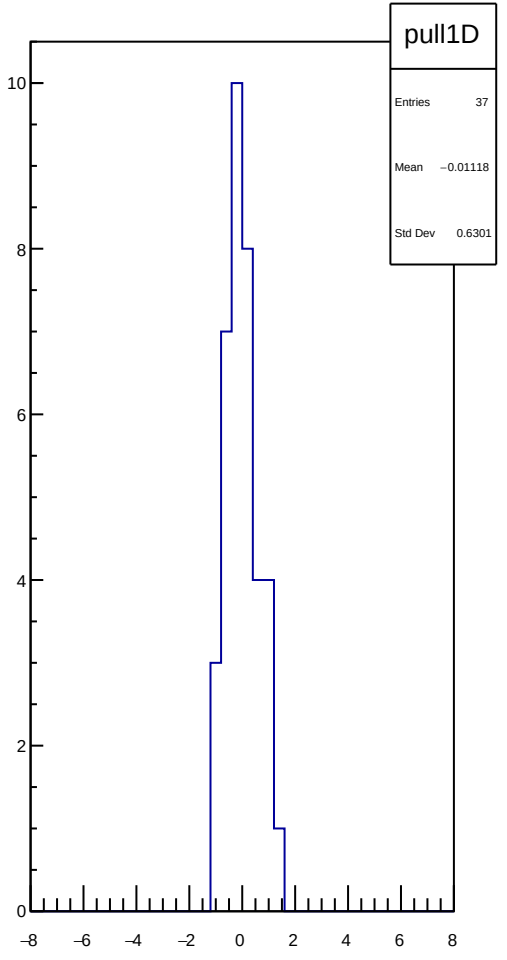
pull1D
Entries 37
Mean −0.01118
Std Dev 0.6301
10
8
6
4
2
0
−8
−6
−4
−2
0
2
4
6
8

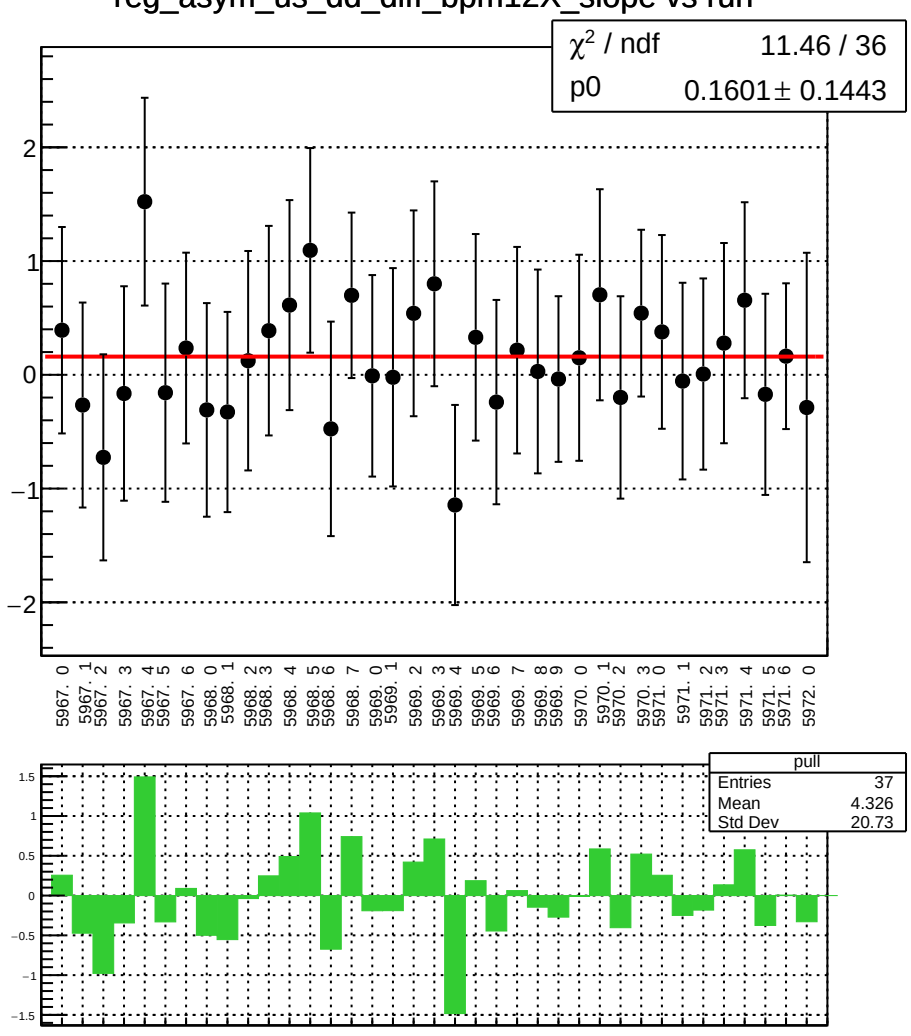
reg_asym_us_dd_diff_bpm12X_slope vs run
χ² / ndf 11.46 / 36
p0 0.1601 ± 0.1443
pull
Entries 37
Mean 4.326
Std Dev 20.73

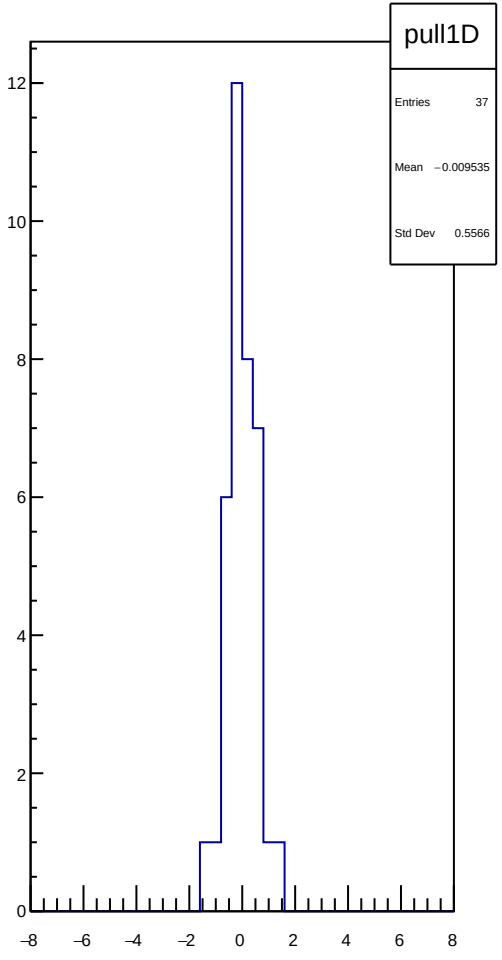
pull1D
Entries 37
Mean −0.009535
Std Dev 0.5566

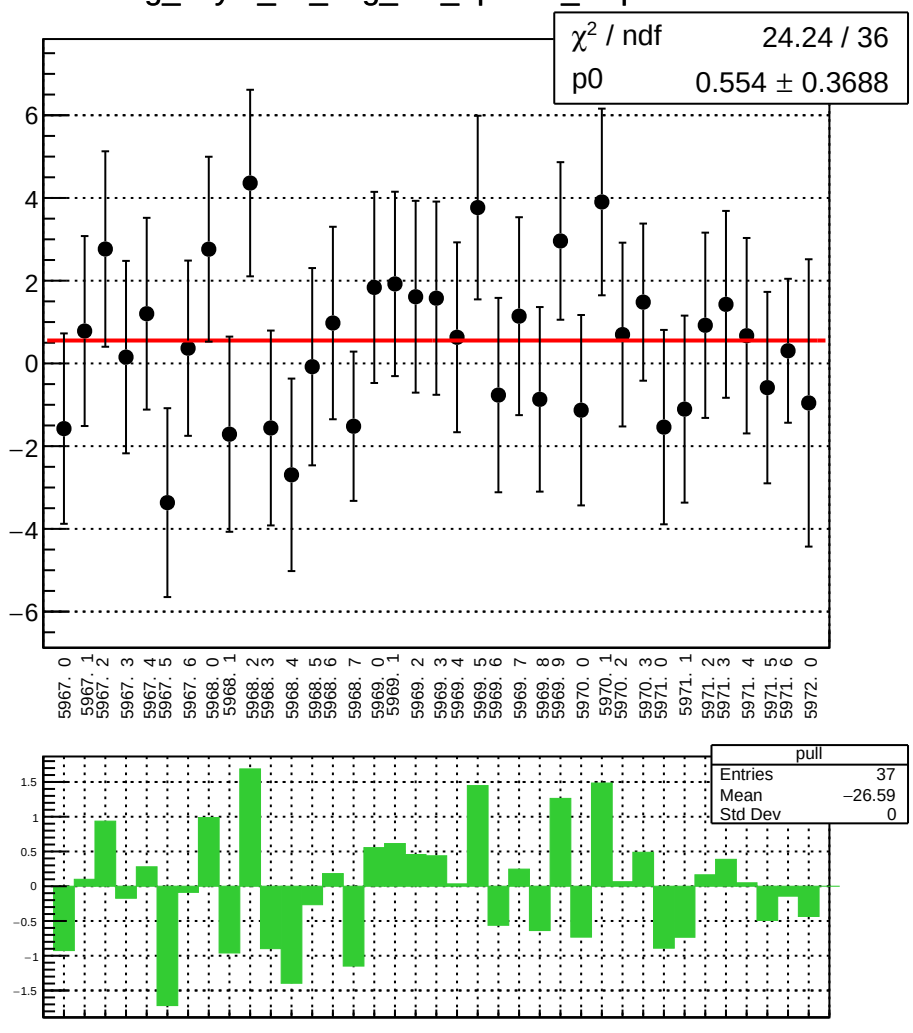
reg_asym_ds_avg_diff_bpm1X_slope vs run
χ² / ndf 24.24 / 36
p0 0.554 ± 0.3688
pull
Entries 37
Mean −26.59
Std Dev 0

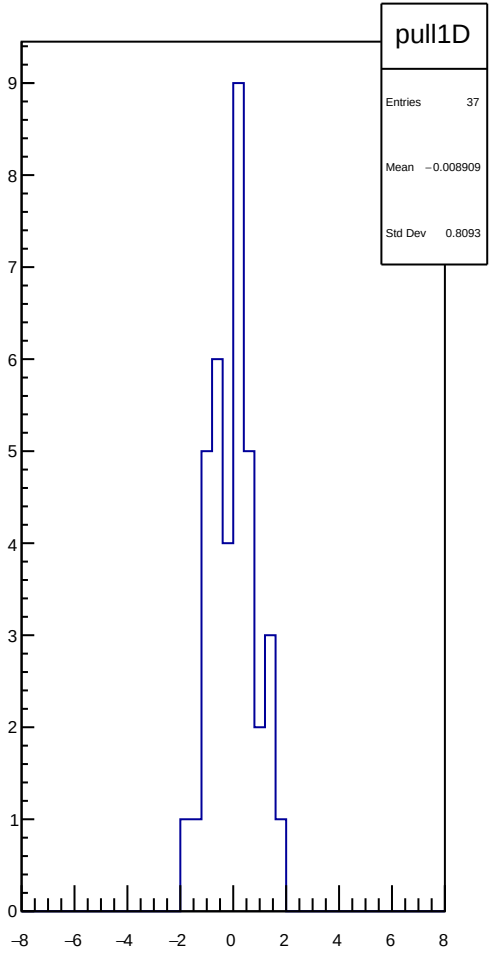
pull1D
Entries 37
Mean −0.008909
Std Dev 0.8093

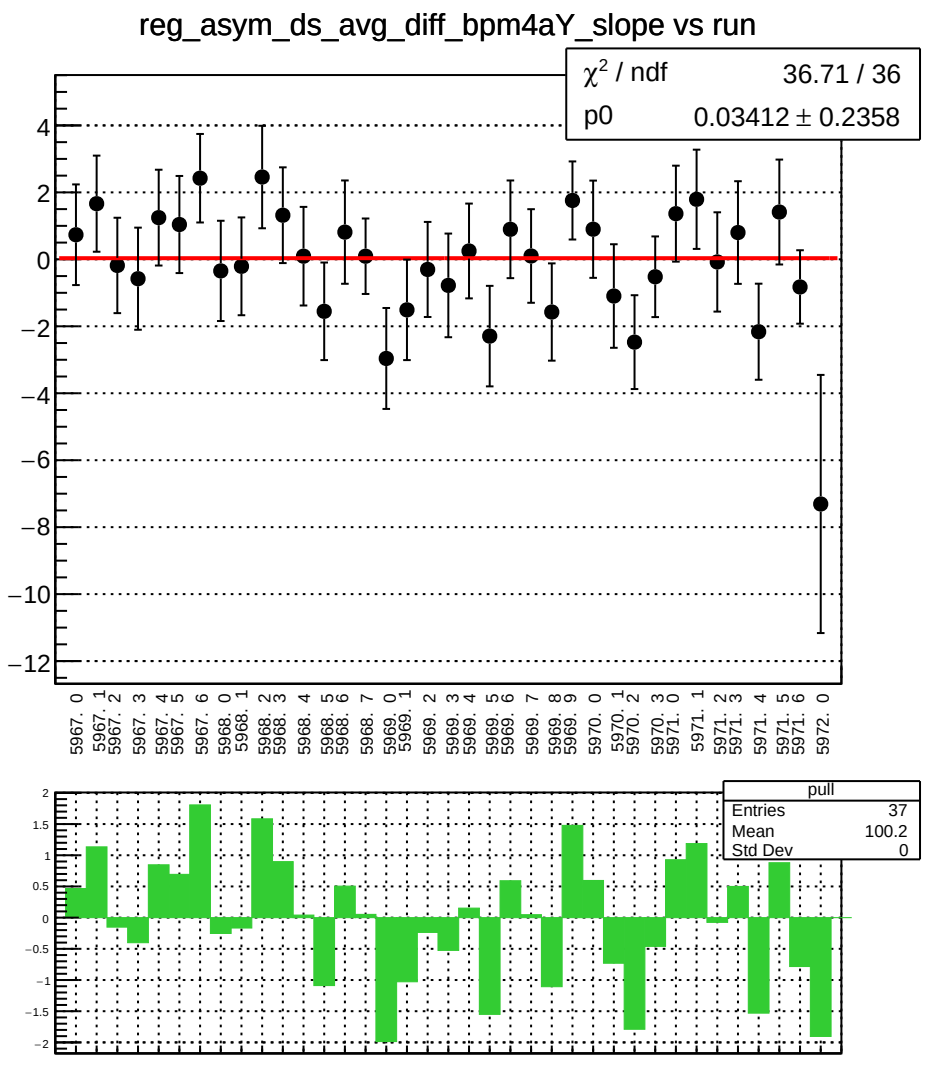
reg_asym_ds_avg_diff_bpm4aY_slope vs run
χ² / ndf 36.71 / 36
p0 0.03412 ± 0.2358
pull
Entries 37
Mean 100.2
Std Dev 0
pull1D
Entries 37
Mean −0.03741
Std Dev 0.9954

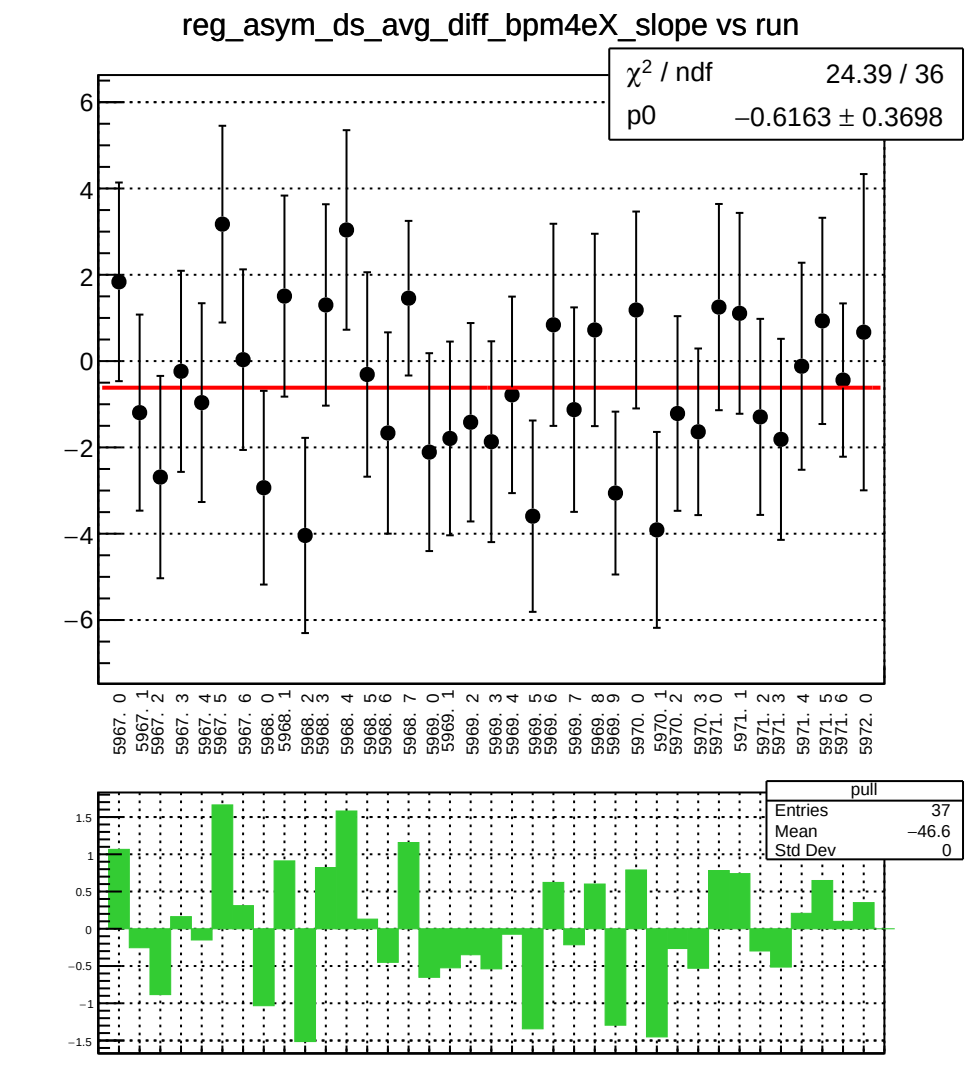
reg_asym_ds_avg_diff_bpm4eX_slope vs run
χ² / ndf 24.39 / 36
p0 −0.6163 ± 0.3698
pull
Entries 37
Mean −46.6
Std Dev 0

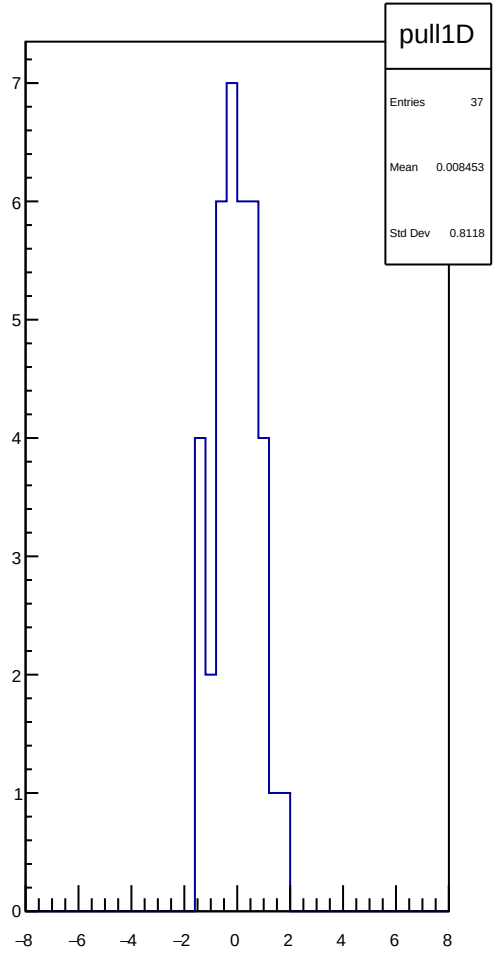
pull1D
Entries 37
Mean 0.008453
Std Dev 0.8118

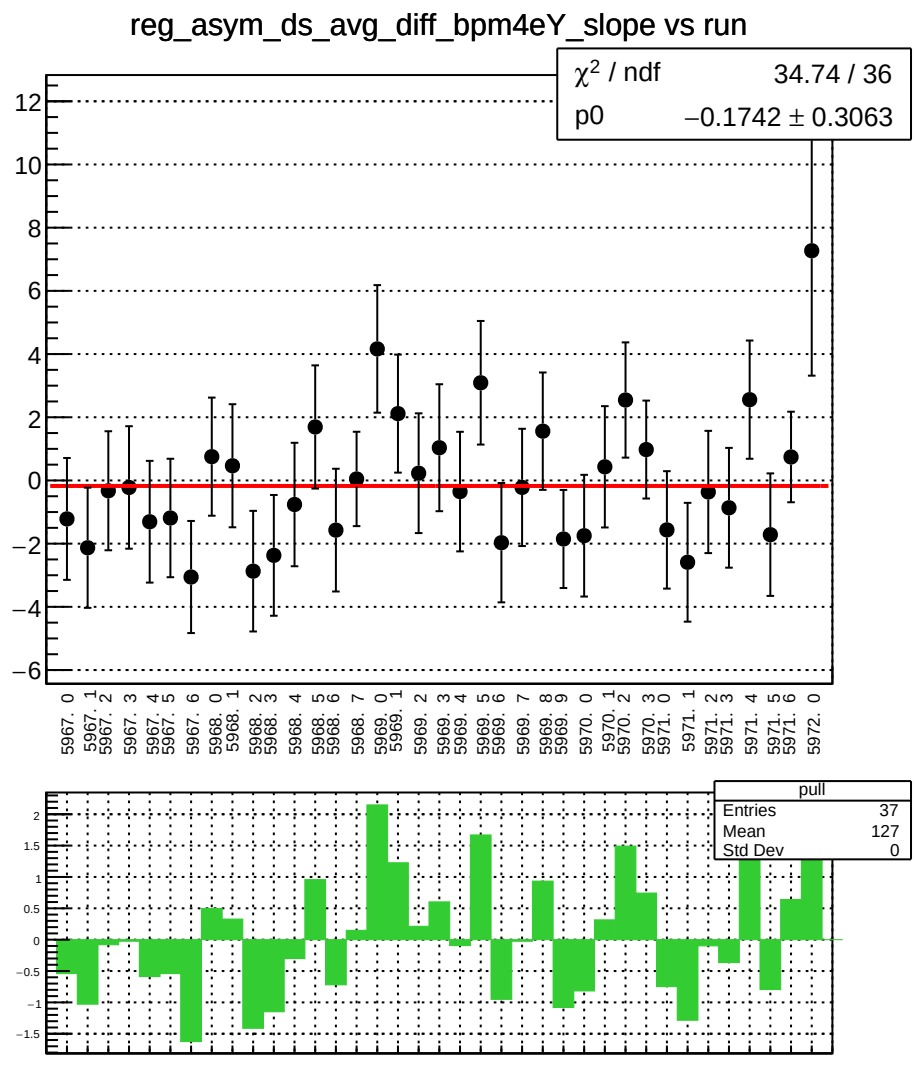
reg_asym_ds_avg_diff_bpm4eY_slope vs run
χ² / ndf 34.74 / 36
p0 −0.1742 ± 0.3063
pull
Entries 37
Mean 127
Std Dev 0

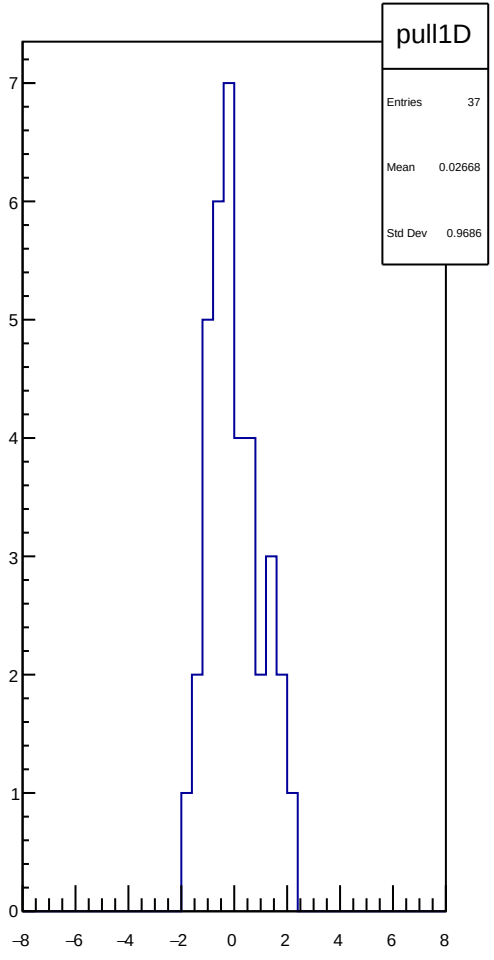
pull1D
Entries 37
Mean 0.02668
Std Dev 0.9686

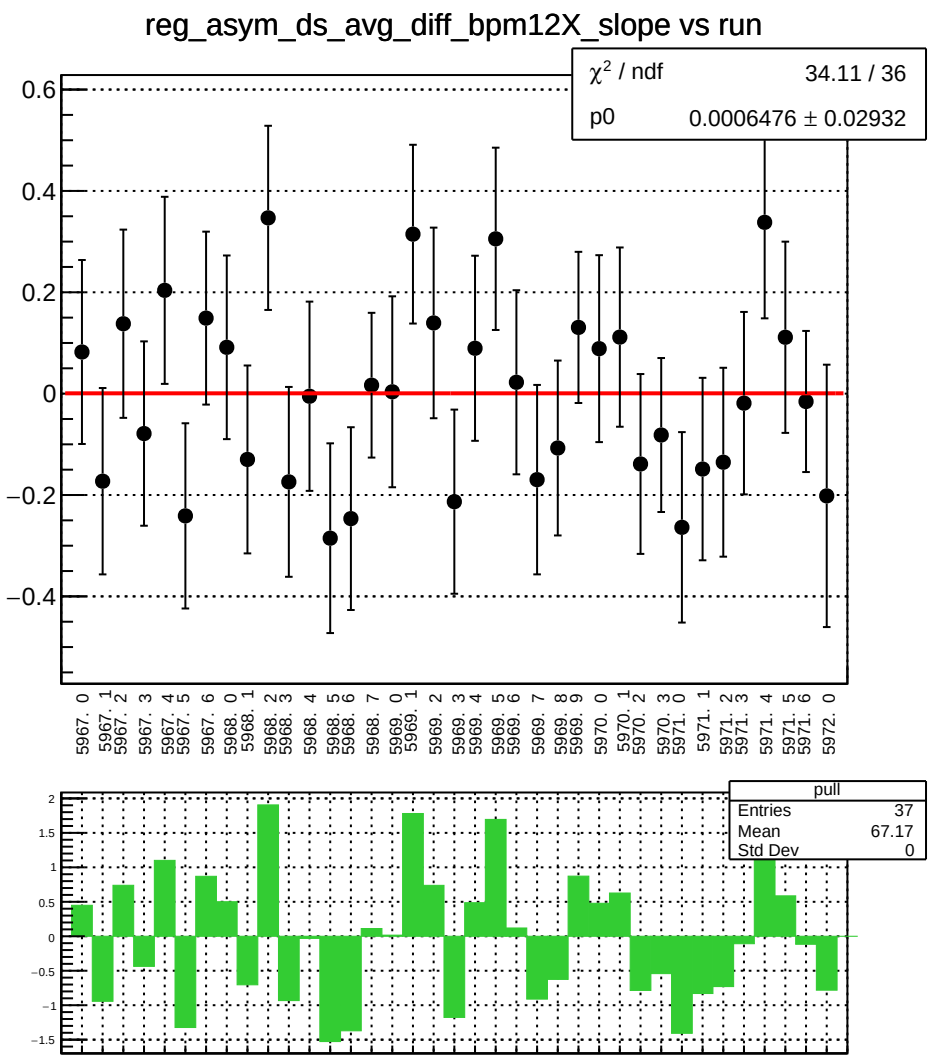
reg_asym_ds_avg_diff_bpm12X_slope vs run
χ² / ndf 34.11 / 36
p0 0.0006476 ± 0.02932
pull
Entries 37
Mean 67.17
Std Dev 0

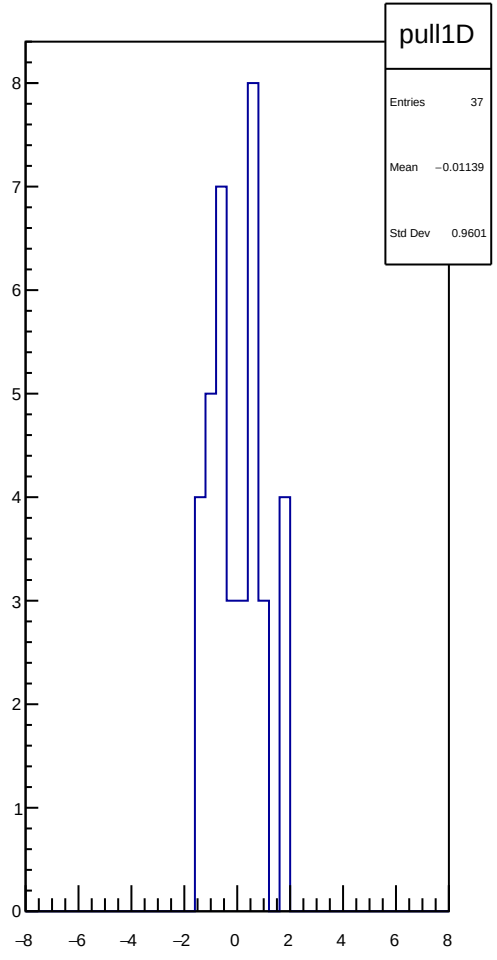
pull1D
Entries 37
Mean −0.01139
Std Dev 0.9601

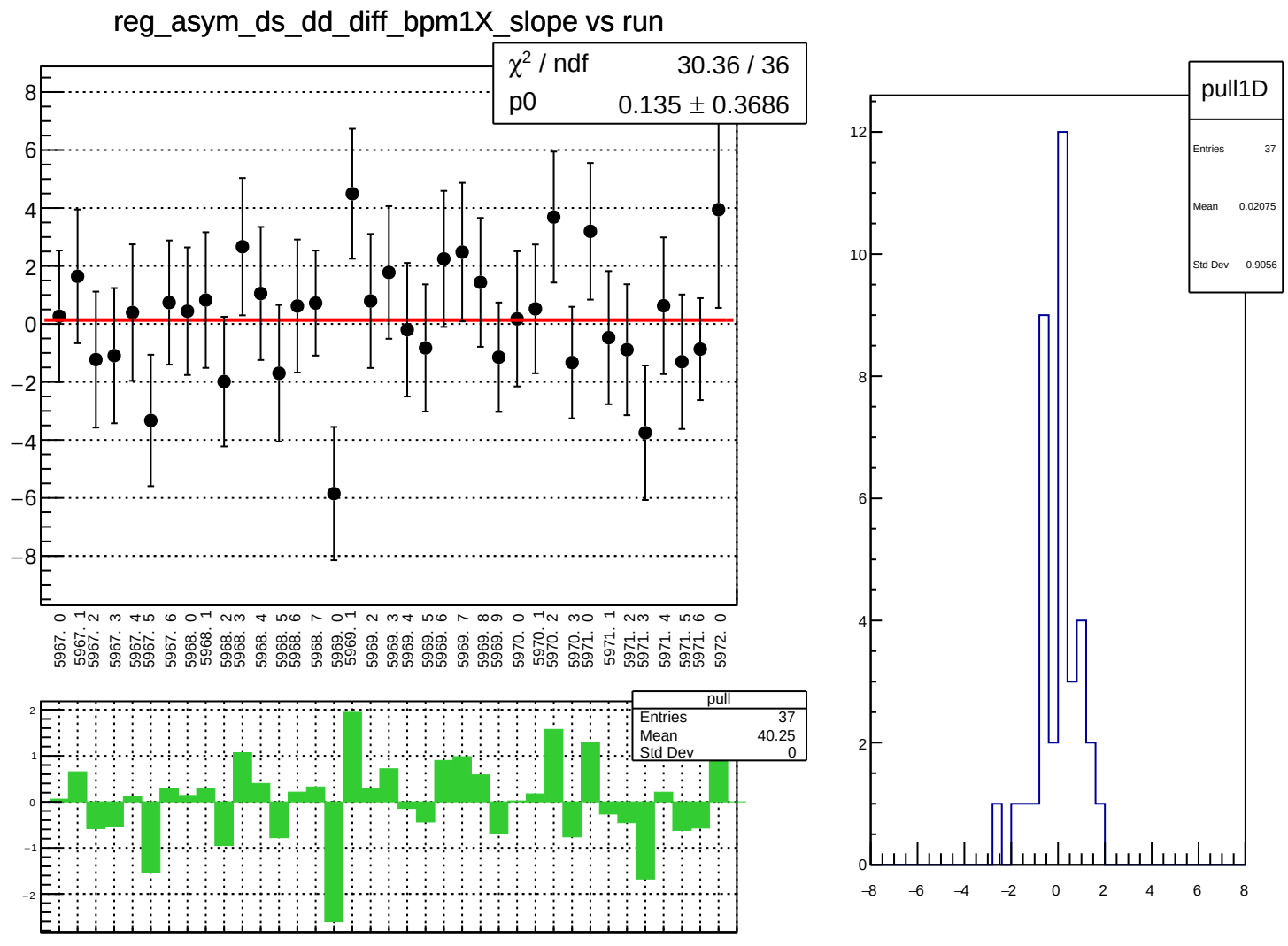
reg_asym_ds_dd_diff_bpm1X_slope vs run
χ² / ndf 30.36 / 36
p0 0.135 ± 0.3686
pull
Entries 37
Mean 40.25
Std Dev 0
pull1D
Entries 37
Mean 0.02075
Std Dev 0.9056

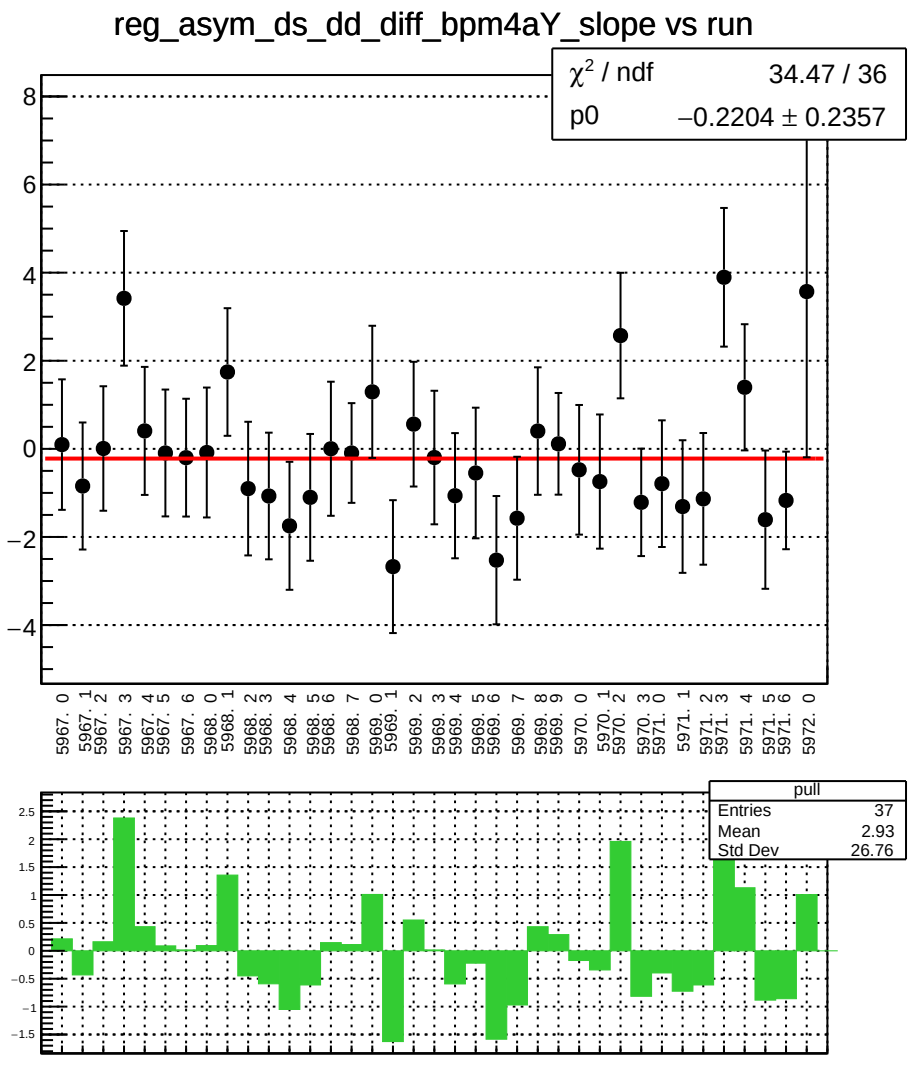
reg_asym_ds_dd_diff_bpm4aY_slope vs run
χ² / ndf 34.47 / 36
p0 −0.2204 ± 0.2357
pull
Entries 37
Mean 2.93
Std Dev 26.76

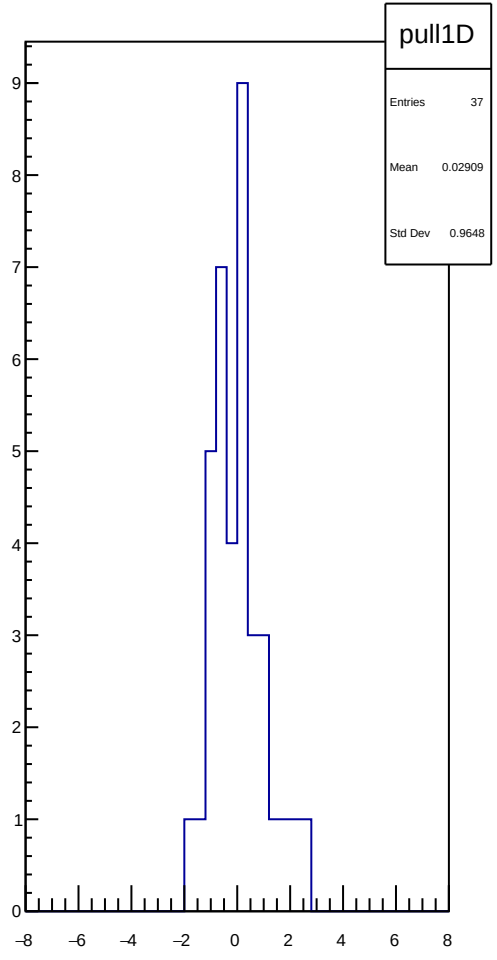
pull1D
Entries 37
Mean 0.02909
Std Dev 0.9648

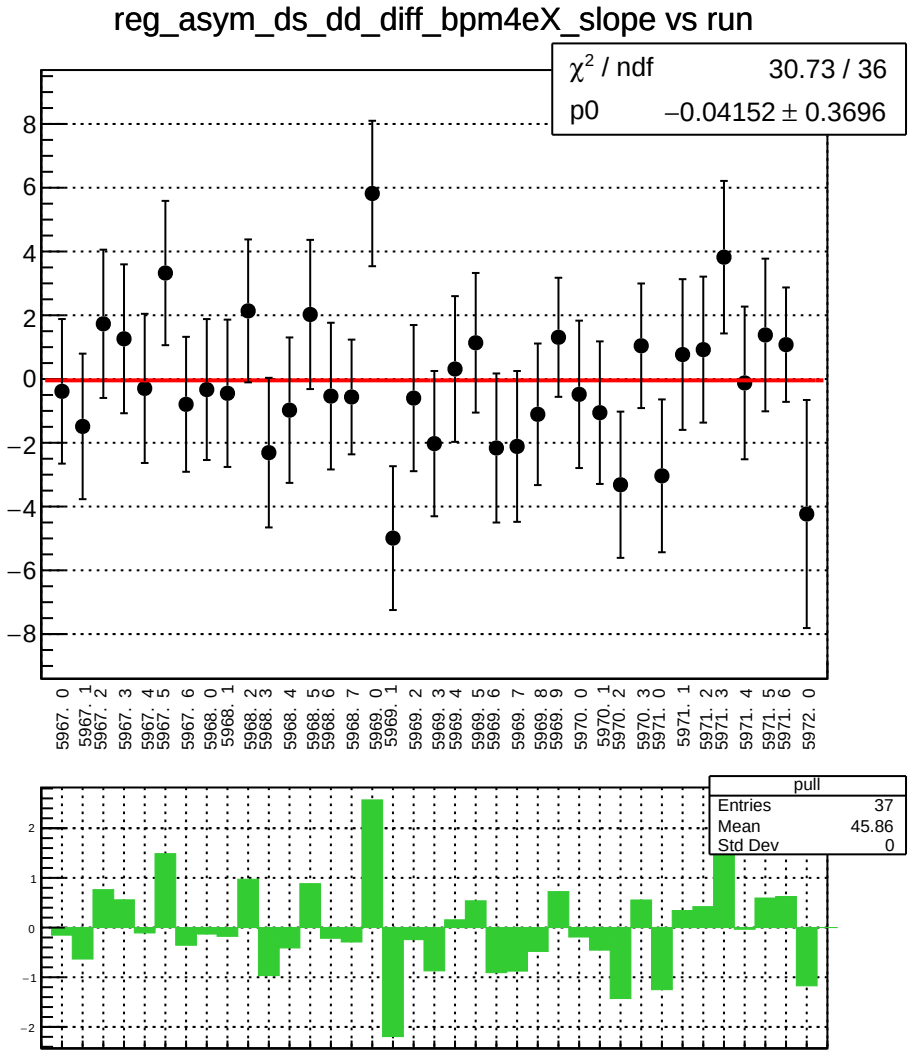
reg_asym_ds_dd_diff_bpm4eX_slope vs run
χ² / ndf 30.73 / 36
p0 −0.04152 ± 0.3696
pull
Entries 37
Mean 45.86
Std Dev 0

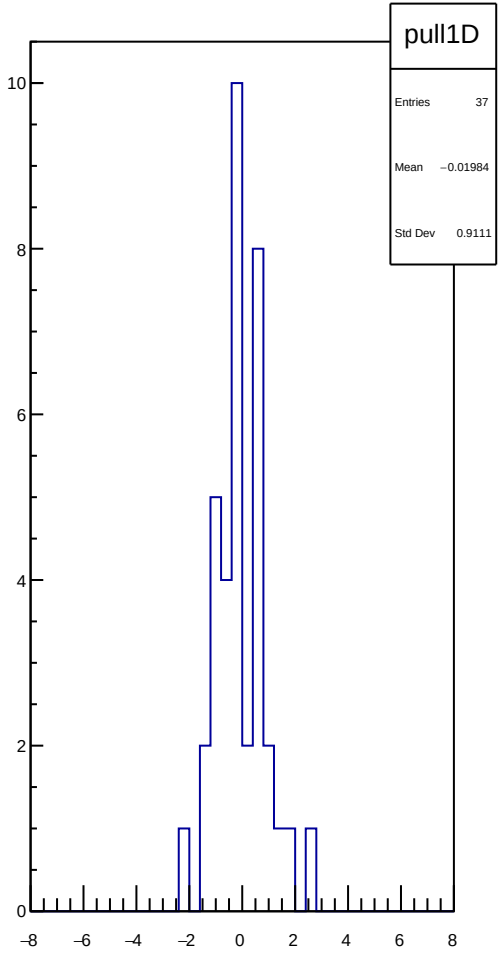
pull1D
Entries 37
Mean −0.01984
Std Dev 0.9111

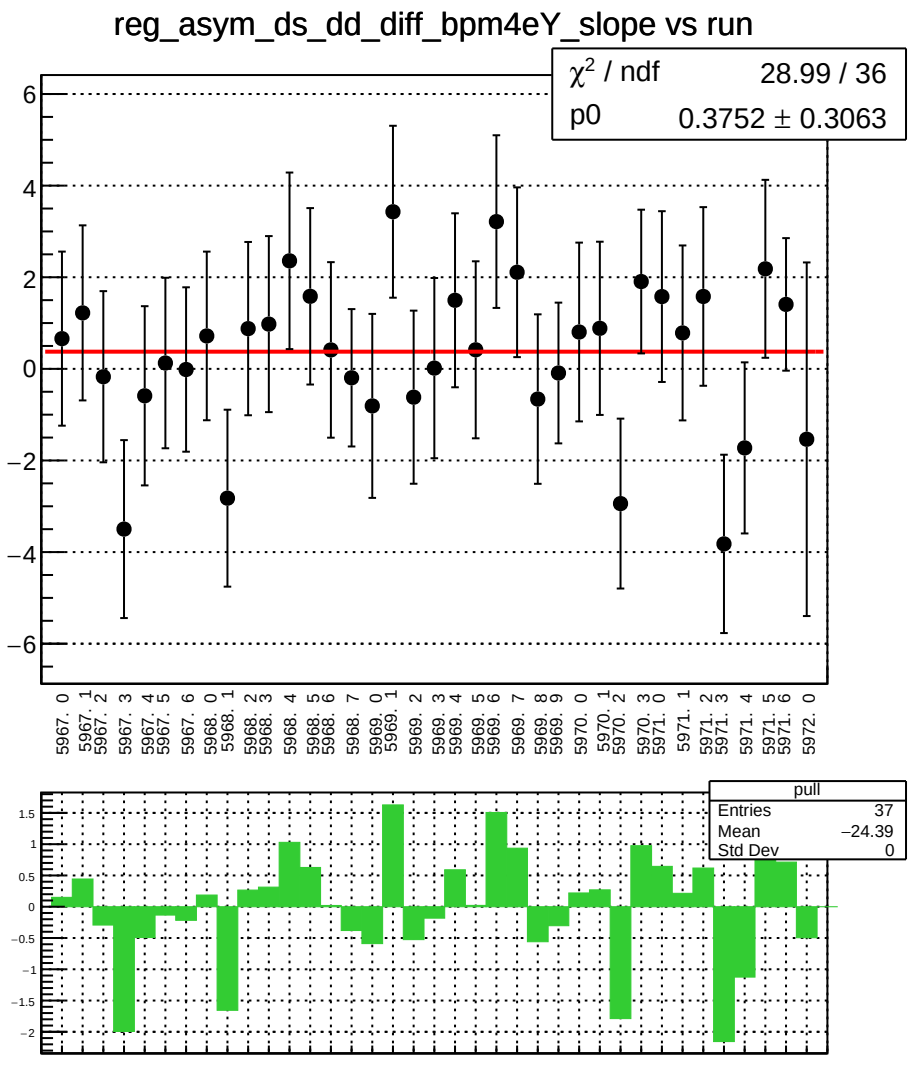
reg_asym_ds_dd_diff_bpm4eY_slope vs run
χ² / ndf 28.99 / 36
p0 0.3752 ± 0.3063
pull
Entries 37
Mean −24.39
Std Dev 0

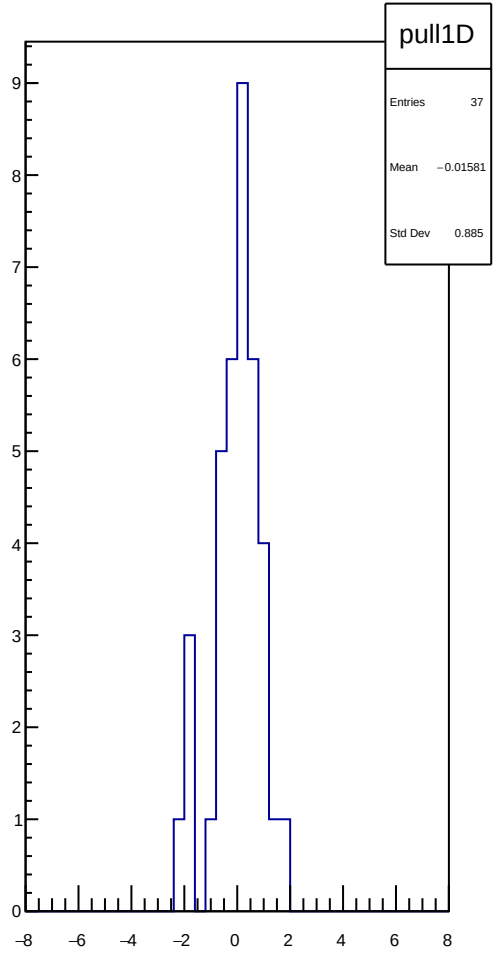
pull1D
Entries 37
Mean −0.01581
Std Dev 0.885

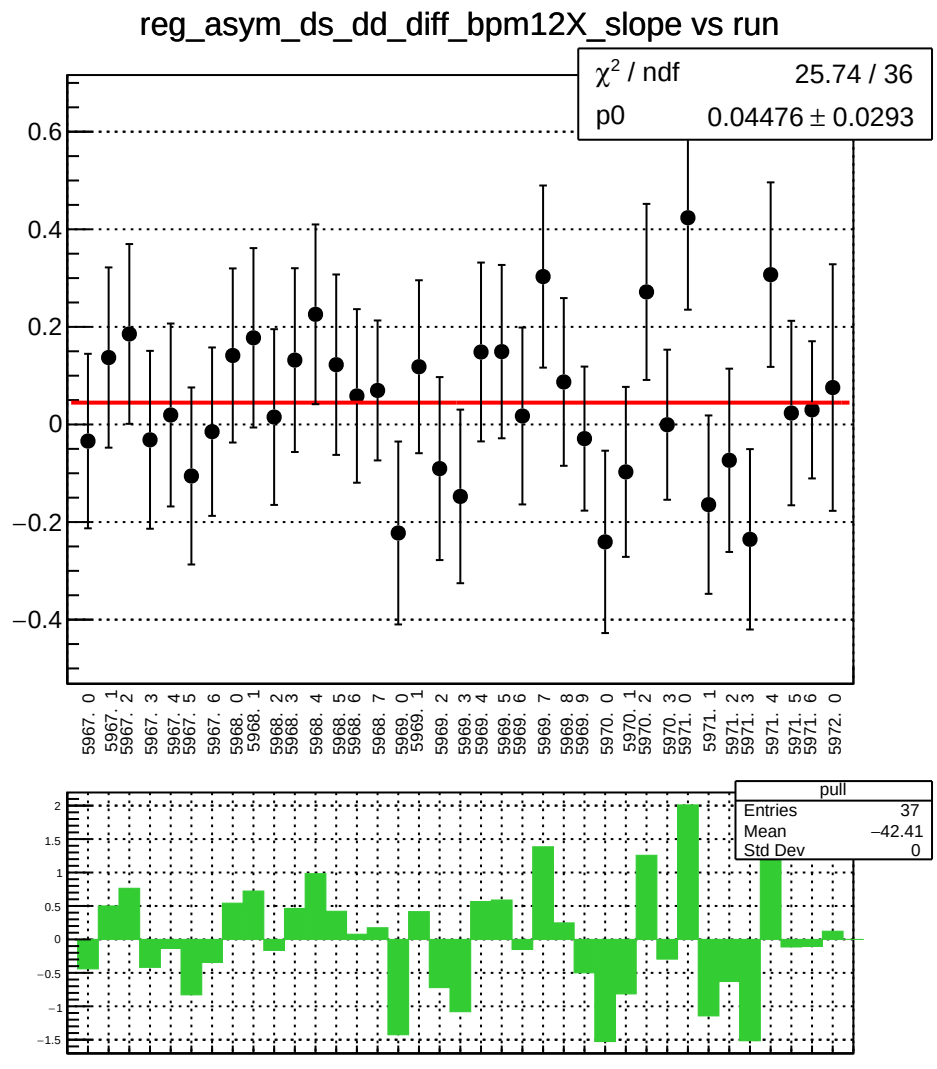
reg_asym_ds_dd_diff_bpm12X_slope vs run
χ^2 / ndf 25.74 / 36
p0 0.04476 ± 0.0293
0.6
0.4
0.2
0
−0.2
−0.4
5967. 0
5967. 1
5967. 2
5967. 3
5967. 4
5967. 5
5967. 6
5968. 0
5968. 1
5968. 2
5968. 3
5968. 4
5968. 5
5968. 6
5968. 7
5969. 0
5969. 1
5969. 2
5969. 3
5969. 4
5969. 5
5969. 6
5969. 7
5969. 8
5969. 9
5970. 0
5970. 1
5970. 2
5970. 3
5971. 0
5971. 1
5971. 2
5971. 3
5971. 4
5971. 5
5971. 6
5972. 0
pull
Entries 37
Mean −42.41
Std Dev 0
2
1.5
1
0.5
0
−0.5
−1
−1.5

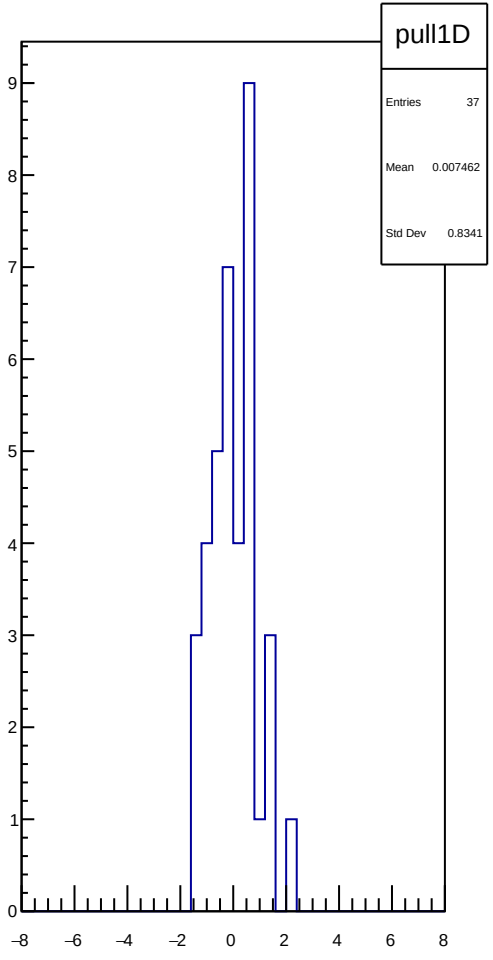
pull1D
Entries 37
Mean 0.007462
Std Dev 0.8341
9
8
7
6
5
4
3
2
1
0
−8
−6
−4
−2
0
2
4
6
8

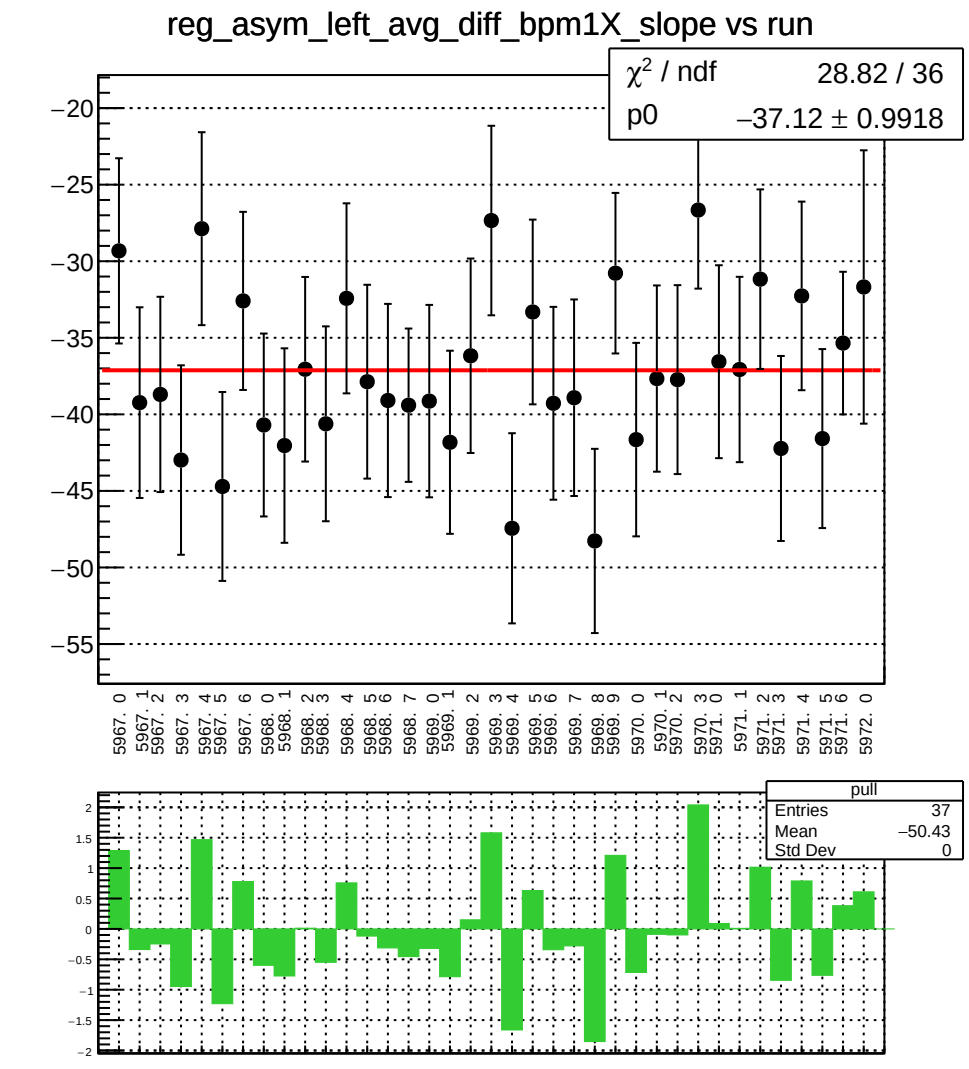
reg_asym_left_avg_diff_bpm1X_slope vs run
χ² / ndf 28.82 / 36
p0 −37.12 ± 0.9918
pull
Entries 37
Mean −50.43
Std Dev 0

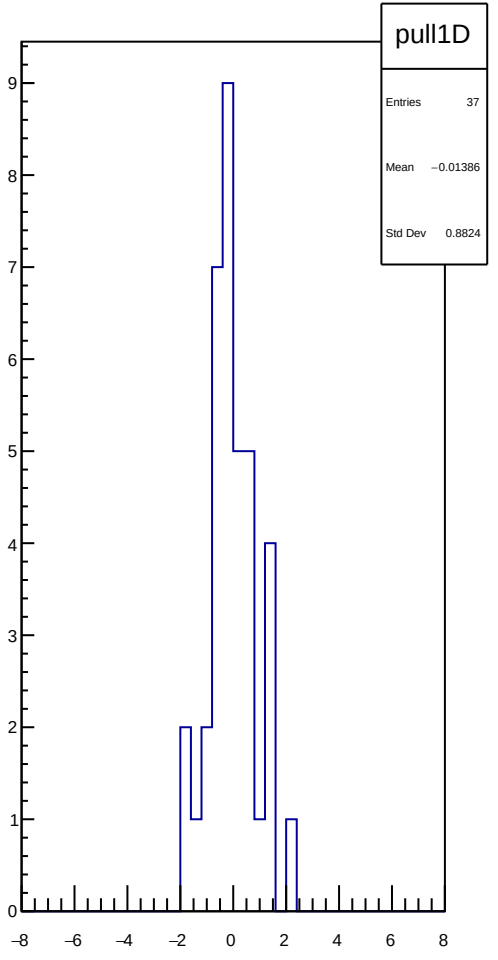
pull1D
Entries 37
Mean −0.01386
Std Dev 0.8824

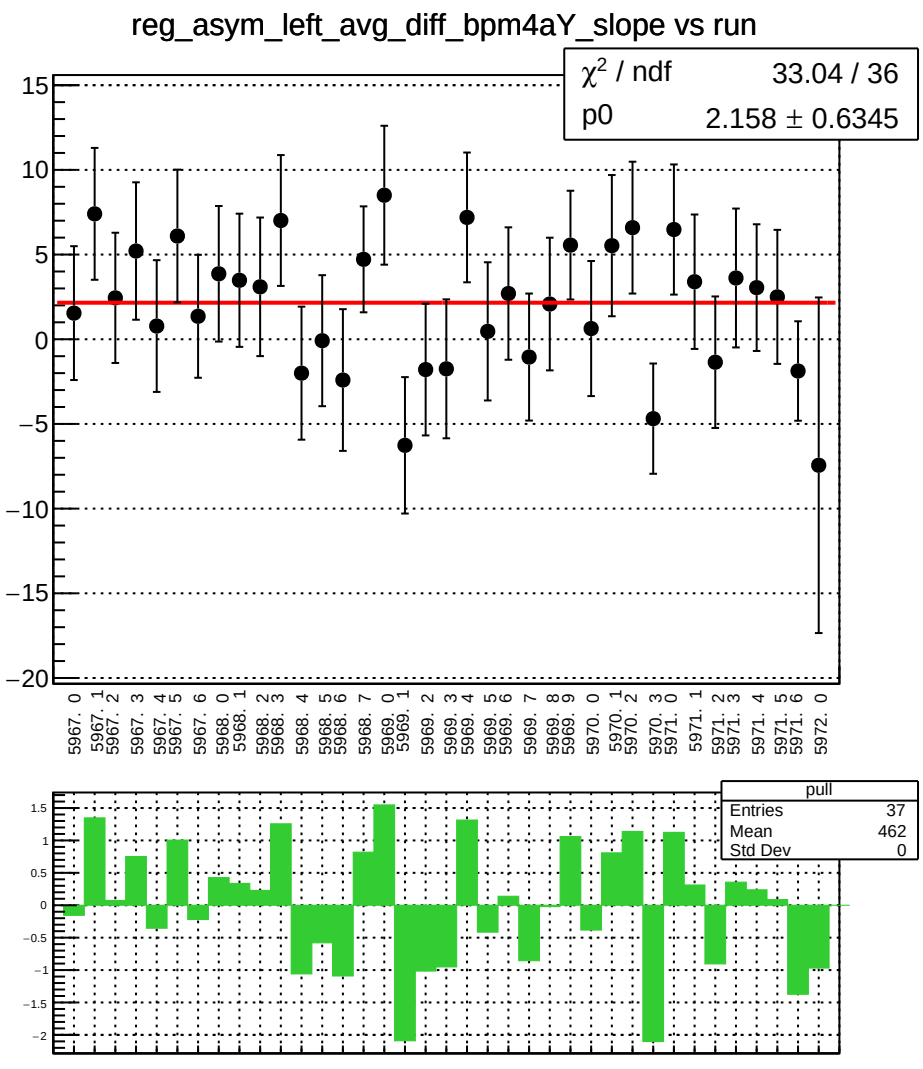
reg_asym_left_avg_diff_bpm4aY_slope vs run
χ² / ndf 33.04 / 36
p0 2.158 ± 0.6345
pull
Entries 37
Mean 462
Std Dev 0

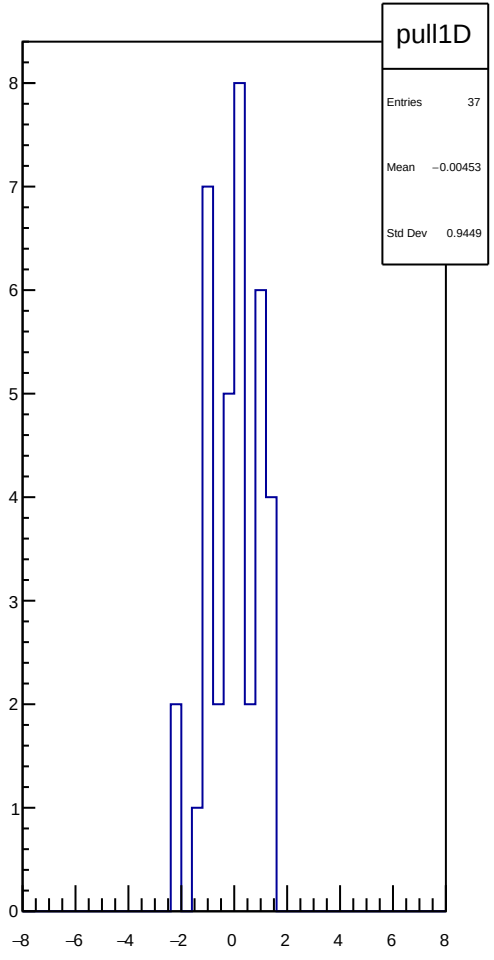
pull1D
Entries 37
Mean −0.00453
Std Dev 0.9449

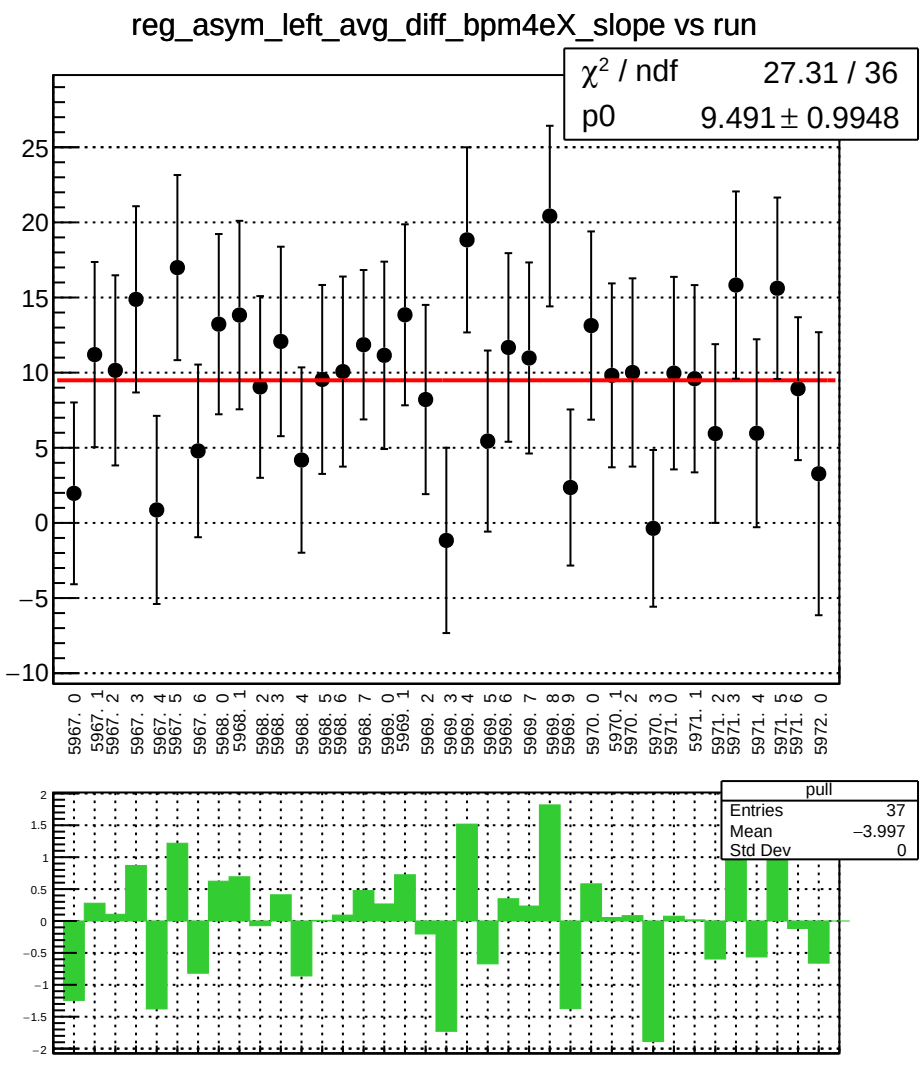
reg_asym_left_avg_diff_bpm4eX_slope vs run
χ² / ndf 27.31 / 36
p0 9.491 ± 0.9948
pull
Entries 37
Mean −3.997
Std Dev 0

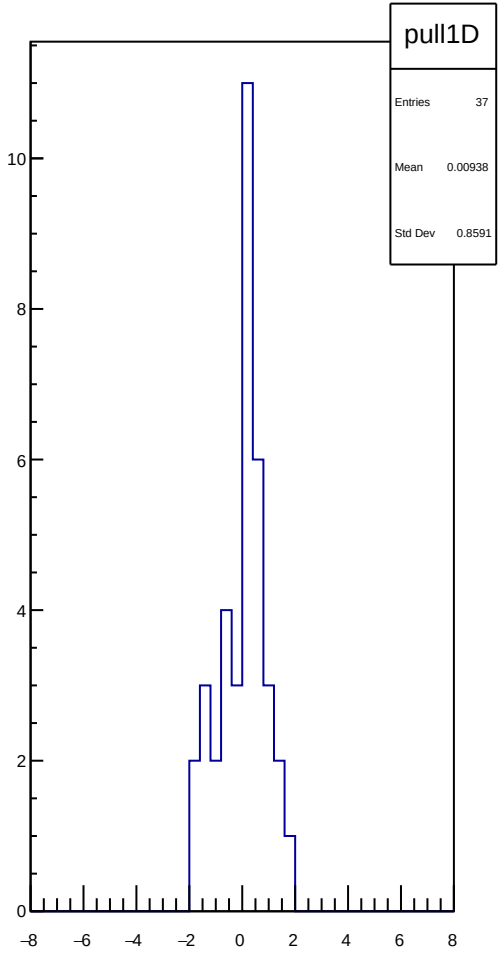
pull1D
Entries 37
Mean 0.00938
Std Dev 0.8591

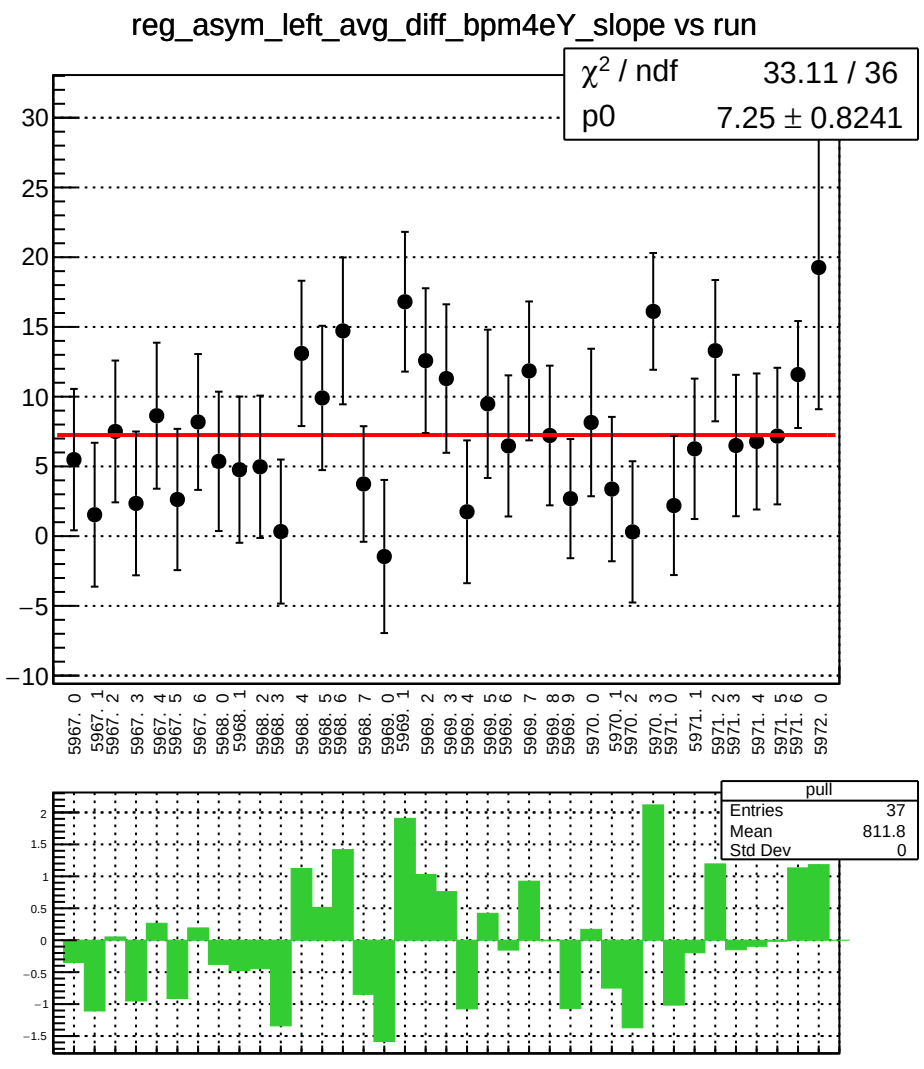
reg_asym_left_avg_diff_bpm4eY_slope vs run
χ² / ndf 33.11 / 36
p0 7.25 ± 0.8241
pull
Entries 37
Mean 811.8
Std Dev 0

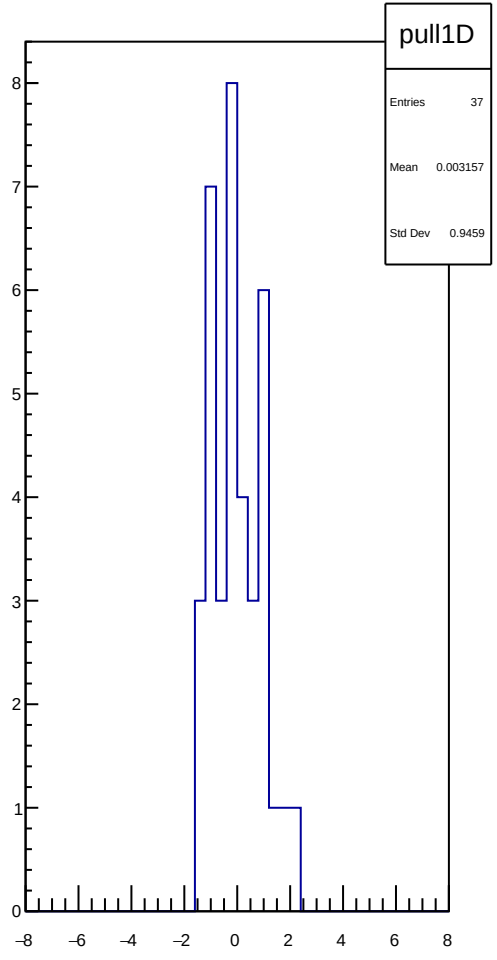
pull1D
Entries 37
Mean 0.003157
Std Dev 0.9459

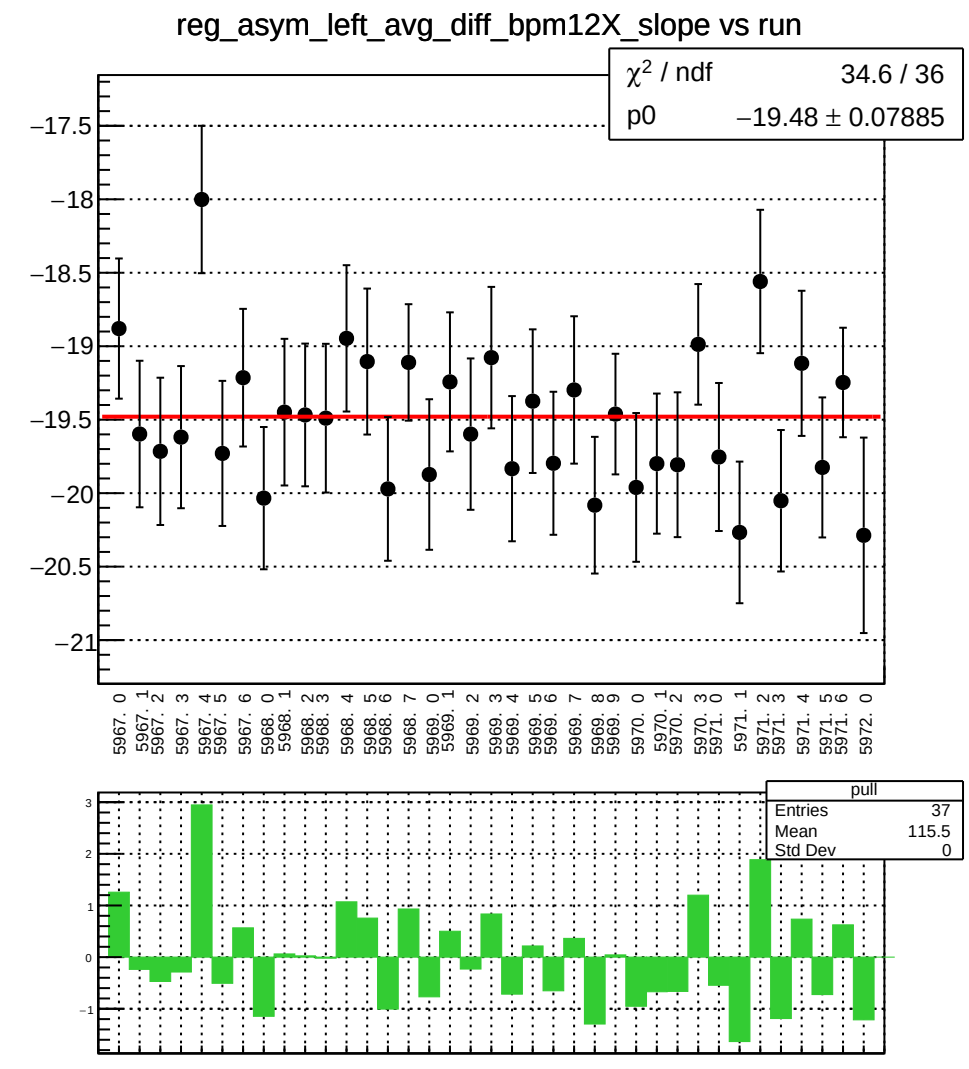
reg_asym_left_avg_diff_bpm12X_slope vs run
χ² / ndf 34.6 / 36
p0 −19.48 ± 0.07885
pull
Entries 37
Mean 115.5
Std Dev 0
pull1D
Entries 37
Mean −0.02452
Std Dev 0.9667

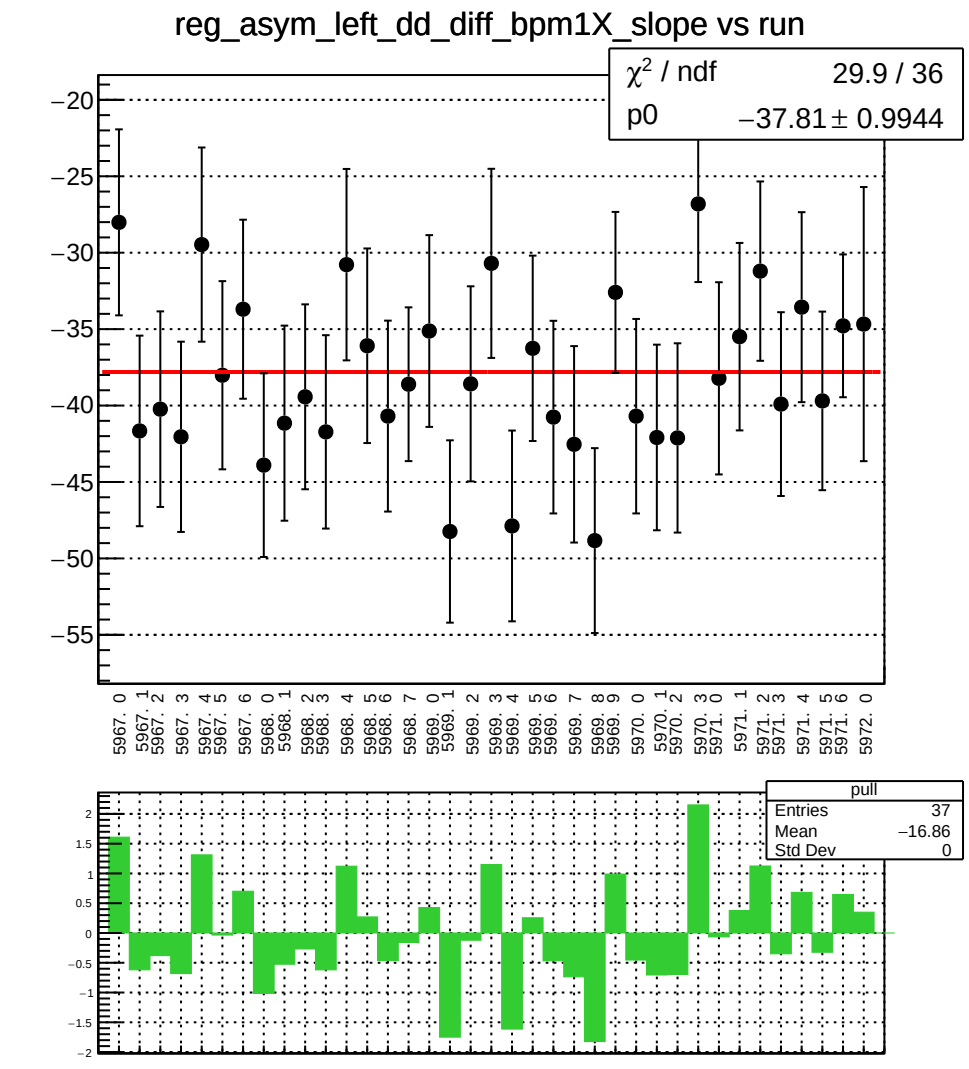
reg_asym_left_dd_diff_bpm1X_slope vs run
χ² / ndf 29.9 / 36
p0 −37.81 ± 0.9944
pull
Entries 37
Mean −16.86
Std Dev 0
pull1D
Entries 37
Mean −0.01892
Std Dev 0.8987

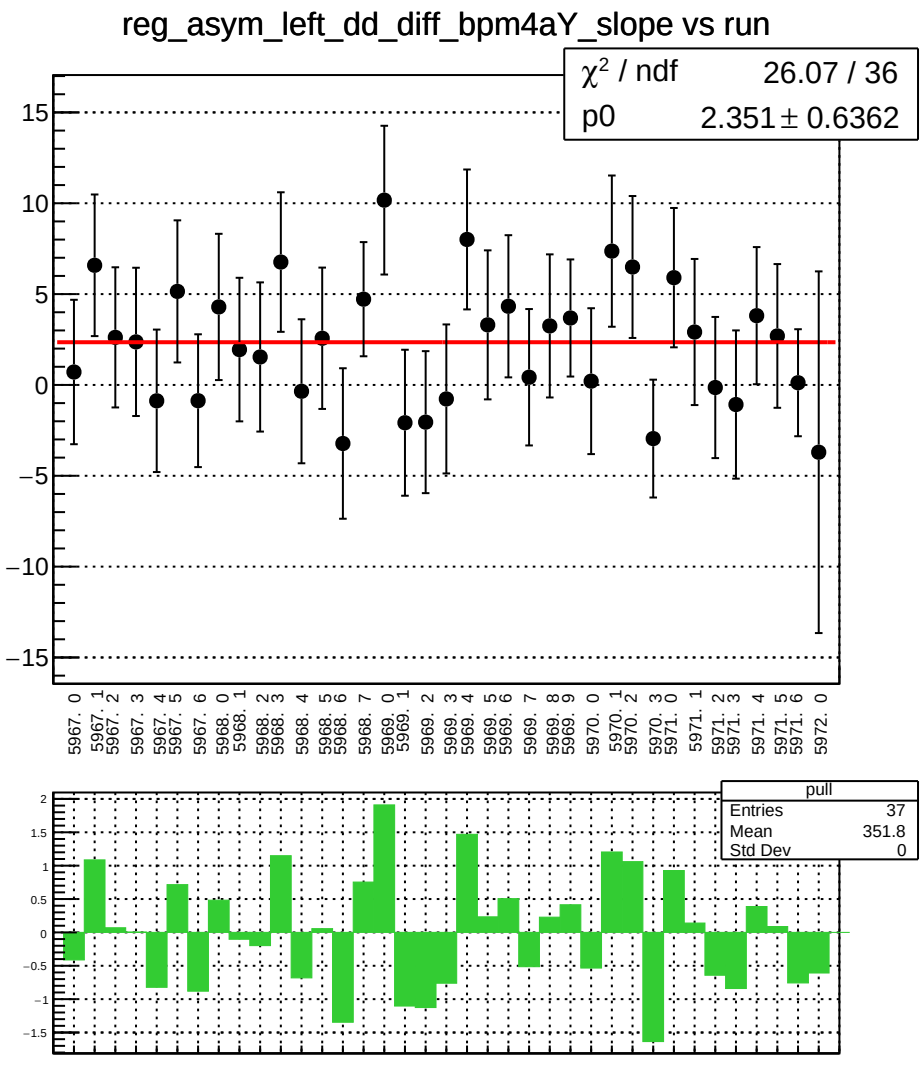
reg_asym_left_dd_diff_bpm4aY_slope vs run
χ² / ndf 26.07 / 36
p0 2.351 ± 0.6362
pull
Entries 37
Mean 351.8
Std Dev 0

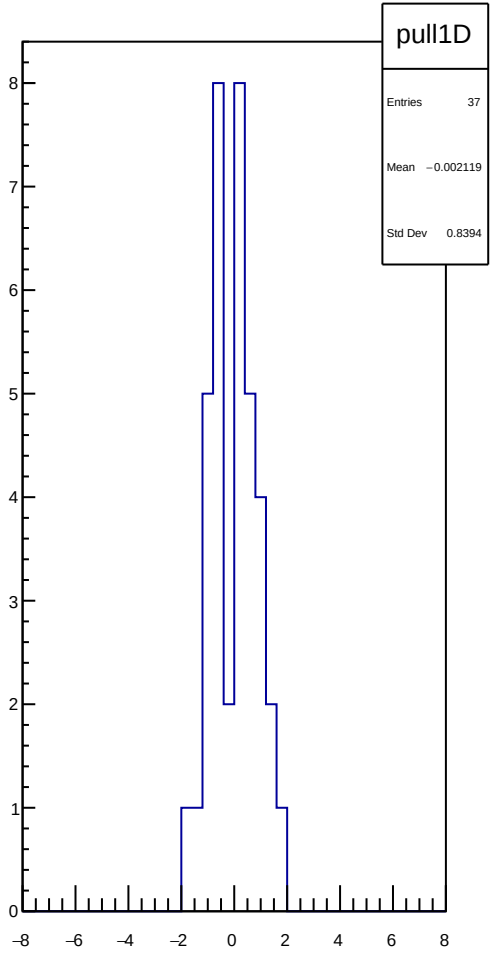
pull1D
Entries 37
Mean −0.002119
Std Dev 0.8394

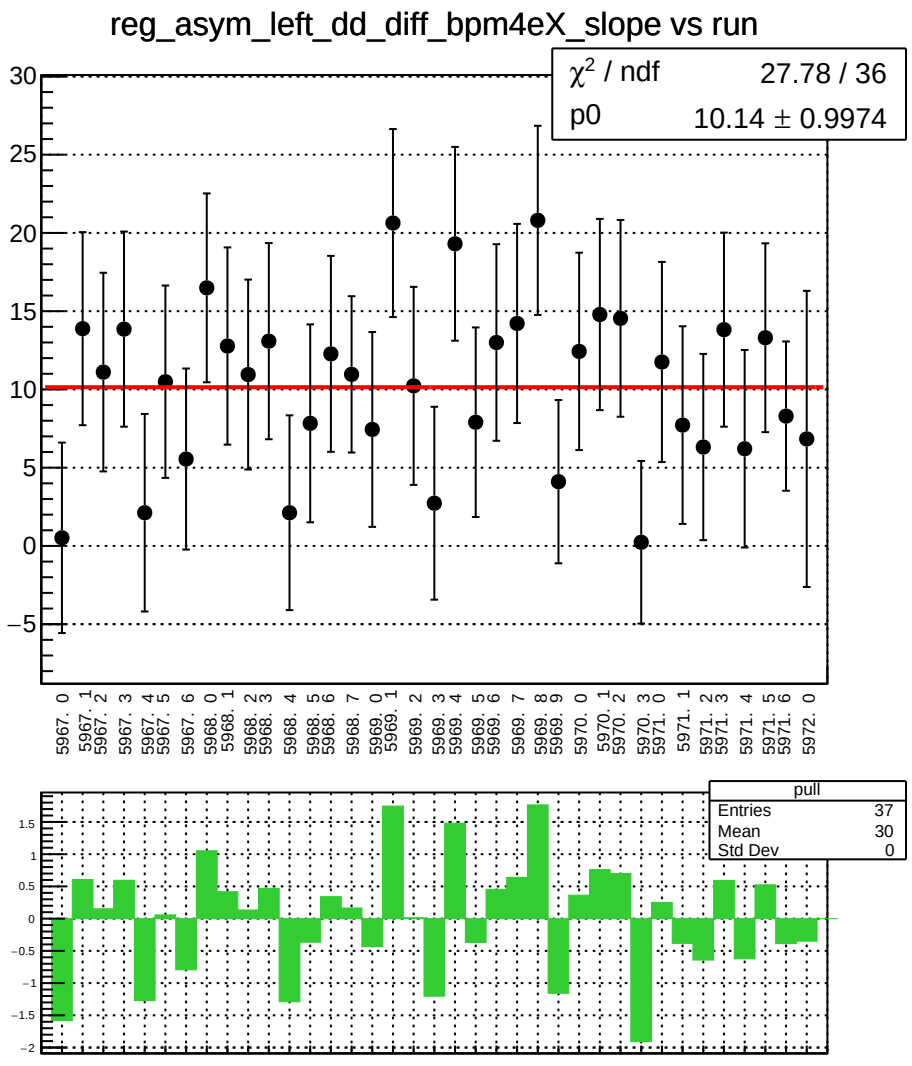
reg_asym_left_dd_diff_bpm4eX_slope vs run
χ² / ndf 27.78 / 36
p0 10.14 ± 0.9974
pull
Entries 37
Mean 30
Std Dev 0

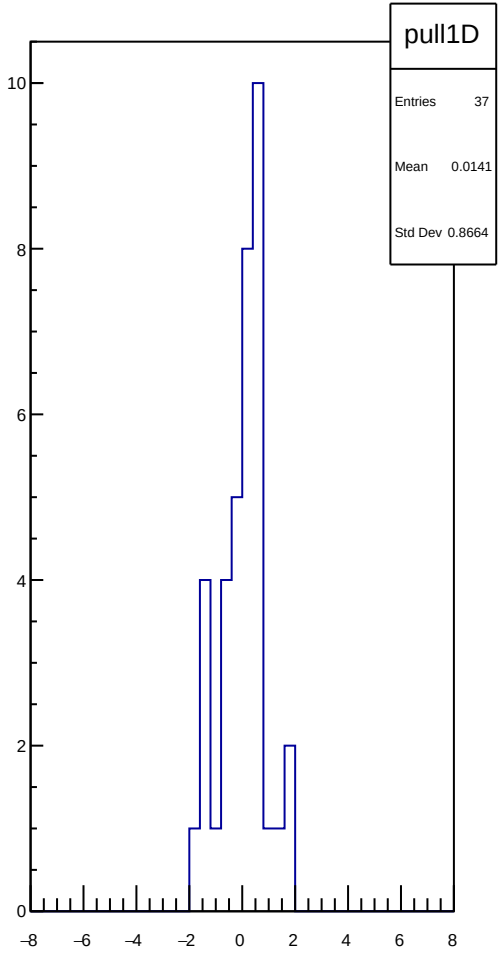
pull1D
Entries 37
Mean 0.0141
Std Dev 0.8664

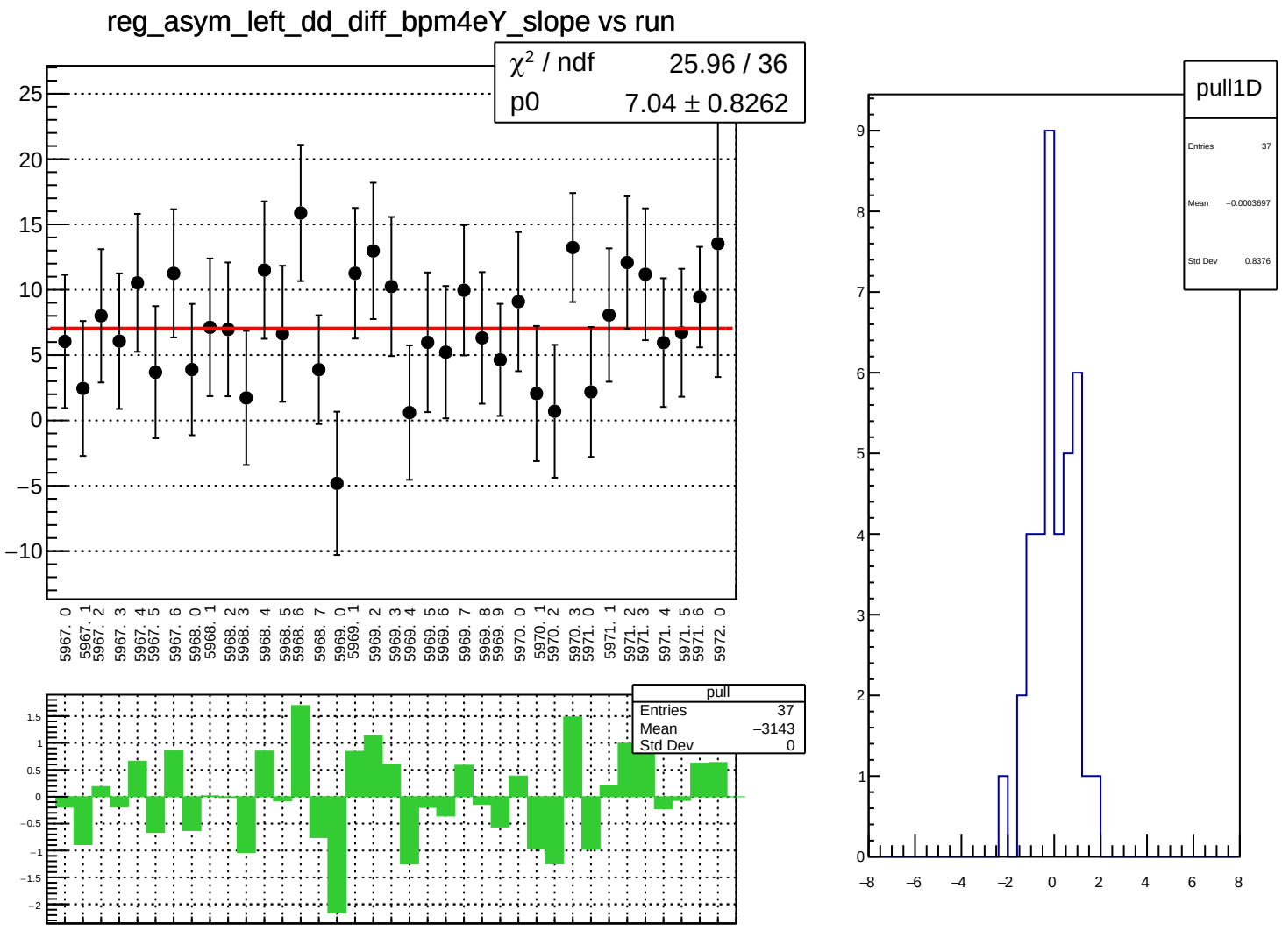
reg_asym_left_dd_diff_bpm4eY_slope vs run
χ² / ndf 25.96 / 36
p0 7.04 ± 0.8262
pull
Entries 37
Mean −3143
Std Dev 0
pull1D
Entries 37
Mean −0.0003697
Std Dev 0.8376

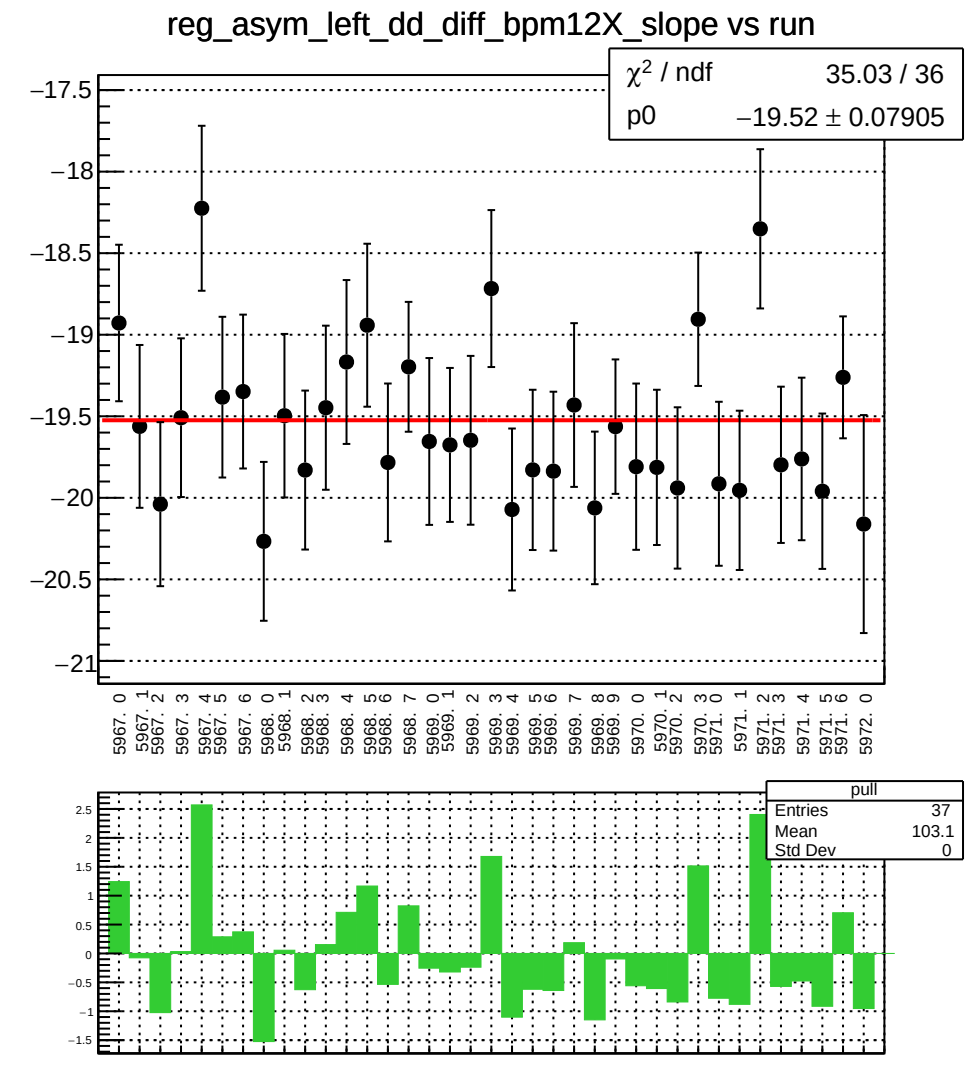
reg_asym_left_dd_diff_bpm12X_slope vs run
χ² / ndf 35.03 / 36
p0 −19.52 ± 0.07905
pull
Entries 37
Mean 103.1
Std Dev 0
pull1D
Entries 37
Mean −0.02348
Std Dev 0.9727

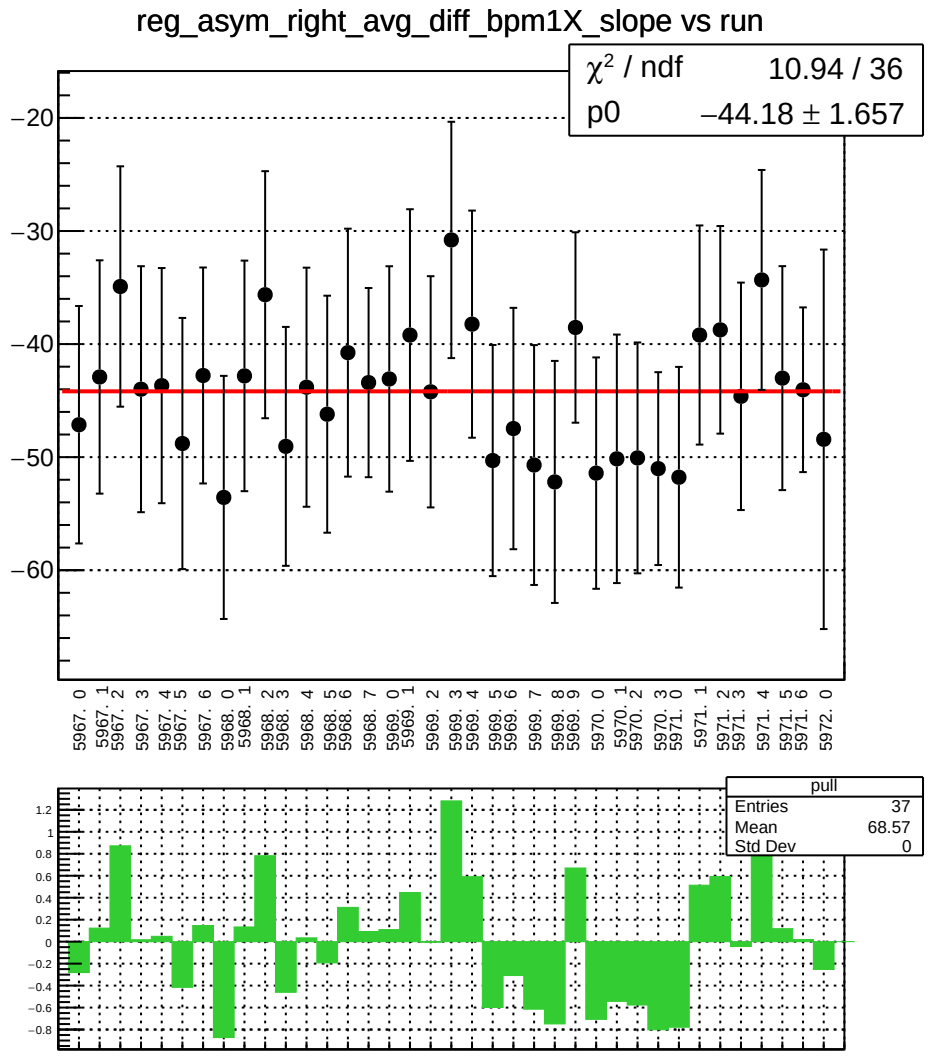
reg_asym_right_avg_diff_bpm1X_slope vs run
χ² / ndf 10.94 / 36
p0 −44.18 ± 1.657
−20
−30
−40
−50
−60
5967. 0
5967. 1
5967. 2
5967. 3
5967. 4
5967. 5
5967. 6
5968. 0
5968. 1
5968. 2
5968. 3
5968. 4
5968. 5
5968. 6
5968. 7
5969. 0
5969. 1
5969. 2
5969. 3
5969. 4
5969. 5
5969. 6
5969. 7
5969. 8
5969. 9
5970. 0
5970. 1
5970. 2
5970. 3
5971. 0
5971. 1
5971. 2
5971. 3
5971. 4
5971. 5
5971. 6
5972. 0
pull
Entries 37
Mean 68.57
Std Dev 0
1.2
1
0.8
0.6
0.4
0.2
0
−0.2
−0.4
−0.6
−0.8
pull1D
Entries 37
Mean −0.007703
Std Dev 0.5438
10
8
6
4
2
0
−8
−6
−4
−2
0
2
4
6
8

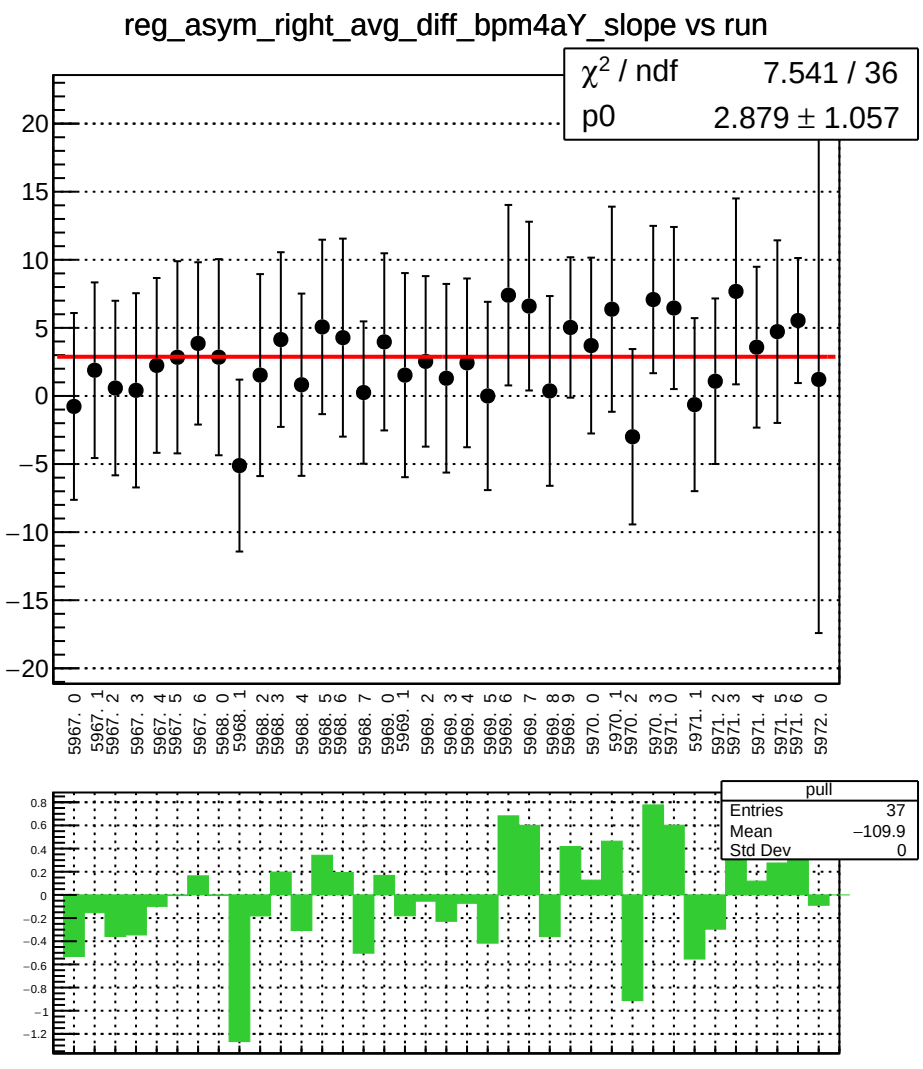
reg_asym_right_avg_diff_bpm4aY_slope vs run
χ² / ndf 7.541 / 36
p0 2.879 ± 1.057
pull
Entries 37
Mean −109.9
Std Dev 0

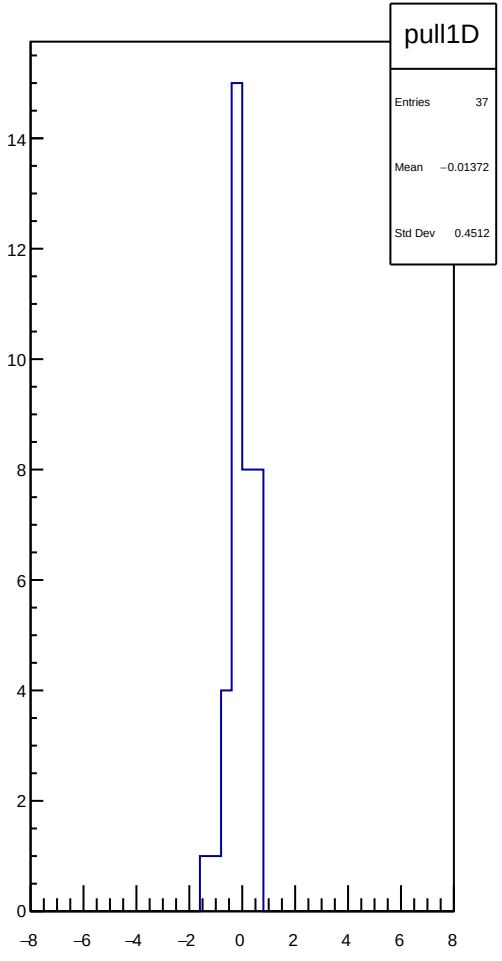
pull1D
Entries 37
Mean −0.01372
Std Dev 0.4512

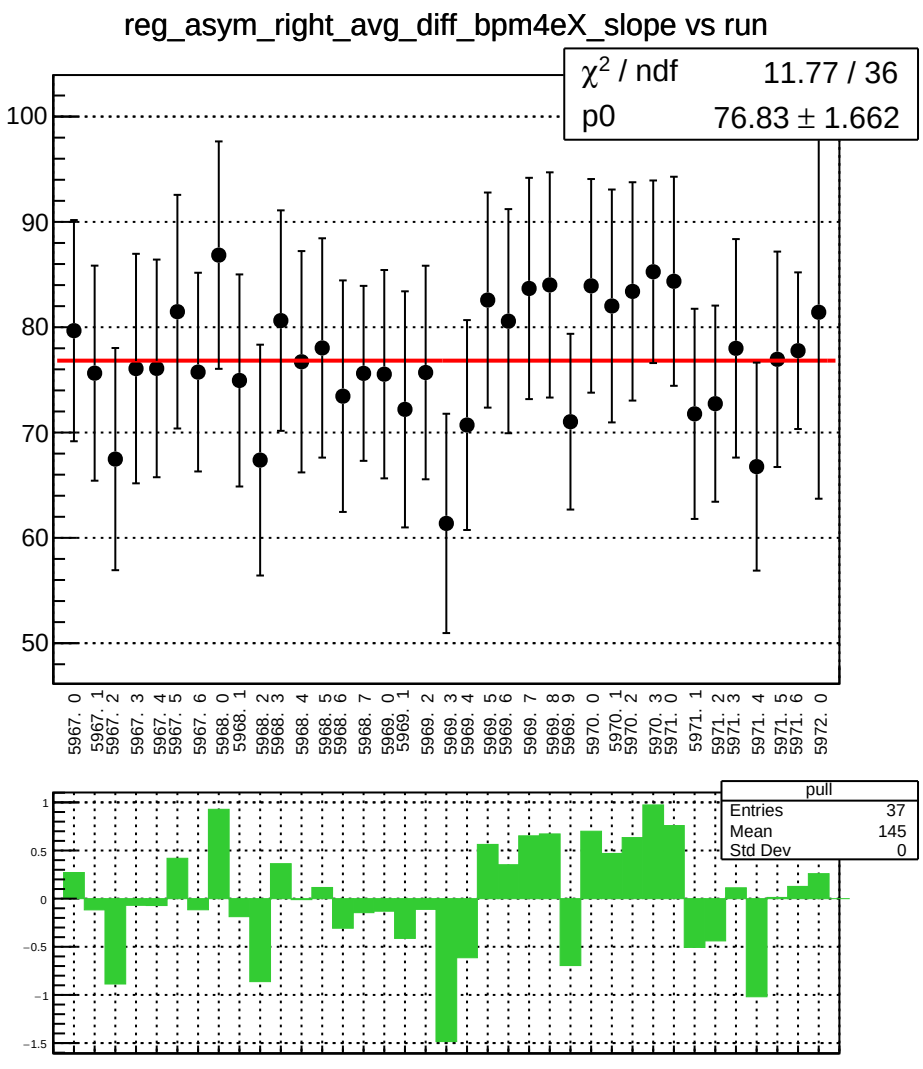
reg_asym_right_avg_diff_bpm4eX_slope vs run
χ² / ndf 11.77 / 36
p0 76.83 ± 1.662
pull
Entries 37
Mean 145
Std Dev 0

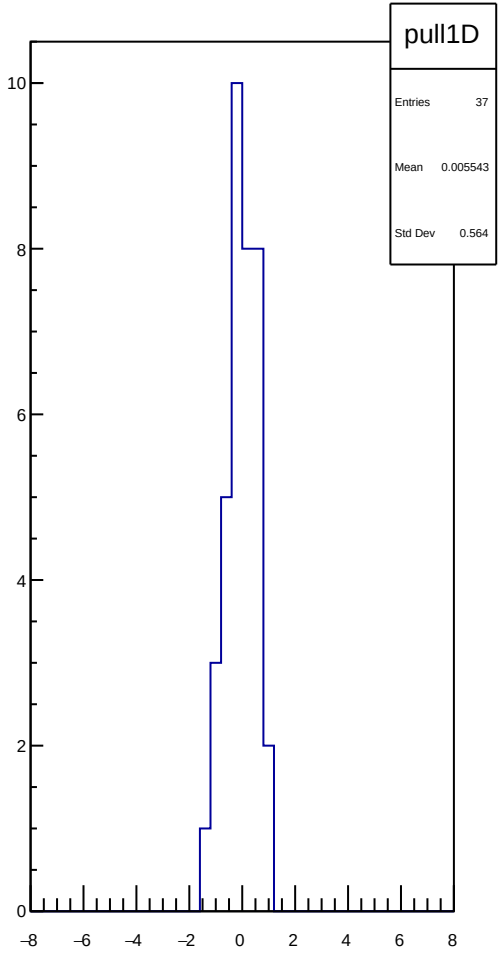
pull1D
Entries 37
Mean 0.005543
Std Dev 0.564

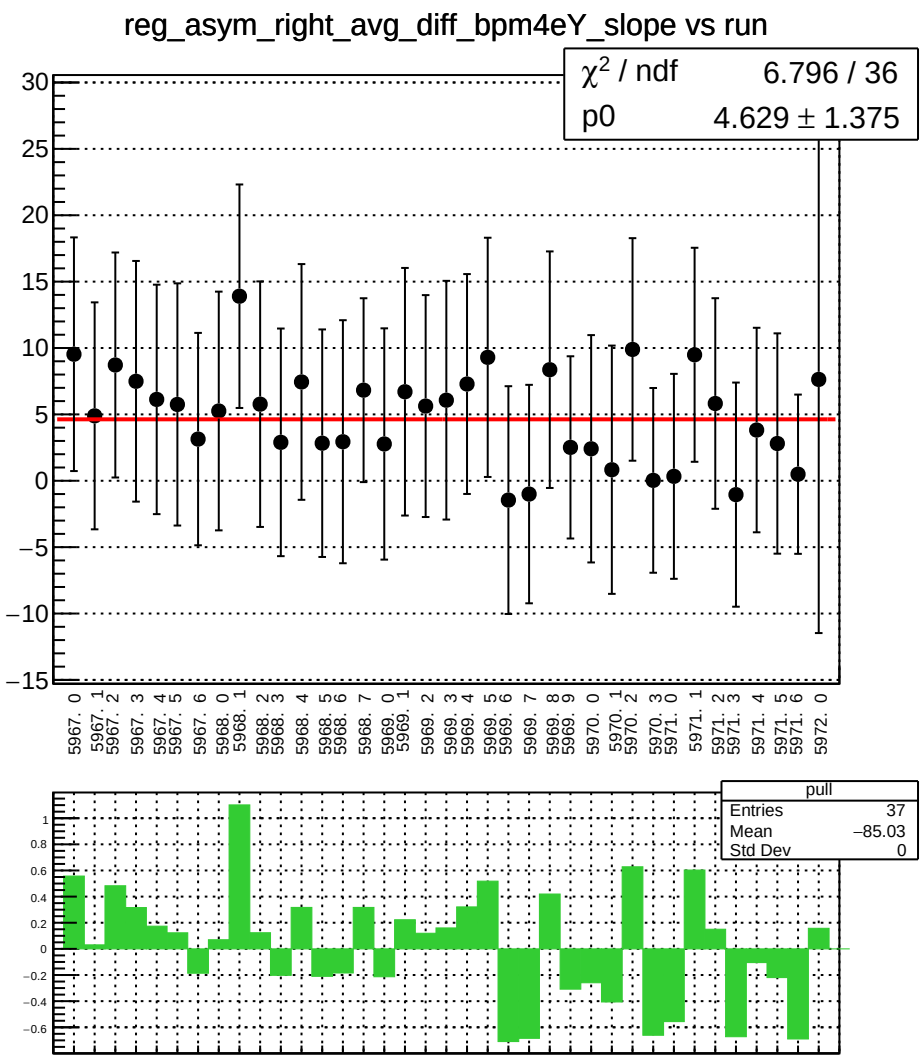
reg_asym_right_avg_diff_bpm4eY_slope vs run
χ² / ndf 6.796 / 36
p0 4.629 ± 1.375
pull
Entries 37
Mean −85.03
Std Dev 0

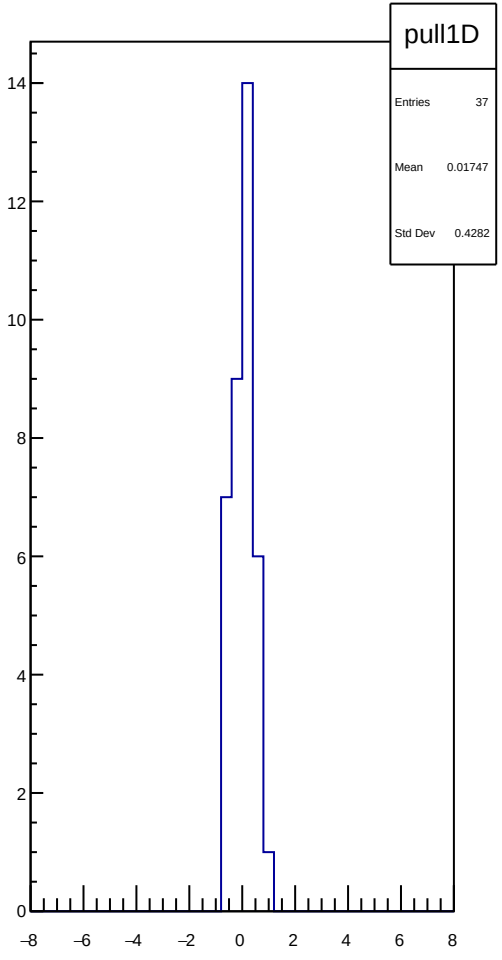
pull1D
Entries 37
Mean 0.01747
Std Dev 0.4282

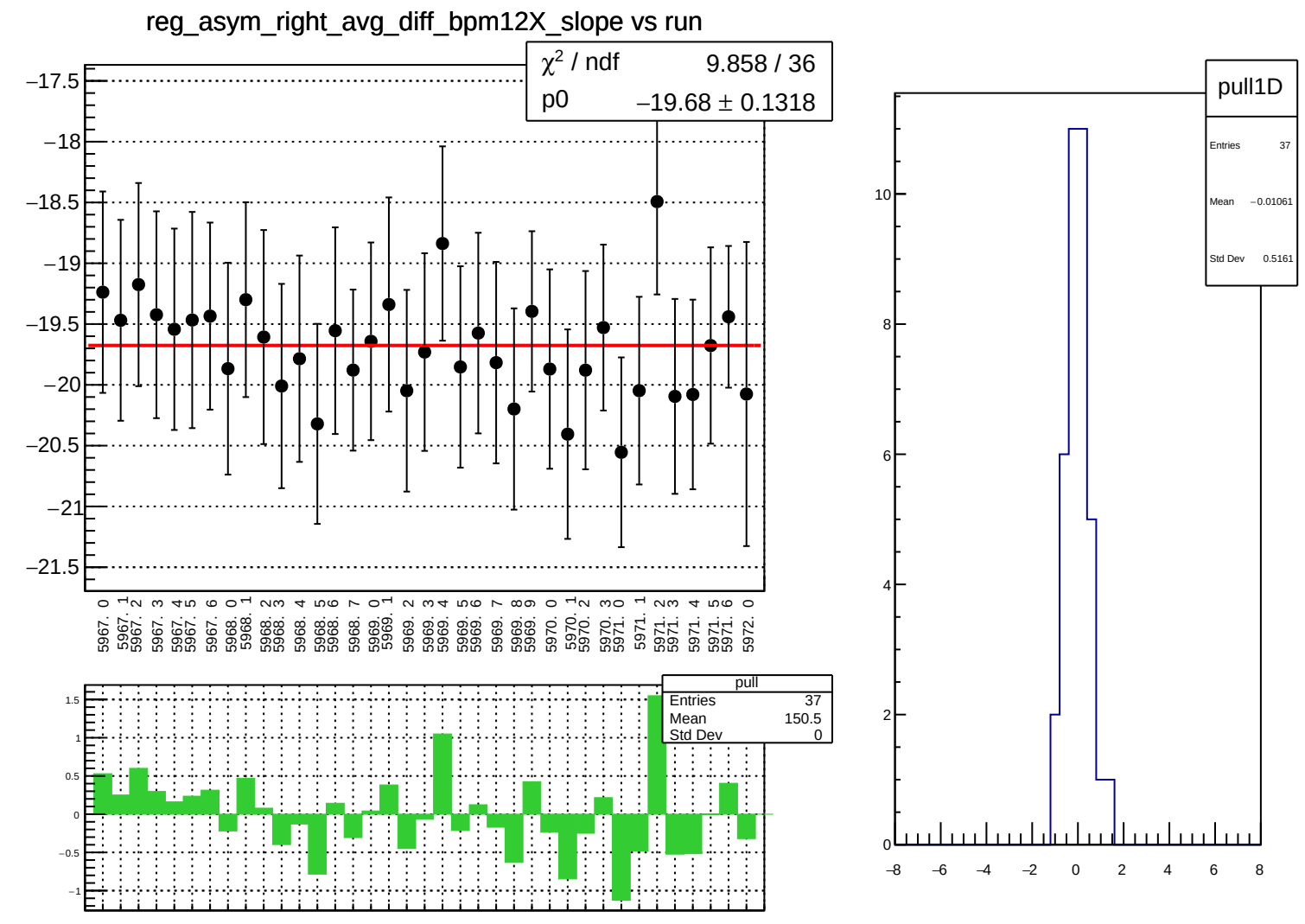
reg_asym_right_avg_diff_bpm12X_slope vs run
χ² / ndf 9.858 / 36
p0 −19.68 ± 0.1318
pull
Entries 37
Mean 150.5
Std Dev 0
pull1D
Entries 37
Mean −0.01061
Std Dev 0.5161

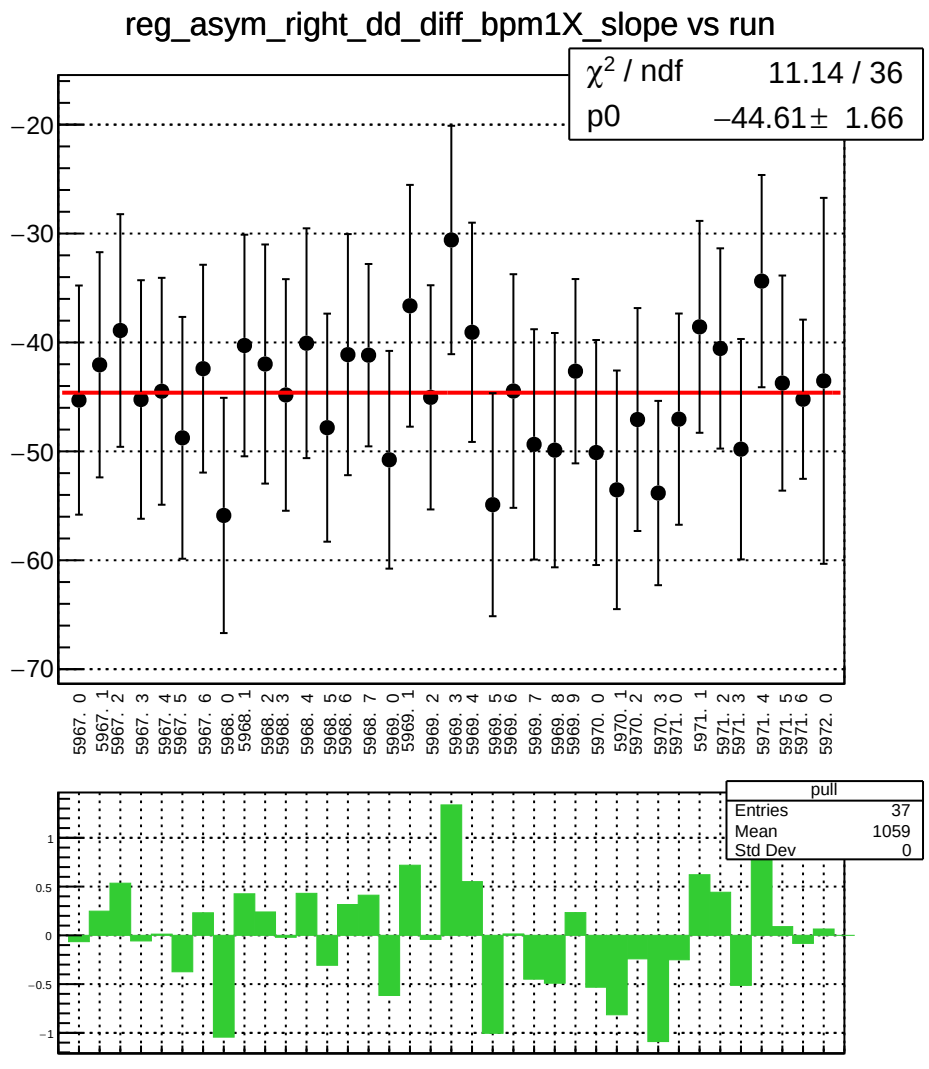
reg_asym_right_dd_diff_bpm1X_slope vs run
χ² / ndf 11.14 / 36
p0 −44.61± 1.66
−20
−30
−40
−50
−60
−70
5967. 0
5967. 1
5967. 2
5967. 3
5967. 4
5967. 5
5967. 6
5968. 0
5968. 1
5968. 2
5968. 3
5968. 4
5968. 5
5968. 6
5968. 7
5969. 0
5969. 1
5969. 2
5969. 3
5969. 4
5969. 5
5969. 6
5969. 7
5969. 8
5969. 9
5970. 0
5970. 1
5970. 2
5970. 3
5971. 0
5971. 1
5971. 2
5971. 3
5971. 4
5971. 5
5971. 6
5972. 0
pull
Entries 37
Mean 1059
Std Dev 0
1
0.5
0
−0.5
−1

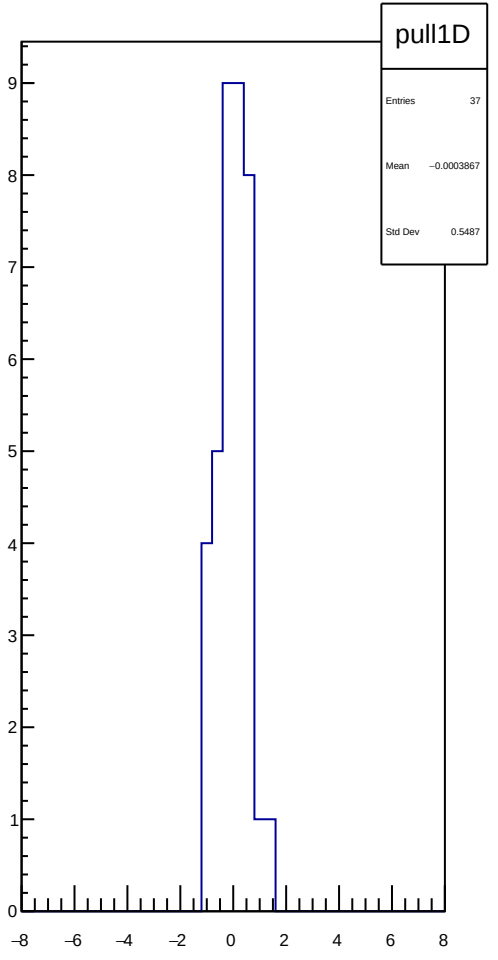
pull1D
Entries 37
Mean −0.0003867
Std Dev 0.5487
9
8
7
6
5
4
3
2
1
0
−8
−6
−4
−2
0
2
4
6
8

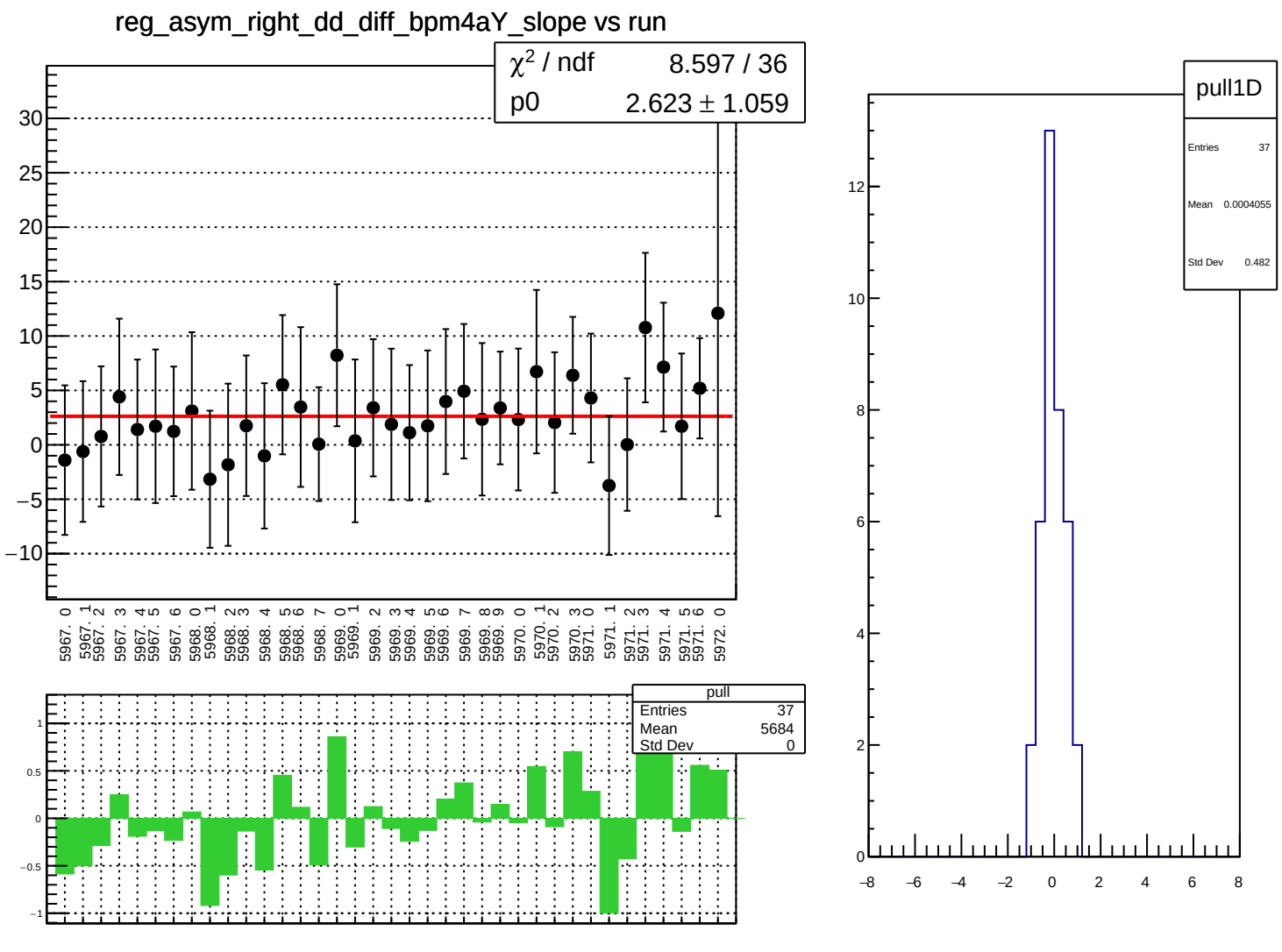
reg_asym_right_dd_diff_bpm4aY_slope vs run
χ² / ndf 8.597 / 36
p0 2.623 ± 1.059
pull
Entries 37
Mean 5684
Std Dev 0
pull1D
Entries 37
Mean 0.0004055
Std Dev 0.482

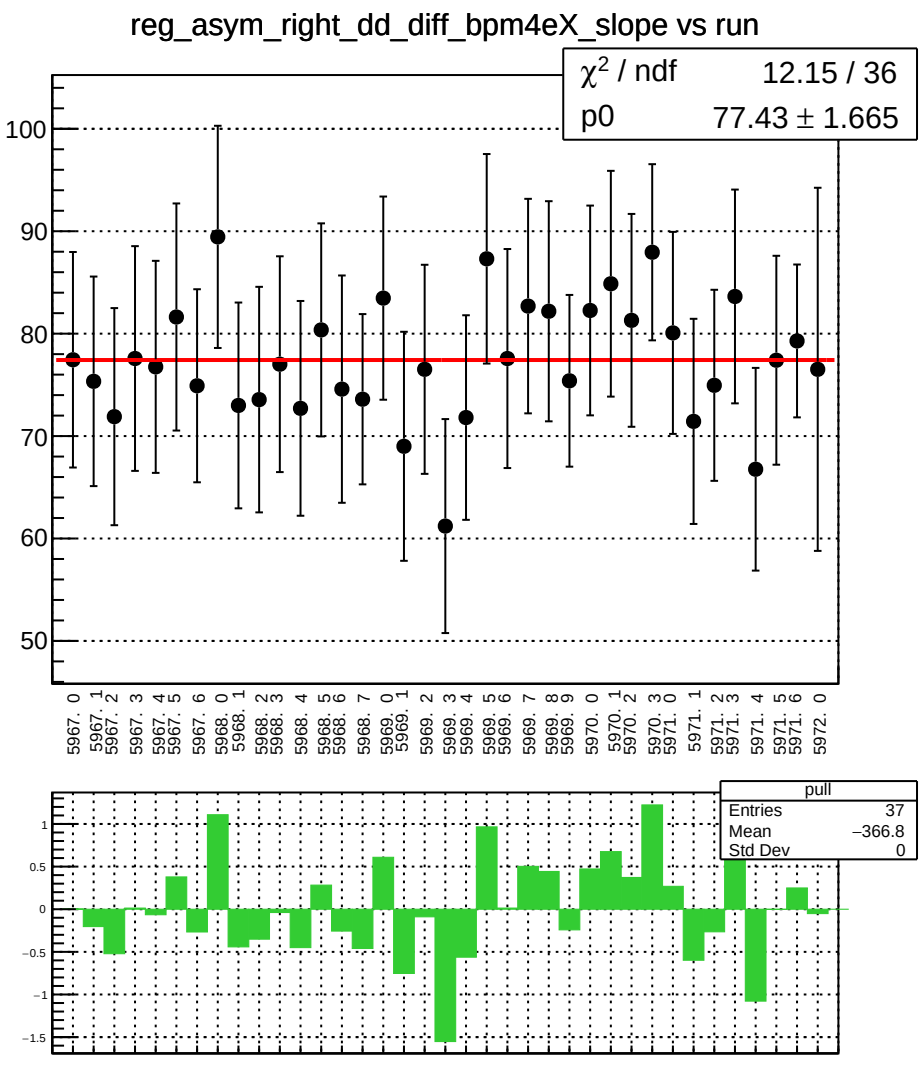
reg_asym_right_dd_diff_bpm4eX_slope vs run
χ² / ndf 12.15 / 36
p0 77.43 ± 1.665
100
90
80
70
60
50
5967. 0
5967. 1
5967. 2
5967. 3
5967. 4
5967. 5
5967. 6
5968. 0
5968. 1
5968. 2
5968. 3
5968. 4
5968. 5
5968. 6
5968. 7
5969. 0
5969. 1
5969. 2
5969. 3
5969. 4
5969. 5
5969. 6
5969. 7
5969. 8
5969. 9
5970. 0
5970. 1
5970. 2
5970. 3
5971. 0
5971. 1
5971. 2
5971. 3
5971. 4
5971. 5
5971. 6
5972. 0
pull
Entries 37
Mean −366.8
Std Dev 0
1
0.5
0
−0.5
−1
−1.5

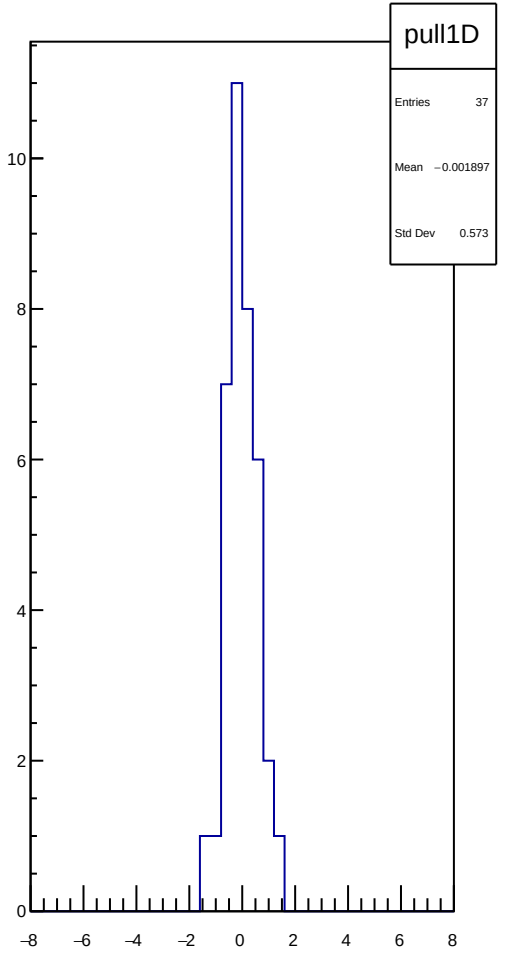
pull1D
Entries 37
Mean −0.001897
Std Dev 0.573
10
8
6
4
2
0
−8
−6
−4
−2
0
2
4
6
8

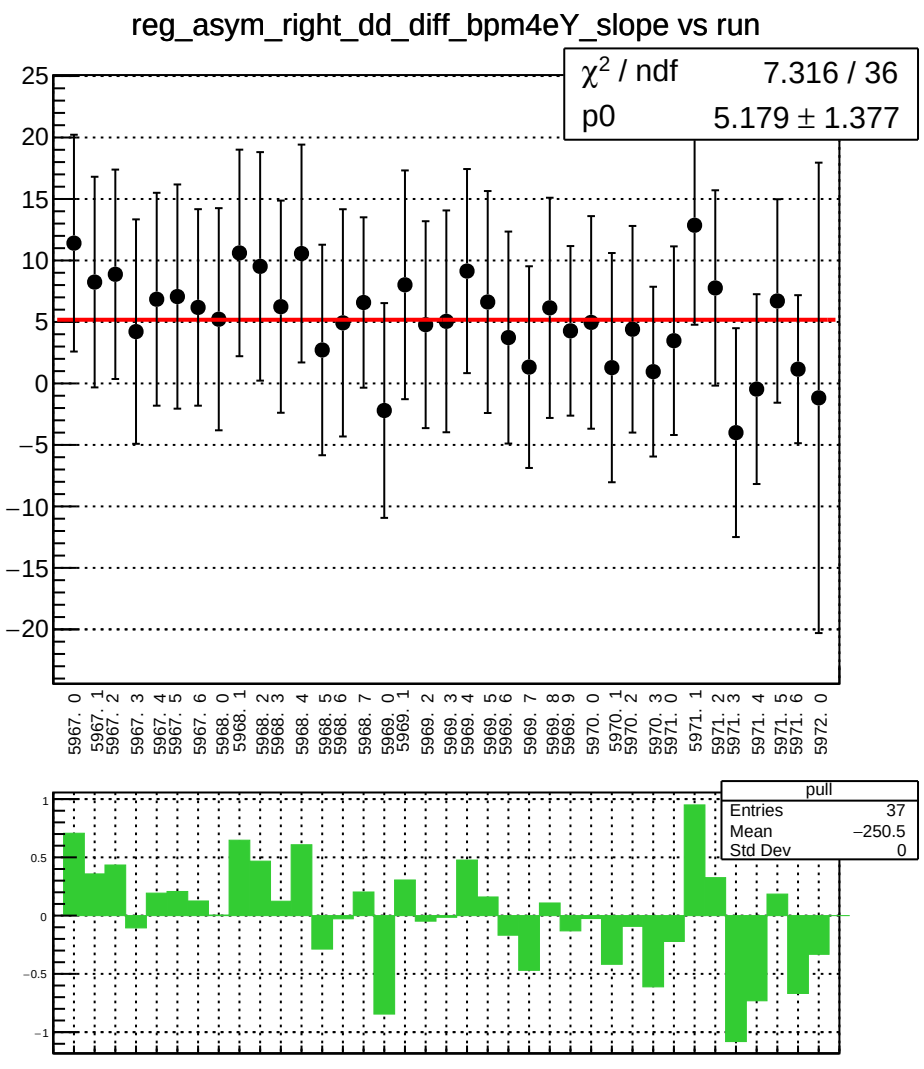
reg_asym_right_dd_diff_bpm4eY_slope vs run
χ² / ndf 7.316 / 36
p0 5.179 ± 1.377
pull
Entries 37
Mean −250.5
Std Dev 0

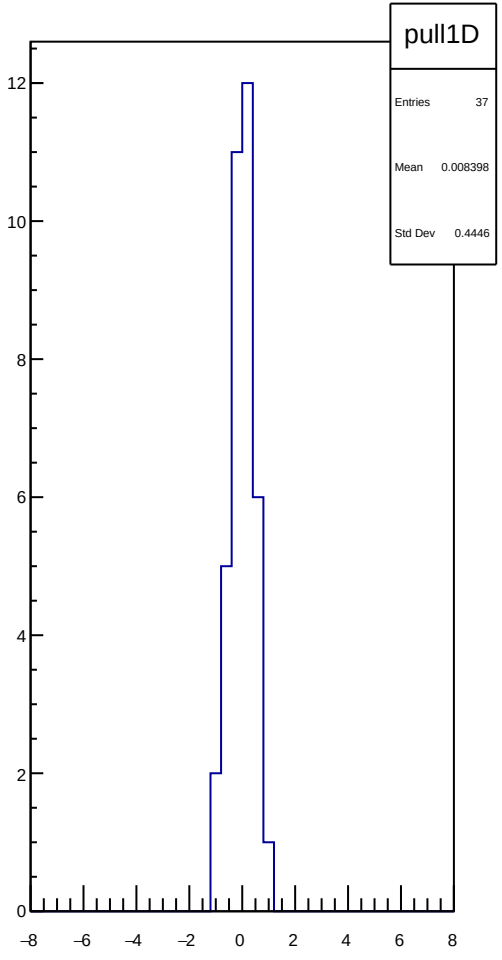
pull1D
Entries 37
Mean 0.008398
Std Dev 0.4446

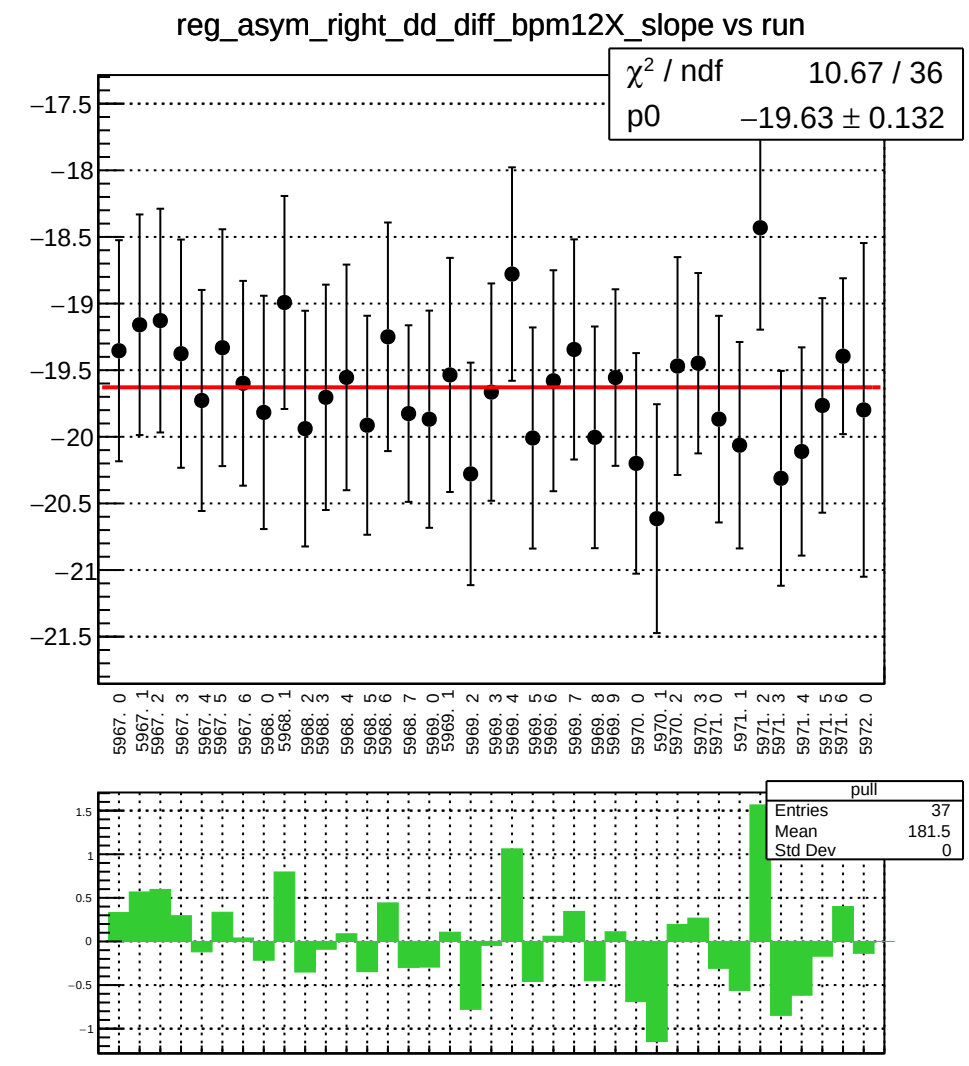
reg_asym_right_dd_diff_bpm12X_slope vs run
χ² / ndf 10.67 / 36
p0 −19.63 ± 0.132
pull
Entries 37
Mean 181.5
Std Dev 0

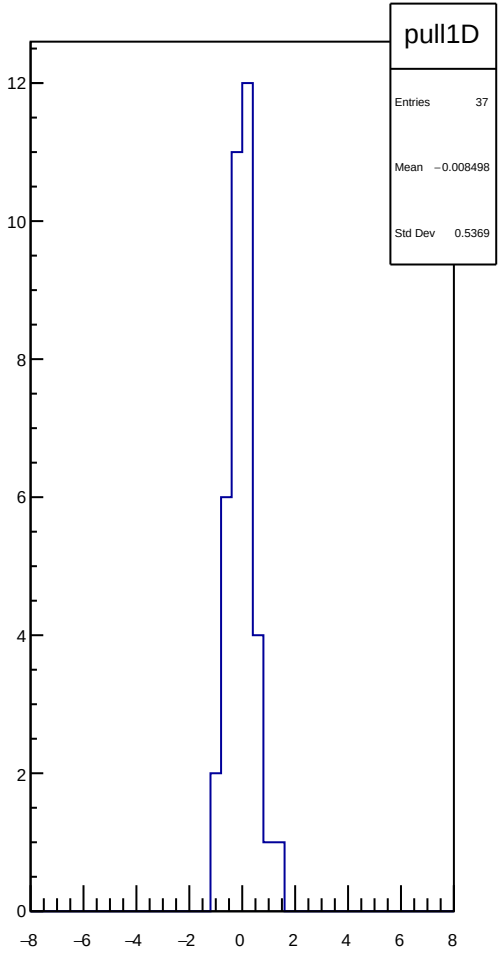
pull1D
Entries 37
Mean −0.008498
Std Dev 0.5369

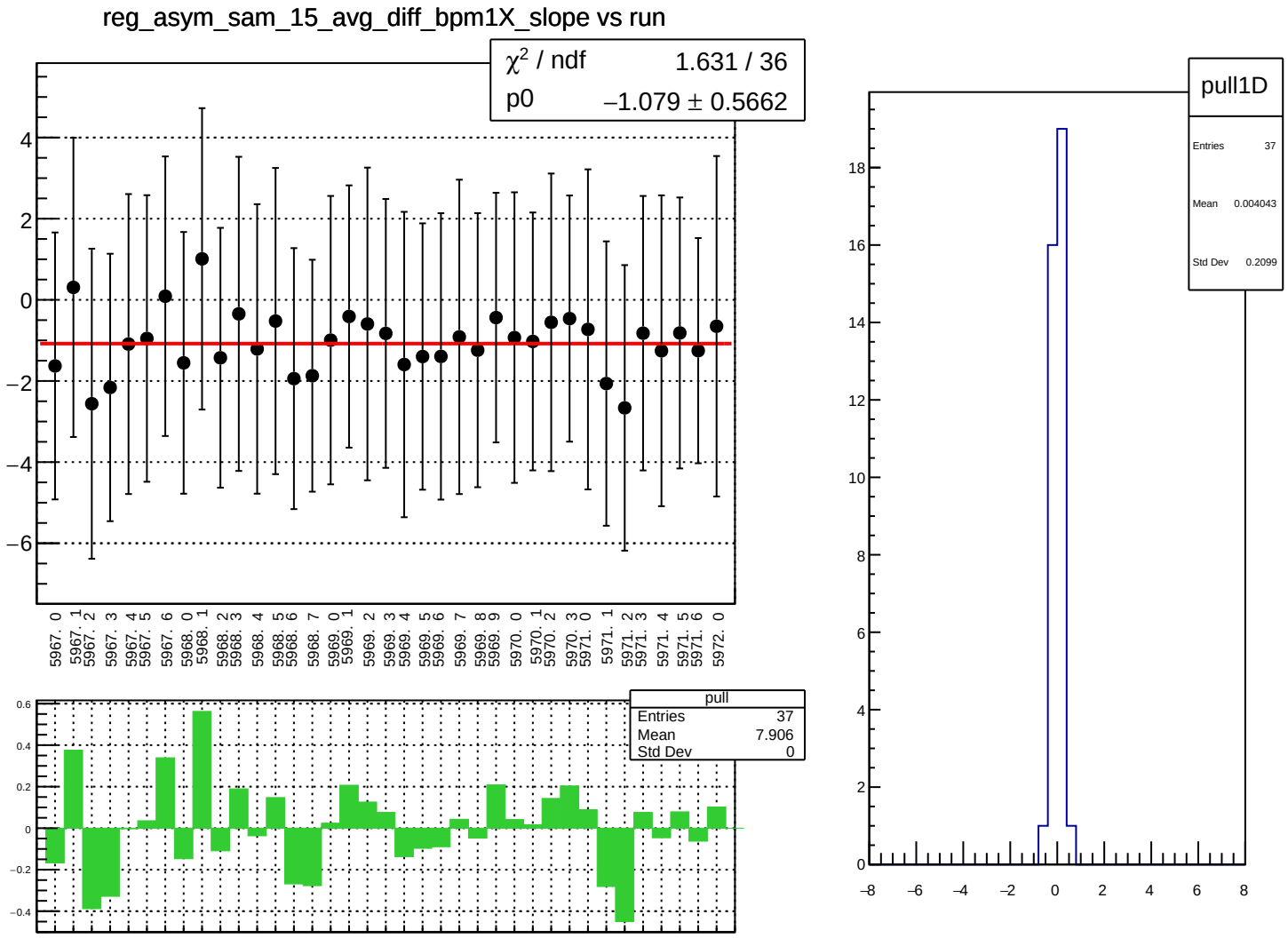
reg_asym_sam_15_avg_diff_bpm1X_slope vs run
χ² / ndf 1.631 / 36
p0 −1.079 ± 0.5662
pull
Entries 37
Mean 7.906
Std Dev 0
pull1D
Entries 37
Mean 0.004043
Std Dev 0.2099

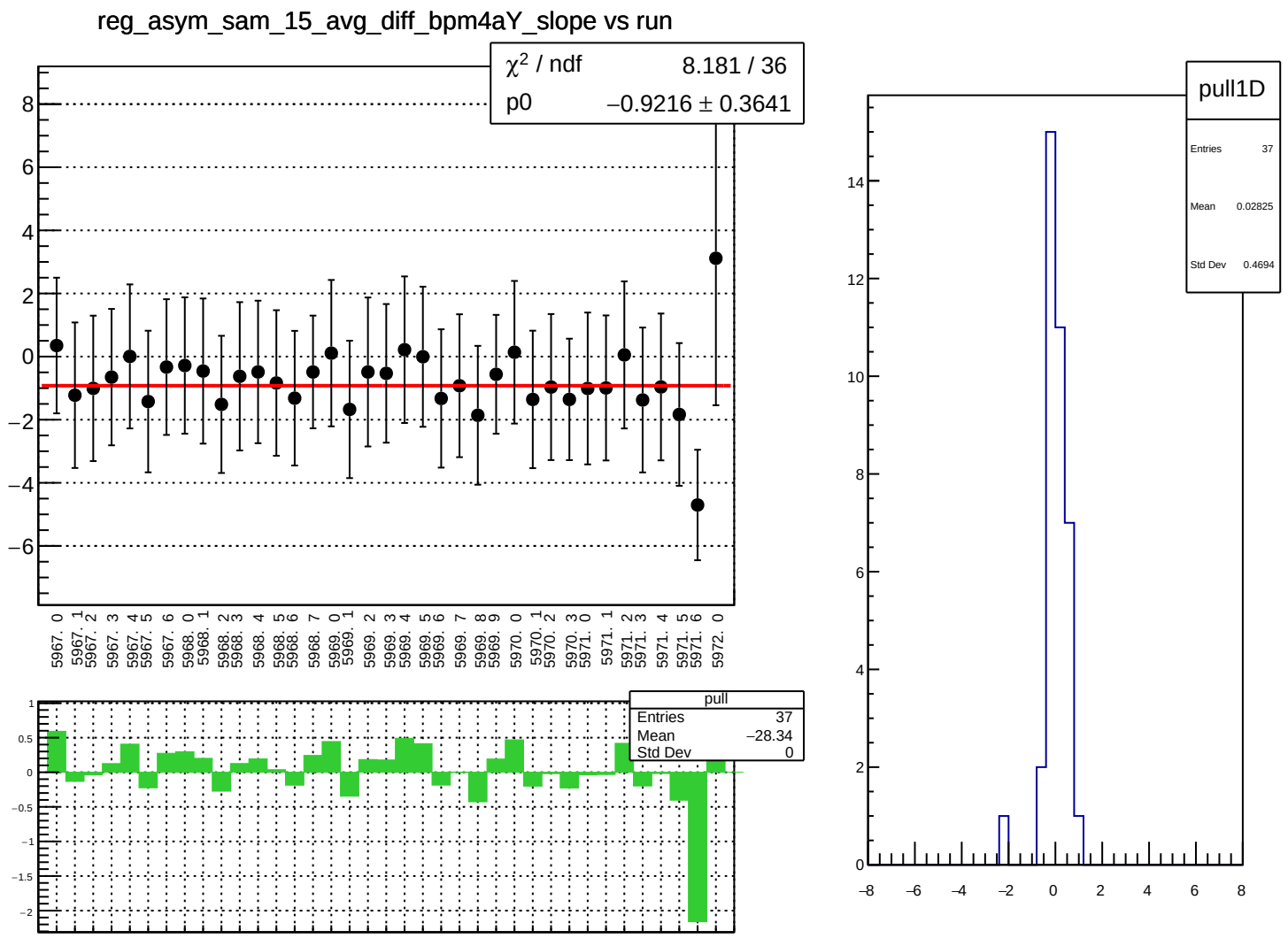
reg_asym_sam_15_avg_diff_bpm4aY_slope vs run
χ² / ndf 8.181 / 36
p0 −0.9216 ± 0.3641
pull
Entries 37
Mean −28.34
Std Dev 0
pull1D
Entries 37
Mean 0.02825
Std Dev 0.4694

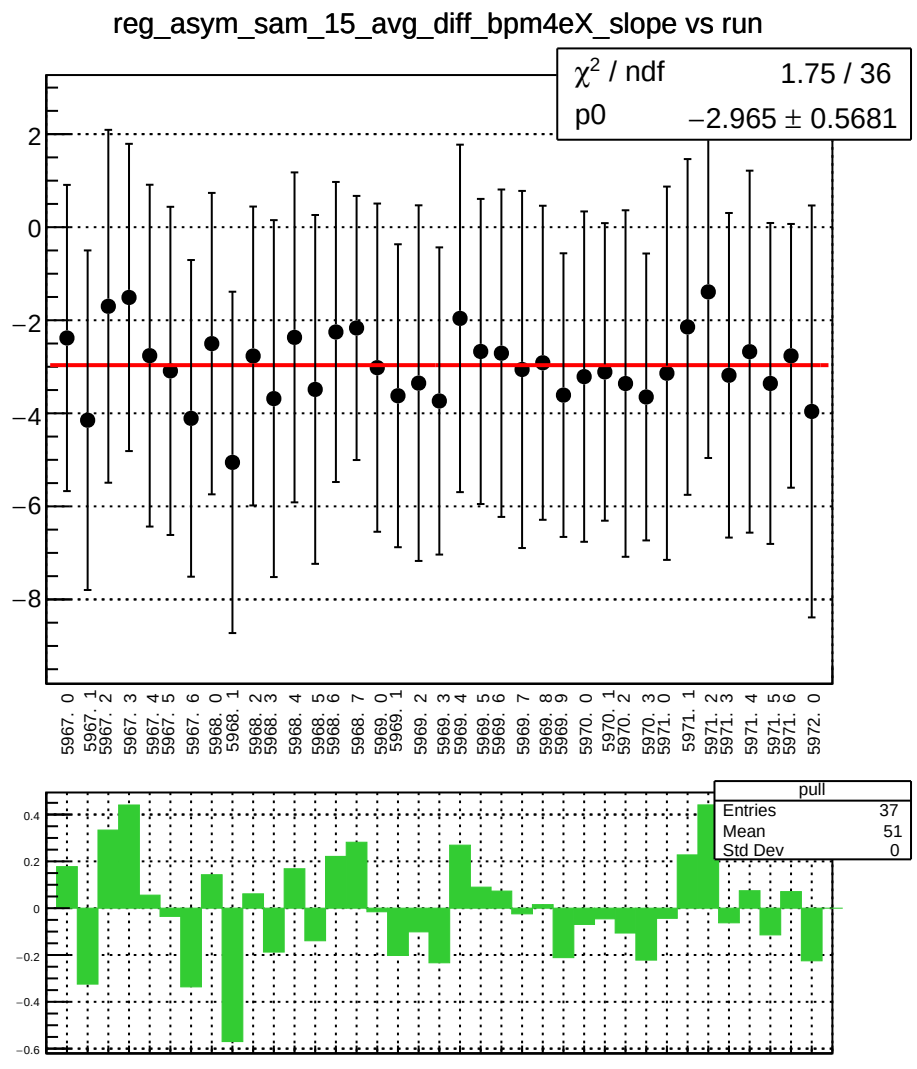
reg_asym_sam_15_avg_diff_bpm4eX_slope vs run
χ² / ndf 1.75 / 36
p0 −2.965 ± 0.5681
pull
Entries 37
Mean 51
Std Dev 0

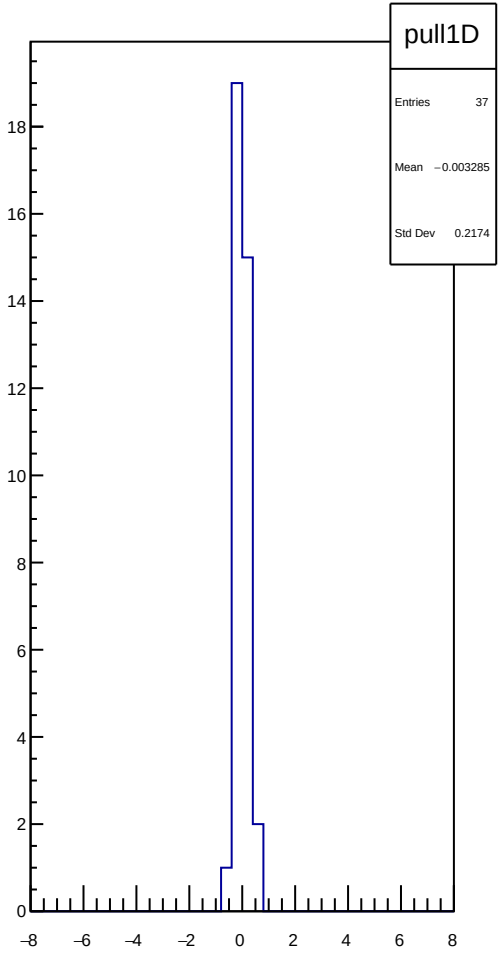
pull1D
Entries 37
Mean −0.003285
Std Dev 0.2174

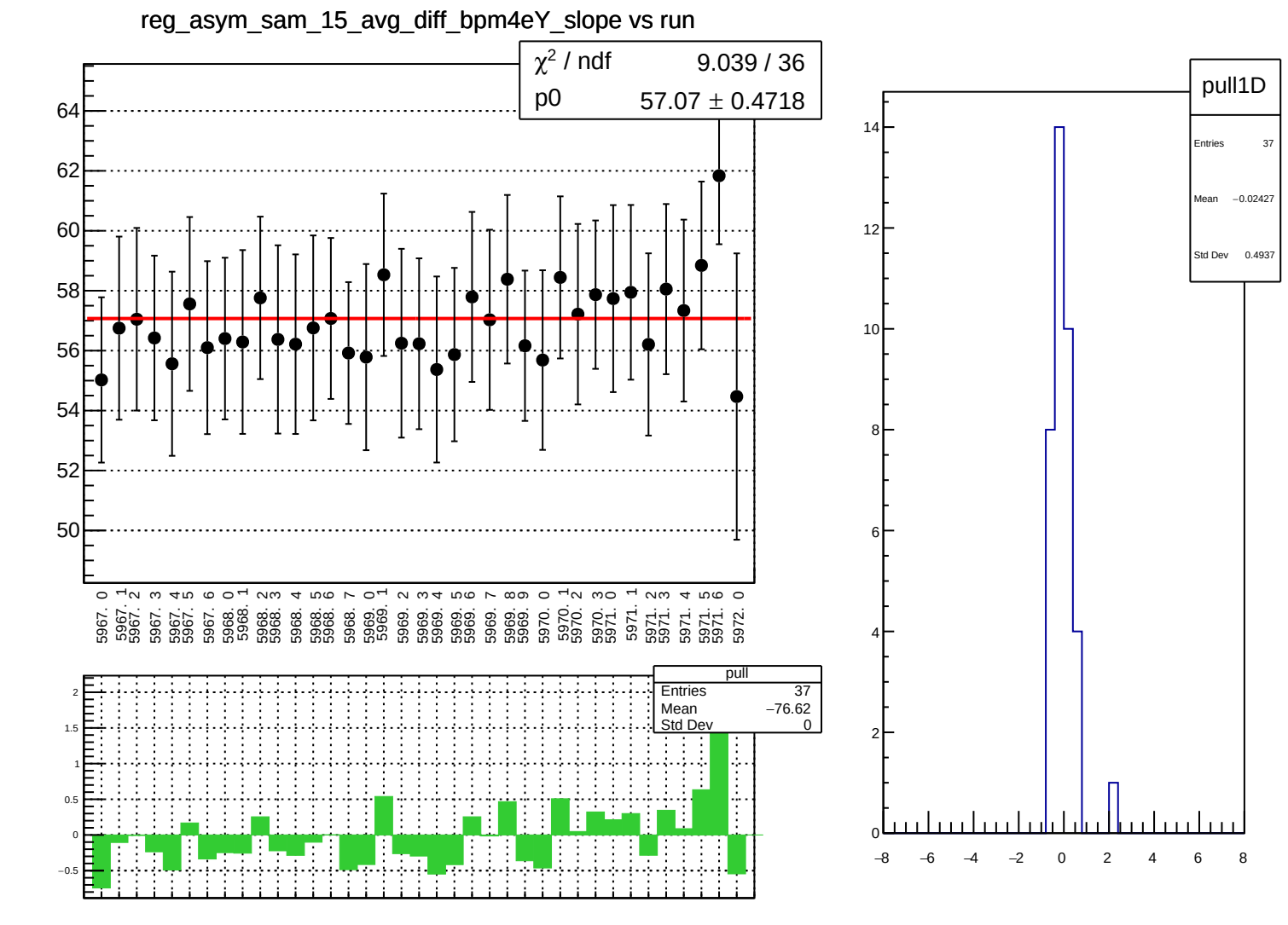
reg_asym_sam_15_avg_diff_bpm4eY_slope vs run
χ² / ndf 9.039 / 36
p0 57.07 ± 0.4718
64
62
60
58
56
54
52
50
5967. 0
5967. 1
5967. 2
5967. 3
5967. 4
5967. 5
5967. 6
5968. 0
5968. 1
5968. 2
5968. 3
5968. 4
5968. 5
5968. 6
5968. 7
5969. 0
5969. 1
5969. 2
5969. 3
5969. 4
5969. 5
5969. 6
5969. 7
5969. 8
5969. 9
5970. 0
5970. 1
5970. 2
5970. 3
5971. 0
5971. 1
5971. 2
5971. 3
5971. 4
5971. 5
5971. 6
5972. 0
pull
Entries 37
Mean −76.62
Std Dev 0
2
1.5
1
0.5
0
−0.5
pull1D
Entries 37
Mean −0.02427
Std Dev 0.4937
14
12
10
8
6
4
2
0
−8
−6
−4
−2
0
2
4
6
8

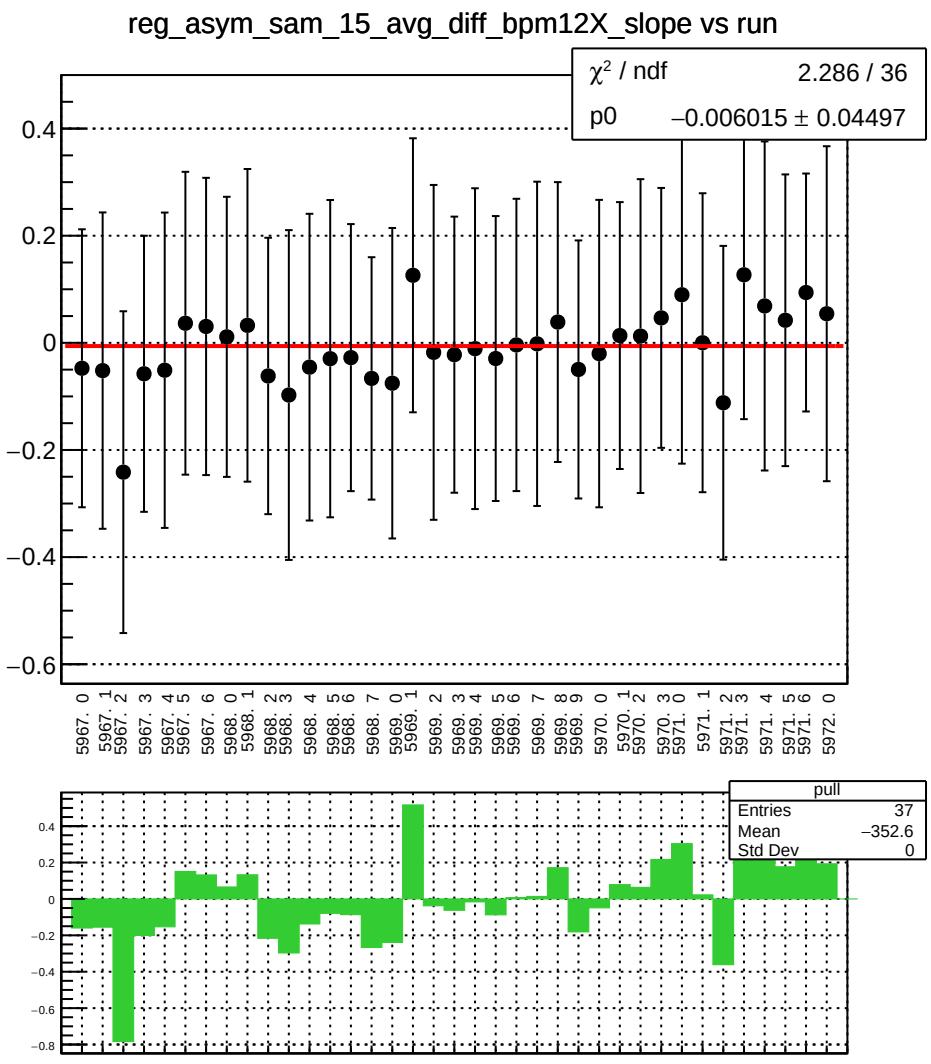
reg_asym_sam_15_avg_diff_bpm12X_slope vs run
χ² / ndf 2.286 / 36
p0 −0.006015 ± 0.04497
pull
Entries 37
Mean −352.6
Std Dev 0

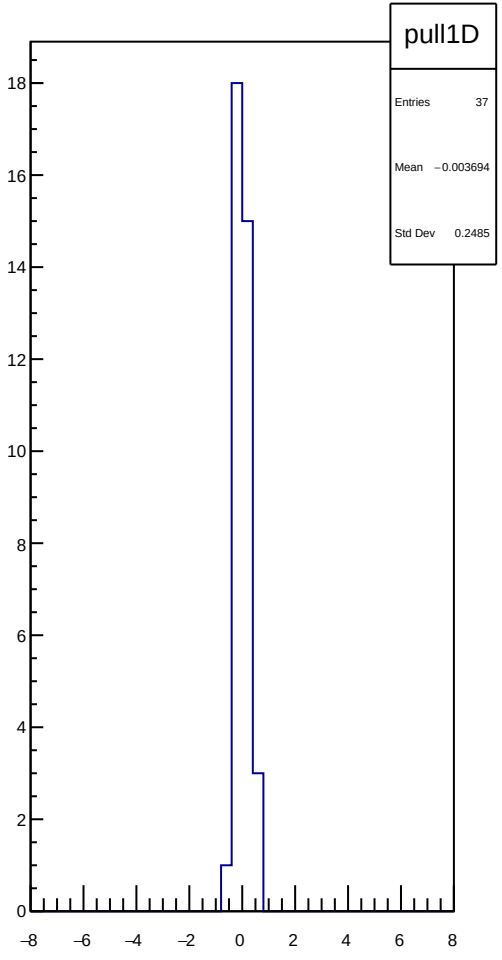
pull1D
Entries 37
Mean −0.003694
Std Dev 0.2485

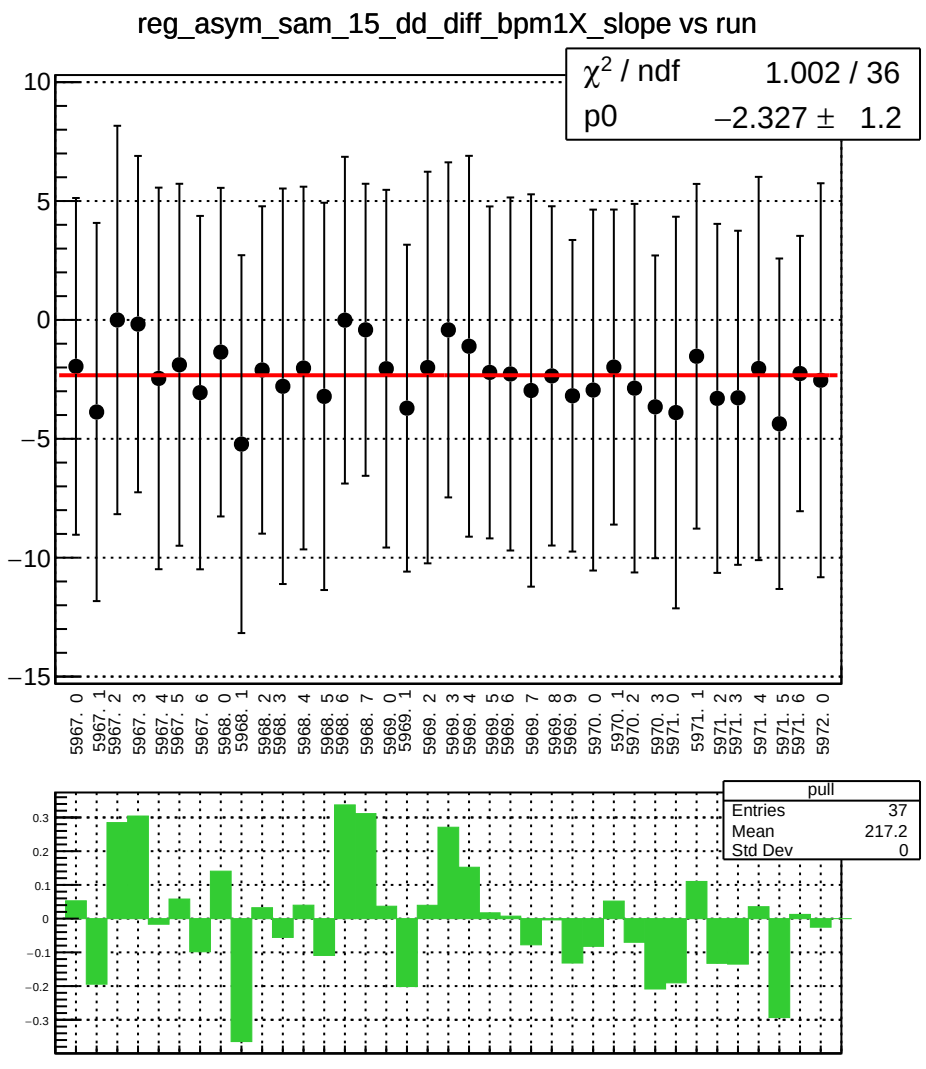
reg_asym_sam_15_dd_diff_bpm1X_slope vs run
χ² / ndf 1.002 / 36
p0 −2.327 ± 1.2
pull
Entries 37
Mean 217.2
Std Dev 0

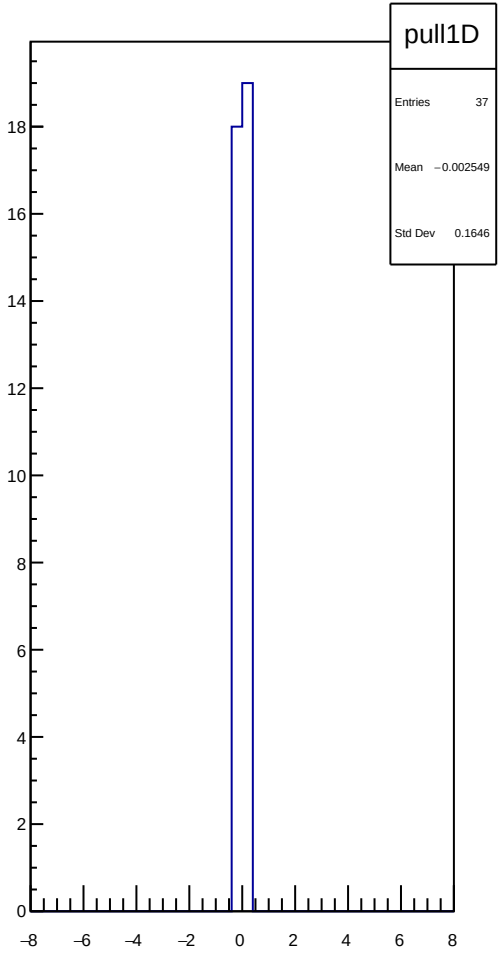
pull1D
Entries 37
Mean −0.002549
Std Dev 0.1646

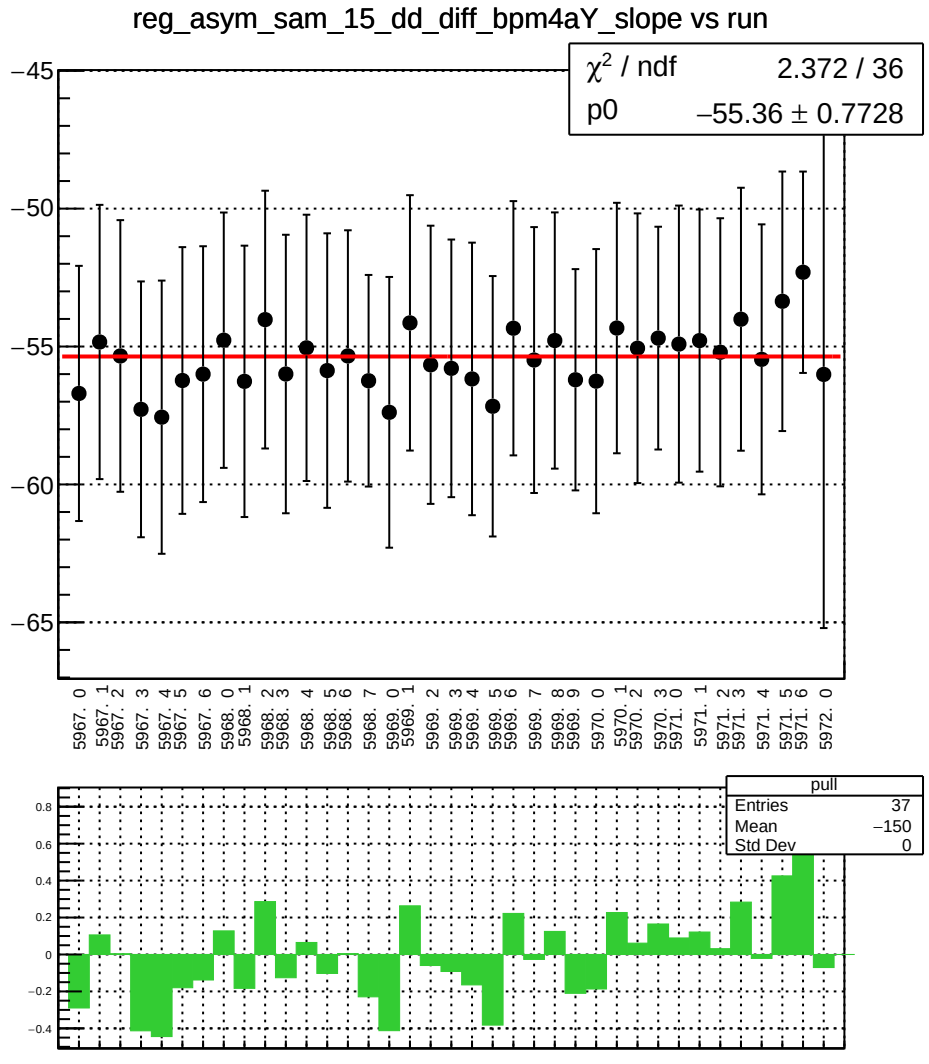
reg_asym_sam_15_dd_diff_bpm4aY_slope vs run
χ² / ndf 2.372 / 36
p0 −55.36 ± 0.7728
−45
−50
−55
−60
−65
5967. 0
5967. 1
5967. 2
5967. 3
5967. 4
5967. 5
5967. 6
5968. 0
5968. 1
5968. 2
5968. 3
5968. 4
5968. 5
5968. 6
5968. 7
5969. 0
5969. 1
5969. 2
5969. 3
5969. 4
5969. 5
5969. 6
5969. 7
5969. 8
5969. 9
5970. 0
5970. 1
5970. 2
5970. 3
5971. 0
5971. 1
5971. 2
5971. 3
5971. 4
5971. 5
5971. 6
5972. 0
pull
Entries 37
Mean −150
Std Dev 0
0.8
0.6
0.4
0.2
0
−0.2
−0.4
pull1D
Entries 37
Mean −0.007765
Std Dev 0.2531
16
14
12
10
8
6
4
2
0
−8
−6
−4
−2
0
2
4
6
8

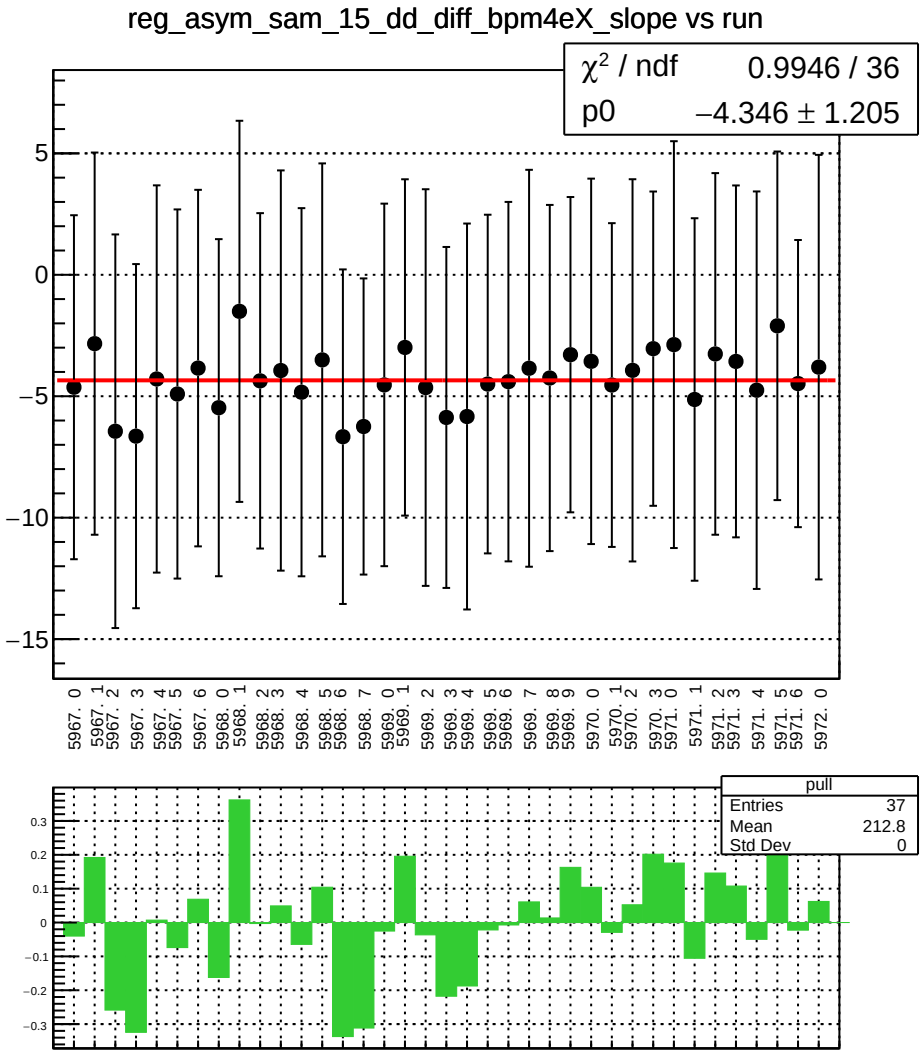
reg_asym_sam_15_dd_diff_bpm4eX_slope vs run
χ² / ndf 0.9946 / 36
p0 −4.346 ± 1.205
pull
Entries 37
Mean 212.8
Std Dev 0

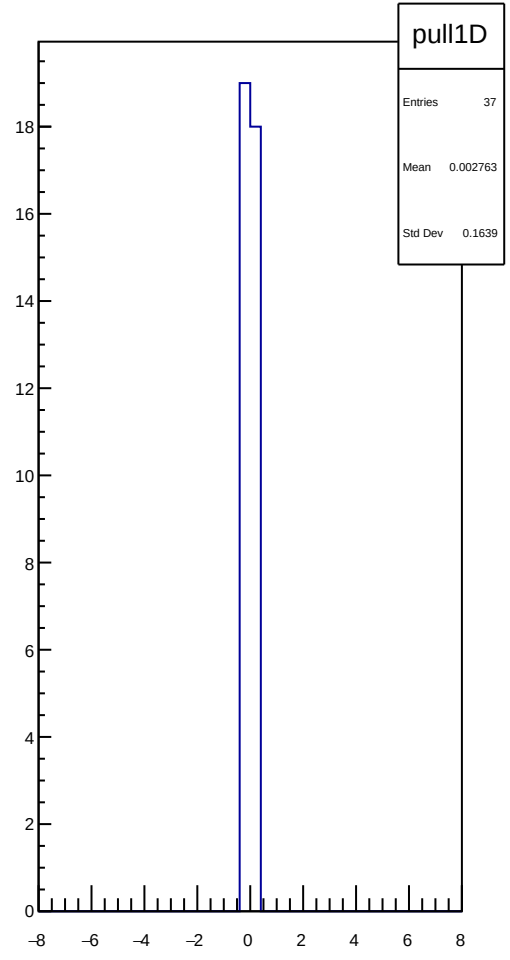
pull1D
Entries 37
Mean 0.002763
Std Dev 0.1639

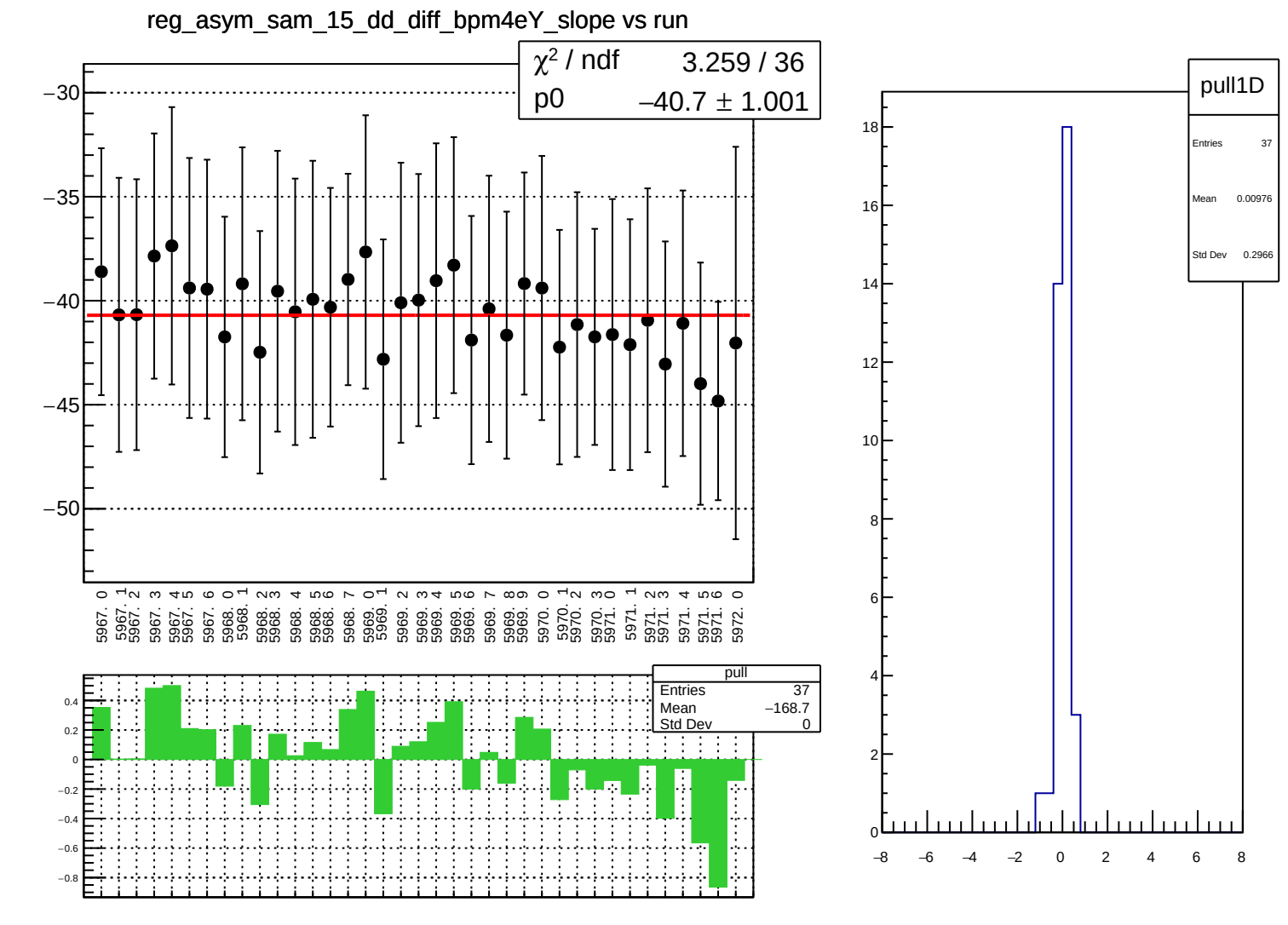
reg_asym_sam_15_dd_diff_bpm4eY_slope vs run
χ² / ndf 3.259 / 36
p0 −40.7 ± 1.001
−30
−35
−40
−45
−50
5967. 0
5967. 1
5967. 2
5967. 3
5967. 4
5967. 5
5967. 6
5968. 0
5968. 1
5968. 2
5968. 3
5968. 4
5968. 5
5968. 6
5968. 7
5969. 0
5969. 1
5969. 2
5969. 3
5969. 4
5969. 5
5969. 6
5969. 7
5969. 8
5969. 9
5970. 0
5970. 1
5970. 2
5970. 3
5971. 0
5971. 1
5971. 2
5971. 3
5971. 4
5971. 5
5971. 6
5972. 0
pull
Entries 37
Mean −168.7
Std Dev 0
0.4
0.2
0
−0.2
−0.4
−0.6
−0.8
pull1D
Entries 37
Mean 0.00976
Std Dev 0.2966
18
16
14
12
10
8
6
4
2
0
−8
−6
−4
−2
0
2
4
6
8

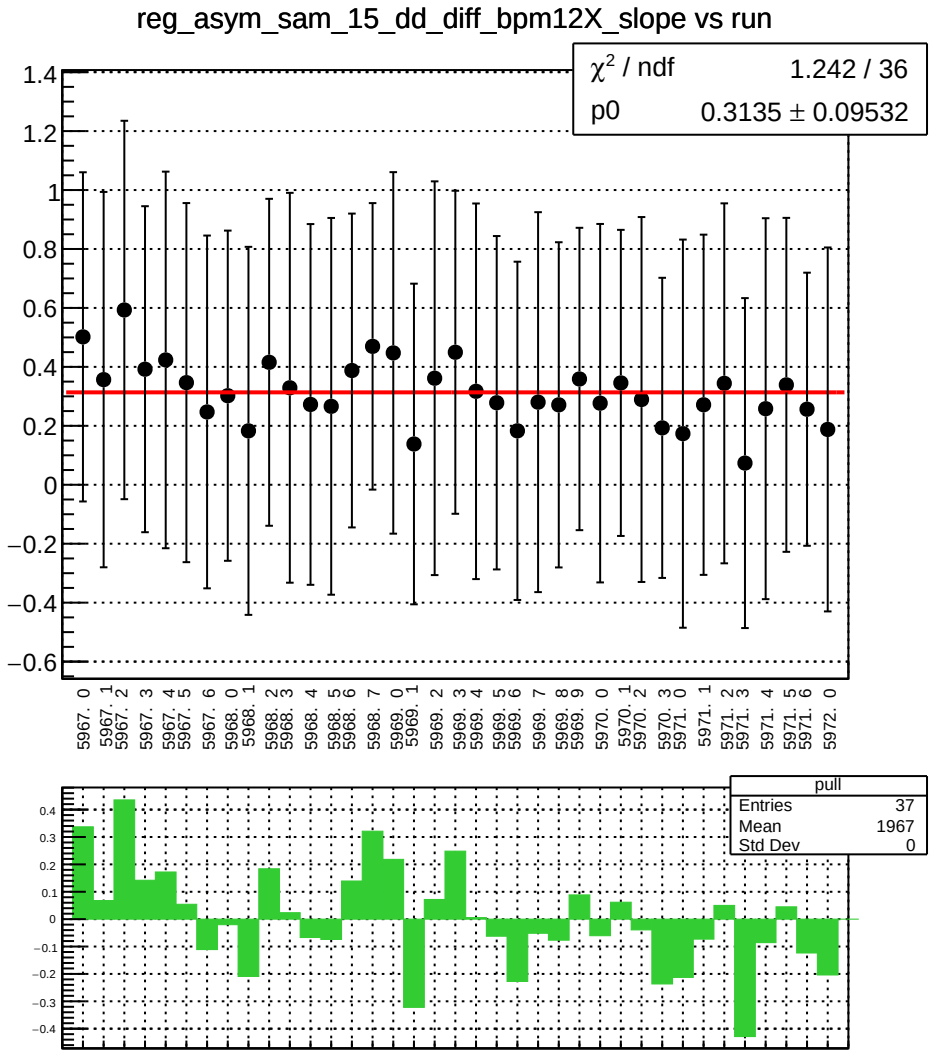
reg_asym_sam_15_dd_diff_bpm12X_slope vs run
χ² / ndf 1.242 / 36
p0 0.3135 ± 0.09532
pull
Entries 37
Mean 1967
Std Dev 0

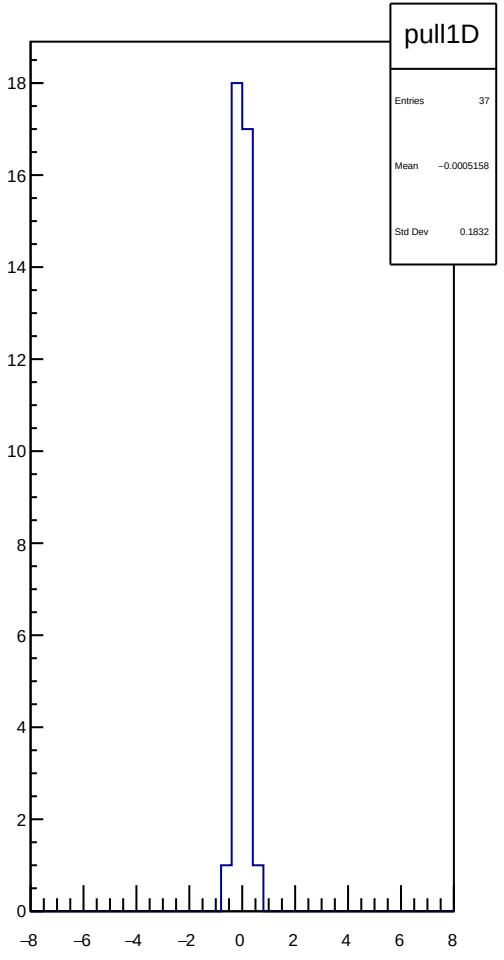
pull1D
Entries 37
Mean −0.0005158
Std Dev 0.1832

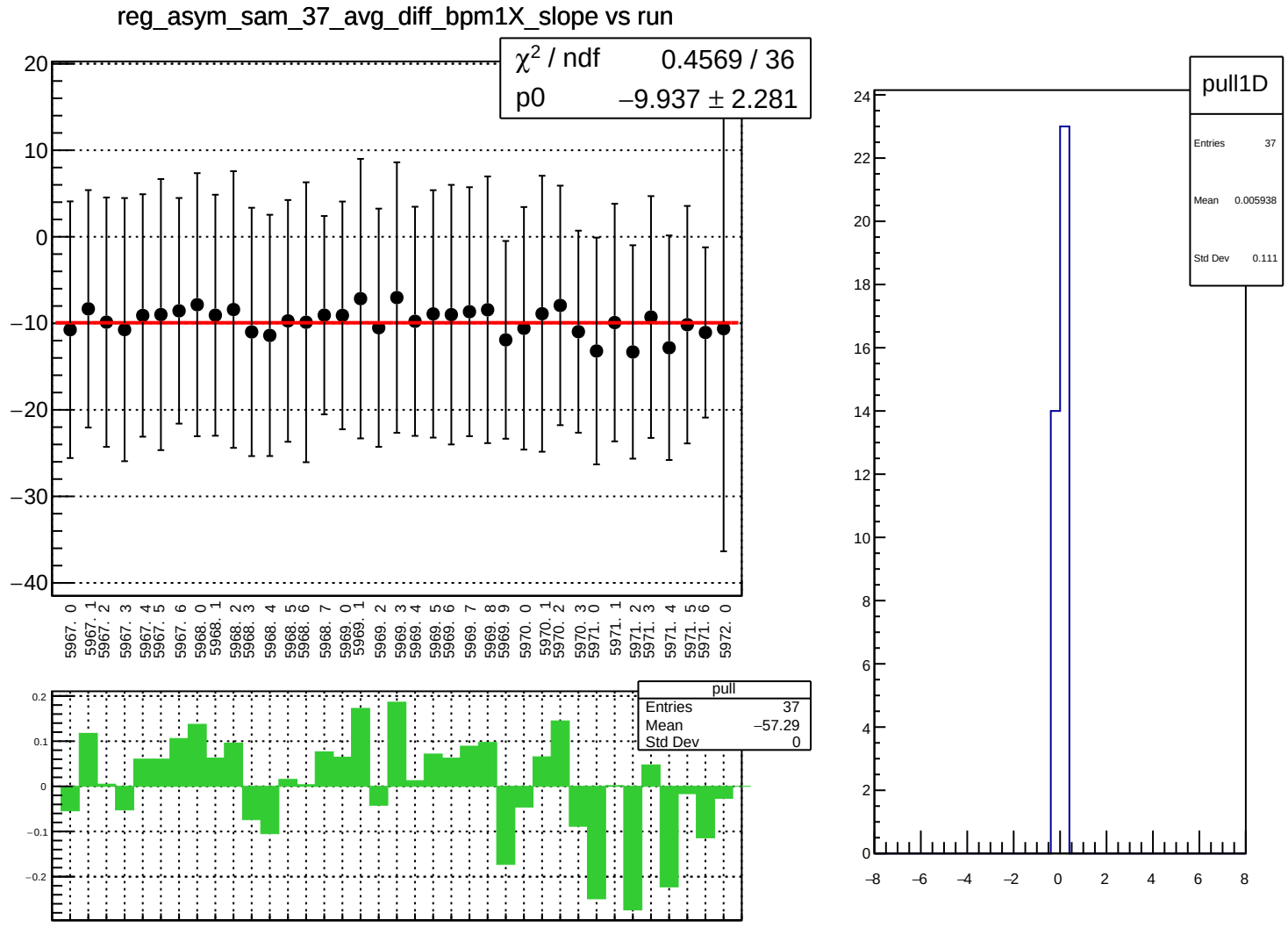
reg_asym_sam_37_avg_diff_bpm1X_slope vs run
χ² / ndf 0.4569 / 36
p0 −9.937 ± 2.281
pull
Entries 37
Mean −57.29
Std Dev 0
pull1D
Entries 37
Mean 0.005938
Std Dev 0.111

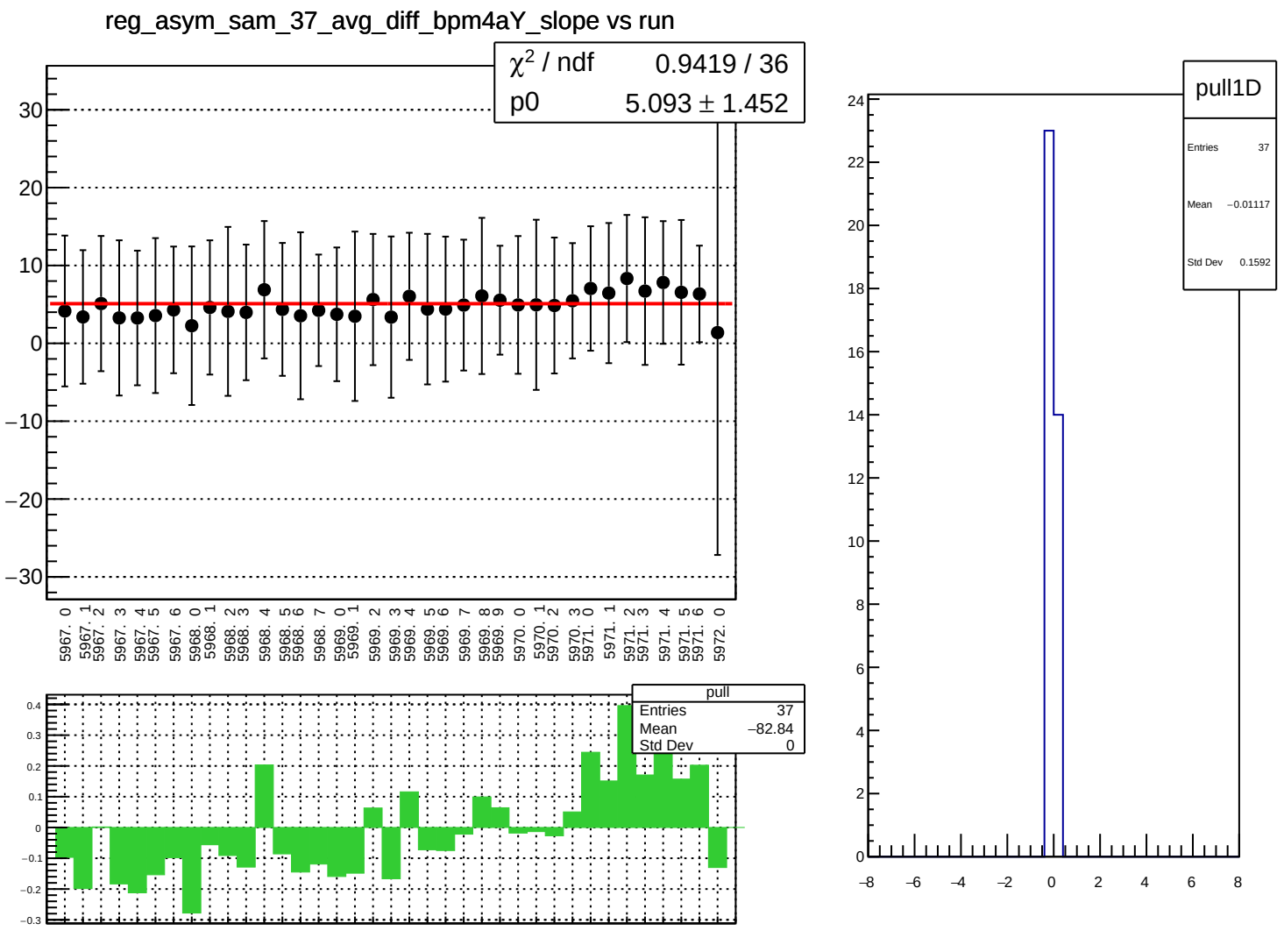
reg_asym_sam_37_avg_diff_bpm4aY_slope vs run
χ² / ndf 0.9419 / 36
p0 5.093 ± 1.452
30
20
10
0
−10
−20
−30
5967. 0
5967. 1
5967. 2
5967. 3
5967. 4
5967. 5
5967. 6
5968. 0
5968. 1
5968. 2
5968. 3
5968. 4
5968. 5
5968. 6
5968. 7
5969. 0
5969. 1
5969. 2
5969. 3
5969. 4
5969. 5
5969. 6
5969. 7
5969. 8
5969. 9
5970. 0
5970. 1
5970. 2
5970. 3
5971. 0
5971. 1
5971. 2
5971. 3
5971. 4
5971. 5
5971. 6
5972. 0
pull
Entries 37
Mean −82.84
Std Dev 0
0.4
0.3
0.2
0.1
0
−0.1
−0.2
−0.3
pull1D
Entries 37
Mean −0.01117
Std Dev 0.1592
24
22
20
18
16
14
12
10
8
6
4
2
0
−8
−6
−4
−2
0
2
4
6
8

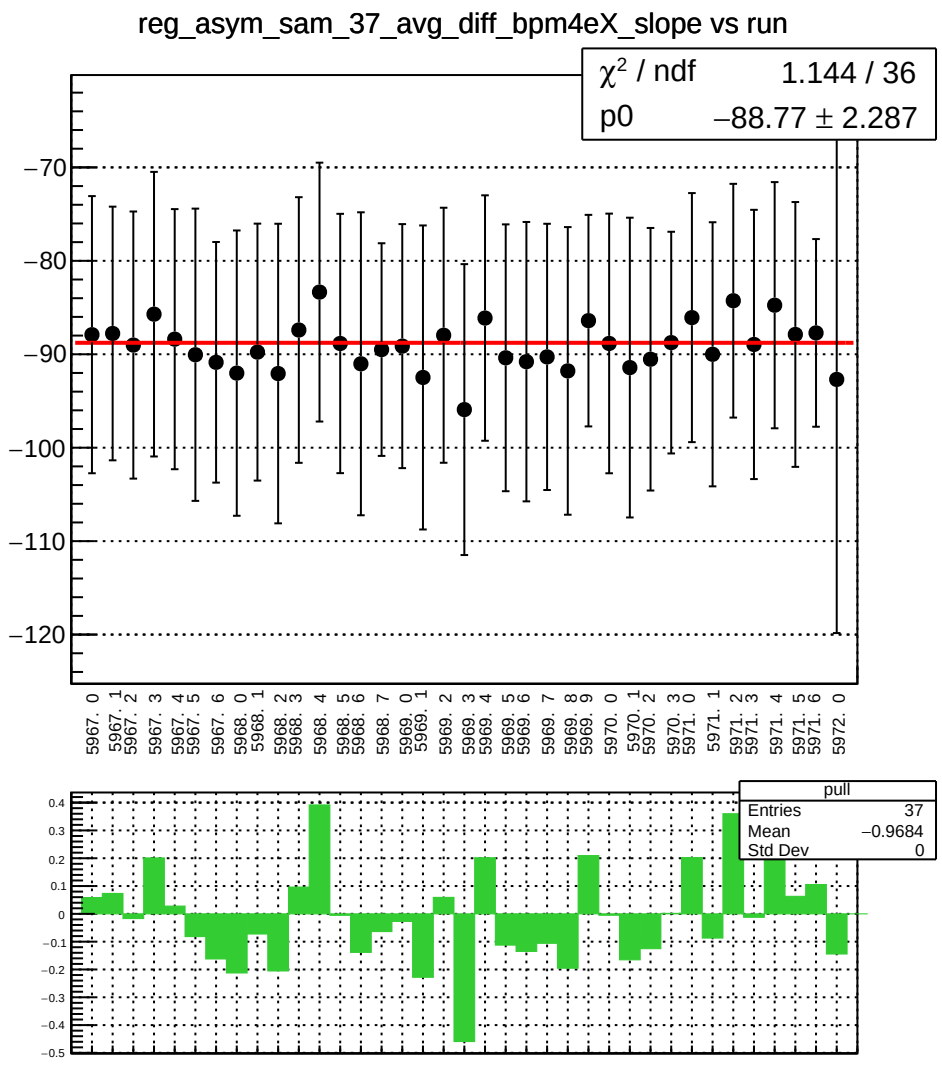
reg_asym_sam_37_avg_diff_bpm4eX_slope vs run
χ² / ndf 1.144 / 36
p0 −88.77 ± 2.287
pull
Entries 37
Mean −0.9684
Std Dev 0

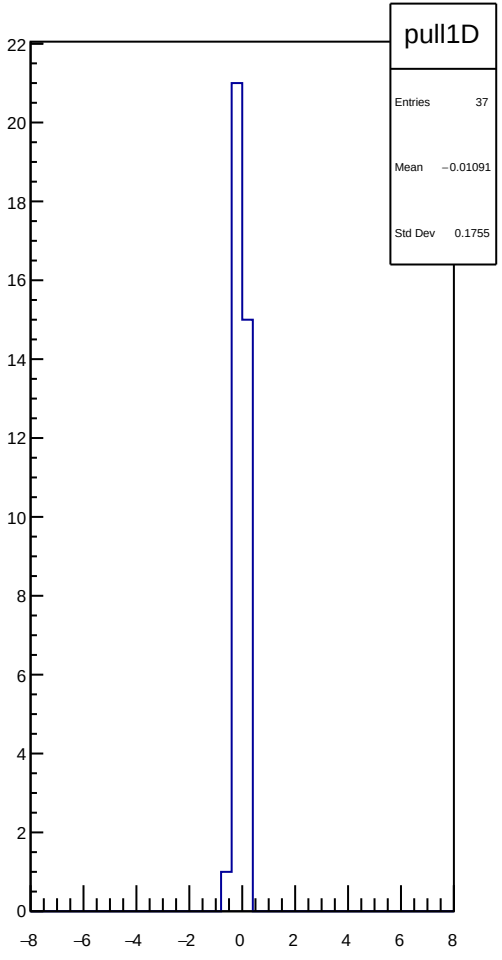
pull1D
Entries 37
Mean −0.01091
Std Dev 0.1755

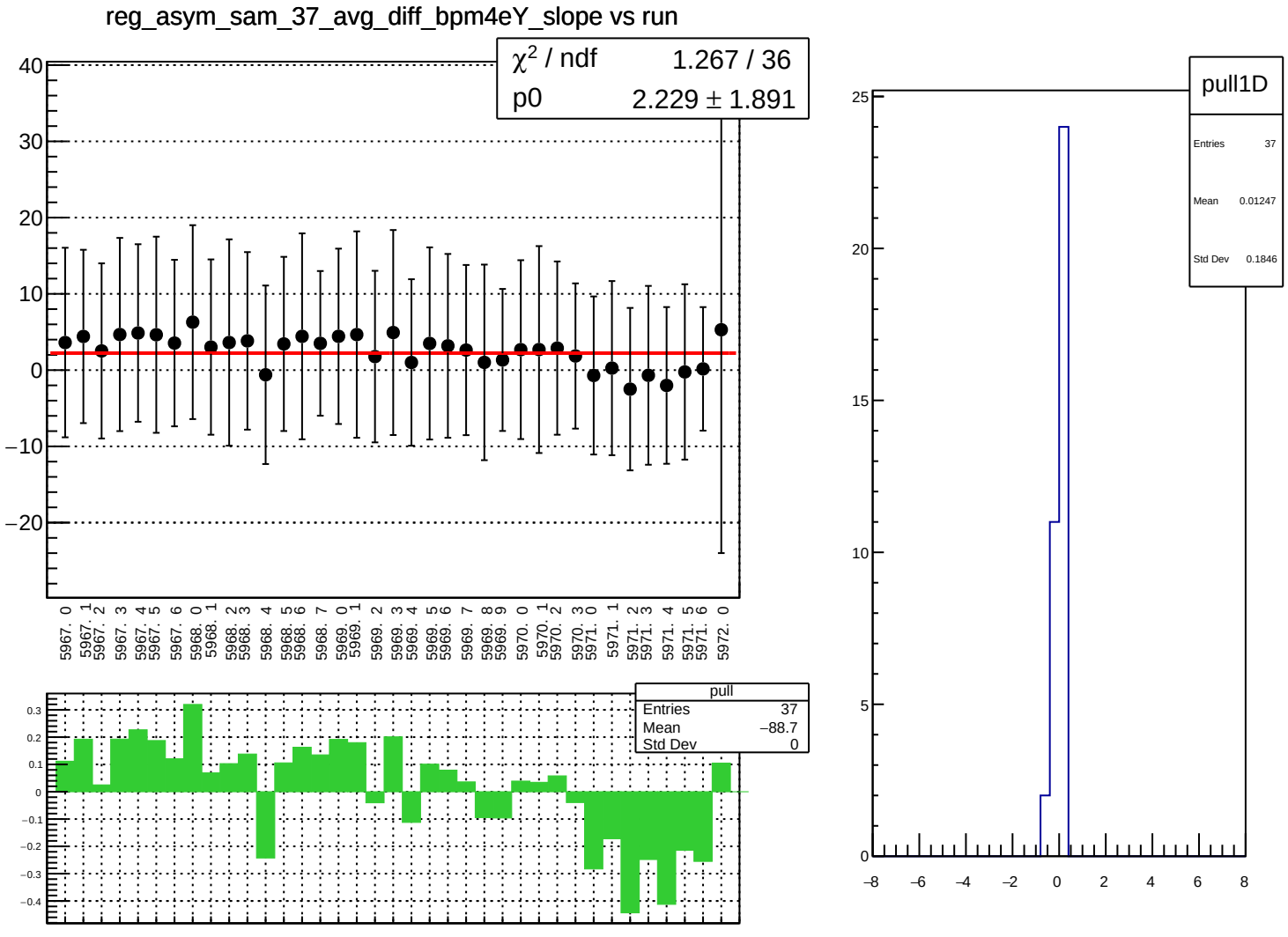
reg_asym_sam_37_avg_diff_bpm4eY_slope vs run
χ² / ndf 1.267 / 36
p0 2.229 ± 1.891
pull
Entries 37
Mean −88.7
Std Dev 0
pull1D
Entries 37
Mean 0.01247
Std Dev 0.1846

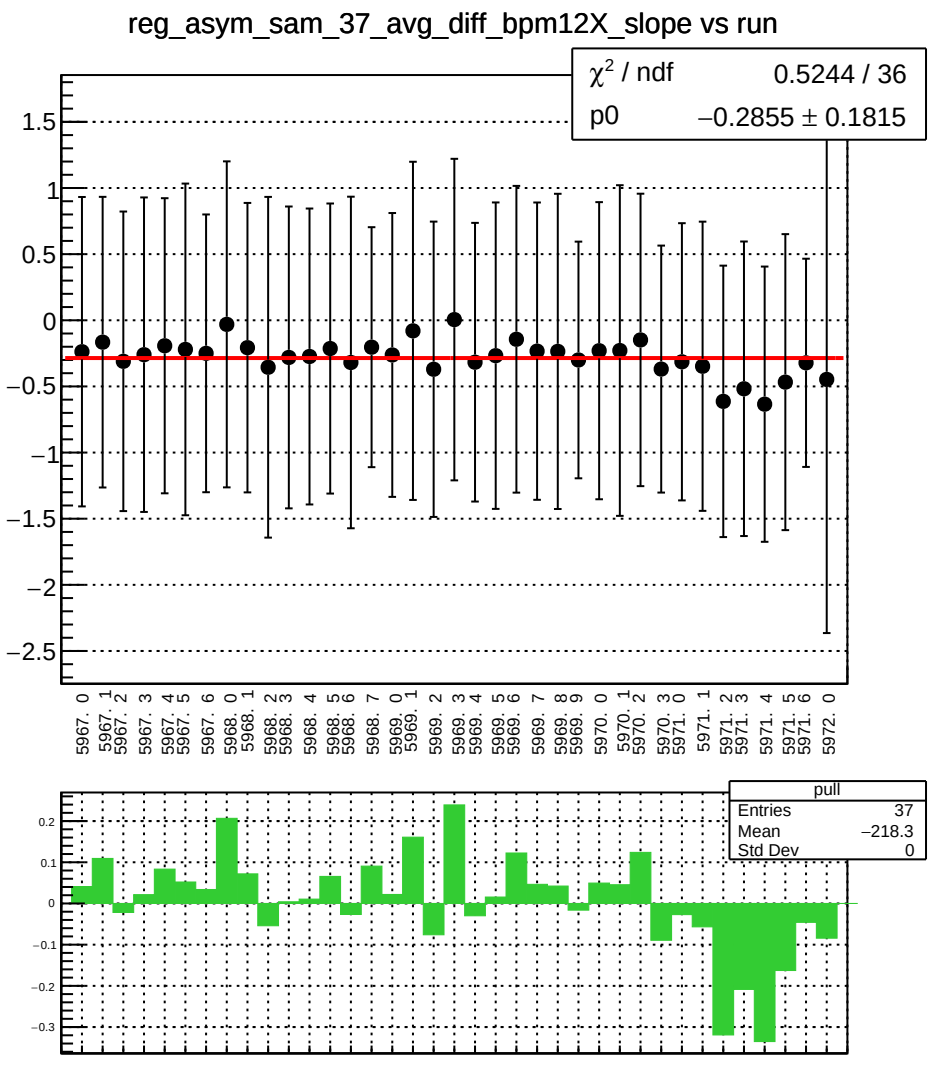
reg_asym_sam_37_avg_diff_bpm12X_slope vs run
χ² / ndf 0.5244 / 36
p0 −0.2855 ± 0.1815
pull
Entries 37
Mean −218.3
Std Dev 0

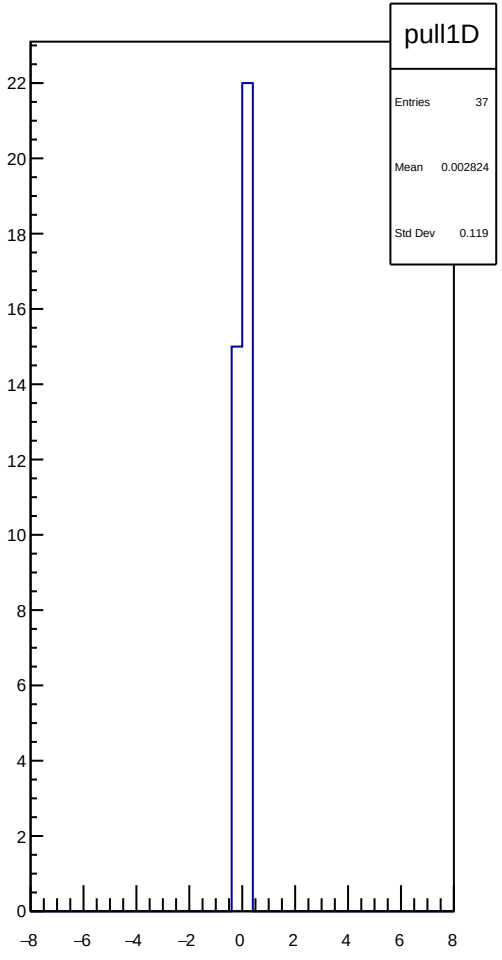
pull1D
Entries 37
Mean 0.002824
Std Dev 0.119

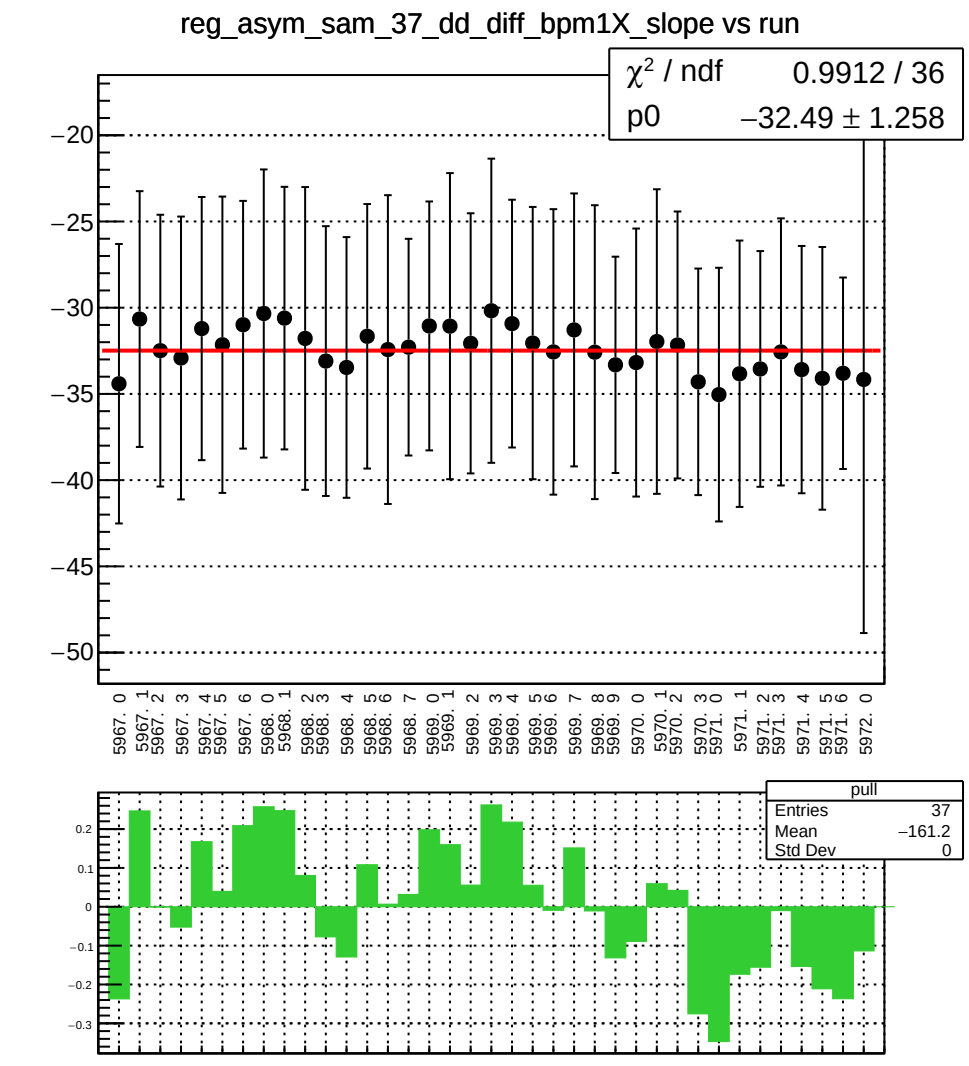
reg_asym_sam_37_dd_diff_bpm1X_slope vs run
χ² / ndf 0.9912 / 36
p0 −32.49 ± 1.258
−20
−25
−30
−35
−40
−45
−50
5967. 0
5967. 1
5967. 2
5967. 3
5967. 4
5967. 5
5967. 6
5968. 0
5968. 1
5968. 2
5968. 3
5968. 4
5968. 5
5968. 6
5968. 7
5969. 0
5969. 1
5969. 2
5969. 3
5969. 4
5969. 5
5969. 6
5969. 7
5969. 8
5969. 9
5970. 0
5970. 1
5970. 2
5970. 3
5971. 0
5971. 1
5971. 2
5971. 3
5971. 4
5971. 5
5971. 6
5972. 0
pull
Entries 37
Mean −161.2
Std Dev 0
0.2
0.1
0
−0.1
−0.2
−0.3

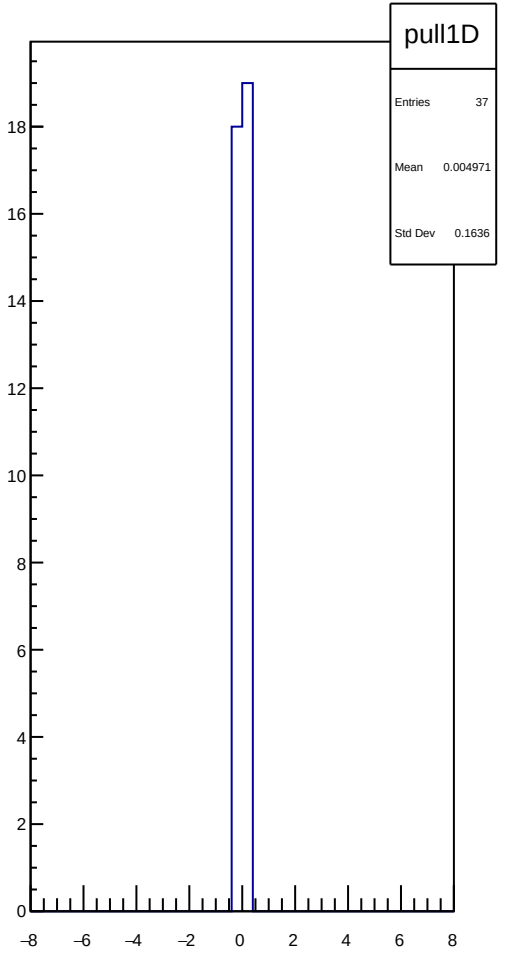
pull1D
Entries 37
Mean 0.004971
Std Dev 0.1636
18
16
14
12
10
8
6
4
2
0
−8
−6
−4
−2
0
2
4
6
8

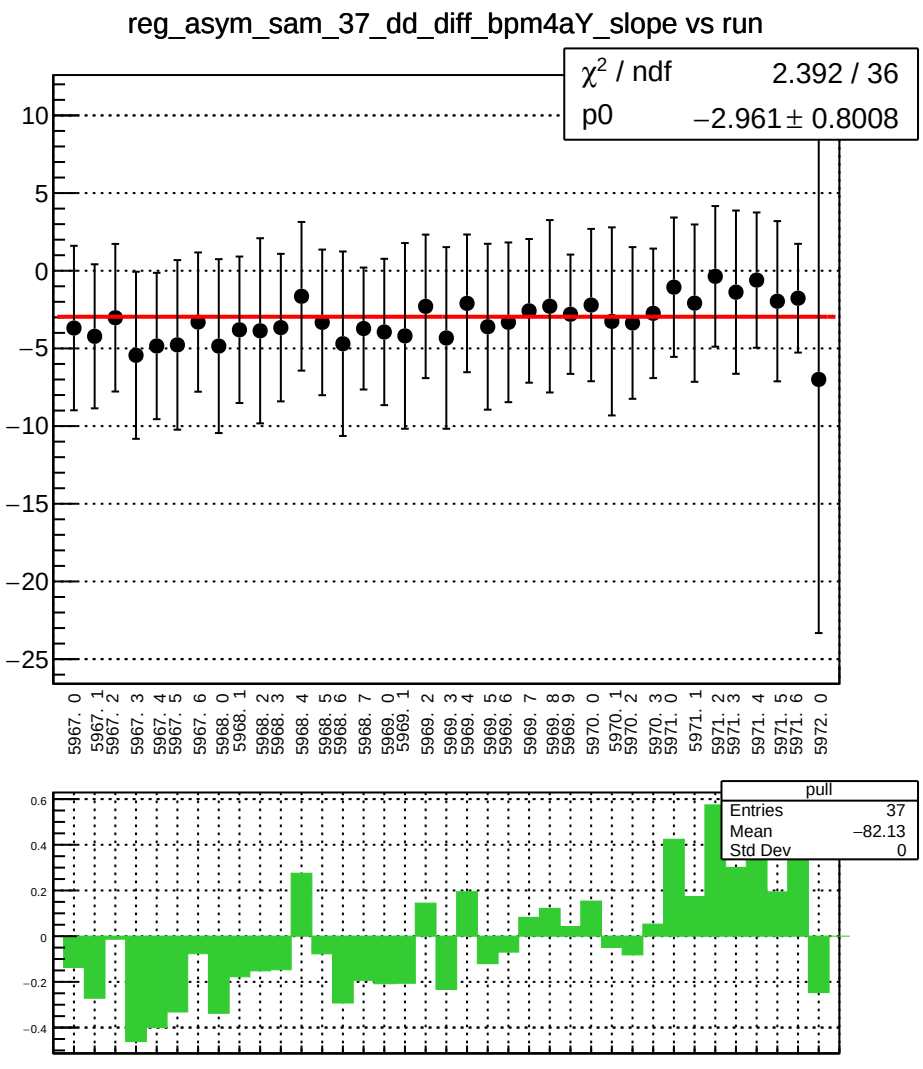
reg_asym_sam_37_dd_diff_bpm4aY_slope vs run
χ² / ndf 2.392 / 36
p0 −2.961 ± 0.8008
pull
Entries 37
Mean −82.13
Std Dev 0

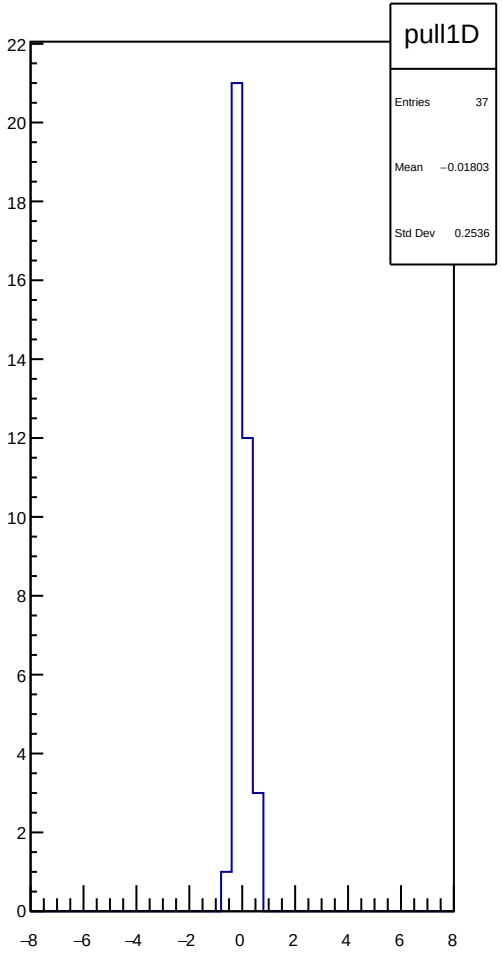
pull1D
Entries 37
Mean −0.01803
Std Dev 0.2536

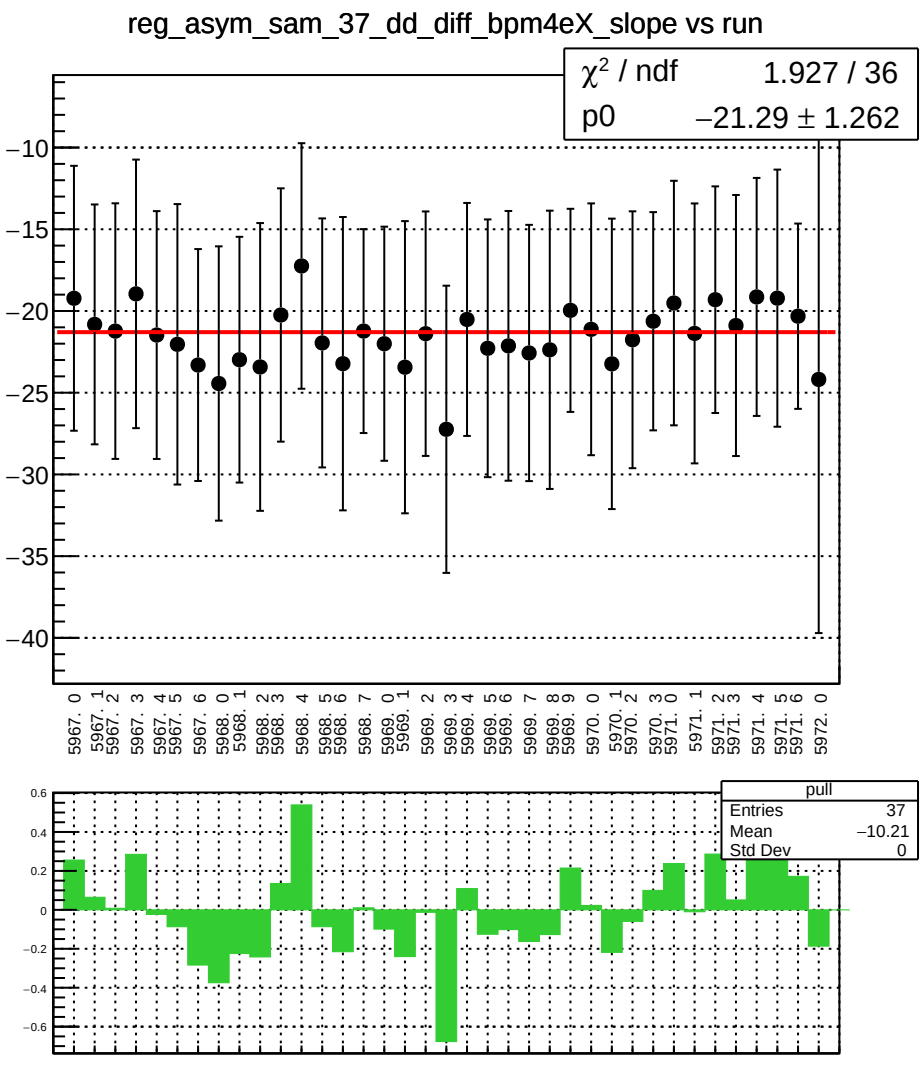
reg_asym_sam_37_dd_diff_bpm4eX_slope vs run
χ² / ndf 1.927 / 36
p0 −21.29 ± 1.262
−10
−15
−20
−25
−30
−35
−40
5967. 0
5967. 1
5967. 2
5967. 3
5967. 4
5967. 5
5967. 6
5968. 0
5968. 1
5968. 2
5968. 3
5968. 4
5968. 5
5968. 6
5968. 7
5969. 0
5969. 1
5969. 2
5969. 3
5969. 4
5969. 5
5969. 6
5969. 7
5969. 8
5969. 9
5970. 0
5970. 1
5970. 2
5970. 3
5971. 0
5971. 1
5971. 2
5971. 3
5971. 4
5971. 5
5971. 6
5972. 0
pull
Entries 37
Mean −10.21
Std Dev 0
0.6
0.4
0.2
0
−0.2
−0.4
−0.6
pull1D
Entries 37
Mean −0.01354
Std Dev 0.2278
18
16
14
12
10
8
6
4
2
0
−8
−6
−4
−2
0
2
4
6
8

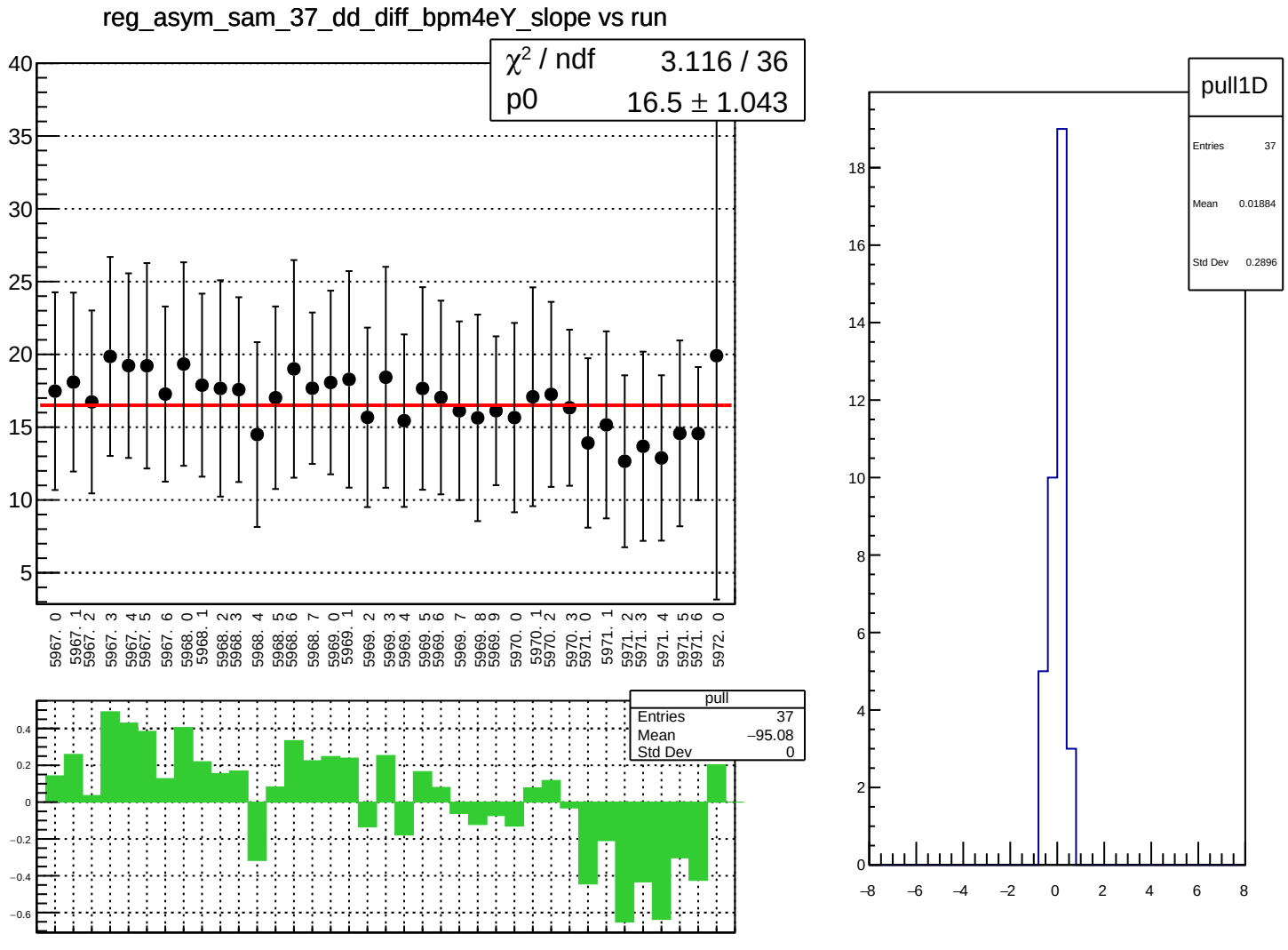
reg_asym_sam_37_dd_diff_bpm4eY_slope vs run
χ² / ndf 3.116 / 36
p0 16.5 ± 1.043
pull
Entries 37
Mean −95.08
Std Dev 0
pull1D
Entries 37
Mean 0.01884
Std Dev 0.2896

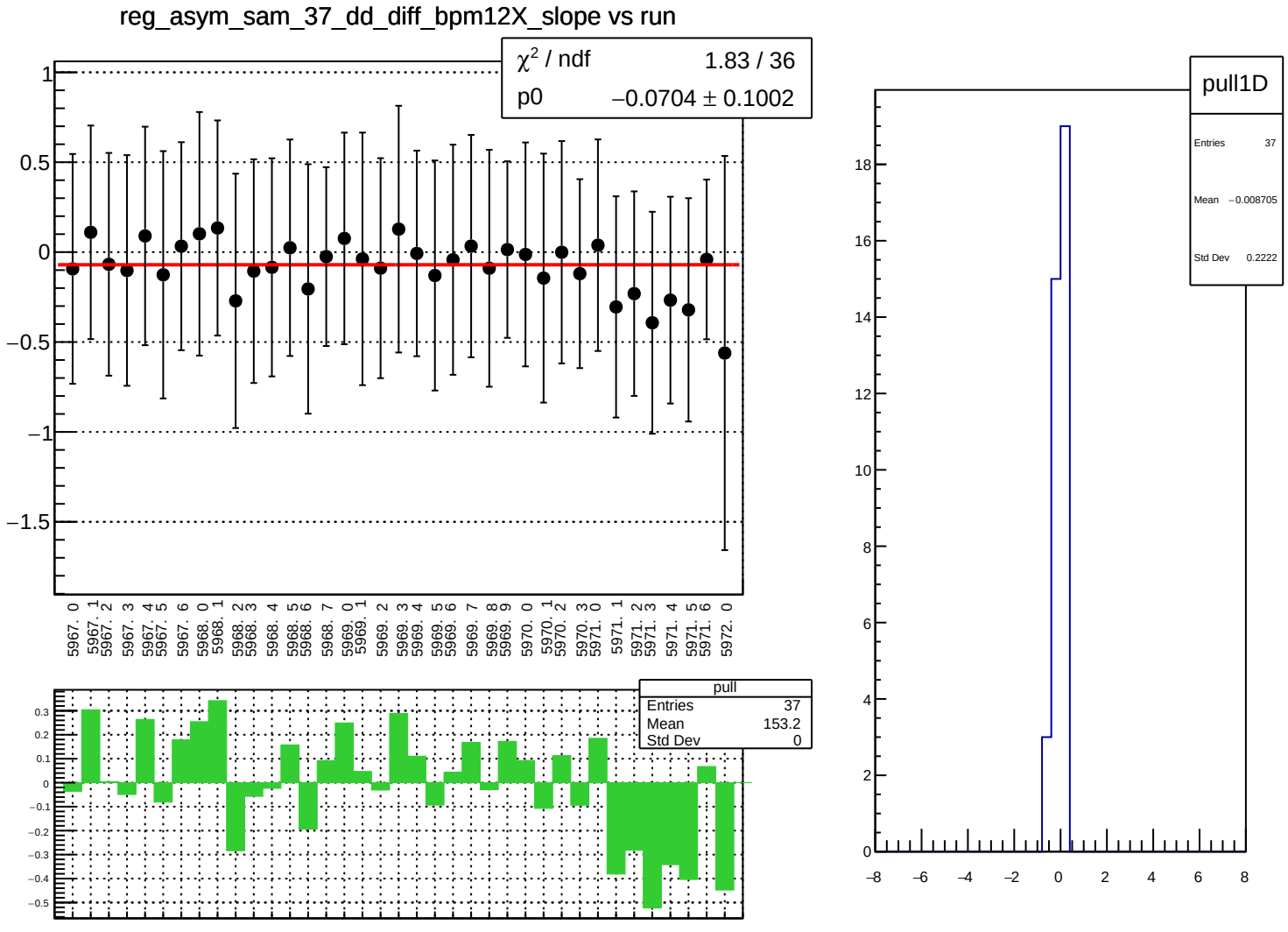
reg_asym_sam_37_dd_diff_bpm12X_slope vs run
χ² / ndf 1.83 / 36
p0 −0.0704 ± 0.1002
pull
Entries 37
Mean 153.2
Std Dev 0
pull1D
Entries 37
Mean −0.008705
Std Dev 0.2222

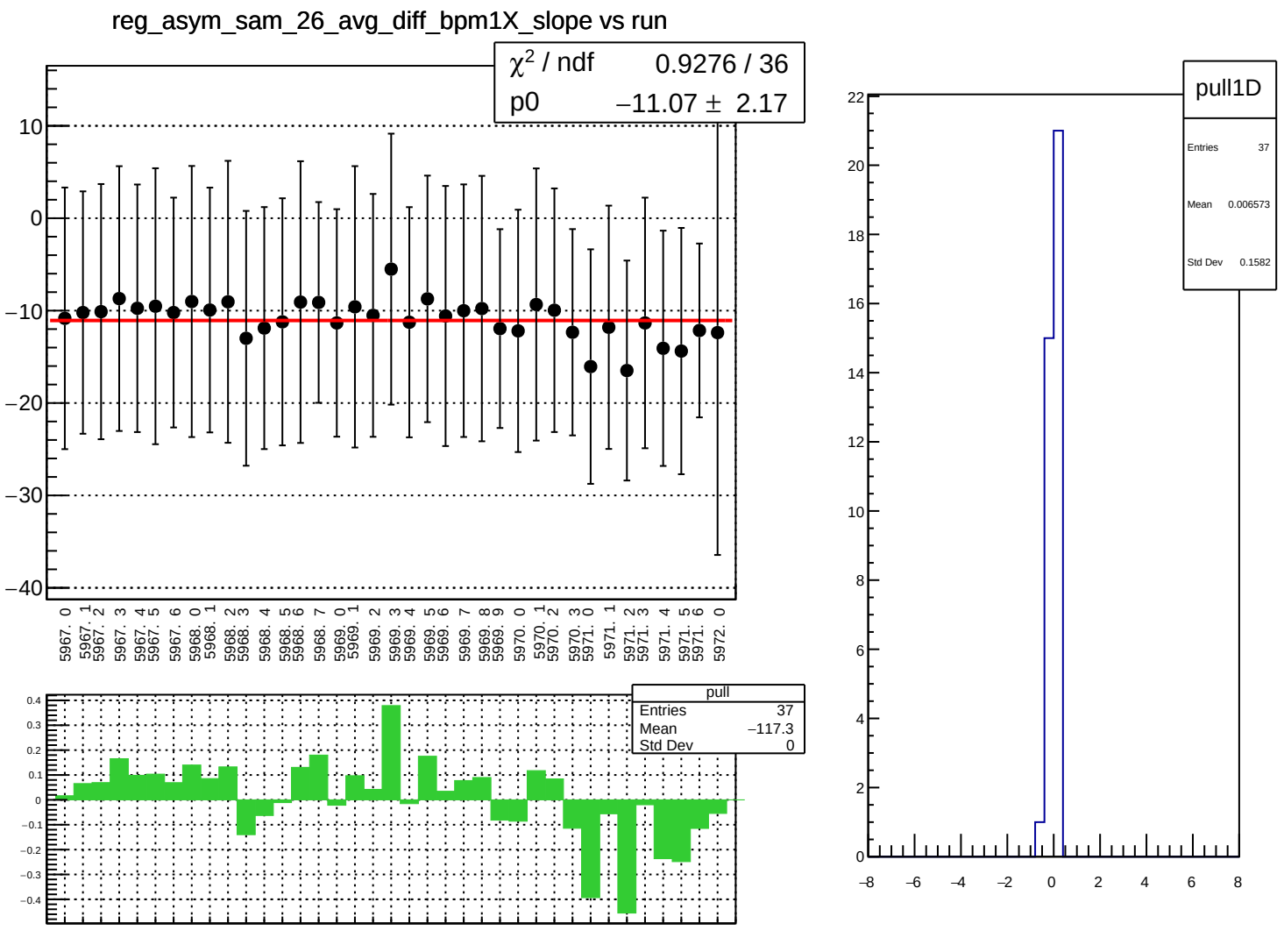
reg_asym_sam_26_avg_diff_bpm1X_slope vs run
χ² / ndf 0.9276 / 36
p0 −11.07 ± 2.17
pull
Entries 37
Mean −117.3
Std Dev 0
pull1D
Entries 37
Mean 0.006573
Std Dev 0.1582

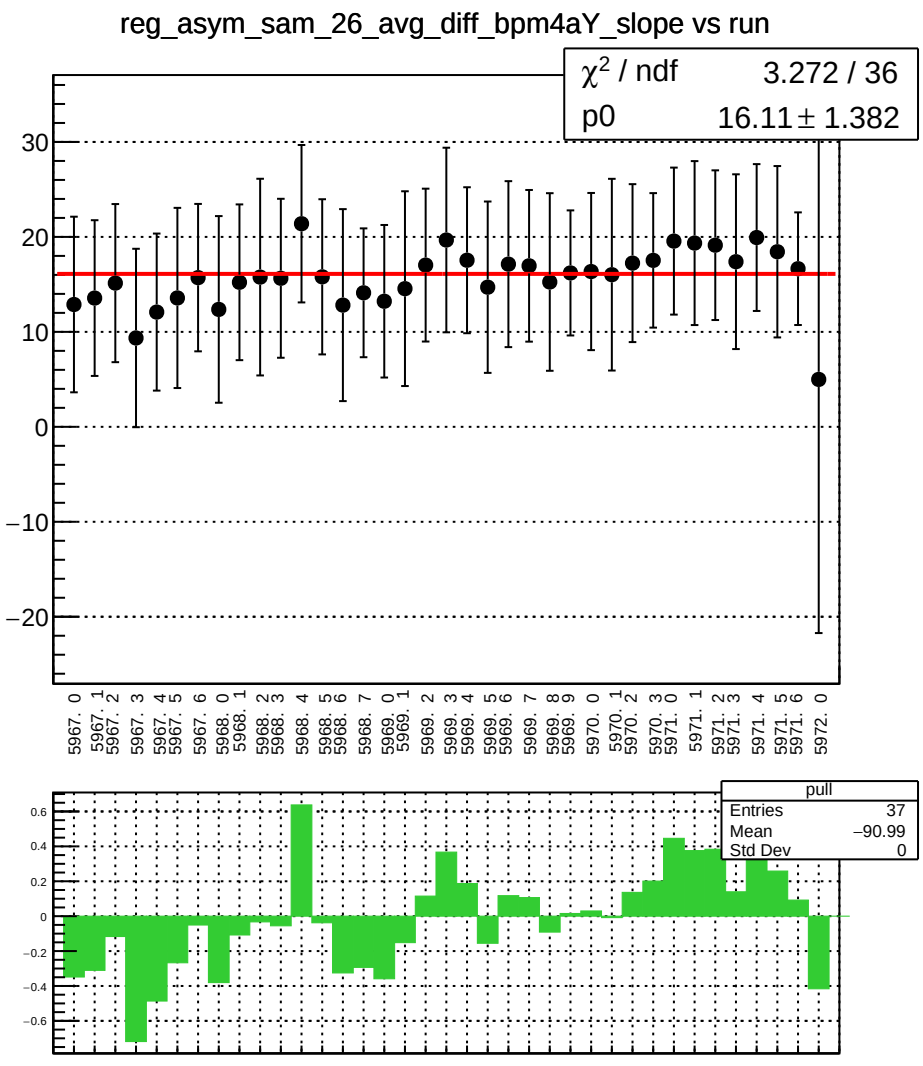
reg_asym_sam_26_avg_diff_bpm4aY_slope vs run
χ² / ndf 3.272 / 36
p0 16.11 ± 1.382
30
20
10
0
−10
−20
5967. 0
5967. 1
5967. 2
5967. 3
5967. 4
5967. 5
5967. 6
5968. 0
5968. 1
5968. 2
5968. 3
5968. 4
5968. 5
5968. 6
5968. 7
5969. 0
5969. 1
5969. 2
5969. 3
5969. 4
5969. 5
5969. 6
5969. 7
5969. 8
5969. 9
5970. 0
5970. 1
5970. 2
5970. 3
5971. 0
5971. 1
5971. 2
5971. 3
5971. 4
5971. 5
5971. 6
5972. 0
pull
Entries 37
Mean −90.99
Std Dev 0
0.6
0.4
0.2
0
−0.2
−0.4
−0.6

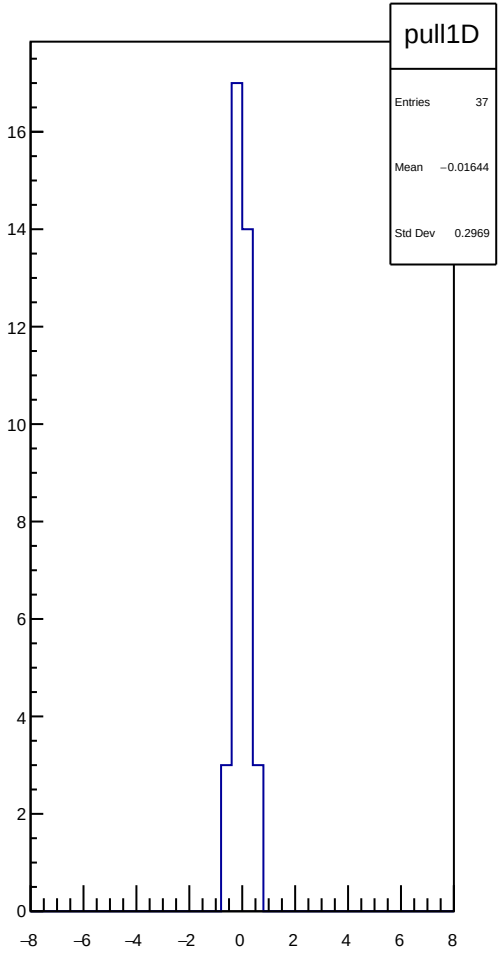
pull1D
Entries 37
Mean −0.01644
Std Dev 0.2969
16
14
12
10
8
6
4
2
0
−8
−6
−4
−2
0
2
4
6
8

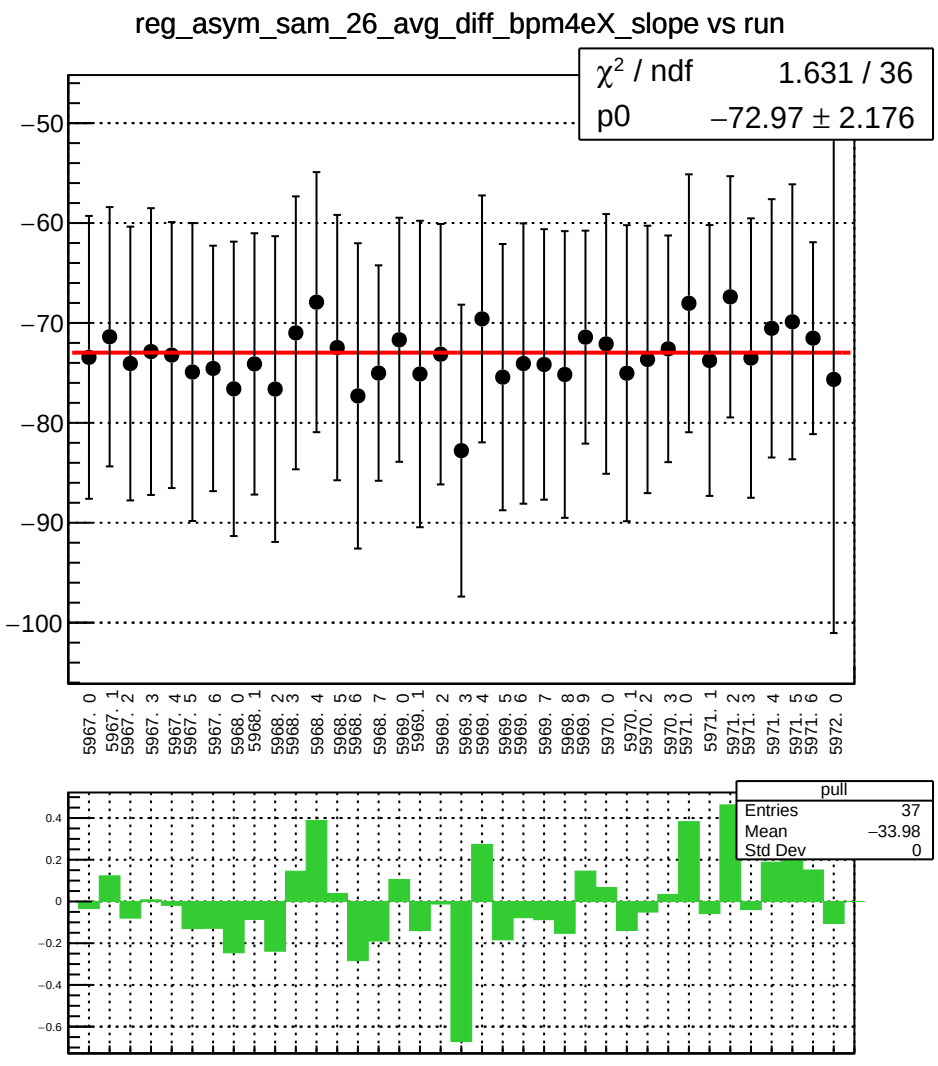
reg_asym_sam_26_avg_diff_bpm4eX_slope vs run
χ² / ndf 1.631 / 36
p0 −72.97 ± 2.176
pull
Entries 37
Mean −33.98
Std Dev 0

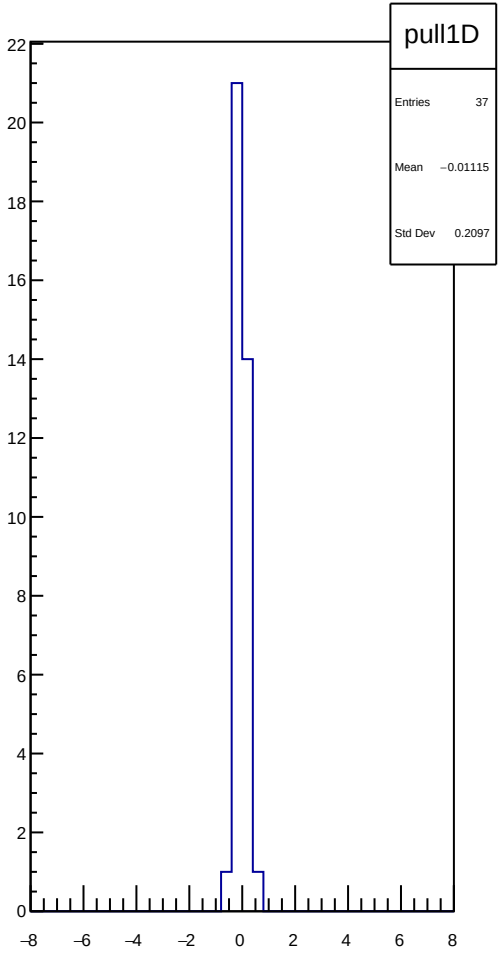
pull1D
Entries 37
Mean −0.01115
Std Dev 0.2097

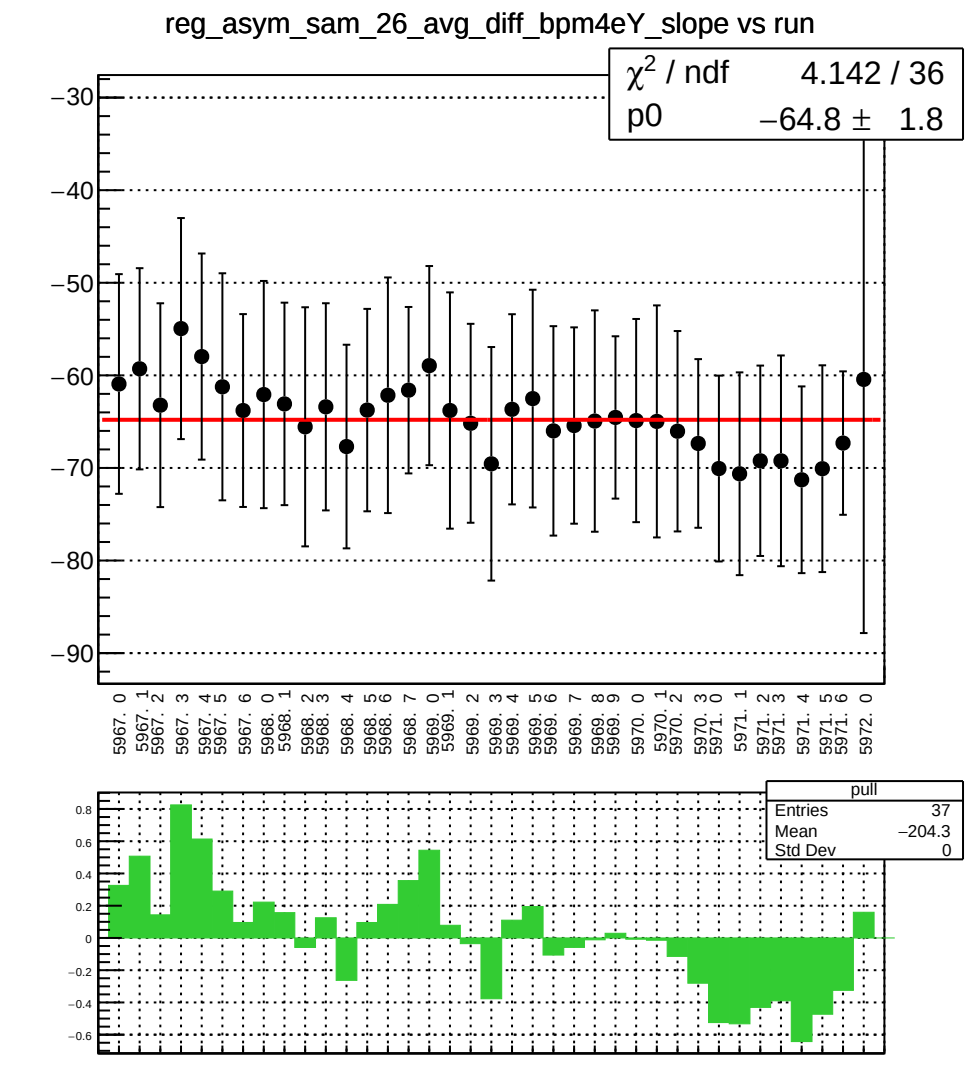
reg_asym_sam_26_avg_diff_bpm4eY_slope vs run
χ² / ndf 4.142 / 36
p0 −64.8 ± 1.8
pull
Entries 37
Mean −204.3
Std Dev 0

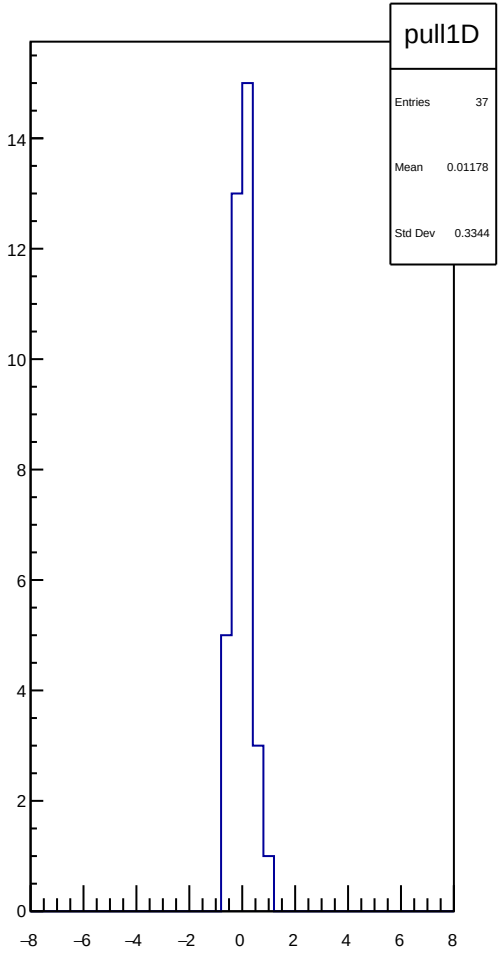
pull1D
Entries 37
Mean 0.01178
Std Dev 0.3344

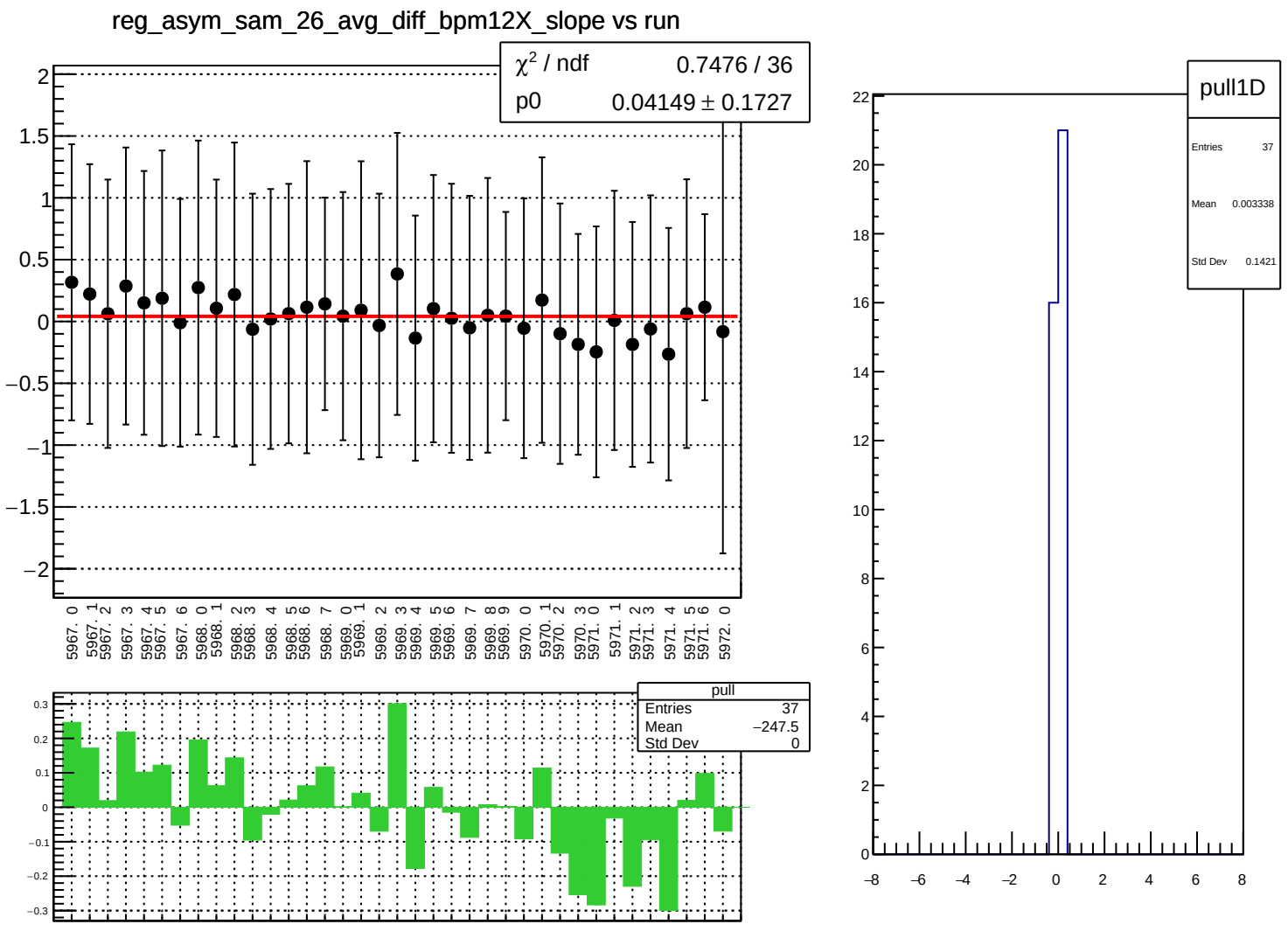
reg_asym_sam_26_avg_diff_bpm12X_slope vs run
χ² / ndf 0.7476 / 36
p0 0.04149 ± 0.1727
pull
Entries 37
Mean −247.5
Std Dev 0
pull1D
Entries 37
Mean 0.003338
Std Dev 0.1421

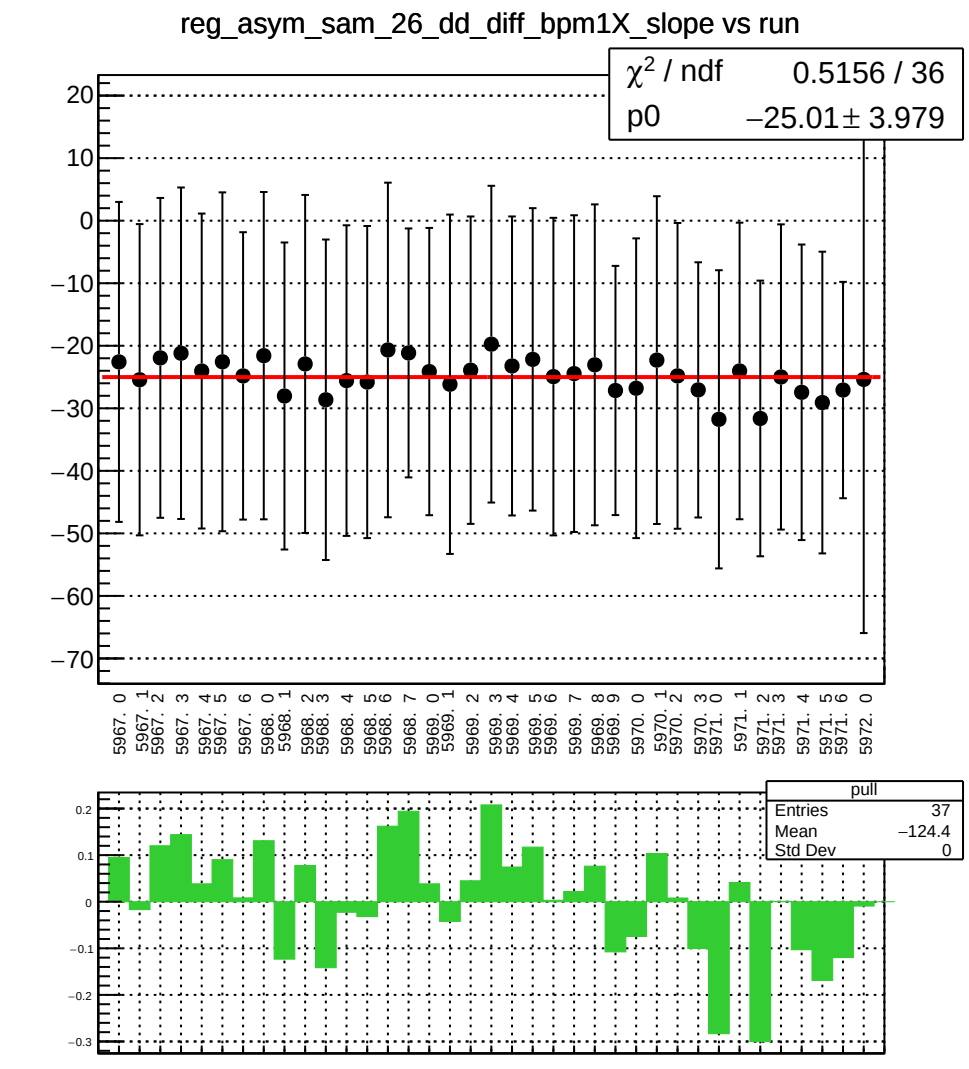
reg_asym_sam_26_dd_diff_bpm1X_slope vs run
χ² / ndf 0.5156 / 36
p0 −25.01± 3.979
pull
Entries 37
Mean −124.4
Std Dev 0

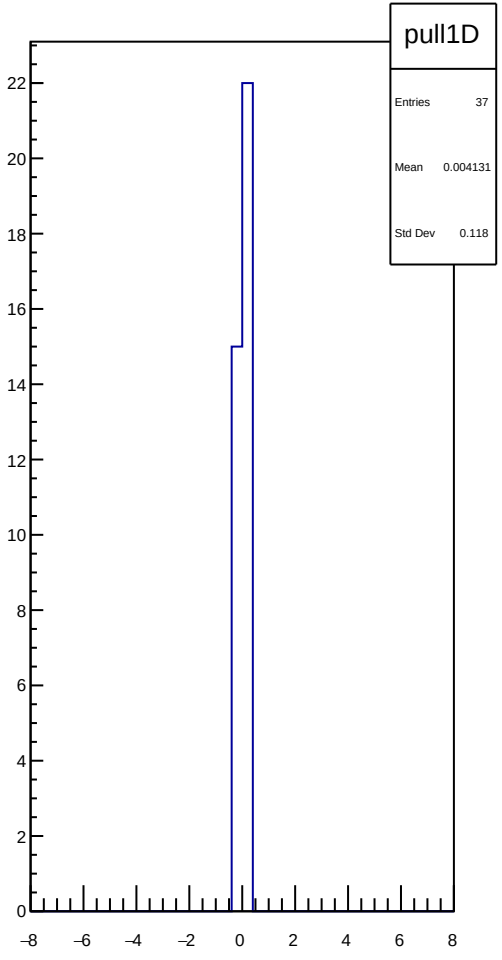
pull1D
Entries 37
Mean 0.004131
Std Dev 0.118

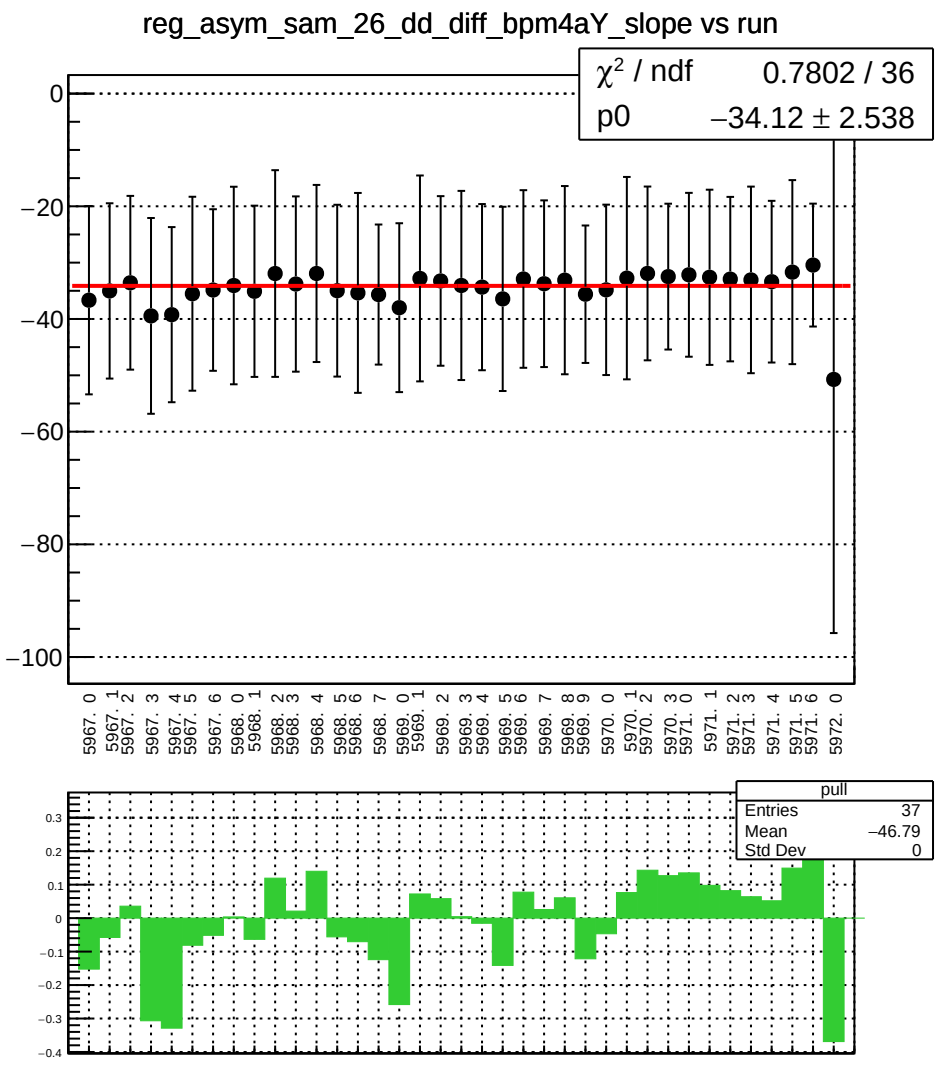
reg_asym_sam_26_dd_diff_bpm4aY_slope vs run
χ² / ndf 0.7802 / 36
p0 −34.12 ± 2.538
0
−20
−40
−60
−80
−100
5967. 0
5967. 1
5967. 2
5967. 3
5967. 4
5967. 5
5967. 6
5968. 0
5968. 1
5968. 2
5968. 3
5968. 4
5968. 5
5968. 6
5968. 7
5969. 0
5969. 1
5969. 2
5969. 3
5969. 4
5969. 5
5969. 6
5969. 7
5969. 8
5969. 9
5970. 0
5970. 1
5970. 2
5970. 3
5971. 0
5971. 1
5971. 2
5971. 3
5971. 4
5971. 5
5971. 6
5972. 0
pull
Entries 37
Mean −46.79
Std Dev 0
0.3
0.2
0.1
0
−0.1
−0.2
−0.3
−0.4

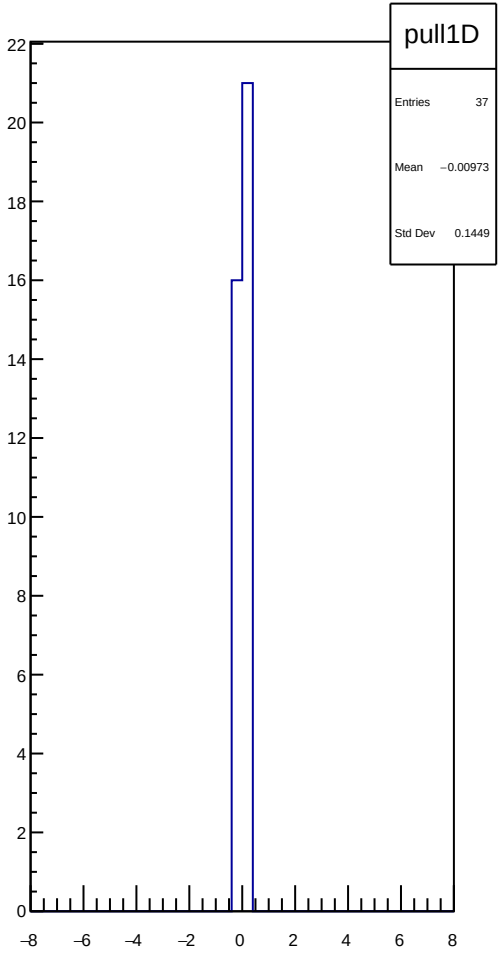
pull1D
Entries 37
Mean −0.00973
Std Dev 0.1449
22
20
18
16
14
12
10
8
6
4
2
0
−8
−6
−4
−2
0
2
4
6
8

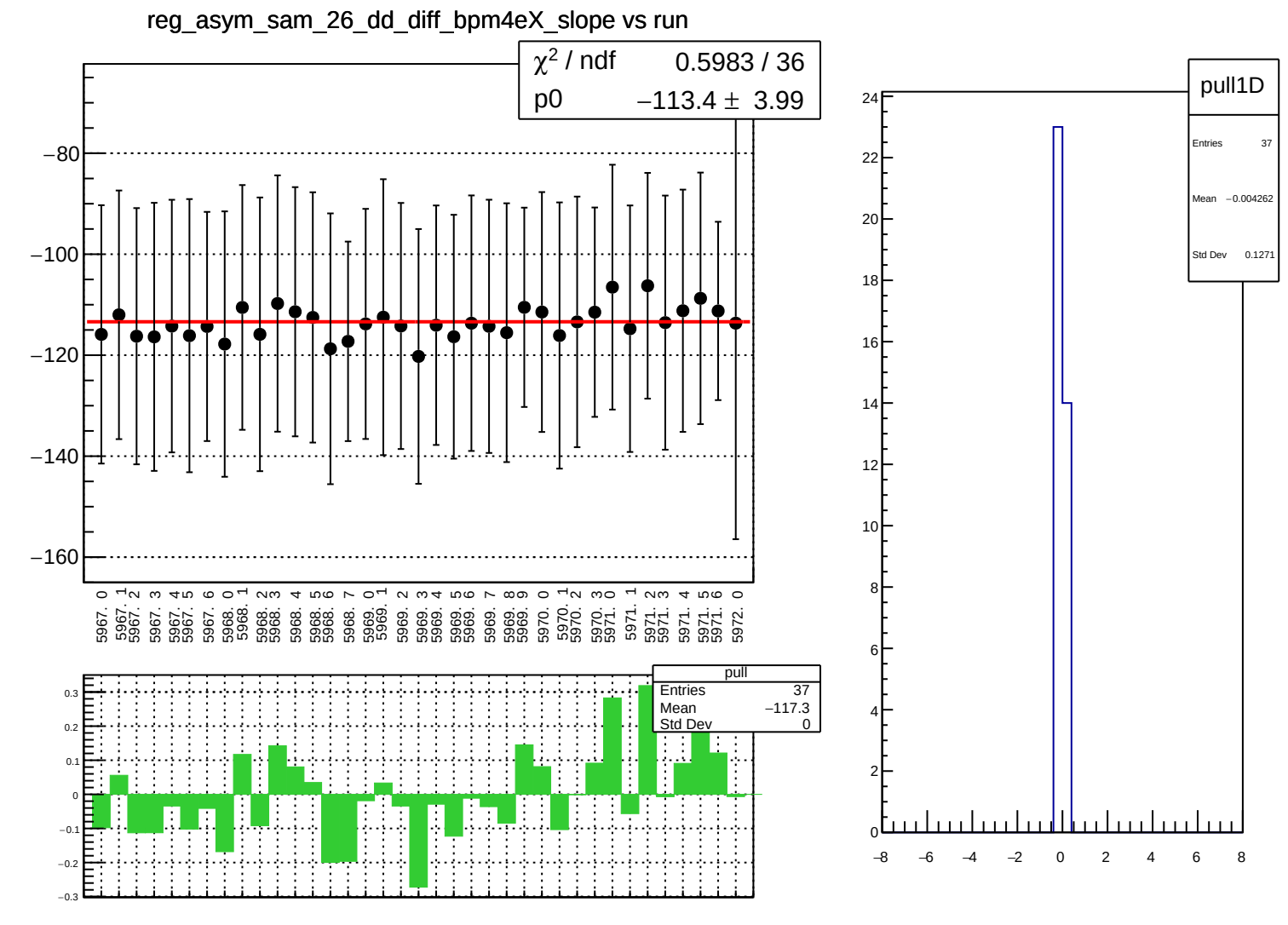
reg_asym_sam_26_dd_diff_bpm4eX_slope vs run
χ² / ndf 0.5983 / 36
p0 −113.4 ± 3.99
−80
−100
−120
−140
−160
5967. 0
5967. 1
5967. 2
5967. 3
5967. 4
5967. 5
5967. 6
5968. 0
5968. 1
5968. 2
5968. 3
5968. 4
5968. 5
5968. 6
5968. 7
5969. 0
5969. 1
5969. 2
5969. 3
5969. 4
5969. 5
5969. 6
5969. 7
5969. 8
5969. 9
5970. 0
5970. 1
5970. 2
5970. 3
5971. 0
5971. 1
5971. 2
5971. 3
5971. 4
5971. 5
5971. 6
5972. 0
pull
Entries 37
Mean −117.3
Std Dev 0
0.3
0.2
0.1
0
−0.1
−0.2
−0.3
pull1D
Entries 37
Mean −0.004262
Std Dev 0.1271
24
22
20
18
16
14
12
10
8
6
4
2
0
−8
−6
−4
−2
0
2
4
6
8

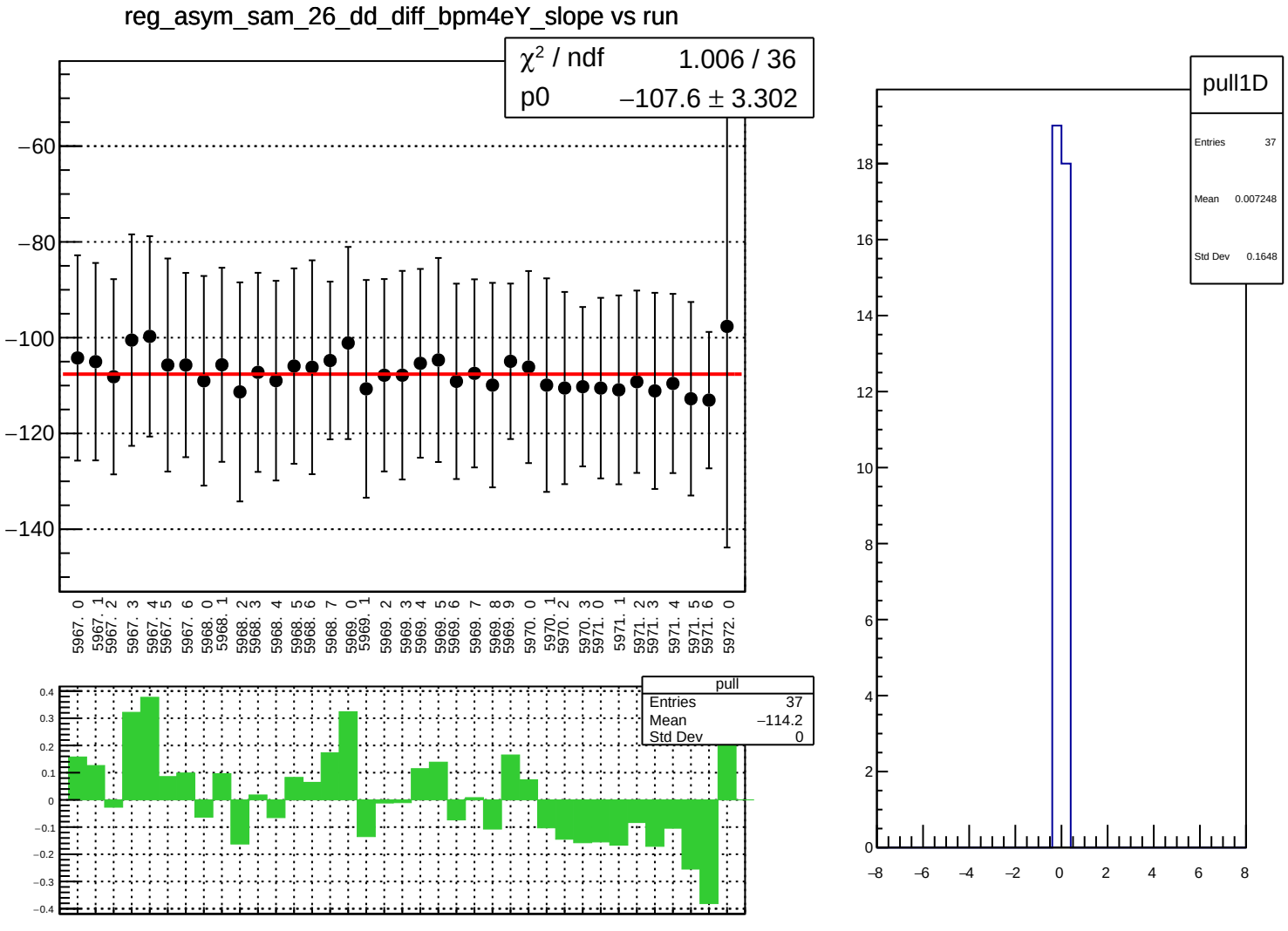
reg_asym_sam_26_dd_diff_bpm4eY_slope vs run
χ² / ndf 1.006 / 36
p0 −107.6 ± 3.302
−60
−80
−100
−120
−140
5967. 0
5967. 1
5967. 2
5967. 3
5967. 4
5967. 5
5967. 6
5968. 0
5968. 1
5968. 2
5968. 3
5968. 4
5968. 5
5968. 6
5968. 7
5969. 0
5969. 1
5969. 2
5969. 3
5969. 4
5969. 5
5969. 6
5969. 7
5969. 8
5969. 9
5970. 0
5970. 1
5970. 2
5970. 3
5971. 0
5971. 1
5971. 2
5971. 3
5971. 4
5971. 5
5971. 6
5972. 0
pull
Entries 37
Mean −114.2
Std Dev 0
0.4
0.3
0.2
0.1
0
−0.1
−0.2
−0.3
−0.4
pull1D
Entries 37
Mean 0.007248
Std Dev 0.1648
18
16
14
12
10
8
6
4
2
0
−8
−6
−4
−2
0
2
4
6
8

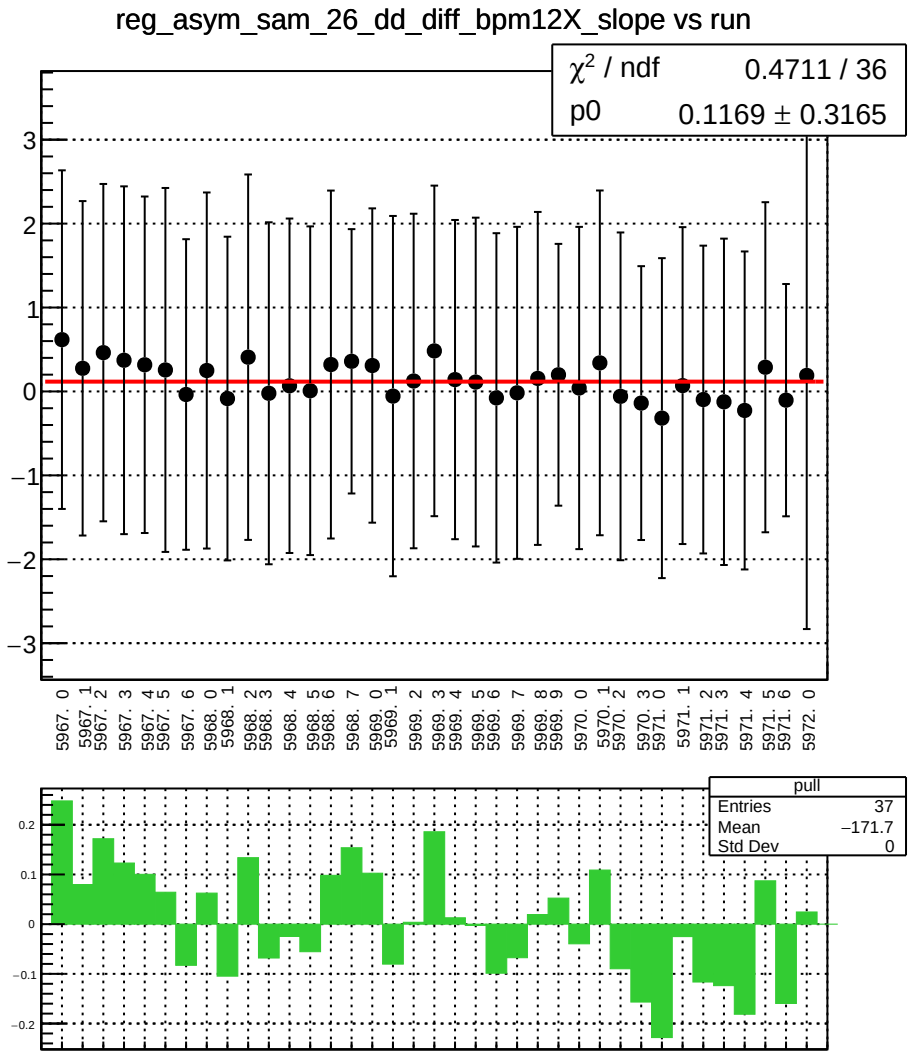
reg_asym_sam_26_dd_diff_bpm12X_slope vs run
χ² / ndf 0.4711 / 36
p0 0.1169 ± 0.3165
pull
Entries 37
Mean −171.7
Std Dev 0

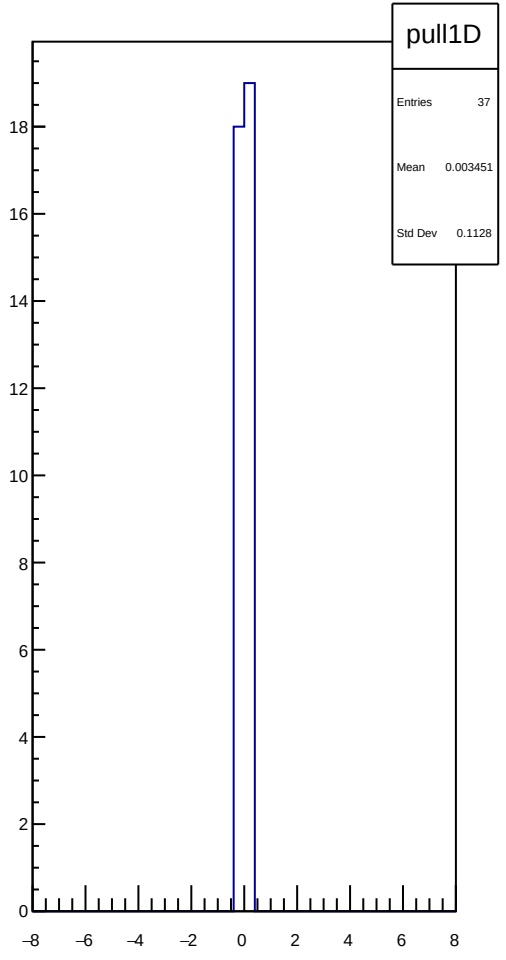
pull1D
Entries 37
Mean 0.003451
Std Dev 0.1128

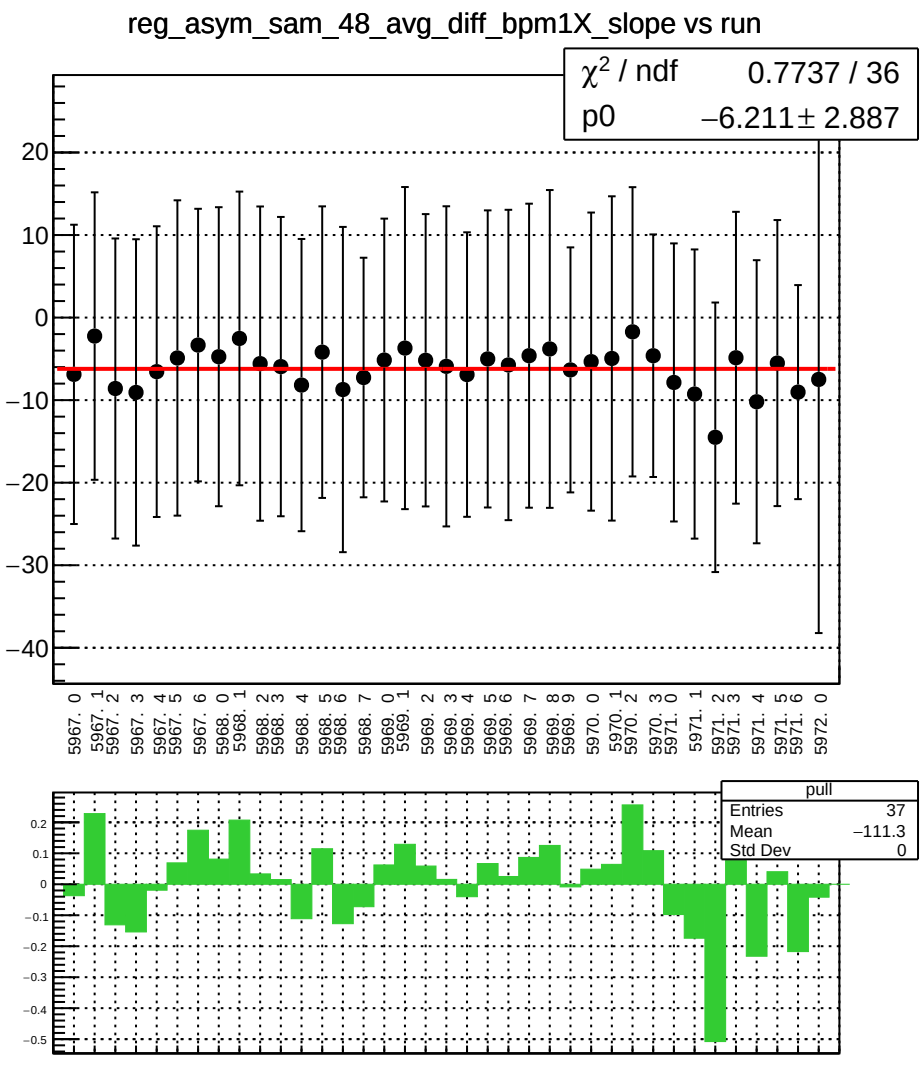
reg_asym_sam_48_avg_diff_bpm1X_slope vs run
χ² / ndf 0.7737 / 36
p0 −6.211± 2.887
pull
Entries 37
Mean −111.3
Std Dev 0

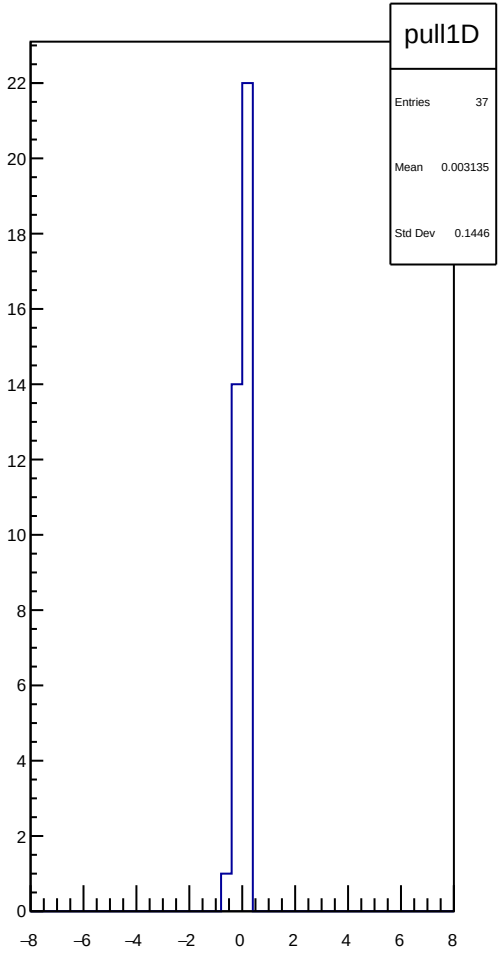
pull1D
Entries 37
Mean 0.003135
Std Dev 0.1446

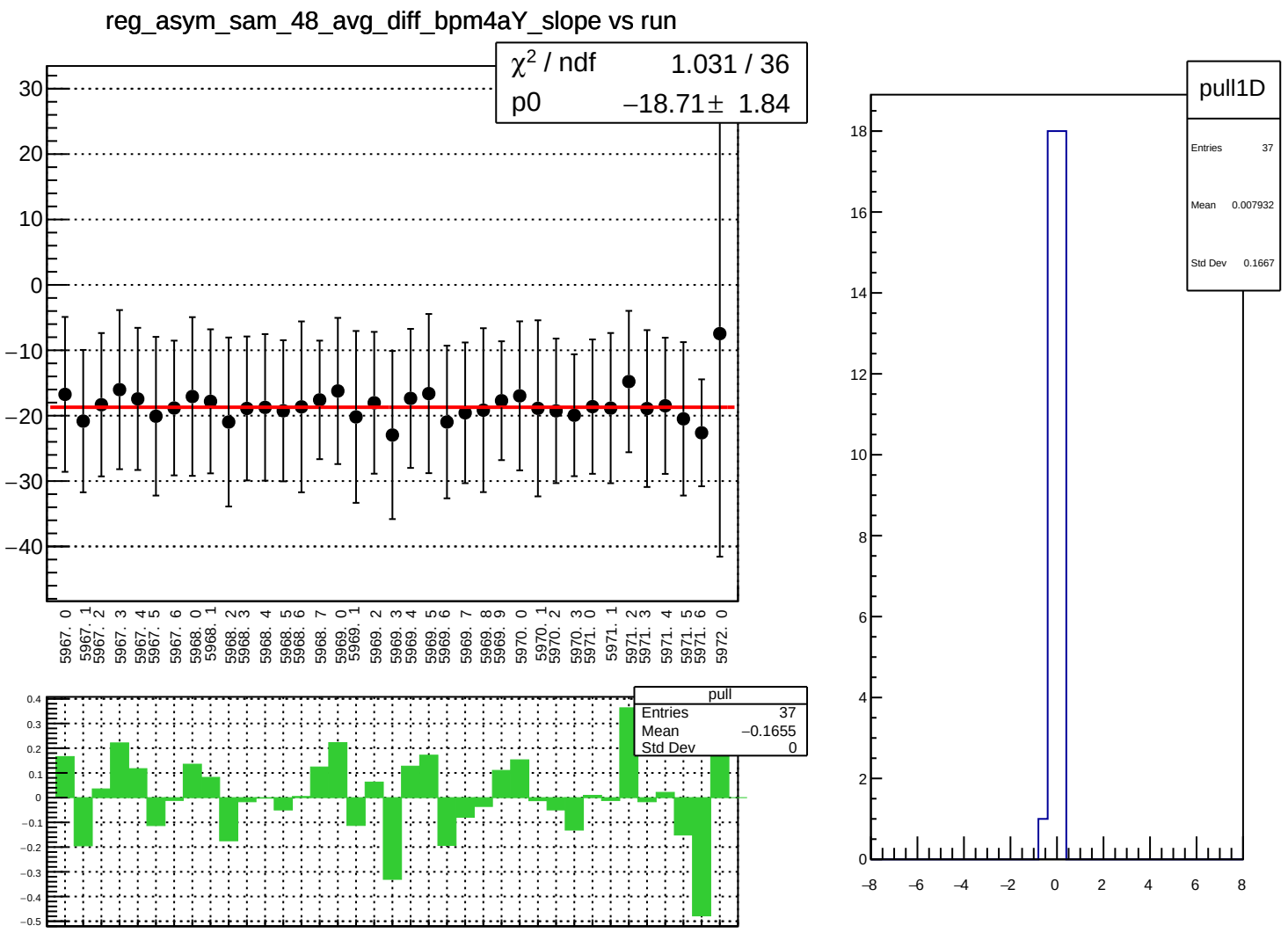
reg_asym_sam_48_avg_diff_bpm4aY_slope vs run
χ² / ndf 1.031 / 36
p0 −18.71 ± 1.84
pull
Entries 37
Mean −0.1655
Std Dev 0
pull1D
Entries 37
Mean 0.007932
Std Dev 0.1667

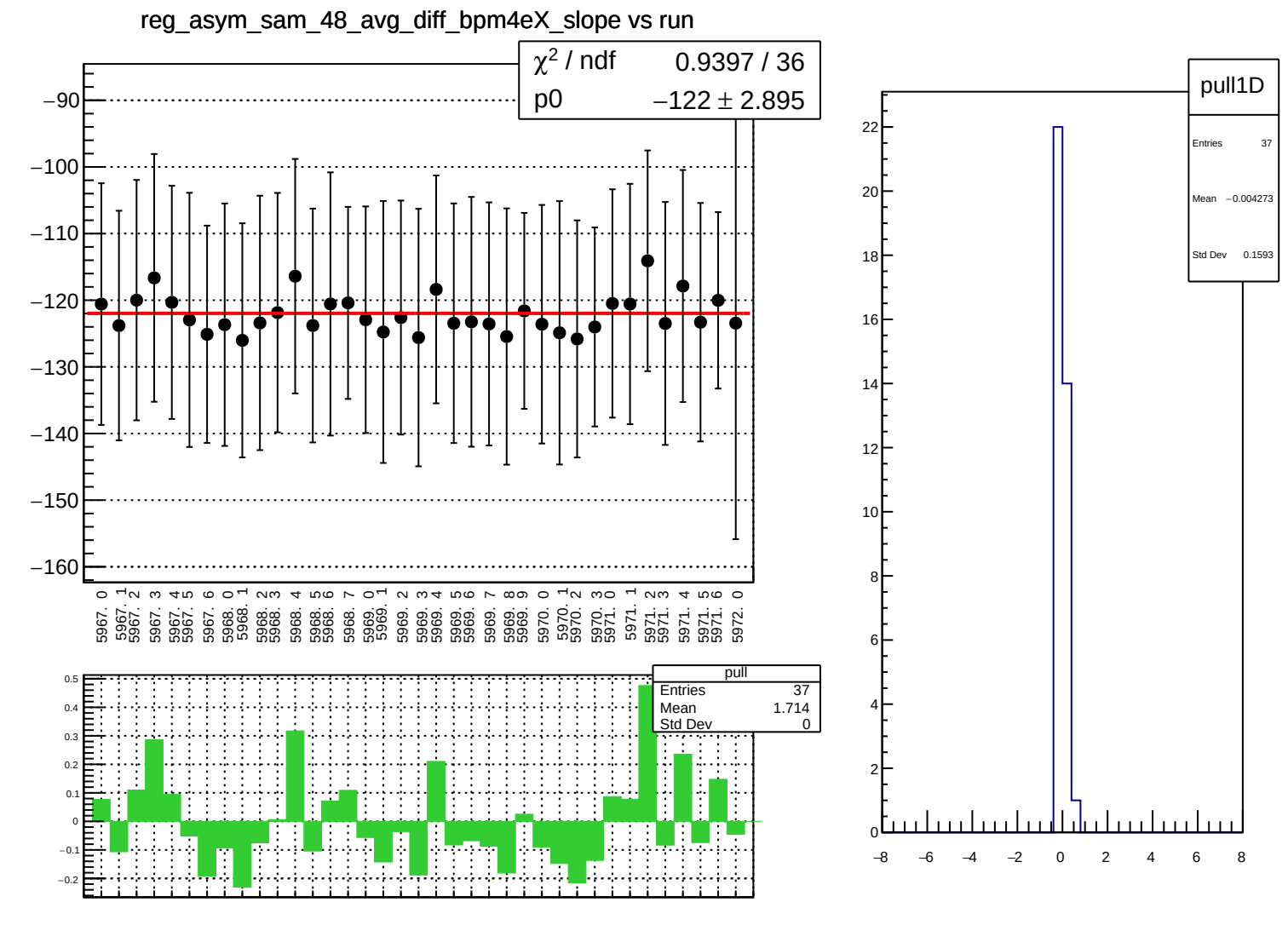
reg_asym_sam_48_avg_diff_bpm4eX_slope vs run
χ² / ndf 0.9397 / 36
p0 −122 ± 2.895
−90
−100
−110
−120
−130
−140
−150
−160
5967. 0
5967. 1
5967. 2
5967. 3
5967. 4
5967. 5
5967. 6
5968. 0
5968. 1
5968. 2
5968. 3
5968. 4
5968. 5
5968. 6
5968. 7
5969. 0
5969. 1
5969. 2
5969. 3
5969. 4
5969. 5
5969. 6
5969. 7
5969. 8
5969. 9
5970. 0
5970. 1
5970. 2
5970. 3
5971. 0
5971. 1
5971. 2
5971. 3
5971. 4
5971. 5
5971. 6
5972. 0
pull
Entries 37
Mean 1.714
Std Dev 0
0.5
0.4
0.3
0.2
0.1
0
−0.1
−0.2
pull1D
Entries 37
Mean −0.004273
Std Dev 0.1593
22
20
18
16
14
12
10
8
6
4
2
0
−8
−6
−4
−2
0
2
4
6
8

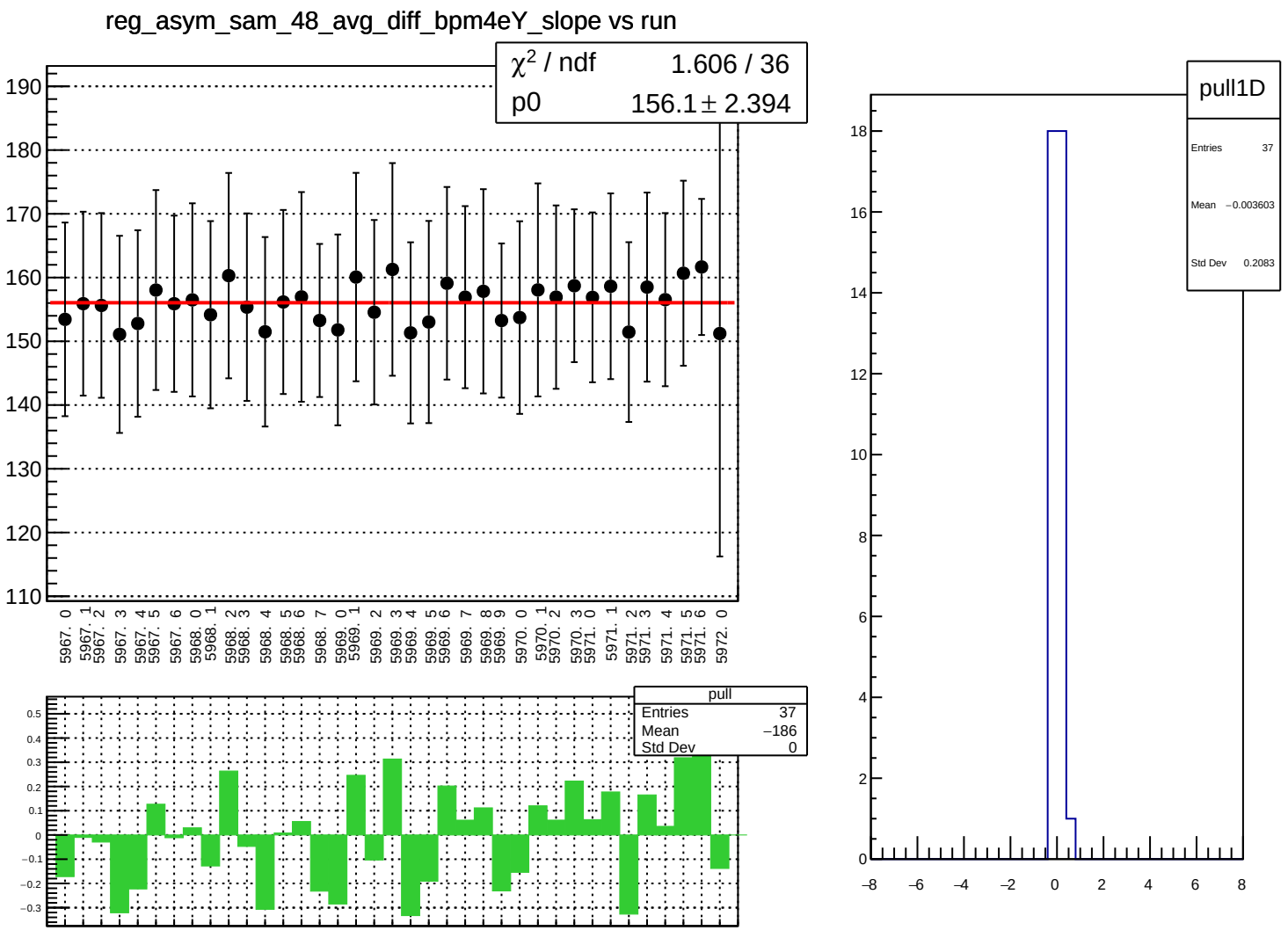
reg_asym_sam_48_avg_diff_bpm4eY_slope vs run
χ² / ndf 1.606 / 36
p0 156.1 ± 2.394
pull
Entries 37
Mean −186
Std Dev 0
pull1D
Entries 37
Mean −0.003603
Std Dev 0.2083

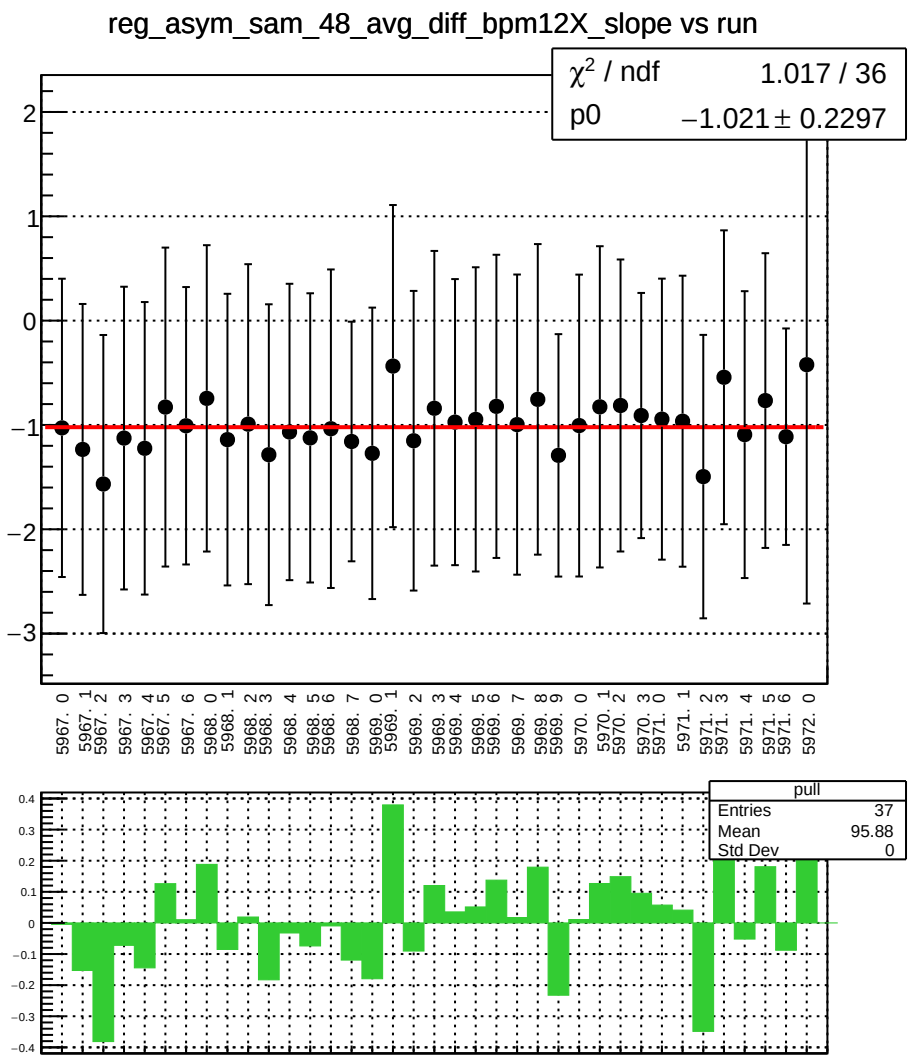
reg_asym_sam_48_avg_diff_bpm12X_slope vs run
χ² / ndf 1.017 / 36
p0 −1.021 ± 0.2297
pull
Entries 37
Mean 95.88
Std Dev 0

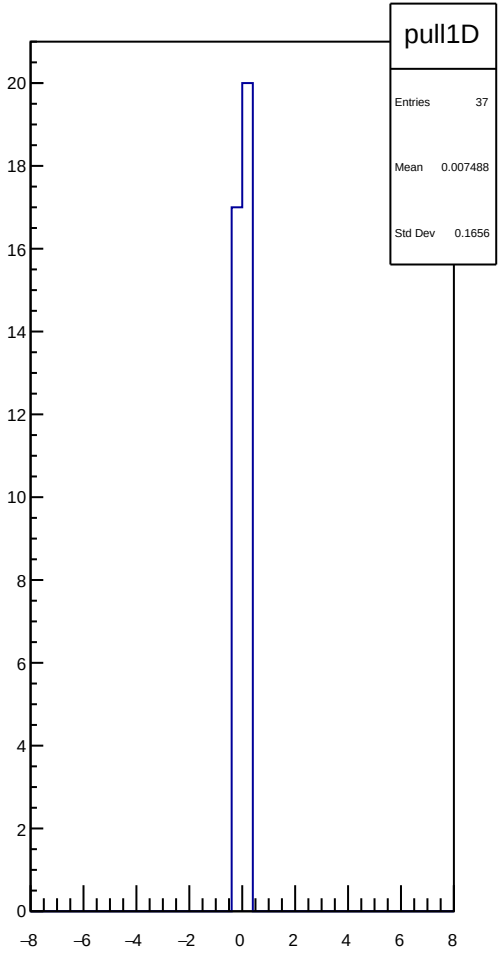
pull1D
Entries 37
Mean 0.007488
Std Dev 0.1656

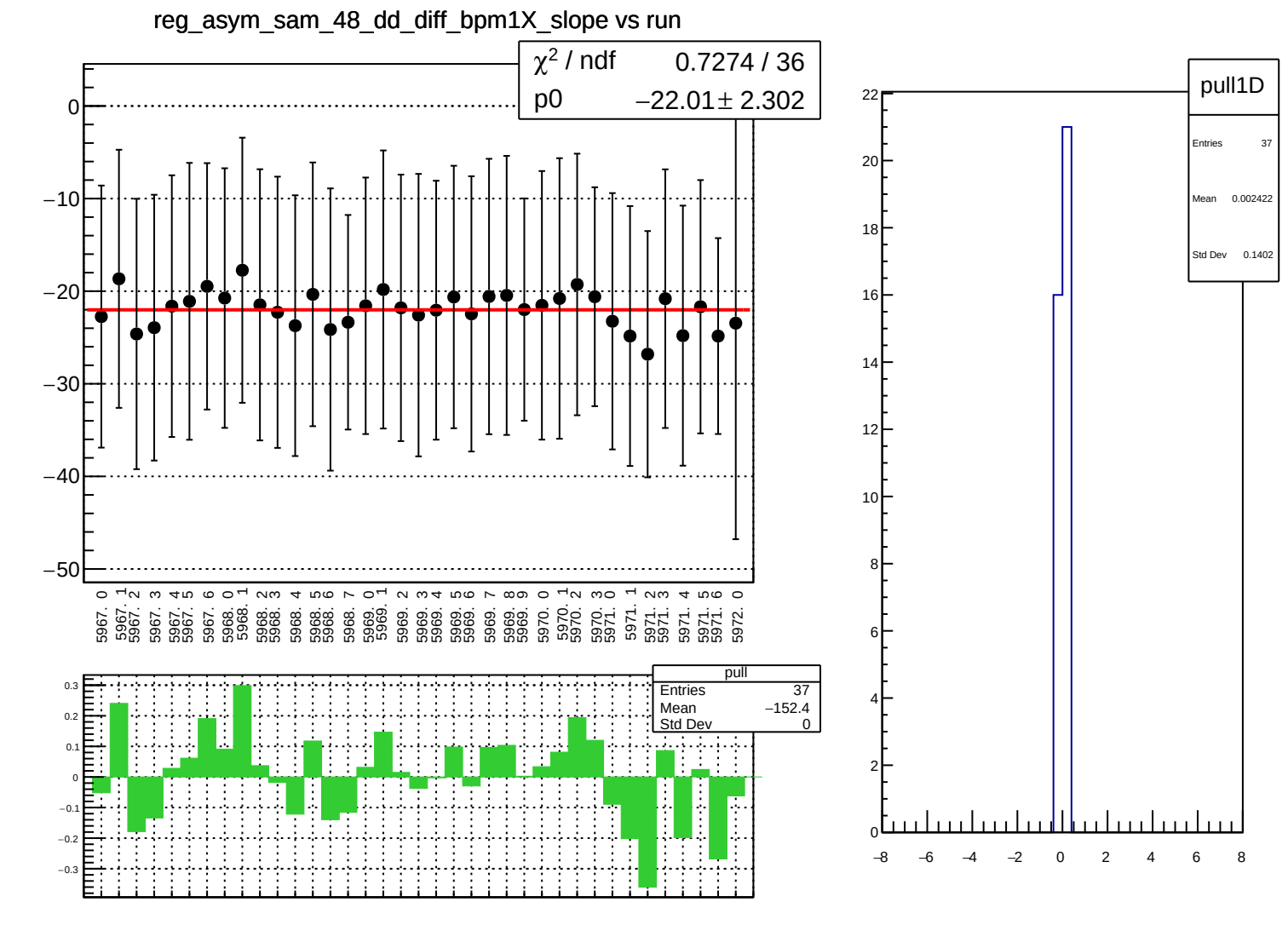
reg_asym_sam_48_dd_diff_bpm1X_slope vs run
χ² / ndf 0.7274 / 36
p0 −22.01± 2.302
pull
Entries 37
Mean −152.4
Std Dev 0
pull1D
Entries 37
Mean 0.002422
Std Dev 0.1402

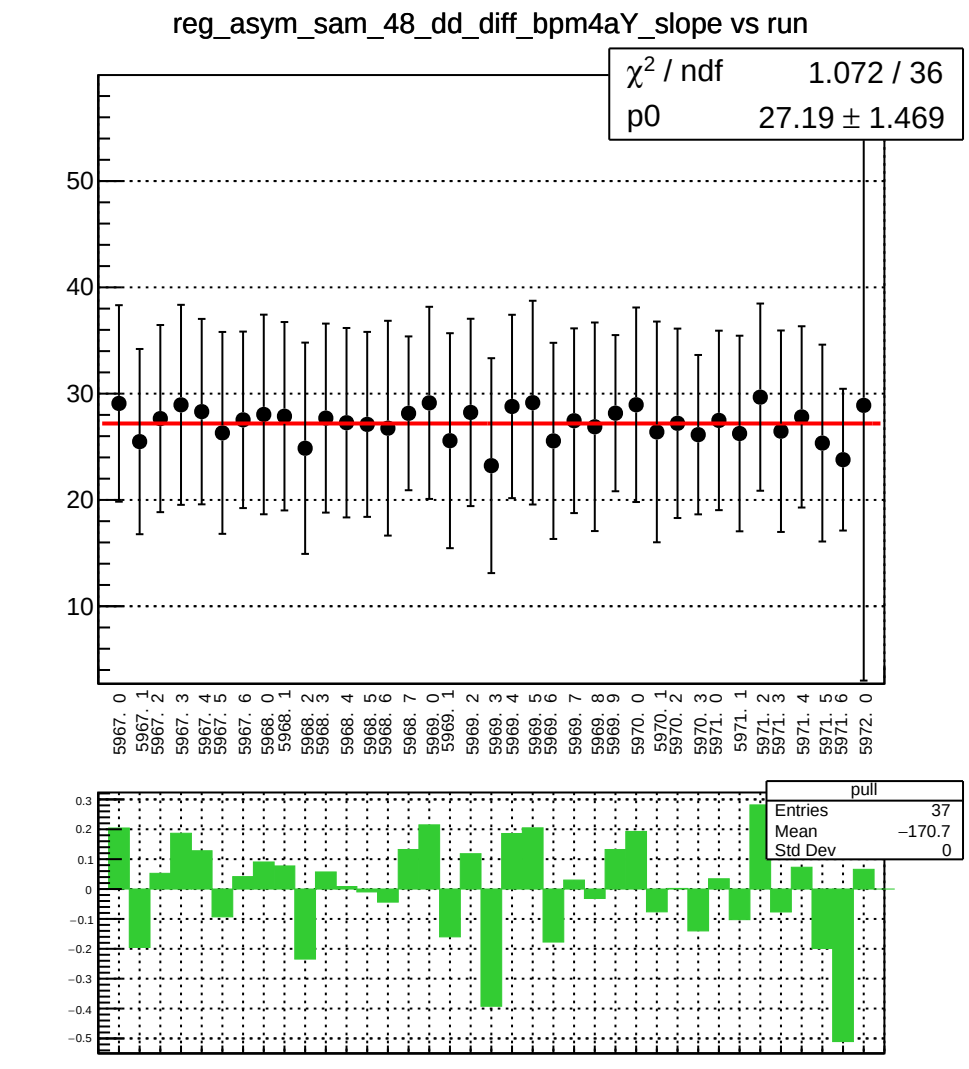
reg_asym_sam_48_dd_diff_bpm4aY_slope vs run
χ² / ndf 1.072 / 36
p0 27.19 ± 1.469
50
40
30
20
10
5967. 0
5967. 1
5967. 2
5967. 3
5967. 4
5967. 5
5967. 6
5968. 0
5968. 1
5968. 2
5968. 3
5968. 4
5968. 5
5968. 6
5968. 7
5969. 0
5969. 1
5969. 2
5969. 3
5969. 4
5969. 5
5969. 6
5969. 7
5969. 8
5969. 9
5970. 0
5970. 1
5970. 2
5970. 3
5971. 0
5971. 1
5971. 2
5971. 3
5971. 4
5971. 5
5971. 6
5972. 0
pull
Entries 37
Mean −170.7
Std Dev 0
0.3
0.2
0.1
0
−0.1
−0.2
−0.3
−0.4
−0.5
pull1D
Entries 37
Mean 0.001946
Std Dev 0.1702
22
20
18
16
14
12
10
8
6
4
2
0
−8
−6
−4
−2
0
2
4
6
8

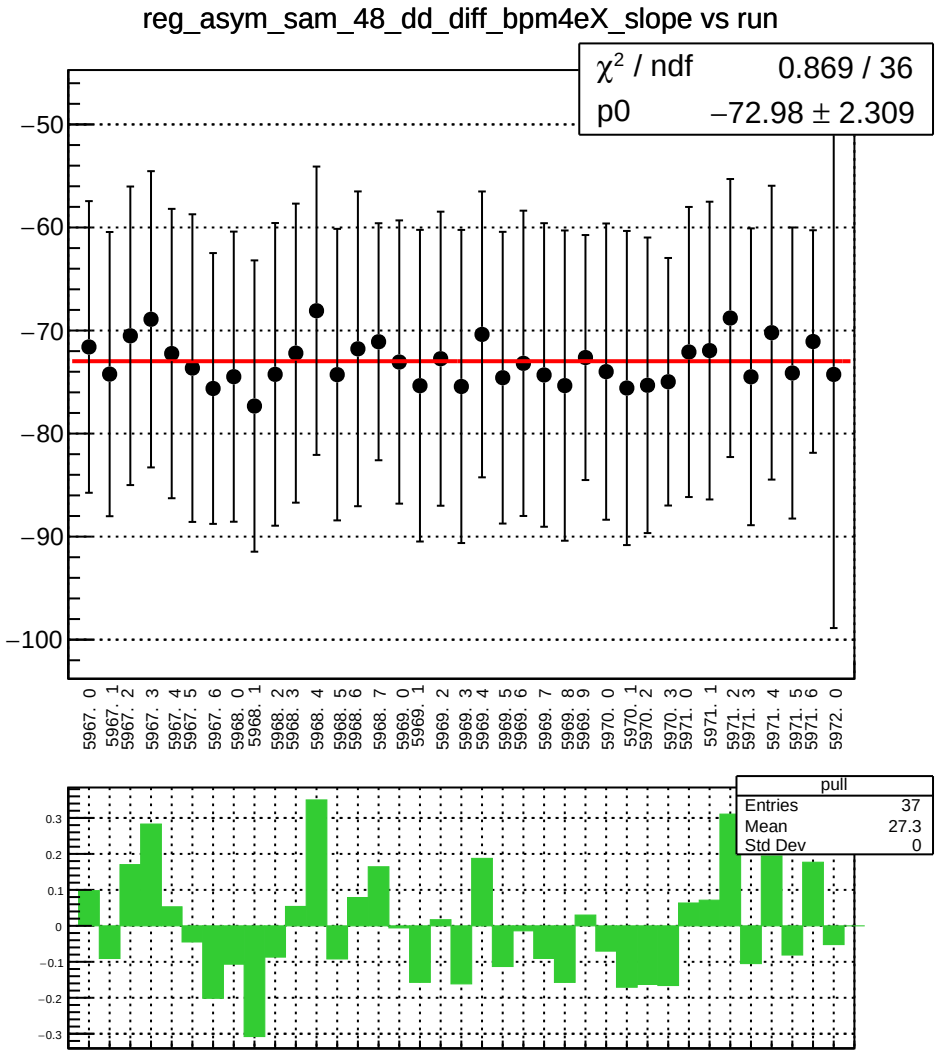
reg_asym_sam_48_dd_diff_bpm4eX_slope vs run
χ² / ndf 0.869 / 36
p0 −72.98 ± 2.309
pull
Entries 37
Mean 27.3
Std Dev 0

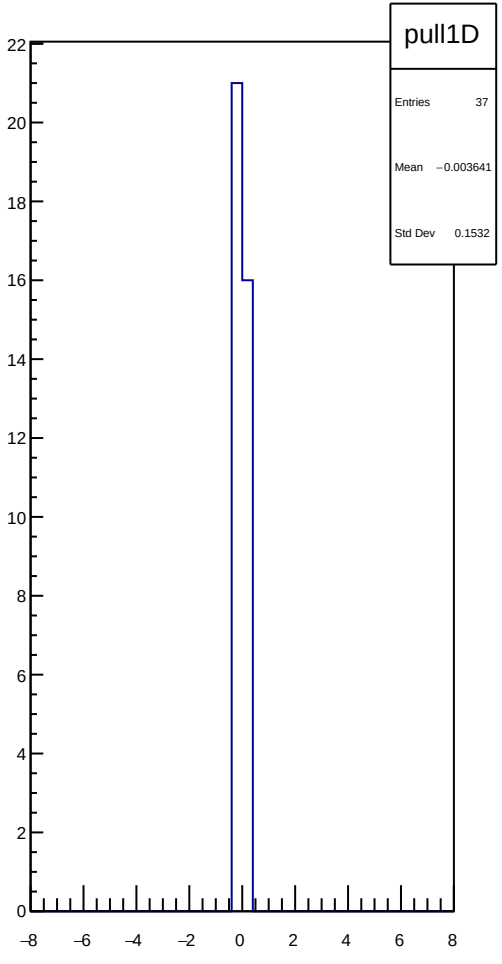
pull1D
Entries 37
Mean −0.003641
Std Dev 0.1532

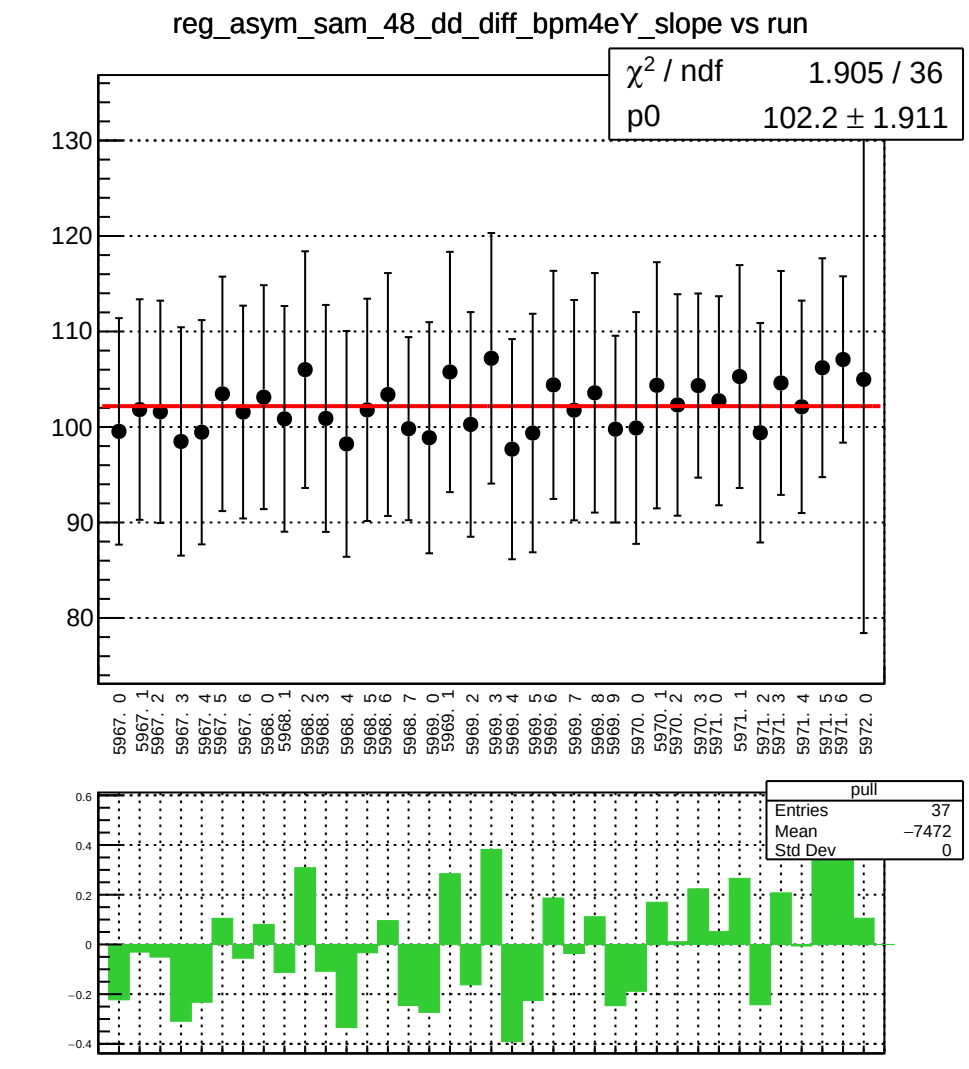
reg_asym_sam_48_dd_diff_bpm4eY_slope vs run
χ² / ndf 1.905 / 36
p0 102.2 ± 1.911
130
120
110
100
90
80
5967. 0
5967. 1
5967. 2
5967. 3
5967. 4
5967. 5
5967. 6
5968. 0
5968. 1
5968. 2
5968. 3
5968. 4
5968. 5
5968. 6
5968. 7
5969. 0
5969. 1
5969. 2
5969. 3
5969. 4
5969. 5
5969. 6
5969. 7
5969. 8
5969. 9
5970. 0
5970. 1
5970. 2
5970. 3
5971. 0
5971. 1
5971. 2
5971. 3
5971. 4
5971. 5
5971. 6
5972. 0
pull
Entries 37
Mean −7472
Std Dev 0
0.6
0.4
0.2
0
−0.2
−0.4

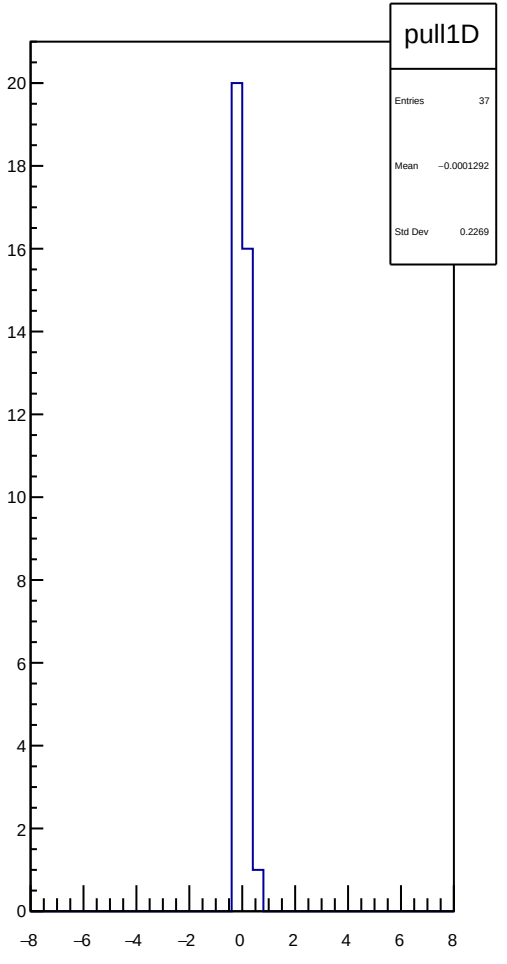
pull1D
Entries 37
Mean −0.0001292
Std Dev 0.2269
20
18
16
14
12
10
8
6
4
2
0
−8
−6
−4
−2
0
2
4
6
8

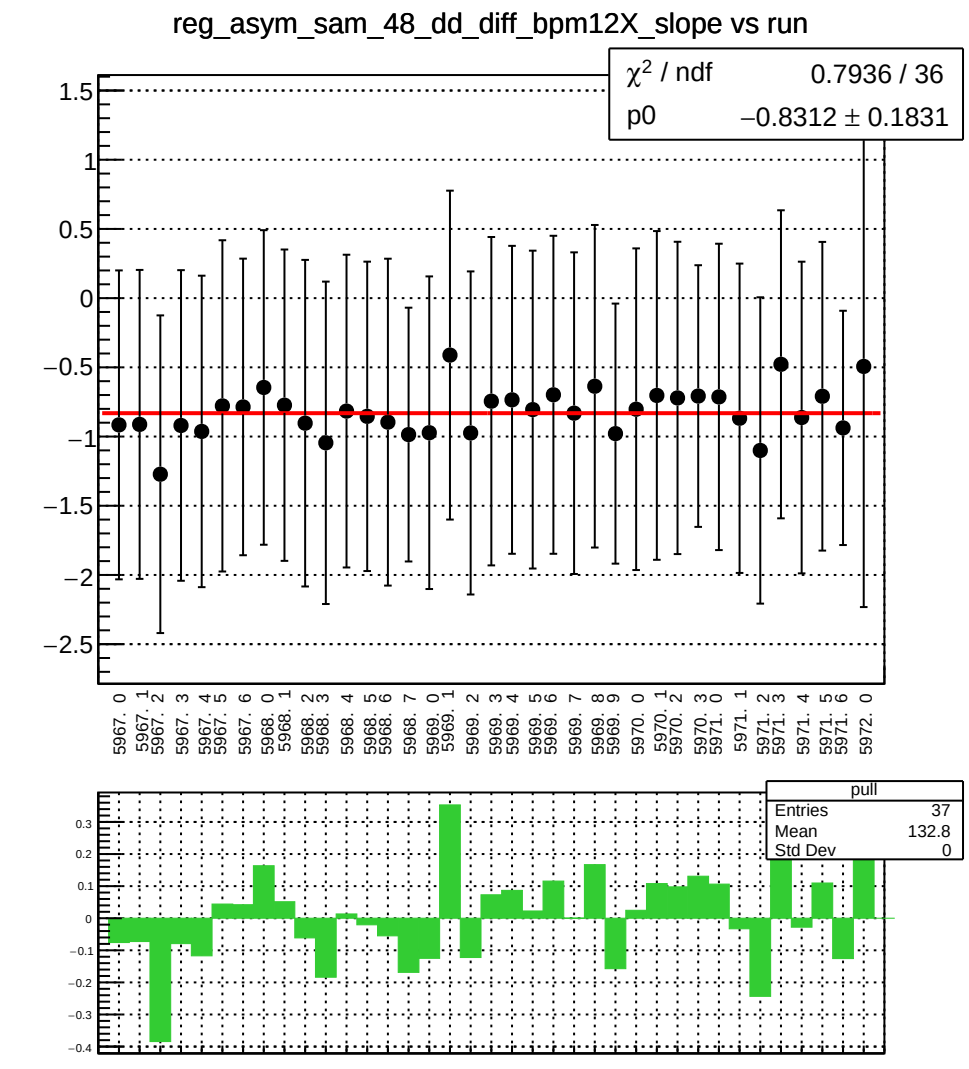
reg_asym_sam_48_dd_diff_bpm12X_slope vs run
χ² / ndf 0.7936 / 36
p0 −0.8312 ± 0.1831
pull
Entries 37
Mean 132.8
Std Dev 0

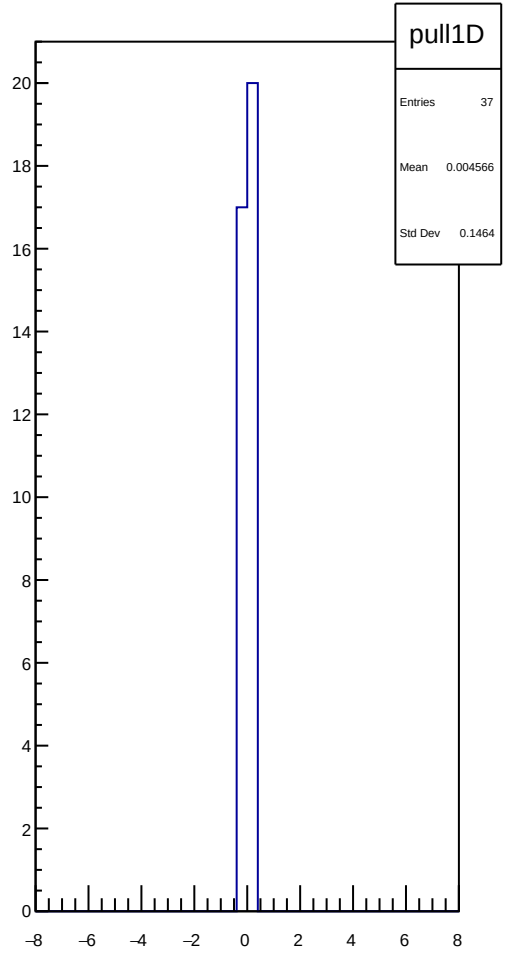
pull1D
Entries 37
Mean 0.004566
Std Dev 0.1464

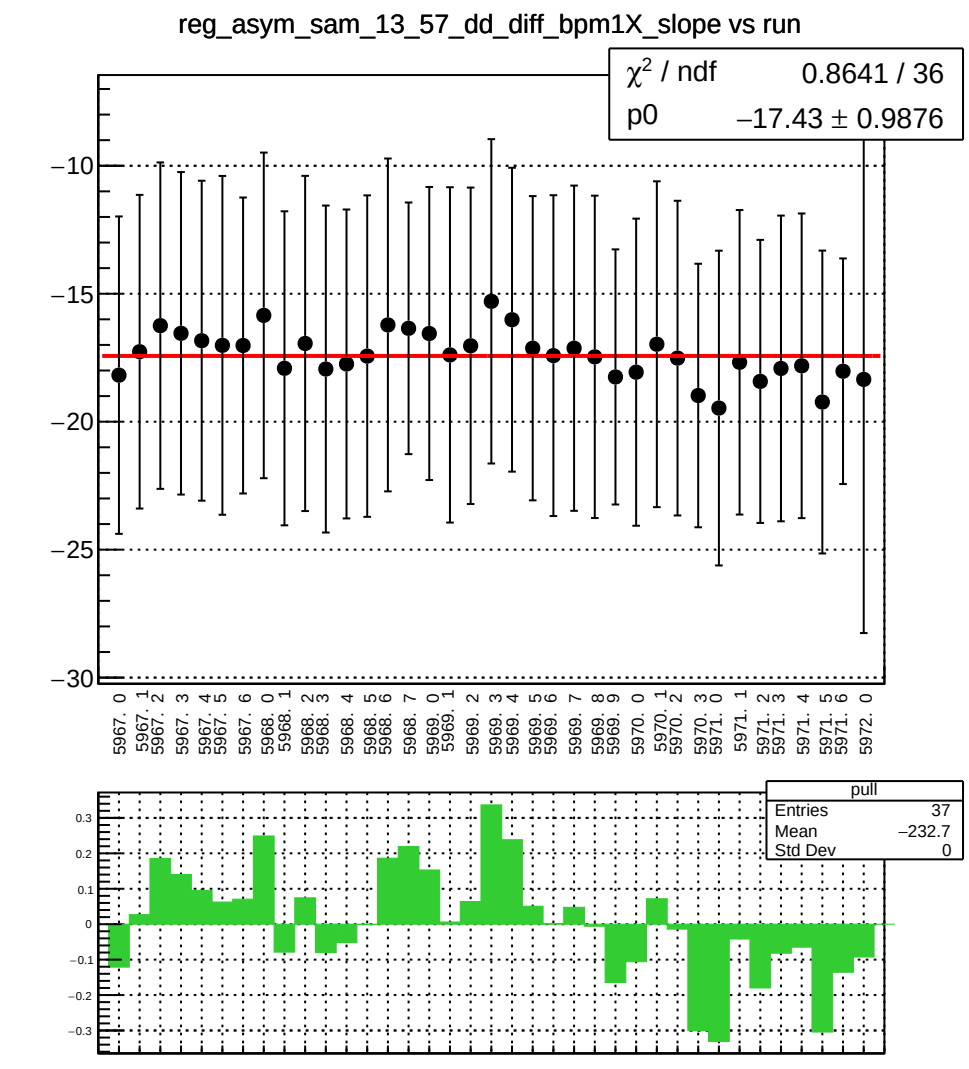
reg_asym_sam_13_57_dd_diff_bpm1X_slope vs run
χ² / ndf 0.8641 / 36
p0 −17.43 ± 0.9876
−10
−15
−20
−25
−30
5967. 0
5967. 1
5967. 2
5967. 3
5967. 4
5967. 5
5967. 6
5968. 0
5968. 1
5968. 2
5968. 3
5968. 4
5968. 5
5968. 6
5968. 7
5969. 0
5969. 1
5969. 2
5969. 3
5969. 4
5969. 5
5969. 6
5969. 7
5969. 8
5969. 9
5970. 0
5970. 1
5970. 2
5970. 3
5971. 0
5971. 1
5971. 2
5971. 3
5971. 4
5971. 5
5971. 6
5972. 0
pull
Entries 37
Mean −232.7
Std Dev 0
0.3
0.2
0.1
0
−0.1
−0.2
−0.3

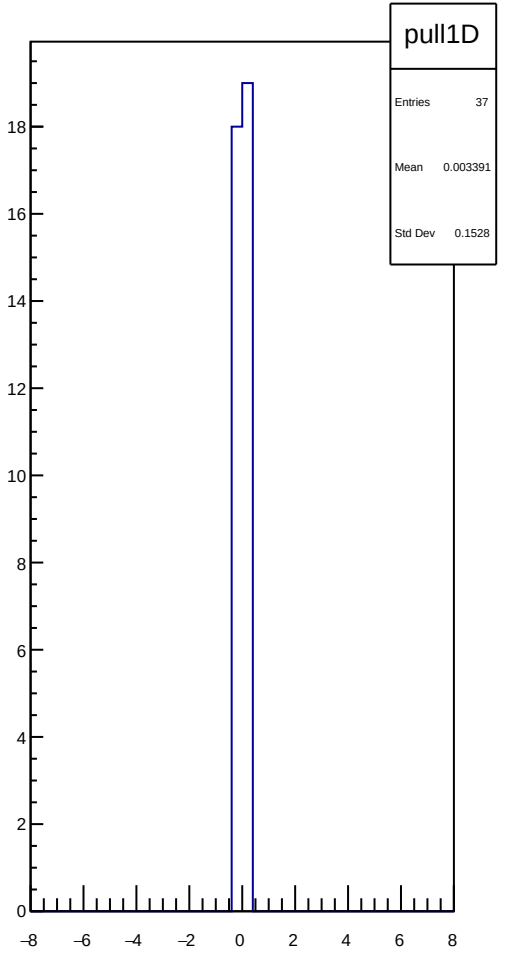
pull1D
Entries 37
Mean 0.003391
Std Dev 0.1528
18
16
14
12
10
8
6
4
2
0
−8
−6
−4
−2
0
2
4
6
8

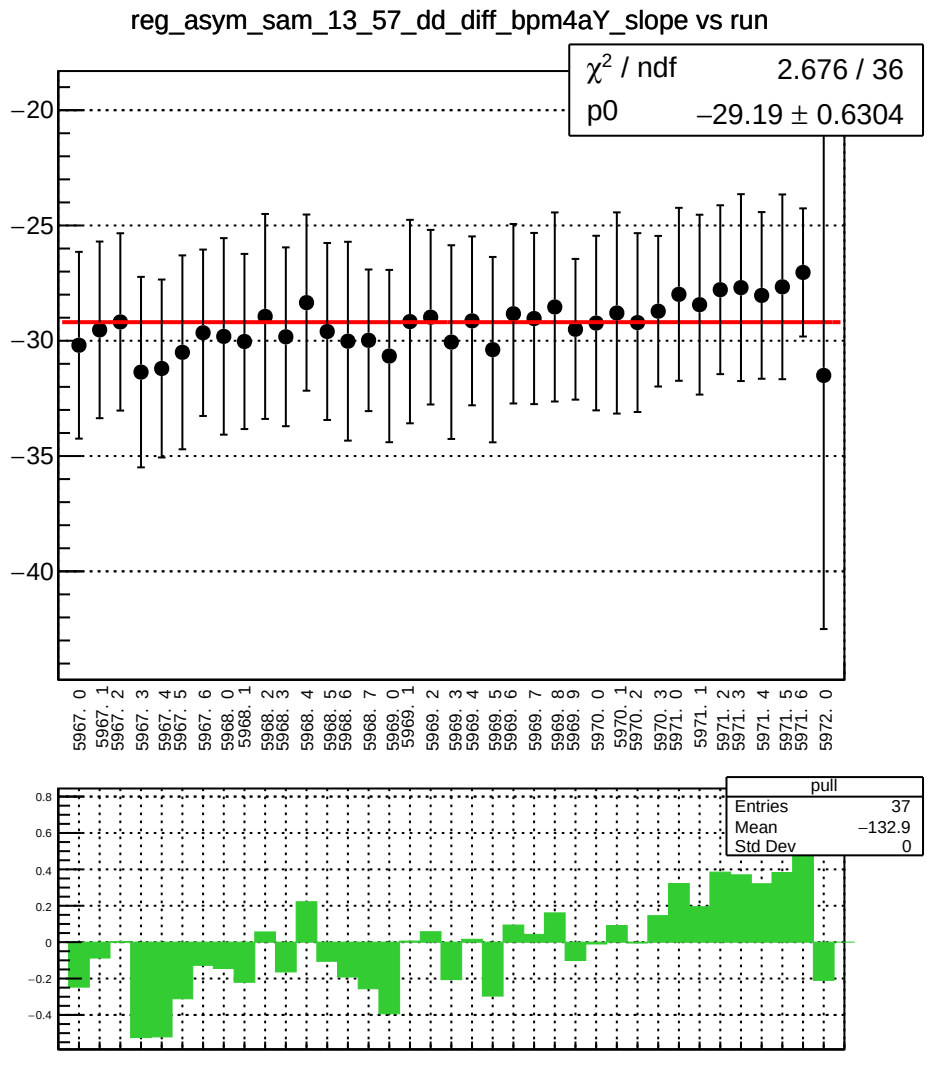
reg_asym_sam_13_57_dd_diff_bpm4aY_slope vs run
χ² / ndf 2.676 / 36
p0 −29.19 ± 0.6304
−20
−25
−30
−35
−40
5967. 0
5967. 1
5967. 2
5967. 3
5967. 4
5967. 5
5967. 6
5968. 0
5968. 1
5968. 2
5968. 3
5968. 4
5968. 5
5968. 6
5968. 7
5969. 0
5969. 1
5969. 2
5969. 3
5969. 4
5969. 5
5969. 6
5969. 7
5969. 8
5969. 9
5970. 0
5970. 1
5970. 2
5970. 3
5971. 0
5971. 1
5971. 2
5971. 3
5971. 4
5971. 5
5971. 6
5972. 0
pull
Entries 37
Mean −132.9
Std Dev 0
0.8
0.6
0.4
0.2
0
−0.2
−0.4

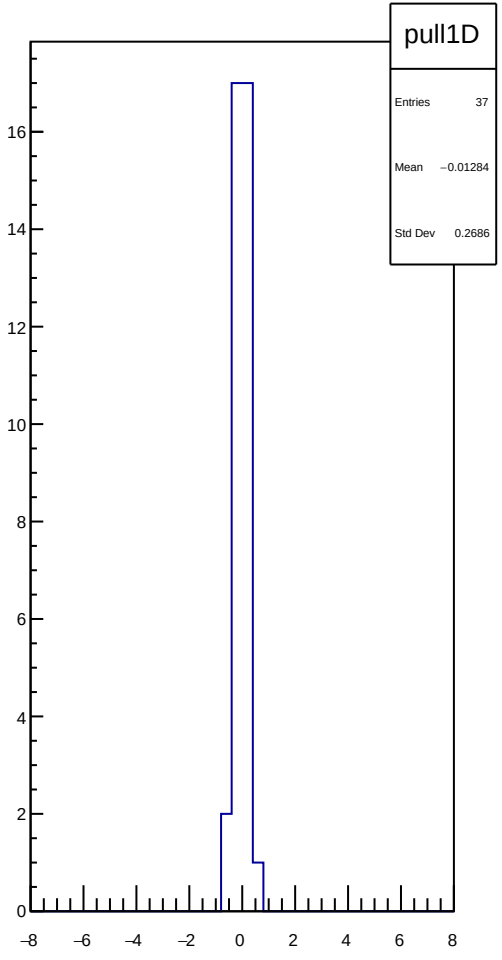
pull1D
Entries 37
Mean −0.01284
Std Dev 0.2686
16
14
12
10
8
6
4
2
0
−8
−6
−4
−2
0
2
4
6
8

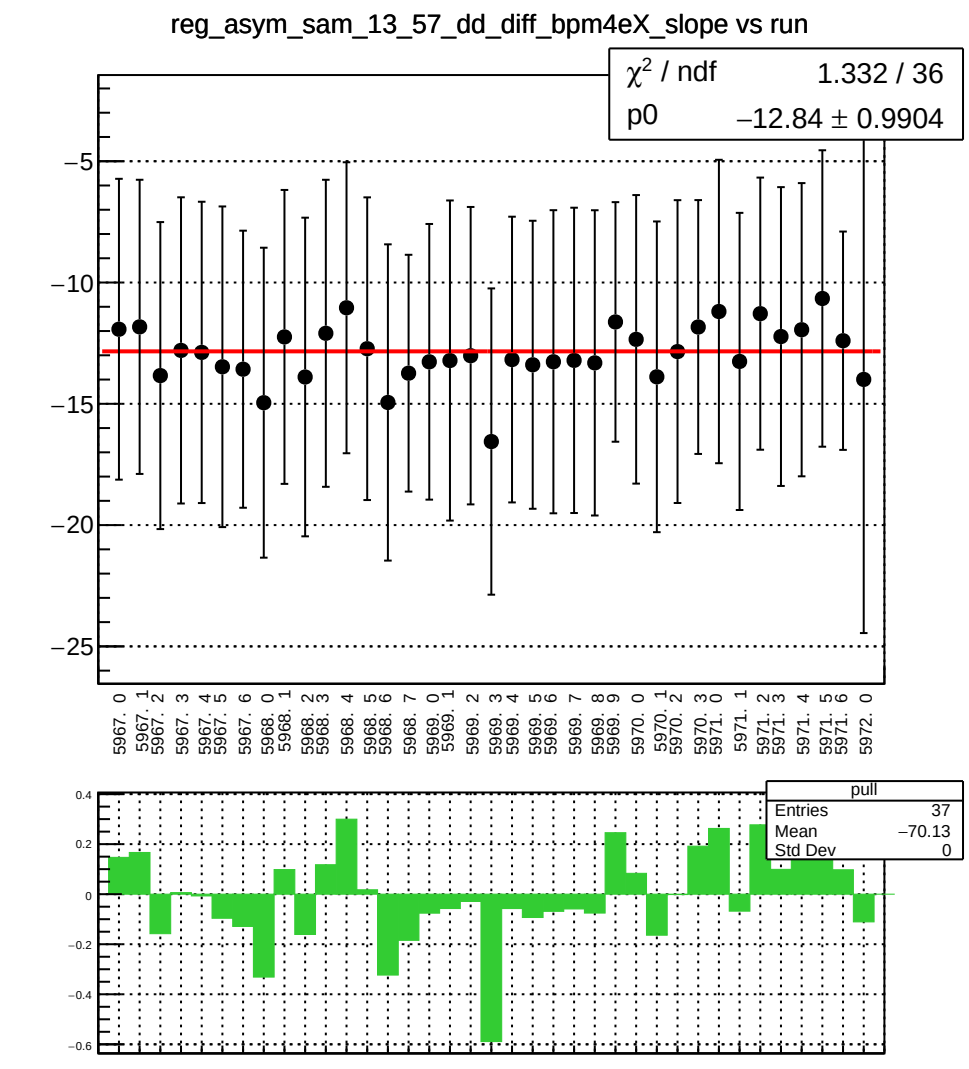
reg_asym_sam_13_57_dd_diff_bpm4eX_slope vs run
χ² / ndf 1.332 / 36
p0 −12.84 ± 0.9904
pull
Entries 37
Mean −70.13
Std Dev 0

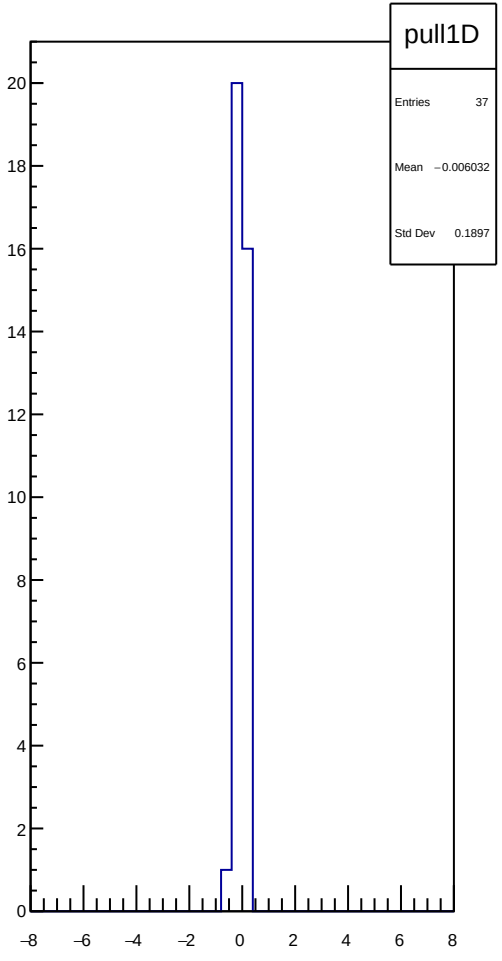
pull1D
Entries 37
Mean −0.006032
Std Dev 0.1897

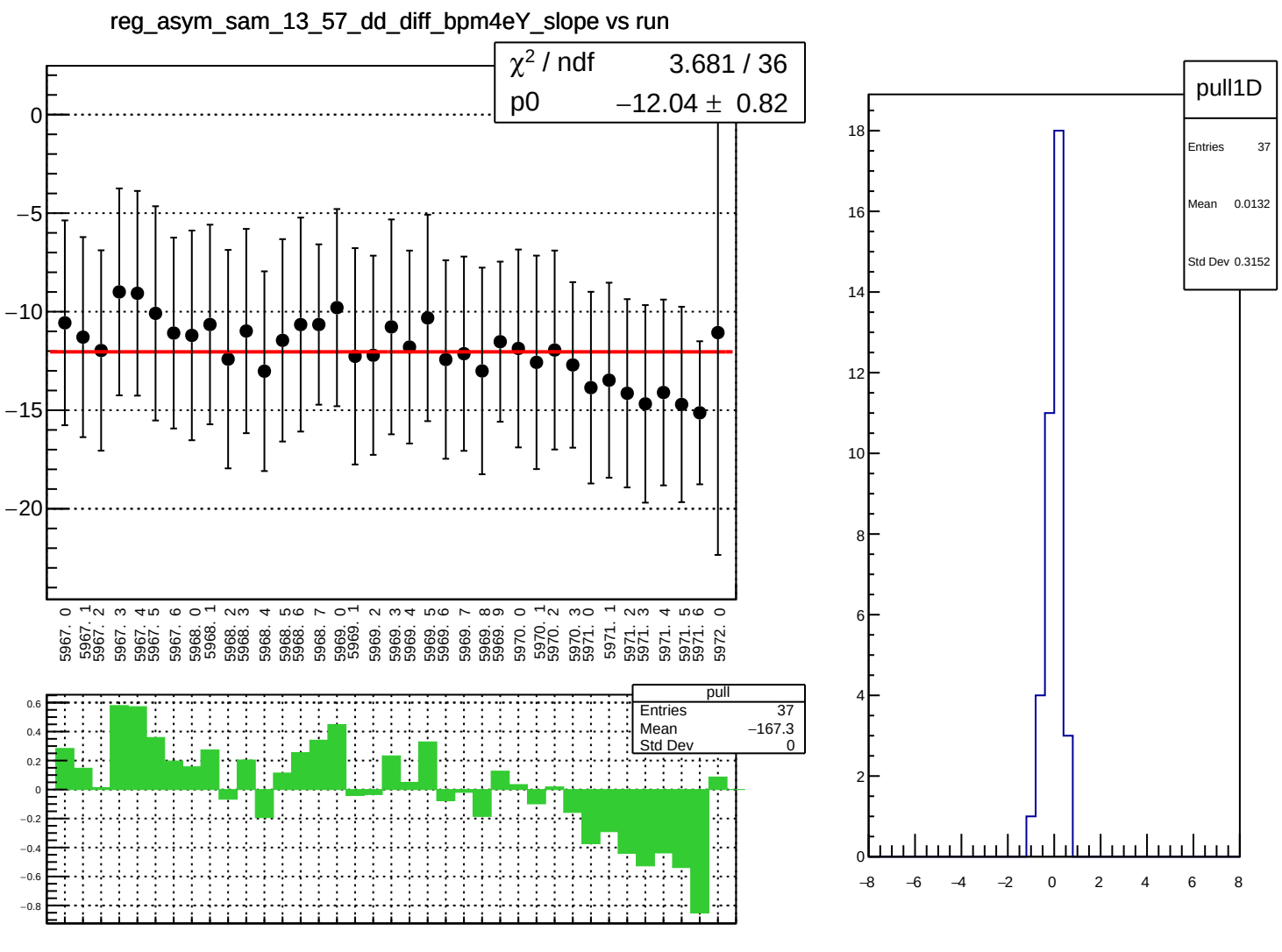
reg_asym_sam_13_57_dd_diff_bpm4eY_slope vs run
χ² / ndf 3.681 / 36
p0 −12.04 ± 0.82
0
−5
−10
−15
−20
5967. 0
5967. 1
5967. 2
5967. 3
5967. 4
5967. 5
5967. 6
5968. 0
5968. 1
5968. 2
5968. 3
5968. 4
5968. 5
5968. 6
5968. 7
5969. 0
5969. 1
5969. 2
5969. 3
5969. 4
5969. 5
5969. 6
5969. 7
5969. 8
5969. 9
5970. 0
5970. 1
5970. 2
5970. 3
5971. 0
5971. 1
5971. 2
5971. 3
5971. 4
5971. 5
5971. 6
5972. 0
pull
Entries 37
Mean −167.3
Std Dev 0
0.6
0.4
0.2
0
−0.2
−0.4
−0.6
−0.8
pull1D
Entries 37
Mean 0.0132
Std Dev 0.3152
18
16
14
12
10
8
6
4
2
0
−8
−6
−4
−2
0
2
4
6
8

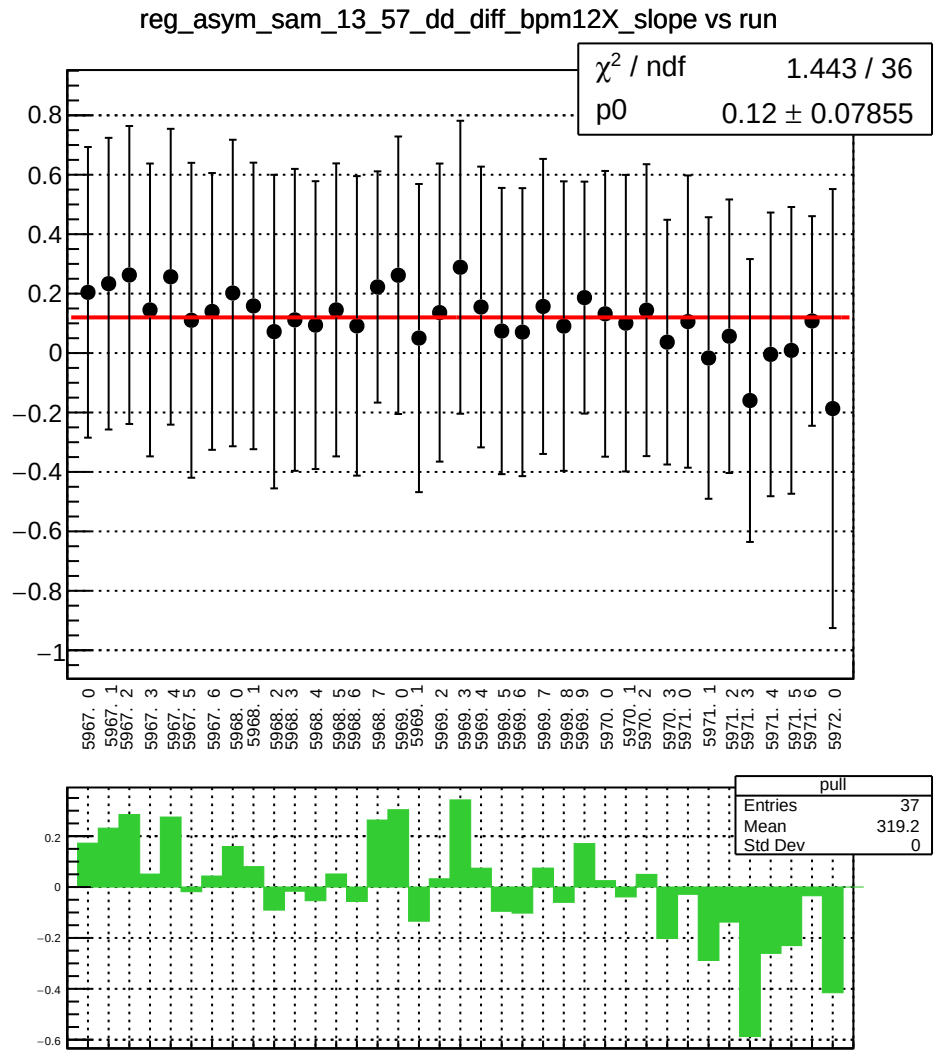
reg_asym_sam_13_57_dd_diff_bpm12X_slope vs run
χ² / ndf 1.443 / 36
p0 0.12 ± 0.07855
pull
Entries 37
Mean 319.2
Std Dev 0
pull1D
Entries 37
Mean −0.004495
Std Dev 0.1974

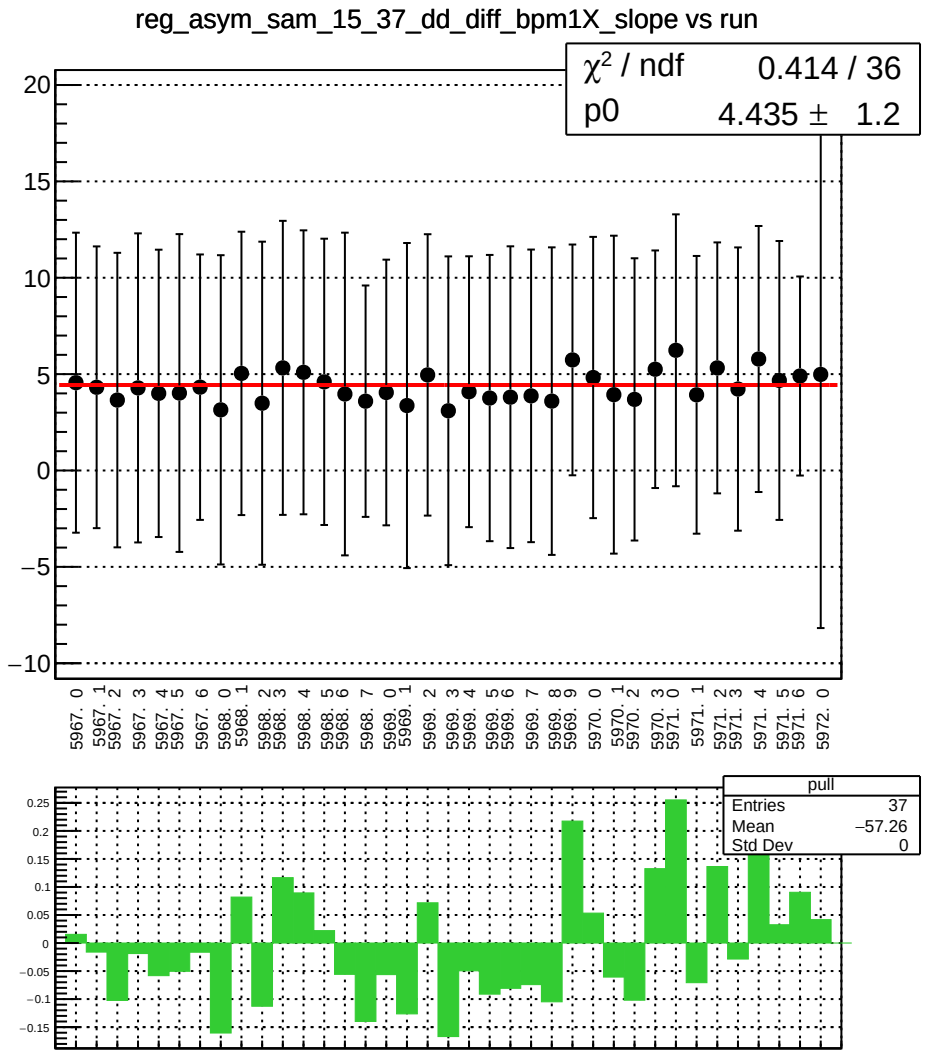
reg_asym_sam_15_37_dd_diff_bpm1X_slope vs run
χ² / ndf 0.414 / 36
p0 4.435 ± 1.2
pull
Entries 37
Mean −57.26
Std Dev 0
pull1D
Entries 37
Mean −0.005146
Std Dev 0.1057

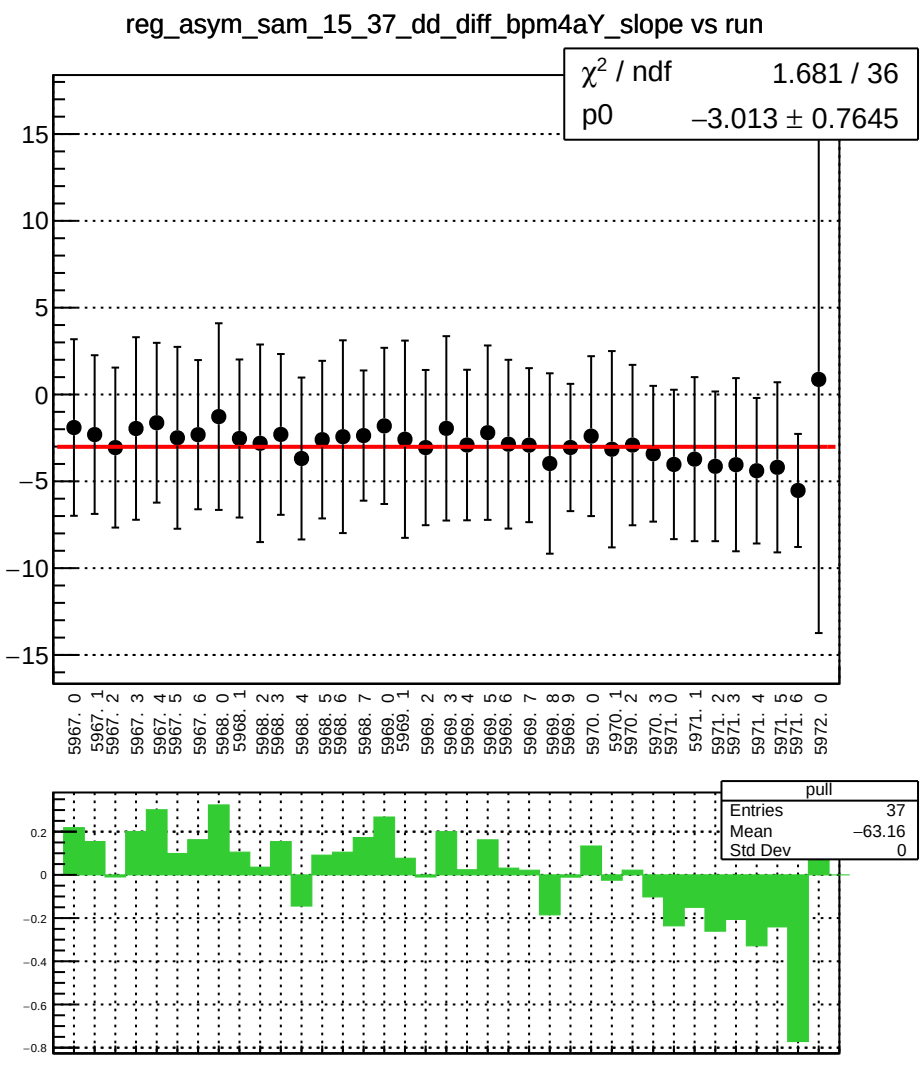
reg_asym_sam_15_37_dd_diff_bpm4aY_slope vs run
χ² / ndf 1.681 / 36
p0 −3.013 ± 0.7645
pull
Entries 37
Mean −63.16
Std Dev 0

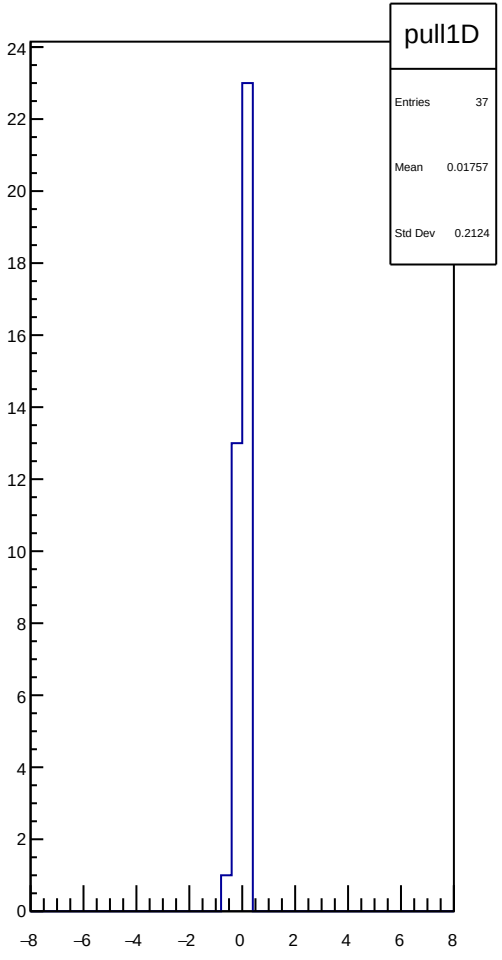
pull1D
Entries 37
Mean 0.01757
Std Dev 0.2124

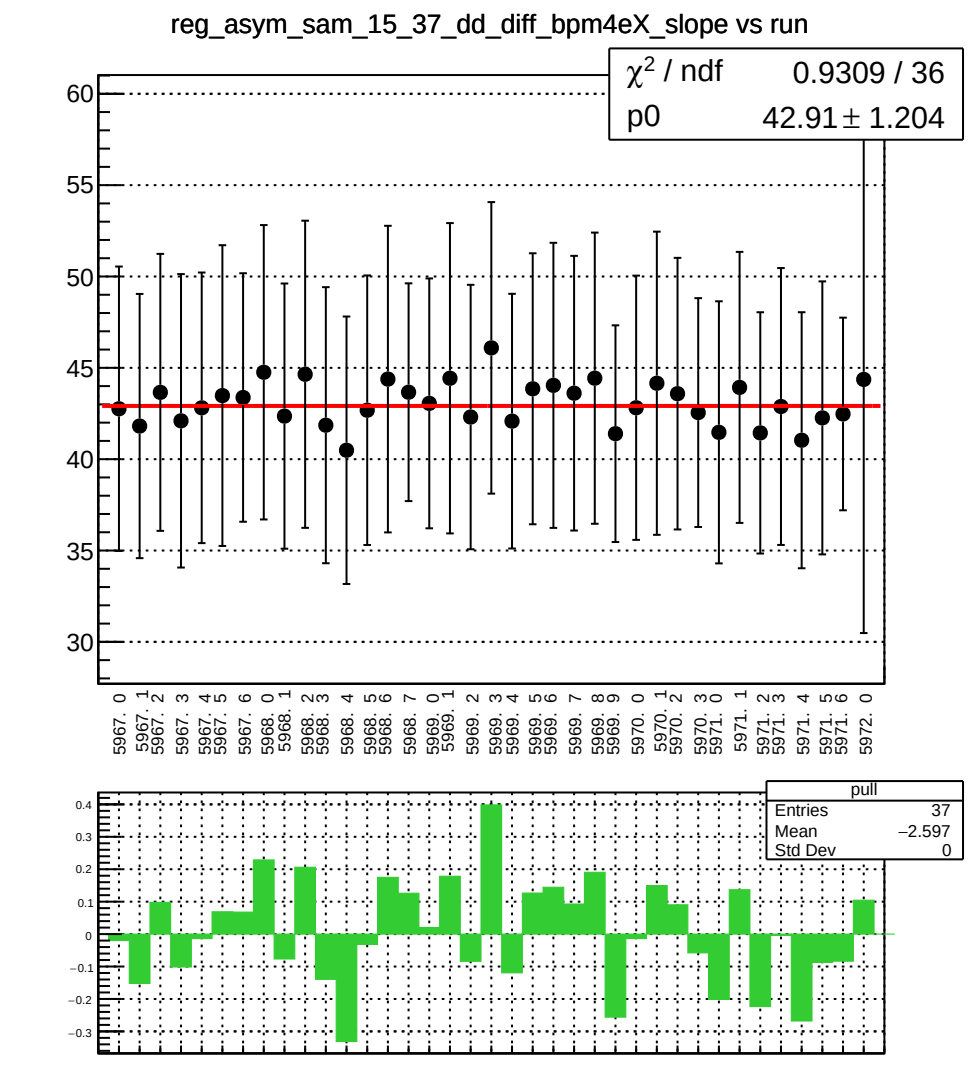
reg_asym_sam_15_37_dd_diff_bpm4eX_slope vs run
χ² / ndf 0.9309 / 36
p0 42.91 ± 1.204
pull
Entries 37
Mean −2.597
Std Dev 0
pull1D
Entries 37
Mean 0.009113
Std Dev 0.1584

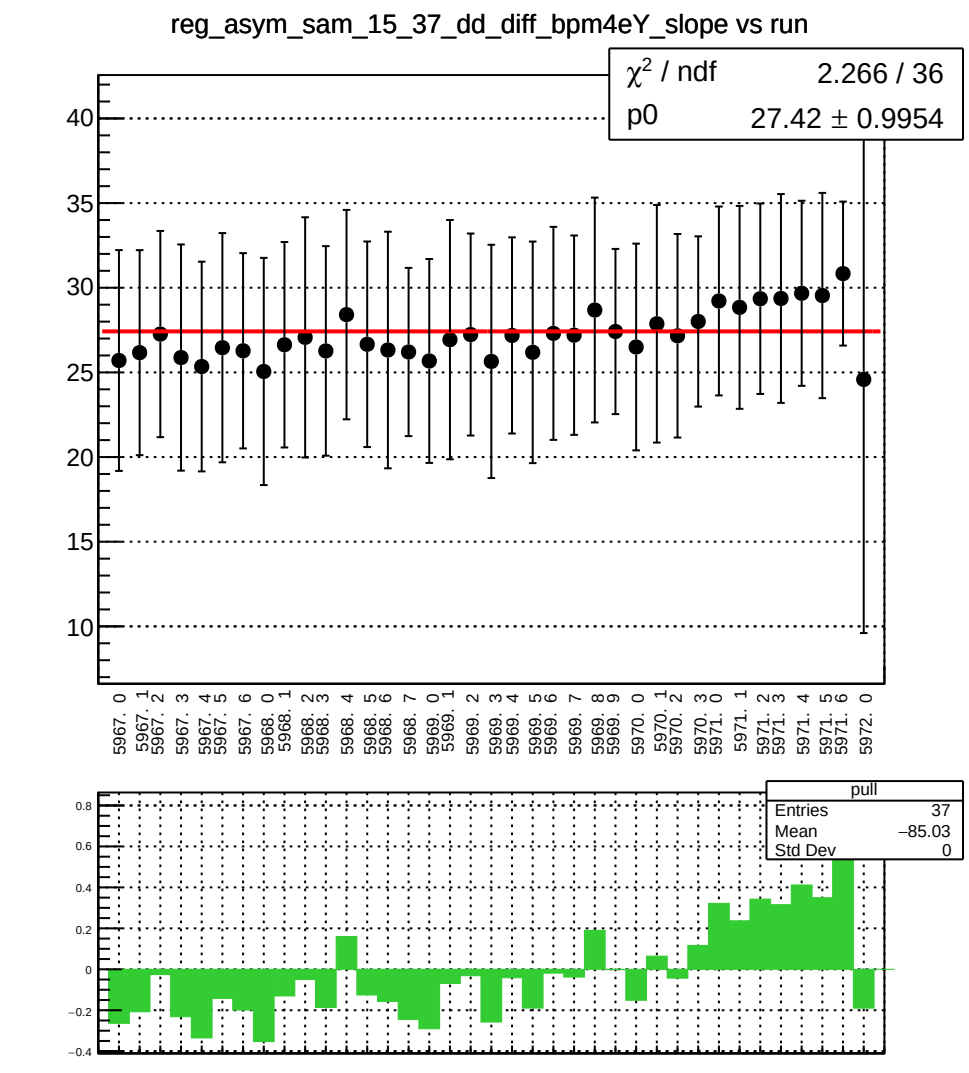
reg_asym_sam_15_37_dd_diff_bpm4eY_slope vs run
χ² / ndf 2.266 / 36
p0 27.42 ± 0.9954
40
35
30
25
20
15
10
5967. 0
5967. 1
5967. 2
5967. 3
5967. 4
5967. 5
5967. 6
5968. 0
5968. 1
5968. 2
5968. 3
5968. 4
5968. 5
5968. 6
5968. 7
5969. 0
5969. 1
5969. 2
5969. 3
5969. 4
5969. 5
5969. 6
5969. 7
5969. 8
5969. 9
5970. 0
5970. 1
5970. 2
5970. 3
5971. 0
5971. 1
5971. 2
5971. 3
5971. 4
5971. 5
5971. 6
5972. 0
pull
Entries 37
Mean −85.03
Std Dev 0
0.8
0.6
0.4
0.2
0
−0.2
−0.4

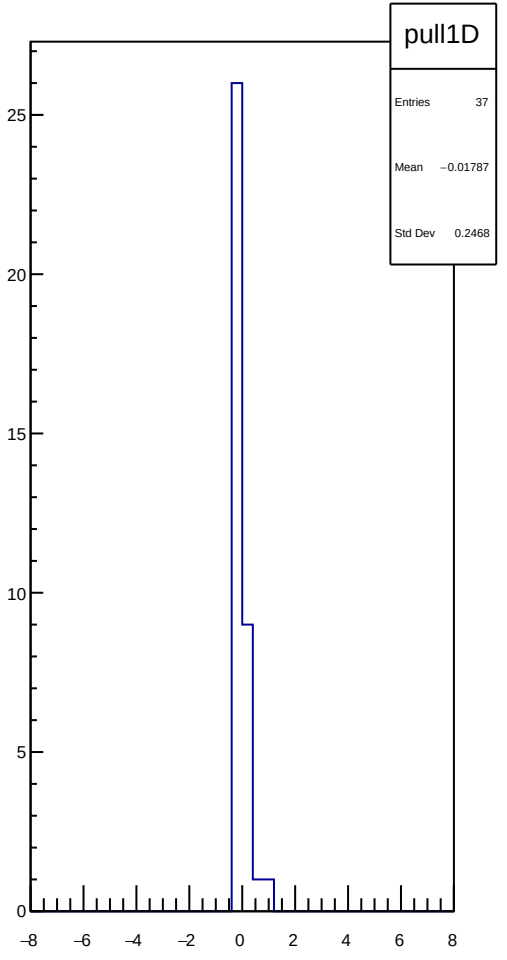
pull1D
Entries 37
Mean −0.01787
Std Dev 0.2468
25
20
15
10
5
0
−8
−6
−4
−2
0
2
4
6
8

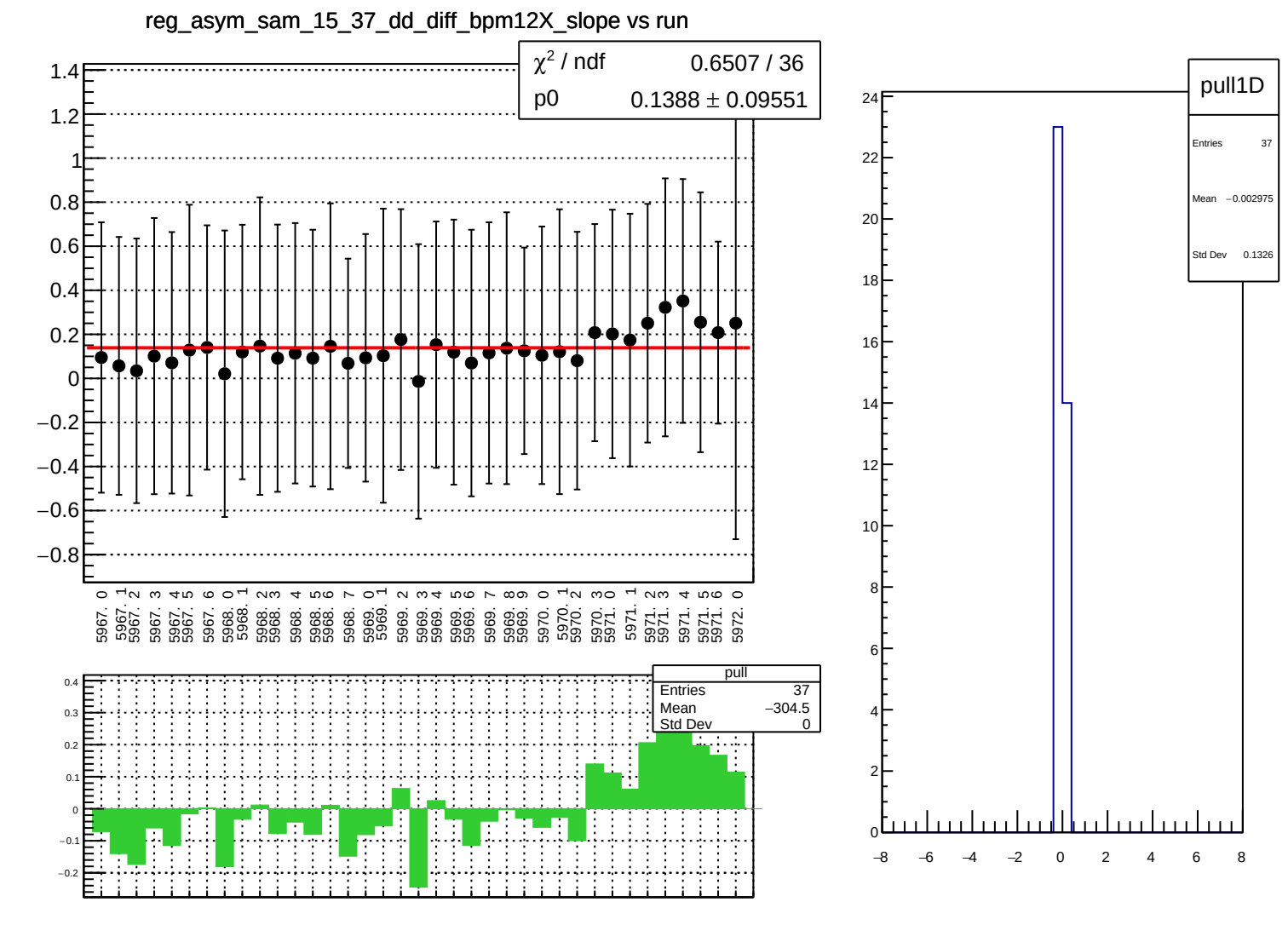
reg_asym_sam_15_37_dd_diff_bpm12X_slope vs run
χ² / ndf 0.6507 / 36
p0 0.1388 ± 0.09551
pull
Entries 37
Mean −304.5
Std Dev 0
pull1D
Entries 37
Mean −0.002975
Std Dev 0.1326

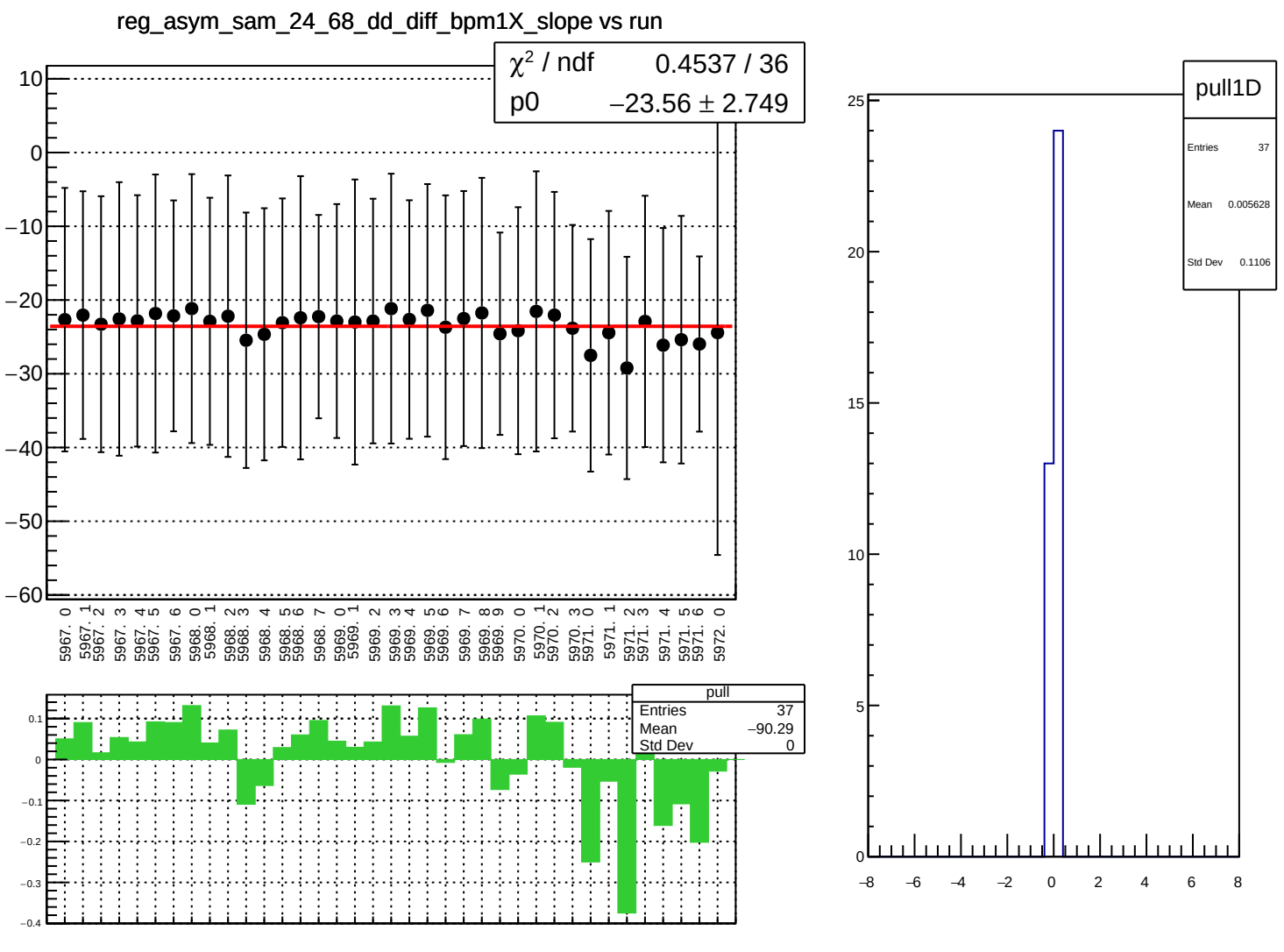
reg_asym_sam_24_68_dd_diff_bpm1X_slope vs run
χ² / ndf 0.4537 / 36
p0 −23.56 ± 2.749
pull
Entries 37
Mean −90.29
Std Dev 0
pull1D
Entries 37
Mean 0.005628
Std Dev 0.1106

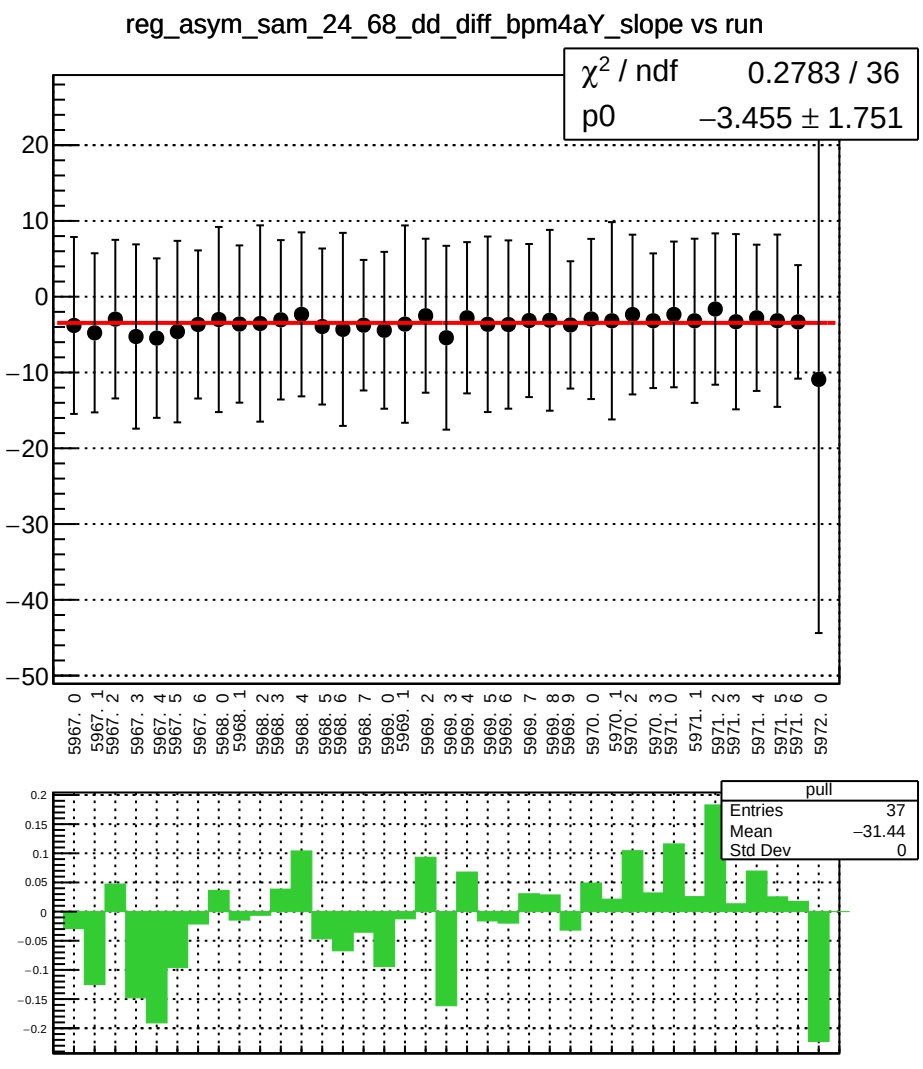
reg_asym_sam_24_68_dd_diff_bpm4aY_slope vs run
χ² / ndf 0.2783 / 36
p0 −3.455 ± 1.751
pull
Entries 37
Mean −31.44
Std Dev 0

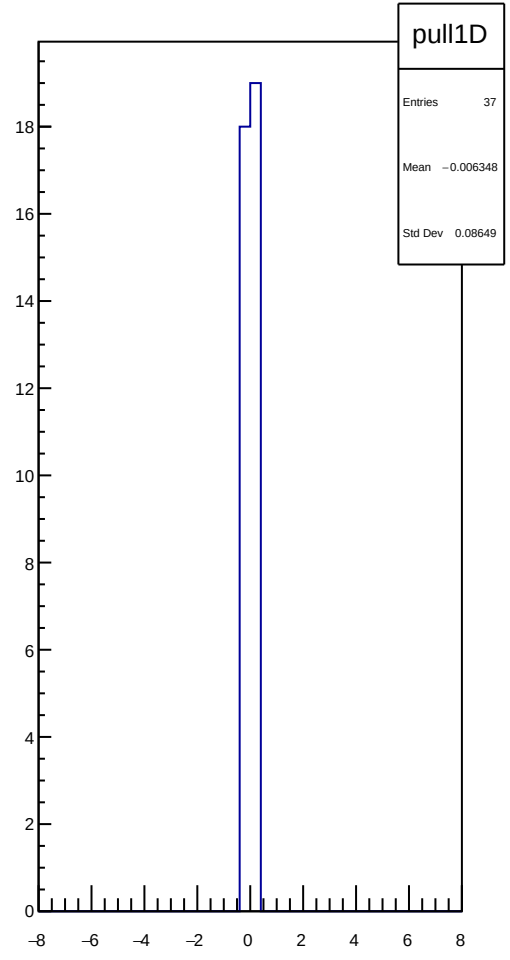
pull1D
Entries 37
Mean −0.006348
Std Dev 0.08649

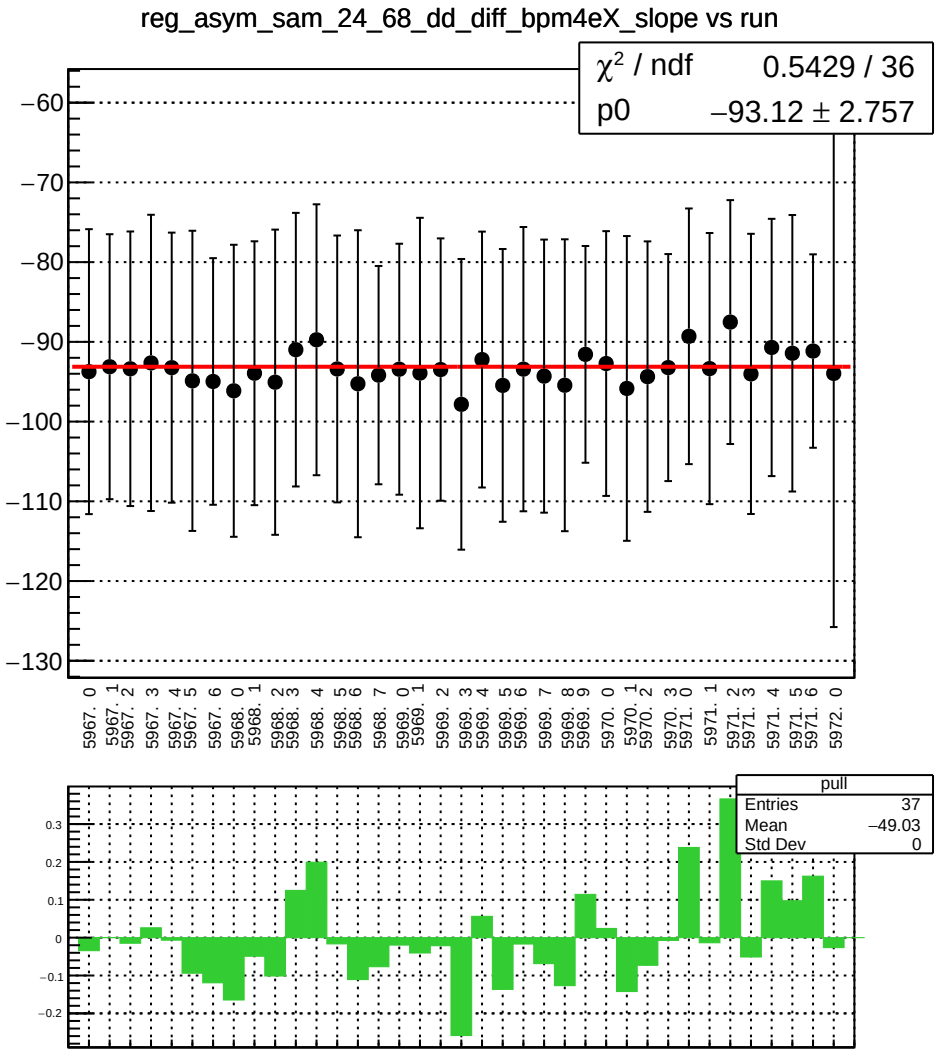
reg_asym_sam_24_68_dd_diff_bpm4eX_slope vs run
χ² / ndf 0.5429 / 36
p0 −93.12 ± 2.757
pull
Entries 37
Mean −49.03
Std Dev 0
pull1D
Entries 37
Mean −0.006226
Std Dev 0.121

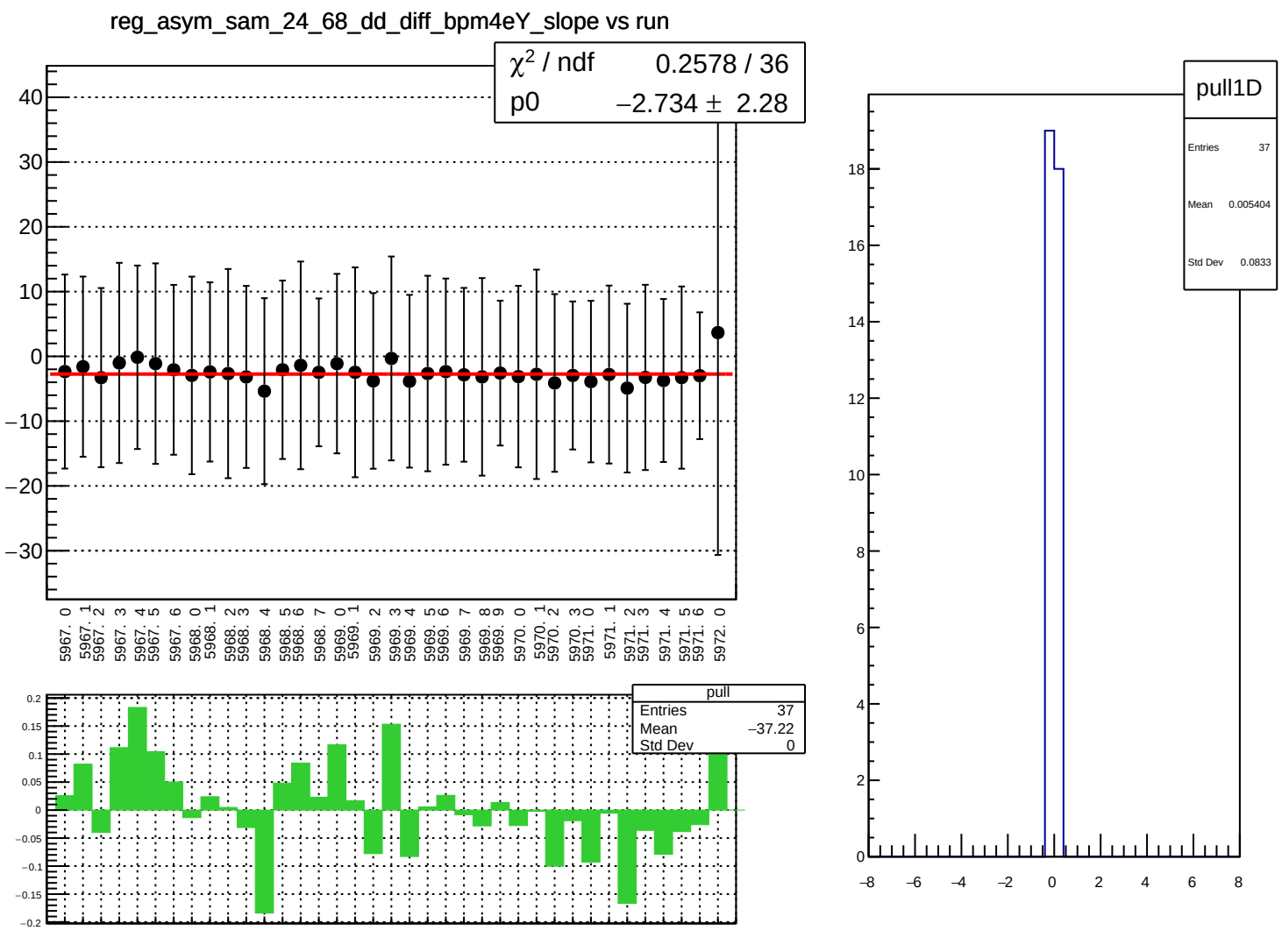
reg_asym_sam_24_68_dd_diff_bpm4eY_slope vs run
χ² / ndf 0.2578 / 36
p0 −2.734 ± 2.28
pull
Entries 37
Mean −37.22
Std Dev 0
pull1D
Entries 37
Mean 0.005404
Std Dev 0.0833

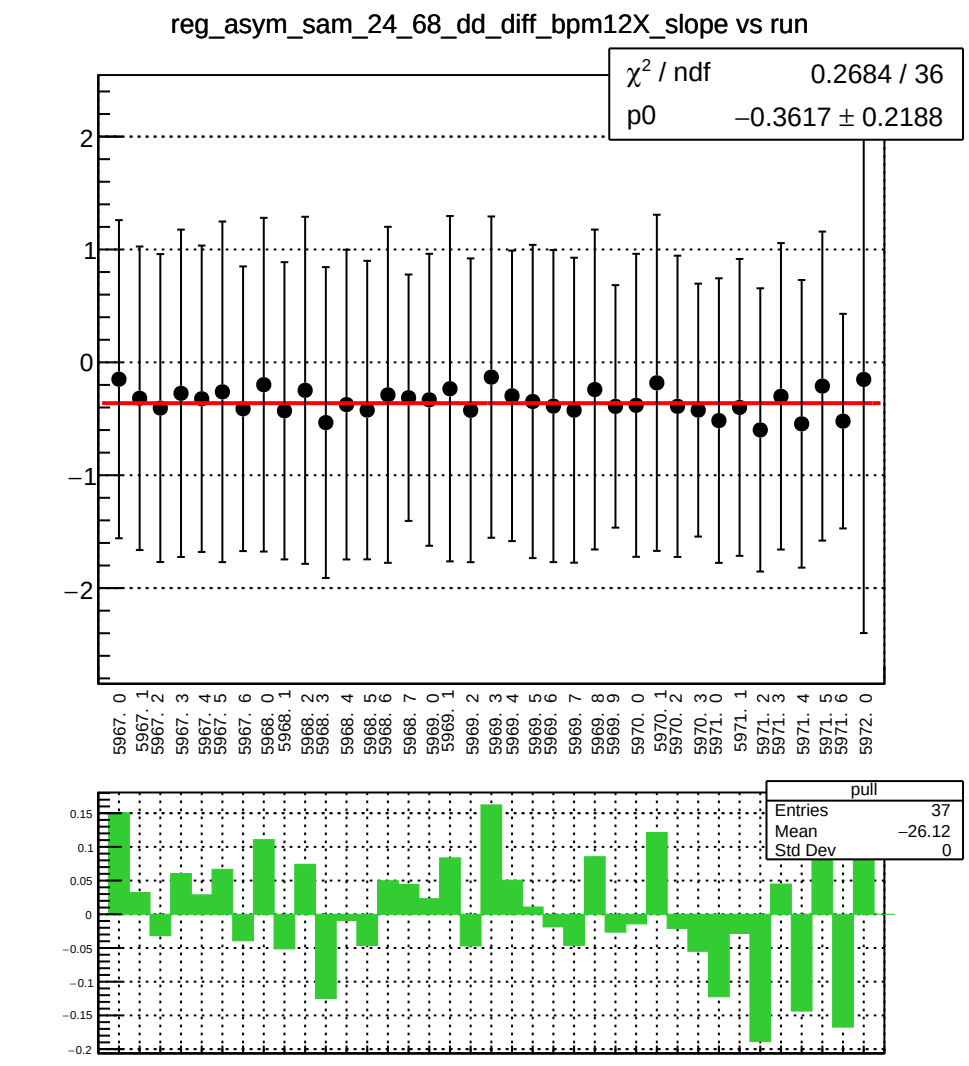
reg_asym_sam_24_68_dd_diff_bpm12X_slope vs run
χ² / ndf 0.2684 / 36
p0 −0.3617 ± 0.2188
2
1
0
−1
−2
5967. 0
5967. 1
5967. 2
5967. 3
5967. 4
5967. 5
5967. 6
5968. 0
5968. 1
5968. 2
5968. 3
5968. 4
5968. 5
5968. 6
5968. 7
5969. 0
5969. 1
5969. 2
5969. 3
5969. 4
5969. 5
5969. 6
5969. 7
5969. 8
5969. 9
5970. 0
5970. 1
5970. 2
5970. 3
5971. 0
5971. 1
5971. 2
5971. 3
5971. 4
5971. 5
5971. 6
5972. 0
pull
Entries 37
Mean −26.12
Std Dev 0
0.15
0.1
0.05
0
−0.05
−0.1
−0.15
−0.2

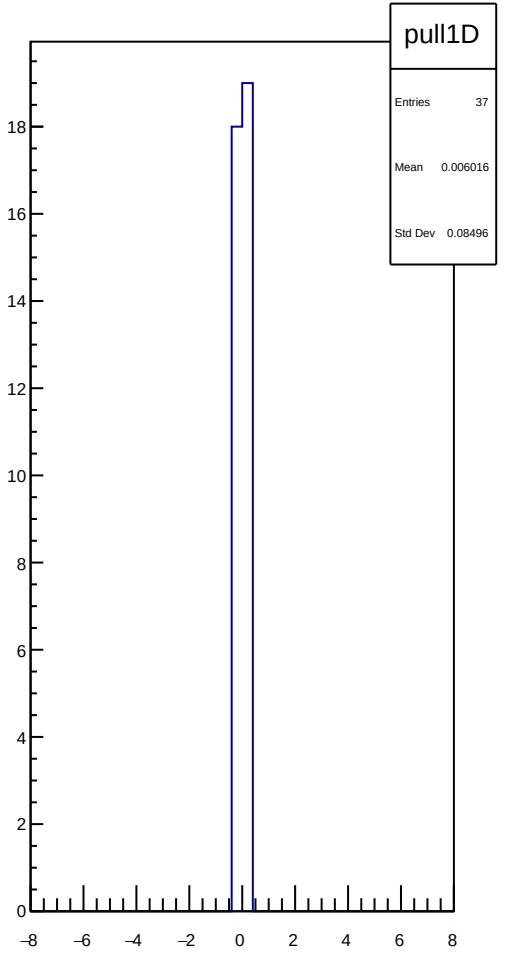
pull1D
Entries 37
Mean 0.006016
Std Dev 0.08496
18
16
14
12
10
8
6
4
2
0
−8
−6
−4
−2
0
2
4
6
8

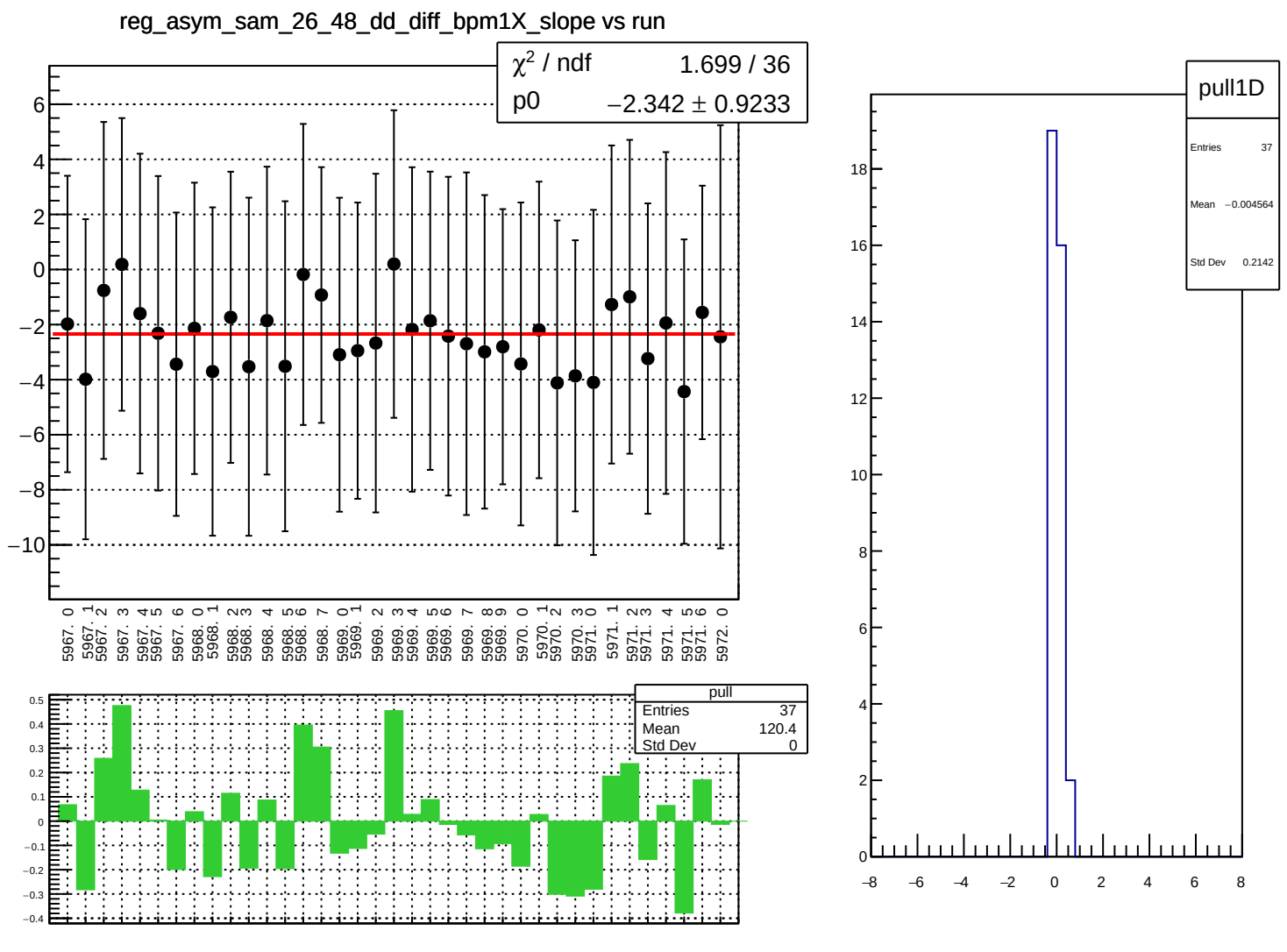
reg_asym_sam_26_48_dd_diff_bpm1X_slope vs run
χ² / ndf 1.699 / 36
p0 −2.342 ± 0.9233
pull
Entries 37
Mean 120.4
Std Dev 0
pull1D
Entries 37
Mean −0.004564
Std Dev 0.2142

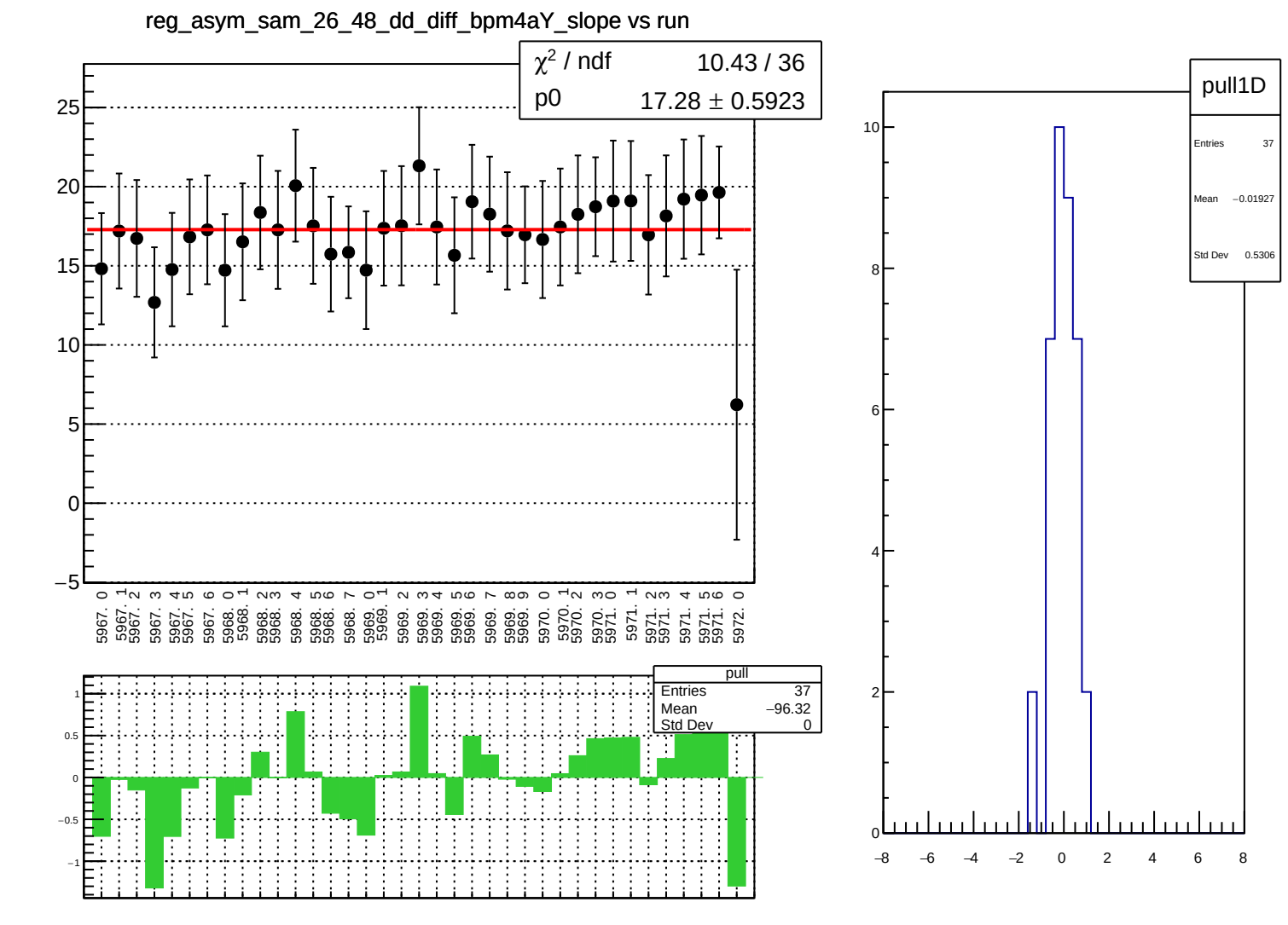
reg_asym_sam_26_48_dd_diff_bpm4aY_slope vs run
χ² / ndf 10.43 / 36
p0 17.28 ± 0.5923
pull
Entries 37
Mean −96.32
Std Dev 0
pull1D
Entries 37
Mean −0.01927
Std Dev 0.5306

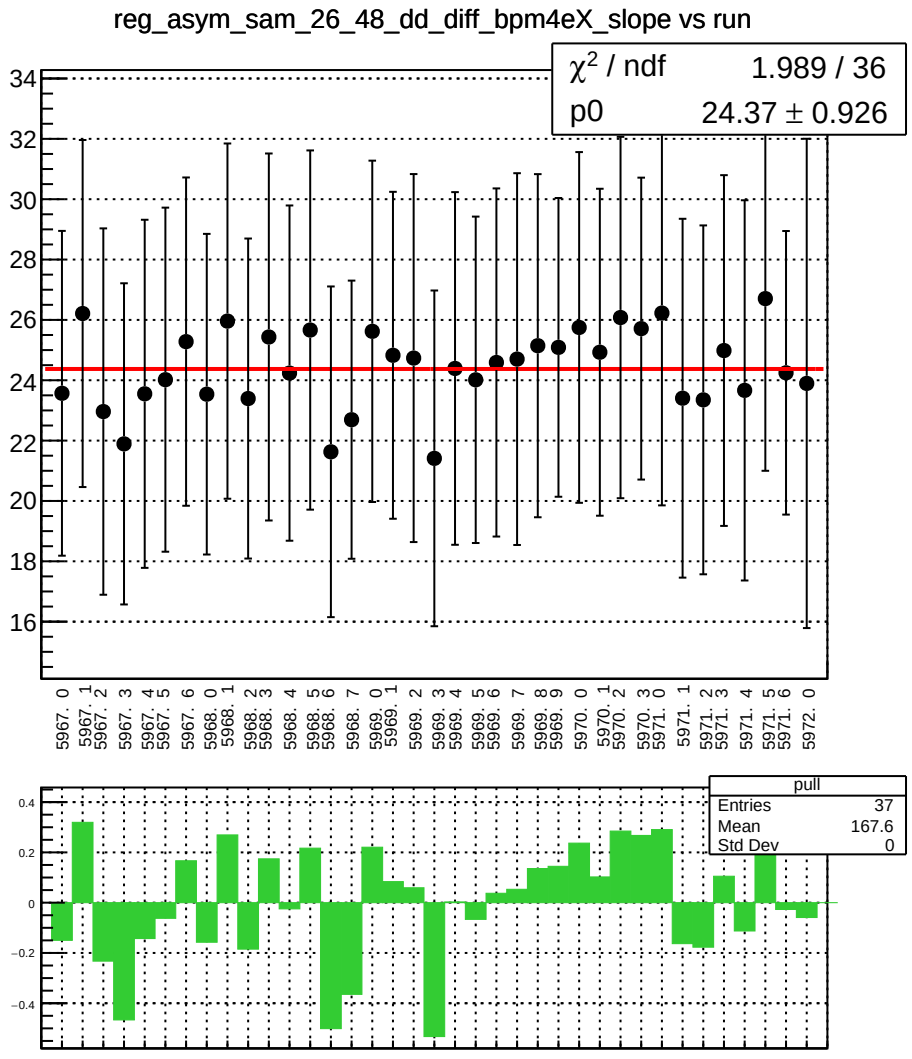
reg_asym_sam_26_48_dd_diff_bpm4eX_slope vs run
χ² / ndf 1.989 / 36
p0 24.37 ± 0.926
pull
Entries 37
Mean 167.6
Std Dev 0

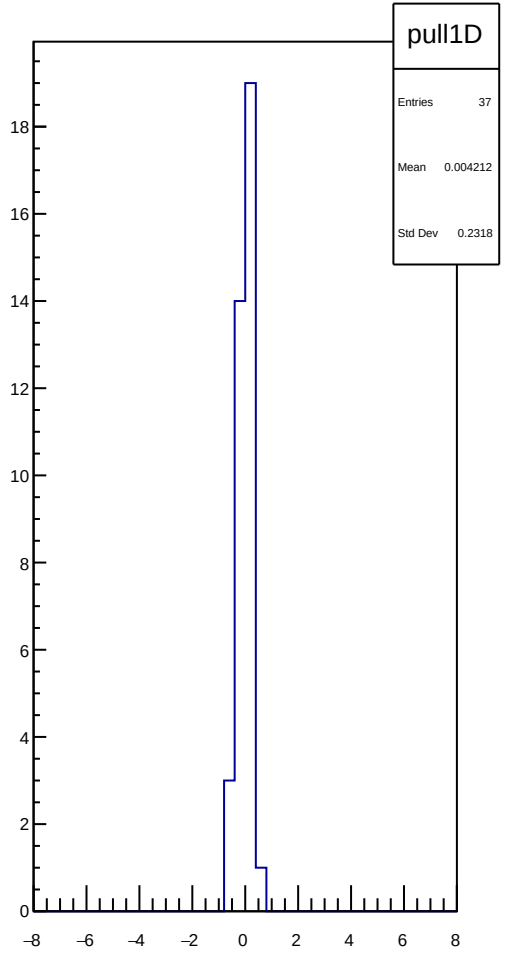
pull1D
Entries 37
Mean 0.004212
Std Dev 0.2318

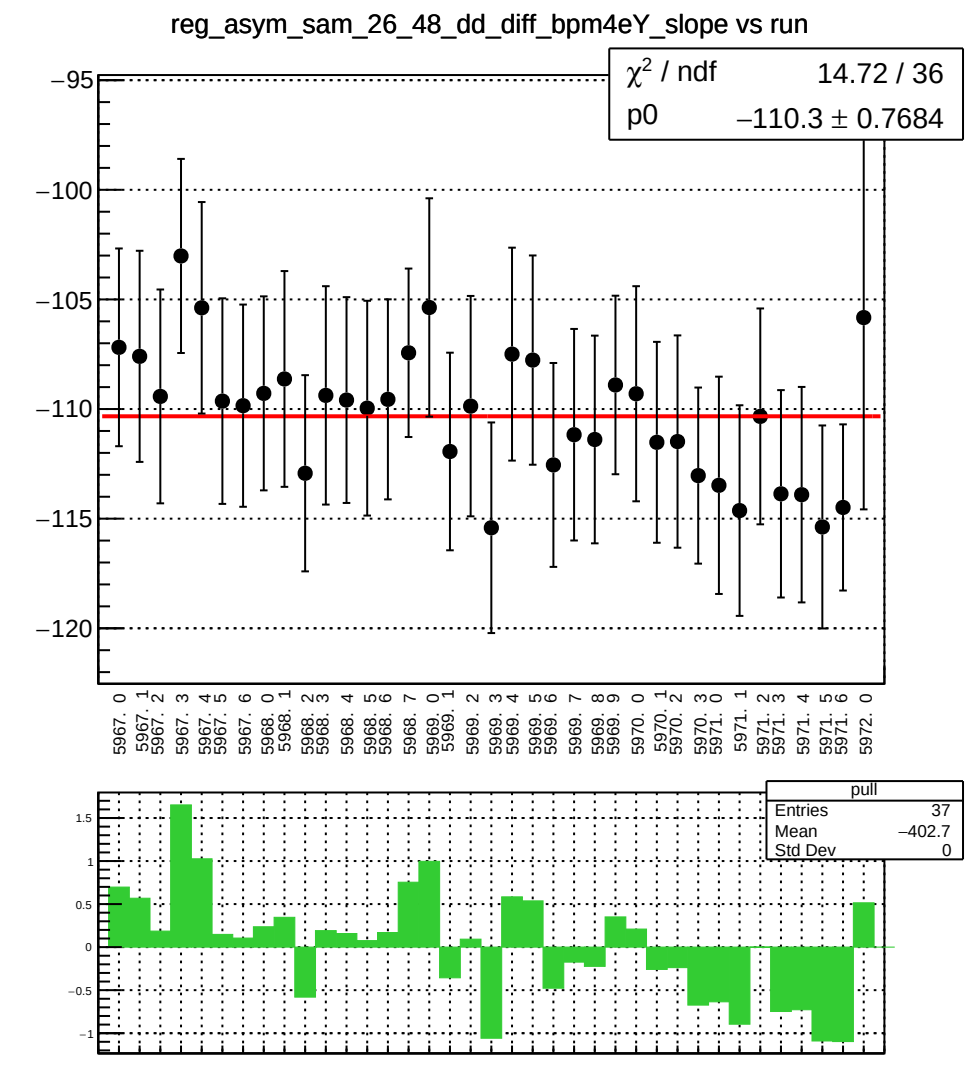
reg_asym_sam_26_48_dd_diff_bpm4eY_slope vs run
χ² / ndf 14.72 / 36
p0 −110.3 ± 0.7684
−95
−100
−105
−110
−115
−120
5967. 0
5967. 1
5967. 2
5967. 3
5967. 4
5967. 5
5967. 6
5968. 0
5968. 1
5968. 2
5968. 3
5968. 4
5968. 5
5968. 6
5968. 7
5969. 0
5969. 1
5969. 2
5969. 3
5969. 4
5969. 5
5969. 6
5969. 7
5969. 8
5969. 9
5970. 0
5970. 1
5970. 2
5970. 3
5971. 0
5971. 1
5971. 2
5971. 3
5971. 4
5971. 5
5971. 6
5972. 0
pull
Entries 37
Mean −402.7
Std Dev 0
1.5
1
0.5
0
−0.5
−1

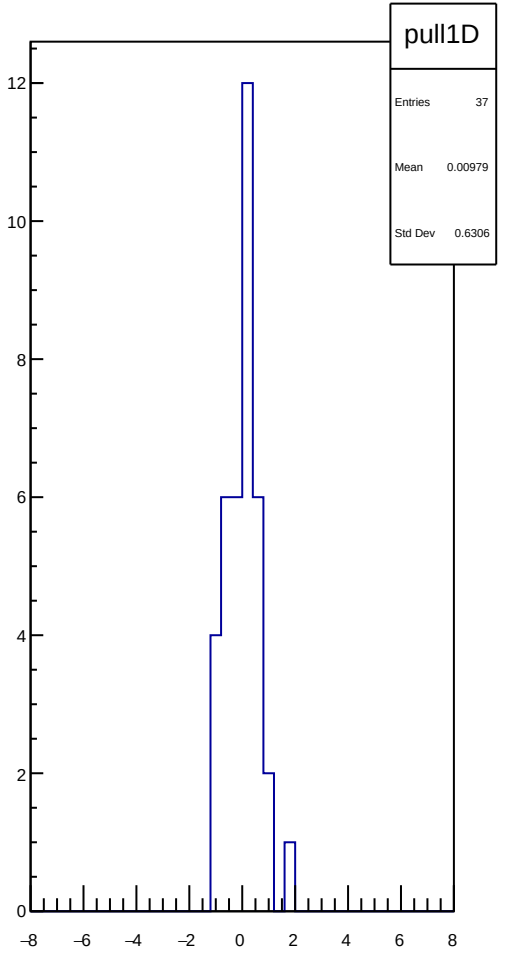
pull1D
Entries 37
Mean 0.00979
Std Dev 0.6306
12
10
8
6
4
2
0
−8
−6
−4
−2
0
2
4
6
8

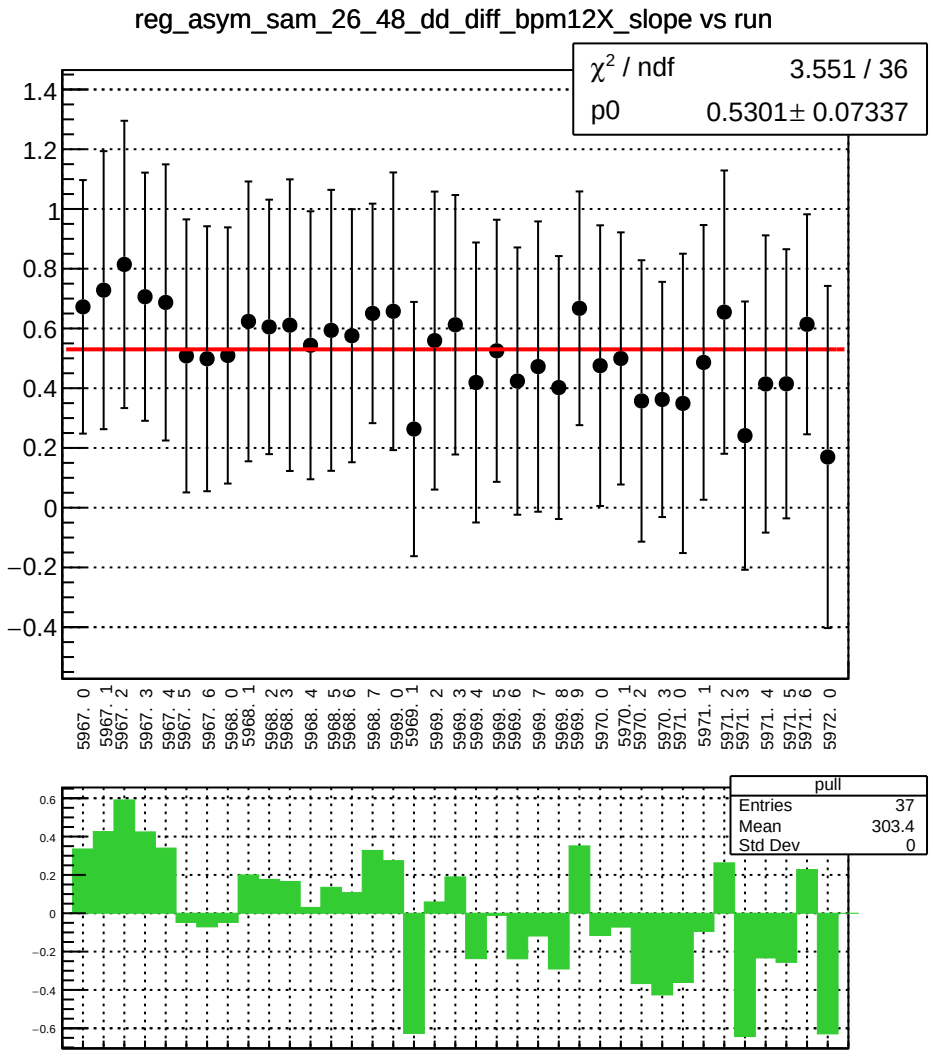
reg_asym_sam_26_48_dd_diff_bpm12X_slope vs run
χ² / ndf 3.551 / 36
p0 0.5301± 0.07337
pull
Entries 37
Mean 303.4
Std Dev 0
pull1D
Entries 37
Mean −0.007092
Std Dev 0.3097

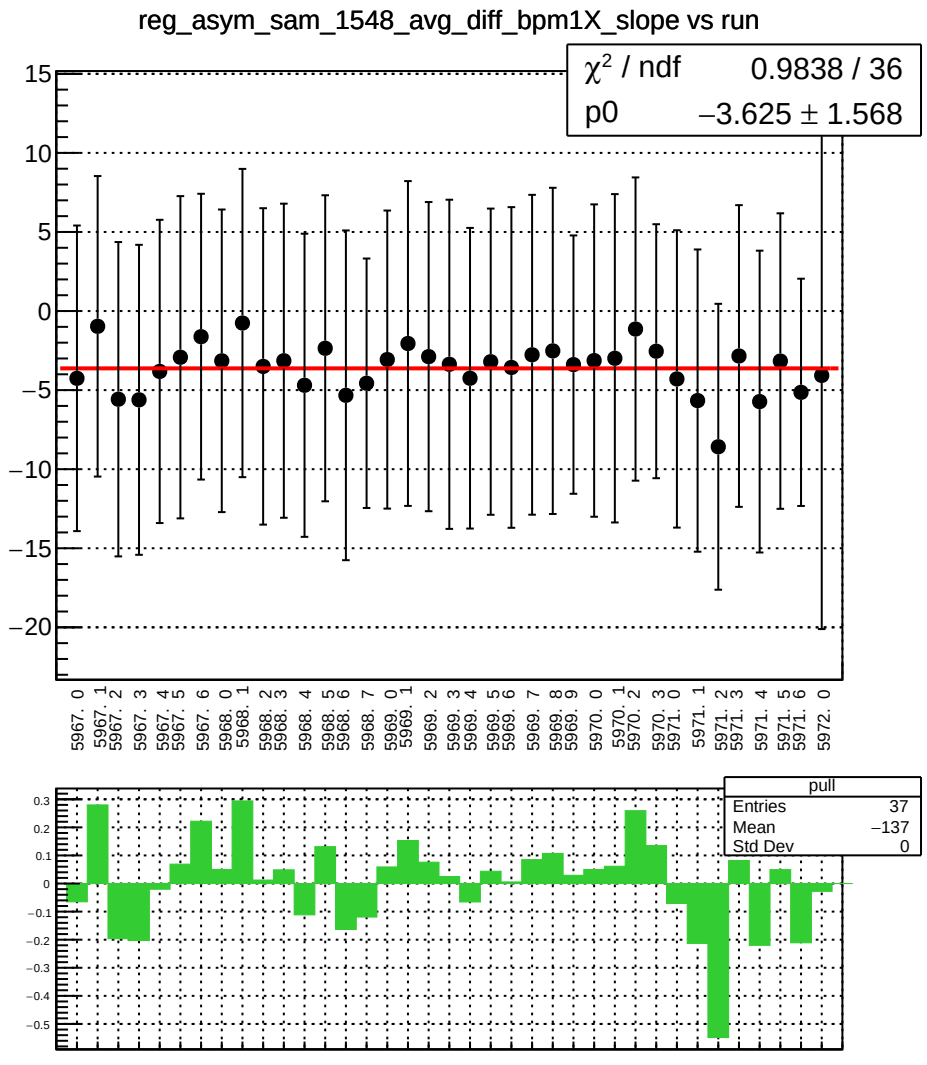
reg_asym_sam_1548_avg_diff_bpm1X_slope vs run
χ² / ndf 0.9838 / 36
p0 −3.625 ± 1.568
pull
Entries 37
Mean −137
Std Dev 0

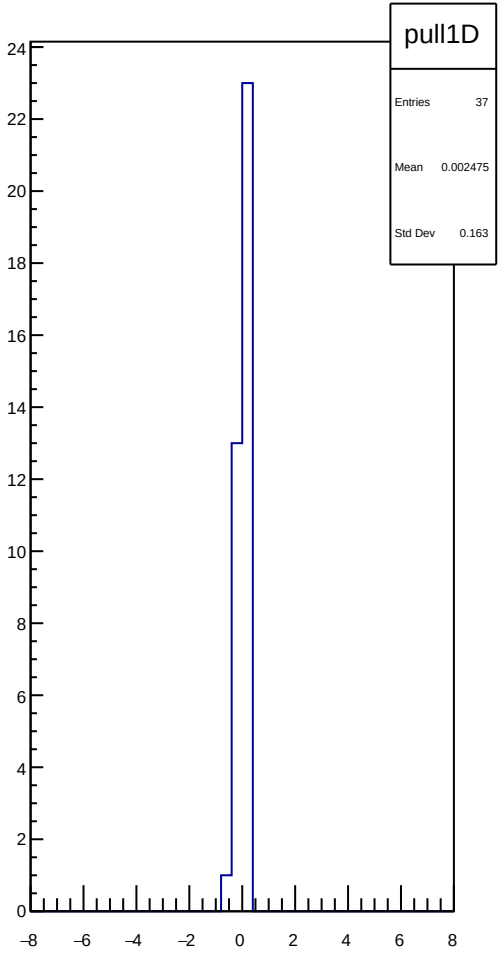
pull1D
Entries 37
Mean 0.002475
Std Dev 0.163

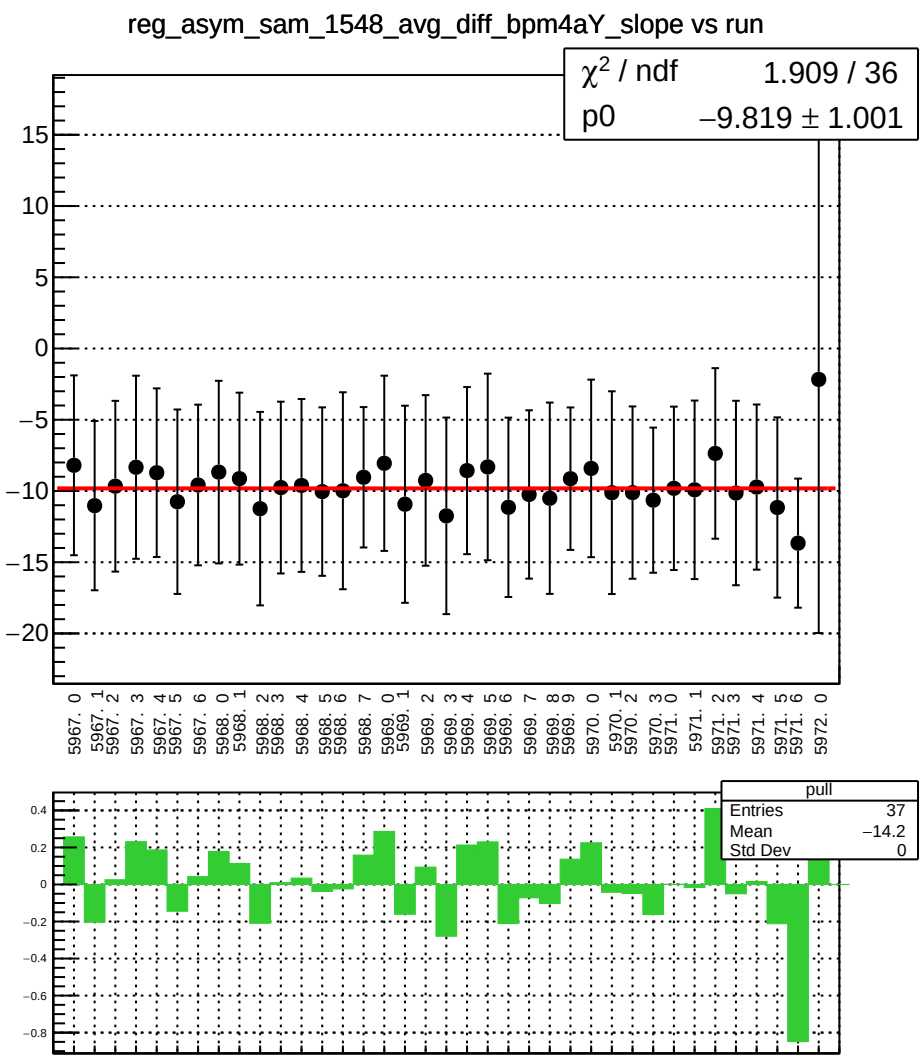
reg_asym_sam_1548_avg_diff_bpm4aY_slope vs run
χ² / ndf 1.909 / 36
p0 −9.819 ± 1.001
pull
Entries 37
Mean −14.2
Std Dev 0

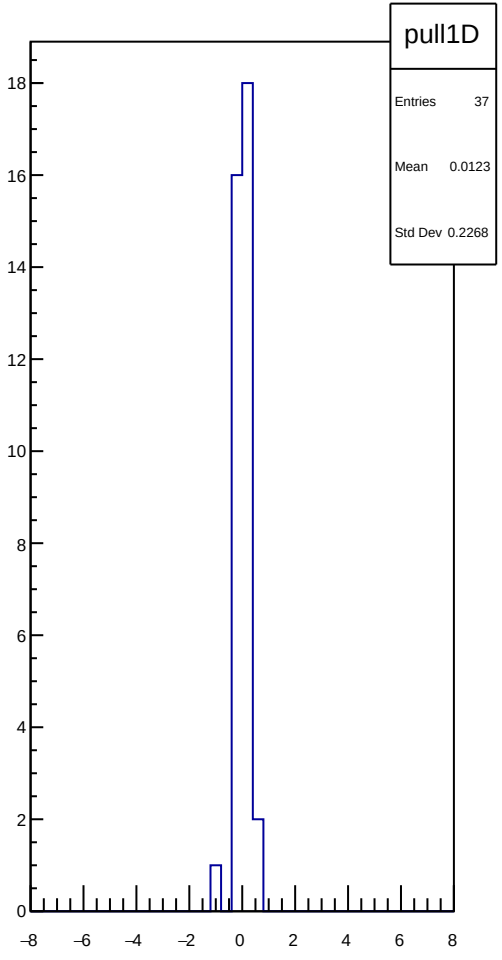
pull1D
Entries 37
Mean 0.0123
Std Dev 0.2268

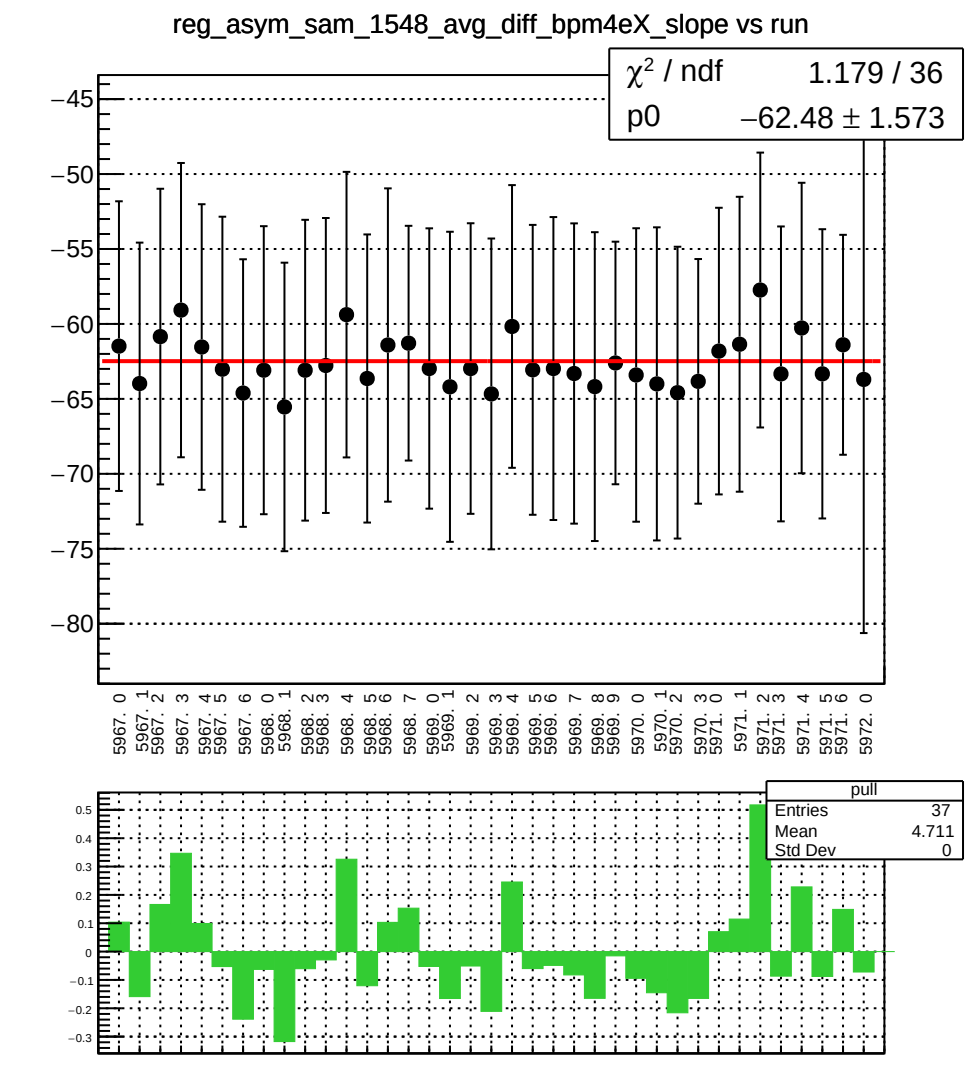
reg_asym_sam_1548_avg_diff_bpm4eX_slope vs run
χ² / ndf 1.179 / 36
p0 −62.48 ± 1.573
−45
−50
−55
−60
−65
−70
−75
−80
5967. 0
5967. 1
5967. 2
5967. 3
5967. 4
5967. 5
5967. 6
5968. 0
5968. 1
5968. 2
5968. 3
5968. 4
5968. 5
5968. 6
5968. 7
5969. 0
5969. 1
5969. 2
5969. 3
5969. 4
5969. 5
5969. 6
5969. 7
5969. 8
5969. 9
5970. 0
5970. 1
5970. 2
5970. 3
5971. 0
5971. 1
5971. 2
5971. 3
5971. 4
5971. 5
5971. 6
5972. 0
pull
Entries 37
Mean 4.711
Std Dev 0
0.5
0.4
0.3
0.2
0.1
0
−0.1
−0.2
−0.3
pull1D
Entries 37
Mean −0.003652
Std Dev 0.1785
25
20
15
10
5
0
−8
−6
−4
−2
0
2
4
6
8

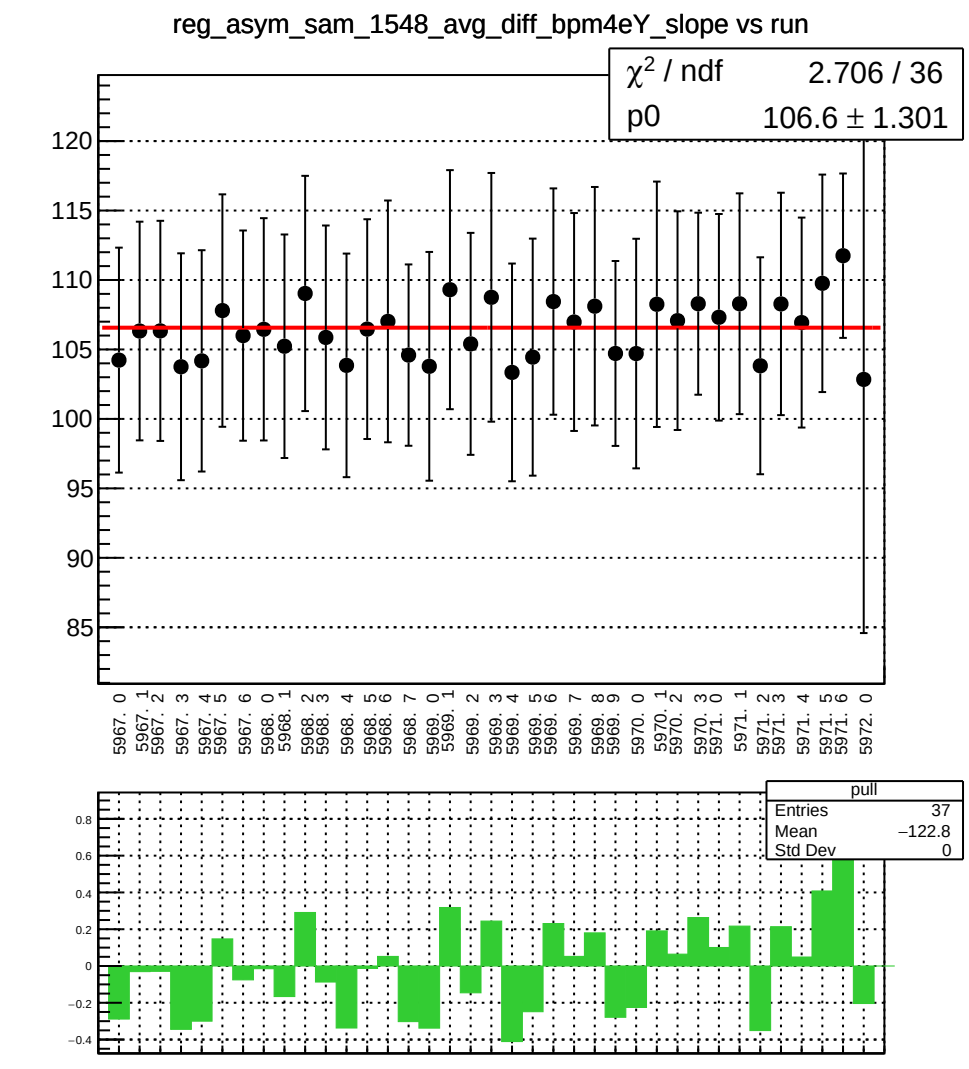
reg_asym_sam_1548_avg_diff_bpm4eY_slope vs run
χ² / ndf 2.706 / 36
p0 106.6 ± 1.301
120
115
110
105
100
95
90
85
5967. 0
5967. 1
5967. 2
5967. 3
5967. 4
5967. 5
5967. 6
5968. 0
5968. 1
5968. 2
5968. 3
5968. 4
5968. 5
5968. 6
5968. 7
5969. 0
5969. 1
5969. 2
5969. 3
5969. 4
5969. 5
5969. 6
5969. 7
5969. 8
5969. 9
5970. 0
5970. 1
5970. 2
5970. 3
5971. 0
5971. 1
5971. 2
5971. 3
5971. 4
5971. 5
5971. 6
5972. 0
pull
Entries 37
Mean −122.8
Std Dev 0
0.8
0.6
0.4
0.2
0
−0.2
−0.4

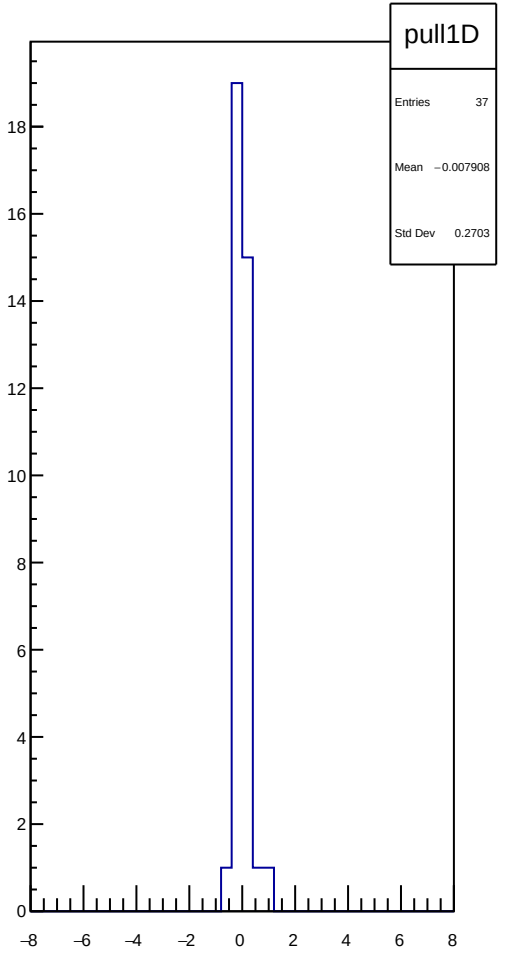
pull1D
Entries 37
Mean −0.007908
Std Dev 0.2703
18
16
14
12
10
8
6
4
2
0
−8
−6
−4
−2
0
2
4
6
8

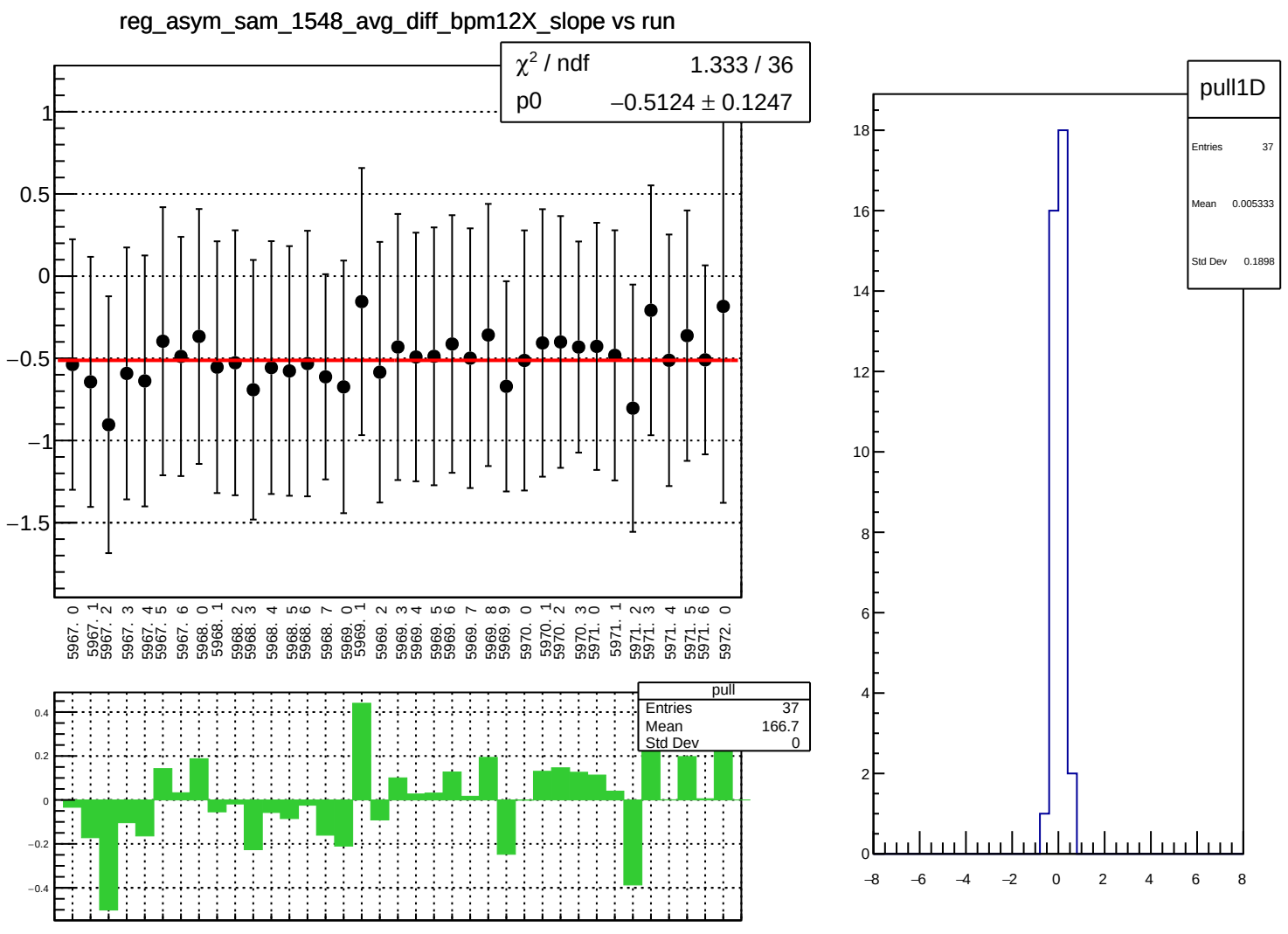
reg_asym_sam_1548_avg_diff_bpm12X_slope vs run
χ² / ndf 1.333 / 36
p0 −0.5124 ± 0.1247
pull
Entries 37
Mean 166.7
Std Dev 0
pull1D
Entries 37
Mean 0.005333
Std Dev 0.1898

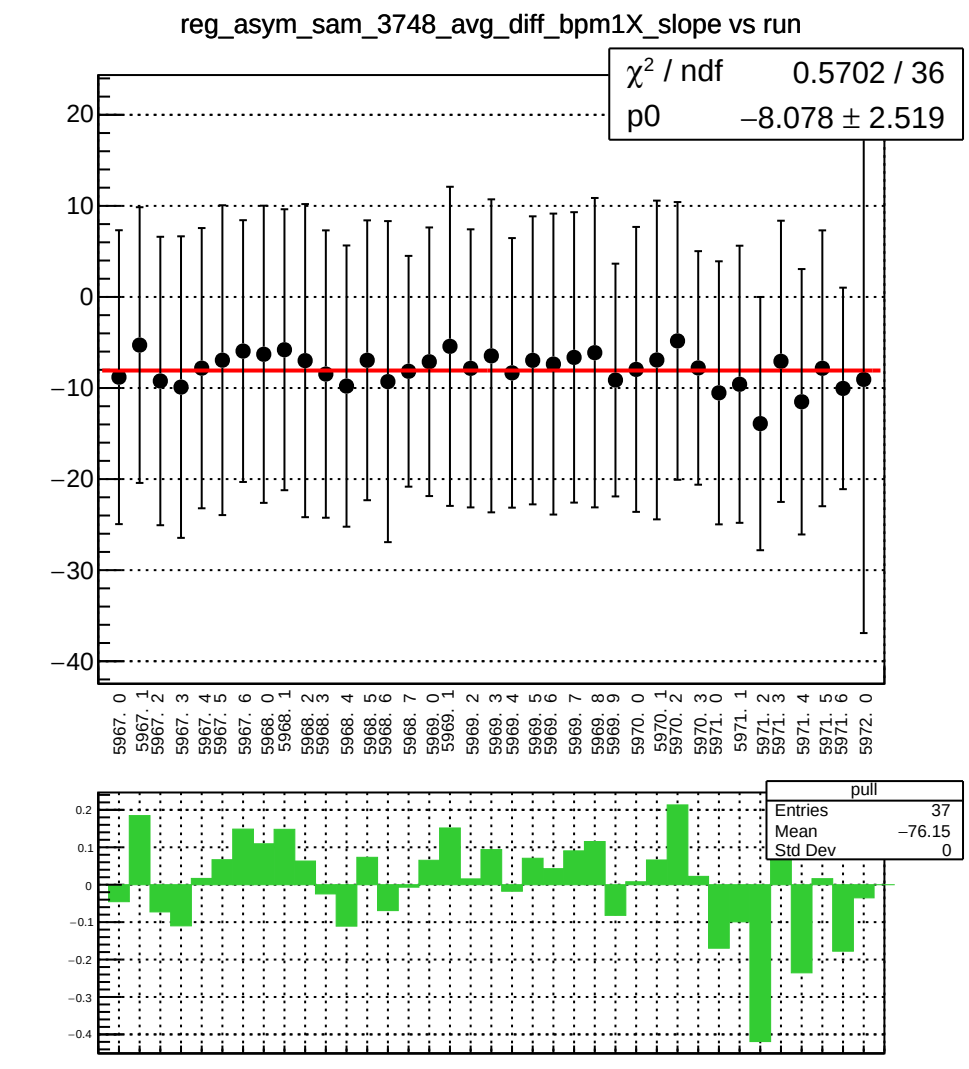
reg_asym_sam_3748_avg_diff_bpm1X_slope vs run
χ² / ndf 0.5702 / 36
p0 −8.078 ± 2.519
pull
Entries 37
Mean −76.15
Std Dev 0

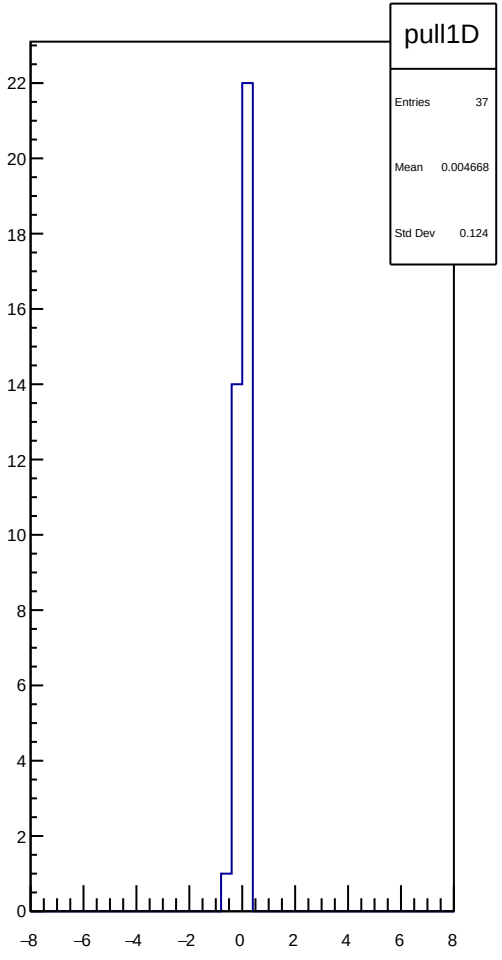
pull1D
Entries 37
Mean 0.004668
Std Dev 0.124

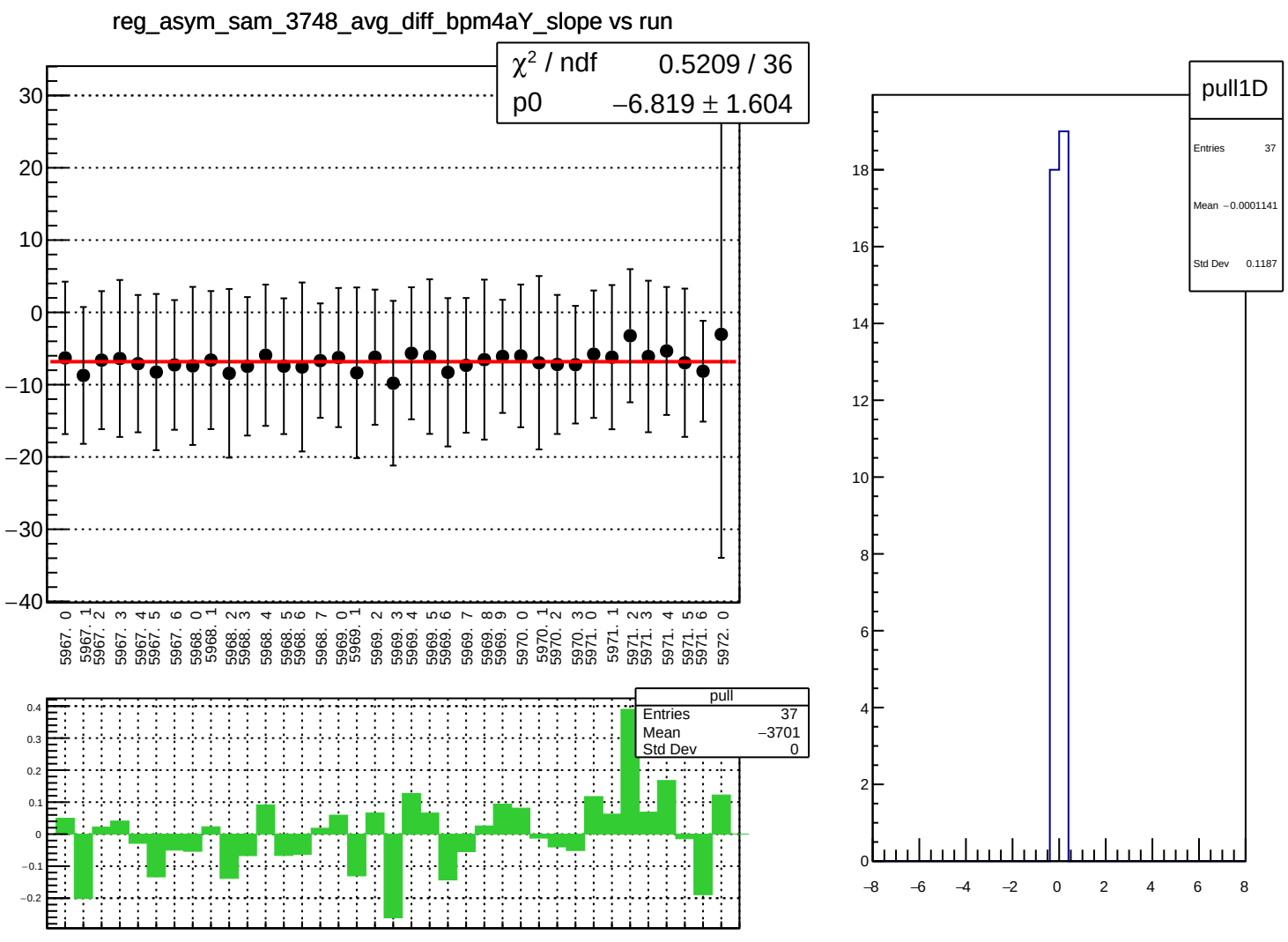
reg_asym_sam_3748_avg_diff_bpm4aY_slope vs run
χ² / ndf 0.5209 / 36
p0 −6.819 ± 1.604
pull
Entries 37
Mean −3701
Std Dev 0
pull1D
Entries 37
Mean −0.0001141
Std Dev 0.1187

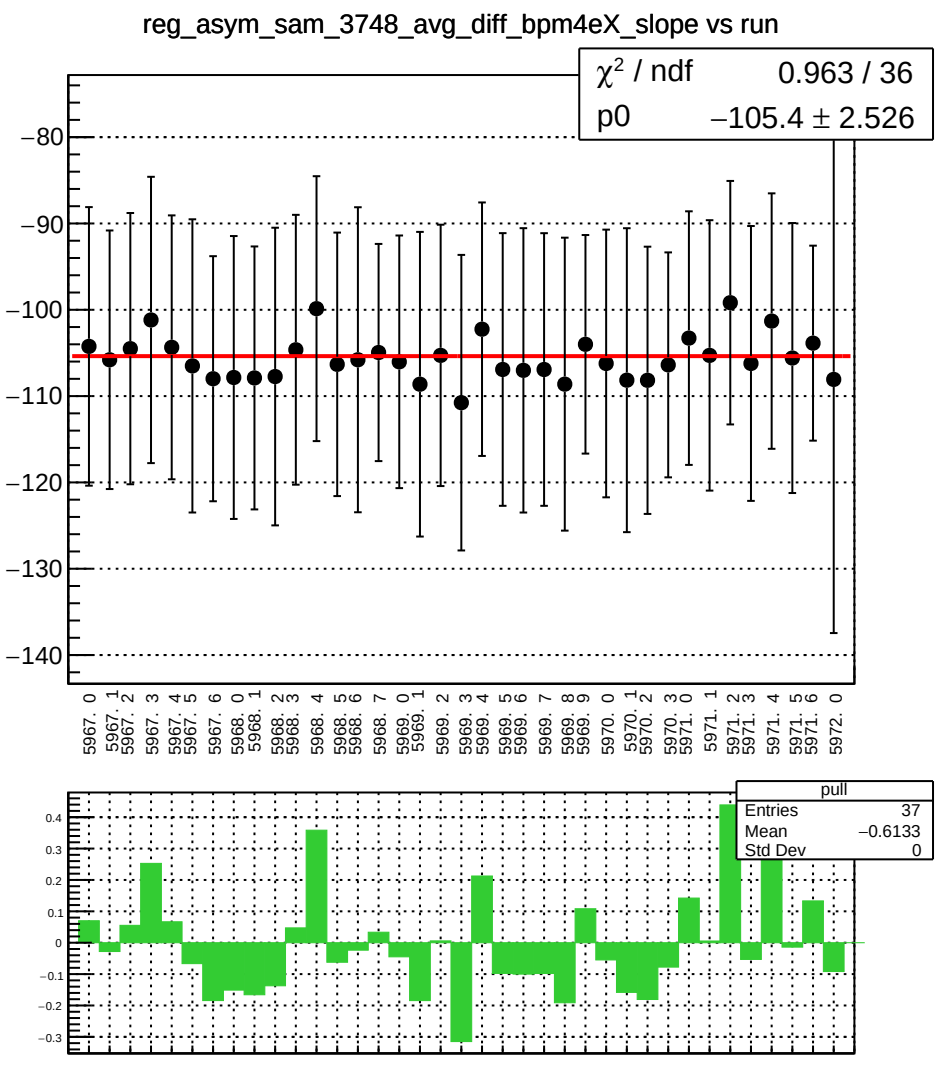
reg_asym_sam_3748_avg_diff_bpm4eX_slope vs run
χ² / ndf 0.963 / 36
p0 −105.4 ± 2.526
pull
Entries 37
Mean −0.6133
Std Dev 0

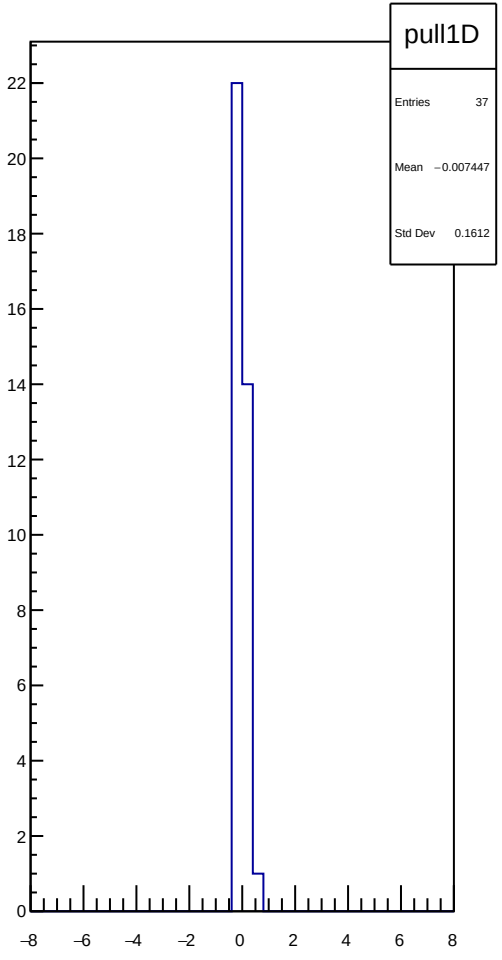
pull1D
Entries 37
Mean −0.007447
Std Dev 0.1612

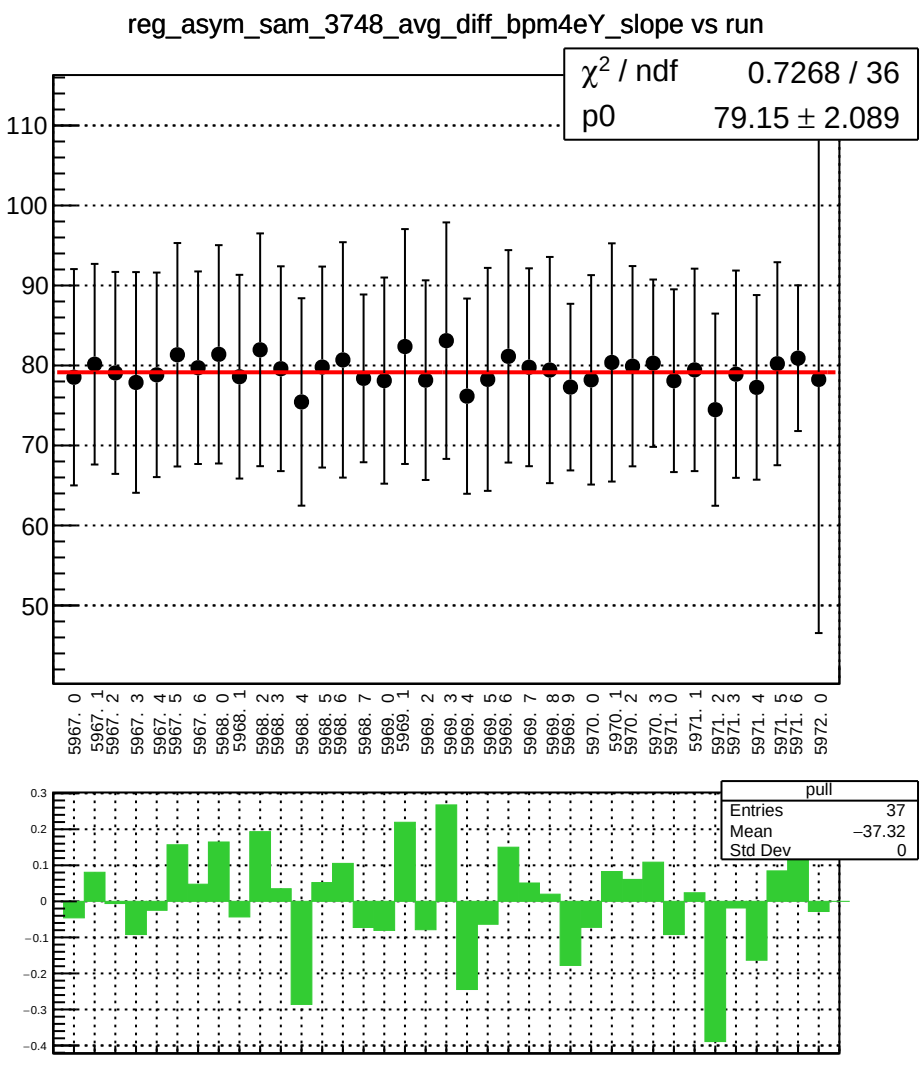
reg_asym_sam_3748_avg_diff_bpm4eY_slope vs run
χ² / ndf 0.7268 / 36
p0 79.15 ± 2.089
110
100
90
80
70
60
50
5967. 0
5967. 1
5967. 2
5967. 3
5967. 4
5967. 5
5967. 6
5968. 0
5968. 1
5968. 2
5968. 3
5968. 4
5968. 5
5968. 6
5968. 7
5969. 0
5969. 1
5969. 2
5969. 3
5969. 4
5969. 5
5969. 6
5969. 7
5969. 8
5969. 9
5970. 0
5970. 1
5970. 2
5970. 3
5971. 0
5971. 1
5971. 2
5971. 3
5971. 4
5971. 5
5971. 6
5972. 0
pull
Entries 37
Mean −37.32
Std Dev 0
0.3
0.2
0.1
0
−0.1
−0.2
−0.3
−0.4
pull1D
Entries 37
Mean 0.003217
Std Dev 0.1401
18
16
14
12
10
8
6
4
2
0
−8
−6
−4
−2
0
2
4
6
8

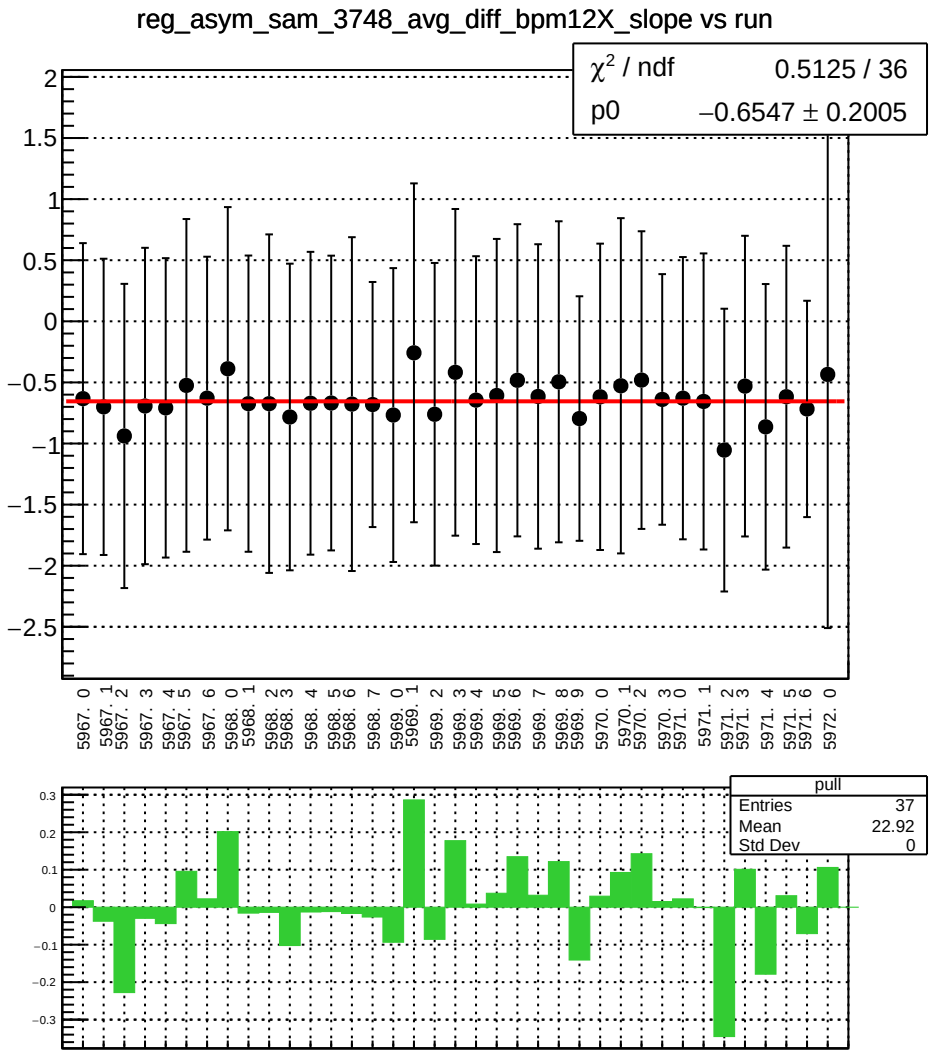
reg_asym_sam_3748_avg_diff_bpm12X_slope vs run
χ² / ndf 0.5125 / 36
p0 −0.6547 ± 0.2005
pull
Entries 37
Mean 22.92
Std Dev 0
pull1D
Entries 37
Mean 0.005974
Std Dev 0.1175

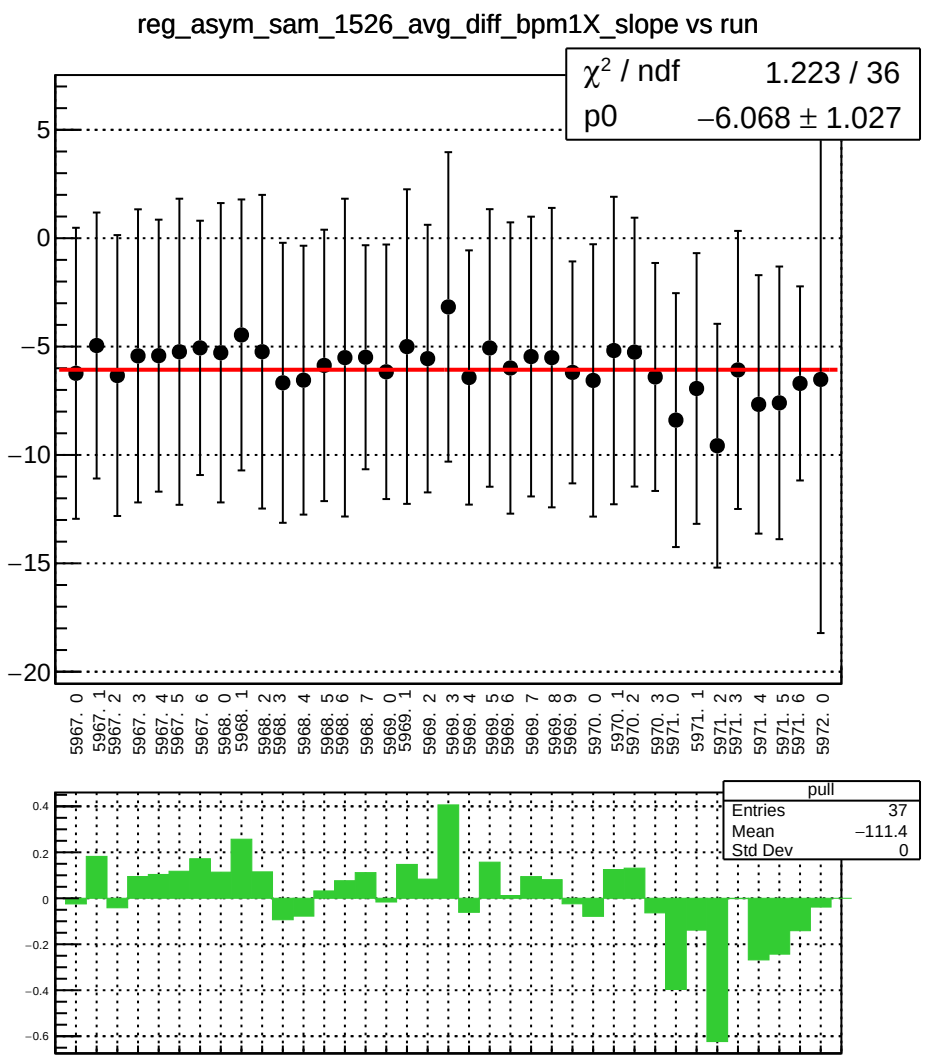
reg_asym_sam_1526_avg_diff_bpm1X_slope vs run
χ² / ndf 1.223 / 36
p0 −6.068 ± 1.027
pull
Entries 37
Mean −111.4
Std Dev 0

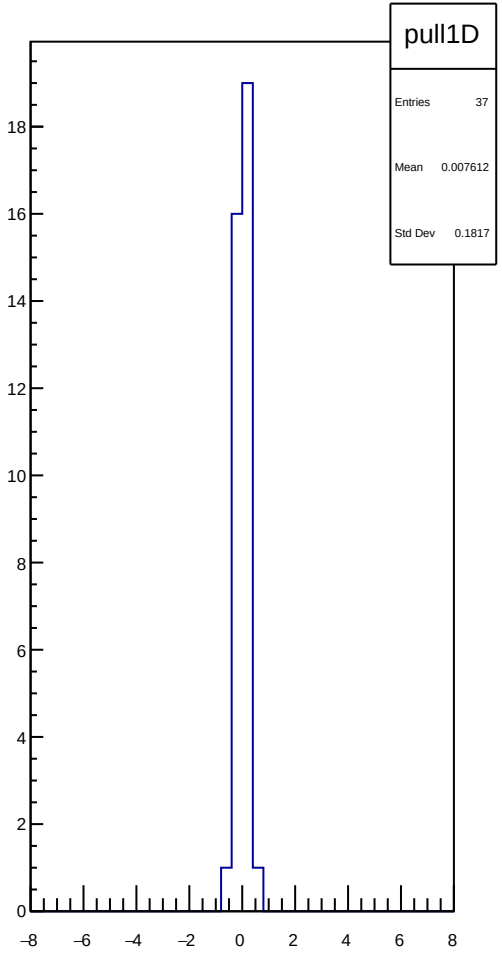
pull1D
Entries 37
Mean 0.007612
Std Dev 0.1817

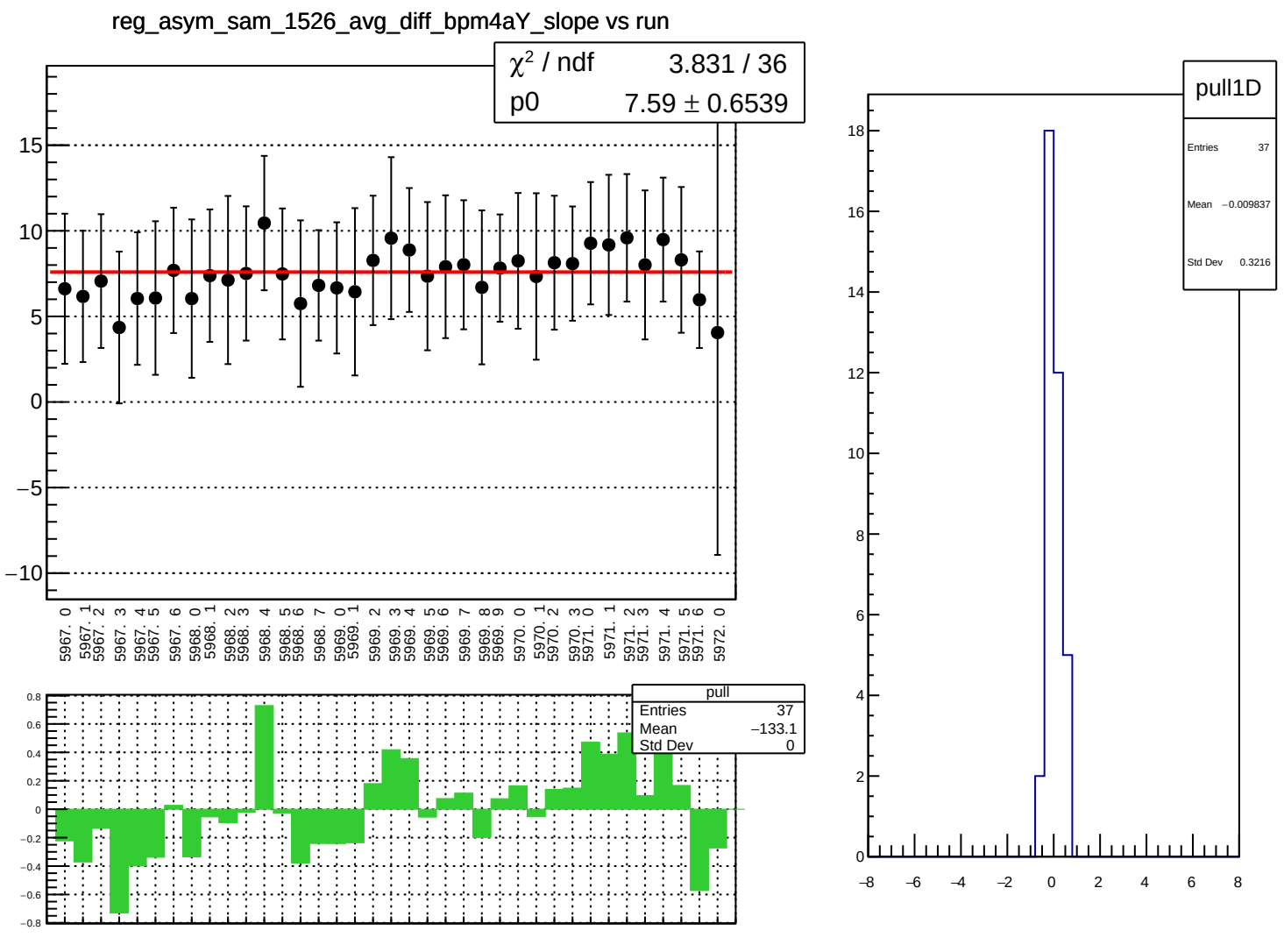
reg_asym_sam_1526_avg_diff_bpm4aY_slope vs run
χ² / ndf 3.831 / 36
p0 7.59 ± 0.6539
pull
Entries 37
Mean −133.1
Std Dev 0
pull1D
Entries 37
Mean −0.009837
Std Dev 0.3216

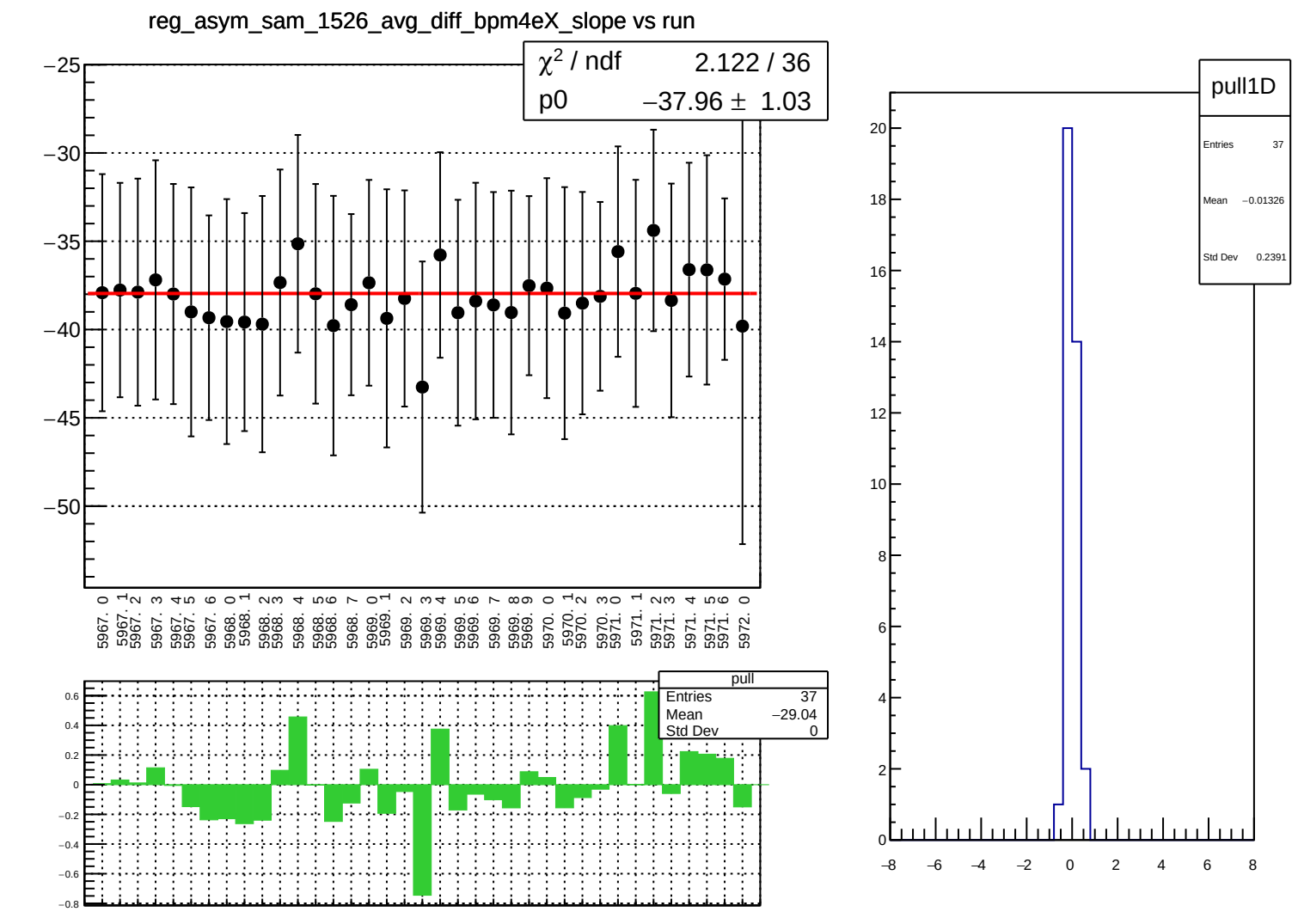
reg_asym_sam_1526_avg_diff_bpm4eX_slope vs run
χ² / ndf 2.122 / 36
p0 −37.96 ± 1.03
pull
Entries 37
Mean −29.04
Std Dev 0
pull1D
Entries 37
Mean −0.01326
Std Dev 0.2391

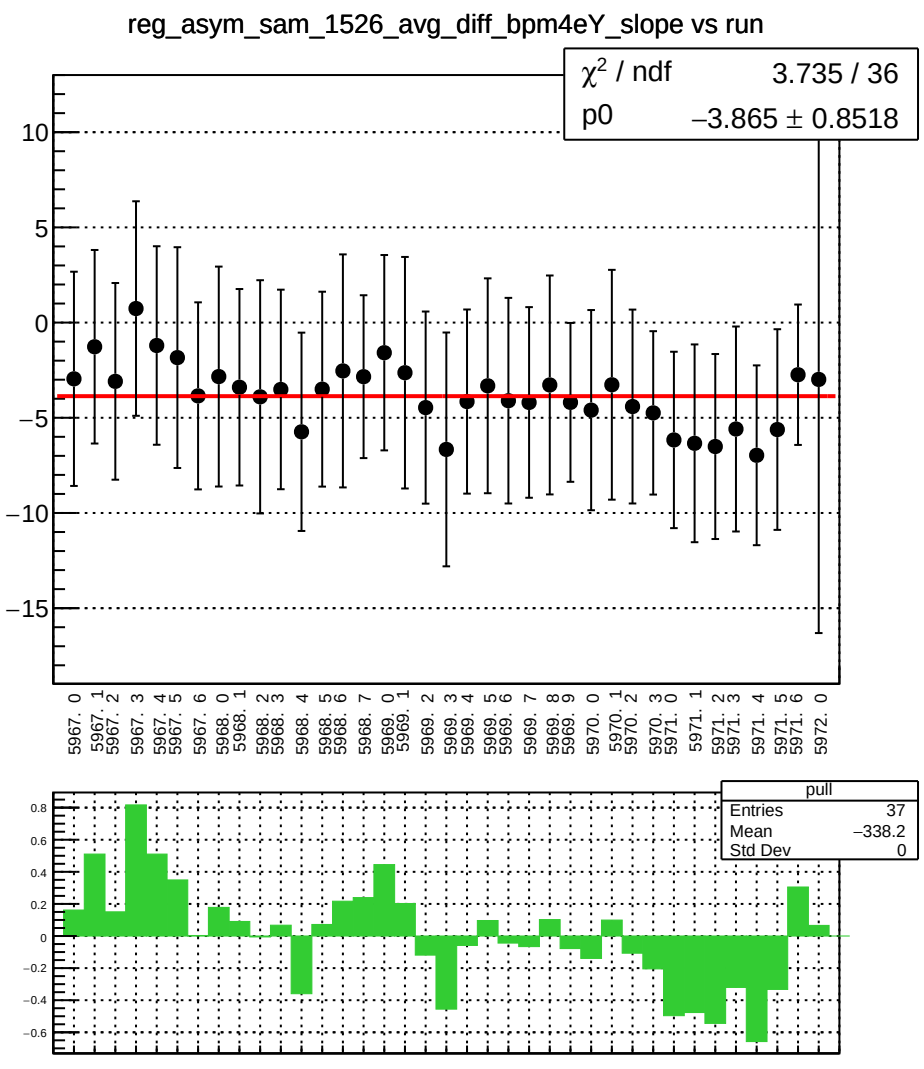
reg_asym_sam_1526_avg_diff_bpm4eY_slope vs run
χ² / ndf 3.735 / 36
p0 −3.865 ± 0.8518
pull
Entries 37
Mean −338.2
Std Dev 0

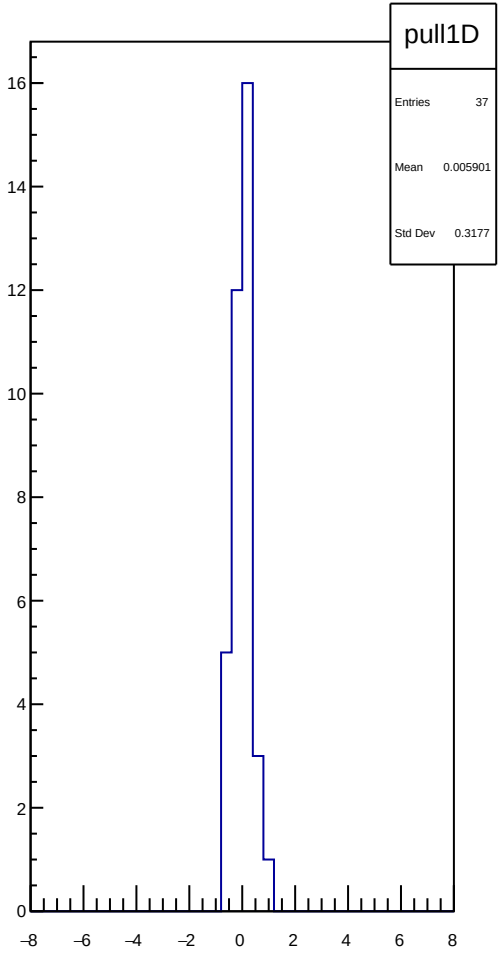
pull1D
Entries 37
Mean 0.005901
Std Dev 0.3177

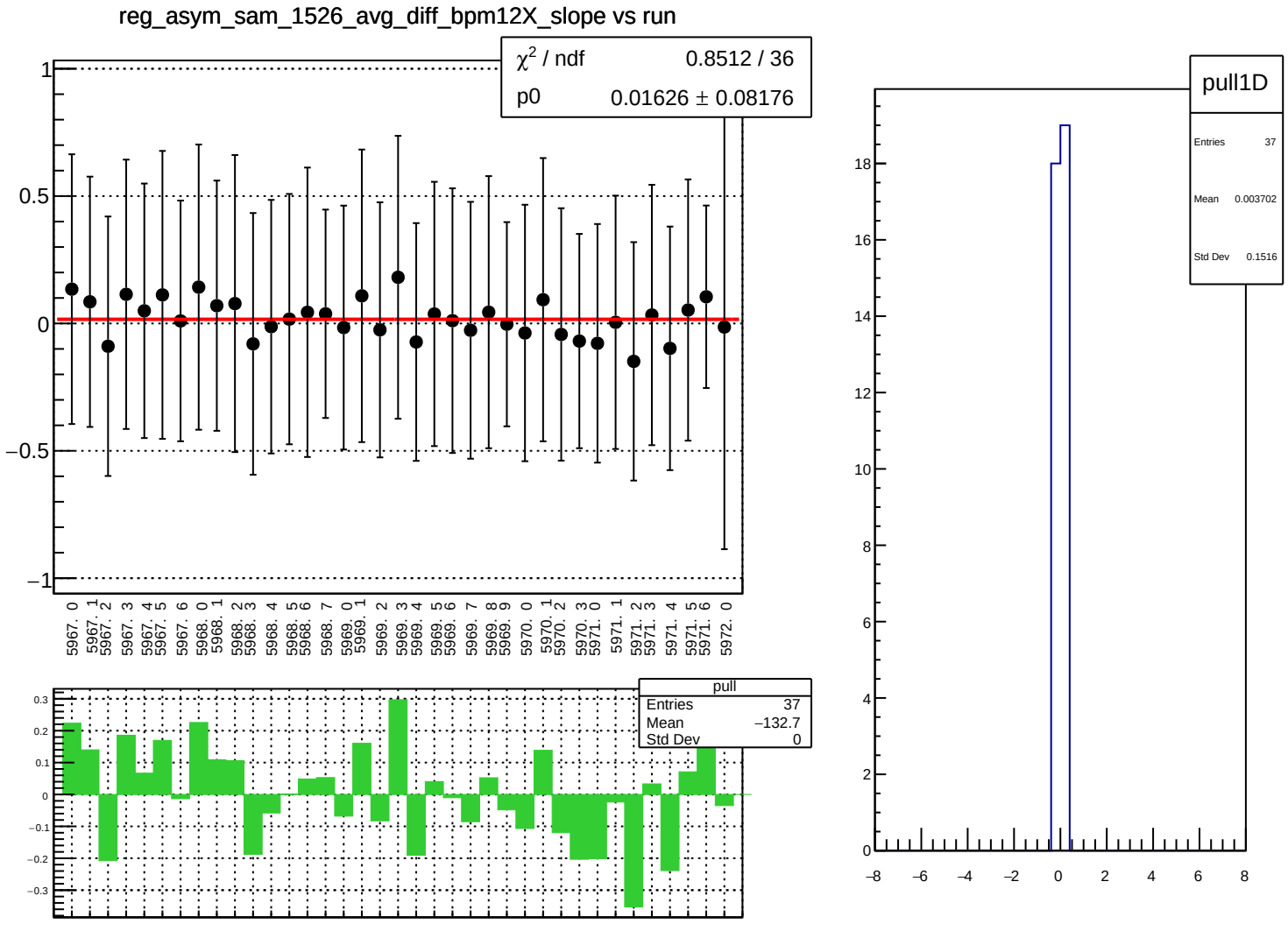
reg_asym_sam_1526_avg_diff_bpm12X_slope vs run
χ² / ndf 0.8512 / 36
p0 0.01626 ± 0.08176
pull
Entries 37
Mean −132.7
Std Dev 0
pull1D
Entries 37
Mean 0.003702
Std Dev 0.1516

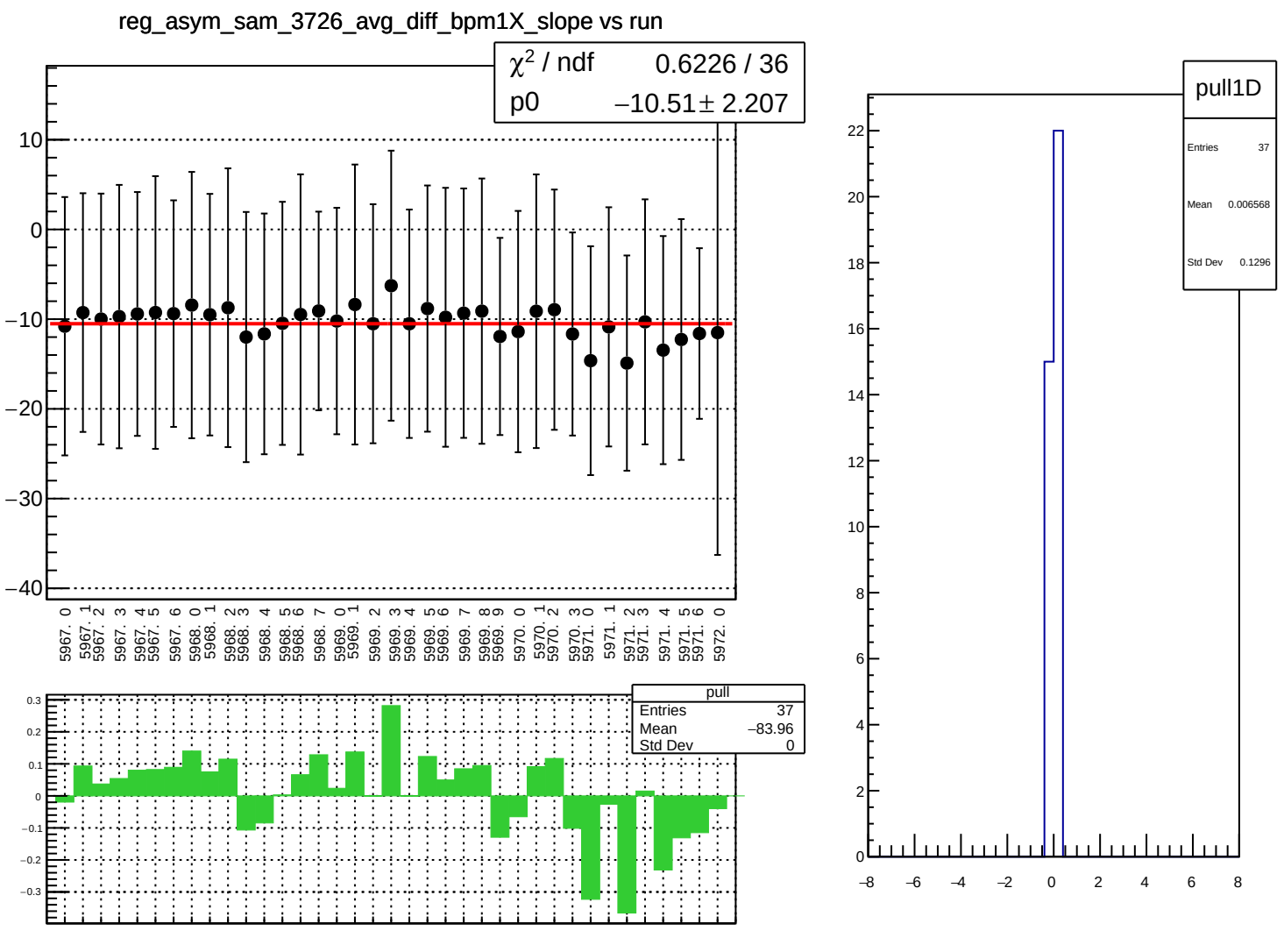
reg_asym_sam_3726_avg_diff_bpm1X_slope vs run
χ² / ndf 0.6226 / 36
p0 −10.51± 2.207
pull
Entries 37
Mean −83.96
Std Dev 0
pull1D
Entries 37
Mean 0.006568
Std Dev 0.1296

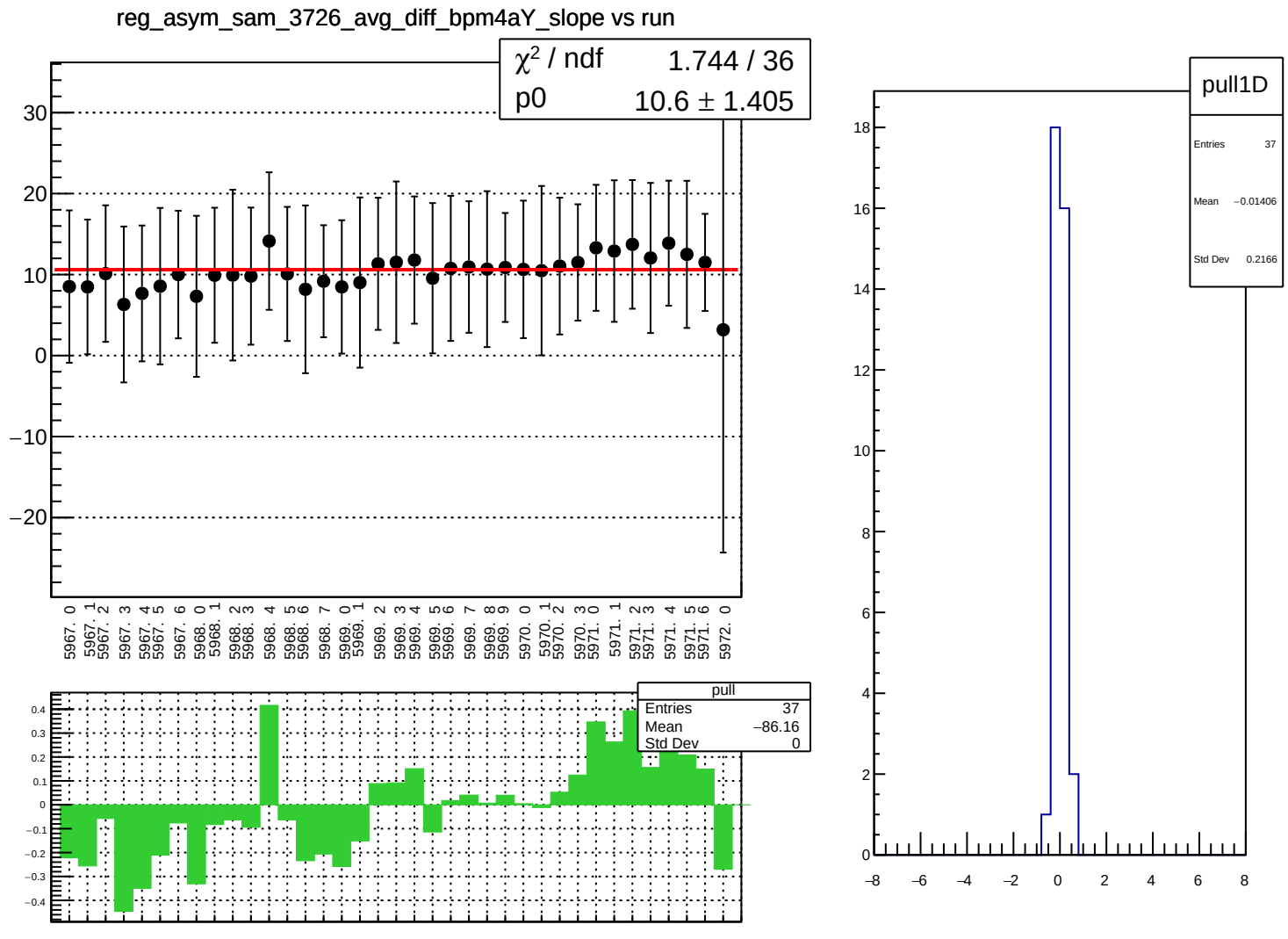
reg_asym_sam_3726_avg_diff_bpm4aY_slope vs run
χ² / ndf 1.744 / 36
p0 10.6 ± 1.405
pull
Entries 37
Mean −86.16
Std Dev 0
pull1D
Entries 37
Mean −0.01406
Std Dev 0.2166

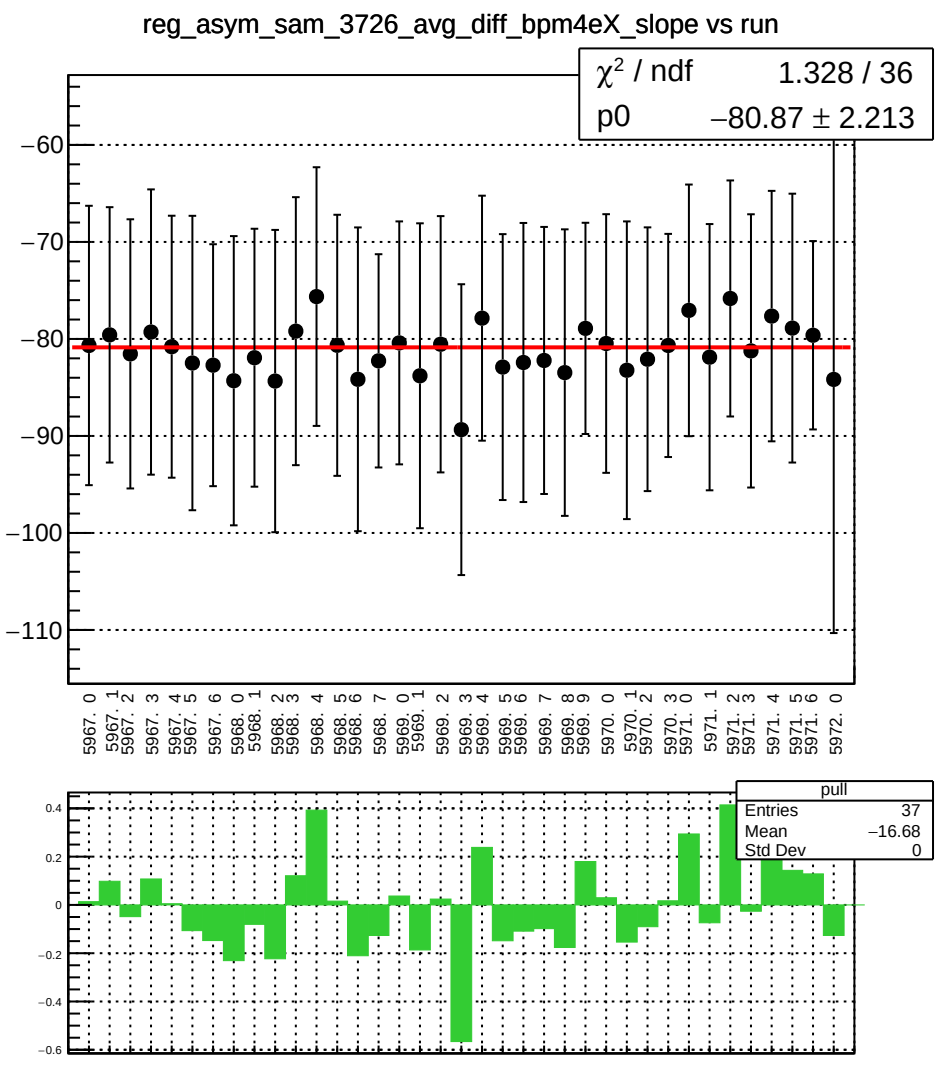
reg_asym_sam_3726_avg_diff_bpm4eX_slope vs run
χ² / ndf 1.328 / 36
p0 −80.87 ± 2.213
pull
Entries 37
Mean −16.68
Std Dev 0

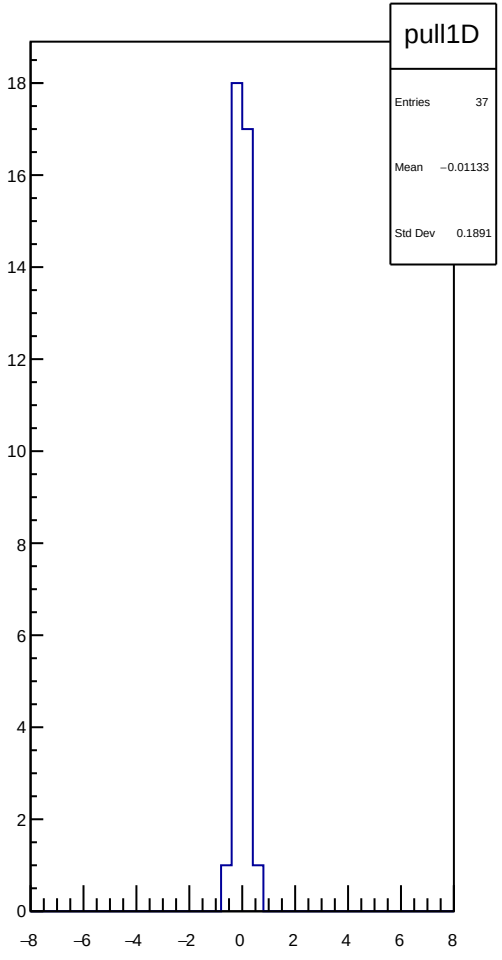
pull1D
Entries 37
Mean −0.01133
Std Dev 0.1891

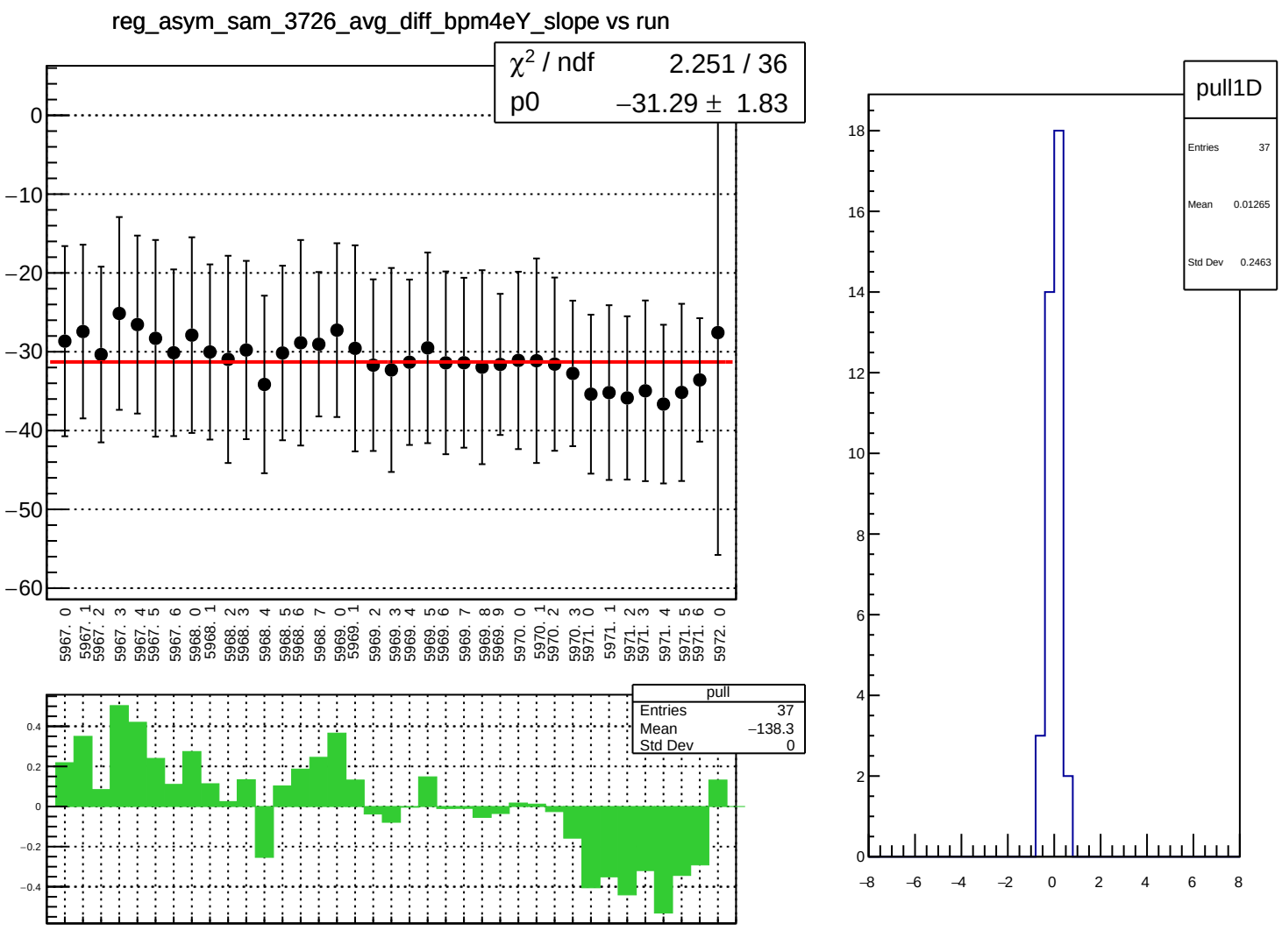
reg_asym_sam_3726_avg_diff_bpm4eY_slope vs run
χ² / ndf 2.251 / 36
p0 −31.29 ± 1.83
0
−10
−20
−30
−40
−50
−60
5967. 0
5967. 1
5967. 2
5967. 3
5967. 4
5967. 5
5967. 6
5968. 0
5968. 1
5968. 2
5968. 3
5968. 4
5968. 5
5968. 6
5968. 7
5969. 0
5969. 1
5969. 2
5969. 3
5969. 4
5969. 5
5969. 6
5969. 7
5969. 8
5969. 9
5970. 0
5970. 1
5970. 2
5970. 3
5971. 0
5971. 1
5971. 2
5971. 3
5971. 4
5971. 5
5971. 6
5972. 0
pull
Entries 37
Mean −138.3
Std Dev 0
0.4
0.2
0
−0.2
−0.4
pull1D
Entries 37
Mean 0.01265
Std Dev 0.2463
18
16
14
12
10
8
6
4
2
0
−8
−6
−4
−2
0
2
4
6
8

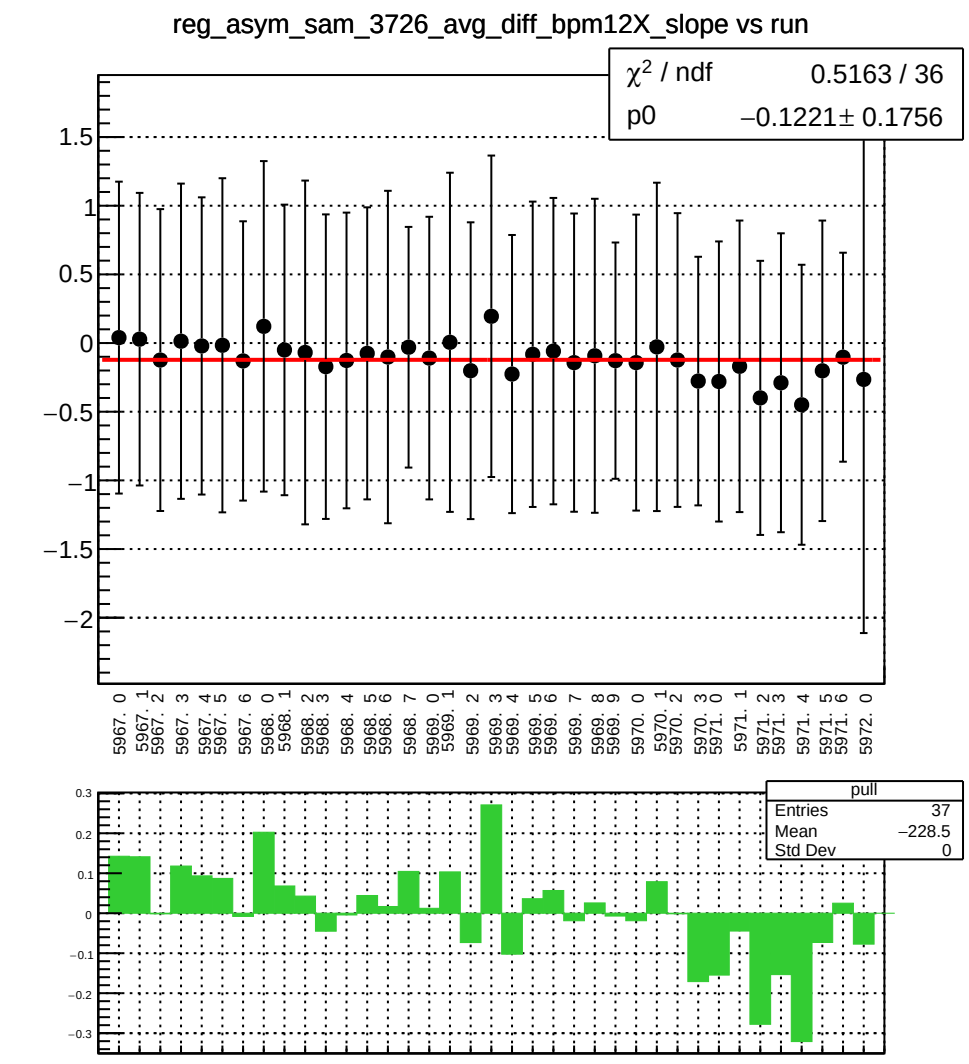
reg_asym_sam_3726_avg_diff_bpm12X_slope vs run
χ² / ndf 0.5163 / 36
p0 −0.1221± 0.1756
1.5
1
0.5
0
−0.5
−1
−1.5
−2
5967. 0
5967. 1
5967. 2
5967. 3
5967. 4
5967. 5
5967. 6
5968. 0
5968. 1
5968. 2
5968. 3
5968. 4
5968. 5
5968. 6
5968. 7
5969. 0
5969. 1
5969. 2
5969. 3
5969. 4
5969. 5
5969. 6
5969. 7
5969. 8
5969. 9
5970. 0
5970. 1
5970. 2
5970. 3
5971. 0
5971. 1
5971. 2
5971. 3
5971. 4
5971. 5
5971. 6
5972. 0
pull
Entries 37
Mean −228.5
Std Dev 0
0.3
0.2
0.1
0
−0.1
−0.2
−0.3

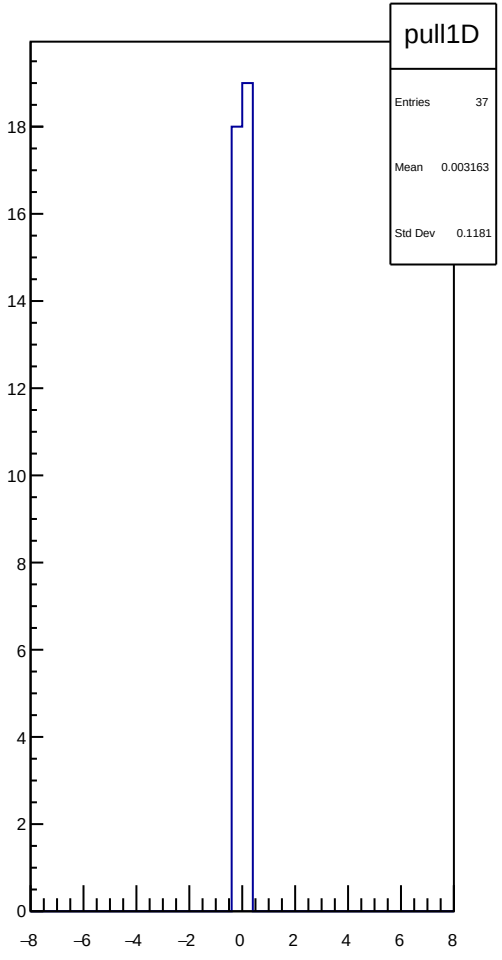
pull1D
Entries 37
Mean 0.003163
Std Dev 0.1181
18
16
14
12
10
8
6
4
2
0
−8
−6
−4
−2
0
2
4
6
8

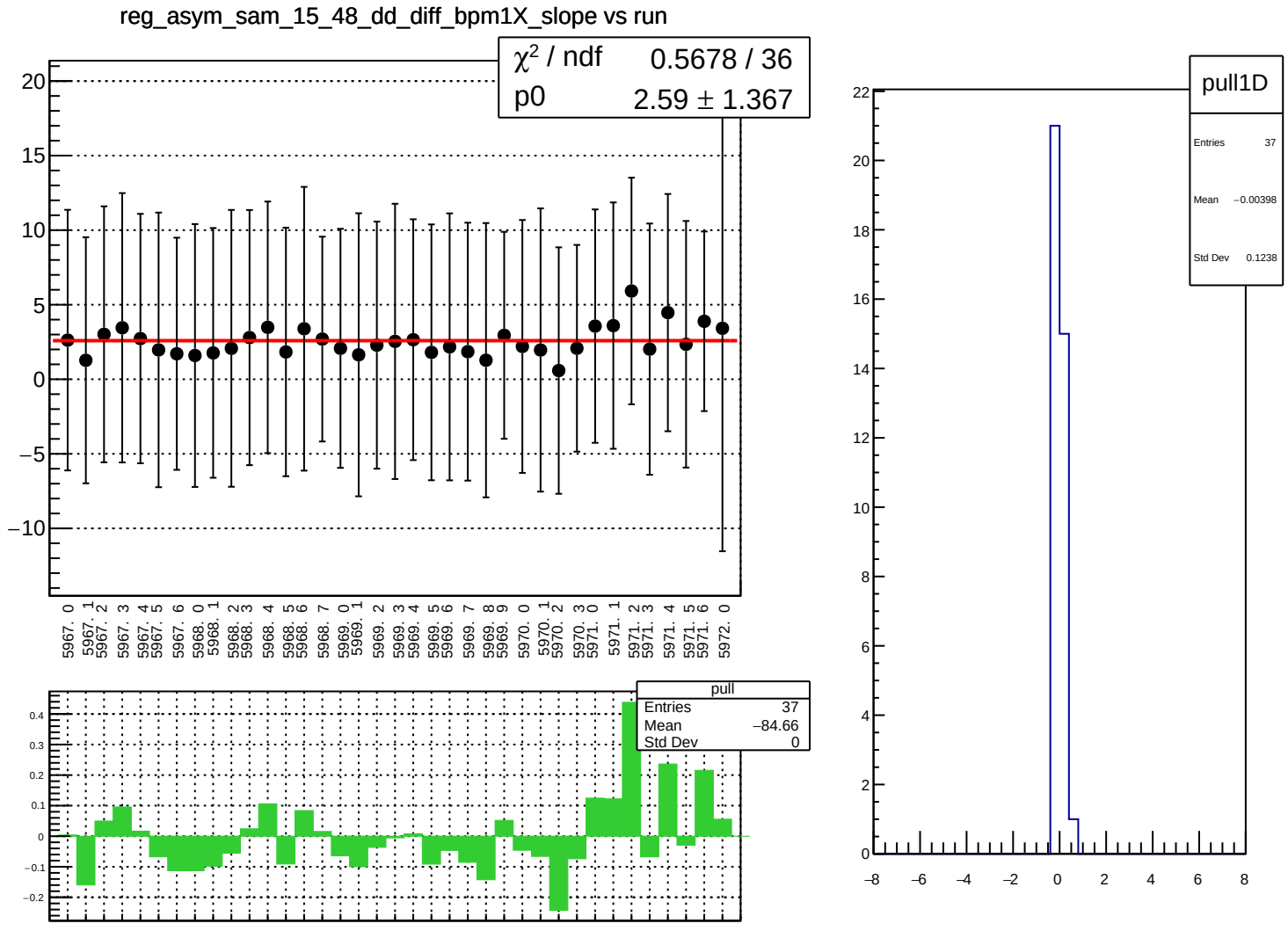
reg_asym_sam_15_48_dd_diff_bpm1X_slope vs run
χ² / ndf 0.5678 / 36
p0 2.59 ± 1.367
pull
Entries 37
Mean −84.66
Std Dev 0
pull1D
Entries 37
Mean −0.00398
Std Dev 0.1238

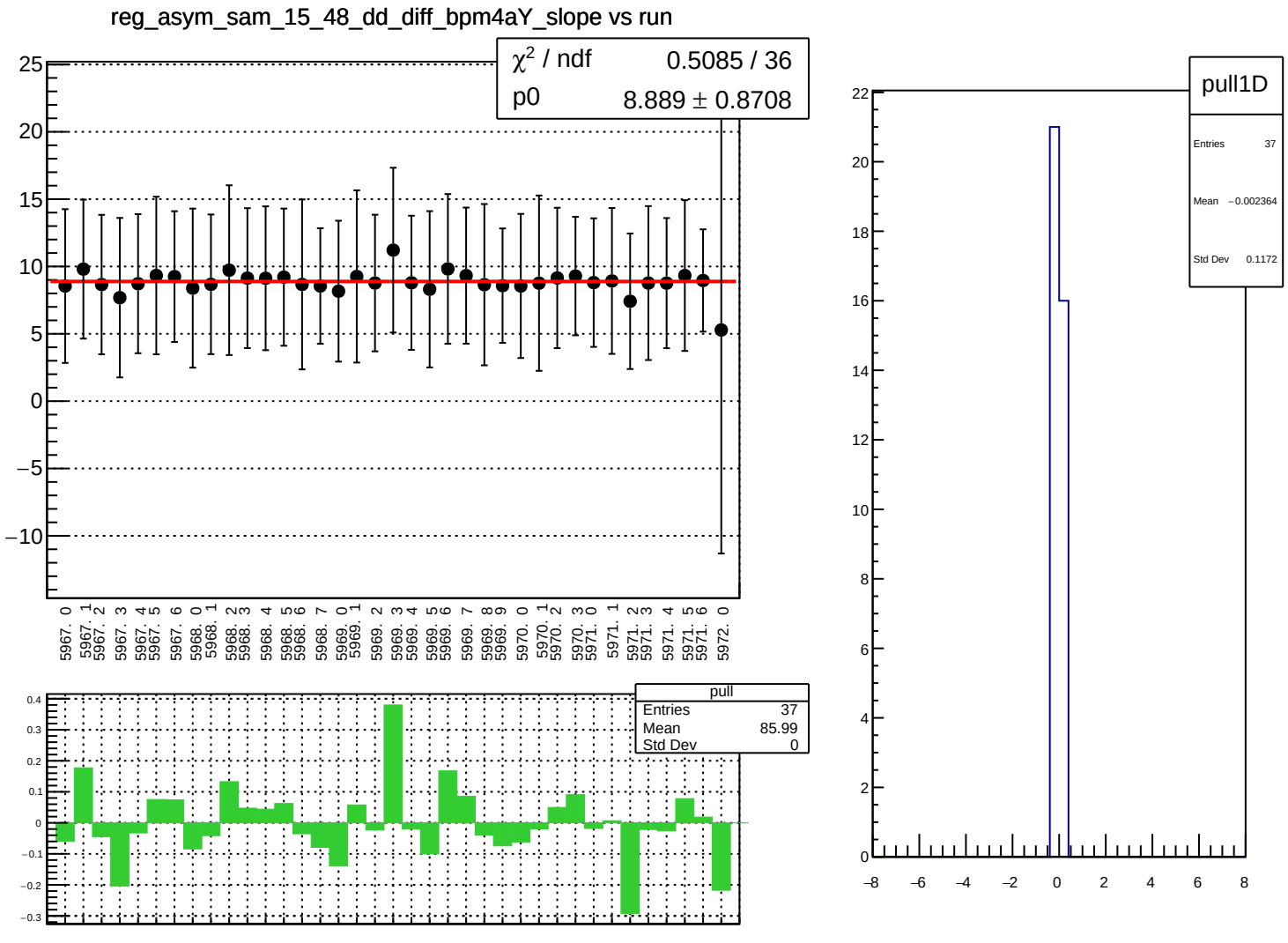
reg_asym_sam_15_48_dd_diff_bpm4aY_slope vs run
χ² / ndf 0.5085 / 36
p0 8.889 ± 0.8708
pull
Entries 37
Mean 85.99
Std Dev 0
pull1D
Entries 37
Mean −0.002364
Std Dev 0.1172

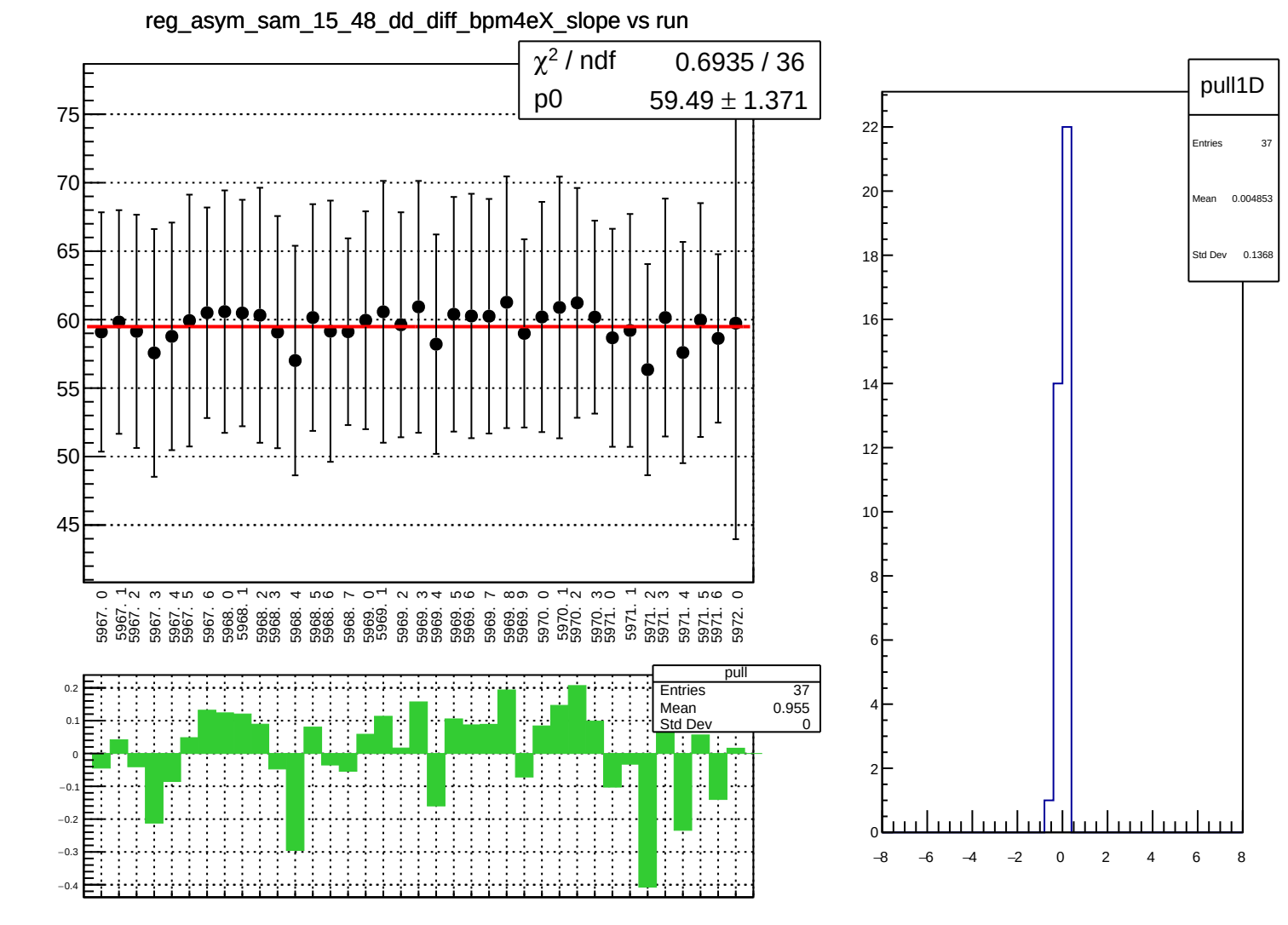
reg_asym_sam_15_48_dd_diff_bpm4eX_slope vs run
χ² / ndf 0.6935 / 36
p0 59.49 ± 1.371
pull
Entries 37
Mean 0.955
Std Dev 0
pull1D
Entries 37
Mean 0.004853
Std Dev 0.1368

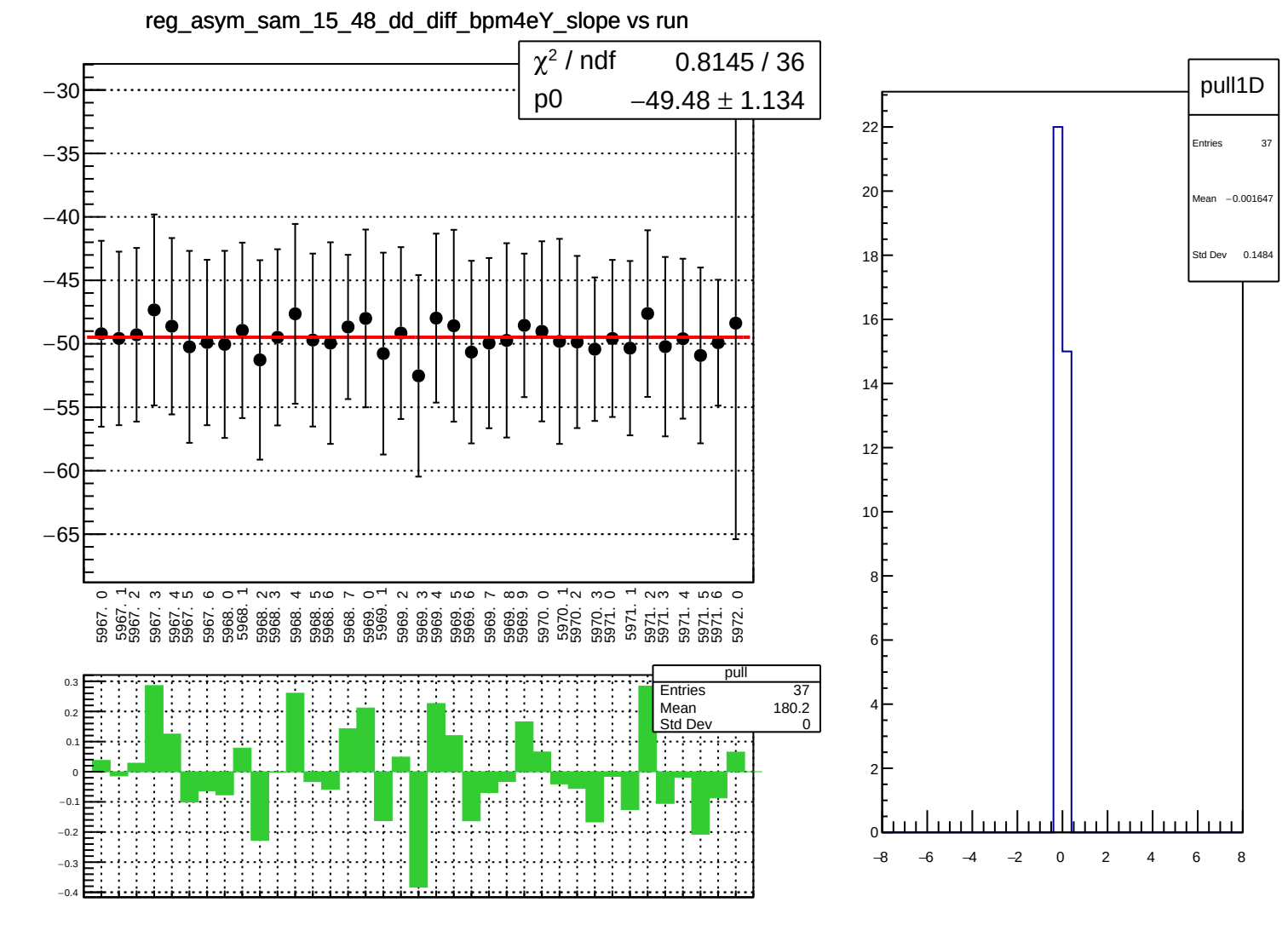
reg_asym_sam_15_48_dd_diff_bpm4eY_slope vs run
χ² / ndf 0.8145 / 36
p0 −49.48 ± 1.134
pull
Entries 37
Mean 180.2
Std Dev 0
pull1D
Entries 37
Mean −0.001647
Std Dev 0.1484

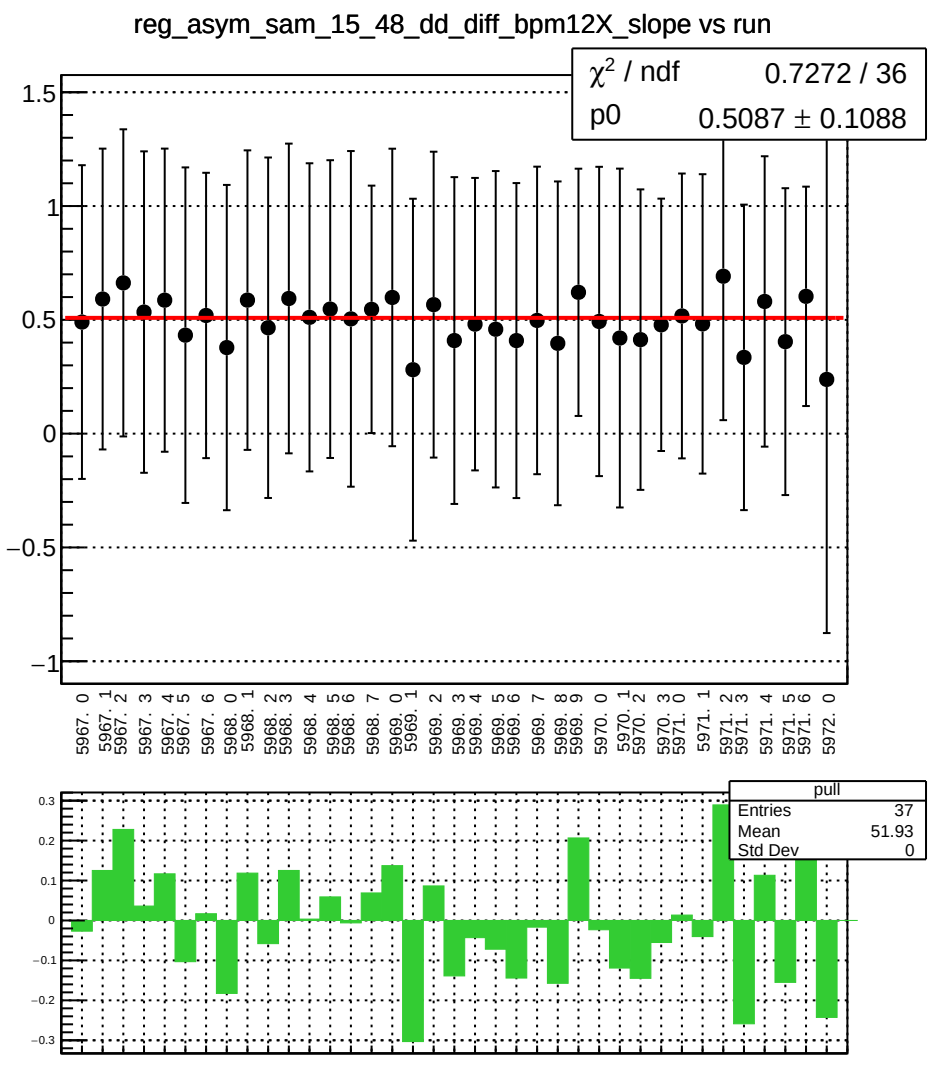
reg_asym_sam_15_48_dd_diff_bpm12X_slope vs run
χ² / ndf 0.7272 / 36
p0 0.5087 ± 0.1088
pull
Entries 37
Mean 51.93
Std Dev 0
pull1D
Entries 37
Mean −0.009469
Std Dev 0.1399

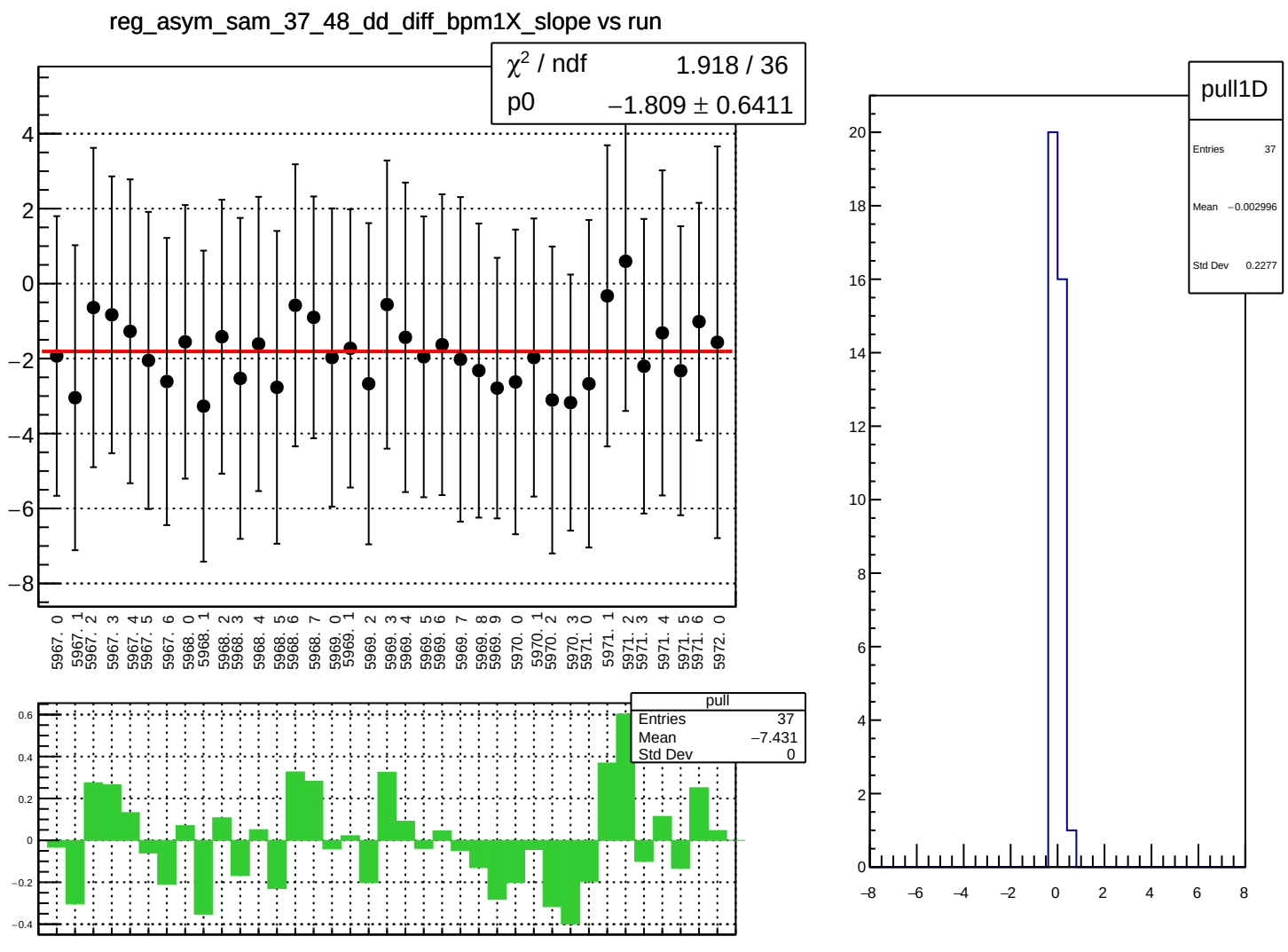
reg_asym_sam_37_48_dd_diff_bpm1X_slope vs run
χ² / ndf 1.918 / 36
p0 −1.809 ± 0.6411
pull
Entries 37
Mean −7.431
Std Dev 0
pull1D
Entries 37
Mean −0.002996
Std Dev 0.2277

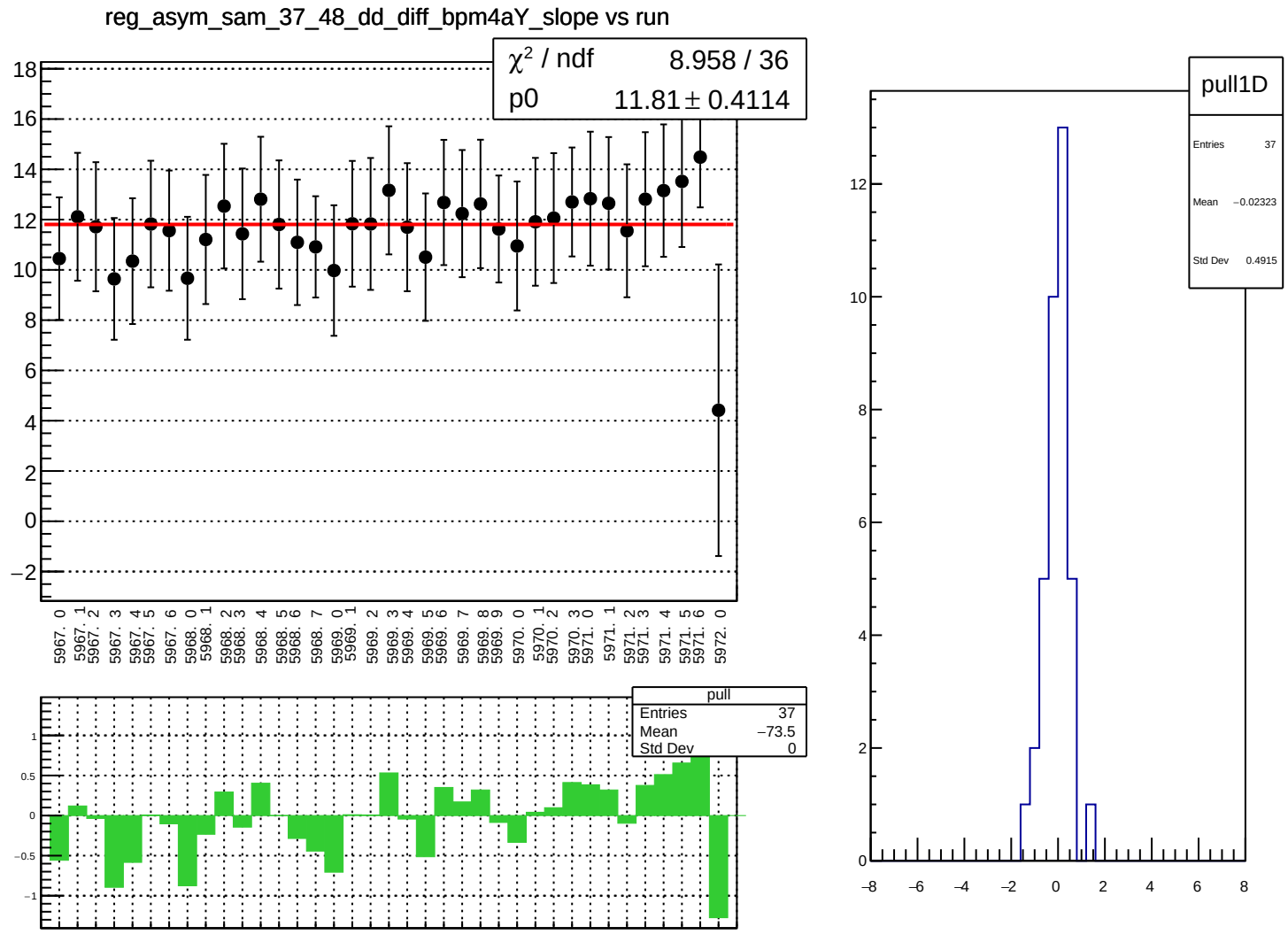
reg_asym_sam_37_48_dd_diff_bpm4aY_slope vs run
χ² / ndf 8.958 / 36
p0 11.81 ± 0.4114
pull
Entries 37
Mean −73.5
Std Dev 0
pull1D
Entries 37
Mean −0.02323
Std Dev 0.4915

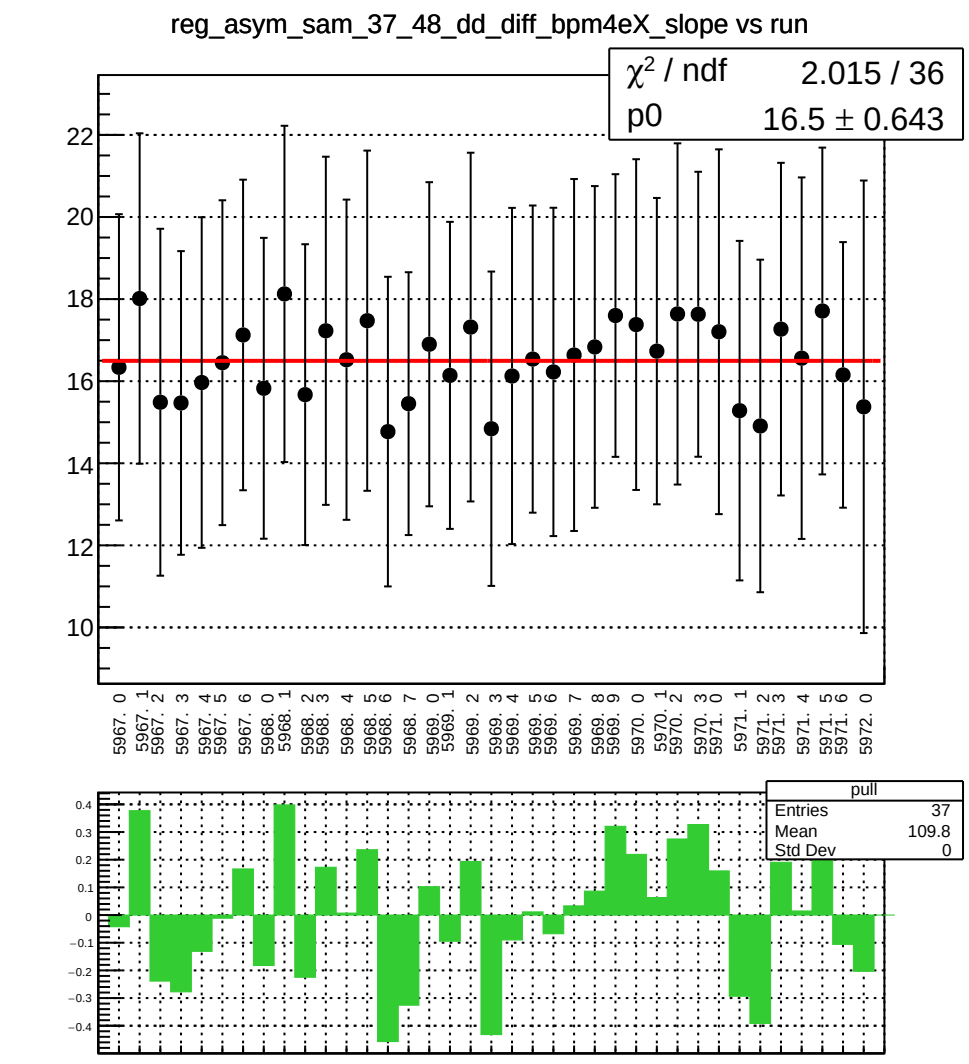
reg_asym_sam_37_48_dd_diff_bpm4eX_slope vs run
χ² / ndf 2.015 / 36
p0 16.5 ± 0.643
22
20
18
16
14
12
10
5967. 0
5967. 1
5967. 2
5967. 3
5967. 4
5967. 5
5967. 6
5968. 0
5968. 1
5968. 2
5968. 3
5968. 4
5968. 5
5968. 6
5968. 7
5969. 0
5969. 1
5969. 2
5969. 3
5969. 4
5969. 5
5969. 6
5969. 7
5969. 8
5969. 9
5970. 0
5970. 1
5970. 2
5970. 3
5971. 0
5971. 1
5971. 2
5971. 3
5971. 4
5971. 5
5971. 6
5972. 0
pull
Entries 37
Mean 109.8
Std Dev 0
0.4
0.3
0.2
0.1
0
−0.1
−0.2
−0.3
−0.4

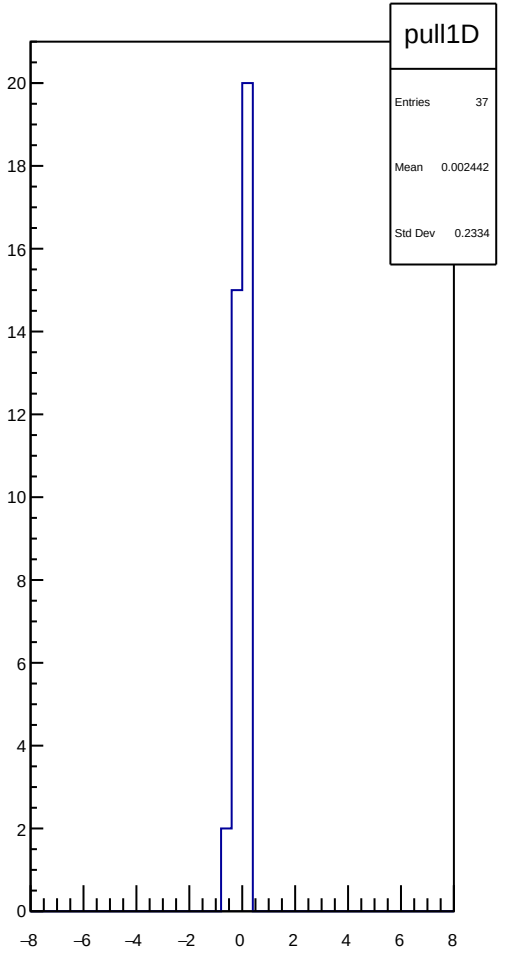
pull1D
Entries 37
Mean 0.002442
Std Dev 0.2334
20
18
16
14
12
10
8
6
4
2
0
−8
−6
−4
−2
0
2
4
6
8

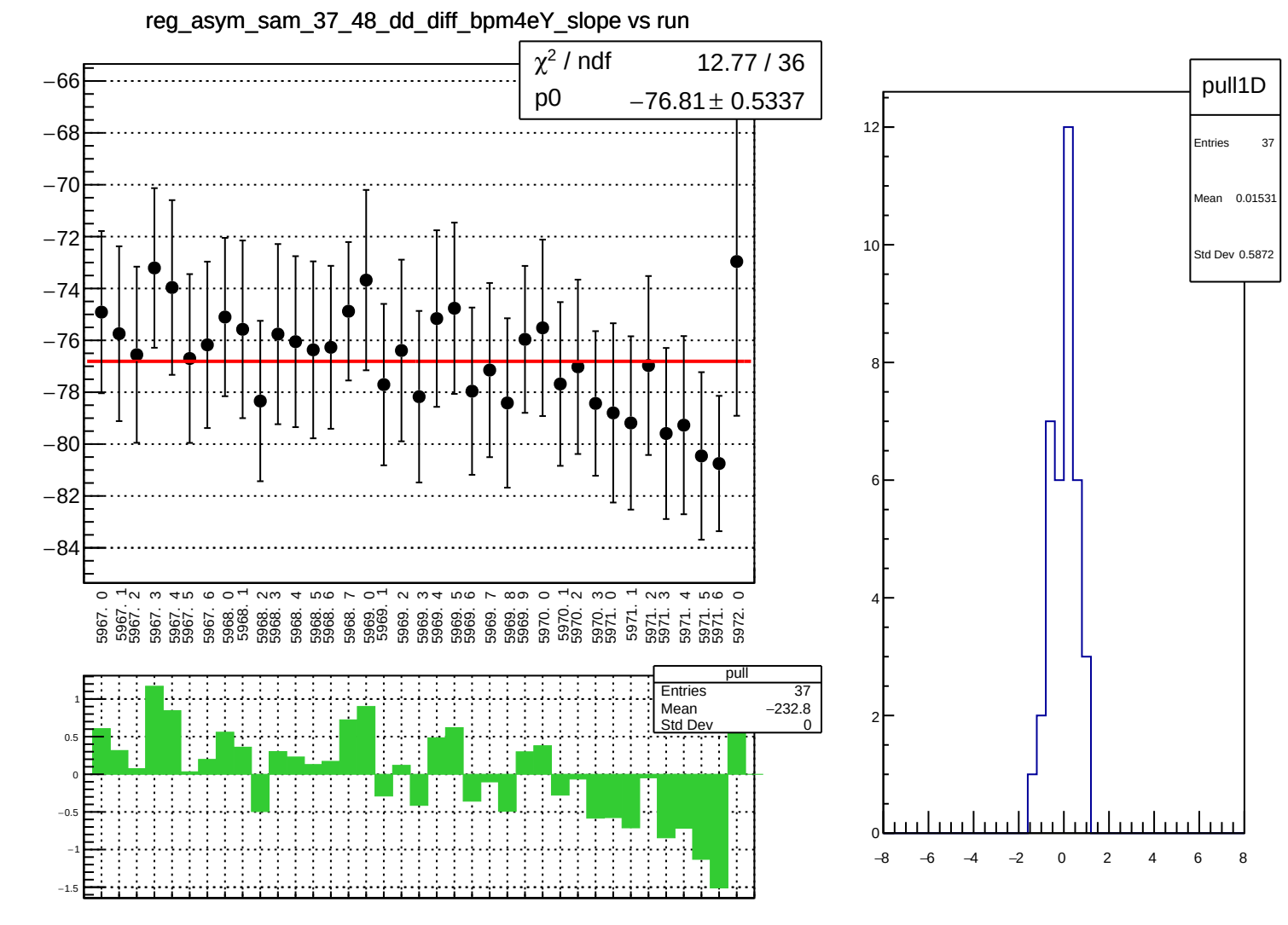
reg_asym_sam_37_48_dd_diff_bpm4eY_slope vs run
χ² / ndf 12.77 / 36
p0 −76.81 ± 0.5337
pull
Entries 37
Mean −232.8
Std Dev 0
pull1D
Entries 37
Mean 0.01531
Std Dev 0.5872

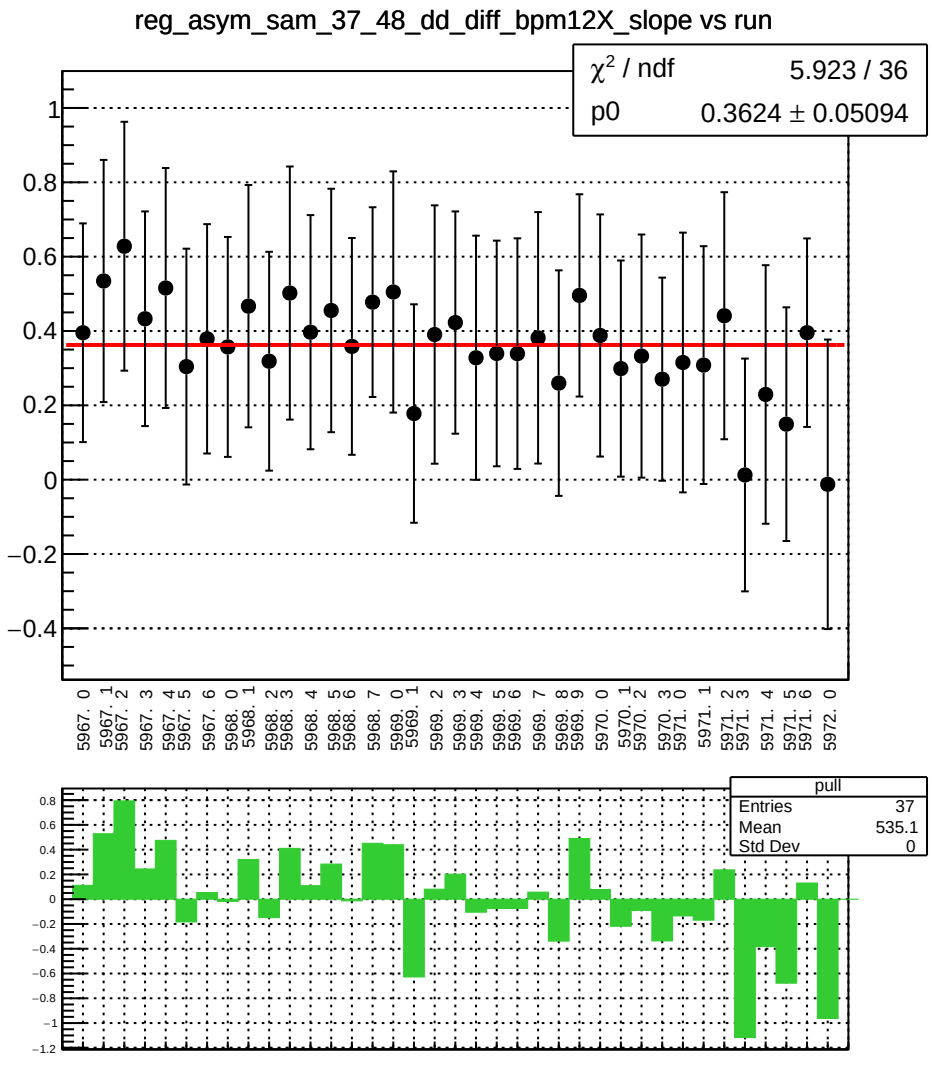
reg_asym_sam_37_48_dd_diff_bpm12X_slope vs run
χ² / ndf 5.923 / 36
p0 0.3624 ± 0.05094
pull
Entries 37
Mean 535.1
Std Dev 0
pull1D
Entries 37
Mean −0.004903
Std Dev 0.4001

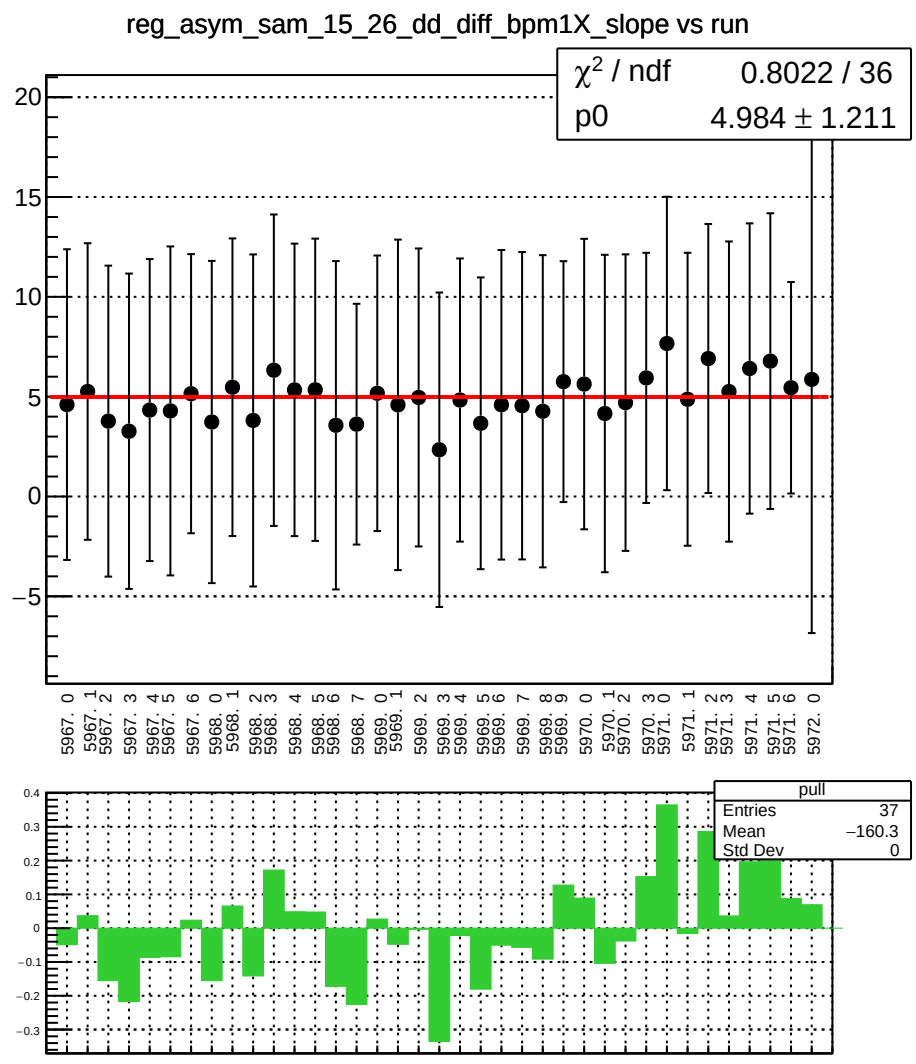
reg_asym_sam_15_26_dd_diff_bpm1X_slope vs run
χ² / ndf 0.8022 / 36
p0 4.984 ± 1.211
pull
Entries 37
Mean −160.3
Std Dev 0

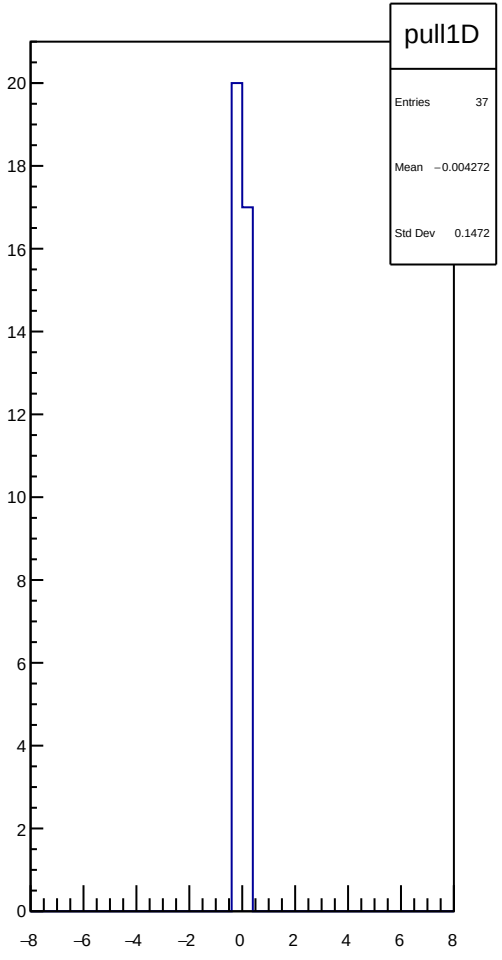
pull1D
Entries 37
Mean −0.004272
Std Dev 0.1472

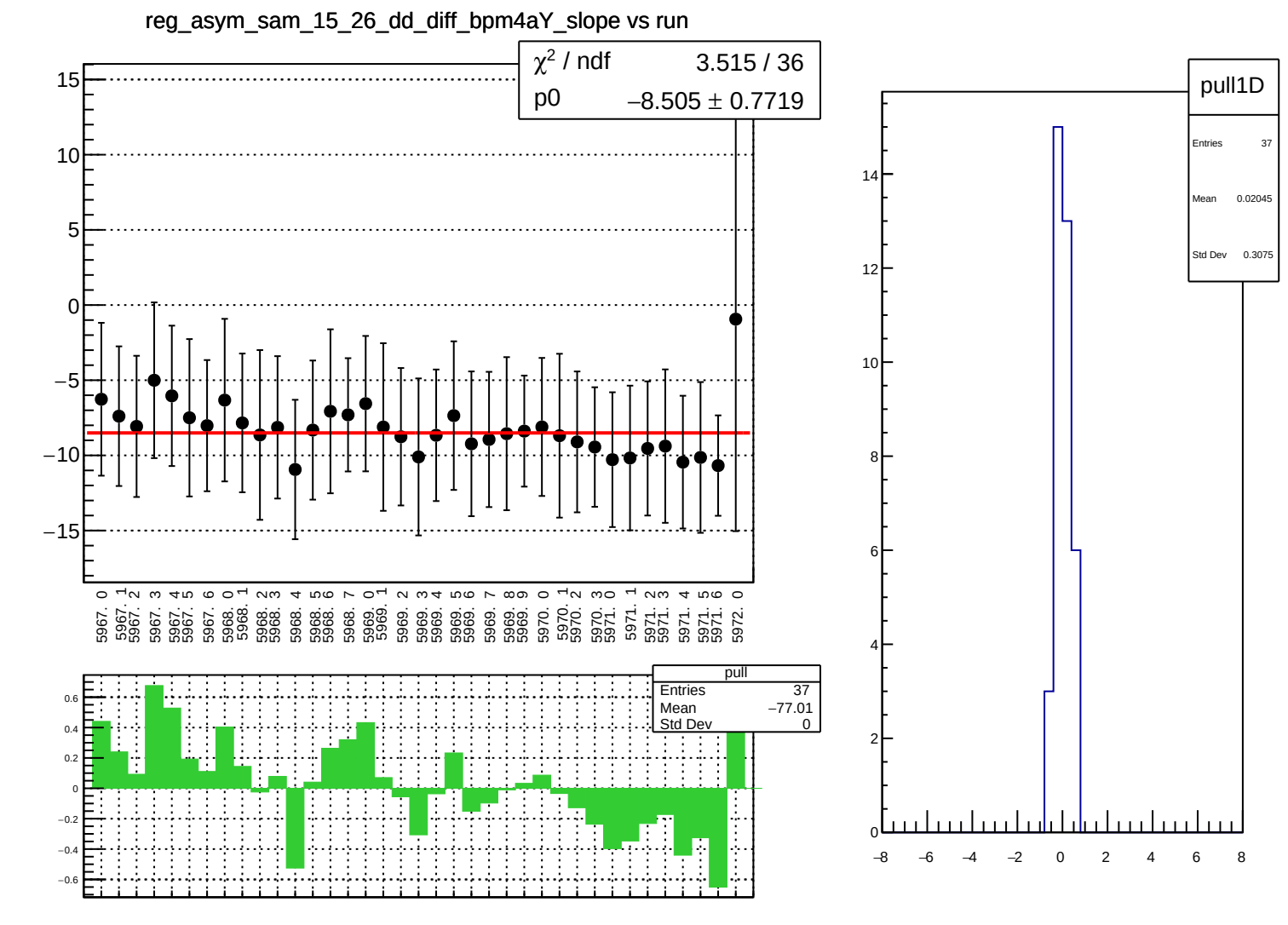
reg_asym_sam_15_26_dd_diff_bpm4aY_slope vs run
χ² / ndf 3.515 / 36
p0 −8.505 ± 0.7719
15
10
5
0
−5
−10
−15
5967. 0
5967. 1
5967. 2
5967. 3
5967. 4
5967. 5
5967. 6
5968. 0
5968. 1
5968. 2
5968. 3
5968. 4
5968. 5
5968. 6
5968. 7
5969. 0
5969. 1
5969. 2
5969. 3
5969. 4
5969. 5
5969. 6
5969. 7
5969. 8
5969. 9
5970. 0
5970. 1
5970. 2
5970. 3
5971. 0
5971. 1
5971. 2
5971. 3
5971. 4
5971. 5
5971. 6
5972. 0
pull
Entries 37
Mean −77.01
Std Dev 0
0.6
0.4
0.2
0
−0.2
−0.4
−0.6
pull1D
Entries 37
Mean 0.02045
Std Dev 0.3075
14
12
10
8
6
4
2
0
−8
−6
−4
−2
0
2
4
6
8

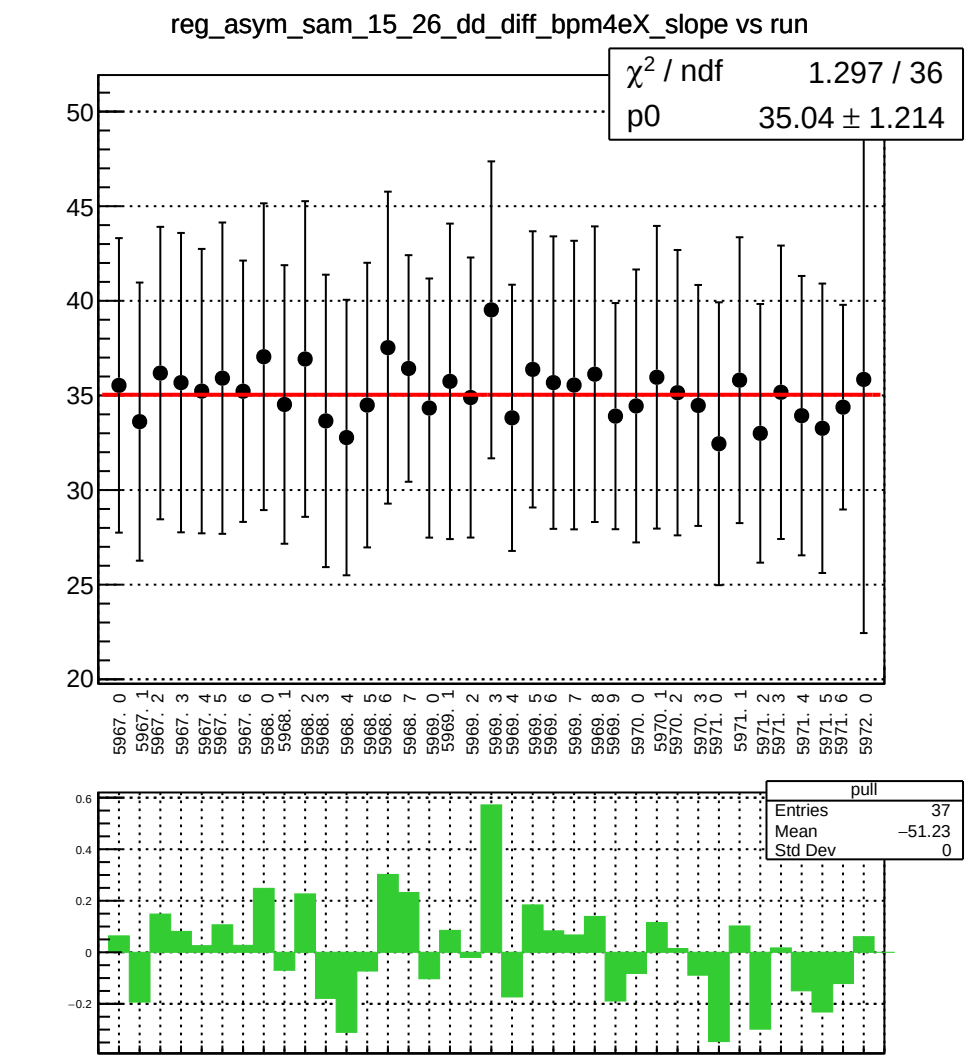
reg_asym_sam_15_26_dd_diff_bpm4eX_slope vs run
χ² / ndf 1.297 / 36
p0 35.04 ± 1.214
pull
Entries 37
Mean −51.23
Std Dev 0

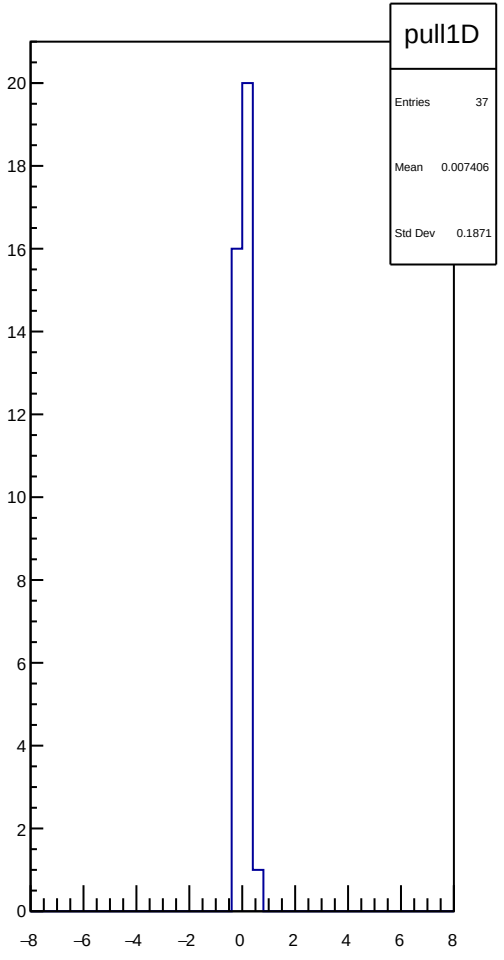
pull1D
Entries 37
Mean 0.007406
Std Dev 0.1871

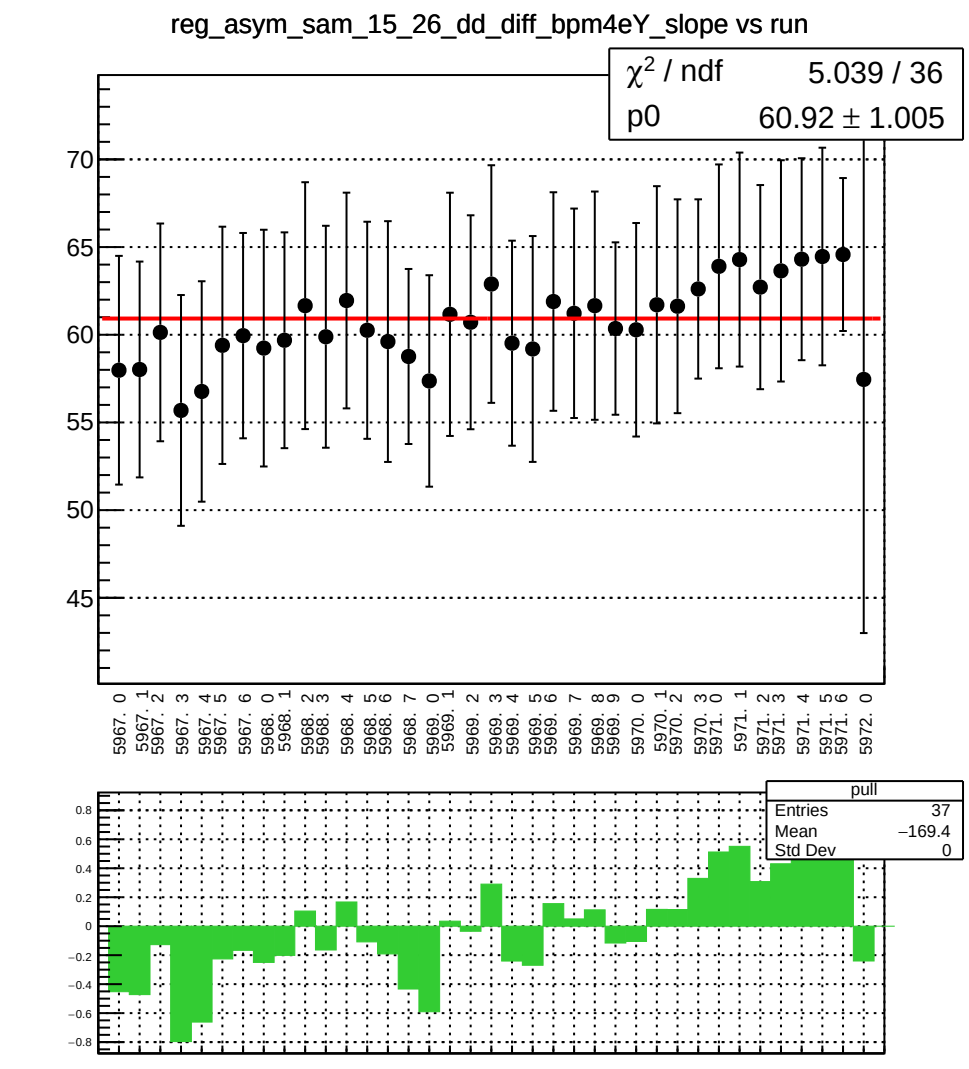
reg_asym_sam_15_26_dd_diff_bpm4eY_slope vs run
χ² / ndf 5.039 / 36
p0 60.92 ± 1.005
70
65
60
55
50
45
5967. 0
5967. 1
5967. 2
5967. 3
5967. 4
5967. 5
5967. 6
5968. 0
5968. 1
5968. 2
5968. 3
5968. 4
5968. 5
5968. 6
5968. 7
5969. 0
5969. 1
5969. 2
5969. 3
5969. 4
5969. 5
5969. 6
5969. 7
5969. 8
5969. 9
5970. 0
5970. 1
5970. 2
5970. 3
5971. 0
5971. 1
5971. 2
5971. 3
5971. 4
5971. 5
5971. 6
5972. 0
pull
Entries 37
Mean −169.4
Std Dev 0
0.8
0.6
0.4
0.2
0
−0.2
−0.4
−0.6
−0.8

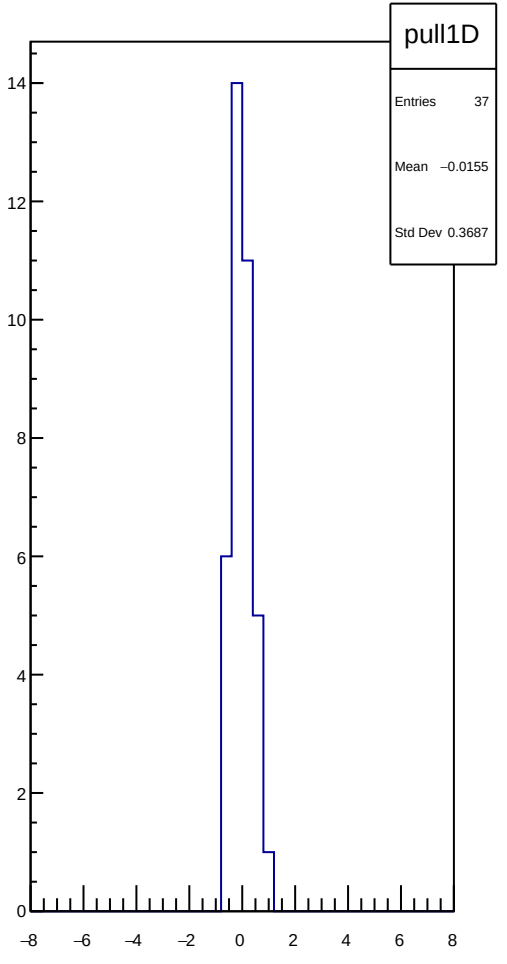
pull1D
Entries 37
Mean −0.0155
Std Dev 0.3687
14
12
10
8
6
4
2
0
−8
−6
−4
−2
0
2
4
6
8

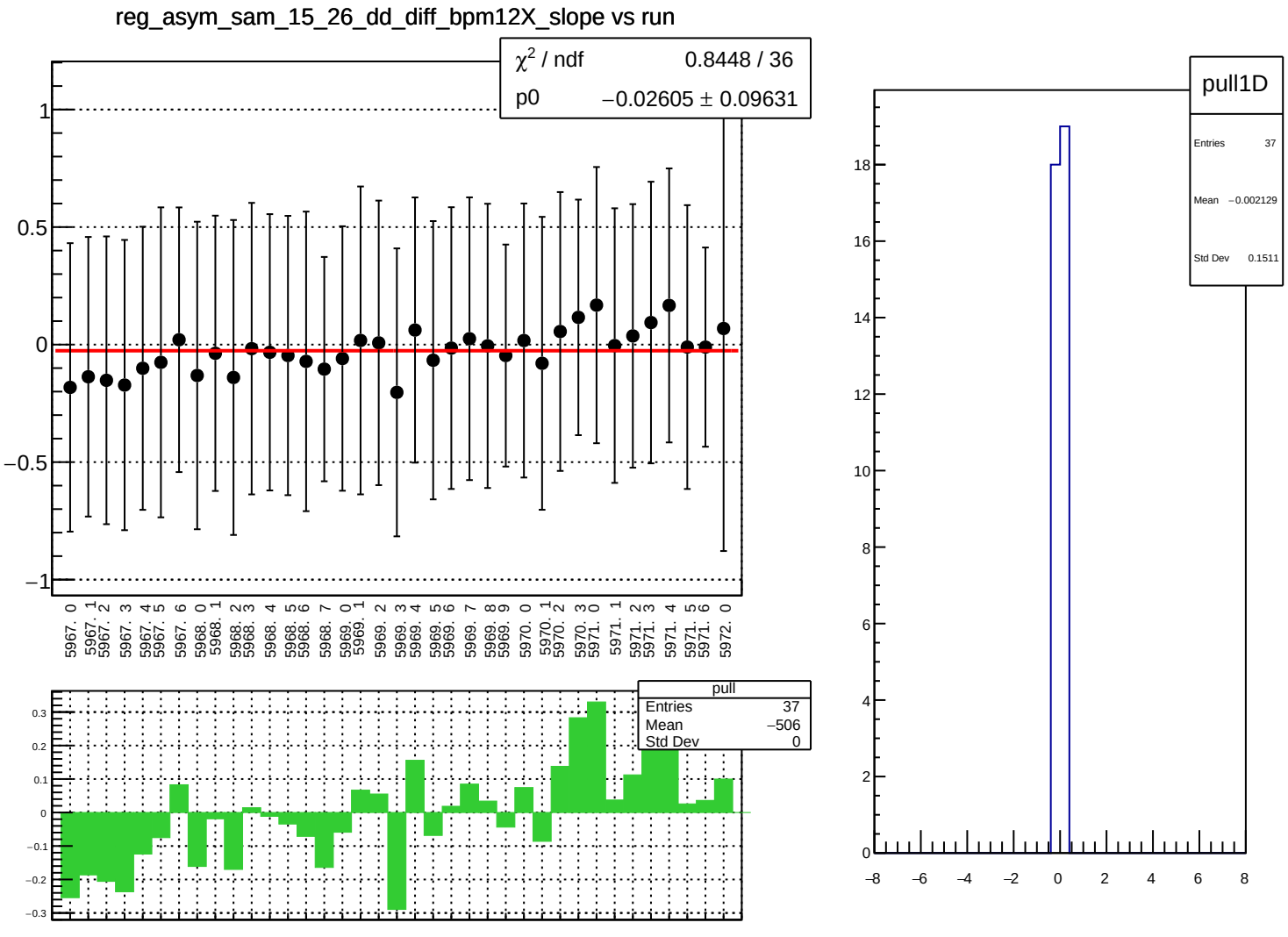
reg_asym_sam_15_26_dd_diff_bpm12X_slope vs run
χ² / ndf 0.8448 / 36
p0 −0.02605 ± 0.09631
pull
Entries 37
Mean −506
Std Dev 0
pull1D
Entries 37
Mean −0.002129
Std Dev 0.1511

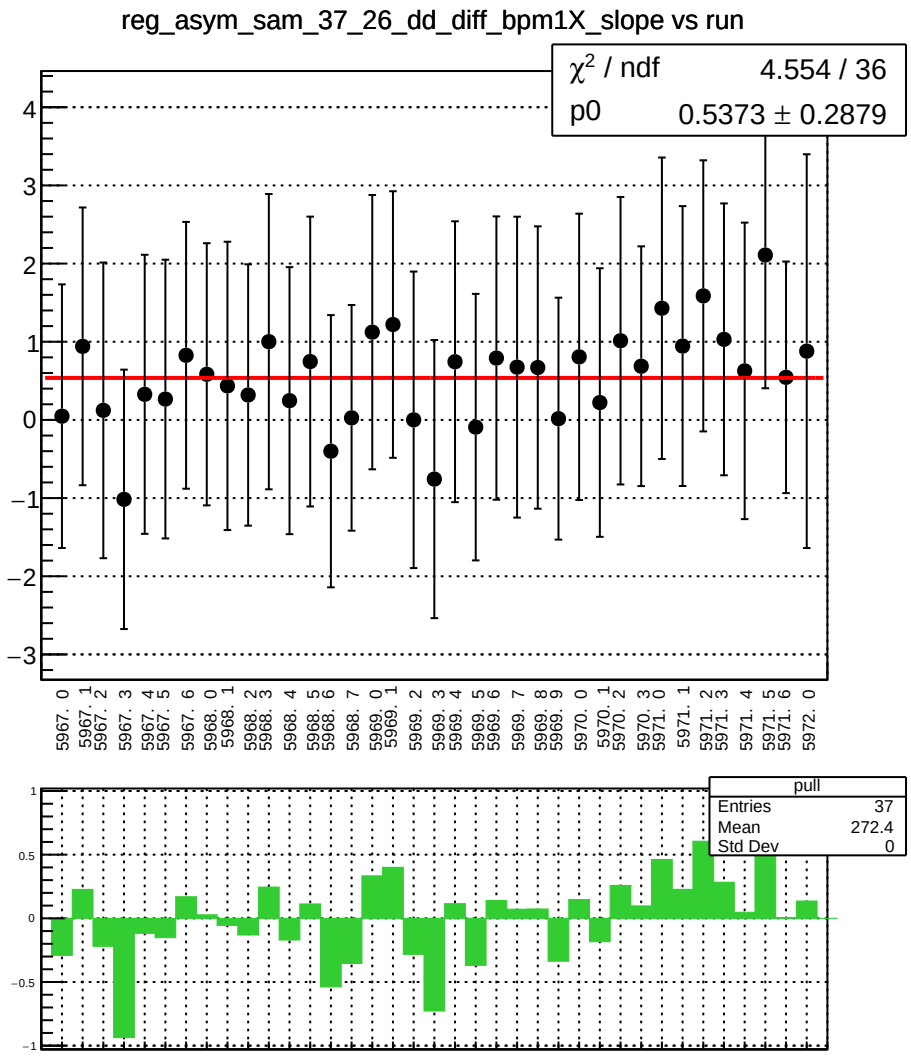
reg_asym_sam_37_26_dd_diff_bpm1X_slope vs run
χ² / ndf 4.554 / 36
p0 0.5373 ± 0.2879
pull
Entries 37
Mean 272.4
Std Dev 0
pull1D
Entries 37
Mean 0.006603
Std Dev 0.3508

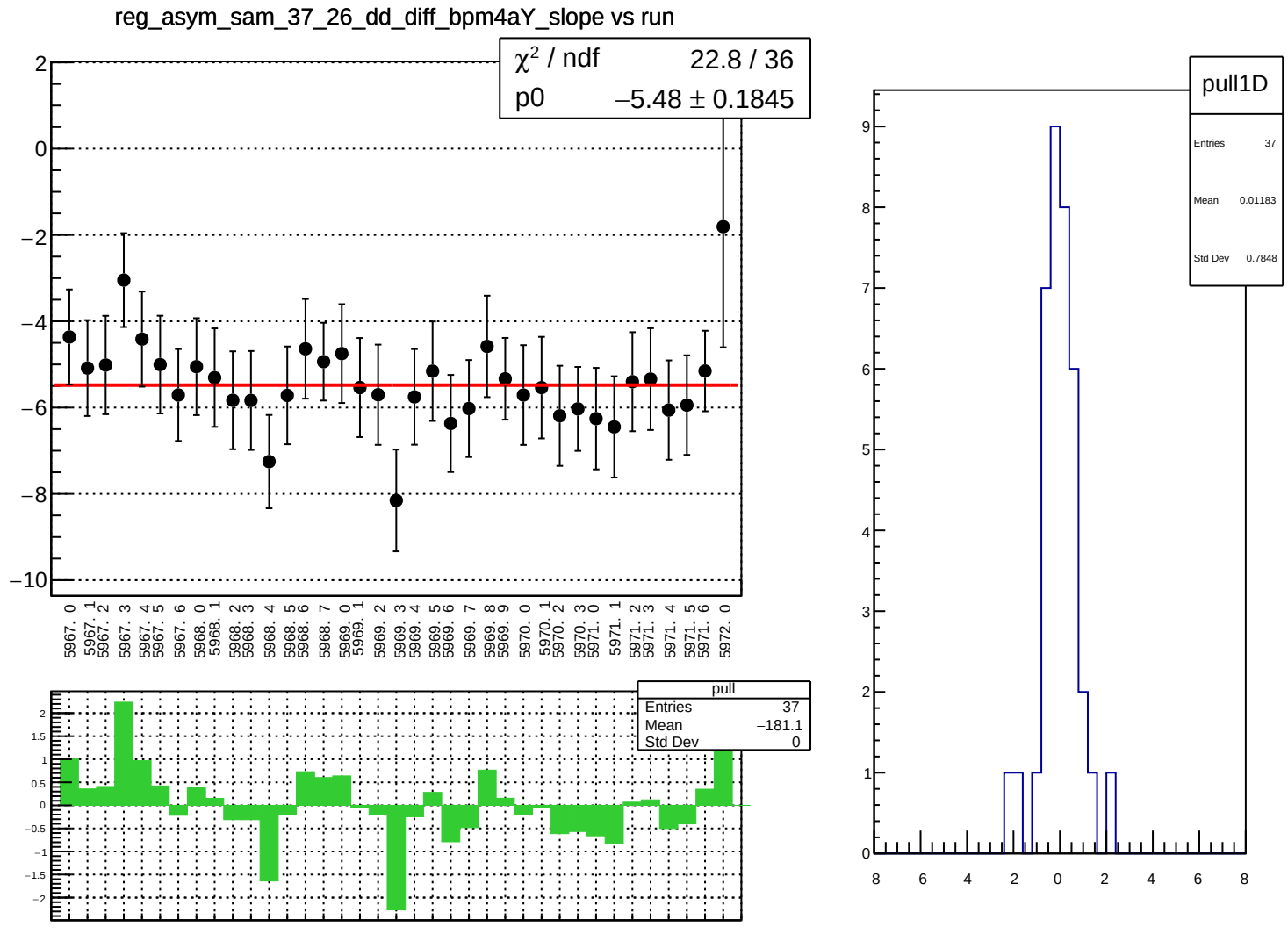
reg_asym_sam_37_26_dd_diff_bpm4aY_slope vs run
χ² / ndf 22.8 / 36
p0 −5.48 ± 0.1845
pull
Entries 37
Mean −181.1
Std Dev 0
pull1D
Entries 37
Mean 0.01183
Std Dev 0.7848

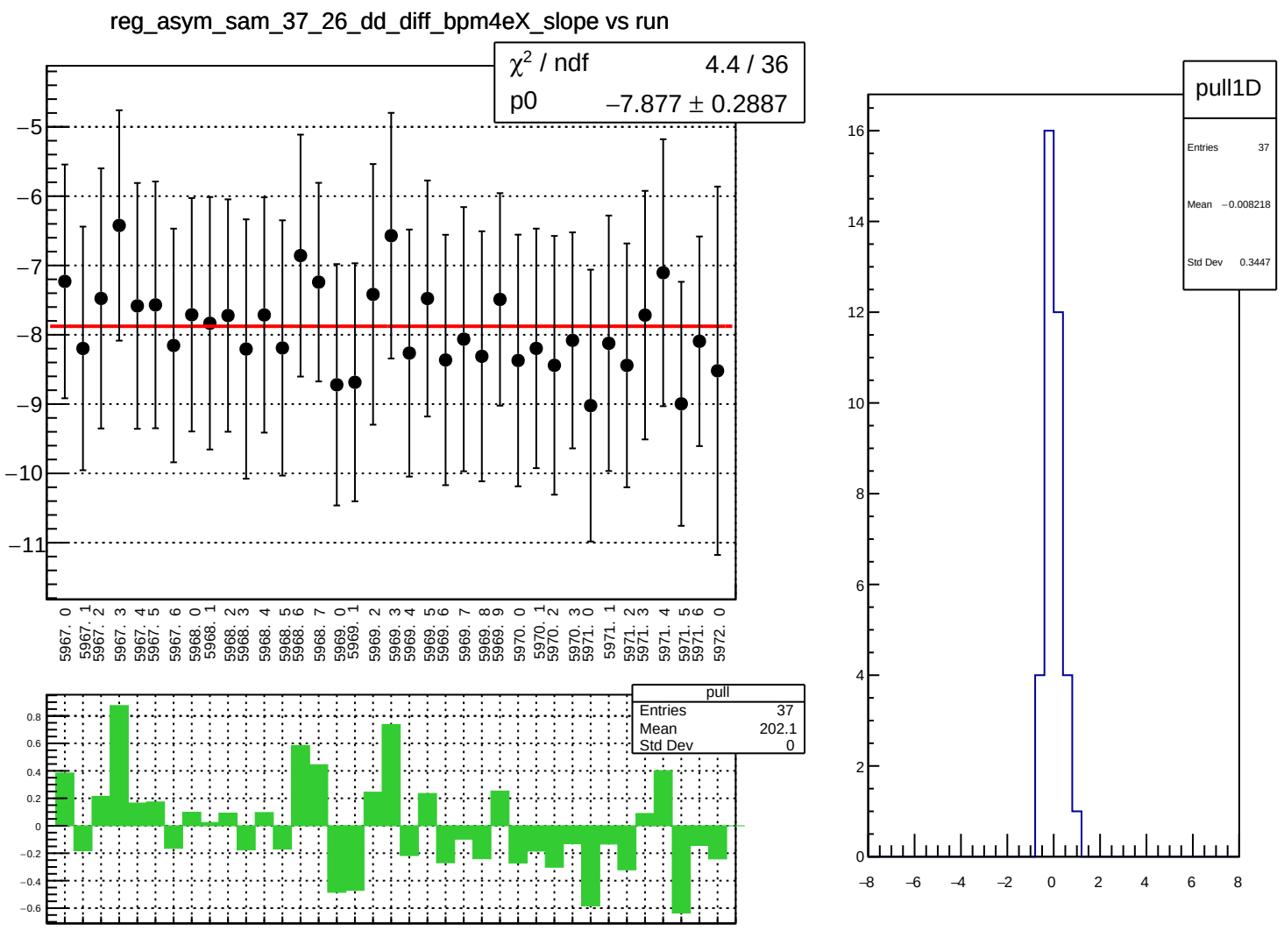
reg_asym_sam_37_26_dd_diff_bpm4eX_slope vs run
χ² / ndf 4.4 / 36
p0 −7.877 ± 0.2887
pull
Entries 37
Mean 202.1
Std Dev 0
pull1D
Entries 37
Mean −0.008218
Std Dev 0.3447

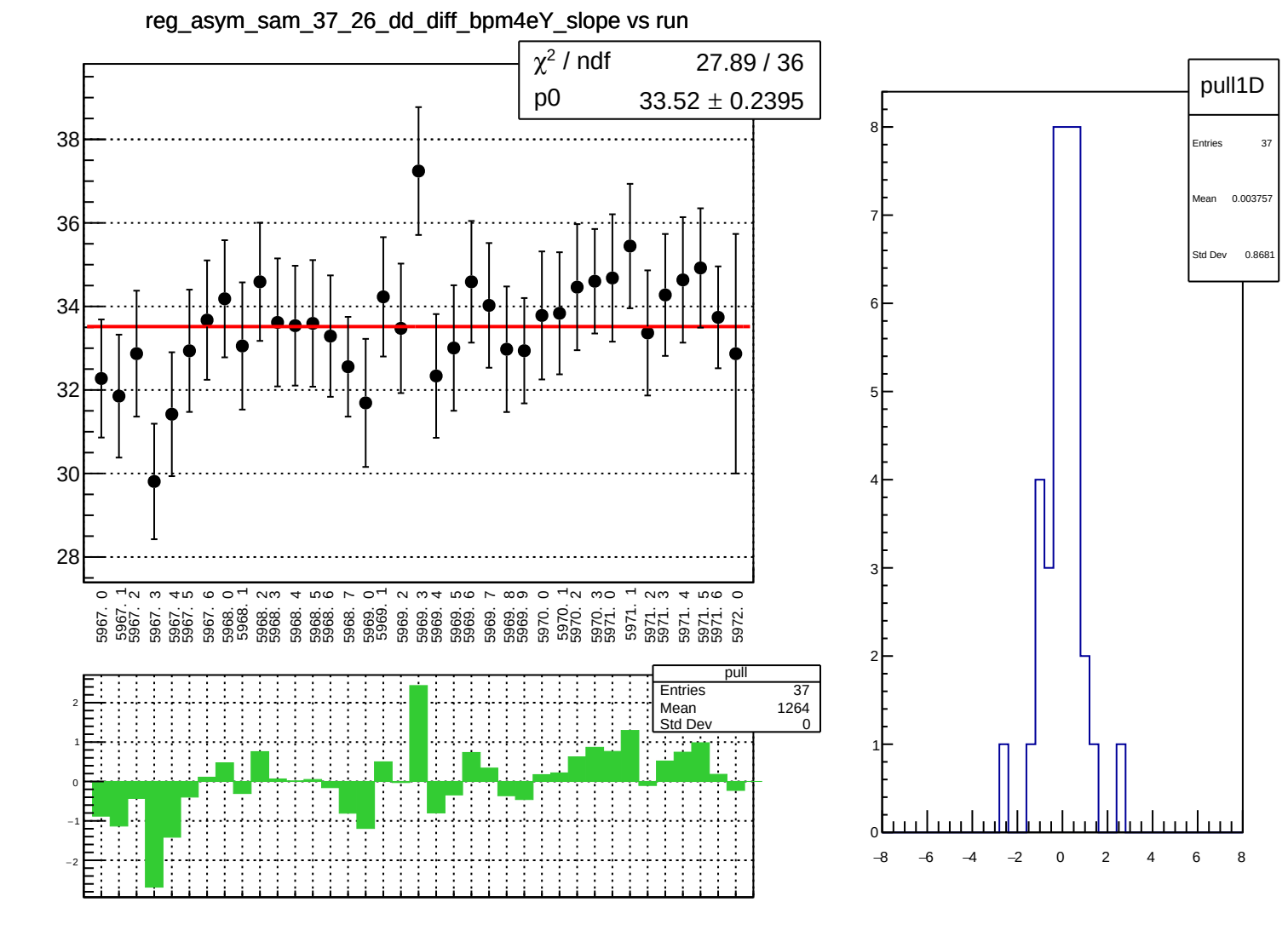
reg_asym_sam_37_26_dd_diff_bpm4eY_slope vs run
χ² / ndf 27.89 / 36
p0 33.52 ± 0.2395
38
36
34
32
30
28
5967. 0
5967. 1
5967. 2
5967. 3
5967. 4
5967. 5
5967. 6
5968. 0
5968. 1
5968. 2
5968. 3
5968. 4
5968. 5
5968. 6
5968. 7
5969. 0
5969. 1
5969. 2
5969. 3
5969. 4
5969. 5
5969. 6
5969. 7
5969. 8
5969. 9
5970. 0
5970. 1
5970. 2
5970. 3
5971. 0
5971. 1
5971. 2
5971. 3
5971. 4
5971. 5
5971. 6
5972. 0
pull
Entries 37
Mean 1264
Std Dev 0
2
1
0
−1
−2
pull1D
Entries 37
Mean 0.003757
Std Dev 0.8681
8
7
6
5
4
3
2
1
0
−8
−6
−4
−2
0
2
4
6
8

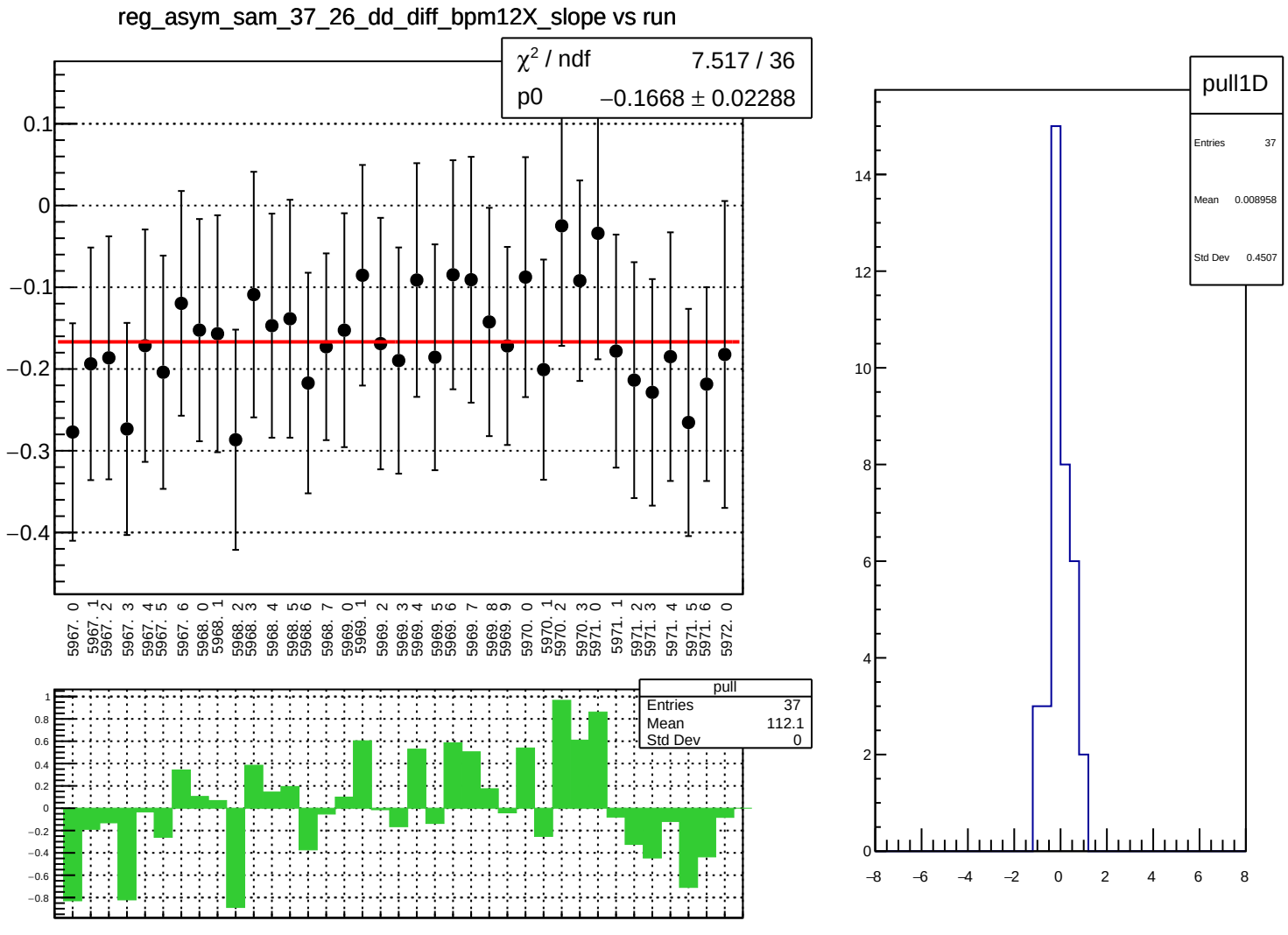
reg_asym_sam_37_26_dd_diff_bpm12X_slope vs run
χ² / ndf 7.517 / 36
p0 −0.1668 ± 0.02288
pull
Entries 37
Mean 112.1
Std Dev 0
pull1D
Entries 37
Mean 0.008958
Std Dev 0.4507

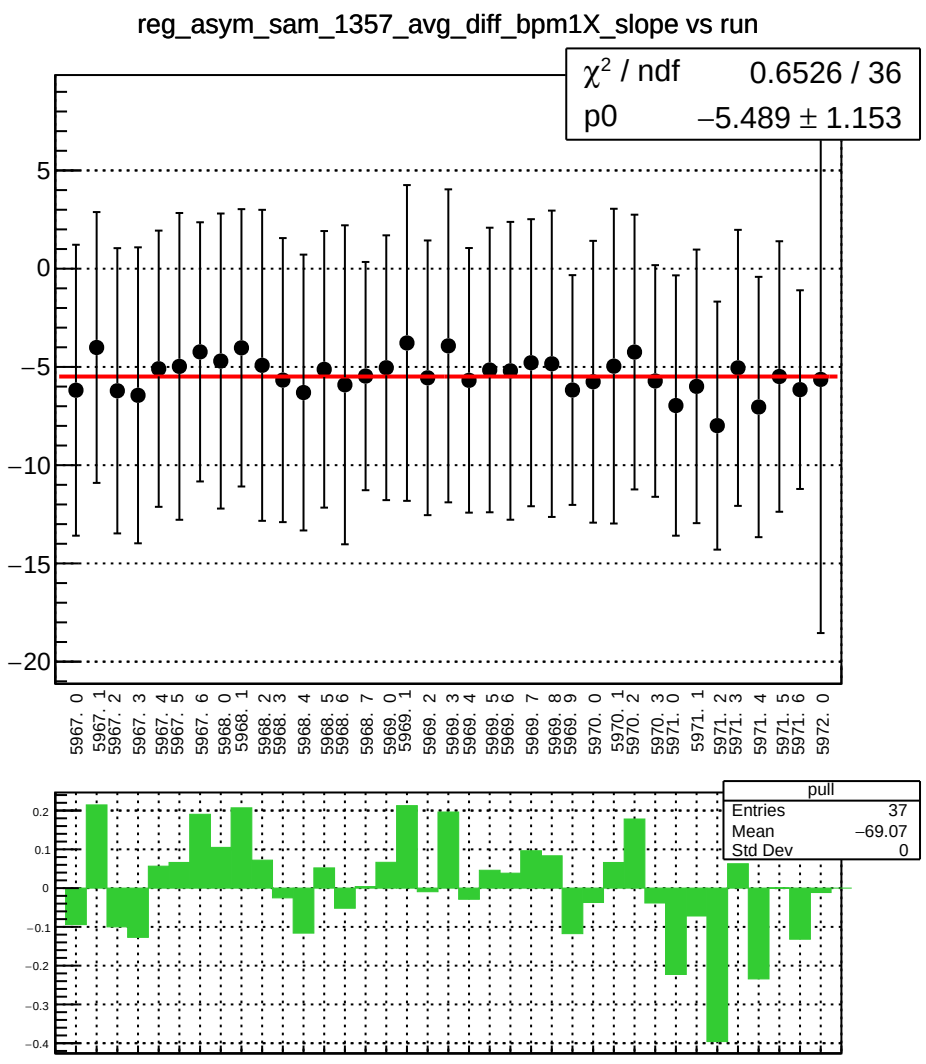
reg_asym_sam_1357_avg_diff_bpm1X_slope vs run
χ² / ndf 0.6526 / 36
p0 −5.489 ± 1.153
pull
Entries 37
Mean −69.07
Std Dev 0

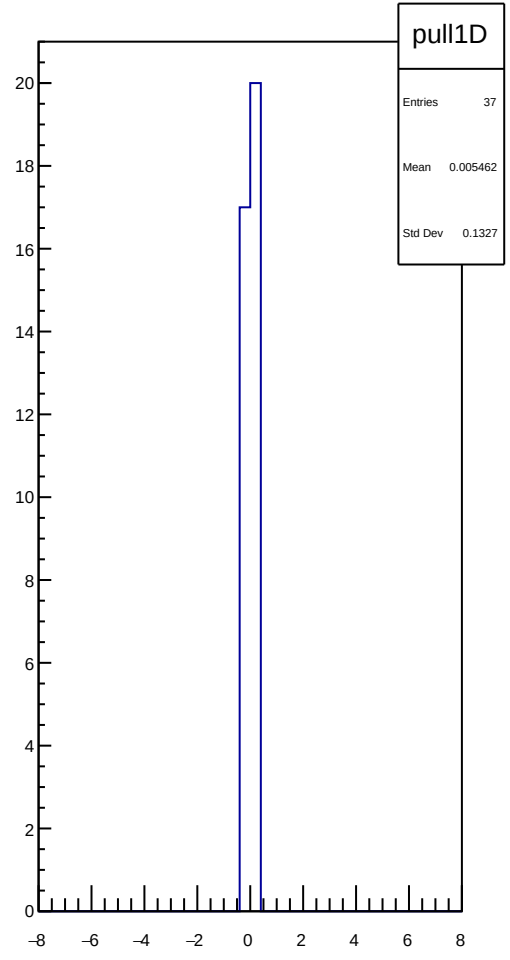
pull1D
Entries 37
Mean 0.005462
Std Dev 0.1327

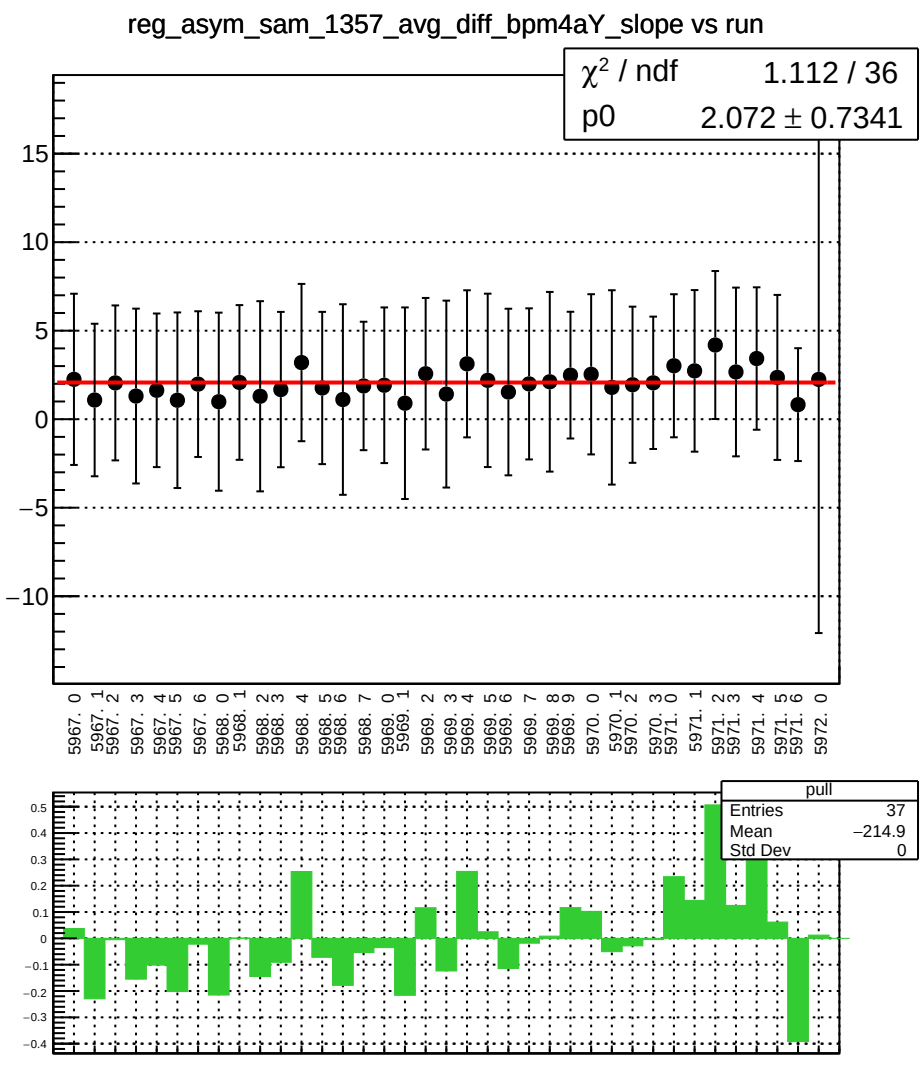
reg_asym_sam_1357_avg_diff_bpm4aY_slope vs run
χ² / ndf 1.112 / 36
p0 2.072 ± 0.7341
15
10
5
0
−5
−10
5967. 0
5967. 1
5967. 2
5967. 3
5967. 4
5967. 5
5967. 6
5968. 0
5968. 1
5968. 2
5968. 3
5968. 4
5968. 5
5968. 6
5968. 7
5969. 0
5969. 1
5969. 2
5969. 3
5969. 4
5969. 5
5969. 6
5969. 7
5969. 8
5969. 9
5970. 0
5970. 1
5970. 2
5970. 3
5971. 0
5971. 1
5971. 2
5971. 3
5971. 4
5971. 5
5971. 6
5972. 0
pull
Entries 37
Mean −214.9
Std Dev 0
0.5
0.4
0.3
0.2
0.1
0
−0.1
−0.2
−0.3
−0.4

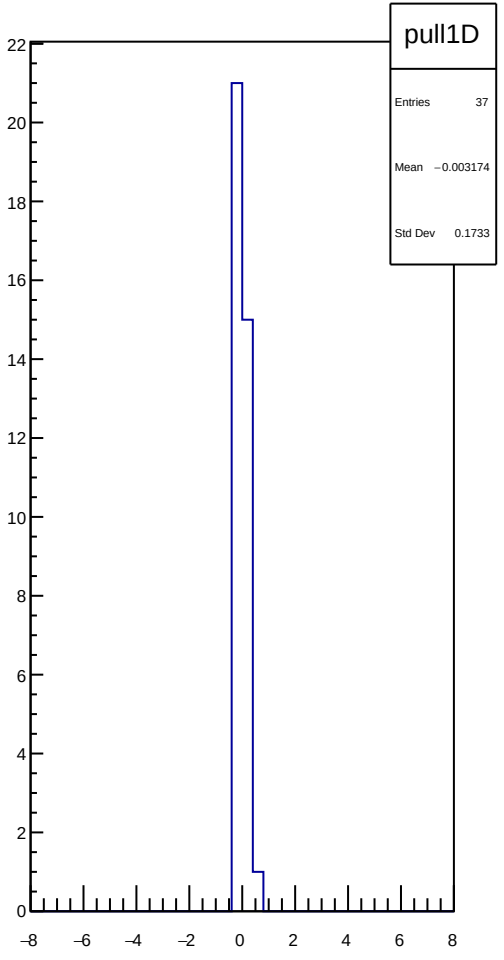
pull1D
Entries 37
Mean −0.003174
Std Dev 0.1733
22
20
18
16
14
12
10
8
6
4
2
0
−8
−6
−4
−2
0
2
4
6
8

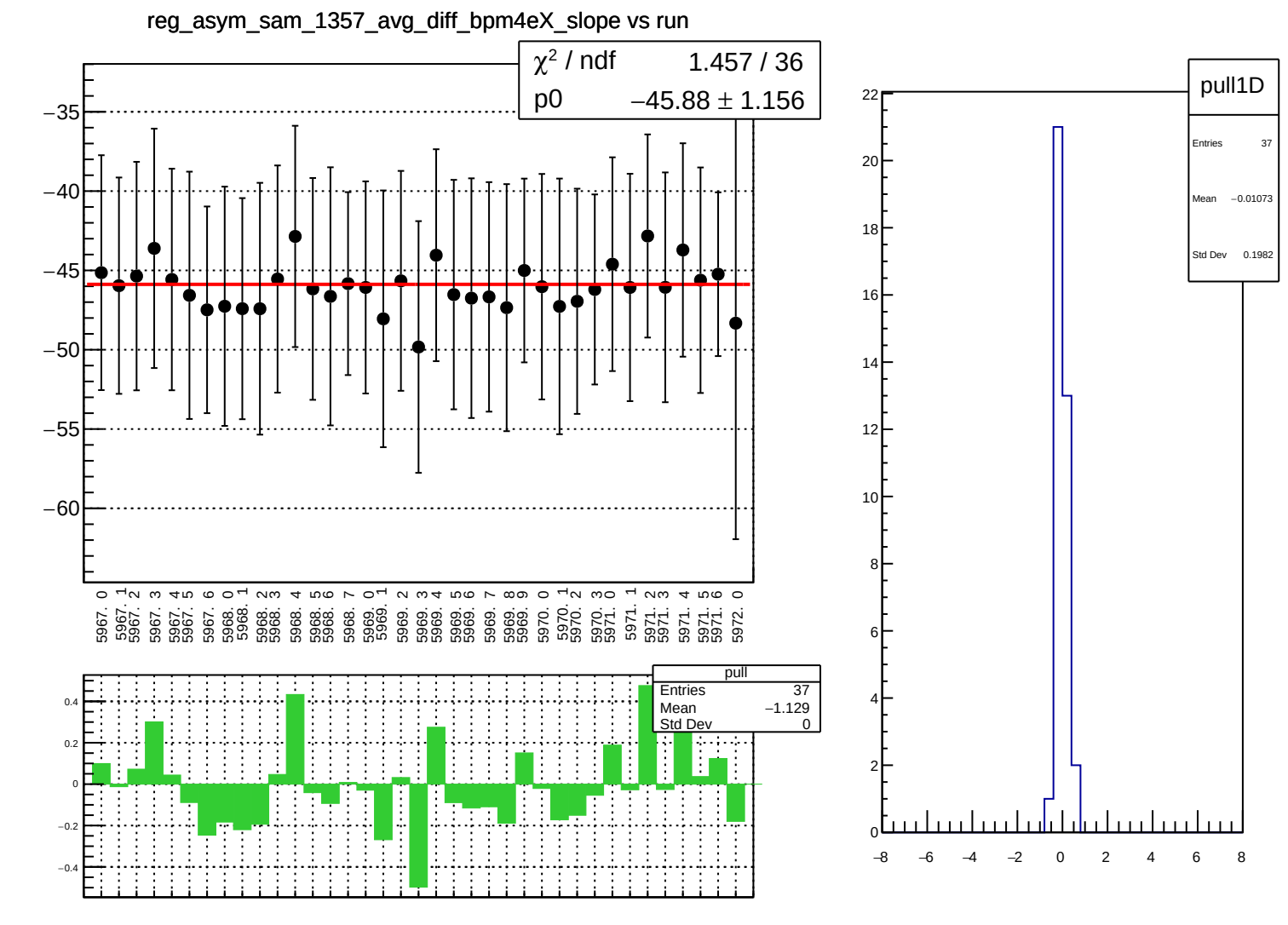
reg_asym_sam_1357_avg_diff_bpm4eX_slope vs run
χ² / ndf 1.457 / 36
p0 −45.88 ± 1.156
−35
−40
−45
−50
−55
−60
5967. 0
5967. 1
5967. 2
5967. 3
5967. 4
5967. 5
5967. 6
5968. 0
5968. 1
5968. 2
5968. 3
5968. 4
5968. 5
5968. 6
5968. 7
5969. 0
5969. 1
5969. 2
5969. 3
5969. 4
5969. 5
5969. 6
5969. 7
5969. 8
5969. 9
5970. 0
5970. 1
5970. 2
5970. 3
5971. 0
5971. 1
5971. 2
5971. 3
5971. 4
5971. 5
5971. 6
5972. 0
pull
Entries 37
Mean −1.129
Std Dev 0
0.4
0.2
0
−0.2
−0.4
pull1D
Entries 37
Mean −0.01073
Std Dev 0.1982
22
20
18
16
14
12
10
8
6
4
2
0
−8
−6
−4
−2
0
2
4
6
8

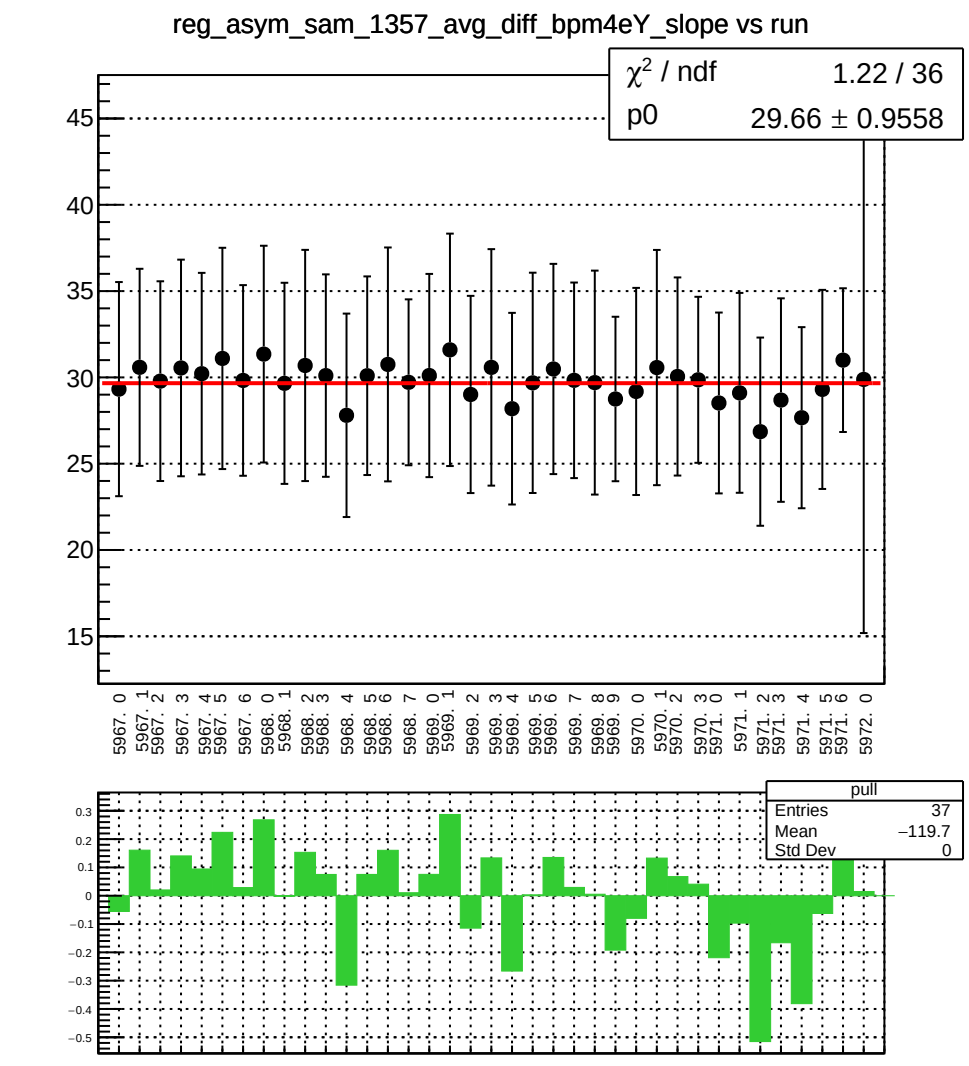
reg_asym_sam_1357_avg_diff_bpm4eY_slope vs run
χ² / ndf 1.22 / 36
p0 29.66 ± 0.9558
pull
Entries 37
Mean −119.7
Std Dev 0

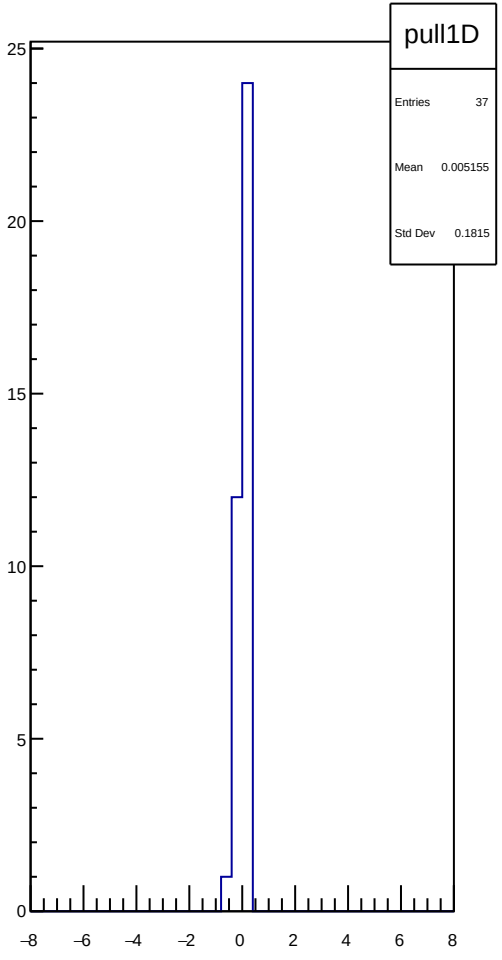
pull1D
Entries 37
Mean 0.005155
Std Dev 0.1815

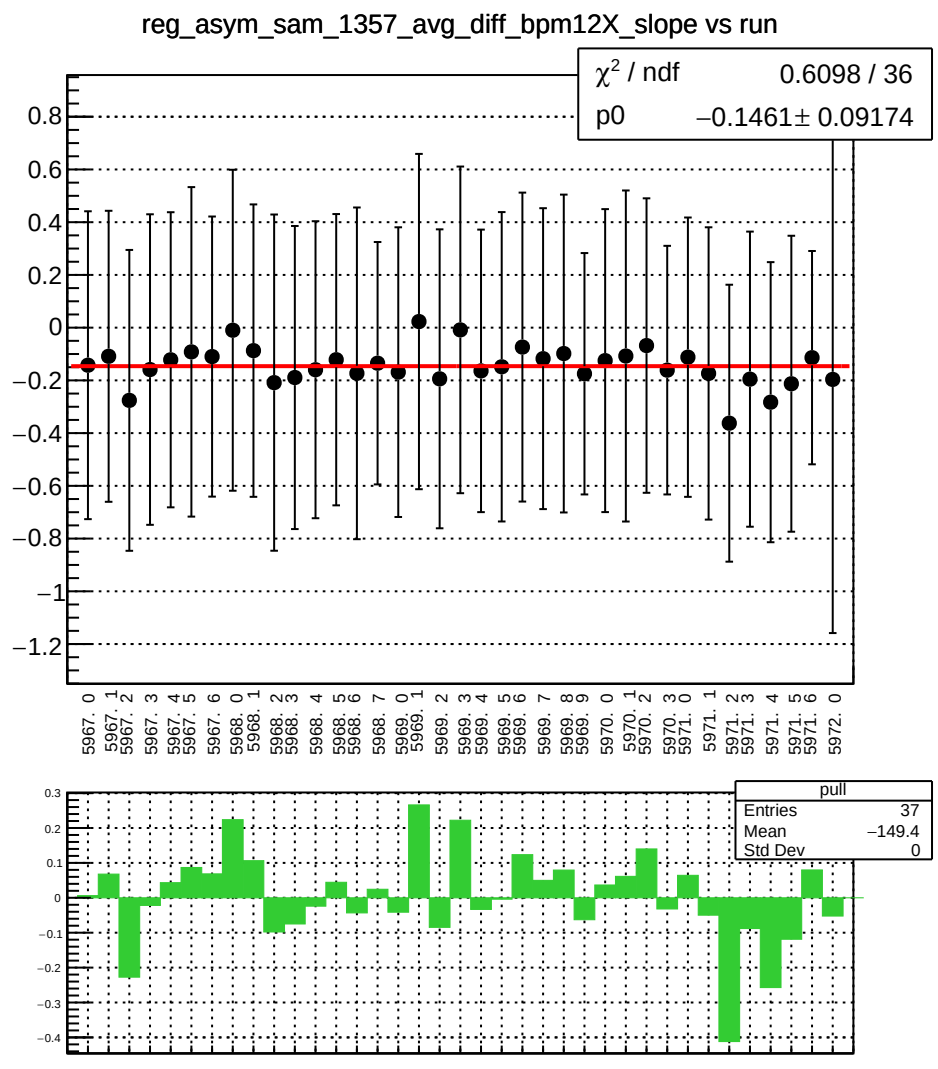
reg_asym_sam_1357_avg_diff_bpm12X_slope vs run
χ² / ndf 0.6098 / 36
p0 −0.1461± 0.09174
pull
Entries 37
Mean −149.4
Std Dev 0

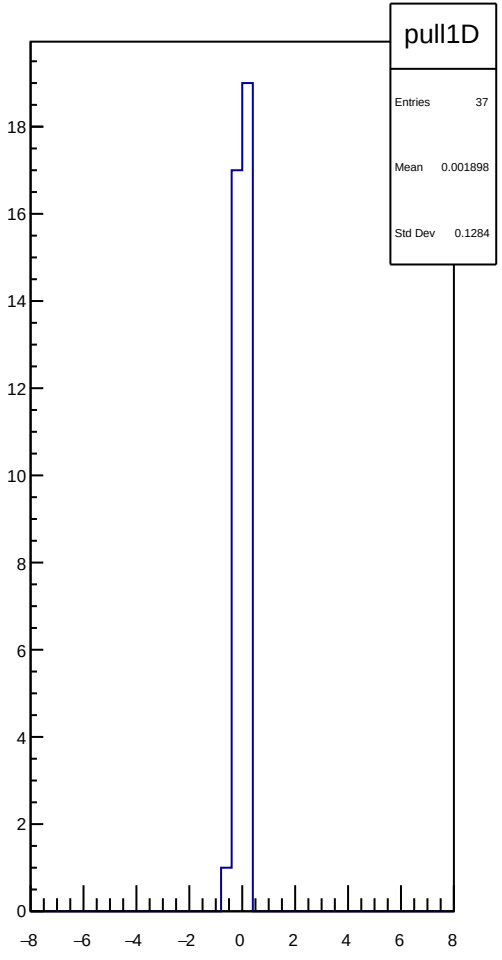
pull1D
Entries 37
Mean 0.001898
Std Dev 0.1284

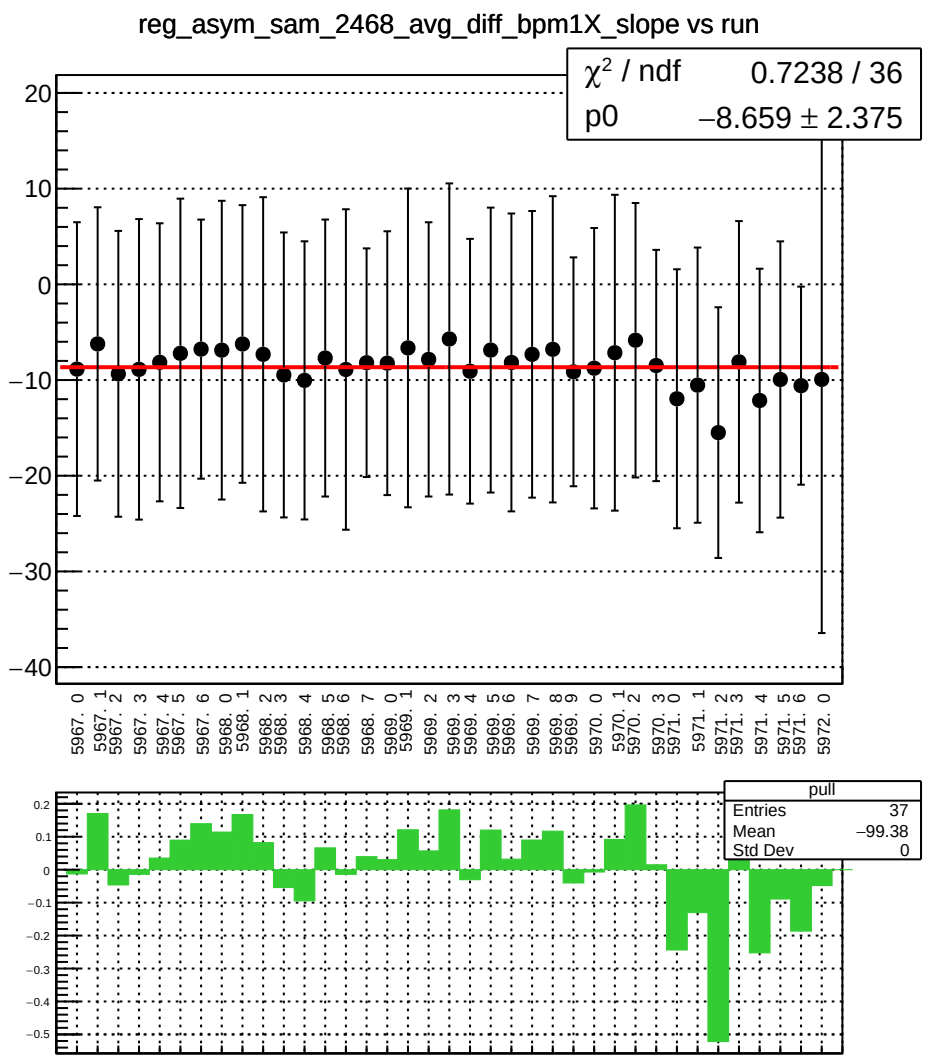
reg_asym_sam_2468_avg_diff_bpm1X_slope vs run
χ² / ndf 0.7238 / 36
p0 −8.659 ± 2.375
pull
Entries 37
Mean −99.38
Std Dev 0

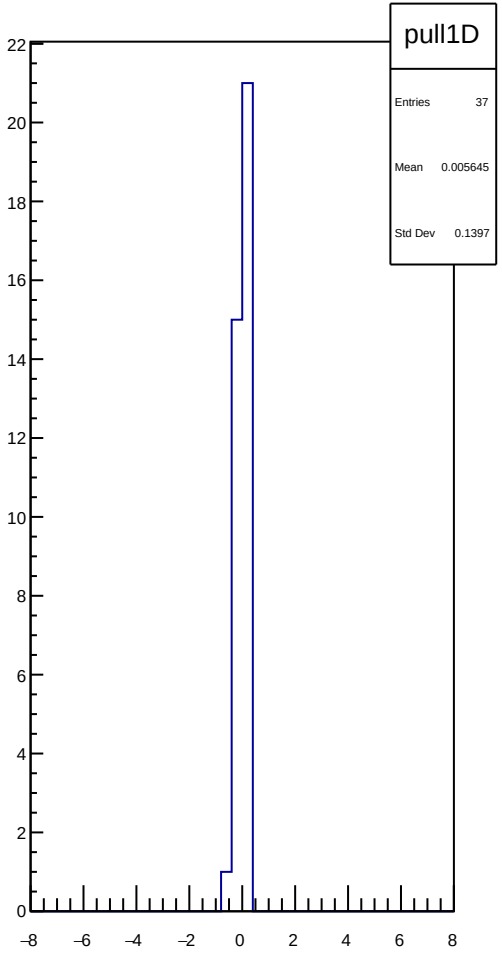
pull1D
Entries 37
Mean 0.005645
Std Dev 0.1397

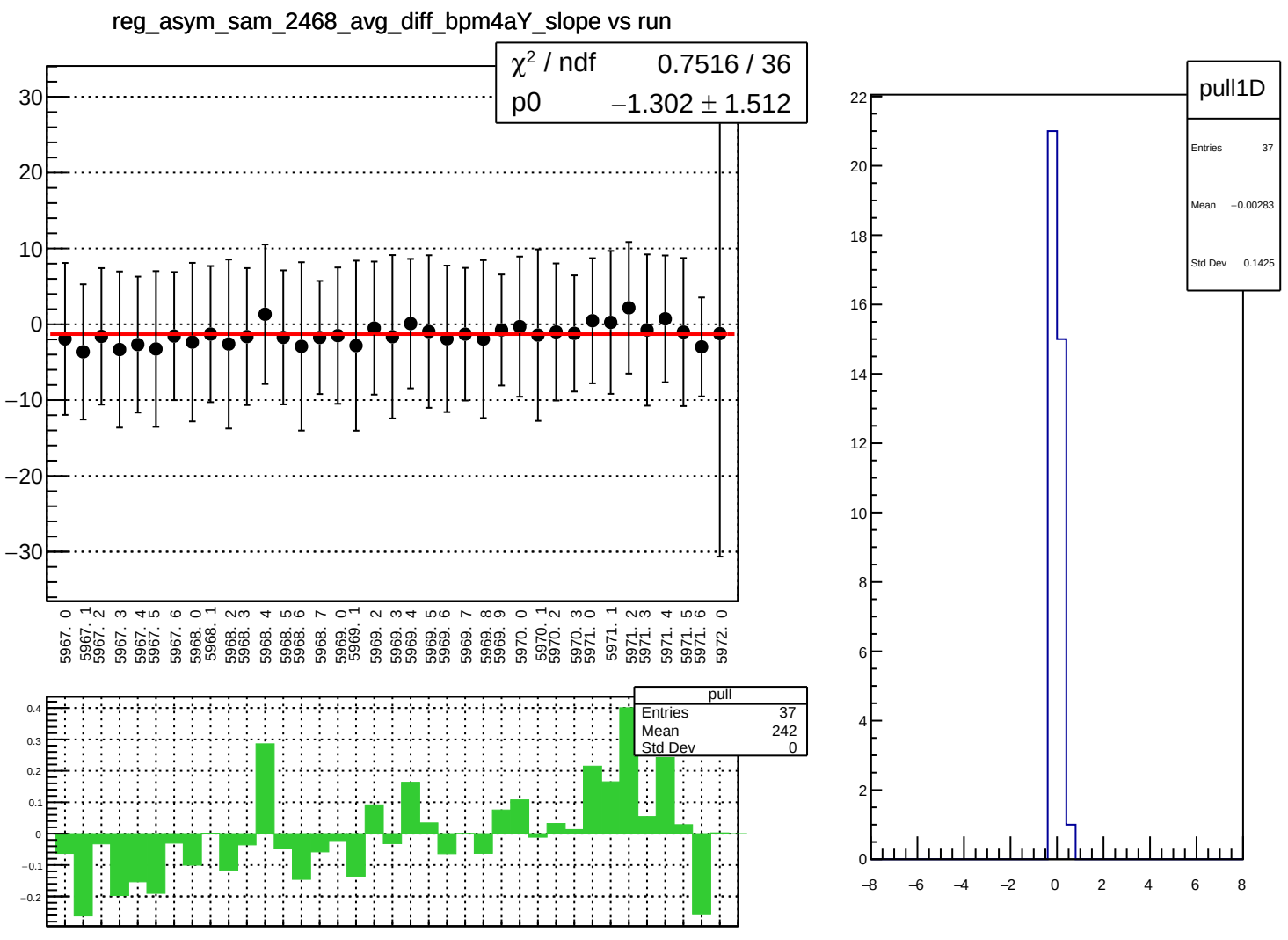
reg_asym_sam_2468_avg_diff_bpm4aY_slope vs run
χ² / ndf 0.7516 / 36
p0 −1.302 ± 1.512
pull
Entries 37
Mean −242
Std Dev 0
pull1D
Entries 37
Mean −0.00283
Std Dev 0.1425

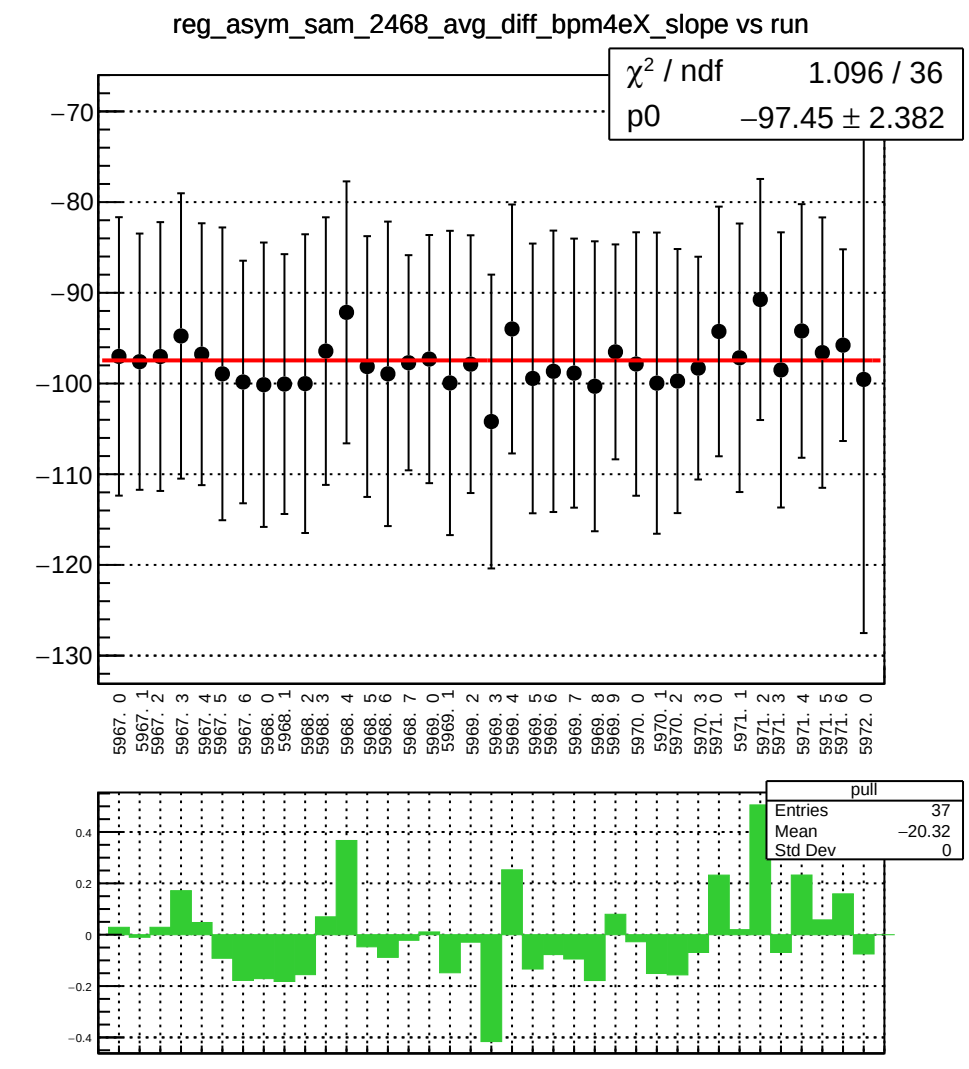
reg_asym_sam_2468_avg_diff_bpm4eX_slope vs run
χ² / ndf 1.096 / 36
p0 −97.45 ± 2.382
pull
Entries 37
Mean −20.32
Std Dev 0

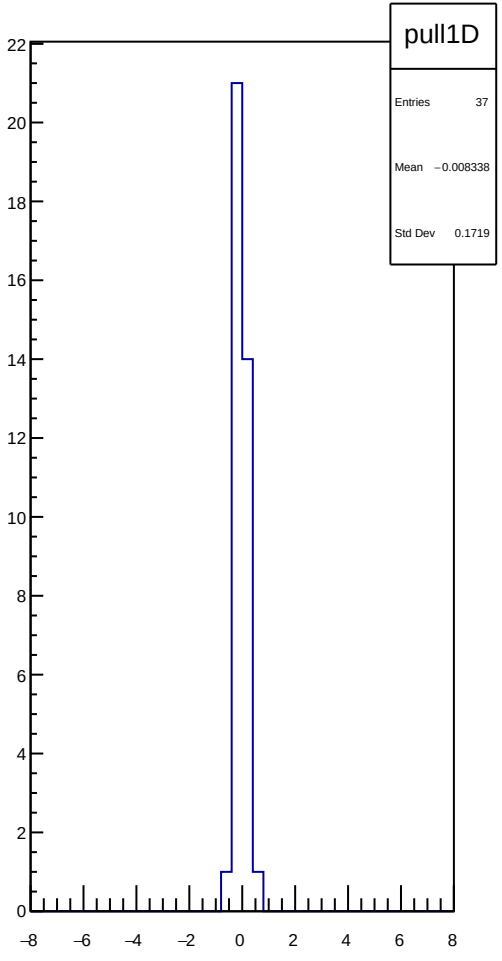
pull1D
Entries 37
Mean −0.008338
Std Dev 0.1719

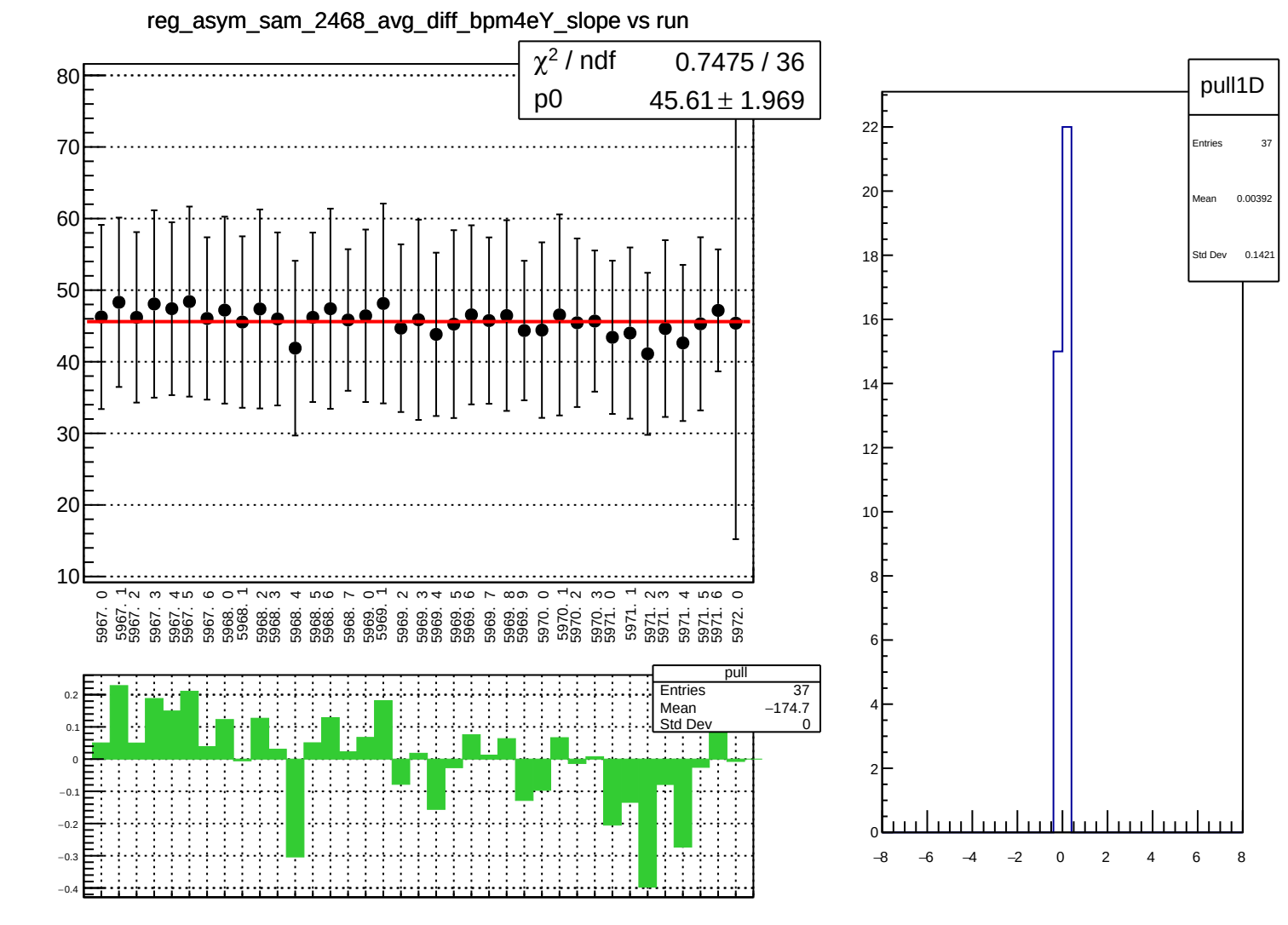
reg_asym_sam_2468_avg_diff_bpm4eY_slope vs run
χ² / ndf 0.7475 / 36
p0 45.61 ± 1.969
pull
Entries 37
Mean −174.7
Std Dev 0
pull1D
Entries 37
Mean 0.00392
Std Dev 0.1421

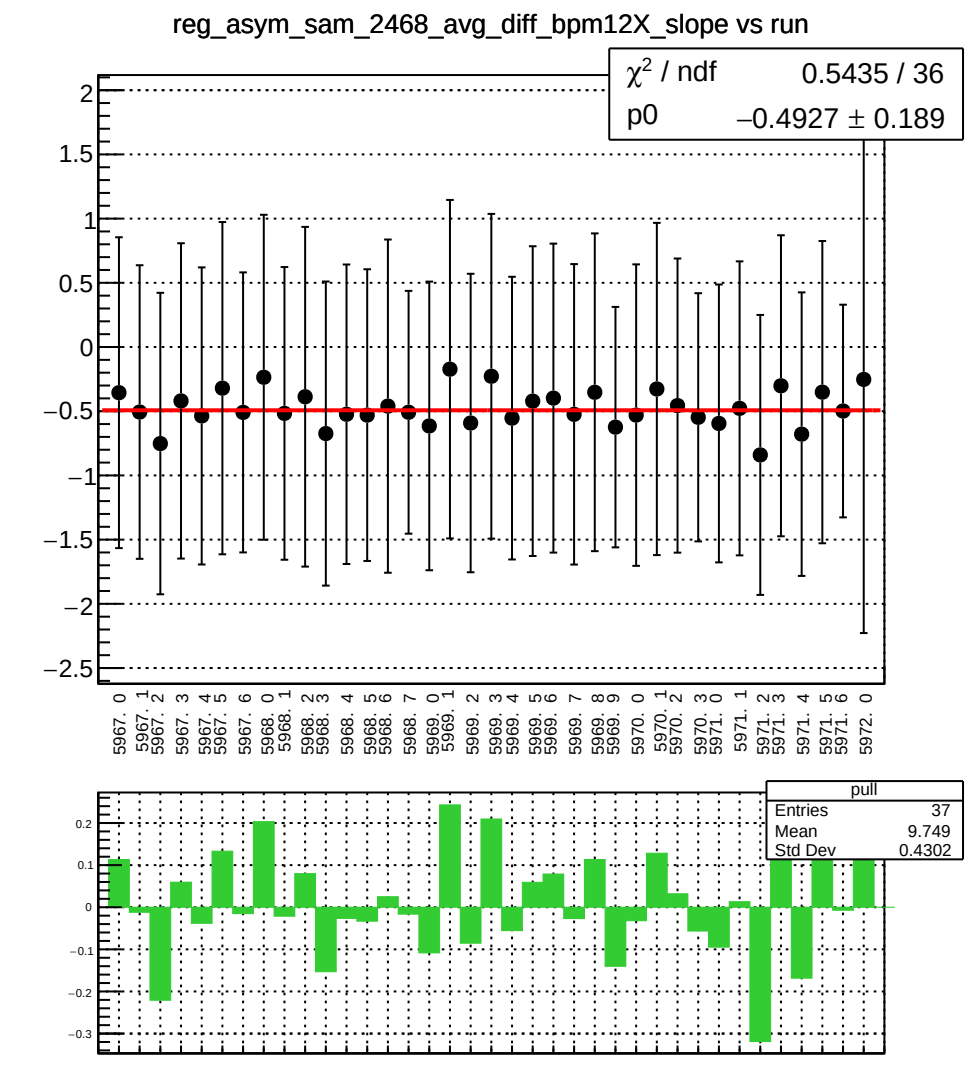
reg_asym_sam_2468_avg_diff_bpm12X_slope vs run
χ² / ndf 0.5435 / 36
p0 −0.4927 ± 0.189
pull
Entries 37
Mean 9.749
Std Dev 0.4302

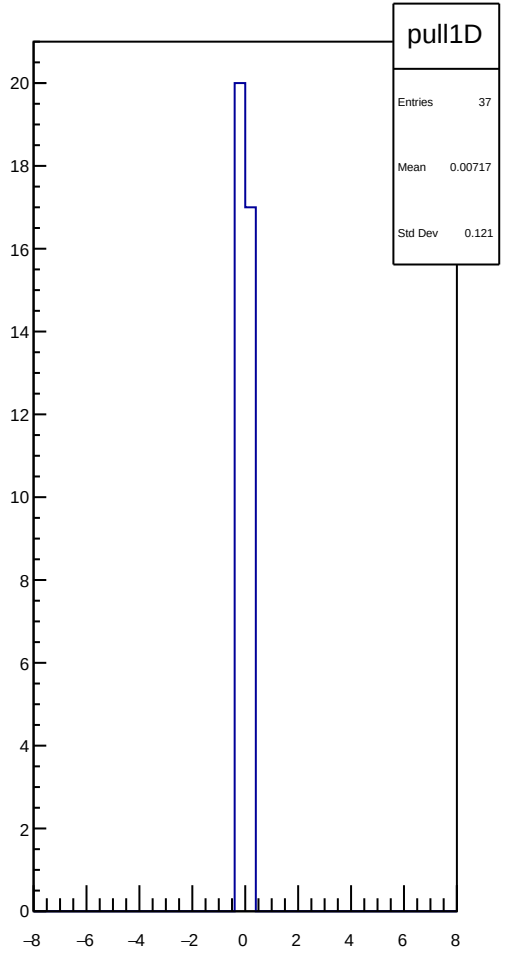
pull1D
Entries 37
Mean 0.00717
Std Dev 0.121

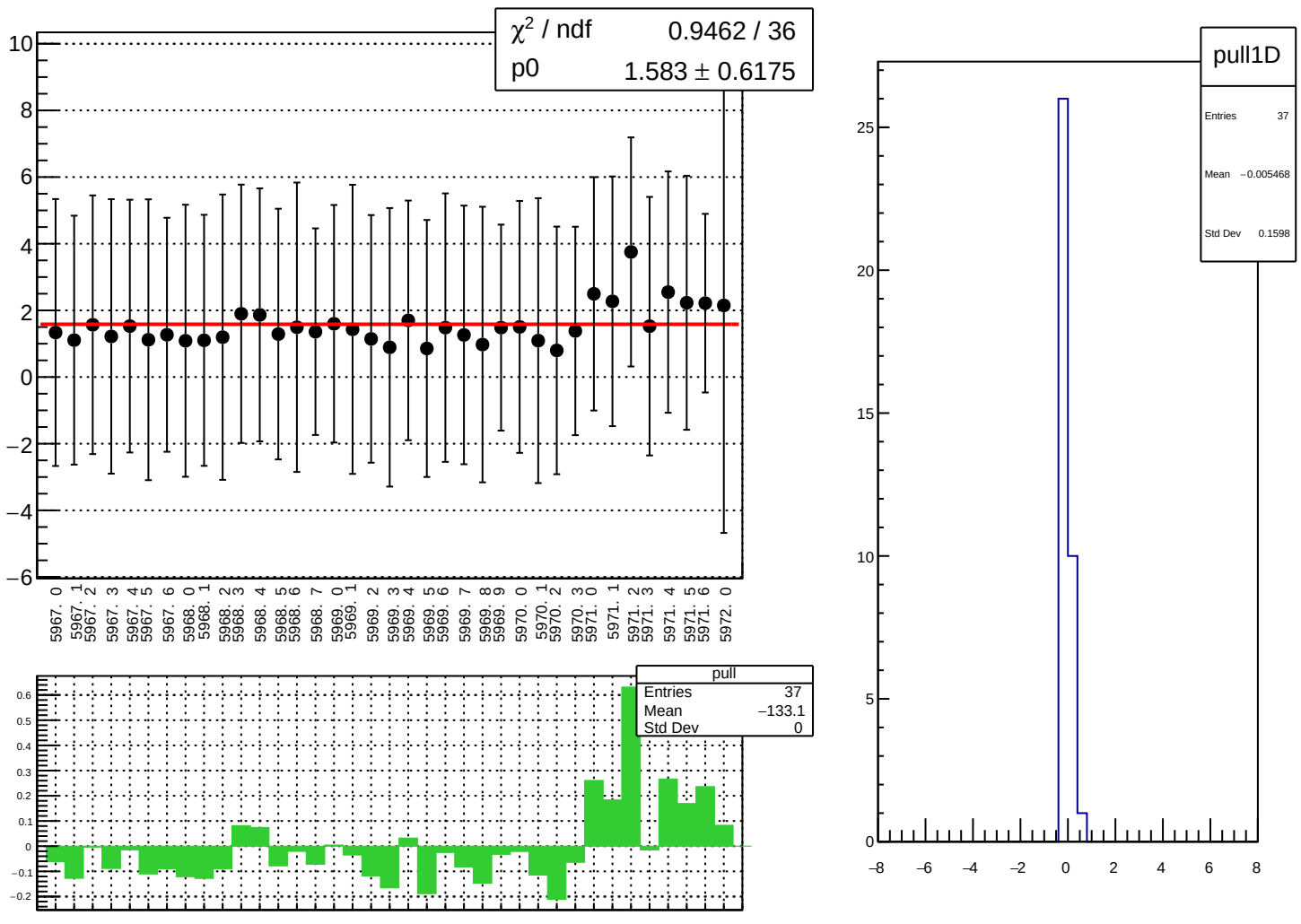
reg_asym_sam_1357_2468_dd_diff_bpm1X_slope vs run
χ² / ndf 0.9462 / 36
p0 1.583 ± 0.6175
pull
Entries 37
Mean −133.1
Std Dev 0
pull1D
Entries 37
Mean −0.005468
Std Dev 0.1598

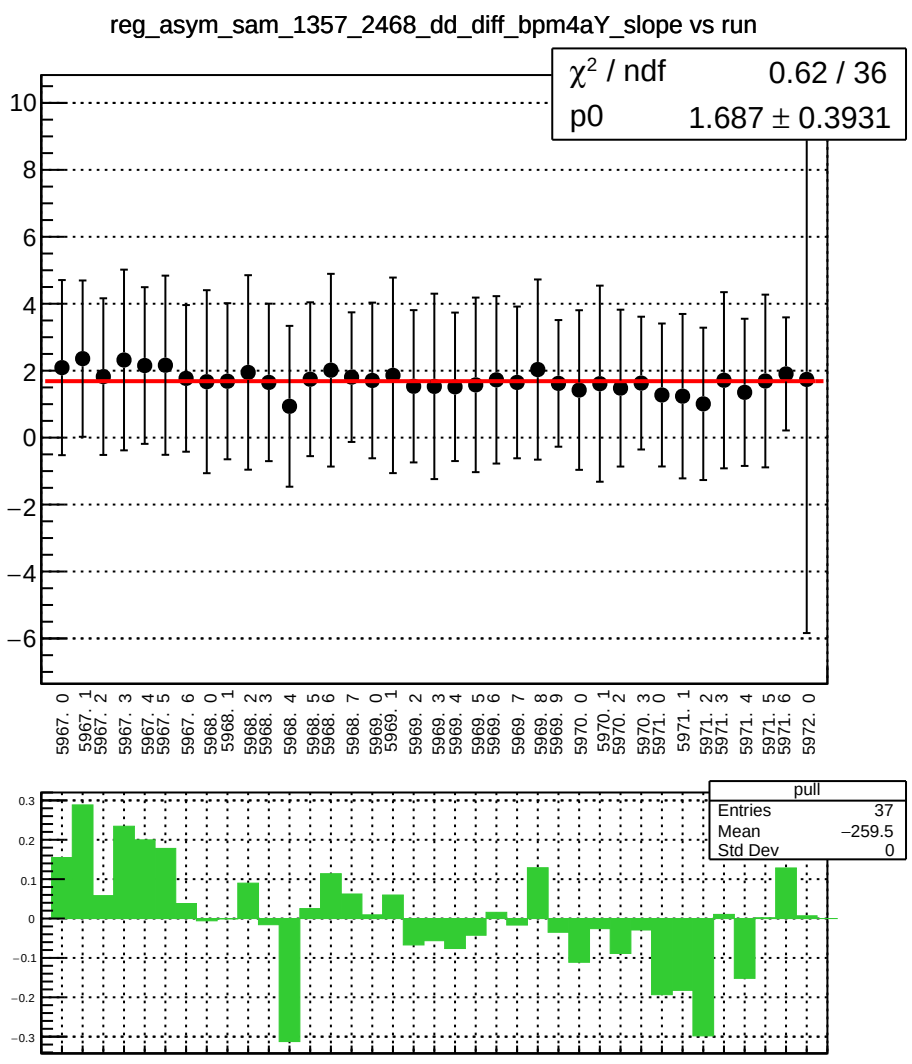
reg_asym_sam_1357_2468_dd_diff_bpm4aY_slope vs run
χ² / ndf 0.62 / 36
p0 1.687 ± 0.3931
pull
Entries 37
Mean −259.5
Std Dev 0

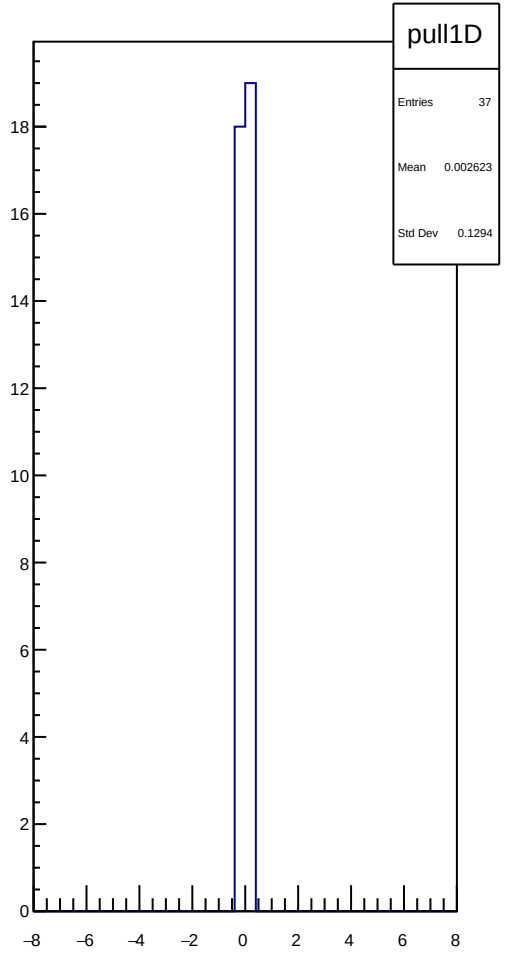
pull1D
Entries 37
Mean 0.002623
Std Dev 0.1294

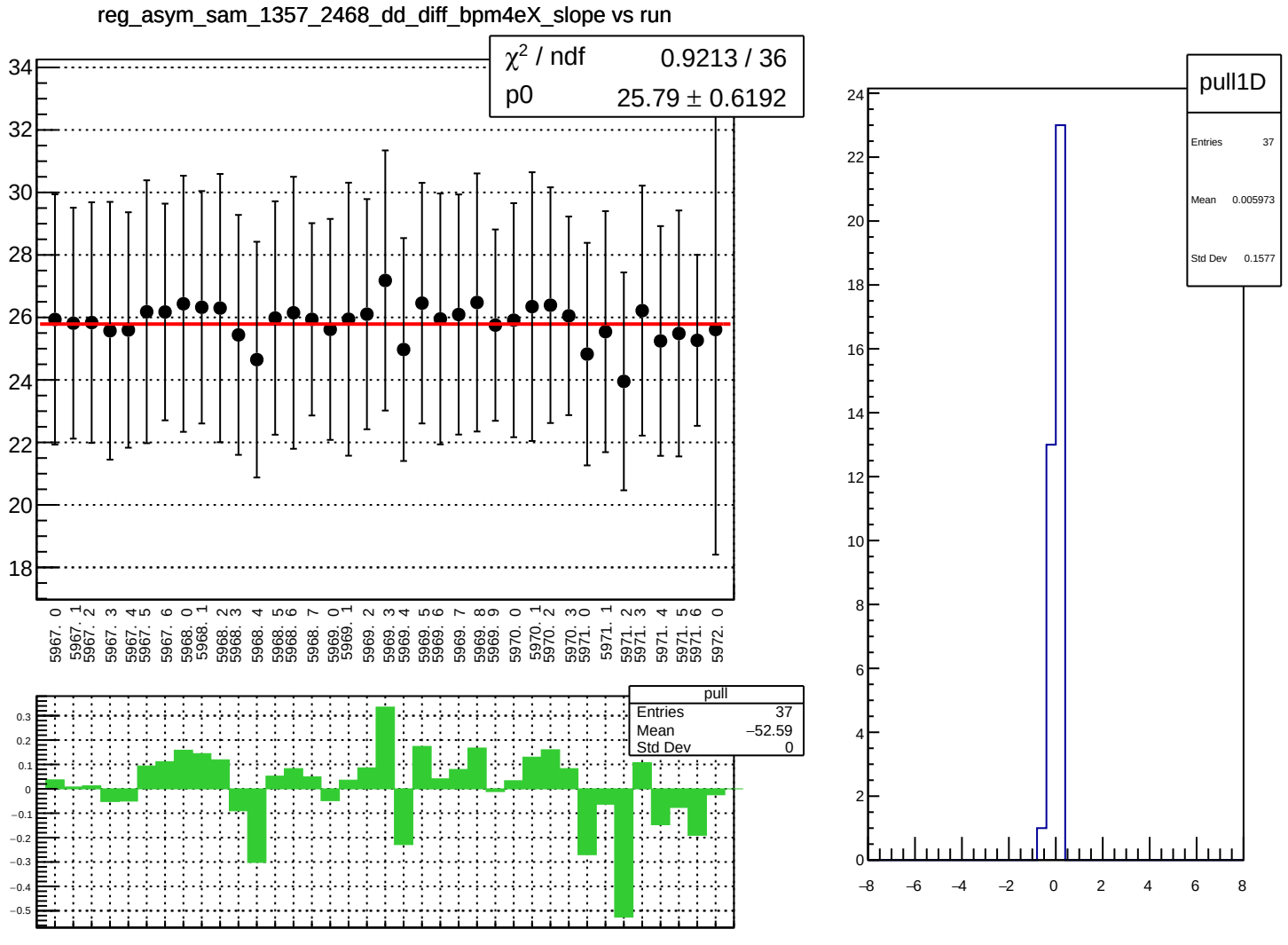
reg_asym_sam_1357_2468_dd_diff_bpm4eX_slope vs run
χ² / ndf 0.9213 / 36
p0 25.79 ± 0.6192
pull
Entries 37
Mean −52.59
Std Dev 0
pull1D
Entries 37
Mean 0.005973
Std Dev 0.1577

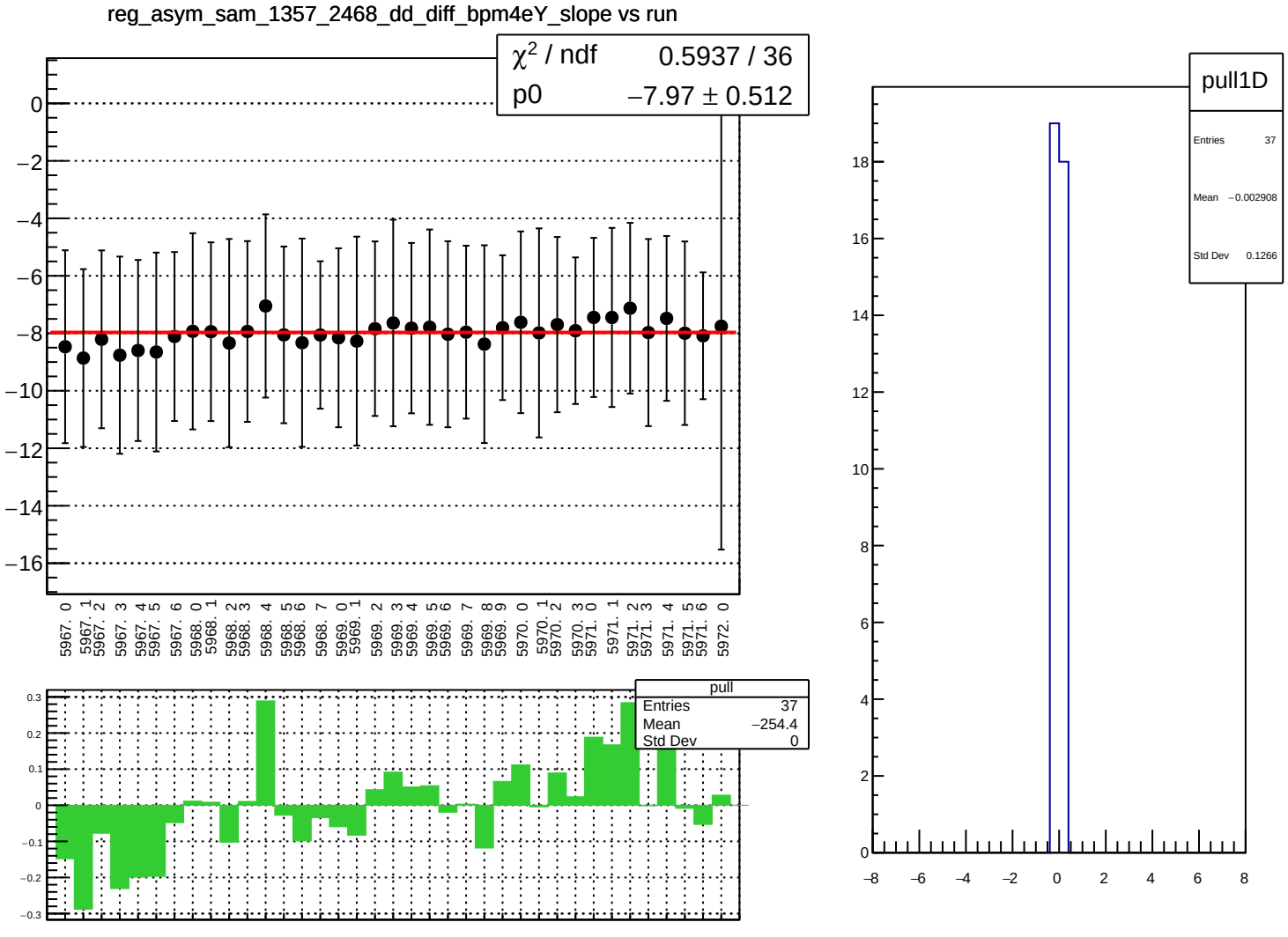
reg_asym_sam_1357_2468_dd_diff_bpm4eY_slope vs run
χ² / ndf 0.5937 / 36
p0 −7.97 ± 0.512
pull
Entries 37
Mean −254.4
Std Dev 0
pull1D
Entries 37
Mean −0.002908
Std Dev 0.1266

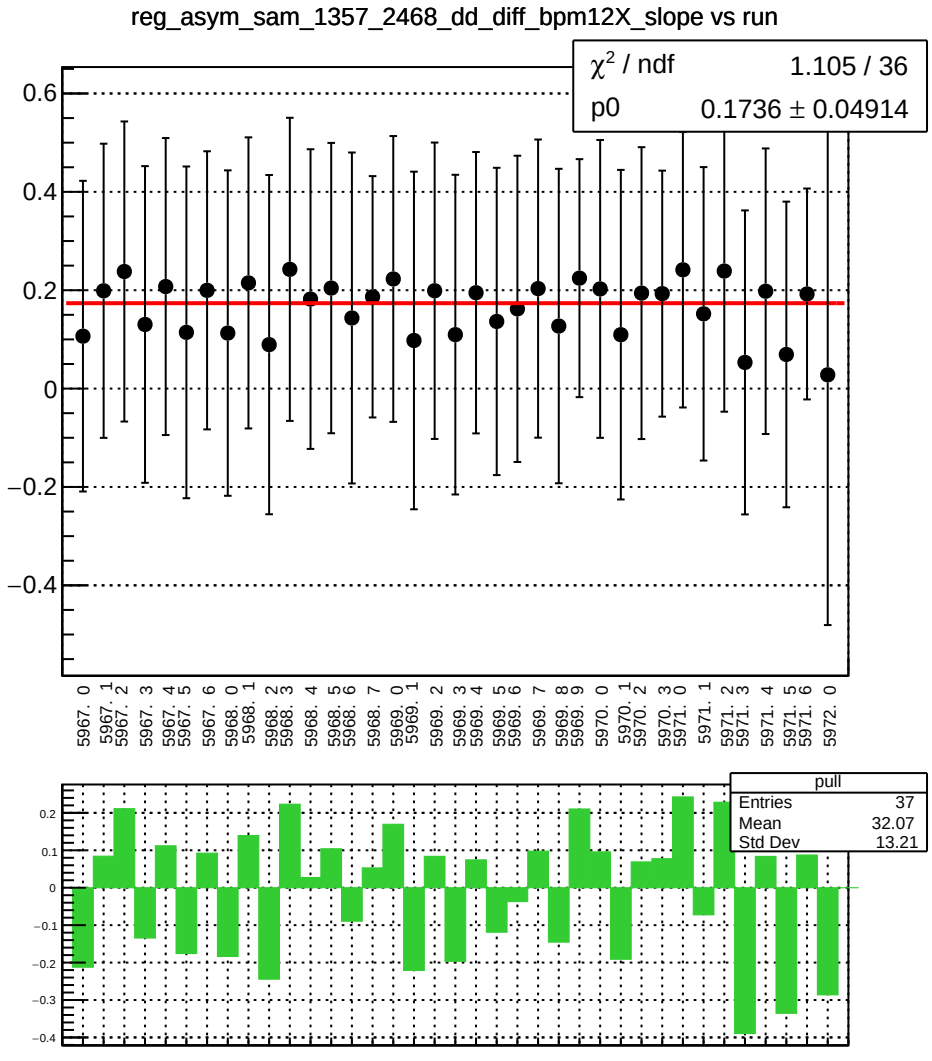
reg_asym_sam_1357_2468_dd_diff_bpm12X_slope vs run
χ² / ndf 1.105 / 36
p0 0.1736 ± 0.04914
pull
Entries 37
Mean 32.07
Std Dev 13.21

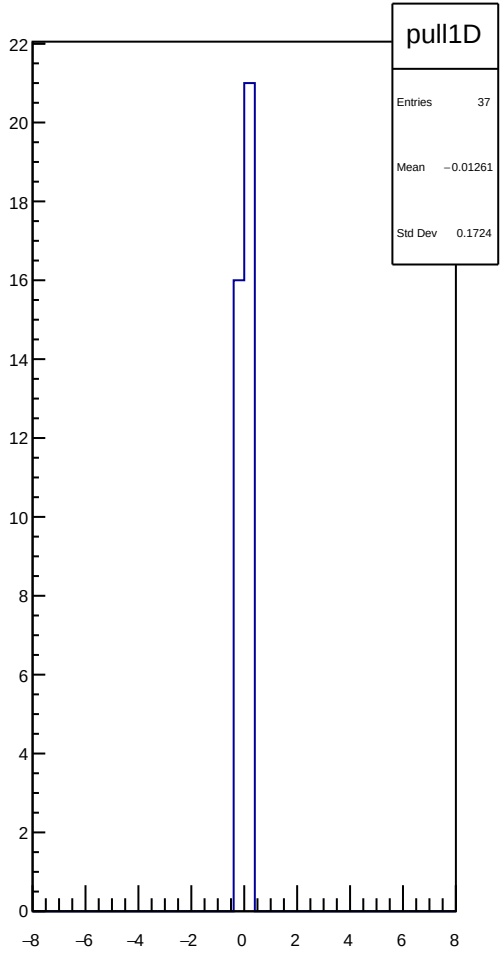
pull1D
Entries 37
Mean −0.01261
Std Dev 0.1724

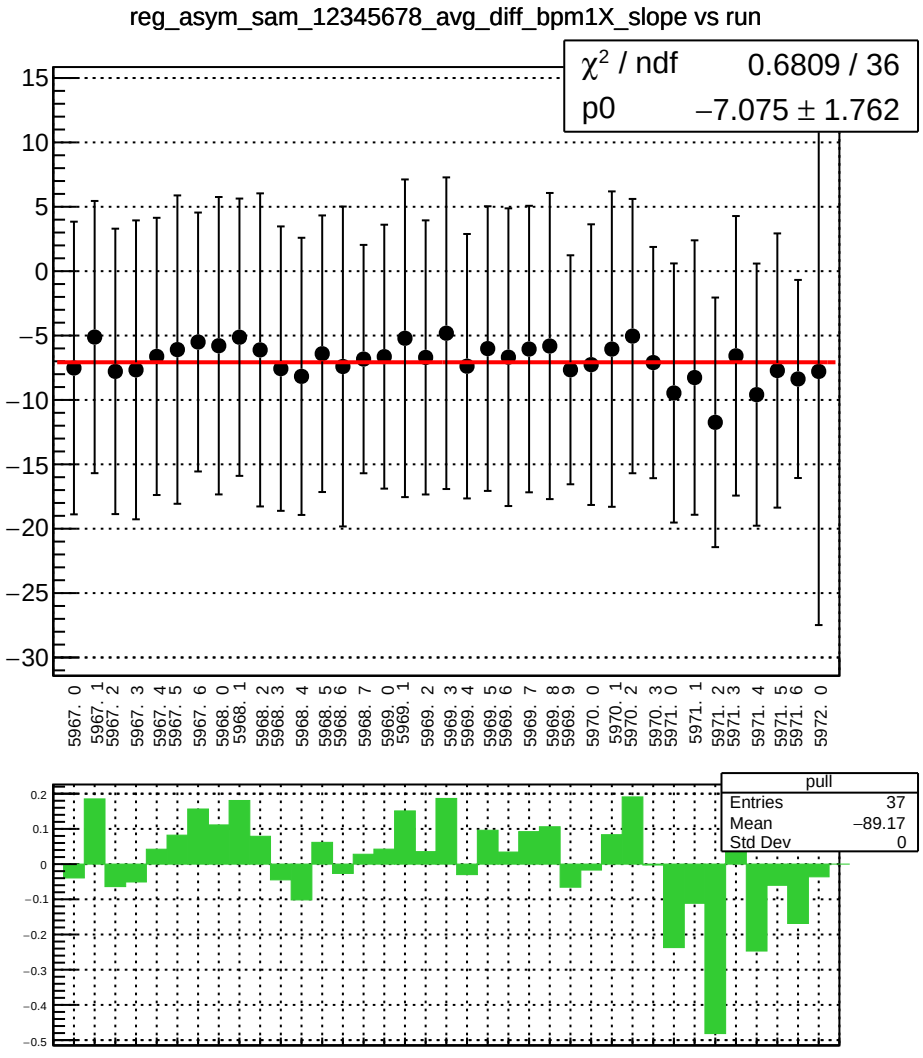
reg_asym_sam_12345678_avg_diff_bpm1X_slope vs run
χ² / ndf 0.6809 / 36
p0 −7.075 ± 1.762
pull
Entries 37
Mean −89.17
Std Dev 0

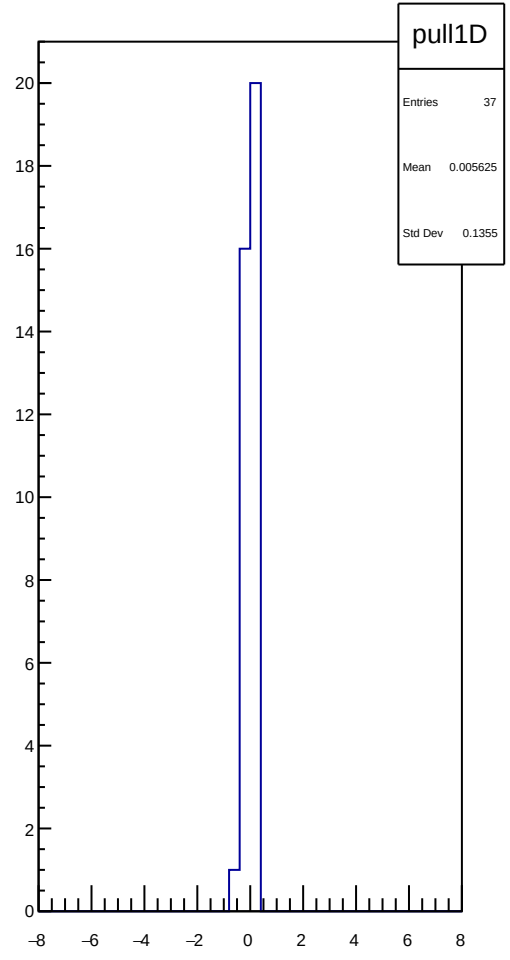
pull1D
Entries 37
Mean 0.005625
Std Dev 0.1355

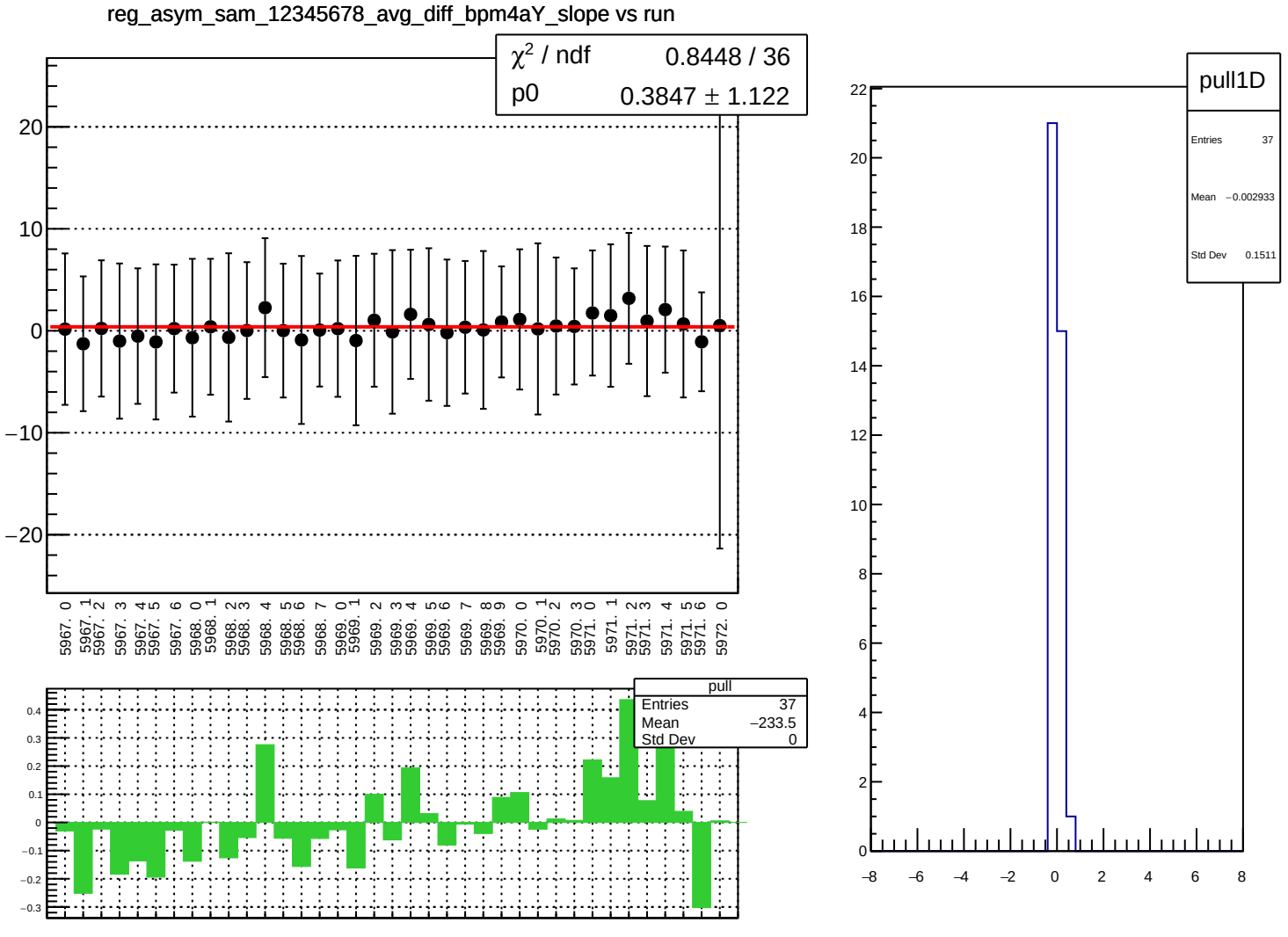
reg_asym_sam_12345678_avg_diff_bpm4aY_slope vs run
χ² / ndf 0.8448 / 36
p0 0.3847 ± 1.122
20
10
0
−10
−20
5967. 0
5967. 1
5967. 2
5967. 3
5967. 4
5967. 5
5967. 6
5968. 0
5968. 1
5968. 2
5968. 3
5968. 4
5968. 5
5968. 6
5968. 7
5969. 0
5969. 1
5969. 2
5969. 3
5969. 4
5969. 5
5969. 6
5969. 7
5969. 8
5969. 9
5970. 0
5970. 1
5970. 2
5970. 3
5971. 0
5971. 1
5971. 2
5971. 3
5971. 4
5971. 5
5971. 6
5972. 0
pull
Entries 37
Mean −233.5
Std Dev 0
0.4
0.3
0.2
0.1
0
−0.1
−0.2
−0.3
pull1D
Entries 37
Mean −0.002933
Std Dev 0.1511
22
20
18
16
14
12
10
8
6
4
2
0
−8
−6
−4
−2
0
2
4
6
8

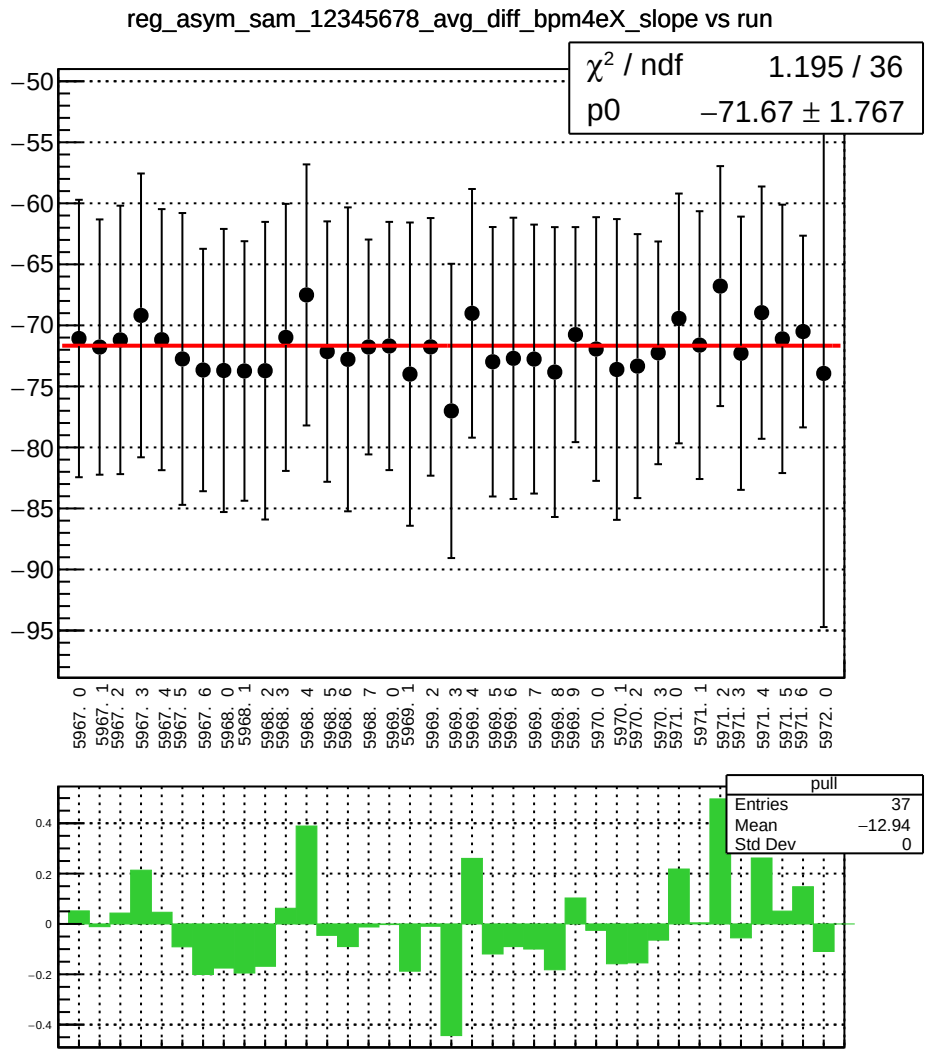
reg_asym_sam_12345678_avg_diff_bpm4eX_slope vs run
χ² / ndf 1.195 / 36
p0 −71.67 ± 1.767
pull
Entries 37
Mean −12.94
Std Dev 0

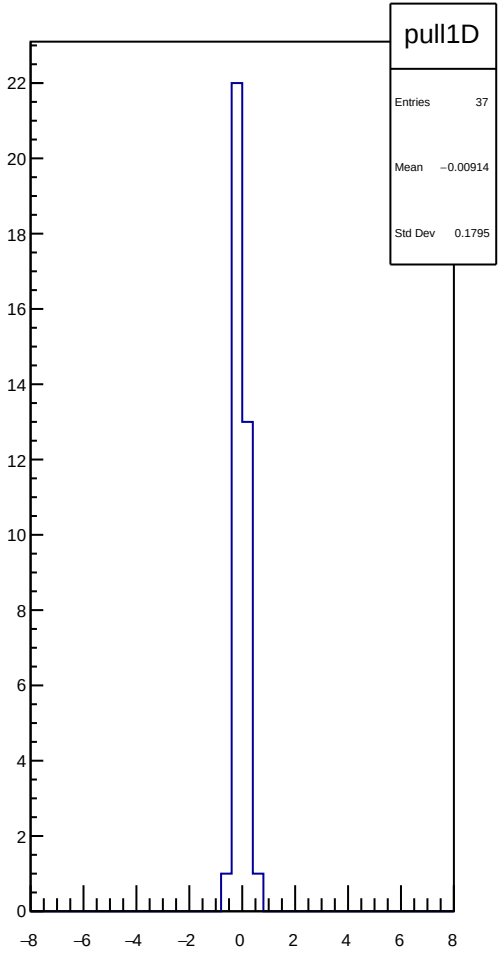
pull1D
Entries 37
Mean −0.00914
Std Dev 0.1795

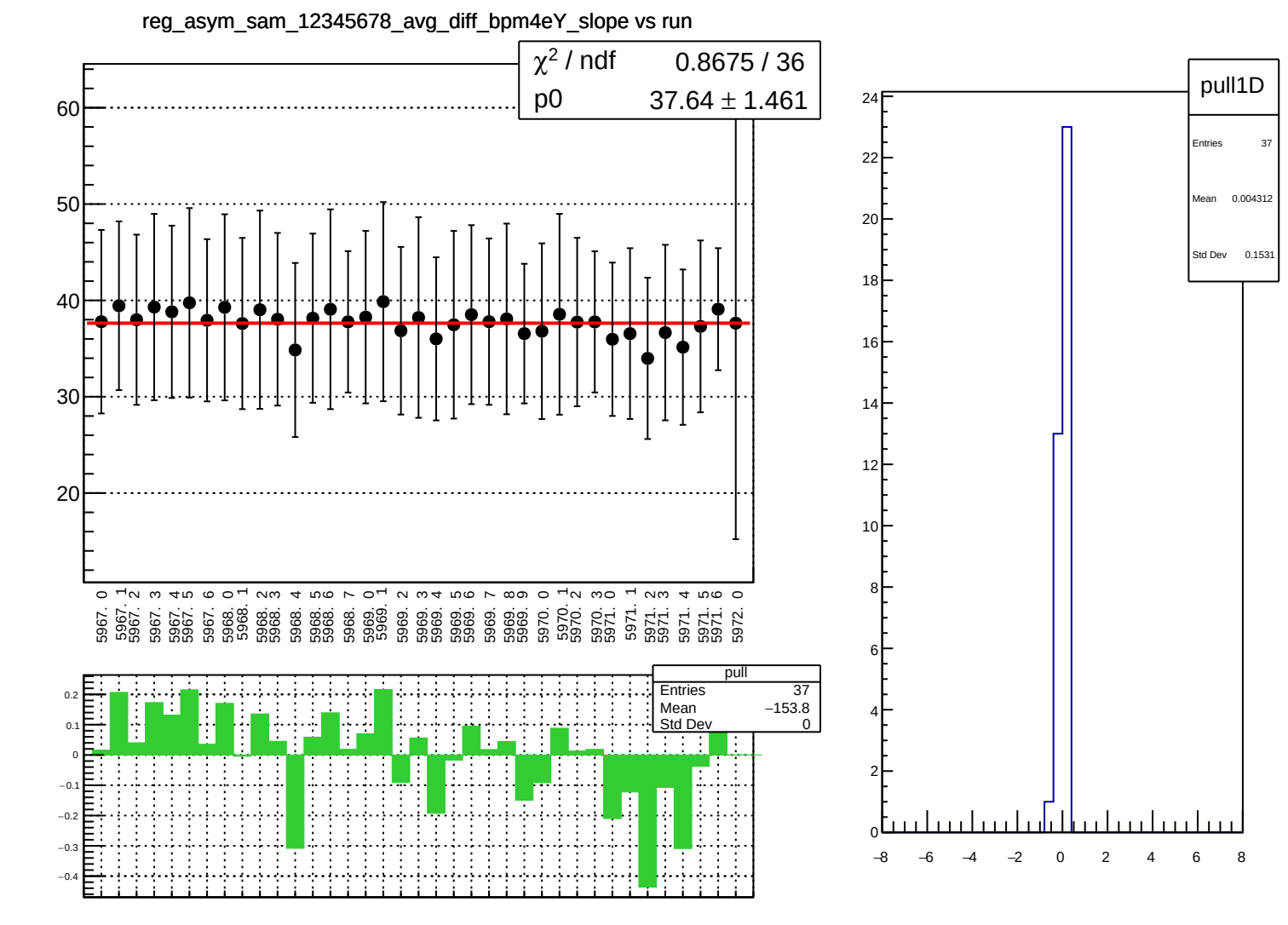
reg_asym_sam_12345678_avg_diff_bpm4eY_slope vs run
χ² / ndf 0.8675 / 36
p0 37.64 ± 1.461
pull
Entries 37
Mean −153.8
Std Dev 0
pull1D
Entries 37
Mean 0.004312
Std Dev 0.1531

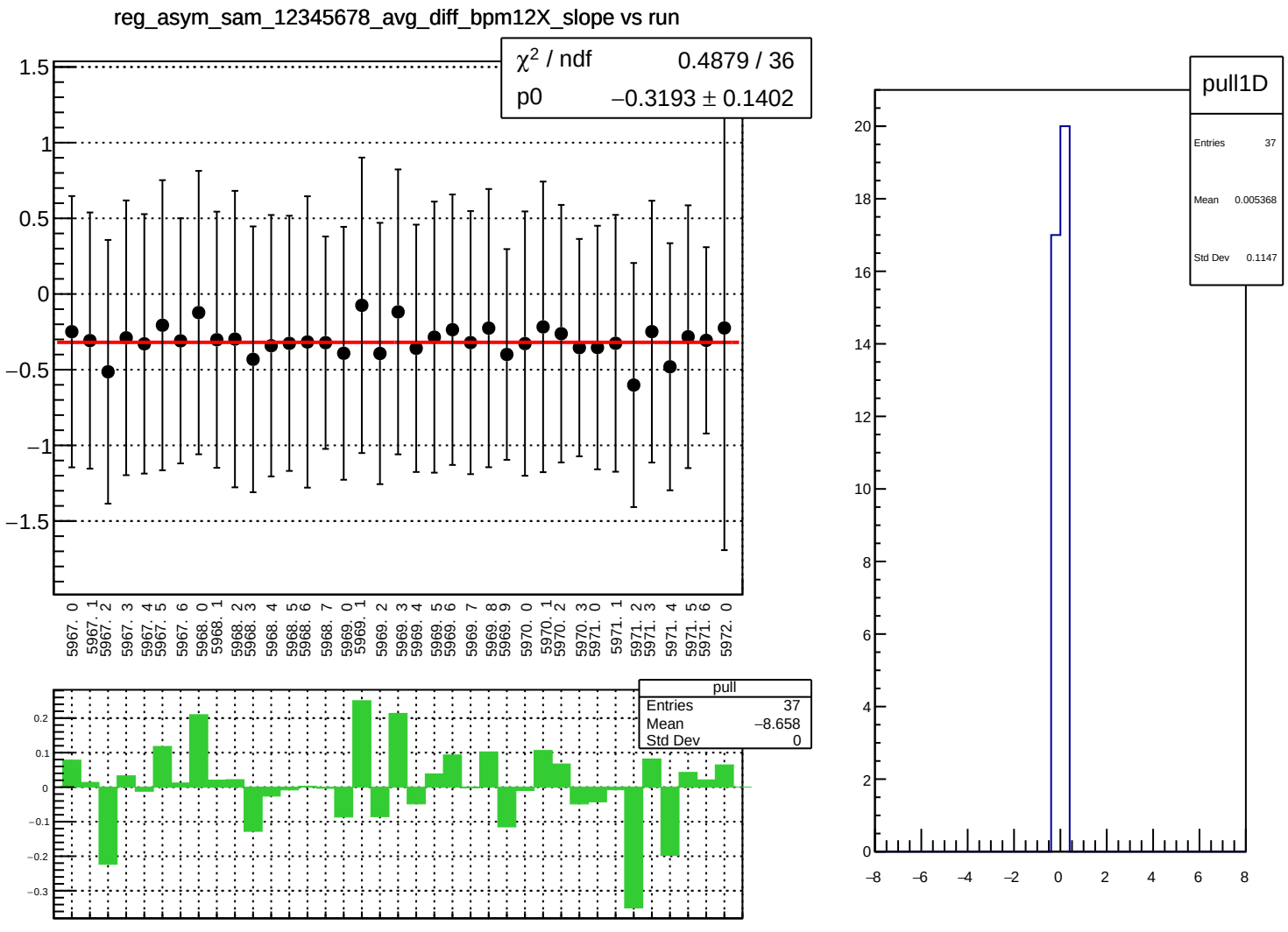
reg_asym_sam_12345678_avg_diff_bpm12X_slope vs run
χ² / ndf 0.4879 / 36
p0 −0.3193 ± 0.1402
pull
Entries 37
Mean −8.658
Std Dev 0
pull1D
Entries 37
Mean 0.005368
Std Dev 0.1147

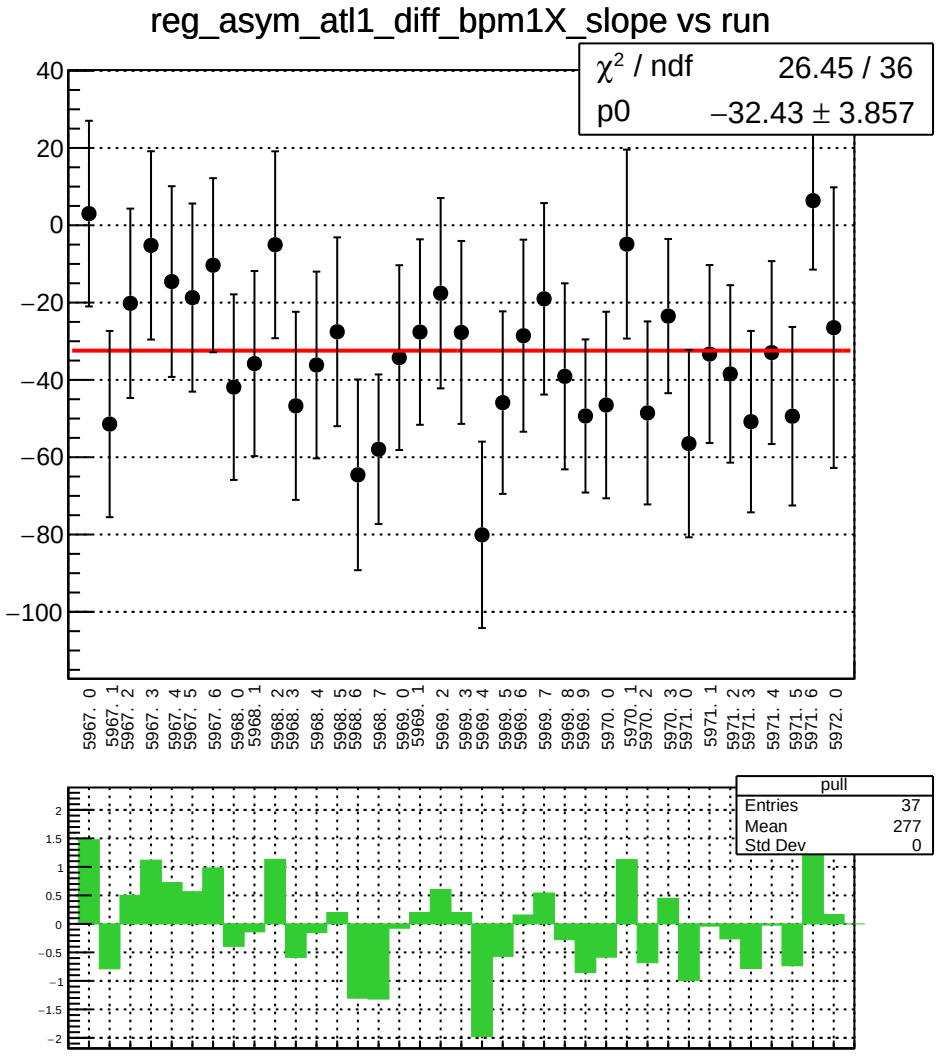
reg_asym_atl1_diff_bpm1X_slope vs run
χ² / ndf 26.45 / 36
p0 −32.43 ± 3.857
pull
Entries 37
Mean 277
Std Dev 0

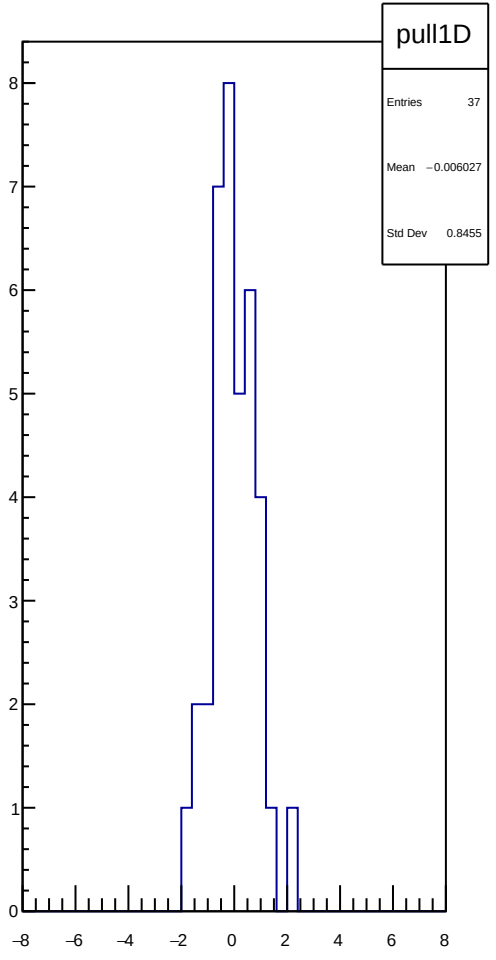
pull1D
Entries 37
Mean −0.006027
Std Dev 0.8455

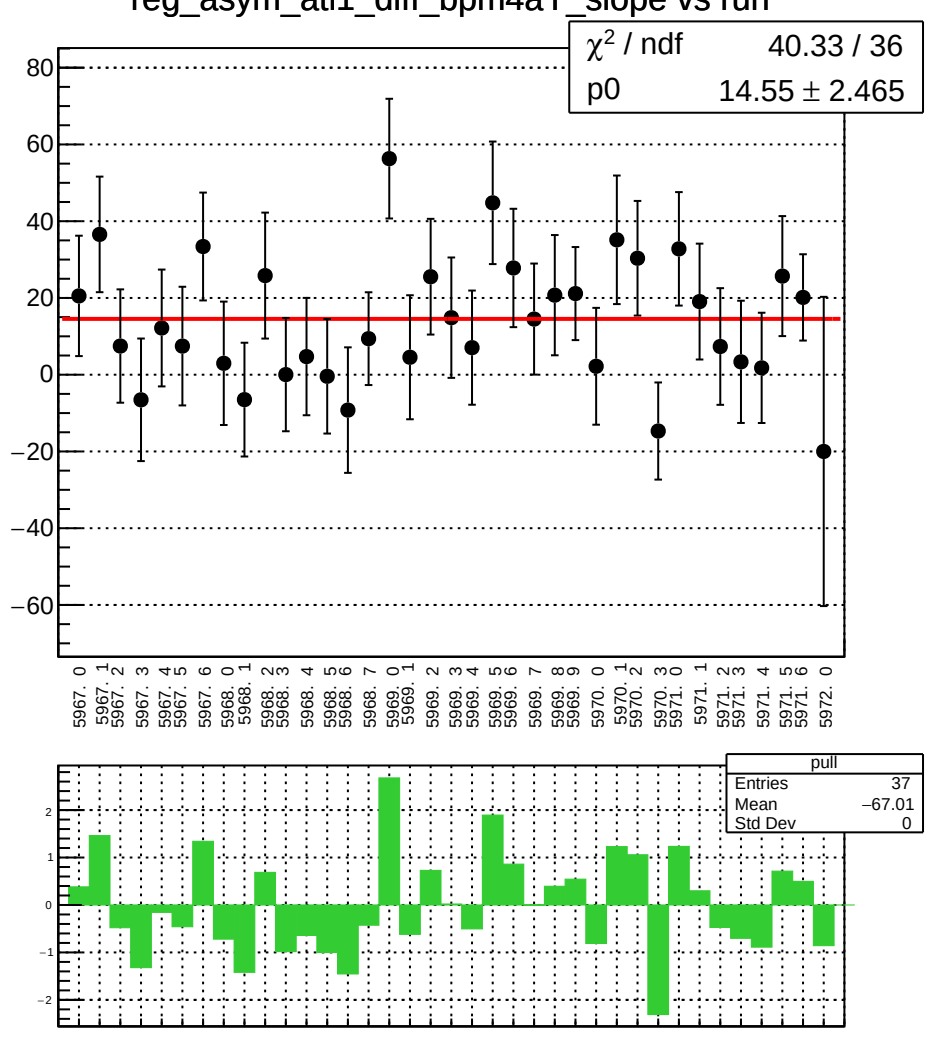
reg_asym_atl1_diff_bpm4aY_slope vs run
χ² / ndf 40.33 / 36
p0 14.55 ± 2.465
pull
Entries 37
Mean −67.01
Std Dev 0

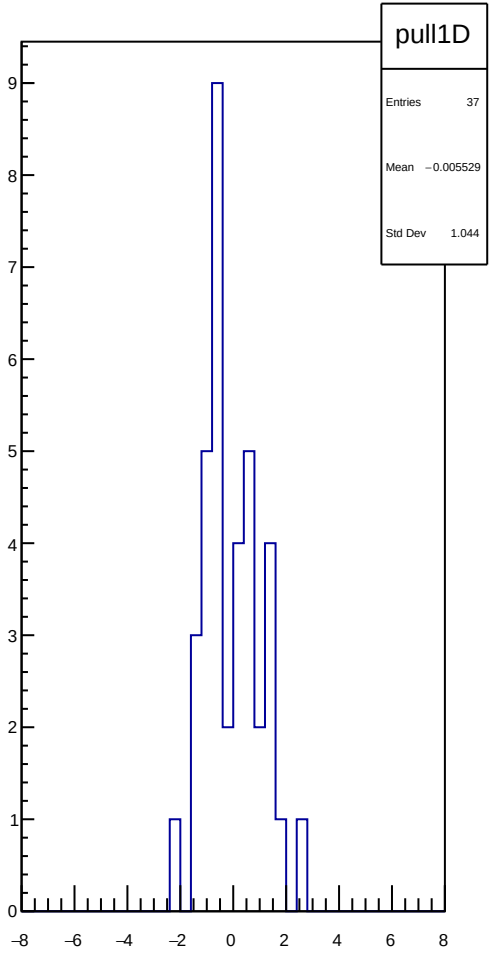
pull1D
Entries 37
Mean −0.005529
Std Dev 1.044

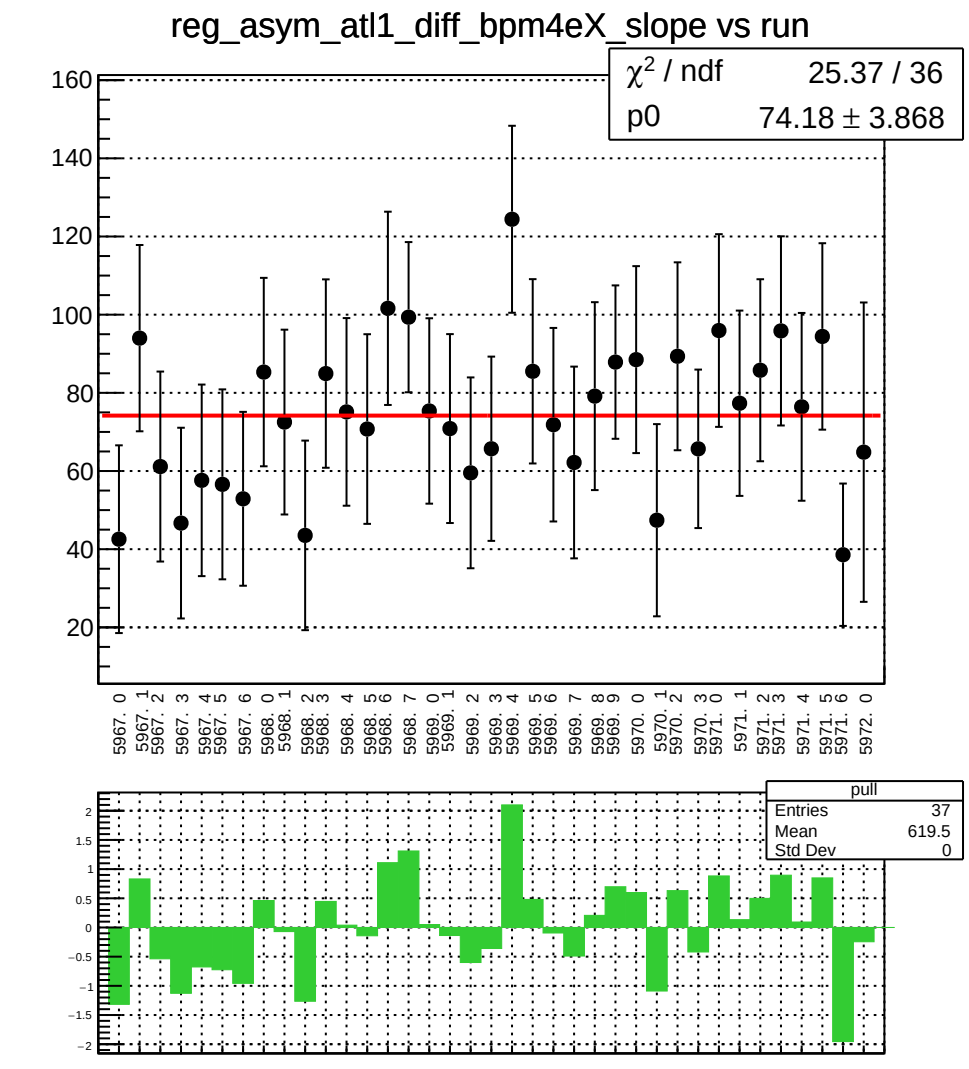
reg_asym_atl1_diff_bpm4eX_slope vs run
χ² / ndf 25.37 / 36
p0 74.18 ± 3.868
160
140
120
100
80
60
40
20
5967. 0
5967. 1
5967. 2
5967. 3
5967. 4
5967. 5
5967. 6
5968. 0
5968. 1
5968. 2
5968. 3
5968. 4
5968. 5
5968. 6
5968. 7
5969. 0
5969. 1
5969. 2
5969. 3
5969. 4
5969. 5
5969. 6
5969. 7
5969. 8
5969. 9
5970. 0
5970. 1
5970. 2
5970. 3
5971. 0
5971. 1
5971. 2
5971. 3
5971. 4
5971. 5
5971. 6
5972. 0
pull
Entries 37
Mean 619.5
Std Dev 0
2
1.5
1
0.5
0
−0.5
−1
−1.5
−2

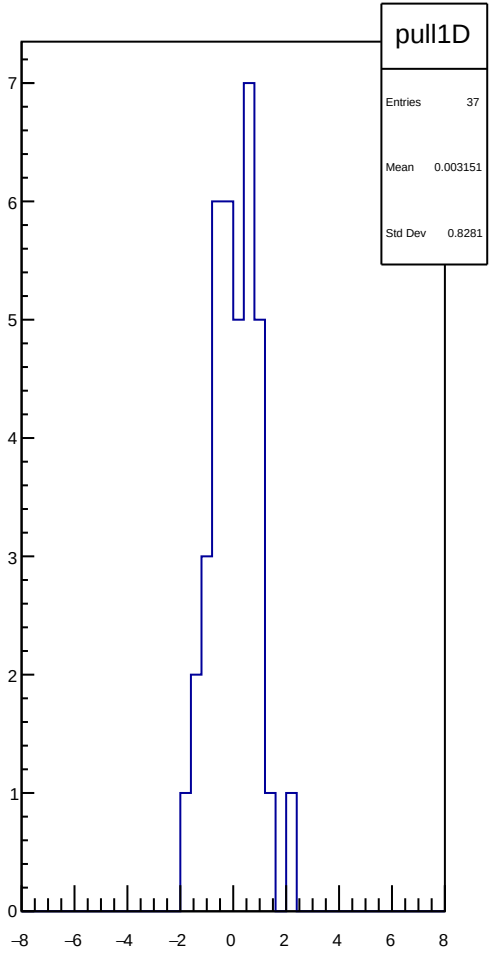
pull1D
Entries 37
Mean 0.003151
Std Dev 0.8281
7
6
5
4
3
2
1
0
−8
−6
−4
−2
0
2
4
6
8

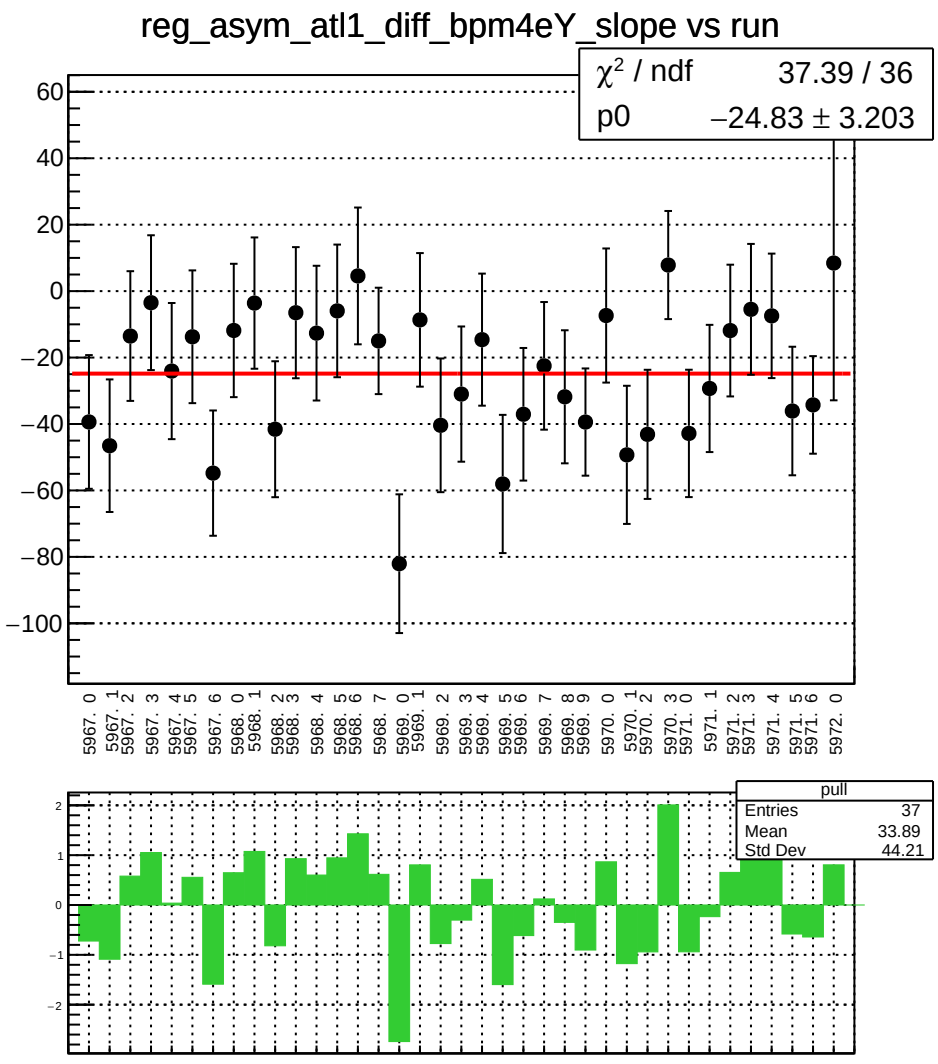
reg_asym_atl1_diff_bpm4eY_slope vs run
χ² / ndf 37.39 / 36
p0 −24.83 ± 3.203
pull
Entries 37
Mean 33.89
Std Dev 44.21

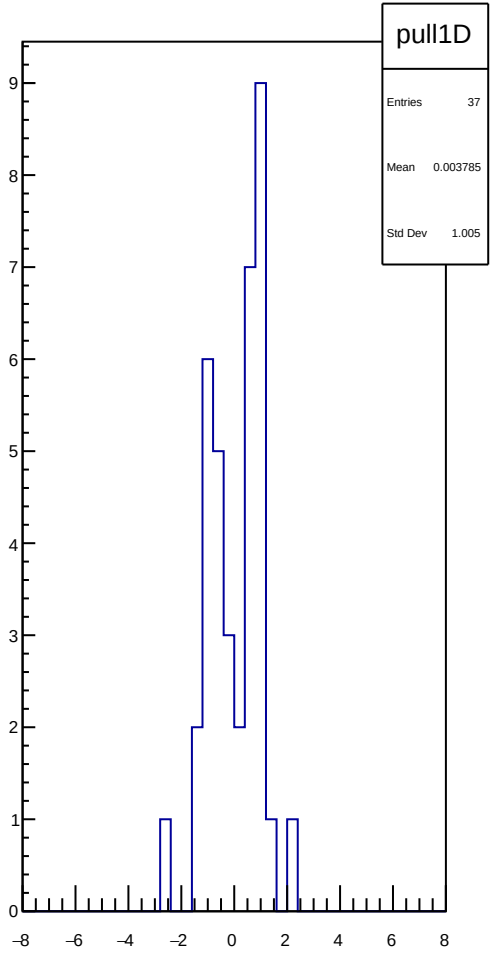
pull1D
Entries 37
Mean 0.003785
Std Dev 1.005

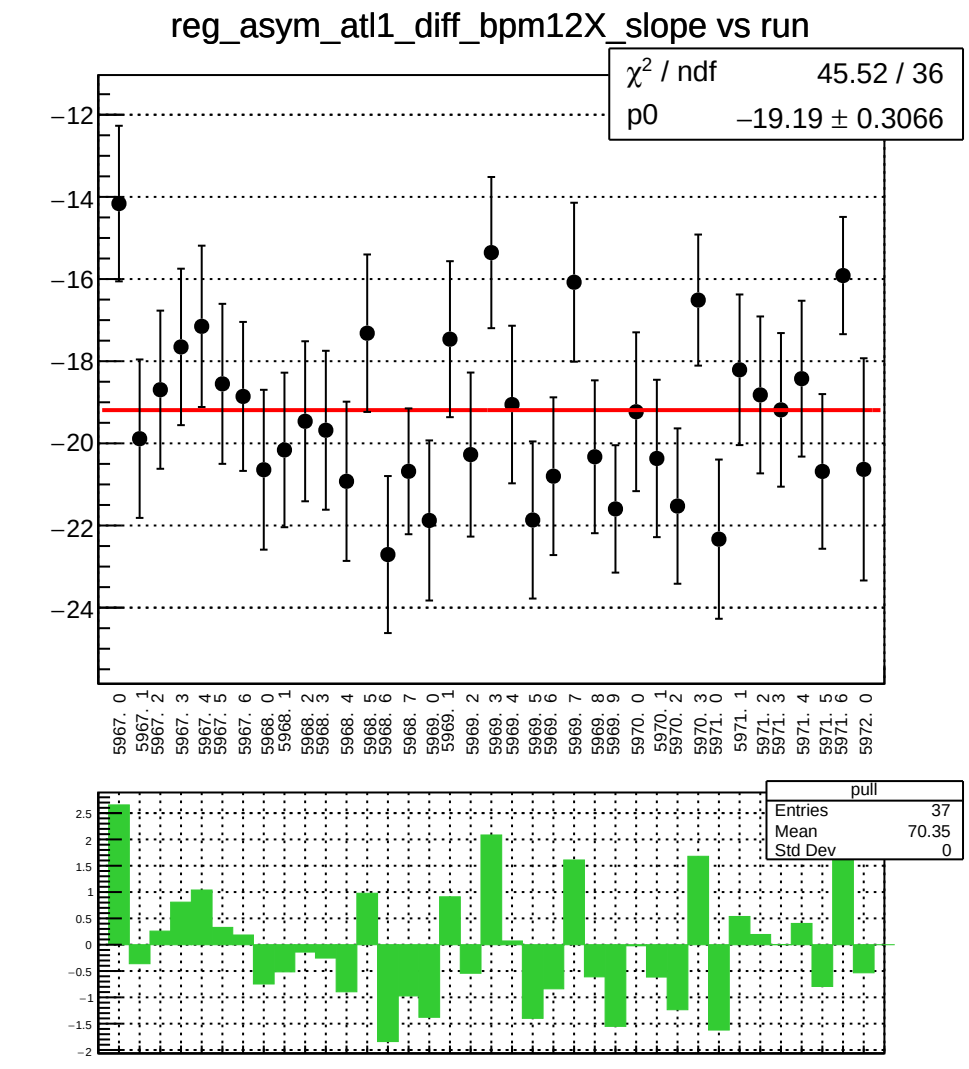
reg_asym_atl1_diff_bpm12X_slope vs run
χ² / ndf 45.52 / 36
p0 −19.19 ± 0.3066
pull
Entries 37
Mean 70.35
Std Dev 0

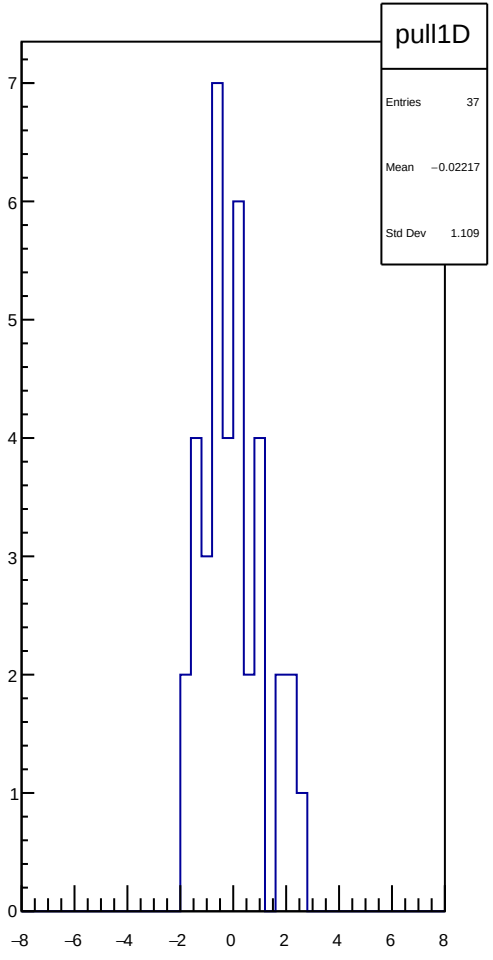
pull1D
Entries 37
Mean −0.02217
Std Dev 1.109

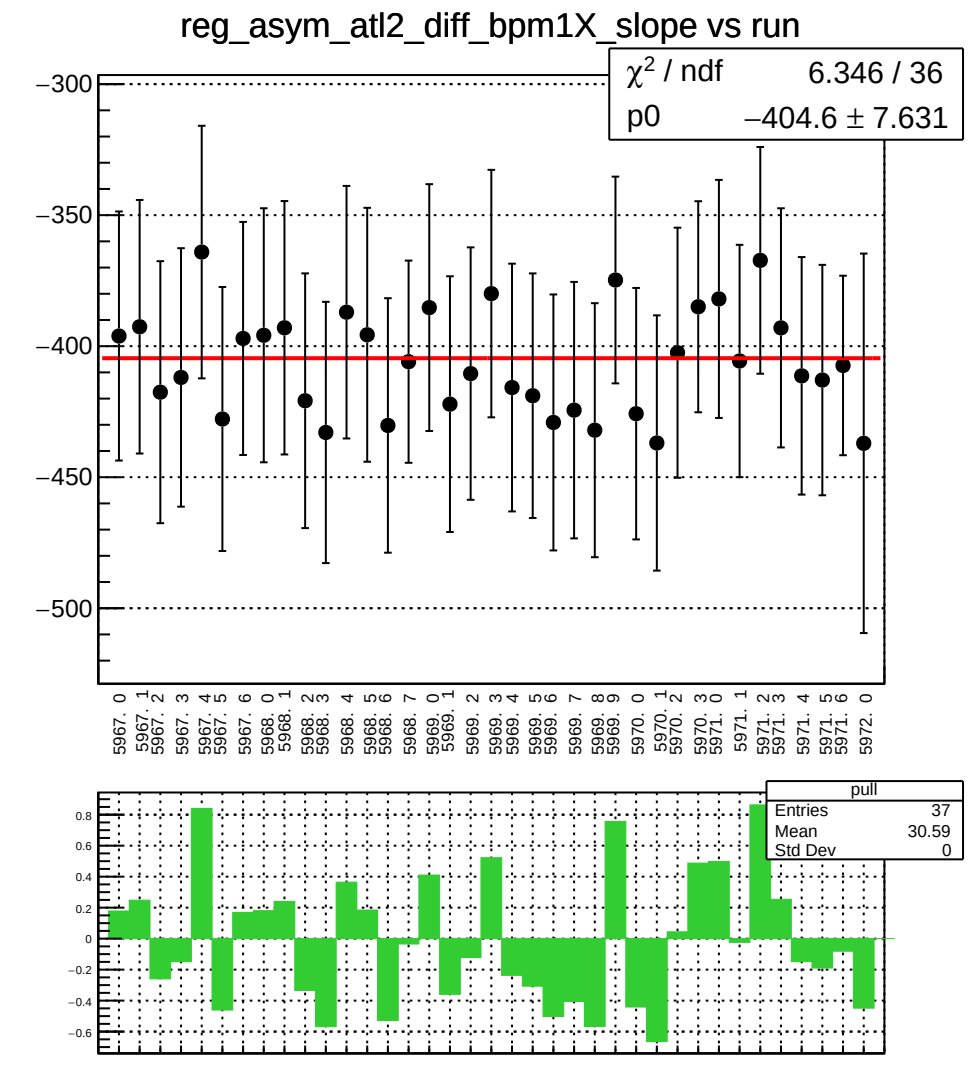
reg_asym_atl2_diff_bpm1X_slope vs run
χ² / ndf 6.346 / 36
p0 −404.6 ± 7.631
−300
−350
−400
−450
−500
5967. 0
5967. 1
5967. 2
5967. 3
5967. 4
5967. 5
5967. 6
5968. 0
5968. 1
5968. 2
5968. 3
5968. 4
5968. 5
5968. 6
5968. 7
5969. 0
5969. 1
5969. 2
5969. 3
5969. 4
5969. 5
5969. 6
5969. 7
5969. 8
5969. 9
5970. 0
5970. 1
5970. 2
5970. 3
5971. 0
5971. 1
5971. 2
5971. 3
5971. 4
5971. 5
5971. 6
5972. 0
pull
Entries 37
Mean 30.59
Std Dev 0
0.8
0.6
0.4
0.2
0
−0.2
−0.4
−0.6
pull1D
Entries 37
Mean −0.0159
Std Dev 0.4138
12
10
8
6
4
2
0
−8
−6
−4
−2
0
2
4
6
8

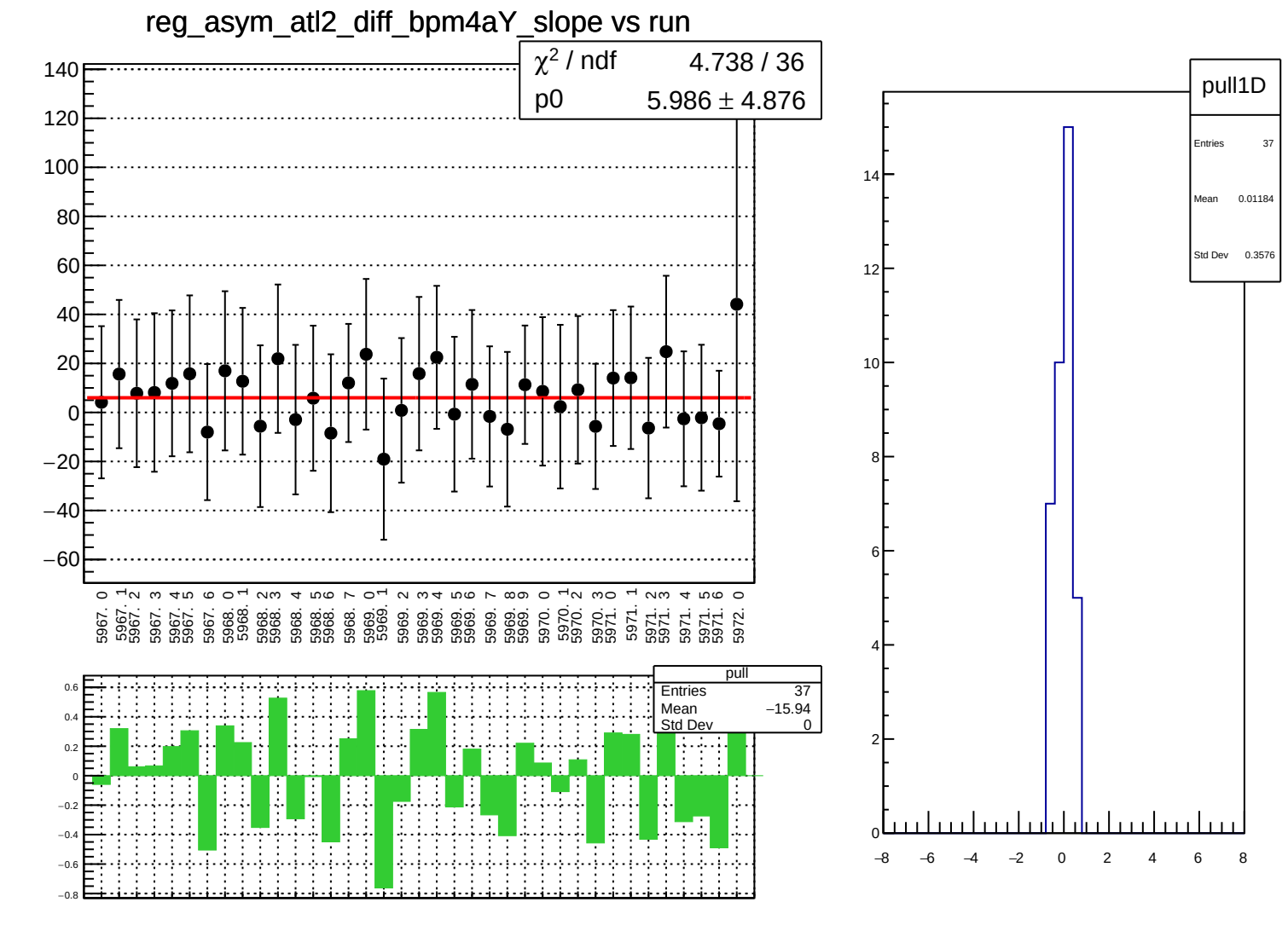
reg_asym_atl2_diff_bpm4aY_slope vs run
χ² / ndf 4.738 / 36
p0 5.986 ± 4.876
pull
Entries 37
Mean −15.94
Std Dev 0
pull1D
Entries 37
Mean 0.01184
Std Dev 0.3576

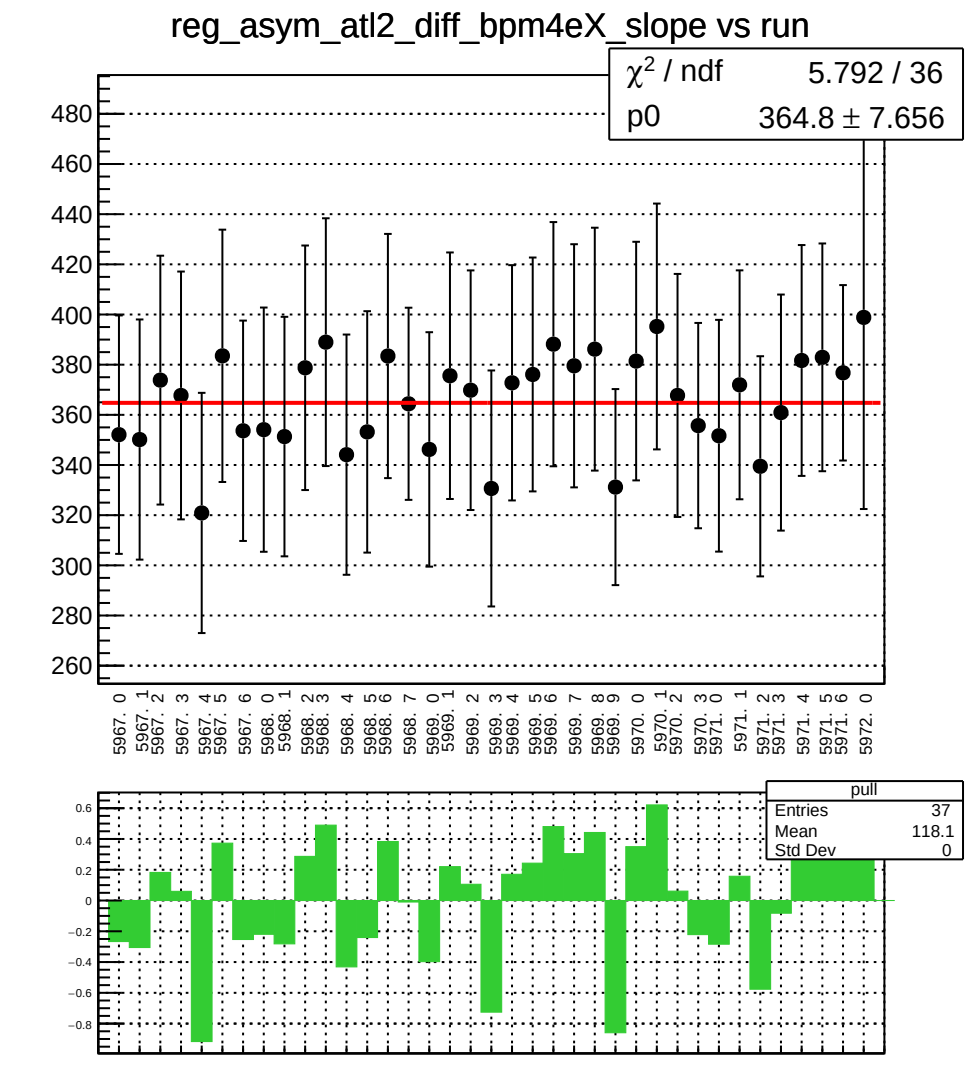
reg_asym_atl2_diff_bpm4eX_slope vs run
χ² / ndf 5.792 / 36
p0 364.8 ± 7.656
pull
Entries 37
Mean 118.1
Std Dev 0

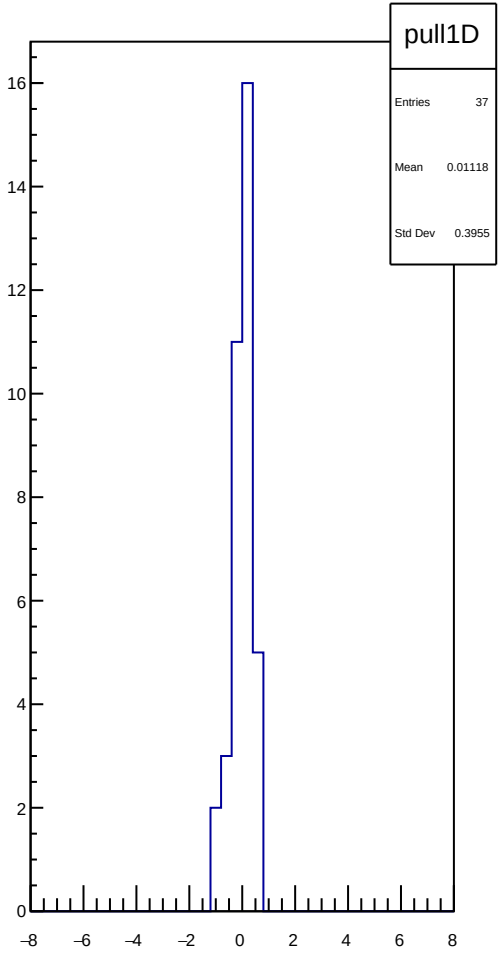
pull1D
Entries 37
Mean 0.01118
Std Dev 0.3955

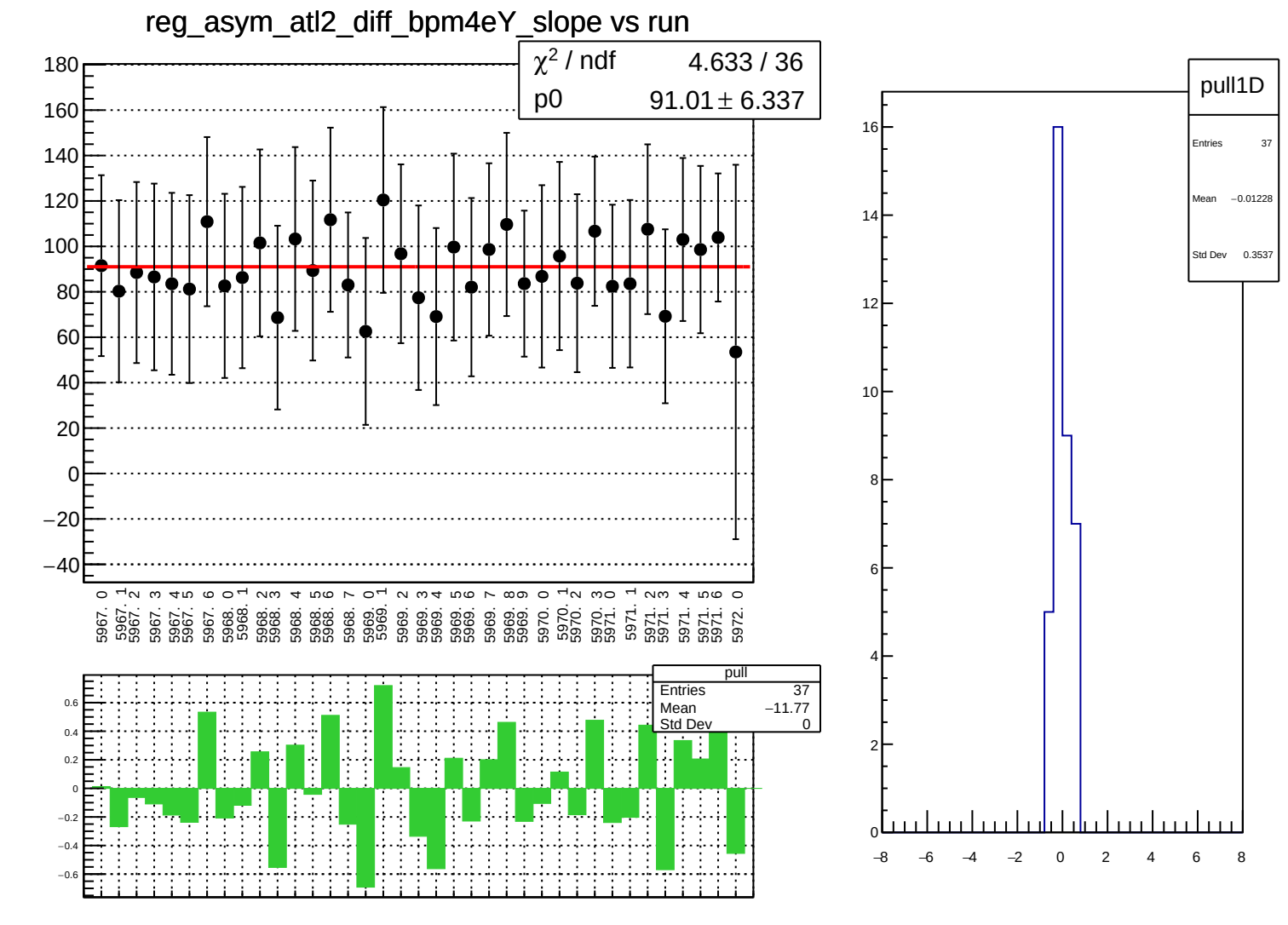
reg_asym_atl2_diff_bpm4eY_slope vs run
χ² / ndf 4.633 / 36
p0 91.01 ± 6.337
pull
Entries 37
Mean −11.77
Std Dev 0
pull1D
Entries 37
Mean −0.01228
Std Dev 0.3537

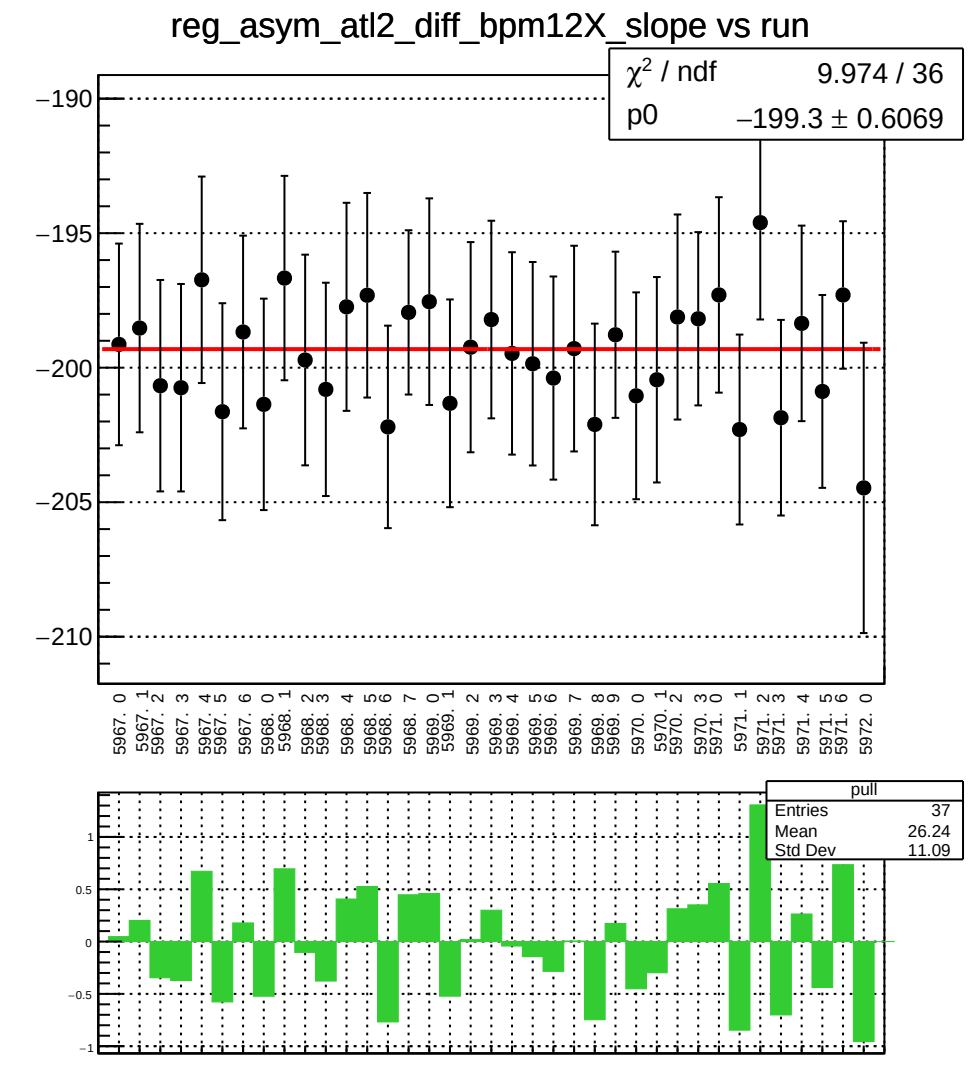
reg_asym_atl2_diff_bpm12X_slope vs run
χ² / ndf 9.974 / 36
p0 −199.3 ± 0.6069
−190
−195
−200
−205
−210
5967. 0
5967. 1
5967. 2
5967. 3
5967. 4
5967. 5
5967. 6
5968. 0
5968. 1
5968. 2
5968. 3
5968. 4
5968. 5
5968. 6
5968. 7
5969. 0
5969. 1
5969. 2
5969. 3
5969. 4
5969. 5
5969. 6
5969. 7
5969. 8
5969. 9
5970. 0
5970. 1
5970. 2
5970. 3
5971. 0
5971. 1
5971. 2
5971. 3
5971. 4
5971. 5
5971. 6
5972. 0
pull
Entries 37
Mean 26.24
Std Dev 11.09
1
0.5
0
−0.5
−1
pull1D
Entries 37
Mean −0.02281
Std Dev 0.5187
10
8
6
4
2
0
−8
−6
−4
−2
0
2
4
6
8

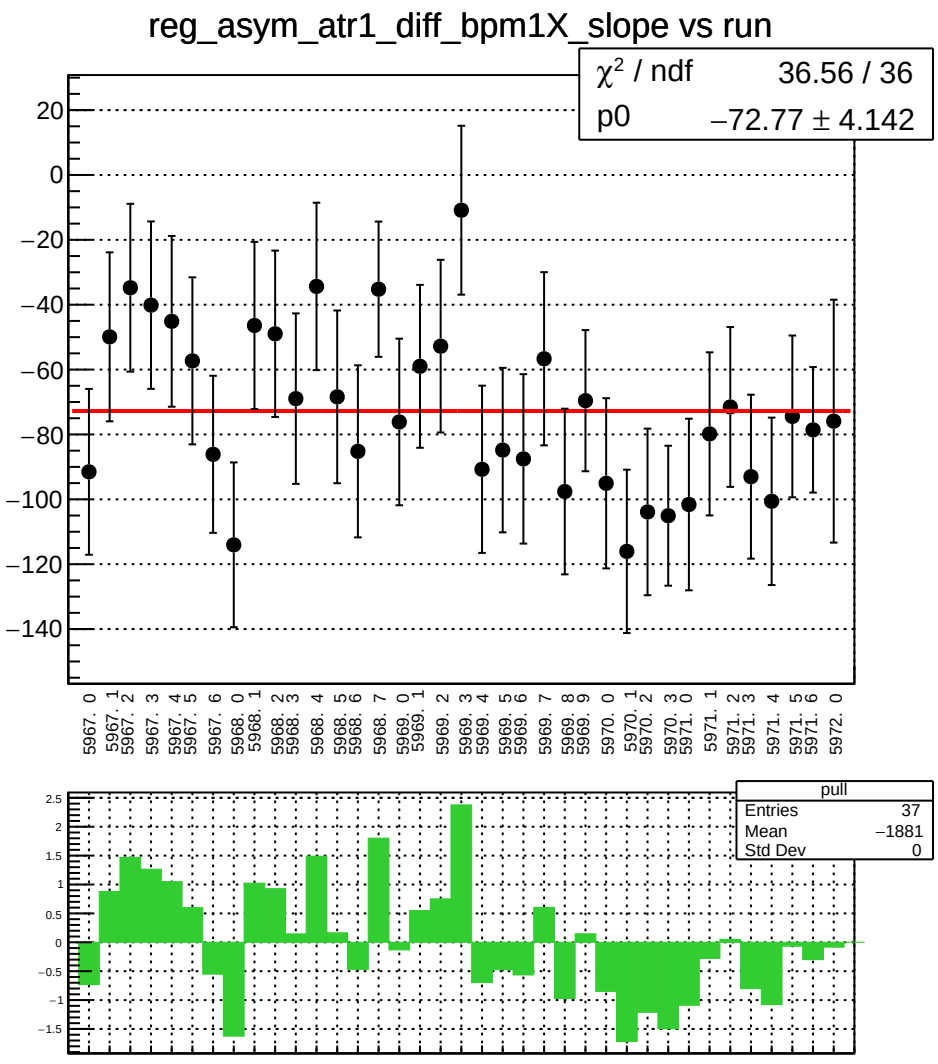
reg_asym_atr1_diff_bpm1X_slope vs run
χ² / ndf 36.56 / 36
p0 −72.77 ± 4.142
pull
Entries 37
Mean −1881
Std Dev 0

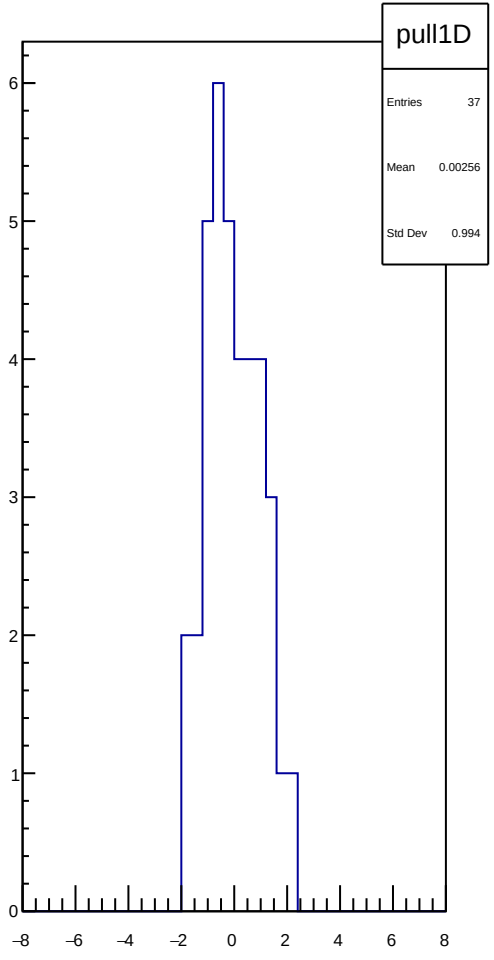
pull1D
Entries 37
Mean 0.00256
Std Dev 0.994

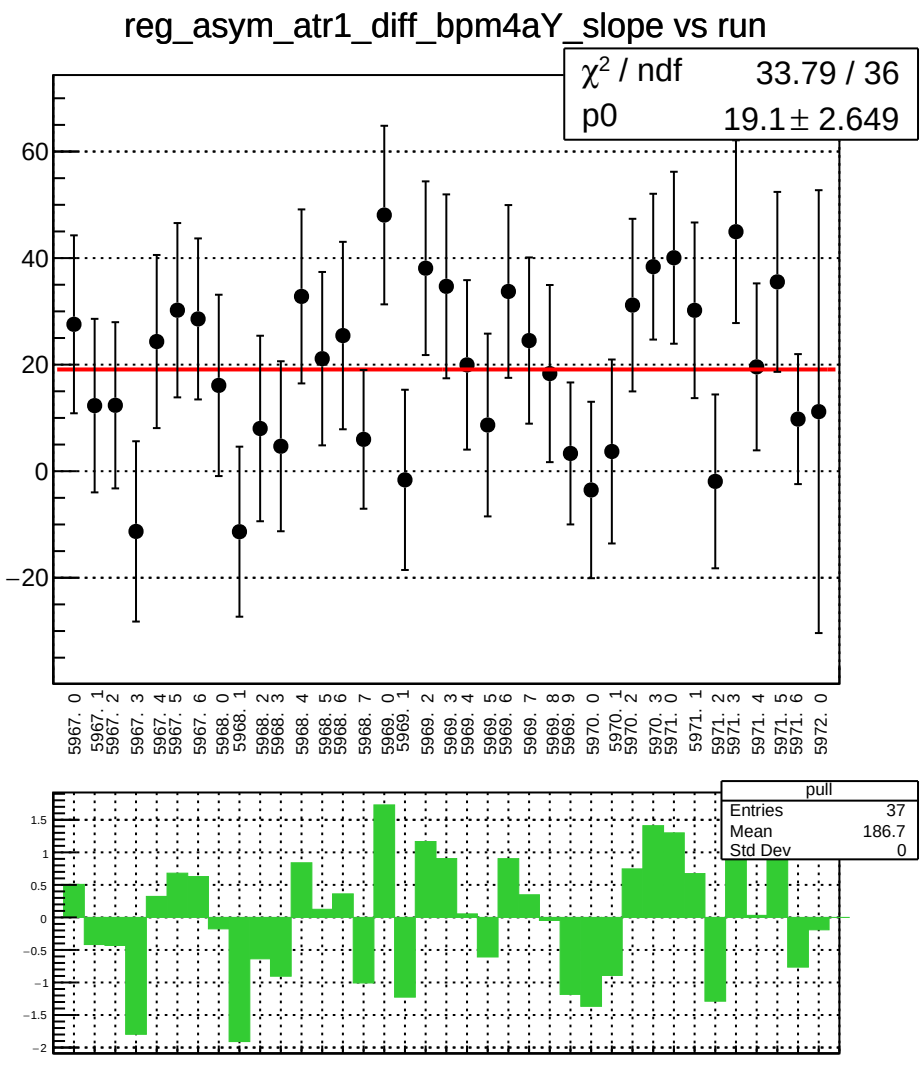
reg_asym_atr1_diff_bpm4aY_slope vs run
χ² / ndf 33.79 / 36
p0 19.1 ± 2.649
60
40
20
0
−20
5967. 0
5967. 1
5967. 2
5967. 3
5967. 4
5967. 5
5967. 6
5968. 0
5968. 1
5968. 2
5968. 3
5968. 4
5968. 5
5968. 6
5968. 7
5969. 0
5969. 1
5969. 2
5969. 3
5969. 4
5969. 5
5969. 6
5969. 7
5969. 8
5969. 9
5970. 0
5970. 1
5970. 2
5970. 3
5971. 0
5971. 1
5971. 2
5971. 3
5971. 4
5971. 5
5971. 6
5972. 0
pull
Entries 37
Mean 186.7
Std Dev 0
1.5
1
0.5
0
−0.5
−1
−1.5
−2
pull1D
Entries 37
Mean 0.01007
Std Dev 0.9556
6
5
4
3
2
1
0
−8
−6
−4
−2
0
2
4
6
8

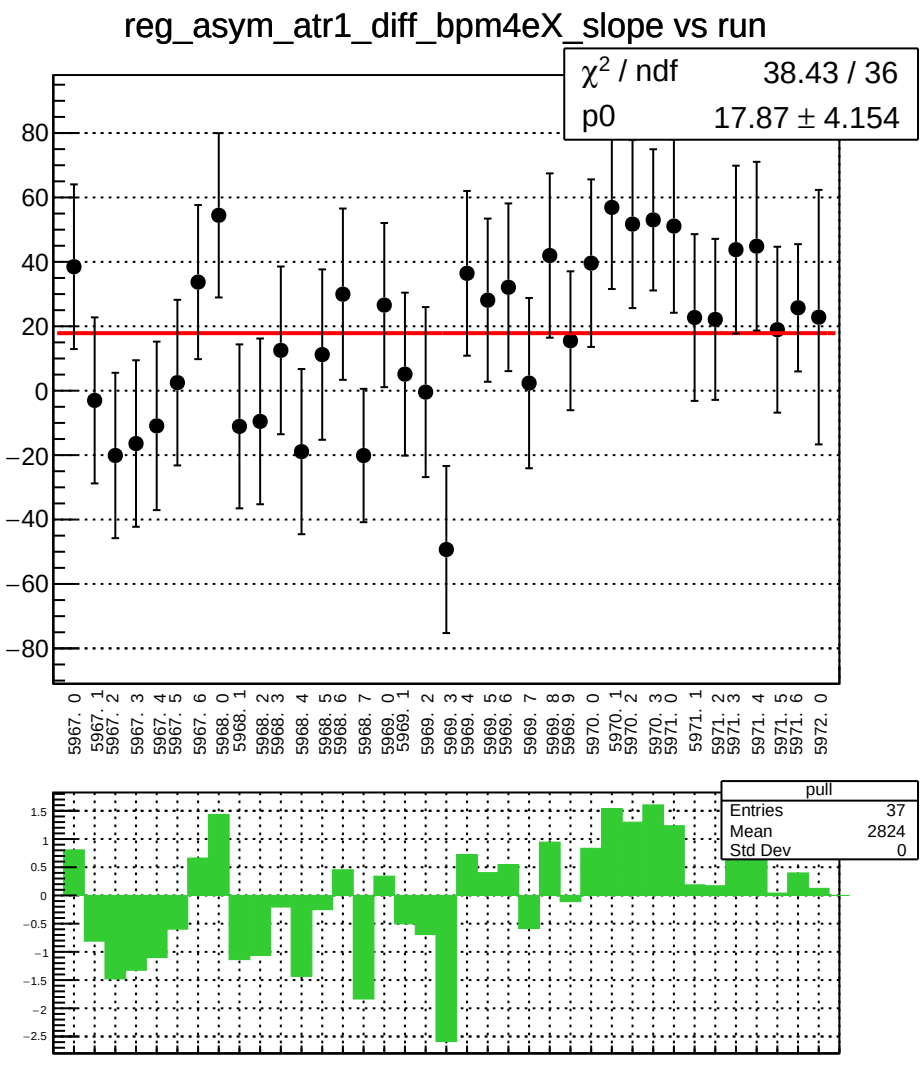
reg_asym_atr1_diff_bpm4eX_slope vs run
χ² / ndf 38.43 / 36
p0 17.87 ± 4.154
pull
Entries 37
Mean 2824
Std Dev 0

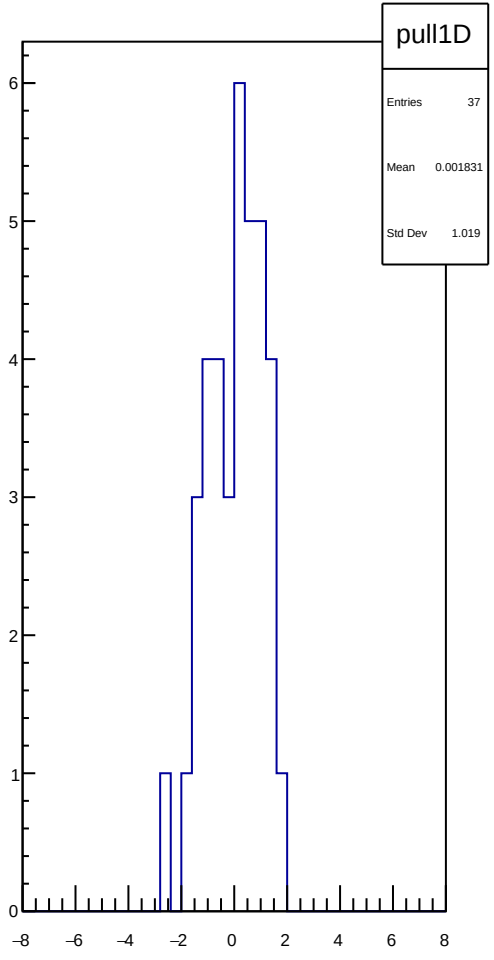
pull1D
Entries 37
Mean 0.001831
Std Dev 1.019

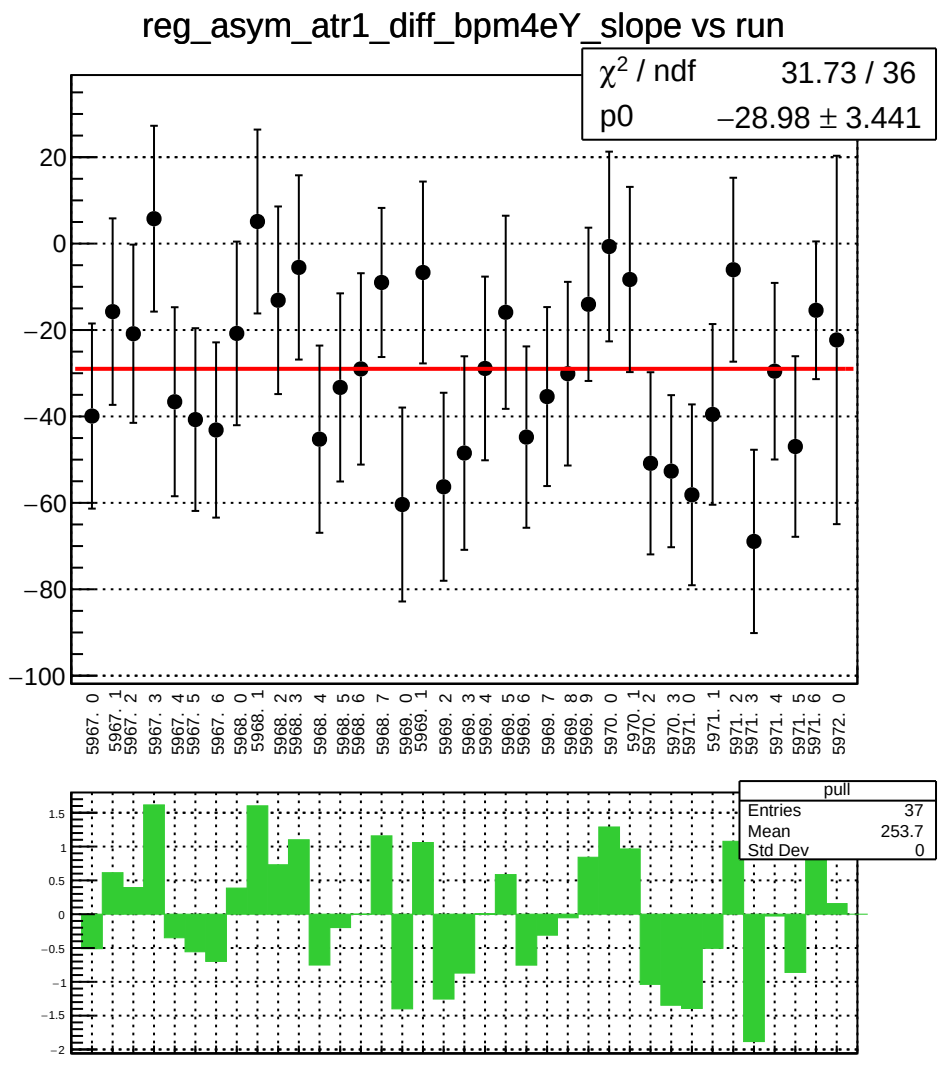
reg_asym_atr1_diff_bpm4eY_slope vs run
χ² / ndf 31.73 / 36
p0 −28.98 ± 3.441
pull
Entries 37
Mean 253.7
Std Dev 0

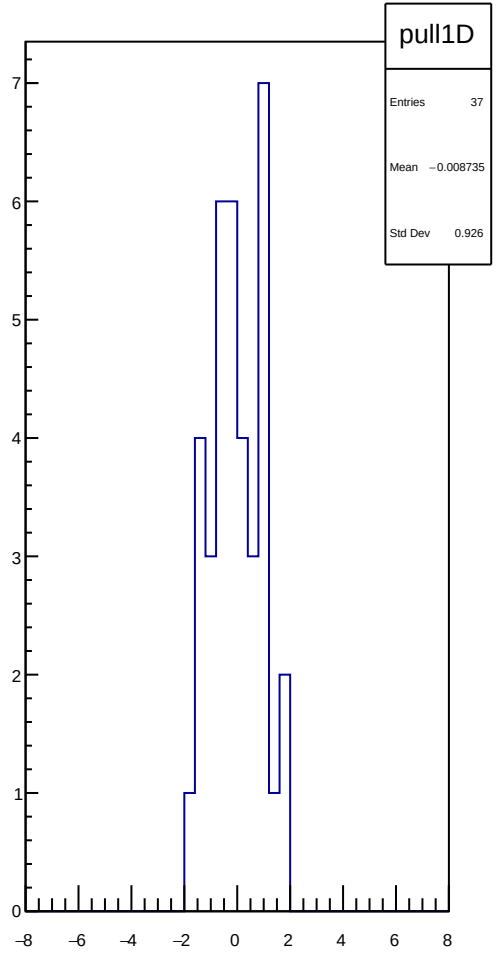
pull1D
Entries 37
Mean −0.008735
Std Dev 0.926

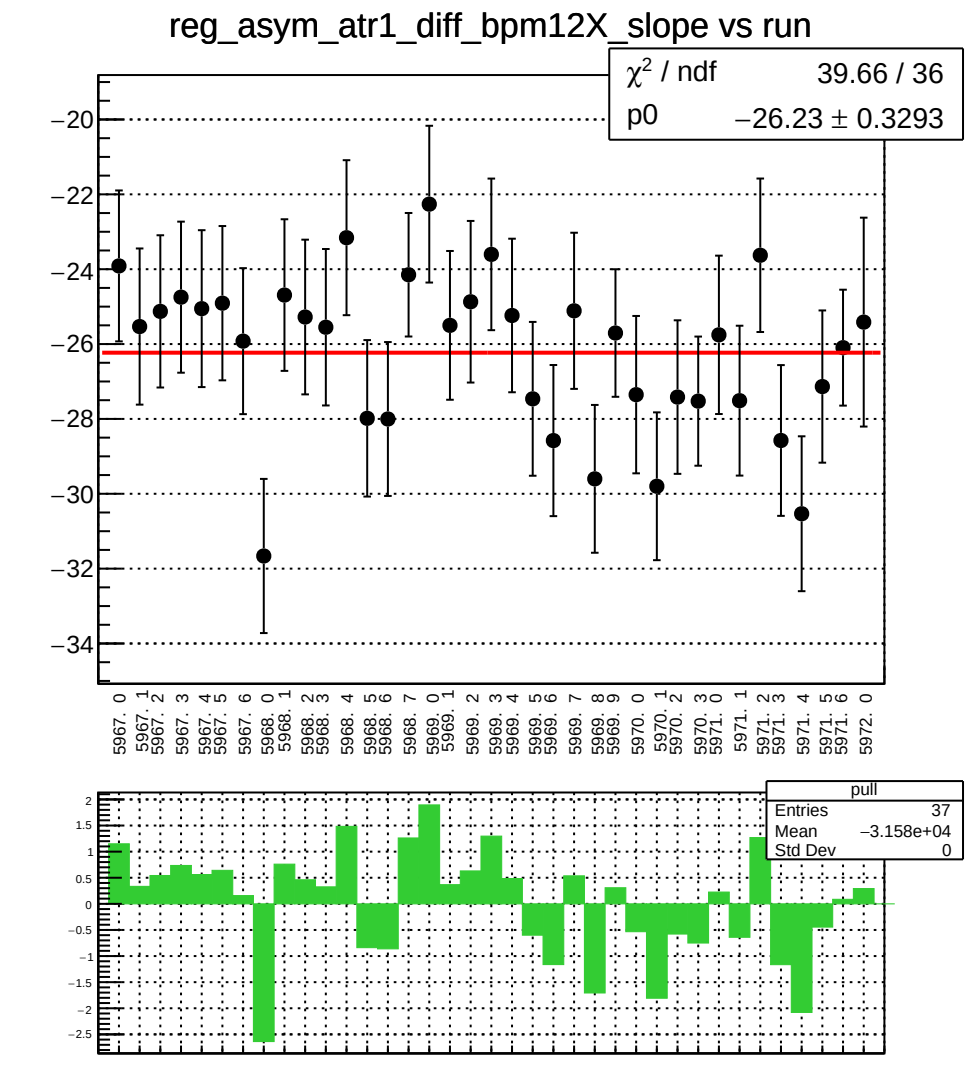
reg_asym_atr1_diff_bpm12X_slope vs run
χ² / ndf 39.66 / 36
p0 −26.23 ± 0.3293
pull
Entries 37
Mean −3.158e+04
Std Dev 0

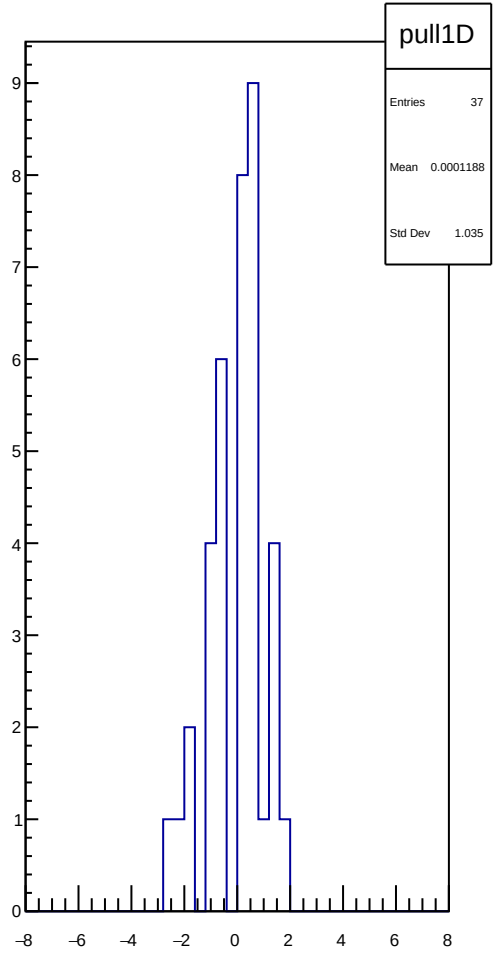
pull1D
Entries 37
Mean 0.0001188
Std Dev 1.035

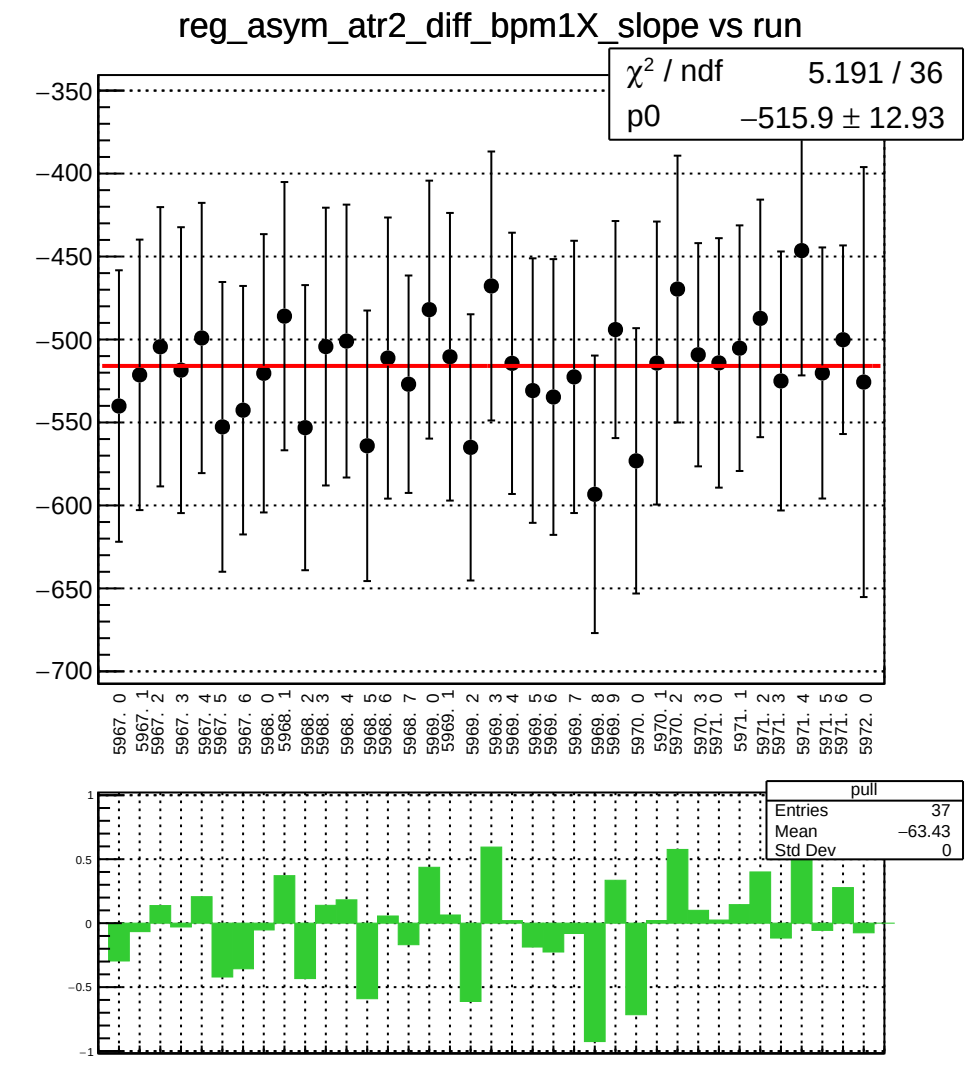
reg_asym_atr2_diff_bpm1X_slope vs run
χ² / ndf 5.191 / 36
p0 −515.9 ± 12.93
pull
Entries 37
Mean −63.43
Std Dev 0

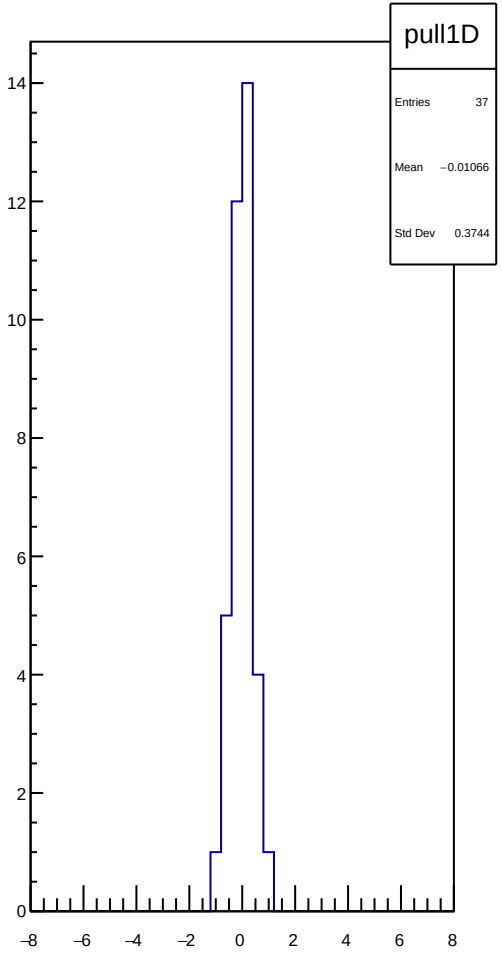
pull1D
Entries 37
Mean −0.01066
Std Dev 0.3744

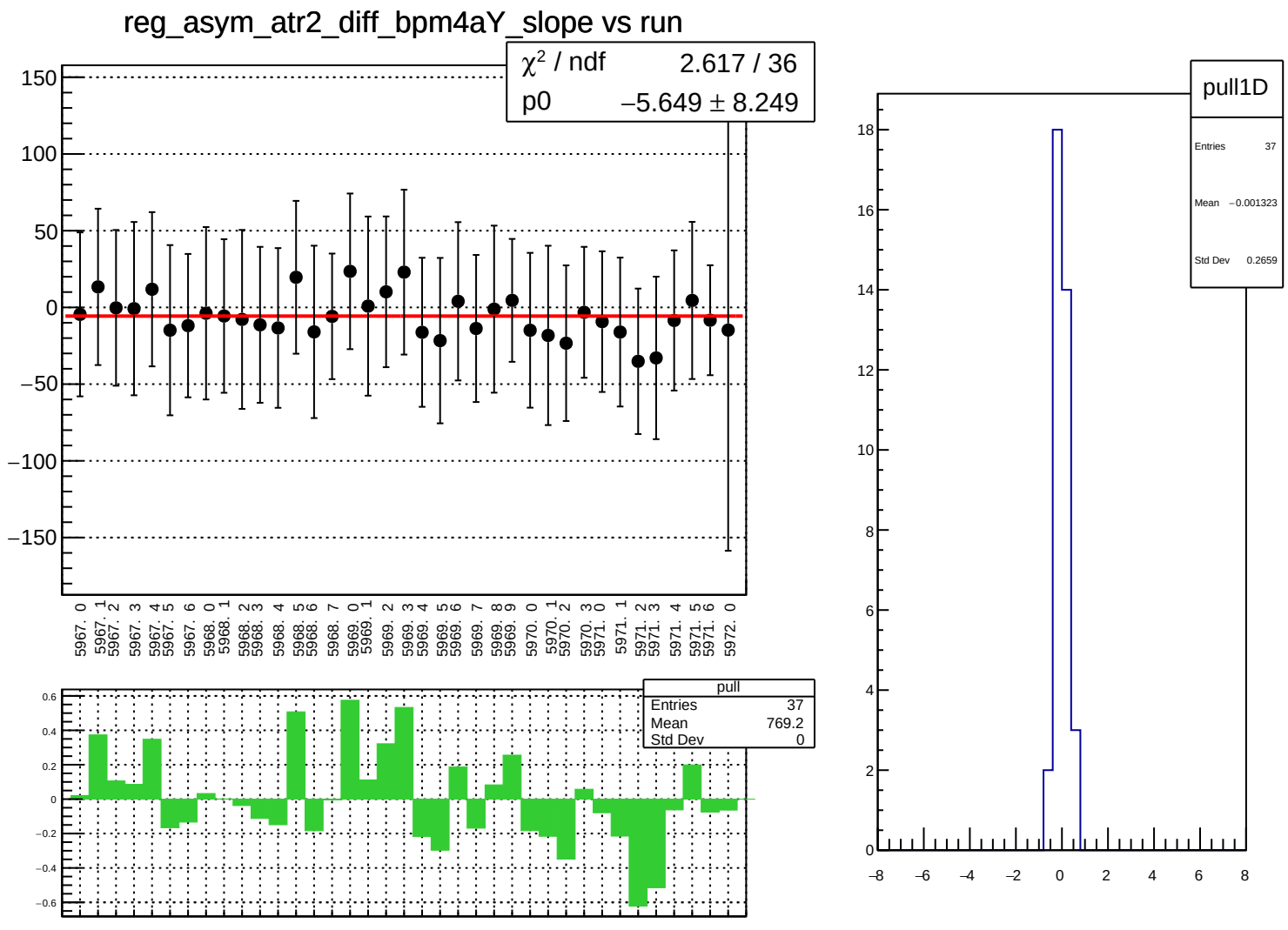
reg_asym_atr2_diff_bpm4aY_slope vs run
χ² / ndf 2.617 / 36
p0 −5.649 ± 8.249
150
100
50
0
−50
−100
−150
5967. 0
5967. 1
5967. 2
5967. 3
5967. 4
5967. 5
5967. 6
5968. 0
5968. 1
5968. 2
5968. 3
5968. 4
5968. 5
5968. 6
5968. 7
5969. 0
5969. 1
5969. 2
5969. 3
5969. 4
5969. 5
5969. 6
5969. 7
5969. 8
5969. 9
5970. 0
5970. 1
5970. 2
5970. 3
5971. 0
5971. 1
5971. 2
5971. 3
5971. 4
5971. 5
5971. 6
5972. 0
pull
Entries 37
Mean 769.2
Std Dev 0
0.6
0.4
0.2
0
−0.2
−0.4
−0.6
pull1D
Entries 37
Mean −0.001323
Std Dev 0.2659
18
16
14
12
10
8
6
4
2
0
−8
−6
−4
−2
0
2
4
6
8

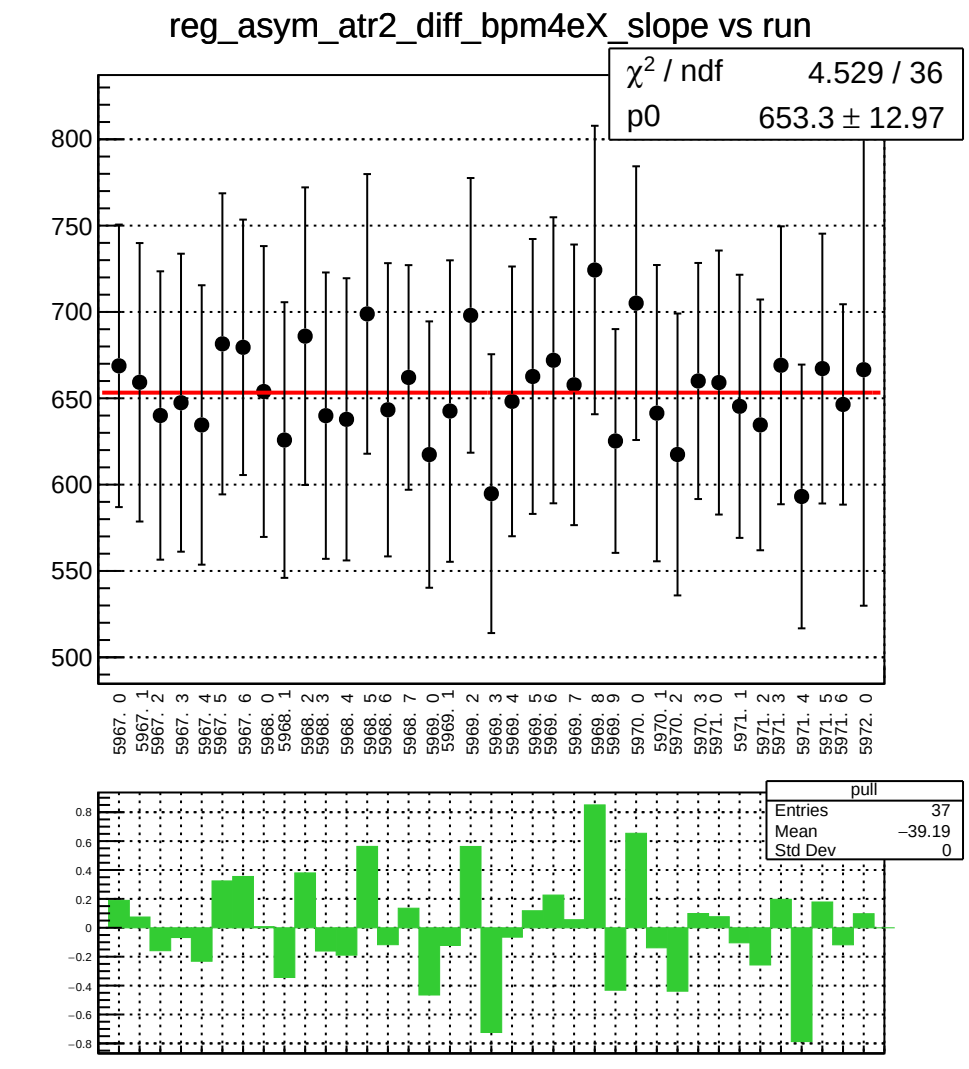
reg_asym_atr2_diff_bpm4eX_slope vs run
χ² / ndf 4.529 / 36
p0 653.3 ± 12.97
800
750
700
650
600
550
500
5967. 0
5967. 1
5967. 2
5967. 3
5967. 4
5967. 5
5967. 6
5968. 0
5968. 1
5968. 2
5968. 3
5968. 4
5968. 5
5968. 6
5968. 7
5969. 0
5969. 1
5969. 2
5969. 3
5969. 4
5969. 5
5969. 6
5969. 7
5969. 8
5969. 9
5970. 0
5970. 1
5970. 2
5970. 3
5971. 0
5971. 1
5971. 2
5971. 3
5971. 4
5971. 5
5971. 6
5972. 0
pull
Entries 37
Mean −39.19
Std Dev 0
0.8
0.6
0.4
0.2
0
−0.2
−0.4
−0.6
−0.8

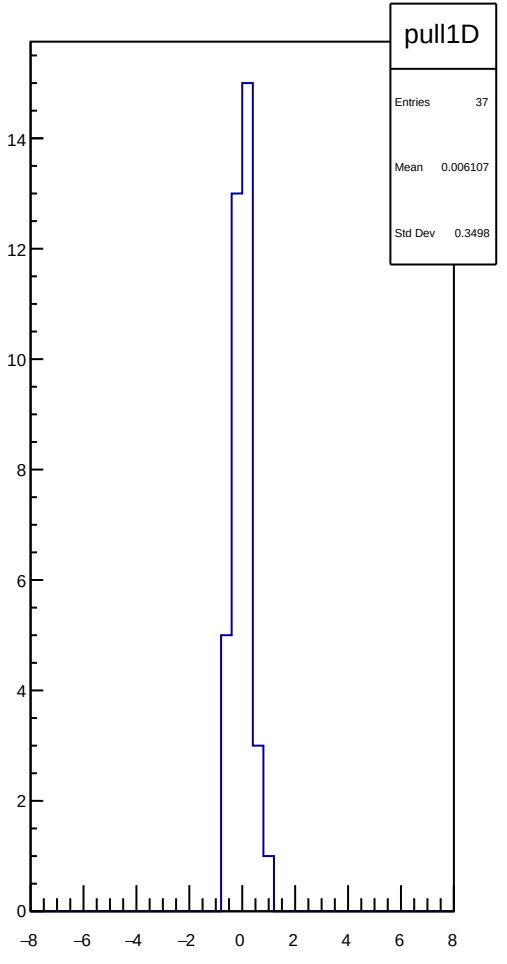
pull1D
Entries 37
Mean 0.006107
Std Dev 0.3498
14
12
10
8
6
4
2
0
−8
−6
−4
−2
0
2
4
6
8

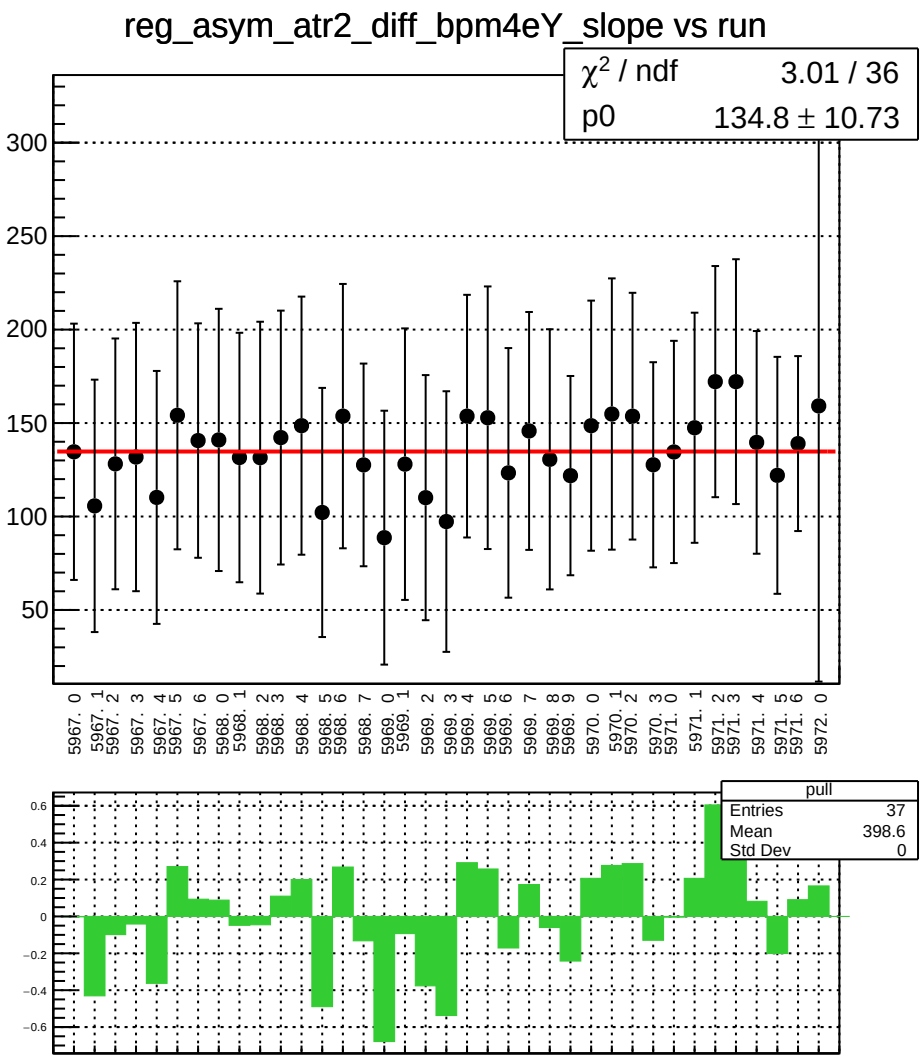
reg_asym_atr2_diff_bpm4eY_slope vs run
χ² / ndf 3.01 / 36
p0 134.8 ± 10.73
300
250
200
150
100
50
5967. 0
5967. 1
5967. 2
5967. 3
5967. 4
5967. 5
5967. 6
5968. 0
5968. 1
5968. 2
5968. 3
5968. 4
5968. 5
5968. 6
5968. 7
5969. 0
5969. 1
5969. 2
5969. 3
5969. 4
5969. 5
5969. 6
5969. 7
5969. 8
5969. 9
5970. 0
5970. 1
5970. 2
5970. 3
5971. 0
5971. 1
5971. 2
5971. 3
5971. 4
5971. 5
5971. 6
5972. 0
pull
Entries 37
Mean 398.6
Std Dev 0
0.6
0.4
0.2
0
−0.2
−0.4
−0.6

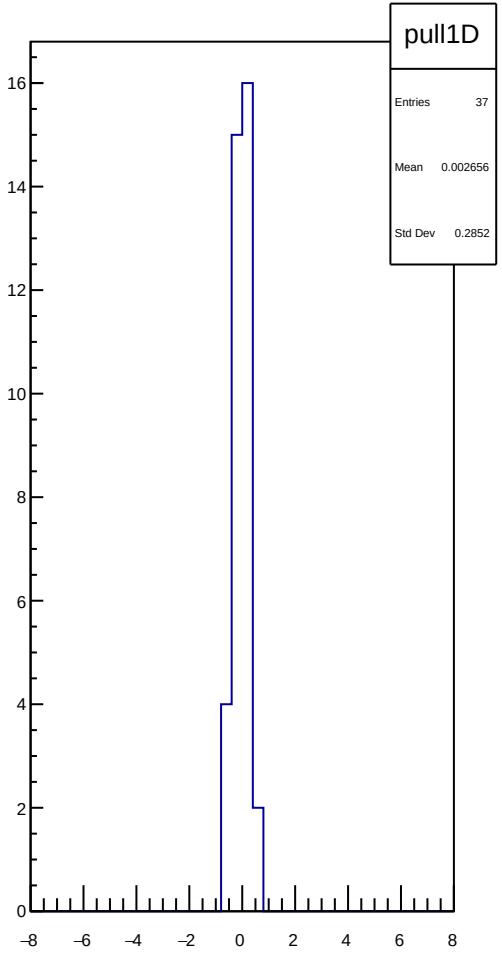
pull1D
Entries 37
Mean 0.002656
Std Dev 0.2852
16
14
12
10
8
6
4
2
0
−8
−6
−4
−2
0
2
4
6
8

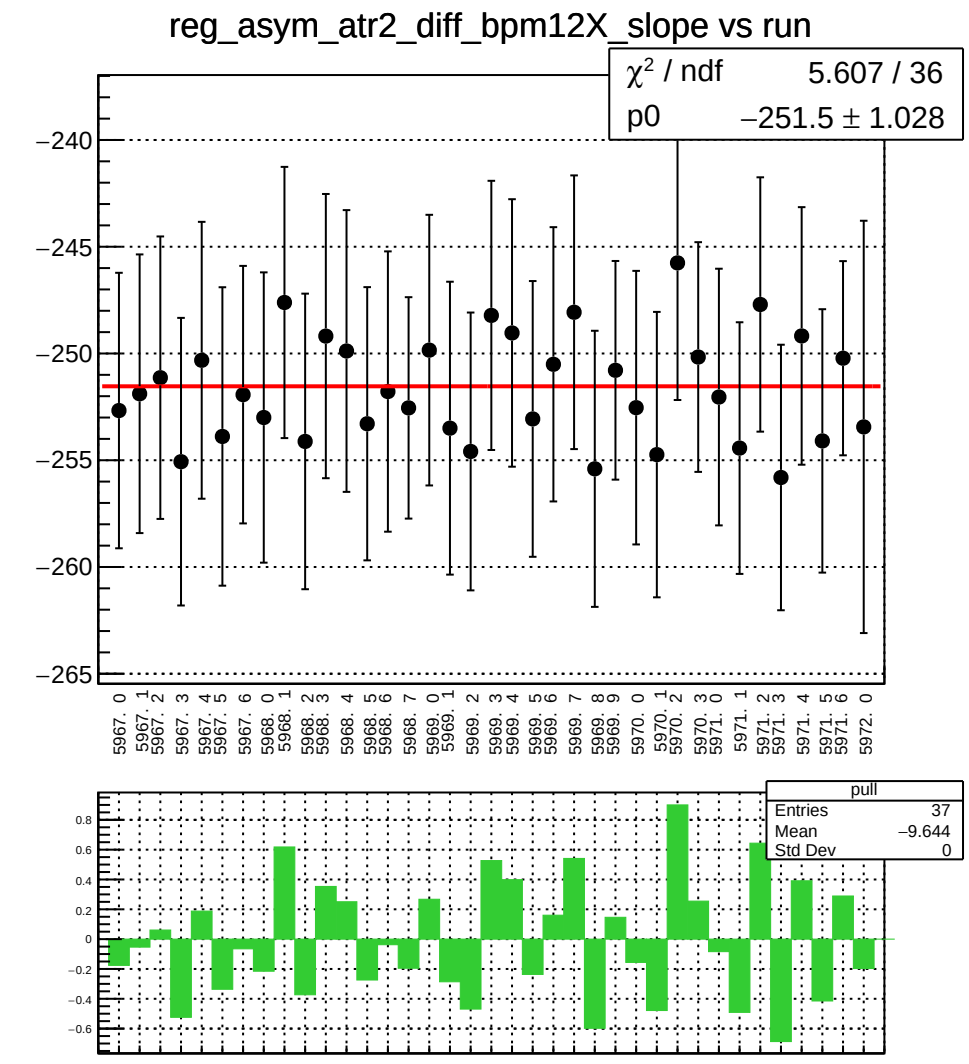
reg_asym_atr2_diff_bpm12X_slope vs run
χ² / ndf 5.607 / 36
p0 −251.5 ± 1.028
pull
Entries 37
Mean −9.644
Std Dev 0

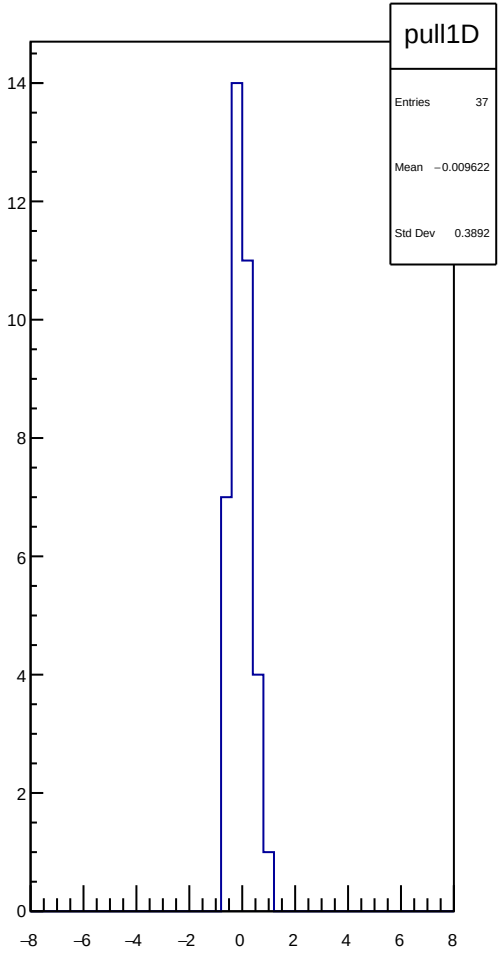
pull1D
Entries 37
Mean −0.009622
Std Dev 0.3892

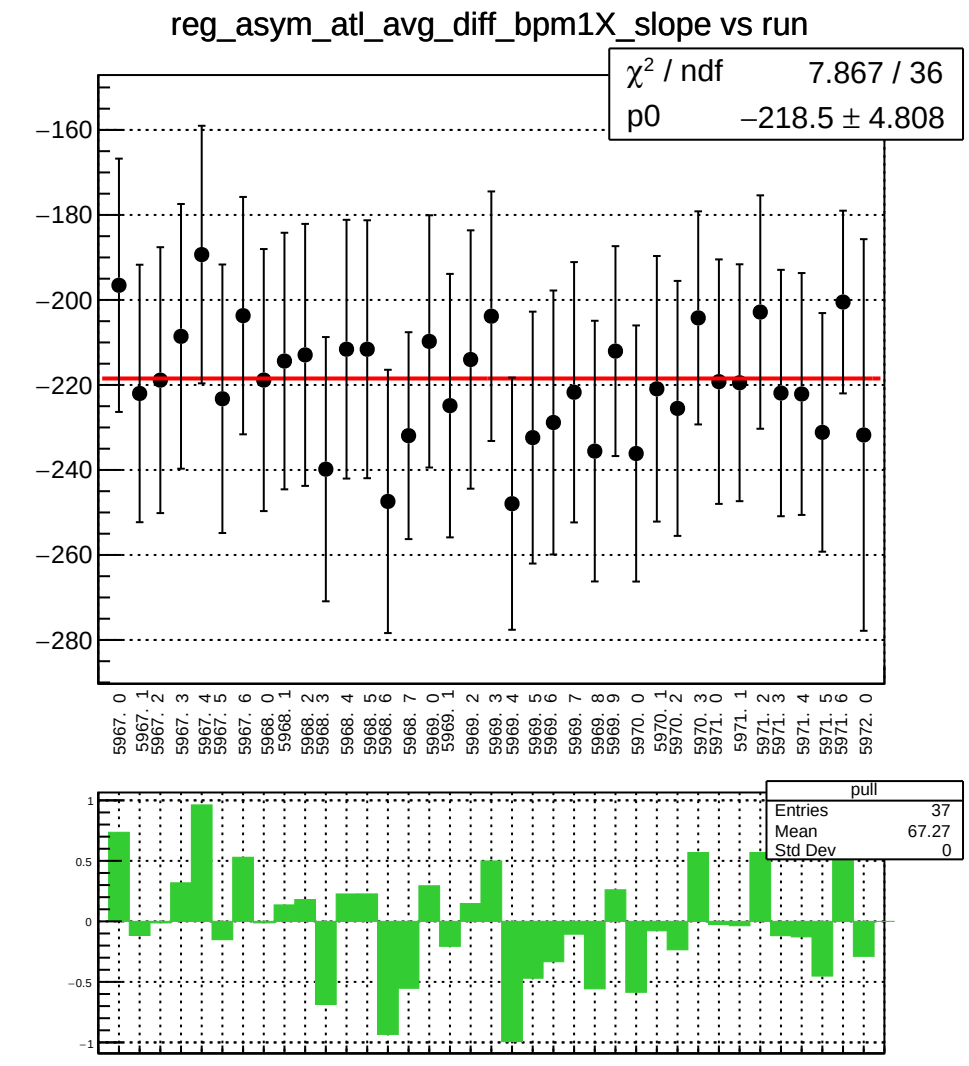
reg_asym_atl_avg_diff_bpm1X_slope vs run
χ² / ndf 7.867 / 36
p0 −218.5 ± 4.808
−160
−180
−200
−220
−240
−260
−280
5967. 0
5967. 1
5967. 2
5967. 3
5967. 4
5967. 5
5967. 6
5968. 0
5968. 1
5968. 2
5968. 3
5968. 4
5968. 5
5968. 6
5968. 7
5969. 0
5969. 1
5969. 2
5969. 3
5969. 4
5969. 5
5969. 6
5969. 7
5969. 8
5969. 9
5970. 0
5970. 1
5970. 2
5970. 3
5971. 0
5971. 1
5971. 2
5971. 3
5971. 4
5971. 5
5971. 6
5972. 0
pull
Entries 37
Mean 67.27
Std Dev 0
1
0.5
0
−0.5
−1
pull1D
Entries 37
Mean −0.01582
Std Dev 0.4608
14
12
10
8
6
4
2
0
−8
−6
−4
−2
0
2
4
6
8

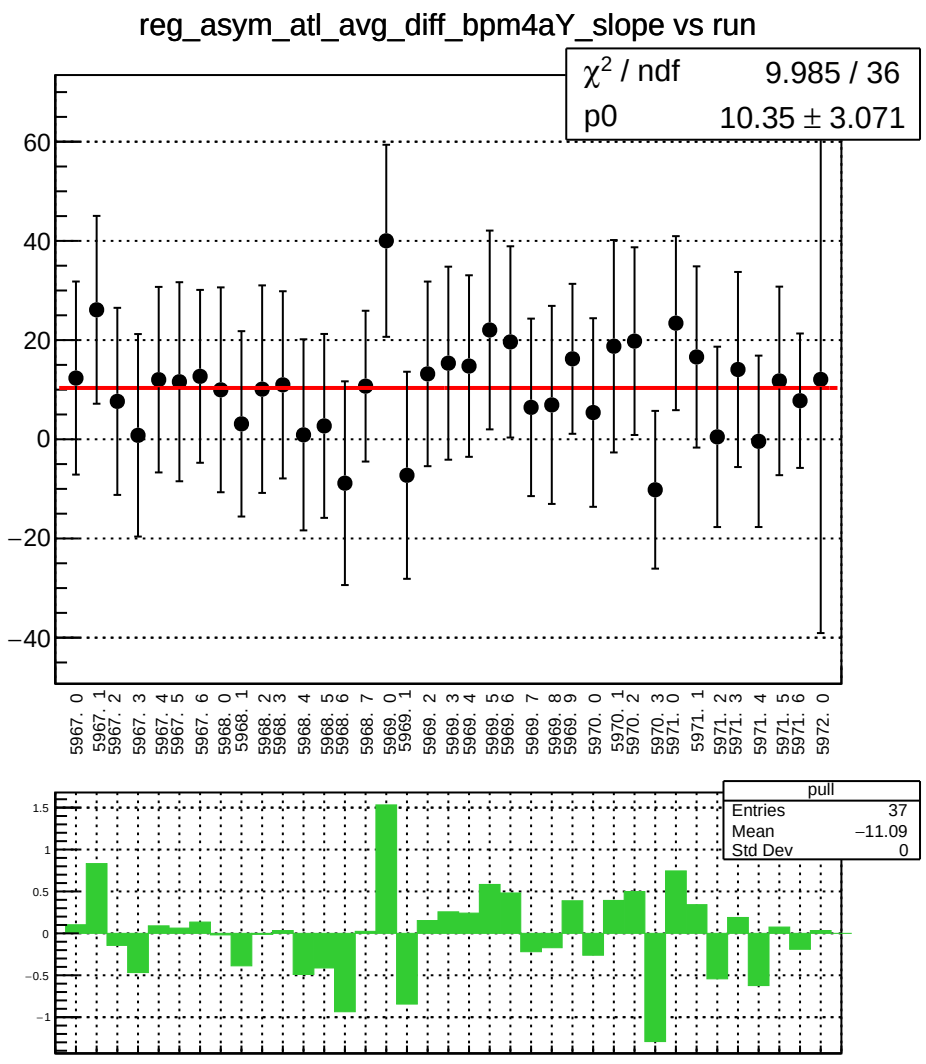
reg_asym_atl_avg_diff_bpm4aY_slope vs run
χ² / ndf 9.985 / 36
p0 10.35 ± 3.071
60
40
20
0
−20
−40
5967. 0
5967. 1
5967. 2
5967. 3
5967. 4
5967. 5
5967. 6
5968. 0
5968. 1
5968. 2
5968. 3
5968. 4
5968. 5
5968. 6
5968. 7
5969. 0
5969. 1
5969. 2
5969. 3
5969. 4
5969. 5
5969. 6
5969. 7
5969. 8
5969. 9
5970. 0
5970. 1
5970. 2
5970. 3
5971. 0
5971. 1
5971. 2
5971. 3
5971. 4
5971. 5
5971. 6
5972. 0
pull
Entries 37
Mean −11.09
Std Dev 0
1.5
1
0.5
0
−0.5
−1

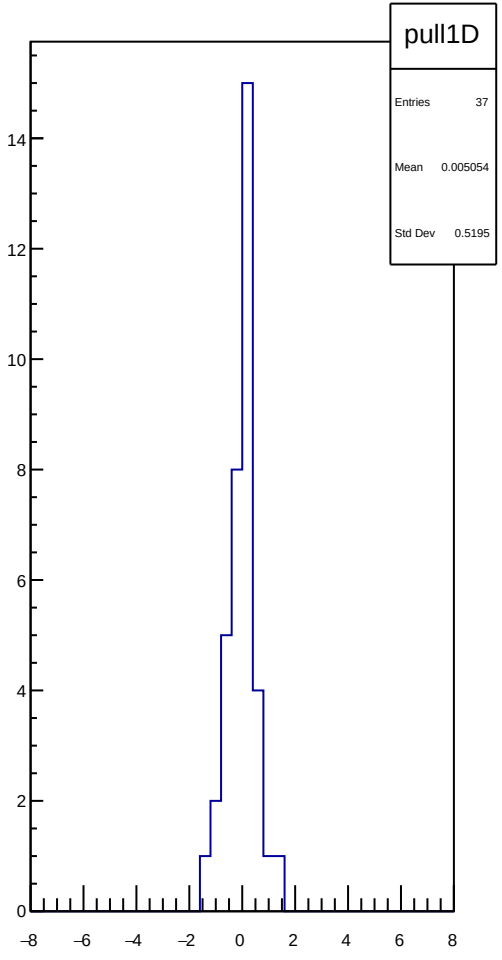
pull1D
Entries 37
Mean 0.005054
Std Dev 0.5195
14
12
10
8
6
4
2
0
−8
−6
−4
−2
0
2
4
6
8

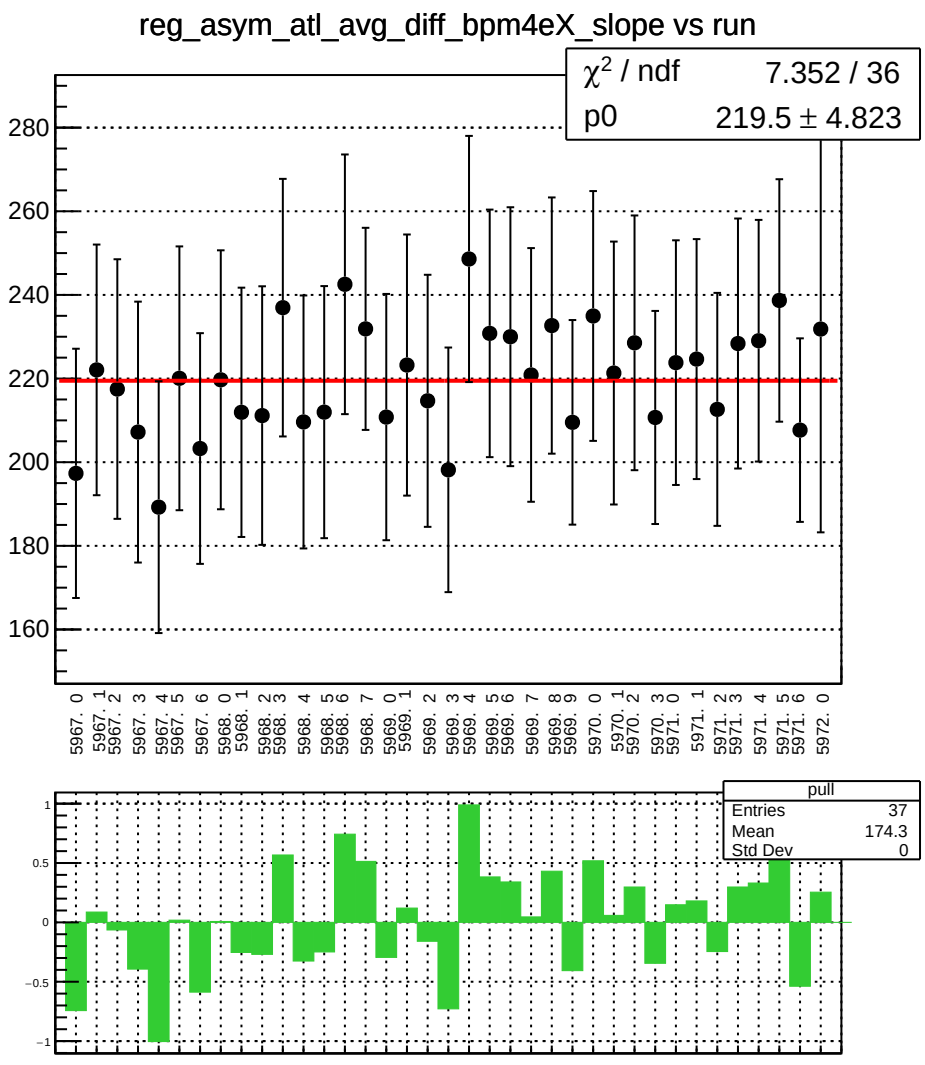
reg_asym_atl_avg_diff_bpm4eX_slope vs run
χ² / ndf 7.352 / 36
p0 219.5 ± 4.823
280
260
240
220
200
180
160
5967. 0
5967. 1
5967. 2
5967. 3
5967. 4
5967. 5
5967. 6
5968. 0
5968. 1
5968. 2
5968. 3
5968. 4
5968. 5
5968. 6
5968. 7
5969. 0
5969. 1
5969. 2
5969. 3
5969. 4
5969. 5
5969. 6
5969. 7
5969. 8
5969. 9
5970. 0
5970. 1
5970. 2
5970. 3
5971. 0
5971. 1
5971. 2
5971. 3
5971. 4
5971. 5
5971. 6
5972. 0
pull
Entries 37
Mean 174.3
Std Dev 0
1
0.5
0
−0.5
−1
pull1D
Entries 37
Mean 0.01051
Std Dev 0.4456
14
12
10
8
6
4
2
0
−8
−6
−4
−2
0
2
4
6
8

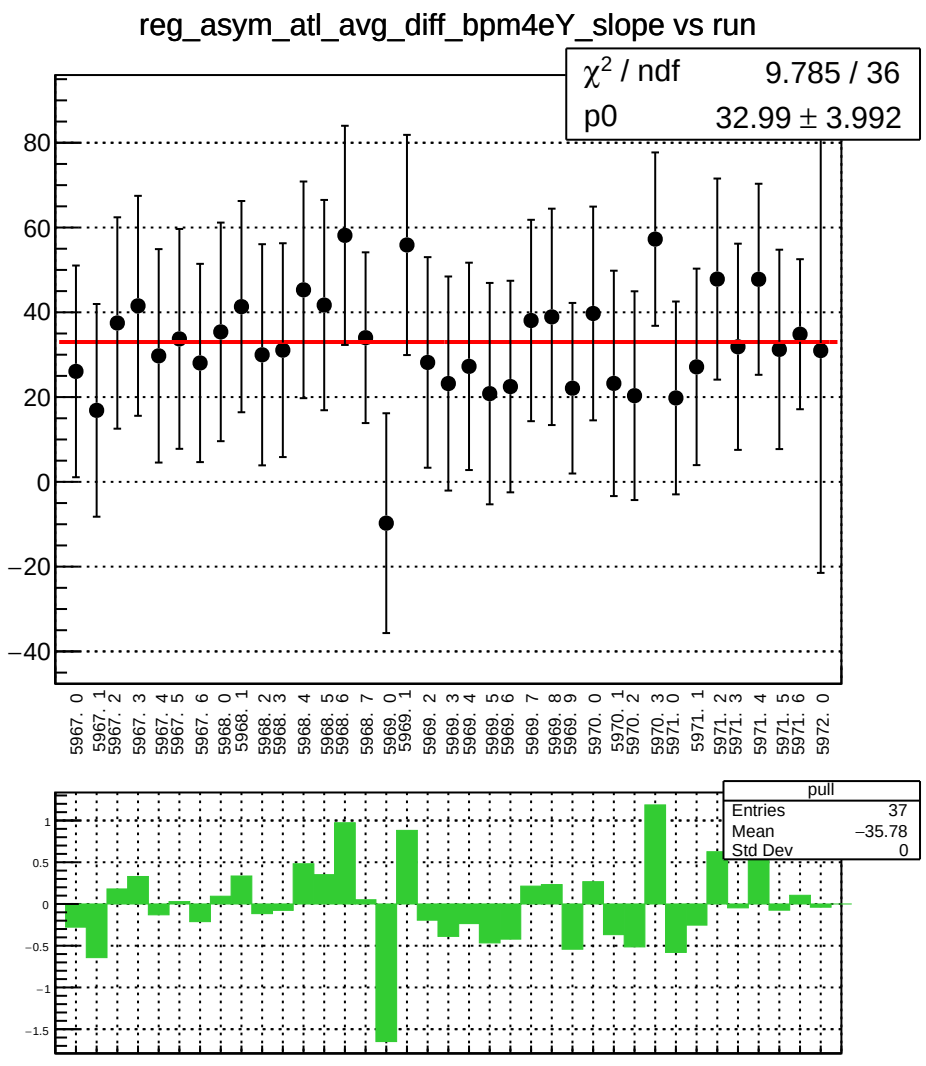
reg_asym_atl_avg_diff_bpm4eY_slope vs run
χ² / ndf 9.785 / 36
p0 32.99 ± 3.992
pull
Entries 37
Mean −35.78
Std Dev 0

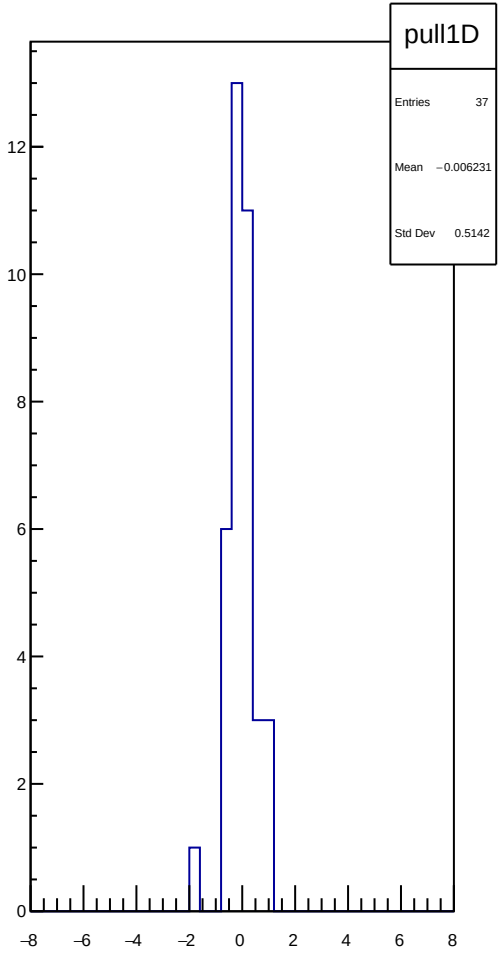
pull1D
Entries 37
Mean −0.006231
Std Dev 0.5142

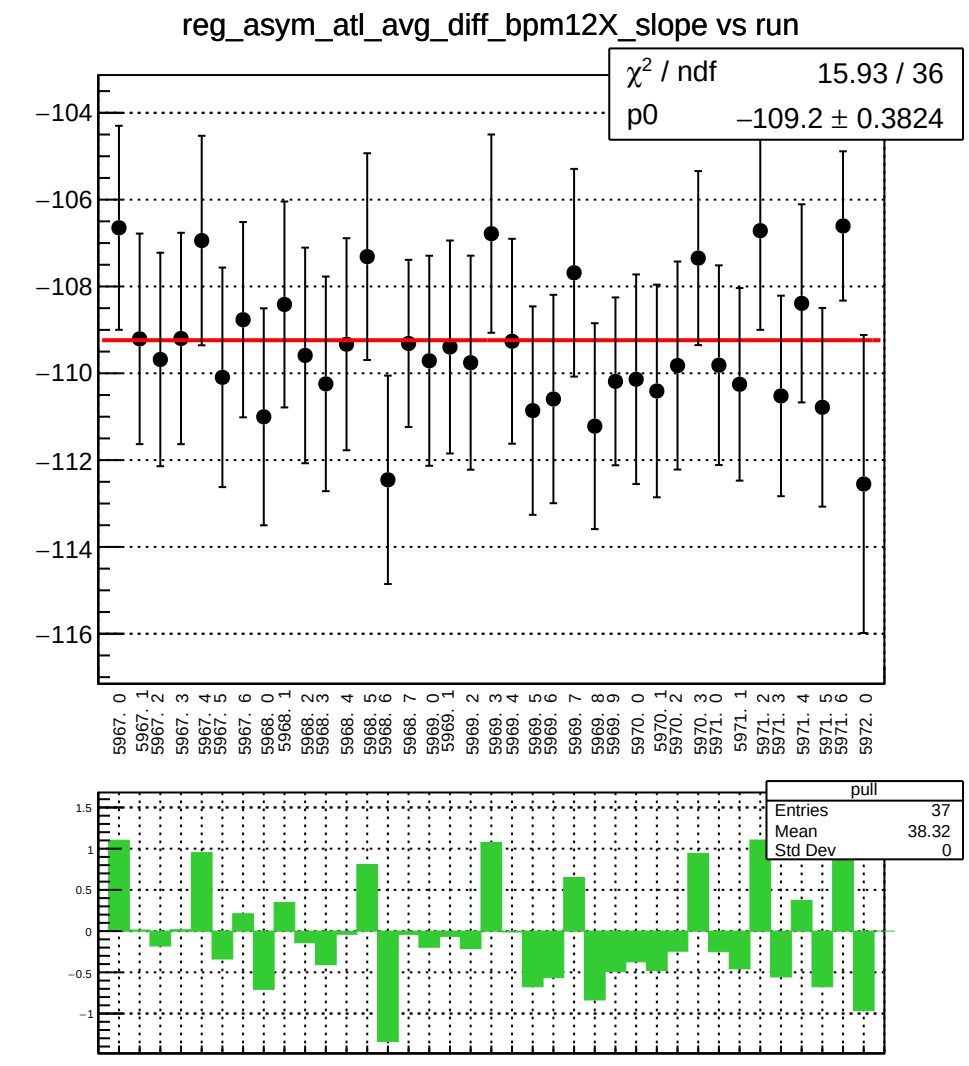
reg_asym_atl_avg_diff_bpm12X_slope vs run
χ² / ndf 15.93 / 36
p0 −109.2 ± 0.3824
pull
Entries 37
Mean 38.32
Std Dev 0

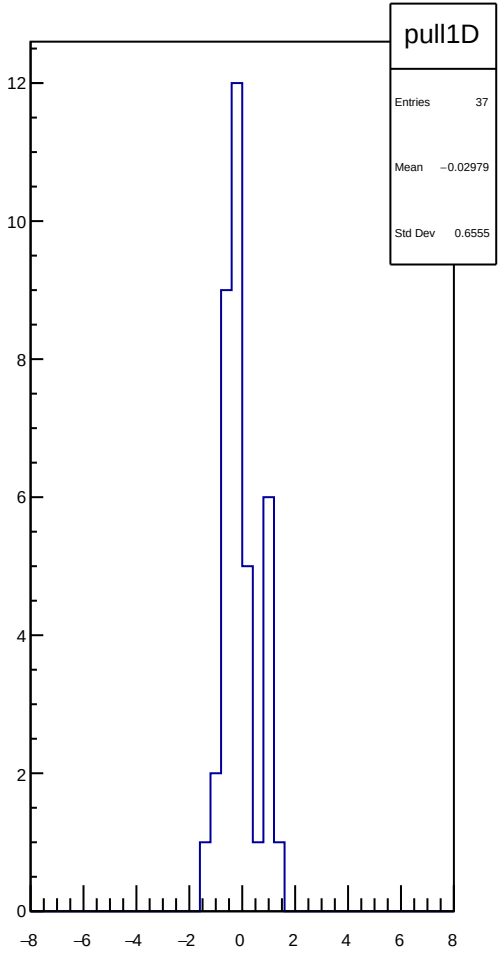
pull1D
Entries 37
Mean −0.02979
Std Dev 0.6555

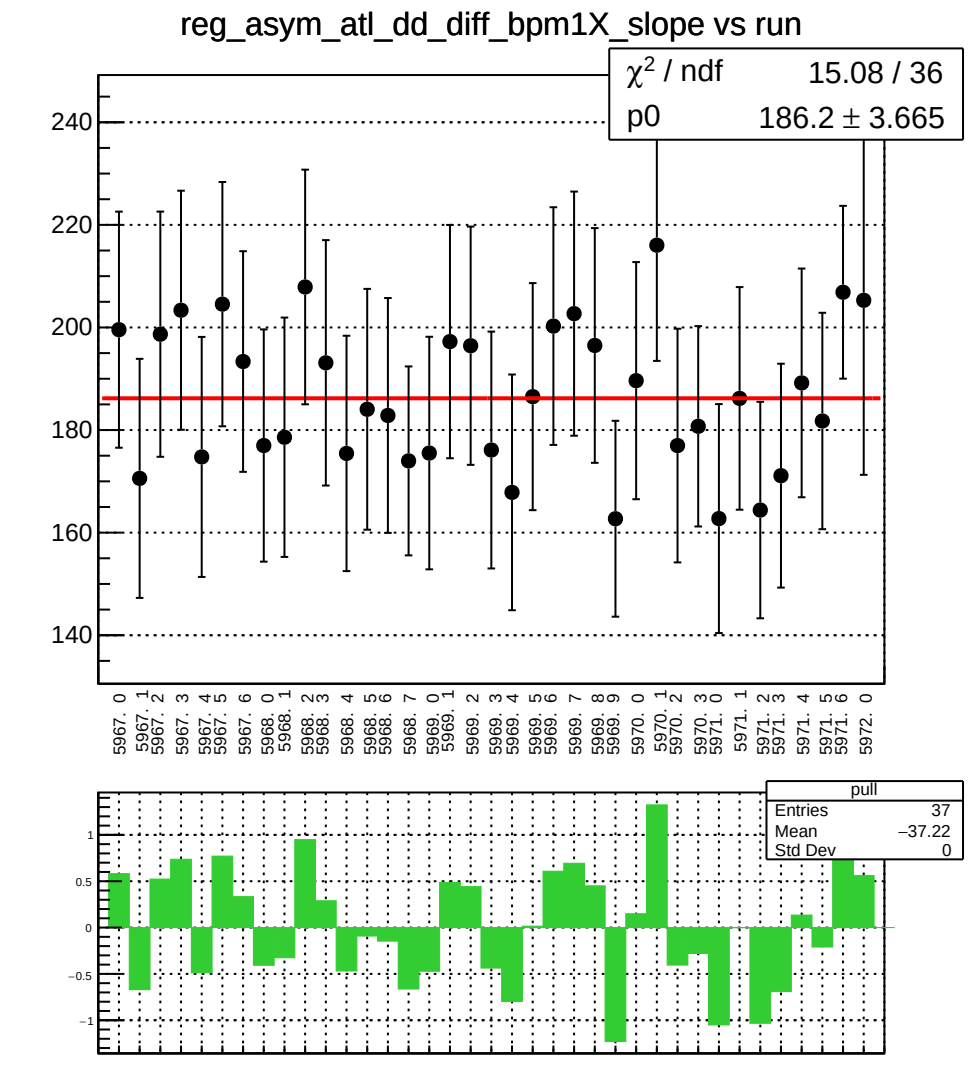
reg_asym_atl_dd_diff_bpm1X_slope vs run
χ² / ndf 15.08 / 36
p0 186.2 ± 3.665
240
220
200
180
160
140
5967. 0
5967. 1
5967. 2
5967. 3
5967. 4
5967. 5
5967. 6
5968. 0
5968. 1
5968. 2
5968. 3
5968. 4
5968. 5
5968. 6
5968. 7
5969. 0
5969. 1
5969. 2
5969. 3
5969. 4
5969. 5
5969. 6
5969. 7
5969. 8
5969. 9
5970. 0
5970. 1
5970. 2
5970. 3
5971. 0
5971. 1
5971. 2
5971. 3
5971. 4
5971. 5
5971. 6
5972. 0
pull
Entries 37
Mean −37.22
Std Dev 0
1
0.5
0
−0.5
−1

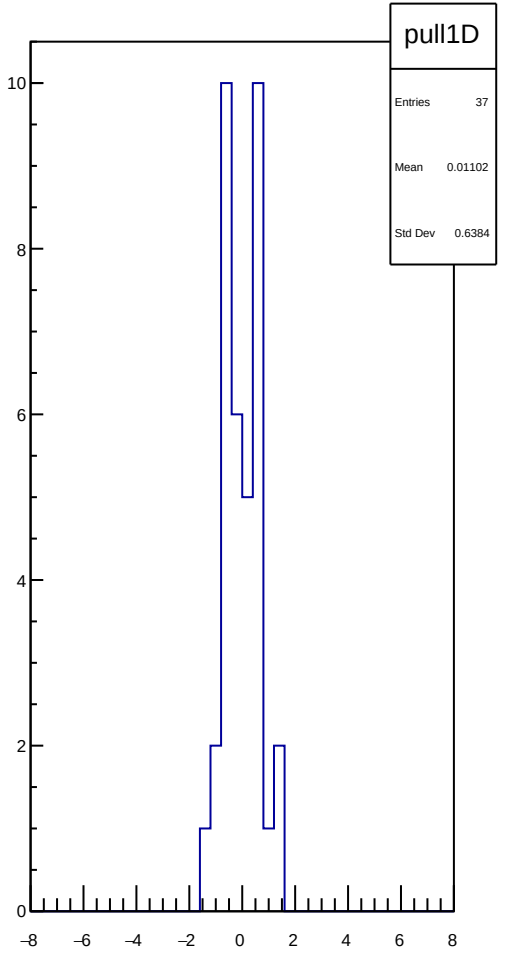
pull1D
Entries 37
Mean 0.01102
Std Dev 0.6384
10
8
6
4
2
0
−8
−6
−4
−2
0
2
4
6
8

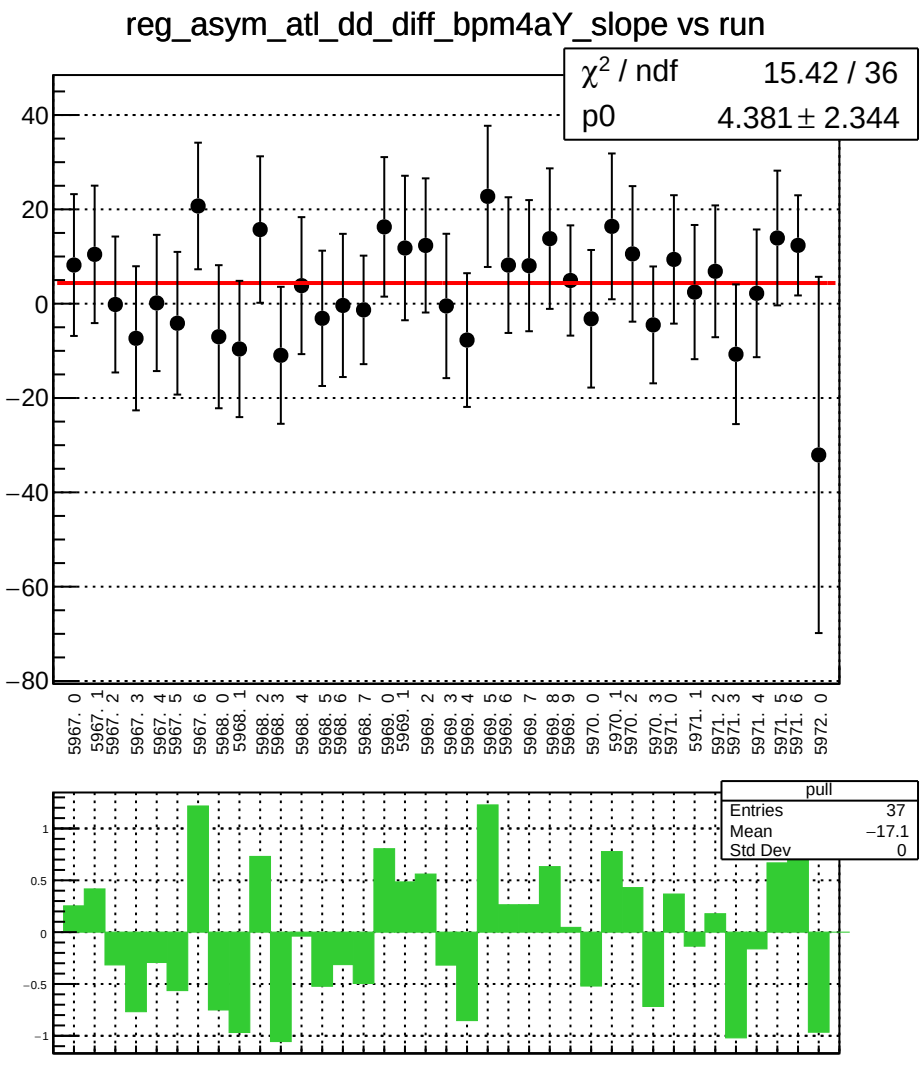
reg_asym_atl_dd_diff_bpm4aY_slope vs run
χ² / ndf 15.42 / 36
p0 4.381 ± 2.344
40
20
0
−20
−40
−60
−80
5967. 0
5967. 1
5967. 2
5967. 3
5967. 4
5967. 5
5967. 6
5968. 0
5968. 1
5968. 2
5968. 3
5968. 4
5968. 5
5968. 6
5968. 7
5969. 0
5969. 1
5969. 2
5969. 3
5969. 4
5969. 5
5969. 6
5969. 7
5969. 8
5969. 9
5970. 0
5970. 1
5970. 2
5970. 3
5971. 0
5971. 1
5971. 2
5971. 3
5971. 4
5971. 5
5971. 6
5972. 0
pull
Entries 37
Mean −17.1
Std Dev 0
1
0.5
0
−0.5
−1
pull1D
Entries 37
Mean −0.01887
Std Dev 0.6452
9
8
7
6
5
4
3
2
1
0
−8
−6
−4
−2
0
2
4
6
8

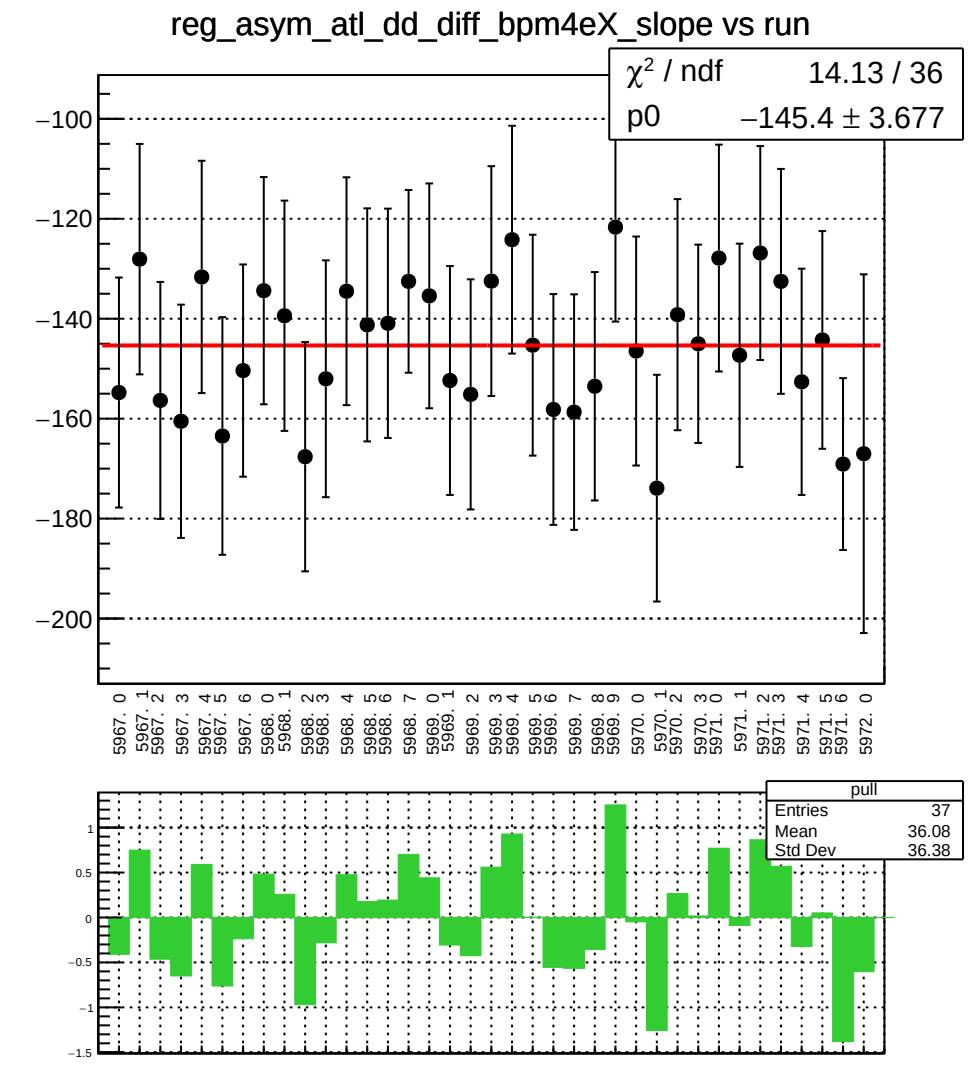
reg_asym_atl_dd_diff_bpm4eX_slope vs run
χ² / ndf 14.13 / 36
p0 −145.4 ± 3.677
−100
−120
−140
−160
−180
−200
5967. 0
5967. 1
5967. 2
5967. 3
5967. 4
5967. 5
5967. 6
5968. 0
5968. 1
5968. 2
5968. 3
5968. 4
5968. 5
5968. 6
5968. 7
5969. 0
5969. 1
5969. 2
5969. 3
5969. 4
5969. 5
5969. 6
5969. 7
5969. 8
5969. 9
5970. 0
5970. 1
5970. 2
5970. 3
5971. 0
5971. 1
5971. 2
5971. 3
5971. 4
5971. 5
5971. 6
5972. 0
pull
Entries 37
Mean 36.08
Std Dev 36.38
1
0.5
0
−0.5
−1
−1.5
pull1D
Entries 37
Mean −0.009022
Std Dev 0.618
9
8
7
6
5
4
3
2
1
0
−8
−6
−4
−2
0
2
4
6
8

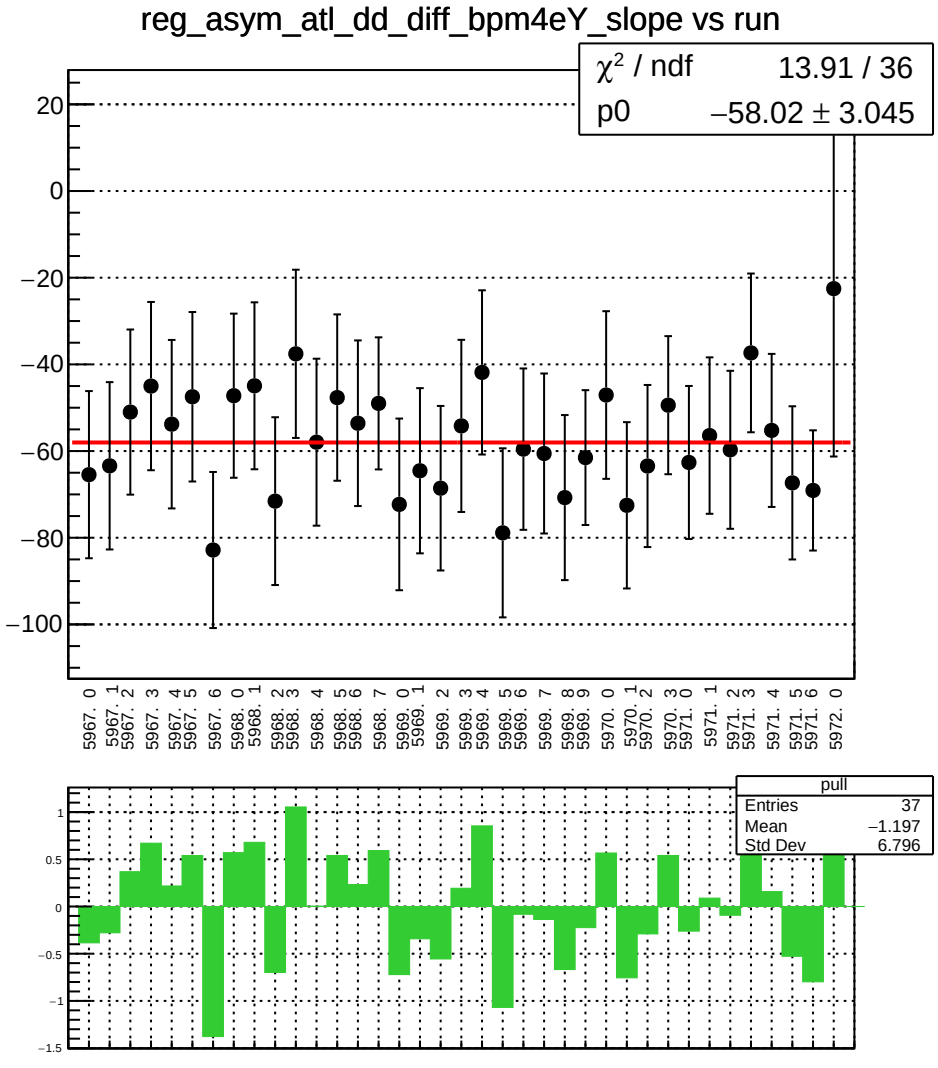
reg_asym_atl_dd_diff_bpm4eY_slope vs run
χ² / ndf 13.91 / 36
p0 −58.02 ± 3.045
pull
Entries 37
Mean −1.197
Std Dev 6.796

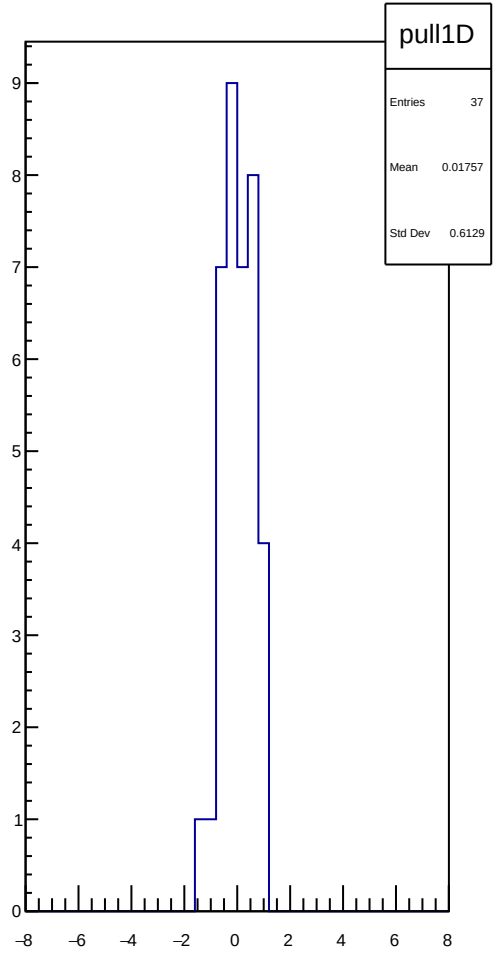
pull1D
Entries 37
Mean 0.01757
Std Dev 0.6129

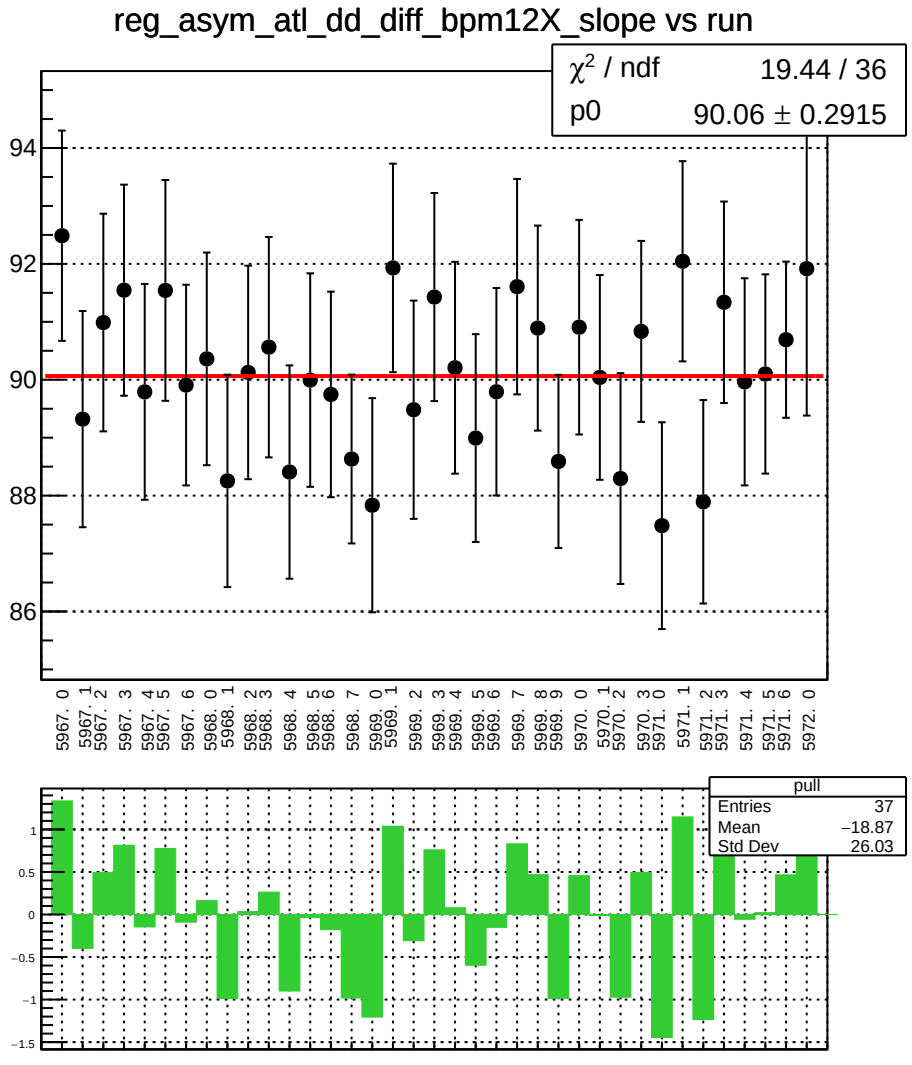
reg_asym_atl_dd_diff_bpm12X_slope vs run
χ² / ndf 19.44 / 36
p0 90.06 ± 0.2915
94
92
90
88
86
5967. 0
5967. 1
5967. 2
5967. 3
5967. 4
5967. 5
5967. 6
5968. 0
5968. 1
5968. 2
5968. 3
5968. 4
5968. 5
5968. 6
5968. 7
5969. 0
5969. 1
5969. 2
5969. 3
5969. 4
5969. 5
5969. 6
5969. 7
5969. 8
5969. 9
5970. 0
5970. 1
5970. 2
5970. 3
5971. 0
5971. 1
5971. 2
5971. 3
5971. 4
5971. 5
5971. 6
5972. 0
pull
Entries 37
Mean −18.87
Std Dev 26.03
1
0.5
0
−0.5
−1
−1.5

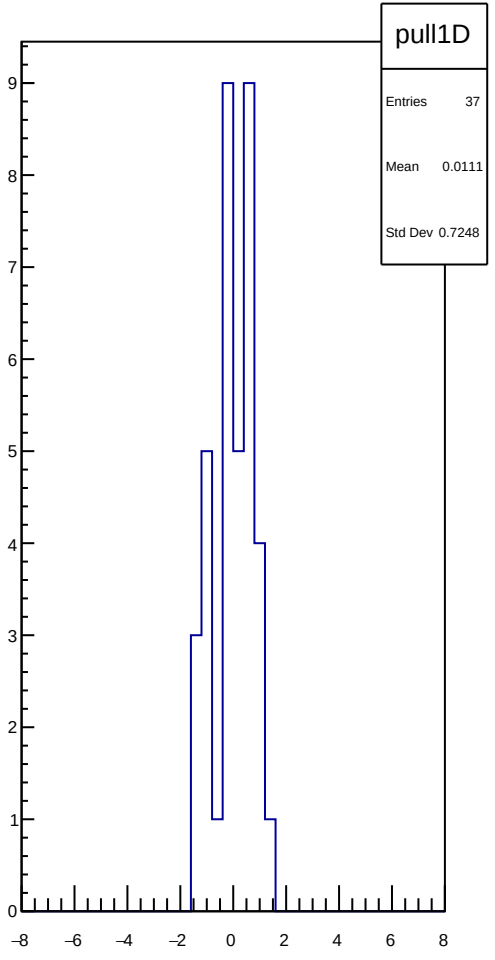
pull1D
Entries 37
Mean 0.0111
Std Dev 0.7248
9
8
7
6
5
4
3
2
1
0
−8
−6
−4
−2
0
2
4
6
8

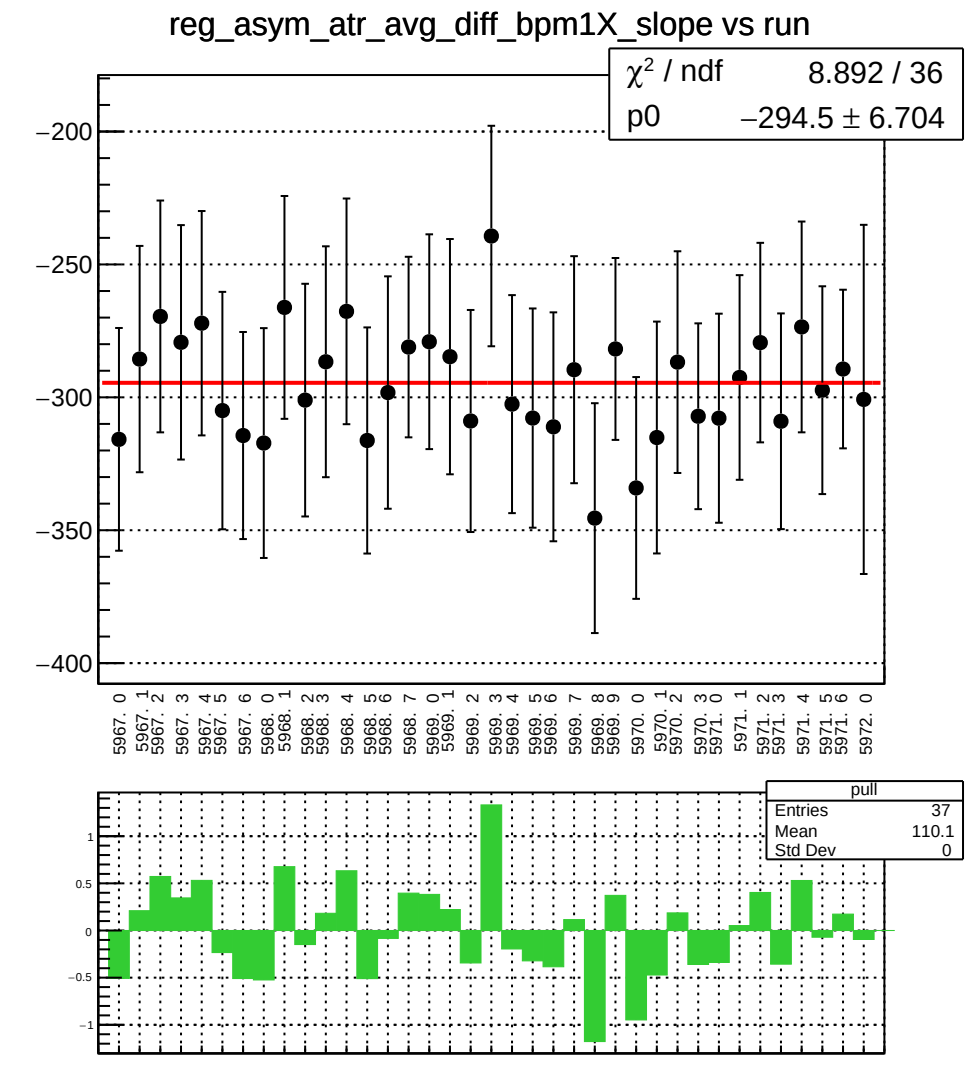
reg_asym_atr_avg_diff_bpm1X_slope vs run
χ² / ndf 8.892 / 36
p0 −294.5 ± 6.704
−200
−250
−300
−350
−400
5967. 0
5967. 1
5967. 2
5967. 3
5967. 4
5967. 5
5967. 6
5968. 0
5968. 1
5968. 2
5968. 3
5968. 4
5968. 5
5968. 6
5968. 7
5969. 0
5969. 1
5969. 2
5969. 3
5969. 4
5969. 5
5969. 6
5969. 7
5969. 8
5969. 9
5970. 0
5970. 1
5970. 2
5970. 3
5971. 0
5971. 1
5971. 2
5971. 3
5971. 4
5971. 5
5971. 6
5972. 0
pull
Entries 37
Mean 110.1
Std Dev 0
1
0.5
0
−0.5
−1
pull1D
Entries 37
Mean −0.007162
Std Dev 0.4902
12
10
8
6
4
2
0
−8
−6
−4
−2
0
2
4
6
8

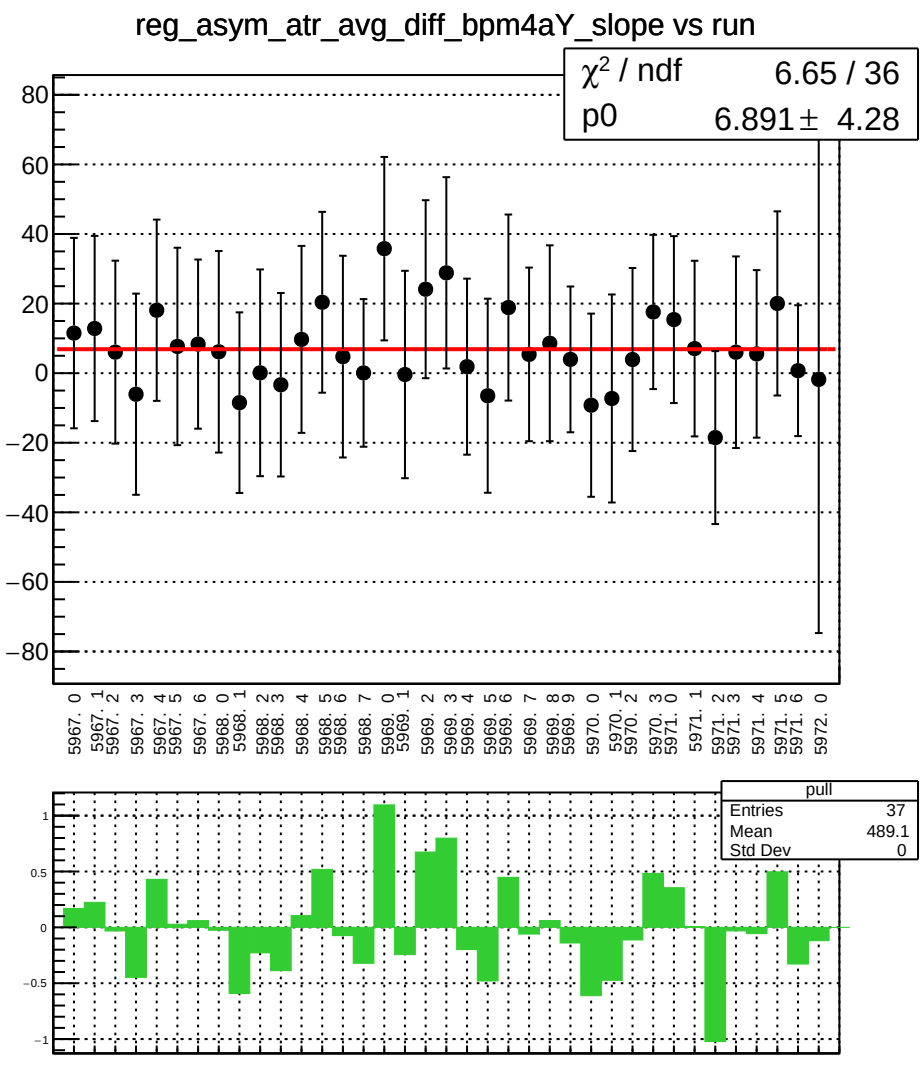
reg_asym_atr_avg_diff_bpm4aY_slope vs run
χ² / ndf 6.65 / 36
p0 6.891 ± 4.28
pull
Entries 37
Mean 489.1
Std Dev 0

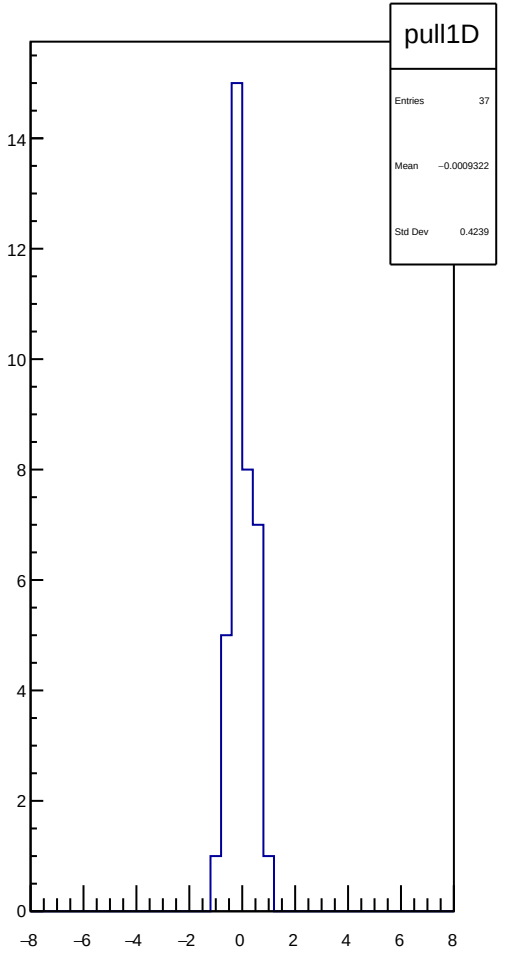
pull1D
Entries 37
Mean −0.0009322
Std Dev 0.4239

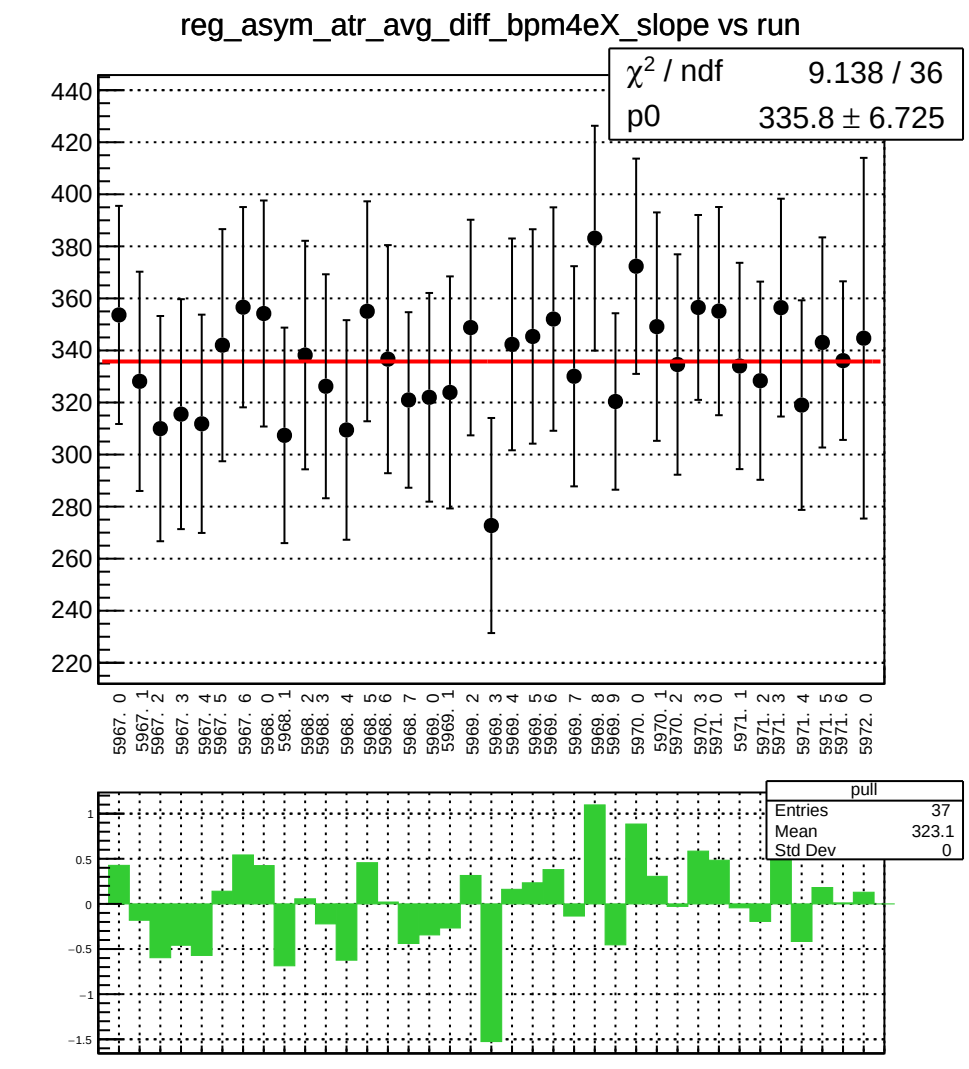
reg_asym_atr_avg_diff_bpm4eX_slope vs run
χ^2 / ndf 9.138 / 36
p0 335.8 ± 6.725
pull
Entries 37
Mean 323.1
Std Dev 0

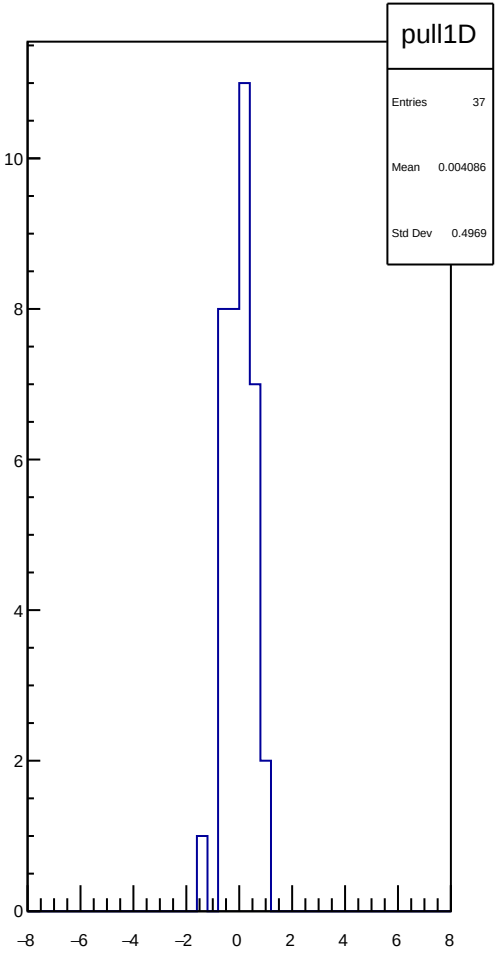
pull1D
Entries 37
Mean 0.004086
Std Dev 0.4969

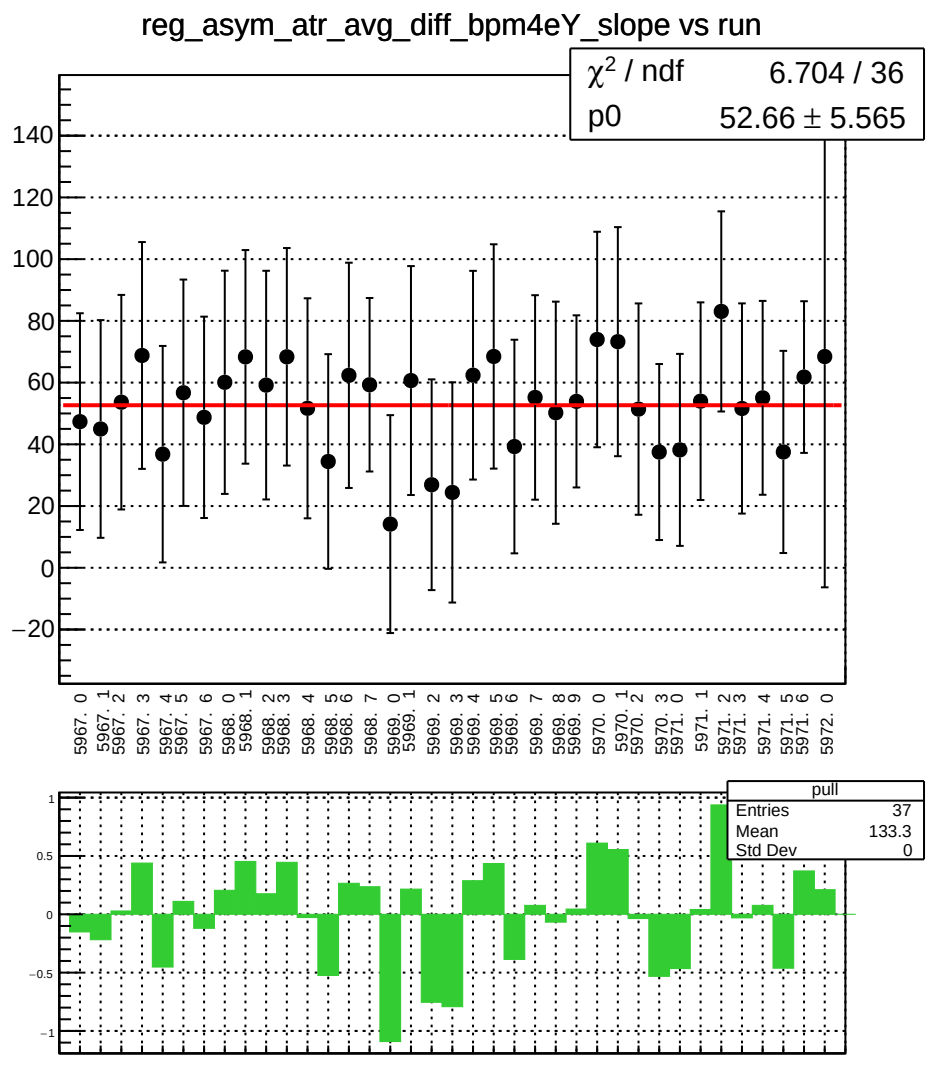
reg_asym_atr_avg_diff_bpm4eY_slope vs run
χ² / ndf 6.704 / 36
p0 52.66 ± 5.565
pull
Entries 37
Mean 133.3
Std Dev 0

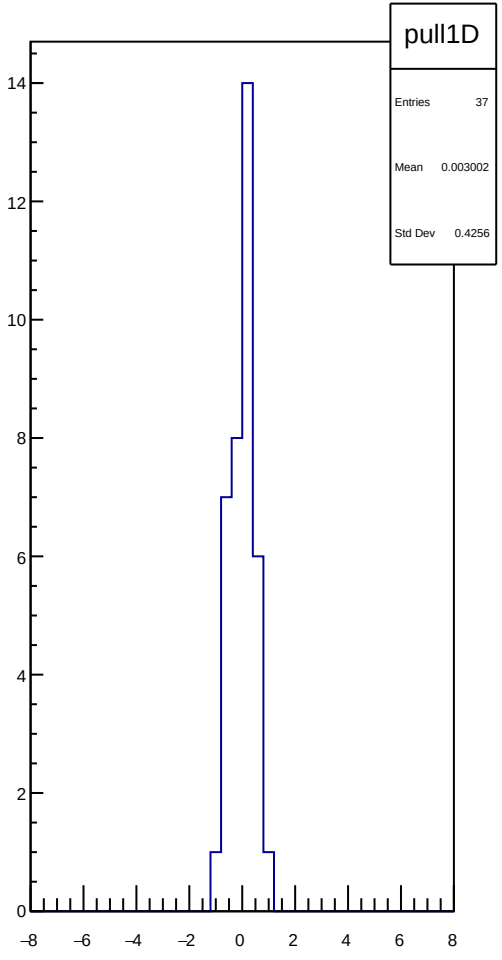
pull1D
Entries 37
Mean 0.003002
Std Dev 0.4256

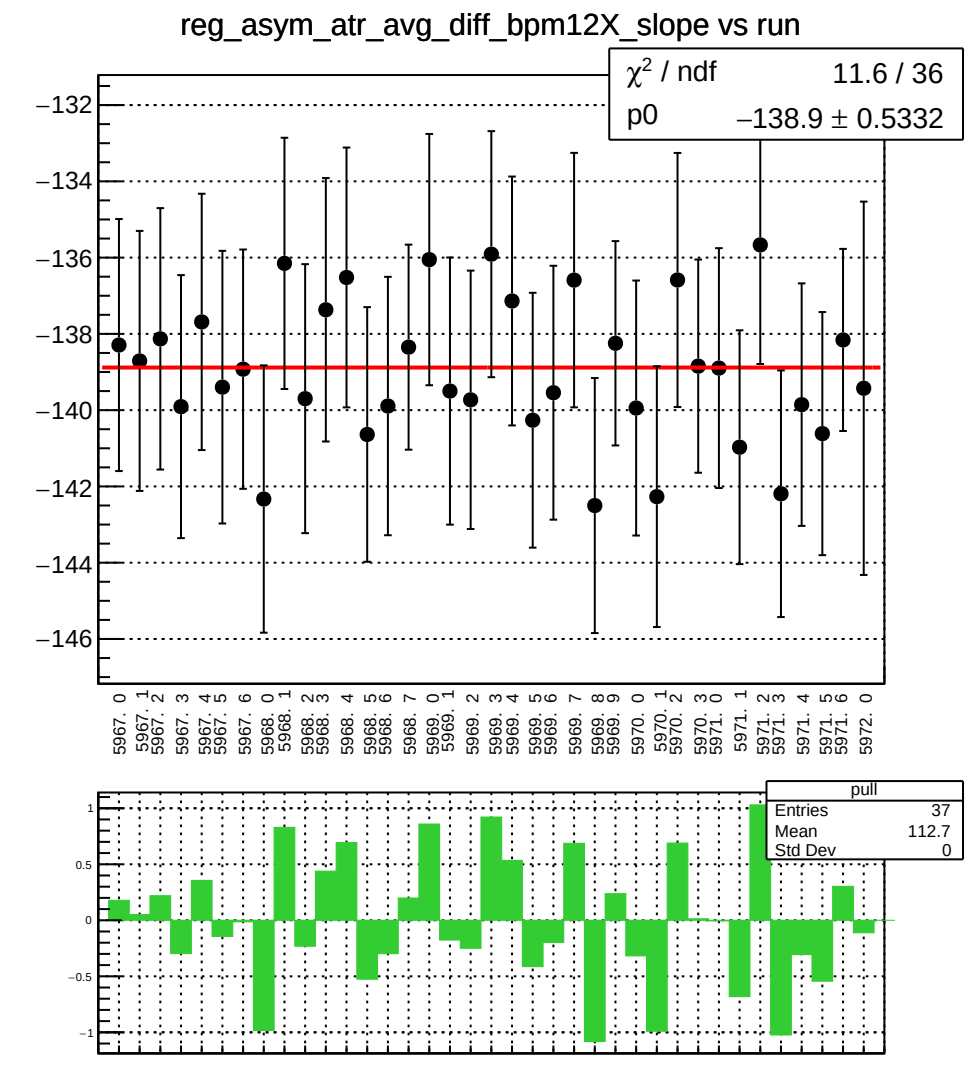
reg_asym_atr_avg_diff_bpm12X_slope vs run
χ² / ndf 11.6 / 36
p0 −138.9 ± 0.5332
−132
−134
−136
−138
−140
−142
−144
−146
5967. 0
5967. 1
5967. 2
5967. 3
5967. 4
5967. 5
5967. 6
5968. 0
5968. 1
5968. 2
5968. 3
5968. 4
5968. 5
5968. 6
5968. 7
5969. 0
5969. 1
5969. 2
5969. 3
5969. 4
5969. 5
5969. 6
5969. 7
5969. 8
5969. 9
5970. 0
5970. 1
5970. 2
5970. 3
5971. 0
5971. 1
5971. 2
5971. 3
5971. 4
5971. 5
5971. 6
5972. 0
pull
Entries 37
Mean 112.7
Std Dev 0
1
0.5
0
−0.5
−1

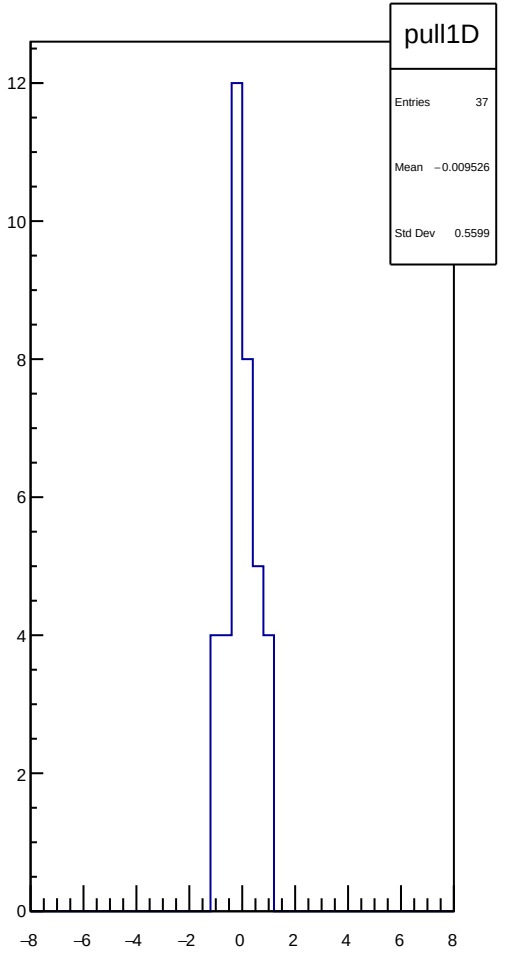
pull1D
Entries 37
Mean −0.009526
Std Dev 0.5599
12
10
8
6
4
2
0
−8
−6
−4
−2
0
2
4
6
8

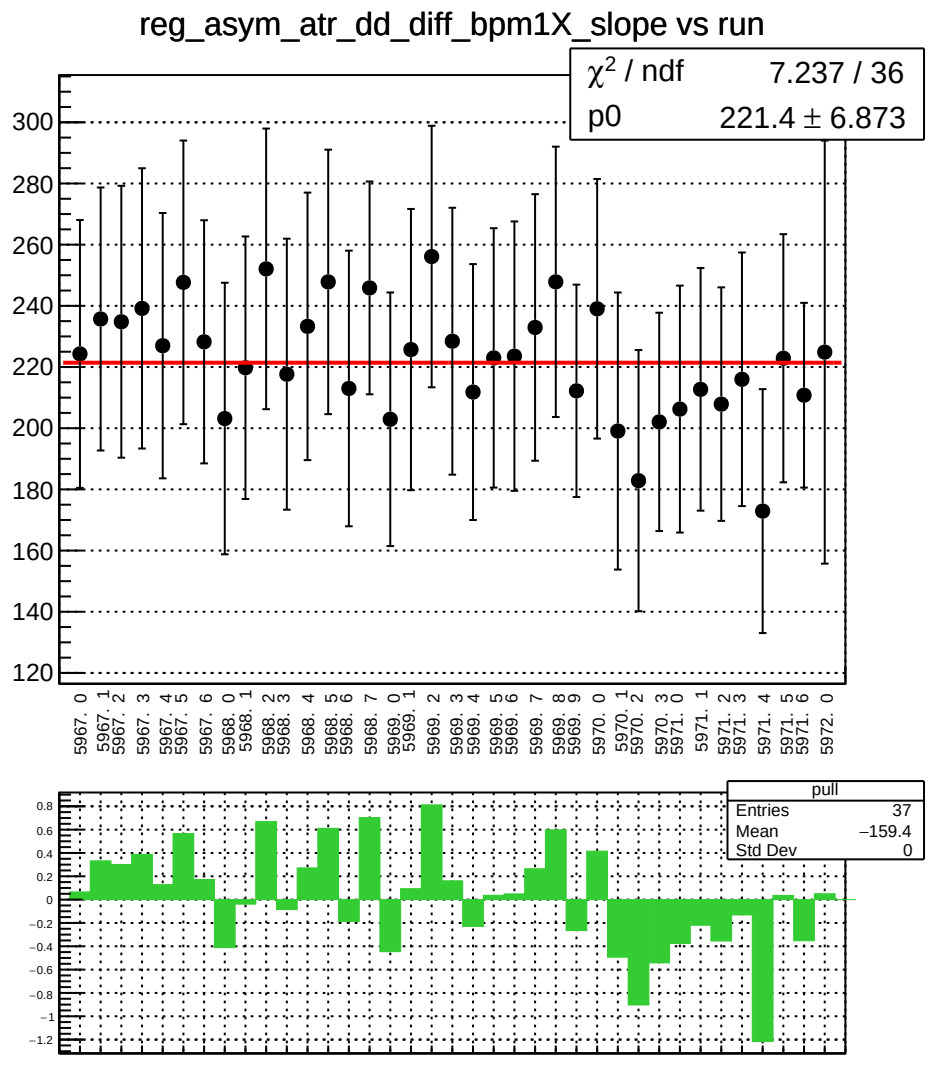
reg_asym_atr_dd_diff_bpm1X_slope vs run
χ² / ndf 7.237 / 36
p0 221.4 ± 6.873
pull
Entries 37
Mean −159.4
Std Dev 0

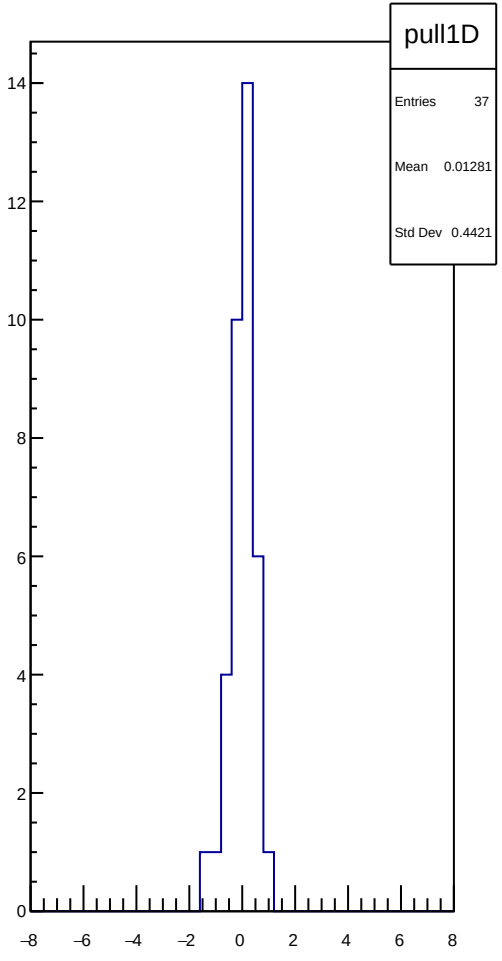
pull1D
Entries 37
Mean 0.01281
Std Dev 0.4421

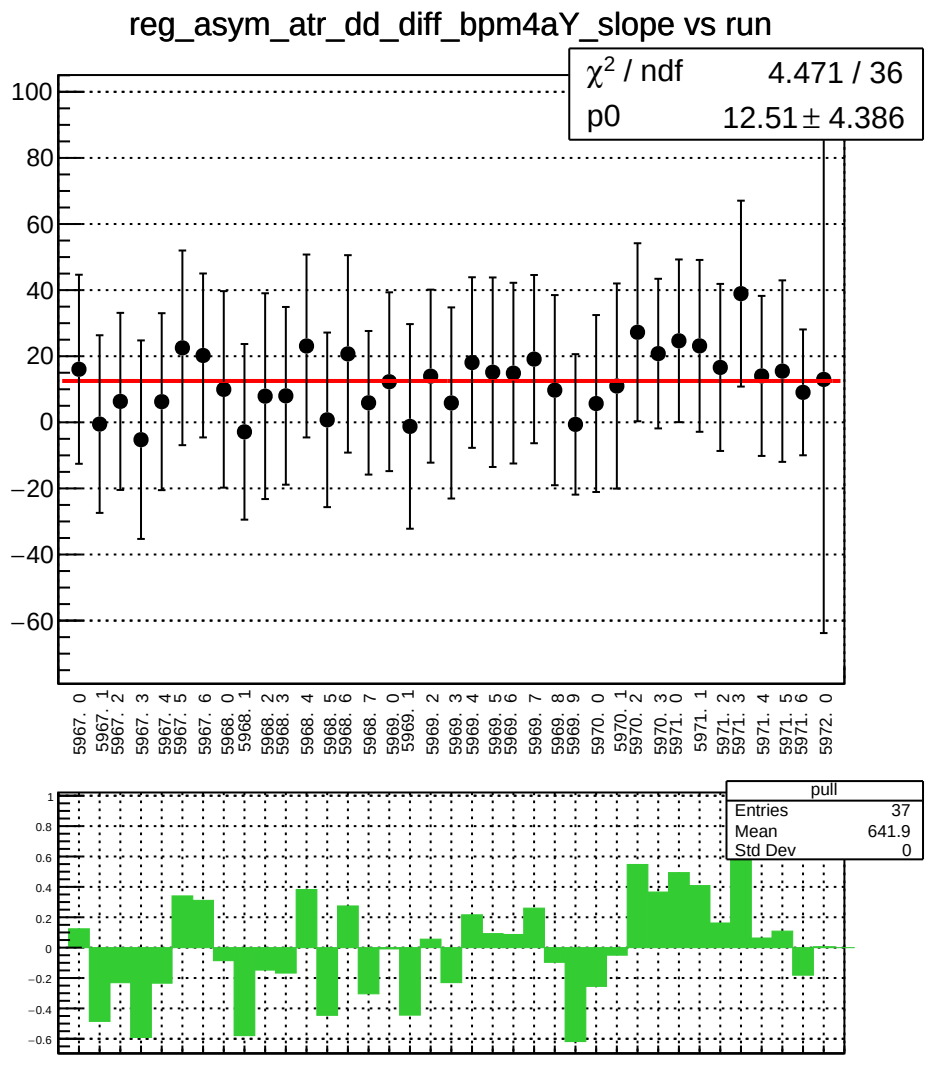
reg_asym_atr_dd_diff_bpm4aY_slope vs run
χ² / ndf 4.471 / 36
p0 12.51 ± 4.386
pull
Entries 37
Mean 641.9
Std Dev 0

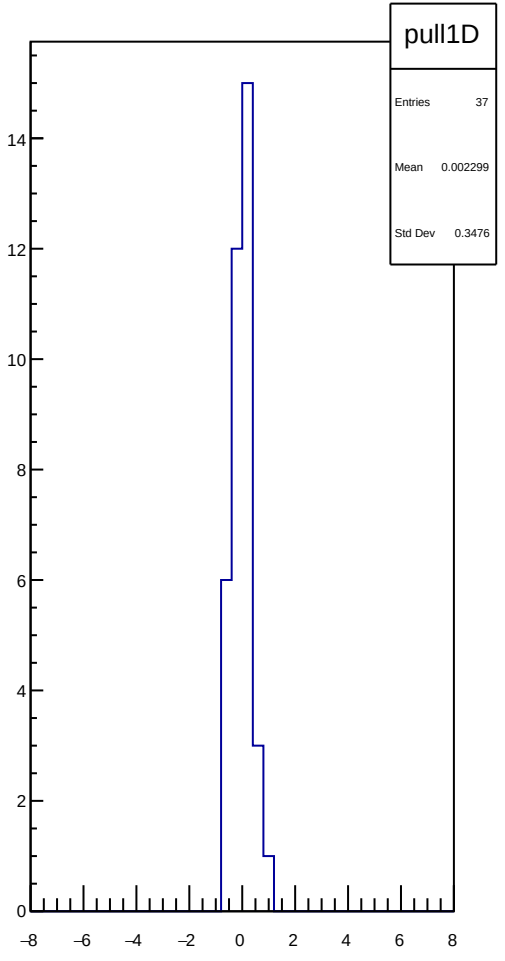
pull1D
Entries 37
Mean 0.002299
Std Dev 0.3476

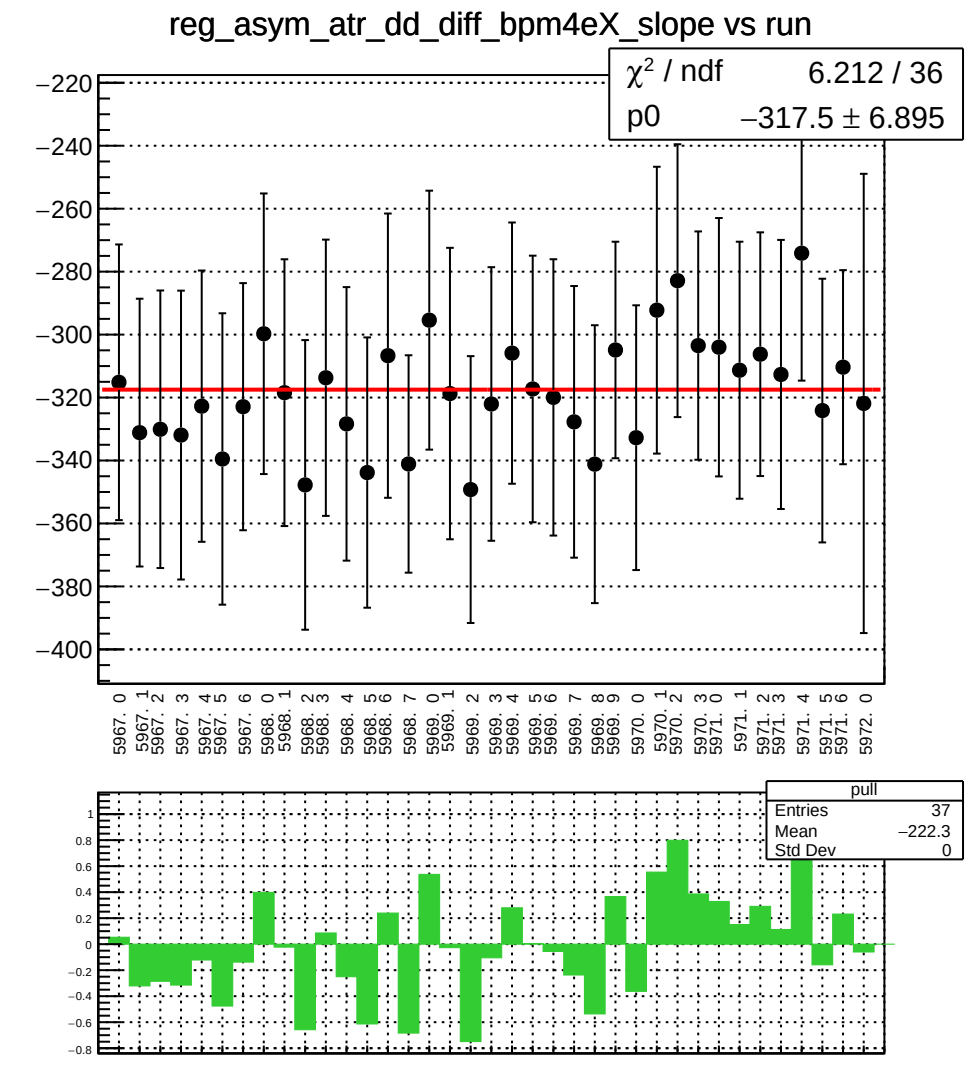
reg_asym_atr_dd_diff_bpm4eX_slope vs run
χ² / ndf 6.212 / 36
p0 −317.5 ± 6.895
pull
Entries 37
Mean −222.3
Std Dev 0

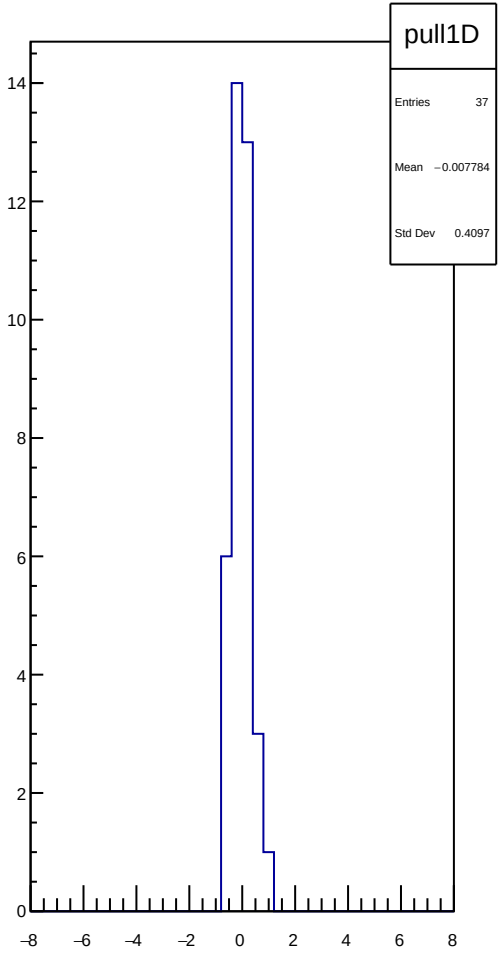
pull1D
Entries 37
Mean −0.007784
Std Dev 0.4097

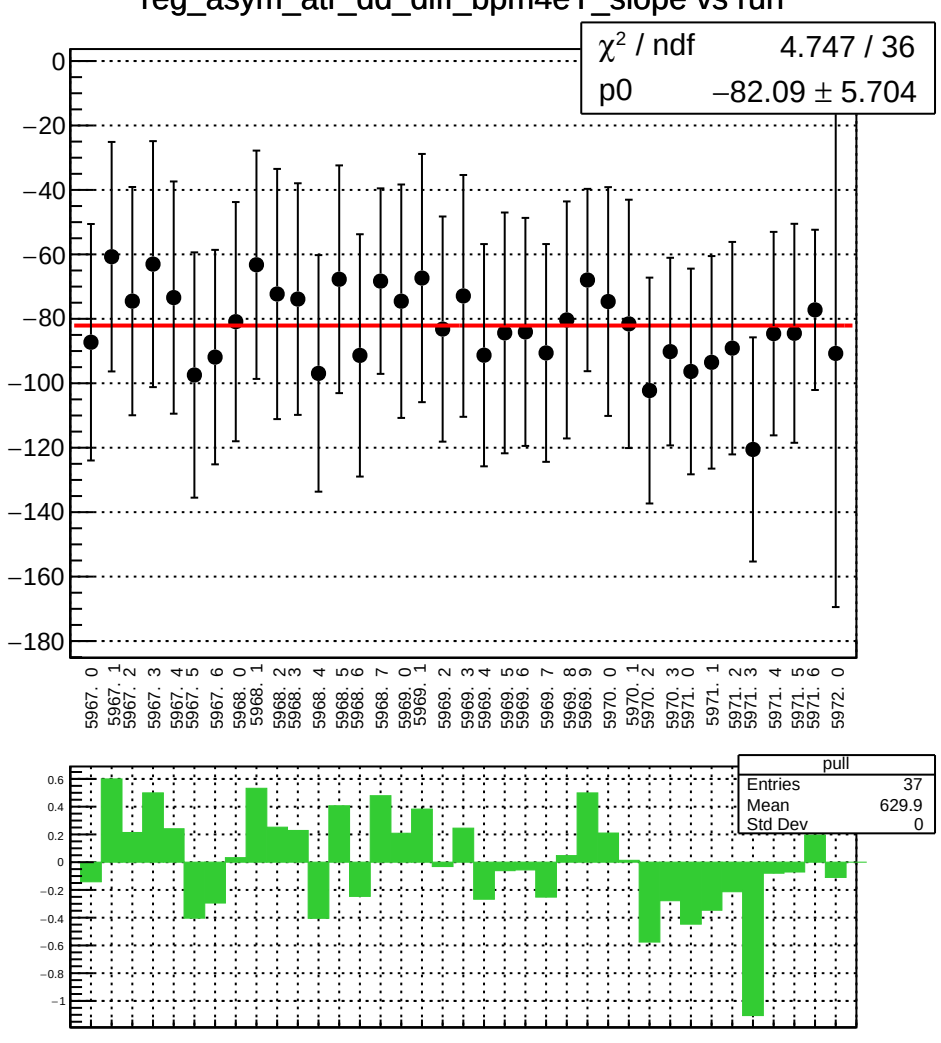
reg_asym_atr_dd_diff_bpm4eY_slope vs run
χ² / ndf 4.747 / 36
p0 −82.09 ± 5.704
pull
Entries 37
Mean 629.9
Std Dev 0

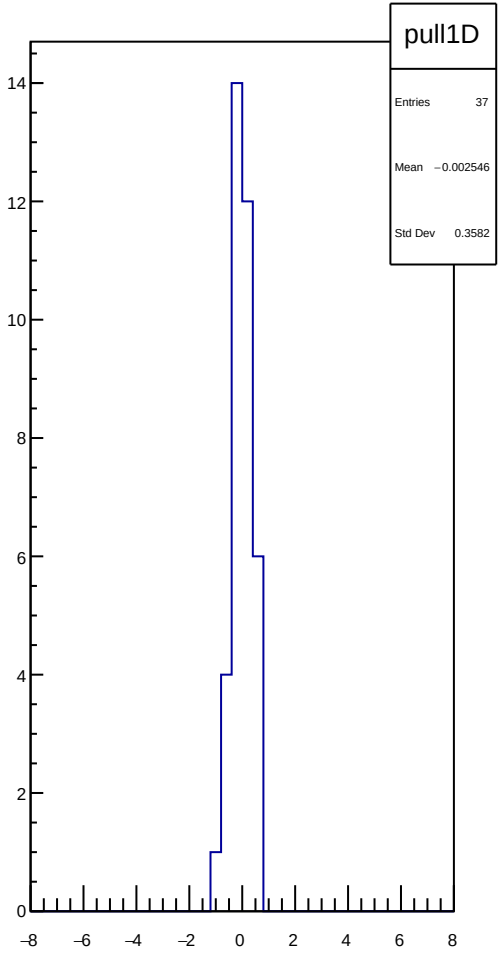
pull1D
Entries 37
Mean −0.002546
Std Dev 0.3582

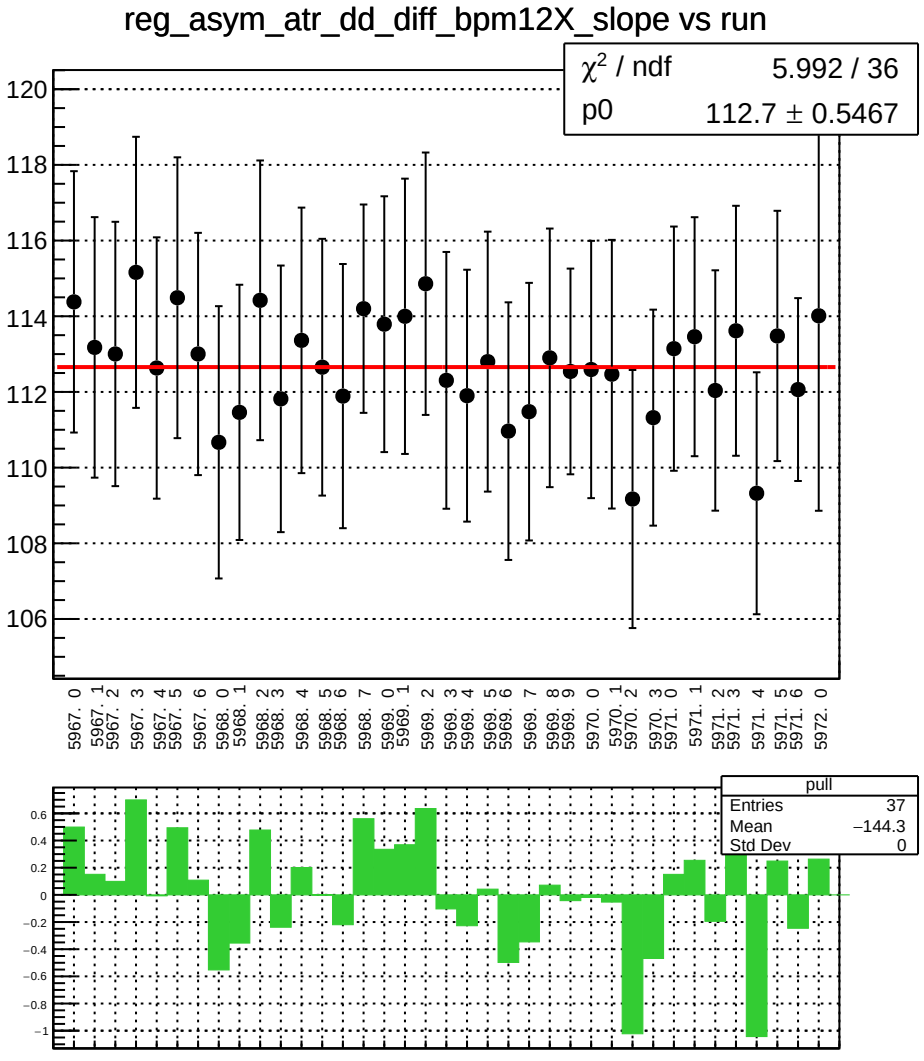
reg_asym_atr_dd_diff_bpm12X_slope vs run
χ² / ndf 5.992 / 36
p0 112.7 ± 0.5467
pull
Entries 37
Mean −144.3
Std Dev 0

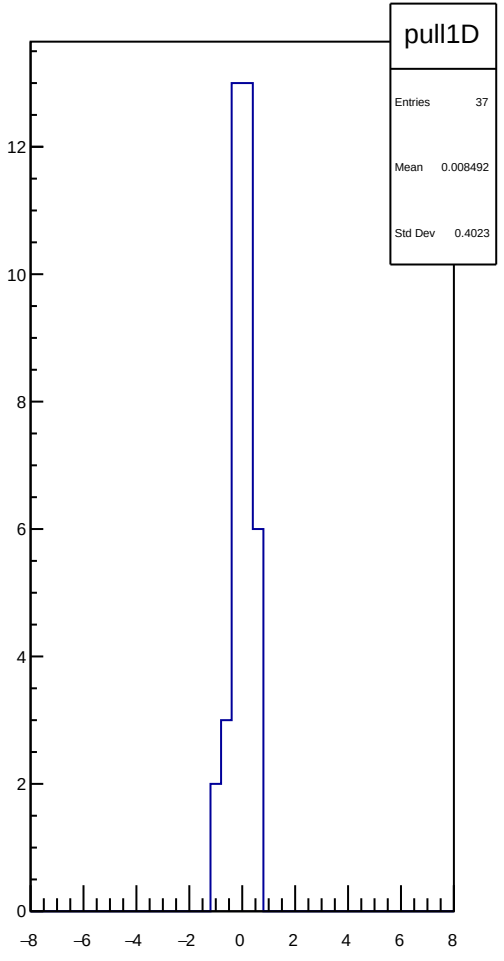
pull1D
Entries 37
Mean 0.008492
Std Dev 0.4023

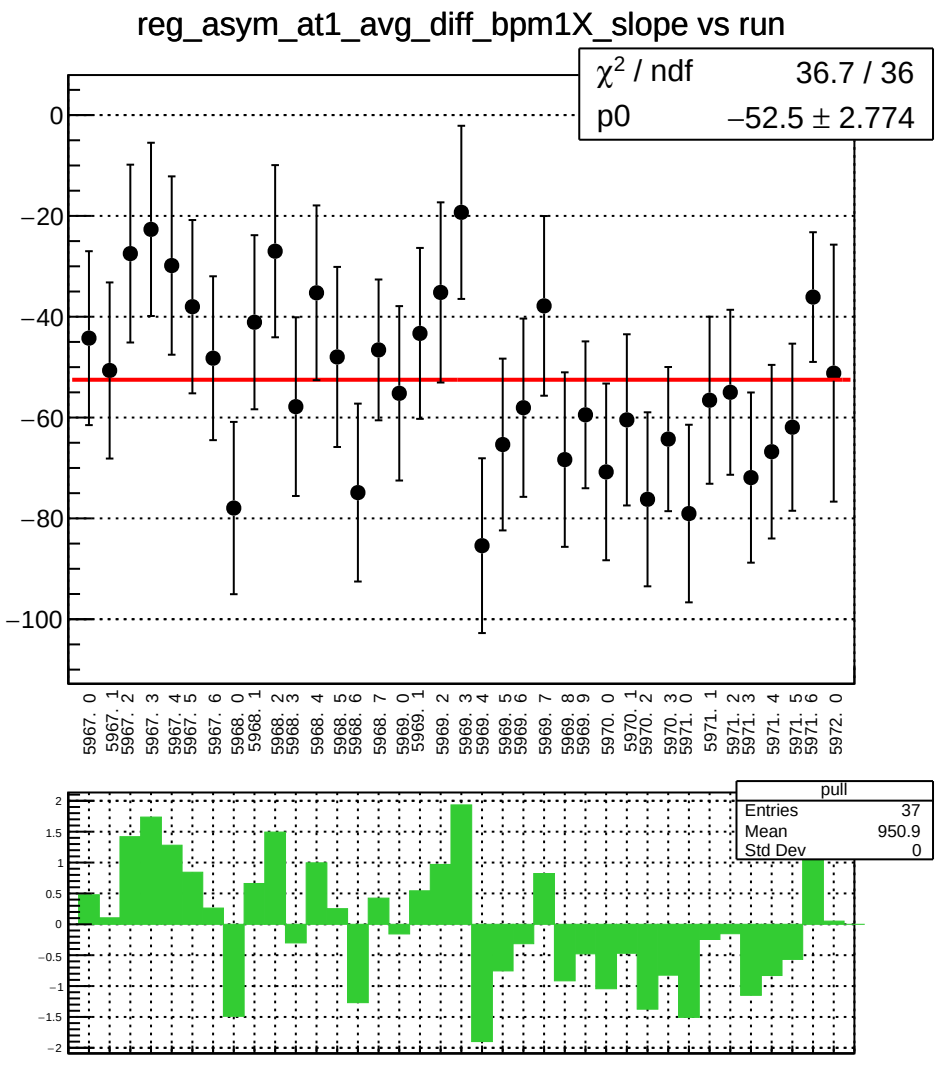
reg_asym_at1_avg_diff_bpm1X_slope vs run
χ² / ndf 36.7 / 36
p0 −52.5 ± 2.774
pull
Entries 37
Mean 950.9
Std Dev 0

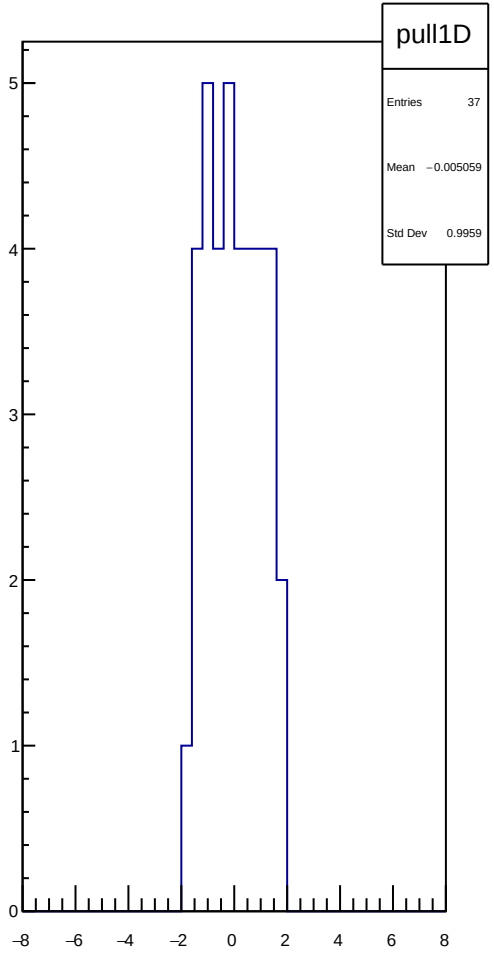
pull1D
Entries 37
Mean −0.005059
Std Dev 0.9959

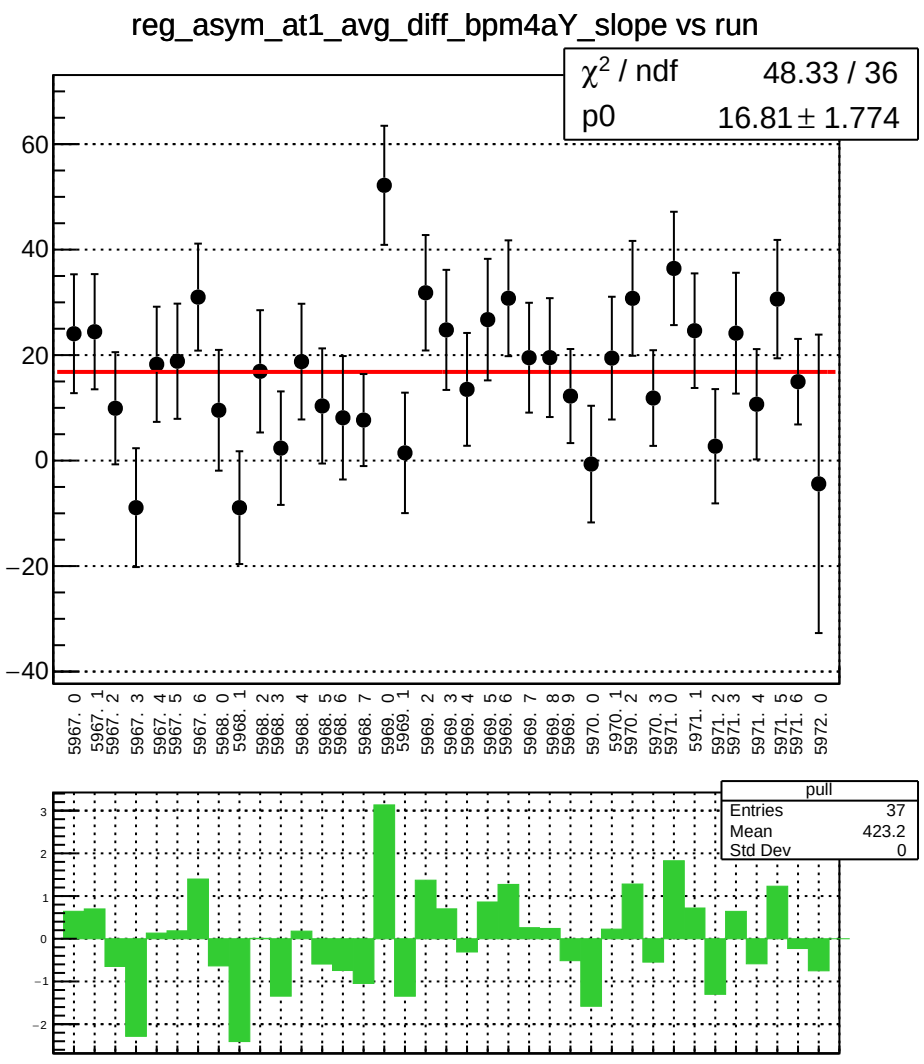
reg_asym_at1_avg_diff_bpm4aY_slope vs run
χ² / ndf 48.33 / 36
p0 16.81 ± 1.774
pull
Entries 37
Mean 423.2
Std Dev 0

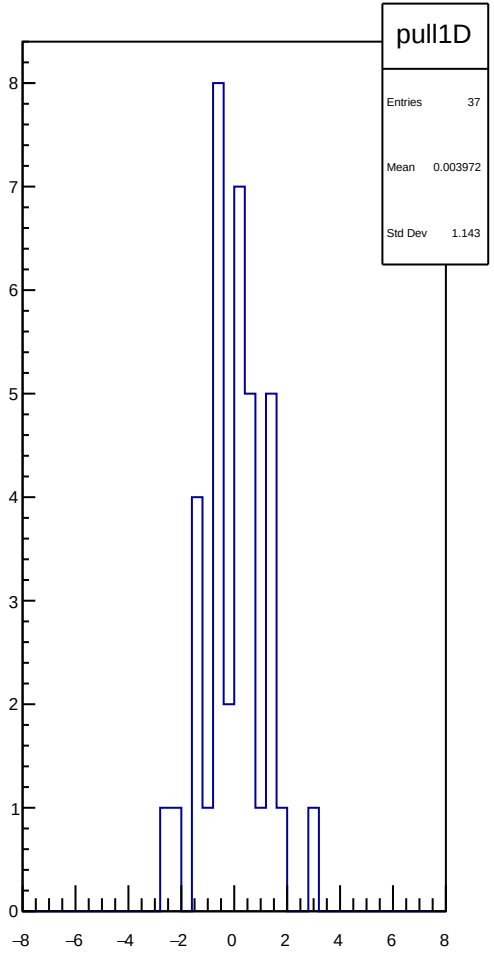
pull1D
Entries 37
Mean 0.003972
Std Dev 1.143

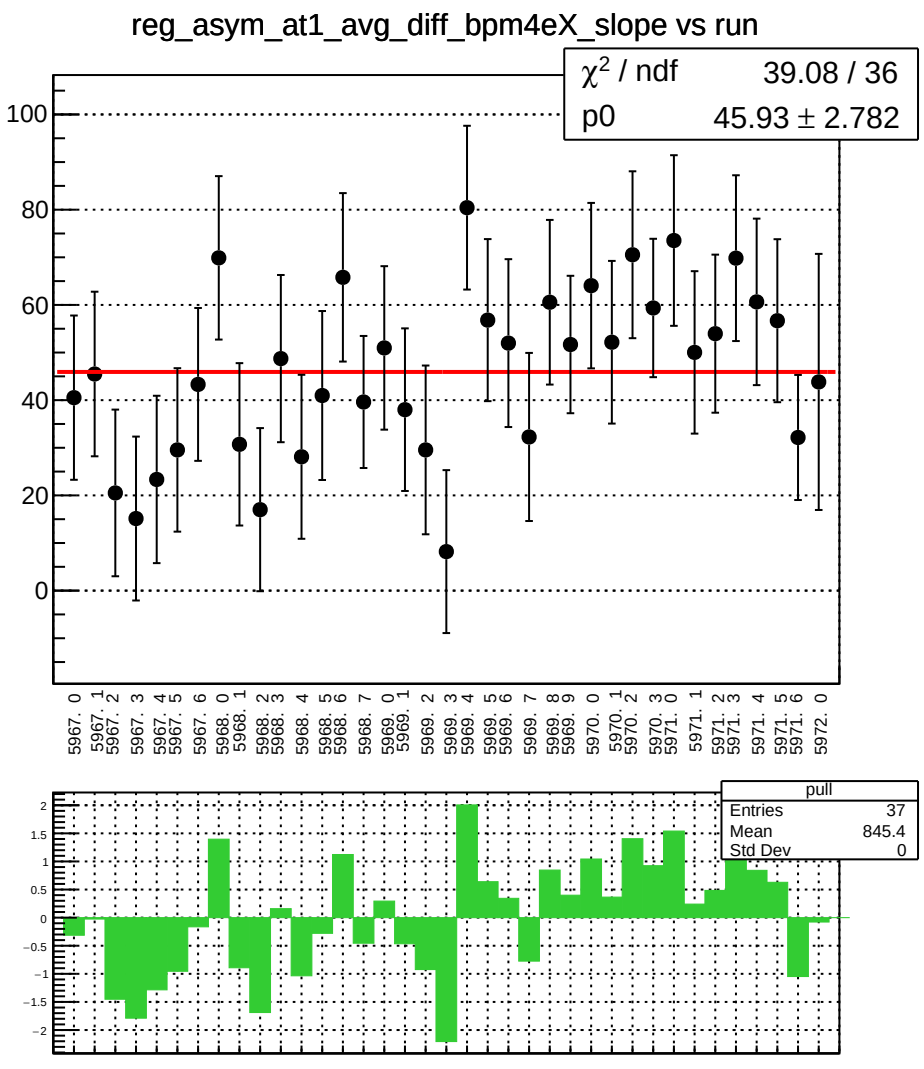
reg_asym_at1_avg_diff_bpm4eX_slope vs run
χ² / ndf 39.08 / 36
p0 45.93 ± 2.782
100
80
60
40
20
0
5967. 0
5967. 1
5967. 2
5967. 3
5967. 4
5967. 5
5967. 6
5968. 0
5968. 1
5968. 2
5968. 3
5968. 4
5968. 5
5968. 6
5968. 7
5969. 0
5969. 1
5969. 2
5969. 3
5969. 4
5969. 5
5969. 6
5969. 7
5969. 8
5969. 9
5970. 0
5970. 1
5970. 2
5970. 3
5971. 0
5971. 1
5971. 2
5971. 3
5971. 4
5971. 5
5971. 6
5972. 0
pull
Entries 37
Mean 845.4
Std Dev 0
2
1.5
1
0.5
0
−0.5
−1
−1.5
−2

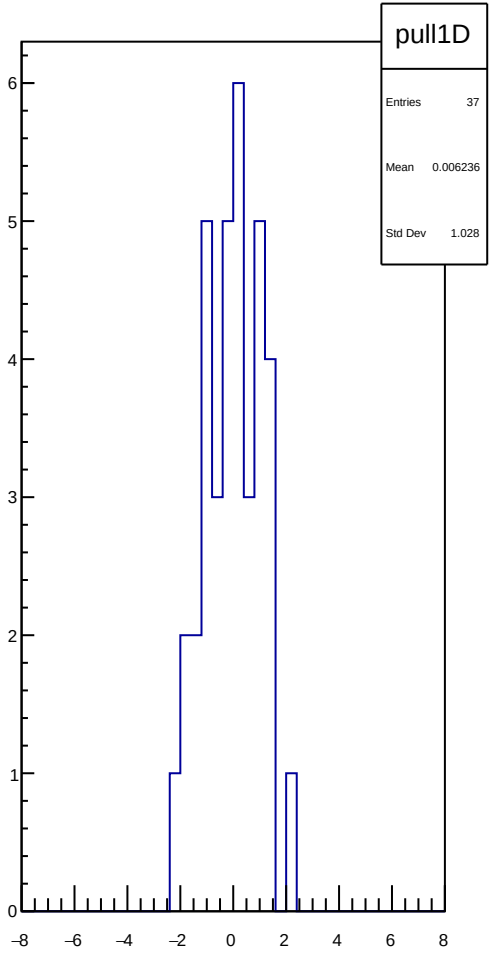
pull1D
Entries 37
Mean 0.006236
Std Dev 1.028
6
5
4
3
2
1
0
−8
−6
−4
−2
0
2
4
6
8

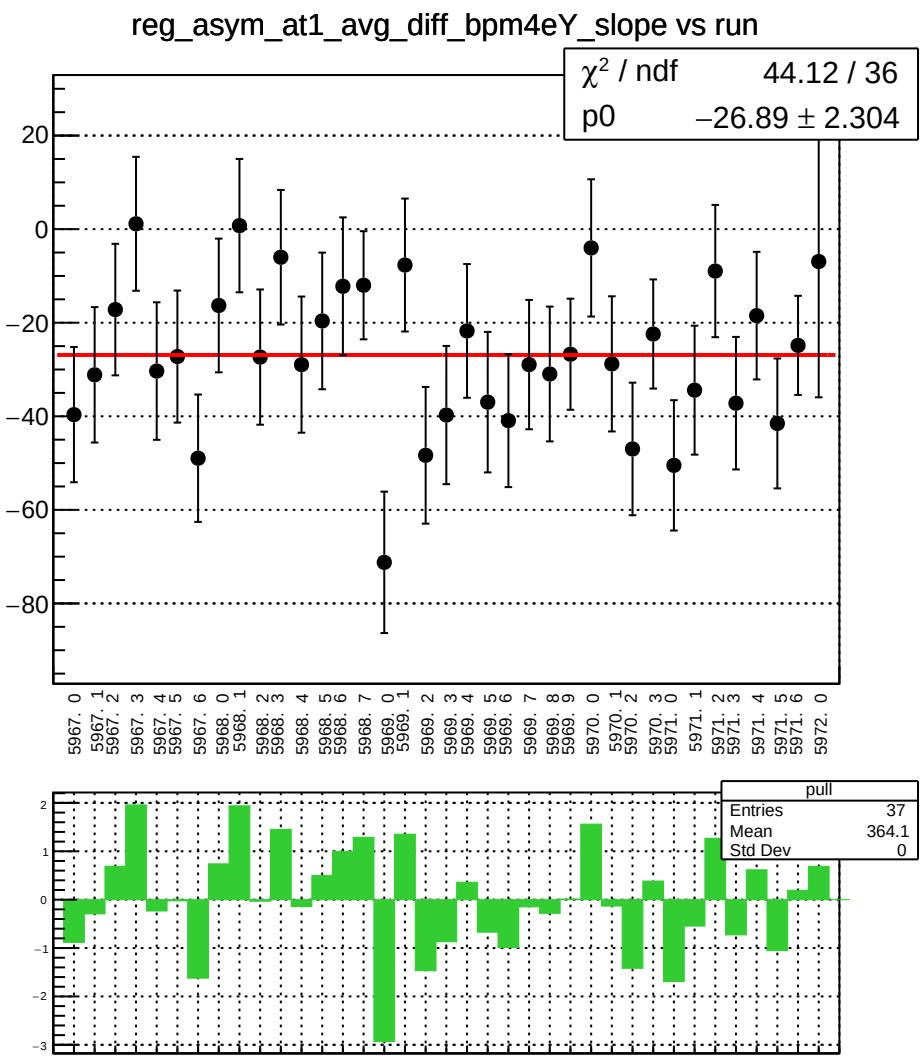
reg_asym_at1_avg_diff_bpm4eY_slope vs run
χ² / ndf 44.12 / 36
p0 −26.89 ± 2.304
pull
Entries 37
Mean 364.1
Std Dev 0

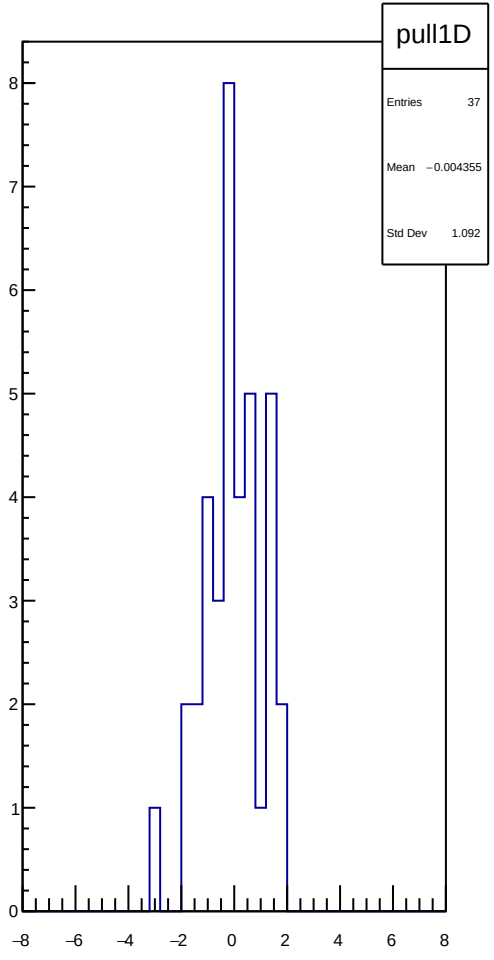
pull1D
Entries 37
Mean −0.004355
Std Dev 1.092

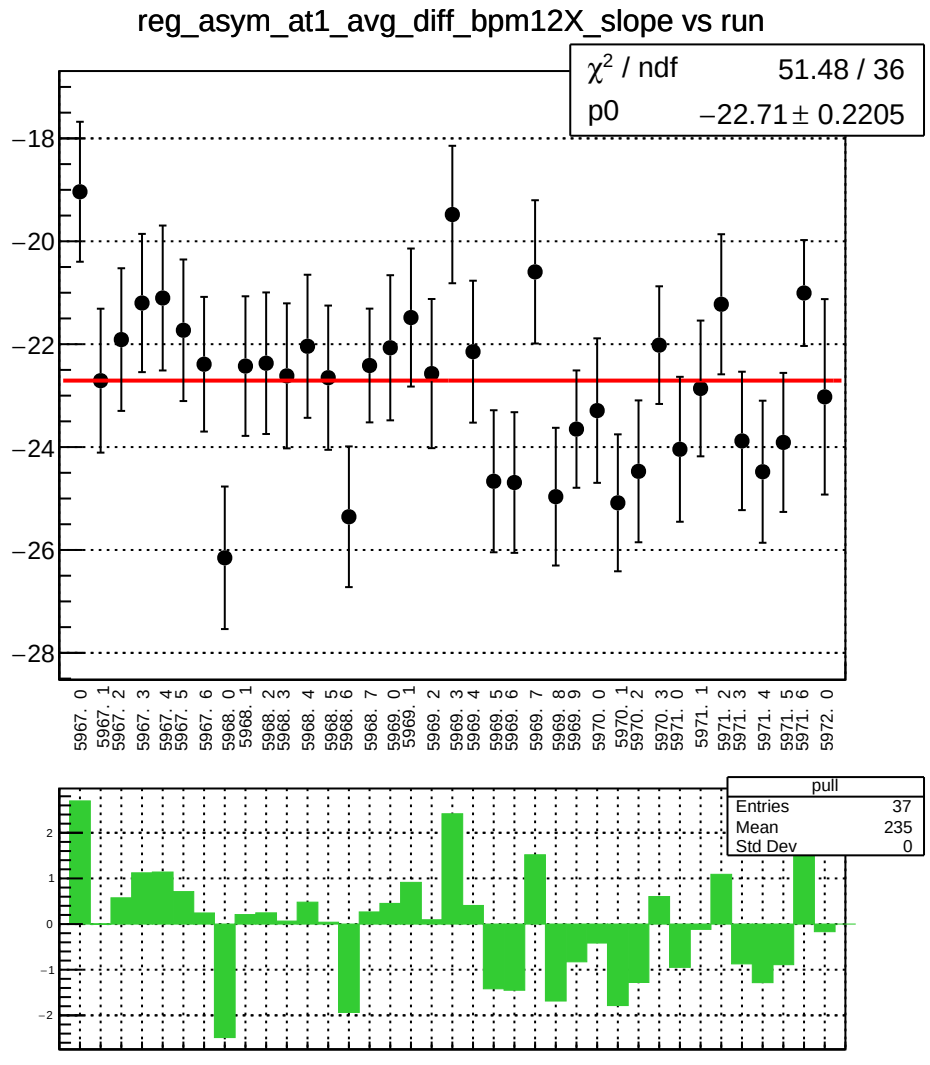
reg_asym_at1_avg_diff_bpm12X_slope vs run
χ² / ndf 51.48 / 36
p0 −22.71 ± 0.2205
pull
Entries 37
Mean 235
Std Dev 0

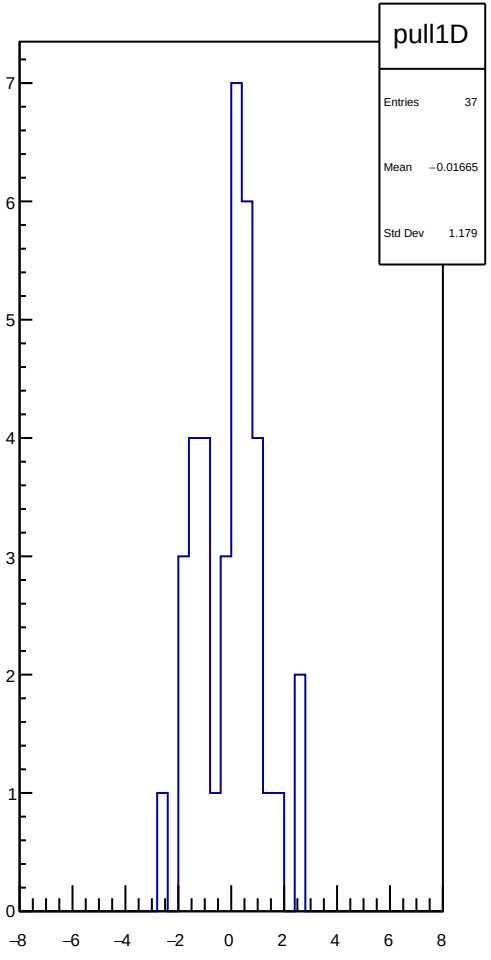
pull1D
Entries 37
Mean −0.01665
Std Dev 1.179

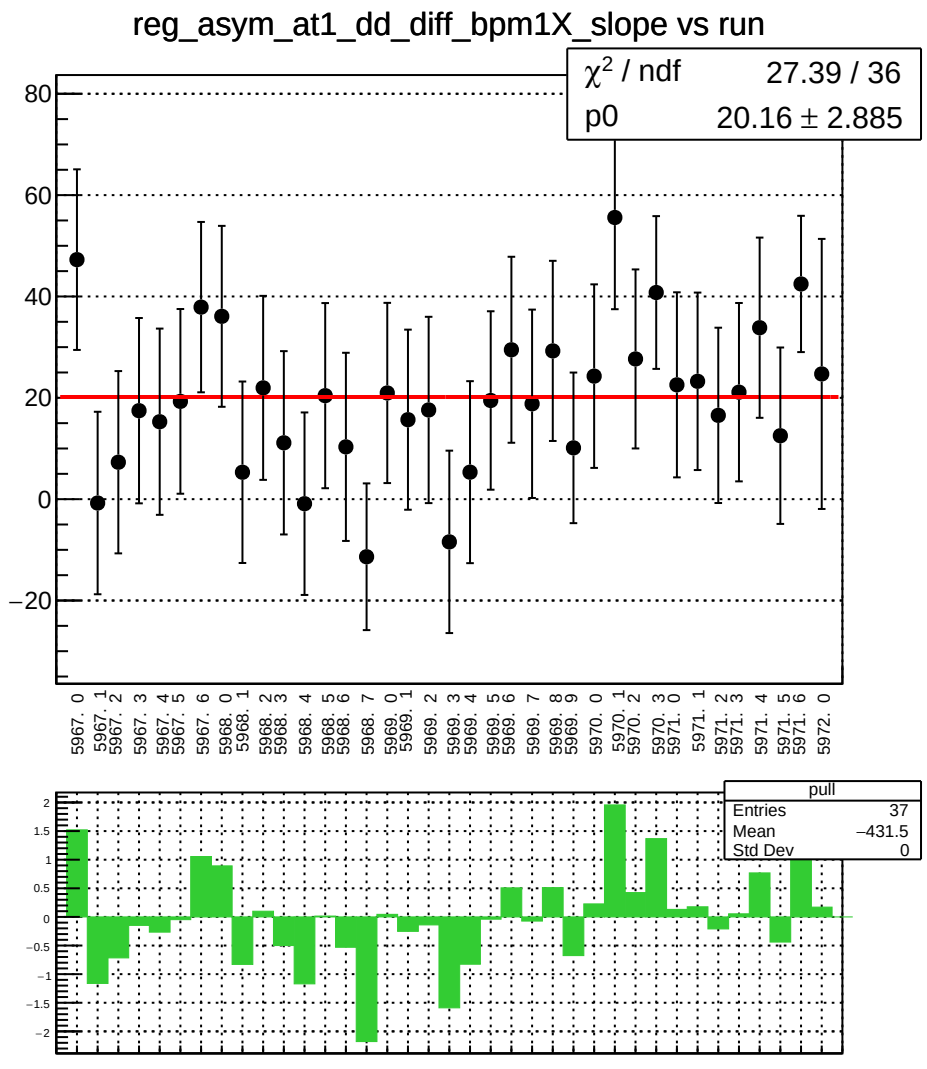
reg_asym_at1_dd_diff_bpm1X_slope vs run
χ² / ndf 27.39 / 36
p0 20.16 ± 2.885
pull
Entries 37
Mean −431.5
Std Dev 0

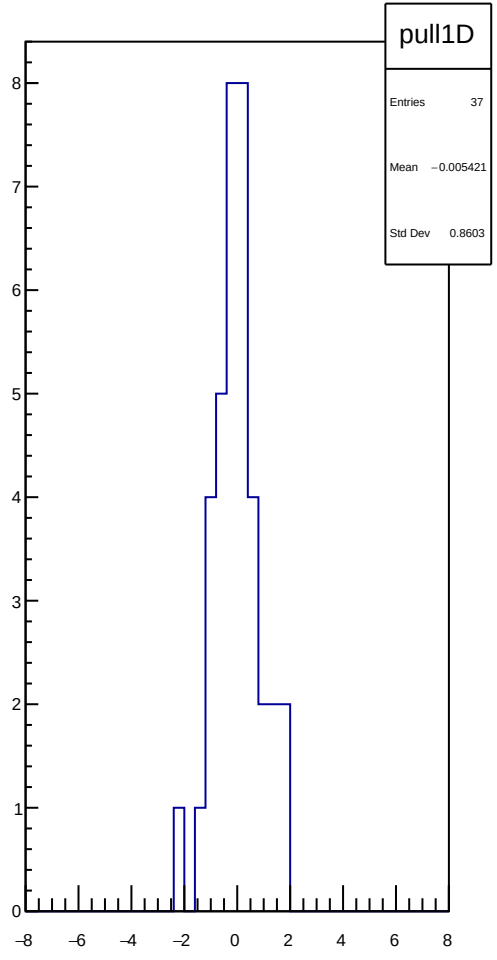
pull1D
Entries 37
Mean −0.005421
Std Dev 0.8603

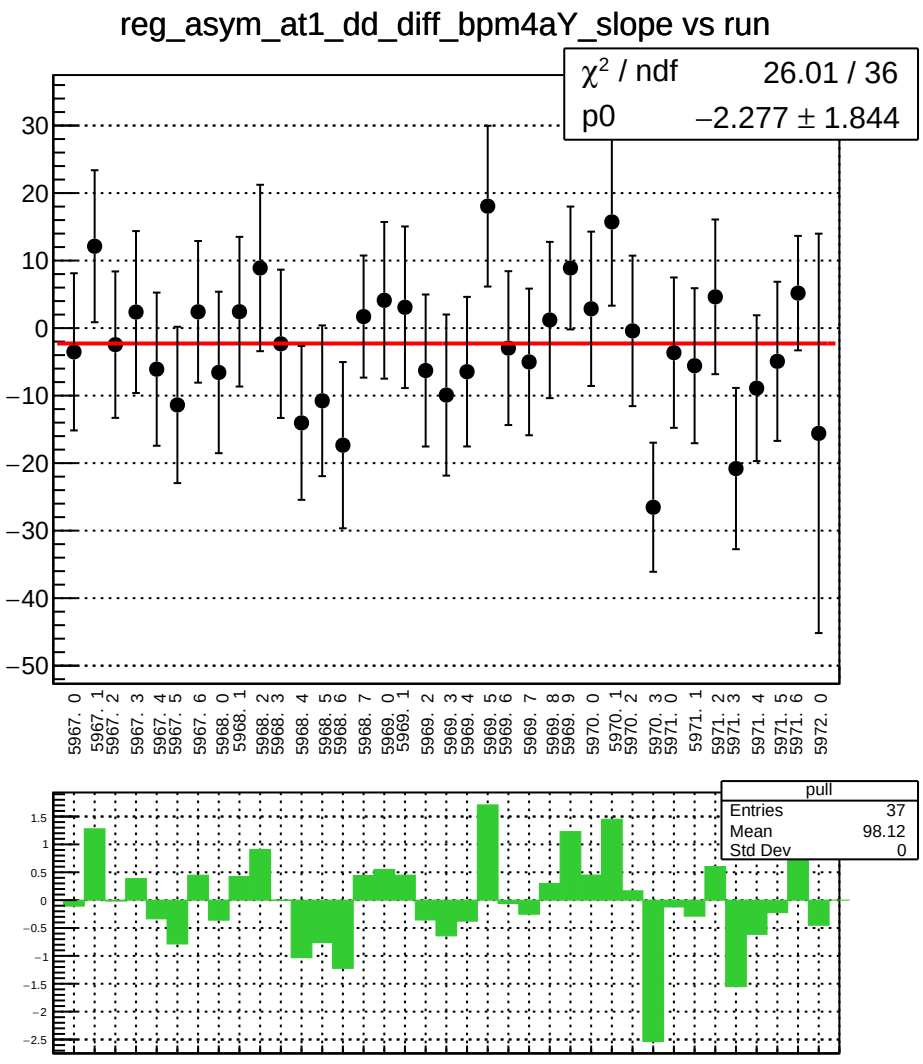
reg_asym_at1_dd_diff_bpm4aY_slope vs run
χ² / ndf 26.01 / 36
p0 −2.277 ± 1.844
pull
Entries 37
Mean 98.12
Std Dev 0

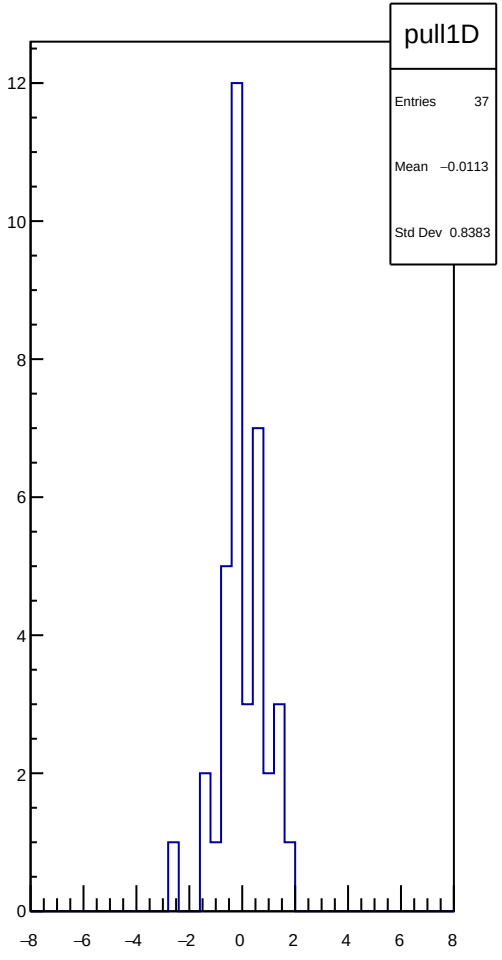
pull1D
Entries 37
Mean −0.0113
Std Dev 0.8383

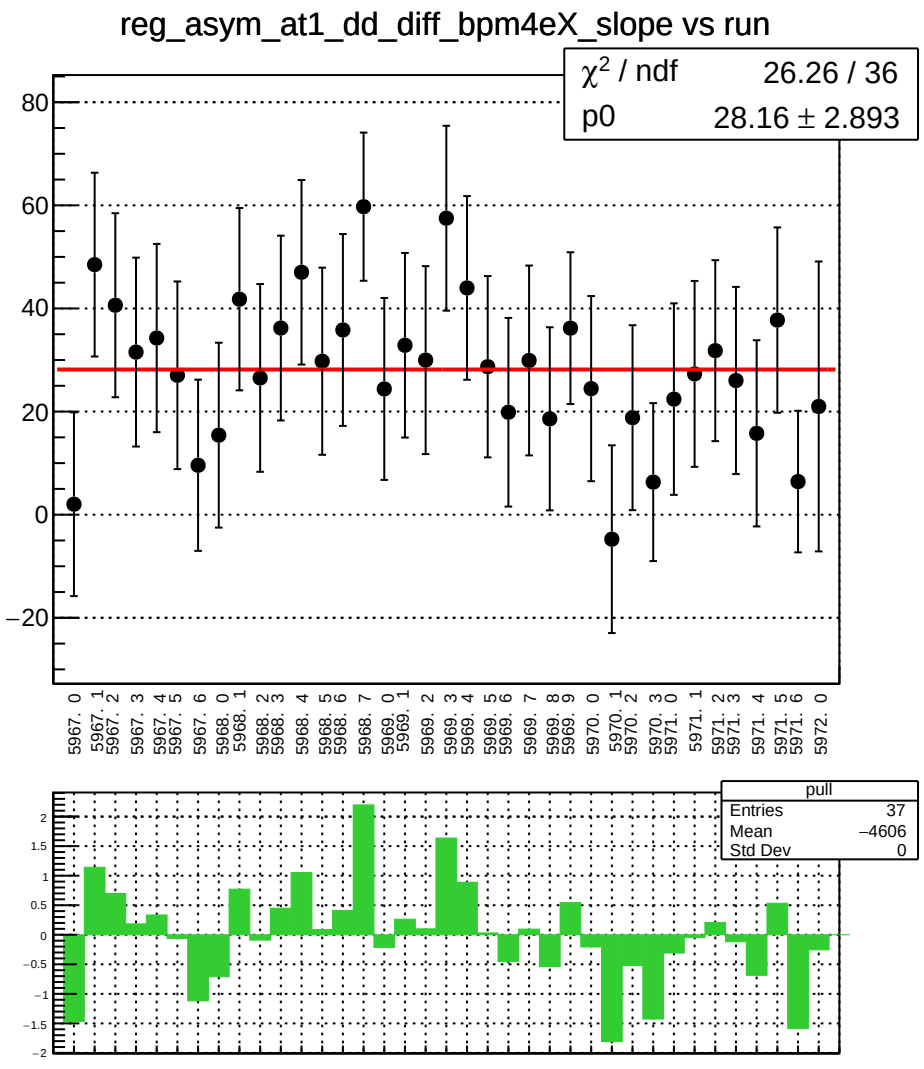
reg_asym_at1_dd_diff_bpm4eX_slope vs run
χ² / ndf 26.26 / 36
p0 28.16 ± 2.893
pull
Entries 37
Mean −4606
Std Dev 0

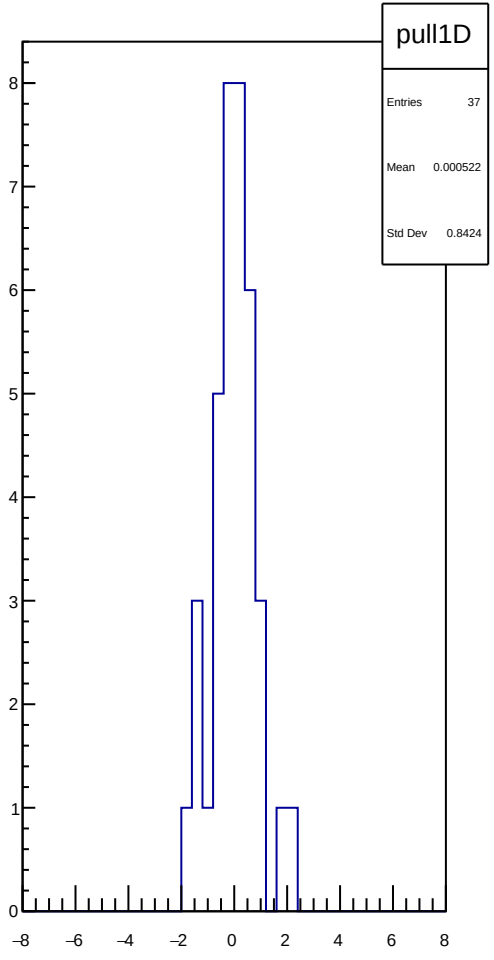
pull1D
Entries 37
Mean 0.000522
Std Dev 0.8424

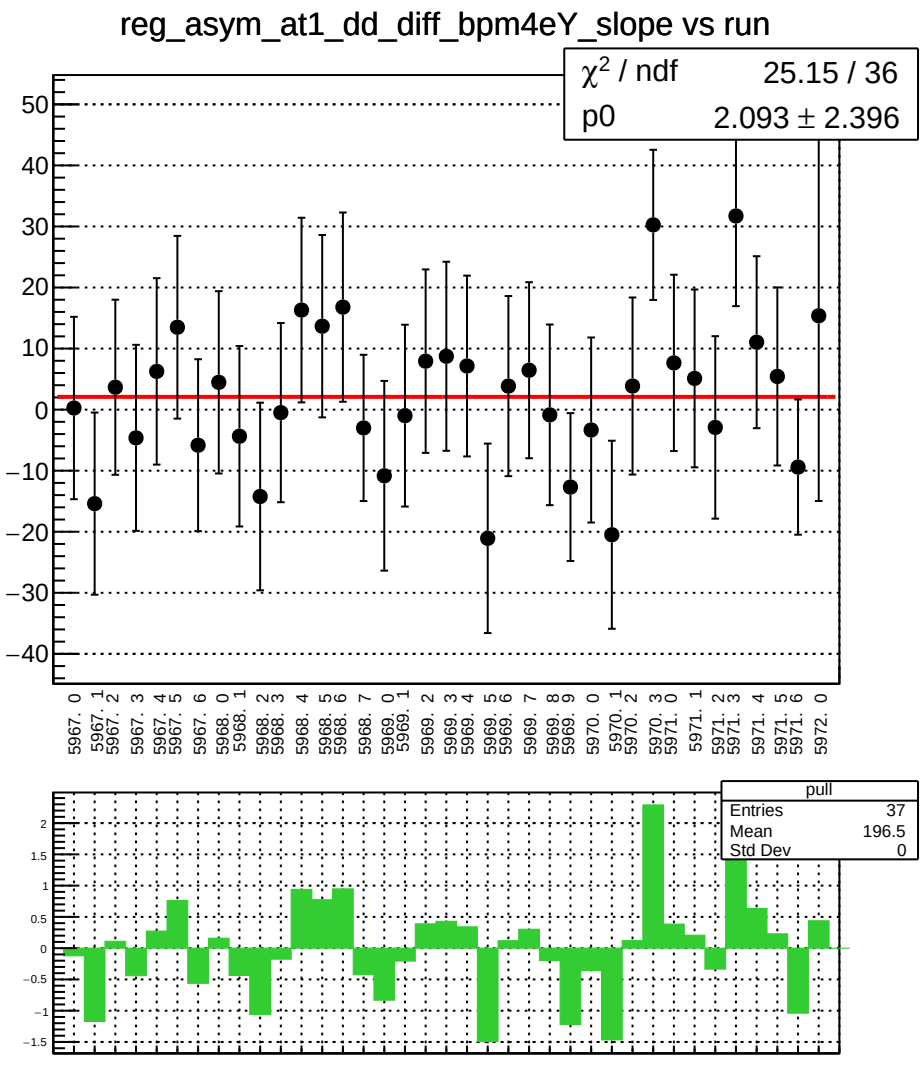
reg_asym_at1_dd_diff_bpm4eY_slope vs run
χ² / ndf 25.15 / 36
p0 2.093 ± 2.396
pull
Entries 37
Mean 196.5
Std Dev 0

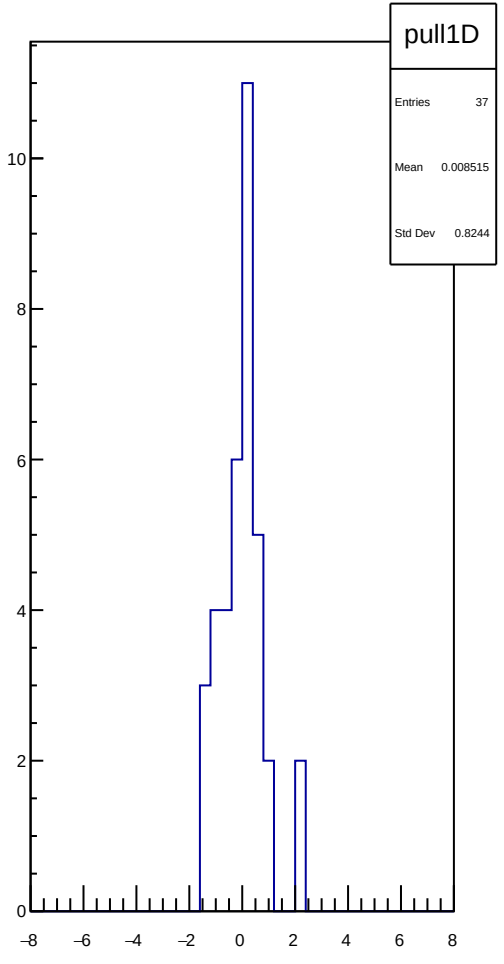
pull1D
Entries 37
Mean 0.008515
Std Dev 0.8244

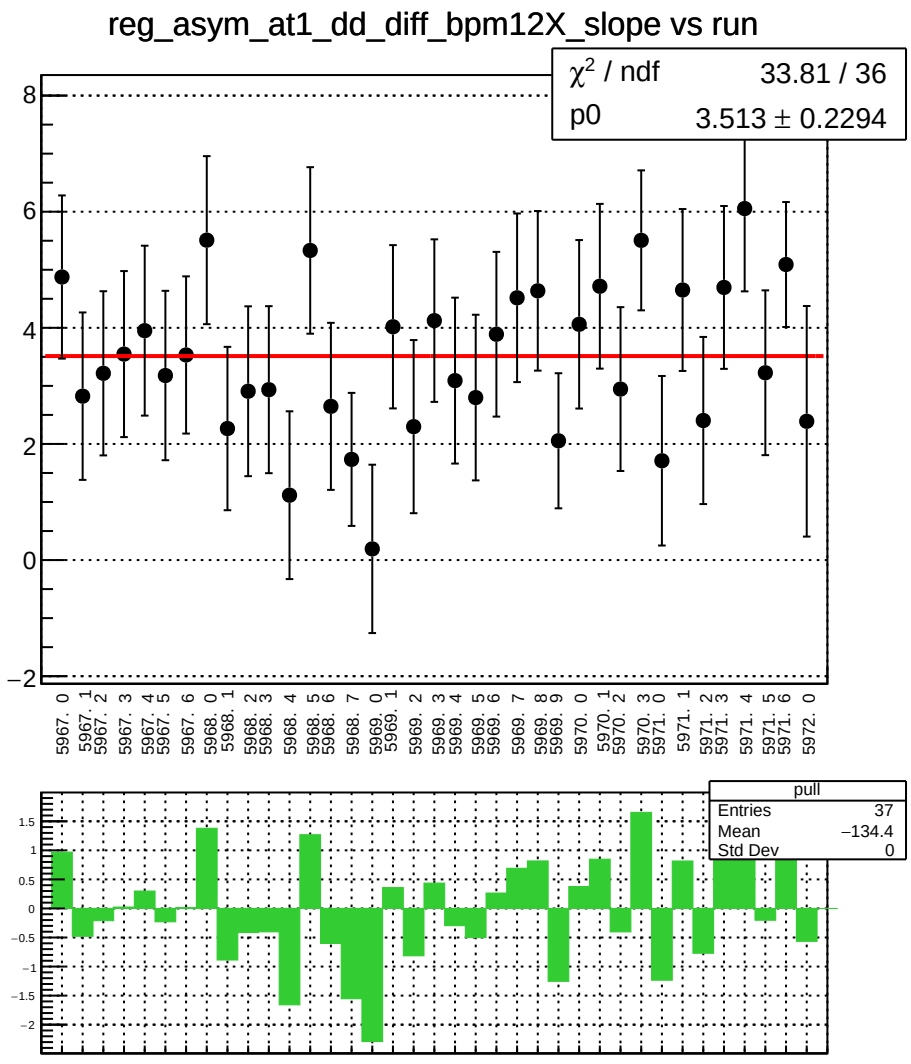
reg_asym_at1_dd_diff_bpm12X_slope vs run
χ² / ndf 33.81 / 36
p0 3.513 ± 0.2294
pull
Entries 37
Mean −134.4
Std Dev 0

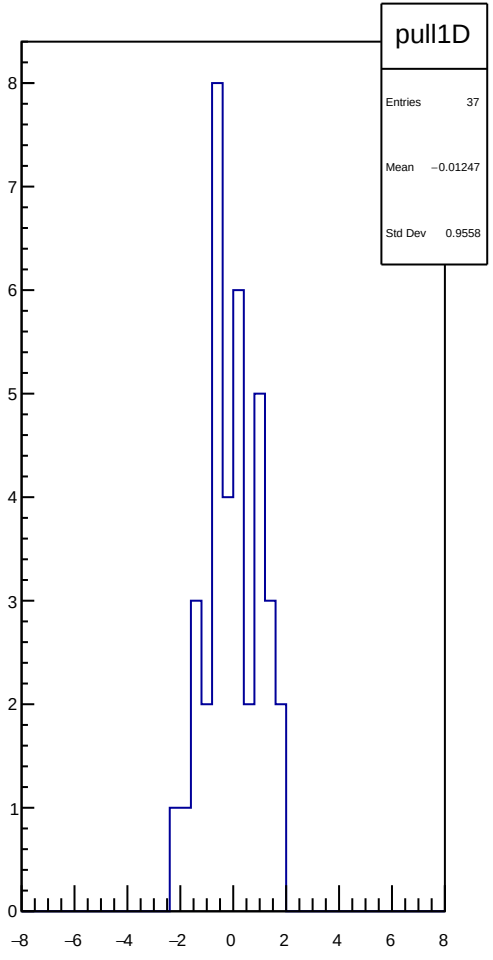
pull1D
Entries 37
Mean −0.01247
Std Dev 0.9558

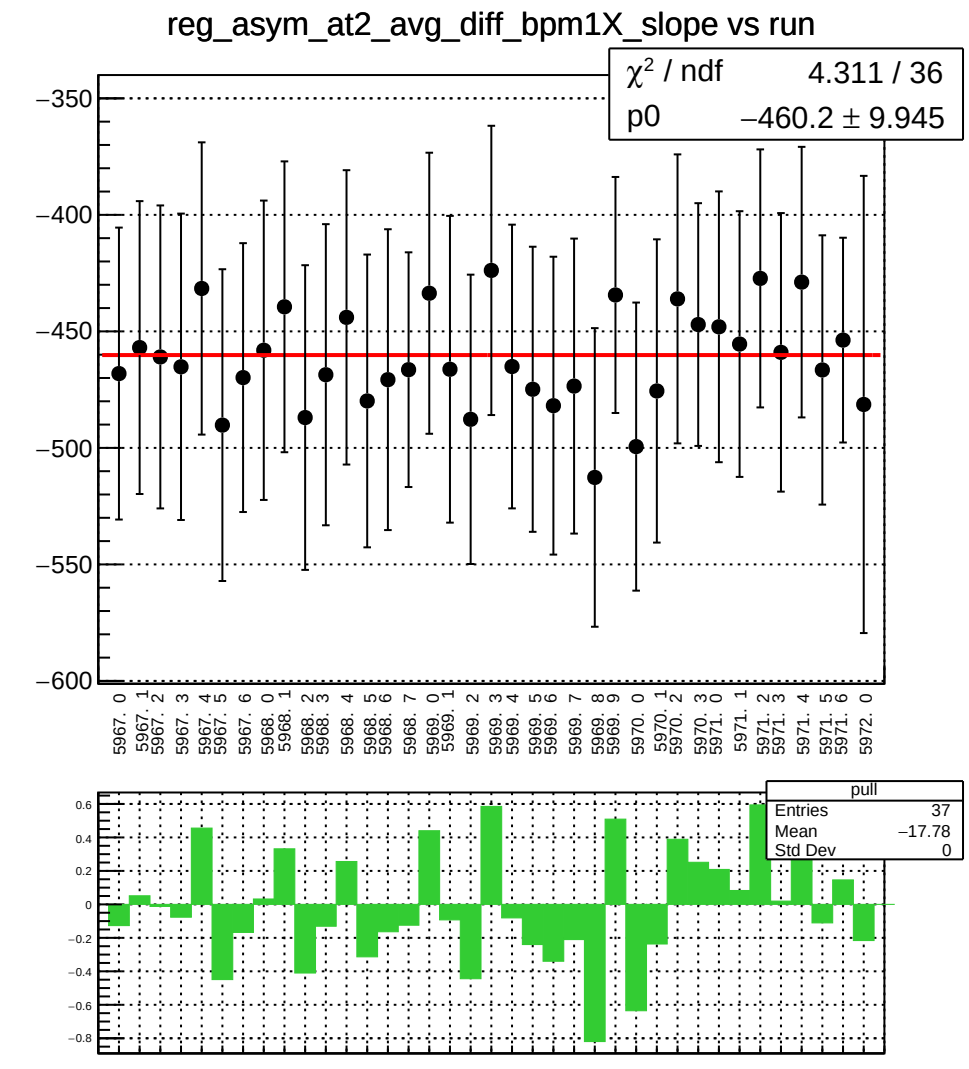
reg_asym_at2_avg_diff_bpm1X_slope vs run
χ² / ndf 4.311 / 36
p0 −460.2 ± 9.945
−350
−400
−450
−500
−550
−600
5967. 0
5967. 1
5967. 2
5967. 3
5967. 4
5967. 5
5967. 6
5968. 0
5968. 1
5968. 2
5968. 3
5968. 4
5968. 5
5968. 6
5968. 7
5969. 0
5969. 1
5969. 2
5969. 3
5969. 4
5969. 5
5969. 6
5969. 7
5969. 8
5969. 9
5970. 0
5970. 1
5970. 2
5970. 3
5971. 0
5971. 1
5971. 2
5971. 3
5971. 4
5971. 5
5971. 6
5972. 0
pull
Entries 37
Mean −17.78
Std Dev 0
0.6
0.4
0.2
0
−0.2
−0.4
−0.6
−0.8
pull1D
Entries 37
Mean −0.01372
Std Dev 0.3411
16
14
12
10
8
6
4
2
0
−8
−6
−4
−2
0
2
4
6
8

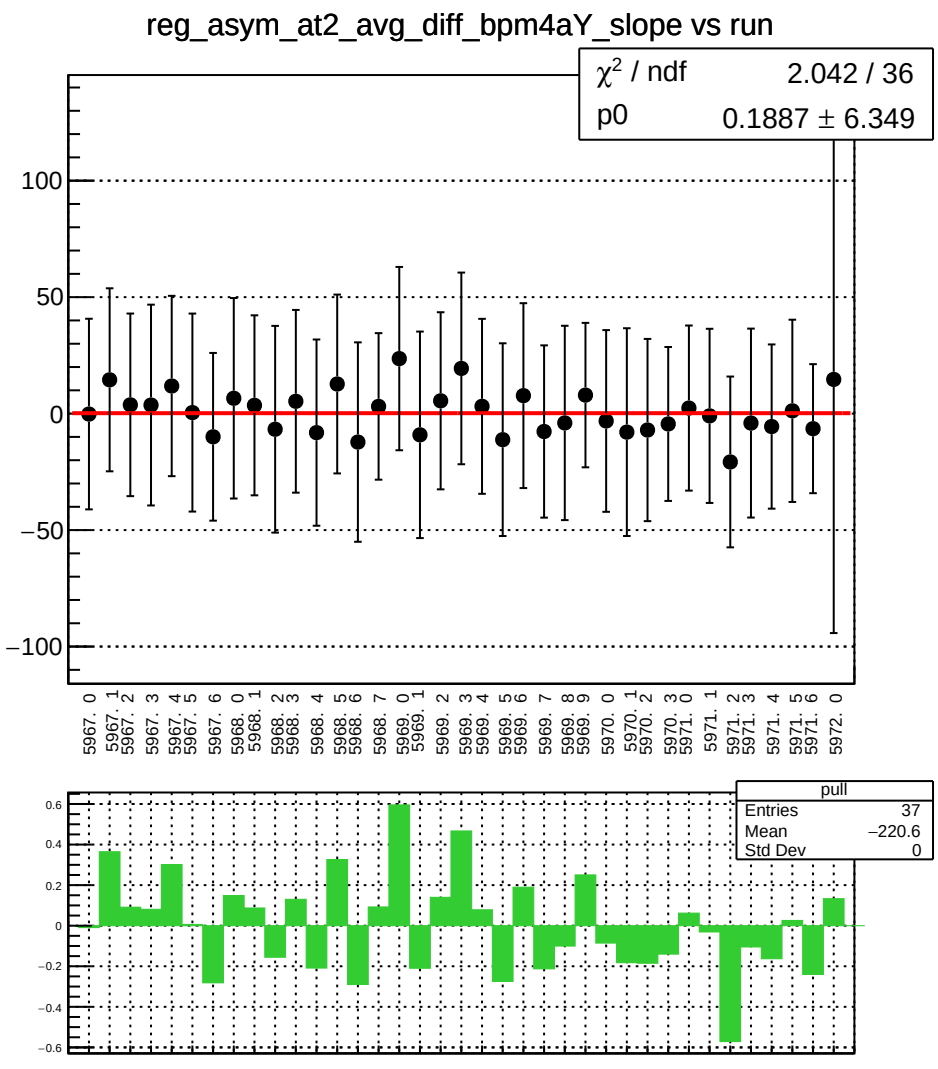
reg_asym_at2_avg_diff_bpm4aY_slope vs run
χ² / ndf 2.042 / 36
p0 0.1887 ± 6.349
100
50
0
−50
−100
5967. 0
5967. 1
5967. 2
5967. 3
5967. 4
5967. 5
5967. 6
5968. 0
5968. 1
5968. 2
5968. 3
5968. 4
5968. 5
5968. 6
5968. 7
5969. 0
5969. 1
5969. 2
5969. 3
5969. 4
5969. 5
5969. 6
5969. 7
5969. 8
5969. 9
5970. 0
5970. 1
5970. 2
5970. 3
5971. 0
5971. 1
5971. 2
5971. 3
5971. 4
5971. 5
5971. 6
5972. 0
pull
Entries 37
Mean −220.6
Std Dev 0
0.6
0.4
0.2
0
−0.2
−0.4
−0.6
pull1D
Entries 37
Mean 0.003376
Std Dev 0.2349
16
14
12
10
8
6
4
2
0
−8
−6
−4
−2
0
2
4
6
8

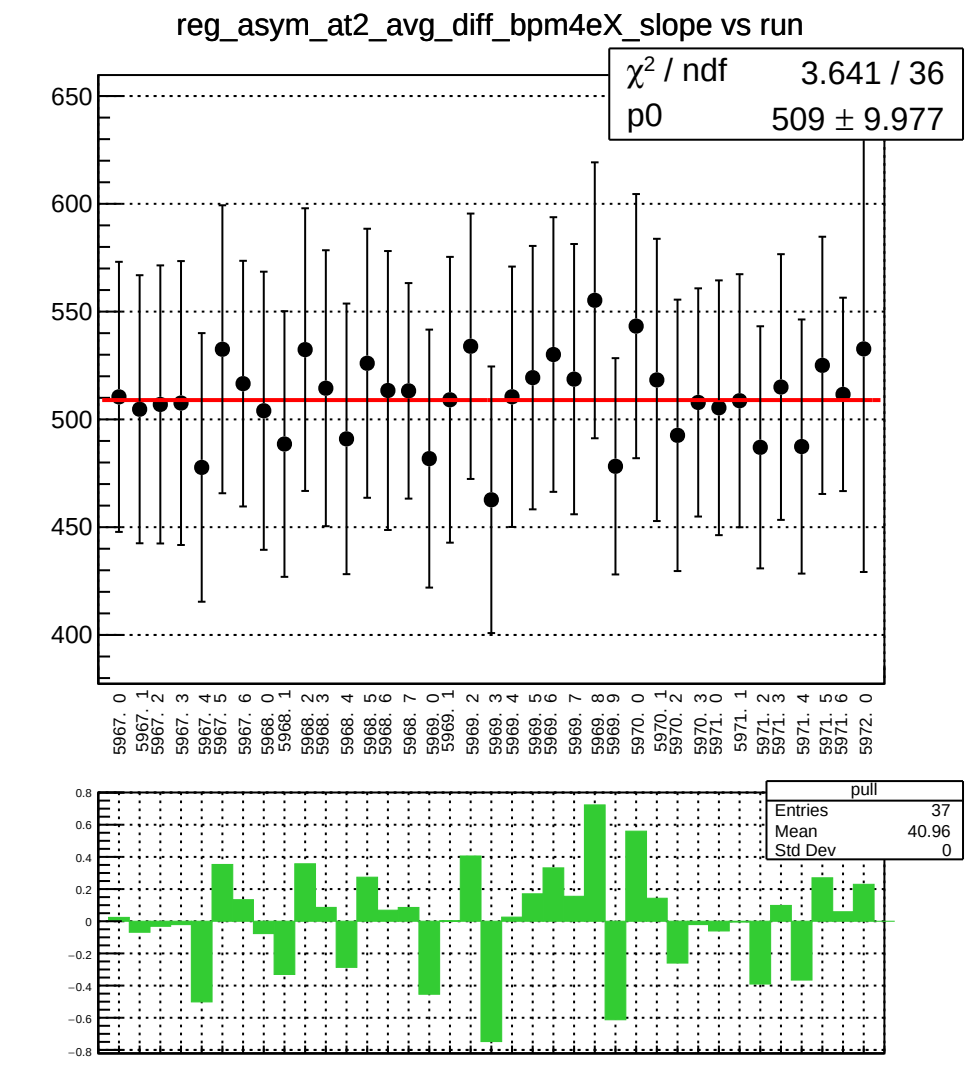
reg_asym_at2_avg_diff_bpm4eX_slope vs run
χ² / ndf 3.641 / 36
p0 509 ± 9.977
650
600
550
500
450
400
5967. 0
5967. 1
5967. 2
5967. 3
5967. 4
5967. 5
5967. 6
5968. 0
5968. 1
5968. 2
5968. 3
5968. 4
5968. 5
5968. 6
5968. 7
5969. 0
5969. 1
5969. 2
5969. 3
5969. 4
5969. 5
5969. 6
5969. 7
5969. 8
5969. 9
5970. 0
5970. 1
5970. 2
5970. 3
5971. 0
5971. 1
5971. 2
5971. 3
5971. 4
5971. 5
5971. 6
5972. 0
pull
Entries 37
Mean 40.96
Std Dev 0
0.8
0.6
0.4
0.2
0
−0.2
−0.4
−0.6
−0.8

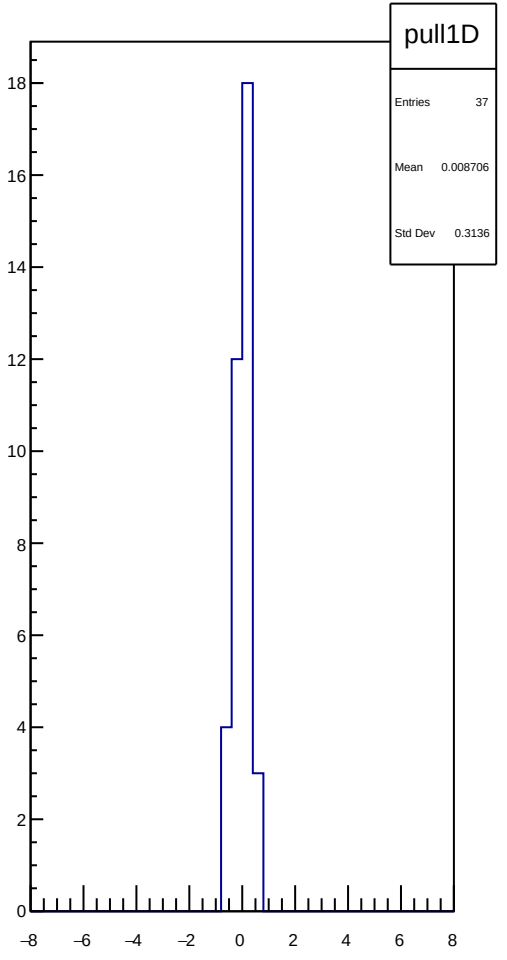
pull1D
Entries 37
Mean 0.008706
Std Dev 0.3136
18
16
14
12
10
8
6
4
2
0
−8
−6
−4
−2
0
2
4
6
8

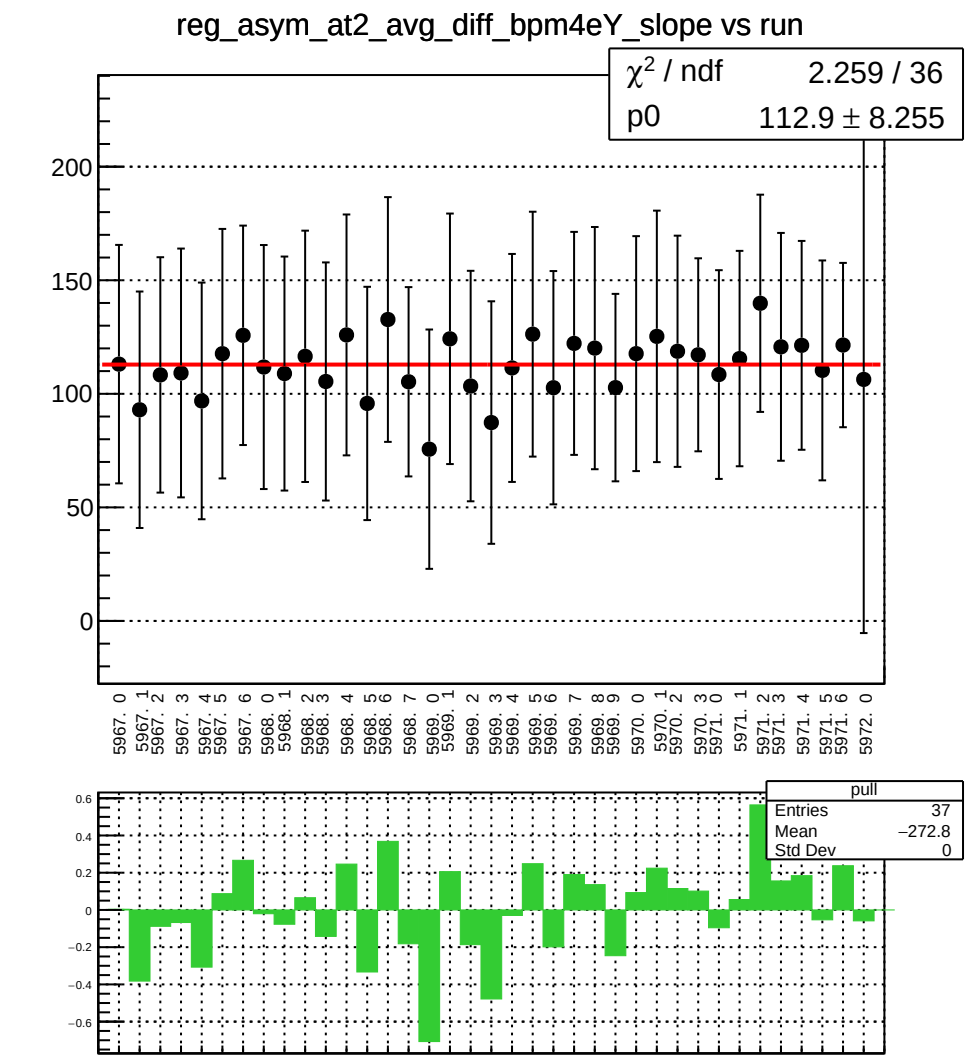
reg_asym_at2_avg_diff_bpm4eY_slope vs run
χ² / ndf 2.259 / 36
p0 112.9 ± 8.255
200
150
100
50
0
5967. 0
5967. 1
5967. 2
5967. 3
5967. 4
5967. 5
5967. 6
5968. 0
5968. 1
5968. 2
5968. 3
5968. 4
5968. 5
5968. 6
5968. 7
5969. 0
5969. 1
5969. 2
5969. 3
5969. 4
5969. 5
5969. 6
5969. 7
5969. 8
5969. 9
5970. 0
5970. 1
5970. 2
5970. 3
5971. 0
5971. 1
5971. 2
5971. 3
5971. 4
5971. 5
5971. 6
5972. 0
pull
Entries 37
Mean −272.8
Std Dev 0
0.6
0.4
0.2
0
−0.2
−0.4
−0.6
pull1D
Entries 37
Mean −0.002762
Std Dev 0.2471
18
16
14
12
10
8
6
4
2
0
−8
−6
−4
−2
0
2
4
6
8

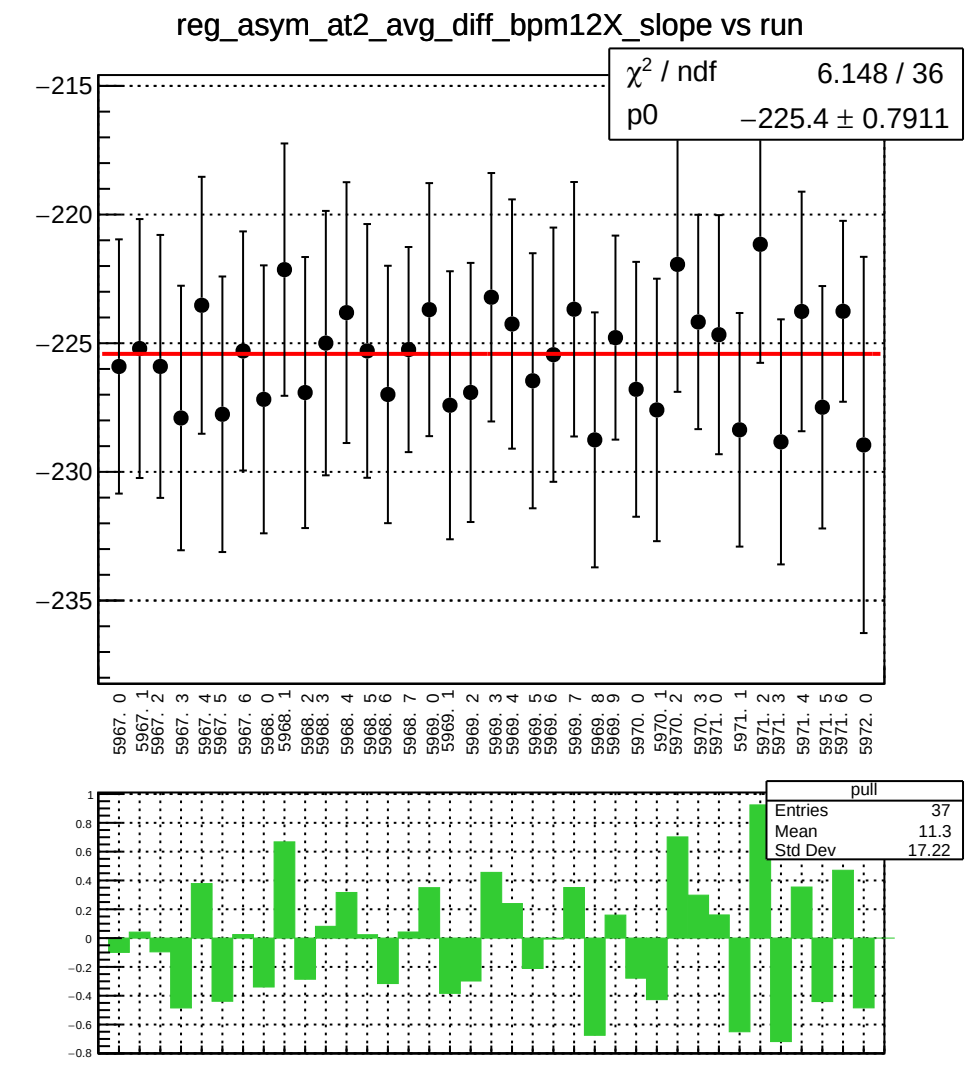
reg_asym_at2_avg_diff_bpm12X_slope vs run
χ² / ndf 6.148 / 36
p0 −225.4 ± 0.7911
−215
−220
−225
−230
−235
5967. 0
5967. 1
5967. 2
5967. 3
5967. 4
5967. 5
5967. 6
5968. 0
5968. 1
5968. 2
5968. 3
5968. 4
5968. 5
5968. 6
5968. 7
5969. 0
5969. 1
5969. 2
5969. 3
5969. 4
5969. 5
5969. 6
5969. 7
5969. 8
5969. 9
5970. 0
5970. 1
5970. 2
5970. 3
5971. 0
5971. 1
5971. 2
5971. 3
5971. 4
5971. 5
5971. 6
5972. 0
pull
Entries 37
Mean 11.3
Std Dev 17.22
1
0.8
0.6
0.4
0.2
0
−0.2
−0.4
−0.6
−0.8
pull1D
Entries 37
Mean −0.0159
Std Dev 0.4073
14
12
10
8
6
4
2
0
−8
−6
−4
−2
0
2
4
6
8

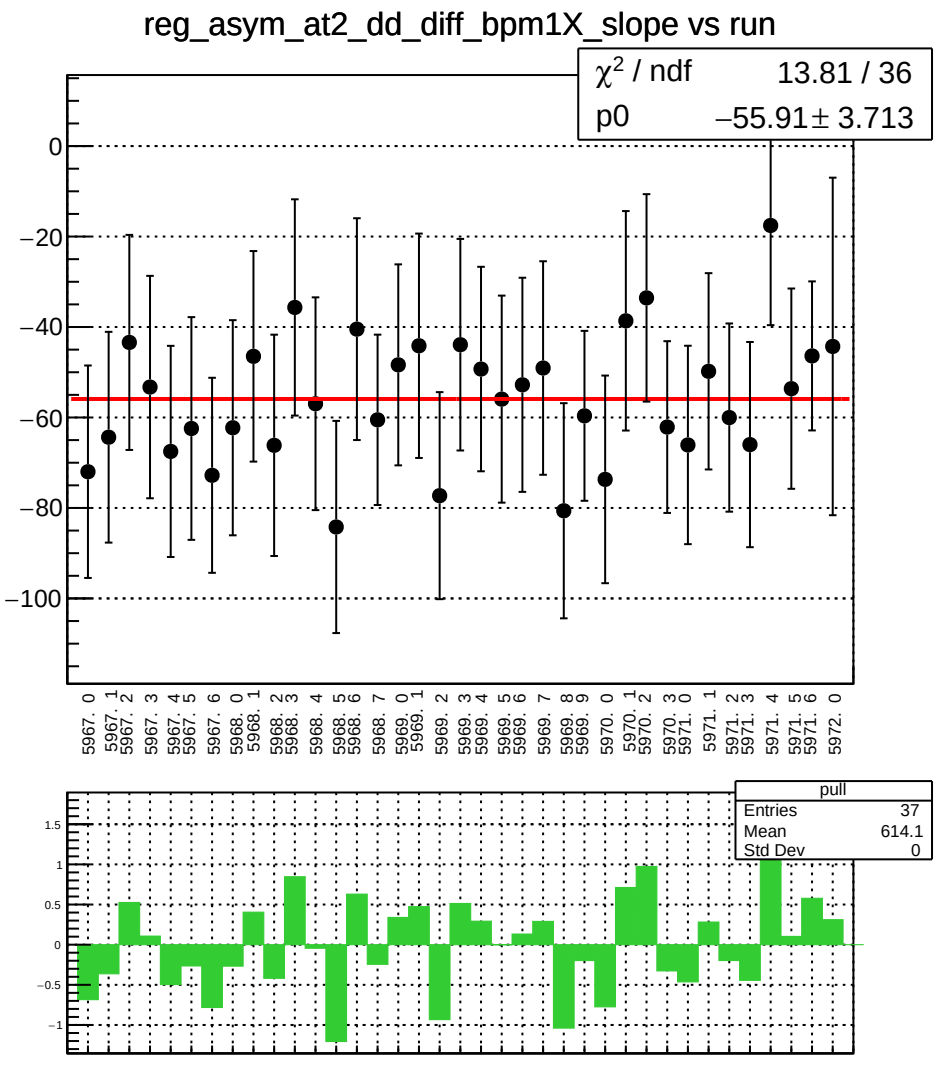
reg_asym_at2_dd_diff_bpm1X_slope vs run
χ² / ndf 13.81 / 36
p0 −55.91 ± 3.713
0
−20
−40
−60
−80
−100
5967. 0
5967. 1
5967. 2
5967. 3
5967. 4
5967. 5
5967. 6
5968. 0
5968. 1
5968. 2
5968. 3
5968. 4
5968. 5
5968. 6
5968. 7
5969. 0
5969. 1
5969. 2
5969. 3
5969. 4
5969. 5
5969. 6
5969. 7
5969. 8
5969. 9
5970. 0
5970. 1
5970. 2
5970. 3
5971. 0
5971. 1
5971. 2
5971. 3
5971. 4
5971. 5
5971. 6
5972. 0
pull
Entries 37
Mean 614.1
Std Dev 0
1.5
1
0.5
0
−0.5
−1
pull1D
Entries 37
Mean 0.002833
Std Dev 0.6109
9
8
7
6
5
4
3
2
1
0
−8
−6
−4
−2
0
2
4
6
8

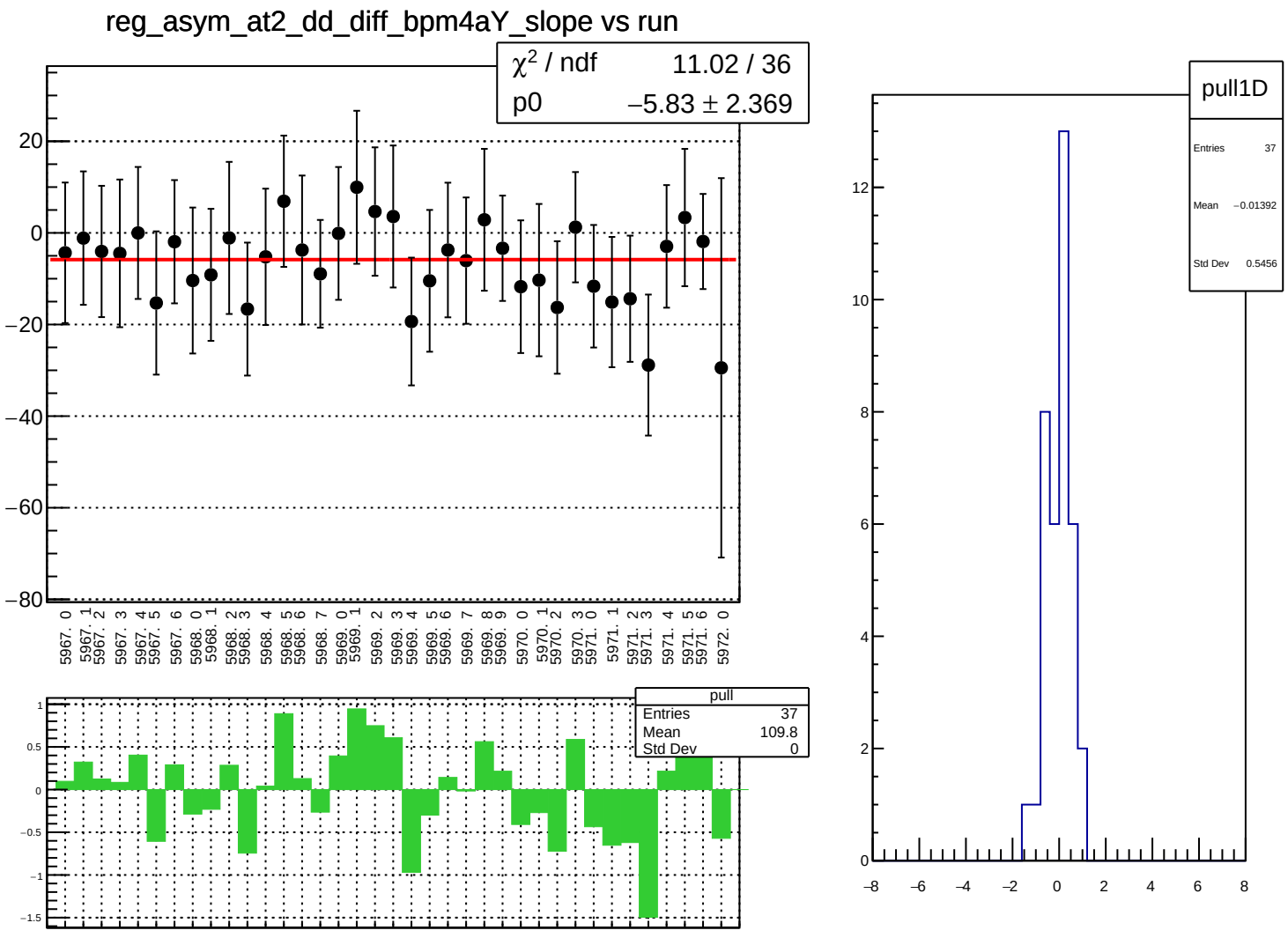
reg_asym_at2_dd_diff_bpm4aY_slope vs run
χ² / ndf 11.02 / 36
p0 −5.83 ± 2.369
20
0
−20
−40
−60
−80
5967. 0
5967. 1
5967. 2
5967. 3
5967. 4
5967. 5
5967. 6
5968. 0
5968. 1
5968. 2
5968. 3
5968. 4
5968. 5
5968. 6
5968. 7
5969. 0
5969. 1
5969. 2
5969. 3
5969. 4
5969. 5
5969. 6
5969. 7
5969. 8
5969. 9
5970. 0
5970. 1
5970. 2
5970. 3
5971. 0
5971. 1
5971. 2
5971. 3
5971. 4
5971. 5
5971. 6
5972. 0
pull
Entries 37
Mean 109.8
Std Dev 0
1
0.5
0
−0.5
−1
−1.5
pull1D
Entries 37
Mean −0.01392
Std Dev 0.5456
12
10
8
6
4
2
0
−8
−6
−4
−2
0
2
4
6
8

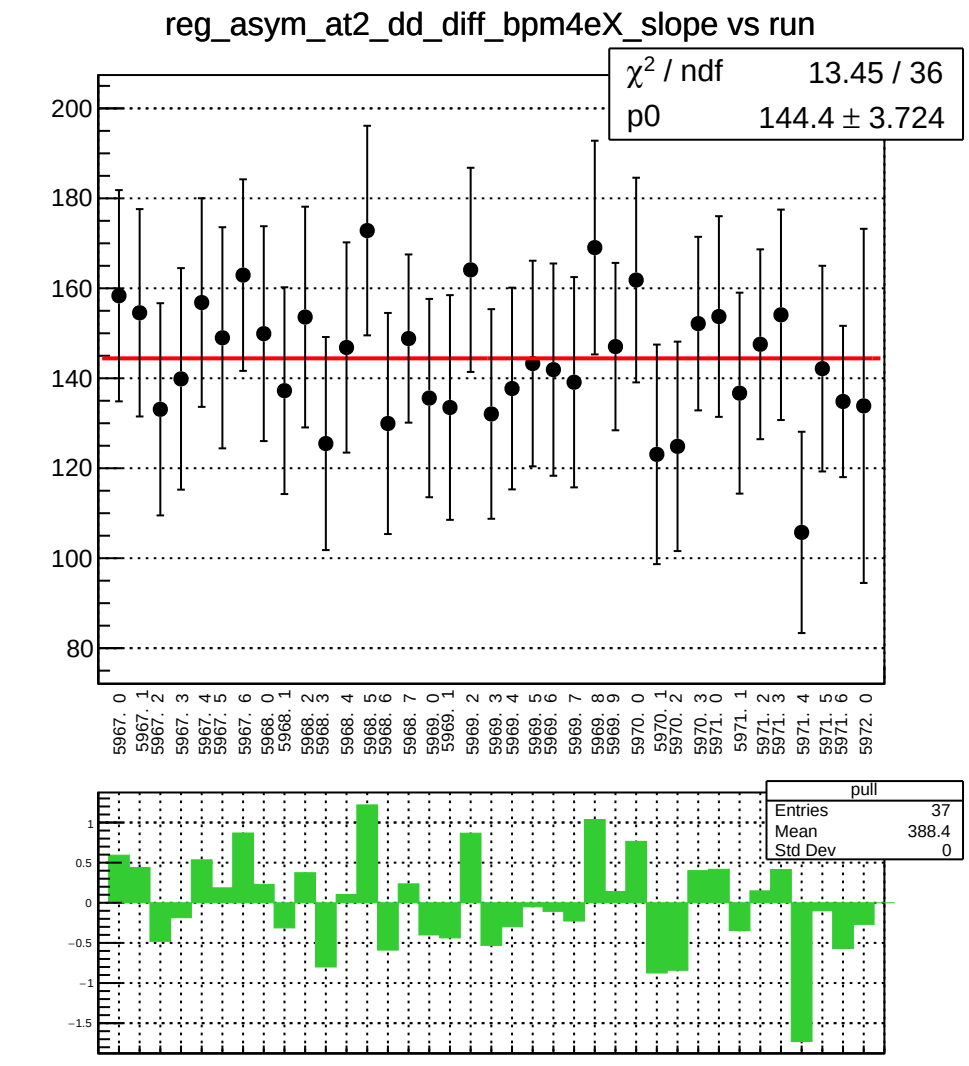
reg_asym_at2_dd_diff_bpm4eX_slope vs run
χ² / ndf 13.45 / 36
p0 144.4 ± 3.724
200
180
160
140
120
100
80
5967. 0
5967. 1
5967. 2
5967. 3
5967. 4
5967. 5
5967. 6
5968. 0
5968. 1
5968. 2
5968. 3
5968. 4
5968. 5
5968. 6
5968. 7
5969. 0
5969. 1
5969. 2
5969. 3
5969. 4
5969. 5
5969. 6
5969. 7
5969. 8
5969. 9
5970. 0
5970. 1
5970. 2
5970. 3
5971. 0
5971. 1
5971. 2
5971. 3
5971. 4
5971. 5
5971. 6
5972. 0
pull
Entries 37
Mean 388.4
Std Dev 0
1
0.5
0
−0.5
−1
−1.5
pull1D
Entries 37
Mean −0.00467
Std Dev 0.6029
9
8
7
6
5
4
3
2
1
0
−8
−6
−4
−2
0
2
4
6
8

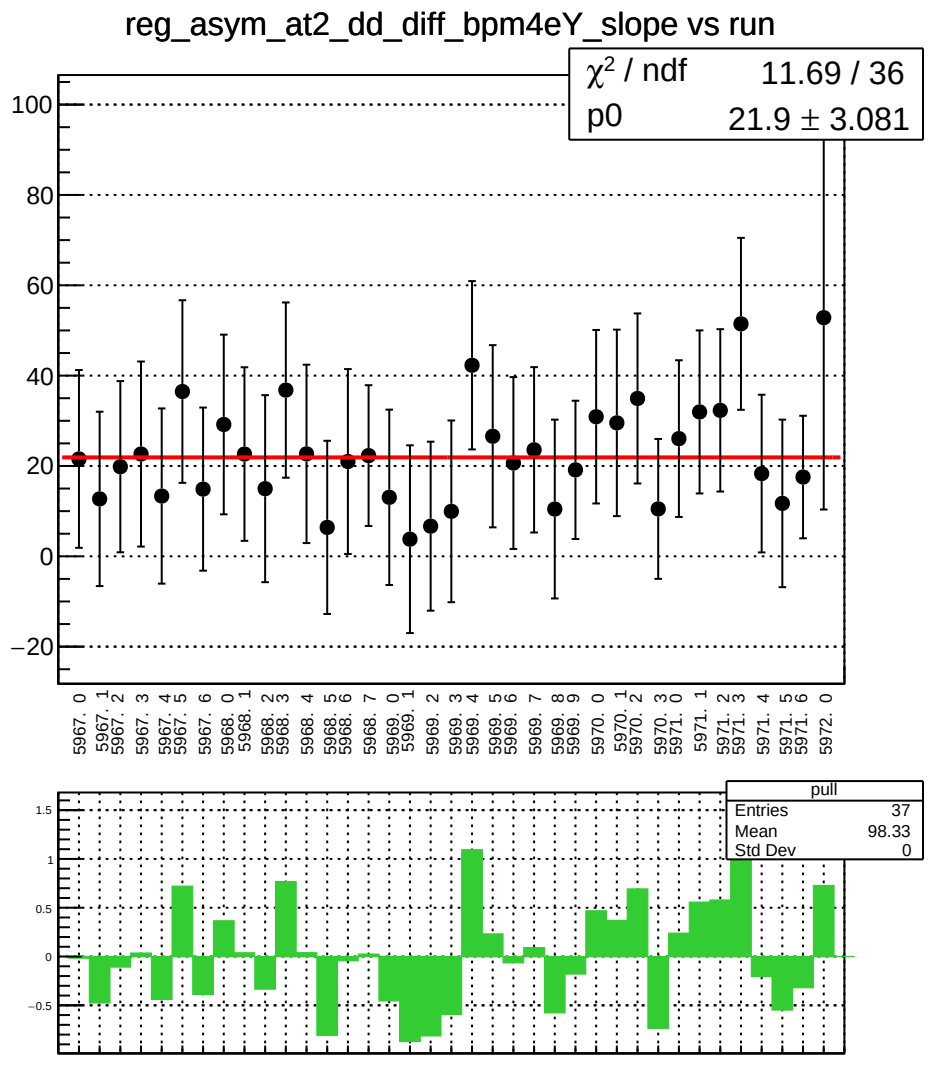
reg_asym_at2_dd_diff_bpm4eY_slope vs run
χ² / ndf 11.69 / 36
p0 21.9 ± 3.081
pull
Entries 37
Mean 98.33
Std Dev 0

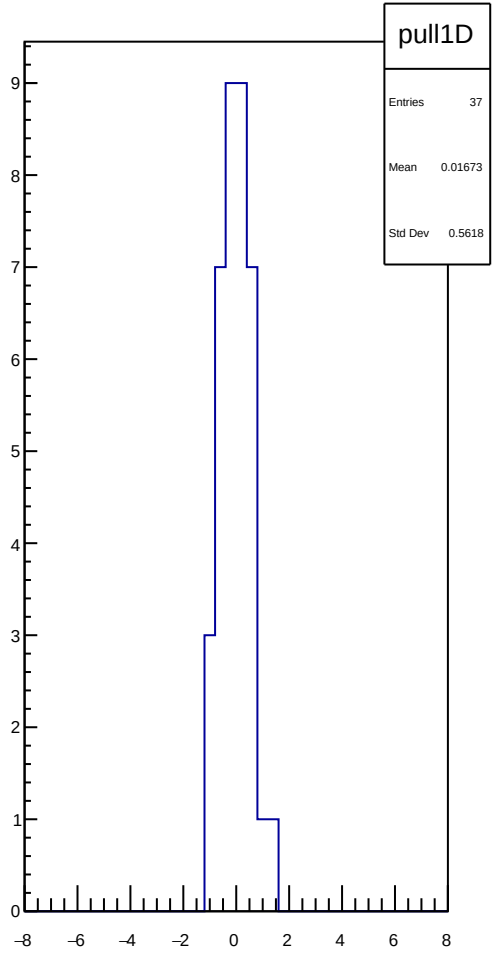
pull1D
Entries 37
Mean 0.01673
Std Dev 0.5618

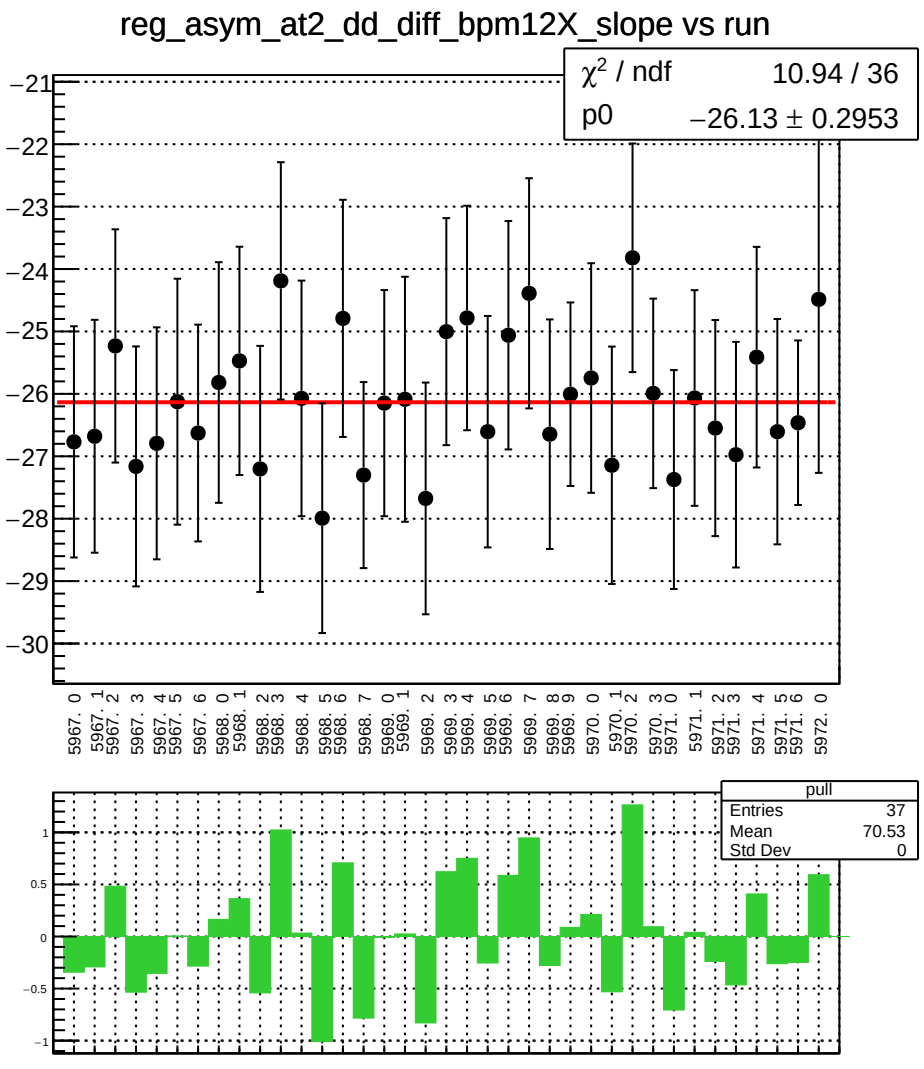
reg_asym_at2_dd_diff_bpm12X_slope vs run
χ² / ndf 10.94 / 36
p0 −26.13 ± 0.2953
pull
Entries 37
Mean 70.53
Std Dev 0

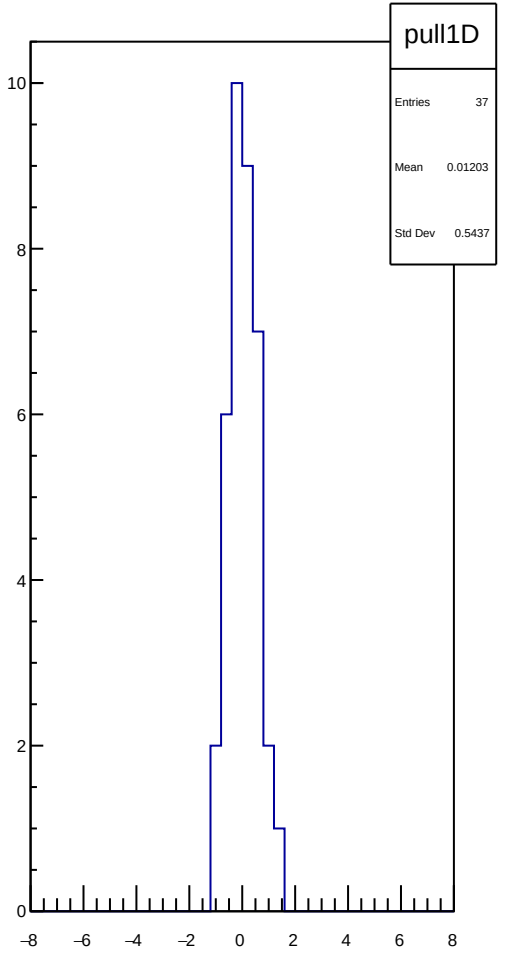
pull1D
Entries 37
Mean 0.01203
Std Dev 0.5437

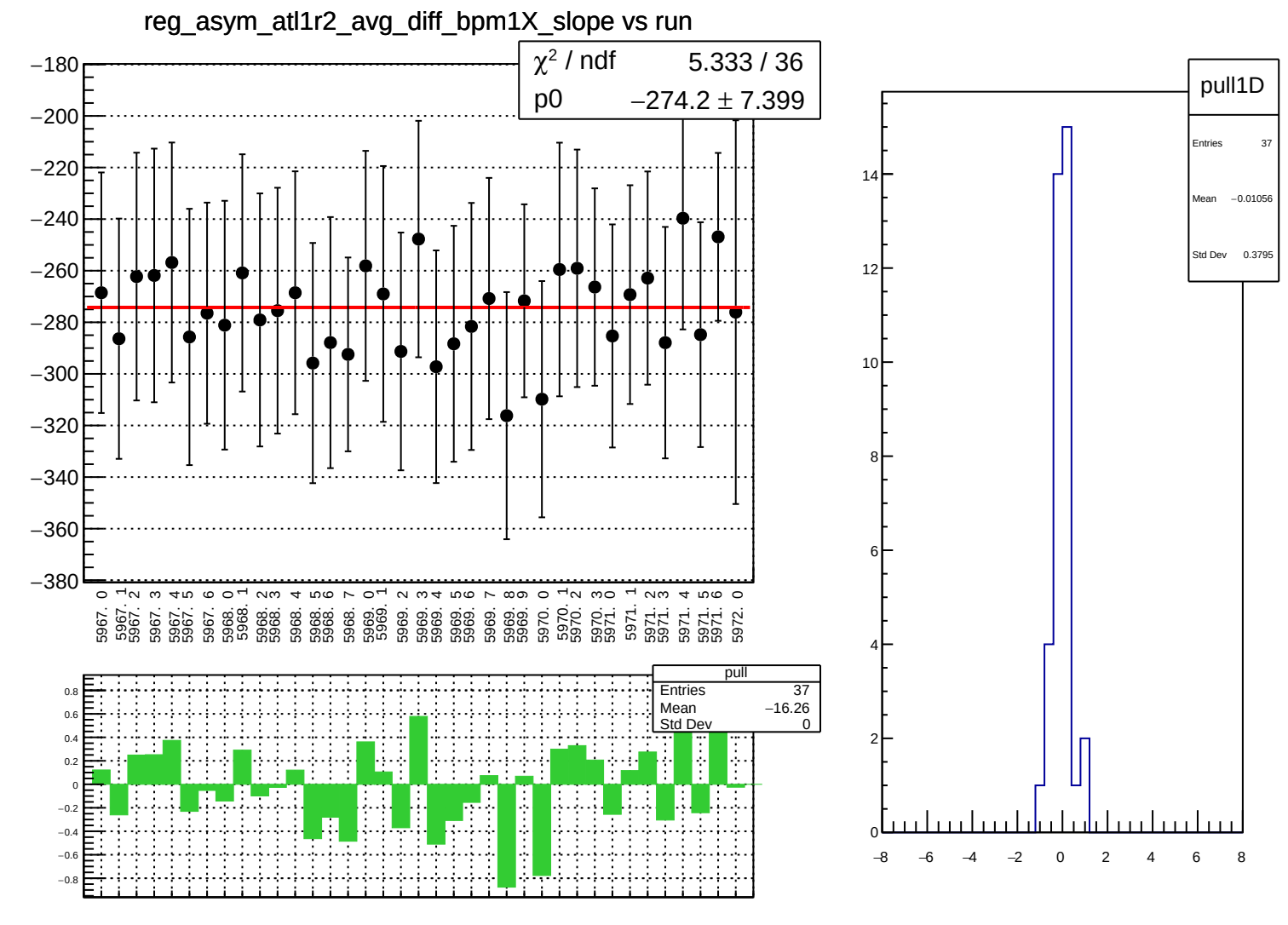
reg_asym_atl1r2_avg_diff_bpm1X_slope vs run
χ² / ndf 5.333 / 36
p0 −274.2 ± 7.399
pull
Entries 37
Mean −16.26
Std Dev 0
pull1D
Entries 37
Mean −0.01056
Std Dev 0.3795

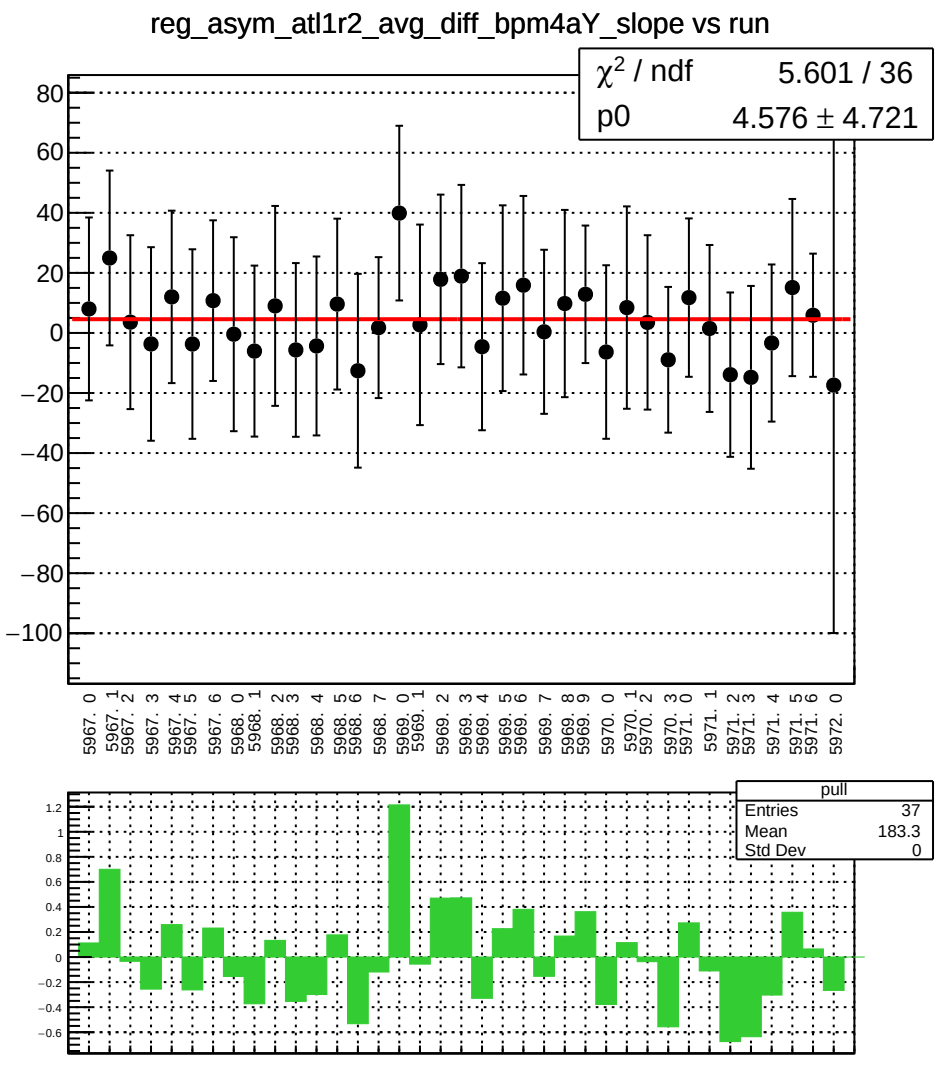
reg_asym_atl1r2_avg_diff_bpm4aY_slope vs run
χ² / ndf 5.601 / 36
p0 4.576 ± 4.721
pull
Entries 37
Mean 183.3
Std Dev 0

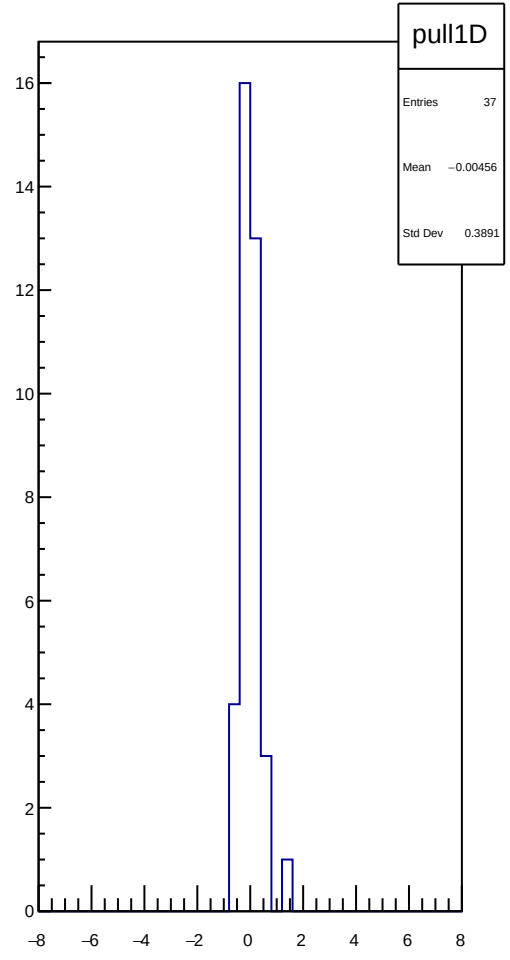
pull1D
Entries 37
Mean −0.00456
Std Dev 0.3891

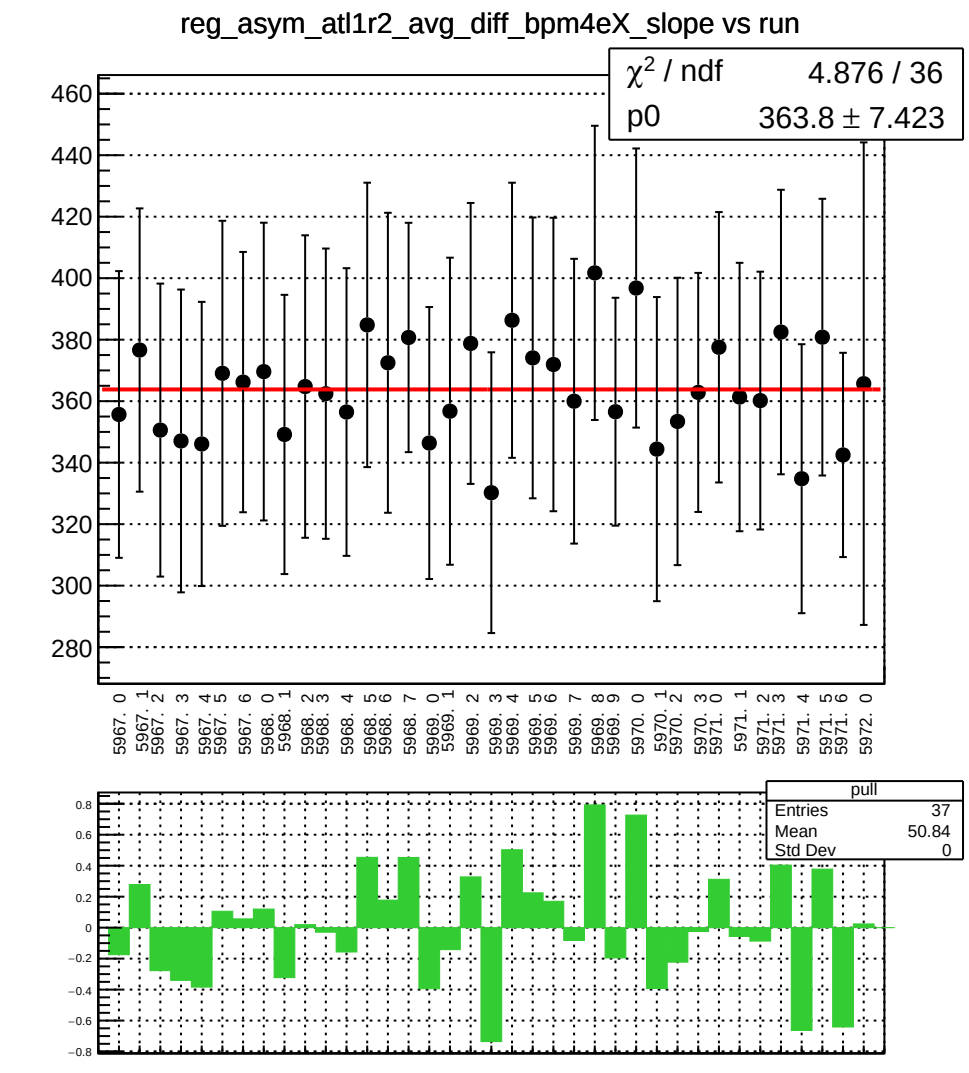
reg_asym_atl1r2_avg_diff_bpm4eX_slope vs run
χ² / ndf 4.876 / 36
p0 363.8 ± 7.423
460
440
420
400
380
360
340
320
300
280
5967. 0
5967. 1
5967. 2
5967. 3
5967. 4
5967. 5
5967. 6
5968. 0
5968. 1
5968. 2
5968. 3
5968. 4
5968. 5
5968. 6
5968. 7
5969. 0
5969. 1
5969. 2
5969. 3
5969. 4
5969. 5
5969. 6
5969. 7
5969. 8
5969. 9
5970. 0
5970. 1
5970. 2
5970. 3
5971. 0
5971. 1
5971. 2
5971. 3
5971. 4
5971. 5
5971. 6
5972. 0
pull
Entries 37
Mean 50.84
Std Dev 0
0.8
0.6
0.4
0.2
0
−0.2
−0.4
−0.6
−0.8

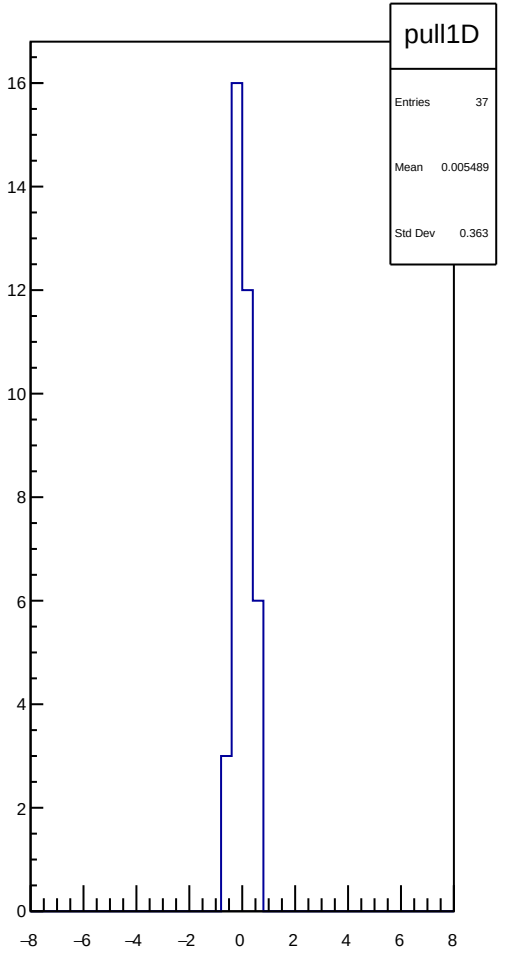
pull1D
Entries 37
Mean 0.005489
Std Dev 0.363
16
14
12
10
8
6
4
2
0
−8
−6
−4
−2
0
2
4
6
8

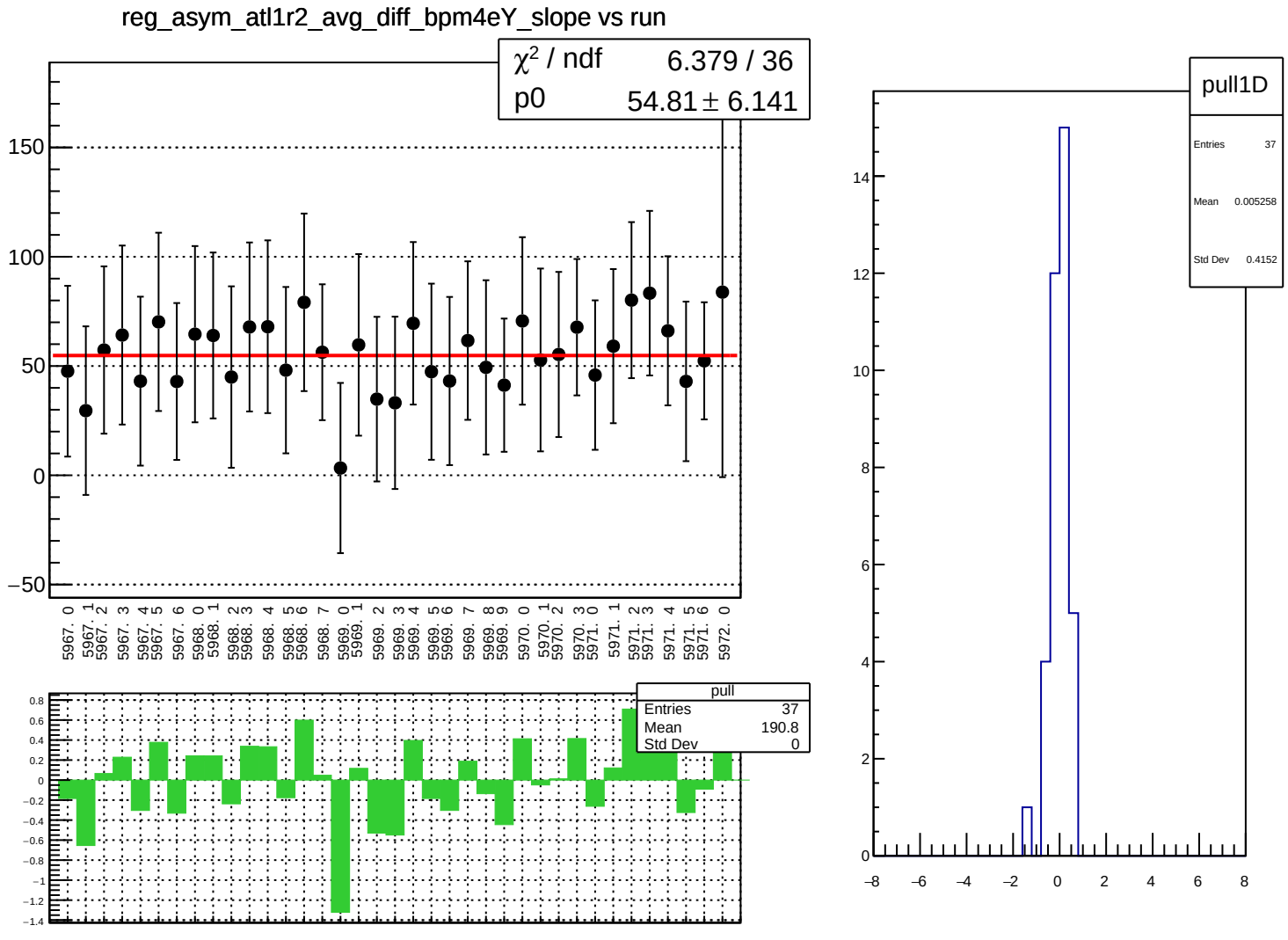
reg_asym_atl1r2_avg_diff_bpm4eY_slope vs run
χ² / ndf 6.379 / 36
p0 54.81 ± 6.141
150
100
50
0
−50
5967. 0
5967. 1
5967. 2
5967. 3
5967. 4
5967. 5
5967. 6
5968. 0
5968. 1
5968. 2
5968. 3
5968. 4
5968. 5
5968. 6
5968. 7
5969. 0
5969. 1
5969. 2
5969. 3
5969. 4
5969. 5
5969. 6
5969. 7
5969. 8
5969. 9
5970. 0
5970. 1
5970. 2
5970. 3
5971. 0
5971. 1
5971. 2
5971. 3
5971. 4
5971. 5
5971. 6
5972. 0
pull
Entries 37
Mean 190.8
Std Dev 0
0.8
0.6
0.4
0.2
0
−0.2
−0.4
−0.6
−0.8
−1
−1.2
−1.4
pull1D
Entries 37
Mean 0.005258
Std Dev 0.4152
14
12
10
8
6
4
2
0
−8
−6
−4
−2
0
2
4
6
8

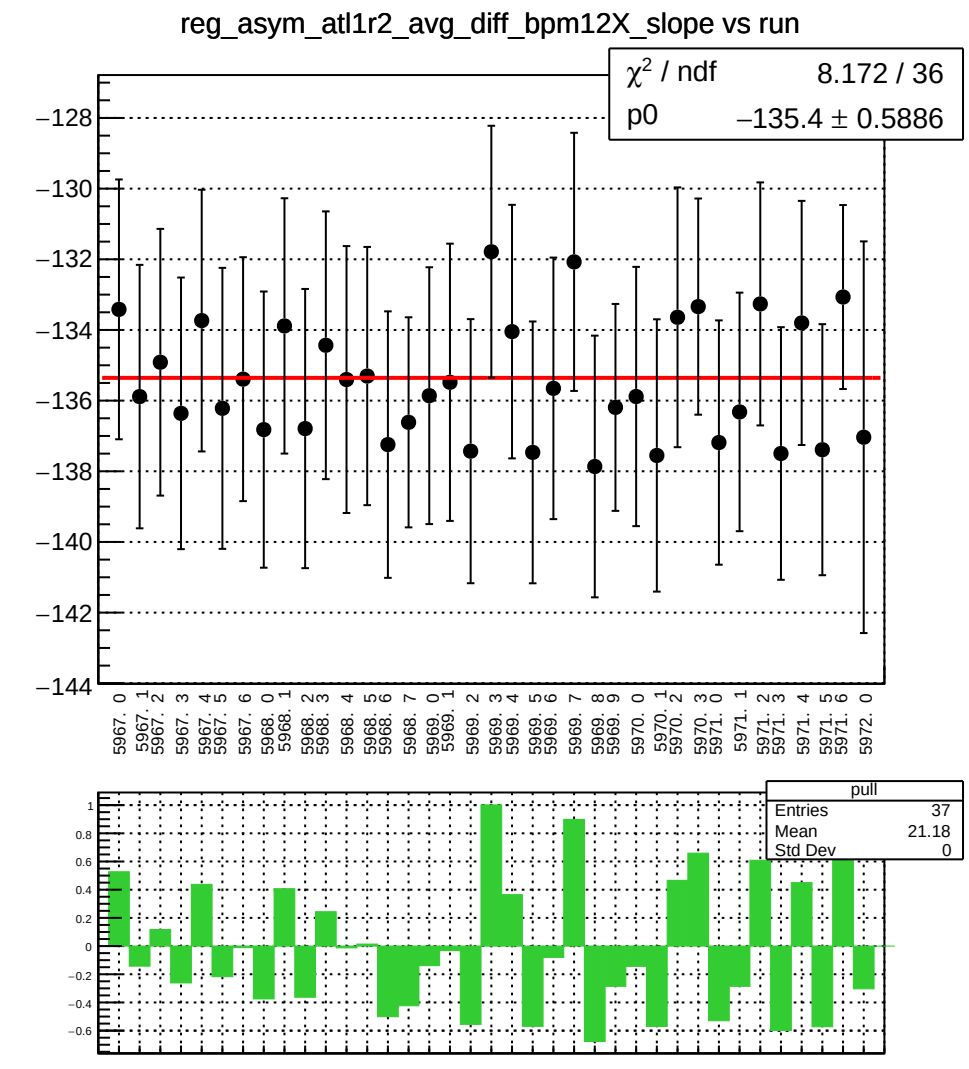
reg_asym_atl1r2_avg_diff_bpm12X_slope vs run
χ² / ndf 8.172 / 36
p0 −135.4 ± 0.5886
pull
Entries 37
Mean 21.18
Std Dev 0

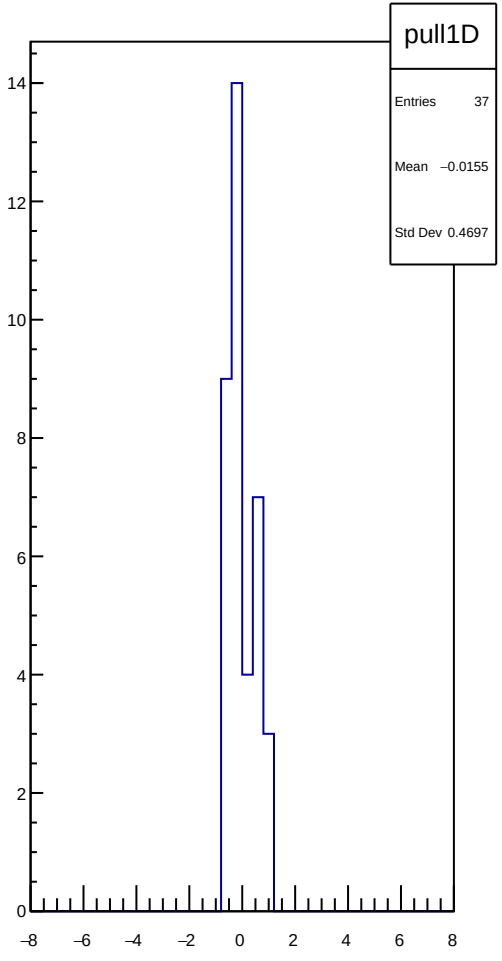
pull1D
Entries 37
Mean −0.0155
Std Dev 0.4697

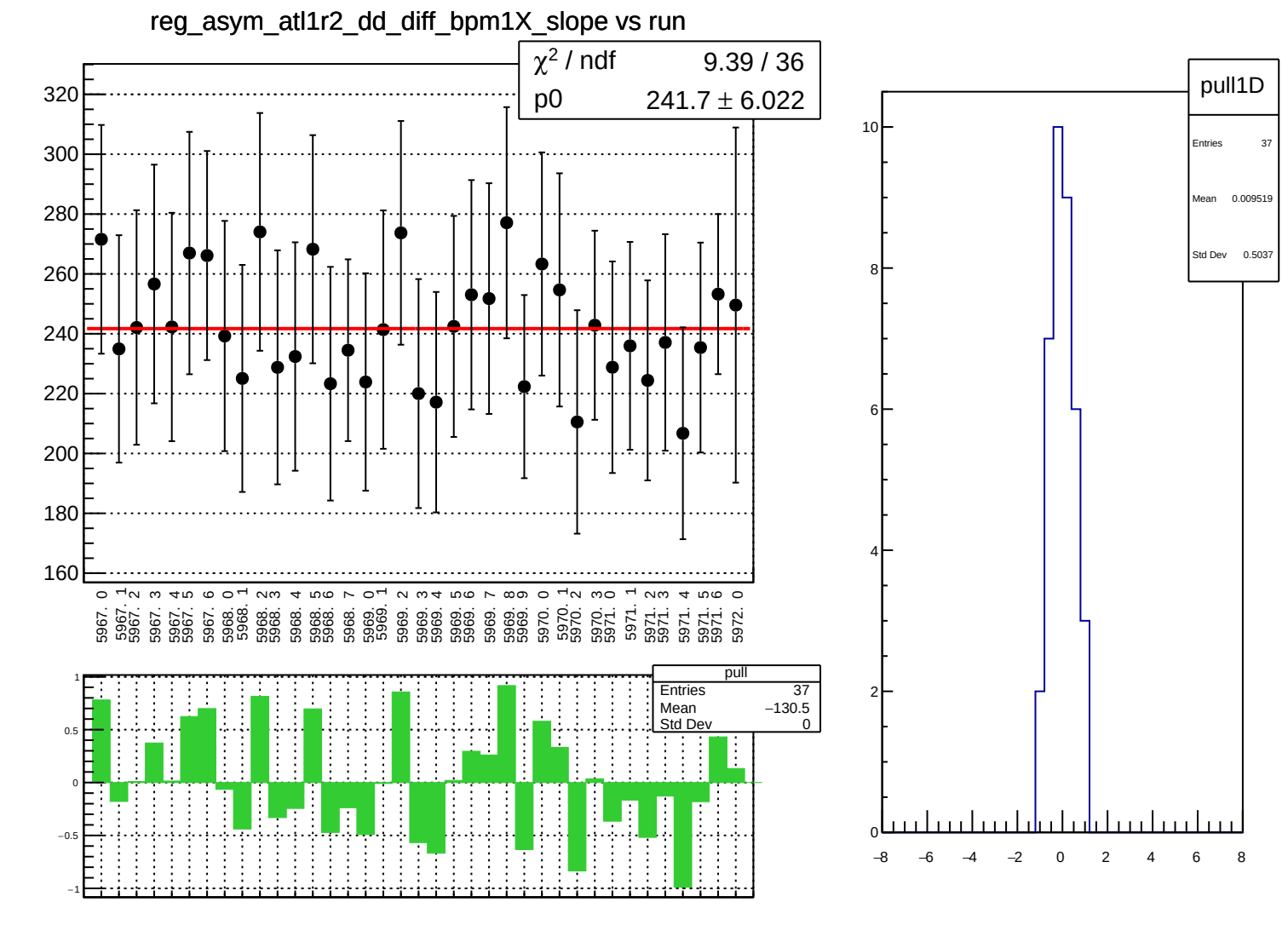
reg_asym_atl1r2_dd_diff_bpm1X_slope vs run
χ² / ndf 9.39 / 36
p0 241.7 ± 6.022
320
300
280
260
240
220
200
180
160
5967. 0
5967. 1
5967. 2
5967. 3
5967. 4
5967. 5
5967. 6
5968. 0
5968. 1
5968. 2
5968. 3
5968. 4
5968. 5
5968. 6
5968. 7
5969. 0
5969. 1
5969. 2
5969. 3
5969. 4
5969. 5
5969. 6
5969. 7
5969. 8
5969. 9
5970. 0
5970. 1
5970. 2
5970. 3
5971. 0
5971. 1
5971. 2
5971. 3
5971. 4
5971. 5
5971. 6
5972. 0
pull
Entries 37
Mean −130.5
Std Dev 0
1
0.5
0
−0.5
−1
pull1D
Entries 37
Mean 0.009519
Std Dev 0.5037
10
8
6
4
2
0
−8
−6
−4
−2
0
2
4
6
8

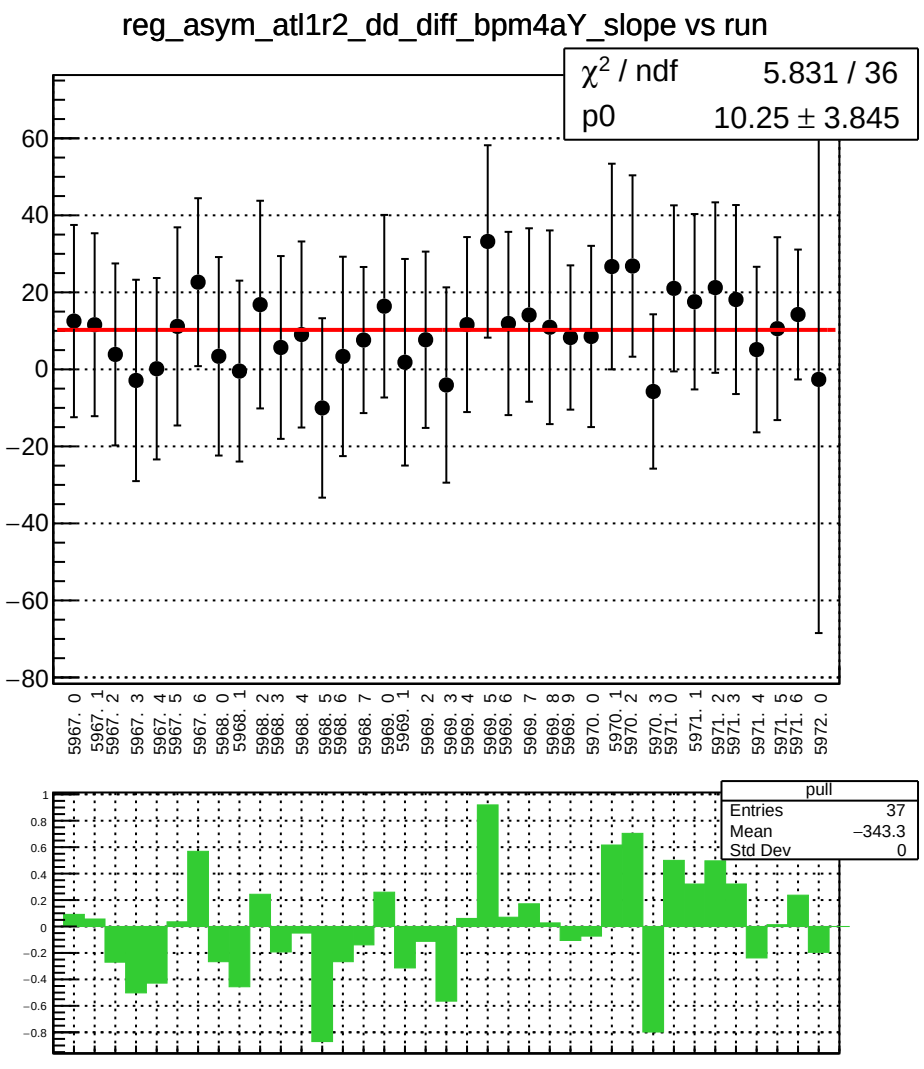
reg_asym_atl1r2_dd_diff_bpm4aY_slope vs run
χ² / ndf 5.831 / 36
p0 10.25 ± 3.845
pull
Entries 37
Mean −343.3
Std Dev 0

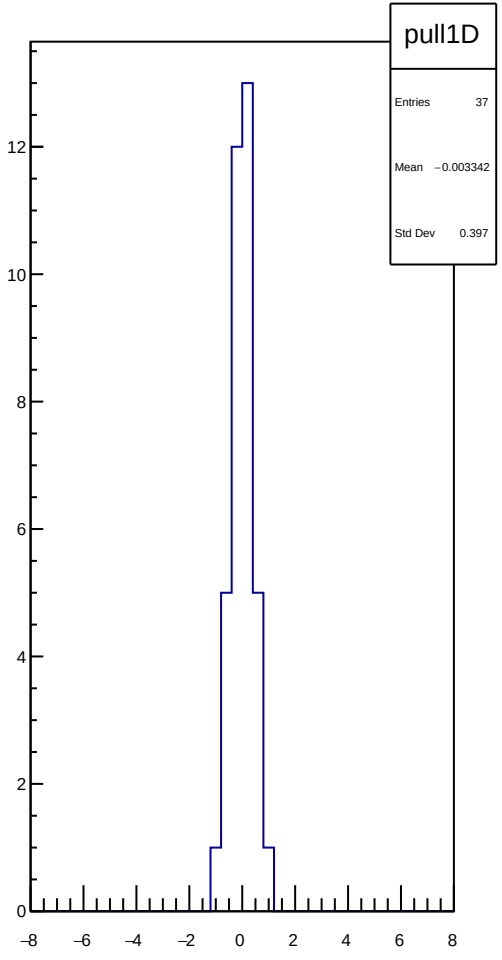
pull1D
Entries 37
Mean −0.003342
Std Dev 0.397

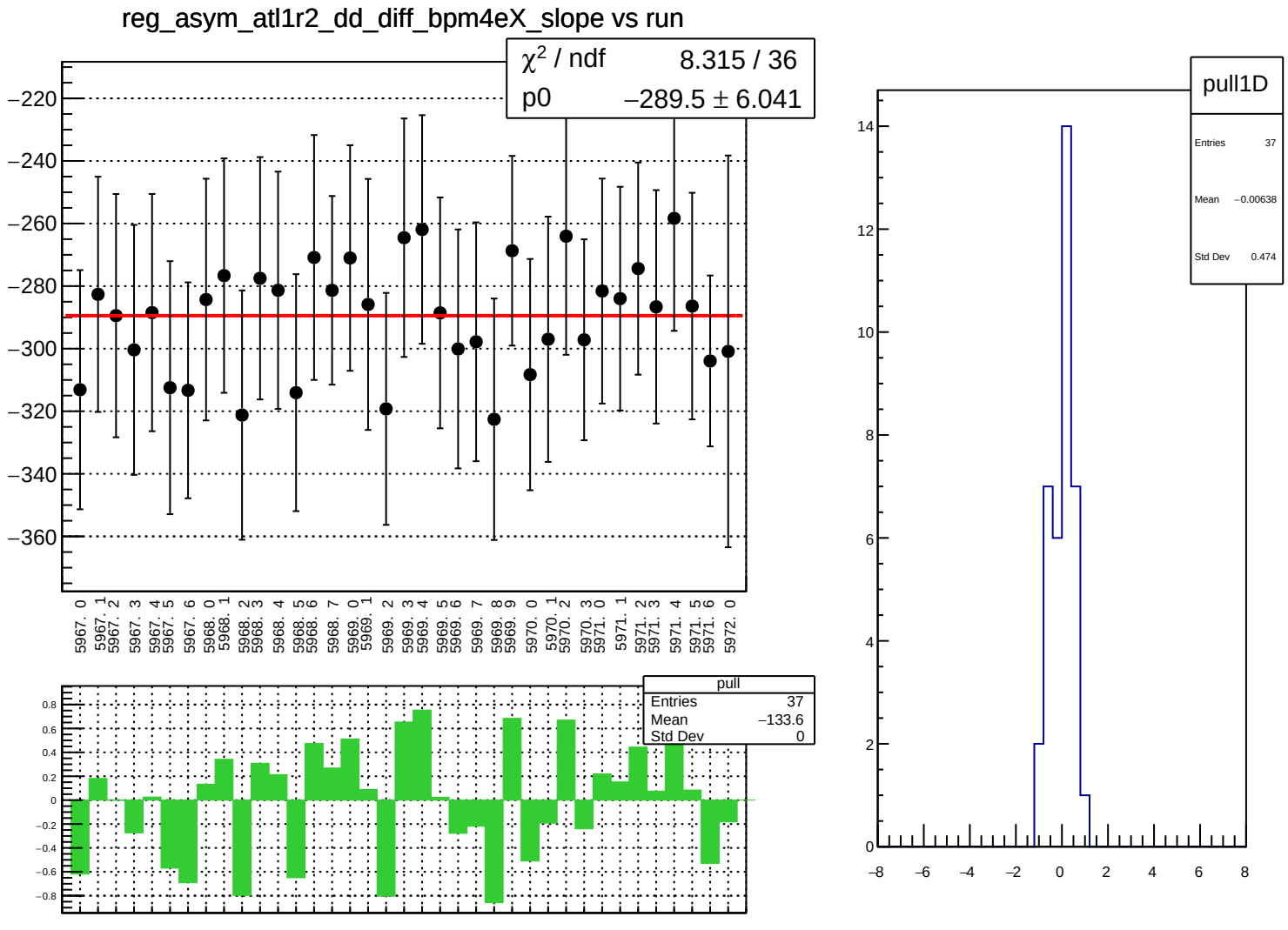
reg_asym_atl1r2_dd_diff_bpm4eX_slope vs run
χ² / ndf 8.315 / 36
p0 −289.5 ± 6.041
−220
−240
−260
−280
−300
−320
−340
−360
5967. 0
5967. 1
5967. 2
5967. 3
5967. 4
5967. 5
5967. 6
5968. 0
5968. 1
5968. 2
5968. 3
5968. 4
5968. 5
5968. 6
5968. 7
5969. 0
5969. 1
5969. 2
5969. 3
5969. 4
5969. 5
5969. 6
5969. 7
5969. 8
5969. 9
5970. 0
5970. 1
5970. 2
5970. 3
5971. 0
5971. 1
5971. 2
5971. 3
5971. 4
5971. 5
5971. 6
5972. 0
pull
Entries 37
Mean −133.6
Std Dev 0
0.8
0.6
0.4
0.2
0
−0.2
−0.4
−0.6
−0.8
pull1D
Entries 37
Mean −0.00638
Std Dev 0.474
14
12
10
8
6
4
2
0
−8
−6
−4
−2
0
2
4
6
8

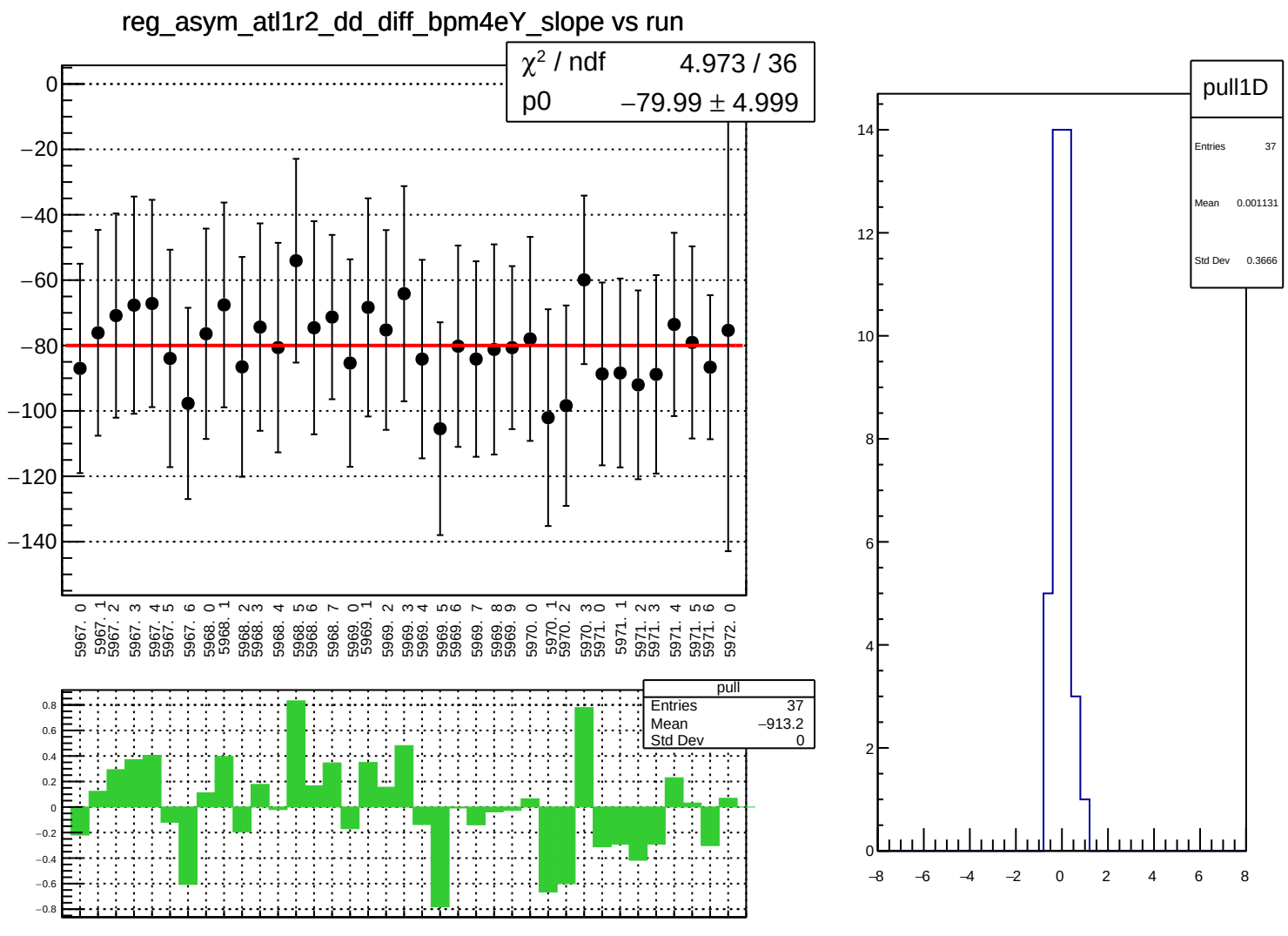
reg_asym_atl1r2_dd_diff_bpm4eY_slope vs run
χ² / ndf 4.973 / 36
p0 −79.99 ± 4.999
0
−20
−40
−60
−80
−100
−120
−140
5967. 0
5967. 1
5967. 2
5967. 3
5967. 4
5967. 5
5967. 6
5968. 0
5968. 1
5968. 2
5968. 3
5968. 4
5968. 5
5968. 6
5968. 7
5969. 0
5969. 1
5969. 2
5969. 3
5969. 4
5969. 5
5969. 6
5969. 7
5969. 8
5969. 9
5970. 0
5970. 1
5970. 2
5970. 3
5971. 0
5971. 1
5971. 2
5971. 3
5971. 4
5971. 5
5971. 6
5972. 0
pull
Entries 37
Mean −913.2
Std Dev 0
0.8
0.6
0.4
0.2
0
−0.2
−0.4
−0.6
−0.8
pull1D
Entries 37
Mean 0.001131
Std Dev 0.3666
14
12
10
8
6
4
2
0
−8
−6
−4
−2
0
2
4
6
8

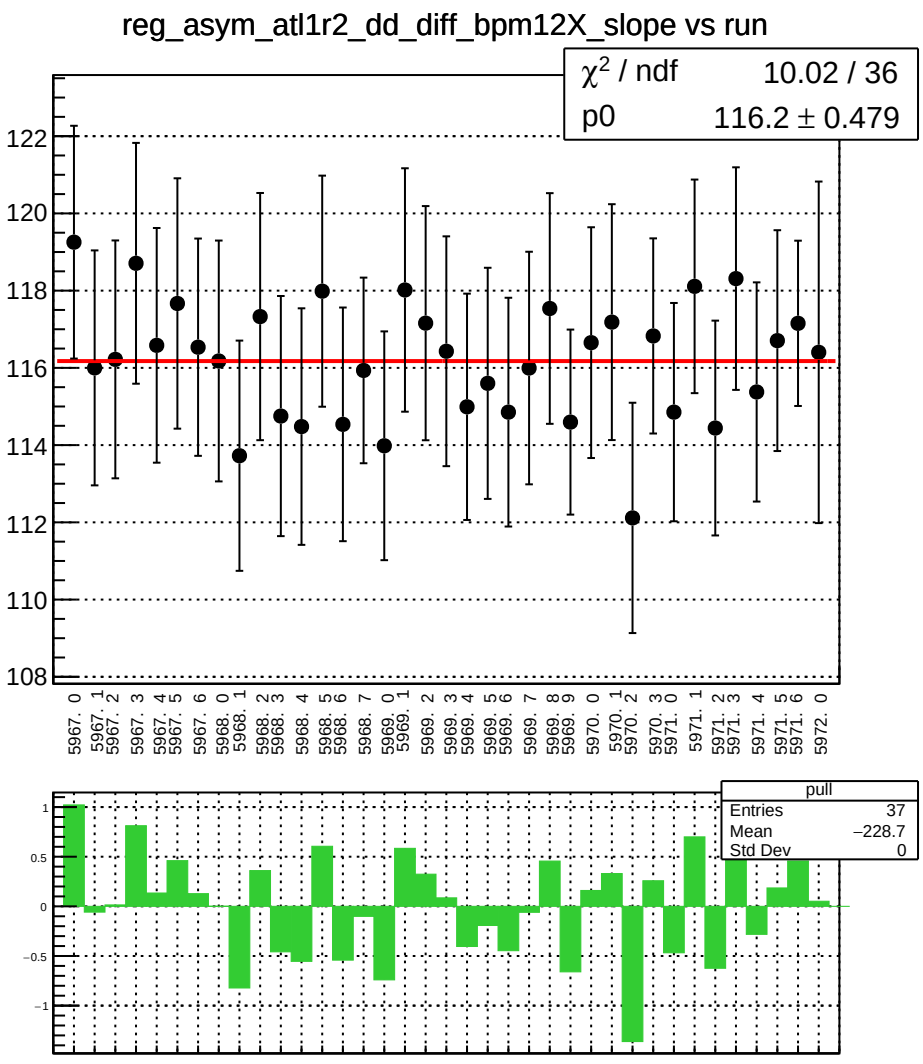
reg_asym_atl1r2_dd_diff_bpm12X_slope vs run
χ² / ndf 10.02 / 36
p0 116.2 ± 0.479
122
120
118
116
114
112
110
108
5967. 0
5967. 1
5967. 2
5967. 3
5967. 4
5967. 5
5967. 6
5968. 0
5968. 1
5968. 2
5968. 3
5968. 4
5968. 5
5968. 6
5968. 7
5969. 0
5969. 1
5969. 2
5969. 3
5969. 4
5969. 5
5969. 6
5969. 7
5969. 8
5969. 9
5970. 0
5970. 1
5970. 2
5970. 3
5971. 0
5971. 1
5971. 2
5971. 3
5971. 4
5971. 5
5971. 6
5972. 0
pull
Entries 37
Mean −228.7
Std Dev 0
1
0.5
0
−0.5
−1

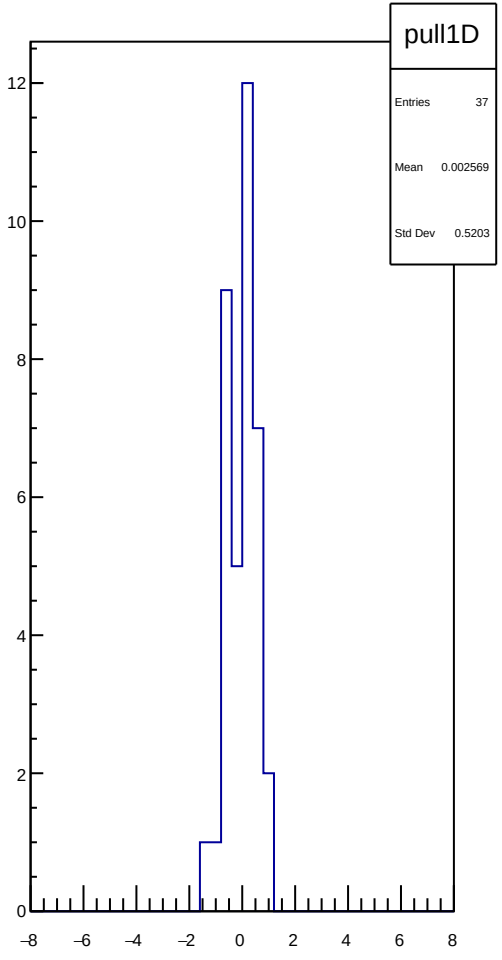
pull1D
Entries 37
Mean 0.002569
Std Dev 0.5203
12
10
8
6
4
2
0
−8
−6
−4
−2
0
2
4
6
8

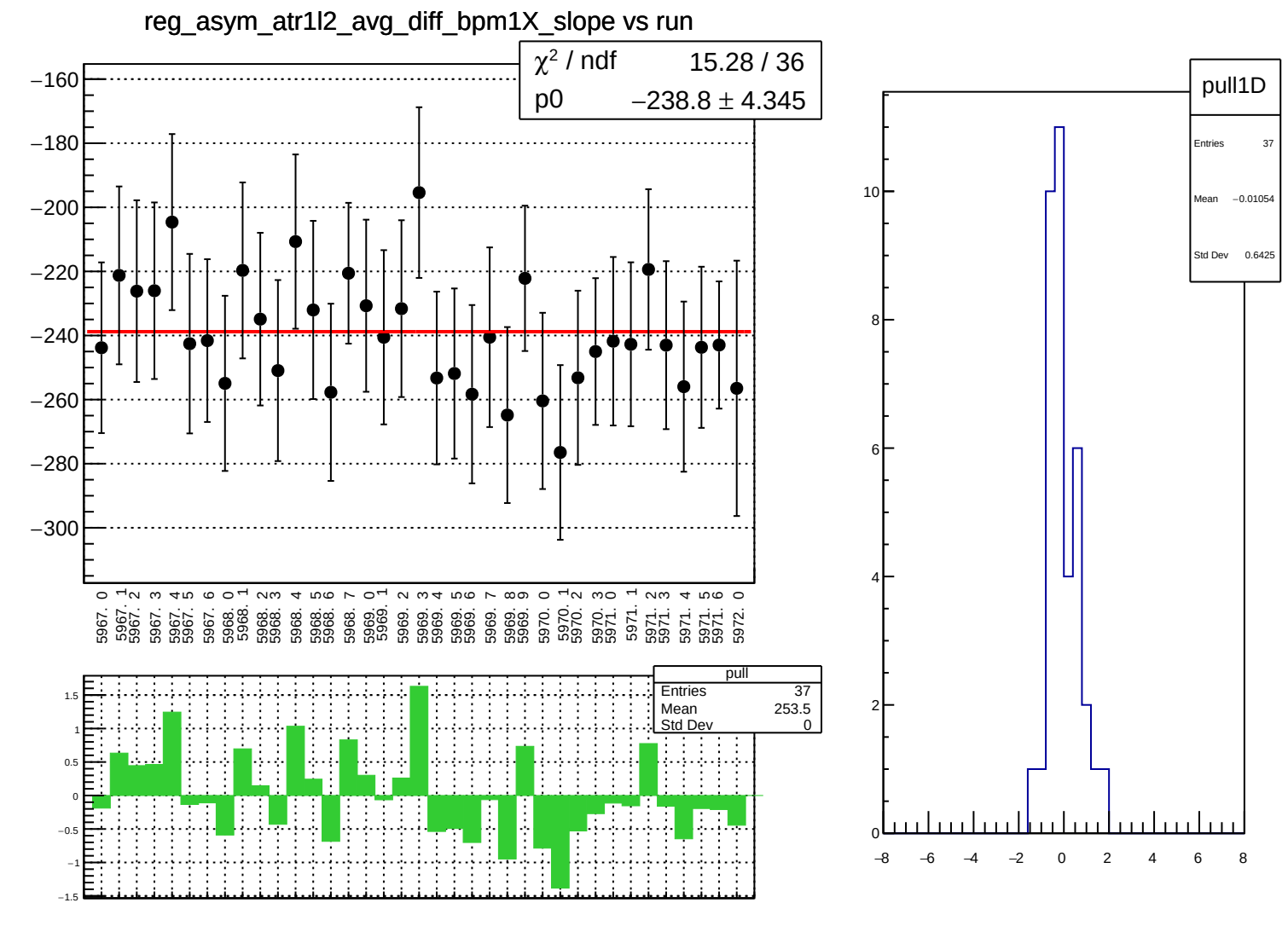
reg_asym_atr1l2_avg_diff_bpm1X_slope vs run
χ² / ndf 15.28 / 36
p0 −238.8 ± 4.345
pull
Entries 37
Mean 253.5
Std Dev 0
pull1D
Entries 37
Mean −0.01054
Std Dev 0.6425

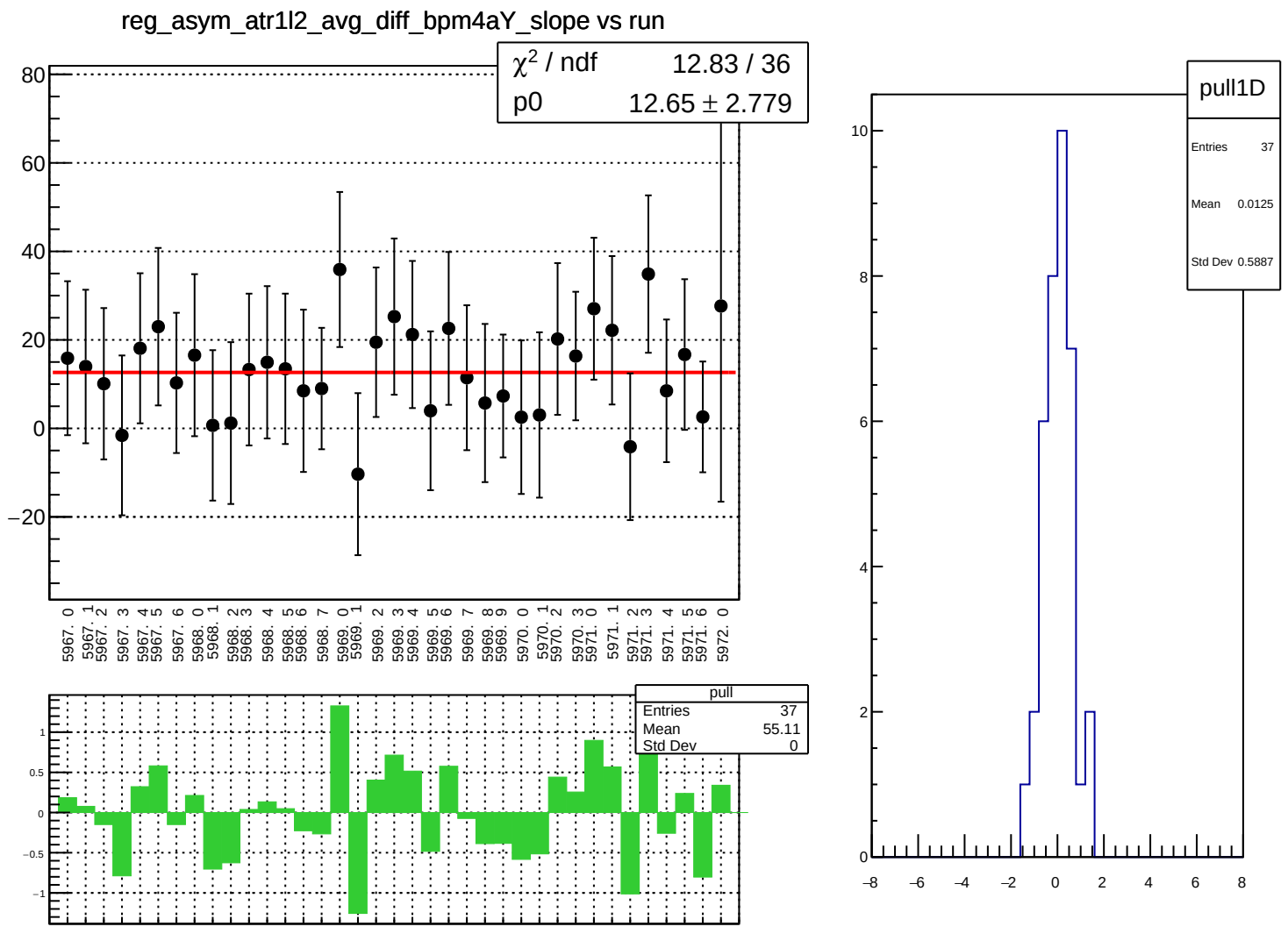
reg_asym_atr1l2_avg_diff_bpm4aY_slope vs run
χ² / ndf 12.83 / 36
p0 12.65 ± 2.779
80
60
40
20
0
−20
5967. 0
5967. 1
5967. 2
5967. 3
5967. 4
5967. 5
5967. 6
5968. 0
5968. 1
5968. 2
5968. 3
5968. 4
5968. 5
5968. 6
5968. 7
5969. 0
5969. 1
5969. 2
5969. 3
5969. 4
5969. 5
5969. 6
5969. 7
5969. 8
5969. 9
5970. 0
5970. 1
5970. 2
5970. 3
5971. 0
5971. 1
5971. 2
5971. 3
5971. 4
5971. 5
5971. 6
5972. 0
pull
Entries 37
Mean 55.11
Std Dev 0
1
0.5
0
−0.5
−1
pull1D
Entries 37
Mean 0.0125
Std Dev 0.5887
10
8
6
4
2
0
−8
−6
−4
−2
0
2
4
6
8

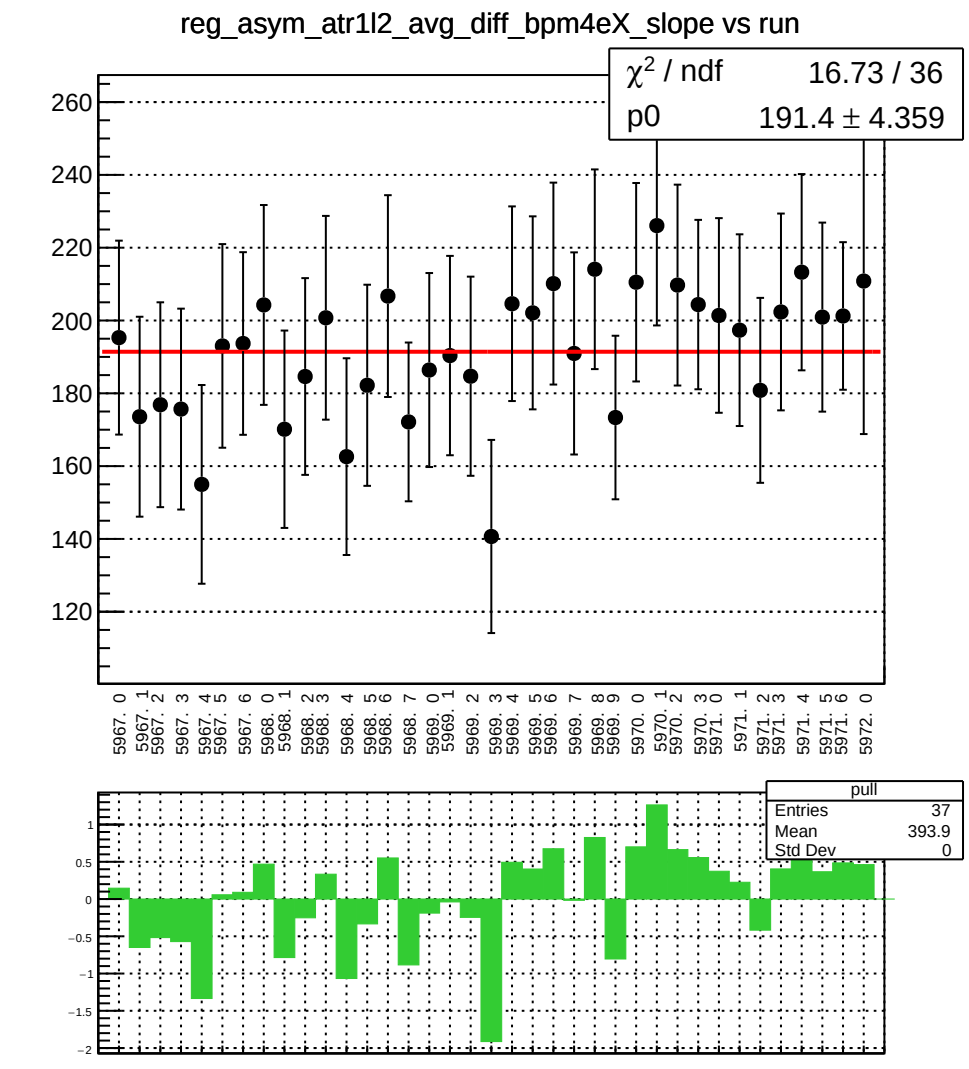
reg_asym_atr1l2_avg_diff_bpm4eX_slope vs run
χ² / ndf 16.73 / 36
p0 191.4 ± 4.359
260
240
220
200
180
160
140
120
5967. 0
5967. 1
5967. 2
5967. 3
5967. 4
5967. 5
5967. 6
5968. 0
5968. 1
5968. 2
5968. 3
5968. 4
5968. 5
5968. 6
5968. 7
5969. 0
5969. 1
5969. 2
5969. 3
5969. 4
5969. 5
5969. 6
5969. 7
5969. 8
5969. 9
5970. 0
5970. 1
5970. 2
5970. 3
5971. 0
5971. 1
5971. 2
5971. 3
5971. 4
5971. 5
5971. 6
5972. 0
pull
Entries 37
Mean 393.9
Std Dev 0
1
0.5
0
−0.5
−1
−1.5
−2

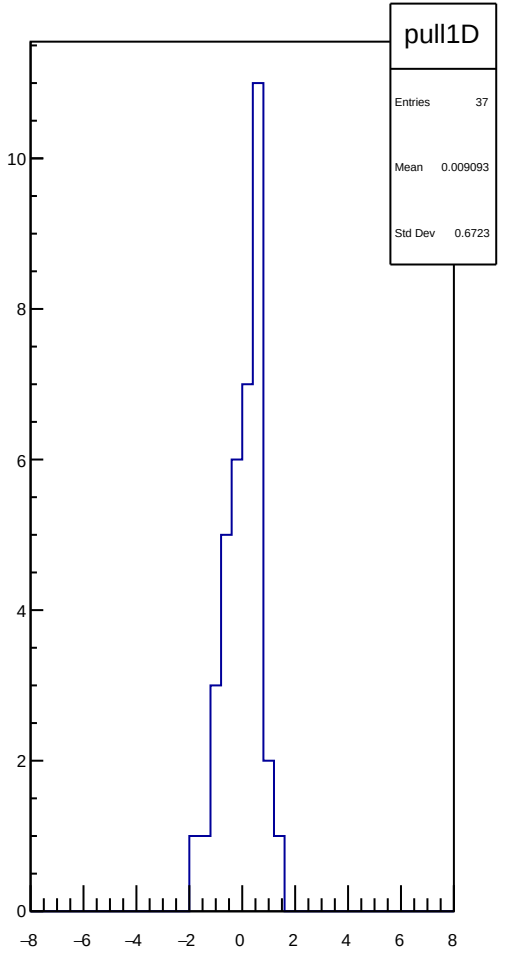
pull1D
Entries 37
Mean 0.009093
Std Dev 0.6723
10
8
6
4
2
0
−8
−6
−4
−2
0
2
4
6
8

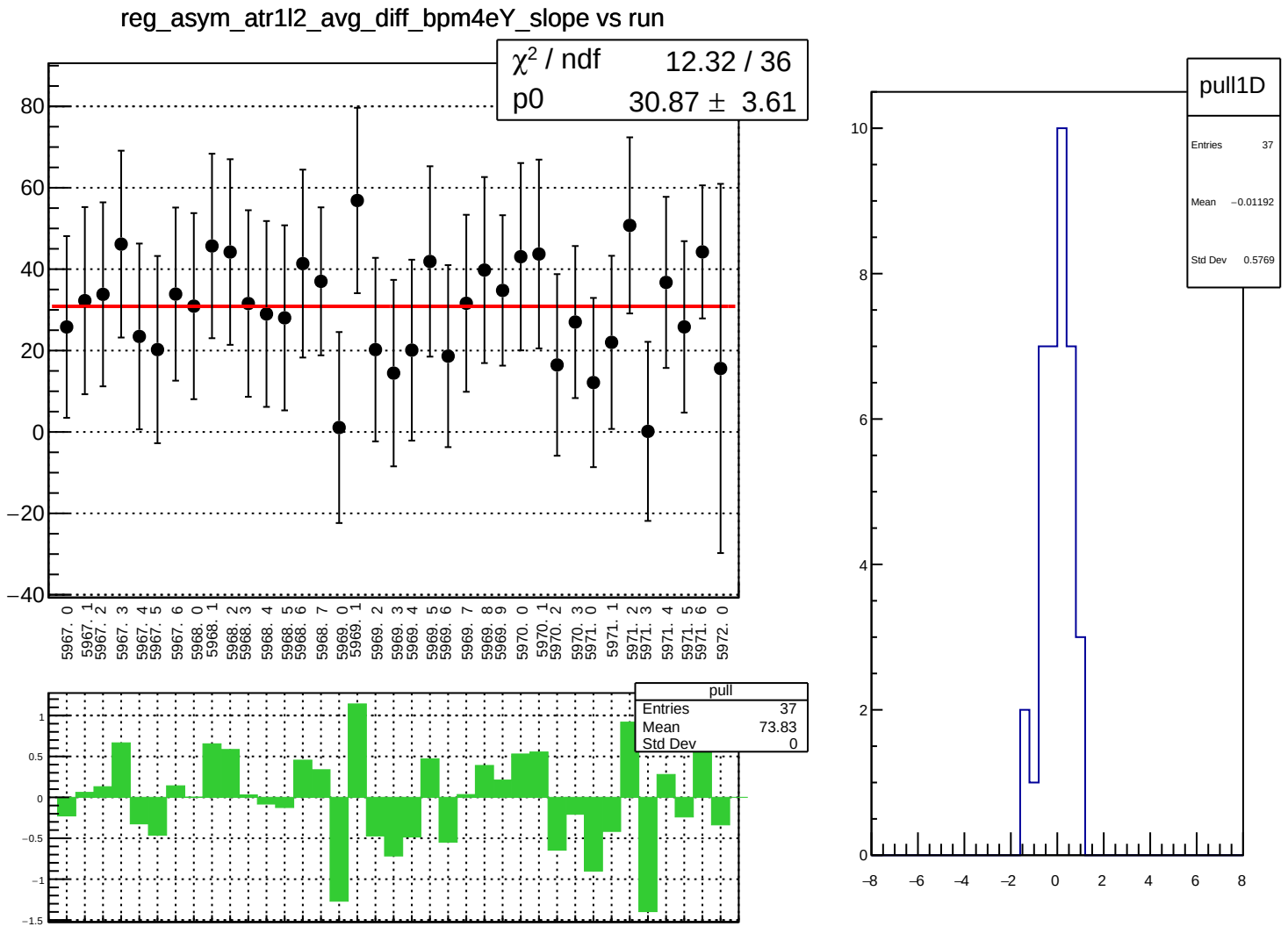
reg_asym_atr1l2_avg_diff_bpm4eY_slope vs run
χ² / ndf 12.32 / 36
p0 30.87 ± 3.61
pull
Entries 37
Mean 73.83
Std Dev 0
pull1D
Entries 37
Mean −0.01192
Std Dev 0.5769

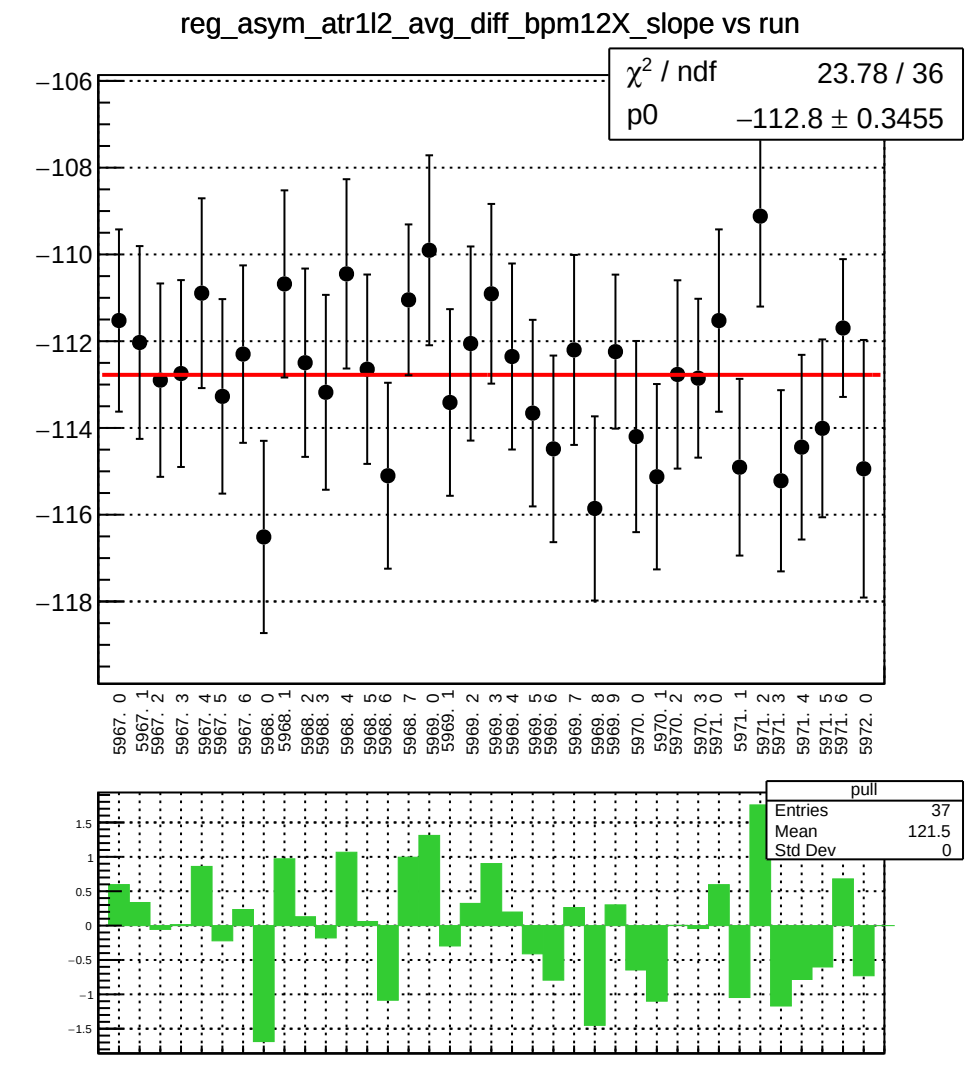
reg_asym_atr1l2_avg_diff_bpm12X_slope vs run
χ² / ndf 23.78 / 36
p0 −112.8 ± 0.3455
pull
Entries 37
Mean 121.5
Std Dev 0

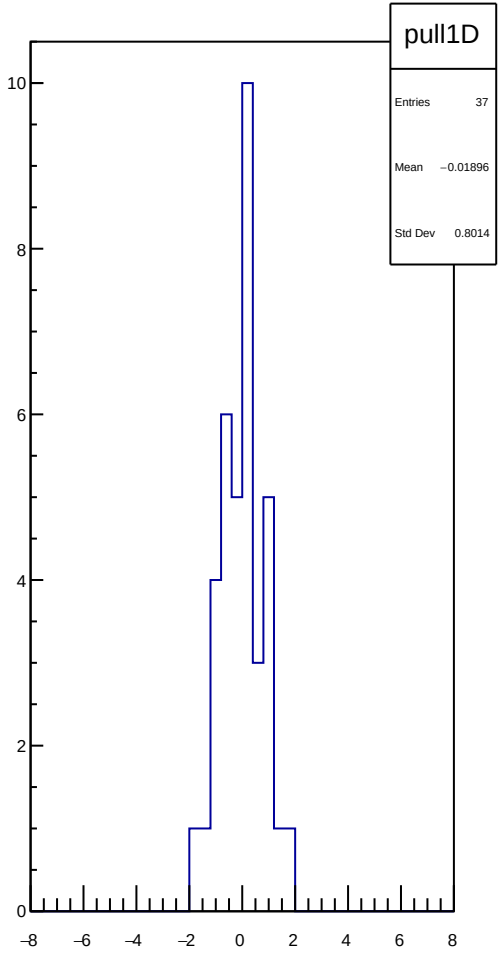
pull1D
Entries 37
Mean −0.01896
Std Dev 0.8014

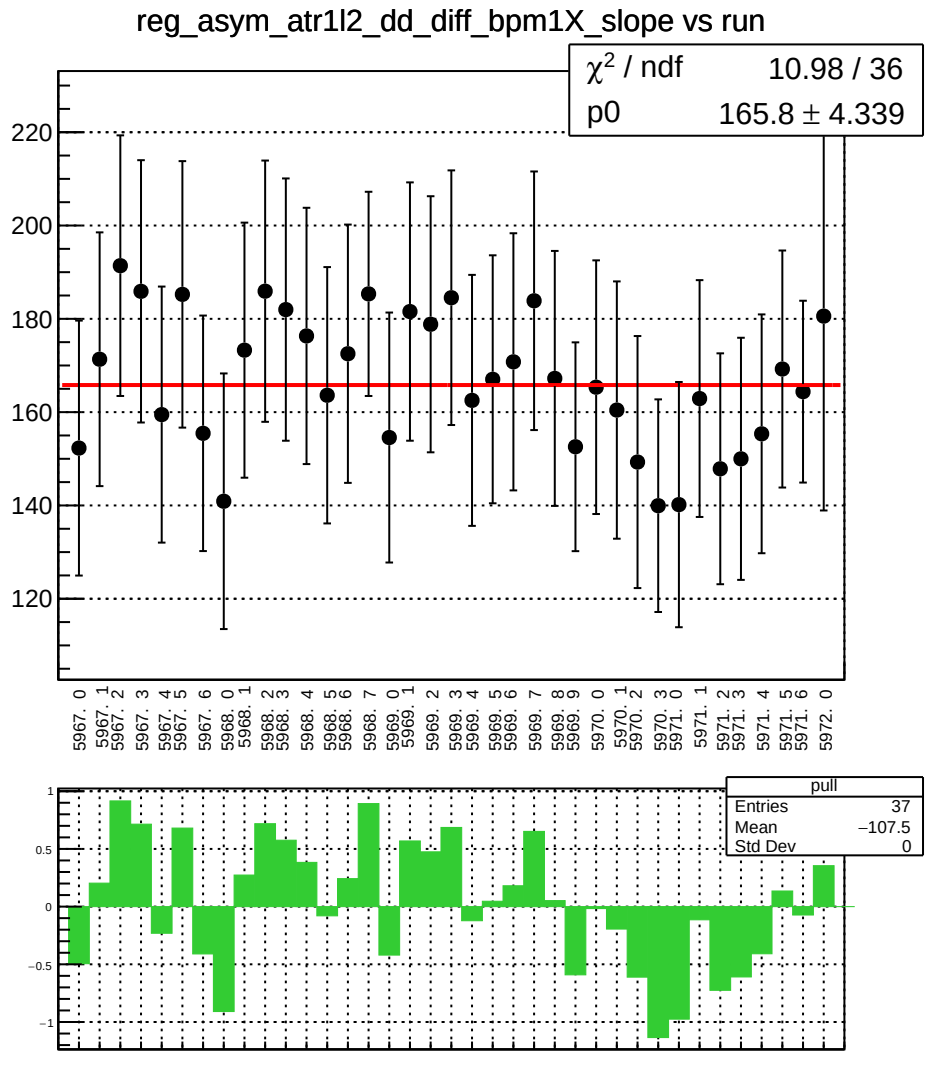
reg_asym_atr1l2_dd_diff_bpm1X_slope vs run
χ² / ndf 10.98 / 36
p0 165.8 ± 4.339
220
200
180
160
140
120
5967. 0
5967. 1
5967. 2
5967. 3
5967. 4
5967. 5
5967. 6
5968. 0
5968. 1
5968. 2
5968. 3
5968. 4
5968. 5
5968. 6
5968. 7
5969. 0
5969. 1
5969. 2
5969. 3
5969. 4
5969. 5
5969. 6
5969. 7
5969. 8
5969. 9
5970. 0
5970. 1
5970. 2
5970. 3
5971. 0
5971. 1
5971. 2
5971. 3
5971. 4
5971. 5
5971. 6
5972. 0
pull
Entries 37
Mean −107.5
Std Dev 0
1
0.5
0
−0.5
−1

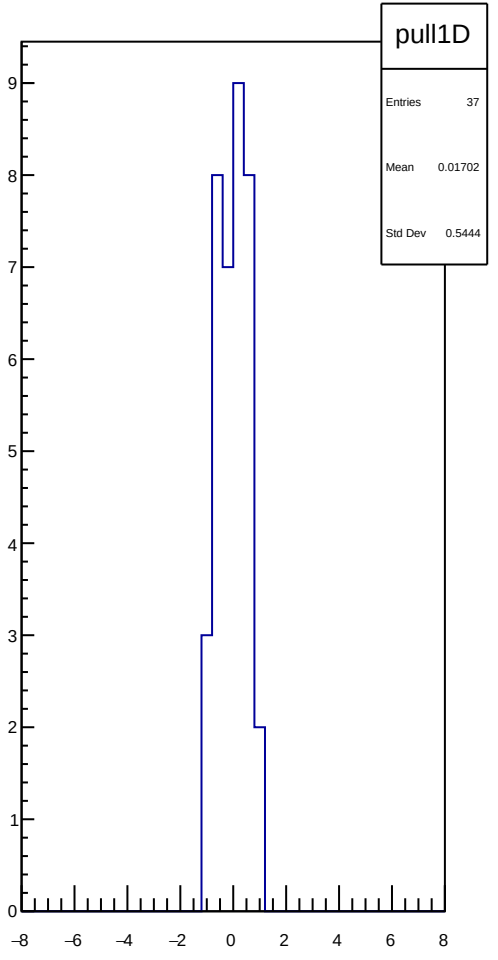
pull1D
Entries 37
Mean 0.01702
Std Dev 0.5444
9
8
7
6
5
4
3
2
1
0
−8
−6
−4
−2
0
2
4
6
8

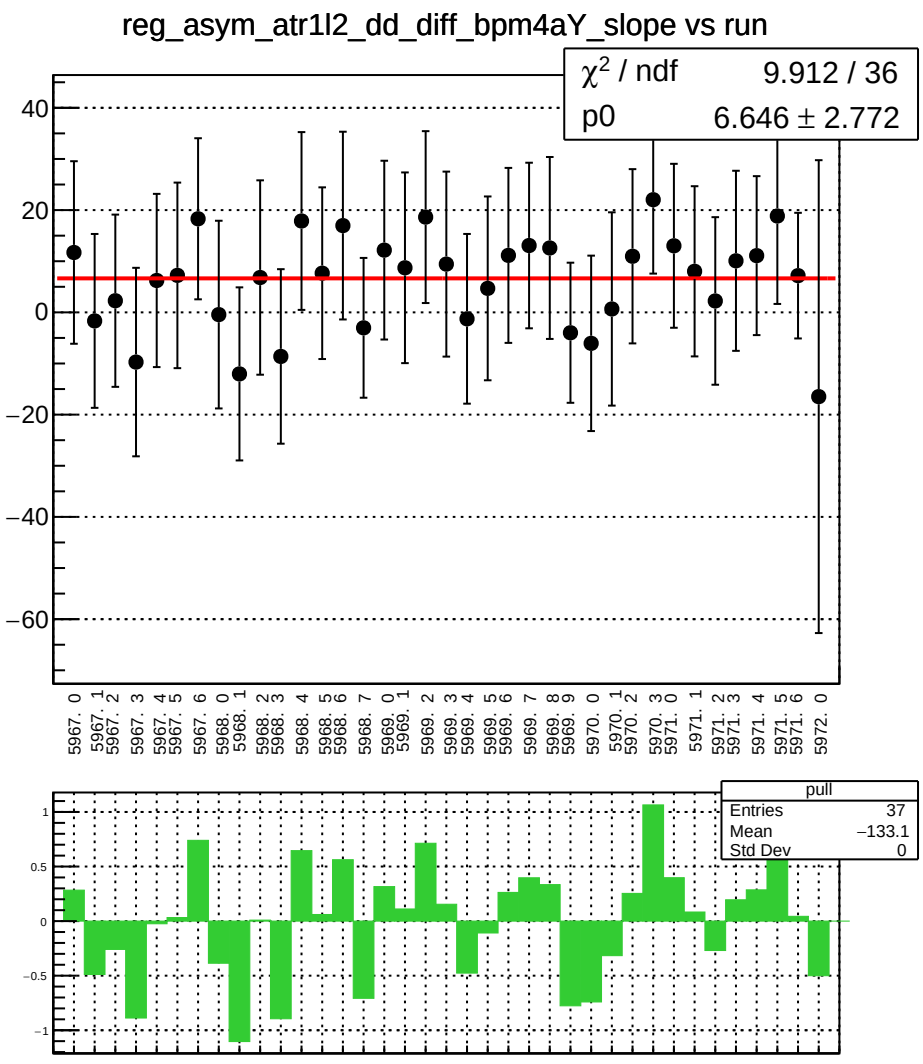
reg_asym_atr1l2_dd_diff_bpm4aY_slope vs run
χ² / ndf 9.912 / 36
p0 6.646 ± 2.772
pull
Entries 37
Mean −133.1
Std Dev 0

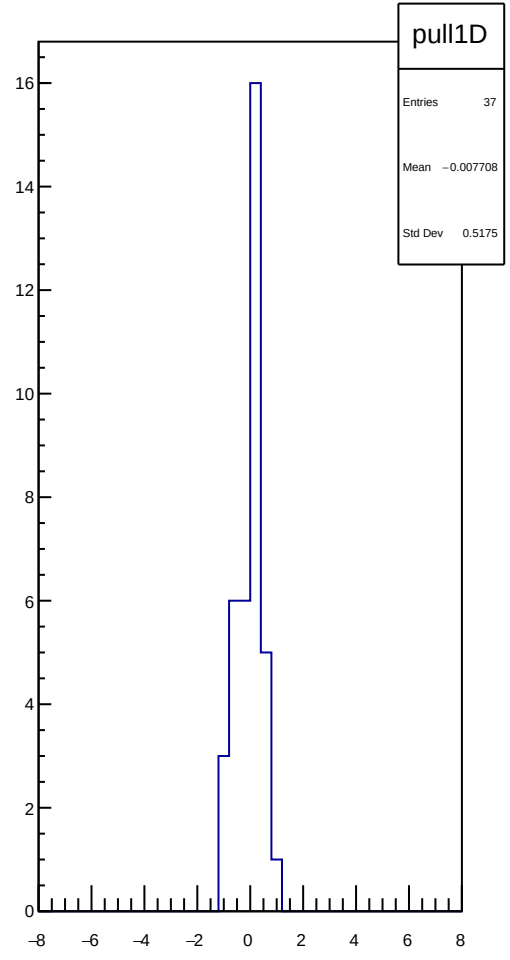
pull1D
Entries 37
Mean −0.007708
Std Dev 0.5175

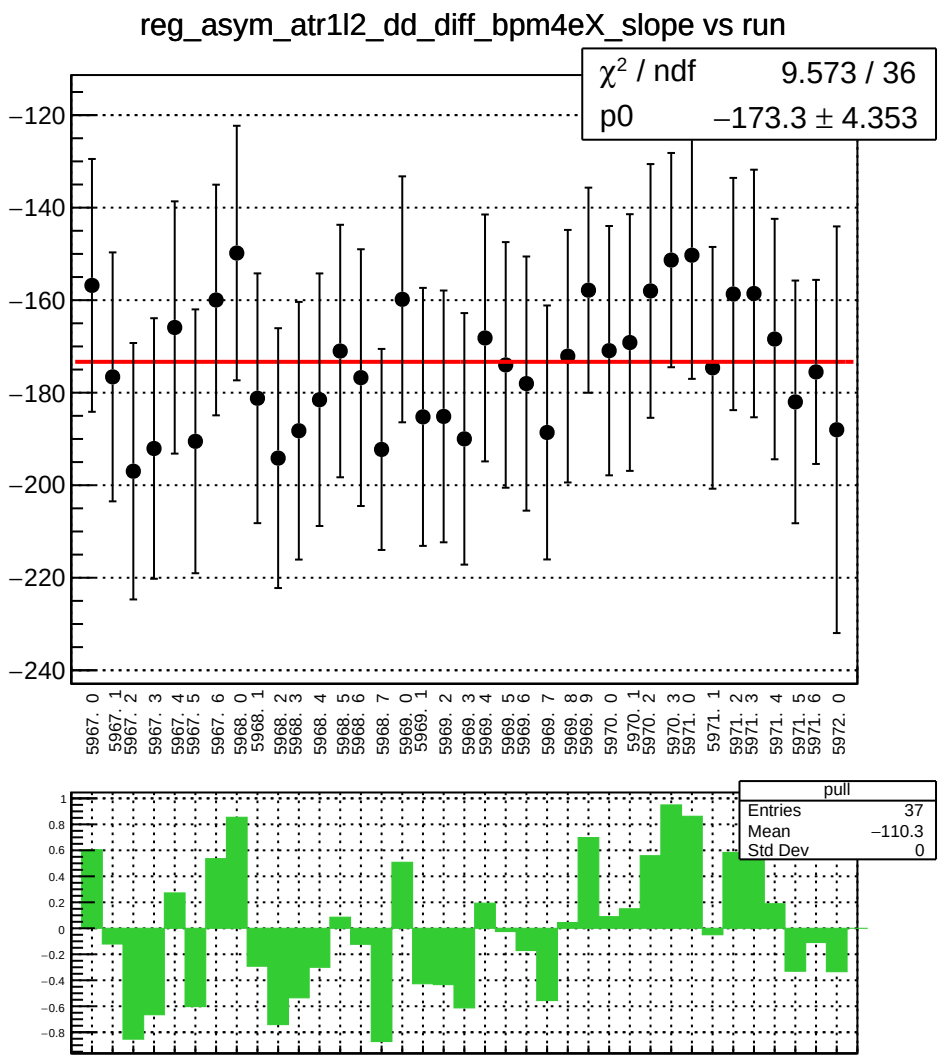
reg_asym_atr1l2_dd_diff_bpm4eX_slope vs run
χ² / ndf 9.573 / 36
p0 −173.3 ± 4.353
−120
−140
−160
−180
−200
−220
−240
5967. 0
5967. 1
5967. 2
5967. 3
5967. 4
5967. 5
5967. 6
5968. 0
5968. 1
5968. 2
5968. 3
5968. 4
5968. 5
5968. 6
5968. 7
5969. 0
5969. 1
5969. 2
5969. 3
5969. 4
5969. 5
5969. 6
5969. 7
5969. 8
5969. 9
5970. 0
5970. 1
5970. 2
5970. 3
5971. 0
5971. 1
5971. 2
5971. 3
5971. 4
5971. 5
5971. 6
5972. 0
pull
Entries 37
Mean −110.3
Std Dev 0
1
0.8
0.6
0.4
0.2
0
−0.2
−0.4
−0.6
−0.8

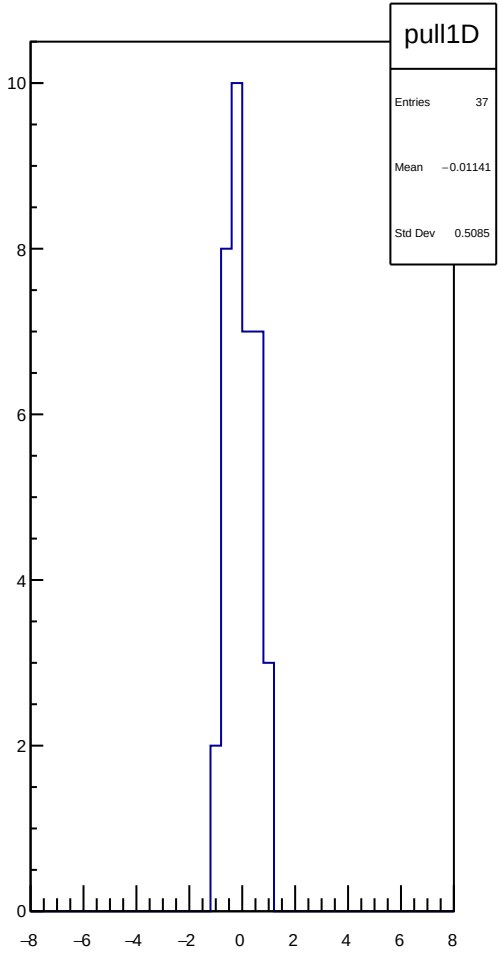
pull1D
Entries 37
Mean −0.01141
Std Dev 0.5085
10
8
6
4
2
0
−8
−6
−4
−2
0
2
4
6
8

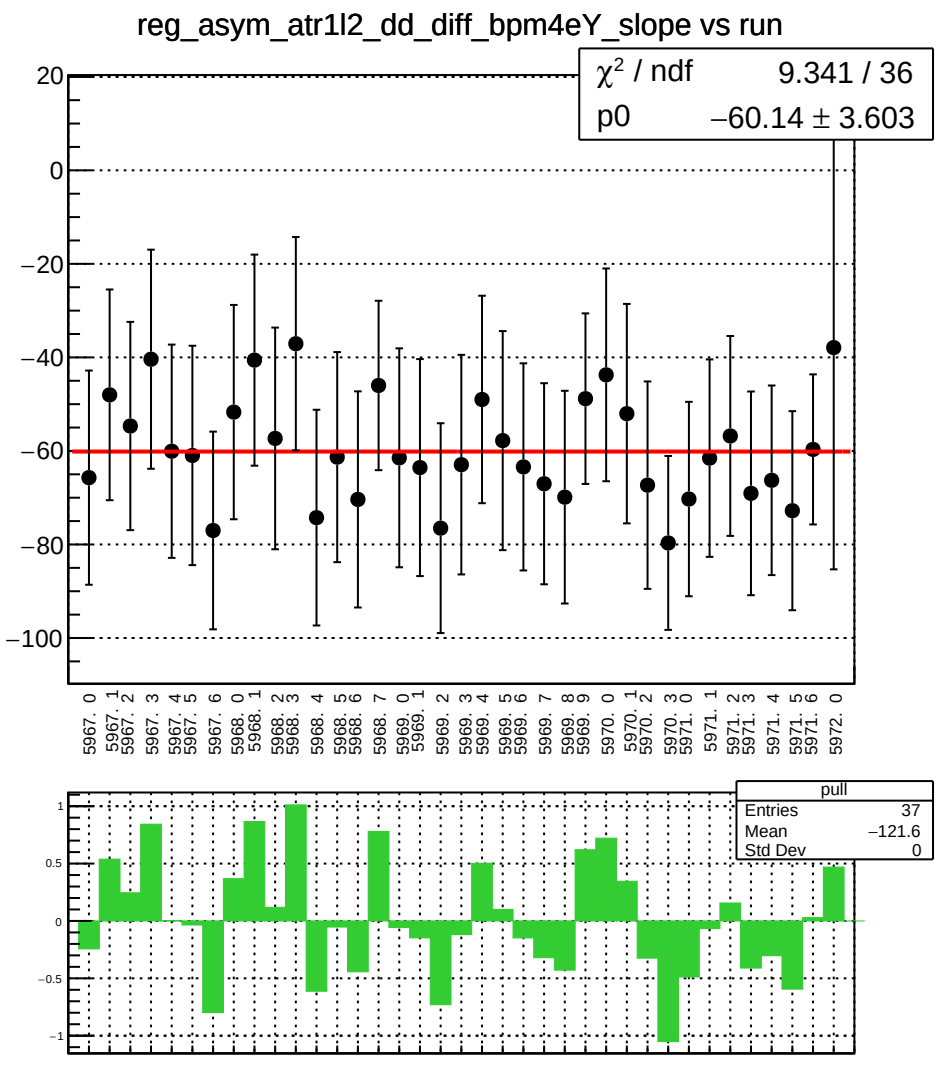
reg_asym_atr1l2_dd_diff_bpm4eY_slope vs run
χ² / ndf 9.341 / 36
p0 −60.14 ± 3.603
20
0
−20
−40
−60
−80
−100
5967. 0
5967. 1
5967. 2
5967. 3
5967. 4
5967. 5
5967. 6
5968. 0
5968. 1
5968. 2
5968. 3
5968. 4
5968. 5
5968. 6
5968. 7
5969. 0
5969. 1
5969. 2
5969. 3
5969. 4
5969. 5
5969. 6
5969. 7
5969. 8
5969. 9
5970. 0
5970. 1
5970. 2
5970. 3
5971. 0
5971. 1
5971. 2
5971. 3
5971. 4
5971. 5
5971. 6
5972. 0
pull
Entries 37
Mean −121.6
Std Dev 0
1
0.5
0
−0.5
−1

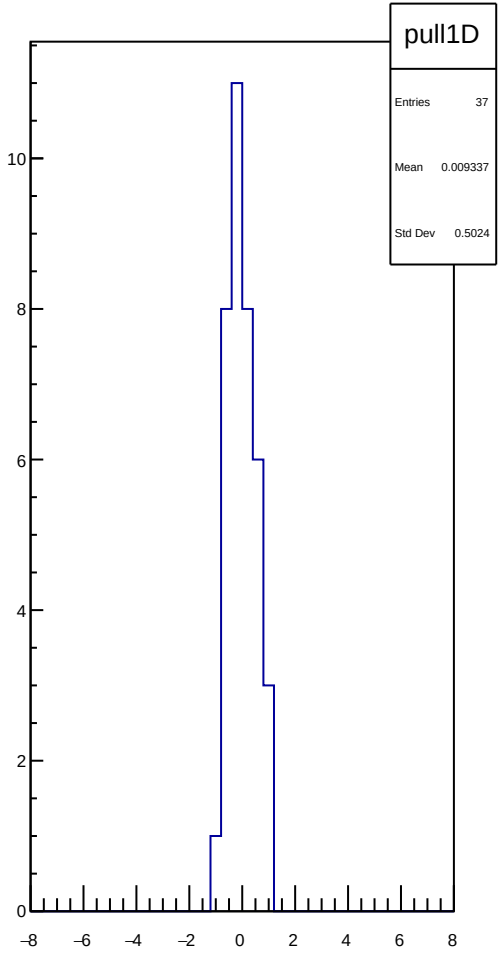
pull1D
Entries 37
Mean 0.009337
Std Dev 0.5024
10
8
6
4
2
0
−8
−6
−4
−2
0
2
4
6
8

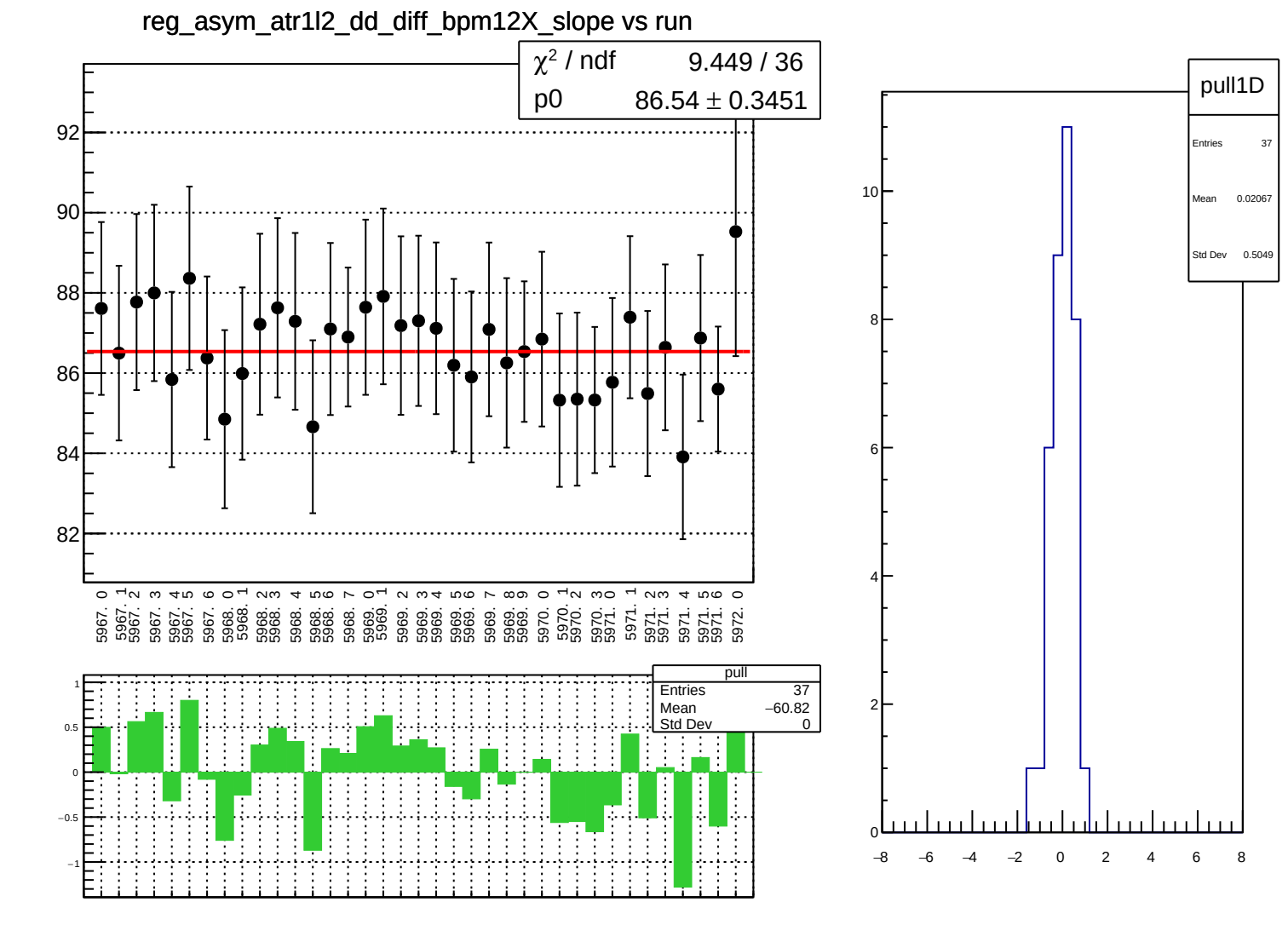
reg_asym_atr1l2_dd_diff_bpm12X_slope vs run
χ² / ndf 9.449 / 36
p0 86.54 ± 0.3451
92
90
88
86
84
82
5967. 0
5967. 1
5967. 2
5967. 3
5967. 4
5967. 5
5967. 6
5968. 0
5968. 1
5968. 2
5968. 3
5968. 4
5968. 5
5968. 6
5968. 7
5969. 0
5969. 1
5969. 2
5969. 3
5969. 4
5969. 5
5969. 6
5969. 7
5969. 8
5969. 9
5970. 0
5970. 1
5970. 2
5970. 3
5971. 0
5971. 1
5971. 2
5971. 3
5971. 4
5971. 5
5971. 6
5972. 0
pull
Entries 37
Mean −60.82
Std Dev 0
1
0.5
0
−0.5
−1
pull1D
Entries 37
Mean 0.02067
Std Dev 0.5049
10
8
6
4
2
0
−8
−6
−4
−2
0
2
4
6
8

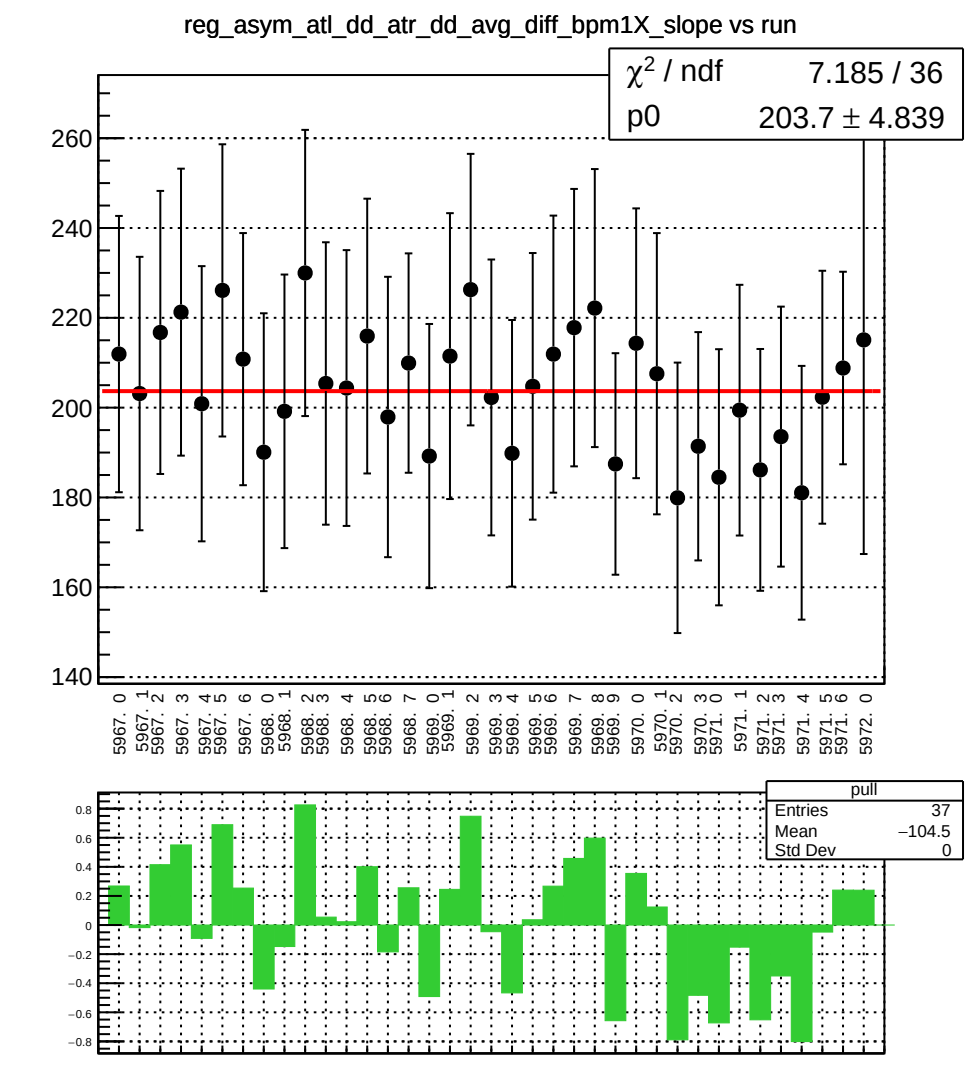
reg_asym_atl_dd_atr_dd_avg_diff_bpm1X_slope vs run
χ² / ndf 7.185 / 36
p0 203.7 ± 4.839
260
240
220
200
180
160
140
5967. 0
5967. 1
5967. 2
5967. 3
5967. 4
5967. 5
5967. 6
5968. 0
5968. 1
5968. 2
5968. 3
5968. 4
5968. 5
5968. 6
5968. 7
5969. 0
5969. 1
5969. 2
5969. 3
5969. 4
5969. 5
5969. 6
5969. 7
5969. 8
5969. 9
5970. 0
5970. 1
5970. 2
5970. 3
5971. 0
5971. 1
5971. 2
5971. 3
5971. 4
5971. 5
5971. 6
5972. 0
pull
Entries 37
Mean −104.5
Std Dev 0
0.8
0.6
0.4
0.2
0
−0.2
−0.4
−0.6
−0.8

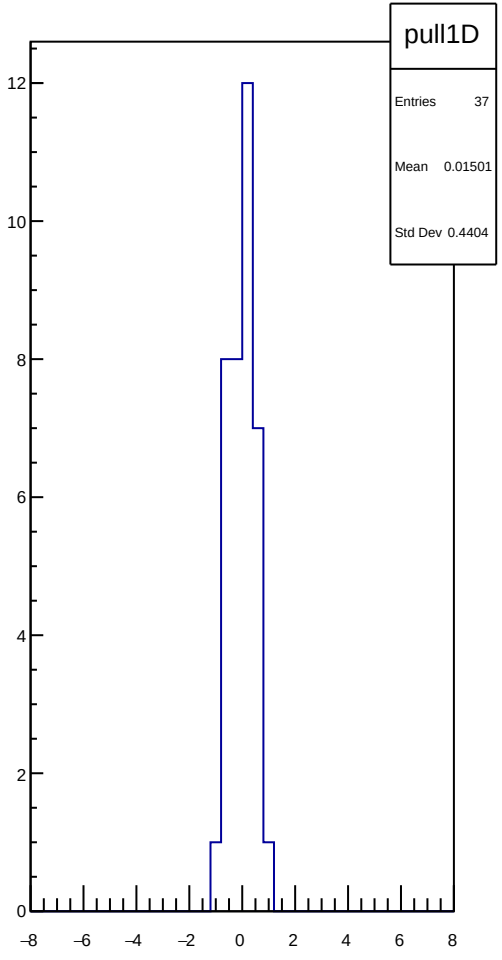
pull1D
Entries 37
Mean 0.01501
Std Dev 0.4404
12
10
8
6
4
2
0
−8
−6
−4
−2
0
2
4
6
8

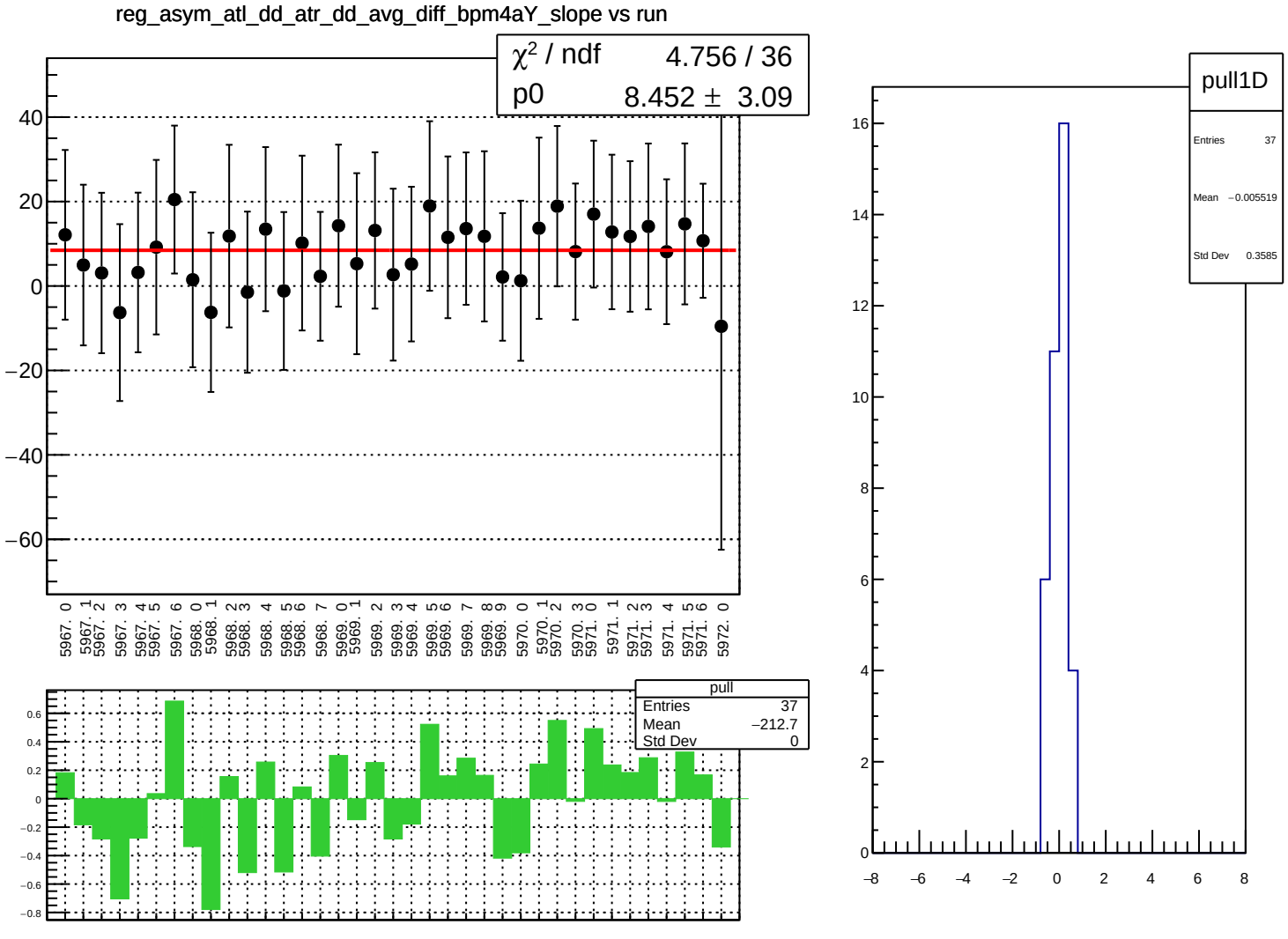
reg_asym_atl_dd_atr_dd_avg_diff_bpm4aY_slope vs run
χ² / ndf 4.756 / 36
p0 8.452 ± 3.09
pull
Entries 37
Mean −212.7
Std Dev 0
pull1D
Entries 37
Mean −0.005519
Std Dev 0.3585

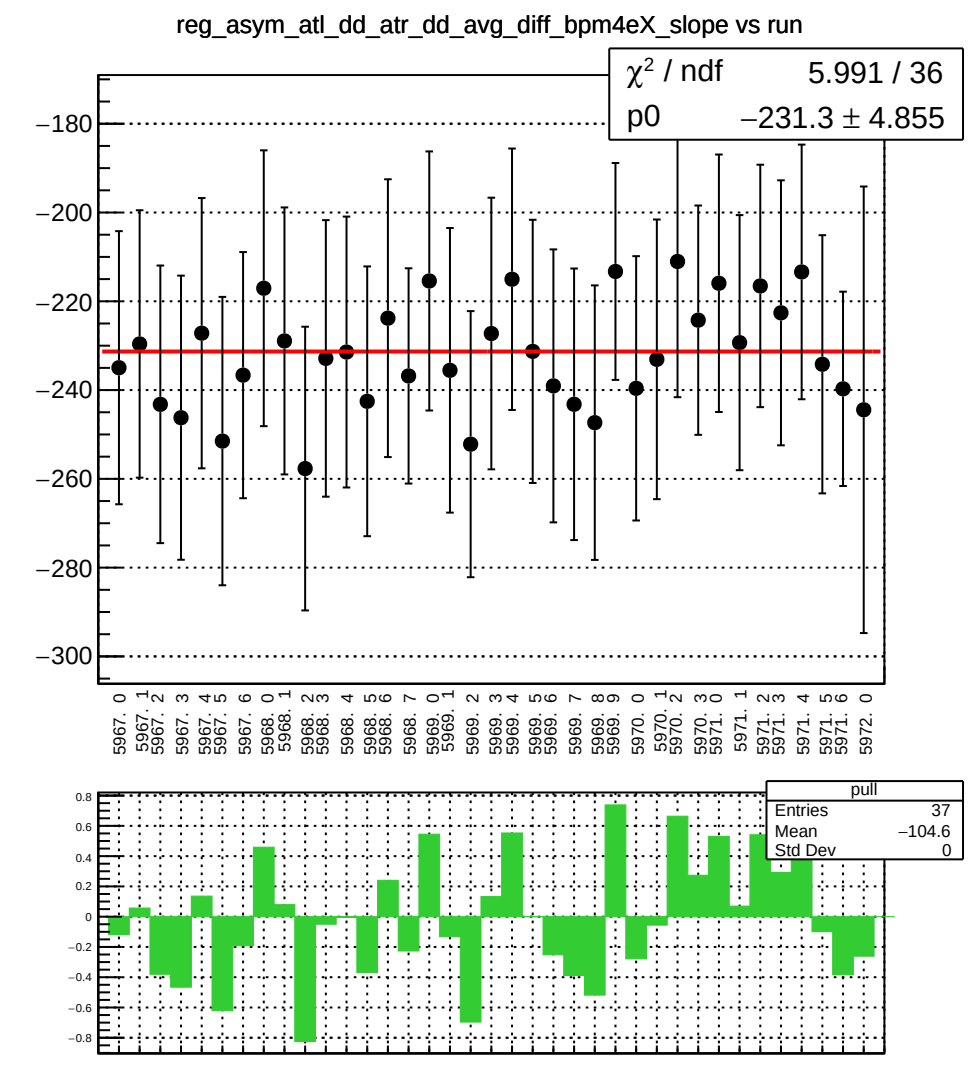
reg_asym_atl_dd_atr_dd_avg_diff_bpm4eX_slope vs run
χ² / ndf 5.991 / 36
p0 −231.3 ± 4.855
−180
−200
−220
−240
−260
−280
−300
5967. 0
5967. 1
5967. 2
5967. 3
5967. 4
5967. 5
5967. 6
5968. 0
5968. 1
5968. 2
5968. 3
5968. 4
5968. 5
5968. 6
5968. 7
5969. 0
5969. 1
5969. 2
5969. 3
5969. 4
5969. 5
5969. 6
5969. 7
5969. 8
5969. 9
5970. 0
5970. 1
5970. 2
5970. 3
5971. 0
5971. 1
5971. 2
5971. 3
5971. 4
5971. 5
5971. 6
5972. 0
pull
Entries 37
Mean −104.6
Std Dev 0
0.8
0.6
0.4
0.2
0
−0.2
−0.4
−0.6
−0.8

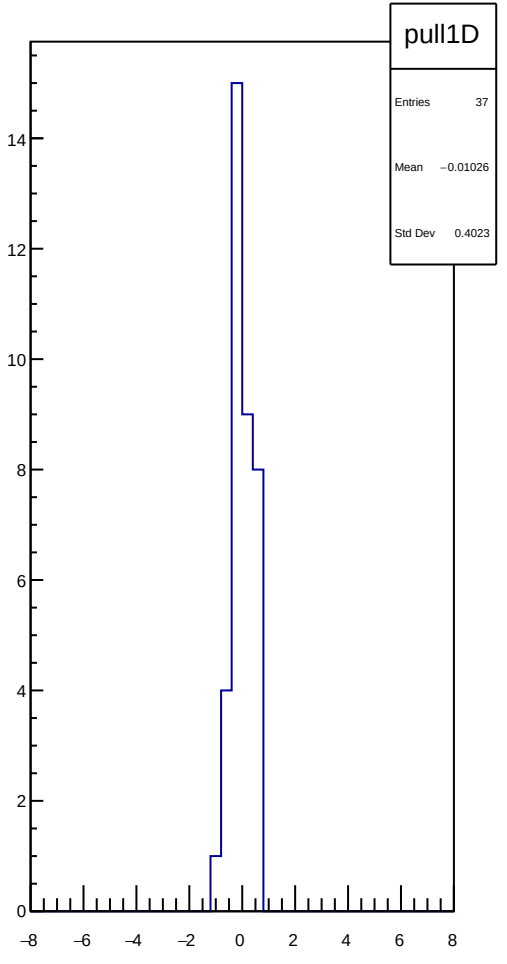
pull1D
Entries 37
Mean −0.01026
Std Dev 0.4023
14
12
10
8
6
4
2
0
−8
−6
−4
−2
0
2
4
6
8

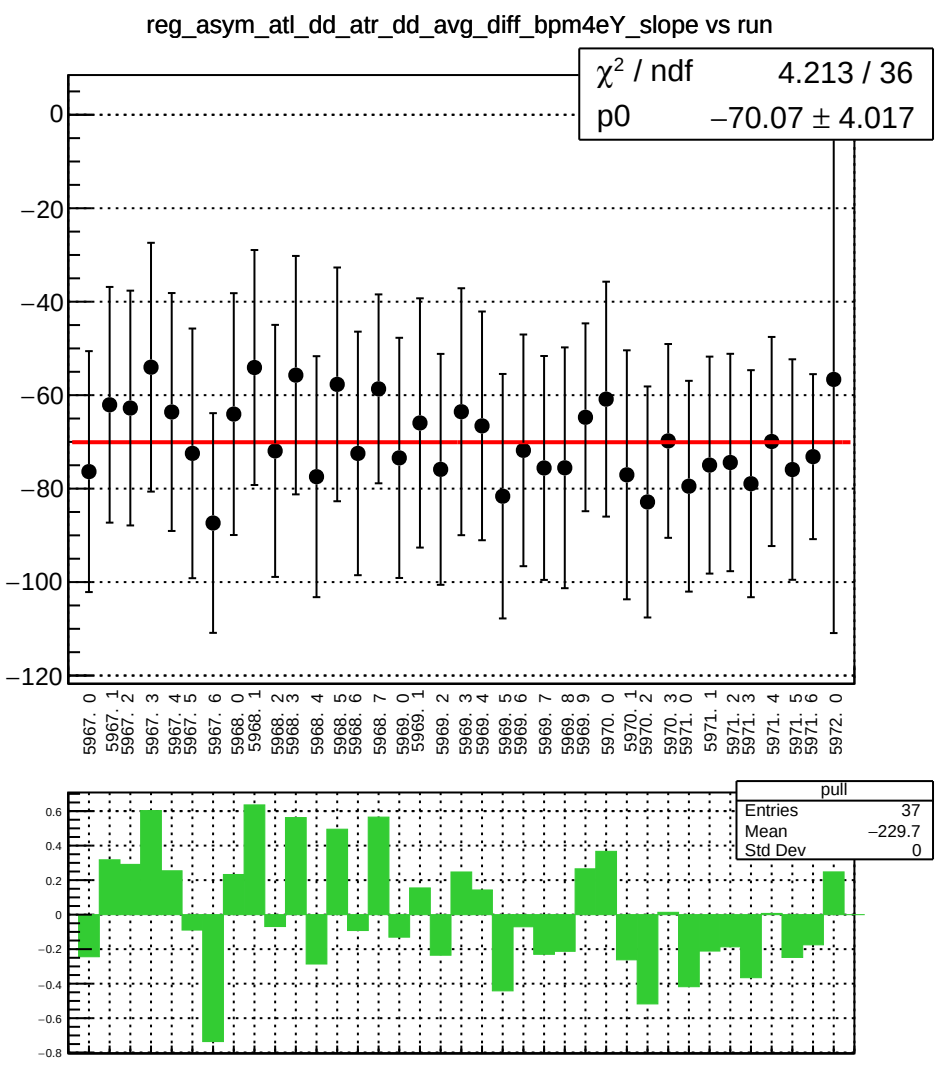
reg_asym_atl_dd_atr_dd_avg_diff_bpm4eY_slope vs run
χ² / ndf 4.213 / 36
p0 −70.07 ± 4.017
pull
Entries 37
Mean −229.7
Std Dev 0

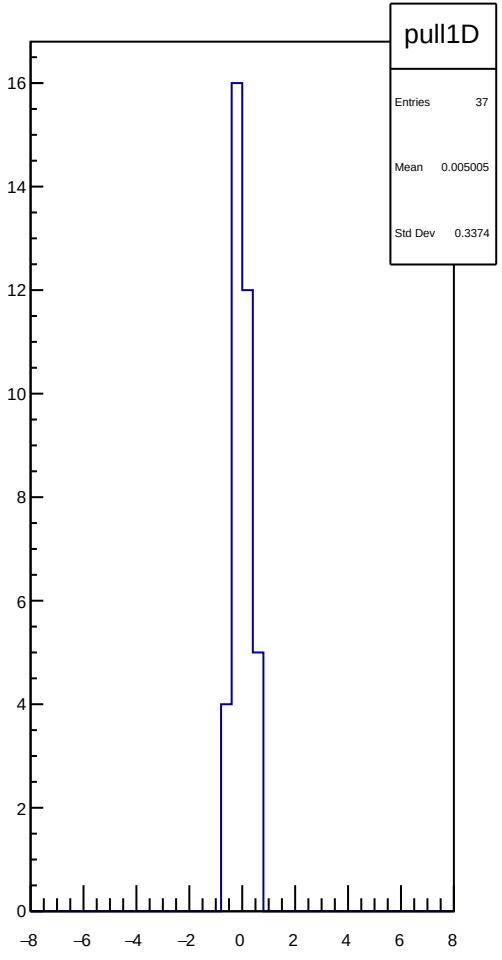
pull1D
Entries 37
Mean 0.005005
Std Dev 0.3374

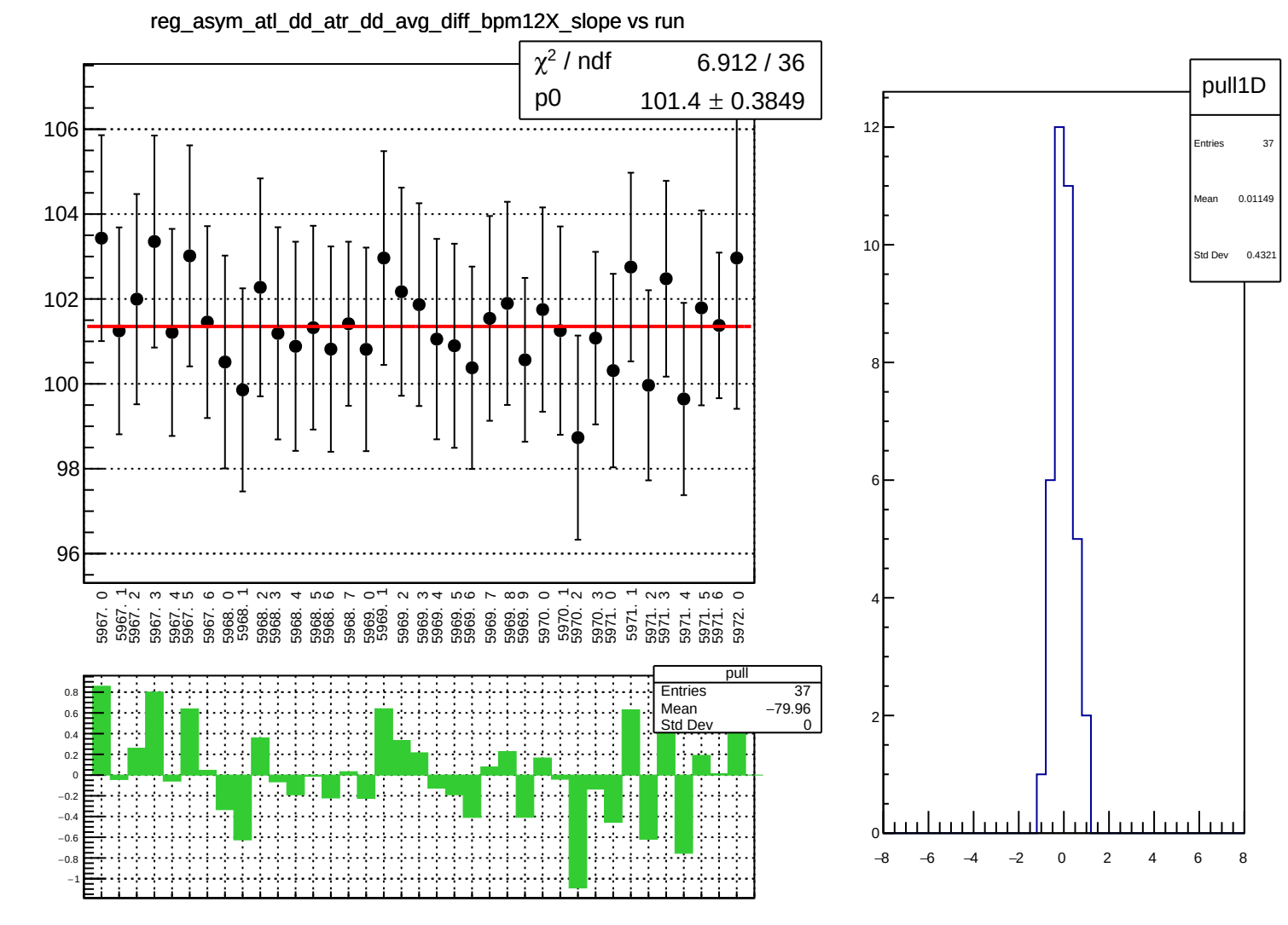
reg_asym_atl_dd_atr_dd_avg_diff_bpm12X_slope vs run
χ² / ndf 6.912 / 36
p0 101.4 ± 0.3849
106
104
102
100
98
96
5967. 0
5967. 1
5967. 2
5967. 3
5967. 4
5967. 5
5967. 6
5968. 0
5968. 1
5968. 2
5968. 3
5968. 4
5968. 5
5968. 6
5968. 7
5969. 0
5969. 1
5969. 2
5969. 3
5969. 4
5969. 5
5969. 6
5969. 7
5969. 8
5969. 9
5970. 0
5970. 1
5970. 2
5970. 3
5971. 0
5971. 1
5971. 2
5971. 3
5971. 4
5971. 5
5971. 6
5972. 0
pull
Entries 37
Mean −79.96
Std Dev 0
0.8
0.6
0.4
0.2
0
−0.2
−0.4
−0.6
−0.8
−1
pull1D
Entries 37
Mean 0.01149
Std Dev 0.4321
12
10
8
6
4
2
0
−8
−6
−4
−2
0
2
4
6
8

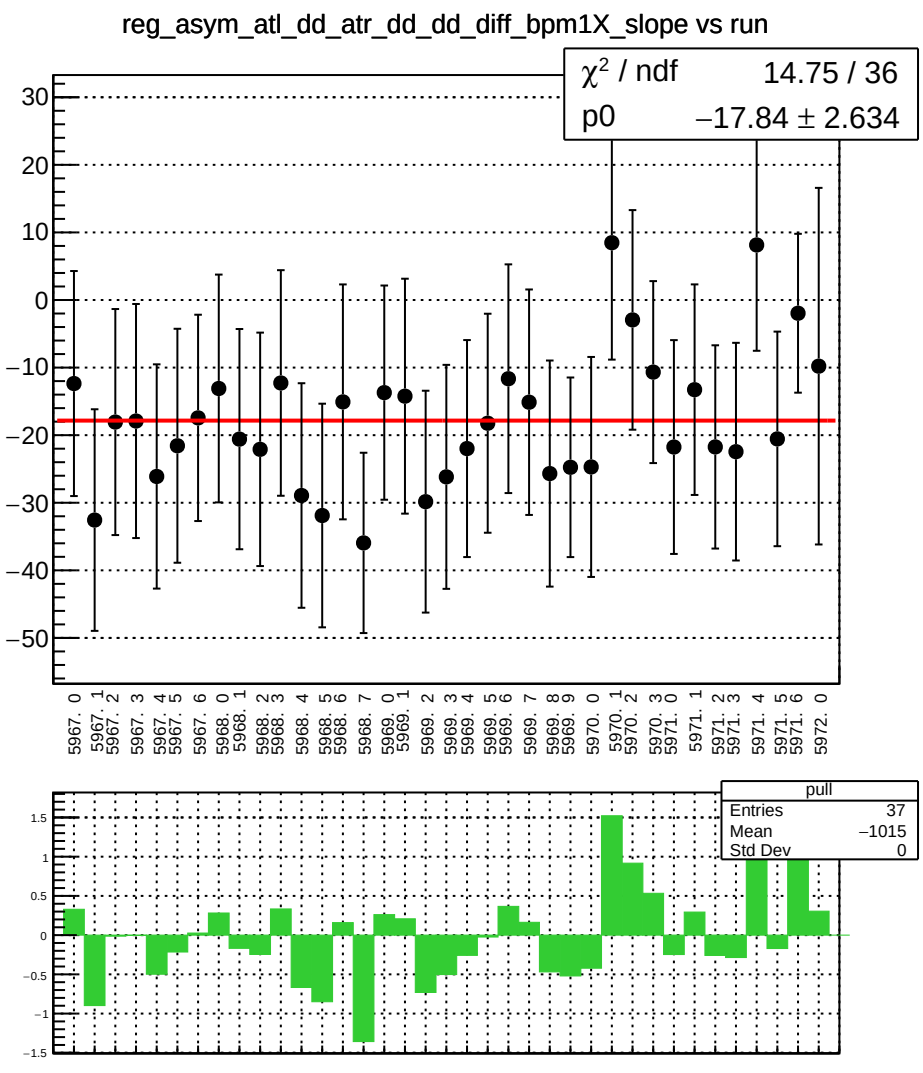
reg_asym_atl_dd_atr_dd_dd_diff_bpm1X_slope vs run
χ² / ndf 14.75 / 36
p0 −17.84 ± 2.634
pull
Entries 37
Mean −1015
Std Dev 0

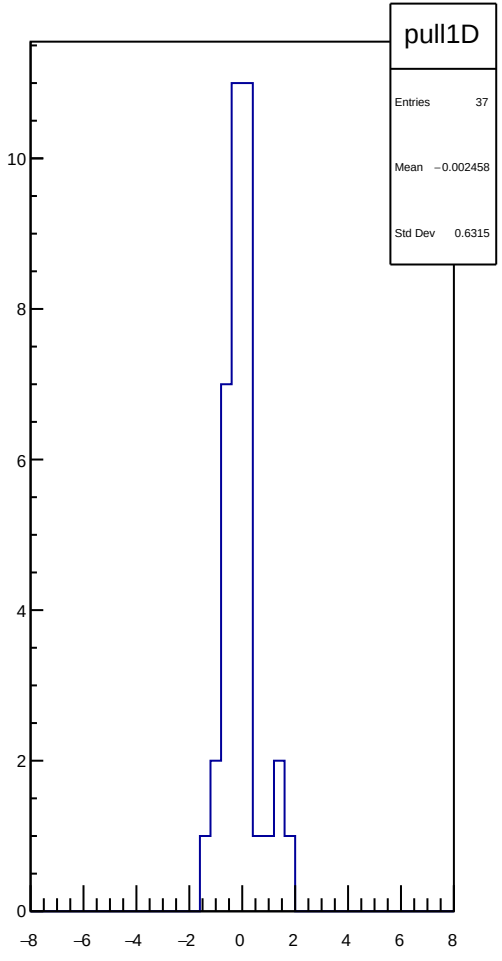
pull1D
Entries 37
Mean −0.002458
Std Dev 0.6315

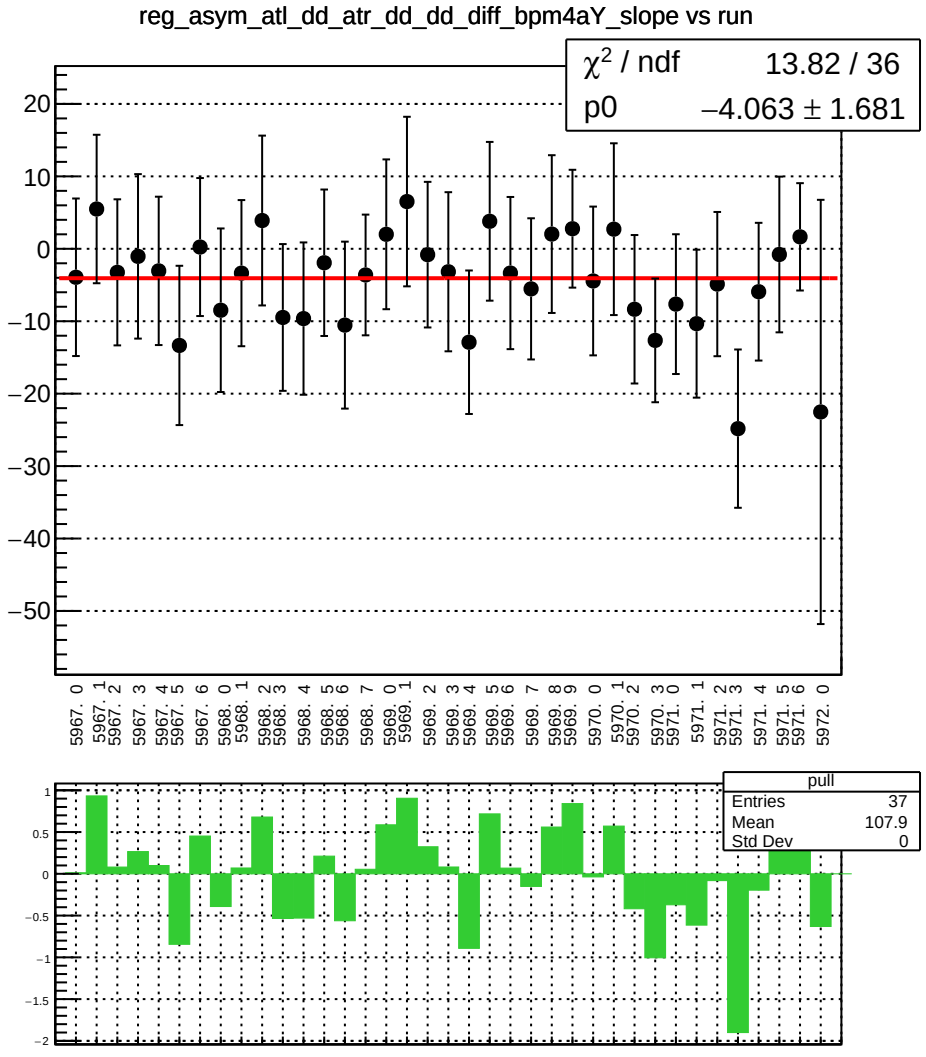
reg_asym_atl_dd_atr_dd_dd_diff_bpm4aY_slope vs run
χ² / ndf 13.82 / 36
p0 −4.063 ± 1.681
pull
Entries 37
Mean 107.9
Std Dev 0

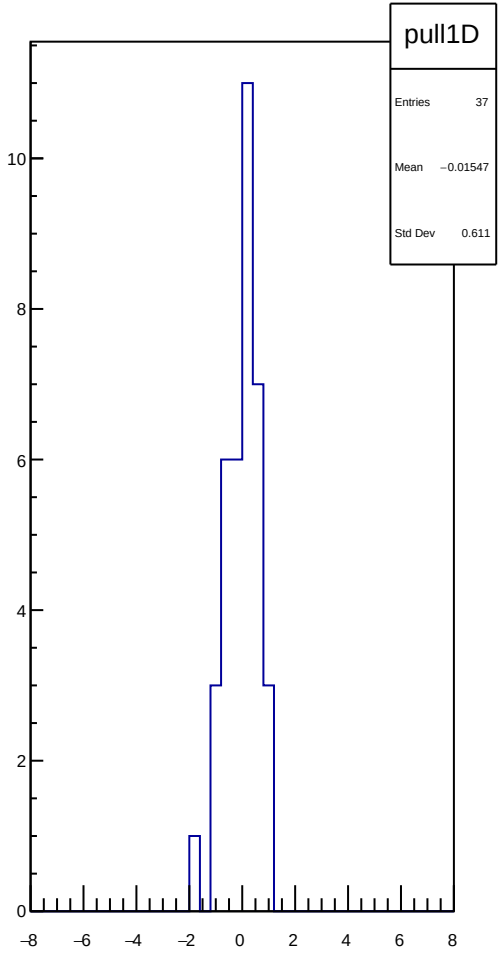
pull1D
Entries 37
Mean −0.01547
Std Dev 0.611

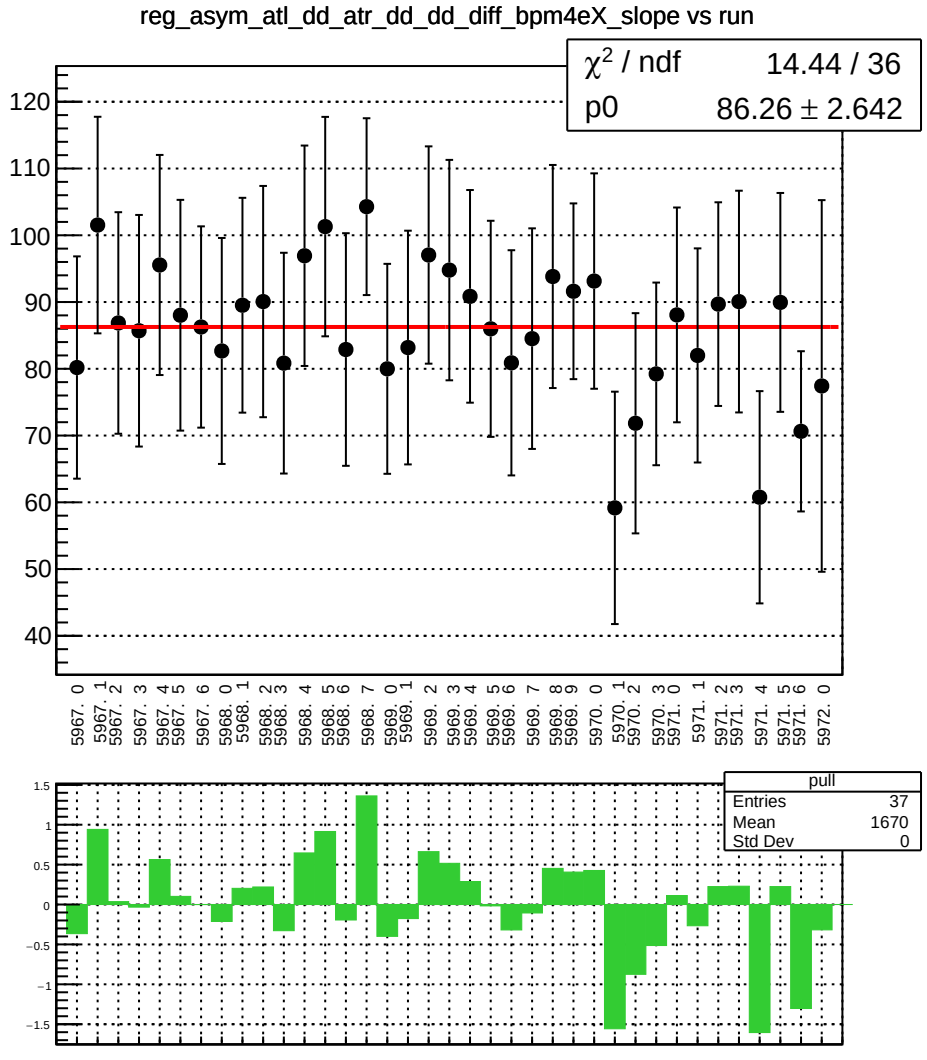
reg_asym_atl_dd_atr_dd_dd_diff_bpm4eX_slope vs run
χ² / ndf 14.44 / 36
p0 86.26 ± 2.642
pull
Entries 37
Mean 1670
Std Dev 0

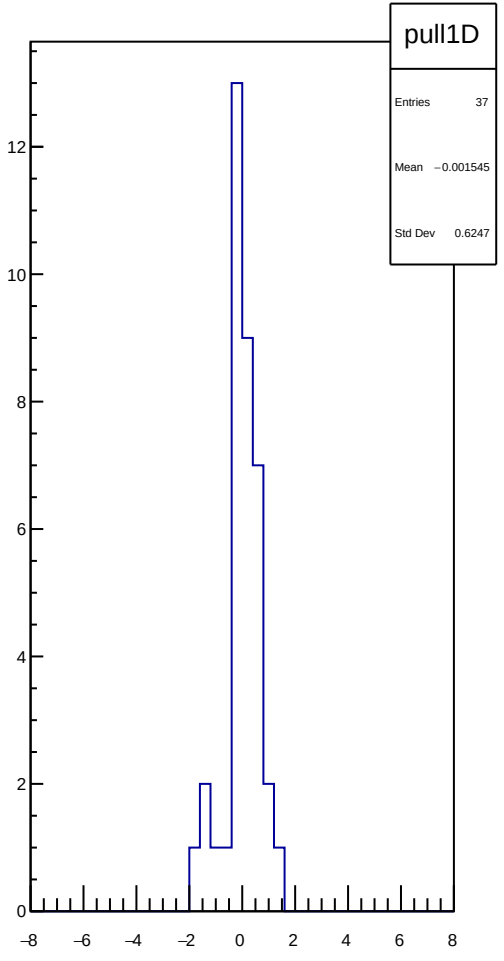
pull1D
Entries 37
Mean −0.001545
Std Dev 0.6247

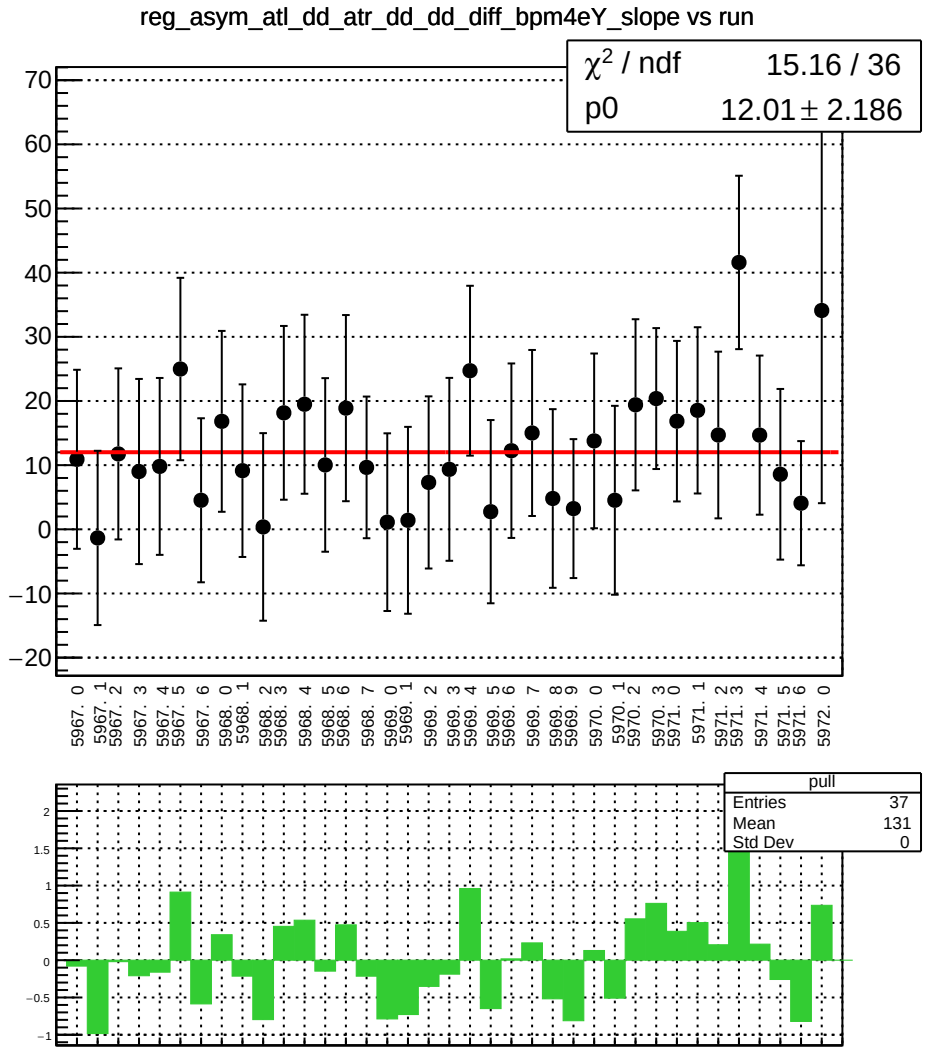
reg_asym_atl_dd_atr_dd_dd_diff_bpm4eY_slope vs run
χ² / ndf 15.16 / 36
p0 12.01 ± 2.186
pull
Entries 37
Mean 131
Std Dev 0

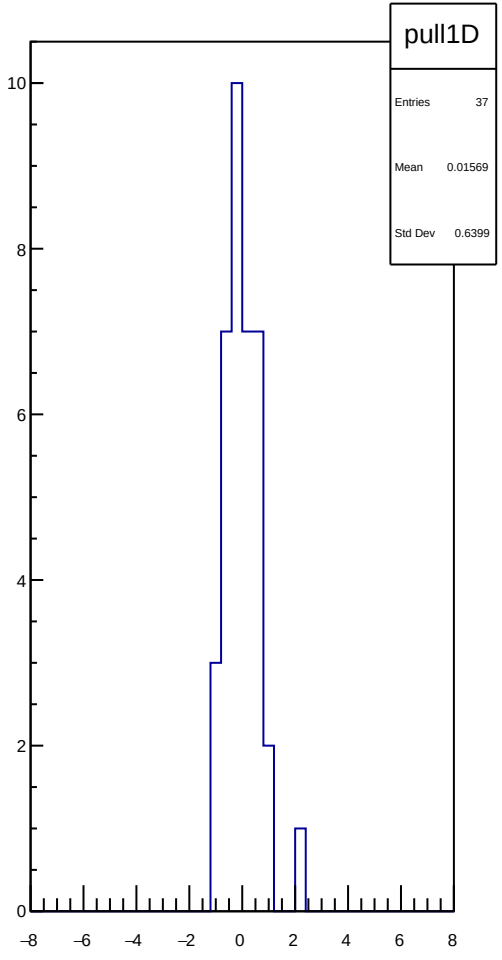
pull1D
Entries 37
Mean 0.01569
Std Dev 0.6399

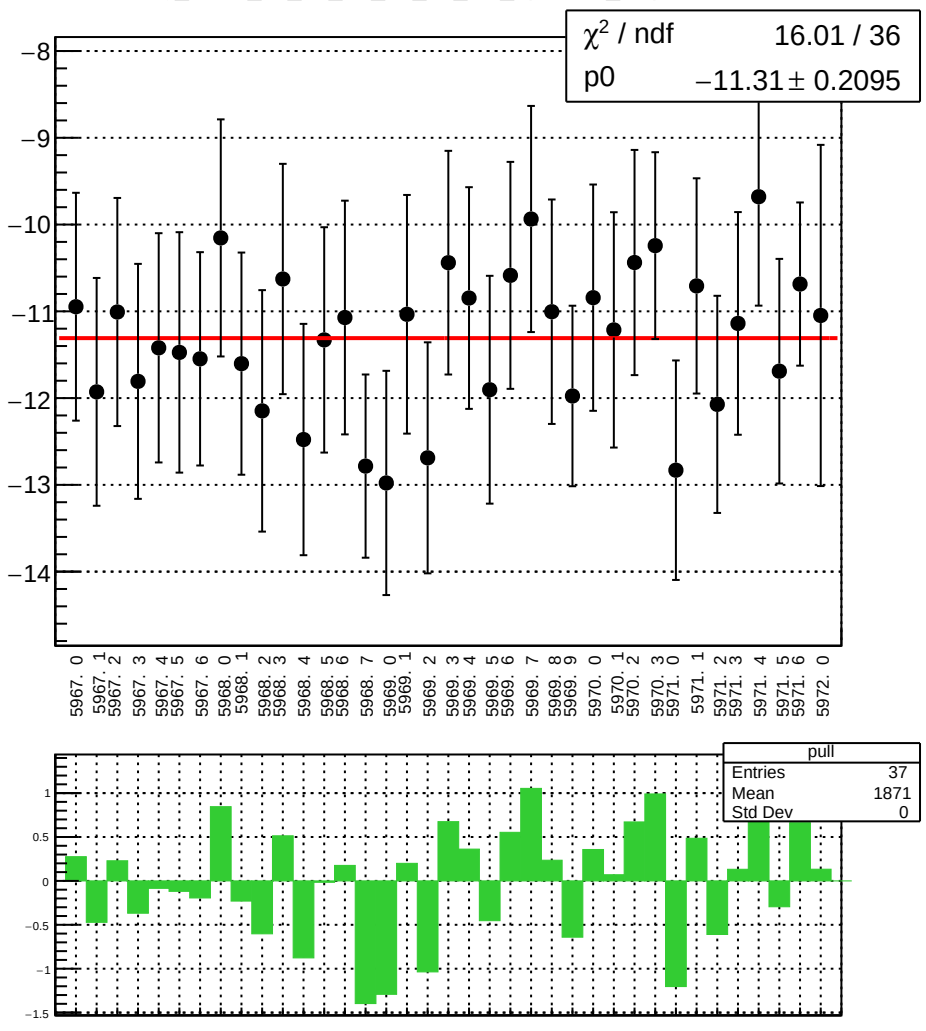
reg_asym_atl_dd_atr_dd_dd_diff_bpm12X_slope vs run
χ² / ndf 16.01 / 36
p0 −11.31 ± 0.2095
pull
Entries 37
Mean 1871
Std Dev 0

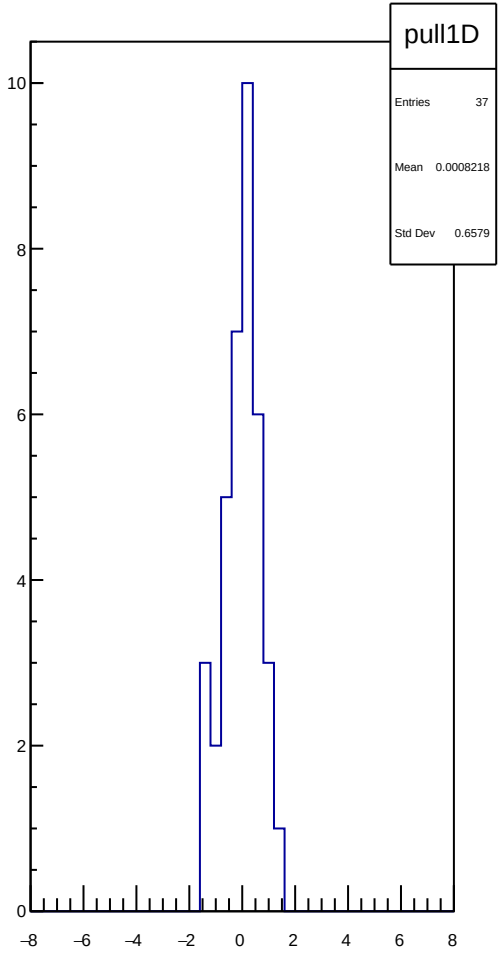
pull1D
Entries 37
Mean 0.0008218
Std Dev 0.6579

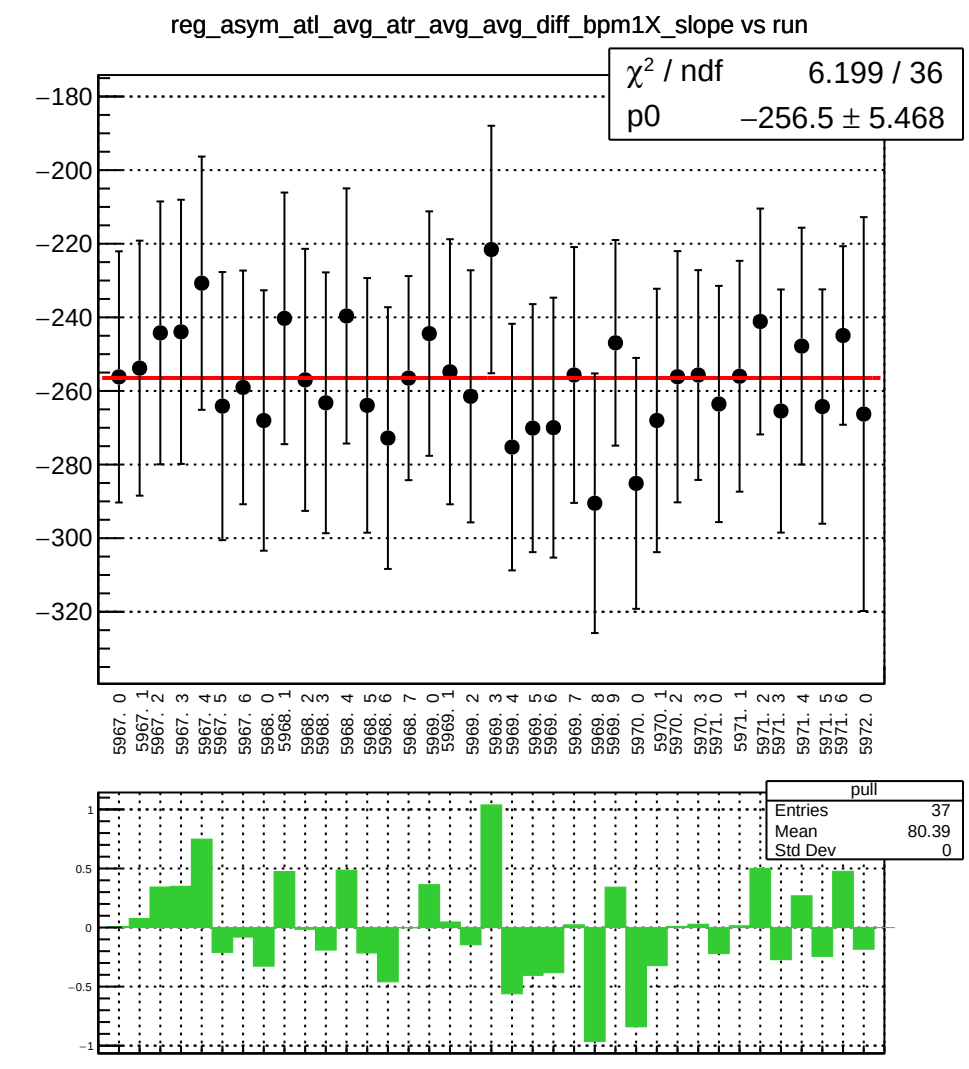
reg_asym_atl_avg_atr_avg_avg_diff_bpm1X_slope vs run
χ² / ndf 6.199 / 36
p0 −256.5 ± 5.468
−180
−200
−220
−240
−260
−280
−300
−320
5967. 0
5967. 1
5967. 2
5967. 3
5967. 4
5967. 5
5967. 6
5968. 0
5968. 1
5968. 2
5968. 3
5968. 4
5968. 5
5968. 6
5968. 7
5969. 0
5969. 1
5969. 2
5969. 3
5969. 4
5969. 5
5969. 6
5969. 7
5969. 8
5969. 9
5970. 0
5970. 1
5970. 2
5970. 3
5971. 0
5971. 1
5971. 2
5971. 3
5971. 4
5971. 5
5971. 6
5972. 0
pull
Entries 37
Mean 80.39
Std Dev 0
1
0.5
0
−0.5
−1
pull1D
Entries 37
Mean −0.01189
Std Dev 0.4091
14
12
10
8
6
4
2
0
−8
−6
−4
−2
0
2
4
6
8

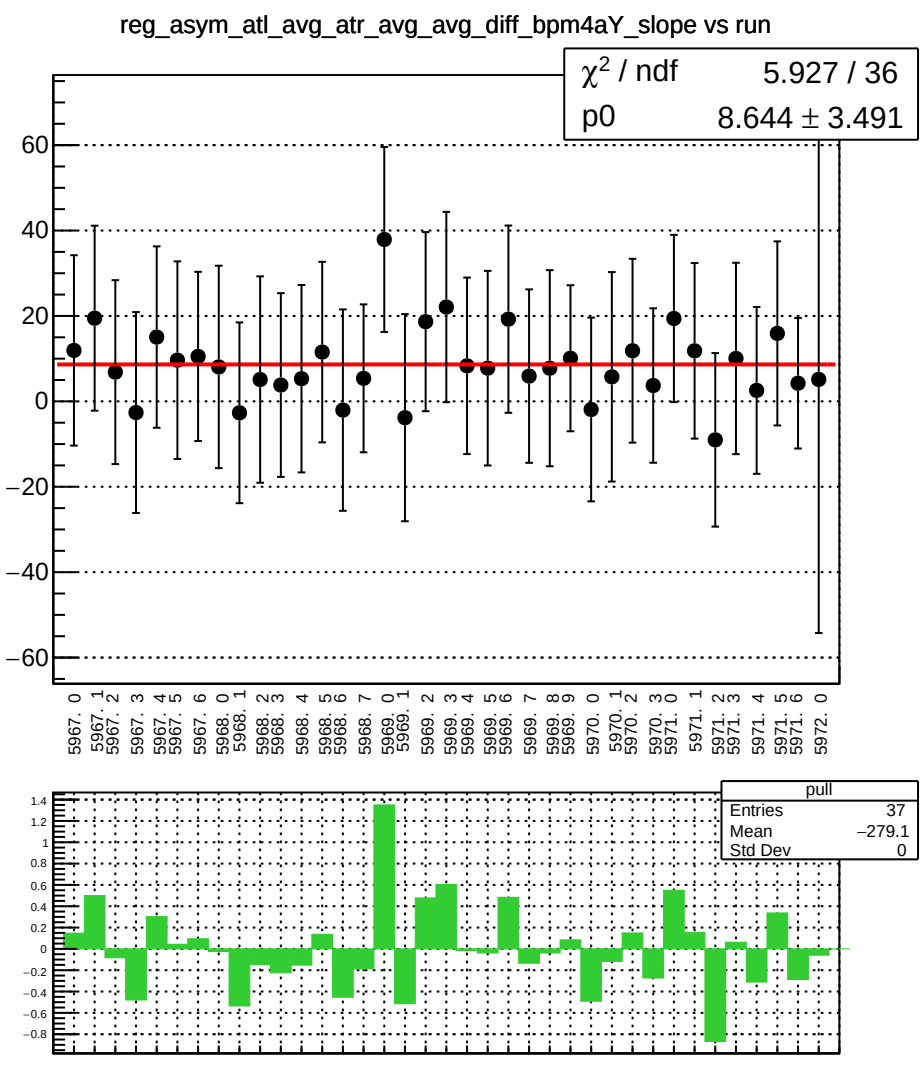
reg_asym_atl_avg_atr_avg_avg_diff_bpm4aY_slope vs run
χ² / ndf 5.927 / 36
p0 8.644 ± 3.491
pull
Entries 37
Mean −279.1
Std Dev 0

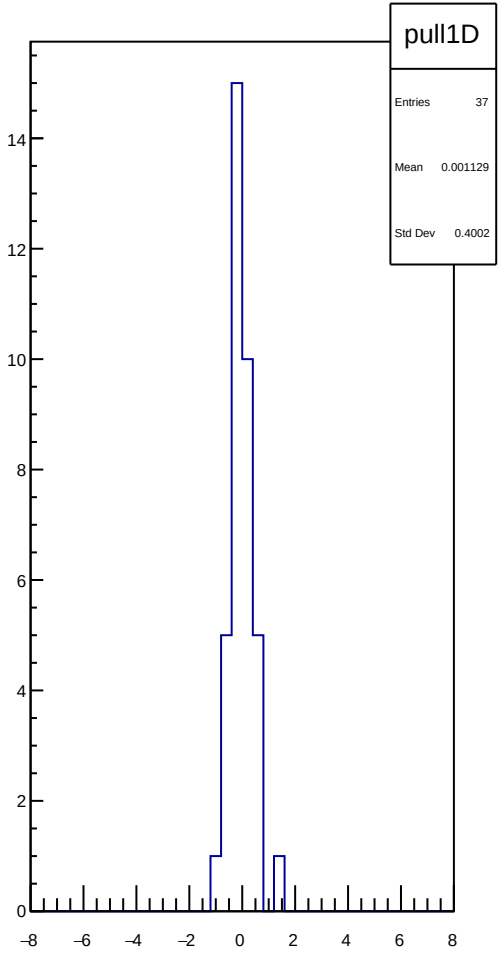
pull1D
Entries 37
Mean 0.001129
Std Dev 0.4002

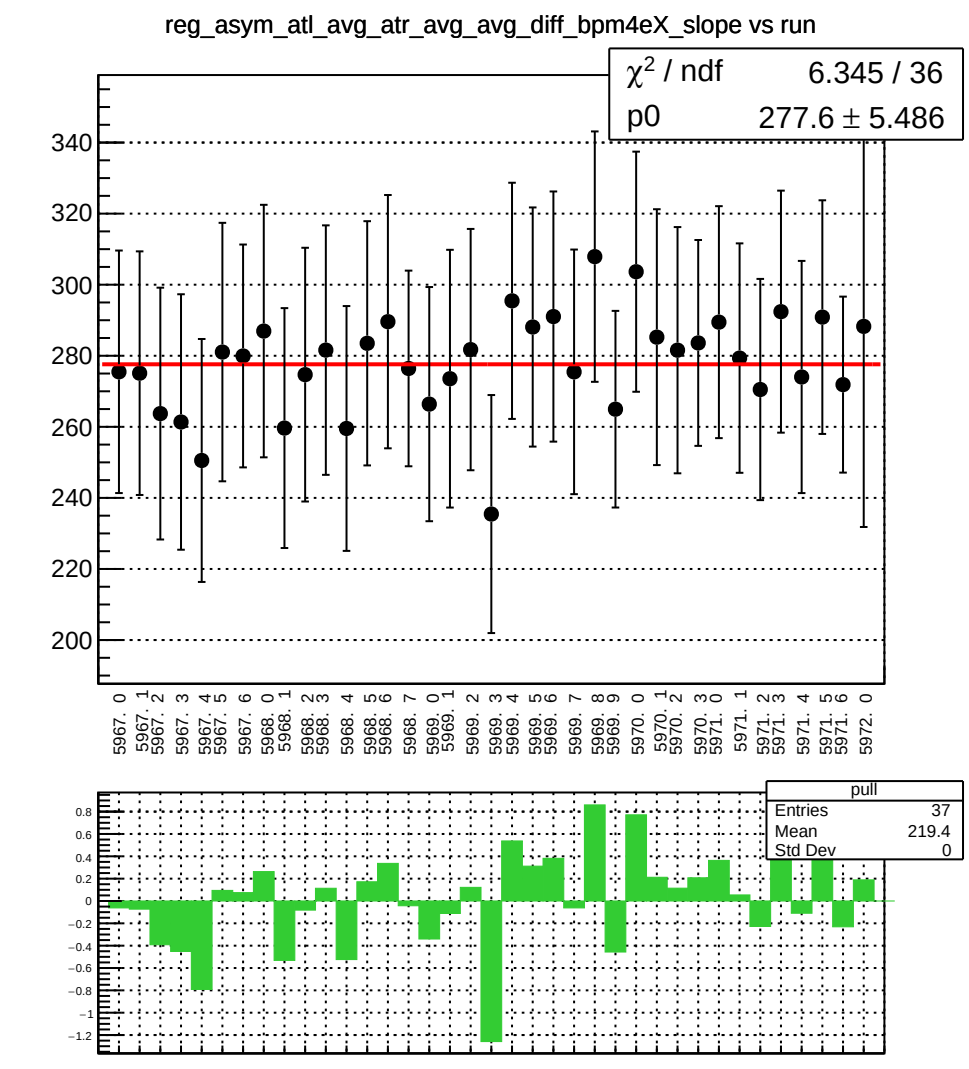
reg_asym_atl_avg_atr_avg_avg_diff_bpm4eX_slope vs run
χ² / ndf 6.345 / 36
p0 277.6 ± 5.486
340
320
300
280
260
240
220
200
5967. 0
5967. 1
5967. 2
5967. 3
5967. 4
5967. 5
5967. 6
5968. 0
5968. 1
5968. 2
5968. 3
5968. 4
5968. 5
5968. 6
5968. 7
5969. 0
5969. 1
5969. 2
5969. 3
5969. 4
5969. 5
5969. 6
5969. 7
5969. 8
5969. 9
5970. 0
5970. 1
5970. 2
5970. 3
5971. 0
5971. 1
5971. 2
5971. 3
5971. 4
5971. 5
5971. 6
5972. 0
pull
Entries 37
Mean 219.4
Std Dev 0
0.8
0.6
0.4
0.2
0
−0.2
−0.4
−0.6
−0.8
−1
−1.2

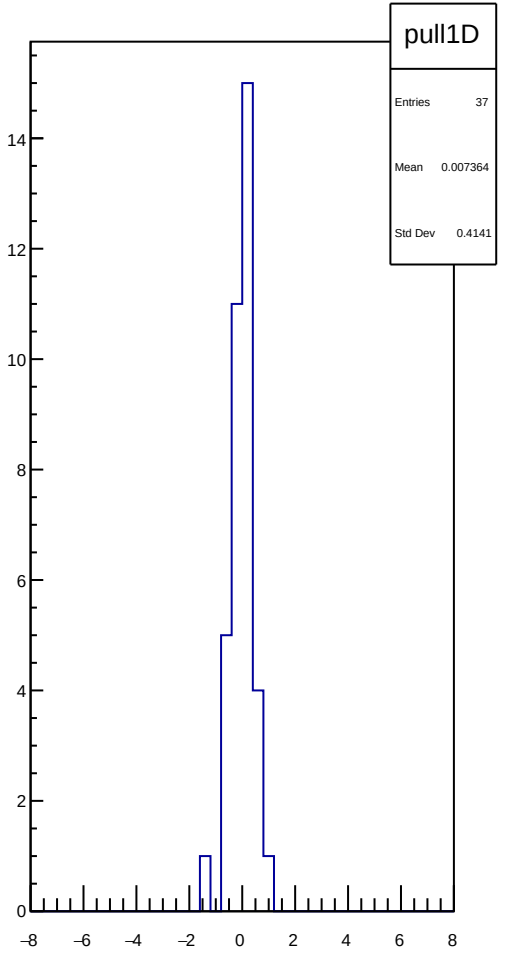
pull1D
Entries 37
Mean 0.007364
Std Dev 0.4141
14
12
10
8
6
4
2
0
−8
−6
−4
−2
0
2
4
6
8

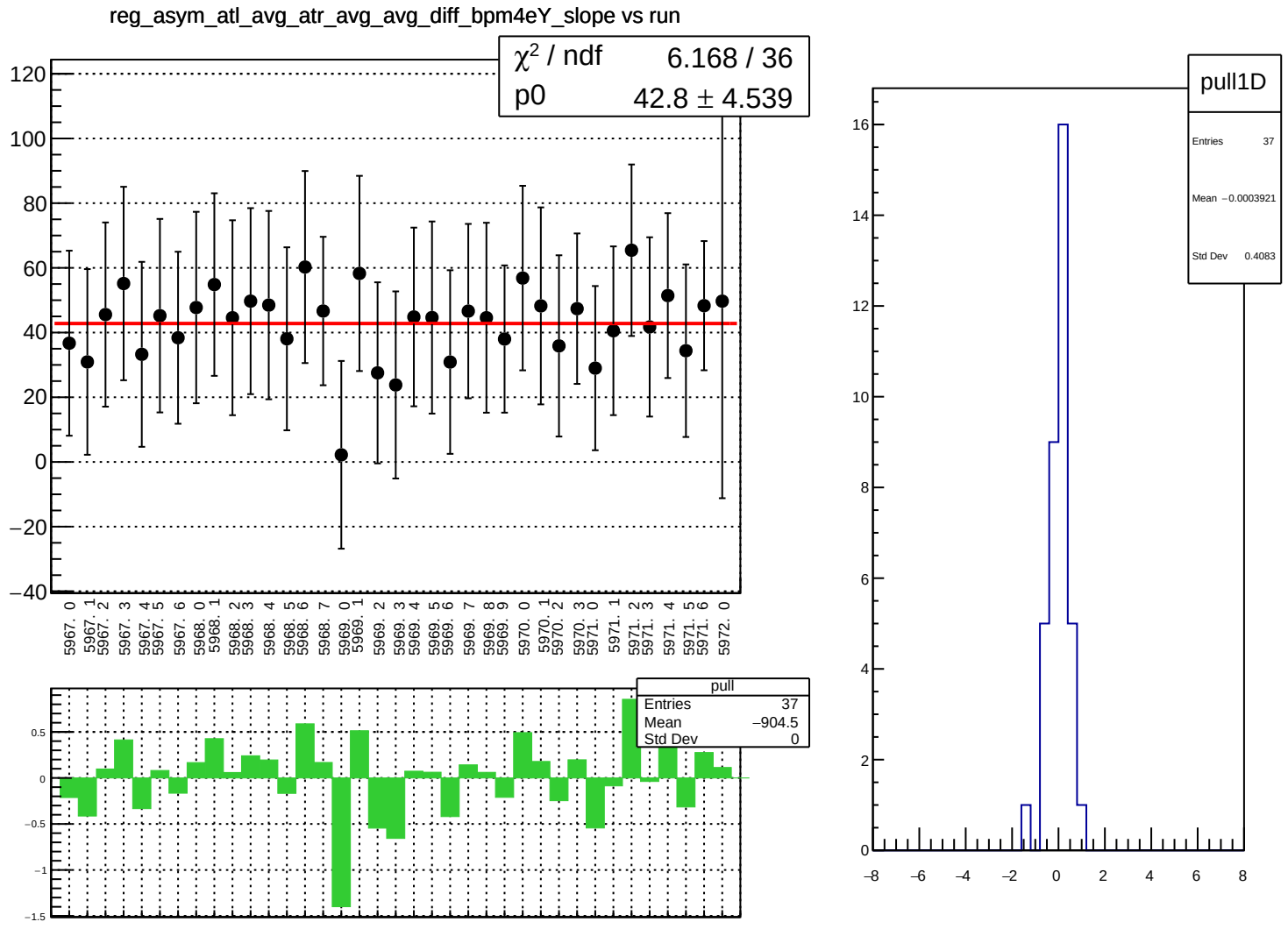
reg_asym_atl_avg_atr_avg_avg_diff_bpm4eY_slope vs run
χ² / ndf 6.168 / 36
p0 42.8 ± 4.539
pull
Entries 37
Mean −904.5
Std Dev 0
pull1D
Entries 37
Mean −0.0003921
Std Dev 0.4083

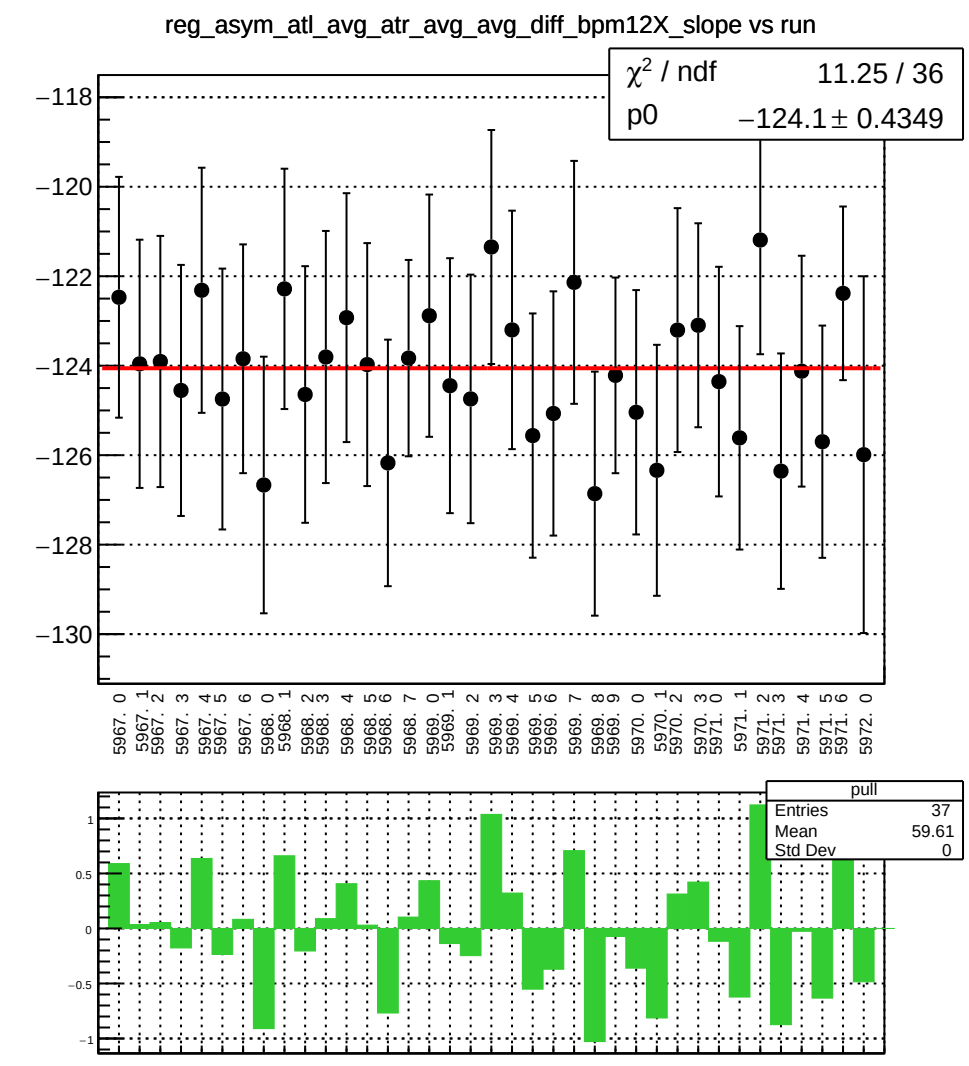
reg_asym_atl_avg_atr_avg_avg_diff_bpm12X_slope vs run
χ² / ndf 11.25 / 36
p0 −124.1 ± 0.4349
−118
−120
−122
−124
−126
−128
−130
5967. 0
5967. 1
5967. 2
5967. 3
5967. 4
5967. 5
5967. 6
5968. 0
5968. 1
5968. 2
5968. 3
5968. 4
5968. 5
5968. 6
5968. 7
5969. 0
5969. 1
5969. 2
5969. 3
5969. 4
5969. 5
5969. 6
5969. 7
5969. 8
5969. 9
5970. 0
5970. 1
5970. 2
5970. 3
5971. 0
5971. 1
5971. 2
5971. 3
5971. 4
5971. 5
5971. 6
5972. 0
pull
Entries 37
Mean 59.61
Std Dev 0
1
0.5
0
−0.5
−1

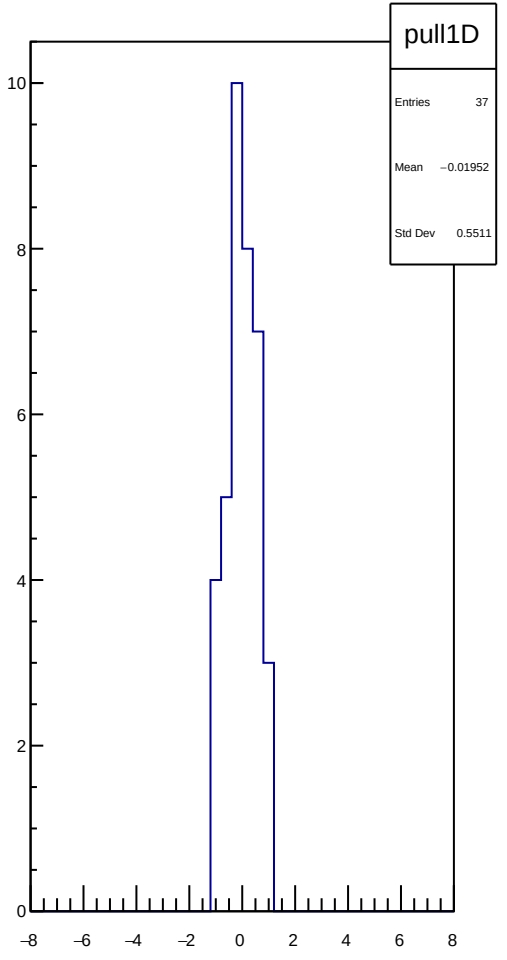
pull1D
Entries 37
Mean −0.01952
Std Dev 0.5511
10
8
6
4
2
0
−8
−6
−4
−2
0
2
4
6
8

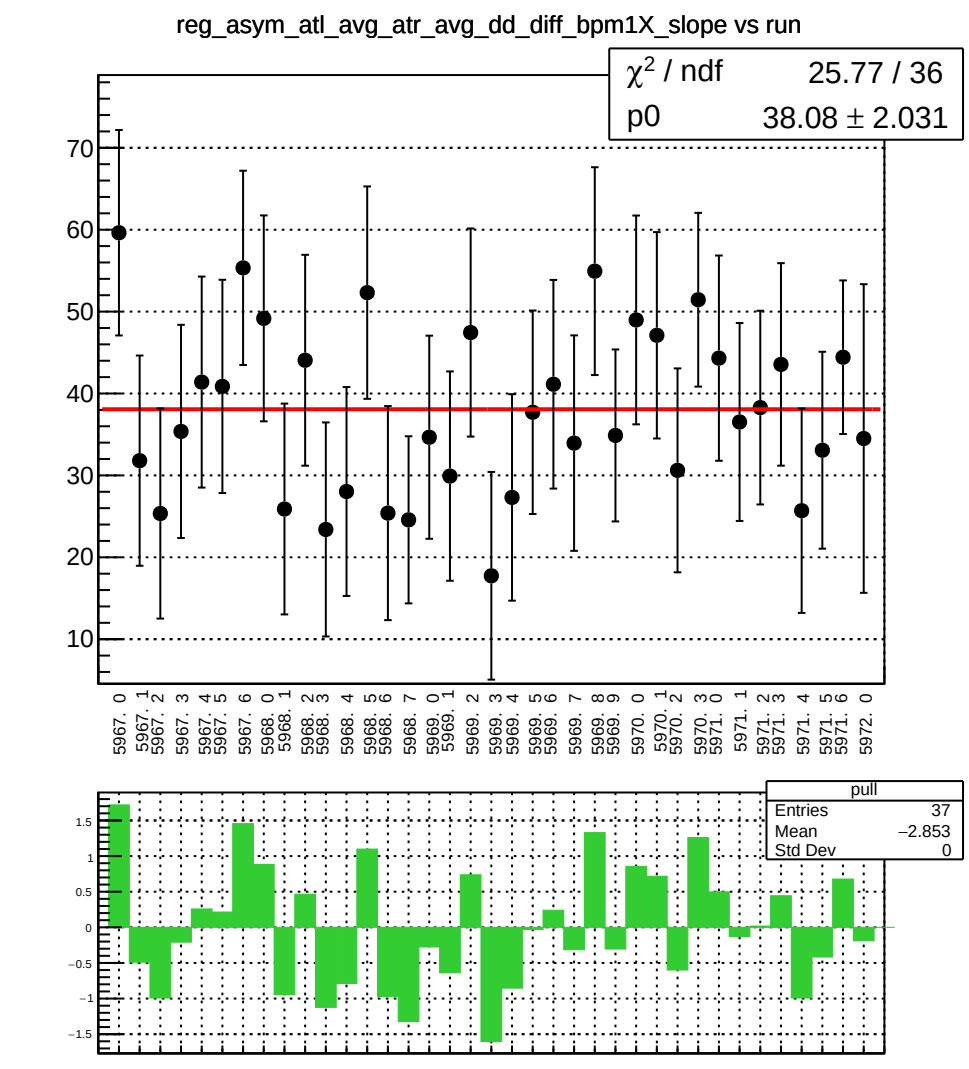
reg_asym_atl_avg_atr_avg_dd_diff_bpm1X_slope vs run
χ² / ndf 25.77 / 36
p0 38.08 ± 2.031
70
60
50
40
30
20
10
5967. 0
5967. 1
5967. 2
5967. 3
5967. 4
5967. 5
5967. 6
5968. 0
5968. 1
5968. 2
5968. 3
5968. 4
5968. 5
5968. 6
5968. 7
5969. 0
5969. 1
5969. 2
5969. 3
5969. 4
5969. 5
5969. 6
5969. 7
5969. 8
5969. 9
5970. 0
5970. 1
5970. 2
5970. 3
5971. 0
5971. 1
5971. 2
5971. 3
5971. 4
5971. 5
5971. 6
5972. 0
pull
Entries 37
Mean −2.853
Std Dev 0
1.5
1
0.5
0
−0.5
−1
−1.5
pull1D
Entries 37
Mean −0.008526
Std Dev 0.8345
7
6
5
4
3
2
1
0
−8
−6
−4
−2
0
2
4
6
8

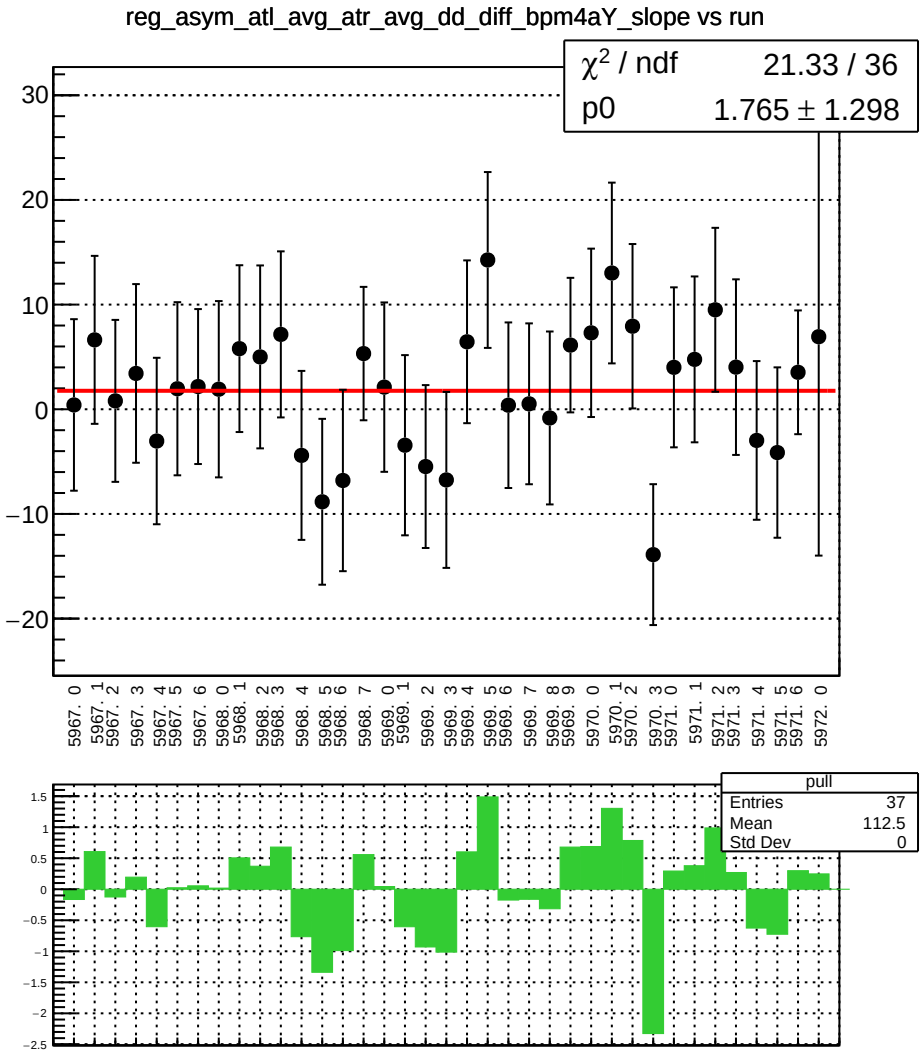
reg_asym_atl_avg_atr_avg_dd_diff_bpm4aY_slope vs run
χ² / ndf 21.33 / 36
p0 1.765 ± 1.298
pull
Entries 37
Mean 112.5
Std Dev 0

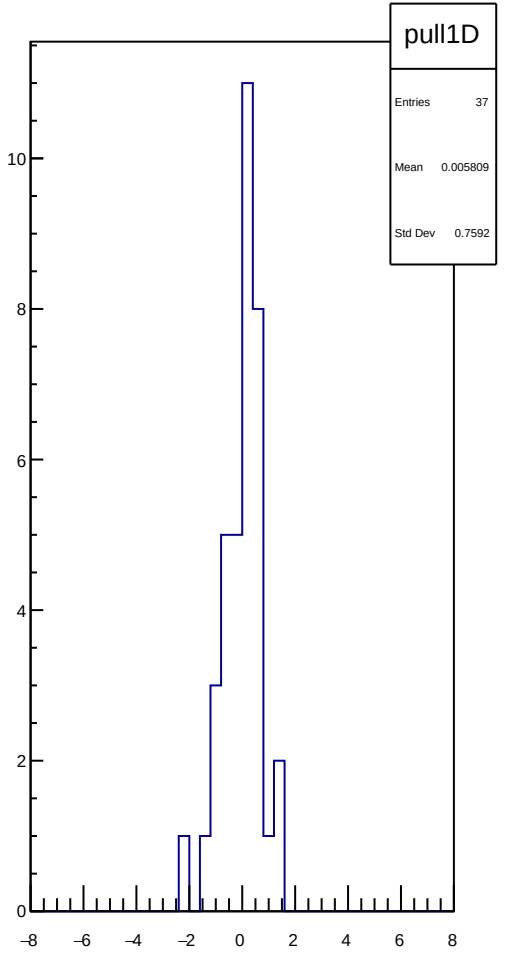
pull1D
Entries 37
Mean 0.005809
Std Dev 0.7592

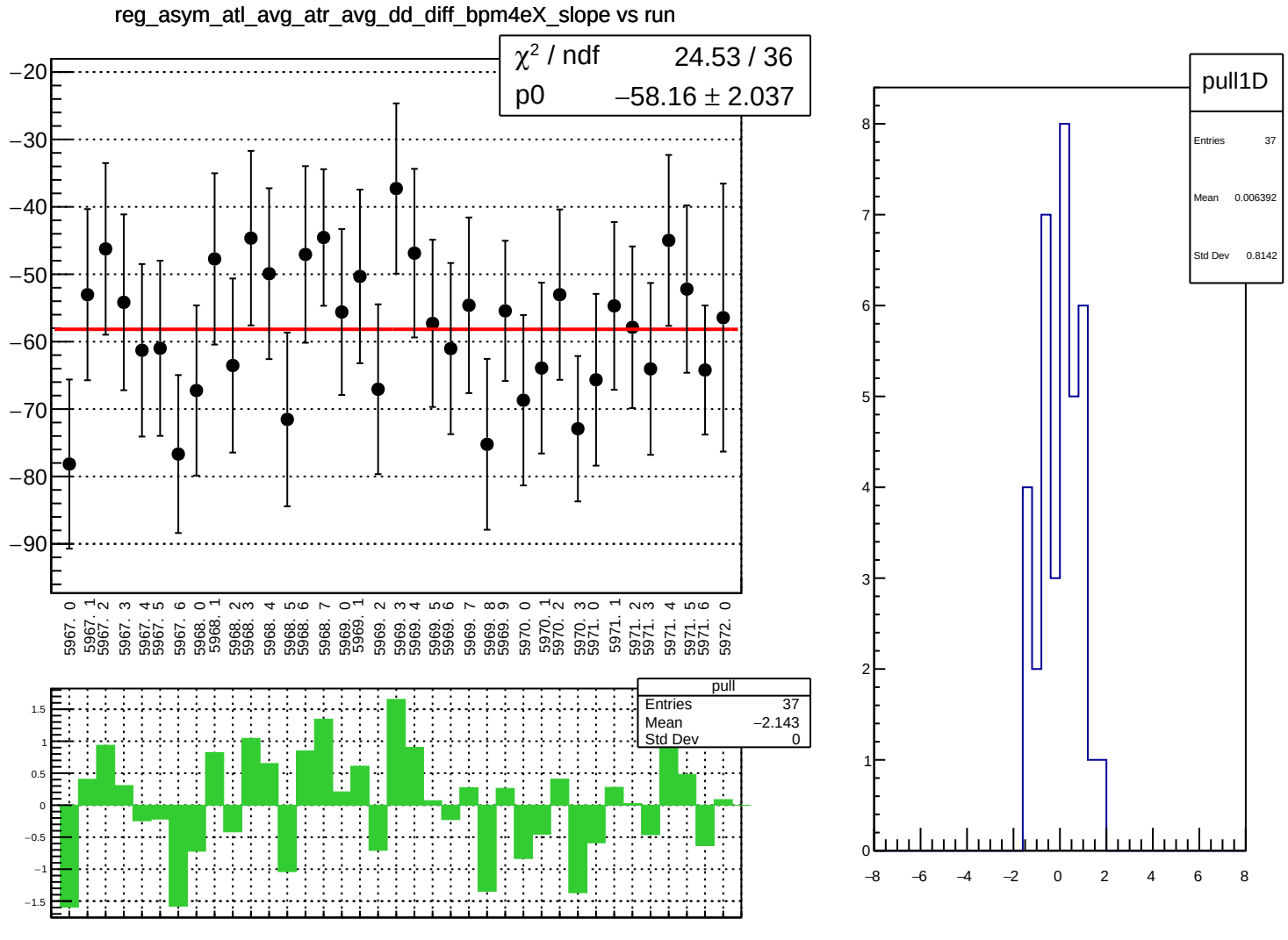
reg_asym_atl_avg_atr_avg_dd_diff_bpm4eX_slope vs run
χ² / ndf 24.53 / 36
p0 −58.16 ± 2.037
pull
Entries 37
Mean −2.143
Std Dev 0
pull1D
Entries 37
Mean 0.006392
Std Dev 0.8142

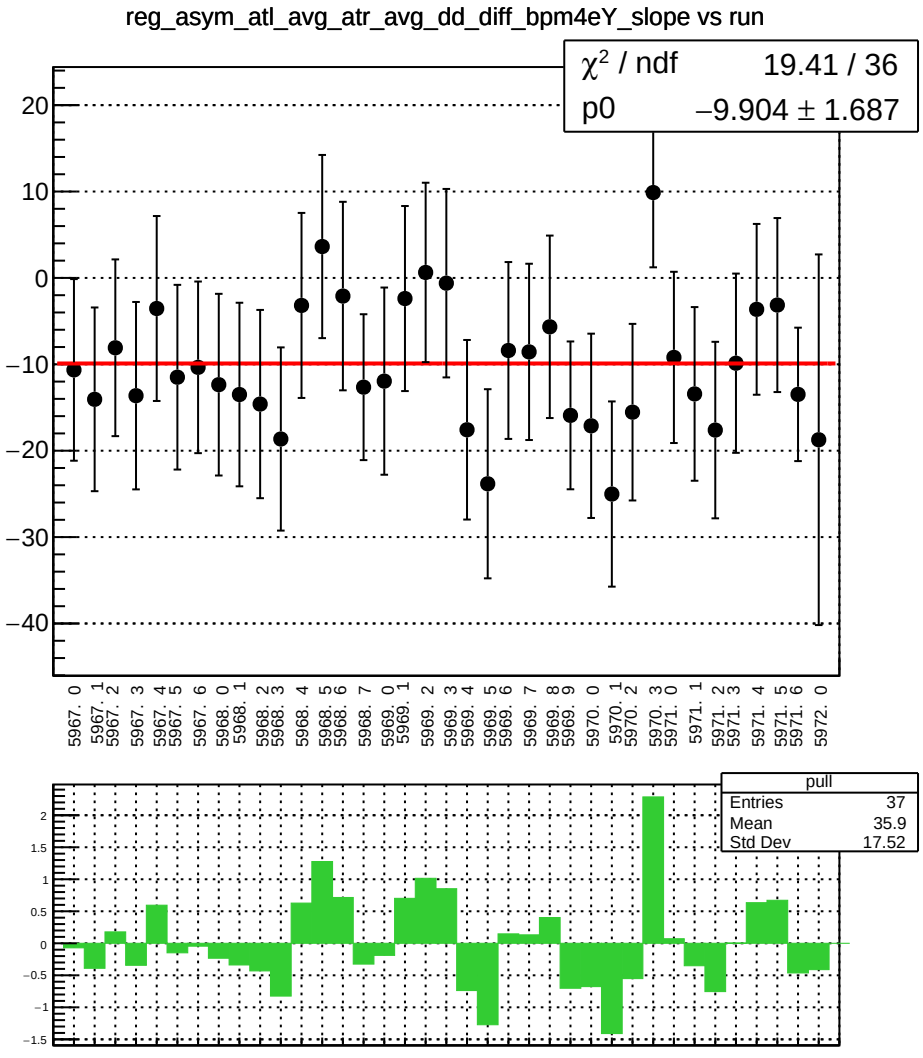
reg_asym_atl_avg_atr_avg_dd_diff_bpm4eY_slope vs run
χ² / ndf 19.41 / 36
p0 −9.904 ± 1.687
pull
Entries 37
Mean 35.9
Std Dev 17.52

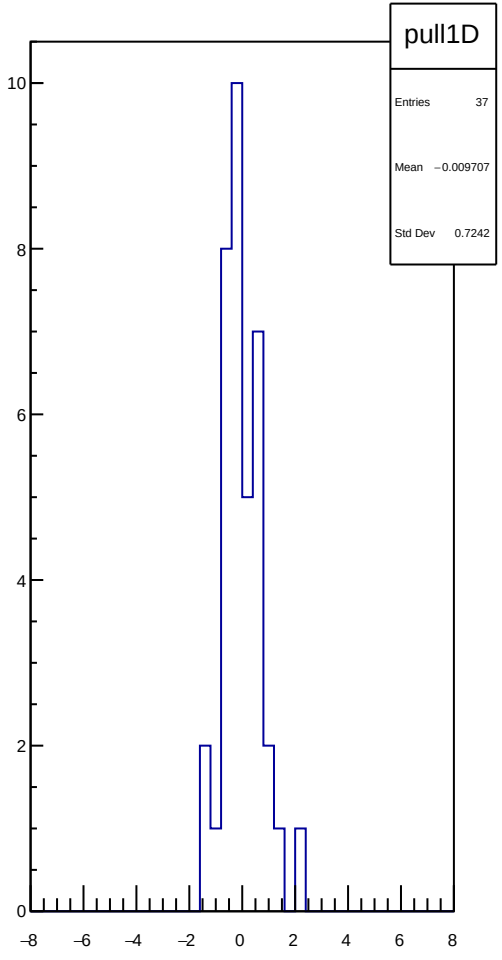
pull1D
Entries 37
Mean −0.009707
Std Dev 0.7242

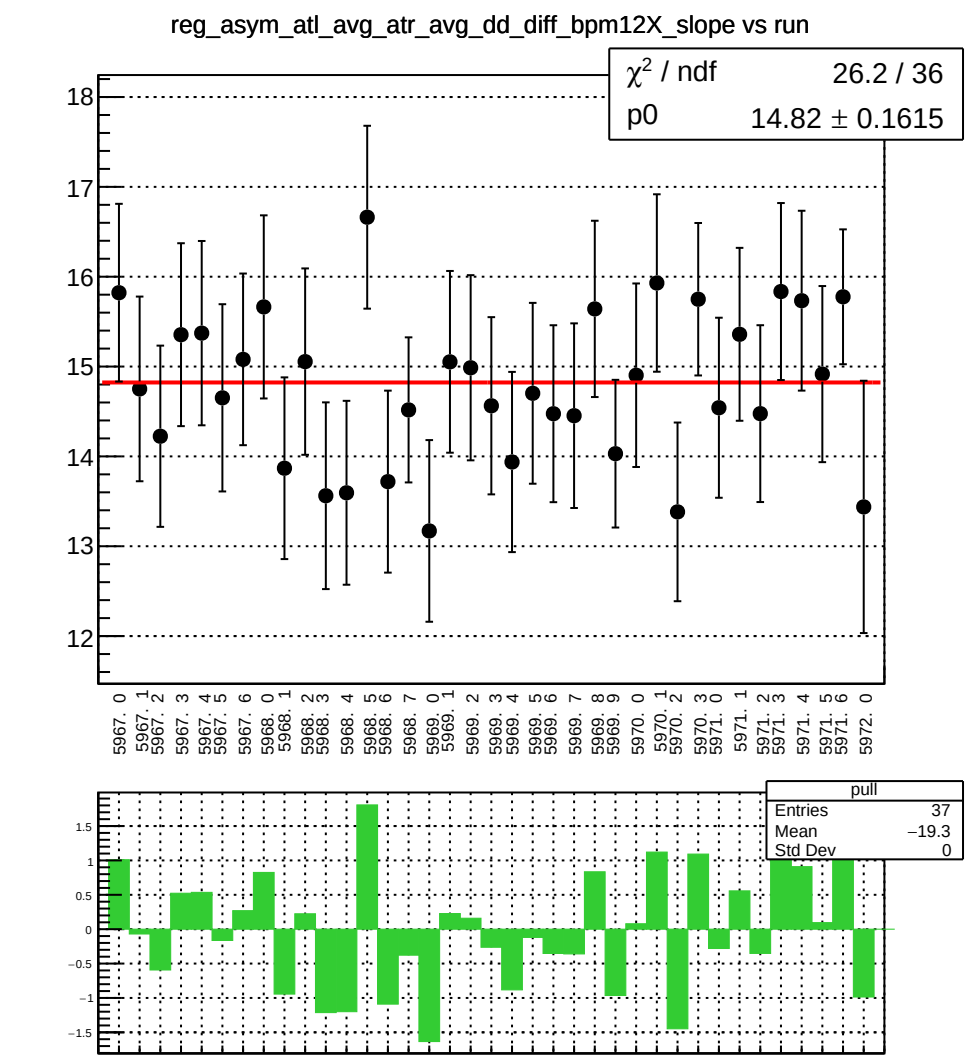
reg_asym_atl_avg_atr_avg_dd_diff_bpm12X_slope vs run
χ² / ndf 26.2 / 36
p0 14.82 ± 0.1615
pull
Entries 37
Mean −19.3
Std Dev 0

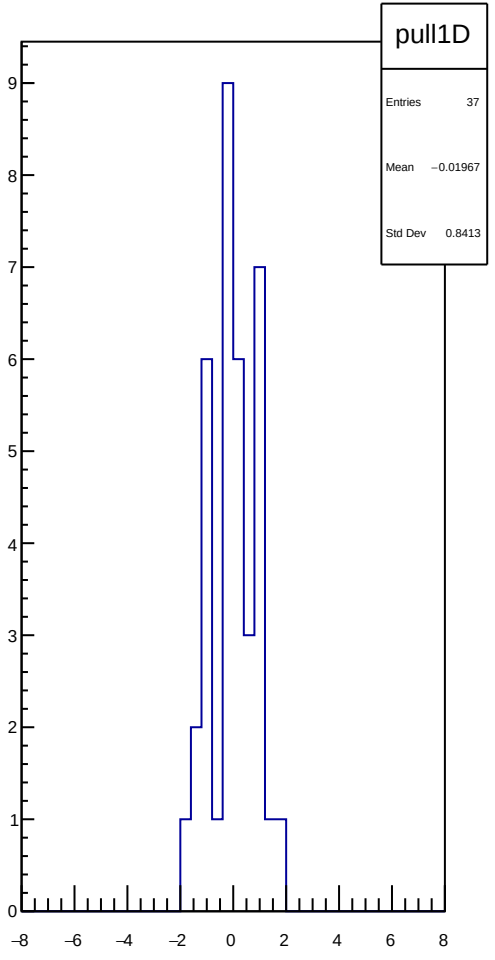
pull1D
Entries 37
Mean −0.01967
Std Dev 0.8413

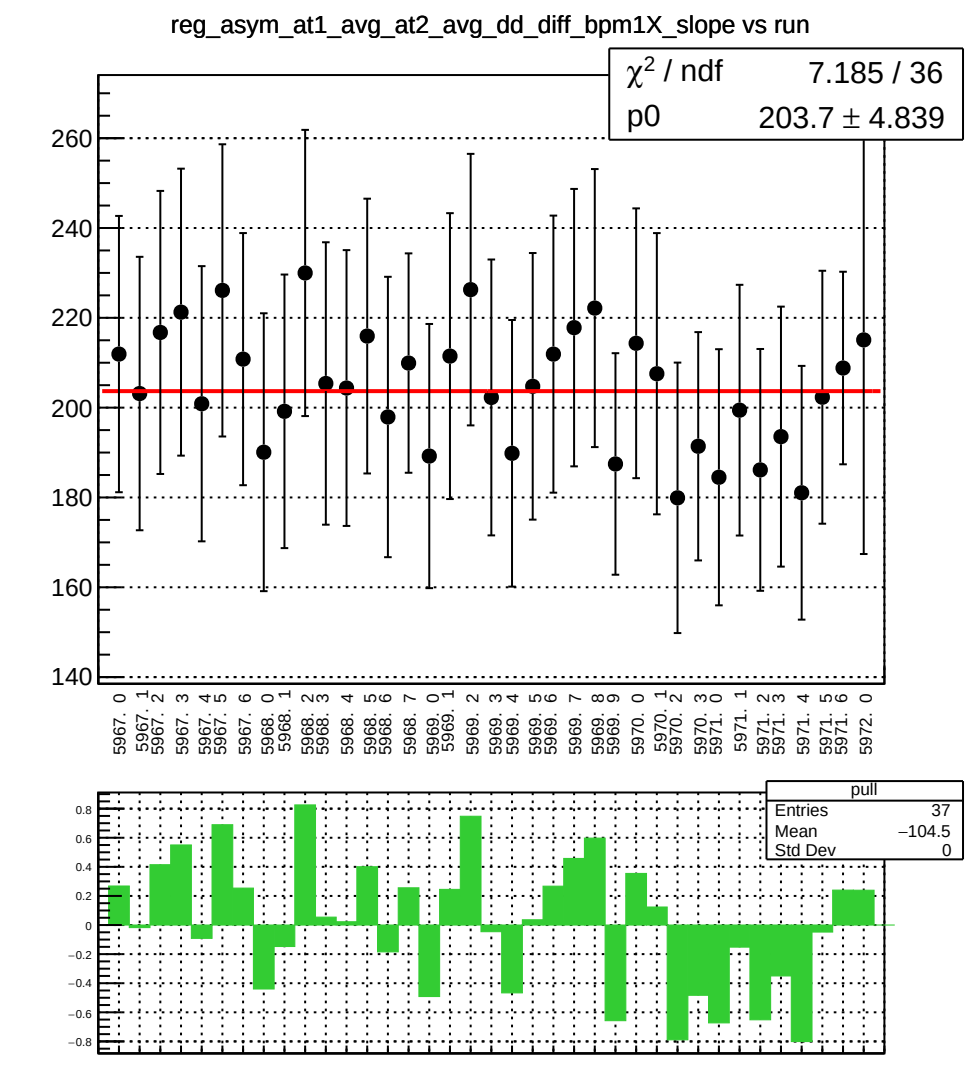
reg_asym_at1_avg_at2_avg_dd_diff_bpm1X_slope vs run
χ² / ndf 7.185 / 36
p0 203.7 ± 4.839
260
240
220
200
180
160
140
5967. 0
5967. 1
5967. 2
5967. 3
5967. 4
5967. 5
5967. 6
5968. 0
5968. 1
5968. 2
5968. 3
5968. 4
5968. 5
5968. 6
5968. 7
5969. 0
5969. 1
5969. 2
5969. 3
5969. 4
5969. 5
5969. 6
5969. 7
5969. 8
5969. 9
5970. 0
5970. 1
5970. 2
5970. 3
5971. 0
5971. 1
5971. 2
5971. 3
5971. 4
5971. 5
5971. 6
5972. 0
pull
Entries 37
Mean −104.5
Std Dev 0
0.8
0.6
0.4
0.2
0
−0.2
−0.4
−0.6
−0.8
pull1D
Entries 37
Mean 0.01501
Std Dev 0.4404
12
10
8
6
4
2
0
−8
−6
−4
−2
0
2
4
6
8

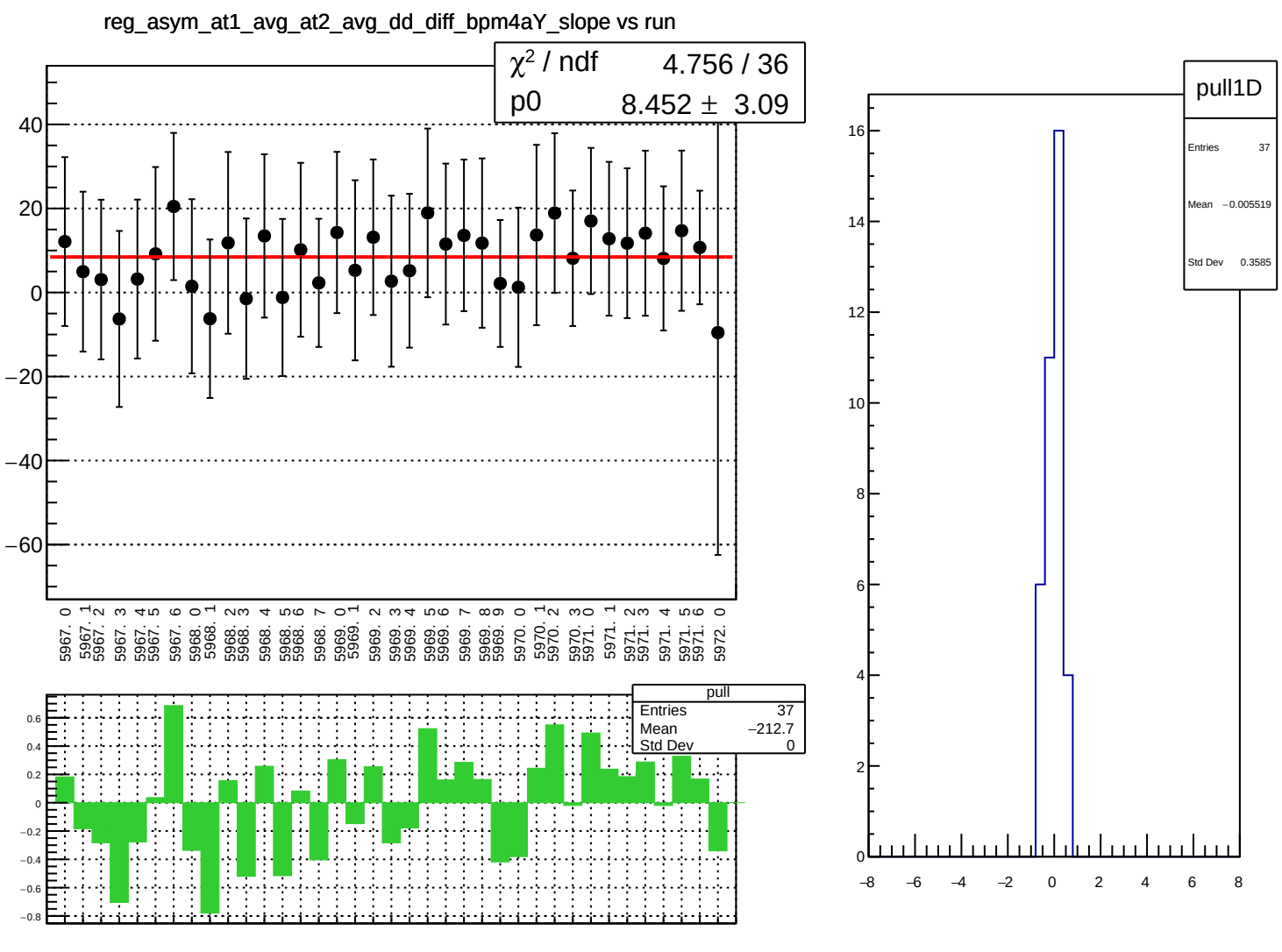
reg_asym_at1_avg_at2_avg_dd_diff_bpm4aY_slope vs run
χ² / ndf 4.756 / 36
p0 8.452 ± 3.09
40
20
0
−20
−40
−60
5967. 0
5967. 1
5967. 2
5967. 3
5967. 4
5967. 5
5967. 6
5968. 0
5968. 1
5968. 2
5968. 3
5968. 4
5968. 5
5968. 6
5968. 7
5969. 0
5969. 1
5969. 2
5969. 3
5969. 4
5969. 5
5969. 6
5969. 7
5969. 8
5969. 9
5970. 0
5970. 1
5970. 2
5970. 3
5971. 0
5971. 1
5971. 2
5971. 3
5971. 4
5971. 5
5971. 6
5972. 0
pull
Entries 37
Mean −212.7
Std Dev 0
0.6
0.4
0.2
0
−0.2
−0.4
−0.6
−0.8
pull1D
Entries 37
Mean −0.005519
Std Dev 0.3585
16
14
12
10
8
6
4
2
0
−8
−6
−4
−2
0
2
4
6
8

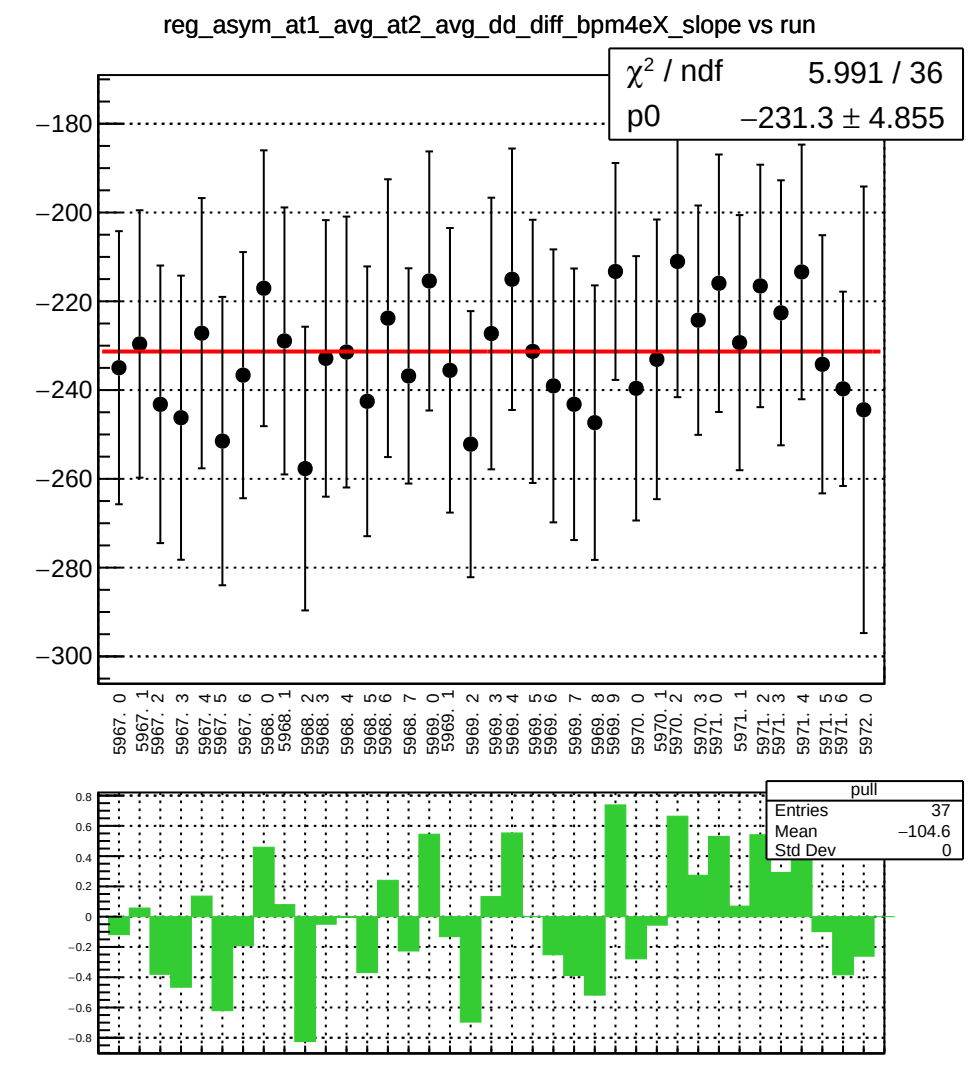
reg_asym_at1_avg_at2_avg_dd_diff_bpm4eX_slope vs run
χ² / ndf 5.991 / 36
p0 −231.3 ± 4.855
−180
−200
−220
−240
−260
−280
−300
5967. 0
5967. 1
5967. 2
5967. 3
5967. 4
5967. 5
5967. 6
5968. 0
5968. 1
5968. 2
5968. 3
5968. 4
5968. 5
5968. 6
5968. 7
5969. 0
5969. 1
5969. 2
5969. 3
5969. 4
5969. 5
5969. 6
5969. 7
5969. 8
5969. 9
5970. 0
5970. 1
5970. 2
5970. 3
5971. 0
5971. 1
5971. 2
5971. 3
5971. 4
5971. 5
5971. 6
5972. 0
pull
Entries 37
Mean −104.6
Std Dev 0
0.8
0.6
0.4
0.2
0
−0.2
−0.4
−0.6
−0.8

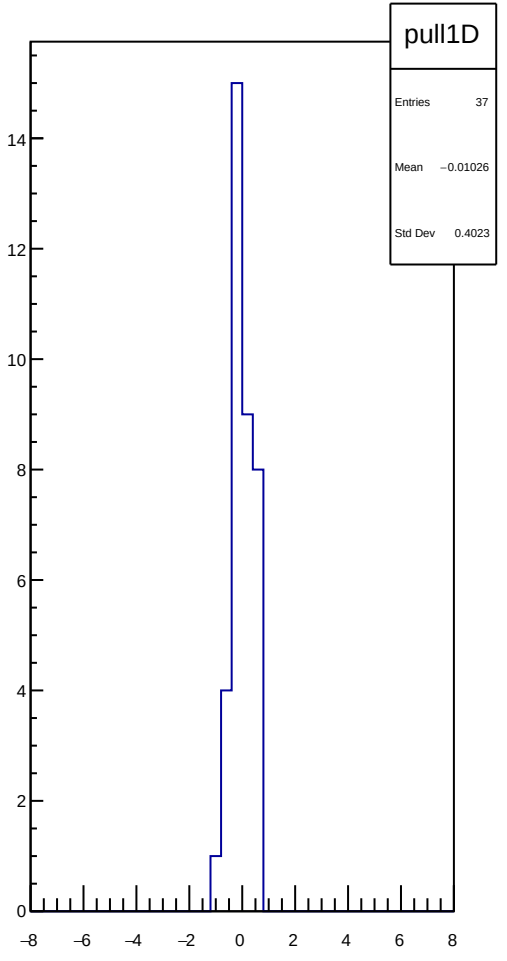
pull1D
Entries 37
Mean −0.01026
Std Dev 0.4023
14
12
10
8
6
4
2
0
−8
−6
−4
−2
0
2
4
6
8

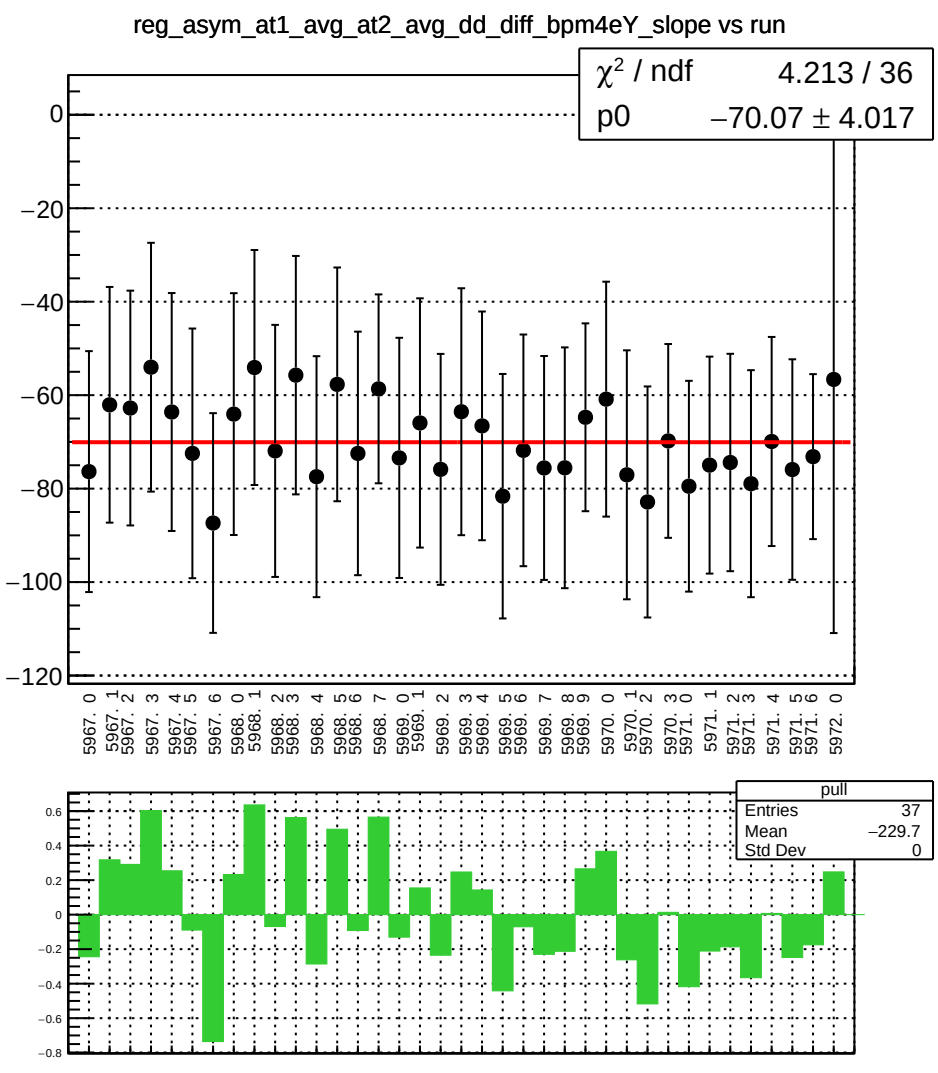
reg_asym_at1_avg_at2_avg_dd_diff_bpm4eY_slope vs run
χ² / ndf 4.213 / 36
p0 −70.07 ± 4.017
pull
Entries 37
Mean −229.7
Std Dev 0
pull1D
Entries 37
Mean 0.005005
Std Dev 0.3374

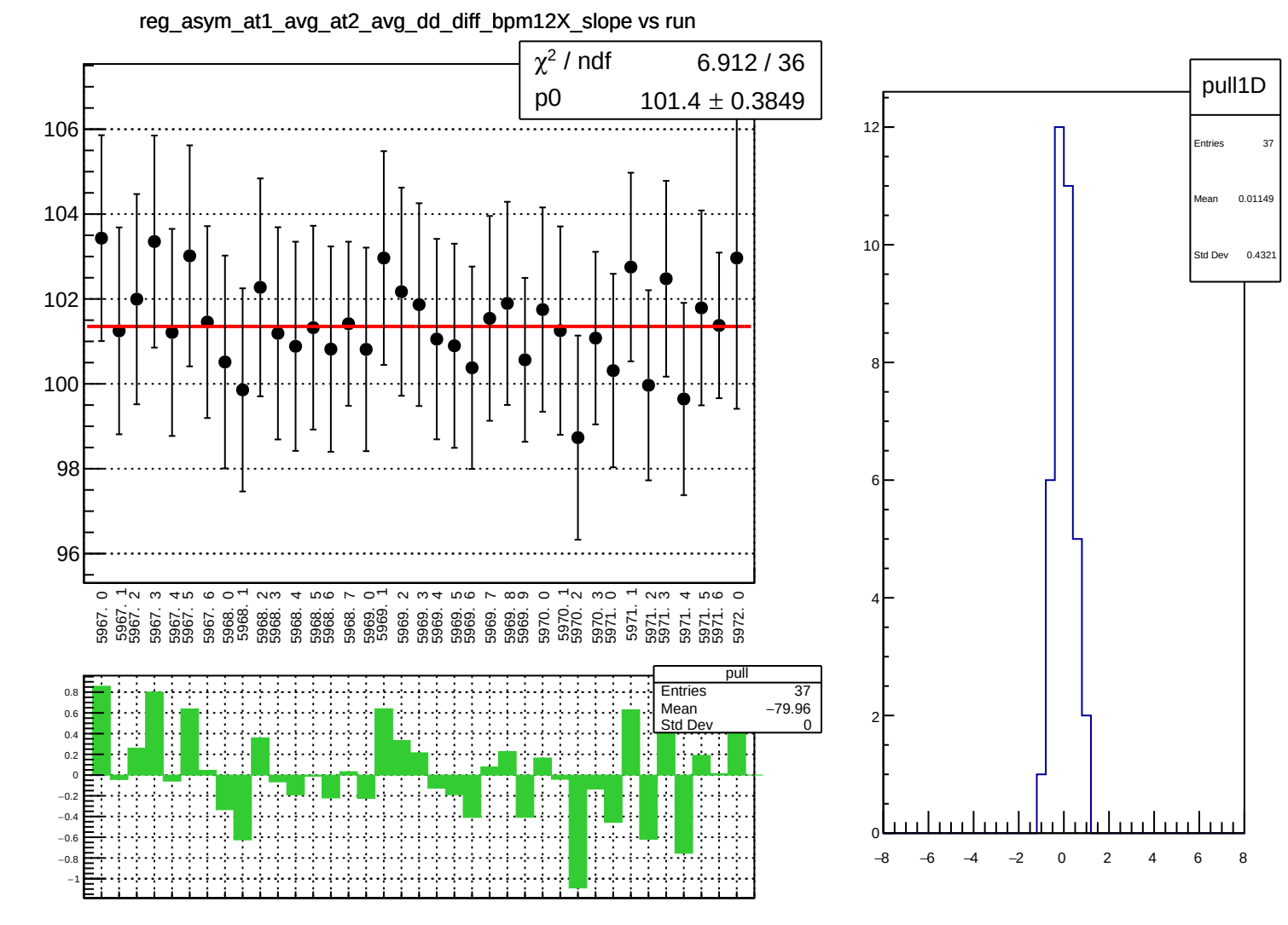
reg_asym_at1_avg_at2_avg_dd_diff_bpm12X_slope vs run
χ² / ndf 6.912 / 36
p0 101.4 ± 0.3849
106
104
102
100
98
96
5967. 0
5967. 1
5967. 2
5967. 3
5967. 4
5967. 5
5967. 6
5968. 0
5968. 1
5968. 2
5968. 3
5968. 4
5968. 5
5968. 6
5968. 7
5969. 0
5969. 1
5969. 2
5969. 3
5969. 4
5969. 5
5969. 6
5969. 7
5969. 8
5969. 9
5970. 0
5970. 1
5970. 2
5970. 3
5971. 0
5971. 1
5971. 2
5971. 3
5971. 4
5971. 5
5971. 6
5972. 0
pull
Entries 37
Mean −79.96
Std Dev 0
0.8
0.6
0.4
0.2
0
−0.2
−0.4
−0.6
−0.8
−1
pull1D
Entries 37
Mean 0.01149
Std Dev 0.4321
12
10
8
6
4
2
0
−8
−6
−4
−2
0
2
4
6
8

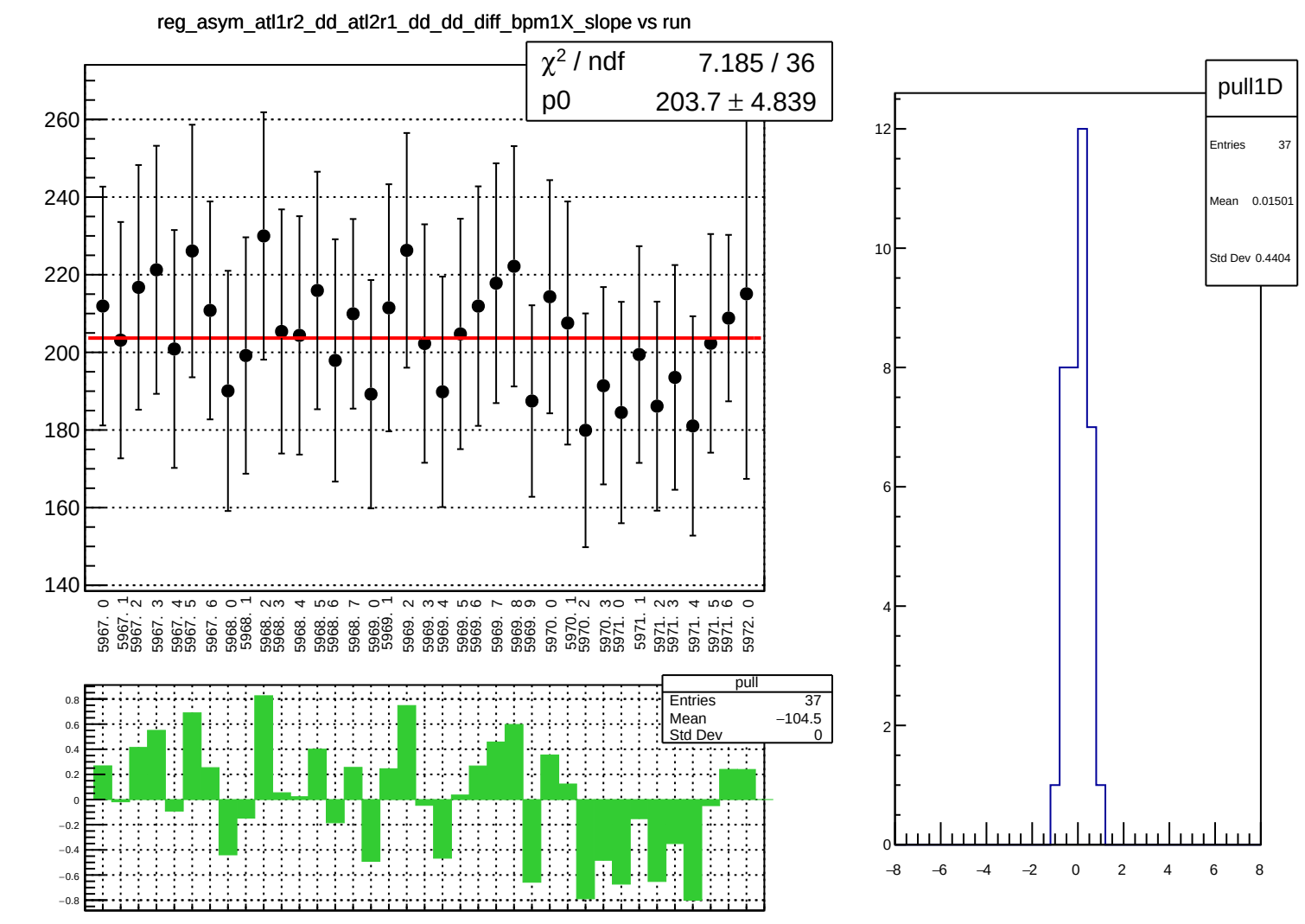
reg_asym_atl1r2_dd_atl2r1_dd_dd_diff_bpm1X_slope vs run
χ² / ndf 7.185 / 36
p0 203.7 ± 4.839
260
240
220
200
180
160
140
5967. 0
5967. 1
5967. 2
5967. 3
5967. 4
5967. 5
5967. 6
5968. 0
5968. 1
5968. 2
5968. 3
5968. 4
5968. 5
5968. 6
5968. 7
5969. 0
5969. 1
5969. 2
5969. 3
5969. 4
5969. 5
5969. 6
5969. 7
5969. 8
5969. 9
5970. 0
5970. 1
5970. 2
5970. 3
5971. 0
5971. 1
5971. 2
5971. 3
5971. 4
5971. 5
5971. 6
5972. 0
pull
Entries 37
Mean −104.5
Std Dev 0
0.8
0.6
0.4
0.2
0
−0.2
−0.4
−0.6
−0.8
pull1D
Entries 37
Mean 0.01501
Std Dev 0.4404
12
10
8
6
4
2
0
−8
−6
−4
−2
0
2
4
6
8

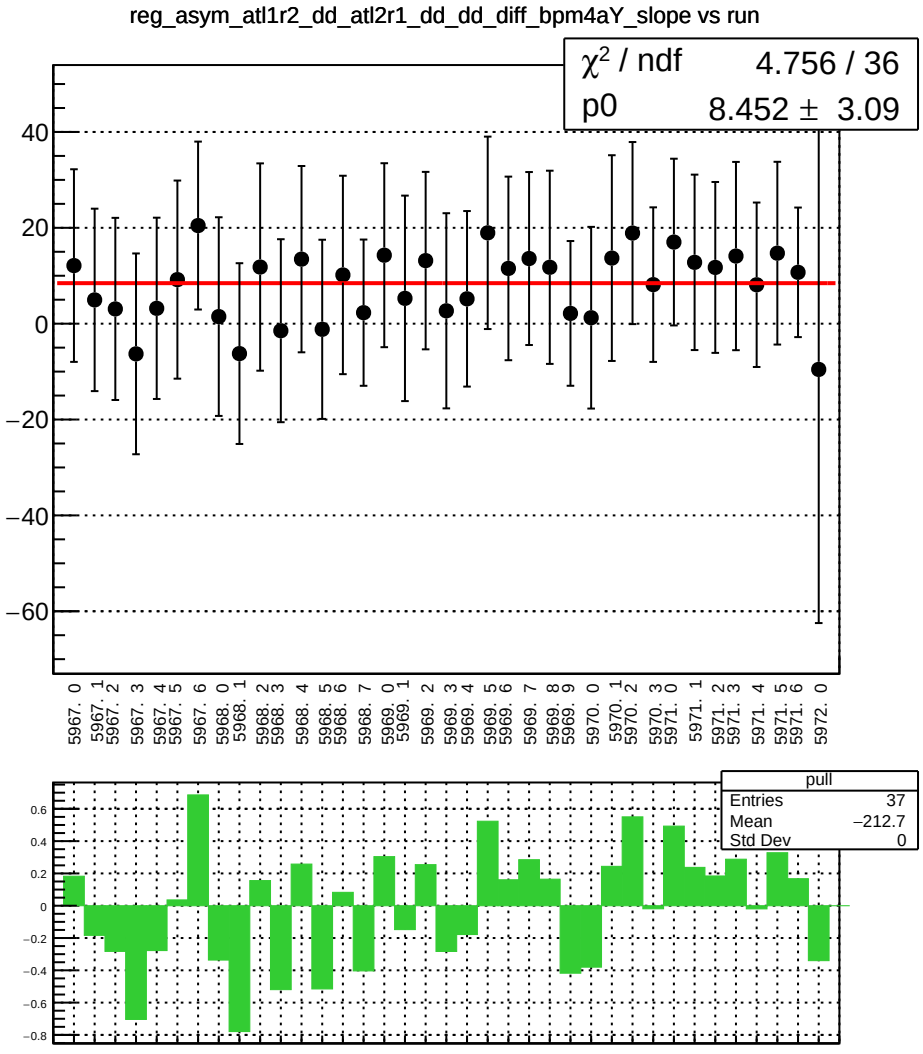
reg_asym_atl1r2_dd_atl2r1_dd_dd_diff_bpm4aY_slope vs run
χ² / ndf 4.756 / 36
p0 8.452 ± 3.09
40
20
0
−20
−40
−60
5967. 0
5967. 1
5967. 2
5967. 3
5967. 4
5967. 5
5967. 6
5968. 0
5968. 1
5968. 2
5968. 3
5968. 4
5968. 5
5968. 6
5968. 7
5969. 0
5969. 1
5969. 2
5969. 3
5969. 4
5969. 5
5969. 6
5969. 7
5969. 8
5969. 9
5970. 0
5970. 1
5970. 2
5970. 3
5971. 0
5971. 1
5971. 2
5971. 3
5971. 4
5971. 5
5971. 6
5972. 0
pull
Entries 37
Mean −212.7
Std Dev 0
0.6
0.4
0.2
0
−0.2
−0.4
−0.6
−0.8
pull1D
Entries 37
Mean −0.005519
Std Dev 0.3585
16
14
12
10
8
6
4
2
0
−8
−6
−4
−2
0
2
4
6
8

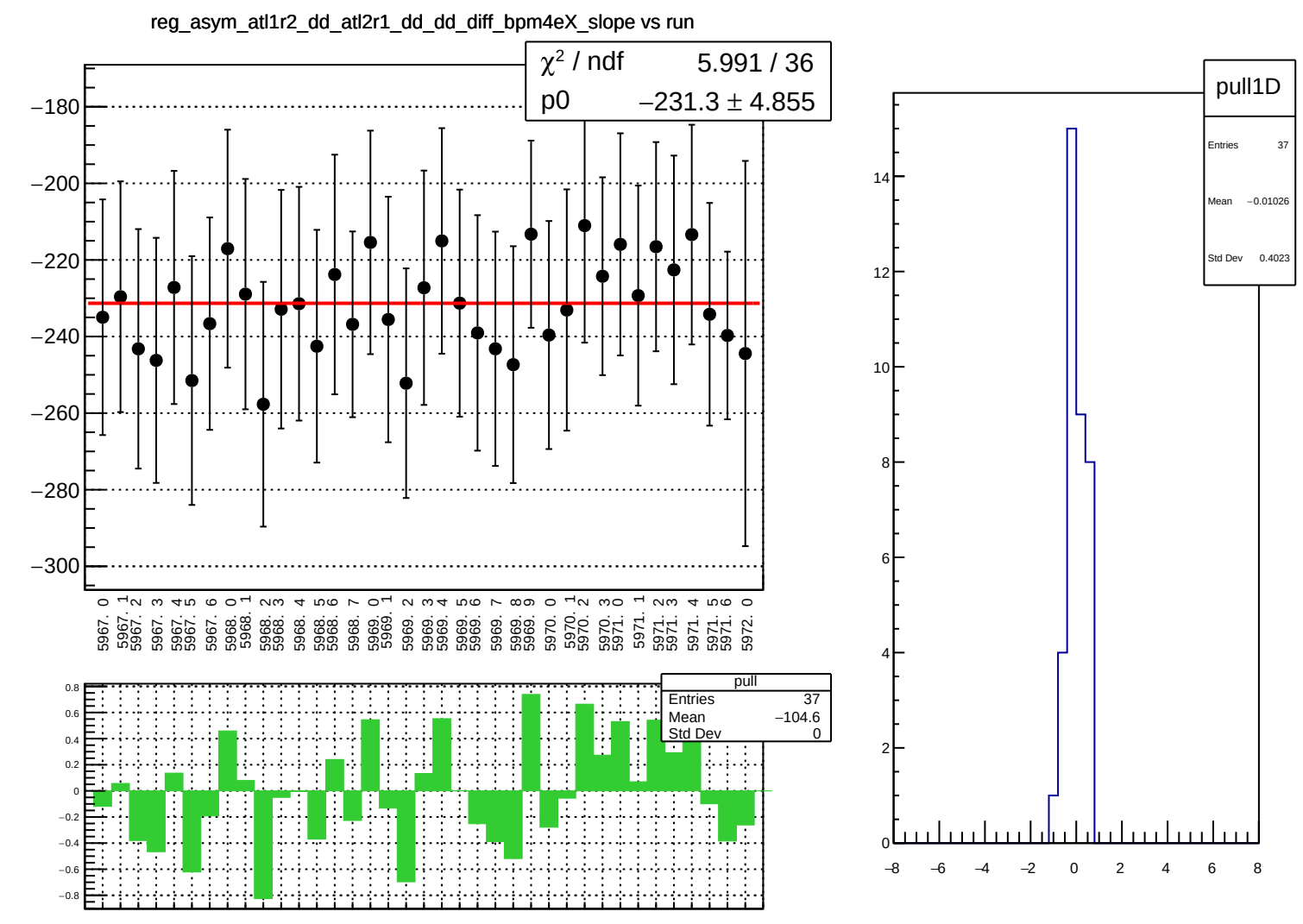
reg_asym_atl1r2_dd_atl2r1_dd_dd_diff_bpm4eX_slope vs run
χ² / ndf 5.991 / 36
p0 −231.3 ± 4.855
−180
−200
−220
−240
−260
−280
−300
5967. 0
5967. 1
5967. 2
5967. 3
5967. 4
5967. 5
5967. 6
5968. 0
5968. 1
5968. 2
5968. 3
5968. 4
5968. 5
5968. 6
5968. 7
5969. 0
5969. 1
5969. 2
5969. 3
5969. 4
5969. 5
5969. 6
5969. 7
5969. 8
5969. 9
5970. 0
5970. 1
5970. 2
5970. 3
5971. 0
5971. 1
5971. 2
5971. 3
5971. 4
5971. 5
5971. 6
5972. 0
pull
Entries 37
Mean −104.6
Std Dev 0
0.8
0.6
0.4
0.2
0
−0.2
−0.4
−0.6
−0.8
pull1D
Entries 37
Mean −0.01026
Std Dev 0.4023
14
12
10
8
6
4
2
0
−8
−6
−4
−2
0
2
4
6
8

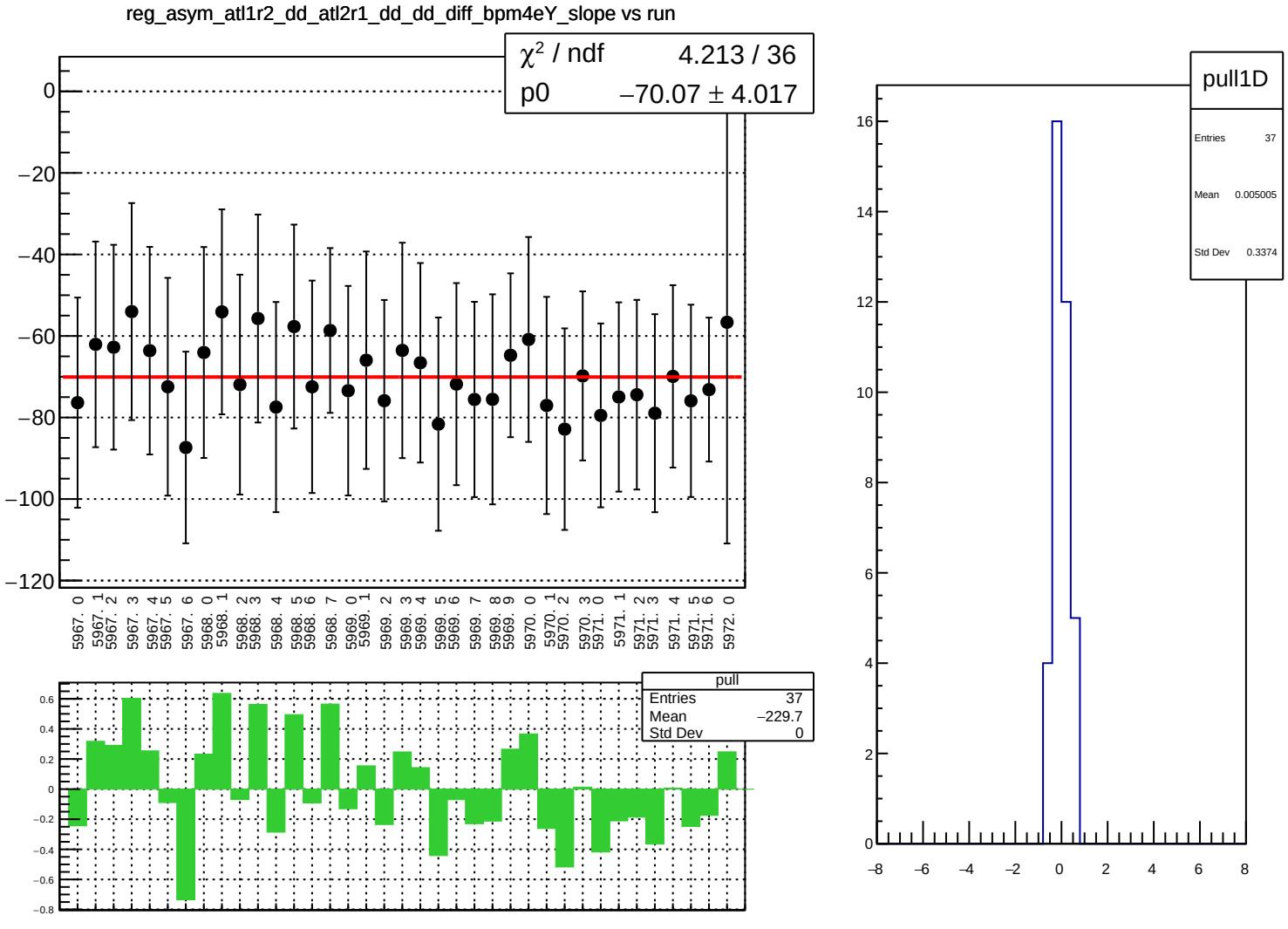
reg_asym_atl1r2_dd_atl2r1_dd_dd_diff_bpm4eY_slope vs run
χ² / ndf 4.213 / 36
p0 −70.07 ± 4.017
0
−20
−40
−60
−80
−100
−120
5967. 0
5967. 1
5967. 2
5967. 3
5967. 4
5967. 5
5967. 6
5968. 0
5968. 1
5968. 2
5968. 3
5968. 4
5968. 5
5968. 6
5968. 7
5969. 0
5969. 1
5969. 2
5969. 3
5969. 4
5969. 5
5969. 6
5969. 7
5969. 8
5969. 9
5970. 0
5970. 1
5970. 2
5970. 3
5971. 0
5971. 1
5971. 2
5971. 3
5971. 4
5971. 5
5971. 6
5972. 0
pull
Entries 37
Mean −229.7
Std Dev 0
0.6
0.4
0.2
0
−0.2
−0.4
−0.6
−0.8
pull1D
Entries 37
Mean 0.005005
Std Dev 0.3374
16
14
12
10
8
6
4
2
0
−8
−6
−4
−2
0
2
4
6
8

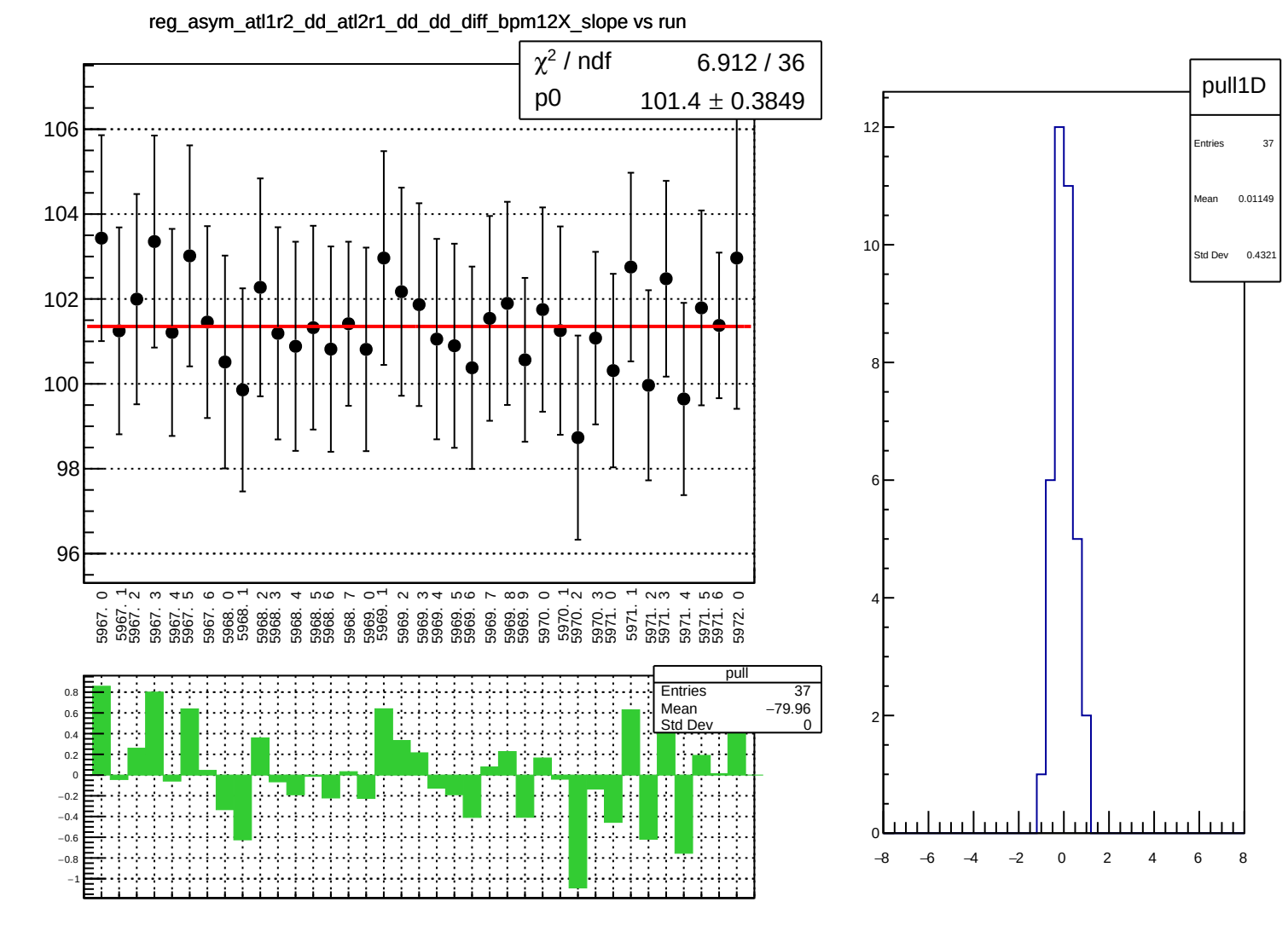
reg_asym_atl1r2_dd_atl2r1_dd_dd_diff_bpm12X_slope vs run
χ² / ndf 6.912 / 36
p0 101.4 ± 0.3849
106
104
102
100
98
96
5967. 0
5967. 1
5967. 2
5967. 3
5967. 4
5967. 5
5967. 6
5968. 0
5968. 1
5968. 2
5968. 3
5968. 4
5968. 5
5968. 6
5968. 7
5969. 0
5969. 1
5969. 2
5969. 3
5969. 4
5969. 5
5969. 6
5969. 7
5969. 8
5969. 9
5970. 0
5970. 1
5970. 2
5970. 3
5971. 0
5971. 1
5971. 2
5971. 3
5971. 4
5971. 5
5971. 6
5972. 0
pull
Entries 37
Mean −79.96
Std Dev 0
0.8
0.6
0.4
0.2
0
−0.2
−0.4
−0.6
−0.8
−1
pull1D
Entries 37
Mean 0.01149
Std Dev 0.4321
12
10
8
6
4
2
0
−8
−6
−4
−2
0
2
4
6
8

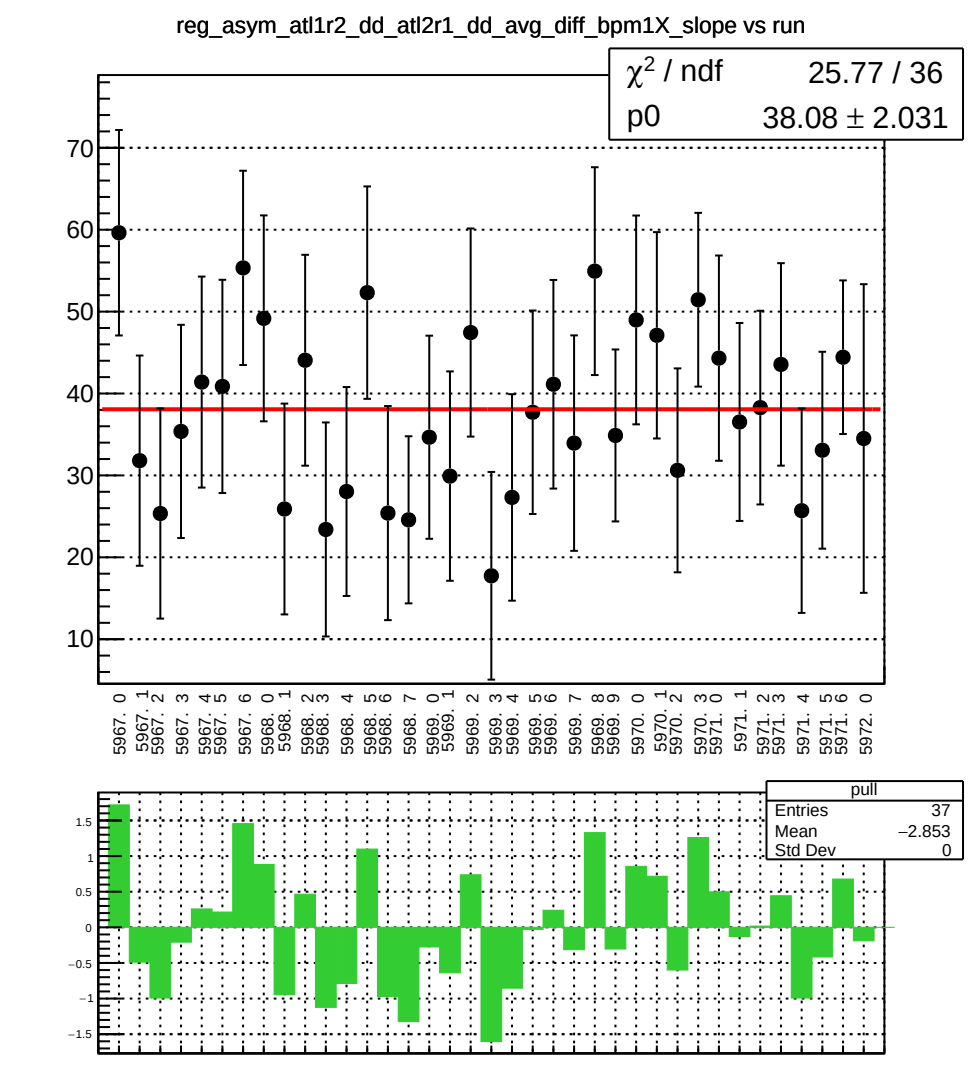
reg_asym_atl1r2_dd_atl2r1_dd_avg_diff_bpm1X_slope vs run
χ² / ndf 25.77 / 36
p0 38.08 ± 2.031
70
60
50
40
30
20
10
5967. 0
5967. 1
5967. 2
5967. 3
5967. 4
5967. 5
5967. 6
5968. 0
5968. 1
5968. 2
5968. 3
5968. 4
5968. 5
5968. 6
5968. 7
5969. 0
5969. 1
5969. 2
5969. 3
5969. 4
5969. 5
5969. 6
5969. 7
5969. 8
5969. 9
5970. 0
5970. 1
5970. 2
5970. 3
5971. 0
5971. 1
5971. 2
5971. 3
5971. 4
5971. 5
5971. 6
5972. 0
pull
Entries 37
Mean −2.853
Std Dev 0
1.5
1
0.5
0
−0.5
−1
−1.5
pull1D
Entries 37
Mean −0.008526
Std Dev 0.8345
7
6
5
4
3
2
1
0
−8
−6
−4
−2
0
2
4
6
8

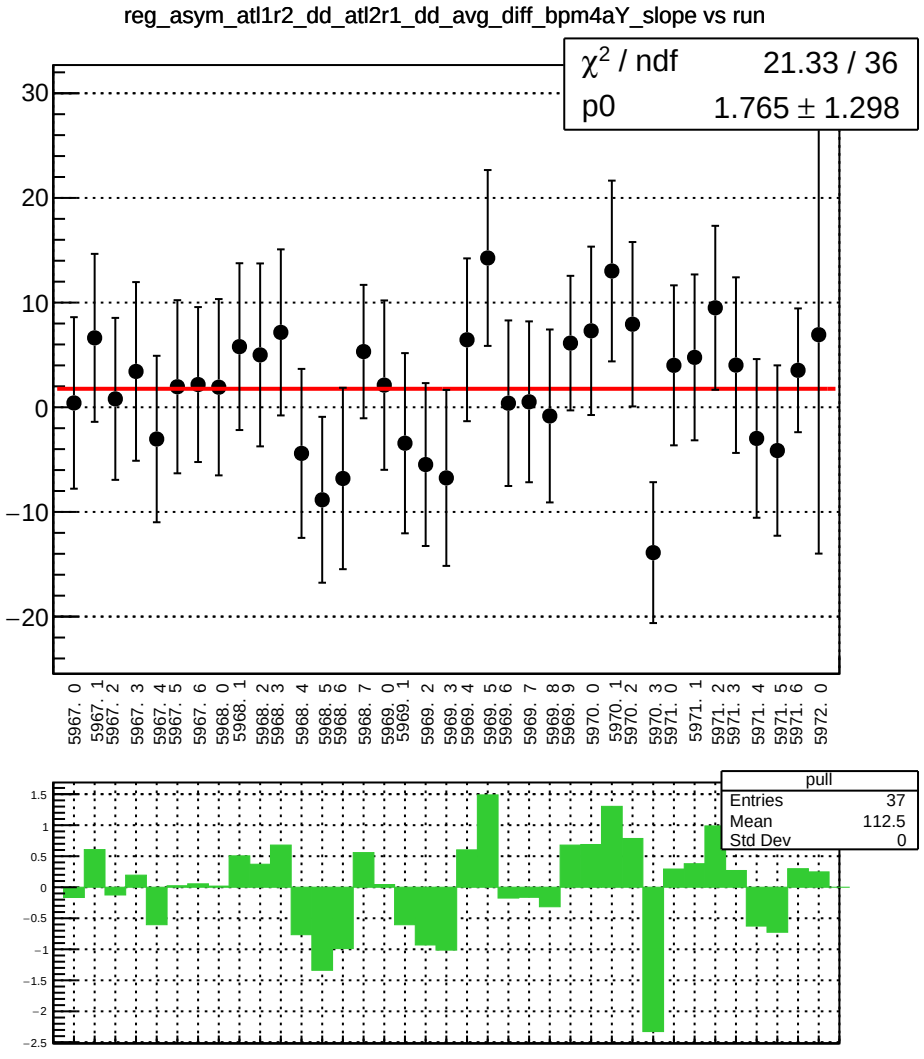
reg_asym_atl1r2_dd_atl2r1_dd_avg_diff_bpm4aY_slope vs run
χ² / ndf 21.33 / 36
p0 1.765 ± 1.298
pull
Entries 37
Mean 112.5
Std Dev 0

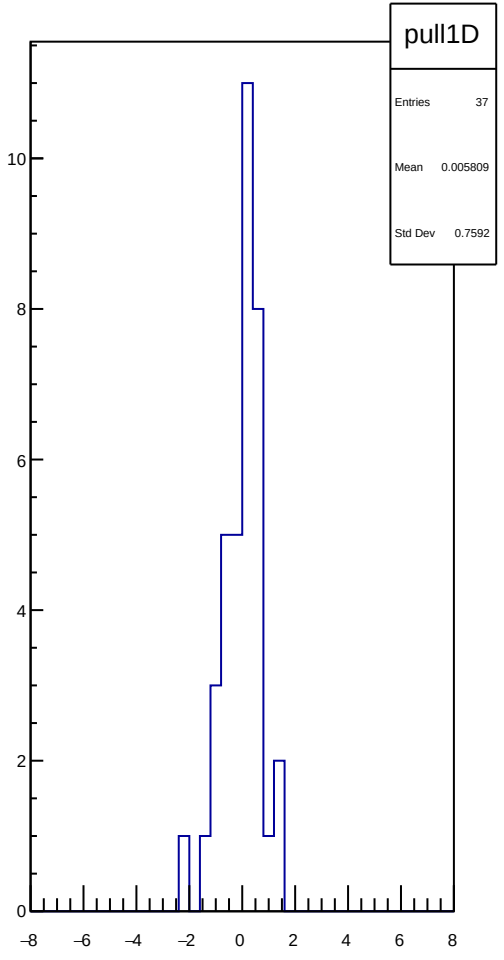
pull1D
Entries 37
Mean 0.005809
Std Dev 0.7592

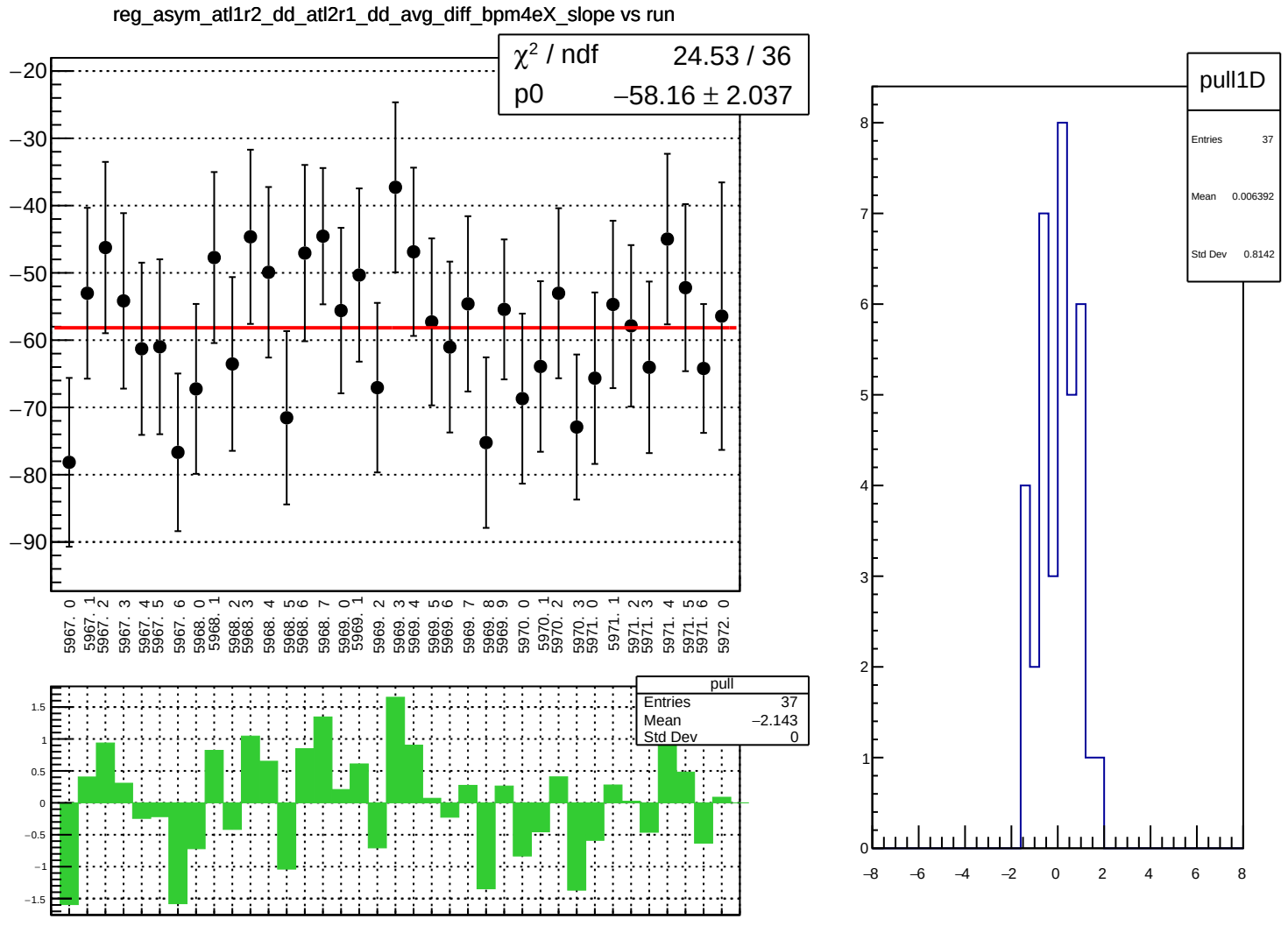
reg_asym_atl1r2_dd_atl2r1_dd_avg_diff_bpm4eX_slope vs run
χ² / ndf 24.53 / 36
p0 −58.16 ± 2.037
pull
Entries 37
Mean −2.143
Std Dev 0
pull1D
Entries 37
Mean 0.006392
Std Dev 0.8142

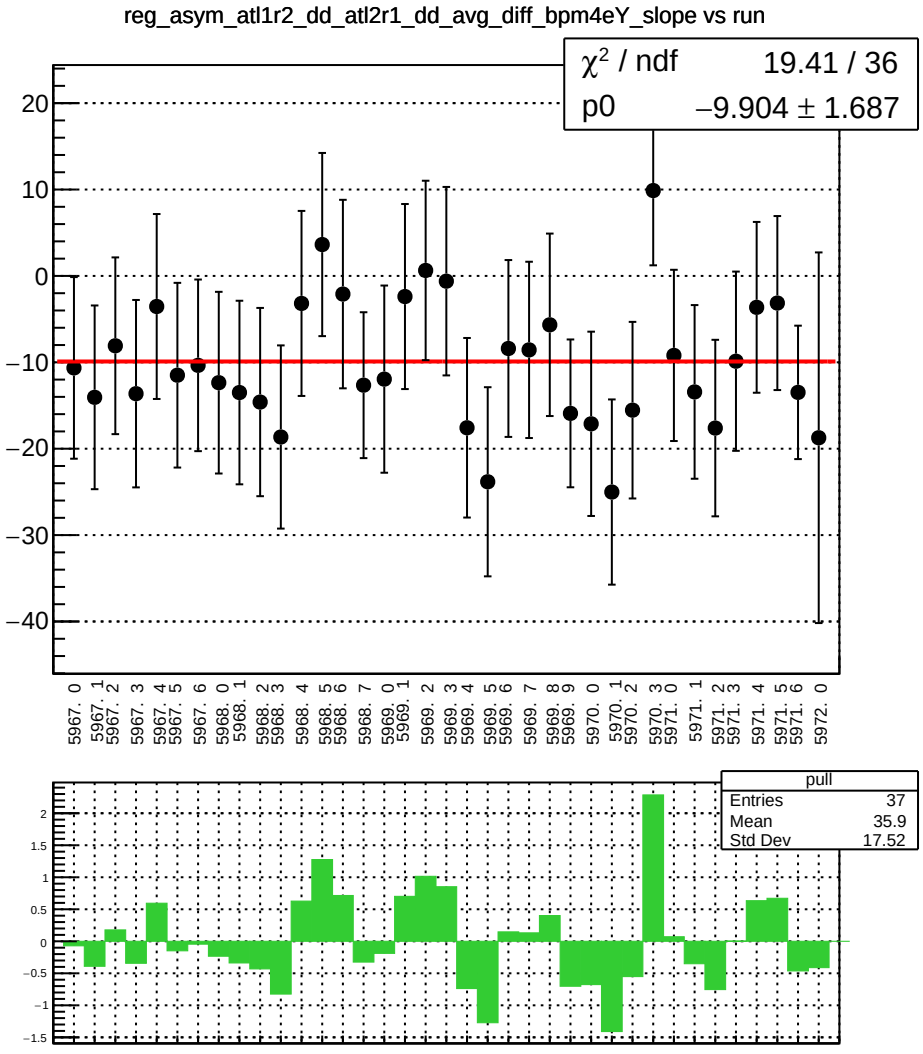
reg_asym_atl1r2_dd_atl2r1_dd_avg_diff_bpm4eY_slope vs run
χ² / ndf 19.41 / 36
p0 −9.904 ± 1.687
pull
Entries 37
Mean 35.9
Std Dev 17.52

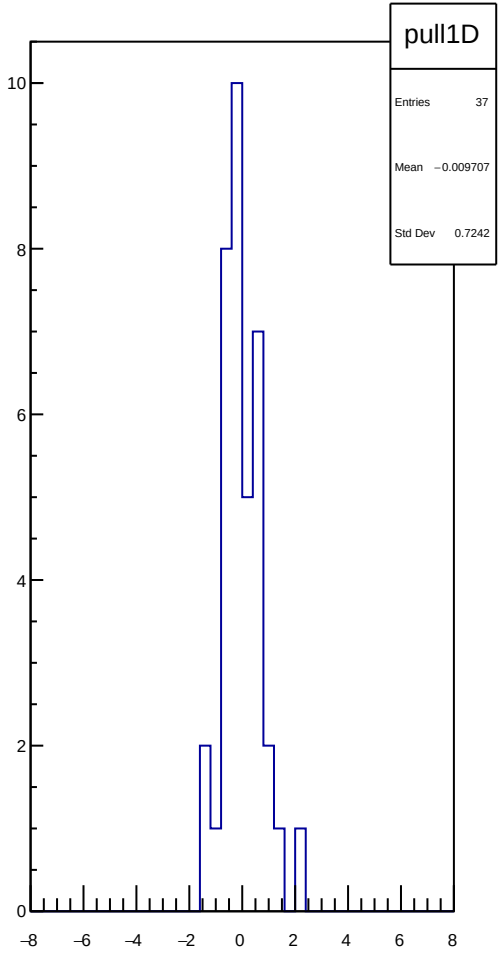
pull1D
Entries 37
Mean −0.009707
Std Dev 0.7242

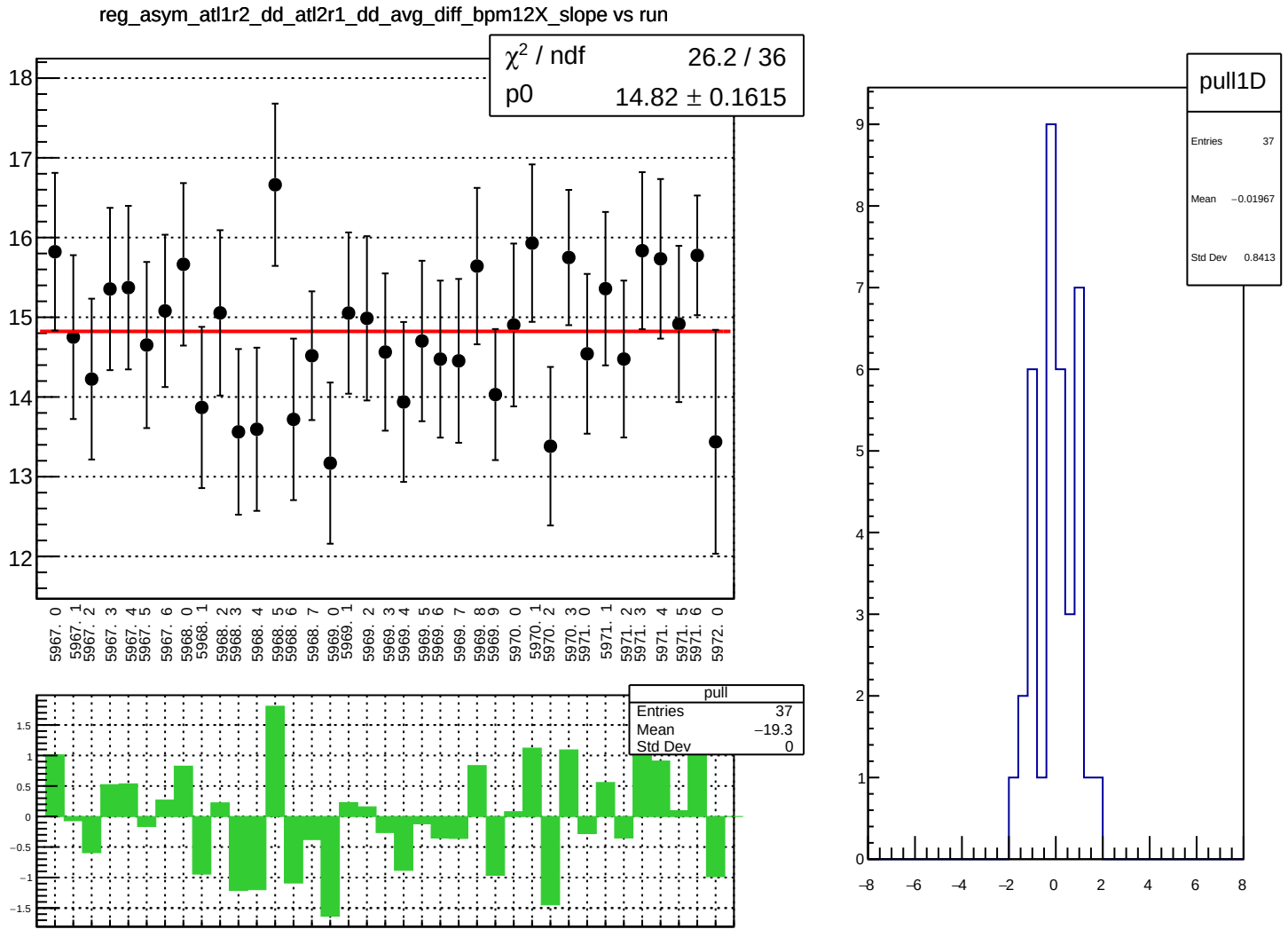
reg_asym_atl1r2_dd_atl2r1_dd_avg_diff_bpm12X_slope vs run
χ² / ndf 26.2 / 36
p0 14.82 ± 0.1615
pull
Entries 37
Mean −19.3
Std Dev 0
pull1D
Entries 37
Mean −0.01967
Std Dev 0.8413

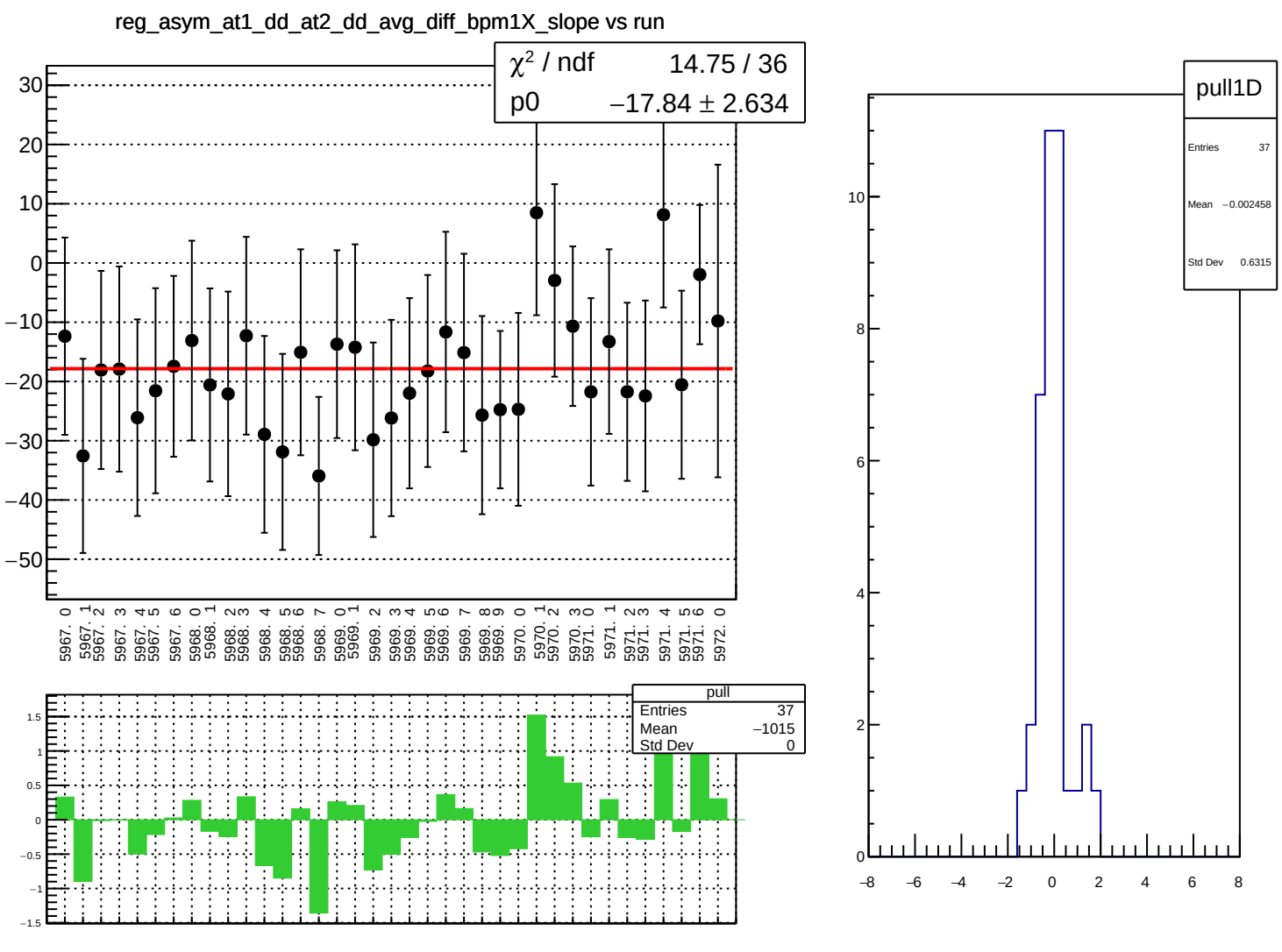
reg_asym_at1_dd_at2_dd_avg_diff_bpm1X_slope vs run
χ² / ndf 14.75 / 36
p0 −17.84 ± 2.634
pull
Entries 37
Mean −1015
Std Dev 0
pull1D
Entries 37
Mean −0.002458
Std Dev 0.6315

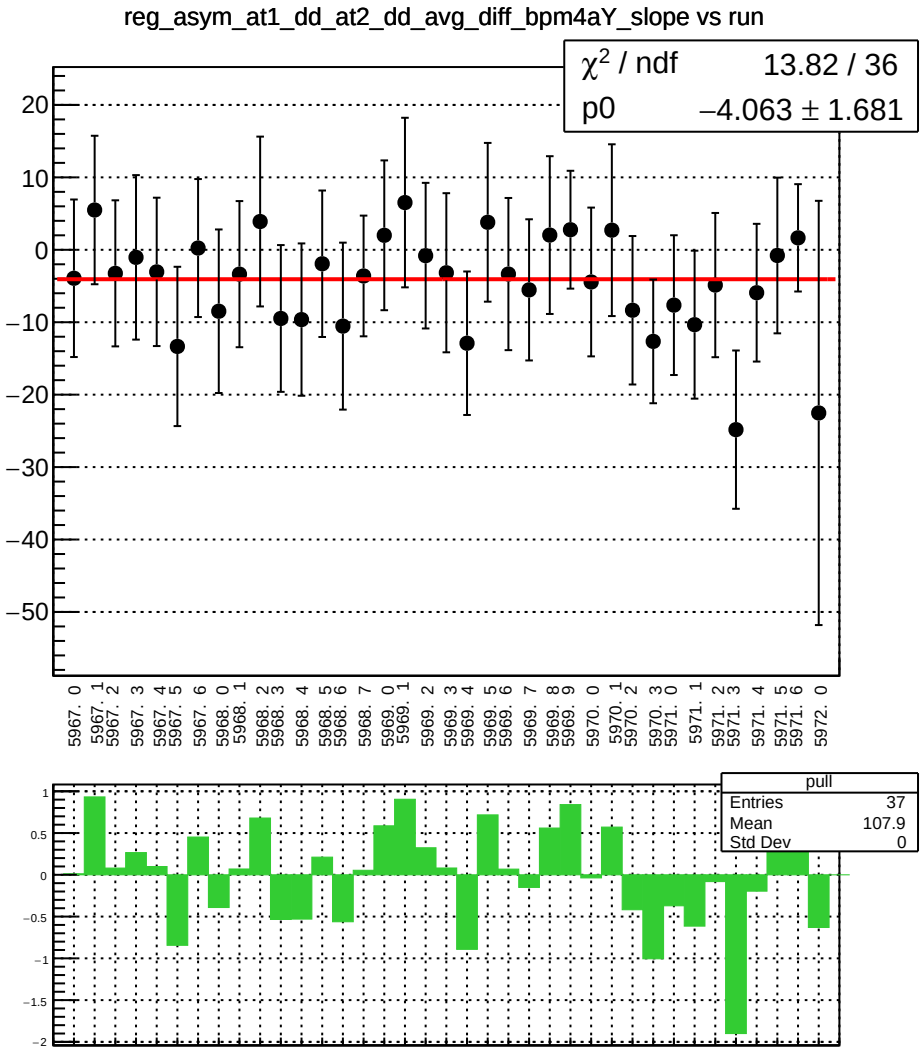
reg_asym_at1_dd_at2_dd_avg_diff_bpm4aY_slope vs run
χ² / ndf 13.82 / 36
p0 −4.063 ± 1.681
pull
Entries 37
Mean 107.9
Std Dev 0

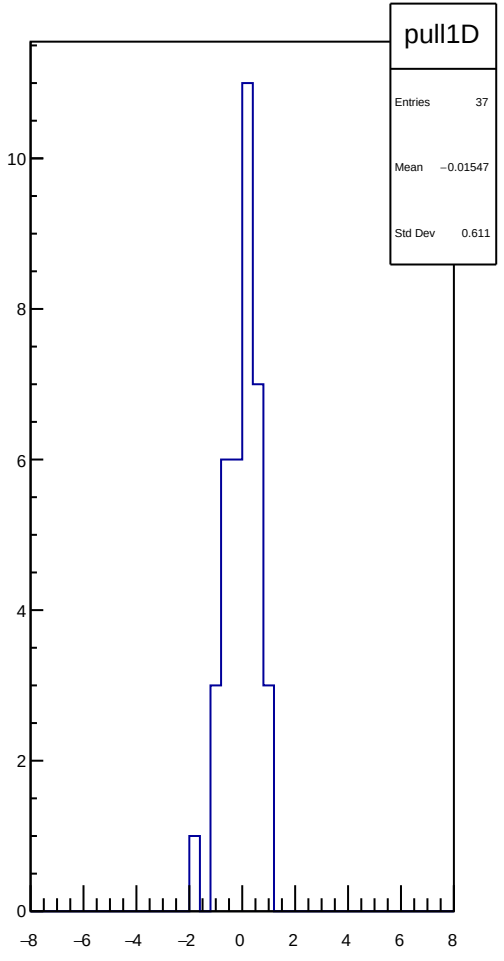
pull1D
Entries 37
Mean −0.01547
Std Dev 0.611

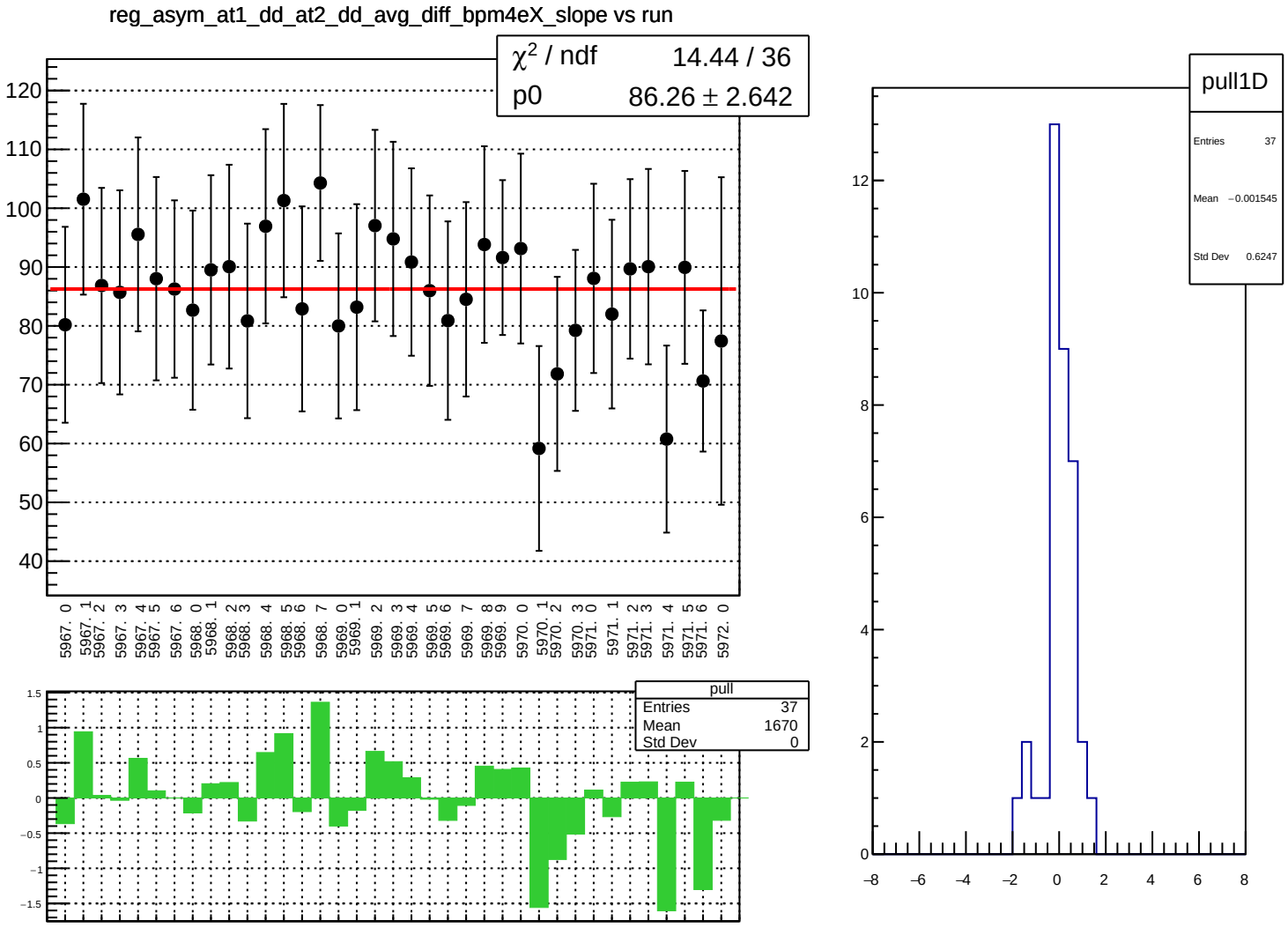
reg_asym_at1_dd_at2_dd_avg_diff_bpm4eX_slope vs run
χ² / ndf 14.44 / 36
p0 86.26 ± 2.642
pull
Entries 37
Mean 1670
Std Dev 0
pull1D
Entries 37
Mean −0.001545
Std Dev 0.6247

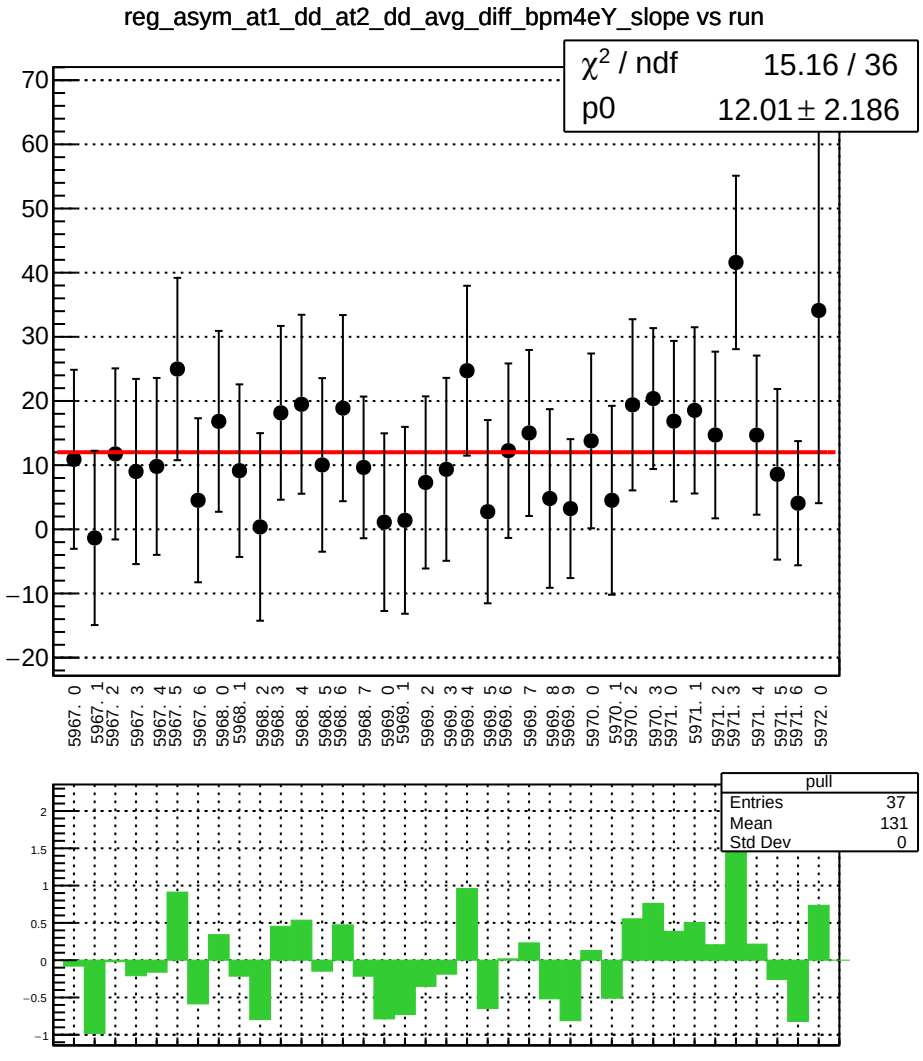
reg_asym_at1_dd_at2_dd_avg_diff_bpm4eY_slope vs run
χ² / ndf 15.16 / 36
p0 12.01 ± 2.186
pull
Entries 37
Mean 131
Std Dev 0
pull1D
Entries 37
Mean 0.01569
Std Dev 0.6399

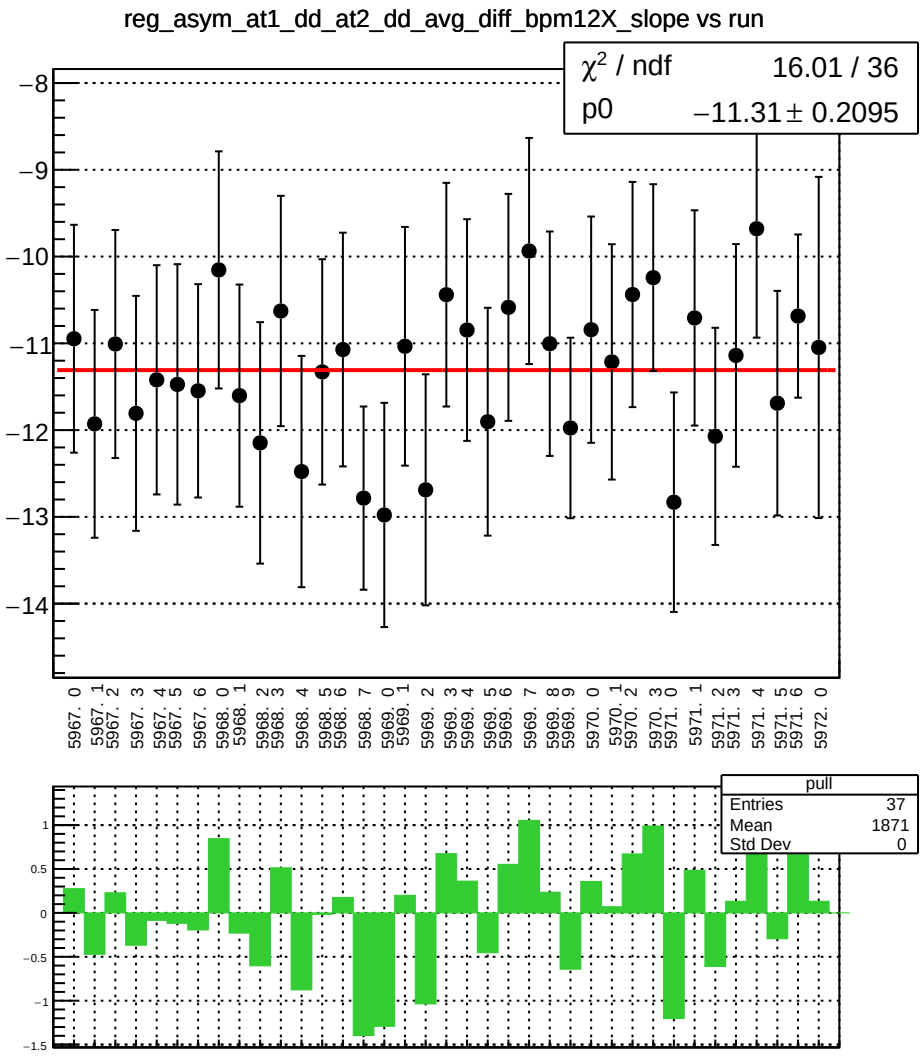
reg_asym_at1_dd_at2_dd_avg_diff_bpm12X_slope vs run
χ² / ndf 16.01 / 36
p0 −11.31 ± 0.2095
pull
Entries 37
Mean 1871
Std Dev 0

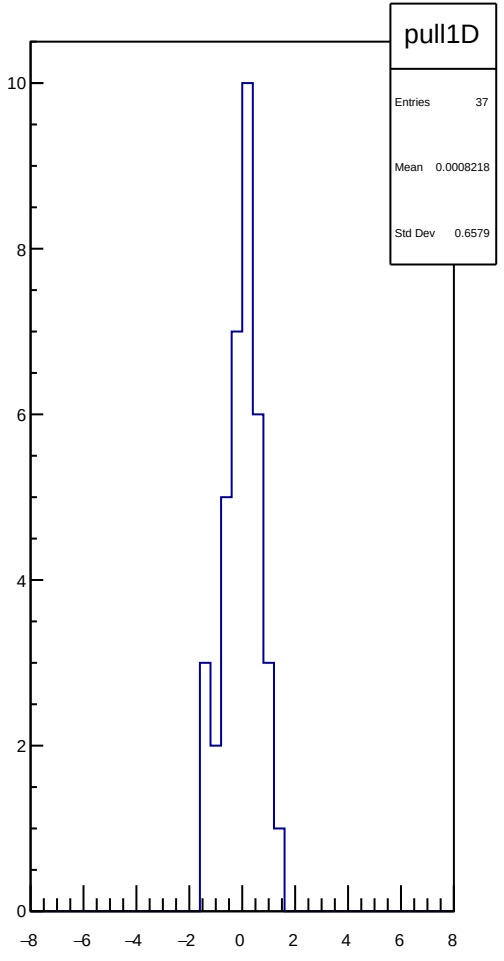
pull1D
Entries 37
Mean 0.0008218
Std Dev 0.6579

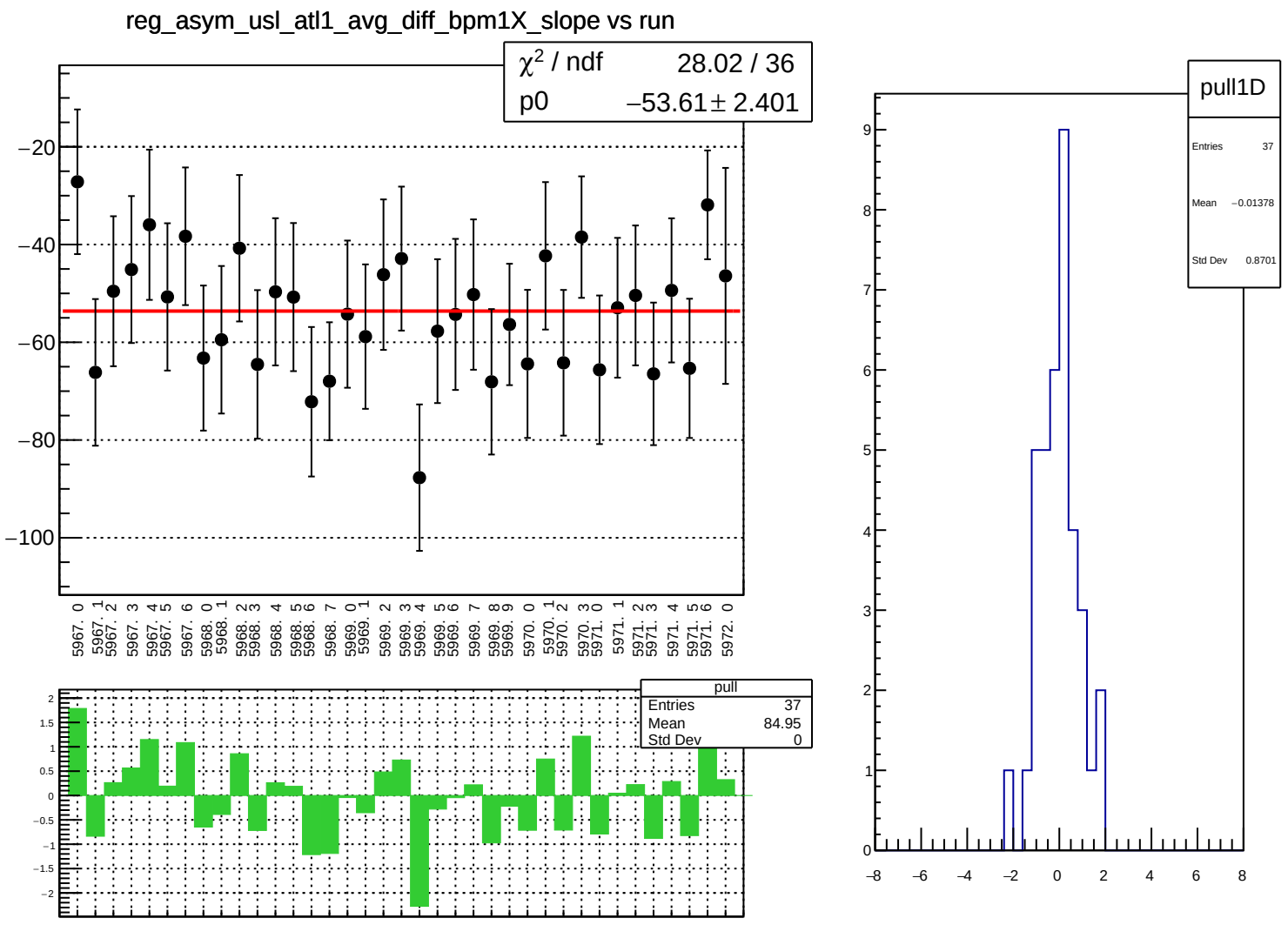
reg_asym_usl_atl1_avg_diff_bpm1X_slope vs run
χ² / ndf 28.02 / 36
p0 −53.61 ± 2.401
−20
−40
−60
−80
−100
5967. 0
5967. 1
5967. 2
5967. 3
5967. 4
5967. 5
5967. 6
5968. 0
5968. 1
5968. 2
5968. 3
5968. 4
5968. 5
5968. 6
5968. 7
5969. 0
5969. 1
5969. 2
5969. 3
5969. 4
5969. 5
5969. 6
5969. 7
5969. 8
5969. 9
5970. 0
5970. 1
5970. 2
5970. 3
5971. 0
5971. 1
5971. 2
5971. 3
5971. 4
5971. 5
5971. 6
5972. 0
pull
Entries 37
Mean 84.95
Std Dev 0
pull1D
Entries 37
Mean −0.01378
Std Dev 0.8701

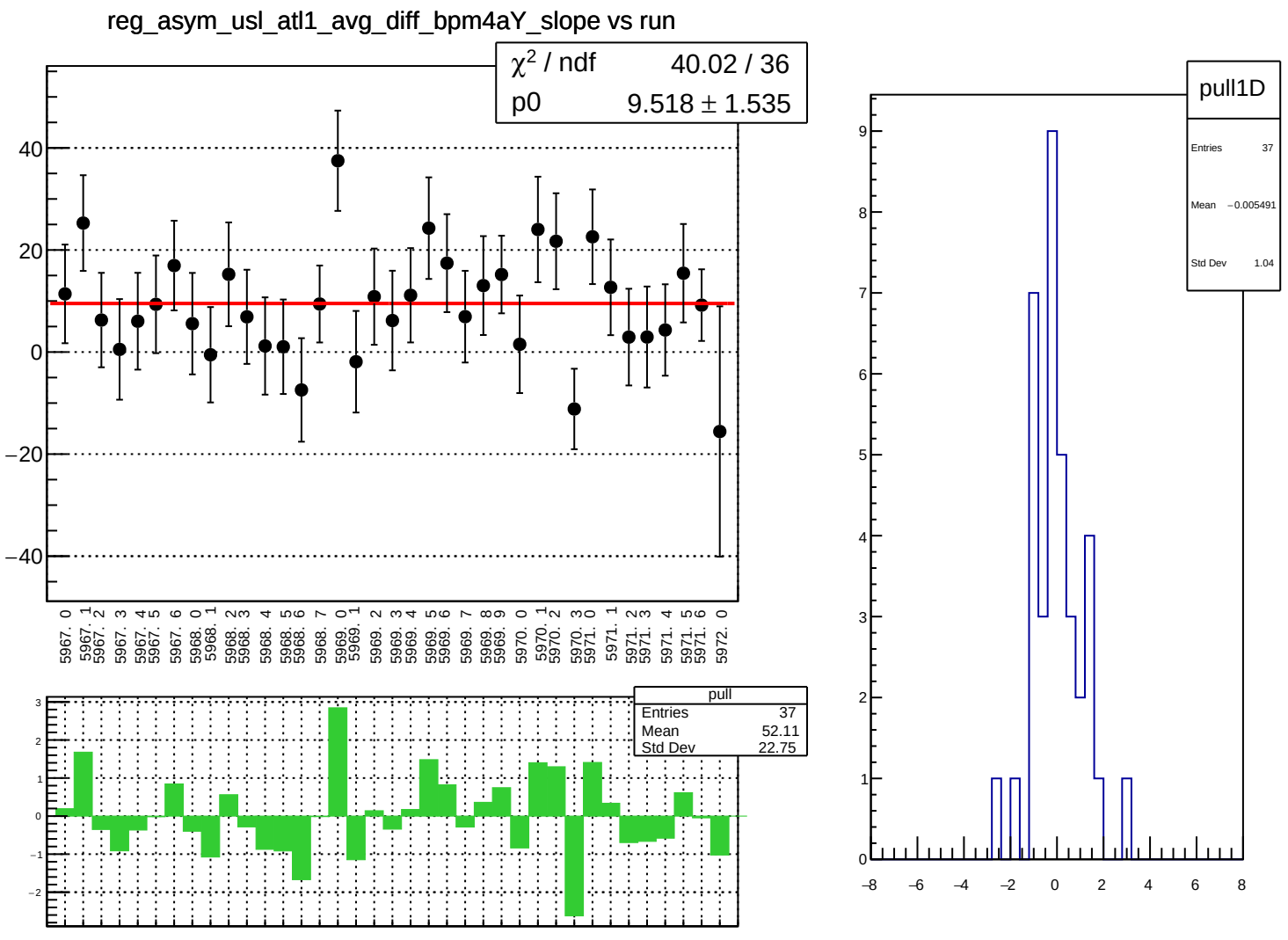
reg_asym_usl_atl1_avg_diff_bpm4aY_slope vs run
χ² / ndf 40.02 / 36
p0 9.518 ± 1.535
40
20
0
−20
−40
5967. 0
5967. 1
5967. 2
5967. 3
5967. 4
5967. 5
5967. 6
5968. 0
5968. 1
5968. 2
5968. 3
5968. 4
5968. 5
5968. 6
5968. 7
5969. 0
5969. 1
5969. 2
5969. 3
5969. 4
5969. 5
5969. 6
5969. 7
5969. 8
5969. 9
5970. 0
5970. 1
5970. 2
5970. 3
5971. 0
5971. 1
5971. 2
5971. 3
5971. 4
5971. 5
5971. 6
5972. 0
pull
Entries 37
Mean 52.11
Std Dev 22.75
3
2
1
0
−1
−2
pull1D
Entries 37
Mean −0.005491
Std Dev 1.04
9
8
7
6
5
4
3
2
1
0
−8
−6
−4
−2
0
2
4
6
8

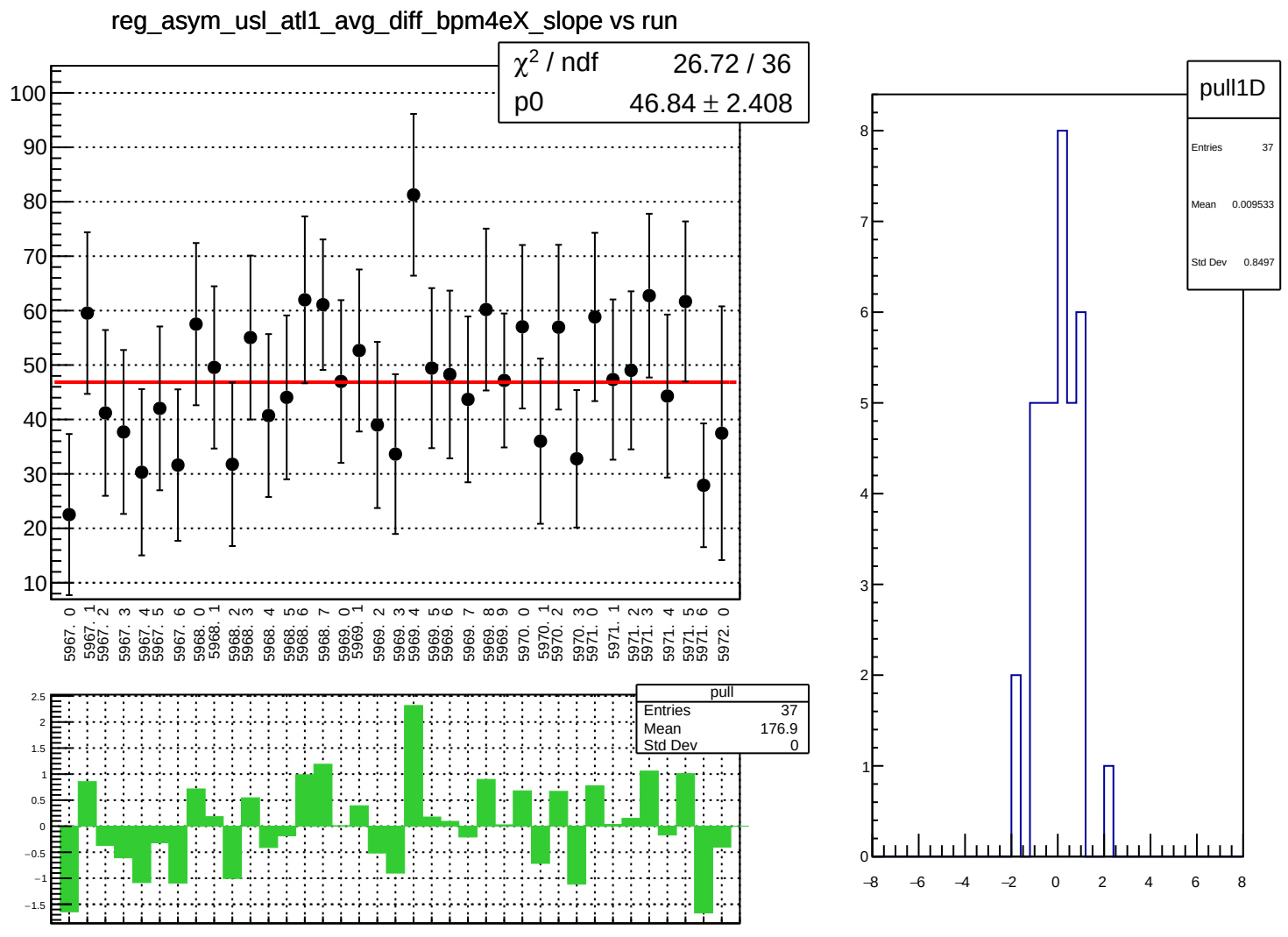
reg_asym_usl_atl1_avg_diff_bpm4eX_slope vs run
χ² / ndf 26.72 / 36
p0 46.84 ± 2.408
pull
Entries 37
Mean 176.9
Std Dev 0
pull1D
Entries 37
Mean 0.009533
Std Dev 0.8497

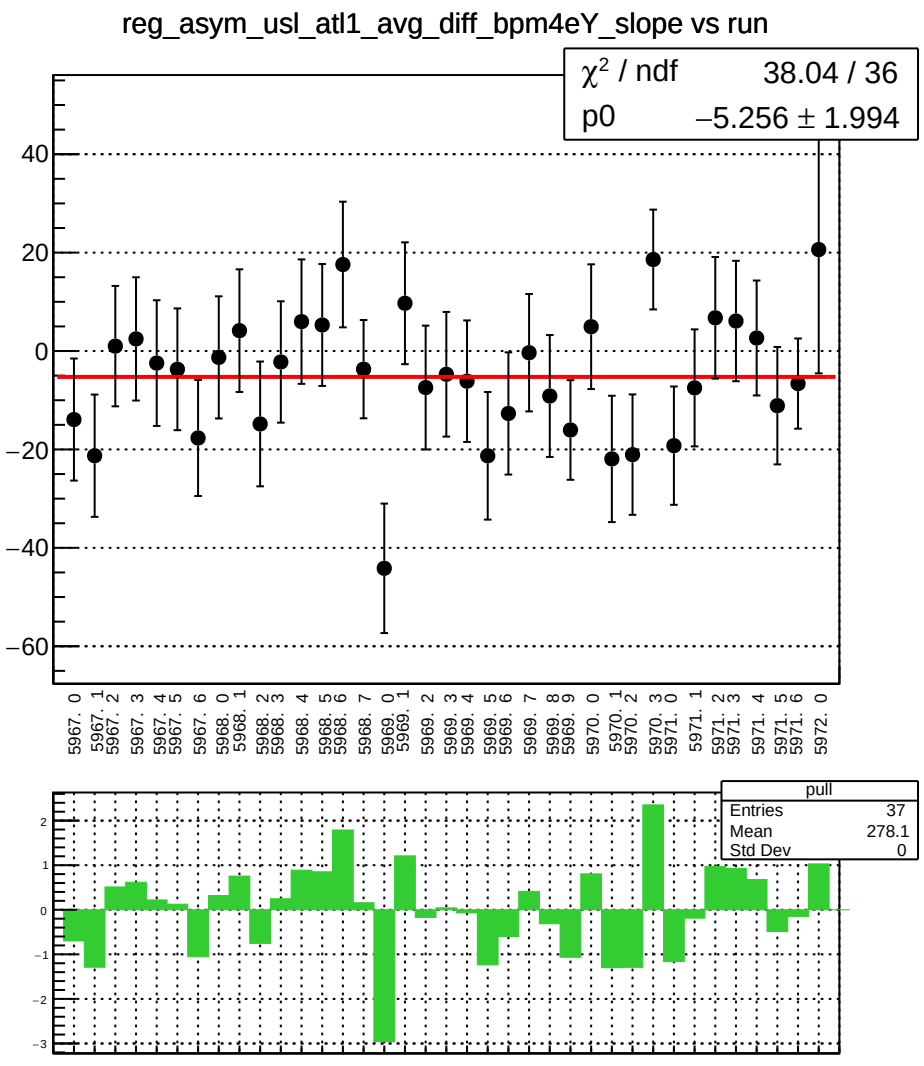
reg_asym_usl_atl1_avg_diff_bpm4eY_slope vs run
χ² / ndf 38.04 / 36
p0 −5.256 ± 1.994
pull
Entries 37
Mean 278.1
Std Dev 0

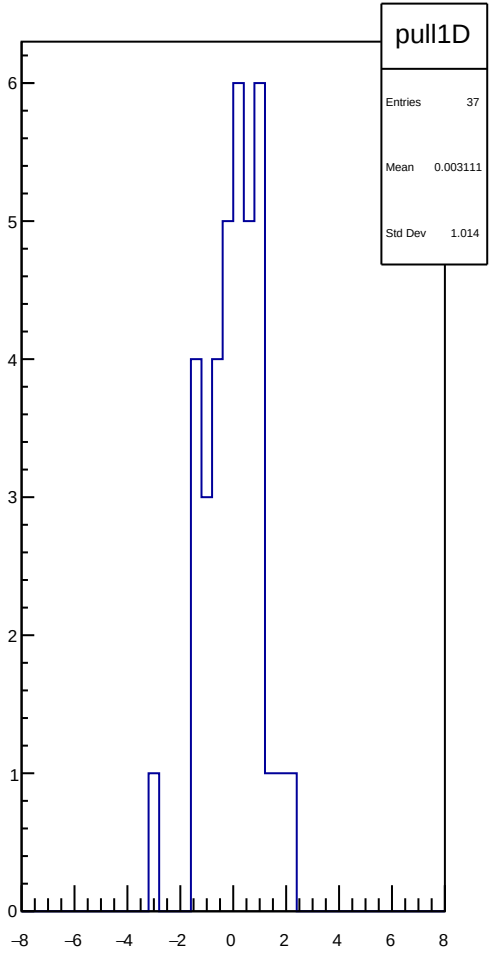
pull1D
Entries 37
Mean 0.003111
Std Dev 1.014

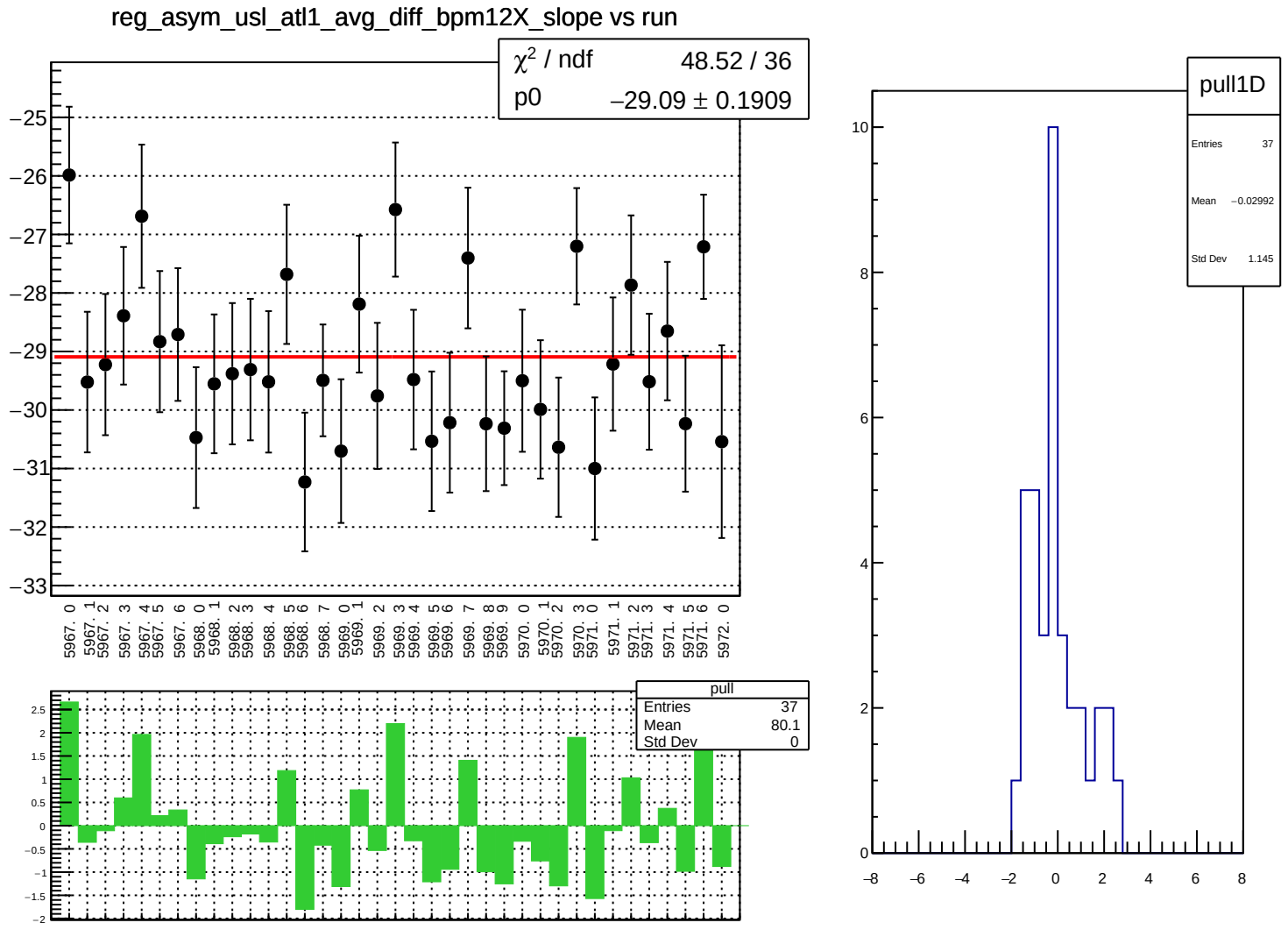
reg_asym_usl_atl1_avg_diff_bpm12X_slope vs run
χ² / ndf 48.52 / 36
p0 −29.09 ± 0.1909
pull
Entries 37
Mean 80.1
Std Dev 0
pull1D
Entries 37
Mean −0.02992
Std Dev 1.145

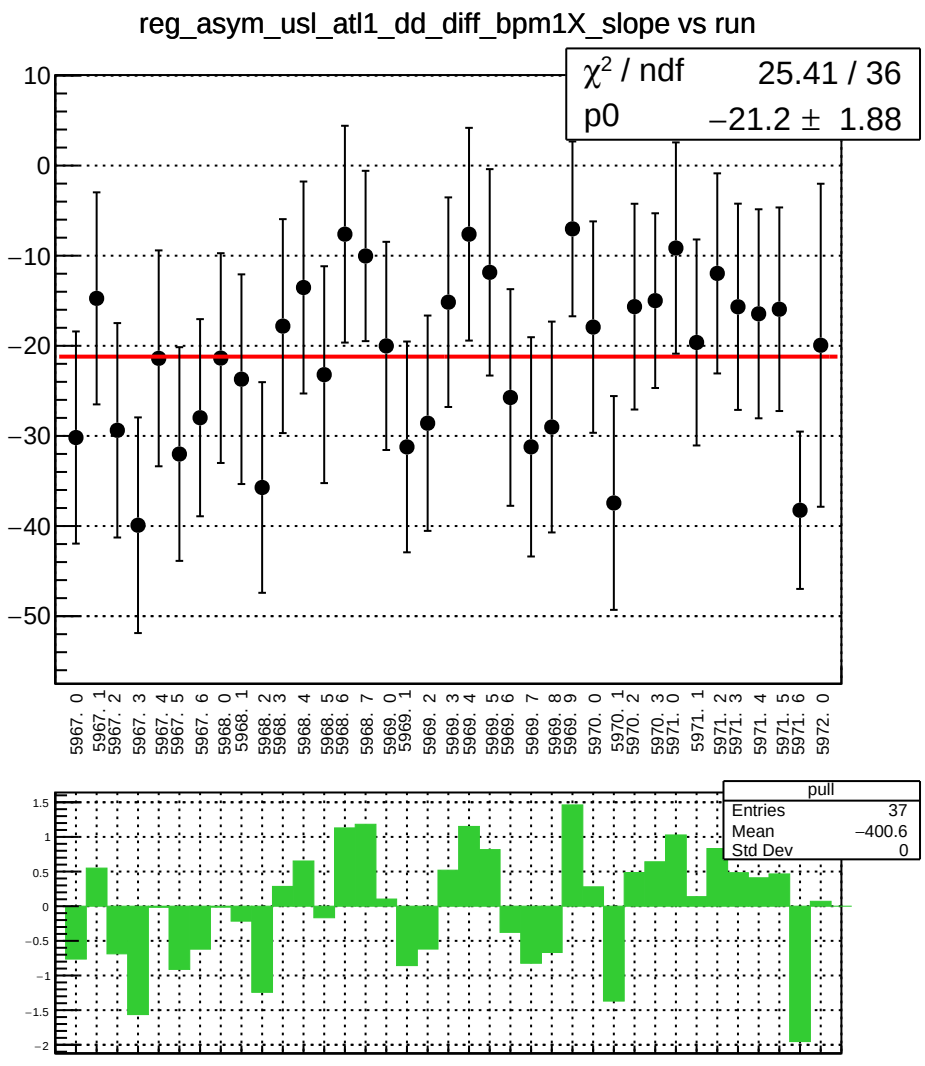
reg_asym_usl_atl1_dd_diff_bpm1X_slope vs run
χ² / ndf 25.41 / 36
p0 −21.2 ± 1.88
pull
Entries 37
Mean −400.6
Std Dev 0

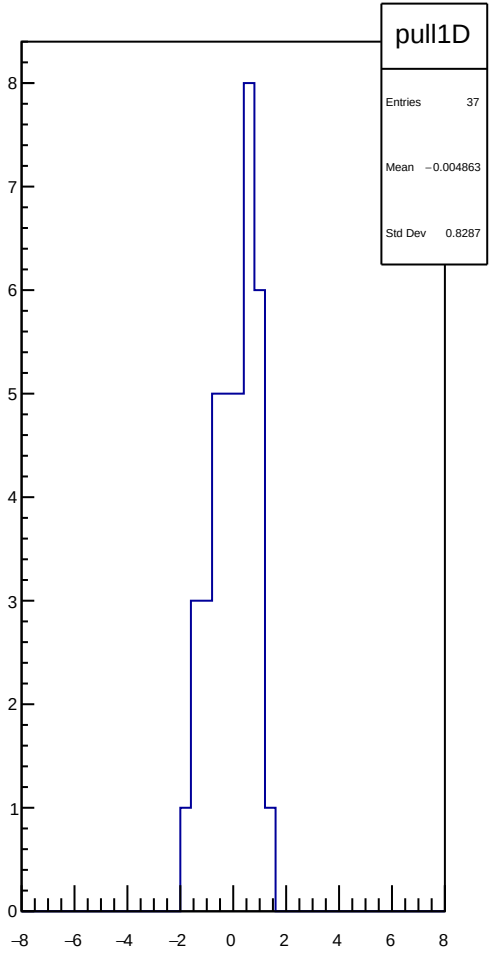
pull1D
Entries 37
Mean −0.004863
Std Dev 0.8287

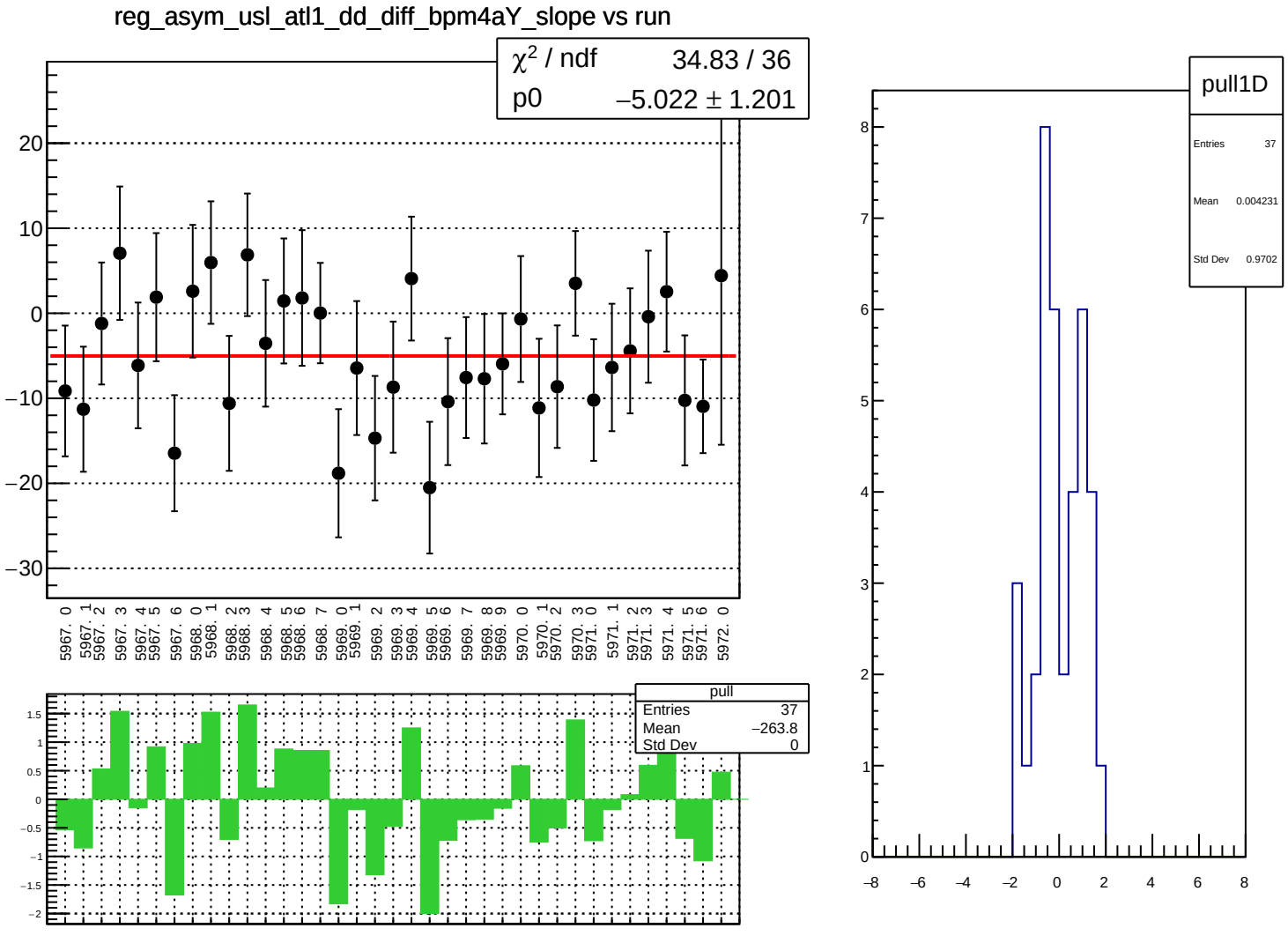
reg_asym_usl_atl1_dd_diff_bpm4aY_slope vs run
χ² / ndf 34.83 / 36
p0 −5.022 ± 1.201
pull
Entries 37
Mean −263.8
Std Dev 0
pull1D
Entries 37
Mean 0.004231
Std Dev 0.9702

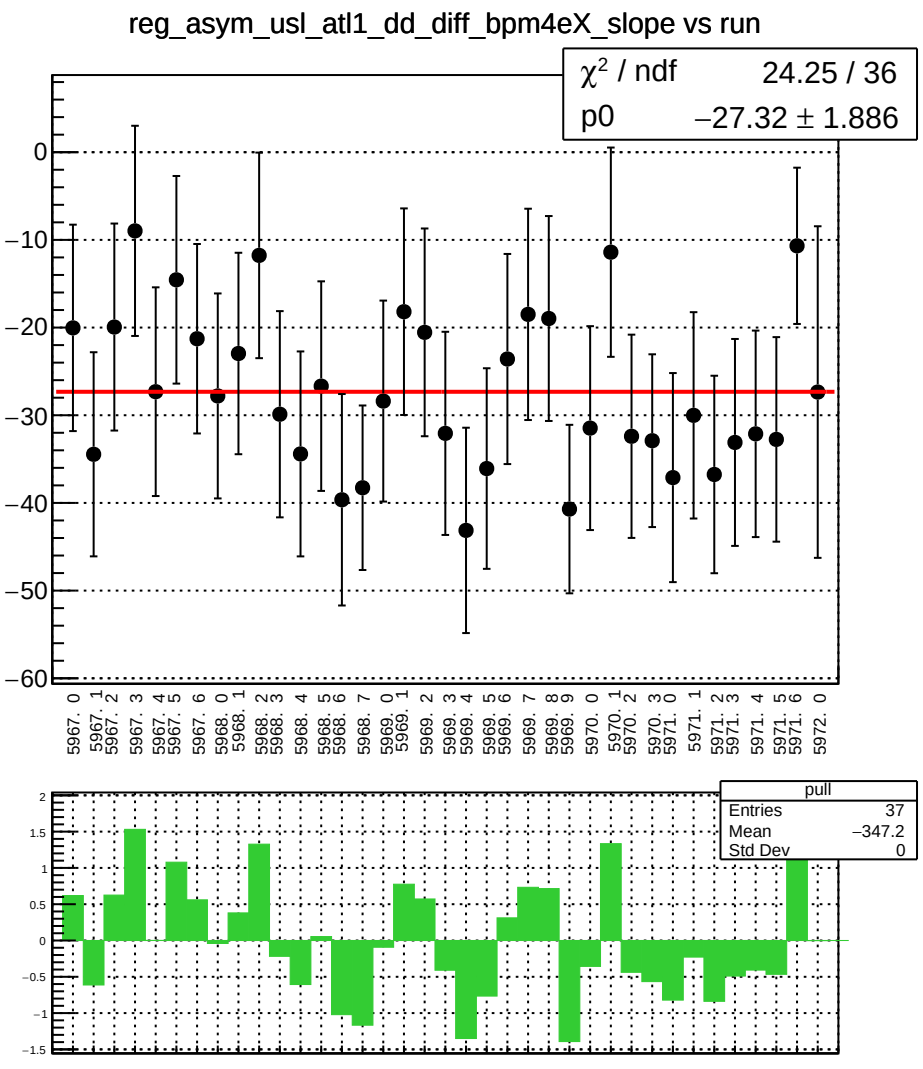
reg_asym_usl_atl1_dd_diff_bpm4eX_slope vs run
χ² / ndf 24.25 / 36
p0 −27.32 ± 1.886
pull
Entries 37
Mean −347.2
Std Dev 0

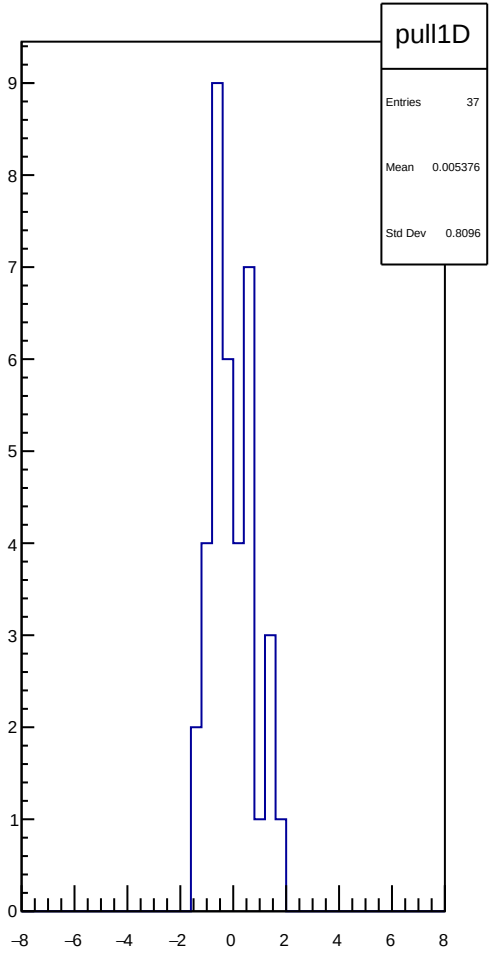
pull1D
Entries 37
Mean 0.005376
Std Dev 0.8096

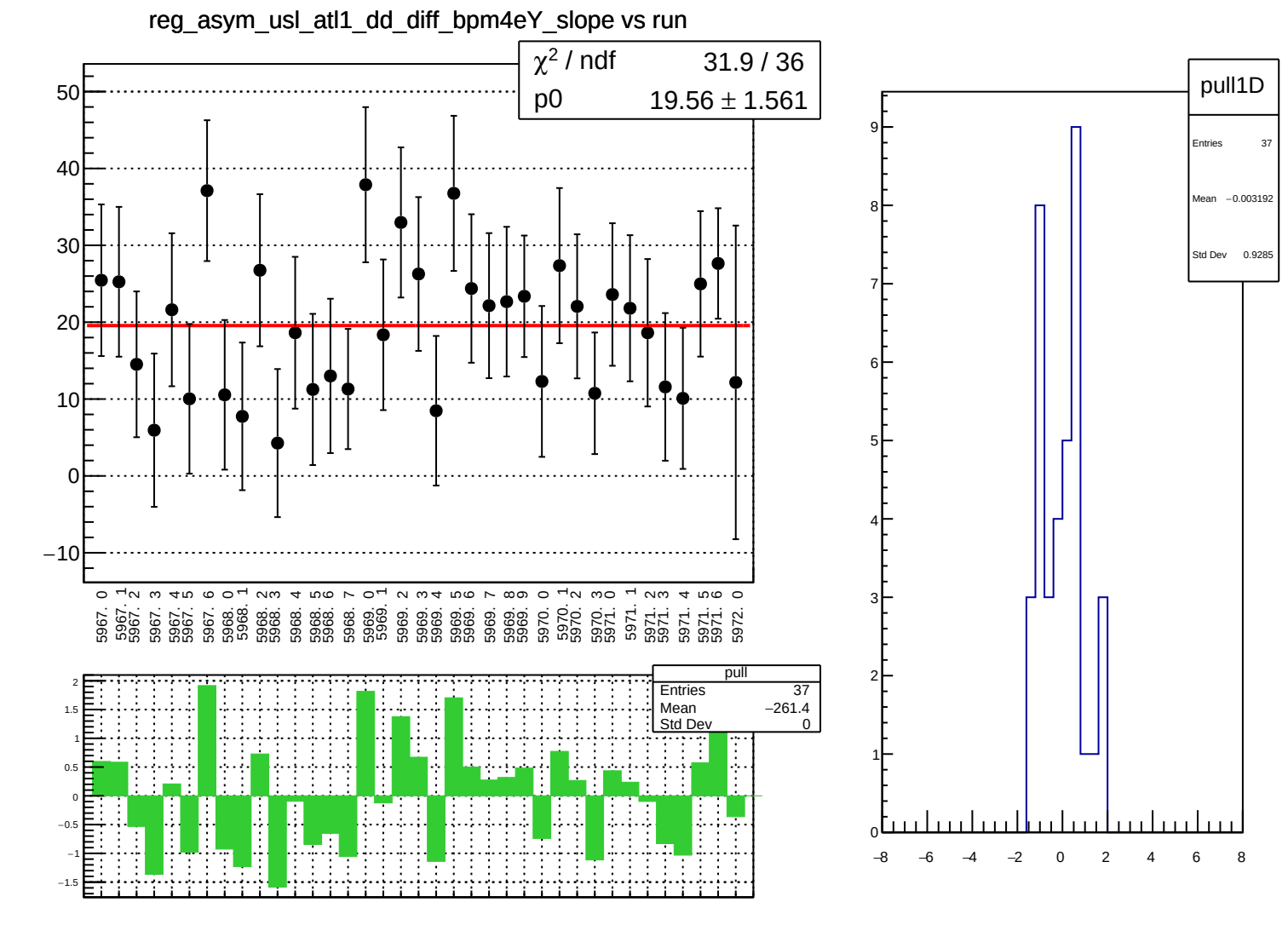
reg_asym_usl_atl1_dd_diff_bpm4eY_slope vs run
χ² / ndf 31.9 / 36
p0 19.56 ± 1.561
pull
Entries 37
Mean −261.4
Std Dev 0
pull1D
Entries 37
Mean −0.003192
Std Dev 0.9285

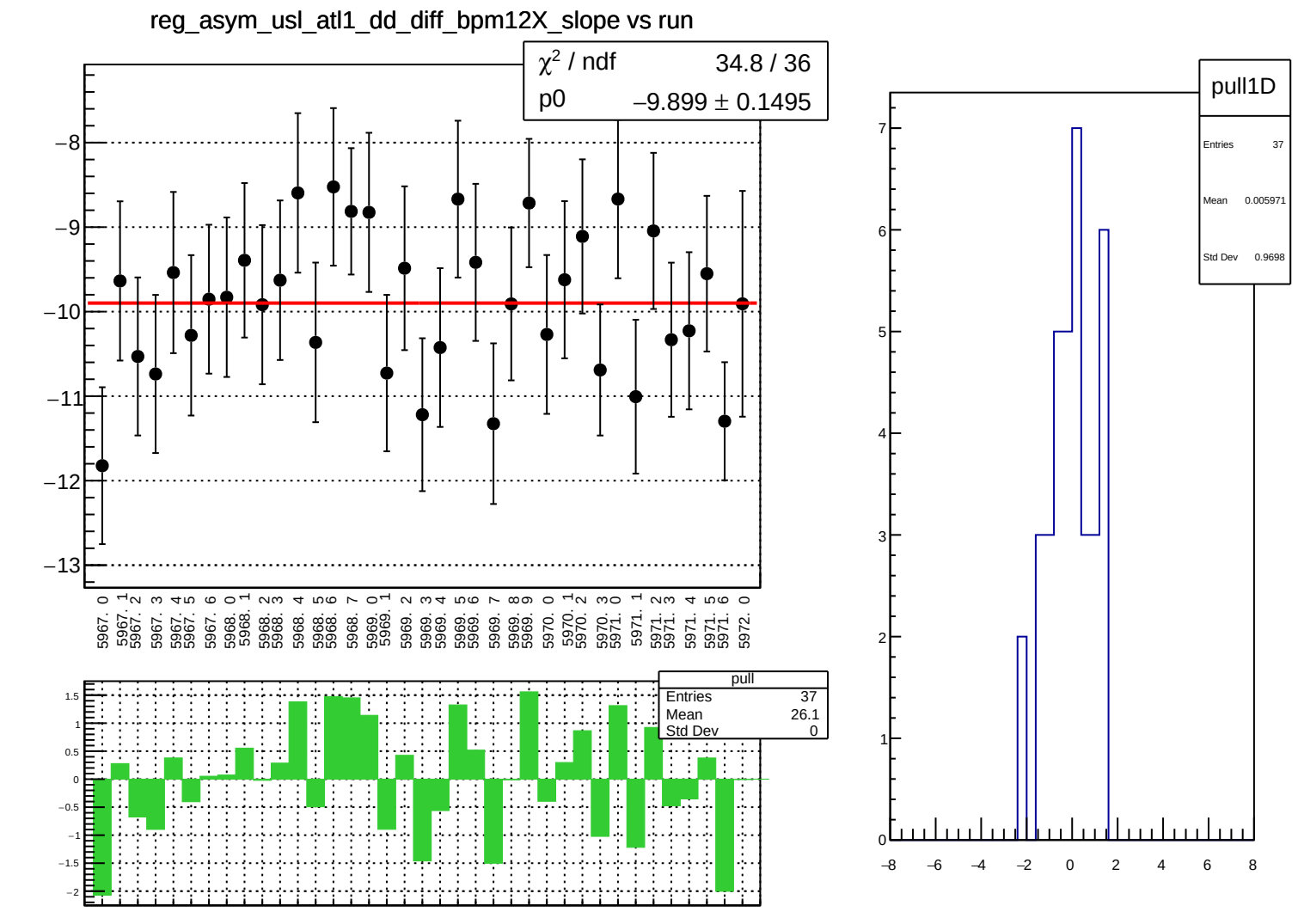
reg_asym_usl_atl1_dd_diff_bpm12X_slope vs run
χ² / ndf 34.8 / 36
p0 −9.899 ± 0.1495
pull
Entries 37
Mean 26.1
Std Dev 0
pull1D
Entries 37
Mean 0.005971
Std Dev 0.9698

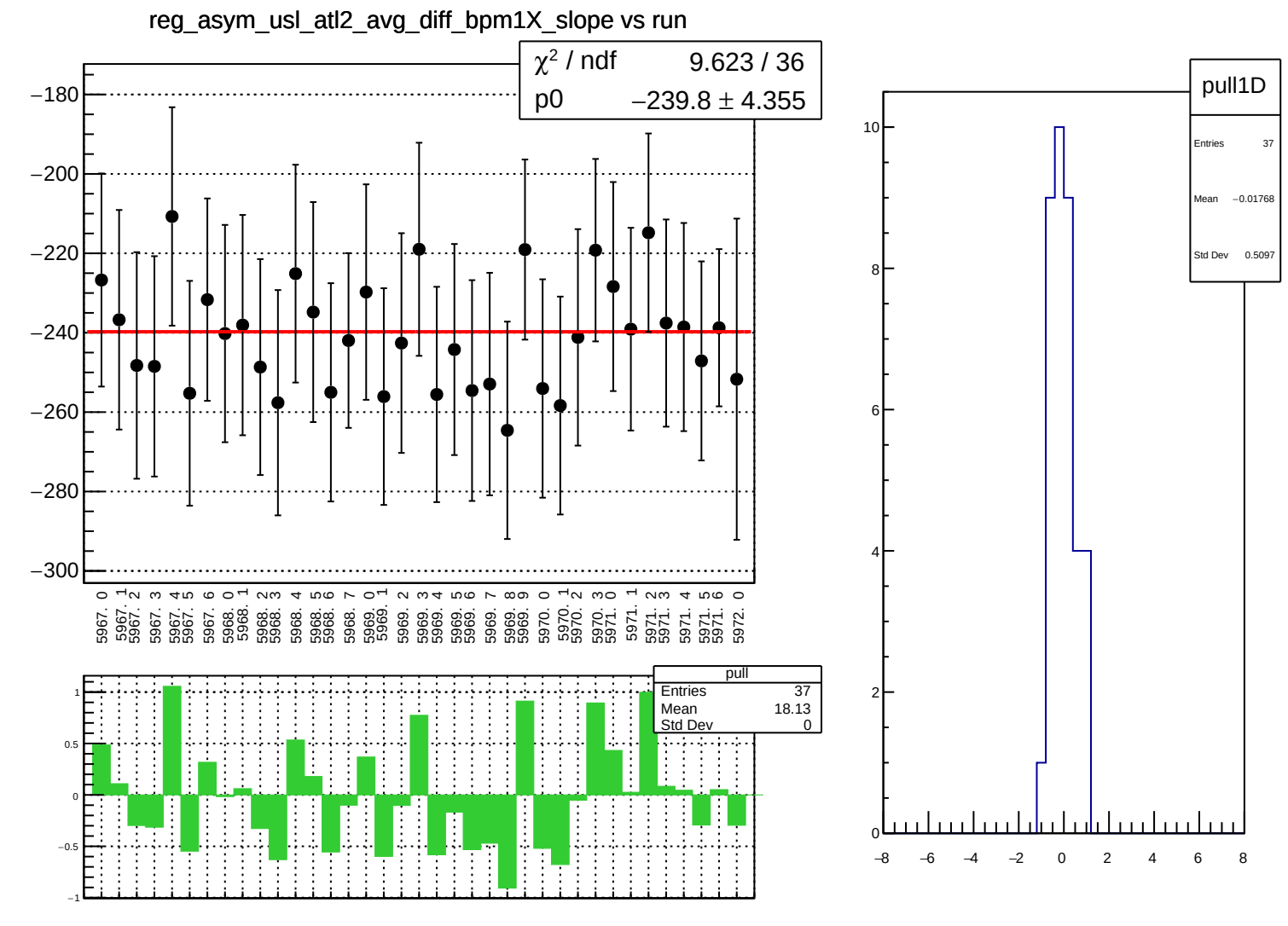
reg_asym_usl_atl2_avg_diff_bpm1X_slope vs run
χ² / ndf 9.623 / 36
p0 −239.8 ± 4.355
−180
−200
−220
−240
−260
−280
−300
5967. 0
5967. 1
5967. 2
5967. 3
5967. 4
5967. 5
5967. 6
5968. 0
5968. 1
5968. 2
5968. 3
5968. 4
5968. 5
5968. 6
5968. 7
5969. 0
5969. 1
5969. 2
5969. 3
5969. 4
5969. 5
5969. 6
5969. 7
5969. 8
5969. 9
5970. 0
5970. 1
5970. 2
5970. 3
5971. 0
5971. 1
5971. 2
5971. 3
5971. 4
5971. 5
5971. 6
5972. 0
pull
Entries 37
Mean 18.13
Std Dev 0
1
0.5
0
−0.5
−1
pull1D
Entries 37
Mean −0.01768
Std Dev 0.5097
10
8
6
4
2
0
−8
−6
−4
−2
0
2
4
6
8

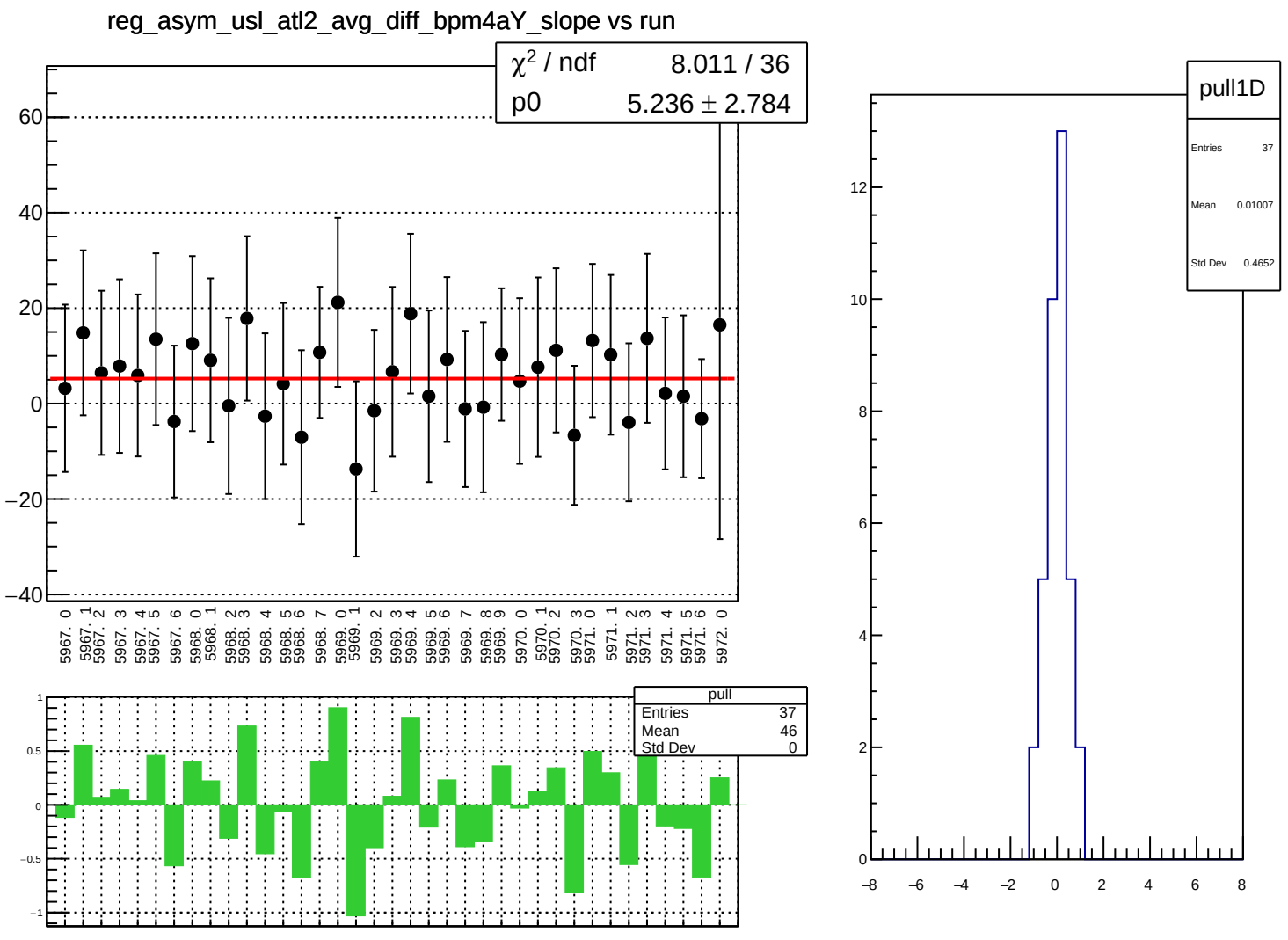
reg_asym_usl_atl2_avg_diff_bpm4aY_slope vs run
χ² / ndf 8.011 / 36
p0 5.236 ± 2.784
pull
Entries 37
Mean −46
Std Dev 0
pull1D
Entries 37
Mean 0.01007
Std Dev 0.4652

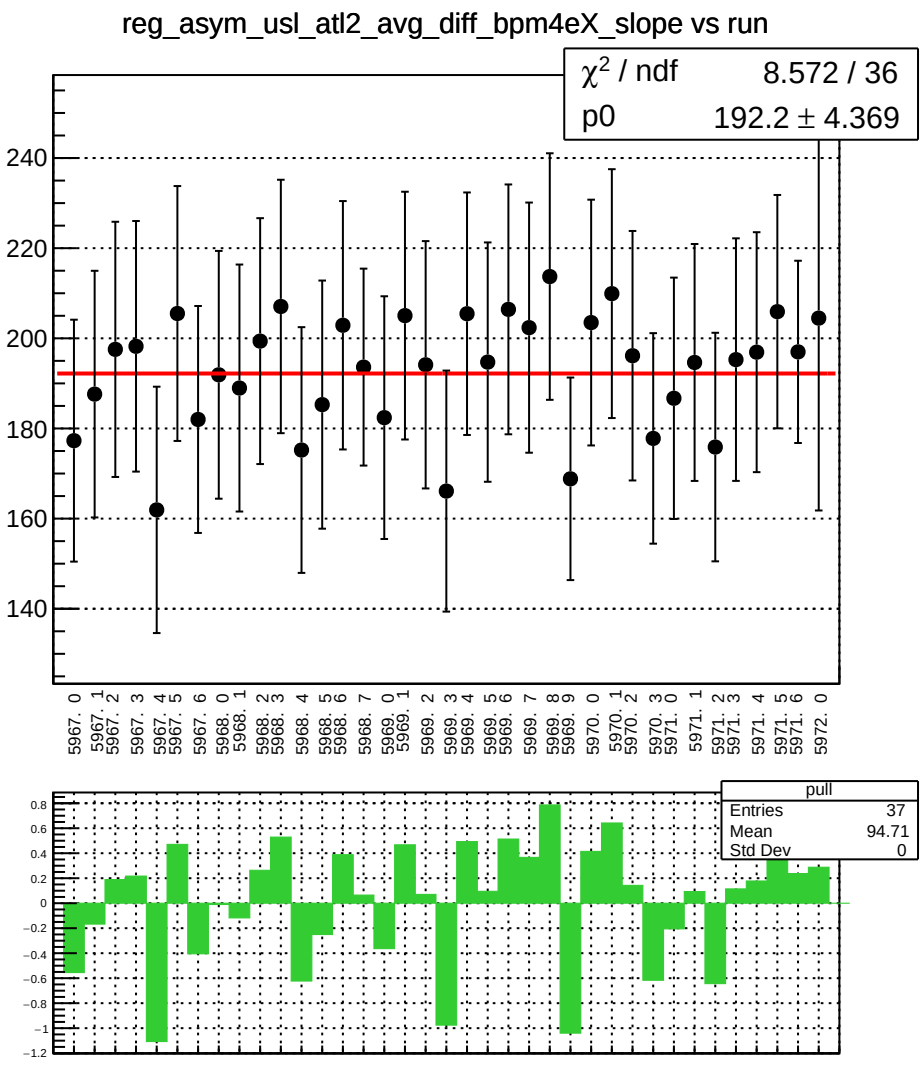
reg_asym_usl_atl2_avg_diff_bpm4eX_slope vs run
χ² / ndf 8.572 / 36
p0 192.2 ± 4.369
240
220
200
180
160
140
5967. 0
5967. 1
5967. 2
5967. 3
5967. 4
5967. 5
5967. 6
5968. 0
5968. 1
5968. 2
5968. 3
5968. 4
5968. 5
5968. 6
5968. 7
5969. 0
5969. 1
5969. 2
5969. 3
5969. 4
5969. 5
5969. 6
5969. 7
5969. 8
5969. 9
5970. 0
5970. 1
5970. 2
5970. 3
5971. 0
5971. 1
5971. 2
5971. 3
5971. 4
5971. 5
5971. 6
5972. 0
pull
Entries 37
Mean 94.71
Std Dev 0
0.8
0.6
0.4
0.2
0
−0.2
−0.4
−0.6
−0.8
−1
−1.2
pull1D
Entries 37
Mean 0.01285
Std Dev 0.4812
14
12
10
8
6
4
2
0
−8
−6
−4
−2
0
2
4
6
8

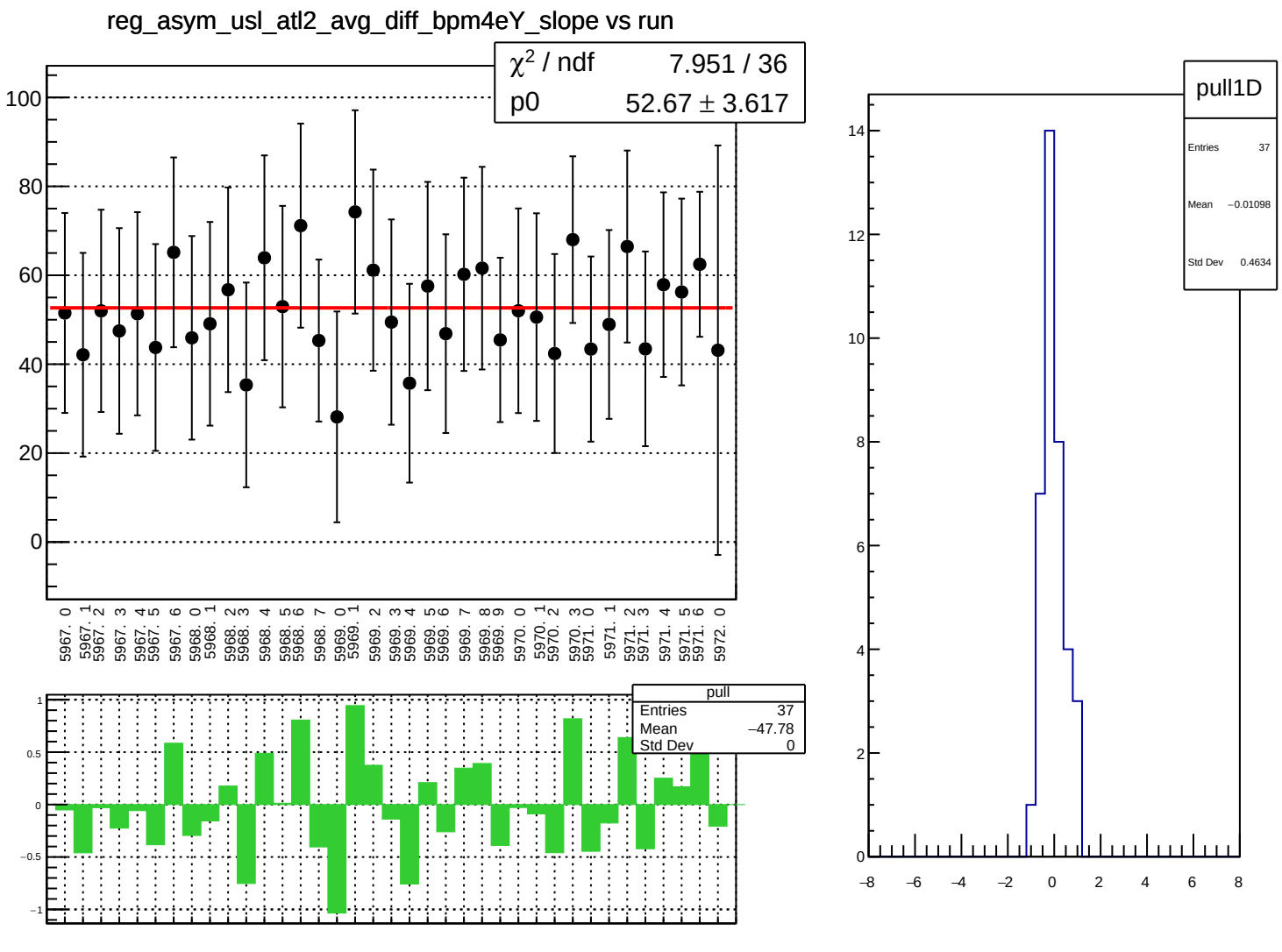
reg_asym_usl_atl2_avg_diff_bpm4eY_slope vs run
χ² / ndf 7.951 / 36
p0 52.67 ± 3.617
100
80
60
40
20
0
5967. 0
5967. 1
5967. 2
5967. 3
5967. 4
5967. 5
5967. 6
5968. 0
5968. 1
5968. 2
5968. 3
5968. 4
5968. 5
5968. 6
5968. 7
5969. 0
5969. 1
5969. 2
5969. 3
5969. 4
5969. 5
5969. 6
5969. 7
5969. 8
5969. 9
5970. 0
5970. 1
5970. 2
5970. 3
5971. 0
5971. 1
5971. 2
5971. 3
5971. 4
5971. 5
5971. 6
5972. 0
pull
Entries 37
Mean −47.78
Std Dev 0
1
0.5
0
−0.5
−1
pull1D
Entries 37
Mean −0.01098
Std Dev 0.4634
14
12
10
8
6
4
2
0
−8
−6
−4
−2
0
2
4
6
8

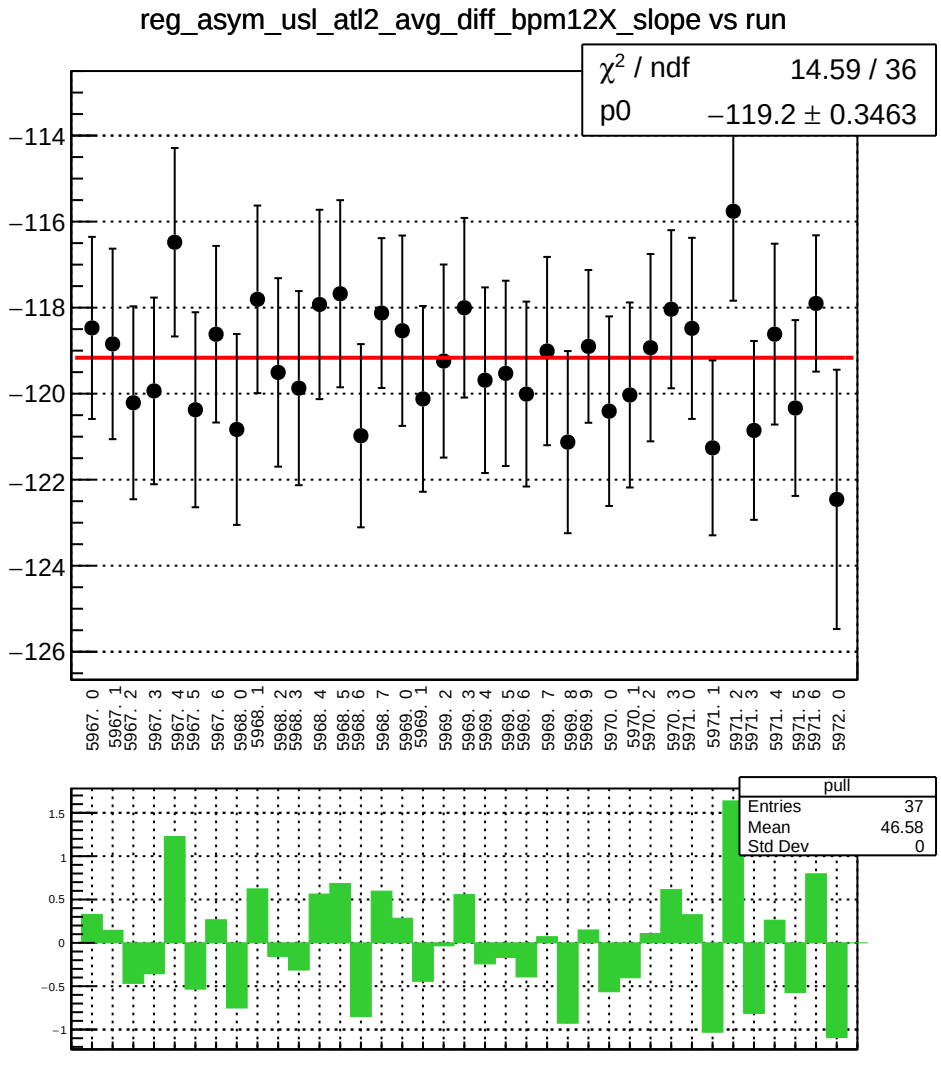
reg_asym_usl_atl2_avg_diff_bpm12X_slope vs run
χ² / ndf 14.59 / 36
p0 −119.2 ± 0.3463
−114
−116
−118
−120
−122
−124
−126
5967. 0
5967. 1
5967. 2
5967. 3
5967. 4
5967. 5
5967. 6
5968. 0
5968. 1
5968. 2
5968. 3
5968. 4
5968. 5
5968. 6
5968. 7
5969. 0
5969. 1
5969. 2
5969. 3
5969. 4
5969. 5
5969. 6
5969. 7
5969. 8
5969. 9
5970. 0
5970. 1
5970. 2
5970. 3
5971. 0
5971. 1
5971. 2
5971. 3
5971. 4
5971. 5
5971. 6
5972. 0
pull
Entries 37
Mean 46.58
Std Dev 0
1.5
1
0.5
0
−0.5
−1
pull1D
Entries 37
Mean −0.02375
Std Dev 0.6274
9
8
7
6
5
4
3
2
1
0
−8
−6
−4
−2
0
2
4
6
8

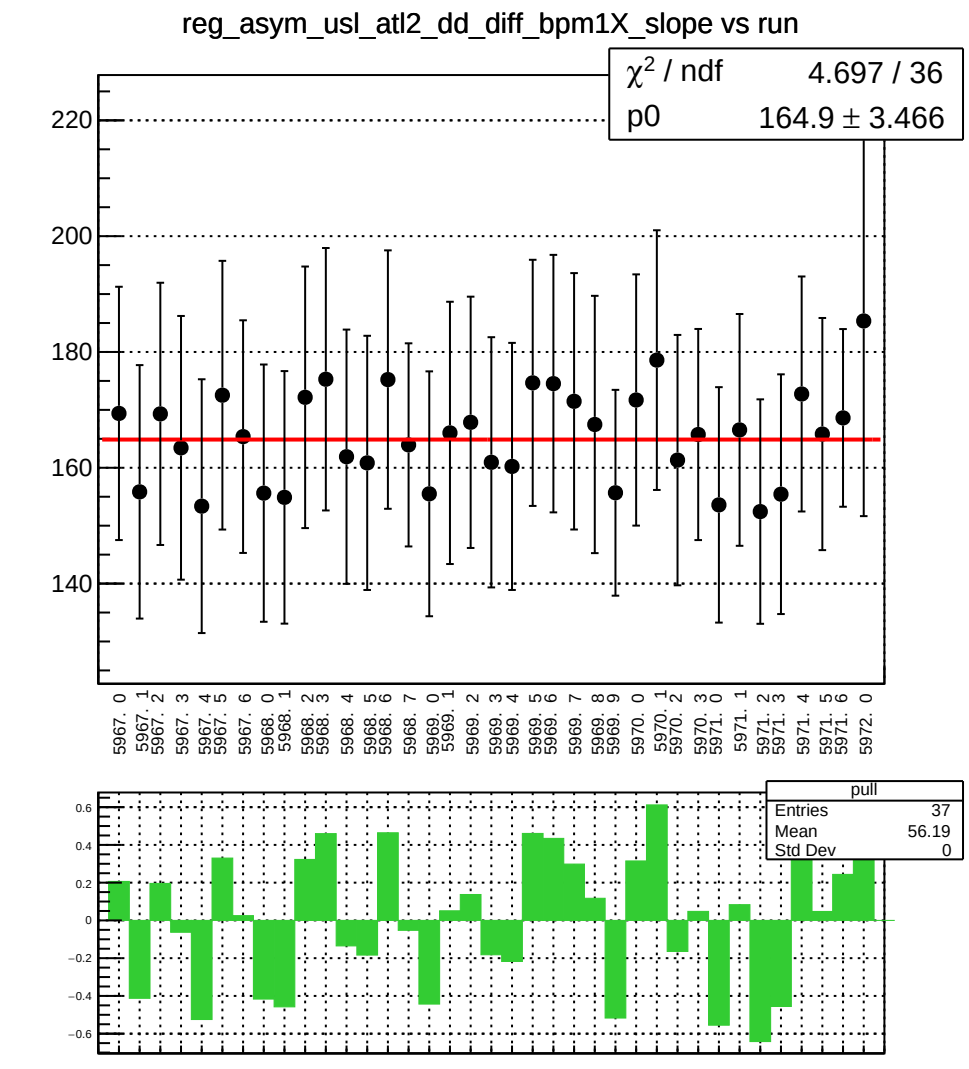
reg_asym_usl_atl2_dd_diff_bpm1X_slope vs run
χ² / ndf 4.697 / 36
p0 164.9 ± 3.466
220
200
180
160
140
5967. 0
5967. 1
5967. 2
5967. 3
5967. 4
5967. 5
5967. 6
5968. 0
5968. 1
5968. 2
5968. 3
5968. 4
5968. 5
5968. 6
5968. 7
5969. 0
5969. 1
5969. 2
5969. 3
5969. 4
5969. 5
5969. 6
5969. 7
5969. 8
5969. 9
5970. 0
5970. 1
5970. 2
5970. 3
5971. 0
5971. 1
5971. 2
5971. 3
5971. 4
5971. 5
5971. 6
5972. 0
pull
Entries 37
Mean 56.19
Std Dev 0
0.6
0.4
0.2
0
−0.2
−0.4
−0.6
pull1D
Entries 37
Mean 0.01152
Std Dev 0.3561
14
12
10
8
6
4
2
0
−8
−6
−4
−2
0
2
4
6
8

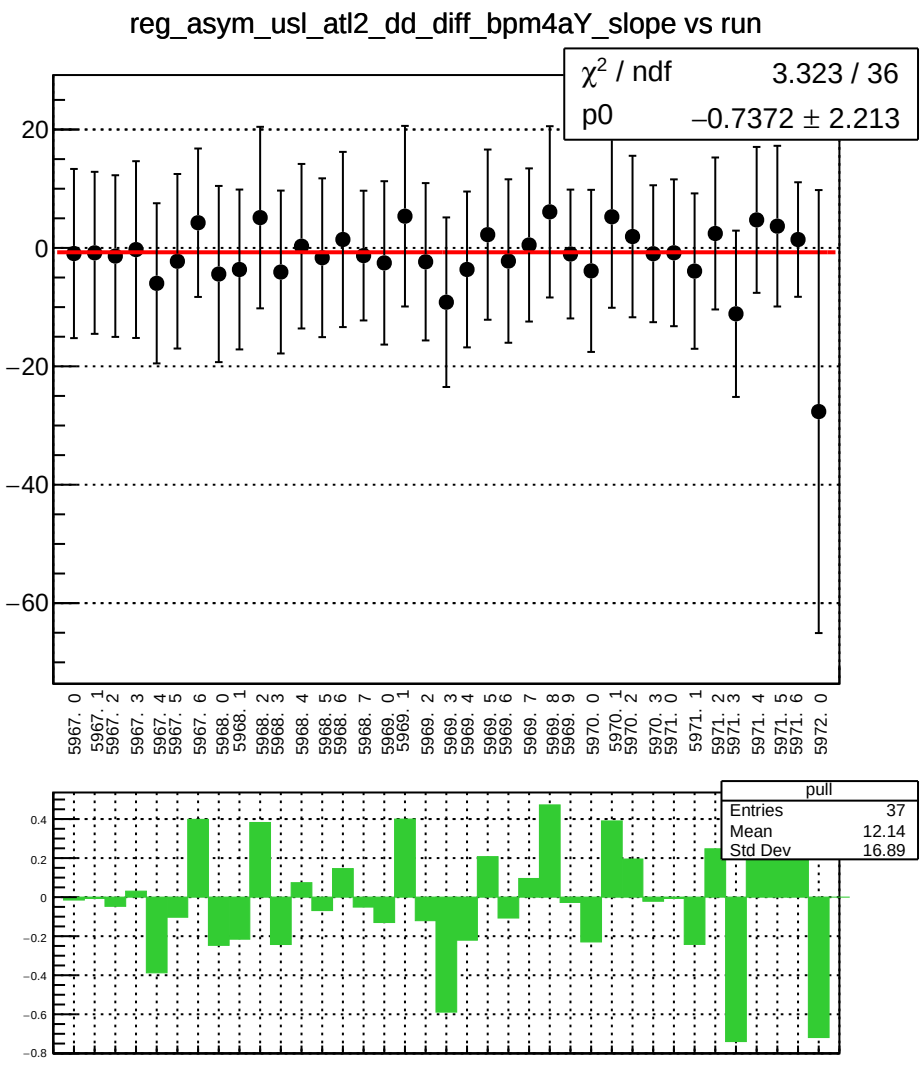
reg_asym_usl_atl2_dd_diff_bpm4aY_slope vs run
χ² / ndf 3.323 / 36
p0 −0.7372 ± 2.213
20
0
−20
−40
−60
5967. 0
5967. 1
5967. 2
5967. 3
5967. 4
5967. 5
5967. 6
5968. 0
5968. 1
5968. 2
5968. 3
5968. 4
5968. 5
5968. 6
5968. 7
5969. 0
5969. 1
5969. 2
5969. 3
5969. 4
5969. 5
5969. 6
5969. 7
5969. 8
5969. 9
5970. 0
5970. 1
5970. 2
5970. 3
5971. 0
5971. 1
5971. 2
5971. 3
5971. 4
5971. 5
5971. 6
5972. 0
pull
Entries 37
Mean 12.14
Std Dev 16.89
0.4
0.2
0
−0.2
−0.4
−0.6
−0.8
pull1D
Entries 37
Mean −0.01364
Std Dev 0.2994
18
16
14
12
10
8
6
4
2
0
−8
−6
−4
−2
0
2
4
6
8

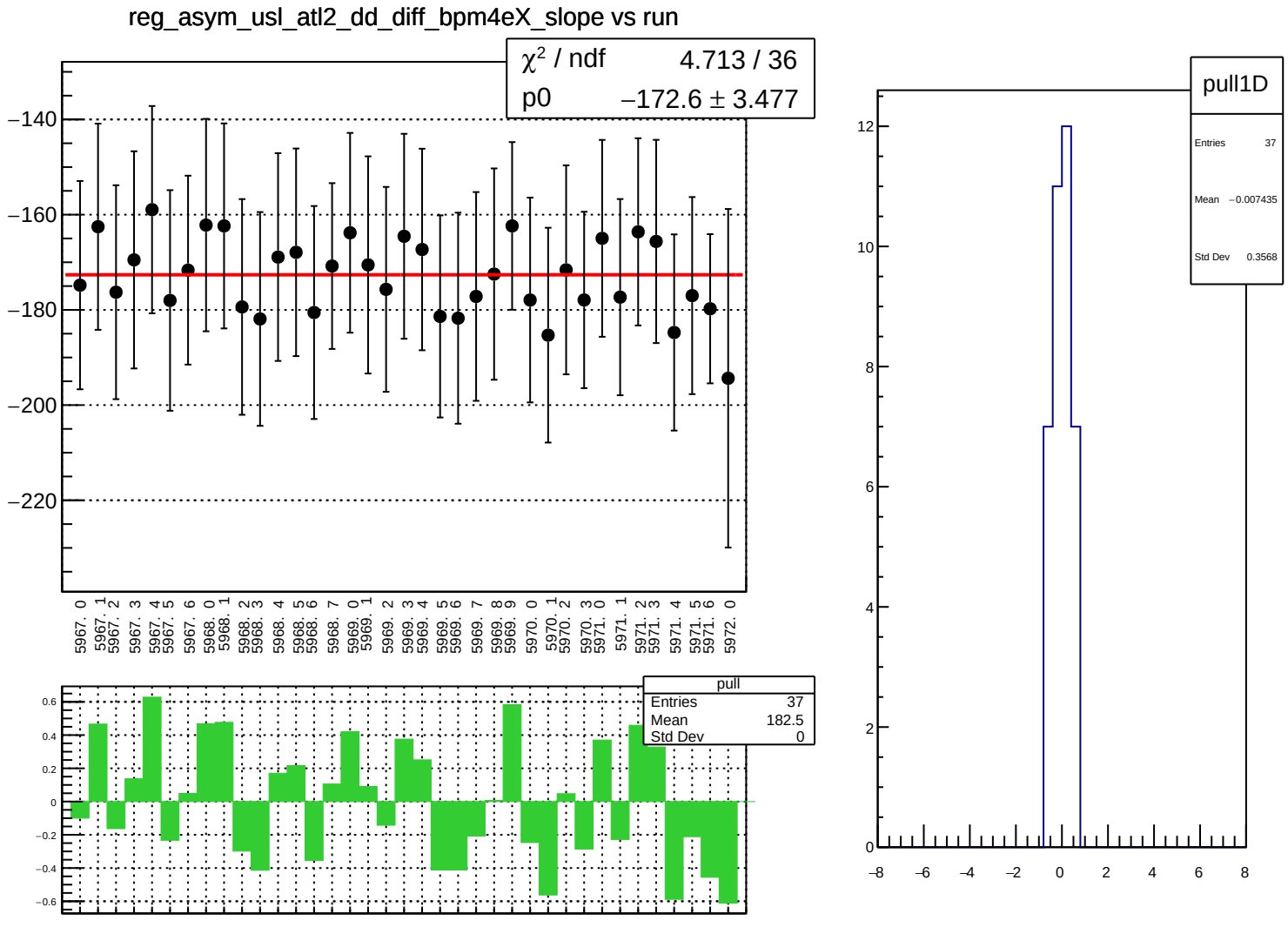
reg_asym_usl_atl2_dd_diff_bpm4eX_slope vs run
χ² / ndf 4.713 / 36
p0 −172.6 ± 3.477
−140
−160
−180
−200
−220
5967. 0
5967. 1
5967. 2
5967. 3
5967. 4
5967. 5
5967. 6
5968. 0
5968. 1
5968. 2
5968. 3
5968. 4
5968. 5
5968. 6
5968. 7
5969. 0
5969. 1
5969. 2
5969. 3
5969. 4
5969. 5
5969. 6
5969. 7
5969. 8
5969. 9
5970. 0
5970. 1
5970. 2
5970. 3
5971. 0
5971. 1
5971. 2
5971. 3
5971. 4
5971. 5
5971. 6
5972. 0
pull
Entries 37
Mean 182.5
Std Dev 0
0.6
0.4
0.2
0
−0.2
−0.4
−0.6
pull1D
Entries 37
Mean −0.007435
Std Dev 0.3568
12
10
8
6
4
2
0
−8
−6
−4
−2
0
2
4
6
8

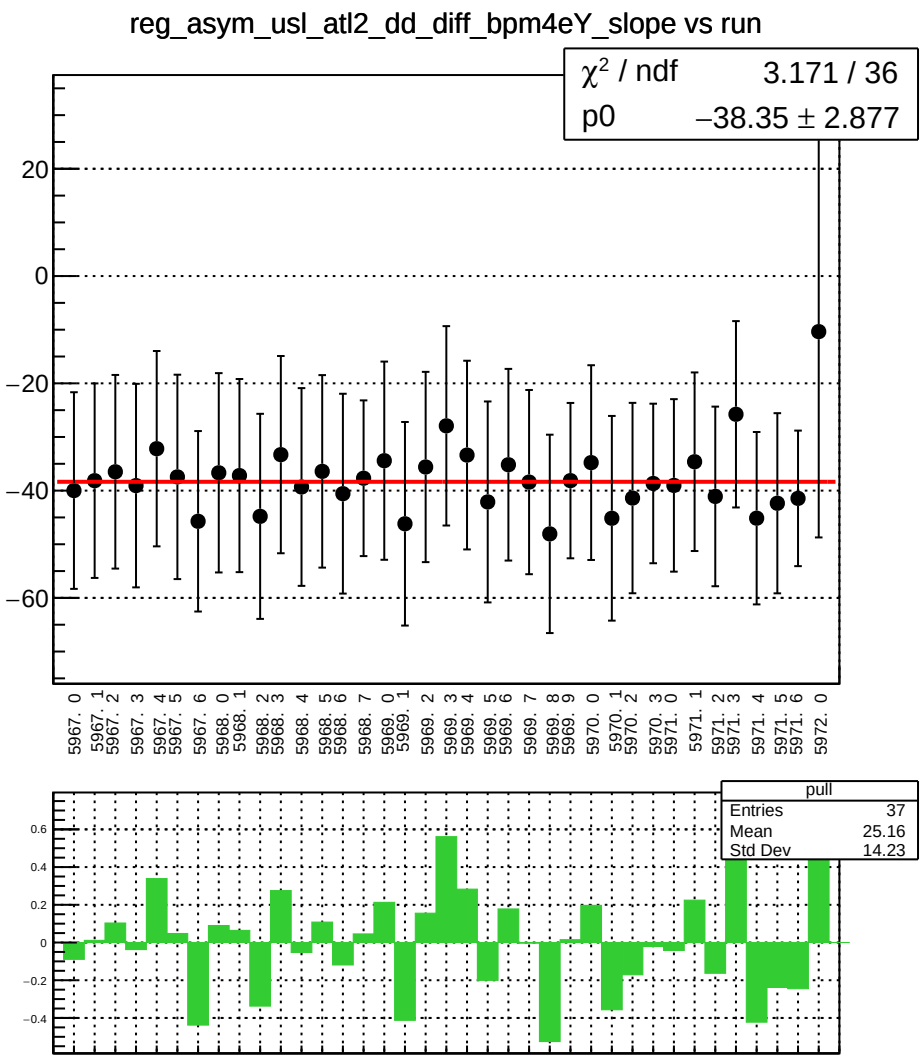
reg_asym_usl_atl2_dd_diff_bpm4eY_slope vs run
χ² / ndf 3.171 / 36
p0 −38.35 ± 2.877
20
0
−20
−40
−60
5967. 0
5967. 1
5967. 2
5967. 3
5967. 4
5967. 5
5967. 6
5968. 0
5968. 1
5968. 2
5968. 3
5968. 4
5968. 5
5968. 6
5968. 7
5969. 0
5969. 1
5969. 2
5969. 3
5969. 4
5969. 5
5969. 6
5969. 7
5969. 8
5969. 9
5970. 0
5970. 1
5970. 2
5970. 3
5971. 0
5971. 1
5971. 2
5971. 3
5971. 4
5971. 5
5971. 6
5972. 0
pull
Entries 37
Mean 25.16
Std Dev 14.23
0.6
0.4
0.2
0
−0.2
−0.4
pull1D
Entries 37
Mean 0.01333
Std Dev 0.2924
16
14
12
10
8
6
4
2
0
−8
−6
−4
−2
0
2
4
6
8

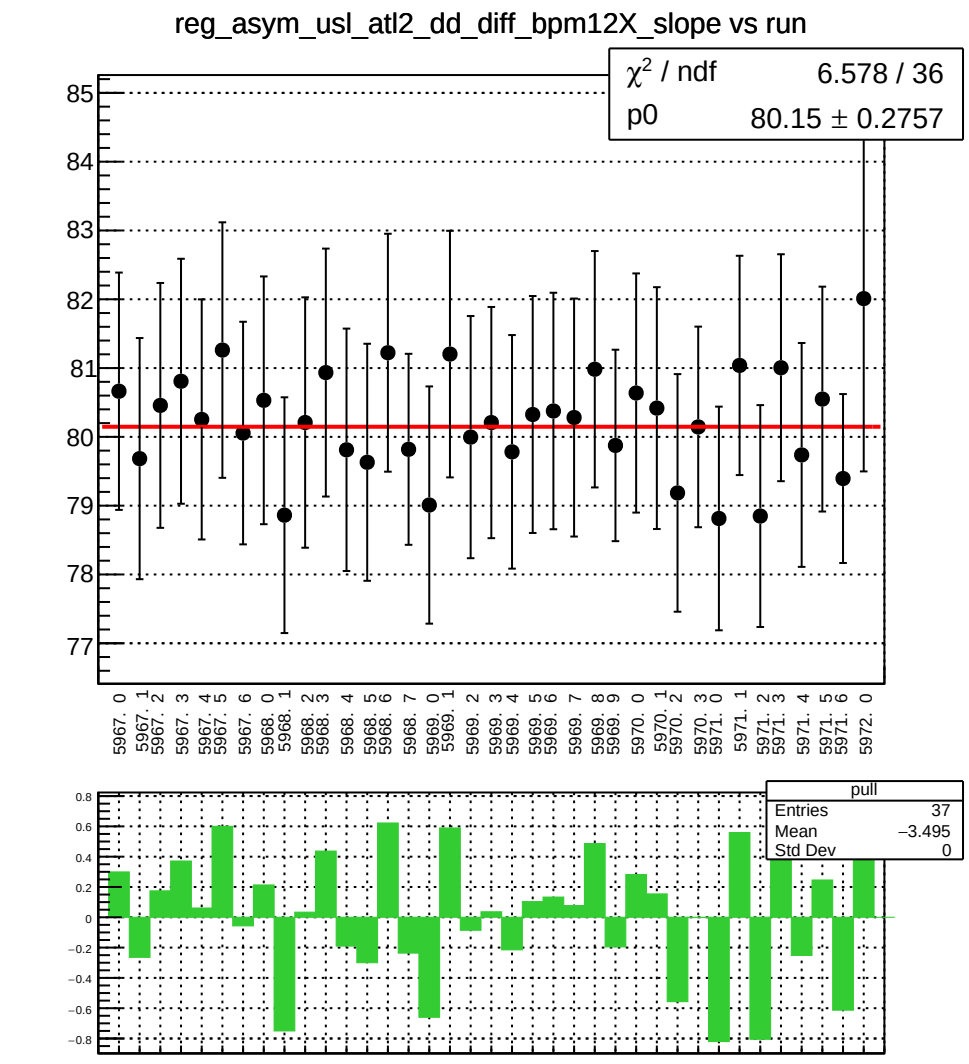
reg_asym_usl_atl2_dd_diff_bpm12X_slope vs run
χ² / ndf 6.578 / 36
p0 80.15 ± 0.2757
85
84
83
82
81
80
79
78
77
5967. 0
5967. 1
5967. 2
5967. 3
5967. 4
5967. 5
5967. 6
5968. 0
5968. 1
5968. 2
5968. 3
5968. 4
5968. 5
5968. 6
5968. 7
5969. 0
5969. 1
5969. 2
5969. 3
5969. 4
5969. 5
5969. 6
5969. 7
5969. 8
5969. 9
5970. 0
5970. 1
5970. 2
5970. 3
5971. 0
5971. 1
5971. 2
5971. 3
5971. 4
5971. 5
5971. 6
5972. 0
pull
Entries 37
Mean −3.495
Std Dev 0
0.8
0.6
0.4
0.2
0
−0.2
−0.4
−0.6
−0.8

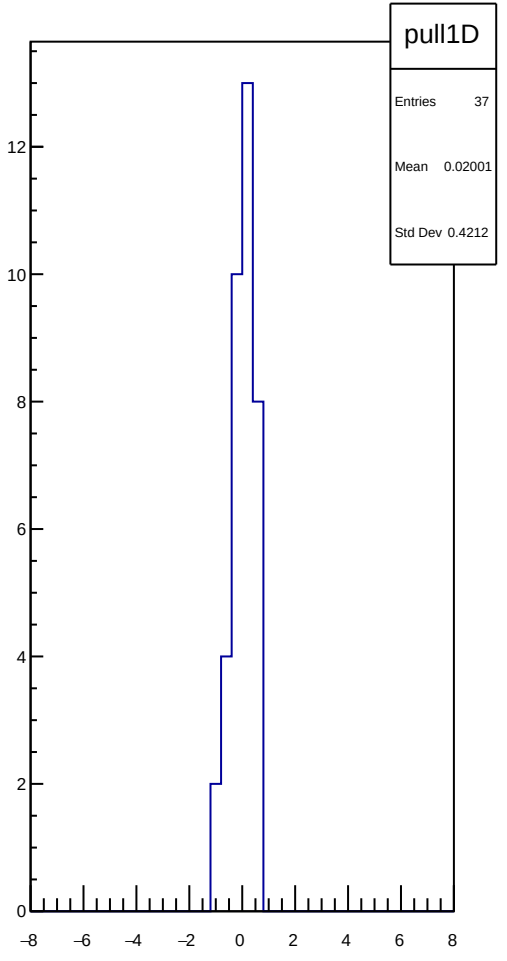
pull1D
Entries 37
Mean 0.02001
Std Dev 0.4212
12
10
8
6
4
2
0
−8
−6
−4
−2
0
2
4
6
8

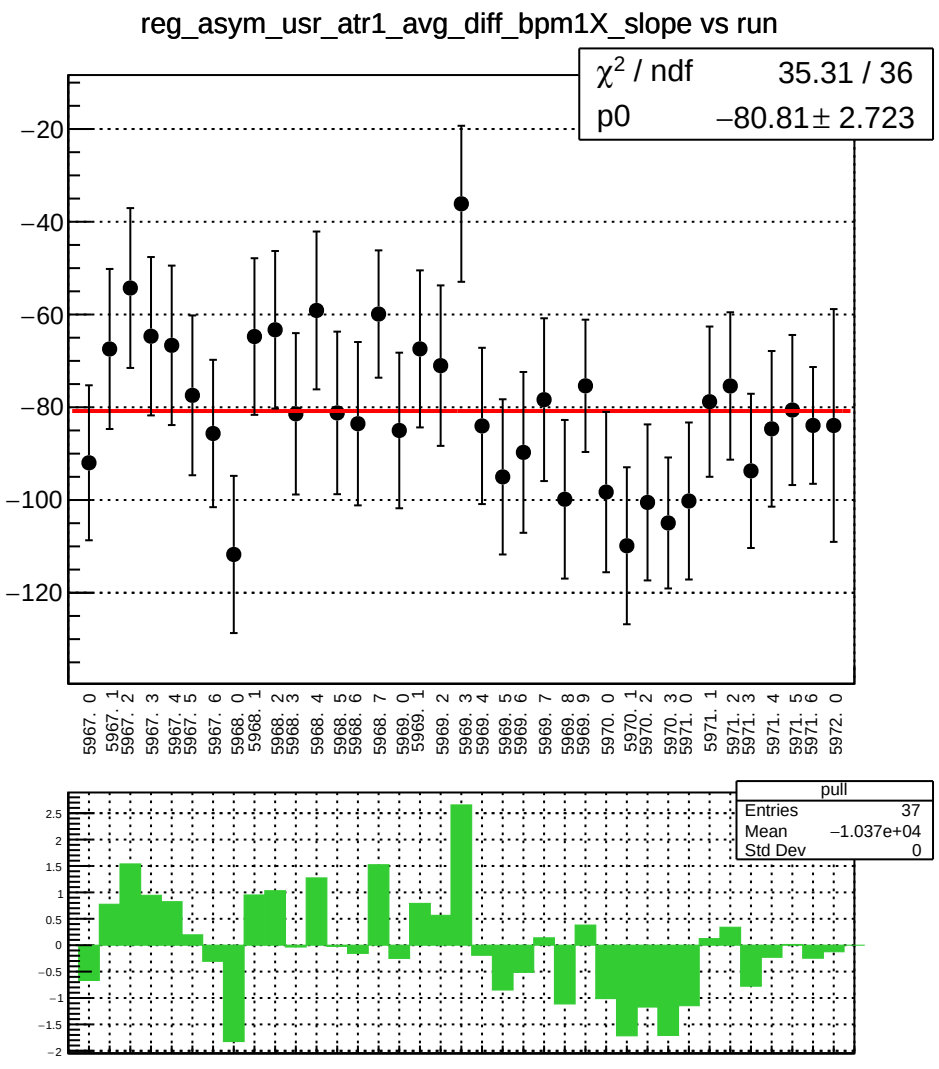
reg_asym_usr_atr1_avg_diff_bpm1X_slope vs run
χ² / ndf 35.31 / 36
p0 −80.81 ± 2.723
pull
Entries 37
Mean −1.037e+04
Std Dev 0

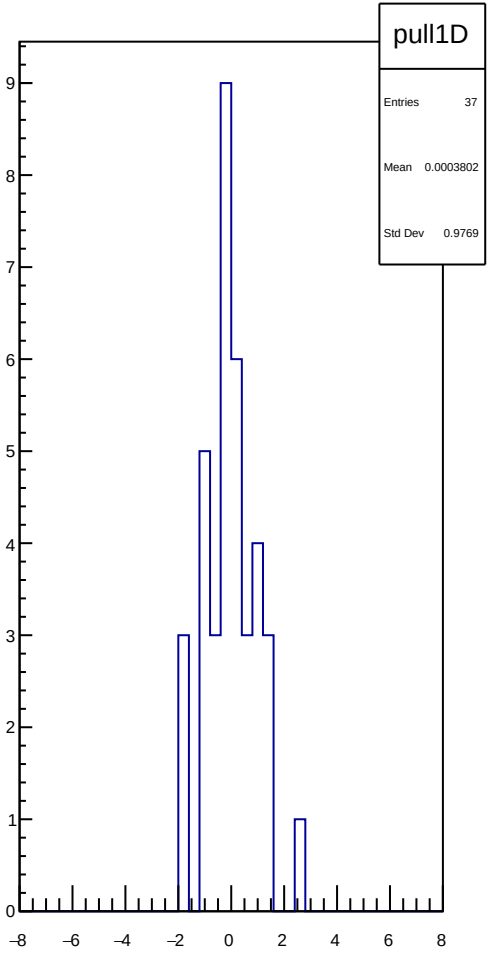
pull1D
Entries 37
Mean 0.0003802
Std Dev 0.9769

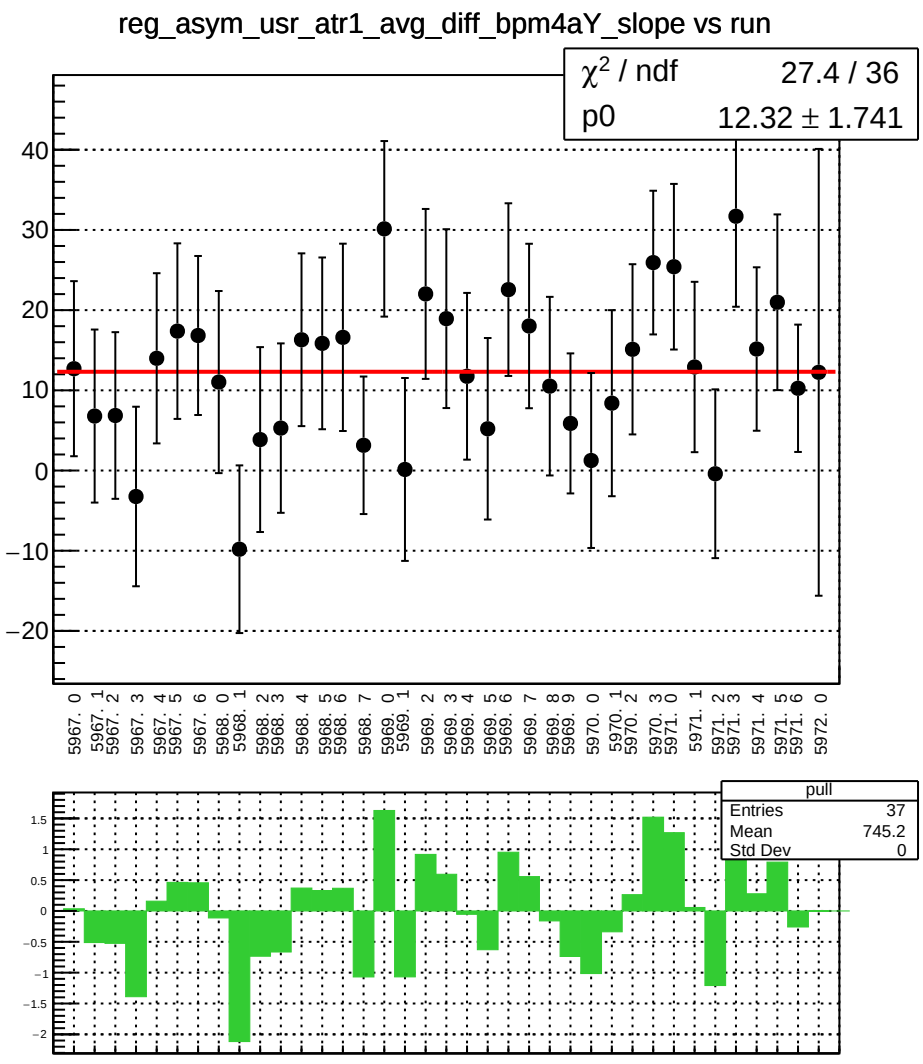
reg_asym_usr_atr1_avg_diff_bpm4aY_slope vs run
χ² / ndf 27.4 / 36
p0 12.32 ± 1.741
40
30
20
10
0
−10
−20
5967. 0
5967. 1
5967. 2
5967. 3
5967. 4
5967. 5
5967. 6
5968. 0
5968. 1
5968. 2
5968. 3
5968. 4
5968. 5
5968. 6
5968. 7
5969. 0
5969. 1
5969. 2
5969. 3
5969. 4
5969. 5
5969. 6
5969. 7
5969. 8
5969. 9
5970. 0
5970. 1
5970. 2
5970. 3
5971. 0
5971. 1
5971. 2
5971. 3
5971. 4
5971. 5
5971. 6
5972. 0
pull
Entries 37
Mean 745.2
Std Dev 0
1.5
1
0.5
0
−0.5
−1
−1.5
−2

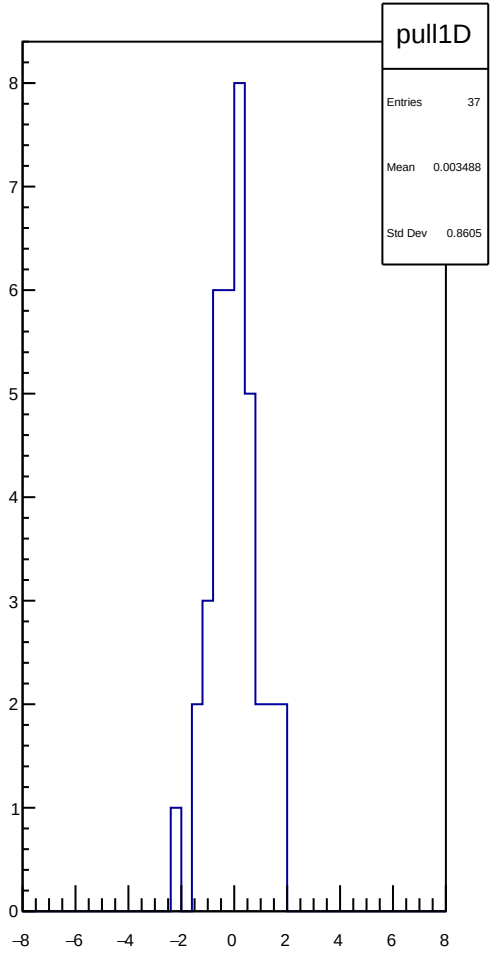
pull1D
Entries 37
Mean 0.003488
Std Dev 0.8605
8
7
6
5
4
3
2
1
0
−8
−6
−4
−2
0
2
4
6
8

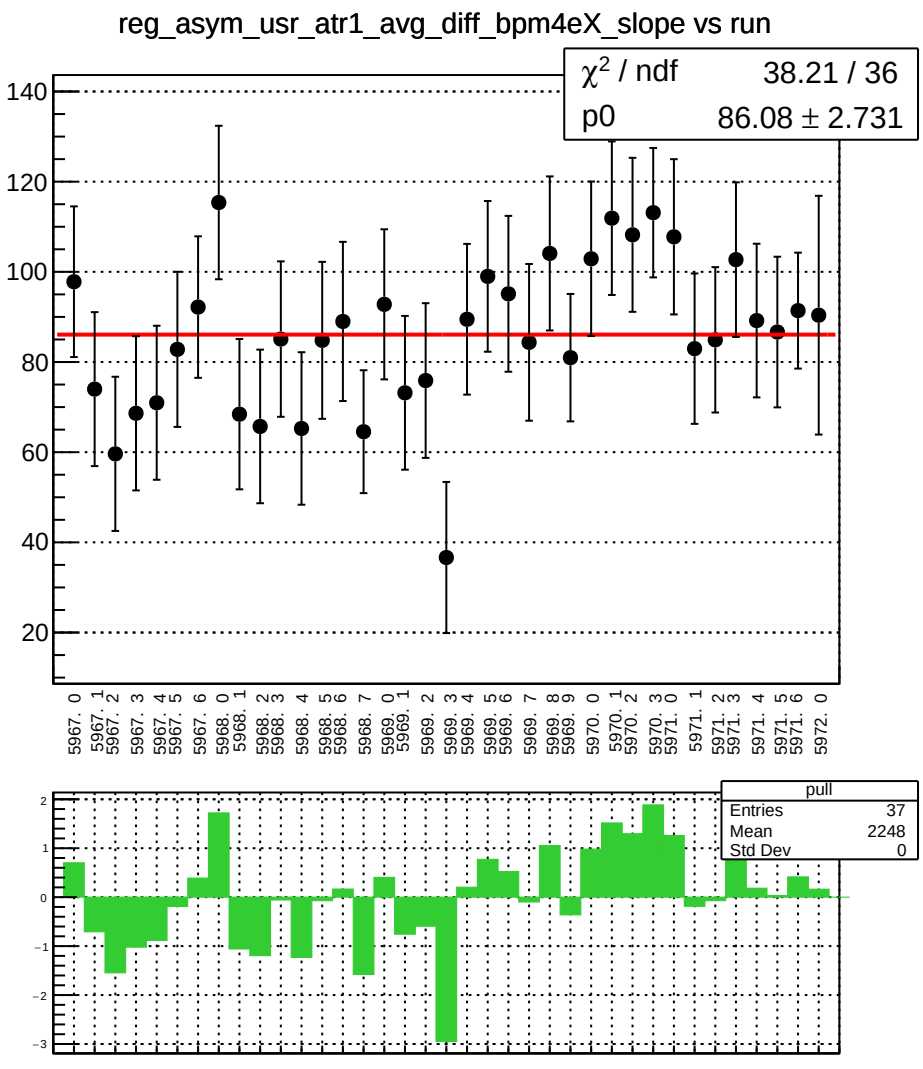
reg_asym_usr_atr1_avg_diff_bpm4eX_slope vs run
χ² / ndf 38.21 / 36
p0 86.08 ± 2.731
140
120
100
80
60
40
20
5967. 0
5967. 1
5967. 2
5967. 3
5967. 4
5967. 5
5967. 6
5968. 0
5968. 1
5968. 2
5968. 3
5968. 4
5968. 5
5968. 6
5968. 7
5969. 0
5969. 1
5969. 2
5969. 3
5969. 4
5969. 5
5969. 6
5969. 7
5969. 8
5969. 9
5970. 0
5970. 1
5970. 2
5970. 3
5971. 0
5971. 1
5971. 2
5971. 3
5971. 4
5971. 5
5971. 6
5972. 0
pull
Entries 37
Mean 2248
Std Dev 0
2
1
0
−1
−2
−3
pull1D
Entries 37
Mean 0.001951
Std Dev 1.016
7
6
5
4
3
2
1
0
−8
−6
−4
−2
0
2
4
6
8

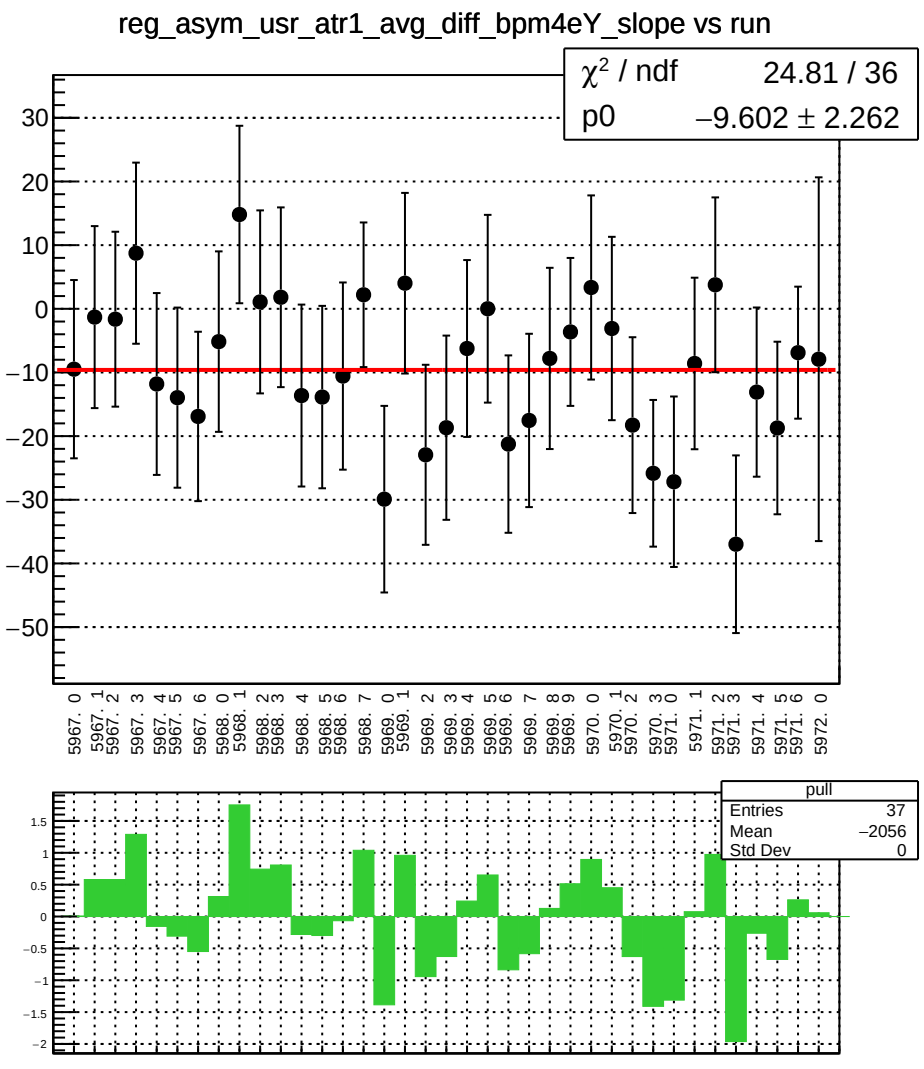
reg_asym_usr_atr1_avg_diff_bpm4eY_slope vs run
χ² / ndf 24.81 / 36
p0 −9.602 ± 2.262
pull
Entries 37
Mean −2056
Std Dev 0

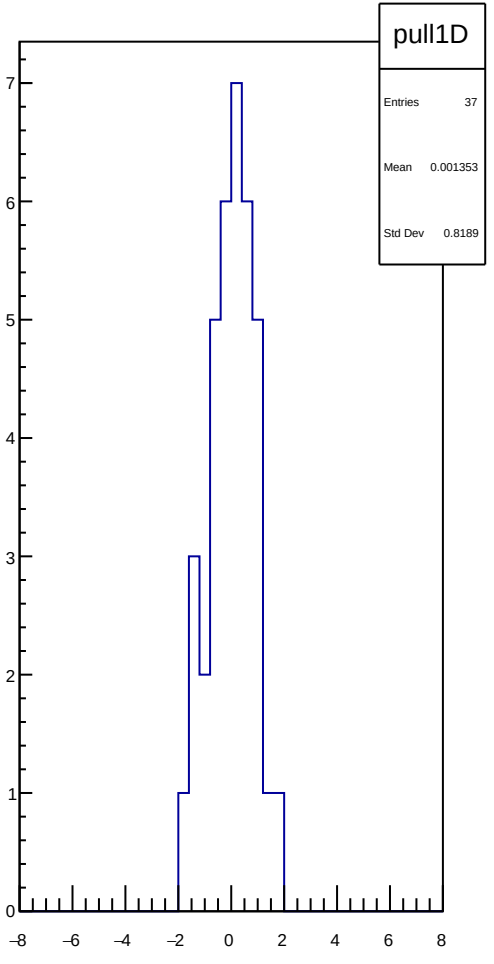
pull1D
Entries 37
Mean 0.001353
Std Dev 0.8189

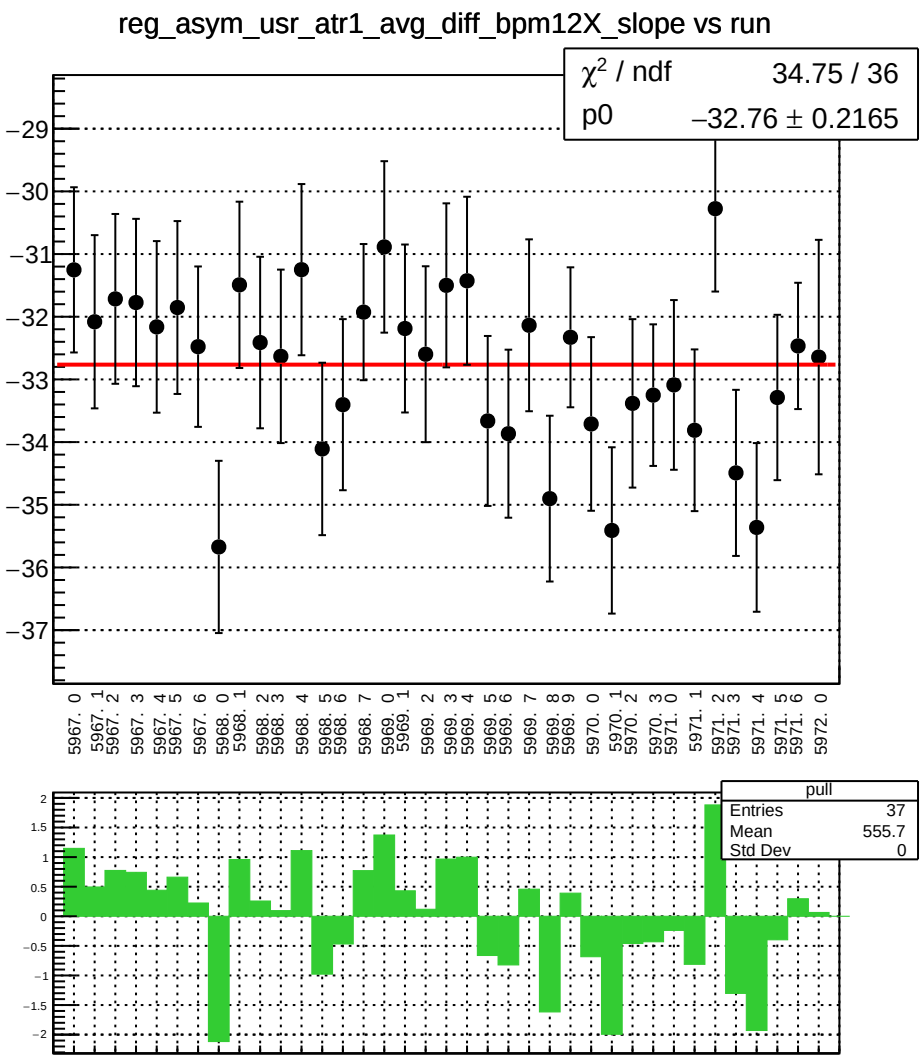
reg_asym_usr_atr1_avg_diff_bpm12X_slope vs run
χ² / ndf 34.75 / 36
p0 −32.76 ± 0.2165
pull
Entries 37
Mean 555.7
Std Dev 0

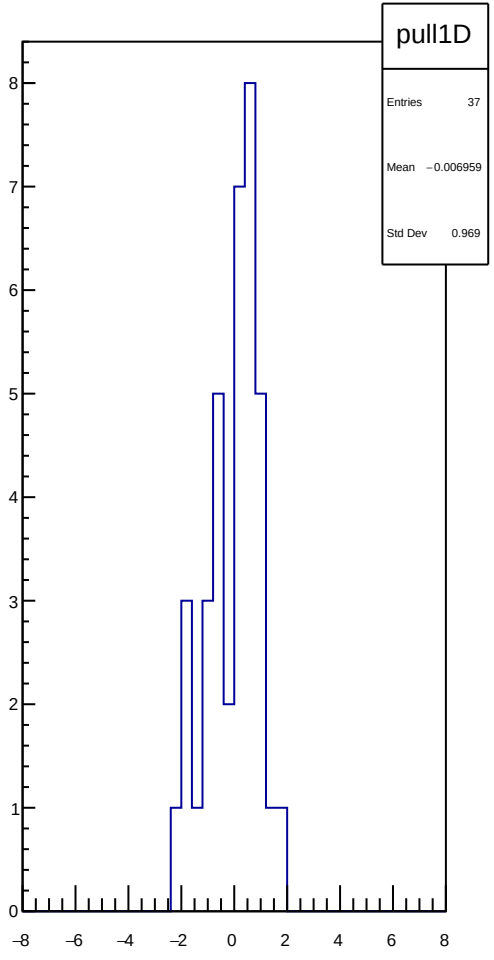
pull1D
Entries 37
Mean −0.006959
Std Dev 0.969

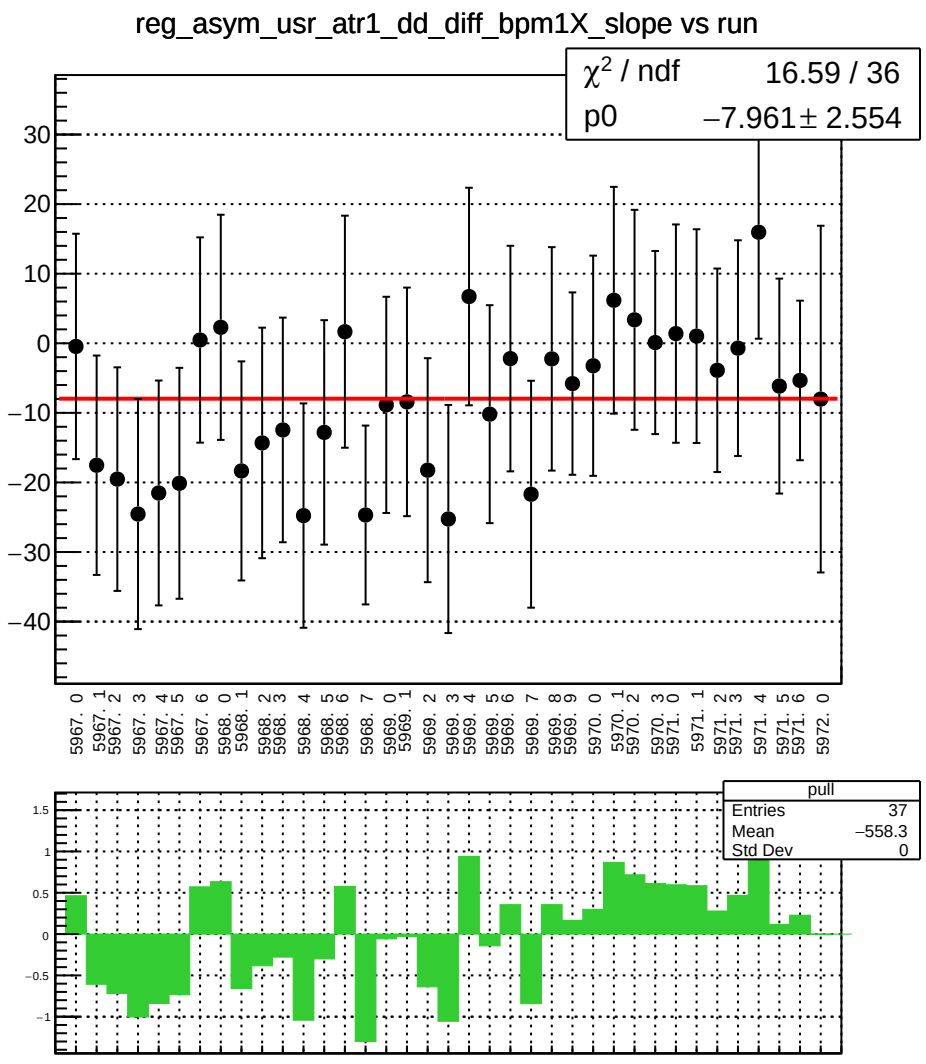
reg_asym_usr_atr1_dd_diff_bpm1X_slope vs run
χ² / ndf 16.59 / 36
p0 −7.961 ± 2.554
30
20
10
0
−10
−20
−30
−40
5967. 0
5967. 1
5967. 2
5967. 3
5967. 4
5967. 5
5967. 6
5968. 0
5968. 1
5968. 2
5968. 3
5968. 4
5968. 5
5968. 6
5968. 7
5969. 0
5969. 1
5969. 2
5969. 3
5969. 4
5969. 5
5969. 6
5969. 7
5969. 8
5969. 9
5970. 0
5970. 1
5970. 2
5970. 3
5971. 0
5971. 1
5971. 2
5971. 3
5971. 4
5971. 5
5971. 6
5972. 0
pull
Entries 37
Mean −558.3
Std Dev 0
1.5
1
0.5
0
−0.5
−1

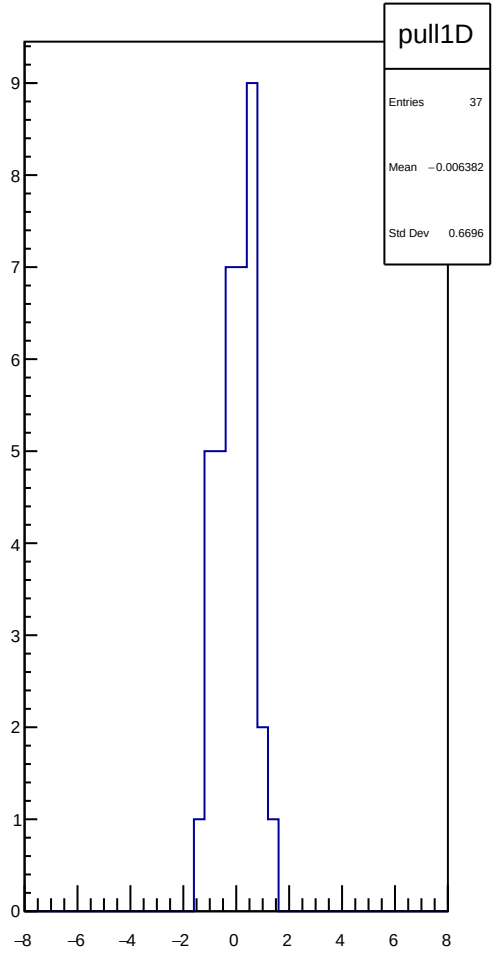
pull1D
Entries 37
Mean −0.006382
Std Dev 0.6696
9
8
7
6
5
4
3
2
1
0
−8
−6
−4
−2
0
2
4
6
8

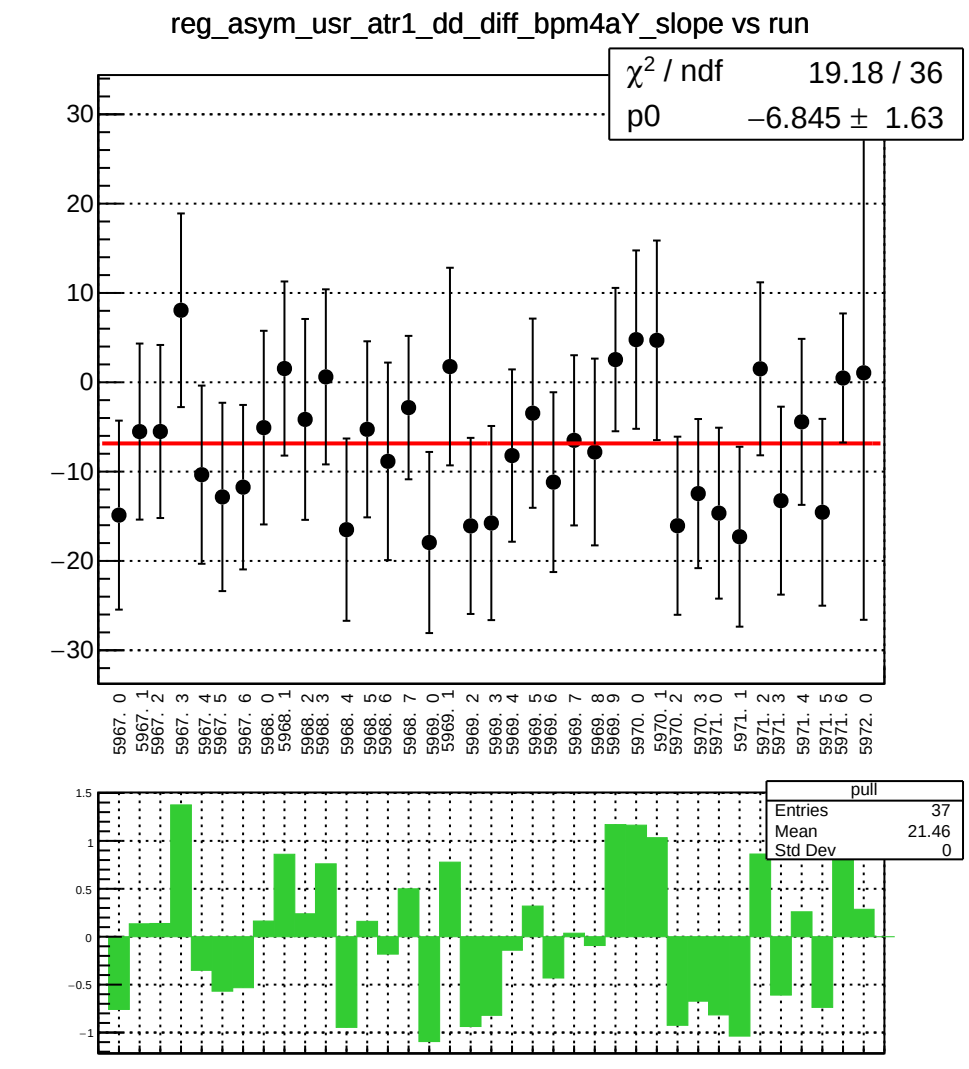
reg_asym_usr_atr1_dd_diff_bpm4aY_slope vs run
χ² / ndf 19.18 / 36
p0 −6.845 ± 1.63
pull
Entries 37
Mean 21.46
Std Dev 0

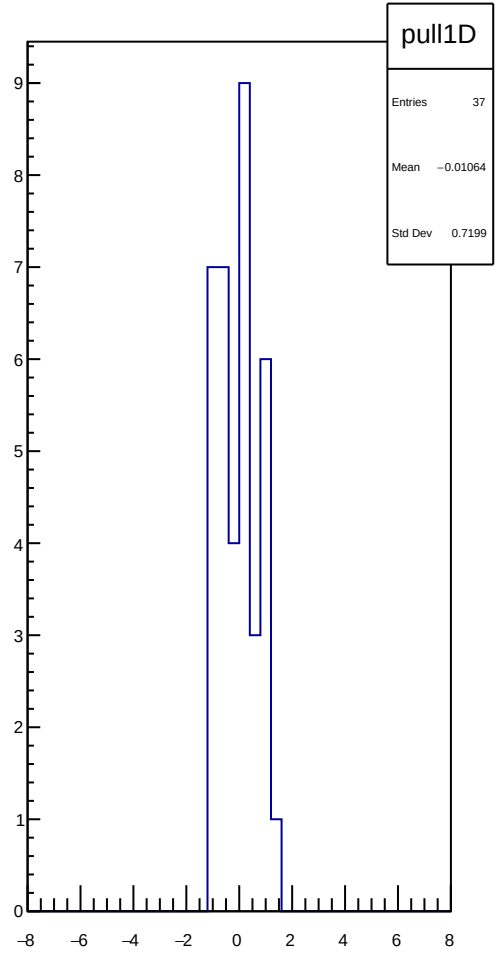
pull1D
Entries 37
Mean −0.01064
Std Dev 0.7199

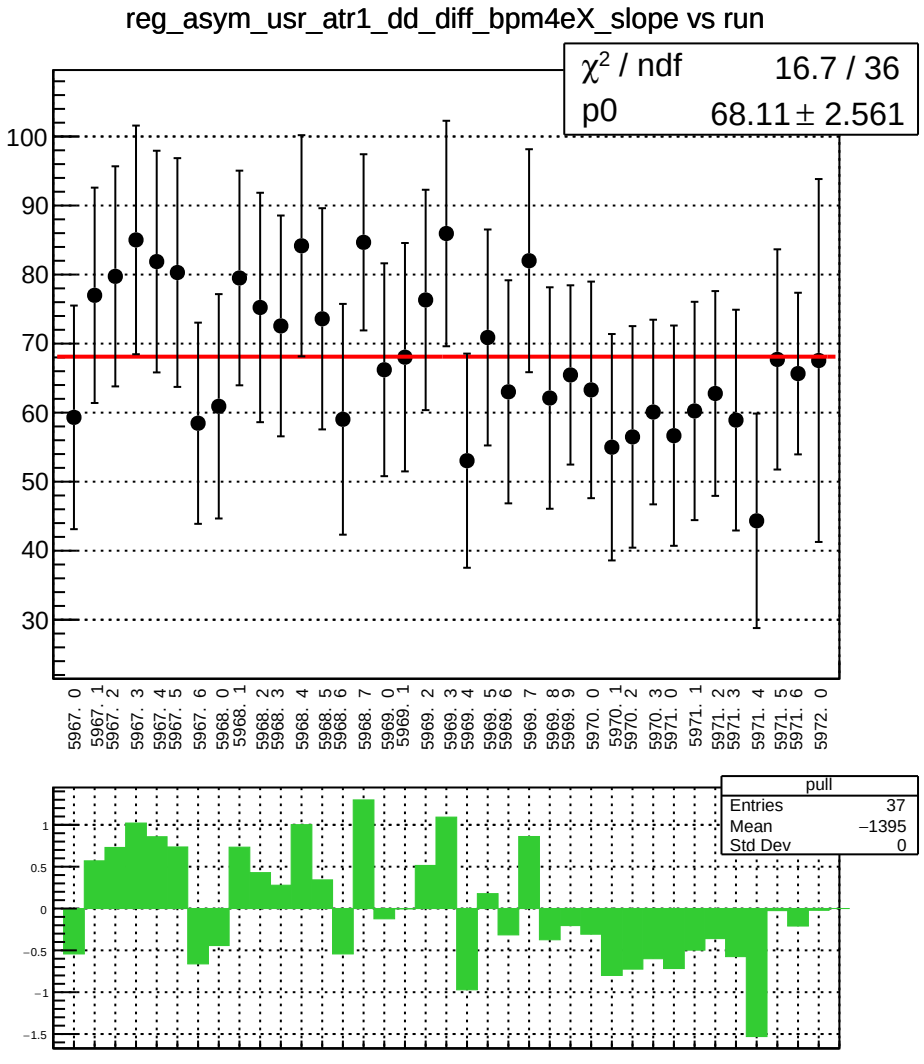
reg_asym_usr_atr1_dd_diff_bpm4eX_slope vs run
χ² / ndf 16.7 / 36
p0 68.11 ± 2.561
pull
Entries 37
Mean −1395
Std Dev 0
pull1D
Entries 37
Mean 0.002617
Std Dev 0.6719

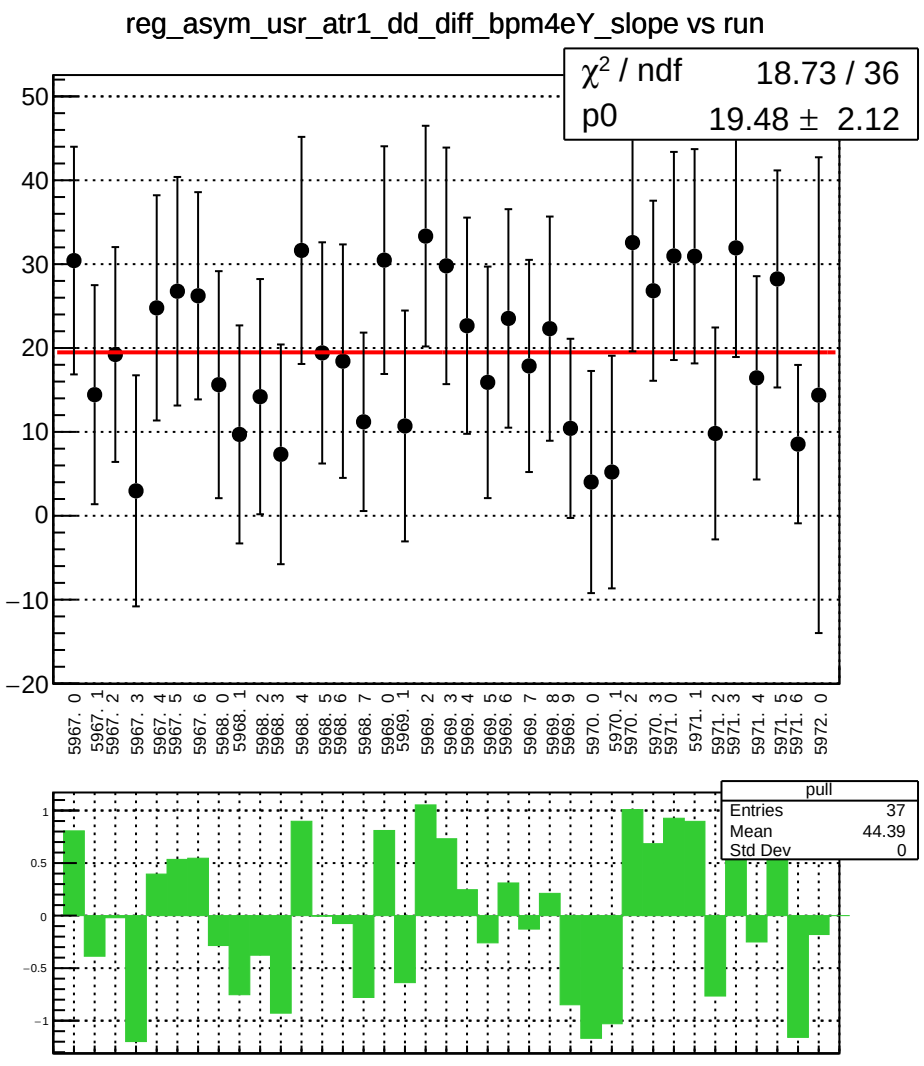
reg_asym_usr_atr1_dd_diff_bpm4eY_slope vs run
χ² / ndf 18.73 / 36
p0 19.48 ± 2.12
pull
Entries 37
Mean 44.39
Std Dev 0

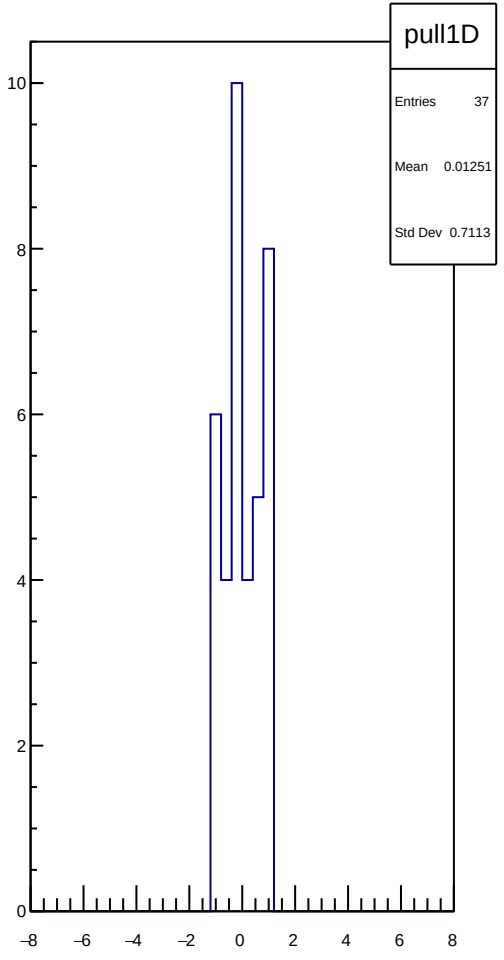
pull1D
Entries 37
Mean 0.01251
Std Dev 0.7113

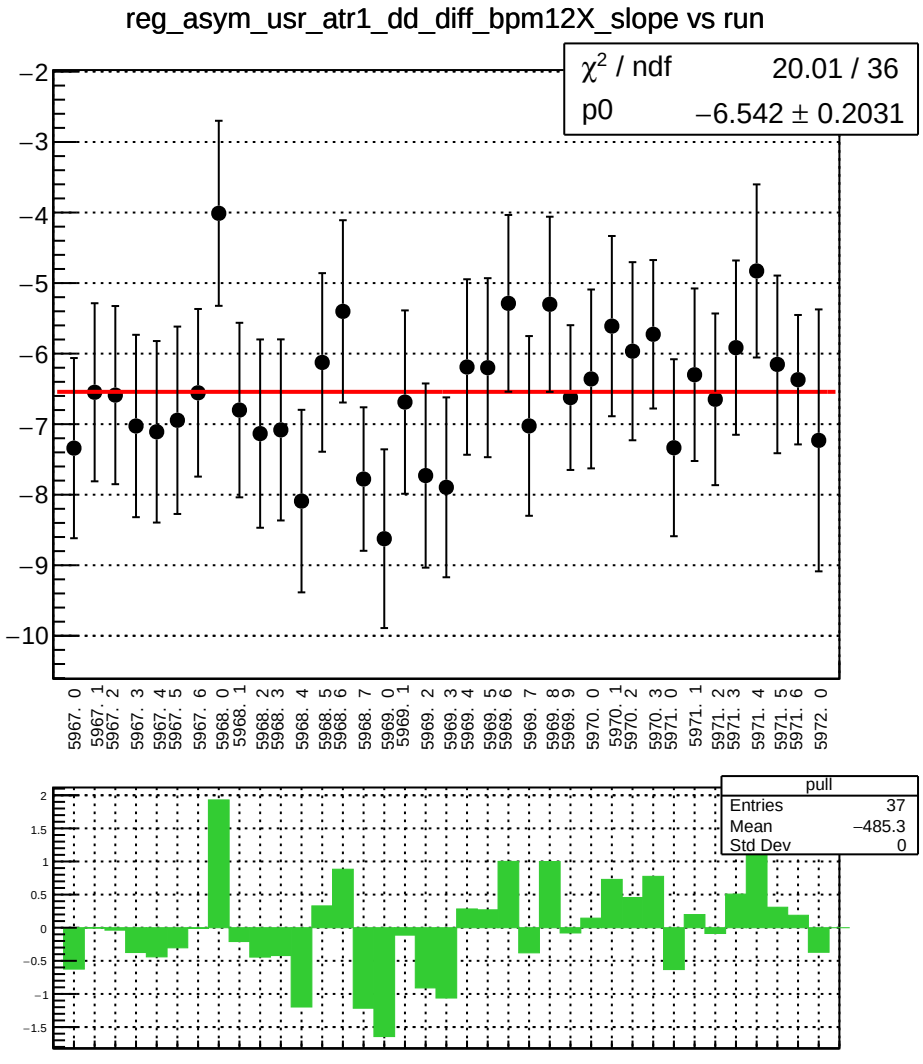
reg_asym_usr_atr1_dd_diff_bpm12X_slope vs run
χ² / ndf 20.01 / 36
p0 −6.542 ± 0.2031
pull
Entries 37
Mean −485.3
Std Dev 0

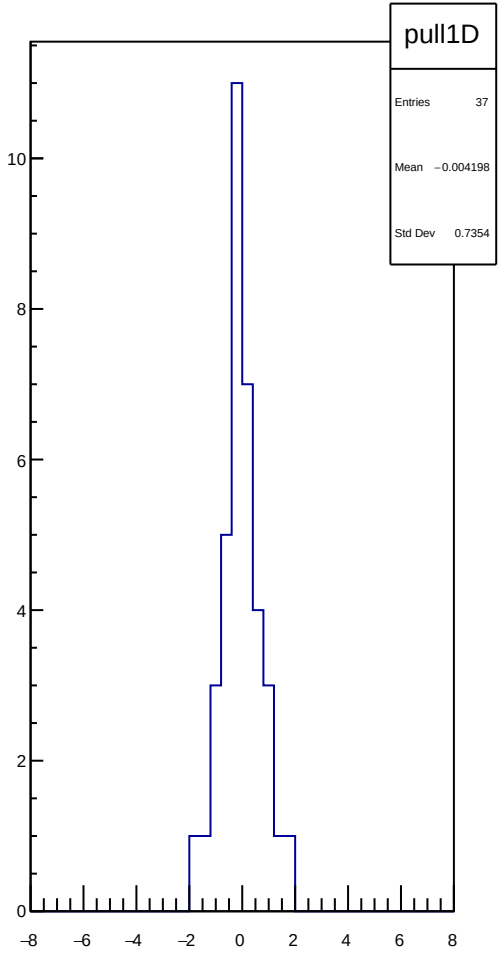
pull1D
Entries 37
Mean −0.004198
Std Dev 0.7354

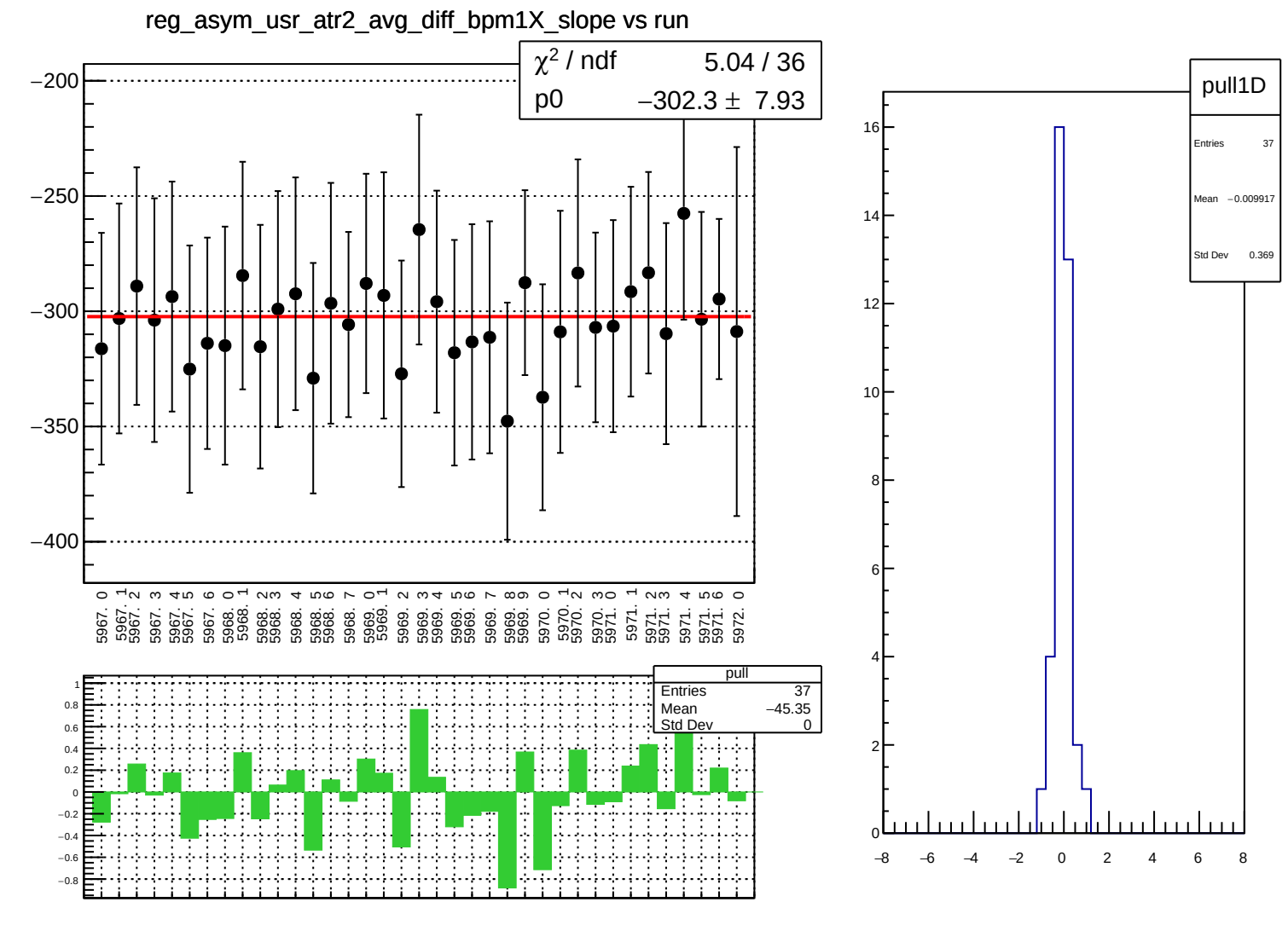
reg_asym_usr_atr2_avg_diff_bpm1X_slope vs run
χ² / ndf 5.04 / 36
p0 −302.3 ± 7.93
−200
−250
−300
−350
−400
5967. 0
5967. 1
5967. 2
5967. 3
5967. 4
5967. 5
5967. 6
5968. 0
5968. 1
5968. 2
5968. 3
5968. 4
5968. 5
5968. 6
5968. 7
5969. 0
5969. 1
5969. 2
5969. 3
5969. 4
5969. 5
5969. 6
5969. 7
5969. 8
5969. 9
5970. 0
5970. 1
5970. 2
5970. 3
5971. 0
5971. 1
5971. 2
5971. 3
5971. 4
5971. 5
5971. 6
5972. 0
pull
Entries 37
Mean −45.35
Std Dev 0
1
0.8
0.6
0.4
0.2
0
−0.2
−0.4
−0.6
−0.8
pull1D
Entries 37
Mean −0.009917
Std Dev 0.369
16
14
12
10
8
6
4
2
0
−8
−6
−4
−2
0
2
4
6
8

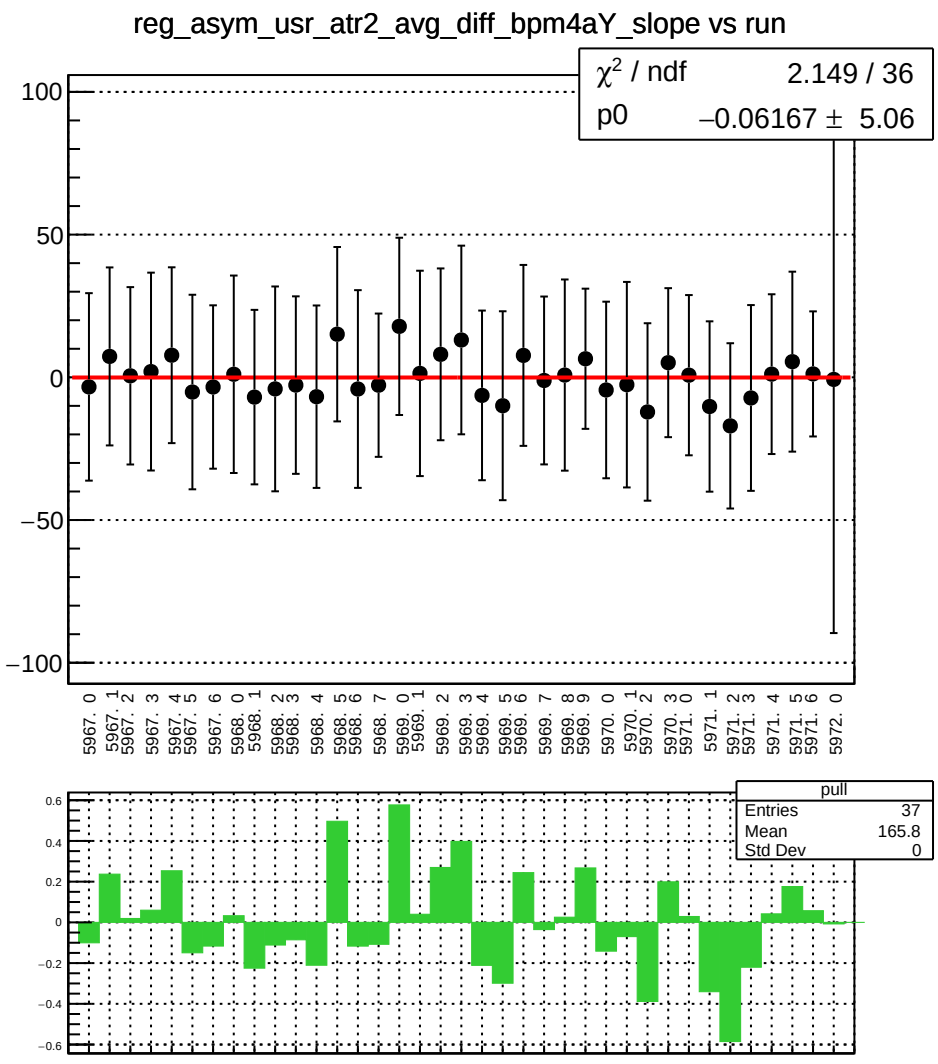
reg_asym_usr_atr2_avg_diff_bpm4aY_slope vs run
χ² / ndf 2.149 / 36
p0 −0.06167 ± 5.06
100
50
0
−50
−100
5967. 0
5967. 1
5967. 2
5967. 3
5967. 4
5967. 5
5967. 6
5968. 0
5968. 1
5968. 2
5968. 3
5968. 4
5968. 5
5968. 6
5968. 7
5969. 0
5969. 1
5969. 2
5969. 3
5969. 4
5969. 5
5969. 6
5969. 7
5969. 8
5969. 9
5970. 0
5970. 1
5970. 2
5970. 3
5971. 0
5971. 1
5971. 2
5971. 3
5971. 4
5971. 5
5971. 6
5972. 0
pull
Entries 37
Mean 165.8
Std Dev 0
0.6
0.4
0.2
0
−0.2
−0.4
−0.6
pull1D
Entries 37
Mean −0.002634
Std Dev 0.241
18
16
14
12
10
8
6
4
2
0
−8
−6
−4
−2
0
2
4
6
8

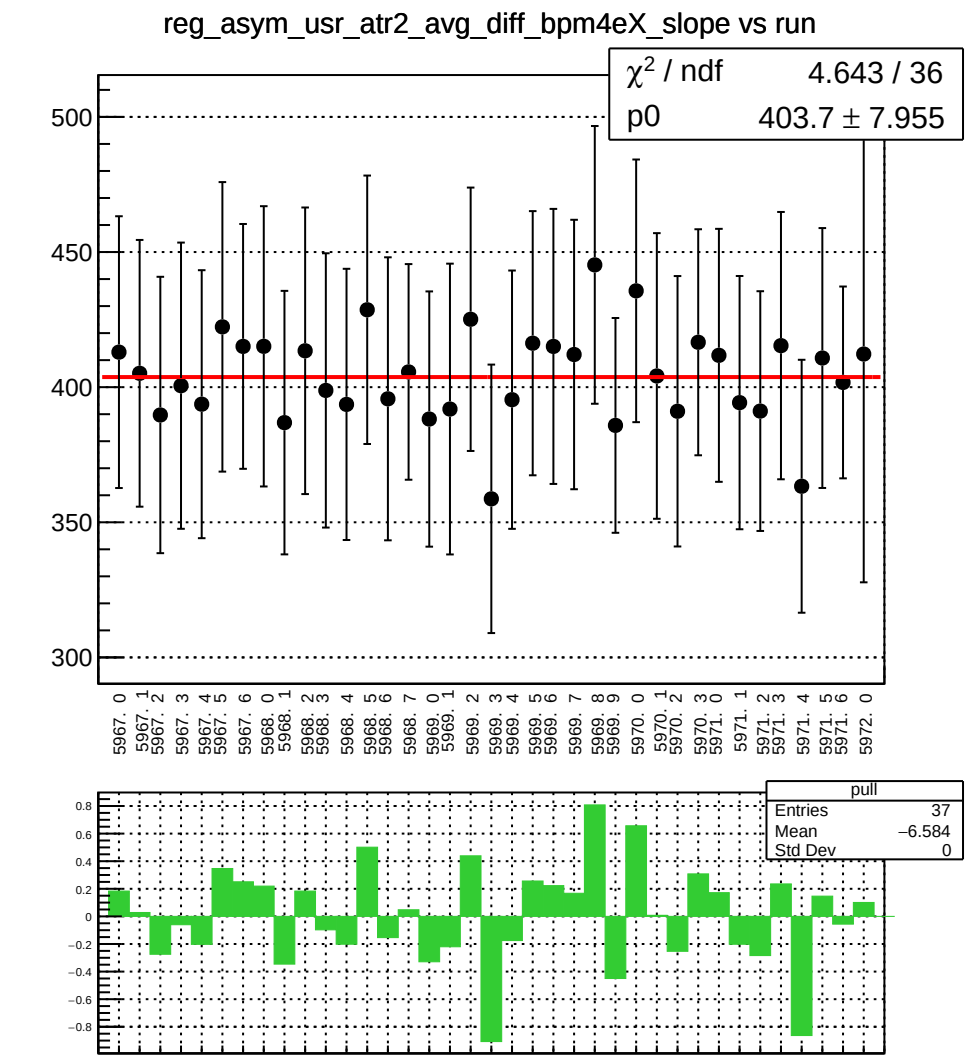
reg_asym_usr_atr2_avg_diff_bpm4eX_slope vs run
χ² / ndf 4.643 / 36
p0 403.7 ± 7.955
500
450
400
350
300
5967. 0
5967. 1
5967. 2
5967. 3
5967. 4
5967. 5
5967. 6
5968. 0
5968. 1
5968. 2
5968. 3
5968. 4
5968. 5
5968. 6
5968. 7
5969. 0
5969. 1
5969. 2
5969. 3
5969. 4
5969. 5
5969. 6
5969. 7
5969. 8
5969. 9
5970. 0
5970. 1
5970. 2
5970. 3
5971. 0
5971. 1
5971. 2
5971. 3
5971. 4
5971. 5
5971. 6
5972. 0
pull
Entries 37
Mean −6.584
Std Dev 0
0.8
0.6
0.4
0.2
0
−0.2
−0.4
−0.6
−0.8

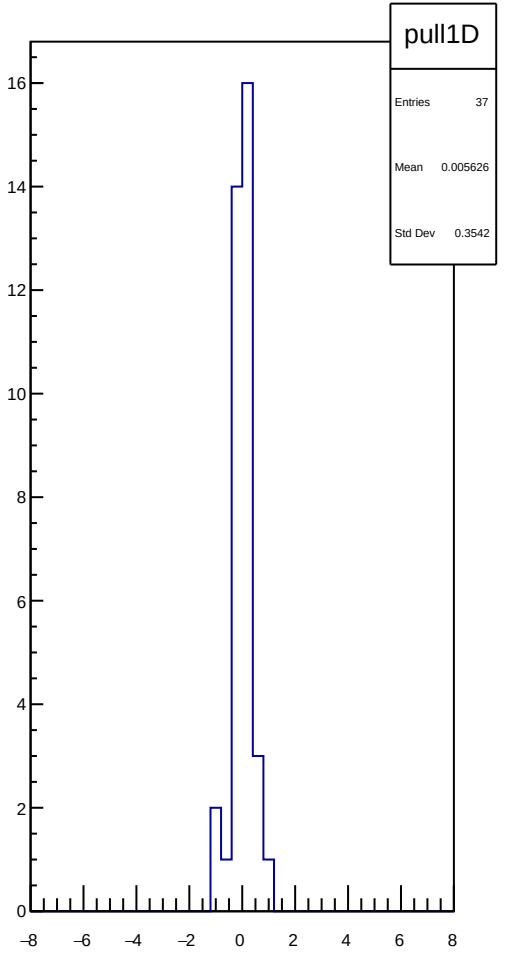
pull1D
Entries 37
Mean 0.005626
Std Dev 0.3542
16
14
12
10
8
6
4
2
0
−8
−6
−4
−2
0
2
4
6
8

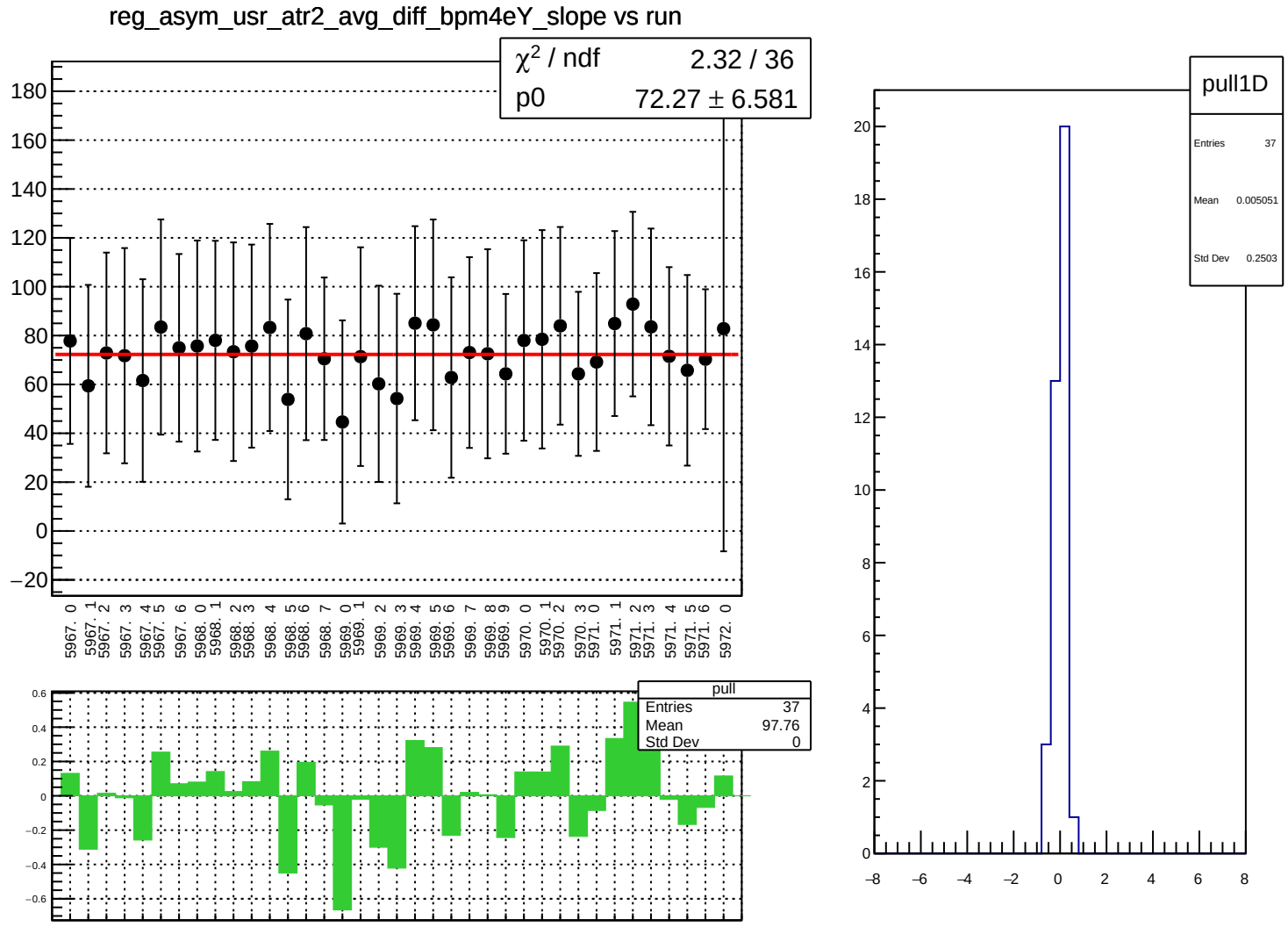
reg_asym_usr_atr2_avg_diff_bpm4eY_slope vs run
χ² / ndf 2.32 / 36
p0 72.27 ± 6.581
pull
Entries 37
Mean 97.76
Std Dev 0
pull1D
Entries 37
Mean 0.005051
Std Dev 0.2503

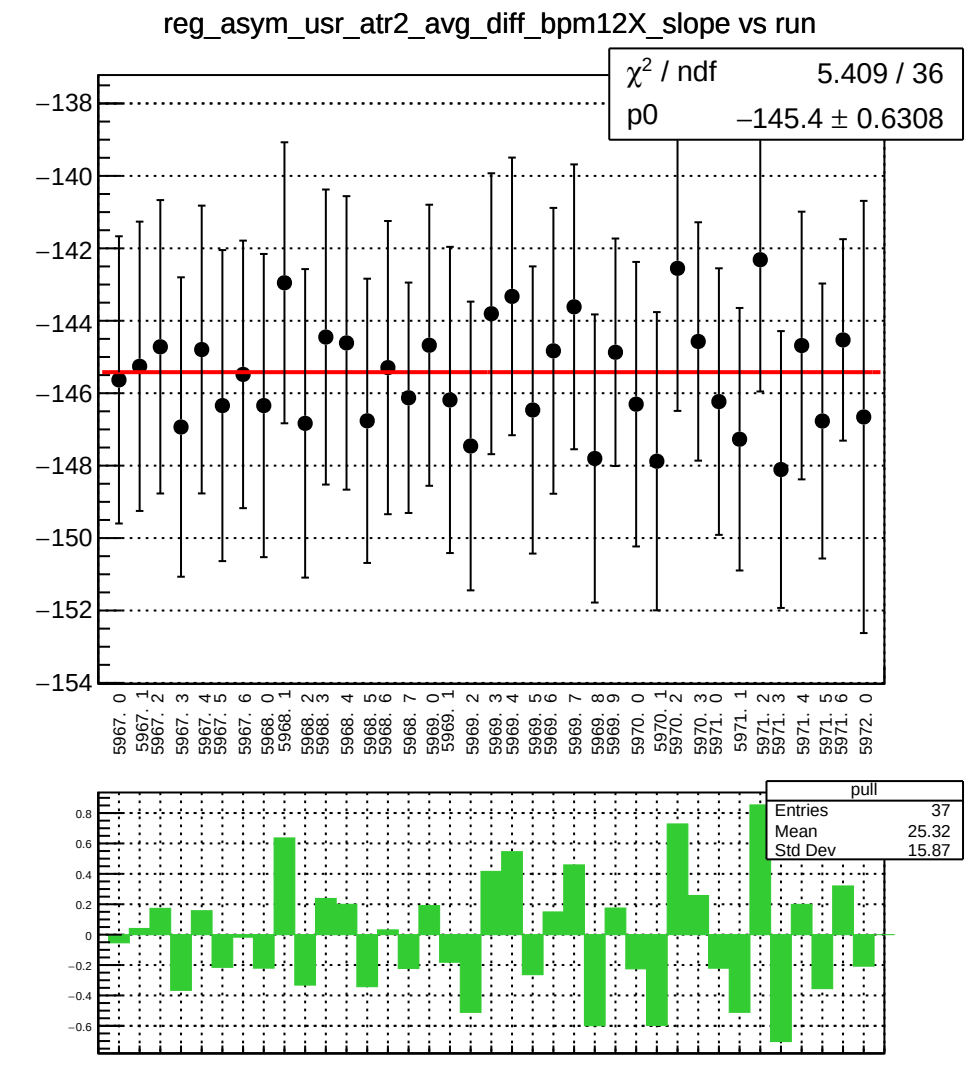
reg_asym_usr_atr2_avg_diff_bpm12X_slope vs run
χ² / ndf 5.409 / 36
p0 −145.4 ± 0.6308
pull
Entries 37
Mean 25.32
Std Dev 15.87

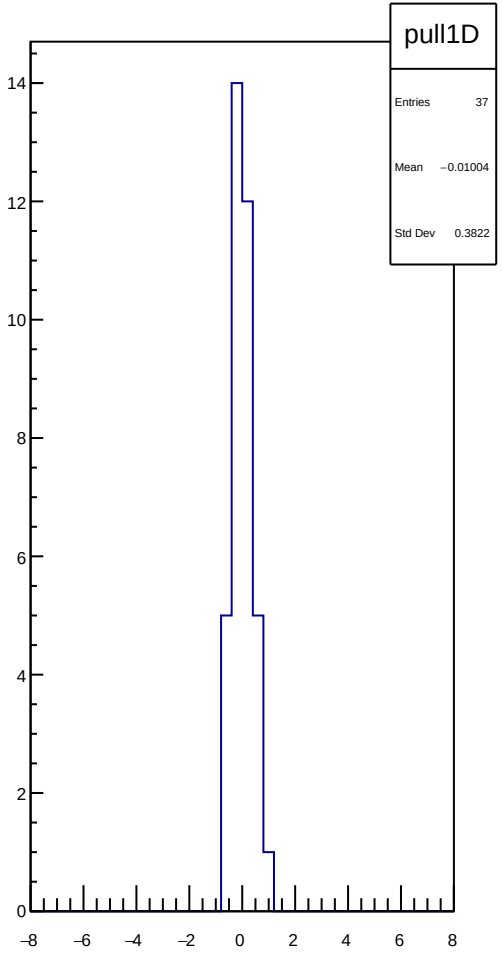
pull1D
Entries 37
Mean −0.01004
Std Dev 0.3822

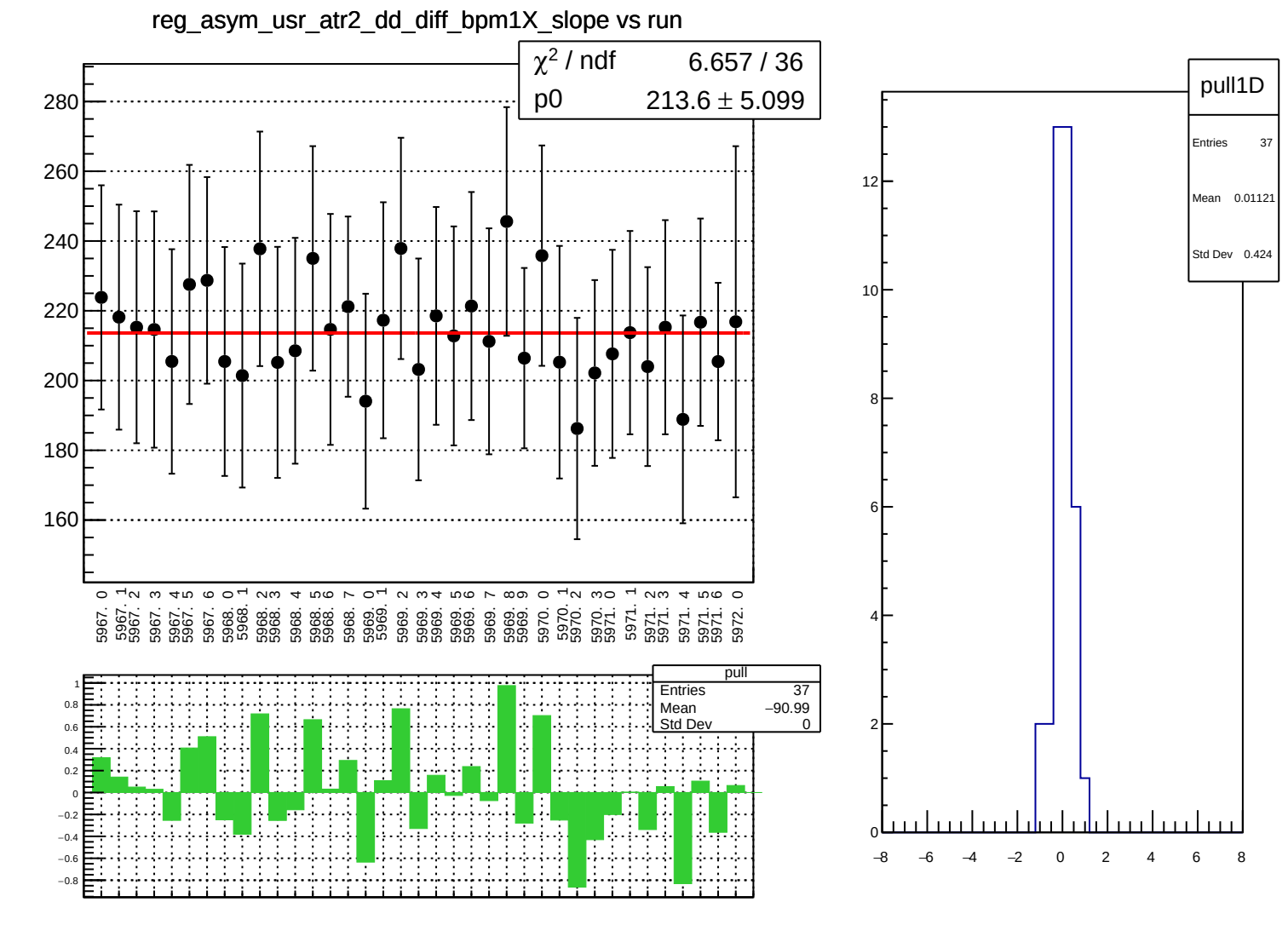
reg_asym_usr_atr2_dd_diff_bpm1X_slope vs run
χ² / ndf 6.657 / 36
p0 213.6 ± 5.099
280
260
240
220
200
180
160
5967. 0
5967. 1
5967. 2
5967. 3
5967. 4
5967. 5
5967. 6
5968. 0
5968. 1
5968. 2
5968. 3
5968. 4
5968. 5
5968. 6
5968. 7
5969. 0
5969. 1
5969. 2
5969. 3
5969. 4
5969. 5
5969. 6
5969. 7
5969. 8
5969. 9
5970. 0
5970. 1
5970. 2
5970. 3
5971. 0
5971. 1
5971. 2
5971. 3
5971. 4
5971. 5
5971. 6
5972. 0
pull
Entries 37
Mean −90.99
Std Dev 0
1
0.8
0.6
0.4
0.2
0
−0.2
−0.4
−0.6
−0.8
pull1D
Entries 37
Mean 0.01121
Std Dev 0.424
12
10
8
6
4
2
0
−8
−6
−4
−2
0
2
4
6
8

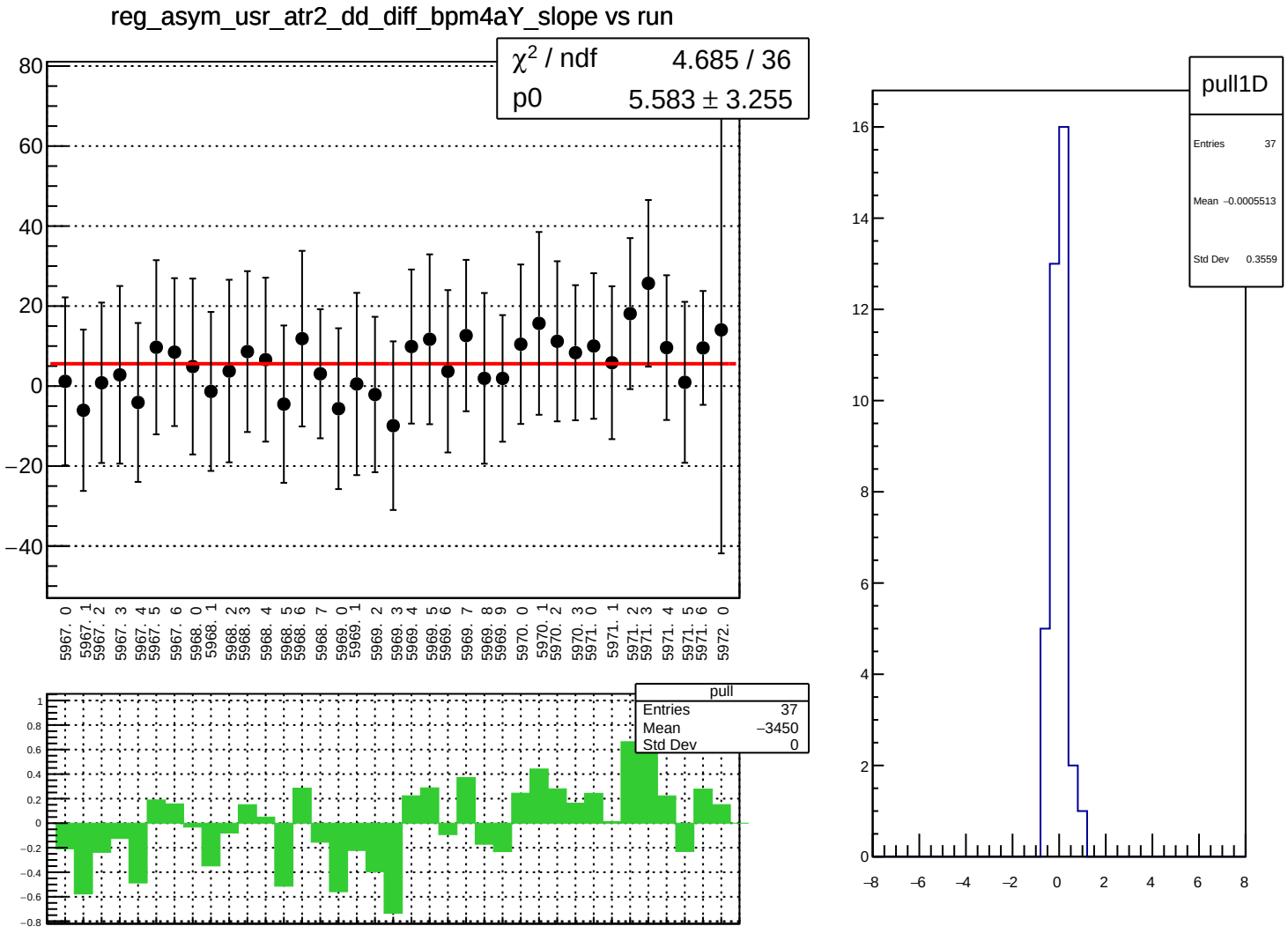
reg_asym_usr_atr2_dd_diff_bpm4aY_slope vs run
χ² / ndf 4.685 / 36
p0 5.583 ± 3.255
pull
Entries 37
Mean −3450
Std Dev 0
pull1D
Entries 37
Mean −0.0005513
Std Dev 0.3559

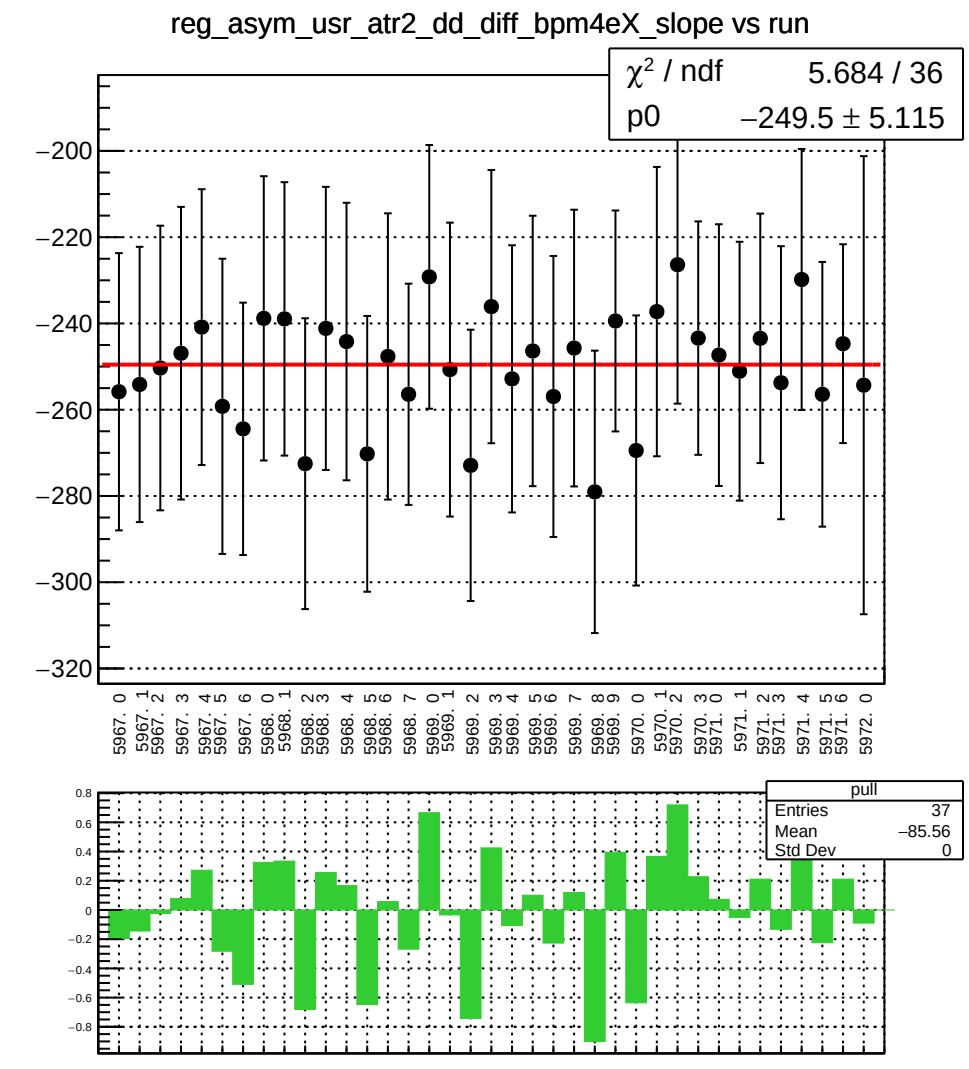
reg_asym_usr_atr2_dd_diff_bpm4eX_slope vs run
χ² / ndf 5.684 / 36
p0 −249.5 ± 5.115
−200
−220
−240
−260
−280
−300
−320
5967. 0
5967. 1
5967. 2
5967. 3
5967. 4
5967. 5
5967. 6
5968. 0
5968. 1
5968. 2
5968. 3
5968. 4
5968. 5
5968. 6
5968. 7
5969. 0
5969. 1
5969. 2
5969. 3
5969. 4
5969. 5
5969. 6
5969. 7
5969. 8
5969. 9
5970. 0
5970. 1
5970. 2
5970. 3
5971. 0
5971. 1
5971. 2
5971. 3
5971. 4
5971. 5
5971. 6
5972. 0
pull
Entries 37
Mean −85.56
Std Dev 0
0.8
0.6
0.4
0.2
0
−0.2
−0.4
−0.6
−0.8

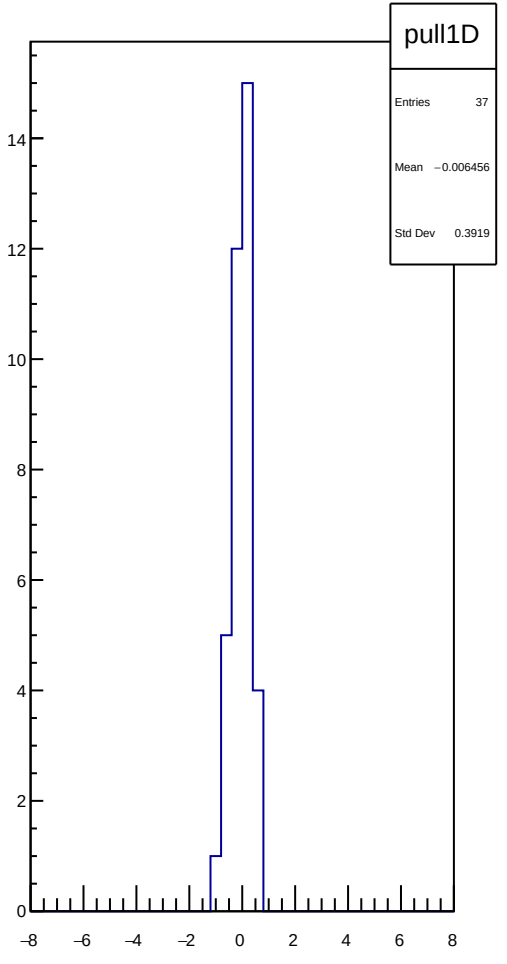
pull1D
Entries 37
Mean −0.006456
Std Dev 0.3919
14
12
10
8
6
4
2
0
−8
−6
−4
−2
0
2
4
6
8

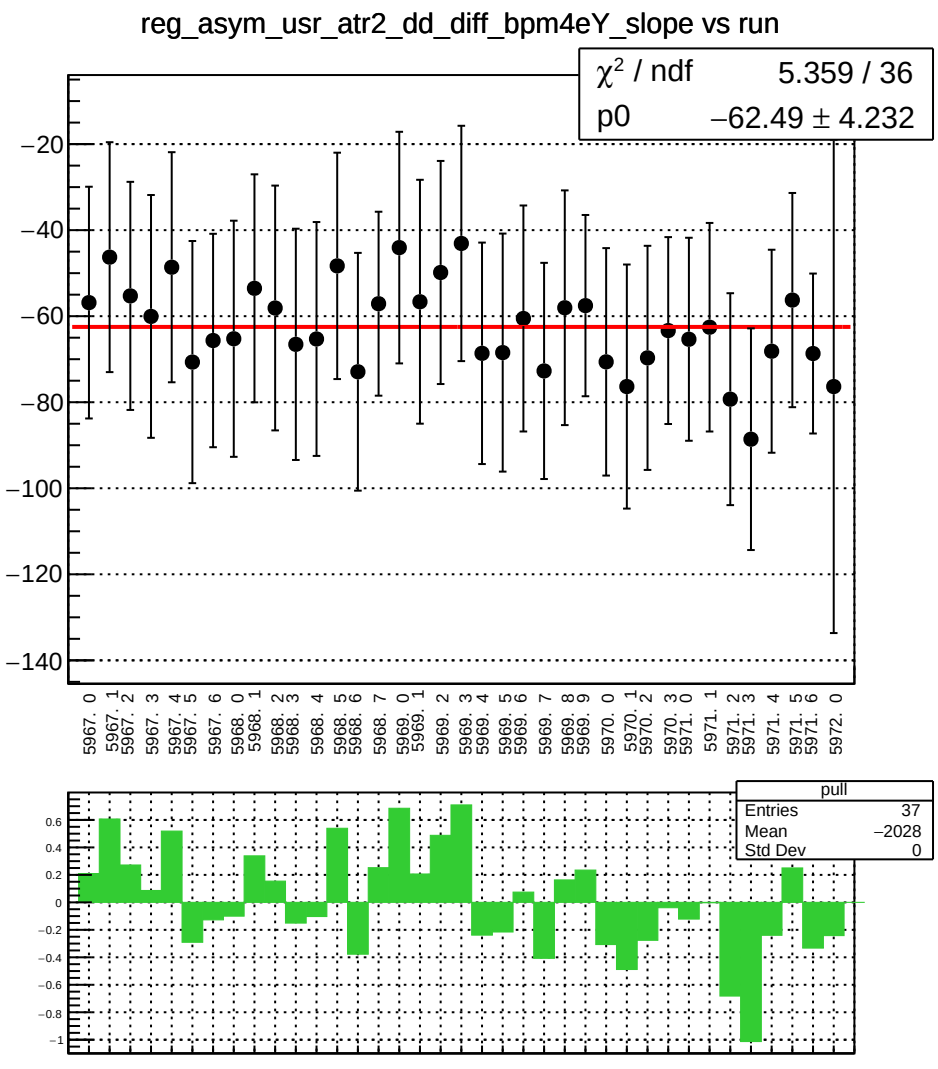
reg_asym_usr_atr2_dd_diff_bpm4eY_slope vs run
χ² / ndf 5.359 / 36
p0 −62.49 ± 4.232
−20
−40
−60
−80
−100
−120
−140
5967. 0
5967. 1
5967. 2
5967. 3
5967. 4
5967. 5
5967. 6
5968. 0
5968. 1
5968. 2
5968. 3
5968. 4
5968. 5
5968. 6
5968. 7
5969. 0
5969. 1
5969. 2
5969. 3
5969. 4
5969. 5
5969. 6
5969. 7
5969. 8
5969. 9
5970. 0
5970. 1
5970. 2
5970. 3
5971. 0
5971. 1
5971. 2
5971. 3
5971. 4
5971. 5
5971. 6
5972. 0
pull
Entries 37
Mean −2028
Std Dev 0
0.6
0.4
0.2
0
−0.2
−0.4
−0.6
−0.8
−1

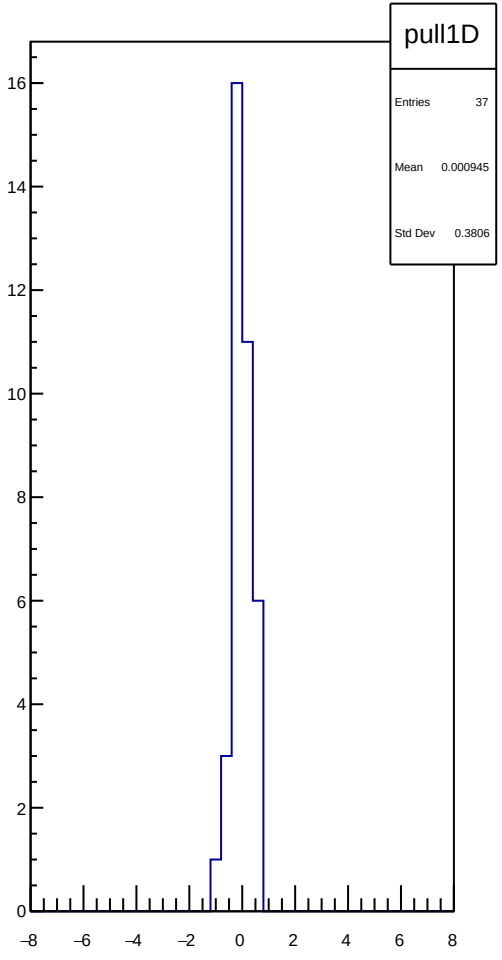
pull1D
Entries 37
Mean 0.000945
Std Dev 0.3806
16
14
12
10
8
6
4
2
0
−8
−6
−4
−2
0
2
4
6
8

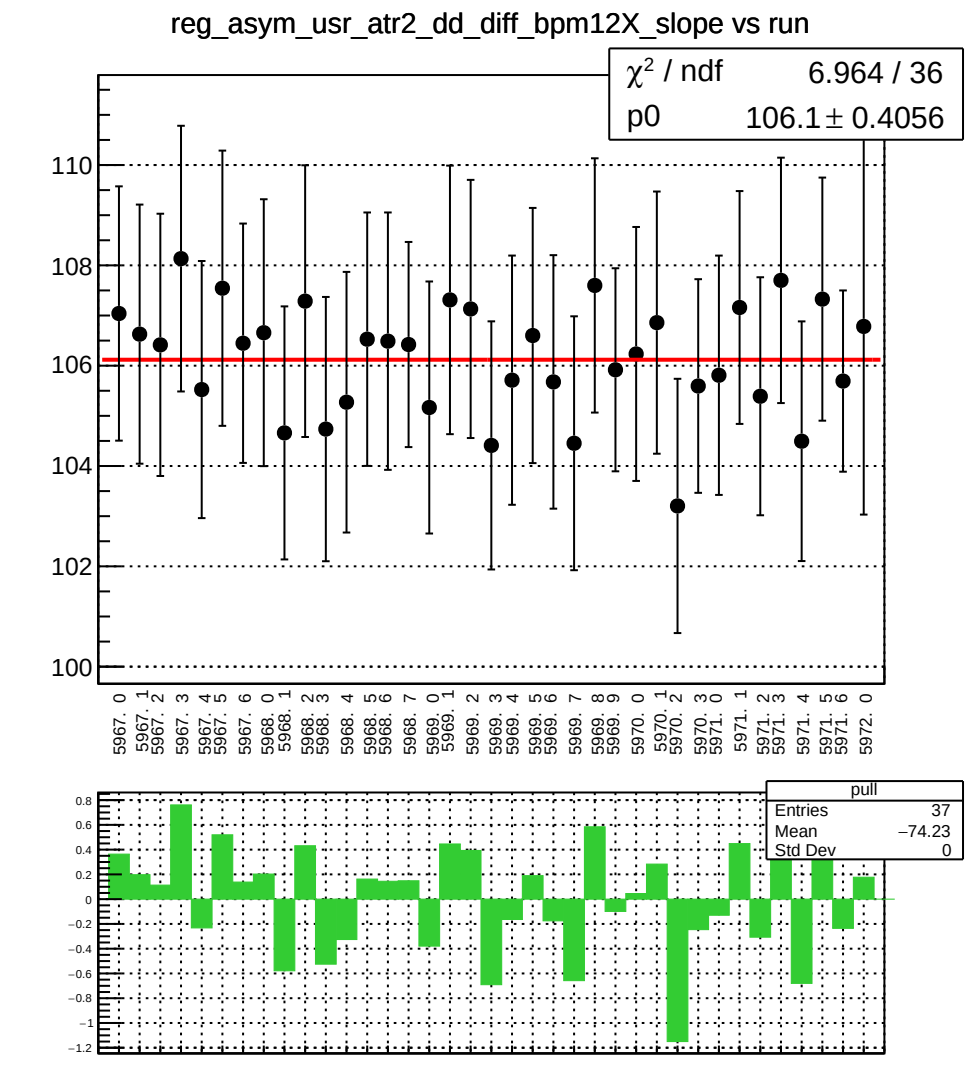
reg_asym_usr_atr2_dd_diff_bpm12X_slope vs run
χ² / ndf 6.964 / 36
p0 106.1 ± 0.4056
110
108
106
104
102
100
5967. 0
5967. 1
5967. 2
5967. 3
5967. 4
5967. 5
5967. 6
5968. 0
5968. 1
5968. 2
5968. 3
5968. 4
5968. 5
5968. 6
5968. 7
5969. 0
5969. 1
5969. 2
5969. 3
5969. 4
5969. 5
5969. 6
5969. 7
5969. 8
5969. 9
5970. 0
5970. 1
5970. 2
5970. 3
5971. 0
5971. 1
5971. 2
5971. 3
5971. 4
5971. 5
5971. 6
5972. 0
pull
Entries 37
Mean −74.23
Std Dev 0
0.8
0.6
0.4
0.2
0
−0.2
−0.4
−0.6
−0.8
−1
−1.2
pull1D
Entries 37
Mean 0.00858
Std Dev 0.4338
12
10
8
6
4
2
0
−8
−6
−4
−2
0
2
4
6
8

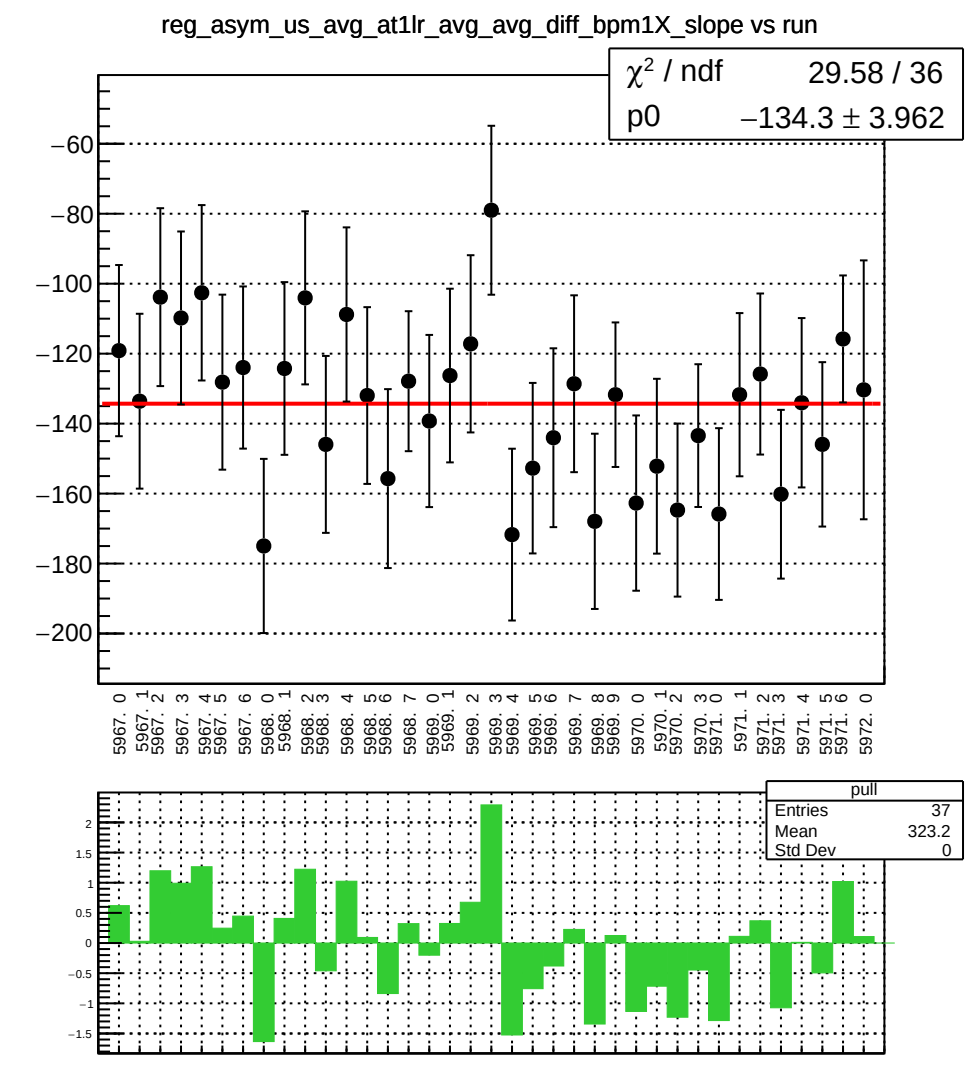
reg_asym_us_avg_at1lr_avg_avg_diff_bpm1X_slope vs run
χ² / ndf 29.58 / 36
p0 −134.3 ± 3.962
pull
Entries 37
Mean 323.2
Std Dev 0

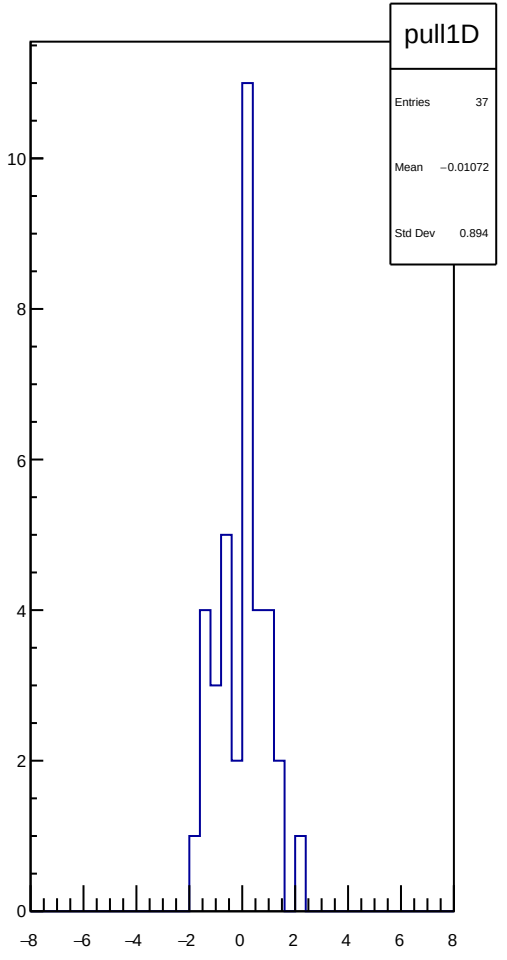
pull1D
Entries 37
Mean −0.01072
Std Dev 0.894

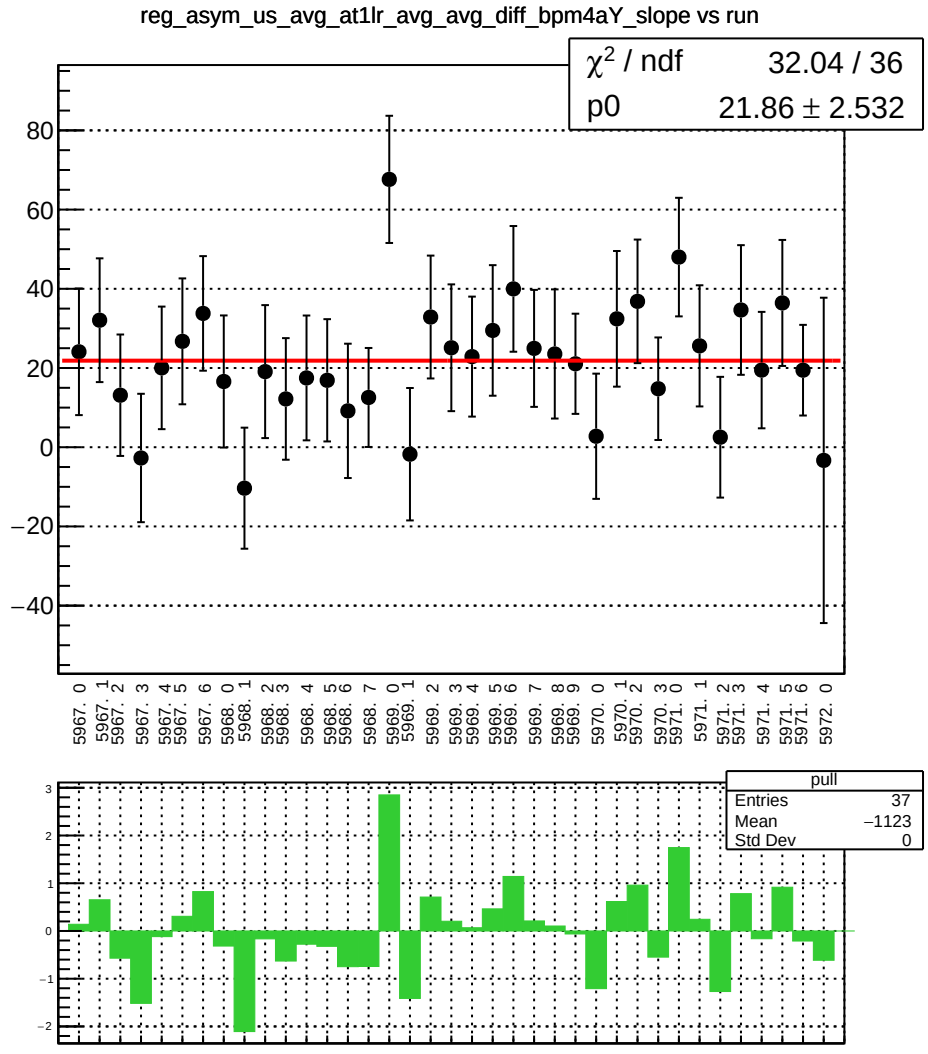
reg_asym_us_avg_at1lr_avg_avg_diff_bpm4aY_slope vs run
χ² / ndf 32.04 / 36
p0 21.86 ± 2.532
80
60
40
20
0
−20
−40
5967. 0
5967. 1
5967. 2
5967. 3
5967. 4
5967. 5
5967. 6
5968. 0
5968. 1
5968. 2
5968. 3
5968. 4
5968. 5
5968. 6
5968. 7
5969. 0
5969. 1
5969. 2
5969. 3
5969. 4
5969. 5
5969. 6
5969. 7
5969. 8
5969. 9
5970. 0
5970. 1
5970. 2
5970. 3
5971. 0
5971. 1
5971. 2
5971. 3
5971. 4
5971. 5
5971. 6
5972. 0
pull
Entries 37
Mean −1123
Std Dev 0
3
2
1
0
−1
−2

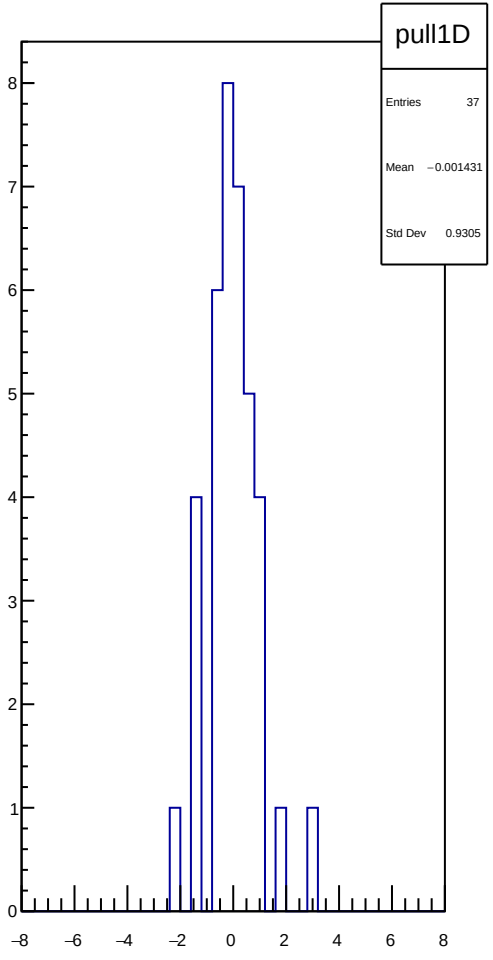
pull1D
Entries 37
Mean −0.001431
Std Dev 0.9305
8
7
6
5
4
3
2
1
0
−8
−6
−4
−2
0
2
4
6
8

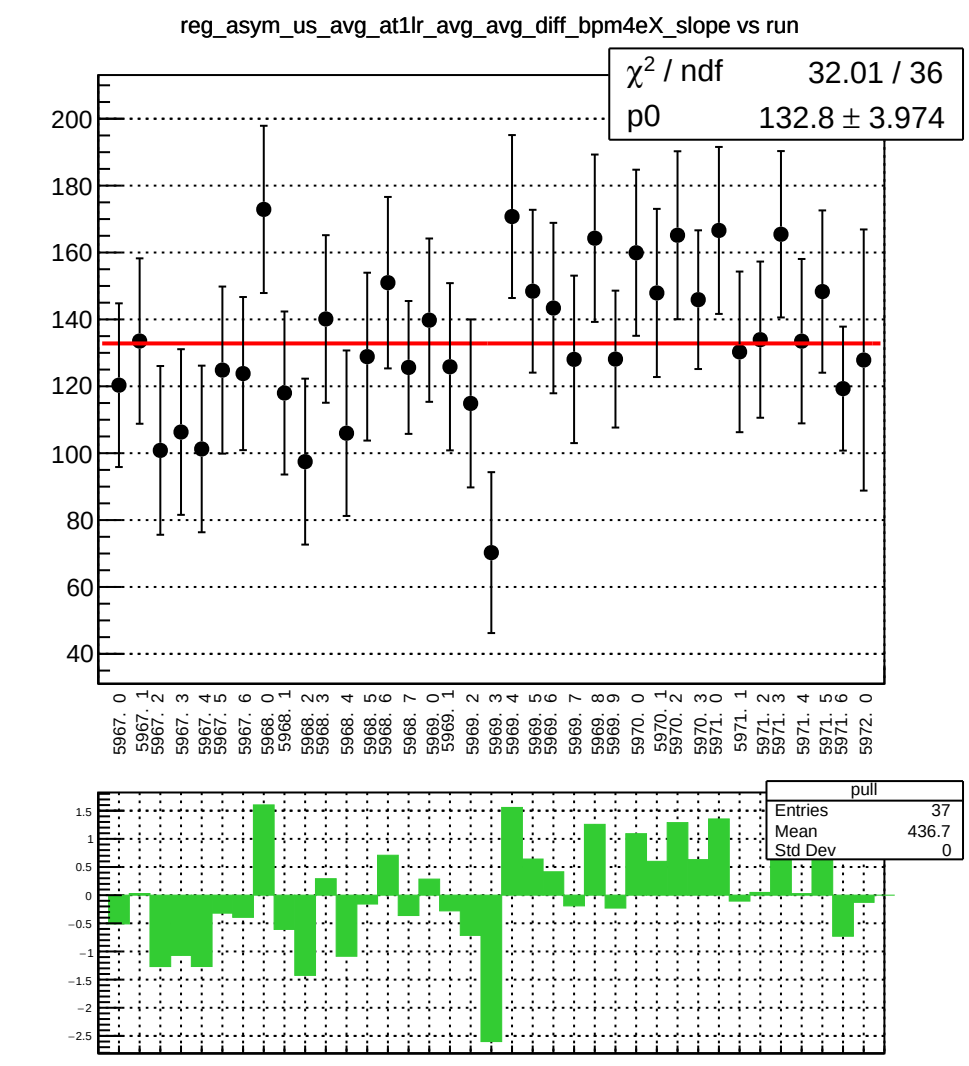
reg_asym_us_avg_at1lr_avg_avg_diff_bpm4eX_slope vs run
χ² / ndf 32.01 / 36
p0 132.8 ± 3.974
pull
Entries 37
Mean 436.7
Std Dev 0

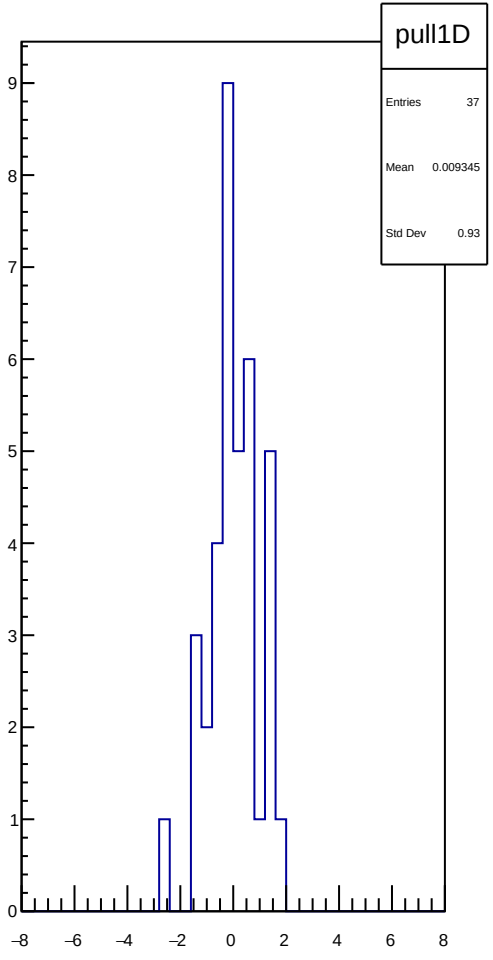
pull1D
Entries 37
Mean 0.009345
Std Dev 0.93

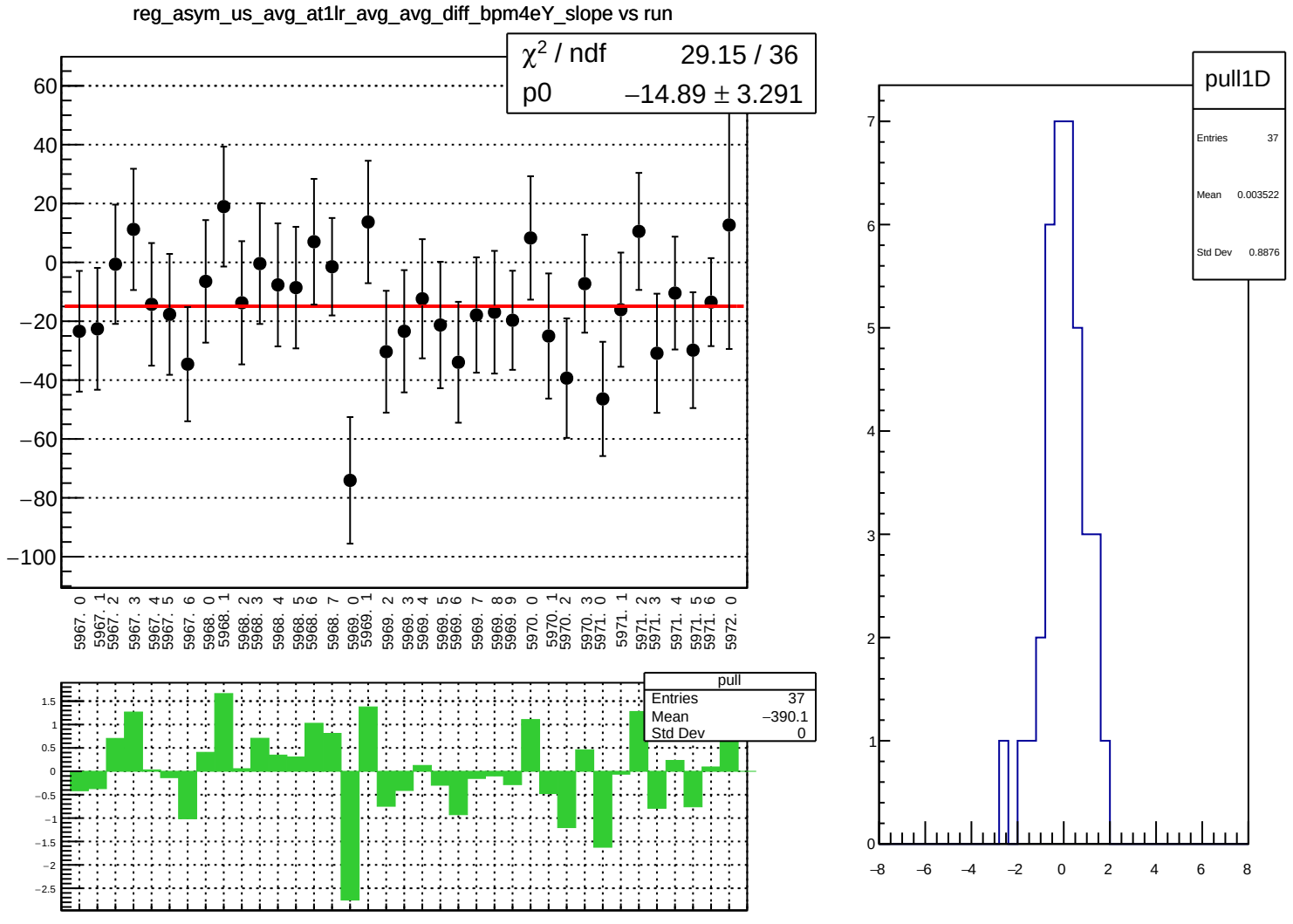
reg_asym_us_avg_at1lr_avg_avg_diff_bpm4eY_slope vs run
χ² / ndf 29.15 / 36
p0 −14.89 ± 3.291
pull
Entries 37
Mean −390.1
Std Dev 0
pull1D
Entries 37
Mean 0.003522
Std Dev 0.8876

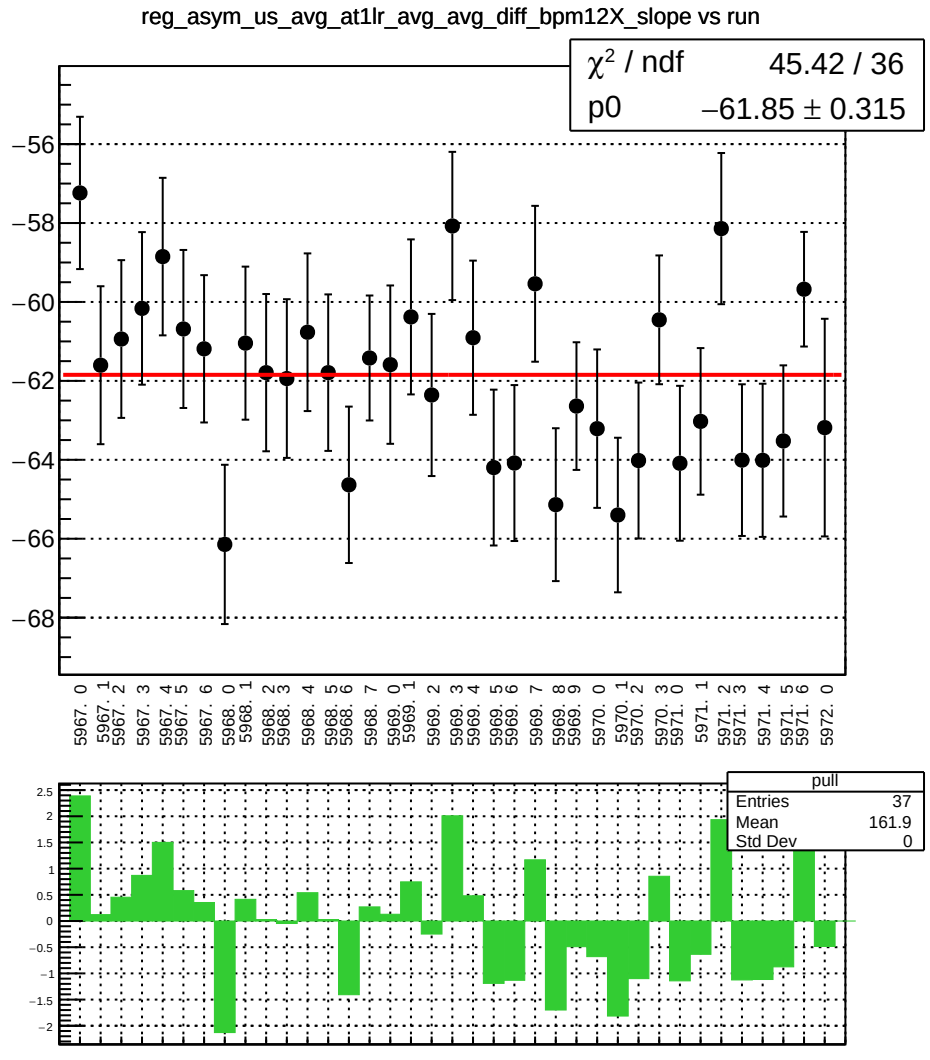
reg_asym_us_avg_at1lr_avg_avg_diff_bpm12X_slope vs run
χ² / ndf 45.42 / 36
p0 −61.85 ± 0.315
pull
Entries 37
Mean 161.9
Std Dev 0

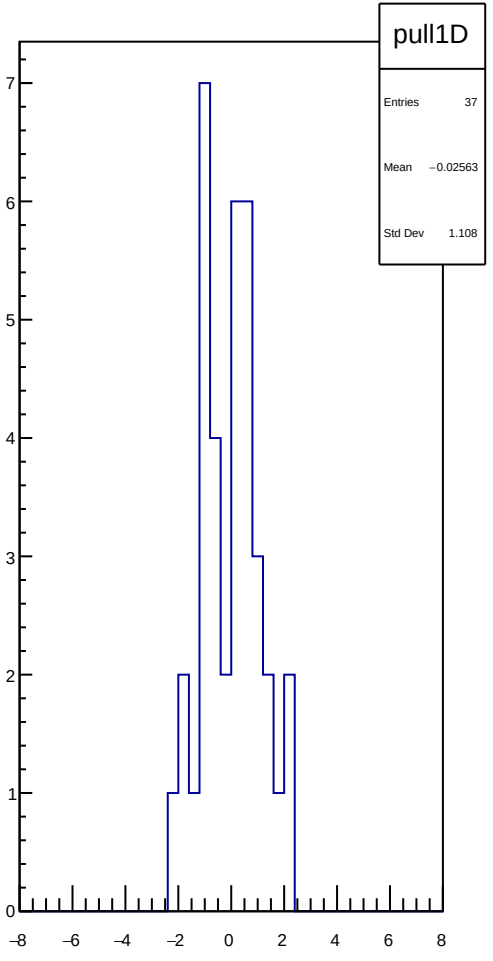
pull1D
Entries 37
Mean −0.02563
Std Dev 1.108

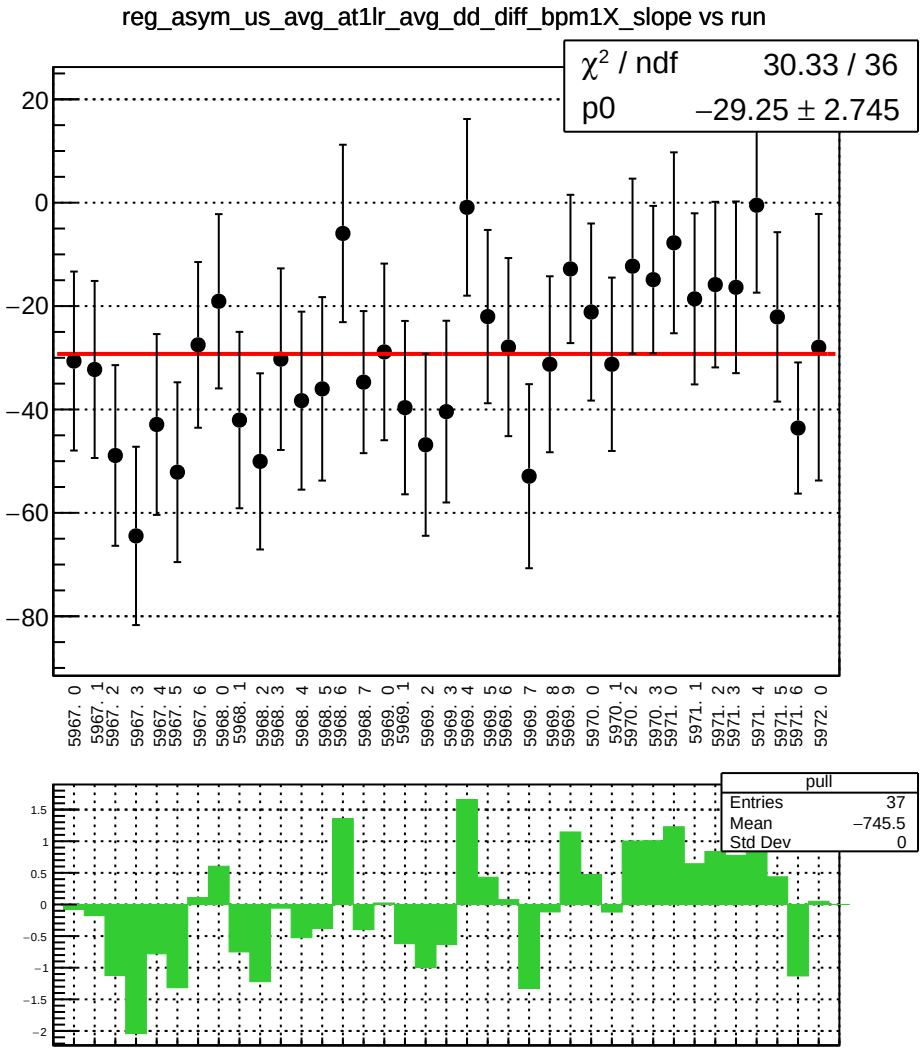
reg_asym_us_avg_at1lr_avg_dd_diff_bpm1X_slope vs run
χ² / ndf 30.33 / 36
p0 −29.25 ± 2.745
pull
Entries 37
Mean −745.5
Std Dev 0
pull1D
Entries 37
Mean −0.006273
Std Dev 0.9053

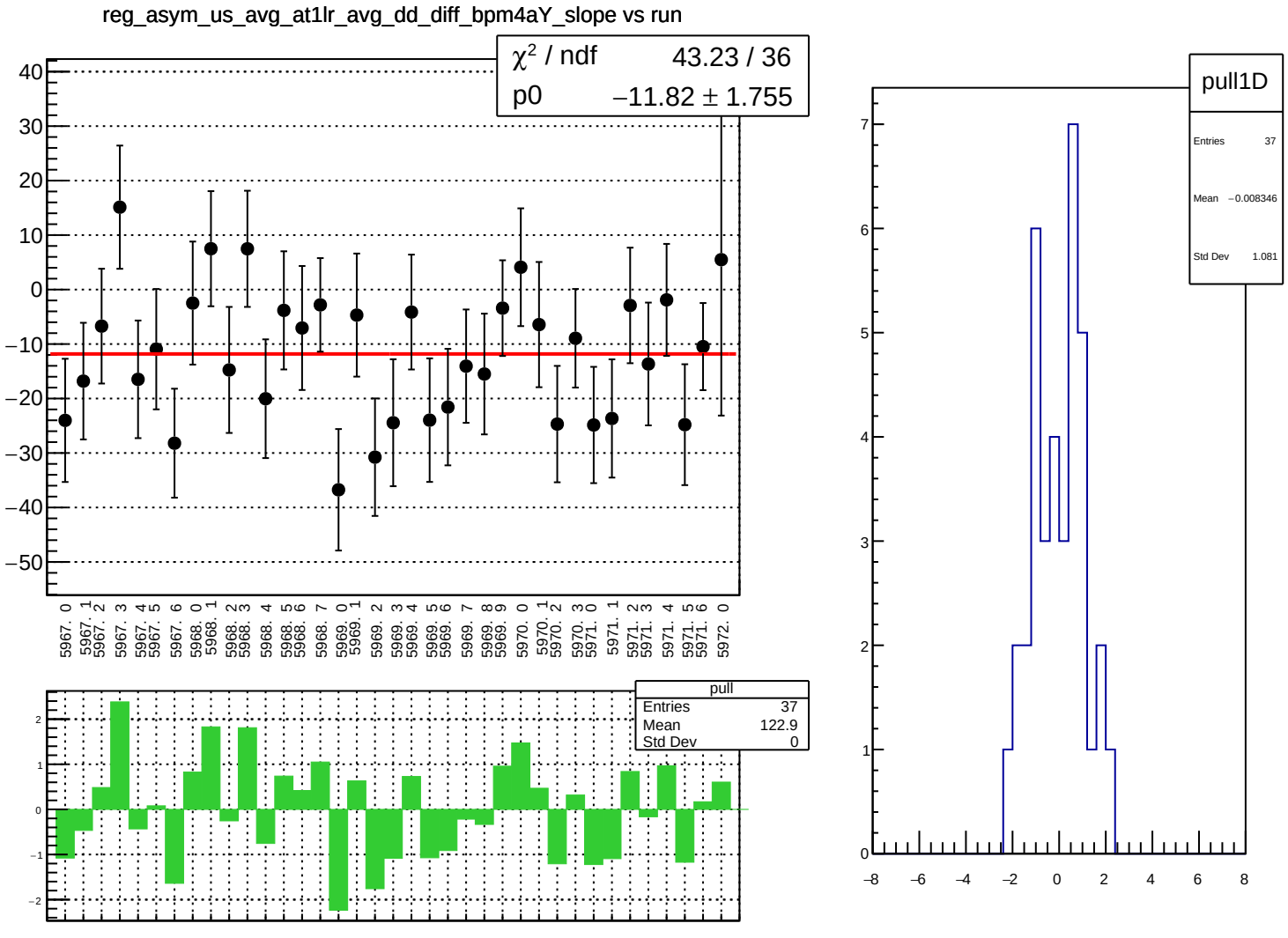
reg_asym_us_avg_at1lr_avg_dd_diff_bpm4aY_slope vs run
χ² / ndf 43.23 / 36
p0 −11.82 ± 1.755
pull
Entries 37
Mean 122.9
Std Dev 0
pull1D
Entries 37
Mean −0.008346
Std Dev 1.081

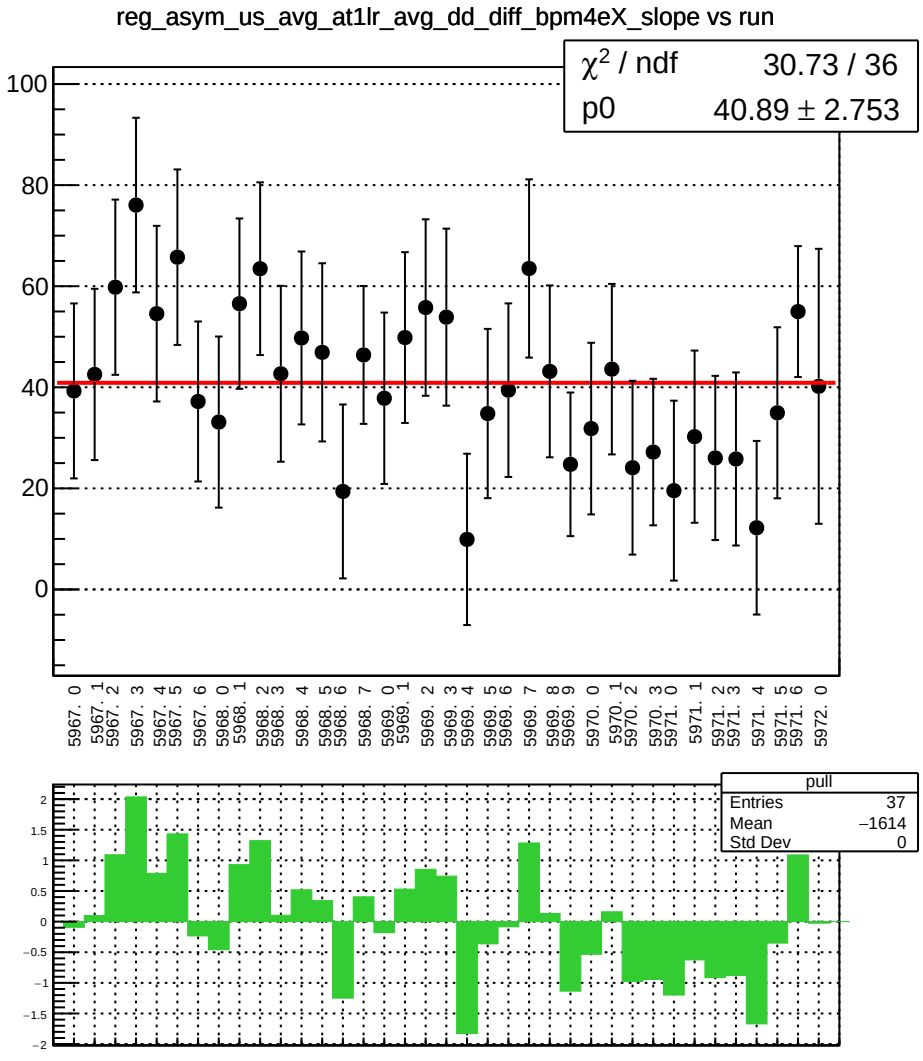
reg_asym_us_avg_at1lr_avg_dd_diff_bpm4eX_slope vs run
χ² / ndf 30.73 / 36
p0 40.89 ± 2.753
pull
Entries 37
Mean −1614
Std Dev 0

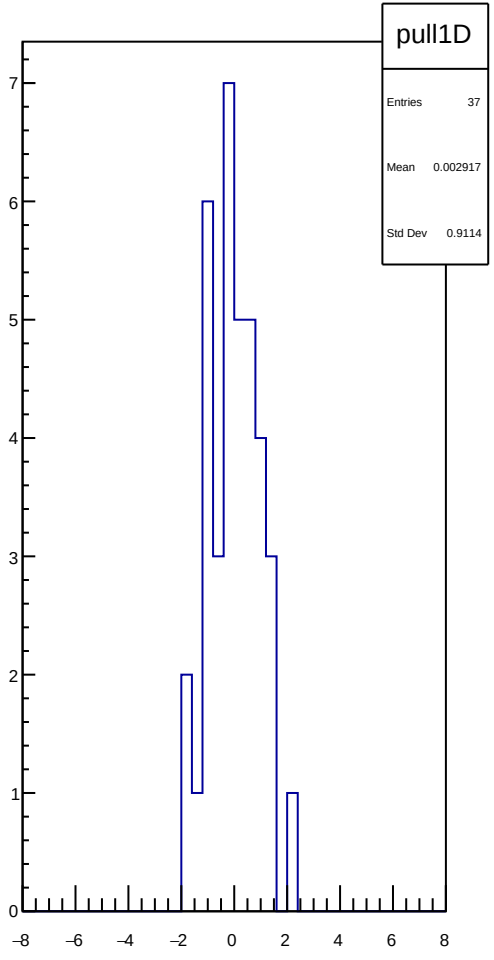
pull1D
Entries 37
Mean 0.002917
Std Dev 0.9114

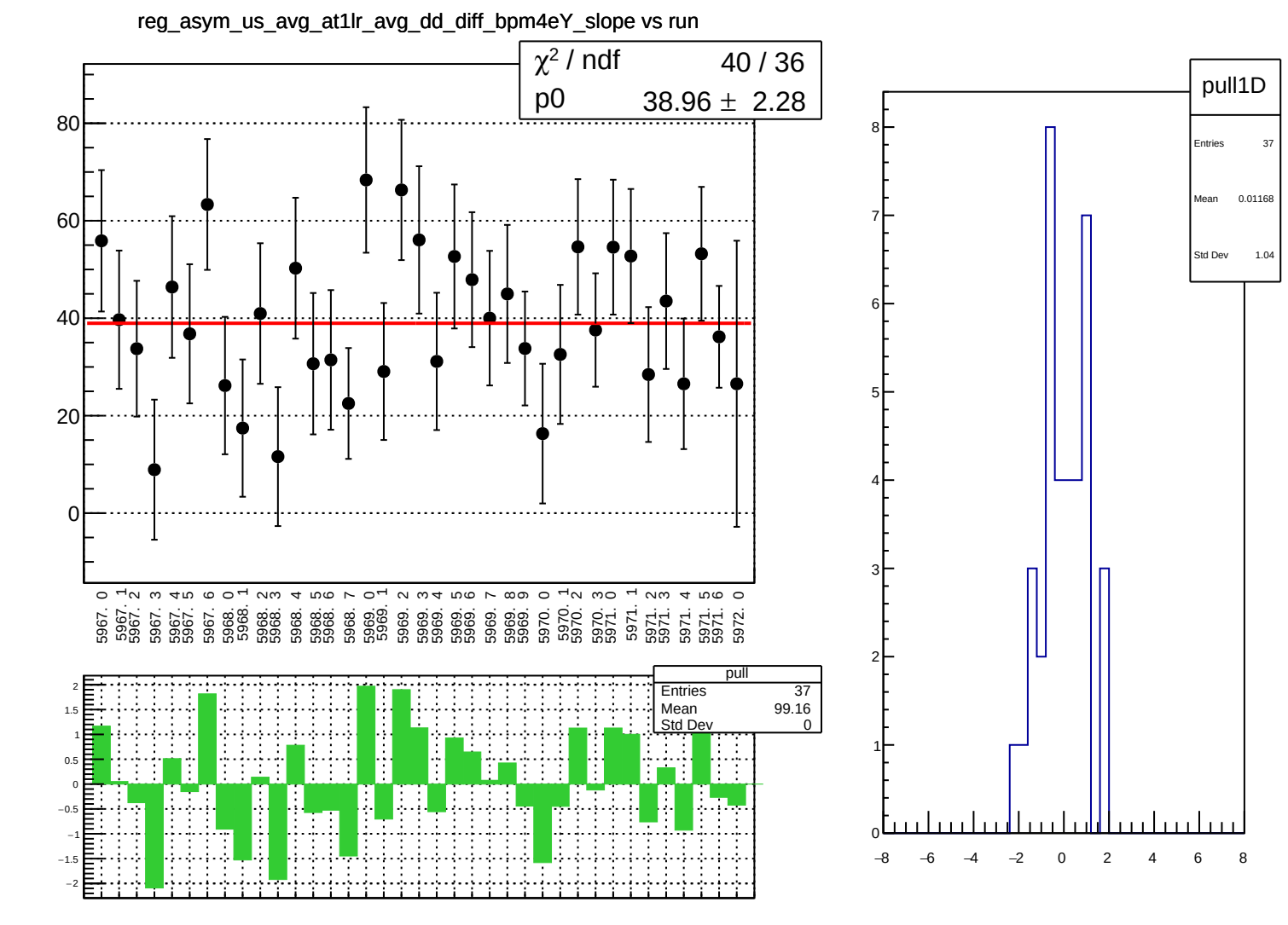
reg_asym_us_avg_at1lr_avg_dd_diff_bpm4eY_slope vs run
χ² / ndf 40 / 36
p0 38.96 ± 2.28
pull
Entries 37
Mean 99.16
Std Dev 0
pull1D
Entries 37
Mean 0.01168
Std Dev 1.04

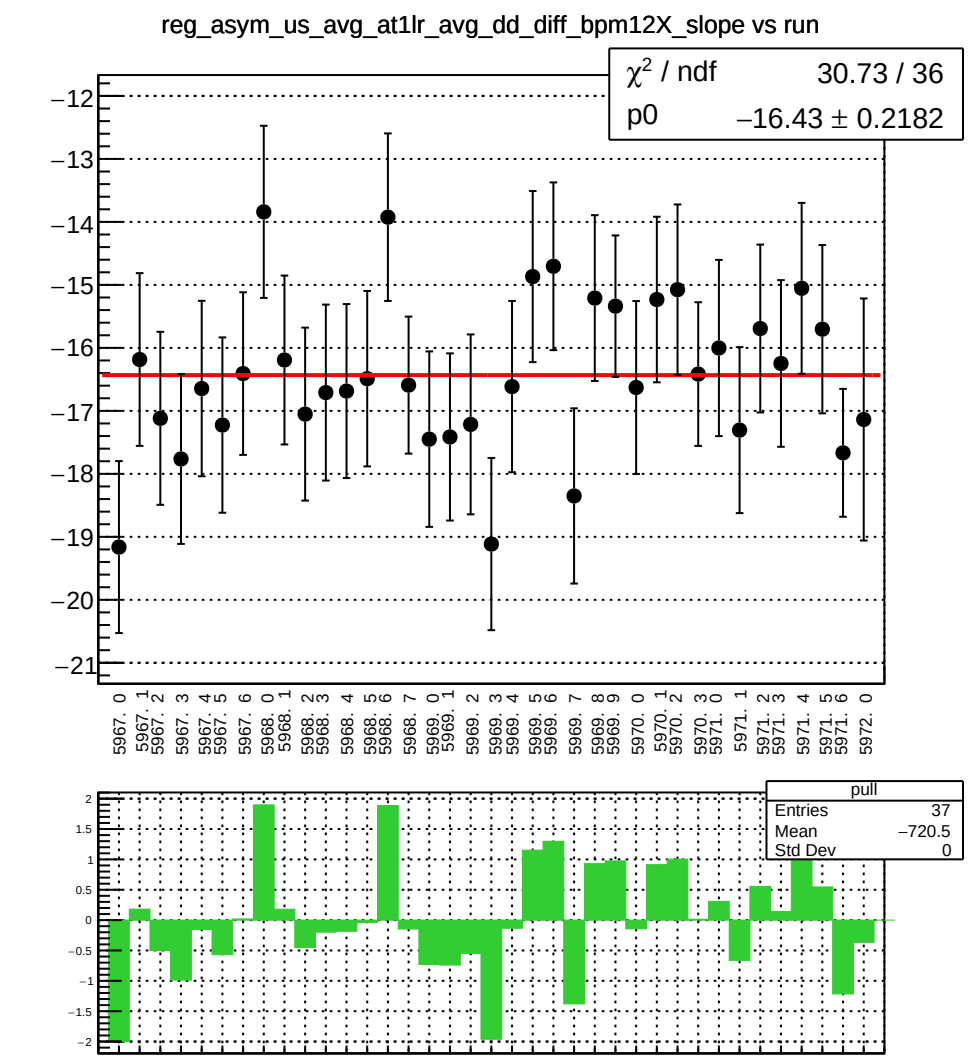
reg_asym_us_avg_at1lr_avg_dd_diff_bpm12X_slope vs run
χ² / ndf 30.73 / 36
p0 −16.43 ± 0.2182
pull
Entries 37
Mean −720.5
Std Dev 0

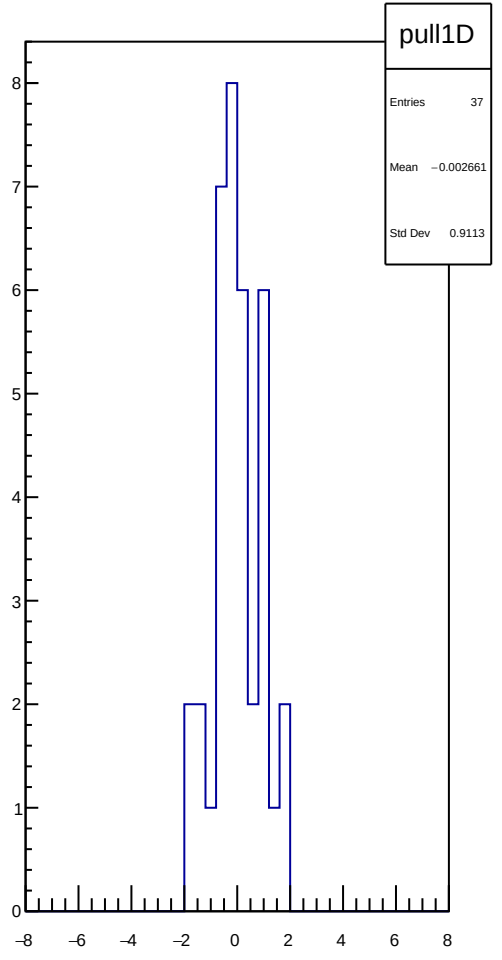
pull1D
Entries 37
Mean −0.002661
Std Dev 0.9113

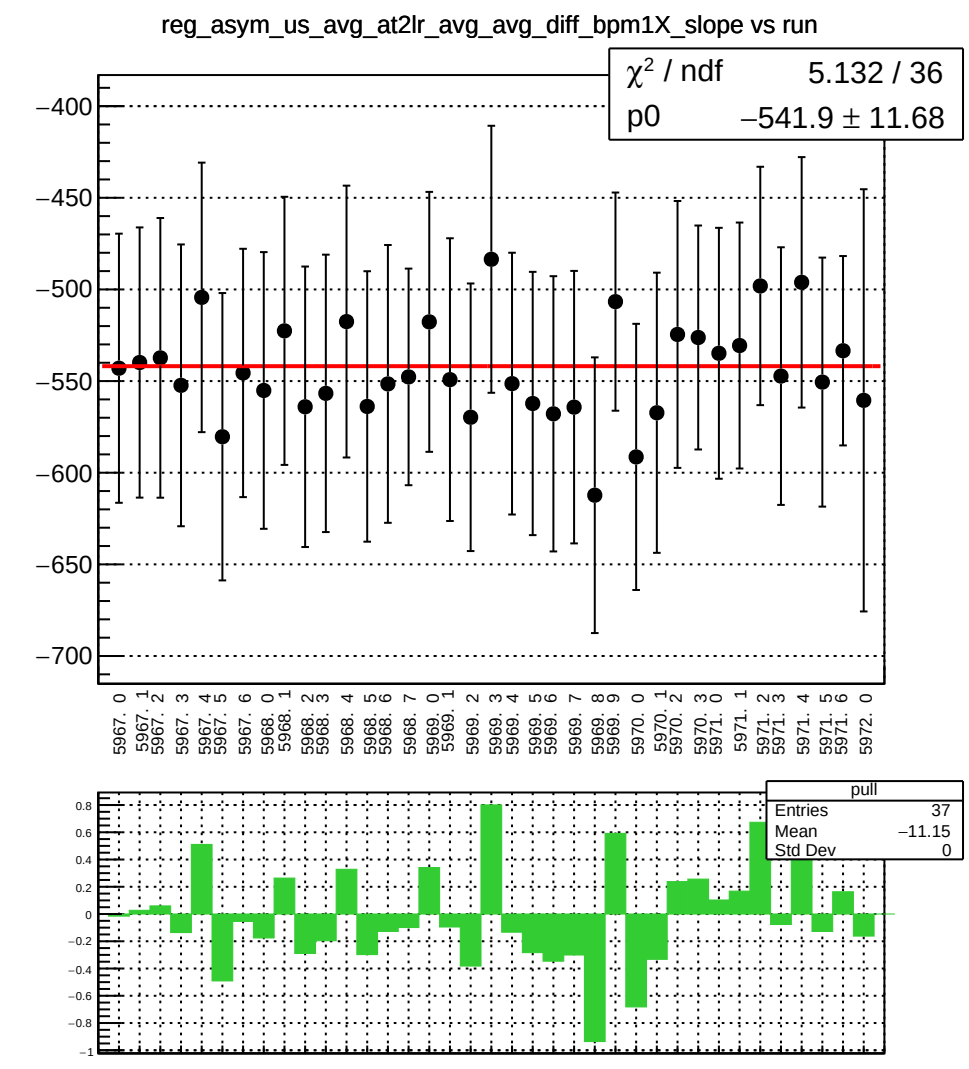
reg_asym_us_avg_at2lr_avg_avg_diff_bpm1X_slope vs run
χ² / ndf 5.132 / 36
p0 −541.9 ± 11.68
pull
Entries 37
Mean −11.15
Std Dev 0

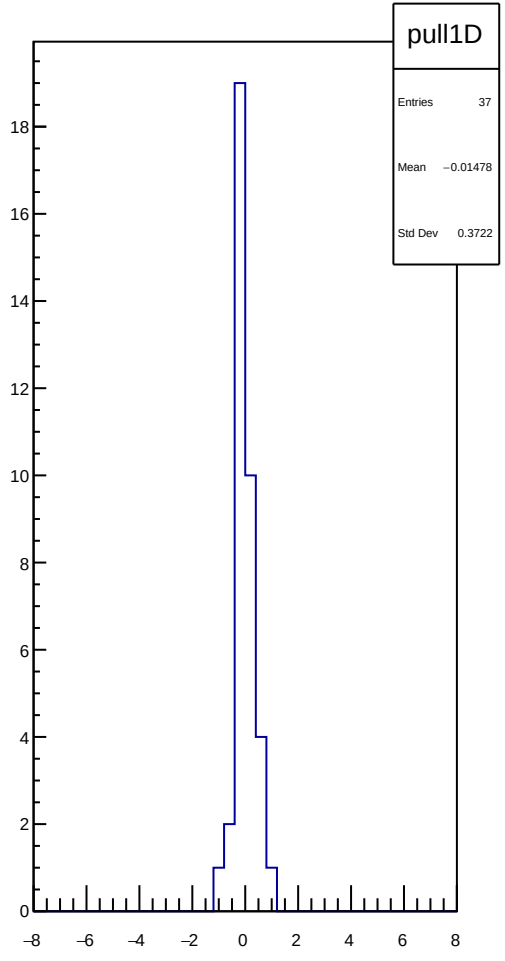
pull1D
Entries 37
Mean −0.01478
Std Dev 0.3722

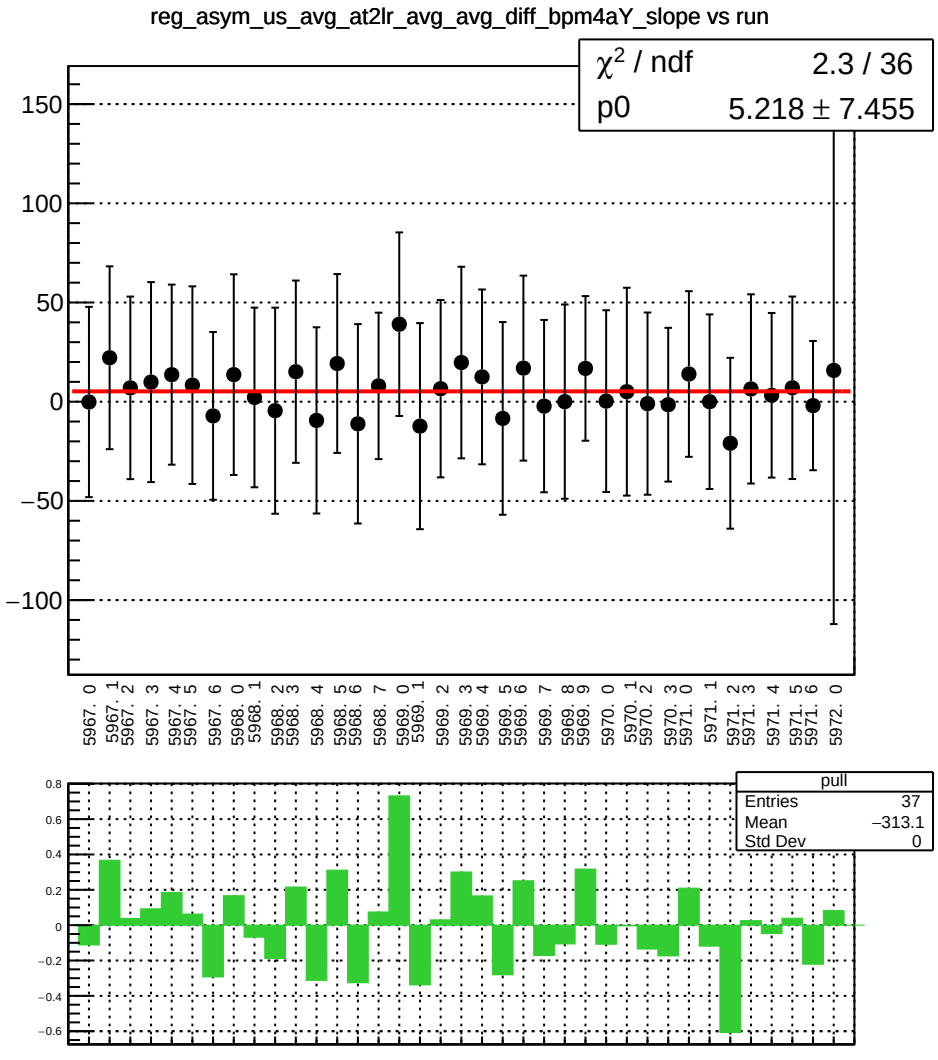
reg_asym_us_avg_at2lr_avg_avg_diff_bpm4aY_slope vs run
χ² / ndf 2.3 / 36
p0 5.218 ± 7.455
150
100
50
0
−50
−100
5967. 0
5967. 1
5967. 2
5967. 3
5967. 4
5967. 5
5967. 6
5968. 0
5968. 1
5968. 2
5968. 3
5968. 4
5968. 5
5968. 6
5968. 7
5969. 0
5969. 1
5969. 2
5969. 3
5969. 4
5969. 5
5969. 6
5969. 7
5969. 8
5969. 9
5970. 0
5970. 1
5970. 2
5970. 3
5971. 0
5971. 1
5971. 2
5971. 3
5971. 4
5971. 5
5971. 6
5972. 0
pull
Entries 37
Mean −313.1
Std Dev 0
0.8
0.6
0.4
0.2
0
−0.2
−0.4
−0.6
pull1D
Entries 37
Mean 0.001542
Std Dev 0.2493
18
16
14
12
10
8
6
4
2
0
−8
−6
−4
−2
0
2
4
6
8

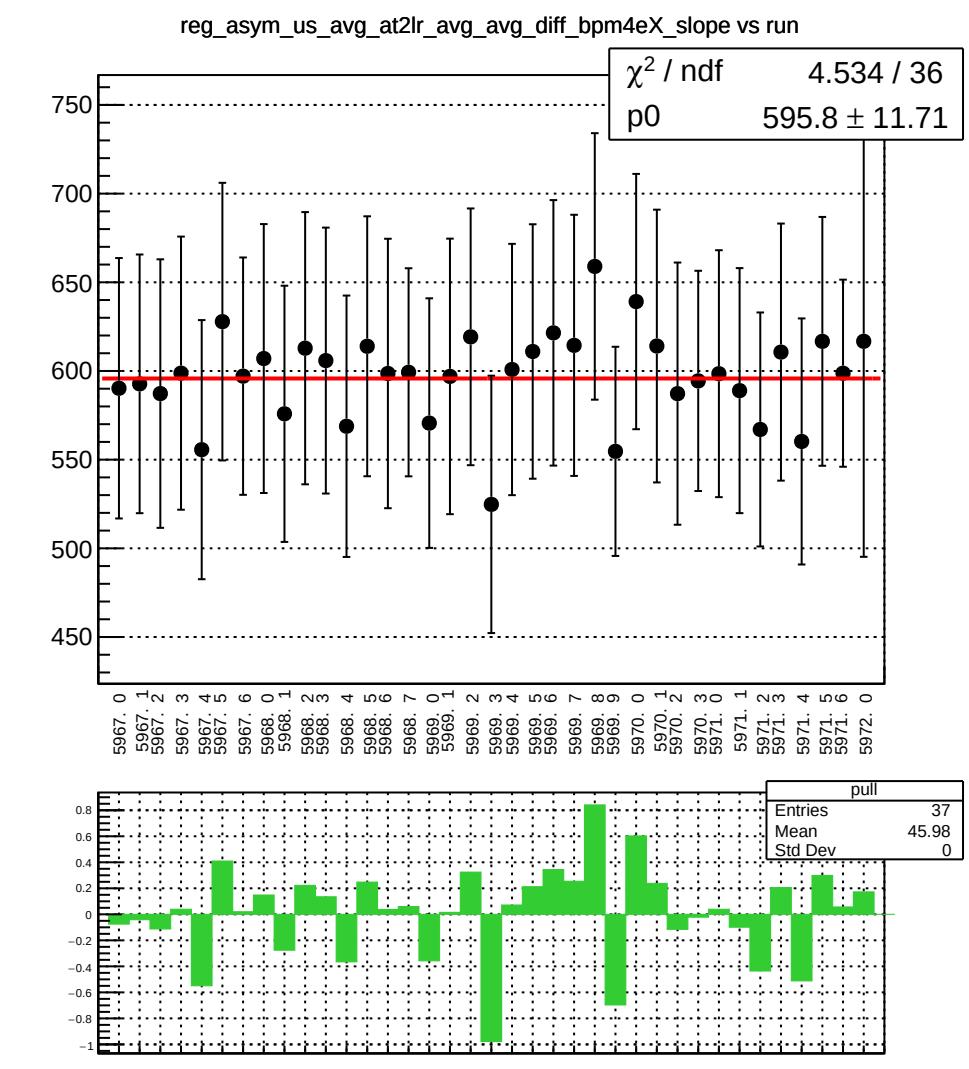
reg_asym_us_avg_at2lr_avg_avg_diff_bpm4eX_slope vs run
χ² / ndf 4.534 / 36
p0 595.8 ± 11.71
750
700
650
600
550
500
450
5967. 0
5967. 1
5967. 2
5967. 3
5967. 4
5967. 5
5967. 6
5968. 0
5968. 1
5968. 2
5968. 3
5968. 4
5968. 5
5968. 6
5968. 7
5969. 0
5969. 1
5969. 2
5969. 3
5969. 4
5969. 5
5969. 6
5969. 7
5969. 8
5969. 9
5970. 0
5970. 1
5970. 2
5970. 3
5971. 0
5971. 1
5971. 2
5971. 3
5971. 4
5971. 5
5971. 6
5972. 0
pull
Entries 37
Mean 45.98
Std Dev 0
0.8
0.6
0.4
0.2
0
−0.2
−0.4
−0.6
−0.8
−1
pull1D
Entries 37
Mean 0.009691
Std Dev 0.3499
20
18
16
14
12
10
8
6
4
2
0
−8
−6
−4
−2
0
2
4
6
8

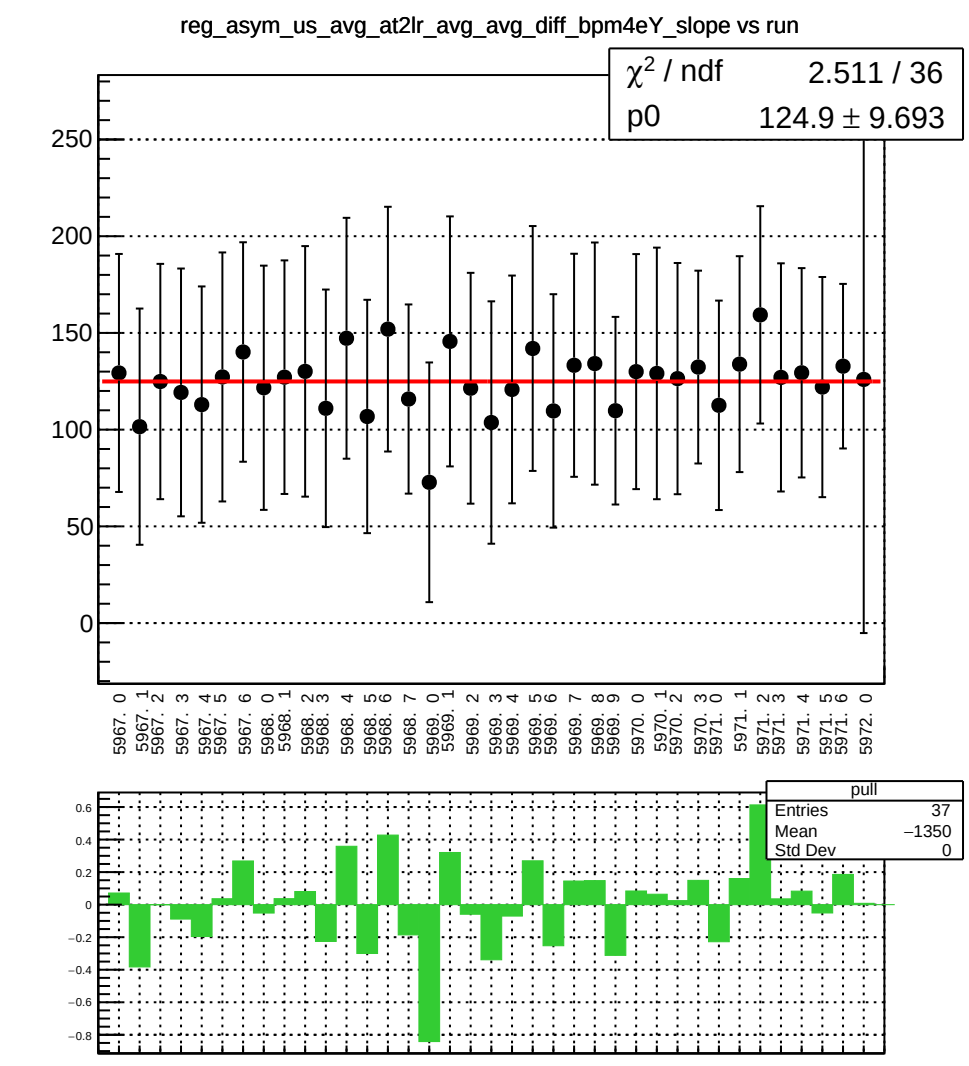
reg_asym_us_avg_at2lr_avg_avg_diff_bpm4eY_slope vs run
χ² / ndf 2.511 / 36
p0 124.9 ± 9.693
250
200
150
100
50
0
5967. 0
5967. 1
5967. 2
5967. 3
5967. 4
5967. 5
5967. 6
5968. 0
5968. 1
5968. 2
5968. 3
5968. 4
5968. 5
5968. 6
5968. 7
5969. 0
5969. 1
5969. 2
5969. 3
5969. 4
5969. 5
5969. 6
5969. 7
5969. 8
5969. 9
5970. 0
5970. 1
5970. 2
5970. 3
5971. 0
5971. 1
5971. 2
5971. 3
5971. 4
5971. 5
5971. 6
5972. 0
pull
Entries 37
Mean −1350
Std Dev 0
0.6
0.4
0.2
0
−0.2
−0.4
−0.6
−0.8
pull1D
Entries 37
Mean −0.0004012
Std Dev 0.2605
18
16
14
12
10
8
6
4
2
0
−8
−6
−4
−2
0
2
4
6
8

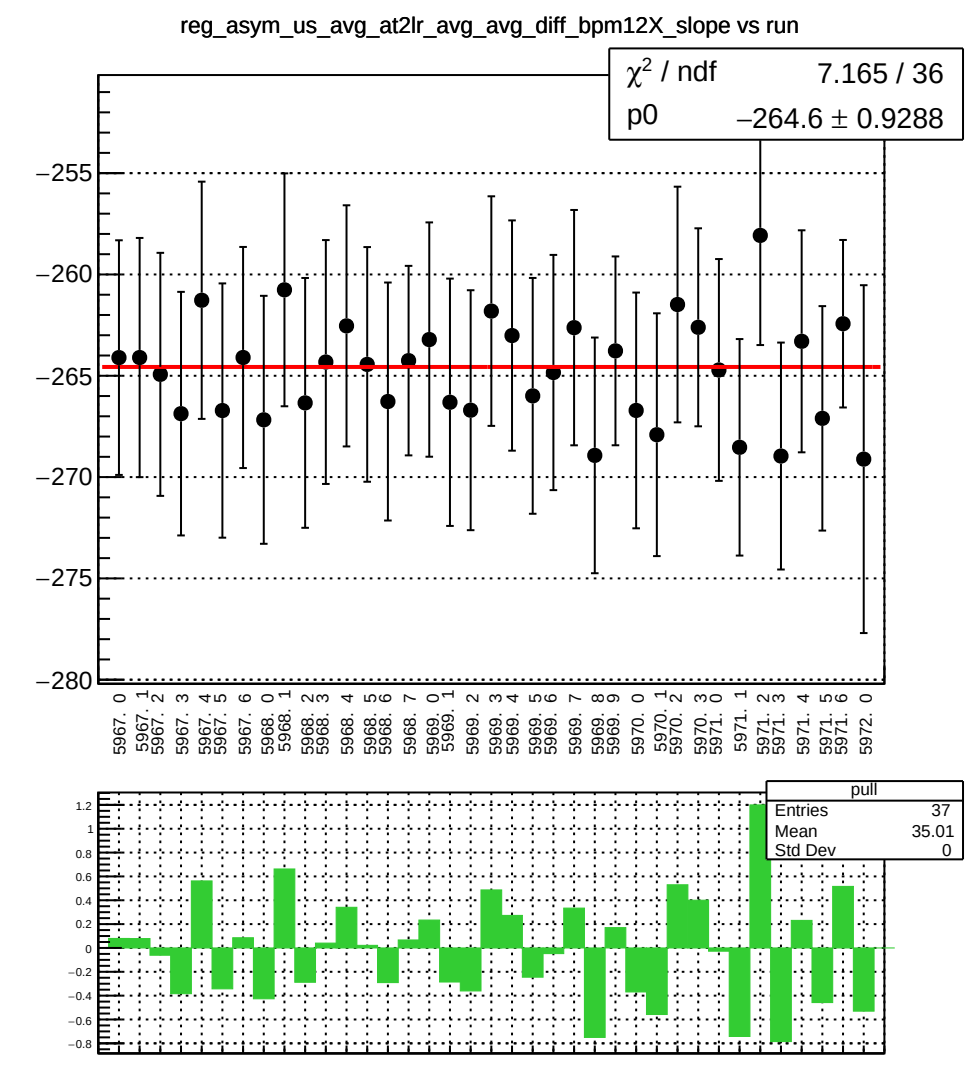
reg_asym_us_avg_at2lr_avg_avg_diff_bpm12X_slope vs run
χ² / ndf 7.165 / 36
p0 −264.6 ± 0.9288
−255
−260
−265
−270
−275
−280
5967. 0
5967. 1
5967. 2
5967. 3
5967. 4
5967. 5
5967. 6
5968. 0
5968. 1
5968. 2
5968. 3
5968. 4
5968. 5
5968. 6
5968. 7
5969. 0
5969. 1
5969. 2
5969. 3
5969. 4
5969. 5
5969. 6
5969. 7
5969. 8
5969. 9
5970. 0
5970. 1
5970. 2
5970. 3
5971. 0
5971. 1
5971. 2
5971. 3
5971. 4
5971. 5
5971. 6
5972. 0
pull
Entries 37
Mean 35.01
Std Dev 0
1.2
1
0.8
0.6
0.4
0.2
0
−0.2
−0.4
−0.6
−0.8

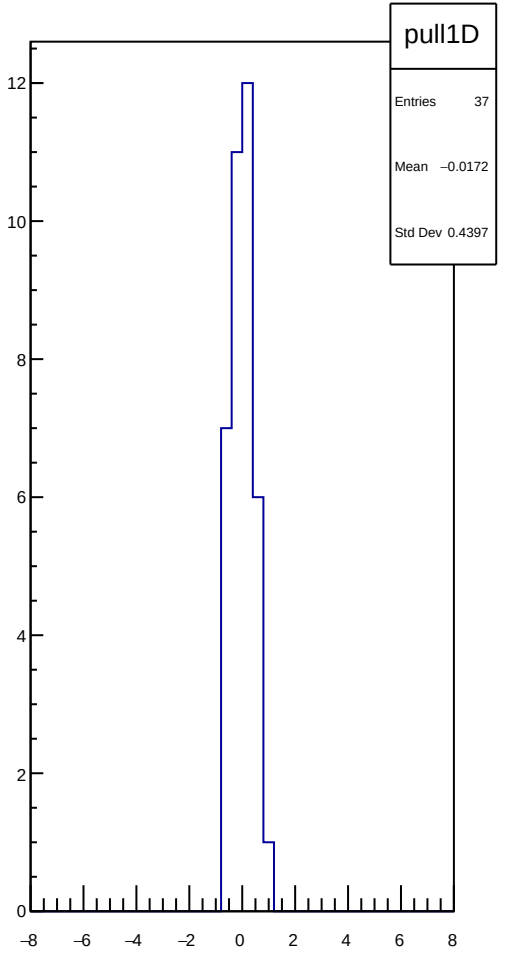
pull1D
Entries 37
Mean −0.0172
Std Dev 0.4397
12
10
8
6
4
2
0
−8
−6
−4
−2
0
2
4
6
8

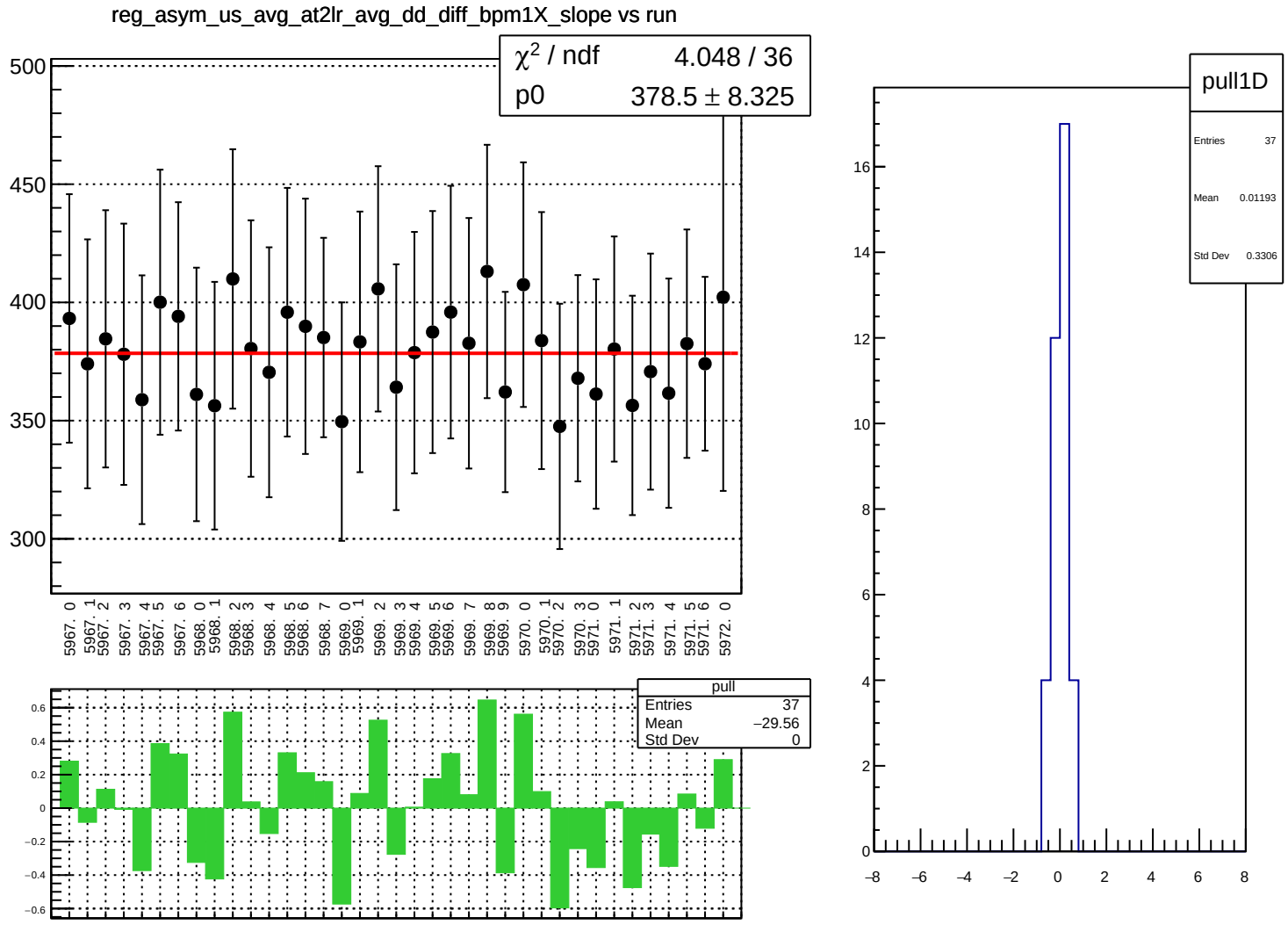
reg_asym_us_avg_at2lr_avg_dd_diff_bpm1X_slope vs run
χ² / ndf 4.048 / 36
p0 378.5 ± 8.325
500
450
400
350
300
5967. 0
5967. 1
5967. 2
5967. 3
5967. 4
5967. 5
5967. 6
5968. 0
5968. 1
5968. 2
5968. 3
5968. 4
5968. 5
5968. 6
5968. 7
5969. 0
5969. 1
5969. 2
5969. 3
5969. 4
5969. 5
5969. 6
5969. 7
5969. 8
5969. 9
5970. 0
5970. 1
5970. 2
5970. 3
5971. 0
5971. 1
5971. 2
5971. 3
5971. 4
5971. 5
5971. 6
5972. 0
pull
Entries 37
Mean −29.56
Std Dev 0
0.6
0.4
0.2
0
−0.2
−0.4
−0.6
pull1D
Entries 37
Mean 0.01193
Std Dev 0.3306
16
14
12
10
8
6
4
2
0
−8
−6
−4
−2
0
2
4
6
8

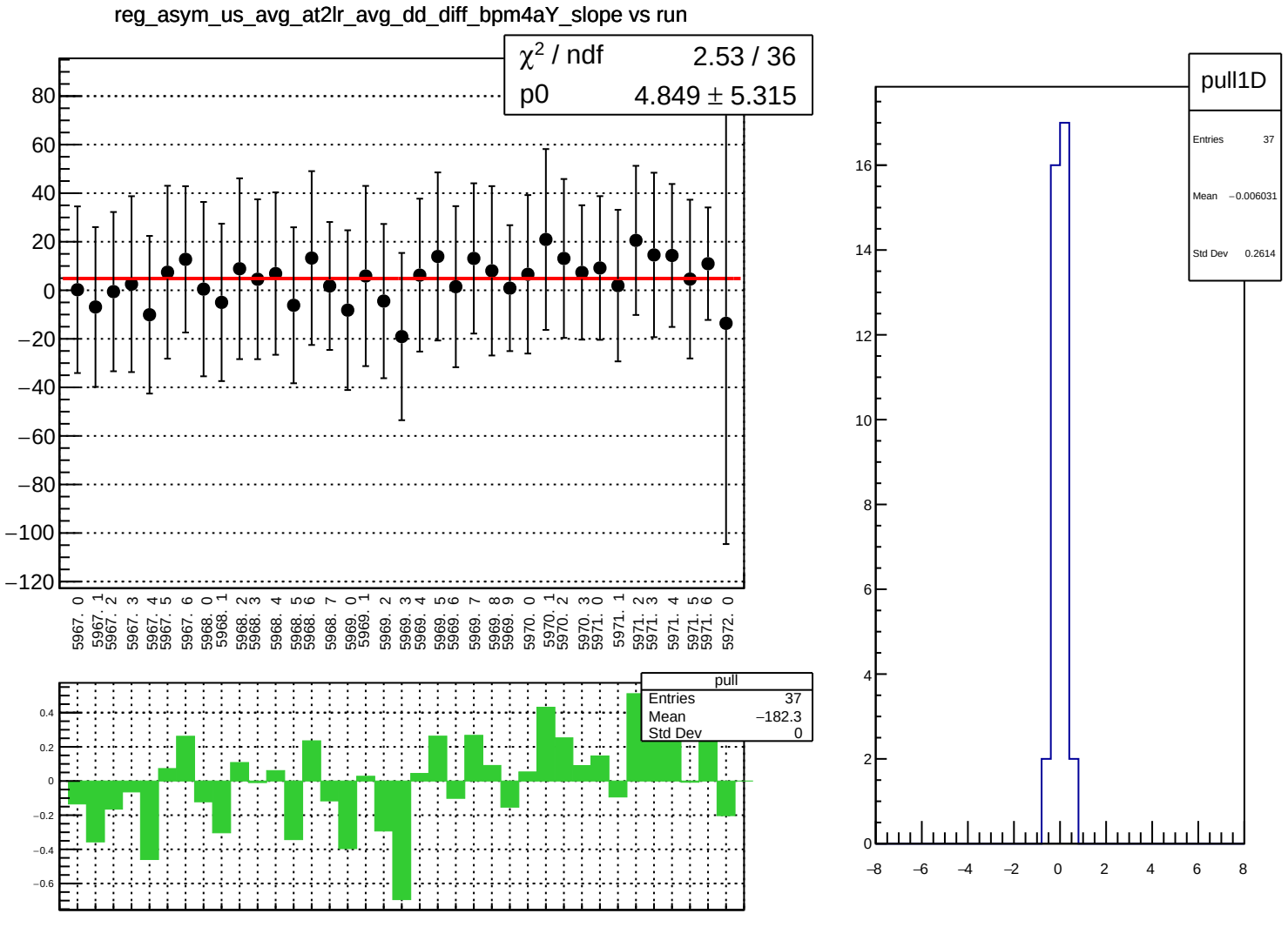
reg_asym_us_avg_at2lr_avg_dd_diff_bpm4aY_slope vs run
χ² / ndf 2.53 / 36
p0 4.849 ± 5.315
pull
Entries 37
Mean −182.3
Std Dev 0
pull1D
Entries 37
Mean −0.006031
Std Dev 0.2614

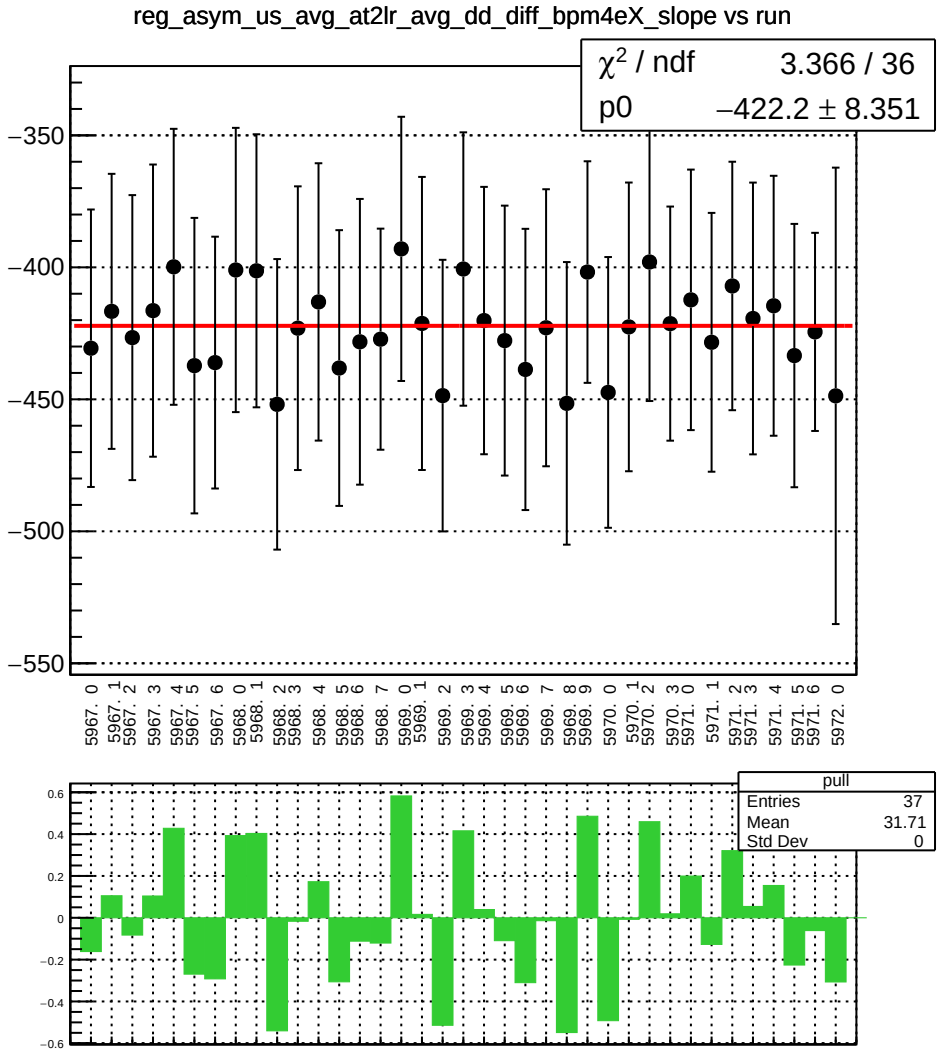
reg_asym_us_avg_at2lr_avg_dd_diff_bpm4eX_slope vs run
χ² / ndf 3.366 / 36
p0 −422.2 ± 8.351
−350
−400
−450
−500
−550
5967. 0
5967. 1
5967. 2
5967. 3
5967. 4
5967. 5
5967. 6
5968. 0
5968. 1
5968. 2
5968. 3
5968. 4
5968. 5
5968. 6
5968. 7
5969. 0
5969. 1
5969. 2
5969. 3
5969. 4
5969. 5
5969. 6
5969. 7
5969. 8
5969. 9
5970. 0
5970. 1
5970. 2
5970. 3
5971. 0
5971. 1
5971. 2
5971. 3
5971. 4
5971. 5
5971. 6
5972. 0
pull
Entries 37
Mean 31.71
Std Dev 0
0.6
0.4
0.2
0
−0.2
−0.4
−0.6

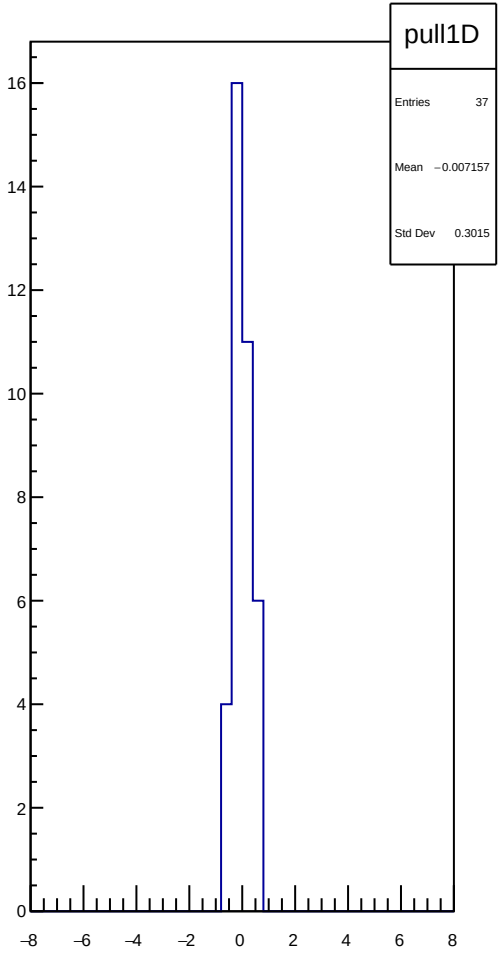
pull1D
Entries 37
Mean −0.007157
Std Dev 0.3015
16
14
12
10
8
6
4
2
0
−8
−6
−4
−2
0
2
4
6
8

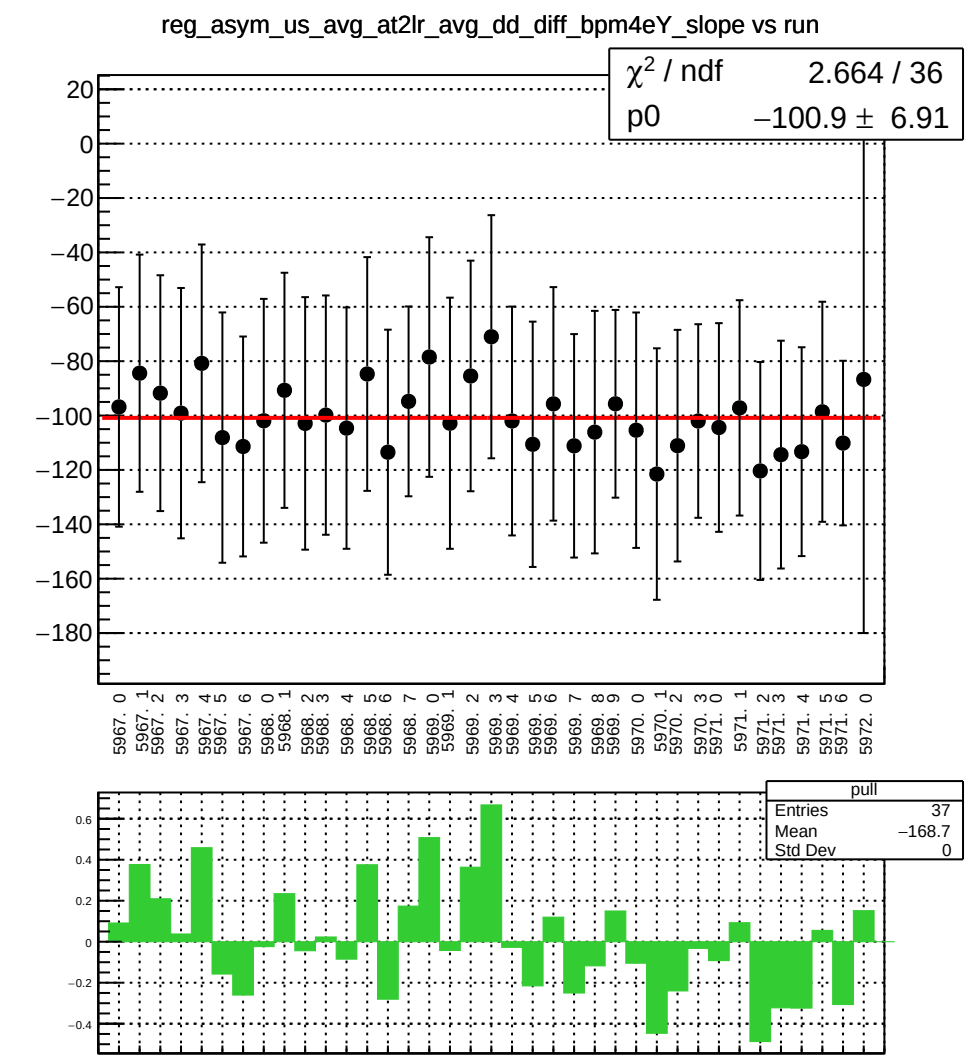
reg_asym_us_avg_at2lr_avg_dd_diff_bpm4eY_slope vs run
χ² / ndf 2.664 / 36
p0 −100.9 ± 6.91
pull
Entries 37
Mean −168.7
Std Dev 0

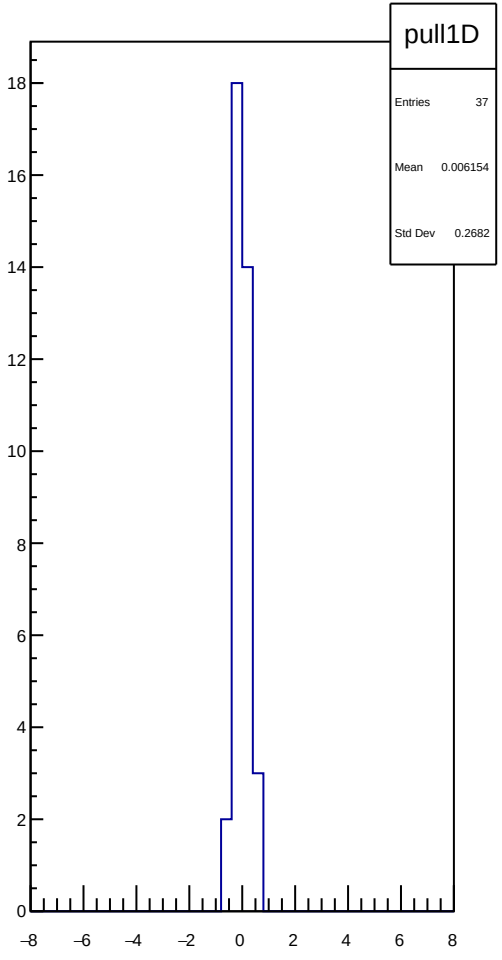
pull1D
Entries 37
Mean 0.006154
Std Dev 0.2682

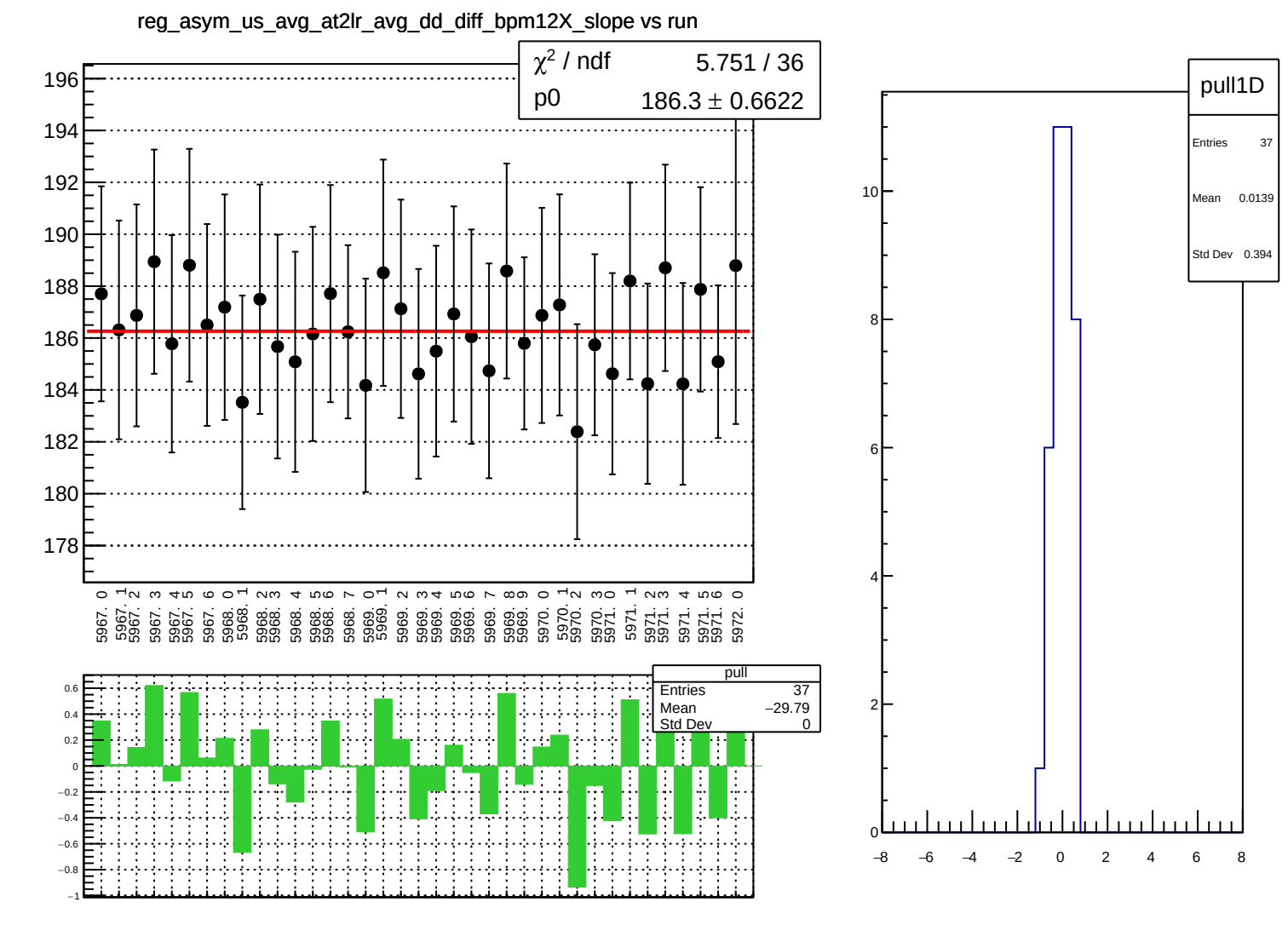
reg_asym_us_avg_at2lr_avg_dd_diff_bpm12X_slope vs run
χ² / ndf 5.751 / 36
p0 186.3 ± 0.6622
196
194
192
190
188
186
184
182
180
178
5967. 0
5967. 1
5967. 2
5967. 3
5967. 4
5967. 5
5967. 6
5968. 0
5968. 1
5968. 2
5968. 3
5968. 4
5968. 5
5968. 6
5968. 7
5969. 0
5969. 1
5969. 2
5969. 3
5969. 4
5969. 5
5969. 6
5969. 7
5969. 8
5969. 9
5970. 0
5970. 1
5970. 2
5970. 3
5971. 0
5971. 1
5971. 2
5971. 3
5971. 4
5971. 5
5971. 6
5972. 0
pull
Entries 37
Mean −29.79
Std Dev 0
0.6
0.4
0.2
0
−0.2
−0.4
−0.6
−0.8
−1
pull1D
Entries 37
Mean 0.0139
Std Dev 0.394
10
8
6
4
2
0
−8
−6
−4
−2
0
2
4
6
8

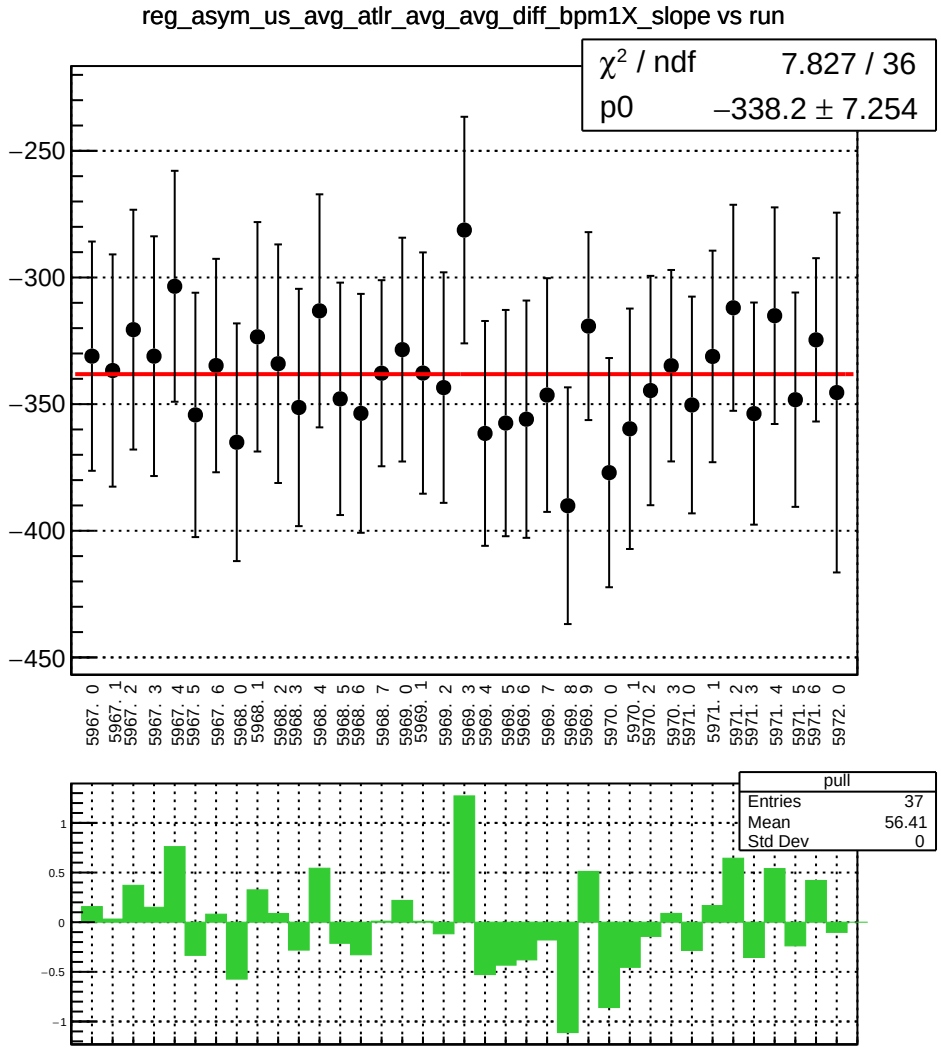
reg_asym_us_avg_atlr_avg_avg_diff_bpm1X_slope vs run
χ² / ndf 7.827 / 36
p0 −338.2 ± 7.254
−250
−300
−350
−400
−450
5967. 0
5967. 1
5967. 2
5967. 3
5967. 4
5967. 5
5967. 6
5968. 0
5968. 1
5968. 2
5968. 3
5968. 4
5968. 5
5968. 6
5968. 7
5969. 0
5969. 1
5969. 2
5969. 3
5969. 4
5969. 5
5969. 6
5969. 7
5969. 8
5969. 9
5970. 0
5970. 1
5970. 2
5970. 3
5971. 0
5971. 1
5971. 2
5971. 3
5971. 4
5971. 5
5971. 6
5972. 0
pull
Entries 37
Mean 56.41
Std Dev 0
1
0.5
0
−0.5
−1

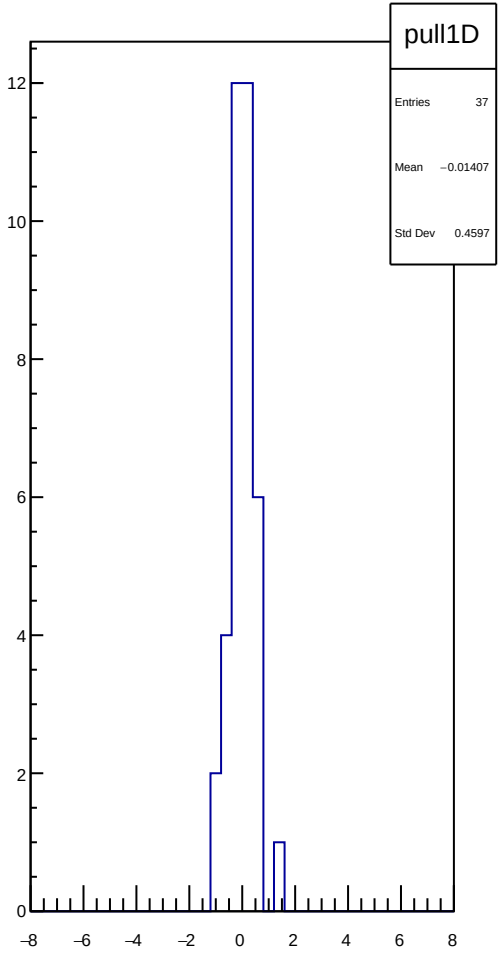
pull1D
Entries 37
Mean −0.01407
Std Dev 0.4597
12
10
8
6
4
2
0
−8
−6
−4
−2
0
2
4
6
8

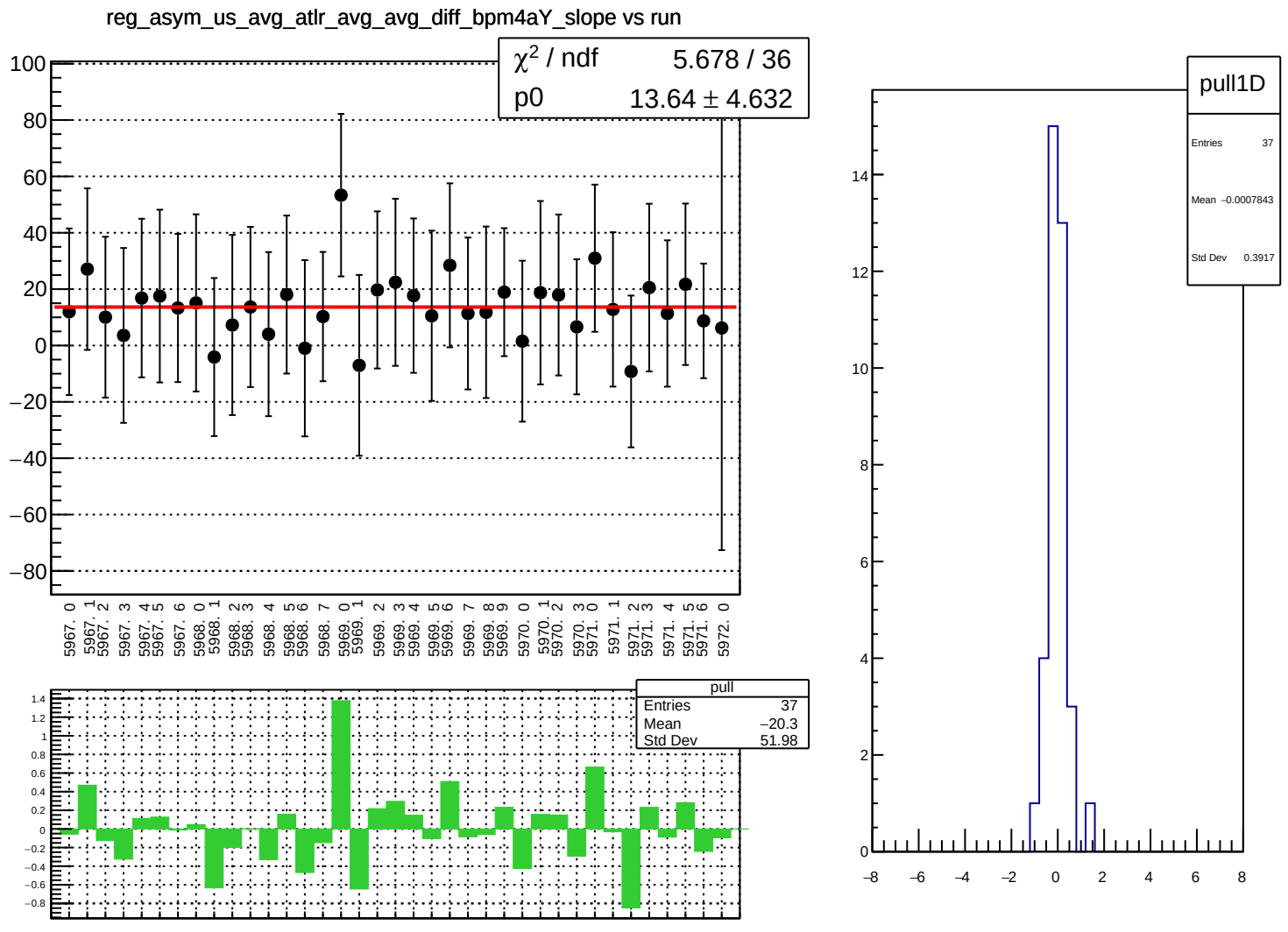
reg_asym_us_avg_atlr_avg_avg_diff_bpm4aY_slope vs run
χ² / ndf 5.678 / 36
p0 13.64 ± 4.632
pull
Entries 37
Mean −20.3
Std Dev 51.98
pull1D
Entries 37
Mean −0.0007843
Std Dev 0.3917

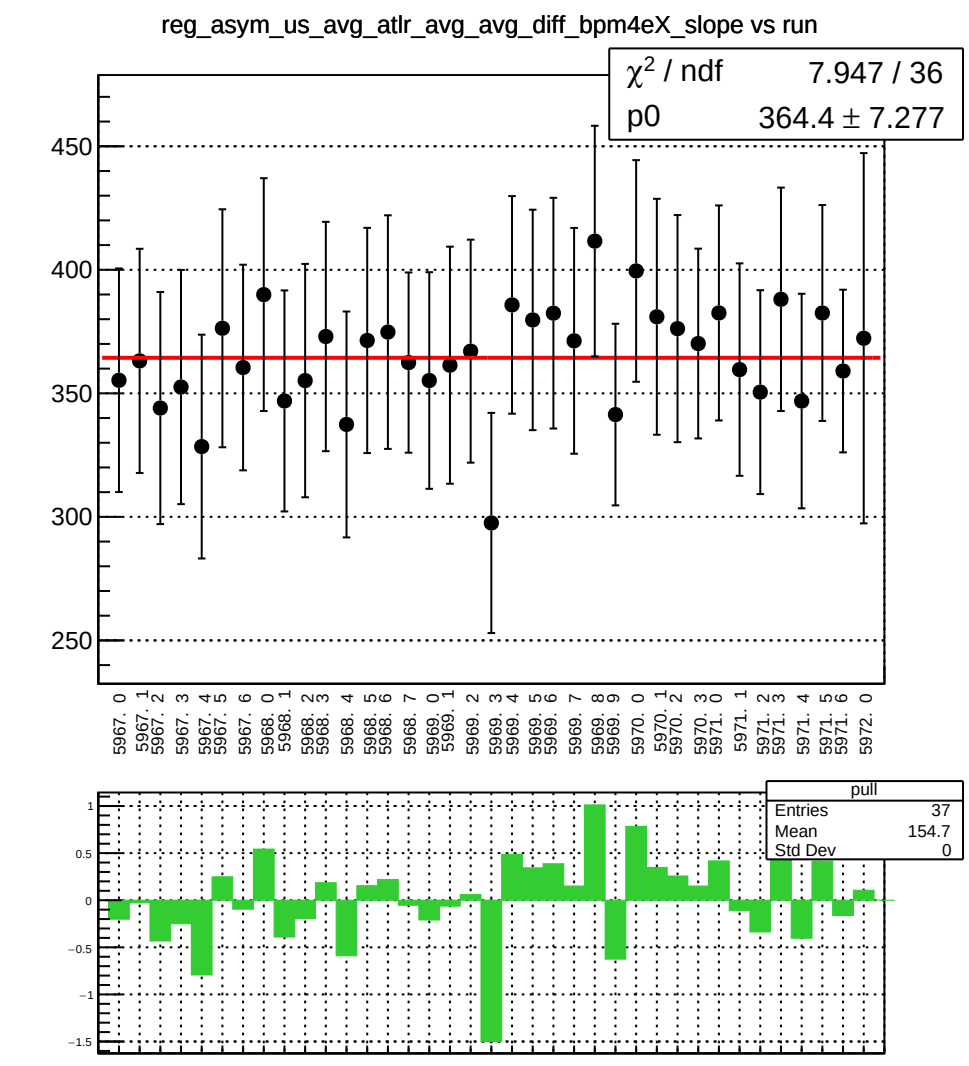
reg_asym_us_avg_atlr_avg_avg_diff_bpm4eX_slope vs run
χ² / ndf 7.947 / 36
p0 364.4 ± 7.277
450
400
350
300
250
5967. 0
5967. 1
5967. 2
5967. 3
5967. 4
5967. 5
5967. 6
5968. 0
5968. 1
5968. 2
5968. 3
5968. 4
5968. 5
5968. 6
5968. 7
5969. 0
5969. 1
5969. 2
5969. 3
5969. 4
5969. 5
5969. 6
5969. 7
5969. 8
5969. 9
5970. 0
5970. 1
5970. 2
5970. 3
5971. 0
5971. 1
5971. 2
5971. 3
5971. 4
5971. 5
5971. 6
5972. 0
pull
Entries 37
Mean 154.7
Std Dev 0
1
0.5
0
−0.5
−1
−1.5
pull1D
Entries 37
Mean 0.009373
Std Dev 0.4633
12
10
8
6
4
2
0
−8
−6
−4
−2
0
2
4
6
8

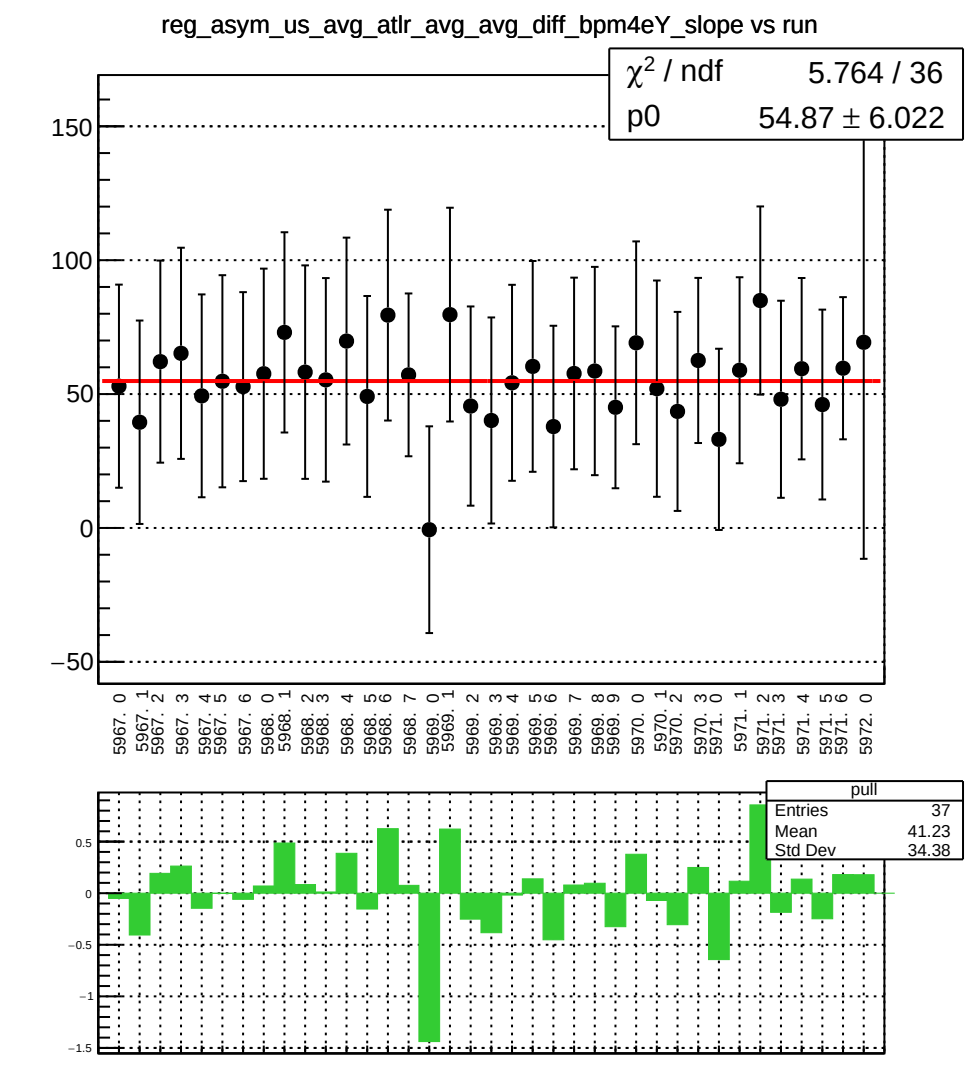
reg_asym_us_avg_atlr_avg_avg_diff_bpm4eY_slope vs run
χ² / ndf 5.764 / 36
p0 54.87 ± 6.022
150
100
50
0
−50
5967. 0
5967. 1
5967. 2
5967. 3
5967. 4
5967. 5
5967. 6
5968. 0
5968. 1
5968. 2
5968. 3
5968. 4
5968. 5
5968. 6
5968. 7
5969. 0
5969. 1
5969. 2
5969. 3
5969. 4
5969. 5
5969. 6
5969. 7
5969. 8
5969. 9
5970. 0
5970. 1
5970. 2
5970. 3
5971. 0
5971. 1
5971. 2
5971. 3
5971. 4
5971. 5
5971. 6
5972. 0
pull
Entries 37
Mean 41.23
Std Dev 34.38
0.5
0
−0.5
−1
−1.5

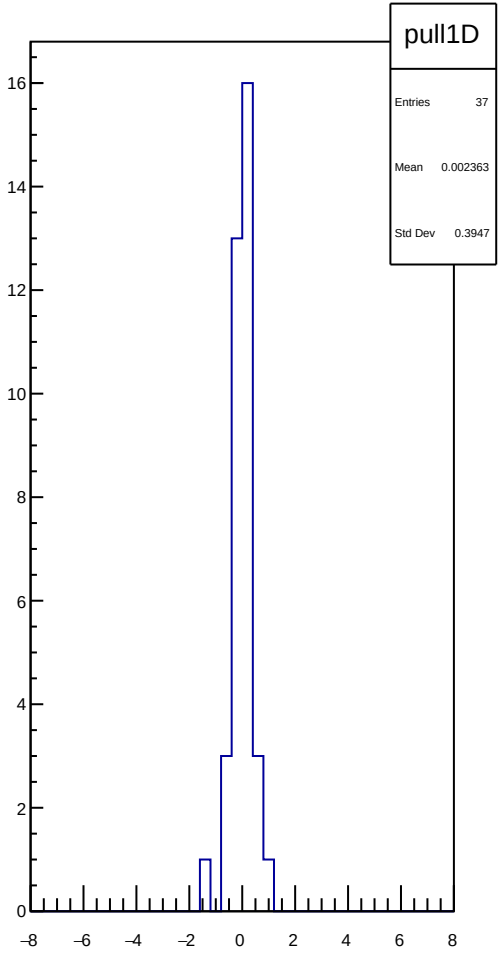
pull1D
Entries 37
Mean 0.002363
Std Dev 0.3947
16
14
12
10
8
6
4
2
0
−8
−6
−4
−2
0
2
4
6
8

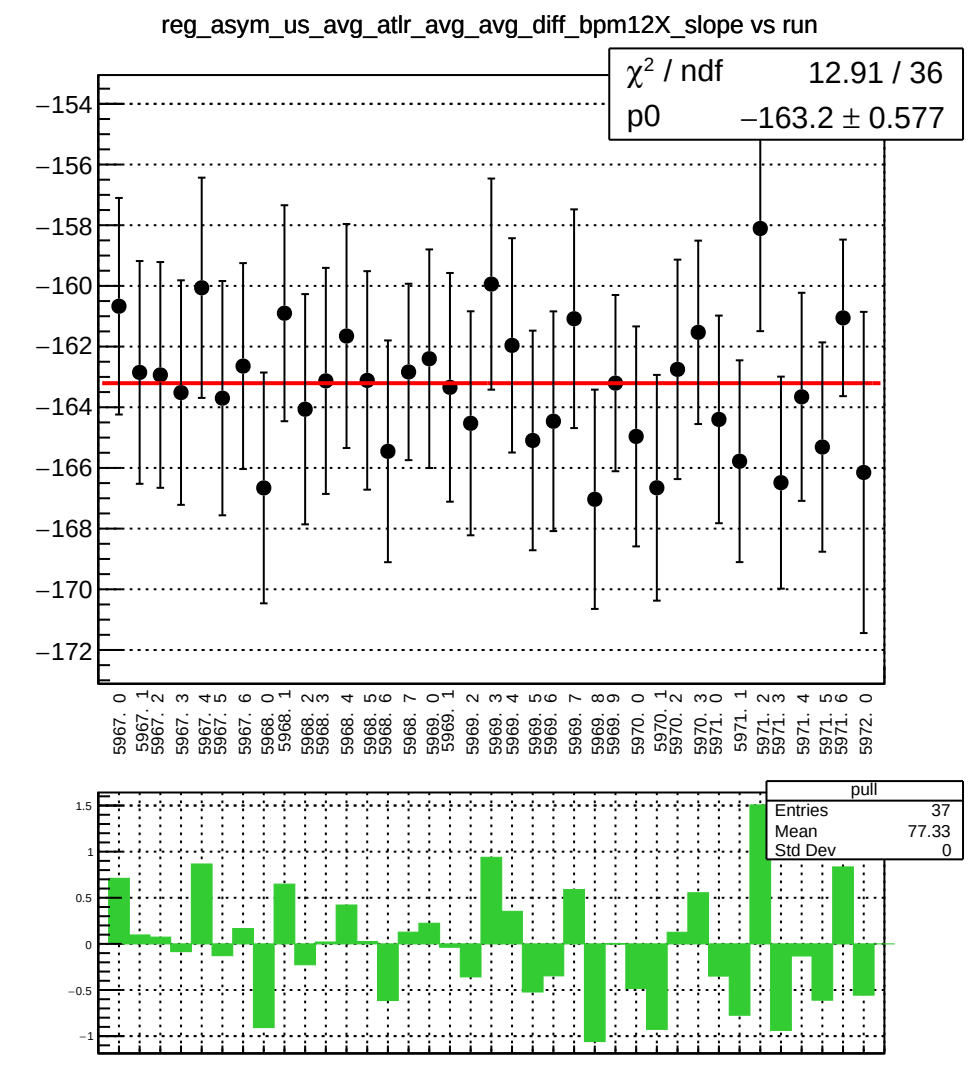
reg_asym_us_avg_atlr_avg_avg_diff_bpm12X_slope vs run
χ² / ndf 12.91 / 36
p0 −163.2 ± 0.577
pull
Entries 37
Mean 77.33
Std Dev 0

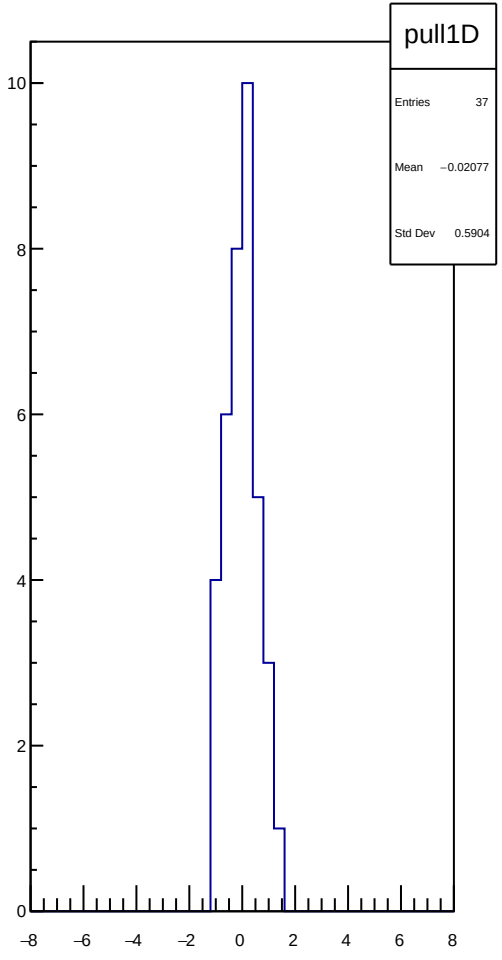
pull1D
Entries 37
Mean −0.02077
Std Dev 0.5904

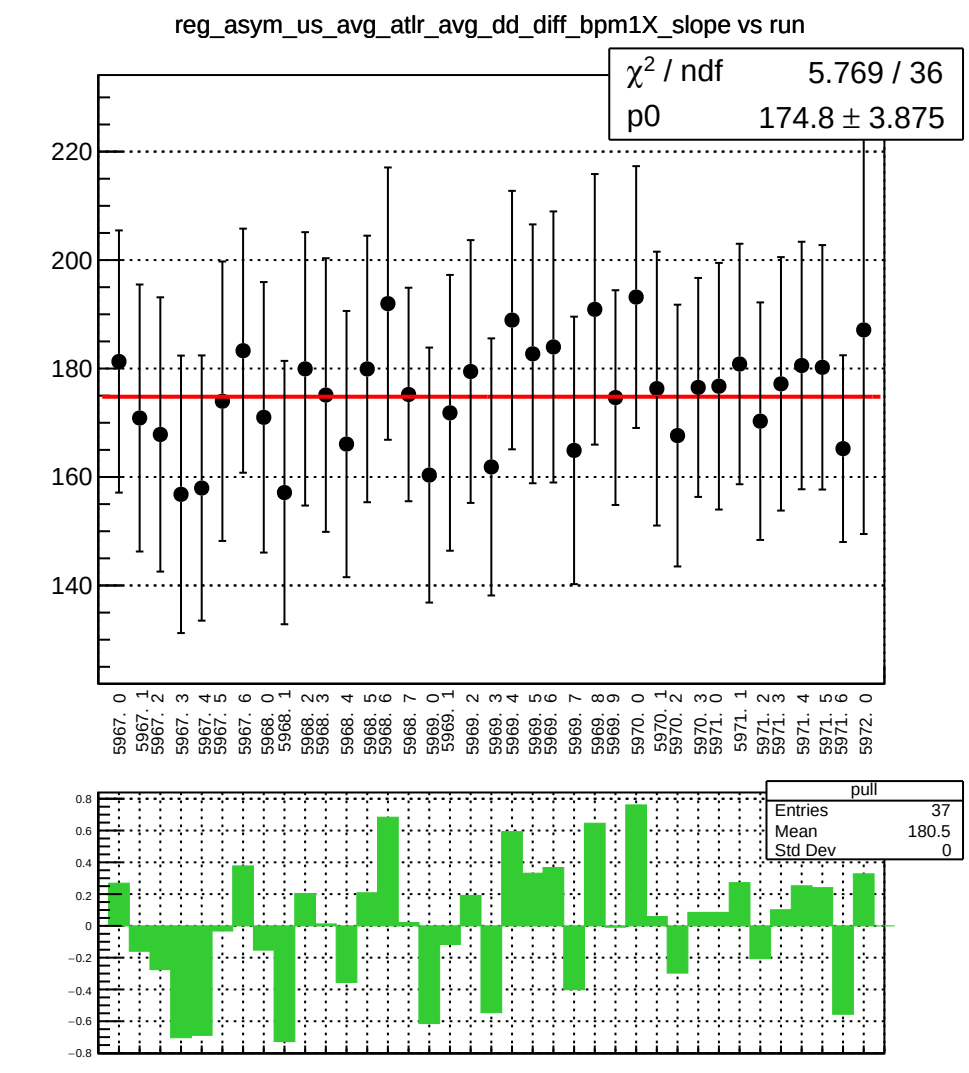
reg_asym_us_avg_atlr_avg_dd_diff_bpm1X_slope vs run
χ² / ndf 5.769 / 36
p0 174.8 ± 3.875
220
200
180
160
140
5967. 0
5967. 1
5967. 2
5967. 3
5967. 4
5967. 5
5967. 6
5968. 0
5968. 1
5968. 2
5968. 3
5968. 4
5968. 5
5968. 6
5968. 7
5969. 0
5969. 1
5969. 2
5969. 3
5969. 4
5969. 5
5969. 6
5969. 7
5969. 8
5969. 9
5970. 0
5970. 1
5970. 2
5970. 3
5971. 0
5971. 1
5971. 2
5971. 3
5971. 4
5971. 5
5971. 6
5972. 0
pull
Entries 37
Mean 180.5
Std Dev 0
0.8
0.6
0.4
0.2
0
−0.2
−0.4
−0.6
−0.8
pull1D
Entries 37
Mean 0.006663
Std Dev 0.3948
16
14
12
10
8
6
4
2
0
−8
−6
−4
−2
0
2
4
6
8

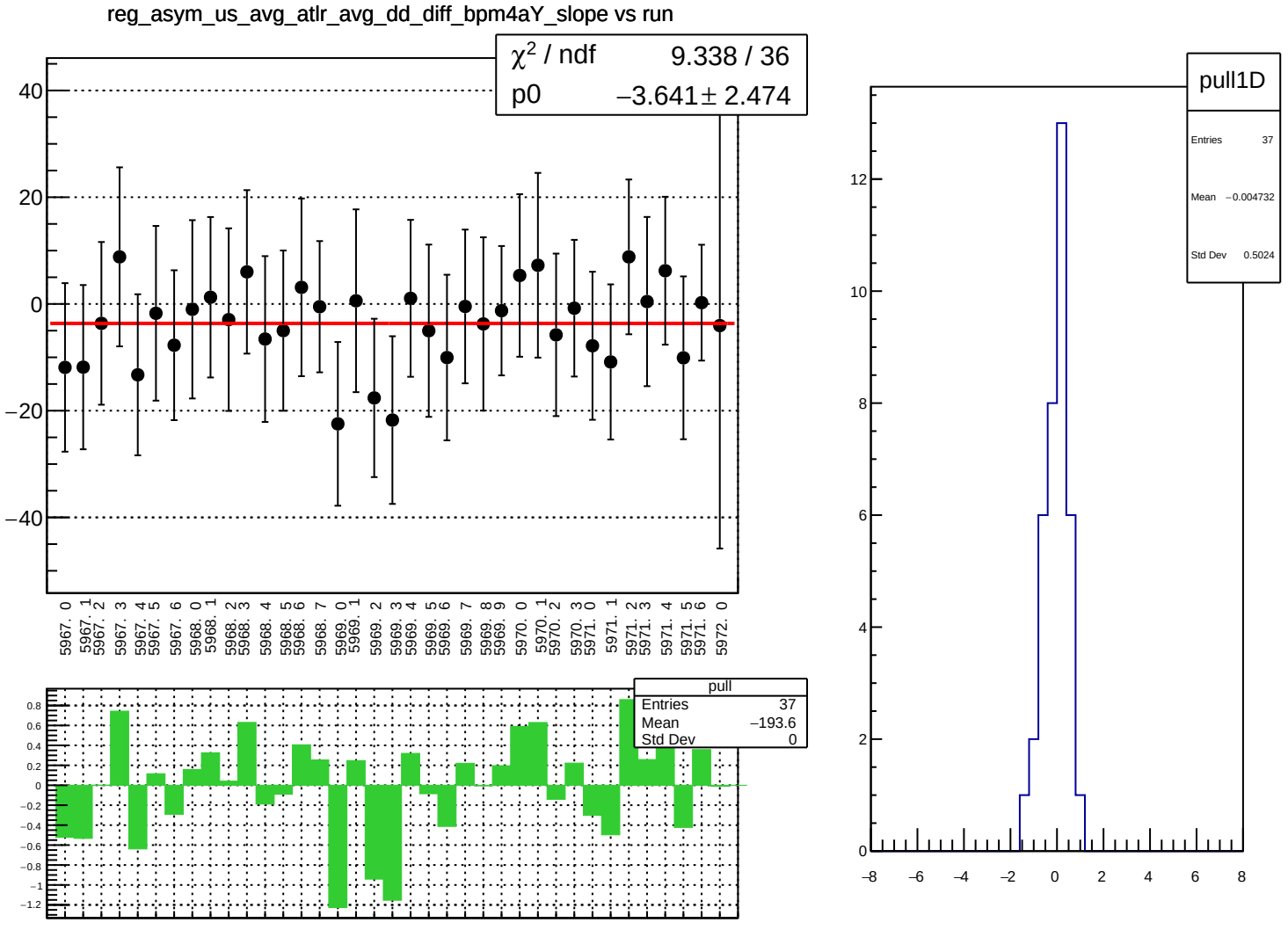
reg_asym_us_avg_atlr_avg_dd_diff_bpm4aY_slope vs run
χ² / ndf 9.338 / 36
p0 −3.641 ± 2.474
40
20
0
−20
−40
5967. 0
5967. 1
5967. 2
5967. 3
5967. 4
5967. 5
5967. 6
5968. 0
5968. 1
5968. 2
5968. 3
5968. 4
5968. 5
5968. 6
5968. 7
5969. 0
5969. 1
5969. 2
5969. 3
5969. 4
5969. 5
5969. 6
5969. 7
5969. 8
5969. 9
5970. 0
5970. 1
5970. 2
5970. 3
5971. 0
5971. 1
5971. 2
5971. 3
5971. 4
5971. 5
5971. 6
5972. 0
pull
Entries 37
Mean −193.6
Std Dev 0
0.8
0.6
0.4
0.2
0
−0.2
−0.4
−0.6
−0.8
−1
−1.2
pull1D
Entries 37
Mean −0.004732
Std Dev 0.5024
12
10
8
6
4
2
0
−8
−6
−4
−2
0
2
4
6
8

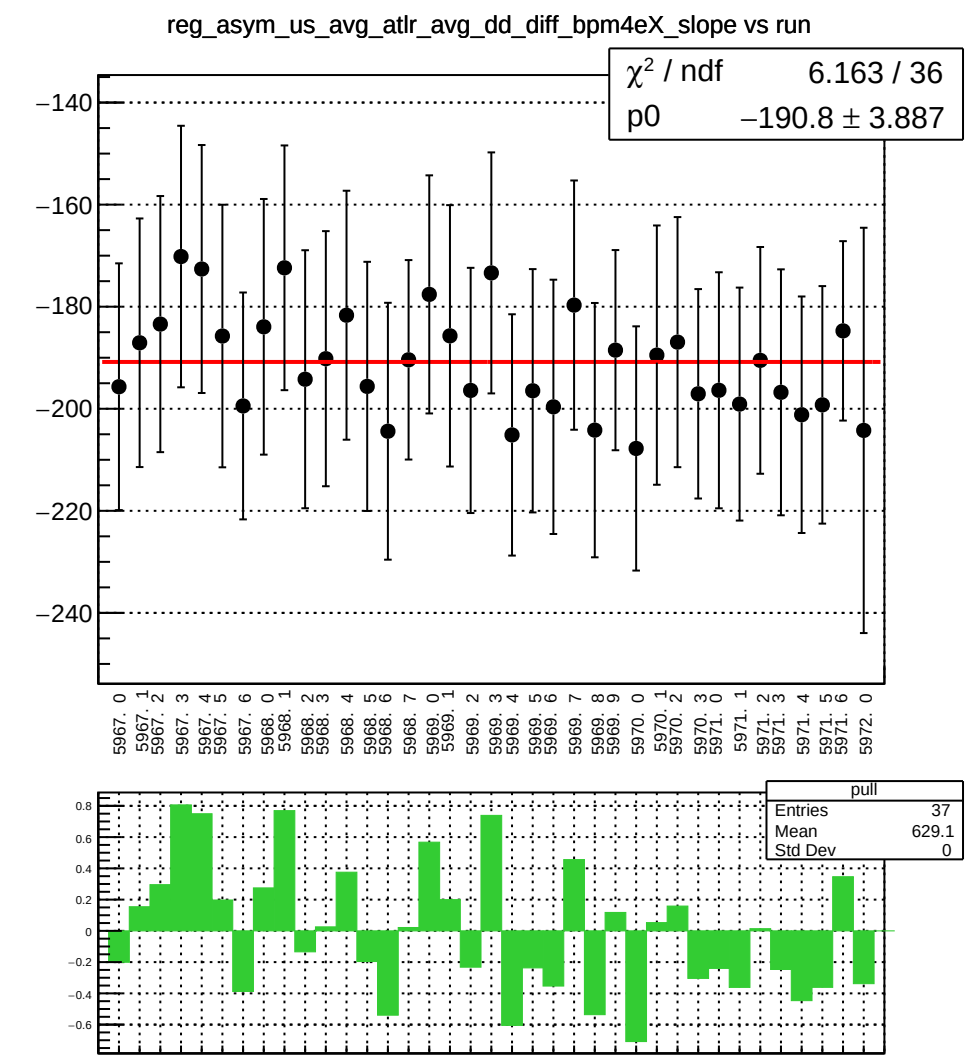
reg_asym_us_avg_atlr_avg_dd_diff_bpm4eX_slope vs run
χ² / ndf 6.163 / 36
p0 −190.8 ± 3.887
−140
−160
−180
−200
−220
−240
5967. 0
5967. 1
5967. 2
5967. 3
5967. 4
5967. 5
5967. 6
5968. 0
5968. 1
5968. 2
5968. 3
5968. 4
5968. 5
5968. 6
5968. 7
5969. 0
5969. 1
5969. 2
5969. 3
5969. 4
5969. 5
5969. 6
5969. 7
5969. 8
5969. 9
5970. 0
5970. 1
5970. 2
5970. 3
5971. 0
5971. 1
5971. 2
5971. 3
5971. 4
5971. 5
5971. 6
5972. 0
pull
Entries 37
Mean 629.1
Std Dev 0
0.8
0.6
0.4
0.2
0
−0.2
−0.4
−0.6

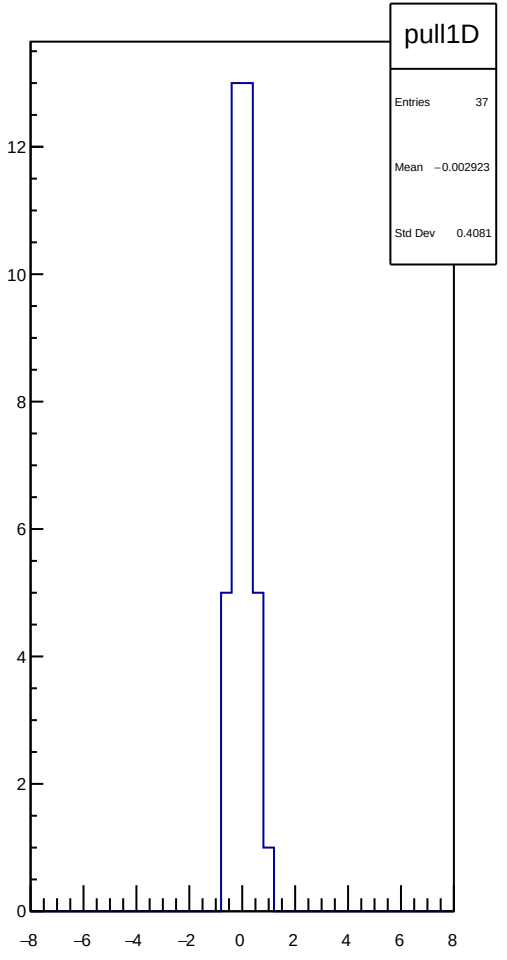
pull1D
Entries 37
Mean −0.002923
Std Dev 0.4081
12
10
8
6
4
2
0
−8
−6
−4
−2
0
2
4
6
8

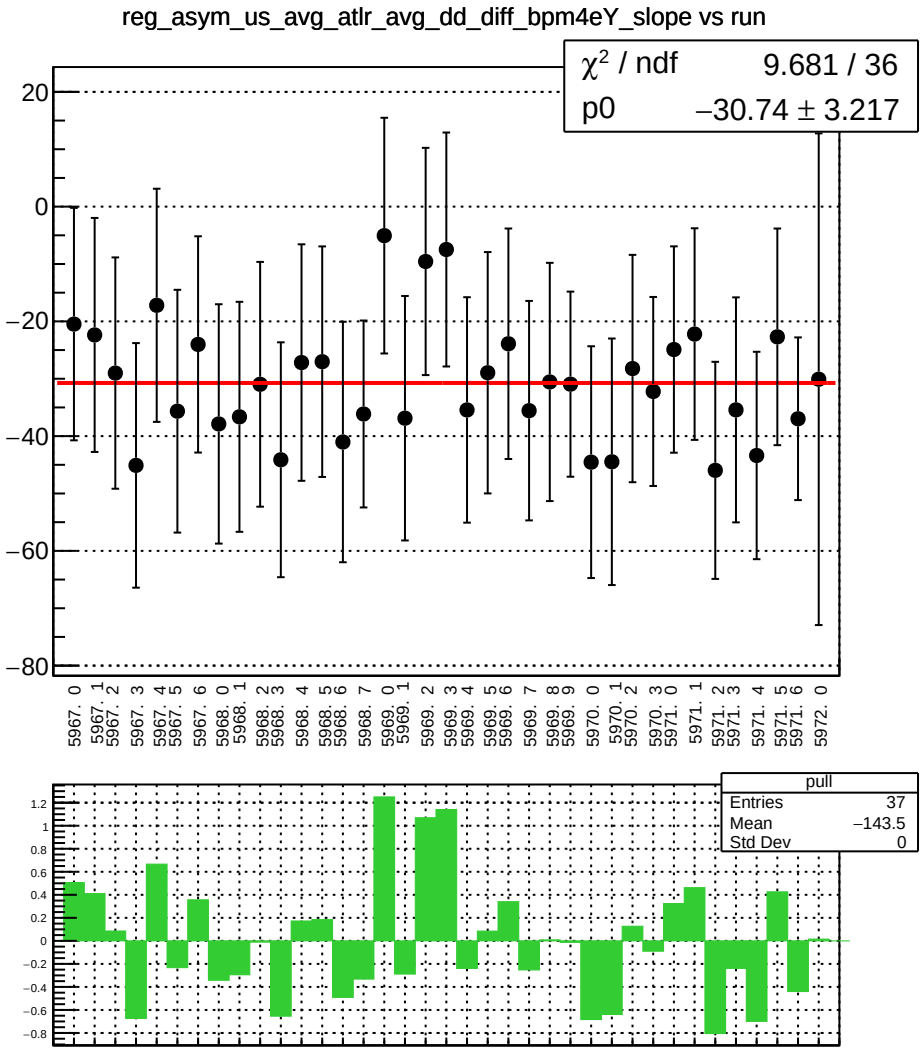
reg_asym_us_avg_atlr_avg_dd_diff_bpm4eY_slope vs run
χ² / ndf 9.681 / 36
p0 −30.74 ± 3.217
pull
Entries 37
Mean −143.5
Std Dev 0

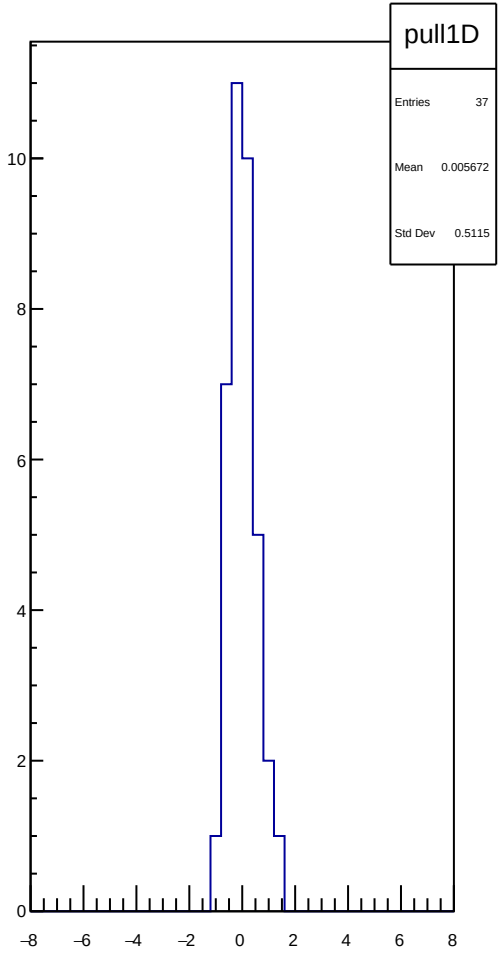
pull1D
Entries 37
Mean 0.005672
Std Dev 0.5115

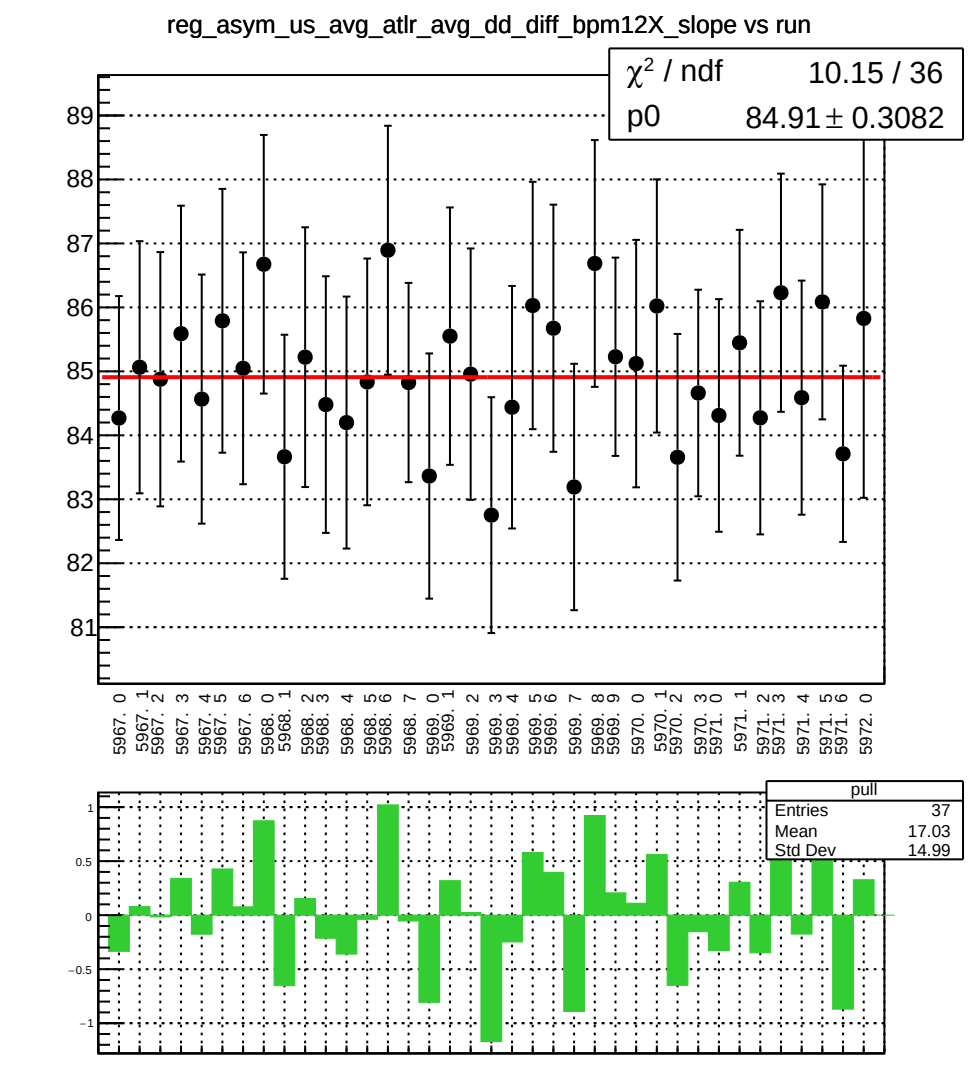
reg_asym_us_avg_atlr_avg_dd_diff_bpm12X_slope vs run
χ² / ndf 10.15 / 36
p0 84.91 ± 0.3082
89
88
87
86
85
84
83
82
81
5967. 0
5967. 1
5967. 2
5967. 3
5967. 4
5967. 5
5967. 6
5968. 0
5968. 1
5968. 2
5968. 3
5968. 4
5968. 5
5968. 6
5968. 7
5969. 0
5969. 1
5969. 2
5969. 3
5969. 4
5969. 5
5969. 6
5969. 7
5969. 8
5969. 9
5970. 0
5970. 1
5970. 2
5970. 3
5971. 0
5971. 1
5971. 2
5971. 3
5971. 4
5971. 5
5971. 6
5972. 0
pull
Entries 37
Mean 17.03
Std Dev 14.99
1
0.5
0
−0.5
−1

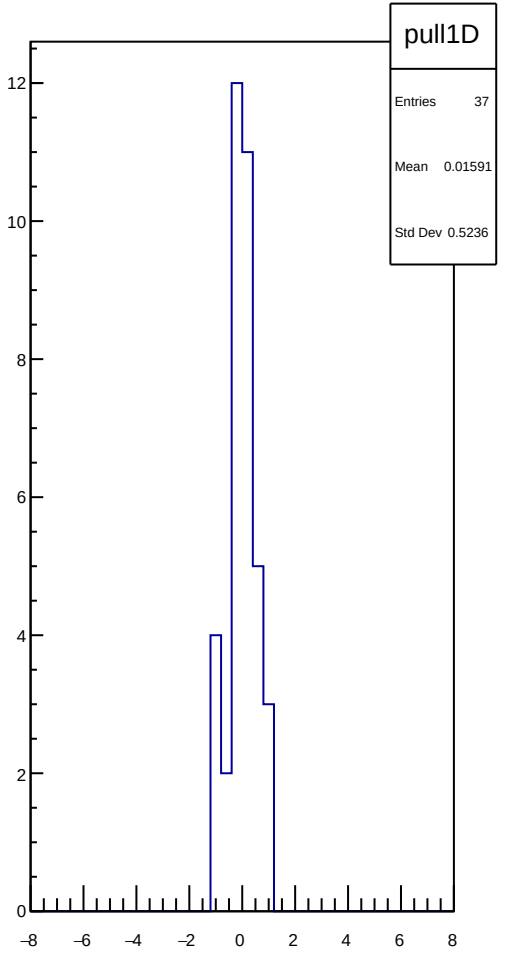
pull1D
Entries 37
Mean 0.01591
Std Dev 0.5236
12
10
8
6
4
2
0
−8
−6
−4
−2
0
2
4
6
8

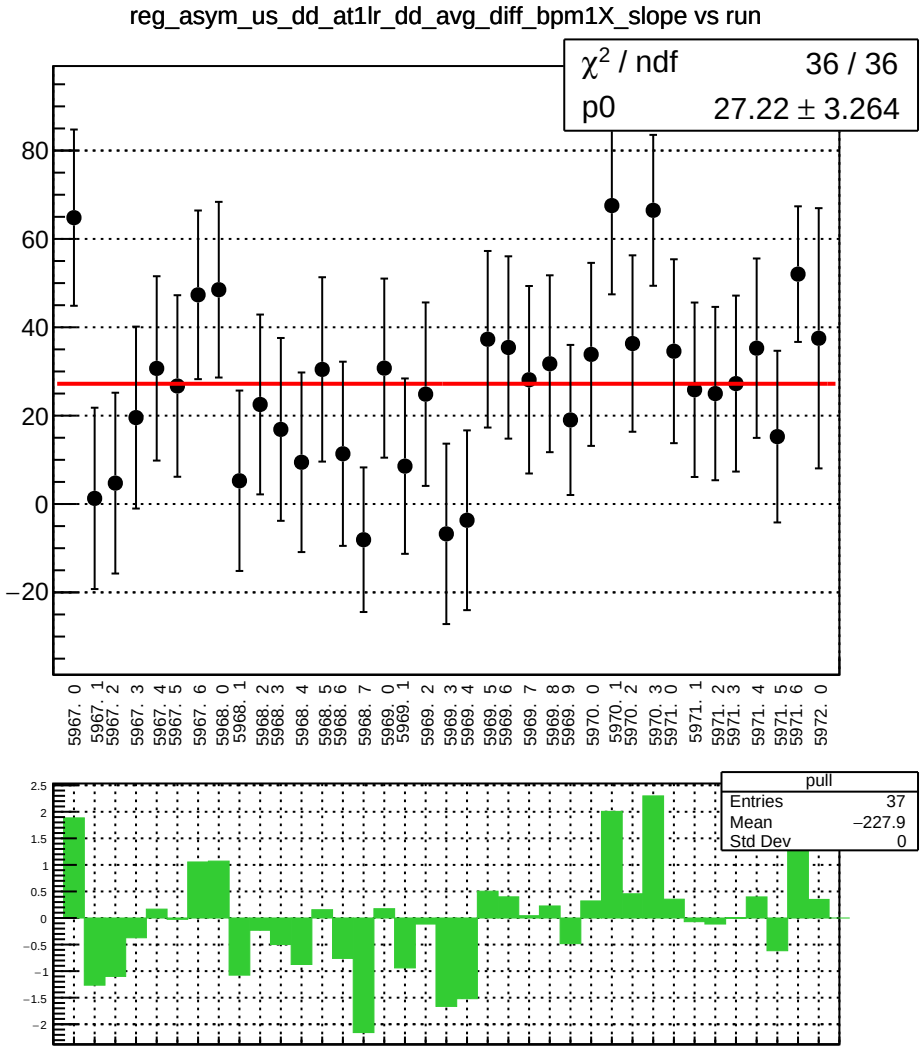
reg_asym_us_dd_at1lr_dd_avg_diff_bpm1X_slope vs run
χ² / ndf 36 / 36
p0 27.22 ± 3.264
pull
Entries 37
Mean −227.9
Std Dev 0
pull1D
Entries 37
Mean −0.01055
Std Dev 0.9864

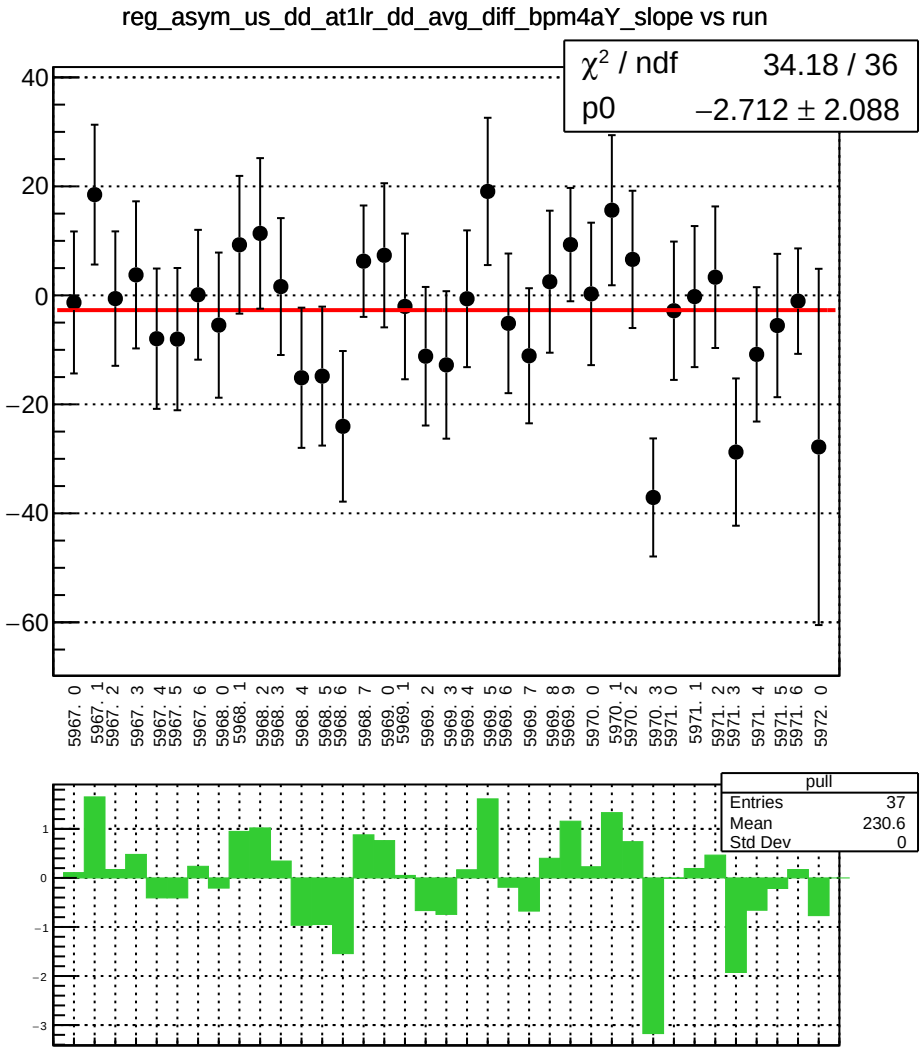
reg_asym_us_dd_at1lr_dd_avg_diff_bpm4aY_slope vs run
χ² / ndf 34.18 / 36
p0 −2.712 ± 2.088
pull
Entries 37
Mean 230.6
Std Dev 0
pull1D
Entries 37
Mean −0.01055
Std Dev 0.961

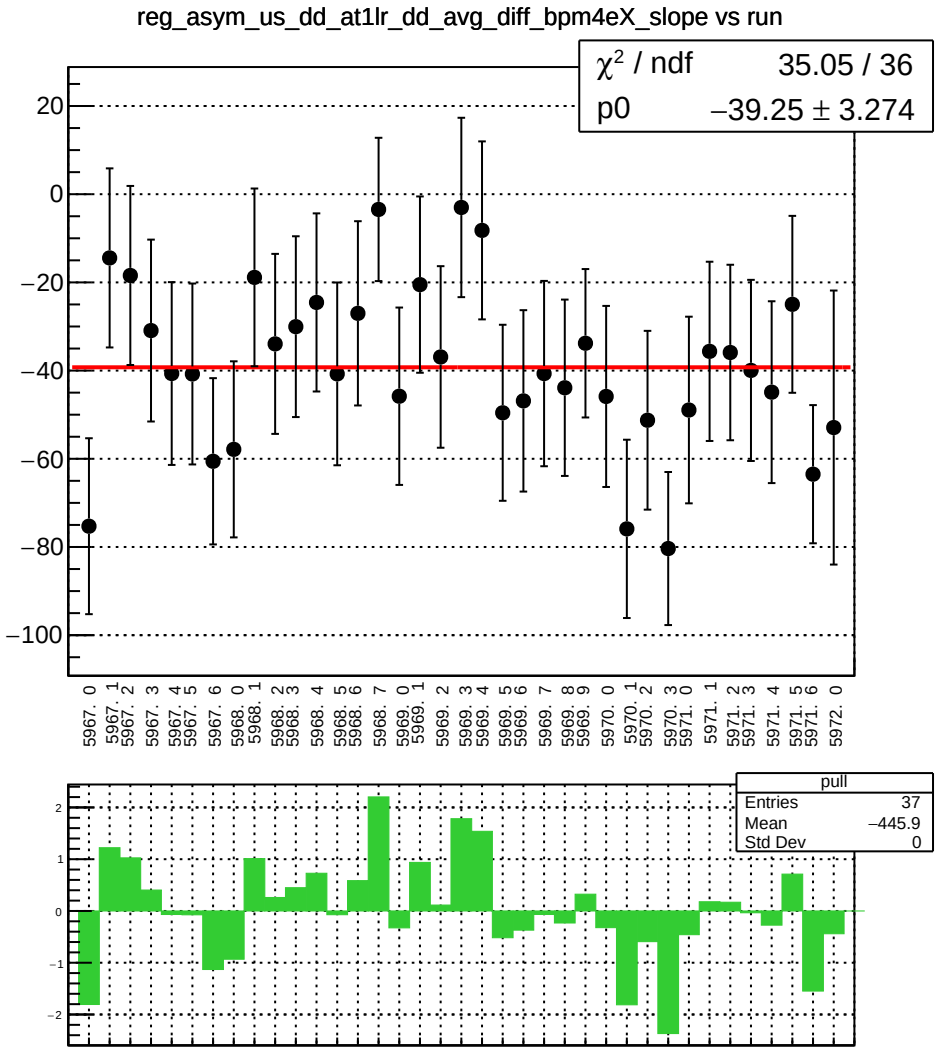
reg_asym_us_dd_at1lr_dd_avg_diff_bpm4eX_slope vs run
χ² / ndf 35.05 / 36
p0 −39.25 ± 3.274
pull
Entries 37
Mean −445.9
Std Dev 0
pull1D
Entries 37
Mean 0.00538
Std Dev 0.9733

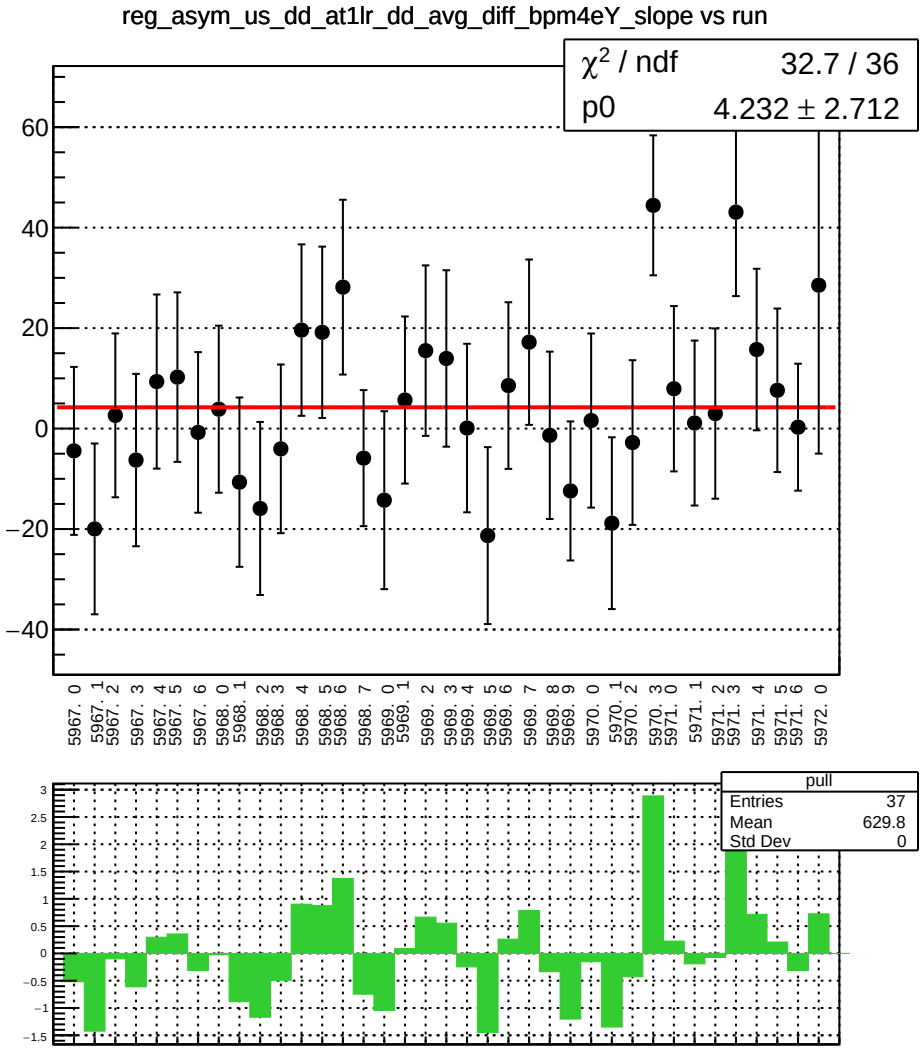
reg_asym_us_dd_at1lr_dd_avg_diff_bpm4eY_slope vs run
χ² / ndf 32.7 / 36
p0 4.232 ± 2.712
pull
Entries 37
Mean 629.8
Std Dev 0
pull1D
Entries 37
Mean 0.004788
Std Dev 0.94

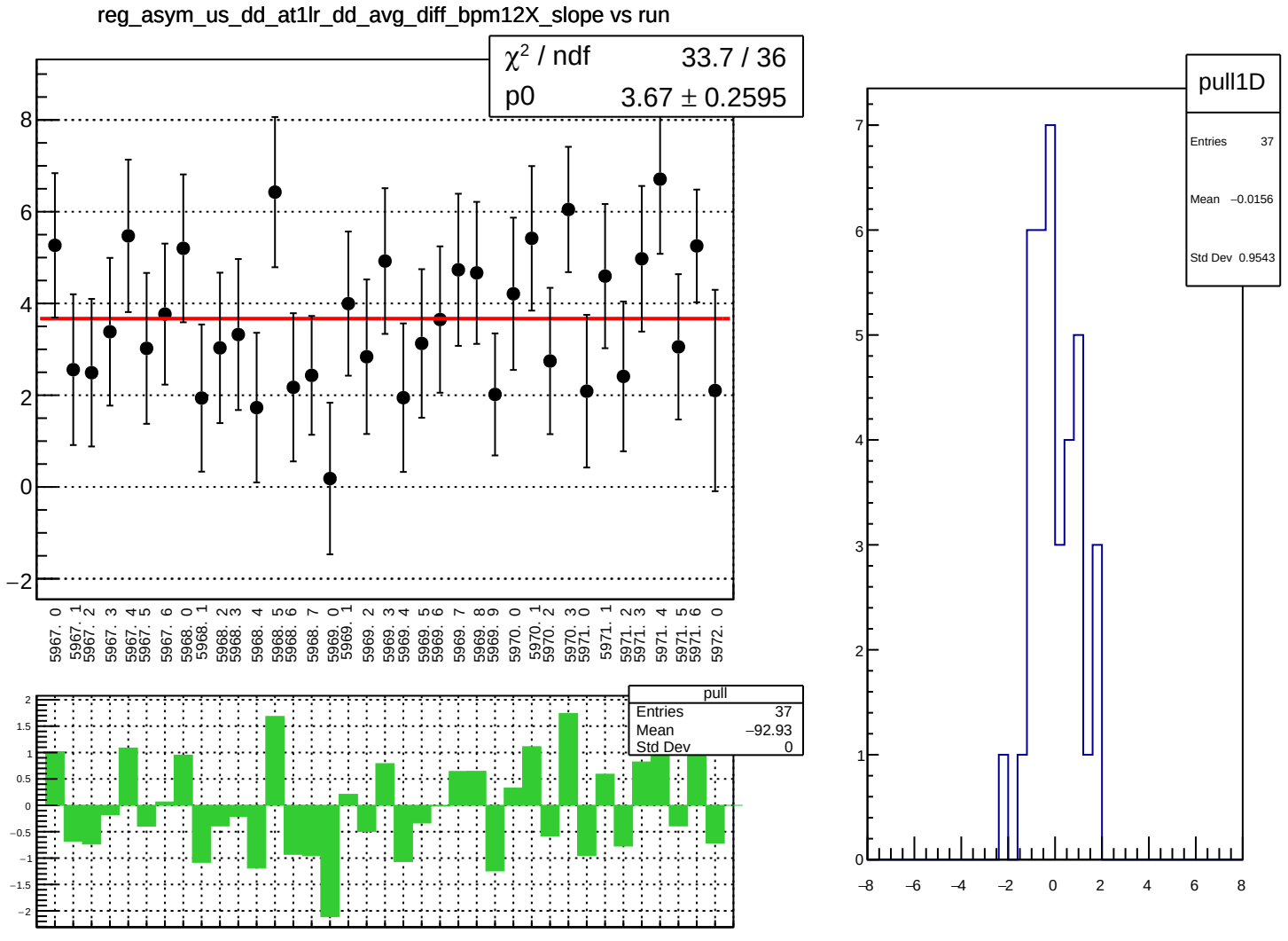
reg_asym_us_dd_at1lr_dd_avg_diff_bpm12X_slope vs run
χ² / ndf 33.7 / 36
p0 3.67 ± 0.2595
pull
Entries 37
Mean −92.93
Std Dev 0
pull1D
Entries 37
Mean −0.0156
Std Dev 0.9543

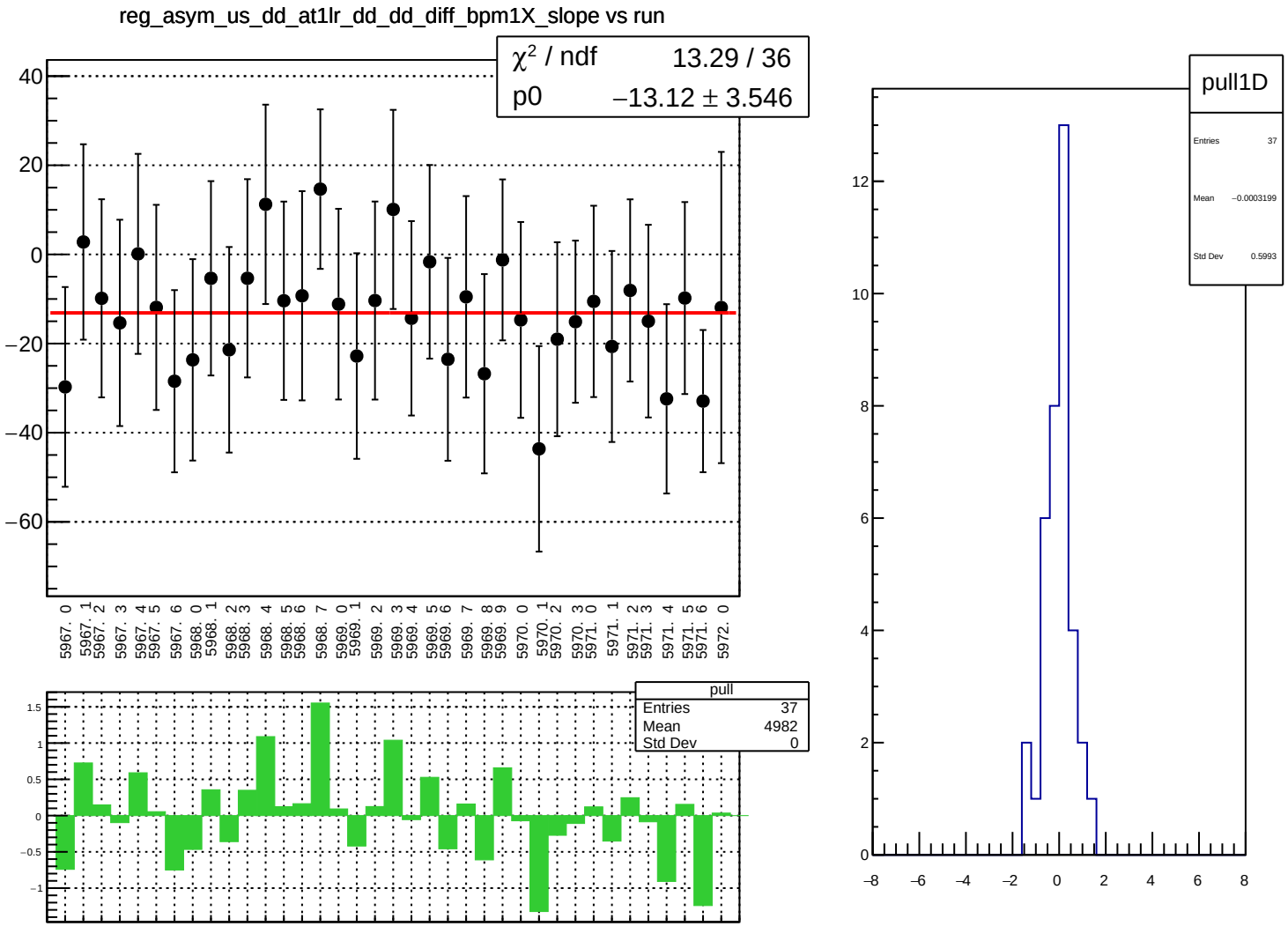
reg_asym_us_dd_at1lr_dd_dd_diff_bpm1X_slope vs run
χ² / ndf 13.29 / 36
p0 −13.12 ± 3.546
40
20
0
−20
−40
−60
5967. 0
5967. 1
5967. 2
5967. 3
5967. 4
5967. 5
5967. 6
5968. 0
5968. 1
5968. 2
5968. 3
5968. 4
5968. 5
5968. 6
5968. 7
5969. 0
5969. 1
5969. 2
5969. 3
5969. 4
5969. 5
5969. 6
5969. 7
5969. 8
5969. 9
5970. 0
5970. 1
5970. 2
5970. 3
5971. 0
5971. 1
5971. 2
5971. 3
5971. 4
5971. 5
5971. 6
5972. 0
pull
Entries 37
Mean 4982
Std Dev 0
1.5
1
0.5
0
−0.5
−1
pull1D
Entries 37
Mean −0.0003199
Std Dev 0.5993
12
10
8
6
4
2
0
−8
−6
−4
−2
0
2
4
6
8

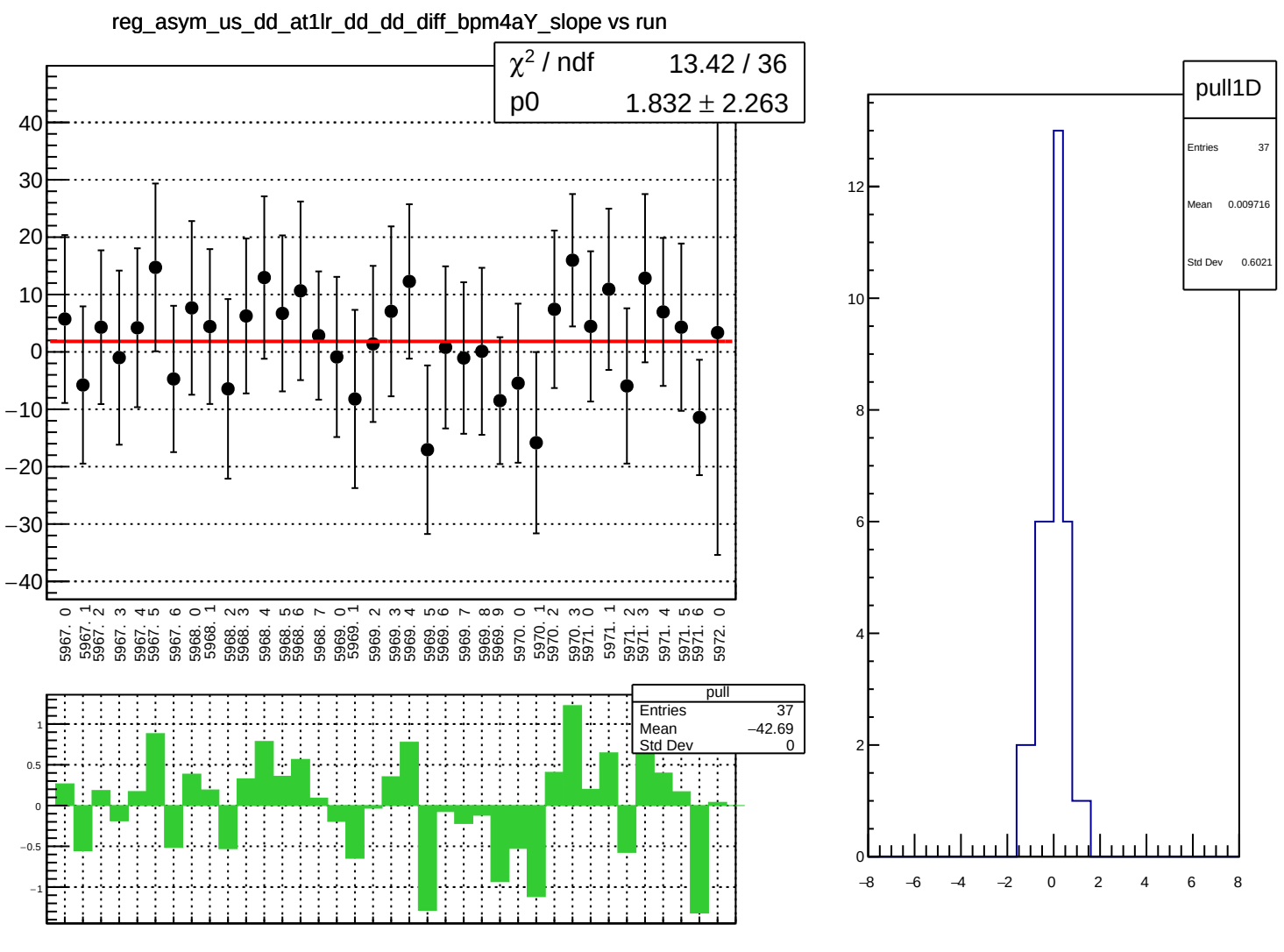
reg_asym_us_dd_at1lr_dd_dd_diff_bpm4aY_slope vs run
χ² / ndf 13.42 / 36
p0 1.832 ± 2.263
pull
Entries 37
Mean −42.69
Std Dev 0
pull1D
Entries 37
Mean 0.009716
Std Dev 0.6021

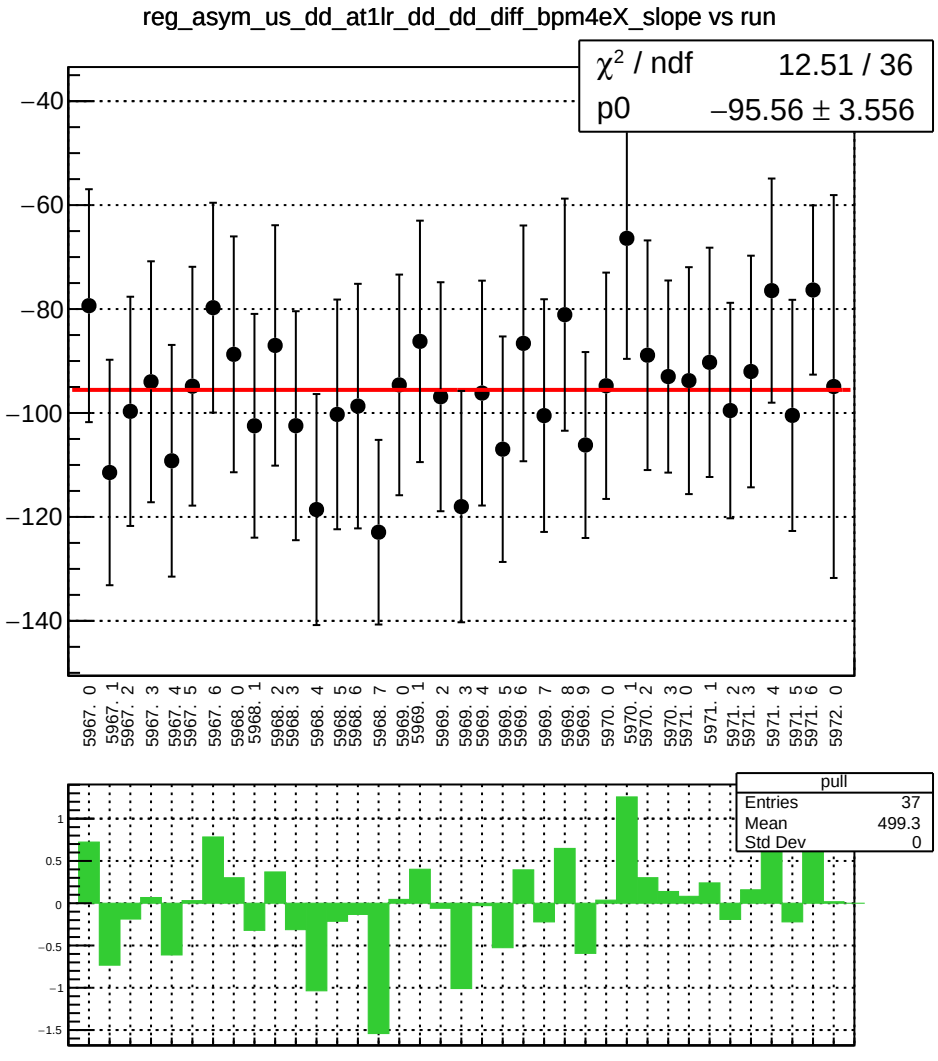
reg_asym_us_dd_at1lr_dd_dd_diff_bpm4eX_slope vs run
χ² / ndf 12.51 / 36
p0 −95.56 ± 3.556
−40
−60
−80
−100
−120
−140
5967. 0
5967. 1
5967. 2
5967. 3
5967. 4
5967. 5
5967. 6
5968. 0
5968. 1
5968. 2
5968. 3
5968. 4
5968. 5
5968. 6
5968. 7
5969. 0
5969. 1
5969. 2
5969. 3
5969. 4
5969. 5
5969. 6
5969. 7
5969. 8
5969. 9
5970. 0
5970. 1
5970. 2
5970. 3
5971. 0
5971. 1
5971. 2
5971. 3
5971. 4
5971. 5
5971. 6
5972. 0
pull
Entries 37
Mean 499.3
Std Dev 0
1
0.5
0
−0.5
−1
−1.5

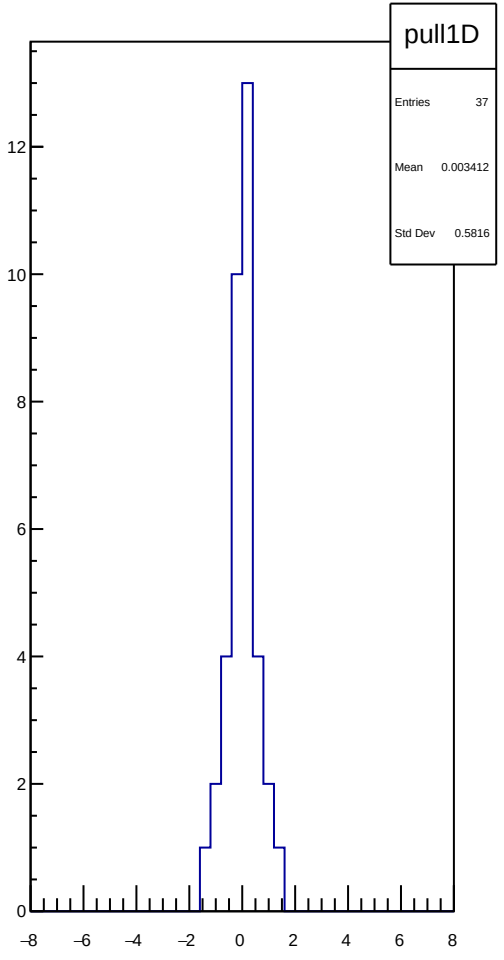
pull1D
Entries 37
Mean 0.003412
Std Dev 0.5816
12
10
8
6
4
2
0
−8
−6
−4
−2
0
2
4
6
8

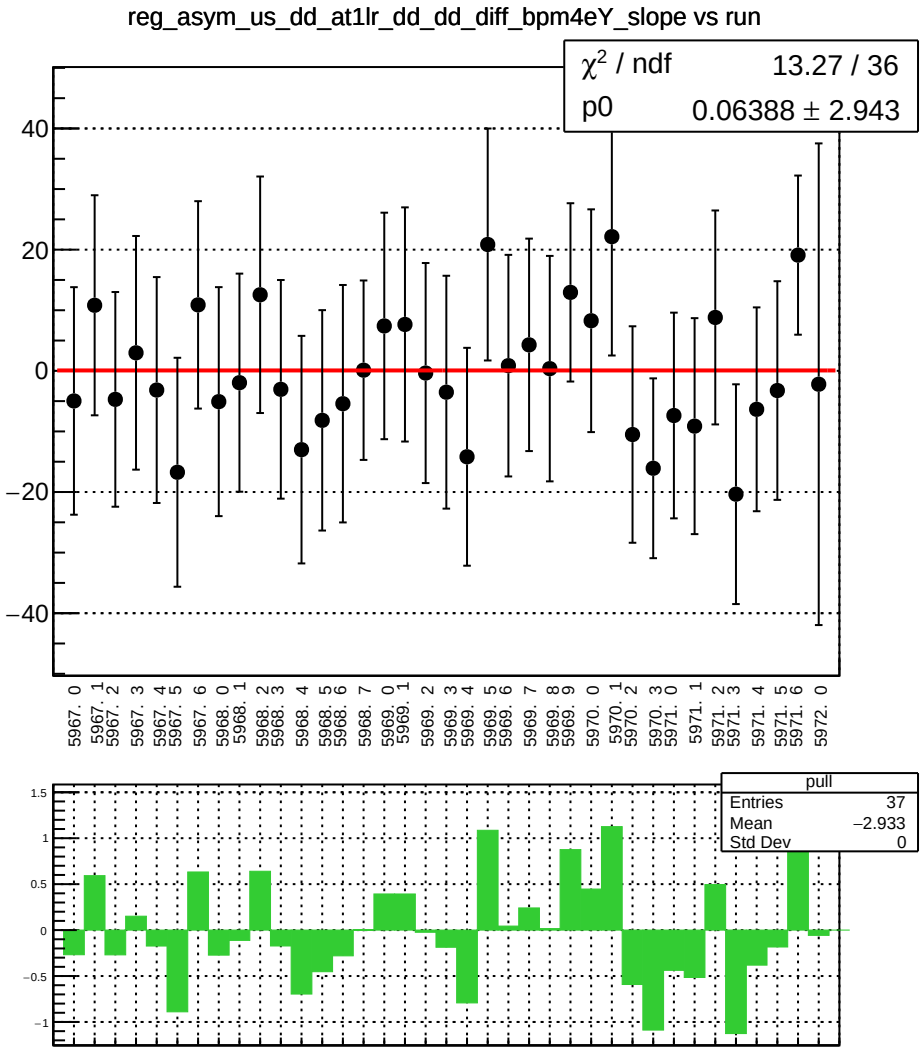
reg_asym_us_dd_at1lr_dd_dd_diff_bpm4eY_slope vs run
χ² / ndf 13.27 / 36
p0 0.06388 ± 2.943
40
20
0
−20
−40
5967. 0
5967. 1
5967. 2
5967. 3
5967. 4
5967. 5
5967. 6
5968. 0
5968. 1
5968. 2
5968. 3
5968. 4
5968. 5
5968. 6
5968. 7
5969. 0
5969. 1
5969. 2
5969. 3
5969. 4
5969. 5
5969. 6
5969. 7
5969. 8
5969. 9
5970. 0
5970. 1
5970. 2
5970. 3
5971. 0
5971. 1
5971. 2
5971. 3
5971. 4
5971. 5
5971. 6
5972. 0
pull
Entries 37
Mean −2.933
Std Dev 0
1.5
1
0.5
0
−0.5
−1
pull1D
Entries 37
Mean −0.0105
Std Dev 0.5987
12
10
8
6
4
2
0
−8
−6
−4
−2
0
2
4
6
8

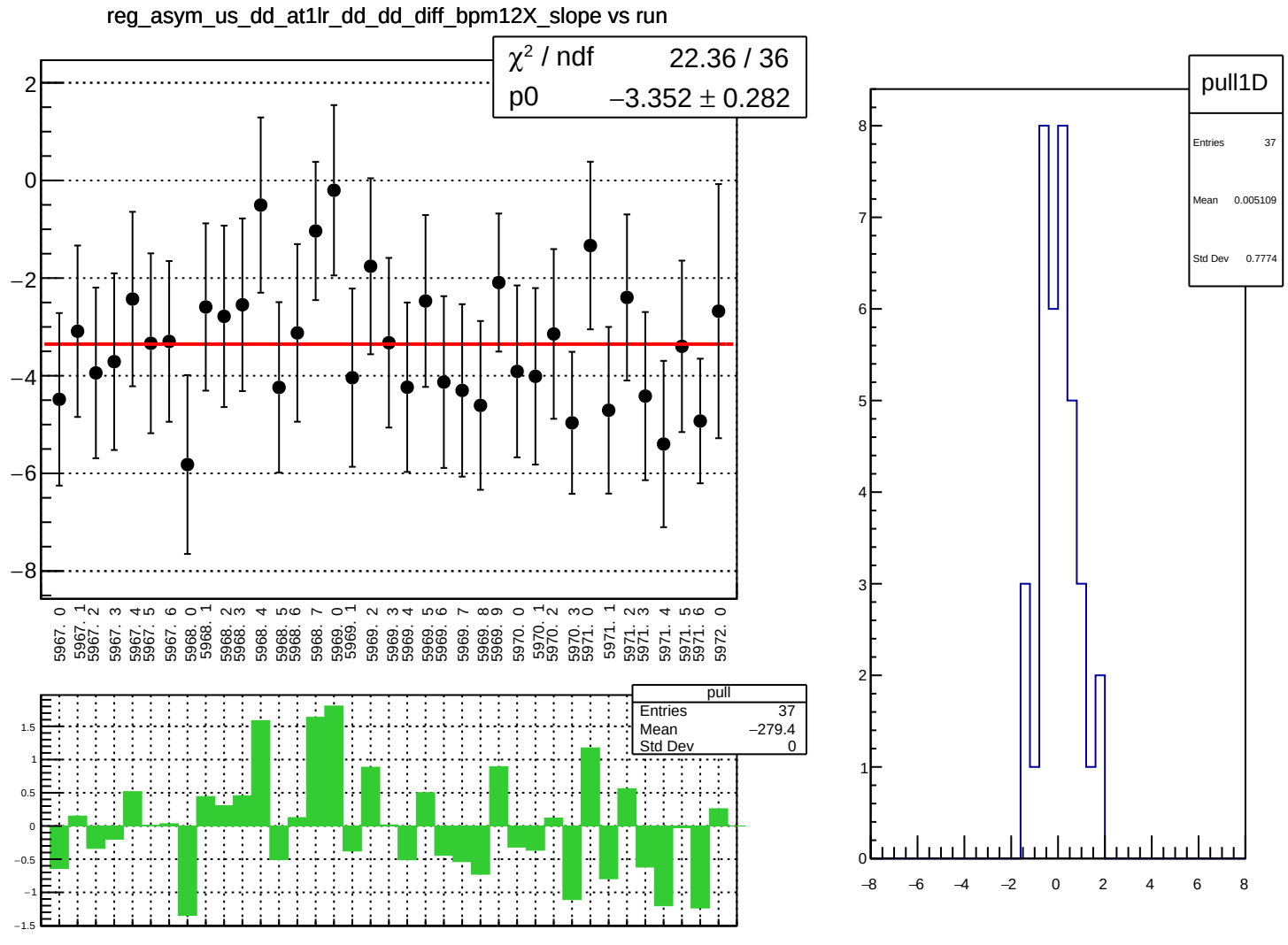
reg_asym_us_dd_at1lr_dd_dd_diff_bpm12X_slope vs run
χ² / ndf 22.36 / 36
p0 −3.352 ± 0.282
pull
Entries 37
Mean −279.4
Std Dev 0
pull1D
Entries 37
Mean 0.005109
Std Dev 0.7774

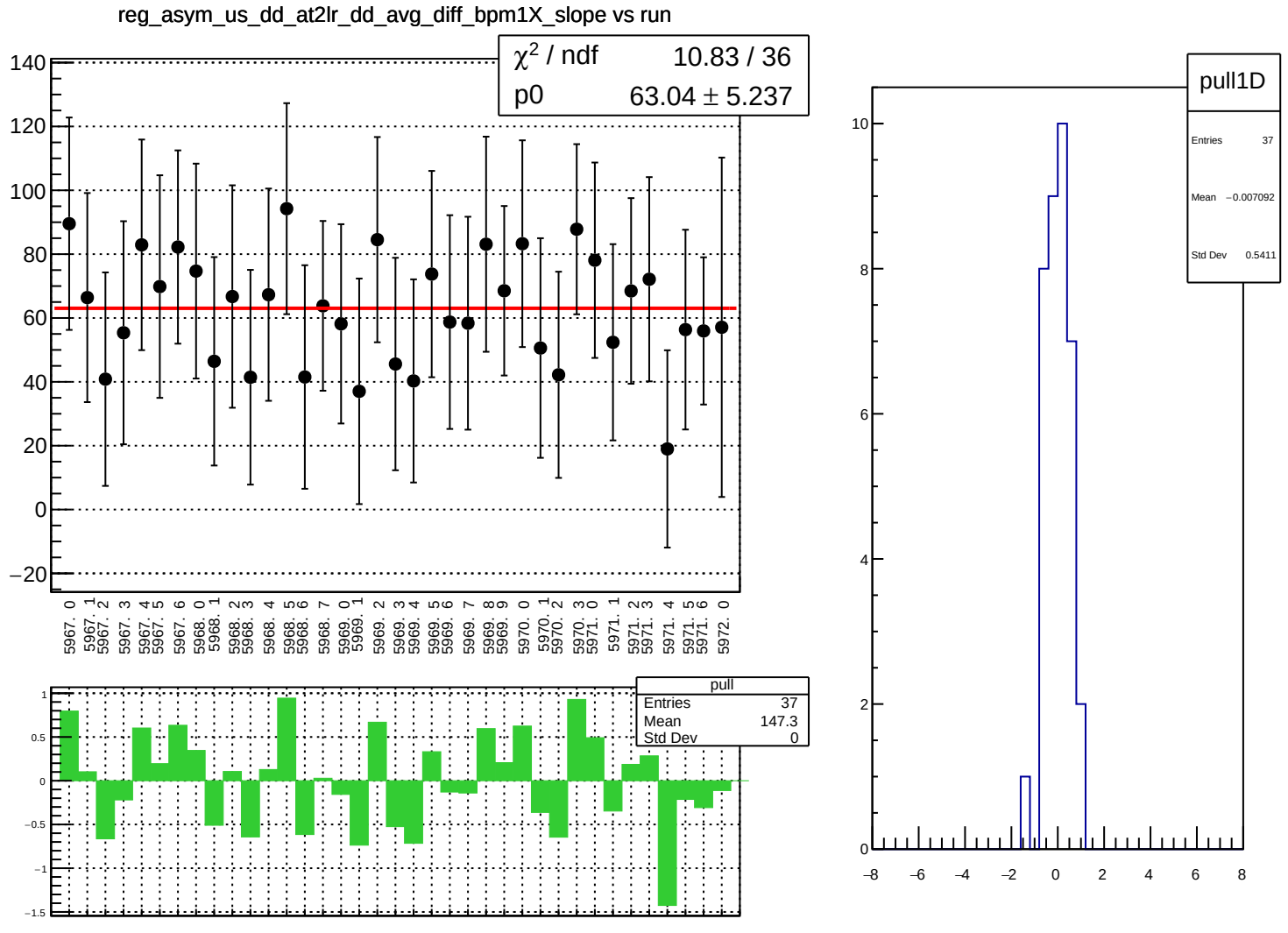
reg_asym_us_dd_at2lr_dd_avg_diff_bpm1X_slope vs run
χ² / ndf 10.83 / 36
p0 63.04 ± 5.237
pull
Entries 37
Mean 147.3
Std Dev 0
pull1D
Entries 37
Mean −0.007092
Std Dev 0.5411

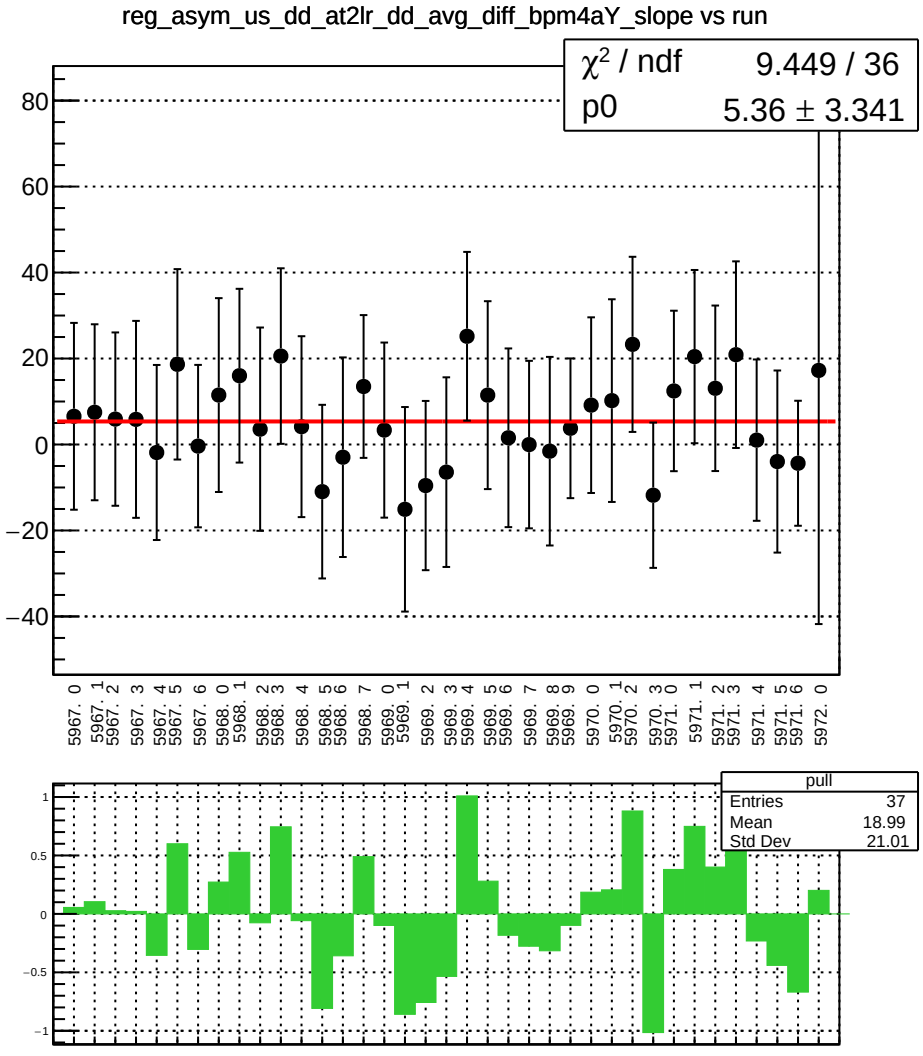
reg_asym_us_dd_at2lr_dd_avg_diff_bpm4aY_slope vs run
χ² / ndf 9.449 / 36
p0 5.36 ± 3.341
pull
Entries 37
Mean 18.99
Std Dev 21.01

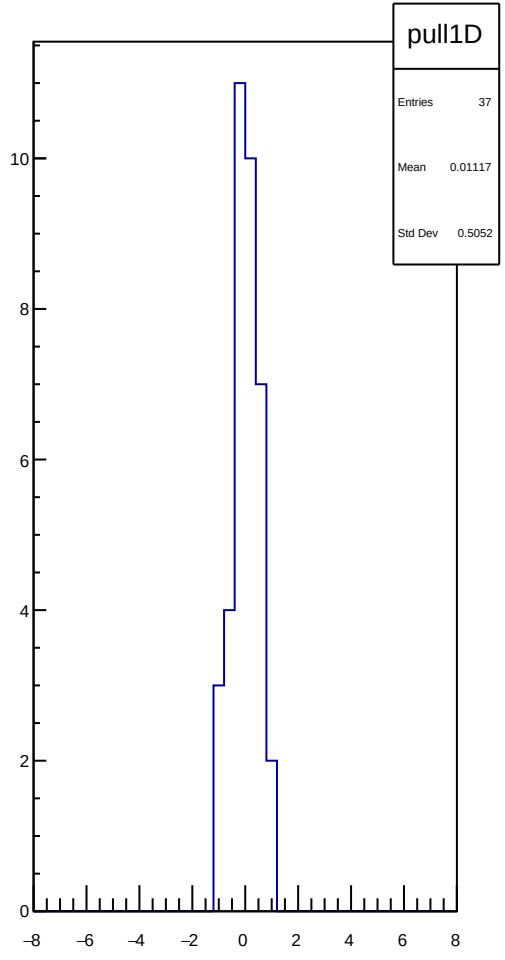
pull1D
Entries 37
Mean 0.01117
Std Dev 0.5052

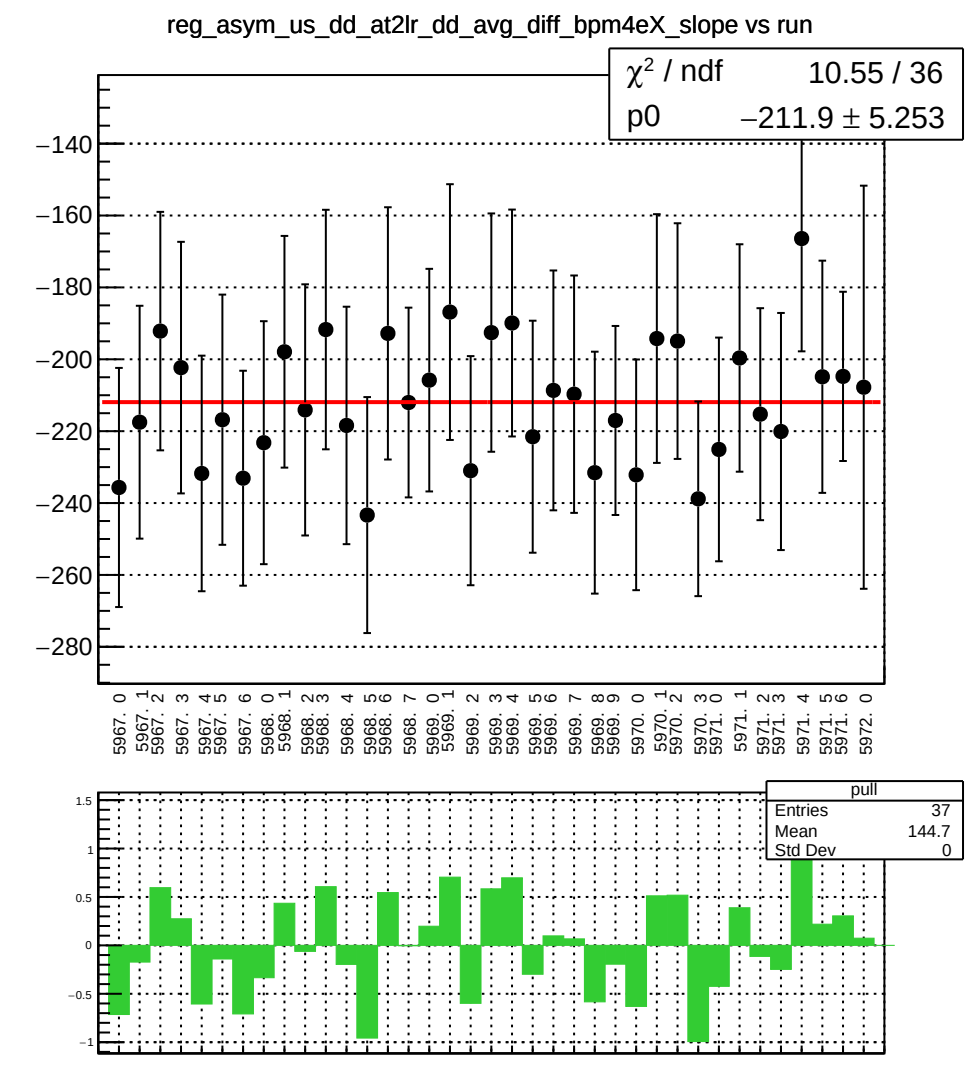
reg_asym_us_dd_at2lr_dd_avg_diff_bpm4eX_slope vs run
χ² / ndf 10.55 / 36
p0 −211.9 ± 5.253
−140
−160
−180
−200
−220
−240
−260
−280
5967. 0
5967. 1
5967. 2
5967. 3
5967. 4
5967. 5
5967. 6
5968. 0
5968. 1
5968. 2
5968. 3
5968. 4
5968. 5
5968. 6
5968. 7
5969. 0
5969. 1
5969. 2
5969. 3
5969. 4
5969. 5
5969. 6
5969. 7
5969. 8
5969. 9
5970. 0
5970. 1
5970. 2
5970. 3
5971. 0
5971. 1
5971. 2
5971. 3
5971. 4
5971. 5
5971. 6
5972. 0
pull
Entries 37
Mean 144.7
Std Dev 0
1.5
1
0.5
0
−0.5
−1
pull1D
Entries 37
Mean 0.007877
Std Dev 0.5339
10
8
6
4
2
0
−8
−6
−4
−2
0
2
4
6
8

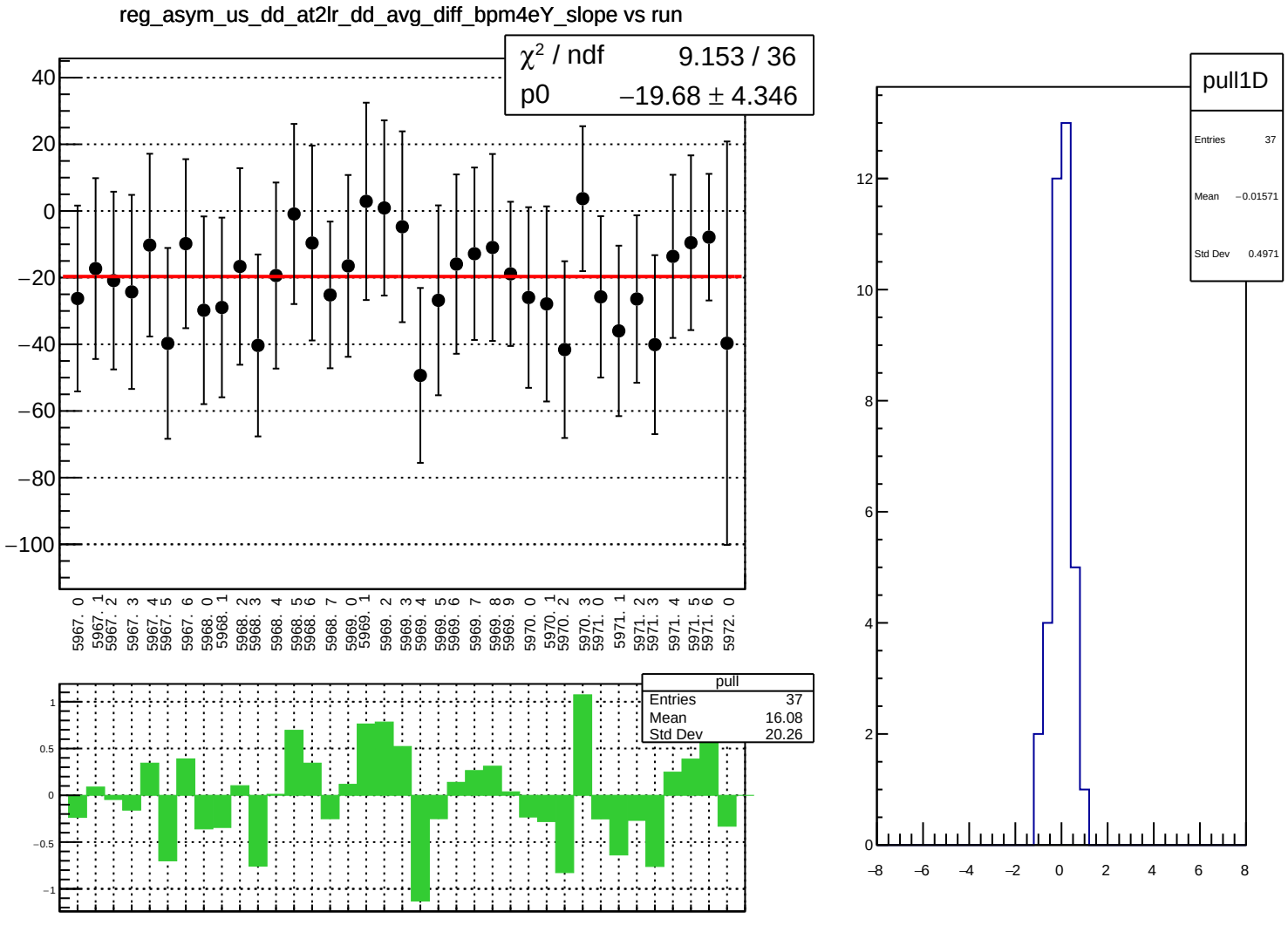
reg_asym_us_dd_at2lr_dd_avg_diff_bpm4eY_slope vs run
χ² / ndf 9.153 / 36
p0 −19.68 ± 4.346
pull
Entries 37
Mean 16.08
Std Dev 20.26
pull1D
Entries 37
Mean −0.01571
Std Dev 0.4971

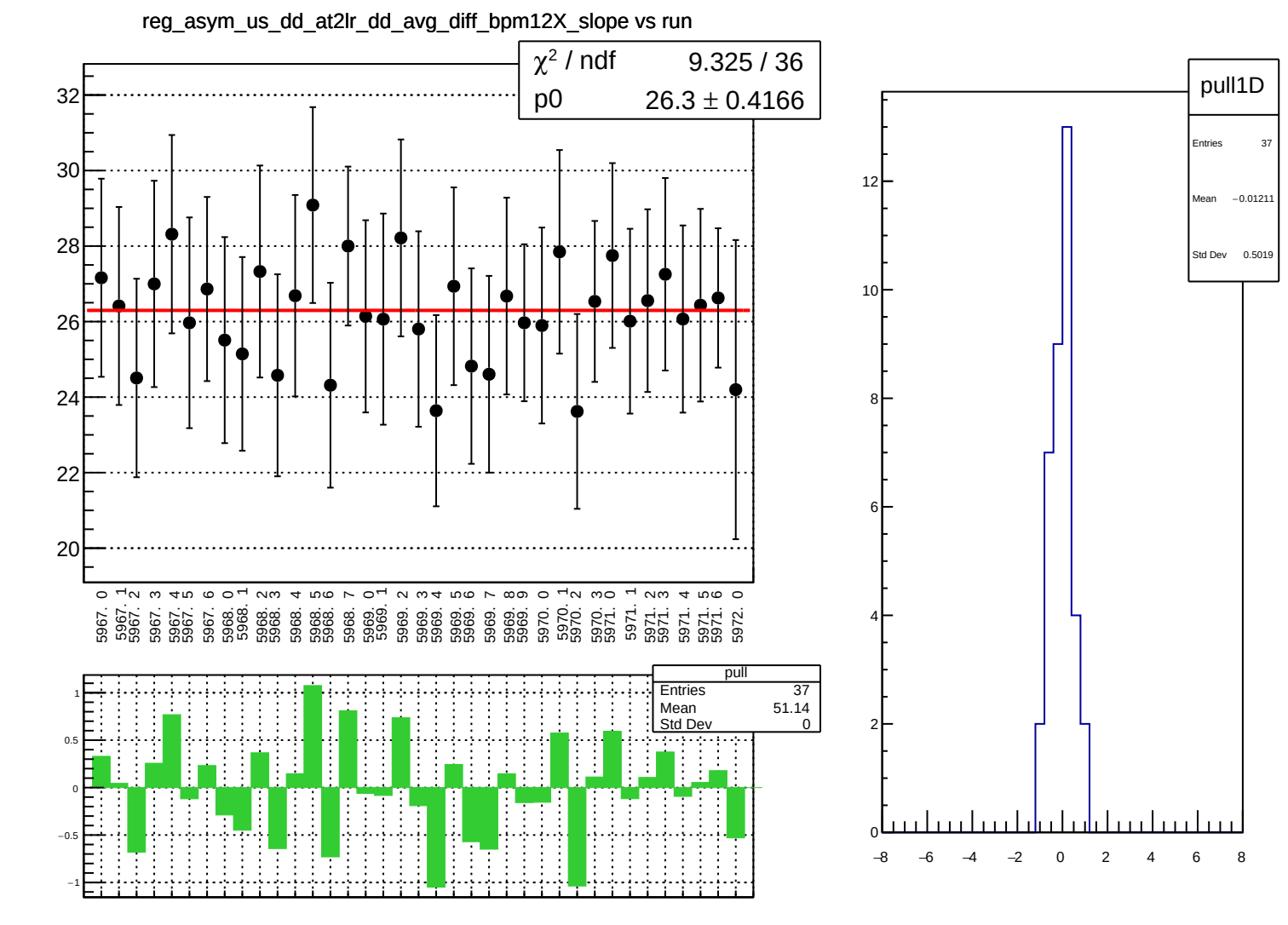
reg_asym_us_dd_at2lr_dd_avg_diff_bpm12X_slope vs run
χ² / ndf 9.325 / 36
p0 26.3 ± 0.4166
pull
Entries 37
Mean 51.14
Std Dev 0
pull1D
Entries 37
Mean −0.01211
Std Dev 0.5019

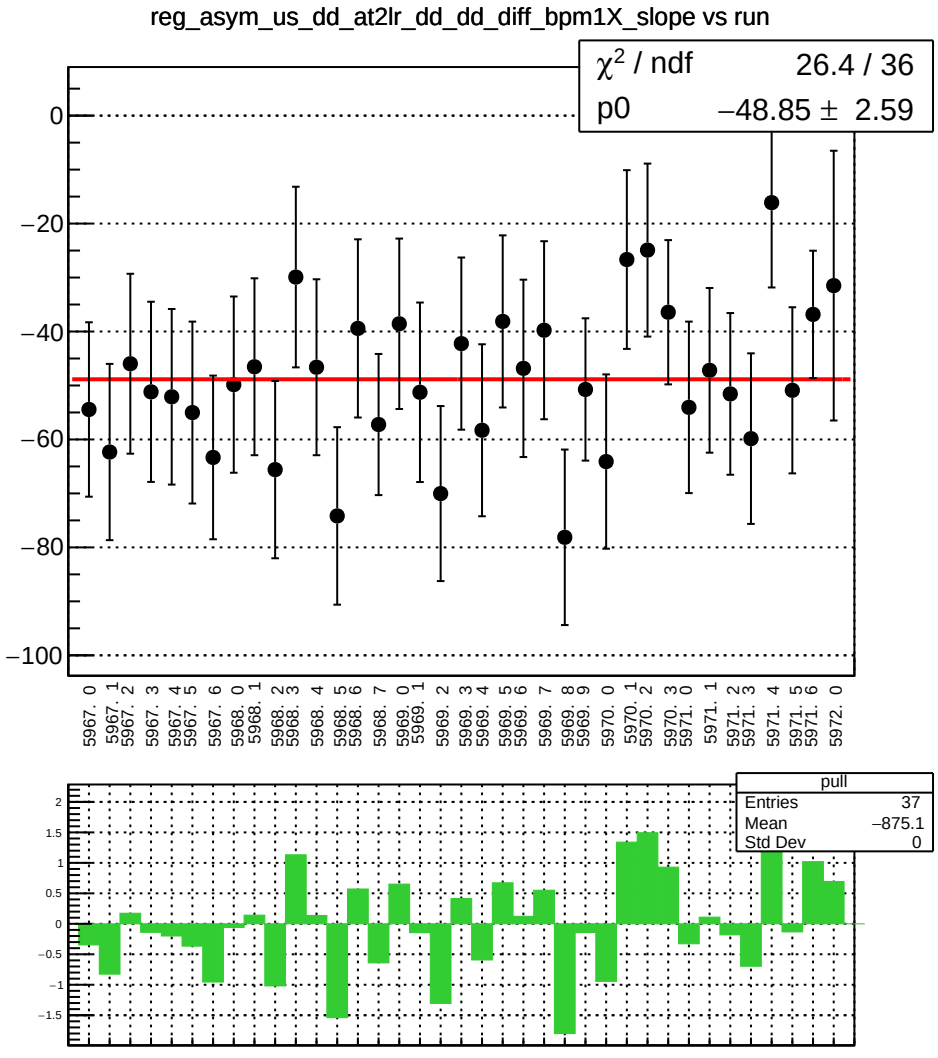
reg_asym_us_dd_at2lr_dd_dd_diff_bpm1X_slope vs run
χ² / ndf 26.4 / 36
p0 −48.85 ± 2.59
0
−20
−40
−60
−80
−100
5967. 0
5967. 1
5967. 2
5967. 3
5967. 4
5967. 5
5967. 6
5968. 0
5968. 1
5968. 2
5968. 3
5968. 4
5968. 5
5968. 6
5968. 7
5969. 0
5969. 1
5969. 2
5969. 3
5969. 4
5969. 5
5969. 6
5969. 7
5969. 8
5969. 9
5970. 0
5970. 1
5970. 2
5970. 3
5971. 0
5971. 1
5971. 2
5971. 3
5971. 4
5971. 5
5971. 6
5972. 0
pull
Entries 37
Mean −875.1
Std Dev 0
2
1.5
1
0.5
0
−0.5
−1
−1.5

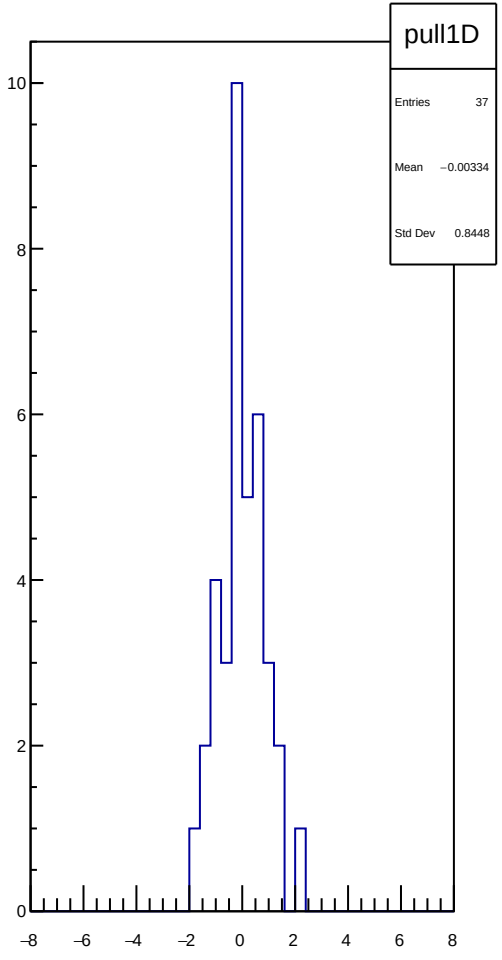
pull1D
Entries 37
Mean −0.00334
Std Dev 0.8448
10
8
6
4
2
0
−8
−6
−4
−2
0
2
4
6
8

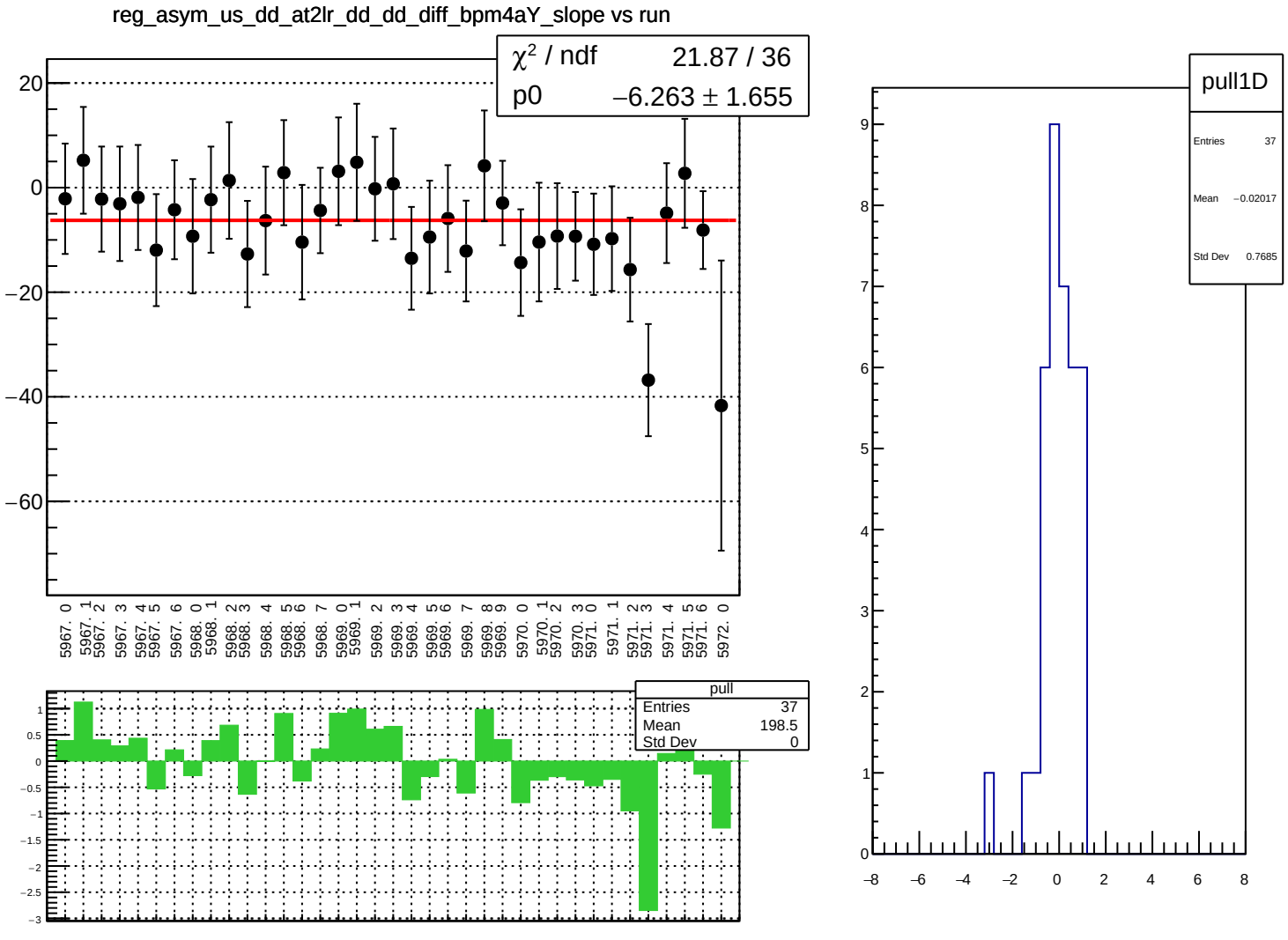
reg_asym_us_dd_at2lr_dd_dd_diff_bpm4aY_slope vs run
χ² / ndf 21.87 / 36
p0 −6.263 ± 1.655
pull
Entries 37
Mean 198.5
Std Dev 0
pull1D
Entries 37
Mean −0.02017
Std Dev 0.7685

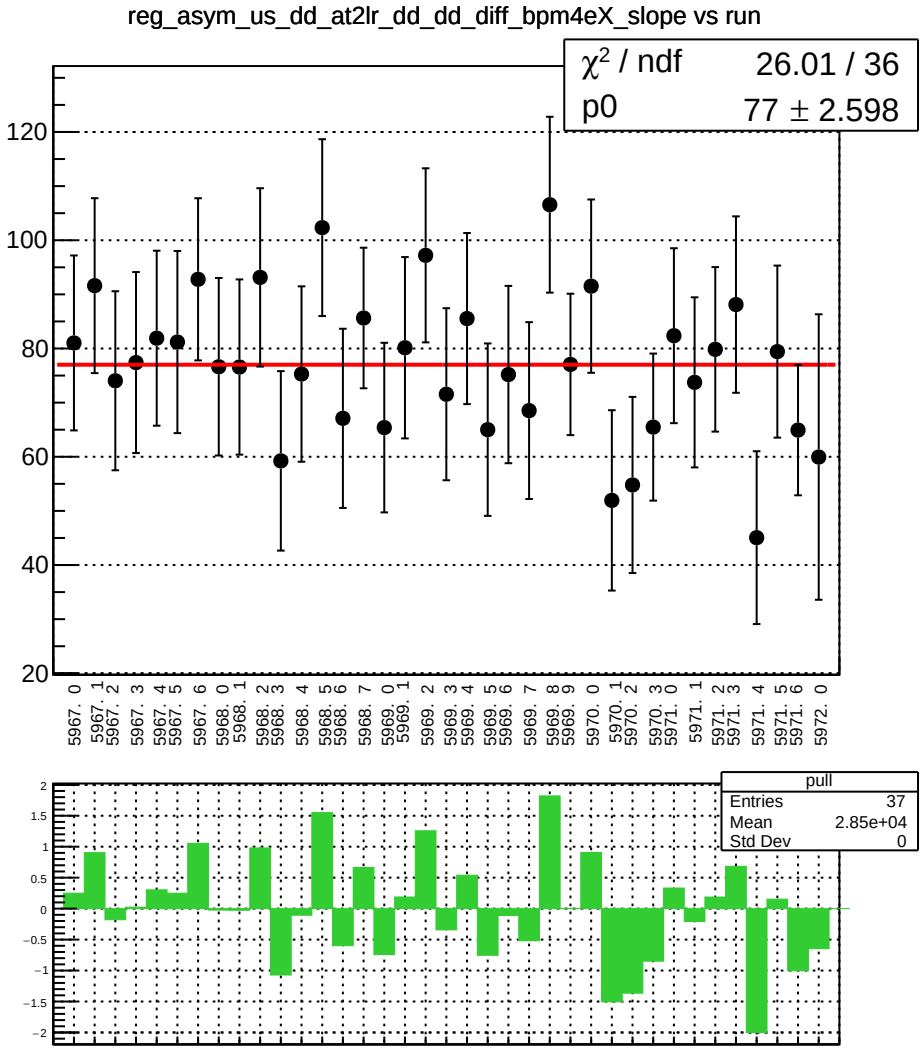
reg_asym_us_dd_at2lr_dd_dd_diff_bpm4eX_slope vs run
χ² / ndf 26.01 / 36
p0 77 ± 2.598
pull
Entries 37
Mean 2.85e+04
Std Dev 0

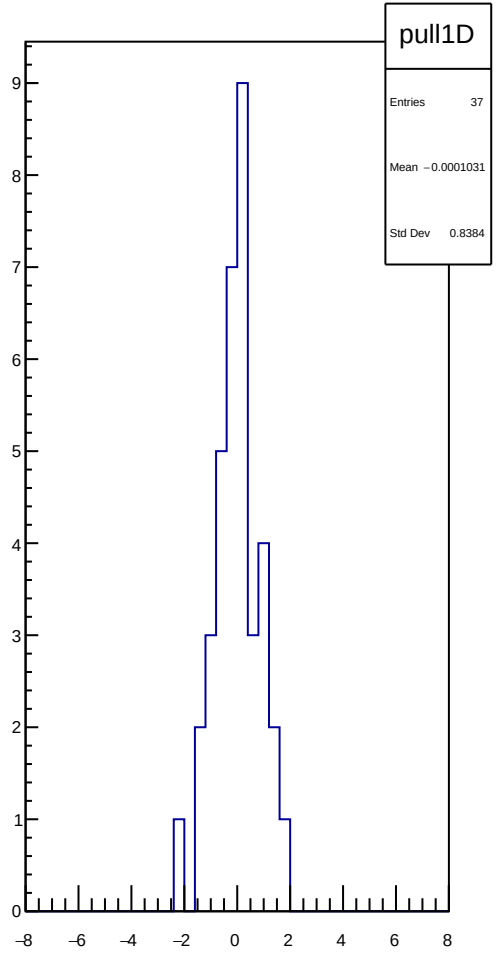
pull1D
Entries 37
Mean −0.0001031
Std Dev 0.8384

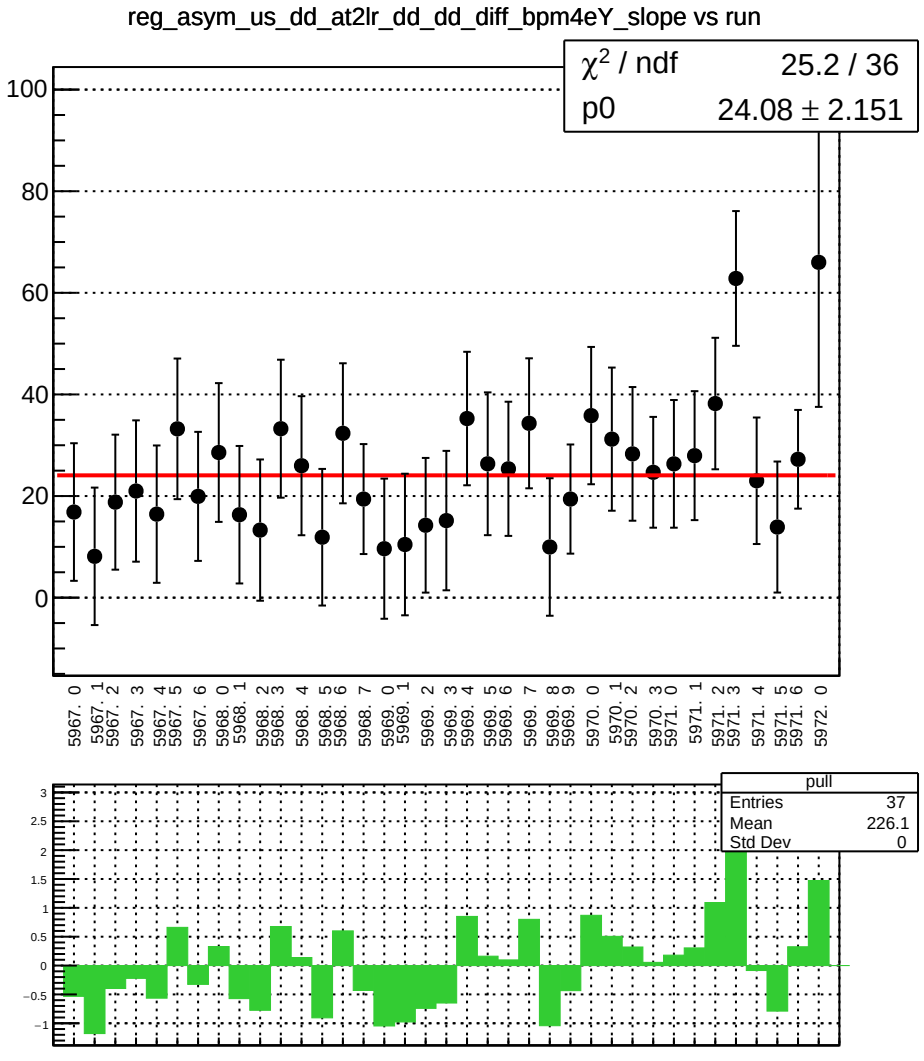
reg_asym_us_dd_at2lr_dd_dd_diff_bpm4eY_slope vs run
χ² / ndf 25.2 / 36
p0 24.08 ± 2.151
pull
Entries 37
Mean 226.1
Std Dev 0

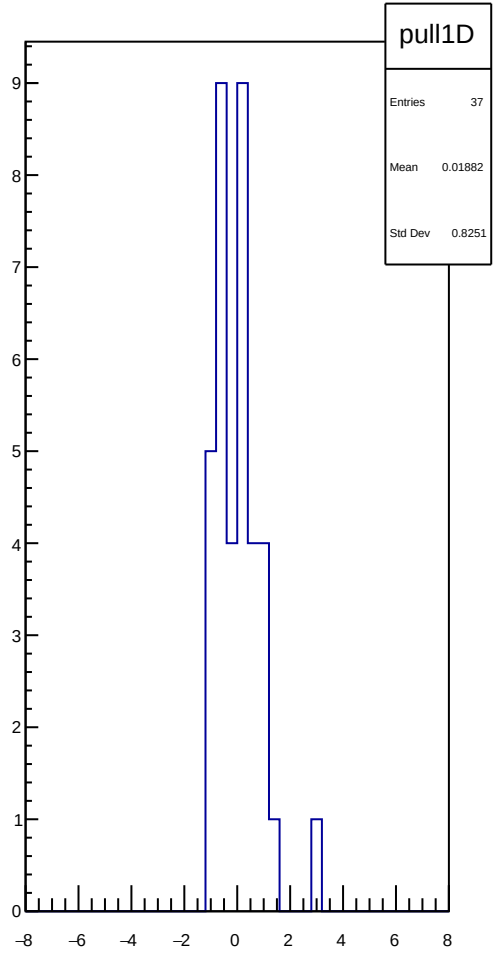
pull1D
Entries 37
Mean 0.01882
Std Dev 0.8251

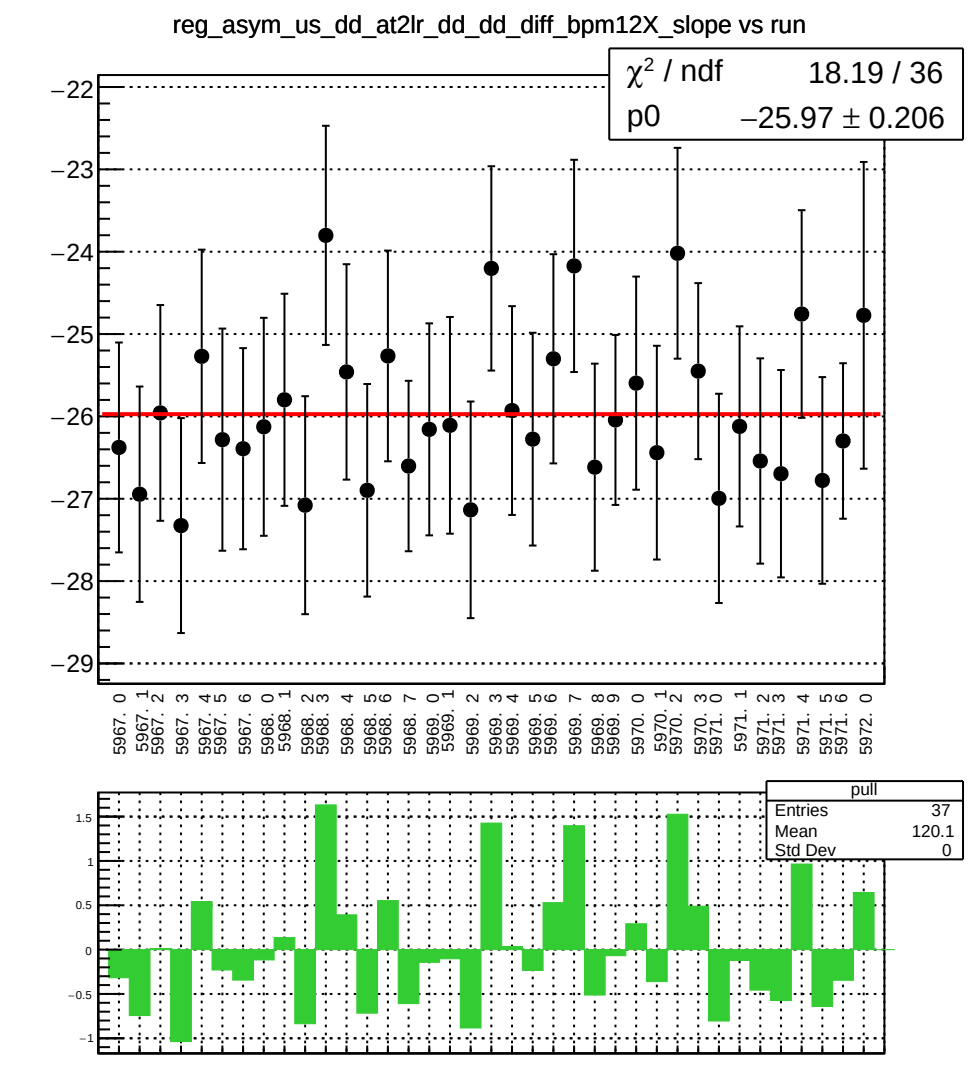
reg_asym_us_dd_at2lr_dd_dd_diff_bpm12X_slope vs run
χ² / ndf 18.19 / 36
p0 −25.97 ± 0.206
−22
−23
−24
−25
−26
−27
−28
−29
5967. 0
5967. 1
5967. 2
5967. 3
5967. 4
5967. 5
5967. 6
5968. 0
5968. 1
5968. 2
5968. 3
5968. 4
5968. 5
5968. 6
5968. 7
5969. 0
5969. 1
5969. 2
5969. 3
5969. 4
5969. 5
5969. 6
5969. 7
5969. 8
5969. 9
5970. 0
5970. 1
5970. 2
5970. 3
5971. 0
5971. 1
5971. 2
5971. 3
5971. 4
5971. 5
5971. 6
5972. 0
pull
Entries 37
Mean 120.1
Std Dev 0
1.5
1
0.5
0
−0.5
−1

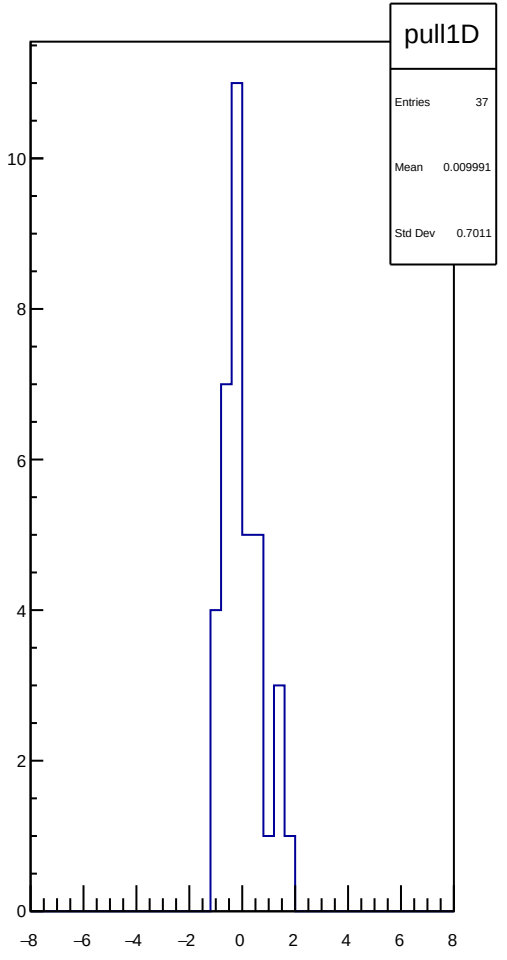
pull1D
Entries 37
Mean 0.009991
Std Dev 0.7011
10
8
6
4
2
0
−8
−6
−4
−2
0
2
4
6
8

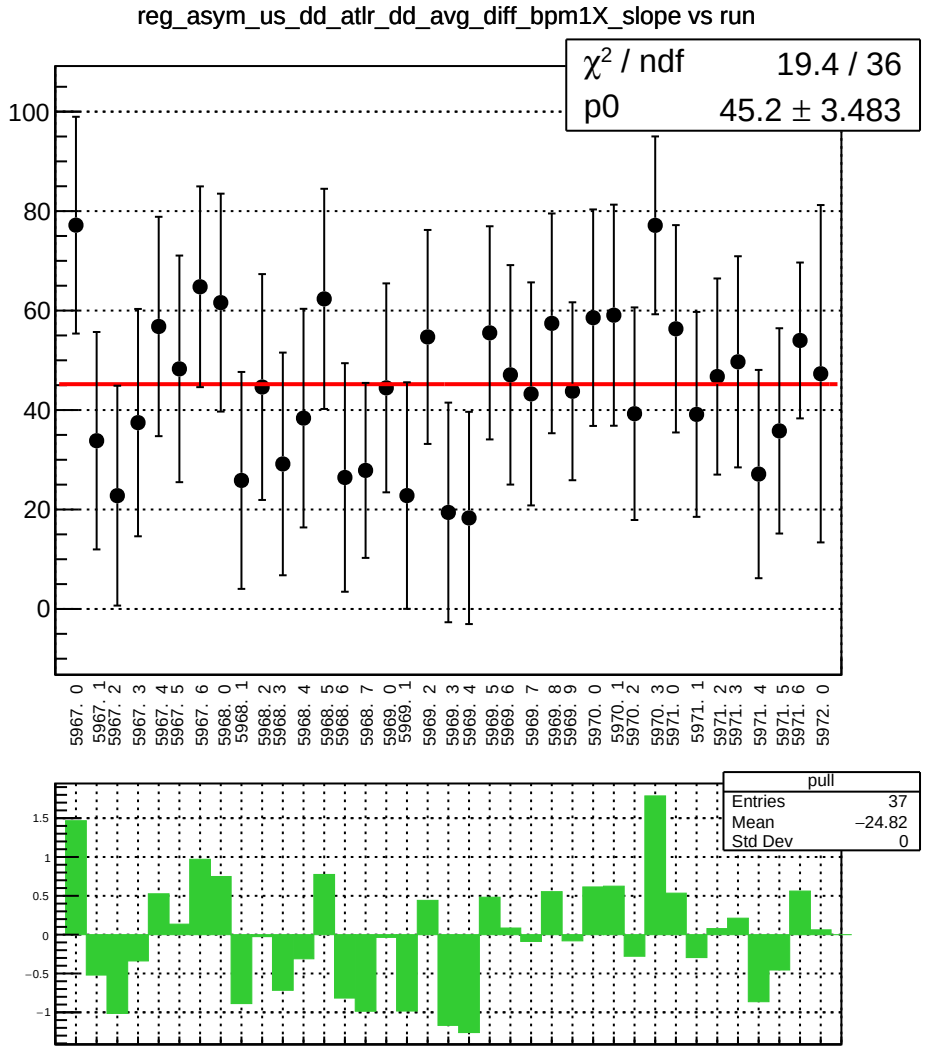
reg_asym_us_dd_atlr_dd_avg_diff_bpm1X_slope vs run
χ² / ndf 19.4 / 36
p0 45.2 ± 3.483
pull
Entries 37
Mean −24.82
Std Dev 0
pull1D
Entries 37
Mean −0.0125
Std Dev 0.724

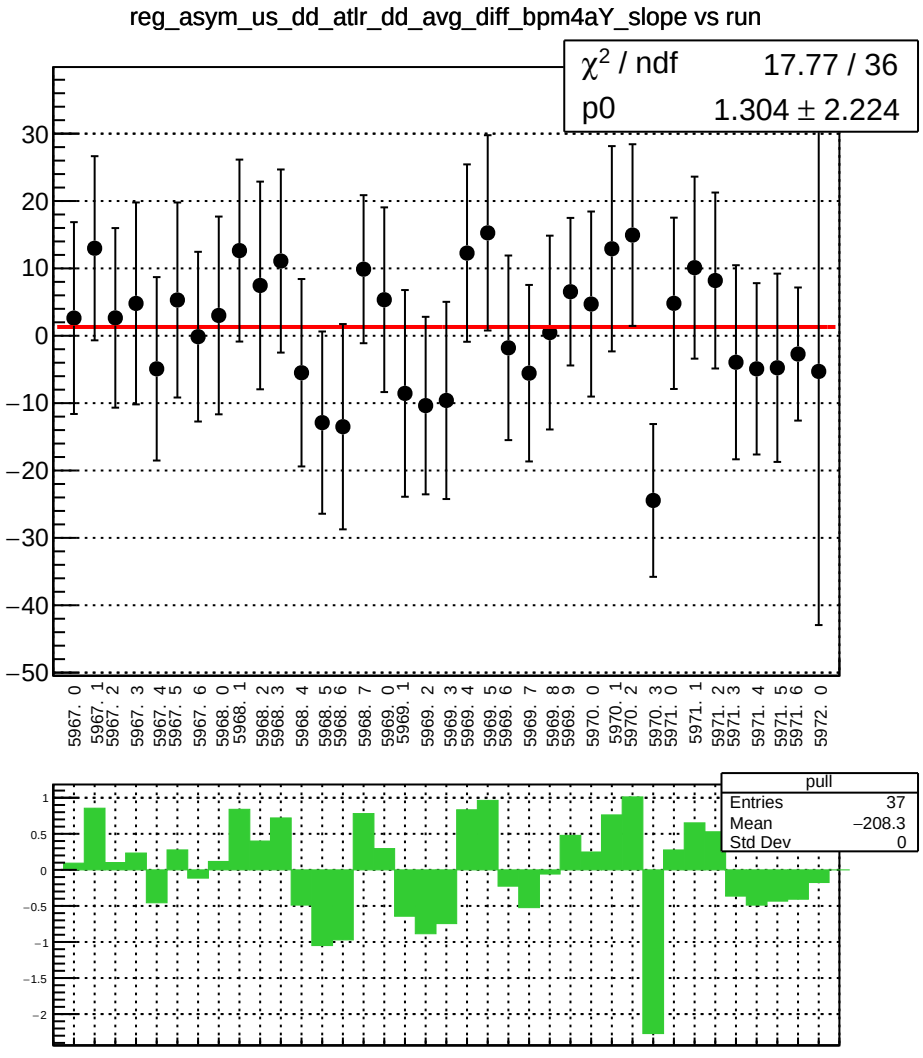
reg_asym_us_dd_atlr_dd_avg_diff_bpm4aY_slope vs run
χ² / ndf 17.77 / 36
p0 1.304 ± 2.224
pull
Entries 37
Mean −208.3
Std Dev 0

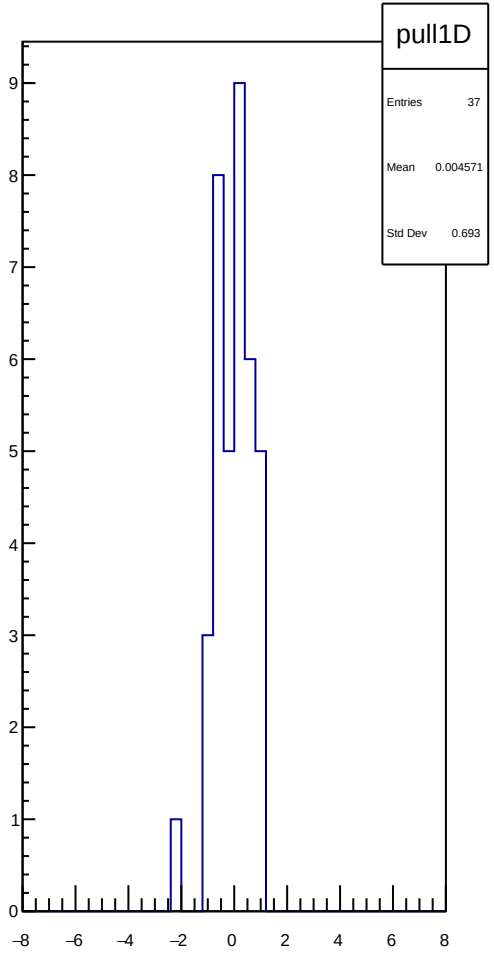
pull1D
Entries 37
Mean 0.004571
Std Dev 0.693

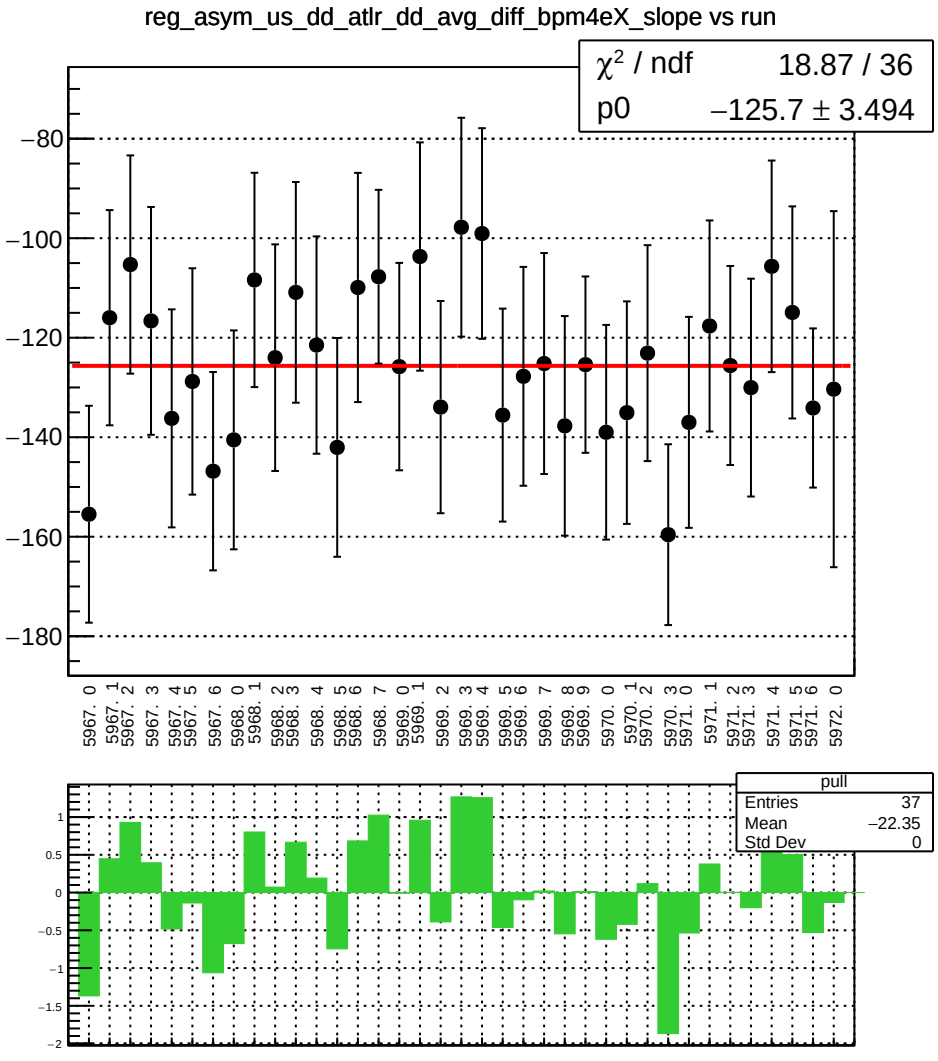
reg_asym_us_dd_atlr_dd_avg_diff_bpm4eX_slope vs run
χ² / ndf 18.87 / 36
p0 −125.7 ± 3.494
pull
Entries 37
Mean −22.35
Std Dev 0
pull1D
Entries 37
Mean 0.01062
Std Dev 0.7141

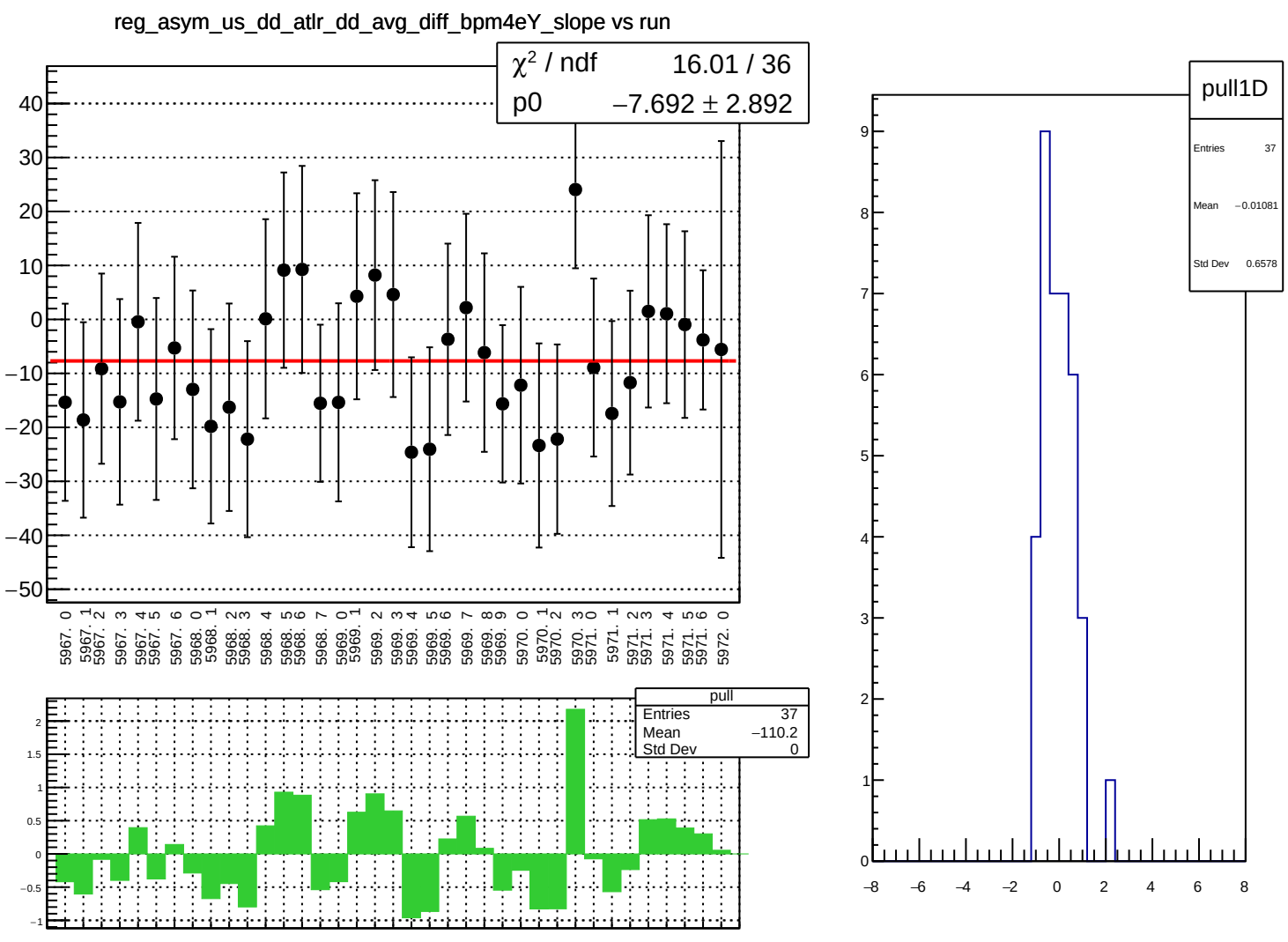
reg_asym_us_dd_atlr_dd_avg_diff_bpm4eY_slope vs run
χ² / ndf 16.01 / 36
p0 −7.692 ± 2.892
pull
Entries 37
Mean −110.2
Std Dev 0
pull1D
Entries 37
Mean −0.01081
Std Dev 0.6578

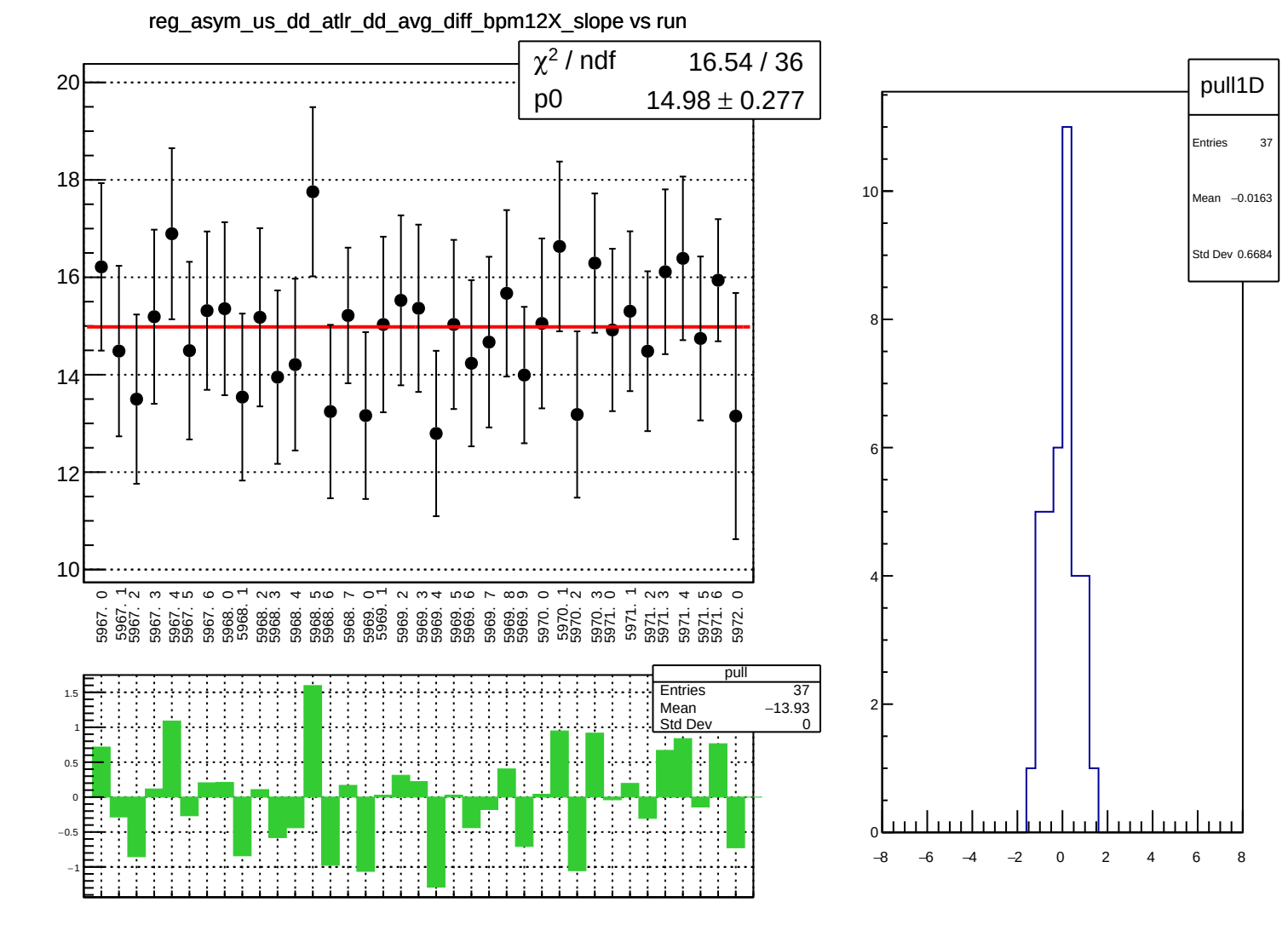
reg_asym_us_dd_atlr_dd_avg_diff_bpm12X_slope vs run
χ² / ndf 16.54 / 36
p0 14.98 ± 0.277
pull
Entries 37
Mean −13.93
Std Dev 0
pull1D
Entries 37
Mean −0.0163
Std Dev 0.6684

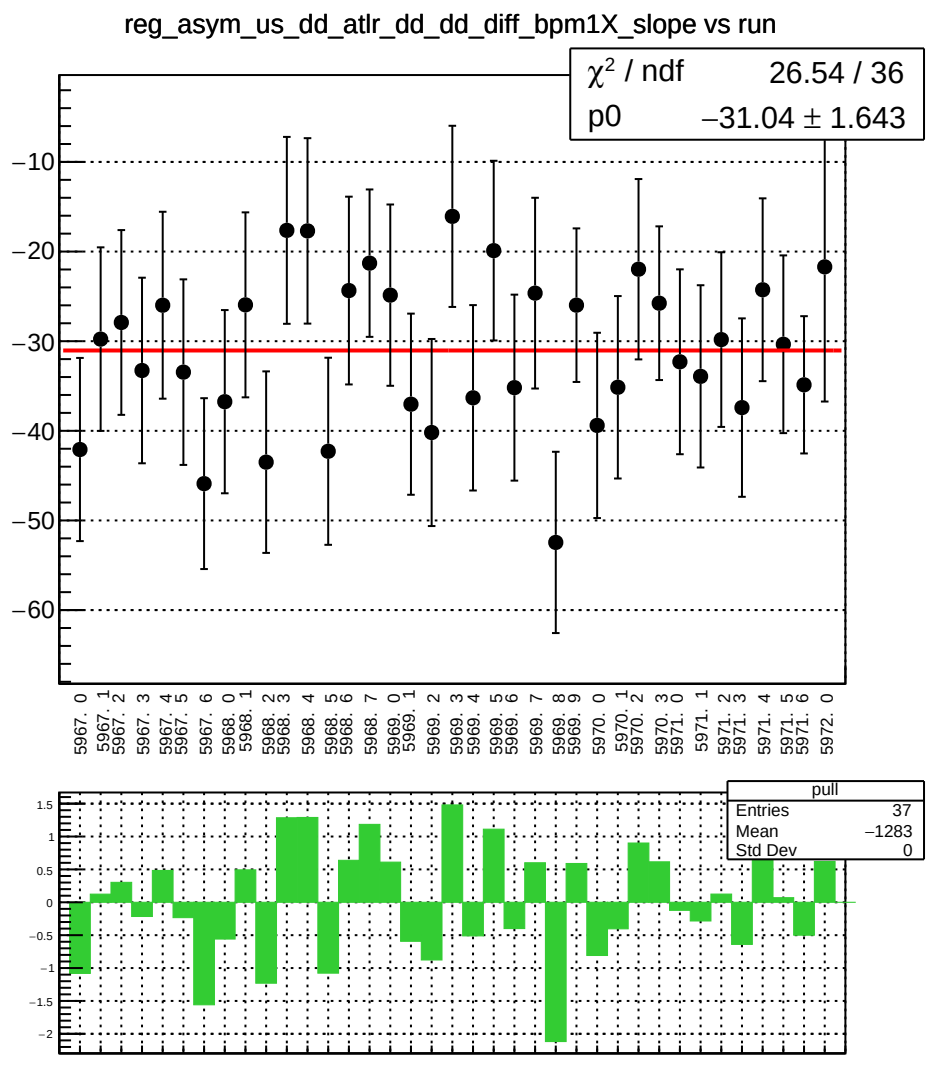
reg_asym_us_dd_atlr_dd_dd_diff_bpm1X_slope vs run
χ² / ndf 26.54 / 36
p0 −31.04 ± 1.643
−10
−20
−30
−40
−50
−60
5967. 0
5967. 1
5967. 2
5967. 3
5967. 4
5967. 5
5967. 6
5968. 0
5968. 1
5968. 2
5968. 3
5968. 4
5968. 5
5968. 6
5968. 7
5969. 0
5969. 1
5969. 2
5969. 3
5969. 4
5969. 5
5969. 6
5969. 7
5969. 8
5969. 9
5970. 0
5970. 1
5970. 2
5970. 3
5971. 0
5971. 1
5971. 2
5971. 3
5971. 4
5971. 5
5971. 6
5972. 0
pull
Entries 37
Mean −1283
Std Dev 0
1.5
1
0.5
0
−0.5
−1
−1.5
−2

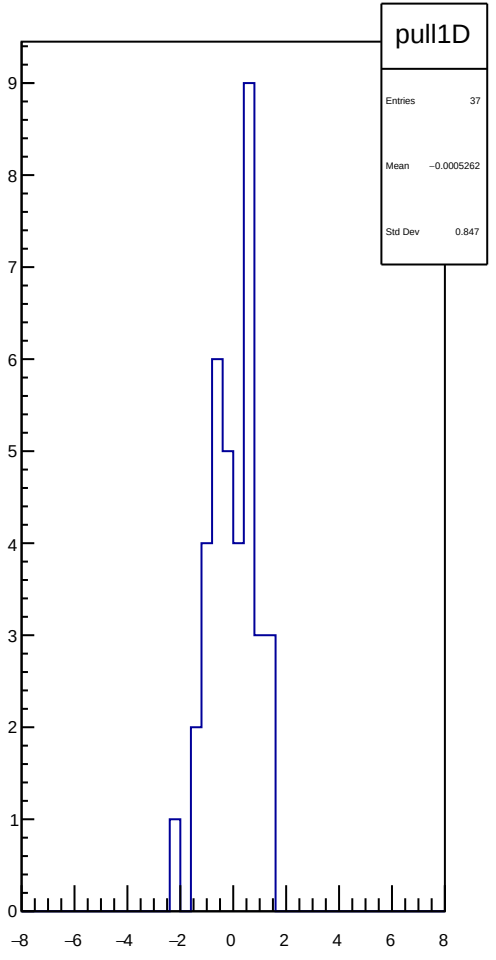
pull1D
Entries 37
Mean −0.0005262
Std Dev 0.847
9
8
7
6
5
4
3
2
1
0
−8
−6
−4
−2
0
2
4
6
8

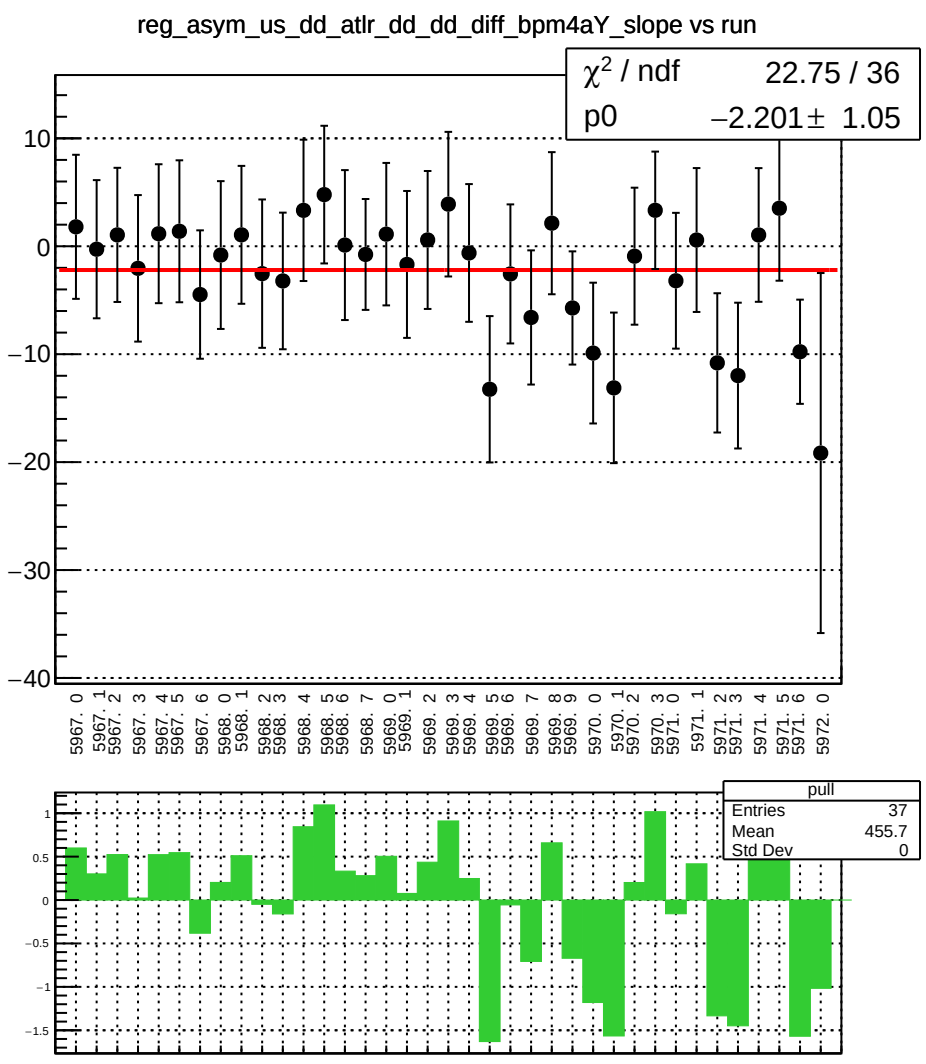
reg_asym_us_dd_atlr_dd_dd_diff_bpm4aY_slope vs run
χ² / ndf 22.75 / 36
p0 −2.201 ± 1.05
10
0
−10
−20
−30
−40
5967. 0
5967. 1
5967. 2
5967. 3
5967. 4
5967. 5
5967. 6
5968. 0
5968. 1
5968. 2
5968. 3
5968. 4
5968. 5
5968. 6
5968. 7
5969. 0
5969. 1
5969. 2
5969. 3
5969. 4
5969. 5
5969. 6
5969. 7
5969. 8
5969. 9
5970. 0
5970. 1
5970. 2
5970. 3
5971. 0
5971. 1
5971. 2
5971. 3
5971. 4
5971. 5
5971. 6
5972. 0
pull
Entries 37
Mean 455.7
Std Dev 0
1
0.5
0
−0.5
−1
−1.5

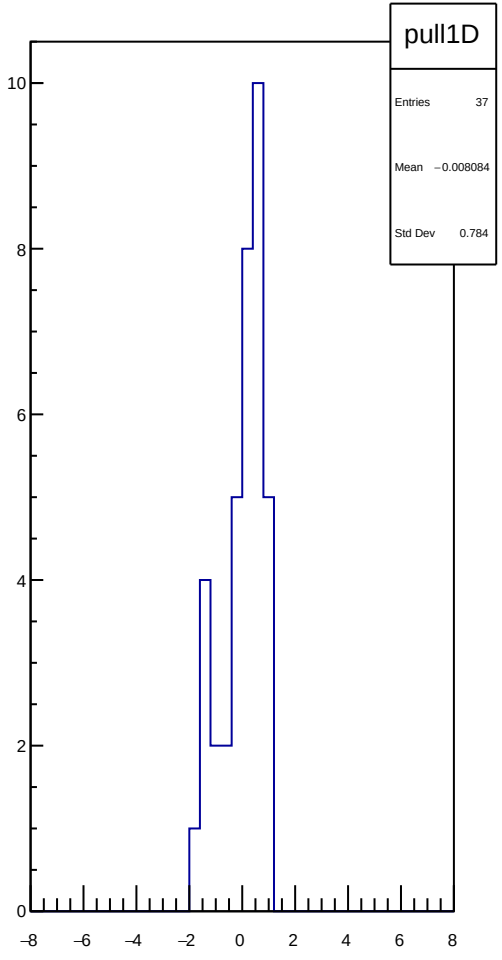
pull1D
Entries 37
Mean −0.008084
Std Dev 0.784
10
8
6
4
2
0
−8
−6
−4
−2
0
2
4
6
8

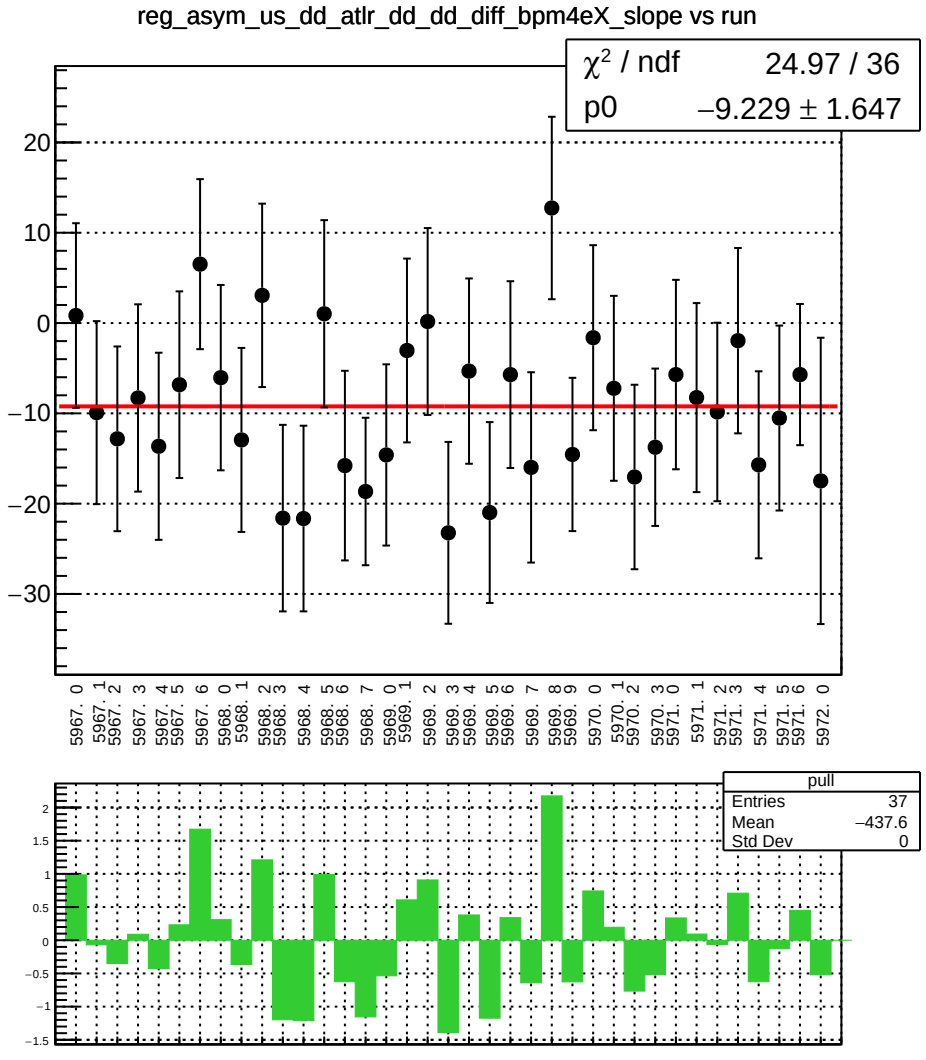
reg_asym_us_dd_atlr_dd_dd_diff_bpm4eX_slope vs run
χ² / ndf 24.97 / 36
p0 −9.229 ± 1.647
pull
Entries 37
Mean −437.6
Std Dev 0
pull1D
Entries 37
Mean 0.001283
Std Dev 0.8216

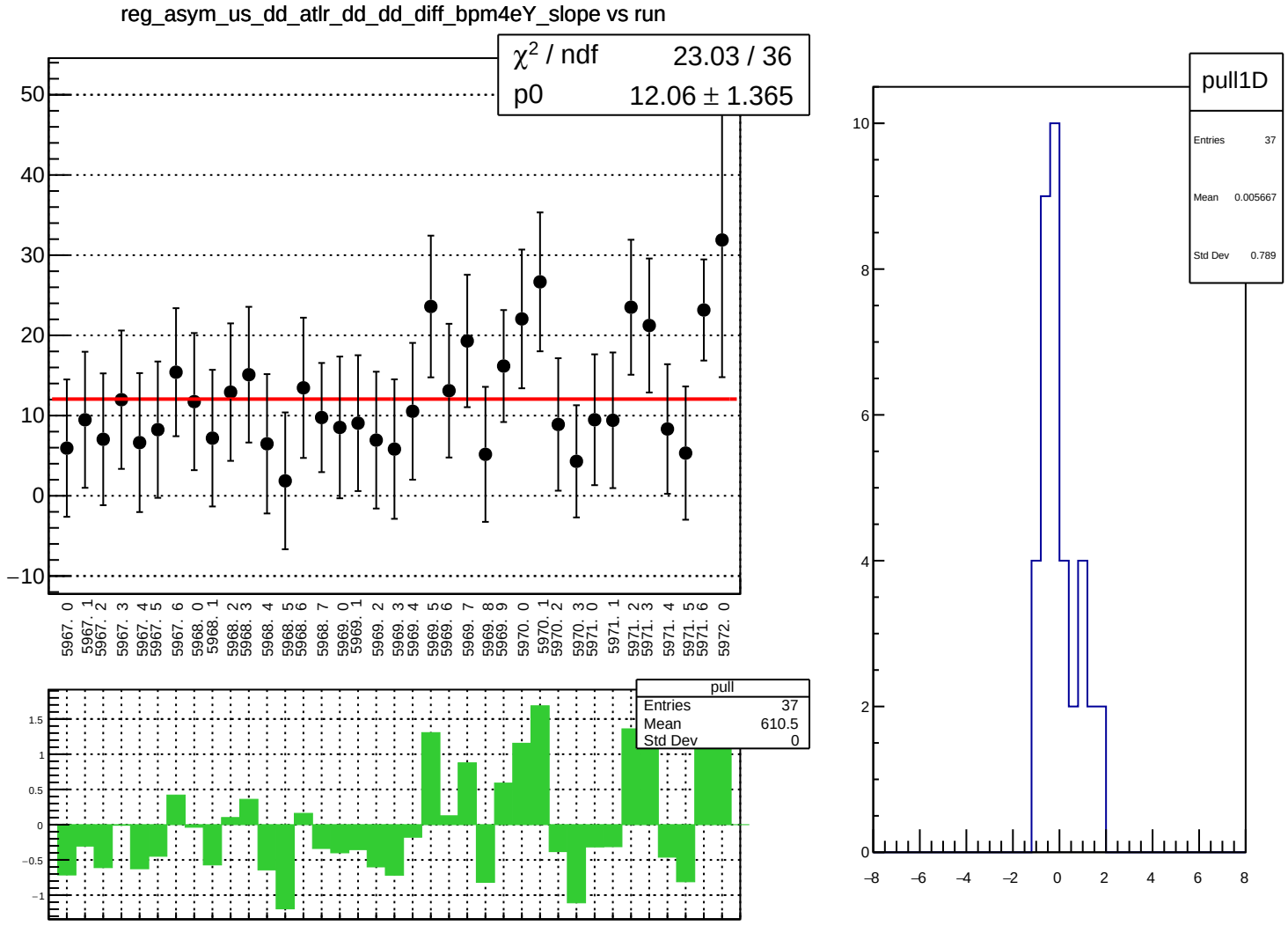
reg_asym_us_dd_atlr_dd_dd_diff_bpm4eY_slope vs run
χ² / ndf 23.03 / 36
p0 12.06 ± 1.365
pull
Entries 37
Mean 610.5
Std Dev 0
pull1D
Entries 37
Mean 0.005667
Std Dev 0.789

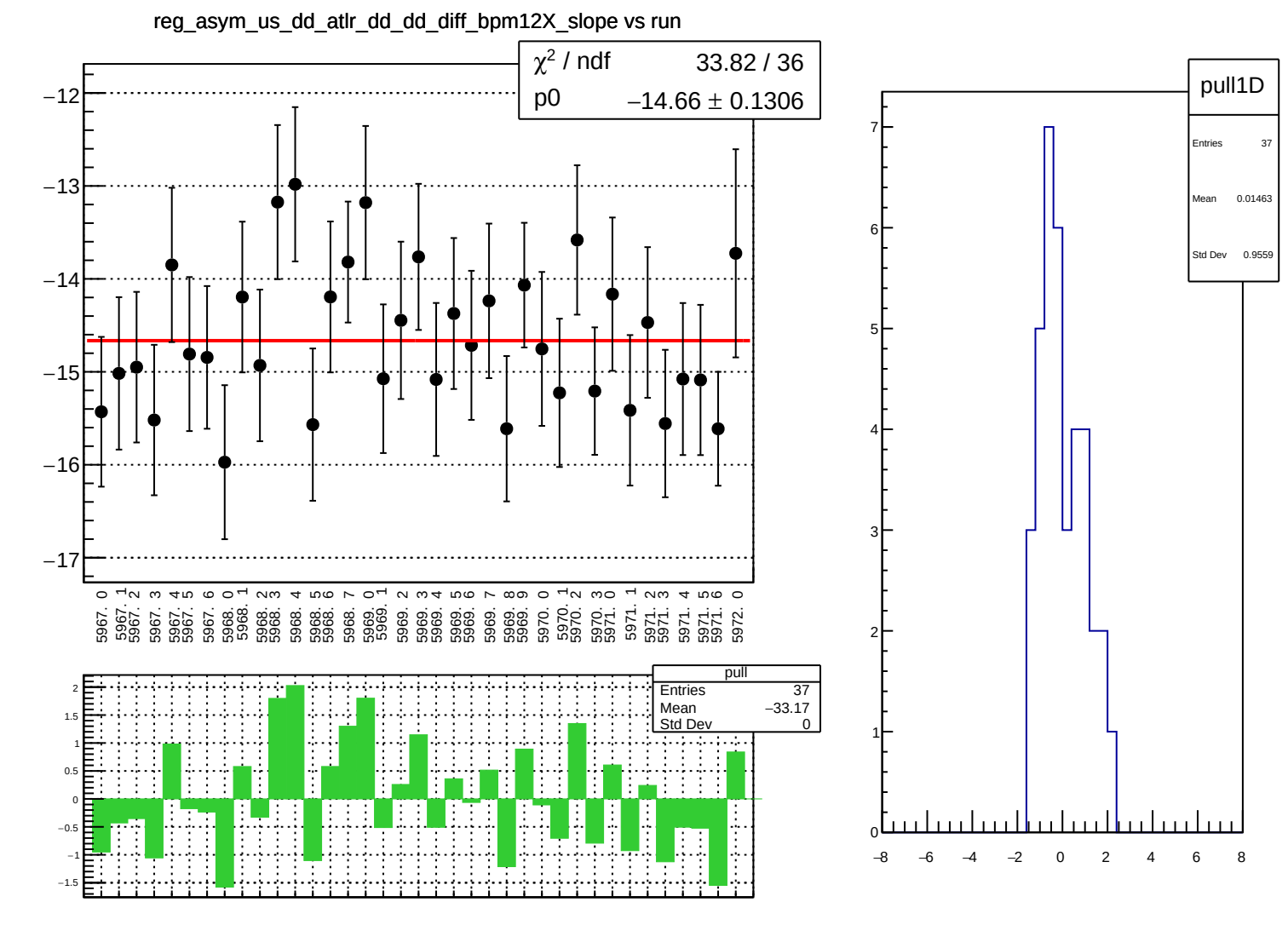
reg_asym_us_dd_atlr_dd_dd_diff_bpm12X_slope vs run
χ² / ndf 33.82 / 36
p0 −14.66 ± 0.1306
pull
Entries 37
Mean −33.17
Std Dev 0
pull1D
Entries 37
Mean 0.01463
Std Dev 0.9559

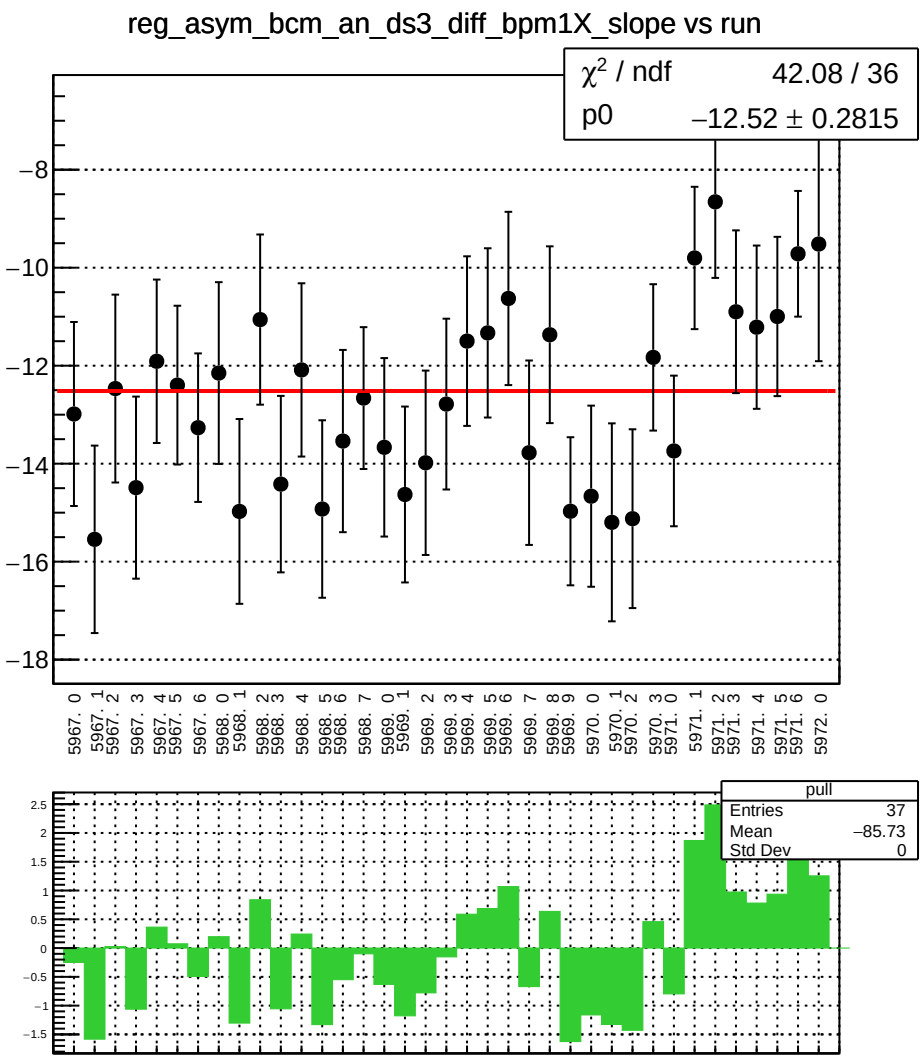
reg_asym_bcm_an_ds3_diff_bpm1X_slope vs run
χ² / ndf 42.08 / 36
p0 −12.52 ± 0.2815
pull
Entries 37
Mean −85.73
Std Dev 0

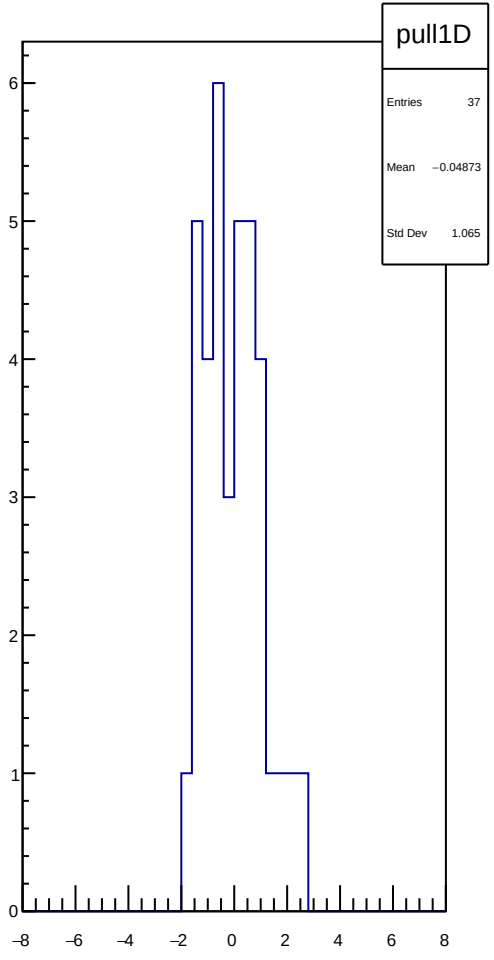
pull1D
Entries 37
Mean −0.04873
Std Dev 1.065

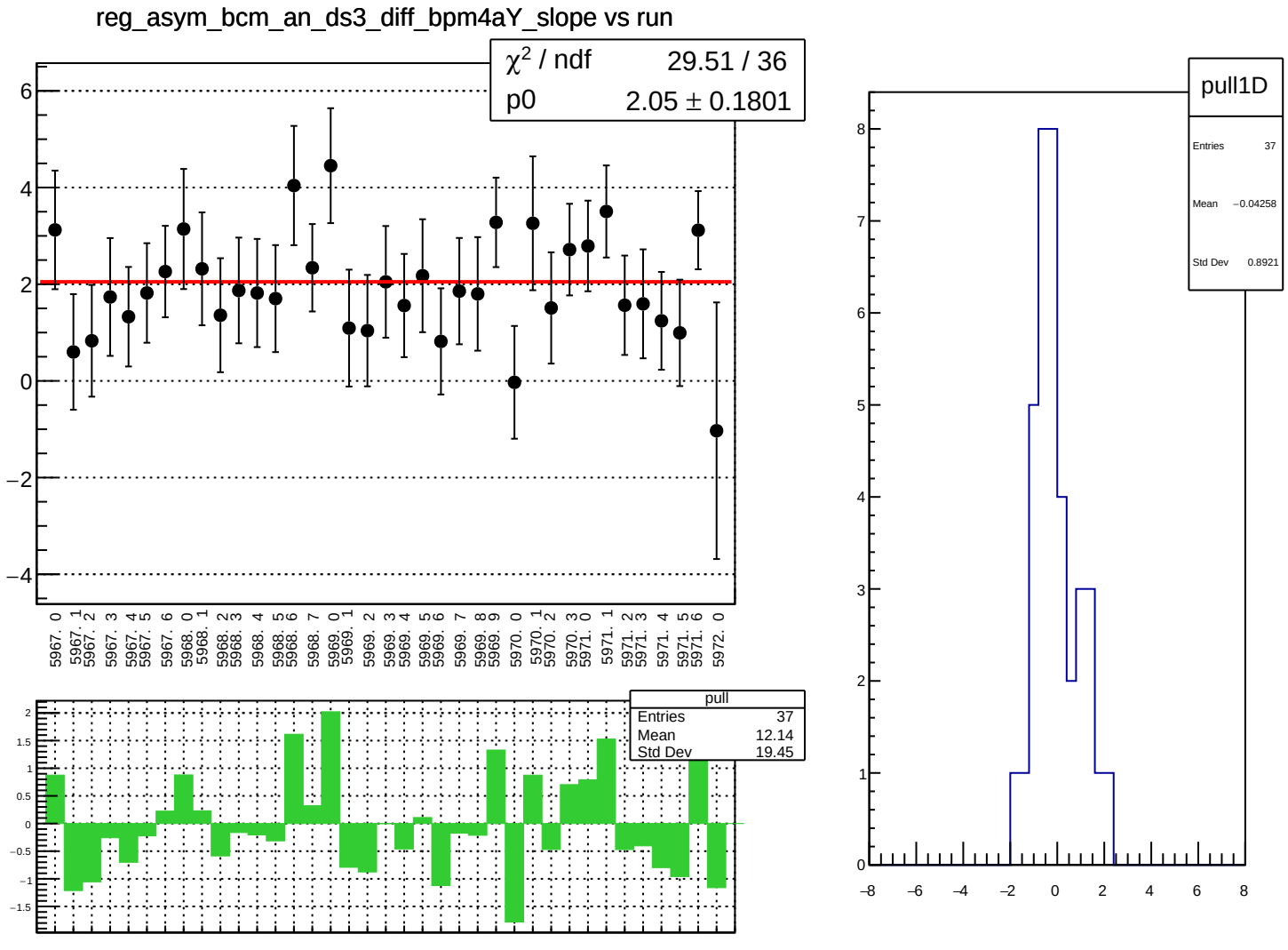
reg_asym_bcm_an_ds3_diff_bpm4aY_slope vs run
χ² / ndf 29.51 / 36
p0 2.05 ± 0.1801
pull
Entries 37
Mean 12.14
Std Dev 19.45
pull1D
Entries 37
Mean −0.04258
Std Dev 0.8921

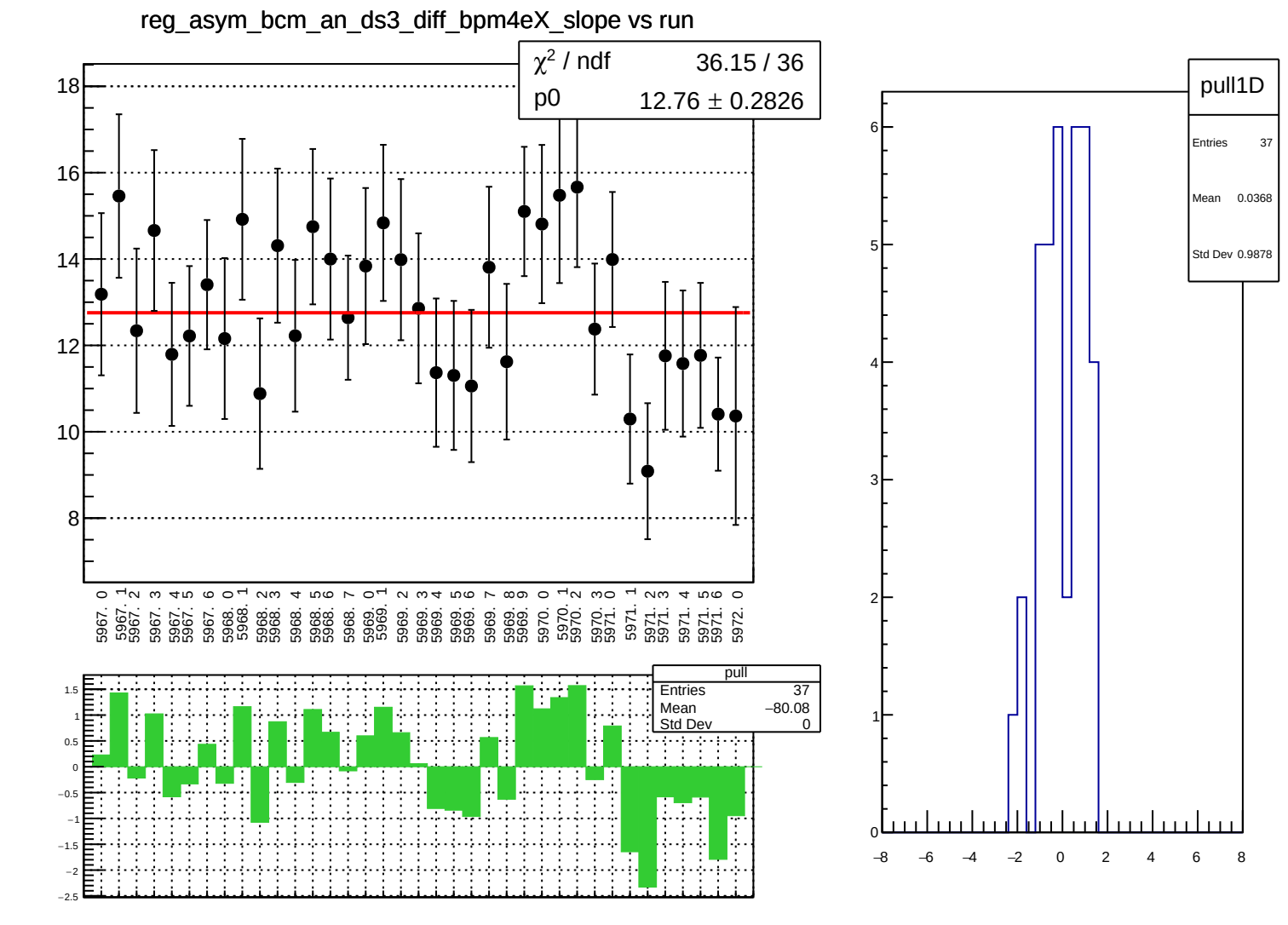
reg_asym_bcm_an_ds3_diff_bpm4eX_slope vs run
χ² / ndf 36.15 / 36
p0 12.76 ± 0.2826
pull
Entries 37
Mean −80.08
Std Dev 0
pull1D
Entries 37
Mean 0.0368
Std Dev 0.9878

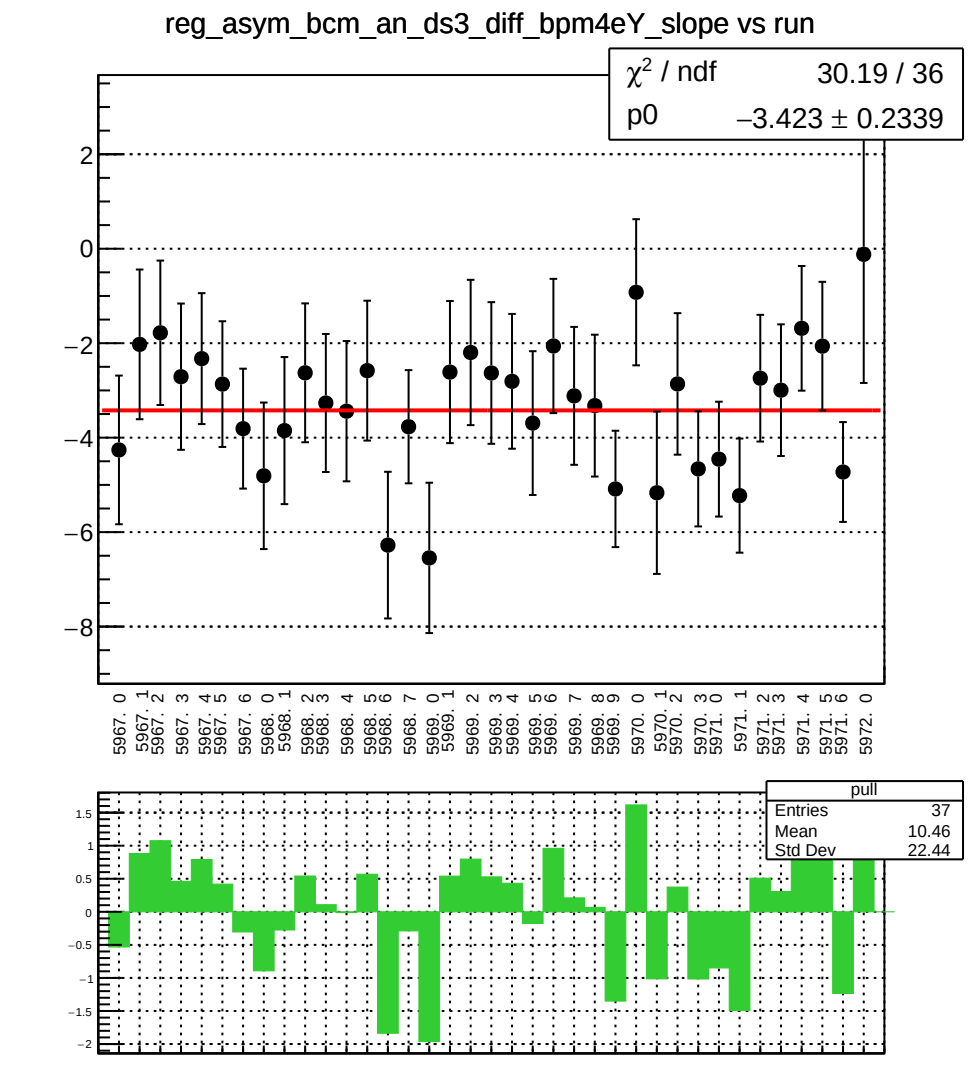
reg_asym_bcm_an_ds3_diff_bpm4eY_slope vs run
χ² / ndf 30.19 / 36
p0 −3.423 ± 0.2339
pull
Entries 37
Mean 10.46
Std Dev 22.44

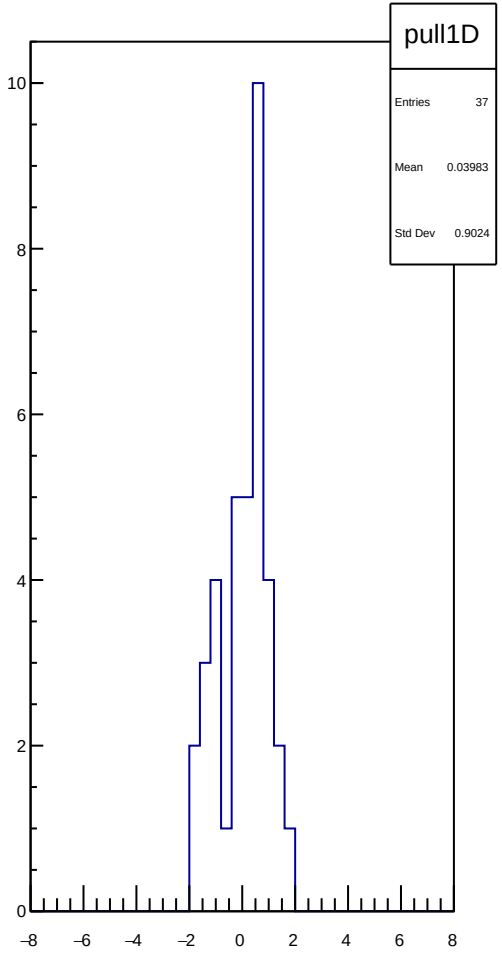
pull1D
Entries 37
Mean 0.03983
Std Dev 0.9024

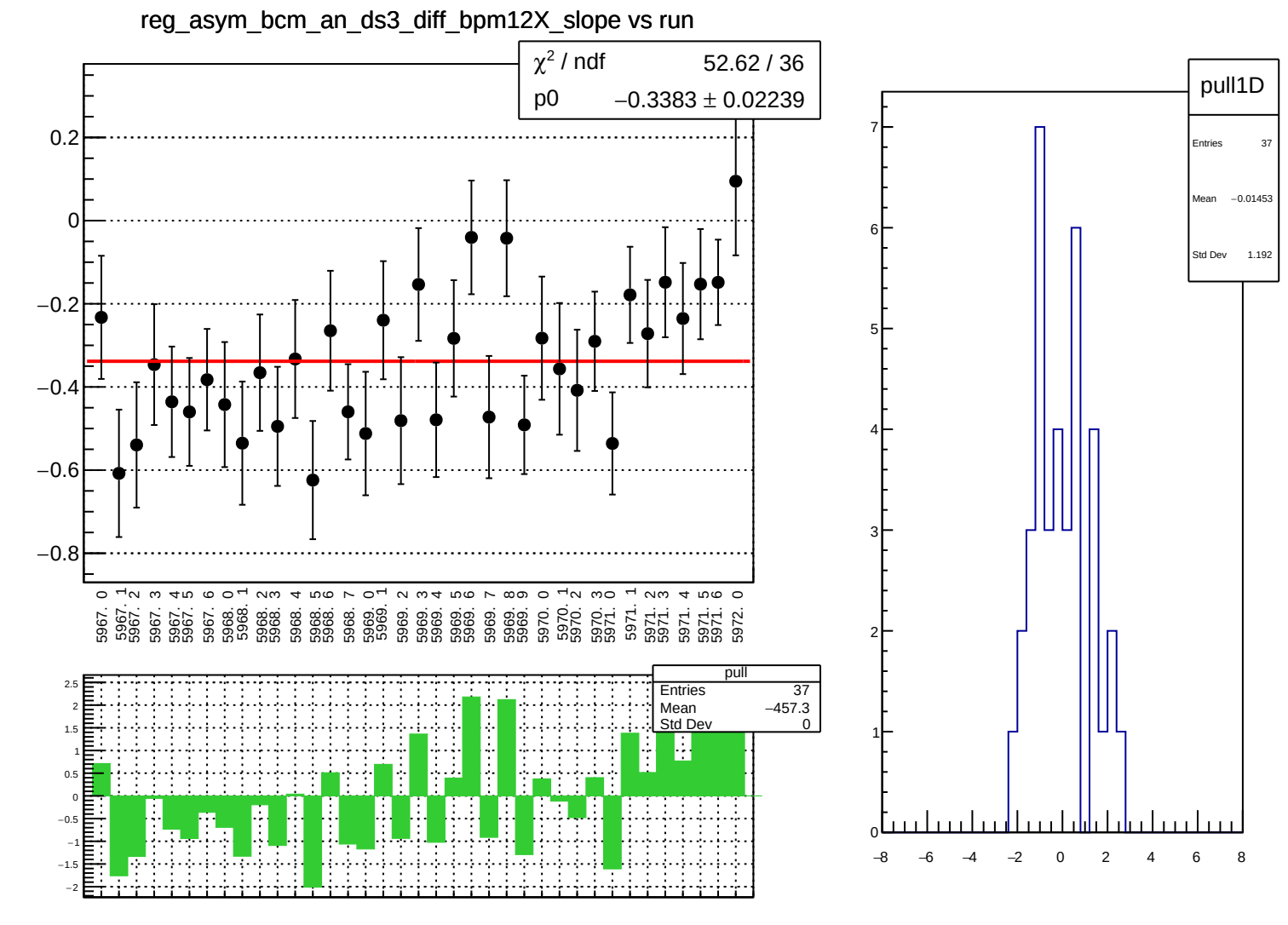
reg_asym_bcm_an_ds3_diff_bpm12X_slope vs run
χ² / ndf 52.62 / 36
p0 −0.3383 ± 0.02239
0.2
0
−0.2
−0.4
−0.6
−0.8
5967. 0
5967. 1
5967. 2
5967. 3
5967. 4
5967. 5
5967. 6
5968. 0
5968. 1
5968. 2
5968. 3
5968. 4
5968. 5
5968. 6
5968. 7
5969. 0
5969. 1
5969. 2
5969. 3
5969. 4
5969. 5
5969. 6
5969. 7
5969. 8
5969. 9
5970. 0
5970. 1
5970. 2
5970. 3
5971. 0
5971. 1
5971. 2
5971. 3
5971. 4
5971. 5
5971. 6
5972. 0
pull
Entries 37
Mean −457.3
Std Dev 0
2.5
2
1.5
1
0.5
0
−0.5
−1
−1.5
−2
pull1D
Entries 37
Mean −0.01453
Std Dev 1.192
7
6
5
4
3
2
1
0
−8
−6
−4
−2
0
2
4
6
8

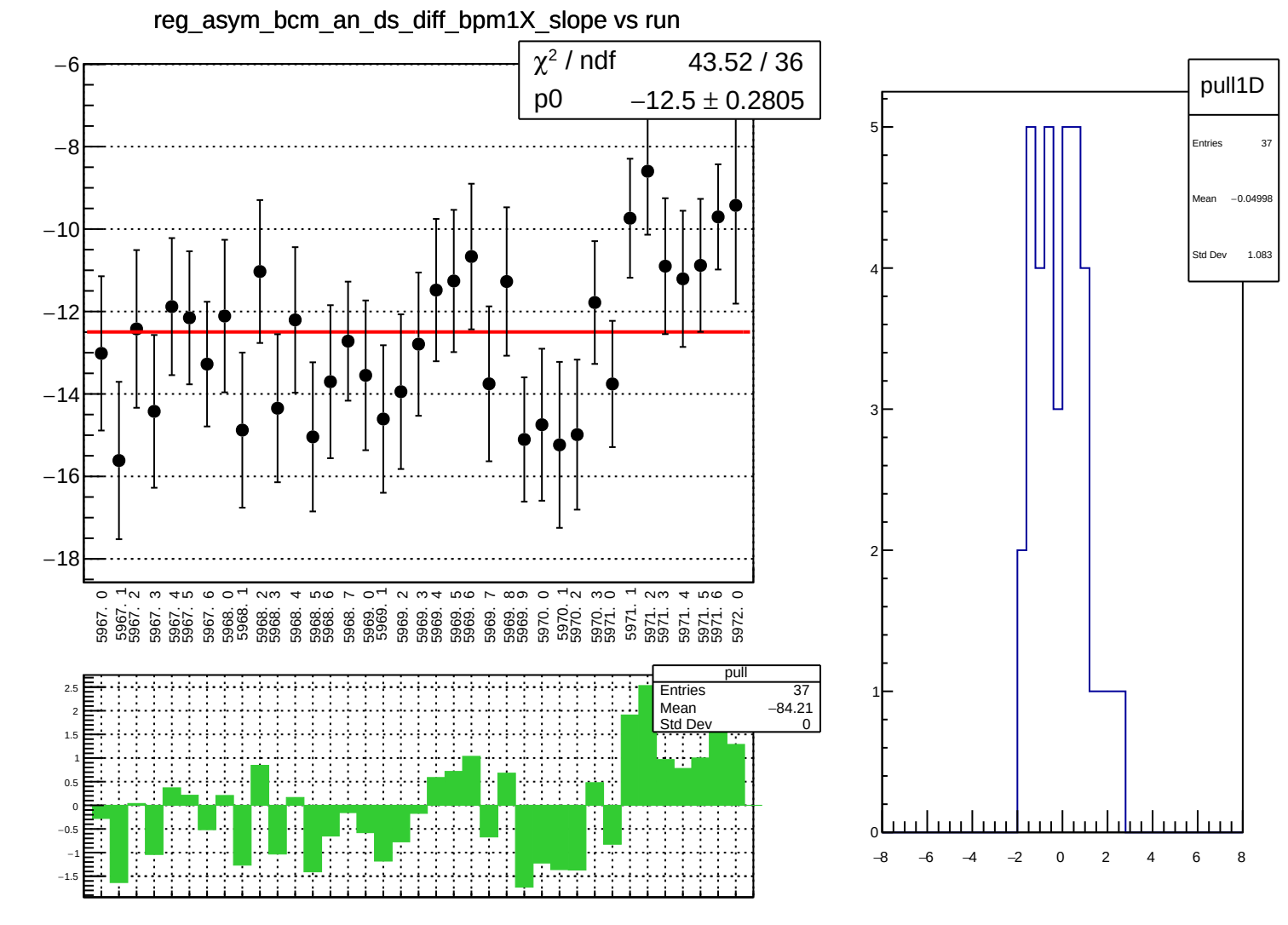
reg_asym_bcm_an_ds_diff_bpm1X_slope vs run
χ² / ndf 43.52 / 36
p0 −12.5 ± 0.2805
pull
Entries 37
Mean −84.21
Std Dev 0
pull1D
Entries 37
Mean −0.04998
Std Dev 1.083

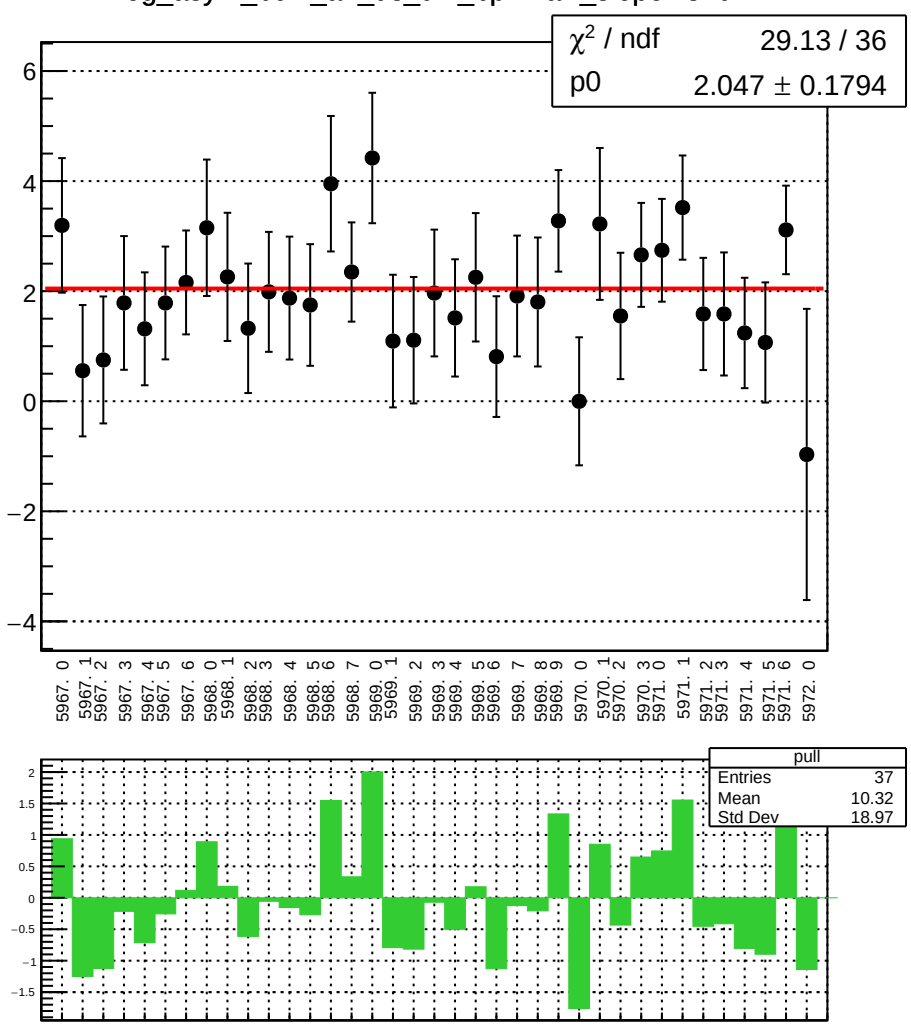
reg_asym_bcm_an_ds_diff_bpm4aY_slope vs run
χ² / ndf 29.13 / 36
p0 2.047 ± 0.1794
pull
Entries 37
Mean 10.32
Std Dev 18.97

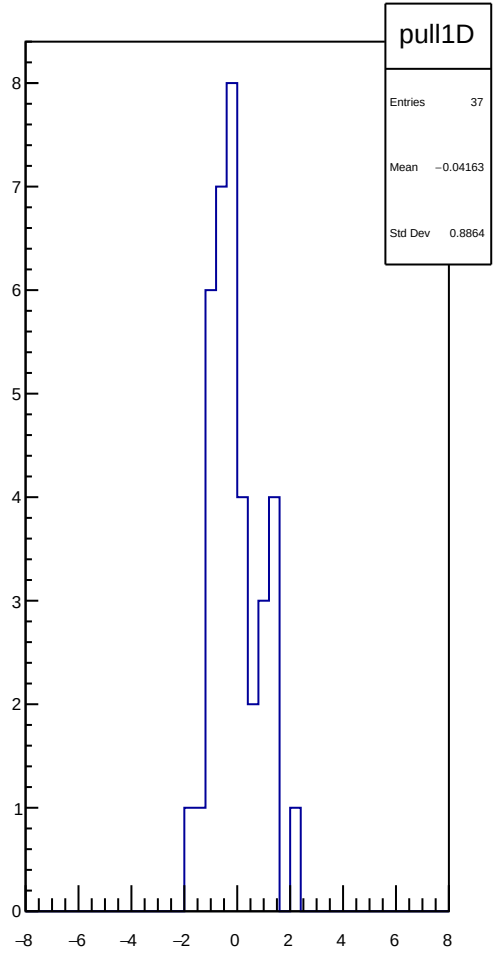
pull1D
Entries 37
Mean −0.04163
Std Dev 0.8864

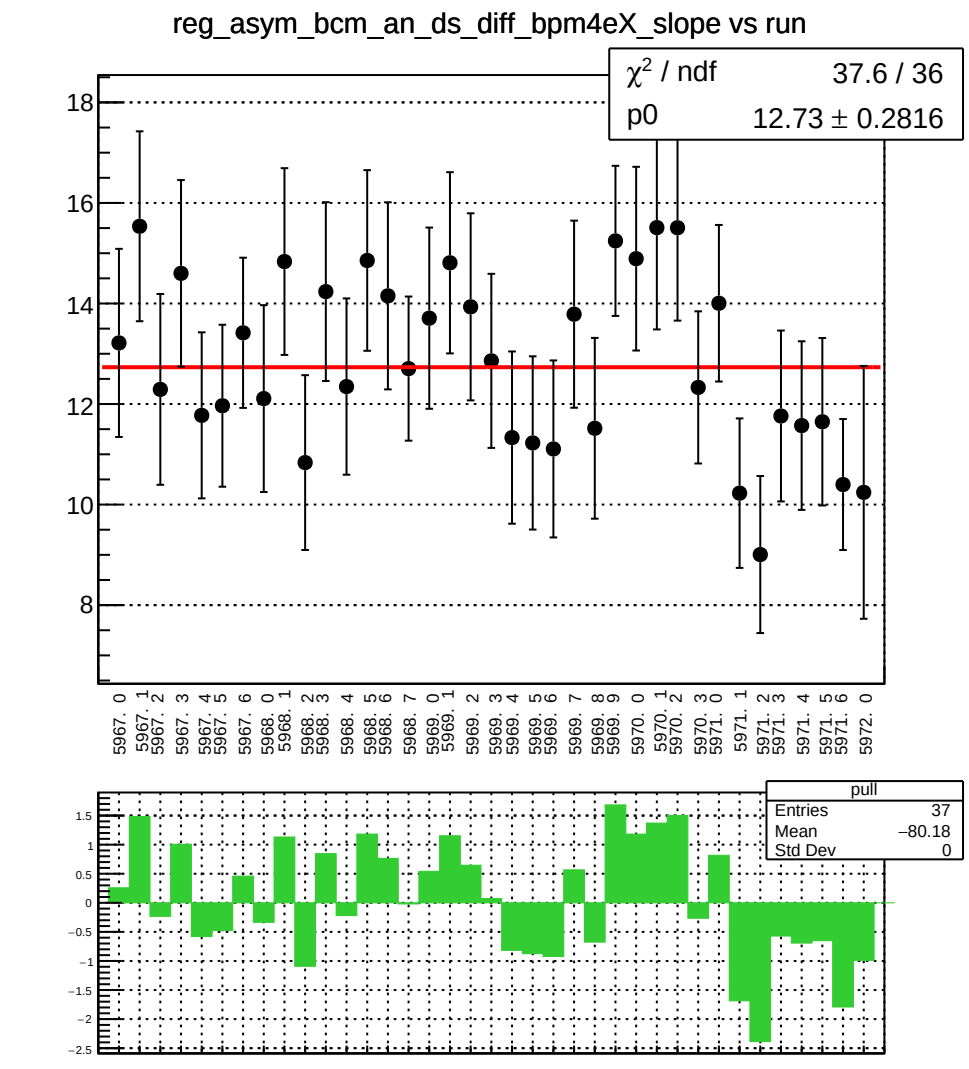
reg_asym_bcm_an_ds_diff_bpm4eX_slope vs run
χ² / ndf 37.6 / 36
p0 12.73 ± 0.2816
pull
Entries 37
Mean −80.18
Std Dev 0

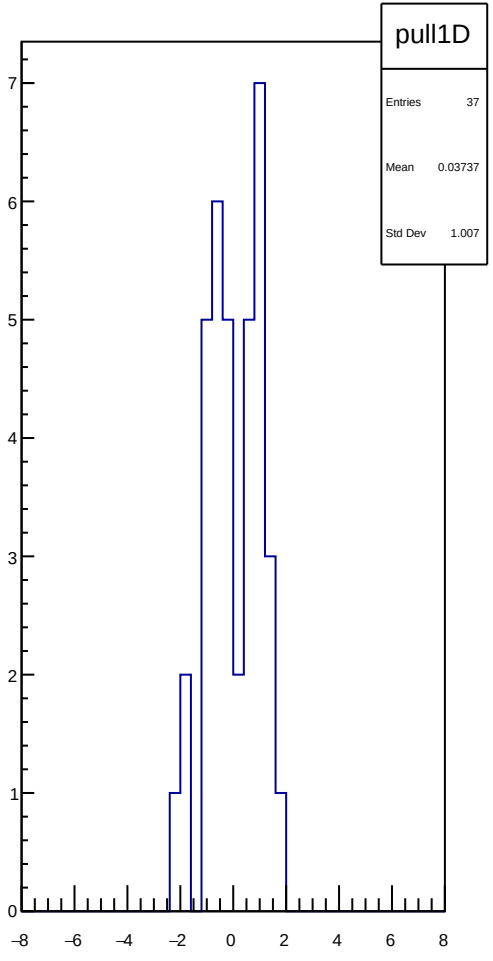
pull1D
Entries 37
Mean 0.03737
Std Dev 1.007

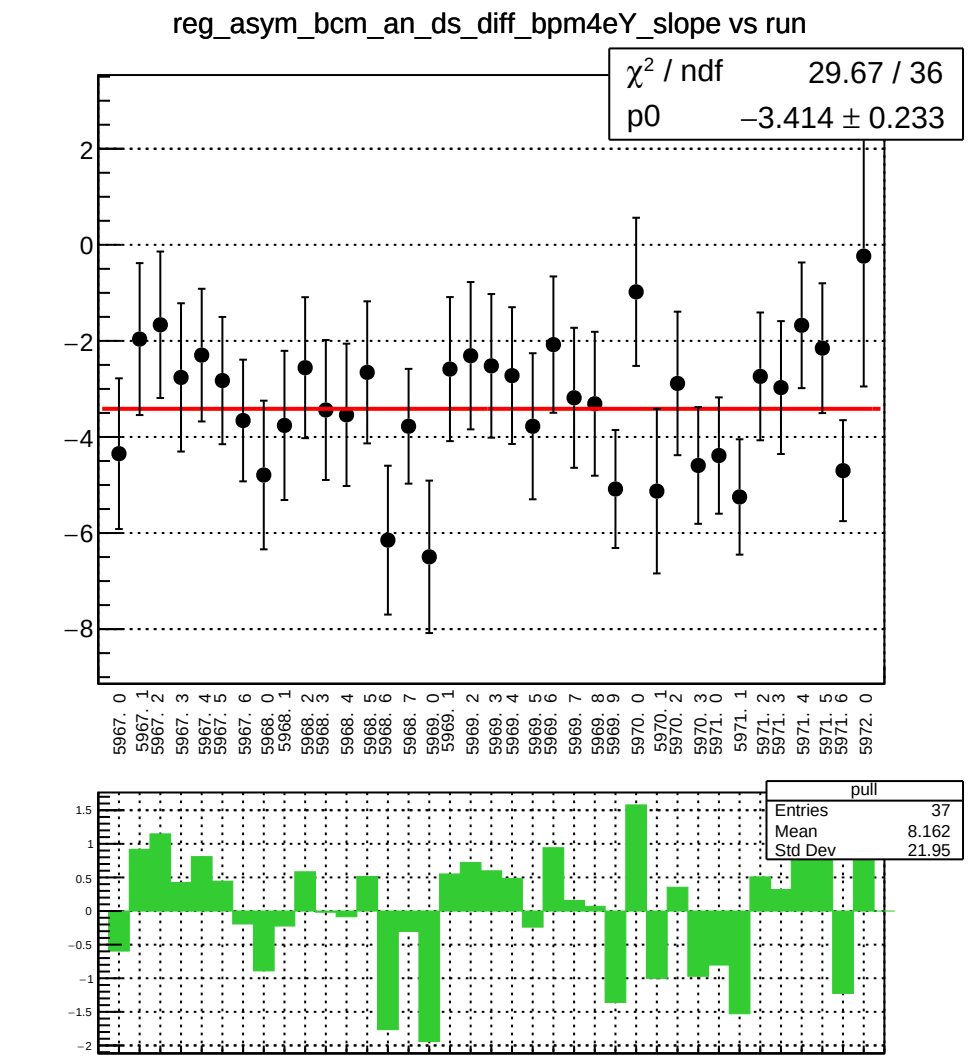
reg_asym_bcm_an_ds_diff_bpm4eY_slope vs run
χ² / ndf 29.67 / 36
p0 −3.414 ± 0.233
pull
Entries 37
Mean 8.162
Std Dev 21.95

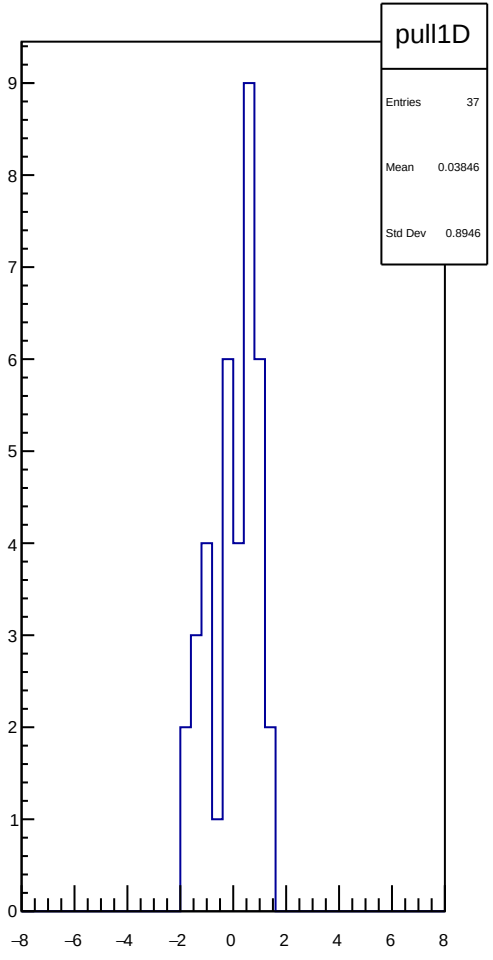
pull1D
Entries 37
Mean 0.03846
Std Dev 0.8946

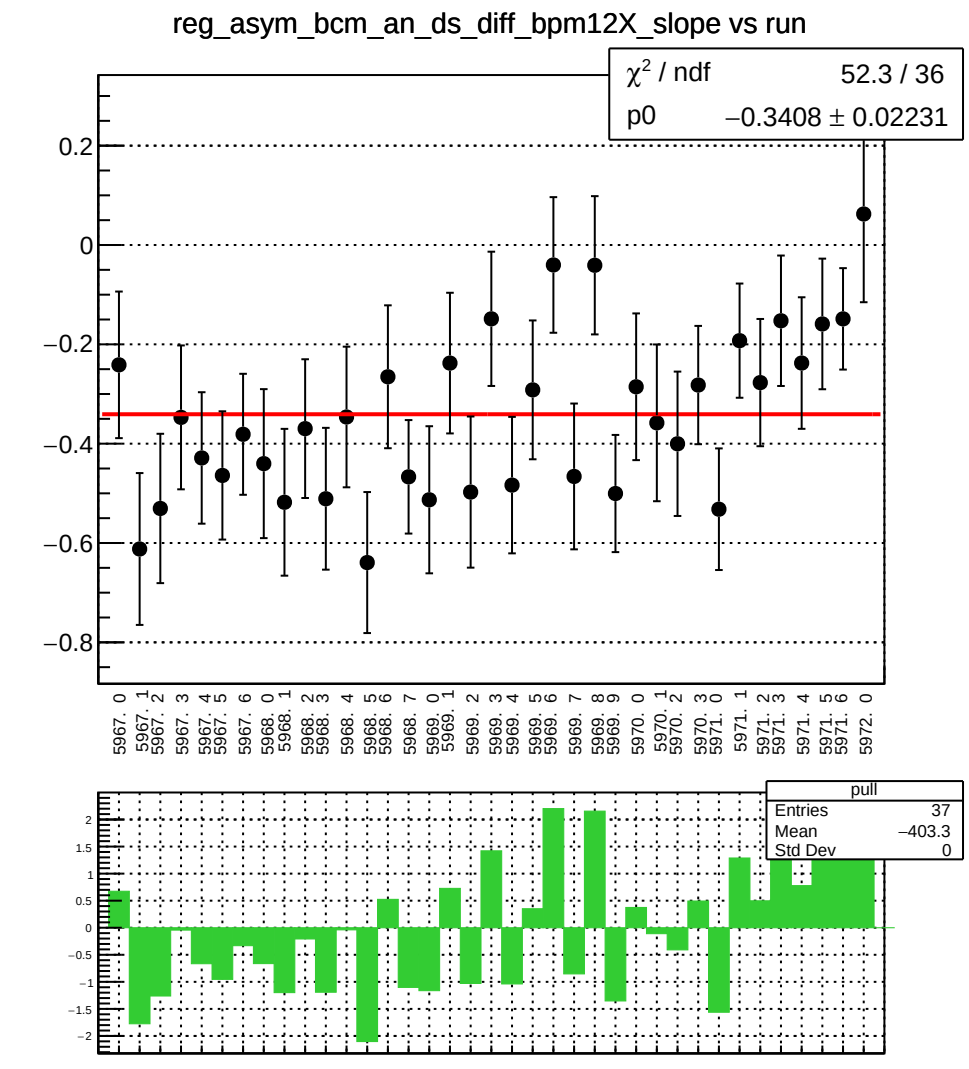
reg_asym_bcm_an_ds_diff_bpm12X_slope vs run
χ² / ndf 52.3 / 36
p0 −0.3408 ± 0.02231
0.2
0
−0.2
−0.4
−0.6
−0.8
5967. 0
5967. 1
5967. 2
5967. 3
5967. 4
5967. 5
5967. 6
5968. 0
5968. 1
5968. 2
5968. 3
5968. 4
5968. 5
5968. 6
5968. 7
5969. 0
5969. 1
5969. 2
5969. 3
5969. 4
5969. 5
5969. 6
5969. 7
5969. 8
5969. 9
5970. 0
5970. 1
5970. 2
5970. 3
5971. 0
5971. 1
5971. 2
5971. 3
5971. 4
5971. 5
5971. 6
5972. 0
pull
Entries 37
Mean −403.3
Std Dev 0
2
1.5
1
0.5
0
−0.5
−1
−1.5
−2

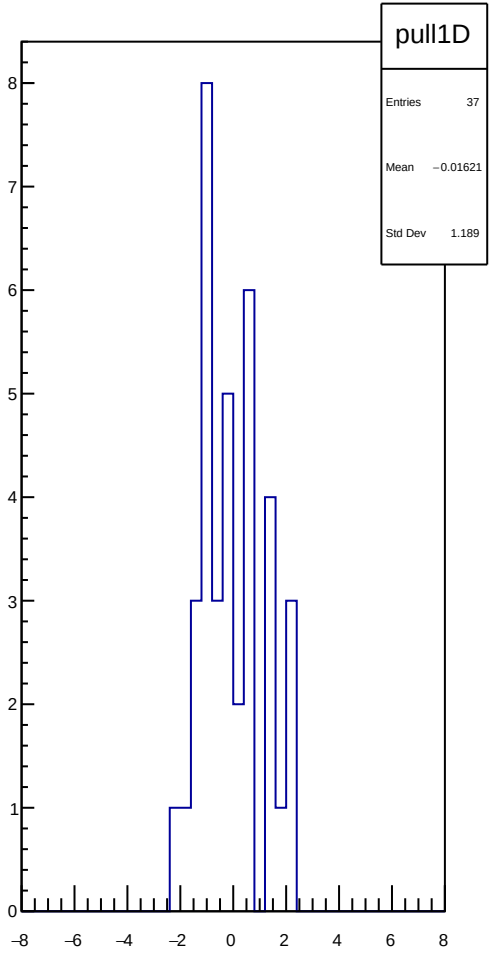
pull1D
Entries 37
Mean −0.01621
Std Dev 1.189
8
7
6
5
4
3
2
1
0
−8
−6
−4
−2
0
2
4
6
8

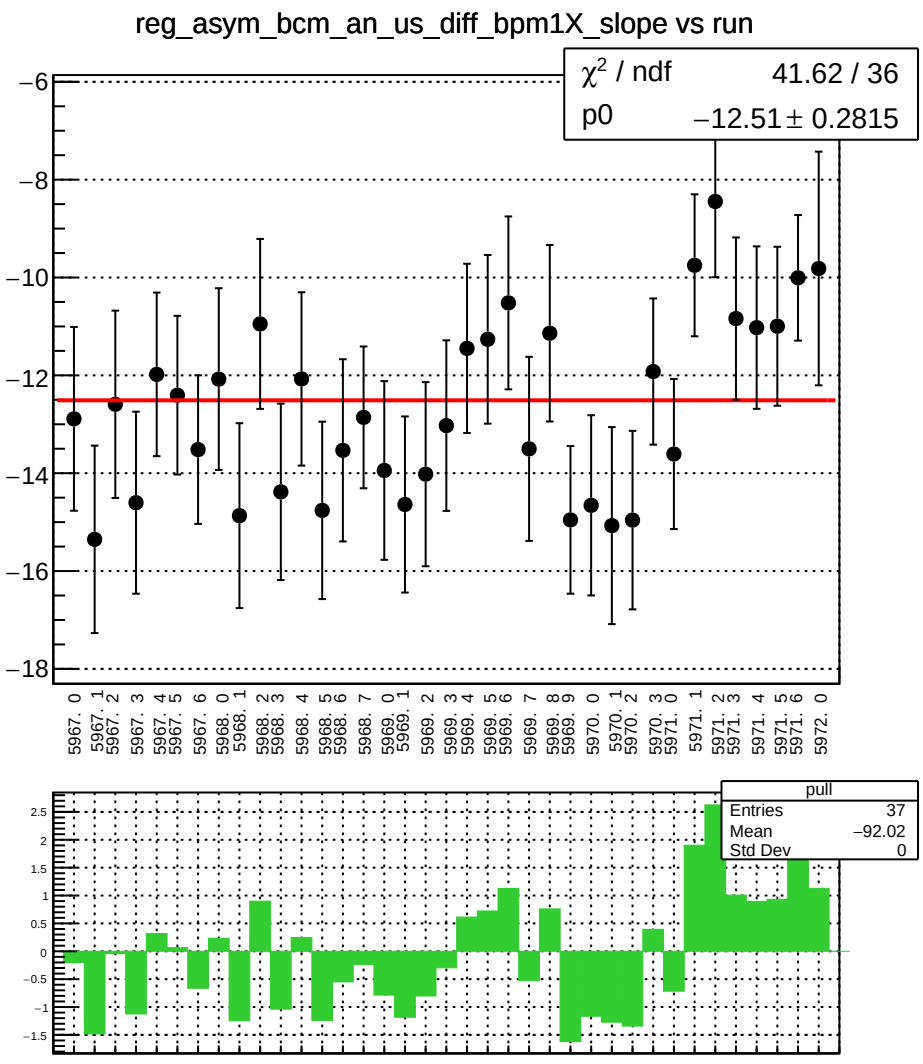
reg_asym_bcm_an_us_diff_bpm1X_slope vs run
χ² / ndf 41.62 / 36
p0 −12.51 ± 0.2815
pull
Entries 37
Mean −92.02
Std Dev 0

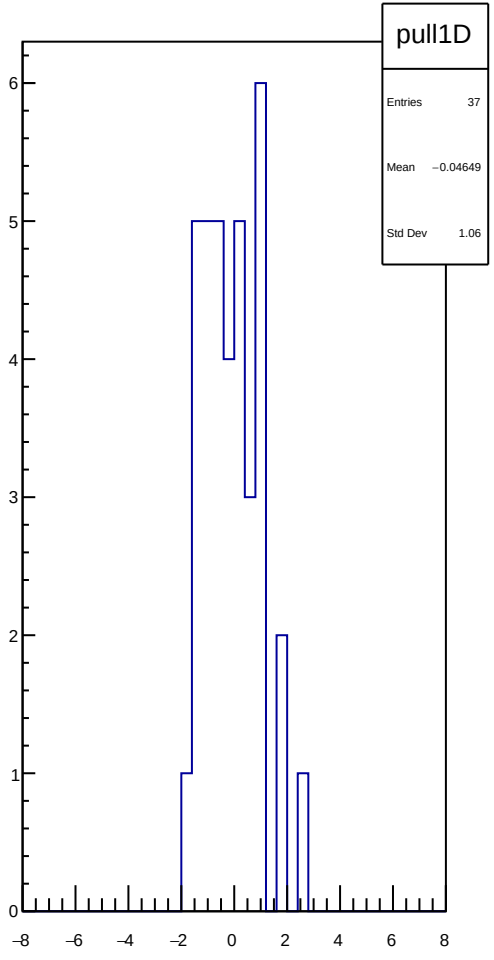
pull1D
Entries 37
Mean −0.04649
Std Dev 1.06

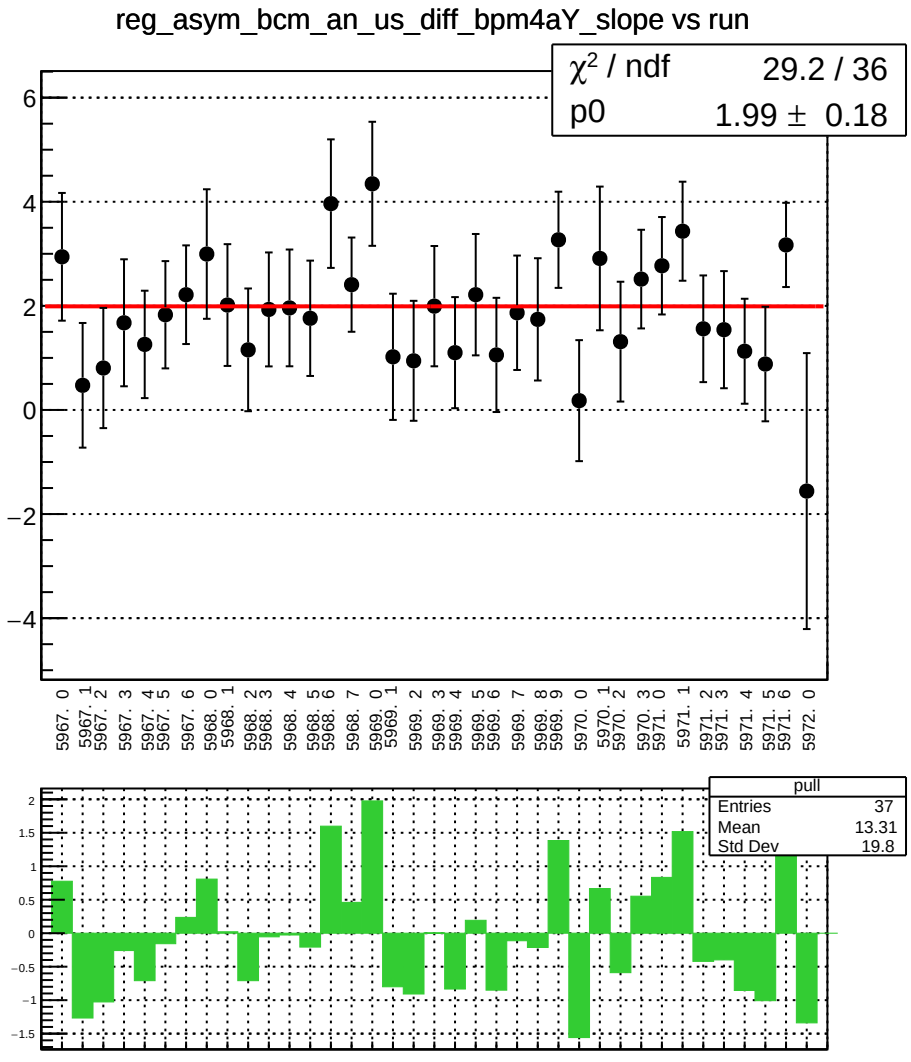
reg_asym_bcm_an_us_diff_bpm4aY_slope vs run
χ² / ndf 29.2 / 36
p0 1.99 ± 0.18
pull
Entries 37
Mean 13.31
Std Dev 19.8

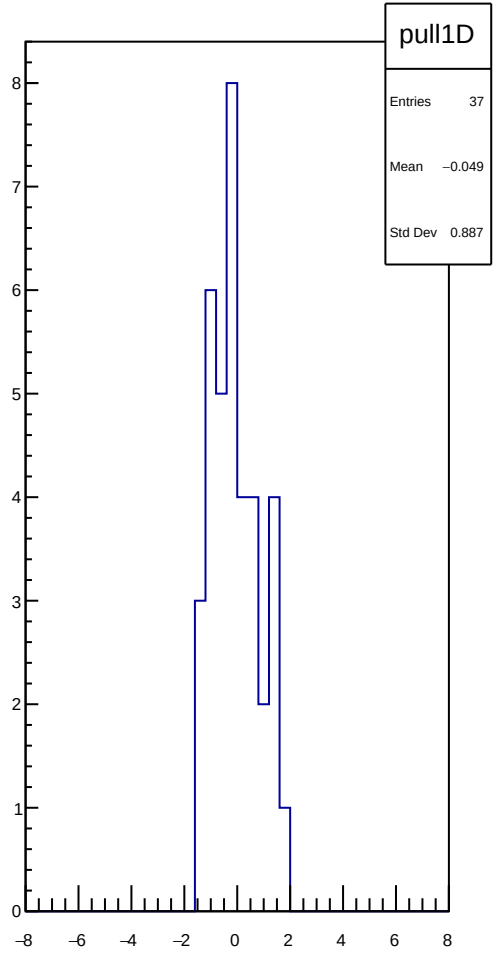
pull1D
Entries 37
Mean −0.049
Std Dev 0.887

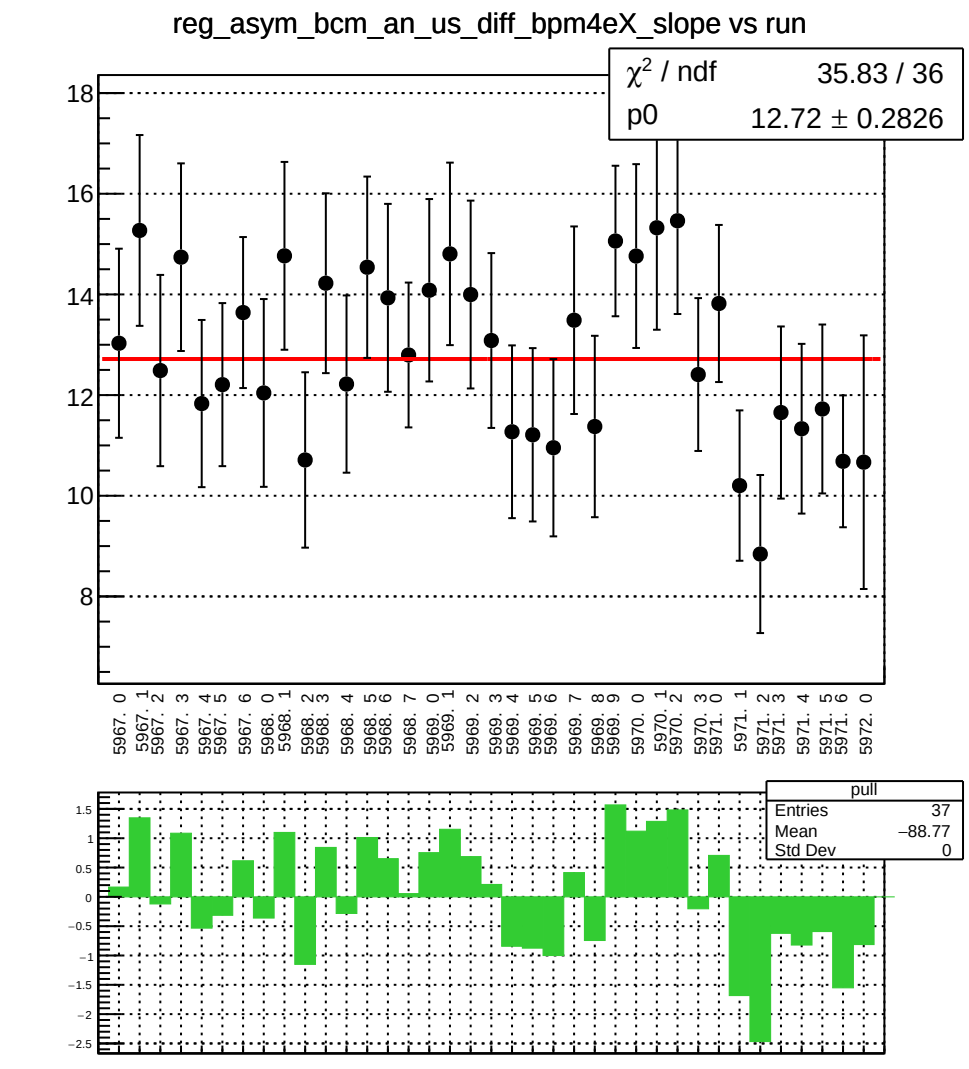
reg_asym_bcm_an_us_diff_bpm4eX_slope vs run
χ² / ndf 35.83 / 36
p0 12.72 ± 0.2826
18
16
14
12
10
8
5967. 0
5967. 1
5967. 2
5967. 3
5967. 4
5967. 5
5967. 6
5968. 0
5968. 1
5968. 2
5968. 3
5968. 4
5968. 5
5968. 6
5968. 7
5969. 0
5969. 1
5969. 2
5969. 3
5969. 4
5969. 5
5969. 6
5969. 7
5969. 8
5969. 9
5970. 0
5970. 1
5970. 2
5970. 3
5971. 0
5971. 1
5971. 2
5971. 3
5971. 4
5971. 5
5971. 6
5972. 0
pull
Entries 37
Mean −88.77
Std Dev 0
1.5
1
0.5
0
−0.5
−1
−1.5
−2
−2.5

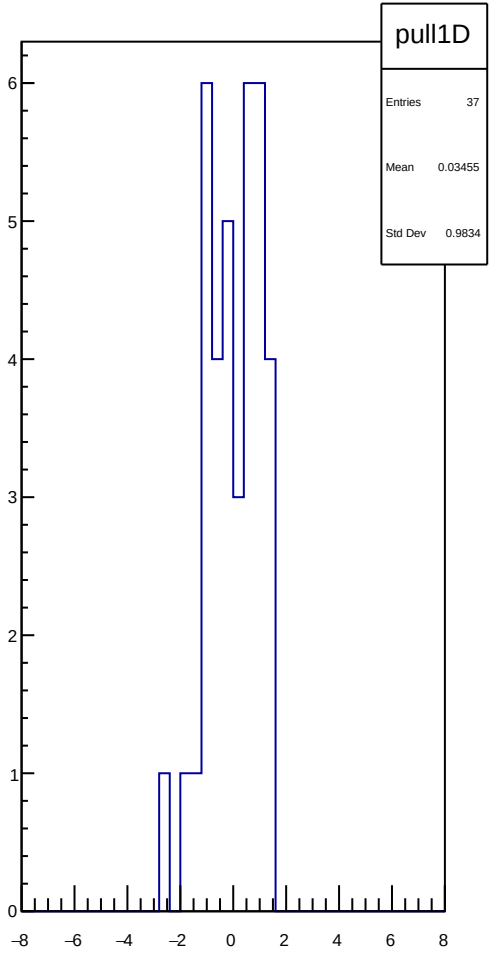
pull1D
Entries 37
Mean 0.03455
Std Dev 0.9834
6
5
4
3
2
1
0
−8
−6
−4
−2
0
2
4
6
8

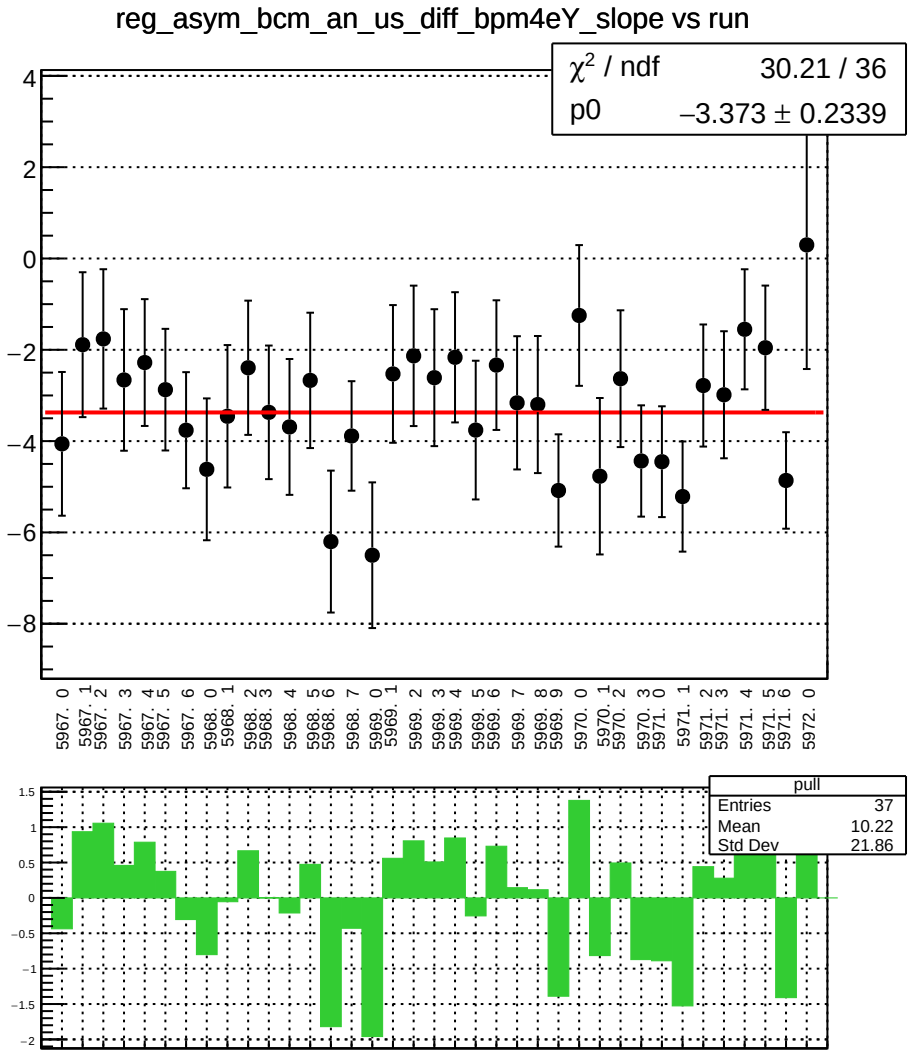
reg_asym_bcm_an_us_diff_bpm4eY_slope vs run
χ² / ndf 30.21 / 36
p0 −3.373 ± 0.2339
pull
Entries 37
Mean 10.22
Std Dev 21.86

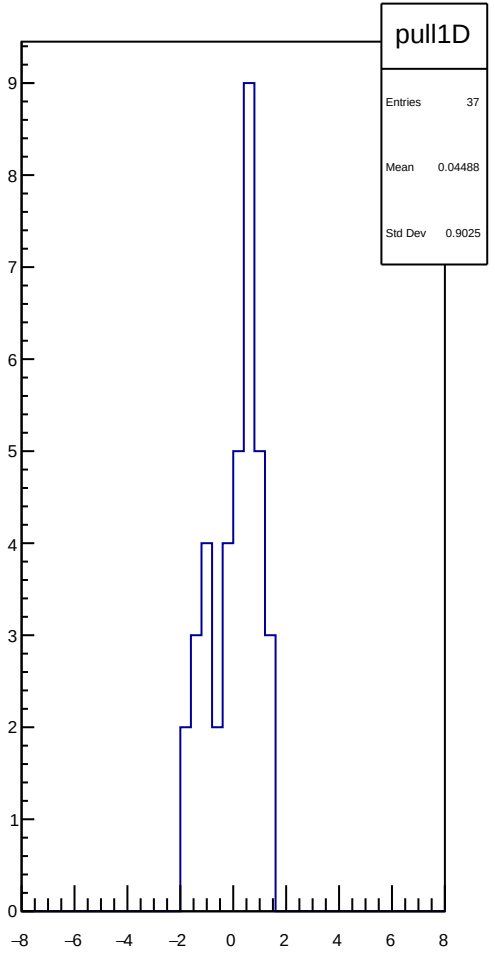
pull1D
Entries 37
Mean 0.04488
Std Dev 0.9025

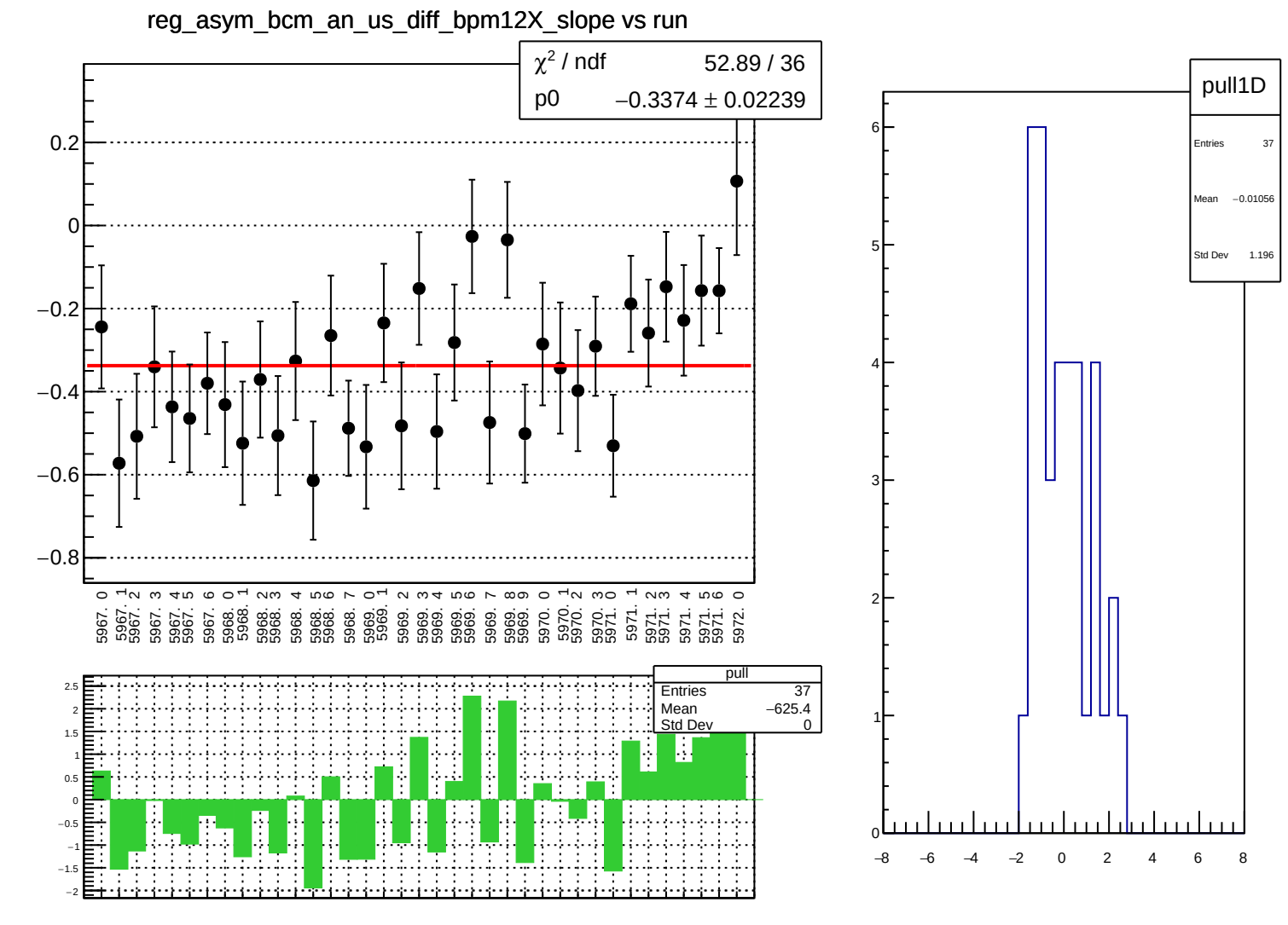
reg_asym_bcm_an_us_diff_bpm12X_slope vs run
χ² / ndf 52.89 / 36
p0 −0.3374 ± 0.02239
pull
Entries 37
Mean −625.4
Std Dev 0
pull1D
Entries 37
Mean −0.01056
Std Dev 1.196

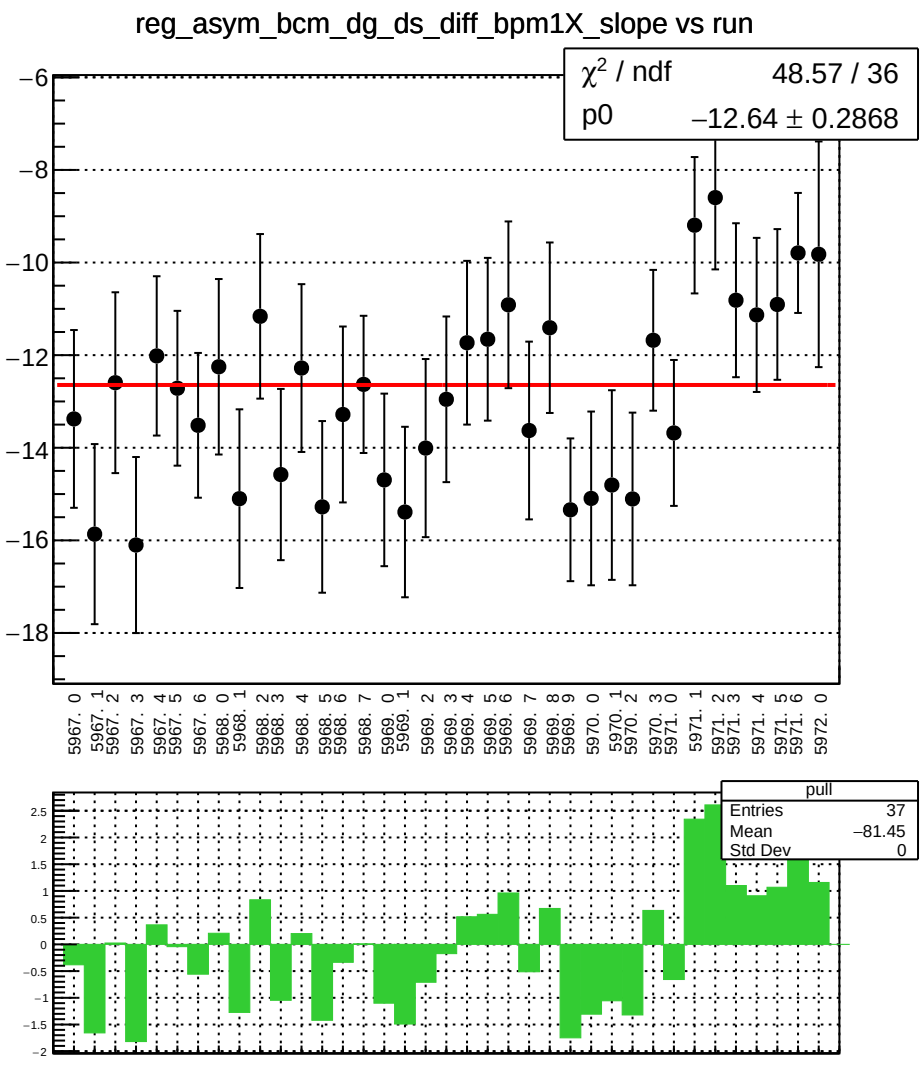
reg_asym_bcm_dg_ds_diff_bpm1X_slope vs run
χ² / ndf 48.57 / 36
p0 −12.64 ± 0.2868
pull
Entries 37
Mean −81.45
Std Dev 0

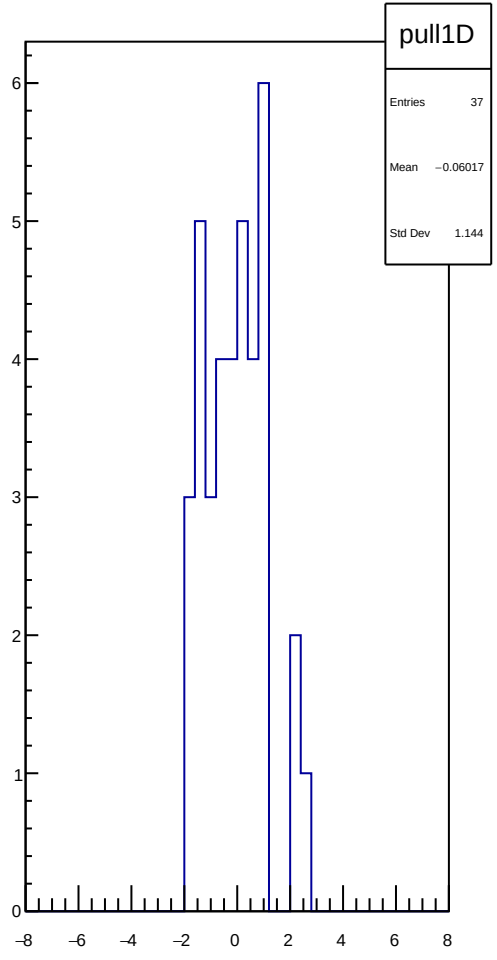
pull1D
Entries 37
Mean −0.06017
Std Dev 1.144

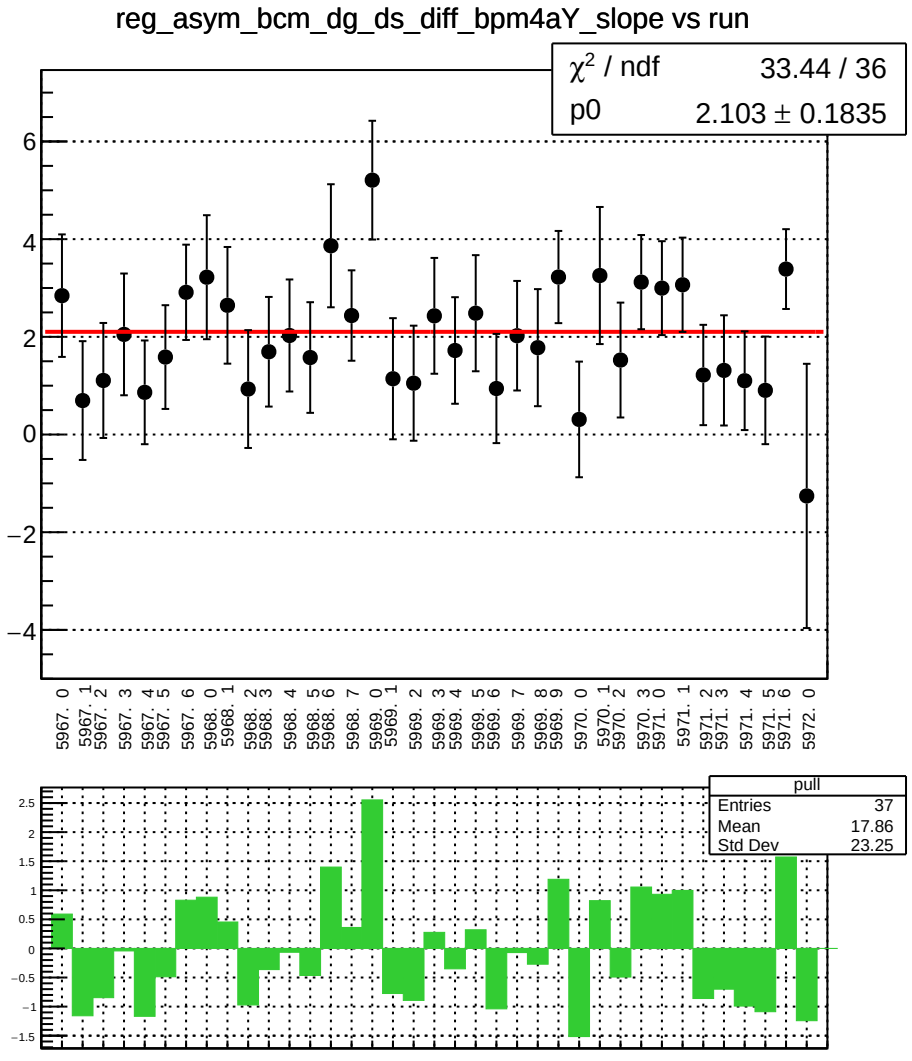
reg_asym_bcm_dg_ds_diff_bpm4aY_slope vs run
χ² / ndf 33.44 / 36
p0 2.103 ± 0.1835
pull
Entries 37
Mean 17.86
Std Dev 23.25

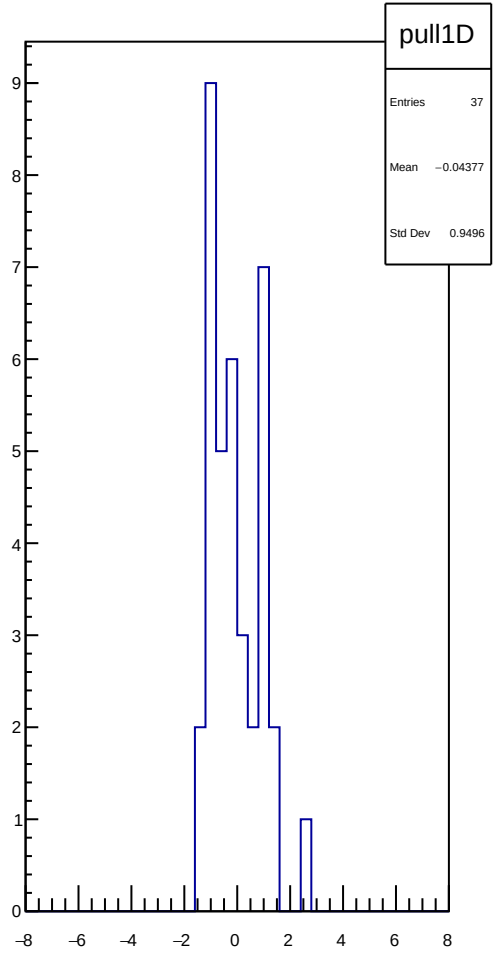
pull1D
Entries 37
Mean −0.04377
Std Dev 0.9496

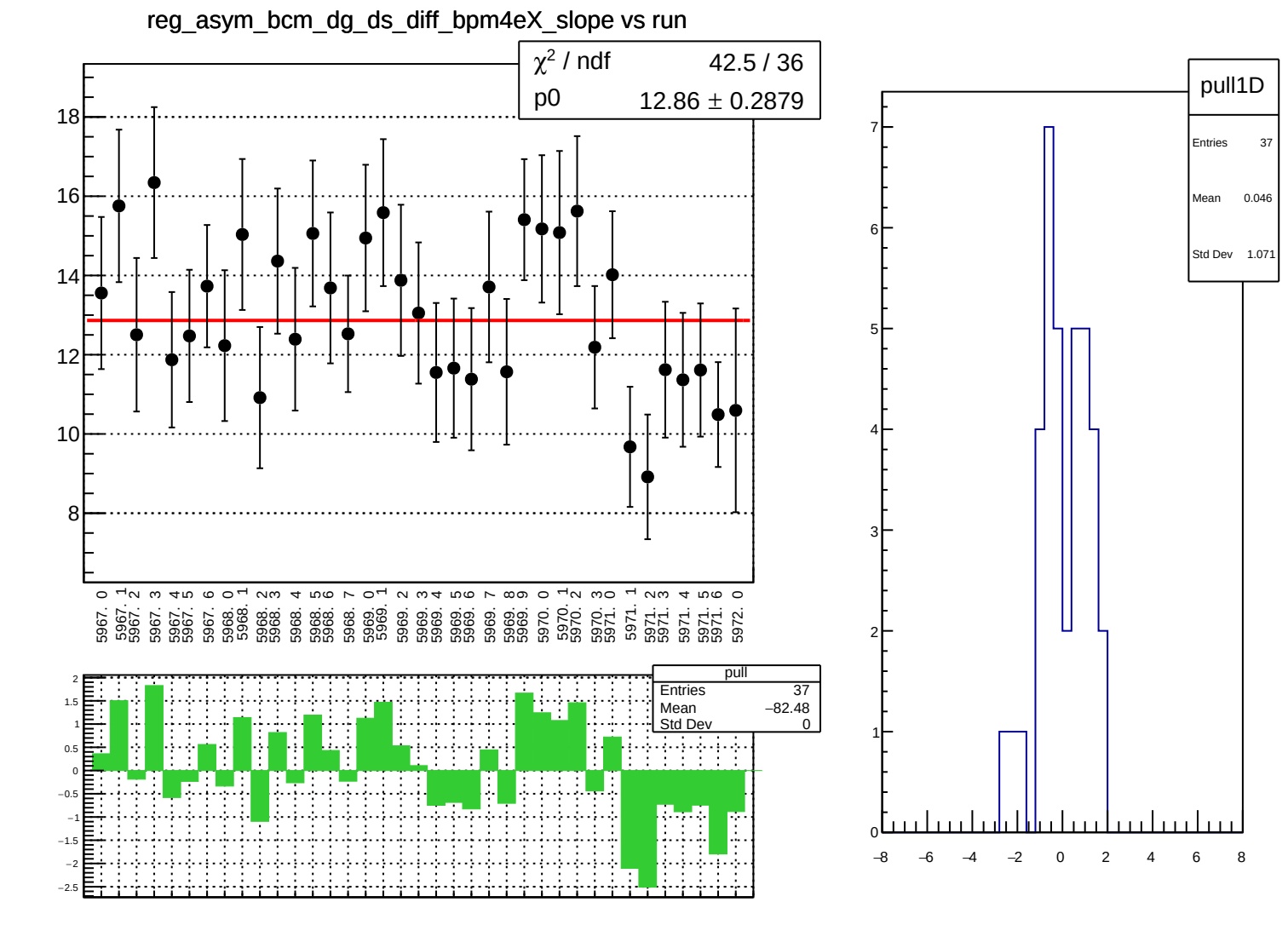
reg_asym_bcm_dg_ds_diff_bpm4eX_slope vs run
χ² / ndf 42.5 / 36
p0 12.86 ± 0.2879
pull
Entries 37
Mean −82.48
Std Dev 0
pull1D
Entries 37
Mean 0.046
Std Dev 1.071

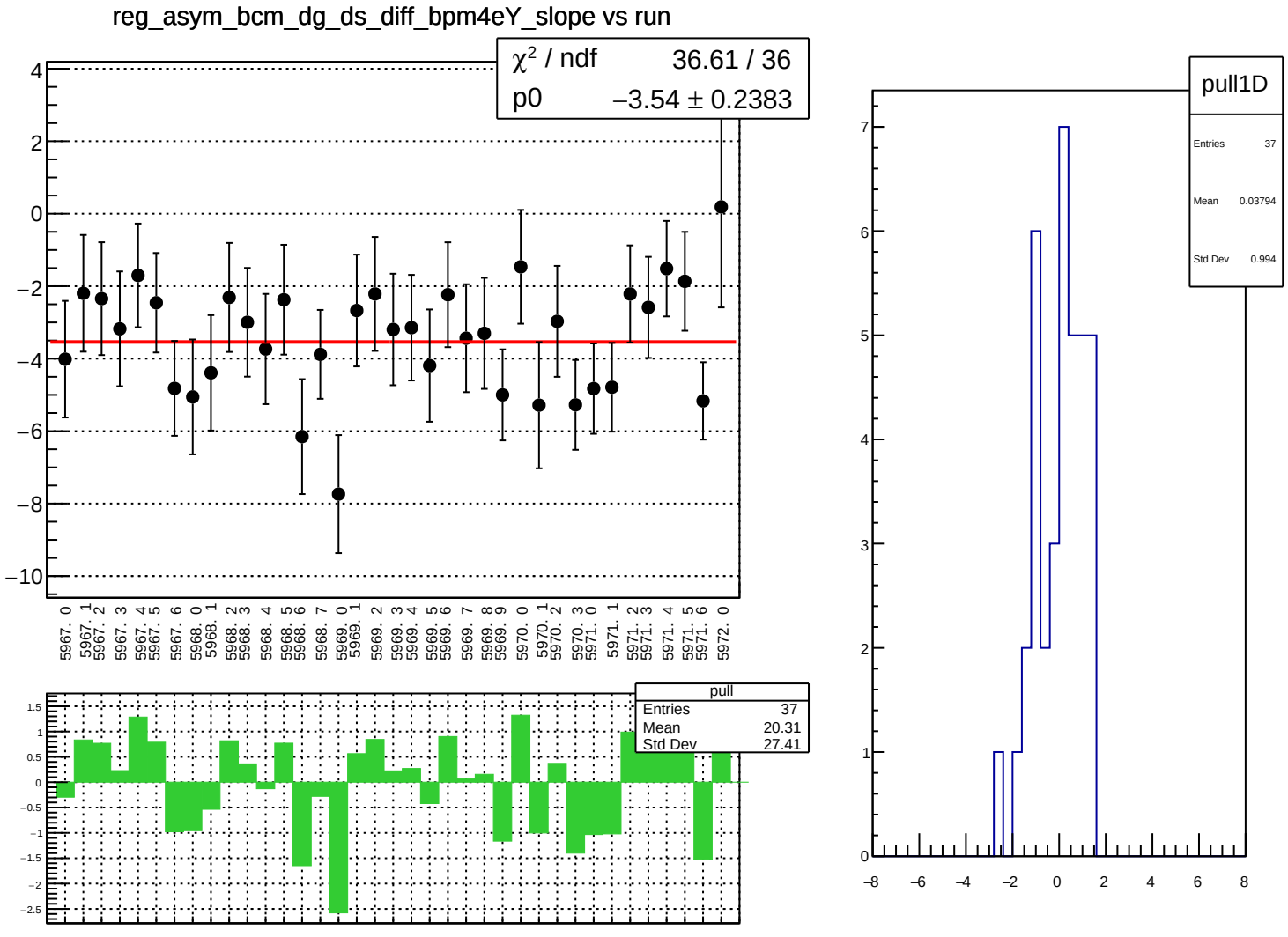
reg_asym_bcm_dg_ds_diff_bpm4eY_slope vs run
χ² / ndf 36.61 / 36
p0 −3.54 ± 0.2383
pull
Entries 37
Mean 20.31
Std Dev 27.41
pull1D
Entries 37
Mean 0.03794
Std Dev 0.994

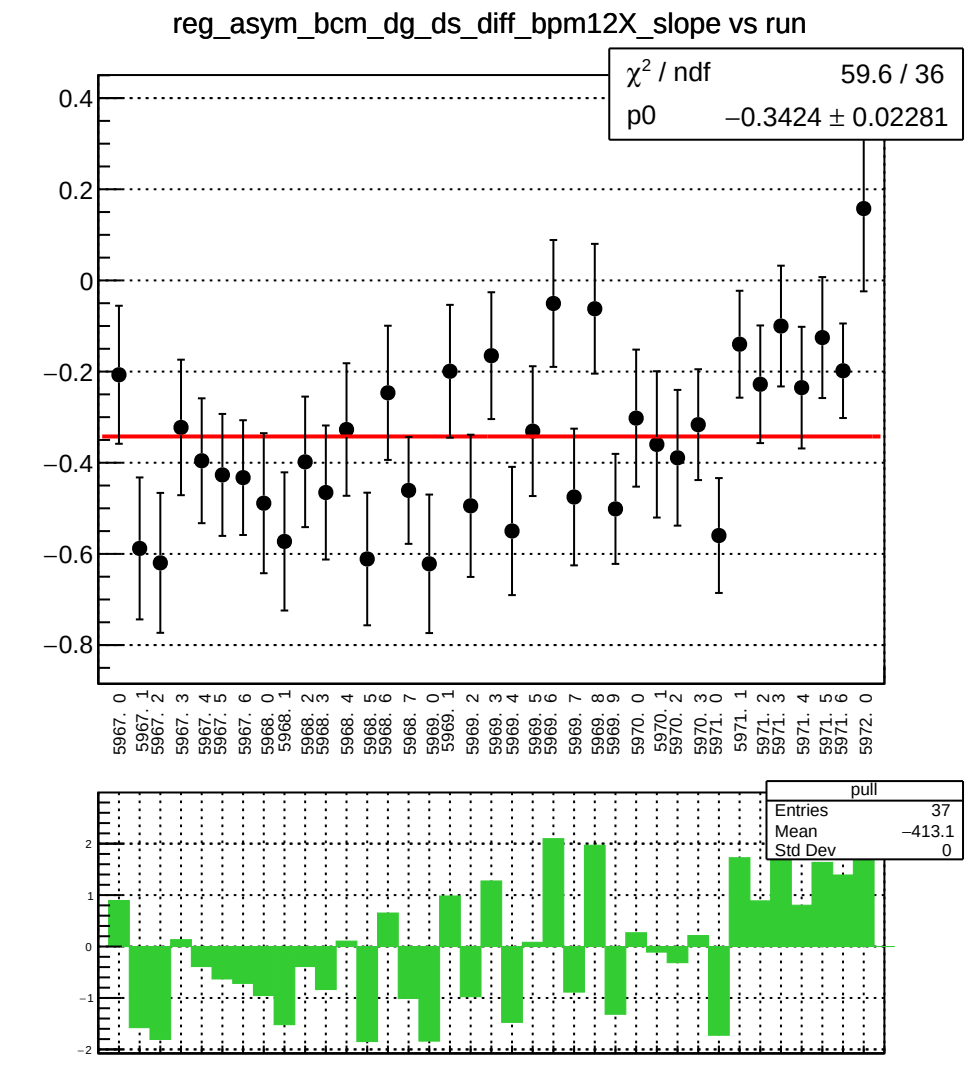
reg_asym_bcm_dg_ds_diff_bpm12X_slope vs run
χ² / ndf 59.6 / 36
p0 −0.3424 ± 0.02281
0.4
0.2
0
−0.2
−0.4
−0.6
−0.8
5967. 0
5967. 1
5967. 2
5967. 3
5967. 4
5967. 5
5967. 6
5968. 0
5968. 1
5968. 2
5968. 3
5968. 4
5968. 5
5968. 6
5968. 7
5969. 0
5969. 1
5969. 2
5969. 3
5969. 4
5969. 5
5969. 6
5969. 7
5969. 8
5969. 9
5970. 0
5970. 1
5970. 2
5970. 3
5971. 0
5971. 1
5971. 2
5971. 3
5971. 4
5971. 5
5971. 6
5972. 0
pull
Entries 37
Mean −413.1
Std Dev 0
2
1
0
−1
−2

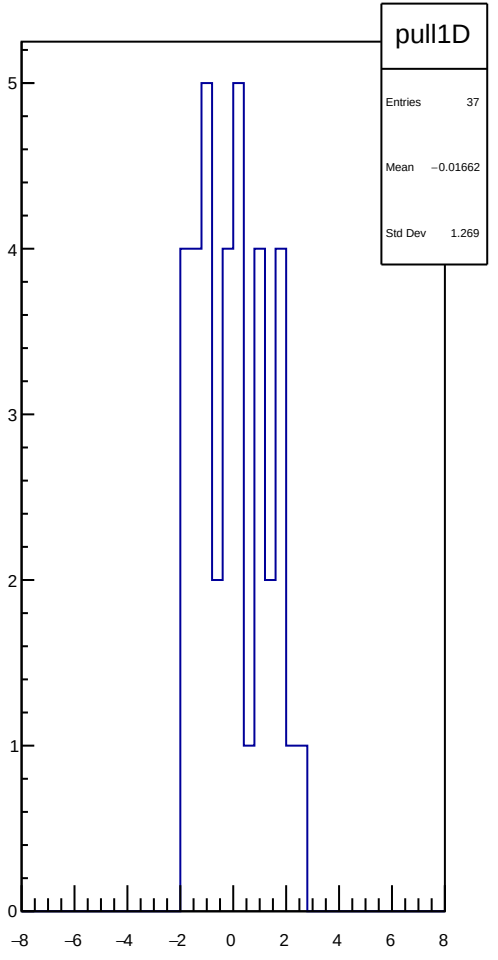
pull1D
Entries 37
Mean −0.01662
Std Dev 1.269
5
4
3
2
1
0
−8
−6
−4
−2
0
2
4
6
8

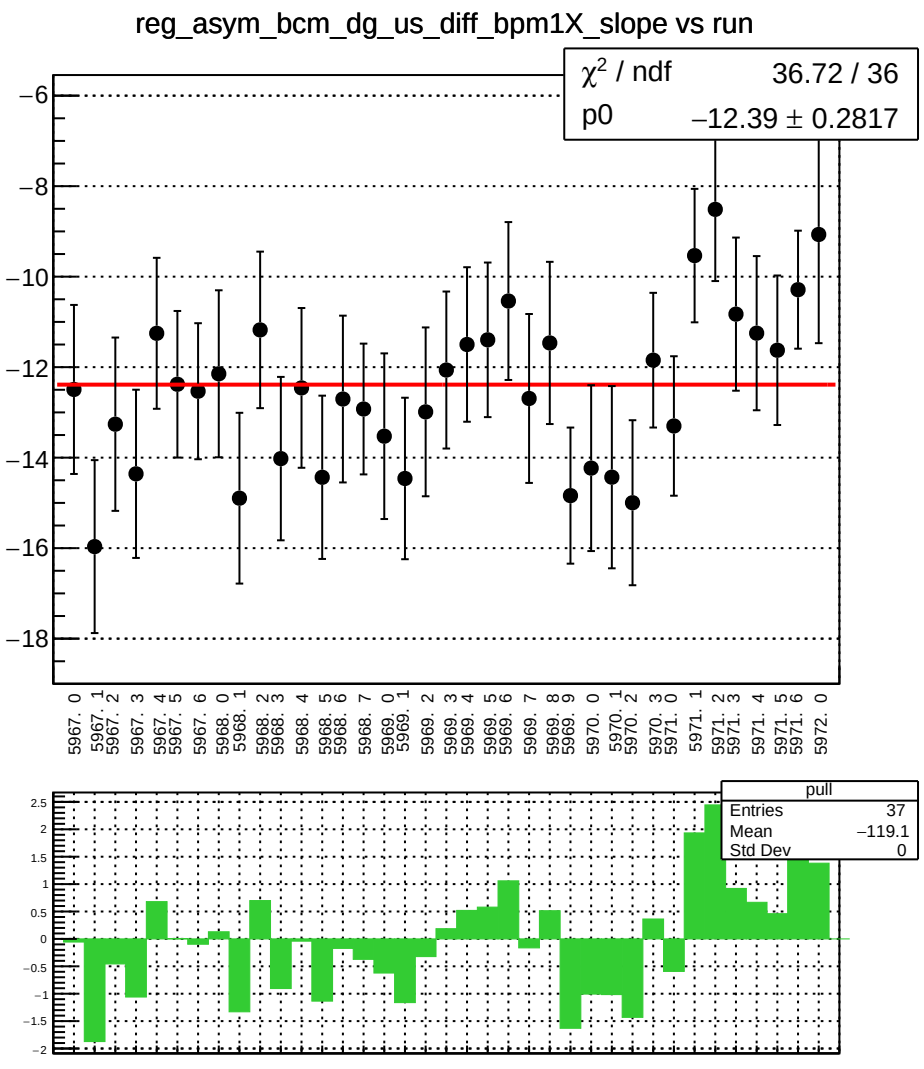
reg_asym_bcm_dg_us_diff_bpm1X_slope vs run
χ² / ndf 36.72 / 36
p0 −12.39 ± 0.2817
pull
Entries 37
Mean −119.1
Std Dev 0

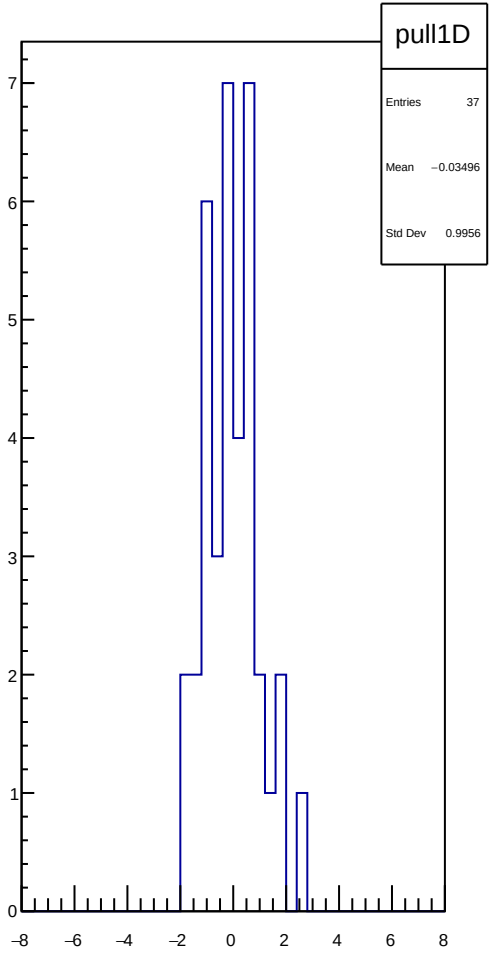
pull1D
Entries 37
Mean −0.03496
Std Dev 0.9956

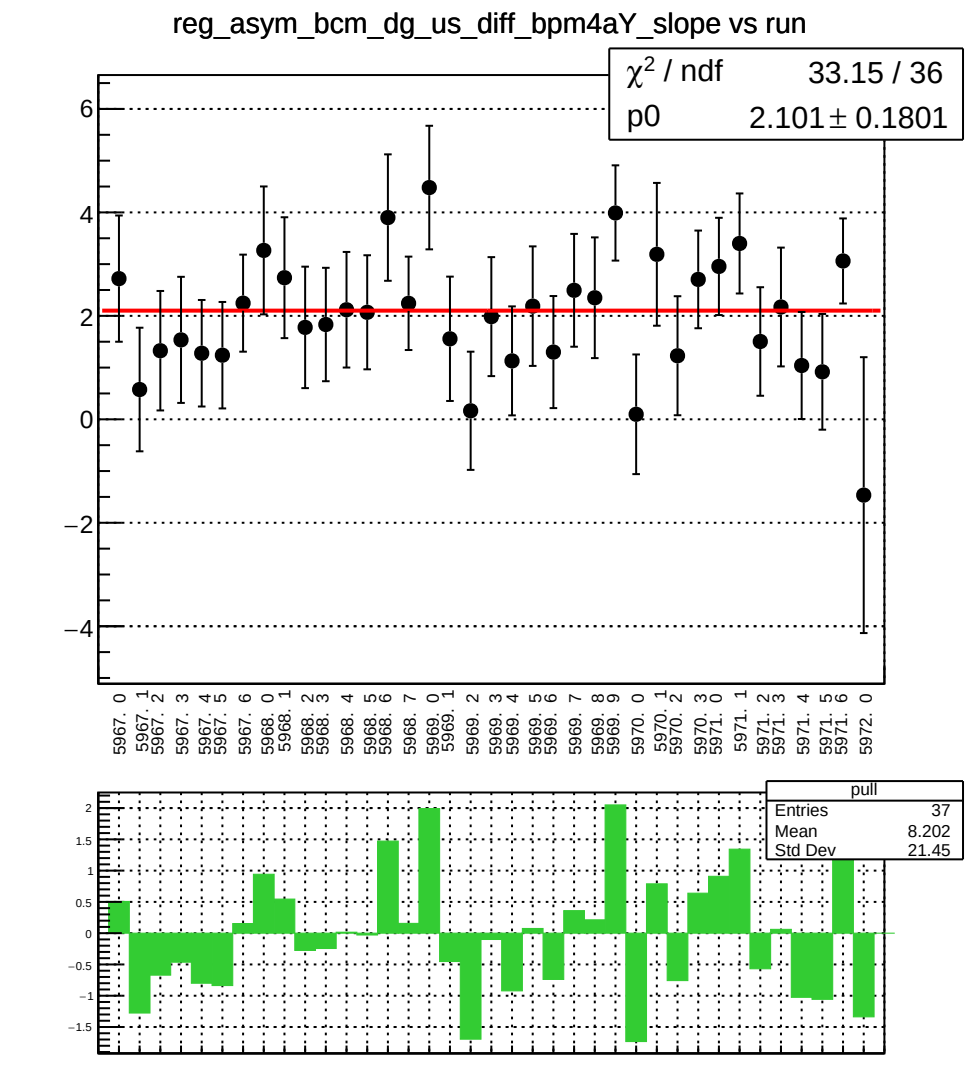
reg_asym_bcm_dg_us_diff_bpm4aY_slope vs run
χ² / ndf 33.15 / 36
p0 2.101 ± 0.1801
pull
Entries 37
Mean 8.202
Std Dev 21.45

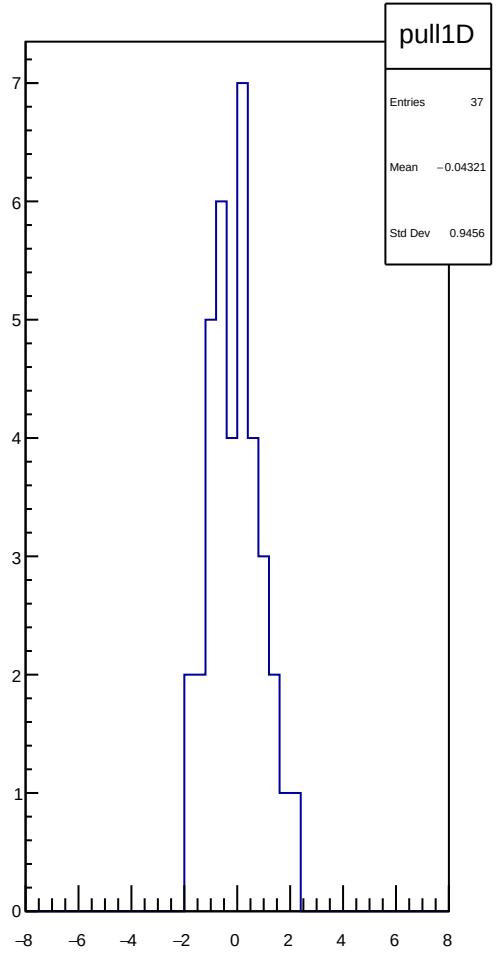
pull1D
Entries 37
Mean −0.04321
Std Dev 0.9456

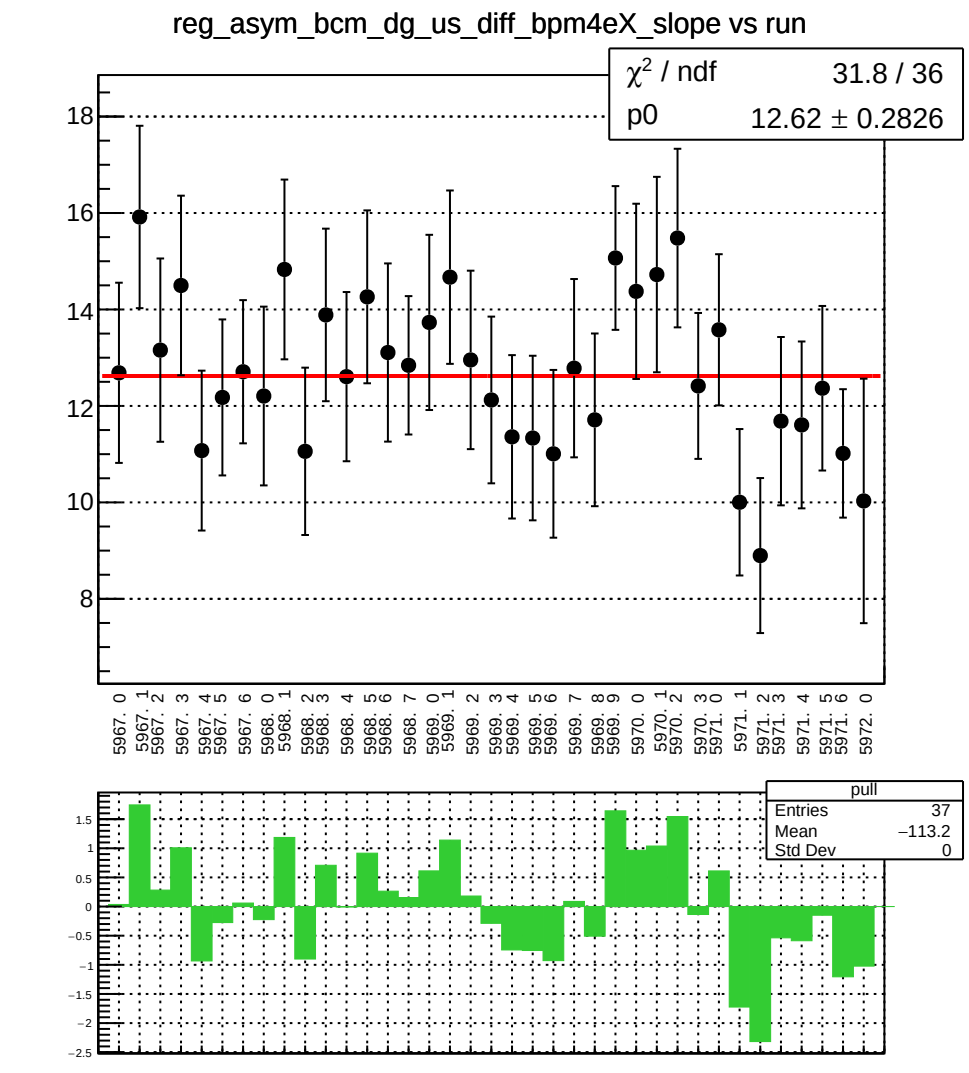
reg_asym_bcm_dg_us_diff_bpm4eX_slope vs run
χ² / ndf 31.8 / 36
p0 12.62 ± 0.2826
18
16
14
12
10
8
5967. 0
5967. 1
5967. 2
5967. 3
5967. 4
5967. 5
5967. 6
5968. 0
5968. 1
5968. 2
5968. 3
5968. 4
5968. 5
5968. 6
5968. 7
5969. 0
5969. 1
5969. 2
5969. 3
5969. 4
5969. 5
5969. 6
5969. 7
5969. 8
5969. 9
5970. 0
5970. 1
5970. 2
5970. 3
5971. 0
5971. 1
5971. 2
5971. 3
5971. 4
5971. 5
5971. 6
5972. 0
pull
Entries 37
Mean −113.2
Std Dev 0
1.5
1
0.5
0
−0.5
−1
−1.5
−2
−2.5
pull1D
Entries 37
Mean 0.02545
Std Dev 0.9268
7
6
5
4
3
2
1
0
−8
−6
−4
−2
0
2
4
6
8

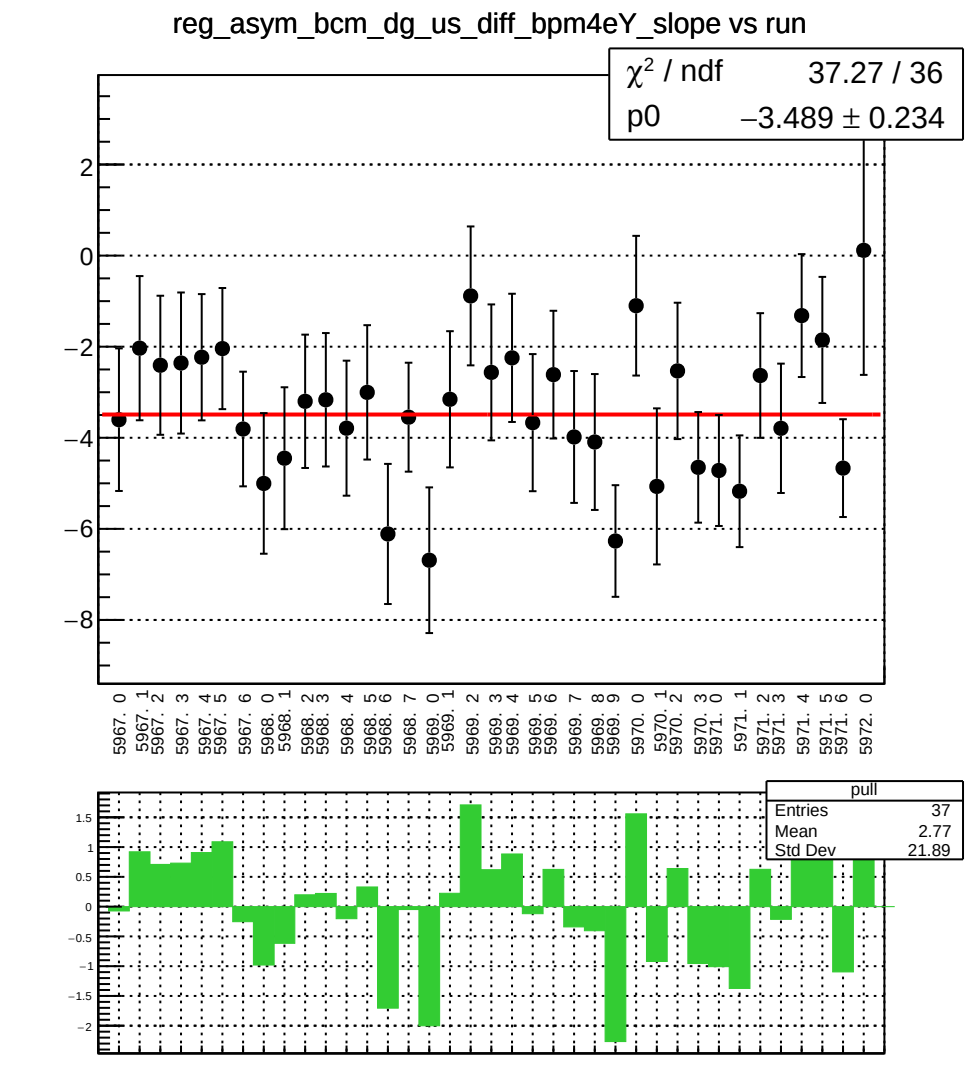
reg_asym_bcm_dg_us_diff_bpm4eY_slope vs run
χ² / ndf 37.27 / 36
p0 −3.489 ± 0.234
pull
Entries 37
Mean 2.77
Std Dev 21.89

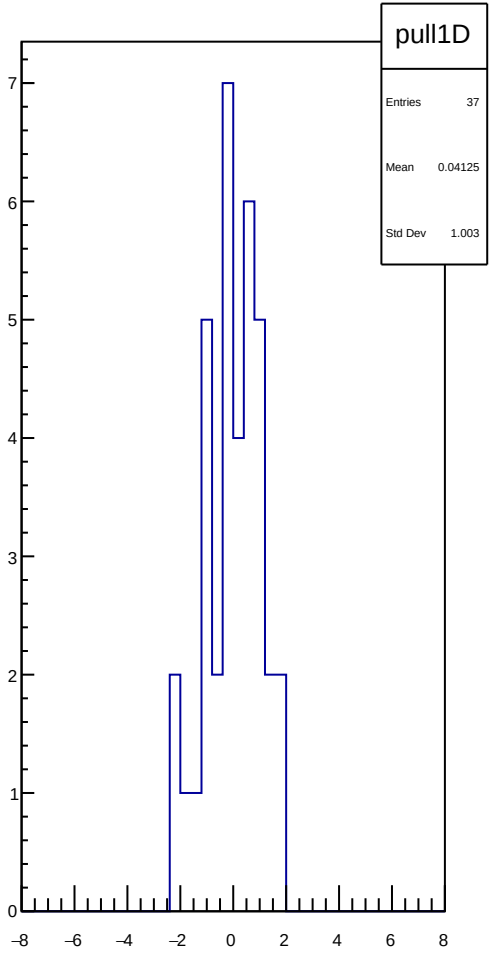
pull1D
Entries 37
Mean 0.04125
Std Dev 1.003

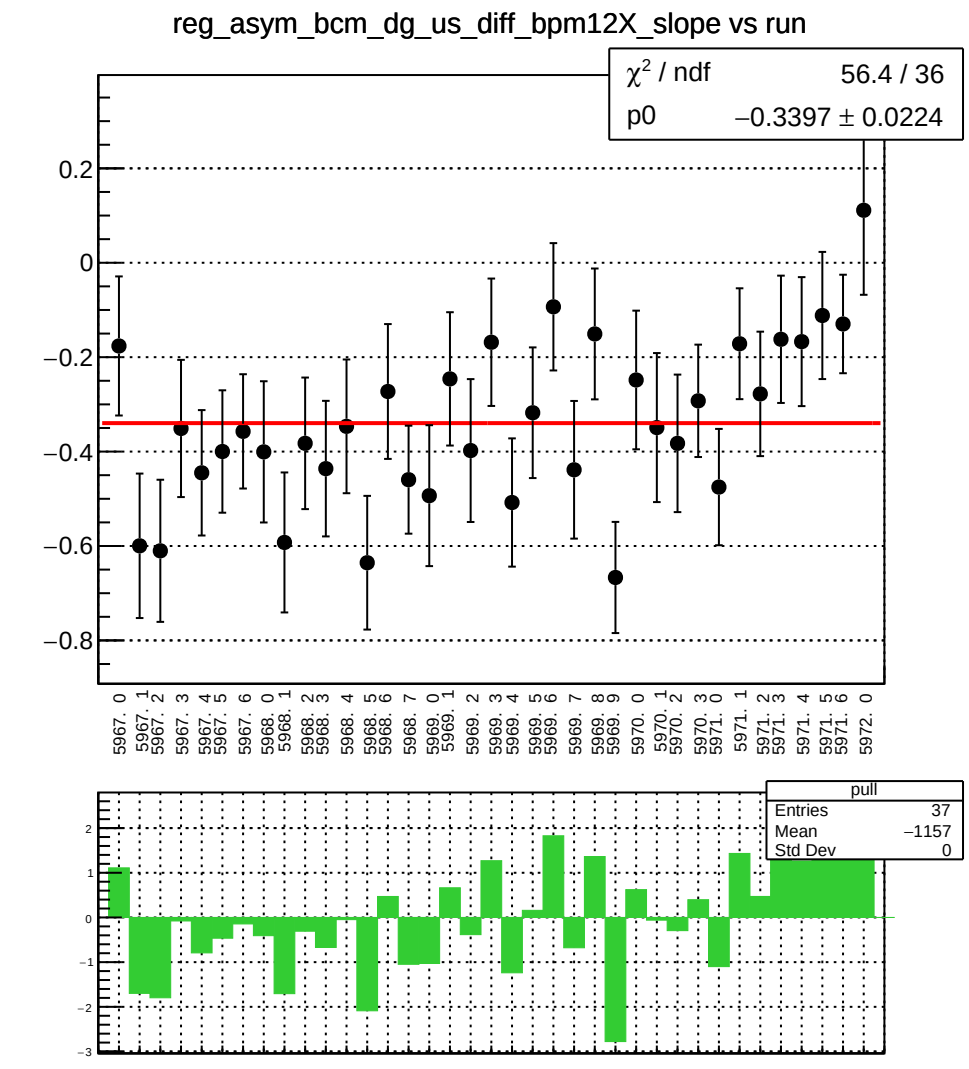
reg_asym_bcm_dg_us_diff_bpm12X_slope vs run
χ² / ndf 56.4 / 36
p0 −0.3397 ± 0.0224
0.2
0
−0.2
−0.4
−0.6
−0.8
5967. 0
5967. 1
5967. 2
5967. 3
5967. 4
5967. 5
5967. 6
5968. 0
5968. 1
5968. 2
5968. 3
5968. 4
5968. 5
5968. 6
5968. 7
5969. 0
5969. 1
5969. 2
5969. 3
5969. 4
5969. 5
5969. 6
5969. 7
5969. 8
5969. 9
5970. 0
5970. 1
5970. 2
5970. 3
5971. 0
5971. 1
5971. 2
5971. 3
5971. 4
5971. 5
5971. 6
5972. 0
pull
Entries 37
Mean −1157
Std Dev 0
2
1
0
−1
−2
−3

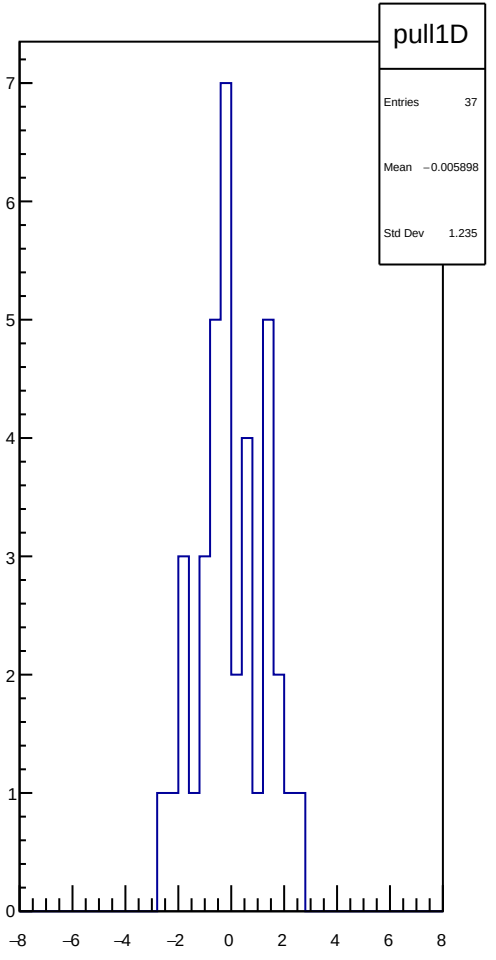
pull1D
Entries 37
Mean −0.005898
Std Dev 1.235
7
6
5
4
3
2
1
0
−8
−6
−4
−2
0
2
4
6
8

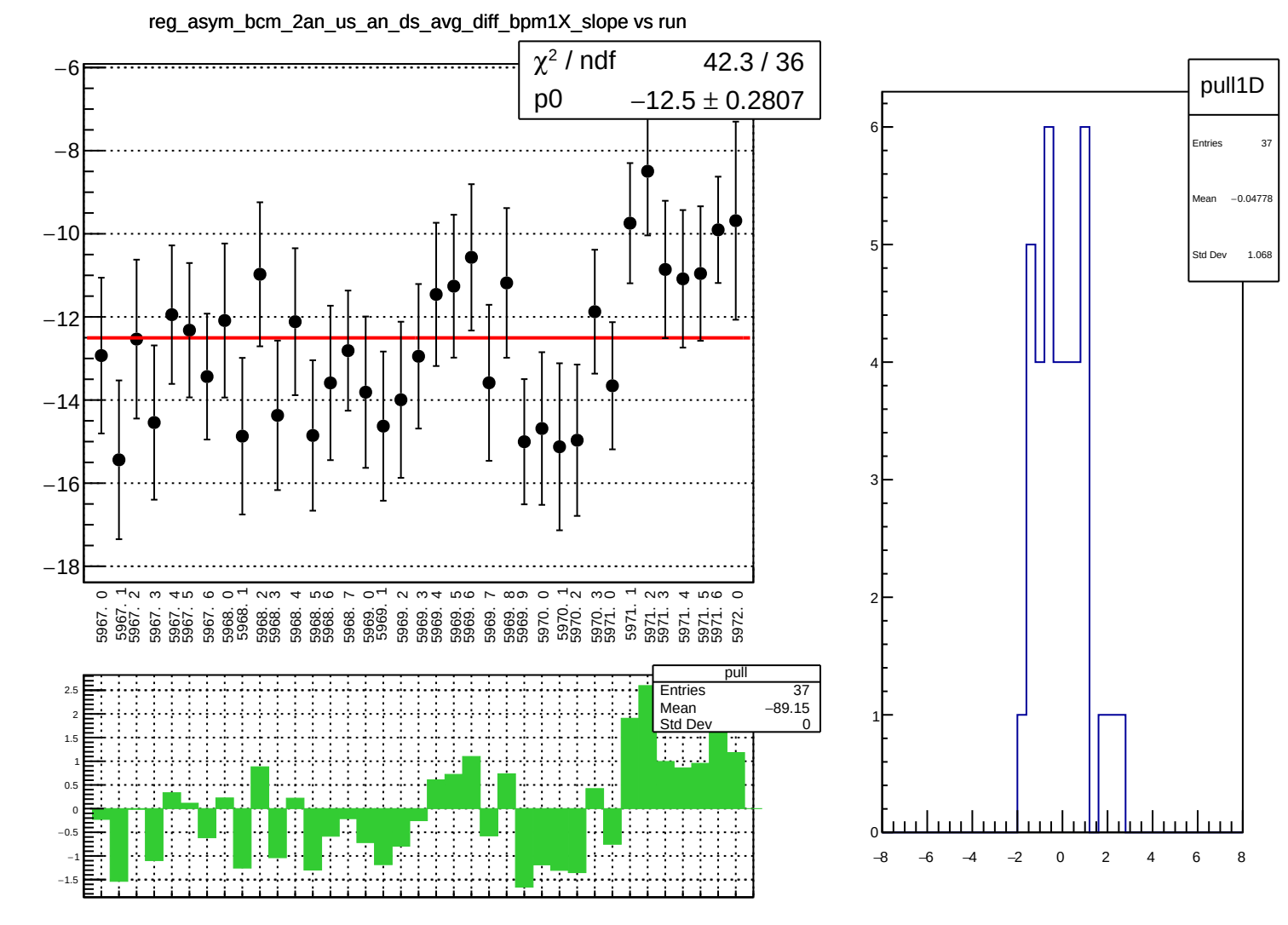
reg_asym_bcm_2an_us_an_ds_avg_diff_bpm1X_slope vs run
χ² / ndf 42.3 / 36
p0 −12.5 ± 0.2807
pull
Entries 37
Mean −89.15
Std Dev 0
pull1D
Entries 37
Mean −0.04778
Std Dev 1.068

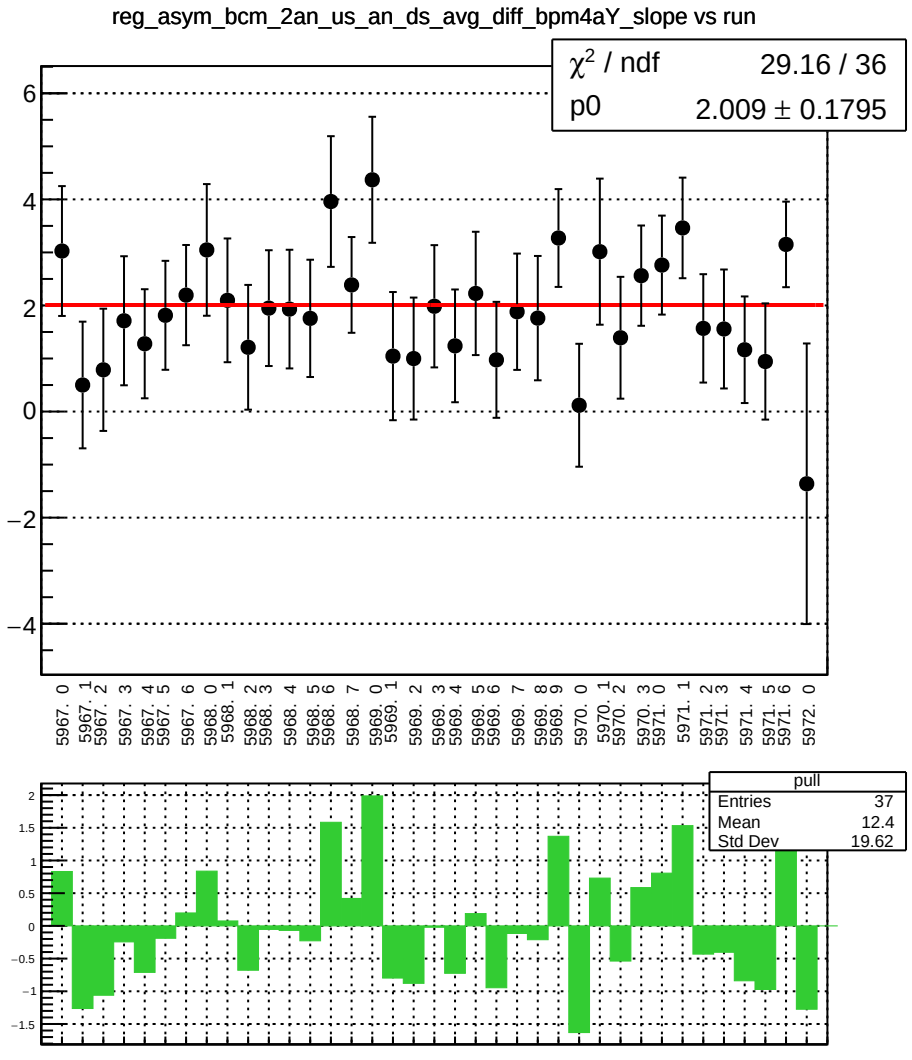
reg_asym_bcm_2an_us_an_ds_avg_diff_bpm4aY_slope vs run
χ² / ndf 29.16 / 36
p0 2.009 ± 0.1795
pull
Entries 37
Mean 12.4
Std Dev 19.62

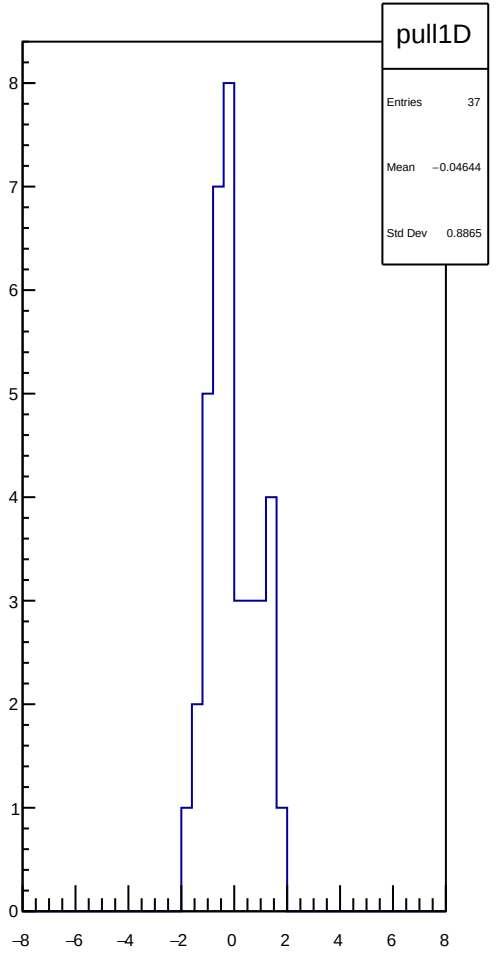
pull1D
Entries 37
Mean −0.04644
Std Dev 0.8865

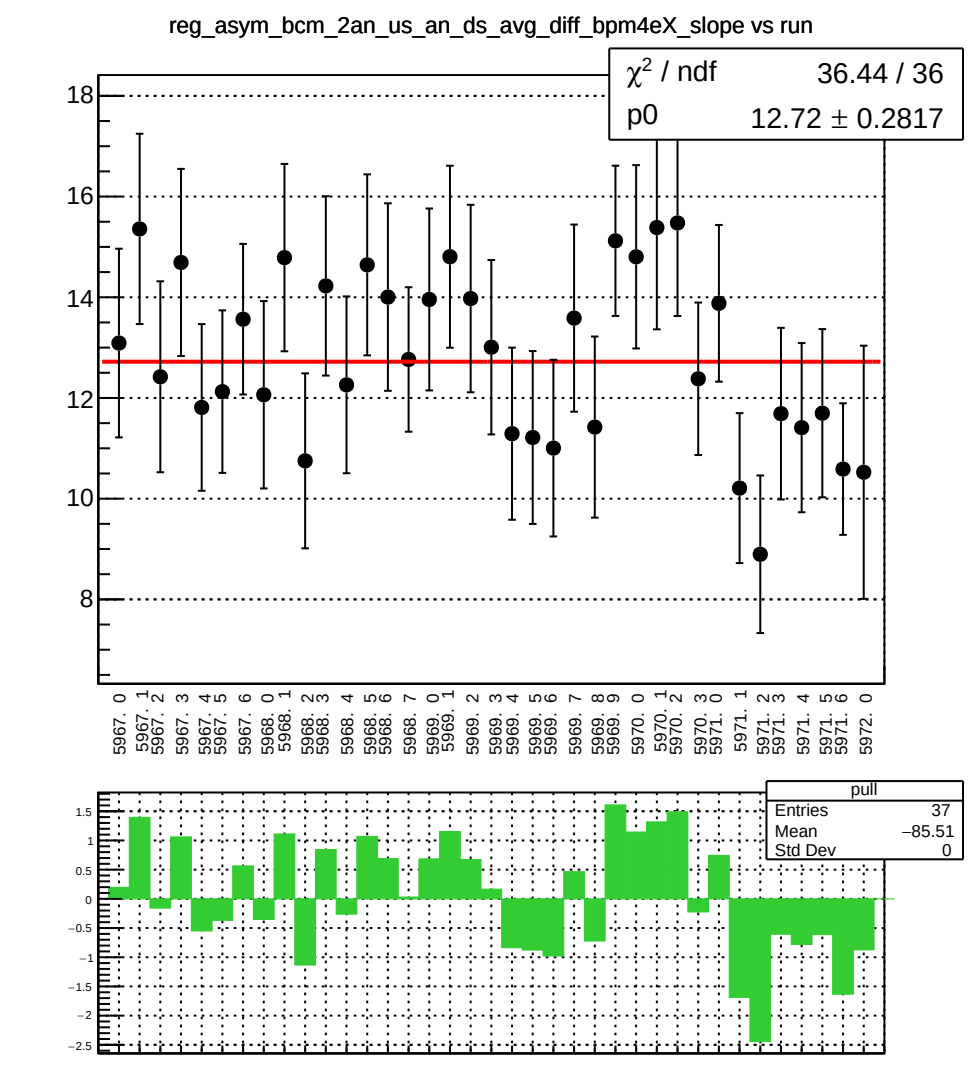
reg_asym_bcm_2an_us_an_ds_avg_diff_bpm4eX_slope vs run
χ² / ndf 36.44 / 36
p0 12.72 ± 0.2817
pull
Entries 37
Mean −85.51
Std Dev 0

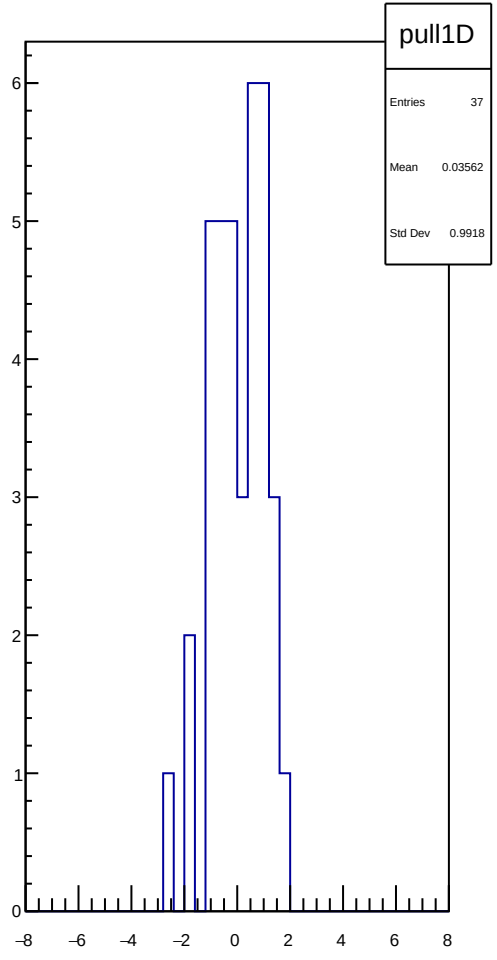
pull1D
Entries 37
Mean 0.03562
Std Dev 0.9918

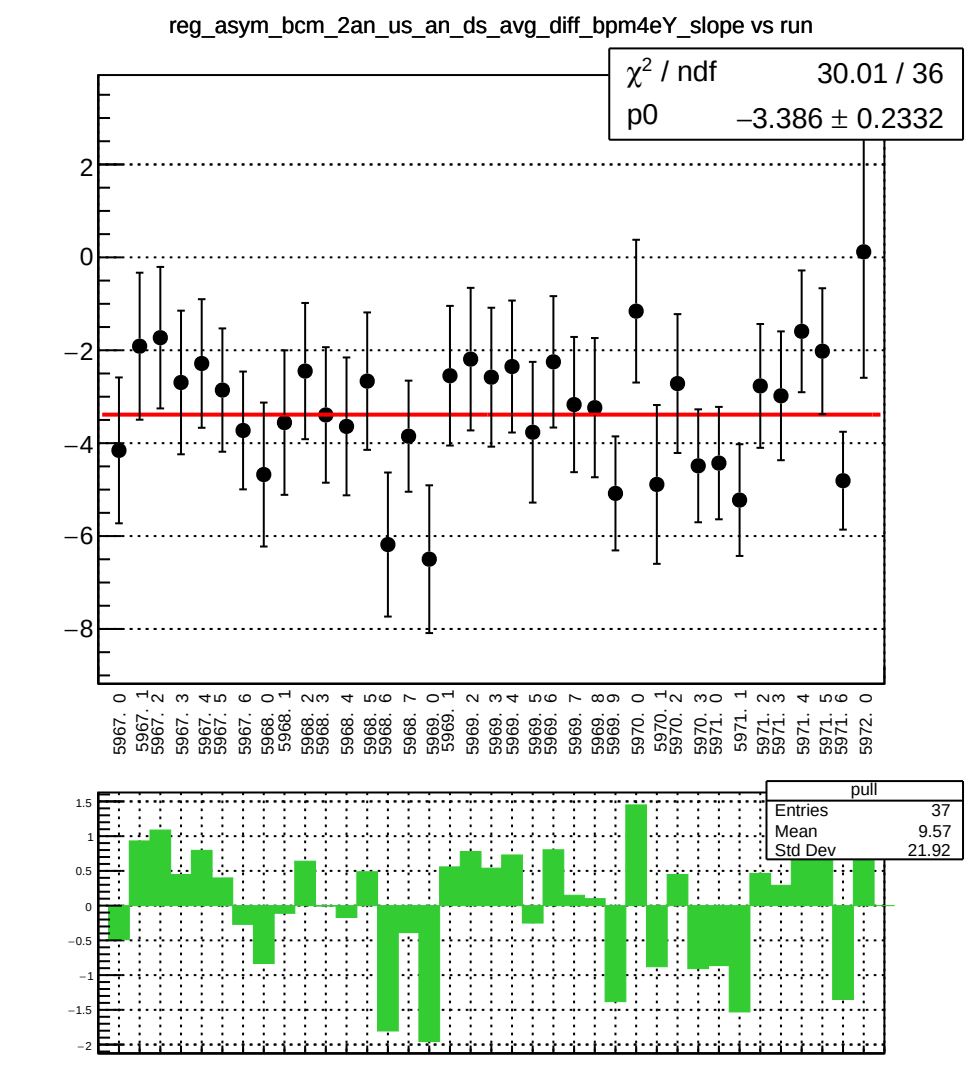
reg_asym_bcm_2an_us_an_ds_avg_diff_bpm4eY_slope vs run
χ² / ndf 30.01 / 36
p0 −3.386 ± 0.2332
pull
Entries 37
Mean 9.57
Std Dev 21.92

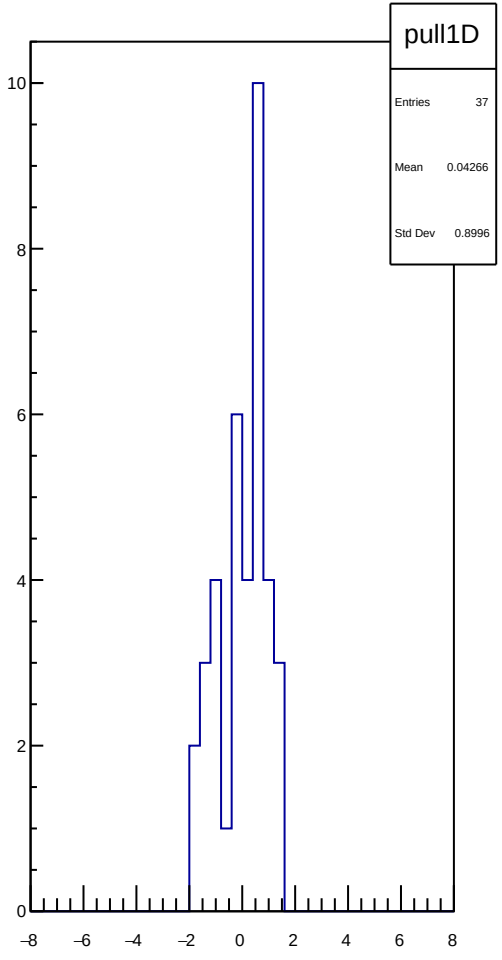
pull1D
Entries 37
Mean 0.04266
Std Dev 0.8996

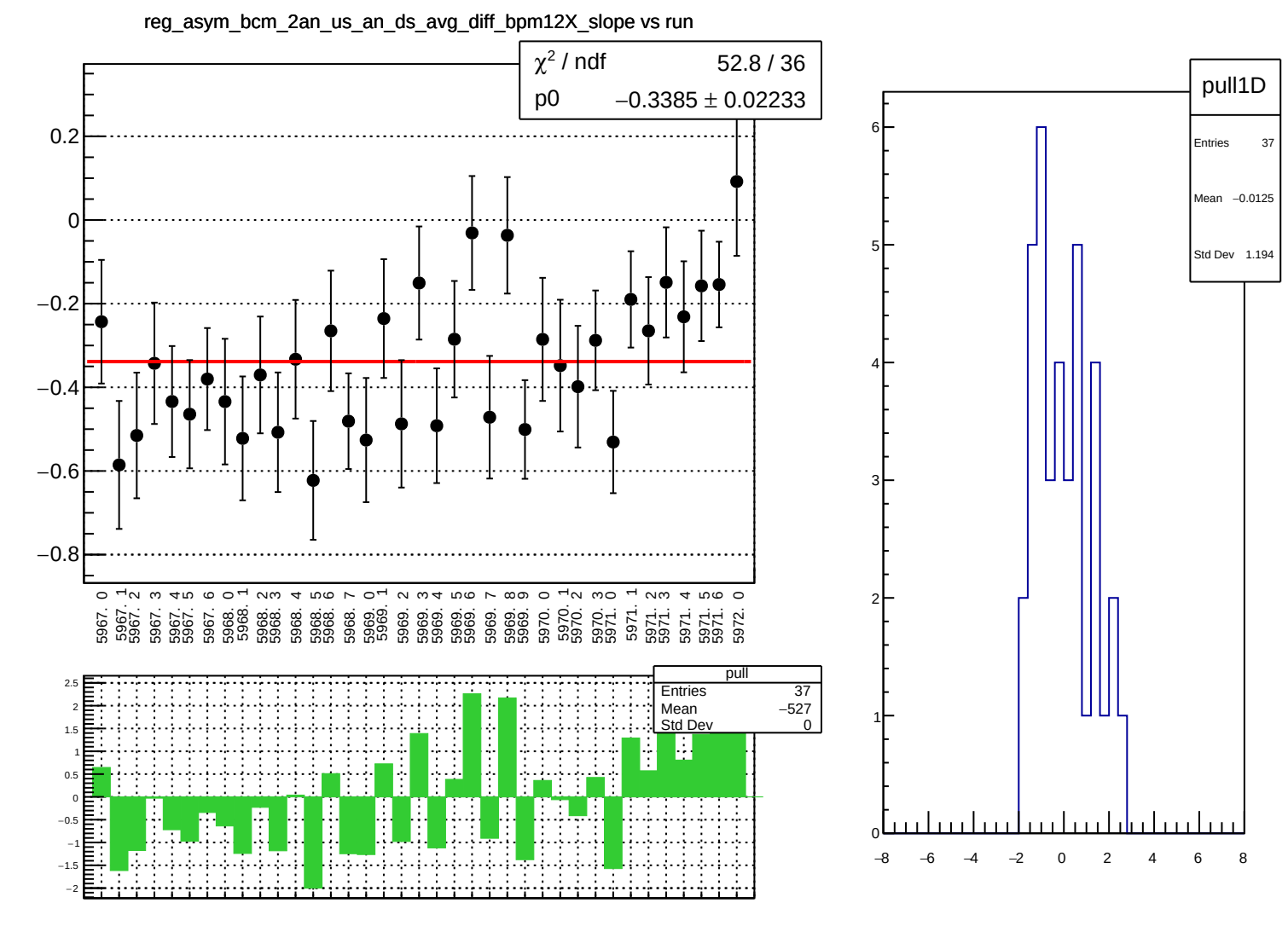
reg_asym_bcm_2an_us_an_ds_avg_diff_bpm12X_slope vs run
χ² / ndf 52.8 / 36
p0 −0.3385 ± 0.02233
0.2
0
−0.2
−0.4
−0.6
−0.8
5967. 0
5967. 1
5967. 2
5967. 3
5967. 4
5967. 5
5967. 6
5968. 0
5968. 1
5968. 2
5968. 3
5968. 4
5968. 5
5968. 6
5968. 7
5969. 0
5969. 1
5969. 2
5969. 3
5969. 4
5969. 5
5969. 6
5969. 7
5969. 8
5969. 9
5970. 0
5970. 1
5970. 2
5970. 3
5971. 0
5971. 1
5971. 2
5971. 3
5971. 4
5971. 5
5971. 6
5972. 0
pull
Entries 37
Mean −527
Std Dev 0
2.5
2
1.5
1
0.5
0
−0.5
−1
−1.5
−2
pull1D
Entries 37
Mean −0.0125
Std Dev 1.194
6
5
4
3
2
1
0
−8
−6
−4
−2
0
2
4
6
8

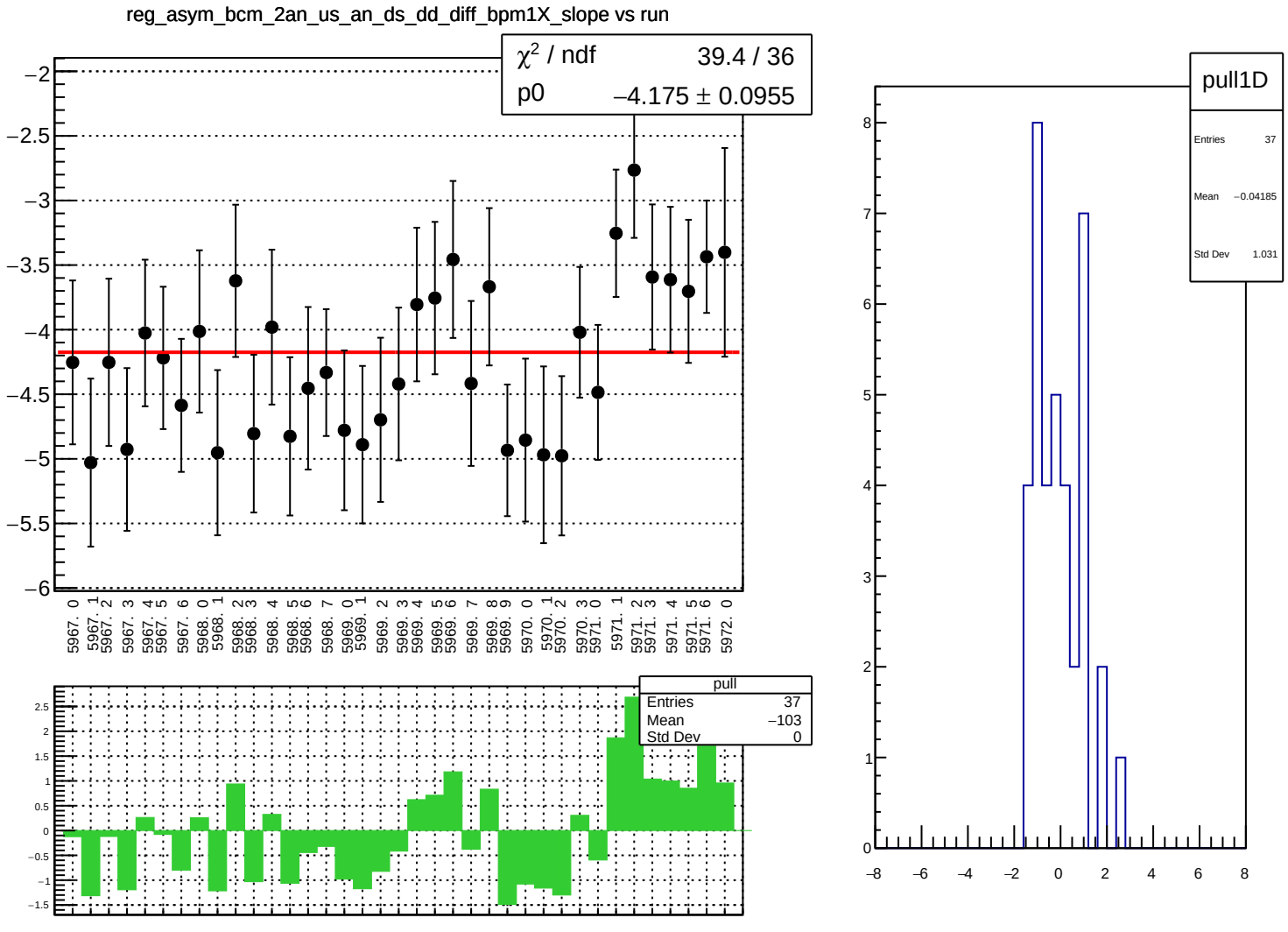
reg_asym_bcm_2an_us_an_ds_dd_diff_bpm1X_slope vs run
χ² / ndf 39.4 / 36
p0 −4.175 ± 0.0955
pull
Entries 37
Mean −103
Std Dev 0
pull1D
Entries 37
Mean −0.04185
Std Dev 1.031

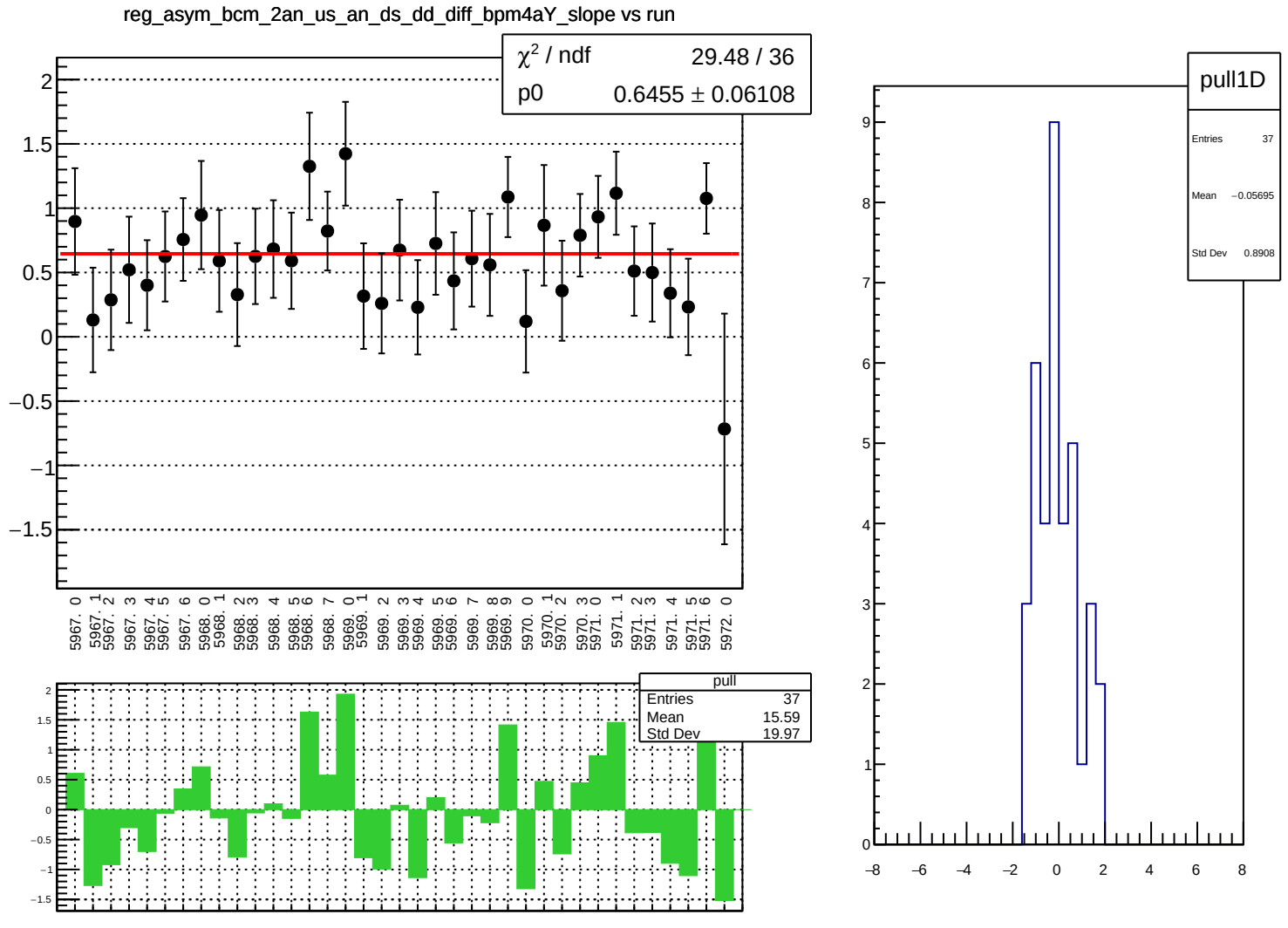
reg_asym_bcm_2an_us_an_ds_dd_diff_bpm4aY_slope vs run
χ² / ndf 29.48 / 36
p0 0.6455 ± 0.06108
pull
Entries 37
Mean 15.59
Std Dev 19.97
pull1D
Entries 37
Mean −0.05695
Std Dev 0.8908

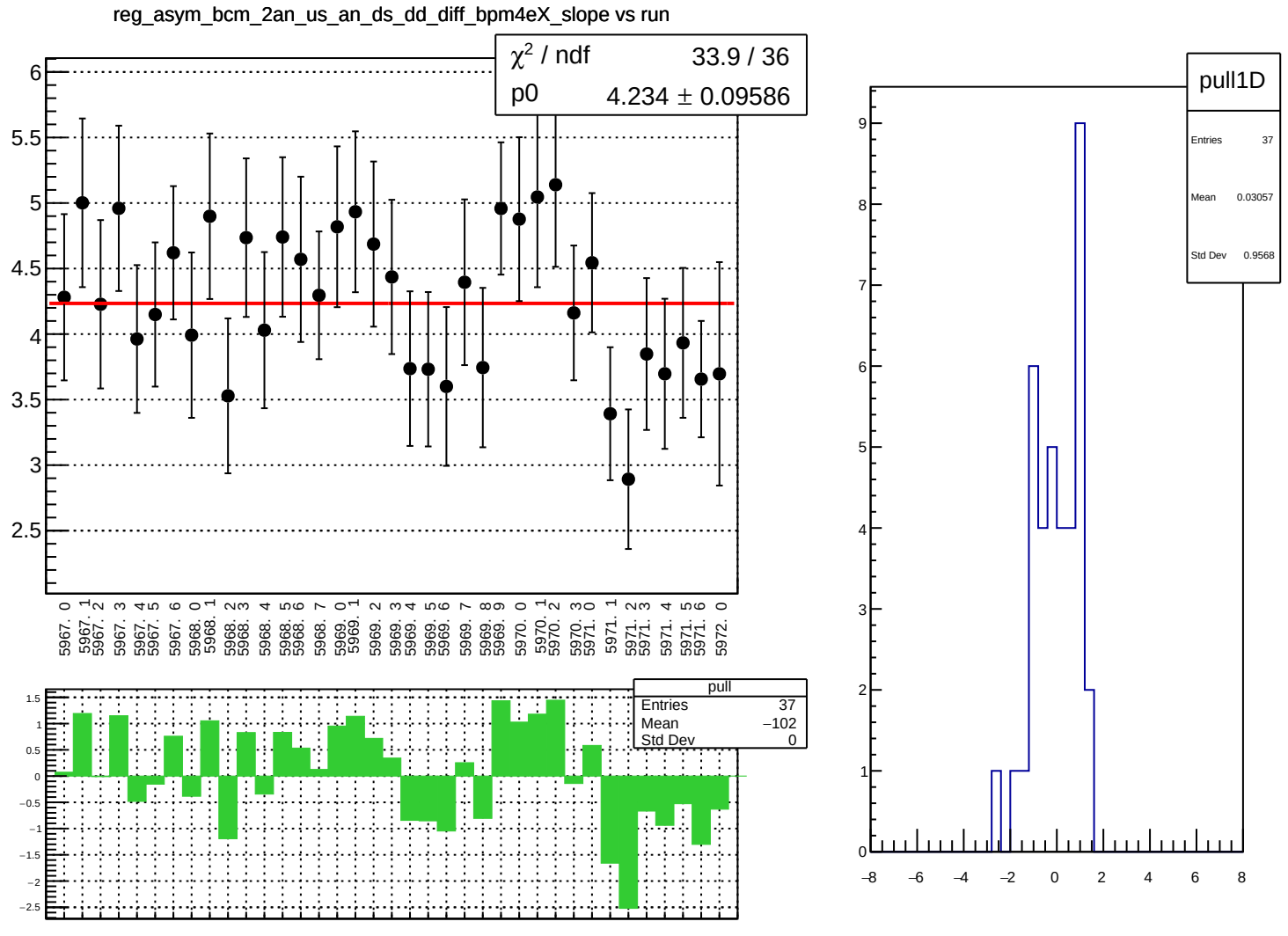
reg_asym_bcm_2an_us_an_ds_dd_diff_bpm4eX_slope vs run
χ² / ndf 33.9 / 36
p0 4.234 ± 0.09586
pull
Entries 37
Mean −102
Std Dev 0
pull1D
Entries 37
Mean 0.03057
Std Dev 0.9568

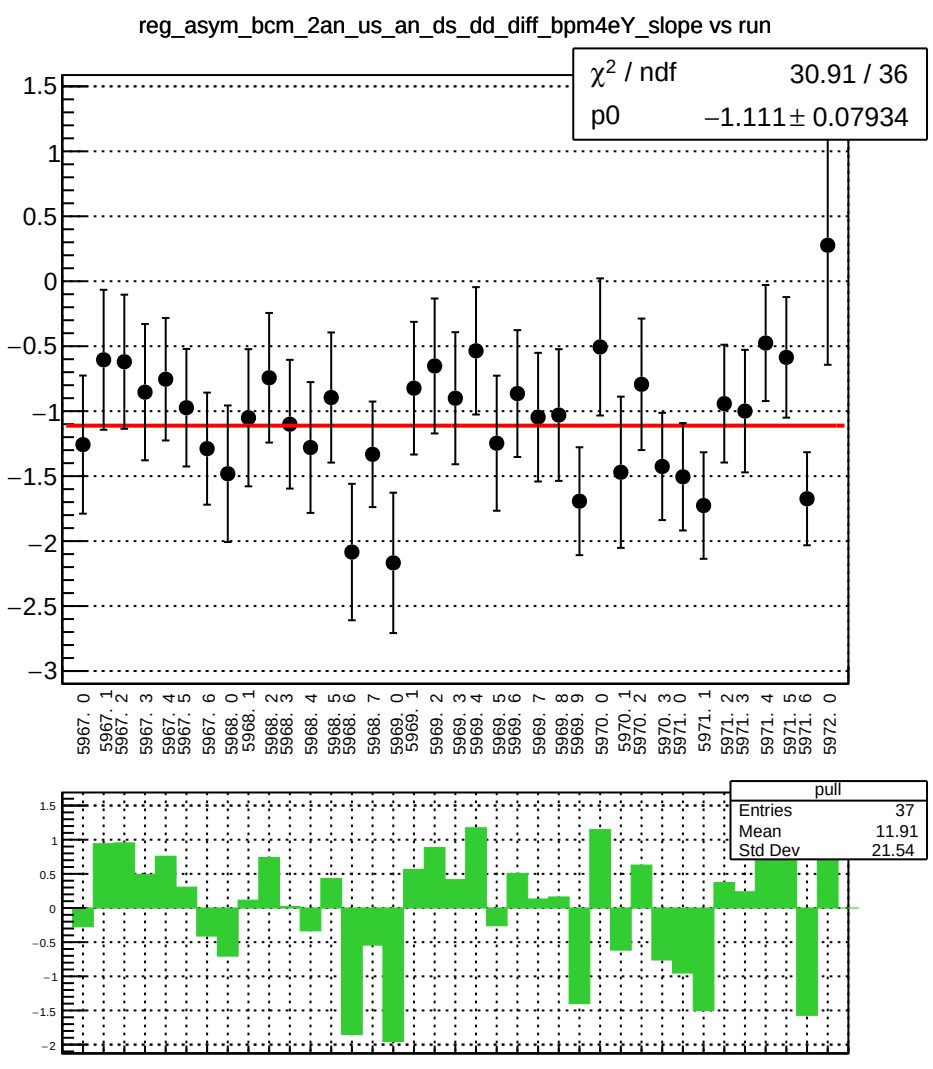
reg_asym_bcm_2an_us_an_ds_dd_diff_bpm4eY_slope vs run
χ² / ndf 30.91 / 36
p0 −1.111 ± 0.07934
pull
Entries 37
Mean 11.91
Std Dev 21.54

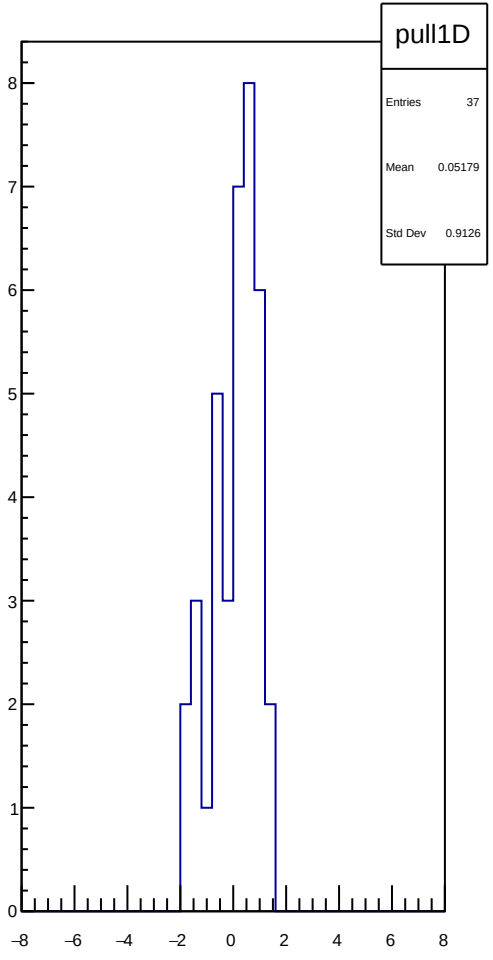
pull1D
Entries 37
Mean 0.05179
Std Dev 0.9126

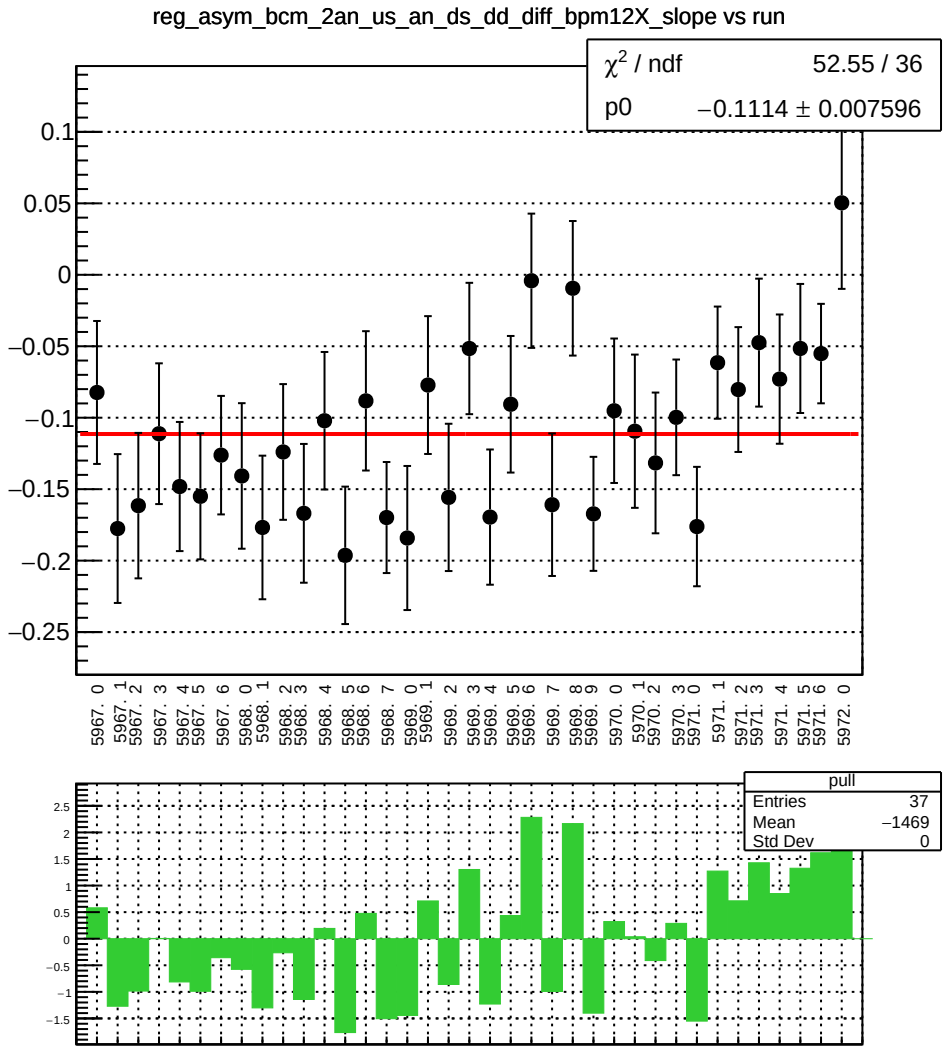
reg_asym_bcm_2an_us_an_ds_dd_diff_bpm12X_slope vs run
χ² / ndf 52.55 / 36
p0 −0.1114 ± 0.007596
pull
Entries 37
Mean −1469
Std Dev 0

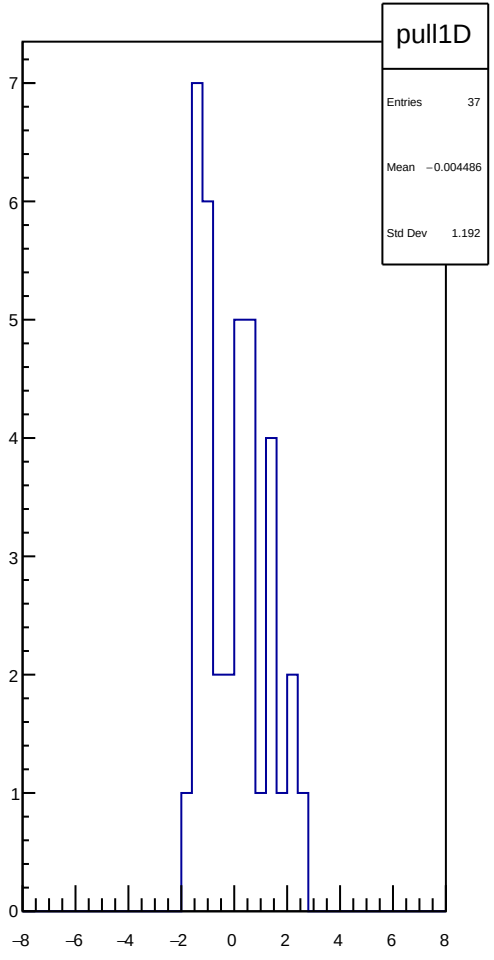
pull1D
Entries 37
Mean −0.004486
Std Dev 1.192

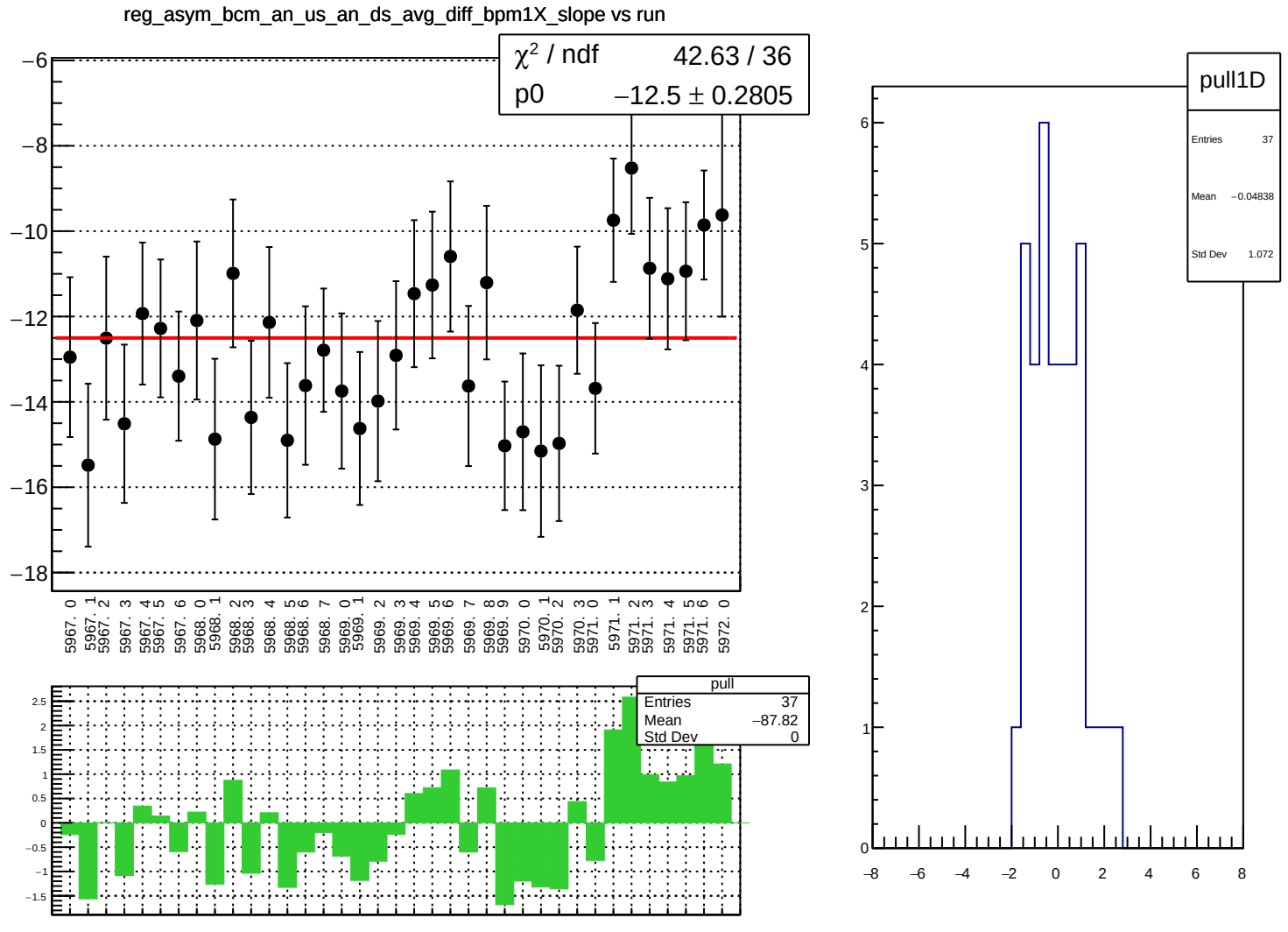
reg_asym_bcm_an_us_an_ds_avg_diff_bpm1X_slope vs run
χ² / ndf 42.63 / 36
p0 −12.5 ± 0.2805
pull
Entries 37
Mean −87.82
Std Dev 0
pull1D
Entries 37
Mean −0.04838
Std Dev 1.072

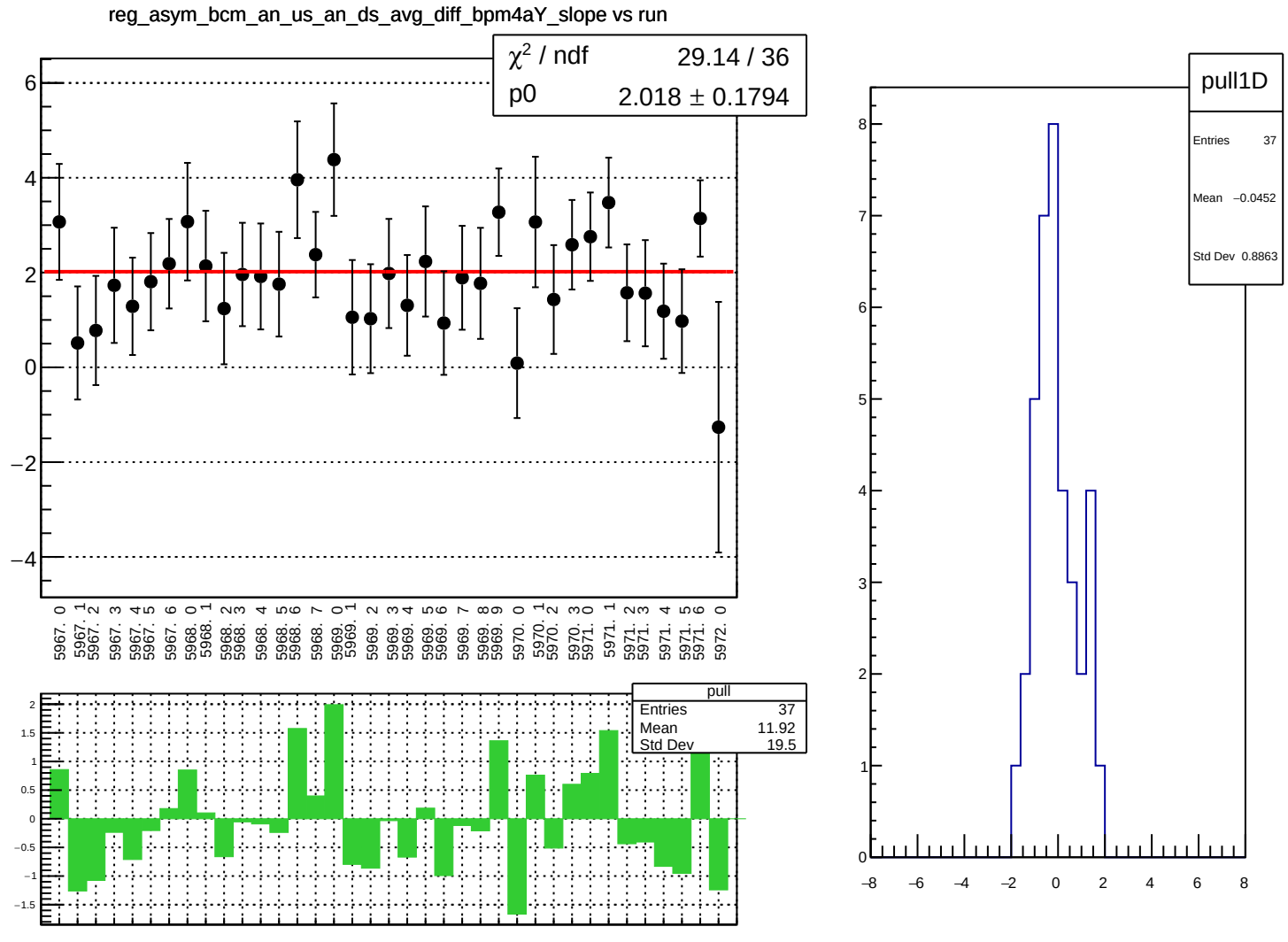
reg_asym_bcm_an_us_an_ds_avg_diff_bpm4aY_slope vs run
χ² / ndf 29.14 / 36
p0 2.018 ± 0.1794
pull
Entries 37
Mean 11.92
Std Dev 19.5
pull1D
Entries 37
Mean −0.0452
Std Dev 0.8863

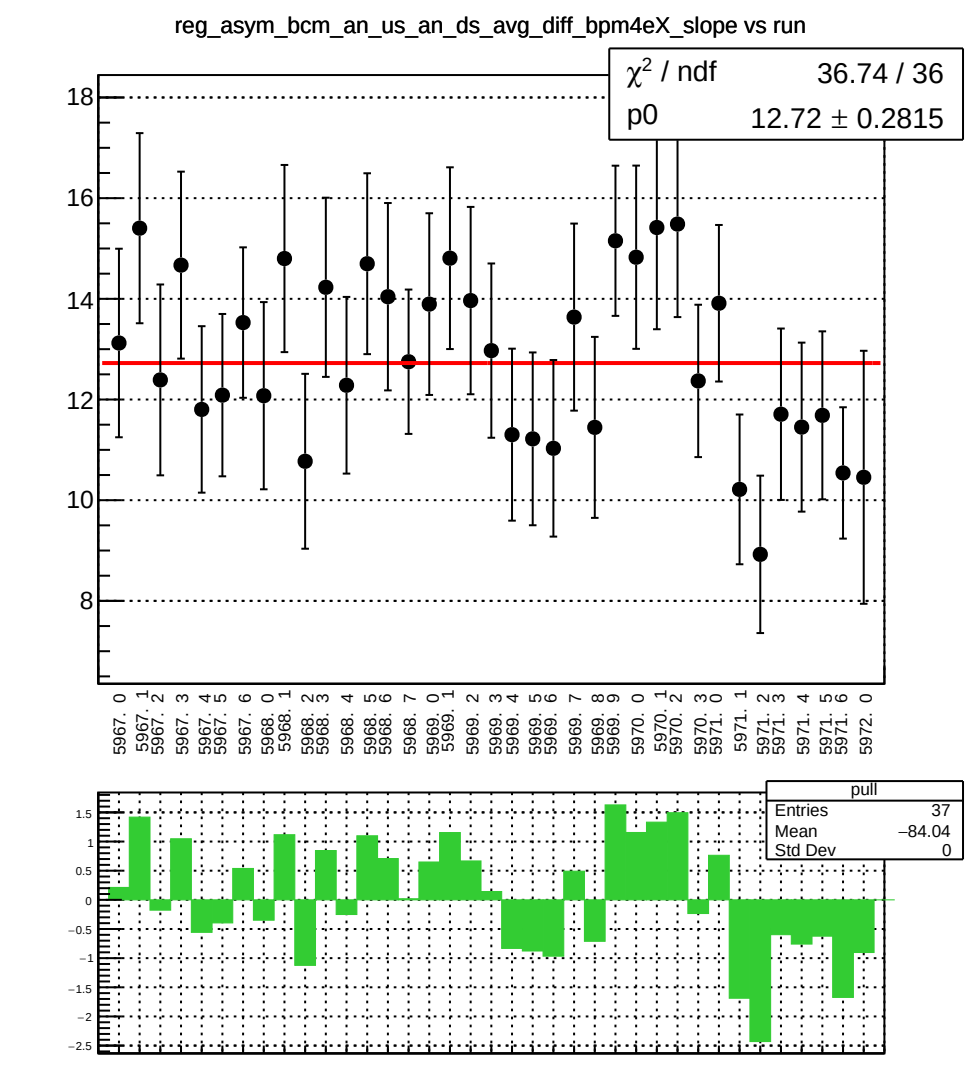
reg_asym_bcm_an_us_an_ds_avg_diff_bpm4eX_slope vs run
χ² / ndf 36.74 / 36
p0 12.72 ± 0.2815
18
16
14
12
10
8
5967. 0
5967. 1
5967. 2
5967. 3
5967. 4
5967. 5
5967. 6
5968. 0
5968. 1
5968. 2
5968. 3
5968. 4
5968. 5
5968. 6
5968. 7
5969. 0
5969. 1
5969. 2
5969. 3
5969. 4
5969. 5
5969. 6
5969. 7
5969. 8
5969. 9
5970. 0
5970. 1
5970. 2
5970. 3
5971. 0
5971. 1
5971. 2
5971. 3
5971. 4
5971. 5
5971. 6
5972. 0
pull
Entries 37
Mean −84.04
Std Dev 0
1.5
1
0.5
0
−0.5
−1
−1.5
−2
−2.5
pull1D
Entries 37
Mean 0.03611
Std Dev 0.9958
6
5
4
3
2
1
0
−8
−6
−4
−2
0
2
4
6
8

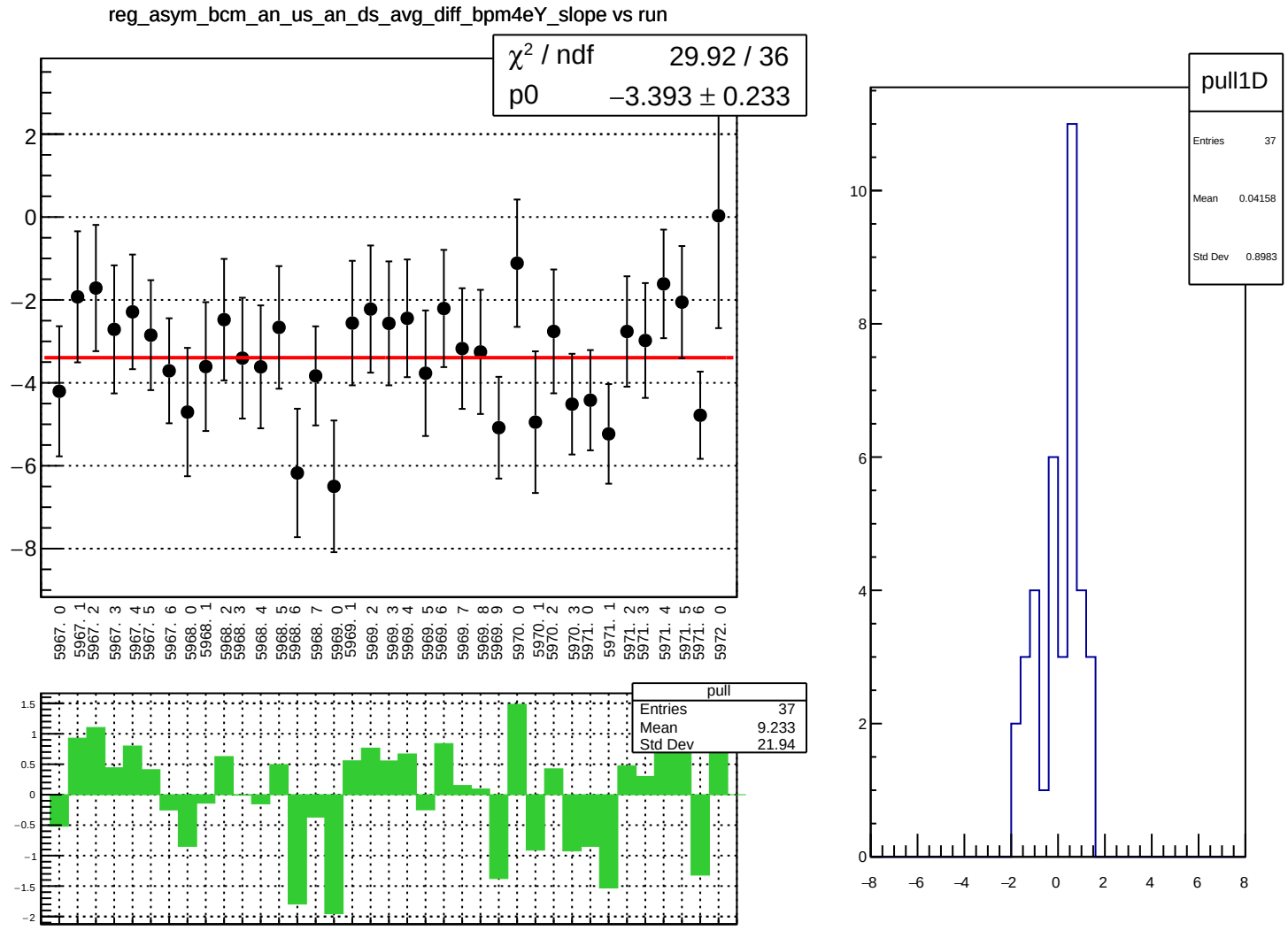
reg_asym_bcm_an_us_an_ds_avg_diff_bpm4eY_slope vs run
χ² / ndf 29.92 / 36
p0 −3.393 ± 0.233
pull
Entries 37
Mean 9.233
Std Dev 21.94
pull1D
Entries 37
Mean 0.04158
Std Dev 0.8983

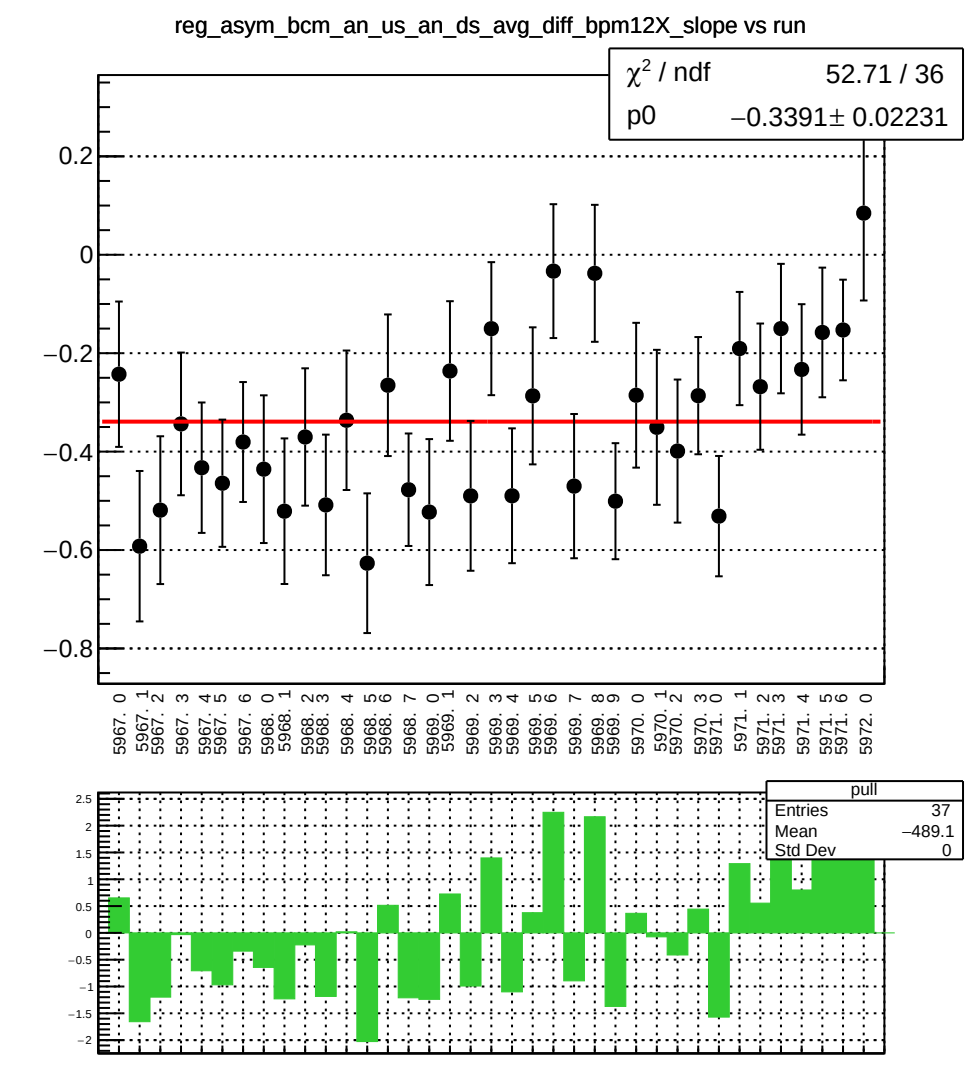
reg_asym_bcm_an_us_an_ds_avg_diff_bpm12X_slope vs run
χ² / ndf 52.71 / 36
p0 −0.3391± 0.02231
0.2
0
−0.2
−0.4
−0.6
−0.8
5967. 0
5967. 1
5967. 2
5967. 3
5967. 4
5967. 5
5967. 6
5968. 0
5968. 1
5968. 2
5968. 3
5968. 4
5968. 5
5968. 6
5968. 7
5969. 0
5969. 1
5969. 2
5969. 3
5969. 4
5969. 5
5969. 6
5969. 7
5969. 8
5969. 9
5970. 0
5970. 1
5970. 2
5970. 3
5971. 0
5971. 1
5971. 2
5971. 3
5971. 4
5971. 5
5971. 6
5972. 0
pull
Entries 37
Mean −489.1
Std Dev 0
2.5
2
1.5
1
0.5
0
−0.5
−1
−1.5
−2
pull1D
Entries 37
Mean −0.01345
Std Dev 1.194
6
5
4
3
2
1
0
−8
−6
−4
−2
0
2
4
6
8

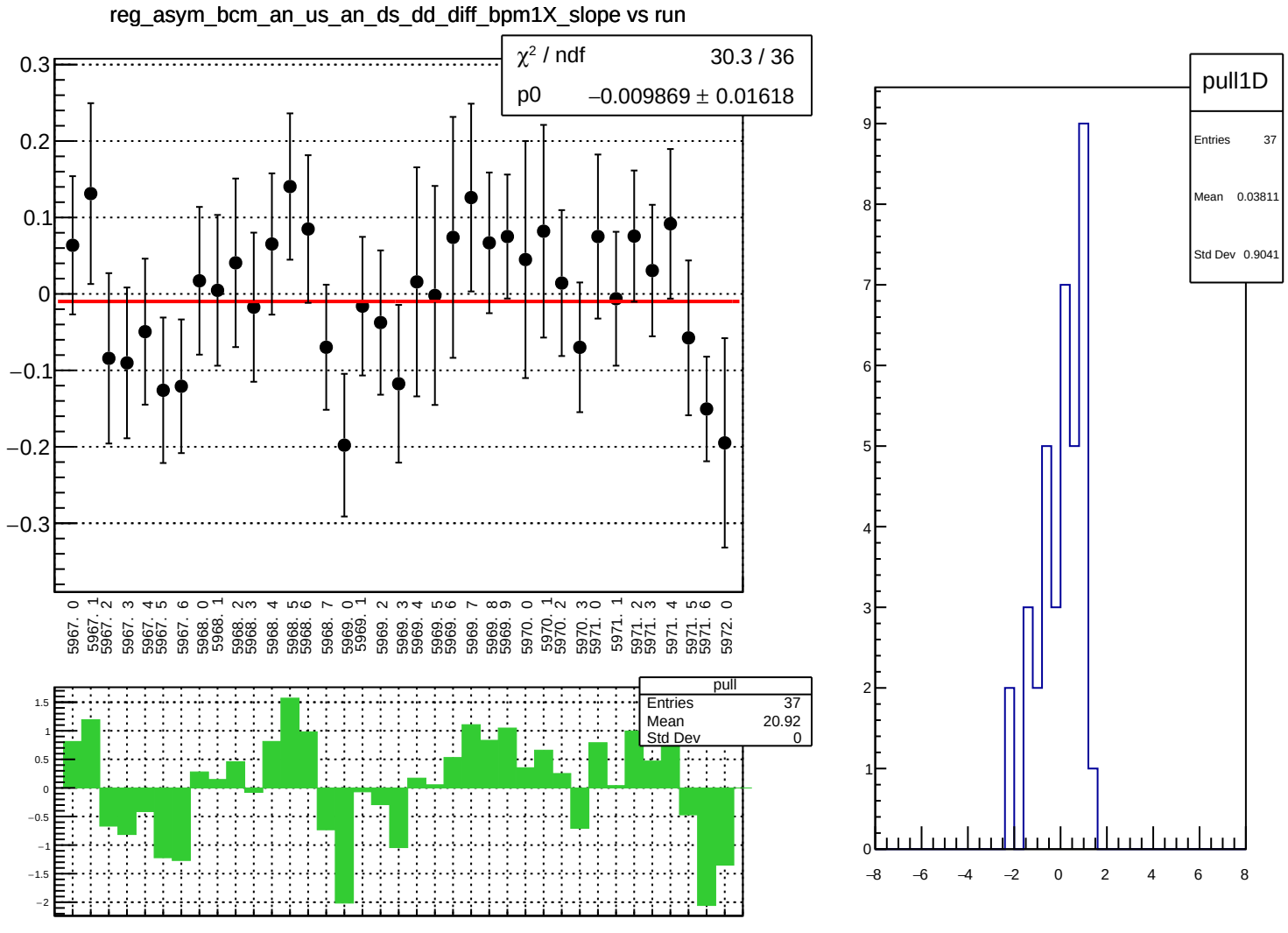
reg_asym_bcm_an_us_an_ds_dd_diff_bpm1X_slope vs run
χ² / ndf 30.3 / 36
p0 −0.009869 ± 0.01618
0.3
0.2
0.1
0
−0.1
−0.2
−0.3
5967. 0
5967. 1
5967. 2
5967. 3
5967. 4
5967. 5
5967. 6
5968. 0
5968. 1
5968. 2
5968. 3
5968. 4
5968. 5
5968. 6
5968. 7
5969. 0
5969. 1
5969. 2
5969. 3
5969. 4
5969. 5
5969. 6
5969. 7
5969. 8
5969. 9
5970. 0
5970. 1
5970. 2
5970. 3
5971. 0
5971. 1
5971. 2
5971. 3
5971. 4
5971. 5
5971. 6
5972. 0
pull
Entries 37
Mean 20.92
Std Dev 0
1.5
1
0.5
0
−0.5
−1
−1.5
−2
pull1D
Entries 37
Mean 0.03811
Std Dev 0.9041
9
8
7
6
5
4
3
2
1
0
−8
−6
−4
−2
0
2
4
6
8

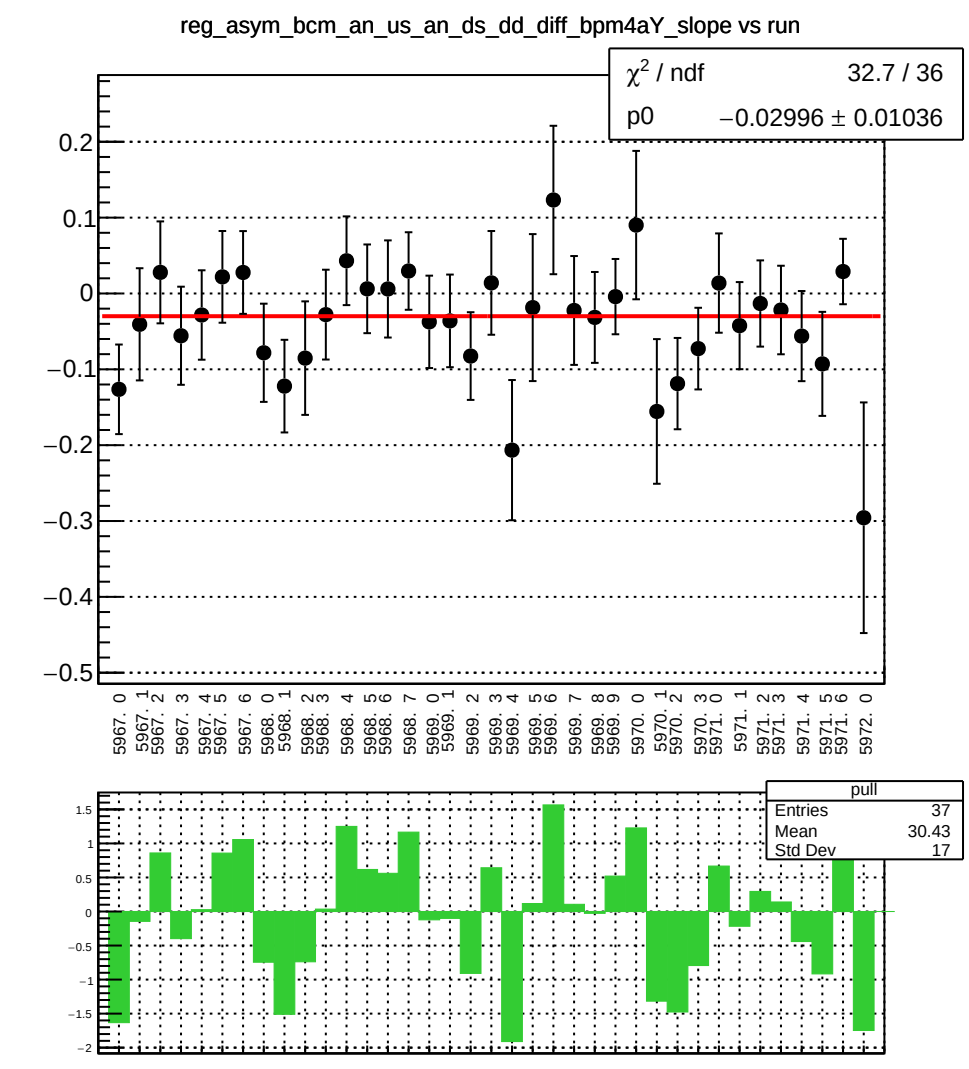
reg_asym_bcm_an_us_an_ds_dd_diff_bpm4aY_slope vs run
χ² / ndf 32.7 / 36
p0 −0.02996 ± 0.01036
pull
Entries 37
Mean 30.43
Std Dev 17

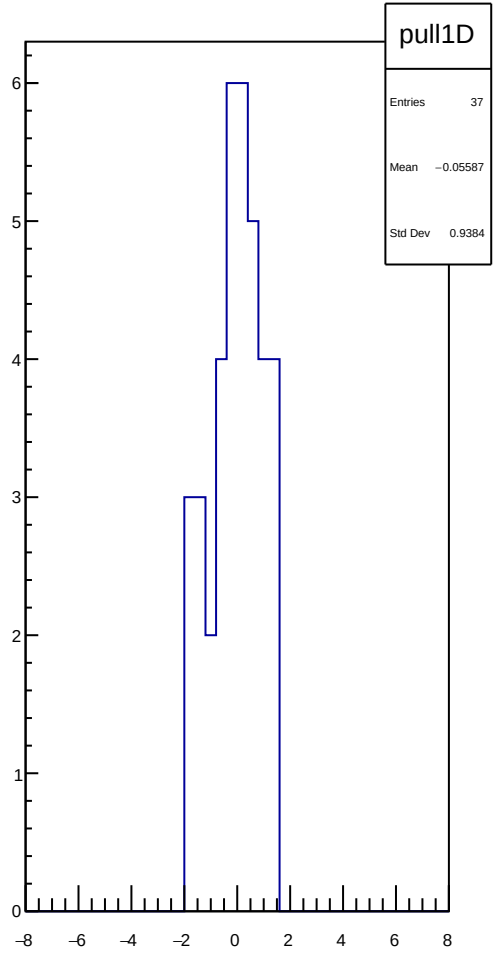
pull1D
Entries 37
Mean −0.05587
Std Dev 0.9384

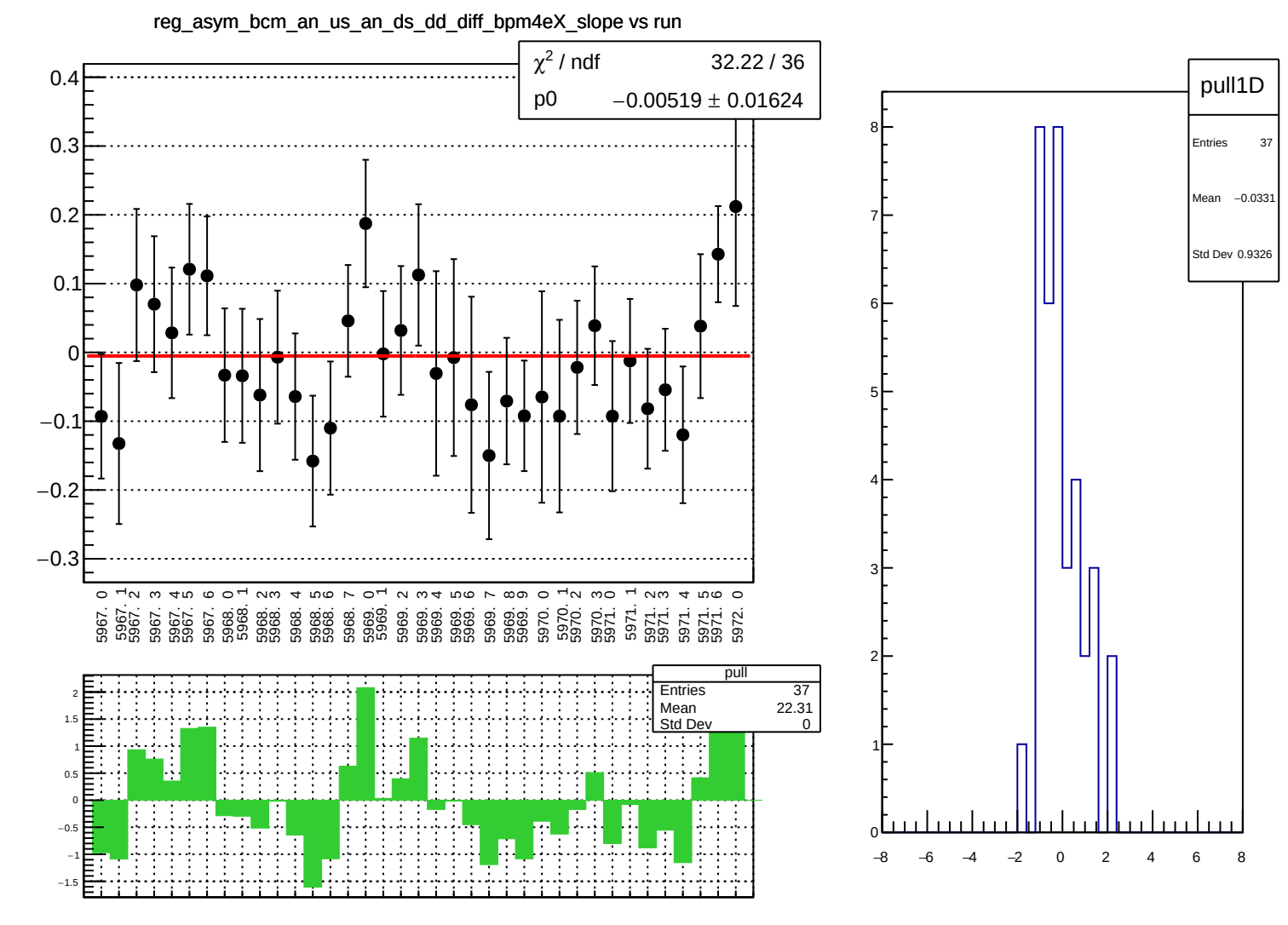
reg_asym_bcm_an_us_an_ds_dd_diff_bpm4eX_slope vs run
χ² / ndf 32.22 / 36
p0 −0.00519 ± 0.01624
pull
Entries 37
Mean 22.31
Std Dev 0
pull1D
Entries 37
Mean −0.0331
Std Dev 0.9326

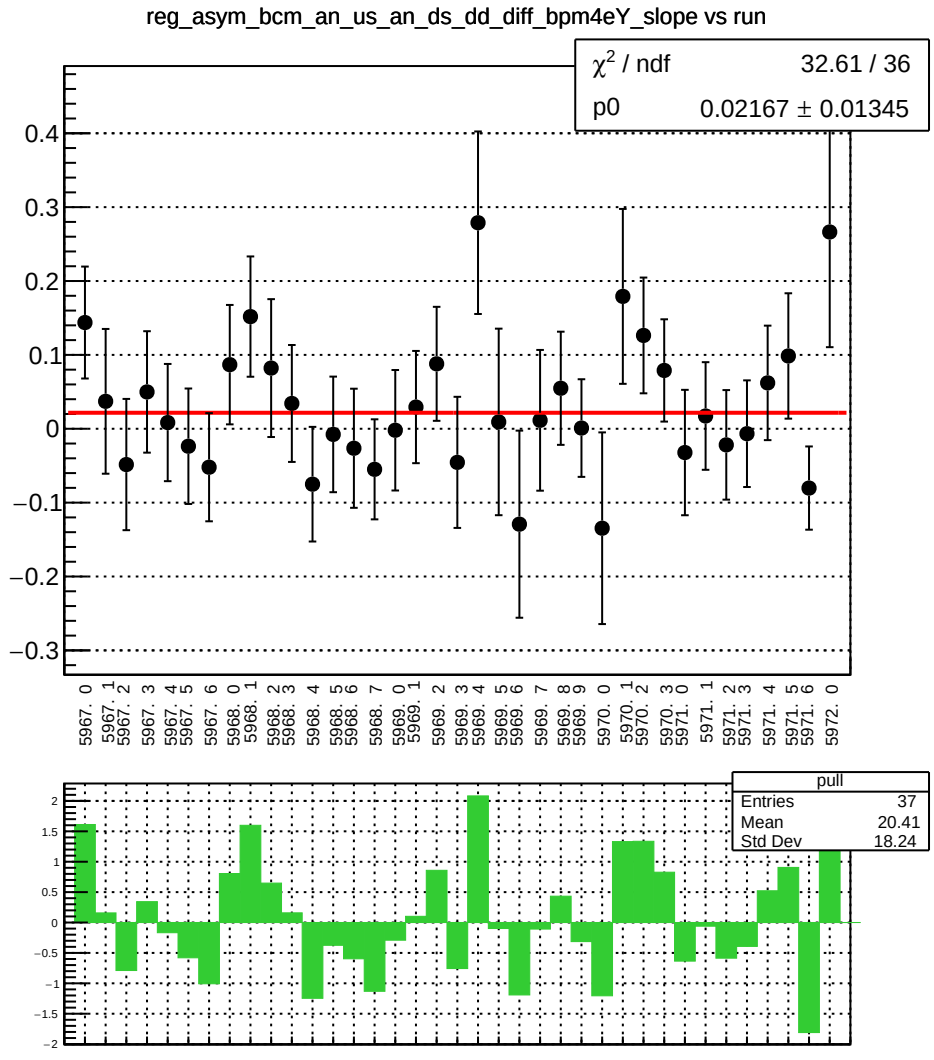
reg_asym_bcm_an_us_an_ds_dd_diff_bpm4eY_slope vs run
χ² / ndf 32.61 / 36
p0 0.02167 ± 0.01345
pull
Entries 37
Mean 20.41
Std Dev 18.24

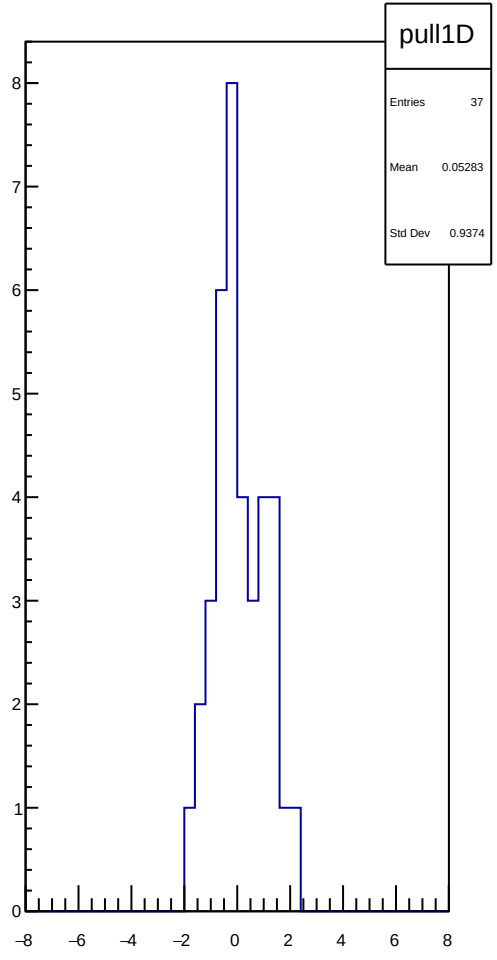
pull1D
Entries 37
Mean 0.05283
Std Dev 0.9374

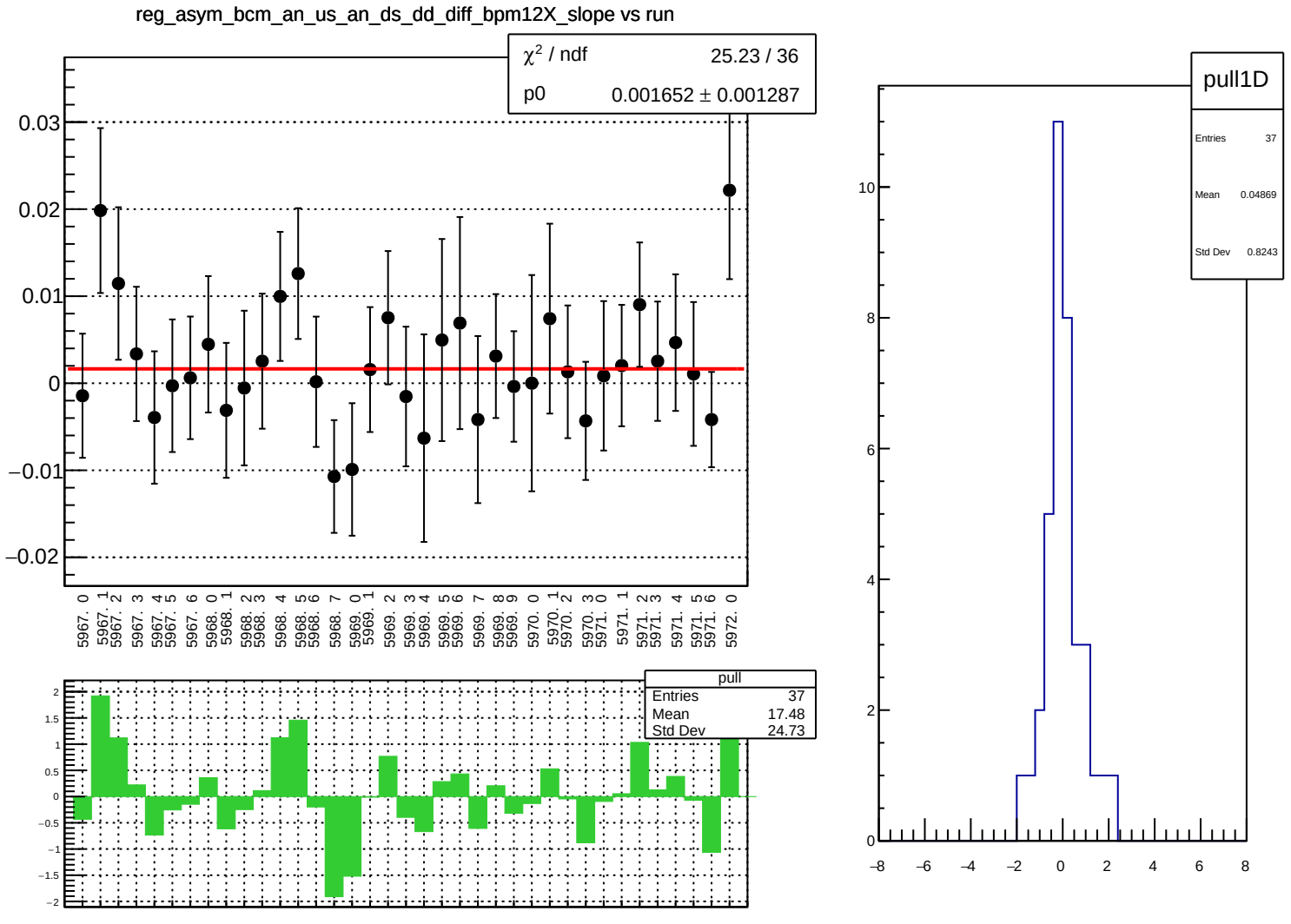
reg_asym_bcm_an_us_an_ds_dd_diff_bpm12X_slope vs run
χ² / ndf 25.23 / 36
p0 0.001652 ± 0.001287
0.03
0.02
0.01
0
−0.01
−0.02
5967. 0
5967. 1
5967. 2
5967. 3
5967. 4
5967. 5
5967. 6
5968. 0
5968. 1
5968. 2
5968. 3
5968. 4
5968. 5
5968. 6
5968. 7
5969. 0
5969. 1
5969. 2
5969. 3
5969. 4
5969. 5
5969. 6
5969. 7
5969. 8
5969. 9
5970. 0
5970. 1
5970. 2
5970. 3
5971. 0
5971. 1
5971. 2
5971. 3
5971. 4
5971. 5
5971. 6
5972. 0
pull
Entries 37
Mean 17.48
Std Dev 24.73
2
1.5
1
0.5
0
−0.5
−1
−1.5
−2
pull1D
Entries 37
Mean 0.04869
Std Dev 0.8243
10
8
6
4
2
0
−8
−6
−4
−2
0
2
4
6
8

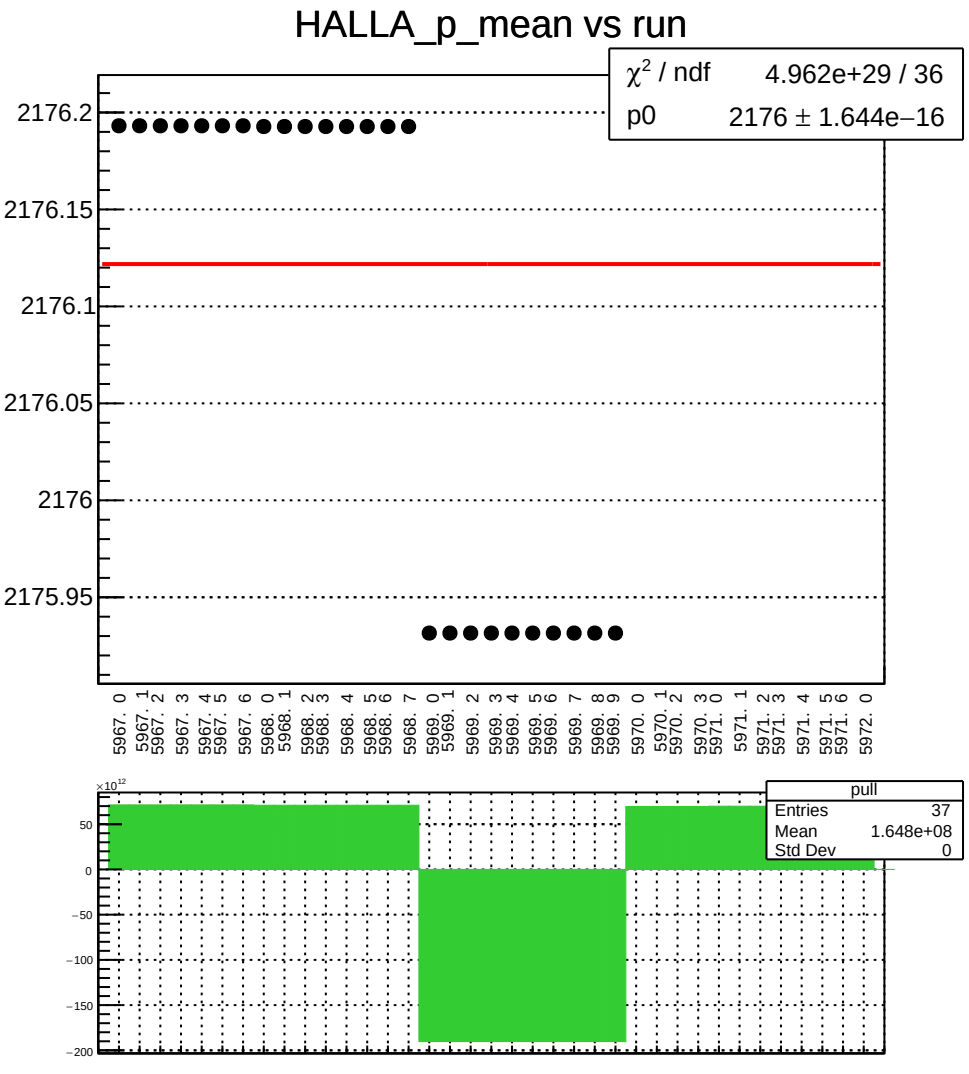
HALLA_p_mean vs run
χ² / ndf 4.962e+29 / 36
p0 2176 ± 1.644e−16
2176.2
2176.15
2176.1
2176.05
2176
2175.95
5967. 0
5967. 1
5967. 2
5967. 3
5967. 4
5967. 5
5967. 6
5968. 0
5968. 1
5968. 2
5968. 3
5968. 4
5968. 5
5968. 6
5968. 7
5969. 0
5969. 1
5969. 2
5969. 3
5969. 4
5969. 5
5969. 6
5969. 7
5969. 8
5969. 9
5970. 0
5970. 1
5970. 2
5970. 3
5971. 0
5971. 1
5971. 2
5971. 3
5971. 4
5971. 5
5971. 6
5972. 0
×10¹²
50
0
−50
−100
−150
−200
pull
Entries 37
Mean 1.648e+08
Std Dev 0

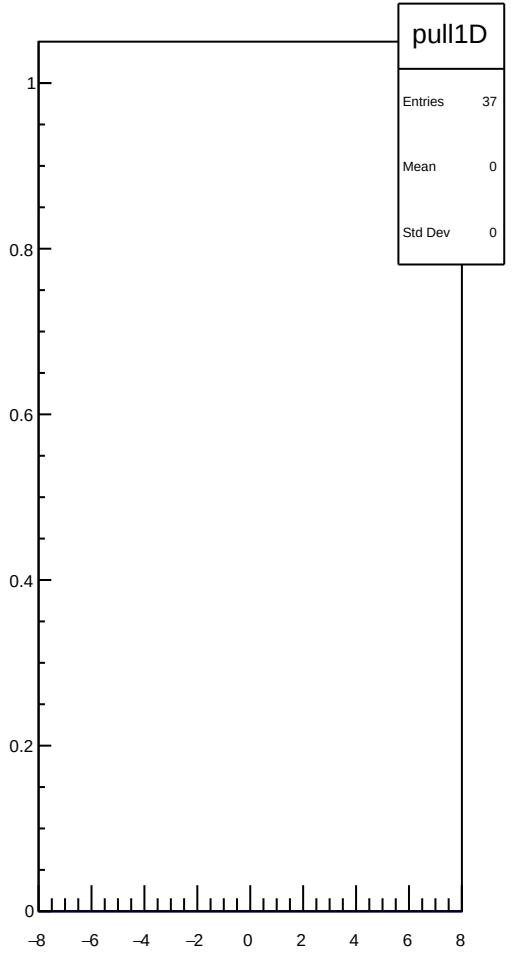
pull1D
Entries 37
Mean 0
Std Dev 0
1
0.8
0.6
0.4
0.2
0
−8
−6
−4
−2
0
2
4
6
8

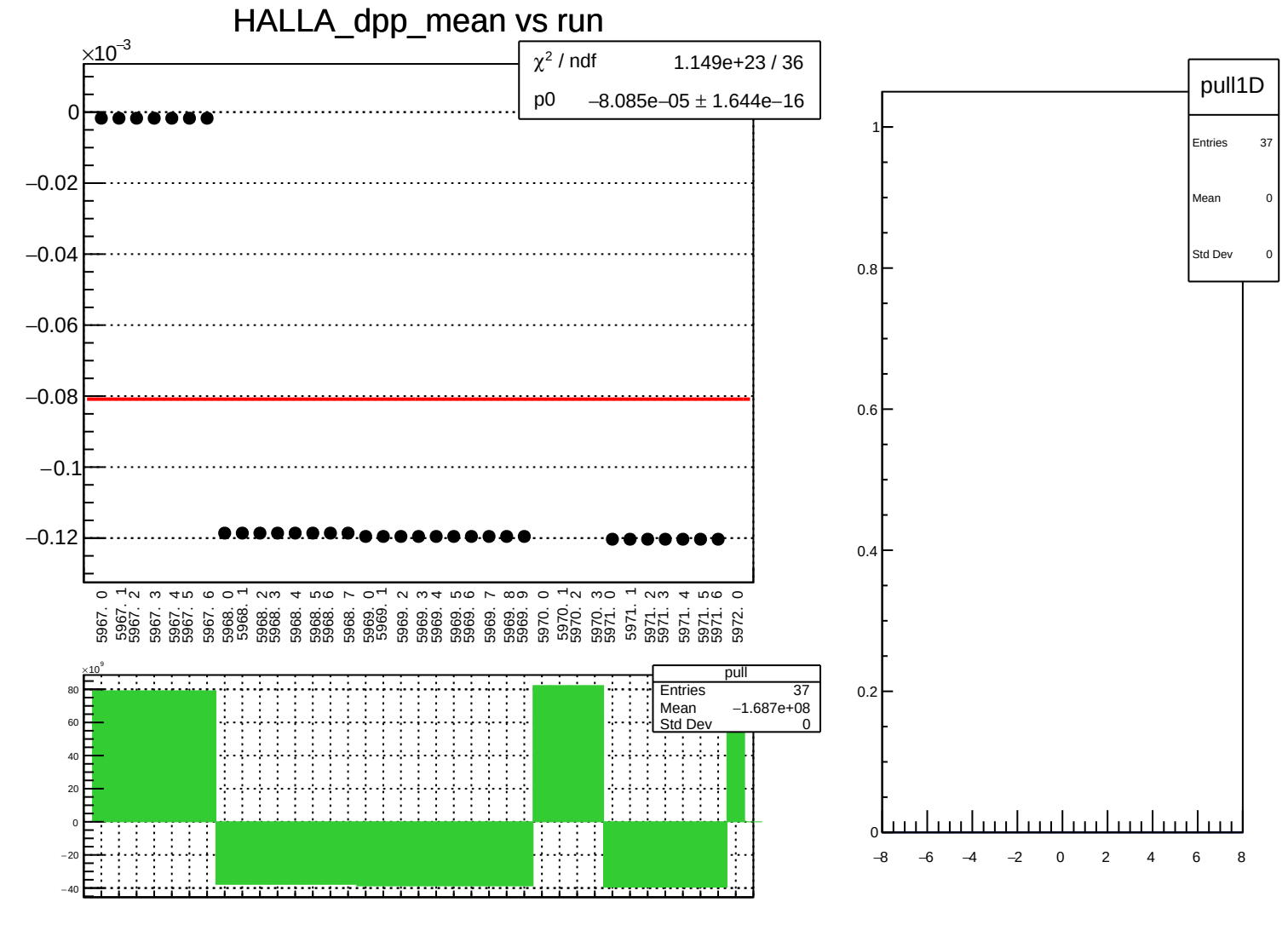
HALLA_dpp_mean vs run
χ² / ndf 1.149e+23 / 36
p0 −8.085e−05 ± 1.644e−16
×10⁻³
0
−0.02
−0.04
−0.06
−0.08
−0.1
−0.12
5967. 0
5967. 1
5967. 2
5967. 3
5967. 4
5967. 5
5967. 6
5968. 0
5968. 1
5968. 2
5968. 3
5968. 4
5968. 5
5968. 6
5968. 7
5969. 0
5969. 1
5969. 2
5969. 3
5969. 4
5969. 5
5969. 6
5969. 7
5969. 8
5969. 9
5970. 0
5970. 1
5970. 2
5970. 3
5971. 0
5971. 1
5971. 2
5971. 3
5971. 4
5971. 5
5971. 6
5972. 0
×10⁹
80
60
40
20
0
−20
−40
pull
Entries 37
Mean −1.687e+08
Std Dev 0
pull1D
Entries 37
Mean 0
Std Dev 0
1
0.8
0.6
0.4
0.2
0
−8
−6
−4
−2
0
2
4
6
8

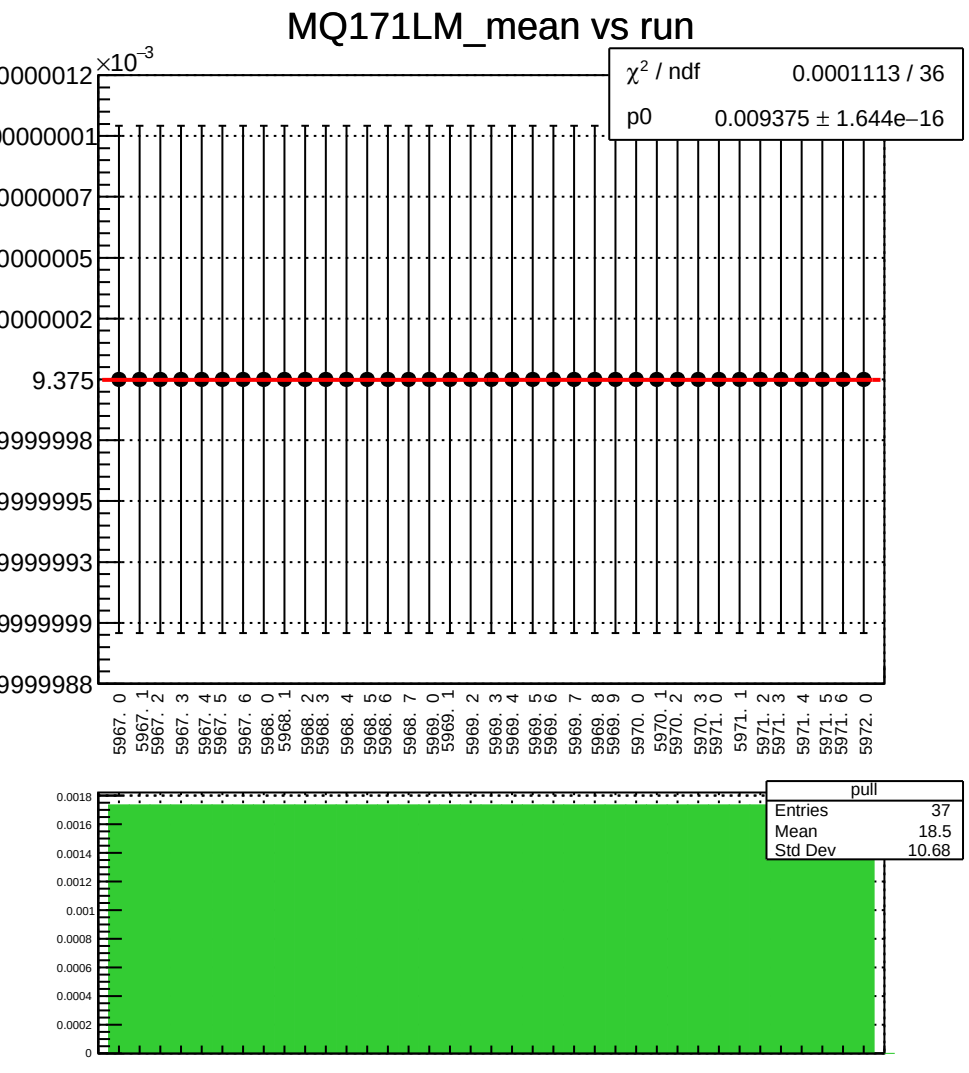
MQ171LM_mean vs run
χ² / ndf 0.0001113 / 36
p0 0.009375 ± 1.644e−16
×10⁻³
9.375
5967. 0
5967. 1
5967. 2
5967. 3
5967. 4
5967. 5
5967. 6
5968. 0
5968. 1
5968. 2
5968. 3
5968. 4
5968. 5
5968. 6
5968. 7
5969. 0
5969. 1
5969. 2
5969. 3
5969. 4
5969. 5
5969. 6
5969. 7
5969. 8
5969. 9
5970. 0
5970. 1
5970. 2
5970. 3
5971. 0
5971. 1
5971. 2
5971. 3
5971. 4
5971. 5
5971. 6
5972. 0
pull
Entries 37
Mean 18.5
Std Dev 10.68
pull1D
Entries 37
Mean 0.001735
Std Dev 0

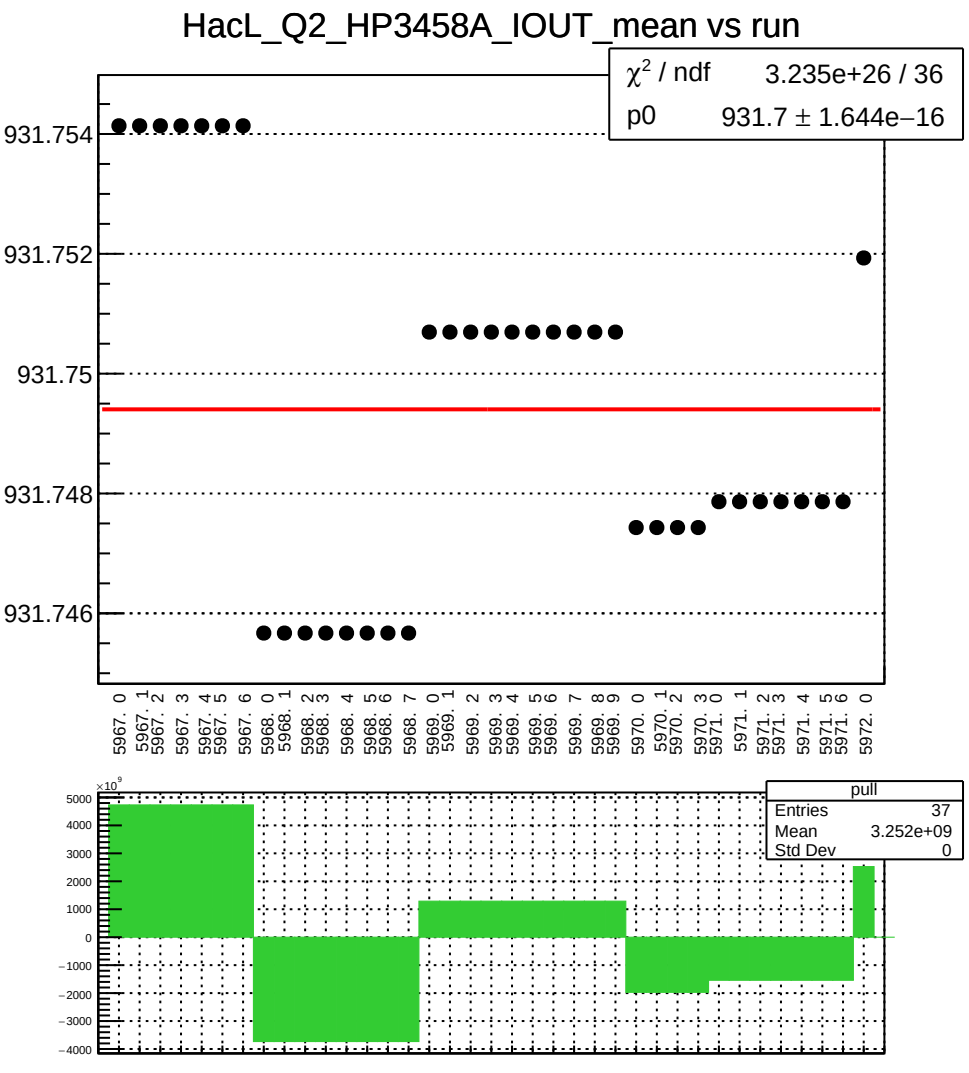
HacL_Q2_HP3458A_IOUT_mean vs run
χ² / ndf 3.235e+26 / 36
p0 931.7 ± 1.644e−16
931.754
931.752
931.75
931.748
931.746
5967. 0
5967. 1
5967. 2
5967. 3
5967. 4
5967. 5
5967. 6
5968. 0
5968. 1
5968. 2
5968. 3
5968. 4
5968. 5
5968. 6
5968. 7
5969. 0
5969. 1
5969. 2
5969. 3
5969. 4
5969. 5
5969. 6
5969. 7
5969. 8
5969. 9
5970. 0
5970. 1
5970. 2
5970. 3
5971. 0
5971. 1
5971. 2
5971. 3
5971. 4
5971. 5
5971. 6
5972. 0
×10⁹
5000
4000
3000
2000
1000
0
−1000
−2000
−3000
−4000
pull
Entries 37
Mean 3.252e+09
Std Dev 0

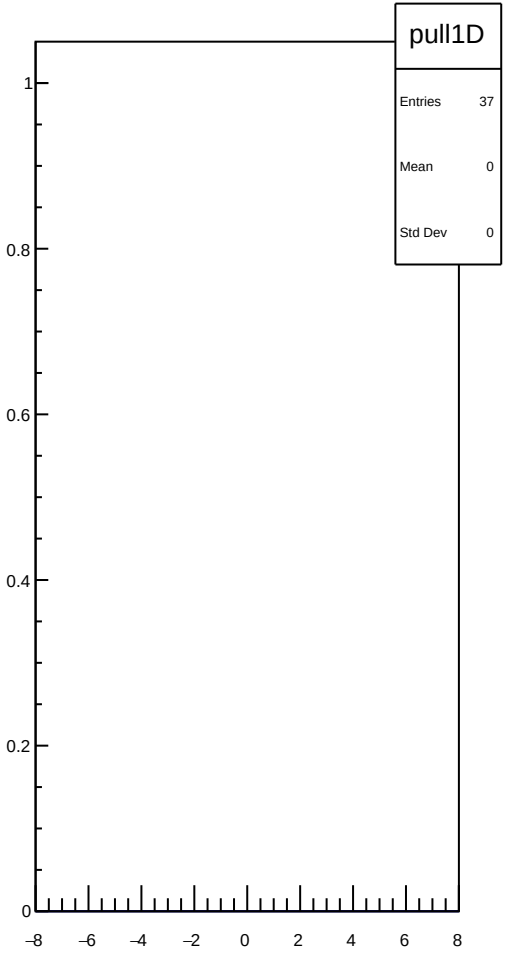
pull1D
Entries 37
Mean 0
Std Dev 0
1
0.8
0.6
0.4
0.2
0
−8
−6
−4
−2
0
2
4
6
8

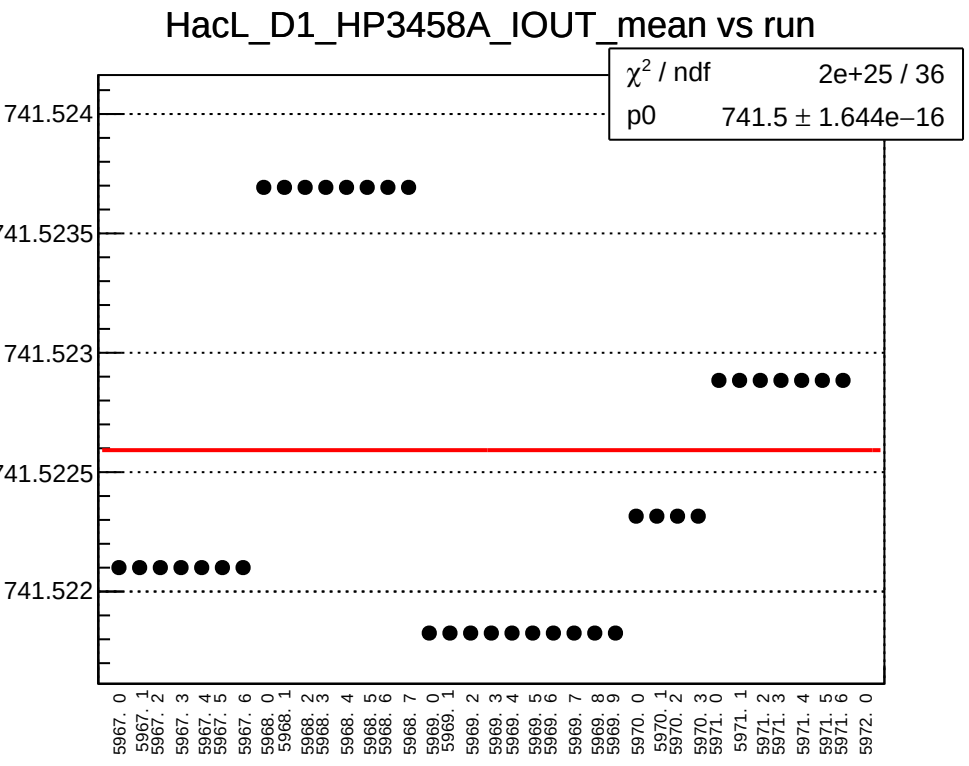
HacL_D1_HP3458A_IOUT_mean vs run
χ² / ndf 2e+25 / 36
p0 741.5 ± 1.644e−16
741.524
741.5235
741.523
741.5225
741.522
5967. 0
5967. 1
5967. 2
5967. 3
5967. 4
5967. 5
5967. 6
5968. 0
5968. 1
5968. 2
5968. 3
5968. 4
5968. 5
5968. 6
5968. 7
5969. 0
5969. 1
5969. 2
5969. 3
5969. 4
5969. 5
5969. 6
5969. 7
5969. 8
5969. 9
5970. 0
5970. 1
5970. 2
5970. 3
5971. 0
5971. 1
5971. 2
5971. 3
5971. 4
5971. 5
5971. 6
5972. 0

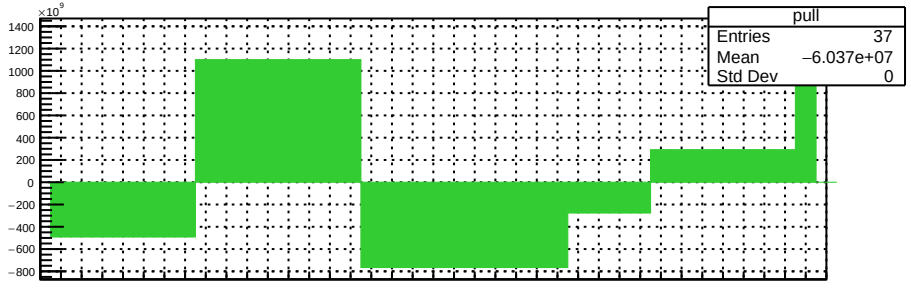
×10⁹
1400
1200
1000
800
600
400
200
0
−200
−400
−600
−800
pull
Entries 37
Mean −6.037e+07
Std Dev 0

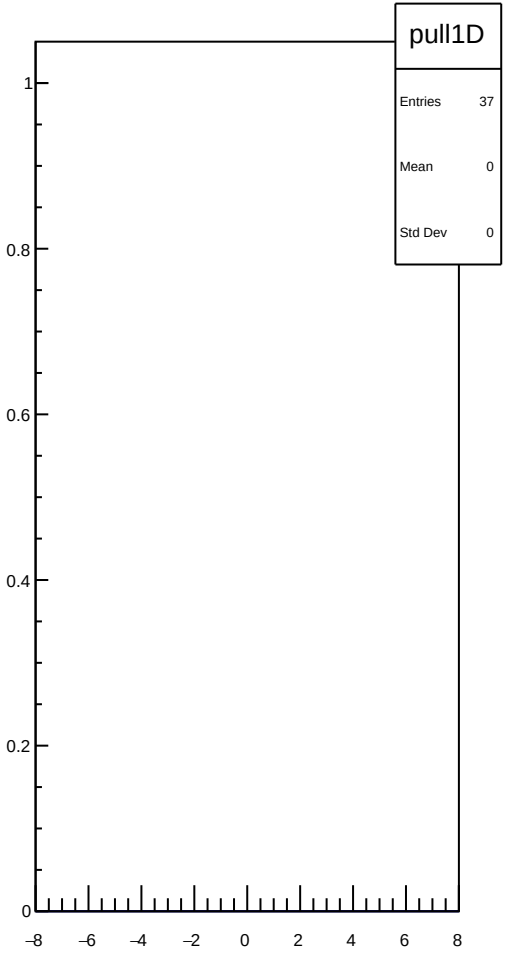
pull1D
Entries 37
Mean 0
Std Dev 0
1
0.8
0.6
0.4
0.2
0
−8
−6
−4
−2
0
2
4
6
8

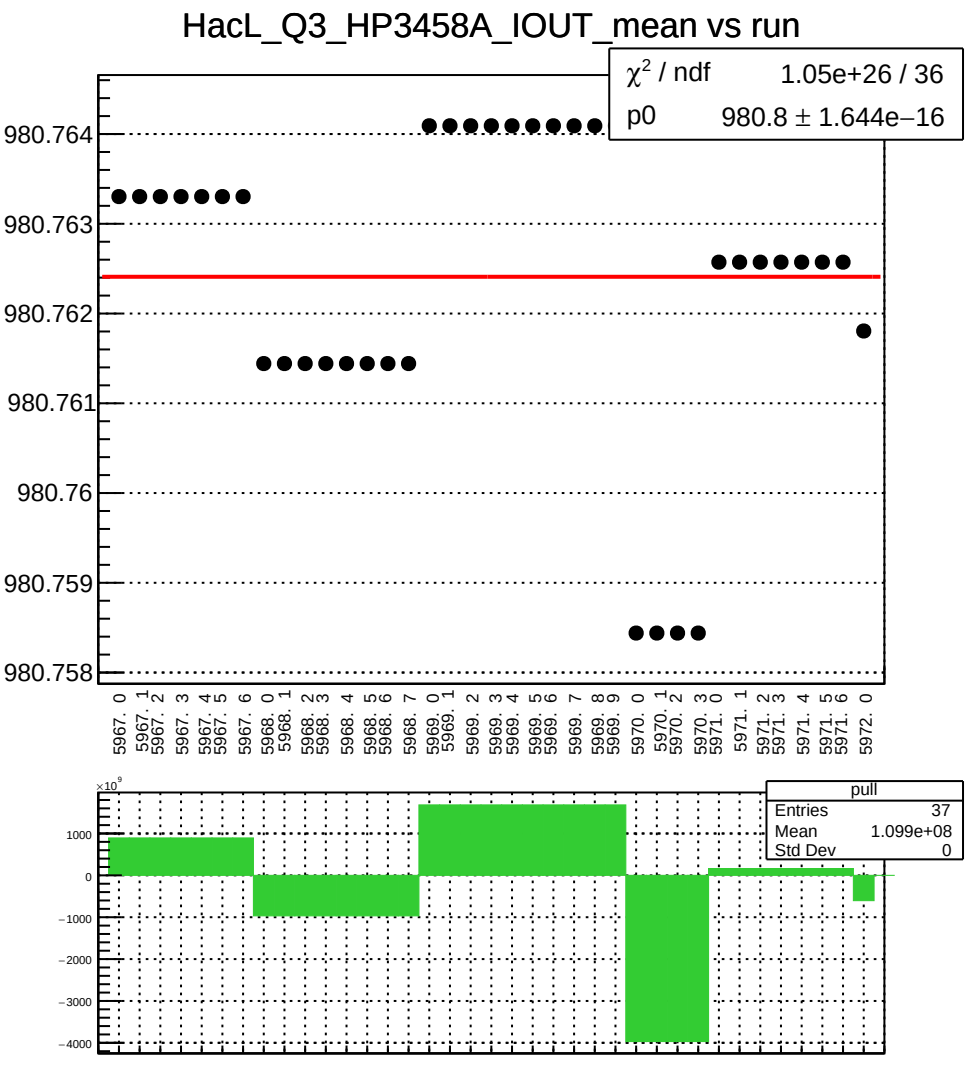
HacL_Q3_HP3458A_IOUT_mean vs run
χ² / ndf 1.05e+26 / 36
p0 980.8 ± 1.644e−16
980.764
980.763
980.762
980.761
980.76
980.759
980.758
5967. 0
5967. 1
5967. 2
5967. 3
5967. 4
5967. 5
5967. 6
5968. 0
5968. 1
5968. 2
5968. 3
5968. 4
5968. 5
5968. 6
5968. 7
5969. 0
5969. 1
5969. 2
5969. 3
5969. 4
5969. 5
5969. 6
5969. 7
5969. 8
5969. 9
5970. 0
5970. 1
5970. 2
5970. 3
5971. 0
5971. 1
5971. 2
5971. 3
5971. 4
5971. 5
5971. 6
5972. 0
×10⁹
1000
0
−1000
−2000
−3000
−4000
pull
Entries 37
Mean 1.099e+08
Std Dev 0

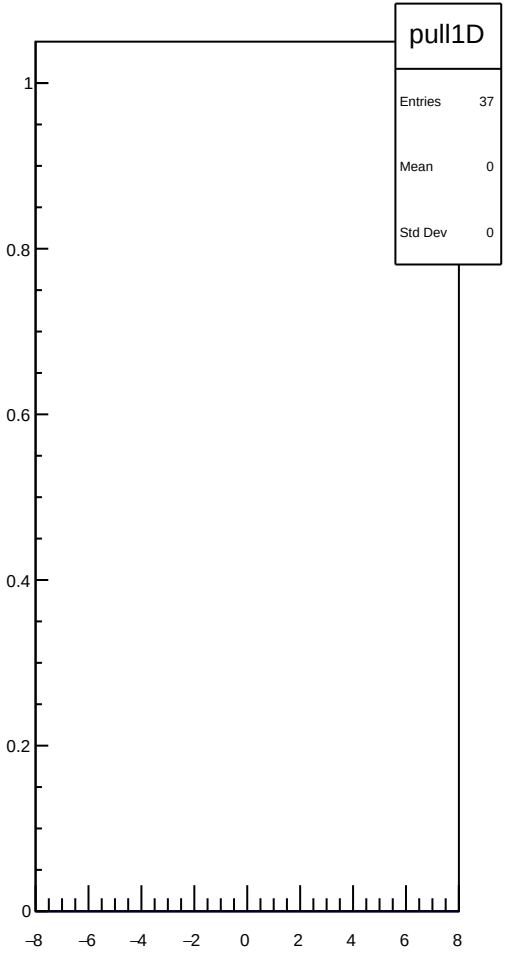
pull1D
Entries 37
Mean 0
Std Dev 0
1
0.8
0.6
0.4
0.2
0
−8
−6
−4
−2
0
2
4
6
8

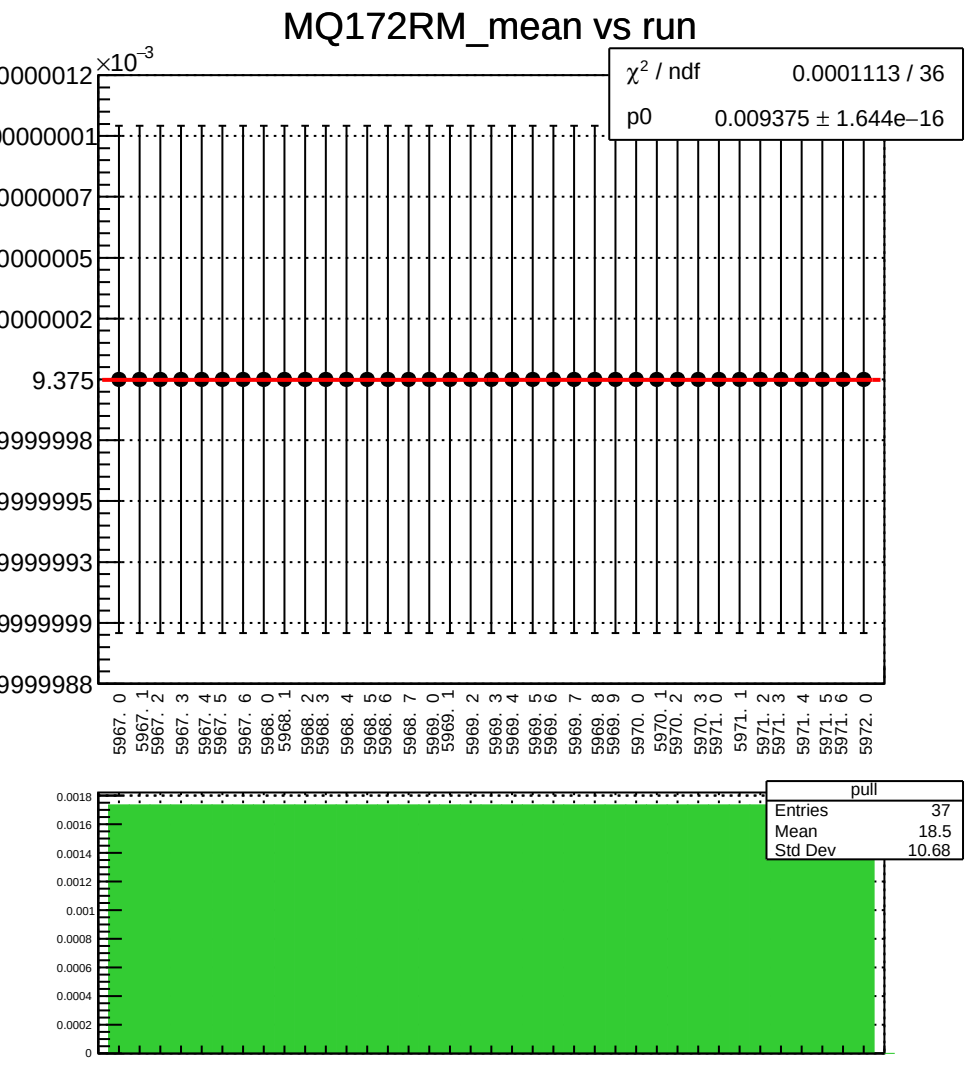
MQ172RM_mean vs run
χ² / ndf 0.0001113 / 36
p0 0.009375 ± 1.644e−16
×10⁻³
pull
Entries 37
Mean 18.5
Std Dev 10.68

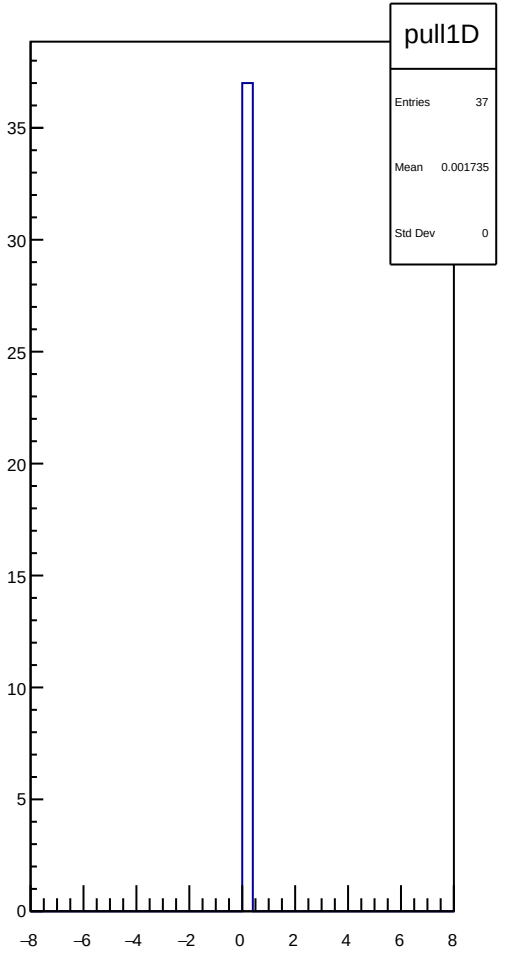
pull1D
Entries 37
Mean 0.001735
Std Dev 0

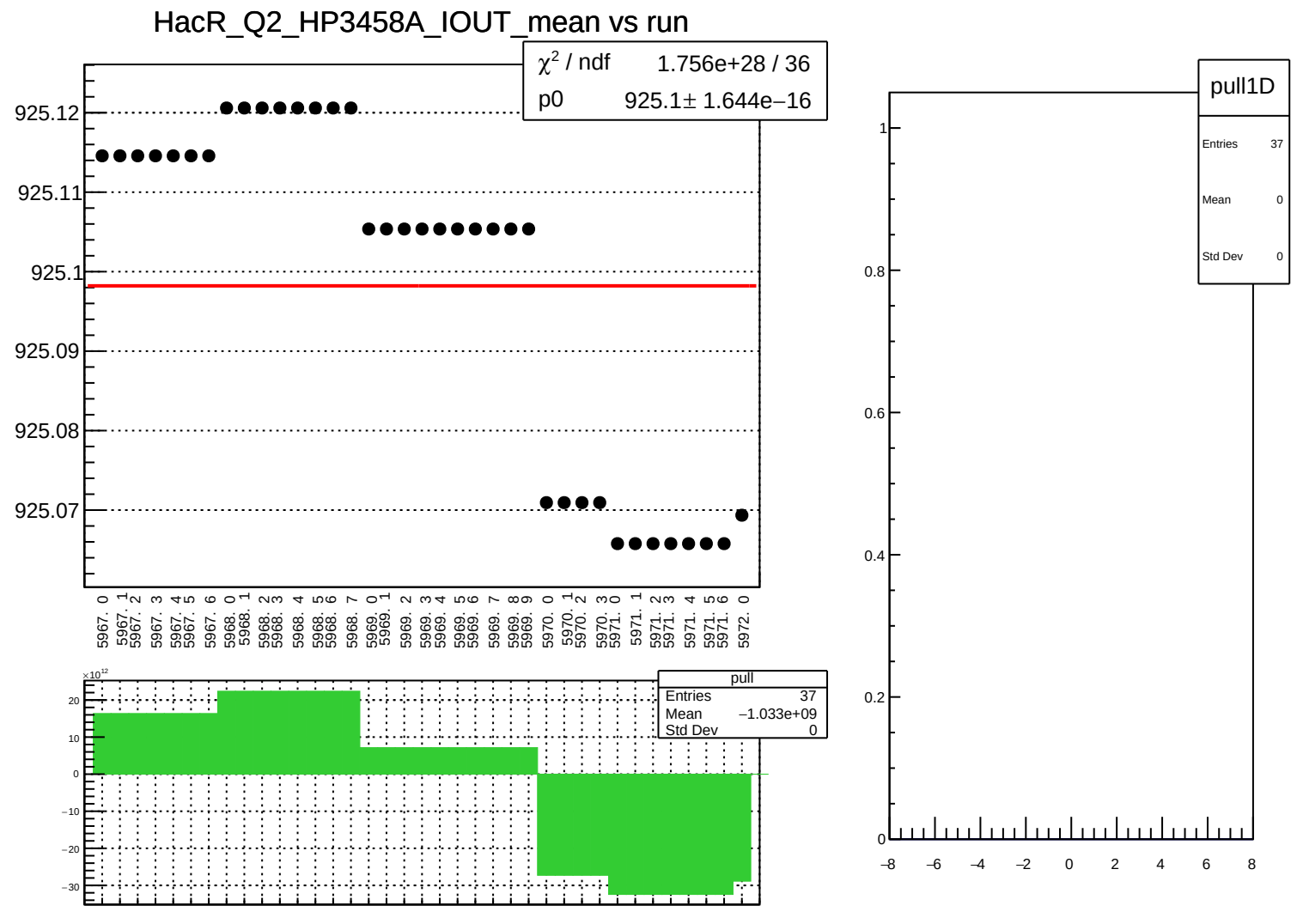
HacR_Q2_HP3458A_IOUT_mean vs run
χ² / ndf 1.756e+28 / 36
p0 925.1± 1.644e−16
925.12
925.11
925.1
925.09
925.08
925.07
5967. 0
5967. 1
5967. 2
5967. 3
5967. 4
5967. 5
5967. 6
5968. 0
5968. 1
5968. 2
5968. 3
5968. 4
5968. 5
5968. 6
5968. 7
5969. 0
5969. 1
5969. 2
5969. 3
5969. 4
5969. 5
5969. 6
5969. 7
5969. 8
5969. 9
5970. 0
5970. 1
5970. 2
5970. 3
5971. 0
5971. 1
5971. 2
5971. 3
5971. 4
5971. 5
5971. 6
5972. 0
×10¹²
20
10
0
−10
−20
−30
pull
Entries 37
Mean −1.033e+09
Std Dev 0
pull1D
Entries 37
Mean 0
Std Dev 0
1
0.8
0.6
0.4
0.2
0
−8
−6
−4
−2
0
2
4
6
8

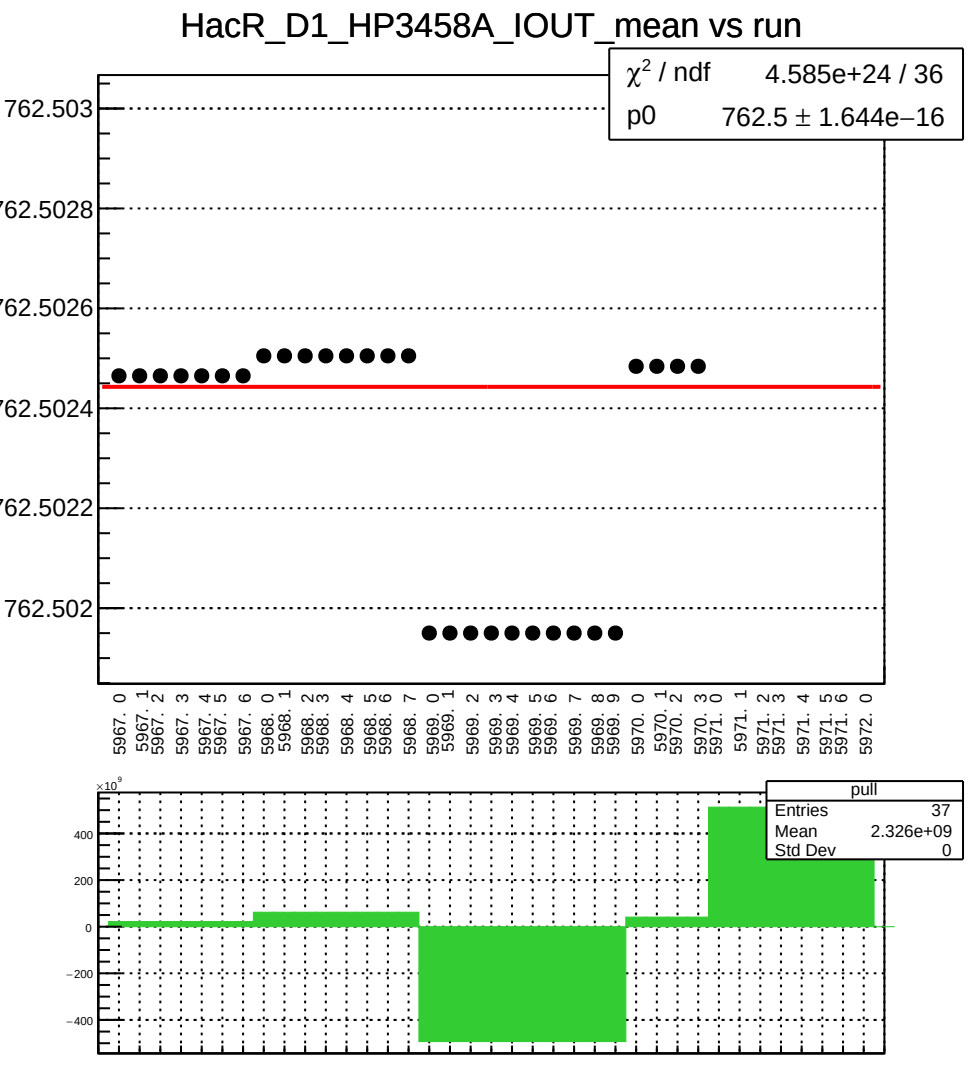
HacR_D1_HP3458A_IOUT_mean vs run
χ² / ndf 4.585e+24 / 36
p0 762.5 ± 1.644e−16
762.503
762.5028
762.5026
762.5024
762.5022
762.502
5967. 0
5967. 1
5967. 2
5967. 3
5967. 4
5967. 5
5967. 6
5968. 0
5968. 1
5968. 2
5968. 3
5968. 4
5968. 5
5968. 6
5968. 7
5969. 0
5969. 1
5969. 2
5969. 3
5969. 4
5969. 5
5969. 6
5969. 7
5969. 8
5969. 9
5970. 0
5970. 1
5970. 2
5970. 3
5971. 0
5971. 1
5971. 2
5971. 3
5971. 4
5971. 5
5971. 6
5972. 0
×10⁹
400
200
0
−200
−400
pull
Entries 37
Mean 2.326e+09
Std Dev 0

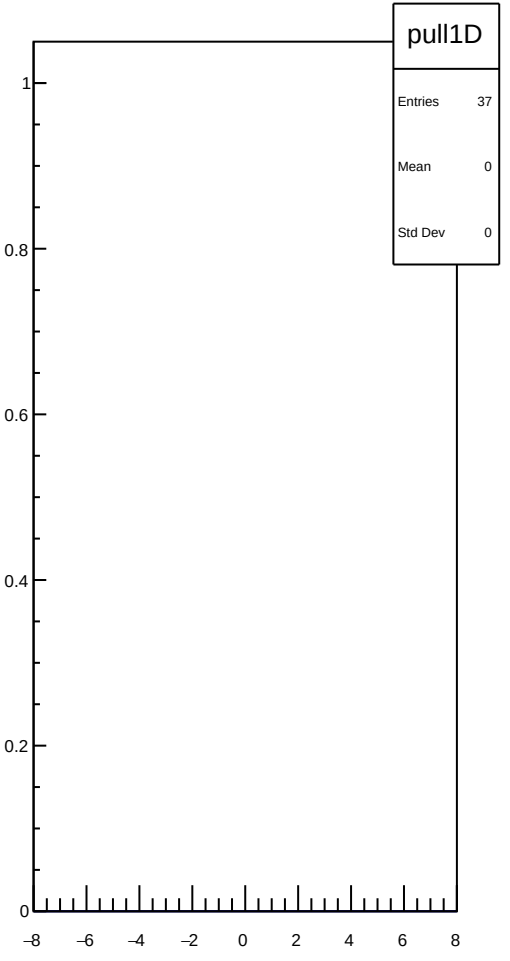
pull1D
Entries 37
Mean 0
Std Dev 0
1
0.8
0.6
0.4
0.2
0
−8
−6
−4
−2
0
2
4
6
8

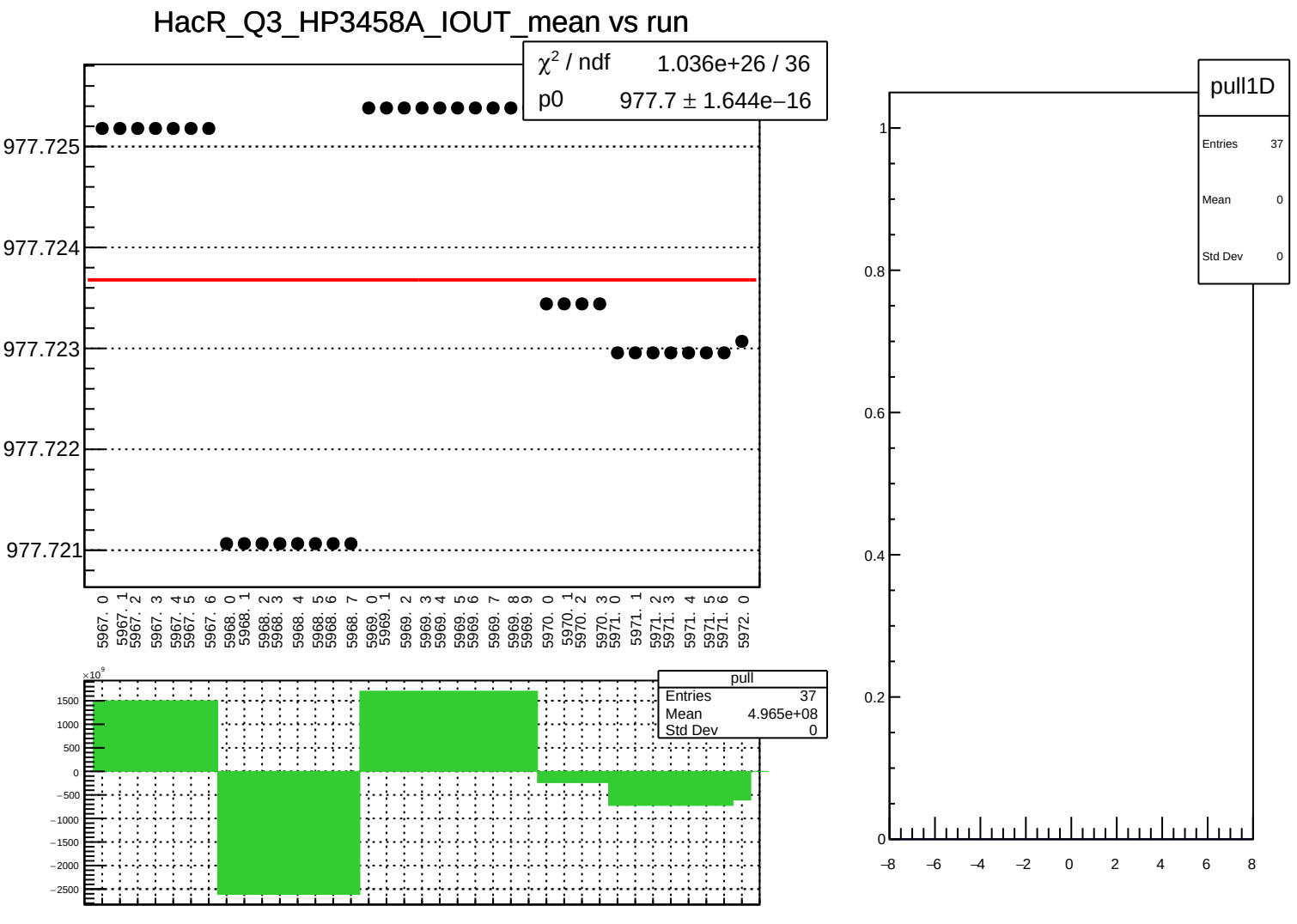
HacR_Q3_HP3458A_IOUT_mean vs run
χ² / ndf 1.036e+26 / 36
p0 977.7 ± 1.644e−16
977.725
977.724
977.723
977.722
977.721
5967. 0
5967. 1
5967. 2
5967. 3
5967. 4
5967. 5
5967. 6
5968. 0
5968. 1
5968. 2
5968. 3
5968. 4
5968. 5
5968. 6
5968. 7
5969. 0
5969. 1
5969. 2
5969. 3
5969. 4
5969. 5
5969. 6
5969. 7
5969. 8
5969. 9
5970. 0
5970. 1
5970. 2
5970. 3
5971. 0
5971. 1
5971. 2
5971. 3
5971. 4
5971. 5
5971. 6
5972. 0
×10⁹
1500
1000
500
0
−500
−1000
−1500
−2000
−2500
pull
Entries 37
Mean 4.965e+08
Std Dev 0
pull1D
Entries 37
Mean 0
Std Dev 0
1
0.8
0.6
0.4
0.2
0
−8
−6
−4
−2
0
2
4
6
8

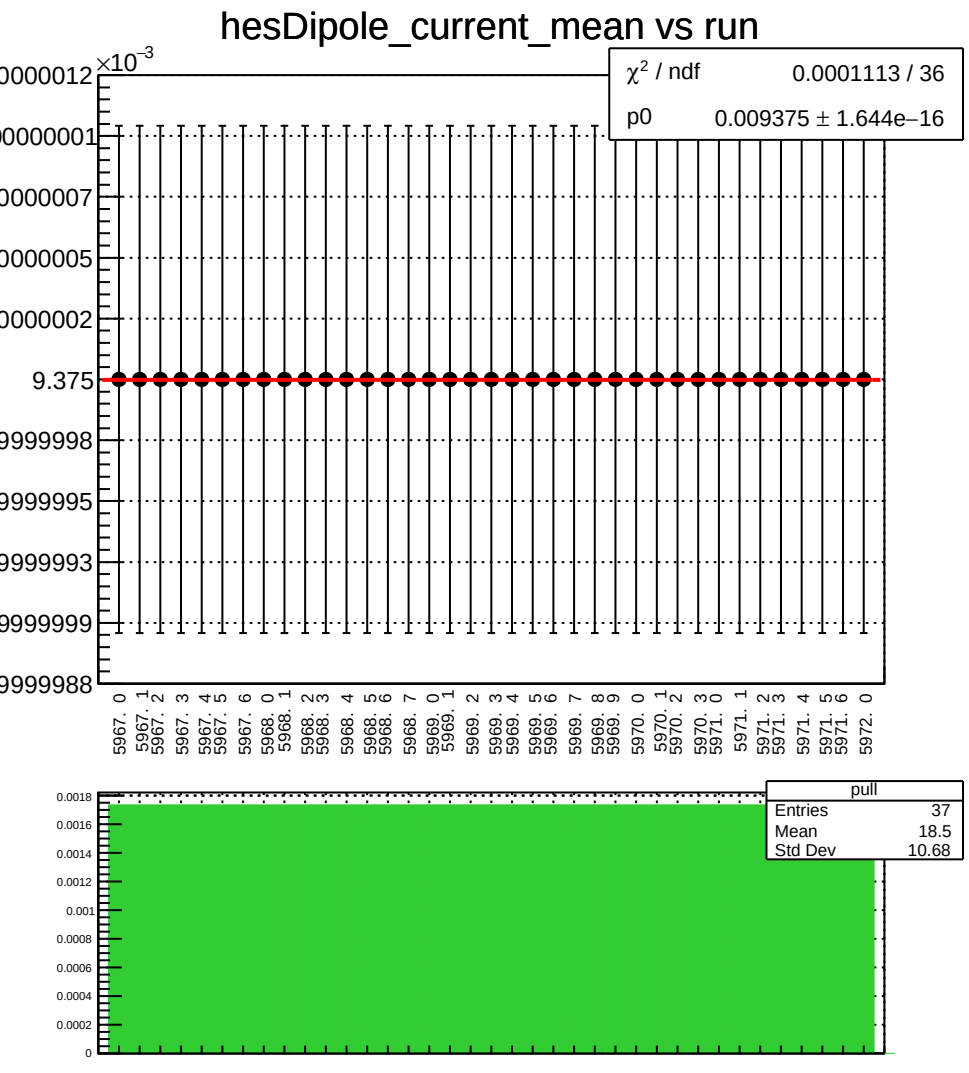
hesDipole_current_mean vs run
χ² / ndf 0.0001113 / 36
p0 0.009375 ± 1.644e−16
×10⁻³
9.375
pull
Entries 37
Mean 18.5
Std Dev 10.68

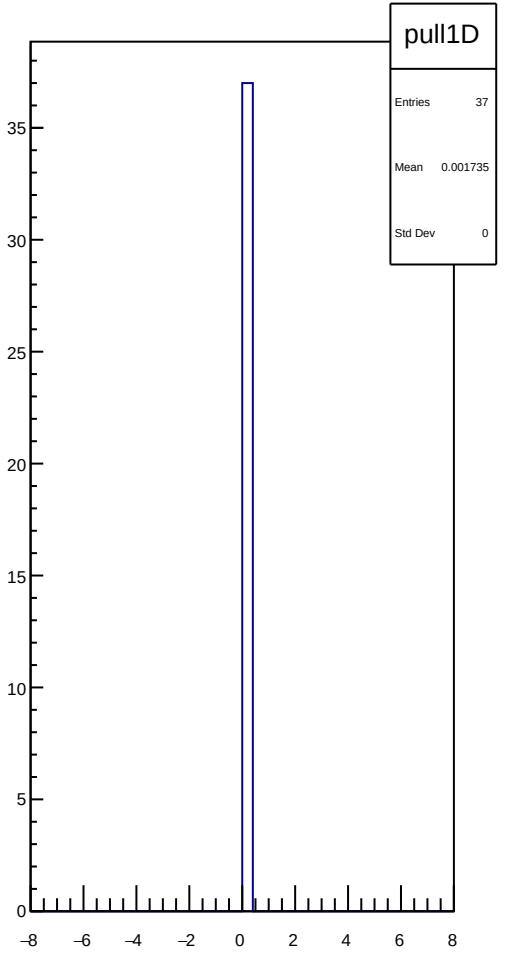
pull1D
Entries 37
Mean 0.001735
Std Dev 0

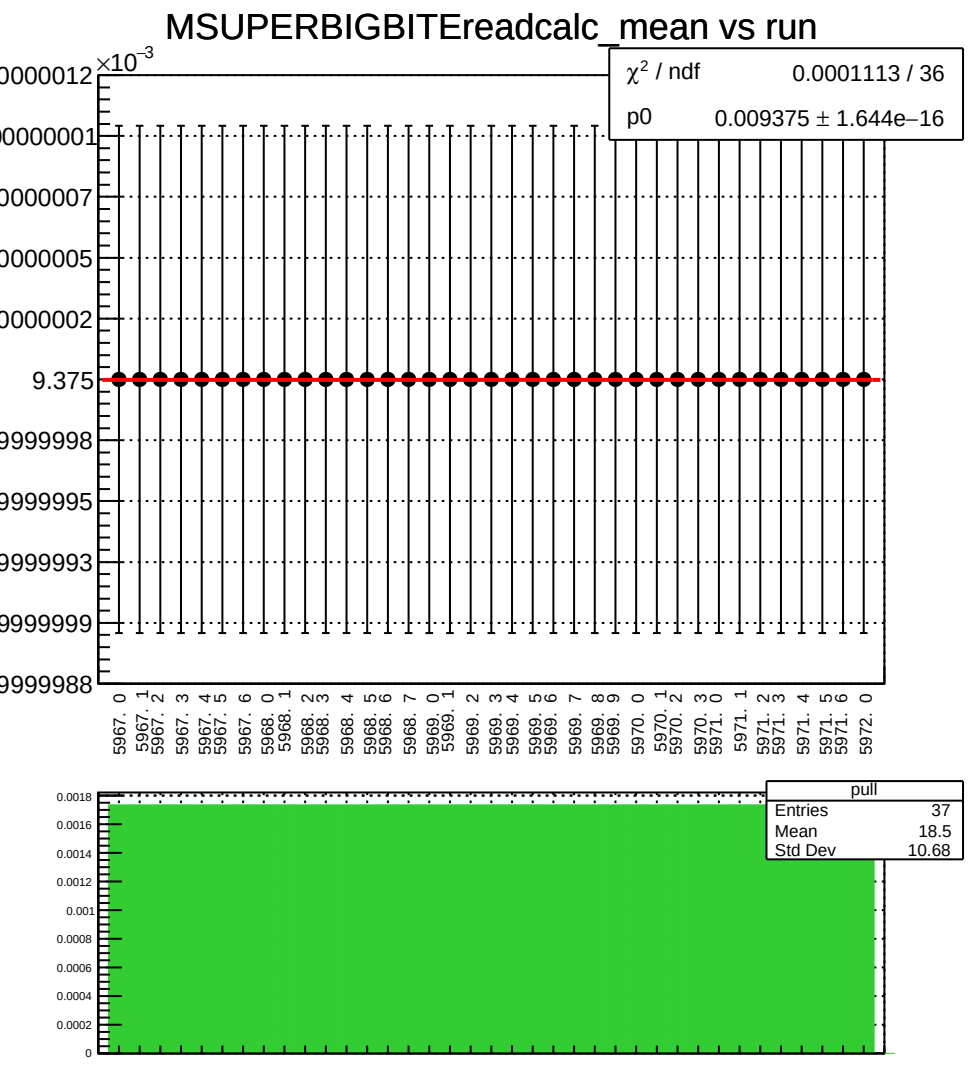
MSUPERBIGBITEreadcalc_mean vs run
χ² / ndf 0.0001113 / 36
p0 0.009375 ± 1.644e−16
×10⁻³
pull
Entries 37
Mean 18.5
Std Dev 10.68

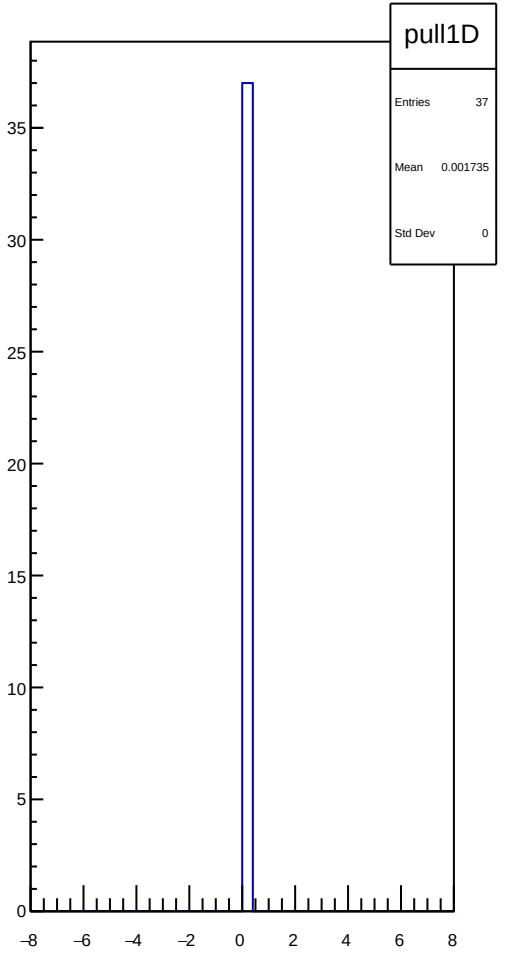
pull1D
Entries 37
Mean 0.001735
Std Dev 0

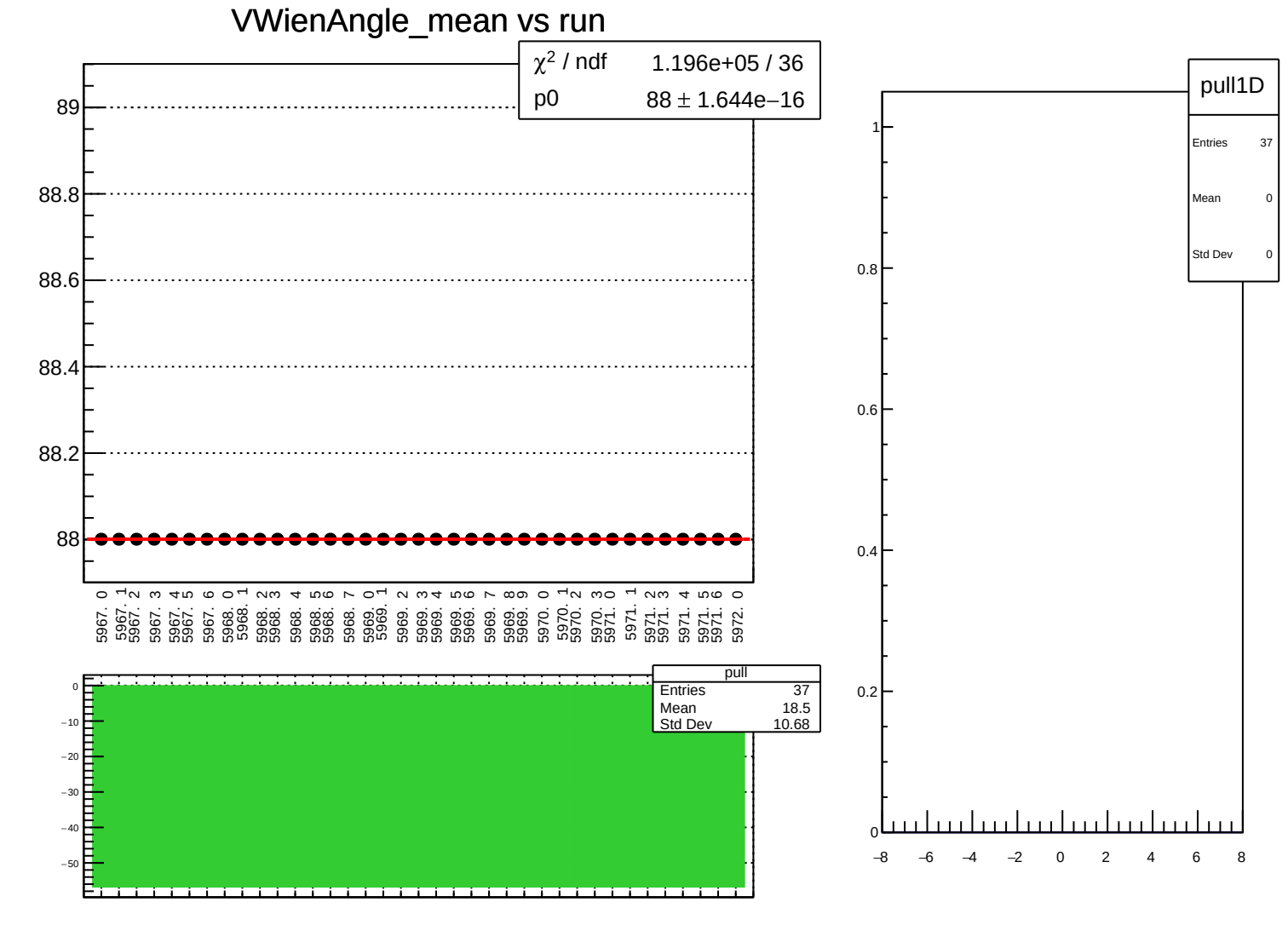
VWienAngle_mean vs run
χ² / ndf 1.196e+05 / 36
p0 88 ± 1.644e−16
89
88.8
88.6
88.4
88.2
88
5967. 0
5967. 1
5967. 2
5967. 3
5967. 4
5967. 5
5967. 6
5968. 0
5968. 1
5968. 2
5968. 3
5968. 4
5968. 5
5968. 6
5968. 7
5969. 0
5969. 1
5969. 2
5969. 3
5969. 4
5969. 5
5969. 6
5969. 7
5969. 8
5969. 9
5970. 0
5970. 1
5970. 2
5970. 3
5971. 0
5971. 1
5971. 2
5971. 3
5971. 4
5971. 5
5971. 6
5972. 0
pull
Entries 37
Mean 18.5
Std Dev 10.68
0
−10
−20
−30
−40
−50
pull1D
Entries 37
Mean 0
Std Dev 0
1
0.8
0.6
0.4
0.2
0
−8
−6
−4
−2
0
2
4
6
8

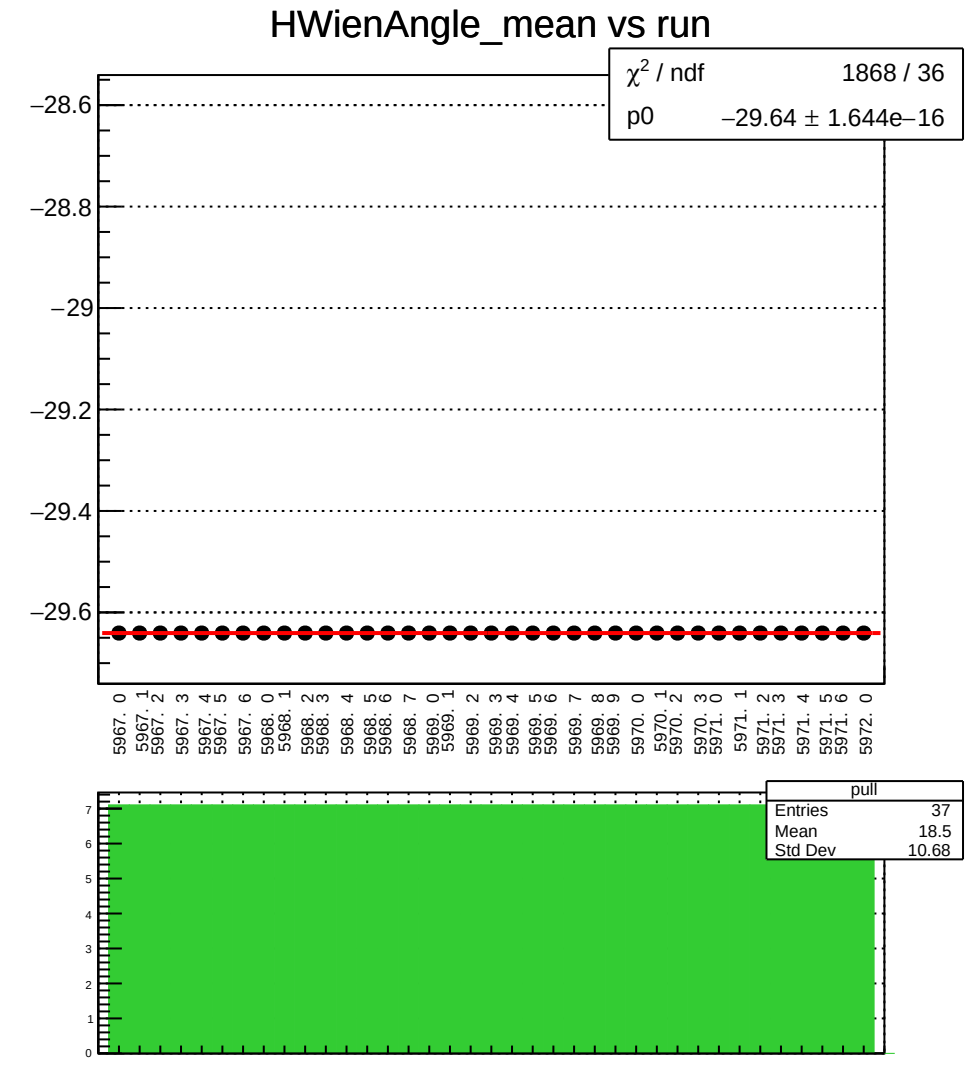
HWienAngle_mean vs run
χ² / ndf 1868 / 36
p0 −29.64 ± 1.644e−16
−28.6
−28.8
−29
−29.2
−29.4
−29.6
5967. 0
5967. 1
5967. 2
5967. 3
5967. 4
5967. 5
5967. 6
5968. 0
5968. 1
5968. 2
5968. 3
5968. 4
5968. 5
5968. 6
5968. 7
5969. 0
5969. 1
5969. 2
5969. 3
5969. 4
5969. 5
5969. 6
5969. 7
5969. 8
5969. 9
5970. 0
5970. 1
5970. 2
5970. 3
5971. 0
5971. 1
5971. 2
5971. 3
5971. 4
5971. 5
5971. 6
5972. 0
pull
Entries 37
Mean 18.5
Std Dev 10.68
0
1
2
3
4
5
6
7

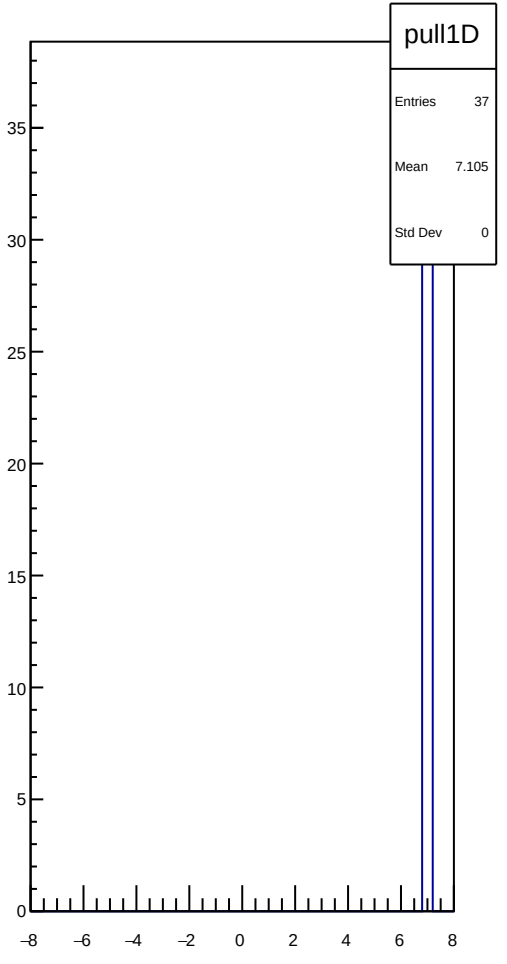
pull1D
Entries 37
Mean 7.105
Std Dev 0
0
5
10
15
20
25
30
35
−8
−6
−4
−2
0
2
4
6
8

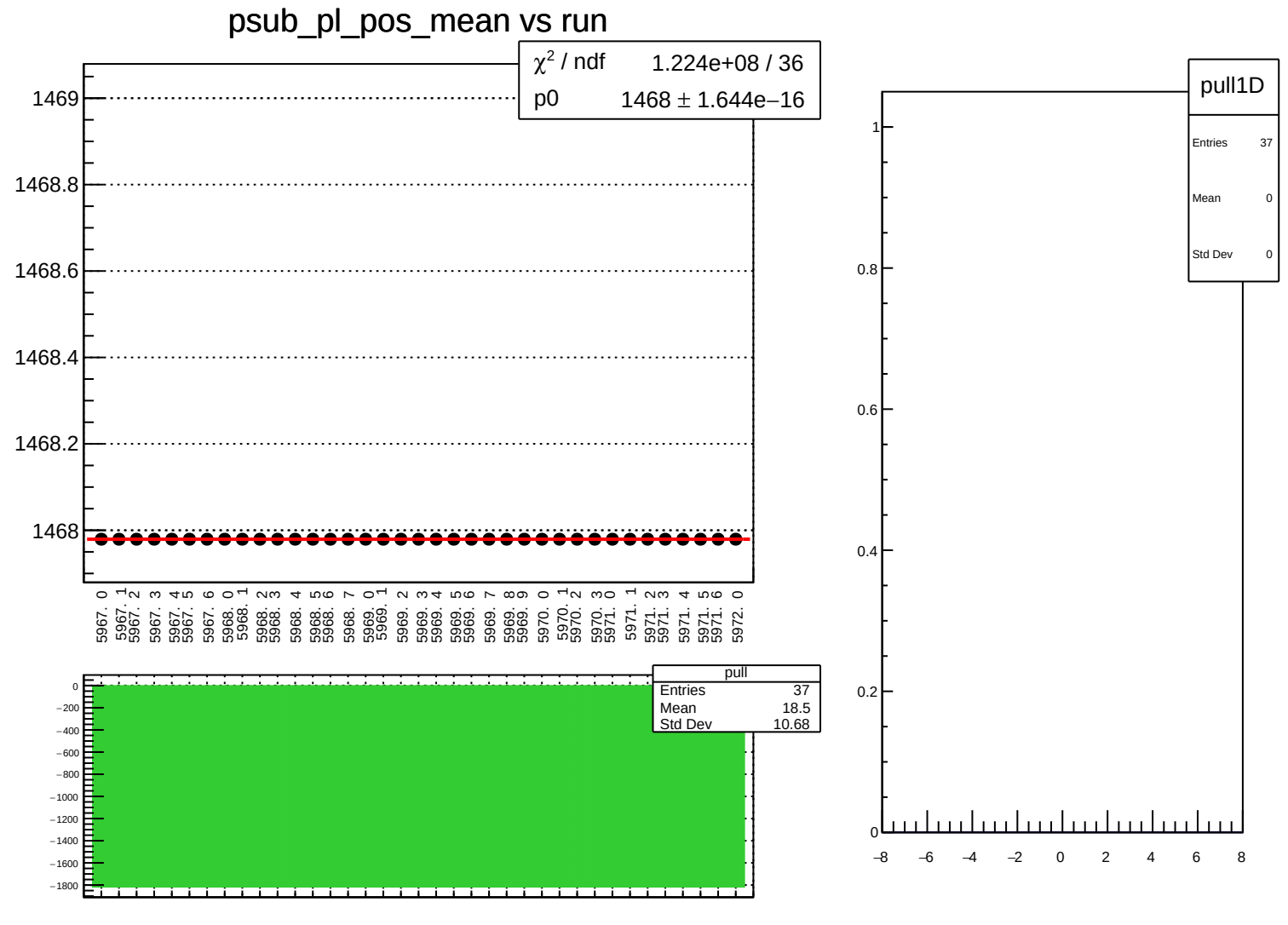
psub_pl_pos_mean vs run
χ² / ndf 1.224e+08 / 36
p0 1468 ± 1.644e−16
1469
1468.8
1468.6
1468.4
1468.2
1468
5967. 0
5967. 1
5967. 2
5967. 3
5967. 4
5967. 5
5967. 6
5968. 0
5968. 1
5968. 2
5968. 3
5968. 4
5968. 5
5968. 6
5968. 7
5969. 0
5969. 1
5969. 2
5969. 3
5969. 4
5969. 5
5969. 6
5969. 7
5969. 8
5969. 9
5970. 0
5970. 1
5970. 2
5970. 3
5971. 0
5971. 1
5971. 2
5971. 3
5971. 4
5971. 5
5971. 6
5972. 0
pull
Entries 37
Mean 18.5
Std Dev 10.68
0
−200
−400
−600
−800
−1000
−1200
−1400
−1600
−1800
pull1D
Entries 37
Mean 0
Std Dev 0
1
0.8
0.6
0.4
0.2
0
−8
−6
−4
−2
0
2
4
6
8

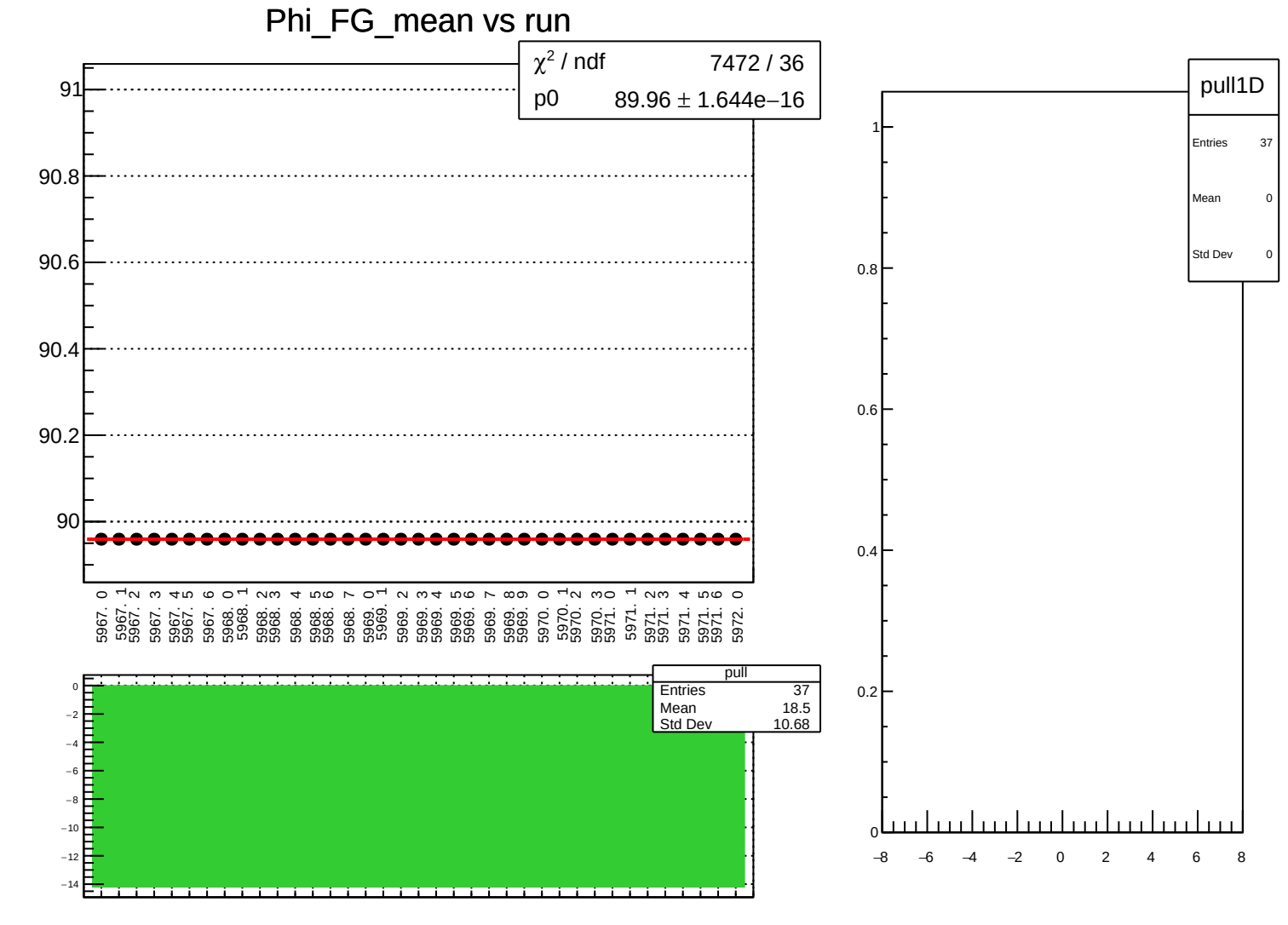
Phi_FG_mean vs run
χ² / ndf 7472 / 36
p0 89.96 ± 1.644e−16
91
90.8
90.6
90.4
90.2
90
5967. 0
5967. 1
5967. 2
5967. 3
5967. 4
5967. 5
5967. 6
5968. 0
5968. 1
5968. 2
5968. 3
5968. 4
5968. 5
5968. 6
5968. 7
5969. 0
5969. 1
5969. 2
5969. 3
5969. 4
5969. 5
5969. 6
5969. 7
5969. 8
5969. 9
5970. 0
5970. 1
5970. 2
5970. 3
5971. 0
5971. 1
5971. 2
5971. 3
5971. 4
5971. 5
5971. 6
5972. 0
pull
Entries 37
Mean 18.5
Std Dev 10.68
0
−2
−4
−6
−8
−10
−12
−14
pull1D
Entries 37
Mean 0
Std Dev 0
1
0.8
0.6
0.4
0.2
0
−8
−6
−4
−2
0
2
4
6
8

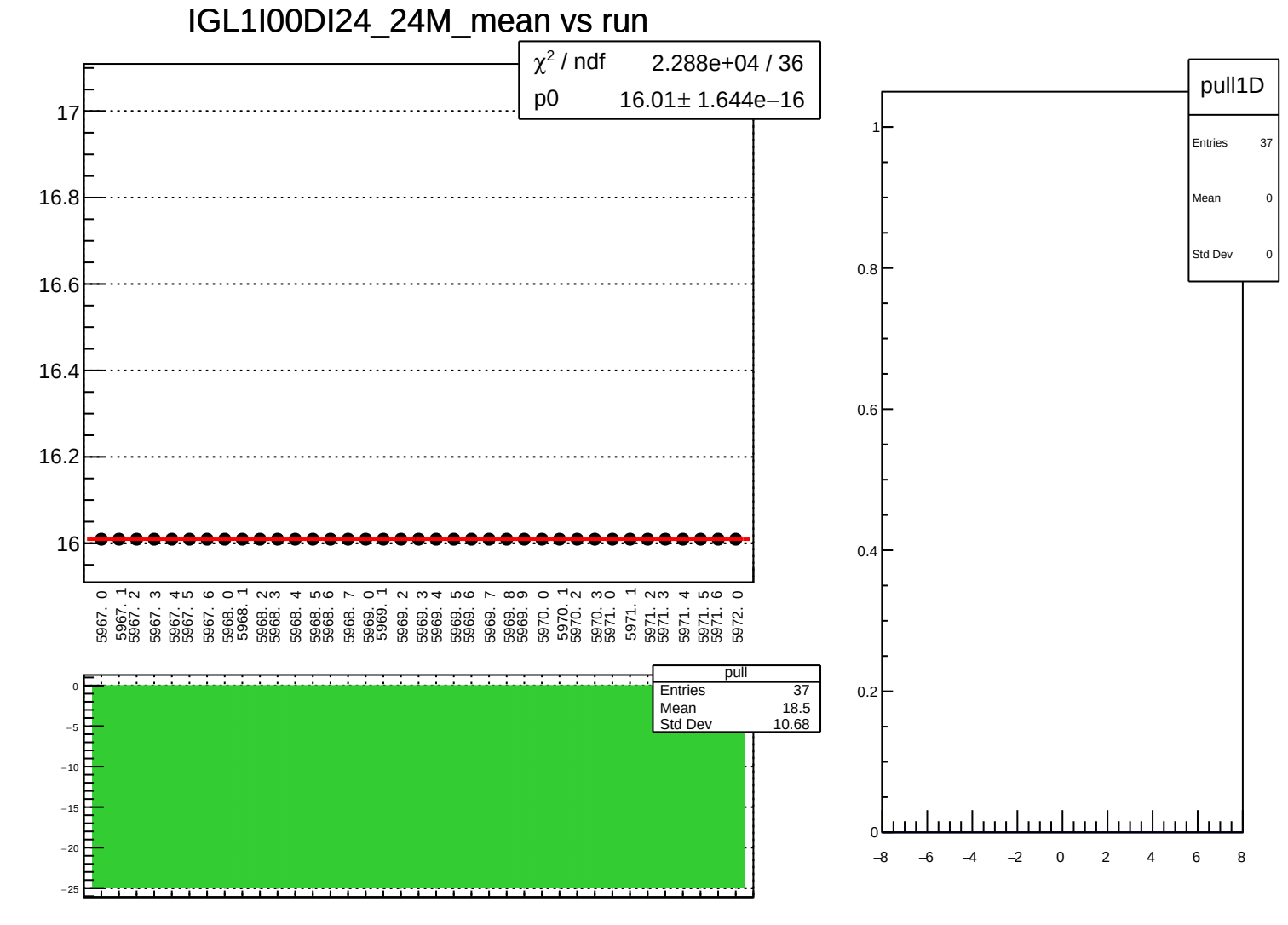
IGL1I00DI24_24M_mean vs run
χ² / ndf 2.288e+04 / 36
p0 16.01± 1.644e−16
17
16.8
16.6
16.4
16.2
16
5967. 0
5967. 1
5967. 2
5967. 3
5967. 4
5967. 5
5967. 6
5968. 0
5968. 1
5968. 2
5968. 3
5968. 4
5968. 5
5968. 6
5968. 7
5969. 0
5969. 1
5969. 2
5969. 3
5969. 4
5969. 5
5969. 6
5969. 7
5969. 8
5969. 9
5970. 0
5970. 1
5970. 2
5970. 3
5971. 0
5971. 1
5971. 2
5971. 3
5971. 4
5971. 5
5971. 6
5972. 0
pull
Entries 37
Mean 18.5
Std Dev 10.68
0
−5
−10
−15
−20
−25
pull1D
Entries 37
Mean 0
Std Dev 0
1
0.8
0.6
0.4
0.2
0
−8
−6
−4
−2
0
2
4
6
8

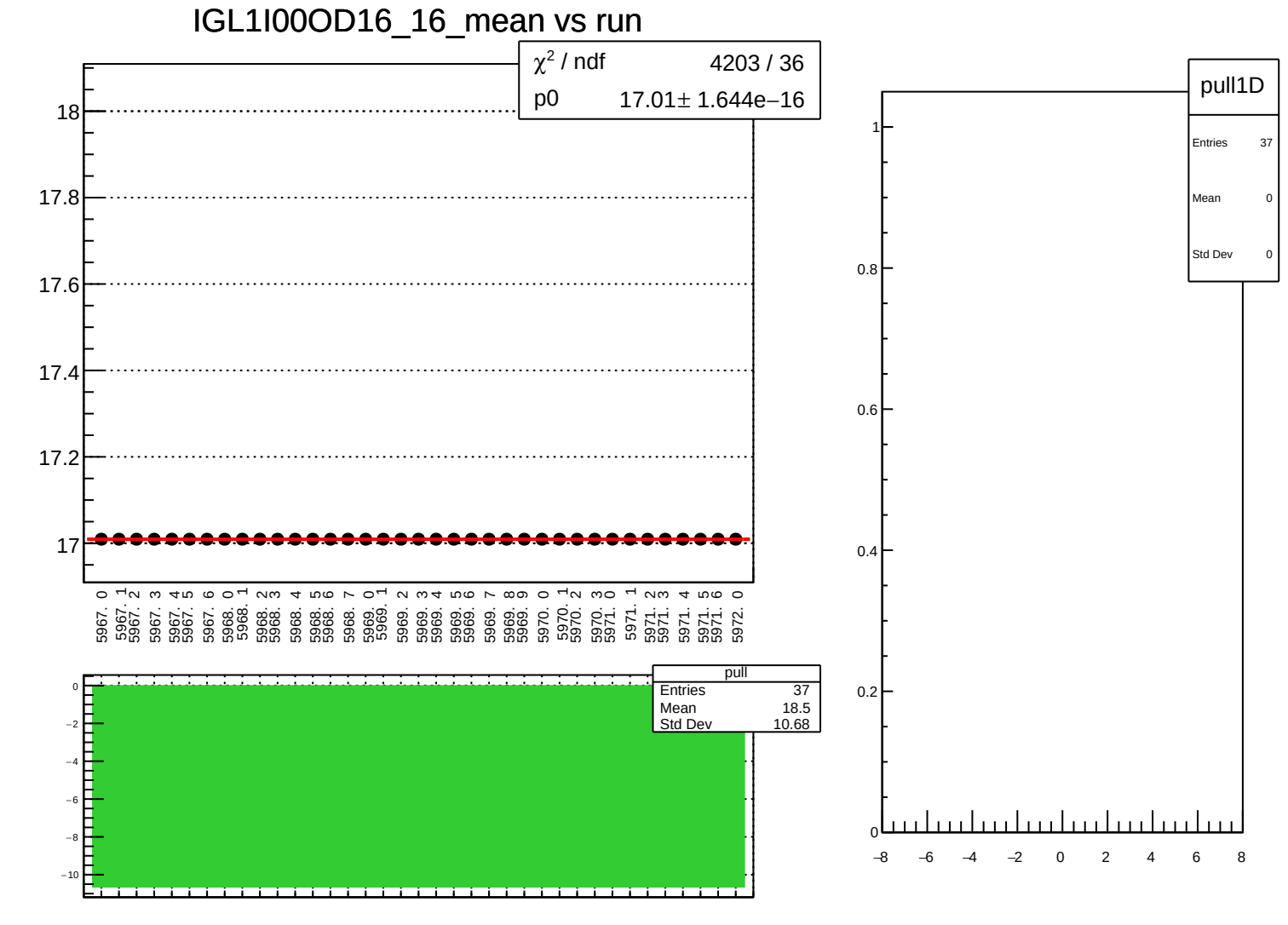
IGL1I00OD16_16_mean vs run
χ² / ndf 4203 / 36
p0 17.01± 1.644e−16
18
17.8
17.6
17.4
17.2
17
5967. 0
5967. 1
5967. 2
5967. 3
5967. 4
5967. 5
5967. 6
5968. 0
5968. 1
5968. 2
5968. 3
5968. 4
5968. 5
5968. 6
5968. 7
5969. 0
5969. 1
5969. 2
5969. 3
5969. 4
5969. 5
5969. 6
5969. 7
5969. 8
5969. 9
5970. 0
5970. 1
5970. 2
5970. 3
5971. 0
5971. 1
5971. 2
5971. 3
5971. 4
5971. 5
5971. 6
5972. 0
pull
Entries 37
Mean 18.5
Std Dev 10.68
0
−2
−4
−6
−8
−10
pull1D
Entries 37
Mean 0
Std Dev 0
1
0.8
0.6
0.4
0.2
0
−8
−6
−4
−2
0
2
4
6
8

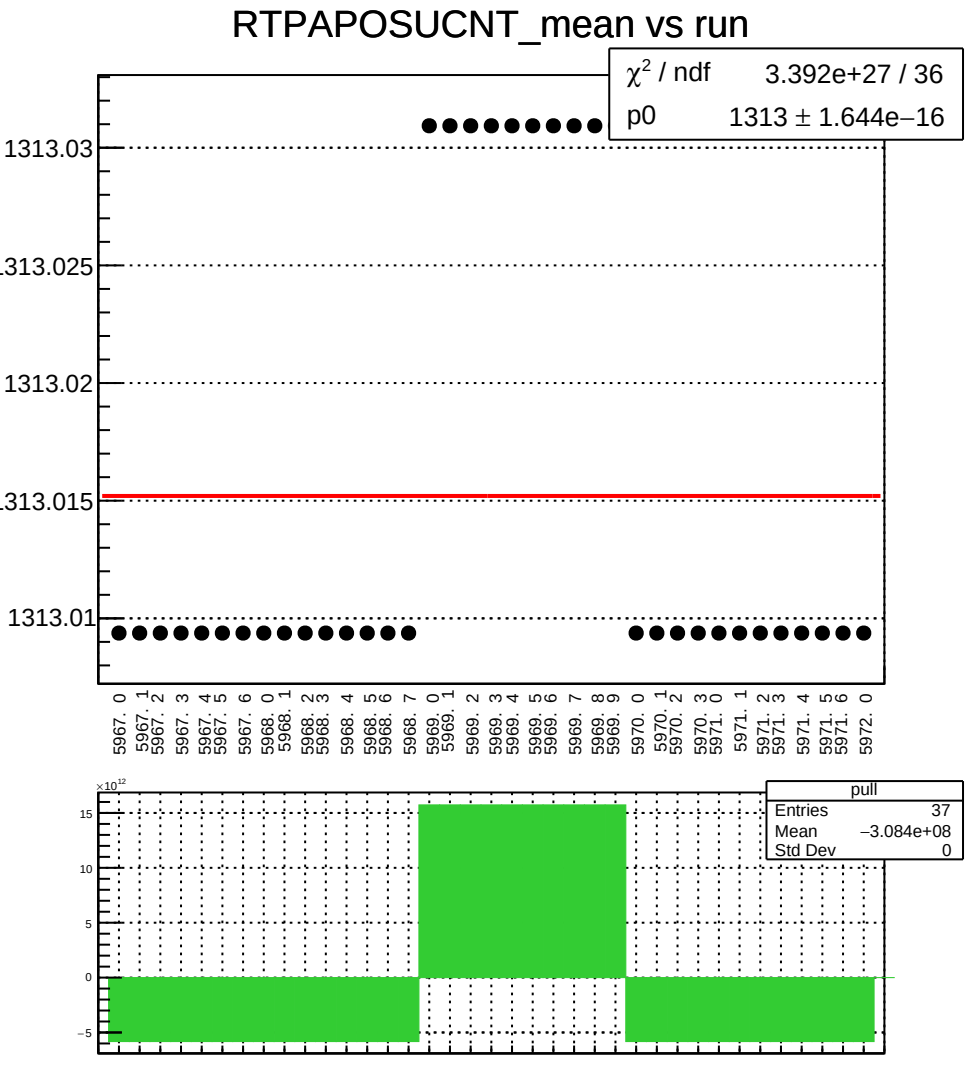
RTPAPOSUCNT_mean vs run
χ² / ndf 3.392e+27 / 36
p0 1313 ± 1.644e−16
1313.03
1313.025
1313.02
1313.015
1313.01
5967. 0
5967. 1
5967. 2
5967. 3
5967. 4
5967. 5
5967. 6
5968. 0
5968. 1
5968. 2
5968. 3
5968. 4
5968. 5
5968. 6
5968. 7
5969. 0
5969. 1
5969. 2
5969. 3
5969. 4
5969. 5
5969. 6
5969. 7
5969. 8
5969. 9
5970. 0
5970. 1
5970. 2
5970. 3
5971. 0
5971. 1
5971. 2
5971. 3
5971. 4
5971. 5
5971. 6
5972. 0
×10¹²
15
10
5
0
−5
pull
Entries 37
Mean −3.084e+08
Std Dev 0

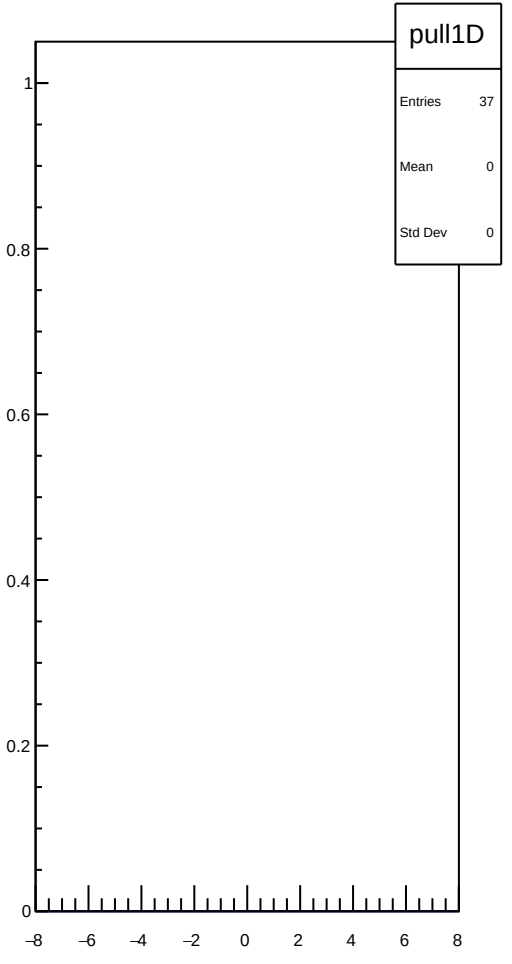
pull1D
Entries 37
Mean 0
Std Dev 0
1
0.8
0.6
0.4
0.2
0
−8
−6
−4
−2
0
2
4
6
8

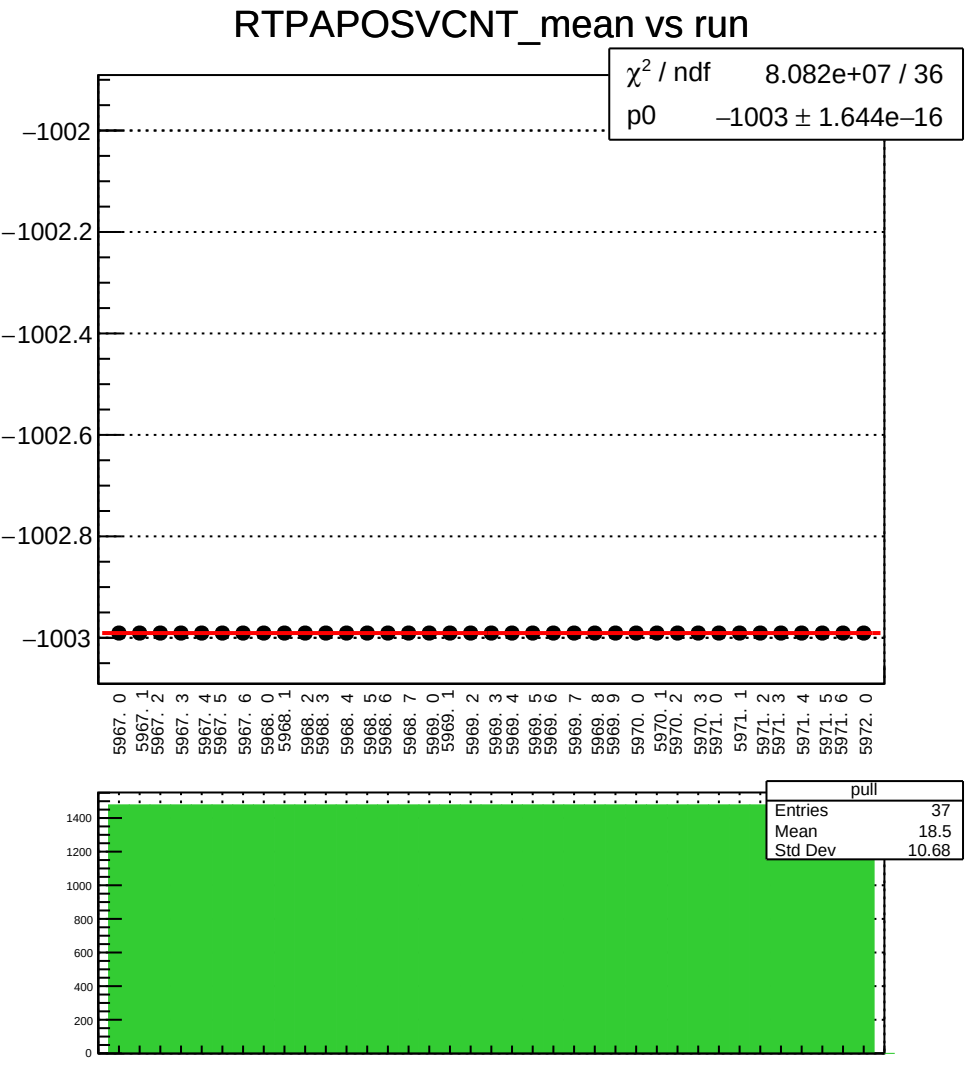
RTPAPOSVCNT_mean vs run
χ² / ndf 8.082e+07 / 36
p0 −1003 ± 1.644e−16
−1002
−1002.2
−1002.4
−1002.6
−1002.8
−1003
5967. 0
5967. 1
5967. 2
5967. 3
5967. 4
5967. 5
5967. 6
5968. 0
5968. 1
5968. 2
5968. 3
5968. 4
5968. 5
5968. 6
5968. 7
5969. 0
5969. 1
5969. 2
5969. 3
5969. 4
5969. 5
5969. 6
5969. 7
5969. 8
5969. 9
5970. 0
5970. 1
5970. 2
5970. 3
5971. 0
5971. 1
5971. 2
5971. 3
5971. 4
5971. 5
5971. 6
5972. 0
pull
Entries 37
Mean 18.5
Std Dev 10.68
1400
1200
1000
800
600
400
200
0

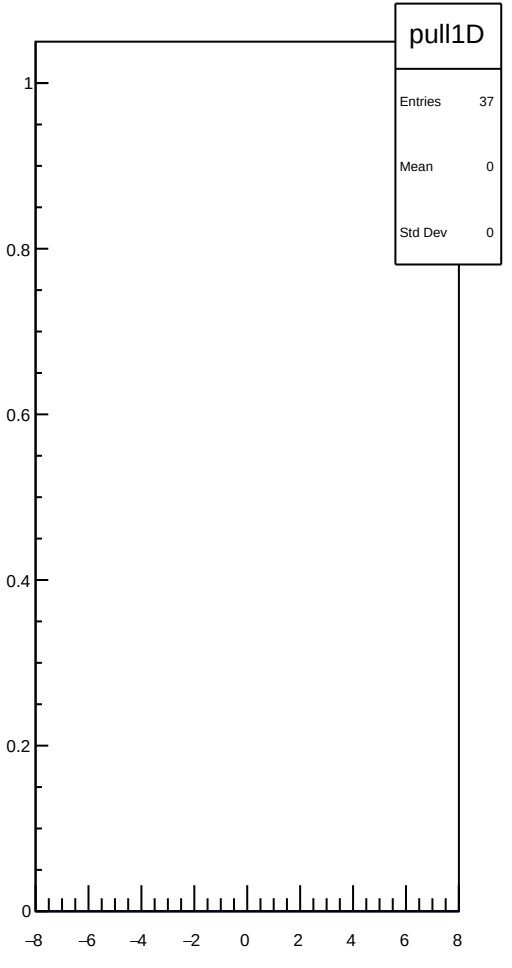
pull1D
Entries 37
Mean 0
Std Dev 0
1
0.8
0.6
0.4
0.2
0
−8
−6
−4
−2
0
2
4
6
8

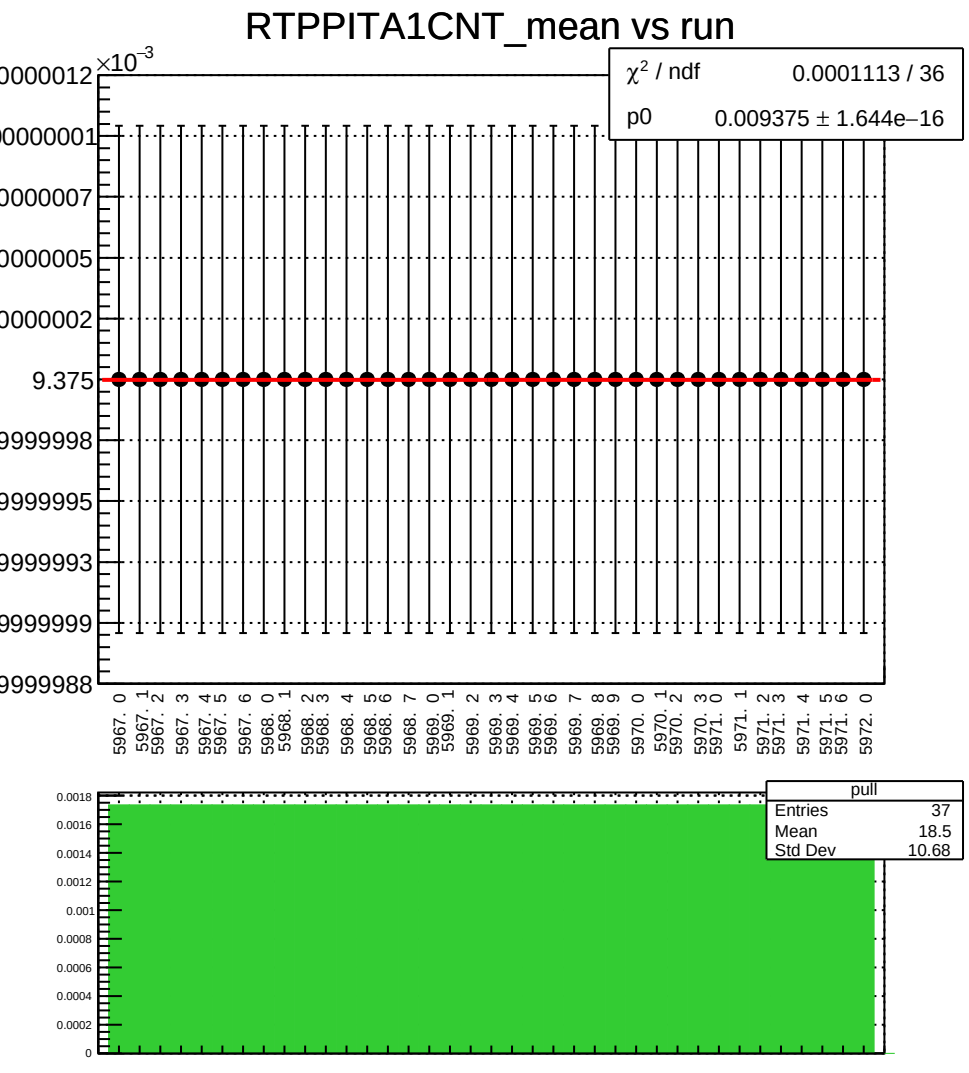
RTPPITA1CNT_mean vs run
χ² / ndf 0.0001113 / 36
p0 0.009375 ± 1.644e−16
×10⁻³
pull
Entries 37
Mean 18.5
Std Dev 10.68

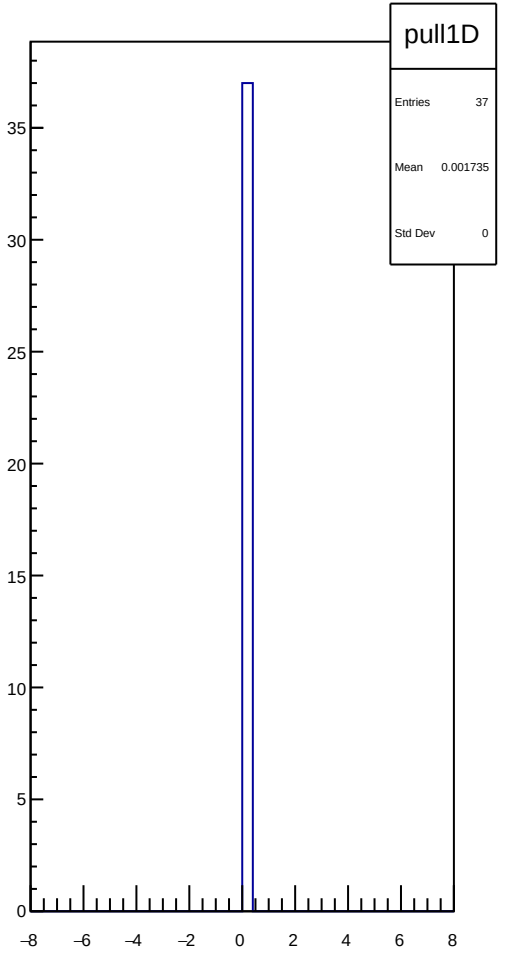
pull1D
Entries 37
Mean 0.001735
Std Dev 0

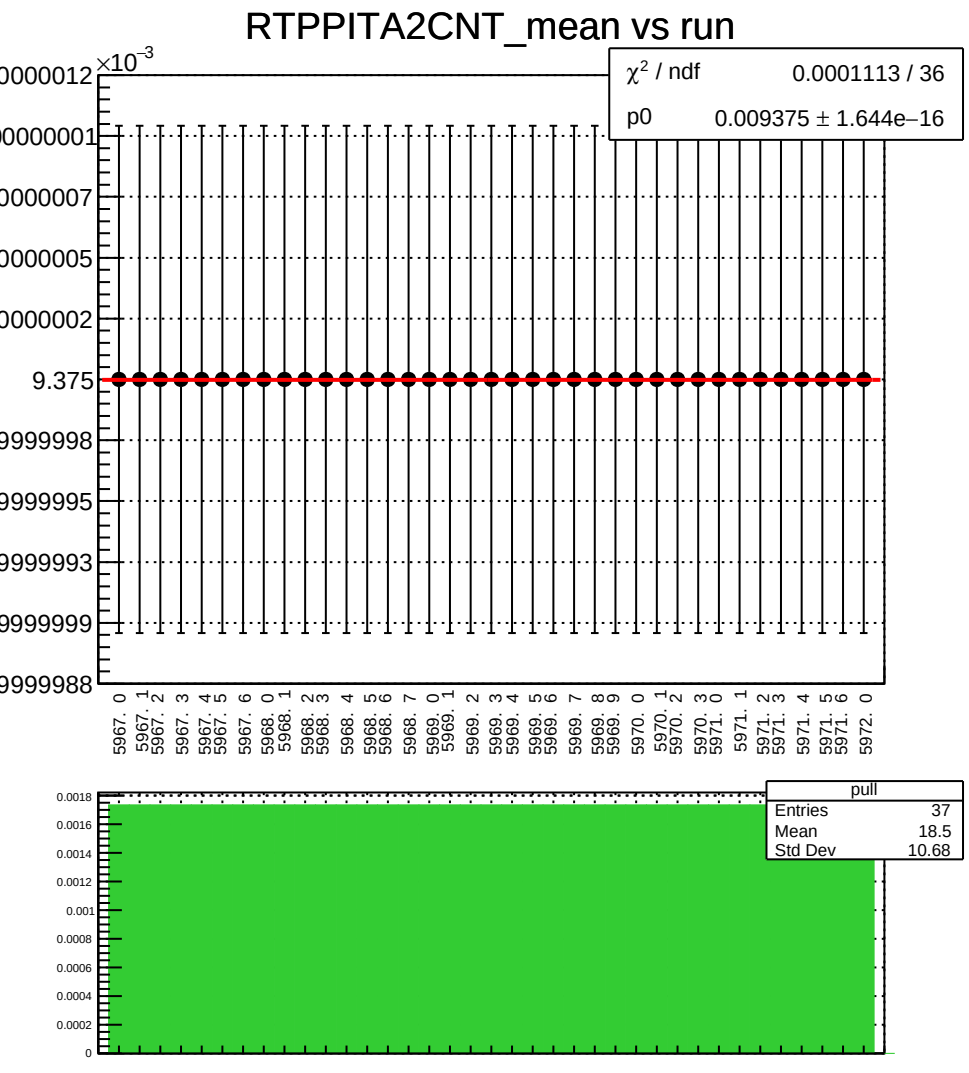
RTPPITA2CNT_mean vs run
×10⁻³
χ² / ndf 0.0001113 / 36
p0 0.009375 ± 1.644e−16
9.375
5967. 0
5967. 1
5967. 2
5967. 3
5967. 4
5967. 5
5967. 6
5968. 0
5968. 1
5968. 2
5968. 3
5968. 4
5968. 5
5968. 6
5968. 7
5969. 0
5969. 1
5969. 2
5969. 3
5969. 4
5969. 5
5969. 6
5969. 7
5969. 8
5969. 9
5970. 0
5970. 1
5970. 2
5970. 3
5971. 0
5971. 1
5971. 2
5971. 3
5971. 4
5971. 5
5971. 6
5972. 0
pull
Entries 37
Mean 18.5
Std Dev 10.68
0.0018
0.0016
0.0014
0.0012
0.001
0.0008
0.0006
0.0004
0.0002
0

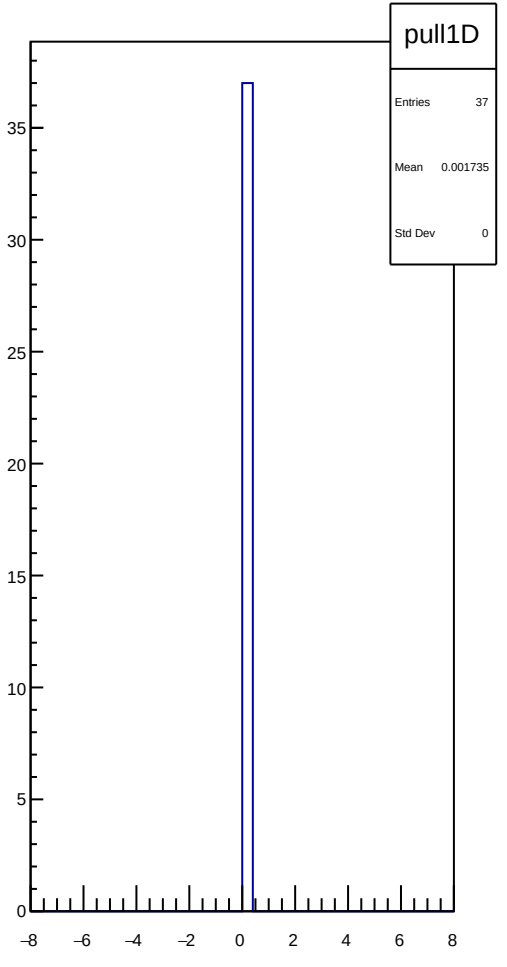
pull1D
Entries 37
Mean 0.001735
Std Dev 0
35
30
25
20
15
10
5
0
−8
−6
−4
−2
0
2
4
6
8